SCHNELLVERZEICHNIS

(Ausführliches Verzeichnis - siehe Seite 2-17)

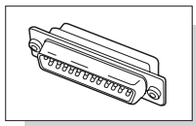

Steckverbinder, Kabelbaugruppen, IC-Sockel ..... **20-205** INCLUDES SMT **A**

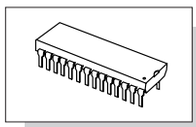

Halbleiter, Integrierte Schaltkreise, Transistoren, Dioden, Gleichrichter .... **206-876** INCLUDES SMT **B**

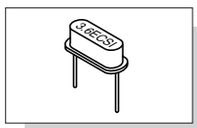

Kristalle, Oszillatoren ..... **877-918** INCLUDES SMT **C**

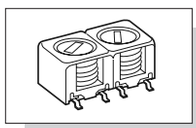

Induktoren, Spulen, Filter ..... **919-980** INCLUDES SMT **D**

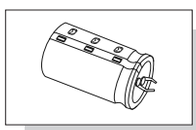

Kondensatoren ..... **981-1168** INCLUDES SMT **E**

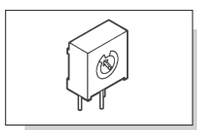

Widerstände, Potentiometer ..... **1169-1246** INCLUDES SMT **F**

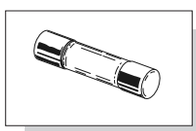

Schaltkreisschutzbausteine, Thermistoren ..... **1247-1299** INCLUDES SMT **G**

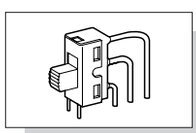

Schalter, Relais, elektromechanische ..... **1300-1395** INCLUDES SMT **H**

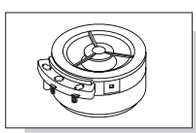

Wärmeschrumpfer, Summer, Mikrofone, Lautsprecher, Regler .... **1396-1414** INCLUDES SMT **I**

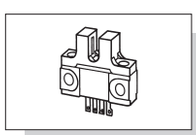

Sensoren und industrielle Steuerungen ..... **1415-1458** INCLUDES SMT **J**

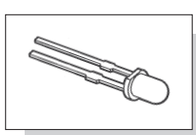

Optoelektronik, LEDs, LCDs, Laser, Anzeigen ..... **1459-1512** INCLUDES SMT **K**

Weitere Produkte sind online bei de.digikey.com erhältlich.

A

Adapter
Audio 174
BNC 169
D-Sub 34
GBIC-DB9 189
Maus 34
Modular 110
Modulare Koppler 110
PLCC 198, 203
Programmierung/Prototyp 206-207, 231-232, 267
QFP-PGA 202
RF 162-166, 169-170
SCSI 36
SMK 168
SOIC-DIP 202
SOJ-DIP 202
SOWIC 202
SSOP-DIP 202
Steckleisten/Abdeckungen 201
Tastatur 34
TO-DIP 203
USB 37

Alarmanlagen 1400-1401

Alternistoren 868, 876

Anschlussblöcke 114-118, 120-122, 124-128, 130-136
DIN-Schiene 120-122
Eurostyle 131
Leiterplatte 114-118, 124-128, 130-136

Anschlusshülsen
Draht 119

Anschlussklemmen - Spleiße
Board-in-Crimp 70
Faston 137-141
Gefederter Tastenschalter 129
Geschlossenes Ende 142
Kabelschuh und Ösen 138-141
Kits 1414
Ringkontakt 141-142
Schnelltrennkupplung 137-138, 140-142
Stirnflächenverbindungsspleiß 139-142

Antenne 745, 747
GPS-Patch/Element 735
Handy/GPS 745
Magnetmontage 744
Oberflächenmontage 735, 745
Planar 745
Whip 745
Yagi 744

Anzeigen
(TFT) Module 1459
Entwicklungskits 1459
LCD, 7 Segmente 1465, 1481
Grafik 1460-1461, 1463, 1465
TFT 1459-1461
Zeichen 1460-1461, 1463
LED, 7 Segmente ..... 1481, 1495, In-Bk-Cvr
LED, alphanumerisch 1495
LED, nummerisch ..... 1495, In-Bk-Cvr
Oled 1461
Punktmatrix 1494
Rücklichter 1465
Vakuum, fluoreszierend 1464

Audio
Steckverbinder 174, 176-178
Transducer 1402-1404

B

Balun 965

Bananenstecker/Klinkenstecker 159

Barrierensperren 129

Beschleunigungsmessgerät 282, 1454-1455

Blenden 1464

C

Chip-Perlen 968-969
Gleichtaktdrosseln 969
Hochstrom 968-969
Hohe Haltekraft 968
Induktoren 969

Clinometer 1438

Clips
Sicherung 1284-1285, 1288, 1290

Computerausrüstung
Kabelbausätze 33-38

Controller
Entwicklungskits 223-226, 230
Programmierbare Karten 223-226, 231-232
Source-Ringer 404
Ventilatormotor-Controller, bürstenlos 777

D

Dämpfer 1201

DC-DC-Wandler 682
Integrierte Schaltkreise 512-516, 641-649, 716-718, 776
Spannungsregler 773-774

Diacs 870, 876, 1267

DIN-Schiene 119-122
Zubehör 120, 122-123

Dioden/Gleichrichter 532, 768-769, 780, 782, 786-789, 794, 804, 807, 815-819, 833-837, 839-841, 843-853, 855-867
Brücke 818
HexFreds 794, 804
Hyperabrupte Varaktoren 768
Kits 1414
Oberflächenmontage 753, 768-769, 780, 786-789, 794, 815-819, 833-837, 839-853, 855, 858, 861, 866-867
Pin 787
Schalt- 782, 859, 863-865
Schottky 769, 782, 786-787, 804, 809, 841-844, 851-853, 855-856, 858, 860, 863-865
Variable Kapazität 780, 782
Zener 769, 789, 833-837, 839-840, 860

Dioden-Arrays 818, 854

Draht (siehe auch Kabel/Draht)
Anschlusshülsen 119

Drahtdurchführung
Drahtlose Kommunikation 751

Drahtlose Kommunikation 750-751
Entwicklungssysteme 750
GPS 751
Integrierte Schaltkreise 750-751
RF-Transmitter/Empfänger 750-751

Druckhülsen
D-Sub-Endgehäuse 108

Druckschalter 1452

Drucksensoren 1442-1443, 1445, 1450-1451

DSP 276-278, 291, 297-298
Entwicklungskits 292, 298

E

E/A-Module 1385

EEPROM
Parallel 736-737
Seriell 727-729, 731-734

EMI-Filter 968-973

EMI-Schilder 971

EMI-Unterdrückung
Arrays 966, 969-970
Durchgangsloch 969-970
Ferrit-Chips 966, 968-969
Ferrit-Kabelkerne 970-972
Ferritkerne 971-973
Filterkondensatortyp 967
Gleichtaktdrosseln 969-973
Hochstrom 968-971
LC-Kombinationschip 967
Oberflächenmontage 966, 968-970

Emulatoren
AVR 216
ClearView 258
DSP 297-298
EPROM 258
Flash 258, 273
Mikrocontroller 259, 267-268, 281
PIC 258

Endgehäuse, D-Sub 25, 32,107

Entwicklungssysteme 228-229, 258-259, 268, 297-298, 749-750, 776
Acclaim 259
Encore 259
IR 268
RF-Evaluierungskits 751
RFid 750
Thermostat 268
Webserver-Kit 264

Entwicklungssystem-Matrix 251-257

Entwicklungswerkzeuge
Adapter 266
Emulatoren 266
Entwicklungskits 266
Module 266
Programmiergerät 266
Zubehörkits 266

EPROM
Emulator 258
Programmiergerät 206-207

ESE-Produkte
Stoßspannungsunterdrücker (TVS) 1251, 1278
Unterdrückung 968-970, 1255, 1278-1279
Arrays 1278
Mehrschicht-Chip 968, 1251, 1255
Varistor 1249, 1251, 1255

Evaluierungskits 215-216, 278, 280, 282, 743, 748, 750
Ferrit EMI 968-969, 971-973
RF 216, 748-749

F

Faseroptik
Empfänger 113
Kabel 113, 1453
LEDs 113
Sende-/Empfangsmodule 113
Steckverbinder 113
Transmitter 113
Verstärker 1453

Faston-Anschlüsse 137-141

Ferritkerne
Axiale Leitungsperlen 970
Breitbandkerne 971-973
Chips 969
Arrays 969
Differenzialmodusfilter 970
Durchlasslochfilter 969-970
EMI-Scheiben und -Platten 971
Flachkabel 971
Flachkabel, Filter 972
Flachkern 971, 975
Geteilte Kerne 971, 973
Gleichtaktdrosseln 969-970
HF-Kerne 973
Kabel, Klemmbar 971, 973, 975
Kits 968-969, 971-973
Klemm- 971, 973
NF-Kerne 972
Oberflächenmontage 968-970
Ringkern 972-973, 975
SMT-Chip-Perlen 968-969
Kits 968
Wulstkerne 963, 971-976
Zylinder 972-973

Filter
Aktiv 788
CPE 112
Dielektrikum 735
Differenzialmodus 968-970
Digitales Geräusch 968-973, 975-976
Diskriminator 918
DSL 112
EMI 964, 968-974, 976, 980
Ferritkerne 963, 968-975
Gleichtaktmodus 969-970
Keramik
AM 918
Filter 918
FM 918
Kristall, monolithisch 897, 914
Leitung 977-978, 980
Rauschfilter
2 Modi 975
Gleichtaktmodus 969-971, 974-975
SAW 914

Flachkabel 32

Flachkabel, Filter 970

Flash-Emulator 258

Flash-Speicher 357-358, 737-740
Serieller DataFlash 740

Fotodetektoren 1428, 1430, 1441

Fotodioden, Emitter 1428-1429, 1441

Fototransistoren 1441

Funkfrequenzkomponenten 897

Alle Preisangaben in Euro und inklusive Zollgebühren.

G

Glättungsdrosseln.....936-939, 949, 961-963, 969-973
- CAN-BUS.....970
- Drahtgewickelt.....969-970
- Gleichtaktmodus.....969-970
  - Arrays.....969-970
  - Hochstrom.....969-970
  - Kits.....969
  - Leistung.....969-970
- Hochfrequenz.....969-970
- Hochstrom.....969-970
- Kits.....969, 1414
- Oberflächenmontage.....969-970
- Stromausgeglichen.....970

Gleichrichter/Dioden.....768-769, 780, 786-789, 794, 804, 806, 815, 833-837, 839-852, 860-867, 870
- Brücke.....815, 818, 841, 844, 848-849
- Schottky.....769, 786-787, 804, 809, 815, 841-844, 851-852, 854, 860, 862-865

Grafikmodule.....1459

Graphitblätter.....754

H

Halbleiter (siehe Integrierte Schaltkreise)

HF-Transistoren.....820

Hintergrundbeleuchtung, EL-Element.....1462

I

IC-Sockel (siehe auch Sockel)
- Adapter
  - IC.....202-203
  - PLCC.....198, 203
- DIP.....193
- Doppelblatt.....201, 204
- Drahtumwickelt.....193-195, 201, 204
- Horizontal.....194, 201
- Hülse.....201-202
- Integrierter Kondensator.....195
- Lötlitze.....193-195, 202, 204-205
- Maschinenstift.....192, 194-195, 198, 201, 204
- Niedrige Bauform.....192-195, 198, 204
- Oberflächenmontage.....192-193, 195, 202-203
- Offener Rahmen.....193-195, 201, 204
- PGA.....193, 202
- PLCC.....193, 203-204
- PQFP.....192
- Rechtwinklig, Dual-Inline.....194, 201
- Shrink-DIP.....195
- Sockelträger.....195
- Test.....203
- Typ „A" LCC.....205
- Vertikal.....194, 201
- ZIF.....203, 205
- ZIP-DIP.....205

IC-Test-Clips.....205

Induktoren (siehe Spulen/Induktoren)

Integrierte Schaltkreise/Halbleiter
- 8051-Architektur.....220-222
- A/D- und D/A-Wandler, DAS.....405-416, 698-700, 704, 711-712, 714-715
- Analog.....320-321, 334-335, 347-348, 685
- Analog-Schalter.....344-345, 557-558, 561-562, 570-571, 614, 631, 696, 711, 713-714, 719
- Anzeige- und Videowandler.....333-334
- ARM-Mikrocontroller.....215
- ATE und Zeit-Domain.....320
- Audio-Lautstärkeregelung.....397
- Audio-Verstärker.....311, 590-591, 594, 637-639, 654-657, 685, 689-691, 817
- AVR-Mikrocontroller.....216-219
- Batterie-Management.....509-511, 585, 649, 675, 683-684
- Bewegungs-/Motorsteuerung.....337
- Buck-Regler.....511-512
- Bussteuerung/-management.....397-400
- CAN-Controller-Kit.....310
- CCD-Signalprozessoren.....320, 400
- CMOS LCD-Treiber.....302
- CODECs.....232, 321, 403-404, 550-551
- CPLDs.....209, 211-212, 272
- Datenkommunikation.....320, 361, 403-405, 632
- Datenkonvertierung.....230, 321-331, 361, 405-416, 625
- Datenübertragung
  - 4-20 mA Sender/Empfänger.....417
  - ADSL-Treiber.....417
  - CAN.....362
  - Ethernet.....415, 417
  - I^2C.....362
  - IEEE1394.....362
  - LCD.....418
  - LV.....418
  - LVCP.....418
  - LVDM.....418
  - LVDS.....362, 418-419, 614
  - LVDT.....419-420
  - LVP.....420
  - RS232.....362, 423-426
  - RS422/RS423/RS485.....362, 420-422
  - Schalter.....362, 426-427
  - SCSI.....426
  - UARTs.....362
- DC-DC-Wandler.....512-516, 569, 587-588, 641-645, 648-649, 682, 685, 704, 711, 716-718, 776
- Differenzialverst.....311, 365-367, 377-379
- Digitalfunk.....504
- Digital-Logik
  - 4000.....427-430, 611
  - 65MLVD.....503
  - 7400.....606
  - 74ABT.....431-436, 609
  - 74AC/ACT.....436-442, 573, 609, 616-617
  - 74ACQ.....610
  - 74ACTQ.....610
  - 74AHC/AHCT/AHCU.....442-449
  - 74ALB.....450
  - 74ALS.....450-452, 607
  - 74ALV/ALVC/ALVCH.....452-456, 573, 614
  - 74ALVTC/ALVTH.....456-457, 614
  - 74AS.....457, 607
  - 74AUC.....458-460
  - 74AUP.....460
  - 74AVC.....460-461, 614
  - 74BCT.....462
  - 74C.....607-609
  - 74CBT.....462-467
  - 74F.....467-468, 610-611
  - 74FB (Future Bus).....469
  - 74FCT.....468-469, 614-615
  - 74GTL.....469-470
  - 74HC/HCT/HCU.....470-480, 573-576, 617-618
  - 74HSTL.....481
  - 74L.....576-577
  - 74LCX.....607, 618
  - 74LPT.....615
  - 74LS.....481, 606-607
  - 74LV/LVC.....482-498
  - 74LVQ.....607
  - 74LVT/LVTH.....498-502, 610
  - 74LVU.....502
  - 74LVX.....607, 618-619
  - 74LX.....576-577
  - 74S.....503, 606
  - 74SSTL/SSTU/SSTV.....503
  - 74TTL.....503
  - 74V.....577-578
  - 74VCX.....577-578, 614
  - 74VCXH.....577-578
  - 74VHC.....577-578, 609, 619-620
  - 74VMEH.....503-504
  - 95HS.....610
  - Busschaltungen.....462-466, 615-616
  - HCF.....581-582
  - Microgate-Gruppe.....449-450
- DRAM.....724-726
  - DDR.....725-726
  - DDR2.....726
  - SDRAM.....724-726
- DSP (Digital-Signalprozessor).....276-278, 582
- E/A-Expander.....363, 506
- Echtzeituhren.....364, 549-550, 625, 630, 700, 721-722, 724
- EEPROM, parallel.....630, 736-737
- EEPROM, seriell.....602, 704-705, 727-729, 731-734
- EMI-Filterung.....683
  - EPROM.....601-602
  - Schutz.....683
- EPROMs, OTP.....601-602, 727
- Evaluierungskarten.....334, 582, 632, 661, 708, 710
- Faseroptik.....334
- FIFO-Speicher.....504-505, 730-731
- Filter.....505, 572, 583, 713, 776
- FLASH.....726
  - NOR Flash.....726
- Flash-Speicher.....357-358, 602-604, 727, 737-740
- FPGA.....210, 212-213
- FPSLIC.....215
- Halleffektsensoren.....1439
- Hochtemperatursensoren.....309-310, 334, 342, 364, 551, 586, 633-636, 659, 717-718
- Hot-Swap.....507, 570, 657-658
- IEEE1394.....399, 710
- Infrarot-Kodierer/Dekodierer.....310
- Instrumentierungsverstärker.....315-316, 365-366, 375
- Integratoren.....506
- IRDA.....404
- Isolierverstärker.....316
- Komparatoren.....309, 311, 400-403, 552-554, 570, 586-587, 592-594, 636-637, 647, 660, 663-665, 703, 719
  - Controller.....355-358, 360-361, 659, 705-708
  - Ethernet.....355
  - Peripheriegerät.....360
  - Serielle Kommunikation.....360-361
- LCD/LED-Treiber.....310, 348, 569, 571-572, 646-647, 649, 659, 683, 691
  - Lichtanwendungen.....683
- Leistungssteuerung/-management.....337-338, 359, 363, 507-508, 605-606, 630, 675, 680, 682-683, 692-694, 705-708
- Leistungsverteilerschalter.....522-525
- Linear.....506, 611-612, 622, 632-654, 656-680, 682, 684
- LMOS.....620-622
- Logarithmischer Wandler.....331
- Logikübersetzung.....363
- Lüfter-Controller.....334
- Mathematischer Koprozessor.....348
- Mikrocontroller.....214-222, 228-230, 233-250, 260-265, 267-276, 280, 283-285, 287-292, 352-354, 632-633
- Mikrocontroller-Überwachungseinrichtungen.....671-672
- Mikroprozessor-Reset-Schaltung.....302, 638, 651, 716
- Mikroprozessor-Überwachungsschaltungstreiber.....516-521, 649-651, 716-717, 720
- Mikroprozessoren.....348, 350-352, 354-355, 360, 635
- Mischsignal-Produkte.....306-307
- MMIC-Schalter.....788
- Module.....682-683
  - CCFL.....682-683
  - Gleichrichter.....683
- MOSFET/MOSFET-Treiber.....306, 338, 521-522, 629, 645-646, 666-667, 684, 804-805
- Multiplexer, Video.....712
- Multiplexer/Multiplikator/Teiler.....335-336, 507, 554-558, 571, 691, 711, 713-715, 719, 776
- Netzwerke.....334
- NOVRAMs.....721-723
- NVRAM.....605
- OpAmp.....307-309, 311-319, 552-553, 561, 563-564, 569-570, 572, 583, 585-587, 591-595, 613, 633, 635-639, 647, 654, 658-661, 663, 665, 680, 690, 703, 711, 714, 719
- PAL-kompatible SPLDs.....213, 272
- PCI.....399-400
- PECL.....400
- PLL (phasengesperrte Schleife).....659
- Potentiometer, digital.....331-334, 626-628, 722-723, 740-741
- Präzisions-Erdreferenz.....549
- PSRAM.....726
- Puffer.....311, 346, 554-560, 562, 570-571, 661, 723, 731, 776
- PWM (Impulsdauer-Modulationsgerät).....525-532, 552, 568-569, 588, 594-595, 629-630, 657, 683-684, 708-709, 716-718
- Q-Filter, variabel.....776
- Radiofrequenz-ICs.....363-364
  - FM-ICs.....364
  - RFID.....364
- Rauchmelder.....349
- Relais.....1386
- RF/IF-Produkte
  - D/A-Wandler.....349
  - DDS.....341
  - Frequenz-Synthesizer.....341, 550, 664-665
  - Frequenzumwandlung.....349
  - Kodierer/Dekodierer.....349
  - Mixer.....341
  - Transceiver/Empfänger.....341, 349, 550
  - Transmitter.....341, 349
  - Verstärker.....348-349
- Ring-Controller.....404
- RMS-DC.....331
- Rückstellungen.....601, 638, 673
- Schalter.....344-345, 347, 580-582, 695-696
- Schaltregler.....552, 563-565, 568-570, 583, 587, 639-640, 649, 657, 683, 692, 694, 696, 715-716, 1408-1411
- Schnittstelle.....334-340, 347-363, 424, 507, 509-510, 552-595, 622-623, 625-680, 682-685, 687, 689-694, 696-724
- SDRAM.....724-726
- Sensor/Signalkonditionierung.....342
- Seriell konfiguriertes PROM.....210, 212
- Signal-Controller.....364, 550-551
- Signalprozessor.....342
- SONET Transceiver.....404
- SOTiny™-Logikbausteine.....613
- Spann.-Strom-Umwandler.....416
- Spannungs/Frequenz und Frequenz/Spannungs-Wandler.....331, 416, 638, 647
- Spannungsdetektoren.....566, 682
- Spannungsreferenzen.....338, 532-534, 553, 561, 591-594, 632-633, 635-638, 651-654, 717, 720, 774-775
- Spannungsregler.....338-340, 534-549, 552-553, 558-559, 561, 563-564, 566-568, 570, 578-580, 583, 585-587, 596-601, 634-649, 651, 662-663, 665-680, 682-684, 690, 692-694, 696-698, 702-703, 708-709, 716, 773-774
- Spannungswandler.....636, 638, 640, 643-648
- Spezialisiert.....343, 359-360, 364, 509, 612, 631, 694-695, 710-724, 734, 741, 776-777
- SPLDs.....213
- Sprachaufzeichnung/-wiedergabe.....231-232

SRAMs....604-605, 727, 729, 741
STAMP Mikrocontroller....233
Stromspiegel/Monitore....776
Stromversorgungsprodukte....363, 509-549
System-Überwachungseinrichtungen/Monitore....343-344, 596, 624-625, 680, 682
Rückstellwächter....596
Taktgeber....346-347, 560-561, 565, 731
Taktsignaltreiber....346-347, 397-399, 553-554, 559-561, 565-566, 616
Takt-Synthesizer....346
Telekommunikation....349, 684
ISDN U-Schnittstellen-Transceiver....349, 684
Konferenztelefon, Stimmenumschaltung....349
PCM CODEC-Filter....349, 684
Thermostate....633-634
Timer....364, 551, 587, 593, 637, 659
TinyLogic HS/UHS-Serie....612-613
TRAC (Totally Re-Configurable Analog Circuit)....777
Transceiver/Empfänger....230, 310, 336-337, 356, 417-419, 421-422, 554-558, 560-561, 565, 585, 587-589, 628-629, 712-715, 717-718, 724, 742
UARTs....404, 698
USB....216, 404
USB-Flüchtigunterdrückung....404
Verstärker....309, 361, 364-397, 622-623, 687, 689-691
Video-Dekodierer/-Kodierer....404-405
Videoschalter....616, 631, 695-696
Zähler/Timer....360, 556-557, 559-560, 562-563, 720, 722

Inverter
CCFL und UV....1459, 1462
EL-Hintergrundbeleuchtung....1459, 1462

Isolatoren, digital....1426

Isolatoren
MICA....760

J

Jumper....81, 89
0,100 Zoll Mitten....81

K

Kabel, EMI-Ferrit-Kerne....971, 973

Kabel/Draht
Band....32, 77
Geschirmt....32
High Flex....32
Rundes umhülltes/geschirmtes Flachkabel....32
Verdrillt....32
Flachkabelbrücken....44-45
Kits....1414
Klemmen....32
Verdrillt, Flachkabel....32

Kabelbausätze....50
Audio u. Apple....178
CAT 5 Patch....38
CAT 5e....38
Computer, vergossen....33-38
Einseitiger Anschluss....150
Flacher, runder Leiter....77
Flex-Flachkabel....50
DF9....50
IDC- (Isolierungsverschiebungs-) Steckverbinder....20-29
Delta....29
DIP....21
D-Sub....20, 25-26
Kartenrand....22-24, 26
Leiterplatte....22-24
Pin/Stecker....27-29
Sockel....22-24, 26-29
IEEE 1284....33
IEEE 1394....36-37
Leistung....178
Modular....111
Netzkabel....35
Plattenmessgerät....1466, 1468
SCSI, Verlängerung....36
Stereo, Verlängerung....33
Typ „F" (Fernsehen)....170
USB....37, 39
Beleuchtet....39
Verdrilltes Adernpaar....27-29
VGA-Monitor....33

Kabeltester....38

Kameramodule....294
Bildverarbeiter....294
CMOS-Bildsensoren....294
Evaluierungskarten....294
Linsenkits....294

Karten
Dataflash....753
Festkörper-Floppy-Disk....753
Smart Media....753
Speicher....185-186, 188, 727, 753

Kfz-Zubehör
Sicherungen....1288-1289
Halter....1288-1289

Kits....1126, 1412-1414
Anschlussklemmen, isoliert....141-142, 1414
Anwendung....227
AVR-Programmierer, Starter....216
BASIC Stamp Board of Education....233
Chip-Perle....968
Digitaler Kompass....1449
Dioden, SMT....835, 1414
Distanzscheiben/Standoffs....1414
EEPROM-Kits....1412
EMI-Komponenten....968-969, 971-973
Erde-Messungen....233
Externe....268
Fabri-Level-Schalter....1457
Ferrit-Chip-Perlen....968
Ferrit-Kabelkerne....971-973
Ferritkerne....971-973
Glättungsdrosseln....969
Induktoren....945-946, 948, 1412
Industrielle Steuerung....233
Infrarot-Entwicklung....310
Karten, SMT Proto IC....1414
Kondensator
Aerogel-Kohlenstoffschaum....997
Aluminium-Elektrolyt....988, 990, 996-997, 1017, 1412, 1414
Keramik....1126, 1412, 1414
Polyester....1078, 1081, 1084, 1413-1414
Schicht....1080, 1091, 1093-1095, 1108, 1413-1414
Spezialpolymer....1017, 1414
Superkondensator....997
Tantal....1060, 1413
LEDs....1414
Discovery....1479
Magnetschalter....1375, 1414
Mikrocontroller....233
Potentiometer....1223, 1225-1228, 1230, 1232-1234, 1242, 1246, 1413
Robotics-Teile....233
Schalter....1348, 1375, 1414
Schrumpfschlauch....1414
Sensoren....1448
Sicherungen....1279-1283, 1292-1294, 1412, 1414
Steckverbinder....87, 96-97, 141-142
Surfboards....1414
TCP/IP-Entwicklung....223-225
Thermistoren....1272-1273, 1414
Verschiedene Kits....1414
Widerstände....1179-1180, 1184-1185, 1412-1414
Zener-Dioden....835, 1414

Kleinteile
Anschlusshülsen....119
D-Sub-Steckverbinder....108
Zubehör....108
Halter
LED....1479
Sicherung....1283-1286, 1288-1289, 1292-1294
Isolatoren
Transistorbefestigung....760
Kits....1414
Knöpfe, Instrumentierung....1236-1238
Hexfets....795-803

Knöpfe....1236-1238

Kodierer
Drehschalter....1240

Kondensator-Arrays....1115, 1155, 1202

Kondensatoren....981-1017, 1034-1075, 1078-1133, 1137-1168
Aluminium organisch....1075
Aluminium-Elektrolyt....981-997, 1000-1034, 1053-1054
Aluminium-Elektrolyt, axial....981-984
Aluminium-Elektrolyt, Einschnappversion....1055-1057
Computerklasse....1005
Dünnschicht
Chip....1135-1136, 1163
Durchführung....1136
Elektrische Zweischichtkond....997-999
Entstörung....1108-1109
Gestapelt, Metallschicht....1080
Gold....998-999
Keramik
Axial....1102, 1104, 1112
Chip....1115-1126, 1137-1151, 1162-1163
Mehrschicht....1104-1107, 1111-1113, 1115-1116, 1119-1126, 1138-1142, 1152-1156, 1162-1163
Mehrschicht-Chip....1105-1107, 1115-1116, 1119-1133, 1137-1151, 1155-1163
Monolithisch....1104-1107, 1110
Scheibe....1103, 1109, 1114-1117, 1157-1159
Trimmer....1165-1168
Kits....1413-1414
Mehrschichtig, Keramik....1104-1107, 1113, 1137-1142
Mehrschichtiger Keramikchip....1115-1116, 1118, 1127-1133, 1137-1161
Hohe Kapazität....1118
Metallisiertes Polyester....1081, 1084-1086, 1088, 1093
Metallisiertes Polypropylen....1082-1083, 1087-1088, 1095-1101
MICA....1163-1164
Mikrowellen-Chip....1126, 1134
Monolithisch, Keramik....1104-1107, 1110, 1113
Niedrige Induktivität....1136, 1155
SMT....1155
Niobiumoxid....1066
Oberflächenmontage....1066
Oberflächenmontage
Aluminium-Elektrolyt....1007-1015, 1032-1034, 1046-1052
Elektrolyt-....1007-1017
Keramik....1117, 1119-1133, 1137-1142, 1152-1161
MICA....1163
Mikrowellen-Chip....1126
PPS-Schicht....1089-1092
Schicht....1089-1092, 1166
Sicherheitsserie....1117
Tantal....1060-1061, 1063-1066, 1070-1075
Trimmer....1166-1168
Polyester und Folie....1093
Polyester....1078-1079, 1081
Polymer....1053-1057
Polypropylen....1088, 1094-1101
PPS-Schicht....1088-1092
Radial
Aluminium-Elektrolyt....1035-1046
Schicht....1082, 1086-1087, 1089, 1092, 1166
Mittelleistung....1087
Sicherheitsserie....1103, 1117
Spezialpolymer....1016-1017
Superkondensatoren....997
Aerogel-Kohlenstoffschaum....997
Tantal....1058-1075
Axial....1068-1069
Radial....1062, 1067
Trimmer....1166-1168
Trockenschicht, AC....1102
Ultracap....998
Variabel....1167
Zweipolig....985, 995

Kondensator-Netzwerke....1202

Kontakte (siehe Steckverbinder)

Kristalle....877-878, 883-888, 891, 893-897, 899, 904, 907-914
Kits....1414
Mikroprozessor....899
Oberflächenmontage....877-878, 883-885, 888, 891, 894-899, 904, 907-914
Zylindertyp....885, 895, 913

Kühlkörper....754-755, 757-760
BGA....756
Fett....755-757
Graphitblätter....756
Kissen....755, 759-760

L

Lampen....1462
Bausätze....1462
CCFL....1462
UV....1462

Laserdioden
Infrarot....1470
Module
Einstellbare Fokussierung....1470
Infrarot....1470
Liniengenerator....1470
Variable Leistung....1470

Lautsprecher....1398-1400, 1407
Kartentyp....1398
Kopfhörer/Handset....1407
Mehrzweck....1399
Mikro....1398, 1407
Mini....1398
Notizbuch....1399

LCDs....1465
7-Segment-Anzeigen....1465, 1481
Anzeigen....1459, 1463, 1465
Module
Grafik....1460-1461, 1463, 1465
Zeichen....1460-1461, 1463
TFT-Module....1459-1461
Entwicklungskits....1460-1461

LEDs....1421, 1429, 1437, 1441, 1446, 1471-1483, 1485-1487, 1489-1512, In-Bk-Cvr
7-Segment-Anzeigen....1481, 1489, 1493, 1495, In-Bk-Cvr
AlInGaP....1476
Alphanumerische Anzeigen....1489, 1495
Array/Lichtbalken....1477, 1479, 1489, 1494
Balkendiagramm-Array....1477-1478, 1494, 1501, 1512
Bausätze....1501, 1504
Blau....1475-1476, 1480, 1495, 1499, 1502-1503, 1508-1510, In-Bk-Cvr

Alle Preisangaben in Euro und inklusive Zollgebühren.

Blinkend 1477, 1501
Cluster 1479
DSP 1480
Faseroptik 113
Glühlampen-Ersatz 1483-1484
Halter, Plattenmontage 1479, 1492, 1494-1495, 1498-1499
Infrarot 1428-1429, 1431, 1434-1437, 1441, 1469
InGan 1476
Kits 1414
Kühlkörper 1479
Leiterplattenmontage ....1472-1473, 1485-1487, 1492-1493, 1500-1502, 1511-1512, In-Bk-Cvr
Linsen 1479, 1502
Mega-Brite 1477
Modular 1501
Nummerische Anzeigen ....1495, In-Bk-Cvr
Oberflächenmontage 1474-1476, 1485, 1490-1493, 1498-1499, 1503-1510
Pegelmesser 1512
Plattenmontage 1478-1479, 1488
Punktmatrix-Anzeige 1494
RGB (Rot/Grün/Blau) 1476, 1480
Superhell ....1480, 1493, 1496-1497, 1499, 1502, 1508-1510, 1512, In-Bk-Cvr
Violett 1480
Weiß 1480, 1502
Weitwinkel 1512
Zweifarbig 1472-1477, 1479, 1485-1487, 1490, 1492-1493, 1496-1500, 1503-1504, 1508-1510, 1512

Leistungseingangs-Module 979

Lichtleitungen 1473, 1479, 1502

M

Magnete 1375

Massstäbe
Platte 1466-1468
Analog 1466
Digital 1466, 1468
Volt/Amperemeter, plattenmontiert 1467

Mess-/Anzeigegeräte 1466-1468
Analog 1469
Digital 1466

Mikrocontroller 211, 215-222, 228-231, 234-250, 260-265, 267-276, 279-280, 283-285, 287-290, 292-293, 299-301, 352-355, 418, 422, 516-521
8051-Architektur 220-222, 228-230
ARM 215, 231
AVR 214, 216-219
BASIC Stamp 233
Entwicklungskits 212, 269-271, 287, 291-292
FLASH 216, 228-230, 242-250, 273, 293
Microchip
dsPIC® 250
PIC 234-249
Programmierer 216, 233, 258, 267-269, 283-284, 292
RF 241
Überwachungseinrichtungen 516
USB 230, 270-271

Mikrofone
Electret-Kondensator 1405, 1407
Halter 1405
Magnetisch 1406
Oberflächenmontage 1405-1407

Mikroprozessoren 223-227, 348, 350-352, 354-355, 360
Module 224, 227

Modems 231
Entwicklungskits 231

Modular
Adapter 109-110
Kabel/Draht 111
Kabelbausätze 111
Steckverbinder 109-112, 183

MOSFET/MOSFET-Treiber 521-522, 629, 645-646, 667, 761, 770-772, 781-783, 790-791, 793, 795-804, 807-814, 821-822, 831, 861

MPLAB-ICE Prozessormodule 233

N

Nebenschlüsse 57, 81

Neigungsmessgeräte 1455

Netzkabel 34-35
EMI-Filter 972-973

Netzwerke
Kondensator 1202
RC 1202
Widerstand 1204-1205, 1207-1209

O

Oberflächenmontierte Produkte (siehe spezifische Produktliste)

Optoelektronik
Detektor IR 1429-1431
Emitter, IR 1428-1431, 1436, 1441, 1469
Ferngesteuerte Empfänger 1469
Festkörperrelais 1387-1388, 1392
Fotodioden 113, 1428, 1431, 1436, 1441
Fotomikrosensoren 1432, 1469
Fotoreflektoren 1427, 1441
Fototransistor 1418, 1431, 1436, 1439, 1441
Fotounterbrecher 1427, 1437
Fotozellen 1430
Infrarot-LED 1429-1430, 1441, 1469, 1477
IrDA Transceiver-Module 1469
Lichtdetektoren 1428
Logikdetektoren 1429
Optoisolatoren 1418-1421
Optokoppler 1422-1425
Sensoren, optisch 1432, 1436
Unterbrechermodule 1429

Optoisolatoren 1415-1416, 1426
Fototransistor-Ausgang 1415-1420, 1441
Fotovoltaisch 803
Fotovoltaischer Koppler 1418
Hochgeschwindigkeitsausgang 1416, 1418, 1426
Logikausgang 1420
SCR/Triac-Ausgang 1419, 1421
Thyristor-Ausgang 1418
Unterbrecher-Modul 1429

Optokoppler 1387, 1422-1425
OPIC 1424
Thyristor-Ausgang 1425

Oszillatoren 201, 879-883, 888-894, 897, 900-902, 904-908, 914
Kristall 883, 891-895, 900-901, 905-908
Oberflächenmontage 882-883, 888-892, 894, 897, 900, 902-905, 907-908, 914
Ovenized (OCXO) 904
Programmierbar 888-891
Sockel 893, 901, 906
Spannungsgeregelt 883, 897, 900, 902
Umgebungstemperaturunabhängig (TCXO) 897, 908

P

PC-Pins/Steckbuchsen 200

Platinen
Evaluierungs- 281-282, 578, 733, 776, 1454
LVDT 1438
RVIT 1438
Tochter- 258

Potentiometer
10-Gang, drahtgewickelt 1221-1222, 1235
Audio 1239
Cermet 1214-1230, 1233, 1240, 1246
Controller, zwei Achsen 1232
Daumenrad 1240
Digital 626-628, 722-723, 740-741, 749
Digitalanzeige 1235
Drahtgewickelt 1221-1222, 1225-1227, 1234-1235
Frontplattenbedienung 1221-1222, 1226, 1232, 1234-1235, 1238
Kits 1412
Kohle 1229, 1234-1235, 1246
Leitender Kunststoff 1221, 1226, 1238
Plattenmontierbar 1221, 1226, 1232, 1234-1235, 1238-1239
Positionssensor 1241
Schieber 1241
SMT-Trimmer 1214-1215, 1229-1230, 1242-1243
Stock Pot™ 1232
Trimmer 1210-1216, 1221, 1223-1233, 1242-1246

Programmierbare Gate-Arrays 549

Programmierbare Logikbausteine
Integrierte Schaltkreise 207, 209-212, 272
Software 207, 211-212, 272

Programmierer 206-207, 210-212, 258, 267, 281-285, 287-289, 290-292, 297-298, 890, 1439
CPLD 209-212
DSP 291, 297-298
Emulatoren 216, 258, 267-268
FPGA, serielles Konfigurations-EEPROM 209, 212
FPSLIC 215
Mikrocontroller 216, 258, 267-268, 292
Oszillator 888, 890
QuickWriter 258
Sprachaufzeichnung/-wiedergabe 232
STAMP Feld-Programmierer 233

Prototyp-Tools 231

Protraktoren, digital 1438

Q

Quadracs 872

R

RC-Netze 1202

Regelwiderstand, drahtgewickelt 1195

Relais
BGA 1377
Festkörper 1386-1395
Hochfrequenz 1382
Leistungs-IC 1386
Mechanisch 1378-1381, 1383-1384
Reed 1371-1374, 1376
Sicherheit 1458

Resonatoren
Keramik 878-879, 915-917
SAW 915-916, 918

RF Synthesizer 230

RF/Hybrid
Balun 965
Dämpfer 1183
Richtungskoppler 965
Stromteiler 965

RF/OEM-Module 742-743, 749

RFid
Evaluierungskits 748-750
Module 747-749
RFI-Unterdrückung 968-973

RF-Sender/Empfängerkarten 216, 717, 742, 748-749, 751-752
Evaluierungskarten 752

S

Schalter 1300-1314, 1316-1332, 1334-1354, 1356-1370, 1375-1377, 1387, 1435
Daumenrad 1316, 1352
Detektor 1300-1301
Dichtungen 1320
DIP 1366-1370
Drehschalter 1314, 1364-1368
DIP 1367-1368
Druck 1452
Drucktaste 1301-1306, 1311, 1313-1314, 1322, 1328, 1334-1340, 1346, 1355-1356, 1358-1362
Kondensatoren 1338-1339
Rahmen 1338
Einrastend 1354-1361, 1363
Endschalter 1356
Intra-Schalter 192
Kippschalter 1317-1321, 1323-1328, 1362
Kits 1414
Kontrollleuchten 1343
Leistung 1301, 1339, 1387
Kondensatoren 1339
Magnetisch 1375-1377
Mit Schlüssel schließbar 1353
Momentschalter 1307-1313, 1346, 1357-1361
Multifunktions- 1303
Nähe 1375
Optisch 1435
Reed 1375-1376
Schieber 1303, 1322, 1346, 1348-1351
Selektor 1342-1343, 1345-1346
Sperren 1363
Sperren/Schlüsselschalter 1314, 1342-1343, 1345, 1352-1353
Synchrone Taktgeber 902
Tastenfelder 1315
Tastenschalter 1340, 1342-1343, 1345-1346, 1352-1353
Tastschalter 1355
Tür 1356
Wippschalter 1320-1321, 1325, 1328-1334, 1353, 1362
Zubehör 1325, 1342-1343, 1347
Spritzfeste Boots 1327

Schaltregler 552, 563-565, 568-570, 583, 587, 639-640, 649, 657, 683, 692, 694, 696, 715-716, 1408-1411

Schläuche
Kits, Wärmeschrumpfung 1414
Wärmeschrumpfung 1396-1397

Schrittmotor 691

Schutzschalter
DIN-Schienenbefestigung 1296
Schalter 1296
Thermisch 1296-1298

Weitere Produkte sind online bei de.digikey.com erhältlich.

SCRs 805-806, 870-875

Sensoren
- Beleuchtung 1428
- Berührung 1454
- Beschleunigungsmessgerät 1407, 1444, 1451, 1454-1455
- Digitaler Kompass 1449
- Distanzmessung 1428
- Druck 1433, 1442-1445, 1450-1451
- Elektromechanische Steuerungen 1456
  - Niveauschalter 1456
- Elektro-Optik 1458
- Evaluierungskarten 1454
- Festkörper-Zener-Barriere 1458
- Feuchtigkeit 1452
- Fluss 1432-1433, 1457
- Flüssigkeitsstand 1454
- Flussschalter 1457
- Hallscher Effekt 733, 1439-1440, 1449
  - Programmierbar 1439
- Kapazität 1454
- Kraft 1448
- Magnetisch 1373-1374, 1376, 1448-1449, 1456
- Nähe 1433, 1453-1454
- Neigungsmesser 1455
- Optisch 507, 1432, 1434-1435, 1437, 1441, 1499
- Photoelektrisch 1453
- Piezo 1455
- Position 1240, 1373-1375
  - Magnetisch 1373-1375
- Rauchmeldung 349
- Schalter 1440
- Schwimmer-Level-Schalter 1456, 1458
  - Fabri-Level Kit 1457
- Staub 1428
- Strom 1439, 1447, 1449
- Temperatur 551, 309-310, 633-634, 717-718, 1440, 1452
- Ultraschall-Näherungsschalter 1401
- Vibration 1406, 1433, 1455

Sicherungen 1268,1277-1284, 1287-1288, 1292-1293
- Abdeckungen 1283
- Alarmanzeige 1282, 1288
- Axial 1291-1292
- Clips 1284-1285, 1288
- Explosionsgefährdeter Bereich 1281-1282
- Halter 1284-1286, 1288, 1290, 1292-1294
  - Blöcke 1285
  - Clips 1285
  - Kfz 1284
  - Leiterplattenmontage 1284-1286
  - Plattenmontage 1284, 1286
  - SMT 1293
- Kfz 1282, 1288
- Kits 1292-1294, 1414
- Klinge 1283, 1288
- Metrisch 1288
- Multimeter 1288
- Oberflächenmontage 1277,1279-1281, 1287-1288, 1290-1292
- Picofuse 1292
- Radial 1281, 1287-1288, 1291-1293
- Rückstellbar 1275, 1277-1278, 1292
- Telecom 1268, 1279, 1287, 1291-1292
- Temperaturbegrenzer 1299

Sidacs 870

Sidactoren 872, 1267-1268

Sirenen 1400-1401

Sockel (siehe auch IC-Sockel)
- Adapter, IC 202-203
- Anschlussleiste 196-197, 199, 202
- DIMM 187
- Oszillator 201-202, 893, 901, 906
- Pin-Linie 202
- Rechtwinklig, Dual-Inline 194, 201
- SIM-Karte 184
- SIMM 203
- Sockel/Steckbuchsen 22-24, 26, 48-52, 54, 60, 64, 77, 89, 187, 190, 192-196, 199-205
- Transistor 760
- USB-Steckbuchsen 198
- ZIF 203, 205
- Zig-Zag 198

Sockelwickel-ID 192

Software 217, 253, 292
- C-Compiler 257
  - AVR 217
  - Mikrocontroller 293
  - MSP430-Familie 273
  - Pic 257
- Compiler, PicBasic 257

Spannungsdetektoren 566, 682

Spannungsreferenzen 532-534, 553, 559, 591-594, 635-637, 652-654, 717, 720, 733, 761, 774-775

Spannungsregler 534-549, 552-553, 558, 561, 563-564, 566-568, 570, 578-580, 583, 586-587, 596-601, 634-645, 648-649, 662-663, 665-680, 683-687, 690, 692-694, 696-698, 702-703, 708-709, 715-716, 773-774, 1408-1411, 1456

Speicher-ICs
- DataFlash, seriell 734
- DRAM 724-726
  - DDR 725-726
  - DDR2 726
  - SDRAM 724-726
- EEPROM, parallel 736-737
- EEPROM, seriell 602, 704-705, 727-729, 731-734
- EPROM 601-602, 734-736
- EPROM OTP 601-602, 727, 735
- FLASH 357-358, 602-604, 726-727, 737-740
  - NOR Flash 726
- NOVRAMs 721-723
- NVRAM 605
- PSRAM 726
- SRAMs 597, 605, 721-722, 727, 729, 741, 753

Speicherkarten 753
- CompactFlash 752
- Festkörper-Floppy-Disk 753
- Sicher, digital 753
- Smart Media 753

Speichermodule 753

Sprachaufnahme-/Wiedergabe-ICs 232

Spracherkennungskit 231
- Programmierbares interaktives Entwicklungskit 231
- Programmierbares interaktives Modul 231

Spulen/Induktoren 919-920, 922, 924-940, 944-964, 969
- Chip 940, 969
  - Geschirmt 969
- Drahtgewickelt 925-926, 940
- Drosseln 926, 936-939, 948-949, 961-963, 969-970
- Dünnschicht 934
- Fest 927-935, 944-949, 962-964
- Geschirmt 969
- Geschirmt, SMT 923, 946, 948, 952
- Gleichtaktdrossel 949, 969-970
  - Array 969-970
- Hochfrequenz 927-935, 942-943, 953, 957-958, 969
- Hochstrom 922-923, 939, 944, 947-948, 956, 961-963, 969
- Kits 945-946, 949, 1414
- Konform beschichtet 963
- Leistung 922, 940-943, 947-948, 950-952, 956, 969-970
  - Oberflächenmontage 951
- Leistungsdrossel 936-939, 948, 969
- Luftkern 949
- Monolithisch 924, 969
- Oberflächenmontage 919-922, 924-939, 945-949, 953-959, 969-970
  - Dünnschicht 934
- Schicht 924
- Spannung, Step-Up 936
- Toroid 941-943, 953, 956, 959
- Trommelkern 940-941

Steckleisten
- 0,050 Zoll 197
- 0,100 Zoll Mitten 26, 32, 78-81, 84, 87-89, 196, 198-199
- 0,100 Zoll Mitten, zerbrechlich 81, 89
- 0,156 Zoll Mitten 85
- 0,5 mm 43-44, 47-48
- 1 mm 44-45, 50
- 1,25 mm 45-46
- 2 mm 55-56, 58-60, 63, 71-72, 74-77, 197
- 3,96 mm 63-64
- 7,92 mm 65
- Geschützt 26, 32
- IDC 26
- Oberflächenmontage 46, 48-50, 55-57, 60, 72, 74-76, 80, 90-93
- Zerbrechlich, 2 mm 57, 74-77

Steckverbinder
- 0,3 mm 40, 43
- 0,4 mm 46, 184
- 0,5 mm 43-45, 47-48, 66
  - FPC/Flex 40-42, 44
  - Serie JMD 66
- 0,6 mm 49
- 0,65 mm 49
- 0,8 mm 48, 50
- 1 mm 44-45, 50, 52, 66, 181, 184
  - Flex 40
  - Kartenrand 181
  - Serie SH 66
  - Serie SHD 66
- 1,25 mm/1,27 mm 45-46, 51-54, 100, 197
- 1,5 mm 67, 71
  - Serie ZH 67
- 2 mm 54-60, 63, 67-69, 71-77, 183, 197
  - IDC 77
  - Jumper 57
  - Kabel-Leiterplatte 77
  - Milli-Grid 72-73
  - Serie JWPF 68
  - Serie PA 67-68
  - Serie PH 68
  - Serie PHD 69
  - Sherlock 71
  - Sockel 55-59, 73, 77, 197
  - Steckleisten 54-56, 58-60, 63, 71-72, 74-77, 197
- 2,5 mm 61-63, 69-70
  - Serie DB 69-70
  - Serie EH 69
  - Serie HR 70
- 2,54 mm 60, 86
- 3,0 mm Micro-Fit 90-92
- 3,96 mm 63-64, 70, 86
  - Serie VH 70
- 5,0 mm 61-63, 65
- 7,92 mm 65
- Adapter 168, 202-203
- Anschlussblöcke 114-118, 120, 122, 124-128, 132-136
  - Crimp 45, 73, 84-85, 87-88, 92-93, 95-97
  - DIN-Schiene 120, 122
  - Gefederter Tastenschalter 129
  - Kabelschuh 137-138, 140-141
  - Leiterplatte 114-116, 118, 124-128, 132-136
  - Ösen/Ringe 138-141
  - Schnelltrennkupplung 137-142
- Anschlusshülsen 119
- Audio 174, 176-178
- Backshells 25, 32, 107-108
- Bananenstecker/Klinkenstecker 159
- Barrierensperren 129-131
- Batterie, „Spielzeugauto" 87
- Blindmate (BMI) 90-92, 94
- BNC 164-166, 168
  - Adapter 168
- Centronics 104
- CF (CompactFlash) -Karte 188
- Compact Flash 185
- C-Raster 87-88
- Delta 29
- DIN 183
  - IDC, rechteckig 192
  - Mini, rund 160-161
  - Rechteckig 182, 192
  - Rundstecker 160-161
- DIP-Sockel, verschließbarer Auswurf 202
- D-Sub 20, 25-26, 101-103, 105-108
  - Crimp 104
  - Doppelport 103
  - Hohe Dichte 101, 103
  - Hohe Dichte, rechtwinklig 101
  - Industriell 127
  - Lötkelch 105
  - Oberflächenmontage 103
  - Presspassung 103
  - Rechtwinklig 101-103
  - Rechtwinklig, gestapelt 103
  - Wire-Wrap 105-106
- E/A 92, 98
- Edgecard 22-24, 26, 179-181
- Einschub-Steckanwendungen 99-100
- Ethernet (siehe Modulare Klinken und Stecker)
- Eurocard 182, 192
- Faseroptik 113
- Federgeladene Kontakte 198
- Fernsehen, Typ „F" 168, 170
- FFC/FPC 40-45
- Firewire, IEEE 1394 39
- Flexi-Block 129
- GBIC 189
- Hardware 108
- Hart, metrisch 183
- Hauben, D-Sub 107-108
- High Density Interconnect (HDI) 100
- IDC
  - 2 mm 77
  - Centronics 108
  - Crimp 104
  - DIP 21, 25
  - D-Sub 20, 25, 101-108
  - Kartenrand 22-24, 26
  - Leiterplatte 22-24
  - Parallel-Schnittstelle 104
  - Pin/Stecker 26
  - Sockel 22-24, 26, 77
    - 2 mm 77
    - DIN 192
- IEEE 1386 92
- IEEE 1394 ..... 36-37, 95
- Intra-Steckverbinder 192
- Jumper 81, 89
- Kartenrand 22-24, 26, 179-181
- Koaxial 170-173
  - Miniatur 171-172
- LAN 112
  - Leistung über Ethernet 112
- Leistung 90-97, 129, 175-179, 979
- Leiterplatte 83, 86
- Mezzanin 92
- MicroCross DVI 95
- Mikrofon 156
- Mini-D 31
- Mini-DIN, rund 160-161
- Mini-Fit
  - BMI 94
  - HCS 94

Alle Preisangaben in Euro und inklusive Zollgebühren.

Jr. 93
SMC 94
Sr. 95
Modular 112
DSL-Filter 112
Modular, 70 AD 183
Modulare Klinkenstecker 109-112
Gefiltert 112
Industriell 110, 127
Modularer Adapter 111
Modularstecker 38, 109-111
Industriell 110
MTA 0,100 Zoll und 0,156 Zoll 89
Nebenschlüsse 57, 76, 81
PanelMate 45
Parallel-Schnittstelle 104
PCMCIA-Speicherkarte 185-186
PC-Pins/Steckbuchsen 200
Phono-Klinken/Stecker 173, 178-179
RF 162-168, 170, 174
Adapter 163-166, 169-170
BNC 165-166, 169
FAKRA 162
SMA/SMB 162-163, 167
SMK 168
TNC 164, 168
Twinax-Kabel 164
Typ F 168
Typ MCX/MMCX 167-170
Typ N 164, 168
UHF 166, 168
RJ45 (siehe Modulare Klinken und Stecker)
Rundstecker 98, 143-147, 149-155, 157-158, 160-161, 167, 170
C 091A 147
C 16-1 148
DIN 160-161
Kunststoff 98, 153, 158, 160-161
Metall 143-147, 151-158, 160
Miniatur 152-153, 155-157
Mini-DIN 160-161
Push-Pull-Verschluss 156-158
Schraubverschluss 156-157
Serie 97 145-146
Serie MS 144, 147
Serie PT 143-144
Wasserbeständig 153-155
Zubehör 147
Sabre 95
Werkzeuge 95
Schalter 1360-1361
Schraubklemme 159
Scotchlok 141-142
SCSI 1, 2, 3 189
SCSI-Abschlusswiderstand 36
Senke 168
SFP (Kleinrahmen, einsteckbar) 189
Sicher, digital 185
SIM-Karte 184
SMA/SMB 162-163, 167
Smart Card 187, 190-191
SmartMedia 184
Sockel
IC 192-195, 201-205
IDC 22-24, 26, 77
Speicher
Compact Flash 188
DIMM 187
Memory Stick 188
PCMCIA-Speicherkarte 185-186
Sicher, digital 188
SIMM 187
Spitzenklinkenstecker/Stecker 159
Spleiß 137, 139-142
Schnelltrennkupplung 141-142
Steckleisten
0,050 Zoll 197
0,100 Zoll Mitten, Breakaway 81-83
0,100 Zoll Mitten 26, 32, 81-84, 87-89, 196, 198-199
0,156 Zoll Mitten 85
0,5 mm 43-44
1 mm 44-45
1,25 mm 46
1,5 mm 68, 71
2 mm Breakaway 57, 77
2 mm 55-56, 58-60, 63, 68-72, 74, 76, 197
2,5 mm 69-70
3,96 mm 70
Geschützt 32
IDC 26
Stromversorgung 63-64
Telefonklinken/Stecker 174-175
Typ F 168, 170
UHF 166
Umkehr-Polaritäts-SMA 744
USB 36, 38-39, 112, 198
Ethernet 112
Video 153-154
Wasserbeständig/wasserfest 148, 153-155
Wetterfest 173

Stoßspannungsunterdrücker (TVS) 1251, 1256-1266, 1278
ESE 1258, 1266, 1278
Schutz 651
Varistoren 1251, 1256-1257
Stoßspannungsunterdrücker 1260
Arrays 1278
Mehrschicht-Chip 1255
Stromfilter 968-970, 972-973
Stromspitzenunterbinder 1254
Stromteiler 965
Summer 1400-1401, 1403-1404
Surfboards
Kits 1414

T

Taktgeber-Glättungsmodul 902
Tastenfelder 1315
Telefon
Adapter 109
Kabelbausätze 111
Steckverbinder 109, 111, 183
Temperaturbegrenzer 1299
Test-Clips, IC 205
Testzubehör
Emulator
EPROM 258
Flash 258
PIC 258
LED-Testgerät 1477
Programmierer, EPROM 206-207
Thermistoren 1269, 1271, 1274, 1276
Einschaltstrombegrenzer 1275
Glasverkapselt 1272
Hohe Temperatur 1270
Kits 1412
Mini-Drucksensoren 1272
NTC 1269-1274, 1276
Oberflächenmontage 1270-1272
PTC 1270, 1273-1275
Rückstellbare PTC-Sicherungen 1275, 1277
Thermostate, verkapselt 1295
Thyristoren 870, 872, 1262, 1267
Timer
Timing-Module 902
Transducer
Audio 1400-1404, 1406
Druck 1438, 1442-1444, 1446, 1450, 1458
RVIT 1438
Strom 1446
Ultraschall 1401
Transformatoren 922, 939, 943, 952, 955, 1446-1447
CCFL, konfigurierbar 952
Oberflächenmontage 955, 1462
Piezoelektrisch 1459
Schaltmodus 1447
Stromsensor 1446-1447
Telekommunikation 943
Transistoren 760, 762-767, 770-772, 778-786, 790-793, 795-805, 807-809, 820, 823-832
IGBTs 790-791, 805, 809
Isolatoren, MICA 760
MOSFETs 770-772, 781-783, 790, 792-793, 795-805, 807-809, 831, 861
Transponder 746
Triacs 806, 868-870, 872-873, 876

U

Überspannungsableiter
Arrays 1278
Mehrschicht-Chip 1255
ZNR 1247-1248, 1250
UV-Löscher 724

V

Varistoren
Arrays 1249
Block 1254
ESE 1249, 1251, 1255
Kfz 1254
Mehrschicht-Chip 1249, 1251-1252, 1255
Metalloxid 1252
Mit Anschlüssen 1253
Riemen 1254
Standard 1254
Telecom 1254
ZNR 1247-1250
Verstärker, Breitband 743, 820
Verzögerungsleitungen 711
Voltmeter, Mini-Ausführung, Plattenmontage 1466-1468

W

Wählscheiben, konzentrisch 1222, 1236-1237
Wandler, DC/DC
Integrierte Schaltkreise 512-516, 641-649, 682, 716-718, 776, 1411
Wärmepistolen 1396
Wärmeschrumpfung 1396-1397
Butanbrenner 1396
Kits 1414
Schläuche 1397
Stoff 1396
Wärmepistolen 1396
Werkzeuge
Anschlussbegradiger, IC 201
Butanbrenner 1396
Crimp 70-71, 85, 92-95, 97-98, 101, 109, 111, 119, 139, 141, 744
BNC 166
Gesenk-Einsatz 111
Gestellaufbau 100
Mini-Fit Jr. 93
Mini-Fit Sr. 95
Modular 111
Sabre 95
Serie MS 144
Universal 84-85, 92-94, 96-97
Einführung 88, 144
ICs 204
Extraktion
D-Sub 108
ICs 201, 204
Kontakt 46, 60, 84-85, 87, 93, 96-97, 100, 108, 144
PLCC 123
Wärmepistole 1396
Widerstände 1169-1174, 1177-1190, 1192-1194, 1196-1201, 1204-1208, 1270-1275, 1295
Arrays 1200, 1203, 1206
Dickschicht 1175-1181, 1188, 1190, 1192-1193
Drahtelement 1193
Drahtgewickelt 1184, 1186-1188, 1190-1191, 1193-1195, 1197-1199
Dünnschicht-Chip 1172-1174
Keramikzusammensetzung 1189
Kits 1177-1180, 1184-1185, 1412-1413
Kohlenstoffzusammensetzung 1188-1189
Axiale Bauform, mit Anschlussdrähten 1189
Kohleschicht 1183-1184
SMD 1188
Kühlkörper-montierbar 1190-1192
Leistung 1186, 1188, 1190-1192, 1194-1195
Leistungs-Metallschicht 1171
Metallelement 1193
Metalloxidfolie 1183, 1185, 1192
Metallschicht 1169-1172, 1182-1183, 1185
Mit Stromsensor 1193
Netzwerke 1201-1202, 1204-1205, 1207-1209
Nullohm Jumper-Drähte 1184
Oberflächenmontage 1196-1197
Regelwiderstand 1195
Widerstandsarrays 1200-1201, 1206
Widerstandsnetzwerke 1201, 1204-1205, 1207-1209
Oberflächenmontage 1201, 1204-1205, 1207-1209
Wireless Modems 749
Wulstkerne 972-973

Z

ZIF-Sockel 203, 205
ZNR (nichtlineare Widerstände, Zink)
Oberflächenmontage 1250
Typ C 1250
Typ CF/SF/SFM/VFT-Chip 1250
Typ D (Serie V) 1247-1249
Typ E 1247, 1249
Zubehör/D-Sub (siehe Kleinteile)

Weitere Produkte sind online bei de.digikey.com erhältlich.

3M
- Anschlusssteckverbinder 140-142
- Endgehäuse, D-Sub 25, 32
  - Zubehör 32
- Flachkabel 32, 77
- IC-Sockel
  - PQFP 192
  - Typ „A“ LCC 205
  - ZIF 205
  - ZIP-DIP 205
- IC-Test-Clips 205
- Kabel
  - Band 32, 77
  - High Flex 32
  - Klemmen 32
  - Rundes umhülltes/geschirmtes Flachkabel 32
  - Verdrilltes Flachkabel 32
- Kabelbausätze 25-30
- Kits
  - Isolierte Klemmen 141-142
  - Schrumpfschlauch 1414
- Kurzschlussbrücken 89
- Schrumpfschlauch 1397, 1414
- Sockel
  - Pin 89
  - PQFP 192
  - Typ „A“ LCC 205
- Steckleisten 26, 32, 77, 89
- Steckverbinder
  - 2 mm 77
  - Delta, Flachkabel 29
  - D-Sub 25
  - IDC 25-29, 77
  - IDC-Kartenrand 26
  - Intra-Schalter 192
  - Intra-Steckverbinder 192
  - Mini-D 31
  - Scotchlok 141-142
  - Sockel 77
  - Steckleisten 26-29, 32, 77, 89
- ZIF-Sockel 205
- ZIP DIP-Sockel 205

A

Aavid Thermalloy
- Kühlkörper 756-758
  - BGA 756
- Thermalmasse 757

Abracon Corporation
- Filter
  - Oberflächenmontage 914
  - SAW 914
- Kristalle
  - Oberflächenmontage 877
- Oszillatoren 879-880
  - Oberflächenmontage 880
- Resonatoren
  - Keramik 878-879
  - Oberflächenmontage 879

ADI (siehe Analog Devices, Inc.)

Advanced Photonix, Inc.
- Fotodioden/Emitter 1430

AlfaMag Electronics, LLC
- Induktoren 953

All Sensors Corporation
- Drucksensoren 1445

Alpha Wire Company
- Schläuche
  - Stoff 1396
  - Wärmeschrumpfung 1396

American Electrical Inc.
- Ader-Anschlusshülsen 119
- DIN-Schiene 119
- Schutzschalter
  - DIN-Schienenbefestigung 1296
- Werkzeuge, Crimp- 119

Amertherm
- Thermistoren, NTC 1276

Amphenol
- Adapter, RF, koaxial 163-166
- Steckverbinder
  - RF, BNC 165
  - RF, Mini UHF 166
  - RF, SMA/SMB 163
    - FAKRA 162
  - RF, TNC 164
  - RF, Twinax- 164
  - RF, Typ N 164
  - RF, UHF 166
  - Rundstecker
    - C 091 A 147
    - C 16-1 148
    - Serie 97 145-146
    - Serie MS 144, 147
    - Serie PT 143-144
    - Zubehör 147
  - Smart Card 190
- Werkzeuge, RF Crimp- 166

Amveco Magnetics
- Transformatoren
  - Stromsensor 1446

Analog Devices, Inc.
- Entwicklungswerkzeuge
  - DSP-Emulatoren/Programmierer 297-298
- Gyroskope 1454
- Integrierte Schaltkreise
  - Analog 320
  - Anzeige- und Videowandler 333-334
  - ATE und Zeit-Domain 320
  - Bewegungs-/Motorsteuerung 337
  - CCD-Signalprozessoren 320
  - Datenkommunikation 320-321
  - Datenkonvertierung 321-331
  - Digitale Potentiometer 331-333
  - DSPs 297-298
  - Evaluierungskarten 334
  - Faseroptik 334
  - Leistungsmanagement 337-340
  - Microconverter® 298
  - Mikrocontroller 298
  - Netzwerke 330
  - RF/IF 340-341
  - Schalter 344-345
  - Schnittstelle 335-337
  - Sensor-/Signalaufbereiter 342
  - Signalprozessor 342
  - Spannungs/Frequenz- und Frequenz/Spannungs-Wandler 331
  - Spezialisiert 343
  - Systemwächter 343-344
  - Thermal-Management 334
  - Verstärker 311-320
- Sensoren
  - Beschleunigungsmesser 1454

API Delevan
- Induktoren
  - Fest 944-947, 949
  - Filter 944
  - Geschirmte Oberflächenmontage 945-946, 948
  - Gleichtaktdrossel 949
  - Kits 945-946, 949
  - Leistungsdrossel 948
  - Luftkern 949
  - Oberflächenmontage 945-949
- Wulstkerne 949

APM Hexseal
- Schutzkappen 1320

Aries Electronics, Inc.
- Adapter
  - DIP 202-203
  - IC-Sockel 202-203
  - Oberflächenmontage 202-203
  - Sockel 203
- IC-Sockel
  - Adapter 202-203
  - DIP, Verschlussauswurf 202
  - Drahtumwickelt 201
  - Horizontal 201
  - Hülse 201-202
  - Offener Rahmen 201
  - PGA ZIF 202-203
  - PLCC 203
  - QFP 202
  - Test 203
  - Vertikal 201
  - ZIF 203
- Sockel
  - DIP, Verschlussauswurf 202
  - Oszillator 202, 893, 901, 906
  - Pin-Leitung 202
  - Streifenleitung 202
  - Zerbrechlich 202
- Steckleisten
  - Abdeckungen 201
  - DIP 201
  - Sockel/Steckbuchsen 202
  - Streifenleitung-SIP 202
- Werkzeuge
  - DIP-Extraktionswerkzeug 201
  - IC-Begradiger 201

Asahi Rubber, Inc.
- Kühlkörper-Kissen 760

Assmann
- Adapter
  - D-Sub 34
  - Maus 34
  - SCSI 36
  - Tastatur 33-34
  - USB 37
- IC-Sockel 204
- Kabelbausätze
  - Angegossen 33-38
  - CAT 5 38
  - CAT 5e 38
  - Computer, vergossen 33-38
  - IEEE 1284 33
  - IEEE 1394 36
  - Netzkabel 34-35
  - SCSI 36
  - Stereo, Verlängerung 33
  - USB-Verlängerung 36-37
  - VGA 33
- Kabeltester 38
- Modularstecker 37
- PLCC-Sockel 204
- Steckverbinder 34, 37

Astro Tool Corp.
- Werkzeuge 144
  - Crimp 144
  - Extraktion/Einfügung 144

Atmel
- ARM Thumb-Mikrocontroller 215
- AVR-Mikrocontroller 216-219
- CPLDs 211-212
- Drahtlose Kommunikation 750-751
- Evaluierungskits 215-216
  - RF 216
- FingerChip® 219
- FPGA 212-213
- Karten
  - Dataflash 753
- Mikrocontroller
  - 8051-Architektur 220-222
  - AVR 214
- PAL-kompatible SPLDs 213
- Programmier-/Emulator-/Entwicklungs-Tools
  - ARM Thumb 215
  - AVR 216
  - CPLD 211-212
  - FPGA, serielle Konfigurations-EEPROMs 212
  - FPSLIC 215
  - MARC 4 215
- RF-Transmitter/Empfänger 750-751
- Sender/Empfänger 750-751
- Serielle Konfigurations-EEPROMs 212
- Speicher-ICs 731-740
  - EEPROM, parallel 736-737
  - EEPROM, seriell 731-734
  - EPROM 734-736
  - Flash 737-740
    - Dataflash 740
  - Serielle Konfigurations-EEPROMs 212
- SPLDs 213
- USB 216

AVX Corporation
- Kondensatoren
  - Dünnschicht-Chip 1135-1136
  - Durchführung 1136
  - Keramik
    - Axial 1112
  - Keramikchip, mehrschichtig 1127-1133
  - Mikrowelle, Chip 1134
  - Niedrige Induktivität 1136
  - Niobiumoxid-Chip 1066
  - Schicht 1087
  - Tantal
    - Oberflächenmontage 1063-1066
    - Radial 1062
- Oszillatoren
  - Oberflächenmontage 905

Alle Preisangaben in Euro und inklusive Zollgebühren.

Steckverbinder
0,4 mm 184
1 mm 184
2 mm 183
Compact Flash 185
DIN 183
PCMCIA 185
Sicher, digital 185
Stoßspannungsunterdrücker (TVS) 1256-1257

B

BC Components
Kondensatoren 981-984, 1102, 1109, 1113, 1162-1163, 1168
Aluminium-Elektrolyt 981-984
Axial 981-984, 1102
Keramikchip, mehrschichtig 1162
Metallisiertes Polyester 1086-1087
Metallisiertes Polypropylen 1099-1101
Störsperren 1109
Trimmer 1168
Potentiometer, Trimmer 1214-1216
Schalter 1346
Schieber 1346
Sensoren, Feuchtigkeit 1452
Thermistoren 1269-1270, 1274-1275
Varistoren 1255
Widerstände 1170

BEAU (siehe Molex)

Bel Fuse, Inc
Sicherungen
Axial 1291
Oberflächenmontage 1290-1291
Radial 1291
Telecom 1291

Bergquist
Kühlkörper-Kissen 759-760

Bourns
Drehwahlschalter 1346
Kits, Potentiometer 1223-1228, 1413
Modularer Kontakt, 70 AD 183
Netzwerke, Widerstands- 1209
Potentiometer
10-Gang, drahtgewickelt 1221-1222
Cermet 1221-1222
Frontplattenbedienung 1221-1222, 1226
Kits 1223-1228, 1230, 1413
Oberflächenmontage 1229-1230
Trimmer 1223-1231
Schalter, SMT Schlüssel- 1346
Sicherungen
Rückstellbar 1277
Wählscheiben, konzentrisch 1222

Burr-Brown (siehe Texas Instruments)

Bussmann (siehe Cooper/Bussmann)

C

Cambridge Products
Adapter 170
Steckverbinder, RF- 170

Cantherm
Bimetall-Abschalter 1295
Temperaturregler 1295
Verkapselte Thermostate 1295

Cardinal Components, Inc.
Programmierbare Oszillatoren 890

Carling Technologies
Schalter
Drucktaste 1322
Kippschalter 1321, 1328
Schieber 1322
Wippschalter 1321, 1328
Zubehör 1322
Schutzschalter 1296

Cherry Switch
Schalter
Daumenrad 1316
Einrastend 1357-1361
Wippschalter 1329
Sensoren
Hallscher Effekt 1449
Magnetische Positions- 1373

Chicago Miniature Lamp, Inc. (siehe CML Innovative Technologies, Inc.)

Cinch
Barrierensperren 129

Citizen
Kristalle 883-888
Oszillatoren 881-883, 888
Programmierbar 888

Clare
Optische Koppler 1387
Relais, Festkörper 1387
Schalter, Leistungs- 1387

Clarostat
Potentiometer 1238

C-MAX
RF-Empfänger/Evaluierungskarten 752

CML Innovative Technologies, Inc.
LEDs 1500-1504
Bausätze 1500-1502, 1504
Blau, SMT 1503
Blinkend 1501
Glühlampen-Ersatz 1484
Linsen 1502
Oberflächenmontage 1503-1504
Weiß 1502
Lichtleitungen 1502

Coiltronics (Geschäftsbereich von Cooper Bussmann)
Induktoren
Leistung 922-923
Oberflächenmontage 922-923
Transformatoren 922

Connor-Winfield
Kristalle, Oberflächenmontage 904
Oszillatoren
Oberflächenmontage 902-904
Ovenized (OCXO) 904
Spannungsgesteuert (VCXO) 902
Synchrone Taktgeber 902
Taktgeber-Glättungsmodul 902
Timing-Module 902

Conxall/Switchcraft Inc.
Kabelbausätze 150
Rundstecker 149-150

Cooper/Bussmann
ESE 1287
Halter 1287-1288
Clips 1288, 1290
Kfz 1288
Leiterplattenmontage 1288
Plattenmontage 1289
Sicherungen 1287-1288
1/4 Zoll Durchmesser AG 1288
Alarmanzeige 1289
Axial 1288
Kfz 1288
Metrisch 1288
Multimeter 1289
Oberflächenmontage 1287
Telecom 1287

Copal Electronics, Inc.
Potentiometer, Cermet 1217-1220

Copeland Communications, Inc.
Modems
Entwicklungskits 231

Cornell Dubilier Electronics–Waldom
Kondensatoren, MICA 1163-1164
Miniatur, Dip, radial 1164
Oberflächenmontage 1163
Standard, Dip, radial 1164

Coto Technology
Relais
BGA 1377
Reed 1371-1372
Schalter, Magnet- 1377

Crydom Company
E/A-Module 1393, 1395
Festkörperrelais 1393-1395
SCRs 806
Triacs 806

C-Ton Industries
Digitale Mess-/Anzeigegeräte 1468

CTS
Funkfrequenzkomponenten
Filter
Duplexer 897
Keramik 897
Kristall 897
Kristalle 897, 899
VCTCXO 897
Kristalle 898-899
Oberflächenmontage 898-899
Kühlkörper (siehe IERC-Lieferant)
Oszillatoren 899-901
Oberflächenmontage 899-900
VCXO 899
Oszillatoren zur Oberflächenmontage 899-900
Potentiometer
Cermet 1233
Drahtgewickelt 1234
Kits 1413
Kohle 1234
Stock Pot™ 1232
Trimmer 1232-1233
Zweiachsen-Controller 1232
Schalter
DIP 1369
Drehschalter 1366
Widerstandsarrays, Dickschicht-Chip 1206
Widerstandsnetzwerke 1204-1205, 1207-1208
BGA 1204-1205

CUI, Inc.
Kabelbausätze
Audio 178
Leistung 178
Lautsprecher 1399
Sensoren
Kraft 1448
Strom 1446
Steckverbinder
Audio 176-178
DIN, rund 160
F (Fernsehen) 170
Leistung 176-178
Phono-Klinken/Stecker 179
Rund Mini-DIN 160
Summer 1403
Transducer, Audio 1402-1403

Custom Computer Services, Inc. (CCS)
C-Compiler 257

CW Industries
Kabelbausätze 20-24
Schalter
Kits 1348, 1414
Schieber 1348
Wippschalter 1332
Steckverbinder
IDC 20-24
DIP 21
D-Sub 20
Kartenrand 22-24
Leiterplatte 22-24
Sockel 22-24

Cypress Semiconductor Corp.
Integrierte Schaltkreise/Halbleiter
CPLDs 272
FIFO-Speicher 730-731
Mikrocontroller 269-271
PAL-kompatible SPLDs 272
Puffer 731
Taktgeber 731
Mikrocontroller 269-271
Entwicklungskits 269-271
Programmierer 269
USB 270-271
Programmierbare Logikbausteine
Integrierte Schaltkreise 272
Software 272
Speicher-ICs
SRAM 730

D

Daburn
Kits, Wärmeschrumpfschläuche 1414

Weitere Produkte sind online bei de.digikey.com erhältlich.

Dallas Semiconductor
- Integrierte Schaltkreise
  - Mikrocontroller 273
  - Potentiometer, digital 722-723
  - Spezialisiert 721-724
  - Verzögerungsleitungen 721

Delphi Connection Systems/Specialty Electronics
- Kabelbausätze
  - USB 39
    - Beleuchtet 39
- Nebenschlüsse 57
- Steckverbinder
  - Kurzschlussbrücken, 2 mm 57
  - Steckleisten/Steckbuchsen, 2 mm 57
  - USB 39

Dialight
- LEDs 1485-1488
  - Leiterplattenmontage 1485-1487
  - Oberflächenmontage 1485
  - Plattenmontage 1488
- Lichtleitungen 1487

Digi-Key
- Kits 1412-1414

Diodes Inc.
- Brückengleichrichter 848-849
- Dioden-Arrays 854
- Gleichrichter/Dioden 833-837, 848-854, 861, 866-867
- Kits, Zener-Dioden 835, 1414
- MOSFETs 831, 861
  - Oberflächenmontage 831, 861
- Schottky-Gleichrichter/Dioden 851-853
- Transistoren 830-832
  - Mit Vorspannung 831-832
- TVS (Stoßspannungsunterdrücker) 1259-1261
- Überspannungsschutz mit Thyristor 1260
- Zener-Dioden 833-837
  - Oberflächenmontage 833-837

E

Eastek International/PREO
- Filter, Leitungs- 980

Eastman Kodak Company
- Bildverarbeiter 294
- CMOS-Bildsensoren 294
- Evaluierungskarten 294
- Kameramodule 294
- Kits, Linse 294

ECS International Inc.
- Datenbuch 742
- Filter 914
  - Monolithischer Kristall 914
  - SAW 914
- Kristalle 905, 907-914
  - Kits 1414
- Oszillatoren 888, 905-908
  - Programmierbar 889
  - TCXO 908
- Resonatoren 915-916
  - Keramik 915
  - SAW 916

EDAC
- Steckverbinder
  - Edgecard 179
  - Einschub-Steckanwendungen 100
- Werkzeuge 179

EDP Company
- Sensoren, Ultraschall-Näherungs- 1452

Electroswitch
- Drehschalter 1364-1365

EPCOS, Inc.
- Kondensatoren
  - Keramik
    - Mehrschicht 1111
    - Monolithisch 1110
  - Metallisiertes Polypropylen 1082-1083
  - Oberflächenmontage
    - Tantal 1076-1077
  - Schicht 1082
  - Tantal 1076-1077
  - Ultra 998
- Stromspitzenunterbinder 1254
- Varistoren
  - Block 1254
  - Kfz 1254
  - Mit Anschlüssen 1253
  - Monolithisch, Oberflächenmontage 1254
  - Riemen 1253
  - Telecom 1254

Epson Electronics America Inc.
- Echtzeituhren 700
- Kristalle 894-896
- Oszillatoren 891-894
- Programmierbare Oszillatoren 891

Epson Electronics America Inc. - Semiconductor Div.
- Integrierte Schaltkreise
  - Ladepumpe 711
  - Schnittstelle 710-711

Equinox Technologies
- Programmierer 207

E-Switch, Inc.
- Schalter
  - Drehschalter 1366
  - Druckknopf 1339-1341
  - Kippschalter 1323-1324
  - Kondensatoren 1339
  - Leistung 1339
  - Mit Schlüssel schließbar 1340
  - Momentschalter 1308
  - Schieber 1348-1349
  - Wippschalter 1333-1334

ETA
- Schutzschalter, thermisch 1297-1298

ETC (siehe Molex)

F

Fairchild Semiconductor
- Integrierte Schaltkreise
  - 4000 611
  - 7400 606-611
  - 95HS 610
  - HS/UHS-Serie 612
  - Linear 611-612
  - OpAmp 613
  - Spannungsregler 607
  - Spezialisiert 612
  - TinyLogic 612-613, 622
- MOSFETs 792-793
- Speicher-ICs 727, 729
- Transistoren 829-830

Fairchild Semiconductor/Optoelectronics Group
- Fototransistoren 1429
- LEDs 1469, 1492-1494
  - 7-Segment-Anzeige 1493
  - Balkengrafik 1494
  - Emitter, IR 1469
  - Halter 1492-1493
  - Infrarot 1469
  - Leiterplattenmontage 1492-1493
  - Lichtbalken 1494
  - Oberflächenmontage 1492-1493
- Optoelektronik 1419-1420, 1429, 1492-1493
- Optoisolatoren
  - Transistor-Ausgang 1419-1420

Freescale Semiconductor, Inc.
- Entwicklungswerkzeuge
  - DSP-Emulatoren/Programmierer 292
- Evaluierungskarte 292
- Integrierte Schaltkreise
  - Anzeigetreiber 348
  - Digitale Signalprozessoren 291
  - Erweiterte Taktsignaltreiber
    - Puffer 346
    - Taktgeber 346-347
    - Taktsignaltreiber 346
  - Mathematischer Koprozessor 348
  - Mikrocontroller/MPUs 283-285
    - Entwicklungskits 287, 292
  - Mikroprozessoren 348
  - Programmierer
    - Mikrocontroller 287-291
  - RF/IF
    - D/A-Wandler 349
    - Empfänger/Transmitter 349
    - Frequenzsynthese 349
    - Frequenzumwandlung 349
    - Kodierer/Dekodierer 349
    - Verstärker 348
  - Schnittstelle 348
  - Sensoren, Rauchmeldung 349
  - Serielle Analog-/Achtfachschalter 347-348
  - Telekommunikation
    - ISDN U-Schnittstellen-Transceiver 349
    - PCM CODEC-Filter 349
    - Stimmenumschaltung, Freisprechanlage 349
- Sensoren
  - Beschleunigungsmesser 1444
  - Druck, temperaturausgeglichen 1444
  - Rauchmeldung 349
- Software 292

G

GC Electronics
- Tastenanschlüsse, gefedert 129

GE Infrastructure Sensing
- Einschaltstrombegrenzer 1275
- Sicherungen, PTC-rückstellbar 1275
- Thermistoren 1272-1273
  - NTC 1272-1273
  - PTC 1273, 1275

Gems Sensors
- Drucktransducer 1458
- Kits 1457
- Relais, Sicherheit 1458
- Sensoren
  - Durchflussschalter 1457
  - Elektromechanisch 1456
    - Niveauschalter 1456
  - Festkörper-Zener-Barriere 1458
  - Fluss 1457
  - Leitfähige Schalter 1456
  - Schwimmer-Level-Schalter 1456, 1458
    - Fabri-Level-Kits 1457

General Semiconductor
- Brückengleichrichter 815
- Dioden/Gleichrichter 815

Grayhill
- E/A-Module 1385
- Schalter
  - DIP 1370
  - Drehschalter 1366
  - Drucktaste 1340
- Tastenfelder 1315

H

Hamlin Electronics Limited Partnership
- Magnete 1375
- Relais, Reed- 1373
- Schalter, Magnet- 1376
- Sensoren
  - Hallscher Effekt 1439
  - Position 1375

Hirose
- Kabelbausätze
  - USB 38
- Modular
  - Klinkenstecker/Steckverbinder 109
- Steckverbinder
  - 0,3 mm 40
  - 0,4 mm 46
  - 0,5 mm SMT 40, 47-48
    - Flex 41-42
  - 0,6 mm SMT 49
  - 0,65 mm SMT 49
  - 0,8 mm SMT 50
  - 1 mm 41-42, 50, 52
    - Flex 41-42
  - 1,25 mm/1,27 mm 51-54, 100
  - 2 mm 54-56, 58-60
  - 2,5 mm 61-63
  - 2,54 mm 60
  - 3,96 mm 64
  - 5 mm 65
  - 7,92 mm 65
  - CF-Karte 188
  - DIN, rechteckig 182
  - E/A 98
  - Einschub-Steckanwendungen 99

Alle Preisangaben in Euro und inklusive Zollgebühren.

Koaxial 170-173
Miniatur 171-172
Leistung 129
Mikrofon 156
Modular 109
Netzadapter, AC 98
PC-Karte 186
Push-Pull-Verschluss 158
Rechteckig, DIN 182
RF, Miniatur 172
Rundstecker 151-158
Miniatur 98, 156-157
Push-Pull-Verschluss 156-157
Schraubverschluss 156-157
Schnittstelle 98-99, 109, 151-158
SIM-Karte 184
SmartMedia-Karte 184
Speicherkarte
PCMCIA 186
Sicher, digital 188
Stromversorgung 64, 98
USB 38
Video 153-154
Wasserbeständig 153-155
Werkzeuge 98

Honeywell Sensing and Control
Sensoren
Druck 1443
Hallscher Effekt 1440
Optisch 1434
Schalter 1440
Strom 1440
Temperatur 1440

Honeywell SSEC
Sensoren
Digitaler Kompass 1449
Kits 1448-1449
Magnetisch 1448-1449

Horn Industrial Co., Ltd.
Mikrofone, Electret-Kondensator 1405

Humirel
Sensoren
Feuchtigkeit 1452
Temperatur 1452

Huntington Electric, Inc.
Widerstände, drahtgewickelt 1186-1187

I

IERC
Datenbuch 742
Kühlkörper 754

Imagecraft Creations Inc.
C-Compiler
AVR 217
Mikrocontroller 293
MSP430-Gruppe 273

Impulse
Excelsus®
Filter
CPE 112
DSL 112
Induktoren
Chip 940
Drumcore
Geschirmt 940-941
Nicht geschirmt 940
Hochfrequenz 942-943
Leistung, Oberflächenmontage 940-941
Toroid 941-943
Modulare Klinkenstecker
Gefiltert 112
Transformatoren
Telekommunikation 943
Balun 964

Industrial Fiber Optics
Faseroptik
Emitter/Detektoren 113
Steckverbinder 113
Fotodetektoren 113
LEDs 113

Infineon
Dioden
Schaltend 646
Variable Kap. 646
Integrierte Schaltkreise/Halbleiter
Schnittstelle 359-360
Spezialisiert 359-360
Telekommunikation 359
ISDN 359
Leistungsmanagement 359
Sensoren 359
Transistoren
IGBTs 809
Mosfet 807-809

Intel
Brücken-Controller 357
Controller (PCI/LAN/WAN/CAN) 355
Demodulations- und Kodierprodukte 358
Direkte Digital-Syntheseprodukte 358
E/A-Prozessoren 352
Eingebettete Intel-Architektur
Mikroprozessoren 350-351
Ethernet Phys 356
Ethernet-Controller 355
Ethernet-Transceiver/Empfänger 356
Ethernet-Verstärker 356
Flash-Speicher 357-358
i960-Mikroprozessoren 354-355
MCS® 251-Mikroprozessoren 354
MCS® 296-Mikroprozessoren 354
MCS® 51-Mikrocontroller 352-353
MCS® 96-Mikrocontroller 353-354
Modem-Chipsätze, Controller, DSPs, AFEs 358
Netzwerkprozessoren 351
PCI-PCI-Brücken 357
Peripherie-Schnittstellenprodukte 358
Prozessormodule 351
Schnittstelle 350-358
Schnittstellenadapter/-karten 357
Strong Arm®-Prozessoren 351
Telecom-Breitband 356
Xscale™-Prozessoren
Anwendung, Handformat 358
Netzwerk 358
Speicher 358

International Rectifier
Brückengleichrichter 844
Dioden/Gleichrichter 841-847
Hexfets 795-803
HexFred-Dioden 794
Integrierte Schaltkreise
LDO-Regler/Schalt-Controller 708-709
Steuerung/Leistung 705-708
Phase 706
MOSFETs 795-803
Optoelektronik, Relais 1386
Photoelektrische Optoisolatoren 803
Schottky-Gleichrichter 841-844
SCRs 874
Transistoren, IGBT 790-791

Intersil
CPU-Überwachungseinrichtungen 624-625
Datenkonvertierung 625
Echtzeituhren 625, 630
EEPROM, parallel 630
Integrierte Schaltkreise
Spezialisiert 631
Leistungsmanagement 630
Potentiometer, digital 626-628
Schalter, Arrays 631
Schnittstelle 629-630
Spannungsreferenz 632
Timer 625
Treiber/Empfänger 628-629
Verstärker 622-623
Videokommunikation 631

ITT Industries, Cannon (C&K Switches)
Schalter
Daumenrad 1352
DIP 1367-1368
Drehschalter 1314, 1366-1367
Drucktaste 1311, 1314, 1335-1338
Einrastend 1363
Kippschalter 1317-1320
Momentschalter 1309-1313
Schieber 1348, 1350-1351
Schlüsselschalter 1314, 1352
Türverriegelungen 1363
Wippschalter 1330-1331
Zubehör 1338
Sensoren, Magnet- 1374
Smart Card 191
Sperren 1352
Tastenfelder 1315

ITW Chemtronics
Kühlkörper, Schmiere 756

IXYS
Dioden/Gleichrichter 804
FRED 804
IGBT-Transistoren 805
Integrierte Schaltkreise/Halbleiter 804-805
MOSFETs 804-805
SCRs 805

J

Jelight Company, Inc.
UV-Löscher 724

Jewell Instruments
Mess-/Anzeigegeräte 1464, 1466
Analog 1466
Digital 1464, 1466

JKL Components Corp.
Inverter
CCFL- und UV-Lampen 1462
EL-Hintergrundbeleuchtung 1462
Lampen
Bausätze 1462
CCFL 1462
UV 1462

Johnson Components
Adapter, SMA/SMB 169
Bananenstecker und Klinkenstecker 159, 1414
RF-Steckverbinder
MCX/MMCX 168-169
SMA/SMB 167
Schraubklemme 159
Spitzenklinken/Stecker 159
Steckverbinder, SMK- 168

JRC (siehe NJR)

JST Sales America Inc.
Klemmen
Board-In Crimp-Anschlüsse 70
Steckverbinder
0,5 mm 66
1,0 mm 66
1,5 mm 67
2,0 mm 67-69
2,5 mm 69-70
3,96 mm 70
Schnellanschlussklemmen 139
Steckleisten 66-70
Werkzeug, Crimp- 70

Judco
Schalter 1334

JW Miller Magnetics
Ferrit-Perlenkerne 963
Filter, EMI- 964
Induktoren
Fest 954-955, 959, 963
Leistung 956
Oberflächenmontage 954-959
Inverter
CCFL 1462
RF-Drosseln 961-963
Toroid
Hochstrom-Induktoren 956, 959-960
Oberflächenmontage 956, 959
Transformatoren
Oberflächenmontage 955, 1462

K

Kemet
Kondensatoren
Aluminium organisch 1075
Keramik
Axial 1104
Radial 1105-1107
Mehrschichtiger Keramikchip 1137-1141
Tantal
Axial 1068-1069
Oberflächenmontage 1070-1075
Radial 1067

Weitere Produkte sind online bei de.digikey.com erhältlich.

Keystone Electronics Corp.
- Kits
  - Thermistoren 1414
- Knöpfe, Instrumentierung....1238
- MICA-Isolatoren....760
- Montagekleinteile, Transistoren....760
- Phono-Klinken/Stecker....173
- Sicherungshalter....1284
- Sockel, Transistor....760

Kilo International
- Knöpfe, Aluminium....1236-1237
- Wählscheiben, konzentrisch....1237

Knowles Acoustics
- Lautsprecher, Kopfhörer/Handset....1407
- Messumformer....1406
- Mikrofone
  - Electret....1406-1407
  - Magnetisch....1406
  - Oberflächenmontage....1407
- Sensoren
  - Beschleunigungsmessgerät....1406
  - Vibration....1406

L

Lamina Ceramics
- Kit....1479
- LEDs
  - Arrays....1479

LEM USA, Inc.
- Stromsensoren....1446
- Strom-Transducer....1446

Linx Technologies/Antenna Factor
- Antennen....744-745

Linx Technologies
- Breitbandverstärker....743
- Evaluierungskits....743
- Kodierer/Dekodierer....743
- RF-/OEM-Module und Kits....742-743
- Steckverbinder....744
- Werkzeuge
  - Crimp....744

LiteOn Trading USA, Inc.
- Anzeigen
  - Alphanumerisch....1495
  - Numerisch....1495
  - Punktmatrix....1494
- LEDs....1494-1499
  - 7 Segmente....1495
  - Balkengrafik....1494
  - Blau....1499
  - Infrarot....1429
  - Oberflächenmontage....1498-1499
  - Rund, groß....1494
  - Superhell....1496-1497, 1499
- Optoisolatoren....1421

Littelfuse, Inc.
- ESE....1252, 1278-1279
- Halter....1284-1286
  - Blöcke....1285
  - Clips....1285
  - Kfz....1284
  - Leiterplattenmontage....1284-1286
  - Plattenmontage....1284, 1286
- Sicherungen....1278-1284
  - 1/4 Zoll Durchmesser AG....1283
  - 2AG....1282
  - 3AB....1283
  - 3AG....1283
  - 5 x 20 mm....1281
  - 8AG....1283
  - Alarmanzeige....1282
  - Kfz....1282-1283
  - Kits....1279-1283, 1412
  - Metrisch....1281
  - Oberflächenmontage....1278-1282
  - PTC rückstellbar....1278
  - Sicherungen für explosionsgefährdete Bereiche
    - Barrier Network....1282
    - Safe-T-Plus....1281
  - Telecom....1279
- Stoßspannungsunterdrücker (TVS)....1251-1252, 1262, 1278
- Thyristoren....1262
- Varistoren....1251-1252
  - Mehrschicht....1251-1252
  - Metalloxid....1252

Logic Product Development
- Mikrocontroller
  - ARM....231

Logical Systems
- Adapter zur Programmierung und Prototyperstellung....206

Lumex Opto/Components Inc.
- Anzeige, schwache Batterie....1477
- Anzeigen
  - LCD NTSC (TFT) -Module....1465
  - LCD, 7 Segmente....1465, 1481
  - LEDs, 7 Segmente....1481
- Katalog-CD-ROM....742, 1471-1472, 1474, 1477-1478, 1481
- Laserdioden, sichtbar und infrarot....1470
- LCDs....1465
  - 7-Segment-Anzeige....1465, 1481
  - Module....1465
    - Grafik....1465
- LEDs....1437, 1471-1474, 1477-1481
  - 7-Segment-Anzeigen....1481
  - AlInGaP....1476
  - Array/Lichtbalken....1477
  - Blau....1475-1476, 1480
  - Blinkend....1477
  - DSP....1480
  - Halter, Plattenmontage....1478
  - Infrarot....1437
  - InGan....1476
  - Leiterplattenmontage....1472-1473
  - Mega-Brite....1477
  - Oberflächenmontage....1474-1476
  - Plattenmontage....1478
  - RGB (Rot/Grün/Blau)....1471, 1476
  - Superhell....1480
  - Testgerät....1477
  - Violett....1471
  - Weiß....1480
  - Zweifarbig....1472-1477
- Lichtleitungen....1473
- Optoisolatoren....1420
- Schalter
  - Drucktaste....1362
  - Kippschalter....1362
  - Wippschalter....1362

M

Mallory Sonalert Products Inc.
- Alarmanlagen....1400-1401
- Sirenen....1400-1401
- Summer....1400-1401

Martel
- Mess-/Anzeigegeräte....1467
  - Miniatur....1467
  - Spann.-/Strommesser....1467
  - Spannungsmesser....1467

Master Appliance Co.
- Wärmepistolen....1396

Maxim
- Integrierte Schaltkreise....711-720

MaxStream Inc.
- Evaluierungskits....749
- RF-Modul....749

MCC (Micro Commercial Components)
- Dioden....816-819
- MOSFETs....819
- Thyristoren....1267
- Transistoren....819

Measurement Specialties (MSI)
- Beschleunigungsmessgerät....1455
- Kits, Piezo-Sensor-....1455
- Sensor, Piezo-....1455
- Sensor, Vibrations-....1455
- Sensoren, Druck-....1450-1451
- Transducer, Druck-....1450

Measurement Specialties (MSI)/Schaevitz
- Clinometer....1438
- Karten, LVDT....1438
- Protraktoren, digital....1438
- RVIT....1438
- Transducer, Druck-....1438

Meder Electronics
- Sensoren
  - Magnetisch....1376
  - Stufe....1376

Melexis
- Integrierte Schaltkreise
  - Halleffektsensoren....741, 1439
    - Programmierbar....1439
  - Spezialisiert....741
- Programmierer....1439
- RF-Transmitter/Empfänger....742
- Sensoren, Halleffekt-....1439

Microchip Technology Inc.
- Datenbücher/Handbücher....742
- dsPIC® Mikrocontroller....250
- Entwicklungssystem-Matrix....251-257
- Infrarot-Kodierer/Dekodierer, Kit....310
- Integrierte Schaltkreise....727-729
- Leistungsmanagement....302-306
  - Batterie-Management....304-305
  - DC-DC-Wandler....303
  - Leistungs-MOSFET-Treiber....305-306
  - PWM....304
  - Schaltregler....304
  - Spannungsdetektoren....303
  - Spannungsregler....303-304
  - Systemwächter....302-303
- Linear
  - Komparatoren....309
  - OpAmp....307-309
  - Programmierbare Verstärkungsfeld-Verst....309
- Mikrocontroller, RF....241
- Mischsignal....306-307
  - A/D- und D/A-Wandler....306-307
  - Freq.-Spann./Spann.-Freq.-Wandler....307
  - Potentiometer, digital....307
- PIC-Mikrocontroller....234-249
- RFid....750
- Schnittstelle
  - Controller Area Network (CAN)....310
  - HF-Kommunikation
    - Empfänger....310
  - Infrarot-Produkte....310
  - LCD-Treiber....310
  - LIN-Transceiver....310
  - Serielles Peripheriegerät....310
- Serieller EEPROM-Designer....718
  - Kits....718
- Speicher-ICs....727-729
- Thermal-Management
  - Lüfter....310
  - Temperatursensoren....309-310

microEngineering Labs, Inc.
- Compiler, PicBasic....254

Micron Technology, Inc.
- Speicher-ICs
  - DRAM
    - DDR....725-726
    - DDR2....726
    - SDRAM....724-725
  - Flash....726
  - PSRAM....726-727
- Speichermodule....753

Microsemi
- Dioden....859
- Dioden-Arrays....818
- Gleichrichter....858
  - Schottky....858
- TVS (Stoßspannungsunterdrücker)....1258
- Zener-Dioden....837

Microsemi – IPG
- CCFL-Module....682-683
- Controller....684
- Gleichrichtermodule....683
- Lichtanwendungen....683
- Schnittstelle....682-684
- Schutz....683
- Spannungsregler....683-684

Mill-Max
- Adapter, PLCC....198
- IC-Sockel
  - DIP-Sockelträger....195
  - Integrierter Kondensator....195
  - Lötlitze....193-195
  - Maschinenstift....194-195
  - Niedrige Bauform....193-195
  - Rechtwinklig....194
  - Shrink-DIP....195
  - Wire-Wrap....194-195
- PC-Pins/Steckbuchsen....200

Alle Preisangaben in Euro und inklusive Zollgebühren.

Sockel
Anschlussleiste 196-197, 199
PGA 193
Pin 196-199
PLCC 193
Rechtwinklig 194, 197
Steckbuchsen 193-199
Transistor 760
USB-Steckbuchsen 198
Zig-Zag 198
Steckleisten, Stift- 197-199
Steckverbinder
Federgeladene Kontakte 198
Universal Serial Bus (USB) 198

Modutec (siehe Jewell Instruments)

Molex
Kabel, 1 mm flach 77
Kabelbausätze, USB 39
Kabelbrücken, flach 44-45
Sockel
DIMM 187
SIMM 187
Transistor 760
Steckleisten 45-46, 72-73, 82-88, 90-97
Steckverbinder
0,5 mm 44
1,00 mm 44-45
1,25 mm 45-46
1,5 mm 71
2 mm 71
Sherlock 71
2 mm Kabel-Leiterplatte 77
2 mm Milli-Grid 72-73
3,0 mm Micro-Fit 90-92
Beau
Anschlussblöcke 130-131
Barrierensperren 130-131
Blindmate (BMI) 90-92, 94
Breakaway 82-83
C-Raster 82-83, 87-88
Crimpanschluss 46, 73, 84-85, 87-88, 92-93, 96-97
E/A 92
1394 39
ETC
Klemmen 137-138
FFC/FPC 44-45
Firewire 95
GBIC 189
IEEE 1386 92
Karte 188
Leistung 87, 90-97
Leiter- platte 83, 86
Mezzanin 92
MicroCross DVI 92
Mini-Fit BMI 94
Mini-Fit HCS 94
Mini-Fit Jr. 93
Mini-Fit SMC 94
Mini-Fit Sr. 95
Modulare Klinkenstecker 110
Industriell 110
PanelMate 45
Sabre 95
Werkzeuge 95
Schalter 1361
SCSI 189
SFP (Kleinrahmen, einsteckbar) 189
Speicher
Compact Flash 188
DIMM 187
SIMM 187
Spielzeugauto-Batterie 87
Steckleisten 45-46, 72-73, 82-85, 87-88, 90-97
USB 39
Wasserfest 148
Werkzeuge 39, 46, 71, 73, 84-85, 87-88, 92-97, 139
Crimp 71, 97
Extraktion 39, 46, 84-85, 92-97

Murata Electronics
EMI-Unterdrückung
Arrays 966
Ferrit-Chips 966
Filterkondensatortyp 967
LC-Kombinationschip 967
Oberflächenmontage 966
Filter
Diskriminator 918
Keramik 918
Glättungsdrosseln
Oberflächenmontage 926
Kondensatoren
Keramik, Trimmer 1165-1166
Mehrschichtiger Keramikchip 1143-1151
Monolithischer Keramikchip 1142
Potentiometer 1210-1213
Resonatoren
Keramik 917
Spulen
Drahtgewickelt 925-926
Monolithisch 924
Oberflächenmontage 924-926
Schicht 924
Thermistoren 1269, 1273
Werkzeuge 1165-1166

N

National Semiconductor
Integrierte Schaltkreise
A/D- und D/A-Wandler 698-700
Audioverstärker 654-657
Batterielade-Controller 649
Datenkommunikation 632
DC/DC-Wandler 640-642, 645, 647-649
Hochtemperatursensoren 633-635
Hot-Swap 657-658
Linear 632-680, 682, 698-702
Mikroprozessoren 635
Mikroprozessor-Rückstellschaltungen 638, 651
MOSFET-Treiber/Controller 645-646, 666
OpAmp 633, 635-638, 647, 654, 658-663, 665, 679
Schaltregler 639-640, 657
Schnittstelle 632-680, 682, 698-702
Spannungsreferenz 633, 635, 637, 651-654
Spannungsregler 633-649, 654, 656, 665-670, 676-679
Telekommunikation 684
UARTs 698

NEC
Optoisolatoren
Fototransistor-Ausgang 1415-1416
Hochgeschwindigkeits-Digital 1416
Relais, Festkörper- 1392
RF- und Mikrowellenprodukte 820
Transistoren 820
Verstärker, Breitband- 820
Vorteiler 820

Needhams Electronics
Programmierer 207
RF-Module 742

NetBurner Inc.
Entwicklungskits 293
Mikroprozessoren
Modul 293

Nichicon
Kondensatoren
Aluminium-Elektrolyt 1018-1034
Oberflächenmontage 1032-1034
Tantal-Elektrolyt 1058-1059

NJR Corporation
Integrierte Schaltkreise 692-695
Audio-Verstärker 687, 689-692
Leistungsmanagement 692-694
Multiplexer 691
OpAmp 689-691
Schalter 695-696
Schrittmotor-Controller/Treiber 691
Spannungsregler 692-695
Spannungswandler 696
Spezialisiert 694
Treiber 691

NKK Switches
Schalter
Drucktaste 1346-1347
Kippschalter 1324-1327
Mit Schlüssel schließbar 1353
Tastschalter 1346
Wippschalter 1329, 1353
Zubehör 1324-1325, 1347
Spritzfeste Boots 1327

NorComp
Anschlusshardware, D-Sub 108
Endgehäuse, D-Sub 107-108
Nebenschlüsse 57
Steckverbinder
2-mm-Steckverbinder 57
Centronics 104
DIN, rechteckig, IDC 192
D-Sub 101-108
Hardware 108
Parallel-Schnittstelle 104
Werkzeug
Crimp 101

NVE Corporation
Evaluierungskit 1456
Isolatoren, digital und analog 1426
Sensoren, Magnet- 1456
Spannungsregler 1456

O

Ohmite
Regelwiderstand, drahtgewickelt 1195
Widerstände
Dickschicht 1188, 1191-1192
Drahtelement 1193
Drahtgewickelt 1190-1191, 1193-1195
Keramikzusammensetzung 1189
Kohlenstoffzusammensetzung
Axiale Bauform, mit Anschlussdrähten 1189
SMD 1188
Kühlkörper-montierbar 1190-1192
Leistung 1188, 1191-1192, 1194-1195
Metallelement 1193
Metalloxidfolie 1192
Mit Stromsensor 1193-1194

OK Industries (Geschäftsbereich von Jonard Ind. Corp.)
ID für Sockelwickel- 192
Werkzeuge
Einführungs-/Extraktions-IC 204

Omron Electronics, Inc.
Faseroptik
Kabel 1453
Photo-Mikrosensor 1432
Relais
Festkörper 1389-1391
Hochfrequenz 1382
Mechanisch 1378-1381, 1383-1384
Schalter 1307, 1316, 1342-1345, 1354-1356, 1366
Daumenrad 1316
DIP-Drehschalter 1366
Drucktaste 1342-1345, 1355
Endschalter 1356
Hardware 1343
Hebel 1354-1355
Knopfschalter 1343, 1345
Momentschalter 1307
Tastenschalter 1342
Tür 1356
Zubehör 1342-1343
Sensoren
Druck 1433
Faseroptik 1453
Fluss 1432-1433
Induktive Proximität 1433
Kapazitive Proximität 1453
Optisch 1432
Photoelektrisch 1453
Vibration 1433
Steckverbinder
FFC/FPC 43

On Semiconductor
Dioden/Gleichrichter 839-840, 862-864, 866
Schalt- 862-863, 865
Schottky 863-864
Zener 839-840
Integrierte Schaltkreise
Analog-Schalter 557-558, 561-562, 570-571
DC/DC-Wandler 569
Empfänger 556-557, 560-561, 565, 567
Filter 572
Hot-Swap 570
Komparatoren 552-554, 563, 570
LED-Treiber 555, 571-572
Multiplexer 554-558, 560, 562-563, 565
OpAmp 552-553, 561, 563-564, 569-570, 572
Puffer 554-558, 560, 562, 570-571
PWM (Impulsdauer-Modulationsgerät) 552, 564-565, 568-569

Schaltregler 552, 563-565, 568-570
Schnittstelle 552-572
Spannungsdetektoren 565-566
Spannungsreferenzen 553, 561
Spannungsregler 552-553, 558-559, 561-564, 566-570
Taktgeber 559, 561, 565
Taktsignaltreiber 553-554, 556-557, 559-561, 565-566
Transceiver 555-558
Zähler/Timer 553-554, 556-557, 559, 562-563
Kits, Halbleiter- 1414
MOSFETs 813-814
SCRs 873
Stoßspannungsunterdrücker (TVS) 1263, 1265-1266
Transistoren 825-827
Triacs 873

On-Shore Technology
Anschlussblöcke 121, 132-136
DIN-Schiene 121
IC-Sockel 192
Steckleisten, Stift- 136

Optek Technology (siehe TT Electronics/Optek Technology)

Optrex America Inc.
Anzeigen
LCD-Module
Grafik 1460-1461
TFT 1460-1461
Zeichen 1460-1461
TFT-Toolkits 1460-1461

Osram Opto Semiconductors, Inc.
Anzeige, Oled 1461
LEDs
Oberflächenmontage 1505
Optoelektronik
Detektor 1431
Emitter, IR 1431
Fotodioden 1431
Fototransistoren 1431
Unterbrecher 1431

P

Panasonic
Antennen, Keramik 735
Audio-Verstärker 685
Balun 965
Dämpfer 1201
DC-DC-Wandler 685
Dioden 780, 786, 788-789
Pin 787
Schottky 786-787
Zener 789
Drosseln, Oberflächenmontage 936-939
Ferritkerne
Flachkern 975
Ringkern 975
Schnapp-Kern 975
Filter
Digitales Geräusch 976
EMI 976
Leitung 974, 977-978
Rauschfilter
2-Modi 975
Gleichtaktmodus 974-975
SAW 916
Graphitblätter 756
Halbleiter (siehe Integrierte Schaltkreise)
Induktoren, Oberflächenmontage 927-935
Integrierte Schaltkreise/Halbleiter 689, 1440
MMIC-Schalter 788
Kondensatoren
Aluminium-Elektrolyt 985-997, 1000-1017
Arrays 1115, 1202
Computerklasse 1005
Entstörung 1108
Gold 998-999
Keramik 1114-1117, 1119-1126
Keramik, Sicherheit 1103, 1117
Kits 1016, 1126, 1412
Mehrschichtiger Keramikchip 1118
Hohe Kapazität 1118
Mikrowellenchip 1126
Netzwerke 1202
Oberflächenmontage
Aluminium-Elektrolyt 1007-1017
Keramik 1117, 1119-1126
Schicht 1089-1092, 1102
Spezialpolymer 1016-1017
Tantal 1060-1061
Polyester 1078-1079, 1081, 1084, 1093
Schicht 1080, 1084-1085, 1088-1098, 1102, 1108
Tantal 1060-1061
Zweipolig 985, 995
Koppler 965
Lautsprecher
Kartentyp 1398
Mikro 1398
Mini 1398
LEDs ..... 1508-1512, In-Bk-Cvr
Blau ..... 1508-1510, In-Bk-Cvr
Numerische Anzeigen ..... In-Bk-Cvr
Oberflächenmontage 1508-1510
Weitwinkel 1512
Messumformer
Audio 1400
Transformatoren 939
Ultraschall-Keramik 1401
Mikrocontroller, Flash 293
Mikrofon, Kapseln/Halter 1405
MOSFETs 781-783
Netzwerke
Kondensatoren 1202
RC 1202
Oberflächenmontage
Filter 974-976
Glättungsdrosseln 936-939
Induktoren 927-932
Kondensatoren
Aluminium-Elektrolyt 1007-1017
Keramik 1117, 1119-1126
Schicht 1089-1092, 1102
Spezialpolymer 1016-1017
Tantal 1060-1061
LEDs 1508-1510
Netzwerke 1202
Potentiometer, Trimmer 1242-1243
Schalter 1300-1301, 1303-1306
Spannungsregler 685-687
Transistoren 783
Überspannungsableiter 1250
Varistor, Mehrschicht-Chip 1249
Widerstände 1179-1182
Widerstände, Arrays 1200
Wulstkerne 974
Optoelektronik ..... 1420, 1441, 1508-1512, In-Bk-Cvr
Optoisolatoren 1420, 1437, 1441
Fotodioden 1441
Fotoreflektor 1441
Fototransistoren 1441
Fotounterbrecher 1437
Infrarot-LED 1441
Potentiometer 1239, 1241-1246
Audio 1239
Cermet 1240
Daumenrad 1240
Kits 1413
Positionssensor 1241
Schieber 1241
SMT-Trimmer 1242-1243
Trimmer 1242-1246
Resonatoren
Keramik 916
SAW 915
RF/Hybrid
Balun 965
Dämpfer 1200
Richtungskoppler 965
Stromteiler 965
Schalter 1300-1302, 1304-1306
Detektor 1300-1301
Leistung 1301
Momentdrucktaster 1301-1306
Multifunktions- 1303
Oberflächenmontage 1300-1301, 1303-1306
Schieber 1303
Sensoren
Hallscher Effekt 1440
Ultraschall-Keramik 1401
Spannungsregler 685-687
Speicherkarten 753
Spulen, Drossel- 936-939
Spulen, Spannung, Step-Up- 936
Stromteiler 965
Summer 1401
Tantal 1060
Temperaturbegrenzer 1299
Thermistoren 1271
Transformatoren
Piezoelektrisch 1459
Transistoren 778-786
Überspannungsableiter 1247-1248, 1250
Varistor, SMT-Mehrschicht-Chip 1249
Widerstände 1179-1183, 1200-1202
Kits 1413
Netzwerke 1200-1201
SMT-Arrays 1200-1201
Wulstkerne 974-975
Zener-Dioden 789
ZNR 1247-1248, 1250

Parallax, Inc.
„Board of Education"-Kit 233
BASIC Stamp
Bücher 233
Kits 233
Module 233
Trägerkarten 233
Zubehör 233
Programmierer
BASIC Stamp 233

Parlex Corporation
Flat-Flex-Bausätze
DF9 50

Pericom Semiconductor Corporation
Integrierte Schaltkreise
Analogschalter 614
Busschalter 615-616
LVDS-Datenübertragung 614
Taktsignaltreiber 616
Videoschalter 616
Logik-ICs
74ALVCH 614
74ALVTC 614
74AVC 614
74FCT 614-615
74LPT 615
74VCX 614
SOTiny™ 613

Philips
Datenkommunikation 361
Datenkonvertierung 361
Datenübertragung 362
E/A-Expander 363
Echtzeituhren 364
Hochtemperatursensoren 364
Leistungssteuerung/-management 363
Logikübersetzung 363
Mikrocontroller 274
Radiofrequenz-ICs 363-364
Signal-Controller 364
Speicher 363
Spezialisiert 364
Stromversorgungsprodukte 363
Timer 364
Verstärker 361

Phoenix Contact
Anschlussblöcke 122-128
DIN-Schiene 122
Zubehör 122-123
Leiterplatte 124-128
Steckverbinder
D-Sub, industriell 127
Modulare Klinkenstecker, industriell 127

Phoenix Passive Components
Widerstände
Drahtgewickelt 1187
Leistungs-Metallschicht 1171
Metallschicht 1169-1171

Photonic Detectors (siehe Advanced Photonix, Inc.)

Power Trends (siehe Texas Instruments/Plug-In Power Solutions)

PowerStor (Geschäftsbereich von Cooper Bussmann)
Kits
Superkondensatoren 997
Kondensatoren
Superkondensatoren 997

PRD Plastics
Blenden 1464

Precision Electronic Components Ltd.
Potentiometer
10-Gang, drahtgewickelt 1235
Digitalanzeige 1235
Kohle 1235

Q

Quadravox, Inc.
- Adapter 232
- Programmierer, Sprachaufnahme-/Wiedergabe 232
- Prototyp-Tools 232

Quantum Research Group
- Sensoren
  - Berührung 1454
  - Evaluierungskarten 1454
  - Flüssigkeitsstand 1454
  - Kapazität 1454
  - Nähe 1454

R

R.F. Solutions
- PIC-Emulatoren 258
  - Adapter 258
  - Tochterkarten 258
- RF-Transmitter/Empfänger 748-749

Rabbit Semiconductor (siehe Z-World/Rabbit Semiconductor)

Rayming Corporation
- RF-Transmitter und Empfängerkarten 724

Renesas Technology America
- Mikrocontroller 299-301

Richco Plastics Company
- Sicherungen, Abdeckungen 1284

ROHM
- Dioden
  - Schalt- 859
  - Schottky 860
  - Zener 860
- Integrierte Schaltkreise
  - DC-DC-Wandler 704
  - Komparatoren 703
  - OpAmp 703
  - Spannungsregler 702-704
- Kondensatoren
  - Mehrschichtiger Keramikchip 1160-1161
  - Oberflächenmontage 1160-1161
- LEDs
  - Oberflächenmontage 1506-1507
- MOSFETs 821-822
- Sensoren, optisch 1437
- Speicher-ICs
  - EEPROM, seriell 704-705
- Stoßspannungsunterdrücker
  - ESE 1258
- Transistoren 823-824
- Widerstände
  - Arrays 1203
  - Dickschicht 1175-1176
  - Oberflächenmontage 1175-1176

Roman-Jones, Inc.
- SPROM-Programmierer 210

S

Schaevitz (siehe Measurement Specialties/Schaevitz)

Schurter Inc.
- Leistungseingangs-Modul 979
- Steckverbinder 979

Sensory, Inc.
- Spracherkennungskit 231
  - Programmierbares interaktives Entwicklungskit 231
  - Programmierbares interaktives Modul 231

Senstronics, LTD
- Sensoren, Druck- 1451

SenSym ICT
- Sensoren, Druck- 1442-1443
- Transducer, Druck- 1442-1443

Sharp Microelectronics
- Anzeigen
  - LCD Module, TFT 1459
- Faseroptik
  - Empfänger 113
  - Kabel 113
  - Transmitter 113
- Laserdioden 1470
- LEDs 1504
- Mikrocontroller
  - ARM 231
- Optoelektronik
  - Ferngesteuerte Empfänger 1469
  - Fotodioden 1428
  - Fototransistoren 1428
  - Fotounterbrecher 1427
  - IrDA Transceiver-Module 1469
  - IR-Emitter 1428
  - Lichtdetektoren 1428
  - Optokoppler 1422-1425
- Relais, Festkörper- 1388
- Schaltkreise/Halbleiter
  - Chopper-Regler 698
  - LDO-Spannungsregler 696-698
  - Speicher 741
- Sensoren
  - Distanzmessung 1428
  - Staub 1428

Silicon Laboratories, Inc.
- Brücke, USB-UART- 230
- Controller, C8051 Mischsignal 228-229
- Entwicklungskits 230
- ISOmodem® 230
- RF Synthesizer 230
- Transceiver 230

Singatron
- Steckverbinder, rund, DIN u. Mini-DIN 161

Soberton
- Audiowandler 1404

Softec Microsystems SRL
- Evaluierungskits 282

Sprague-Goodman
- Kondensatoren, Trimm- 1167-1168
- Werkzeuge 1167-1168

SRC-Bausteine
- Reed-Relais 1376
- Schalter, Reed- 1376

Stanley Electric Sales of America
- LEDs 1489-1491
  - 7 Segmente 1489
  - Alphanumerisch 1489
  - Balkenleuchten 1489
  - Oberflächenmontage 1490-1491
  - Zweifarbig 1490-1491

Steinel America
- Wärmepistolen 1396

Steward
- CAN-Bus-Drosseln 970
- Chip-Perlen 968-969
  - Gleichtaktdrosseln 969
  - Hochstrom 968-969
  - Hohe Haltekraft 968
  - Induktoren 969
- Differenzialmodusfilter 968-970
- EMI-Filter 968-973
- EMI-Schilder 971
- Evaluierungskits, Ferrit EMI 968-969, 971-973
- Ferritkerne
  - Axiale Leitungsperlen 970
  - Breitbandkerne 971-973
  - Chip-Arrays 970
  - Chips 968-969
  - Differenzialmodusfilter 968, 970
  - Durchlasslochfilter 969-970
  - EMI-Scheiben und -Platten 971
  - Flachkabel 971
  - Flachkern 971
  - HF-Kerne 973
  - Kits 968-969, 971-973
  - Klemm- 971, 973
  - NF-Kerne 972
  - Oberflächenmontage 968-970
  - Ringkerne 972-973
  - SMT-Chip-Perlen 968-969
    - Kits 968
  - Spaltkern 971, 973
  - Wulstkerne 971-973
  - Zylinder 972-973
- Gleichtakt-Chip-Perle 969
- Gleichtaktdrosseln 969-970
  - Arrays 969-970
  - Hochstrom 969-970
  - Kits 969
  - Leistung 969-970
- Induktoren, SMT- 969
- Induktoren/Spulen
  - Chip 969
  - Monolithisch 969
- Kits
  - Chip-Perle 968
  - EMI-Komponenten 968-969, 971-973
  - Ferrit-Chip-Tropfen 968
  - Ferrit-Kabelkerne 971-973
  - Ferritkerne 971-973
  - Glättungsdrosseln 969
- Spulen/Induktoren
  - Chip 969
  - Gleichtaktdrossel 969-970
  - Monolithisch 969
- Wulstkerne 972-973

Stewart Connector Systems
- Kabelbausätze, CAT5 und CAT6 105
- Modularstecker und Klinkenstecker 111
- Steckverbinder, Modularstecker und Klinkenstecker 111
- Werkzeuge, Crimp- 111

STMicroelectronics
- Alternistoren 876
- Diacs 876, 1267
- Dioden 855-858
- Emulatoren 281
- Evaluierungskarten 280-282, 582
- Integrierte Schaltkreise
  - Audio-Verstärker 590-591, 594
  - Batterie-Management 585
  - DC/DC-Wandler 585, 587-588
  - Digital-Logik
    - 74AC/ACT 573
    - 74ALV 573
    - 74HC/HCT/HCU 573-576
    - 74L 576-577
    - 74V 577-578
    - HCF 581-582
  - Komparatoren 586-587, 592-594
  - Leistungsmanagement 605-606
  - NVRAM 605
  - OpAmp 583-587, 591-595
  - PWM (Impulsdauer-Modulationsgerät) 584, 587-588, 594-595
  - Schaltregler 580, 583-584, 587-588
  - Schnittstelle 581-595
  - Spannungsreferenzen 591-595
  - Spannungsregler 578-580, 583, 585-587, 596-601
  - Spannungsrückstellung 597, 601
  - Temperatursensoren 586
  - Timer 587, 593
  - Transceiver/Empfänger 585, 588-590
- Kameramodule
  - CMOS-Sensoren 294
- Mikrocontroller 279-280
- MOSFETs 811-813
- Programmierer 281
- RFID, Evaluierungskits 750
- Rückstellwächter 596
- SCRs 874-875
- Speicherschaltkreise
  - EEPROM 602
  - EPROM 601-602
  - Flash 602-604
  - SRAM 604-605
- Transistoren 827-828
- Triacs 875-876
- TVS (Stoßspannungsunterdrücker) 1264-1265

Sullins Electronics Corporation
- Nebenschlüsse 76
- Steckleisten
  - 0,1 Zoll 78-80
  - 2mm 74-76
  - Pin 81
- Steckverbinder
  - 1 mm 181
  - Kurzschlussbrücken (0,1 Zoll Mitten) 81
  - Rand- 180

Sumida Corporation
- Induktoren, Leistungs- 919-921

Weitere Produkte sind online bei de.digikey.com erhältlich.

Sunbrite
- LEDs 1482-1483
  - Cluster 1482
  - Glühlampen-Ersatz 1483
  - LuxLEDs™ 1482
  - Poly-LEDs 1482
  - Zweifarbig 1482

Susumu Co., Ltd.
- Induktoren, Dünnschicht 935
- Kondensatoren, Dünnschicht-Chip 1163
- Widerstände
  - Dünnschicht-Chip 1172, 1174
    - Kits 1172-1174, 1413
  - Metallschicht 1172
    - Kits 1172, 1413

Switchcraft, Inc.
- Steckverbinder
  - Audio 174
  - Leistung 175
  - Telefonklinken/Stecker 174-175
  - Wetterfest 150

Switchcraft, Inc/Conxall (siehe Conxall/Switchcraft, Inc.)

T

Tamura/Microtran
- Sensoren, Strom- 1447
- Transformatoren
  - Stromsensor 1447

TDK
- Ferritkerne
  - Wulstkerne 976
- Induktoren/Spulen 950, 952
  - Chip 952
    - Geschirmt 952
  - Geschirmt, SMT 952
  - Leistung 950-952
- Inverter
  - CCFL 1459
- Kondensatoren
  - Mehrschichtiger Keramikchip 1152-1154, 1156
  - Niedrige Induktivität, SMT 1155
- Resonatoren 915
  - Keramik 915
- Transformatoren, Balun- 964

Teccor Electronics
- Alternistoren 868
- Diacs 870
- Gleichrichter 870
- Quadracs 872
- Schalter, Bilateral-Trigger- 870
- SCRs 870-872
- Sicherungen, Telekommunikation 1268
- Sidacs 870, 872
- Sidactoren 1267-1268
- Triacs 868-870

TechTools
- Emulator, EPROM/PIC 258
- Logic Analyzer 258
- Programmierer, PIC 258

Telcom Semiconductor, Inc. (siehe Microchip Technology)

Texas Instruments
- Audio-Lautstärkeregelung 397
- Bus-Lösungen
  - IEEE 1394 399
  - PCI 399-400
  - PECL 400
  - Taktsignaltreiber 397-398
- CCD 400
- Datenkommunikation
  - Audio-CODECs 403
  - Central Office CODECs 403-404
  - IRDA 404
  - Ring-Controller 404
  - SONET Transceiver 404
  - UARTs 404
  - USB 404
  - Video-Dekodierer/-Kodierer 404, 410
- Datenkonvertierung
  - Analog-Digital-Wandler 405-412
  - Analog-Regelkreis 405
  - Audio Analog-Digital-Wandler 412
  - Audio Digital-Analog-Wandler 416
  - Digital-Analog-Wandler 412-416
  - DSP-kompatible A/D-Wandler 412
  - Spann.-Frequenz-Wandler 416
  - Spann.-Strom-Wandler 416
- Datenübertragung
  - 4-20 mA Sender/Empfänger 417
  - ADSL-Treiber 417
  - Ethernet 417
  - LCD 418
  - LV 418
  - LVCP 418
  - LVDM 418
  - LVDS 418-419
  - LVDT 418-419
  - LVP 420
  - RS232 423-426
  - RS422/RS423/RS485 420-423
  - Schalter 426-427
  - SCSI 426
- Digitale Signalprozessoren 276-278
- Digitalfunk 504
- Digital-Logik
  - 4000-Gruppe 427-431
  - ABT/ABTE/ABTH/ABTR 431-436
  - AC/ACT/AHC/AHCT/AHCU 436-449
  - ALB 450
  - ALS 450-452
  - ALVC/ALVCH/ALVCHG/ALVCHR/ALVCHS 452-456
  - ALVTH/ALVTHR 456-457
  - AS 457
  - AUC/AUCH 458-460
  - AUP 460-461
  - AVC 460-461
  - BCT 462
  - Busschalter 462-467
  - F 467-468
  - FCT 468-469
  - GTL/GTLP/GTLPH 469-470
  - HC/HCT/HCU 470-481
  - HSTL 481
  - LS 481-482
  - LV 482-486
  - LVC/LVCC/LVCH/LVCHR/LVCR/LVCU/LVCZ 486-498
  - LVT/LVTH/LVTZ 498-502
  - LVU 502
  - Microgate 449
  - MLVD 503
  - S 503
  - SSTL/SSTU/SSTV 503
  - TTL 503
  - VMEH 503-504
  - Zukünftiger Bus 469
- E/A-Expander 506
- Echtzeituhren 549-550
- FIFO-Speicher 504-505
- Filter 505
- Integratoren 506
- Komparatoren
  - Hochgeschwindigkeit 401-402
  - Mehrzweck 400-401
  - Niederspannung 403
  - Niedrigleistung 402-403
- Leistungssteuerung/Managementprodukte
  - CCFL-Treiber 507
  - Hot-Plug 507
  - Hot-Swap 507
  - Leistung + Array 508
  - Leistung + Logik 508
  - Peripheriegerät 508
- Lineare periphere Treiber 506
- Mikrocontroller
  - Entwicklungswerkzeuge 273
  - MSP430-Gruppe 273, 275-276
  - TMS370-Gruppe 273
- Multiplexer
  - Analog 507
- Optische Sensoren 507
- Präzisions-Erdreferenz 549
- Programmierbare Gate-Arrays 549
- RF-Produkte 550
- Signal-Controller
  - Audio-Prozessoren/CODECs 550-551
- Stromversorgungsprodukte
  - Audio-Differenzialleitungstreiber 509
  - Batterie-Management 509-511
  - Buck-Regler 511-512
  - DC-DC-Wandler 512-516
  - Leistungsverteilerschalter 522-525
  - MCU-Wächterschaltungstreiber 516-521
  - MOSFET/MOSFET-Treiber 521-522
  - PWM-Controller 525-532
  - Schottky Dioden-Arrays 532
  - Spannungsreferenzen 532-534
  - Spannungsregler 546-549
    - Regler, niedrige Abfallspannung 534-546
- Temperatursensoren 551
- Timer 551
- Verstärker 364-397

Texas Instruments/Plug-In Power Solutions
- Integrierte Schaltkreise
  - DC-DC-Wandler 1411
  - Schaltregler 1408-1411

Texas Instruments RFid Systems
- Antennen 747
- RFid
  - Evaluierungskits 747-748
  - Leser 748
- Module 747-748
- Transponder 746

Thermometrics (siehe GE Infrastructure Sensing)

Toshiba
- Dioden, Zener- 837
- Evaluierungskit 750
- Faseroptik
  - Sende-/Empfangsmodule 113
- Fotovoltaischer Koppler 1418
- Gleichrichter
  - Schalt- 809
  - Schottky 809
- IC-Treiber, Darlington-Senke 710
- Integrierte Schaltkreise 616-622, 710
- Lineare ICs 622
- Logik-ICs 616-622
- Mikrocontroller 272
- MOSFETs 810
- Optoisolatoren 1417-1418
- Sensoren, Beleuchtung 1428
- Speicher-ICs
  - FLASH 727
  - Floppy-Disk-Karten 753
  - SRAM 727
- SSR 1388
- Transistoren 809

Triad Magnetics
- Induktoren
  - Hochfrequenz 1447
  - Schaltmodus 1447
- Transformatoren
  - Schaltmodus 1447

TT Electronics/Optek Technology
- Fotodioden 1436
- Optoisolatoren 1421
- Schalter, optisch 1435
- Sensoren
  - Hallscher Effekt 1439
  - Optisch 1435

U

United Chemi-Con
- Kondensatoren
  - Aluminium-Elektrolyt 1035-1057
    - Oberflächenmontage 1046-1052

US Relays and Technology, Inc.
- Reed-Relais 1374

US-Lasers Inc.
- Laserdiode
  - Gehäusekit 1470
  - Infrarot 1470
  - Sichtbares Rot 1470
  - Stromversorgung, SMT- 1470
- Laserdiodenmodul
  - Einstellbare Fokussierung 1470
  - Infrarot-Rot 1470
  - Sichtbares Rot 1470

V

Varitronix Limited
- LCD-Anzeigen 1463
- LCD-Module, Zeichen 1463
  - Grafik 1463

Alle Preisangaben in Euro und inklusive Zollgebühren.

Vishay
Widerstände
Drahtgewickelt....1197-1199
Oberflächenmontage....1196-1197

VTI
Sensoren
Beschleunigungsmesser....1455
Neigungsmesser....1455

W

Wakefield Engineering
Kühlkörper....755
Fett....755
Kissen....755

Waldom/Cinch (siehe Cinch)

Waldom/Molex
Crimp, C-Raster....71, 97
Extraktion....46, 84-85, 92, 95-97
Kabel, 1 mm flach....77
Kabelbausätze....39
Kabelbrücken, flach....44-45
Sockel
DIMM....187
SIMM....187
Transistor....760
Steckleisten....45-46, 72-73, 82-88, 90-97
Steckverbinder
0,5 mm....44
1,00 mm....44-45
1,25 mm....45-46
1,5 mm....71
2 mm....72-73
Cable-to-Board....77
Milli-Grid....72-73
Sherlock....71
3,0 mm Micro-Fit....90-92
Batterie (Spielzeugauto)....87
Blindmate (BMI)....90-92, 94
Breakaway....82-83
C-Raster....82-83, 87-88
Crimpanschluss....46, 73, 84-85, 87-88, 92-93, 95-97
E/A....92
1394....39
FFC/FPC....44-45
Firewire....39
GBIC....189
IEEE 1386....92
Karte....188
Leistung....90-97
Leiter- platte....83, 86
Mezzanin....92
MicroCross DVI....92
Mini-Fit
BMI....94
HCS....94
Jr. 93
SMC....94
Sr. 95
Modulare Steckbuchse....110
Panel Mate....45
Sabre....95
Werkzeuge....95
Schalter....1361
SCSI....189
SFP (Kleinrahmen, einsteckbar)....189
Speicher
Compact Flash....188
DIMM....187
SIMM....187
Spielzeugauto-Batterie....87
Steckleisten....45-46, 72-73, 82-85, 87-88, 90-97
USB....39
Wasserfest....148
Werkzeuge....39, 71, 73, 84-85, 87-88, 92, 94-97, 139

Weidmuller
Anschlussblöcke....114-118, 120
Stromversorgung....120
Werkzeuge....118

Wickmann
Halter....1292-1293
Leiterplattenmontage....1292-1294
Oberflächenmontage....1293
Plattenmontage....1294
Sicherungen....1292-1294
Axial....1292
Kits....1292-1294
Metrisch....1293-1294
Oberflächenmontage....1292
Picofuse....1292
Telecom....1292

Winbond Electronics Corp. America
Integrierte Schaltkreise
Codecs....232
Potentiometer
Digital....740-741
Text-to-Speech....232
Sprachaufnahme-/Wiedergabe-ICs....232

Wintec Industries
Speicherkarten, CompactFlash-....752
Speichermodule, SDRAM-....752

World Magnetics
Sensoren
Druckschalter....1452

X

Xeltek
Programmierer
EPROM....206-207
Universal....206-207

Xicor (siehe Intersil)

Xilinx
CPLDs....209
Programmierbare Gate-Arrays....209-210
Programmierer....210

Y

Yageo
Antennen, Keramik-....735
Kondensatoren....1157-1159
Keramikscheibe....1157-1159
Mehrschichtiger Keramikchip....1157-1159
Oberflächenmontage....1157-1159
Widerstände....1177-1178, 1184-1185
Dickschicht....1177-1178
Drahtgewickelt....1184
Kits....1177-1178, 1413-1414
Kohleschicht....1184
Metalloxid....1185
Metallschicht....1185
Nullohm Jumper-Drähte....1184
Oberflächenmontage....1177-1178

Z

Zetex
Dioden, Oberflächenmontage....768-769
Hyperabrupte Varaktordioden....767
Integrierte Schaltkreise
DC/DC-Wandler....776
Spezialisiert....776-777
Strommonitor/-spiegel....761, 776
Timer....777
Variabler Q-Filter....776
MOSFET/MOSFET-Treiber....761, 770-772
Sicherheitssirenentreiber....777
Spannungsreferenz....774-775
Spannungsregler....773-774
Spannungsversorgungsüberwachung....772, 775
Transistoren....762-767, 769-772
„H"-Brücke....767
Ventilatormotor-Controller, bürstenlos....777
Verstärker....761

Zilog
Adapter....267
Controller....360
Peripheriegerät....360
Serielle Kommunikation....360
Entwicklungssysteme....268
IR....268
Thermostat....268
Entwicklungswerkzeuge
Adapter....266
Emulatoren....266
Entwicklungskits....266
Module....266
Programmiergerät....266
Zubehörkits....266
Integrierte Schaltkreise....262-264, 267-268, 360
Mikrocontroller....267-268
Crimzon™....260
Encore!®....262-263
Encore! XP®....264-266
GP™....260-261
Mikroprozessoren....360
Optoelektronik....1469
IrDA Transceiver-Module....1469
Webserver-Entwicklungskit....264, 268
Zähler/Timer....360

Z-World/Rabbit Semiconductor
Anwendungskits....227
Mikroprozessor....224-227
Programmierbare Controller....223
Zubehör....223
TCP/IP-Entwicklungskit....224-226
TCP/IP-Toolkit....226

Umrechnungstabelle

Zoll	*in*	mm	Zoll x 25,4
mm	*in*	Zoll	mm ÷ 25,4
Zoll	*in*	cm	Zoll x 2,54
cm	*in*	Zoll	cm x 0,3937
Fuß	*in*	Meter	Fuß x 0,3048
Meter	*in*	Fuß	Meter x 3,28084
Unze	*in*	Gramm	oz. x 28,349
Pounds	*in*	Kilogramm	lb. x 0,4536
µf	*in*	pf	0,1µf = 100 000pf
µf	*in*	nf	0,1µf = 100nf
pf	*in*	nf	100 000pf = 100nf
nf	*in*	µf	100nf = 0,1µf
Celsius	*in*	Fahrenheit	C x 1,8 + 32
Fahrenheit	*in*	Celsius	F – 32 ÷ 1,8

VA = Volt x A
Watt = Volt x A

Weblinks von Digi-Key für Österreich und Deutschland

Digi-Key versendet Produkte von einem einzigen Standort in Thief River Falls, MN, USA, in über 120 Länder weltweit. Alle Aufträge internationalen Ursprungs werden gemäß behördlichen Exportbestimmungen aus den USA exportiert. Umdisponierungen, die nicht den US-amerikanischen Gesetzen entsprechen, sind verboten.

Alle Preise in diesem Katalog sind in Euro angegeben und schließen Zollgebühren ein. Um detailliertere Informationen einzusehen, gehen Sie zur Outline weiter unten und klicken auf die ausgewählte Tabellenzelle, um eine Verbindung zur Website herzustellen.

Geschäftsbedingungen

- Allgemeine Auftragsbedingungen
- Produkthaftung
- Verzichtserklärung bei Übertretungen
- Und so wird bestellt
- Preise/Mengen
- Versand
- Versandkosten
- Bearbeitungsgebühr
- Bezahlung
- Vergriffene Artikel
- Frachtschaden
- Rückgabebestimmungen
- Datenschutzbestimmungen
- ISO-9001:2000-Zertifizierung
- Kontaktinformationen

Datenschutzerklärung

- Website-Besuche
- Weitere Verwendungen von Kundendaten
- Website-Sicherheit
- „Cookies“
- Kontaktinformationen

Land	Geschäftsbedingungen	Datenschutzerklärung
Austria	English German	English German
Germany	English German	English German

Weblinks von Digi-Key für Österreich und Deutschland

ABKÜRZUNGEN FÜR LÄNDERCODES

Österreich = AT
Deutschland = DE

WEITERE INTERESSANTE LINKS

Digi-Key Home Page	AT	DE
Teilesuche	AT	DE
Internet-Kommunikationsformulare	AT	DE
Digi-Key Site Map	AT	DE
Aktueller Katalog	AT	DE

CW INDUSTRIES

D-Subminiatur-Steckverbinder

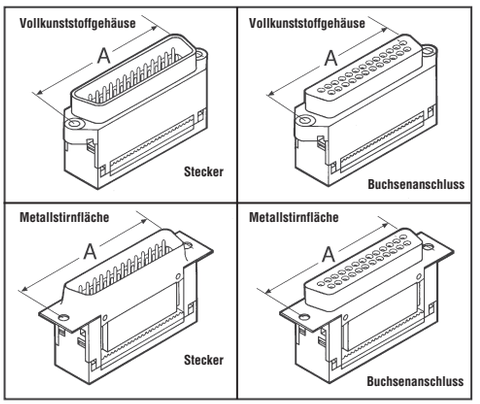

Spezifikationen: • Kontakte: Phosphorbronze • Kontaktüberzug: Gold –10 µ in. Gold (im Berührungsbereich) über 50 µ in. Nickel; Zinn -100 µ in. Zinn-Blei • Isoliermaterial: UL 94 V0 flammenhemmendes Thermoplast • Abdeckungsabziehkraft 226,79 g/Kontakt minimum (Kraftanwendung entlang der Primärachse der Kontakte) • Rückzugskraft 56,70 g – 226,79 g/Kontakt, typisch • Farbe: blau • Betriebstemp.: –55 °C ~ +125 °C • Strom 1 A (max.) pro Kontakt • Dielektrische Haltespannung: 500 V DC (Meereshöhe) • Isolationswiderstand: 5×10^9 Ω

Anz. der Kontakte	Kontakt-Oberfläche	Abm. A in. (mm)	Digi-Key Teilenr.	Preisangaben 1	10	100
D-Subminiatur-Verbindungsstecker, Kunststoffgehäuse						
9	Gold	.984 (24.99)	CMP09G-ND	2.84	21.49	164.58
9	Zinn	.984 (24.99)	CMP09T-ND	2.41	18.30	140.20
15	Gold	1.312 (33.32)	CMP15G-ND	3.73	28.25	216.39
15	Zinn	1.312 (33.32)	CMP15T-ND	3.17	24.08	184.39
25	Gold	1.852 (47.04)	CMP25G-ND	5.01	38.00	291.06
25	Zinn	1.852 (47.04)	CMP25T-ND	4.25	32.23	246.87
37	Gold	2.500 (63.50)	CMP37G-ND	7.40	56.10	429.73
37	Zinn	2.500 (63.50)	CMP37T-ND	6.30	47.75	365.73
D-Subminiatur-Verbindungsbuchse, Kunststoffgehäuse						
9	Gold	.984 (24.99)	CFP09G-ND	3.25	24.67	188.96
9	Zinn	.984 (24.99)	CFP09T-ND	2.76	20.89	160.01
15	Gold	1.312 (33.32)	CFP15G-ND	4.25	32.23	246.87
15	Zinn	1.312 (33.32)	CFP15T-ND	3.62	27.46	210.30
25	Gold	1.852 (47.04)	CFP25G-ND	5.77	43.77	335.25
25	Zinn	1.852 (47.04)	CFP25T-ND	4.91	37.21	284.97
37	Gold	2.500 (63.50)	CFP37G-ND	8.53	64.66	495.26
37	Zinn	2.500 (63.50)	CFP37T-ND	7.25	54.91	420.59
D-Subminiatur-Verbindungsstecker, Metallstirnfläche						
9	Gold	.984 (24.99)	CMM09G-ND	3.10	23.48	179.82
9	Zinn	.984 (24.99)	CMM09T-ND	2.63	19.95	152.85
15	Gold	1.312 (33.32)	CMM15G-ND	4.07	30.84	236.20
15	Zinn	1.312 (33.32)	CMM15T-ND	3.45	26.21	200.77
25	Gold	1.852 (47.04)	CMM25G-ND	5.51	41.78	320.01
25	Zinn	1.852 (47.04)	CMM25T-ND	4.68	35.51	272.01
37	Gold	2.500 (63.50)	CMM37G-ND	8.16	61.88	473.93
37	Zinn	2.500 (63.50)	CMM37T-ND	6.93	52.59	402.84
D-Subminiatur-Verbindungsbuchse, Metallstirnfläche						
9	Gold	.984 (24.99)	CFM09G-ND	3.60	27.26	208.77
9	Zinn	.984 (24.99)	CFM09T-ND	3.06	23.17	177.46
15	Gold	1.312 (33.32)	CFM15G-ND	4.67	35.41	271.25
15	Zinn	1.312 (33.32)	CFM15T-ND	3.97	30.11	230.56
25	Gold	1.852 (47.04)	CFM25G-ND	6.32	47.95	367.26
25	Zinn	1.852 (47.04)	CFM25T-ND	5.38	40.76	312.17
37	Gold	2.500 (63.50)	CFM37G-ND	9.40	71.22	545.55
37	Zinn	2.500 (63.50)	CFM37T-ND	7.98	60.54	463.72

C□□□□-□□□□□-ND

Style 7□□ (D-Sub)

Conn. Finish G=Gold T=Tin

Ribbon Cable M=Multi-color G=Gray

Length *(Use "Feet" only.)*

No. Of Contacts

D-Subminiatur-Kabelbausätze

Mit einem Ende — Stecker

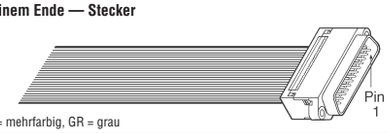

* MC = mehrfarbig, GR = grau

Anz. der Kontakte	Anschl.-Oberfläche	Länge in Fuß (Metern)	Flach-kabel	Digi-Key Teilenr.	Preisangaben 1	10
Mit Steckverbindern in Kunststoffgehäuse						
9	Gold	6 (1.83)	MC	C7MXG-0906M-ND	3.94	29.81
	Zinn	6 (1.83)	MC	C7MXT-0906M-ND	3.50	26.59
	Gold	6 (1.83)	GR	C7MXG-0906G-ND	3.73	28.32
	Zinn	6 (1.83)	GR	C7MXT-0906G-ND	3.31	25.10
	Gold	10 (3.05)	MC	C7MXG-0910M-ND	4.66	35.36
	Zinn	10 (3.05)	MC	C7MXT-0910M-ND	4.24	32.14
	Gold	10 (3.05)	GR	C7MXG-0910G-ND	4.33	32.87
	Zinn	10 (3.05)	GR	C7MXT-0910G-ND	3.91	29.66
15	Gold	6 (1.83)	MC	C7MXG-1506M-ND	5.70	43.18
	Zinn	6 (1.83)	MC	C7MXT-1506M-ND	5.14	38.94
	Gold	6 (1.83)	GR	C7MXG-1506G-ND	5.08	38.52
	Zinn	6 (1.83)	GR	C7MXT-1506G-ND	4.52	34.28
	Gold	10 (3.05)	MC	C7MXG-1510M-ND	7.01	53.12
	Zinn	10 (3.05)	MC	C7MXT-1510M-ND	6.45	48.88
	Gold	10 (3.05)	GR	C7MXG-1510G-ND	5.99	45.36
	Zinn	10 (3.05)	GR	C7MXT-1510G-ND	5.43	41.12
25	Gold	6 (1.83)	MC	C7MXG-2506M-ND	8.10	61.43
	Zinn	6 (1.83)	MC	C7MXT-2506M-ND	7.35	55.72
	Gold	6 (1.83)	GR	C7MXG-2506G-ND	7.23	54.83
	Zinn	6 (1.83)	GR	C7MXT-2506G-ND	6.48	49.13
	Gold	10 (3.05)	MC	C7MXG-2510M-ND	10.16	77.04
	Zinn	10 (3.05)	MC	C7MXT-2510M-ND	9.41	71.34
	Gold	10 (3.05)	GR	C7MXG-2510G-ND	8.71	66.05
	Zinn	10 (3.05)	GR	C7MXT-2510G-ND	7.96	60.35
37	Gold	6 (1.83)	MC	C7MXG-3706M-ND	11.92	90.39
	Zinn	6 (1.83)	MC	C7MXT-3706M-ND	10.81	81.98
	Gold	6 (1.83)	GR	C7MXG-3706G-ND	10.80	81.92
	Zinn	6 (1.83)	GR	C7MXT-3706G-ND	9.69	73.50
	Gold	10 (3.05)	MC	C7MXG-3710M-ND	14.94	113.25
	Zinn	10 (3.05)	MC	C7MXT-3710M-ND	13.83	104.83
	Gold	10 (3.05)	GR	C7MXG-3710G-ND	13.08	99.13
	Zinn	10 (3.05)	GR	C7MXT-3710G-ND	11.96	90.71

Auch in folgender Konfiguration erhältlich:
C7PX□-□□□□□-ND — Mit Steckverbinder, Metallstirnfläche.
Rufen Sie an, um die vollständige Teilenr. und Preisangaben zu erhalten!

Mit einem Ende — Buchse

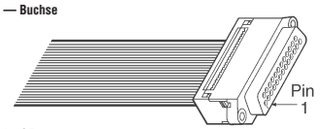

* MC = mehrfarbig, GR = grau

Anz. der Kontakte	Anschl.-Oberfläche	Länge in Fuß (Metern)	Flach-kabel*	Digi-Key Teilenr.	Preisangaben 1	10
Mit Kunststoffgehäuse-Steckverbindern						
9	Gold	6 (1.83)	MC	C7FXG-0906M-ND	4.35	32.99
	Zinn	6 (1.83)	MC	C7FXT-0906M-ND	3.86	29.29
	Gold	6 (1.83)	GR	C7FXG-0906G-ND	4.16	31.50
	Zinn	6 (1.83)	GR	C7FXT-0906G-ND	3.67	27.80
	Gold	10 (3.05)	MC	C7FXG-0910M-ND	5.09	38.55
	Zinn	10 (3.05)	MC	C7FXT-0910M-ND	4.60	34.85
	Gold	10 (3.05)	GR	C7FXG-0910G-ND	4.76	36.06
	Zinn	10 (3.05)	GR	C7FXT-0910G-ND	4.27	32.36
15	Gold	6 (1.83)	MC	C7FXG-1506M-ND	6.22	47.16
	Zinn	6 (1.83)	MC	C7FXT-1506M-ND	5.58	42.31
	Gold	6 (1.83)	GR	C7FXG-1506G-ND	5.60	42.50
	Zinn	6 (1.83)	GR	C7FXT-1506G-ND	4.97	37.67
	Gold	10 (3.05)	MC	C7FXG-1510M-ND	7.53	57.10
	Zinn	10 (3.05)	MC	C7FXT-1510M-ND	6.89	52.26
	Gold	10 (3.05)	GR	C7FXG-1510G-ND	6.51	49.34
	Zinn	10 (3.05)	GR	C7FXT-1510G-ND	5.87	44.51
25	Gold	6 (1.83)	MC	C7FXG-2506M-ND	8.86	67.19
	Zinn	6 (1.83)	MC	C7FXT-2506M-ND	8.00	60.63
	Gold	6 (1.83)	GR	C7FXG-2506G-ND	7.99	60.60
	Zinn	6 (1.83)	GR	C7FXT-2506G-ND	7.13	54.04
	Gold	10 (3.05)	MC	C7FXG-2510M-ND	10.92	82.81
	Zinn	10 (3.05)	MC	C7FXT-2510M-ND	10.06	76.24
	Gold	10 (3.05)	GR	C7FXG-2510G-ND	9.47	71.83
	Zinn	10 (3.05)	GR	C7FXT-2510G-ND	8.61	65.26
37	Gold	6 (1.83)	MC	C7FXG-3706M-ND	13.05	98.95
	Zinn	6 (1.83)	MC	C7FXT-3706M-ND	11.78	89.25
	Gold	6 (1.83)	GR	C7FXG-3706G-ND	11.94	90.48
	Zinn	6 (1.83)	GR	C7FXT-3706G-ND	10.66	80.77
	Gold	10 (3.05)	MC	C7FXG-3710M-ND	16.07	121.81
	Zinn	10 (3.05)	MC	C7FXT-3710M-ND	14.79	112.11
	Gold	10 (3.05)	GR	C7FXG-3710G-ND	14.21	107.68
	Zinn	10 (3.05)	GR	C7FXT-3710G-ND	12.93	97.99

Auch in folgender Konfiguration erhältlich:
C7SX□-□□□□□ND — Mit Steckverbinder, Metallstirnfläche.
Rufen Sie an, um die vollständige Teilenr. und Preisangaben zu erhalten!

Stecker an Stecker

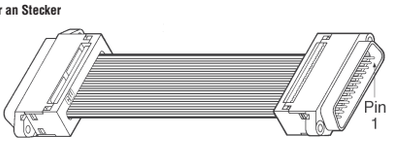

* MC = mehrfarbig, GR = grau

Anz. der Kontakte	Anschl.-Oberfläche	Länge in Fuß (Metern)	Flach-kabel*	Digi-Key Teilenr.	Preisangaben 1	10
Mit Kunststoffgehäuse-Steckverbindern						
9	Gold	6 (1.83)	MC	C7MMG-0906M-ND	6.76	51.30
	Zinn	6 (1.83)	MC	C7MMT-0906M-ND	5.92	44.85
	Gold	6 (1.83)	GR	C7MMG-0906G-ND	6.57	49.81
	Zinn	6 (1.83)	GR	C7MMT-0906G-ND	5.72	43.36
	Gold	10 (3.05)	MC	C7MMG-0910M-ND	7.50	56.85
	Zinn	10 (3.05)	MC	C7MMT-0910M-ND	6.65	50.41
	Gold	10 (3.05)	GR	C7MMG-0910G-ND	7.17	54.36
	Zinn	10 (3.05)	GR	C7MMT-0910G-ND	6.32	47.92
15	Gold	6 (1.83)	MC	C7MMG-1506M-ND	9.42	71.43
	Zinn	6 (1.83)	MC	C7MMT-1506M-ND	8.31	62.94
	Gold	6 (1.83)	GR	C7MMG-1506G-ND	8.80	66.77
	Zinn	6 (1.83)	GR	C7MMT-1506G-ND	7.69	58.30
	Gold	10 (3.05)	MC	C7MMG-1510M-ND	10.73	81.38
	Zinn	10 (3.05)	MC	C7MMT-1510M-ND	9.62	72.89
	Gold	10 (3.05)	GR	C7MMG-1510G-ND	9.71	73.61
	Zinn	10 (3.05)	GR	C7MMT-1510G-ND	8.59	65.14
25	Gold	6 (1.83)	MC	C7MMG-2506M-ND	13.11	99.42
	Zinn	6 (1.83)	MC	C7MMT-2506M-ND	11.62	88.03
	Gold	6 (1.83)	GR	C7MMG-2506G-ND	12.24	92.83
	Zinn	6 (1.83)	GR	C7MMT-2506G-ND	10.74	81.43
	Gold	10 (3.05)	MC	C7MMG-2510M-ND	15.18	115.04
	Zinn	10 (3.05)	MC	C7MMT-2510M-ND	13.67	103.64
	Gold	10 (3.05)	GR	C7MMG-2510G-ND	13.72	104.06
	Zinn	10 (3.05)	GR	C7MMT-2510G-ND	12.22	92.65
37	Gold	6 (1.83)	MC	C7MMG-3706M-ND	19.33	146.50
	Zinn	6 (1.83)	MC	C7MMT-3706M-ND	17.10	129.67
	Gold	6 (1.83)	GR	C7MMG-3706G-ND	18.21	138.02
	Zinn	6 (1.83)	GR	C7MMT-3706G-ND	15.98	121.19
	Gold	10 (3.05)	MC	C7MMG-3710M-ND	22.34	169.35
	Zinn	10 (3.05)	MC	C7MMT-3710M-ND	20.12	152.52
	Gold	10 (3.05)	GR	C7MMG-3710G-ND	20.48	155.23
	Zinn	10 (3.05)	GR	C7MMT-3710G-ND	18.26	138.40

Auch in folgender Konfiguration erhältlich:
C7PP□-□□□□□-ND — Mit Steckverbinder, Metallstirnfläche
Rufen Sie an, um die vollständige Teilenr. und Preisangaben zu erhalten!

Buchse an Buchse

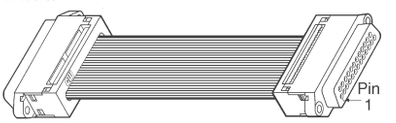

* MC = mehrfarbig, GR = grau

Anz. der Kontakte	Anschl.-Oberfläche	Länge in Fuß (Metern)	Flach-kabel*	Digi-Key Teilenr.	Preisangaben 1	10
Mit Kunststoffgehäuse-Steckverbindern						
9	Gold	6 (1.83)	MC	C7FFG-0906M-ND	7.61	57.66
	Zinn	6 (1.83)	MC	C7FFT-0906M-ND	6.63	50.26
	Gold	6 (1.83)	GR	C7FFG-0906G-ND	7.41	56.17
	Zinn	6 (1.83)	GR	C7FFT-0906G-ND	6.43	48.77
	Gold	10 (3.05)	MC	C7FFG-0910M-ND	8.34	63.22
	Zinn	10 (3.05)	MC	C7FFT-0910M-ND	7.37	55.82
	Gold	10 (3.05)	GR	C7FFG-0910G-ND	8.01	60.73
	Zinn	10 (3.05)	GR	C7FFT-0910G-ND	7.04	53.33
15	Gold	6 (1.83)	MC	C7FFG-1506M-ND	10.47	79.39
	Zinn	6 (1.83)	MC	C7FFT-1506M-ND	9.19	69.71
	Gold	6 (1.83)	GR	C7FFG-1506G-ND	9.85	74.73
	Zinn	6 (1.83)	GR	C7FFT-1506G-ND	8.58	65.06
	Gold	10 (3.05)	MC	C7FFG-1510M-ND	11.78	89.33
	Zinn	10 (3.05)	MC	C7FFT-1510M-ND	10.51	79.66
	Gold	10 (3.05)	GR	C7FFG-1510G-ND	10.76	81.57
	Zinn	10 (3.05)	GR	C7FFT-1510G-ND	9.48	71.90
25	Gold	6 (1.83)	MC	C7FFG-2506M-ND	14.65	111.03
	Zinn	6 (1.83)	MC	C7FFT-2506M-ND	12.90	97.83
	Gold	6 (1.83)	GR	C7FFG-2506G-ND	13.77	104.37
	Zinn	6 (1.83)	GR	C7FFT-2506G-ND	12.04	91.24
	Gold	10 (3.05)	MC	C7FFG-2510M-ND	16.69	126.58
	Zinn	10 (3.05)	MC	C7FFT-2510M-ND	14.97	113.45
	Gold	10 (3.05)	GR	C7FFG-2510G-ND	15.25	115.59
	Zinn	10 (3.05)	GR	C7FFT-2510G-ND	13.52	102.46
37	Gold	6 (1.83)	MC	C7FFG-3706M-ND	21.58	163.61
	Zinn	6 (1.83)	MC	C7FFT-3706M-ND	19.02	144.21
	Gold	6 (1.83)	GR	C7FFG-3706G-ND	20.46	155.13
	Zinn	6 (1.83)	GR	C7FFT-3706G-ND	17.91	135.74
	Gold	10 (3.05)	MC	C7FFG-3710M-ND	24.59	186.46
	Zinn	10 (3.05)	MC	C7FFT-3710M-ND	22.04	167.07
	Gold	10 (3.05)	GR	C7FFG-3710G-ND	22.73	172.34
	Zinn	10 (3.05)	GR	C7FFT-3710G-ND	20.17	152.95

Auch in folgender Konfiguration erhältlich:
C7SS□-□□□□□-ND — Mit Steckverbinder, Metallstirnfläche.
Rufen Sie an, um die vollständige Teilenr. und Preisangaben zu erhalten!

Stecker an Buchse

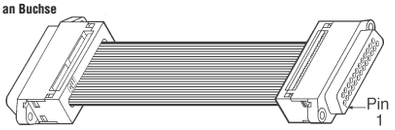

* MC = mehrfarbig, GR = grau

Anz. der Kontakte	Anschl.-Oberfläche	Länge in Fuß (Metern)	Flach-kabel*	Digi-Key Teilenr.	Preisangaben 1	10
Mit Kunststoffgehäuse-Steckverbindern						
9	Gold	6 (1.83)	MC	C7MFG-0906M-ND	7.19	54.48
	Zinn	6 (1.83)	MC	C7MFT-0906M-ND	6.27	47.56
	Gold	6 (1.83)	GR	C7MFG-0906G-ND	6.99	52.99
	Zinn	6 (1.83)	GR	C7MFT-0906G-ND	6.08	46.06
	Gold	10 (3.05)	MC	C7MFG-0910M-ND	7.92	60.03
	Zinn	10 (3.05)	MC	C7MFT-0910M-ND	7.01	53.11
	Gold	10 (3.05)	GR	C7MFG-0910G-ND	7.59	57.54
	Zinn	10 (3.05)	GR	C7MFT-0910G-ND	6.68	50.63
15	Gold	6 (1.83)	MC	C7MFG-1506M-ND	9.95	75.41
	Zinn	6 (1.83)	MC	C7MFT-1506M-ND	8.75	66.33
	Gold	6 (1.83)	GR	C7MFG-1506G-ND	9.33	70.75
	Zinn	6 (1.83)	GR	C7MFT-1506G-ND	8.14	61.67
	Gold	10 (3.05)	MC	C7MFG-1510M-ND	11.26	85.35
	Zinn	10 (3.05)	MC	C7MFT-1510M-ND	10.07	76.28
	Gold	10 (3.05)	GR	C7MFG-1510G-ND	10.24	77.59
	Zinn	10 (3.05)	GR	C7MFT-1510G-ND	9.04	68.52
25	Gold	6 (1.83)	MC	C7MFG-2506M-ND	13.88	105.20
	Zinn	6 (1.83)	MC	C7MFT-2506M-ND	12.26	92.93
	Gold	6 (1.83)	GR	C7MFG-2506G-ND	13.00	98.60
	Zinn	6 (1.83)	GR	C7MFT-2506G-ND	11.39	86.34
	Gold	10 (3.05)	MC	C7MFG-2510M-ND	15.93	120.81
	Zinn	10 (3.05)	MC	C7MFT-2510M-ND	14.32	108.55
	Gold	10 (3.05)	GR	C7MFG-2510G-ND	14.49	109.82
	Zinn	10 (3.05)	GR	C7MFT-2510G-ND	12.87	97.55
37	Gold	6 (1.83)	MC	C7MFG-3706M-ND	20.45	155.05
	Zinn	6 (1.83)	MC	C7MFT-3706M-ND	18.07	136.94
	Gold	6 (1.83)	GR	C7MFG-3706G-ND	19.34	146.58
	Zinn	6 (1.83)	GR	C7MFT-3706G-ND	16.95	128.46
	Gold	10 (3.05)	MC	C7MFG-3710M-ND	23.47	177.91
	Zinn	10 (3.05)	MC	C7MFT-3710M-ND	21.08	159.80
	Gold	10 (3.05)	GR	C7MFG-3710G-ND	21.61	163.78
	Zinn	10 (3.05)	GR	C7MFT-3710G-ND	19.22	145.67

Auch in folgender Konfiguration erhältlich:
C7PS□-□□□□□-ND — Mit Steckverbinder, Metallstirnfläche.
Rufen Sie an, um die vollständige Teilenr. und Preisangaben zu erhalten!

Alle Preisangaben in Euro und inklusive Zollgebühren.

CW INDUSTRIES

DIP-Steckverbinder

No. of Pins	Dimensions – In. (mm) A	B	C
14	.42 (10.67)	.754 (19.15)	.300 (7.62)
16	.42 (10.67)	.854 (21.69)	.300 (7.62)
24	.72 (18.29)	1.264 (32.11)	.600 (15.24)
40	.72 (18.29)	2.067 (52.50)	.600 (15.24)

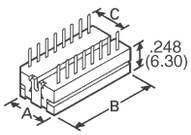

SPEZIFIKATIONEN: • **Kontakte:** Phosphorbronze • **Kontaktüberzug:** Gold –10 µ in. Gold über 50 µ in. Nickel; Zinn -100 µ in. Zinn-Blei • **Isoliermaterial:** UL 94 V 0 flammenhemmendes glasgefülltes Thermoplast • **Zugentlastungsgurtmaterial:** Verzinnter Stahl • **Farbe:** Blau • **Betriebstemperatur:** -55 °C ~ 125 °C • **Nennstrom:** (Max.) 1 A pro Kontakt • **Dielektrische Haltespannung:** Über 500 V DC auf Meereshöhe • **Isolierwiderstand:** Über 5 x 10^9 Ω • Passt zu 0,050" (1,27 mm) zentriertem Bandkabel mit rundem Leiter und Standard-DIP-Sockel mit 0,100" x 0,300" oder 0,100" x 0,600" (2,54 mm x 7,62 mm oder 2,54 mm x 15,24 mm) Kontaktabstand • Abdeckungsabziehkraft, mit Zugentlastung 20 lbs. (7,46 kg) min. (Kraftteinwirkung entlang der Primärachse der Kontakte)

Anz. der Kontakte	Kontakt-Oberfläche	Digi-Key Teilenr.	Preisangaben 1	10	100	1,000
DIP-Steckverbinder — 0,175" (4,44 mm) Pin-Länge						
14	Gold	CDP14G-ND	1.36	10.35	79.24	572.30
14	Zinn	CDP14T-ND	1.16	8.80	67.36	486.46
16	Gold	CDP16G-ND	1.45	10.95	83.81	605.32
16	Zinn	CDP16T-ND	1.23	9.30	71.24	514.52
24	Gold	CDP24G-ND	2.39	18.11	138.67	1001.53
24	Zinn	CDP24T-ND	2.03	15.39	117.87	851.30
40	Gold	CDP40G-ND	3.44	26.07	199.63	1441.76
40	Zinn	CDP40T-ND	2.92	22.16	169.68	1225.50
Zugentlastungsgurte für DIP-Steckverbinder						
14	—	CDSR14-ND	.14	1.00	7.62	55.03
16	—	CDSR16-ND	.16	1.19	9.14	66.03
24	—	CDSR24-ND	.19	1.40	10.67	77.04
40	—	CDSR40-ND	.21	1.59	12.19	88.05

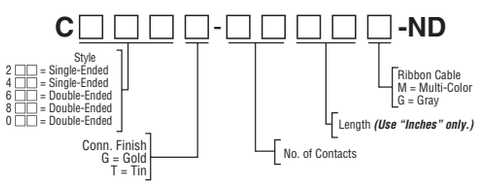

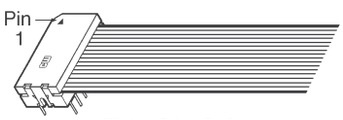

Mit einem Ende — Typ 2

* MC = mehrfarbig, GR = grau DIP-Steckverbinder ohne Zugentlastung abgebildet.

Anz. der Kontakte	Anschl.-Oberfläche	Länge in. (cm)	Flach-kabel*	Digi-Key Teilenr.	Preisangaben 1	10
14	Gold	6 (15.24)	MC	C2PXG-1406M-ND	1.51	11.44
	Zinn	6 (15.24)	MC	C2PXT-1406M-ND	1.30	9.88
	Gold	6 (15.24)	GR	C2PXG-1406G-ND	1.46	11.10
	Zinn	6 (15.24)	GR	C2PXT-1406G-ND	1.26	9.55
	Gold	18 (45.72)	MC	C2PXG-1418M-ND	1.79	13.61
	Zinn	18 (45.72)	MC	C2PXT-1418M-ND	1.59	12.06
	Gold	18 (45.72)	GR	C2PXG-1418G-ND	1.67	12.61
	Zinn	18 (45.72)	GR	C2PXT-1418G-ND	1.46	11.07
	Gold	36 (91.44)	MC	C2PXG-1436M-ND	2.23	16.88
	Zinn	36 (91.44)	MC	C2PXT-1436M-ND	2.02	15.33
	Gold	36 (91.44)	GR	C2PXG-1436G-ND	1.96	14.88
	Zinn	36 (91.44)	GR	C2PXT-1436G-ND	1.76	13.33
16	Gold	6 (15.24)	MC	C2PXG-1606M-ND	1.61	12.18
	Zinn	6 (15.24)	MC	C2PXT-1606M-ND	1.39	10.55
	Gold	6 (15.24)	GR	C2PXG-1606G-ND	1.56	11.80
	Zinn	6 (15.24)	GR	C2PXT-1606G-ND	1.34	10.16
	Gold	18 (45.72)	MC	C2PXG-1618M-ND	1.94	14.67
	Zinn	18 (45.72)	MC	C2PXT-1618M-ND	1.72	13.03
	Gold	18 (45.72)	GR	C2PXG-1618G-ND	1.78	13.51
	Zinn	18 (45.72)	GR	C2PXT-1618G-ND	1.57	11.87
	Gold	36 (91.44)	MC	C2PXG-1636M-ND	2.43	18.41
	Zinn	36 (91.44)	MC	C2PXT-1636M-ND	2.21	16.76
	Gold	36 (91.44)	GR	C2PXG-1636G-ND	2.12	16.08
	Zinn	36 (91.44)	GR	C2PXT-1636G-ND	1.90	14.43
24	Gold	6 (15.24)	MC	C2PXG-2406M-ND	2.63	19.97
	Zinn	6 (15.24)	MC	C2PXT-2406M-ND	2.28	17.26
	Gold	6 (15.24)	GR	C2PXG-2406G-ND	2.56	19.39
	Zinn	6 (15.24)	GR	C2PXT-2406G-ND	2.20	16.67
	Gold	18 (45.72)	MC	C2PXG-2418M-ND	3.13	23.71
	Zinn	18 (45.72)	MC	C2PXT-2418M-ND	2.77	21.00
	Gold	18 (45.72)	GR	C2PXG-2418G-ND	2.90	21.95
	Zinn	18 (45.72)	GR	C2PXT-2418G-ND	2.54	19.23
	Gold	36 (91.44)	MC	C2PXG-2436M-ND	3.87	29.33
	Zinn	36 (91.44)	MC	C2PXT-2436M-ND	3.51	26.61
	Gold	36 (91.44)	GR	C2PXG-2436G-ND	3.40	25.80
	Zinn	36 (91.44)	GR	C2PXT-2436G-ND	3.05	23.09
40	Gold	6 (15.24)	MC	C2PXG-4006M-ND	3.85	29.17
	Zinn	6 (15.24)	MC	C2PXT-4006M-ND	3.34	25.27
	Gold	6 (15.24)	GR	C2PXG-4006G-ND	3.73	28.22
	Zinn	6 (15.24)	GR	C2PXT-4006G-ND	3.21	24.31
	Gold	18 (45.72)	MC	C2PXG-4018M-ND	4.67	35.40
	Zinn	18 (45.72)	MC	C2PXT-4018M-ND	4.16	31.49
	Gold	18 (45.72)	GR	C2PXG-4018G-ND	4.29	32.52
	Zinn	18 (45.72)	GR	C2PXT-4018G-ND	3.78	28.61
	Gold	36 (91.44)	MC	C2PXG-4036M-ND	5.90	44.74
	Zinn	36 (91.44)	MC	C2PXT-4036M-ND	5.38	40.83
	Gold	36 (91.44)	GR	C2PXG-4036G-ND	5.14	38.97
	Zinn	36 (91.44)	GR	C2PXT-4036G-ND	4.62	35.06

Auch in folgender Version erhältlich:
C2RX☐-☐☐☐☐☐-ND — DIP-Steckverbinder mit Zugentlastungsgurt.
Rufen Sie an, um die vollständige Teilenr. und Preisangaben zu erhalten!

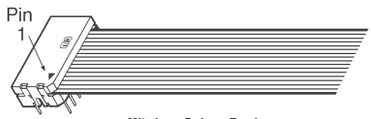

Mit einem Ende — Typ 4

* MC = mehrfarbig, GR = grau DIP-Steckverbinder ohne Zugentlastung abgebildet.

Anz. der Kontakte	Anschl.-Oberfläche	Länge in. (cm)	Flach-kabel*	Digi-Key Teilenr.	Preisangaben 1	10
14	Gold	6 (15.24)	MC	C4PXG-1406M-ND	1.51	11.44
	Zinn	6 (15.24)	MC	C4PXT-1406M-ND	1.30	9.88
	Gold	6 (15.24)	GR	C4PXG-1406G-ND	1.46	11.10
	Zinn	6 (15.24)	GR	C4PXT-1406G-ND	1.26	9.55
	Gold	18 (45.72)	MC	C4PXG-1418M-ND	1.79	13.61
	Zinn	18 (45.72)	MC	C4PXT-1418M-ND	1.59	12.06
	Gold	18 (45.72)	GR	C4PXG-1418G-ND	1.67	12.61
	Zinn	18 (45.72)	GR	C4PXT-1418G-ND	1.46	11.07
	Gold	36 (91.44)	MC	C4PXG-1436M-ND	2.23	16.88
	Zinn	36 (91.44)	MC	C4PXT-1436M-ND	2.02	15.33
	Gold	36 (91.44)	GR	C4PXG-1436G-ND	1.96	14.88
	Zinn	36 (91.44)	GR	C4PXT-1436G-ND	1.76	13.33
16	Gold	6 (15.24)	MC	C4PXG-1606M-ND	1.61	12.18
	Zinn	6 (15.24)	MC	C4PXT-1606M-ND	1.39	10.55
	Gold	6 (15.24)	GR	C4PXG-1606G-ND	1.56	11.80
	Zinn	6 (15.24)	GR	C4PXT-1606G-ND	1.34	10.16
	Gold	18 (45.72)	MC	C4PXG-1618M-ND	1.94	14.67
	Zinn	18 (45.72)	MC	C4PXT-1618M-ND	1.72	13.03
	Gold	18 (45.72)	GR	C4PXG-1618G-ND	1.78	13.51
	Zinn	18 (45.72)	GR	C4PXT-1618G-ND	1.57	11.87
	Gold	36 (91.44)	MC	C4PXG-1636M-ND	2.43	18.41
	Zinn	36 (91.44)	MC	C4PXT-1636M-ND	2.21	16.76
	Gold	36 (91.44)	GR	C4PXG-1636G-ND	2.12	16.08
	Zinn	36 (91.44)	GR	C4PXT-1636G-ND	1.90	14.43
24	Gold	6 (15.24)	MC	C4PXG-2406M-ND	2.63	19.97
	Zinn	6 (15.24)	MC	C4PXT-2406M-ND	2.28	17.26
	Gold	6 (15.24)	GR	C4PXG-2406G-ND	2.56	19.39
	Zinn	6 (15.24)	GR	C4PXT-2406G-ND	2.20	16.67
	Gold	18 (45.72)	MC	C4PXG-2418M-ND	3.13	23.71
	Zinn	18 (45.72)	MC	C4PXT-2418M-ND	2.77	21.00
	Gold	18 (45.72)	GR	C4PXG-2418G-ND	2.90	21.95
	Zinn	18 (45.72)	GR	C4PXT-2418G-ND	2.54	19.23
	Gold	36 (91.44)	MC	C4PXG-2436M-ND	3.87	29.33
	Zinn	36 (91.44)	MC	C4PXT-2436M-ND	3.51	26.61
	Gold	36 (91.44)	GR	C4PXG-2436G-ND	3.40	25.80
	Zinn	36 (91.44)	GR	C4PXT-2436G-ND	3.05	23.09
40	Gold	6 (15.24)	MC	C4PXG-4006M-ND	3.85	29.17
	Zinn	6 (15.24)	MC	C4PXT-4006M-ND	3.34	25.27
	Gold	6 (15.24)	GR	C4PXG-4006G-ND	3.73	28.22
	Zinn	6 (15.24)	GR	C4PXT-4006G-ND	3.21	24.31
	Gold	18 (45.72)	MC	C4PXG-4018M-ND	4.67	35.40
	Zinn	18 (45.72)	MC	C4PXT-4018M-ND	4.16	31.49
	Gold	18 (45.72)	GR	C4PXG-4018G-ND	4.29	32.52
	Zinn	18 (45.72)	GR	C4PXT-4018G-ND	3.78	28.61
	Gold	36 (91.44)	MC	C4PXG-4036M-ND	5.90	44.74
	Zinn	36 (91.44)	MC	C4PXT-4036M-ND	5.38	40.83
	Gold	36 (91.44)	GR	C4PXG-4036G-ND	5.14	38.97
	Zinn	36 (91.44)	GR	C4PXT-4036G-ND	4.62	35.06

Auch in folgender Version erhältlich:
C4RX☐-☐☐☐☐☐-ND — DIP-Steckverbinder mit Zugentlastungsgurt.
Rufen Sie an, um die vollständige Teilenr. und Preisangaben zu erhalten!

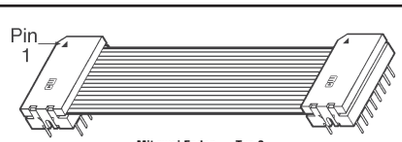

Mit zwei Enden — Typ 6

* MC = mehrfarbig, GR = grau DIP-Steckverbinder ohne Zugentlastung abgebildet.

Anz. der Kontakte	Anschl.-Oberfläche	Länge in. (cm)	Flach-kabel*	Digi-Key Teilenr.	Preisangaben 1	10
14	Gold	6 (15.24)	MC	C6PPG-1406M-ND	2.87	21.78
	Zinn	6 (15.24)	MC	C6PPT-1406M-ND	2.46	18.68
	Gold	6 (15.24)	GR	C6PPG-1406G-ND	2.83	21.44
	Zinn	6 (15.24)	GR	C6PPT-1406G-ND	2.42	18.35
	Gold	18 (45.72)	MC	C6PPG-1418M-ND	3.16	23.96
	Zinn	18 (45.72)	MC	C6PPT-1418M-ND	2.75	20.86
	Gold	18 (45.72)	GR	C6PPG-1418G-ND	3.03	22.96
	Zinn	18 (45.72)	GR	C6PPT-1418G-ND	2.62	19.85
	Gold	36 (91.44)	MC	C6PPG-1436M-ND	3.59	27.23
	Zinn	36 (91.44)	MC	C6PPT-1436M-ND	3.18	24.12
	Gold	36 (91.44)	GR	C6PPG-1436G-ND	3.33	25.23
	Zinn	36 (91.44)	GR	C6PPT-1436G-ND	2.92	22.12
16	Gold	6 (15.24)	MC	C6PPG-1606M-ND	3.05	23.13
	Zinn	6 (15.24)	MC	C6PPT-1606M-ND	2.62	19.84
	Gold	6 (15.24)	GR	C6PPG-1606G-ND	3.00	22.74
	Zinn	6 (15.24)	GR	C6PPT-1606G-ND	2.57	19.45
	Gold	18 (45.72)	MC	C6PPG-1618M-ND	3.39	25.75
	Zinn	18 (45.72)	MC	C6PPT-1618M-ND	2.95	22.33
	Gold	18 (45.72)	GR	C6PPG-1618G-ND	3.23	24.45
	Zinn	18 (45.72)	GR	C6PPT-1618G-ND	2.79	21.17
	Gold	36 (91.44)	MC	C6PPG-1636M-ND	3.87	29.34
	Zinn	36 (91.44)	MC	C6PPT-1636M-ND	3.44	26.07
	Gold	36 (91.44)	GR	C6PPG-1636G-ND	3.56	27.02
	Zinn	36 (91.44)	GR	C6PPT-1636G-ND	3.13	23.74
24	Gold	6 (15.24)	MC	C6PPG-2406M-ND	5.02	38.08
	Zinn	6 (15.24)	MC	C6PPT-2406M-ND	4.31	32.64
	Gold	6 (15.24)	GR	C6PPG-2406G-ND	4.94	37.50
	Zinn	6 (15.24)	GR	C6PPT-2406G-ND	4.23	32.06
	Gold	18 (45.72)	MC	C6PPG-2418M-ND	5.52	41.82
	Zinn	18 (45.72)	MC	C6PPT-2418M-ND	4.80	36.39
	Gold	18 (45.72)	GR	C6PPG-2418G-ND	5.28	40.06
	Zinn	18 (45.72)	GR	C6PPT-2418G-ND	4.57	34.63
	Gold	36 (91.44)	MC	C6PPG-2436M-ND	6.26	47.43
	Zinn	36 (91.44)	MC	C6PPT-2436M-ND	5.54	42.00
	Gold	36 (91.44)	GR	C6PPG-2436G-ND	5.79	43.90
	Zinn	36 (91.44)	GR	C6PPT-2436G-ND	5.08	38.48
40	Gold	6 (15.24)	MC	C6PPG-4006M-ND	7.29	55.24
	Zinn	6 (15.24)	MC	C6PPT-4006M-ND	6.26	47.42
	Gold	6 (15.24)	GR	C6PPG-4006G-ND	7.16	54.28
	Zinn	6 (15.24)	GR	C6PPT-4006G-ND	6.13	46.45
	Gold	18 (45.72)	MC	C6PPG-4018M-ND	8.11	61.46
	Zinn	18 (45.72)	MC	C6PPT-4018M-ND	7.08	53.65
	Gold	18 (45.72)	GR	C6PPG-4018G-ND	7.73	58.58
	Zinn	18 (45.72)	GR	C6PPT-4018G-ND	6.70	50.76
	Gold	36 (91.44)	MC	C6PPG-4036M-ND	9.34	70.81
	Zinn	36 (91.44)	MC	C6PPT-4036M-ND	8.31	62.99
	Gold	36 (91.44)	GR	C6PPG-4036G-ND	8.58	65.04
	Zinn	36 (91.44)	GR	C6PPT-4036G-ND	7.54	57.21

Auch in folgender Version erhältlich:
C6RR☐-☐☐☐☐☐-ND — DIP-Steckverbinder mit Zugentlastungsgurt.
Rufen Sie an, um die vollständige Teilenr. und Preisangaben zu erhalten!

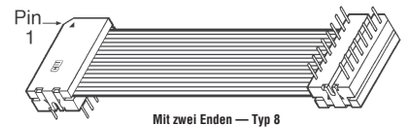

Mit zwei Enden — Typ 8

* MC = mehrfarbig, GR = grau DIP-Steckverbinder ohne Zugentlastung abgebildet.

Anz. der Kontakte	Anschl.-Oberfläche	Länge in. (cm)	Flach-kabel*	Digi-Key Teilenr.	Preisangaben 1	10
14	Gold	6 (15.24)	MC	C8PPG-1406M-ND	2.87	21.78
	Zinn	6 (15.24)	MC	C8PPT-1406M-ND	2.46	18.68
	Gold	6 (15.24)	GR	C8PPG-1406G-ND	2.83	21.44
	Zinn	6 (15.24)	GR	C8PPT-1406G-ND	2.42	18.35
	Gold	18 (45.72)	MC	C8PPG-1418M-ND	3.16	23.96
	Zinn	18 (45.72)	MC	C8PPT-1418M-ND	2.75	20.86
	Gold	18 (45.72)	GR	C8PPG-1418G-ND	3.03	22.96
	Zinn	18 (45.72)	GR	C8PPT-1418G-ND	2.62	19.85
	Gold	36 (91.44)	MC	C8PPG-1436M-ND	3.59	27.23
	Zinn	36 (91.44)	MC	C8PPT-1436M-ND	3.18	24.12
	Gold	36 (91.44)	GR	C8PPG-1436G-ND	3.33	25.23
	Zinn	36 (91.44)	GR	C8PPT-1436G-ND	2.92	22.12
16	Gold	6 (15.24)	MC	C8PPG-1606M-ND	3.05	23.13
	Zinn	6 (15.24)	MC	C8PPT-1606M-ND	2.62	19.84
	Gold	6 (15.24)	GR	C8PPG-1606G-ND	3.00	22.74
	Zinn	6 (15.24)	GR	C8PPT-1606G-ND	2.57	19.45
	Gold	18 (45.72)	MC	C8PPG-1618M-ND	3.38	25.62
	Zinn	18 (45.72)	MC	C8PPT-1618M-ND	2.95	22.33
	Gold	18 (45.72)	GR	C8PPG-1618G-ND	3.23	24.45
	Zinn	18 (45.72)	GR	C8PPT-1618G-ND	2.79	21.17
	Gold	36 (91.44)	MC	C8PPG-1636M-ND	3.87	29.34
	Zinn	36 (91.44)	MC	C8PPT-1636M-ND	3.44	26.07
	Gold	36 (91.44)	GR	C8PPG-1636G-ND	3.56	27.02
	Zinn	36 (91.44)	GR	C8PPT-1636G-ND	3.13	23.74
24	Gold	6 (15.24)	MC	C8PPG-2406M-ND	5.02	38.08
	Zinn	6 (15.24)	MC	C8PPT-2406M-ND	4.31	32.64
	Gold	6 (15.24)	GR	C8PPG-2406G-ND	4.94	37.50
	Zinn	6 (15.24)	GR	C8PPT-2406G-ND	4.23	32.06
	Gold	18 (45.72)	MC	C8PPG-2418M-ND	5.52	41.82
	Zinn	18 (45.72)	MC	C8PPT-2418M-ND	4.80	36.39
	Gold	18 (45.72)	GR	C8PPG-2418G-ND	5.28	40.06
	Zinn	18 (45.72)	GR	C8PPT-2418G-ND	4.57	34.63
	Gold	36 (91.44)	MC	C8PPG-2436M-ND	6.26	47.43
	Zinn	36 (91.44)	MC	C8PPT-2436M-ND	5.54	42.00
	Gold	36 (91.44)	GR	C8PPG-2436G-ND	5.79	43.90
	Zinn	36 (91.44)	GR	C8PPT-2436G-ND	5.08	38.48
40	Gold	6 (15.24)	MC	C8PPG-4006M-ND	7.29	55.24
	Zinn	6 (15.24)	MC	C8PPT-4006M-ND	6.26	47.42
	Gold	6 (15.24)	GR	C8PPG-4006G-ND	7.16	54.28
	Zinn	6 (15.24)	GR	C8PPT-4006G-ND	6.13	46.45
	Gold	18 (45.72)	MC	C8PPG-4018M-ND	8.11	61.46
	Zinn	18 (45.72)	MC	C8PPT-4018M-ND	7.08	53.65
	Gold	18 (45.72)	GR	C8PPG-4018G-ND	7.73	58.58
	Zinn	18 (45.72)	GR	C8PPT-4018G-ND	6.70	50.76
	Gold	36 (91.44)	MC	C8PPG-4036M-ND	9.34	70.81
	Zinn	36 (91.44)	MC	C8PPT-4036M-ND	8.31	62.99
	Gold	36 (91.44)	GR	C8PPG-4036G-ND	8.58	65.04
	Zinn	36 (91.44)	GR	C8PPT-4036G-ND	7.54	57.21

Auch in folgender Version erhältlich:
C8RR☐-☐☐☐☐☐-ND — DIP-Steckverbinder mit Zugentlastungsgurt.
Rufen Sie an, um die vollständige Teilenr. und Preisangaben zu erhalten!

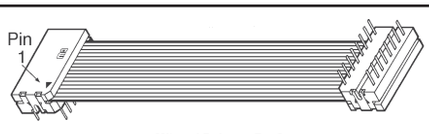

Mit zwei Enden — Typ 0

* MC = mehrfarbig, GR = grau DIP-Steckverbinder ohne Zugentlastung abgebildet.

Anz. der Kontakte	Anschl.-Oberfläche	Länge in. (cm)	Flach-kabel*	Digi-Key Teilenr.	Preisangaben 1	10
14	Gold	6 (15.24)	MC	C0PPG-1406M-ND	2.87	21.78
	Zinn	6 (15.24)	MC	C0PPT-1406M-ND	2.46	18.68
	Gold	6 (15.24)	GR	C0PPG-1406G-ND	2.83	21.44
	Zinn	6 (15.24)	GR	C0PPT-1406G-ND	2.42	18.35
	Gold	18 (45.72)	MC	C0PPG-1418M-ND	3.16	23.96
	Zinn	18 (45.72)	MC	C0PPT-1418M-ND	2.75	20.86
	Gold	18 (45.72)	GR	C0PPG-1418G-ND	3.03	22.96
	Zinn	18 (45.72)	GR	C0PPT-1418G-ND	2.62	19.85
	Gold	36 (91.44)	MC	C0PPG-1436M-ND	3.59	27.23
	Zinn	36 (91.44)	MC	C0PPT-1436M-ND	3.18	24.12
	Gold	36 (91.44)	GR	C0PPG-1436G-ND	3.33	25.23
	Zinn	36 (91.44)	GR	C0PPT-1436G-ND	2.92	22.12
16	Gold	6 (15.24)	MC	C0PPG-1606M-ND	3.06	23.24
	Zinn	6 (15.24)	MC	C0PPT-1606M-ND	2.62	19.84
	Gold	6 (15.24)	GR	C0PPG-1606G-ND	3.00	22.74
	Zinn	6 (15.24)	GR	C0PPT-1606G-ND	2.57	19.45
	Gold	18 (45.72)	MC	C0PPG-1618M-ND	3.38	25.62
	Zinn	18 (45.72)	MC	C0PPT-1618M-ND	2.95	22.33
	Gold	18 (45.72)	GR	C0PPG-1618G-ND	3.23	24.45
	Zinn	18 (45.72)	GR	C0PPT-1618G-ND	2.79	21.17
	Gold	36 (91.44)	MC	C0PPG-1636M-ND	3.87	29.34
	Zinn	36 (91.44)	MC	C0PPT-1636M-ND	3.44	26.07
	Gold	36 (91.44)	GR	C0PPG-1636G-ND	3.56	27.02
	Zinn	36 (91.44)	GR	C0PPT-1636G-ND	3.13	23.74
24	Gold	6 (15.24)	MC	C0PPG-2406M-ND	5.02	38.08
	Zinn	6 (15.24)	MC	C0PPT-2406M-ND	4.31	32.64
	Gold	6 (15.24)	GR	C0PPG-2406G-ND	4.94	37.50
	Zinn	6 (15.24)	GR	C0PPT-2406G-ND	4.23	32.06
	Gold	18 (45.72)	MC	C0PPG-2418M-ND	5.52	41.82
	Zinn	18 (45.72)	MC	C0PPT-2418M-ND	4.80	36.39
	Gold	18 (45.72)	GR	C0PPG-2418G-ND	5.28	40.06
	Zinn	18 (45.72)	GR	C0PPT-2418G-ND	4.57	34.63
	Gold	36 (91.44)	MC	C0PPG-2436M-ND	6.26	47.43
	Zinn	36 (91.44)	MC	C0PPT-2436M-ND	5.54	42.00
	Gold	36 (91.44)	GR	C0PPG-2436G-ND	5.79	43.90
	Zinn	36 (91.44)	GR	C0PPT-2436G-ND	5.08	38.48
40	Gold	6 (15.24)	MC	C0PPG-4006M-ND	7.29	55.24
	Zinn	6 (15.24)	MC	C0PPT-4006M-ND	6.26	47.42
	Gold	6 (15.24)	GR	C0PPG-4006G-ND	7.16	54.28
	Zinn	6 (15.24)	GR	C0PPT-4006G-ND	6.13	46.45
	Gold	18 (45.72)	MC	C0PPG-4018M-ND	8.11	61.46
	Zinn	18 (45.72)	MC	C0PPT-4018M-ND	7.08	53.65
	Gold	18 (45.72)	GR	C0PPG-4018G-ND	7.73	58.58
	Zinn	18 (45.72)	GR	C0PPT-4018G-ND	6.70	50.76
	Gold	36 (91.44)	MC	C0PPG-4036M-ND	9.34	70.81
	Zinn	36 (91.44)	MC	C0PPT-4036M-ND	8.31	62.99
	Gold	36 (91.44)	GR	C0PPG-4036G-ND	8.58	65.04
	Zinn	36 (91.44)	GR	C0PPT-4036G-ND	7.54	57.21

Auch in folgender Version erhältlich:
C0RR☐-☐☐☐☐☐-ND — DIP-Steckverbinder mit Zugentlastungsgurt.
Rufen Sie an, um die vollständige Teilenr. und Preisangaben zu erhalten!

CW INDUSTRIES

Buchsensteckverbinder

Buchsensteckverbinder

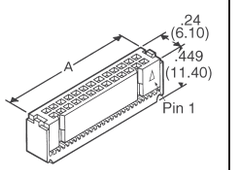

Buchsensteckverbinder mit zentralem polarisationsschlüssel

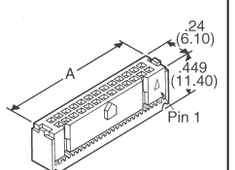

Buchsensteckverbinder mit Zugentlastung

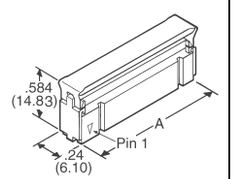

Buchsensteckverbinder mit Zugentlastung und zentralem Polarisationsschlüssel

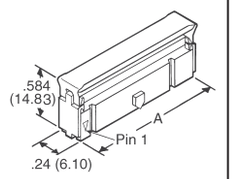

• **Kontakte:** Phosphorbronze • **Kontaktüberzug:** Gold –10 µ in. Gold (im Berührungsbereich) über 50 µ in. Nickel. Zinn -100 µ in. Zinn-Blei • **Isoliermaterial:** UL 94 V - 0 flammenhemmendes Thermoplast • **Zugentlastungsgurtmaterial:** Isolierter Edelstahl • **Farbe:** Blau • **Betriebstemperatur:** -55 °C ~ 125 °C • **Nennstrom:** 1 A (max.) pro Kontakt • **Dielektrische Haltespannung:** Über 500 V DC auf Meereshöhe • **Isolierwidersand:** Über 5 x 10^9 Ω • Rückzugskraft 56,70 g – 226,79 g/Kontakt, typisch. • Abdeckungsabziehkraft 226,79 g/Kontakt min. (Kraftanwendung entlang der Primärachse der Kontakte)

Anz. der Kontakte	Kontakt-Oberfläche	Abm. A Zoll (mm)	Digi-Key Teilenr.	Stückpreis 1	10	100
Buchsensteckverbinder						
10	Gold	.677 (17.20)	CSC10G-ND	.95	.72	.55
	Zinn	.677 (17.20)	CSC10T-ND	.80	.61	.47
14	Gold	.877 (22.28)	CSC14G-ND	1.34	1.02	.78
	Zinn	.877 (22.28)	CSC14T-ND	1.13	.87	.67
16	Gold	.977 (24.82)	CSC16G-ND	1.55	1.18	.90
	Zinn	.977 (24.82)	CSC16T-ND	1.31	1.00	.77
20	Gold	1.177 (29.90)	CSC20G-ND	1.63	1.24	.95
	Zinn	1.177 (29.90)	CSC20T-ND	1.38	1.05	.81
26	Gold	1.477 (37.52)	CSC26G-ND	1.94	1.48	1.13
	Zinn	1.477 (37.52)	CSC26T-ND	1.65	1.26	.96
34	Gold	1.877 (47.68)	CSC34G-ND	2.39	1.82	1.39
	Zinn	1.877 (47.68)	CSC34T-ND	2.03	1.54	1.18
40	Gold	2.177 (55.30)	CSC40G-ND	2.62	1.99	1.53
	Zinn	2.177 (55.30)	CSC40T-ND	2.24	1.70	1.30
50	Gold	2.677 (68.00)	CSC50G-ND	3.15	2.39	1.83
	Zinn	2.677 (68.00)	CSC50T-ND	2.68	2.03	1.56
60	Gold	3.177 (80.70)	CSC60G-ND	3.84	2.91	2.23
	Zinn	3.177 (80.70)	CSC60T-ND	3.26	2.47	1.90
Buchsensteckverbinder mit Zugentlastung						
10	Gold	.677 (17.20)	CSR10G-ND	1.15	.88	.68
	Zinn	.677 (17.20)	CSR10T-ND	.98	.75	.57
14	Gold	.877 (22.28)	CSR14G-ND	1.55	1.18	.90
	Zinn	.877 (22.28)	CSR14T-ND	1.31	1.00	.77
16	Gold	.977 (24.82)	CSR16G-ND	1.74	1.32	1.01
	Zinn	.977 (24.82)	CSR16T-ND	1.47	1.12	.86
20	Gold	1.177 (29.90)	CSR20G-ND	1.81	1.38	1.06
	Zinn	1.177 (29.90)	CSR20T-ND	1.54	1.17	.90
26	Gold	1.477 (37.52)	CSR26G-ND	2.10	1.60	1.22
	Zinn	1.477 (37.52)	CSR26T-ND	1.79	1.36	1.04
34	Gold	1.877 (47.68)	CSR34G-ND	2.57	1.95	1.50
	Zinn	1.877 (47.68)	CSR34T-ND	2.18	1.66	1.27
40	Gold	2.177 (55.30)	CSR40G-ND	2.79	2.11	1.62
	Zinn	2.177 (55.30)	CSR40T-ND	2.36	1.80	1.38
50	Gold	2.677 (68.00)	CSR50G-ND	3.34	2.53	1.94
	Zinn	2.677 (68.00)	CSR50T-ND	2.84	2.15	1.65
60	Gold	3.177 (80.70)	CSR60G-ND	4.04	3.07	2.35
	Zinn	3.177 (80.70)	CSR60T-ND	3.44	2.61	2.00
Buchsensteckverbinder mit Polarisationsschlüssel						
10	Gold	.677 (17.20)	CKC10G-ND	.95	.72	.55
	Zinn	.677 (17.20)	CKC10T-ND	.80	.61	.47
14	Gold	.877 (22.28)	CKC14G-ND	1.34	1.02	.78
	Zinn	.877 (22.28)	CKC14T-ND	1.13	.87	.67
16	Gold	.977 (24.82)	CKC16G-ND	1.55	1.18	.90
	Zinn	.977 (24.82)	CKC16T-ND	1.31	1.00	.77
20	Gold	1.177 (29.90)	CKC20G-ND	1.63	1.24	.95
	Zinn	1.177 (29.90)	CKC20T-ND	1.38	1.05	.81
26	Gold	1.477 (37.52)	CKC26G-ND	1.94	1.48	1.13
	Zinn	1.477 (37.52)	CKC26T-ND	1.65	1.26	.96
Buchsensteckverbinder mit Polarisationsschlüssel (Forts.)						
34	Gold	1.877 (47.68)	CKC34G-ND	2.39	1.82	1.39
	Zinn	1.877 (47.68)	CKC34T-ND	2.03	1.54	1.18
40	Gold	2.177 (55.30)	CKC40G-ND	2.62	1.99	1.53
	Zinn	2.177 (55.30)	CKC40T-ND	2.24	1.70	1.30
50	Gold	2.677 (68.00)	CKC50G-ND	3.15	2.39	1.83
	Zinn	2.677 (68.00)	CKC50T-ND	2.68	2.03	1.56
60	Gold	3.177 (80.70)	CKC60G-ND	3.84	2.91	2.23
	Zinn	3.177 (80.70)	CKC60T-ND	3.26	2.47	1.90
Buchsensteckverbinder mit Polarisationsschlüssel und Zugentlastung						
10	Gold	.677 (17.20)	CKR10G-ND	1.15	.88	.68
	Zinn	.677 (17.20)	CKR10T-ND	.98	.75	.57
14	Gold	.877 (22.28)	CKR14G-ND	1.55	1.18	.90
	Zinn	.877 (22.28)	CKR14T-ND	1.31	1.00	.77
16	Gold	.977 (24.82)	CKR16G-ND	1.74	1.32	1.01
	Zinn	.977 (24.82)	CKR16T-ND	1.47	1.12	.86
20	Gold	1.177 (29.90)	CKR20G-ND	1.81	1.38	1.06
	Zinn	1.177 (29.90)	CKR20T-ND	1.54	1.17	.90
26	Gold	1.477 (37.52)	CKR26G-ND	2.10	1.60	1.22
	Zinn	1.477 (37.52)	CKR26T-ND	1.79	1.36	1.04
34	Gold	1.877 (47.68)	CKR34G-ND	2.57	1.95	1.50
	Zinn	1.877 (47.68)	CKR34T-ND	2.18	1.66	1.27
40	Gold	2.177 (55.30)	CKR40G-ND	2.79	2.11	1.62
	Zinn	2.177 (55.30)	CKR40T-ND	2.36	1.80	1.38
50	Gold	2.677 (68.00)	CKR50G-ND	3.34	2.53	1.94
	Zinn	2.677 (68.00)	CKR50T-ND	2.84	2.15	1.65
60	Gold	3.177 (80.70)	CKR60G-ND	4.04	3.07	2.35
	Zinn	3.177 (80.70)	CKR60T-ND	3.44	2.61	2.00
Polarisationsschlüssel			PK-1-ND	.19/2	.73/10	5.33/100

Leiterplatten-Steckverbinder

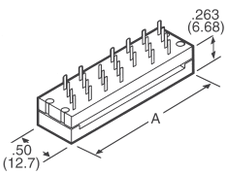

• **Kontakte:** Phosphorbronze • **Kontaktüberzug:** Zinn –100 µ Zoll Zinn-Blei • **Isoliermaterial:** UL 94 V - 0 flammenhemmendes Thermoplast • **Farbe:** Blau • **Betriebstemperatur:** -55 °C ~ 125 °C • **Nennstrom:** 1 A (max.) pro Kontakt • **Dielektrische Haltespannung:** Über 500 V DC auf Meereshöhe • **Isolierwiderstand:** Über 5 x 10^9 Ω. Abdeckungsabziehkraft, ohne Zugentlastung, 5,60 kg. min.(Krafteinwirkung entlang der Primärachse der Kontakte)

Anz. der Kontakte	Kontakt-Oberfläche	Abm. A Zoll (mm)	Digi-Key Teilenr.	Stückpreis 1	10	100
Leiterplatten-Steckverbinder						
10	Zinn	.700 (17.78)	CPC10T-ND	1.05	.80	.61
•20	Zinn	1.200 (30.48)	CPC20T-ND	1.24	.94	.72
26	Zinn	1.500 (38.10)	CPC26T-ND	1.57	1.20	.92
34	Zinn	1.900 (48.26)	CPC34T-ND	1.91	1.46	1.12
•40	Zinn	2.200 (55.88)	CPC40T-ND	2.20	1.68	1.29
50	Zinn	2.700 (68.58)	CPC50T-ND	2.73	2.07	1.59
•60	Zinn	3.200 (81.28)	CPC60T-ND	3.15	2.39	1.83

• Ganzreihenversion. („Spezielle Mitten-Version" siehe weiter oben.)

Kartenrand-Steckverbinder

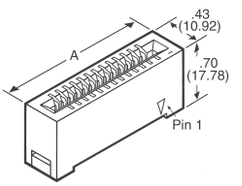

• **Kontakte:** Phosphorbronze • **Kontaktüberzug:** Gold –10 µ in. Gold (im Berührungsbereich) über 50 µ in. Nickel. Zinn -100 µ in. Zinn-Blei • **Isoliermaterial:** UL 94 V - 0 flammenhemmendes Thermoplast • **Farbe:** blau • **Betriebstemperatur:** -55 °C ~ 125 °C • **Nennstrom:** 1 A (max.) pro Kontakt • **Dielektrische Haltespannung:** Über 500 V DC auf Meereshöhe • **Isolierwiderstand:** Über 5 x 10^9 Ω • Abdeckungsabziehkraft 226,79 g/Kontakt min. (Krafteinwirkung entlang der Primärachse der Kontakte)

Anz. der Kontakte	Kontakt-Oberfläche	Abm. A Zoll (mm)	Digi-Key Teilenr.	Stückpreis 1	10	100
Kartenrand-Steckverbinder						
10	Gold	.976 (24.79)	CCE10G-ND	2.05	1.56	1.19
10	Zinn	.976 (24.79)	CCE10T-ND	1.74	1.32	1.01
20	Gold	1.476 (37.49)	CCE20G-ND	2.73	2.07	1.59
20	Zinn	1.476 (37.49)	CCE20T-ND	2.31	1.76	1.35
26	Gold	1.776 (45.11)	CCE26G-ND	3.28	2.49	1.91
26	Zinn	1.776 (45.11)	CCE26T-ND	2.79	2.11	1.62
34	Gold	2.176 (55.27)	CCE34G-ND	4.07	3.09	2.37
34	Zinn	2.176 (55.27)	CCE34T-ND	3.46	2.63	2.02
40	Gold	2.476 (62.89)	CCE40G-ND	4.75	3.61	2.76
40	Zinn	2.476 (62.89)	CCE40T-ND	4.04	3.07	2.35
50	Gold	2.976 (75.59)	CCE50G-ND	5.35	4.06	3.11
50	Zinn	2.976 (75.59)	CCE50T-ND	4.54	3.45	2.64
Polarisationsschlüssel			PK-2-ND	.19/2	.73/10	5.33/100

Abschlussbrücken

Buchsensteckverbinder — mit einem Ende

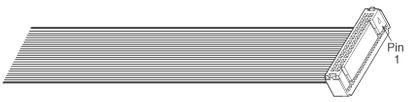

* MC = mehrfarbig, GR = grau

Buchsensteckverbinder ohne Zugentlastung abgebildet.

Anz. der Kontakte	Anschl.-Oberfläche	Länge in Zoll (cm)	Flachkabel*	Digi-Key Teilenr.	Stückpreis 1	10
10	Gold	36 (91.44)	MC	C1AXG-1036M-ND	1.56	1.19
	Zinn	36 (91.44)	MC	C1AXT-1036M-ND	1.41	1.08
	Gold	36 (91.44)	GR	C1AXG-1036G-ND	1.36	1.04
	Zinn	36 (91.44)	GR	C1AXT-1036G-ND	1.23	.93
14	Gold	36 (91.44)	MC	C1AXG-1436M-ND	2.20	1.67
	Zinn	36 (91.44)	MC	C1AXT-1436M-ND	2.00	1.52
	Gold	36 (91.44)	GR	C1AXG-1436G-ND	1.94	1.47
	Zinn	36 (91.44)	GR	C1AXT-1436G-ND	1.74	1.32
16	Gold	36 (91.44)	MC	C1AXG-1636M-ND	2.53	1.92
	Zinn	36 (91.44)	MC	C1AXT-1636M-ND	2.30	1.75
	Gold	36 (91.44)	GR	C1AXG-1636G-ND	2.23	1.69
	Zinn	36 (91.44)	GR	C1AXT-1636G-ND	1.99	1.52
20	Gold	36 (91.44)	MC	C1AXG-2036M-ND	2.86	2.17
	Zinn	36 (91.44)	MC	C1AXT-2036M-ND	2.62	1.99
	Gold	36 (91.44)	GR	C1AXG-2036G-ND	2.48	1.88
	Zinn	36 (91.44)	GR	C1AXT-2036G-ND	2.24	1.70
26	Gold	36 (91.44)	MC	C1AXG-2636M-ND	4.39	3.33
	Zinn	36 (91.44)	MC	C1AXT-2636M-ND	3.25	2.47
	Gold	36 (91.44)	GR	C1AXG-2636G-ND	3.06	2.32
	Zinn	36 (91.44)	GR	C1AXT-2636G-ND	2.76	2.10
34	Gold	36 (91.44)	MC	C1AXG-3436M-ND	4.48	3.40
	Zinn	36 (91.44)	MC	C1AXT-3436M-ND	4.11	3.13
	Gold	36 (91.44)	GR	C1AXG-3436G-ND	3.84	2.91
	Zinn	36 (91.44)	GR	C1AXT-3436G-ND	3.48	2.64
40	Gold	36 (91.44)	MC	C1AXG-4036M-ND	5.09	3.86
	Zinn	36 (91.44)	MC	C1AXT-4036M-ND	4.70	3.56
	Gold	36 (91.44)	GR	C1AXG-4036G-ND	4.33	3.29
	Zinn	36 (91.44)	GR	C1AXT-4036G-ND	3.94	2.99
50	Gold	36 (91.44)	MC	C1AXG-5036M-ND	6.23	4.73
	Zinn	36 (91.44)	MC	C1AXT-5036M-ND	5.76	4.37
	Gold	36 (91.44)	GR	C1AXG-5036G-ND	5.27	4.00
	Zinn	36 (91.44)	GR	C1AXT-5036G-ND	4.80	3.65
60	Gold	36 (91.44)	MC	C1AXG-6036M-ND	7.51	5.70
	Zinn	36 (91.44)	MC	C1AXT-6036M-ND	6.93	5.26
	Gold	36 (91.44)	GR	C1AXG-6036G-ND	6.37	4.84
	Zinn	36 (91.44)	GR	C1AXT-6036G-ND	5.80	4.40

Auch in folgenden Versionen erhältlich:

C1BX□-□□□□□-ND – Buchsensteckverbinder mit Zugentlastung.

C1CX□-□□□□□-ND – Buchsensteckverbinder mit zentralem Polarisationsschlüssel.

C1DX□-□□□□□-ND – Buchsensteckverbinder mit Zugentlastung und zentralem Polarisationsschlüssel.

Rufen Sie an, um die vollständige Teilenr. und Preisangaben zu erhalten!

Leiterplatten-Steckverbinder — mit einem Ende

* MC = mehrfarbig, GR = grau Leiterplatten-Steckverbinder ohne Zugentlastung.

Anz. der Kontakte	Anschl.-Oberfläche	Länge in Zoll (cm)	Flachkabel*	Digi-Key Teilenr.	Stückpreis 1	10
10	Zinn	36 (91.44)	MC	C1PXT-1036M-ND	1.67	1.27
	Zinn	36 (91.44)	GR	C1PXT-1036G-ND	1.47	1.12
20	Zinn	36 (91.44)	MC	C1PXT-2036M-ND	2.46	1.87
	Zinn	36 (91.44)	GR	C1PXT-2036G-ND	2.08	1.58
26	Zinn	36 (91.44)	MC	C1PXT-2636M-ND	3.17	2.41
	Zinn	36 (91.44)	GR	C1PXT-2636G-ND	2.68	2.04
34	Zinn	36 (91.44)	MC	C1PXT-3436M-ND	4.00	3.04
	Zinn	36 (91.44)	GR	C1PXT-3436G-ND	3.36	2.56
40	Zinn	36 (91.44)	MC	C1PXT-4036M-ND	4.66	3.54
	Zinn	36 (91.44)	GR	C1PXT-4036G-ND	3.91	2.97
50	Zinn	36 (91.44)	MC	C1PXT-5036M-ND	5.81	4.41
	Zinn	36 (91.44)	GR	C1PXT-5036G-ND	4.86	3.69
60	Zinn	36 (91.44)	MC	C1PXT-6036M-ND	4.73	3.59
	Zinn	36 (91.44)	GR	C1PXT-6036G-ND	3.60	2.73

C□□□□-□□□□□-ND

- Style
- Conn. Finish G=Gold T=Tin
- Ribbon Cable M=Multi-color G=Gray
- Length *(Use "Inches" only.)*
- No. Of Contacts

Benutzerspezifische Digi-Key® Kabel erhältlich

An Digi-Key wenden

(Forts.)

Alle Preisangaben in Euro und inklusive Zollgebühren.

Abschlussbrücken *(Fort.)*

Kartenrand-Steckverbinder — mit einem Ende

* MC = mehrfarbig, GR = grau

Kartenrand-Steckverbinder ohne Zugentlastung abgebildet..

Anz. der Kontakte	Anschl.-Oberfläche	Länge Zoll (cm)	Flachkabel*	Digi-Key Teilenr.	Stückpreis 1	10
10	Gold	36 (91.44)	MC	C1EXG-1036M-ND	2.66	2.02
	Zinn	36 (91.44)	MC	C1EXT-1036M-ND	2.35	1.79
	Gold	36 (91.44)	GR	C1EXG-1036G-ND	2.47	1.88
	Zinn	36 (91.44)	GR	C1EXT-1036G-ND	2.16	1.64
20	Gold	36 (91.44)	MC	C1EXG-2036M-ND	3.96	3.01
	Zinn	36 (91.44)	MC	C1EXT-2036M-ND	3.56	2.70
	Gold	36 (91.44)	GR	C1EXG-2036G-ND	3.58	2.72
	Zinn	36 (91.44)	GR	C1EXT-2036G-ND	3.17	2.41
26	Gold	36 (91.44)	MC	C1EXG-2636M-ND	4.88	3.70
	Zinn	36 (91.44)	MC	C1EXT-2636M-ND	4.39	3.33
	Gold	36 (91.44)	GR	C1EXG-2636G-ND	4.39	3.33
	Zinn	36 (91.44)	GR	C1EXT-2636G-ND	3.90	2.96
34	Gold	36 (91.44)	MC	C1EXG-3436M-ND	6.15	4.67
	Zinn	36 (91.44)	MC	C1EXT-3436M-ND	5.55	4.21
	Gold	36 (91.44)	GR	C1EXG-3436G-ND	5.52	4.19
	Zinn	36 (91.44)	GR	C1EXT-3436G-ND	4.91	3.72
40	Gold	36 (91.44)	MC	C1EXG-4036M-ND	7.21	5.47
	Zinn	36 (91.44)	MC	C1EXT-4036M-ND	6.50	4.93
	Gold	36 (91.44)	GR	C1EXG-4036G-ND	6.45	4.90
	Zinn	36 (91.44)	GR	C1EXT-4036G-ND	5.74	4.36
50	Gold	36 (91.44)	MC	C1EXG-5036M-ND	8.43	6.40
	Zinn	36 (91.44)	MC	C1EXT-5036M-ND	7.64	5.79
	Gold	36 (91.44)	GR	C1EXG-5036G-ND	7.48	5.68
	Zinn	36 (91.44)	GR	C1EXT-5036G-ND	6.68	5.07

Buchsensteckverbinder - Buchsensteckverbinder

* MC = mehrfarbig, GR = grau

Buchsensteckverbinder ohne Zugentlastung abgebildet.

Anz. der Kontakte	Anschl.-Oberfläche	Länge Zoll (cm)	Flachkabel*	Digi-Key Teilenr.	Stückpreis 1	10
10	Gold	6 (15.24)	MC	C3AAG-1006M-ND	1.99	1.51
	Zinn	6 (15.24)	MC	C3AAT-1006M-ND	1.71	1.30
	Gold	6 (15.24)	GR	C3AAG-1006G-ND	1.96	1.49
	Zinn	6 (15.24)	GR	C3AAT-1006G-ND	1.68	1.28
	Gold	18 (45.72)	MC	C3AAG-1018M-ND	2.19	1.67
	Zinn	18 (45.72)	MC	C3AAT-1018M-ND	1.91	1.45
	Gold	18 (45.72)	GR	C3AAG-1018G-ND	2.10	1.60
	Zinn	18 (45.72)	GR	C3AAT-1018G-ND	1.82	1.38
	Gold	36 (91.44)	MC	C3AAG-1036M-ND	2.51	1.90
	Zinn	36 (91.44)	MC	C3AAT-1036M-ND	2.22	1.69
	Gold	36 (91.44)	GR	C3AAG-1036G-ND	2.31	1.76
	Zinn	36 (91.44)	GR	C3AAT-1036G-ND	2.02	1.54
14	Gold	6 (15.24)	MC	C3AAG-1406M-ND	2.82	2.14
	Zinn	6 (15.24)	MC	C3AAT-1406M-ND	2.42	1.84
	Gold	6 (15.24)	GR	C3AAG-1406G-ND	2.78	2.11
	Zinn	6 (15.24)	GR	C3AAT-1406G-ND	2.38	1.81
	Gold	18 (45.72)	MC	C3AAG-1418M-ND	3.11	2.36
	Zinn	18 (45.72)	MC	C3AAT-1418M-ND	2.71	2.06
	Gold	18 (45.72)	GR	C3AAG-1418G-ND	2.98	2.26
	Zinn	18 (45.72)	GR	C3AAT-1418G-ND	2.57	1.96
	Gold	36 (91.44)	MC	C3AAG-1436M-ND	3.54	2.69
	Zinn	36 (91.44)	MC	C3AAT-1436M-ND	3.14	2.38
	Gold	36 (91.44)	GR	C3AAG-1436G-ND	3.28	2.49
	Zinn	36 (91.44)	GR	C3AAT-1436G-ND	2.87	2.18
16	Gold	6 (15.24)	MC	C3AAG-1606M-ND	3.26	2.48
	Zinn	6 (15.24)	MC	C3AAT-1606M-ND	2.79	2.12
	Gold	6 (15.24)	GR	C3AAG-1606G-ND	3.21	2.44
	Zinn	6 (15.24)	GR	C3AAT-1606G-ND	2.74	2.09
	Gold	18 (45.72)	MC	C3AAG-1618M-ND	3.59	2.73
	Zinn	18 (45.72)	MC	C3AAT-1618M-ND	3.12	2.37
	Gold	18 (45.72)	GR	C3AAG-1618G-ND	3.44	2.61
	Zinn	18 (45.72)	GR	C3AAT-1618G-ND	2.97	2.26
	Gold	36 (91.44)	MC	C3AAG-1636M-ND	4.08	3.10
	Zinn	36 (91.44)	MC	C3AAT-1636M-ND	3.61	2.75
	Gold	36 (91.44)	GR	C3AAG-1636G-ND	3.78	2.87
	Zinn	36 (91.44)	GR	C3AAT-1636G-ND	3.31	2.51

Anz. der Kontakte	Anschl.-Oberfläche	Länge Zoll (cm)	Flachkabel*	Digi-Key Teilenr.	Stückpreis 1	10
20	Gold	6 (15.24)	MC	C3AAG-2006M-ND	3.46	2.63
	Zinn	6 (15.24)	MC	C3AAT-2006M-ND	2.97	2.26
	Gold	6 (15.24)	GR	C3AAG-2006G-ND	3.39	2.58
	Zinn	6 (15.24)	GR	C3AAT-2006G-ND	2.90	2.21
	Gold	18 (45.72)	MC	C3AAG-2018M-ND	3.87	2.94
	Zinn	18 (45.72)	MC	C3AAT-2018M-ND	3.39	2.57
	Gold	18 (45.72)	GR	C3AAG-2018G-ND	3.68	2.79
	Zinn	18 (45.72)	GR	C3AAT-2018G-ND	3.19	2.42
	Gold	36 (91.44)	MC	C3AAG-2036M-ND	4.49	3.41
	Zinn	36 (91.44)	MC	C3AAT-2036M-ND	4.00	3.04
	Gold	36 (91.44)	GR	C3AAG-2036G-ND	4.11	3.12
	Zinn	36 (91.44)	GR	C3AAT-2036G-ND	3.61	2.75
26	Gold	6 (15.24)	MC	C3AAG-2606M-ND	4.15	3.15
	Zinn	6 (15.24)	MC	C3AAT-2606M-ND	3.56	2.71
	Gold	6 (15.24)	GR	C3AAG-2606G-ND	4.07	3.09
	Zinn	6 (15.24)	GR	C3AAT-2606G-ND	3.49	2.65
	Gold	18 (45.72)	MC	C3AAG-2618M-ND	4.68	3.56
	Zinn	18 (45.72)	MC	C3AAT-2618M-ND	4.10	3.11
	Gold	18 (45.72)	GR	C3AAG-2618G-ND	4.44	3.37
	Zinn	18 (45.72)	GR	C3AAT-2618G-ND	3.86	2.93
	Gold	36 (91.44)	MC	C3AAG-2636M-ND	5.49	4.16
	Zinn	36 (91.44)	MC	C3AAT-2636M-ND	4.90	3.72
	Gold	36 (91.44)	GR	C3AAG-2636G-ND	4.99	3.79
	Zinn	36 (91.44)	GR	C3AAT-2636G-ND	4.41	3.35
34	Gold	6 (15.24)	MC	C3AAG-3406M-ND	5.12	3.89
	Zinn	6 (15.24)	MC	C3AAT-3406M-ND	4.41	3.35
	Gold	6 (15.24)	GR	C3AAG-3406G-ND	5.02	3.81
	Zinn	6 (15.24)	GR	C3AAT-3406G-ND	4.30	3.27
	Gold	18 (45.72)	MC	C3AAG-3418M-ND	5.82	4.42
	Zinn	18 (45.72)	MC	C3AAT-3418M-ND	5.11	3.87
	Gold	18 (45.72)	GR	C3AAG-3418G-ND	5.50	4.17
	Zinn	18 (45.72)	GR	C3AAT-3418G-ND	4.78	3.63
	Gold	36 (91.44)	MC	C3AAG-3436M-ND	6.87	5.21
	Zinn	36 (91.44)	MC	C3AAT-3436M-ND	6.15	4.66
	Gold	36 (91.44)	GR	C3AAG-3436G-ND	6.22	4.72
	Zinn	36 (91.44)	GR	C3AAT-3436G-ND	5.51	4.18
40	Gold	6 (15.24)	MC	C3AAG-4006M-ND	5.66	4.30
	Zinn	6 (15.24)	MC	C3AAT-4006M-ND	4.88	3.70
	Gold	6 (15.24)	GR	C3AAG-4006G-ND	5.54	4.20
	Zinn	6 (15.24)	GR	C3AAT-4006G-ND	4.75	3.60
	Gold	18 (45.72)	MC	C3AAG-4018M-ND	6.48	4.92
	Zinn	18 (45.72)	MC	C3AAT-4018M-ND	5.70	4.32
	Gold	18 (45.72)	GR	C3AAG-4018G-ND	6.10	4.63
	Zinn	18 (45.72)	GR	C3AAT-4018G-ND	5.32	4.03
	Gold	36 (91.44)	MC	C3AAG-4036M-ND	7.71	5.85
	Zinn	36 (91.44)	MC	C3AAT-4036M-ND	6.93	5.26
	Gold	36 (91.44)	GR	C3AAG-4036G-ND	6.95	5.27
	Zinn	36 (91.44)	GR	C3AAT-4036G-ND	6.16	4.68
50	Gold	6 (15.24)	MC	C3AAG-5006M-ND	6.82	5.17
	Zinn	6 (15.24)	MC	C3AAT-5006M-ND	5.87	4.45
	Gold	6 (15.24)	GR	C3AAG-5006G-ND	6.65	5.05
	Zinn	6 (15.24)	GR	C3AAT-5006G-ND	5.71	4.33
	Gold	18 (45.72)	MC	C3AAG-5018M-ND	7.84	5.95
	Zinn	18 (45.72)	MC	C3AAT-5018M-ND	6.89	5.23
	Gold	18 (45.72)	GR	C3AAG-5018G-ND	7.37	5.59
	Zinn	18 (45.72)	GR	C3AAT-5018G-ND	6.42	4.87
	Gold	36 (91.44)	MC	C3AAG-5036M-ND	9.38	7.12
	Zinn	36 (91.44)	MC	C3AAT-5036M-ND	8.43	6.40
	Gold	36 (91.44)	GR	C3AAG-5036G-ND	8.42	6.39
	Zinn	36 (91.44)	GR	C3AAT-5036G-ND	7.48	5.68
60	Gold	6 (15.24)	MC	C3AAG-6006M-ND	8.28	6.28
	Zinn	6 (15.24)	MC	C3AAT-6006M-ND	7.13	5.41
	Gold	6 (15.24)	GR	C3AAG-6006G-ND	8.09	6.14
	Zinn	6 (15.24)	GR	C3AAT-6006G-ND	6.94	5.26
	Gold	18 (45.72)	MC	C3AAG-6018M-ND	9.51	7.21
	Zinn	18 (45.72)	MC	C3AAT-6018M-ND	8.36	6.34
	Gold	18 (45.72)	GR	C3AAG-6018G-ND	8.94	6.78
	Zinn	18 (45.72)	GR	C3AAT-6018G-ND	7.79	5.91
	Gold	36 (91.44)	MC	C3AAG-6036M-ND	11.34	8.60
	Zinn	36 (91.44)	MC	C3AAT-6036M-ND	10.19	7.73
	Gold	36 (91.44)	GR	C3AAG-6036G-ND	10.21	7.74
	Zinn	36 (91.44)	GR	C3AAT-6036G-ND	9.06	6.87

Auch in folgenden Versionen erhältlich:

C3BB□-□□□□□-ND – Buchsensteckverbinder mit Zugentlastung.

C3CC□-□□□□□-ND – Buchsensteckverbinder mit zentralem Polarisationsschlüssel.

C3DD□-□□□□□-ND – Buchsensteckverbinder mit Zugentlastung und zentralem Polarisationsschlüssel.

Rufen Sie an, um die vollständige Teilenr. und Preisangaben zu erhalten!

C□□□□-□□□□□-ND

- Style
- Conn. Finish G=Gold T=Tin
- Ribbon Cable M=Multi-color G=Gray
- Length ***(Use "Inches" only.)***
- No. Of Contacts

Benutzerspezifische Digi-Key® Kabel erhältlich

An Digi-Key wenden

Leiterplatten-Steckverbinder - Leiterplatten-Steckverbinder

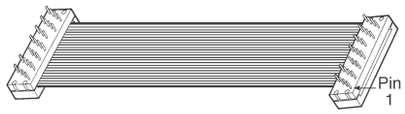

* MC = mehrfarbig, GR = grau

Leiterplatten-Steckverbinder ohne Zugentlastung abgebildet.

Anz. der Kontakte	Anschl.-Oberfläche	Länge Zoll (cm)	Flachkabel*	Digi-Key Teilenr.	Stückpreis 1	10
10	Zinn	6 (15.24)	MC	C3PPT-1006M-ND	2.20	1.67
	Zinn	6 (15.24)	GR	C3PPT-1006G-ND	2.17	1.65
	Zinn	18 (45.72)	MC	C3PPT-1018M-ND	2.40	1.83
	Zinn	18 (45.72)	GR	C3PPT-1018G-ND	2.31	1.76
	Zinn	36 (91.44)	MC	C3PPT-1036M-ND	2.72	2.06
	Zinn	36 (91.44)	GR	C3PPT-1036G-ND	2.52	1.92
20	Zinn	6 (15.24)	MC	C3PPT-2006M-ND	2.68	2.03
	Zinn	6 (15.24)	GR	C3PPT-2006G-ND	2.61	1.98
	Zinn	18 (45.72)	MC	C3PPT-2018M-ND	3.08	2.34
	Zinn	18 (45.72)	GR	C3PPT-2018G-ND	2.90	2.20
	Zinn	36 (91.44)	MC	C3PPT-2036M-ND	3.70	2.81
	Zinn	36 (91.44)	GR	C3PPT-2036G-ND	3.32	2.52
26	Zinn	6 (15.24)	MC	C3PPT-2606M-ND	3.41	2.59
	Zinn	6 (15.24)	GR	C3PPT-2606G-ND	3.34	2.53
	Zinn	18 (45.72)	MC	C3PPT-2618M-ND	3.95	3.00
	Zinn	18 (45.72)	GR	C3PPT-2618G-ND	3.71	2.81
	Zinn	36 (91.44)	MC	C3PPT-2636M-ND	4.75	3.61
	Zinn	36 (91.44)	GR	C3PPT-2636G-ND	4.26	3.23
34	Zinn	6 (15.24)	MC	C3PPT-3406M-ND	4.18	3.17
	Zinn	6 (15.24)	GR	C3PPT-3406G-ND	4.07	3.09
	Zinn	18 (45.72)	MC	C3PPT-3418M-ND	4.88	3.70
	Zinn	18 (45.72)	GR	C3PPT-3418G-ND	4.55	3.46
	Zinn	36 (91.44)	MC	C3PPT-3436M-ND	5.92	4.49
	Zinn	36 (91.44)	GR	C3PPT-3436G-ND	5.28	4.01
40	Zinn	6 (15.24)	MC	C3PPT-4006M-ND	4.82	3.66
	Zinn	6 (15.24)	GR	C3PPT-4006G-ND	4.69	3.56
	Zinn	18 (45.72)	MC	C3PPT-4018M-ND	5.64	4.28
	Zinn	18 (45.72)	GR	C3PPT-4018G-ND	5.26	3.99
	Zinn	36 (91.44)	MC	C3PPT-4036M-ND	6.87	5.22
	Zinn	36 (91.44)	GR	C3PPT-4036G-ND	6.11	4.64
50	Zinn	6 (15.24)	MC	C3PPT-5006M-ND	5.97	4.53
	Zinn	6 (15.24)	GR	C3PPT-5006G-ND	5.82	4.41
	Zinn	18 (45.72)	MC	C3PPT-5018M-ND	7.00	5.31
	Zinn	18 (45.72)	GR	C3PPT-5018G-ND	6.52	4.95
	Zinn	36 (91.44)	MC	C3PPT-5036M-ND	8.54	6.48
	Zinn	36 (91.44)	GR	C3PPT-5036G-ND	7.59	5.75
60	Zinn	6 (15.24)	MC	C3PPT-6006M-ND	6.91	5.24
	Zinn	6 (15.24)	GR	C3PPT-6006G-ND	6.72	5.10
	Zinn	18 (45.72)	MC	C3PPT-6018M-ND	8.14	6.17
	Zinn	18 (45.72)	GR	C3PPT-6018G-ND	7.57	5.74
	Zinn	36 (91.44)	MC	C3PPT-6036M-ND	9.98	7.57
	Zinn	36 (91.44)	GR	C3PPT-6036G-ND	8.85	6.71

Kartenrand - Kartenrand

* MC = mehrfarbig, GR = grau

Kartenrand-Steckverbinder ohne Zugentlastung abgebildet.

Anz. der Kontakte	Anschl.-Oberfläche	Länge Zoll (cm)	Flachkabel*	Digi-Key Teilenr.	Stückpreis 1	10
10	Gold	6 (15.24)	MC	C3EEG-1006M-ND	4.20	3.19
	Zinn	6 (15.24)	MC	C3EET-1006M-ND	3.58	2.72
	Gold	6 (15.24)	GR	C3EEG-1006G-ND	4.17	3.16
	Zinn	6 (15.24)	GR	C3EET-1006G-ND	3.55	2.70
	Gold	18 (45.72)	MC	C3EEG-1018M-ND	4.40	3.34
	Zinn	18 (45.72)	MC	C3EET-1018M-ND	3.78	2.88
	Gold	18 (45.72)	GR	C3EEG-1018G-ND	4.30	3.27
	Zinn	18 (45.72)	GR	C3EET-1018G-ND	3.69	2.80
	Gold	36 (91.44)	MC	C3EEG-1036M-ND	4.71	3.57
	Zinn	36 (91.44)	MC	C3EET-1036M-ND	4.10	3.11
	Gold	36 (91.44)	GR	C3EEG-1036G-ND	4.51	3.43
	Zinn	36 (91.44)	GR	C3EET-1036G-ND	3.90	2.96
20	Gold	6 (15.24)	MC	C3EEG-2006M-ND	5.66	4.30
	Zinn	6 (15.24)	MC	C3EET-2006M-ND	4.84	3.68
	Gold	6 (15.24)	GR	C3EEG-2006G-ND	5.60	4.25
	Zinn	6 (15.24)	GR	C3EET-2006G-ND	4.78	3.63
	Gold	18 (45.72)	MC	C3EEG-2018M-ND	6.08	4.61
	Zinn	18 (45.72)	MC	C3EET-2018M-ND	5.26	3.99
	Gold	18 (45.72)	GR	C3EEG-2018G-ND	5.88	4.47
	Zinn	18 (45.72)	GR	C3EET-2018G-ND	5.06	3.84
	Gold	36 (91.44)	MC	C3EEG-2036M-ND	6.69	5.08
	Zinn	36 (91.44)	MC	C3EET-2036M-ND	5.88	4.46
	Gold	36 (91.44)	GR	C3EEG-2036G-ND	6.31	4.79
	Zinn	36 (91.44)	GR	C3EET-2036G-ND	5.49	4.17

(Forts.)

A

Abschlussbrücken

Kartenrand - Kartenrand *(Forts.)*

Anz. der Kontakte	Anschl.-Ober-fläche	Länge Zoll (cm)	Flach-kabel*	Digi-Key Teilenr.	Stückpreis 1	10
26	Gold	6 (15.24)	MC	C3EEG-2606M-ND	6.82	5.18
	Zinn	6 (15.24)	MC	C3EET-2606M-ND	5.84	4.43
	Gold	6 (15.24)	GR	C3EEG-2606G-ND	6.75	5.12
	Zinn	6 (15.24)	GR	C3EET-2606G-ND	5.77	4.37
	Gold	18 (45.72)	MC	C3EEG-2618M-ND	7.37	5.59
	Zinn	18 (45.72)	MC	C3EET-2618M-ND	6.37	4.84
	Gold	18 (45.72)	GR	C3EEG-2618G-ND	7.12	5.40
	Zinn	18 (45.72)	GR	C3EET-2618G-ND	6.13	4.65
	Gold	36 (91.44)	MC	C3EEG-2636M-ND	8.16	6.19
	Zinn	36 (91.44)	MC	C3EET-2636M-ND	7.18	5.45
	Gold	36 (91.44)	GR	C3EEG-2636G-ND	7.67	5.82
	Zinn	36 (91.44)	GR	C3EET-2636G-ND	6.69	5.07
34	Gold	6 (15.24)	MC	C3EEG-3406M-ND	8.48	6.44
	Zinn	6 (15.24)	MC	C3EET-3406M-ND	7.26	5.51
	Gold	6 (15.24)	GR	C3EEG-3406G-ND	8.38	6.35
	Zinn	6 (15.24)	GR	C3EET-3406G-ND	7.15	5.43
	Gold	18 (45.72)	MC	C3EEG-3418M-ND	9.18	6.96
	Zinn	18 (45.72)	MC	C3EET-3418M-ND	7.96	6.04
	Gold	18 (45.72)	GR	C3EEG-3418G-ND	8.86	6.72
	Zinn	18 (45.72)	GR	C3EET-3418G-ND	7.64	5.80
	Gold	36 (91.44)	MC	C3EEG-3436M-ND	10.22	7.75
	Zinn	36 (91.44)	MC	C3EET-3436M-ND	9.00	6.83
	Gold	36 (91.44)	GR	C3EEG-3436G-ND	9.58	7.27
	Zinn	36 (91.44)	GR	C3EET-3436G-ND	8.36	6.34
40	Gold	6 (15.24)	MC	C3EEG-4006M-ND	9.91	7.52
	Zinn	6 (15.24)	MC	C3EET-4006M-ND	8.48	6.44
	Gold	6 (15.24)	GR	C3EEG-4006G-ND	9.79	7.42
	Zinn	6 (15.24)	GR	C3EET-4006G-ND	8.36	6.34
	Gold	18 (45.72)	MC	C3EEG-4018M-ND	10.73	8.14
	Zinn	18 (45.72)	MC	C3EET-4018M-ND	9.30	7.06
	Gold	18 (45.72)	GR	C3EEG-4018G-ND	10.35	7.85
	Zinn	18 (45.72)	GR	C3EET-4018G-ND	8.92	6.77
	Gold	36 (91.44)	MC	C3EEG-4036M-ND	11.96	9.07
	Zinn	36 (91.44)	MC	C3EET-4036M-ND	10.54	7.99
	Gold	36 (91.44)	GR	C3EEG-4036G-ND	11.20	8.50
	Zinn	36 (91.44)	GR	C3EET-4036G-ND	9.78	7.42
50	Gold	6 (15.24)	MC	C3EEG-5006M-ND	11.22	8.51
	Zinn	6 (15.24)	MC	C3EET-5006M-ND	9.62	7.29
	Gold	6 (15.24)	GR	C3EEG-5006G-ND	11.07	8.39
	Zinn	6 (15.24)	GR	C3EET-5006G-ND	9.46	7.17
	Gold	18 (45.72)	MC	C3EEG-5018M-ND	12.25	9.29
	Zinn	18 (45.72)	MC	C3EET-5018M-ND	10.64	8.07
	Gold	18 (45.72)	GR	C3EEG-5018G-ND	11.77	8.93
	Zinn	18 (45.72)	GR	C3EET-5018G-ND	10.17	7.71
	Gold	36 (91.44)	MC	C3EEG-5036M-ND	13.79	10.46
	Zinn	36 (91.44)	MC	C3EET-5036M-ND	12.18	9.24
	Gold	36 (91.44)	GR	C3EEG-5036G-ND	12.83	9.73
	Zinn	36 (91.44)	GR	C3EET-5036G-ND	11.23	8.52

Buchsensteckverbinder - Leiterplatten-Steckverbinder

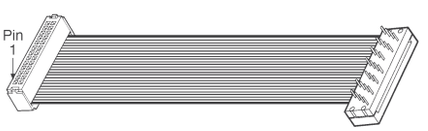

* MC = mehrfarbig, GR = grau

Buchsensteckverbinder ohne Zugentlastung abgebildet.

Anz. der Kontakte	Anschl.-Ober-fläche	Länge Zoll (cm)	Flach-kabel*	Digi-Key Teilenr.	Stückpreis 1	10
10	Zinn	6 (15.24)	MC	C3APT-1006M-ND	1.71	1.30
	Zinn	6 (15.24)	GR	C3APT-1006G-ND	1.68	1.28
	Zinn	18 (45.72)	MC	C3APT-1018M-ND	1.91	1.45
	Zinn	18 (45.72)	GR	C3APT-1018G-ND	1.82	1.38
	Zinn	36 (91.44)	MC	C3APT-1036M-ND	2.22	1.69
	Zinn	36 (91.44)	GR	C3APT-1036G-ND	2.02	1.54
20	Zinn	6 (15.24)	MC	C3APT-2006M-ND	2.82	2.14
	Zinn	6 (15.24)	GR	C3APT-2006G-ND	2.76	2.10
	Zinn	18 (45.72)	MC	C3APT-2018M-ND	3.23	2.46
	Zinn	18 (45.72)	GR	C3APT-2018G-ND	3.04	2.31
	Zinn	36 (91.44)	MC	C3APT-2036M-ND	3.85	2.92
	Zinn	36 (91.44)	GR	C3APT-2036G-ND	3.47	2.63
26	Zinn	6 (15.24)	MC	C3APT-2606M-ND	3.49	2.65
	Zinn	6 (15.24)	GR	C3APT-2606G-ND	3.41	2.59
	Zinn	18 (45.72)	MC	C3APT-2618M-ND	4.03	3.06
	Zinn	18 (45.72)	GR	C3APT-2618G-ND	3.78	2.87
	Zinn	36 (91.44)	MC	C3APT-2636M-ND	4.83	3.66
	Zinn	36 (91.44)	GR	C3APT-2636G-ND	4.33	3.29
34	Zinn	6 (15.24)	MC	C3APT-3406M-ND	4.29	3.26
	Zinn	6 (15.24)	GR	C3APT-3406G-ND	4.19	3.18
	Zinn	18 (45.72)	MC	C3APT-3418M-ND	4.99	3.79
	Zinn	18 (45.72)	GR	C3APT-3418G-ND	4.67	3.54
	Zinn	36 (91.44)	MC	C3APT-3436M-ND	6.04	4.58
	Zinn	36 (91.44)	GR	C3APT-3436G-ND	5.39	4.09
40	Zinn	6 (15.24)	MC	C3APT-4006M-ND	4.84	3.68
	Zinn	6 (15.24)	GR	C3APT-4006G-ND	4.72	3.58
	Zinn	18 (45.72)	MC	C3APT-4018M-ND	5.66	4.30
	Zinn	18 (45.72)	GR	C3APT-4018G-ND	5.28	4.01
	Zinn	36 (91.44)	MC	C3APT-4036M-ND	6.90	5.23
	Zinn	36 (91.44)	GR	C3APT-4036G-ND	6.14	4.66
50	Zinn	6 (15.24)	MC	C3APT-5006M-ND	5.92	4.49
	Zinn	6 (15.24)	GR	C3APT-5006G-ND	5.76	4.37
	Zinn	18 (45.72)	MC	C3APT-5018M-ND	6.95	5.27
	Zinn	18 (45.72)	GR	C3APT-5018G-ND	6.47	4.91
	Zinn	36 (91.44)	MC	C3APT-5036M-ND	8.49	6.44
	Zinn	36 (91.44)	GR	C3APT-5036G-ND	7.53	5.71
60	Zinn	6 (15.24)	MC	C3APT-6006M-ND	7.02	5.33
	Zinn	6 (15.24)	GR	C3APT-6006G-ND	6.83	5.18
	Zinn	18 (45.72)	MC	C3APT-6018M-ND	8.25	6.26
	Zinn	18 (45.72)	GR	C3APT-6018G-ND	7.68	5.83
	Zinn	36 (91.44)	MC	C3APT-6036M-ND	10.08	7.65
	Zinn	36 (91.44)	GR	C3APT-6036G-ND	8.95	6.79

Auch in folgenden Versionen erhältlich:
C3BP□-□□□□□-ND – Buchsensteckverbinder mit Zugentlastung.
C3CP□-□□□□□-ND – Buchsensteckverbinder mit zentralem Polarisationsschlüssel.
C3DP□-□□□□□-ND – Buchsensteckverbinder mit Zugentlastung und zentralem Polarisationsschlüssel.
Rufen Sie an, um die vollständige Teilenr. und Preisangaben zu erhalten!

Leiterplatten-Steckverbinder ohne Zugentlastung abgebildet.

Buchsensteckverbinder - Kartenrandsteckverbinder

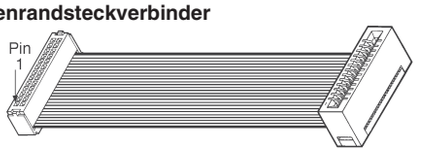

* MC = mehrfarbig, GR = grau

Buchsensteckverbinder ohne Zugentlastung abgebildet.

Anz. der Kontakte	Anschl.-Ober-fläche	Länge Zoll (cm)	Flach-kabel*	Digi-Key Teilenr.	Stückpreis 1	10
10	Gold	6 (15.24)	MC	C3AEG-1006M-ND	3.09	2.35
	Zinn	6 (15.24)	MC	C3AET-1006M-ND	2.64	2.01
	Gold	6 (15.24)	GR	C3AEG-1006G-ND	3.06	2.33
	Zinn	6 (15.24)	GR	C3AET-1006G-ND	2.62	1.99
	Gold	18 (45.72)	MC	C3AEG-1018M-ND	3.30	2.51
	Zinn	18 (45.72)	MC	C3AET-1018M-ND	2.85	2.17
	Gold	18 (45.72)	GR	C3AEG-1018G-ND	3.20	2.43
	Zinn	18 (45.72)	GR	C3AET-1018G-ND	2.75	2.09
	Gold	36 (91.44)	MC	C3AEG-1036M-ND	3.61	2.74
	Zinn	36 (91.44)	MC	C3AET-1036M-ND	3.16	2.40
	Gold	36 (91.44)	GR	C3AEG-1036G-ND	3.41	2.59
	Zinn	36 (91.44)	GR	C3AET-1036G-ND	2.96	2.25
20	Gold	6 (15.24)	MC	C3AEG-2006M-ND	4.56	3.46
	Zinn	6 (15.24)	MC	C3AET-2006M-ND	3.91	2.97
	Gold	6 (15.24)	GR	C3AEG-2006G-ND	4.50	3.41
	Zinn	6 (15.24)	GR	C3AET-2006G-ND	3.84	2.92
	Gold	18 (45.72)	MC	C3AEG-2018M-ND	4.97	3.77
	Zinn	18 (45.72)	MC	C3AET-2018M-ND	4.32	3.28
	Gold	18 (45.72)	GR	C3AEG-2018G-ND	4.78	3.63
	Zinn	18 (45.72)	GR	C3AET-2018G-ND	4.13	3.13
	Gold	36 (91.44)	MC	C3AEG-2036M-ND	5.59	4.24
	Zinn	36 (91.44)	MC	C3AET-2036M-ND	4.94	3.75
	Gold	36 (91.44)	GR	C3AEG-2036G-ND	5.21	3.95
	Zinn	36 (91.44)	GR	C3AET-2036G-ND	4.55	3.46
26	Gold	6 (15.24)	MC	C3AEG-2606M-ND	5.49	4.17
	Zinn	6 (15.24)	MC	C3AET-2606M-ND	4.71	3.57
	Gold	6 (15.24)	GR	C3AEG-2606G-ND	5.41	4.10
	Zinn	6 (15.24)	GR	C3AET-2606G-ND	4.62	3.51
	Gold	18 (45.72)	MC	C3AEG-2618M-ND	6.02	4.57
	Zinn	18 (45.72)	MC	C3AET-2618M-ND	5.24	3.98
	Gold	18 (45.72)	GR	C3AEG-2618G-ND	5.77	4.38
	Zinn	18 (45.72)	GR	C3AET-2618G-ND	4.99	3.79
	Gold	36 (91.44)	MC	C3AEG-2636M-ND	6.82	5.18
	Zinn	36 (91.44)	MC	C3AET-2636M-ND	6.04	4.58
	Gold	36 (91.44)	GR	C3AEG-2636G-ND	6.33	4.81
	Zinn	36 (91.44)	GR	C3AET-2636G-ND	5.55	4.21
34	Gold	6 (15.24)	MC	C3AEG-3406M-ND	6.81	5.16
	Zinn	6 (15.24)	MC	C3AET-3406M-ND	5.83	4.43
	Gold	6 (15.24)	GR	C3AEG-3406G-ND	6.70	5.08
	Zinn	6 (15.24)	GR	C3AET-3406G-ND	5.73	4.35
	Gold	18 (45.72)	MC	C3AEG-3418M-ND	7.50	5.69
	Zinn	18 (45.72)	MC	C3AET-3418M-ND	6.53	4.96
	Gold	18 (45.72)	GR	C3AEG-3418G-ND	7.18	5.45
	Zinn	18 (45.72)	GR	C3AET-3418G-ND	6.21	4.71
	Gold	36 (91.44)	MC	C3AEG-3436M-ND	8.54	6.48
	Zinn	36 (91.44)	MC	C3AET-3436M-ND	7.58	5.75
	Gold	36 (91.44)	GR	C3AEG-3436G-ND	7.91	6.00
	Zinn	36 (91.44)	GR	C3AET-3436G-ND	6.93	5.26
40	Gold	6 (15.24)	MC	C3AEG-4006M-ND	7.79	5.91
	Zinn	6 (15.24)	MC	C3AET-4006M-ND	6.68	5.07
	Gold	6 (15.24)	GR	C3AEG-4006G-ND	7.66	5.81
	Zinn	6 (15.24)	GR	C3AET-4006G-ND	6.55	4.97
	Gold	18 (45.72)	MC	C3AEG-4018M-ND	8.61	6.53
	Zinn	18 (45.72)	MC	C3AET-4018M-ND	7.50	5.69
40	Gold	18 (45.72)	GR	C3AEG-4018G-ND	8.23	6.24
	Zinn	18 (45.72)	GR	C3AET-4018G-ND	7.12	5.40
	Gold	36 (91.44)	MC	C3AEG-4036M-ND	9.84	7.46
	Zinn	36 (91.44)	MC	C3AET-4036M-ND	8.74	6.62
	Gold	36 (91.44)	GR	C3AEG-4036G-ND	9.08	6.89
	Zinn	36 (91.44)	GR	C3AET-4036G-ND	7.97	6.05
50	Gold	6 (15.24)	MC	C3AEG-5006M-ND	9.02	6.84
	Zinn	6 (15.24)	MC	C3AET-5006M-ND	7.74	5.87
	Gold	6 (15.24)	GR	C3AEG-5006G-ND	8.86	6.72
	Zinn	6 (15.24)	GR	C3AET-5006G-ND	7.59	5.75
	Gold	18 (45.72)	MC	C3AEG-5018M-ND	10.04	7.62
	Zinn	18 (45.72)	MC	C3AET-5018M-ND	8.77	6.65
	Gold	18 (45.72)	GR	C3AEG-5018G-ND	9.57	7.26
	Zinn	18 (45.72)	GR	C3AET-5018G-ND	8.29	6.29
	Gold	36 (91.44)	MC	C3AEG-5036M-ND	11.58	8.79
	Zinn	36 (91.44)	MC	C3AET-5036M-ND	10.31	7.82
	Gold	36 (91.44)	GR	C3AEG-5036G-ND	10.63	8.06
	Zinn	36 (91.44)	GR	C3AET-5036G-ND	9.35	7.09

Auch in folgenden Versionen erhältlich:
C3BE□-□□□□□-ND – Buchsensteckverbinder mit Zugentlastung.
C3CE□-□□□□□-ND – Buchsensteckverbinder mit zentralem Polarisationsschlüssel.
C3DE□-□□□□□-ND – Buchsensteckverbinder mit Zugentlastung und zentralem Polarisationsschlüssel.
Rufen Sie an, um die vollständige Teilenr. und Preisangaben zu erhalten!

Kartenrand-Steckverbinder sind ohne Zugentlastung.

Leiterplatten-Steckverbinder - Kartenrandsteckverbinder

* MC = mehrfarbig, GR = grau

Leiterplatten- und Kartenrand-Steckverbinder sind ohne Zugentlastung.

Anz. der Kontakte	Anschl.-Ober-fläche	Länge Zoll (cm)	Flach-kabel*	Digi-Key Teilenr.	Stückpreis 1	10
10	Zinn	6 (15.24)	MC	C3PET-1006M-ND	2.90	2.20
	Zinn	6 (15.24)	GR	C3PET-1006G-ND	2.86	2.17
	Zinn	18 (45.72)	MC	C3PET-1018M-ND	3.10	2.35
	Zinn	18 (45.72)	GR	C3PET-1018G-ND	3.00	2.28
	Zinn	36 (91.44)	MC	C3PET-1036M-ND	3.40	2.58
	Zinn	36 (91.44)	GR	C3PET-1036G-ND	3.21	2.44
20	Zinn	6 (15.24)	MC	C3PET-2006M-ND	3.76	2.85
	Zinn	6 (15.24)	GR	C3PET-2006G-ND	3.69	2.81
	Zinn	18 (45.72)	MC	C3PET-2018M-ND	4.17	3.17
	Zinn	18 (45.72)	GR	C3PET-2018G-ND	3.98	3.02
	Zinn	36 (91.44)	MC	C3PET-2036M-ND	4.78	3.63
	Zinn	36 (91.44)	GR	C3PET-2036G-ND	4.40	3.34
26	Zinn	6 (15.24)	MC	C3PET-2606M-ND	4.63	3.51
	Zinn	6 (15.24)	GR	C3PET-2606G-ND	4.55	3.45
	Zinn	18 (45.72)	MC	C3PET-2618M-ND	5.16	3.92
	Zinn	18 (45.72)	GR	C3PET-2618G-ND	4.92	3.73
	Zinn	36 (91.44)	MC	C3PET-2636M-ND	5.96	4.53
	Zinn	36 (91.44)	GR	C3PET-2636G-ND	5.48	4.15
34	Zinn	6 (15.24)	MC	C3PET-3406M-ND	5.72	4.34
	Zinn	6 (15.24)	GR	C3PET-3406G-ND	5.61	4.26
	Zinn	18 (45.72)	MC	C3PET-3418M-ND	6.42	4.87
	Zinn	18 (45.72)	GR	C3PET-3418G-ND	6.10	4.63
	Zinn	36 (91.44)	MC	C3PET-3436M-ND	7.46	5.66
	Zinn	36 (91.44)	GR	C3PET-3436G-ND	6.82	5.18
40	Zinn	6 (15.24)	MC	C3PET-4006M-ND	6.65	5.05
	Zinn	6 (15.24)	GR	C3PET-4006G-ND	6.53	4.95
	Zinn	18 (45.72)	MC	C3PET-4018M-ND	7.48	5.67
	Zinn	18 (45.72)	GR	C3PET-4018G-ND	7.09	5.38
	Zinn	36 (91.44)	MC	C3PET-4036M-ND	8.70	6.60
	Zinn	36 (91.44)	GR	C3PET-4036G-ND	7.94	6.03
50	Zinn	6 (15.24)	MC	C3PET-5006M-ND	7.80	5.91
	Zinn	6 (15.24)	GR	C3PET-5006G-ND	7.64	5.79
	Zinn	18 (45.72)	MC	C3PET-5018M-ND	8.82	6.69
	Zinn	18 (45.72)	GR	C3PET-5018G-ND	8.34	6.33
	Zinn	36 (91.44)	MC	C3PET-5036M-ND	10.36	7.86
	Zinn	36 (91.44)	GR	C3PET-5036G-ND	9.41	7.13

C□□□□-□□□□□-ND

- Style
- Conn. Finish: G=Gold, T=Tin
- Ribbon Cable: M=Multi-color, G=Gray
- Length *(Use "Inches" only.)*
- No. Of Contacts

Benutzerspezifische Digi-Key® Kabel erhältlich

An Digi-Key wenden

Alle Preisangaben in Euro und inklusive Zollgebühren.

3M D-Subminiatur-Steckverbinder

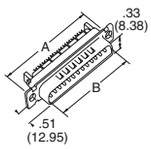

Stecker

Steckbuchse

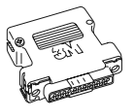

Backshell

Drahtanordnung: 26 und 28 AWG, massiv oder verseilt
Zugentlastungen separat bestellen.

Physikalische Spezifikationen: • Kontaktmaterial: Berylliumkupferüberzug • Bodenüberzug: 50 µ" Nickel, QQ-N-290, Klasse 2 • Schleifbereich: 30 µ" Gold, MIL-G-45204, Typ II, Grad C • Gehäusematerial: Stahl • Überzug: Zinn • Zugentlastungsmaterial: Edelstahl 0,016" (0,41 mm) dick • Markierung: 3M Logo und Kontaktpositionsnummer

Elektrische Spezifikationen: • Nennstrom: 1 A • Isolationswiderstand: >1 x 10^9 Ω @ 500 V DC • Haltespannung: 1,000 Vrms auf Meereshöhe

Umgebungsdaten: • Nenntemperatur: -55 °C ~ 105 °C • UL-Eintragsnr.: E68080, CSA-Eintragsnr.: LR-40971.

Anz. der Kontakte	Abmessungen - Zoll (mm) A	B	Digi-Key Teilenr.	Preisangaben 1	10	3M Teilenr.
Stecker mit Flansch, Durchgangsloch						
9	.98 (24.89)	.67 (17.02)	MMR09K-ND	4.24	35.71	8209-6000
15	1.31 (33.27)	1.00 (25.40)	MMR15K-ND	4.83	40.59	8215-6000
25	1.85 (46.99)	1.54 (39.12)	MMR25K-ND	5.48	46.08	8225-6000
37	2.50 (63.50)	2.18 (55.37)	MMR37K-ND	7.08	59.56	8237-6000
Stecker mit 4-40 Gewindeeinsatz						
9	.98 (24.89)	.67 (17.02)	MML09K-ND	5.20	43.71	8209-6003
15	1.31 (33.27)	1.00 (25.40)	MML15K-ND	5.77	48.59	8215-6003
25	1.85 (46.99)	1.54 (39.12)	MML25K-ND	6.23	52.45	8225-6003
37	2.50 (63.50)	2.18 (55.37)	MML37K-ND	7.73	65.04	8237-6003
50	2.40 (60.96)	2.074 (52.68)	MML50K-ND	15.41	129.64	8250-6005
Steckbuchsen mit Flansch, Durchgangsloch						
9	.98 (24.89)	.67 (17.02)	MFR09K-ND	4.35	36.60	8309-6000
15	1.31 (33.27)	.97 (24.64)	MFR15K-ND	5.00	42.08	8315-6000
25	1.85 (46.99)	1.51 (38.35)	MFR25K-ND	5.56	46.82	8325-6000
37	2.50 (63.50)	2.16 (54.86)	MFR37K-ND	7.19	60.45	8337-6000
Steckbuchsen mit 4-40 Gewindeeinsatz						
9	.98 (24.89)	.67 (17.02)	MFL09K-ND	5.30	44.60	8309-6003
15	1.31 (33.27)	.97 (24.64)	MFL15K-ND	5.95	50.08	8315-6003
25	1.85 (46.99)	1.51 (38.35)	MFL25K-ND	6.32	53.19	8325-6003
37	2.50 (63.50)	2.16 (54.86)	MFL37K-ND	7.73	65.04	8337-6003
50	2.40 (60.96)	2.068(52.53)	MFL50K-ND	15.41	129.64	8350-6005
Backshells						
9	—	—	MDBF09-ND	3.03	25.48	3485-2100F
15	—	—	MDBF15-ND	3.03	25.48	3485-2200F
25	—	—	MDBF25-ND	3.03	25.48	3485-2300F
37	—	—	MDBF37-ND	3.54	29.78	3485-2400F
50	—	—	MDBF50-ND	3.03	25.48	3485-2500F
Zugentlastung						
9	—	—	MDSR09-ND	.21	1.78	3448-8D09A
15	—	—	MDSR15-ND	.28	2.37	3448-8D15A
25	—	—	MDSR25-ND	.28	2.37	3448-8D25A
37	—	—	MDSR37-ND	.28	2.37	3448-8D37A
50	—	—	MDSR50-ND	.52	4.44	3448-8D50A

D-Sub-Kabelbausätze

mit einem Steckerende

* MC = 3M mehrfarbig, GR = 3M grau
Metallghäuse mit Zugentlastung abgebildet.

Anz. der Kontakte	Anschl.-Oberfläche	Länge in Fuß (Metern)	Flachkabel*	Digi-Key Teilenr.	Preisangaben 1	10
9	Au 30µ"	6 (1.83)	MC	M7PXK-0906R-ND	9.69	84.93
	Au 30µ"	6 (1.83)	GR	M7PXK-0906J-ND	8.50	74.51
	Au 30µ"	10 (3.05)	MC	M7PXK-0910R-ND	11.51	100.86
	Au 30µ"	10 (3.05)	GR	M7PXK-0910J-ND	9.52	83.48
15	Au 30µ"	6 (1.83)	MC	M7PXK-1506R-ND	12.33	108.19
	Au 30µ"	6 (1.83)	GR	M7PXK-1506J-ND	10.43	91.49
	Au 30µ"	10 (3.05)	MC	M7PXK-1510R-ND	15.25	133.67
	Au 30µ"	10 (3.05)	GR	M7PXK-1510J-ND	12.07	105.83
25	Au 30µ"	6 (1.83)	MC	M7PXK-2506R-ND	16.08	141.00
	Au 30µ"	6 (1.83)	GR	M7PXK-2506J-ND	12.99	113.87
	Au 30µ"	10 (3.05)	MC	M7PXK-2510R-ND	20.80	182.41
	Au 30µ"	10 (3.05)	GR	M7PXK-2510J-ND	15.65	137.17
37	Au 30µ"	6 (1.83)	MC	M7PXK-3706R-ND	21.58	189.24
	Au 30µ"	6 (1.83)	GR	M7PXK-3706J-ND	17.18	150.63
	Au 30µ"	10 (3.05)	MC	M7PXK-3710R-ND	28.30	248.16
	Au 30µ"	10 (3.05)	GR	M7PXK-3710J-ND	20.96	183.81

Auch in folgenden Konfigurationen erhältlich:
M7NXK-□□□□□-ND – Metallgehäuse-Steckverbinder mit Gewindeeinsatz.
M7VXK-□□□□□-ND – Metallgehäuse-Steckverbinder mit Gewindeeinsatz und Zugentlastung.
Rufen Sie an, um die vollständige Teilenr. und Preisangaben zu erhalten!

Mit einem Ende — Anschlussbuchse

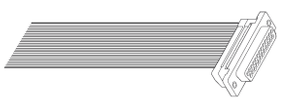

* MC = 3M mehrfarbig, GR = 3M grau
Metallghäuse mit Zugentlastung abgebildet.

Anz. der Kontakte	Anschl.-Oberfläche	Länge in Fuß (Metern)	Flachkabel*	Digi-Key Teilenr.	Preisangaben 1	10
9	Au 30µ"	6 (1.83)	MC	M7SXK-0906R-ND	9.85	86.38
	Au 30µ"	6 (1.83)	GR	M7SXK-0906J-ND	8.66	75.96
	Au 30µ"	10 (3.05)	MC	M7SXK-0910R-ND	11.67	102.30
	Au 30µ"	10 (3.05)	GR	M7SXK-0910J-ND	9.69	84.93
15	Au 30µ"	6 (1.83)	MC	M7SXK-1506R-ND	12.61	110.60
	Au 30µ"	6 (1.83)	GR	M7SXK-1506J-ND	10.71	93.90
	Au 30µ"	10 (3.05)	MC	M7SXK-1510R-ND	15.52	136.08
	Au 30µ"	10 (3.05)	GR	M7SXK-1510J-ND	12.34	108.25
25	Au 30µ"	6 (1.83)	MC	M7SXK-2506R-ND	16.22	142.21
	Au 30µ"	6 (1.83)	GR	M7SXK-2506J-ND	13.12	115.07
	Au 30µ"	10 (3.05)	MC	M7SXK-2510R-ND	20.94	183.62
	Au 30µ"	10 (3.05)	GR	M7SXK-2510J-ND	15.78	138.39
37	Au 30µ"	6 (1.83)	MC	M7SXK-3706R-ND	21.74	190.69
	Au 30µ"	6 (1.83)	GR	M7SXK-3706J-ND	17.34	152.07
	Au 30µ"	10 (3.05)	MC	M7SXK-3710R-ND	28.46	249.60
	Au 30µ"	10 (3.05)	GR	M7SXK-3710J-ND	21.12	185.25

Auch in folgenden Konfigurationen erhältlich:
M7OXK-□□□□□-ND – Metallgehäuse-Steckverbinder mit Gewindeeinsatz.
M7WXK-□□□□□-ND – Metallgehäuse-Steckverbinder mit Gewindeeinsatz und Zugentlastung
Rufen Sie an, um die vollständige Teilenr. und Preisangaben zu erhalten!

Stecker an Stecker

* MC = 3M mehrfarbig, GR = 3M grau
Metallghäuse mit Zugentlastung abgebildet.

Anz. der Kontakte	Anschl.-Oberfläche	Länge in Fuß (Metern)	Flachkabel*	Digi-Key Teilenr.	Preisangaben 1	10
9	Au 30µ"	6 (1.83)	MC	M7PPK-0906R-ND	16.64	145.98
	Au 30µ"	6 (1.83)	GR	M7PPK-0906J-ND	15.46	135.55
	Au 30µ"	10 (3.05)	MC	M7PPK-0910R-ND	18.46	161.90
	Au 30µ"	10 (3.05)	GR	M7PPK-0910J-ND	16.48	144.53
15	Au 30µ"	6 (1.83)	MC	M7PPK-1506R-ND	20.32	178.16
	Au 30µ"	6 (1.83)	GR	M7PPK-1506J-ND	18.41	161.46
	Au 30µ"	10 (3.05)	MC	M7PPK-1510R-ND	23.22	203.64
	Au 30µ"	10 (3.05)	GR	M7PPK-1510J-ND	20.05	175.80
25	Au 30µ"	6 (1.83)	MC	M7PPK-2506R-ND	25.08	219.90
	Au 30µ"	6 (1.83)	GR	M7PPK-2506J-ND	21.98	192.76
	Au 30µ"	10 (3.05)	MC	M7PPK-2510R-ND	29.80	261.31
	Au 30µ"	10 (3.05)	GR	M7PPK-2510J-ND	24.64	216.08
37	Au 30µ"	6 (1.83)	MC	M7PPK-3706R-ND	33.08	290.10
	Au 30µ"	6 (1.83)	GR	M7PPK-3706J-ND	28.67	251.48
	Au 30µ"	10 (3.05)	MC	M7PPK-3710R-ND	39.80	349.01
	Au 30µ"	10 (3.05)	GR	M7PPK-3710J-ND	32.46	284.66

Auch in folgenden Konfigurationen erhältlich:
M7NNK-□□□□□-ND – Metallgehäuse-Steckverbinder mit Gewindeeinsatz.
M7VVK-□□□□□-ND – Metallgehäuse-Steckverbinder mit Gewindeeinsatz und Zugentlastung.
Rufen Sie an, um die vollständige Teilenr. und Preisangaben zu erhalten!

Buchse an Buchse

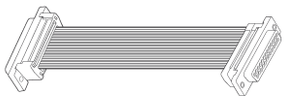

* MC = 3M mehrfarbig, GR = 3M grau
Metallghäuse mit Zugentlastung abgebildet.

Anz. der Kontakte	Anschl.-Oberfläche	Länge in Fuß (Metern)	Flachkabel*	Digi-Key Teilenr.	Preisangaben 1	10
9	Au 30µ"	6 (1.83)	MC	M7SSK-0906R-ND	16.97	148.87
	Au 30µ"	6 (1.83)	GR	M7SSK-0906J-ND	15.79	138.44
	Au 30µ"	10 (3.05)	MC	M7SSK-0910R-ND	18.79	164.80
	Au 30µ"	10 (3.05)	GR	M7SSK-0910J-ND	16.81	147.43
15	Au 30µ"	6 (1.83)	MC	M7SSK-1506R-ND	20.87	182.98
	Au 30µ"	6 (1.83)	GR	M7SSK-1506J-ND	18.96	166.29
	Au 30µ"	10 (3.05)	MC	M7SSK-1510R-ND	23.77	208.47
	Au 30µ"	10 (3.05)	GR	M7SSK-1510J-ND	20.60	180.63
25	Au 30µ"	6 (1.83)	MC	M7SSK-2506R-ND	25.36	222.32
	Au 30µ"	6 (1.83)	GR	M7SSK-2506J-ND	22.26	195.18
	Au 30µ"	10 (3.05)	MC	M7SSK-2510R-ND	30.07	263.72
	Au 30µ"	10 (3.05)	GR	M7SSK-2510J-ND	24.92	218.49
37	Au 30µ"	6 (1.83)	MC	M7SSK-3706R-ND	33.41	292.99
	Au 30µ"	6 (1.83)	GR	M7SSK-3706J-ND	29.00	254.38
	Au 30µ"	10 (3.05)	MC	M7SSK-3710R-ND	40.13	351.91
	Au 30µ"	10 (3.05)	GR	M7SSK-3710J-ND	32.79	287.56

Auch in folgenden Konfigurationen erhältlich:
M7OOK-□□□□□-ND – Metallgehäuse-Steckverbinder mit Gewindeeinsatz.
M7WWK-□□□□□-ND – Metallgehäuse-Steckverbinder mit Gewindeeinsatz und Zugentlastung.
Rufen Sie an, um die vollständige Teilenr. und Preisangaben zu erhalten!

Stecker an Buchse

* MC = 3M mehrfarbig, GR = 3M grau
Metallghäuse mit Zugentlastung abgebildet.

Anz. der Kontakte	Anschl.-Oberfläche	Länge in Fuß (Metern)	Flachkabel*	Digi-Key Teilenr.	Preisangaben 1	10
9	Au 30µ"	6 (1.83)	MC	M7PSK-0906R-ND	16.81	147.43
	Au 30µ"	6 (1.83)	GR	M7PSK-0906J-ND	15.62	137.00
	Au 30µ"	10 (3.05)	MC	M7PSK-0910R-ND	18.63	163.35
	Au 30µ"	10 (3.05)	GR	M7PSK-0910J-ND	16.64	145.98
15	Au 30µ"	6 (1.83)	MC	M7PSK-1506R-ND	20.59	180.57
	Au 30µ"	6 (1.83)	GR	M7PSK-1506J-ND	18.68	163.88
	Au 30µ"	10 (3.05)	MC	M7PSK-1510R-ND	23.50	206.05
	Au 30µ"	10 (3.05)	GR	M7PSK-1510J-ND	20.33	178.22
25	Au 30µ"	6 (1.83)	MC	M7PSK-2506R-ND	25.21	221.11
	Au 30µ"	6 (1.83)	GR	M7PSK-2506J-ND	22.12	193.97
	Au 30µ"	10 (3.05)	MC	M7PSK-2510R-ND	29.94	262.51
	Au 30µ"	10 (3.05)	GR	M7PSK-2510J-ND	24.78	217.28
37	Au 30µ"	6 (1.83)	MC	M7PSK-3706R-ND	33.25	291.54
	Au 30µ"	6 (1.83)	GR	M7PSK-3706J-ND	28.84	252.93
	Au 30µ"	10 (3.05)	MC	M7PSK-3710R-ND	39.97	350.46
	Au 30µ"	10 (3.05)	GR	M7PSK-3710J-ND	32.63	286.11

Auch in folgenden Konfigurationen erhältlich:
M7NOK-□□□□□-ND – Metallgehäuse-Steckverbinder mit Gewindeeinsatz.
M7VWK-□□□□□-ND – Metallgehäuse-Steckverbinder mit Gewindeeinsatz und Zugentlastung.
Rufen Sie an, um die vollständige Teilenr. und Preisangaben zu erhalten!

M□□□□-□□□□□-ND

- Style 7□□ (D-Sub)
- Conn. Finish G = Gold ≤15µ K = Gold >15µ Gold- Copper beryllium pin plating
- No. Of Contacts
- Length ***(Use "Feet" only.)***
- Ribbon Cable R=Multi-color J=Gray

A

3M 0,100" x 0,100" (2,54 mm x 2,54 mm) Buchsensteckverbinder

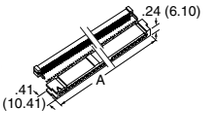

Drahtanordnung: 26, 28, 30 AWG massiv oder verseilt.

Physikalische Spezifikationen: • Isoliermaterial: Glasverstärktes Polyester • Entflammbarkeitsstufe UL 94V-0 • Farbe: Grau • Kontaktmaterial: Berylliumkupfer • Überzug: 30 µ" Gold • Drahtanordnung: 26 und 28 AWG, massiv oder verseilt; 30 AWG massiv • Markierung: 3M-Logo, Teil-ID und Ausrichtungsdreieck **Elektrische Spezifikationen:** • Nennstrom: 1 A • Isolationswiderstand: >1 x 10^9 Ω @ 500 V DC • Haltespannung: 1,000 Vrms auf Meereshöhe **Umgebungsdaten:** • Nenntemperatur: -55 °C ~ 105 °C • UL-Eintragungsnr.: E68080, CSA-Eintragungsnr.: LR-40971

Anz. der Kontakte	Abm. A Zoll (mm)	Digi-Key Teilenr.	Preisangaben 1	10	3M Teilenr.
Polarisationsschlitze (offenes Ende)					
10	.68 (17.27)	MSC10K-ND	1.69	14.22	3473-6000
14	.88 (22.35)	MSC14K-ND	2.04	17.19	3385-6000
16	.98 (24.89)	MSC16K-ND	2.24	18.82	3452-6000
20	1.18 (29.97)	MSC20K-ND	2.46	20.74	3421-6000
24	1.38 (35.05)	MSC24K-ND	2.95	24.89	3626-6000
26	1.48 (37.59)	MSC26K-ND	3.18	26.82	3399-6000
30	1.68 (42.67)	MSC30K-ND	3.67	30.82	3419-6000
34	1.88 (47.75)	MSC34K-ND	4.16	34.96	3414-6000
40	2.18 (55.37)	MSC40K-ND	4.88	41.04	3417-6000
50	2.68 (68.07)	MSC50K-ND	6.10	51.26	3425-6000
60	3.18 (80.77)	MSC60K-ND	7.55	63.56	3334-6000
Mitten-Nocken-Polarisation (offenes Ende)					
10	.68 (17.27)	MKC10K-ND	1.69	14.22	3473-6600
14	.88 (22.35)	MKC14K-ND	2.04	17.19	3385-6600
16	.98 (24.89)	MKC16K-ND	2.24	18.82	3452-6600
20	1.18 (29.97)	MKC20K-ND	2.46	20.74	3421-6600
24	1.38 (35.05)	MKC24K-ND	2.95	24.89	3626-6600
26	1.48 (37.59)	MKC26K-ND	3.18	26.82	3399-6600
30	1.68 (42.67)	MKC30K-ND	3.67	30.82	3419-6600
34	1.88 (47.75)	MKC34K-ND	4.16	34.96	3414-6600
40	2.18 (55.37)	MKC40K-ND	4.88	41.04	3417-6600
50	2.68 (68.07)	MKC50K-ND	6.10	51.26	3425-6600
60	3.18 (80.77)	MKC60K-ND	7.55	63.56	3334-6600
Mitten-Nocken-Polarisation (geschlossenes Ende)					
10	.68 (17.27)	MSD10K-ND	1.79	15.11	3473-7600
14	.88 (22.35)	MSD14K-ND	2.25	18.96	3385-7600
16	.98 (24.89)	MSD16K-ND	2.36	19.85	3452-7600
20	1.18 (29.97)	MSD20K-ND	2.59	21.78	3421-7600
24	1.38 (35.05)	MSD24K-ND	3.10	26.08	3626-7600
26	1.48 (37.59)	MSD26K-ND	3.36	28.30	3399-7600
30	1.68 (42.67)	MSD30K-ND	3.86	32.45	3419-7600
34	1.88 (47.75)	MSD34K-ND	4.33	36.45	3414-7600
40	2.18 (55.37)	MSD40K-ND	5.09	42.82	3417-7600
50	2.68 (68.07)	MSD50K-ND	6.34	53.34	3425-7600
60	3.18 (80.77)	MSD60K-ND	7.84	65.93	3334-7600
Kabelzugentlastung/Stabilisator					
10	—	MSSR10-ND	.21	1.78	3448-3010
14	—	MSSR14-ND	.21	1.78	3448-3014
16	—	MSSR16-ND	.21	1.78	3448-3016
20	—	MSSR20-ND	.21	1.78	3448-3020
24	—	MSSR24-ND	.21	1.78	3448-3024
26	—	MSSR26-ND	.21	1.78	3448-3026
30	—	MSSR30-ND	.21	1.78	3448-3030
34	—	MSSR34-ND	.21	1.78	3448-3034
40	—	MSSR40-ND	.21	1.78	3448-3040
50	—	MSSR50-ND	.21	1.78	3448-3050
60	—	MSSR60-ND	.21	1.78	3448-3060

3M Serie 89, 0,100" x 0,100" (2,54 mm x 2,54 mm) Buchsensteckverbinder

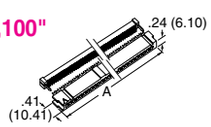

Diese hochwertigen IDC-Sockel mit Standardbleistung minimieren die Montagekosten, ohne die Zuverlässigkeit zu kompromittieren. Die IDC-Sockel der Serie 89 sind Teil einer neuen Linie von Standardleistungs-Zusammenschaltungen, die speziell für die Hersteller von Elektronikgeräten entwickelt wurden, um deren Montagekosten zu senken. Diese Zusammenschaltungen bieten darüber hinaus die Qualität und Zuverlässigkeit, die Sie von 3M erwarten können. Sie wurden mit Blick auf ein „systematisches" Vorgehen entwickelt, was sich positiv auf Verfahren und Produktkosten auswirkt. **Physikalische Spezifikationen:** • Isoliermaterial: Glasverstärktes Polyester (PBT) • Entflammbarkeitsstufe UL 94V-0 • Farbe: Grau • Markierung: Formzahlen: 3M-Logo und Ausrichtungsdreieck • Pins: Phosphorbronze • Kontaktüberzug: Wischbereich 30 µ" Gold: - MIL-G-45204, Typ 11, Grad C • Bodenüberzug: 100 µ" Nickel, QQ-N-290, Klasse 2 • Drahtanordnung: 28 AWG verseilt **Elektrische Spezifikationen:** • Nennstrom: 1 A • Isolationswiderstand: >1 x 10^9 Ω @ 500 V DC • Haltespannung: 1.000 Vrms auf Meereshöhe **Umgebungsdaten:** • Betriebstemperatur: -55 °C ~ 105 °C • UL-Eintragungsnr.: E68080, CSA-Eintragungsnr.: LR-40971

Anz. der Kontakte	Abm. A Zoll (mm)	Digi-Key Teilenr.	Preisangaben 1	10	3M Teilenr.
IDC-Sockel Gold					
10	.68 (17.27)	MSC10A-ND	.92	7.48	89110-0001
14	.88 (22.35)	MSC14A-ND	.95	7.72	89114-0001
16	.98 (24.89)	MSC16A-ND	.98	7.97	89116-0001
20	1.18 (29.97)	MSC20A-ND	1.07	8.69	89120-0001
24	1.38 (35.05)	MSC24A-ND	1.19	9.65	89124-0001
26	1.48 (37.59)	MSC26A-ND	1.22	9.90	89126-0001
30	1.68 (42.67)	MSC30A-ND	1.34	10.86	89130-0001
34	1.88 (47.75)	MSC34A-ND	1.36	11.10	89134-0001
40	2.18 (55.37)	MSC40A-ND	1.84	14.96	89140-0001
50	2.68 (68.07)	MSC50A-ND	1.99	16.17	89150-0001
60	3.18 (80.77)	MSC60A-ND	2.05	16.65	89160-0001
IDC-Sockel Gold, Polarisation					
10	.68 (17.27)	MKC10A-ND	.92	7.48	89110-0101
14	.88 (22.35)	MKC14A-ND	.95	7.72	89114-0101
16	.98 (24.89)	MKC16A-ND	.98	7.97	89116-0101
20	1.18 (29.97)	MKC20A-ND	1.07	8.69	89120-0101
24	1.38 (35.05)	MKC24A-ND	1.19	9.65	89124-0101
26	1.48 (37.59)	MKC26A-ND	1.22	9.90	89126-0101
30	1.68 (42.67)	MKC30A-ND	1.34	10.86	89130-0101
34	1.88 (47.75)	MKC34A-ND	1.36	11.10	89134-0101
40	2.18 (55.37)	MKC40A-ND	1.84	14.96	89140-0101
50	2.68 (68.07)	MKC50A-ND	1.99	16.17	89150-0101
60	3.18 (80.77)	MKC60A-ND	2.05	16.65	89160-0101
Zugentlastung					
10	—	MKSR10-ND	.24	1.93	3448-89110
14	—	MKSR14-ND	.24	1.93	3448-89114
16	—	MKSR16-ND	.24	1.93	3448-89116
20	—	MKSR20-ND	.24	1.93	3448-89120
24	—	MKSR24-ND	.24	1.93	3448-89124
26	—	MKSR26-ND	.24	1.93	3448-89126
30	—	MKSR30-ND	.24	1.93	3448-89130
34	—	MKSR34-ND	.24	1.93	3448-89134
40	—	MKSR40-ND	.24	1.93	3448-89140
50	—	MKSR50-ND	.24	1.93	3448-89150
60	—	MKSR60-ND	.24	1.93	3448-89160

3M 0,100" x 0,100" (2,54 mm x 2,54 mm) Buchsensteckverbinder

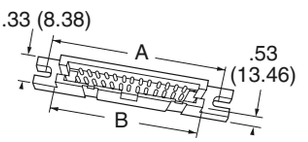

Physikalische Spezifikationen: • Isoliermaterial: Glasverstärktes Polyester (PBT) • Entflammbarkeitsstufe UL 94V-0 • Farbe: Grau • Kontaktmaterial: Flachkabelsteckverbinder aus Berylliumkupfer • Latch-Auswurf-Steckleisten: Kupferlegierung. • Überzug: 30 µ" Gold • Drahtanordnung: 26 und 28 AWG, massiv oder verseilt; 30 AWG massiv **Elektrische Spezifikationen:** • Nennstrom: 1 A • Isolationswiderstand: >1 x 10^9 Ω @ 500 V DC • Haltespannung: 1,000 Vrms auf Meereshöhe **Umgebungsdaten:** • Nenntemperatur: -55 °C ~ 105 °C • UL-Eintragungsnr.: E68080, CSA-Eintragungsnr.: LR-40971

Anz. der Kontakte	Abm. – Zoll (mm) A	B	Digi-Key Teilenr.	Preisangaben 1	10	3M Teilenr.
Mit geschlitzten Montageflanschen						
10	1.20 (30.48)	.90 (22.86)	MPL10K-ND	2.50	21.04	4610-6050
14	1.40 (35.56)	1.10 (27.94)	MPL14K-ND	3.47	29.19	4614-6000
16	1.50 (38.10)	1.20 (30.48)	MPL16K-ND	3.93	33.04	4616-6000
20	1.70 (43.18)	1.40 (35.56)	MPL20K-ND	4.58	38.52	4620-6000
24	1.90 (48.26)	1.60 (40.64)	MPL24K-ND	5.04	42.37	4624-6000
26	2.00 (50.80)	1.70 (43.18)	MPL26K-ND	5.22	43.85	4626-6000
30	2.20 (55.88)	1.90 (48.26)	MPL30K-ND	5.72	48.15	4630-6000
34	2.40 (60.96)	2.10 (53.34)	MPL34K-ND	6.46	54.38	4634-6000
36	2.50 (63.50)	2.20 (55.88)	MPL36K-ND	6.83	57.48	4636-6000
40	2.70 (68.58)	2.40 (60.96)	MPL40K-ND	7.17	60.30	4640-6000
50	3.20 (81.28)	2.90 (73.66)	MPL50K-ND	7.76	65.34	4650-6000
60	3.70 (93.98)	3.40 (86.36)	MPL60K-ND	9.16	77.04	4660-6000
64	3.90 (99.06)	3.60 (91.44)	MPL64K-ND	9.77	82.23	4664-6000
Ohne Montageflansche						
10	1.20 (30.48)	.90 (22.86)	MPK10K-ND	2.50	21.04	4610-6051
14	1.40 (35.56)	1.10 (27.94)	MPK14K-ND	3.47	29.19	4614-6001
16	1.50 (38.10)	1.20 (30.48)	MPK16K-ND	3.93	33.04	4616-6001
20	1.70 (43.18)	1.40 (35.56)	MPK20K-ND	4.58	38.52	4620-6001
24	1.90 (48.26)	1.60 (40.64)	MPK24K-ND	5.04	42.37	4624-6001
26	2.00 (50.80)	1.70 (43.18)	MPK26K-ND	5.22	43.85	4626-6001
30	2.20 (55.88)	1.90 (48.26)	MPK30K-ND	5.72	48.15	4630-6001
34	2.40 (60.96)	2.10 (53.34)	MPK34K-ND	6.46	54.38	4634-6001
36	2.50 (63.50)	2.20 (55.88)	MPK36K-ND	6.83	57.48	4636-6001
40	2.70 (68.58)	2.40 (60.96)	MPK40K-ND	7.17	60.30	4640-6001
50	3.20 (81.28)	2.90 (73.66)	MPK50K-ND	7.76	65.34	4650-6001
60	3.70 (93.98)	3.40 (86.36)	MPK60K-ND	9.16	77.04	4660-6001
64	3.90 (99.06)	3.60 (91.44)	MPK64K-ND	9.77	82.23	4664-6001
Zugentlastungen						
10	—	—	MPSR10-ND	.49	4.15	3448-4610
14	—	—	MPSR14-ND	.58	4.89	3448-4614
16	—	—	MPSR16-ND	.58	4.89	3448-4616
20	—	—	MPSR20-ND	.58	4.89	3448-4620
24	—	—	MPSR24-ND	.58	4.89	3448-4624
26	—	—	MPSR26-ND	.58	4.89	3448-4626
30	—	—	MPSR30-ND	.58	4.89	3448-4630
34	—	—	MPSR34-ND	.58	4.89	3448-4634
36	—	—	MPSR36-ND	.58	4.89	3448-4636
40	—	—	MPSR40-ND	.58	4.89	3448-4640
50	—	—	MPSR50-ND	.58	4.89	3448-4650
60	—	—	MPSR60-ND	.58	4.89	3448-4660
64	—	—	MPSR64-ND	.58	4.89	3448-4664
Verschluss/Auswurf. Haken (kurz)			MDLKS1-ND	.25/2	1.04	3505-16
Verschluss/Auswurf. Haken (lang)			MDLKS2-ND	.28/2	1.19	3505-17

3M 0,100“ (2,54 mm) Kartenrand-Steckverbinder

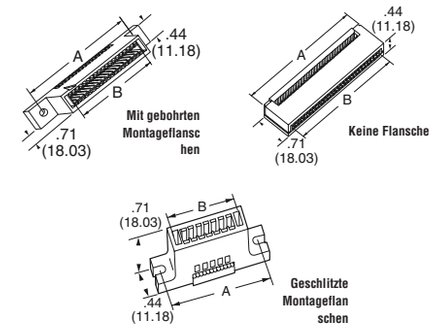

Physikalische Spezifikationen: • Isoliermaterial: Glasverstärktes Polyester (PBT) • Entflammbarkeitsstufe UL 94V-0 • Farbe: Grau • Kontaktmaterial: Berylliumkupfer • Überzug: 30 µ" Gold • Markierung: 3M-Logo und Teil-ID-Nr. **Elektrische Spezifikationen:** • Nennstrom: 1 A • Isolationswiderstand: >1 x 10^9 Ω @ 500 V DC • Haltespannung: 1,000 Vrms auf Meereshöhe **Umgebungsdaten:** • Nenntemperatur: -55 °C ~ 105 °C • UL-Eintragungsnr.: E68080, CSA-Eintragungsnr.: LR-40971 • Drahtanordnung: 26 AWG massiv oder verseilt; 28 AWG massiv oder verseilt, 30 AWG massiv

Zugentlastungen separat bestellen.

Anz. der Kontakte	Abm. – Zoll (mm) A	B	Digi-Key Teilenr.	Preisangaben 1	10	3M Teilenr.
Mit gebohrten Montageflanschen						
10	1.40 (35.56)	.612 (15.54)	MCF10K-ND	4.32	36.30	3358-0000
16	1.70 (43.18)	.912 (23.16)	MCF16K-ND	5.30	44.60	3368-0000
20	1.90 (48.26)	1.112 (28.24)	MCF20K-ND	5.62	47.27	3461-0000
26	2.20 (55.88)	1.412 (35.86)	MCF26K-ND	6.82	57.34	3462-0000
34	2.60 (66.04)	1.812 (46.02)	MCF34K-ND	7.26	61.04	3463-0000
40	2.90 (73.66)	2.112 (53.64)	MCF40K-ND	7.96	66.97	3464-0000
50	3.40 (86.36)	2.612 (66.34)	MCF50K-ND	9.88	83.12	3415-0000
60	3.90 (99.06)	3.112 (79.04)	MCF60K-ND	11.41	96.00	3666-0000
64	4.10 (104.14)	3.312 (84.12)	MCF64K-ND	11.11	93.49	3403-0000
Ohne Flansche						
10	.96 (24.38)	.612 (15.54)	MCE10K-ND	4.32	36.30	3358-0001
16	1.26 (32.00)	.912 (23.16)	MCE16K-ND	5.30	44.60	3368-0001
20	1.46 (37.08)	1.112 (28.24)	MCE20K-ND	5.62	47.27	3461-0001
26	1.76 (44.70)	1.412 (35.86)	MCE26K-ND	6.82	57.34	3462-0001
34	2.16 (54.86)	1.812 (46.02)	MCE34K-ND	7.26	61.04	3463-0001
40	2.46 (62.48)	2.112 (53.64)	MCE40K-ND	7.96	66.97	3464-0001
50	2.96 (75.18)	2.612 (66.34)	MCE50K-ND	9.88	83.12	3415-0001
60	3.46 (87.88)	3.112 (79.04)	MCE60K-ND	11.41	96.00	3666-0001
64	3.66 (92.96)	3.312 (84.12)	MCE64K-ND	11.11	93.49	3403-0001
Mit geschlitzten Montageflanschen						
10	1.30 (33.02)	.612 (15.54)	MCS10K-ND	4.32	36.30	3358-0002
16	1.60 (40.64)	.912 (23.16)	MCS16K-ND	5.30	44.60	3368-0002
20	1.80 (45.72)	1.112 (28.24)	MCS20K-ND	5.62	47.27	3461-0002
26	2.10 (53.34)	1.412 (35.86)	MCS26K-ND	6.82	57.34	3462-0002
34	2.50 (63.50)	1.812 (46.02)	MCS34K-ND	7.26	61.04	3463-0002
40	2.80 (71.12)	2.112 (53.64)	MCS40K-ND	7.96	66.97	3464-0002
50	3.30 (83.82)	2.612 (66.34)	MCS50K-ND	9.88	83.12	3415-0002
60	3.80 (96.52)	3.112 (79.04)	MCS60K-ND	11.41	96.00	3666-0002
64	4.00 (101.60)	3.312 (84.12)	MCS64K-ND	11.11	93.49	3403-0002
Zugentlastungen						
10	—	—	MCSR10-ND	1.55	13.04	3448-52
16	—	—	MCSR16-ND	1.55	13.04	3448-53
20	—	—	MCSR20-ND	1.55	13.04	3448-54
26	—	—	MCSR26-ND	1.45	12.15	3448-55
34	—	—	MCSR34-ND	1.24	10.37	3448-56
40	—	—	MCSR40-ND	1.45	12.15	3448-57
50	—	—	MCSR50-ND	1.55	13.04	3448-58
60	—	—	MCSR60-ND	4.58	38.52	3448-31
64	—	—	MCSR64-ND	1.55	13.04	3448-59

Alle Preisangaben in Euro und inklusive Zollgebühren.

3M Abschlussbrücken

Buchsensteckverbinder, mit einem Ende

* MC = 3M mehrfarbig, GR = 3M grau

Buchsensteckverbinder ohne Zugentlastung abgebildet.

Anz. der Kontakte	Anschl.-Oberfläche	Länge Zoll (cm)	Flach-kabel*	Digi-Key Teilenr.	Preisangaben 1	10
10	Au 30µ"	36 (91.44)	MC	M1AXK-1036R-ND	4.00	35.11
	Au 15µ"	36 (91.44)	MC	M1AXA-1036R-ND	2.22	19.42
	Au 30µ"	36 (91.44)	GR	M1AXK-1036J-ND	3.41	29.89
	Au 15µ"	36 (91.44)	GR	M1AXA-1036J-ND	1.62	14.21
14	Au 30µ"	36 (91.44)	MC	M1AXK-1436R-ND	5.10	44.71
	Au 15µ"	36 (91.44)	MC	M1AXA-1436R-ND	2.79	24.44
	Au 30µ"	36 (91.44)	GR	M1AXK-1436J-ND	4.27	37.40
	Au 15µ"	36 (91.44)	GR	M1AXA-1436J-ND	1.96	17.14
16	Au 30µ"	36 (91.44)	MC	M1AXK-1636R-ND	5.67	49.75
	Au 15µ"	36 (91.44)	MC	M1AXA-1636R-ND	3.09	27.07
	Au 30µ"	36 (91.44)	GR	M1AXK-1636J-ND	4.72	41.40
	Au 15µ"	36 (91.44)	GR	M1AXA-1636J-ND	2.13	18.72
20	Au 30µ"	36 (91.44)	MC	M1AXK-2036R-ND	6.58	57.67
	Au 15µ"	36 (91.44)	MC	M1AXA-2036R-ND	3.72	32.58
	Au 30µ"	36 (91.44)	GR	M1AXK-2036J-ND	5.38	47.23
	Au 15µ"	36 (91.44)	GR	M1AXA-2036J-ND	2.52	22.14
24	Au 30µ"	36 (91.44)	MC	M1AXK-2436R-ND	7.89	69.20
	Au 15µ"	36 (91.44)	MC	M1AXA-2436R-ND	4.37	38.32
	Au 30µ"	36 (91.44)	GR	M1AXK-2436J-ND	6.46	56.67
	Au 15µ"	36 (91.44)	GR	M1AXA-2436J-ND	2.94	25.79
26	Au 30µ"	36 (91.44)	MC	M1AXK-2636R-ND	8.53	74.72
	Au 15µ"	36 (91.44)	MC	M1AXA-2636R-ND	4.67	40.94
	Au 30µ"	36 (91.44)	GR	M1AXK-2636J-ND	6.98	61.16
	Au 15µ"	36 (91.44)	GR	M1AXA-2636J-ND	3.12	27.38
30	Au 30µ"	36 (91.44)	MC	M1AXK-3036R-ND	10.35	90.80
	Au 15µ"	36 (91.44)	MC	M1AXA-3036R-ND	5.87	51.46
	Au 30µ"	36 (91.44)	GR	M1AXK-3036J-ND	8.33	73.05
	Au 15µ"	36 (91.44)	GR	M1AXA-3036J-ND	3.84	33.72
34	Au 30µ"	36 (91.44)	MC	M1AXK-3436R-ND	11.12	97.55
	Au 15µ"	36 (91.44)	MC	M1AXA-3436R-ND	5.89	51.71
	Au 30µ"	36 (91.44)	GR	M1AXK-3436J-ND	9.10	79.81
	Au 15µ"	36 (91.44)	GR	M1AXA-3436J-ND	3.88	33.97
40	Au 30µ"	36 (91.44)	MC	M1AXK-4036R-ND	13.07	114.61
	Au 15µ"	36 (91.44)	MC	M1AXA-4036R-ND	7.15	62.73
	Au 30µ"	36 (91.44)	GR	M1AXK-4036J-ND	10.69	93.74
	Au 15µ"	36 (91.44)	GR	M1AXA-4036J-ND	4.77	41.86
50	Au 30µ"	36 (91.44)	MC	M1AXK-5036R-ND	16.33	143.20
	Au 15µ"	36 (91.44)	MC	M1AXA-5036R-ND	8.65	75.88
	Au 30µ"	36 (91.44)	GR	M1AXK-5036J-ND	13.35	117.10
	Au 15µ"	36 (91.44)	GR	M1AXA-5036J-ND	5.68	49.79
60	Au 30µ"	36 (91.44)	MC	M1AXK-6036R-ND	19.98	175.17
	Au 15µ"	36 (91.44)	MC	M1AXA-6036R-ND	10.07	88.31
	Au 30µ"	36 (91.44)	GR	M1AXK-6036J-ND	16.41	143.86
	Au 15µ"	36 (91.44)	GR	M1AXA-6036J-ND	6.50	57.00

Auch in folgenden Konfigurationen erhältlich:

M1BX□-□□36□-ND – Standard, offenes Ende mit Zugentlastung.
M1CX□-□□36□-ND – Standard, offenes Ende mit Polarisationsschlüssel.
M1DX□-□□36□-ND – Standard, offenes Ende mit Polarisationsschlüssel u. Zugentlastung.
M1TXK-□□36□-ND – Standard, geschlossenes Ende mit Polarisationsschlüssel.
M1UXK-□□36□-ND – Standard, geschlossenes Ende mit Polarisationsschlüssel u. Zugentlastung.

Rufen Sie an, um die vollständige Teilenr. und Preisangaben zu erhalten!

Buchsensteckverbinder, mit einem Ende

* Die fertige Länge des Kabels mit verdrillter Doppelleitung wurde geschätzt.

Anz. der Kontakte	Anschl.-Oberfläche	Länge Zoll (cm)	Flach-kabel*	Digi-Key Teilenr.	Preisangaben 1	10
10	Au 30µ"	40 (101.60)	TW	M1AXK-1040K-ND	4.72	41.36
	Au 15µ"	40 (101.60)	TW	M1AXA-1040K-ND	2.93	25.67
14	Au 30µ"	40 (101.60)	TW	M1AXK-1440K-ND	6.10	53.45
	Au 15µ"	40 (101.60)	TW	M1AXA-1440K-ND	3.78	33.19
16	Au 30µ"	40 (101.60)	TW	M1AXK-1640K-ND	6.82	59.75
	Au 15µ"	40 (101.60)	TW	M1AXA-1640K-ND	4.22	37.07
20	Au 30µ"	40 (101.60)	TW	M1AXK-2040K-ND	8.00	70.17
	Au 15µ"	40 (101.60)	TW	M1AXA-2040K-ND	5.14	45.07
26	Au 30µ"	40 (101.60)	TW	M1AXK-2640K-ND	10.37	90.98
	Au 15µ"	40 (101.60)	TW	M1AXA-2640K-ND	6.52	57.20
34	Au 30µ"	40 (101.60)	TW	M1AXK-3440K-ND	13.55	118.79
	Au 15µ"	40 (101.60)	TW	M1AXA-3440K-ND	8.32	72.95
40	Au 30µ"	40 (101.60)	TW	M1AXK-4040K-ND	15.92	139.60
	Au 15µ"	40 (101.60)	TW	M1AXA-4040K-ND	10.01	87.73
50	Au 30µ"	40 (101.60)	TW	M1AXK-5040K-ND	19.90	174.45
	Au 15µ"	40 (101.60)	TW	M1AXA-5040K-ND	12.22	107.13
60	Au 30µ"	40 (101.60)	TW	M1AXK-6040K-ND	24.26	212.67
	Au 15µ"	40 (101.60)	TW	M1AXA-6040K-ND	14.35	125.80

Auch in folgenden Konfigurationen erhältlich:

M1BX□-□□40K-ND – Standard, offenes Ende mit Zugentlastung.
M1CX□-□□40K-ND – Standard, offenes Ende mit Polarisationsschlüssel.
M1DX□-□□40K-ND – Standard, offenes Ende mit Polarisationsschlüssel u. Zugentlastung.
M1TXK-□□40K-ND – Standard, geschlossenes Ende mit Polarisationsschlüssel.
M1UXK-□□40K-ND – Standard, geschlossenes Ende mit Polarisationsschlüssel u. Zugentlastung.

Rufen Sie an, um die vollständige Teilenr. und Preisangaben zu erhalten!

Steckverbinder — mit einem Ende

* MC = 3M mehrfarbig, GR = 3M grau

Pin-Steckverbinder ohne Flansch, mit Polarisationsschlüssel abgebildet.

Anz. der Kontakte	Anschl.-Oberfläche	Länge Zoll (cm)	Flach-kabel*	Digi-Key Teilenr.	Preisangaben 1	10
10	Au 30µ"	36 (91.44)	MC	M1KXK-1036R-ND	5.27	46.21
	Au 30µ"	36 (91.44)	GR	M1KXK-1036J-ND	4.67	40.99
14	Au 30µ"	36 (91.44)	MC	M1KXK-1436R-ND	7.32	64.26
	Au 30µ"	36 (91.44)	GR	M1KXK-1436J-ND	6.49	56.95
16	Au 30µ"	36 (91.44)	MC	M1KXK-1636R-ND	8.31	72.92
	Au 30µ"	36 (91.44)	GR	M1KXK-1636J-ND	7.37	64.56
20	Au 30µ"	36 (91.44)	MC	M1KXK-2036R-ND	9.88	86.62
	Au 30µ"	36 (91.44)	GR	M1KXK-2036J-ND	8.69	76.19
24	Au 30µ"	36 (91.44)	MC	M1KXK-2436R-ND	11.14	97.67
	Au 30µ"	36 (91.44)	GR	M1KXK-2436J-ND	9.71	85.14
26	Au 30µ"	36 (91.44)	MC	M1KXK-2636R-ND	11.68	102.47
	Au 30µ"	36 (91.44)	GR	M1KXK-2636J-ND	10.13	88.90
30	Au 30µ"	36 (91.44)	MC	M1KXK-3036R-ND	13.57	119.02
	Au 30µ"	36 (91.44)	GR	M1KXK-3036J-ND	11.55	101.28
34	Au 30µ"	36 (91.44)	MC	M1KXK-3436R-ND	14.73	129.16
	Au 30µ"	36 (91.44)	GR	M1KXK-3436J-ND	12.71	111.41
36	Au 30µ"	36 (91.44)	MC	M1KXK-3636R-ND	15.71	137.81
	Au 30µ"	36 (91.44)	GR	M1KXK-3636J-ND	13.51	118.50
40	Au 30µ"	36 (91.44)	MC	M1KXK-4036R-ND	16.64	145.98
	Au 30µ"	36 (91.44)	GR	M1KXK-4036J-ND	14.27	125.10
50	Au 30µ"	36 (91.44)	MC	M1KXK-5036R-ND	18.95	166.12
	Au 30µ"	36 (91.44)	GR	M1KXK-5036J-ND	15.97	140.03
60	Au 30µ"	36 (91.44)	MC	M1KXK-6036R-ND	22.48	197.13
	Au 30µ"	36 (91.44)	GR	M1KXK-6036J-ND	18.90	165.82
64	Au 30µ"	36 (91.44)	MC	M1KXK-6436R-ND	23.98	210.35
	Au 30µ"	36 (91.44)	GR	M1KXK-6436J-ND	20.17	176.95

Auch in folgenden Konfigurationen erhältlich:

M1RXK-□□36□-ND – Pin-Steckverbinder ohne Flansch, mit Polarisationsschlüssel u. Zugentlastung
M1WXK-□□36□-ND – Pin-Steckverbinder mit Flansch mit Polarisationsschlüssel.
M1YXK-□□36□-ND – Pin-Steckverbinder mit Polarisationsschlüssel u. Zugentlastung
Rufen Sie an, um die vollständige Teilenr. und Preisangaben zu erhalten!

Stecker — mit einem Ende

* Die fertige Länge des Kabels mit verdrillter Doppelleitung wurde geschätzt.

Anz. der Kontakte	Anschl.-Oberfläche	Länge Zoll (cm)	Flach-kabel*	Digi-Key Teilenr.	Preisangaben 1	10
10	Au 30µ"	40 (101.60)	TW	M1KXK-1040K-ND	5.99	52.46
14	Au 30µ"	40 (101.60)	TW	M1KXK-1440K-ND	8.32	73.00
16	Au 30µ"	40 (101.60)	TW	M1KXK-1640K-ND	9.46	82.92
20	Au 30µ"	40 (101.60)	TW	M1KXK-2040K-ND	11.30	99.12
26	Au 30µ"	40 (101.60)	TW	M1KXK-2640K-ND	13.54	118.72
34	Au 30µ"	40 (101.60)	TW	M1KXK-3440K-ND	17.15	150.41
40	Au 30µ"	40 (101.60)	TW	M1KXK-4040K-ND	19.50	170.97
50	Au 30µ"	40 (101.60)	TW	M1KXK-5040K-ND	22.51	197.37
60	Au 30µ"	40 (101.60)	TW	M1KXK-6040K-ND	26.75	234.62
64	Au 30µ"	40 (101.60)	TW	M1KXK-6440K-ND	28.55	250.34

Auch in folgenden Konfigurationen erhältlich:

M1RXK-□□40K-ND – Standard, offenes Ende ohne Flansch, mit Polarisationsschlüssel u. Zugentlastung.
M1WXK-□□40K-ND – Standard, offenes Ende mit Flansch, mit Polarisationsschlüssel.
M1YXK-□□40K-ND – Standard, offenes Ende mit Flansch, mit Polarisationsschlüssel u. Zugentlastung.
Rufen Sie an, um die vollständige Teilenr. und Preisangaben zu erhalten!

Buchse - Buchsensteckverbinder

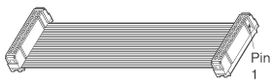

* MC = 3M mehrfarbig, GR = 3M grau

Buchsensteckverbinder ohne Zugentlastung abgebildet.

Anz. der Kontakte	Anschl.-Oberfläche	Länge Zoll (cm)	Flach-kabel*	Digi-Key Teilenr.	Preisangaben 1	10
10	Au 30µ"	6 (15.24)	MC	M3AAK-1006R-ND	5.51	48.32
	Au 15µ"	6 (15.24)	MC	M3AAA-1006R-ND	1.93	16.95
	Au 30µ"	6 (15.24)	GR	M3AAK-1006J-ND	5.41	47.45
	Au 15µ"	6 (15.24)	GR	M3AAA-1006J-ND	1.84	16.09
10	Au 30µ"	18 (45.72)	MC	M3AAK-1018R-ND	5.96	52.29
	Au 15µ"	18 (45.72)	MC	M3AAA-1018R-ND	2.39	20.93
	Au 30µ"	18 (45.72)	GR	M3AAK-1018J-ND	5.66	49.70
	Au 15µ"	18 (45.72)	GR	M3AAA-1018J-ND	2.09	18.33
10	Au 30µ"	36 (91.44)	MC	M3AAK-1036R-ND	6.65	58.27
	Au 15µ"	36 (91.44)	MC	M3AAA-1036R-ND	3.06	26.90
	Au 30µ"	36 (91.44)	GR	M3AAK-1036J-ND	6.05	53.06
	Au 15µ"	36 (91.44)	GR	M3AAA-1036J-ND	2.47	21.69
14	Au 30µ"	6 (15.24)	MC	M3AAK-1406R-ND	6.71	58.76
	Au 15µ"	6 (15.24)	MC	M3AAA-1406R-ND	2.08	18.23
	Au 30µ"	6 (15.24)	GR	M3AAK-1406J-ND	6.56	57.54
	Au 15µ"	6 (15.24)	GR	M3AAA-1406J-ND	1.94	17.01
14	Au 30µ"	18 (45.72)	MC	M3AAK-1418R-ND	7.34	64.34
	Au 15µ"	18 (45.72)	MC	M3AAA-1418R-ND	2.72	23.81
	Au 30µ"	18 (45.72)	GR	M3AAK-1418J-ND	6.92	60.68
	Au 15µ"	18 (45.72)	GR	M3AAA-1418J-ND	2.29	20.15
14	Au 30µ"	36 (91.44)	MC	M3AAK-1436R-ND	8.29	72.70
	Au 15µ"	36 (91.44)	MC	M3AAA-1436R-ND	3.67	32.16
	Au 30µ"	36 (91.44)	GR	M3AAK-1436J-ND	7.46	65.39
	Au 15µ"	36 (91.44)	GR	M3AAA-1436J-ND	2.84	24.86
16	Au 30µ"	6 (15.24)	MC	M3AAK-1606R-ND	7.35	64.47
	Au 15µ"	6 (15.24)	MC	M3AAA-1606R-ND	2.18	19.11
	Au 30µ"	6 (15.24)	GR	M3AAK-1606J-ND	7.20	63.08
	Au 15µ"	6 (15.24)	GR	M3AAA-1606J-ND	2.02	17.72
16	Au 30µ"	18 (45.72)	MC	M3AAK-1618R-ND	8.08	70.84
	Au 15µ"	18 (45.72)	MC	M3AAA-1618R-ND	2.90	25.48
	Au 30µ"	18 (45.72)	GR	M3AAK-1618J-ND	7.60	66.66
	Au 15µ"	18 (45.72)	GR	M3AAA-1618J-ND	2.43	21.30
16	Au 30µ"	36 (91.44)	MC	M3AAK-1636R-ND	9.17	80.39
	Au 15µ"	36 (91.44)	MC	M3AAA-1636R-ND	4.00	35.03
	Au 30µ"	36 (91.44)	GR	M3AAK-1636J-ND	8.21	72.05
	Au 15µ"	36 (91.44)	GR	M3AAA-1636J-ND	3.04	26.68
20	Au 30µ"	6 (15.24)	MC	M3AAK-2006R-ND	8.16	71.54
	Au 15µ"	6 (15.24)	MC	M3AAA-2006R-ND	2.44	21.35
	Au 30µ"	6 (15.24)	GR	M3AAK-2006J-ND	7.96	69.80
	Au 15µ"	6 (15.24)	GR	M3AAA-2006J-ND	2.24	19.62
20	Au 30µ"	18 (45.72)	MC	M3AAK-2018R-ND	9.07	79.50
	Au 15µ"	18 (45.72)	MC	M3AAA-2018R-ND	3.34	29.32
	Au 30µ"	18 (45.72)	GR	M3AAK-2018J-ND	8.47	74.28
	Au 15µ"	18 (45.72)	GR	M3AAA-2018J-ND	2.75	24.09
20	Au 30µ"	36 (91.44)	MC	M3AAK-2036R-ND	10.43	91.45
	Au 15µ"	36 (91.44)	MC	M3AAA-2036R-ND	4.71	41.26
	Au 30µ"	36 (91.44)	GR	M3AAK-2036J-ND	9.24	81.01
	Au 15µ"	36 (91.44)	GR	M3AAA-2036J-ND	3.51	30.82
24	Au 30µ"	6 (15.24)	MC	M3AAK-2406R-ND	9.79	85.85
	Au 15µ"	6 (15.24)	MC	M3AAA-2406R-ND	2.74	24.08
	Au 30µ"	6 (15.24)	GR	M3AAK-2406J-ND	9.55	83.76
	Au 15µ"	6 (15.24)	GR	M3AAA-2406J-ND	2.51	21.99
24	Au 30µ"	18 (45.72)	MC	M3AAK-2418R-ND	10.88	95.40
	Au 15µ"	18 (45.72)	MC	M3AAA-2418R-ND	3.84	33.64
	Au 30µ"	18 (45.72)	GR	M3AAK-2418J-ND	10.17	89.14
	Au 15µ"	18 (45.72)	GR	M3AAA-2418J-ND	3.12	27.37
24	Au 30µ"	36 (91.44)	MC	M3AAK-2436R-ND	12.51	109.74
	Au 15µ"	36 (91.44)	MC	M3AAA-2436R-ND	5.47	47.97
	Au 30µ"	36 (91.44)	GR	M3AAK-2436J-ND	11.08	97.21
	Au 15µ"	36 (91.44)	GR	M3AAA-2436J-ND	4.04	35.44
26	Au 30µ"	6 (15.24)	MC	M3AAK-2606R-ND	10.55	92.52
	Au 15µ"	6 (15.24)	MC	M3AAA-2606R-ND	2.84	24.96
	Au 30µ"	6 (15.24)	GR	M3AAK-2606J-ND	10.29	90.26
	Au 15µ"	6 (15.24)	GR	M3AAA-2606J-ND	2.59	22.70
26	Au 30µ"	18 (45.72)	MC	M3AAK-2618R-ND	11.73	102.87
	Au 15µ"	18 (45.72)	MC	M3AAA-2618R-ND	4.03	35.31
	Au 30µ"	18 (45.72)	GR	M3AAK-2618J-ND	10.96	96.09
	Au 15µ"	18 (45.72)	GR	M3AAA-2618J-ND	3.25	28.53

(Forts.)

A

Abschlussbrücken

Buchse - Buchsensteckverbinder *(Forts.)*

Anz. der Kontakte	Anschl.-Oberfläche	Länge Zoll (cm)	Flach-kabel*	Digi-Key Teilenr.	Preisangaben 1	10
26	Au 30µ"	36 (91.44)	MC	M3AAK-2636R-ND	13.50	118.40
	Au 15µ"	36 (91.44)	MC	M3AAA-2636R-ND	5.80	50.84
	Au 30µ"	36 (91.44)	GR	M3AAK-2636J-ND	11.95	104.83
	Au 15µ"	36 (91.44)	GR	M3AAA-2636J-ND	4.25	37.27
30	Au 30µ"	6 (15.24)	MC	M3AAK-3006R-ND	12.22	107.14
	Au 15µ"	6 (15.24)	MC	M3AAA-3006R-ND	3.25	28.48
	Au 30µ"	6 (15.24)	GR	M3AAK-3006J-ND	11.88	104.18
	Au 15µ"	6 (15.24)	GR	M3AAA-3006J-ND	2.91	25.52
30	Au 30µ"	18 (45.72)	MC	M3AAK-3018R-ND	13.76	120.67
	Au 15µ"	18 (45.72)	MC	M3AAA-3018R-ND	4.79	42.02
	Au 30µ"	18 (45.72)	GR	M3AAK-3018J-ND	12.75	111.80
	Au 15µ"	18 (45.72)	GR	M3AAA-3018J-ND	3.78	33.14
30	Au 30µ"	36 (91.44)	MC	M3AAK-3036R-ND	16.08	140.98
	Au 15µ"	36 (91.44)	MC	M3AAA-3036R-ND	7.10	62.33
	Au 30µ"	36 (91.44)	GR	M3AAK-3036J-ND	14.05	123.24
	Au 15µ"	36 (91.44)	GR	M3AAA-3036J-ND	5.09	44.58
34	Au 30µ"	6 (15.24)	MC	M3AAK-3406R-ND	13.76	120.65
	Au 15µ"	6 (15.24)	MC	M3AAA-3406R-ND	3.30	28.96
	Au 30µ"	6 (15.24)	GR	M3AAK-3406J-ND	13.42	117.69
	Au 15µ"	6 (15.24)	GR	M3AAA-3406J-ND	2.96	26.01
34	Au 30µ"	18 (45.72)	MC	M3AAK-3418R-ND	15.30	134.19
	Au 15µ"	18 (45.72)	MC	M3AAA-3418R-ND	4.84	42.50
	Au 30µ"	18 (45.72)	GR	M3AAK-3418J-ND	14.29	125.31
	Au 15µ"	18 (45.72)	GR	M3AAA-3418J-ND	3.84	33.63
34	Au 30µ"	36 (91.44)	MC	M3AAK-3436R-ND	17.62	154.50
	Au 15µ"	36 (91.44)	MC	M3AAA-3436R-ND	7.16	62.81
	Au 30µ"	36 (91.44)	GR	M3AAK-3436J-ND	15.59	136.75
	Au 15µ"	36 (91.44)	GR	M3AAA-3436J-ND	5.14	45.06
40	Au 30µ"	6 (15.24)	MC	M3AAK-4006R-ND	16.15	141.64
	Au 15µ"	6 (15.24)	MC	M3AAA-4006R-ND	4.32	37.89
	Au 30µ"	6 (15.24)	GR	M3AAK-4006J-ND	15.76	138.16
	Au 15µ"	6 (15.24)	GR	M3AAA-4006J-ND	3.92	34.41
40	Au 30µ"	18 (45.72)	MC	M3AAK-4018R-ND	17.96	157.56
	Au 15µ"	18 (45.72)	MC	M3AAA-4018R-ND	6.14	53.81
	Au 30µ"	18 (45.72)	GR	M3AAK-4018J-ND	16.78	147.12
	Au 15µ"	18 (45.72)	GR	M3AAA-4018J-ND	4.94	43.37
40	Au 30µ"	36 (91.44)	MC	M3AAK-4036R-ND	20.69	181.44
	Au 15µ"	36 (91.44)	MC	M3AAA-4036R-ND	8.86	77.69
	Au 30µ"	36 (91.44)	GR	M3AAK-4036J-ND	18.31	160.57
	Au 15µ"	36 (91.44)	GR	M3AAA-4036J-ND	6.48	56.82
50	Au 30µ"	6 (15.24)	MC	M3AAK-5006R-ND	20.17	176.92
	Au 15µ"	6 (15.24)	MC	M3AAA-5006R-ND	4.83	42.29
	Au 30µ"	6 (15.24)	GR	M3AAK-5006J-ND	19.67	172.57
	Au 15µ"	6 (15.24)	GR	M3AAA-5006J-ND	4.33	37.94
50	Au 30µ"	18 (45.72)	MC	M3AAK-5018R-ND	22.44	196.83
	Au 15µ"	18 (45.72)	MC	M3AAA-5018R-ND	7.09	62.19
	Au 30µ"	18 (45.72)	GR	M3AAK-5018J-ND	20.95	183.78
	Au 15µ"	18 (45.72)	GR	M3AAA-5018J-ND	5.60	49.15
50	Au 30µ"	36 (91.44)	MC	M3AAK-5036R-ND	25.85	226.69
	Au 15µ"	36 (91.44)	MC	M3AAA-5036R-ND	10.50	92.05
	Au 30µ"	36 (91.44)	GR	M3AAK-5036J-ND	22.88	200.58
	Au 15µ"	36 (91.44)	GR	M3AAA-5036J-ND	7.52	65.95
60	Au 30µ"	6 (15.24)	MC	M3AAK-6006R-ND	24.97	218.96
	Au 15µ"	6 (15.24)	MC	M3AAA-6006R-ND	5.16	45.24
	Au 30µ"	6 (15.24)	GR	M3AAK-6006J-ND	24.37	213.74
	Au 15µ"	6 (15.24)	GR	M3AAA-6006J-ND	4.56	40.02
60	Au 30µ"	18 (45.72)	MC	M3AAK-6018R-ND	27.69	242.85
	Au 15µ"	18 (45.72)	MC	M3AAA-6018R-ND	7.88	69.12
	Au 30µ"	18 (45.72)	GR	M3AAK-6018J-ND	25.91	227.19
	Au 15µ"	18 (45.72)	GR	M3AAA-6018J-ND	6.10	53.47
60	Au 30µ"	36 (91.44)	MC	M3AAK-6036R-ND	31.78	278.68
	Au 15µ"	36 (91.44)	MC	M3AAA-6036R-ND	11.97	104.96
	Au 30µ"	36 (91.44)	GR	M3AAK-6036J-ND	28.21	247.37
	Au 15µ"	36 (91.44)	GR	M3AAA-6036J-ND	8.40	73.65

Auch in folgenden Konfigurationen erhältlich:
M3BB□-□□□□□-ND – Standard, offenes Ende mit Zugentlastung
M3CC□-□□□□□-ND – Standard, offenes Ende mit Polarisationsschlüssel.
M3DD□-□□□□□-ND – Standard, offenes Ende mit Polarisationsschlüssel u. Zugentlastung.
M3TTK-□□□□□-ND – Standard, geschlossenes Ende mit Polarisationsschlüssel.
M3UUK-□□□□□-ND – Standard, geschlossenes Ende mit Polarisationsschlüssel u. Zugentlastung.
Rufen Sie an, um die vollständige Teilenr. und Preisangaben zu erhalten!

Buchse - Buchsensteckverbinder

* Die fertige Länge des Kabels mit verdrillter Doppelleitung wurde geschätzt.

Anz. der Kontakte	Anschl.-Oberfläche	Länge Zoll (cm)	Flach-kabel*	Digi-Key Teilenr.	Preisangaben 1	10
10	Au 30µ"	20 (50.80)	TW	M3AAK-1020K-ND	6.32	55.42
	Au 15µ"	20 (50.80)	TW	M3AAA-1020K-ND	2.74	24.05
	Au 30µ"	40 (101.60)	TW	M3AAK-1040K-ND	7.36	64.52
	Au 15µ"	40 (101.60)	TW	M3AAA-1040K-ND	3.78	33.15
	Au 30µ"	60 (152.40)	TW	M3AAK-1060K-ND	8.40	73.61
	Au 15µ"	60 (152.40)	TW	M3AAA-1060K-ND	4.82	42.25
14	Au 30µ"	20 (50.80)	TW	M3AAK-1420K-ND	7.84	68.71
	Au 15µ"	20 (50.80)	TW	M3AAA-1420K-ND	3.22	28.17
	Au 30µ"	40 (101.60)	TW	M3AAK-1440K-ND	9.29	81.44
	Au 15µ"	40 (101.60)	TW	M3AAA-1440K-ND	4.66	40.91
	Au 30µ"	60 (152.40)	TW	M3AAK-1460K-ND	10.74	94.18
	Au 15µ"	60 (152.40)	TW	M3AAA-1460K-ND	6.12	53.65
16	Au 30µ"	20 (50.80)	TW	M3AAK-1620K-ND	8.65	75.84
	Au 15µ"	20 (50.80)	TW	M3AAA-1620K-ND	3.48	30.48
	Au 30µ"	40 (101.60)	TW	M3AAK-1640K-ND	10.31	90.39
	Au 15µ"	40 (101.60)	TW	M3AAA-1640K-ND	5.14	45.03
	Au 30µ"	60 (152.40)	TW	M3AAK-1660K-ND	11.97	104.94
	Au 15µ"	60 (152.40)	TW	M3AAA-1660K-ND	6.80	59.58
20	Au 30µ"	20 (50.80)	TW	M3AAK-2020K-ND	9.78	85.75
	Au 15µ"	20 (50.80)	TW	M3AAA-2020K-ND	4.06	35.57
	Au 30µ"	40 (101.60)	TW	M3AAK-2040K-ND	11.85	103.95
	Au 15µ"	40 (101.60)	TW	M3AAA-2040K-ND	6.13	53.76
	Au 30µ"	60 (152.40)	TW	M3AAK-2060K-ND	13.93	122.14
	Au 15µ"	60 (152.40)	TW	M3AAA-2060K-ND	8.20	71.95
26	Au 30µ"	20 (50.80)	TW	M3AAK-2620K-ND	12.66	111.00
	Au 15µ"	20 (50.80)	TW	M3AAA-2620K-ND	4.95	43.44
	Au 30µ"	40 (101.60)	TW	M3AAK-2640K-ND	15.36	134.64
	Au 15µ"	40 (101.60)	TW	M3AAA-2640K-ND	7.65	67.08
	Au 30µ"	60 (152.40)	TW	M3AAK-2660K-ND	18.05	158.30
	Au 15µ"	60 (152.40)	TW	M3AAA-2660K-ND	10.35	90.74
34	Au 30µ"	20 (50.80)	TW	M3AAK-3420K-ND	16.52	144.81
	Au 15µ"	20 (50.80)	TW	M3AAA-3420K-ND	6.06	53.12
	Au 30µ"	40 (101.60)	TW	M3AAK-3440K-ND	20.04	175.74
	Au 15µ"	40 (101.60)	TW	M3AAA-3440K-ND	9.58	84.05
	Au 30µ"	60 (152.40)	TW	M3AAK-3460K-ND	23.57	206.66
	Au 15µ"	60 (152.40)	TW	M3AAA-3460K-ND	13.11	114.98
40	Au 30µ"	20 (50.80)	TW	M3AAK-4020K-ND	19.40	170.06
	Au 15µ"	20 (50.80)	TW	M3AAA-4020K-ND	7.56	66.31
	Au 30µ"	40 (101.60)	TW	M3AAK-4040K-ND	23.54	206.44
	Au 15µ"	40 (101.60)	TW	M3AAA-4040K-ND	11.71	102.69
	Au 30µ"	60 (152.40)	TW	M3AAK-4060K-ND	27.69	242.82
	Au 15µ"	60 (152.40)	TW	M3AAA-4060K-ND	15.86	139.07
50	Au 30µ"	20 (50.80)	TW	M3AAK-5020K-ND	24.23	212.45
	Au 15µ"	20 (50.80)	TW	M3AAA-5020K-ND	8.87	77.81
	Au 30µ"	40 (101.60)	TW	M3AAK-5040K-ND	29.41	257.93
	Au 15µ"	40 (101.60)	TW	M3AAA-5040K-ND	14.06	123.30
	Au 30µ"	60 (152.40)	TW	M3AAK-5060K-ND	34.60	303.41
	Au 15µ"	60 (152.40)	TW	M3AAA-5060K-ND	19.24	168.78
60	Au 30µ"	20 (50.80)	TW	M3AAK-6020K-ND	29.83	261.60
	Au 15µ"	20 (50.80)	TW	M3AAA-6020K-ND	10.02	87.88
	Au 30µ"	40 (101.60)	TW	M3AAK-6040K-ND	36.06	316.17
	Au 15µ"	40 (101.60)	TW	M3AAA-6040K-ND	16.25	142.45
	Au 30µ"	60 (152.40)	TW	M3AAK-6060K-ND	42.28	370.75
	Au 15µ"	60 (152.40)	TW	M3AAA-6060K-ND	22.47	197.03

Auch in folgenden Konfigurationen erhältlich:
M3BB□-□□□□□K-ND – Standard, offenes Ende mit Zugentlastung
M3CC□-□□□□□K-ND – Standard, offenes Ende mit Polarisationsschlüssel
M3DD□-□□□□□K-ND – Standard, offenes Ende mit Polarisationsschlüssel u. Zugentlastung
M3TTK-□□□□□K-ND – Standard, geschlossenes Ende mit Polarisationsschlüssel
M3UUK-□□□□□K-ND – Standard, geschlossenes Ende mit Polarisationsschlüssel u. Zugentlastung
Rufen Sie an, um die vollständige Teilenr. und Preisangaben zu erhalten!

Stecker - Stecker

* MC = 3M mehrfarbig, GR = 3M grau

3M

Pin-Steckverbinder ohne Flansch, mit Polarisationsschlüssel abgebildet.

Anz. der Kontakte	Anschl.-Oberfläche	Länge Zoll (cm)	Flach-kabel*	Digi-Key Teilenr.	Preisangaben 1	10
10	Au 30µ"	6 (15.24)	MC	M3KKK-1006R-ND	8.04	70.51
	Au 30µ"	6 (15.24)	GR	M3KKK-1006J-ND	7.94	69.65
	Au 30µ"	18 (45.72)	MC	M3KKK-1018R-ND	8.49	74.49
	Au 30µ"	18 (45.72)	GR	M3KKK-1018J-ND	8.20	71.89
	Au 30µ"	36 (91.44)	MC	M3KKK-1036R-ND	9.18	80.47
	Au 30µ"	36 (91.44)	GR	M3KKK-1036J-ND	8.58	75.25
14	Au 30µ"	6 (15.24)	MC	M3KKK-1406R-ND	11.16	97.85
	Au 30µ"	6 (15.24)	GR	M3KKK-1406J-ND	11.02	96.63
	Au 30µ"	18 (45.72)	MC	M3KKK-1418R-ND	11.79	103.43
	Au 30µ"	18 (45.72)	GR	M3KKK-1418J-ND	11.38	99.77
	Au 30µ"	36 (91.44)	MC	M3KKK-1436R-ND	12.75	111.79
	Au 30µ"	36 (91.44)	GR	M3KKK-1436J-ND	11.91	104.48
16	Au 30µ"	6 (15.24)	MC	M3KKK-1606R-ND	12.63	110.79
	Au 30µ"	6 (15.24)	GR	M3KKK-1606J-ND	12.48	109.41
	Au 30µ"	18 (45.72)	MC	M3KKK-1618R-ND	13.36	117.17
	Au 30µ"	18 (45.72)	GR	M3KKK-1618J-ND	12.89	112.99
	Au 30µ"	36 (91.44)	MC	M3KKK-1636R-ND	14.45	126.72
	Au 30µ"	36 (91.44)	GR	M3KKK-1636J-ND	13.49	118.37
20	Au 30µ"	6 (15.24)	MC	M3KKK-2006R-ND	14.76	129.45
	Au 30µ"	6 (15.24)	GR	M3KKK-2006J-ND	14.56	127.71
	Au 30µ"	18 (45.72)	MC	M3KKK-2018R-ND	15.67	137.41
	Au 30µ"	18 (45.72)	GR	M3KKK-2018J-ND	15.08	132.19
	Au 30µ"	36 (91.44)	MC	M3KKK-2036R-ND	17.03	149.36
	Au 30µ"	36 (91.44)	GR	M3KKK-2036J-ND	15.84	138.92
24	Au 30µ"	6 (15.24)	MC	M3KKK-2406R-ND	16.28	142.79
	Au 30µ"	6 (15.24)	GR	M3KKK-2406J-ND	16.04	140.70
	Au 30µ"	18 (45.72)	MC	M3KKK-2418R-ND	17.37	152.35
	Au 30µ"	18 (45.72)	GR	M3KKK-2418J-ND	16.66	146.08
	Au 30µ"	36 (91.44)	MC	M3KKK-2436R-ND	19.01	166.68
	Au 30µ"	36 (91.44)	GR	M3KKK-2436J-ND	17.58	154.15
26	Au 30µ"	6 (15.24)	MC	M3KKK-2606R-ND	16.88	148.01
	Au 30µ"	6 (15.24)	GR	M3KKK-2606J-ND	16.62	145.75
	Au 30µ"	18 (45.72)	MC	M3KKK-2618R-ND	18.06	158.37
	Au 30µ"	18 (45.72)	GR	M3KKK-2618J-ND	17.29	151.58
	Au 30µ"	36 (91.44)	MC	M3KKK-2636R-ND	19.83	173.89
	Au 30µ"	36 (91.44)	GR	M3KKK-2636J-ND	18.28	160.32
30	Au 30µ"	6 (15.24)	MC	M3KKK-3006R-ND	18.66	163.60
	Au 30µ"	6 (15.24)	GR	M3KKK-3006J-ND	18.32	160.64
	Au 30µ"	18 (45.72)	MC	M3KKK-3018R-ND	20.20	177.13
	Au 30µ"	18 (45.72)	GR	M3KKK-3018J-ND	19.19	168.26
	Au 30µ"	36 (91.44)	MC	M3KKK-3036R-ND	22.51	197.44
	Au 30µ"	36 (91.44)	GR	M3KKK-3036J-ND	20.50	179.70
34	Au 30µ"	6 (15.24)	MC	M3KKK-3406R-ND	20.97	183.86
	Au 30µ"	6 (15.24)	GR	M3KKK-3406J-ND	20.63	180.91
	Au 30µ"	18 (45.72)	MC	M3KKK-3418R-ND	22.51	197.40
	Au 30µ"	18 (45.72)	GR	M3KKK-3418J-ND	21.50	188.53
	Au 30µ"	36 (91.44)	MC	M3KKK-3436R-ND	24.82	217.71
	Au 30µ"	36 (91.44)	GR	M3KKK-3436J-ND	22.81	199.97
36	Au 30µ"	6 (15.24)	MC	M3KKK-3606R-ND	22.19	194.60
	Au 30µ"	6 (15.24)	GR	M3KKK-3606J-ND	21.83	191.38
	Au 30µ"	18 (45.72)	MC	M3KKK-3618R-ND	23.87	209.33
	Au 30µ"	18 (45.72)	GR	M3KKK-3618J-ND	22.77	199.68
	Au 30µ"	36 (91.44)	MC	M3KKK-3636R-ND	26.39	231.43
	Au 30µ"	36 (91.44)	GR	M3KKK-3636J-ND	24.19	212.12
40	Au 30µ"	6 (15.24)	MC	M3KKK-4006R-ND	23.31	204.37
	Au 30µ"	6 (15.24)	GR	M3KKK-4006J-ND	22.91	200.89
	Au 30µ"	18 (45.72)	MC	M3KKK-4018R-ND	25.12	220.29
	Au 30µ"	18 (45.72)	GR	M3KKK-4018J-ND	23.93	209.86
	Au 30µ"	36 (91.44)	MC	M3KKK-4036R-ND	27.84	244.18
	Au 30µ"	36 (91.44)	GR	M3KKK-4036J-ND	25.47	223.31
50	Au 30µ"	6 (15.24)	MC	M3KKK-5006R-ND	25.41	222.77
	Au 30µ"	6 (15.24)	GR	M3KKK-5006J-ND	24.91	218.41
	Au 30µ"	18 (45.72)	MC	M3KKK-5018R-ND	27.68	242.67
	Au 30µ"	18 (45.72)	GR	M3KKK-5018J-ND	26.19	229.62
	Au 30µ"	36 (91.44)	MC	M3KKK-5036R-ND	31.08	272.53
	Au 30µ"	36 (91.44)	GR	M3KKK-5036J-ND	28.10	246.43
60	Au 30µ"	6 (15.24)	MC	M3KKK-6006R-ND	29.98	262.88
	Au 30µ"	6 (15.24)	GR	M3KKK-6006J-ND	29.39	257.65
	Au 30µ"	18 (45.72)	MC	M3KKK-6018R-ND	32.70	286.76
	Au 30µ"	18 (45.72)	GR	M3KKK-6018J-ND	30.92	271.11
	Au 30µ"	36 (91.44)	MC	M3KKK-6036R-ND	36.78	322.60
	Au 30µ"	36 (91.44)	GR	M3KKK-6036J-ND	33.21	291.28
64	Au 30µ"	6 (15.24)	MC	M3KKK-6406R-ND	31.99	280.56
	Au 30µ"	6 (15.24)	GR	M3KKK-6406J-ND	31.36	274.99
	Au 30µ"	18 (45.72)	MC	M3KKK-6418R-ND	34.90	306.04
	Au 30µ"	18 (45.72)	GR	M3KKK-6418J-ND	32.99	289.34
	Au 30µ"	36 (91.44)	MC	M3KKK-6436R-ND	39.26	344.26
	Au 30µ"	36 (91.44)	GR	M3KKK-6436J-ND	35.45	310.86

Auch in folgenden Konfigurationen erhältlich:
M3RRK-□□□□□-ND – Pin-Steckverbinder ohne Flansch, mit Polarisationsschlüssel u. Zugentlastung
M3WWK-□□□□□-ND – Pin-Steckverbinder mit Flansch mit Polarisationsschlüssel.
M3YYK-□□□□□-ND – Pin-Steckverbinder mit Flansch, mit Polarisationsschlüssel u. Zugentlastung
Rufen Sie an, um die vollständige Teilenr. und Preisangaben zu erhalten!

Alle Preisangaben in Euro und inklusive Zollgebühren.

Stecker - Stecker

*Die fertige Länge des Kabels mit verdrillter Doppelleitung wurde geschätzt.

Anz. der Kontakte	Anschl.-Oberfläche	Länge Zoll (cm)	Flach-kabel*	Digi-Key Teilenr.	Preisangaben 1	10
10	Au 30µ"	20 (50.80)	TW	M3KKK-1020K-ND	8.86	77.62
	Au 30µ"	40 (101.60)	TW	M3KKK-1040K-ND	9.89	86.72
14	Au 30µ"	20 (50.80)	TW	M3KKK-1420K-ND	12.29	107.80
	Au 30µ"	40 (101.60)	TW	M3KKK-1440K-ND	13.75	120.53
16	Au 30µ"	20 (50.80)	TW	M3KKK-1620K-ND	13.94	122.16
	Au 30µ"	40 (101.60)	TW	M3KKK-1640K-ND	15.59	136.72
20	Au 30µ"	20 (50.80)	TW	M3KKK-2020K-ND	16.38	143.66
	Au 30µ"	40 (101.60)	TW	M3KKK-2040K-ND	18.46	161.85
20	Au 30µ"	20 (50.80)	TW	M3KKK-2620K-ND	18.99	166.49
	Au 30µ"	40 (101.60)	TW	M3KKK-2640K-ND	21.68	190.14
34	Au 30µ"	20 (50.80)	TW	M3KKK-3420K-ND	23.72	208.03
	Au 30µ"	40 (101.60)	TW	M3KKK-3440K-ND	27.25	238.95
40	Au 30µ"	20 (50.80)	TW	M3KKK-4020K-ND	26.55	232.79
	Au 30µ"	40 (101.60)	TW	M3KKK-4040K-ND	30.70	269.18
50	Au 30µ"	20 (50.80)	TW	M3KKK-5020K-ND	29.45	258.29
	Au 30µ"	40 (101.60)	TW	M3KKK-5040K-ND	34.64	303.78
60	Au 30µ"	20 (50.80)	TW	M3KKK-6020K-ND	34.84	305.51
	Au 30µ"	40 (101.60)	TW	M3KKK-6040K-ND	41.06	360.08
64	Au 30µ"	20 (50.80)	TW	M3KKK-6420K-ND	37.18	326.03
	Au 30µ"	40 (101.60)	TW	M3KKK-6440K-ND	43.82	384.25

Auch in folgenden Konfigurationen erhältlich:

M3RRK-□□□□K-ND – Pin-Connector ohne Flansch, mit Polarisationsschlüssel u. Zugentl.

M3WWK-□□□□K-ND – Pin-Connector mit Flansch mit Polarisationsschlüssel.

M3YYK-□□□□K-ND – Pin-Connector mit Flansch, mit Polarisationsschlüssel u. Zugentl.

Rufen Sie an, um die vollständige Teilenr. und Preisangaben zu erhalten!

Buchse - Stecker

* MC = 3M mehrfarbig, GR = 3M grau

Pin-Steckverbinder ohne Flansch, mit Polarisationsschlüssel und Buchsensteckverbinder ohne Zugentlastung abgebildet.

Anz. der Kontakte	Anschl.-Oberfläche	Länge Zoll (cm)	Flach-kabel*	Digi-Key Teilenr.	Preisangaben 1	10
10	Au 30µ"	6 (15.24)	MC	M3AKK-1006R-ND	6.77	59.41
	Au 30µ"	6 (15.24)	GR	M3AKK-1006J-ND	6.68	58.55
	Au 30µ"	18 (45.72)	MC	M3AKK-1018R-ND	7.23	63.39
	Au 30µ"	18 (45.72)	GR	M3AKK-1018J-ND	6.93	60.79
	Au 30µ"	36 (91.44)	MC	M3AKK-1036R-ND	7.91	69.37
	Au 30µ"	36 (91.44)	GR	M3AKK-1036J-ND	7.31	64.16
16	Au 30µ"	6 (15.24)	MC	M3AKK-1606R-ND	9.99	87.63
	Au 30µ"	6 (15.24)	GR	M3AKK-1606J-ND	9.84	86.24
	Au 30µ"	18 (45.72)	MC	M3AKK-1618R-ND	10.72	94.01
	Au 30µ"	18 (45.72)	GR	M3AKK-1618J-ND	10.24	89.82
	Au 30µ"	36 (91.44)	MC	M3AKK-1636R-ND	11.81	103.56
	Au 30µ"	36 (91.44)	GR	M3AKK-1636J-ND	10.85	95.21
20	Au 30µ"	6 (15.24)	MC	M3AKK-2006R-ND	11.46	100.49
	Au 30µ"	6 (15.24)	GR	M3AKK-2006J-ND	11.26	98.76
	Au 30µ"	18 (45.72)	MC	M3AKK-2018R-ND	12.37	108.46
	Au 30µ"	18 (45.72)	GR	M3AKK-2018J-ND	11.78	103.23
	Au 30µ"	36 (91.44)	MC	M3AKK-2036R-ND	13.73	120.40
	Au 30µ"	36 (91.44)	GR	M3AKK-2036J-ND	12.54	109.96
24	Au 30µ"	6 (15.24)	MC	M3AKK-2406R-ND	13.04	114.32
	Au 30µ"	6 (15.24)	GR	M3AKK-2406J-ND	12.80	112.23
	Au 30µ"	18 (45.72)	MC	M3AKK-2418R-ND	14.13	123.87
	Au 30µ"	18 (45.72)	GR	M3AKK-2418J-ND	13.41	117.61
	Au 30µ"	36 (91.44)	MC	M3AKK-2436R-ND	15.76	138.21
	Au 30µ"	36 (91.44)	GR	M3AKK-2436J-ND	14.33	125.68
26	Au 30µ"	6 (15.24)	MC	M3AKK-2606R-ND	13.71	120.27
	Au 30µ"	6 (15.24)	GR	M3AKK-2606J-ND	13.46	118.01
	Au 30µ"	18 (45.72)	MC	M3AKK-2618R-ND	14.89	130.61
	Au 30µ"	18 (45.72)	GR	M3AKK-2618J-ND	14.12	123.83
	Au 30µ"	36 (91.44)	MC	M3AKK-2636R-ND	16.67	146.14
	Au 30µ"	36 (91.44)	GR	M3AKK-2636J-ND	15.12	132.58

Anz. der Kontakte	Anschl.-Oberfläche	Länge Zoll (cm)	Flach-kabel*	Digi-Key Teilenr.	Preisangaben 1	10
30	Au 30µ"	6 (15.24)	MC	M3AKK-3006R-ND	15.43	135.37
	Au 30µ"	6 (15.24)	GR	M3AKK-3006J-ND	15.10	132.42
	Au 30µ"	18 (45.72)	MC	M3AKK-3018R-ND	16.98	148.91
	Au 30µ"	18 (45.72)	GR	M3AKK-3018J-ND	15.97	140.04
	Au 30µ"	36 (91.44)	MC	M3AKK-3036R-ND	19.29	169.21
	Au 30µ"	36 (91.44)	GR	M3AKK-3036J-ND	17.27	151.47
34	Au 30µ"	6 (15.24)	MC	M3AKK-3406R-ND	17.36	152.26
	Au 30µ"	6 (15.24)	GR	M3AKK-3406J-ND	17.03	149.31
	Au 30µ"	18 (45.72)	MC	M3AKK-3418R-ND	18.90	165.80
	Au 30µ"	18 (45.72)	GR	M3AKK-3418J-ND	17.90	156.93
	Au 30µ"	36 (91.44)	MC	M3AKK-3436R-ND	21.22	186.10
	Au 30µ"	36 (91.44)	GR	M3AKK-3436J-ND	19.20	168.35
40	Au 30µ"	6 (15.24)	MC	M3AKK-4006R-ND	19.73	173.00
	Au 30µ"	6 (15.24)	GR	M3AKK-4006J-ND	19.33	169.52
	Au 30µ"	18 (45.72)	MC	M3AKK-4018R-ND	21.55	188.93
	Au 30µ"	18 (45.72)	GR	M3AKK-4018J-ND	20.35	178.49
	Au 30µ"	36 (91.44)	MC	M3AKK-4036R-ND	24.27	212.81
	Au 30µ"	36 (91.44)	GR	M3AKK-4036J-ND	21.88	191.94
50	Au 30µ"	6 (15.24)	MC	M3AKK-5006R-ND	22.79	199.84
	Au 30µ"	6 (15.24)	GR	M3AKK-5006J-ND	22.29	195.49
	Au 30µ"	18 (45.72)	MC	M3AKK-5018R-ND	25.06	219.74
	Au 30µ"	18 (45.72)	GR	M3AKK-5018J-ND	23.57	206.70
	Au 30µ"	36 (91.44)	MC	M3AKK-5036R-ND	28.46	249.60
	Au 30µ"	36 (91.44)	GR	M3AKK-5036J-ND	25.49	223.51
60	Au 30µ"	6 (15.24)	MC	M3AKK-6006R-ND	27.47	240.92
	Au 30µ"	6 (15.24)	GR	M3AKK-6006J-ND	26.88	235.70
	Au 30µ"	18 (45.72)	MC	M3AKK-6018R-ND	30.20	264.81
	Au 30µ"	18 (45.72)	GR	M3AKK-6018J-ND	28.41	249.15
	Au 30µ"	36 (91.44)	MC	M3AKK-6036R-ND	34.29	300.64
	Au 30µ"	36 (91.44)	GR	M3AKK-6036J-ND	30.71	269.33

Auch in folgenden Konfigurationen erhältlich:

M3AWK-□□□□□-ND – Standard-Buchsensteckverbinder, Pin-Steckverbinder mit Flansch, mit Polarisationsschlüssel

M3BRK-□□□□□-ND – Buchsensteckverbinder mit Zugentl.; Pin-Steckverbinder ohne Flansch, mit Polarisationsschlüssel u. Zugentlastung

M3BYK-□□□□□-ND – Buchsensteckverbinder mit Zugentl.; Pin-Steckverbinder mit Flansch, mit Polarisationsschlüssel u. Zugentlastung

M3CKK-□□□□□-ND – Buchsensteckverbinder mit offenem Ende, mit Polarisationsschlüssel.

M3CWK-□□□□□-ND – Buchsensteckverbinder mit Polarisationsschlüssel, Pin-Connector mit Flansch, mit Polarisationsschlüssel

M3DRK-□□□□□-ND – Buchsensteckverbinder mit Polarisationsschlüssel u. Zugentl.; Pin-Connector ohne Flansch mit Polarisationss. und Zugentl.

M3DYK-□□□□□-ND – Buchsensteckverbinder mit Polarisationsschlüssel u. Zugentl.; Pin-Connector mit Flansch, mit Polarisationsschlüssel u. Zugentl.

M3TKK-□□□□□-ND – Buchsensteckverbinder, geschlossen, mit Polarisationsschlüssel

M3URK-□□□□□-ND – Buchsensteckverbinder, geschlossenes Ende mit Polarisationsschlüssel u. Zugentl., Pin-Connector ohne Flansch mit Polarisationss. und Zugentl.

M3UYK-□□□□□-ND – Buchsensteckverbinder, geschlossenes Ende mit Polarisationsschlüssel und Zugentl., Pin-Steckverbinder mit Flansch mit Polarisationss. und Zugentl.

Rufen Sie an, um die vollständige Teilenr. und Preisangaben zu erhalten!

Buchse - Stecker

* Die fertige Länge des Kabels mit verdrillter Doppelleitung wurde geschätzt.

Anz. der Kontakte	Anschl.-Oberfläche	Länge Zoll (cm)	Flach-kabel*	Digi-Key Teilenr.	Preisangaben 1	10
10	Au 30µ"	20 (50.80)	TW	M3AKK-1020K-ND	7.59	66.52
	Au 30µ"	40 (101.60)	TW	M3AKK-1040K-ND	8.63	75.62
	Au 30µ"	60 (152.40)	TW	M3AKK-1060K-ND	9.66	84.71
16	Au 30µ"	20 (50.80)	TW	M3AKK-1620K-ND	11.29	99.00
	Au 30µ"	40 (101.60)	TW	M3AKK-1640K-ND	12.95	113.55
	Au 30µ"	60 (152.40)	TW	M3AKK-1660K-ND	14.61	128.11
20	Au 30µ"	20 (50.80)	TW	M3AKK-2020K-ND	13.08	114.71
	Au 30µ"	40 (101.60)	TW	M3AKK-2040K-ND	15.15	132.90
	Au 30µ"	60 (152.40)	TW	M3AKK-2060K-ND	17.23	151.09
26	Au 30µ"	20 (50.80)	TW	M3AKK-2620K-ND	15.82	138.74
	Au 30µ"	40 (101.60)	TW	M3AKK-2640K-ND	18.52	162.39
	Au 30µ"	60 (152.40)	TW	M3AKK-2660K-ND	21.22	186.04
34	Au 30µ"	20 (50.80)	TW	M3AKK-3420K-ND	20.12	176.42
	Au 30µ"	40 (101.60)	TW	M3AKK-3440K-ND	23.65	207.35
	Au 30µ"	60 (152.40)	TW	M3AKK-3460K-ND	27.18	238.28
40	Au 30µ"	20 (50.80)	TW	M3AKK-4020K-ND	22.97	201.42
	Au 30µ"	40 (101.60)	TW	M3AKK-4040K-ND	27.12	237.81
	Au 30µ"	60 (152.40)	TW	M3AKK-4060K-ND	31.26	274.19
50	Au 30µ"	20 (50.80)	TW	M3AKK-5020K-ND	26.84	235.37
	Au 30µ"	40 (101.60)	TW	M3AKK-5040K-ND	32.03	280.85
	Au 30µ"	60 (152.40)	TW	M3AKK-5060K-ND	37.22	326.33
60	Au 30µ"	20 (50.80)	TW	M3AKK-6020K-ND	32.33	283.55
	Au 30µ"	40 (101.60)	TW	M3AKK-6040K-ND	38.56	338.13
	Au 30µ"	60 (152.40)	TW	M3AKK-6060K-ND	44.79	392.71

Auch in folgenden Konfigurationen erhältlich:

M3AWK-□□□□K-ND – Buchsensteckverbinder/Pin-Connector mit Flansch mit Polarisationsschl.

M3BRK-□□□□K-ND – Buchsensteckverbinder mit Zugentl., Pin-Connector ohne Flansch mit Polarisationss. und Zugentl.

M3BYK-□□□□K-ND – Buchsensteckverbinder mit Zugentl., Pin-Connector mit Flansch mit Polarisationss. und Zugentl.

M3CKK-□□□□K-ND – Buchsensteckverbinder mit Zugentl., Pin-Connector ohne Flansch mit Polarisationss.

M3CWK-□□□□K-ND – Buchsensteckverbinder mit Polarisationsschlüssel, Pin-Connector mit Flansch mit Polarisationss.

M3DRK-□□□□K-ND – Buchsensteckverbinder mit Polarisationsschlüssel u. Zugentl., Pin-Connector ohne Flansch mit Polarisationss. und Zugentl.

M3DYK-□□□□K-ND – Buchsensteckverbinder mit Polarisationsschlüssel und Zugentl., Pin-Connector mit Flansch mit Polarisationss. und Zugentl.

M3TKK-□□□□K-ND – Buchsensteckverbinder, geschlossenes Ende mit Polarisationss., Pin-Connector ohne Flansch mit Polarisationss.

M3URK-□□□□K-ND – Buchsensteckverbinder, geschlossenes Ende mit Polarisationsschlüssel u. Zugentl., Pin-Connector ohne Flansch mit Polarisationss. und Zugentl.

M3UYK-□□□□K-ND – Buchsensteckverbinder, geschlossenes Ende mit Polarisationsschlüssel und Zugentl.; Pin-Connector mit Flansch mit Polarisationss. und Zugentl.

Rufen Sie an, um die vollständige Teilenr. und Preisangaben zu erhalten!

M□□□□-□□□□□-ND

- Style: 1□□ Single Ended; 3□□ Double Ended
- Conn. Finish: G = Gold ≤15µ; K = Gold >15µ Gold- Copper beryllium pin plating
- Ribbon Cable: R=Multi-color; J=Gray; K=Twisted Pair
- Length *(Use "Inches" only.)*
- No. Of Contacts

3M Delta Flachbandkabel-Steckverbinder

Physikalische Spezifikationen: • Isoliermaterial: Glasverstärktes Polyester (PBT) • Entflammbarkeitsstufe UL 94V-0 • Farbe: Grau • Kontaktmaterial: Flachkabelsteckverbinder aus Berylliumkupfer • Latch-Auswurf-Steckleisten: Kupferlegierung. • Überzug: 30 µ" Gold **Elektrische Spezifikationen:** • Nennstrom: 1 A • Isolationswiderstand: >1 x 10^9 Ω @ 500 V DC • Haltespannung: 1,000 Vrms auf Meereshöhe **Umgebungsdaten:** • Nenntemperatur: -55 °C – 105 °C • UL-Eintragungsnr.: E68080, CSA-Eintragungsnr.: LR-40971

Es stehen 3 Montagedesigns zur Verfügung. Jene mit dem **Präfix MDA** vor der Digi-Key Teilenr.: Kombinationsmontage, ein universeller Montagetyp, der sowohl Griff- als auch Schraubmontagen-Hardware akzeptiert. **Präfix MDC:** Griffverschluss: Kann als Standard-E/A-Steckverbinder für verschiedene elektronische Geräte dienen; positives Sperren und einfaches Trennen. **Präfix MDB:** Schraubmontage mit #4-40 Gewindeeinsatz, was die Montage erleichtert, wenn eine permanentere Verbindung gewünscht wird

Drahtanordnung: 26-30 AWG verseilt

Stecker

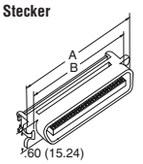

Sockel

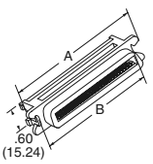

Anz. der Kontakte	Abm. – Zoll (mm) A	B	Digi-Key Teilenr.	Preisangaben 1	10	3M Teilenr.
		Stecker				
14	1.75 (44.45)	1.42 (36.07)	MDA14K-ND	4.22	35.56	3572-1000
	1.58 (40.13)	1.20 (30.48)	MDC14K-ND	4.88	41.04	3572-1001
	1.75 (44.45)	1.42 (36.07)	MDB14K-ND	4.55	38.22	3572-1002
24	2.17 (55.12)	1.84 (46.74)	MDA24K-ND	4.91	41.34	3548-1000
	2.00 (50.80)	1.63 (41.40)	MDC24K-ND	4.65	39.11	3548-1001
	2.17 (55.12)	1.84 (46.74)	MDB24K-ND	6.02	50.67	3548-1002
36	2.68 (68.07)	2.35 (59.69)	MDA36K-ND	6.20	52.15	3366-1000
	2.52 (64.01)	2.14 (54.36)	MDC36K-ND	5.71	48.00	3366-1001
	2.68 (68.07)	2.35 (59.69)	MDB36K-ND	5.82	49.04	3366-1002
50	3.27 (83.06)	2.95 (74.93)	MDA50K-ND	6.82	57.34	3564-1000
	3.11 (78.99)	2.73 (69.34)	MDC50K-ND	7.22	60.74	3564-1001
	3.27 (83.06)	2.95 (74.93)	MDB50K-ND	7.17	60.30	3564-1002
		Sockel				
14	1.75 (44.45)	1.42 (36.07)	MDD14K-ND	5.64	47.41	3573-1000
	1.58 (40.13)	1.20 (30.48)	MDF14K-ND	3.89	32.75	3573-1001
	1.75 (44.45)	1.42 (36.07)	MDE14K-ND	5.14	43.26	3573-1002
24	2.17 (55.12)	1.84 (46.74)	MDD24K-ND	4.42	37.19	3549-1000
	2.00 (50.80)	1.63 (41.40)	MDF24K-ND	4.61	38.82	3549-1001
	2.17 (55.12)	1.84 (46.74)	MDE24K-ND	4.70	39.56	3549-1002
36	2.68 (68.07)	2.35 (59.69)	MDD36K-ND	5.44	45.78	3367-1000
	2.52 (64.01)	2.14 (54.36)	MDF36K-ND	6.10	51.26	3367-1001
	2.68 (68.07)	2.35 (59.69)	MDE36K-ND	6.46	54.38	3367-1002
50	3.27 (83.06)	2.95 (74.93)	MDD50K-ND	6.48	54.52	3565-1000
	3.11 (78.99)	2.73 (69.34)	MDF50K-ND	7.68	64.60	3565-1001
	3.27 (83.06)	2.95 (74.93)	MDE50K-ND	7.17	60.30	3565-1002
		Backshells				
50	—	—	MDBF50-ND	3.03	25.48	3485-2500
		Metallzugentlastungen				
14	—	—	MDSF14-ND	.37	3.12	3448-60
24	—	—	MDSF24-ND	.37	3.12	3448-61
36	—	—	MDSF36-ND	.44	3.71	3448-62
50	—	—	MDSF50-ND	.44	3.71	3448-63

3M Pak 100 Leiterplatten-Steckverbinder

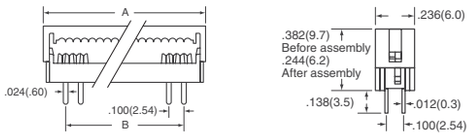

A

Serie 994 umfasst einen preiswerten Isolierungsverschiebungs-Steckverbinder (IDC) zum Löten von Flachkabel an eine Karte. Zur Verwendung mit 28 AWG PVC-Standard-Flachkabel

Physikalische Spezifikationen: • Isoliermaterial: Glasverstärktes Thermoplast. • Entflammbarkeitsstufe: UL 94V-0 • Farbe: Schwarz **Elektrische Spezifikationen:** • Nennstrom: 1 A • Haltespannung: 650 V AC für 1 Minute **Umgebungsdaten:** • Nenntemperatur: -55 °C ~ 105 °C **Steckverbinder-Oberfläche:** Zinn-Blei

No. of Cont.**	Abmessungen - Zoll (mm) A	B	Digi-Key Teilenr.	Preisangaben 1	10	3M Teilenr.
10	0.689 (17.50)	0.400 (10.16)	MDM10T-ND	.89	7.24	99410-0016T
14	0.889 (22.58)	0.600 (15.24)	MDM14T-ND	1.10	8.93	99414-0016T
16	0.989 (25.12)	0.700 (17.78)	MDM16T-ND	1.16	9.41	99416-0016T
20	1.189 (30.20)	0.900 (22.86)	MDM20T-ND	1.34	10.86	99420-0016T
24	1.389 (35.28)	1.100 (27.94)	MDM24T-ND	1.54	12.55	99424-0016T
26	1.489 (37.82)	1.200 (30.48)	MDM26T-ND	1.54	12.55	99426-0016T
30	1.689 (42.90)	1.400 (35.56)	MDM30T-ND	1.87	15.20	99430-0016T
34	1.889 (47.98)	1.600 (40.64)	MDM34T-ND	1.93	15.69	99434-0016T
36	1.989 (50.52)	1.700 (43.18)	MDM36T-ND	2.13	17.37	99436-0016T
40	2.189 (55.60)	1.900 (48.26)	MDM40T-ND	2.29	18.58	99440-0016T
50	2.689 (68.30)	2.400 (60.96)	MDM50T-ND	2.94	23.89	99450-0016T
60	3.189 (81.00)	2.900 (73.66)	MDM60T-ND	3.47	28.23	99460-0016T

** Anz. der Kontakte

Leiterplatten-Kabelbausätze

Mit einem Ende — Typ 2

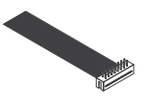

Steckverbinder-Oberfläche: Zinn

* MC = 3M mehrfarbig, GR = 3M grau

3M

Anz. der Kontakte	Länge in Zoll (cm)	Flach kabel*	Digi-Key Teilenr.	Preisangaben 1	10	100
10	6 (15.24)	MC	M2MXT-1006R-ND	1.05	9.23	68.01
	6 (15.24)	GR	M2MXT-1006J-ND	.96	8.36	61.61
	18 (45.72)	MC	M2MXT-1018R-ND	1.51	13.21	97.34
	18 (45.72)	GR	M2MXT-1018J-ND	1.21	10.61	78.14
	36 (91.44)	MC	M2MXT-1036R-ND	2.18	19.18	141.34
	36 (91.44)	GR	M2MXT-1036J-ND	1.59	13.97	102.94
14	6 (15.24)	MC	M2MXT-1406R-ND	1.34	11.72	86.32
	6 (15.24)	GR	M2MXT-1406J-ND	1.19	10.50	77.35
	18 (45.72)	MC	M2MXT-1418R-ND	1.97	17.29	127.39
	18 (45.72)	GR	M2MXT-1418J-ND	1.56	13.64	100.47
	36 (91.44)	MC	M2MXT-1436R-ND	2.92	25.65	188.99
	36 (91.44)	GR	M2MXT-1436J-ND	2.09	18.35	135.15
16	6 (15.24)	MC	M2MXT-1606R-ND	1.44	12.60	92.80
	6 (15.24)	GR	M2MXT-1606J-ND	1.28	11.20	82.55
	18 (45.72)	MC	M2MXT-1618R-ND	2.16	18.96	139.74
	18 (45.72)	GR	M2MXT-1618J-ND	1.68	14.79	108.97
	36 (91.44)	MC	M2MXT-1636R-ND	3.25	28.52	210.14
	36 (91.44)	GR	M2MXT-1636J-ND	2.30	20.17	148.61
20	6 (15.24)	MC	M2MXT-2006R-ND	1.69	14.84	109.34
	6 (15.24)	GR	M2MXT-2006J-ND	1.49	13.10	96.52
	18 (45.72)	MC	M2MXT-2018R-ND	2.60	22.80	168.01
	18 (45.72)	GR	M2MXT-2018J-ND	2.01	17.58	129.56
	36 (91.44)	MC	M2MXT-2036R-ND	3.96	34.74	256.01
	36 (91.44)	GR	M2MXT-2036J-ND	2.77	24.31	179.12
24	6 (15.24)	MC	M2MXT-2406R-ND	1.97	17.32	127.65
	6 (15.24)	GR	M2MXT-2406J-ND	1.74	15.24	112.27
	18 (45.72)	MC	M2MXT-2418R-ND	3.06	26.88	198.05
	18 (45.72)	GR	M2MXT-2418J-ND	2.35	20.61	151.91
	36 (91.44)	MC	M2MXT-2436R-ND	4.70	41.21	303.66
	36 (91.44)	GR	M2MXT-2436J-ND	3.27	28.68	211.37
26	6 (15.24)	MC	M2MXT-2606R-ND	2.02	17.72	130.59
	6 (15.24)	GR	M2MXT-2606J-ND	1.76	15.46	113.92
	18 (45.72)	MC	M2MXT-2618R-ND	3.20	28.07	206.86
	18 (45.72)	GR	M2MXT-2618J-ND	2.43	21.29	156.86
	36 (91.44)	MC	M2MXT-2636R-ND	4.97	43.60	321.26
	36 (91.44)	GR	M2MXT-2636J-ND	3.42	30.03	221.28
34	6 (15.24)	MC	M2MXT-3406R-ND	2.56	22.45	165.43
	6 (15.24)	GR	M2MXT-3406J-ND	2.23	19.50	143.64
	18 (45.72)	MC	M2MXT-3418R-ND	4.11	35.99	265.17
	18 (45.72)	GR	M2MXT-3418J-ND	3.09	27.12	199.81
	36 (91.44)	MC	M2MXT-3436R-ND	6.42	56.29	414.77
	36 (91.44)	GR	M2MXT-3436J-ND	4.39	38.55	284.05
40	6 (15.24)	MC	M2MXT-4006R-ND	3.03	26.54	195.56
	6 (15.24)	GR	M2MXT-4006J-ND	2.63	23.06	169.93
	18 (45.72)	MC	M2MXT-4018R-ND	4.84	42.47	312.90
	18 (45.72)	GR	M2MXT-4018J-ND	3.65	32.03	236.02
	36 (91.44)	MC	M2MXT-4036R-ND	7.57	66.36	488.91
	36 (91.44)	GR	M2MXT-4036J-ND	5.19	45.48	335.13
50	6 (15.24)	MC	M2MXT-5006R-ND	3.86	33.84	249.35
	6 (15.24)	GR	M2MXT-5006J-ND	3.36	29.49	217.30
	18 (45.72)	MC	M2MXT-5018R-ND	6.13	53.74	396.02
	18 (45.72)	GR	M2MXT-5018J-ND	4.64	40.70	299.88
	36 (91.44)	MC	M2MXT-5036R-ND	9.53	83.60	616.03
	36 (91.44)	GR	M2MXT-5036J-ND	6.56	57.51	423.76
60	6 (15.24)	MC	M2MXT-6006R-ND	4.58	40.17	296.01
	6 (15.24)	GR	M2MXT-6006J-ND	3.99	34.96	257.56
	18 (45.72)	MC	M2MXT-6018R-ND	7.31	64.06	472.02
	18 (45.72)	GR	M2MXT-6018J-ND	5.52	48.41	356.66
	36 (91.44)	MC	M2MXT-6036R-ND	11.40	99.89	736.03
	36 (91.44)	GR	M2MXT-6036J-ND	7.82	68.58	505.32
Verdrilltes Adernpaar						
10	20 (50.80)	MC	M2MXT-1020K-ND	1.86	16.33	120.36
	40 (101.60)	MC	M2MXT-1040K-ND	2.90	25.43	187.39
	60 (152.40)	MC	M2MXT-1060K-ND	3.94	34.52	254.41
14	20 (50.80)	MC	M2MXT-1420K-ND	2.47	21.66	159.62
	40 (101.60)	MC	M2MXT-1440K-ND	3.92	34.40	253.46
	60 (152.40)	MC	M2MXT-1460K-ND	5.38	47.13	347.28

No. of Cont.**	Länge in Zoll (cm)	Flach kabel*	Digi-Key Teilenr.	Preisangaben 1	10	100
16	20 (50.80)	MC	M2MXT-1620K-ND	2.73	23.97	176.58
	40 (101.60)	MC	M2MXT-1640K-ND	4.39	38.52	283.81
	60 (152.40)	MC	M2MXT-1660K-ND	6.05	53.07	391.06
20	20 (50.80)	MC	M2MXT-2020K-ND	3.31	29.05	214.05
	40 (101.60)	MC	M2MXT-2040K-ND	5.38	47.24	348.10
	60 (152.40)	MC	M2MXT-2060K-ND	7.46	65.43	482.16
24	20 (50.80)	MC	M2MXT-2420K-ND	3.50	30.74	226.50
	40 (101.60)	MC	M2MXT-2440K-ND	5.58	48.93	360.55
	60 (152.40)	MC	M2MXT-2460K-ND	7.65	67.13	494.60
26	20 (50.80)	MC	M2MXT-2620K-ND	4.13	36.20	266.71
	40 (101.60)	MC	M2MXT-2640K-ND	6.82	59.85	440.98
	60 (152.40)	MC	M2MXT-2660K-ND	9.52	83.50	615.25
34	20 (50.80)	MC	M2MXT-3420K-ND	5.32	46.61	343.45
	40 (101.60)	MC	M2MXT-3440K-ND	8.84	77.54	571.34
	60 (152.40)	MC	M2MXT-3460K-ND	12.37	108.47	799.22
40	20 (50.80)	MC	M2MXT-4020K-ND	6.26	54.96	405.00
	40 (101.60)	MC	M2MXT-4040K-ND	10.41	91.35	673.10
	60 (152.40)	MC	M2MXT-4060K-ND	14.57	127.74	941.20
50	20 (50.80)	MC	M2MXT-5020K-ND	7.91	69.37	511.13
	40 (101.60)	MC	M2MXT-5040K-ND	13.10	114.85	846.26
	60 (152.40)	MC	M2MXT-5060K-ND	18.29	160.33	1181.39
60	20 (50.80)	MC	M2MXT-6020K-ND	9.44	82.81	610.16
	40 (101.60)	MC	M2MXT-6040K-ND	15.67	137.39	1012.31
	60 (152.40)	MC	M2MXT-6060K-ND	21.89	191.97	1414.47

** Anz. der Kontakte

Mit zwei Enden — Typ 6

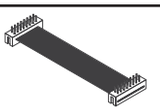

Steckverbinder-Oberfläche: Zinn

*MC = 3M mehrfarbig, GR = 3M grau

3M

No. of Cont.**	Länge in Zoll (cm)	Flach-kabel*	Digi-Key Teilenr.	Preisangaben 1	10	100
10	6 (15.24)	MC	M6MMT-1006R-ND	1.88	16.47	121.34
	6 (15.24)	GR	M6MMT-1006J-ND	1.78	15.60	114.94
	18 (45.72)	MC	M6MMT-1018R-ND	2.33	20.45	150.68
	18 (45.72)	GR	M6MMT-1018J-ND	2.03	17.85	131.48
	36 (91.44)	MC	M6MMT-1036R-ND	3.01	26.42	194.68
	36 (91.44)	GR	M6MMT-1036J-ND	2.42	21.21	156.27
14	6 (15.24)	MC	M6MMT-1406R-ND	2.35	20.64	152.10
	6 (15.24)	GR	M6MMT-1406J-ND	2.22	19.42	143.13
	18 (45.72)	MC	M6MMT-1418R-ND	2.99	26.22	193.17
	18 (45.72)	GR	M6MMT-1418J-ND	2.57	22.56	166.25
	36 (91.44)	MC	M6MMT-1436R-ND	3.95	34.58	254.77
	36 (91.44)	GR	M6MMT-1436J-ND	3.11	27.27	200.93
16	6 (15.24)	MC	M6MMT-1606R-ND	2.51	22.00	162.14
	6 (15.24)	GR	M6MMT-1606J-ND	2.35	20.61	151.89
	18 (45.72)	MC	M6MMT-1618R-ND	3.23	28.38	209.08
	18 (45.72)	GR	M6MMT-1618J-ND	2.76	24.20	178.31
	36 (91.44)	MC	M6MMT-1636R-ND	4.33	37.93	279.48
	36 (91.44)	GR	M6MMT-1636J-ND	3.37	29.58	217.95
20	6 (15.24)	MC	M6MMT-2006R-ND	2.93	25.69	189.34
	6 (15.24)	GR	M6MMT-2006J-ND	2.73	23.96	176.52
	18 (45.72)	MC	M6MMT-2018R-ND	3.84	33.66	248.01
	18 (45.72)	GR	M6MMT-2018J-ND	3.24	28.44	209.57
	36 (91.44)	MC	M6MMT-2036R-ND	5.20	45.61	336.02
	36 (91.44)	GR	M6MMT-2036J-ND	4.01	35.17	259.13
24	6 (15.24)	MC	M6MMT-2406R-ND	3.40	29.87	220.10
	6 (15.24)	GR	M6MMT-2406J-ND	3.17	27.79	204.72
	18 (45.72)	MC	M6MMT-2418R-ND	4.50	39.43	290.50
	18 (45.72)	GR	M6MMT-2418J-ND	3.78	33.16	244.35
	36 (91.44)	MC	M6MMT-2436R-ND	6.13	53.76	396.11
	36 (91.44)	GR	M6MMT-2436J-ND	4.70	41.23	303.82
26	6 (15.24)	MC	M6MMT-2606R-ND	3.45	30.27	223.04
	6 (15.24)	GR	M6MMT-2606J-ND	3.19	28.01	206.37
	18 (45.72)	MC	M6MMT-2618R-ND	4.63	40.62	299.31
	18 (45.72)	GR	M6MMT-2618J-ND	3.86	33.84	249.31
	36 (91.44)	MC	M6MMT-2636R-ND	6.40	56.15	413.71
	36 (91.44)	GR	M6MMT-2636J-ND	4.85	42.58	313.72
34	6 (15.24)	MC	M6MMT-3406R-ND	4.35	38.13	281.00
	6 (15.24)	GR	M6MMT-3406J-ND	4.01	35.18	259.20
	18 (45.72)	MC	M6MMT-3418R-ND	5.89	51.67	380.73
	18 (45.72)	GR	M6MMT-3418J-ND	4.88	42.80	315.37
	36 (91.44)	MC	M6MMT-3436R-ND	8.20	71.98	530.34
	36 (91.44)	GR	M6MMT-3436J-ND	6.19	54.23	399.61
40	6 (15.24)	MC	M6MMT-4006R-ND	5.15	45.12	332.46
	6 (15.24)	GR	M6MMT-4006J-ND	4.75	41.64	306.82
	18 (45.72)	MC	M6MMT-4018R-ND	6.96	61.05	449.80
	18 (45.72)	GR	M6MMT-4018J-ND	5.77	50.61	372.91
	36 (91.44)	MC	M6MMT-4036R-ND	9.69	84.93	625.81
	36 (91.44)	GR	M6MMT-4036J-ND	7.31	64.06	472.02
50	6 (15.24)	MC	M6MMT-5006R-ND	6.59	57.73	425.36
	6 (15.24)	GR	M6MMT-5006J-ND	6.09	53.38	393.30
	18 (45.72)	MC	M6MMT-5018R-ND	8.86	77.63	572.03
	18 (45.72)	GR	M6MMT-5018J-ND	7.37	64.59	475.80
	36 (91.44)	MC	M6MMT-5036R-ND	12.26	107.49	792.04
	36 (91.44)	GR	M6MMT-5036J-ND	9.28	81.39	599.77
60	6 (15.24)	MC	M6MMT-6006R-ND	7.80	68.41	504.02
	6 (15.24)	GR	M6MMT-6006J-ND	7.20	63.18	465.57
	18 (45.72)	MC	M6MMT-6018R-ND	10.52	92.29	680.03
	18 (45.72)	GR	M6MMT-6018J-ND	8.74	76.63	564.67
	36 (91.44)	MC	M6MMT-6036R-ND	14.61	128.12	944.04
	36 (91.44)	GR	M6MMT-6036J-ND	11.04	96.81	713.33
Verdrilltes Adernpaar						
10	20 (50.80)	MC	M6MMT-1020K-ND	2.69	23.57	173.70
	40 (101.60)	MC	M6MMT-1040K-ND	3.73	32.67	240.72
	60 (152.40)	MC	M6MMT-1060K-ND	4.77	41.76	307.75
14	20 (50.80)	MC	M6MMT-1420K-ND	3.49	30.59	225.40
	40 (101.60)	MC	M6MMT-1440K-ND	4.94	43.32	319.24
	60 (152.40)	MC	M6MMT-1460K-ND	6.39	56.06	413.06
16	20 (50.80)	MC	M6MMT-1620K-ND	3.81	33.37	245.91
	40 (101.60)	MC	M6MMT-1640K-ND	5.47	47.93	353.15
	60 (152.40)	MC	M6MMT-1660K-ND	7.13	62.48	460.40
20	20 (50.80)	MC	M6MMT-2020K-ND	4.55	39.91	294.06
	40 (101.60)	MC	M6MMT-2040K-ND	6.63	58.10	428.11
	60 (152.40)	MC	M6MMT-2060K-ND	8.70	76.30	562.16
24	20 (50.80)	MC	M6MMT-2420K-ND	4.94	43.29	318.95
	40 (101.60)	MC	M6MMT-2440K-ND	7.01	61.48	453.00
	60 (152.40)	MC	M6MMT-2460K-ND	9.08	79.67	587.05
26	20 (50.80)	MC	M6MMT-2620K-ND	5.56	48.75	359.16
	40 (101.60)	MC	M6MMT-2640K-ND	8.25	72.39	533.43
	60 (152.40)	MC	M6MMT-2660K-ND	10.96	96.05	707.70

** Anz. der Kontakte

No. of Cont.**	Länge in Zoll (cm)	Flach-kabel*	Digi-Key Teilenr.	Preisangaben 1	10	100
34	20 (50.80)	MC	M6MMT-3420K-ND	7.10	62.29	459.01
	40 (101.60)	MC	M6MMT-3440K-ND	10.63	93.22	686.90
	60 (152.40)	MC	M6MMT-3460K-ND	14.16	124.15	914.78
40	20 (50.80)	MC	M6MMT-4020K-ND	8.39	73.54	541.89
	40 (101.60)	MC	M6MMT-4040K-ND	12.54	109.93	809.99
	60 (152.40)	MC	M6MMT-4060K-ND	16.69	146.31	1078.09
50	20 (50.80)	MC	M6MMT-5020K-ND	10.63	93.25	687.14
	40 (101.60)	MC	M6MMT-5040K-ND	15.82	138.74	1022.27
	60 (152.40)	MC	M6MMT-5060K-ND	21.00	184.22	1357.40
60	20 (50.80)	MC	M6MMT-6020K-ND	12.67	111.04	818.17
	40 (101.60)	MC	M6MMT-6040K-ND	18.89	165.61	1220.32
	60 (152.40)	MC	M6MMT-6060K-ND	25.11	220.19	1622.48

** Anz. der Kontakte

Mit zwei Enden — Typ 8

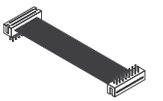

Steckverbinder-Oberfläche: Zinn

* MC = 3M mehrfarbig, GR = 3M grau

3M

No. of Cont.**	Länge in Zoll (cm)	Flach-kabel*	Digi-Key Teilenr.	Preisangaben 1	10	100
10	6 (15.24)	MC	M8MMT-1006R-ND	1.88	16.47	121.34
	6 (15.24)	GR	M8MMT-1006J-ND	1.78	15.60	114.94
	18 (45.72)	MC	M8MMT-1018R-ND	2.33	20.45	150.68
	18 (45.72)	GR	M8MMT-1018J-ND	2.03	17.85	131.48
	36 (91.44)	MC	M8MMT-1036R-ND	3.01	26.42	194.68
	36 (91.44)	GR	M8MMT-1036J-ND	2.42	21.21	156.27
14	6 (15.24)	MC	M8MMT-1406R-ND	2.35	20.64	152.10
	6 (15.24)	GR	M8MMT-1406J-ND	2.22	19.42	143.13
	18 (45.72)	MC	M8MMT-1418R-ND	2.99	26.22	193.17
	18 (45.72)	GR	M8MMT-1418J-ND	2.57	22.56	166.25
	36 (91.44)	MC	M8MMT-1436R-ND	3.95	34.58	254.77
	36 (91.44)	GR	M8MMT-1436J-ND	3.11	27.27	200.93
16	6 (15.24)	MC	M8MMT-1606R-ND	2.51	22.00	162.14
	6 (15.24)	GR	M8MMT-1606J-ND	2.35	20.61	151.89
	18 (45.72)	MC	M8MMT-1618R-ND	3.23	28.38	209.08
	18 (45.72)	GR	M8MMT-1618J-ND	2.76	24.20	178.31
	36 (91.44)	MC	M8MMT-1636R-ND	4.33	37.93	279.48
	36 (91.44)	GR	M8MMT-1636J-ND	3.37	29.58	217.95
20	6 (15.24)	MC	M8MMT-2006R-ND	2.93	25.69	189.34
	6 (15.24)	GR	M8MMT-2006J-ND	2.73	23.96	176.52
	18 (45.72)	MC	M8MMT-2018R-ND	3.84	33.66	248.01
	18 (45.72)	GR	M8MMT-2018J-ND	3.24	28.44	209.57
	36 (91.44)	MC	M8MMT-2036R-ND	5.20	45.61	336.02
	36 (91.44)	GR	M8MMT-2036J-ND	4.01	35.17	259.13
24	6 (15.24)	MC	M8MMT-2406R-ND	3.40	29.87	220.10
	6 (15.24)	GR	M8MMT-2406J-ND	3.17	27.79	204.72
	18 (45.72)	MC	M8MMT-2418R-ND	4.50	39.43	290.50
	18 (45.72)	GR	M8MMT-2418J-ND	3.78	33.16	244.35
	36 (91.44)	MC	M8MMT-2436R-ND	6.13	53.76	396.11
	36 (91.44)	GR	M8MMT-2436J-ND	4.70	41.23	303.82
26	6 (15.24)	MC	M8MMT-2606R-ND	3.45	30.27	223.04
	6 (15.24)	GR	M8MMT-2606J-ND	3.19	28.01	206.37
	18 (45.72)	MC	M8MMT-2618R-ND	4.63	40.62	299.31
	18 (45.72)	GR	M8MMT-2618J-ND	3.86	33.84	249.31
	36 (91.44)	MC	M8MMT-2636R-ND	6.40	56.15	413.71
	36 (91.44)	GR	M8MMT-2636J-ND	4.85	42.58	313.72
34	6 (15.24)	MC	M8MMT-3406R-ND	4.35	38.13	281.00
	6 (15.24)	GR	M8MMT-3406J-ND	4.01	35.18	259.20
	18 (45.72)	MC	M8MMT-3418R-ND	5.89	51.67	380.73
	18 (45.72)	GR	M8MMT-3418J-ND	4.88	42.80	315.37
	36 (91.44)	MC	M8MMT-3436R-ND	8.20	71.98	530.34
	36 (91.44)	GR	M8MMT-3436J-ND	6.19	54.23	399.61
40	6 (15.24)	MC	M8MMT-4006R-ND	5.15	45.12	332.46
	6 (15.24)	GR	M8MMT-4006J-ND	4.75	41.64	306.82
	18 (45.72)	MC	M8MMT-4018R-ND	6.96	61.05	449.80
	18 (45.72)	GR	M8MMT-4018J-ND	5.77	50.61	372.91
	36 (91.44)	MC	M8MMT-4036R-ND	9.69	84.93	625.81
	36 (91.44)	GR	M8MMT-4036J-ND	7.31	64.06	472.02
50	6 (15.24)	MC	M8MMT-5006R-ND	6.59	57.73	425.36
	6 (15.24)	GR	M8MMT-5006J-ND	6.09	53.38	393.30
	18 (45.72)	MC	M8MMT-5018R-ND	8.86	77.63	572.03
	18 (45.72)	GR	M8MMT-5018J-ND	7.37	64.59	475.89
	36 (91.44)	MC	M8MMT-5036R-ND	12.26	107.49	792.04
	36 (91.44)	GR	M8MMT-5036J-ND	9.28	81.39	599.77
60	6 (15.24)	MC	M8MMT-6006R-ND	7.80	68.41	504.02
	6 (15.24)	GR	M8MMT-6006J-ND	7.20	63.18	465.57
	18 (45.72)	MC	M8MMT-6018R-ND	10.52	92.29	680.03
	18 (45.72)	GR	M8MMT-6018J-ND	8.74	76.63	564.67
	36 (91.44)	MC	M8MMT-6036R-ND	14.61	128.12	944.04
	36 (91.44)	GR	M8MMT-6036J-ND	11.04	96.81	713.33
Verdrilltes Adernpaar						
10	20 (50.80)	MC	M8MMT-1020K-ND	2.69	23.57	173.70
	40 (101.60)	MC	M8MMT-1040K-ND	3.73	32.67	240.72
	60 (152.40)	MC	M8MMT-1060K-ND	4.77	41.76	307.75
14	20 (50.80)	MC	M8MMT-1420K-ND	3.49	30.59	225.40
	40 (101.60)	MC	M8MMT-1440K-ND	4.94	43.32	319.24
	60 (152.40)	MC	M8MMT-1460K-ND	6.39	56.06	413.06
16	20 (50.80)	MC	M8MMT-1620K-ND	3.81	33.37	245.91
	40 (101.60)	MC	M8MMT-1640K-ND	5.47	47.93	353.15
	60 (152.40)	MC	M8MMT-1660K-ND	7.13	62.48	460.40
20	20 (50.80)	MC	M8MMT-2020K-ND	4.55	39.91	294.06
	40 (101.60)	MC	M8MMT-2040K-ND	6.63	58.10	428.11
	60 (152.40)	MC	M8MMT-2060K-ND	8.70	76.30	562.16
24	20 (50.80)	MC	M8MMT-2420K-ND	4.94	43.29	318.95
	40 (101.60)	MC	M8MMT-2440K-ND	7.01	61.48	453.00
	60 (152.40)	MC	M8MMT-2460K-ND	9.08	79.67	587.05
26	20 (50.80)	MC	M8MMT-2620K-ND	5.56	48.75	359.16
	40 (101.60)	MC	M8MMT-2640K-ND	8.25	72.39	533.43
	60 (152.40)	MC	M8MMT-2660K-ND	10.96	96.05	707.70
34	20 (50.80)	MC	M8MMT-3420K-ND	7.10	62.29	459.01
	40 (101.60)	MC	M8MMT-3440K-ND	10.63	93.22	686.90
	60 (152.40)	MC	M8MMT-3460K-ND	14.16	124.15	914.78
40	20 (50.80)	MC	M8MMT-4020K-ND	8.39	73.54	541.89
	40 (101.60)	MC	M8MMT-4040K-ND	12.54	109.93	809.99
	60 (152.40)	MC	M8MMT-4060K-ND	16.69	146.31	1078.09
50	20 (50.80)	MC	M8MMT-5020K-ND	10.63	93.25	687.14
	40 (101.60)	MC	M8MMT-5040K-ND	15.82	138.74	1022.27
	60 (152.40)	MC	M8MMT-5060K-ND	21.00	184.22	1357.40
60	20 (50.80)	MC	M8MMT-6020K-ND	12.67	111.04	818.17
	40 (101.60)	MC	M8MMT-6040K-ND	18.89	165.61	1220.32
	60 (152.40)	MC	M8MMT-6060K-ND	25.11	220.19	1622.48

* Anz. der Kontakte

Alle Preisangaben in Euro und inklusive Zollgebühren.

3M Mini-D-Flachsteckverbinder (MDR)

Abm. in Zoll (mm)

Abb. 1 — IDC-Wiremont

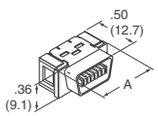

• Glasverstärktes Polyester (PBT) • UL 94V-0 • Wischbereich: Min. 30 µ vergoldet • Drahtanordnung: 28 AWG verseilt, 30 AWG massiv • IEEE 1284C Schnittstelle als Steckverbinder mit 36 Kontakten

Abb. 2 — Lötsteckverbinder

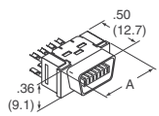

• Glasverstärktes Polyester (PCT) • UL 94V-0 •Wischbereich: Min. 20 µ vergoldet • Lötbereich: Zinn-Blei • Draht: 24, 26, 28 u. 30 AWG

Abb. 3 — Durchgangsloch, Kartenmontage, rechtwinklig

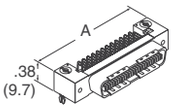

• Glasverstärktes Polyester (PCT) • UL 94V-0 • Wischbereich: Min. 30 µ vergoldet • IEEE 1284C Schnittstelle als Steckverbinder mit 36 Kontakten

Abb. 4 Serie IDC-Wiremont, Plattenmontage

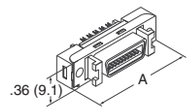

• Glasverstärktes Polyester (PBT) • UL 94V-0 • Wischbereich: Min. 30 µ vergoldet • Drahtanordnung: 28 AWG verseilt, 30 AWG massiv • IEEE 1284C Schnittstelle als Steckverbinder mit 36 Kontakten • Schnittstellen-Latch

Abb. 5 — Kartenmontage, Durchgangsloch, rechtwinklig

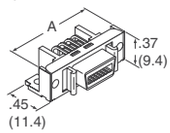

• Glasverstärktes Polyester (PCT) • UL 94V-0 • Wischbereich: Min. 30 µ vergoldet • Schnittstellen-Latch

Abb. 6 — Kartenmontage, Durchgangsloch, vertikal

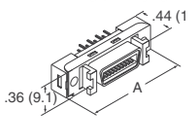

• Glasverstärktes Polyester (PBT) • UL 94V-0 • Wischbereich: Min. 30 µ vergoldet • IEEE 1284C Schnittstelle als Steckverbinder mit 36 Kontakten • Schnittstellen-Latch

Abb. 7 — Oberflächenmontage, rechtwinklig

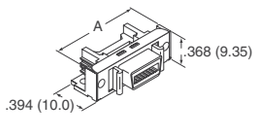

• Glasverstärktes Polyester (PCT) • UL 94V-0 • Wischbereich: Min. 20 µ vergoldet • Schnittstellen-Latch

Abb. 8 — Kartenmontage, nachgiebiger Stift, vertikal

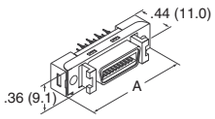

• Glasverstärktes Polyester (PBT) • UL 94V-0 • Wischbereich: Min. 30 µ vergoldet • Wickelfahnen: Goldüberzug

Abb. 9 — Anschlussgehäuse aus Kunststoff für Rundkabel, geschirmt

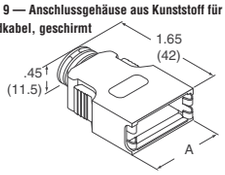

• Außengehäusematerial: ABS • UL 94V-0 • Innengehäusematerial: Stahl, 0,020" • Überzug: Nickel

Abb. 10 — Anschlussgehäuse aus Kunststoff, nicht geschirmt

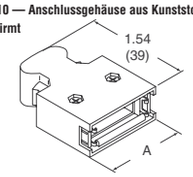

• Glasverstärktes Polyester (PBT) • UL 94V-0 • Metallverriegelung mit Schnellfreigabe

Abb. 11 — Anschlussgehäuse aus Metall für Rundkabel

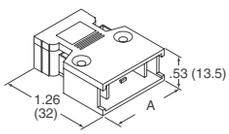

• Material: Aluminium, 0,050" • Überzug: Nickel

Abb. 12 — 60° Anschlussgehäuse aus Metall für Rundkabel

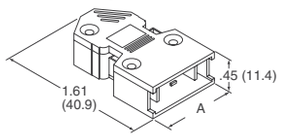

• Material: Aluminium, 0,050" • Überzug: Nickel

Abb. 13 — E/A-Montageteile

3M #	A	B	C	D
3341-10	.35(8.9)	M2.5	.30(7.6)	.230 DP
3341-16	.35(8.9)	#4-40	.30(7.6)	.230 DP
3341-17	.35(8.9)	#4-40	.30(7.6)	.230 DP
3341-13	.35(8.9)	M2.5	.30(7.6)	.230 DP
3341-25	.41(10.5)	M2.5	.12(3.0)	.120 DP
3341-31	.40(10.2)	M2.5	.15(3.8)	.100 DP
3341-32	.50(12.5)	M2.5	.30(7.6)	.203 DP

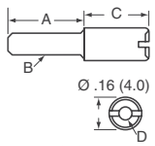

• Material: ST Stahl
• Plattierung: Passiviert

Abb. 14 — Kartensicherung und Plattenmontageschrauben

3M #	A
3344-26	M2.6 x 8mm
3344-3	M2.5 x 6mm
3344-38	M2.5 x 8mm
3344-4	#4-40 x 1/4
3344-44	#4-40 x 3/8

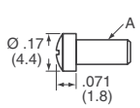

• Material: Stahl • Plattierung: Zink

Abb.	Farbe	Anz. der Positionen	Abm. A Zoll (mm)	Digi-Key Teilenr.	Stückpreis 1	10	100	250	3M Teilenr.
Stecker — geschirmt, 0,050"									
1	Schwarz	14	.72 (18.2)	MPB14A-ND	4.12	3.47	3.13	2.98	10114-6000EC
		20	.87 (22.0)	MPB20A-ND	4.26	3.59	3.24	3.08	10120-6000EC
		26	1.02 (25.8)	MPB26A-ND	4.40	3.71	3.35	3.18	10126-6000EC
		36	1.27 (32.2)	MPB36A-ND	5.28	4.45	4.02	3.81	10136-6000EC
		40	1.37 (34.7)	MPB40A-ND	5.46	4.60	4.15	3.94	10140-6000EC
		50	1.62 (41.1)	MPB50A-ND	5.82	4.91	4.43	4.21	10150-6000EC
		68	2.07 (52.5)	MPB68A-ND	5.99	5.04	4.55	4.32	10168-6000EC
		80	2.37 (60.1)	MPB80A-ND	7.27	6.12	5.53	5.25	10180-6000EC
		100	2.87 (72.8)	MPB100A-ND	8.64	7.28	6.57	6.24	101A0-6000EC
2	Schwarz	14	.72 (18.2)	3M1701-ND	5.22	4.39	3.96	3.76	10114-3000VE
		20	.87 (22.0)	3M1702-ND	5.67	4.78	4.31	4.09	10120-3000VE
		26	1.02 (25.8)	3M1703-ND	6.34	5.34	4.82	4.58	10126-3000VE
		36	1.27 (32.2)	3M1704-ND	6.73	5.66	5.11	4.86	10136-3000VE
		40	1.37 (34.7)	3M1705-ND	7.04	5.93	5.36	5.08	10140-3000VE
		50	1.62 (41.1)	3M1706-ND	7.61	6.40	5.78	5.49	10150-3000VE
3	Schwarz	20	1.31 (33.3)	3M1707-ND	11.55	9.72	8.78	8.34	10120-52B2VC
		26	1.46 (37.2)	3M1708-ND	11.97	10.08	9.10	8.64	10126-52B2VC
		36	1.71 (43.5)	3M1709-ND	12.41	10.45	9.44	8.96	10136-52B2VC
		50	2.06 (52.4)	3M1710-ND	12.96	10.91	9.85	9.35	10150-52B2VC
Steckbuchsen — geschirmt, 0,050"									
4	Schwarz	20	1.31 (33.4)	MRB20A-ND	7.52	6.33	5.72	5.43	10220-0210EC
		26	1.46 (37.2)	MRB26A-ND	8.14	6.85	6.18	5.87	10226-0210EC
		36	1.71 (43.5)	MRB36A-ND	9.12	7.68	6.93	6.58	10236-0210EC
		40	1.81 (46.1)	MRB40A-ND	9.58	8.06	7.28	6.91	10240-0210EC
		50	2.06 (52.4)	MRB50A-ND	10.60	8.92	8.06	7.65	10250-0210EC
		68	2.51 (63.8)	MRB68A-ND	12.38	10.42	9.41	8.93	10268-0210EC
5	Beige	14	1.16 (29.6)	3M1711-ND	3.56	3.00	2.71	2.57	10214-55G3VC
		20	1.31 (33.4)	3M1712-ND	3.15	2.66	2.40	2.28	10220-55G3VC
		20	1.31 (33.4)	3M1713-ND	3.70	3.12	2.81	2.67	10220-55H3VC
		26	1.46 (37.2)	3M1714-ND	3.42	2.88	2.60	2.47	10226-55G3VC
		36	1.71 (43.5)	3M1715-ND	3.75	3.16	2.85	2.71	10236-55G3VC
		36	1.71 (43.5)	3M1716-ND	3.75	3.16	2.85	2.71	10236-55H3VC
		40	1.81 (46.1)	3M1717-ND	4.65	3.92	3.54	3.36	10240-55G3VC
		68	2.51 (63.9)	3M1719-ND	5.72	4.82	4.35	4.13	10268-55H3VC
6	Schwarz	14	1.16 (29.5)	3M1720-ND	3.70	3.12	2.81	2.67	10214-6212VC
		20	1.31 (33.4)	3M1721-ND	3.88	3.26	2.95	2.80	10220-6212VC
		26	1.46 (37.2)	3M1722-ND	4.01	3.38	3.05	2.90	10226-6212VC
		36	1.71 (43.5)	3M1723-ND	4.14	3.49	3.15	2.99	10236-6212VC
		40	1.81 (46.1)	3M1724-ND	4.32	3.63	3.28	3.12	10240-6212VC
		50	2.06 (52.4)	3M1725-ND	4.58	3.86	3.48	3.31	10250-6212VC
		68	2.51 (63.8)	3M1726-ND	5.35	4.51	4.07	3.87	10268-6212VC
		80	2.81 (71.5)	3M1727-ND	7.22	6.08	5.49	5.21	10280-6212VC
		100	3.31 (84.2)	3M1728-ND	7.71	6.49	5.86	5.57	102A0-6212VC
7	Beige	14	1.16 (29.5)	3M1729-ND	6.16	5.19	4.69	4.45	10214-1210VE
		20	1.32 (33.4)	3M1730-ND	6.31	5.31	4.79	4.55	10220-1210VE
		26	1.50 (38.2)	3M1731-ND	6.55	5.52	4.98	4.73	10226-1210VE
		40	1.85 (47.1)	3M1732-ND	7.57	6.38	5.76	5.47	10240-1210VE
		50	2.06 (52.4)	3M1733-ND	7.92	6.67	6.02	5.72	10250-1210VE

Abb.	Farbe	Anz. der Positionen	Abm. A Zoll (mm)	Digi-Key Teilenr.	Stückpreis 1	10	100	250	3M Teilenr.
8	Schwarz	14	1.16 (29.5)	3M1734-ND	7.36	6.20	5.60	5.31	10214-R21TS
		36	1.71 (43.5)	3M1735-ND	7.78	6.55	5.92	5.62	10236-R21TS
		40	1.81 (46.1)	3M1736-ND	7.92	6.67	6.02	5.72	10240-R21TS
		68	2.51 (63.8)	3M1737-ND	9.23	7.77	7.01	6.66	10268-R21TS
		80	2.81 (71.5)	3M1738-ND	12.57	10.58	9.56	9.07	10280-R21TS
Anschlussgehäuse für Steckverbinder — 0,050"									
9	Beige	14	1.02 (25.9)	3M1739-ND	3.96	3.34	3.01	2.86	10314-3210-000
		20	1.17 (29.7)	3M1740-ND	3.44	2.89	2.61	2.48	10320-3210-000
		26	1.32 (33.5)	3M1741-ND	3.50	2.95	2.67	2.53	10326-3210-000
		36	1.57 (39.8)	3M1742-ND	3.57	3.01	2.72	2.58	10336-3210-000
		40	1.67 (42.4)	3M1765-ND	4.05	3.41	3.08	2.93	10340-3210-000
		50	1.92 (48.7)	3M1743-ND	3.68	3.10	2.80	2.66	10350-3210-000
		68	2.37 (60.1)	3M1744-ND	3.77	3.18	2.87	2.72	10368-3210-000
10	Schwarz	14	1.16 (29.5)	3M1745-ND	5.92	4.98	4.50	4.27	10314-52F0-008
		20	1.31 (33.3)	3M1746-ND	6.10	5.13	4.63	4.40	10320-52F0-008
		26	1.46 (37.2)	3M1747-ND	6.26	5.28	4.77	4.53	10326-52F0-008
		36	1.71 (43.5)	3M1748-ND	6.34	5.34	4.82	4.58	10336-52F0-008
		50	2.06 (52.4)	3M1749-ND	6.52	5.49	4.95	4.70	10350-52F0-008
11	—	14	1.01 (25.8)	3M1750-ND	9.65	8.12	7.34	6.96	10314-A200-00
		20	1.17 (29.7)	3M1751-ND	8.59	7.23	6.53	6.20	10320-A200-00
		26	1.32 (33.5)	3M1752-ND	9.24	7.78	7.03	6.67	10326-A200-00
		36	1.57 (39.8)	3M1753-ND	9.77	8.23	7.43	7.05	10336-A200-00
		40	1.67 (42.4)	3M1754-ND	10.48	8.82	7.96	7.56	10340-A200-00
		50	1.92 (48.7)	3M1755-ND	10.92	9.19	8.30	7.88	10350-A200-00
		68	2.37 (60.1)	3M1756-ND	11.45	9.63	8.70	8.26	10368-A200-00
		100	3.16 (80.2)	3M1757-ND	12.77	10.75	9.70	9.21	103A0-A200-00
12	—	14	1.02 (25.8)	3M1758-ND	8.42	7.09	6.40	6.08	10314-A500-00
		26	1.32 (33.5)	3M1759-ND	9.81	8.26	7.46	7.08	10326-A500-00
		36	1.57 (39.8)	3M1760-ND	9.98	8.41	7.59	7.21	10336-A500-00
		40	1.67 (42.4)	3M1761-ND	11.89	10.01	9.03	8.58	10340-A500-00
		50	1.92 (48.7)	3M1762-ND	11.09	9.34	8.43	8.01	10350-A500-00
		68	2.37 (60.1)	3M1763-ND	11.85	9.98	9.01	8.55	10368-A500-00

Abb.	Beschreibung	Digi-Key Teilenr.	Preisangaben 1	100	500	1,000	3M Teilenr.
Klinkensteckersockel — 0,050"							
13	M2.5/M2.5	MDVS10-ND	1.76	133.76	605.32	1100.58	3341-10
	#4-40/#4-40	MDVS16-ND	1.92	145.80	659.80	1199.63	3341-16
	#4-40/#4-40	MDVS17-ND	1.27	96.31	435.83	792.42	3341-17
	M2.5/#4-40	MDVS13-ND	1.27	96.31	435.83	792.42	3341-13BULK
	M2.5/M2	MDVS25-ND	2.41	183.26	829.29	1507.79	3341-25
	M2.5/#4-40	MDVS31-ND	1.41	107.01	484.26	880.46	3341-31BULK
	M2.5/#4-40	MDVS32-ND	1.63	124.40	562.95	1023.54	3341-32BULK

Abb.	Beschreibung	Digi-Key Teilenr.	Preisangaben 10	100	500	1,000	3M Teilenr.
Schrauben (Stahl mit Zinküberzug) — 0,050"							
14	Kartensicherungsschraube, M2,6 x 8 mm	MDVT26-ND*	1.27	8.89	37.04	67.73	3344-26
	Kartensicherungsschraube, M2,5 x 6 mm	MDVT03-ND*	5.08	35.56	148.16	270.91	3344-3
	Plattenmontageschraube, M2,5 x 8 mm	MDVT38-ND*	2.79	19.56	81.49	149.00	3344-38
	Kartensicherungsschraube, Nr. 4-40 x 1/4	MDVT04-ND*	2.03	14.22	59.26	108.36	3344-4
	Plattenmontageschraube, Nr. 4-40 x 3/8	MDVT44-ND*	1.27	8.89	37.04	67.73	3344-44

* Eine Menge von 1 entspricht einem Paar

3M 0,025" graues Flachkabel Serie 3754

- PVC-Isolierung
- 30AWG verseilt auf 0,025" Abstand
- Leiter: 30 AWG, 7 x 38 (7 x 0,102) verzinntes, verseiltes Kupfer
- Nennspannung: 30 V
- Nenntemperatur: -20 °C ~ 105 °C
- Entflammbarkeitsstufe: *USA* VW-1; *Kanada* FT1

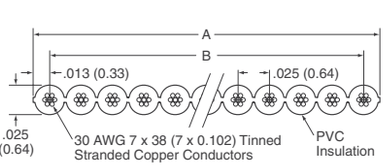

Anz. der Kontakte	Abmessungen - Zoll (mm) A	B	Digi-Key Teilenr.	Preis pro Rolle *(Hinweis: X in Teilenr. = Länge in Fuß pro Rolle)* 5 Fuß	10 Fuß	25 Fuß	50 Fuß	100 Fuß	300 Fuß
20	0.500 (12.70)	0.475 (12.07)	MB20G-X-ND	2.76	5.12	11.42	19.68	35.43	94.48
26	0.650 (16.51)	0.625 (15.88)	MB26G-X-ND	3.58	6.65	14.84	25.59	46.06	122.82
30	0.750 (19.05)	0.725 (18.42)	MB30G-X-ND	4.13	7.68	17.13	29.53	53.15	141.72
40	1.000 (25.40)	0.975 (24.77)	MB40G-X-ND	5.51	10.24	22.83	39.37	70.86	188.96
50	1.250 (31.75)	1.225 (31.12)	MB50G-X-ND	3.93	7.29	16.26	28.05	50.48	134.61
60	1.500 (38.10)	1.475 (37.47)	MB60G-X-ND	8.27	15.36	34.25	59.05	106.29	283.44
68	1.700 (43.18)	1.675 (42.55)	MB68G-X-ND	9.37	17.40	38.82	66.92	120.46	321.23
80	2.000 (50.80)	1.975 (50.17)	MB80G-X-ND	11.02	20.47	45.67	78.73	141.72	377.92
100	2.500 (63.50)	2.475 (62.87)	MB100G-X-ND	13.78	25.59	57.09	98.42	177.15	472.40

Alle Preisangaben in Euro und inklusive Zollgebühren.

3M Latch/Auswurf-Steckleisten,0,100" x 0,100" (2,54 mm x 2,54 mm)

Vierwandiges Gehäuse mit Kontaktschutz zum Schutz vor physischem und chemischem Schaden an den Pins. *Optionale Auswurfriegel können weiter unten separat bestellt werden.*

Rechtwinklige Steckleisten

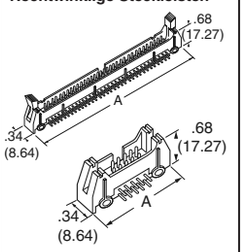

Gerade Steckleiste

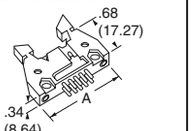

Anz. der Kontakte	Abm. A Zoll (mm)	Digi-Key Teilenr.	Preisangaben 1	100	500	3M Teilenr.
Rechtwinklig						
10	1.26 (32.00)	MHR10K-ND	.98	74.91	338.98	3793-5002
14	1.46 (37.08)	MHR14K-ND	1.35	103.00	466.10	3314-5002
16	1.56 (39.62)	MHR16K-ND	1.57	119.05	538.73	3408-5002
20	1.76 (44.70)	MHR20K-ND	1.94	147.14	665.85	3428-5002
24	1.96 (49.78)	MHR24K-ND	2.33	176.57	799.02	3627-5002
26	2.06 (52.32)	MHR26K-ND	2.51	191.28	865.61	3429-5002
30	2.26 (57.40)	MHR30K-ND	2.33	176.57	799.02	3440-5002
34	2.46 (62.48)	MHR34K-ND	2.62	199.31	901.93	3431-5002
40	2.76 (70.10)	MHR40K-ND	3.10	235.42	1065.36	3432-5002
50	3.26 (82.80)	MHR50K-ND	3.88	294.28	1331.70	3433-5002
60	3.76 (95.50)	MHR60K-ND	4.63	351.80	1591.99	3372-5002
Gerade						
10	1.26 (32.00)	MHS10K-ND	.97	73.57	332.93	3793-6002
14	1.46 (37.08)	MHS14K-ND	1.34	101.66	460.04	3314-6002
16	1.56 (39.62)	MHS16K-ND	1.53	116.37	526.63	3408-6002
20	1.76 (44.70)	MHS20K-ND	1.90	144.46	653.74	3428-6002
24	1.96 (49.78)	MHS24K-ND	2.29	173.89	786.91	3627-6002
26	2.06 (52.32)	MHS26K-ND	2.46	187.27	847.45	3429-6002
30	2.26 (57.40)	MHS30K-ND	2.29	173.89	786.91	3440-6002
34	2.46 (62.48)	MHS34K-ND	2.57	195.29	883.77	3431-6002
40	2.76 (70.10)	MHS40K-ND	3.03	230.07	1041.15	3432-6002
50	3.26 (82.80)	MHS50K-ND	3.78	287.59	1301.44	3433-6002
60	3.76 (95.50)	MHS60K-ND	4.56	346.45	1567.78	3372-6002
Optionale Auswurfriegel für Steckverbinder						
Kurz		MLKS01-ND*	.18/2	6.69	30.27	3505-2
Lang		MLKS02-ND†	.18/2	6.69	30.27	3505-3

* Ohne Zugentlastung verwenden † Mit Zugentlastung verwenden

3M Niedrigprofil-Steckleisten (geschützte Steckleisten)

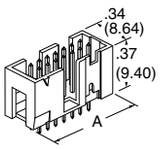

Physikalische Spezifikationen: Isolierung: • Material: glasgefülltes Polyester (PBT) • Entflammbarkeit: UL94 V-0 • Farbe: Grau •Markierung:3M-Logound Ausrichtungsdreieck **Kontakt:** • Material: Phosphorbronzeüberzug (C510): **Plating:** • Bodenüberzug: 100 µ" Nickel-QQ-N-290, Klasse 2 • Schleifbereich: Gold, MIL-G-45204, Typ II, Grad C • Lötlitzen: 200 µ" 60/40 Zinn-Blei-MIL-P-81728 • Wickelenden: Goldüberzug

Elektrische Spezifikationen: • Nennstrom: 2 A • Isolationswiderstand: >1 x 10^3 Ω @ 500 V DC • Haltespannung: 1.000 Vrms in Meereshöhe

Umweltspezifikation: • Nenntemperatur: -55 °C ~ 105 °C

UL-Eintragungsnr.: E68080, CSA-Eintragungsnr.: LR40971

Anz. der Kontakte	Abm. A Zoll (mm)	Digi-Key Teilenr.	Preisangaben 1	100	500	3M Teilenr.
Gerade Lötlitze						
10	0.79 (20.07)	MHB10K-ND	1.16	88.28	399.51	2510-6002UB
14	0.99 (22.15)	MHB14K-ND	1.19	90.96	411.62	2514-6002UB
16	1.09 (27.69)	MHB16K-ND	1.34	101.66	460.04	2516-6002UB
20	1.29 (32.77)	MHB20K-ND	1.39	105.67	478.20	2520-6002UB
24	1.49 (37.85)	MHB24K-ND	1.48	112.36	508.47	2524-6002UB
26	1.59 (40.39)	MHB26K-ND	1.50	113.70	514.52	2526-6002UB
30	1.79 (45.47)	MHB30K-ND	1.73	131.09	593.21	2530-6002UB
34	1.99 (50.55)	MHB34K-ND	1.79	136.44	617.43	2534-6002UB
40	2.29 (58.17)	MHB40K-ND	1.92	145.80	659.80	2540-6002UB
50	2.79 (70.87)	MHB50K-ND	2.38	180.58	817.18	2550-6002UB
60	3.29 (83.57)	MHB60K-ND	2.85	216.70	980.62	2560-6002UB
Rechtwinklige Lötlitze						
10	0.79 (20.07)	MHD10K-ND	1.29	97.65	441.88	2510-5002UB
14	0.99 (22.15)	MHD14K-ND	1.32	100.32	453.99	2514-5002UB
16	1.09 (27.69)	MHD16K-ND	1.48	112.36	508.47	2516-5002UB
20	1.29 (32.77)	MHD20K-ND	1.55	117.71	532.68	2520-5002UB
24	1.49 (37.85)	MHD24K-ND	1.62	123.06	556.89	2524-5002UB
26	1.59 (40.39)	MHD26K-ND	1.63	124.40	562.95	2526-5002UB
30	1.79 (45.47)	MHD30K-ND	2.22	168.54	762.70	2530-5002UB
34	1.99 (50.55)	MHD34K-ND	1.96	148.48	671.90	2534-5002UB
40	2.29 (58.17)	MHD40K-ND	2.12	160.52	726.38	2540-5002UB
50	2.79 (70.87)	MHD50K-ND	2.61	197.97	895.87	2550-5002UB
60	3.29 (83.57)	MHD60K-ND	3.13	238.10	1077.47	2560-5002UB

3M Rund umhülltes / geschirmtes Flachkabel Serie 3659

PHYSIKALISCHE DATEN: • Isoliermaterial: Polyvinylchlorid (PVC) • Entflammbarkeitsstufe: UL VW-1 • Farbe: Schwarz • Innenkabel: Scotchflex Produkt Nr. 3365; 28 AWG, 7 x 36 Leiter; UL-Typ: 2651 • Schirm: 0,001" (0,03 mm) und 90 % optische Abdeckung, verzinntes Kupfergeflecht

Elektrische Spezifikationen: • Nennspannung: 150 V • Isolationswiderstand: >1 x 10^{10} Ω / 3 m (10 Fuß)

Umwelt: • Nenntemperatur: -4 °F ~ 176 °F (-20 °C ~ 80 °C)

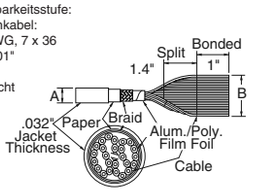

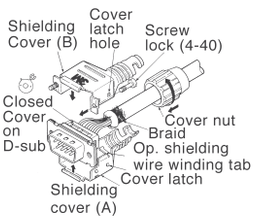

Anz. der Kontakte	Abm. (Zoll) A	B	Digi-Key Teilenr.	Hinweis: X In Teilenr. = Fuß pro Rolle * Preis pro Rolle 5 Fuß	10 Fuß	25 Fuß	50 Fuß	100 Fuß
15	.29	.700	MC15R-X-ND	9.77	18.14	40.48	69.79	111.67
20	.30	.950	MC20R-X-ND	10.52	19.54	43.59	75.16	120.25
24	.35	1.150	MC24R-X-ND	11.28	20.94	46.71	80.52	128.84
25	.35	1.200	MC25R-X-ND	11.62	21.59	48.16	83.04	132.87
26	.35	1.250	MC26R-X-ND	12.02	22.33	49.81	85.89	137.42
34	.39	1.650	MC34R-X-ND	13.53	25.13	56.04	96.63	154.61
36	.41	1.750	MC36R-X-ND	13.90	25.82	57.60	99.31	158.91
37	.41	1.800	MC37R-X-ND	14.28	26.52	59.16	102.00	163.19
40	.41	1.950	MC40R-X-ND	14.65	27.22	60.72	104.68	167.49
50	.50	2.450	MC50R-X-ND	16.91	31.40	70.05	120.78	193.24
60	.53	2.950	MC60R-X-ND	18.96	35.20	78.53	135.41	216.64
64	.54	3.150	MC64R-X-ND	19.92	36.99	82.51	142.26	227.62

Anz. der Kontakte	Digi-Key Teilenr.	Preisangaben 1	100	500	1,000	3M Teilenr.
D-Sub-Endgehäuse						
9	MDBS09-ND	3.33	252.81	1144.05	2080.10	3357-9209
15	MDBS15-ND	3.68	279.56	1265.12	2300.21	3357-9215
25	MDBS25-ND	4.21	319.69	1446.71	2630.39	3357-9225
37	MDBS37-ND	6.15	466.83	2112.56	3841.02	3357-9237
50	MDBS50-ND	9.65	733.02	3317.15	6031.18	3357-9250
Rändelschraubenkit (2 Rändelschrauben und 2 Halter)						
Kit	MDTS07-ND	3.54	268.86	1216.69	2212.17	3341-7

3M Graue Kabelklemmen mit Klebehaftung

Serie 3484: Kabelklemmen organisieren die Kabelverlegung und halten bis zu sechs Schichten Flachkabel fest.

3484-1000-ND Kabelklemmen mit Klebehaftung **10.37/100**

3M Graues Flachkabel Serie 3365

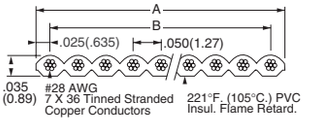

PHYSIKALISCHE DATEN: • Isoliermaterial: Polyvinylchlorid (PVC) • Entflammbarkeitsstufe: UL VW-1 • Markierung: Rote Kante • Leiter: 28 AWG, 7x36 verzinntes, verseiltes Kupfer **ELEKTRISCHE SPEZIFIKATIONEN:** • Nennspannung: 300 V • Isolationswiderstand: >1 x 10^{10} Ω / 3 m (10 Fuß) **UMGEBUNGSDATEN:** • Nenntemperatur: -4 °F ~ 221 °F (-20 °C ~ 105 °C)

Anz. der Kontakte	Abmessungen Zoll (mm) A	B	Digi-Key Teilenr.	Hinweis: X In Teilenr. = Fuß pro Rolle * Preis pro Rolle 5 Fuß	10 Fuß	25 Fuß	50 Fuß	100 Fuß	300 Fuß
10	.500 (12.70)	.450 (11.43)	MC10G-X-ND	1.38	2.56	5.71	9.85	17.72	47.24
14	.700 (17.78)	.650 (16.51)	MC14G-X-ND	1.93	3.58	7.98	13.77	24.78	66.07
16	.800 (20.32)	.750 (19.05)	MC16G-X-ND	2.20	4.09	9.13	15.73	28.31	75.50
20	1.000 (25.40)	.950 (24.13)	MC20G-X-ND	2.75	5.11	11.40	19.67	35.40	94.40
24	1.200 (30.48)	1.150 (29.21)	MC24G-X-ND	3.30	6.14	13.69	23.59	42.47	113.26
26	1.300 (33.02)	1.250 (31.75)	MC26G-X-ND	3.58	6.65	14.82	25.56	46.00	122.82
34	1.700 (43.18)	1.650 (41.91)	MC34G-X-ND	4.68	8.69	19.39	33.43	60.18	160.46
37	1.850 (46.99)	1.800 (45.72)	MC37G-X-ND	5.10	9.46	21.11	36.39	65.49	174.64
40	2.000 (50.80)	1.950 (49.53)	MC40G-X-ND	5.50	10.23	22.82	39.33	70.80	188.79
50	2.500 (63.50)	2.450 (62.23)	MC50G-X-ND	6.88	12.78	28.51	49.15	88.48	235.95
60	3.000 (76.20)	2.950 (74.93)	MC60G-X-ND	8.26	15.34	34.21	58.99	106.18	283.15
64	3.200 (81.28)	3.150 (80.01)	MC64G-X-ND	8.80	16.36	36.50	62.92	113.26	302.02

3M Farbcodiertes Flachkabel Serie 3302

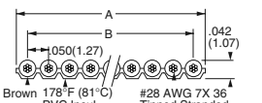

PHYSIKALISCHE DATEN: • Isoliermaterial: Polyvinylchlorid (PVC) • Entflammbarkeitsstufe: UL VW-1 • Farbe: 10-Farben-Wiederholung, durchsichtiger Träger • Leiter: 28 AWG, 7 x 36 verzinntes, verseiltes Kupfer. **ELEKTRISCHE SPEZIFIKATIONEN:** • Nennspannung: 300 V • Isolationswiderstand: >1 x 10^9 Ω / 3 m (10 Fuß) **UMGEBUNGSDATEN:** • Nenntemperatur: -4 °F ~ 176 °F (-20 °C ~ 80 °C)

Anz. der Kontakte	Abmessungen Zoll (mm) A	B	Digi-Key Teilenr.	Hinweis: X In Teilenr. = Fuß pro Rolle * Preis pro Rolle 5 Fuß	10 Fuß	25 Fuß	50 Fuß	100 Fuß	300 Fuß
10	.500 (12.70)	.450 (11.43)	MC10M-X-ND	2.45	4.54	10.13	17.47	31.43	83.81
14	.700 (17.78)	.650 (16.51)	MC14M-X-ND	3.42	6.36	14.18	24.45	44.01	117.34
16	.800 (20.32)	.750 (19.05)	MC16M-X-ND	3.91	7.26	16.20	27.94	50.29	134.10
20	1.000 (25.40)	.950 (24.13)	MC20M-X-ND	4.89	9.08	20.26	34.92	62.86	167.63
24	1.200 (30.48)	1.150 (29.21)	MC24M-X-ND	5.87	10.90	24.31	41.91	75.43	201.15
26	1.300 (33.02)	1.250 (31.75)	MC26M-X-ND	6.36	11.80	26.33	45.40	81.72	217.91
34	1.700 (43.18)	1.650 (41.91)	MC34M-X-ND	8.31	15.43	34.43	59.37	106.87	284.97
37	1.850 (46.99)	1.800 (45.72)	MC37M-X-ND	9.04	16.80	37.47	64.60	116.29	310.11
40	2.000 (50.80)	1.950 (49.53)	MC40M-X-ND	9.78	18.16	40.51	69.84	125.72	335.25
50	2.500 (63.50)	2.450 (62.23)	MC50M-X-ND	12.22	22.70	50.64	87.31	157.15	419.07
60	3.000 (76.20)	2.950 (74.93)	MC60M-X-ND	14.67	27.24	60.77	104.77	188.58	502.88
64	3.200 (81.28)	3.150 (80.01)	MC64M-X-ND	15.65	29.06	64.82	111.75	201.15	536.41

3M Verdrillte Doppelleitung Serie 1700

PHYSIKALISCHE DATEN: • Isoliermaterial: Polyvinylchlorid (PVC) • Entflammbarkeitsstufe: UL VW-. **ELEKTRISCHE SPEZIFIKATIONEN:** • Nennspannung: 300 V • Isolationswiderstand: >1 x 10^9 Ω / 3 m (10 Fuß) **UMGEBUNGSDATEN:** • Nenntemperatur: -4 °F ~ 176 °F (-20 °C ~ 80 °C)

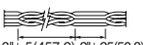

Standardausführung verfügt über abwechselnd 18' (45,72 cm) gedrehte Abschnitte und 2" (5,08 cm) flache Abschnitte.

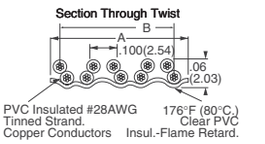

Anz. der Kontakte	Abmessungen Zoll (mm) A	B	Digi-Key Teilenr.	Hinweis: X In Teilenr. = Fuß pro Rolle * Preis pro Rolle 5 Fuß	10 Fuß	25 Fuß	50 Fuß	100 Fuß†
10	.50 (12.70)	.450 (11.43)	MC10F-X-ND	2.61	4.84	10.80	18.63	29.80
14	.70 (17.78)	.650 (16.51)	MC14F-X-ND	3.65	6.78	15.12	26.08	41.72
16	.80 (20.32)	.750 (19.05)	MC16F-X-ND	4.17	7.75	17.29	29.80	47.68
20	1.00 (25.40)	.950 (24.13)	MC20F-X-ND	5.16	9.58	21.36	36.83	58.92
26	1.30 (33.02)	1.250 (31.75)	MC26F-X-ND	6.78	12.59	28.09	48.43	77.48
34	1.70 (43.18)	1.650 (41.91)	MC34F-X-ND	8.86	16.47	36.73	63.33	101.32
36	1.80 (45.72)	1.750 (44.45)	MC36F-X-ND	9.39	17.43	38.89	67.05	107.28
40	2.00 (50.80)	1.950 (49.53)	MC40F-X-ND	10.43	19.37	43.21	74.50	119.20
50	2.50 (63.50)	2.450 (62.23)	MC50F-X-ND	13.04	24.21	54.01	93.13	149.00
60	3.00 (76.20)	2.950 (74.93)	MC60F-X-ND	15.65	29.06	64.82	111.75	178.80
64	3.20 (81.28)	3.150 (80.01)	MC64F-X-ND	16.69	30.99	69.13	119.20	190.72

† Wenn in voller Rollengröße bestellt, kann eine Spleißstelle vorhanden sein. Wird in Abwickelkasten geliefert.

3M Hochflexibles Kabel Serie 3319

19 Stränge hochfester Kupferliegerung bieten die längste Flex-Haltbarkeit für dynamische Anwendungen, die es gibt. **PHYSIKALISCHE DATEN:** • Isoliermaterial: Polyvinylchlorid (PVC) • Farbe: Schwarz • Markierung, Standard: Keine • CSA Option: UL AWM 2651 105 C 300 V VW1, 3M NU, CSA AWM 1A 105C 300V FT1

• Leiter: 28 AWG, 19x40 (19 x 0,079) versilberte Kupferlegierung, verseilt (89 % Leitfähigkeit) **ELEKTRISCHE SPEZIFIKATIONEN:** • Nennspannung: 300 V • Isolationswiderstand: >1 x 10^{10} Ω / 3 m (10 Fuß) **UMGEBUNGSDATEN:** • Nenntemperatur: -4 °F ~ 221 °F (-20 °C ~ 105 °C) • Entflammbarkeit: (UL) VW-1; CSA: FT1

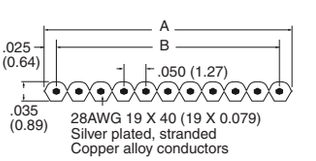

Anz. der Kontakte	Abmessungen Zoll (mm) A	B	Digi-Key Teilenr.	Hinweis: X In Teilenr. = Fuß pro Rolle * Preis pro Rolle 5 Fuß	10 Fuß	25 Fuß	50 Fuß	100 Fuß
10	.50 (12.70)	.45 (11.43)	MC10H-X-ND	16.08	29.85	66.59	114.82	183.71
14	.70 (17.78)	.65 (16.51)	MC14H-X-ND	22.50	41.80	93.24	160.75	257.20
16	.80 (20.32)	.75 (19.05)	MC16H-X-ND	25.72	47.77	106.55	183.71	293.94
20	1.00 (25.40)	.95 (24.13)	MC20H-X-ND	32.15	59.71	133.20	229.64	367.42
24	1.20 (30.48)	1.15 (29.21)	MC24H-X-ND	38.58	71.65	159.83	275.57	440.91
26	1.30 (33.02)	1.25 (31.75)	MC26H-X-ND	41.80	77.62	173.15	298.54	477.65
34	1.70 (43.18)	1.65 (41.91)	MC34H-X-ND	54.66	101.50	226.42	390.39	624.62
37	1.85 (46.99)	1.80 (45.72)	MC37H-X-ND	59.47	110.46	246.40	424.83	679.74
40	2.00 (50.80)	1.95 (49.53)	MC40H-X-ND	64.30	119.41	266.38	459.28	734.85
50	2.50 (63.50)	2.45 (62.23)	MC50H-X-ND	80.38	149.26	332.98	574.10	918.56
60	3.00 (76.20)	2.95 (74.93)	MC60H-X-ND	96.45	179.12	399.58	688.92	1102.27
64	3.20 (81.28)	3.15 (80.01)	MC64H-X-ND	102.88	191.05	426.20	734.83	1175.72

Alle Preisangaben in Euro und inklusive Zollgebühren.

Abb. 1 — Parallel-Verlängerung

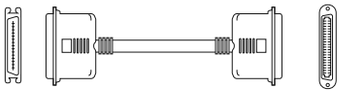

Abb. 2 — Paralleldrucker (Schnappgehäuse)

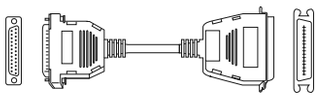

Abb. 3 — Paralleldrucker (geformte Hauben)

Abb. 4 — Paralleldrucker, rechtwinklig

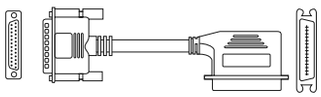

Abb. 5 — Serieller Drucker (Schnappgehäuse)

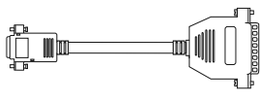

Abb. 6 — IEEE 1284 bidirektionaler Drucker

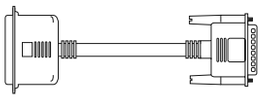

Abb. 7 — IEEE 1284 bidirektionale Verbindung

Abb. 8 — IEEE 1284 bidirektionales Verlängerungskabel

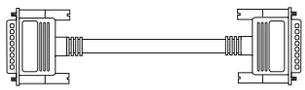

Abb. 9 — Verbindungskabel für 25-Pin Schnittstelle, seriell / parallel

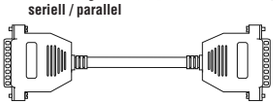

Abb. 10 — 25-Pin Schnittstelle, Verlängerung

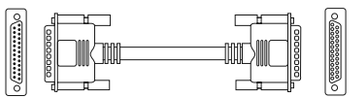

Abb. 11 — 9-Pin Schnittstelle, Verlängerung

Abb. 12 — VGA-Monitorverlängerungskabel

Abb. 13 —Hochwertiges VGA-Monitorverlängerungskabel

Abb. 14— PC/XT/AT Tastaturverlängerung

Abb. 15 — PS/2-Tastaturverlängerungskabel - spiralförmig

Abb. 16 — PS/2-Tastaturverlängerungskabel - gerade

Abb. 17 — PS/2-Tastaturkabel - gerade

Abb. 18 — IBM Modem/Adapter

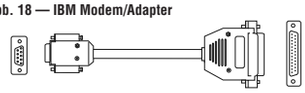

AE1115-ND & AE1030-ND : 1-8, 2-3, 3-2, 4-20, 5-7, 6-6, 7-4, 8-5, 9-22, S-S
AE1031-ND & AE1032-ND: 1-8, 2-2, 3-3, 4-6, 5-7, 6-20, 7-5, 8-4, 9-22, Gehäuse-Gehäuse

Abb. 19 — Nullmodem, Kreuzkabel

AE1033-ND & AE1034-ND: 1-4, 2-3, 3-2, 4-1, 5-5, 7-8, 8-7, 9-9, Gehäuse-Gehäuse

Abb. 20 — Nullmodem, serielles Kabel

AE1035-ND: 1-1; 2-3; 3-2; 4-5; 5-4; 7-7; 8-20; 15,17-8, 24-15.
AE1036-ND: 2-15, 3-13, 4-12, 5-10, 6-11, 10-5, 11-6, 12-4, 13-3, 15-2, 25-25.
AE1037-ND: 1-1, 2-3, 3-2, 4-5, 5-4, (6+8)-20, 7-7, 20-(6+8).

Abb.	Länge in Fuß (Metern)	Leitungen	Beschreibung	Digi-Key Teilenr.	Stückpreis 1	10	25	Assmann Teilenr.
			Angegossenes Verlängerungskabel für 36-Pin Centronics Schnittstellen					
1	6.56 ft. (2m)	36	2x Centronics 36-Pin Buchsenanschluss-Buchsenanschluss	AE1000-ND	10.48	9.21	8.26	AK155-2
	9.84 ft. (3m)			AE1001-ND	13.97	12.28	11.01	AK434-3
	6.56 ft. (2m)	36	2x Centronics 36-Pin Steckanschluss-Steckanschluss	AE1002-ND	9.08	7.98	7.16	AK138-2
	9.84 ft. (3m)			AE1003-ND	12.72	11.18	10.02	AK426-3
	6.56 ft. (2m)	36	2x Centronics 36-Pin Steckanschluss-Buchsenanschluss	AE1004-ND	9.78	8.60	7.71	AK140-2
	9.84 ft. (3m)			AE1005-ND	13.27	11.67	10.46	AK430-3
			Paralleles Druckerkabel, IBM PC u. kompatible Geräte					
2	5.90 ft (1.8m)	25	D-Sub 25-Pin Steckanschluss an Centronics 36-Pin Stecker, Schnappgehäuse	AE1006-ND	4.06	3.56	3.20	AK101-1.8
	9.84 ft. (3m)			AE1007-ND	6.76	5.95	5.33	AK102-3
	16.40 ft. (5m)			AE1099-ND	5.98	5.26	4.72	AK103-5
	22.96 ft. (7m)			AE1100-ND	7.57	6.66	5.97	AK104-7
3	6.56 ft. (2m)	25	D-Sub 25-Pin Steckanschluss an Centronics 36-Pin Stecker, geformte Hauben	AE1101-ND	3.89	3.42	3.07	AK108-2
	9.84 ft. (3m)			AE1102-ND	4.92	4.33	3.88	AK127-3
	22.96 ft. (7m)			AE1104-ND	8.02	7.05	6.32	AK159-7
4	6.56 ft. (2m)	25	D-Sub 25-Pin Stecker an rechtwinkligen Centronics 36-Pin Stecker	AE1008-ND	6.06	5.33	4.78	AK525-2
	6.56 ft. (2m)		D-Sub 25-Pin Stecker an linkswinkligen Centronics 36-Pin Stecker	AE1009-ND	6.98	6.14	5.51	AK525-L2
			Paralleles Druckerkabel, IBM PC u. kompatible Geräte					
5	9.84 ft. (3m)	8	D-Sub 9-Pin Buchse an D-Sub 25-Pin Stecker, Schnappgehäuse	AE1103-ND	2.77	2.44	2.18	AK150-3
			IEEE 1284 Bidirektionales Kabel - geformte Hauben					
6	5.90 ft. (1.8m)	25	D-Sub 25-Pin Steckanschluss an Centronics 36-Pin Stecker, Drucker	AE1105-ND	8.69	7.64	6.85	AK711-1.8
	9.84 ft. (3m)			AE1106-ND	11.67	10.27	9.21	AK712-3
	16.40 ft. (5m)			AE1107-ND	15.79	13.88	12.44	AK713-5
7	5.90 ft. (1.8m)	25	D-Sub 25-Pin Stecker an D-Sub 25-Pin Buchse, Verbindungskabel	AE1108-ND	9.16	8.06	7.23	AK733-1.8
	9.84 ft. (3m)			AE1109-ND	12.35	10.86	9.73	AK734-3
	16.40 ft. (5m)			AE1110-ND	17.38	15.28	13.70	AK735-5
8	5.90 ft. (1.8m)	25	D-Sub 25-Pin Stecker an D-Sub 25-Pin Stecker, Verlängerungskabel	AE1112-ND	9.00	7.91	7.10	AK736-1.8
	9.84 ft. (3m)			AE1113-ND	11.79	10.37	9.29	AK737-3
	16.40 ft. (5m)			AE1114-ND	17.49	15.37	13.78	AK738-5
			Schnappgehäuse-Verbindung für 25-Pin Schnittstelle					
9	6.56 ft. (2m)	25	D-Sub 25-Pin Stecker an D-Sub 25-Pin Stecker, Schnappgehäuse	AE1111-ND	3.24	2.85	2.56	AK401-2
			Angegossenes Verlängerungskabel für 25-Pin Schnittstelle					
10	6.56 ft. (2m)	25	2x D-Sub 25-Pin Stecker-Stecker	AE1010-ND	5.87	5.16	4.63	AK137-2
	9.84 ft. (3m)			AE1011-ND	7.27	6.39	5.73	AK162-3
	6.56 ft. (2m)	25	2x D-Sub 25-Pin Stecker-Buchse	AE1012-ND	5.98	5.26	4.72	AK135-2
	9.84 ft. (3m)			AE1013-ND	7.27	6.39	5.73	AK166-3
	6.56 ft. (2m)	25	2x D-Sub 25-Pin Buchse-Buchse	AE1014-ND	6.12	5.38	4.83	AK133-2
	9.84 ft. (3m)			AE1015-ND	8.49	7.47	6.70	AK170-3
			Angegossenes Verlängerungskabel für 9-Pin Schnittstellen					
11	6.56 ft. (2m)	9	2x D-Sub 9-Pin Stecker-Stecker	AE1018-ND	4.53	3.98	3.57	AK129-2
	9.84 ft. (3m)			AE1019-ND	5.09	4.47	4.01	AK174-3
	6.56 ft. (2m)	9	2x D-Sub 9-Pin Stecker-Buchse	AE1020-ND	4.53	3.98	3.57	AK131-2
	9.84 ft. (3m)			AE1021-ND	5.09	4.47	4.01	AK178-3
	6.56 ft. (2m)	9	2x D-Sub 9-Pin Buchse-Buchse	AE1016-ND	4.53	3.98	3.57	AK152-2
	9.84 ft. (3m)			AE1017-ND	5.17	4.55	4.08	AK182-3
			VGA Monitor-Verlängerungskabel - IBM PS/2					
12	6.56 ft. (2m)	—	2x H/D D-Sub 15-Pin Stecker-Buchse	AE1022-ND	5.09	4.47	4.01	AK322-2
			Angegossenes VGA an 5 x BNC Monitorkabel					
—	6.56 ft. (2m)	—	HD D-Sub 15-Pin Stecker an 5 x BBNC-Stecker	AE1116-ND	14.59	12.82	11.49	AK553-2
			Angegossenes Premium VGA-Monitorverlängerungskabel					
13	5.90 ft. (1.8m)	—	HD D-Sub 15-Pin Stecker zu-HD D-Sub 15-Pin Buchse	AE1117-ND	8.58	7.54	6.76	AK3220-1.8
			IBM PC/XT/AT-Tastaturverlängerung					
14	6.56 ft. (2m)	5	5-Pin Standard-DIN-Stecker-Buchse	AE1023-ND	3.63	3.20	2.87	AK306-2
	16.40 ft. (5m)			AE1024-ND	7.41	6.51	5.84	AK307-5
			Angegossenes PS/2-Tastaturverlängerung					
15	6.56 ft. (2m)	6	6-Pin Mini-DIN-Stecker-Buchse, Spiralkabel	AE1025-ND	4.94	4.35	3.90	AK323-2
	16.40 ft. (5m)			AE1026-ND	9.08	7.98	7.16	AK528-5
16	6.56 ft. (2m)	6	MiniDIN 6-Pin Stecker an MiniDIN 6-Pin Buchse, gerade	AE1118-ND	2.10	1.85	1.66	AK323/G-2

(Forts.)

A

Abb. 21 — PS/2 Tastaturadapter

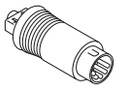

Abb. 22 — D-Sub Adapter

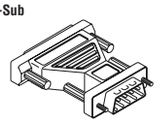

Adapter zur Installation von Schnittstellensystemen, bei Verwendung von Standardkabeln.

Abb. 23 — PS/2-Mausadapter

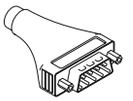

Abb. 24 — PS/2-Mauskabeladapter

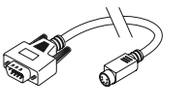

Abb. 25 — Jumper Box

Adapter zur Anpassung an spezielle RS232-Schnittstellen.
Die mitgelieferten Zeilendrähte ermöglichen eine wirtschaftliche permanente Neukonfiguration der Pin-Funktionen, ohne Neuverdrahtungskabel erforderlich zu machen.

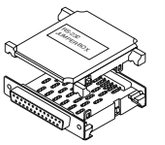

Abb. 26 — Wiring Box

Adapter zur Anpassung an spezielle RS232-Schnittstellen mit hochwertigen Kontakten und Drahtbrücken. Dieser Adapter kann mehrmals zur Neukonfiguration von Kabeln verwendet werden, ohne dass gelötet werden muss.

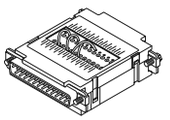

Abb. 27 — CD-ROM-Audio-Kabel

Abb. 28 — CD-ROM-Audio-Kabel

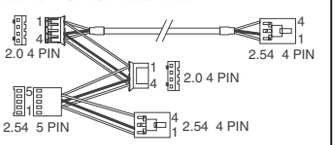

Abb. 29 — CD-ROM-Audio-Kabel

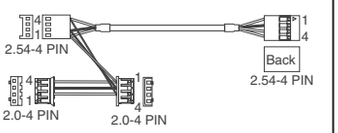

Abb. 30 — CD-ROM-Audio-Kabel

Abb. 31 — Internes S/P - DIF Audio-Kabel

Abb. 32 — Plattenlaufwerk-Strom-Splitter

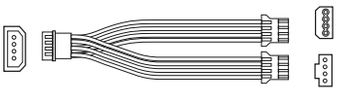

Abb. 33 — Y-Netzkabel

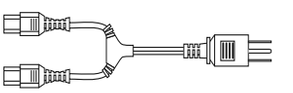

Abb. 34 — Netzkabel - gerade/gewinkelt

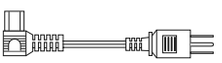

Abb. 35 — Netzkabel - gerade/gerade

Abb. 36 — Netzkabel, mit einem Ende, gerade

Abb. 37 — Netzkabel, mit einem Ende, gerade

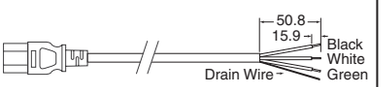

Abb.	Länge in Fuß (Metern)	Leitungen	Beschreibung	Digi-Key Teilenr.	Stückpreis 1	10	25	Assmann Teilenr.
			PS/2-Tastaturkabel - gerade					
17	6.56 ft. (2m)	6	MiniDIN 6-Pin Stecker an MiniDIN 6-Pin Stecker, angegossen	AE1119-ND	2.04	1.80	1.61	AK678-2
			PC Modem (AT-Adapterkabel)					
18	.82 ft. (.25m)	9	D-Sub 9-Pin Buchse an D-Sub 25-Pin Stecker	AE1115-ND	1.46	1.28	1.15	AK128-.25
	6.56 ft. (2m)	9	D-Sub 9-Pin Buchse an D-Sub 25-Pin Stecker	AE1030-ND	4.00	3.52	3.15	AK125-2
			Nullmodem-Kabel					
18	9.84 ft. (3m)	9	D-Sub 9-Pin Buchse an D-Sub 25-Pin Stecker	AE1031-ND	4.28	3.76	3.37	AK149-3
	9.84 ft. (3m)	9	D-Sub 9-Pin Buchse an D-Sub 25-Pin Buchse	AE1032-ND	4.47	3.93	3.53	AK124-3
			Nullmodem, Kreuzkabel					
19	9.84 ft. (3m)	9	D-Sub 9-Pin Buchse an D-Sub 9-Pin Buchse	AE1033-ND	4.81	4.23	3.79	AK143-3
	9.84 ft. (3m)	9	D-Sub 9-Pin Stecker an D-Sub 9-Pin Buchse	AE1034-ND	4.81	4.23	3.79	AK142-3
			Nullmodem, serielle Kabel					
	9.84 ft. (3m)	25	D-Sub 25-Pin Buchse an D-Sub 25-Pin Buchse	AE1035-ND	3.72	3.27	2.93	AK144-3
20	9.84 ft. (3m)	25	D-Sub 25-Pin Stecker an D-Sub 25-Pin Stecker	AE1036-ND	6.34	5.58	5.00	AK250-3
	9.84 ft. (3m)	25	D-Sub 25-Pin Buchse an D-Sub 25-Pin Buchse	AE1037-ND	3.72	3.27	2.93	AK251-3
			PS/2 Tastaturadapter					
21	—	—	1 x MiniDIN, 6-Pin Buchse an 1 x DIN 5-Pin Stecker	AE1046-ND	3.33	2.93	2.62	AB961
	—	—	1 x MiniDIN, 6-Pin Stecker an DIN 5-Pin Buchse	AE1047-ND	2.57	2.26	2.03	AB440
			D-Sub Adapter					
22	—	—	9-Pin Stecker an 25-Pin Stecker	AE1048-ND	2.57	2.26	2.03	AB913
	—	—	9-Pin Buchse an 25-Pin Stecker	AE1049-ND	2.57	2.26	2.03	AB914
	—	—	9-Pin Stecker an 25-Pin Buchse	AE1050-ND	2.57	2.26	2.03	AB914F
	—	—	9-Pin Buchse an 25-Pin Stecker	AE1051-ND	2.57	2.26	2.03	AB915
			PS/2 Mausadapter					
23	—	—	1 x MiniDIN, 6-Pin Buchse an 1 x D-Sub 9-Pin Stecker	AE1052-ND	2.54	2.24	2.01	AB401
	—	—	1 x MiniDIN, 6-Pin Stecker an 1 x D-Sub 9-Pin Buchse	AE1053-ND	5.09	4.47	4.01	AB450
	—	—	1 x MiniDIN, 6-Pin Buchse an 1 x D-Sub 25-Pin Stecker	AE1054-ND	5.33	4.69	4.21	AB402
	—	—	1 x MiniDIN, 6-Pin Stecker an 1 x D-Sub 9-Pin Stecker	AE1055-ND	2.35	2.07	1.85	AB405
	—	—	1 x MiniDIN, 6-Pin Buchse an 1 x D-Sub 9-Pin Buchse	AE1156-ND	1.74	1.53	1.37	AB406
	—	—	1 x MiniDIN, 6-Pin Buchse an 1 x D-Sub 25-Pin Buchse	AE1056-ND	6.15	5.41	4.85	AB441
			PS/2 Maus-Kabeladapter					
24	.5 ft. (.15m)	—	1 x MiniDIN, 6-Pin Buchse an 1 x D-Sub 9-Pin Stecker	AE1154-ND	1.74	1.53	1.37	AB401K
	.5 ft. (.15m)	—	1 x MiniDIN, 6-Pin Stecker an 1 x D-Sub 9-Pin Buchse	AE1158-ND	1.74	1.53	1.37	AB450K
	.5 ft. (.15m)	—	1 x MiniDIN, 6-Pin Stecker an 1 x D-Sub 9-Pin Stecker	AE1155-ND	1.74	1.53	1.37	AB405K
	.5 ft. (.15m)	—	1 x MiniDIN, 6-Pin Buchse an 1 x D-Sub 9-Pin Buchse	AE1157-ND	1.74	1.53	1.37	AB406K
			Jumper Box					
25	—	—	1 x Stecker, 1 x Buchse, 25-Pin, Kunststoff	AE1038-ND	6.26	5.50	4.94	AB972
	—	—	1 x Stecker, 1 x Buchse, 25-Pin, Metall	AE1039-ND	6.62	5.82	5.22	AB973
			Wiring Box					
26	—	—	1 x Stecker, 1 x Buchse, 25-Pin, Kunststoff	AE1040-ND	11.95	10.51	9.43	AB946
	—	—	1 x Stecker, 1 x Buchse, 25-Pin, Metall	AE1041-ND	12.38	10.88	9.76	AB947
			Strom-Splitterkabel					
27	1.64 ft. (0.5m)	—	Audio CD-ROM 4 Position 3 Draht	AE1276-ND	1.09	.96	.86	AK2525
28	1.64 ft. (0.5m)	—	Audio CD-ROM 4-fach	AE1277-ND	2.35	2.07	1.86	AK615-.5
29	1.64 ft. (0.5m)	—	Audio CD-ROM 3-fach	AE1278-ND	1.60	1.41	1.27	AK616-.5
30	1.64 ft. (0.5m)	—	Audio CD-ROM 4 Position 3 Draht	AE1275-ND	1.01	.89	.80	AK2524
31	1.64 ft. (0.5m)	—	Internes Kabel 2-Pin Gehäuse/Gehäuse	AE1279-ND	1.70	1.50	1.35	AK2526DVD
	.66 ft. (.2m)	4	Netzkabel für 2 - 5 1/4" Laufwerke	AE1027-ND	1.68	1.48	1.33	AK319-.2
32	.66 ft. (.2m)	4	Netzkabel für 2 - 3 1/2" Laufwerke	AE1028-ND	1.68	1.48	1.33	AK520-.2
	.66 ft. (.2m)	4	Netzkabel für 3 1/2" und 5 1/4" Laufwerke	AE1029-ND	1.68	1.48	1.33	AK521-.2
			Y-Netzkabel					
33	6.56 ft. (2m)	—	1 x Netzkabelstecker an 2 x geradem Steckverbinder, 10 A, 125 V	AE1120-ND	5.42	4.77	4.28	AK500/Y-U-2
			Netzkabel					
34	6.56 ft. (2m)	—	Netzstecker, gerade an IEC-Anschluss, rechtwinklig, 10 A, 125 V	AE1121-ND	3.83	3.37	3.03	AK500/U-1
35	6.56 ft. (2m)	—	Netzstecker, gerade an IEC-Anschluss, gerade, 10 A, 125 V	AE1122-ND	4.19	3.69	3.31	AK500/U-2
	6.56 ft. (2m)	—	Kabel SVT 18 AWG 3 Leiter geschirmt	AE1325-ND	3.94	3.47	3.11	AK500-OE-5-2
36	9.84 ft. (3m)	—	Kabel SVT 18 AWG 3 Leiter geschirmt	AE1326-ND	5.05	4.45	3.99	AK500-OE-5-3
	6.56 ft. (2m)	—	Kabel SJT 18 AWG 3 Leiter geschirmt	AE1327-ND	4.22	3.71	3.33	AK500-OE-6-2

(Forts.)

Alle Preisangaben in Euro und inklusive Zollgebühren.

Abb. 38 — Netzkabel, mit einem Ende, gewinkelt

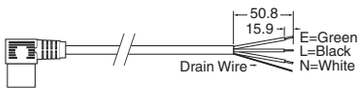

Abb. 39 — Netzkabel, mit einem Ende, gewinkelt

Abb. 40 — Netzkabel, mit einem Ende, gerade

Abb. 41 — Netzkabel - gerade/8-Baustein

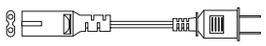

Abb. 42 — Netzkabelverlängerung

Abb. 43 — RCA Stecker an Stecker

Abb. 44 — RCA Stecker an Buchse

Abb. 45 — RCA Stecker an Stecker

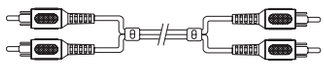

Abb. 46 — RCA Stecker an Buchse

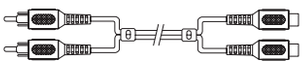

Abb. 47 — RCA Stecker an Stecker, hohe Qualität

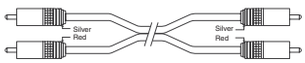

Abb. 48 — RCA Stecker an Stecker, hohe Qualität

Abb. 49 — S Video Stecker an Stecker und RCA Stecker an Stecker, hohe Qualität

Abb. 50 — RCA Stecker an Stecker, hohe Qualität

Abb. 51 —S Video Stecker an Stecker, hohe Qualität

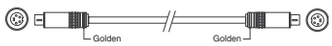

Abb. 52 — S Video Stecker an Buchse, hohe Qualität

Abb. 53 — RCA Stecker an Stereo 3,5 mm Stecker

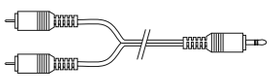

Abb. 54 — Stereo 3,5 mm Stecker an RCA Buchse

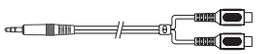

Abb. 55 — Stereo 3,5 mm Stecker an Stecker

Abb. 56 — Stereo 3,5 mm Stecker an Buchse

Abb.	Länge in Fuß (Metern)	Leitungen	Beschreibung	Digi-Key Teilenr.	Stückpreis 1	10	25	Assmann Teilenr.
36	9.84 ft. (3m)	—	Kabel SJT 18 AWG 3 Leiter geschirmt	AE1328-ND	5.76	5.06	4.54	AK500-OE-6-3
	6.56 ft. (2m)	—	Kabel SVT 18 AWG 3 Leiter geschirmt	AE1329-ND	3.63	3.20	2.87	AK500-OE-7-2
	6.56 ft. (2m)	—	Kabel SJT 18 AWG 3 Leiter geschirmt	AE1330-ND	4.61	4.06	3.64	AK500-OE-8-2
37	6.56 ft. (2m)	—	Kabel SJT 18 AWG 3 Leiter geschirmt	AE1338-ND	3.83	3.37	3.02	AK500-OE-9-2
	9.84 ft. (3m)	—	Kabel SJT 18 AWG 3 Leiter geschirmt	AE1339-ND	5.31	4.67	4.19	AK500-OE-9-3
38	6.56 ft. (2m)	—	Kabel SJT 18 AWG 3 Leiter geschirmt	AE1331-ND	3.86	3.40	3.04	AK500-RA-5-2
	9.84 ft. (3m)	—	Kabel SJT 18 AWG 3 Leiter geschirmt	AE1332-ND	5.37	4.72	4.23	AK500-RA-5-3
39	6.56 ft. (2m)	—	Kabel SVT 18 AWG 3 Leiter	AE1333-ND	4.78	4.20	3.77	AK500-RA-6-2
	6.56 ft. (2m)	—	Kabel SJT 18 AWG 3 Leiter	AE1334-ND	3.72	3.27	2.93	AK500-RA-7-2
	9.84 ft. (3m)	—	Kabel SJT 18 AWG 3 Leiter	AE1335-ND	5.17	4.55	4.08	AK500-RA-7-3
40	6 ft. (1.83m)	—	Kabel SPT-1 18 AWG 2 Leiter	AE1345-ND	1.70	1.50	1.35	AK500-OE-12-6F
	8.99 ft. (2.74m)	—	Kabel SPT-1 18 AWG 2 Leiter	AE1346-ND	2.60	2.29	2.05	AK500-OE-12-9F
	6 ft. (1.83m)	—	Kabel SPT-2 18 AWG 2 Leiter	AE1347-ND	2.24	1.97	1.77	AK500-OE-13-6F
	8 ft. (2.44m)	—	Kabel SPT-2 18 AWG 2 Leiter	AE1348-ND	2.73	2.41	2.16	AK500-OE-13-8F
41	6.56 ft. (2m)	—	Netzstecker, gerade, an Gerätesteckanschluss (Abb. 8), gerade	AE1123-ND	2.47	2.18	1.95	AK500/U-3
			Netzkabelverlängerung					
42	6.56 ft. (2m)	—	IEC-Stecker, gerade an IEC-Sockelanschluss, gerade, 10 A, 125 V	AE1124-ND	4.28	3.76	3.37	AK500/U-4
	3.28 ft. (1m)	—	Kabel SJT 18 AWG 3 Leiter geschirmt	AE1336-ND	3.01	2.65	2.38	AK500-JC-5-1
	3.28 ft. (1m)	—	Kabel SJT 18 AWG 3 Leiter	AE1337-ND	2.79	2.46	2.21	AK500-JC-6-1
	1.64 ft. (.5m)	—	Kabel SVT 18 AWG 3 Leiter geschirmt	AE1340-ND	2.15	1.89	1.70	AK500-OE-11-.5
	3.28 ft. (1m)	—	Kabel SVT 18 AWG 3 Leiter geschirmt	AE1341-ND	3.05	2.69	2.41	AK500-OE-11-1
	4.92 ft. (1.5m)	—	Kabel SVT 18 AWG 3 Leiter geschirmt	AE1342-ND	3.42	3.00	2.70	AK500-OE-11-1.5
	6.56 ft. (2m)	—	Kabel SVT 18 AWG 3 Leiter	AE1343-ND	4.08	3.59	3.22	AK500-OE-11-2
	8.20 ft. (2.5m)	—	Kabel SVT 18 AWG 3 Leiter	AE1344-ND	4.64	4.08	3.66	AK500-OE-11-2.5
			Multimedienkabel					
43	4.92 ft. (1.5m)	—	RCA Stecker an Stecker	AE1308-ND	1.48	1.31	1.17	AK-AV200
	6.56 ft. (2m)	—	RCA Stecker an Stecker	AE1044-ND	1.53	1.35	1.21	AK302-2
	8.20 ft. (2.5m)	—	RCA Stecker an Stecker	AE1309-ND	1.92	1.70	1.52	AK-AV201
44	8.20 ft. (2.5m)	—	RCA Stecker an Buchse	AE1310-ND	1.98	1.75	1.57	AK-AV202
45	4.92 ft. (1.5m)	—	2RCA Stecker an Stecker	AE1264-ND	2.40	2.12	1.90	AKCHMM-015
	6.56 ft. (2m)	—	2RCA Stecker an Stecker	AE1265-ND	1.87	1.65	1.48	AKCHMM-2
	8.20 ft. (2.5m)	—	2RCA Stecker an Stecker	AE1266-ND	2.49	2.19	1.96	AKCHMM-025
	16.40 ft. (5m)	—	2RCA Stecker an Stecker	AE1267-ND	4.02	3.54	3.17	AKCHMM-050
46	4.92 ft. (1.5m)	—	2RCA Stecker an Buchse (rot und weiß)	AE1260-ND	2.24	1.97	1.77	AKCHMF-015
	6.56 ft. (2m)	—	2RCA Stecker an Buchse (rot und weiß)	AE1261-ND	1.87	1.65	1.48	AKCHMF-2
	6.56 ft. (2m)	—	2RCA Stecker an Buchse (rot und schwarz)	AE1045-ND	2.07	1.82	1.63	AK3030-2
	8.20 ft. (2.5m)	—	2RCA Stecker an Buchse (rot und weiß)	AE1262-ND	2.49	2.19	1.96	AKCHMF-025
	16.40 ft. (5m)	—	2RCA Stecker an Buchse (rot und weiß)	AE1263-ND	4.44	3.91	3.50	AKCHMF-050
47	4.92 ft. (1.5m)	—	Audio RCA, hohe Qualität, Stecker an Stecker	AE1349-ND	15.76	13.85	12.42	AK-AV500
	16.40 ft. (5m)	—	Audio RCA, hohe Qualität, Stecker an Stecker	AE1350-ND	24.84	21.83	19.57	AK-AV501
48	4.92 ft. (1.5m)	—	Audio/Video RCA, hohe Qualität, Stecker an Stecker	AE1353-ND	22.57	19.84	17.79	AK-AV504
	16.40 ft. (5m)	—	Audio/Video RCA, hohe Qualität, Stecker an Stecker	AE1354-ND	34.14	30.01	26.90	AK-AV505
49	4.92 ft. (1.5m)	—	Audio/Video RCA, hohe Qualität, Stecker an Stecker	AE1359-ND	24.20	21.27	19.07	AK-AV510
	16.40 ft. (5m)	—	Audio/Video RCA, hohe Qualität, Stecker an Stecker	AE1360-ND	37.16	32.66	29.28	AK-AV511
50	4.92 ft. (1.5m)	—	Audio RCA, hohe Qualität, Stecker an Stecker	AE1351-ND	7.46	6.56	5.88	AK-AV502
	16.40 ft. (5m)	—	Audio RCA, hohe Qualität, Stecker an Stecker	AE1352-ND	11.18	9.83	8.81	AK-AV503
51	4.92 ft. (1.5m)	—	Video S-VHS, hohe Qualität, Stecker an Stecker	AE1355-ND	9.00	7.91	7.09	AK-AV506
	16.40 ft. (5m)	—	Video S-VHS, hohe Qualität, Stecker an Stecker	AE1356-ND	15.54	13.66	12.24	AK-AV507
52	4.92 ft. (1.5m)	—	Video S-VHS, hohe Qualität, Stecker an Buchse	AE1357-ND	10.81	9.51	8.52	AK-AV508
	16.40 ft. (5m)	—	Video S-VHS, hohe Qualität, Stecker an Buchse	AE1358-ND	15.09	13.26	11.89	AK-AV509
53	4.92 ft. (1.5m)	—	3,5 mm Stereo, Stecker an 2RCA Stecker	AE1269-ND	2.66	2.34	2.10	AK243-015
	6.56 ft. (2m)	—	3,5-mm-Stereokabel, 2 Phonostecker	AE1042-ND	5.73	5.04	4.52	AK243-2
	8.20 ft. (2.5m)	—	3,5 mm Stereo, Stecker an 2RCA Stecker	AE1271-ND	3.35	2.95	2.65	AK243-025
	16.40 ft. (5m)	—	3,5 mm Stereo, Stecker an 2RCA Stecker	AE1272-ND	4.86	4.28	3.83	AK243-050
	32.8 ft. (10m)	—	3,5 mm Stereo, Stecker an 2RCA Stecker	AE1273-ND	5.78	5.09	4.56	AK243-10
54	1.18 in. (30mm)	—	3,5 mm Stereo, Stecker an 2RCA Buchse	AE1274-ND	1.62	1.43	1.28	AK244-2
55	6.56 ft. (2m)	—	3,5 mm Stereo, Stecker an Stecker	AE1268-ND	1.38	1.21	1.09	AK203/MM
56	8.20 ft. (2.5m)	—	3,5 mm Stereo, Stecker an Buchse	AE1043-ND	3.05	2.68	2.40	AK203-2.5

A

Abb. 1 — Interner Adapter, angegossen

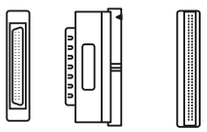

Abb. 2 — Interner Adapter, Bausatz

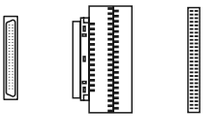

Abb. 3 — Niedrigprofiladapter

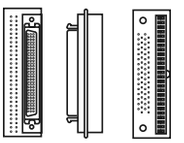

Abb. 4 — SCSI-3 M-F-Adapter

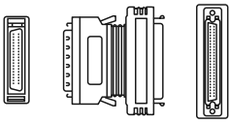

Abb. 5 — SCSI-3 F-F-Adapter

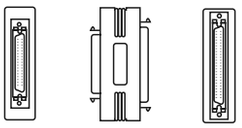

Abb. 6 — SCSI-3 M-M-Adapter

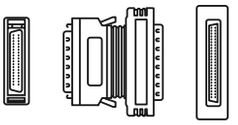

Abb. 7 — SCSI-3 M-F-Adapter

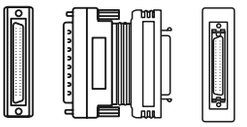

Abb. 8 — Centronic 50 Stecker

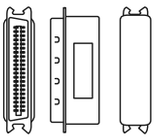

Abb. 9 — Box-Steckleiste 50 Stecker

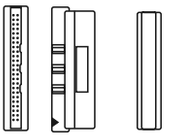

Abb.	Länge in Metern	Leitungen	Beschreibung	Digi-Key Teilenr.	Stückpreis 1	10	25	Assmann Teilenr.
			Serie SCSI, interne Adapter					
1	—	—	HP D-Sub 68 Stecker an Box-Steckleiste 50 Stecker	AE1057-ND	11.73	10.32	9.25	AB-Y1007
2	—	—	HP D-Sub 68 Buchse an Sockel 50 Buchse	AE1058-ND	15.65	13.75	12.33	AB-Y1008
			Serie SCSI, Niedrigprofiladapter					
3	—	50	HPD68 Buchse an IDC 50 Buchse	AE1059-ND	16.76	14.74	13.21	AB-Y1014
			Serie SCSI-3, Adapter					
4	—	50	HP D-Sub 50 Stecker an HP D-Sub 68 Buchse	AE1060-ND	18.86	17.15	15.43	AB-Y334
5	—	50	HP D-Sub 50 Buchse an HP D-Sub 68 Buchse	AE1061-ND	18.04	16.41	14.77	AB-Y335
6	—	50	HP D-Sub 50 Stecker an HP D-Sub 68 Stecker	AE1062-ND	20.49	18.63	16.77	AB-Y344
7	—	50	HP D-Sub 68 Stecker an HP D-Sub 50 Buchse	AE1063-ND	19.56	17.78	16.01	AB-Y345
			Serie SCSI-1, Abschluss					
8	—	50	Centronic 50 Stecker, A Kabel, aktiv	AE1064-ND	12.85	11.30	10.13	AB-Y102T
9	—	50	Steckleiste 50 Stecker, A Kabel, aktiv	AE1066-ND	13.69	12.03	10.79	AB-Y130T
10	—	50	Steckleiste 50 S/B, A Kabel, aktiv	AE1065-ND	16.76	14.74	13.21	AB-Y126T
			Serie SCSI-2, Abschluss					
11	—	50	HP D-Sub 50 Stecker mit Latch, A Kabel, aktiv	AE1067-ND	16.76	14.74	13.21	AB-Y201L
			Serie SCSI-3, Abschluss					
12	—	68	HP D-Sub 68 Stecker mit Latch, P Kabel, passiv	AE1068-ND	18.72	16.45	14.75	AB-Y315T
			FAST SCSI 2 an SCSI 2 Kabel, geschirmt, UL 2919					
13	.90	50	D-Sub 50, HP, Stecker, Clip an D-Sub-50, HP, Stecker, Clip	AE1163-ND	15.84	13.93	12.49	AK579/F-1
13	2.0	50	D-Sub 50, HP, Stecker, Clip an D-Sub-50, HP, Stecker, Clip	AE1164-ND	17.65	16.05	14.44	AK579/F-2
			SCSI-2 Serie, Rundkabel					
14	.91	50	Half-Pitch D-Sub 50 Stecker an Centronic 50 Stecker, A-Kabel	AE1069-ND	14.05	12.35	11.08	AK-Y1202
			Serie SCSI-3, Rundkabel					
15	.91	68	Half-Pitch D-Sub 68 Stecker x 2, A-Kabel	AE1070-ND	20.89	18.99	17.09	AK-Y1301
16	.91	50	Half-Pitch D-Sub 68 Stecker an Centronic 50 Stecker, A-Kabel	AE1071-ND	16.03	14.10	12.64	AK-Y1302
17	.91	50	Half-Pitch D-Sub 68 Stecker an Centronic D-Sub 50 Stecker, A-Kabel	AE1072-ND	18.30	16.09	14.42	AK-Y1303
18	.91	25	Half-Pitch D-Sub 68 Stecker an Centronic 25 Stecker, A-Kabel	AE1073-ND	13.49	11.86	10.64	AK-Y1304
			Serie SCSI, Flachkabel					
19	2	50	UL 2651, 50 Pins, 1,27 mm Neigung IDC 50 x 8, P-Kabel	AE1074-ND	5.98	5.26	4.72	AK-Y2110
			Serie SCSI-3, Flachkabel					
20	.45	68	0,635 mm HP D-Sub 68 Stecker x 2, P-Kabel	AE1075-ND	11.29	9.92	8.90	AK-Y2301
21	0.6	68	0,635 mm HP D-Sub 68 Stecker x 3, P-Kabel	AE1076-ND	18.05	15.86	14.22	AK-Y2302
22	1.2	68	0,635 mm HP D-Sub 68 Stecker x 5, P-Kabel	AE1077-ND	20.93	19.03	17.13	AK-Y2303
23	2.0	68	0,635 mm HP D-Sub 68 Stecker x 8, P-Kabel	AE1078-ND	25.90	23.90	22.24	AK-Y2304
24	1.6	68	0,635 mm HP D-sub 68 Buchse x 2 an 0,635 mm HP D-Sub 68 Stecker x 8	AE1079-ND	35.70	32.95	30.65	AK-Y2310
			Festplattenlaufwerkkabel für 2 x IDE/AT Bus Festplattenlaufwerke					
25	.5	40	(3) 40 Pin Buchsensteckverbinder	AE1311-ND	2.26	1.99	1.79	AK5430-.5
			ATA Ultraflachkabel					
26	.46	40	Ultra ATA HDD 100 Mbps	AE1312-ND	5.53	4.87	4.36	AK-ATA-100
			IEEE1394 Kabel, doppelt geschirmt					
	1.8	6	6-Pin Stecker an 6-Pin Stecker	AE1125-ND	15.45	13.58	12.18	AK1394-18
27	3.0	6	6-Pin Stecker an 6-Pin Stecker	AE1128-ND	20.34	17.88	16.03	AK1394-30
	5.0	6	6-Pin Stecker an 6-Pin Stecker	AE1131-ND	20.45	18.88	17.56	AK1394-50
	1.8	4	6-Pin Stecker an 4-Pin Stecker	AE1126-ND	18.46	16.23	14.55	AK1394-184
27A	3.0	4	6-Pin Stecker an 4-Pin Stecker	AE1129-ND	18.84	17.13	15.41	AK1394-304
	5.0	4	6-Pin Stecker an 4-Pin Stecker	AE1132-ND	20.85	19.24	17.90	AK1394-504
	1.8	4	4-Pin Stecker an 4-Pin Stecker	AE1127-ND	19.79	17.99	16.20	AK1394-1844
27B	3.0	4	4-Pin Stecker an 4-Pin Stecker	AE1130-ND	23.24	21.13	19.02	AK1394-3044
	5.0	4	4-Pin Stecker an 4-Pin Stecker	AE1133-ND	24.58	22.68	21.10	AK1394-5044
			IEEE 1394 u. USB Steckverbinder					
28	—	—	IEEE 1394 Buchse, horizontal, SMT	AE7348-ND	1.69	1.49	1.34	A-IE-S-SMT
29	—	—	IEEE 1394 Buchse, horizontal, Leiterplatte	AE7347-ND	1.61	1.42	1.27	A-IE-S-DIP
30	—	—	IEEE 1394 Buchse, vertikal, Leiterplatte	AE7346-ND	1.61	1.42	1.27	A-IE-E-DIP
31	—	4	USB 4P Steckbuchse Dip, Typ A	AE1083-ND	1.06	.94	.84	AU-Y1005
31	—	4	USB 4P Steckbuchse SMT, Typ A	AE1084-ND	1.06	.94	.84	AU-Y1006
32	—	4	USB 4P Steckbuchse Dip, Typ B	AE1085-ND	1.79	1.58	1.41	AU-Y1007
33	—	4	USB 4P Steckbuchse Doppelport, Typ A	AE1086-ND	1.79	1.58	1.41	AU-Y1008

Abb. 10 — Box-Steckleiste 50 S/B

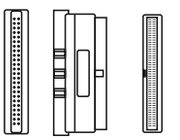

Abb. 11 — D-Sub 50 Stecker mit Latch

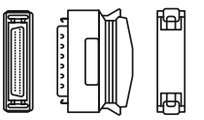

Abb. 12 — D-Sub 68 Stecker mit Latch

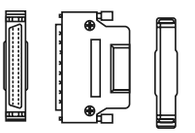

Abb. 13 — SCSI 2 an SCSI 2 Rundkabel

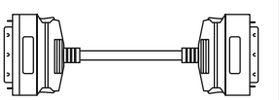

Abb. 14 — SCSI-2 Verlängerungskabel

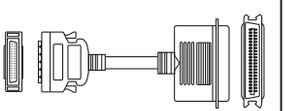

Abb. 15 — SCSI-3 Verlängerungskabel

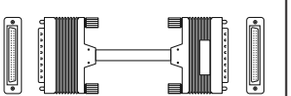

Abb. 16 — SCSI-3 Adapterkabel

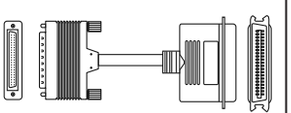

Abb. 17 — SCSI-3 Adapterkabel

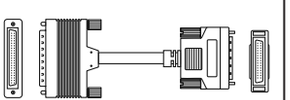

Abb. 18 — SCSI-3 Adapterkabel

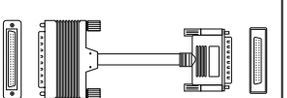

Abb. 19 — SCSI Internes RAID-Flachkabel

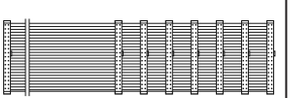

Abb. 20 — SCSI-3 Internes Flachkabel

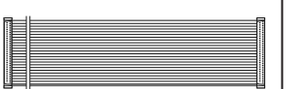

Abb. 21 — SCSI-3 Internes Flachkabel

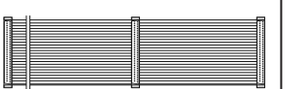

Abb. 22 — SCSI-3 Internes RAID-Flachkabel

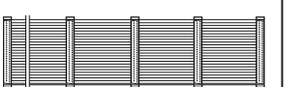

Abb. 23 — FSCSI-3 Internes RAID-Flachkabel

(Forts.)

Alle Preisangaben in Euro und inklusive Zollgebühren.

Abb. 24 — SCSI-3 Internes RAID Flachkabel

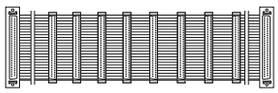

Abb. 25 — 40 Pin Buchsensteckverbinder

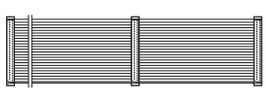

Abb. 26 — Ultra ATA-Flachkabel

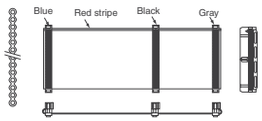

Abb. 27 — IEEE 1394 Kabel

Abb. 27A —

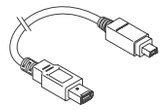

Abb. 27B —

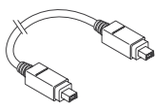

Abb. 28

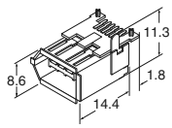

Abb. 29

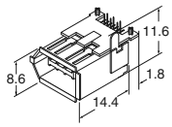

Abb. 30

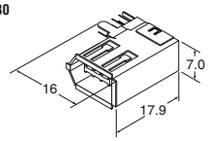

Abb.	Länge in Metern	Leitungen	Beschreibung	Digi-Key Teilenr.	Stückpreis 1	10	25	Assmann Teilenr.
			USB-Stecker und Hauben					
34	—	—	USB A-Stecker, Lötversion	AE1134-ND	.78	.70	.62	A-USBPA
	—	—	USB B-Stecker, Lötversion	AE1136-ND	.90	.79	.71	A-USBPB
	—	—	Haube für USB A-Stecker	AE1135-ND	.36	.32	.29	A-USBPA-HOOD
	—	—	Haube für USB B-Stecker	AE1137-ND	.36	.32	.29	A-USBPB-HOOD
			USB-Kabel					
35	1	4	Kabel Mini-USB 4-Pin Stecker	AE1280-ND	2.29	2.02	1.81	AK670M-1
	2	4	Kabel Mini-USB 4-Pin Stecker	AE1281-ND	2.54	2.24	2.01	AK670M-2
	3	4	Kabel Mini-USB 4-Pin Stecker	AE1282-ND	3.29	2.90	2.60	AK670M-3
	5	4	Kabel Mini-USB 4-Pin Stecker	AE1283-ND	3.69	3.25	2.91	AK670M-5
	1	4	Kabel Mini-USB 2,0, 4-Pin Stecker	AE1288-ND	2.46	2.17	1.94	AK670M/2-1
	2	4	Kabel Mini-USB 2,0, 4-Pin Stecker	AE1289-ND	2.73	2.41	2.16	AK670M/2-2
	3	4	Kabel Mini-USB 2,0, 4-Pin Stecker	AE1290-ND	3.18	2.80	2.51	AK670M/2-3
	5	4	Kabel Mini-USB 2,0, 4-Pin Stecker	AE1291-ND	4.06	3.56	3.20	AK670M/2-5
36	1	4	Kabel Mini-USB 5-Pin Stecker	AE1284-ND	2.29	2.02	1.81	AK672M-1
	2	4	Kabel Mini-USB 5-Pin Stecker	AE1285-ND	2.54	2.24	2.01	AK672M-2
	3	4	Kabel Mini-USB 5-Pin Stecker	AE1286-ND	2.99	2.63	2.36	AK672M-3
	5	4	Kabel Mini-USB 5-Pin Stecker	AE1287-ND	3.69	3.25	2.91	AK672M-5
	1	4	Kabel Mini-USB 2,0, 5-Pin Stecker	AE1292-ND	2.46	2.17	1.94	AK672M/2-1
	2	4	Kabel Mini-USB 2,0, 5-Pin Stecker	AE1293-ND	2.73	2.41	2.16	AK672M/2-2
	3	4	Kabel Mini-USB 2,0, 5-Pin Stecker	AE1294-ND	3.18	2.80	2.51	AK672M/2-3
	5	4	Kabel Mini-USB 2,0, 5-Pin Stecker	AE1295-ND	4.06	3.56	3.20	AK672M/2-5
37	1.5	4	Kabel USB A-A-Stecker	AE1081-ND	3.10	2.73	2.45	AU-Y1001
	2	4	Kabel USB A-A-Stecker	AE1141-ND	4.08	3.59	3.22	AK670-2
	5	4	Kabel USB A-A-Stecker	AE1142-ND	6.60	5.80	5.20	AK670-5
	1	4	Kabel USB 2,0, A-A-Stecker	AE1296-ND	2.35	2.07	1.85	AK670/2-1
	2	4	Kabel USB 2,0, A-A-Stecker	AE1297-ND	2.96	2.61	2.34	AK670/2-2
	3	4	Kabel USB 2,0, A-A-Stecker	AE1298-ND	3.57	3.15	2.82	AK670/2-3
	5	4	Kabel USB 2,0, A-A-Stecker	AE1299-ND	4.86	4.28	3.83	AK670/2-5
38	2	4	Kabel USB B-B-Stecker	AE1151-ND	4.19	3.69	3.31	AK673-2
	5	4	Kabel USB B-B-Stecker	AE1152-ND	6.73	5.92	5.31	AK673-5
	1	4	Kabel USB 2,0, B-B-Stecker	AE1304-ND	2.35	2.07	1.85	AK673/2-1
	2	4	Kabel USB 2,0, B-B-Stecker	AE1305-ND	2.96	2.61	2.34	AK673/2-2
	3	4	Kabel USB 2,0, B-B-Stecker	AE1306-ND	3.57	3.15	2.82	AK673/2-3
	5	4	Kabel USB 2,0, B-B-Stecker	AE1307-ND	5.57	4.90	4.40	AK673/2-5
39	1.5	4	Kabel USB A-B-Stecker	AE1082-ND	4.00	3.52	3.15	AU-Y1002A
	2	4	Kabel USB A-B-Stecker	AE1144-ND	4.08	3.59	3.22	AK672-2
	5	4	Kabel USB A-B-Stecker	AE1145-ND	6.15	5.41	4.85	AK672-5
	1	—	Kabel USB 2,0, A-B-Stecker	AE1300-ND	2.35	2.07	1.85	AK672/2-1
	2	—	Kabel USB 2,0, A-B-Stecker	AE1301-ND	2.96	2.61	2.34	AK672/2-2
	3	—	Kabel USB 2,0, A-B-Stecker	AE1302-ND	3.57	3.15	2.82	AK672/2-3
	5	—	Kabel USB 2,0, A-B-Stecker	AE1303-ND	4.86	4.28	3.83	AK672/2-5
	2	4	Kabel USB A-B-Stecker, iMac blau	AE1146-ND	4.19	3.69	3.31	AK672MB
	2	4	Kabel USB A-B-Stecker, iMac lila	AE1147-ND	4.19	3.69	3.31	AK672MG
	2	4	Kabel USB A-B-Stecker, iMac grün	AE1148-ND	4.19	3.69	3.31	AK672ML
	2	4	Kabel USB A-B-Stecker, iMac rot	AE1149-ND	4.19	3.69	3.31	AK672MS
	2	4	Kabel USB A-B-Stecker, iMac orange	AE1150-ND	4.19	3.69	3.31	AK672MT
40	1.8	4	USB A-Stecker an USB A-Buchse, doppelt Schild	AE1138-ND	4.47	3.93	3.53	AK669-1.8
	3	4	USB A-Stecker an USB A-Buchse, doppelt Schild	AE1139-ND	5.51	4.85	4.35	AK669-3
	5	4	USB A-Stecker an USB A-Buchse, doppelt Schild	AE1140-ND	6.45	5.68	5.09	AK669-5
41	2	4	USB A an offenes Ende	AE1143-ND	2.68	2.36	2.12	AK670-OE
	2	4	USB B an offenes Ende	AE1153-ND	2.73	2.41	2.16	AK673-OE
			USB-Adapter — Intern/Extern auf Slotblech, doppelt geschirmt					
42	0.25	—	2 x USB A Buchse zu 2 x 5-Pin, 2,54 mm Buchsensteckverbinder.	AE1161-ND	6.01	5.28	4.74	AK674
	0.25	—	2 x USB A Buchse zu 1 x 8-Pin, 2,54 mm Buchsensteckverbinder.	AE1162-ND	6.34	5.58	5.00	AK674-8
			USB-Adapter — geformt					
43	—	4	USB-Adapter, Typ A, Buchse	AE1080-ND	2.29	2.02	1.81	AU-Y1000-A
	—	4	USB A-Buchse zu USB B-Stecker	AE1159-ND	4.19	3.69	3.31	A-USB-2
	—	4	USB A Stecker zu USB B-Buchse	AE1160-ND	4.19	3.69	3.31	A-USB-3
	—	4	USB A-Buchse zu USB B-Buchse	AE1318-ND	4.19	3.69	3.31	A-USB-1
	—	4	USB A-Buchse zu USB A-Buchse	AE1319-ND	4.19	3.69	3.31	A-USB-4
	—	4	USB A Stecker zu USB A-Stecker	AE1320-ND	4.19	3.69	3.31	A-USB-5
	—	4	USB B Stecker zu USB B-Stecker	AE1321-ND	4.19	3.69	3.31	A-USB-6
44	1.63	—	Adapter USB-Seriell DB9/25 Stecker	AE1324-ND	35.98	31.63	28.36	DA-70119
			Modularstecker					
45	—	—	4P4C, ungeschirmt, für Flachkabel	AE1194-ND	.14	.13	.11	A-MO-4/4-SF
	—	—	6P4C, ungeschirmt, für Flachkabel	AE1196-ND	.14	.13	.11	A-MO-6/4-SF
	—	—	6P6C, ungeschirmt, für Flachkabel	AE1198-ND	.25	.23	.20	A-MO-6/6-SF
	—	—	8P8C, ungeschirmt, für Flachkabel	AE1200-ND	.30	.27	.25	A-MO-8/8-SF
	—	—	8P8C, geschirmt, für Flachkabel, CAT5	AE1201-ND	.86	.77	.69	A-MO-8/8-SFS
45	—	—	4P4C, ungeschirmt, für Rundkabel	AE1195-ND	.14	.13	.11	A-MO-4/4-SR
	—	—	6P4C, ungeschirmt, für Rundkabel	AE1197-ND	.14	.13	.11	A-MO-6/4-SR
	—	—	6P6C, ungeschirmt, für Rundkabel	AE1199-ND	.25	.23	.20	A-MO-6/6-SR
	—	—	8P8C, ungeschirmt, für Rundkabel	AE1202-ND	.30	.27	.25	A-MO-8/8-SR
	—	—	8P8C, geschirmt, für Rundkabel, CAT5	AE1203-ND	.86	.77	.69	A-MO-8/8-SRS

Abb. 31 — USB 4P Buchse recht- winkliger Dip-Steckverbinder

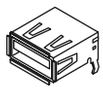

Abb. 32 — USB 4P Stecker rechtwinkliger Steckverbinder

Abb. 33 — USB 4P Buchse rechtwinkliger Doppelport-Dip-Steckverbinder

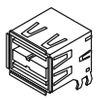

Abb. 34 — USB-Stecker und Hauben

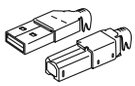

Abb. 35 — Mini-USB-Kabel mit 4 Stecker-Positionen

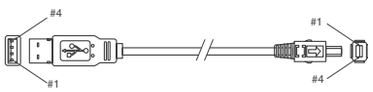

Abb. 36 — Mini-USB-Kabel mit 5 Stecker-Positionen

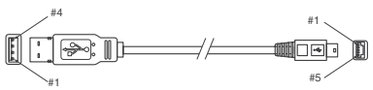

Abb. 37 — USB-Kabel A-A-Stecker

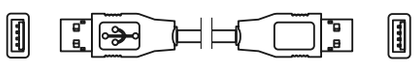

Abb. 38 — USB-Kabel B-B-Stecker

Abb. 39 — USB-Kabel A-B-Stecker

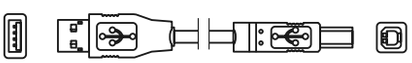

Abb. 40 — USB-Verlängerungskabel

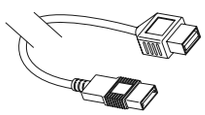

Abb. 41 — USB A an offenes Ende

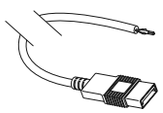

Abb.42 — USB-Adapter an Slotblech

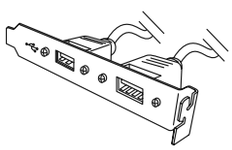

(Forts.)

Abb. 43 — USB-Adapter

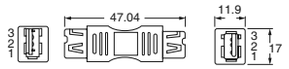

Abb. 44 — USB an serielle Adapterkabel

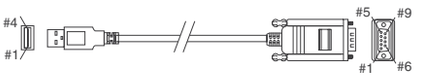

Abb. 45 — Modularer Stecker

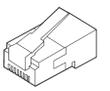

Abb. 46 — CAT 5e - Patchkabel

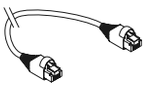

A

Abb.	Länge in Metern	Beschreibung	Ungeschirmte Version (UTP) Digi-Key Teilenr.	Stückpreis 1	10	25	Assmann Teilenr.	Geschirmte Version (FTP) Digi-Key Teilenr.	Stückpreis 1	10	25	Assmann Teilenr.
PVC-Kabelbausatz CAT5, RJ45 — gegossen												
46	2.0	CAT 5, Patchkabel, grau	—	—	—	—	—	AE1098-ND	5.70	5.01	4.50	A-MCS-80020-MPGRAY
	2.0	CAT 5, Patchkabel, grün	—	—	—	—	—	AE1166-ND	4.17	3.67	3.29	A-MCS-80020/G
	3.0	CAT 5, Patchkabel, grün	—	—	—	—	—	AE1171-ND	5.09	4.47	4.01	A-MCS-80030/G
	2.0	CAT 5, Patchkabel, gelb	—	—	—	—	—	AE1168-ND	4.17	3.67	3.29	A-MCS-80020/Y
PVC-Kabelbausatz CAT5(e), RJ45 — gegossen												
46	1.0	CAT 0,5e, Patchkabel, grau	AE1208-ND	1.74	1.53	1.37	A-MCUP-80010	AE1233-ND	2.40	2.12	1.90	A-MCSP-80010
	2.0	CAT 0,5e, Patchkabel, grau	AE1213-ND	2.46	2.17	1.94	A-MCUP-80020	AE1238-ND	3.38	2.98	2.67	A-MCSP-80020
	3.0	CAT 0,5e, Patchkabel, grau	AE1218-ND	3.10	2.73	2.45	A-MCUP-80030	AE1243-ND	4.34	3.81	3.42	A-MCSP-80030
	5	CAT 0,5e, Patchkabel, grau	AE1223-ND	4.53	3.98	3.57	A-MCUP-80050	AE1248-ND	6.04	5.31	4.76	A-MCSP-80050
	10	CAT 0,5e, Patchkabel, grau	AE1228-ND	8.16	7.17	6.43	A-MCUP-80100	AE1253-ND	10.76	9.46	8.48	A-MCSP-80100
	1.0	CAT 0,5e, Patchkabel, rot	AE1209-ND	1.74	1.53	1.37	A-MCUP-80010/R	AE1234-ND	2.41	2.12	1.90	A-MCSP-80010/R
	2.0	CAT 0,5e, Patchkabel, rot	AE1214-ND	2.46	2.17	1.94	A-MCUP-80020/R	AE1239-ND	3.38	2.98	2.67	A-MCSP-80020/R
	3.0	CAT 0,5e, Patchkabel, rot	AE1219-ND	3.10	2.73	2.45	A-MCUP-80030/R	AE1244-ND	4.33	3.81	3.42	A-MCSP-80030/R
	5	CAT 0,5e, Patchkabel, rot	AE1224-ND	4.53	3.98	3.57	A-MCUP-80050/R	AE1249-ND	6.04	5.31	4.76	A-MCSP-80050/R
	10	CAT 0,5e, Patchkabel, rot	AE1229-ND	8.17	7.17	6.44	A-MCUP-80100/R	AE1254-ND	10.76	9.46	8.48	A-MCSP-80100/R
	1.0	CAT 0,5e, Patchkabel, blau	AE1210-ND	1.74	1.53	1.37	A-MCUP-80010/B	AE1235-ND	2.40	2.12	1.90	A-MCSP-80010/B
	2.0	CAT 0,5e, Patchkabel, blau	AE1215-ND	2.46	2.17	1.94	A-MCUP-80020/B	AE1240-ND	3.38	2.98	2.67	A-MCSP-80020/B
	3.0	CAT 0,5e, Patchkabel, blau	AE1220-ND	3.10	2.73	2.45	A-MCUP-80030/B	AE1245-ND	4.33	3.81	3.42	A-MCSP-80030/B
	5	CAT 0,5e, Patchkabel, blau	AE1225-ND	4.53	3.98	3.57	A-MCUP-80050/B	AE1250-ND	6.04	5.31	4.76	A-MCSP-80050/B
	10	CAT 0,5e, Patchkabel, blau	AE1230-ND	8.16	7.17	6.43	A-MCUP-80100/B	AE1255-ND	10.76	9.46	8.48	A-MCSP-80100/B
	1.0	CAT 0,5e, Patchkabel, gelb	AE1211-ND	1.74	1.53	1.37	A-MCUP-80010/Y	AE1236-ND	2.40	2.12	1.90	A-MCSP-80010/Y
	2.0	CAT 0,5e, Patchkabel, gelb	AE1216-ND	2.46	2.17	1.94	A-MCUP-80020/Y	AE1241-ND	3.38	2.98	2.67	A-MCSP-80020/Y
	3.0	CAT 0,5e, Patchkabel, gelb	AE1221-ND	3.10	2.73	2.45	A-MCUP-80030/Y	AE1246-ND	4.33	3.81	3.42	A-MCSP-80030/Y
	5	CAT 0,5e, Patchkabel, gelb	AE1226-ND	4.53	3.98	3.57	A-MCUP-80050/Y	AE1251-ND	6.04	5.31	4.76	A-MCSP-80050/Y
	10	CAT 0,5e, Patchkabel, gelb	AE1231-ND	8.16	7.17	6.43	A-MCUP-80100/Y	AE1256-ND	10.76	9.46	8.48	A-MCSP-80100/Y
	1.0	CAT 0,5e, Patchkabel, grün	AE1212-ND	1.74	1.53	1.37	A-MCUP-80010/G	AE1237-ND	2.40	2.12	1.90	A-MCSP-80010/G
	2.0	CAT 0,5e, Patchkabel, grün	AE1217-ND	2.46	2.17	1.94	A-MCUP-80020/G	AE1242-ND	3.38	2.98	2.67	A-MCSP-80020/G
	3.0	CAT 0,5e, Patchkabel, grün	AE1222-ND	3.10	2.73	2.45	A-MCUP-80030/G	AE1247-ND	4.33	3.81	3.42	A-MCSP-80030/G
	5	CAT 0,5e, Patchkabel, grün	AE1227-ND	4.53	3.98	3.57	A-MCUP-80050/G	AE1252-ND	6.04	5.31	4.76	A-MCSP-80050/G
	10	CAT 0,5e, Patchkabel, grün	AE1232-ND	8.16	7.17	6.43	A-MCUP-80100/G	AE1257-ND	10.76	9.46	8.48	A-MCSP-80100/G

Kabeltester

PC-Kabeltester, unabhängig

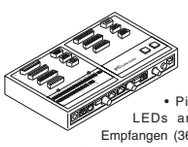

Alle geeigneten PC-Kabel können mit diesem Tester getestet werden. • Prüft: Verbindung, Pin-Zuordnung und Schirm • Pin-Zuordnung wird durch LEDs angezeigt: Senden (25), Empfangen (36), Batterie (1), Schirm (2), Anzahl der Drähte (4) • 4 Tasten: Test, auto/manuell, Geschwindigkeit, ein/aus • Automatischer und manueller Testdurchlauf • Steckverbinder: DSub-9 S/B, DSub-15 S/B, DSub-15 HD S/B, DSub-25 S/B Centronics 36 Buchse, BNC-Stecker, RJ45-Buchse, USB A+B Buchse, IEEE 1394 Buchse • Stromversorgung durch 9 V Blockbatterie, optionale 9 V/150 mA externe Stromversorgung • Abmessungen (B x T x H): 250 mm x 130 mm x 35 mm

AE1207-ND PC-Kabeltester, unabhängig (ACT-PC-SO) **148.90**

Netzwerk-Kabeltester für

RJ45, BNC

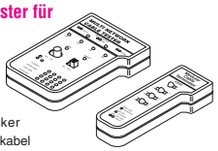

• Kabeltester für geschirmte und ungeschirmte CAT5-Kabel mit RJ45-Stecker sowie für BNC-Koaxialkabel • Testfunktion für Kabel mit RJ45 UTP/STP und BNC-Stecker, Patch Panels und modulare Wandplatten • Schnelle Testfunktion durch Auto-scanning • Prüft: Verbindung, Zuordnung, Paare gemäß EIA/TIA 356A, 568A, 568B, Token Ring • Hauptgerät mit einer RJ45- und einer BNC-Buchse, Remote-Gerät mit einer RJ45 Buchse • Mit Remote-Gerät zum Testen des installierten Kabels • LEDs für Statusanzeige • Betrieb mit 9 V Blockbatterie • mit Kunstledertasche

AE1206-ND Netzwerk-Kabeltester (ACT-MN) **58.67**

Modularer Kabeltester für

RJ45, RJ11, RJ12

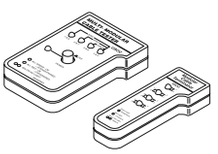

• Modularer Kabeltester für Kabel mit RJ45-, RJ12- und RJ11-Stecker • Schnelle Testfunktion durch Auto-Scanning • Prüft: Verbindung, Zuordnung und Paare • Hauptgerät mit zwei RJ45-Buchsen; Remote-Gerät mit einer RJ45-Buchse • Installiertes Kabel kann mit dem Remote-Gerät getestet werden • LEDs für Statusanzeige • Betrieb mit 9 V Blockbatterie • mit Kunstledertasche

AE1204-ND Modularer Netzwerk-Kabeltester (ACT-MM) **58.67**

Premium-Netzwerk-Kabeltester für

RJ45, BNC

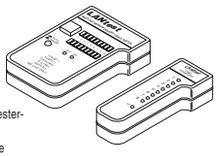

• Insgesamt 18 LEDs (für jeden Draht und für Schirmung) zeigen die Zuordnung an und liefern ein schnelles und genaues Testergebnis • Betrieb mit 9 V Blockbatterie • Testfunktion für Kabel mit RJ45/11-, UTP/STP- und BNC-Stecker, Patch Panels und modulare Wandplatten • Einschließlich BNC-Kabeladapter für Koaxialkabeltest • Manueller oder automatischer Testdurchlauf • Prüft: Verbindung, Zuordnung, Paare gemäß EIA/TIA 356A, 568A, 568B, Token Ring • Hauptgerät mit zwei RJ45-Buchsen; Remote-Gerät mit einer RJ45-Buchse • Installiertes Kabel kann mit dem Remote-Gerät getestet werden • mit Kunstledertasche

AE1205-ND Premium-Netzwerk-Kabeltester (ACT-LAN) **97.05**

HIROSE ELECTRIC CO.,LTD. USB 2.0 Kabel und Steckverbinder

Funktionen: Die von der USB Association getesteten und zertifizierten Steckverbinder funktionieren bei Übertragungsgeschwindigkeiten von bis zu 480 Mbps. Das dünne Design des Steckers und des Anspritzteils ermöglichen eine Verwendung auf engem Raum. Der Stecker enthält auch eine Schnapp-Sperr-Funktion, die für eine fühlbare Bestätigung der vollen und ganzen Übereinstimmung von Stecker und Steckbuchse sorgt. Bleifreie Plattierung zum Schutz der Umwelt

Anwendungen: PC- und Laptop-Peripheriegeräte, Daten-Terminals, Digitalkameras, MP3-Player, PDAs, GPS und andere Bausteine, die Standard-USB-Protokolle verwenden.

Spezifikationen: • Nennstrom: 1 A • Nennspannung: 5 V AC • Betriebstemperaturbereich: -30 °C bis 75 °C • Kontaktwiderstand: Max. 50 mΩ • Isolationswiderstand: Min. 100 MΩ • Dielektrische Haltespannung: 100 V AC/1 Minute (kein Überschlag bzw. Isolationsdurchbruch)

Materialien; Steckbuchsen: • Isolator: Synthetischer Harz • Oberflächenfarbe: schwarz • Kontakte: Kupferlegierung • Kontaktabschnitt: Vergoldet • Anschlussbereich: Lötzinnüberzug • Metallschirm: Kupferlegierung • Oberflächenverarbeitung: Lötzinnüberzug

Materialien; Stecker: • Isolator: Synthetischer Harz • Oberflächenfarbe: schwarz • Kontakte: Kupferlegierung • Oberflächenkontaktabschnitt: Vergoldet • Anschlussbereich: Lötzinnüberzug • Metallschirm: Stahl • Oberflächenverarbeitung: Lötzinnüberzug • Anspritzmasse: PVC • Oberfläche: Schwarz

Abb. 1

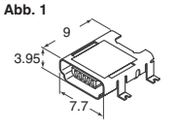

Abb. 2

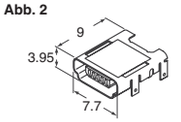

Abb. 3

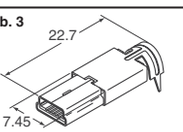

Abb. 4

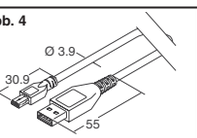

Abb. 5

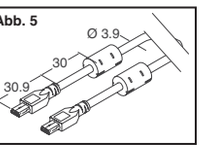

Abb.	Digi-Key Teilenr.	Stückpreis 1	25	100	Digi-Key Teilenr.	Gegurtet auf Rolle 1,000	Hirose Teilenr.
Rechtwinklige Steckbuchse, Metallschirm, SMT, mit Führungsstift							
1	H2959CT-ND	1.23	.89	.73	H2959TR-ND	430.12	UX60-MB-5ST
Rechtwinklige Steckbuchse, Metallschirm, DIP, mit Führungsstift							
2	H2960CT-ND	1.18	.86	.70	H2960TR-ND	412.11	UX60-MB-5S8
Rechtwinklige Steckbuchse, Metallschirm, SMT, ohne Führungsstift							
1	H2961CT-ND	1.18	.86	.70	H2961TR-ND	412.11	UX60A-MB-5ST
3	H2955-ND H2958-ND	1.32 1.19	.96 .87	.79 .71	— —	— —	UX40-MB-5P UX40A-MB-5P

Abb.	Beschreibung	Länge (mm)	Digi-Key Teilenr.	Stückpreis 1	25	100	Hirose Teilenr.
4	USB-Typ A an Mini-B	1,000	H2957-ND	5.05	3.93	3.14	UX40-MB-5PA-1000-2003
5	USB Mini-B an Mini-B	500	H2956-ND	5.97	4.63	3.71	UX40-MB-5PP-500-1002

Alle Preisangaben in Euro und inklusive Zollgebühren.

USB-Steckverbinder

USB-Standardmerkmale: • Breite Industrieunterstützung von der Computerbranche bis zu führenden Telecom-Unternehmen • Preiswerte 12 Mbit/s Datentransfertarife • Bietet PC/Telefon-Integration und digitale Konnektivität • Standardmäßiger serieller Port-Steckverbinder für alle Bausteine • Unterstützt Datenkettung und bis zu 127 Geräte • Windows '95 Betriebstreiberunterstützung **Anwendungen:** • Desktop und Notebook PCs • Peripheriegeräte • Tastatur, Maus • Telephonie, ISDN, PBXs, Handsets

Leiterplatten-Steckbuchsenmerkmale (Serie A): • Rechtwinklig Einzel-, Doppel-Stapel • Positive Polarisation • 1.500 Abstimmungszyklen • Metallschirm • Vier Positionen mit vergoldeten Kontakten: Zwei für Signal auf 2 mm Mittellinie und zwei für Strom auf 2,5 mm Mittellinie • Zugelassen für max. 1,0 A pro Kontakt

USB-Steckbuchsen: Elektrische Spezifikationen: Spannung: 30 V **Strom:** 1,0 A **Kontaktwiderstand:** Max. 30 mΩ **Dielektrische Haltespannung:** 750 V AC **Isolationswiderstand:** Min. 1.000 mΩ **Gehäuse:** Glasfasergefülltes Polyester, UL94V-0 **Kontakt:** Phosphorbronze **Metallgehäuse:** Kupferlegierung **Überzug:** Goldüberzug **Temperatur:** 0 °C ~ 40 °C

Mini-B USB-Steckverbinder: • Ca. 1/8 der Größe von Standard-USB B-Steckverbindern • Erfüllt die aktuellen Spezifikationen USB 2,0 • Kompaktes und leichtes Design, das die Anforderungen von verschiedenen tragbaren und mobilen Geräten erfüllt • Arbeitet mit Geschwindigkeiten bis zu 480 Mbps • Lang haltbar, bis zu 5.000 Zyklen

Abb. 1

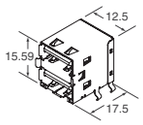

Abb. 2 **Abm. in mm**

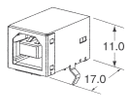

Abb. 3

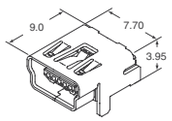

Abb. 4

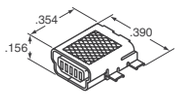

Abb.	Beschreibung	Digi-Key Teilenr.	Stückpreis 1	10	100	Molex Teilenr.
1	Typ „A" einfach aufrecht, doppelt gestapelt, rechtwinklig, weiß	WM2496-ND	2.57	2.27	1.52	67298-4000
2	Typ „B" einfach rechtwinklig, schwarz	WM17108-ND	1.77	1.57	1.05	67068-0000
	Typ „B" einfach rechtwinklig, weiß	WM17109-ND	1.80	1.60	1.07	67068-1000
3	Typ „Mini-B", rechtwinklig, Leiterplatten-Montage	WM5974-ND	3.06	2.45	1.63	54819-0511

Abb.	Beschreibung	Digi-Key Teilenr.	Gurtabschnittspreis pro Stück 1	10	25	Gegurtet auf Rolle* 800	Molex Teilenr.
4	Typ „Mini-B"', USB OTG, rechtwinklig, 5-Positionen-SMD	WM2499CT-ND	1.54	1.24	1.03	493.06	54819-0578

* Für gegurtet auf Rolle die Teilenummer in CT-ND in TR-ND ändern.

USB-Kabelbausätze und Steckverbinder

Abb. 1 **Abm. in mm**

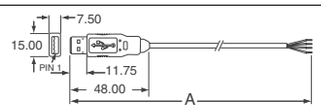

Abb. 2

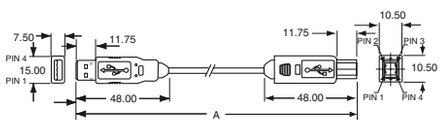

Abb. 3

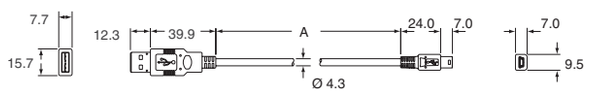

Abb. 1 und Abb. 2 Merkmale:
Voll geschirmte und polarisierte Stecker. Reibgriff auf überformtem Körper erleichtert die Abstimmung und Nicht-Abstimmung.
Elektrische Spezifikationen: • Spannung: 30 V • **Strom:** 1,0 A • **Kontaktwiderstand:** Max. 30 mΩ • **Dielektrische Haltespannung:** 750 V AC • **Isolationswiderstand:** Min. 1.000 MΩ mechanisch • **Einsteckkraft:** Max. 35 N • **Ziehkraft:** 10 N min. • **Lebensdauer:** 1.500 Zyklen min.

Abb. 3 Merkmale:
• Ca. 1/8 der Größe von Standard-USB B-Steckverbindern
• Erfüllt die aktuellen Spezifikationen USB 2,0
Spezifikationen: • Spannung: 30 V • **Strom:** 1,0 A • **Kontaktwiderstand:** Max. 50 mΩ • **Dielektrische Haltespannung:** 100 AC/1 Minute • **Isolationswiderstand:** Min. 100 MΩ

Abb.	Abm. A (mm)	Beschreibung	Digi-Key Teilenr.	Stückpreis 1	10	25	Molex Teilenr.
1	2080	USB-Typ „A-an-Pigtail", fullrated	WM17104-ND	4.06	3.25	2.71	88728-3400
	2080	USB-Typ „A-an-Pigtail", Subkanal	WM17105-ND	3.01	2.41	2.01	88738-8200
2	2090	USB-Typ „A-an-B", fullrated	WM17103-ND	4.24	3.40	2.83	88732-9200
3	1000	USB-Typ „A an Mini-B"	WM5975-ND	13.89	11.12	9.27	59204-9401

Firewire 1394 E/A-Steckverbinder

Die Steckleisten werden in Hochtemperaturkunststoff für die echte SMT-Verarbeitung angeboten. Design mit voller Metallabschirmung unterstützt den ESE-Schutz. Robuste vergoldete Flachkontakte halten bis zu 1.500 Zyklen stand.

Abb.	Digi-Key Teilenr.	Stückpreis 1	10	100	Molex Teilenr.
1	WM17300-ND	8.53	7.53	5.02	53462-0611
2	WM17301-ND	8.53	7.53	5.02	53460-0611

Abb. 1
Steckleiste, rechtwinklig, flach

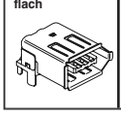

Abb. 2
Steckleiste, rechtwinklig, aufrecht

DELPHI
Connection Systems

USB 2,0 Leuchtkabelbausätze

Kabel für USB 2,0 (Universal Serial Bus) mit integrierter Beleuchtung an den Steckverbindern. Diese Kabel dienen nicht nur zur Verbindung von Peripheriegeräten mit Computern, sondern verleihen dieser Funktion eine ganz besondere Note. Sie sind in verschiedenen Farben erhältlich und eignen sich ideal für Anwendungen, bei denen es um verbesserte Ästhetik, periphere Eleganz oder eine sichtbare Bestätigung geht, dass das Kabel auch Strom führt.

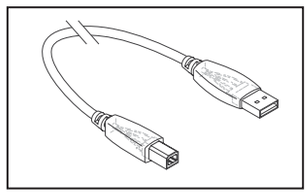

LED-Farbe	Länge	Digi-Key Teilenr.	Stückpreis 1	10	25	Delphi Teilenr.
USB 2,0 Leuchtkabelbausätze						
Weiß	1.8M	167-1015-ND	9.92	8.72	7.82	15430623-144
Rot	1.8M	167-1016-ND	9.92	8.72	7.82	15430623-244
Grün	1.8M	167-1017-ND	9.92	8.72	7.82	15430623-344
Blau	1.8M	167-1018-ND	9.92	8.72	7.82	15430623-444
Orange	1.8M	167-1019-ND	9.92	8.72	7.82	15430623-544

Mini-USB 2,0 Kabelbausätze

Mini-Kabelbausätze für USB- (Universal Serial Bus) basierende Schnittstellen mit kleinen Geräten im Handformat. Mini-USBs dienen zur Verbindung von Hochgeschwindigkeits-Peripheriegeräten mit Computern. Mini-USBs sind ideal für Anwendungen, die kleine und leichte Steckverbinder voraussetzen.

Abb. 1

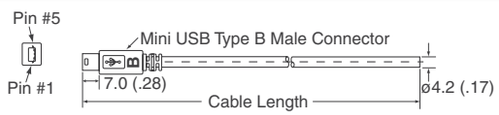

Abb. 2

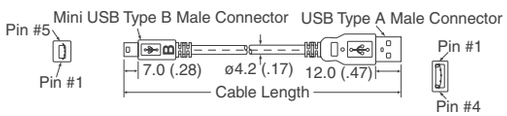

Abb. 3

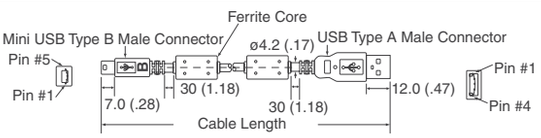

Länge	Digi-Key Teilenr.	Stückpreis 1	10	25	Delphi Teilenr.
Abb.1 Mini B 2.0 Fesselkabelbausätze					
.3M	167-1007-ND	1.77	1.56	1.40	15431479-010
.5M	167-1008-ND	1.89	1.66	1.49	15431479-020
1M	167-1009-ND	2.12	1.88	1.68	15431479-030
Abb. 2 A an Mini B 2,0 trennbare Kabelbausätze					
.25M	167-1010-ND	2.37	2.09	1.87	15431480-000
1M	167-1011-ND	2.77	2.44	2.19	15431480-010
1.8M	167-1012-ND	3.22	2.83	2.54	15431480-030
Abb. 3 A an Mini B 2,0 trennbares Kabelbausätze mit Ferritkern					
1M	167-1013-ND	3.29	2.90	2.60	15431481-010
1.8M	167-1014-ND	3.73	3.29	2.95	15431481-030

Plattierte Durchgangsloch- und SMT Mini-B-Steckverbinder

Abb. 1

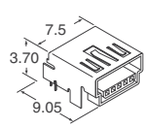

Abb. 2

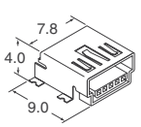

Die Mini-B-Buchse dient zur Verbindung zwischen PCs und Peripheriegeräten. Die Mini-B-Steckbuchse wurde so verschlüsselt, dass der Baustein als Peripheriegerät funktionieren kann. Der Mini-B-Sockel wird in erster Linie für E/A-Anwendungen mit hohem Signalniveau verwendet (480 MB/s). Die aufeinander abgestimmten Kontaktflächen der Verbindung sollten Gold-zu-Gold sein. ***Vorteile:*** • Erfüllt die Geschwindigkeitsanforderungen von USB 2.0 • Erfüllt die vorläufigen Anforderungen von USB OTG (On-The-Go) • In Ausführungen für SMT- und Durchgangslochmontage erhältlich • Ermöglicht heißen Anschluss mehrerer Geräte • Volle Ganzmetallschirme schützen die Kontakte vor physikalischen und ESE- (elektrostatische Entladung) Schäden ***Merkmale:*** **Betriebsspannung:** 30 V AC RMS **Gehäuse (Schirm) Material:** Messing **Gehäusefarbe:** schwarz **Gehäusematerial:** Nylon GF **Kontaktbasismaterial:** Phosphorbronze **Isolationswiderstand:** 100 MΩ am Anfang **Haltespannung:** 100 V AC RMS **Nennstrom:** Max. 1 A pro Kontakt **Kontaktwiderstand:** 30 mΩ **Temperaturbereich:** -25 °C ~ 70 °C **Überzug (Kontaktfläche):** Gold (Dicke variiert je nach Delphi-Spez.) über Nickelunterplattierung **Zulassungen und Zertifizierungen**: UL-zugelassen

Goldgehalt	Digi-Key Teilenr.	Gurtabschnittspreis pro Stück 1	10	100	Gegurtet auf Rolle* Größe	Preisangaben	Delphi Teilenr.
Abb. 1 Plattiertes Durchgangsloch, Position 5, rechtwinklig, Mini-Steckbuchsen							
30µ in.	167-1006-ND	.88	.78	.52	—	—	15430384-300
Abb. 2 oberflächenmontiertes Durchgangsloch, rechtwinklig, Mini-B-Steckbuchsen							
Goldüberzug	167-1001-1-ND	.82	.73	.49	800	257.46	15430262-110
15µ in.	167-1002-1-ND	.88	.78	.52	800	274.32	15430262-210
30µ in.	167-1003-1-ND	.91	.80	.54	800	283.32	15430262-310

* Für Gegurtet auf Rolle die Teilenr. von -1 in -2 ändern.

Hochdichte FFC/FPC-Steckverbinder

Serie FH16; FH16H, FH16M und FH16P (0,3 mm/0,4 mm/0,5 mm Pitch)

Merkmale: Die Serie FH16 beinhaltet einen Fein-Pitch-, Nulleinsetzkraft- (ZIF), rechtwinkligen Bodenkontakt-Steckverbinder, der mit Flachkabeln (FFC) oder flexiblen Schaltkreisen (FPC) mit Pitch von 0,3 mm, 0,4 mm und 0,5 mm kompatibel ist. Empfohlene Stärke ist 0,295 mm für einseitige Versionen bzw. 0,306 mm für zweiseitige Versionen. Die Flip-lock (1-Touch-Drehtyp) ZIF-Struktur sichert die FFC/FPC-Verbindung mit einer Bewegung und geringem Kraftaufwand. Dieses Design vereinfacht die Montage und die Reparatur. Beim Schließen der FFC/FPC-Verbindung zeigt ein hörbares Klicken an, dass eine feste FFC/FPC-Verbindung vorliegt, was zu besserem Kundendienst führt. Prägebandverpackung gestattet automatische Platzierung auf der Leiterplatte **Anwendungen:** • Notebook Computer, Drucker, PDAs, Digitalkameras und andere kompakte Geräte zur Verbindung der Hauptplatine mit dem LCD, PDP (Plasma Display), HDD oder anderen Geräten **Spezifikationen:** • Betriebstemperatur: -40 °C ~ 70 °C • Isolationswiderstand: Min. 500 MΩ • Kontaktwiderstand: Max. 150 mΩ (*einschließlich FFC/FPC Leiterwiderstand*) **Materialien:** • Isolator: Polyamid und LCP — beige, PPS — dunkelbraun; UL94V-0 • Kontakt: Phosphorbronze, Lötüberzug

Abm. in mm.

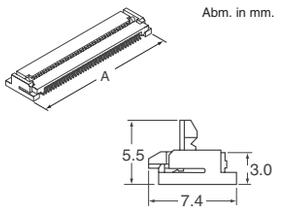

Nenngrößen	Neigung	0.3mm	0.4mm	0.5mm
	Nenn-strom	0.15A	0.3A	0.4A
	Nenn-spannung	30 VAC	50 VAC	60 VAC

Anz. der Pos.	Kontakt-Pitch	Abm. A (mm)	Gurtabschnittspreis pro Stück: Digi-Key Teilenr.	1	10	50	100	Gegurtet auf Rolle: Digi-Key Teilenummer	1,000	5,000	10,000	Hirose Teilenummer
60	0.3	21.9	HFP060CT-ND	5.75	4.76	3.97	3.57	HFP060TR-ND	2575.36	2476.31/M	2426.78/M	FH16-60S-0.3SHW
			HFP160CT-ND†	5.48	4.54	3.78	3.40	HFP160TR-ND†	2454.29	2359.90/M	2312.70/M	FH16-60S-0.3SHW(05)
80	0.3	27.9	HFP080CT-ND	5.86	4.96	4.17	3.72	HFP080TR-ND	2871.67	2759.07/M	2702.35/M	FH16-80S-0.3SHW
			HFP180CT-ND†	5.57	4.62	3.85	3.46	HFP180TR-ND†	2498.32	2402.23/M	2354.19/M	FH16-80S-0.3SHW(05)
90	0.3	30.9	HFP090CT-ND	4.86	4.03	3.36	3.02	HFP090TR-ND	2179.15	2095.34/M	2053.43/M	FH16-90S-0.3SHW
			HFP190CT-ND†	3.32	2.75	2.29	2.06	HFP190TR-ND†	1485.78	1428.64/M	1400.07/M	FH16-90S-0.3SHW(05)
50	0.5	29.4	HFP050CT-ND	3.95	3.28	2.73	2.46	HFP050TR-ND	1771.93	1703.79/M	1669.71/M	FH16H-50S-0.5SHW
			HFP150CT-ND†	5.11	4.23	3.53	3.17	HFP150TR-ND†	2289.21	2201.16/M	2157.14/M	FH16H-50S-0.5SHW(05)
96	0.4	42.5	HFP096CT-ND	5.99	4.96	4.14	3.72	HFP096TR-ND	2685.42	2582.13/M	2530.49/M	FH16M-96S-0.4SHW
			HFP196CT-ND†	6.14	5.20	4.37	3.90	HFP196TR-ND†	3011.36	2893.68/M	2834.42/M	FH16M-96S-0.4SHW(05)
64	0.5	36.0	HFP064CT-ND	5.05	4.19	3.49	3.14	HFP064TR-ND	2267.19	2180.00/M	2136.40/M	FH16P-64S-0.5SHW
			HFP164CT-ND†	5.60	4.64	3.87	3.48	HFP164TR-ND†	2509.32	2412.81/M	2364.56/M	FH16P-64S-0.5SHW(05)

† Goldüberzug

Serie FH23 (0,3 mm) Pitch

Flexible Schaltkreissteckverbinder

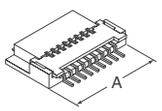

Abm. in mm.

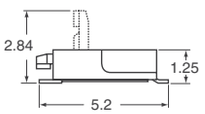

Spezifikationen:
• Nennstrom: 0,3 A DC • Nennspannung: 50 V AC • Betriebstemperatur: -55 °C ~ 85 °C • Isolationswiderstand: Min. 50 MΩ • Kontaktwiderstand: Max. 100 mΩ *(einschließlich FPC/FFC Leiterwiderstand)*

Materialien:
• Isolator: LCP, beige; LCP, schwarz; UL94V-0 • Kontakte: Phosphorbronze, reine Verzinnung

Anz. der Pos.	Abm. A (mm)	Gurtabschnittspreis pro Stück: Digi-Key Teilenr.	1	25	100	250	Gegurtet auf Rolle: Digi-Key Teilenummer	2,500	5,000	10,000	Hirose Teilenummer
ohne Anschluss											
15	7.0	HFQ15CT-ND	1.51	1.16	.93	.78	HFQ15TR-ND	591.78/M	579.93/M	568.07/M	FH23-15S-0.3SHAW(51)
17	7.6	HFQ17CT-ND	1.61	1.24	.99	.83	HFQ17TR-ND	630.38/M	618.02/M	605.66/M	FH23-17S-0.3SHAW(51)
27	10.6	HFQ27CT-ND	1.93	1.49	1.19	.99	HFQ27TR-ND	755.60/M	740.78/M	725.96/M	FH23-27S-0.3SHAW(51)
31	11.8	HFQ31CT-ND	2.02	1.56	1.25	1.04	HFQ31TR-ND	794.45/M	778.88/M	763.30/M	FH23-31S-0.3SHAW(51)
33	12.4	HFQ33CT-ND	2.13	1.65	1.32	1.10	HFQ33TR-ND	837.63/M	821.21/M	804.78/M	FH23-33S-0.3SHAW(51)
39	14.2	HFQ39CT-ND	2.35	1.81	1.45	1.20	HFQ39TR-ND	919.66/M	901.63/M	883.60/M	FH23-39S-0.3SHAW(51)
45	16.0	HFQ45CT-ND	2.60	2.00	1.60	1.33	HFQ45TR-ND	1018.97/M	998.99/M	979.01/M	FH23-45S-0.3SHAW(51)
51	17.8	HFQ51CT-ND	2.56	1.99	1.59	1.28	HFQ51TR-ND	1122.60/M	1100.58/M	1078.57/M	FH23-51S-0.3SHAW(51)
61	20.8	HFQ61CT-ND	2.83	2.20	1.76	1.42	HFQ61TR-ND	1243.49/M	1219.11/M	1194.73/M	FH23-61S-0.3SHAW(51)
mit Anschlüssen											
17	7.6	HFQ117CT-ND	1.61	1.24	.99	.83	HFQ117TR-ND	630.38/M	618.02/M	605.66/M	FH23-17S-0.3SHW(51)
21	8.8	HFQ221CT-ND†	2.02	1.56	1.25	1.04	HFQ221TR-ND†	794.45/M	778.88/M	763.30/M	FH23-21S-0.3SHW(05)
21	8.8	HFQ121CT-ND	1.77	1.37	1.10	.91	HFQ121TR-ND	695.15/M	681.52/M	667.89/M	FH23-21S-0.3SHW(51)
25	10.0	HFQ125CT-ND	1.87	1.44	1.16	.96	HFQ125TR-ND	734.01/M	719.61/M	705.22/M	FH23-25S-0.3SHW(51)
27	10.6	HFQ127CT-ND	1.93	1.49	1.19	.99	HFQ127TR-ND	755.60/M	740.78/M	725.96/M	FH23-27S-0.3SHW(51)
31	11.8	HFQ131CT-ND	2.02	1.56	1.25	1.04	HFQ131TR-ND	794.45/M	778.88/M	763.30/M	FH23-31S-0.3SHW(51)
33	12.4	HFQ133CT-ND	2.13	1.65	1.32	1.10	HFQ133TR-ND	837.63/M	821.21/M	804.78/M	FH23-33S-0.3SHW(51)
39	14.2	HFQ139CT-ND	2.35	1.81	1.45	1.20	HFQ139TR-ND	919.66/M	901.63/M	883.60/M	FH23-39S-0.3SHW(51)
61	20.8	HFQ161CT-ND	2.83	2.20	1.76	1.42	HFQ161TR-ND	1243.49/M	1219.11/M	1194.73/M	FH23-61S-0.3SHW(51)

† Goldüberzug

Serie FH18 (0,3mm Pitch)

Flex-Steckverbinder, niedrige Bauform

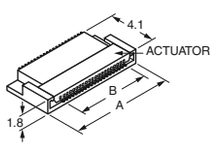

Abm. in mm.

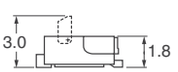

(Lead is included)

Merkmale: • Kontaktabstand (Neigung) 0,3 mm • Flexible Karten (FPC) mit Kontaktabstand von 0,3 mm werden immer häufiger verwendet. *(Diese Steckverbinder nehmen weniger Platz auf der Karte in Anspruch und sind leichter als vergleichbare Steckverbinder mit einem Kontaktabstand von 0,5 mm)* **Anwendungen:** Verbraucherelektronikgeräte, tragbare Geräte, Kameras, PDAs und andere Geräte, wo der Platz auf der Karte und die Komponentenverpackung eine ultrakleine Verbindung verlangen. **Spezifikationen:** • Nennstrom: 0,15 A • Temperaturbereich: -40 °C ~ 70 °C • Nennspannung: 30 V AC **Materialien:** • Isolatoren: LCP, Körper - beige und Latch - schwarz; UL94V-0 • Kontakte: Phosphorbronze, Zinn-Blei-Überzug; Metallanschluss: Bronze, Zinn-Blei-Überzug

Anz. der Pos.	Abmessungen (mm) A	B	Gurtabschnittspreis pro Stück: Digi-Key Teilenr.	1	25	100	250	Gegurtet auf Rolle: Digi-Key Teilenummer	2,500	5,000	10,000	Hirose Teilenummer
17	7.6	4.8	HFM17CT-ND	1.42	1.10	.88	.73	HFM17TR-ND	557.07/M	546.06/M	535.06/M	FH18-17S-0.3SHW
21	8.8	6.0	HFM21CT-ND	1.46	1.13	.91	.75	HFM21TR-ND	574.25/M	562.99/M	551.73/M	FH18-21S-0.3SHW
25	10.0	7.2	HFM25CT-ND	1.63	1.26	1.01	.84	HFM25TR-ND	639.02/M	626.49/M	613.96/M	FH18-25S-0.3SHW
27	10.6	7.8	HFM27CT-ND	1.63	1.26	1.01	.84	HFM27TR-ND	639.02/M	626.49/M	613.96/M	FH18-27S-0.3SHW
39	14.2	11.4	HFM39CT-ND	1.86	1.44	1.15	.95	HFM39TR-ND	729.69/M	715.38/M	701.07/M	FH18-39S-0.3SHW
51	17.8	15.0	HFM51CT-ND	2.10	1.62	1.30	1.08	HFM51TR-ND	824.68/M	808.51/M	792.34/M	FH18-51S-0.3SHW

Serie FH19 und FH19S - Flex-Steckverbinder

(0,5 mm Pitch) Flach-Flexkabel und Flach-Schaltkreis

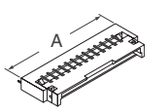

Abm. in mm.

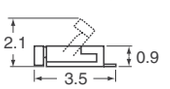

Merkmale: • FPC/FFC-Steckverbinder mit Niedrigprofil mit 0,5 mm Pitch: Die Miniaturausführungen von tragbaren Geräten und individuellen Mobilgeräten haben den Bedarf an Niedrigprofilsteckverbindern für hohe Dichte und hohe Zuverlässigkeit erhöht • Leitfähige Spuren auf der Leiterplatte können so konzipiert werden, dass sie unter dem Steckverbinder verlaufen. Alle Bodenflächen des Steckverbinders sind massiver Art, ohne Berührungsmöglichkeit mit dem Kontakt • Akzeptiert 0,2 mm und 0,3 mm dicke FPC, FFC; leicht in den Steckverbinder einzustecken • Lässt sich auch gut mit 0,2 mm dickem Flat Flexible Cable (FFC) verbinden

Anwendungen: • Notebook Computer, PDAs, Digitalkameras und andere kompakte Geräte, die eine Verbindung der Hauptplatine mit dem LCD, PDP (Plasma Display), HDD oder anderen Geräten verlangen

Spezifikationen: • Nennstrom: 0,5 A DC • Nennspannung: 50 V AC • Betriebstemperatur: -55 °C ~ 80 °C • Betriebsluftfeuchtigkeitsbereich: Relative Luftfeuchtigkeit 90 % oder geringer (*nicht-kondensierend*) • Isolationswiderstand: Min. 500 MΩ , 100 V DC • Kontaktwiderstand: Max. 100 MΩ @ 1 mA (*einschließlich FPC/FFC Leiterwiderstand*) • Serie FH19: Stärke: = 0,2 ± 0,03 mm verzinntes Kupfer oder rein verzinnt* • Serie FH19S: Stärke: = 0,3 ± 0,03 mm verzinntes Kupfer oder rein verzinnt*

Materialien: • Isolatoren: LCP — beige; PPS — Serie FH19: dunkelbraun, Serie FH19S: schwarz; alle UL94V-0 • Kontakte: Phosphorbronze; rein verzinnt* • Metallarmaturen: Phosphorbronze: reine Aufschmelzverzinnung

***** ***Hinweis:*** *Wird der FPC vergoldet, sollten auch die Steckverbinderkontakte vergoldet werden*

Anz. der Pos.	Abm. A (mm)	Gurtabschnittspreis pro Stück: Digi-Key Teilenr.	1	10	100	250	Gegurtet auf Rolle: Digi-Key Teilenummer	5,000	10,000	Hirose Teilenummer
9	6.5	HFN09CT-ND	1.41	1.18	.88	.73	HFN09TR-ND	544.37/M	533.36/M	FH19-9S-0.5SH(51)
13	8.5	HFN13CT-ND	1.54	1.28	.95	.79	HFN13TR-ND	591.78/M	579.93/M	FH19-13S-0.5SH(51)
17	10.5	HFN17CT-ND	1.62	1.35	1.00	.83	HFN17TR-ND	621.41/M	608.71/M	FH19-17S-0.5SH(51)
20	12.0	HFN20CT-ND	1.72	1.44	1.06	.88	HFN20TR-ND	662.89/M	649.35/M	FH19-20S-0.5SH(51)
30	17.0	HFN30CT-ND	2.02	1.69	1.25	1.04	HFN30TR-ND	778.03/M	761.94/M	FH19-30S-0.5SH(51)
9	6.5	HFN109CT-ND†	1.52	1.27	.94	.78	HFN109TR-ND†	587.54/M	575.69/M	FH19-9S-0.5SH(05)
13	8.5	HFN113CT-ND†	1.70	1.41	1.05	.87	HFN113TR-ND†	652.73/M	640.03/M	FH19-13S-0.5SH(05)
17	10.5	HFN117CT-ND†	1.83	1.52	1.13	.94	HFN117TR-ND†	702.68/M	688.29/M	FH19-17S-0.5SH(05)
20	12.0	HFN120CT-ND†	1.97	1.64	1.22	1.01	HFN120TR-ND†	757.71/M	742.47/M	FH19-20S-0.5SH(05)
30	17.0	HFN130CT-ND†	2.40	2.00	1.48	1.23	HFN130TR-ND†	921.95/M	903.33/M	FH19-30S-0.5SH(05)
12	8.0	HFN212CT-ND	1.48	1.23	.91	.76	HFN212TR-ND	568.07/M	557.07/M	FH19S-12S-0.5SH(51)
17	10.5	HFN217CT-ND	1.62	1.35	1.00	.83	HFN217TR-ND	621.41/M	608.71/M	FH19S-17S-0.5SH(51)
18	11.0	HFN218CT-ND	1.67	1.39	1.03	.86	HFN218TR-ND	641.73/M	628.18/M	FH19S-18S-0.5SH(51)
20	12.0	HFN220CT-ND	1.72	1.44	1.06	.88	HFN220TR-ND	662.89/M	649.35/M	FH19S-20S-0.5SH(51)
22	13.0	HFN222CT-ND	1.79	1.49	1.10	.92	HFN222TR-ND	685.75/M	672.20/M	FH19S-22S-0.5SH(51)
24	14.0	HFN224CT-ND	1.85	1.54	1.14	.95	HFN224TR-ND	709.45/M	695.06/M	FH19S-24S-0.5SH(51)
26	15.0	HFN226CT-ND	1.91	1.59	1.18	.98	HFN226TR-ND	735.70/M	720.46/M	FH19S-26S-0.5SH(51)
27	15.5	HFN227CT-ND	1.96	1.63	1.21	1.01	HFN227TR-ND	753.48/M	738.24/M	FH19S-27S-0.5SH(51)
50	27.0	HFN228CT-ND	2.51	2.08	1.56	1.26	HFN228TR-ND	1079.42/M	1058.25/M	FH19S-50S-0.5SH(51)
12	8.0	HFN312CT-ND†	1.63	1.36	1.01	.84	HFN312TR-ND†	626.49/M	613.79/M	FH19S-12S-0.5SH(05)
17	10.5	HFN317CT-ND†	1.83	1.52	1.13	.94	HFN317TR-ND†	702.68/M	688.29/M	FH19S-17S-0.5SH(05)
18	11.0	HFN318CT-ND†	1.90	1.58	1.17	.97	HFN318TR-ND†	728.08/M	713.69/M	FH19S-18S-0.5SH(05)
20	12.0	HFN320CT-ND†	1.97	1.64	1.22	1.01	HFN320TR-ND†	757.71/M	742.47/M	FH19S-20S-0.5SH(05)
22	13.0	HFN322CT-ND†	2.06	1.71	1.27	1.05	HFN322TR-ND†	790.73/M	774.64/M	FH19S-22S-0.5SH(05)
24	14.0	HFN324CT-ND†	2.14	1.78	1.32	1.10	HFN324TR-ND†	824.59/M	807.66/M	FH19S-24S-0.5SH(05)
26	15.0	HFN326CT-ND†	2.24	1.86	1.38	1.15	HFN326TR-ND†	860.15/M	843.22/M	FH19S-26S-0.5SH(05)
27	15.5	HFN327CT-ND†	2.29	1.91	1.42	1.18	HFN327TR-ND†	883.01/M	865.23/M	FH19S-27S-0.5SH(05)

† Goldüberzug

Alle Preisangaben in Euro und inklusive Zollgebühren.

0,5 mm und 1,0 mm Flex-Steckverbinder

Serie FH12, FH12A, FH12F und F12S —„Flip-Lock“ vom Typ SMT/ZIF flexible Leiterplattensteckverbinder

Die Mini-Steckverbinder der Serie FH12 zur Verwendung für FPC/FFC sind das Resultat des neuen „Flip-Lock“-Konzepts; sie können mit SMT (Oberflächenmontage) verwendet werden, sodass einige der mit den derzeitigen Schiebesperresystemen verbundenen Probleme entfallen. Diese Steckverbinder haben einen Kontaktabstand von 0,5 mm und eignen sich zur hochdichten Montage; aufgrund ihrer Einzelaktions-ZIF (zero insertion force) -Struktur ist es einfach, Anschlüsse mit ihnen herzustellen. Es sind Ausführungen mit Kontakten oben oder unten, sowie mit vertikaler Montage erhältlich, um allen Anforderungen zu genügen. **Materialien/Oberflächenverarbeitung: • Isolierung:** Polyimidharz, beige; PPS-Harz, dunkelbraun (UL94V-0) **• Kontakte:** Phosphorbronze, Lötzinnüberzug **Elektrische Spezifikationen: • Nennstrom:** 0,4 A **• Isolationswiderstand:** 500 MΩ oder größer bei 100 V DC **• Haltespannung:** 150 V AC für eine Minute **• Kontaktwiderstand:** 50 mΩ oder geringer

***(Hinweis:** Wenn alle Leiter ständig Nennstrom führen sollen, empfiehlt es sich, den Strom auf 70 % des Nennwertes einzustellen.)*

Abb. 1

Abb. 2

Abb. 3

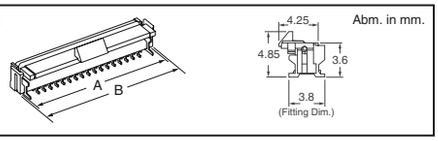

Abm. in mm.

Abb.	Anz. der Pos.	Abmessungen (mm) A	B	Digi-Key Teilenr.	Gurtabschnittspreis pro Stück 1	25	100	250	Digi-Key Teilenr.	Gegurtet auf Rolle 1,000	2,000	5,000	6,000	Hirose Teilenr.
0,5 mm horizontale Montage — Bodenkontaktausführung														
1	6	6.1	7.1	HFJ06CT-ND	1.59	1.15	.95	.80	HFJ06TR-ND	—	543.69/M	—	533.24/M	FH12-6S-0.5SH
	10	8.1	9.1	HFJ10CT-ND	1.52	1.17	.94	.78	HFJ10TR-ND	—	596.01/M	—	584.16/M	FH12-10S-0.5SH
	11	8.6	9.6	HFJ11CT-ND	1.56	1.20	.96	.80	HFJ11TR-ND	—	611.25/M	—	599.40/M	FH12-11S-0.5SH
	12	9.1	10.1	HFJ12CT-ND	1.56	1.20	.96	.80	HFJ12TR-ND	—	611.25/M	—	599.40/M	FH12-12S-0.5SH
	13	9.6	10.6	HFJ13CT-ND	1.60	1.23	.99	.82	HFJ13TR-ND	—	627.33/M	—	614.64/M	FH12-13S-0.5SH
	14	10.1	11.1	HFJ14CT-ND	1.63	1.26	1.01	.84	HFJ14TR-ND	—	642.25/M	—	629.66/M	FH12-14S-0.5SH
	15	10.6	11.6	HFJ15CT-ND	1.68	1.30	1.04	.86	HFJ15TR-ND	—	658.45/M	—	645.54/M	FH12-15S-0.5SH
	16	11.1	12.1	HFJ16CT-ND	1.68	1.30	1.04	.86	HFJ16TR-ND	—	658.45/M	—	645.54/M	FH12-16S-0.5SH
	17	11.6	12.6	HFJ17CT-ND	1.76	1.36	1.09	.90	HFJ17TR-ND	—	689.98/M	—	676.44/M	FH12-17S-0.5SH
	18	12.1	13.1	HFJ18CT-ND	1.79	1.39	1.11	.92	HFJ18TR-ND	—	705.22/M	—	690.83/M	FH12-18S-0.5SH
	19	12.6	13.6	HFJ19CT-ND	1.79	1.39	1.11	.92	HFJ19TR-ND	—	705.22/M	—	690.83/M	FH12-19S-0.5SH
	20	13.1	14.1	HFJ20CT-ND	1.84	1.42	1.14	.94	HFJ20TR-ND	—	721.31/M	—	706.92/M	FH12-20S-0.5SH
	22	14.1	15.1	HFJ22CT-ND	1.92	1.48	1.19	.98	HFJ22TR-ND	—	752.63/M	—	737.39/M	FH12-22S-0.5SH
	24	15.1	16.1	HFJ24CT-ND	2.00	1.54	1.23	1.03	HFJ24TR-ND	—	783.95/M	—	768.72/M	FH12-24S-0.5SH
	26	16.1	17.1	HFJ26CT-ND	2.04	1.57	1.26	1.05	HFJ26TR-ND	—	800.04/M	—	783.96/M	FH12-26S-0.5SH
	28	17.1	18.1	HFJ28CT-ND	2.12	1.63	1.31	1.09	HFJ28TR-ND	—	831.15/M	—	814.86/M	FH12-28S-0.5SH
	30	18.1	19.1	HFJ30CT-ND	2.16	1.66	1.33	1.11	HFJ30TR-ND	—	846.60/M	—	829.67/M	FH12-30S-0.5SH
	32	19.1	20.1	HFJ32CT-ND	2.24	1.73	1.38	1.15	HFJ32TR-ND	—	877.93/M	—	860.15/M	FH12-32S-0.5SH
	33	19.6	20.6	HFJ33CT-ND	2.32	1.79	1.43	1.19	HFJ33TR-ND	—	909.25/M	—	891.47/M	FH12-33S-0.5SH
	34	20.1	21.1	HFJ34CT-ND	2.32	1.79	1.43	1.19	HFJ34TR-ND	—	909.25/M	—	891.47/M	FH12-34S-0.5SH
	36	21.1	22.1	HFJ36CT-ND	2.51	1.94	1.55	1.29	HFJ36TR-ND	—	987.67/M	—	968.30/M	FH12-36S-0.5SH
	40	23.1	24.1	HFJ40CT-ND	2.63	2.03	1.63	1.35	HFJ40TR-ND	—	1033.70/M	—	1014.23/M	FH12-40S-0.5SH
	45	25.6	26.6	HFJ45CT-ND	2.53	1.97	1.57	1.27	HFJ45TR-ND	—	1111.80/M	—	1090.00/M	FH12-45S-0.5SH
	50	28.1	29.1	HFJ50CT-ND	2.68	2.08	1.67	1.34	HFJ50TR-ND	—	1176.56/M	—	1153.50/M	FH12-50S-0.5SH
	53	29.6	30.6	HFJ53CT-ND	2.78	2.16	1.73	1.39	HFJ53TR-ND	—	1219.95/M	—	1196.25/M	FH12-53S-0.5SH
0,5 mm horizontale Montage — Obenkontaktausführung														
2	10	8.35	9.1	HFK10CT-ND	1.35	.98	.81	.68	HFK10TR-ND	—	463.35/M	—	454.44/M	FH12A-10S-0.5SH
	12	10.1	10.5	HFK12CT-ND	1.41	1.02	.84	.71	HFK12TR-ND	—	479.86/M	—	470.63/M	FH12A-12S-0.5SH
	15	11.6	12.0	HFK15CT-ND	1.54	1.12	.92	.78	HFK15TR-ND	—	527.18/M	—	517.04/M	FH12A-15S-0.5SH
	16	11.35	12.1	HFK16CT-ND	1.59	1.15	.95	.80	HFK16TR-ND	—	543.69/M	—	533.24/M	FH12A-16S-0.5SH
	18	13.1	13.5	HFK18CT-ND	1.40	1.08	.87	.72	HFK18TR-ND	—	548.60/M	—	537.60/M	FH12A-18S-0.5SH
	20	13.35	14.1	HFK20CT-ND	1.52	1.17	.94	.78	HFK20TR-ND	—	596.01/M	—	584.16/M	FH12A-20S-0.5SH
	22	15.1	15.5	HFK22CT-ND	1.60	1.23	.99	.82	HFK22TR-ND	—	627.33/M	—	614.64/M	FH12A-22S-0.5SH
	24	15.35	16.1	HFK24CT-ND	1.63	1.26	1.01	.84	HFK24TR-ND	—	642.57/M	—	629.87/M	FH12A-24S-0.5SH
	26	17.1	17.5	HFK26CT-ND	1.76	1.36	1.09	.90	HFK26TR-ND	—	689.98/M	—	676.44/M	FH12A-26S-0.5SH
	29	18.6	19.0	HFK29CT-ND	1.84	1.42	1.14	.94	HFK29TR-ND	—	721.31/M	—	706.92/M	FH12A-29S-0.5SH
	30	18.35	19.1	HFK30CT-ND	1.88	1.45	1.16	.96	HFK30TR-ND	—	737.39/M	—	723.00/M	FH12A-30S-0.5SH
	32	20.1	20.5	HFK32CT-ND	1.92	1.48	1.19	.98	HFK32TR-ND	—	752.63/M	—	737.39/M	FH12A-32S-0.5SH
	33	20.6	21.0	HFK33CT-ND	2.00	1.54	1.23	1.03	HFK33TR-ND	—	783.95/M	—	768.72/M	FH12A-33S-0.5SH
	34	21.1	21.5	HFK34CT-ND	2.04	1.57	1.26	1.05	HFK34TR-ND	—	800.04/M	—	783.96/M	FH12A-34S-0.5SH
	36	22.1	22.5	HFK36CT-ND	2.07	1.60	1.28	1.07	HFK36TR-ND	—	814.96/M	—	798.98/M	FH12A-36S-0.5SH
	40	23.35	24.1	HFK40CT-ND	2.28	1.76	1.41	1.17	HFK40TR-ND	—	894.01/M	—	876.24/M	FH12A-40S-0.5SH
	42	25.1	25.5	HFK42CT-ND	2.36	1.82	1.46	1.21	HFK42TR-ND	—	925.34/M	—	906.71/M	FH12A-42S-0.5SH
	45	26.6	27.0	HFK45CT-ND	2.48	1.91	1.53	1.27	HFK45TR-ND	—	971.48/M	—	952.43/M	FH12A-45S-0.5SH
	50	28.35	29.1	HFK50CT-ND	2.63	2.03	1.63	1.35	HFK50TR-ND	—	1033.70/M	—	1014.23/M	FH12A-50S-0.5SH
0,5 mm vertikale Montage														
3	10	6.9	8.4	HFL10CT-ND	1.35	.98	.81	.68	HFL10TR-ND	474.04	463.35/M	454.44/M	—	FH12-10S-0.5SV
	12	7.9	9.4	HFL12CT-ND	1.41	1.02	.84	.71	HFL12TR-ND	490.93	—	470.63/M	—	FH12-12S-0.5SV
	13	8.4	9.9	HFL13CT-ND	1.50	1.09	.89	.75	HFL13TR-ND	523.58	—	501.93/M	—	FH12-13S-0.5SV
	15	9.4	10.9	HFL15CT-ND	1.59	1.15	.95	.80	HFL15TR-ND	556.23	—	533.24/M	—	FH12-15S-0.5SV
	16	9.9	11.4	HFL16CT-ND	1.59	1.15	.95	.80	HFL16TR-ND	556.23	—	533.24/M	—	FH12-16S-0.5SV
	17	10.4	11.9	HFL17CT-ND	1.40	1.08	.87	.72	HFL17TR-ND	572.00	—	548.35/M	—	FH12-17S-0.5SV
	18	10.9	12.4	HFL18CT-ND	1.44	1.11	.89	.74	HFL18TR-ND	588.89	—	564.54/M	—	FH12-18S-0.5SV
	20	11.9	13.4	HFL20CT-ND	1.56	1.20	.96	.80	HFL20TR-ND	637.30	622.93/M	610.95/M	—	FH12-20S-0.5SV
	22	12.9	14.4	HFL22CT-ND	1.63	1.26	1.01	.84	HFL22TR-ND	669.96	—	629.66/M	—	FH12-22S-0.5SV
	24	13.9	15.4	HFL24CT-ND	1.68	1.30	1.04	.86	HFL24TR-ND	686.85	671.36/M	658.45/M	—	FH12-24S-0.5SV
	26	14.9	16.4	HFL26CT-ND	1.78	1.37	1.10	.91	HFL26TR-ND	726.26	—	682.58/M	—	FH12-26S-0.5SV
	30	16.9	18.4	HFL30CT-ND	1.92	1.48	1.19	.98	HFL30TR-ND	784.81	752.35/M	737.60/M	—	FH12-30S-0.5SV
	32	17.9	19.4	HFL32CT-ND	2.01	1.55	1.24	1.03	HFL32TR-ND	824.22	—	774.64/M	—	FH12-32S-0.5SV
	33	18.4	19.9	HFL33CT-ND	2.07	1.60	1.28	1.07	HFL33TR-ND	850.11	—	798.98/M	—	FH12-33S-0.5SV
	34	18.9	20.4	HFL34CT-ND	2.08	1.61	1.29	1.07	HFL34TR-ND	853.49	—	802.16/M	—	FH12-34S-0.5SV
	36	19.9	21.4	HFL36CT-ND	2.12	1.63	1.31	1.09	HFL36TR-ND	867.00	—	814.86/M	—	FH12-36S-0.5SV
	40	21.9	23.4	HFL40CT-ND	2.36	1.82	1.46	1.21	HFL40TR-ND	964.96	925.06/M	906.92/M	—	FH12-40S-0.5SV
	45	24.4	25.9	HFL45CT-ND	2.56	1.97	1.58	1.31	HFL45TR-ND	1046.03	—	983.12/M	—	FH12-45S-0.5SV
	49	26.4	27.9	HFL49CT-ND	2.72	2.09	1.68	1.39	HFL49TR-ND	1111.34	—	1044.50/M	—	FH12-49S-0.5SV
	50	26.9	28.4	HFL50CT-ND	2.46	1.91	1.53	1.23	HFL50TR-ND	1100.58	1079.42/M	1058.25/M	—	FH12-50S-0.5SV
0,5 mm horizontale Montage — Bodenkontaktausführung mit 0,18 mm FPC-Endstärke														
1	6	6.1	7.1	HFR06CT-ND	1.59	1.15	.95	.80	HFR06TR-ND	—	543.69/M	—	533.24/M	FH12F-6S-0.5SH
	10	8.1	9.1	HFR10CT-ND	1.44	1.11	.89	.74	HFR10TR-ND	—	564.68/M	—	553.68/M	FH12F-10S-0.5SH
	12	9.1	10.1	HFR12CT-ND	1.56	1.20	.96	.80	HFR12TR-ND	—	611.25/M	—	599.40/M	FH12F-12S-0.5SH
	13	9.6	10.6	HFR13CT-ND	1.60	1.23	.99	.82	HFR13TR-ND	—	627.33/M	—	614.64/M	FH12F-13S-0.5SH
	14	10.1	11.1	HFR14CT-ND	1.63	1.26	1.01	.84	HFR14TR-ND	—	642.25/M	—	629.66/M	FH12F-14S-0.5SH
	15	10.6	11.6	HFR15CT-ND	1.68	1.30	1.04	.86	HFR15TR-ND	—	658.45/M	—	645.54/M	FH12F-15S-0.5SH

(Forts.)

Abb.	Anz. der Pos.	Abmessungen (mm) A	B	Digi-Key Teilenr.	Gurtabschnittspreis pro Stück 1	25	100	250	Digi-Key Teilenr.	Gegurtet auf Rolle 1,000	2,000	5,000	6,000	Hirose Teilenr.
	16	11.1	12.1	HFR16CT-ND	1.76	1.36	1.09	.90	HFR16TR-ND	—	689.98/M	—	676.44/M	FH12F-16S-0.5SH
	18	12.1	13.1	HFR18CT-ND	1.79	1.39	1.11	.92	HFR18TR-ND	—	705.22/M	—	690.83/M	FH12F-18S-0.5SH
	20	13.1	14.1	HFR20CT-ND	1.84	1.42	1.14	.94	HFR20TR-ND	—	721.31/M	—	706.92/M	FH12F-20S-0.5SH
	22	14.1	15.1	HFR22CT-ND	1.92	1.48	1.19	.98	HFR22TR-ND	—	752.63/M	—	737.39/M	FH12F-22S-0.5SH
	24	15.1	16.1	HFR24CT-ND	2.00	1.54	1.23	1.03	HFR24TR-ND	—	783.95/M	—	768.72/M	FH12F-24S-0.5SH
1	26	16.1	17.1	HFR26CT-ND	2.04	1.57	1.26	1.05	HFR26TR-ND	—	800.04/M	—	783.96/M	FH12F-26S-0.5SH
	28	17.1	18.1	HFR28CT-ND	2.12	1.63	1.31	1.09	HFR28TR-ND	—	831.15/M	—	814.86/M	FH12F-28S-0.5SH
	30	18.1	19.1	HFR30CT-ND	2.24	1.73	1.38	1.15	HFR30TR-ND	—	877.93/M	—	860.15/M	FH12F-30S-0.5SH
	32	19.1	20.1	HFR32CT-ND	2.32	1.79	1.43	1.19	HFR32TR-ND	—	909.25/M	—	891.47/M	FH12F-32S-0.5SH
	34	20.1	21.1	HFR34CT-ND	2.32	1.79	1.43	1.19	HFR34TR-ND	—	909.25/M	—	891.47/M	FH12F-34S-0.5SH
	36	21.1	22.1	HFR36CT-ND	2.51	1.94	1.55	1.29	HFR36TR-ND	—	987.67/M	—	968.30/M	FH12F-36S-0.5SH
	40	23.1	24.1	HFR40CT-ND	2.63	2.03	1.63	1.35	HFR40TR-ND	—	1033.70/M	—	1014.23/M	FH12F-40S-0.5SH
0,5 mm horizontale Montage — Bodenkontaktausführung mit verstärktem Sperrhebel														
	30	18.1	19.1	HFA30CT-ND	2.16	1.66	1.33	1.11	HFA30TR-ND	—	846.60/M	—	829.67/M	FH12S-30S-0.5SH
	40	23.1	24.1	HFA40CT-ND	2.63	2.03	1.63	1.35	HFA40TR-ND	—	1033.70/M	—	1014.23/M	FH12S-40S-0.5SH
1	45	25.6	26.6	HFA45CT-ND	2.53	1.97	1.57	1.27	HFA45TR-ND	—	1111.80/M	—	1090.00/M	FH12S-45S-0.5SH
	50	28.1	29.1	HFA50CT-ND	2.68	2.08	1.67	1.34	HFA50TR-ND	—	1176.56/M	—	1153.50/M	FH12S-50S-0.5SH
	53	29.6	30.6	HFA53CT-ND	2.78	2.16	1.73	1.39	HFA53TR-ND	—	1219.95/M	—	1196.25/M	FH12S-53S-0.5SH
1,0 mm horizontale Montage* — Bodenkontaktausführung														
	5	8.6	9.6	HFB05CT-ND	1.02	.75	.61	.52	HFB05TR-ND	—	351.09/M	—	344.34/M	FH12-5S-1SH
	6	9.6	10.6	HFB06CT-ND	1.08	.78	.64	.54	HFB06TR-ND	—	367.60/M	—	360.53/M	FH12-6S-1SH
	7	10.6	11.6	HFB07CT-ND	1.13	.82	.67	.57	HFB07TR-ND	—	384.10/M	—	376.72/M	FH12-7S-1SH
	8	11.6	12.6	HFB08CT-ND	1.22	.89	.73	.61	HFB08TR-ND	—	417.38/M	—	408.91/M	FH12-8S-1SH
1	9	12.6	13.6	HFB09CT-ND	1.26	.92	.75	.64	HFB09TR-ND	—	431.43/M	—	423.13/M	FH12-9S-1SH
	11	14.6	15.6	HFB11CT-ND	1.35	.98	.81	.68	HFB11TR-ND	—	463.35/M	—	454.44/M	FH12-11S-1SH
	16	19.6	20.6	HFB16CT-ND	1.50	1.09	.89	.75	HFB16TR-ND	—	511.77/M	—	501.93/M	FH12-16S-1SH
	22	25.6	26.6	HFB22CT-ND	1.44	1.11	.89	.74	HFB22TR-ND	—	564.68/M	—	553.68/M	FH12-22S-1SH
	26	29.6	30.6	HFB26CT-ND	1.60	1.23	.99	.82	HFB26TR-ND	—	627.33/M	—	614.64/M	FH12-26S-1SH
1,0 mm vertikale Montage*														
	6	8.4	9.9	HFC06CT-ND	1.35	.98	.81	.68	HFC06TR-ND	474.04	—	454.44/M	—	FH12-6S-1SV
	7	9.4	10.9	HFC07CT-ND	1.41	1.02	.84	.71	HFC07TR-ND	490.93	—	470.63/M	—	FH12-7S-1.0SV
	8	10.4	11.9	HFC08CT-ND	1.50	1.09	.89	.75	HFC08TR-ND	523.58	—	501.93/M	—	FH12-8S-1.0SV
3	16	18.4	19.9	HFC16CT-ND	1.52	1.17	.94	.78	HFC16TR-ND	621.54	—	595.84/M	—	FH12-16S-1SV
	20	22.4	23.9	HFC20CT-ND	1.68	1.30	1.04	.86	HFC20TR-ND	686.85	—	645.54/M	—	FH12-20S-1.0SV
	22	24.4	25.9	HFC22CT-ND	1.79	1.39	1.11	.92	HFC22TR-ND	735.26	—	691.04/M	—	FH12-22S-1.0SV
	24	26.4	27.9	HFC24CT-ND	1.88	1.45	1.16	.96	HFC24TR-ND	769.04	—	722.79/M	—	FH12-24S-1.0SV

***** ***Hinweis:*** *Bei der 1 mm Version von FH12 wird nur jeder zweite Kontakt in das 0,5 mm Gehäuse geladen.*

1 mm Flex-Steckverbinder

1 mm Pitch flexible Leiterplattensteckverbinder (Abb. 1 u. 2)

Merkmale: • Hochdichte Verpackung aufgrund von 1 mm Pitch-Kontakten • Durch die doppelseitige Kontaktkonstruktion können FPC- und FFC-Steckverbinder in beiden Richtungen eingesetzt werden. • Verbesserte Kontaktzuverlässigkeit durch hohen Kontaktdruck • Gültig für 0,25 mm bis 0,35 mm dicke flexible Leiterplatten • Verwendet PBT (UL94V-0) Isoliermaterialien, die stark lösungsbeständig sind und auch hohen Temperaturen standhalten • Geknickte DIP-Stifte zum Festhalten der Karte während des Anschwemmlötens **Material/Oberflächenverarbeitung: • Isolator:** Polybutylenphthalat, schwarz • **Kontakte:** Phosphorbronze, Zinnbleiüberzug **Elektrische Spezifikationen: • Nennstrom:** 0,5 A • **Isolationswiderstand:** Bei 100 V DC, 500 MΩ • **Haltespannung:** 150 V AC für eine Minute • **Kontaktwiderstand:** Max. 40 mΩ

Flexible Leiterplatten-Steckverbinder vom Typ SMT ZIF (Abb. 3 u. 4)

Merkmale: • Niedrigprofilausführung mit 3 mm Pakethöhe; 1 mm Pitch erlaubt hochdichte Bestückung • Die ZIF-Struktur lässt sich hervorragend bearbeiten, bietet einen positiven Kontakt durch einen leichten FPC/FFC-Einsatz und nachfolgendes Eindrücken der beweglichen Verschlussklappe • Die empfohlene Stärke der flexiblen Leiterplatte beträgt 0,25 mm bis 0,30 mm • PPS (UL94V-0) mit hervorragender Lösungs- und Wärmebeständigkeit wird als Isoliermaterial verwendet • Steckverbinder in SMT-Ausführung gestatten hochdichte Montage und automatische Paketierung auf den Leiterplatten **Material/Oberflächenverarbeitung: • Isolator:** PPS-Harz, natürliche Oberflächenverarbeitung • **Kontakte:** Phosphorbronze, Lötzinnüberzug; **Elektrisch: • Nennstrom:** 0,5 A • **Isolationswiderstand:** Min. 500 MΩ bei 100 V DC • **Haltespannung:** 150 V AC für eine Minute bei spezifischem Wert • **Kontaktwiderstand:** Max. 25 mΩ

Abb. 1

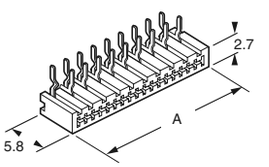

Abb. 2

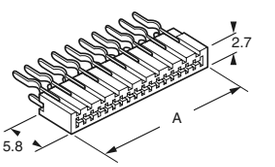

Abb. 3 Obenkontakt-Ausführung

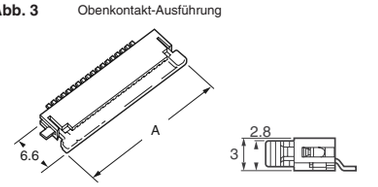

Abb. 4 Obenkontakt-Ausführung

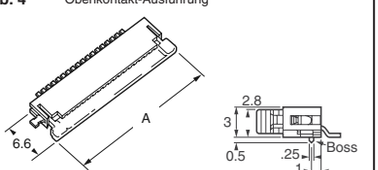

Anz. der Pos.	Abm. A (mm)	Digi-Key Teilenr.	Stückpreis 1	10	100	250	Hirose Teilenr.
Abb. 1 - Rechter Winkel							
5	7	HFG05T-ND	.51	.36	.24	.21	FH21-5S-1DS
6	8	HFG06T-ND	.51	.36	.24	.21	FH21-6S-1DS
8	10	HFG08T-ND	.48	.40	.29	.25	FH21-8S-1DS
10	12	HFG10T-ND	.58	.48	.35	.29	FH21-10S-1DS
12	14	HFG12T-ND	.68	.56	.40	.34	FH21-12S-1DS
14	16	HFG14T-ND	.77	.63	.46	.39	FH21-14S-1DS
15	17	HFG15T-ND	.84	.69	.50	.42	FH21-15S-1DS
16	18	HFG16T-ND	.87	.71	.52	.44	FH21-16S-1DS
18	20	HFG18T-ND	.93	.77	.56	.47	FH21-18S-1DS
20	22	HFG20T-ND	1.03	.80	.61	.52	FH21-20S-1DS
22	24	HFG22T-ND	1.06	.83	.63	.54	FH21-22S-1DS
24	26	HFG24T-ND	1.16	.90	.69	.58	FH21-24S-1DS
26	28	HFG26T-ND	1.25	.98	.75	.63	FH21-26S-1DS
28	30	HFG28T-ND	1.38	1.08	.82	.70	FH21-28S-1DS
30	32	HFG30T-ND	1.41	1.10	.84	.71	FH21-30S-1DS
Abb. 2 - Gerade							
5	7	HFF05T-ND	.51	.36	.24	.21	FH21-5S-1DSA
6	8	HFF06T-ND	.51	.36	.24	.21	FH21-6S-1DSA
8	10	HFF08T-ND	.48	.40	.29	.25	FH21-8S-1DSA
10	12	HFF10T-ND	.55	.45	.33	.28	FH21-10S-1DSA
12	14	HFF12T-ND	.58	.48	.35	.29	FH21-12S-1DSA

Anz. der Pos.	Abm. A (mm)	Digi-Key Teilenr.	Stückpreis 1	10	100	250	Hirose Teilenr.
14	16	HFF14T-ND	.64	.53	.39	.33	FH21-14S-1DSA
15	17	HFF15T-ND	.77	.63	.46	.39	FH21-15S-1DSA
16	18	HFF16T-ND	.74	.61	.44	.37	FH21-16S-1DSA
18	20	HFF18T-ND	.87	.71	.52	.44	FH21-18S-1DSA
20	22	HFF20T-ND	.93	.73	.56	.47	FH21-20S-1DSA
22	24	HFF22T-ND	.97	.75	.58	.49	FH21-22S-1DSA
24	26	HFF24T-ND	1.03	.80	.61	.52	FH21-24S-1DSA
26	28	HFF26T-ND	1.06	.87	.63	.54	FH21-26S-1DSA
28	30	HFF28T-ND	1.22	.95	.73	.62	FH21-28S-1DSA
30	32	HFF30T-ND	1.25	.98	.75	.63	FH21-30S-1DSA
Abb. 3 - SMT Flex ohne Kartenmontagennabe							
7	13.2	HFE07F-ND	1.52	1.24	.90	.76	FH10A-7S-1SH
8	14.2	HFE08F-ND	1.57	1.23	.94	.79	FH10A-8S-1SH
12	18.2	HFE12F-ND	1.63	1.35	1.00	.83	FH10A-12S-1SH
14	20.2	HFE14F-ND	1.74	1.44	1.07	.89	FH10A-14S-1SH
16	22.2	HFE16F-ND	1.90	1.58	1.17	.97	FH10A-16S-1SH
17	23.2	HFE17F-ND	1.93	1.60	1.19	.99	FH10A-17S-1SH
19	25.2	HFE19F-ND	1.71	1.42	1.05	.88	FH10A-19S-1SH
20	26.2	HFE20F-ND	2.12	1.76	1.31	1.09	FH10A-20S-1SH
21	27.2	HFE21F-ND	1.82	1.51	1.12	.93	FH10A-21S-1SH
23	29.2	HFE23F-ND	1.90	1.58	1.17	.97	FH10A-23S-1SH

Anz. der Pos.	Abm. A (mm)	Digi-Key Teilenr.	Stückpreis 1	10	100	250	Hirose Teilenr.
24	30.2	HFE24F-ND	2.31	1.92	1.43	1.19	FH10A-24S-1SH
26	32.2	HFE26F-ND	2.59	2.15	1.60	1.33	FH10A-26S-1SH
27	33.2	HFE27F-ND	2.23	1.86	1.38	1.14	FH10A-27S-1SH
29	35.2	HFE29F-ND	2.31	1.92	1.43	1.19	FH10A-29S-1SH
30	36.2	HFE30F-ND	2.53	2.10	1.57	1.27	FH10A-30S-1SH
Abb. 4 - SMT Flex mit Kartenmontagennabe							
7	13.2	HFH07T-ND	1.52	1.24	.90	.76	FH10A-7S-1SHB
8	14.2	HFH08T-ND	1.57	1.23	.94	.79	FH10A-8S-1SHB
9	15.2	HFH09T-ND	1.35	1.11	.80	.68	FH10A-9S-1SHB
12	18.2	HFH12T-ND	1.63	1.35	1.00	.83	FH10A-12S-1SHB
13	19.2	HFH13T-ND	1.38	1.15	.85	.71	FH10A-13S-1SHB
14	20.2	HFH14T-ND	1.74	1.44	1.07	.89	FH10A-14S-1SHB
16	22.2	HFH16T-ND	1.90	1.58	1.17	.97	FH10A-16S-1SHB
17	23.2	HFH17T-ND	1.93	1.60	1.19	.99	FH10A-17S-1SHB
19	25.2	HFH19T-ND	1.71	1.42	1.05	.88	FH10A-19S-1SHB
20	26.2	HFH20T-ND	2.12	1.76	1.31	1.09	FH10A-20S-1SHB
21	27.2	HFH21T-ND	1.82	1.51	1.12	.93	FH10A-21S-1SHB
23	29.2	HFH23T-ND	1.90	1.58	1.17	.97	FH10A-23S-1SHB
24	30.2	HFH24T-ND	2.31	1.92	1.43	1.19	FH10A-24S-1SHB
26	32.2	HFH26T-ND	2.59	2.15	1.60	1.33	FH10A-26S-1SHB
27	33.2	HFH27T-ND	2.23	1.86	1.38	1.14	FH10A-27S-1SHB
30	36.2	HFH30T-ND	2.53	2.10	1.57	1.27	FH10A-30S-1SHB

Alle Preisangaben in Euro und inklusive Zollgebühren.

0,5 mm-Pitch Schiebesperr-FPC-Steckverbinder - XF2L

Niedrigprofil-SMT-ZIF (Zero Insertion Force) -Steckverbinder; kleine Auflagefläche spart Platz auf Leiterplatten

Spezifikationen: Nennstrom: 0,5 A **Nennspannung:** 50 V DC **Haltespannung:** 250 V AC für 1 Min. **Einfügungstoleranz:** 20-mal
Merkmale: • Niedrigprofil von 1,2 mm maximal über der Karte • Die Ausführungen für Kontakte oben oder unten haben dieselben Abmessungen und verwenden dasselbe Leiterplatten-Layout für das Kartendesign • Niederhaltklemme erhöht die Verbindungsstabilität während des Lötens • Schiebemechanismus sorgt für sichere Sperre • Steckverbinder werden zur automatischen Einfügung gegurtet auf Rollen geliefert; farblich gekennzeichneter Schieber identifiziert die Ausführungen mit Kontakten oben oder unten, um eine Verwechslung während der Produktion zu verhindern.

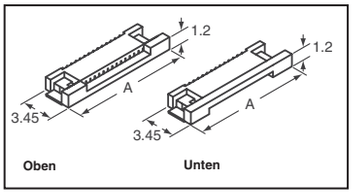

Anz. der Pos.	Abm. A (mm)	Gurtabschnittspreis pro Stück: Digi-Key Teilenr.	1	25	50	100	Preis. f. gegurtet auf Rolle: Digi-Key Teilenr.	3,000	6,000	Omron Teilenr.
4	6.9	OR675CT-ND	.62	.56	.50	.45	OR675TR-ND	306.90/M	294.62/M	XF2L-0425-1
5	7.4	OR676CT-ND*	.63	.58	.51	.46	OR676TR-ND*	317.48/M	304.78/M	XF2L-0535-1
6	7.9	OR677CT-ND	.66	.60	.53	.48	OR677TR-ND	328.06/M	314.94/M	XF2L-0625-1
7	8.4	OR678CT-ND	.70	.63	.56	.51	OR678TR-ND	349.23/M	335.26/M	XF2L-0725-1
7	8.4	OR679CT-ND*	.75	.68	.60	.54	OR679TR-ND*	373.88/M	358.93/M	XF2L-0735-1
8	8.9	OR680CT-ND	.72	.65	.58	.52	OR680TR-ND	359.81/M	345.42/M	XF2L-0825-1
8	8.9	OR681CT-ND*	.72	.65	.58	.52	OR681TR-ND*	359.81/M	345.42/M	XF2L-0835-1
10	9.9	OR682CT-ND	.79	.71	.63	.57	OR682TR-ND	391.56/M	375.89/M	XF2L-1025-1
12	10.9	OR683CT-ND*	.83	.75	.67	.60	OR683TR-ND*	412.72/M	396.21/M	XF2L-1235-1
13	11.4	OR684CT-ND	.87	.79	.70	.63	OR684TR-ND	433.89/M	416.53/M	XF2L-1325-1
13	11.4	OR685CT-ND*	.87	.79	.70	.63	OR685TR-ND*	433.89/M	416.53/M	XF2L-1335-1
15	12.4	OR686CT-ND*	.89	.81	.72	.64	OR686TR-ND*	444.47/M	426.69/M	XF2L-1535-1
18	13.9	OR687CT-ND*	1.04	.94	.83	.75	OR687TR-ND*	518.55/M	497.80/M	XF2L-1835-1
20	14.9	OR688CT-ND*	1.06	.96	.85	.77	OR688TR-ND*	529.13/M	507.96/M	XF2L-2035-1
21	15.4	OR689CT-ND	1.10	1.00	.89	.80	OR689TR-ND	550.29/M	528.28/M	XF2L-2125-1
22	15.9	OR690CT-ND*	1.13	1.01	.90	.81	OR690TR-ND*	560.88/M	538.44/M	XF2L-2235-1
26	17.9	OR691CT-ND	1.23	1.11	.99	.89	OR691TR-ND	613.79/M	589.24/M	XF2L-2625-1
30	19.9	OR692CT-ND	1.35	1.22	1.09	.98	OR692TR-ND	677.28/M	650.19/M	XF2L-3025-1
30	19.9	OR693CT-ND*	1.35	1.22	1.09	.98	OR693TR-ND*	677.28/M	650.19/M	XF2L-3035-1

* Ausführung mit Kontakten unten

0,5 mm-Pitch Drehsperr-FPC-Steckverbinder - XF2H

SMT ZIF (Zero Insertion Force) erhöht die Montagezuverlässigkeit und Herstellungseffizienz

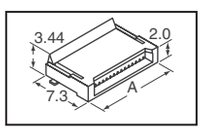

Spezifikationen: Nennstrom: 0,5 A **Nennspannung:** 50 V DC **Haltespannung:** 250 V AC für 1 Min. **Einfügungstoleranz:** 20-mal
Merkmale: • Die Drehsperre hinten anstatt vorne erleichtert den Zusammenbau und sorgt für eine sichere Verbindung, selbst wenn das Kabel nach oben gebogen wird • Das FPC-Gehäusedesign stellt unabhängig von der Drehsperre eine zuverlässige Ausrichtung der Schaltkreise während des Zusammenbaus sicher • Doppelseitige Kontakte können für Anschlüsse oben oder unten verwendet werden, was die Anzahl der benötigten Teile auf den Stücklisten verringert • Der Steckverbinder wird mit der Drehsperre in geöffneter Stellung geliefert, wodurch ein Schritt während des Zusammenbaus gespart wird, was die Produktivität erhöht • Niedrigprofil von nur 2 mm maximal über der Karte

Anz. der Pos.	Abm. A (mm)	Gurtabschnittspreis pro Stück: Digi-Key Teilenr.	1	25	50	100	Preis. f. gegurtet auf Rolle: Digi-Key Teilenr.	1,500	6,000	Omron Teilenr.
10	9.1	OC639CT-ND	.72	.65	.58	.52	OC639TR-ND	359.81/M	345.42/M	XF2H-1015-1LW
12	10.1	OC640CT-ND	.53	.48	.43	.39	OC640TR-ND	265.20/M	254.59/M	XF2H-1215-1LW
13	10.6	OC641CT-ND	.80	.73	.65	.58	OC641TR-ND	402.14/M	386.05/M	XF2H-1315-1LW
14	11.1	OC642CT-ND	.87	.79	.70	.63	OC642TR-ND	433.88/M	416.53/M	XF2H-1415-1LW
18	13.1	OC643CT-ND	.91	.82	.73	.66	OC643TR-ND	455.05/M	436.85/M	XF2H-1815-1LW
20	14.1	OC644CT-ND	.96	.86	.77	.69	OC644TR-ND	476.22/M	457.17/M	XF2H-2015-1LW
21	14.6	OC645CT-ND	1.00	.90	.80	.72	OC645TR-ND	497.38/M	477.49/M	XF2H-2115-1LW
22	15.1	OC646CT-ND	.75	.68	.61	.55	OC646TR-ND	375.58/M	360.55/M	XF2H-2215-1LW
24	16.1	OC647CT-ND	1.06	.96	.85	.77	OC647TR-ND	529.13/M	507.96/M	XF2H-2415-1LW
26	17.1	OC648CT-ND	1.13	1.01	.90	.81	OC648TR-ND	560.88/M	538.44/M	XF2H-2615-1LW
30	19.1	OC649CT-ND	1.17	1.05	.94	.84	OC649TR-ND	582.04/M	558.76/M	XF2H-3015-1LW
32	20.1	OC650CT-ND	.97	.88	.78	.71	OC650TR-ND	486.38/M	466.92/M	XF2H-3215-1LW
33	20.6	OC651CT-ND	1.37	1.24	1.10	.99	OC651TR-ND	683.74/M	656.39/M	XF2H-3315-1LW
34	21.1	OC652CT-ND	1.02	.92	.82	.74	OC652TR-ND	508.38/M	488.05/M	XF2H-3415-1LW
35	21.6	OC653CT-ND	1.35	1.22	1.09	.98	OC653TR-ND	677.28/M	650.19/M	XF2H-3515-1LW
36	22.1	OC654CT-ND	1.38	1.24	1.11	1.00	OC654TR-ND	687.86/M	660.35/M	XF2H-3615-1LW
38	23.1	OC655CT-ND	1.40	1.26	1.12	1.01	OC655TR-ND	698.45/M	670.51/M	XF2H-3815-1LW
40	24.1	OC656CT-ND	1.42	1.28	1.14	1.03	OC656TR-ND	709.03/M	680.67/M	XF2H-4015-1LW
50	29.1	OC658CT-ND	1.57	1.41	1.26	1.13	OC658TR-ND	783.11/M	751.78/M	XF2H-5015-1LW

0,5 mm-Pitch FPC-Steckverbinder mit vertikaler Schiebesperre - XF2J

SMT (Zero Insertion Force) Steckverbinder mit Flachprofil, Zugang von oben, ideal für automatische Montageverfahren

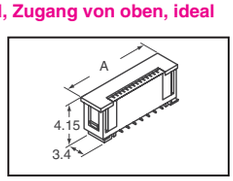

Spezifikationen: Nennstrom: 0,5 A **Nennspannung:** 50 V DC **Haltespannung:** 250 V AC für 1 Min. **Einfügungstoleranz:** 30-mal
Merkmale: • Der vergrößerte Oberflächenbereich auf der Schiebeleiste erleichtert den Zusammenbau • Vertikaler Schiebemechanismus sorgt für sicheres Sperren des Flex-Schaltkreises • Niedrigprofil von nur 4,15 mm über der Karte • Niederhaltklemme erhöht die Verbindungsstabilität während des Lötens • Steckverbinder, gegurtet auf Rolle, zur automatischen Einfügung

Anz. der Pos.	Abm. A (mm)	Gurtabschnittspreis pro Stück: Digi-Key Teilenr.	1	25	50	100	Preis. f. gegurtet auf Rolle: Digi-Key Teilenr.	1,000	5,000	Omron Teilenr.
6	7.5	OR659CT-ND	.49	.44	.39	.36	OR659TR-ND	243.40	233.67/M	XF2J-0624-11
8	8.5	OR660CT-ND	.58	.52	.46	.42	OR660TR-ND	285.73	274.30/M	XF2J-0824-11
10	9.5	OR661CT-ND	.62	.56	.50	.45	OR661TR-ND	306.89	294.62/M	XF2J-1024-11
12	10.5	OR662CT-ND	.68	.61	.55	.49	OR662TR-ND	338.64	325.10/M	XF2J-1224-11
14	11.5	OR663CT-ND	.75	.67	.60	.54	OR663TR-ND	370.39	355.58/M	XF2J-1424-11
16	12.5	OR664CT-ND	.79	.71	.63	.57	OR664TR-ND	391.55	375.89/M	XF2J-1624-11
18	13.5	OR665CT-ND	.83	.75	.67	.60	OR665TR-ND	412.72	396.21/M	XF2J-1824-11
20	14.5	OR666CT-ND	.87	.79	.70	.63	OR666TR-ND	433.88	416.53/M	XF2J-2024-11
22	15.5	OR667CT-ND	.89	.81	.72	.64	OR667TR-ND	444.47	426.69/M	XF2J-2224-11
24	16.5	OR668CT-ND	.96	.86	.77	.69	OR668TR-ND	476.21	457.17/M	XF2J-2424-11
26	17.5	OR669CT-ND	1.02	.92	.82	.74	OR669TR-ND	507.96	487.65/M	XF2J-2624-11
28	18.5	OR670CT-ND	1.06	.96	.85	.77	OR670TR-ND	529.13	507.96/M	XF2J-2824-11
30	19.5	OR671CT-ND	1.10	1.00	.89	.80	OR671TR-ND	550.29	528.28/M	XF2J-3024-11

0,5 mm-Pitch vertikaler FPC-Steckverbinder - XF2G

SMT Nicht-ZIF (Zero Insertion Force) Steckverbinder bietet eine preiswerte, von oben zugängliche Alternative zur Ausführung mit Sperrvorrichtung

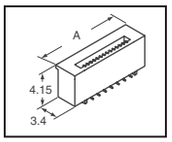

Spezifikationen: Nennstrom: 0,5 A **Nennspannung:** 50 V DC **Haltespannung:** 250 V AC für 1 Min. **Einsetztoleranz:** 10-mal
Merkmale: • Der vergrößerte obere Bereich erleichtert den automatisierten Zusammenbau • Flachprofil • Niedrigprofil von nur 4,15 mm über der Karte • Niederhaltklemme erhöht die Verbindungsstabilität während des Lötens • Steckverbinder, gegurtet auf Rolle, zur automatischen Einfügung

Anz. der Pos.	Abm. A (mm)	Gurtabschnittspreis pro Stück: Digi-Key Teilenr.	1	25	50	100	Preis. f. gegurtet auf Rolle: Digi-Key Teilenr.	1,000	5,000	Omron Teilenr.
6	4.9	OR672CT-ND	.34	.31	.28	.25	OR672TR-ND	169.32	162.55/M	XF2G-0614-11
14	8.9	OR673CT-ND	.51	.46	.41	.37	OR673TR-ND	253.98	243.82/M	XF2G-1414-11
16	9.9	OR674CT-ND	.59	.54	.48	.43	OR674TR-ND	296.31	284.46/M	XF2G-1614-11

0,5 mm Pitch Dreh-Rücksperr-FPC-Steckverbinder mit verkleinertem Bereich - XF2M

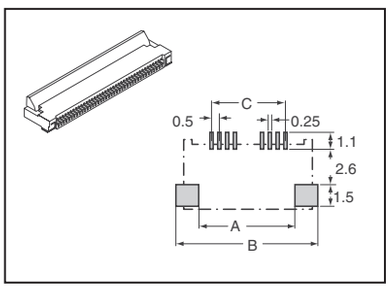

Spezifikationen: Nennstrom: 0,5 A AC/DC **Nennspannung:** 50 V AC/DC **Betriebstemperatur:** -30 °C ~ 85 °C **Materialien/Oberflächenverarbeitung: Gehäuse:** LCP-Harz (UL94V-0) natur **Schieber:** LCP-Harz (UL94V-0) schwarz **Kontakt:** Feder Kupferlegierung/Nickelsubstrat (2 µm), Zinnlegierung (2 µm) **Niederhaltung:** Feder Kupferlegierung/Schmelzzinnüberzug (1,5 µm)

Anz. der Pos.	Abm. A (mm)	Abm. B (mm)	Abm. C (mm)	Gurtabschnittspreis pro Stück: Digi-Key Teilenr.	1	25	50	Gegurtet auf Rolle*: Größe	Preisangaben	Omron Teilenr.
10	6.1	9.5	4.5	OR698CT-ND	.59	.54	.48	1,500	297.90/M	XF2M10151L
20	11.1	14.5	9.5	OR699CT-ND	.85	.77	.68	1,500	422.35/M	XF2M20151L
30	16.1	19.5	14.5	OR700CT-ND	1.04	.95	.84	1,500	522.46/M	XF2M30151L
34	18.1	21.5	16.5	OR701CT-ND	1.19	1.08	.96	1,500	595.70/M	XF2M34151L
40	21.1	24.5	19.5	OR702CT-ND	1.35	1.21	1.08	1,500	671.36/M	XF2M40151L
45	23.6	27	22	OR703CT-ND	1.46	1.32	1.18	1,500	732.63/M	XF2M45151L
50	26.1	29.5	24.5	OR704CT-ND	1.59	1.43	1.27	1,500	793.80/M	XF2M50151L

* Für Gegurtet auf Rolle die Teilenummer CT-ND in TR-ND ändern.

0,3 mm Pitch Dreh-Rücksperr-FPC-Steckverbinder - XF2B

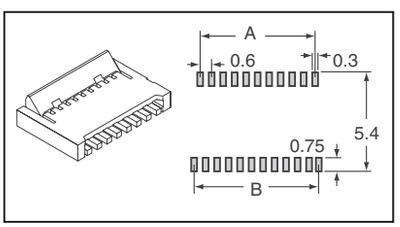

Spezifikationen:
Nennstrom: 0,2 A AC/DC **Nennspannung:** 50 V AC/DC **Einsetztoleranz:** 10-mal **Betriebstemperatur:** -30 °C ~ 85 °C **Materialien/Oberflächenverarbeitung:**
Gehäuse: LCP-Harz (UL94V-0)/natur **Schieber:** LCP-Harz (UL94V-0)/schwarz **Kontakt:** Feder Kupferlegierung/Nickelsubstrat (2 µm), vergoldete Kontakte (0,15 µm)

Anz. der Pos.	Abm. A (mm)	Abm. B (mm)	Gurtabschnittspreis pro Stück: Digi-Key Teilenr.	1	25	50	Gegurtet auf Rolle*: Größe	Preisangaben	Omron Teilenr.
17	4.2	4.8	OR694CT-ND	1.38	1.25	1.11	1,500	689.56/M	XF2B174531A
23	6.0	6.6	OR695CT-ND	1.65	1.49	1.33	1,500	826.82/M	XF2B234531A
31	8.4	9.0	OR696CT-ND	2.04	1.84	1.63	1,500	1018.04/M	XF2B314531A
33	9.0	9.6	OR697CT-ND	2.13	1.93	1.71	1,500	1066.94/M	XF2B334531A

* Für Gegurtet auf Rolle die Teilenummer CT-ND in TR-ND ändern.

0,5 mm Pitch Dreh-Rücksperr-FPC-Steckverbinder, Flachprofil - XF2N, XF2R

Spezifikationen:
Nennstrom: 0,3 A AC/DC
Nennspannung: 50 V AC/DC
Betriebstemperatur: -30 °C ~ 85 °C
Materialien/Oberflächenverarbeitung: Gehäuse: LCP-Harz (UL94V-0) natur
Schieber: LCP-Harz (UL94V-0) schwarz
Kontakt: Feder Kupferlegierung/Nickelsubstrat (1,5 µm), vergoldete Kontakte (0,15 µm)
Niederhaltung: Feder Kupferlegierung/Schmelzzinnüberzug (1,5 µm)

Abb. 1

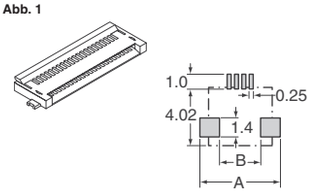

Abb. 2

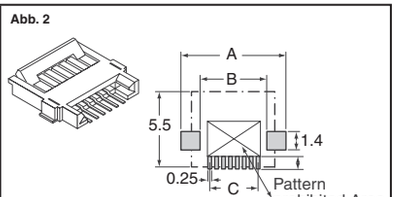

Abb.	Anz. der Pos.	Abm. A (mm)	Abm. B (mm)	Abm. C (mm)	Gurtabschnittspreis pro Stück: Digi-Key Teilenr.	1	25	50	Gegurtet auf Rolle*: Größe	Preisangaben	Omron Teilenr.
1	21	13.8	11.8	—	OR705CT-ND	1.52	1.37	1.22	3,000	756.97/M	XF2N21153
2	6	6.1	4.1	2.5	OR706CT-ND	1.19	1.08	.96	3,000	596.01/M	XF2R06154A
2	9	7.6	5.6	4.0	OR707CT-ND	1.33	1.20	1.07	3,000	665.85/M	XF2R09154A
2	18	12.1	10.1	8.5	OR708CT-ND	1.74	1.57	1.40	3,000	872.21/M	XF2R18154A
2	24	15.1	13.1	11.5	OR709CT-ND	2.01	1.82	1.62	3,000	1009.47/M	XF2R24154A
2	34	20.1	18.1	16.5	OR710CT-ND	2.48	2.23	1.99	3,000	1238.16/M	XF2R34154A
2	40	23.1	21.1	19.5	OR711CT-ND	2.75	2.48	2.21	3,000	1377.11/M	XF2R40154A

* Für Gegurtet auf Rolle die Teilenummer CT-ND in TR-ND ändern.

0,5 mm Pitch Standardlängen-Brücke

Spezifikationen:
Elektrische Spezifikationen: • Spannung: 30 V • Strom: 0,5 A **Physikalische Daten:** • Streifenlänge: 4 mm (1,57") • Verstärkungslänge: 6 mm (0,236") • Leiterbreite: 0,30 mm (0,012") • Leiterdicke: 0,10 mm (0,004") • Enddicke: 0,30 ±0,05 mm (0,012 ±0,002"). • Temperatur: -40 °C ~ 80 °C **Referenzdaten:** • UL-Typnr. 2896 • Passend für alle 0,50 mm (0,020") Pitch Molex FFC/FPC Steckverbinder

Anz. der Pos.	Abmessungen A mm	Digi-Key Teilenr.	Stückpreis 1	10	100	250	Molex Teilenr.
2,00" (51 mm) ungeschirmtes Flex-Flachkabel							
6	3.5	WM10200-ND	3.50	2.93	2.15	1.82	21020-0053
10	5.5	WM10201-ND	3.50	2.92	2.15	1.82	21020-0097
20	10.5	WM10202-ND	3.64	3.03	2.22	1.88	21020-0207
24	12.5	WM10203-ND	3.68	3.07	2.25	1.91	21020-0251
30	15.5	WM10204-ND	3.73	3.11	2.29	1.93	21020-0317
36	18.5	WM10205-ND	3.77	3.14	2.31	1.95	21020-0383
40	20.5	WM10206-ND	3.81	3.18	2.33	1.97	21020-0427
50	25.5	WM10207-ND	3.94	3.29	2.41	2.05	21020-0543
4,00" (102 mm) ungeschirmtes Flex-Flachkabel							
6	3.5	WM10208-ND	3.95	3.29	2.42	2.05	21020-0057
10	5.5	WM10209-ND	3.94	3.29	2.42	2.05	21020-0101
20	10.5	WM10210-ND	4.17	3.47	2.55	2.16	21020-0211
24	12.5	WM10211-ND	4.25	3.55	2.60	2.21	21020-0255
30	15.5	WM10212-ND	4.38	3.65	2.69	2.28	21020-0321
36	18.8	WM10213-ND	4.52	3.77	2.77	2.34	21020-0387
40	20.5	WM10214-ND	4.60	3.83	2.82	2.39	21020-0431
50	25.5	WM10215-ND	4.82	4.01	2.95	2.50	21020-0547
6,00" (152 mm) ungeschirmtes Flex-Flachkabel							
6	3.5	WM10216-ND	4.83	4.02	2.95	2.50	21020-0061
10	5.5	WM10217-ND	4.82	4.02	2.95	2.50	21020-0105
20	10.5	WM10218-ND	4.82	4.02	2.95	2.50	21020-0215
24	12.5	WM10219-ND	5.05	4.21	3.09	2.61	21020-0259
30	15.5	WM10220-ND	5.26	4.38	3.22	2.72	21020-0325
36	18.5	WM10221-ND	5.39	4.49	3.30	2.80	21020-0391
40	20.5	WM10222-ND	5.47	4.57	3.36	2.85	21020-0435
50	25.5	WM10223-ND	5.69	4.75	3.48	2.95	21020-0548

0,5 mm FFC/FPC-Steckverbinder

Spezifikationen: Elektrische Spezifikationen: • Spannung: 50 V • Strom: 0,5 A • Kontaktwiderstand: Max. 20 mΩ • Dielektrische Haltespannung: 250 V AC / 1 Minute • Isolationswiderstand: Min. 50 MΩ, 1 Minute **Physikalische Daten:** • Gehäuse: 4/6 Nylon, UL 94V-0 • Betätiger: PPS, UL 94V-0 • Kontakte: Phosphorbronze • Überzug: • Zinn: Lötösen: Phosphorbronze, Zinnüberzug • Betriebstemperatur: -20 °C ~ 85 °C

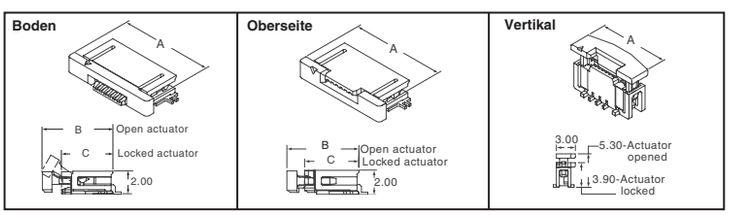

Anz. der Pos.	Abm. A (mm)	Abm. B (mm)	Abm. C (mm)	Digi-Key Teilenr.	Gurtabschnittspreis pro Stück 1	10	100	Gegurtet auf Rolle Größe	Preisangaben*	Molex Teilenr.
Bodenkontakt-Ausführung										
6	9.10	5.9	4.3	WM7700CT-ND	1.30	1.12	.88	1,000	508.66	52746-0670
6	9.10	5.9	4.3	WM5678CT-ND	1.24	1.07	.84	—	—	52746-0690
10	11.10	5.9	4.3	WM7701CT-ND	1.84	1.58	1.23	1,000	714.24	52746-1070
10	11.10	5.9	4.3	WM5679CT-ND	—	—	—	1,000	680.31	52746-1090
20	16.10	5.9	4.3	WM7702CT-ND	2.84	2.44	1.90	1,000	1104.97	52746-2070
20	16.10	5.9	4.3	WM5680CT-ND	2.71	2.32	1.81	1,000	1052.04	52746-2090
24	18.60	6.1	4.5	WM7703CT-ND	3.39	2.91	2.27	1,000	1320.12	52746-2472
24	18.60	6.1	4.5	WM5681CT-ND	3.24	2.78	2.16	—	—	52437-2491
30	21.60	6.1	4.5	WM7704CT-ND	3.69	3.16	2.47	1,000	1435.70	52746-3072
30	21.60	6.1	4.5	WM5682CT-ND	3.52	3.02	2.35	—	—	52437-3091
36	23.50	6.55	5.0	WM5683CT-ND	4.04	3.46	2.70	—	—	54132-3692
40	25.50	6.55	5.0	WM5684CT-ND	4.78	4.10	3.20	1,500	1860.83/M	54132-4092
50	30.50	6.55	5.0	WM5685CT-ND	5.17	4.43	3.45	1,500	2012.37/M	54132-5092
Obenkontakt-Ausführung										
6	9.10	5.7	4.3	WM7708CT-ND	.83	.71	.56	1,000	322.56	52745-0696
6	9.10	5.7	4.3	WM5686CT-ND	.79	.68	.53	1,000	307.81	52745-0690
10	11.10	5.7	4.3	WM7709CT-ND	1.28	1.10	.86	1,000	498.00	52746-1096
20	16.10	5.7	4.3	WM7710CT-ND	1.76	1.51	1.18	1,000	686.29	52745-2096
20	16.10	5.7	4.3	WM5688CT-ND	1.68	1.44	1.13	1,000	653.62	52745-2090
24	18.60	5.9	4.5	WM7711CT-ND	2.57	2.20	1.72	1,000	998.18	52746-2472
24	18.60	5.9	4.5	WM5689CT-ND	2.57	2.20	1.72	—	—	52435-2491
30	21.60	5.9	4.5	WM7712CT-ND	2.84	2.44	1.90	1,000	1104.64	52435-3072
30	21.60	5.9	4.5	WM5690CT-ND	2.71	2.32	1.81	—	—	52435-3091
50	30.50	6.55	5.0	WM5692CT-ND	3.82	3.27	2.55	—	—	54104-5092
Vertikalkontakt-Ausführung										
6	8.70	—	—	WM7715CT-ND	1.34	1.15	.90	1,000	520.44	52559-0672
6	8.70	—	—	WM5693CT-ND	1.28	1.09	.85	—	—	52559-0692
10	10.70	—	—	WM7716CT-ND	1.96	1.69	1.32	1,000	765.28	52559-1072
10	10.70	—	—	WM5694CT-ND	1.87	1.61	1.25	1,000	728.85	52559-1092
20	15.70	—	—	WM7717CT-ND	3.23	2.77	2.16	1,000	1257.14	52559-2072
20	15.70	—	—	WM5695CT-ND	3.23	2.77	2.16	1,000	1257.14	52559-2092
24	17.70	—	—	WM7718CT-ND	3.75	3.21	2.51	1,000	1458.78	52259-2472
24	17.70	—	—	WM5696CT-ND	3.57	3.06	2.39	—	—	52559-2492
30	20.70	—	—	WM7719CT-ND	3.78	3.23	2.52	1,000	1467.11	52559-3072
30	20.70	—	—	WM5697CT-ND	3.59	3.08	2.40	1,000	1396.29	52559-3092
36	23.70	—	—	WM7720CT-ND	4.42	3.79	2.95	1,000	1719.64	52559-3672
40	25.70	—	—	WM7721CT-ND	4.30	3.69	2.87	1,000	1673.93	52559-4072

* Für Gegurtet auf Rolle Teilenummer CT-ND in TR-ND ändern

1 mm FFC/FPC-Steckverbinder

Merkmale:

• Rechtwinklig:
Für 0,30 mm dicke FFC/FPC Metalllötösen sorgen für PCB-Niederhaltung und Zugentlastung für SMT-Anschlüsse. **Material:** 4/6 Nylon, UL 94V-0 **Betätiger:** PPS, UL 94V-0 **Kontakte:** Phosphorbronze **Überzug:** Lötzinn **Lötösen:** Phosphorbronze, Zinnüberzug **Temperatur:** -20 °C ~ 85 °C **Elektrische Spezifikationen:** Spannung: 125 V **Strom:** 1,0 A **Kontaktwiderstand:** Max. 20 mΩ **Dielektrische Haltespannung:** 500 V AC/ 1 Minute

• Vertikal:
Zur Verwendung mit 0,30 mm dicken FFC/FPC Feinabstimmungsgabelkontakte sorgen für stabilen, niedrigen Kontaktwiderstand. Optionale Kabelhaltewiderhaken bieten Kabelzugentlastung und sorgen für einen sicheren Sitz des Kabels. Optionaler Polarisationsstift bietet richtige Ausrichtung zur Leiterplatte, und abgewinkelte äußere Lötfahnen sorgen für Leiterplatten-Befestigung. SMT-kompatibel. **Material:** Gehäuse: 4/6 Nylon, UL 94V-0 **Betätiger:** LCP, UL 94V-0 **Kontakt:** Phosphorbronzelegierung. **Überzug:** Zinn/Blei, 90/10 **Temperatur:** -20 °C ~ 80 °C **Elektrische spezifikationen:** Spannung: 125 V **Strom:** 1,0 A **Kontaktwiderstand:** Max. 20 mΩ **Dielektrische Haltespannung:** 500 V AC/ 1 Minute **Isolationswiderstand:** Min. 100 MΩ

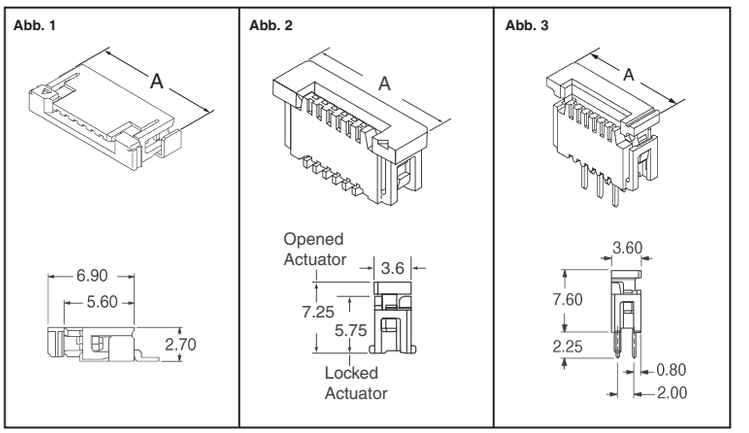

Abb.	Anz. der Pos.	Abmessung A Zoll (mm)	Digi-Key Teilenr.	Gurtabschnittspreis pro Stück 1	10	100	Digi-Key Teilenr.	T&R Pricing ** 1,000	Molex Teilenr.
Rechter Winkel, SMT, ZIF-Ausführung mit Kontakten oben									
1	4	.405 (10.30)	WM7675CT-ND	1.02	.88	.69	WM7675TR-ND	398.42	52207-0485
	4	.405 (10.30)	WM5700CT-ND	.97	.84	.66	WM5700TR-ND	379.43	52207-0490
	6	.484 (12.30)	WM7676CT-ND	.86	.75	.58	WM7676TR-ND	336.70	52207-0685
	8	.562 (14.30)	WM7677CT-ND	1.13	.97	.76	WM7677TR-ND	440.51	52207-0885
	10	.641 (16.30)	WM7678CT-ND*	1.53	1.31	1.02	WM7678TR-ND*	594.31	52207-1085
	12	.720 (18.30)	WM7679CT-ND	1.63	1.40	1.09	WM7679TR-ND	633.05	52207-1285
	14	.799 (20.30)	WM7680CT-ND	1.85	1.59	1.24	WM7680TR-ND	719.42	52207-1485
	16	.877 (22.30)	WM7681CT-ND*	2.14	1.84	1.43	WM7681TR-ND*	833.05	52207-1685
	18	.956 (24.30)	WM7682CT-ND	2.25	1.93	1.51	WM7682TR-ND	876.47	52207-1885
	18	.956 (24.30)	WM5707CT-ND	2.15	1.84	1.44	WM5707TR-ND	834.86	52207-1890
	20	1.035 (26.30)	WM7683CT-ND	2.44	2.09	1.63	WM7683TR-ND	947.29	52207-2085
	20	1.035 (26.30)	WM5708CT-ND	2.32	1.99	1.55	WM5708TR-ND	902.38	52207-2090
	22	1.114 (28.30)	WM7684CT-ND	2.61	2.23	1.74	WM7684TR-ND	1013.72	52207-2285
	22	1.114 (28.30)	WM5709CT-ND	2.31	1.98	1.55	WM5709TR-ND	899.08	52207-2290
	24	1.192 (30.30)	WM7685CT-ND	2.75	2.36	1.84	WM7685TR-ND	1071.36	55207-2485
	24	1.192 (30.30)	WM5710CT-ND	2.62	2.25	1.75	—	—	52207-2490
	26	1.271 (32.30)	WM7686CT-ND	2.90	2.48	1.94	WM7686TR-ND	1126.79	52207-2685
	26	1.271 (32.30)	WM5711CT-ND	2.76	2.37	1.84	—	—	52207-2690
	28	1.350 (34.30)	WM7687CT-ND*	3.35	2.87	2.24	WM7687TR-ND*	1303.76	52207-2885
	30	1.430 (36.30)	WM7688CT-ND	3.19	2.74	2.13	WM7688TR-ND	1241.75	52207-3085
Vertikal, SMT, ZIF — bleifrei/RoHS-konform									
2	6	.496 (12.60)	WM7633CT-ND*	1.73	1.48	1.16	WM7633TR-ND*	673.05	52610-0671
	8	.575 (14.60)	WM7634CT-ND*	2.07	1.77	1.38	WM7634TR-ND*	804.27	52610-0871
	10	.654 (16.60)	WM7635CT-ND*	2.38	2.04	1.59	WM7635TR-ND*	926.18	52610-1071
	12	.732 (18.60)	WM7636CT-ND*	2.73	2.34	1.82	WM7636TR-ND*	1059.94	52610-1271
	14	.811 (20.60)	WM7637CT-ND*	3.03	2.60	2.03	WM7637TR-ND*	1178.47	52610-1471
	16	.890 (22.60)	WM7638CT-ND*	3.29	2.82	2.20	WM7638TR-ND*	1279.21	52610-1671
	18	.969 (24.60)	WM7639CT-ND*	3.51	3.01	2.35	WM7639TR-ND*	1367.26	52610-1871
	20	1.047 (26.60)	WM7640CT-ND*	3.72	3.18	2.48	WM7640TR-ND*	1444.30	52610-2071
	22	1.126 (28.60)	WM7641CT-ND*	4.00	3.42	2.67	WM7641TR-ND*	1553.51	52610-2271
	24	1.205 (30.60)	WM7642CT-ND*	4.26	3.65	2.84	WM7642TR-ND*	1655.95	52610-2471
	26	1.283 (32.60)	WM7643CT-ND*	3.26	2.80	2.18	WM7643TR-ND*	1269.05	52610-2671
	28	1.362 (34.60)	WM7644CT-ND*	4.64	3.98	3.10	WM7644TR-ND*	1804.95	52610-2871
	30	1.441 (36.60)	WM7645CT-ND*	4.75	4.07	3.17	WM7645TR-ND*	1846.43	52610-3071
Vertikal, ZIF - keine Stifte									
3	4	.366 (9.30)	WM5300-ND	.98	.80	.62	—	—	71226-0425
	6	.445 (11.30)	WM5301-ND	1.17	.96	.74	—	—	71226-0625
	8	.524 (13.30)	WM5302-ND	1.36	1.11	.86	—	—	71226-0825
	10	.602 (15.30)	WM5303-ND	1.56	1.27	.98	—	—	71226-1025
	12	.681 (17.30)	WM5304-ND	1.76	1.44	1.11	—	—	71226-1225
	14	.760 (19.30)	WM5305-ND	1.96	1.59	1.23	—	—	71226-1425
	16	.839 (21.30)	WM5306-ND	2.14	1.75	1.35	—	—	71226-1625
	18	.917 (23.30)	WM5307-ND	2.35	1.91	1.47	—	—	71226-1825
	20	.996 (25.30)	WM5308-ND	2.67	2.17	1.67	—	—	71226-2025
	22	1.075 (27.30)	WM5309-ND	2.73	2.22	1.71	—	—	71226-2225
	24	1.154 (29.30)	WM5310-ND	2.92	2.38	1.83	—	—	71226-2425
	26	1.232 (31.30)	WM5311-ND	3.12	2.54	1.95	—	—	71226-2625
	28	1.311 (33.30)	WM5312-ND	3.32	2.70	2.08	—	—	71226-2825
	30	1.390 (35.30)	WM5313-ND	3.51	2.86	2.20	—	—	71226-3025

* Bleifrei/RoHS-konform ** Preisangaben für Gegurtet auf Rolle

Alle Preisangaben in Euro und inklusive Zollgebühren.

1,00 mm (0,039") Pitch Standardlänge-Brücken

Merkmale und Spezifikationen:
Molex bietet eine komplette Linie von 1,00 (0,039") Pitch Flex-Flachkabelbrücken an. Diese Brücken dienen zur Verbindung von 2 Leiterplatten und enden entweder an ZIF- oder Nicht-ZIF-FFC-Steckverbindern **Referenzdaten:** UL-Typnr.: 2896. Passend für alle 1,00 mm (0,039") Pitch Molex FFC/FPC Steckverbinder. Entwickelt für: Millimeter **Elektrische Spezifikationen:** Spannung: 30 V, Strom: 1,3 A **Physikalische Daten:** Streifenlänge: 4 mm (0,157"). Verstärkungslänge: 8,00 mm (0,315"). Leiterbreite: 0,70 mm (0,028"). Leiterdicke: 0,10 mm (0,004"). Enddicke: 0,30 ±0,05 mm (0,012 ±0,002"). Temperatur: -40 °C ~ 80 °C
• Kontakte auf derselben Seite

Anz. der Pos.	Abm. A (mm)	Digi-Key Teilenr.	Stückpreis 1	10	100	250	Molex Teilenr.
2" (5,08 cm) ungeschirmtes Flex-Flachkabel							
6	7.15	WM10000-ND	2.45	2.04	1.50	1.27	21039-0203
8	9.15	WM10001-ND	2.51	2.10	1.54	1.31	21039-0225
10	11.15	WM10002-ND	2.70	2.26	1.66	1.40	21039-0247
12	13.15	WM10003-ND	2.86	2.39	1.75	1.49	21039-0269
14	15.15	WM10004-ND	3.08	2.57	1.89	1.60	21039-0291
16	17.15	WM10005-ND	3.01	2.52	1.85	1.57	21039-0313
18	19.15	WM10006-ND	3.28	2.74	2.01	1.70	21039-0335
20	21.15	WM10007-ND	3.41	2.85	2.09	1.77	21039-0357
22	23.15	WM10008-ND	3.45	2.88	2.11	1.79	21039-0379
24	25.15	WM10009-ND	3.64	3.04	2.23	1.89	21039-0401
26	27.15	WM10010-ND	3.49	2.91	2.14	1.81	21039-0423
28	29.15	WM10011-ND	3.69	3.08	2.26	1.92	21039-0445
30	31.15	WM10012-ND	3.73	3.11	2.28	1.93	21039-0467
3" (7,62 cm) ungeschirmtes Flex-Flachkabel							
6	7.15	WM10013-ND	2.39	2.00	1.47	1.24	21039-0205
8	9.15	WM10014-ND	2.67	2.22	1.63	1.38	21039-0227
10	11.15	WM10015-ND	2.90	2.43	1.78	1.51	21039-0249
12	13.15	WM10016-ND	3.18	2.66	1.95	1.65	21039-0271
14	15.15	WM10017-ND	3.13	2.61	1.92	1.63	21039-0293
16	17.15	WM10018-ND	3.23	2.70	1.98	1.68	21039-0315
18	19.15	WM10019-ND	3.38	2.82	2.07	1.76	21039-0337
20	21.15	WM10020-ND	3.56	2.97	2.18	1.85	21039-0359
22	23.15	WM10021-ND	3.61	3.01	2.21	1.87	21039-0381
24	25.15	WM10022-ND	3.85	3.22	2.36	2.00	21039-0403
26	27.15	WM10023-ND	3.90	3.25	2.39	2.02	21039-0425
28	29.15	WM10024-ND	3.94	3.28	2.41	2.04	21039-0447
30	31.15	WM10025-ND	3.97	3.31	2.43	2.06	21039-0469
4" (10,16 cm) ungeschirmtes Flex-Flachkabel							
6	7.15	WM10026-ND	2.58	2.16	1.58	1.34	21039-0207
8	9.15	WM10027-ND	2.71	2.26	1.66	1.41	21039-0229
10	11.15	WM10028-ND	2.84	2.37	1.74	1.47	21039-0251
12	13.15	WM10029-ND	2.98	2.49	1.83	1.55	21039-0273
14	15.15	WM10030-ND	3.11	2.59	1.90	1.61	21039-0295
16	17.15	WM10031-ND	3.23	2.70	1.98	1.68	21039-0317
18	19.15	WM10032-ND	3.40	2.84	2.09	1.77	21039-0339
20	21.15	WM10033-ND	3.62	3.02	2.22	1.88	21039-0361
22	23.15	WM10034-ND	3.67	3.06	2.24	1.90	21039-0383
24	25.15	WM10035-ND	3.97	3.31	2.43	2.06	21039-0405
26	27.15	WM10036-ND	4.01	3.35	2.46	2.08	21039-0427
28	29.15	WM10037-ND	4.06	3.39	2.49	2.11	21039-0449
30	31.15	WM10038-ND	3.90	3.26	2.39	2.03	21039-0471
5" (12,70 cm) ungeschirmtes Flex-Flachkabel							
6	7.15	WM10039-ND	2.57	2.15	1.58	1.34	21039-0209
8	9.15	WM10040-ND	2.71	2.26	1.66	1.41	21039-0231
10	11.15	WM10041-ND	2.72	2.27	1.66	1.41	21039-0253
12	13.15	WM10042-ND	3.02	2.52	1.85	1.57	21039-0275
14	15.15	WM10043-ND	3.17	2.64	1.94	1.64	21039-0297
16	17.15	WM10044-ND	3.32	2.77	2.03	1.72	21039-0319
18	19.15	WM10045-ND	3.51	2.93	2.15	1.82	21039-0341
20	21.15	WM10046-ND	3.77	3.14	2.31	1.95	21039-0363
22	23.15	WM10047-ND	3.82	3.19	2.34	1.98	21039-0385
24	25.15	WM10048-ND	4.18	3.49	2.56	2.17	21039-0407
26	27.15	WM10049-ND	4.22	3.53	2.59	2.19	21039-0429
28	29.15	WM10050-ND	4.07	3.40	2.50	2.11	21039-0451
30	31.15	WM10051-ND	4.33	3.61	2.65	2.24	21039-0473

Anz. der Pos.	Abm. A (mm)	Digi-Key Teilenr.	Stückpreis 1	10	100	250	Molex Teilenr.
6" (15,24 cm) ungeschirmtes Flex-Flachkabel							
6	7.15	WM10052-ND	2.63	2.20	1.62	1.37	21039-0211
8	9.15	WM10053-ND	2.62	2.18	1.60	1.36	21039-0233
10	11.15	WM10054-ND	2.97	2.48	1.82	1.54	21039-0255
12	13.15	WM10055-ND	3.17	2.64	1.94	1.64	21039-0277
14	15.15	WM10056-ND	3.33	2.78	2.04	1.73	21039-0299
16	17.15	WM10057-ND	3.50	2.93	2.15	1.82	21039-0321
18	19.15	WM10058-ND	3.73	3.12	2.29	1.94	21039-0343
20	21.15	WM10059-ND	3.84	3.20	2.35	1.99	21039-0365
22	23.15	WM10060-ND	3.89	3.25	2.38	2.02	21039-0387
24	25.15	WM10061-ND	4.50	3.76	2.76	2.34	21039-0409
26	27.15	WM10062-ND	4.56	3.81	2.79	2.37	21039-0431
28	29.15	WM10063-ND	4.62	3.86	2.83	2.40	21039-0453
30	31.15	WM10064-ND	4.68	3.91	2.87	2.43	21039-0475
8" (20,32 cm) ungeschirmtes Flex-Flachkabel							
6	7.15	WM10065-ND	2.79	2.33	1.71	1.45	21039-0215
8	9.15	WM10066-ND	3.01	2.51	1.84	1.56	21039-0237
10	11.15	WM10067-ND	3.20	2.67	1.96	1.66	21039-0259
12	13.15	WM10068-ND	3.46	2.89	2.12	1.80	21039-0281
14	15.15	WM10069-ND	3.67	3.06	2.24	1.90	21039-0303
16	17.15	WM10070-ND	3.90	3.25	2.39	2.02	21039-0325
18	19.15	WM10071-ND	3.99	3.32	2.44	2.07	21039-0347
20	21.15	WM10072-ND	4.56	3.81	2.79	2.37	21039-0369
22	23.15	WM10073-ND	4.64	3.87	2.84	2.41	21039-0391
24	25.15	WM10074-ND	5.18	4.32	3.17	2.69	21039-0413
26	27.15	WM10075-ND	5.24	4.37	3.21	2.72	21039-0435
28	29.15	WM10076-ND	5.32	4.43	3.25	2.76	21039-0457
30	31.15	WM10077-ND	5.39	4.50	3.30	2.80	21039-0479
10" (25,40 cm) ungeschirmtes Flex-Flachkabel							
6	7.15	WM10078-ND	2.83	2.36	1.73	1.47	21039-0219
8	9.15	WM10079-ND	3.07	2.56	1.88	1.59	21039-0241
10	11.15	WM10080-ND	3.30	2.76	2.02	1.72	21039-0263
12	13.15	WM10081-ND	3.78	3.16	2.32	1.96	21039-0285
14	15.15	WM10082-ND	3.84	3.20	2.35	1.99	21039-0307
16	17.15	WM10083-ND	4.31	3.60	2.64	2.24	21039-0329
18	19.15	WM10084-ND	4.66	3.89	2.85	2.42	21039-0351
20	21.15	WM10085-ND	5.12	4.27	3.14	2.66	21039-0373
22	23.15	WM10086-ND	5.22	4.35	3.19	2.70	21039-0395
24	25.15	WM10087-ND	5.87	4.90	3.59	3.04	21039-0417
26	27.15	WM10088-ND	5.96	4.97	3.65	3.09	21039-0439
28	29.15	WM10089-ND	6.04	5.04	3.70	3.13	21039-0461
30	31.15	WM10090-ND	6.13	5.11	3.75	3.18	21039-0483
12" (30,48 cm) ungeschirmtes Flex-Flachkabel							
6	7.15	WM10091-ND	3.16	2.64	1.94	1.64	21039-0221
8	9.15	WM10092-ND	3.45	2.88	2.11	1.79	21039-0243
10	11.15	WM10093-ND	3.73	3.12	2.29	1.94	21039-0265
12	13.15	WM10094-ND	3.90	3.26	2.39	2.03	21039-0287
14	15.15	WM10095-ND	4.39	3.67	2.69	2.28	21039-0309
16	17.15	WM10096-ND	4.73	3.95	2.90	2.45	21039-0331
18	19.15	WM10097-ND	5.15	4.29	3.15	2.67	21039-0353
20	21.15	WM10098-ND	5.69	4.74	3.48	2.95	21039-0375
22	23.15	WM10099-ND	5.80	4.84	3.55	3.01	21039-0397
24	25.15	WM10100-ND	6.57	5.48	4.02	3.41	21039-0419
26	27.15	WM10101-ND	6.67	5.57	4.08	3.46	21039-0441
28	29.15	WM10102-ND	6.77	5.65	4.14	3.51	21039-0463
30	31.15	WM10103-ND	6.87	5.74	4.21	3.57	21039-0485

Panel Mate 1,25 mm Steckverbinder, ultraniedriges Profil

Abb. 1

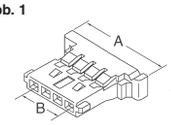

Abb. 2

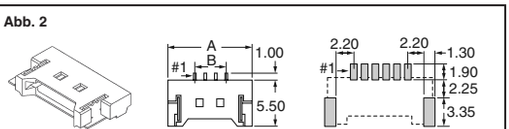

Physikalische Spezifikationen: • Gehäuse: PBTP, UL 94V-0 • Temperatur: -40 °C ~ 85 °C • Kontakt: Phosphorbronze • Überzug: Gold (Zinn/Blei auf SMT-Fahnen) • Lötösen: Phosphorbronze, Zinn/Bleiüberzug

Elektrische Spezifikationen: • Spannung: 125 V • Strom: 1,0 A • Kontaktwiderstand: Max. 20 mΩ • Dielektrische Haltespannung: 250 V AC • Isolationswiderstand: 100 MΩ Minute

Abb.	Schalt-kreise	Abm. (mm) A	B	Digi-Key Teilenr.	Stückpreis 1	10	100	Molex Teilenr.
Steckbuchsengehäuse - Ultra-Niedrigprofil								
1	2	5.72	1.25	WM5400-ND	.41	.37	.25	51146-0200
	3	6.97	2.50	WM5401-ND	.52	.46	.31	51146-0300
	4	8.22	3.75	WM5402-ND	.61	.54	.37	51146-0400
	5	9.47	5.00	WM5403-ND	.67	.60	.40	51146-0500
	6	10.72	6.25	WM5404-ND	.78	.69	.46	51146-0600
	7	11.97	7.50	WM5405-ND	.90	.79	.53	51146-0700
	9	14.47	10.00	WM5406-ND	1.08	.95	.64	51146-0900
	14	20.72	16.25	WM5407-ND	1.57	1.40	.93	51146-1400

Abb.	Schalt-kreise	Abm. (mm) A	B	Digi-Key Teilenr.	Stückpreis 1	10	100	Molex Teilenr.
Rechter Winkel, SMT 1,90 mm Profilsteckleiste — Bleifrei								
2	2	7.65	1.25	WM7600CT-ND	1.53	1.35	.90	53780-0270
				WM7600TR-ND		895.28/1500		
	3	8.90	2.50	WM7601CT-ND	1.66	1.47	.98	53780-0370
				WM7601TR-ND		971.47/1500		
	4	10.15	3.75	WM7660CT-ND	1.79	1.59	1.06	53780-0470
				WM7660TR-ND		1049.78/1500		
	5	11.40	5.00	WM7602CT-ND	2.19	1.94	1.29	53780-0570
				WM7602TR-ND		1283.87/1500		
	6	12.65	6.25	WM7603CT-ND	2.32	2.05	1.37	53780-0670
				WM7603TR-ND		1357.52/1500		
	7	13.90	7.50	WM7604CT-ND	2.57	2.27	1.51	53780-0770
				WM7604TR-ND		1501.02/1500		
	9	16.40	10.00	WM7605CT-ND	2.80	2.48	1.65	53780-0970
				WM7605TR-ND		1641.98/1500		
	14	22.65	16.25	WM7661CT-ND	3.10	2.74	1.83	53780-1470
				WM7661TR-ND		1814.66/1500		
Quetschanschluss AWG 28-30				WM5506-ND	.41	.37	.25	50641-8141
Hand-Crimpwerkzeug				WM9963-ND		538.44/1		57352-5000

Micro-Miniatur 1,25 mm Steckverbinder

1,25 mm STECKVERBINDER: Technische Daten: • Gehäuse: PBTP, UL 94V-0 • Temperatur: -40 °C ~ 85 °C • UL-Eintragungsnr.: E29179 CSA File No.: LR19980 **1,25 mm CRIMP-ANSCHLUSS: Elektrische Spezifikationen:** • Spannung: 125 V • Strom: 1,0 A (0,8 A für 32 AWG) • Übergangswiderstand: Max. 20 mΩ • Dielektrische Haltespannung: 250 V AC/1 Min. • Isolationswiderstand: Min. 100 MΩ **Physikalische Spezifikationen:** • Kontakte: Phosphorbronze • Überzug: Zinn • Drahtbereich: 26 ~ 32 AWG • Isolierbereich: 1,00 mm Durchmesser max. • Streifenlänge: 1,40 ~ 1,90 mm

Abb. 1 – 1,25 mm Steckbuchsengehäuse

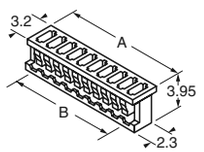

Abb. 2 – 1,25 mm gerade Steckleiste

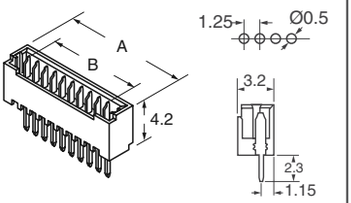

Abb. 3 – 1,25 mm rechtwinklige Steckleiste

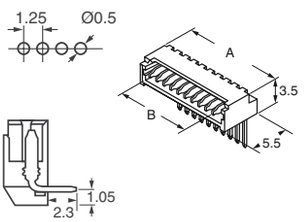

Abb. 4 – 1,25 mm gerade SMT- Steckleiste

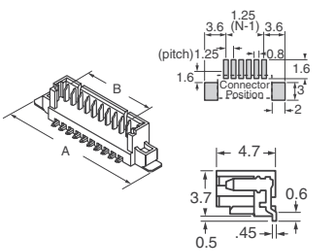

Abb. 5 – 1,25 mm rechtwinklige SMT-Steckleiste

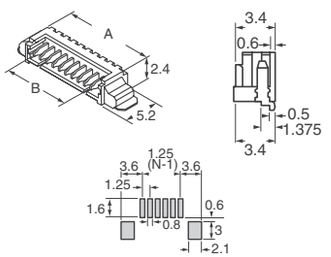

Abb. 6 – Crimp-Anschluss (Buchse)

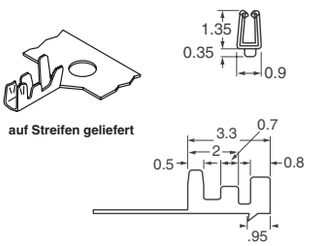

Abb.	Schalt-kreise	Abmessungen (mm) A	B	Digi-Key Teilenr.	Stückpreis 1	10	100	500	Molex Teilenr.
Steckbuchsengehäuse									
1	2	4.25	1.25	WM1720-ND	.33	.28	.20	.16	51021-0200
	3	5.50	2.50	WM1721-ND	.37	.31	.23	.18	51021-0300
	4	6.75	3.75	WM1722-ND	.41	.37	.25	.20	51021-0400
	5	8.00	5.00	WM1723-ND	.47	.42	.28	.22	51021-0500
	6	9.25	6.25	WM1724-ND	.51	.42	.30	.24	51021-0600
	7	10.50	7.50	WM1725-ND	.55	.46	.33	.26	51021-0700
	8	11.75	8.75	WM1726-ND	.59	.53	.35	.28	51021-0800
	9	13.00	10.00	WM1727-ND	.63	.56	.38	.30	51021-0900
	10	14.25	11.25	WM1728-ND	.68	.56	.40	.32	51021-1000
	11	15.50	12.50	WM1729-ND	.72	.60	.43	.34	51021-1100
	12	16.75	13.75	WM1730-ND	.76	.63	.45	.36	51021-1200
	13	18.00	15.00	WM17000-ND	.80	.71	.48	.38	51021-1300
	14	19.25	16.25	WM17001-ND	.85	.75	.50	.40	51021-1400
	15	20.50	17.50	WM17002-ND	.88	.78	.52	.42	51021-1500
Gerade Steckleisten									
2	2	4.25	1.25	WM1731-ND	.41	.34	.25	.20	53047-0210
	3	5.50	2.50	WM1732-ND	.50	.45	.30	.24	53047-0310
	4	6.75	3.75	WM1733-ND	.59	.53	.35	.28	53047-0410
	5	8.00	5.00	WM1734-ND	.68	.56	.41	.33	53047-0510
	6	9.25	6.25	WM1735-ND	.78	.65	.46	.37	53047-0610
	7	10.50	7.50	WM1736-ND	.95	.79	.56	.45	53047-0710
	8	11.75	8.75	WM1737-ND	.97	.81	.58	.46	53047-0810
	9	13.00	10.00	WM1738-ND	1.07	.94	.63	.51	53047-0910
	10	14.25	11.25	WM1739-ND	1.24	1.09	.73	.59	53047-1010
	11	15.50	12.50	WM1740-ND	1.19	1.06	.71	.57	53047-1110
	12	16.75	13.75	WM1741-ND	1.35	1.20	.80	.64	53047-1210
	13	18.00	15.00	WM17003-ND	1.45	1.28	.86	.69	53047-1310
	14	19.25	16.25	WM17004-ND	1.55	1.37	.92	.73	53047-1410
	15	20.50	17.50	WM17005-ND	1.64	1.45	.97	.78	53047-1510
Rechtwinklige Steckleisten									
3	2	4.25	1.25	WM1742-ND	.47	.42	.28	.23	53048-0210
	3	5.50	2.50	WM1743-ND	.57	.50	.34	.27	53048-0310
	4	6.75	3.75	WM1744-ND	.66	.59	.40	.32	53048-0410
	5	8.00	5.00	WM1745-ND	.83	.69	.49	.39	53048-0510
	6	9.25	6.25	WM1746-ND	.86	.76	.51	.41	53048-0610
	7	10.50	7.50	WM1747-ND	.96	.85	.57	.46	53048-0710
	8	11.75	8.75	WM1748-ND	1.05	.93	.62	.50	53048-0810
	9	13.00	10.00	WM1749-ND	1.15	1.02	.68	.55	53048-0910
	10	14.25	11.25	WM1750-ND	1.24	1.10	.74	.59	53048-1010
	11	15.50	12.50	WM1751-ND	1.35	1.20	.80	.64	53048-1110
	12	16.75	13.75	WM1752-ND	1.52	1.34	.89	.72	53048-1210
	13	18.00	15.00	WM17006-ND	1.45	1.28	.86	.69	53048-1310
	14	19.25	16.25	WM17007-ND	1.71	1.51	1.01	.81	53048-1410
	15	20.50	17.50	WM17008-ND	1.65	1.46	.97	.78	53048-1510

Abb.	Schalt-kreise	Abmessungen (mm) A	B	Digi-Key Teilenr.	Stückpreis 1	10	100	500	Molex Teilenr.
SMT Gerade Steckleisten — bleifrei									
4	2	7.65	1.25	WM7606CT-ND WM7606TR-ND	1.16	1.03 452.08/1,000	.69	.55	53398-0271
	3	8.90	2.50	WM7607CT-ND WM7607TR-ND	1.38	1.23 540.13/1,000	.82	.66	53398-0371
	4	10.15	3.75	WM7608CT-ND WM7608TR-ND	1.46	1.29 569.76/1,000	.86	.69	53398-0471
	5	11.40	5.00	WM7609CT-ND WM7609TR-ND	1.62	1.43 632.41/1,000	.96	.77	53398-0571
	6	12.65	6.25	WM7610CT-ND WM7610TR-ND	1.74	1.54 681.51/1,000	1.03	.83	53398-0671
	7	13.90	7.50	WM7611CT-ND WM7611TR-ND	1.89	1.67 737.39/1,000	1.12	.89	53398-0771
	8	15.15	8.75	WM7612CT-ND WM7612TR-ND	2.01	1.77 782.26/1,000	1.18	.95	53398-0871
	9	16.40	10.00	WM7613CT-ND WM7613TR-ND	2.17	1.92 847.45/1,000	1.28	1.03	53398-0971
	10	17.65	11.25	WM7614CT-ND WM7614TR-ND	2.30	2.03 898.24/1,000	1.36	1.09	53398-1071
	11	18.90	12.50	WM7615CT-ND WM7615TR-ND	2.45	2.16 954.12/1,000	1.44	1.15	53398-1171
	12	20.15	13.75	WM7616CT-ND WM7616TR-ND	2.58	2.29 1009.99/1,000	1.53	1.22	53398-1271
	13	21.40	15.00	WM7617CT-ND WM7617TR-ND	2.77	2.45 1081.11/1,000	1.63	1.31	53398-1371
	14	22.65	16.25	WM7618CT-ND WM7618TR-ND	2.88	2.54 1124.28/1,000	1.70	1.36	53398-1471
	15	23.90	17.50	WM7619CT-ND WM7619TR-ND	2.95	2.60 1150.53/1,000	1.74	1.39	53398-1571
SMT Rechtwinklige Steckleisten — bleifrei									
5	2	7.65	1.25	WM7620CT-ND WM7620TR-ND	1.21	1.08 474.10/1,000	.72	.58	53261-0271
	3	8.90	2.50	WM7621CT-ND WM7621TR-ND	1.39	1.23 543.52/1,000	.82	.66	53261-0371
	4	10.15	3.75	WM7622CT-ND WM7622TR-ND	1.52	1.35 594.31/1,000	.90	.72	53261-0471
	5	11.40	5.00	WM7623CT-ND WM7623TR-ND	1.68	1.48 655.27/1,000	.99	.79	53261-0571
	6	12.65	6.25	WM7624CT-ND WM7624TR-ND	1.80	1.60 704.37/1,000	1.07	.85	53261-0671
	7	13.90	7.50	WM7625CT-ND WM7625TR-ND	1.94	1.72 757.71/1,000	1.15	.92	53261-0771
	8	15.15	8.75	WM7626CT-ND WM7626TR-ND	2.06	1.82 804.27/1,000	1.22	.97	53261-0871
	9	16.40	10.00	WM7627CT-ND WM7627TR-ND	2.23	1.97 869.46/1,000	1.31	1.05	53261-0971
	10	17.65	11.25	WM7628CT-ND WM7628TR-ND	2.35	2.08 920.25/1,000	1.39	1.11	53261-1071
	11	18.90	12.50	WM7629CT-ND WM7629TR-ND	2.50	2.21 976.98/1,000	1.48	1.18	53261-1171
	12	20.15	13.75	WM7630CT-ND WM7630TR-ND	2.64	2.34 1032.01/1,000	1.56	1.25	53261-1271
	14	22.65	16.25	WM7631CT-ND WM7631TR-ND	2.94	2.59 1146.30/1,000	1.73	1.39	53261-1471
	15	23.90	17.50	WM7632CT-ND WM7632TR-ND	3.06	2.71 1195.40/1,000	1.81	1.45	53261-1571
6	Quetschanschlusskl., 28-32 AWG			WM1775-ND WM1775TR-ND	—	.06 486.80/25,000	.05	.04	50058-8000
	Quetschanschlusskl., 26-28 AWG			WM1142CT-ND WM1142TR-ND	—	.06 507.96/25,000	.05	.04	50079-8000
Prototyp Crimpwerkzeug (Molex)				WM9931-ND		181.72/1			63811-0200
Produktions-Crimpwerkzeug (Molex)				WM9932-ND		447.32/1			63811-0000
Kontaktextraktionswerkzeug (Molex)				WM9933-ND		118.65/1			57072-6000
Gehäuseextraktionswerkzeug (Molex)				WM9934-ND		122.77/1			11-03-0045

Serie DF30 oberflächenmontierte Steckverbinder - 0,4 mm Pitch

Anwendungen: • Mobiltelefone • PDA's • Mobile Computer • Digitalkameras • Digitale Videokameras • Geräte, die äußerst zuverlässige Verbindungen auf extrem kleinem Raum verlangen **Spezifikationen:** • Betriebstemperaturbereich: -35 °C ~ 85 °C • Nennspannung: 30 V AC • Nennstrom: 0,3 A **Elektrische Eigenschaften:** • Kontaktwiderstand: Max. 100 mΩ • Isolationswiderstand: Min. 50 MΩ **Mechanische Eigenschaften:** • Mechanischer Betrieb: 50 Einführungen und Extraktionen **Materialien: Isolator:** • LCP, schwarze Oberfläche, UL94V-0 **Kontakte** • Phosphorbronze, Goldüberzug **Metallarmaturen:** • Phosphorbronze, Zinn-Kupferüberzug

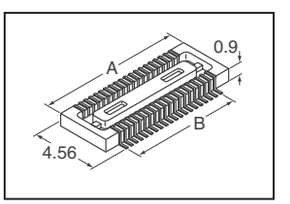

Anz. der Kontakte	Abm. (mm) A	B	Digi-Key Teilenr.	Stückpreis 1	10	50	T&R Pricing** 1,000*	Hirose Teilenr.
Steckbuchsen								
20	6.22	3.6	H3859CT-ND	1.30	1.07	.86	457.15	DF30FC-20DS-0.4V(82)
24	7.02	4.4	H3860CT-ND	1.36	1.11	.90	476.29	DF30FC-24DS-0.4V(82)
30	8.22	5.6	H3861CT-ND	1.46	1.20	.97	512.32	DF30FC-30DS-0.4V(82)
34	9.02	6.4	H3862CT-ND	1.55	1.27	1.03	542.72	DF30FC-34DS-0.4V(82)
40	10.22	7.6	H3855CT-ND	1.49	1.24	1.04	610.28	DF30FC-40DS-0.4V(82)
50	12.22	9.6	H3863CT-ND	1.77	1.48	1.23	725.13	DF30FC-50DS-0.4V(82)
60	14.22	11.6	H3857CT-ND	1.99	1.66	1.38	815.21	DF30FC-60DS-0.4V(82)
Steckleisten								
20	5.14	3.6	H3864CT-ND	1.42	1.16	.94	497.68	DF30FC-20DP-0.4V(82)
24	5.94	4.4	H3865CT-ND	1.49	1.22	.99	522.45	DF30FC-24DP-0.4V(82)
30	7.14	5.6	H3866CT-ND	1.39	1.16	.97	569.74	DF30FC-30DP-0.4V(82)
34	7.94	6.4	H3867CT-ND	1.46	1.22	1.02	600.15	DF30FC-34DP-0.4V(82)
40	9.14	7.6	H3856CT-ND	1.59	1.33	1.11	650.82	DF30FC-40DP-0.4V(82)
50	11.14	9.6	H3868CT-ND	1.90	1.59	1.32	780.30	DF30FC-50DP-0.4V(82)
60	13.14	11.6	H3858CT-ND	2.10	1.75	1.46	859.12	DF30FC-60DP-0.4V(82)

* Für Gegurtet auf Rolle die Teilenummer CT-ND in TR-ND ändern. ** Preisangaben für Gegurtet auf Rolle

Alle Preisangaben in Euro und inklusive Zollgebühren.

HIROSE ELECTRIC CO.,LTD.

Serie DF12 oberflächenmontierte Steckverbinder - 0,5 mm Pitch

Merkmale: • Steckverbinder mit verstärkten Anschlüssen zur Vermeidung eines Ablösens der Lötstellen (aufgrund mechanischer Belastung) sind ebenfalls erhältlich und können mit guten Resultaten auf FPCs installiert werden • Zur manuellen Montage ist eine Ausführung mit praktischen Führungsstiften erhältlich. Für automatische Montage gibt es eine Ausführung ohne Führungsstifte.

Spezifikationen: • Stromkapazitanz: 0,3 A/Pin • Nennspannung: 50 V AC/Pin • Isolationswiderstand: 100 V DC, min. 500 MΩ • Haltespannung:1 Minute Minimum bei spezifischem Wert, 150 V AC • Kontaktwiderstand: 100 mA, max. 50 mΩ

Material (Steckbuchsenleiste/Steckleiste): • Isolierung: Wärmebeständiges Harz, beige (natur), UL94V-0 • Kontakte: Vergoldete Kupferlegierung • Anschlüsse: Kupferlegierung mit Lötzinnauftragung

Abb. 1

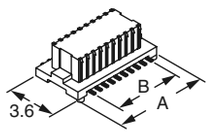

Abb. 2

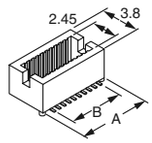

Abb. 3

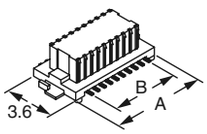

Abb. 4

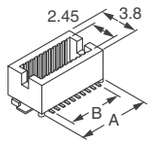

Abb.	Anz. der Kontakte	Beschreibung	Abm. (mm) A	Abm. (mm) B	Digi-Key Teilenr.	Stückpreis 1	Stückpreis 25	Stückpreis 100	Hirose Teilenr.
Steckbuchsen									
3 mm Stapelhöhe									
1	32	Mit Führungsstiften u. verstärkten Anschlüssen	10.1	7.5	H2735-ND	1.45	1.05	.86	DF12A(3.0)-32DS0.5V(80)
	50		14.6	12.0	H2736-ND	1.79	1.38	1.11	DF12A(3.0)-50DS-0.5V(80)
	60		17.1	14.5	H2737-ND	1.96	1.51	1.21	DF12A(3.0)-60DS-0.5V(80)
3 mm Stapelhöhe									
3	32	Mit Führungsstiften u. verstärkten Anschlüssen	11.0	7.5	H1508-ND	1.48	1.08	.88	DF12(3.0)-32DS-0.5V(80)
	50		15.5	12.0	H1509-ND	1.79	1.38	1.11	DF12(3.0)-50DS-0.5V(80)
	60		18.0	14.5	H1510-ND	2.01	1.55	1.24	DF12(3.0)-60DS-0.5V(80)
	80		23.0	19.5	H1581-ND	2.64	2.04	1.63	DF12(3.0)-80DS-0.5V(80)
3,5 bis 5,0 mm Stapelhöhe									
1	20	Mit Führungsstiften	7.1	4.5	H2740-ND	1.32	.96	.79	DF12A-20DS-0.5V(80)
	30		9.6	7.0	H2741-ND	1.57	1.15	.94	DF12A-30DS-0.5V(80)
	36		11.1	8.5	H2742-ND	1.52	1.17	.94	DF12A-36DS-0.5V(80)
	40		12.1	9.5	H2743-ND	1.65	1.27	1.02	DF12A-40DS-0.5V(80)
	50		14.6	12.0	H2744-ND	1.85	1.42	1.14	DF12A-50DS-0.5V(80)
3	20	Mit Führungsstiften u. verstärkten Anschlüssen	8.0	4.5	H2745-ND	1.35	.98	.80	DF12-20DS-0.5V(80)
	30		10.5	7.0	H2746-ND	1.41	1.08	.87	DF12-30DS-0.5V(80)
	36		12.0	8.5	H2747-ND	1.57	1.21	.97	DF12-36DS-0.5V(80)
	40		13.0	9.5	H2748-ND	1.65	1.27	1.02	DF12-40DS-0.5V(80)
	50		15.5	12.0	H2749-ND	1.87	1.44	1.16	DF12-50DS-0.5V(80)
	60		18.0	14.5	H5001CT-ND†	1.72	1.33	1.06	DF12-60DS-0.5V(86)
	60		18.0	14.5	H5001TR-ND‡		705.22/1000		DF12-60DS-0.5V(86)
Steckleisten									
3 mm Stapelhöhe									
2	32	Mit Führungsstiften	10.2	7.5	H2750-ND	1.41	1.08	.87	DF12D(3.0)-32DP-0.5V(80)
	50		14.7	12.0	H2751-ND	1.79	1.38	1.11	DF12D(3.0)-50DP-0.5V(80)
	60		17.2	14.5	H2752-ND	2.01	1.55	1.24	DF12D(3.0)-60DP-0.5V(80)
4	32	Mit Führungsstiften u. verstärkten Anschlüssen	11.0	7.5	H2753-ND	1.54	1.12	.92	DF12(3.0)-32DP-0.5V(80)
	50		15.5	12.0	H2754-ND	1.85	1.42	1.14	DF12(3.0)-50DP-0.5V(80)
	60		18.0	14.5	H2755-ND	2.01	1.55	1.24	DF12(3.0)-60DP-0.5V(80)
	80		23.0	19.5	H1580-ND	2.64	2.04	1.63	DF12(3.0)-80DP-0.5V(80)
3,5 mm Stapelhöhe									
2	20	Mit Führungsstiften	7.2	4.5	H2756-ND	1.13	.82	.67	DF12D(3.5)-20DP-0.5V(80)
	36		11.2	8.5	H2757-ND	1.49	1.15	.92	DF12D(3.5)-36DP-0.5V(80)
	40		12.2	9.5	H2758-ND	1.57	1.21	.97	DF12D(3.5)-40DP-0.5V(80)
	50		14.7	12.0	H2759-ND	1.79	1.38	1.11	DF12D(3.5)-50DP-0.5V(80)
4	20	Mit Führungsstiften u. verstärkten Anschlüssen	8.0	4.5	H2760-ND	1.16	.84	.69	DF12(3.5)-20DP-0.5V(80)
	36		12.0	8.5	H2761-ND	1.49	1.15	.92	DF12(3.5)-36DP-0.5V(80)
	40		13.0	9.5	H2762-ND	1.60	1.23	.99	DF12(3.5)-40DP-0.5V(80)
	50		15.5	12.0	H2763-ND	1.85	1.42	1.14	DF12(3.5)-50DP-0.5V(80)
4,0 mm Stapelhöhe									
2	30	Mit Führungsstiften	9.7	7.0	H2764-ND	1.54	1.12	.92	DF12D(4.0)-30DP-0.5V(80)
	36		11.2	8.5	H2765-ND	1.49	1.15	.92	DF12D(4.0)-36DP-0.5V(80)
	40		12.2	9.5	H2766-ND	1.57	1.21	.97	DF12D(4.0)-40DP-0.5V(80)
	50		14.7	12.0	H2767-ND	1.79	1.38	1.11	DF12D(4.0)-50DP-0.5V(80)
4	30	Mit Führungsstiften u. verstärkten Anschlüssen	10.5	7.0	H2768-ND	1.54	1.12	.92	DF12(4.0)-30DP-0.5V(80)
	36		12.0	8.5	H2769-ND	1.49	1.15	.92	DF12(4.0)-36DP-0.5V(80)
	40		13.0	9.5	H2770-ND	1.60	1.23	.99	DF12(4.0)-40DP-0.5V(80)
	50		15.5	12.0	H2771-ND	1.85	1.42	1.14	DF12(4.0)-50DP-0.5V(80)
	60		18.0	14.5	H5002CT-ND†	2.23	1.71	1.37	DF12(4.0)-60DP-0.5V(86)
	60		18.0	14.5	H5002TR-ND‡		910.10/1000		DF12(4.0)-60DP-0.5V(86)
5,0 mm Stapelhöhe									
2	20	Mit Führungsstiften	7.2	4.5	H2772-ND	1.32	.96	.79	DF12D(5.0)-20DP-0.5V(80)
	50		14.7	12.0	H2773-ND	2.04	1.57	1.26	DF12D(5.0)-50DP-0.5V(80)
4	20	Mit Führungsstiften u. verstärkten Anschlüssen	8.0	4.5	H2774-ND	1.35	.98	.80	DF12(5.0)-20DP-0.5V
	50		15.5	12.0	H2775-ND	2.09	1.61	1.29	DF12(5.0)-50DP-0.5V

† Gurtabschnitt ‡ Gegurtet auf Rolle

Serie DF17 oberflächenmontierte Steckverbinder - 0,5 mm Pitch

Merkmale: • Für tragbare Elektronikgeräte und mobile Telekommunikationsgeräte entwickelt. • Speziell für mobile Elektronikgeräte konzipiert; diese Steckverbinder sind stoßfest, zerbrechen nicht unter Stoßeinwirkung.

Anwendungen: Für eine Vielzahl von mobilen Anwendungen geeignet, wie z.B. Geräte mit LCD, tragbare Mini-Fern-Terminals und Handys.

Spezifikationen: • Nennstrom: 0,3 A • Nennspannung: 50 V AC • Temperaturbereich: -35 °C ~ 85 °C • Lagertemperatur: -10 °C - 60 °C • Feuchtigkeitsbereich: 40 % ~ 80 % • Lagerfeuchtigkeit: 40 % ~ 70 % • Isolationswiderstand: 500 MΩ oder mehr • Kontaktwiderstand: 50 mΩ oder geringer • Vibrationsfestigkeit: Keine sofortige elektrische Trennung von 1 µS oder mehr • Feuchtigkeitsbeständigkeit: Kontakt; 50 mΩ oder geringer, Isolierung; 250 MΩ oder mehr • Temperaturzyklus: 50 mΩ oder geringer für Kontaktwiderstand, 500 MΩ oder mehr für Isolationswiderstand • Haltbarkeit im Verhältnis zu Einstecken/Ausstecken:Kontaktwiderstand: 50 mΩ oder geringer • Wärmebeständigkeit beim Löten: Keine Fusion des Harzes, die die Leistung beeinträchtigen könnte.

Material (Steckbuchsenleiste/Steckleiste): • Isolator: Nylonharz, weiß, UL94V-0 • Kontakte: Phosphorbronze, Goldüberzug • Metallbefestigung: Kupferlegierung, Lötzinnauftragung

Abb. 1

Mit verstärkten Anschlüssen dargestellt

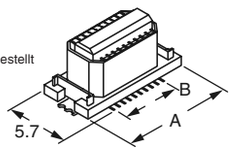

Abb. 2

Mit verstärkten Anschlüssen dargestellt

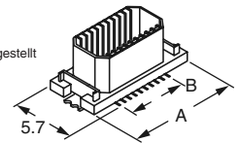

Abb.	Anz. der Kontakte	Beschreibung	Abm. (mm) A	Abm. (mm) B	Digi-Key Teilenr.	Gurtabschnittspreis pro Stück 1	25	100	T & R* Pricing ** 1,000	Hirose Teilenr.
Steckbuchsen										
3 mm Stapelhöhe										
1	20	mit Führungsstiften u. ohne verstärkte Anschlüsse	8.2	4.5	H2354CT-ND	1.52	1.10	.90	529.97	DF17A(3.0)-20DS-0.5V(51)
	30		10.7	7.0	H2355CT-ND	1.60	1.23	.99	654.42	DF17A(3.0)-30DS-0.5V(51)
	40		13.2	9.5	H2356CT-ND	1.90	1.47	1.17	777.18	DF17A(3.0)-40DS-0.5V(51)
	50		15.7	12.0	H2357CT-ND	2.20	1.70	1.36	901.63	DF17A(3.0)-50DS-0.5V(51)
	60		18.2	14.5	H2358CT-ND	2.51	1.93	1.55	1024.39	DF17A(3.0)-60DS-0.5V(51)
	70		20.7	17.0	H2359CT-ND	2.53	1.97	1.57	1133.60	DF17A(3.0)-70DS-0.5V(51)
	80		23.2	19.5	H2360CT-ND	2.80	2.18	1.74	1254.66	DF17A(3.0)-80DS-0.5V(51)
4 mm Stapelhöhe										
1	20	mit Führungsstiften u. ohne verstärkte Anschlüsse	8.2	4.5	H2361CT-ND	1.46	1.07	.87	513.04	DF17A(4.0)-20DS-0.5V(51)
	30		10.7	7.0	H2362CT-ND	1.52	1.18	.94	624.79	DF17A(4.0)-30DS-0.5V(51)
	40		13.2	9.5	H2363CT-ND	1.80	1.39	1.11	737.39	DF17A(4.0)-40DS-0.5V(51)
	50		15.7	12.0	H2364CT-ND	2.08	1.61	1.29	852.53	DF17A(4.0)-50DS-0.5V(51)
	60		18.2	14.5	H2365CT-ND	2.35	1.82	1.45	963.43	DF17A(4.0)-60DS-0.5V(51)
	70		20.7	17.0	H2303CT-ND	2.65	2.04	1.64	1084.49	DF17A(4.0)-70DS-0.5V(51)
	80		23.2	19.5	H2366CT-ND	2.62	2.04	1.64	1177.62	DF17A(4.0)-80DS-0.5V(51)
3 mm Stapelhöhe										
1	20	mit Führungsstiften u. mit verstärkten Anschlüssen	10.0	4.5	H2367CT-ND	1.56	1.13	.93	545.21	DF17(3.0)-20DS-0.5V(51)
	30		12.5	7.0	H2368CT-ND	1.63	1.26	1.01	668.81	DF17(3.0)-30DS-0.5V(51)
	40		15.0	9.5	H2369CT-ND	1.93	1.49	1.20	791.57	DF17(3.0)-40DS-0.5V(51)
	50		17.5	12.0	H2370CT-ND	2.24	1.73	1.38	916.87	DF17(3.0)-50DS-0.5V(51)
	60		20.0	14.5	H2371CT-ND	2.54	1.96	1.57	1040.47	DF17(3.0)-60DS-0.5V(51)
	70		22.5	17.0	H2372CT-ND	2.56	1.99	1.59	1144.60	DF17(3.0)-70DS-0.5V(51)
	80		25.0	19.5	H2373CT-ND	2.83	2.20	1.76	1265.67	DF17(3.0)-80DS-0.5V(51)
4 mm Stapelhöhe										
1	20	mit Führungsstiften u. mit verstärkten Anschlüssen	10.0	4.5	H2374CT-ND	1.51	1.10	.90	528.28	DF17(4.0)-20DS-0.5V(51)
	30		12.5	7.0	H2375CT-ND	1.57	1.21	.97	640.88	DF17(4.0)-30DS-0.5V(51)
	40		15.0	9.5	H2376CT-ND	1.84	1.42	1.14	751.78	DF17(4.0)-40DS-0.5V(51)
	50		17.5	12.0	H2377CT-ND	2.12	1.63	1.31	866.92	DF17(4.0)-50DS-0.5V(51)
	60		20.0	14.5	H2378CT-ND	2.40	1.85	1.48	979.52	DF17(4.0)-60DS-0.5V(51)
	70		22.5	17.0	H2962CT-ND	2.69	2.07	1.66	1099.73	DF17(4.0)-70DS-0.5V(51)
	80		25.0	19.5	H2379CT-ND	2.65	2.06	1.65	1188.63	DF17(4.0)-80DS-0.5V(51)
Steckleisten										
2 mm Stapelhöhe										
2	20	mit Führungsstiften u. ohne verstärkte Anschlüsse	8.2	4.5	H2380CT-ND	1.39	1.07	.86	567.22	DF17A(2.0)-20DP-0.5V(51)
	30		10.7	7.0	H2381CT-ND	1.71	1.32	1.05	698.45	DF17A(2.0)-30DP-0.5V(51)
	40		13.2	9.5	H2382CT-ND	2.03	1.56	1.25	829.67	DF17A(2.0)-40DP-0.5V(51)
	50		15.7	12.0	H2383CT-ND	2.35	1.81	1.45	961.74	DF17A(2.0)-50DP-0.5V(51)
	60		18.2	14.5	H2384CT-ND	2.68	2.06	1.65	1094.65	DF17A(2.0)-60DP-0.5V(51)
	70		20.7	17.0	H2385CT-ND	2.68	2.08	1.67	1199.63	DF17A(2.0)-70DP-0.5V(51)
	80		23.2	19.5	H2386CT-ND	2.97	2.31	1.85	1331.70	DF17A(2.0)-80DP-0.5V(51)
4 mm Stapelhöhe										
2	20	mit Führungsstiften u. ohne verstärkte Anschlüsse	8.2	4.5	H2387CT-ND	1.43	1.10	.88	584.15	DF17A(4.0)-20DP-0.5V(51)
	30		10.7	7.0	H2388CT-ND	1.76	1.36	1.09	722.15	DF17A(4.0)-30DP-0.5V(51)
	40		13.2	9.5	H2389CT-ND	2.10	1.62	1.30	859.30	DF17A(4.0)-40DP-0.5V(51)
	50		15.7	12.0	H2390CT-ND	2.45	1.88	1.51	999.83	DF17A(4.0)-50DP-0.5V(51)
	60		18.2	14.5	H2391CT-ND	2.48	1.93	1.54	1111.59	DF17A(4.0)-60DP-0.5V(51)
	70		20.7	17.0	H2392CT-ND	2.83	2.20	1.76	1265.67	DF17A(4.0)-70DP-0.5V(51)
	80		23.2	19.5	H2393CT-ND	3.12	2.42	1.94	1397.74	DF17A(4.0)-80DP-0.5V(51)
2 mm Stapelhöhe										
2	20	mit Führungsstiften u. mit verstärkten Anschlüssen	10.0	4.5	H2394CT-ND	1.42	1.10	.88	582.46	DF17(2.0)-20DP-0.5V(51)
	30		12.5	7.0	H2395CT-ND	1.74	1.34	1.08	712.84	DF17(2.0)-30DP-0.5V(51)
	40		15.0	9.5	H2396CT-ND	2.07	1.59	1.27	844.91	DF17(2.0)-40DP-0.5V(51)
	50		17.5	12.0	H2397CT-ND	2.39	1.84	1.47	976.98	DF17(2.0)-50DP-0.5V(51)
	60		20.0	14.5	H2398CT-ND	2.71	2.09	1.67	1109.05	DF17(2.0)-60DP-0.5V(51)
	70		22.5	17.0	H2399CT-ND	2.73	2.12	1.70	1221.64	DF17(2.0)-70DP-0.5V(51)
	80		25.0	19.5	H2400CT-ND	3.02	2.35	1.88	1353.71	DF17(2.0)-80DP-0.5V(51)
4 mm Stapelhöhe										
2	20	mit Führungsstiften u. mit verstärkten Anschlüssen	10.0	4.5	H2401CT-ND	1.46	1.13	.91	599.39	DF17(4.0)-20DP-0.5V(51)
	30		12.5	7.0	H2402CT-ND	1.80	1.39	1.11	736.54	DF17(4.0)-30DP-0.5V(51)
	40		15.0	9.5	H2403CT-ND	2.13	1.65	1.32	873.69	DF17(4.0)-40DP-0.5V(51)
	50		17.5	12.0	H2404CT-ND	2.46	1.90	1.52	1009.15	DF17(4.0)-50DP-0.5V(51)
	60		20.0	14.5	H2405CT-ND	2.51	1.95	1.56	1122.59	DF17(4.0)-60DP-0.5V(51)
	70		22.5	17.0	H2406CT-ND	2.84	2.21	1.77	1276.67	DF17(4.0)-70DP-0.5V(51)
	80		25.0	19.5	H2407CT-ND	3.14	2.44	1.96	1408.74	DF17(4.0)-80DP-0.5V(51)

* Für Gegurtet auf Rolle die Teilenummer CT-ND in TR-ND ändern ** Preisangabe für Gegurtet auf Rolle

A

Serie FX10A - Oberflächenmontage

0,5 mm Steckverb. mit Erdungsplatte für Karte-an-Karte-Steckverbinder

Eigenschaften: Die Übertragungseigenschaften wurden durch ein Design verbessert, das an beiden Seiten der Steckleiste und der Steckbuchse Erdungsplatten vorsieht.
Signal und Erde sind in einem Verhältnis von 10:1 arrangiert, wobei die Erdungsplatte auf der Oberfläche der Karte befestigt ist. Die dadurch erzielte Erdungsstabilität reduziert das Rauschen. Für hochdichte Anwendungen geeignet. Der Einzelkontakt-Pitch von 0,5 mm führt zu einem kleineren Steckverbinder, der weniger Platz auf der Karte beansprucht. Es sind 4-mm- und 5-mm-Größen für Abmessungen Karte-an-Karte erhältlich.

Materialien: • Isolator: LCP-Harz, beige, UL94V-0 • Kontakte: Phosphorbronze • Steckleiste in Einsatzbereich: Goldüberzug von 0,1 µm • Anschlussbereich: Lötzinnüberzug • Steckbuchse in Einsatzbereich: Goldüberzug von 0,1 µm • Abschlussbereich: Flash-Plattierung Erdungsplatte Phosphorbronze, Lötüberzug • Verstärkte Anschlüsse: Phosphorbronze, Zinnüberzug

Elektrische Spezifikationen: • Nennstrom: 0,3 A • Betriebstemperaturbereich: -55 °C – 85 °C • Nennspannung: 50 V AC • Betriebsluftfeuchtigkeitsbereich: Relative Luftfeuchtigkeit 95 % oder geringer (nicht-kondensierend)
Hinweis: Die Dicke der Lötpaste ist nicht in der Stapelhöhe inbegriffen.

Abb. 1

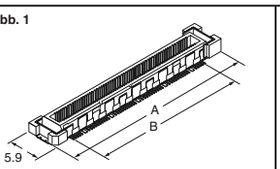

Abb. 2

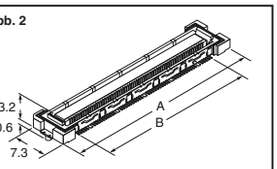

Abb.	Monta-gehöhe	Anz. der Kontakte Signal	Erde	Abmessung (mm) A	B	Digi-Key Teilenr.	Stückpreis 1	25	100	Hirose Teilenr.	Digi-Key Teilenr.	T&R Pricing * 1,000	Hirose Teilenr.
Steckleisten													
Mit Führungsstiften													
1	4mm	80	8	31.1	23.5	H2476-ND	4.50	3.49	2.79	FX10A- 80P/8-SV	H2476TR-ND	1848.97	FX10A- 80P/8-SV(21)
		100	10	37.1	29.5	H2477-ND	5.50	4.27	3.42	FX10A-100P/10-SV	H2477TR-ND	2058.08	FX10A-100P/10-SV(21)
		120	12	43.1	35.5	H2478-ND	5.45	4.23	3.39	FX10A-120P/12-SV	H2478TR-ND	2245.18	FX10A-120P/12-SV(21)
		140	14	49.1	41.5	H2479-ND	5.97	4.63	3.71	FX10A-140P/14-SV	H2479TR-ND	2454.29	FX10A-140P/14-SV(21)
	5mm	80	8	31.1	23.5	H2484-ND	4.50	3.49	2.79	FX10A- 80P/8-SV1	H2484TR-ND	1848.97	FX10A- 80P/8-SV1(21)
		100	10	37.1	29.5	H2485-ND	4.99	3.87	3.10	FX10A-100P/10-SV1	H2485TR-ND	2058.08	FX10A-100P/10-SV1(21)
		120	12	43.1	35.5	H2486-ND	5.45	4.23	3.39	FX10A-120P/12-SV1	H2486TR-ND	2245.18	FX10A-120P/12-SV1(21)
		140	14	49.1	41.5	H2487-ND	5.97	4.63	3.71	FX10A-140P/14-SV1	H2487TR-ND	2454.29	FX10A-140P/14-SV1(21)
Ohne Führungsstifte													
1	4mm	80	8	31.1	23.5	H2480-ND	4.50	3.49	2.79	FX10B- 80P/8-SV	H2480TR-ND	1848.97	FX10B- 80P/8-SV(21)
		100	10	37.1	29.5	H2481-ND	4.99	3.87	3.10	FX10B-100P/10-SV	H2481TR-ND	2058.08	FX10B-100P/10-SV(21)
		120	12	43.1	35.5	H2482-ND	5.45	4.23	3.39	FX10B-120P/12-SV	H2482TR-ND	2245.18	FX10B-120P/12-SV(21)
		140	14	49.1	41.5	H2483-ND	5.97	4.63	3.71	FX10B-140P/14-SV	H2483TR-ND	2454.29	FX10B-140P/14-SV(21)
	5mm	80	8	31.1	23.5	H2488-ND	4.50	3.49	2.79	FX10B- 80P/8-SV1	H2488TR-ND	1848.97	FX10B- 80P/8-SV1(21)
		100	10	37.1	29.5	H2489-ND	4.99	3.87	3.10	FX10B-100P/10-SV1	H2489TR-ND	2058.08	FX10B-100P/10-SV1(21)
		120	12	43.1	35.5	H2490-ND	5.45	4.23	3.39	FX10B-120P/12-SV1	H2490TR-ND	2245.18	FX10B-120P/12-SV1(21)
		140	14	49.1	41.5	H2491-ND	5.97	4.63	3.71	FX10B-140P/14-SV1	H2491TR-ND	2454.29	FX10B-140P/14-SV1(21)
Steckbuchsen													
Mit Führungsstiften													
2	—	80	8	31.1	23.5	H2468-ND	4.52	3.51	2.81	FX10A-80S/8-SV	H2468TR-ND	1870.99	FX10A-80S/8-SV(21)
		100	10	37.1	29.5	H2469-ND	5.05	3.93	3.14	FX10A-100S/10-SV	H2469TR-ND	2080.10	FX10A-100S/10-SV(21)
		120	12	43.1	35.5	H2470-ND	5.67	4.41	3.53	FX10A-120S/12-SV	H2470TR-ND	2322.22	FX10A-120S/12-SV(21)
		140	14	49.1	41.5	H2471-ND	5.59	4.52	3.55	FX10A-140S/14-SV	H2471TR-ND	2575.36	FX10A-140S/14-SV(21)
Ohne Führungsstifte													
2	—	80	8	31.1	23.5	H2472-ND	4.52	3.51	2.81	FX10B- 80S/8-SV	H2472TR-ND	1870.99	FX10B- 80S/8-SV(21)
		100	10	37.1	29.5	H2473-ND	5.05	3.93	3.14	FX10B-100S/10-SV	H2473TR-ND	2080.10	FX10B-100S/10-SV(21)
		120	12	43.1	35.5	H2474-ND	5.67	4.41	3.53	FX10B-120S/12-SV	H2474TR-ND	2322.22	FX10B-120S/12-SV(21)
		140	14	49.1	41.5	H2475-ND	5.59	4.52	3.55	FX10B-140S/14-SV	H2475TR-ND	2575.36	FX10B-140S/14-SV(21)

* Preisangaben für Gegurtet auf Rolle

Serie FX11L - Oberflächenmontage

0,5 mm Steckverb. mit Erdungsplatte für 2 mm Karte-an-Karte-Steckverbinder

Merkmale: Niedrigprofildesign. Die Abstimmungshöhe von 2 mm Karte-an-Karte eignet sich für kleinere, dünnere Gehäusedesigns. Verbesserte Übertragungseffizienz zwischen den Karten. Die Übertragungseigenschaften wurden durch ein Design verbessert, das an beiden Seiten der Steckleiste und der Steckbuchse Erdungsplatten vorsieht. Signal und Erde sind in einem Verhältnis von 10:1 arrangiert, wobei die Erdungsplatte auf der Oberfläche der Karte befestigt ist. Die dadurch erzielte Erdungsstabilität reduziert das Rauschen. Für hochdichte Anwendungen geeignet. Der Einzelkontakt-Pitch von 0,5 mm führt zu einem kleineren Steckverbinder, der weniger Platz auf der Karte beansprucht.

Anwendungen: Notebook Computer, PDA und andere Mini-Elektronikgeräte.

Material: • Isolator: LCP-Harz, beige, UL94V-0 • Kontakte: Kupferlegierung • Steckleiste: Phosphorbronze • Steckbuchse: Kontaktfläche: Vergoldet 0,1 µm Anschlussbereich: Flash-Plattierung Erdungsplatte: Phosphorbronze Lötüberzug • Verstärkte Anschlüsse/Platte: Phosphorbronze, Zinnüberzug

Elektrische Spezifikationen: • Nennstrom: 0,3 A • Betriebstemperaturbereich: -55 °C – 80 °C • Nennspannung: 50 V AC • Betriebsluftfeuchtigkeitsbereich: Relative Luftfeuchtigkeit 95 % oder geringer (nicht-kondensierend)

Abb.1

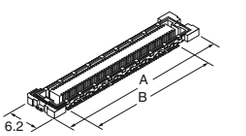

Abb. 2

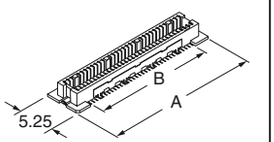

Abb.	Anz. der Kontakte Signal	Erde	Abm. (mm) A	B	Digi-Key Teilenr.	Stückpreis 1	25	100	Hirose Teilenr.
Steckleisten									
Mit Erdungsplatte und Führungsstiften									
2	60	6	22.6	17.5	H2517-ND	3.71	2.88	2.31	FX11LA-60P/6-SV
	80	8	28.6	23.5	H2518-ND	4.10	3.19	2.55	FX11LA-80P/8-SV
	100	10	34.6	29.5	H2519-ND	4.50	3.49	2.79	FX11LA-100P/10-SV
	120	12	40.6	35.5	H2520-ND	4.91	3.81	3.05	FX11LA-120P/12-SV
Mit Erdungsplatte ohne Führungsstifte									
2	60	6	22.6	17.5	H2521-ND	3.71	2.88	2.31	FX11LB-60P/6-SV
	80	8	28.6	23.5	H2522-ND	4.10	3.19	2.55	FX11LB-80P/8-SV
	100	10	34.6	29.5	H2523-ND	4.50	3.49	2.79	FX11LB-100P/10-SV
	120	12	40.6	35.5	H2524-ND	4.91	3.81	3.05	FX11LB-120P/12-SV
Ohne Erdungsplatte, mit Führungsstiften									
2	68	–	22.6	16.5	H2533-ND	2.92	2.27	1.82	FX11LA-68P-SV
	92	–	28.6	22.5	H2534-ND	3.29	2.56	2.05	FX11LA-92P-SV
	116	–	34.6	28.5	H2535-ND	3.61	2.81	2.25	FX11LA-116P-SV
	140	–	40.6	34.5	H2536-ND	3.95	3.07	2.46	FX11LA-140P-SV
Ohne Erdungsplatte und Führungsstifte									
2	68	–	22.6	16.5	H2537-ND	2.92	2.27	1.82	FX11LB-68P-SV
	92	–	28.6	22.5	H2538-ND	3.29	2.56	2.05	FX11LB-92P-SV
	116	–	34.6	28.5	H2539-ND	3.61	2.81	2.25	FX11LB-116P-SV
	140	–	40.6	34.5	H2540-ND	3.95	3.07	2.46	FX11LB-140P-SV

Abb.	Anz. der Kontakte Signal	Erde	Abm. (mm) A	B	Digi-Key Teilenr.	Stückpreis 1	25	100	Hirose Teilenr.
Steckbuchsen									
mit Erdungsplatte und Führungsstiften									
1	60	6	25	17.5	H2525-ND	3.85	3.00	2.40	FX11LA-60S/6-SV
	80	8	31	23.5	H2526-ND	4.28	3.32	2.66	FX11LA-80S/8-SV
	100	10	37	29.5	H2527-ND	4.72	3.66	2.93	FX11LA-100S/10-SV
	120	12	43	35.5	H2528-ND	5.13	3.99	3.19	FX11LA-120S/12-SV
mit Erdungsplatte ohne Führungsstifte									
1	60	6	25	17.5	H2529-ND	3.85	3.00	2.40	FX11LB-60S/6-SV
	80	8	31	23.5	H2530-ND	4.28	3.32	2.66	FX11LB-80S/8-SV
	100	10	37	29.5	H2531-ND	4.72	3.66	2.93	FX11LB-100S/10-SV
	120	12	43	35.5	H2532-ND	5.13	3.99	3.19	FX11LB-120S/12-SV
ohne Erdungsplatte, mit Führungsstiften									
1	68	–	25	16.5	H2541-ND	3.49	2.71	2.17	FX11LA-68S-SV
	92	–	31	22.5	H2542-ND	3.88	3.01	2.41	FX11LA-92S-SV
	116	–	37	28.5	H2543-ND	4.32	3.36	2.69	FX11LA-116S-SV
	140	–	43	34.5	H2544-ND	4.74	3.68	2.95	FX11LA-140S-SV
ohne Erdungsplatte und Führungsstifte									
1	68	–	25	16.5	H2545-ND	3.49	2.71	2.17	FX11LB-68S-SV
	92	–	31	22.5	H2546-ND	3.88	3.01	2.41	FX11LB-92S-SV
	116	–	37	28.5	H2547-ND	4.32	3.36	2.69	FX11LB-116S-SV
	140	–	43	34.5	H2548-ND	4.74	3.68	2.95	FX11LB-140S-SV

Alle Preisangaben in Euro und inklusive Zollgebühren.

Serie FX8 Steckverbinder

0,6 mm Pitch - Einzelreihe (SMT)

Die Serie FX8 der auf der Karte oberflächenmontierten Steckverbinder mit 0,6 mm Pitch können mit einem Abstand von 3 mm oder mehr zwischen den Karten verwendet werden. Sie sollen nicht nur zu einer Verkleinerung und zum Platzsparen dienen, sondern sollen auch mehrere Kontakte zur internen Montage bieten.

Merkmale: • 3 mm Stapelhöhe • Der Einsatzteil wurde so konzipiert, dass ein irrtümliches Einsetzen verhindert wird, während eine Balgstruktur in den Kontakten Drehbeständigkeit aufweist. • Der SMT-Löteinführteil steht ca. 0,7 mm über die äußere Oberfläche des Gehäuses hinaus, wodurch Imageverarbeitung für automatische Montage und hervorragende Reparaturqualitäten möglich werden. • Die Steckverbinder sind mit Kartenausrichtungsnaben versehen, die aufgrund ihrer Position und ihres Durchmessers ein falsches Einsetzen in die Karte verhindern.

Elektrische Spezifikationen: • Stromkapazitanz: 0,4 A/Pin • Nennspannung: 100 V AC • Isolationswiderstand: 100 MΩ oder größer bei 250 V DC • Haltespannung: 300 V AC rms für eine Minute bei spezifiziertem Wert • Kontaktwiderstand: 45 mΩ oder geringer bei 100 mA DC

Material und Oberfläche: • Isolierung: PPS-Harz, hellbraun, UL94V-0 • Steckleistenkontakte: Phosphorbronze, goldüberzogene Kontakte, lötzinnüberzogene Leiter • Steckleistenkontakte: Phosphorbronze, vergoldete Kontakte und Leiter

Abb. 1

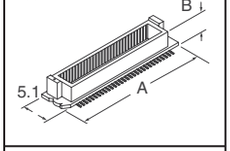

Abb. 2

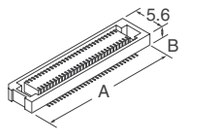

Abb.	Anz. der Kontakte	Abmessungen (mm) A	Abmessungen (mm) B	Digi-Key Teilenr.	Stückpreis 1	Stückpreis 25	Stückpreis 100	Hirose Teilenr.
Vertikale Stiftleisten								
1	60	24.60	2.45	H1202-ND	2.31	1.78	1.43	FX8-60P-SV(21)
			3.45	H1208-ND	2.31	1.78	1.43	FX8-60P-SV1(21)
			4.45	H1221-ND	3.24	2.52	2.02	FX8C-60P-SV(21)
			5.45	H1226-ND	3.24	2.52	2.02	FX8C-60P-SV1(21)
			6.45	H1227-ND	3.24	2.52	2.02	FX8C-60P-SV2(21)
			8.45	H1228-ND	3.24	2.52	2.02	FX8C-60P-SV4(21)
			10.45	H1229-ND	3.24	2.52	2.02	FX8C-60P-SV6(21)
	80	30.60	2.45	H1203-ND	2.67	2.06	1.65	FX8-80P-SV(21)
			3.45	H1209-ND	2.67	2.06	1.65	FX8-80P-SV1(21)
			4.45	H1222-ND	3.68	2.86	2.29	FX8C-80P-SV(21)
			5.45	H1230-ND	3.68	2.86	2.29	FX8C-80P-SV1(21)
			6.45	H1231-ND	3.68	2.86	2.29	FX8C-80P-SV2(21)
			8.45	H1232-ND	3.68	2.86	2.29	FX8C-80P-SV4(21)
			10.45	H1233-ND	3.68	2.86	2.29	FX8C-80P-SV6(21)
	90	33.60	2.45	H1204-ND	2.58	2.00	1.61	FX8-90P-SV(21)
			3.45	H1210-ND	2.58	2.00	1.61	FX8-90P-SV1(21)
	100	36.60	2.45	H1205-ND	2.75	2.14	1.71	FX8-100P-SV(21)
			3.45	H1211-ND	2.75	2.14	1.71	FX8-100P-SV1(21)
			4.45	H1223-ND	4.12	3.20	2.57	FX8C-100P-SV(21)
			5.45	H1234-ND	4.12	3.20	2.57	FX8C-100P-SV1(21)
			6.45	H1235-ND	4.12	3.20	2.57	FX8C-100P-SV2(21)
			8.45	H1236-ND	4.12	3.20	2.57	FX8C-100P-SV4(21)
			10.45	H1237-ND	4.12	3.20	2.57	FX8C-100P-SV6(21)
	120	42.60	2.45	H1206-ND	3.07	2.39	1.91	FX8-120P-SV(21)
			3.45	H1212-ND	3.07	2.39	1.91	FX8-120P-SV1(21)
			4.45	H1224-ND	4.56	3.55	2.84	FX8C-120P-SV(21)
			5.45	H1238-ND	4.56	3.55	2.84	FX8C-120P-SV1(21)
			6.45	H1239-ND	4.56	3.55	2.84	FX8C-120P-SV2(21)
			8.45	H1240-ND	4.56	3.55	2.84	FX8C-120P-SV4(21)
			10.45	H1241-ND	4.56	3.55	2.84	FX8C-120P-SV6(21)
	140	48.60	2.45	H1207-ND	3.41	2.65	2.12	FX8-140P-SV(21)
			3.45	H1213-ND	3.41	2.65	2.12	FX8-140P-SV1(21)
			4.45	H1225-ND	5.04	3.91	3.13	FX8C-140P-SV(21)
			5.45	H1242-ND	5.04	3.91	3.13	FX8C-140P-SV1(21)
			6.45	H1243-ND	5.04	3.91	3.13	FX8C-140P-SV2(21)
			8.45	H1244-ND	5.04	3.91	3.13	FX8C-140P-SV4(21)
			10.45	H1245-ND	5.04	3.91	3.13	FX8C-140P-SV6(21)
Steckbuchsen								
2	60	24.60	2.25	H1215-ND	2.70	2.10	1.68	FX8-60S-SV(21)
			3.95	H1246-ND	3.32	2.58	2.06	FX8C-60S-SV(21)
			8.95	H1251-ND	3.49	2.71	2.17	FX8C-60S-SV5(21)
	80	30.60	2.25	H1216-ND	3.22	2.50	2.00	FX8-80S-SV(21)
			3.95	H1247-ND	3.78	2.94	2.35	FX8C-80S-SV(21)
			8.95	H1252-ND	4.07	3.17	2.53	FX8C-80S-SV5(21)
	90	33.60	2.25	H1217-ND	3.49	2.71	2.17	FX8-90S-SV(21)
	100	36.60	2.25	H1218-ND	3.73	2.90	2.32	FX8-100S-SV(21)
			3.95	H1248-ND	4.25	3.30	2.64	FX8C-100S-SV(21)
			8.95	H1253-ND	4.59	3.57	2.85	FX8C-100S-SV5(21)
	120	42.60	2.25	H1219-ND	4.25	3.30	2.64	FX8-120S-SV(21)
			3.95	H1249-ND	4.72	3.66	2.93	FX8C-120S-SV(21)
			8.95	H1254-ND	5.13	3.99	3.19	FX8C-120S-SV5(21)
	140	48.60	2.25	H1220-ND	4.79	3.72	2.98	FX8-140S-SV(21)
			3.95	H1250-ND	5.21	4.04	3.24	FX8C-140S-SV(21)
			8.95	H1255-ND	5.70	4.42	3.54	FX8C-140S-SV5(21)

Serie DF15 - SMT-Steckverbinder

0,65 mm Pitch - Karte-an-Karte

Merkmale: • Diese Serie bietet den Wartungsvorteil, dass der Pitch auf 0,65 mm eingestellt werden kann, was dem 0,5 mm Pitch der Serie DF12 entspricht. Dieser Steckverbinder deckt die Definition des Montageplatzes bzw. die Karte-an-Karte-Größe zusammen mit der Serie DF12 gut ab. • Das Produkt kann bei Montage auf FPC ein Abblättern des Lötmittels verhindern. *Hinweis:* Die Stapelhöhe wird durch Addieren der Steckleiste und Steckbuchse zu den Zahlen angegeben, gefolgt von der Produktbezeichnung DF15#. Die Stapelhöhe schließt die Lötpastenstärke nicht ein.

Anwendungen: • Handys • LCD (Flüssigkristallanzeige) • MO (optische Diskette) • Note PC

Spezifikationen: • Nennstrom: 0,3 A • Nennspannung: 50 V AC • Betriebstemperatur: -35 °C ~ 85 °C • Betriebsluftfeuchtigkeit: 40 % ~ 80 % • Isolationswiderstand: 100 V DC, min. 500 MΩ • Haltespannung: 1 Min. bei Nennwert, 150 V AC (kein Überschlag bzw. Isolationsdurchbruch) • Kontaktwiderstand: 100 mA DC, max. 50 mΩ

Material (Steckbuchsenleiste/Steckleiste): • Isolator: Polyamid, beige, UL94V-0 • Kontakte: Phosphor-Kupfer mit Goldüberzug • Metallbefestigung: Messing mit Lötzinnüberzug

Abb. 1

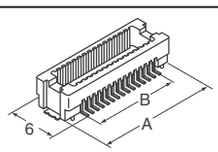

Abb. 2

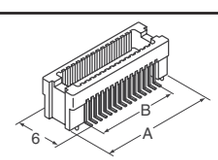

Abb. 3

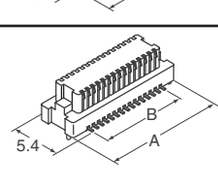

Abb.	Mtg. Höhe	Anz. d. Pins	Abmessungen (mm) A	Abmessungen (mm) B	Digi-Key Teilenr.	Stückpreis 1	Stückpreis 25	Stückpreis 100	Hirose Teilenr.
Steckleisten									
Mit Metallanschluss,mit Nabe									
1	3.2 mm	20	9.85	5.85	H1732-ND	1.45	1.05	.86	DF15(3.2)-20DP-0.65V(50)
		30	13.1	9.1	H1733-ND	1.57	1.21	.97	DF15(3.2)-30DP-0.65V(50)
		40	16.35	12.35	H1734-ND	1.93	1.49	1.19	DF15(3.2)-40DP-0.65V(50)
		50	19.6	15.6	H1735-ND	2.29	1.76	1.41	DF15(3.2)-50DP-0.65V(50)
2	4.2 mm	20	9.85	5.85	H1736-ND	1.45	1.05	.86	DF15(4.2)-20DP-0.65V(50)
		30	13.1	9.1	H1737-ND	1.57	1.21	.97	DF15(4.2)-30DP-0.65V(50)
		40	16.35	12.35	H1738-ND	1.93	1.49	1.19	DF15(4.2)-40DP-0.65V(50)
		50	19.6	15.6	H1739-ND	2.29	1.76	1.41	DF15(4.2)-50DP-0.65V(50)
	6.2 mm	20	9.85	5.85	H1740-ND	1.45	1.05	.86	DF15(6.2)-20DP-0.65V(50)
		30	13.1	9.1	H1741-ND	1.57	1.21	.97	DF15(6.2)-30DP-0.65V(50)
		40	16.35	12.35	H1742-ND	1.93	1.49	1.19	DF15(6.2)-40DP-0.65V(50)
		50	19.6	15.6	H1743-ND	2.29	1.76	1.41	DF15(6.2)-50DP-0.65V(50)
Mit Metallanschluss, ohne Nabe									
1	3.2 mm	20	9.85	5.85	H1756-ND	1.45	1.05	.86	DF15B(3.2)-20DP-0.65V(50)
		30	13.1	9.1	H1757-ND	1.57	1.21	.97	DF15B(3.2)-30DP-0.65V(50)
		40	16.35	12.35	H1758-ND	1.93	1.49	1.19	DF15B(3.2)-40DP-0.65V(50)
		50	19.6	15.6	H1759-ND	2.29	1.76	1.41	DF15B(3.2)-50DP-0.65V(50)
2	4.2 mm	20	9.85	5.85	H1760-ND	1.45	1.05	.86	DF15B(4.2)-20DP-0.65V(50)
		30	13.1	9.1	H1761-ND	1.57	1.21	.97	DF15B(4.2)-30DP-0.65V(50)
		40	16.35	12.35	H1762-ND	1.93	1.49	1.19	DF15B(4.2)-40DP-0.65V(50)
		50	19.6	15.6	H1763-ND	2.29	1.76	1.41	DF15B(4.2)-50DP-0.65V(50)
	6.2 mm	20	9.85	5.85	H1764-ND	1.45	1.05	.86	DF15B(6.2)-20DP-0.65V(50)
		30	13.1	9.1	H1765-ND	1.57	1.21	.97	DF15B(6.2)-30DP-0.65V(50)
		40	16.35	12.35	H1766-ND	1.93	1.49	1.19	DF15B(6.2)-40DP-0.65V(50)
		50	19.6	15.6	H1767-ND	2.29	1.76	1.41	DF15B(6.2)-50DP-0.65V(50)
Ohne Metallanschluss, mit Nabe									
1	3.2 mm	20	9.85	5.85	H1744-ND	1.41	1.03	.84	DF15A(3.2)-20DP-0.65V(50)
		30	13.1	9.1	H1745-ND	1.52	1.17	.94	DF15A(3.2)-30DP-0.65V(50)
		40	16.35	12.35	H1746-ND	1.93	1.49	1.19	DF15A(3.2)-40DP-0.65V(50)
		50	19.6	15.6	H1747-ND	2.23	1.72	1.38	DF15A(3.2)-50DP-0.65V(50)
2	4.2 mm	20	9.85	5.85	H1748-ND	1.41	1.03	.84	DF15A(4.2)-20DP-0.65V(50)
		30	13.1	9.1	H1749-ND	1.52	1.17	.94	DF15A(4.2)-30DP-0.65V(50)
		40	16.35	12.35	H1750-ND	1.93	1.49	1.19	DF15A(4.2)-40DP-0.65V(50)
		50	19.6	15.6	H1751-ND	2.23	1.72	1.38	DF15A(4.2)-50DP-0.65V(50)
	6.2 mm	20	9.85	5.85	H1752-ND	1.41	1.03	.84	DF15A(6.2)-20DP-0.65V(50)
		30	13.1	9.1	H1753-ND	1.52	1.17	.94	DF15A(6.2)-30DP-0.65V(50)
		40	16.35	12.35	H1754-ND	1.93	1.49	1.19	DF15A(6.2)-40DP-0.65V(50)
		50	19.6	15.6	H1755-ND	2.23	1.72	1.38	DF15A(6.2)-50DP-0.65V(50)
Ohne Metallanschluss, ohne Nabe									
1	3.2 mm	20	9.85	5.85	H1768-ND	1.41	1.03	.84	DF15C(3.2)-20DP-0.65V(50)
		30	13.1	9.1	H1769-ND	1.52	1.17	.94	DF15C(3.2)-30DP-0.65V(50)
		40	16.35	12.35	H1770-ND	1.93	1.49	1.19	DF15C(3.2)-40DP-0.65V(50)
		50	19.6	15.6	H1771-ND	2.23	1.72	1.38	DF15C(3.2)-50DP-0.65V(50)
2	4.2 mm	20	9.85	5.85	H1772-ND	1.41	1.03	.84	DF15C(4.2)-20DP-0.65V(50)
		30	13.1	9.1	H1773-ND	1.52	1.17	.94	DF15C(4.2)-30DP-0.65V(50)
		40	16.35	12.35	H1774-ND	1.93	1.49	1.19	DF15C(4.2)-40DP-0.65V(50)
		50	19.6	15.6	H1775-ND	2.23	1.72	1.38	DF15C(4.2)-50DP-0.65V(50)
	6.2 mm	20	9.85	5.85	H1776-ND	1.41	1.03	.84	DF15C(6.2)-20DP-0.65V(50)
		30	13.1	9.1	H1777-ND	1.52	1.17	.94	DF15C(6.2)-30DP-0.65V(50)
		40	16.35	12.35	H1778-ND	1.93	1.49	1.19	DF15C(6.2)-40DP-0.65V(50)
		50	19.6	15.6	H1779-ND	2.23	1.72	1.38	DF15C(6.2)-50DP-0.65V(50)
Steckbuchsen									
Mit Metallanschluss,mit Nabe									
3	0.8 mm	20	9.85	5.85	H1700-ND	1.45	1.05	.86	DF15(0.8)-20DS-0.65V(50)
		30	13.1	9.1	H1701-ND	1.60	1.23	.99	DF15(0.8)-30DS-0.65V(50)
		40	16.35	12.35	H1702-ND	2.04	1.57	1.26	DF15(0.8)-40DS-0.65V(50)
		50	19.6	15.6	H1703-ND	2.40	1.85	1.48	DF15(0.8)-50DS-0.65V(50)
	1.8 mm	20	9.85	5.85	H1704-ND	1.45	1.05	.86	DF15(1.8)-20DS-0.65V(50)
		30	13.1	9.1	H1705-ND	1.60	1.23	.99	DF15(1.8)-30DS-0.65V(50)
		40	16.35	12.35	H1706-ND	2.04	1.57	1.26	DF15(1.8)-40DS-0.65V(50)
		50	19.6	15.6	H1707-ND	2.40	1.85	1.48	DF15(1.8)-50DS-0.65V(50)
Mit Metallanschluss, ohne Nabe									
3	0.8 mm	20	9.85	5.85	H1716-ND	1.48	1.08	.88	DF15B(0.8)-20DS-0.65V(50)
		30	13.1	9.1	H1717-ND	1.68	1.30	1.04	DF15B(0.8)-30DS-0.65V(50)
		40	16.35	12.35	H1718-ND	2.12	1.63	1.31	DF15B(0.8)-40DS-0.65V(50)
		50	19.6	15.6	H1719-ND	2.51	1.93	1.55	DF15B(0.8)-50DS-0.65V(50)
	1.8 mm	20	9.85	5.85	H1720-ND	1.48	1.08	.88	DF15B(1.8)-20DS-0.65V(50)
		30	13.1	9.1	H1721-ND	1.68	1.30	1.04	DF15B(1.8)-30DS-0.65V(50)
		40	16.35	12.35	H1722-ND	2.12	1.63	1.31	DF15B(1.8)-40DS-0.65V(50)
		50	19.6	15.6	H1723-ND	2.40	1.85	1.48	DF15B(1.8)-50DS-0.65V(50)
Ohne Metallanschluss, ohne Nabe									
3	0.8 mm	20	9.85	5.85	H1708-ND	1.41	1.03	.84	DF15A(0.8)-20DS-0.65V(50)
		30	13.1	9.1	H1709-ND	1.57	1.21	.97	DF15A(0.8)-30DS-0.65V(50)
		40	16.35	12.35	H1710-ND	2.01	1.55	1.24	DF15A(0.8)-40DS-0.65V(50)
		50	19.6	15.6	H1711-ND	2.37	1.82	1.46	DF15A(0.8)-50DS-0.65V(50)
	1.8 mm	20	9.85	5.85	H1712-ND	1.41	1.03	.84	DF15A(1.8)-20DS-0.65V(50)
		30	13.1	9.1	H1713-ND	1.57	1.21	.97	DF15A(1.8)-30DS-0.65V(50)
		40	16.35	12.35	H1714-ND	2.01	1.55	1.24	DF15A(1.8)-40DS-0.65V(50)
		50	19.6	15.6	H1715-ND	2.37	1.82	1.46	DF15A(1.8)-50DS-0.65V(50)
Ohne Metallanschluss, ohne Nabe									
3	0.8 mm	20	9.85	5.85	H1724-ND	1.41	1.03	.84	DF15C(0.8)-20DS-0.65V(50)
		30	13.1	9.1	H1725-ND	1.57	1.21	.97	DF15C(0.8)-30DS-0.65V(50)
		40	16.35	12.35	H1726-ND	2.01	1.55	1.24	DF15C(0.8)-40DS-0.65V(50)
		50	19.6	15.6	H1727-ND	2.37	1.82	1.46	DF15C(0.8)-50DS-0.65V(50)
	1.8 mm	20	9.85	5.85	H1728-ND	1.41	1.03	.84	DF15C(1.8)-20DS-0.65V(50)
		30	13.1	9.1	H1729-ND	1.57	1.21	.97	DF15C(1.8)-30DS-0.65V(50)
		40	16.35	12.35	H1730-ND	2.01	1.55	1.24	DF15C(1.8)-40DS-0.65V(50)
		50	19.6	15.6	H1731-ND	2.37	1.82	1.46	DF15C(1.8)-50DS-0.65V(50)

HIROSE ELECTRIC CO.,LTD. Serie FX6 - vertikale Steckverbinder zur Oberflächenmontage mit 0,8 mm Pitch

Merkmale: Diese kleine, leichte Ausführung wiegt ca. ein Viertel eines der bisher erhältlichen Half-Pitch-Steckverbinder (1,27 mm Pitch) und beansprucht die Hälfte des Montageraums. Die Stapelhöhe kann in 1-mm-Stufen auf 5 mm bis 9 mm eingestellt werden. Obgleich es sich um Niedrigprofil-Steckverbinder handelt, beträgt die effektive Einsetztiefe 1,7 mm, was eine gute Passform plus Spielraum bietet. **Anwendungen:** Notebook Computer, PDA und andere Büroautomatisierungsgeräte. Geräte, die eine Minimierung der Größe und ein leichteres Gewicht benötigen. **Material:** • Isolierung: PPS-Harz, hellbraun, UL94V-0 • Steckleiste/Steckbuchsen-Pins: Phosphorbronze • Kontakte: Goldüberzug • Leiter: Zinnüberzug **Elektrische Spezifikationen:** • Stromkapazität: 0,5 A • Nennspannung: 100 V AC • Isolationswiderstand: 250 V DC, 1.000 MΩ oder mehr • Haltespannung für eine Minute bei spezifischem Wert 300 V AC • Kontaktwiderstand: 100 mA DC, 40 mΩ oder geringer

Abb. 1

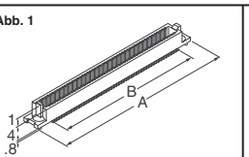

Abb. 2

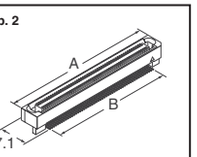

Abb.	Höhe (mm)	Anz. d. Pins	Abmessung (mm) A	B	Digi-Key Teilenr.	Stückpreis 1	25	100	Hirose Teilenr.
Steckleisten									
Mit Führungsnabe									
1	4	20	15.8	7.2	H2408-ND	1.71	1.32	1.05	FX6-20P-0.8SV
		40	23.8	15.2	H2409-ND	2.45	1.89	1.51	FX6-40P-0.8SV
		50	27.8	19.2	H2410-ND	2.53	1.97	1.57	FX6-50P-0.8SV
		60	31.8	23.2	H2411-ND	2.84	2.21	1.77	FX6-60P-0.8SV
		80	39.8	31.2	H2412-ND	3.49	2.71	2.17	FX6-80P-0.8SV
		100	47.8	39.2	H2413-ND	4.15	3.22	2.58	FX6-100P-0.8SV
	5	60	31.8	23.2	H2417-ND	3.51	2.73	2.18	FX6-60P-0.8SV1
	6	100	47.8	39.2	H2425-ND	4.91	3.81	3.05	FX6-100P-0.8SV2
Ohne Führungsnabe									
1	4	20	15.8	7.2	H2438-ND	1.71	1.32	1.05	FX6A-20P-0.8SV
		40	23.8	15.2	H2439-ND	2.45	1.89	1.51	FX6A-40P-0.8SV
		50	27.8	19.2	H2440-ND	2.53	1.97	1.57	FX6A-50P-0.8SV
		60	31.8	23.2	H2441-ND	2.84	2.21	1.77	FX6A-60P-0.8SV
		80	39.8	31.2	H2442-ND	3.49	2.71	2.17	FX6A-80P-0.8SV
		100	47.8	39.2	H2443-ND	4.15	3.22	2.58	FX6A-100P-0.8SV
	5	20	15.8	7.2	H2444-ND	2.31	1.78	1.43	FX6A-20P-0.8SV1
		40	23.8	15.2	H2445-ND	2.83	2.20	1.76	FX6A-40P-0.8SV1
		60	31.8	23.2	H2447-ND	3.51	2.73	2.18	FX6A-60P-0.8SV1
	6	50	27.8	19.2	H2452-ND	3.17	2.46	1.97	FX6A-50P-0.8SV2
		60	31.8	23.2	H2453-ND	3.51	2.73	2.18	FX6A-60P-0.8SV2

Abb.	Höhe (mm)	Anz. d. Pins	Abmessung (mm) A	B	Digi-Key Teilenr.	Stückpreis 1	25	100	Hirose Teilenr.
Steckbuchse									
Mit Führungsnabe									
2	4	20	15.8	7.2	H2426-ND	1.85	1.42	1.14	FX6-20S-0.8SV
		40	23.8	15.2	H2427-ND	2.67	2.06	1.48	FX6-40S-0.8SV
		50	27.8	19.2	H2428-ND	2.48	1.91	1.38	FX6-50S-0.8SV
		60	31.8	23.2	H2429-ND	3.09	2.41	1.93	FX6-60S-0.8SV
		80	39.8	31.2	H2430-ND	3.83	2.98	2.38	FX6-80S-0.8SV
		100	47.8	39.2	H2431-ND	4.55	3.53	2.82	FX6-100S-0.8SV
	6	20	15.8	7.2	H2432-ND	2.60	2.02	1.62	FX6-20S-0.8SV2
		40	23.8	15.2	H2433-ND	3.12	2.42	1.94	FX6-40S-0.8SV2
		50	27.8	19.2	H2434-ND	3.76	2.92	2.34	FX6-50S-0.8SV2
		60	31.8	23.2	H2435-ND	4.15	3.22	2.58	FX6-60S-0.8SV2
		80	39.8	31.2	H2436-ND	4.91	3.81	3.05	FX6-80S-0.8SV2
		100	47.8	39.2	H2437-ND	5.70	4.42	3.54	FX6-100S-0.8SV2
Ohne Führungsnabe									
2	4	20	15.8	7.2	H2456-ND	1.85	1.42	1.14	FX6A-20S-0.8SV
		40	23.8	15.2	H2457-ND	2.67	2.06	1.48	FX6A-40S-0.8SV
		50	27.8	19.2	H2458-ND	2.75	2.14	1.71	FX6A-50S-0.8SV
		60	31.8	23.2	H2459-ND	3.09	2.41	1.93	FX6A-60S-0.8SV
		80	39.8	31.2	H2460-ND	3.83	2.98	2.38	FX6A-80S-0.8SV
		100	47.8	39.2	H2461-ND	4.55	3.53	2.82	FX6A-100S-0.8SV
	6	40	23.8	15.2	H2463-ND	3.36	2.61	2.09	FX6A-40S-0.8SV2
		50	27.8	19.2	H2464-ND	3.76	2.92	2.34	FX6A-50S-0.8SV2
		60	31.8	23.2	H2465-ND	4.15	3.22	2.58	FX6A-60S-0.8SV2
		80	39.8	31.2	H2466-ND	4.91	3.81	3.05	FX6A-80S-0.8SV2
		100	47.8	39.2	H2467-ND	5.70	4.42	3.54	FX6A-100S-0.8SV2

Serie DF9 - Oberflächenmontage 1 mm Pitch, Mittellinie, Karte-an-Karte (mit verstärkter Hardware)

Merkmale: • 4,3 mm übereinstimmende Höhe zwischen Leiterplatten • Isolator aus Polyimid hält aufgrund von VPS, IR und Warmblaslöten hohen Temperaturen stand • Leiterplatten-Kontakt ist ein „Knickflügel"-Typ, um zuverlässige Leistung sicherzustellen • Zur Steuerung und Akzeptanz von dimensionalen Veränderungen aufgrund von Thermoelastizität • Verstärkungshardware dient zur Beseitigung von mechanischem Stress an den Lötverbindungen während der Verbindungs- und Trennzyklen **Elektrische Spezifikationen:** • Nennstrom: 0,5 A • Nennspannung: 150 V AC • Isolationswiderstand: Kondition: DC 100 V, Standardwert: Min. 500 MΩ • Haltespannung: Kondition: Bei Standardwert, Standardwert: 50 m oder geringer • Kontaktwiderstand: Kondition: Bei 0,1 A DC, Standardwert: 50 m oder geringer. • Betriebstemperaturbereich: -45 °C ~ 125 °C **Material und Oberfläche:** • Steckbuchsen-Steckleistenisolator: Polyimidharz, beige (natur), UL94V-0 • Steckbuchsen- und Steckleistenkontakte: Phosphorkupfer, Zinn oder Goldüberzug • Steckbuchsen-Steckleistenanschluss: Messing, Zinnüberzug

Abb. 1

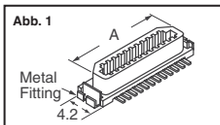

Abb. 2

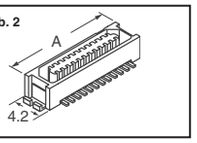

Abb.	Anz. d. Pins	Abmessung (mm) A	Digi-Key Teilenr.	Preisangaben 1	25	100	Hirose Teilenr.*
Steckbuchse							
Steckbuchse mit Anschluss, mit Führungsstiften							
1	9	8.30	H2152-ND	.97	17.47	57.15	DF9-9S-1V(20)
	11	9.30	H2153-ND	1.03	18.63	60.96	DF9-11S-1V(20)
	13	10.30	H2154-ND	1.06	19.21	62.86	DF9-13S-1V(20)
	15	11.30	H2155-ND	1.22	22.12	72.38	DF9-15S-1V(20)
	17	12.30	H2156-ND	1.32	23.87	78.10	DF9-17S-1V(20)
	19	13.30	H2157-ND	1.35	24.45	80.00	DF9-19S-1V(20)
	21	14.30	H2158-ND	1.45	26.19	85.72	DF9-21S-1V(20)
	23	15.30	H2159-ND	1.48	26.78	87.62	DF9-23S-1V(20)
	25	16.30	H2160-ND	1.57	28.52	93.34	DF9-25S-1V(20)
	31	19.30	H2161-ND	1.52	29.11	93.13	DF9-31S-1V(20)
	41	24.30	H2162-ND	1.79	34.40	110.06	DF9-41S-1V(20)
	51	29.30	H2163-ND	2.64	50.80	162.55	DF9-51S-1V(54)
	31	19.30	H2176-ND	1.52	29.11	93.13	DF9B-31S-1V(20)
	41	24.30	H2177-ND	1.79	34.40	110.06	DF9B-41S-1V(20)
Steckbuchse ohne Metallanschluss, mit Führungsstiften							
1	9	8.30	H1637-ND	.90	16.30	53.34	DF9A-9S-1V(20)
	11	9.30	H1638-ND	.93	16.88	55.24	DF9A-11S-1V(20)
	13	10.30	H1639-ND	1.03	18.63	60.96	DF9A-13S-1V(20)
	15	11.30	H1640-ND	1.13	20.37	66.67	DF9A-15S-1V(20)
	17	12.30	H1641-ND	1.22	22.12	72.38	DF9A-17S-1V(20)
	19	13.30	H1642-ND	1.25	22.70	74.29	DF9A-19S-1V(20)
	21	14.3	H1643-ND	1.32	23.87	78.10	DF9A-21S-1V(20)
	23	15.30	H1644-ND	1.41	25.61	83.81	DF9A-23S-1V(20)
	25	16.30	H1645-ND	1.45	26.19	85.72	DF9A-25S-1V(20)
	31	19.30	H1646-ND	1.43	27.51	88.05	DF9A-31S-1V(20)
	41	24.30	H1647-ND	1.76	33.86	108.36	DF9A-41S-1V(20)
	51	29.30	H1648-ND	2.59	49.74	159.16	DF9A-51S-1V(54)
Steckbuchse mit Anschluss, ohne Führungsstifte							
1	11	9.30	H1656-ND	.97	17.47	57.15	DF9B-11S-1V(20)
	13	10.30	H1657-ND	1.06	19.21	62.86	DF9B-13S-1V(20)
	15	11.30	H1658-ND	1.22	22.12	72.38	DF9B-15S-1V(20)
	21	14.30	H1659-ND	1.45	26.19	85.72	DF9B-21S-1V(20)
	23	15.30	H1660-ND	1.45	26.19	85.72	DF9B-23S-1V(20)
	25	16.30	H1661-ND	1.57	28.52	93.34	DF9B-25S-1V(20)
	51	29.30	H1662-ND	2.64	50.80	162.55	DF9B-51S-1V(54)

Abb.	Anz. d. Pins	Abmessung (mm) A	Digi-Key Teilenr.	Preisangaben 1	25	100	Hirose Teilenr.*
Steckleisten							
Steckleiste mit Anschluss, mit Führungsstiften							
2	9	8.30	H2258-ND	.93	16.88	55.24	DF9-9P-1V(20)
	11	9.30	H2165-ND	1.03	18.63	60.96	DF9-11P-1V(20)
	13	10.30	H2166-ND	1.06	19.21	62.86	DF9-13P-1V(20)
	15	11.30	H2167-ND	1.22	22.12	72.38	DF9-15P-1V(20)
	17	12.30	H2168-ND	1.25	22.70	74.29	DF9-17P-1V(20)
	19	13.30	H2169-ND	1.32	23.87	78.10	DF9-19P-1V(20)
	21	14.30	H2170-ND	1.41	25.61	83.81	DF9-21P-1V(20)
	23	15.30	H2171-ND	1.45	26.19	85.72	DF9-23P-1V(20)
	25	16.30	H2172-ND	1.54	27.94	91.43	DF9-25P-1V(20)
	31	19.30	H2173-ND	1.49	28.57	91.43	DF9-31P-1V(20)
	41	24.30	H2174-ND	1.76	33.86	108.36	DF9-41P-1V(20)
	51	29.30	H2175-ND	2.60	50.48	161.53	DF9-51P-1V(54)
Steckleiste ohne Anschluss, mit Führungsstiften							
2	9	8.30	H1625-ND	.84	15.14	49.53	DF9A-9P-1V(20)
	11	9.30	H1626-ND	.93	16.88	55.24	DF9A-11P-1V(20)
	13	10.30	H1627-ND	.97	17.47	57.15	DF9A-13P-1V(20)
	15	11.30	H1628-ND	1.13	20.37	66.67	DF9A-15P-1V(20)
	17	12.30	H1629-ND	1.16	20.95	68.57	DF9A-17P-1V(20)
	19	13.30	H1630-ND	1.22	22.12	72.38	DF9A-19P-1V(20)
	21	14.30	H1631-ND	1.32	23.87	78.10	DF9A-21P-1V(20)
	23	15.30	H1632-ND	1.35	24.45	80.00	DF9A-23P-1V(20)
	25	16.30	H1633-ND	1.45	26.19	85.72	DF9A-25P-1V(20)
	31	19.30	H1634-ND	1.41	26.99	86.35	DF9A-31P-1V(20)
	41	24.30	H1635-ND	1.68	32.28	103.29	DF9A-41P-1V(20)
	51	29.30	H1636-ND	2.58	50.00	160.01	DF9A-51P-1V(54)
Steckleiste mit Anschluss, ohne Führungsstifte							
2	11	9.30	H1649-ND	.97	17.47	57.15	DF9B-11P-1V(20)
	13	10.30	H1650-ND	1.03	18.63	60.96	DF9B-13P-1V(20)
	15	11.30	H1651-ND	1.22	22.12	72.38	DF9B-15P-1V(20)
	21	14.30	H1652-ND	1.41	25.61	83.81	DF9B-21P-1V(20)
	25	16.30	H1653-ND	1.54	27.94	91.43	DF9B-25P-1V(20)
	31	19.30	H1654-ND	1.49	28.57	91.43	DF9B-31P-1V(20)
	41	24.30	H1655-ND	1.76	33.86	108.36	DF9B-41P-1V(20)

* (20) bezeichnet Zinnüberzug; (54) bezeichnet Goldüberzug.

Parlex CORPORATION DF9 Flexbausätze

(Standard-Schnittstellensteckverbinder, konform mit VESA FPDI-1)

Merkmale: Erfüllen die Standardspezifikationen für Steckverbinder, die von der U.S. Video Electronics Standards Association als eine Flachbildschirmschnittstelle ausgewählt wurden.

Anwendungen: Flüssigkristallanzeigen, tragbare Terminals und Personalcomputer

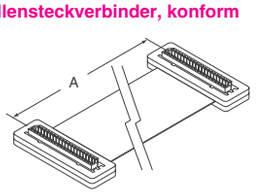

Anz. der Positionen	Höhe (mm)	Abmessung (mm) A	Digi-Key Teilenr.	Stückpreis 1	10	100	Parlex Teilenr.
31	5.08	51	PS563AB0051S-ND	38.10	25.40	15.88	PS563-AF-0051-S
		102	PS563AB0102S-ND	38.10	25.40	15.88	PS563-AF-0102-S
		152	PS563AB0152S-ND	38.10	25.40	15.88	PS563-AF-0152-S
		203	PS563AB0203S-ND	38.10	25.40	15.88	PS563-AF-0203-S
		254	PS563AB0254S-ND	38.10	25.40	15.88	PS563-AF-0254-S
		305	PS563AB0305S-ND	38.10	25.40	15.88	PS563-AF-0305-S
41	5.08	51	PS564AB0051S-ND	38.10	25.40	15.88	PS564-AF-0051-S
		102	PS564AB0102S-ND	38.10	25.40	15.88	PS564-AF-0102-S
		152	PS564AB0152S-ND	38.10	25.40	15.88	PS564-AF-0152-S
		203	PS564AB0203S-ND	38.10	25.40	15.88	PS564-AF-0203-S
		254	PS564AB0254S-ND	38.10	25.40	15.88	PS564-AF-0254-S
		305	PS564AB0305S-ND	38.10	25.40	15.88	PS564-AF-0305-S

Alle Preisangaben in Euro und inklusive Zollgebühren.

Serie FX2 - Steckverbinder 1,27 mm Pitch

Serie FX2 bietet zweiteilige Steckverbinder mit einem 1,27 mm (mil) Abstand zur Verwendung in Karte-an-Karte-Anwendungen • Der Hochleistungs-PPS-Harzisolator ist kompatibel mit VPS, IR und Heißluftaufschwemmen • Knickflügelförmiger Leiter erleichtert die Überprüfung der Lötstelle • Die Verwendung von Positionierhaben für die Substratpackung bietet erweiterte Behandlungsmöglichkeiten. • Eine angelötete Stützhalterung zur Verteilung des beim Einsetzen und Herausziehen auftretenden Stresses ist als Option erhältlich.

Elektrische Spezifikationen: • Nennstrom: 0,5 A • Nennspannung: 125 V AC • Isolationswiderstand: Über 100 MΩ bei 250 V DC • Haltespannung: 300 V AC • Kontaktwiderstand: Weniger als 45 mΩ bei 100 mA DC • Haltbarkeit: 500 Abstimmungszyklen.

Isolatormaterial/Oberflächenverarbeitung: • Dip-Typ: Schwarzes Polyimidharz, UL94V-0 • SMT-Typ: hellbraunes PPS-Harz, UL94V-0 • Buchse: schwarzes PBT-Harz und Polyimidharz, UL94V-0

Kontaktmaterial/Oberflächenverarbeitung: • Steckbuchse und Sockel: Phosphorbronze mit teilweiser Vergoldung • Steckleiste: Phosphorbronze oder Messing mit gelegentlichem Goldüberzug.

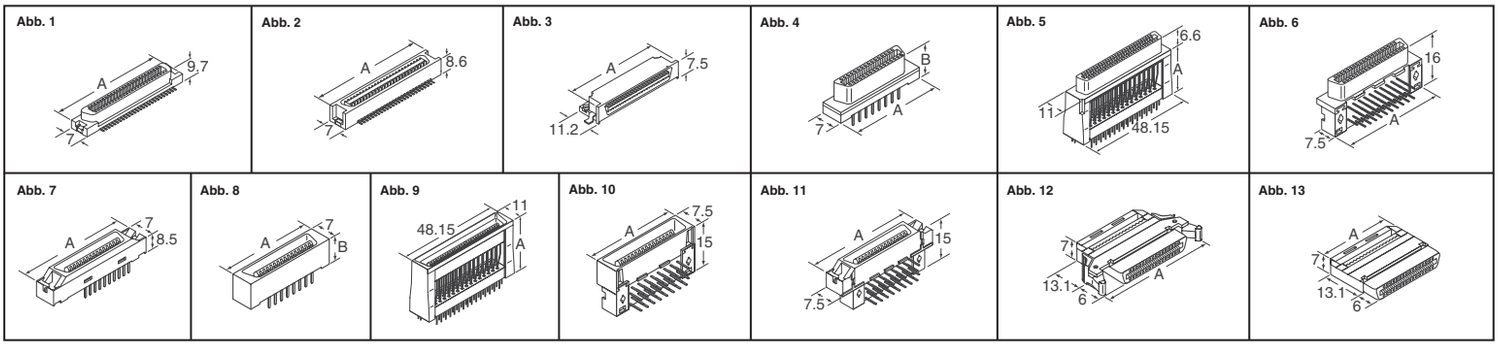

Abb.	Anz. d. Pins	Abm. (mm) A	B	Digi-Key Teilenr.	Preisangaben 1	25	100	Hirose Teilenr.
Steckbuchse, gerade Ausführung (SMT)								
1	20	22.75	—	H2248-ND	3.22	62.39	199.63	FX2-20S-1.27SV
	32	30.37	—	H4322-ND	3.73	72.38	231.63	FX2-32S-1.27SV
	40	35.45	—	H2249-ND	4.10	79.53	254.49	FX2-40S-1.27SV
	52	43.07	—	H2250-ND	4.64	90.00	288.01	FX2-52S-1.27SV
	60	48.15	—	H2251-ND	4.99	96.67	309.35	FX2-60S-1.27SV
	68	53.23	—	H4323-ND	5.35	103.82	332.21	FX2-68S-1.27SV
	80	60.85	—	H2252-ND	5.70	110.48	353.54	FX2-80S-1.27SV
	100	73.55	—	H4324-ND	5.75	116.01	364.59	FX2-100S-1.27SV
	120	86.25	—	H4325-ND	6.56	132.45	416.27	FX2-120S-1.27SV
Gerade Steckleiste (SMT)								
2	20	22.75	—	H2253-ND	3.22	62.39	199.63	FX2-20P-1.27SV
	32	30.37	—	H4318-ND	3.73	72.38	231.63	FX2-32P-1.27SV
	40	35.45	—	H2254-ND	4.10	79.53	254.49	FX2-40P-1.27SV
	52	43.07	—	H2255-ND	4.64	90.00	288.01	FX2-52P-1.27SV
	60	48.15	—	H2256-ND	4.99	96.67	309.35	FX2-60P-1.27SV
	68	53.23	—	H4319-ND	5.35	103.82	332.21	FX2-68P-1.27SV
	80	60.85	—	H2257-ND	5.89	114.29	365.73	FX2-80P-1.27SV
	100	73.55	—	H4320-ND	5.92	119.57	375.76	FX2-100P-1.27SV
	120	86.25	—	H4321-ND	6.71	135.57	426.05	FX2-120P-1.27SV
Rechtwinklige Steckleiste (SMT)								
3	20	22.75	—	H2243-ND	2.12	40.75	130.38	FX2-20P-0.635SH
	40	35.45	—	H2244-ND	2.58	50.00	160.01	FX2-40P-0.635SH
	52	43.07	—	H2245-ND	2.97	57.62	184.39	FX2-52P-0.635SH
	60	48.15	—	H2246-ND	3.24	62.86	201.15	FX2-60P-0.635SH
	80	60.85	—	H2247-ND	3.93	76.19	243.82	FX2-80P-0.635SH
	100	73.55	—	H4304-ND	8.76	180.96	609.55	FX2-100P-0.635SH
Gerade Steckbuchse, nicht zum Reinigen								
4	20	22.75	9.5	H4300-ND	2.70	52.39	167.63	FX2C-20S-1.27DSA
	32	30.37	9.5	H4373-ND	3.14	60.96	195.06	FX2C-32S-1.27DSA
	40	35.45	9.5	H4301-ND	3.49	67.63	216.39	FX2C-40S-1.27DSA
	52	43.07	9.5	H4374-ND	4.10	79.53	254.49	FX2C-52S-1.27DSA
	60	48.15	9.5	H4375-ND	4.50	87.15	278.87	FX2C-60S-1.27DSA
	68	53.23	9.5	H4376-ND	4.79	92.86	297.16	FX2C-68S-1.27DSA
	80	60.85	9.5	H4302-ND	5.60	108.58	347.44	FX2C-80S-1.27DSA
	100	73.55	9.5	H4377-ND	5.75	116.01	364.59	FX2C-100S-1.27DSA
	120	86.25	9.5	H4378-ND	6.38	128.89	405.10	FX2C-120S-1.27DSA
	20	22.75	11.5	H4397-ND	3.29	63.82	204.20	FX2C2-20S-1.27DSA
	32	30.37	11.5	H4398-ND	3.68	71.44	228.58	FX2C2-32S-1.27DSA
	40	35.45	11.5	H4399-ND	4.07	79.06	252.96	FX2C2-40S-1.27DSA
	52	43.07	11.5	H4400-ND	4.64	90.00	288.01	FX2C2-52S-1.27DSA
	60	48.15	11.5	H4401-ND	4.99	96.67	309.35	FX2C2-60S-1.27DSA
	68	53.23	11.5	H4402-ND	5.30	102.86	329.16	FX2C2-68S-1.27DSA
	80	60.85	11.5	H4403-ND	5.50	111.12	349.22	FX2C2-80S-1.27DSA
	100	73.55	11.5	H4404-ND	6.23	125.79	395.32	FX2C2-100S-1.27DSA
	120	86.25	11.5	H4405-ND	6.85	138.23	434.43	FX2C2-120S-1.27DSA
Gerade Steckbuchse, zum Reinigen								
4	20	22.75	9.5	H4424-ND	2.70	52.39	167.63	FX2CA-20S-1.27DSA
	32	30.37	9.5	H4425-ND	3.14	60.96	195.06	FX2CA-32S-1.27DSA
	40	35.45	9.5	H4303-ND	3.49	67.63	216.39	FX2CA-40S-1.27DSA
	52	43.07	9.5	H4426-ND	4.10	79.53	254.49	FX2CA-52S-1.27DSA
	60	48.15	9.5	H4427-ND	4.50	87.15	278.87	FX2CA-60S-1.27DSA
	68	53.23	9.5	H4428-ND	4.79	92.86	297.16	FX2CA-68S-1.27DSA
	80	60.85	9.5	H4429-ND	5.60	108.58	347.44	FX2CA-80S-1.27DSA
	100	73.55	9.5	H4430-ND	5.75	116.01	364.59	FX2CA-100S-1.27DSA
	120	86.25	9.5	H4431-ND	6.38	128.89	405.10	FX2CA-120S-1.27DSA
	20	22.75	11.5	H4441-ND	3.29	63.82	204.20	FX2CA2-20S-1.27DSA
	32	30.37	11.5	H4442-ND	3.68	71.44	228.58	FX2CA2-32S-1.27DSA
	40	35.45	11.5	H4443-ND	4.07	79.06	252.96	FX2CA2-40S-1.27DSA
	52	43.07	11.5	H4444-ND	4.64	90.00	288.01	FX2CA2-52S-1.27DSA
	60	48.15	11.5	H4445-ND	4.99	96.67	309.35	FX2CA2-60S-1.27DSA
	68	53.23	11.5	H4446-ND	5.30	102.86	329.16	FX2CA2-68S-1.27DSA
	80	60.85	11.5	H4447-ND	5.50	111.12	349.22	FX2CA2-80S-1.27DSA
	100	73.55	11.5	H4448-ND	6.23	125.79	395.32	FX2CA2-100S-1.27DSA
	120	86.25	11.5	H4449-ND	6.85	138.23	434.43	FX2CA2-120S-1.27DSA
Gerade Steckbuchse								
5	60	35.1	—	H4452-ND	6.08	122.67	385.54	FX2M6A-60S-1.27DSAL
	60	19.1	—	H4453-ND	6.08	122.67	385.54	FX2M6B-60S-1.27DSAL
Rechtwinklige Steckbuchse								
6	20	22.75	—	H4313-ND	2.75	53.34	170.67	FX2-20S-1.27DS
	32	30.37	—	H4314-ND	3.24	62.86	201.15	FX2-32S-1.27DS
	40	35.45	—	H4292-ND	3.61	70.01	224.01	FX2-40S-1.27DS
	52	43.07	—	H4293-ND	4.20	81.43	260.58	FX2-52S-1.27DS
	60	48.15	—	H4294-ND	4.64	90.00	288.01	FX2-60S-1.27DS
	68	53.23	—	H4315-ND	4.91	95.24	304.78	FX2-68S-1.27DS
	80	60.85	—	H4295-ND	5.77	111.91	358.11	FX2-80S-1.27DS
	100	73.55	—	H4316-ND	5.99	120.89	379.95	FX2-100S-1.27DS
	120	86.25	—	H4317-ND	6.98	140.90	442.81	FX2-120S-1.27DS
Gerade Steckleiste, nicht zum Reinigen, mit Sperre								
7	20	30.33	—	H4334-ND§	2.90	56.20	179.82	FX2B-20P-1.27DSA
	32	37.95	—	H4335-ND§	3.39	65.72	210.30	FX2B-32P-1.27DSA
	40	43.03	—	H4336-ND	3.71	71.91	230.11	FX2B-40PA-1.27DSA
	52	50.65	—	H4337-ND	3.93	76.19	243.82	FX2B-52PA-1.27DSA
	60	55.73	—	H4338-ND	4.10	79.53	254.49	FX2B-60PA-1.27DSA
	68	60.81	—	H4339-ND	4.34	84.29	269.73	FX2B-68PA-1.27DSA
	80	68.43	—	H4340-ND	4.59	89.05	284.97	FX2B-80PA-1.27DSA
	100	81.13	—	H4341-ND	5.05	98.10	313.92	FX2B-100PA-1.27DSA
Gerade Steckleiste, zum Reinigen, mit Sperre								
7	20	30.33	—	H4358-ND§	2.90	62.44	179.82	FX2BA-20P-1.27DSA
	32	37.95	—	H4359-ND§	3.39	73.02	210.30	FX2BA-32P-1.27DSA
	40	43.03	—	H4360-ND	3.71	71.91	230.11	FX2BA-40PA-1.27DSA
	52	50.65	—	H4361-ND	3.93	76.19	243.82	FX2BA-52PA-1.27DSA
	60	55.73	—	H4362-ND	4.10	79.53	254.49	FX2BA-60PA-1.27DSA
	68	60.81	—	H4298-ND	4.34	84.29	269.73	FX2BA-68PA-1.27DSA
	80	68.43	—	H4363-ND	4.59	89.05	284.97	FX2BA-80PA-1.27DSA
	100	81.13	—	H4364-ND	5.05	98.10	313.92	FX2BA-100PA-1.27DSA
Gerade Steckleiste, nicht zum Reinigen								
8	20	22.75	8.5	H4365-ND	2.62	50.96	163.06	FX2C-20P-1.27DSA
	32	30.37	8.5	H4366-ND	3.02	58.58	187.44	FX2C-32P-1.27DSA
	40	35.45	8.5	H4367-ND	3.36	65.24	208.77	FX2C-40P-1.27DSA
	52	43.07	8.5	H4368-ND	4.00	77.62	248.39	FX2C-52P-1.27DSA
	60	48.15	8.5	H4299-ND	4.32	83.81	268.20	FX2C-60P-1.27DSA
	68	53.23	8.5	H4369-ND	4.59	89.05	284.97	FX2C-68P-1.27DSA
	80	60.85	8.5	H4370-ND	5.38	104.29	333.73	FX2C-80P-1.27DSA
	100	73.55	8.5	H4371-ND	5.50	111.12	349.22	FX2C-100P-1.27DSA
	120	86.25	8.5	H4372-ND	6.08	122.67	385.54	FX2C-120P-1.27DSA
	20	22.75	9.5	H4379-ND	3.14	60.96	195.06	FX2C1-20P-1.27DSA
	32	30.37	9.5	H4380-ND	3.54	68.57	219.44	FX2C1-32P-1.27DSA
	40	35.45	9.5	H4381-ND	3.88	75.25	240.77	FX2C1-40P-1.27DSA
	52	43.07	9.5	H4382-ND	4.50	87.15	278.87	FX2C1-52P-1.27DSA
	60	48.15	9.5	H4383-ND	4.88	94.77	303.25	FX2C1-60P-1.27DSA
	68	53.23	9.5	H4384-ND	5.11	99.05	316.97	FX2C1-68P-1.27DSA
	80	60.85	9.5	H4385-ND	5.89	114.29	365.73	FX2C1-80P-1.27DSA
	100	73.55	9.5	H4386-ND	5.99	120.89	379.95	FX2C1-100P-1.27DSA
	120	86.25	9.5	H4387-ND	6.52	131.56	413.48	FX2C1-120P-1.27DSA
	20	22.75	10.5	H4388-ND	3.14	60.96	195.06	FX2C2-20P-1.27DSA
	32	30.37	10.5	H4389-ND	3.54	68.57	219.44	FX2C2-32P-1.27DSA
	40	35.45	10.5	H4390-ND	3.88	75.25	240.77	FX2C2-40P-1.27DSA
	52	43.07	10.5	H4391-ND	4.50	87.15	278.87	FX2C2-52P-1.27DSA
	60	48.15	10.5	H4392-ND	4.88	94.77	303.25	FX2C2-60P-1.27DSA
	68	53.23	10.5	H4393-ND	5.18	100.48	321.54	FX2C2-68P-1.27DSA
	80	60.85	10.5	H4394-ND	5.89	114.29	365.73	FX2C2-80P-1.27DSA
	100	73.55	10.5	H4395-ND	5.99	120.89	379.95	FX2C2-100P-1.27DSA
	120	86.25	10.5	H4396-ND	6.56	132.45	416.27	FX2C2-120P-1.27DSA
Gerade Steckleiste, zum Reinigen								
8	20	22.75	8.5	H4406-ND	2.62	50.96	163.06	FX2CA-20P-1.27DSA
	32	30.37	8.5	H4407-ND	3.02	58.58	187.44	FX2CA-32P-1.27DSA
	40	35.45	8.5	H4408-ND	3.36	65.24	208.77	FX2CA-40P-1.27DSA
	52	43.07	8.5	H4409-ND	3.93	76.19	243.82	FX2CA-52P-1.27DSA
	60	48.15	8.5	H4410-ND	4.32	83.81	268.20	FX2CA-60P-1.27DSA
	68	53.23	8.5	H4411-ND	4.59	89.05	284.97	FX2CA-68P-1.27DSA
	80	60.85	8.5	H4412-ND	5.38	104.29	333.73	FX2CA-80P-1.27DSA
	100	73.55	8.5	H4413-ND	5.50	111.12	349.22	FX2CA-100P-1.27DSA
	120	86.25	8.5	H4414-ND	6.08	122.67	385.54	FX2CA-120P-1.27DSA
	20	22.75	9.5	H4415-ND	3.14	60.96	195.06	FX2CA1-20P-1.27DSA
	32	30.37	9.5	H4416-ND	3.54	68.57	219.44	FX2CA1-32P-1.27DSA
	40	35.45	9.5	H4417-ND	3.88	75.25	240.77	FX2CA1-40P-1.27DSA
	52	43.07	9.5	H4418-ND	4.50	87.15	278.87	FX2CA1-52P-1.27DSA
	60	48.15	9.5	H4419-ND	4.88	94.77	303.25	FX2CA1-60P-1.27DSA
	68	53.23	9.5	H4420-ND	5.11	99.05	316.97	FX2CA1-68P-1.27DSA
	80	60.85	9.5	H4421-ND	5.89	114.29	365.73	FX2CA1-80P-1.27DSA
	100	73.55	9.5	H4422-ND	5.99	120.89	379.95	FX2CA1-100P-1.27DSA
	120	86.25	9.5	H4423-ND	6.52	131.56	413.48	FX2CA1-120P-1.27DSA
	20	22.75	10.5	H4432-ND	3.14	60.96	195.06	FX2CA2-20P-1.27DSA

§ Kontaktmaterial: Phosphorbronze

(Forts.)

Serie FX2 - Steckverbinder 1,27 mm Pitch *(Forts.)*

Abb.	Anz. d. Pins	Abm. (mm) A	B	Digi-Key Teilenr.	Preisangaben 1	25	100	Hirose Teilenr.
8	32	30.37	10.5	H4433-ND	3.54	68.57	219.44	FX2CA2-32P-1.27DSA
	40	35.45	10.5	H4434-ND	3.88	75.25	240.77	FX2CA2-40P-1.27DSA
	52	43.07	10.5	H4435-ND	4.50	87.15	278.87	FX2CA2-52P-1.27DSA
	60	48.15	10.5	H4436-ND	4.88	94.77	303.25	FX2CA2-60P-1.27DSA
	68	53.23	10.5	H4437-ND	5.18	100.48	321.54	FX2CA2-68P-1.27DSA
	80	60.85	10.5	H4438-ND	5.89	114.29	365.73	FX2CA2-80P-1.27DSA
	100	73.55	10.5	H4439-ND	5.99	120.89	379.95	FX2CA2-100P-1.27DSA
	120	86.25	10.5	H4440-ND	6.56	132.45	416.27	FX2CA2-120P-1.27DSA
Gerade Steckleiste								
9	60	30.9	—	H4450-ND	5.92	119.57	375.76	FX2M6A-60P-1.27DSAL
	60	24.9	—	H4451-ND	5.92	119.57	375.76	FX2M6B-60P-1.27DSAL
Rechtwinklige Steckleiste								
10	20	22.75	—	H4305-ND	2.68	51.91	166.10	FX2-20P-1.27DS
	32	30.37	—	H4306-ND	3.09	60.01	192.01	FX2-32P-1.27DS
	40	35.45	—	H4291-ND	3.46	67.14	214.87	FX2-40P-1.27DS
	52	43.07	—	H4307-ND	4.10	79.53	254.49	FX2-52P-1.27DS
	60	48.15	—	H4308-ND	4.52	87.62	280.39	FX2-60P-1.27DS
	68	53.23	—	H4309-ND	4.83	93.81	300.20	FX2-68P-1.27DS
	80	60.85	—	H4310-ND	5.67	110.01	352.02	FX2-80P-1.27DS
	100	73.55	—	H4311-ND	5.79	116.90	367.38	FX2-100P-1.27DS
	120	86.25	—	H4312-ND	6.78	136.90	430.24	FX2-120P-1.27DS
Rechtwinklige Steckleiste mit Sperre								
11	20	30.33	—	H4326-ND	3.09	60.01	192.01	FX2B-20PA-1.27DS
	32	37.95	—	H4327-ND	3.36	65.24	208.77	FX2B-32PA-1.27DS
	40	43.03	—	H4328-ND	4.03	78.10	249.92	FX2B-40PA-1.27DS
	52	50.65	—	H4329-ND	4.25	82.38	263.63	FX2B-52PA-1.27DS
	60	55.73	—	H4330-ND	4.50	87.15	278.87	FX2B-60PA-1.27DS
	68	60.81	—	H4331-ND	4.66	90.48	289.54	FX2B-68PA-1.27DS
	80	68.43	—	H4332-ND	4.99	96.67	309.35	FX2B-80PA-1.27DS
	100	81.13	—	H4333-ND	5.43	105.24	336.78	FX2B-100PA-1.27DS
Kabel für Sperrbuchse								
12	20	27.83	—	H4342-ND	6.34	128.01	402.30	FX2B-20SA-1.27R
	32	35.45	—	H4343-ND	7.07	142.68	448.40	FX2B-32SA-1.27R
	40	40.53	—	H4344-ND	7.13	147.18	495.77	FX2B-40SA-1.27R
	52	48.15	—	H4345-ND	8.03	165.68	558.08	FX2B-52SA-1.27R
	60	53.23	—	H4346-ND	8.49	175.33	590.59	FX2B-60SA-1.27R
	68	58.31	—	H4296-ND	9.08	187.39	631.22	FX2B-68SA-1.27R
	80	65.93	—	H4347-ND	9.64	199.06	670.51	FX2B-80SA-1.27R
	100	78.63	—	H4348-ND	9.85	215.57	763.72	FX2B-100SA-1.27R
Kabel für nicht-sperrende Buchse								
13	20	18.05	—	H4349-ND	5.30	102.86	329.16	FX2BA-20SA-1.27R
	32	25.67	—	H4350-ND	6.03	121.78	382.75	FX2BA-32SA-1.27R
	40	30.75	—	H4351-ND	7.20	145.34	456.78	FX2BA-40SA-1.27R
	52	38.37	—	H4352-ND	7.26	150.00	505.25	FX2BA-52SA-1.27R
	60	43.45	—	H4353-ND	7.71	159.25	536.41	FX2BA-60SA-1.27R
	68	48.53	—	H4354-ND	8.31	171.72	578.40	FX2BA-68SA-1.27R
	80	56.15	—	H4297-ND	8.88	183.37	617.68	FX2BA-80SA-1.27R
	100	68.85	—	H4355-ND	9.19	201.12	712.54	FX2BA-100SA-1.27R
Werkzeuge								
Führungsplatte				H4356-ND		2773.46/1		FX2B(A)-GPA
Verbindungspresse				H4357-ND		838.64/1		HIFLEX CONNECTING PRESS HHP502

§ Kontaktmaterial: Phosphorbronze

Serie DF19 - Steckverbinder 1mm Pitch

Merkmale: • Ultraniedriges Profil: (FPC-Typ) max. 1,7 mm dick; (Diskretdraht und Koaxial) max. 1,5 mm dick **Anwendungen:** • LCDs, Notebook Computer, kleine OA-Geräte und kleine Verbraucherhaltsgeräte **Spezifikationen:** • Nennstrom: AWG#28: 1 A, AWG#30: 0,5 A, AWG#32: 0,3 A, FPC: 0,5 A • Nennspannung: 100 V AC • Betriebstemperatur: -35 °C ~ 85 °C • Betriebsfeuchtigkeitsbereich: 20 % ~ 80 % • Isolationswiderstand: 500 MΩ oder mehr • Spannungsfestigkeit: Kein Überschlag bzw. Isolationsdurchbruch • Kontaktwiderstand: 30 mΩ oder weniger (50 mΩ oder weniger für FPC) **Material:** • *Pin-Steckleiste:* Isolier-Polyamidharz, grau, UL94V-0; Anschluss: Phosphorbronze teilweise vergoldet; Erde: verzinnte Phosphorbronze • *Buchse:* Isolierung: Polyamidharz, grau, UL94V-0; Erde: Verzinnter Edelstahl • *Crimp-Kontakt;* Anschluss: Phosphorbronze, vergoldet • *FPC-Buchse:* Isolierung: Polyamidharz, grau, UL94V-0; Anschluss: Phosphorbronze teilweise vergoldet • *Erdungsplatte für FPC:* Edelstahl, verzinnt • *Buchse für feine Koaxialkabel:* Isolierung: LCP-Harz, grau, UL94V-0; Anschluss: Phosphorbronze teilweise vergoldet; Erdplatte: verzinnte Phosphorbronze • *Erdplatte für feine Koaxialkabel:* Verzinnte Phosphorbronze • Empfohlener Drahtanordnung: UL1571 • Haarkristallfreies Verzinnen

Abb. 1

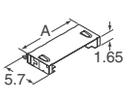

Abb. 2

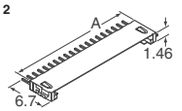

Abb. 3

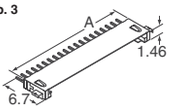

Abb. 4

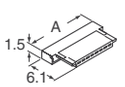

Abb. 5

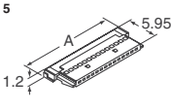

Abb. 6

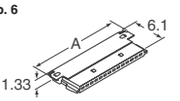

Abb.	Anz. d. Pins	Abm. (mm) A	Digi-Key Teilenr.	Gurtabschnitts-preise 1	10	100	T&R Pricing** 1,000	Hirose Teilenr.
Rechtwinklige Pin-Steckleiste SMT „Onboard"-Ausführung								
1	8	11.55	H3119CT-ND◊	3.56	29.46	220.96	1595.84	DF19G-8P-1H(59)‡
	14	17.55	H3152CT-ND◊	3.78	31.29	234.68	1694.89	DF19G-14P-1H(59)‡
	20	23.55	H3120CT-ND◊	4.72	39.01	292.58	2113.11	DF19G-20P-1H(59)‡
	30	33.55	H3121CT-ND◊	5.55	45.92	344.40	2487.31	DF19G-30P-1H(59)‡
Rechtwinklige Pin-Steckleiste SMT Offset-Ausführung								
2	20	23.55	H3125CT-ND◊	4.72	39.01	292.58	2113.11	DF19K-20P-1H(59)‡
	30	33.55	H3126CT-ND◊	5.55	45.92	344.40	2487.31	DF19K-30P-1H(59)‡
	14	17.55	H3153CT-ND◊	4.22	34.95	262.11	1893.00	DF19L-14P-1H(59)‡
	20	23.55	H3129CT-ND◊	4.72	39.01	292.58	2113.11	DF19L-20P-1H(59)‡
	30	33.55	H3130CT-ND◊	5.55	45.92	344.40	2487.31	DF19L-30P-1H(59)‡
Rechtwinklige Pin-Steckleiste SMT Umgekehrte-Offset-Ausführung								
3	14	17.55	H3127CT-ND◊	4.22	34.95	262.11	1893.00	DF19KR-14P-1H(59)‡
	20	23.55	H3128CT-ND◊	4.72	39.01	292.58	2113.11	DF19KR-20P-1H(59)‡
Einreihig, Buchse, Diskretdraht								
4	8	11.50	H3101-ND	.43	2.69	15.45	—	DF19-8S-1C
	14	17.50	H3102-ND	.45	3.12	20.89	—	DF19-14S-1C
	20	23.50	H3103-ND	.63	4.36	29.25	—	DF19-20S-1C
	30	33.50	H3104-ND	.67	5.44	39.43	—	DF19-30S-1C
	8	11.50	H3105-ND	.72	5.85	42.48	—	DF19G-8S-1C
	14	17.50	H3106-ND	.94	7.64	55.44	—	DF19G-14S-1C
	20	23.50	H3107-ND	1.21	9.85	71.44	—	DF19G-20S-1C
	30	33.50	H3108-ND	1.58	12.89	93.53	—	DF19G-30S-1C
Einreihig, Buchse für FPC-Kabel								
5	14	17.50	H3109-ND	1.41	11.68	86.52	—	DF19G-14S-1F
	20	23.50	H3110-ND	1.75	14.59	108.03	—	DF19G-20S-1F
	30	33.50	H3111-ND	2.18	18.10	134.10	—	DF19G-30S-1F
Einreihig, Buchse für feine Koaxialkabel								
6	14	17.50	H3115-ND	1.71	14.17	104.98	—	DF19G-14S-1SD
	20	23.50	H3116-ND	2.04	16.92	125.30	—	DF19G-20S-1SD

Erdungsplatten

Anz. d. Pins	Digi-Key Teilenr.	Preisangaben 1	10	100	Hirose Teilenr.
Erdungsplatte für FPC-Ausführung					
14	H3112-ND	.58	4.70	34.10	DF19G-14S-1F-GND
20	H3113-ND	.61	4.99	36.19	DF19G-20S-1F-GND
30	H3114-ND	.62	5.01	36.39	DF19G-30S-1F-GND
Erdungsplatte für Koaxial-Ausführung					
14	H3117-ND	.46	3.20	21.49	DF19G-14S-1SD-GND
20	H3118-ND	.52	3.65	24.48	DF19G-20S-1SD-GND

Buchsen-Crimpkontakte

Beschreibung	Digi-Key Teilenr.	Gurtabschnitts-preise 100	500	1,000	Digi-Key Teilenr.	T & R Pricing** 10,000	Hirose Teilenr.
Serie DF19							
28-30 AWG Goldüberzug	H3151CT-ND	5.77	19.56	29.80	H3151TR-ND	23.71/M	DF19-2830SCFA
30-32 AWG Goldüberzug	H3132CT-ND	5.77	19.56	29.80	H3152TR-ND	1597.12/M	DF19-3032SCFA
Werkzeuge							
Manuelles Crimpwerkzeug für die Serie DF19	H3131-ND				1175.42/1		HT302/DF19S
Desk-Top Tool (für 14 Kerndrähte)	H3122-ND				1599.14/1		DF19G-14S/PR-MD2
Desk-Top Tool (für 20 Kerndrähte)	H3123-ND				2090.00/1		DF19G-20S/PR-MD2
Desk-Top Tool (für 30 Kerndrähte)	H3124-ND				2479.61/1		DF19G-30S/PR-MD2

‡ (59) weist auf Vergoldung hin ◊ Für Gegurtet auf Rolle CT in TR umändern ** Preisangaben für Gegurtet auf Rolle

Serie DF20 - Steckverbinder

1 mm Pitch

Merkmale: • Kontakt-Pitch: 1 mm ermöglicht zuverlässiges Löten und Kabelanschluss • Niedrigprofil: Die gesamte Entsprechungshöhe über der Karte beträgt 5,8 mm für den geraden Typ und 5,5 mm für den rechtwinkligen Typ **Anwendungen:** Notebook PC, kleine Büroautomatisierungsgeräte, kleine Verbraucherhaushaltsgeräte, tragbare Geräte. Jede Anwendung, die eine zuverlässige Niedrigprofil-Verbindung von Karte zu Karte mit einem AWG# 28, AWG# 30, AWG# 32 Leiter verlangt **Spezifikationen:** • Nennstrom: AWG#28: 1 A, AWG#30: 0,9 A, AWG#32: 0,7 A, FPC: 0,5 A • Nennspannung: 100 V AC • Betriebstemperatur: -35 °C ~ 85 °C • Feuchtigkeitsbereich: 20 % ~ 80 % • Isolationswiderstand: Min. 500 MΩ • Kontaktwiderstand: Max. 30 mΩ • Mechanischer Betrieb: Kontaktwiderstand von max. 30 mΩ **Material:** • Steckleistenisolator/Pin-Steckleiste-Isolator: Polyimid, beige, UL94V-0 • Buchsenkontakt/Pin-Steckleiste-Kontakt: Phosphorbronze, vergoldet • Pin-Steckleiste-Metallarmatur: Messing • Typ V: Lötzinnüberzug • Typ H: Kupferzinnüberzug (bleifrei)

Abb. 1

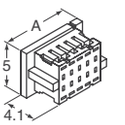

Abb. 2

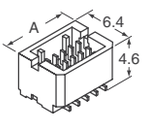

Abb.	Anz. d. Pins	Abm. (mm) A	Digi-Key Teilenr.	Preisangaben 1	10	100	T & R Pricing** 1,000	Hirose Teilenr.
Doppelreihig, Sockel								
1	10	7.20	H3143-ND	.34	2.37	15.92	—	DF20A-10DS-1C
	20	12.20	H3144-ND	.39	2.70	18.11	—	DF20A-20DS-1C
	30	17.20	H3145-ND	.44	3.06	20.50	—	DF20A-30DS-1C
	40	22.20	H3146-ND	.48	3.38	22.68	—	DF20A-40DS-1C
	50	27.20	H3147-ND	.52	3.61	24.27	—	DF20A-50DS-1C
Doppelreihige gerade Pin-Steckleiste								
2	10	7.30	H3133CT-ND†◊	1.17	9.50	68.96	407.21	DF20F-10DP-1V(59)‡
	20	12.30	H3134CT-ND†◊	1.59	12.96	94.10	556.22	DF20F-20DP-1V(59)‡
	30	17.30	H3135CT-ND†◊	1.72	14.31	105.99	705.22	DF20F-30DP-1V(59)‡
	40	22.30	H3136CT-ND†◊	2.09	17.35	128.51	854.22	DF20F-40DP-1V(59)‡
	50	27.30	H3137CT-ND†◊	2.44	20.28	150.19	998.99	DF20F-50DP-1V(59)‡
	10	7.30	H3138CT-ND*◊	1.17	9.50	68.96	407.21	DF20G-10DP-1V(59)‡
	20	12.30	H3139CT-ND*◊	1.59	12.96	94.10	556.22	DF20G-20DP-1V(59)‡
	30	17.30	H3140CT-ND*◊	1.72	14.31	105.99	705.22	DF20G-30DP-1V(59)‡
	40	22.30	H3141CT-ND*◊	2.09	17.35	128.51	854.22	DF20G-40DP-1V(59)‡
	50	27.30	H3142CT-ND*◊	2.44	20.28	150.19	998.99	DF20G-50DP-1V(59)‡

Buchsen-Crimpkontakte

Beschreibung	Digi-Key Teilenr.	Gurtabschnitts-preise 100	500	1,000	Digi-Key Teilenr.	T & R Pricing ** 10,000	Hirose Teilenr.
Serie DF20							
28-30 AWG Goldüberzug	H3148CT-ND	4.46	15.11	23.03	H3148TR-ND	18.63/M	DF20F-2830SCFA
30-32 AWG Goldüberzug	H3149CT-ND	4.46	15.11	23.03	H3149TR-ND	18.63/M	DF20F-3032SCFA
Werkzeuge							
Manuelles Crimpwerkzeug für die Serie DF20	H3150-ND				1175.42/1		HT302/DF20B-2830S

‡ (59) weist auf Vergoldung hin * mit Führungsnabe † ohne Führungsnabe ◊ Für Gegurtet auf Rolle CT in TR umändern
** Preisangaben für Gegurtet auf Rolle

Alle Preisangaben in Euro und inklusive Zollgebühren.

HIROSE ELECTRIC CO.,LTD.

Serie DF13 Steckverbinder

1,25 mm Pitch

Serie DF13 hat 1,25 mm Pitch; diese kompakten „Leiterplatte-an-Draht"-Nylonsteckverbinder eignen sich am besten für hochdichte Anwendungen, die reduzierte Produktionskosten und ein leichtes Gewicht verlangen. **Elektrische Spezifikationen:** • Stromkapazität: 1 A • Nennspannung: 150 V AC • Isolationswiderstand: Kondition: DC 100, Standardwert: Minimum 500 MΩ • Haltespannung: Kondition: bei spezifischem Wert, Standardwert: 500 V AC • Kontaktwiderstand: Kondition: Bei 0,1 A DC, Standardwert: Max. 30 mΩ. **Material/Oberflächenverarbeitung:** • Pin-Steckleistenisolator: Polyimidharz, beige, UL94V-0. • Pin-Steckleistenkontakt: Messing, Zinnüberzug und Goldüberzug. • Pin-Steckleisten-Hardware: Messing, Zinnüberzug und Goldüberzug. • Crimp-Buchsenisolator: Polyimidharz, beige, UL94V-0. • Crimp-Buchsenkontakt: Phosphorbronze, Zinnüberzug und Goldüberzug.

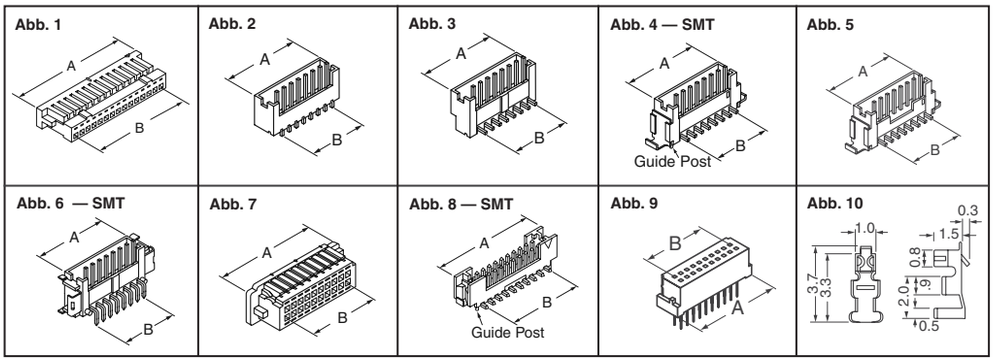

A

Anz. d. Pins	Abm. (mm) A	B	Digi-Key Teilenr.	Preisangaben 1	25	100	Hirose Teilenr.
Abb. 1 — Crimpbuchse - Einzelreihe							
2	4.15	1.25	H2179-ND	.24	2.44	6.04	DF13-2S-1.25C
3	5.40	2.50	H2180-ND	.19	2.07	5.82	DF13-3S-1.25C
4	6.65	3.75	H2181-ND	.29	3.14	8.85	DF13-4S-1.25C
5	7.90	5.00	H2182-ND	.24	2.84	8.47	DF13-5S-1.25C
6	9.15	6.25	H2183-ND	.25	2.98	8.89	DF13-6S-1.25C
7	10.40	7.50	H2184-ND	.25	3.05	9.10	DF13-7S-1.25C
8	11.65	8.75	H2185-ND	.40	4.75	14.18	DF13-8S-1.25C
9	12.90	10.00	H3300-ND	.47	5.53	16.51	DF13-9S-1.25C
10	14.15	11.25	H2186-ND	.42	5.04	15.03	DF13-10S-1.25C
11	15.40	12.50	H2187-ND	.45	5.39	16.09	DF13-11S-1.25C
12	16.65	13.75	H2188-ND	.47	5.53	16.51	DF13-12S-1.25C
14	19.15	16.25	H2189-ND	.40	5.97	18.70	DF13-14S-1.25C
15	20.40	17.50	H2259-ND	.43	5.17	15.45	DF13-15S-1.25C
Abb. 2 — Senkrechte Pin-Steckleiste, einreihig - verzinnt							
2	4.15	1.25	H2191-ND	.41	4.83	14.39	DF13-2P-1.25DSA
3	5.40	2.50	H2192-ND	.35	5.21	16.31	DF13-3P-1.25DSA
4	6.65	3.75	H2193-ND	.46	6.80	21.29	DF13-4P-1.25DSA
5	7.90	5.00	H2194-ND	.52	7.69	24.08	DF13-5P-1.25DSA
6	9.15	6.25	H2195-ND	.58	8.64	27.06	DF13-6P-1.25DSA
7	10.40	7.50	H2196-ND	.48	8.73	28.57	DF13-7P-1.25DSA
8	11.65	8.75	H2197-ND	.60	10.89	35.62	DF13-8P-1.25DSA
9	12.90	10.00	H3302-ND	.84	15.14	49.53	DF13-9P-1.25DSA(20)
10	14.15	11.25	H2198-ND	.69	12.57	41.14	DF13-10P-1.25DSA
11	15.40	12.50	H3303-ND	.90	16.30	53.34	DF13-11P-1.25DSA(20)
12	16.65	13.75	H2320-ND	.74	13.38	43.81	DF13-12P-1.25DSA
13	17.90	15.00	H3304-ND	.97	17.47	57.15	DF13-13P-1.25DSA(20)
14	19.15	16.25	H2321-ND	.82	14.84	48.58	DF13-14P-1.25DSA
15	20.40	17.50	H2322-ND	.86	15.65	51.24	DF13-15P-1.25DSA
Abb. 2 — Senkrechte Pin-Steckleiste, einreihig - vergoldet							
2	4.15	1.25	H3305-ND	.48	8.73	28.57	DF13-2P-1.25DSA(50)
3	5.40	2.50	H3306-ND	.64	11.64	38.10	DF13-3P-1.25DSA(50)
4	6.65	3.75	H3307-ND	.64	11.64	38.10	DF13-4P-1.25DSA(50)
5	7.90	5.00	H3308-ND	.71	12.81	41.91	DF13-5P-1.25DSA(50)
6	9.15	6.25	H3309-ND	.93	16.88	55.24	DF13-6P-1.25DSA(50)
7	10.40	7.50	H3310-ND	.90	16.30	53.34	DF13-7P-1.25DSA(50)
8	11.65	8.75	H3311-ND	.97	17.47	57.15	DF13-8P-1.25DSA(50)
9	12.90	10.00	H3312-ND	1.03	18.63	60.96	DF13-9P-1.25DSA(50)
10	14.15	11.25	H3313-ND	1.13	20.37	66.67	DF13-10P-1.25DSA(50)
11	15.40	12.50	H3314-ND	1.16	20.95	68.57	DF13-11P-1.25DSA(50)
12	16.65	13.75	H3315-ND	1.43	27.51	88.05	DF13-12P-1.25DSA(50)
14	19.15	16.25	H3316-ND	1.35	24.45	80.00	DF13-14P-1.25DSA(50)
15	20.40	17.50	H3317-ND	1.45	26.19	85.72	DF13-15P-1.25DSA(50)
Abb. 3 — Rechtwinklige Pin-Steckleiste, einreihig - verzinnt							
2	4.15	1.25	H2199-ND	.38	5.71	17.91	DF13-2P-1.25DS(20)
3	5.40	2.50	H2260-ND	.47	6.98	21.88	DF13-3P-1.25DS(20)
4	6.65	3.75	H2201-ND	.55	8.25	25.86	DF13-4P-1.25DS(20)
5	7.90	5.00	H2202-ND	.52	9.31	30.48	DF13-5P-1.25DS(20)
6	9.15	6.25	H2203-ND	.58	10.48	34.29	DF13-6P-1.25DS(20)
7	10.40	7.50	H2204-ND	.64	11.64	38.10	DF13-7P-1.25DS(20)
8	11.65	8.75	H2205-ND	.80	14.55	47.62	DF13-8P-1.25DS(20)
9	12.90	10.00	H3318-ND	.97	17.47	57.15	DF13-9P-1.25DS(20)
10	14.15	11.25	H2206-ND	.90	16.30	53.34	DF13-10P-1.25DS(20)
11	15.40	12.50	H3319-ND	1.16	20.95	68.57	DF13-11P-1.25DS(20)
12	16.65	13.75	H2323-ND	1.25	22.70	74.29	DF13-12P-1.25DS(20)
14	19.15	16.25	H2324-ND	1.03	18.63	60.96	DF13-14P-1.25DS(20)
15	20.40	17.50	H2325-ND	1.43	27.51	88.05	DF13-15P-1.25DS(20)
Abb. 3 — Rechtwinklige Pin-Steckleiste, einreihig - vergoldet							
2	4.15	1.25	H3320-ND	.51	7.62	23.87	DF13-2P-1.25DS(50)
3	5.40	2.50	H3321-ND	.48	8.73	28.57	DF13-3P-1.25DS(50)
4	6.65	3.75	H3322-ND	.61	11.06	36.19	DF13-4P-1.25DS(50)
5	7.90	5.00	H3323-ND	.71	12.81	41.91	DF13-5P-1.25DS(50)
6	9.15	6.25	H3324-ND	.80	14.55	47.62	DF13-6P-1.25DS(50)
7	10.40	7.50	H3325-ND	.90	16.30	53.34	DF13-7P-1.25DS(50)
8	11.65	8.75	H3326-ND	1.03	18.63	60.96	DF13-8P-1.25DS(50)
9	12.90	10.00	H3327-ND	1.13	20.37	66.67	DF13-9P-1.25DS(50)
10	14.15	11.25	H3328-ND	1.16	20.95	68.57	DF13-10P-1.25DS(50)
11	15.40	12.50	H3329-ND	1.25	22.70	74.29	DF13-11P-1.25DS(50)
12	16.65	13.75	H3330-ND	1.35	24.45	80.00	DF13-12P-1.25DS(50)
14	19.15	16.25	H3331-ND	1.54	27.94	91.43	DF13-14P-1.25DS(50)
15	20.40	17.50	H3332-ND	1.54	27.94	91.43	DF13-15P-1.25DS(50)
Abb. 4 — Vertikale SMT-Pin-Steckleiste mit Führungsstiften, einreihig - verzinnt							
2	4.15	1.25	H2207-ND	.42	6.35	19.90	DF13-2P-1.25V(20)
3	5.40	2.50	H2208-ND	.51	7.62	23.87	DF13-3P-1.25V(20)
4	6.65	3.75	H2209-ND	.48	8.73	28.57	DF13-4P-1.25V(20)
5	7.90	5.00	H2210-ND	.52	9.31	30.48	DF13-5P-1.25V(20)
6	9.15	6.25	H2211-ND	.55	9.90	32.38	DF13-6P-1.25V(20)
7	10.40	7.50	H2212-ND	.61	11.06	36.19	DF13-7P-1.25V(20)
8	11.65	8.75	H2213-ND	.74	13.38	43.81	DF13-8P-1.25V(20)
9	12.90	10.00	H3335-ND	.80	14.55	47.62	DF13-9P-1.25V(20)
10	14.15	11.25	H2214-ND	.84	15.14	49.53	DF13-10P-1.25V(20)
11	15.40	12.50	H2215-ND	.90	16.30	53.34	DF13-11P-1.25V(20)
12	16.65	13.75	H2216-ND	.90	16.30	53.34	DF13-12P-1.25V(20)
14	19.15	16.25	H2217-ND	.97	17.47	57.15	DF13-14P-1.25V(20)
15	20.40	17.50	H2218-ND	1.06	19.21	62.86	DF13-15P-1.25V(20)

Anz. d. Pins	Abm. (mm) A	B	Digi-Key Teilenr.	Preisangaben 1	25	100	Hirose Teilenr.
Abb. 4 — Senkrechte SMT-Pin-Steckleiste, einreihig - mit Führungsstiften - Goldüberzug							
2	4.15	1.25	H3336-ND	.61	11.06	36.19	DF13-2P-1.25V(50)
3	5.40	2.50	H3337-ND	.74	13.38	43.81	DF13-3P-1.25V(50)
4	6.65	3.75	H3338-ND	.90	16.30	53.34	DF13-4P-1.25V(50)
5	7.90	5.00	H3339-ND	.97	17.47	57.15	DF13-5P-1.25V(50)
6	9.15	6.25	H3340-ND	1.06	19.21	62.86	DF13-6P-1.25V(50)
7	10.40	7.50	H3341-ND	1.13	20.37	66.67	DF13-7P-1.25V(50)
8	11.65	8.75	H3342-ND	1.32	23.87	78.10	DF13-8P-1.25V(50)
9	12.90	10.00	H3343-ND	1.45	26.19	85.72	DF13-9P-1.25V(50)
10	14.15	11.25	H3344-ND	1.54	27.94	91.43	DF13-10P-1.25V(50)
11	15.40	12.50	H3345-ND	1.57	28.52	93.34	DF13-11P-1.25V(50)
12	16.65	13.75	H3346-ND	1.57	28.52	93.34	DF13-12P-1.25V(50)
14	19.15	16.25	H3347-ND	1.60	30.69	98.21	DF13-14P-1.25V(50)
15	20.40	17.50	H3348-ND	1.68	32.28	103.29	DF13-15P-1.25V(50)
Abb. 5 — Vertikale SMT-Pin-Steckleiste mit Nabe, einreihig - verzinnt							
2	4.15	1.25	H3393-ND	.42	6.35	19.90	DF13B-2P-1.25V(20)
3	5.40	2.50	H3394-ND	.51	7.62	23.87	DF13B-3P-1.25V(20)
4	6.65	3.75	H3395-ND	.48	8.73	28.57	DF13B-4P-1.25V(20)
5	7.90	5.00	H3396-ND	.52	9.31	30.48	DF13B-5P-1.25V(20)
6	9.15	6.25	H3397-ND	.55	9.90	32.38	DF13B-6P-1.25V(20)
7	10.40	7.50	H3398-ND	.61	11.06	36.19	DF13B-7P-1.25V(20)
8	11.65	8.75	H3399-ND	.74	13.38	43.81	DF13B-8P-1.25V(20)
9	12.90	10.00	H3400-ND	.80	14.55	47.62	DF13B-9P-1.25V(20)
10	14.15	11.25	H3401-ND	.84	15.14	49.53	DF13B-10P-1.25V(20)
11	15.40	12.50	H3402-ND	.90	16.30	53.34	DF13B-11P-1.25V(20)
12	16.65	13.75	H3403-ND	.90	16.30	53.34	DF13B-12P-1.25V(20)
14	19.15	16.25	H3404-ND	.97	17.47	57.15	DF13B-14P-1.25V(20)
15	20.40	17.50	H3405-ND	1.06	19.21	62.86	DF13B-15P-1.25V(20)
Abb. 5 — Vertikale SMT-Pin-Steckleiste mit Nabe, einreihig - vergoldet							
2	4.15	1.25	H3406-ND	.61	11.06	36.19	DF13B-2P-1.25V(50)
3	5.40	2.50	H3407-ND	.74	13.38	43.81	DF13B-3P-1.25V(50)
4	6.65	3.75	H3408-ND	.90	16.30	53.34	DF13B-4P-1.25V(50)
5	7.90	5.00	H3409-ND	.97	17.47	57.15	DF13B-5P-1.25V(50)
6	9.15	6.25	H3410-ND	1.06	19.21	62.86	DF13B-6P-1.25V(50)
7	10.40	7.50	H3411-ND	1.13	20.37	66.67	DF13B-7P-1.25V(50)
8	11.65	8.75	H3412-ND	1.32	23.87	78.10	DF13B-8P-1.25V(50)
9	12.90	10.00	H3413-ND	1.45	26.19	85.72	DF13B-9P-1.25V(50)
10	14.15	11.25	H3414-ND	1.54	27.94	91.43	DF13B-10P-1.25V(50)
11	15.40	12.50	H3415-ND	1.57	28.52	93.34	DF13B-11P-1.25V(50)
12	16.65	13.75	H3416-ND	1.43	27.51	88.05	DF13B-12P-1.25V(50)
14	19.15	16.25	H3417-ND	1.60	30.69	98.21	DF13B-14P-1.25V(50)
15	20.40	17.50	H3418-ND	1.68	32.28	103.29	DF13B-15P-1.25V(50)
Abb. 5 — Vertikale SMT-Pin-Steckleiste ohne Nabe, einreihig - verzinnt							
2	4.15	1.25	H3419-ND	.42	6.35	19.90	DF13C-2P-1.25V(20)
3	5.40	2.50	H3420-ND	.51	7.62	23.87	DF13C-3P-1.25V(20)
4	6.65	3.75	H3421-ND	.48	8.73	28.57	DF13C-4P-1.25V(20)
5	7.90	5.00	H3422-ND	.52	9.31	30.48	DF13C-5P-1.25V(20)
6	9.15	6.25	H3423-ND	.55	9.90	32.38	DF13C-6P-1.25V(20)
7	10.40	7.50	H3424-ND	.61	11.06	36.19	DF13C-7P-1.25V(20)
8	11.65	8.75	H3425-ND	.74	13.38	43.81	DF13C-8P-1.25V(20)
9	12.90	10.00	H3426-ND	.80	14.55	47.62	DF13C-9P-1.25V(20)
10	14.15	11.25	H3427-ND	.84	15.14	49.53	DF13C-10P-1.25V(20)
11	15.40	12.50	H3428-ND	.90	16.30	53.34	DF13C-11P-1.25V(20)
12	16.65	13.75	H3429-ND	.90	16.30	53.34	DF13C-12P-1.25V(20)
14	19.15	16.25	H3430-ND	.97	17.47	57.15	DF13C-14P-1.25V(20)
15	20.40	17.50	H3431-ND	1.06	19.21	62.86	DF13C-15P-1.25V(20)
Abb. 5 — Vertikale SMT-Pin-Steckleiste ohne Nabe, einreihig - vergoldet							
2	4.15	1.25	H3432-ND	.61	11.06	36.19	DF13C-2P-1.25V(50)
3	5.40	2.50	H3433-ND	.74	13.38	43.81	DF13C-3P-1.25V(50)
4	6.65	3.75	H3434-ND	.90	16.30	53.34	DF13C-4P-1.25V(50)
5	7.90	5.00	H3435-ND	.97	17.47	57.15	DF13C-5P-1.25V(50)
6	9.15	6.25	H3436-ND	1.06	19.21	62.86	DF13C-6P-1.25V(50)
7	10.40	7.50	H3437-ND	1.13	20.37	66.67	DF13C-7P-1.25V(50)
8	11.65	8.75	H3438-ND	1.32	23.87	78.10	DF13C-8P-1.25V(50)
9	12.90	10.00	H3439-ND	1.45	26.19	85.72	DF13C-9P-1.25V(50)
10	14.15	11.25	H3440-ND	1.54	27.94	91.43	DF13C-10P-1.25V(50)
11	15.40	12.50	H3441-ND	1.57	28.52	93.34	DF13C-11P-1.25V(50)
12	16.65	13.75	H3442-ND	1.43	27.51	88.05	DF13C-12P-1.25V(50)
14	19.15	16.25	H3443-ND	1.60	30.69	98.21	DF13C-14P-1.25V(50)
15	20.40	17.50	H3444-ND	1.68	32.28	103.29	DF13C-15P-1.25V(50)
Abb. 6 — Rechtwinklige SMT-Pin-Steckleiste mit Nabe, einreihig - verzinnt							
2	4.15	1.25	H2219-ND	.47	6.98	21.88	DF13-2P-1.25H(20)
3	5.40	2.50	H2220-ND	.51	7.62	23.87	DF13-3P-1.25H(20)
4	6.65	3.75	H2221-ND	.48	8.73	28.57	DF13-4P-1.25H(20)
5	7.90	5.00	H2222-ND	.55	9.90	32.38	DF13-5P-1.25H(20)
6	9.15	6.25	H2223-ND	.58	10.48	34.29	DF13-6P-1.25H(20)
7	10.40	7.50	H2224-ND	.64	11.64	38.10	DF13-7P-1.25H(20)
8	11.65	8.75	H2225-ND	.74	13.38	43.81	DF13-8P-1.25H(20)
9	12.90	10.00	H3349-ND	.80	14.55	47.62	DF13-9P-1.25H(20)
10	14.15	11.25	H2226-ND	.90	16.30	53.34	DF13-10P-1.25H(20)
11	15.40	12.50	H2227-ND	.90	16.30	53.34	DF13-11P-1.25H(20)
12	16.65	13.75	H2228-ND	.93	16.88	55.24	DF13-12P-1.25H(20)
14	19.15	16.25	H2229-ND	1.03	18.63	60.96	DF13-14P-1.25H(20)
15	20.40	17.50	H2230-ND	1.06	19.21	62.86	DF13-15P-1.25H(20)

Anz. d. Pins	Abm. (mm) A	B	Digi-Key Teilenr.	Preisangaben 1	25	100	Hirose Teilenr.
Abb. 6 — Rechtwinklige SMT-Pin-Steckleiste mit Nabe, einreihig - vergoldet							
2	4.15	1.25	H3350-ND	.61	11.06	36.19	DF13-2P-1.25H(50)
3	5.40	2.50	H3351-ND	.74	13.38	43.81	DF13-3P-1.25H(50)
4	6.65	3.75	H3352-ND	.90	16.30	53.34	DF13-4P-1.25H(50)
5	7.90	5.00	H3353-ND	.97	17.47	57.15	DF13-5P-1.25H(50)
6	9.15	6.25	H3354-ND	1.06	19.21	62.86	DF13-6P-1.25H(50)
7	10.40	7.50	H3355-ND	1.13	20.37	66.67	DF13-7P-1.25H(50)
8	11.65	8.75	H3356-ND	1.32	23.87	78.10	DF13-8P-1.25H(50)
9	12.90	10.00	H3357-ND	1.45	26.19	85.72	DF13-9P-1.25H(50)
10	14.15	11.25	H3358-ND	1.54	27.94	91.43	DF13-10P-1.25H(50)
11	15.40	12.50	H3359-ND	1.57	28.52	93.34	DF13-11P-1.25H(50)
12	16.65	13.75	H3360-ND	1.43	27.51	88.05	DF13-12P-1.25H(50)
14	19.15	16.25	H3361-ND	1.60	30.69	98.21	DF13-14P-1.25H(50)
15	20.40	17.50	H3362-ND	1.68	32.28	103.29	DF13-15P-1.25H(50)
Abb. 6 — Rechtwinklige SMT-Pin-Steckleiste ohne Nabe, einreihig - verzinnt							
2	4.15	1.25	H3367-ND	.42	6.35	19.90	DF13A-2P-1.25H(20)
3	5.40	2.50	H3368-ND	.51	7.62	23.87	DF13A-3P-1.25H(20)
4	6.65	3.75	H3369-ND	.48	8.73	28.57	DF13A-4P-1.25H(20)
5	7.90	5.00	H3370-ND	.52	9.31	30.48	DF13A-5P-1.25H(20)
6	9.15	6.25	H3371-ND	.55	9.90	32.38	DF13A-6P-1.25H(20)
7	10.40	7.50	H3372-ND	.61	11.06	36.19	DF13A-7P-1.25H(20)
8	11.65	8.75	H3373-ND	.74	13.38	43.81	DF13A-8P-1.25H(20)
9	12.90	10.00	H3374-ND	.80	14.55	47.62	DF13A-9P-1.25H(20)
10	14.15	11.25	H3375-ND	.84	15.14	49.53	DF13A-10P-1.25H(20)
11	15.40	12.50	H3376-ND	.90	16.30	53.34	DF13A-11P-1.25H(20)
12	16.65	13.75	H3377-ND	.93	16.88	55.24	DF13A-12P-1.25H(20)
14	19.15	16.25	H3378-ND	1.03	18.63	60.96	DF13A-14P-1.25H(20)
15	20.40	17.50	H3379-ND	1.06	19.21	62.86	DF13A-15P-1.25H(20)
Abb. 6 — Rechtwinklige SMT-Pin-Steckleiste ohne Nabe, einreihig - vergoldet							
2	4.15	1.25	H3380-ND	.61	11.06	36.19	DF13A-2P-1.25H(50)
3	5.40	2.50	H3381-ND	.74	13.38	43.81	DF13A-3P-1.25H(50)
4	6.65	3.75	H3382-ND	.90	16.30	53.34	DF13A-4P-1.25H(50)
5	7.90	5.00	H3383-ND	.97	17.47	57.15	DF13A-5P-1.25H(50)
6	9.15	6.25	H3384-ND	1.06	19.21	62.86	DF13A-6P-1.25H(50)
7	10.40	7.50	H3385-ND	1.13	20.37	66.67	DF13A-7P-1.25H(50)
8	11.65	8.75	H3386-ND	1.32	23.87	78.10	DF13A-8P-1.25H(50)
9	12.90	10.00	H3387-ND	1.45	26.19	85.72	DF13A-9P-1.25H(50)
10	14.15	11.25	H3388-ND	1.54	27.94	91.43	DF13A-10P-1.25H(50)
11	15.40	12.50	H3389-ND	1.57	28.52	93.34	DF13A-11P-1.25H(50)
12	16.65	13.75	H3390-ND	1.43	27.51	88.05	DF13A-12P-1.25H(50)
14	19.15	16.25	H3391-ND	1.60	30.69	98.21	DF13A-14P-1.25H(50)
15	20.40	17.50	H3392-ND	1.68	32.28	103.29	DF13A-15P-1.25H(50)
Abb. 7 — Doppelreihige Crimpsockel							
10	10.40	5.00	H2231-ND	.28	3.34	9.95	DF13-10DS-1.25C
20	16.65	11.25	H2232-ND	.34	4.04	12.06	DF13-20DS-1.25C
30	22.90	17.50	H2233-ND	.41	4.83	14.39	DF13-30DS-1.25C
40	29.15	23.75	H2234-ND	.46	5.46	16.30	DF13-40DS-1.25C
Abb. 8 — Doppelreihige Sockel, SMT, gerade Pin-Steckleisten mit Führungsstiften - verzinnt							
10	12.1	5.00	H3333-ND*	.80	14.55	47.62	DF13-10DP-1.25V(20)
20	18.35	11.25	H3334-ND*	1.06	19.21	62.86	DF13-20DP-1.25V(20)
10	12.1	5.00	H3365-ND†	.80	14.55	47.62	DF13A-10DP-1.25V(20)
20	18.35	11.25	H3366-ND†	1.06	19.21	62.86	DF13A-20DP-1.25(20)
Abb. 8 — Doppelreihige Sockel, SMT, gerade Pin-Steckleisten mit Führungsstiften - vergoldet							
10	12.10	5.00	H2235-ND*	.84	15.14	49.53	DF13-10DP-1.25V(50)
20	18.35	11.25	H2236-ND*	1.22	22.12	72.38	DF13-20DP-1.25V(50)
30	24.60	17.50	H2237-ND*	1.41	26.99	86.35	DF13-30DP-1.25V(50)
40	30.85	23.75	H2238-ND*	1.71	32.81	104.98	DF13-40DP-1.25V(50)
Abb. 8 — Doppelreihige Sockel, SMT, gerade Pin-Steckleisten ohne Führungsstifte - vergoldet							
10	12.10	5.00	H2239-ND	.84	15.14	49.53	DF13A-10DP-1.25V(50)
20	18.35	11.25	H2240-ND	1.22	22.12	72.38	DF13A-20DP-1.25V(50)
30	24.60	17.50	H2241-ND	1.41	26.99	86.35	DF13A-30DP-1.25V(50)
40	30.85	23.75	H2242-ND	1.71	32.81	104.98	DF13A-40DP-1.25V(50)
Abb. 9 — Doppelreihige Steckuchsen — Goldüberzug							
20	15.40	11.25	H3363-ND	2.23	42.86	137.15	DF13-20DS-1.25DSA(50)
40	27.90	23.75	H3364-ND	3.14	60.96	195.06	DF13-40DS-1.25DSA(50)

Abb. 10 — Sockel-Crimpkontakt

Verzinnt, AWG 26-30	H9992CT-ND‡ H9992TR-ND◊	2.36/100 93.13/10,000	DF13-2630SCF
Vergoldet, AWG 26-30	H9991CT-ND‡ H9991TR-ND◊	4.65/100 194.72/10,000	DF13-2630SCFA

Hand-Crimpwerkzeuge und Einsatz-Sets

Crimpwerkzeug mit nicht-entfernbarem Einsatz	H9994-ND	838.05/1	DF13-TB2630HC
Crimpwerkzeug mit Einsatz-Set	H9925-ND	704.37/1	DF13-TB2630HC/US
Crimpwerkzeug ohne Einsatz-Set	H9926-ND	281.49/1	HRUS-HT-1
Einsatz-Set für H9926-ND	H9929-ND	439.13/1	DF13-TB2630HC/US-DS

* mit Führungsnabe † ohne Führungsnabe ‡ Gurtabschnitt ◊ Gegurtet auf Rolle

Serie DF14 Steckverbinder
1,25 mm Pitch

A

Merkmale: • Superniedriges Profil: dieser Steckverbinder eignet sich besonders für rechte Winkel und bietet ein niedriges Profil auf der Karte • Montagehöhe auf Karte 2,5 mm • Die Kastenstruktur der Steckleiste verhindert ein Verdrehen, und eine perfekte Methode schützt vor falschem Einsetzen. Außerdem verfügt die Steckleiste über eine Wand auf der Kartenseite, was Probleme aufgrund von Reibung der Karte durch den Sockel eliminiert. Der Metallanschluss ist darüber hinaus so angebracht, dass ein Ablösen des Lötzinns verhindert wird.

Anwendungen: • LCD • Notebook PC • Kleine Bürogeräte mit Mobilanschluss • Videokamera

Spezifikationen: • Nennstrom: 1 A • Nennspannung: 150 V AC • Betriebstemperaturbereich: -25 °C ~ 85 °C • Betriebsfeuchtigkeitsbereich: 40 % ~ 80 % • Isolationswiderstand: 100 V DC, min. 500 MΩ • Haltespannung: 1 Min. bei Nennwert, 500 V AC (kein Überschlag bzw. Isolationsdurchbruch) • Kontaktwiderstand: 100 mA, max. 30 mΩ • Haltbarkeit (Betrieb): Kontaktwiderstand von max. 30 mΩ (Zinnüberzug: 30 Zyklen; Goldüberzug: 50 Zyklen)

Material (Buchsenleiste/Steckleiste): • Isolator: Polyamid, beige, UL94V-0 • Kontakte: Sockel: Phosphorkupfer vergoldet oder verzinnt Steckleiste: vergoldetes oder verzinntes Messing • Steckleistenanschlüsse: Phosphor-Kupfer, verzinnt

Abb. 1

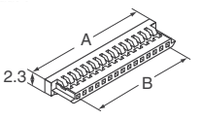

Abb. 2

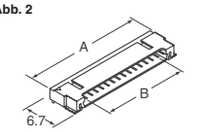

Abb.	Anz. der Kontakte	Abmessungen (mm) A	B	Digi-Key Teilenr.	Preisangaben 1	25	100	Hirose Teilenr.
				Crimpsockel				
1	2	4.45	1.25	H1563-ND	.46	4.89	15.32	DF14-2S-1.25C
	3	5.70	2.50	H1564-ND	.34	5.08	15.92	DF14-3S-1.25C
	4	6.95	3.75	H1565-ND	.36	5.27	16.52	DF14-4S-1.25C
	5	8.20	5.00	H1566-ND	.36	5.46	17.11	DF14-5S-1.25C
	6	9.45	6.25	H1567-ND	.38	5.66	17.71	DF14-6S-1.25C
	7	10.70	7.50	H1568-ND	.39	5.84	18.30	DF14-7S-1.25C
	8	11.95	8.75	H1569-ND	.41	6.04	18.90	DF14-8S-1.25C
	9	13.20	10.00	H1570-ND	.41	6.22	19.50	DF14-9S-1.25C
	10	14.45	11.25	H1571-ND	.43	7.16	21.38	DF14-10S-1.25C
	15	20.70	17.50	H1572-ND	.47	6.93	21.69	DF14-15S-1.25C
	20	26.95	23.75	H1573-ND	.52	7.69	24.08	DF14-20S-1.25C
	25	33.20	30.00	H1574-ND	.57	8.51	26.66	DF14-25S-1.25C
	30	39.45	36.25	H1575-ND	.50	9.08	29.72	DF14-30S-1.25C
				Rechtwinklige Pin-Steckleisten (SMT)				
				Verzinnt, mit Nabe				
2	2	7.45	1.25	H1511-ND	1.03	18.63	60.96	DF14-2P-1.25H(20)
	3	8.70	2.50	H1512-ND	1.06	19.21	62.86	DF14-3P-1.25H(20)
	4	9.95	3.75	H1513-ND	1.16	20.95	68.57	DF14-4P-1.25H(20)
	5	11.20	5.00	H1514-ND	1.22	22.12	72.38	DF14-5P-1.25H(20)
	6	12.45	6.25	H1515-ND	1.25	22.70	74.29	DF14-6P-1.25H(20)
	7	13.70	7.50	H1516-ND	1.32	23.87	78.10	DF14-7P-1.25H(20)
	8	14.95	8.75	H1517-ND	1.41	25.61	83.81	DF14-8P-1.25H(20)
	9	16.20	10.00	H1518-ND	1.45	26.19	85.72	DF14-9P-1.25H(20)
	10	17.45	11.25	H1519-ND	1.54	27.94	91.43	DF14-10P-1.25H(20)
	15	23.70	17.50	H1520-ND	1.71	32.81	104.98	DF14-15P-1.25H(20)
	20	29.95	23.75	H1521-ND	2.01	38.63	123.60	DF14-20P-1.25H(20)
	25	36.20	30.00	H1522-ND	2.29	43.92	140.54	DF14-25P-1.25H(20)
	30	42.45	36.25	H1523-ND	2.45	47.10	150.69	DF14-30P-1.25H(20)
				Verzinnt, ohne Nabe				
2	2	7.45	1.25	H1524-ND	1.03	18.63	60.96	DF14A-2P-1.25H(20)
	3	8.70	2.50	H1525-ND	1.06	19.21	62.86	DF14A-3P-1.25H(20)
	4	9.95	3.75	H1526-ND	1.16	20.95	68.57	DF14A-4P-1.25H(20)
	5	11.20	5.00	H1527-ND	1.22	22.12	72.38	DF14A-5P-1.25H(20)
	6	12.45	6.25	H1528-ND	1.25	22.70	74.29	DF14A-6P-1.25H(20)
	7	13.70	7.50	H1529-ND	1.32	23.87	78.10	DF14A-7P-1.25H(20)
	8	14.95	8.75	H1530-ND	1.41	25.61	83.81	DF14A-8P-1.25H(20)
	9	16.20	10.00	H1531-ND	1.45	26.19	85.72	DF14A-9P-1.25H(20)
	10	17.45	11.25	H1532-ND	1.54	27.94	91.43	DF14A-10P-1.25H(20)
	15	23.70	17.50	H1533-ND	1.71	32.81	104.98	DF14A-15P-1.25H(20)
	20	29.95	23.75	H1534-ND	2.01	38.63	123.60	DF14A-20P-1.25H(20)
	25	36.20	30.00	H1535-ND	2.29	43.92	140.54	DF14A-25P-1.25H(20)
	30	42.45	36.25	H1536-ND	2.45	47.10	150.69	DF14A-30P-1.25H(20)
				Vergoldet, mit Nabe				
2	2	7.45	1.25	H1537-ND	1.03	18.63	60.96	DF14-2P-1.25H(50)
	3	8.70	2.50	H1538-ND	1.13	20.37	66.67	DF14-3P-1.25H(50)
	4	9.95	3.75	H1539-ND	1.22	22.12	72.38	DF14-4P-1.25H(50)
	5	11.20	5.00	H1540-ND	1.25	22.70	74.29	DF14-5P-1.25H(50)
	6	12.45	6.25	H1541-ND	1.35	24.45	80.00	DF14-6P-1.25H(50)
	7	13.70	7.50	H1542-ND	1.41	25.61	83.81	DF14-7P-1.25H(50)
	8	14.95	8.75	H1543-ND	1.48	26.78	87.62	DF14-8P-1.25H(50)
	9	16.20	10.00	H1544-ND	1.57	28.52	93.34	DF14-9P-1.25H(50)
	10	17.45	11.25	H1545-ND	1.41	26.99	86.35	DF14-10P-1.25H(50)
	15	23.70	17.50	H1546-ND	1.87	35.98	115.14	DF14-15P-1.25H(50)
	20	29.95	23.75	H1547-ND	2.20	42.33	135.46	DF14-20P-1.25H(50)
	25	36.20	30.00	H1548-ND	2.51	48.15	154.08	DF14-25P-1.25H(50)
	30	42.45	36.25	H1549-ND	2.51	48.58	155.44	DF14-30P-1.25H(50)
				Vergoldet, ohne Nabe				
2	2	7.45	1.25	H1550-ND	1.03	18.63	60.96	DF14A-2P-1.25H(50)
	3	8.70	2.50	H1551-ND	1.13	20.37	66.67	DF14A-3P-1.25H(50)
	4	9.95	3.75	H1552-ND	1.22	22.12	72.38	DF14A-4P-1.25H(50)
	5	11.20	5.00	H1553-ND	1.25	22.70	74.29	DF14A-5P-1.25H(50)
	6	12.45	6.25	H1554-ND	1.35	24.45	80.00	DF14A-6P-1.25H(50)
	7	13.70	7.50	H1555-ND	1.41	25.61	83.81	DF14A-7P-1.25H(50)
	8	14.95	8.75	H1556-ND	1.48	26.78	87.62	DF14A-8P-1.25H(50)
	9	16.20	10.00	H1557-ND	1.57	28.52	93.34	DF14A-9P-1.25H(50)
	10	17.45	11.25	H1558-ND	1.41	26.99	86.35	DF14A-10P-1.25H(50)
	15	23.70	17.50	H1559-ND	1.87	35.98	115.14	DF14A-15P-1.25H(50)
	20	29.95	23.75	H1560-ND	2.20	42.33	135.46	DF14A-20P-1.25H(50)
	25	36.20	30.00	H1561-ND	2.51	48.15	154.08	DF14A-25P-1.25H(50)
	30	42.45	36.25	H1562-ND	2.51	48.58	155.44	DF14A-30P-1.25H(50)

Sockel-Crimpkontakte

Beschreibung	Digi-Key Teilenr.	Gurtabschnittspreise 10	50	100	Digi-Key Teilenr.	T & R Pricing* 10,000	Hirose Teilenr.
26-28 AWG verzinnt	H1576CT-ND	.47	1.29	2.10	H1576TR-ND	8.64/M	DF14-2628SCF
26-28 AWG vergoldet	H1577CT-ND	1.24	3.38	5.51	H1577TR-ND	22.67/M	DF14-2628SCFA
30-32 AWG verzinnt	H1578CT-ND	.47	1.29	2.10	H1578TR-ND	8.64/M	DF14-3032SCF
30-32 AWG vergoldet	H1579CT-ND	1.24	3.38	5.51	H1579TR-ND	22.67/M	DF14-3032SCFA
Werkzeuge							
Manueller Crimper für 26-28 AWG	H9949-ND				1031.23/1		DF14-2628/CR-HT
Manueller Crimper für 30-32 AWG	H9948-ND				1073.07/1		DF14-3032/CR-HT

Serie DF4 Board-In-Steckverbinder
Pitch 2 mm

Merkmale: • Extrahierbarer Sockel und Board-in-Steckverbinder mit doppelseitigem Kabelbaum machen eine der zwei für doppelseitige Sockelkabelbäume erforderlichen Steckleisten unnötig, wobei die platinentrennende Funktion unberührt bleibt • Kompakt und Multi-Kontakt • Temporäre Kartenbefestigungsstruktur

Anwendungen: • Notebook Computer, kompakte OA-Geräte

Spezifikationen: • Nennstrom: Crimping - 24 AWG: 3 A, 26 AWG: 2 A, 28 AWG: 1 A. ID-Abschluss - Drahtgröße 26/28 AWG:1 A • Betriebstemperatur: -30 °C ~ 85 °C • Nennspannung: Crimping - 250 V AC, ID-Abschluss - 100 V AC

Material: • Crimp-Stecker: Isolierung, Polyimidharz, schwarz, UL94V-0. • Crimp-Anschluss für Stecker: Anschluss, Messing, verzinnt • ID-Abschlusssstecker: • Isolierung: Polyimidharz, schwarz, UL94V-0 • An-schluss: Phosphorbronze, verzinnt

Abb. 1

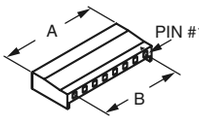

Abb. 2

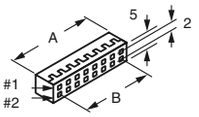

Abb.	Anz. der Kontakte	Abmessung (mm) A	B	Digi-Key Teilenr.	Preisangaben 1	25	100	Hirose Teilenr.
				Crimp-Stecker, Einzelreihe				
1	2	4.5	2.0	H2582-ND	.25	2.74	7.73	DF4- 2P-2C
	3	6.5	4.0	H2583-ND	.26	2.84	8.03	DF4- 3P-2C
	4	8.5	6.0	H2584-ND	.27	2.93	8.26	DF4- 4P-2C
	5	10.5	8.0	H2585-ND	.25	3.03	9.04	DF4- 5P-2C
	6	12.5	10.0	H2586-ND	.24	2.84	8.47	DF4- 6P-2C
	7	14.5	12.0	H2587-ND	.30	3.23	9.13	DF4- 7P-2C
	8	16.5	14.0	H2588-ND	.24	2.88	8.59	DF4- 8P-2C
	9	18.5	16.0	H2589-ND	.25	3.05	9.10	DF4- 9P-2C
	10	20.5	18.0	H2590-ND	.42	5.04	15.03	DF4-10P-2C
	11	22.5	20.0	H2591-ND	.26	3.10	9.25	DF4-11P-2C
	12	24.5	22.0	H2592-ND	.26	3.17	9.48	DF4-12P-2C
	13	26.5	24.0	H2593-ND	.27	3.26	9.74	DF4-13P-2C
	14	28.5	26.0	H2594-ND	.28	3.34	9.97	DF4-14P-2C
	15	30.0	28.0	H2595-ND	.29	3.45	10.29	DF4-15P-2C
				Crimp-Stecker, Doppelreihe				
2	4	4.8	2.0	H2596-ND	.37	4.50	13.44	DF4- 4DP-2C
	6	6.8	4.0	H2597-ND	.38	4.61	13.74	DF4- 6DP-2C
	8	8.8	6.0	H2598-ND	.39	4.69	14.01	DF4- 8DP-2C
	10	10.8	8.0	H2599-ND	.40	4.79	14.31	DF4-10DP-2C
	12	12.8	10.0	H2600-ND	.41	4.89	14.60	DF4-12DP-2C
	14	14.8	12.0	H2601-ND	.45	5.38	16.04	DF4-14DP-2C
	16	16.8	14.0	H2602-ND	.46	5.47	16.32	DF4-16DP-2C
	18	18.8	16.0	H2603-ND	.47	5.56	16.62	DF4-18DP-2C
	20	20.8	18.0	H2604-ND	.37	5.64	17.67	DF4-20DP-2C
	22	22.8	20.0	H2605-ND	.38	5.71	17.91	DF4-22DP-2C
	24	24.8	22.0	H2606-ND	.39	5.81	18.20	DF4-24DP-2C
	26	26.8	24.0	H2607-ND	.39	5.89	18.46	DF4-26DP-2C
	28	28.8	26.0	H2608-ND	.45	6.67	20.89	DF4-28DP-2C
	30	30.8	28.0	H2609-ND	.44	6.60	20.65	DF4-30DP-2C
	32	32.8	30.0	H2610-ND	.45	6.72	21.05	DF4-32DP-2C

Crimpanschluss

Beschreibung	Digi-Key Teilenr.	Preisangaben *lose* 100	Hirose Teilenr.	Gurtabschnitt-spreise* 10	50	100	Preisangaben gegurtet auf Rolle† 10,000	Hirose Teilenr.
24-28 AWG Zinnüberzug	H2612-ND	3.08	DF4-2428PC	.60	1.63	2.66	10.95/M	DF4-2428PCF
Werkzeug								
Manueller Crimper für lockere Kontakte	H9993-ND				791.91/1			DF4-TA2428HC

* Für Gurtabschnitte der Digi-Key-Teilenr. „CT" hinzufügen (H2612CT-ND)
† Für Gegurtet auf Rolle der Digi-Key-Teilenr. „TR" hinzufügen (H2612TR-ND)

Abschlussstecker

Abb. 1

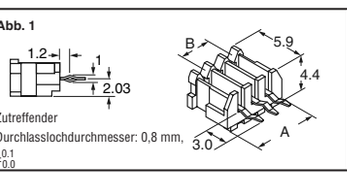

Zutreffender Durchlasslochdurchmesser: 0,8 mm, $\pm^{0.1}_{0.0}$

Abb. 2

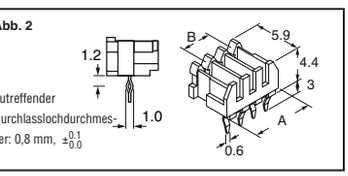

Zutreffender Durchlasslochdurchmesser: 0,8 mm, $\pm^{0.1}_{0.0}$

Abb.	Anz. der Kontakte	Abmessungen (mm) A	B	Digi-Key Teilenr.	Preisangaben 1	25	100	Hirose Teilenr.
				Gerade, ID				
				26 AWG				
1	2	6.0	2.0	H2613-ND	.44	5.30	15.83	DF4- 2P-2R26
	3	8.0	4.0	H2614-ND	.38	5.77	18.07	DF4- 3P-2R26
	4	10.0	6.0	H2615-ND	.47	6.98	21.88	DF4- 4P-2R26
	5	12.0	8.0	H2616-ND	.56	8.44	26.44	DF4- 5P-2R26
	6	14.0	10.0	H2617-ND	.48	8.76	28.69	DF4- 6P-2R26
	7	16.0	12.0	H2618-ND	.53	9.65	31.59	DF4- 7P-2R26
	8	18.0	14.0	H2619-ND	.58	10.59	34.67	DF4- 8P-2R26
	9	20.0	16.0	H2620-ND	.63	11.44	37.43	DF4- 9P-2R26
	10	22.0	18.0	H2621-ND	.69	12.44	40.70	DF4-10P-2R26
	11	24.0	20.0	H2622-ND	.81	14.77	48.35	DF4-11P-2R26
	12	26.0	22.0	H2623-ND	.86	15.68	51.32	DF4-12P-2R26
	13	28.0	24.0	H2624-ND	.92	16.70	54.67	DF4-13P-2R26
	14	30.0	26.0	H2625-ND	.97	17.61	57.64	DF4-14P-2R26
	15	32.0	28.0	H2626-ND	1.02	18.52	60.59	DF4-15P-2R26
				28 AWG				
1	2	6.0	2.0	H2627-ND	.44	5.30	15.83	DF4- 2P-2R28
	3	8.0	4.0	H2628-ND	.38	5.77	18.07	DF4- 3P-2R28
	4	10.0	6.0	H2629-ND	.45	6.79	21.27	DF4- 4P-2R28
	5	12.0	8.0	H2630-ND	.56	8.44	26.44	DF4- 5P-2R28
	6	14.0	10.0	H2631-ND	.48	8.76	28.69	DF4- 6P-2R28
	7	16.0	12.0	H2632-ND	.53	9.65	31.59	DF4- 7P-2R28
	8	18.0	14.0	H2633-ND	.58	10.59	34.67	DF4- 8P-2R28
	9	20.0	16.0	H2634-ND	.63	11.44	37.43	DF4- 9P-2R28
	10	22.0	18.0	H2635-ND	.69	12.44	40.70	DF4-10P-2R28

* Preisangabe für Gegurtet auf Rolle

(Forts.)

Alle Preisangaben in Euro und inklusive Zollgebühren.

Serie DF4 Board-In-Steckverbinder *(Forts.)*

Pitch 2 mm

Abb.	Anz. der Kontakte	Abmessungen (mm) A	B	Digi-Key Teilenr.	Preisangaben 1	25	100	Hirose Teilenr.
1	11	24.0	20.0	H2636-ND	.81	14.77	48.35	DF4-11P-2R28
	12	26.0	22.0	H2637-ND	.86	15.68	51.32	DF4-12P-2R28
	13	28.0	24.0	H2638-ND	.92	16.70	54.67	DF4-13P-2R28
	14	30.0	26.0	H2639-ND	.97	17.61	57.64	DF4-14P-2R28
	15	32.0	28.0	H2640-ND	1.02	18.52	60.59	DF4-15P-2R28
Rechter Winkel, ID								
26 AWG								
2	2	6.0	2.0	H2641-ND	.47	5.55	16.55	DF4- 2PA-2R26
	3	8.0	4.0	H2642-ND	.37	5.65	17.69	DF4- 3PA-2R26
	4	10.0	6.0	H2643-ND	.44	6.64	20.79	DF4- 4PA-2R26
	5	12.0	8.0	H2644-ND	.59	8.83	27.66	DF4- 5PA-2R26
	6	14.0	10.0	H2645-ND	.62	9.33	29.22	DF4- 6PA-2R26
	7	16.0	12.0	H2646-ND	.52	9.40	30.75	DF4- 7PA-2R26
	8	18.0	14.0	H2647-ND	.57	10.31	33.74	DF4- 8PA-2R26
	9	20.0	16.0	H2648-ND	.62	11.12	36.39	DF4- 9PA-2R26
	10	22.0	18.0	H2649-ND	.72	13.04	42.67	DF4-10PA-2R26
	11	24.0	20.0	H2650-ND	.80	14.38	47.07	DF4-11PA-2R26
	12	26.0	22.0	H2651-ND	.85	15.26	49.92	DF4-12PA-2R26
	13	28.0	24.0	H2652-ND	.89	16.12	52.74	DF4-13PA-2R26
	14	30.0	26.0	H2653-ND	.94	16.98	55.59	DF4-14PA-2R26
	15	32.0	28.0	H2654-ND	.98	17.84	58.38	DF4-15PA-2R26
28 AWG								
2	2	6.0	2.0	H2655-ND	.43	5.20	15.52	DF4- 2PA-2R28
	3	8.0	4.0	H2656-ND	.37	5.65	17.69	DF4- 3PA-2R28
	4	10.0	6.0	H2657-ND	.44	6.64	20.79	DF4- 4PA-2R28
	5	12.0	8.0	H2658-ND	.55	8.24	25.80	DF4- 5PA-2R28
	6	14.0	10.0	H2659-ND	.62	9.33	29.22	DF4- 6PA-2R28
	7	16.0	12.0	H2660-ND	.52	9.40	30.75	DF4- 7PA-2R28
	8	18.0	14.0	H2661-ND	.57	10.31	33.74	DF4- 8PA-2R28
	9	20.0	16.0	H2662-ND	.64	11.58	37.91	DF4- 9PA-2R28
	10	22.0	18.0	H2663-ND	.69	12.55	41.07	DF4-10PA-2R28
	11	24.0	20.0	H2664-ND	.80	14.38	47.07	DF4-11PA-2R28
	12	26.0	22.0	H2665-ND	.85	15.26	49.92	DF4-12PA-2R28
	13	28.0	24.0	H2666-ND	.89	16.12	52.74	DF4-13PA-2R28
	14	30.0	26.0	H2667-ND	.87	15.76	51.58	DF4-14PA-2R28
	15	32.0	28.0	H2668-ND	.98	17.84	58.38	DF4-15PA-2R28

Serie DF3 Steckverbinder, Einzelreihe

Pitch 2 mm (Verbindungsdraht erhältlich)

Spezifikationen: • Maximale Stromkapazität: 3 A • Nennspannung: 250 V AC • Isolationswiderstand: Min. 1.000 MΩ bei 500 V DC • Haltewiderstand: 650 V AC • Kontaktwiderstand: Max. 30 mΩ bei 0,1 A DC

Abb. 1

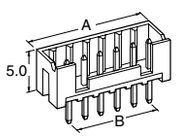

Abb. 2 — SMT

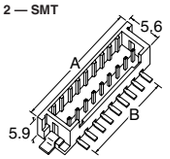

Abb. 3

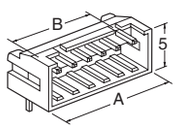

Abb. 4 — SMT

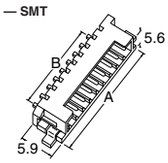

Abb. 5

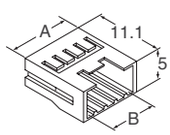

Abb. 6

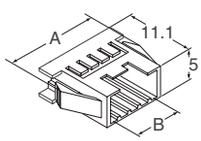

Abb. 7

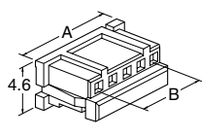

Abb. 8

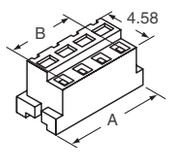

Abb. 9

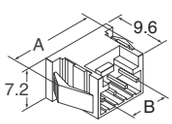

Abb. 10

A Sockel

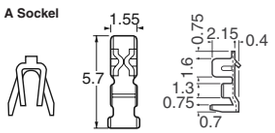

B Pin

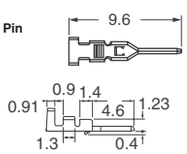

Abb.	Anz. d. Pins	Abmessungen (mm) A	B	Digi-Key Teilenr.	Preisangaben 1	25	100	Hirose Teilenr.
PIN-STIFTLEISTEN Vertikal								
Verzinnung								
1	2	6	2	H2094-ND	.36	4.39	13.12	DF3A-2P-2DSA
	3	8	4	H2095-ND	.30	3.22	9.08	DF3A-3P-2DSA
	4	10	6	H2096-ND	.47	5.53	16.51	DF3A-4P-2DSA
	5	12	8	H2097-ND	.39	5.84	18.30	DF3A-5P-2DSA
	6	14	10	H2098-ND	.41	6.22	19.50	DF3A-6P-2DSA
	7	16	12	H2099-ND	.45	6.67	20.89	DF3A-7P-2DSA
	8	18	14	H2147-ND	.47	6.98	21.88	DF3A-8P-2DSA
	9	20	16	H2101-ND	.52	7.69	24.08	DF3A-9P-2DSA
	10	22	18	H2102-ND	.55	8.25	25.86	DF3A-10P-2DSA
	11	24	20	H2103-ND	.49	8.91	29.15	DF3A-11P-2DSA
	12	26	22	H2104-ND	.51	9.25	30.29	DF3A-12P-2DSA
	13	28	24	H2293-ND	.53	9.60	31.43	DF3-13P-2DSA
	14	30	26	H2294-ND	.56	10.13	33.14	DF3-14P-2DSA
	15	32	28	H2295-ND	.58	10.48	34.29	DF3-15P-2DSA
Vergoldung								
1	2	6	2	H3921-ND	.41	6.10	19.10	DF3-2P-2DSA(01)
	3	8	4	H3922-ND	.52	7.81	24.48	DF3-3P-2DSA(01)
	4	10	6	H3923-ND	.62	9.21	28.85	DF3-4P-2DSA(01)
	5	12	8	H3924-ND	.57	10.24	33.53	DF3-5P-2DSA(01)
	6	14	10	H3925-ND	.58	10.36	33.91	DF3-6P-2DSA(01)
	7	16	12	H3926-ND	.71	12.92	42.29	DF3-7P-2DSA(01)
	8	18	14	H3927-ND	.79	14.26	46.67	DF3-8P-2DSA(01)
	9	20	16	H3928-ND	.87	15.83	51.81	DF3-9P-2DSA(01)
	10	22	18	H3929-ND	.96	17.29	56.58	DF3-10P-2DSA(01)
	11	24	20	H3930-ND	1.08	19.56	64.00	DF3-11P-2DSA(01)
	12	26	22	H3931-ND	1.16	20.95	68.57	DF3-12P-2DSA(01)
	13	28	24	H3932-ND	1.23	22.23	72.77	DF3-13P-2DSA(01)
	14	30	26	H3933-ND	1.31	23.75	77.72	DF3-14P-2DSA(01)
	15	32	28	H3934-ND	1.38	25.03	81.91	DF3-15P-2DSA(01)
Vertikal mit Nabe, Oberflächenmontage								
Verzinnung								
2	2	8.5	2	H2116-ND	.61	11.06	36.19	DF3-2P-2V(20)
	3	10.5	4	H2117-ND	.61	11.06	36.19	DF3-3P-2V(20)
	4	12.5	6	H2118-ND	.64	11.64	38.10	DF3-4P-2V(20)
	5	14.5	8	H2119-ND	.71	12.81	41.91	DF3-5P-2V(20)
	6	16.5	10	H2148-ND	.71	12.81	41.91	DF3-6P-2V(20)
	7	18.5	12	H2121-ND	.74	13.38	43.81	DF3-7P-2V(20)
	8	20.5	14	H2122-ND	.74	13.38	43.81	DF3-8P-2V(20)
	9	22.5	16	H2123-ND	.84	15.14	49.53	DF3-9P-2V(20)
	10	24.5	18	H2124-ND	.90	16.30	53.34	DF3-10P-2V(20)
	11	26.5	20	H2125-ND	.93	16.88	55.24	DF3-11P-2V(20)
	12	28.5	22	H2126-ND	.97	17.47	57.15	DF3-12P-2V(20)
	13	30.5	24	H2313-ND	1.03	18.63	60.96	DF3-13P-2V(20)
	14	32.5	26	H2314-ND	1.06	19.21	62.86	DF3-14P-2V(20)
	15	34.5	28	H2315-ND	1.16	20.95	68.57	DF3-15P-2V(20)
Vergoldung								
2	2	8.5	2	H3935-ND	.61	11.06	36.19	DF3-2P-2V(50)
	3	10.5	4	H3936-ND	.71	12.81	41.91	DF3-3P-2V(50)
	4	12.5	6	H3937-ND	.80	14.55	47.62	DF3-4P-2V(50)
	5	14.5	8	H3938-ND	.90	16.30	53.34	DF3-5P-2V(50)
	6	16.5	10	H3939-ND	.97	17.47	57.15	DF3-6P-2V(50)
	7	18.5	12	H3940-ND	1.03	18.63	60.96	DF3-7P-2V(50)
	8	20.5	14	H3941-ND	1.13	20.37	66.67	DF3-8P-2V(50)
	9	22.5	16	H3942-ND	1.25	22.70	74.29	DF3-9P-2V(50)
	10	24.5	18	H3943-ND	1.35	24.45	80.00	DF3-10P-2V(50)
	11	26.5	20	H3944-ND	1.48	26.78	87.62	DF3-11P-2V(50)
	12	28.5	22	H3945-ND	1.54	27.94	91.43	DF3-12P-2V(50)
	13	30.5	24	H3946-ND	1.41	26.99	86.35	DF3-13P-2V(50)
	14	32.5	26	H3947-ND	1.43	27.51	88.05	DF3-14P-2V(50)
	15	34.5	28	H3948-ND	1.57	30.16	96.51	DF3-15P-2V(50)
Vertikal ohne Nabe, Oberflächenmontage								
Verzinnung								
2	2	8.5	2	H3949-ND	.61	11.06	36.19	DF3D-2P-2V(20)
	3	10.5	4	H3950-ND	.64	11.64	38.10	DF3D-3P-2V(20)
	4	12.5	6	H3951-ND	.71	12.81	41.91	DF3D-4P-2V(20)
	5	14.5	8	H3952-ND	.74	13.38	43.81	DF3D-5P-2V(20)
	6	16.5	10	H3953-ND	.80	14.55	47.62	DF3D-6P-2V(20)
	7	18.5	12	H3954-ND	.84	15.14	49.53	DF3D-7P-2V(20)
	8	20.5	14	H3955-ND	.90	16.30	53.34	DF3D-8P-2V(20)
	9	22.5	16	H3956-ND	.90	16.30	53.34	DF3D-9P-2V(20)
	10	24.5	18	H3957-ND	.93	16.88	55.24	DF3D-10P-2V(20)
	11	26.5	20	H3958-ND	.97	17.47	57.15	DF3D-11P-2V(20)
	12	28.5	22	H3959-ND	1.03	18.63	60.96	DF3D-12P-2V(20)
	13	30.5	24	H3960-ND	1.06	19.21	62.86	DF3D-13P-2V(20)
	14	32.5	26	H3961-ND	1.13	20.37	66.67	DF3D-14P-2V(20)
	15	34.5	28	H3962-ND	1.16	20.95	68.57	DF3D-15P-2V(20)
Vergoldung								
2	2	8.5	2	H3963-ND	.61	11.06	36.19	DF3D-2P-2V(50)
	3	10.5	4	H3964-ND	.71	12.81	41.91	DF3D-3P-2V(50)
	4	12.5	6	H3965-ND	.80	14.55	47.62	DF3D-4P-2V(50)
	5	14.5	8	H3966-ND	.90	16.30	53.34	DF3D-5P-2V(50)
	6	16.5	10	H3967-ND	.97	17.47	57.15	DF3D-6P-2V(50)
	7	18.5	12	H3968-ND	1.03	18.63	60.96	DF3D-7P-2V(50)
	8	20.5	14	H3969-ND	1.13	20.37	66.67	DF3D-8P-2V(50)
	9	22.5	16	H3970-ND	1.25	22.70	74.29	DF3D-9P-2V(50)
	10	24.5	18	H3971-ND	1.35	24.45	80.00	DF3D-10P-2V(50)
	11	26.5	20	H3972-ND	1.48	26.78	87.62	DF3D-11P-2V(50)
	12	28.5	22	H3973-ND	1.54	27.94	91.43	DF3D-12P-2V(50)
	13	30.5	24	H3974-ND	1.41	26.99	86.35	DF3D-13P-2V(50)
	14	32.5	26	H3975-ND	1.49	28.57	91.43	DF3D-14P-2V(50)
	15	34.5	28	H3976-ND	1.57	30.16	96.51	DF3D-15P-2V(50)
Rechtwinklig								
Verzinnung (post-plattierter Kontakt)								
3	2	6	2	H2105-ND	.42	5.04	15.03	DF3-2P-2DS
	3	8	4	H2106-ND	.36	5.27	16.52	DF3-3P-2DS
	4	10	6	H2107-ND	.39	5.78	18.11	DF3-4P-2DS
	5	12	8	H2108-ND	.47	6.93	21.69	DF3-5P-2DS
	6	14	10	H2109-ND	.49	7.37	23.08	DF3-6P-2DS
	7	16	12	H2110-ND	.41	7.27	23.81	DF3-7P-2DS
	8	18	14	H2111-ND	.56	8.32	26.07	DF3-8P-2DS
	9	20	16	H2112-ND	.63	9.46	29.65	DF3-9P-2DS
	10	22	18	H2113-ND	.51	9.13	29.91	DF3-10P-2DS
	11	24	20	H2114-ND	.59	10.71	35.05	DF3-11P-2DS
	12	26	22	H2115-ND	.62	11.18	36.57	DF3-12P-2DS
	13	28	24	H2310-ND	.64	11.64	38.10	DF3-13P-2DS
	14	30	26	H2311-ND	.68	12.22	40.00	DF3-14P-2DS
	15	32	28	H2312-ND	.69	12.63	41.34	DF3-15P-2DS
Verzinnung (prä-plattierter Kontakt)								
3	2	6	2	H3893-ND	.36	5.27	16.52	DF3A-2P-2DS
	3	8	4	H3894-ND	.36	5.27	16.52	DF3A-3P-2DS
	4	10	6	H3895-ND	.39	5.78	18.11	DF3A-4P-2DS
	5	12	8	H3896-ND	.47	6.93	21.69	DF3A-5P-2DS
	6	14	10	H3897-ND	.49	7.37	23.08	DF3A-6P-2DS
	7	16	12	H3898-ND	.53	7.94	24.87	DF3A-7P-2DS
	8	18	14	H3899-ND	.56	8.32	26.07	DF3A-8P-2DS
	9	20	16	H3900-ND	.63	9.46	29.65	DF3A-9P-2DS
	10	22	18	H3901-ND	.49	7.31	22.88	DF3A-10P-2DS

(Forts.)

Serie DF3 Steckverbinder, Einzelreihe *(Forts.)*

Pitch 2 mm (Verbindungsdraht erhältlich)

Abb.	Anz. d. Pins	Abmessungen (mm) A	B	Digi-Key Teilenr.	Preisangaben 1	25	100	Hirose Teilenr.
3	11	24	20	H3902-ND	.59	10.71	35.05	DF3A-11P-2DS
	12	26	22	H3903-ND	.62	11.18	36.57	DF3A-12P-2DS
	13	28	24	H3904-ND	.55	8.25	25.86	DF3A-13P-2DS
	14	30	26	H3905-ND	.68	12.22	40.00	DF3A-14P-2DS
	15	32	28	H3906-ND	.69	12.63	41.34	DF3A-15P-2DS
				Vergoldung				
3	2	6	2	H3907-ND	.47	7.05	22.09	DF3-2P-2DS(01)
	3	8	4	H3908-ND	.61	9.08	28.45	DF3-3P-2DS(01)
	4	10	6	H3909-ND	.55	9.90	32.38	DF3-4P-2DS(01)
	5	12	8	H3910-ND	.67	12.05	39.43	DF3-5P-2DS(01)
	6	14	10	H3911-ND	.75	13.68	44.77	DF3-6P-2DS(01)
	7	16	12	H3912-ND	.85	15.31	50.10	DF3-7P-2DS(01)
	8	18	14	H3913-ND	.93	16.82	55.05	DF3-8P-2DS(01)
	9	20	16	H3914-ND	1.05	18.97	62.10	DF3-9P-2DS(01)
	10	22	18	H3915-ND	1.14	20.61	67.43	DF3-10P-2DS(01)
	11	24	20	H3916-ND	1.29	23.34	76.39	DF3-11P-2DS(01)
	12	26	22	H3917-ND	1.38	24.97	81.72	DF3-12P-2DS(01)
	13	28	24	H3918-ND	1.46	26.54	86.86	DF3-13P-2DS(01)
	14	30	26	H3919-ND	1.56	28.23	92.39	DF3-14P-2DS(01)
	15	32	28	H3920-ND	1.41	27.09	86.69	DF3-15P-2DS(01)
				Rechter Winkel mit Nabe, Oberflächenmontage				
				Verzinnung				
4	2	8.5	2	H2127-ND	.61	11.06	36.19	DF3-2P-2H(20)
	3	10.5	4	H2128-ND	.61	11.06	36.19	DF3-3P-2H(20)
	4	12.5	6	H2129-ND	.64	11.64	38.10	DF3-4P-2H(20)
	5	14.5	8	H2130-ND	.71	12.81	41.91	DF3-5P-2H(20)
	6	16.5	10	H2131-ND	.74	13.38	43.81	DF3-6P-2H(20)
	7	18.5	12	H2149-ND	.74	13.38	43.81	DF3-7P-2H(20)
	8	20.5	14	H2133-ND	.80	14.55	47.62	DF3-8P-2H(20)
	9	22.5	16	H2134-ND	.84	15.14	49.53	DF3-9P-2H(20)
	10	24.5	18	H2135-ND	.90	16.30	53.34	DF3-10P-2H(20)
	11	26.5	20	H2136-ND	.97	17.47	57.15	DF3-11P-2H(20)
	12	28.5	22	H2137-ND	.97	17.47	57.15	DF3-12P-2H(20)
	13	30.5	24	H2316-ND	1.06	19.21	62.86	DF3-13P-2H(20)
	14	32.5	26	H2317-ND	1.13	20.37	66.67	DF3-14P-2H(20)
	15	34.5	28	H2318-ND	1.16	20.95	68.57	DF3-15P-2H(20)
				Vergoldung				
4	2	8.5	2	H3977-ND	1.65	31.75	101.59	DF3-2P-2H(50)
	3	10.5	4	H3978-ND	1.79	34.40	110.06	DF3-3P-2H(50)
	4	12.5	6	H3979-ND	1.96	37.57	120.22	DF3-4P-2H(50)
	5	14.5	8	H3980-ND	2.15	41.27	132.07	DF3-5P-2H(50)
	6	16.5	10	H3981-ND	2.31	44.45	142.23	DF3-6P-2H(50)
	7	18.5	12	H3982-ND	2.48	47.62	152.39	DF3-7P-2H(50)
	8	20.5	14	H3983-ND	2.67	51.33	164.24	DF3-8P-2H(50)
	9	22.5	16	H3984-ND	2.58	50.00	160.01	DF3-9P-2H(50)
	10	24.5	18	H3985-ND	2.70	52.39	167.63	DF3-10P-2H(50)
	11	26.5	20	H3986-ND	2.84	55.24	176.77	DF3-11P-2H(50)
	12	28.5	22	H3987-ND	3.02	58.58	187.44	DF3-12P-2H(50)
	13	30.5	24	H3988-ND	2.62	50.96	163.06	DF3-13P-2H(50)
	14	32.5	26	H3989-ND	3.32	64.29	205.72	DF3-14P-2H(50)
	15	34.5	28	H3990-ND	3.46	67.14	214.87	DF3-15P-2H(50)
				Rechter Winkel ohne Nabe, Oberflächenmontage				
				Verzinnung				
4	2	8.5	2	H3991-ND	.61	11.06	36.19	DF3D-2P-2H(20)
	3	10.5	4	H3992-ND	.64	11.64	38.10	DF3D-3P-2H(20)
	4	12.5	6	H3993-ND	.71	12.81	41.91	DF3D-4P-2H(20)
	5	14.5	8	H3994-ND	.74	13.38	43.81	DF3D-5P-2H(20)
	6	16.5	10	H3995-ND	.80	14.55	47.62	DF3D-6P-2H(20)
	7	18.5	12	H3996-ND	.84	15.14	49.53	DF3D-7P-2H(20)
	8	20.5	14	H3997-ND	.90	16.30	53.34	DF3D-8P-2H(20)
	9	22.5	16	H3998-ND	.90	16.30	53.34	DF3D-9P-2H(20)
	10	24.5	18	H3999-ND	.93	16.88	55.24	DF3D-10P-2H(20)
	11	26.5	20	H4000-ND	.97	17.47	57.15	DF3D-11P-2H(20)
	12	28.5	22	H4001-ND	1.03	18.63	60.96	DF3D-12P-2H(20)
	13	30.5	24	H4002-ND	1.06	19.21	62.86	DF3D-13P-2H(20)
	14	32.5	26	H4003-ND	1.13	20.37	66.67	DF3D-14P-2H(20)
	15	34.5	28	H4004-ND	1.16	20.95	68.57	DF3D-15P-2H(20)
				Vergoldung				
4	2	8.5	2	H4005-ND	1.65	31.75	101.59	DF3D-2P-2H(50)
	3	10.5	4	H4006-ND	1.79	34.40	110.06	DF3D-3P-2H(50)
	4	12.5	6	H4007-ND	1.96	37.57	120.22	DF3D-4P-2H(50)
	5	14.5	8	H4008-ND	2.15	41.27	132.07	DF3D-5P-2H(50)
	6	16.5	10	H4009-ND	2.31	44.45	142.23	DF3D-6P-2H(50)
	7	18.5	12	H4010-ND	2.48	47.62	152.39	DF3D-7P-2H(50)
	8	20.5	14	H4011-ND	2.67	51.33	164.24	DF3D-8P-2H(50)
	9	22.5	16	H4012-ND	2.58	50.00	160.01	DF3D-9P-2H(50)
	10	24.5	18	H4013-ND	2.70	52.39	167.63	DF3D-10P-2H(50)
	11	26.5	20	H4014-ND	2.84	55.24	176.77	DF3D-11P-2H(50)
	12	28.5	22	H4015-ND	3.02	58.58	187.44	DF3D-12P-2H(50)
	13	30.5	24	H4016-ND	3.17	61.43	196.58	DF3D-13P-2H(50)
	14	32.5	26	H4017-ND	3.32	64.29	205.72	DF3D-14P-2H(50)
	15	34.5	28	H4018-ND	3.46	67.14	214.87	DF3D-15P-2H(50)
				INLINE-STECKER (Kontakte separat bestellen)				
5	2	6	2	H4035-ND	.32	3.83	11.43	DF3-2EP-2C
	3	8	4	H4036-ND	.36	4.33	12.91	DF3-3EP-2C
	4	10	6	H4037-ND	.40	4.75	14.18	DF3-4EP-2C
	5	12	8	H4038-ND	.43	5.17	15.45	DF3-5EP-2C
	6	14	10	H4039-ND	.47	5.60	16.72	DF3-6EP-2C
	7	16	12	H4040-ND	.38	5.66	17.71	DF3-7EP-2C
	8	18	14	H4041-ND	.41	6.10	19.10	DF3-8EP-2C
	9	20	16	H4042-ND	.42	6.35	19.90	DF3-9EP-2C
	10	22	18	H4043-ND	.47	6.93	21.69	DF3-10EP-2C
	11	24	20	H4045-ND	.47	7.11	22.28	DF3-11EP-2C
	12	26	22	H4046-ND	.52	7.69	24.08	DF3-12EP-2C
	13	28	24	H4047-ND	.54	8.07	25.27	DF3-13EP-2C
	14	30	26	H4048-ND	.57	8.45	26.46	DF3-14EP-2C
	15	32	28	H4049-ND	.60	8.96	28.06	DF3-15EP-2C
				Mit Plattenverriegelung				
6	2	11	2	H4051-ND	.38	4.54	13.55	DF3AA-2EP-2C
	3	13	4	H4052-ND	.43	5.17	15.45	DF3AA-3EP-2C
	4	15	6	H4053-ND	.47	5.60	16.72	DF3AA-4EP-2C
	5	17	8	H4054-ND	.37	5.53	17.31	DF3AA-5EP-2C
6	6	19	10	H4055-ND	.40	5.97	18.70	DF3AA-6EP-2C
	7	21	12	H4056-ND	.43	6.42	20.10	DF3AA-7EP-2C
	8	23	14	H4057-ND	.46	6.86	21.49	DF3AA-8EP-2C
	9	25	16	H4058-ND	.49	7.31	22.88	DF3AA-9EP-2C
	10	27	18	H4059-ND	.52	7.75	24.27	DF3AA-10EP-2C
	11	29	20	H4060-ND	.55	8.25	25.86	DF3AA-11EP-2C
	12	31	22	H4061-ND	.58	8.70	27.26	DF3AA-12EP-2C
	13	33	24	H4062-ND	.61	9.14	28.65	DF3AA-13EP-2C
	14	35	26	H4063-ND	.48	8.79	28.77	DF3AA-14EP-2C
	15	37	28	H4065-ND	.51	9.25	30.29	DF3AA-15EP-2C
				CRIMPSOCKEL (Kontakte separat bestellen)				
7	2	6	2	H2083-ND	.19	2.01	4.99	DF3-2S-2C
	3	8	4	H2084-ND	.21	2.23	5.51	DF3-3S-2C
	4	10	6	H2085-ND	.22	2.33	5.77	DF3-4S-2C
	5	12	8	H2086-ND	.23	2.48	6.98	DF3-5S-2C
	6	14	10	H2087-ND	.25	2.64	7.45	DF3-6S-2C
	7	16	12	H2088-ND	.27	2.89	8.15	DF3-7S-2C
	8	18	14	H2089-ND	.29	3.14	8.85	DF3-8S-2C
	9	20	16	H2146-ND	.25	2.90	8.68	DF3-9S-2C
	10	22	18	H2091-ND	.25	3.05	9.10	DF3-10S-2C
	11	24	20	H2092-ND	.27	3.19	9.52	DF3-11S-2C
	12	26	22	H2093-ND	.28	3.34	9.95	DF3-12S-2C
	13	28	24	H2290-ND	.29	3.47	10.37	DF3-13S-2C
	14	30	26	H2291-ND	.30	3.61	10.79	DF3-14S-2C
	15	32	28	H2292-ND	.30	3.69	11.01	DF3-15S-2C
				STECKBUCHSE				
				Verzinnung				
8	2	6	2	H3865-ND	.61	11.06	36.19	DF3-2S-2DSA(20)
	3	8	4	H3866-ND	.71	12.81	41.91	DF3-3S-2DSA(20)
	4	10	6	H3867-ND	.80	14.55	47.62	DF3-4S-2DSA(20)
	5	12	8	H3868-ND	.90	16.30	53.34	DF3-5S-2DSA(20)
	6	14	10	H3869-ND	.97	17.47	57.15	DF3-6S-2DSA(20)
	7	16	12	H3870-ND	1.06	19.21	62.86	DF3-7S-2DSA(20)
	8	18	14	H3871-ND	1.16	20.95	68.57	DF3-8S-2DSA(20)
	9	20	16	H3872-ND	1.32	23.87	78.10	DF3-9S-2DSA(20)
	10	22	18	H3873-ND	1.41	25.61	83.81	DF3-10S-2DSA(20)
	11	24	20	H3874-ND	1.48	26.78	87.62	DF3-11S-2DSA(20)
	12	26	22	H3875-ND	1.41	26.99	86.35	DF3-12S-2DSA(20)
	13	28	24	H3876-ND	1.43	27.51	88.05	DF3-13S-2DSA(20)
	14	30	26	H3877-ND	1.57	30.16	96.51	DF3-14S-2DSA(20)
	15	32	28	H3878-ND	1.96	37.57	120.22	DF3-15S-2DSA(20)
				Vergoldung				
8	2	6	2	H3879-ND	.71	12.81	41.91	DF3-2S-2DSA(50)
	3	8	4	H3880-ND	.90	16.30	53.34	DF3-3S-2DSA(50)
	4	10	6	H3881-ND	1.13	20.37	66.67	DF3-4S-2DSA(50)
	5	12	8	H3882-ND	1.22	22.12	72.38	DF3-5S-2DSA(50)
	6	14	10	H3883-ND	1.35	24.45	80.00	DF3-6S-2DSA(50)
	7	16	12	H3884-ND	1.54	27.94	91.43	DF3-7S-2DSA(50)
	8	18	14	H3885-ND	1.43	27.51	88.05	DF3-8S-2DSA(50)
	9	20	16	H3886-ND	1.60	30.69	98.21	DF3-9S-2DSA(50)
	10	22	18	H3887-ND	1.71	32.81	104.98	DF3-10S-2DSA(50)
	11	24	20	H3888-ND	1.87	35.98	115.14	DF3-11S-2DSA(50)
	12	26	22	H3889-ND	2.04	39.16	125.30	DF3-12S-2DSA(50)
	13	28	24	H3890-ND	2.15	41.27	132.07	DF3-13S-2DSA(50)
	14	30	26	H3891-ND	2.31	44.45	142.23	DF3-14S-2DSA(50)
	15	32	28	H3892-ND	2.46	47.62	152.39	DF3-15S-2DSA(50)
				ADAPTER INLINE MIT PLATTENSPERRE				
9	2	11	2	H4019-ND	.58	10.42	34.10	DF3-2EP-2A
	3	13	4	H4021-ND	.64	11.64	38.10	DF3-3EP-2A
	4	15	6	H4022-ND	.71	12.86	42.10	DF3-4EP-2A
	5	17	8	H4023-ND	.78	14.09	46.10	DF3-5EP-2A
	6	19	10	H4024-ND	.86	15.54	50.86	DF3-6EP-2A
	7	21	12	H4025-ND	.93	16.82	55.05	DF3-7EP-2A
	8	23	14	H4026-ND	.99	17.93	58.67	DF3-8EP-2A
	9	25	16	H4027-ND	1.06	19.15	62.67	DF3-9EP-2A
	10	27	18	H4028-ND	1.13	20.43	66.86	DF3-10EP-2A
	11	29	20	H4029-ND	1.19	21.66	70.86	DF3-11EP-2A
	12	31	22	H4030-ND	1.27	23.05	75.43	DF3-12EP-2A
	13	33	24	H4031-ND	1.35	24.33	79.62	DF3-13EP-2A
	14	35	26	H4033-ND	1.41	25.49	83.43	DF3-14EP-2A
	15	37	28	H4034-ND	1.47	26.72	87.44	DF3-15EP-2A

Crimpkontakte

AWG	Digi-Key Teilenr.	Preisangaben *für lose Ware* 100	Hirose Teilenr.	*Gurtabschnitts-preise* 100	500	T & R† Pricing** 10,000	Hirose Teilenr.
			Steckerkontakte - Abb. 10B				
			Verzinnung				
24-28	H1502-ND	6.05	DF3-EP2428PC	3.15	10.67	12.96/M	DF3-EP2428PCF
			Vergoldung				
24-28	H1503-ND	16.51	DF3-EP2428PCA	8.62	29.76	39.16/M	DF3-EP2428PCFA
			Buchsenkontakte - Abb.10 A				
			Verzinnung				
22	H4066-ND	6.30	DF3-22SC	3.15	10.67	12.96/M	DF3-22SCF
24-28	H1500-ND	5.51	DF3-2428SC	1.84	6.22	7.56/M	DF3-2428SCF
			Vergoldung				
24-28	H1501-ND	8.62	DF3-2428SCC	6.05	20.91	27.94/M	DF3-2428SCFC

* Für Gurtabschnitte der Digi-Key-Teilenr. „CT" hinzufügen (H1502CT-ND) ** Preisangaben Gegurtet auf Rolle
† Für „Gegurtet auf Rolle" der Digi-Key-Teilenr. „TR" hinzufügen (H1502TR-ND)

Werkzeuge

AWG	Beschreibung	Digi-Key Teilenr.	Stück-preis	Hirose Teilenr.
22	Hand-Crimpwerkzeug für Sockel mit nicht-abnehmbarem Einsatz	H4454-ND	753.90	DF3-TA22-HC
24-28	Hand-Crimpwerkzeug für Sockel mit nicht-abnehmbarem Einsatz	H9997-ND	752.80	DF3-TA2428HC
24-28	Hand-Crimpwerkzeug für Pin, mit nicht-abnehmbarem Einsatz	H2308-ND	675.07	DF3EP-TA2428HC
24-28	Hand-Crimpwerkzeug mit Einsatz-Set	H9923-ND	484.17	DF3-TA2428HC/US
—	Hand-Crimpwerkzeug ohne Einsatz-Set	H9926-ND	281.49	HRUS-HT-1
24-28	Einsatz-Set für H9926-ND	H9927-ND	202.68	DF3-TA2428HC/US-DS

Alle Preisangaben in Euro und inklusive Zollgebühren.

DELPHI
Connection Systems

SPECIALTY ELECTRONICS

2 mm SMT-Steckleisten / Steckbuchsen

Abb.1

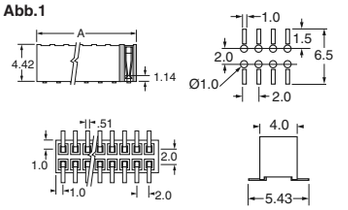

Spezifikationen: • Gehäusematerial: Hochtemperaturthermoplast, Entflammbarkeitsstufe: UL94V-0. • Farbe: Natur • Kontaktmaterial: Phosphorbronze.

Abb.2

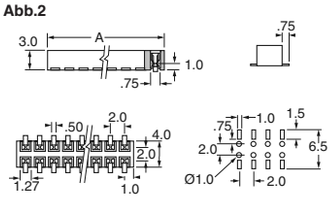

Spezifikationen: • Gehäusematerial: Hochtemperaturthermoplast, Entflammbarkeitsstufe: UL94V-0. • Farbe: Natur • Kontaktmaterial: Berylliumkupfer.

Abb. 3

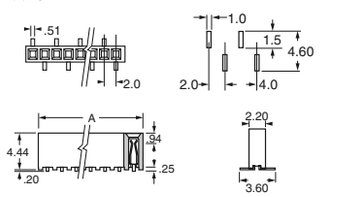

Spezifikationen: • Gehäusematerial: Hochtemperaturthermoplast, Entflammbarkeitsstufe: UL94V-0 • Farbe: Natur • Kontaktmaterial: Phosphorbronze.

Abb. 4

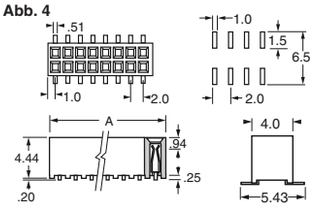

Spezifikationen: • Gehäusematerial: Hochtemperaturthermoplast, Entflammbarkeitsstufe: UL94V-0 • Farbe: Natur • Kontaktmaterial: Phosphorbronze.

Abb. 5

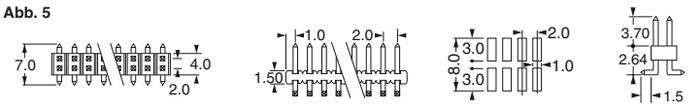

Spezifikationen: • Gehäusematerial: Hochtemperaturthermoplast, Entflammbarkeitsstufe: UL94V-0 • Farbe: Schwarz • Stiftmaterial: Phosphorbronze, gezogener Draht.

Abb.	Anz. der Pos.	Abm. „A“	Oberfläche	Digi-Key Teilenr.	Stückpreis 1	10	100	500	Hersteller Teilenr.
Doppelreihig, Eingang von unten (Steckbuchse)									
1	8	8.026	15 µ Gold	SPE1017-ND	1.11	1.00	.82	.65	203-04-15-01
	12	12.040	15 µ Gold	SPE1018-ND	.88	.79	.65	.52	203-06-15-01
	16	16.053	15 µ Gold	SPE1019-ND	1.18	1.06	.87	.69	203-08-15-01
	20	20.066	15 µ Gold	SPE1020-ND	1.47	1.32	1.09	.86	203-10-15-01
	24	24.079	15 µ Gold	SPE1021-ND	1.76	1.58	1.30	1.03	203-12-15-01
	26	26.086	15 µ Gold	SPE1022-ND	1.91	1.71	1.41	1.12	203-13-15-01
	30	30.099	15 µ Gold	SPE1023-ND	2.20	1.98	1.63	1.29	203-15-15-01
Doppelreihig, Eingang von unten, ultraniedriges Profil (Steckbuchse)									
2	8	8.026	15 µ Gold	SPE1010-ND	1.19	1.08	.89	.70	233-0433-01
	12	12.040	15 µ Gold	SPE1011-ND	.96	.86	.71	.56	233-0633-01
	16	16.053	15 µ Gold	SPE1012-ND	1.27	1.14	.94	.74	233-0833-01
	20	20.066	15 µ Gold	SPE1013-ND	1.59	1.43	1.17	.93	233-1033-01
	24	24.079	15 µ Gold	SPE1014-ND	1.90	1.71	1.41	1.11	233-1233-01
	26	26.086	15 µ Gold	SPE1015-ND	2.07	1.85	1.53	1.21	233-1333-01
	30	30.099	15 µ Gold	SPE1016-ND	2.38	2.14	1.76	1.39	233-1533-01
Einreihig, Eingang von oben (Steckbuchse)									
3	4	8.026	15 µ Gold	SPE1024-ND	.56	.50	.41	.33	204-04-15-01
	6	12.040	15 µ Gold	SPE1025-ND	.44	.40	.33	.26	204-06-15-01
	8	16.053	15 µ Gold	SPE1026-ND	.59	.53	.44	.35	204-08-15-01
	10	20.066	15 µ Gold	SPE1027-ND	.74	.66	.55	.43	204-10-15-01
	12	24.079	15 µ Gold	SPE1028-ND	.88	.79	.65	.52	204-12-15-01
	13	26.086	15 µ Gold	SPE1029-ND	.96	.86	.71	.56	204-13-15-01
	15	30.099	15 µ Gold	SPE1030-ND	1.10	.99	.82	.65	204-15-15-01
Doppelreihig, Eingang von oben (Steckbuchse)									
4	8	8.026	15 µ Gold	SPE1031-ND	1.11	1.00	.82	.65	205-04-1501
	12	12.040	15 µ Gold	SPE1032-ND	.88	.79	.65	.52	205-06-1501
	16	16.053	15 µ Gold	SPE1033-ND	1.18	1.06	.87	.69	205-08-1501
	20	20.066	15 µ Gold	SPE1034-ND	1.47	1.32	1.09	.86	205-10-1501
	24	24.079	15 µ Gold	SPE1035-ND	1.76	1.58	1.30	1.03	205-12-1501
	26	26.086	15 µ Gold	SPE1036-ND	1.91	1.71	1.41	1.12	205-13-1501
	30	30.099	15 µ Gold	SPE1037-ND	2.20	1.98	1.63	1.29	205-15-1501
Zweireihig mit 36 Positionen									
5	—	—	Gold	SPE1211-ND	1.98	1.77	1.46	1.16	SM2MD18S15-01
	—	—	Zinn	SPE1212-ND	1.37	1.24	1.02	.81	SM2MD18S02-01

2 mm Shunts

Abb.1

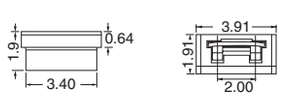

ULTRANIEDRIGES PROFIL: • Gehäusematerial: Glasgefülltes Thermoplast, Entflammbarkeitsstufe: UL94V-0 • Farbe: Schwarz • Kontaktmaterial: Berylliumkupfer

Abb.2

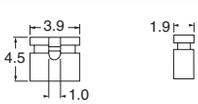

STANDARDPROFIL: • Gehäusematerial: Glasgefülltes Thermoplast, Entflammbarkeitsstufe: UL94V-0

Abb.	Oberfläche	Digi-Key Teilenr.	Stückpreis 1	10	100	500	Hersteller Teilenr.
1	Niedrigprofil, Zinn	SPE1303-ND	.22	.20	.17	.16	2MS-19-02-01
	Niedrigprofil, Gold*	SPE1304-ND	.25	.23	.20	.19	2MS-19-33-01
2	Standardprofil, Gold*	SPE1302-ND	.11	.10	.08	.07	2JM-G

*30 µ" vergoldet

NorComp 2 mm Steckleisten

Merkmale: • 15 µ" Teilvergoldung • Isolator: Glasgefülltes Thermoplast nach UL-94V0 • Farbe: Schwarz • Kontaktmaterial: Phosphorbronze • Post-plattierte Kontakte; keine blanken Ränder.

Einreihig - gerade Steckleiste

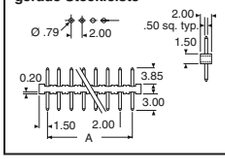

Einreihig - rechtwinklige Steckleiste

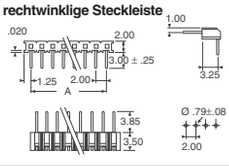

Doppelreihe - gerade Steckleiste

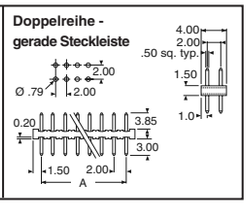

Steckleisten und Steckbuchsen des Herstellers, volle Länge Erhältlich mit verschiedenen Stiftversionen

Abm. (mm) A	Digi-Key Teilenr.	Preisangaben 1	10	100	NorComp Teilenr.
Einreihige gerade Steckleiste, 36 Stifte					
70.0	2163S-36-ND	2.37	21.21	174.67	2163-36-01-P2
Einreihige rechtwinklige Steckleiste, 36 Stifte					
70.0	2163R-36-ND	2.40	21.51	177.16	2163-36-02-P2
Zweireihige gerade Steckleiste, 72 Stifte					
70.0	2164S-36-ND	4.58	40.98	337.48	2164-72-01-P2

Digi-Key kann benutzerspezifische Längen zuschneiden

Digi-Key Teilenr.	Grund preis	Pin-Ergänzung
2163S-XX-ND	.847	.043
2163R-XX-ND	.881	.043
2164S-XX-ND	1.228	.094

HINWEIS: Die berechneten Preise können je nach Wechselkurs schwanken.

How to Order 2mm Headers — 4 Easy Steps

Q. How do I order an 2163S header with 16 pins?

A. Call Digi-Key where you'll happily receive the price or determine the cost yourself.

Step 1. Select needed "Digi-Key Part Number" and number of pins desired.
Step 2. Begin with appropriate "Base Price" of your selected Part Number (refer to chart).
Step 3. Multiply the number of pins you desire by "Pin Adder" of your selected Part Number (refer to chart).
Step 4. Add Step 2 and Step 3 together for Final Cost.

2 ❑❑❑❑ - ❑❑ - ND

Base Part Number | Number of Desired Pins Per Row

OUR EXAMPLE		*YOUR DIGI-KEY PART NUMBER*	
Step 1.	2163S-16-ND	Step 1.	2 _ _ _ _ - _ _ - ND
Step 2.	1.00	Step 2.	_____
Step 3.	16 x .05 = .80	Step 3.	x = _____
Step 4.	Your Cost = 1.80	Step 4.	Your Cost = _____

NOTE: For Quantities of 10 or More, Call DIGI-KEY

2 mm Steckbuchsen

Merkmale: • Leiterplattenmontierte Steckbuchse • 0,079" (2 mm) Mitten, um Platz zu sparen • Erhältlich in einreihiger und zweireihiger Ausführung • 15 µ" Teilvergoldung • Isolator, Gehäuse: Glasgefülltes Thermoplast nach UL 94VO • Farbe: Schwarz • Kontaktmaterial: Phosphorbronze

Einreihig - vertikale Steckbuchse

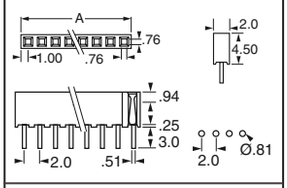

Zweireihig - vertikal Steckbuchse

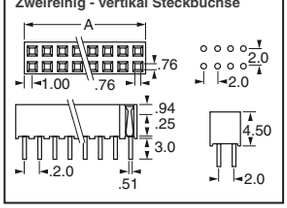

Anz. der Pos.	Digi-Key Teilenr.	Stückpreis 1	10	100	NorComp Teilenr.
Einreihig - vertikale Steckbuchse					
3	2063S-03-ND	1.21	1.08	.89	2063-03-01-P2
4	2063S-04-ND	1.33	1.19	.98	2063-04-01-P2
5	2063S-05-ND	1.45	1.30	1.07	2063-05-01-P2
6	2063S-06-ND	1.57	1.41	1.16	2063-06-01-P2
7	2063S-07-ND	1.71	1.54	1.27	2063-07-01-P2
8	2063S-08-ND	1.85	1.67	1.37	2063-08-01-P2
9	2063S-09-ND	1.98	1.77	1.46	2063-09-01-P2
10	2063S-10-ND	2.12	1.90	1.57	2063-10-01-P2
11	2063S-11-ND	2.24	2.01	1.66	2063-11-01-P2
12	2063S-12-ND	2.39	2.14	1.77	2063-12-01-P2
Zweireihig - vertikale Steckbuchse					
6	2064S-03-ND	1.59	1.43	1.18	2064-06-01-P2
8	2064S-04-ND	1.85	1.67	1.37	2064-08-01-P2
10	2064S-05-ND	2.12	1.90	1.57	2064-10-01-P2
12	2064S-06-ND	2.39	2.14	1.77	2064-12-01-P2
14	2064S-07-ND	2.66	2.38	1.96	2064-14-01-P2
16	2064S-08-ND	2.92	2.62	2.16	2064-16-01-P2
18	2064S-09-ND	3.21	2.88	2.37	2064-18-01-P2
20	2064S-10-ND	3.47	3.11	2.57	2064-20-01-P2
22	2064S-11-ND	3.74	3.35	2.76	2064-22-01-P2
24	2064S-12-ND	4.03	3.61	2.97	2064-24-01-P2

2 mm Shunts

Abb.1

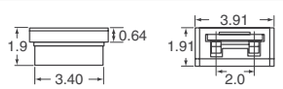

NIEDRIGPROFIL: • Gehäusematerial: Glasgefülltes Thermoplast, Entflammbarkeitsstufe: UL94V-0 • Farbe: Schwarz • Kontaktmaterial: Hochleistungs-Kupferlegierung

Abb.2

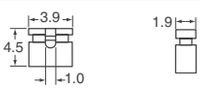

STANDARDPROFIL: • Gehäusematerial: Glasgefülltes Thermoplast, Entflammbarkeitsstufe: UL94V-0 • Farbe: Schwarz • Kontaktmaterial: Hochleistungs-Kupferlegierung

Abb.	Oberfläche	Digi-Key Teilenr.	Preisangaben 1	10	100	500	NorComp Teilenr.
1	Niedrigprofil, Zinn	LP1-006-ND	.19	1.70	14.05	48.49	800-002-LP1-006
	Niedrigprofil, Gold*	LP1-001-ND	.43	3.89	32.00	110.48	800-002-LP1-001
2	Standardprofil, Gold*	SP2-001-ND	.19	1.73	14.22	49.10	800-002-SP2-001

*30 µ" vergoldet

A

Crimpstecker, Serie A3 u. A4

Pitch 2 mm

Diese Stecker sind als leichte Miniaturprodukte konzipiert und werden in hoher Dichte montiert. Das Crimp-Gehäuse weist ein Pitch-Raster von 2 mm auf. **Spezifikationen:** • Nennstrom: 1 A • Nennspannung: 200 V AC • Betriebstemperatur: -55 °C ~ 85 °C • Betriebsfeuchtigkeitsbereich: 40 ~ 80 % • Isolationswiderstand: Min. 1.000 MΩ bei 500 V DC • Haltespannung: 650 V AC/1 Minute (kein Überschlag bzw. Isolationsdurchbruch) • Kontaktwiderstand: Max. 15 mΩ @ 0,1 A **Anwendungen:** • VTR • Fahrzeugtelefone • Verschiedene elektronische Geräte **Materialien**: • Isolator-Pin-Steckleiste: Polyamid, schwarz, UL94V-0 • Isolator-Steckbuchse: PBT, schwarz, UL94V-0 • Isolator-Pin-Steckleiste (SMT) und Steckbuchse (SMT): PPS, hellbraun • Isolator- Crimpsockel: PBT, schwarz • Pin-Steckleistenkontakt: Messing mit teilweiser Vergoldung • Steckbuchse und Crimpkontakt: Phosphorbronze mit teilweiser Vergoldung

Abb. 1

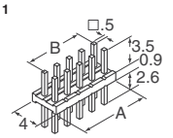

Abb. 2

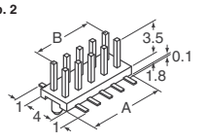

Abb. 3

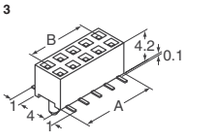

Abb. 4

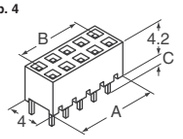

Abb. 5

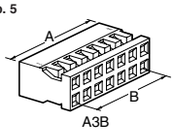

A3B

Abb. 6

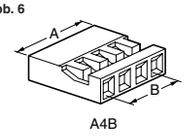

A4B

Abb. 7

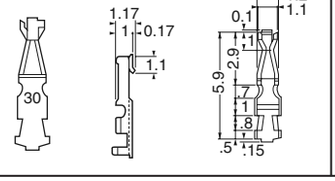

Abb. 8 ***Hinweis:*** Zur Verwendung mit allen Serien.

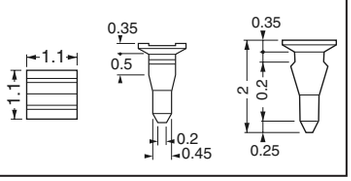

Abb.	Anz. der Kontakte	Abmessungen (mm) A	B	Digi-Key Teilenr.	Preisangaben 1	25	100	Hirose Teilenr.
				Pin-Steckleiste				
				Niedrige Bauform - vergoldet				
1	2	2.0	—	H1807-ND	.47	6.98	21.88	A3C-2P-2DSA
	4	4.0	2.0	H1808-ND	.52	9.31	30.48	A3C-4P-2DSA
	6	6.0	4.0	H1809-ND	.71	12.81	41.91	A3C-6P-2DSA
	8	8.0	6.0	H1810-ND	.87	15.71	51.43	A3C-8P-2DSA
	10	10.0	8.0	H1811-ND	1.13	20.37	66.67	A3C-10P-2DSA
	12	12.0	10.0	H1812-ND	1.38	25.03	81.91	A3C-12P-2DSA
	14	14.0	12.0	H1813-ND	1.45	26.19	85.72	A3C-14P-2DSA
	16	16.0	14.0	H1814-ND	1.54	29.63	94.82	A3C-16P-2DSA
	18	18.0	16.0	H1815-ND	1.57	30.16	96.51	A3C-18P-2DSA
	20	20.0	18.0	H1816-ND	2.23	42.86	137.15	A3C-20P-2DSA
	22	22.0	20.0	H1817-ND	2.29	43.92	140.54	A3C-22P-2DSA
	24	24.0	22.0	H1818-ND	2.31	44.45	142.23	A3C-24P-2DSA
	26	26.0	24.0	H1819-ND	2.37	45.50	145.62	A3C-26P-2DSA
	28	28.0	26.0	H1820-ND	2.40	46.04	147.31	A3C-28P-2DSA
	32	32.0	30.0	H1821-ND	3.71	71.91	230.11	A3C-32P-2DSA
	44	44.0	42.0	H1822-ND	3.71	71.91	230.11	A3C-44P-2DSA
	48	48.0	46.0	H1823-ND	3.71	71.91	230.11	A3C-48P-2DSA
	50	50.0	48.0	H1824-ND	3.71	71.91	230.11	A3C-50P-2DSA
				Ohne Nabe - vergoldet				
2	4	4.0	2.0	H1781-ND	.97	17.47	57.15	A3-4PA-2SV
	6	6.0	4.0	H1782-ND	1.13	20.37	66.67	A3-6PA-2SV
	8	8.0	6.0	H1783-ND	1.19	21.54	70.48	A3-8PA-2SV
	10	10.0	8.0	H1784-ND	1.38	25.03	81.91	A3-10PA-2SV
	12	12.0	10.0	H1785-ND	1.54	27.94	91.43	A3-12PA-2SV
	14	14.0	12.0	H1786-ND	1.41	26.99	86.35	A3-14PA-2SV
	16	16.0	14.0	H1787-ND	1.54	29.63	94.82	A3-16PA-2SV
	20	20.0	18.0	H1788-ND	1.76	33.86	108.36	A3-20PA-2SV
	24	24.0	22.0	H1789-ND	2.09	40.21	128.68	A3-24PA-2SV
	28	28.0	26.0	H1790-ND	2.45	47.10	150.69	A3-28PA-2SV
	32	32.0	30.0	H1791-ND	2.51	48.58	155.44	A3-32PA-2SV
	44	44.0	42.0	H1792-ND	3.44	66.67	213.34	A3-44PA-2SV
	50	50.0	48.0	H1793-ND	3.90	75.72	242.30	A3-50PA-2SV
				Mit Nabe - vergoldet				
2	4	4.0	2.0	H1794-ND	.97	17.47	57.15	A3A-4PA-2SV
	6	6.0	4.0	H1795-ND	1.13	20.37	66.67	A3A-6PA-2SV
	8	8.0	6.0	H1796-ND	1.19	21.54	70.48	A3A-8PA-2SV
	10	10.0	8.0	H1797-ND	1.38	25.03	81.91	A3A-10PA-2SV
	12	12.0	10.0	H1798-ND	1.54	27.94	91.43	A3A-12PA-2SV
	14	14.0	12.0	H1799-ND	1.41	26.99	86.35	A3A-14PA-2SV
	16	16.0	14.0	H1800-ND	1.54	29.63	94.82	A3A-16PA-2SV
	20	20.0	18.0	H1801-ND	1.76	33.86	108.36	A3A-20PA-2SV
	24	24.0	22.0	H1802-ND	2.09	40.21	128.68	A3A-24PA-2SV
	28	28.0	26.0	H1803-ND	2.45	47.10	150.69	A3A-28PA-2SV
	32	32.0	30.0	H1804-ND	2.51	48.58	155.44	A3A-32PA-2SV
	44	44.0	42.0	H1805-ND	3.44	66.67	213.34	A3A-44PA-2SV
	50	50.0	48.0	H1806-ND	3.90	75.72	242.30	A3A-50PA-2SV
				Steckbuchse				
				Ohne Nabe - vergoldet - SMD				
3	4	4.0	2.0	H1827-ND	.80	14.55	47.62	A3-4DA-2SV
	6	6.0	4.0	H1828-ND	.97	17.47	57.15	A3-6DA-2SV
	8	8.0	6.0	H1829-ND	1.13	20.37	66.67	A3-8DA-2SV
	10	10.0	8.0	H1830-ND	1.19	21.54	70.48	A3-10DA-2SV
	12	12.0	10.0	H1831-ND	1.32	23.87	78.10	A3-12DA-2SV
	14	14.0	12.0	H1832-ND	1.57	28.52	93.34	A3-14DA-2SV
	16	16.0	14.0	H1833-ND	1.49	28.57	91.43	A3-16DA-2SV
	20	20.0	18.0	H1834-ND	1.76	33.86	108.36	A3-20DA-2SV
	24	24.0	22.0	H1835-ND	2.09	40.21	128.68	A3-24DA-2SV
	28	28.0	26.0	H1836-ND	2.45	47.10	150.69	A3-28DA-2SV
	32	32.0	30.0	H1837-ND	2.62	50.96	163.06	A3-32DA-2SV
				Mit Nabe - vergoldet - SMD				
3	4	4.0	2.0	H1838-ND	.80	14.55	47.62	A3A-4DA-2SV
	6	6.0	4.0	H1839-ND	.97	17.47	57.15	A3A-6DA-2SV
	8	8.0	6.0	H1840-ND	1.13	20.37	66.67	A3A-8DA-2SV
	10	10.0	8.0	H1841-ND	1.19	21.54	70.48	A3A-10DA-2SV
	12	12.0	10.0	H1842-ND	1.32	23.87	78.10	A3A-12DA-2SV
	14	14.0	12.0	H1843-ND	1.57	28.52	93.34	A3A-14DA-2SV
	16	16.0	14.0	H1844-ND	1.49	28.57	91.43	A3A-16DA-2SV
3	20	20.0	18.0	H1845-ND	1.76	33.86	108.36	A3A-20DA-2SV
	24	24.0	22.0	H1846-ND	2.09	40.21	128.68	A3A-24DA-2SV
	28	28.0	26.0	H1847-ND	2.45	47.10	150.69	A3A-28DA-2SV
	32	32.0	30.0	H1848-ND	2.62	50.96	163.06	A3A-32DA-2SV

Abb.	Anz. der Kontakte	Abmessungen (mm) A	B	C	Digi-Key Teilenr.	Preisangaben 1	25	100	Hirose Teilenr.
					Pin-Steckleisten - vergoldet				
4	4	4.0	2.0	3.0	H1849-ND	1.57	28.52	93.34	A3C-4DA-2DSA
		4.0	2.0	2.0	H1862-ND	1.57	28.52	93.34	A3C-4DA-2DSC
		4.0	2.0	1.27	H1878-ND	.58	10.48	34.29	A3D-4DA-2DSE
	6	6.0	4.0	3.0	H1850-ND	1.49	28.57	91.43	A3C-6DA-2DSA
		6.0	4.0	2.0	H1863-ND	1.49	28.57	91.43	A3C-6DA-2DSC
		6.0	4.0	1.27	H1879-ND	.71	12.81	41.91	A3D-6DA-2DSE
	8	8.0	6.0	3.0	H1851-ND	1.63	31.22	99.90	A3C-8DA-2DSA
		8.0	6.0	2.0	H1864-ND	1.63	31.22	99.90	A3C-8DA-2DSC
		8.0	6.0	1.27	H1880-ND	.87	15.71	51.43	A3D-8DA-2DSE
	10	10.0	8.0	3.0	H1852-ND	1.76	33.86	108.36	A3C-10DA-2DSA
		10.0	8.0	2.0	H1865-ND	1.76	33.86	108.36	A3C-10DA-2DSC
		10.0	8.0	1.27	H1881-ND	.97	17.47	57.15	A3D-10DA-2DSE
	12	12.0	10.0	3.0	H1853-ND	1.79	34.40	110.06	A3C-12DA-2DSA
		12.0	10.0	2.0	H1866-ND	1.79	34.40	110.06	A3C-12DA-2DSC
		12.0	10.0	1.27	H1882-ND	1.22	22.12	72.38	A3D-12DA-2DSE
	14	14.0	12.0	3.0	H1854-ND	1.87	35.98	115.14	A3C-14DA-2DSA
		14.0	12.0	2.0	H1867-ND	1.87	35.98	115.14	A3C-14DA-2DSC
		14.0	12.0	1.27	H1883-ND	1.32	23.87	78.10	A3D-14DA-2DSE
	16	16.0	14.0	3.0	H1855-ND	1.98	38.10	121.91	A3C-16DA-2DSA
		16.0	14.0	2.0	H1868-ND	1.98	38.10	121.91	A3C-16DA-2DSC
		16.0	14.0	1.27	H1884-ND	1.54	27.94	91.43	A3D-16DA-2DSE
	18	18.0	16.0	3.0	H1856-ND	2.07	39.69	126.99	A3C-18DA-2DSA
		18.0	16.0	2.0	H1869-ND	2.07	39.69	126.99	A3C-18DA-2DSC
		18.0	16.0	1.27	H1885-ND	1.57	30.16	96.51	A3D-18DA-2DSE
	20	20.0	18.0	3.0	H1857-ND	2.15	41.27	132.07	A3C-20DA-2DSA
		20.0	18.0	2.0	H1870-ND	2.15	41.27	132.07	A3C-20DA-2DSC
		20.0	18.0	1.27	H1886-ND	1.76	33.86	108.36	A3D-20DA-2DSE
	24	24.0	22.0	3.0	H1858-ND	2.29	43.92	140.54	A3C-24DA-2DSA
		24.0	22.0	2.0	H1871-ND	2.29	43.92	140.54	A3C-24DA-2DSC
		24.0	22.0	1.27	H1875-ND	2.29	43.92	140.54	A3C-24DA-2DSE
	28	28.0	26.0	3.0	H1859-ND	2.51	48.15	154.08	A3C-28DA-2DSA
		28.0	26.0	2.0	H1872-ND	2.51	48.15	154.08	A3C-28DA-2DSC
		28.0	26.0	1.27	H1887-ND	2.45	47.10	150.69	A3D-28DA-2DSE
	32	32.0	30.0	3.0	H1860-ND	2.67	51.33	164.24	A3C-32DA-2DSA
		32.0	30.0	2.0	H1873-ND	2.67	51.33	164.24	A3C-32DA-2DSC
		32.0	30.0	1.27	H1876-ND	2.67	51.33	164.24	A3C-32DA-2DSE
	50	50.0	48.0	3.0	H1861-ND	2.90	56.20	179.82	A3C-50DA-2DSA
		50.0	48.0	2.0	H1874-ND	4.06	78.57	251.44	A3C-50DA-2DSC
		50.0	48.0	1.27	H1877-ND	4.06	78.57	251.44	A3C-50DA-2DSE
	44	44.0	42.0	1.27	H1888-ND	2.58	50.00	160.01	A3D-44DA-2DSE
	62	62.0	60.0	1.27	H1889-ND	3.90	75.72	242.30	A3D-62DA-2DSE

Abb.	Anz. der Kontakte	Abmessungen (mm) A	B	Digi-Key Teilenr.	Preisangaben 1	25	100	Hirose Teilenr.
				Doppelreihige Crimpsockel - Serie A3B				
5	4	4.0	2.0	H2001-ND	.42	6.35	19.90	A3B-4D-2C
	6	6.0	4.0	H2002-ND	.42	6.35	19.90	A3B-6D-2C
	8	8.0	6.0	H2003-ND	.42	6.35	19.90	A3B-8D-2C
	10	10.0	8.0	H2004-ND	.47	6.98	21.88	A3B-10D-2C
	12	12.0	10.0	H2005-ND	.47	6.98	21.88	A3B-12D-2C
	14	14.0	12.0	H2006-ND	.55	8.25	25.86	A3B-14D-2C
	18	18.0	16.0	H2007-ND	.59	8.89	27.85	A3B-18D-2C
	20	20.0	18.0	H2008-ND	.52	9.31	30.48	A3B-20D-2C
	24	24.0	22.0	H2009-ND	.55	9.90	32.38	A3B-24D-2C
	28	28.0	26.0	H2010-ND	.61	11.06	36.19	A3B-28D-2C
				Einreihiger Crimpsockel - Serie A4B				
6	2	4.0	2.0	H2011-ND	.38	5.71	17.91	A4B-2S-2C
	3	6.0	4.0	H2012-ND	.38	5.71	17.91	A4B-3S-2C
	4	8.0	6.0	H2013-ND	.38	5.71	17.91	A4B-4S-2C
	5	10.0	8.0	H2014-ND	.68	12.22	40.00	A4B-5S-2C
	6	12.0	10.0	H2015-ND	.51	7.62	23.87	A4B-6S-2C
	8	16.0	14.0	H2016-ND	.37	5.59	17.51	A4B-8S-2C
	10	20.0	18.0	H2017-ND	.44	5.25	15.66	A4B-10S-2C
	12	24.0	22.0	H2018-ND	.38	5.71	17.91	A4B-12S-2C
7	Crimpanschluss für Typ A3B-A4B			H9999-ND	—	—	7.22	A3B-2630SCC
	Crimpwerkzeug für Typ A3B-A4B			H9998-ND	719.78	—	—	A3B-TA2630HC
8	Polarisationsschlüssel für Sockel-Steckverbinder			H2000-ND	1.69/10	—	9.74	A3-GPIN(A)

Crimpstecker, Serie A3E

Pitch 2 mm

Spezifikationen: • Nennstrom: 0,5 A • Nennspannung:125 V AC • Betriebstemperatur: -55 °C ~ 85 °C • Betriebsfeuchtigkeitsbereich: 40 ~ 80 % • Isolationswiderstand: Min. 1.000 MΩ bei 250 V DC • Haltespannung: 300 V AC/1 Minute (kein Überschlag bzw. Isolationsdurchbruch) • Kontaktwiderstand: Max. 40 mΩ @ 0,1 A

Material: • Isolator-Pin-Steckleiste: Polyamid, schwarz, UL94V-0 • Isolator-Sockel: PBT, schwarz, UL94V-0 • Pin-Steckleistenkontakt: Messing mit teilweiser Vergoldung • Sockelkontakt: Berylliumkupfer

Abb. 1

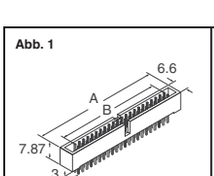

Abb. 2

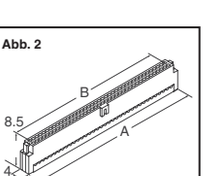

Abb.	Anz. d. Pins	Abmessungen (mm) A	B	Digi-Key Teilenr.	Preisangaben 1	25	100	Hirose Teilenr.
				Pin-Steckleisten - vergoldet				
1	44	52.0	42.0	H1825-ND	3.36	65.24	208.77	A3E-44PA-2DSA
	50	58.0	48.0	H1826-ND	4.25	82.38	263.63	A3E-50PA-2DSA
				Sockel				
2	44	49.0	42.0	H1891-ND	6.47	130.67	410.69	A3E-44D-2R
	50	55.0	48.0	H1892-ND	6.34	128.01	402.30	A3E-50D-2R
—	Universal-Führungsplatte			H9947-ND	1353.71	—	—	A3E-GPA

Alle Preisangaben in Euro und inklusive Zollgebühren.

Zweireihige Steckverbinder, Serie DF11

2 mm Pitch (Verbindungsdraht erhältlich)

Spezifikationen: • Stromkapazität: 3 A mit AWG 24-Kabel • Nennspannung: 250 V AC • Isolationswiderstand: Min. 1.000 MΩ bei 500 V DC • Haltewiderstand: 650 V AC • Kontaktwiderstand: Max. 30 mΩ bei 0,1 A DC

Abb. 1

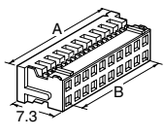

Abb. 2

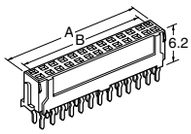

Abb. 3 — Oberflächenmontage

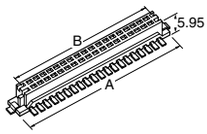

Abb. 4

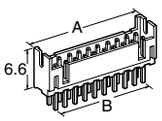

Abb. 5

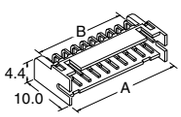

Abb. 6 — Oberflächenmontage

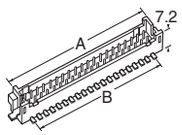

Abb. 7

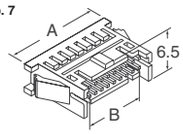

Abb. 8

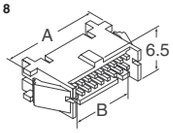

Abb. 9

A Sockel

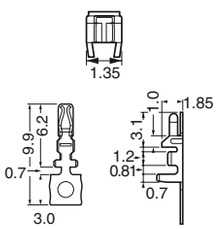

B Pin

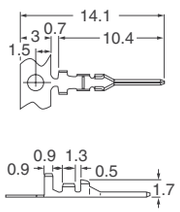

Abb.	Anz. d. Pins	Abmessungen (mm) A	B	Digi-Key Teilenr.	Preisangaben 1	25	100	Hirose Teilenr.
Doppelreihiger Crimpsockel — Zinn								
1	4	6.0	2.0	H2019-ND	.24	2.84	8.47	DF11-4DS-2C
	6	8.0	4.0	H2021-ND	.25	3.05	9.10	DF11-6DS-2C
	8	10.0	6.0	H2022-ND	.30	3.61	10.79	DF11-8DS-2C
	10	12.0	8.0	H2023-ND	.30	3.69	11.01	DF11-10DS-2C
	12	14.0	10.0	H2024-ND	.33	3.97	11.85	DF11-12DS-2C
	14	16.0	12.0	H2140-ND	.35	4.18	12.49	DF11-14DS-2C
	16	18.0	14.0	H2025-ND	.37	4.47	13.33	DF11-16DS-2C
	18	20.0	16.0	H2026-ND	.39	4.68	13.97	DF11-18DS-2C
	20	22.0	18.0	H2027-ND	.41	4.89	14.60	DF11-20DS-2C
	22	24.0	20.0	H2028-ND	.43	5.17	15.45	DF11-22DS-2C
	24	26.0	22.0	H2029-ND	.46	5.46	16.30	DF11-24DS-2C
	26	28.0	24.0	H2261-ND	.35	5.21	16.31	DF11-26DS-2C
	28	30.0	26.0	H2262-ND	.37	5.53	17.31	DF11-28DS-2C
	30	32.0	28.0	H2263-ND	.40	5.97	18.70	DF11-30DS-2C
	32	34.0	30.0	H2264-ND	.44	6.60	20.69	DF11-32DS-2C
Sockel, vertikale Leiterplatte — Zinn								
2	6	8.0	4.0	H2274-ND	.85	15.25	49.91	DF11-6DS-2DSA
	8	10.0	6.0	H2030-ND	.91	16.42	53.72	DF11-8DS-2DSA
	10	12.0	8.0	H2031-ND	.99	17.93	58.67	DF11-10DS-2DSA
	12	14.0	10.0	H2141-ND	1.08	19.38	63.44	DF11-12DS-2DSA
	14	16.0	12.0	H2033-ND	1.15	20.89	68.39	DF11-14DS-2DSA
	16	18.0	14.0	H2034-ND	1.27	22.93	75.05	DF11-16DS-2DSA
	18	20.0	16.0	H2035-ND	1.35	24.39	79.82	DF11-18DS-2DSA
	20	22.0	18.0	H2036-ND	1.47	26.60	87.06	DF11-20DS-2DSA
	22	24.0	20.0	H2037-ND	1.55	28.06	91.81	DF11-22DS-2DSA
	24	26.0	22.0	H2038-ND	1.40	26.88	86.01	DF11-24DS-2DSA
	26	28.0	24.0	H2265-ND	1.47	28.26	90.42	DF11-26DS-2DSA
	28	30.0	26.0	H2266-ND	1.54	29.63	94.82	DF11-28DS-2DSA
	30	32.0	28.0	H2267-ND	1.61	31.01	99.22	DF11-30DS-2DSA
	32	34.0	30.0	H2268-ND	1.68	32.38	103.62	DF11-32DS-2DSA
Sockel, vertikale Leiterplatte — Gold								
2	6	8.0	4.0	H2820-ND	1.34	24.27	79.44	DF11-6DS-2DSA(01)
	8	10.0	6.0	H2821-ND	1.57	28.46	93.15	DF11-8DS-2DSA(01)
	10	12.0	8.0	H2822-ND	1.56	30.00	96.00	DF11-10DS-2DSA(01)
	12	14.0	10.0	H2823-ND	1.77	34.08	109.04	DF11-12DS-2DSA(01)
	14	16.0	12.0	H2824-ND	1.98	38.15	122.08	DF11-14DS-2DSA(01)
	16	18.0	14.0	H2825-ND	2.22	42.70	136.64	DF11-16DS-2DSA(01)
	18	20.0	16.0	H2826-ND	2.44	46.83	149.85	DF11-18DS-2DSA(01)
	20	22.0	18.0	H2827-ND	2.68	51.54	164.92	DF11-20DS-2DSA(01)
	22	24.0	20.0	H2828-ND	2.58	50.00	160.01	DF11-22DS-2DSA(01)
	24	26.0	22.0	H2829-ND	2.78	53.81	172.20	DF11-24DS-2DSA(01)
	26	28.0	24.0	H2830-ND	2.97	57.62	184.39	DF11-26DS-2DSA(01)
	28	30.0	26.0	H2831-ND	3.14	60.96	195.06	DF11-28DS-2DSA(01)
	30	32.0	28.0	H2832-ND	3.34	64.76	207.25	DF11-30DS-2DSA(01)
	32	34.0	30.0	H2833-ND	3.54	68.57	219.44	DF11-32DS-2DSA(01)
Vertikaler Sockel, Oberflächenmontage — Zinn								
3	4	8.5	2.0	H2039-ND	.93	16.88	55.24	DF11-4DS-2V(20)
	6	10.5	4.0	H2040-ND	1.13	20.37	66.67	DF11-6DS-2V(20)
	8	12.5	6.0	H2041-ND	1.25	22.70	74.29	DF11-8DS-2V(20)
	10	14.5	8.0	H2042-ND	1.35	24.45	80.00	DF11-10DS-2V(20)
	12	16.5	10.0	H2043-ND	1.48	26.78	87.62	DF11-12DS-2V(20)
	14	18.5	12.0	H2142-ND	1.57	28.52	93.34	DF11-14DS-2V(20)
	16	20.5	14.0	H2045-ND	1.49	28.57	91.43	DF11-16DS-2V(20)
	18	22.5	16.0	H2046-ND	1.60	30.69	98.21	DF11-18DS-2V(20)
	20	24.5	18.0	H2047-ND	1.60	30.69	98.21	DF11-20DS-2V(20)
	22	26.5	20.0	H2048-ND	1.87	35.98	115.14	DF11-22DS-2V(20)
3	24	28.5	22.0	H2049-ND	1.96	37.57	120.22	DF11-24DS-2V(20)
	26	30.5	24.0	H2270-ND	2.15	41.27	132.07	DF11-26DS-2V(20)
	28	32.5	26.0	H2271-ND	2.29	43.92	140.54	DF11-28DS-2V(20)
	30	34.5	28.0	H2272-ND	2.64	50.80	162.55	DF11-30DS-2V(20)
	32	36.5	30.0	H2273-ND	2.51	48.15	154.08	DF11-32DS-2V(20)
	40	44.5	38.0	H2289-ND	2.68	51.91	166.10	DF11-40DS-2V(20)
Vertikaler Sockel, Oberflächenmontage — Gold								
3	4	8.5	2.0	H2834-ND	1.22	22.12	72.38	DF11-4DS-2V(50)
	6	10.5	4.0	H2835-ND	1.45	26.19	85.72	DF11-6DS-2V(50)
	8	12.5	6.0	H2836-ND	1.49	28.57	91.43	DF11-8DS-2V(50)
	10	14.5	8.0	H2837-ND	1.57	30.16	96.51	DF11-10DS-2V(50)
	12	16.5	10.0	H2838-ND	1.87	35.98	115.14	DF11-12DS-2V(50)
	14	18.5	12.0	H2839-ND	2.09	40.21	128.68	DF11-14DS-2V(50)
	16	20.5	14.0	H2840-ND	2.20	42.33	135.46	DF11-16DS-2V(50)
	18	22.5	16.0	H2841-ND	2.48	47.62	152.39	DF11-18DS-2V(50)
	20	24.5	18.0	H2842-ND	2.56	49.21	157.47	DF11-20DS-2V(50)
	22	26.5	20.0	H2843-ND	2.62	50.96	163.06	DF11-22DS-2V(50)
	24	28.5	22.0	H2844-ND	2.70	52.39	167.63	DF11-24DS-2V(50)
	26	30.5	24.0	H2845-ND	3.07	59.52	190.49	DF11-26DS-2V(50)
	28	32.5	26.0	H2846-ND	3.24	62.86	201.15	DF11-28DS-2V(50)
	30	34.5	28.0	H2847-ND	3.36	65.24	208.77	DF11-30DS-2V(50)
	32	36.5	30.0	H2848-ND	3.63	70.48	225.53	DF11-32DS-2V(50)
	40	44.5	38.0	H2849-ND	4.52	87.62	280.39	DF11-40DS-2V(50)
Vertikale geschützte Steckleiste — Zinn								
4	4	6.0	2.0	H2143-ND	.48	8.73	28.57	DF11-4DP-2DSA(20)
	6	8.0	4.0	H2051-ND	.55	9.90	32.38	DF11-6DP-2DSA(20)
	8	10.0	6.0	H2052-ND	.61	11.06	36.19	DF11-8DP-2DSA(20)
	10	12.0	8.0	H2053-ND	.64	11.64	38.10	DF11-10DP-2DSA(20)
	12	14.0	10.0	H2054-ND	.74	13.38	43.81	DF11-12DP-2DSA(20)
	14	16.0	12.0	H2055-ND	.80	14.55	47.62	DF11-14DP-2DSA(20)
	16	18.0	14.0	H2056-ND	.90	16.30	53.34	DF11-16DP-2DSA(20)
	18	20.0	16.0	H2057-ND	.97	17.47	57.15	DF11-18DP-2DSA(20)
	20	22.0	18.0	H2058-ND	1.03	18.63	60.96	DF11-20DP-2DSA(20)
	22	24.0	20.0	H2059-ND	1.16	20.95	68.57	DF11-22DP-2DSA(20)
	24	26.0	22.0	H2060-ND	1.22	22.12	72.38	DF11-24DP-2DSA(20)
	26	28.0	24.0	H2275-ND	1.32	23.87	78.10	DF11-26DP-2DSA(20)
	28	30.0	26.0	H2276-ND	1.35	24.45	80.00	DF11-28DP-2DSA(20)
	30	32.0	28.0	H2277-ND	1.35	24.45	80.00	DF11-30DP-2DSA(20)
	32	34.0	30.0	H2278-ND	1.48	26.78	87.62	DF11-32DP-2DSA(20)
Vertikale geschützte Steckleiste — Gold								
4	4	6.0	2.0	H2850-ND	.59	10.71	35.05	DF11-4DP-2DSA(01)
	6	8.0	4.0	H2851-ND	.75	13.50	44.19	DF11-6DP-2DSA(01)
	8	10.0	6.0	H2852-ND	.90	16.30	53.34	DF11-8DP-2DSA(01)
	10	12.0	8.0	H2853-ND	1.07	19.27	63.05	DF11-10DP-2DSA(01)
	12	14.0	10.0	H2854-ND	1.24	22.35	73.15	DF11-12DP-2DSA(01)
	14	16.0	12.0	H2855-ND	1.39	25.14	82.29	DF11-14DP-2DSA(01)
	16	18.0	14.0	H2856-ND	1.57	28.34	92.77	DF11-16DP-2DSA(01)
	18	20.0	16.0	H2857-ND	1.47	28.36	90.76	DF11-18DP-2DSA(01)
	20	22.0	18.0	H2858-ND	1.63	31.32	100.24	DF11-20DP-2DSA(01)
	22	24.0	20.0	H2859-ND	1.79	34.50	110.40	DF11-22DP-2DSA(01)
	24	26.0	22.0	H2860-ND	1.93	37.09	118.69	DF11-24DP-2DSA(01)
	26	28.0	24.0	H2861-ND	2.07	39.69	126.99	DF11-26DP-2DSA(01)
	28	30.0	26.0	H2862-ND	2.19	42.23	135.12	DF11-28DP-2DSA(01)
	30	32.0	28.0	H2863-ND	2.34	44.87	143.58	DF11-30DP-2DSA(01)
	32	34.0	30.0	H2864-ND	2.47	47.46	151.88	DF11-32DP-2DSA(01)
Rechtwinklige geschützte Steckleiste — Zinn								
5	4	6.0	2.0	H2061-ND	.51	7.62	23.87	DF11-4DP-2DS(22)
	6	8.0	4.0	H2062-ND	.55	8.25	25.86	DF11-6DP-2DS(22)
	8	10.0	6.0	H2063-ND	.48	8.73	28.57	DF11-8DP-2DS(22)
	10	12.0	8.0	H2145-ND	.55	9.90	32.38	DF11-10DP-2DS(22)
	12	14.0	10.0	H2065-ND	.61	11.06	36.19	DF11-12DP-2DS(22)
	14	16.0	12.0	H2066-ND	.64	11.64	38.10	DF11-14DP-2DS(22)
	16	18.0	14.0	H2067-ND	.64	11.64	38.10	DF11-16DP-2DS(22)
	18	20.0	16.0	H2068-ND	.90	16.30	53.34	DF11-18DP-2DS(22)
	20	22.0	18.0	H2069-ND	.97	17.47	57.15	DF11-20DP-2DS(22)
	22	24.0	20.0	H2070-ND	1.06	19.21	62.86	DF11-22DP-2DS(22)
	24	26.0	22.0	H2071-ND	1.16	20.95	68.57	DF11-24DP-2DS(22)
	26	28.0	24.0	H2280-ND	1.22	22.12	72.38	DF11-26DP-2DS(22)
	28	30.0	26.0	H2281-ND	1.25	22.70	74.29	DF11-28DP-2DS(22)
	30	32.0	28.0	H2282-ND	1.32	23.87	78.10	DF11-30DP-2DS(22)
	32	34.0	30.0	H2283-ND	1.45	26.19	85.72	DF11-32DP-2DS(22)
Rechtwinklige geschützte Steckleiste — Gold								
5	4	6.0	2.0	H2865-ND	.80	14.55	47.62	DF11-4DP-2DS(52)
	6	8.0	4.0	H2866-ND	1.03	18.63	60.96	DF11-6DP-2DS(52)
	8	10.0	6.0	H2867-ND	1.22	22.12	72.38	DF11-8DP-2DS(52)
	10	12.0	8.0	H2868-ND	1.45	26.19	85.72	DF11-10DP-2DS(52)
	12	14.0	10.0	H2869-ND	1.43	27.51	88.05	DF11-12DP-2DS(52)
	14	16.0	12.0	H2870-ND	1.65	31.75	101.59	DF11-14DP-2DS(52)
	16	18.0	14.0	H2871-ND	1.85	35.46	113.44	DF11-16DP-2DS(52)
	18	20.0	16.0	H2872-ND	2.01	38.63	123.60	DF11-18DP-2DS(52)
	20	22.0	18.0	H2873-ND	2.20	42.33	135.46	DF11-20DP-2DS(52)
	22	24.0	20.0	H2874-ND	2.45	47.10	150.69	DF11-22DP-2DS(52)
	24	26.0	22.0	H2875-ND	2.64	50.80	162.55	DF11-24DP-2DS(52)
	26	28.0	24.0	H2876-ND	2.53	49.05	156.96	DF11-26DP-2DS(52)
	28	30.0	26.0	H2877-ND	2.68	51.91	166.10	DF11-28DP-2DS(52)
	30	32.0	28.0	H2878-ND	2.84	55.24	176.77	DF11-30DP-2DS(52)
	32	34.0	30.0	H2879-ND	3.02	58.58	187.44	DF11-32DP-2DS(52)

(Forts.)

Zweireihige Steckverbinder, Serie DF11 *(Forts.)*

2 mm Pitch (Verbindungsdraht erhältlich)

Abb.	Anz. d. Pins	Abmessungen (mm) A	B	Digi-Key Teilenr.	Preisangaben 1	25	100	Hirose Teilenr.
Geschützte Steckleiste, Oberflächenmontage — Zinn								
6	4	8.5	2.0	H2072-ND	.93	16.88	55.24	DF11-4DP-2V(20)
	6	10.5	4.0	H2073-ND	.97	17.47	57.15	DF11-6DP-2V(20)
	8	12.5	6.0	H2074-ND	1.06	19.21	62.86	DF11-8DP-2V(20)
	10	14.5	8.0	H2075-ND	1.16	20.95	68.57	DF11-10DP-2V(20)
	12	16.5	10.0	H2076-ND	1.25	22.70	74.29	DF11-12DP-2V(20)
	14	18.5	12.0	H2077-ND	1.35	24.45	80.00	DF11-14DP-2V(20)
	18	22.5	16.0	H2079-ND	1.48	26.78	87.62	DF11-18DP-2V(20)
	20	24.5	18.0	H2080-ND	1.57	28.52	93.34	DF11-20DP-2V(20)
	26	30.5	24.0	H2285-ND	1.68	32.28	103.29	DF11-26DP-2V(20)
	28	32.5	26.0	H2286-ND	1.79	34.40	110.06	DF11-28DP-2V(20)
	32	36.5	30.0	H2288-ND	1.93	37.04	118.52	DF11-32DP-2V(20)
Geschützte Steckleiste, Oberflächenmontage — Zinn								
6	4	8.5	2.0	H2881-ND	.90	16.30	53.34	DF11G-4DP-2V(20)
	6	10.5	4.0	H2882-ND	.97	17.47	57.15	DF11G-6DP-2V(20)
	8	12.5	6.0	H2883-ND	1.03	18.63	60.96	DF11G-8DP-2V(20)
	10	14.5	8.0	H2884-ND	1.13	20.37	66.67	DF11G-10DP-2V(20)
	12	16.5	10.0	H2885-ND	1.38	25.03	81.91	DF11G-12DP-2V(20)
	14	18.5	12.0	H2886-ND	1.35	24.45	80.00	DF11G-14DP-2V(20)
	16	20.5	14.0	H2887-ND	1.45	26.19	85.72	DF11G-16DP-2V(20)
	18	22.5	16.0	H2888-ND	1.48	26.78	87.62	DF11G-18DP-2V(20)
	20	24.5	18.0	H2889-ND	1.54	27.94	91.43	DF11G-20DP-2V(20)
	22	26.5	20.0	H2890-ND	2.73	52.39	167.63	DF11G-22DP-2V(20)
	24	28.5	22.0	H2891-ND	1.52	29.11	93.13	DF11G-24DP-2V(20)
	26	30.5	24.0	H2892-ND	1.60	30.69	98.21	DF11G-26DP-2V(20)
	28	32.5	26.0	H2893-ND	1.79	34.40	110.06	DF11G-28DP-2V(20)
	30	34.5	28.0	H2894-ND	1.79	34.40	110.06	DF11G-30DP-2V(20)
	32	36.5	30.0	H2895-ND	1.93	37.04	118.52	DF11G-32DP-2V(20)
	40	44.5	38.0	H2896-ND	2.37	45.50	145.62	DF11G-40DP-2V(20)
Geschützte Steckleiste, Oberflächenmontage — Gold								
6	4	8.5	2.0	H2897-ND	1.25	22.70	74.29	DF11G-4DP-2V(50)
	6	10.5	4.0	H2898-ND	1.48	26.78	87.62	DF11G-6DP-2V(50)
	8	12.5	6.0	H2899-ND	1.43	27.51	88.05	DF11G-8DP-2V(50)
	10	14.5	8.0	H2900-ND	1.60	30.69	98.21	DF11G-10DP-2V(50)
	12	16.5	10.0	H2901-ND	1.76	33.86	108.36	DF11G-12DP-2V(50)
	14	18.5	12.0	H2902-ND	1.96	37.57	120.22	DF11G-14DP-2V(50)
	16	20.5	14.0	H2903-ND	2.15	41.27	132.07	DF11G-16DP-2V(50)
	18	22.5	16.0	H2904-ND	2.29	43.92	140.54	DF11G-18DP-2V(50)
	20	24.5	18.0	H2905-ND	2.45	47.10	150.69	DF11G-20DP-2V(50)
	22	26.5	20.0	H2906-ND	2.73	52.39	167.63	DF11G-22DP-2V(50)
	24	28.5	22.0	H2907-ND	2.60	50.48	161.53	DF11G-24DP-2V(50)
	26	30.5	24.0	H2908-ND	2.83	54.77	175.25	DF11G-26DP-2V(50)
	28	32.5	26.0	H2909-ND	3.00	58.10	185.91	DF11G-28DP-2V(50)
	30	34.5	28.0	H2910-ND	3.17	61.43	196.58	DF11G-30DP-2V(50)
	32	36.5	30.0	H2911-ND	3.32	64.29	205.72	DF11G-32DP-2V(50)
	40	44.5	38.0	H2912-ND	4.07	79.06	252.96	DF11G-40DP-2V(50)
Verbindungssteckergehäuse								
7	4	11.0	2.0	H2913-ND	.43	6.42	20.10	DF11-4DEP-2C
	6	13.0	4.0	H2914-ND	.45	6.67	20.89	DF11-6DEP-2C
	8	15.0	6.0	H2915-ND	.47	6.93	21.69	DF11-8DEP-2C
	10	17.0	8.0	H2916-ND	.48	7.18	22.49	DF11-10DEP-2C
	12	19.0	10.0	H2917-ND	.50	7.49	23.48	DF11-12DEP-2C
	14	21.0	12.0	H2918-ND	.52	7.75	24.27	DF11-14DEP-2C
	16	23.0	14.0	H2919-ND	.54	8.07	25.27	DF11-16DEP-2C
	18	25.0	16.0	H2920-ND	.55	8.25	25.86	DF11-18DEP-2C
	20	27.0	18.0	H2921-ND	.58	8.58	26.86	DF11-20DEP-2C
	22	29.0	20.0	H2922-ND	.59	8.83	27.66	DF11-22DEP-2C
	24	31.0	22.0	H2923-ND	.62	9.21	28.85	DF11-24DEP-2C
	26	33.0	24.0	H2924-ND	.63	9.46	29.65	DF11-26DEP-2C
	28	35.0	26.0	H2925-ND	.49	8.91	29.15	DF11-28DEP-2C
	30	37.0	28.0	H2926-ND	.51	9.13	29.91	DF11-30DEP-2C
	32	39.0	30.0	H2927-ND	.52	9.37	30.67	DF11-32DEP-2C
Inline-Adapter								
8	4	9.2	2.0	H2928-ND	.58	10.36	33.91	DF11-4DEP-2A
	6	11.2	4.0	H2929-ND	.64	11.64	38.10	DF11-6DEP-2A
	8	13.2	6.0	H2930-ND	.72	13.04	42.67	DF11-8DEP-2A
	10	15.2	8.0	H2931-ND	.80	14.38	47.05	DF11-10DEP-2A
	12	17.2	10.0	H2932-ND	.87	15.77	51.63	DF11-12DEP-2A
	14	19.2	12.0	H2933-ND	.98	17.75	58.10	DF11-14DEP-2A
	16	21.2	14.0	H2934-ND	1.06	19.09	62.48	DF11-16DEP-2A
	18	23.2	16.0	H2935-ND	1.13	20.37	66.67	DF11-18DEP-2A
	20	25.2	18.0	H2936-ND	1.24	22.35	73.15	DF11-20DEP-2A
	22	27.2	20.0	H2937-ND	1.31	23.69	77.53	DF11-22DEP-2A
	24	29.2	22.0	H2938-ND	1.38	25.03	81.91	DF11-24DEP-2A
	26	31.2	24.0	H2939-ND	1.46	26.31	86.10	DF11-26DEP-2A
	28	33.2	26.0	H2940-ND	1.53	27.65	90.48	DF11-28DEP-2A
	30	35.2	28.0	H2941-ND	1.60	28.93	94.68	DF11-30DEP-2A
	32	37.2	30.0	H2942-ND	1.43	27.51	88.05	DF11-32DEP-2A
Kurzschlussbrücken, Steckverbinder								
—	4	6.6	2.0	H2943-ND	.55	10.02	32.76	DF11-4DP-SP1
	6	8.6	4.0	H2944-ND	.60	10.89	35.62	DF11-6DP-SP1
	8	10.6	6.0	H2945-ND	.66	11.88	38.86	DF11-8DP-SP1
	4	6.6	2.0	H2946-ND	.59	10.77	35.24	DF11-4DP-SP2
	6	8.6	4.0	H2947-ND	.67	12.17	39.82	DF11-6DP-SP2
	8	10.6	6.0	H2948-ND	.75	13.62	44.57	DF11-8DP-SP2

Crimpkontakte

Abb.	AWG	Preisangaben Digi-Key Teilenr.	lose 100	Hirose Teilenr.	Gegurtet auf Rolle Digi-Key Teilenr.	10,000	Hirose Teilenr.
Sockelkontakte							
Verzinnung							
9A	22	H2950-ND	5.59	DF11-22SC	H2950TR-ND	14.40/M	DF11-22SCF
	24-28	H1504-ND	5.51	DF11-2428SC	H1504TR-ND	8.47/M	DF11-2428SCF
	30	H2954-ND	5.59	DF11-30SC	H2954TR-ND	14.40/M	DF11-30SCF
Vergoldung							
9A	22	H2953-ND	9.31	DF11-22SCA	—	—	—
	24-28	H1505-ND	9.31	DF11-2428SCA	H1505TR-ND	33.87/M	DF11-2428SCFA
	30	H2951-ND	8.68	DF11-30SCA	H2951TR-ND	33.87/M	DF11-30SCFA
Pin-Kontakte							
Verzinnung							
9B	22	—	—	—	H2952TR-ND	15.24/M	DF11-EP22PCF
	24-28	H1506-ND	6.52	DF11-EP2428PC	H1506TR-ND	14.40/M	DF11-EP2428PCF
Vergoldung							
9B	24-28	H1507-ND	10.79	DF11-EP2428PCA	—	—	—

Werkzeuge

Beschreibung	Digi-Key Teilenr.	Stück-preis	Hirose Teilenr.
Hand-Crimpwerkzeuge			
24-28 AWG, mit Einsatzset	H9924-ND	484.17	DF11-TA2428HC/US
24-28 AWG, ohne Einsatzset	H9926-ND	281.49	HRUS-HT-1
Einsatzset für Nr. H9926-ND	H9928-ND	202.68	DF11-TA2428HC/US-DS
22 AWG, für Sockel mit nicht-abnehmbarem Einsatz	H9954-ND	770.41	DF11-TA22HC
24-28 AWG, für Sockel mit nicht-abnehmbarem Einsatz	H9995-ND	753.63	DF11-TA2428HC
30 AWG, für Sockel mit nicht-abnehmbarem Einsatz	H9955-ND	864.29	DF11-TA30HC
24-28 AWG, für Sockel mit nicht-abnehmbarem Einsatz	H2304-ND	811.38	DF11EP-TA2428HC
Extraktionswerkzeug			
Werkzeug für DF11-Sockel	H9996-ND	2.53	DF-C-PO(B)

Steckverbinder, Eingang von unten, Serie MDF7

2,54 mm Pitch

Merkmale: • Abstand von Karte zu Karte ist frei einstellbar. Steckleisten-Pins mit Durchführung und zahlreiche Steckleistenvariationen ermöglichen die stufenlose Einstellung von Karte zu Karte • Anordnung von Komponentenseiten. Komponentenseiten von zwei Karten können auf derselben Seite angeordnet werden, ohne dass sie einander gegenüberliegen.

Anwendungen: Telefone, interne Verbindungen von OA/FA-Geräten, Verbindung von IPM und IGBT mit Karten.

Spezifikationen: • Nennstromstärke: 3 A • Nennspannung: 250 V AC • Betriebstemperatur: -35 °C ~ 85 °C • Isolationswiderstand: 1.000 MΩ oder mehr • Kontaktwiderstand: 30 mΩ oder weniger • Steck- und Ziehkraft: MIN 0,4 N (40 gf), MAX 4,4 N (450 gf)

Materialien: • Steckbuchse: Isolierung; Polyimidharz, schwarz, UL94V-0 und Klemme; Phosphorbronze, vergoldet • Pin-Steckleiste: Isolierung; PBT-Harz, Hauptkörper - Schwarz / Lokalisierer: Grau, UL94V-0 und Klemme; vergoldetes Messing

Abb. 1

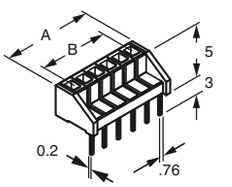

Abb. 2

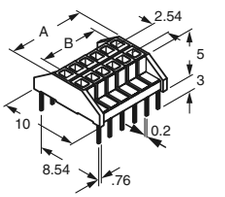

Abb.	Anz. der Kontakte	Abmessungen (mm) A	B	Digi-Key Teilenr.	Stückpreis 1	25	100	Hirose Teilenr.
Steckbuchse - gerade, zum Einlöten								
Einreihig								
1	3	7.62	5.08	H2549-ND	.85	.62	.51	MDF7- 3S-2.54DSA
	5	12.70	10.16	H2550-ND	.98	.72	.59	MDF7- 5S-2.54DSA
	6	15.24	12.70	H2551-ND	1.04	.76	.62	MDF7- 6S-2.54DSA
	7	17.78	15.24	H2552-ND	1.10	.80	.66	MDF7- 7S-2.54DSA
	8	20.32	17.78	H2553-ND	1.16	.85	.69	MDF7- 8S-2.54DSA
	9	22.86	20.32	H2554-ND	1.22	.89	.73	MDF7- 9S-2.54DSA
	10	25.40	22.86	H2555-ND	1.37	1.00	.82	MDF7-10S-2.54DSA
	11	27.94	25.40	H2556-ND	1.43	1.04	.85	MDF7-11S-2.54DSA
	12	30.48	27.94	H2557-ND	1.49	1.09	.89	MDF7-12S-2.54DSA
	13	33.02	30.48	H2558-ND	1.51	1.10	.90	MDF7-13S-2.54DSA
	14	35.56	33.02	H2559-ND	1.53	1.11	.91	MDF7-14S-2.54DSA
	15	38.10	35.56	H2560-ND	1.57	1.14	.94	MDF7-15S-2.54DSA
	16	40.64	38.10	H2561-ND	1.41	1.09	.87	MDF7-16S-2.54DSA
	17	43.18	40.64	H2562-ND	1.46	1.13	.90	MDF7-17S-2.54DSA
	18	45.72	43.18	H2563-ND	1.57	1.21	.97	MDF7-18S-2.54DSA
	19	48.26	45.72	H2564-ND	1.59	1.23	.98	MDF7-19S-2.54DSA
	20	50.80	48.26	H2565-ND	1.62	1.25	1.00	MDF7-20S-2.54DSA
	21	53.34	50.80	H2566-ND	1.71	1.32	1.06	MDF7-21S-2.54DSA
	22	55.88	53.34	H2567-ND	1.76	1.36	1.09	MDF7-22S-2.54DSA
	23	58.42	55.88	H2568-ND	1.81	1.40	1.12	MDF7-23S-2.54DSA
	24	60.96	58.42	H2569-ND	1.86	1.44	1.15	MDF7-24S-2.54DSA
	25	63.50	60.96	H2570-ND	2.01	1.55	1.24	MDF7-25S-2.54DSA
Doppelreihig								
2	12	15.24	12.70	H2571-ND	2.48	1.91	1.53	MDF7-12D-2.54DSA
	14	17.78	15.24	H2572-ND	2.51	1.95	1.56	MDF7-14D-2.54DSA
	16	20.32	17.78	H2573-ND	2.70	2.10	1.68	MDF7-16D-2.54DSA
	20	25.40	22.86	H2574-ND	3.09	2.41	1.93	MDF7-20D-2.54DSA
	22	27.94	25.40	H2575-ND	3.17	2.46	1.97	MDF7-22D-2.54DSA
	26	33.02	30.48	H2577-ND	3.66	2.84	2.28	MDF7-26D-2.54DSA
	30	38.10	35.56	H2578-ND	4.12	3.20	2.57	MDF7-30D-2.54DSA
	34	43.18	40.64	H2579-ND	4.74	3.68	2.95	MDF7-34D-2.54DSA
	40	50.80	48.26	H2580-ND	5.45	4.23	3.39	MDF7-40D-2.54DSA
	46	58.42	55.88	H2581-ND	5.57	4.50	3.54	MDF7-46D-2.54DSA

Alle Preisangaben in Euro und inklusive Zollgebühren.

Steckverbinder der Serie DF1B für diskreten Drahtanschluss

Raster 2,5 mm

Merkmale: • Durch gemeinsame Verwendung des ID-Kontakts und Crimpingkontakts können Leitungen mit unterschiedlicher Strombelastbarkeit zusammen in einem Gehäuse kombiniert werden • Nach dem Anschließen kann der Kontakt bei ausgezeichneter Wartbarkeit ersetzt werden • Da der Schneid-/Klemmbereich durch das Gehäuse geschützt wird, ist eine hohe Zuverlässigkeit gewährleistet

Anwendungen: Bürogeräte, besonders Kopierer und Drucker

Spezifikationen: • UL: E52653 und CSA: LR95109 • Nennstrom: 20-22 AWG: 3 A, 24-28 AWG: 1 A und 30 AWG: 0,5 A • Nennspannung: 30 V AC • Betriebstemperaturbereich: -35 °C ~ 85 °C • Betriebsfeuchtigkeitsbereich: 40 % ~ 80 % • Isolationswiderstand: 500 V DC, min. 1.000 MΩ • Haltespannung: 1 Min. bei Nennwert, 650 V AC (kein Überschlag bzw. Isolationsdurchbruch) • Kontaktwiderstand: 100 mA, max. 30 mΩ

Material: • Isolator: Polyamid, weiß, UL94V-0 • Kontakte: Sockel/Stecker: Phosphorkupfer mit Vergoldung oder Verzinnung Steckleiste: Messing mit Vergoldung oder Verzinnung

Abb. 1

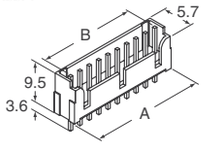

Abb. 2

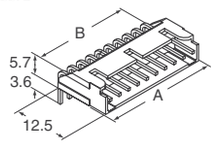

Abb. 3

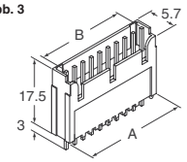

Abb. 4

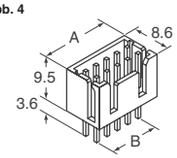

Abb. 5

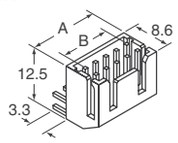

Abb. 6

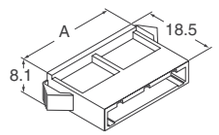

Abb. 7

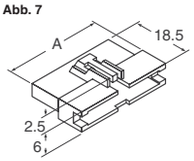

Abb. 8

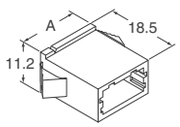

Abb. 9

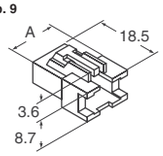

Abb. 10

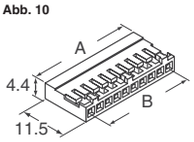

Abb. 11

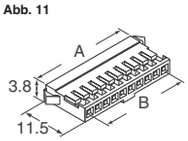

Abb. 12

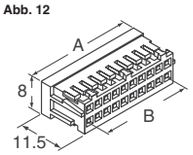

Abb. 13

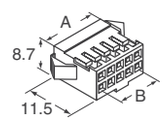

Abb.	Anz. der Kontakte	Abmessungen (mm) A	B	Digi-Key Teilenr.	Preisangaben 1	25	100	Hirose Teilenr.
VERTIKALE STIFTLEISTEN								
Einreihig								
Verzinnung								
1	2	7.5	2.5	H3500-ND	.29	3.40	10.16	DF1B-2P-2.5DSA
	3	10	5	H3501-ND	.35	4.11	12.28	DF1B-3P-2.5DSA
	4	12.5	7.5	H3502-ND	.39	4.68	13.97	DF1B-4P-2.5DSA
	5	15	10	H3503-ND	.45	5.39	16.09	DF1B-5P-2.5DSA
	6	17.5	12.5	H3504-ND	.38	5.71	17.91	DF1B-6P-2.5DSA
	7	20	15	H3505-ND	.41	6.16	19.30	DF1B-7P-2.5DSA
	8	22.5	17.5	H3506-ND	.45	6.67	20.89	DF1B-8P-2.5DSA
	9	25	20	H3507-ND	.51	7.56	23.68	DF1B-9P-2.5DSA
	10	27.5	22.5	H3508-ND	.57	8.51	26.66	DF1B-10P-2.5DSA
	11	30	25	H3509-ND	.61	9.08	28.45	DF1B-11P-2.5DSA
	12	32.5	27.5	H3510-ND	.48	8.73	28.57	DF1B-12P-2.5DSA
	13	35	30	H3511-ND	.51	9.13	29.91	DF1B-13P-2.5DSA
	14	37.5	32.5	H3512-ND	.53	9.60	31.43	DF1B-14P-2.5DSA
	15	40	35	H3513-ND	.66	11.93	39.05	DF1B-15P-2.5DSA
	16	42.5	37.5	H3514-ND	.69	12.39	40.58	DF1B-16P-2.5DSA
	18	47.5	42.5	H3515-ND	.73	13.22	43.24	DF1B-18P-2.5DSA
	20	52.2	47.5	H3516-ND	.78	14.09	46.10	DF1B-20P-2.5DSA
Vergoldung								
1	2	7.5	2.5	H3615-ND	.47	5.53	16.51	DF1B-2P-2.5DSA(01)
	3	10	5	H3616-ND	.44	6.60	20.69	DF1B-3P-2.5DSA(01)
	4	12.5	7.5	H3617-ND	.53	8.00	25.07	DF1B-4P-2.5DSA(01)
	5	15	10	H3618-ND	.49	8.85	28.95	DF1B-5P-2.5DSA(01)
	6	17.5	12.5	H3619-ND	.58	10.53	34.48	DF1B-6P-2.5DSA(01)
	7	20	15	H3620-ND	.65	11.82	38.67	DF1B-7P-2.5DSA(01)
	8	22.5	17.5	H3621-ND	.73	13.16	43.05	DF1B-8P-2.5DSA(01)
	9	25	20	H3622-ND	.82	14.84	48.58	DF1B-9P-2.5DSA(01)
	10	27.5	22.5	H3623-ND	.91	16.58	54.29	DF1B-10P-2.5DSA(01)
	11	30	25	H3624-ND	.99	17.98	58.86	DF1B-11P-2.5DSA(01)
	12	32.5	27.5	H3625-ND	1.07	19.33	63.24	DF1B-12P-2.5DSA(01)
	13	35	30	H3626-ND	1.14	20.61	67.43	DF1B-13P-2.5DSA(01)
	14	37.5	32.5	H3627-ND	1.21	21.88	71.62	DF1B-14P-2.5DSA(01)
	15	40	35	H3628-ND	1.39	25.14	82.29	DF1B-15P-2.5DSA(01)
	16	42.5	37.5	H3629-ND	1.46	26.42	86.48	DF1B-16P-2.5DSA(01)
	18	47.5	42.5	H3630-ND	1.61	29.05	95.06	DF1B-18P-2.5DSA(01)
	20	52.2	47.5	H3631-ND	1.50	28.78	92.11	DF1B-20P-2.5DSA(01)
Einreihig, rechtwinklig								
Verzinnung								
2	2	7.5	2.5	H3517-ND	.36	4.39	13.12	DF1B-2P-2.5DS
	3	10	5	H3518-ND	.45	5.32	15.87	DF1B-3P-2.5DS
	4	12.5	7.5	H3519-ND	.35	5.21	16.31	DF1B-4P-2.5DS
	5	15	10	H3520-ND	.41	6.10	19.10	DF1B-5P-2.5DS
	6	17.5	12.5	H3521-ND	.47	7.05	22.09	DF1B-6P-2.5DS
	7	20	15	H3522-ND	.51	7.56	23.68	DF1B-7P-2.5DS
	8	22.5	17.5	H3523-ND	.53	8.00	25.07	DF1B-8P-2.5DS
	9	25	20	H3524-ND	.62	9.21	28.85	DF1B-9P-2.5DS
	10	27.5	22.5	H3525-ND	.52	9.43	30.86	DF1B-10P-2.5DS
	11	30	25	H3526-ND	.55	9.90	32.38	DF1B-11P-2.5DS
	12	32.5	27.5	H3527-ND	.58	10.36	33.91	DF1B-12P-2.5DS
	13	35	30	H3528-ND	.60	10.83	35.43	DF1B-13P-2.5DS
	14	37.5	32.5	H3529-ND	.63	11.29	36.95	DF1B-14P-2.5DS
	15	40	35	H3530-ND	.77	13.97	45.72	DF1B-15P-2.5DS
	16	42.5	37.5	H3531-ND	.80	14.43	47.24	DF1B-16P-2.5DS
	18	47.5	42.5	H3532-ND	.85	15.37	50.29	DF1B-18P-2.5DS
	20	52.2	47.5	H3533-ND	.90	16.24	53.15	DF1B-20P-2.5DS
Vergoldung								
2	2	7.5	2.5	H3632-ND	.41	6.16	19.30	DF1B-2P-2.5DS(01)
	3	10	5	H3633-ND	.54	8.07	25.27	DF1B-3P-2.5DS(01)
	4	12.5	7.5	H3634-ND	.49	8.85	28.95	DF1B-4P-2.5DS(01)
	5	15	10	H3635-ND	.59	10.71	35.05	DF1B-5P-2.5DS(01)
	6	17.5	12.5	H3636-ND	.69	12.57	41.14	DF1B-6P-2.5DS(01)
	7	20	15	H3637-ND	.78	14.03	45.91	DF1B-7P-2.5DS(01)
	8	22.5	17.5	H3638-ND	.86	15.54	50.86	DF1B-8P-2.5DS(01)
	9	25	20	H3639-ND	.97	17.63	57.72	DF1B-9P-2.5DS(01)
	10	27.5	22.5	H3640-ND	1.08	19.62	64.20	DF1B-10P-2.5DS(01)
	11	30	25	H3641-ND	1.17	21.13	69.15	DF1B-11P-2.5DS(01)
	12	32.5	27.5	H3642-ND	1.25	22.64	74.10	DF1B-12P-2.5DS(01)
	13	35	30	H3643-ND	1.26	22.88	74.86	DF1B-13P-2.5DS(01)
	14	37.5	32.5	H3644-ND	1.41	25.55	83.63	DF1B-14P-2.5DS(01)
	15	40	35	H3645-ND	1.38	26.62	85.17	DF1B-15P-2.5DS(01)
	16	42.5	37.5	H3646-ND	1.46	27.94	89.40	DF1B-16P-2.5DS(01)
	18	47.5	42.5	H3647-ND	1.59	30.64	98.04	DF1B-18P-2.5DS(01)
	20	52.2	47.5	H3648-ND	1.74	33.34	106.67	DF1B-20P-2.5DS(01)

Abb.	Anz. der Kontakte	Abmessungen (mm) A	B	Digi-Key Teilenr.	Preisangaben 1	25	100	Hirose Teilenr.
Einreihig für Vergießung								
Verzinnung								
3	2	7.5	2.5	H3534-ND	.75	13.62	44.57	DF1BD-2P-2.5DSA
	3	10	5	H3535-ND	.80	14.43	47.24	DF1BD-3P-2.5DSA
	4	12.5	7.5	H3536-ND	.85	15.37	50.29	DF1BD-4P-2.5DSA
	5	15	10	H3537-ND	1.06	19.21	62.86	DF1BD-5P-2.5DSA
	6	17.5	12.5	H3538-ND	.95	17.23	56.38	DF1BD-6P-2.5DSA
	7	20	15	H3539-ND	1.22	22.12	72.38	DF1BD-7P-2.5DSA
	8	22.5	17.5	H3540-ND	1.06	19.09	62.48	DF1BD-8P-2.5DSA
	9	25	20	H3541-ND	1.35	24.45	80.00	DF1BD-9P-2.5DSA
	10	27.5	22.5	H3542-ND	1.15	20.89	68.39	DF1BD-10P-2.5DSA
Doppelreihig								
Verzinnung								
4	4	7.5	2.5	H3560-ND	.37	5.53	17.31	DF1B-4DP-2.5DSA
	6	10	5	H3561-ND	.47	6.93	21.69	DF1B-6DP-2.5DSA
	8	12.5	7.5	H3562-ND	.55	8.20	25.67	DF1B-8DP-2.5DSA
	10	15	10	H3563-ND	.50	9.08	29.72	DF1B-10DP-2.5DSA
	12	17.5	12.5	H3564-ND	.57	10.24	33.53	DF1B-12DP-2.5DSA
	14	20	15	H3565-ND	.63	11.41	37.34	DF1B-14DP-2.5DSA
	16	22.5	17.5	H3566-ND	.69	12.57	41.14	DF1B-16DP-2.5DSA
	18	25	20	H3567-ND	.78	14.09	46.10	DF1B-18DP-2.5DSA
	20	27.5	22.5	H3568-ND	.86	15.48	50.67	DF1B-20DP-2.5DSA
	22	30	25	H3569-ND	.97	17.58	57.53	DF1B-22DP-2.5DSA
	24	32.5	27.5	H3570-ND	1.04	18.86	61.72	DF1B-24DP-2.5DSA
	26	35	30	H3571-ND	1.10	19.96	65.34	DF1B-26DP-2.5DSA
	28	37.5	32.5	H3572-ND	1.14	20.61	67.43	DF1B-28DP-2.5DSA
	30	40	35	H3573-ND	1.31	23.75	77.72	DF1B-30DP-2.5DSA
	34	45	40	H3574-ND	1.44	26.02	85.15	DF1B-34DP-2.5DSA
	36	47.5	42.5	H3575-ND	1.55	28.06	91.81	DF1B-36DP-2.5DSA
	40	52.5	47.5	H3576-ND	1.40	26.93	86.18	DF1B-40DP-2.5DSA
Vergoldung								
4	4	7.5	2.5	H3666-ND	.57	8.51	26.66	DF1B-4DP-2.5DSA(01)
	6	10	5	H3667-ND	.55	10.02	32.76	DF1B-6DP-2.5DSA(01)
	8	12.5	7.5	H3668-ND	.67	12.11	39.62	DF1B-8DP-2.5DSA(01)
	10	15	10	H3669-ND	.80	14.61	47.82	DF1B-10DP-2.5DSA(01)
	12	17.5	12.5	H3670-ND	.92	16.70	54.67	DF1B-12DP-2.5DSA(01)
	14	20	15	H3671-ND	1.04	18.80	61.53	DF1B-14DP-2.5DSA(01)
	16	22.5	17.5	H3672-ND	1.15	20.89	68.39	DF1B-16DP-2.5DSA(01)
	18	25	20	H3673-ND	1.29	23.28	76.19	DF1B-18DP-2.5DSA(01)
	20	27.5	22.5	H3674-ND	1.41	25.61	83.81	DF1B-20DP-2.5DSA(01)
	22	30	25	H3675-ND	1.41	26.99	86.35	DF1B-22DP-2.5DSA(01)
	24	32.5	27.5	H3676-ND	1.51	29.05	92.96	DF1B-24DP-2.5DSA(01)
	26	35	30	H3677-ND	1.61	30.95	99.05	DF1B-26DP-2.5DSA(01)
	28	37.5	32.5	H3678-ND	1.71	32.81	104.98	DF1B-28DP-2.5DSA(01)
	30	40	35	H3679-ND	1.87	35.98	115.14	DF1B-30DP-2.5DSA(01)
	34	45	40	H3680-ND	2.07	39.79	127.33	DF1B-34DP-2.5DSA(01)
	36	47.5	42.5	H3681-ND	2.25	43.23	138.33	DF1B-36DP-2.5DSA(01)
	40	52.5	47.5	H3682-ND	2.37	45.56	145.78	DF1B-40DP-2.5DSA(01)
Doppelreihig, rechtwinklig								
Verzinnung								
5	4	7.5	2.5	H3543-ND	.42	6.35	19.90	DF1B-4DP-2.5DS
	6	10	5	H3544-ND	.53	8.00	25.07	DF1B-6DP-2.5DS
	8	12.5	7.5	H3545-ND	.63	9.40	29.44	DF1B-8DP-2.5DS
	10	15	10	H3546-ND	.59	10.65	34.86	DF1B-10DP-2.5DS
	12	17.5	12.5	H3547-ND	.66	11.88	38.86	DF1B-12DP-2.5DS
	14	20	15	H3548-ND	.73	13.10	42.86	DF1B-14DP-2.5DS
	16	22.5	17.5	H3549-ND	.80	14.38	47.05	DF1B-16DP-2.5DS
	18	25	20	H3550-ND	.91	16.42	53.72	DF1B-18DP-2.5DS
	20	27.5	22.5	H3551-ND	.99	17.98	58.86	DF1B-20DP-2.5DS
	22	30	25	H3552-ND	1.12	20.20	66.10	DF1B-22DP-2.5DS
	24	32.5	27.5	H3553-ND	1.19	21.60	70.67	DF1B-24DP-2.5DS
	26	35	30	H3554-ND	1.26	22.82	74.67	DF1B-26DP-2.5DS
	28	37.5	32.5	H3555-ND	1.42	25.79	84.39	DF1B-28DP-2.5DS
	30	40	35	H3556-ND	1.56	28.17	92.19	DF1B-30DP-2.5DS
	34	45	40	H3557-ND	1.45	27.89	89.23	DF1B-34DP-2.5DS
	36	47.5	42.5	H3558-ND	1.55	29.74	95.16	DF1B-36DP-2.5DS
	40	52.5	47.5	H3559-ND	1.63	31.32	100.24	DF1B-40DP-2.5DS
Vergoldung								
5	4	7.5	2.5	H3649-ND	.53	9.60	31.43	DF1B-4DP-2.5DS(01)
	6	10	5	H3650-ND	.73	13.10	42.86	DF1B-6DP-2.5DS(01)
	8	12.5	7.5	H3651-ND	.91	16.47	53.91	DF1B-8DP-2.5DS(01)
	10	15	10	H3652-ND	1.12	20.26	66.29	DF1B-10DP-2.5DS(01)
	12	17.5	12.5	H3653-ND	1.30	23.63	77.34	DF1B-12DP-2.5DS(01)
	14	20	15	H3654-ND	1.49	26.95	88.20	DF1B-14DP-2.5DS(01)
	16	22.5	17.5	H3655-ND	1.43	27.57	88.22	DF1B-16DP-2.5DS(01)

(Forts.)

A

Abb.	Anz. der Kontakte	Abmessungen (mm) A	B	Digi-Key Teilenr.	Preisangaben 1	25	100	Hirose Teilenr.
5	18	25	20	H3656-ND	1.61	31.01	99.22	DF1B-18DP-2.5DS(01)
	20	27.5	22.5	H3657-ND	1.79	34.29	109.72	DF1B-20DP-2.5DS(01)
	22	30	25	H3658-ND	1.99	38.21	122.25	DF1B-22DP-2.5DS(01)
	24	32.5	27.5	H3659-ND	2.15	41.38	132.41	DF1B-24DP-2.5DS(01)
	26	35	30	H3660-ND	2.31	44.45	142.23	DF1B-26DP-2.5DS(01)
	28	37.5	32.5	H3661-ND	2.47	47.46	151.88	DF1B-28DP-2.5DS(01)
	30	40	35	H3662-ND	2.70	51.96	166.27	DF1B-30DP-2.5DS(01)
	34	45	40	H3663-ND	2.70	52.39	167.63	DF1B-34DP-2.5DS(01)
	36	47.5	42.5	H3664-ND	2.95	57.15	182.87	DF1B-36DP-2.5DS(01)
	40	52.5	47.5	H3665-ND	3.12	60.48	193.53	DF1B-40DP-2.5DS(01)
INLINE-STECKER (Kontakte separat bestellen) Einreihig (einfacher Verschlusstyp)								
6	2	7.1	—	H3683-ND	.31	3.76	11.22	DF1BA-2EP-2.5RC
	3	9.6	—	H3684-ND	.35	4.11	12.28	DF1BA-3EP-2.5RC
	4	12.1	—	H3685-ND	.39	4.61	13.76	DF1BA-4EP-2.5RC
	5	14.6	—	H3686-ND	.36	5.33	16.71	DF1BA-5EP-2.5RC
	6	17.1	—	H3687-ND	.37	5.53	17.31	DF1BA-6EP-2.5RC
	7	19.6	—	H3688-ND	.40	5.97	18.70	DF1BA-7EP-2.5RC
	8	22.1	—	H3689-ND	.42	6.29	19.70	DF1BA-8EP-2.5RC
	9	24.6	—	H3690-ND	.60	8.96	28.06	DF1BA-9EP-2.5RC
	10	27.1	—	H3691-ND	.48	8.73	28.57	DF1BA-10EP-2.5RC
	11	29.6	—	H3692-ND	.50	9.02	29.53	DF1BA-11EP-2.5RC
	12	32.1	—	H3693-ND	.53	9.72	31.82	DF1BA-12EP-2.5RC
	13	34.6	—	H3694-ND	.55	9.96	32.58	DF1BA-13EP-2.5RC
	15	39.6	—	H3695-ND	.68	12.28	40.20	DF1BA-14EP-2.5RC
Einreihig (voller Verschlusstyp)								
7	2	8.9	—	H3733-ND	.27	3.19	9.52	DF1B-2EP-2.5RC
	3	11.4	—	H3734-ND	.31	3.76	11.22	DF1B-3EP-2.5RC
	4	13.9	—	H3735-ND	.36	4.26	12.70	DF1B-4EP-2.5RC
	5	16.4	—	H3736-ND	.39	4.68	13.97	DF1B-5EP-2.5RC
	6	18.9	—	H3737-ND	.42	5.11	15.24	DF1B-6EP-2.5RC
	7	21.4	—	H3738-ND	.38	5.66	17.71	DF1B-7EP-2.5RC
	8	23.9	—	H3739-ND	.41	6.04	18.90	DF1B-8EP-2.5RC
	9	26.4	—	H3740-ND	.43	6.42	20.10	DF1B-9EP-2.5RC
	10	28.9	—	H3741-ND	.46	6.80	21.29	DF1B-10EP-2.5RC
	11	31.4	—	H3742-ND	.48	7.18	22.49	DF1B-11EP-2.5RC
	12	33.9	—	H3743-ND	.50	7.49	23.48	DF1B-12EP-2.5RC
	13	36.4	—	H3744-ND	.53	7.94	24.87	DF1B-13EP-2.5RC
Doppelreihig (einfacher Verschlusstyp)								
8	4	8.6	—	H3696-ND	.38	5.71	17.91	DF1BA-4DEP-2.5RC
	6	11.1	—	H3697-ND	.42	6.35	19.90	DF1BA-6DEP-2.5RC
	8	13.6	—	H3698-ND	.45	6.67	20.89	DF1BA-8DEP-2.5RC
	10	16.1	—	H3699-ND	.46	6.86	21.49	DF1BA-10DEP-2.5RC
	12	18.6	—	H3700-ND	.48	7.18	22.49	DF1BA-12DEP-2.5RC
	14	21.1	—	H3701-ND	.50	7.49	23.48	DF1BA-14DEP-2.5RC
	16	23.6	—	H3702-ND	.52	7.81	24.48	DF1BA-16DEP-2.5RC
	18	26.1	—	H3703-ND	.53	8.00	25.07	DF1BA-18DEP-2.5RC
	20	28.6	—	H3704-ND	.57	8.45	26.46	DF1BA-20DEP-2.5RC
	22	31.1	—	H3705-ND	.64	11.64	38.10	DF1BA-22DEP-2.5RC
	24	33.6	—	H3706-ND	.66	11.93	39.05	DF1BA-24DEP-2.5RC
	26	36.1	—	H3707-ND	.67	12.11	39.62	DF1BA-26DEP-2.5RC
	28	38.6	—	H3708-ND	.69	12.45	40.76	DF1BA-28DEP-2.5RC
	30	41.1	—	H3709-ND	.70	12.75	41.72	DF1BA-30DEP-2.5RC
	34	46.1	—	H3710-ND	.73	13.16	43.05	DF1BA-34DEP-2.5RC
Doppelreihig (voller Verschlusstyp)								
9	10	17.2	—	H3711-ND	.65	11.82	38.67	DF1B-10DEP-2.5RC
	12	19.7	—	H3712-ND	.69	12.34	40.38	DF1B-12DEP-2.5RC
	14	22.2	—	H3713-ND	.71	12.86	42.10	DF1B-14DEP-2.5RC
	16	24.7	—	H3714-ND	.74	13.38	43.81	DF1B-16DEP-2.5RC
	18	27.2	—	H3715-ND	.78	14.15	46.29	DF1B-18DEP-2.5RC
	20	29.7	—	H3716-ND	.82	14.90	48.76	DF1B-20DEP-2.5RC
	22	32.2	—	H3717-ND	.86	15.48	50.67	DF1B-22DEP-2.5RC
	24	34.7	—	H3718-ND	.89	16.01	52.39	DF1B-24DEP-2.5RC
	26	37.2	—	H3719-ND	.91	16.53	54.10	DF1B-26DEP-2.5RC
	28	39.7	—	H3720-ND	.97	17.58	57.53	DF1B-28DEP-2.5RC
	30	42.2	—	H3721-ND	1.01	18.16	59.43	DF1B-30DEP-2.5RC
	32	44.7	—	H3722-ND	1.03	18.68	61.15	DF1B-32DEP-2.5RC
	34	47.2	—	H3723-ND	1.06	19.21	62.86	DF1B-34DEP-2.5RC
SOCKEL (Kontakte separat bestellen) Einreihig								
10	2	5	2.5	H3781-ND	.25	2.54	6.30	DF1B-2S-2.5R
	3	7.5	5	H3782-ND	.19	2.15	6.05	DF1B-3S-2.5R
	4	10	7.5	H3783-ND	.20	2.23	6.29	DF1B-4S-2.5R
	5	12.5	10	H3784-ND	.22	2.40	6.76	DF1B-5S-2.5R
	6	15	12.5	H3785-ND	.28	3.06	8.62	DF1B-6S-2.5R
	7	17.5	15	H3786-ND	.30	3.22	9.08	DF1B-7S-2.5R
	8	20	17.5	H3787-ND	.25	2.90	8.68	DF1B-8S-2.5R
	9	22.5	20	H3788-ND	.29	3.47	10.37	DF1B-9S-2.5R
	10	25	22.5	H3789-ND	.30	3.61	10.79	DF1B-10S-2.5R
	11	27.5	25	H3790-ND	.30	3.69	11.01	DF1B-11S-2.5R
	12	30	27.5	H3791-ND	.32	3.83	11.43	DF1B-12S-2.5R
	13	32.5	30	H3792-ND	.33	3.97	11.85	DF1B-13S-2.5R
	14	35	32.5	H3793-ND	.35	4.11	12.28	DF1B-14S-2.5R
	15	37.5	35	H3794-ND	.43	5.17	15.45	DF1B-15S-2.5R
	16	40	37.5	H3795-ND	.45	5.32	15.87	DF1B-16S-2.5R
	18	45	42.5	H3796-ND	.47	5.60	16.72	DF1B-18S-2.5R
	20	50	47.5	H3797-ND	.35	5.21	16.31	DF1B-20S-2.5R
Einreihig, Inline (voller Verschlusstyp)								
11	2	6.5	2.5	H3798-ND	.27	3.19	9.52	DF1B-2ES-2.5RC
	3	9	5	H3799-ND	.31	3.76	11.22	DF1B-3ES-2.5RC
	4	11.5	7.5	H3800-ND	.36	4.33	12.91	DF1B-4ES-2.5RC
	5	14	10	H3801-ND	.40	4.75	14.18	DF1B-5ES-2.5RC
	6	16.5	12.5	H3802-ND	.43	5.17	15.45	DF1B-6ES-2.5RC
	7	19	15	H3803-ND	.39	5.84	18.30	DF1B-7ES-2.5RC
	8	21.5	17.5	H3804-ND	.41	6.22	19.50	DF1B-8ES-2.5RC
	9	24	20	H3805-ND	.44	6.60	20.69	DF1B-9ES-2.5RC
	10	26.5	22.5	H3806-ND	.47	6.93	21.69	DF1B-10ES-2.5RC
	11	29	25	H3807-ND	.49	7.31	22.88	DF1B-11ES-2.5RC
	12	31.5	27.5	H3808-ND	.52	7.69	24.08	DF1B-12ES-2.5RC
	13	34	30	H3809-ND	.54	8.07	25.27	DF1B-13ES-2.5RC
Doppelreihig								
12	4	7.5	2.5	H3810-ND	.32	3.83	11.43	DF1B-4DS-2.5RC
	6	10	5	H3811-ND	.35	4.18	12.49	DF1B-6DS-2.5RC
	8	12.5	7.5	H3812-ND	.39	4.61	13.76	DF1B-8DS-2.5RC

Abb.	Anz. der Kontakte	Abmessungen (mm) A	B	Digi-Key Teilenr.	Preisangaben 1	25	100	Hirose Teilenr.
12	10	15	10	H3813-ND	.41	4.96	14.82	DF1B-10DS-2.5RC
	12	17.5	12.5	H3814-ND	.45	5.39	16.09	DF1B-12DS-2.5RC
	14	20	15	H3815-ND	.35	5.15	16.12	DF1B-14DS-2.5RC
	16	22.5	17.5	H3816-ND	.36	5.46	17.11	DF1B-16DS-2.5RC
	18	25	20	H3817-ND	.39	5.78	18.11	DF1B-18DS-2.5RC
	20	27.5	22.5	H3818-ND	.42	6.29	19.70	DF1B-20DS-2.5RC
	22	30	25	H3819-ND	.44	6.60	20.69	DF1B-22DS-2.5RC
	24	32.5	27.5	H3820-ND	.47	7.11	22.28	DF1B-24DS-2.5RC
	26	35	30	H3821-ND	.50	7.43	23.28	DF1B-26DS-2.5RC
	28	37.5	32.5	H3822-ND	.52	7.87	24.67	DF1B-28DS-2.5RC
	30	40	35	H3823-ND	.55	8.25	25.86	DF1B-30DS-2.5RC
	34	45	40	H3824-ND	.59	8.89	27.85	DF1B-34DS-2.5RC
	36	47.5	42.5	H3825-ND	.48	8.73	28.57	DF1B-36DS-2.5RC
	40	52.5	47.5	H3826-ND	.50	9.08	29.72	DF1B-40DS-2.5RC
Doppelreihig, Inline (voller Verschlusstyp)								
13	10	15	10	H3754-ND	.69	12.57	41.14	DF1B-10DES-2.5RC
	12	17.5	12.5	H3755-ND	.73	13.16	43.05	DF1B-12DES-2.5RC
	14	20	15	H3756-ND	.76	13.79	45.15	DF1B-14DES-2.5RC
	16	22.5	17.5	H3757-ND	.80	14.43	47.24	DF1B-16DES-2.5RC
	18	25	20	H3758-ND	.85	15.25	49.91	DF1B-18DES-2.5RC
	20	27.5	22.5	H3759-ND	.89	16.12	52.77	DF1B-20DES-2.5RC
	22	30	25	H3760-ND	.92	16.76	54.86	DF1B-22DES-2.5RC
	24	32.5	27.5	H3761-ND	.97	17.41	56.96	DF1B-24DES-2.5RC
	26	35	30	H3762-ND	1.00	18.04	59.05	DF1B-26DES-2.5RC
	28	37.5	32.5	H3763-ND	1.06	19.21	62.86	DF1B-28DES-2.5RC
	30	40	35	H3764-ND	1.10	19.84	64.96	DF1B-30DES-2.5RC
	32	42.5	37.5	H3765-ND	1.13	20.43	66.86	DF1B-32DES-2.5RC
	34	45	40	H3766-ND	1.17	21.07	68.96	DF1B-34DES-2.5RC

ID-Kontakte

AWG	Digi-Key Teilenr.	Preisangaben *lose* 1	25	100	Hirose Teilenr.	Preisangaben *Gurtabschnitt** 1,000	3,000	5,000	*T & R* † Pricing ** 10,000	Hirose Teilenr.
Steckerkontakte										
Verzinnung										
24	H3835-ND	.19	2.07	5.82	DF1B-24PR	28.45	25.78/M	24.01/M	22.67/M	DF1B-24PRF
26	H3839-ND	.19	2.07	5.82	DF1B-26PR	28.45	25.78/M	24.01/M	22.67/M	DF1B-26PRF
28	H3843-ND	.19	2.07	5.82	DF1B-28PR	28.45	25.78/M	24.01/M	22.67/M	DF1B-28PRF
Vergoldung										
24	H3837-ND	.30	3.22	9.08	DF1B-24PRB	45.72	42.67/M	39.62/M	38.10/M	DF1B-24PRFB
26	H3841-ND	.30	3.22	9.08	DF1B-26PRB	45.72	42.67/M	39.62/M	38.10/M	DF1B-26PRFB
28	H3845-ND	.30	3.22	9.08	DF1B-28PRB	45.72	42.67/M	39.62/M	38.10/M	DF1B-28PRFB
Sockelkontakte										
Verzinnung										
24	H3836-ND	.15	1.59	3.94	DF1B-R24	16.25	14.73/M	13.72/M	12.96/M	DF1B-R24F
26	H3840-ND	.15	1.59	3.94	DF1B-R26	16.25	14.73/M	13.72/M	12.96/M	DF1B-R26F
28	H3844-ND	.15	1.59	3.94	DF1B-R28	16.25	14.73/M	13.72/M	12.96/M	DF1B-R28F
Vergoldung										
24	H3838-ND	.32	3.83	11.43	DF1B-R24A	54.52	52.58/M	49.66/M	48.68/M	DF1B-R24FA
26	H3842-ND	.32	3.83	11.43	DF1B-R26A	54.52	52.58/M	49.66/M	48.68/M	DF1B-R26FA
28	H3846-ND	.32	3.83	11.43	DF1B-R28A	54.52	52.58/M	49.66/M	48.68/M	DF1B-R28FA

* Für Gurtabschnitte der Digi-Key-Teilenr. „CT" hinzufügen (H3636CT-ND) ** Preisangaben Gegurtet auf Rolle
† Für Gegurtet auf Rolle der Digi-Key-Teilenr. „TR" hinzufügen (H3636TR-ND)

Crimpkontakte

AWG	Digi-Key Teilenr.	Preisangaben *lose* 1	25	100	Hirose Teilenr.	Preisangaben *Gurtabschnitt** 1,000	3,000	*T & R* † Pricing ** 10,000	Hirose Teilenr.
Steckerkontakte									
Verzinnung									
20-22	H3827-ND	.25	2.54	6.30	DF1B-2022PC	27.09	24.55/M	21.59/M	DF1B-2022PCF
24-28	H3831-ND	.21	2.23	5.51	DF1B-2428PC	23.03	20.87/M	18.63/M	DF1B-2428PCF
30	H3847-ND	.24	2.44	6.04	DF1B-30PC	24.38	22.10/M	19.48/M	DF1B-30PCF
Vergoldung									
20-22	H3829-ND	.35	4.11	12.28	DF1B-2022PCB	59.26	57.15/M	52.92/M	DF1B-2022PCFB
24-28	H3833-ND	.49	7.31	22.88	DF1-PD2428SCB	81.78	78.86/M	73.02/M	DF1-PD2428SCFB
30	H3849-ND	.37	4.47	13.33	DF1B-30PCB	64.00	61.72/M	57.15/M	DF1B-30PCFB
Sockelkontakte									
Verzinnung									
20-22	H3828-ND	.19	1.90	4.72	DF1B-2022SC	20.32	18.42/M	16.20/M	DF1B-2022SCF
24-28	H3832-ND	.19	1.90	4.72	DF1B-2428SC	18.96	17.19/M	15.12/M	DF1B-2428SCF
30	H3848-ND	.19	1.90	4.72	DF1B-30SC	18.96	17.19/M	15.12/M	DF1B-30SCF
Vergoldung									
20-22	H3830-ND	.26	3.12	9.31	DF1B-2022SCA	46.99	43.86/M	39.16/M	DF1B-2022SCFA
24-28	H3834-ND	.29	3.14	8.85	DF1B-2428SCA	36.83	34.38/M	30.69/M	DF1B-2428SCFA
30	H3850-ND	.29	3.14	8.85	DF1B-30SCA	36.83	34.38/M	30.48/M	DF1B-30SCFA

* Für Gurtabschnitte der Digi-Key-Teilenr. „CT" hinzufügen (H3636CT-ND) ** Preisangaben Gegurtet auf Rolle
† Für Gegurtet auf Rolle der Digi-Key-Teilenr. „TR" hinzufügen (H3636TR-ND)

Werkzeuge

Beschreibung	Digi-Key Teilenr.	Preisangaben 1	25	100	Hirose Teilenr.
Manuelle ID-Werkzeuge					
24-28 AWG, Stecker	H9934-ND	886.03	—	—	DF1B-T2428HPR
24-28 AWG, Sockel	H9933-ND	758.30	—	—	DF1B-T2428HR
Manuelle Crimpwerkzeuge					
20-22 AWG, Stecker	H9935-ND	692.93	—	—	DF1B-TA2022PHC
24-28 AWG, Stecker	H9937-ND	770.41	—	—	DF1B-TA2428PHC
30 AWG, Stecker	H9939-ND	709.96	—	—	DF1B-TA30PHC
20-22 AWG, Sockel	H9936-ND	658.28	—	—	DF1B-TA2022SHC
24-28 AWG, Sockel	H9938-ND	674.46	—	—	DF1B-TA2428SHC
30 AWG, Sockel	H9940-ND	674.46	—	—	DF1B-TA30SHC
Extraktionswerkzeuge					
ID-Sockel	H9930-ND	2.53	49.05	156.96	DF-C-PO(A)
ID/Crimp-Pin	H9932-ND	10.16	—	—	DF-C-PO(C)

Alle Preisangaben in Euro und inklusive Zollgebühren.

HIROSE ELECTRIC CO.,LTD. Serie DF1E Steckverbinder

2,5 Pitch für vollen Verschlusstyp und diskreten Drahtanschluss

Merkmale: • Das Innenverschlusssystem ist für einen vollen Verschlussmechanismus ausgelegt. Dieser Mechanismus verhindert ein Ausrasten aufgrund unerwarteter externer Stoßeinwirkungen • Der Doppelverschluss wird für die verwendete Methode aktiviert und spannt das Kabel, erhöht die Crimpkontakt-Fixierkraft und verhindert das nur halbe Einführen des Crimpkontakts • Mit dem Mechanismus ausgerüstet, um das verkehrte Einführen und das Einführen zwischen ungleichen Kontakten komplett zu verhindern

Anwendungen: • Elektronische Geräte • Bürogeräte • Industrielle Anlagen • Verbrauchergeräte

Spezifikationen: • UL: E52653 • Nennstrom: 20-22 AWG: 3 A, 24-28 AWG: 1 A und 30 AWG: 0,5 A • Nennspannung: 30 V AC • Betriebstemperaturbereich: -35 °C ~ 85 °C • Betriebsfeuchtigkeitsbereich: 20 % ~ 80 % • Isolationswiderstand: 500 V DC, min. 1.000 MΩ • Haltespannung: 1 Min. bei Nennwert, 650 V AC (kein Überschlag bzw. Isolationsdurchbruch) • Kontaktwiderstand: Gemessen bei max. 20 mV und max. 1 mA, 30 mΩ

Material: • Isolator: Polyamid, weiß, UL94V-0 (Steckleisten-Isolator: beige und Halte-Isolator: schwarz) • Kontakte: Crimping: Phosphorkupfer verzinnt Steckleiste: Messing mit Lötüberzug

Abb. 1

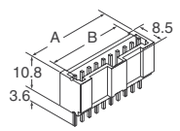

Abb. 2

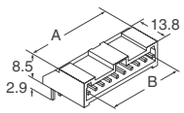

Abb. 3

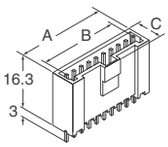

Abb. 4

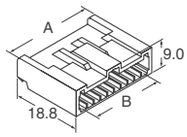

Abb. 5

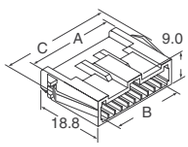

Abb. 6

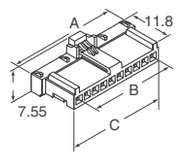

Abb. 7

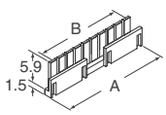

Abb.	Anz. der Kontakte	Abmessungen (mm) A	B	C	Digi-Key Teilenr.	Preisangaben 1	25	100	Hirose Teilenr.
Pin-Steckleisten (verzinnt)									
Vertikal									
1	2	7.5	2.5	—	H3591-ND	.32	3.83	11.43	DF1EC-2P-2.5DSA
	3	10.0	5.0	—	H3592-ND	.38	4.54	13.55	DF1EC-3P-2.5DSA
	4	12.5	7.5	—	H3593-ND	.44	5.25	15.66	DF1EC-4P-2.5DSA
	5	15.0	10.0	—	H3594-ND	.36	5.33	16.71	DF1EC-5P-2.5DSA
	6	17.5	12.5	—	H3595-ND	.47	6.93	21.69	DF1EC-6P-2.5DSA
	7	20.0	15.0	—	H3596-ND	.51	7.62	23.87	DF1EC-7P-2.5DSA
	8	22.5	17.5	—	H3597-ND	.56	8.32	26.07	DF1EC-8P-2.5DSA
	9	25.0	20.0	—	H3598-ND	.60	9.02	28.25	DF1EC-9P-2.5DSA
	10	27.5	22.5	—	H3599-ND	.50	9.08	29.72	DF1EC-10P-2.5DSA
	11	30.0	25.0	—	H3600-ND	.63	11.41	37.34	DF1EC-11P-2.5DSA
	12	32.5	27.5	—	H3601-ND	.66	11.99	39.24	DF1EC-12P-2.5DSA
	13	35.0	30.0	—	H3602-ND	.69	12.57	41.14	DF1EC-13P-2.5DSA
	14	37.5	32.5	—	H3603-ND	.73	13.16	43.05	DF1EC-14P-2.5DSA
	15	40.0	35.0	—	H3604-ND	.76	13.74	44.95	DF1EC-15P-2.5DSA
Rechtwinklig									
2	2	7.5	2.5	—	H3577-ND	.36	4.39	13.12	DF1E-2P-2.5DS
	3	10.0	5.0	—	H3578-ND	.42	5.11	15.24	DF1E-3P-2.5DS
	4	12.5	7.5	—	H3579-ND	.35	5.21	16.31	DF1E-4P-2.5DS
	5	15.0	10.0	—	H3580-ND	.39	5.84	18.30	DF1E-5P-2.5DS
	6	17.5	12.5	—	H3581-ND	.51	7.56	23.68	DF1E-6P-2.5DS
	7	20.0	15.0	—	H3582-ND	.55	8.20	25.67	DF1E-7P-2.5DS
	8	22.5	17.5	—	H3583-ND	.61	9.08	28.45	DF1E-8P-2.5DS
	9	25.0	20.0	—	H3584-ND	.50	8.97	29.33	DF1E-9P-2.5DS
	10	27.5	22.5	—	H3585-ND	.56	10.13	33.14	DF1E-10P-2.5DS
	11	30.0	25.0	—	H3586-ND	.69	12.51	40.96	DF1E-11P-2.5DS
	12	32.5	27.5	—	H3587-ND	.73	13.10	42.86	DF1E-12P-2.5DS
	13	35.0	30.0	—	H3588-ND	.75	13.68	44.77	DF1E-13P-2.5DS
	14	37.5	32.5	—	H3589-ND	.79	14.26	46.67	DF1E-14P-2.5DS
	15	40.0	35.0	—	H3590-ND	.82	14.84	48.58	DF1E-15P-2.5DS
Vertikal für Vergießung									
3	2	7.5	2.5	7.8	H3605-ND	.36	5.27	16.52	DF1EG-2P-2.5DSA
	3	10.0	5.0	7.8	H3606-ND	.41	6.10	19.10	DF1EG-3P-2.5DSA
	4	12.5	7.5	7.8	H3607-ND	.46	6.86	21.49	DF1EG-4P-2.5DSA
	5	15.0	10.0	8.0	H3608-ND	.52	7.69	24.08	DF1EG-5P-2.5DSA
	6	17.5	12.5	8.0	H3609-ND	.58	8.58	26.86	DF1EG-6P-2.5DSA
	7	20.0	15.0	8.0	H3610-ND	.63	9.40	29.44	DF1EG-7P-2.5DSA
	8	22.5	17.5	8.0	H3611-ND	.52	9.49	31.05	DF1EG-8P-2.5DSA
	9	25.0	20.0	8.0	H3612-ND	.57	10.24	33.53	DF1EG-9P-2.5DSA
	10	27.5	22.5	8.0	H3613-ND	.62	11.23	36.77	DF1EG-10P-2.5DSA
	11	30.0	25.0	8.0	H3614-ND	.63	11.52	37.72	DF1EG-11P-2.5DSA
Inline-Stecker									
4	2	8.0	2.5	—	H3724-ND	.48	7.24	22.68	DF1EA-2EP-2.5C
	3	10.5	5.0	—	H3725-ND	.53	7.94	24.87	DF1EA-3EP-2.5C
	4	13.0	7.5	—	H3726-ND	.58	8.70	27.26	DF1EA-4EP-2.5C
	5	15.5	10.0	—	H3727-ND	.63	9.40	29.44	DF1EA-5EP-2.5C
	6	18.0	12.5	—	H3728-ND	.51	9.25	30.29	DF1EA-6EP-2.5C
	7	20.5	15.0	—	H3729-ND	.55	9.96	32.58	DF1EA-7EP-2.5C
	8	23.0	17.5	—	H3730-ND	.58	10.59	34.67	DF1EA-8EP-2.5C
	9	25.5	20.0	—	H3731-ND	.63	11.29	36.95	DF1EA-9EP-2.5C
	10	28.0	22.5	—	H3732-ND	.66	11.93	39.05	DF1EA-10EP-2.5C
Verschlusstyp, Plattenmontage									
5	2	8.0	2.5	15.0	H3745-ND	.48	7.24	22.68	DF1E-2EP-2.5C
	3	10.5	5.0	17.5	H3746-ND	.53	7.94	24.87	DF1E-3EP-2.5C
	4	13.0	7.5	20.0	H3747-ND	.58	8.70	27.26	DF1E-4EP-2.5C
	5	15.5	10.0	22.5	H3748-ND	.63	9.40	29.44	DF1E-5EP-2.5C
	6	18.0	12.5	25.0	H3749-ND	.51	9.25	30.29	DF1E-6EP-2.5C
	7	20.5	15.0	27.5	H3750-ND	.55	9.96	32.58	DF1E-7EP-2.5C
	8	23.0	17.5	30.0	H3751-ND	.58	10.59	34.67	DF1E-8EP-2.5C
	9	25.5	20.0	32.5	H3752-ND	.63	11.29	36.95	DF1E-9EP-2.5C
	10	28.0	22.5	35.0	H3753-ND	.66	11.93	39.05	DF1E-10EP-2.5C
Sockel									
6	2	8.0	2.5	5.4	H3767-ND	.27	2.97	8.38	DF1E-2S-2.5C
	3	10.5	5.0	7.9	H3768-ND	.25	2.90	8.68	DF1E-3S-2.5C
	4	13.0	7.5	10.4	H3769-ND	.27	3.19	9.52	DF1E-4S-2.5C
	5	15.5	10.0	12.9	H3770-ND	.29	3.47	10.37	DF1E-5S-2.5C
	6	18.0	12.5	15.4	H3771-ND	.42	5.11	15.24	DF1E-6S-2.5C
	7	20.5	15.0	17.9	H3772-ND	.46	5.46	16.30	DF1E-7S-2.5C
	8	23.0	17.5	20.4	H3773-ND	.35	5.15	16.12	DF1E-8S-2.5C
	9	25.5	20.0	22.9	H3774-ND	.36	5.46	17.11	DF1E-9S-2.5C
	10	28.0	22.5	25.4	H3775-ND	.38	5.71	17.91	DF1E-10S-2.5C
	11	30.5	25.0	27.9	H3776-ND	.52	7.81	24.48	DF1E-11S-2.5C
	12	33.0	27.5	30.4	H3777-ND	.54	8.13	25.47	DF1E-12S-2.5C
	13	35.5	30.0	32.9	H3778-ND	.56	8.38	26.26	DF1E-13S-2.5C
	14	38.0	32.5	35.4	H3779-ND	.58	8.70	27.26	DF1E-14S-2.5C
	15	40.5	35.0	37.9	H3780-ND	.60	8.96	28.06	DF1E-15S-2.5C

Abb.	Anz. der Kontakte	Abmessungen (mm) A	B	Digi-Key Teilenr.	Preisangaben 1	25	100	Hirose Teilenr.
Haltevorrichtungen								
7	2	8.0	2.5	H3855-ND	.30	3.55	10.58	DF1E-2RS/P-2.5
	3	10.5	5.0	H3856-ND	.30	3.69	11.01	DF1E-3RS/P-2.5
	4	13.0	7.5	H3857-ND	.32	3.83	11.43	DF1E-4RS/P-2.5
	5	15.5	10.0	H3858-ND	.33	3.97	11.85	DF1E-5RS/P-2.5
	6	18.0	12.5	H3859-ND	.35	4.11	12.28	DF1E-6RS/P-2.5
	7	20.5	15.0	H3860-ND	.36	4.26	12.70	DF1E-7RS/P-2.5
	8	23.0	17.5	H3861-ND	.36	4.39	13.12	DF1E-8RS/P-2.5
	9	25.5	20.0	H3862-ND	.38	4.54	13.55	DF1E-9RS/P-2.5
	10	28.0	22.5	H3863-ND	.39	4.68	13.97	DF1E-10RS/P-2.5

Kontakte

AWG	Digi-Key Teilenr.	Preisangaben *lose* 1	25	100	Hirose Teilenr.	*Gurtabschnitts-preise* * 1,000	3,000	*T & R* † Pricing ** 10,000	Hirose Teilenr.
Steckerkontakte - verzinnt (geglühter Kupferdraht)									
20-22	H3851-ND	.20	2.23	6.29	DF1E-2022PC	14.90	13.51/M	11.88/M	DF1E-2022PCF
24-28	H3853-ND	.20	2.23	6.29	DF1E-2428PC	14.90	13.51/M	11.88/M	DF1E-2428PCF
30	H3854-ND	.20	2.23	6.29	DF1E-30PC	14.90	13.51/M	11.88/M	DF1E-30PCF
Sockel-Crimpkontakte - verzinnt (geglühter Kupferdraht)									
20-22	H3852-ND	.19	2.07	5.82	DF1E-2022SC	12.19	11.05/M	9.72/M	DF1E-2022SCF
20-22	H3828-ND	.19	1.90	4.72	DF1B-2022SC	20.32	18.42/M	16.20/M	DF1B-2022SCF
24-28	H3832-ND	.19	1.90	4.72	DF1B-2428SC	18.96	17.19/M	15.12/M	DF1B-2428SCF
30	H3848-ND	.19	1.90	4.72	DF1B-30SC	18.96	17.19/M	15.12/M	DF1B-30SCF

***** Für Gurtabschnitte der Digi-Key-Teilenr. „CT" hinzufügen (H3851CT-ND) ****** Preisangabe für Gegurtet auf Rolle
† Für Gegurtet auf Rolle der Digi-Key-Teilenr. „TR" hinzufügen (H3851TR-ND)

Werkzeuge

Beschreibung	Digi-Key Teilenr.	Stück-preis	Hirose Teilenr.
Handcrimpwerkzeug			
20-22 AWG, Pin	H9942-ND	1000.43	HT102/DF1BE-2022P
24-28 AWG, Pin	H9943-ND	895.69	HT102/DF1BE-2028P
30 AWG, Pin	H9944-ND	942.82	HT102/DF1BE-30P
20-22 AWG, DF1E-Buchse	H9941-ND	958.61	HT102/DF1E-2022S
20-22 AWG, DF1B-Buchse	H9936-ND	658.28	DF1B-TA2022SHC
24-28 AWG, Sockel	H9938-ND	674.46	DF1B-TA2428SHC
30 AWG, Sockel	H9940-ND	674.46	DF1B-TA30SHC
Extraktionswerkzeug			
Crimp-Pin und Buchse	H9996-ND	2.53	DF-C-PO(B)

HIROSE ELECTRIC CO.,LTD. Steckverbinder der Serie DF7

3,96 mm Pitch Mini-Steckverbinder für sekundäre Stromversorgungen (UL, C-UL und TÜV-genehmigte Gegenstände)

A

Merkmale: • Formschlussfunktion; bei diesen Steckverbindern kommt eine komplette Schließfunktion mit einem internen System zum Einsatz. Dies verhindert ein Lösen aufgrund externer Stoßeinwirkungen • Verwendbar bei maximaler Strombelastbarkeit. Eine maximale Belastung von 10 A ist zulässig, wenn ein Draht der Größe 16 AWG verwendet wird.

Anwendungen: • Sekundäre Netzteilschaltkreise für eine Vielzahl von elektronischen, Büro-, Industrie- und Verbrauchergeräten.

Spezifikationen: • Nennstrom: 22 AWG: 4 A, 20 AWG: 5 A, 18 AWG: 7 A und 16 AWG: 10 A • Nennspannung: C-UL; AC 600 V TÜV; 7,92 mm Pitch - AC 600 V, Pitch 3,96 mm - AC 300 V • Eintragungsnr. C-UL: E52653 TÜV: R9750437 • Kontaktwiderstand: 10 mΩ oder weniger (anfänglich) • Isolationswiderstand: 1.000 mΩ oder mehr • Einzeleinsteck- und Extraktionshaltbarkeit: Min. 0,3 N, max. 4,5 N • Steck-/Ziehlebensdauer: 20 mΩ oder weniger

Materialien: • Sockel: Isolierung, Polyimidharz, natur (weiß, UL94V-0) • Steckleisten: Isolierung, Polyimid (glasverstärktes Produkt), natur (beige), UL94V-0 • Kontakte: Kupferlegierung vergoldet oder verzinnt • Inline-Stecker: Isolierung, Polyimidharz, natur (weiß), UL94V-0 • Haltevorrichtungen: Isolierung: Polyimidharz, schwarz, UL94V-0 • Crimpanschlüsse: Kontakte: Vergoldete oder verzinnte Kupferlegierung

Abb. 1

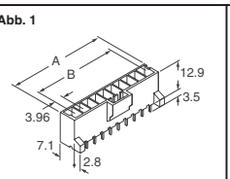

Abb. 2

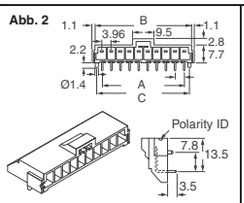

Abb. 3

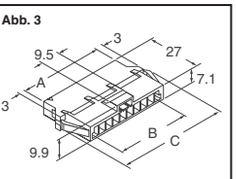

Abb. 4

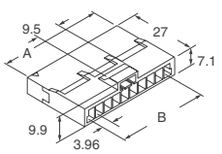

Abb. 5

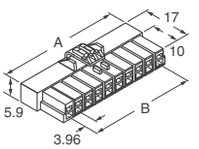

Abb. 6

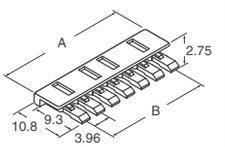

Abb.	Anz. der Kontakte	Abmessungen (mm) A	B	C	Digi-Key Teilenr.	Preisangaben 1	25	100	Hirose Teilenr.
Pin-Steckleisten									
Vertikal — verzinnt									
1	1	—	—	—	H3472-ND	.44	5.25	15.66	DF7-1P-3.96DSA
	2	10.40	3.96	—	H2669-ND	.39	5.78	18.11	DF7-2P-3.96DSA
	3	14.36	7.92	—	H2670-ND	.47	6.98	21.88	DF7-3P-3.96DSA
	4	18.32	11.88	—	H2671-ND	.54	8.13	25.47	DF7-4P-3.96DSA
	5	22.28	15.84	—	H2672-ND	.51	9.25	30.29	DF7-5P-3.96DSA
	6	26.24	19.80	—	H2673-ND	.57	10.30	33.72	DF7-6P-3.96DSA
	7	30.20	23.76	—	H2674-ND	.63	11.41	37.34	DF7-7P-3.96DSA
	8	34.16	27.72	—	H2675-ND	.76	13.79	45.15	DF7-8P-3.96DSA
	9	38.12	31.68	—	H2676-ND	.83	14.96	48.96	DF7-9P-3.96DSA
	10	42.08	35.64	—	H2677-ND	.90	16.24	53.15	DF710P-3.96DSA
	2*	14.36	7.92	—	H2678-ND	.47	6.98	21.88	DF7-2P-7.92DSA
	3*	22.28	15.84	—	H2679-ND	.63	9.46	29.65	DF7-3P-7.92DSA
Vertikal — verzinnt; ohne Führungsstifte									
1	2	10.40	3.96	—	H3463-ND	.34	5.08	15.92	DF7C-2P-3.96DSA
	3	14.36	7.92	—	H3464-ND	.38	5.71	17.91	DF7C-3P-3.96DSA
	4	18.32	11.88	—	H3465-ND	.54	8.13	25.47	DF7C-4P-3.96DSA
	5	22.28	15.84	—	H3466-ND	.51	9.25	30.29	DF7C-5P-3.96DSA
	6	26.24	19.80	—	H3467-ND	.48	8.73	28.57	DF7C-6P-3.96DSA
	7	30.20	23.76	—	H3468-ND	.52	9.31	30.48	DF7C-7P-3.96DSA
	8	34.16	27.72	—	H3469-ND	.76	13.79	45.15	DF7C-8P-3.96DSA
	9	38.12	31.68	—	H3470-ND	.68	12.22	40.00	DF7C-9P-3.96DSA
	10	42.08	35.64	—	H3471-ND	.90	16.24	53.15	DF7C-10P-3.96DSA
Vertikal — vergoldet									
1	2	10.40	3.96	—	H3454-ND	.94	17.00	55.62	DF7-2P-3.96DSA(01)
	3	14.36	7.92	—	H3455-ND	1.05	18.91	61.91	DF7-3P-3.96DSA(01)
	4	18.32	11.88	—	H3456-ND	1.15	20.83	68.19	DF7-4P-3.96DSA(01)
	5	22.28	15.84	—	H3457-ND	1.33	24.09	78.86	DF7-5P-3.96DSA(01)
	6	26.24	19.80	—	H3458-ND	1.45	26.19	85.72	DF7-6P-3.96DSA(01)
	7	30.20	23.76	—	H3459-ND	1.56	28.12	92.01	DF7-7P-3.96DSA(01)
	8	34.16	27.72	—	H3460-ND	1.55	29.74	95.16	DF7-8P-3.96DSA(01)
	9	38.12	31.68	—	H3461-ND	1.64	31.54	100.91	DF7-9P-3.96DSA(01)
	10	42.08	35.64	—	H3462-ND	1.73	33.28	106.50	DF7-10P-3.96DSA(01)
Rechtwinklig — verzinnt									
2	2	3.96	10.40	8.40	H2680-ND	.45	6.73	21.09	DF7-2P-3.96DS
	3	7.92	14.36	12.36	H2681-ND	.53	8.00	25.07	DF7-3P-3.96DS
	4	11.88	18.32	16.32	H2682-ND	.63	9.34	29.25	DF7-4P-3.96DS
	5	15.84	22.28	20.28	H2683-ND	.58	10.59	34.67	DF7-5P-3.96DS
	6	19.80	26.24	24.24	H2684-ND	.65	11.76	38.48	DF7-6P-3.96DS
	7	23.76	30.20	28.20	H2685-ND	.72	12.98	42.48	DF7-7P-3.96DS
	8	27.72	34.16	32.16	H2686-ND	.88	15.89	52.01	DF7-8P-3.96DS
	9	31.68	38.12	36.12	H2687-ND	.95	17.11	56.00	DF7-9P-3.96DS
	10	35.64	42.08	40.08	H2688-ND	1.02	18.34	60.01	DF7-10P-3.96DS
	2†	7.92	14.36	12.36	H2689-ND	.56	8.38	26.26	DF7-2P-7.92DS
	3†	15.84	22.28	20.28	H2690-ND	.58	10.59	34.67	DF7-3P-7.92DS
Rechtwinklig — vergoldet									
2	3	7.92	14.36	12.36	H3446-ND	1.27	23.05	75.43	DF7-3P-3.96DS(01)
	4	11.88	18.32	16.32	H3447-ND	1.39	25.14	82.29	DF7-4P-3.96DS(01)
	5	15.84	22.28	20.28	H3448-ND	1.57	28.34	92.77	DF7-5P-3.96DS(01)
	6	19.80	26.24	24.24	H3449-ND	1.44	27.68	88.55	DF7-6P-3.96DS(01)
	7	23.76	30.20	28.20	H3450-ND	1.54	29.58	94.65	DF7-7P-3.96DS(01)
	8	27.72	34.16	32.16	H3451-ND	1.74	33.49	107.18	DF7-8P-3.96DS(01)
	9	31.68	38.12	36.12	H3452-ND	1.84	35.40	113.28	DF7-9P-3.96DS(01)
	10	35.64	42.08	40.08	H3453-ND	1.94	37.30	119.37	DF7-10P-3.96DS(01)
Stecker									
Inline — Plattenverschlusstyp									
3	1	6.44	—	13.96	H3473-ND	.26	3.12	9.31	DF7-1EP-3.96C
	2	10.40	3.96	17.40	H2691-ND	.29	3.40	10.16	DF7-2EP-3.96C
	3	14.36	7.92	21.36	H2692-ND	.33	3.90	11.64	DF7-3EP-3.96C
	4	18.32	11.88	25.32	H2693-ND	.37	4.47	13.33	DF7-4EP-3.96C
	5	22.28	15.84	29.28	H2694-ND	.53	9.72	31.82	DF7-5EP-3.96C
	6	26.24	19.80	33.24	H2695-ND	.58	10.59	34.67	DF7-6EP-3.96C
	7	30.20	23.76	37.20	H2696-ND	.62	11.23	36.77	DF7-7EP-3.96C
	8	34.16	27.72	41.16	H2697-ND	.66	11.93	39.05	DF7-8EP-3.96C
	9	38.12	31.68	45.12	H2698-ND	.69	12.57	41.14	DF7-9EP-3.96C
	10	42.08	35.64	49.08	H2699-ND	.74	13.27	43.43	DF7-10EP-3.96C
Inline									
4	1	6.44	—	—	H3474-ND	.26	3.12	9.31	DF7A-1EP-3.96C
	2	10.40	3.96	—	H2700-ND	.29	3.40	10.16	DF7A-2EP-3.96C
	3	14.36	7.92	—	H2701-ND	.33	3.90	11.64	DF7A-3EP-3.96C
	4	18.32	11.88	—	H2702-ND	.37	4.47	13.33	DF7A-4EP-3.96C
	5	22.28	15.84	—	H2703-ND	.53	9.72	31.82	DF7A-5EP-3.96C
	6	26.24	19.80	—	H2704-ND	.58	10.59	34.67	DF7A -6EP-3.96C
	7	30.20	23.76	—	H2705-ND	.62	11.23	36.77	DF7A-7EP-3.96C
	9	38.12	31.68	—	H2707-ND	.69	12.57	41.14	DF7A-9EP-3.96C
	10	42.08	35.64	—	H2708-ND	.74	13.27	43.43	DF7A-10EP-3.96C
Sockel									
5	2	10.00	3.96	—	H2709-ND	.27	2.97	8.38	DF7-2S-3.96C
	3	13.96	7.92	—	H2710-ND	.25	3.05	9.10	DF7-3S-3.96C
	4	17.92	11.88	—	H2711-ND	.29	3.47	10.37	DF7-4S-3.96C
	5	21.88	15.84	—	H2712-ND	.41	4.83	14.39	DF7-5S-3.96C
	6	25.84	19.80	—	H2713-ND	.45	5.32	15.87	DF7-6S-3.96C
	7	29.80	23.76	—	H2714-ND	.35	5.21	16.31	DF7-7S-3.96C
	8	33.76	27.72	—	H2715-ND	.51	7.62	23.87	DF7-8S-3.96C
	9	37.72	31.68	—	H2716-ND	.54	8.07	25.27	DF7-9S-3.96C
	10	41.68	35.64	—	H2717-ND	.58	8.70	27.26	DF7-10S-3.96C
Haltevorrichtungen für Sockel und Inline-Stecker									
6	1	—	—	—	H3475-ND	.23	2.48	6.98	DF7-1RS/P-3.96
	2	10.00	3.96	—	H2718-ND	.27	2.97	8.38	DF7-2RS/P-3.96
	3	13.96	7.92	—	H2719-ND	.24	2.84	8.47	DF7-3RS/P-3.96
	4	17.92	11.88	—	H2720-ND	.25	3.05	9.10	DF7-4RS/P-3.96
	5	21.88	15.84	—	H2721-ND	.40	4.75	14.18	DF7-5RS/P-3.96
	6	25.84	19.80	—	H2722-ND	.42	5.11	15.24	DF7-6RS/P-3.96
	7	29.80	23.76	—	H2723-ND	.46	5.46	16.30	DF7-7RS/P-3.96
	8	33.76	27.72	—	H2724-ND	.36	5.33	16.71	DF7-8RS/P-3.96
	9	37.72	31.68	—	H2725-ND	.38	5.71	17.91	DF7-9RS/P-3.96
	10	41.68	35.64	—	H2726-ND	.41	6.04	18.90	DF7-10RS/P-3.96

* DF7-2P-7.92DSA ist DF7-3P-3.96DSA mit ausgebautem Pin 2 und Anzahl der Kontakte als 2 angegeben.
DF7-3P-7.92DSA ist DF7-5P-3.96DSA mit ausgebauten Pins 2 und 4 und Anzahl der Kontakte als 3 angegeben.

† DF7-2P-7.92DS ist DF7-3P-3.96DS mit ausgebautem Pin 2 und Anzahl der Kontakte als 2 angegeben.
DF7-3P-7.92DS ist DF7-5P-3.96DS mit Pins Nr. mit ausgebauten Pins 2 und 4 und Anzahl der Kontakte als 3 angegeben.

Crimpanschlüsse

Beschr.	Digi-Key Teilenr.	Preisangaben lose 100	Hirose Teilenr.	Gurtabschnittspreise* 100	500	1,000	Gegurtet auf Rolle † Größe	Preisangaben	Hirose Teilenr.
Buchse — verzinnt									
16-18	H2728-ND	7.92	DF7-1618SC	5.51	18.67	28.45	3,000	25.78/M	DF7-1618SCF
20-22	H2730-ND	7.92	DF7-2022SC	5.51	18.67	28.45	3,000	25.78/M	DF7-2022SCF
Buchse — vergoldet									
16-18	H3478-ND	15.92	DF7-1618SCA	13.76	49.53	77.04	3,000	74.50/M	DF7-1618SCFA
20-22	H3479-ND	15.92	DF7-2022SCA	13.76	49.53	77.04	3,000	74.50/M	DF7-2022SCFA
Stecker — verzinnt									
16-18	H2732-ND	8.85	DF7-1618PC	5.82	20.11	31.75	3,000	29.63/M	DF7-1618PCF
20-22	H2734-ND	8.85	DF7-2022PC	5.82	20.11	31.75	3,000	29.63/M	DF7-2022PCF
Stecker — vergoldet									
16-18	H3476-ND	17.11	DF7-1618PCA	15.45	55.62	86.52	3,000	83.82/M	DF7-1618PCFA
20-22	H3477-ND	17.11	DF7-2022PCA	15.45	55.62	86.52	3,000	83.82/M	DF7-2022PCFA
Werkzeuge									
Manuelles Crimpwerkzeug für Serie DF7, 16-18 AWG			H9986-ND		1286.92/1				HT104/DF7-1618
Manuelles Crimpwerkzeug für Serie DF7, 20-22 AWG			H9987-ND		1254.66/1				HT104/DF7-2022

* Für Gurtabschnitte der Digi-Key-Teilenr. „CT" hinzufügen (H2728CT-ND)
† Für Gegurtet auf Rolle der Digi-Key-Teilenr. „TR" hinzufügen (H2728TR-ND)

Stromversorgungssteckverbinder – Serie PX

Merkmale: • Netzteil-Steckverbinder für hohen Strom hält einer Spannung von max. 2.200 V AC und 10 A/Kontakt (60 A/6 Kontakte) des Nennstroms stand. • Die Gehäusekonstruktion verhindert das falsche Einstecken; die Öffnung ist so konzipiert, dass eine umgekehrte Einführung verhindert wird und die Steckrichtung leicht zu überprüfen ist. Der Öffnungsabschnitt ist stecksicher ausgeführt, um das falsche Ausrichten von Steckern in Parallelanwendungen zu verhindern. • Zuverlässige Kontaktstruktur; Dreipunkte-Kontakt, vergoldete Kontakte (Standard) mit hoher Umweltbeständigkeit, Kontaktfederschutzstruktur, die eine Verformung der Haltevorrichtung verhindert. **Spezifikationen:** • **Temperaturbereich:** -55 °C – 105 °C • **Spannung:** 600 V AC • **Strom:** 10 A • **Kontaktwiderstand:** Max. 10 mΩ gemessen bei 100 mA • **Isolationswiderstand:** Min. 1.000 MΩ gemessen bei 500 V DC **Material:** • Kontakte: Kupferlegierung, vergoldet • Isolator: PBT-Harz (UL94V-0) • Metallbefestigung: Kupferlegierung, Lötzinnüberzug

Abb. 1 - Steckbuchse

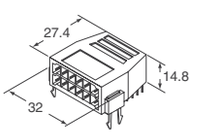

Hinweis: Für jede Buchse sind zwei Stecker erforderlich.

Abb. 2 - Stecker

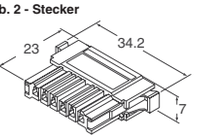

Abb. 3 - Steckerhalterabdeckung

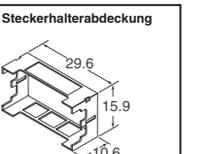

Hinweis: Abdeckung für zwei Stecker.

Abb.	Anz. der Schaltkreise	Digi-Key Teilenr.	Stückpreis 1	10	50	Hirose Teilenr.
1	8	H10068-ND	5.08	4.21	3.51	PX10-AD4WP
	12	H10069-ND	4.59	3.80	3.17	PX10-AF6WP
2	4	H10071-ND	1.96	1.63	1.36	PX50-AD4S
	6	H10072-ND	2.07	1.72	1.43	PX50-AF6S
3	4	H10070-ND	1.54	1.28	1.07	PX-4WS-CV
	6	H10074-ND	2.37	1.97	1.64	PX-6WS-CV
—	Buchsenklemme, 16-18 AWG	H10073-ND	—	.43	.34	PX50-SC-131

Alle Preisangaben in Euro und inklusive Zollgebühren.

Serie DF5 Steckverbinder

5 mm Pitch Miniatursteckverbinder für sekundäre Stromversorgungen

Merkmale: • Maximale Vergießungskapazität: 9 mm • Das Außenverschlusssystem ist für einen vollen Verschlussmechanismus ausgelegt
Anwendungen: • Büromaschinen, industrielle Geräte, Verbraucherhaushaltsgeräte (Heißwasserversorgung, Waschmaschinen, Kühlschränke usw.)
Spezifikationen: • Isolationswiderstand: 500 V DC, min. 1.000 MΩ • Haltespannung: 1 Min. bei Nennwert, 1.500 V AC (kein Überschlag bzw. Isolationsdurchbruch) • Kontaktwiderstand: Max. 30 mΩ, gemessen bei 100 mA
Materialien: • Crimpsockelisolator: Polyamid, weiß, UL94V-0 • Crimpkontakt für Sockelkontakt: Phosphorbronze, verzinnt • Pin-Steckleisten-Isolator: Polyamid, beige, UL94V-0 • Pin-Steckleisten-Kontakt: Messing, verzinnt

	Anz. d. Reihen	Anzahl der Kontakte	AWG #18	AWG #20	AWG #22		
Nennstrom	Einreihig	2 ~ 10	8A	6A	5A	Betriebstemperaturbereich	–35°C ~ 85°C
	Doppelreihig	4	8A	6A	5A	Betriebsfeuchtigkeitsbereich	20% ~ 80%
		6	8A	6A	5A		
		8	7A	6A	5A		
		10	7A	6A	5A	Lagertemperaturbereich	–10°C ~ 60°C
		12	7A	6A	4A		
		14	7A	5A	4A	Lagerfeuchtigkeitsbereich	40% ~ 70%
		16	7A	5A	4A		
Nennspannung	500VAC						

Abb. 1

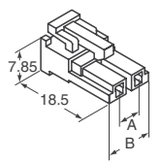

Abb. 2

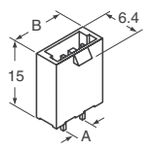

Abb. 3

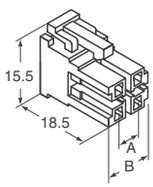

Abb. 4

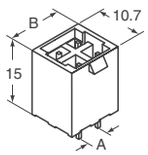

Abb.	Anz. der Kontakte	Abmessungen (mm) A	B	Digi-Key Teilenr.	Preisangaben 1	25	100	Hirose Teilenr.
				Einreihiger Sockel				
1	2	5.0	10.5	H1900-ND	.32	3.83	11.43	DF5A-2S-5C
	3	10.0	15.5	H1901-ND	.34	5.08	15.92	DF5A-3S-5C
	4	15.0	20.5	H1902-ND	.37	5.59	17.51	DF5A-4S-5C
	5	20.0	25.5	H1903-ND	.40	5.97	18.70	DF5A-5S-5C
	6	25.0	30.5	H1904-ND	.42	6.35	19.90	DF5A-6S-5C
	7	30.0	35.5	H1905-ND	.56	8.38	26.26	DF5A-7S-5C
	8	35.0	40.5	H1906-ND	.58	8.76	27.46	DF5A-8S-5C
	9	40.0	45.5	H1907-ND	.61	9.14	28.65	DF5A-9S-5C
	10	45.0	50.5	H1908-ND	.49	8.85	28.95	DF5A-10S-5C
				Einreihige Pin-Stiftleiste				
2	2	5.0	12.5	H1909-ND	.41	4.96	14.82	DF5A-2P-5DSA
	3	10.0	17.5	H1910-ND	.42	6.35	19.90	DF5A-3P-5DSA
	4	15.0	22.5	H1911-ND	.63	9.46	29.65	DF5A-4P-5DSA
	5	20.0	27.5	H1912-ND	.72	10.79	33.82	DF5A-5P-5DSA
	6	25.0	32.5	H1913-ND	.48	8.73	28.57	DF5A-6P-5DSA
	7	30.0	37.5	H1914-ND	.61	11.06	36.19	DF5A-7P-5DSA
	8	35.0	42.5	H1915-ND	.68	12.22	40.00	DF5A-8P-5DSA
	9	40.0	47.5	H1916-ND	.77	13.97	45.72	DF5A-9P-5DSA
	10	45.0	52.5	H1917-ND	.84	15.14	49.53	DF5A-10P-5DSA
				Doppelreihiger Sockel				
3	4	5.0	10.5	H1918-ND	.42	5.04	15.03	DF5A-4DS-5C
	6	10.0	15.5	H1919-ND	.36	5.33	16.71	DF5A-6DS-5C
	8	15.0	20.5	H1920-ND	.51	7.62	23.87	DF5A-8DS-5C
	10	20.0	25.5	H1921-ND	.57	8.51	26.66	DF5A-10DS-5C
	12	25.0	30.5	H1922-ND	.60	10.83	35.43	DF5A-12DS-5C
	14	30.0	35.5	H1923-ND	.64	11.64	38.10	DF5A-14DS-5C
	16	35.0	40.5	H1924-ND	.69	12.45	40.76	DF5A-16DS-5C
				Doppelreihige Pin-Stiftleiste				
4	4	5.0	12.5	H1925-ND	.51	7.62	23.87	DF5A-4DP-5DSA
	6	10.0	17.5	H1926-ND	.52	9.31	30.48	DF5A-6DP-5DSA
	8	15.0	22.5	H1927-ND	.68	12.22	40.00	DF5A-8DP-5DSA
	10	20.0	27.5	H1928-ND	.80	14.55	47.62	DF5A-10DP-5DSA
	12	25.0	32.5	H1929-ND	1.03	18.63	60.96	DF5A-12DP-5DSA
	14	30.0	37.5	H1930-ND	1.16	20.95	68.57	DF5A-14DP-5DSA
	16	35.0	42.5	H1931-ND	1.29	23.28	76.19	DF5A-16DP-5DSA

Sockel Crimpkontakte (18-22AWG)

UL-Typ	Digi-Key Teilenr.	Preisangaben *lose Ware* 1	25	100	Hirose Teilenr.	*Gurtabschnittspreise** 100	500	*T & R †* Pricing ** 5,000	Hirose Teilenr.
					Verzinnt (geglühter Kupferdraht)				
UL1007	H1932-ND	.24	2.56	7.22	DF5-1822SC(51)	5.82	20.11	27.94/M	DF5-1822SCF(51)
UL1015	H1933-ND	.24	2.56	7.22	DFA5-1822SC(51)	5.82	20.11	27.94/M	DFA5-1822SCF(51)

* Für Gurtabschnitte der Digi-Key-Teilenr. „CT" hinzufügen (H1932CT-ND) ** Preisangabe für Gegurtet auf Rolle
†Für Gegurtet auf Rolle der Digi-Key-Teilenr. „TR" hinzufügen (H1932TR-ND)

Crimpwerkzeuge

Beschreibung	Digi-Key Teilenr.	Stück-preis	Hirose Teilenr.
Crimpwerkzeug, UL1007, 18-22 AWG	H9918-ND	949.65	DF5-1822/CR-HT
Crimpwerkzeug, UL1015, 18-22 AWG	H9919-ND	1061.13	DFA5-1822/CR-HT

Steckverbinder der Serie DF22

Steckverbinder, 7,92 mm Pitch, für interne Netzteile mit hohem Strom

Merkmale: • Max. Strombelastbarkeit 20 A. Der Steckverbinder kann mit einem Draht der Stärke 12 AWG mit max. 20 A belastet werden. • Komplette Verriegelungsfunktion: Der vollständig abgeschirmte Verriegelungsmechanismus kann durch Stoßeinwirkungen und Vibrationen nicht versehentlich entriegelt werden.

Anwendungen: Verbraucherelektronikgeräte und Netzteile für Elektronikgeräte, Bürogeräte und Industriemaschinen

Spezifikationen: • Betriebstemperaturbereich: -35 °C ~ 85 °C • Kontaktwiderstand: 5 mΩ oder weniger (anfänglich) • Isolationswiderstand: 1.000 MΩ oder mehr

No. of Con.	Rated Current 12AWG	14AWG	16AWG
2	20A	18A	15A
3	20A	18A	15A
4	18A	15A	13A
5	18A	15A	13A

Material: • Crimp-Sockel: Isolierung, Polyimidharz, natur (weiß), UL94V-0 • Buchsen-Crimpkontakt: Klemme, Kupferlegierung mit hoher Leitfähigkeit, Zinn (ohne Haarkristalle) • Steckleistenisolierung: Polyimidharz (glasverstärkt), natur (beige), UL94V-0 • Steckleisten-Klemme: Kupferlegierung mit hoher Leitfähigkeit, Zinn (ohne Haarkristalle)

Abb. 1

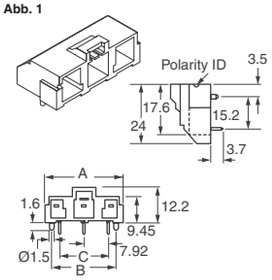

Abb. 2

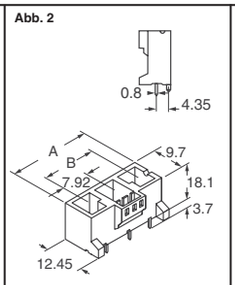

Abb. 3

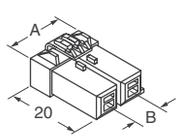

Polarisationsoptionen

Stil A — Standardtyp

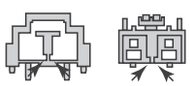

Stil B — R-Typ, schwarz

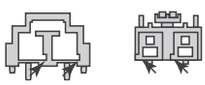

Stil C — L-Typ, rot

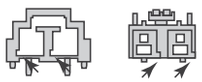

Abb.	Anz. der Kontakte	Abmessungen (mm) A	B	C	Digi-Key Teilenr.	Preisangaben 1	25	100	Hirose Teilenr.
					Pin-Steckleisten				
					Rechtwinklig				
1A	2	19.80	15.00	7.92	H2776-ND	.60	10.95	35.81	DF22-2P-7.92DS
	3	27.72	22.92	15.84	H2777-ND	.82	14.90	48.76	DF22-3P-7.92DS
	4	35.64	30.84	23.76	H2778-ND	.99	17.98	58.86	DF22-4P-7.92DS
	5	43.56	38.76	31.68	H2779-ND	1.16	21.01	68.77	DF22-5P-7.92DS
1B	2	19.80	15.00	7.92	H1613-ND	.64	11.70	38.29	DF22R-2P-7.92DS
	3	27.72	22.92	15.84	H1616-ND	.88	15.89	52.01	DF22R-3P-7.92DS
	4	35.64	30.84	23.76	H1619-ND	1.07	19.33	63.24	DF22R-4P-7.92DS
	5	43.56	38.76	31.68	H1622-ND	1.26	22.76	74.48	DF22R-5P-7.92DS
1C	2	19.80	15.00	7.92	H1601-ND	.64	11.70	38.29	DF22L-2P-7.92DS
	3	27.72	22.92	15.84	H1604-ND	.88	15.89	52.01	DF22L-3P-7.92DS
	4	35.64	30.84	23.76	H1607-ND	1.07	19.33	63.24	DF22L-4P-7.92DS
	5	43.56	38.76	31.68	H1610-ND	1.26	22.76	74.48	DF22L-5P-7.92DS
					Vertikal				
2A	2	17.22	7.92	—	H2780-ND	.61	11.06	36.19	DF22-2P-7.92DSA
	3	25.14	15.84	—	H2781-ND	.84	15.14	49.53	DF22-3P-7.92DSA
	4	33.06	23.76	—	H2782-ND	1.01	18.28	59.81	DF22-4P-7.92DSA
	5	40.98	31.68	—	H2783-ND	1.18	21.36	69.91	DF22-5P-7.92DSA
2B	2	17.22	7.92	—	H1614-ND	.64	11.64	38.10	DF22R-2P-7.92DSA
	3	25.14	15.84	—	H1617-ND	.88	15.95	52.19	DF22R-3P-7.92DSA
	4	33.06	23.76	—	H1620-ND	1.08	19.38	63.44	DF22R-4P-7.92DSA
	5	40.98	31.68	—	H1623-ND	1.26	22.82	74.67	DF22R-5P-7.92DSA
2C	2	17.22	7.92	—	H1602-ND	.64	11.64	38.10	DF22L-2P-7.92DSA
	3	25.14	15.84	—	H1605-ND	.88	15.95	52.19	DF22L-3P-7.92DSA
	4	33.06	23.76	—	H1608-ND	1.08	19.38	63.44	DF22L-4P-7.92DSA
	5	40.98	31.68	—	H1611-ND	1.26	22.82	74.67	DF22L-5P-7.92DSA
					Crimp-Sockelgehäuse				
3A	2	15.50	7.92	—	H2784-ND	.35	4.11	12.28	DF22-2S-7.92C(28)
	3	23.42	15.84	—	H2785-ND	.42	6.29	19.70	DF22-3S-7.92C(28)
	4	31.34	23.76	—	H2786-ND	.49	7.37	23.08	DF22-4S-7.92C(28)
	5	39.26	31.68	—	H2787-ND	.55	8.25	25.86	DF22-5S-7.92C(28)
3B	2	15.50	7.92	—	H1615-ND	.39	4.61	13.76	DF22R-2S-7.92C(28)
	3	23.42	15.84	—	H1618-ND	.47	7.05	22.09	DF22R-3S-7.92C(28)
	4	31.34	23.76	—	H1621-ND	.58	8.58	26.86	DF22R-4S-7.92C(28)
	5	39.26	31.68	—	H1624-ND	.49	8.91	29.15	DF22R-5S-7.92C(28)
3C	2	15.50	7.92	—	H1603-ND	.38	4.54	13.55	DF22L-2S-7.92C(28)
	3	23.42	15.84	—	H1606-ND	.47	7.05	22.09	DF22L-3S-7.92C(28)
	4	31.34	23.76	—	H1609-ND	.58	8.58	26.86	DF22L-4S-7.92C(28)
	5	39.26	31.68	—	H1612-ND	.49	8.91	29.15	DF22L-5S-7.92C(28)

Kontakte und Crimpwerkzeuge

UL-Typ	AWG	Digi-Key Teilenr.	Gurtabschnittspreise 1	10	50	100	Preisangaben Gegurtet auf Rolle*	Hirose Teilenr.
UL1430	14-16	H2788CT-ND	—	1.52	5.05	8.72	117.72/2,500	DF22-1416SCF
UL1015	14-16	H2789CT-ND	—	1.62	5.40	9.31	100.58/2,000	DF22A-1416SCF
UL1015	10-12	HR1173CT-ND	—	2.76	9.21	15.87	171.44/2,000	DF22A-1012SCF
			Werkzeuge					
UL1430	14-16	HR1168-ND	1104.98	—	—	—	—	HT104/DF22-1416
UL1015	14-16	HR1169-ND	1104.98	—	—	—	—	HT104/DF22A-1416
UL1015	10-12	HR1167-ND	1683.89	—	—	—	—	HT103/DF22A-1012

* Für die Teilenummer für Gegurtet auf Rolle CT-ND in TR-ND ändern

JST Serie JMD
Steckverbinder 0,5 mm

Merkmale: • Glatte Verbindung: Die haarnadelförmigen Kontakte passen glatt aufeinander. • Konstruktion zur Verhinderung von Verzerrung: Das kastenförmige Steckergehäuse hat Führungsrippen an beiden Enden, wodurch eine Verzerrung vermieden wird. • Breiter Schaltkreisbereich: Die Zahl der verfügbaren Schaltkreise reicht von 20 bis 100, alle 10 Schaltkreise

Spezifikationen: • Nennstrom: 0,5 A AC, DC • Nennspannung: 50 V AC, DC • Temperaturbereich: -25 °C ~ 85 °C • Dielektrische Haltespannung: 100 V AC/Minute

Kontakte: • Vergoldet

Abb. 1

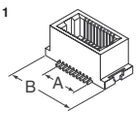

Abb. 2

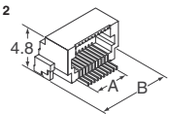

Abb. 3

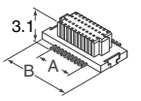

Abb.	Schaltkreise	Abm. (mm) A	Abm. (mm) B	Digi-Key Teilenr.	Gurtabschnittspreise 10	100	500	Gegurtet auf Rolle* Größe	Gegurtet auf Rolle* Preisangaben	JST Teilenr.
Stecker, Eingang oben										
4,5 mm Stapelhöhe										
1	20	4.5	9.1	455-1458-1-ND	14.32	128.19	565.56	1,500	905.44	20P-JMDSS-G-1-TF
	40	9.5	14.1	455-1459-1-ND	16.55	148.10	653.36	1,500	1045.13	40P-JMDSS-G-1-TF
	50	12.0	16.6	455-1460-1-ND	19.67	175.98	776.40	1,500	1241.96	50P-JMDSS-G-1-TF
	60	14.5	19.1	455-1461-1-ND	26.36	235.91	1040.75	1,500	1664.84	60P-JMDSS-G-1-TF
	70	17.0	21.6	455-1462-1-ND	29.10	260.33	1148.50	1,500	1837.55	70P-JMDSS-G-1-TF
	80	19.5	24.1	455-1463-1-ND	34.55	309.13	1363.81	1,500	2181.69	80P-JMDSS-G-1-TF
	100	24.5	29.1	455-1464-1-ND	41.66	372.78	1644.61	1,500	2631.23	100P-JMDSS-G-1-TF
5,0 mm Stapelhöhe										
1	30	7.0	11.6	455-1465-1-ND	12.30	110.02	485.41	1,500	777.18	30P5.0-JMDSS-G-1-TF
	40	9.5	14.1	455-1466-1-ND	19.40	173.56	765.70	1,500	1225.45	40P5.0-JMDSS-G-1-TF
6,0 mm Stapelhöhe										
1	50	12.0	16.6	455-1467-1-ND	22.93	205.21	905.33	1,500	1448.96	50P6.0-JMDSS-G-1-TF
	60	14.5	19.1	455-1468-1-ND	27.80	248.76	1097.46	1,500	1756.27	60P6.0-JMDSS-G-1-TF
	70	17.0	21.6	455-1469-1-ND	30.77	275.31	1214.58	1,500	1942.95	70P6.0-JMDSS-G-1-TF
Stecker, Seiteneingang										
2	20	4.5	9.1	455-1470-1-ND	11.21	100.30	442.48	1,500	708.60	20PS-JMDSS-G-1-TF
	30	7.0	11.6	455-1471-1-ND	13.98	125.03	551.63	1,500	882.58	30PS-JMDSS-G-1-TF
	40	9.5	14.1	455-1472-1-ND	18.21	162.93	718.81	1,500	1150.53	40PS-JMDSS-G-1-TF
	50	12.0	16.6	455-1473-1-ND	22.57	201.92	890.82	1,500	1424.83	50PS-JMDSS-G-1-TF
	60	14.5	19.1	455-1474-1-ND	25.08	224.34	989.73	1,500	1583.57	60PS-JMDSS-G-1-TF
	70	17.0	21.6	455-1475-1-ND	29.20	261.22	1152.45	1,500	1843.89	70PS-JMDSS-G-1-TF
	80	19.5	24.1	455-1476-1-ND	41.64	372.55	1643.60	1,500	2629.96	80PS-JMDSS-G-1-TF
	100	24.5	29.1	455-1477-1-ND	55.60	497.48	2194.77	1,500	3511.27	100PS-JMDSS-G-1-TF
Steckbuchse										
3	20	4.5	9.1	455-1478-1-ND	15.94	142.60	629.13	1,500	1007.03	20R-JMDSS-G-1-TF
	30	7.0	11.6	455-1479-1-ND	17.58	157.27	693.84	1,500	1109.89	30R-JMDSS-G-1-TF
	40	9.5	14.1	455-1480-1-ND	22.10	197.69	872.15	1,500	1395.62	40R-JMDSS-G-1-TF
	50	12.0	16.6	455-1481-1-ND	26.33	235.55	1039.18	1,500	1662.30	50R-JMDSS-G-1-TF
	60	14.5	19.1	455-1482-1-ND	35.75	319.87	1411.18	1,500	2257.88	60R-JMDSS-G-1-TF
	70	17.0	21.6	455-1483-1-ND	32.30	289.01	1275.05	1,500	2039.46	70R-JMDSS-G-1-TF
	80	19.5	24.1	455-1484-1-ND	40.45	361.90	1596.63	1,500	2555.04	80R-JMDSS-G-1-TF
	100	24.5	29.1	455-1485-1-ND	40.71	364.27	1607.06	1,500	2571.55	100R-JMDSS-G-1-TF

* Für Gegurtet auf Rolle die Teilenr. von 1-ND in 2-ND ändern.

Serie SH 1,0 mm Steckverbinder

Merkmale: • Der weltweit erste 1 mm (0,039") Pitch Steckverbinder, Crimptyp • Ultrakompaktes Flachprofildesign mit einer Montagehöhe von 2,95 mm (0,116") für die Ausführung mit Seiteneingang

Spezifikationen: Nennstrom: 1 A AC, DC • Nennspannung: 50 V AC, DC • Temperaturbereich: -25 °C ~ 85 °C • Zutreffender Draht: AWG #32 bis #28 • Farbe: Natur (weiß)

Abb. 1

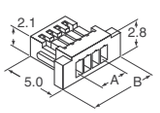

Abb. 2

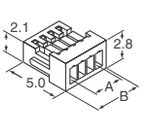

Abb. 3

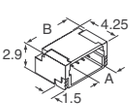

Abb. 4

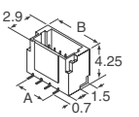

Abb.	Schaltkreise	Abmessungen (mm) A	Abmessungen (mm) B	Digi-Key Teilenr.	Preisangaben 10	100	500	JST Teilenr.
Gehäuse								
Mit Überstand								
1	2	1.0	5.0	455-1377-ND	.39	3.24	12.95	SHR-02V-S-B
	3	2.0	6.0	455-1378-ND	.54	4.53	18.11	SHR-03V-S-B
	4	3.0	7.0	455-1379-ND	.64	5.34	21.36	SHR-04V-S-B
	5	4.0	8.0	455-1380-ND	.65	5.43	21.71	SHR-05V-S-B
	6	5.0	9.0	455-1381-ND	.71	5.95	23.81	SHR-06V-S-B
	7	6.0	10.0	455-1382-ND	.56	4.69	18.75	SHR-07V-S-B
	8	7.0	11.0	455-1383-ND	1.08	9.06	36.24	SHR-08V-S-B
	9	8.0	12.0	455-1384-ND	.82	6.82	27.25	SHR-09V-S-B
	10	9.0	13.0	455-1385-ND	1.38	11.49	45.95	SHR-10V-S-B
	11	10.0	14.0	455-1386-ND	.80	6.62	26.48	SHR-11V-S-B
	12	11.0	15.0	455-1387-ND	.82	6.85	27.38	SHR-12V-S-B
	13	12.0	16.0	455-1388-ND	.64	5.36	21.44	SHR-13V-S-B
	14	13.0	17.0	455-1389-ND	1.17	9.72	38.87	SHR-14V-S-B
	15	14.0	18.0	455-1390-ND	.64	5.34	21.36	SHR-15V-S-B
	20	19.0	23.0	455-1391-ND	1.07	8.89	35.55	SHR-20V-S-B
Ohne Überstand								
2	2	1.0	3.0	455-1392-ND	.29	2.40	9.63	SHR-02V-S
	3	2.0	4.0	455-1393-ND	.54	4.53	18.11	SHR-03V-S
	4	3.0	5.0	455-1394-ND	.58	4.78	19.12	SHR-04V-S
	5	4.0	6.0	455-1395-ND	.41	3.42	13.69	SHR-05V-S
	6	5.0	7.0	455-1396-ND	.58	4.82	19.28	SHR-06V-S
	7	6.0	8.0	455-1397-ND	.99	8.27	33.09	SHR-07V-S
	8	7.0	9.0	455-1398-ND	1.08	9.06	36.24	SHR-08V-S
	9	8.0	10.0	455-1399-ND	.82	6.82	27.25	SHR-09V-S
	10	9.0	11.0	455-1400-ND	1.38	11.49	45.95	SHR-10V-S
	11	10.0	12.0	455-1401-ND	.80	6.62	26.48	SHR-11V-S
	12	11.0	13.0	455-1402-ND	.86	7.22	28.89	SHR-12V-S
	13	12.0	14.0	455-1403-ND	.63	5.19	20.77	SHR-13V-S
	14	13.0	15.0	455-1404-ND	.88	7.31	29.22	SHR-14V-S
	15	14.0	16.0	455-1405-ND	1.30	10.77	43.07	SHR-15V-S

Abb.	Schaltkreise	Abm. (mm) A	Abm. (mm) B	Digi-Key Teilenr.	Gurtabschnittspreise 10	100	500	Gegurtet auf Rolle* Größe	Gegurtet auf Rolle* Preisangaben	JST Teilenr.
Steckleiste mit Haube										
Stecker, Eingang oben										
3	2	1.0	4.0	455-1406-1-ND	4.11	36.84	162.50	1,500	260.33	BM02B-SRSS-TB
	3	2.0	5.0	455-1407-1-ND	4.83	43.28	190.94	1,500	306.05	BM03B-SRSS-TB
	4	3.0	6.0	455-1408-1-ND	5.67	50.78	224.01	1,500	358.11	BM04B-SRSS-TB
	5	4.0	7.0	455-1409-1-ND	6.88	61.57	271.67	1,500	434.31	BM05B-SRSS-TB
	6	5.0	8.0	455-1410-1-ND	7.58	67.78	299.03	1,500	478.75	BM06B-SRSS-TB
	7	6.0	9.0	455-1411-1-ND	8.28	74.07	326.78	1,500	523.20	BM07B-SRSS-TB
	8	7.0	10.0	455-1412-1-ND	9.18	82.13	362.34	1,500	580.34	BM08B-SRSS-TB
	9	8.0	11.0	455-1413-1-ND	9.86	88.25	389.35	1,500	623.52	BM09B-SRSS-TB
	10	9.0	12.0	455-1414-1-ND	10.58	94.70	417.80	1,500	667.97	BM10B-SRSS-TB
	11	10.0	13.0	455-1415-1-ND	11.30	101.15	446.24	1,500	713.68	BM11B-SRSS-TB
	12	11.0	14.0	455-1416-1-ND	10.29	92.08	406.27	1,500	650.19	BM12B-SRSS-TB
	13	12.0	15.0	455-1417-1-ND	12.74	113.96	502.79	1,500	803.85	BM13B-SRSS-TB
	14	13.0	16.0	455-1418-1-ND	13.98	125.04	551.64	1,500	882.58	BM14B-SRSS-TB
	15	14.0	17.0	455-1419-1-ND	14.51	129.79	572.63	1,500	915.60	BM15B-SRSS-TB
Stecker, Eingang an der Seite										
4	2	1.0	4.0	455-1420-1-ND	3.98	35.62	157.16	3,000	502.88	SM02B-SRSS-TB
	3	2.0	5.0	455-1421-1-ND	4.74	42.39	187.02	3,000	599.39	SM03B-SRSS-TB
	4	3.0	6.0	455-1422-1-ND	5.45	48.76	215.12	3,000	688.29	SM04B-SRSS-TB
	5	4.0	7.0	455-1423-1-ND	6.76	60.52	267.03	3,000	853.37	SM05B-SRSS-TB
	6	5.0	8.0	455-1424-1-ND	7.49	67.06	295.84	3,000	947.35	SM06B-SRSS-TB
	7	6.0	9.0	455-1425-1-ND	8.21	73.50	324.27	3,000	1038.78	SM07B-SRSS-TB
	8	7.0	10.0	455-1426-1-ND	8.93	79.95	352.73	3,000	1127.67	SM08B-SRSS-TB
	9	8.0	11.0	455-1427-1-ND	7.06	63.19	278.79	3,000	891.47	SM09B-SRSS-TB
	10	9.0	12.0	455-1428-1-ND	10.51	93.97	414.59	3,000	1325.78	SM10B-SRSS-TB
	11	10.0	13.0	455-1429-1-ND	11.26	100.75	444.47	3,000	1422.29	SM11B-SRSS-TB
	12	11.0	14.0	455-1430-1-ND	13.25	118.56	523.04	3,000	1673.73	SM12B-SRSS-TB
	13	12.0	15.0	455-1431-1-ND	12.74	113.96	502.79	3,000	1607.69	SM13B-SRSS-TB
	14	13.0	16.0	455-1432-1-ND	12.94	115.84	511.08	3,000	1635.63	SM14B-SRSS-TB
	15	14.0	17.0	455-1433-1-ND	12.38	110.78	488.73	3,000	1564.52	SM15B-SRSS-TB
	20	19.0	22.0	455-1434-1-ND	16.81	150.43	663.67	3,000	2123.27	SM20B-SRSS-TB
Kontakte/Tools										
28-32 AWG, verzinnter Kontakt				455-1561-1-ND	6.04/100			23,000	662.04	SSH-003T-P0.2
Crimpwerkzeug für 28-32 AWG				455-1376-ND	653.30/1			—	—	WC-SH2832

* Für Gegurtet auf Rolle die Teilenr. von 1-ND in 2-ND ändern.

Serie SHD 1,0 mm Steckverbinder

Merkmale: • Ultrakompaktes Doppelreihendesign • Niedrigprofil mit einer Montagehöhe von 6,3 mm (0,248") für die Version mit Eingang von oben und 5,5 mm (0,217") für die Version mit Eingang seitlich und eine Breite von 5 mm (0,197") für Eingang von oben und 5,1 mm (0,201") für Eingang seitlich • Zuverlässiger Kontakt: Derselbe Kontakt kann für die Einzelreihen-Steckverbinder der Serie SH verwendet werden • Fehleinsatz-Schutzfunktion: Rippen und Kerben an der Steckleiste und der Steckbuchse verhindern ein falsches Einsetzen und Verzerrung beim Verbinden und Trennen. **Spezifikationen:** • Nennstrom: 1 A AC, DC • Nennspannung: 50 V AC, DC • Temperaturbereich: -25 °C ~ 85 °C • Zutreffender Draht: AWG #32 bis #28 • Farbe: Natur (weiß)

Abb. 1

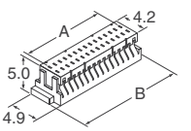

Abb. 2

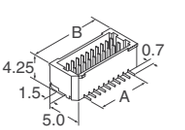

Abb. 3

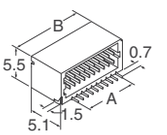

Abb. 4

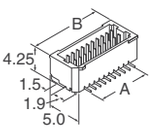

Abb.	Schaltkreise	Abm. (mm) A	Abm. (mm) B	Digi-Key Teilenr.	Preisangaben 10	100	500	Gegurtet auf Rolle* Größe	Gegurtet auf Rolle* Preisangaben	JST Teilenr.
Gehäuse										
1	20	9.0	13.0	455-1436-ND	1.01	8.39	33.54	—	—	SHDR-20V-S-B
	30	14.0	18.0	455-1437-ND	1.65	13.79	55.15	—	—	SHDR-30V-S-B
	40	19.0	23.0	455-1438-ND	1.68	13.96	55.85	—	—	SHDR-40V-S-B
	50	24.0	28.0	455-1439-ND	1.74	14.44	57.77	—	—	SHDR-50V-S-B
Steckleiste mit Haube										
Stecker, Eingang oben										
2	20	9.0	12.3	455-1440-1-ND	17.38	155.49	685.95	1,500	1097.19	BM20B-SRDS-G-TF
	30	14.0	17.3	455-1441-1-ND	25.75	230.33	1016.19	1,500	1625.47	BM30B-SRDS-G-TF
	40	19.0	22.3	455-1442-1-ND	32.34	289.33	1276.47	1,500	2042.00	BM40B-SRDS-G-TF
	50	24.0	27.3	455-1443-1-ND	38.94	348.33	1536.76	1,500	2458.53	BM50B-SRDS-G-TF
Stecker, Eingang an der Seite										
3	20	9.0	13.1	455-1444-1-ND	21.64	193.63	854.24	1,250	1138.68	SM20B-SRDS-G-TF
	30	14.0	18.1	455-1445-1-ND	18.28	163.55	721.57	1,250	961.95	SM30B-SRDS-G-TF
	40	19.0	23.1	455-1446-1-ND	25.20	225.53	994.95	1,250	1327.05	SM40B-SRDS-G-TF
	50	24.0	28.1	455-1447-1-ND	36.71	328.46	1449.12	1,250	1932.36	SM50B-SRDS-G-TF
Zugang von oben, mit Nabe										
4	20	9.0	12.3	455-1448-1-ND	19.71	176.37	778.10	1,250	1037.09	BM20B-SRDS-A-G-TF
	30	14.0	17.3	455-1449-1-ND	25.75	230.37	1016.35	1,250	1355.62	BM30B-SRDS-A-G-TF
	40	19.0	22.3	455-1450-1-ND	32.34	289.37	1276.63	1,250	1701.67	BM40B-SRDS-A-G-TF
	50	24.0	27.3	455-1451-1-ND	38.94	348.37	1536.91	1,250	2048.77	BM50B-SRDS-A-G-TF
Kontakte										
28-32 AWG Verzinnter Kontakt				455-1435-1-ND	.53	4.75	20.95	23,000	506.27	SSH-003GA-P0.2

* Für Gegurtet auf Rolle die Teilenr. von 1-ND in 2-ND ändern.

Alle Preisangaben in Euro und inklusive Zollgebühren.

Serie ZH
1,5 mm Steckverbinder

Merkmale: • Dieser Steckverbinder beansprucht nur ca. 45 % der Installationsfläche im Vergleich zu den 2 mm des Standard-JST-Pitch-Steckverbinders. • Kontakthaltestifte ermöglichen eine visuelle Kontrolle der Kontaktschließung • Vertiefung in der Mitte stellt positiven Kontakt und geringen Kontaktwiderstand zu jeder Zeit sicher, selbst wenn der Steckverbinder Vibration oder Verdrehung ausgesetzt wird.
Spezifikationen: • Nennstrom: 1,0 A AC, DC • Nennspannung: 50 V AC, DC • Temperaturbereich: -25 °C ~ 85 °C • Zutreffende Drahtgröße: AWG 32 ~ 26 • Farbe: Natur (weiß)

Abb. 1

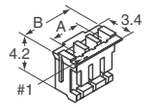

Abb. 2

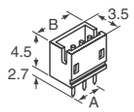

Abb. 3

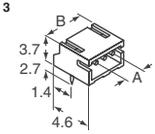

Abb. 4

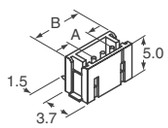

Abb. 5

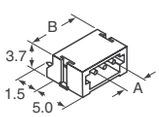

Abb.	Schalt-kreise	Abmessungen (mm) A	B	Digi-Key Teilenr.	Preisangaben 10	100	500	JST Teilenr.
				Gehäuse				
1	2	1.5	4.5	455-1366-ND	.30	2.51	10.05	ZHR-2
	3	3.0	6.0	455-1160-ND	.31	2.61	10.43	ZHR-3
	4	4.5	7.5	455-1202-ND	.46	3.84	15.36	ZHR-4
	5	6.0	9.0	455-1201-ND	.40	3.32	13.27	ZHR-5
	6	7.5	10.5	455-1129-ND	.64	5.36	21.43	ZHR-6
	7	9.0	12.0	455-1200-ND	.80	6.64	26.55	ZHR-7
	8	10.5	13.5	455-1199-ND	.70	5.88	23.52	ZHR-8
	9	12.0	15.0	455-1196-ND	.88	7.31	29.21	ZHR-9
	10	13.5	16.5	455-1197-ND	.89	7.40	29.58	ZHR-10
	11	15.0	18.0	455-1191-ND	1.25	10.43	41.72	ZHR-11
	12	16.5	19.5	455-1195-ND	1.24	10.29	41.15	ZHR-12
	13	18.0	21.0	455-1194-ND	1.28	10.62	42.48	ZHR-13
				Steckleisten — Zugang von oben, Durchgangsloch (abgeschirmt)				
2	2	1.5	4.5	455-1367-ND†	.69	5.74	22.94	B2B-ZR
	3	3.0	6.0	455-1235-ND†	.90	7.44	29.77	B3B-ZR
	4	4.5	7.5	455-1368-ND†	1.08	8.97	35.85	B4B-ZR
	5	6.0	9.0	455-1239-ND†	1.28	10.62	42.48	B5B-ZR
	6	7.5	10.5	455-1240-ND†	1.50	12.47	49.87	B6B-ZR
	7	9.0	12.0	455-1234-ND†	1.86	15.50	62.01	B7B-ZR
	8	10.5	13.5	455-1223-ND†	1.99	16.59	66.37	B8B-ZR
	9	12.0	15.0	455-1224-ND†	2.30	19.20	76.80	B9B-ZR
	10	13.5	16.5	455-1216-ND†	2.46	20.48	81.93	B10B-ZR
	11	15.0	18.0	455-1222-ND†	3.18	26.55	106.20	B11B-ZR
	12	16.5	19.5	455-1208-ND†	3.37	28.12	112.45	B12B-ZR
	13	18.0	21.0	455-1209-ND†	3.11	25.89	103.54	B13B-ZR
				Steckleisten — Zugang von oben, Durchgangsloch (abgeschirmt)				
3	2	1.5	4.5	455-1210-ND†	.75	6.26	25.03	S2B-ZR
	3	3.0	6.0	455-1254-ND†	.98	8.15	32.62	S3B-ZR
	4	4.5	7.5	455-1261-ND†	1.21	10.10	40.39	S4B-ZR
	5	6.0	9.0	455-1246-ND†	1.45	12.09	48.36	S5B-ZR
	6	7.5	10.5	455-1247-ND†	1.75	14.60	58.41	S6B-ZR
	7	9.0	12.0	455-1248-ND†	2.12	17.63	70.55	S7B-ZR
	8	10.5	13.5	455-1249-ND†	2.30	19.16	76.62	S8B-ZR
	9	12.0	15.0	455-1250-ND†	2.57	21.48	85.90	S9B-ZR
	10	13.5	16.5	455-1251-ND†	2.84	23.66	94.63	S10B-ZR
	11	15.0	18.0	455-1245-ND†	3.12	25.93	103.73	S11B-ZR
	12	16.5	19.5	455-1253-ND†	3.35	27.97	111.89	S12B-ZR
	13	18.0	21.0	455-1252-ND†	3.61	30.06	120.23	S13B-ZR

† Farbe: Natur (elfenbein)

Abb.	Schalt-kreise	Abm. (mm) A	B	Digi-Key Teilenr.	Gurtabschnittspreise 10	100	500	Gegurtet auf Rolle* Größe	Preisangaben	JST Teilenr.
				Steckleisten — Zugang von oben, SMT (abgeschirmt)						
4	2	1.5	6.0	455-1298-1-ND	5.30	47.39	209.08	1,000	222.66	B2B-ZR-SM3-TF
	3	3.0	7.5	455-1299-1-ND	5.93	53.03	233.97	1,000	249.75	B3B-ZR-SM3-TF
	4	4.5	9.0	455-1300-1-ND	6.43	57.47	253.52	1,000	270.07	B4B-ZR-SM3-TF
	5	6.0	10.5	455-1301-1-ND	7.11	63.59	280.55	1,000	298.85	B5B-ZR-SM3-TF
	6	7.5	12.0	455-1297-1-ND	7.82	69.95	308.64	1,000	329.33	B6B-ZR-SM3-TF
	7	9.0	13.5	455-1302-1-ND	8.32	74.48	328.56	1,000	350.49	B7B-ZR-SM3-TF
	8	10.5	15.0	455-1303-1-ND	8.76	78.42	345.97	1,000	369.12	B8B-ZR-SM3-TF
	9	12.0	16.5	455-1304-1-ND	9.26	82.85	365.53	1,000	390.28	B9B-ZR-SM3-TF
	10	13.5	18.0	455-1305-1-ND	10.18	91.08	401.80	1,000	428.38	B10B-ZR-SM3-TF
	11	15.0	19.5	455-1296-1-ND	10.87	97.28	429.18	1,000	458.01	B11B-ZR-SM3-TF
	12	16.5	21.0	455-1289-1-ND	11.31	101.23	446.59	1,000	476.64	B12B-ZR-SM3-TF
	13	18.0	22.5	455-1295-1-ND	11.89	106.36	469.24	1,000	500.34	B13B-ZR-SM3-TF
				Steckleisten — Zugang von der Seite, SMT (abgeschirmt)						
5	2	1.5	6.0	455-1294-1-ND	5.07	45.38	200.19	1,000	213.34	S2B-ZR-SM3A-TF
	3	3.0	7.5	455-1284-1-ND	5.92	52.95	233.61	1,000	248.90	S3B-ZR-SM3A-TF
	4	4.5	9.0	455-1285-1-ND	6.40	57.31	252.80	1,000	270.07	S4B-ZR-SM3A-TF
	5	6.0	10.5	455-1286-1-ND	6.90	61.73	272.36	1,000	290.38	S5B-ZR-SM3A-TF
	6	7.5	12.0	455-1282-1-ND	7.31	65.44	288.72	1,000	308.16	S6B-ZR-SM3A-TF
	7	9.0	13.5	455-1287-1-ND	8.00	71.57	315.75	1,000	336.95	S7B-ZR-SM3A-TF
	8	10.5	15.0	455-1283-1-ND	9.17	82.04	361.97	1,000	386.05	S8B-ZR-SM3A-TF
	9	12.0	16.5	455-1288-1-ND	9.69	86.72	382.59	1,000	408.06	S9B-ZR-SM3A-TF
	10	13.5	18.0	455-1290-1-ND	10.02	89.71	395.75	1,000	422.45	S10B-ZR-SM3A-TF
	11	15.0	19.5	455-1291-1-ND	10.51	93.97	414.59	1,000	441.93	S11B-ZR-SM3A-TF
	12	16.5	21.0	455-1292-1-ND	10.65	95.27	420.29	1,000	448.70	S12B-ZR-SM3A-TF
	13	18.0	22.5	455-1293-1-ND	10.75	96.22	424.49	1,000	452.93	S13B-ZR-SM3A-TF
				Kontakte/Tools						
28-26 AWG, verzinnter Kontakt				455-1130-1-ND	—	1.85	8.18	13,000	8.47/M	SZH-002T-P0.5
32-28AWG verzinnter Kontakt				455-1281-1-ND	—	1.85	8.18	16,000	8.47/M	SZH-003T-P0.5
Crimpwerkzeug für 28-26 AWG				455-1131-ND		310.71/1		—	—	WC-491
Crimpwerkzeug für 32-28AWG				455-1259-ND		310.71/1		—	—	WC-490

* Für Gegurtet auf Rolle die Teilenr. von 1-ND in 2-ND ändern.

Serie PA
2,0 mm Steckverbinder

PA-Steckverbinder: Merkmale: • Standardtyp • Sehr zuverlässiger Kontakt: Der Kontakt liefert stabile Leistung, selbst unter Bedingungen von Vibration, Verzerrung, Niederspannung oder Niederstrom • Einsetzführungsmechanismus: Die Steckleiste verfügt über Einsetzführungen zum sicheren Einsetzen des Gehäuses. • Geflanscher Presspassungs-Pin **Spezifikationen:** • Nennstrom: 3 A AC, DC (AWG#22) • Nennspannung: 250 V AC, DC • Temperaturbereich: -25 °C ~ 85 °C • Zutreffender Draht: AWG #28 bis #22 • Zutreffende Kartenstärke: 1,6 mm (0,063")
PAL-Steckverbinder: Merkmale: Der erste Draht-an-Draht Steckverbinder der Branche (2 mm)(0,078") Pitch, der an einem Halter montiert werden kann. **Spezifikationen:** • Nennstrom: 3 A AC, DC (AWG#22) • Nennspannung: 100 V AC, DC • Temperaturbereich: -25 °C ~ 85 °C • Zutreffender Draht: AWG #28 bis #22 • Zutreffende Kartenstärke: 0,5 ~ 2,0 mm (0,020" ~ 0,079").

Abb. 1

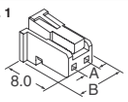

Abb. 2

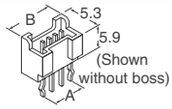

Abb. 3

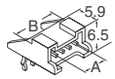

Abb. 4

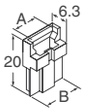

Abb. 5

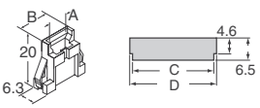

Abb.	Schalt-kreise	Abmessungen (mm) A	B	Digi-Key Teilenr.	Preisangaben 10	100	500	JST Teilenr.
				Serie PA				
				Gehäuse				
1	2	2.0	6.0	455-1486-ND	.46	3.79	15.18	PAP-02V-S
	3	4.0	8.0	455-1487-ND	.63	5.19	20.77	PAP-03V-S
	4	6.0	10.0	455-1488-ND	.65	5.44	21.76	PAP-04V-S
	5	8.0	12.0	455-1489-ND	.80	6.69	26.74	PAP-05V-S
	6	10.0	14.0	455-1490-ND	.89	7.43	29.74	PAP-06V-S
	7	12.0	16.0	455-1491-ND	.86	7.12	28.47	PAP-07V-S
	8	14.0	18.0	455-1492-ND	.95	7.89	31.56	PAP-08V-S
	9	16.0	20.0	455-1493-ND	.87	7.28	29.13	PAP-09V-S
	10	18.0	22.0	455-1494-ND	.86	7.10	28.41	PAP-10V-S
	11	20.0	24.0	455-1495-ND	.92	7.68	30.71	PAP-11V-S
	12	22.0	26.0	455-1496-ND	.94	7.85	31.39	PAP-12V-S
	13	24.0	28.0	455-1497-ND	.97	8.07	32.28	PAP-13V-S
	14	26.0	30.0	455-1498-ND	.95	7.93	31.72	PAP-14V-S
	15	28.0	32.0	455-1499-ND	1.03	8.64	34.57	PAP-15V-S
	16	30.0	34.0	455-1500-ND	1.08	8.95	35.79	PAP-16V-S
				Steckleisten — Zugang von oben, ohne Nabe (abgeschirmt)				
2	2	2.0	6.0	455-1501-ND	.80	6.74	26.94	B02B-PASK
	3	4.0	8.0	455-1502-ND	1.52	12.71	50.82	B03B-PASK
	4	6.0	10.0	455-1503-ND	1.82	15.19	60.74	B04B-PASK
	5	8.0	12.0	455-1504-ND	2.24	18.70	74.79	B05B-PASK
	6	10.0	14.0	455-1505-ND	2.07	17.30	69.20	B06B-PASK
	7	12.0	16.0	455-1506-ND	2.86	23.84	95.34	B07B-PASK
	8	14.0	18.0	455-1507-ND	2.07	17.30	69.17	B08B-PASK
	9	16.0	20.0	455-1508-ND	3.44	28.61	114.43	B09B-PASK
	10	18.0	22.0	455-1509-ND	4.24	35.37	141.47	B10B-PASK
	11	20.0	24.0	455-1510-ND	4.53	37.71	150.84	B11B-PASK
	12	22.0	26.0	455-1511-ND	4.80	40.01	160.03	B12B-PASK
	13	24.0	28.0	455-1512-ND	5.08	42.36	169.40	B13B-PASK
	14	26.0	30.0	455-1513-ND	4.70	39.17	156.70	B14B-PASK
	15	28.0	32.0	455-1514-ND	5.65	47.09	188.33	B15B-PASK
	16	30.0	34.0	455-1515-ND	6.04	50.37	201.47	B16B-PASK
				Steckleisten — Zugang von oben, mit Nabe (abgeschirmt)				
2	2	2.0	6.0	455-1516-ND	1.23	10.23	40.92	B02B-PASK-1
	3	4.0	8.0	455-1517-ND	1.41	11.71	46.83	B03B-PASK-1
	4	6.0	10.0	455-1518-ND	1.82	15.19	60.74	B04B-PASK-1
	5	8.0	12.0	455-1519-ND	2.07	17.24	68.93	B05B-PASK-1
	6	10.0	14.0	455-1520-ND	2.53	21.09	84.35	B06B-PASK-1
	7	12.0	16.0	455-1521-ND	2.86	23.84	95.34	B07B-PASK-1
	8	14.0	18.0	455-1522-ND	3.15	26.27	105.06	B08B-PASK-1
	9	16.0	20.0	455-1523-ND	3.44	28.61	114.43	B09B-PASK-1
	10	18.0	22.0	455-1524-ND	4.24	35.37	141.47	B10B-PASK-1
	11	20.0	24.0	455-1525-ND	4.53	37.71	150.84	B11B-PASK-1
	12	22.0	26.0	455-1526-ND	4.80	40.01	160.03	B12B-PASK-1
	13	24.0	28.0	455-1527-ND	5.08	42.36	169.40	B13B-PASK-1
	14	26.0	30.0	455-1528-ND	5.37	44.74	178.96	B14B-PASK-1
	15	28.0	32.0	455-1529-ND	5.65	47.09	188.33	B15B-PASK-1
	16	30.0	34.0	455-1530-ND	6.04	50.37	201.47	B16B-PASK-1
				Steckleisten — Zugang von der Seite (abgeschirmt)				
3	2	2.0	6.0	455-1531-ND	1.08	8.93	35.72	S02B-PASK-2
	3	4.0	8.0	455-1532-ND	2.40	20.01	80.01	S03B-PASK-2
	4	6.0	10.0	455-1533-ND	2.45	20.39	81.56	S04B-PASK-2
	5	8.0	12.0	455-1534-ND	1.96	16.31	65.26	S05B-PASK-2
	6	10.0	14.0	455-1535-ND	3.09	25.77	103.07	S06B-PASK-2
	7	12.0	16.0	455-1536-ND	3.61	30.10	120.39	S07B-PASK-2
	8	14.0	18.0	455-1537-ND	2.80	23.37	93.46	S08B-PASK-2
	9	16.0	20.0	455-1538-ND	4.25	35.39	141.55	S09B-PASK-2
	10	18.0	22.0	455-1539-ND	4.65	38.75	154.99	S10B-PASK-2
	11	20.0	24.0	455-1540-ND	4.90	40.86	163.43	S11B-PASK-2
	12	22.0	26.0	455-1541-ND	5.17	43.12	172.46	S12B-PASK-2
	13	24.0	28.0	455-1542-ND	5.44	45.34	181.34	S13B-PASK-2
	14	26.0	30.0	455-1543-ND	5.73	47.76	191.03	S14B-PASK-2
	15	28.0	32.0	455-1544-ND	5.99	49.97	199.86	S15B-PASK-2
	16	30.0	34.0	455-1545-ND	6.20	51.61	206.44	S16B-PASK-2

Beschreibung	Digi-Key Teilenr.	Preisangaben 100	500	Digi-Key Teilenr.	T & R Pricing* 8,000	JST Teilenr.
		Kontakte für Serie PA				
26-22 AWG, verzinnter Kontakt	455-1325-1-ND	3.02	13.33	455-1325-2-ND	14.40/M	SPHD-001T-P0.5
28-24 AWG, verzinnter Kontakt	455-1313-1-ND	3.02	13.33	455-1313-2-ND	14.40/M	SPHD-002T-P0.5

Abb.	Schalt-kreise	Abmessungen (mm) A	B	C	D	Digi-Key Teilenr.	Preisangaben 10	100	500	JST Teilenr.
						Serie PAL				
						Gehäuse ohne Plattensicherungen				
4	2	2.0	9.4	—	—	455-1548-ND	.49	4.12	16.47	PALR-02VF
	3	4.0	11.4	—	—	455-1549-ND	.52	4.39	17.58	PALR-03VF
	4	6.0	13.4	—	—	455-1550-ND	.63	5.23	20.91	PALR-04VF
	5	8.0	15.4	—	—	455-1551-ND	.65	5.44	21.75	PALR-05VF
	6	10.0	17.4	—	—	455-1552-ND	.69	5.69	22.76	PALR-06VF
	7	12.0	19.4	—	—	455-1553-ND	.90	7.45	29.80	PALR-07VF
	8	14.0	21.4	—	—	455-1554-ND	1.09	9.08	36.29	PALR-08VF

* Preisangabe für Gegurtet auf Rolle

(Forts.)

JST Serie PA
Steckverbinder. 2,0 mm *(Forts.)*

Abb.	Schaltkreise	Abmessungen (mm) A	B	C	D	Digi-Key Teilenr.	Preisangaben 10	100	500	JST Teilenr.
Gehäuse mit Plattensicherung der Serie PAL										
5	2	2.0	9.4	9.8	13.4	455-1555-ND	.52	4.30	17.20	PALR-02V
	3	4.0	11.4	11.8	15.4	455-1556-ND	.54	4.49	17.95	PALR-03V
	4	6.0	13.4	13.8	17.4	455-1557-ND	.64	5.38	21.54	PALR-04V
	6	10.0	17.4	19.8	21.4	455-1558-ND	.70	5.86	23.43	PALR-06V
	7	12.0	19.4	21.8	23.4	455-1559-ND	.91	7.65	30.60	PALR-07V
	8	14.0	21.4	23.8	25.4	455-1560-ND	1.12	9.30	37.21	PALR-08V

Beschreibung	Digi-Key Teilenr.	Gurtabschnittspreise 10	100	500	T & R Pricing§* 10000	JST Teilenr.
Kontakte für PAL-Serie						
22-28AWG, verzinnter Kontakt	455-1546-1-ND	.30	2.68	11.81	12.70/M	SPAL-001T-P0.5
24-28AWG, verzinnter Kontakt	455-1547-1-ND	.30	2.68	11.81	12.70/M	SPAL-002T-P0.5

§ Preisangabe für Gegurtet auf Rolle *Für Gegurtet auf Rolle die Teilenr. von 1-ND in 2-ND ändern.

Serie JWPF
2,0 mm wasserdichte Draht-an-Draht-Steckverbinder

Merkmale: • Speziell für extreme Feuchtigkeit oder Eintauchanwendungen konzipiert • Dichtungsring dient zur kompletten Versiegelung auf der Entsprechungsseite im Ösengehäuse, sodass Schutz vor Staub, Kratzern gewährleistet ist. • Massive Gummidichtung dient zur drahtseitigen Dichtung und führt zu einer kompakten Größe. • Gehäuseverschluss sichert Stecker an Steckbuchsen und verhindert versehentliche Trennung.
Spezifikationen: • Nennstrom: 3 A AC, DC • Nennspannung: 100 V AC, DC • Temperaturbereich: -25 °C ~ 85 °C • Zutreffende Drahtgröße: AWG 26 ~ 22
Material und Oberfläche: • Ösenkontakt: Messing, verzinnt • Steckbuchsenkontakt: Kupferlegierung, verzinnt • Gehäusefarbe: Natur (weiß)

Abb. 1

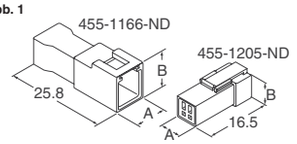

Abb. 2

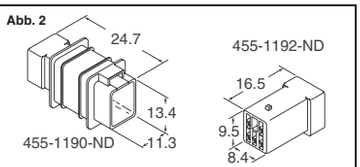

Abb.	Schaltkreise	Abmessungen (mm) A	B	Digi-Key Teilenr.	Preisangaben 10	100	500	JST Teilenr.
Lötfahnengehäuse								
1	2	7.0	8.1	455-1166-ND	8.92	74.38	297.51	02T-JWPF-VSLE-S
	3	9.0	8.1	455-1188-ND	9.91	82.57	330.28	03T-JWPF-VSLE-S
	4	11.0	8.1	455-1170-ND	10.29	85.80	343.21	04T-JWPF-VSLE-S
	8	11.0	12.1	455-1193-ND	13.30	110.80	443.22	08T-JWPF-VSLE-D
2	5	—	—	455-1190-ND†	19.80	165.02	660.08	05T-JWPF-HHLE-D
Steckbuchsengehäuse								
1	2	6.7	5.5	455-1205-ND	4.28	35.67	142.65	02R-JWPF-VSLE-S
	3	8.7	5.5	455-1198-ND	4.94	41.17	164.67	03R-JWPF-VSLE-S
	4	10.7	5.5	455-1203-ND	5.00	41.72	166.89	04R-JWPF-VSLE-S
	8	10.7	9.5	455-1150-ND	6.72	56.02	224.07	08R-JWPF-VSLE-D
2	5	—	—	455-1192-ND†	10.94	91.15	364.61	05R-JWPF-HHLE-D

† Gehäusefarbe: Grau

Beschreibung	Digi-Key Teilenr.	Gurtabschnittspreise 10	100	500	T & R Pricing§* 8,200	JST Teilenr.
Kontakte/Tool						
26-22 AWG, Ösenkontakt	455-1320-1-ND	.55	4.95	21.84	23.71/M	SWPT-001T-025
26-22 AWG, Steckbuchsenkontakt	455-1321-1-ND	.68	6.05	26.72	28.79/M	SWPR-001T-P025
Produktions-Crimpwerkzeug	455-1370-ND	817.78/1			—	YRS-980
Crimpwerkzeug für 26-22 AWG-Kontakte	455-1371-ND	310.71/1			—	WC-JWPF

§ Preisangabe für Gegurtet auf Rolle * Für Gegurtet auf Rolle die Teilenr. von 1-ND in 2-ND ändern.

Serie PH
2,0 mm Steckverbinder

Merkmale: • Lange Vertiefungen in der Nähe der Mitte stellen jederzeit gute Verbindung sicher • Vierkantpfosten ist unterkupfert und mit Zinn/Blei überzogen, um erhöhte Lötbarkeit zu schaffen und Haarkristalle zu verhindern • Dieser Steckverbinder ist auch in einer Oberflächenmontagen-Konfiguration erhältlich. Gehäuse aus wärmebeständigem Harz, das auch beim Aufschmelzlöten nicht beeinträchtigt wird.
Spezifikationen: • Nennstrom: 2 A AC, DC • Nennspannung: 100 V AC, DC • Temperaturbereich: -25 °C ~ 85 °C • Zutreffende Drahtgröße: AWG 32 ~ 24 • Farbe: Natur (weiß)

Abb. 1

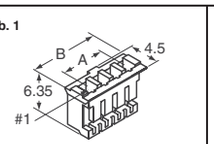

Abb. 2

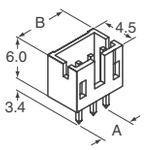

Abb. 3

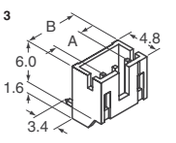

Abb. 4

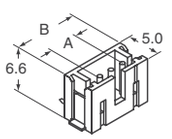

Abb. 5

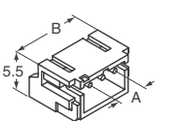

Abb.	Schaltkreise	Abmessungen (mm) A	B	Digi-Key Teilenr.	Preisangaben 10	100	500	JST Teilenr.
Gehäuse								
1	2	2.0	5.8	455-1165-ND	.35	2.92	11.67	PHR-2
	3	4.0	7.8	455-1126-ND	.36	2.99	11.95	PHR-3
	4	6.0	9.8	455-1164-ND	.43	3.63	14.51	PHR-4
	5	8.0	11.8	455-1163-ND	.45	3.77	15.08	PHR-5
	6	10.0	13.8	455-1162-ND	.49	4.12	16.50	PHR-6
	7	12.0	15.8	455-1161-ND	.63	5.27	21.05	PHR-7
	8	14.0	17.8	455-1189-ND	.66	5.48	21.90	PHR-8
	9	16.0	19.8	455-1159-ND	.67	5.55	22.19	PHR-9
	10	18.0	21.8	455-1151-ND	.72	5.98	23.89	PHR-10
	11	20.0	23.8	455-1157-ND	1.28	10.67	42.67	PHR-11
	12	22.0	25.8	455-1156-ND	1.39	11.59	46.37	PHR-12
	13	24.0	27.8	455-1155-ND	1.47	12.30	49.21	PHR-13
	14	26.0	29.8	455-1154-ND	1.65	13.72	54.90	PHR-14
	15	28.0	31.8	455-1153-ND	1.71	14.22	56.89	PHR-15
	16	30.0	33.8	455-1152-ND	2.28	18.99	75.95	PHR-16
Steckleisten — Zugang von oben, Durchgangsloch (abgeschirmt)								
2	2	2.0	5.9	455-1262-ND	.69	5.75	22.99	B2B-PH-K-S
	3	4.0	7.9	455-1273-ND	.97	8.08	32.31	B3B-PH-K-S
	4	6.0	9.9	455-1279-ND	1.21	10.07	40.28	B4B-PH-K-S
	5	8.0	11.9	455-1278-ND	1.57	13.03	52.12	B5B-PH-K-S
	6	10.0	13.9	455-1277-ND	1.79	14.91	59.63	B6B-PH-K-S
	7	12.0	15.9	455-1276-ND	2.11	17.58	70.32	B7B-PH-K-S
	8	14.0	17.9	455-1275-ND	2.31	19.23	76.91	B8B-PH-K-S
	9	16.0	19.9	455-1274-ND	2.61	21.73	86.93	B9B-PH-K-S
	10	18.0	21.9	455-1271-ND	2.84	23.72	94.90	B10B-PH-K-S
	11	20.0	23.9	455-1272-ND	3.07	25.60	102.40	B11B-PH-K-S
	12	22.0	25.9	455-1264-ND	3.31	27.59	110.37	B12B-PH-K-S
	13	24.0	27.9	455-1280-ND	3.65	30.44	121.75	B13B-PH-K-S
	14	26.0	29.9	455-1269-ND	3.94	32.83	131.31	B14B-PH-K-S
	15	28.0	31.9	455-1268-ND	4.20	34.99	139.95	B15B-PH-K-S
	16	30.0	33.9	455-1267-ND	4.77	39.76	159.07	B16B-PH-K-S
Steckleisten — Zugang von oben, Durchgangsloch (abgeschirmt)								
3	2	2.0	5.9	455-1266-ND	.69	5.69	22.76	S2B-PH-K-S
	3	4.0	7.9	455-1265-ND	.90	7.51	30.04	S3B-PH-K-S
	4	6.0	9.9	455-1263-ND	1.11	9.22	36.87	S4B-PH-K-S
	5	8.0	11.9	455-1242-ND	1.35	11.32	45.28	S5B-PH-K-S
	6	10.0	13.9	455-1243-ND	1.63	13.54	54.16	S6B-PH-K-S
	7	12.0	15.9	455-1225-ND	1.81	15.08	60.30	S7B-PH-K-S
	8	14.0	17.9	455-1241-ND	2.12	17.63	70.55	S8B-PH-K-S
	9	16.0	19.9	455-1221-ND	2.35	19.63	78.51	S9B-PH-K-S
	10	18.0	21.9	455-1220-ND	2.62	21.85	87.39	S10B-PH-K-S
	11	20.0	23.9	455-1219-ND	2.84	23.61	94.44	S11B-PH-K-S
	12	22.0	25.9	455-1218-ND	3.25	27.08	108.32	S12B-PH-K-S
	13	24.0	27.9	455-1217-ND	3.45	28.81	115.24	S13B-PH-K-S
	14	26.0	29.9	455-1214-ND	3.62	30.21	120.84	S14B-PH-K-S
	15	28.0	31.9	455-1215-ND	2.29	19.01	76.07	S15B-PH-K-S
	16	30.0	33.9	455-1207-ND	4.77	39.71	158.84	S16B-PH-K-S

Abb.	Schaltkreise	Abmessungen (mm) A	B	Digi-Key Teilenr.	Gurtabschnittspreise 10	100	500	Gegurtet auf Rolle* Größe	Preisangaben	JST Teilenr.
Steckleisten — Zugang von oben, SMT (abgeschirmt)										
4	2	2.0	7.95	455-1317-1-ND	4.99	44.59	196.71	1,000	209.96	B2B-PH-SM3-TB
	3	4.0	9.95	455-1316-1-ND	5.70	50.97	224.87	1,000	239.59	B3B-PH-SM3-TB
	4	6.0	11.95	455-1315-1-ND	7.19	64.32	283.75	1,000	303.08	B4B-PH-SM3-TB
	5	8.0	13.95	455-1314-1-ND	7.76	69.45	306.37	1,000	326.79	B5B-PH-SM3-TB
	6	10.0	15.95	455-1365-1-ND	8.42	75.35	332.40	1,000	354.73	B6B-PH-SM3-TB
	7	12.0	17.95	455-1306-1-ND	9.33	83.47	368.22	1,000	392.82	B7B-PH-SM3-TB
	8	14.0	19.95	455-1312-1-ND	9.96	89.07	392.97	1,000	419.07	B8B-PH-SM3-TB
	9	16.0	21.95	455-1311-1-ND	10.69	95.65	421.99	1,000	450.39	B9B-PH-SM3-TB
	10	18.0	23.95	455-1310-1-ND	12.72	113.74	501.79	1,000	535.05	B10B-PH-SM3-TB
	11	20.0	25.95	455-1307-1-ND	13.52	120.99	533.79	1,000	569.76	B11B-PH-SM3-TB
	12	22.0	27.95	455-1309-1-ND	14.13	126.41	557.68	1,000	595.16	B12B-PH-SM3-TB
	13	24.0	29.95	455-1308-1-ND	14.58	130.47	575.59	1,000	613.79	B13B-PH-SM3-TB
	14	26.0	31.95	455-1322-1-ND	15.04	134.53	593.52	1,000	633.26	B14B-PH-SM3-TB
	15	28.0	33.95	455-1324-1-ND	15.49	138.60	611.44	1,000	651.88	B15B-PH-SM3-TB
	16	30.0	35.95	455-1323-1-ND	15.94	142.65	629.36	1,000	671.35	B16B-PH-SM3-TB
Steckleisten — Zugang von der Seite, SMT (abgeschirmt)										
5	2	2.0	7.9	455-1346-1-ND	5.24	46.91	206.94	1,000	220.96	S2B-PH-SM3-TB
	3	4.0	9.9	455-1332-1-ND	6.16	55.13	243.22	1,000	259.06	S3B-PH-SM3-TB
	4	6.0	11.9	455-1333-1-ND	7.11	63.64	280.76	1,000	299.70	S4B-PH-SM3-TB
	5	8.0	13.9	455-1326-1-ND	7.43	66.54	293.55	1,000	313.24	S5B-PH-SM3-TB
	6	10.0	15.9	455-1335-1-ND	8.89	79.50	350.73	1,000	374.20	S6B-PH-SM3-TB
	7	12.0	17.9	455-1334-1-ND	5.47	48.95	215.95	1,000	230.28	S7B-PH-SM3-TB
	8	14.0	19.9	455-1337-1-ND	9.64	86.27	380.61	1,000	406.37	S8B-PH-SM3-TB
	9	16.0	21.9	455-1338-1-ND	11.05	98.84	436.07	1,000	464.78	S9B-PH-SM3-TB
	10	18.0	23.9	455-1339-1-ND	12.74	114.03	503.08	1,000	536.74	S10B-PH-SM3-TB
	12	22.0	27.9	455-1340-1-ND	13.97	124.96	551.28	1,000	588.39	S12B-PH-SM3-TB
	13	24.0	29.9	455-1341-1-ND	14.60	130.56	576.03	1,000	614.63	S13B-PH-SM3-TB
	14	26.0	31.9	455-1342-1-ND	14.95	133.75	590.11	1,000	629.87	S14B-PH-SM3-TB
	15	28.0	33.9	455-1343-1-ND	15.31	136.95	604.18	1,000	644.26	S15B-PH-SM3-TB
Kontakte/Tools										
30-24AWG verzinnter Kontakt				455-1127-1-ND	—	2.90	12.79	8,000	13.55/M	SPH-002T-P0.5S
32-28AWG verzinnter Kontakt				455-1318-1-ND	—	2.79	12.27	10,000	12.70/M	SPH-004T-P0.5S
Crimpwerkzeug für 30-24AWG				455-1128-ND	310.71/1			—	—	WC-240
Crimpwerkzeug für 32-28AWG				455-1236-ND	670.57/1			—	—	YRS-243

* Für Gegurtet auf Rolle die Teilenr. von 1-ND in 2-ND ändern.

Alle Preisangaben in Euro und inklusive Zollgebühren.

JST Serie PHD 2,0 mm Steckverbinder

Merkmale: • Dieses kompakte Design erfüllt die Bedürfnisse von hochdichten Verbindungen • Boxkontakt sorgt für stabilen Kontakt
Spezifikationen: • Nennstrom: 3 A AC, DC • Nennspannung: 250 V AC, DC • Temperaturbereich: -25 °C ~ 85 °C • Zutreffende Drahtgröße: AWG 28 bis 22 • Farbe: Natur (weiß)

Abb. 1

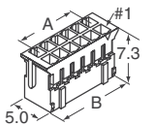

Abb. 2

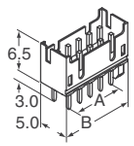

Abb. 3

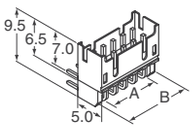

Abb.	Schalt-kreise	Abmessungen (mm) A	B	Digi-Key Teilenr.	Preisangaben 10	100	500	JST Teilenr.
Gehäuse								
1	10	8.0	11.9	455-1158-ND	1.81	15.13	60.50	PHDR-10VS
	12	10.0	13.9	455-1204-ND	1.85	15.41	61.63	PHDR-12VS
	14	12.0	15.9	455-1172-ND	1.87	15.60	62.39	PHDR-14VS
	16	14.0	17.9	455-1173-ND	2.01	16.69	66.75	PHDR-16VS
	20	18.0	21.9	455-1174-ND	2.05	17.07	68.27	PHDR-20VS
	22	20.0	23.9	455-1175-ND	3.55	29.59	118.34	PHDR-22VS
	24	22.0	25.9	455-1177-ND	3.58	29.83	119.29	PHDR-24VS
	26	24.0	27.9	455-1178-ND	3.61	30.16	120.61	PHDR-26VS
	28	26.0	29.9	455-1171-ND	3.65	30.39	121.55	PHDR-28VS
	30	28.0	31.9	455-1180-ND	3.69	30.77	123.08	PHDR-30VS
	32	30.0	33.9	455-1179-ND	3.73	31.05	124.21	PHDR-32VS
	34	32.0	35.9	455-1182-ND	3.76	31.34	125.35	PHDR-34VS
Steckleisten — Zugang von oben (abgeschirmt)								
2	10	8.0	11.9	455-1331-ND†	2.56	21.32	85.26	B10B-PHDSS
	12	10.0	13.9	455-1330-ND†	2.99	24.91	99.62	B12B-PHDSS
	14	12.0	15.9	455-1329-ND†	3.54	29.50	118.00	B14B-PHDSS
	16	14.0	17.9	455-1328-ND†	3.64	30.33	121.33	B16B-PHDSS
	18	16.0	19.9	455-1327-ND†	4.02	33.48	133.93	B18B-PHDSS
	20	18.0	21.9	455-1344-ND†	4.37	36.37	145.49	B20B-PHDSS
	22	20.0	23.9	455-1336-ND†	5.56	46.35	185.41	B22B-PHDSS
	24	22.0	25.9	455-1345-ND†	6.04	50.29	201.16	B24B-PHDSS
	26	24.0	27.9	455-1357-ND†	6.29	52.40	209.57	B26B-PHDSS
	28	26.0	29.9	455-1364-ND†	6.57	54.76	219.02	B28B-PHDSS
	30	28.0	31.9	455-1363-ND†	6.87	57.25	229.00	B30B-PHDSS
	32	30.0	33.9	455-1362-ND†	7.15	59.62	238.45	B32B-PHDSS
	34	32.0	35.9	455-1361-ND†	4.53	37.73	150.92	B34B-PHDSS
Steckleisten — Zugang von der Seite (abgeschirmt)								
3	10	8.0	11.9	455-1360-ND†	2.79	23.24	92.97	S10B-PHDSS
	12	10.0	13.9	455-1359-ND†	3.27	27.23	108.90	S12B-PHDSS
	14	12.0	15.9	455-1358-ND†	3.87	32.21	128.85	S14B-PHDSS
	16	14.0	17.9	455-1355-ND†	4.00	33.31	133.23	S16B-PHDSS
	18	16.0	19.9	455-1356-ND†	4.43	36.89	147.59	S18B-PHDSS
	20	18.0	21.9	455-1347-ND†	4.83	40.18	160.72	S20B-PHDSS
	22	20.0	23.9	455-1354-ND†	6.06	50.51	202.04	S22B-PHDSS
	24	22.0	25.9	455-1353-ND†	6.58	54.84	219.37	S24B-PHDSS
	26	24.0	27.9	455-1352-ND†	6.89	57.42	229.70	S26B-PHDSS
	28	26.0	29.9	455-1351-ND†	7.11	59.26	237.06	S28B-PHDSS
	30	28.0	31.9	455-1350-ND†	7.53	62.81	251.24	S30B-PHDSS
	32	30.0	33.9	455-1349-ND†	7.86	65.48	261.91	S32B-PHDSS
	34	32.0	35.9	455-1348-ND†	8.15	67.97	271.89	S34B-PHDSS

† Farbe: Natur (elfenbein)

Beschreibung	Digi-Key Teilenr.	Preisangaben 100	500	Digi-Key Teilenr.	T & R Pricing§ 8,000	JST Teilenr.
Kontakte/Tools						
26-22 AWG, verzinnter Kontakt	455-1325-1-ND	3.02	13.33	455-1325-2-ND	14.40/M	SPHD-001T-P0.5
28-24 AWG, verzinnter Kontakt	455-1313-1-ND	3.02	13.33	455-1313-2-ND	14.40/M	SPHD-002T-P0.5
Crimpwerkzeug für 26-22 AWG-Kontakte	455-1238-ND	310.71/1		—	—	WC-610
Crimpwerkzeug für 28-24 AWG-Kontakte	455-1237-ND	670.57/1		—	—	YRS-620

§ Preisangabe für Gegurtet auf Rolle

Serie EH 2,5 mm Steckverbinder

Merkmale: • Kompakt und schmal: Dieser Steckverbinder wurde kompakt und ungewöhnlich dünn konzipiert. Er ist nach der Montage lediglich 8,1 mm (0,319") hoch und nur 3,8 mm (0,150") breit. • Äußerst zuverlässiger Kontakt: Der Kontakt ist in der Nähe der Mitte mit langen Vertiefungen versehen, die den Durchgang von Niederspannung und Niederstromschaltungen jederzeit gewährleisten, selbst bei Vibrationen und starkem Verbiegen. • Polarisierungsführungen: Die Steckleiste und das Gehäuse verfügen über Führungen, um ein falsches Einstecken zu verhindern. • Haarkristallverhütung: Das Kontaktmaterial wird mit einem Aufschmelzlötprozess behandelt, und der Vierkantstift ist unterkupfert und mit Zinn/Blei beschichtet, um Haarkristalle zu vermeiden. • Leichtes und effektives Crimpen: Der Kontakt ist zwar kompakt, hat jedoch eine lange Drahtanschlusslänge, 2,6 ±0,4 mm (0,102" ±0,016"). Diese lange Länge ist für das automatische Crimpen und das Crimpen von geschirmten Drähten sehr praktisch.
Spezifikationen: • Nennstrom: 3 A AC, DC (AWG 22). • Nennspannung: 250 V AC, DC. • Temperaturbereich: -25 °C ~ 85 °C. • Zutreffende Drahtgröße: AWG 32 ~ 22.
Material und Oberfläche: • Kontakt: Phosphorbronze, verzinnt. • Gehäuse: Nylon 66, UL94V-0, natur (weiß). • Stifte für Steckleisten: Messing, unterkupfert, Zinnbleibeschichtung. • Scheibe: Nylon 66, UL94V-0, natur (weiß).
Zutreffende Leiterplattenstärke: • 0,8 ~ 1,6 mm (0,031" ~ 0,063").

Abb. 1

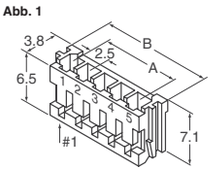

Abb. 2

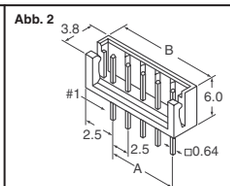

Abb. 3

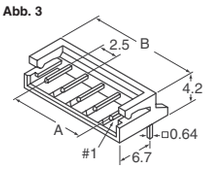

Abb.	Schalt-kreise	Abmessungen (mm) A	B	Digi-Key Teilenr.	Preisangaben 10	100	500	JST Teilenr.
Trennbares Steckbuchsengehäuse, Crimptyp								
1	2	2.5	7.0	455-1000-ND	.32	2.68	10.69	EHR-2
	3	5.0	9.5	455-1001-ND	.36	2.96	11.84	EHR-3
	4	7.5	12.0	455-1002-ND	.36	3.01	12.06	EHR-4
	5	10.0	14.5	455-1003-ND	.41	3.36	13.43	EHR-5
	6	12.5	17.0	455-1004-ND	.44	3.64	14.56	EHR-6
	7	15.0	19.5	455-1005-ND	.51	4.21	16.84	EHR-7
	8	17.5	22.0	455-1006-ND	.52	4.39	17.52	EHR-8
	9	20.0	24.5	455-1007-ND	.75	6.26	25.03	EHR-9
	10	22.5	27.0	455-1008-ND	.80	6.60	26.40	EHR-10
	11	25.0	29.5	455-1009-ND	.98	8.20	32.77	EHR-11
	12	27.5	32.0	455-1010-ND	1.19	9.90	39.60	EHR-12
	13	30.0	34.5	455-1011-ND	1.25	10.47	41.87	EHR-13
	14	32.5	37.0	455-1012-ND	1.60	13.32	53.25	EHR-14
	15	35.0	39.5	455-1013-ND	1.64	13.71	54.84	EHR-15
Header, Kontaktschutz, Plattenmontage, Eingang von oben (Mit Buchsengehäuse der Serie EH und HR verwenden.)								
2	2	2.5	7.5	455-1014-ND•	.56	4.65	18.58	B2B-EH-A
	3	5.0	10.0	455-1015-ND•	.75	6.31	25.22	B3B-EH-A
	4	7.5	12.5	455-1016-ND•	1.00	8.30	33.19	B4B-EH-A
	5	10.0	15.0	455-1017-ND•	1.19	9.91	39.64	B5B-EH-A
	6	12.5	17.5	455-1018-ND•	1.43	11.90	47.60	B6B-EH-A
	7	15.0	20.0	455-1019-ND•	1.63	13.51	54.05	B7B-EH-A
	8	17.5	22.5	455-1020-ND•	1.84	15.31	61.25	B8B-EH-A
	9	20.0	25.0	455-1021-ND•	2.04	17.03	68.08	B9B-EH-A
	10	22.5	27.5	455-1022-ND•	2.38	19.82	79.27	B10B-EH-A
	11	25.0	30.0	455-1023-ND•	2.62	21.86	87.42	B11B-EH-A
	12	27.5	32.5	455-1024-ND•	2.73	22.76	91.03	B12B-EH-A
	13	30.0	35.0	455-1025-ND•	3.23	26.98	107.91	B13B-EH-A
	14	32.5	37.5	455-1026-ND•	3.50	29.21	116.81	B14B-EH-A
	15	35.0	40.0	455-1027-ND•	3.70	30.82	123.26	B15B-EH-A
Geschirmter Header, Plattenmontage, Eingang von der Seite (Mit Buchsengehäuse der Serie EH und HR verwenden.)								
3	2	2.5	7.5	455-1028-ND	.67	5.55	22.19	S2B-EH
	3	5.0	10.0	455-1029-ND	.80	6.64	26.55	S3B-EH
	4	7.5	12.5	455-1030-ND	.95	7.87	31.48	S4B-EH
	5	10.0	15.0	455-1031-ND	1.24	10.29	41.15	S5B-EH
	6	12.5	17.5	455-1032-ND	1.53	12.80	51.20	S6B-EH
	7	15.0	20.0	455-1033-ND	1.82	15.17	60.68	S7B-EH
	8	17.5	22.5	455-1034-ND	2.13	17.78	71.11	S8B-EH
	9	20.0	25.0	455-1035-ND	2.28	18.96	75.86	S9B-EH
	10	22.5	27.5	455-1036-ND	2.80	23.37	93.49	S10B-EH
	11	25.0	30.0	455-1037-ND	3.11	25.89	103.54	S11B-EH
	12	27.5	32.5	455-1038-ND	3.28	27.40	109.61	S12B-EH
	13	30.0	35.0	455-1039-ND	4.06	33.80	135.21	S13B-EH
	14	32.5	37.5	455-1040-ND	4.31	35.94	143.74	S14B-EH
	15	35.0	40.0	455-1041-ND	4.64	38.69	154.74	S15B-EH
Crimpkontakt 30-22 AWG				455-1042-1-ND	—	2.66	11.73	SEH-001T-P0.6
Crimpkontakt 30-22 AWG				455-1042-2-ND		114.29/9,000		SEH-001T-P0.6
Crimpwerkzeug für 30-22 AWG-Kontakte				455-1043-ND		310.71/1		WC-260

• Nicht vom TÜV zugelassen

Serie DB 2,5 mm Board-In-IDC-Steckverbinder

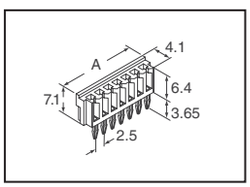

Merkmale: • Kompakt und Niedrigprofil: Hier handelt es sich um einen Steckverbinder von niedriger Bauform und einer Montagehöhe von 7,1mm (0,280") und einer Breite von 4,1mm (0,161"). • Twin U-Slot Isolationsverschiebungsbereich: Der Isolationsverschiebungsbereich, der am Draht angeschlossen ist, besteht aus zwei verzinnten Schlitzen (doppelter U-Schlitz) für außerordentliche Zuverlässigkeit. • Lötlitze mit Verschlussfunktion: Die auf den Kontakt passende Lötlitze verfügt über zwei Einrastpositionen, die beide eine stabile Verbindung gewährleisten, nachdem die Litze in eine Leiterplatte eingesteckt wurde. Dadurch wird die Einführung in eine Leiterplatte einfach und zuverlässig. • Zugentlastung: Die Zugentlastungsfunktion verhindert, dass Belastungen aufgrund von Vibrationen, Stoßeinwirkungen oder Verbiegen sich auf die Isolationsverschiebungsverbindung auswirken. Dies wird erzielt, indem ein Isolierungsgreifer auf dem Gehäuse die Außenseite des Drahtes festhält.
Spezifikationen: • Nennstrom: 2 A AC, DC (AWG 24) • Nennspannung: 250 V AC, DC • Temperaturbereich: -25 °C ~ 85 °C • Zutreffende Drahtgröße: UL1007 (Wenden Sie sich an JST für Details über andere UL-Drähte.) AWG 28, 26, 24. Leiter/7 Adern, verzinnt. Isolierung A.D/1,0 ~ 1,4 mm (0,039" biis 0,055").
Material und Oberfläche: • Kontakt: Phosphorbronze, unterkupfert, mit Zinn/Blei beschichtet • Gehäuse: Nylon 66, UL94V-0 **Geltende Kartenstärke:** • 1,6 mm (0,063")

Schalt-kreise	Farbe	AWG	Abm. A (mm)	Digi-Key Teilenr.	Preisangaben 1	10	100	JST Teilenr.
2	Grün	28	7.5	455-1070-ND	.14	1.11	9.24	02DB-8M
3			10.0	455-1071-ND	.21	1.53	12.71	03DB-8M
4			12.5	455-1072-ND	.28	2.08	17.27	04DB-8M
5			13.0	455-1073-ND	.32	2.42	20.15	05DB-8M
6			17.5	455-1074-ND	.40	2.95	24.61	06DB-8M
7			20.0	455-1075-ND	.46	3.41	28.38	07DB-8M
8			22.5	455-1076-ND	.52	3.86	32.15	08DB-8M
9			25.0	455-1077-ND	.58	4.34	36.13	09DB-8M
10			27.5	455-1078-ND	.65	4.89	40.77	10DB-8M
11			30.0	455-1079-ND	.73	5.49	45.71	11DB-8M
12			32.5	455-1080-ND	.78	5.84	48.60	12DB-8M
13			35.0	455-1081-ND	1.05	7.79	64.91	13DB-8M
2	Weiß	26	7.5	455-1082-ND	.14	1.04	8.68	02DB-6S
3			10.0	455-1083-ND	.20	1.45	12.09	03DB-6S
4			12.5	455-1084-ND	.26	1.97	16.45	04DB-6S
5			13.0	455-1085-ND	.32	2.34	19.44	05DB-6S
6			17.5	455-1086-ND	.38	2.87	23.94	06DB-6S
7			20.0	455-1087-ND	.44	3.32	27.64	07DB-6S
8			22.5	455-1088-ND	.51	3.82	31.82	08DB-6S
9			25.0	455-1089-ND	.57	4.24	35.37	09DB-6S
10			27.5	455-1090-ND	.63	4.72	39.35	10DB-6S
11			30.0	455-1091-ND	.71	5.35	44.57	11DB-6S
12			32.5	455-1092-ND	.76	5.70	47.46	12DB-6S
13			35.0	455-1093-ND	1.03	7.73	64.43	13DB-6S
2	Schwarz	24	7.5	455-1094-ND	.14	1.11	9.24	02DB-4K
3			10.0	455-1095-ND	.21	1.53	12.71	03DB-4K
4			12.5	455-1096-ND	.28	2.07	17.26	04DB-4K
5			13.0	455-1097-ND	.32	2.42	20.15	05DB-4K

(Forts.)

JST Serie DB 2,5 mm Board-In-IDC-Steckverbinder *(Forts.)*

Schalt-kreise	Farbe	AWG	Abm. A (mm)	Digi-Key Teilenr.	Preisangaben 1	10	100	JST Teilenr.
6	Schwarz	24	17.5	455-1098-ND	.38	2.85	23.80	06DB-4K
7			20.0	455-1099-ND	.45	3.35	27.97	07DB-4K
8			22.5	455-1100-ND	.52	3.87	32.24	08DB-4K
9			25.0	455-1101-ND	.58	4.33	36.12	09DB-4K
10			27.5	455-1102-ND	.65	4.89	40.77	10DB-4K
11			30.0	455-1103-ND	.73	5.49	45.71	11DB-4K
12			32.5	455-1104-ND	.78	5.83	48.59	12DB-4K
13			35.0	455-1105-ND	1.04	7.79	64.91	13DB-4K

Serie HR 2,5 mm IDC-Steckbuchsen

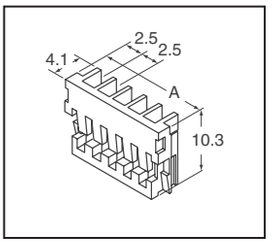

Merkmale: • Twin U-Schlitz-Isolationsverschiebungsbereich: Der Isolationsverschiebungsbereich verfügt über zuverlässige doppelte U-Schlitze wie die der anderen JST Isolationsverschiebungssteckverbinder. • Ultradünnes Design: Der Steckverbinder ist sehr klein und hat eine Montagehöhe von 11,3 mm (0,445") und eine Breite von 4,1 mm (0,161"). • Hohe Zuverlässigkeit: Der Kontakt verfügt über eine Vertiefung, die auf den Stift passt, um eine kontinuierliche gasdichte Verbindung zu gewährleisten, wenn er bei Schaltkreisen eingesetzt wird, in denen nur minimale Strom- und Spannungsgrößen erforderlich sind. Außerdem wurde er so konstruiert, dass er Vibrationen standhält und Verformungen verhindert. • Zugentlastung: Der Draht wird mit einer metallischen Zugentlastung so befestigt, dass er die Isolationsverschiebungsverbindung gegen Vibrationen, Stoßwirkungen und sonstige externe Kräfte schützt. • Austauschbarkeit: Die abgeschirmte Steckleiste kann gegen EH-Steckverbinder, 2,5 mm (0,098") Pitch, Crimptyp, ausgewechselt werden.
Spezifikationen: • Nennstrom: 2 A AC, DC (AWG 24) • Nennspannung: 250 V AC, DC • Temperaturbereich: -25 °C ~ 85 °C • Zutreffende Drahtgröße: UL1007 (Wenden Sie sich an JST für Details über andere UL-Drähte.) AWG 26, 24. Leiter/7 Adern, verzinnt. Isolierung A.D/1,0 ~ 1,5 mm (0,039" ~ 0,059").
Material und Oberfläche: • Kontakt: Phosphorbronze, verzinnt. • Gehäuse: Nylon 66, UL94V-0
Zutreffende Leiterplattenstärke: • 0,8 ~ 1,6 mm (0,031" ~ 0,063").

Schalt-kreise	Farbe	AWG	Abm. A (mm)	Digi-Key Teilenr.	Preisangaben 1	10	100	JST Teilenr.
2	Weiß	26	7.5	455-1044-ND	.17	1.24	10.39	02HR-6S
3			10.0	455-1045-ND	.21	1.55	12.90	03HR-6S
4			12.5	455-1046-ND	.26	1.90	15.79	04HR-6S
5			15.0	455-1047-ND	.33	2.46	20.48	05HR-6S
6			17.5	455-1048-ND	.36	2.75	22.90	06HR-6S
7			20.0	455-1049-ND	.42	3.13	26.04	07HR-6S
8			22.5	455-1050-ND	.47	3.54	29.49	08HR-6S
9			25.0	455-1051-ND	.53	3.98	33.19	09HR-6S
10			27.5	455-1052-ND	.59	4.46	37.17	10HR-6S
11			30.0	455-1053-ND	.65	4.82	40.12	11HR-6S
12			32.5	455-1054-ND	.68	5.10	42.49	12HR-6S
13			35.0	455-1055-ND	.74	5.49	45.80	13HR-6S
15			40.0	455-1056-ND†	.84	6.29	52.44	15HR-6S
2	Schwarz	24	7.5	455-1057-ND	.17	1.29	10.72	02HR-4K
3			10.0	455-1058-ND	.21	1.61	13.37	03HR-4K
4			12.5	455-1059-ND	.27	1.97	16.36	04HR-4K
5			15.0	455-1060-ND	.34	2.54	21.19	05HR-4K
6			17.5	455-1061-ND	.38	2.86	23.85	06HR-4K
7			20.0	455-1062-ND	.43	3.26	27.17	07HR-4K
8			22.5	455-1063-ND	.49	3.68	30.72	08HR-4K
9			25.0	455-1064-ND	.55	4.14	34.52	09HR-4K
10			27.5	455-1065-ND	.62	4.64	38.69	10HR-4K
11			30.0	455-1066-ND	.67	5.02	41.81	11HR-4K
12			32.5	455-1067-ND	.71	5.31	44.23	12HR-4K
13			35.0	455-1068-ND	.76	5.73	47.74	13HR-4K
15			40.0	455-1069-ND†	.88	6.57	54.76	15HR-4K
Manuelles Pistolengriff-Crimpwerkzeug				455-1372-ND	116.26	—	—	IDB-12
Steckleistenadapter, Serie HR				455-1373-ND**	262.41	—	—	IDH-HR12

† Weder UL-zugelassen noch CSA-zertifiziert ** Zur Verwendung mit 455-1372-ND

Serie VH 3,96 mm Steckverbinder

Merkmale: • Dieser zuverlässige VH-Steckverbinder kann in einer Vielzahl von Anwendungen eingesetzt werden • Montagehöhe: 16,5 mm (0,650") • Verschlussmechanismus verhindert, dass sich der Steckverbinder löst oder falsch eingesteckt wird. **Spezifikationen:** • Nennstrom: 10 A AC, DC • Nennspannung: 250 V AC, DC • Temperaturbereich: -25 °C ~ 85 °C • Zutreffende Drahtgröße: AWG 22 ~ 16 • Farbe: Natur (weiß)

Abb. 1

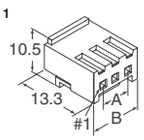

Abb. 2

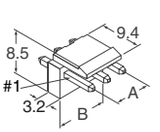

Abb. 3

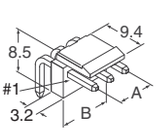

Abb.	Schalt-kreise	Abmessungen (mm) A	B	Digi-Key Teilenr.	Preisangaben 10	100	500	JST Teilenr.
Gehäuse								
1	2	3.96	7.86	455-1183-ND	.50	4.17	16.69	VHR-2N
	3	7.92	11.82	455-1184-ND	.58	4.83	19.34	VHR-3N
	4	11.88	15.78	455-1185-ND	.74	6.16	24.65	VHR-4N
	5	15.84	19.74	455-1186-ND	.98	8.15	32.62	VHR-5N
	6	19.80	23.70	455-1187-ND	1.05	8.77	35.08	VHR-6N
1	7	23.76	27.66	455-1181-ND	1.35	11.23	44.95	VHR-7N
	8	27.72	31.62	455-1168-ND	1.40	11.62	46.46	VHR-8N
	9	31.68	35.58	455-1169-ND	1.63	13.51	54.05	VHR-9N
	10	35.64	39.54	455-1167-ND	1.85	15.46	61.82	VHR-10N
Steckleisten — Zugang von oben (mit Verschlussfunktion)								
2	2	3.96	7.86	455-1211-ND	.96	7.97	31.86	B2P-VH
	3	7.92	11.82	455-1212-ND	1.21	10.08	40.32	B3P-VH
	4	11.88	15.78	455-1213-ND	1.55	12.93	51.69	B4P-VH
	5	15.84	19.74	455-1258-ND	1.90	15.89	63.55	B5P-VH
	6	19.80	23.70	455-1260-ND	2.18	18.13	72.49	B6P-VH
	7	23.76	27.66	455-1244-ND	2.51	20.97	83.87	B7P-VH
	8	27.72	31.62	455-1206-ND	3.01	25.03	100.13	B8P-VH
	9	31.68	35.58	455-1257-ND	3.33	27.76	111.02	B9P-VH
	10	35.64	39.54	455-1256-ND	3.63	30.27	121.10	B10P-VH
Steckleisten — Zugang von der Seite (mit Verschlussfunktion)								
3	2	3.96	7.86	455-1255-ND	1.13	9.39	37.55	B2PS-VH
	3	7.92	11.82	455-1270-ND	1.41	11.78	47.14	B3PS-VH
	4	11.88	15.78	455-1233-ND	1.88	15.69	62.74	B4PS-VH
	5	15.84	19.74	455-1226-ND	2.32	19.30	77.21	B5PS-VH
	6	19.80	23.70	455-1232-ND	2.73	22.80	91.19	B6PS-VH
	7	23.76	27.66	455-1231-ND	3.08	25.69	102.73	B7PS-VH
	8	27.72	31.62	455-1230-ND	3.67	30.60	122.40	B8PS-VH
	9	31.68	35.58	455-1229-ND	4.04	33.65	134.59	B9PS-VH
	10	35.64	39.54	455-1228-ND	4.44	37.02	148.08	B10PS-VH

Beschreibung	Digi-Key Teilenr.	Gurtabschnittspreise 10	100	500	Gegurtet auf Rolle* Größe	Preisangaben	JST Teilenr.
Kontakte/Tools							
20-16 AWG, verzinnter Kontakt	455-1319-1-ND	.71	6.35	28.01	3,500	29.64/M	SVH-41T-P1.1
22-18 AWG, verzinnter Kontakt	455-1133-1-ND	—	6.45	28.45	4,500	30.48/M	SVH-21T-P1.1
Crimpwerkzeug für 20-16 AWG-Kontakte	455-1227-ND		310.13/1		—	—	YC-630
Crimpwerkzeug für 22-18 AWG-Kontakte	455-1134-ND		310.71/1		—	—	WC-160

* Für Gegurtet auf Rolle die Teilenr. von 1-ND in 2-ND ändern.

Serie SIN Board-In Crimp-Anschlüsse

Merkmale:
• Die nachgiebige Kartenhaltefunktion gewährleistet sichere Montage vor und nach dem Löten. • Drähte können maschinell an den Anschlüssen gesichert werden • Zugentlastung minimiert Drähte

Spezifikationen:
• Nennstrom: von entsprechenden Drähten abhängig • Temperaturbereich: -25 °C ~ 85 °C • Zutreffender Draht: AWG #30 bis #12 • Zutreffende Kartenstärke: 1,6 mm (0,063")

Material: • Verzinnt

Abb. 1

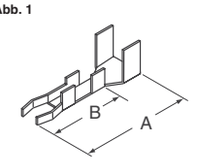

Abb. 2

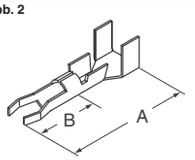

Abb. 3

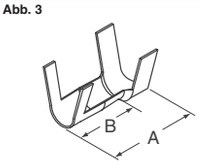

Abb.	Draht AWG #	Abm. A (mm)	B (mm)	Leiterplatte (mm) Dicke	Lochdur-chm.	Digi-Key Teilenr.	Gurtabschnittspreise 10	100	500	Gegurtet auf Rolle* Größe	Preisangaben	JST Teilenr.
1	28-26	5.8	3.1	1.6	1.0	455-1452-1-ND	.25	2.24	9.85	9000	10.16/M	SIN-002T-1.0
2	22-18	12.6	3.6	1.6	1.80	455-1453-1-ND	.52	4.61	20.35	3000	22.01/M	SIN-21T-1.8
3	22-18	7.6	4.1	1.6	1.80	455-1454-1-ND	.38	3.42	15.09	4500	16.09/M	SIN-21T-1.8S
	18, 16	8.3	4.3	1.6	2.4	455-1455-1-ND	.46	4.09	18.05	3000	19.48/M	SIN-41T-2.4S
	14	8.3	4.3	1.6	2.5	455-1456-1-ND	.46	4.09	18.05	3000	19.48/M	SIN-61T-2.6S
	12	9.2	4.5	1.6	3.55	455-1457-1-ND	.59	5.27	23.24	2000	24.55/M	SIN-81T-3.6S

* Für Gegurtet auf Rolle die Teilenr. von 1-ND in 2-ND ändern.

Verschiedene Crimpkontakte und Crimpwerkzeuge

Kontakt-material	Kontakt-Oberfläche	AWG	Digi-Key Teilenr.	Preisangaben 1	100	500	Preisangabe für Gegurte tauf Rolle*	JST Teilenr.
Crimpkontakte der Serie VH/NV								
Messing	Verzinnt	22–18	455-1132-1-ND	—	5.81	25.60	121.91/4,500	SVH-21T-1.1
Crimpkontakte der Serie XH								
Phosphor-Bronze	Verzinnt	28–22	455-1135-1-ND	—	4.23	18.67	162.55/8,000	SXH-001T-P0.6
Crimpwerkzeug, 28–22 AWG XH-Kontakte			455-1136-ND	310.71	—	—	—	WC-110
Crimpkontakte der Serie SAN								
Messing	Verzinnt	24-30	455-1142-1-ND	—	2.66	11.73	177.79/14,000	SAN-002T-0.8K
Crimpwerkzeug, 30–24 AWG SAN-Kontakte			455-1143-ND	695.73	—	—	—	YRS-220
Crimp-Einsätze								
Steckleistenadapter, Serie KR			455-1374-ND**	246.92	—	—	—	IDH-KR12
Steckleistenadapter, Serie ZR			455-1375-ND**	566.14	—	—	—	IDHZR(F)20

* Für Gegurtet auf Rolle die Teilenr. von 1-ND in 2-ND ändern. ** Zur Verwendung mit 455-1372-ND

Alle Preisangaben in Euro und inklusive Zollgebühren.

1,5 mm Steckverbinder

Merkmale: • 2-15 Schaltkreise • Standardmäßig mit mittlerem Polarisationsanstieg • Einführungsschräge erleichtert das Einstecken **Elektrische Spezifikationen:** • Spannung: 250 V • Strom: 2,0 A • Kontaktwiderstand: Max. 40 mΩ • Dielektrische Haltespannung: 500 V • Isolationswiderstand: Min. 1.000 MΩ **Physikalische Daten:** • Betriebstemperatur: -25 °C ~ 85 °C • Gehäuse: glasgefülltes 6/6-Nylon, UL 94V-0 • Steckleisten: Farbe, beige, glasgefülltes 4/6-Nylon, UL 94V-0 • Kontakt: Messinglegierung • Überzug: Zinn/Blei über min. 1.27 µm Nickel

Abb. 1

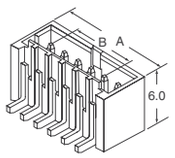

Abb. 2

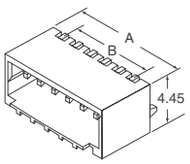

Abb. 3

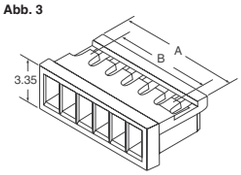

A

Schalt-kreise	Abm. (mm) A	Abm. (mm) B	Digi-Key Teilenr.	Gurtabschnittspreis pro Stück 1	10	100	Digi-Key Teilenr.	Preisangabe für Gegurtet auf Rolle 1,000	Molex Teilenr.
Abb. 1 Steckleiste - vertikal									
2	4.30	1.50	WM2034CT-ND	.74	.66	.44	—	—	87437-0233
3	5.80	3.00	WM2035CT-ND	.86	.76	.51	WM2035TR-ND	351.16	87437-0333
4	7.30	4.50	WM2036CT-ND	.97	.86	.58	—	—	87437-0433
5	8.80	6.00	WM18584CT-ND	1.20	1.06	.71	WM18584TR-ND	493.57	87437-0543
6	10.30	7.50	WM2038CT-ND	1.21	1.07	.72	WM2038TR-ND	497.52	87437-0633
7	11.80	9.00	WM2039CT-ND	1.32	1.17	.78	WM2039TR-ND	543.29	87437-0733
8	13.30	10.50	WM2040CT-ND	1.45	1.28	.86	WM2040TR-ND	596.61	87437-0833
9	14.80	12.00	WM2041CT-ND	1.55	1.37	.92	WM2041TR-ND	637.13	87437-0933
10	16.30	13.50	WM2042CT-ND	1.65	1.46	.98	WM2042TR-ND	680.01	87437-1033
11	17.80	15.00	WM2043CT-ND	1.75	1.55	1.03	WM2043TR-ND	720.36	87437-1133
12	19.30	16.50	WM2044CT-ND	1.85	1.64	1.10	—	—	87437-1233
13	20.80	18.00	WM2045CT-ND	1.97	1.75	1.17	WM2045TR-ND	813.65	87437-1333
14	22.30	19.50	WM2046CT-ND	2.06	1.82	1.21	WM2046TR-ND	846.47	87437-1433
15	23.80	21.00	WM2047CT-ND	2.16	1.91	1.28	WM2047TR-ND	889.18	87437-1533
Abb. 1 Steckleiste - vertikal — bleifrei/RoHS-konform									
2	4.30	1.50	WM7662CT-ND	.74	.66	.44	WM7662TR-ND	303.88	87437-0243
3	5.80	3.00	WM7663CT-ND	.86	.76	.51	WM7623TR-ND	655.27	87437-0343
4	7.30	4.50	WM7664CT-ND	.97	.86	.58	WM7664TR-ND	400.63	87437-0443
6	10.30	7.50	WM7665CT-ND	1.21	1.07	.72	WM7665TR-ND	497.52	87437-0643
7	11.80	9.00	WM7666CT-ND	1.32	1.17	.78	WM7666TR-ND	543.21	87437-0743
8	13.30	10.50	WM7667CT-ND	1.45	1.28	.86	WM7667TR-ND	596.61	87437-0843
9	14.80	12.00	WM7668CT-ND	1.55	1.37	.92	WM7668TR-ND	637.13	87437-0943
10	16.30	13.50	WM7669CT-ND	1.65	1.46	.98	WM7669TR-ND	680.01	87437-1043
11	17.80	15.00	WM7670CT-ND	1.75	1.55	1.03	WM7670TR-ND	720.36	87437-1143
12	19.30	16.50	WM7671CT-ND	1.85	1.64	1.10	WM7671TR-ND	763.24	87437-1243
13	20.80	18.00	WM7672CT-ND	1.97	1.75	1.17	WM7672TR-ND	813.65	87437-1343
14	22.30	19.50	WM7673CT-ND	2.06	1.82	1.21	WM7673TR-ND	846.47	87437-1443
15	23.80	21.00	WM7674CT-ND	2.16	1.91	1.28	WM7674TR-ND	889.18	87437-1543
Abb. 2 Steckleiste - rechtwinklig — bleifrei/RoHS-konform									
2	4.30	1.50	WM7646CT-ND	.79	.70	.47	WM7646TR-ND	325.09	87438-0243
3	5.80	3.00	WM7647CT-ND	.99	.88	.59	WM7647TR-ND	408.91	87438-0343
4	7.30	4.50	WM7648CT-ND	1.12	.99	.66	WM7648TR-ND	458.86	87438-0443
5	8.80	6.00	WM7649CT-ND	1.13	1.01	.67	WM7649TR-ND	469.02	87438-0543
6	10.30	7.50	WM7650CT-ND	1.30	1.16	.77	WM7650TR-ND	537.59	87438-0643

Schalt-kreise	Abm. (mm) A	Abm. (mm) B	Digi-Key Teilenr.	Gurtabschnittspreis pro Stück 1	10	100	Digi-Key Teilenr.	Preisangabe für Gegurtet auf Rolle 1,000	Molex Teilenr.
7	11.80	9.00	WM7651CT-ND	1.54	1.36	.91	WM7651TR-ND	634.95	87438-0743
8	13.30	10.50	WM7652CT-ND	1.66	1.46	.98	WM7652TR-ND	681.51	87438-0843
9	14.80	12.00	WM7653CT-ND	1.69	1.50	1.00	WM7653TR-ND	696.75	87438-0943
10	16.30	13.50	WM7654CT-ND	1.84	1.63	1.09	WM7654TR-ND	756.86	87438-1043
11	17.80	15.00	WM7655CT-ND	1.98	1.75	1.17	WM7655TR-ND	815.28	87438-1143
12	19.30	16.50	WM7656CT-ND	2.12	1.88	1.26	WM7656TR-ND	875.38	87438-1243
13	20.80	18.00	WM7657CT-ND	2.27	2.01	1.34	WM7657TR-ND	934.65	87438-1343
14	22.30	19.50	WM7658CT-ND	2.41	2.13	1.43	WM7658TR-ND	993.91	87438-1443
15	23.80	21.00	WM7659CT-ND	2.56	2.26	1.51	WM7659TR-ND	1053.17	87438-1543

Schalt-kreise	Abmessungen (mm) A	Abmessungen (mm) B	Digi-Key Teilenr.	Stückpreis 1	10	100	Molex Teilenr.
Abb. 3 Gehäuse							
2	4.10	1.50	WM2086-ND	.24	.22	.15	87439-0200
3	5.60	3.00	WM2087-ND	.26	.23	.16	87439-0300
4	7.10	4.50	WM2088-ND	.28	.25	.17	87439-0400
5	8.60	6.00	WM2089-ND	.30	.28	.19	87439-0500
6	10.10	7.50	WM2090-ND	.33	.30	.20	87439-0600
7	11.60	9.00	WM2091-ND	.36	.33	.22	87439-0700
8	13.10	10.50	WM2092-ND	.38	.34	.23	87439-0800
9	14.60	12.00	WM2093-ND	.39	.35	.24	87439-0900
10	16.10	13.50	WM2094-ND	.40	.35	.24	87439-1000
11	17.60	15.00	WM2095-ND	.41	.37	.25	87439-1100
12	19.10	16.50	WM2096-ND	.43	.39	.26	87439-1200
13	20.60	18.00	WM2097-ND	.44	.39	.26	87439-1300
14	22.10	19.50	WM2098-ND	.45	.40	.27	87439-1400
15	23.60	21.00	WM2099-ND	.47	.41	.28	87439-1500

Beschreibung	Digi-Key Teilenr.	Preisangaben 10	100	Molex Teilenr.
Crimpanschluss 24-28 AWG	WM1112-ND	.47	3.77	87421-0000
Handcrimpwerkzeug	WM9968-ND	181.72/1		63811-3600
Manueller Abisolierer	WM9969-ND	80.56/1		63817-0000
Klingenersatz, gerade	WM9970-ND	31.51/1		63817-0070
Klingenersatz, V-Form	WM9971-ND	31.51/1		63817-0071

2 mm Sherlock™-Steckverbinder

Merkmale:

• Formschluss bietet eine sichere Steckkraft • Vierwändige Abschirmung mit Führungsplatte schützt Pins und erleichtert das Einstecken • Kompakte Konstruktion in niedriger Bauform bietet Platzersparnis • Polarisationsendwände verhindern ein Falschstecken

Elektrische Spezifikationen:

• Spannung: 125 V • Strom: 2,0 A • Kontaktwiderstand: Max. 20 mΩ • Dielektrische Haltespannung: 500 V • Isolationswiderstand: Min. 1.000 M

Physikalische Daten:

• Gehäuse: Polyamid, UL 94V-0 • Gehäusekontakt: Messing • Überzug: Zinn/Blei • Betriebstemperatur: -40 °C ~ 105 °C • UL-Eintragungsnr.: E29179 • CSA-Eintragungsnr.: LR19980

Abb. 1

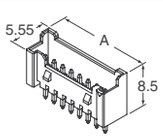

Abb. 2

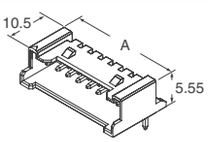

Abb. 3

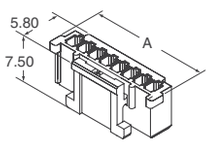

Abb. 4

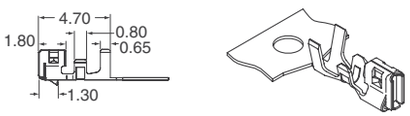

Abb.	Schalt-kreise	Abmessung (mm) A	Digi-Key Teilenr.	Stückpreis 1	10	100	Molex Teilenr.
Steckleiste - vertikal							
1	3	9.70	WM5993-ND	.41	.37	.25	35362-0310
	4	10.30	WM5994-ND	.47	.42	.28	35362-0410
	6	14.30	WM5996-ND	.61	.54	.36	35362-0610
	7	16.30	WM5997-ND	.68	.60	.40	35362-0710
	11	24.30	WM6001-ND	.96	.85	.57	35362-1110
	12	26.30	WM6037-ND	1.01	.89	.60	35362-1210
Steckleiste - rechtwinklig							
2	2	7.70	WM6038-ND	.44	.39	.26	35363-0210
	3	9.70	WM6039-ND	.48	.43	.29	35363-0310
	5	12.30	WM6041-ND	.61	.54	.36	35363-0510
	6	14.30	WM6042-ND	.65	.58	.39	35363-0610
	7	16.30	WM6043-ND	.74	.65	.44	35363-0710
	8	18.30	WM6044-ND	.82	.73	.49	35363-0810
	9	20.30	WM6045-ND	.88	.78	.52	35363-0910
	10	22.30	WM6046-ND	.96	.85	.57	35363-1010
	11	24.30	WM6047-ND	1.02	.90	.60	35363-1110
	12	26.30	WM6048-ND	1.06	.94	.63	35363-1210

Abb.	Schalt-kreise	Abmessung (mm) A	Digi-Key Teilenr.	Stückpreis 1	10	100	Molex Teilenr.
Crimpgehäuse							
3	2	7.20	WM5981-ND	.21	.19	.13	35507-0200
	3	9.20	WM5982-ND	.24	.21	.14	35507-0300
	4	10.30	WM5983-ND	.26	.23	.16	35507-0400
	5	12.30	WM5984-ND	.28	.25	.17	35507-0500
	6	14.30	WM5985-ND	.30	.27	.18	35507-0600
	7	16.30	WM5986-ND	.32	.29	.20	35507-0700
	8	18.30	WM5987-ND	.35	.31	.21	35507-0800
	9	20.30	WM5988-ND	.36	.32	.22	35507-0900
	10	22.30	WM5989-ND	.37	.33	.22	35507-1000
	11	24.30	WM5990-ND	.39	.34	.23	35507-1100
	12	26.30	WM5991-ND	.41	.36	.24	35507-1200
4	Crimpanschluss, 24-30 AWG Kontakte: Phosphorbronze Überzug: Zinn		WM6050-ND	—	.07	.06	50212-8100
—	Crimpwerkzeug, 24-30 AWG		WM9973-ND	181.72	—	—	63811-1200

2 mm Milli-Grid™ -Steckverbinder

STECKLEISTEN: Elektrische Spezifikationen: • Strom: 2,0 A • Dielektrische Haltespannung: 500 V (abgeschirmt vertikal, SMT und rechtwinklig: 1.000 V) • Isolationswiderstand: Min. 1.000 MΩ **Physikalische Daten:** • Gehäuse: 4/6 Nylon, UL 94V-0 (rechtwinklig: schwarzes, glasgefülltes Polyester, UL 94V-0) • Kontakte: Phosphorbronze • Überzug: 15 µ" Teilgold • Temperatur: -55 °C ~ 105 °C

STECKBUCHSE: Elektrische Spezifikationen: • Spannung: 125 V • Strom: 1,0 A • Kontaktwiderstand: Max. 25 mΩ (Eingang von der Seite, Eingang von der Seite SMT und Eingang von oben/unten: Max. 15 mΩ) • Dielektrische Haltespannung: 500 V AC (Eingang von oben/unten: 1.000 V) • Isolationswiderstand: Min. 1.000 MΩ **Physikalische Daten:** • Gehäuse: Schwarzes, glasgefülltes Polyester, UL 94V-0 (Eingang von oben/unten: Schwarzes LCP, UL 94V-O, Eingang von der Seite und Eingang von der Seite SMT: Schwarzes Nylon, UL 94V-0) • Kontakte: Phosphorbronze • Überzug: 15 µ" Teilgold • Temperatur: -55 °C ~ 105 °C

CRIMPANSCHLUSS: Elektrische Spezifikationen: • Spannung: 125 V • Strom: **26 AWG:** 1,5, 28 **AWG:** 1,0 und **30 AWG:** 0,5 • Kontaktwiderstand: Max. 40 mΩ **Physikalische Daten:** • Kontakte: Phosphorbronze • Überzug: 15 µ" Teilgold • Temperatur: -40 °C ~ 105 °C • Drahtbereich: 26-30 AWG • Isolierbereich: Max. 1,40 mm Durchmesser

CRIMPGEHÄUSE: Physikalische Daten: • Gehäuse: Schwarzes, glasgefülltes Polyester, UL 94V-0 • Temperatur: -55 °C ~ 105 °C

Abb. 1 – Vertikal

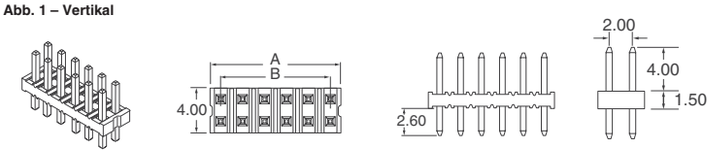

Abb. 2 – Rechtwinklig

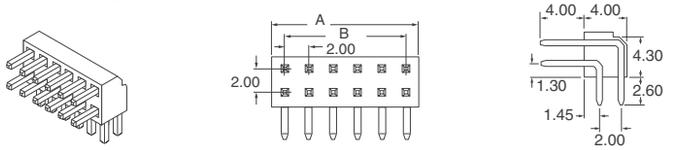

Abb. 3 – Abgeschirmt, vertikal

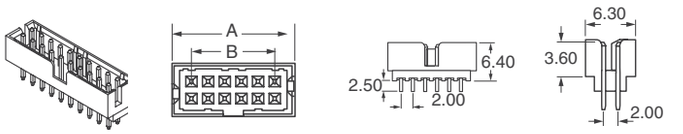

Abb. 4 – Abgeschirmt, rechtwinklig

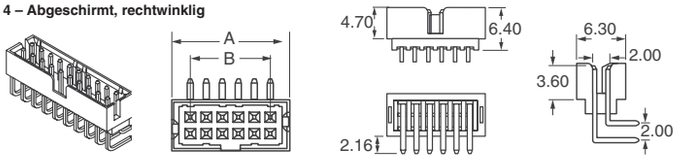

Abb. 5 – Abgeschirmt, SMT

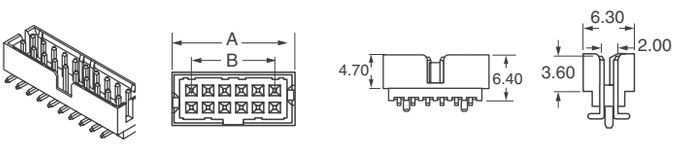

Abb. 6 – Vertikal, SMT

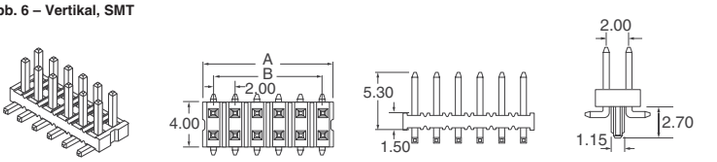

Abb.	Schalt-kreise	Abmessung (mm) A	B	Digi-Key Teilenr.	Preisangaben 1	10	100	Molex Teilenr.
Vertikale Steckleisten — Bleifrei/RoHS-konform								
1	4	3.90	2.00	WM18833-ND	.56	4.93	32.87	87758-0416
	6	5.90	4.00	WM18834-ND	.75	6.64	44.24	87758-0616
	8	7.90	6.00	WM18835-ND	.86	7.62	50.77	87758-0816
	10	9.90	8.00	WM18836-ND	.97	8.50	56.70	87758-1016
	12	11.90	10.00	WM18837-ND	1.16	10.27	68.47	87758-1216
	14	13.90	12.00	WM18838-ND	1.21	10.69	71.28	87758-1416
	16	15.90	14.00	WM18839-ND	1.29	11.39	75.90	87758-1616
	18	17.90	16.00	WM18840-ND	1.46	12.83	85.50	87758-1816
	20	19.90	18.00	WM18841-ND	1.71	15.10	100.67	87758-2016
	22	21.90	20.00	WM18842-ND	1.89	16.66	111.06	87758-2216
	24	23.90	22.00	WM18843-ND	1.95	17.21	114.73	87758-2416
	26	25.90	24.00	WM18844-ND	2.48	21.86	145.74	87758-2616
	28	27.90	26.00	WM18213-ND†	2.17	19.12	127.52	87089-2816
	28	27.90	26.00	WM18845-ND	2.24	19.68	131.25	87758-2816
	30	29.90	28.00	WM18846-ND	2.44	21.50	143.30	87758-3016
	32	31.90	30.00	WM18215-ND†	2.27	20.01	133.40	87089-3216
	32	31.90	30.00	WM18847-ND	2.35	20.70	137.98	87758-3216
	34	33.90	32.00	WM18216-ND†	2.30	20.35	135.68	87089-3416
	34	33.90	32.00	WM18848-ND	2.40	21.13	140.89	87758-3416
	36	35.90	34.00	WM18217-ND†	2.44	21.50	143.34	87089-3616
	36	35.90	34.00	WM18849-ND	2.54	22.43	149.53	87758-3616
	38	37.90	36.00	WM18218-ND†	2.57	22.71	151.41	87089-3816
	38	37.90	36.00	WM18850-ND	2.68	23.70	157.98	87758-3816
	40	39.90	38.00	WM18219-ND†	2.71	23.87	159.14	87089-4016
	40	39.90	38.00	WM18851-ND	2.80	24.74	164.90	87758-4016
	42	41.90	40.00	WM18220-ND†	2.90	25.56	170.42	87089-4216
	42	41.90	40.00	WM18852-ND	2.95	26.08	173.87	87758-4216
	44	43.90	42.00	WM18853-ND	3.28	28.89	192.56	87758-4416
	46	45.90	44.00	WM18854-ND	3.23	28.47	189.80	87758-4616
	48	47.90	46.00	WM18223-ND†	3.29	29.08	193.86	87089-4816
	48	47.90	46.00	WM18855-ND	3.36	29.68	197.88	87758-4816
	50	49.90	48.00	WM18856-ND	3.34	29.49	196.56	87758-5016
Rechtwinklige Steckleisten — Bleifrei/RoHS-konform								
2	4	4.00	2.00	WM18612-ND	.58	5.14	34.24	87760-0416
	6	6.00	4.00	WM18613-ND	.62	5.45	36.34	87760-0616
	8	8.00	6.00	WM18614-ND	.79	6.94	46.31	87760-0816
	10	10.00	8.00	WM18615-ND	1.11	9.79	65.24	87760-1016
	12	12.00	10.00	WM18616-ND	1.19	10.52	70.13	87760-1216
	14	14.00	12.00	WM18617-ND	1.25	11.07	73.82	87760-1416
	16	16.00	14.00	WM18618-ND	1.29	11.39	75.90	87760-1616
	18	18.00	16.00	WM18619-ND	1.49	13.16	87.70	87760-1816
	20	20.00	18.00	WM18620-ND	1.54	13.62	90.80	87760-2016
	22	22.00	20.00	WM18621-ND	1.81	16.00	106.68	87760-2216
	24	24.00	22.00	WM18622-ND	1.79	15.73	104.86	87760-2416
	26	26.00	24.00	WM18623-ND	2.12	18.77	125.12	87760-2616
	28	28.00	26.00	WM18624-ND	2.29	20.25	134.99	87760-2816
	30	30.00	28.00	WM18625-ND	2.46	21.65	144.30	87760-3016
	32	32.00	30.00	WM18626-ND	2.39	21.07	140.47	87760-3216
	34	34.00	32.00	WM18627-ND	2.61	23.03	153.55	87760-3416
	36	36.00	34.00	WM18628-ND	2.67	23.51	156.76	87760-3616
	38	38.00	36.00	WM18629-ND	2.80	24.70	164.63	87760-3816
	40	40.00	38.00	WM18630-ND	2.86	25.23	168.19	87760-4016
	42	42.00	40.00	WM18631-ND	2.84	25.12	167.43	87760-4216
	44	44.00	42.00	WM18632-ND	2.91	25.72	171.44	87760-4416
	46	46.00	44.00	WM18633-ND	3.04	26.82	178.81	87760-4616
	48	48.00	46.00	WM18634-ND	3.11	27.39	182.59	87760-4816
	50	50.00	48.00	WM18635-ND	2.73	24.03	160.19	87760-5016
Geschützte vertikale Steckleisten — Bleifrei/RoHS-konform								
3	4	6.65	2.00	WM18557-ND	.88	7.74	51.60	87831-0420
	6	8.65	4.00	WM18558-ND	.97	8.49	56.60	87831-0620
	8	10.65	6.00	WM18559-ND	1.00	8.82	58.80	87831-0820
	10	12.65	8.00	WM18560-ND	1.02	9.06	60.42	87831-1020
	12	14.65	10.00	WM18561-ND	1.24	10.87	72.47	87831-1220
	14	16.65	12.00	WM17469-ND	1.44	12.72	84.80	87831-1420
	16	18.65	14.00	WM18562-ND	1.55	13.68	91.22	87831-1620
	18	20.65	16.00	WM18563-ND	2.16	19.02	126.83	87831-1820
	20	22.65	18.00	WM18564-ND	2.06	18.14	120.97	87831-2020
	22	24.65	20.00	WM18586-ND	2.16	19.07	127.16	87831-2220
	24	26.65	22.00	WM17470-ND	2.47	21.82	145.47	87831-2420
	30	32.65	28.00	WM18565-ND	3.09	27.24	181.64	87831-3020
	40	42.65	38.00	WM18566-ND	4.13	36.43	242.84	87831-4020
	44	46.65	42.00	WM18567-ND	4.54	40.06	267.09	87831-4420
	50	52.65	48.00	WM18568-ND	5.16	45.50	303.36	87831-5020
Geschützte, rechtwinklige Steckleisten — Bleifrei/RoHS-konform								
4	4	6.65	2.00	WM18858-ND	.96	8.42	56.18	87833-0420
	6	8.65	4.00	WM18859-ND	1.08	9.49	63.24	87833-0620
	8	10.65	6.00	WM18860-ND	1.11	9.75	64.99	87833-0820
	10	12.65	8.00	WM18861-ND	1.14	10.06	67.06	87833-1020
	12	14.65	10.00	WM18862-ND	1.37	12.06	80.43	87833-1220
	14	16.65	12.00	WM18863-ND	1.60	14.12	94.12	87833-1420
	16	18.65	14.00	WM18864-ND	1.83	16.12	107.44	87833-1620
	18	20.65	16.00	WM18865-ND	2.18	19.18	127.90	87833-1820
	20	22.65	18.00	WM18866-ND	2.29	20.13	134.23	87833-2020
	22	24.65	20.00	WM18867-ND	2.40	21.17	141.09	87833-2220
	24	26.65	22.00	WM18868-ND	2.74	24.20	161.35	87833-2420
	30	32.65	28.00	WM18869-ND	3.43	30.23	201.53	87833-3020
	40	42.65	38.00	WM18100-ND†	4.16	36.70	244.68	87333-4020
	40	42.65	38.00	WM18870-ND	4.43	39.04	260.24	87833-4020
	44	46.65	42.00	WM18101-ND†	4.57	40.37	269.08	87333-4420
	44	46.65	42.00	WM18871-ND	4.80	42.37	282.46	87833-4420
	50	52.65	48.00	WM18102-ND†	5.20	45.89	305.94	87333-5020
	50	52.65	48.00	WM18872-ND	5.46	48.19	321.24	87833-5020
Geschützte SMT-Steckleisten — Bleifrei/RoHS-konform								
5	4	6.65	2.00	WM18636-ND	1.23	10.86	72.42	87832-0420
	6	8.65	4.00	WM18637-ND	1.47	12.97	86.46	87832-0620
	8	10.65	6.00	WM18638-ND	1.61	14.17	94.50	87832-0820
	10	12.65	8.00	WM18639-ND	1.64	14.49	96.56	87832-1020
	12	14.65	10.00	WM18640-ND	1.84	16.20	107.96	87832-1220
	14	16.65	12.00	WM18641-ND	1.98	17.50	116.66	87832-1420
	16	18.65	14.00	WM18642-ND	2.18	19.20	128.01	87832-1620
	18	20.65	16.00	WM18643-ND	2.58	22.75	151.66	87832-1820
	20	22.65	18.00	WM18644-ND	2.50	22.02	146.82	87832-2020
	22	24.65	20.00	WM18645-ND	3.01	26.61	177.41	87832-2220
	24	26.65	22.00	WM18646-ND	3.06	27.04	180.24	87832-2420
	30	32.65	28.00	WM18647-ND	3.67	32.32	215.47	87832-3020
	40	42.65	38.00	WM18648-ND	4.58	40.41	269.40	87832-4020
	44	46.65	42.00	WM18649-ND	5.04	44.44	296.25	87832-4420
	50	52.65	48.00	WM18650-ND	5.72	50.53	336.84	87832-5020
Vertikale SMT-Steckleisten — Bleifrei/RoHS-konform								
6	8	7.90	6.00	WM18651-ND	2.02	17.87	119.15	87759-0850
	10	9.90	8.00	WM18652-ND	1.64	14.46	96.40	87759-1050
	12	11.90	10.00	WM18653-ND	1.82	16.07	107.10	87759-1250
	14	13.90	12.00	WM18654-ND	1.96	17.25	114.96	87759-1450
	16	15.90	14.00	WM18655-ND	2.13	18.85	125.68	87759-1650
	18	17.90	16.00	WM18656-ND	2.29	20.23	134.81	87759-1850
	20	19.90	18.00	WM18657-ND	2.43	21.44	142.91	87759-2050
	22	21.90	20.00	WM18658-ND	2.68	23.64	157.60	87759-2250
	24	23.90	22.00	WM18659-ND	2.91	25.68	171.18	87759-2450
	26	25.90	24.00	WM18660-ND	3.16	27.84	185.58	87759-2650
	28	27.90	26.00	WM18661-ND†	3.39	29.98	199.87	87759-2850
	30	29.90	28.00	WM18662-ND	3.46	30.53	203.51	87759-3050
	32	31.90	30.00	WM18663-ND	3.69	32.55	217.02	87759-3250
	34	33.90	32.00	WM18664-ND	3.92	34.59	230.59	87759-3450
	36	35.90	34.00	WM18665-ND	4.15	36.62	244.13	87759-3650
	38	37.90	36.00	WM18666-ND	4.42	39.02	260.16	87759-3850
	40	39.90	38.00	WM18667-ND	9.41	83.10	554.01	87759-4050
	42	41.90	40.00	WM18668-ND	4.59	40.48	269.90	87759-4250
	44	43.90	42.00	WM18669-ND	4.80	42.39	282.61	87759-4450
	46	45.90	44.00	WM18670-ND	3.93	34.63	230.90	87759-4650
	48	47.90	46.00	WM18671-ND	4.16	36.67	244.52	87759-4850
	50	49.90	48.00	WM18672-ND	5.45	48.14	320.93	87759-5050

† = Bleihaltig *CT = Gurtabschnitt. ‡TR = Gegurtet auf Rolle *(Forts.)*

Alle Preisangaben in Euro und inklusive Zollgebühren.

Abb. 7 – Vertikal, doppelreihig, Durchgangsloch

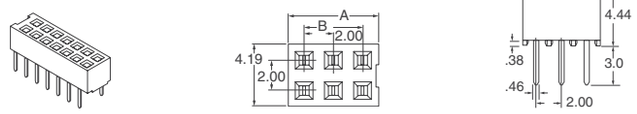

Abb. 8 – Seiteneingang

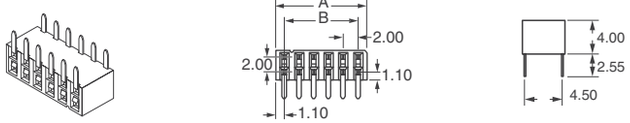

Abb. 9 – SMT, Seiteneingang

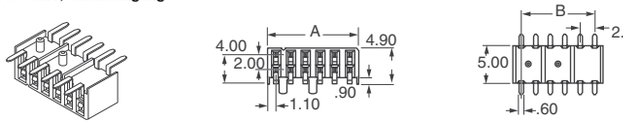

Abb. 10 – Eingang von oben/unten, SMT (VLPR2)

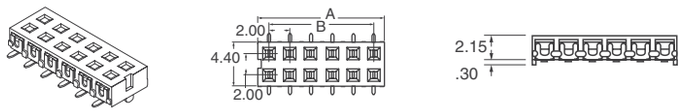

Abb. 11 – Vertikal, doppelreihig, Eingang von oben/unten, SMT

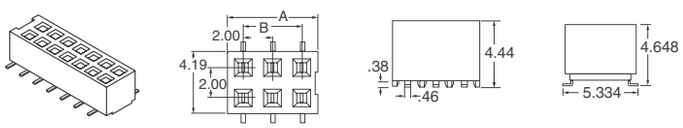

Abb. 12 – Crimpgehäuse

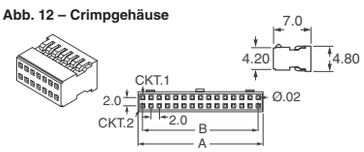

Abb. 13 – Crimpanschluss

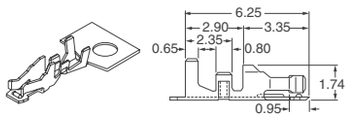

Abb.	Schalt-kreise	Abmessung (mm) A	B	Digi-Key Teilenr.	Preisangaben 1	10	100	Molex Teilenr.
Steckbuchse, Karte-an-Karte — Vertikal, Doppelreihe, Durchgangsloch — Bleifrei/RoHS-konform								
7	4	4.19	2.00	WM18673-ND	1.52	13.44	89.65	79107-7001
	6	6.19	4.00	WM18674-ND	1.75	15.48	103.16	79107-7002
	8	8.19	6.00	WM18675-ND	1.90	16.78	111.86	79107-7003
	10	10.19	8.00	WM18676-ND	2.18	19.18	127.84	79107-7004
	12	12.19	10.00	WM18677-ND	2.39	21.06	140.42	79107-7005
	14	14.19	12.00	WM18678-ND	2.54	22.43	149.48	79107-7006
	16	16.19	14.00	WM18679-ND	2.77	24.44	162.92	79107-7007
	18	18.19	16.00	WM18680-ND	2.98	26.26	175.10	79107-7008
	20	20.19	18.00	WM18681-ND	3.13	27.62	184.10	79107-7009
	22	22.19	20.00	WM18682-ND	3.27	28.86	192.38	79107-7010
	24	24.19	22.00	WM18683-ND	3.57	31.49	209.97	79107-7011
	30	30.19	28.00	WM18684-ND	5.30	46.75	311.64	79107-7014
	40	40.19	38.00	WM18685-ND	5.93	52.39	349.26	79107-7019
	44	44.19	42.00	WM18686-ND	6.56	57.89	385.95	79107-7021
	50	50.19	48.00	WM18687-ND	7.46	65.80	438.65	79107-7024
Steckbuchse, Seiteneingang — Bleifrei/RoHS-konform								
8	8	8.20	6.00	WM18136-ND†	1.91	16.87	112.51	87264-0850
	8	8.20	6.00	WM19036-ND	2.01	17.72	118.12	87264-0852
	10	10.20	8.00	WM18137-ND†	2.09	18.48	123.19	87264-1050
	10	10.20	8.00	WM19037-ND	2.09	18.48	123.21	87264-1052
	12	12.20	10.00	WM18138-ND†	2.29	20.13	134.23	87264-1250
	12	12.20	10.00	WM19038-ND	2.40	21.15	140.96	87264-1252
	14	14.20	12.00	WM18139-ND†	2.53	22.33	148.90	87264-1450
	14	14.20	12.00	WM19039-ND	2.40	21.25	141.65	87264-1452
	16	16.20	14.00	WM18140-ND†	2.65	23.39	155.97	87264-1650
	16	16.20	14.00	WM19040-ND	2.79	24.56	163.75	87264-1652
	18	18.20	16.00	WM18141-ND†	2.84	25.00	166.64	87264-1850
	18	18.20	16.00	WM19041-ND	2.97	26.25	174.99	87264-1852
	20	20.20	18.00	WM19042-ND	3.17	27.99	186.57	87264-2052
	22	22.20	20.00	WM18143-ND†	3.20	28.25	188.34	87264-2250
	22	22.20	20.00	WM19043-ND	3.36	29.66	197.77	87264-2252
	24	24.20	22.00	WM18144-ND†	3.39	29.91	199.43	87264-2450
	24	24.20	22.00	WM19044-ND	3.56	31.41	209.39	87264-2452
	26	26.20	24.00	WM19045-ND	3.97	35.02	233.48	87264-2652
	28	28.20	26.00	WM18146-ND†	3.96	34.96	233.08	87264-2850
	28	28.20	26.00	WM19046-ND	4.16	36.71	244.72	87264-2852
	30	30.20	28.00	WM18147-ND†	4.15	36.62	244.09	87264-3050
	30	30.20	28.00	WM19047-ND	4.36	38.44	256.30	87264-3052
	32	32.20	30.00	WM18148-ND†	4.33	38.22	254.79	87264-3250
	32	32.20	30.00	WM19048-ND	4.55	40.14	267.56	87264-3252
	34	34.20	32.00	WM18149-ND†	4.52	39.87	265.83	87264-3450
	34	34.20	32.00	WM19049-ND	4.74	41.86	279.12	87264-3452
	36	36-20	34.00	WM19050-ND	4.94	43.55	290.35	87264-3652
	38	38.20	36.00	WM18151-ND†	4.88	43.13	287.57	87264-3850
	38	38.20	36.00	WM19051-ND	5.13	45.29	301.95	87264-3852
	40	40.20	38.00	WM18152-ND†	5.07	44.73	298.25	87264-4050
	40	40.20	38.00	WM19052-ND	5.33	46.98	313.17	87264-4052
	42	42.20	40.00	WM18153-ND†	5.25	46.34	308.98	87264-4250
	42	42.20	40.00	WM19053-ND	5.51	48.66	324.41	87264-4252
	44	44.20	42.00	WM19054-ND	5.69	50.19	334.64	87264-4452
	46	46.20	44.00	WM18155-ND†	5.66	49.94	332.96	87264-4650
	46	46.20	44.00	WM19055-ND	5.94	52.45	349.63	87264-4652
	48	48.20	46.00	WM18156-ND†	5.81	51.24	341.62	87264-4850
	48	48.20	46.00	WM19056-ND	6.10	53.81	358.71	87264-4852
	50	50.20	48.00	WM19057-ND	6.21	54.85	365.69	87264-5052
Steckbuchse, Seiteneingang SMT — Bleifrei/RoHS-konform								
9	10	10.20	8.00	WM19058-ND	3.40	30.02	200.14	87368-1024
	12	12.20	10.00	WM18181-ND†	3.89	34.31	228.77	87368-1220
	12	12.20	10.00	WM19059-ND	4.08	36.03	240.21	87368-1224
	14	14.20	12.00	WM18182-ND†	4.10	36.17	241.11	87368-1420
	14	14.20	12.00	WM19060-ND	4.30	37.97	253.16	87368-1424
	16	16.20	14.00	WM19061-ND	4.50	39.71	264.76	87368-1624
	18	18.20	16.00	WM18184-ND†	4.54	40.00	266.69	87368-1820
	18	18.20	16.00	WM19062-ND	4.76	42.00	280.01	87368-1824
	20	20.20	18.00	WM19063-ND	4.88	43.02	286.83	87368-2024
	22	22.20	20.00	WM18186-ND†	4.72	41.61	277.41	87368-2220
	22	22.20	20.00	WM19064-ND	4.95	43.69	291.27	87368-2224
	24	24.20	22.00	WM18187-ND†	5.15	45.45	302.98	87368-2420
	24	24.20	22.00	WM19065-ND	5.41	47.72	318.13	87368-2424
	26	26.20	24.00	WM18188-ND†	5.38	47.54	316.89	87368-2620
	26	26.20	24.00	WM19066-ND	5.66	49.91	332.73	87368-2624
	28	28.20	26.00	WM18189-ND†	5.49	48.51	323.40	87368-2820
	28	28.20	26.00	WM19067-ND	5.77	50.94	339.58	87368-2824
	30	30.20	28.00	WM18190-ND†	5.77	50.94	339.62	87368-3020
	30	30.20	28.00	WM19068-ND	6.06	53.49	356.60	87368-3024
	32	32.20	30.00	WM19069-ND	6.37	56.15	374.32	87368-3224
	34	34.20	32.00	WM18192-ND†	6.60	58.22	388.12	87368-3420
9	34	34.20	32.00	WM19070-ND	6.93	61.13	407.53	87368-3424
	36	36.20	34.00	WM18193-ND†	7.15	63.07	420.47	87368-3620
	36	36.20	34.00	WM19071-ND	7.51	66.22	441.49	87368-3624
	38	38.20	36.00	WM18194-ND†	7.70	67.91	452.74	87368-3820
	38	38.20	36.00	WM19072-ND	8.09	71.31	475.37	87368-3824
	40	40.20	38.00	WM18195-ND†	7.70	67.92	452.80	87368-4020
	40	40.20	38.00	WM19073-ND	8.09	71.31	475.37	87368-4024
	42	42.20	40.00	WM18196-ND†	8.25	72.78	485.20	87368-4220
	42	42.20	40.00	WM19074-ND	8.66	76.41	509.45	87368-4224
	44	44.20	42.00	WM19075-ND	9.22	81.35	542.32	87368-4424
	46	46.20	44.00	WM18198-ND†	9.86	87.02	580.17	87368-4620
	46	46.20	44.00	WM19076-ND	10.35	91.37	609.18	87368-4624
	48	48.20	46.00	WM18199-ND†	10.29	90.80	605.32	87368-4820
	48	48.20	46.00	WM19077-ND	10.80	95.34	635.58	87368-4824
	50	50.20	48.00	WM18200-ND†	10.73	94.72	631.43	87368-5020
	50	50.20	48.00	WM19078-ND	11.27	99.45	663.00	87368-5024
Steckbuchse, Eingang oben/unten SMT (VLPR2) — Bleifrei/RoHS-konform								
10	4	4.00	2.00	WM18688-ND	1.06	9.31	62.10	87340-0424
	6	6.00	4.00	WM18689-ND	1.43	12.61	84.11	87340-0624
	8	8.00	6.00	WM18690-ND	1.79	15.73	104.89	87340-0824
	10	10.00	8.00	WM18691-ND	2.29	20.24	134.95	87340-1024
	12	12.00	10.00	WM18692-ND	2.75	24.28	161.90	87340-1224
	14	14.00	12.00	WM18693-ND	3.81	33.59	223.97	87340-1424
	16	16.00	14.00	WM18694-ND	4.17	36.84	245.57	87340-1624
	18	18.00	16.00	WM18695-ND	4.53	39.98	266.48	87340-1824
	20	20.00	18.00	WM18696-ND	4.91	43.30	288.67	87340-2024
Steckbuchse, Karte-an-Karte — Vertikal, doppelreihig, Eingang von oben/unten, SMT — Bleifrei/RoHS-konform								
11	4	4.19	2.00	WM18697-ND	1.69	14.93	99.59	79109-1001
	6	6.19	4.00	WM18698-ND	1.92	16.97	113.17	79109-1002
	8	8.19	6.00	WM18699-ND	2.15	19.01	126.74	79109-1003
	10	10.19	8.00	WM18700-ND	2.39	21.08	140.55	79109-1004
	12	12.19	10.00	WM18701-ND	2.69	23.73	158.19	79109-1005
	14	14.19	12.00	WM18702-ND	2.79	24.63	164.16	79109-1006
	16	16.19	14.00	WM18703-ND	3.04	26.82	178.83	79109-1007
	18	18.19	16.00	WM18704-ND	3.28	28.91	192.76	79109-1008
	20	20.19	18.00	WM18705-ND	3.44	30.33	202.25	79109-1009
	22	22.19	20.00	WM18706-ND	3.60	31.71	211.45	79109-1010
	24	24.19	22.00	WM18707-ND	3.91	34.54	230.29	79109-1011
	30	30.19	28.00	WM18708-ND	4.89	43.19	287.95	79109-1014
	40	40.19	38.00	WM18709-ND	6.55	57.85	385.66	79109-1019
	44	44.19	42.00	WM18710-ND	7.21	63.66	424.36	79109-1021
	50	50.19	48.00	WM18711-ND	7.51	66.27	441.79	79109-1024
Crimp-Gehäuse — Standard — Bleifrei/RoHS-konform								
12	4	4.20	2.00	WM18030-ND	.31	2.79	18.56	51110-0450
	6	6.20	4.00	WM18031-ND	.41	3.63	24.20	51110-0650
	8	8.20	6.00	WM18032-ND	.44	3.89	25.98	51110-0850
	10	10.20	8.00	WM18033-ND	.47	4.11	27.40	51110-1050
	12	12.20	10.00	WM18034-ND	.48	4.27	28.45	51110-1250
	14	14.20	12.00	WM18035-ND	.55	4.85	32.33	51110-1450
	16	16.20	14.00	WM18036-ND	.63	5.60	37.34	51110-1650
	18	18.20	16.00	WM18037-ND	.69	6.02	40.14	51110-1850
	20	20.20	18.00	WM18038-ND	.75	6.60	44.00	51110-2050
	22	22.20	20.00	WM18039-ND	.81	7.19	47.93	51110-2250
	24	24.20	22.00	WM18040-ND	.88	7.77	51.80	51110-2450
	26	26.20	24.00	WM18041-ND	.94	8.30	55.33	51110-2650
	28	28.20	26.00	WM18042-ND	1.01	8.89	59.25	51110-2850
	30	30.20	28.00	WM18043-ND	1.08	9.47	63.13	51110-3050
Crimp-Gehäuse mit Polarisationsschlüssel — Bleifrei/RoHS-konform								
12	8	8.20	6.00	WM18044-ND	.44	3.89	25.98	51110-0851
	10	10.20	8.00	WM18045-ND	.47	4.11	27.40	51110-1051
	12	12.20	10.00	WM18046-ND	.48	4.27	28.45	51110-1251
	14	14.20	12.00	WM18047-ND	.55	4.85	32.33	51110-1451
	16	16.20	14.00	WM18048-ND	.63	5.60	37.34	51110-1651
	18	18.20	16.00	WM18049-ND	.69	6.02	40.14	51110-1851
	20	20.20	18.00	WM18050-ND	.75	6.60	44.00	51110-2051
	22	22.20	20.00	WM18051-ND	.81	7.19	47.93	51110-2251
	24	24.20	22.00	WM18052-ND	.88	7.77	51.80	51110-2451
	26	26.20	24.00	WM18053-ND	.94	8.30	55.33	51110-2651
	28	28.20	26.00	WM18054-ND	1.01	8.89	59.25	51110-2851
	30	30.20	28.00	WM18055-ND	1.08	9.47	63.13	51110-3051
13	Crimpanschluss (24-30 AWG)			WM1128-ND	—	1.33	10.63	50394-8100
				WM1128CT-ND*	—	—	10.63	50394-8051
				WM1128TR-ND‡		380.97/10,000		
—	Handwerkzeug für 2-mm-Crimp-Kontakte			WM18057-ND	181.72	—	—	11-01-0204

† = Bleihaltig *CT = Gurtabschnitt. ‡TR = Gegurtet auf Rolle

SPEZIFIKATIONEN: **Nennstrom:** 1 A **Kontaktwiderstand:** Max. 20 Milli-Ohm **Dielektrische Haltespannung:** 500 V AC **Betriebstemperatur:** -40 °C ~ 105 °C **Kontaktmaterial:** Steckleisten, Messing, Steckbuchsen: Phosphorbronze **Isoliermaterial:** Polyester, UL 94V-0 **Kontakt-Oberfläche:** Teilüberzug, Gold/Zinn

Abb. 1

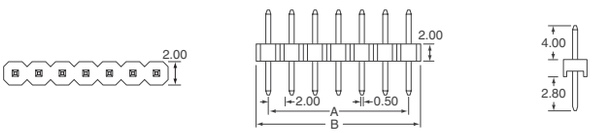

Abb. 2

Abb. 3

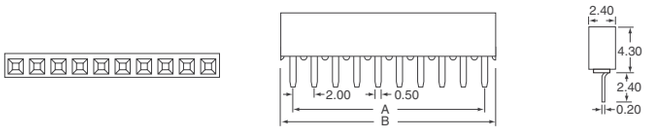

Abb. 4

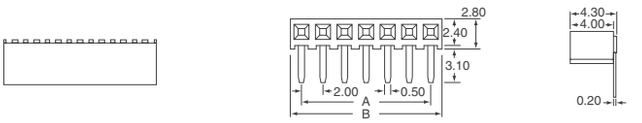

Abb.	Schalt-kreise	Abmessung (mm) A	B	Digi-Key Teilenr.	Stückpreis 1	10	100	Sullins Teilenr.
Einreihige Steckleiste, gerade								
1	2	2.00	4.00	S2105-02-ND	.29	.25	.22	PRPN021PAEN
	3	4.00	6.00	S2105-03-ND	.30	.27	.23	PRPN031PAEN
	4	6.00	8.00	S2105-04-ND	.32	.28	.24	PRPN041PAEN
	5	8.00	10.00	S2105-05-ND	.34	.30	.25	PRPN051PAEN
	6	10.00	12.00	S2105-06-ND	.36	.31	.27	PRPN061PAEN
	7	12.00	14.00	S2105-07-ND	.37	.33	.28	PRPN071PAEN
	8	14.00	16.00	S2105-08-ND	.39	.34	.29	PRPN081PAEN
	9	16.00	18.00	S2105-09-ND	.41	.36	.30	PRPN091PAEN
	10	18.00	20.00	S2105-10-ND	.42	.37	.32	PRPN101PAEN
	11	20.00	22.00	S2105-11-ND	.44	.39	.33	PRPN111PAEN
	12	22.00	24.00	S2105-12-ND	.46	.40	.34	PRPN121PAEN
	13	24.00	26.00	S2105-13-ND	.47	.42	.35	PRPN131PAEN
	14	26.00	28.00	S2105-14-ND	.49	.43	.37	PRPN141PAEN
	15	28.00	30.00	S2105-15-ND	.51	.44	.38	PRPN151PAEN
	16	30.00	32.00	S2105-16-ND	.52	.46	.39	PRPN161PAEN
	17	32.00	34.00	S2105-17-ND	.54	.47	.40	PRPN171PAEN
	18	34.00	36.00	S2105-18-ND	.56	.49	.41	PRPN181PAEN
	19	36.00	38.00	S2105-19-ND	.58	.50	.43	PRPN191PAEN
	20	38.00	40.00	S2105-20-ND	.59	.52	.44	PRPN201PAEN
	21	40.00	42.00	S2105-21-ND	.61	.53	.45	PRPN211PAEN
	22	42.00	44.00	S2105-22-ND	.63	.55	.46	PRPN221PAEN
	23	44.00	46.00	S2105-23-ND	.64	.56	.48	PRPN231PAEN
	24	46.00	48.00	S2105-24-ND	.66	.58	.49	PRPN241PAEN
	25	48.00	50.00	S2105-25-ND	.68	.59	.50	PRPN251PAEN
	26	50.00	52.00	S2105-26-ND	.69	.61	.51	PRPN261PAEN
	27	52.00	54.00	S2105-27-ND	.71	.62	.53	PRPN271PAEN
	28	54.00	56.00	S2105-28-ND	.73	.64	.54	PRPN281PAEN
	29	56.00	58.00	S2105-29-ND	.75	.65	.55	PRPN291PAEN
	30	58.00	60.00	S2105-30-ND	.76	.66	.56	PRPN301PAEN
	31	60.00	62.00	S2105-31-ND	.78	.68	.58	PRPN311PAEN
	32	62.00	64.00	S2105-32-ND	.80	.69	.59	PRPN321PAEN
	33	64.00	66.00	S2105-33-ND	.81	.71	.60	PRPN331PAEN
	34	66.00	68.00	S2105-34-ND	.83	.72	.61	PRPN341PAEN
	35	68.00	70.00	S2105-35-ND	.85	.74	.63	PRPN351PAEN
	36	70.00	72.00	S2105-36-ND	.86	.75	.64	PRPN361PAEN
	37	72.00	74.00	S2105-37-ND	.88	.77	.65	PRPN371PAEN
	38	74.00	76.00	S2105-38-ND	.90	.78	.66	PRPN381PAEN
	39	76.00	78.00	S2105-39-ND	.91	.80	.68	PRPN391PAEN
	40	78.00	80.00	S2105-40-ND	.86	.75	.64	PRPN401PAEN
Einreihige Steckleiste, rechtwinklig								
2	2	2.00	4.00	S2106-02-ND	.53	.47	.40	PRPN021PARN
	3	4.00	6.00	S2106-03-ND	.55	.48	.41	PRPN031PARN
	4	6.00	8.00	S2106-04-ND	.57	.50	.42	PRPN041PARN
	5	8.00	10.00	S2106-05-ND	.58	.51	.43	PRPN051PARN
	6	10.00	12.00	S2106-06-ND	.60	.53	.45	PRPN061PARN
	7	12.00	14.00	S2106-07-ND	.62	.54	.46	PRPN071PARN
	8	14.00	16.00	S2106-08-ND	.63	.55	.47	PRPN081PARN
	9	16.00	18.00	S2106-09-ND	.65	.57	.48	PRPN091PARN
	10	18.00	20.00	S2106-10-ND	.67	.58	.50	PRPN101PARN
	11	20.00	22.00	S2106-11-ND	.69	.60	.51	PRPN111PARN
	12	22.00	24.00	S2106-12-ND	.70	.61	.52	PRPN121PARN
	13	24.00	26.00	S2106-13-ND	.72	.63	.53	PRPN131PARN
	14	26.00	28.00	S2106-14-ND	.74	.64	.55	PRPN141PARN
	15	28.00	30.00	S2106-15-ND	.75	.66	.56	PRPN151PARN
	16	30.00	32.00	S2106-16-ND	.77	.67	.57	PRPN161PARN
	17	32.00	34.00	S2106-17-ND	.79	.69	.58	PRPN171PARN
	18	34.00	36.00	S2106-18-ND	.80	.70	.59	PRPN181PARN
	19	36.00	38.00	S2106-19-ND	.82	.72	.61	PRPN191PARN
	20	38.00	40.00	S2106-20-ND	.84	.73	.62	PRPN201PARN
	21	40.00	42.00	S2106-21-ND	.86	.75	.63	PRPN211PARN
	22	42.00	44.00	S2106-22-ND	.87	.76	.64	PRPN221PARN
	23	44.00	46.00	S2106-23-ND	.89	.77	.66	PRPN231PARN
	24	46.00	48.00	S2106-24-ND	.91	.79	.67	PRPN241PARN
	25	48.00	50.00	S2106-25-ND	.92	.80	.68	PRPN251PARN
	26	50.00	52.00	S2106-26-ND	.94	.82	.69	PRPN261PARN
	27	52.00	54.00	S2106-27-ND	.96	.83	.71	PRPN271PARN
	28	54.00	56.00	S2106-28-ND	.97	.85	.72	PRPN281PARN
	29	56.00	58.00	S2106-29-ND	.99	.86	.73	PRPN291PARN
	30	58.00	60.00	S2106-30-ND	1.01	.88	.74	PRPN301PARN
	31	60.00	62.00	S2106-31-ND	1.02	.89	.76	PRPN311PARN
	32	62.00	64.00	S2106-32-ND	1.04	.91	.77	PRPN321PARN
	33	64.00	66.00	S2106-33-ND	1.06	.92	.78	PRPN331PARN
	34	66.00	68.00	S2106-34-ND	1.08	.94	.79	PRPN341PARN
	35	68.00	70.00	S2106-35-ND	1.09	.95	.81	PRPN351PARN
	36	70.00	72.00	S2106-36-ND	1.11	.97	.82	PRPN361PARN
	37	72.00	74.00	S2106-37-ND	1.13	.98	.83	PRPN371PARN
	38	74.00	76.00	S2106-38-ND	1.14	1.00	.84	PRPN381PARN
	39	76.00	78.00	S2106-39-ND	1.16	1.01	.86	PRPN391PARN
	40	78.00	80.00	S2106-40-ND	1.09	.95	.81	PRPN401PARN
Einreihige Steckbuchse, gerade								
3	4	6.00	8.50	S2103-04-ND	.51	.42	.27	PPPN041BFCN
	5	8.00	10.50	S2103-05-ND	.53	.45	.29	PPPN051BFCN
	6	10.00	12.50	S2103-06-ND	.57	.47	.30	PPPN061BFCN
	7	12.00	14.50	S2103-07-ND	.59	.50	.32	PPPN071BFCN
	8	14.00	16.50	S2103-08-ND	.65	.54	.35	PPPN081BFCN
	9	16.00	18.50	S2103-09-ND	.69	.57	.37	PPPN091BFCN
	10	18.00	20.50	S2103-10-ND	.71	.59	.38	PPPN101BFCN
	11	20.00	22.50	S2103-11-ND	.77	.64	.41	PPPN111BFCN
	12	22.00	24.50	S2103-12-ND	.83	.69	.44	PPPN121BFCN
	15	28.00	30.50	S2103-15-ND	1.04	.86	.55	PPPN151BFCN
	18	34.00	36.50	S2103-18-ND	1.28	1.06	.68	PPPN181BFCN
	22	42.00	44.50	S2103-22-ND	1.54	1.28	.82	PPPN221BFCN
	25	48.00	50.50	S2103-25-ND	1.75	1.45	.93	PPPN251BFCN
	30	58.00	60.50	S2103-30-ND	2.11	1.75	1.12	PPPN301BFCN
	36	70.00	72.50	S2103-36-ND	2.52	2.09	1.34	PPPN361BFCN
	40	78.00	80.50	S2103-40-ND	2.79	2.31	1.48	PPPN401BFCN
Einreihige Steckbuchse, rechtwinklig								
4	4	6.00	8.50	S2104-04-ND	.71	.59	.38	PPPN041FGGN
	5	8.00	10.50	S2104-05-ND	.75	.62	.40	PPPN051FGGN
	6	10.00	12.50	S2104-06-ND	.80	.67	.43	PPPN061FGGN
	7	12.00	14.50	S2104-07-ND	.89	.74	.47	PPPN071FGGN
	8	14.00	16.50	S2104-08-ND	.95	.79	.51	PPPN081FGGN
	9	16.00	18.50	S2104-09-ND	.98	.81	.52	PPPN091FGGN
	10	18.00	20.50	S2104-10-ND	1.01	.84	.54	PPPN101FGGN
	12	22.00	24.50	S2104-12-ND	1.19	.99	.63	PPPN121FGGN
	15	28.00	30.50	S2104-15-ND	1.52	1.26	.80	PPPN151FGGN
	17	32.00	34.50	S2104-17-ND	1.69	1.40	.90	PPPN171FGGN
Einreihige Steckbuchse, SMD-Kontakte, Pin 1 auf der linken Seite								
5A	4	6.00	8.50	S2101-04-ND	.59	.50	.32	PPPN041BFLC
	5	8.00	10.50	S2101-05-ND	.65	.54	.35	PPPN051BFLC
	6	10.00	12.50	S2101-06-ND	.71	.59	.38	PPPN061BFLC
	7	12.00	14.50	S2101-07-ND	.77	.64	.41	PPPN071BFLC
	8	14.00	16.50	S2101-08-ND	.86	.72	.46	PPPN081BFLC
	9	16.00	18.50	S2101-09-ND	.92	.77	.49	PPPN091BFLC
	10	18.00	20.50	S2101-10-ND	.95	.79	.51	PPPN101BFLC
	12	22.00	24.50	S2101-12-ND	1.13	.94	.60	PPPN121BFLC
	15	28.00	30.50	S2101-15-ND	1.42	1.18	.76	PPPN151BFLC
	18	34.00	36.50	S2101-18-ND	1.72	1.43	.91	PPPN181BFLC
	20	38.00	40.50	S2101-20-ND	1.90	1.58	1.01	PPPN201BFLC
	22	42.00	44.50	S2101-22-ND	2.11	1.75	1.12	PPPN221BFLC
	25	48.00	50.50	S2101-25-ND	2.37	1.97	1.26	PPPN251BFLC
Einreihige Steckbuchse, SMD-Kontakte, Pin 1 auf der rechten Seite								
5B	4	6.00	8.50	S2102-04-ND	.59	.50	.32	PPPN041BFLD
	5	8.00	10.50	S2102-05-ND	.65	.54	.35	PPPN051BFLD

(Forts.)

Alle Preisangaben in Euro und inklusive Zollgebühren.

Abb. 5

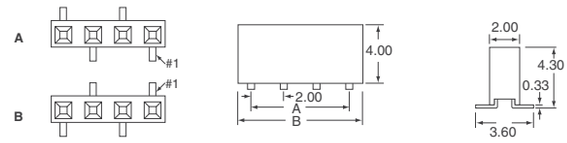

Abb. 6

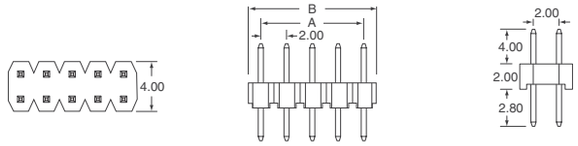

Abb. 7

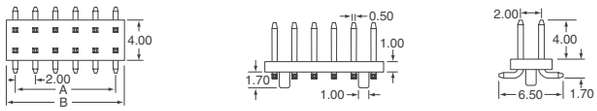

Abb. 8

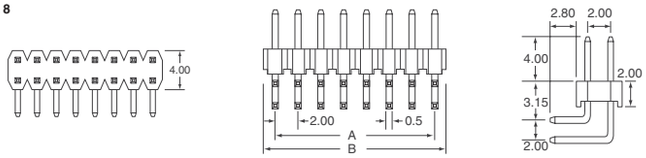

Abb. 9

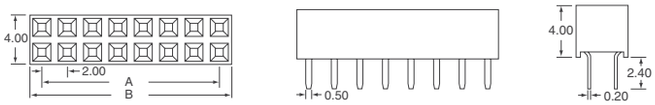

Abb. 10

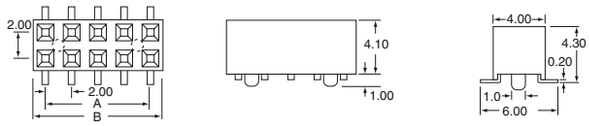

Abb.	Schalt-kreise	Abmessung (mm) A	B	Digi-Key Teilenr.	Stückpreis 1	10	100	Sullins Teilenr.
5B	6	10.00	12.50	S2102-06-ND	.71	.59	.38	PPPN061BFLD
	7	12.00	14.50	S2102-07-ND	.77	.64	.41	PPPN071BFLD
	8	14.00	16.50	S2102-08-ND	.86	.72	.46	PPPN081BFLD
	9	16.00	18.50	S2102-09-ND	.92	.77	.49	PPPN091BFLD
	10	18.00	20.50	S2102-10-ND	.95	.79	.51	PPPN101BFLD
	12	22.00	24.50	S2102-12-ND	1.13	.94	.60	PPPN121BFLD
	13	24.00	26.50	S2102-13-ND	1.24	1.04	.66	PPPN131BFLD
	15	28.00	30.50	S2102-15-ND	1.42	1.18	.76	PPPN151BFLD
	18	34.00	36.50	S2102-18-ND	1.72	1.43	.91	PPPN181BFLD
	20	38.00	40.50	S2102-20-ND	1.90	1.58	1.01	PPPN201BFLD
	22	42.00	44.50	S2102-22-ND	2.11	1.75	1.12	PPPN221BFLD
	25	48.00	50.50	S2102-25-ND	2.37	1.97	1.26	PPPN251BFLD
Steckleisten, doppelreihig, gerade								
6	4	2.00	4.00	S2210-02-ND	.55	.48	.41	PRPN022PAEN
	6	4.00	6.00	S2210-03-ND	.58	.51	.43	PRPN032PAEN
	8	6.00	8.00	S2210-04-ND	.62	.54	.46	PRPN042PAEN
	10	8.00	10.00	S2210-05-ND	.65	.57	.48	PRPN052PAEN
	12	10.00	12.00	S2210-06-ND	.69	.60	.51	PRPN062PAEN
	14	12.00	14.00	S2210-07-ND	.72	.63	.53	PRPN072PAEN
	16	14.00	16.00	S2210-08-ND	.75	.66	.56	PRPN082PAEN
	18	16.00	18.00	S2210-09-ND	.79	.69	.58	PRPN092PAEN
	20	18.00	20.00	S2210-10-ND	.82	.72	.61	PRPN102PAEN
	22	20.00	22.00	S2210-11-ND	.86	.75	.63	PRPN112PAEN
	24	22.00	24.00	S2210-12-ND	.89	.77	.66	PRPN122PAEN
	26	24.00	26.00	S2210-13-ND	.92	.80	.68	PRPN132PAEN
	28	26.00	28.00	S2210-14-ND	.96	.83	.71	PRPN142PAEN
	30	28.00	30.00	S2210-15-ND	.99	.86	.73	PRPN152PAEN
	32	30.00	32.00	S2210-16-ND	1.02	.89	.76	PRPN162PAEN
	36	34.00	36.00	S2210-18-ND	1.09	.95	.81	PRPN182PAEN
	38	36.00	38.00	S2210-19-ND	1.13	.98	.83	PRPN192PAEN
	40	38.00	40.00	S2210-20-ND	1.16	1.01	.86	PRPN202PAEN
	42	40.00	42.00	S2210-21-ND	1.19	1.04	.88	PRPN212PAEN
	44	42.00	44.00	S2210-22-ND	1.23	1.07	.91	PRPN222PAEN
	46	44.00	46.00	S2210-23-ND	1.26	1.10	.93	PRPN232PAEN
	48	46.00	48.00	S2210-24-ND	1.30	1.13	.95	PRPN242PAEN
	50	48.00	50.00	S2210-25-ND	1.33	1.16	.98	PRPN252PAEN
	60	58.00	60.00	S2210-30-ND	1.50	1.30	1.10	PRPN302PAEN
	72	70.00	72.00	S2210-36-ND	1.70	1.48	1.25	PRPN362PAEN
	80	78.00	80.00	S2210-40-ND	1.70	1.48	1.25	PRPN402PAEN
Steckleisten, doppelreihig, SMD, mit Positionierhilfe								
7	4	2.00	4.00	S2208-02-ND	.51	.42	.27	PRPN022MAMP
	6	4.00	6.00	S2208-03-ND	.75	.62	.40	PRPN032MAMP
	8	6.00	8.00	S2208-04-ND	.95	.79	.51	PRPN042MAMP
	10	8.00	10.00	S2208-05-ND	1.10	.91	.58	PRPN052MAMP
	12	10.00	12.00	S2208-06-ND	1.24	1.04	.66	PRPN062MAMP
	14	12.00	14.00	S2208-07-ND	1.42	1.18	.76	PRPN072MAMP
	16	14.00	16.00	S2208-08-ND	1.52	1.26	.80	PRPN082MAMP
	18	16.00	18.00	S2208-09-ND	1.57	1.31	.84	PRPN092MAMP
	20	18.00	20.00	S2208-10-ND	1.66	1.38	.88	PRPN102MAMP
	24	22.00	24.00	S2208-12-ND	1.99	1.65	1.05	PRPN122MAMP
	30	28.00	30.00	S2208-15-ND	2.46	2.04	1.30	PRPN152MAMP
	36	34.00	36.00	S2208-18-ND	2.96	2.46	1.57	PRPN182MAMP
	44	42.00	44.00	S2208-22-ND	3.61	3.00	1.92	PRPN222MAMP
	50	48.00	50.00	S2208-25-ND	4.12	3.42	2.18	PRPN252MAMP
Steckleisten, doppelreihig, SMD, ohne Positionierhilfe								
7	4	2.00	4.00	S2209-02-ND	.51	.42	.27	PRPN022MAMS
	6	4.00	6.00	S2209-03-ND	.75	.62	.40	PRPN032MAMS
	8	6.00	8.00	S2209-04-ND	.95	.79	.51	PRPN042MAMS
	10	8.00	10.00	S2209-05-ND	1.10	.91	.58	PRPN052MAMS
	12	10.00	12.00	S2209-06-ND	1.24	1.04	.66	PRPN062MAMS

Abb.	Schalt-kreise	Abmessung (mm) A	B	Digi-Key Teilenr.	Stückpreis 1	10	100	Sullins Teilenr.
7	14	12.00	14.00	S2209-07-ND	1.42	1.18	.76	PRPN072MAMS
	16	14.00	16.00	S2209-08-ND	1.52	1.26	.80	PRPN082MAMS
	18	16.00	18.00	S2209-09-ND	1.57	1.31	.84	PRPN092MAMS
	20	18.00	20.00	S2209-10-ND	1.66	1.38	.88	PRPN102MAMS
	22	20.00	22.00	S2209-11-ND	1.81	1.50	.96	PRPN112MAMS
	24	22.00	24.00	S2209-12-ND	1.99	1.65	1.05	PRPN122MAMS
	26	24.00	26.00	S2209-13-ND	2.13	1.77	1.13	PRPN132MAMS
	28	26.00	28.00	S2209-14-ND	2.31	1.92	1.23	PRPN142MAMS
	30	28.00	30.00	S2209-15-ND	2.46	2.04	1.30	PRPN152MAMS
	32	30.00	32.00	S2209-16-ND	2.64	2.19	1.40	PRPN162MAMS
	34	32.00	34.00	S2209-17-ND	2.82	2.34	1.49	PRPN172MAMS
	36	34.00	36.00	S2209-18-ND	2.96	2.46	1.57	PRPN182MAMS
	38	36.00	38.00	S2209-19-ND	3.14	2.61	1.67	PRPN192MAMS
	40	38.00	40.00	S2209-20-ND	3.29	2.73	1.74	PRPN202MAMS
	42	40.00	42.00	S2209-21-ND	3.47	2.88	1.84	PRPN212MAMS
	44	42.00	44.00	S2209-22-ND	3.61	3.00	1.92	PRPN222MAMS
	46	44.00	46.00	S2209-23-ND	3.79	3.15	2.01	PRPN232MAMS
	48	46.00	48.00	S2209-24-ND	3.97	3.29	2.10	PRPN242MAMS
	50	48.00	50.00	S2209-25-ND	4.12	3.42	2.18	PRPN252MAMS
Steckleisten, doppelreihig, rechtwinklig								
8	4	2.00	4.00	S2200-02-ND	.84	.73	.62	PRPN022PARN
	6	4.00	6.00	S2200-03-ND	.89	.77	.66	PRPN032PARN
	8	6.00	8.00	S2200-04-ND	.94	.82	.69	PRPN042PARN
	10	8.00	10.00	S2200-05-ND	.99	.86	.73	PRPN052PARN
	12	10.00	12.00	S2200-06-ND	1.04	.91	.77	PRPN062PARN
	14	12.00	14.00	S2200-07-ND	1.09	.95	.81	PRPN072PARN
	16	14.00	16.00	S2200-08-ND	1.14	1.00	.84	PRPN082PARN
	18	16.00	18.00	S2200-09-ND	1.19	1.04	.88	PRPN092PARN
	20	18.00	20.00	S2200-10-ND	1.24	1.08	.92	PRPN102PARN
	22	20.00	22.00	S2200-11-ND	1.30	1.13	.95	PRPN112PARN
	24	22.00	24.00	S2200-12-ND	1.35	1.17	.99	PRPN122PARN
	26	24.00	26.00	S2200-13-ND	1.40	1.22	1.03	PRPN132PARN
	28	26.00	28.00	S2200-14-ND	1.45	1.26	1.07	PRPN142PARN
	30	28.00	30.00	S2200-15-ND	1.50	1.30	1.10	PRPN152PARN
	32	30.00	32.00	S2200-16-ND	1.55	1.35	1.14	PRPN162PARN
	34	32.00	34.00	S2200-17-ND	1.60	1.39	1.18	PRPN172PARN
	36	34.00	36.00	S2200-18-ND	1.65	1.44	1.22	PRPN182PARN
	38	36.00	38.00	S2200-19-ND	1.70	1.48	1.25	PRPN192PARN
	40	38.00	40.00	S2200-20-ND	1.75	1.52	1.29	PRPN202PARN
	42	40.00	42.00	S2200-21-ND	1.80	1.57	1.33	PRPN212PARN
	44	42.00	44.00	S2200-22-ND	1.85	1.61	1.36	PRPN222PARN
	46	44.00	46.00	S2200-23-ND	1.90	1.66	1.40	PRPN232PARN
	48	46.00	48. 00	S2200-24-ND	1.96	1.70	1.44	PRPN242PARN
	50	48.00	50.00	S2200-25-ND	2.01	1.74	1.48	PRPN252PARN
	60	58.00	60.00	S2200-30-ND	2.26	1.96	1.66	PRPN302PARN
	80	78.00	80.00	S2200-40-ND	2.57	2.23	1.89	PRPN402PARN
Steckbuchse, doppelreihig, gerade								
9	6	4.00	6.00	S2201-03-ND	.75	.62	.40	PPWN032AFCN
	8	6.00	8.00	S2201-04-ND	.95	.79	.51	PPWN042AFCN
	10	8.00	10.00	S2201-05-ND	1.01	.84	.54	PPWN052AFCN
	12	10.00	12.00	S2201-06-ND	1.07	.89	.57	PPWN062AFCN
	14	12.00	14.00	S2201-07-ND	1.16	.96	.62	PPWN072AFCN
	16	14.00	16.00	S2201-08-ND	1.24	1.04	.66	PPWN082AFCN
	18	16.00	18.00	S2201-09-ND	1.34	1.11	.71	PPWN092AFCN
	20	18.00	20.00	S2201-10-ND	1.36	1.13	.73	PPWN102AFCN
	22	20.00	22.00	S2201-11-ND	1.52	1.26	.80	PPWN112AFCN
	24	22.00	24.00	S2201-12-ND	1.66	1.38	.88	PPWN122AFCN
	26	24.00	26.00	S2201-13-ND	1.78	1.48	.94	PPWN132AFCN
	30	28.00	30.00	S2201-15-ND	2.07	1.72	1.10	PPWN152AFCN
	34	32.00	34.00	S2201-17-ND	2.01	1.67	1.07	PPWN172AFCN
	40	38.00	40.00	S2201-20-ND	2.52	2.09	1.34	PPWN202AFCN
	44	42.00	44.00	S2201-22-ND	2.79	2.31	1.48	PPWN222AFCN

(Forts.)

A

Abb. 11

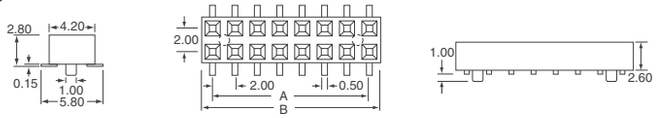

Abb. 12

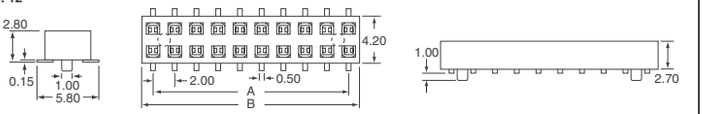

Abb. 13

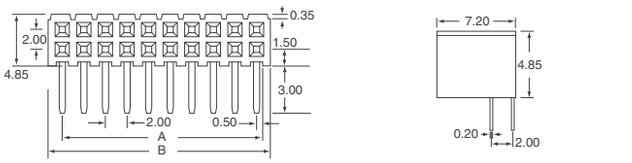

Abb. 14

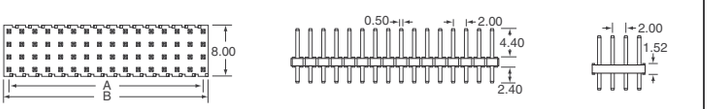

Abb. 15

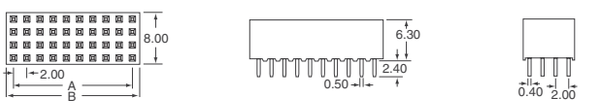

Abb. 16

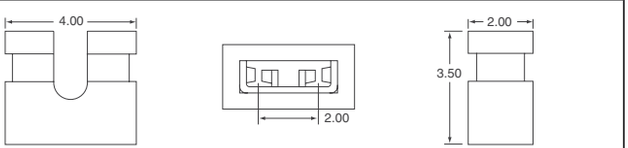

Abb.	Schalt-kreise	Abmessung (mm) A	B	Digi-Key Teilenr.	Stückpreis 1	10	100	Sullins Teilenr.
9	50	48.00	50.00	S2201-25-ND	3.17	2.63	1.68	PPWN252AFCN
	60	58.00	60.00	S2201-30-ND	3.79	3.15	2.01	PPWN302AFCN
	80	78.00	80.00	S2201-40-ND	5.07	4.20	2.68	PPWN402AFCN
Steckbuchse, doppelreihig, SMD, ohne Positionierhilfe								
10	6	4.00	6.00	S2202-03-ND	.83	.69	.44	PPPN032FFKS
	8	6.00	8.00	S2202-04-ND	.95	.79	.51	PPPN042FFKS
	10	8.00	10.00	S2202-05-ND	1.10	.91	.58	PPPN052FFKS
	12	10.00	12.00	S2202-06-ND	1.24	1.04	.66	PPPN062FFKS
	14	12.00	14.00	S2202-07-ND	1.42	1.18	.76	PPPN072FFKS
	16	14.00	16.00	S2202-08-ND	1.60	1.33	.85	PPPN082FFKS
	18	16.00	18.00	S2202-09-ND	1.81	1.50	.96	PPPN092FFKS
	20	18.00	20.00	S2202-10-ND	1.90	1.58	1.01	PPPN102FFKS
	24	22.00	24.00	S2202-12-ND	2.29	1.89	1.21	PPPN122FFKS
	26	24.00	26.00	S2202-13-ND	2.46	2.04	1.30	PPPN132FFKS
	30	28.00	30.00	S2202-15-ND	2.84	2.36	1.51	PPPN152FFKS
	40	38.00	40.00	S2202-20-ND	3.79	3.15	2.01	PPPN202FFKS
	44	42.00	44.00	S2202-22-ND	4.18	3.47	2.21	PPPN222FFKS
	50	48.00	50.00	S2202-25-ND	4.74	3.93	2.51	PPPN252FFKS
	60	58.00	60.00	S2202-30-ND	5.69	4.72	3.01	PPPN302FFKS
Steckbuchse, doppelreihig, SMD, mit Positionierhilfe								
10	6	4.00	6.00	S2203-03-ND	.83	.69	.44	PPPN032FFKP
	8	6.00	8.00	S2203-04-ND	.95	.79	.51	PPPN042FFKP
	10	8.00	10.00	S2203-05-ND	1.10	.91	.58	PPPN052FFKP
	12	10.00	12.00	S2203-06-ND	1.24	1.04	.66	PPPN062FFKP
	14	12.00	14.00	S2203-07-ND	1.42	1.18	.76	PPPN072FFKP
	16	14.00	16.00	S2203-08-ND	1.60	1.33	.85	PPPN082FFKP
	18	16.00	18.00	S2203-09-ND	1.81	1.50	.96	PPPN092FFKP
	24	22.00	24.00	S2203-12-ND	2.29	1.89	1.21	PPPN122FFKP
	30	28.00	30.00	S2203-15-ND	2.84	2.36	1.51	PPPN152FFKP
	44	42.00	44.00	S2203-22-ND	4.18	3.47	2.21	PPPN222FFKP
	50	48.00	50.00	S2203-25-ND	4.74	3.93	2.51	PPPN252FFKP
	60	58.00	60.00	S2203-30-ND	5.69	4.72	3.01	PPPN302FFKP
Steckbuchse, doppelreihig, Eingang von unten, SMD, mit Positionierhilfe								
11	10	8.00	10.00	S2205-05-ND	1.54	1.28	.82	PPPN052GHNP
	12	10.00	12.00	S2205-06-ND	1.78	1.48	.94	PPPN062GHNP
	14	12.00	14.00	S2205-07-ND	2.01	1.67	1.07	PPPN072GHNP
	16	14.00	16.00	S2205-08-ND	2.11	1.75	1.12	PPPN082GHNP
	18	16.00	18.00	S2205-09-ND	2.17	1.80	1.15	PPPN092GHNP
	20	18.00	20.00	S2205-10-ND	2.19	1.82	1.16	PPPN102GHNP
	24	22.00	24.00	S2205-12-ND	2.64	2.19	1.40	PPPN122GHNP
	26	24.00	26.00	S2205-13-ND	2.84	2.36	1.51	PPPN132GHNP
	30	28.00	30.00	S2205-15-ND	3.29	2.73	1.74	PPPN152GHNP
	36	34.00	36.00	S2205-18-ND	3.97	3.29	2.10	PPPN182GHNP
	44	42.00	44.00	S2205-22-ND	4.83	4.01	2.56	PPPN222GHNP
	56	54.00	56.00	S2205-28-ND	6.02	4.99	3.18	PPPN282GHNP
	60	58.00	60.00	S2205-30-ND	6.46	5.36	3.42	PPPN302GHNP
Steckbuchse, doppelreihig, SMD, Eingang von oben, niedrige Bauform, mit Positionierhilfe								
12	10	8.00	10.40	S2206-05-ND	1.54	1.28	.82	PPPN052GFNP
	12	10.00	12.40	S2206-06-ND	1.78	1.48	.94	PPPN062GFNP
	14	12.00	14.40	S2206-07-ND	2.01	1.67	1.07	PPPN072GFNP
	16	14.00	16.40	S2206-08-ND	2.11	1.75	1.12	PPPN082GFNP
	18	16.00	18.40	S2206-09-ND	2.17	1.80	1.15	PPPN092GFNP
	20	18.00	20.40	S2206-10-ND	2.19	1.82	1.16	PPPN102GFNP
	24	22.00	24.40	S2206-12-ND	2.64	2.19	1.40	PPPN122GFNP
	30	28.00	30.40	S2206-15-ND	3.29	2.73	1.74	PPPN152GFNP
	36	34.00	36.40	S2206-18-ND	3.97	3.29	2.10	PPPN182GFNP
	44	42.00	44.40	S2206-22-ND	4.83	4.01	2.56	PPPN222GFNP
	56	54.00	56.40	S2206-28-ND	6.02	4.99	3.18	PPPN282GFNP
	60	58.00	60.40	S2206-30-ND	6.46	5.36	3.42	PPPN302GFNP
	70	68.00	70.40	S2206-35-ND	7.53	6.24	3.98	PPPN352GFNP
	80	78.00	80.40	S2206-40-ND	8.59	7.12	4.55	PPPN402GFNP

Abb.	Schalt-kreise	Abmessung (mm) A	B	Digi-Key Teilenr.	Stückpreis 1	10	100	Sullins Teilenr.
Steckbuchse, doppelreihig, SMD, Eingang von oben, niedrige Bauform, ohne Positionierhilfe								
12	8	6.00	8.40	S2207-04-ND	1.28	1.06	.68	PPPN042GFNS
	10	8.00	10.40	S2207-05-ND	1.54	1.28	.82	PPPN052GFNS
	12	10.00	12.40	S2207-06-ND	1.78	1.48	.94	PPPN062GFNS
	14	12.00	14.40	S2207-07-ND	2.01	1.67	1.07	PPPN072GFNS
	16	14.00	16.40	S2207-08-ND	2.11	1.75	1.12	PPPN082GFNS
	18	16.00	18.40	S2207-09-ND	2.17	1.80	1.15	PPPN092GFNS
	20	18.00	20.40	S2207-10-ND	2.19	1.82	1.16	PPPN102GFNS
	24	22.00	24.40	S2207-12-ND	2.64	2.19	1.40	PPPN122GFNS
	30	28.00	30.40	S2207-15-ND	3.29	2.73	1.74	PPPN152GFNS
	36	34.00	36.40	S2207-18-ND	3.97	3.29	2.10	PPPN182GFNS
	44	42.00	44.40	S2207-22-ND	4.83	4.01	2.56	PPPN222GFNS
	56	54.00	56.40	S2207-28-ND	6.02	4.99	3.18	PPPN282GFNS
	60	58.00	60.40	S2207-30-ND	6.46	5.36	3.42	PPPN302GFNS
	70	68.00	70.40	S2207-35-ND	7.53	6.24	3.98	PPPN352GFNS
	80	78.00	80.40	S2207-40-ND	8.59	7.12	4.55	PPPN402GFNS
Steckbuchse, doppelreihig, rechtwinklig								
13	6	4.00	6.50	S2204-03-ND	.75	.62	.40	PPWN032FJFN
	8	6.00	8.50	S2204-04-ND	.95	.79	.51	PPWN042FJFN
	10	8.00	10.50	S2204-05-ND	1.01	.84	.54	PPWN052FJFN
	12	10.00	12.50	S2204-06-ND	1.07	.89	.57	PPWN062FJFN
	14	12.00	14.50	S2204-07-ND	1.16	.96	.62	PPWN072FJFN
	16	14.00	16.50	S2204-08-ND	1.24	1.04	.66	PPWN082FJFN
	18	16.00	18.50	S2204-09-ND	1.34	1.11	.71	PPWN092FJFN
	20	18.00	20.50	S2204-10-ND	1.36	1.13	.73	PPWN102FJFN
	22	20.00	22.50	S2204-11-ND	1.52	1.26	.80	PPWN112FJFN
	24	22.00	24.50	S2204-12-ND	1.66	1.38	.88	PPWN122FJFN
	26	24.00	26.50	S2204-13-ND	1.78	1.48	.94	PPWN132FJFN
	28	26.00	28.50	S2204-14-ND	1.93	1.60	1.02	PPWN142FJFN
	30	28.00	30.50	S2204-15-ND	2.07	1.72	1.10	PPWN152FJFN
	32	30.00	32.50	S2204-16-ND	2.01	1.67	1.07	PPWN162FJFN
	34	32.00	34.50	S2204-17-ND	2.17	1.80	1.15	PPWN172FJFN
	36	34.00	36.50	S2204-18-ND	2.29	1.89	1.21	PPWN182FJFN
	38	36.00	38.50	S2204-19-ND	2.40	1.99	1.27	PPWN192FJFN
	40	38.00	40.50	S2204-20-ND	2.52	2.09	1.34	PPWN202FJFN
	42	40.00	42.50	S2204-21-ND	2.67	2.21	1.41	PPWN212FJFN
	44	42.00	44.50	S2204-22-ND	2.79	2.31	1.48	PPWN222FJFN
	46	44.00	46.50	S2204-23-ND	2.90	2.41	1.54	PPWN232FJFN
	48	46.00	48.50	S2204-24-ND	3.02	2.51	1.60	PPWN242FJFN
	50	48.00	50.50	S2204-25-ND	3.17	2.63	1.68	ßPPWN252FJFN
	60	58.00	60.50	S2204-30-ND	3.79	3.15	2.01	PPWN302FJFN
Steckleisten - vierreihig, gerade								
14	24	10.00	12.00	S2401-06-ND	5.25	4.55	3.85	PRPN064RCCN
	40	18.00	20.00	S2401-10-ND	5.99	5.20	4.40	PRPN104RCCN
	48	22.00	24.00	S2401-12-ND	6.37	5.52	4.67	PRPN124RCCN
	60	28.00	30.00	S2401-15-ND	6.93	6.01	5.08	PRPN154RCCN
	72	34.00	36.00	S2401-18-ND	7.48	6.49	5.49	PRPN184RCCN
	84	40.00	42.00	S2401-21-ND	8.04	6.97	5.90	PRPN214RCCN
	96	46.00	48.00	S2401-24-ND	8.60	7.46	6.31	PRPN244RCCN
	120	58.00	60.00	S2401-30-ND	8.99	7.80	6.60	PRPN304RCCN
Steckbuchse, vierreihig, gerade								
15	24	10.00	12.40	S2402-06-ND	2.31	1.92	1.23	PPRN064EFCN
	40	18.00	20.40	S2402-10-ND	3.85	3.20	2.04	PPRN104EFCN
	48	22.00	24.40	S2402-12-ND	4.62	3.83	2.45	PPRN124EFCN
	60	28.00	30.40	S2402-15-ND	5.78	4.79	3.06	PPRN154EFCN
	72	34.00	36.40	S2402-18-ND	6.93	5.75	3.67	PPRN184EFCN
	84	40.00	42.40	S2402-21-ND	8.09	6.71	4.28	PPRN214EFCN
	96	46.00	48.40	S2402-24-ND	9.24	7.66	4.89	PPRN244EFCN
	120	58.00	60.40	S2402-30-ND	11.56	9.58	6.11	PPRN304EFCN
Shunt, oben offen								
16	2	Zinn		S9003-ND	.89/10		7.41/100	STN02SYBN
	2	Gold		S9004-ND	.89/10		7.41/100	SPN02SYBN

Alle Preisangaben in Euro und inklusive Zollgebühren.

3M 2 mm x 2 mm, vertikaler Sockel

Abmessungen in mm

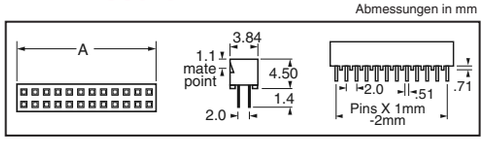

Merkmale: • Hochtemperatur-Dielektrikum • IR, mit Dampf- und Wellenlöten kompatibel • Mit Durchlassloch erhältlich • Kompatibel mit Industriestandard • Minimiert die PC-Karten-Stapelhöhen • End-stapelbar • Seiten-stapelbar

Physikalische Spezifikationen: • **Isoliermaterial:** Glasgefülltes Hochtemperatur-Polyester (PCT) • Farbe: Natur • Markierung: Geformtes ausgerichtetes Delta • Kontaktmaterial: Berylliumkupfer • Kontaktüberzug: • Wischbereich: 30 µ" vergoldet • Löttlitzen: 100 µ" 90/10 Zinn-Blei-Platte • Unterplattierung: 50 µ" Nickel

Elektrische Spezifikationen: • Nennstrom: 1,5 A • Isolationswiderstand: 5.000 MΩ @ min. 250 V • Haltespannung: 500 V DC @ Meereshöhe

Umgebungsdaten: • Betriebstemperaturbereich: -55 °C ~ 105 °C

Anz. der Pos.	Abm. A Zoll (mm)	Digi-Key Teilenr.	Stückpreis 1	100	500	3M Teilenr.
Vertikaler Sockel PC-Montage						
8	.310 (7.87)	3M1008-ND	1.62	1.24	1.12	150208-6002-TB
10	.389 (9.88)	3M1010-ND	1.69	1.29	1.17	150210-6002-TB
12	.467 (11.86)	3M1012-ND	1.74	1.33	1.20	150212-6002-TB
20	.782 (19.86)	3M1020-ND	1.99	1.52	1.37	150220-6002-TB
24	.940 (23.88)	3M1024-ND	2.12	1.61	1.46	150224-6002-TB
30	1.176 (29.87)	3M1030-ND	2.29	1.74	1.58	150230-6002-TB
40	1.570 (39.88)	3M1040-ND	2.59	1.97	1.78	150240-6002-TB
44	1.727 (43.87)	3M1044-ND	2.71	2.06	1.87	150244-6002-TB
50	1.964 (49.88)	3M1050-ND	2.89	2.20	1.99	150250-6002-TB
60	2.357 (59.87)	3M1060-ND	3.21	2.44	2.21	150260-6002-TB

2 mm x 2 mm Pin-Steckleisten

Doppelreihe - gerade Steckleiste

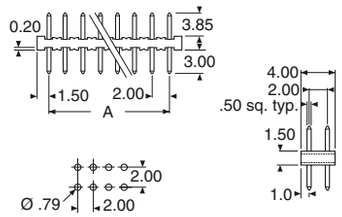

Abmessungen in mm

Doppelreihe - rechtwinklige Steckleiste

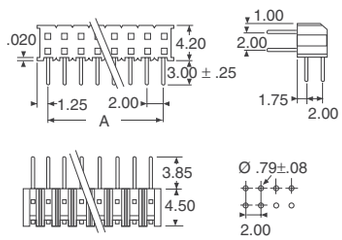

Abmessungen in mm

Merkmale: • Kompatibel mit Industriestandard • Hochtemperatur-Dielektrikum • IR, mit Dampf- und Wellenlöten kompatibel • Gerade Löttlitze • Optimiert PC-Kartenausnutzung • Für Leiterplatten- und Drahtmontage geeignet • End-stapelbar • Seiten-stapelbar

Physikalische Spezifikationen: • **Kontaktüberzug:** • Schleifbereich: Gold - MIL-G-45204, Typ II, Grad C • Lötlitzen: 200 µ" 90/10 Zinn-Blei - MIL-P-81728 • Unterplattierung: 100 µ" Nickel - QQ-N-290, Klasse 2 • **Kontaktmaterial:** Kupferlegierung • **Isoliermaterial:** • Rechtwinklig: Glasgefülltes Polyester (PCT) • Gerade: Flüssigkristallpolymer (LCP) • Entflammbarkeit: UL94 V-0 • **Farbe:** • Natur

Elektrische Spezifikationen: • Nennstrom: 1,5 A • Isolationswiderstand: >5 x 10^9 Ω @ 250 V DC • Haltespannung: 500 V DC @ Meereshöhe

Umgebungsdaten: • Betriebstemperatur: -55 °C ~ 105 °C

Anz. der Pos.	Abm. A Zoll (mm)	Digi-Key Teilenr.	Stückpreis 1	100	500	3M Teilenr.
Doppelreihe, gerade Steckleiste						
8	.295 (7.49)	3M1108-ND	.81	.62	.56	151208-8422-TB
10	.374 (9.50)	3M1110-ND	1.32	1.01	.91	151210-8422-TB
12	.453 (11.51)	3M1112-ND	.98	.75	.68	151212-8422-TB
20	.768 (19.51)	3M1120-ND	1.32	1.01	.91	151220-8422-TB
24	.925 (23.50)	3M1124-ND	1.52	1.16	1.05	151224-8422-TB
30	1.162 (29.51)	3M1130-ND	1.74	1.33	1.20	151230-8422-TB
40	1.556 (39.52)	3M1140-ND	2.07	1.58	1.43	151240-8422-TB
44	1.714 (43.54)	3M1144-ND	2.24	1.70	1.54	151244-8422-TB
50	1.950 (49.53)	3M1150-ND	2.46	1.88	1.70	151250-8422-TB
60	2.344 (59.54)	3M1160-ND	2.85	2.17	1.97	151260-8422-TB
Doppelreihe, rechtwinklige Steckleiste						
8	.295 (7.49)	3M1208-ND	.52	.41	.37	151208-7422-TB
10	.374 (9.50)	3M1210-ND	.60	.46	.42	151210-7422-TB
12	.453 (11.51)	3M1212-ND	.65	.50	.45	151212-7422-TB
20	.768 (19.51)	3M1220-ND	.88	.67	.61	151220-7422-TB
24	.925 (23.50)	3M1224-ND	1.02	.78	.71	151224-7422-TB
30	1.162 (29.51)	3M1230-ND	1.18	.90	.82	151230-7422-TB
40	1.556 (39.52)	3M1240-ND	1.58	1.21	1.09	151240-7422-TB
44	1.714 (43.54)	3M1244-ND	1.69	1.29	1.17	151244-7422-TB
50	1.950 (49.53)	3M1250-ND	1.85	1.41	1.28	151250-7422-TB
60	2.344 (59.54)	3M1260-ND	2.12	1.61	1.46	151260-7422-TB

A

3M 2 mm Wiremount-Sockel

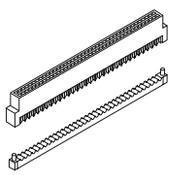

2 mm Wiremount-Sockel – 1 mm Pitch-Kabel

Merkmale: • Kompatibel mit Industriestandard • Passt an Pin-Streifen für 2 mm x 2 mm Raster • Flachprofil • Bereits zusammengesetzte Abdeckungen • Erhältlich mit und ohne Zugentlastung

Physikalische Spezifikationen: • **Isoliermaterial:** Glasgefülltes Polyester (PBT), Entflammbarkeit: UL 94 V-0 • **Farbe:** Grau • **Kontaktmaterial:** Berylliumkupfer • **Kontaktüberzug:** • Unterplattierung und U-Schlitz: 50-150 µ" Nickel, QQ-N-290, Klasse 2 • Schleifbereich: Gold Mil-G-45204, Typ II, Grad C • **Markierung:** Ausrichtungsdreieck und 3M-Logo

Elektrische Spezifikationen: • Nennstrom:1 A • Isolationswiderstand: >1 x 10 Ω bei 500 V DC • Haltespannung: 1.000 Vrms in Meereshöhe **Umgebungsdaten:** • Betriebstemperaturbereich: -55 °C ~ 105 °C **Zulassung:** UL-Eintragungsnr.: E86982, CSA-Eintragungsnr.: LR#48869

1 mm Rundleiter-Flachkabel – 28 AWG verseilt, PVC

Merkmale: • Enge Abstände bedeuten hohe Signaldichte • 28 AWG-Draht auf 1 mm Mitten erlaubt Masseanschluss an 2 mm Steckverbinder • Hauptkabel kann zum Abzweigen oder für diskrete Anschlüsse gezippt werden • Verseilter Draht bietet Flexibilität und längere Haltbarkeit

Physikalische Spezifikationen: • Isoliermaterial: Polyvinylchlorid (PVC) • Farbe: Grau • Markierung: Rote Kante • Leiter: 28 AWG, 7 x 36 verzinntes, verseiltes Kupfer

Elektrische Spezifikationen: • Nennspannung: 300 V • Isolationswiderstand: >1 x 10^{10} Ω / 3 m (10 ft) • Kennwiderstand: 92 Ω unausgeglichen, 146 Ω ausgeglichen • Kapazität: 55,50 pF/m unausgeglichen; 32,77 pF/m ausgeglichen • Induktivität: 0,47 µH/m unausgeglichen; 0,70 µH/m ausgeglichen • Ausbreitungsverzögerung: 4,95 ns/m unausgeglichen, 4,78 ns/m ausgeglichen **Umgebungsdaten:** • Betriebstemperatur: -20 °C ~ 105 °C • Entflammbarkeit: (UL) VW-1; CSA: FT1 **Zulassung:** UL-Eintragungsnr.: E42769, Typ 2651, CSA-Eintragungsnr.: LL 53649 (optional), • RoHS-konform

Anz. der Pos.	Digi-Key Teilenr.	Stückpreis 1	100	500	3M Teilenr.
IDC-Sockel Gold					
10	MSA10A-ND	2.66	2.02	1.79	152210-0100-GB
12	MSA12A-ND	2.69	2.05	1.86	152212-0100-GB
44	MSA44A-ND	3.80	2.89	2.62	152244-0100-GB
50	MSA50A-ND	3.88	2.95	2.67	152250-0100-GB
IDC-Sockel Gold mit Zugentlastung					
10	MSE10A-ND	3.08	2.35	2.12	152210-0103-GB
12	MSE12A-ND	3.24	2.47	2.23	152212-0103-GB
44	MSE44A-ND	4.28	3.26	2.95	152244-0103-GB
50	MSE50A-ND	4.35	3.31	3.00	152250-0103-GB

Anz. der Pos.	(HINWEIS: „X" in Teilenr. stellt die Anzahl der Meter dar) Digi-Key Teilenr.	Preis pro Meter 5	10	25	50	100	3M Teilenr.
Flachkabel, grau							
10	MC10L-X-ND	5.99	11.12	24.82	42.80	68.47	3625/10 100M
12	MC12L-X-ND	7.19	13.35	29.78	51.35	82.17	3625/12 100M
44	MC44L-X-ND	26.36	48.96	109.22	188.31	301.29	3625/44 100M
50	MC50L-X-ND	29.96	55.64	124.11	213.98	342.37	3625/50 100M

100 m auf Rolle, kann Spleißstellen haben. Position der Spleißstellen ist auf der Rolle markiert.

molex Waldom ELECTRONICS

2 mm Buchse, Kabel-an-Karte - „Bleifrei"

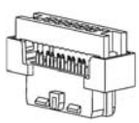

UL2651, UL2678 **UL-Eintragungsnr.**: E29179 **CSA-Eintragungsnr.:** LR19980 **Passt auf:** Milli-Grid 2,00 mm Steckleisten

Elektrische Daten: **Spannung:** 125 V DC, **Strom:** 1,0 A **Kontaktwid.:** Max. 30 mΩ **Dielektrische Haltespannung.:** 500 V AC **Isolationswiderstand:** Min. 5.000 MΩ

Physikalisch: **Gehäuse:** Thermoplast für Hochtemperatur, UL 94V-0-Zulassung **Kontakt:** Kupferlegierung **Überzug-Kontaktfläche:** (15 µ") Gold **Betriebstemp.:** -20 °C ~ 85 °C **Kabel:** 1,00 mm flach, 7-adrig, 28 AWG

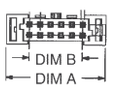

Anz. der Pos.	Abm. (mm) A	B	Digi-Key Teilenr.	Stückpreis 1	10	25	Molex Teilenr.
Doppelreihe IDT ohne Polarisation und Sperrrampe							
10	16.65	8.00	WM14210-ND	2.50	2.01	1.67	87568-1063
12	18.65	10.00	WM14212-ND	2.71	2.17	1.81	87568-1263
14	20.65	12.00	WM14214-ND	3.12	2.51	2.09	87568-1463
16	22.65	14.00	WM14216-ND	3.35	2.68	2.24	87568-1663
20	26.65	18.00	WM14220-ND	3.49	2.80	2.33	87568-2063
22	28.65	20.00	WM14222-ND	3.84	3.08	2.56	87568-2263
24	30.65	22.00	WM14224-ND	4.18	3.35	2.79	87568-2463
26	32.65	24.00	WM14226-ND	4.27	3.42	2.85	87568-2663
30	36.65	28.00	WM14230-ND	4.61	3.70	3.08	87568-3063
34	40.65	32.00	WM14234-ND	4.75	3.80	3.17	87568-3463
40	46.65	38.00	WM14240-ND	5.24	4.20	3.50	87568-4063
44	50.65	42.00	WM14244-ND	5.38	4.30	3.59	87568-4463
50	56.65	48.00	WM14250-ND	5.93	4.75	3.96	87568-5063
Doppelreihe, IDT mit einfacher Sperrrampe							
10	16.65	8.00	WM14310-ND	2.30	1.85	1.54	87568-1073
12	18.65	10.00	WM14312-ND	2.71	2.17	1.81	87568-1273
Doppelreihe IDT mit Polarisation und Sperrrampe							
14	20.65	12.00	WM14314-ND	3.12	2.51	2.09	87568-1493
16	22.65	14.00	WM14316-ND	3.35	2.68	2.24	87568-1693
20	26.65	18.00	WM14320-ND	3.49	2.80	2.33	87568-2093
22	28.65	20.00	WM14322-ND	3.84	3.08	2.56	87568-2293
24	30.65	22.00	WM14324-ND	4.18	3.35	2.79	87568-2493
26	32.65	24.00	WM14326-ND	4.27	3.42	2.85	87568-2693
30	36.65	28.00	WM14330-ND	4.50	3.61	3.01	87568-3093
34	40.65	32.00	WM14334-ND	4.75	3.80	3.17	87568-3493
40	46.65	38.00	WM14340-ND	5.24	4.20	3.50	87568-4093
44	50.65	42.00	WM14344-ND	5.08	4.07	3.39	87568-4493
50	56.65	48.00	WM14350-ND	6.03	4.82	4.02	87568-5093

1 mm Rundleiter-Flachkabel

UL-Eintragungsnr.: E61522, UL-Typnr. 2678
CSA-Eintragungsnr.: LL61126 Elektrische Spannung: 150 V
Physikalisch: Entflammbarkeit: VW-1
Betriebstemperatur: -20 °C ~ 105 °C
Isolierung: PVC, grau
Kantenmarkie-rung: Schwarz, 28 AWG verseilt, verzinnt

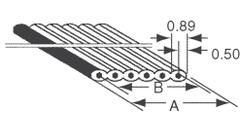

Schalt-kreise	Abm. (mm) A	B	(HINWEIS: „X" in Teilenr. stellt die Anzahl Länge in Fuß dar.) Digi-Key Teilenr.	Preis pro Fuß 5	10	25	50	100
10	10.00	9.00	WM11-X-ND	3.71	6.98	15.26	26.15	43.58
20	20.00	19.00	WM12-X-ND	6.28	11.82	25.86	44.33	73.88
24	24.00	23.00	WM13-X-ND	7.53	14.18	31.02	53.18	88.63
40	40.00	39.00	WM14-X-ND	13.88	26.12	57.14	97.95	163.25
44	44.00	43.00	WM15-X-ND	15.26	28.73	62.86	107.76	179.60
50	50.00	49.00	WM16-X-ND	15.77	29.68	64.93	111.31	185.52

0,1" (2,54 mm) Buchsensteckleisten

Spezifikationen:
• Nennstrom: 3 A. • Isolationswiderstand: Min. 5.000 MΩ • Kontaktwiderstand: Max. 20 mΩ • Betriebstemperatur: -40 °C ~ 125 °C • Kontaktmaterial: Phosphorbronze. • Überzug: Zinn oder Gold

Abb.1

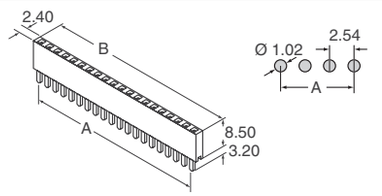

• Isolatormaterial: PBT, UL94V-0
• Dielektrische Haltespannung: 1.000 V AC

Abb.2

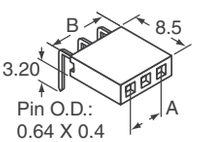

• Isolatormaterial: Polyester, PBT UL94V-0
• Dielektrische Haltespannung: 500 V AC

Abb.3

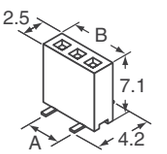

• Isolatormaterial: Nylon, UL94V-0
• Dielektrische Haltespannung: 500 V AC

Abb.4

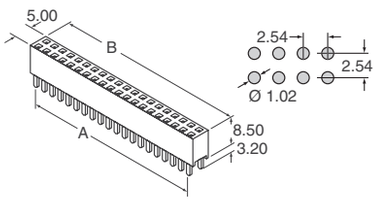

• Isolatormaterial: PBT, UL94V-0
• Dielektrische Haltespannung: 1.000 V AC

Abb.5

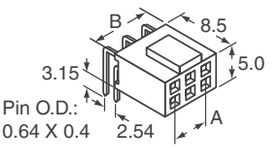

• Isolatormaterial: Polyester, PBT UL94V-0
• Dielektrische Haltespannung: 500 V AC

Abb.6

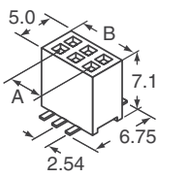

• Isolatormaterial: Nylon 6T, UL94V-0
• Dielektrische Haltespannung: 500 V AC

Kontakt-oberfläche	Anz. der Pos.	Abmessungen Zoll (mm) A	B	Digi-Key Teilenr.	Preisangaben 1	10	100	Sullins Teilenr.
Abb. 1 — Einreihige Buchsensteckleisten								
Zinn	2	.100 (2.54)	.220 (5.58)	S4002-ND	.18	1.47	9.40	PPTC021LFBN
	3	.200 (5.08)	.320 (8.12)	S4003-ND	.25	2.09	13.32	PPTC031LFBN
	4	.300 (7.62)	.420 (10.66)	S4004-ND	.33	2.70	17.23	PPTC041LFBN
	5	.400 (10.16)	.520 (13.20)	S4005-ND	.37	3.07	19.58	PPTC051LFBN
	6	.500 (12.70)	.620 (15.74)	S4006-ND	.40	3.32	21.15	PPTC061LFBN
	7	.600 (15.24)	.720 (18.28)	S4007-ND	.46	3.81	24.28	PPTC071LFBN
	8	.700 (17.78)	.820 (20.82)	S4008-ND	.52	4.30	27.41	PPTC081LFBN
	9	.800 (20.32)	.920 (23.36)	S4009-ND	.59	4.91	31.32	PPTC091LFBN
	10	.900 (22.86)	1.02 (25.90)	S4010-ND	.39	3.19	20.36	PPTC101LFBN
	11	1.00 (25.40)	1.12 (28.44)	S4011-ND	.43	3.56	22.71	PPTC111LFBN
	12	1.10 (27.94)	1.22 (30.98)	S4012-ND	.47	3.93	25.06	PPTC121LFBN
	13	1.20 (30.48)	1.32 (33.52)	S4013-ND	.51	4.17	26.63	PPTC131LFBN
	14	1.30 (33.02)	1.42 (36.06)	S4014-ND	.55	4.55	28.98	PPTC141LFBN
	15	1.40 (35.56)	1.52 (38.60)	S4015-ND	.58	4.79	30.55	PPTC151LFBN
	16	1.50 (38.10)	1.62 (41.14)	S4016-ND	.63	5.16	32.89	PPTC161LFBN
	17	1.60 (40.64)	1.72 (43.68)	S4017-ND	.67	5.53	35.24	PPTC171LFBN
	18	1.70 (43.18)	1.82 (46.22)	S4018-ND	.69	5.77	36.81	PPTC181LFBN
	19	1.80 (45.72)	1.92 (48.76)	S4019-ND	.75	6.14	39.16	PPTC191LFBN
	20	1.90 (48.26)	2.02 (51.30)	S4020-ND	.75	6.14	39.16	PPTC201LFBN
	21	2.00 (50.80)	2.12 (53.84)	S4021-ND	.77	6.38	40.72	PPTC211LFBN
	22	2.10 (53.34)	2.22 (56.38)	S4022-ND	.80	6.63	42.29	PPTC221LFBN
	23	2.20 (55.88)	2.32 (58.92)	S4023-ND	.83	6.87	43.85	PPTC231LFBN
	24	2.30 (58.42)	2.42 (61.46)	S4024-ND	.86	7.12	45.42	PPTC241LFBN
	25	2.40 (60.96)	2.52 (64.00)	S4025-ND	.89	7.37	46.99	PPTC251LFBN
	26	2.50 (63.50)	2.62 (66.54)	S4026-ND	.92	7.61	48.55	PPTC261LFBN
	27	2.60 (66.04)	2.72 (69.08)	S4027-ND	.95	7.86	50.12	PPTC271LFBN
	28	2.70 (68.58)	2.82 (71.62)	S4028-ND	.98	8.10	51.68	PPTC281LFBN
	29	2.80 (71.12)	2.92 (74.16)	S4029-ND	1.01	8.35	53.25	PPTC291LFBN
	30	2.90 (73.66)	3.02 (76.70)	S4030-ND	1.04	8.59	54.82	PPTC301LFBN
	31	3.00 (76.20)	3.12 (79.24)	S4031-ND	1.08	8.97	57.17	PPTC311LFBN
	32	3.10 (78.74)	3.22 (81.78)	S4032-ND	1.11	9.21	58.74	PPTC321LFBN
	33	3.20 (81.28)	3.32 (84.32)	S4033-ND	1.16	9.58	61.08	PPTC331LFBN
	34	3.30 (83.82)	3.42 (86.86)	S4034-ND	1.19	9.82	62.65	PPTC341LFBN
	35	3.40 (86.36)	3.52 (89.40)	S4035-ND	1.22	10.07	64.21	PPTC351LFBN
	36	3.50 (88.90)	3.62 (91.94)	S4036-ND	1.26	10.44	66.57	PPTC361LFBN
Gold	2	.100 (2.54)	.220 (5.58)	S4102-ND	.18	1.47	9.40	PPPC021LFBN
	3	.200 (5.08)	.320 (8.12)	S4103-ND	.25	2.09	13.32	PPPC031LFBN
	4	.300 (7.62)	.420 (10.66)	S4104-ND	.33	2.70	17.23	PPPC041LFBN
	5	.400 (10.16)	.520 (13.20)	S4105-ND	.37	3.07	19.58	PPPC051LFBN
	6	.500 (12.70)	.620 (15.74)	S4106-ND	.40	3.32	21.15	PPPC061LFBN
	7	.600 (15.24)	.720 (18.28)	S4107-ND	.46	3.81	24.28	PPPC071LFBN
	8	.700 (17.78)	.820 (20.82)	S4108-ND	.52	4.30	27.41	PPPC081LFBN
	9	.800 (20.32)	.920 (23.36)	S4109-ND	.59	4.91	31.32	PPPC091LFBN
	10	.900 (22.86)	1.02 (25.90)	S4110-ND	.39	3.19	20.36	PPPC101LFBN
	11	1.00 (25.40)	1.12 (28.44)	S4111-ND	.43	3.56	22.71	PPPC111LFBN
	12	1.10 (27.94)	1.22 (30.98)	S4112-ND	.47	3.93	25.06	PPPC121LFBN
	13	1.20 (30.48)	1.32 (33.52)	S4113-ND	.51	4.17	26.63	PPPC131LFBN
	14	1.30 (33.02)	1.42 (36.06)	S4114-ND	.55	4.55	28.98	PPPC141LFBN
	15	1.40 (35.56)	1.52 (38.60)	S4115-ND	.58	4.79	30.55	PPPC151LFBN
	16	1.50 (38.10)	1.62 (41.14)	S4116-ND	.63	5.16	32.89	PPPC161LFBN
	17	1.60 (40.64)	1.72 (43.68)	S4117-ND	.67	5.53	35.24	PPPC171LFBN
	18	1.70 (43.18)	1.82 (46.22)	S4118-ND	.69	5.77	36.81	PPPC181LFBN
	19	1.80 (45.72)	1.92 (48.76)	S4119-ND	.75	6.14	39.16	PPPC191LFBN
	20	1.90 (48.26)	2.02 (51.30)	S4120-ND	.75	6.14	39.16	PPPC201LFBN
	21	2.00 (50.80)	2.12 (53.84)	S4121-ND	.77	6.38	40.72	PPPC211LFBN
	22	2.10 (53.34)	2.22 (56.38)	S4122-ND	.80	6.63	42.29	PPPC221LFBN
	23	2.20 (55.88)	2.32 (58.92)	S4123-ND	.83	6.87	43.85	PPPC231LFBN
	24	2.30 (58.42)	2.42 (61.46)	S4124-ND	.86	7.12	45.42	PPPC241LFBN
	25	2.40 (60.96)	2.52 (64.00)	S4125-ND	.89	7.37	46.99	PPPC251LFBN
	26	2.50 (63.50)	2.62 (66.54)	S4126-ND	.92	7.61	48.55	PPPC261LFBN
	27	2.60 (66.04)	2.72 (69.08)	S4127-ND	.95	7.86	50.12	PPPC271LFBN
	28	2.70 (68.58)	2.82 (71.62)	S4128-ND	.98	8.10	51.68	PPPC281LFBN
	29	2.80 (71.12)	2.92 (74.16)	S4129-ND	1.01	8.35	53.25	PPPC291LFBN
	30	2.90 (73.66)	3.02 (76.70)	S4130-ND	1.04	8.59	54.82	PPPC301LFBN
	31	3.00 (76.20)	3.12 (79.24)	S4131-ND	1.08	8.97	57.17	PPPC311LFBN
	32	3.10 (78.74)	3.22 (81.78)	S4132-ND	1.11	9.21	58.74	PPPC321LFBN
	33	3.20 (81.28)	3.32 (84.32)	S4133-ND	1.16	9.58	61.08	PPPC331LFBN

Kontakt-oberfläche	Anz. der Pos.	Abmessungen Zoll (mm) A	B	Digi-Key Teilenr.	Preisangaben 1	10	100	Sullins Teilenr.
Gold	34	3.30 (83.82)	3.42 (86.86)	S4134-ND	1.19	9.82	62.65	PPPC341LFBN
	35	3.40 (86.36)	3.52 (89.40)	S4135-ND	1.22	10.07	64.21	PPPC351LFBN
	36	3.50 (88.90)	3.62 (91.94)	S4136-ND	1.26	10.44	66.57	PPPC361LFBN
Abb. 2 — Einreihige Buchsensteckleisten, rechtwinklig								
Zinn	2	.100 (2.54)	.224 (5.68)	S4337-ND	.22	1.79	11.44	PPTC021LGBN
	3	.200 (5.08)	.324 (8.22)	S4338-ND	.29	2.40	15.35	PPTC031LGBN
	4	.300 (7.62)	.424 (10.76)	S4339-ND	.39	3.19	20.36	PPTC041LGBN
	5	.400 (10.16)	.524 (13.30)	S4340-ND	.41	3.39	21.61	PPTC051LGBN
	6	.500 (12.70)	.624 (15.84)	S4341-ND	.47	3.88	24.75	PPTC061LGBN
	7	.600 (15.24)	.724 (18.38)	S4342-ND	.46	3.81	24.28	PPTC071LGBN
	8	.700 (17.78)	.824 (20.92)	S4343-ND	.47	3.88	24.75	PPTC081LGBN
	9	.800 (20.32)	.924 (23.46)	S4344-ND	.52	4.30	27.41	PPTC091LGBN
	10	.900 (22.86)	1.02 (26.00)	S4345-ND	.54	4.50	28.67	PPTC101LGBN
	11	1.00 (25.40)	1.12 (28.54)	S4346-ND	.69	5.75	36.65	PPTC111LGBN
	12	1.10 (27.94)	1.22 (31.08)	S4347-ND	.76	6.31	40.26	PPTC121LGBN
	13	1.20 (30.48)	1.32 (33.62)	S4348-ND	.82	6.80	43.39	PPTC131LGBN
	14	1.30 (33.02)	1.42 (36.16)	S4349-ND	.88	7.31	46.67	PPTC141LGBN
	15	1.40 (35.56)	1.52 (38.70)	S4350-ND	.94	7.81	49.81	PPTC151LGBN
	16	1.50 (38.10)	1.62 (41.24)	S4351-ND	.93	7.74	49.34	PPTC161LGBN
	17	1.60 (40.64)	1.72 (43.78)	S4352-ND	1.00	8.25	52.62	PPTC171LGBN
	18	1.70 (43.18)	1.82 (46.32)	S4353-ND	1.06	8.74	55.76	PPTC181LGBN
	19	1.80 (45.72)	1.92 (48.86)	S4354-ND	1.12	9.25	59.05	PPTC191LGBN
	20	1.90 (48.26)	2.02 (51.40)	S4355-ND	1.17	9.68	61.71	PPTC201LGBN
	21	2.00 (50.80)	2.12 (53.94)	S4356-ND	1.23	10.19	65.00	PPTC211LGBN
	22	2.10 (53.34)	2.22 (56.48)	S4357-ND	1.29	10.68	68.13	PPTC221LGBN
	23	2.20 (55.88)	2.32 (59.02)	S4358-ND	1.35	11.19	71.42	PPTC231LGBN
	24	2.30 (58.42)	2.42 (61.56)	S4359-ND	1.41	11.68	74.55	PPTC241LGBN
	25	2.40 (60.96)	2.52 (64.10)	S4360-ND	1.46	12.11	77.22	PPTC251LGBN
	26	2.50 (63.50)	2.62 (66.64)	S4361-ND	1.52	12.62	80.50	PPTC261LGBN
	27	2.60 (66.04)	2.72 (69.18)	S4362-ND	1.58	13.11	83.64	PPTC271LGBN
	28	2.70 (68.58)	2.82 (71.72)	S4363-ND	1.64	13.63	86.93	PPTC281LGBN
	29	2.80 (71.12)	2.92 (74.26)	S4364-ND	1.69	14.05	89.59	PPTC291LGBN
	30	2.90 (73.66)	3.02 (76.80)	S4365-ND	1.76	14.56	92.88	PPTC301LGBN
	31	3.00 (76.20)	3.12 (79.34)	S4366-ND	1.82	15.05	96.01	PPTC311LGBN
	32	3.10 (78.74)	3.22 (81.88)	S4367-ND	1.90	15.76	100.55	PPTC321LGBN
	33	3.20 (81.28)	3.32 (84.42)	S4368-ND	1.90	15.76	100.55	PPTC331LGBN
	34	3.30 (83.82)	3.42 (86.96)	S4369-ND	1.99	16.50	105.25	PPTC341LGBN
	35	3.40 (86.36)	3.52 (89.50)	S4370-ND	2.07	17.21	109.80	PPTC351LGBN
	36	3.50 (88.90)	3.62 (92.04)	S4371-ND	2.11	17.48	111.51	PPTC361LGBN
	37	3.60 (91.44)	3.72 (94.58)	S4372-ND	2.18	18.00	114.81	PPTC371LGBN
	38	3.70 (93.98)	3.82 (97.12)	S4373-ND	2.23	18.41	117.47	PPTC381LGBN
	39	3.80 (96.52)	3.92 (99.66)	S4374-ND	2.29	18.93	120.76	PPTC391LGBN
	40	3.90 (99.06)	4.02 (102.20)	S4375-ND	2.35	19.42	123.89	PPTC401LGBN
Gold	2	.100 (2.54)	.224 (5.68)	S4376-ND	.22	1.79	11.44	PPPC021LGBN
	3	.200 (5.08)	.324 (8.22)	S4377-ND	.29	2.40	15.35	PPPC031LGBN
	4	.300 (7.62)	.424 (10.76)	S4378-ND	.39	3.19	20.36	PPPC041LGBN
	5	.400 (10.16)	.524 (13.30)	S4379-ND	.41	3.39	21.61	PPPC051LGBN
	6	.500 (12.70)	.624 (15.84)	S4380-ND	.47	3.88	24.75	PPPC061LGBN
	7	.600 (15.24)	.724 (18.38)	S4381-ND	.46	3.81	24.28	PPPC071LGBN
	8	.700 (17.78)	.824 (20.92)	S4382-ND	.47	3.88	24.75	PPPC081LGBN
	9	.800 (20.32)	.924 (23.46)	S4383-ND	.52	4.30	27.41	PPPC091LGBN
	10	.900 (22.86)	1.02 (26.00)	S4384-ND	.54	4.50	28.67	PPPC101LGBN
	11	1.00 (25.40)	1.12 (28.54)	S4385-ND	.69	5.75	36.65	PPPC111LGBN
	12	1.10 (27.94)	1.22 (31.08)	S4386-ND	.76	6.31	40.26	PPPC121LGBN
	13	1.20 (30.48)	1.32 (33.62)	S4387-ND	.82	6.80	43.39	PPPC131LGBN
	14	1.30 (33.02)	1.42 (36.16)	S4388-ND	.88	7.31	46.67	PPPC141LGBN
	15	1.40 (35.56)	1.52 (38.70)	S4389-ND	.94	7.81	49.81	PPPC151LGBN
	16	1.50 (38.10)	1.62 (41.24)	S4390-ND	.93	7.74	49.34	PPPC161LGBN
	17	1.60 (40.64)	1.72 (43.78)	S4391-ND	1.00	8.25	52.62	PPPC171LGBN
	18	1.70 (43.18)	1.82 (46.32)	S4392-ND	1.06	8.74	55.76	PPPC181LGBN
	19	1.80 (45.72)	1.92 (48.86)	S4393-ND	1.12	9.25	59.05	PPPC191LGBN
	20	1.90 (48.26)	2.02 (51.40)	S4394-ND	1.17	9.68	61.71	PPPC201LGBN
	21	2.00 (50.80)	2.12 (53.94)	S4395-ND	1.23	10.19	65.00	PPPC211LGBN
	22	2.10 (53.34)	2.22 (56.48)	S4396-ND	1.29	10.68	68.13	PPPC221LGBN
	23	2.20 (55.88)	2.32 (59.02)	S4397-ND	1.35	11.19	71.42	PPPC231LGBN
	24	2.30 (58.42)	2.42 (61.56)	S4398-ND	1.41	11.68	74.55	PPPC241LGBN

(Forts.)

Alle Preisangaben in Euro und inklusive Zollgebühren.

Kontakt-oberfläche	Anz. der Pos.	Abmessungen Zoll (mm) A	B	Digi-Key Teilenr.	Preisangaben 1	10	100	Sullins Teilenr.
Gold	25	2.40 (60.96)	2.52 (64.10)	S4399-ND	1.46	12.11	77.22	PPPC251LGBN
	26	2.50 (63.50)	2.62 (66.64)	S4400-ND	1.52	12.62	80.50	PPPC261LGBN
	27	2.60 (66.04)	2.72 (69.18)	S4401-ND	1.58	13.11	83.64	PPPC271LGBN
	28	2.70 (68.58)	2.82 (71.72)	S4402-ND	1.64	13.63	86.93	PPPC281LGBN
	29	2.80 (71.12)	2.92 (74.26)	S4403-ND	1.69	14.05	89.59	PPPC291LGBN
	30	2.90 (73.66)	3.02 (76.80)	S4404-ND	1.76	14.56	92.88	PPPC301LGBN
	31	3.00 (76.20)	3.12 (79.34)	S4405-ND	1.82	15.05	96.01	PPPC311LGBN
	32	3.10 (78.74)	3.22 (81.88)	S4406-ND	1.90	15.76	100.55	PPPC321LGBN
	33	3.20 (81.28)	3.32 (84.42)	S4407-ND	1.90	15.76	100.55	PPPC331LGBN
	34	3.30 (83.82)	3.42 (86.96)	S4408-ND	1.99	16.50	105.25	PPPC341LGBN
	35	3.40 (86.36)	3.52 (89.50)	S4409-ND	2.07	17.21	109.80	PPPC351LGBN
	36	3.50 (88.90)	3.62 (92.04)	S4410-ND	2.11	17.48	111.51	PPPC361LGBN
	37	3.60 (91.44)	3.72 (94.58)	S4411-ND	2.18	18.00	114.81	PPPC371LGBN
	38	3.70 (93.98)	3.82 (97.12)	S4412-ND	2.23	18.41	117.47	PPPC381LGBN
	39	3.80 (96.52)	3.92 (99.66)	S4413-ND	2.29	18.93	120.76	PPPC391LGBN
	40	3.90 (99.06)	4.02 (102.20)	S4414-ND	2.35	19.42	123.89	PPPC401LGBN
Abb. 3 — Einreihige Buchsensteckleisten, SMT								
Zinn	2	.100 (2.54)	.200 (5.08)	S4493-ND	.38	3.14	20.05	PPTC021KFXC
	3	.200 (5.08)	.300 (7.62)	S4494-ND	.59	4.88	31.17	PPTC031KFXC
	4	.300 (7.62)	.400 (10.16)	S4495-ND	.77	6.38	40.72	PPTC041KFXC
	5	.400 (10.16)	.500 (12.70)	S4496-ND	.81	6.73	42.91	PPTC051KFXC
	6	.500 (12.70)	.600 (15.24)	S4497-ND	.98	8.10	51.68	PPTC061KFXC
	7	.600 (15.24)	.700 (17.78)	S4498-ND	1.14	9.41	61.71	PPTC071KFXC
	8	.700 (17.78)	.800 (20.32)	S4499-ND	1.30	10.75	68.60	PPTC081KFXC
	9	.800 (20.32)	.900 (22.86)	S4500-ND	1.46	12.11	77.22	PPTC091KFXC
	10	.900 (22.86)	1.00 (25.40)	S4501-ND	1.63	13.48	85.99	PPTC101KFXC
	11	1.00 (25.40)	1.10 (27.94)	S4502-ND	1.49	12.33	78.62	PPTC111KFXC
	12	1.10 (27.94)	1.20 (30.48)	S4503-ND	1.63	13.48	85.99	PPTC121KFXC
	13	1.20 (30.48)	1.30 (33.02)	S4504-ND	1.76	14.56	92.88	PPTC131KFXC
	14	1.30 (33.02)	1.40 (35.56)	S4505-ND	1.90	15.69	100.09	PPTC141KFXC
	15	1.40 (35.56)	1.50 (38.10)	S4506-ND	2.02	16.77	106.98	PPTC151KFXC
	16	1.50 (38.10)	1.60 (40.64)	S4507-ND	2.17	17.92	114.33	PPTC161KFXC
	17	1.60 (40.64)	1.70 (43.18)	S4508-ND	2.30	19.07	121.70	PPTC171KFXC
	18	1.70 (43.18)	1.80 (45.72)	S4509-ND	2.43	20.16	128.59	PPTC181KFXC
	19	1.80 (45.72)	1.90 (48.26)	S4510-ND	2.57	21.28	135.79	PPTC191KFXC
	20	1.90 (48.26)	2.00 (50.80)	S4511-ND	2.71	22.44	143.15	PPTC201KFXC
	21	2.00 (50.80)	2.10 (53.34)	S4512-ND	2.65	21.95	140.02	PPTC211KFXC
	22	2.10 (53.34)	2.20 (55.88)	S4513-ND	2.78	23.00	146.76	PPTC221KFXC
	23	2.20 (55.88)	2.30 (58.42)	S4514-ND	2.90	24.01	153.18	PPTC231KFXC
	24	2.30 (58.42)	2.40 (60.96)	S4515-ND	3.03	25.09	160.07	PPTC241KFXC
	25	2.40 (60.96)	2.50 (63.50)	S4516-ND	3.16	26.17	166.96	PPTC251KFXC
	26	2.50 (63.50)	2.60 (66.04)	S4517-ND	3.28	27.18	173.38	PPTC261KFXC
	27	2.60 (66.04)	2.70 (68.58)	S4518-ND	3.41	28.23	180.11	PPTC271KFXC
	28	2.70 (68.58)	2.80 (71.12)	S4519-ND	3.53	29.24	186.54	PPTC281KFXC
	29	2.80 (71.12)	2.90 (73.66)	S4520-ND	3.66	30.33	193.43	PPTC291KFXC
	30	2.90 (73.66)	3.00 (76.20)	S4521-ND	3.79	31.40	200.32	PPTC301KFXC
	31	3.00 (76.20)	3.10 (78.74)	S4522-ND	3.91	32.41	206.74	PPTC311KFXC
	32	3.10 (78.74)	3.20 (81.28)	S4523-ND	4.04	33.49	213.63	PPTC321KFXC
	33	3.20 (81.28)	3.30 (83.82)	S4524-ND	4.17	34.50	220.06	PPTC331KFXC
	34	3.30 (83.82)	3.40 (86.36)	S4525-ND	4.29	35.55	226.79	PPTC341KFXC
	35	3.40 (86.36)	3.50 (88.90)	S4526-ND	4.41	36.56	233.21	PPTC351KFXC
	36	3.50 (88.90)	3.60 (91.44)	S4527-ND	4.55	37.64	240.10	PPTC361KFXC
	37	3.60 (91.44)	3.70 (93.98)	S4528-ND	4.67	38.72	247.00	PPTC371KFXC
	38	3.70 (93.98)	3.80 (96.52)	S4529-ND	4.79	39.72	253.41	PPTC381KFXC
	39	3.80 (96.52)	3.90 (99.06)	S4530-ND	4.92	40.78	260.15	PPTC391KFXC
	40	3.90 (99.06)	4.00 (101.60)	S4531-ND	5.05	41.79	266.57	PPTC401KFXC
Gold	2	.100 (2.54)	.200 (5.08)	S4532-ND	.38	3.14	20.05	PPPC021KFXC
	3	.200 (5.08)	.300 (7.62)	S4533-ND	.59	4.88	31.17	PPPC031KFXC
	4	.300 (7.62)	.400 (10.16)	S4534-ND	.77	6.38	40.72	PPPC041KFXC
	5	.400 (10.16)	.500 (12.70)	S4535-ND	.81	6.73	42.91	PPPC051KFXC
	6	.500 (12.70)	.600 (15.24)	S4536-ND	.98	8.10	51.68	PPPC061KFXC
	7	.600 (15.24)	.700 (17.78)	S4537-ND	1.13	9.41	59.99	PPPC071KFXC
	8	.700 (17.78)	.800 (20.32)	S4538-ND	1.30	10.75	68.60	PPPC081KFXC
	9	.800 (20.32)	.900 (22.86)	S4539-ND	1.46	12.11	77.22	PPPC091KFXC
	10	.900 (22.86)	1.00 (25.40)	S4540-ND	1.63	13.48	85.99	PPPC101KFXC
	11	1.00 (25.40)	1.10 (27.94)	S4541-ND	1.49	12.33	78.62	PPPC111KFXC
	12	1.10 (27.94)	1.20 (30.48)	S4542-ND	1.63	13.48	85.99	PPPC121KFXC
	13	1.20 (30.48)	1.30 (33.02)	S4543-ND	1.76	14.56	92.88	PPPC131KFXC
	14	1.30 (33.02)	1.40 (35.56)	S4544-ND	1.90	15.69	100.09	PPPC141KFXC
	15	1.40 (35.56)	1.50 (38.10)	S4545-ND	2.02	16.77	106.98	PPPC151KFXC
	16	1.50 (38.10)	1.60 (40.64)	S4546-ND	2.17	17.92	114.33	PPPC161KFXC
	17	1.60 (40.64)	1.70 (43.18)	S4547-ND	2.30	19.07	121.70	PPPC171KFXC
	18	1.70 (43.18)	1.80 (45.72)	S4548-ND	2.43	20.16	128.59	PPPC181KFXC
	19	1.80 (45.72)	1.90 (48.26)	S4549-ND	2.57	21.28	135.79	PPPC191KFXC
	20	1.90 (48.26)	2.00 (50.80)	S4550-ND	2.71	22.45	143.16	PPPC201KFXC
	21	2.00 (50.80)	2.10 (53.34)	S4551-ND	2.65	21.95	140.02	PPPC211KFXC
	22	2.10 (53.34)	2.20 (55.88)	S4552-ND	2.78	23.00	146.76	PPPC221KFXC
	23	2.20 (55.88)	2.30 (58.42)	S4553-ND	2.90	24.01	153.18	PPPC231KFXC
	24	2.30 (58.42)	2.40 (60.96)	S4554-ND	3.03	25.09	160.07	PPPC241KFXC
	25	2.40 (60.96)	2.50 (63.50)	S4555-ND	3.16	26.17	166.96	PPPC251KFXC
	26	2.50 (63.50)	2.60 (66.04)	S4556-ND	3.28	27.18	173.38	PPPC261KFXC
	27	2.60 (66.04)	2.70 (68.58)	S4557-ND	3.41	28.23	180.11	PPPC271KFXC
	28	2.70 (68.58)	2.80 (71.12)	S4558-ND	3.53	29.24	186.54	PPPC281KFXC
	29	2.80 (71.12)	2.90 (73.66)	S4559-ND	3.66	30.33	193.43	PPPC291KFXC
	30	2.90 (73.66)	3.00 (76.20)	S4560-ND	3.79	31.40	200.32	PPPC301KFXC
	31	3.00 (76.20)	3.10 (78.74)	S4561-ND	3.91	32.41	206.74	PPPC311KFXC
	32	3.10 (78.74)	3.20 (81.28)	S4562-ND	4.04	33.49	213.63	PPPC321KFXC
	33	3.20 (81.28)	3.30 (83.82)	S4563-ND	4.17	34.50	220.06	PPPC331KFXC
	34	3.30 (83.82)	3.40 (86.36)	S4564-ND	4.29	35.55	226.79	PPPC341KFXC
	35	3.40 (86.36)	3.50 (88.90)	S4565-ND	4.41	36.56	233.21	PPPC351KFXC
	36	3.50 (88.90)	3.60 (91.44)	S4566-ND	4.55	37.64	240.10	PPPC361KFXC
	37	3.60 (91.44)	3.70 (93.98)	S4567-ND	4.67	38.72	247.00	PPPC371KFXC
	38	3.70 (93.98)	3.80 (96.52)	S4568-ND	4.79	39.72	253.41	PPPC381KFXC
	39	3.80 (96.52)	3.90 (99.06)	S4569-ND	4.92	40.78	260.15	PPPC391KFXC
	40	3.90 (99.06)	4.00 (101.60)	S4570-ND	5.05	41.79	266.57	PPPC401KFXC
Abb. 4 — Zweireihige Buchsensteckleisten								
Zinn	4	.100 (2.54)	.220 (5.58)	S4202-ND	.36	2.95	18.79	PPTC022LFBN
	6	.200 (5.08)	.320 (8.12)	S4203-ND	.49	4.06	25.85	PPTC032LFBN
	8	.300 (7.62)	.420 (10.66)	S4204-ND	.65	5.40	34.46	PPTC042LFBN
	10	.400 (10.16)	.520 (13.20)	S4205-ND	.69	5.77	36.81	PPTC052LFBN
	12	.500 (12.70)	.620 (15.74)	S4206-ND	.79	6.51	41.51	PPTC062LFBN
	14	.600 (15.24)	.720 (18.28)	S4207-ND	.92	7.61	48.55	PPTC072LFBN
	16	.700 (17.78)	.820 (20.82)	S4208-ND	1.05	8.72	55.60	PPTC082LFBN
	18	.800 (20.32)	.920 (23.36)	S4209-ND	1.19	9.82	62.65	PPTC092LFBN
	20	.900 (22.86)	1.02 (25.90)	S4210-ND	.83	6.87	43.85	PPTC102LFBN
	22	1.00 (25.40)	1.12 (28.44)	S4211-ND	.86	7.12	45.42	PPTC112LFBN
	24	1.10 (27.94)	1.22 (30.98)	S4212-ND	.92	7.61	48.55	PPTC122LFBN
	26	1.20 (30.48)	1.32 (33.52)	S4213-ND	1.01	8.35	53.25	PPTC132LFBN
	28	1.30 (33.02)	1.42 (36.06)	S4214-ND	1.08	8.97	57.17	PPTC142LFBN
	30	1.40 (35.56)	1.52 (38.60)	S4215-ND	1.16	9.58	61.08	PPTC152LFBN
	32	1.50 (38.10)	1.62 (41.14)	S4216-ND	1.24	10.31	65.78	PPTC162LFBN
	34	1.60 (40.64)	1.72 (43.68)	S4217-ND	1.34	11.05	70.48	PPTC172LFBN
	36	1.70 (43.18)	1.82 (46.22)	S4218-ND	1.40	11.54	73.61	PPTC182LFBN
	38	1.80 (45.72)	1.92 (48.76)	S4219-ND	1.46	12.16	77.53	PPTC192LFBN
	40	1.90 (48.26)	2.02 (51.30)	S4220-ND	1.48	12.28	78.31	PPTC202LFBN
	42	2.00 (50.80)	2.12 (53.84)	S4221-ND	1.52	12.52	79.88	PPTC212LFBN
	44	2.10 (53.34)	2.22 (56.38)	S4222-ND	1.54	12.77	81.44	PPTC222LFBN
	46	2.20 (55.88)	2.32 (58.92)	S4223-ND	1.60	13.26	84.58	PPTC232LFBN
	48	2.30 (58.42)	2.42 (61.46)	S4224-ND	1.66	13.75	87.71	PPTC242LFBN
	50	2.40 (60.96)	2.52 (64.00)	S4225-ND	1.74	14.37	91.63	PPTC252LFBN
	52	2.50 (63.50)	2.62 (66.54)	S4226-ND	1.81	14.98	95.54	PPTC262LFBN
	54	2.60 (66.04)	2.72 (69.08)	S4227-ND	1.88	15.59	99.46	PPTC272LFBN
	56	2.70 (68.58)	2.82 (71.62)	S4228-ND	1.96	16.20	103.37	PPTC282LFBN
	58	2.80 (71.12)	2.92 (74.16)	S4229-ND	2.01	16.69	106.50	PPTC292LFBN
	60	2.90 (73.66)	3.02 (76.70)	S4230-ND	2.07	17.19	109.63	PPTC302LFBN
	62	3.00 (76.20)	3.12 (79.24)	S4231-ND	2.17	17.92	114.33	PPTC312LFBN
	64	3.10 (78.74)	3.22 (81.78)	S4232-ND	2.23	18.41	117.47	PPTC322LFBN
	66	3.20 (81.28)	3.32 (84.32)	S4233-ND	2.29	19.03	121.39	PPTC332LFBN
	68	3.30 (83.82)	3.42 (86.86)	S4234-ND	2.37	19.64	125.30	PPTC342LFBN
	70	3.40 (86.36)	3.52 (89.40)	S4235-ND	2.43	20.13	128.43	PPTC352LFBN
	72	3.50 (88.90)	3.62 (91.94)	S4236-ND	2.51	20.75	132.35	PPTC362LFBN
Gold	4	.100 (2.54)	.220 (5.58)	S4302-ND	.36	2.95	18.79	PPPC022LFBN
	6	.200 (5.08)	.320 (8.12)	S4303-ND	.49	4.06	25.85	PPPC032LFBN
	8	.300 (7.62)	.420 (10.66)	S4304-ND	.65	5.40	34.46	PPPC042LFBN
	10	.400 (10.16)	.520 (13.20)	S4305-ND	.69	5.77	36.81	PPPC052LFBN
	12	.500 (12.70)	.620 (15.74)	S4306-ND	.79	6.51	41.51	PPPC062LFBN
	14	.600 (15.24)	.720 (18.28)	S4307-ND	.92	7.61	48.55	PPPC072LFBN
	16	.700 (17.78)	.820 (20.82)	S4308-ND	1.05	8.72	55.60	PPPC082LFBN
	18	.800 (20.32)	.920 (23.36)	S4309-ND	1.19	9.82	62.65	PPPC092LFBN
	20	.900 (22.86)	1.02 (25.90)	S4310-ND	.83	6.87	43.85	PPPC102LFBN
	22	1.00 (25.40)	1.12 (28.44)	S4311-ND	.86	7.12	45.42	PPPC112LFBN
	24	1.10 (27.94)	1.22 (30.98)	S4312-ND	.92	7.61	48.55	PPPC122LFBN
	26	1.20 (30.48)	1.32 (33.52)	S4313-ND	1.01	8.35	53.25	PPPC132LFBN
	28	1.30 (33.02)	1.42 (36.06)	S4314-ND	1.08	8.97	57.17	PPPC142LFBN
	30	1.40 (35.56)	1.52 (38.60)	S4315-ND	1.16	9.58	61.08	PPPC152LFBN
	32	1.50 (38.10)	1.62 (41.14)	S4316-ND	1.24	10.31	65.78	PPPC162LFBN
	34	1.60 (40.64)	1.72 (43.68)	S4317-ND	1.34	11.05	70.48	PPPC172LFBN
	36	1.70 (43.18)	1.82 (46.22)	S4318-ND	1.40	11.54	73.61	PPPC182LFBN
	38	1.80 (45.72)	1.92 (48.76)	S4319-ND	1.46	12.16	77.53	PPPC192LFBN
	40	1.90 (48.26)	2.02 (51.30)	S4320-ND	1.48	12.28	78.31	PPPC202LFBN
	42	2°.00 (50.80)	2.12 (53.84)	S4321-ND	1.52	12.52	79.88	PPPC212LFBN
	44	2.10 (53.34)	2.22 (56.38)	S4322-ND	1.54	12.77	81.44	PPPC222LFBN
	46	2.20 (55.88)	2.32 (58.92)	S4323-ND	1.60	13.26	84.58	PPPC232LFBN
	48	2.30 (58.42)	2.42 (61.46)	S4324-ND	1.66	13.75	87.71	PPPC242LFBN
	50	2.40 (60.96)	2.52 (64.00)	S4325-ND	1.74	14.37	91.63	PPPC252LFBN
	52	2.50 (63.50)	2.62 (66.54)	S4326-ND	1.81	14.98	95.54	PPPC262LFBN
	54	2.60 (66.04)	2.72 (69.08)	S4327-ND	1.88	15.59	99.46	PPPC272LFBN
	56	2.70 (68.58)	2.82 (71.62)	S4328-ND	1.96	16.20	103.37	PPPC282LFBN
	58	2.80 (71.12)	2.92 (74.16)	S4329-ND	2.01	16.69	106.50	PPPC292LFBN
	60	2.90 (73.66)	3.02 (76.70)	S4330-ND	2.07	17.19	109.63	PPPC302LFBN
	62	3.00 (76.20)	3.12 (79.24)	S4331-ND	2.17	17.92	114.33	PPPC312LFBN
	64	3.10 (78.74)	3.22 (81.78)	S4332-ND	2.23	18.41	117.47	PPPC322LFBN
	66	3.20 (81.28)	3.32 (84.32)	S4333-ND	2.29	19.03	121.39	PPPC332LFBN
	68	3.30 (83.82)	3.42 (86.86)	S4334-ND	2.37	19.64	125.30	PPPC342LFBN
	70	3.40 (86.36)	3.52 (89.40)	S4335-ND	2.43	20.13	128.43	PPPC352LFBN
	72	3.50 (88.90)	3.62 (91.94)	S4336-ND	2.51	20.75	132.35	PPPC362LFBN
Abb. 5 — Zweireihige Buchsensteckleisten, rechtwinklig								
Zinn	2	.100 (2.54)	.224 (5.68)	S4415-ND	.44	3.57	22.72	PPTC022LJBN
	3	.200 (5.08)	.324 (8.22)	S4416-ND	.58	4.80	30.55	PPTC032LJBN
	4	.300 (7.62)	.424 (10.76)	S4417-ND	.77	6.39	40.73	PPTC042LJBN
	5	.400 (10.16)	.524 (13.30)	S4418-ND	.82	6.71	42.77	PPTC052LJBN
	6	.500 (12.70)	.624 (15.84)	S4419-ND	1.09	8.97	57.17	PPTC062LJBN
	7	.600 (15.24)	.724 (18.38)	S4420-ND	1.08	8.89	56.70	PPTC072LJBN
	8	.700 (17.78)	.824 (20.92)	S4421-ND	1.09	8.97	57.17	PPTC082LJBN
	9	.800 (20.32)	.924 (23.46)	S4422-ND	1.22	10.12	64.53	PPTC092LJBN
	10	.900 (22.86)	1.02 (26.00)	S4423-ND	1.27	10.46	66.72	PPTC102LJBN
	11	1.00 (25.40)	1.12 (28.54)	S4424-ND	1.38	11.47	73.15	PPTC112LJBN
	12	1.10 (27.94)	1.22 (31.08)	S4425-ND	1.52	12.55	80.04	PPTC122LJBN
	13	1.20 (30.48)	1.32 (33.62)	S4426-ND	1.65	13.63	86.93	PPTC132LJBN
	14	1.30 (33.02)	1.42 (36.16)	S4427-ND	1.77	14.63	93.35	PPTC142LJBN
	15	1.40 (35.56)	1.52 (38.70)	S4428-ND	—	—	108.20	PPTC152LJBN
	16	1.50 (38.10)	1.62 (41.24)	S4429-ND	—	—	107.35	PPTC162LJBN
	17	1.60 (40.64)	1.72 (43.78)	S4430-ND	—	—	113.78	PPTC172LJBN
	18	1.70 (43.18)	1.82 (46.32)	S4431-ND	2.11	17.49	111.52	PPTC182LJBN
	19	1.80 (45.72)	1.92 (48.86)	S4432-ND	2.23	18.42	117.47	PPTC192LJBN
	20	1.90 (48.26)	2.02 (51.40)	S4433-ND	2.35	19.43	123.90	PPTC202LJBN
	21	2.00 (50.80)	2.12 (53.94)	S4434-ND	2.46	20.36	129.85	PPTC212LJBN
	22	2.10 (53.34)	2.22 (56.48)	S4435-ND	2.59	21.36	136.26	PPTC222LJBN
	23	2.20 (55.88)	2.32 (59.02)	S4436-ND	2.70	22.29	142.22	PPTC232LJBN
	24	2.30 (58.42)	2.42 (61.56)	S4437-ND	2.81	23.30	148.64	PPTC242LJBN
	25	2.40 (60.96)	2.52 (64.10)	S4438-ND	2.94	24.31	155.06	PPTC252LJBN
	26	2.50 (63.50)	2.62 (66.64)	S4439-ND	3.05	25.24	161.01	PPTC262LJBN
	27	2.60 (66.04)	2.72 (69.18)	S4440-ND	3.17	26.25	167.44	PPTC272LJBN
	28	2.70 (68.58)	2.82 (71.72)	S4441-ND	3.28	27.43	173.39	PPTC282LJBN
	29	2.80 (71.12)	2.92 (74.26)	S4442-ND	3.41	28.19	179.80	PPTC292LJBN
	30	2.90 (73.66)	3.02 (76.80)	S4443-ND	3.51	29.11	185.75	PPTC302LJBN
	31	3.00 (76.20)	3.12 (79.34)	S4444-ND	3.64	30.10	192.02	PPTC312LJBN
	32	3.10 (78.74)	3.22 (81.88)	S4445-ND	3.75	31.04	197.97	PPTC322LJBN
	33	3.20 (81.28)	3.32 (84.42)	S4446-ND	3.87	32.05	204.40	PPTC332LJBN
	34	3.30 (83.82)	3.42 (86.96)	S4447-ND	3.98	32.98	210.35	PPTC342LJBN
	35	3.40 (86.36)	3.52 (89.50)	S4448-ND	4.10	33.99	216.77	PPTC352LJBN
	36	3.50 (88.90)	3.62 (92.04)	S4449-ND	4.23	34.99	223.19	PPTC362LJBN
	37	3.60 (91.44)	3.72 (94.58)	S4450-ND	4.34	35.93	229.14	PPTC372LJBN
	38	3.70 (93.98)	3.82 (97.12)	S4451-ND	4.46	36.93	235.56	PPTC382LJBN
	39	3.80 (96.52)	3.92 (99.66)	S4452-ND	4.58	37.86	241.51	PPTC392LJBN
	40	3.90 (99.06)	4.02 (102.20)	S4453-ND	4.69	38.87	247.94	PPTC402LJBN
Gold	2	.100 (2.54)	.224 (5.68)	S4454-ND	.69	3.57	22.72	PPPC022LJBN
	3	.200 (5.08)	.324 (8.22)	S4455-ND	.58	4.80	30.55	PPPC032LJBN

(Forts.)

A

A

Kontakt-oberfläche	Anz. der Pos.	Abmessungen Zoll (mm) A	B	Digi-Key Teilenr.	Preisangaben 1	10	100	Sullins Teilenr.
Gold	4	.300 (7.62)	.424 (10.76)	S4456-ND	.77	6.39	40.73	PPPC042LJBN
	5	.400 (10.16)	.524 (13.30)	S4457-ND	.82	6.71	42.77	PPPC052LJBN
	6	.500 (12.70)	.624 (15.84)	S4458-ND	1.09	8.97	57.17	PPPC062LJBN
	7	.600 (15.24)	.724 (18.38)	S4459-ND	1.08	8.89	56.70	PPPC072LJBN
	8	.700 (17.78)	.824 (20.92)	S4460-ND	1.09	8.97	57.17	PPPC082LJBN
	9	.800 (20.32)	.924 (23.46)	S4461-ND	1.22	10.12	64.53	PPPC092LJBN
	10	.900 (22.86)	1.02 (26.00)	S4462-ND	1.27	10.46	66.72	PPPC102LJBN
	11	1.00 (25.40)	1.12 (28.54)	S4463-ND	1.38	11.47	73.15	PPPC112LJBN
	12	1.10 (27.94)	1.22 (31.08)	S4464-ND	1.52	12.55	80.04	PPPC122LJBN
	13	1.20 (30.48)	1.32 (33.62)	S4465-ND	1.65	13.63	86.93	PPPC132LJBN
	14	1.30 (33.02)	1.42 (36.16)	S4466-ND	1.77	14.63	93.35	PPPC142LJBN
	15	1.40 (35.56)	1.52 (38.70)	S4467-ND	—	—	108.20	PPPC152LJBN
	16	1.50 (38.10)	1.62 (41.24)	S4468-ND	—	—	107.35	PPPC162LJBN
	17	1.60 (40.64)	1.72 (43.78)	S4469-ND	—	—	113.78	PPPC172LJBN
	18	1.70 (43.18)	1.82 (46.32)	S4470-ND	2.11	17.49	111.52	PPPC182LJBN
	19	1.80 (45.72)	1.92 (48.86)	S4471-ND	2.23	18.42	117.47	PPPC192LJBN
	20	1.90 (48.26)	2.02 (51.40)	S4472-ND	2.35	19.43	123.90	PPPC202LJBN
	21	2.00 (50.80)	2.12 (53.94)	S4473-ND	2.46	20.36	129.85	PPPC212LJBN
	22	2.10 (53.34)	2.22 (56.48)	S4474-ND	2.59	21.39	136.26	PPPC222LJBN
	23	2.20 (55.88)	2.32 (59.02)	S4475-ND	2.70	22.29	142.22	PPPC232LJBN
	24	2.30 (58.42)	2.42 (61.56)	S4476-ND	2.81	23.30	148.64	PPPC242LJBN
	25	2.40 (60.96)	2.52 (64.10)	S4477-ND	2.94	24.31	155.06	PPPC252LJBN
	26	2.50 (63.50)	2.62 (66.64)	S4478-ND	3.05	25.24	161.01	PPPC262LJBN
	27	2.60 (66.04)	2.72 (69.18)	S4479-ND	3.17	26.25	167.44	PPPC272LJBN
	28	2.70 (68.58)	2.82 (71.72)	S4480-ND	3.28	27.43	173.39	PPPC282LJBN
	29	2.80 (71.12)	2.92 (74.26)	S4481-ND	3.41	28.19	179.80	PPPC292LJBN
	30	2.90 (73.66)	3.02 (76.80)	S4482-ND	3.51	29.11	185.75	PPPC302LJBN
	31	3.00 (76.20)	3.12 (79.34)	S4483-ND	3.64	30.10	192.02	PPPC312LJBN
	32	3.10 (78.74)	3.22 (81.88)	S4484-ND	3.75	31.04	197.97	PPPC322LJBN
	33	3.20 (81.28)	3.32 (84.42)	S4485-ND	3.87	32.05	204.40	PPPC332LJBN
	34	3.30 (83.82)	3.42 (86.96)	S4486-ND	3.98	32.98	210.35	PPPC342LJBN
	35	3.40 (86.36)	3.52 (89.50)	S4487-ND	4.10	33.99	216.77	PPPC352LJBN
	36	3.50 (88.90)	3.62 (92.04)	S4488-ND	4.23	34.99	223.19	PPPC362LJBN
	37	3.60 (91.44)	3.72 (94.58)	S4489-ND	4.34	35.93	229.14	PPPC372LJBN
	38	3.70 (93.98)	3.82 (97.12)	S4490-ND	4.46	36.93	235.56	PPPC382LJBN
	39	3.80 (96.52)	3.92 (99.66)	S4491-ND	4.58	37.86	241.51	PPPC392LJBN
	40	3.90 (99.06)	4.02 (102.20)	S4492-ND	4.69	38.87	247.94	PPPC402LJBN

Abb. 6 — Zweireihige Buchsensteckleisten, SMT

Kontakt-oberfläche	Anz. der Pos.	Abmessungen Zoll (mm) A	B	Digi-Key Teilenr.	Preisangaben 1	10	100	Sullins Teilenr.
Zinn	2	.100 (2.54)	.220 (5.58)	S4571-ND	.77	6.38	40.72	PPTC022KFMS
	3	.200 (5.08)	.320 (8.12)	S4572-ND	1.08	8.97	57.17	PPTC032KFMS
	4	.300 (7.62)	.420 (10.66)	S4573-ND	1.26	10.46	66.72	PPTC042KFMS
	5	.400 (10.16)	.520 (13.20)	S4574-ND	1.57	13.04	83.17	PPTC052KFMS
	6	.500 (12.70)	.620 (15.74)	S4575-ND	1.85	15.27	97.42	PPTC062KFMS
	7	.600 (15.24)	.720 (18.28)	S4576-ND	2.14	17.78	113.39	PPTC072KFMS
	8	.700 (17.78)	.820 (20.82)	S4577-ND	2.45	20.28	129.37	PPTC082KFMS
	9	.800 (20.32)	.920 (23.36)	S4578-ND	2.76	22.86	145.82	PPTC092KFMS
	10	.900 (22.86)	1.02 (25.90)	S4579-ND	3.06	25.39	161.95	PPTC102KFMS
	11	1.00 (25.40)	1.12 (28.44)	S4580-ND	2.87	23.79	151.77	PPTC112KFMS
	12	1.10 (27.94)	1.22 (30.98)	S4581-ND	3.14	26.02	166.02	PPTC122KFMS
	13	1.20 (30.48)	1.32 (33.52)	S4582-ND	3.41	28.19	179.80	PPTC132KFMS
	14	1.30 (33.02)	1.42 (36.06)	S4583-ND	3.66	30.33	193.43	PPTC142KFMS
	15	1.40 (35.56)	1.52 (38.60)	S4584-ND	3.92	32.48	207.21	PPTC152KFMS
	16	1.50 (38.10)	1.62 (41.14)	S4585-ND	4.18	34.62	220.84	PPTC162KFMS
	17	1.60 (40.64)	1.72 (43.68)	S4586-ND	4.44	36.85	235.09	PPTC172KFMS
	18	1.70 (43.18)	1.82 (46.22)	S4587-ND	4.71	38.99	248.71	PPTC182KFMS
	19	1.80 (45.72)	1.92 (48.76)	S4588-ND	4.97	41.14	262.50	PPTC192KFMS
	20	1.90 (48.26)	2.02 (51.30)	S4589-ND	5.22	43.31	276.28	PPTC202KFMS
	21	2.00 (50.80)	2.12 (53.84)	S4590-ND	5.31	43.95	280.35	PPTC212KFMS
Zinn	22	2.10 (53.34)	2.22 (56.38)	S4591-ND	5.55	46.04	293.67	PPTC222KFMS
	23	2.20 (55.88)	2.32 (58.92)	S4592-ND	5.81	48.10	306.82	PPTC232KFMS
	24	2.30 (58.42)	2.42 (61.46)	S4593-ND	6.05	50.19	320.13	PPTC242KFMS
	25	2.40 (60.96)	2.52 (64.00)	S4594-ND	6.31	52.27	333.45	PPTC252KFMS
	26	2.50 (63.50)	2.62 (66.54)	S4595-ND	6.56	54.33	346.61	PPTC262KFMS
	27	2.60 (66.04)	2.72 (69.08)	S4596-ND	6.82	56.49	360.39	PPTC272KFMS
	28	2.70 (68.58)	2.82 (71.62)	S4597-ND	7.07	58.58	373.70	PPTC282KFMS
	29	2.80 (71.12)	2.92 (74.16)	S4598-ND	7.32	60.64	386.85	PPTC292KFMS
	30	2.90 (73.66)	3.02 (76.70)	S4599-ND	7.57	62.73	400.17	PPTC302KFMS
	31	3.00 (76.20)	3.12 (79.24)	S4600-ND	4.86	40.26	256.86	PPTC312KFMS
	32	3.10 (78.74)	3.22 (81.78)	S4601-ND	8.07	66.88	426.64	PPTC322KFMS
	33	3.20 (81.28)	3.32 (84.32)	S4602-ND	8.33	69.04	440.42	PPTC332KFMS
	34	3.30 (83.82)	3.42 (86.86)	S4603-ND	8.58	71.12	453.74	PPTC342KFMS
	35	3.40 (86.36)	3.52 (89.40)	S4604-ND	8.83	73.19	466.89	PPTC352KFMS
	36	3.50 (88.90)	3.62 (91.94)	S4605-ND	9.08	75.27	480.20	PPTC362KFMS
	37	3.60 (91.44)	3.72 (94.48)	S4606-ND	9.34	77.36	493.52	PPTC372KFMS
	38	3.70 (93.98)	3.82 (97.02)	S4607-ND	9.58	79.43	506.67	PPTC382KFMS
	39	3.80 (96.52)	3.92 (99.56)	S4608-ND	9.85	81.59	520.46	PPTC392KFMS
	40	3.90 (99.06)	4.02 (102.10)	S4609-ND	10.10	83.67	533.76	PPTC402KFMS
Gold	2	.100 (2.54)	.220 (5.58)	S4610-ND	.77	6.38	40.72	PPPC022KFMS
	3	.200 (5.08)	.320 (8.12)	S4611-ND	1.08	8.97	57.17	PPPC032KFMS
	4	.300 (7.62)	.420 (10.66)	S4612-ND	1.26	10.46	66.72	PPPC042KFMS
	5	.400 (10.16)	.520 (13.20)	S4613-ND	1.57	13.04	83.17	PPPC052KFMS
	6	.500 (12.70)	.620 (15.74)	S4614-ND	1.85	15.27	97.42	PPPC062KFMS
	7	.600 (15.24)	.720 (18.28)	S4615-ND	2.14	17.78	113.39	PPPC072KFMS
	8	.700 (17.78)	.820 (20.82)	S4616-ND	2.45	20.28	129.37	PPPC082KFMS
	9	.800 (20.32)	.920 (23.36)	S4617-ND	2.76	22.86	145.82	PPPC092KFMS
	10	.900 (22.86)	1.02 (25.90)	S4618-ND	3.06	25.39	161.95	PPPC102KFMS
	11	1.00 (25.40)	1.12 (28.44)	S4619-ND	2.87	23.79	151.77	PPPC112KFMS
	12	1.10 (27.94)	1.22 (30.98)	S4620-ND	3.14	26.02	166.02	PPPC122KFMS
	13	1.20 (30.48)	1.32 (33.52)	S4621-ND	3.40	28.18	179.80	PPPC132KFMS
	14	1.30 (33.02)	1.42 (36.06)	S4622-ND	3.66	30.33	193.43	PPPC142KFMS
	15	1.40 (35.56)	1.52 (38.60)	S4623-ND	3.92	32.48	207.21	PPPC152KFMS
	16	1.50 (38.10)	1.62 (41.14)	S4624-ND	4.18	34.62	220.84	PPPC162KFMS
	17	1.60 (40.64)	1.72 (43.68)	S4625-ND	4.44	36.85	235.09	PPPC172KFMS
	18	1.70 (43.18)	1.82 (46.22)	S4626-ND	4.71	38.99	248.71	PPPC182KFMS
	19	1.80 (45.72)	1.92 (48.76)	S4627-ND	4.97	41.14	262.50	PPPC192KFMS
	20	1.90 (48.26)	2.02 (51.30)	S4628-ND	5.22	43.31	276.28	PPPC202KFMS
	21	2.00 (50.80)	2.12 (53.84)	S4629-ND	5.31	43.95	280.35	PPPC212KFMS
	22	2.10 (53.34)	2.22 (56.38)	S4630-ND	5.55	46.04	293.67	PPPC222KFMS
	23	2.20 (55.88)	2.32 (58.92)	S4631-ND	5.81	48.10	306.82	PPPC232KFMS
	24	2.30 (58.42)	2.42 (61.46)	S4632-ND	6.05	50.19	320.13	PPPC242KFMS
	25	2.40 (60.96)	2.52 (64.00)	S4633-ND	6.31	52.27	333.45	PPPC252KFMS
	26	2.50 (63.50)	2.62 (66.54)	S4634-ND	6.56	54.33	346.61	PPPC262KFMS
	27	2.60 (66.04)	2.72 (69.08)	S4635-ND	6.82	56.49	360.39	PPPC272KFMS
	28	2.70 (68.58)	2.82 (71.62)	S4636-ND	7.07	58.58	373.70	PPPC282KFMS
	29	2.80 (71.12)	2.92 (74.16)	S4637-ND	7.32	60.64	386.85	PPPC292KFMS
	30	2.90 (73.66)	3.02 (76.70)	S4638-ND	7.57	62.73	400.17	PPPC302KFMS
	31	3.00 (76.20)	3.12 (79.24)	S4639-ND	4.86	40.26	256.86	PPPC312KFMS
	32	3.10 (78.74)	3.22 (81.78)	S4640-ND	8.07	66.88	426.64	PPPC322KFMS
	33	3.20 (81.28)	3.32 (84.32)	S4641-ND	8.33	69.04	440.42	PPPC332KFMS
	34	3.30 (83.82)	3.42 (86.86)	S4642-ND	8.58	71.12	453.74	PPPC342KFMS
	35	3.40 (86.36)	3.52 (89.40)	S4643-ND	8.83	73.19	466.89	PPPC352KFMS
	36	3.50 (88.90)	3.62 (91.94)	S4644-ND	9.08	75.27	480.20	PPPC362KFMS
	37	3.60 (91.44)	3.72 (94.48)	S4645-ND	9.34	77.36	493.52	PPPC372KFMS
	38	3.70 (93.98)	3.82 (97.02)	S4646-ND	9.58	79.43	506.67	PPPC382KFMS
	39	3.80 (96.52)	3.92 (99.56)	S4647-ND	9.85	81.59	520.46	PPPC392KFMS
	40	3.90 (99.06)	4.02 (102.10)	S4648-ND	10.10	83.67	533.76	PPPC402KFMS

Sullins 0,025" (0,64 mm) Viereck-Steckleisten, SMT

Merkmale

- Erhältlich in einer 36-Pin-Version oder Größe 1 bis 35, um verschiedenen Anwendungen zu entsprechen
- Temperatur: -65 °C ~ 125 °C
- Entflammbarkeitsstufe: 94V-0
- Nennstrom: 3 A

Materialien

- Isolatormaterial: Schwarzes thermoplastisches Polyester
- Kontaktmaterial: CA510, Phosphorbronze
- Kontaktüberzug: **Kopf:** GTC – 0,00010" Zinn; GZC – 0,000010" Gold; **Litze:** 0,00010" Zinn

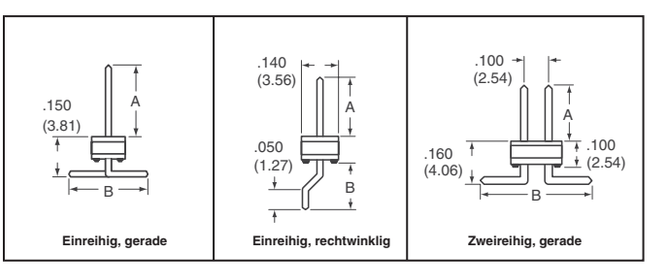

Einreihig, gerade | **Einreihig, rechtwinklig** | **Zweireihig, gerade**

ZUM KAUF EINER STECKLEISTE MIT 36 PINS...

Kontakt-oberfläche	Abmessungen Zoll (mm) A	B	Digi-Key Teilenr.	Preisangaben 1	10	100	Sullins Teilenr.
Einreihig gerade, SMT (36 Pins)							
Zinn	0.230 (5.84)	0.320 (8.13)	S1013-36-ND	2.36	21.16	174.23	GTC36SABN-M30
	0.318 (8.08)	0.300 (7.62)	S1023-36-ND	2.51	22.45	184.90	GTC36SFBN-M30
Gold	0.230 (5.84)	0.320 (8.13)	S1033-36-ND	2.70	24.18	199.12	GZC36SABN-M30
	0.318 (8.08)	0.300 (7.62)	S1043-36-ND	2.78	24.83	204.45	GZC36SFBN-M30
Einreihig rechtwinklig, SMT (36 Pins)							
Zinn	0.230 (5.84)	.180 (4.57)	S1113-36-ND	2.32	20.72	170.67	GTC36SBSN-M89
	0.318 (8.08)	.180 (4.57)	S1123-36-ND	2.46	22.02	181.34	GTC36SGSN-M89
Gold	0.230 (5.84)	.180 (4.57)	S1133-36-ND	2.66	23.75	195.56	GZC36SBSN-M89
	0.318 (8.08)	.180 (4.57)	S1143-36-ND	2.73	24.40	200.90	GZC36SGSN-M89
Zweireihig gerade, SMT (72 Pins)							
Zinn	0.230 (5.84)	0.420 (10.69)	S2331-36-ND	3.30	29.58	243.57	GTC36DABN-M30
	0.318 (8.08)	0.400 (10.16)	S2341-36-ND	3.64	32.60	268.46	GTC36DFBN-M30
Gold	0.230 (5.84)	0.420 (10.69)	S2351-36-ND	3.95	35.40	291.57	GZC36DABN-M30
	0.318 (8.08)	0.400 (10.16)	S2361-36-ND	4.12	36.92	304.01	GZC36DFBN-M30

ZUM KAUF EINER BENUTZERSPEZIFISCHEN STECKLEISTE...

SCHRITT 1 Digi-Key Teilenr.	SCHRITT 2 Grundpreis	SCHRITT 3 Pin-Ergänzung
Einreihig gerade (36 Pins)		
S1013-XX-ND	1.321	.034
S1023-XX-ND	1.177	.043
S1033-XX-ND	1.380	.043
S1043-XX-ND	1.169	.051
Einreihig rechtwinklig (36 Pins)		
S1113-XX-ND	1.270	.034
S1123-XX-ND	1.126	.043
S1133-XX-ND	1.338	.043
S1143-XX-ND	1.109	.051
Zweireihig gerade (72 Pins)		
S2331-XX-ND	1.423	.060
S2341-XX-ND	1.787	.060
S2351-XX-ND	1.821	.068
S2361-XX-ND	1.998	.068

HINWEIS: Die berechneten Preise können je nach Wechselkurs schwanken.

UND SO WIRD BESTELLT: 4 EINFACHE SCHRITTE

Wie kann ich eine S1013-Steckleiste mit 16 Pins bestellen?

Rufen Sie bei Digi-Key an, um Preisinformationen zu erhalten, oder ermitteln Sie die Kosten selbst.

S □□□□□□ - □□ - ND

Teilenummer des Grundteils — Anzahl der gewünschten Pins pro Reihe

Schritt 1. Benötigte „Digi-Key Teilenr." und Anzahl der gewünschten Pins auswählen.
Schritt 2. Den „Grundpreis" für die gewählte Teilenr. ermitteln (siehe Tabelle).
Schritt 3. Mit der gewünschten Pin-Zahl (siehe „Pin-Ergänzung") der gewählten Teilenr. (siehe Tabelle) multiplizieren
Schritt 4. Schritt 2 und 3 addieren, um Endpreis zu ermitteln!

Unser Beispiel:

Schritt 1.	S1013-16-ND
Schritt 2.	1.56
Schritt 3.	16 x .04 = .64
Schritt 4.	Ihre Kosten = 2.20

***HINWEIS:* Für Mengen von 10 oder mehr Digi-Key anrufen.**

Alle Preisangaben in Euro und inklusive Zollgebühren.

Sullins 0,025" (0,64 mm) Viereck-Steckleisten

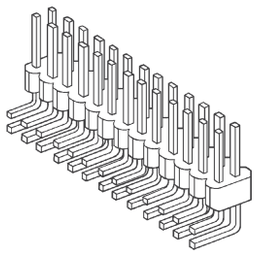

Erhältlich in Versionen mit 1 bis 36 Pins!

Merkmale • Erhältlich in einer 36-Pin-Version oder Größe 1 bis 35, um verschiedenen Anwendungen zu entsprechen • Temperatur: -65 °C ~ 125 °C • Entflammbarkeitsstufe: 94V-0 • Nennstrom: 3 A
Materialien • Isolatormaterial: Schwarzes thermoplastisches Polyester • Kontaktmaterial: CA510, Phosphorbronze • Kontaktüberzug: **Kopf:** PTC – 0,00010" Zinn; PZC – 0,000010" Gold; PXC: 0,000030" Gold; **Litze:** 0,00010" Zinn

ZUM KAUF EINER STECKLEISTE MIT 36 PINS...

Kontakt-oberfläche	Abmessungen Zoll (mm) A	B	Digi-Key Teilenr.	Preisangaben 1	10	100	Sullins Teilenr.
			Einreihig gerade (36 Pins)				
	.230 (5.84)	.120 (3.05)	S1012-36-ND	.87	7.77	64.00	PTC36SAAN
	.230 (5.84)	.230 (5.84)	S1022-36-ND	1.50	13.38	110.23	PTC36SABN
	.230 (5.84)	.320 (8.13)	S1032-36-ND	1.62	14.47	119.12	PTC36SACN
	.230 (5.84)	.420 (10.67)	S1042-36-ND	1.76	15.76	129.78	PTC36SADN
	.230 (5.84)	.520 (13.21)	S1052-36-ND	1.88	16.84	138.67	PTC36SAEN
	.230 (5.84)	.620 (15.75)	S1062-36-ND	2.34	20.94	172.45	PTC36SAFN
Zinn	.230 (5.84)	.720 (18.29)	S1072-36-ND	2.49	22.24	183.12	PTC36SAGN
	.230 (5.84)	.820 (20.83)	S1082-36-ND	2.63	23.54	193.79	PTC36SAHN
	.318 (8.08)	.120 (3.05)	S1212-36-ND	1.08	9.72	80.00	PTC36SFAN
	.318 (8.08)	.220 (5.59)	S1222-36-ND	1.79	15.98	131.56	PTC36SFBN
	.318 (8.08)	.320 (8.13)	S1232-36-ND	1.93	17.27	142.23	PTC36SFCN
	.318 (8.08)	.420 (10.67)	S1242-36-ND	2.07	18.57	152.90	PTC36SFDN
	.318 (8.08)	.520 (13.21)	S1252-36-ND	2.80	25.04	206.23	PTC36SFEN
	.120 (3.05)	.120 (3.05)	S1083-36-ND	3.77	—	—	PXC36SZAN
	.230 (5.84)	.120 (3.05)	S1053-36-ND	1.23	11.01	90.67	PXC36SAAN
	.230 (5.84)	.120 (3.05)	S1011-36-ND	1.08	9.72	80.00	PZC36SAAN
	.230 (5.84)	.230 (5.84)	S1021-36-ND	1.81	16.20	133.34	PZC36SABN
	.230 (5.84)	.320 (8.13)	S1031-36-ND	1.96	17.49	144.01	PZC36SACN
	.230 (5.84)	.420 (10.67)	S1041-36-ND	2.07	18.57	152.90	PZC36SADN
	.230 (5.84)	.520 (13.21)	S1051-36-ND	2.22	19.86	163.56	PZC36SAEN
	.230 (5.84)	.620 (15.75)	S1061-36-ND	2.70	24.18	199.12	PZC36SAFN
Gold	.230 (5.84)	.720 (18.29)	S1071-36-ND	2.84	25.47	209.79	PZC36SAGN
	.230 (5.84)	.820 (20.83)	S1081-36-ND	2.99	26.77	220.45	PZC36SAHN
	.318 (8.08)	.120 (3.05)	S1063-36-ND	2.12	—	—	PXC36SFAN
	.318 (8.08)	.120 (3.05)	S1211-36-ND	1.37	12.31	101.34	PZC36SFAN
	.318 (8.08)	.220 (5.59)	S1073-36-ND	2.41	21.59	177.79	PXC36SFBN
	.318 (8.08)	.220 (5.59)	S1221-36-ND	2.19	19.65	161.79	PZC36SFBN
	.318 (8.08)	.320 (8.13)	S1231-36-ND	2.34	20.94	172.45	PZC36SFCN
	.318 (8.08)	.420 (10.67)	S1241-36-ND	2.49	22.24	183.12	PZC36SFDN
	.318 (8.08)	.520 (13.21)	S1251-36-ND	3.26	29.15	240.01	PZC36SFEN
			Einreihig rechtwinklig (36 Pins)				
	.230 (5.84)	.100 (2.54)	S1112-36-ND	1.28	11.45	94.23	PTC36SBAN
	.230 (5.84)	.200 (5.08)	S1122-36-ND	1.64	14.68	120.89	PTC36SBBN
	.230 (5.84)	.300 (7.62)	S1132-36-ND	2.36	21.16	174.23	PTC36SBCN
Zinn	.230 (5.84)	.400 (10.16)	S1142-36-ND	3.18	28.50	234.68	PTC36SBDN
	.230 (5.84)	.500 (12.70)	S1152-36-ND	3.40	30.44	250.68	PTC36SBEN
	.318 (8.08)	.100 (2.54)	S1312-36-ND	1.64	14.68	120.89	PTC36SGAN
	.318 (8.08)	.200 (5.08)	S1322-36-ND	2.95	26.34	216.90	PTC36SGBN
	.230 (5.84)	.100 (2.54)	S1153-36-ND	2.70	—	—	PXC36SBAN
	.230 (5.84)	.100 (2.54)	S1111-36-ND	1.54	13.82	113.78	PZC36SBAN
	.230 (5.84)	.200 (5.08)	S1121-36-ND	1.93	17.27	142.23	PZC36SBBN
	.230 (5.84)	.300 (7.62)	S1131-36-ND	2.73	24.40	200.90	PZC36SBCN
Gold	.230 (5.84)	.400 (10.16)	S1141-36-ND	3.60	32.17	264.90	PZC36SBDN
	.230 (5.84)	.500 (12.70)	S1151-36-ND	3.81	34.11	280.90	PZC36SBEN
	.318 (8.08)	.100 (2.54)	S1311-36-ND	1.98	17.70	145.78	PZC36SGAN
	.318 (8.08)	.200 (5.08)	S1321-36-ND	3.40	30.44	250.68	PZC36SGBN
			Zweireihig gerade (72 Pins)				
	.230 (5.84)	.120 (3.05)	S2012-36-ND	1.57	14.04	115.56	PTC36DAAN
	.230 (5.84)	.230 (5.84)	S2022-36-ND	2.34	20.94	172.45	PTC36DABN
	.230 (5.84)	.320 (8.13)	S2032-36-ND	3.35	30.01	247.12	PTC36DACN
	.230 (5.84)	.420 (10.67)	S2042-36-ND	3.64	32.60	268.46	PTC36DADN
	.230 (5.84)	.520 (13.21)	S2052-36-ND	3.94	35.19	289.79	PTC36DAEN
	.230 (5.84)	.620 (15.75)	S2062-36-ND	5.05	45.12	371.57	PTC36DAFN
Zinn	.230 (5.84)	.720 (18.29)	S2072-36-ND	5.36	47.93	394.68	PTC36DAGN
	.230 (5.84)	.820 (20.83)	S2082-36-ND	5.67	50.74	417.80	PTC36DAHN
	.318 (8.08)	.120 (3.05)	S2212-36-ND	1.98	17.70	145.78	PTC36DFAN
	.318 (8.08)	.220 (5.59)	S2222-36-ND	3.09	27.63	227.57	PTC36DFBN
	.318 (8.08)	.320 (8.13)	S2232-36-ND	3.38	30.22	248.90	PTC36DFCN
	.318 (8.08)	.420 (10.67)	S2242-36-ND	3.67	32.81	270.23	PTC36DFDN
	.318 (8.08)	.520 (13.21)	S2252-36-ND	4.73	42.31	348.46	PTC36DFEN
	.120 (3.05)	.120 (3.05)	S2411-36-ND	4.03	36.06	296.90	PZC36DZAN
	.230 (5.84)	.120 (3.05)	S2371-36-ND	2.29	20.51	168.90	PXC36DAAN
	.230 (5.84)	.120 (3.05)	S2011-36-ND	2.01	17.92	147.56	PZC36DAAN
	.230 (5.84)	.230 (5.84)	S2021-36-ND	2.95	26.34	216.90	PZC36DABN
	.230 (5.84)	.320 (8.13)	S2031-36-ND	4.08	36.49	300.46	PZC36DACN
	.230 (5.84)	.420 (10.67)	S2041-36-ND	4.37	39.08	321.79	PZC36DADN
	.230 (5.84)	.520 (13.21)	S2051-36-ND	4.66	41.67	343.13	PZC36DAEN
	.230 (5.84)	.620 (15.75)	S2061-36-ND	5.84	52.24	430.24	PZC36DAFN
Gold	.230 (5.84)	.720 (18.29)	S2071-36-ND	6.15	55.05	453.35	PZC36DAGN
	.230 (5.84)	.820 (20.83)	S2081-36-ND	6.49	58.08	478.24	PZC36DAHN
	.318 (8.08)	.120 (3.05)	S2381-36-ND	2.90	25.91	213.34	PXC36DFAN
	.318 (8.08)	.120 (3.05)	S2211-36-ND	2.56	22.88	188.45	PZC36DFAN
	.318 (8.08)	.220 (5.59)	S2391-36-ND	4.34	38.86	320.01	PXC36DFBN
	.318 (8.08)	.220 (5.59)	S2221-36-ND	3.91	34.97	288.01	PZC36DFBN
	.318 (8.08)	.320 (8.13)	S2231-36-ND	4.20	37.56	309.35	PZC36DFCN
	.318 (8.08)	.420 (10.67)	S2241-36-ND	4.49	40.15	330.68	PZC36DFDN
	.318 (8.08)	.520 (13.21)	S2251-36-ND	5.65	50.52	416.02	PZC36DFEN
			Zweireihig rechwinklig (72 Pins)				
	.230 (5.84)	.100 (2.54)	S2112-36-ND	2.36	21.16	174.23	PTC36DBAN
	.230 (5.84)	.200 (5.08)	S2122-36-ND	3.43	30.66	252.46	PTC36DBBN
	.230 (5.84)	.300 (7.62)	S2132-36-ND	5.16	46.20	380.46	PTC36DBCN
Zinn	.230 (5.84)	.400 (10.16)	S2142-36-ND	5.67	50.74	417.80	PTC36DBDN
	.230 (5.84)	.500 (12.70)	S2152-36-ND	6.18	55.27	455.13	PTC36DBEN
	.318 (8.08)	.100 (2.54)	S2312-36-ND	4.51	40.37	332.46	PTC36DGAN
	.318 (8.08)	.200 (5.08)	S2322-36-ND	5.57	49.87	410.69	PTC36DGBN
	.230 (5.84)	.100 (2.54)	S2421-36-ND	4.77	—	—	PXC36DBAN
	.230 (5.84)	.100 (2.54)	S2111-36-ND	2.90	25.91	213.34	PZC36DBAN
	.230 (5.84)	.200 (5.08)	S2121-36-ND	4.06	36.27	298.68	PZC36DBBN
	.230 (5.84)	.300 (7.62)	S2131-36-ND	5.99	53.54	440.91	PZC36DBCN
Gold	.230 (5.84)	.400 (10.16)	S2141-36-ND	6.47	57.86	476.47	PZC36DBDN
	.230 (5.84)	.500 (12.70)	S2151-36-ND	6.98	62.39	513.80	PZC36DBEN
	.318 (8.08)	.100 (2.54)	S2311-36-ND	5.33	47.71	392.91	PZC36DGAN
	.318 (8.08)	.200 (5.08)	S2321-36-ND	6.49	58.08	478.24	PZC36DGBN
			Kurzschlussbrücken				
Zinn Au Flash Gold	.100 .256 Open End		S9000-ND	—	.79	—	STC02SYAN
			S9001-ND	—	.98	—	SPC02SYAN
			S9002-ND	—	1.11	—	SSC02SYAN

ZUM KAUF EINER BENUTZERSPEZIFISCHEN STECKLEISTE...

SCHRITT 1 Digi-Key Teilenr.	SCHRITT 2 Grundpreis	SCHRITT 3 Pin-Ergänzung
Einreihig gerade (36 Pins)		
S1012-XX-ND	.331	.017
S1022-XX-ND	.703	.026
S1032-XX-ND	.830	.026
S1042-XX-ND	.686	.034
S1052-XX-ND	.813	.034
S1062-XX-ND	.999	.043
S1072-XX-ND	1.169	.043
S1082-XX-ND	1.016	.051
S1212-XX-ND	.559	.017
S1222-XX-ND	.712	.034
S1232-XX-ND	.864	.034
S1242-XX-ND	1.025	.034
S1252-XX-ND	1.194	.051
S1083-XX-ND	1.321	.034
S1053-XX-ND	.712	.017
S1011-XX-ND	.559	.017
S1021-XX-ND	.737	.034
S1031-XX-ND	.889	.034
S1041-XX-ND	1.025	.034
S1051-XX-ND	.872	.043
S1061-XX-ND	1.093	.051
S1071-XX-ND	1.245	.051
S1081-XX-ND	1.397	.051
S1063-XX-ND	.745	.026
S1211-XX-ND	.568	.026
S1073-XX-ND	1.076	.043
S1221-XX-ND	.847	.043
S1231-XX-ND	.999	.043
S1241-XX-ND	1.169	.043
S1251-XX-ND	1.389	.060
Einreihig rechtwinklig (36 Pins)		
S1112-XX-ND	.466	.026
S1122-XX-ND	.559	.034
S1132-XX-ND	1.025	.043
S1142-XX-ND	1.304	.060
S1152-XX-ND	1.541	.060
S1312-XX-ND	.559	.034
S1322-XX-ND	1.355	.051
S1153-XX-ND	.949	.026
S1111-XX-ND	.754	.026
S1121-XX-ND	.864	.034
S1131-XX-ND	1.118	.051
S1141-XX-ND	1.448	.068
S1151-XX-ND	1.677	.068
S1311-XX-ND	.923	.034
S1321-XX-ND	1.541	.060
Zweireihig gerade (72 Pins)		
S2012-XX-ND	.779	.026
S2022-XX-ND	.999	.043
S2032-XX-ND	1.490	.060
S2042-XX-ND	1.490	.068
S2052-XX-ND	1.812	.068
S2062-XX-ND	2.100	.094
S2072-XX-ND	2.134	.102
S2082-XX-ND	2.472	.102
S2212-XX-ND	.923	.034
S2222-XX-ND	1.203	.060
S2232-XX-ND	1.516	.060
S2242-XX-ND	1.524	.068
S2252-XX-ND	2.066	.085
S2411-XX-ND	1.905	.068
S2371-XX-ND	1.245	.034
S2011-XX-ND	.949	.034
S2021-XX-ND	1.355	.051
S2031-XX-ND	1.668	.077
S2041-XX-ND	1.973	.077
S2051-XX-ND	1.981	.085
S2061-XX-ND	2.345	.110
S2071-XX-ND	2.684	.110
S2081-XX-ND	2.743	.119
S2381-XX-ND	1.296	.051
S2211-XX-ND	1.236	.043
S2391-XX-ND	2.235	.068
S2221-XX-ND	1.787	.068
S2231-XX-ND	1.795	.077
S2241-XX-ND	1.795	.085
S2251-XX-ND	2.439	.102
Zweireihig rechwinklig (72 Pins)		
S2112-XX-ND	1.025	.043
S2122-XX-ND	1.567	.060
S2132-XX-ND	2.227	.094
S2142-XX-ND	2.472	.102
S2152-XX-ND	2.710	.110
S2312-XX-ND	1.829	.085
S2322-XX-ND	2.362	.102
S2421-XX-ND	1.677	.051
S2111-XX-ND	1.296	.051
S2121-XX-ND	1.634	.077
S2131-XX-ND	2.506	.110
S2141-XX-ND	2.718	.119
S2151-XX-ND	2.964	.127
S2311-XX-ND	2.405	.094
S2321-XX-ND	2.743	.119

HINWEIS: Die berechneten Preise können je nach Wechselkurs schwanken.

UND SO WIRD BESTELLT: 4 EINFACHE SCHRITTE

Wie kann ich eine S1012-Steckleiste mit 16 Pins bestellen? Rufen Sie bei Digi-Key an, um Preisinformationen zu erhalten, oder ermitteln Sie die Kosten selbst.

S □□□□ - □□ - ND

Teilenummer des Grundteils — Anzahl der gewünschten Pins pro Reihe

Schritt 1. Benötigte „Digi-Key Teilenr." und Anzahl der gewünschten Pins auswählen.

Schritt 2. Den „Grundpreis" für die gewählte Teilenr. ermitteln (siehe Tabelle).

Schritt 3. Mit der gewünschten Pin-Zahl (siehe „Pin-Ergänzung") der gewählten Teilenr. (siehe Tabelle) multiplizieren

Schritt 4. Schritt 2 und 3 addieren, um Endpreis zu ermitteln!

	Unser Beispiel:	*Ihre Digi-Key Teilenummer*
Schritt 1.	S1012-16-ND	S ___ ___ ___ - ___ -ND
Schritt 2.	.39	____
Schritt 3.	16 x .02 = .32	____ x ____ = ____
Schritt 4.	Ihre Kosten = .71	Ihre Kosten = ____

***HINWEIS:* Für Mengen von 10 oder mehr Digi-Key anrufen.**

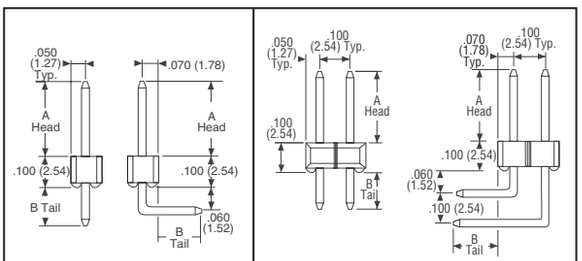

Einreihig, gerade | **Einreihig, rechtwinklig** | **Zweireihig, gerade** | **Zweireihig, rechtwinklig**

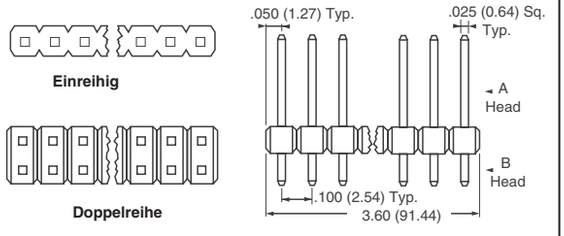

0,100" KK® und 0,100" C-Grid® Breakaway-Steckleisten

Abb. 1— KK® Breakaway-Steckleiste, rechtwinklig

Merkmale: • 250 V • 4,0 A • Kontaktwiderstand: Max. 20 mΩ • Dielektrische Haltespannung: 1.500 V • Isolationswiderstand: Min. 50 K MΩ • Gehäuse: Glasgefülltes Nylon, UL94V-0 • Kontakt: Phosphorbronze, 0,64 mm (0.025") quadratisch • Temperaturbereich: 0 °C ~ 75 °C • UL-Eintragungsnr.: E29179 • CSA-Eintragungsnr.: LR19980

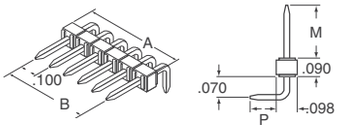

Mating End M (Inch)	PC Tail P (Inch)	Part No.
.244	.120	22-28-8XX0* 22-28-8XX2*
.324	.120	22-28-8XX1* 22-28-8XX3*

*Replace XX with no. of circuits, 02-36.

Abb. 2— KK® Breakaway-Steckleiste - Vertikal

Merkmale: • 250 V • 4,0 A • Kontaktwiderstand: Max. 20 mΩ • Dielektrische Haltespannung: 1.500 V • Isolationswiderstand: Min. 50 K MΩ • Gehäuse: Glasgefülltes Nylon, UL94V-0 • Kontakt: Phosphorbronze, 0,64 mm (0.025") quadratisch • Temperaturbereich: 0 °C ~ 75 °C • UL-Eintragungsnr.: E29179 • CSA-Eintragungsnr.: LR19980

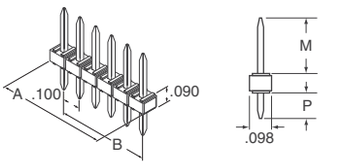

Mating End M (Inch)	PC Tail P (Inch)	Part No.
.240	.125	22-28-4XX0* 22-28-4XX3*
.320	.130	22-28-4XX1* 22-28-4XX4*

*Replace XX with no. of circuits, 02-36.

Abb. 3 — 0,100" KK® Breakaway-Steckleiste – einreihig, ungeschirmt, SMT, vertikal"

Merkmale: • 250 V • 3,0 A • Kontaktwiderstand: Max. 30 mΩ • Haltespannung: 1.500 V AC • Isolationswiderstand: Min. 50.000 MΩ • Gehäuse: PA Polyamid (Nylon), Hochtemperatur • Kontakte: Phosphorbronze • Temperaturbereich: 0 °C ~ 75 °C • UL94V-0

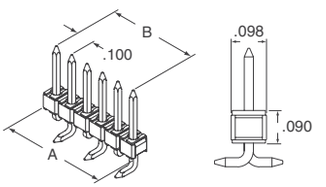

Abb. 4— C-Grid® Breakaway-Steckleiste, zweireihig, vertikal

Merkmale: • 250 V • 3,0 A • Kontaktwiderstand: Max. 15 mΩ • Dielektrische Haltespannung: 600 V • Isolationswiderstand: Min. 1.000 MΩ • Gehäuse: Glasgefülltes Polyester, UL94V-0 • Kontakte: Phosphorbronze • Temperaturbereich: -40 °C ~ 105 °C • UL-Eintragungsnr.: E29179 (G) • CSA-Eintragungsnr.: LR19980A

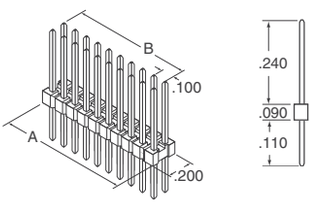

Abb. 5— C-Grid® Breakaway-Steckleiste, Niedrigprofil, zweireihig, rechtwinklig

Merkmale: • 250 V • 3,0 A • Kontaktwiderstand: Max. 15 mΩ • Dielektrische Haltespannung: 600 V • Isolationswiderstand: Min. 1.000 MΩ • Gehäuse: Glasgefülltes Polyester, UL94V-0 • Kontakte: Phosphorbronze • Temperaturbereich: -40 °C ~ 105 °C • UL-Eintragungsnr.: E29179 (H)

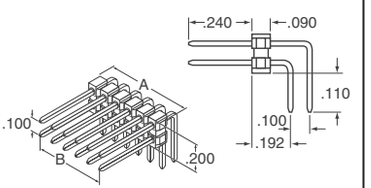

Abb. 6— C-Grid® Breakaway-Steckleiste, zweireihig, SMT, vertikal

Merkmale: • 250 V • 3,0 A • Kontaktwiderstand: Max. 15 mΩ • Dielektrische Haltespannung: 1.500 V • Isolationswiderstand: Min. 1.000 MΩ • Gehäuse: Thermoplast für Hochtemperatur, UL94V-0 • Kontakte: Phosphorbronze • Betriebstemperatur: -40 °C ~ 105 °C • UL-Eintragungsnr.: E29179 (H) • CSA-Eintragungsnr.: LR19980A

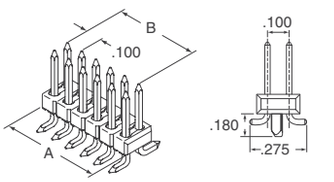

Schaltkreise	Abm. (Zoll) A	Abm. (Zoll) B	Digi-Key Teilenr.	Stückpreis 1	Stückpreis 10	Stückpreis 100	Molex Teilenr.
0,100" KK® Breakaway-Steckleiste							
Abb. 1 - Einreihig, rechtwinklig - verzinnt							
2	.200	.100	WM6002-ND	.30	.27	.18	22-28-8020
3	.300	.200	WM6003-ND	.36	.32	.21	22-28-8030
4	.400	.300	WM6004-ND	.41	.37	.25	22-28-8040
5	.500	.400	WM6005-ND	.47	.42	.28	22-28-8050
6	.600	.500	WM6006-ND	.53	.47	.32	22-28-8060
7	.700	.600	WM6007-ND	.59	.53	.35	22-28-8070
8	.800	.700	WM6008-ND	.65	.58	.39	22-28-8080
9	.900	.800	WM6009-ND	.71	.63	.42	22-28-8090
10	1.000	.900	WM6010-ND	.77	.68	.46	22-28-8100
11	1.100	1.000	WM6011-ND	.83	.73	.49	22-28-8110
12	1.200	1.100	WM6012-ND	.89	.79	.53	22-28-8120
14	1.400	1.300	WM6014-ND	1.00	.89	.60	22-28-8140
16	1.600	1.500	WM6016-ND	1.12	.99	.66	22-28-8160
18	1.800	1.700	WM6018-ND	1.24	1.10	.73	22-28-8180
20	2.000	1.900	WM6020-ND	1.35	1.20	.80	22-28-8200
22	2.200	2.100	WM6022-ND	1.47	1.30	.87	22-28-8220
24	2.400	2.300	WM6024-ND	1.59	1.41	.94	22-28-8240
26	2.600	2.500	WM6026-ND	1.71	1.51	1.01	22-28-8260
28	2.800	2.700	WM6028-ND	1.83	1.62	1.08	22-28-8280
30	3.000	2.900	WM6030-ND	1.95	1.72	1.15	22-28-8300
32	3.200	3.100	WM6032-ND	2.06	1.82	1.22	22-28-8320
34	3.400	3.300	WM6034-ND	2.18	1.93	1.29	22-28-8340
36	3.600	3.500	WM6036-ND	2.29	2.03	1.36	22-28-8360
Abb. 1 - Einreihig, rechtwinklig - 15 µ teilvergoldet							
2	.200	.100	WM6102-ND	.33	.29	.20	22-28-8022
3	.300	.200	WM6103-ND	.40	.36	.24	22-28-8032
4	.400	.300	WM6104-ND	.47	.42	.28	22-28-8042
5	.500	.400	WM6105-ND	.54	.49	.33	22-28-8052
6	.600	.500	WM6106-ND	.62	.55	.37	22-28-8062
7	.700	.600	WM6107-ND	.69	.61	.41	22-28-8072
8	.800	.700	WM6108-ND	.76	.68	.45	22-28-8082
9	.900	.800	WM6109-ND	.84	.74	.50	22-28-8092
10	1.000	.900	WM6110-ND	.91	.81	.54	22-28-8102
11	1.100	1.000	WM6111-ND	.98	.87	.58	22-28-8112
12	1.200	1.100	WM6112-ND	1.06	.94	.63	22-28-8122
14	1.400	1.300	WM6114-ND	1.20	1.07	.71	22-28-8142
16	1.600	1.500	WM6116-ND	1.35	1.20	.80	22-28-8162
18	1.800	1.700	WM6118-ND	1.50	1.32	.88	22-28-8182
20	2.000	1.900	WM6120-ND	1.64	1.45	.97	22-28-8202
22	2.200	2.100	WM6122-ND	1.79	1.58	1.06	22-28-8222
24	2.400	2.300	WM6124-ND	1.94	1.71	1.14	22-28-8242
26	2.600	2.500	WM6126-ND	2.08	1.84	1.23	22-28-8262
28	2.800	2.700	WM6128-ND	2.23	1.97	1.31	22-28-8282
30	3.000	2.900	WM6130-ND	2.37	2.10	1.40	22-28-8302
32	3.200	3.100	WM6132-ND	2.52	2.23	1.49	22-28-8322
34	3.400	3.300	WM6134-ND	2.67	2.36	1.57	22-28-8342
36	3.600	3.500	WM6136-ND	2.81	2.49	1.66	22-28-8362
Abb. 1 - Einreihig, rechtwinklig - verzinnt							
2	.200	.100	WM6202-ND	.30	.27	.18	22-28-8021
3	.300	.200	WM6203-ND	.36	.32	.21	22-28-8031
4	.400	.300	WM6204-ND	.41	.37	.25	22-28-8041
5	.500	.400	WM6205-ND	.47	.42	.28	22-28-8051
6	.600	.500	WM6206-ND	.53	.47	.32	22-28-8061
7	.700	.600	WM6207-ND	.59	.53	.35	22-28-8071
8	.800	.700	WM6208-ND	.65	.58	.39	22-28-8081
9	.900	.800	WM6209-ND	.71	.63	.42	22-28-8091
10	1.000	.900	WM6210-ND	.77	.68	.46	22-28-8101
11	1.100	1.000	WM6211-ND	.83	.73	.49	22-28-8111
12	1.200	1.100	WM6212-ND	.89	.79	.53	22-28-8121
14	1.400	1.300	WM6214-ND	1.00	.89	.60	22-28-8141
16	1.600	1.500	WM6216-ND	1.12	.99	.66	22-28-8161
18	1.800	1.700	WM6218-ND	1.24	1.10	.73	22-28-8181
20	2.000	1.900	WM6220-ND	1.35	1.20	.80	22-28-8201
22	2.200	2.100	WM6222-ND	1.47	1.30	.87	22-28-8221
24	2.400	2.300	WM6224-ND	1.59	1.41	.94	22-28-8241
26	2.600	2.500	WM6226-ND	1.71	1.51	1.01	22-28-8261
28	2.800	2.700	WM6228-ND	1.83	1.62	1.08	22-28-8281
30	3.000	2.900	WM6230-ND	1.95	1.72	1.15	22-28-8301
32	3.200	3.100	WM6232-ND	2.06	1.82	1.22	22-28-8321
34	3.400	3.300	WM6234-ND	2.18	1.93	1.29	22-28-8341
36	3.600	3.500	WM6236-ND	2.29	2.03	1.36	22-28-8361
Abb. 1 - Einreihig, rechtwinklig - 15 µ teilvergoldet							
2	.200	.100	WM6302-ND	.33	.29	.20	22-28-8023
3	.300	.200	WM6303-ND	.40	.36	.24	22-28-8033
4	.400	.300	WM6304-ND	.47	.42	.28	22-28-8043
5	.500	.400	WM6305-ND	.54	.49	.33	22-28-8053
6	.600	.500	WM6306-ND	.62	.55	.37	22-28-8063
7	.700	.600	WM6307-ND	.69	.61	.41	22-28-8073
8	.800	.700	WM6308-ND	.76	.68	.45	22-28-8083
9	.900	.800	WM6309-ND	.84	.74	.50	22-28-8093
10	1.000	.900	WM6310-ND	.91	.81	.54	22-28-8103
11	1.100	1.000	WM6311-ND	.98	.87	.58	22-28-8113
12	1.200	1.100	WM6312-ND	1.06	.94	.63	22-28-8123
14	1.400	1.300	WM6314-ND	1.20	1.07	.71	22-28-8143
16	1.600	1.500	WM6316-ND	1.35	1.20	.80	22-28-8163
18	1.800	1.700	WM6318-ND	1.50	1.32	.88	22-28-8183
20	2.000	1.900	WM6320-ND	1.64	1.45	.97	22-28-8203
22	2.200	2.100	WM6322-ND	1.79	1.58	1.06	22-28-8223
24	2.400	2.300	WM6324-ND	1.94	1.71	1.14	22-28-8243
26	2.600	2.500	WM6326-ND	2.08	1.84	1.23	22-28-8263
28	2.800	2.700	WM6328-ND	2.23	1.97	1.31	22-28-8283
30	3.000	2.900	WM6330-ND	2.37	2.10	1.40	22-28-8303
32	3.200	3.100	WM6332-ND	2.52	2.23	1.49	22-28-8323
34	3.400	3.300	WM6334-ND	2.67	2.36	1.57	22-28-8343
36	3.600	3.500	WM6336-ND	2.81	2.49	1.66	22-28-8363
Abb. 2 - Einreihig, vertikal - verzinnt							
2	.200	.100	WM6402-ND	.25	.22	.15	22-28-4020
3	.300	.200	WM6403-ND	.28	.25	.17	22-28-4030
4	.400	.300	WM6404-ND	.31	.28	.19	22-28-4040
5	.500	.400	WM6405-ND	.35	.31	.21	22-28-4050
6	.600	.500	WM6406-ND	.38	.34	.23	22-28-4060
7	.700	.600	WM6407-ND	.41	.37	.25	22-28-4070
8	.800	.700	WM6408-ND	.45	.40	.27	22-28-4080
9	.900	.800	WM6409-ND	.48	.43	.29	22-28-4090
10	1.000	.900	WM6410-ND	.52	.46	.31	22-28-4100
11	1.100	1.000	WM6411-ND	.54	.49	.33	22-28-4110
12	1.200	1.100	WM6412-ND	.58	.52	.35	22-28-4120
14	1.400	1.300	WM6414-ND	.64	.57	.38	22-28-4140
16	1.600	1.500	WM6416-ND	.71	.63	.42	22-28-4160
18	1.800	1.700	WM6418-ND	.78	.69	.46	22-28-4180
20	2.000	1.900	WM6420-ND	.85	.75	.50	22-28-4200
22	2.200	2.100	WM6422-ND	.91	.81	.54	22-28-4220
24	2.400	2.300	WM6424-ND	.98	.87	.58	22-28-4240
26	2.600	2.500	WM6426-ND	1.04	.93	.62	22-28-4260
28	2.800	2.700	WM6428-ND	1.11	.98	.66	22-28-4280
30	3.000	2.900	WM6430-ND	1.18	1.04	.70	22-28-4300
32	3.200	3.100	WM6432-ND	1.24	1.10	.74	22-28-4320
34	3.400	3.300	WM6434-ND	1.31	1.16	.78	22-28-4340
36	3.600	3.500	WM6436-ND	1.38	1.22	.81	22-28-4360
Abb. 2 - Einreihig, vertikal - 15 µ teilvergoldet							
2	.200	.100	WM6502-ND	.27	.24	.16	22-28-4023
3	.300	.200	WM6503-ND	.32	.28	.19	22-28-4033
4	.400	.300	WM6504-ND	.36	.33	.22	22-28-4043
5	.500	.400	WM6505-ND	.41	.37	.25	22-28-4053
6	.600	.500	WM6506-ND	.46	.41	.27	22-28-4063
7	.700	.600	WM6507-ND	.50	.45	.30	22-28-4073
8	.800	.700	WM6508-ND	.55	.49	.33	22-28-4083
9	.900	.800	WM6509-ND	.59	.53	.35	22-28-4093
10	1.000	.900	WM6510-ND	.64	.57	.38	22-28-4103
11	1.100	1.000	WM6511-ND	.69	.61	.41	22-28-4113
Abb. 2 - Einreihig, vertikal - 15 µ teilvergoldet							
12	1.200	1.100	WM6512-ND	.73	.65	.44	22-28-4123
14	1.400	1.300	WM6514-ND	.82	.73	.49	22-28-4143
16	1.600	1.500	WM6516-ND	.91	.81	.54	22-28-4163
18	1.800	1.700	WM6518-ND	1.01	.89	.60	22-28-4183
20	2.000	1.900	WM6520-ND	1.10	.98	.65	22-28-4203
22	2.200	2.100	WM6522-ND	1.19	1.06	.71	22-28-4223
24	2.400	2.300	WM6524-ND	1.29	1.14	.76	22-28-4243
26	2.600	2.500	WM6526-ND	1.38	1.22	.81	22-28-4263
28	2.800	2.700	WM6528-ND	1.46	1.30	.87	22-28-4283
30	3.000	2.900	WM6530-ND	1.56	1.38	.92	22-28-4303
32	3.200	3.100	WM6532-ND	1.65	1.46	.98	22-28-4323
34	3.400	3.300	WM6534-ND	1.74	1.54	1.03	22-28-4343
36	3.600	3.500	WM6536-ND	1.84	1.62	1.09	22-28-4363
Abb. 2 - Einreihig, vertikal - verzinnt							
2	.200	.100	WM6602-ND	.27	.24	.16	22-28-4021
3	.300	.200	WM6603-ND	.32	.28	.19	22-28-4031
4	.400	.300	WM6604-ND	.36	.33	.22	22-28-4041
5	.500	.400	WM6605-ND	.41	.37	.25	22-28-4051
6	.600	.500	WM6606-ND	.46	.41	.27	22-28-4061
7	.700	.600	WM6607-ND	.50	.45	.30	22-28-4071
8	.800	.700	WM6608-ND	.55	.49	.33	22-28-4081
9	.900	.800	WM6609-ND	.59	.53	.35	22-28-4091
10	1.000	.900	WM6610-ND	.64	.57	.38	22-28-4101
11	1.100	1.000	WM6611-ND	.69	.61	.41	22-28-4111
12	1.200	1.100	WM6612-ND	.73	.65	.44	22-28-4121
14	1.400	1.300	WM6614-ND	.82	.73	.49	22-28-4141
18	1.800	1.700	WM6618-ND	1.01	.89	.60	22-28-4181
20	2.000	1.900	WM6620-ND	1.10	.98	.65	22-28-4201
22	2.200	2.100	WM6622-ND	1.19	1.06	.71	22-28-4221
24	2.400	2.300	WM6624-ND	1.29	1.14	.76	22-28-4241
26	2.600	2.500	WM6626-ND	1.38	1.22	.81	22-28-4261
28	2.800	2.700	WM6628-ND	1.46	1.30	.87	22-28-4281
30	3.000	2.900	WM6630-ND	1.56	1.38	.92	22-28-4301
32	3.200	3.100	WM6632-ND	1.65	1.46	.98	22-28-4321
34	3.400	3.300	WM6634-ND	1.74	1.54	1.03	22-28-4341
36	3.600	3.500	WM6636-ND	1.84	1.62	1.09	22-28-4361
Abb. 2 - Einreihig, vertikal - 15 µ teilvergoldet							
2	.200	.100	WM6702-ND	.30	.26	.18	22-28-4024
3	.300	.200	WM6703-ND	.35	.31	.21	22-28-4034
4	.400	.300	WM6704-ND	.41	.37	.25	22-28-4044
5	.500	.400	WM6705-ND	.47	.42	.28	22-28-4054
6	.600	.500	WM6706-ND	.52	.47	.31	22-28-4064
7	.700	.600	WM6707-ND	.58	.52	.35	22-28-4074
8	.800	.700	WM6708-ND	.63	.57	.38	22-28-4084
9	.900	.800	WM6709-ND	.69	.62	.41	22-28-4094
10	1.000	.900	WM6710-ND	.75	.67	.45	22-28-4104
11	1.100	1.000	WM6711-ND	.80	.72	.48	22-28-4114
12	1.200	1.100	WM6712-ND	.86	.77	.51	22-28-4124
14	1.400	1.300	WM6714-ND	.98	.87	.58	22-28-4144
16	1.600	1.500	WM6716-ND	1.09	.97	.65	22-28-4164
18	1.800	1.700	WM6718-ND	1.21	1.07	.72	22-28-4184
20	2.000	1.900	WM6720-ND	1.32	1.17	.78	22-28-4204
22	2.200	2.100	WM6722-ND	1.44	1.27	.85	22-28-4224
24	2.400	2.300	WM6724-ND	1.55	1.37	.92	22-28-4244
26	2.600	2.500	WM6726-ND	1.67	1.47	.98	22-28-4264
28	2.800	2.700	WM6728-ND	1.78	1.57	1.05	22-28-4284
30	3.000	2.900	WM6730-ND	1.90	1.67	1.12	22-28-4304
32	3.200	3.100	WM6732-ND	2.01	1.78	1.19	22-28-4324
34	3.400	3.300	WM6734-ND	2.12	1.88	1.25	22-28-4344
36	3.600	3.500	WM6736-ND	2.24	1.98	1.32	22-28-4364
Abb. 3 - Einreihig, vertikal - verzinnt							
2	.200	.100	WM17435-ND	.27	.24	.16	68301-1054
3	.300	.200	WM17436-ND	.39	.35	.23	68301-1014
4	.400	.300	WM17437-ND	.47	.42	.28	68301-1015
5	.500	.400	WM17438-ND	.59	.53	.35	68301-1016
6	.600	.500	WM17439-ND	.70	.63	.42	68301-1017

(Forts.)

Alle Preisangaben in Euro und inklusive Zollgebühren.

Schalt-kreise	Abm. (Zoll) A	B	Digi-Key Teilenr.	Stückpreis 1	10	100	Molex Teilenr.
7	.700	.600	WM17440-ND	.83	.74	.49	68301-1018
8	.800	.700	WM17441-ND	.97	.85	.57	68301-1019
Abb. 3 - Einreihig, vertikal - 15 µ teilvergoldet							
2	.200	.100	WM17442-ND	.32	.29	.20	68301-1055
3	.300	.200	WM17443-ND	.46	.40	.27	68301-1009
4	.400	.300	WM17444-ND	.58	.52	.35	68301-1010
5	.500	.400	WM17445-ND	.71	.63	.42	68301-1006
6	.600	.500	WM17446-ND	.83	.74	.49	68301-1011
7	.700	.600	WM17447-ND	.96	.85	.57	68301-1012
8	.800	.700	WM17448-ND	1.09	.97	.65	68301-1013
0,100" C-Grid® Breakaway-Steckleiste							
Abb. 4 - Zweireihig, vertikal - min. 15 µ teilvergoldet							
4	.190	.100	WM6804-ND	.37	.34	.23	10-89-1041
6	.290	.200	WM6806-ND	.47	.42	.28	10-89-1061
8	.390	.300	WM6808-ND	.58	.51	.34	10-89-1081
10	.490	.400	WM6810-ND	.67	.60	.40	10-89-1101
12	.590	.500	WM6812-ND	.77	.68	.46	10-89-1121
14	.690	.600	WM6814-ND	.87	.77	.52	10-89-1141
16	.790	.700	WM6816-ND	.97	.86	.57	10-89-1161
18	.890	.800	WM6818-ND	1.07	.94	.63	10-89-1181
20	.990	.900	WM6820-ND	1.16	1.03	.69	10-89-1201
22	1.090	1.000	WM6822-ND	1.26	1.12	.75	10-89-1221
24	1.190	1.100	WM6824-ND	1.36	1.20	.80	10-89-1241
26	1.290	1.200	WM6826-ND	1.46	1.29	.86	10-89-1261
28	1.390	1.300	WM6828-ND	1.56	1.38	.92	10-89-1281
30	1.490	1.400	WM6830-ND	1.65	1.46	.98	10-89-1301
32	1.590	1.500	WM6832-ND	1.75	1.55	1.04	10-89-1321
34	1.690	1.600	WM6834-ND	1.85	1.64	1.09	10-89-1341
36	1.790	1.700	WM6836-ND	1.95	1.72	1.15	10-89-1361
38	1.890	1.800	WM6838-ND	2.05	1.81	1.21	10-89-1381
40	1.990	1.900	WM6840-ND	2.14	1.90	1.27	10-89-1401
42	2.090	2.000	WM6842-ND	2.24	1.98	1.33	10-89-1421
44	2.190	2.100	WM6844-ND	2.35	2.07	1.38	10-89-1441
46	2.290	2.200	WM6846-ND	2.44	2.16	1.44	10-89-1461
48	2.390	2.300	WM6848-ND	2.54	2.25	1.50	10-89-1481
50	2.490	2.400	WM6850-ND	2.64	2.33	1.56	10-89-1501
52	2.590	2.500	WM6852-ND	2.73	2.42	1.61	10-89-1521
54	2.690	2.600	WM6854-ND	2.84	2.51	1.67	10-89-1541
56	2.790	2.700	WM6856-ND	2.93	2.59	1.73	10-89-1561
58	2.890	2.800	WM6858-ND	3.03	2.68	1.79	10-89-1581
60	2.990	2.900	WM6860-ND	3.13	2.77	1.85	10-89-1601
62	3.090	3.000	WM6862-ND	3.23	2.85	1.90	10-89-1621
64	3.190	3.100	WM6864-ND	3.33	2.94	1.96	10-89-1641
66	3.290	3.200	WM6866-ND	3.42	3.03	2.02	10-89-1661
68	3.390	3.300	WM6868-ND	3.52	3.11	2.08	10-89-1681
70	3.490	3.400	WM6870-ND	3.62	3.20	2.13	10-89-1701
72	3.590	3.500	WM6872-ND	3.72	3.29	2.19	10-89-1721
74	3.690	3.600	WM6874-ND	3.82	3.37	2.25	10-89-1741
76	3.790	3.700	WM6876-ND	3.92	3.46	2.31	10-89-1761
78	3.890	3.800	WM6878-ND	4.01	3.55	2.37	10-89-1781
80	3.990	3.900	WM6880-ND	4.11	3.63	2.42	10-89-1801
Abb. 4 - Zweireihig, vertikal, konforme Litze - min. 15 µ teilvergoldet							
4	.190	.100	WM7504-ND	.75	.67	.45	75102-0040
6	.290	.200	WM7506-ND	1.03	.92	.61	75102-0041
8	.390	.300	WM7508-ND	1.32	1.17	.78	75102-0042
10	.490	.400	WM7510-ND	1.61	1.42	.95	75102-0043
12	.590	.500	WM7512-ND	1.89	1.67	1.12	75102-0044
14	.690	.600	WM7514-ND	2.18	1.92	1.29	75102-0045
16	.790	.700	WM7516-ND	2.46	2.18	1.45	75102-0046
18	.890	.800	WM7518-ND	2.74	2.43	1.62	75102-0047
20	.990	.900	WM7520-ND	3.03	2.68	1.79	75102-0048
22	1.090	1.000	WM7522-ND	3.32	2.93	1.96	75102-0049
24	1.190	1.100	WM7524-ND	3.61	3.18	2.12	75102-0050
26	1.290	1.200	WM7526-ND	3.89	3.43	2.29	75102-0051
28	1.390	1.300	WM7528-ND	4.17	3.69	2.46	75102-0052
30	1.490	1.400	WM7530-ND	4.46	3.94	2.63	75102-0053
32	1.590	1.500	WM7532-ND	4.74	4.19	2.80	75102-0054
34	1.690	1.600	WM7534-ND	5.03	4.44	2.96	75102-0055
36	1.790	1.700	WM7536-ND	5.32	4.69	3.13	75102-0056
38	1.890	1.800	WM7538-ND	5.60	4.95	3.30	75102-0057
40	1.990	1.900	WM7540-ND	5.88	5.20	3.47	75102-0058
42	2.090	2.000	WM7542-ND	6.17	5.45	3.63	75102-0059
44	2.190	2.100	WM7544-ND	6.45	5.70	3.80	75102-0060
46	2.290	2.200	WM7546-ND	6.74	5.95	3.97	75102-0061
48	2.390	2.300	WM7548-ND	7.03	6.20	4.14	75102-0062
50	2.490	2.400	WM7550-ND	7.31	6.45	4.31	75102-0063
52	2.590	2.500	WM7552-ND	7.59	6.71	4.47	75102-0064
54	2.690	2.600	WM7554-ND	7.88	6.96	4.64	75102-0065
56	2.790	2.700	WM7556-ND	8.17	7.21	4.81	75102-0066
58	2.890	2.800	WM7558-ND	8.45	7.46	4.98	75102-0067
60	2.990	2.900	WM7560-ND	8.74	7.71	5.14	75102-0068
62	3.090	3.000	WM7562-ND	9.02	7.97	5.31	75102-0069
64	3.190	3.100	WM7564-ND	9.30	8.22	5.48	75102-0070
66	3.290	3.200	WM7566-ND	9.59	8.47	5.65	75102-0071
68	3.390	3.300	WM7568-ND	9.88	8.72	5.82	75102-0072
70	3.490	3.400	WM7570-ND	10.16	8.97	5.98	75102-0073
72	3.590	3.500	WM7572-ND	10.45	9.22	6.15	75102-0074
74	3.690	3.600	WM7574-ND	10.73	9.48	6.32	75102-0075
76	3.790	3.700	WM7576-ND	11.02	9.73	6.49	75102-0076
78	3.890	3.800	WM7578-ND	11.30	9.98	6.65	75102-0077
80	3.990	3.900	WM7580-ND	11.59	10.23	6.82	75102-0078
Abb. 4— Zweireihig, vertikal, 150 µ Zinn/Blei, Nickel insgesamt							
4	.190	.100	WM6904-ND	.36	.32	.21	10-88-1041
6	.290	.200	WM6906-ND	.44	.39	.26	10-88-1061
8	.390	.300	WM6908-ND	.52	.47	.31	10-88-1081
10	.490	.400	WM6910-ND	.61	.54	.36	10-88-1101
12	.590	.500	WM6912-ND	.69	.62	.42	10-88-1121
14	.690	.600	WM6914-ND	.79	.70	.47	10-88-1141
16	.790	.700	WM6916-ND	.87	.77	.52	10-88-1161
18	.890	.800	WM6918-ND	.96	.85	.57	10-88-1181
20	.990	.900	WM6920-ND	1.04	.92	.62	10-88-1201
22	1.090	1.000	WM6922-ND	1.13	1.00	.67	10-88-1221
24	1.190	1.100	WM6924-ND	1.22	1.08	.72	10-88-1241
26	1.290	1.200	WM6926-ND	1.30	1.15	.77	10-88-1261
28	1.390	1.300	WM6928-ND	1.39	1.23	.82	10-88-1281
30	1.490	1.400	WM6930-ND	1.47	1.31	.87	10-88-1301
32	1.590	1.500	WM6932-ND	1.56	1.38	.92	10-88-1321
34	1.690	1.600	WM6934-ND	1.65	1.46	.97	10-88-1341
36	1.790	1.700	WM6936-ND	1.74	1.53	1.03	10-88-1361
38	1.890	1.800	WM6938-ND	1.82	1.61	1.08	10-88-1381
40	1.990	1.900	WM6940-ND	1.90	1.69	1.13	10-88-1401
42	2.090	2.000	WM6942-ND	1.99	1.76	1.18	10-88-1421
44	2.190	2.100	WM6944-ND	2.08	1.84	1.23	10-88-1441
46	2.290	2.200	WM6946-ND	2.17	1.92	1.28	10-88-1461
48	2.390	2.300	WM6948-ND	2.25	1.99	1.33	10-88-1481
50	2.490	2.400	WM6950-ND	2.34	2.07	1.38	10-88-1501
52	2.590	2.500	WM6952-ND	2.42	2.14	1.43	10-88-1521
54	2.690	2.600	WM6954-ND	2.51	2.22	1.48	10-88-1541
56	2.790	2.700	WM6956-ND	2.60	2.30	1.53	10-88-1561
58	2.890	2.800	WM6958-ND	2.68	2.37	1.58	10-88-1581
60	2.990	2.900	WM6960-ND	2.77	2.45	1.63	10-88-1601
62	3.090	3.000	WM6962-ND	2.85	2.52	1.69	10-88-1621
64	3.190	3.100	WM6964-ND	2.95	2.60	1.74	10-88-1641
66	3.290	3.200	WM6966-ND	3.03	2.68	1.79	10-88-1661
68	3.390	3.300	WM6968-ND	3.12	2.75	1.84	10-88-1681
70	3.490	3.400	WM6970-ND	3.20	2.83	1.89	10-88-1701
72	3.590	3.500	WM6972-ND	3.28	2.91	1.94	10-88-1721
74	3.690	3.600	WM6974-ND	3.38	2.98	1.99	10-88-1741
76	3.790	3.700	WM6976-ND	3.46	3.06	2.04	10-88-1761
78	3.890	3.800	WM6978-ND	3.55	3.13	2.09	10-88-1781
80	3.990	3.900	WM6980-ND	3.63	3.21	2.14	10-88-1801
Abb. 4— Zweireihig, vertikal, konforme Litze, 150 µ Zinn/Blei, Nickel insgesamt							
4	.190	.100	WM7404-ND	.60	.54	.36	75102-0079
6	.290	.200	WM7406-ND	.81	.72	.48	75102-0080
8	.390	.300	WM7408-ND	1.02	.91	.61	75102-0081
10	.490	.400	WM7410-ND	1.24	1.09	.73	75102-0082
12	.590	.500	WM7412-ND	1.45	1.28	.86	75102-0083
14	.690	.600	WM7414-ND	1.66	1.47	.98	75102-0084
16	.790	.700	WM7416-ND	1.87	1.65	1.10	75102-0085
18	.890	.800	WM7418-ND	2.08	1.84	1.23	75102-0086
20	.990	.900	WM7420-ND	2.29	2.02	1.35	75102-0087
22	1.090	1.000	WM7422-ND	2.50	2.21	1.48	75102-0088
24	1.190	1.100	WM7424-ND	2.71	2.40	1.60	75102-0089
26	1.290	1.200	WM7426-ND	2.92	2.58	1.72	75102-0090
28	1.390	1.300	WM7428-ND	3.13	2.77	1.85	75102-0091
30	1.490	1.400	WM7430-ND	3.34	2.95	1.97	75102-0092
32	1.590	1.500	WM7432-ND	3.56	3.14	2.10	75102-0093
34	1.690	1.600	WM7434-ND	3.77	3.33	2.22	75102-0094
36	1.790	1.700	WM7436-ND	3.98	3.51	2.34	75102-0095
38	1.890	1.800	WM7438-ND	4.19	3.70	2.47	75102-0096
40	1.990	1.900	WM7440-ND	4.40	3.89	2.59	75102-0097
42	2.090	2.000	WM7442-ND	4.61	4.07	2.72	75102-0098
44	2.190	2.100	WM7444-ND	4.82	4.26	2.84	75102-0099
46	2.290	2.200	WM7446-ND	5.03	4.44	2.96	75102-0100
48	2.390	2.300	WM7448-ND	5.24	4.63	3.09	75102-0101
50	2.490	2.400	WM7450-ND	5.45	4.82	3.21	75102-0102
52	2.590	2.500	WM7452-ND	5.66	5.00	3.34	75102-0103
54	2.690	2.600	WM7454-ND	5.88	5.19	3.46	75102-0104
56	2.790	2.700	WM7456-ND	6.09	5.37	3.59	75102-0105
58	2.890	2.800	WM7458-ND	6.30	5.56	3.71	75102-0106
60	2.990	2.900	WM7460-ND	6.51	5.75	3.83	75102-0107
62	3.090	3.000	WM7462-ND	6.72	5.93	3.96	75102-0108
64	3.190	3.100	WM7464-ND	6.93	6.12	4.08	75102-0109
66	3.290	3.200	WM7466-ND	7.15	6.31	4.21	75102-0110
68	3.390	3.300	WM7468-ND	7.35	6.49	4.33	75102-0111
70	3.490	3.400	WM7470-ND	7.56	6.68	4.45	75102-0112
72	3.590	3.500	WM7472-ND	7.77	6.86	4.58	75102-0113
74	3.690	3.600	WM7474-ND	7.98	7.05	4.70	75102-0114
76	3.790	3.700	WM7476-ND	8.20	7.24	4.83	75102-0115
78	3.890	3.800	WM7478-ND	8.62	7.61	5.07	75102-0116
80	3.990	3.900	WM7480-ND	8.62	7.61	5.07	75102-0117
Abb. 5 - Zweireihig, Niedrigprofil, rechtwinklig - min. 15 µ teilvergoldet							
4	.190	.100	WM7004-ND	.59	.53	.35	10-89-1046
6	.290	.200	WM7006-ND	.80	.71	.48	10-89-1066
8	.390	.300	WM7008-ND	1.01	.89	.60	10-89-1086
10	.490	.400	WM7010-ND	1.21	1.08	.72	10-89-1106
12	.590	.500	WM7012-ND	1.42	1.26	.84	10-89-1126
14	.690	.600	WM7014-ND	1.63	1.44	.96	10-89-1146
16	.790	.700	WM7016-ND	1.84	1.62	1.08	10-89-1166
18	.890	.800	WM7018-ND	2.04	1.81	1.21	10-89-1186
20	.990	900	WM7020-ND	2.25	1.99	1.33	10-89-1206
22	1.090	1.000	WM7022-ND	2.46	2.17	1.45	10-89-1226
24	1.190	1.100	WM7024-ND	2.66	2.35	1.57	10-89-1246
26	1.290	1.200	WM7026-ND	2.87	2.54	1.69	10-89-1266
28	1.390	1.300	WM7028-ND	3.07	2.72	1.81	10-89-1286
30	1.490	1.400	WM7030-ND	3.28	2.90	1.94	10-89-1306
32	1.590	1.500	WM7032-ND	3.49	3.08	2.06	10-89-1326
34	1.690	1.600	WM7034-ND	3.70	3.27	2.18	10-89-1346
36	1.790	1.700	WM7036-ND	3.90	3.45	2.30	10-89-1366
38	1.890	1.800	WM7038-ND	4.11	3.63	2.42	10-89-1386
40	1.990	1.900	WM7040-ND	4.32	3.81	2.54	10-89-1406
42	2.090	2.000	WM7042-ND	4.52	4.00	2.67	10-89-1426
44	2.190	2.100	WM7044-ND	4.73	4.18	2.79	10-89-1446
46	2.290	2.200	WM7046-ND	4.94	4.36	2.91	10-89-1466
48	2.390	2.300	WM7048-ND	5.15	4.54	3.03	10-89-1486
50	2.490	2.400	WM7050-ND	5.35	4.73	3.15	10-89-1506
52	2.590	2.500	WM7052-ND	5.55	4.91	3.27	10-89-1526
54	2.690	2.600	WM7054-ND	5.77	5.09	3.40	10-89-1546
56	2.790	2.700	WM7056-ND	5.97	5.27	3.52	10-89-1566
58	2.890	2.800	WM7058-ND	6.18	5.46	3.64	10-89-1586
60	2.990	2.900	WM7060-ND	6.38	5.64	3.76	10-89-1606
62	3.090	3.000	WM7062-ND	6.60	5.82	3.88	10-89-1626
64	3.190	3.100	WM7064-ND	6.80	6.00	4.00	10-89-1646
66	3.290	3.200	WM7066-ND	7.00	6.19	4.13	10-89-1666
68	3.390	3.300	WM7068-ND	7.21	6.37	4.25	10-89-1686
70	3.490	3.400	WM7070-ND	7.42	6.55	4.37	10-89-1706
72	3.590	3.500	WM7072-ND	7.63	6.73	4.49	10-89-1726
74	3.690	3.600	WM7074-ND	7.83	6.92	4.61	10-89-1746
76	3.790	3.700	WM7076-ND	8.04	7.10	4.73	10-89-1766
78	3.890	3.800	WM7078-ND	8.25	7.28	4.86	10-89-1786
80	3.990	3.900	WM7080-ND	8.45	7.46	4.98	10-89-1806

Schalt-kreise	Abm. (Zoll) A	B	Digi-Key Teilenr.	Stückpreis 1	10	100	Molex Teilenr.
Abb- 5— Zweireihig, Niedrigprofil - rechtwinklig, 150 µ Zinn/Blei, Nickel insgesamt							
4	.190	.100	WM7104-ND	.39	.35	.23	10-88-1045
6	.290	.200	WM7106-ND	.49	.44	.30	10-88-1065
8	.390	.300	WM7108-ND	.60	.53	.36	10-88-1085
10	.490	.400	WM7110-ND	.70	.62	.42	10-88-1105
12	.590	.500	WM7112-ND	.80	.72	.48	10-88-1125
14	.690	.600	WM7114-ND	.91	.81	.54	10-88-1145
16	.790	.700	WM7116-ND	1.02	.90	.60	10-88-1165
18	.890	.800	WM7118-ND	1.12	.99	.66	10-88-1185
20	.990	.900	WM7120-ND	1.23	1.09	.73	10-88-1205
22	1.090	1.000	WM7122-ND	1.33	1.18	.79	10-88-1225
24	1.190	1.100	WM7124-ND	1.43	1.27	.85	10-88-1245
26	1.290	1.200	WM7126-ND	1.54	1.36	.91	10-88-1265
28	1.390	1.300	WM7128-ND	1.64	1.45	.97	10-88-1285
30	1.490	1.400	WM7130-ND	1.74	1.55	1.03	10-88-1305
32	1.590	1.500	WM7132-ND	1.85	1.64	1.09	10-88-1325
34	1.690	1.600	WM7134-ND	1.96	1.73	1.16	10-88-1345
36	1.790	1.700	WM7136-ND	2.07	1.82	1.22	10-88-1365
38	1.890	1.800	WM7138-ND	2.17	1.92	1.28	10-88-1385
40	1.990	1.900	WM7140-ND	2.27	2.01	1.34	10-88-1405
42	2.090	2.000	WM7142-ND	2.38	2.10	1.40	10-88-1425
44	2.190	2.100	WM7144-ND	2.48	2.19	1.46	10-88-1445
46	2.290	2.200	WM7146-ND	2.58	2.29	1.53	10-88-1465
48	2.390	2.300	WM7148-ND	2.69	2.38	1.59	10-88-1485
50	2.490	2.400	WM7150-ND	2.79	2.47	1.65	10-88-1505
52	2.590	2.500	WM7152-ND	2.90	2.56	1.71	10-88-1525
54	2.690	2.600	WM7154-ND	3.01	2.65	1.77	10-88-1545
56	2.790	2.700	WM7156-ND	3.11	2.75	1.83	10-88-1565
58	2.890	2.800	WM7158-ND	3.21	2.84	1.89	10-88-1585
60	2.990	2.900	WM7160-ND	3.32	2.93	1.96	10-88-1605
62	3.090	3.000	WM7162-ND	3.42	3.02	2.02	10-88-1625
64	3.190	3.100	WM7164-ND	3.52	3.11	2.08	10-88-1645
66	3.290	3.200	WM7166-ND	3.63	3.21	2.14	10-88-1665
68	3.390	3.300	WM7168-ND	3.73	3.30	2.20	10-88-1685
70	3.490	3.400	WM7170-ND	3.84	3.39	2.26	10-88-1705
72	3.590	3.500	WM7172-ND	3.95	3.48	2.32	10-88-1725
74	3.690	3.600	WM7174-ND	4.05	3.58	2.39	10-88-1745
76	3.790	3.700	WM7176-ND	4.15	3.67	2.45	10-88-1765
78	3.890	3.800	WM7178-ND	4.26	3.76	2.51	10-88-1785
80	3.990	3.900	WM7180-ND	4.36	3.85	2.57	10-88-1805
Abb. 6 - Zweireihig, vertikal - verzinnt							
6	.300	.200	WM17449-ND	1.07	.94	.63	15-91-2060
8	.400	.300	WM17450-ND	1.35	1.20	.80	15-91-2080
10	.500	.400	WM17451-ND	1.52	1.34	.90	15-91-2100
12	.600	.500	WM17452-ND	1.95	1.72	1.15	15-91-2120
14	.700	.600	WM17453-ND	2.31	2.05	1.37	15-91-2140
16	.800	.700	WM17454-ND	2.43	2.15	1.43	15-91-2160
18	.900	.800	WM17455-ND	2.57	2.28	1.52	15-91-2180
20	1.000	.900	WM17456-ND	3.05	2.69	1.80	15-91-2200
Abb. 6 - Zweireihig, vertikal - 15 µ teilvergoldet							
6	.300	.200	WM17457-ND	1.33	1.18	.79	15-91-0060
8	.400	.300	WM17458-ND	1.58	1.40	.94	15-91-0080
10	.500	.400	WM17459-ND	1.82	1.61	1.08	15-91-0100
12	.600	.500	WM17460-ND	2.31	2.04	1.36	15-91-0120
14	.700	.600	WM17461-ND	2.73	2.42	1.61	15-91-0140
16	.800	.700	WM17462-ND	2.91	2.58	1.72	15-91-0160
18	.900	.800	WM17463-ND	3.47	3.07	2.05	15-91-0180
20	1.000	.900	WM17464-ND	3.65	3.22	2.15	15-91-0200

0,100" KK® Leiterplatten-Steckbuchsen, Eingang von oben und unten, Niedrigprofil

Material:
- Gehäuse: Nylon für hohe Temperaturen, glasgefüllt, UL94V, Farbe: Schwarz
- Anschluss: Modifizierte Zinn/Messinglegierung

Oberfläche:
- Zinn: Min. 200 µ
- Teilvergoldet: Min. 15 µ

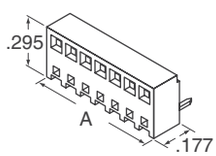

Schalt-kreise	Abm. A Zoll (mm)	Digi-Key Teilenr.	Stückpreis 1	10	100	Molex Teilenr.
Zinn						
2	.230 (5.84)	WM18590-ND	.29	.26	.17	44812-0002
3	.330 (8.38)	WM18591-ND	.41	.37	.25	44812-0003
4	.430 (10.92)	WM18592-ND	.58	.51	.34	44812-0004
5	.530 (13.46)	WM18593-ND	.72	.64	.43	44812-0005
6	.630 (16.00)	WM18594-ND	.87	.77	.52	44812-0006
7	.730 (18.54)	WM18595-ND	1.01	.90	.60	44812-0007
8	.830 (21.08)	WM18596-ND	1.16	1.03	.69	44812-0008
9	.930 (23.62)	WM18597-ND	1.30	1.15	.77	44812-0009
10	1.030 (26.16)	WM18598-ND	1.45	1.28	.86	44812-0010
11	1.130 (28.70)	WM18599-ND	1.59	1.41	.94	44812-0011
12	1.230 (31.24)	WM18600-ND	1.74	1.54	1.03	44812-0012
Teilgold						
2	.230 (5.84)	WM18601-ND	.56	.50	.33	44812-0020
3	.330 (8.38)	WM18602-ND	.84	.75	.50	44812-0021
4	.430 (10.92)	WM18603-ND	1.12	.99	.66	44812-0022
5	.530 (13.46)	WM18604-ND	1.40	1.24	.83	44812-0023
6	.630 (16.00)	WM18605-ND	1.68	1.48	.99	44812-0024
7	.730 (18.54)	WM18606-ND	1.96	1.73	1.16	44812-0025
8	.830 (21.08)	WM18607-ND	2.24	1.98	1.32	44812-0026
9	.930 (23.62)	WM18608-ND	2.51	2.22	1.48	44812-0027
10	1.030 (26.16)	WM18609-ND	2.79	2.47	1.65	44812-0028
11	1.130 (28.70)	WM18610-ND	3.07	2.72	1.81	44812-0029
12	1.230 (31.24)	WM18611-ND	3.35	2.96	1.98	44812-0030

0,100" (2,54 mm) Mitten-Steckleisten

0,025" (0,64 mm) Viereckige Pins Das Molex KK®-Konzept verwendet ein Design mit doppelten auslegerförmigen Kontakten zur Verbindung mit Leiterplatten-Pins. UL-anerkannt (Eintragungsnr. 29179), CSA-anerkannt (Eintragungsnr. 19980) **Nennspannung:** Max. 250 V AC **Nennstrom:** Bis zu 2,5 A (mit 22 AWG Draht) **Widerstand:** Max. 20 mΩ **Dielektrische Haltespannung:** 1.500 V AC für 60 Sekunden **Lagertemperaturbereich:** -40 °C ~ 105 °C **Material:** 94V-0

Abb. 1 – Steckleiste, gerade

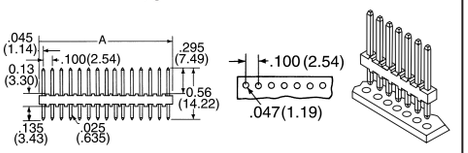

Abb. 2 - Steckleiste, rechtwinklig

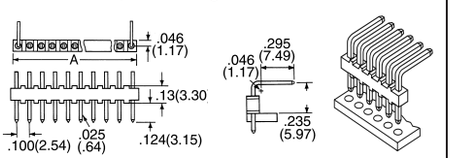

Abb. 3 – Steckleiste, gerade, Reibverschluss

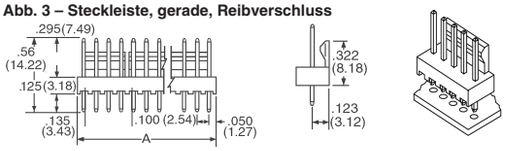

Abb. 4 – Steckleiste, rechtwinklig, Reibverschluss

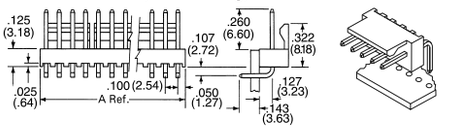

Abb. 5 - Mitten-Crimp-Anschlussgehäuse
(Kontakte separat erhältlich)

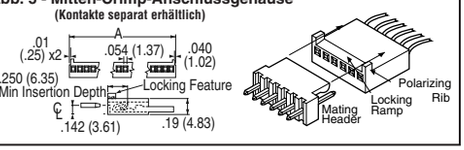

Abb.	Schaltkreise	Abm. A Zoll (mm)	Digi-Key Teilenr.	Preisangaben 1	10	100	500	1,000	Molex Teilenr.
0,100" (2,54 mm) Mitten-Steckleisten, verzinnt									
	2	.190 (4.83)	WM4000-ND	.24	2.09	13.95	55.82	92.65	22-03-2021
	3	.290 (7.37)	WM4001-ND	.35	3.10	20.64	82.56	137.05	22-03-2031
	4	.390 (9.91)	WM4002-ND	.43	3.84	25.62	102.48	170.12	22-03-2041
	5	.490 (12.45)	WM4003-ND	.52	4.58	30.55	122.22	202.89	22-03-2051
	6	.590 (14.99)	WM4004-ND	.60	5.33	35.54	142.14	235.96	22-03-2061
1	7	.690 (17.53)	WM4005-ND	.69	6.12	40.83	163.33	271.12	22-03-2071
	8	.790 (20.07)	WM4006-ND	.69	6.12	40.83	163.33	271.12	22-03-2081
	9	.890 (22.61)	WM4007-ND	.77	6.80	45.32	181.27	300.92	22-03-2091
	10	.990 (25.15)	WM4008-ND	.77	6.82	45.43	181.72	301.66	22-03-2101
	11	1.090 (27.69)	WM4009-ND	.85	7.48	49.90	199.58	331.30	22-03-2111
	12	1.190 (30.23)	WM4010-ND	.91	8.09	53.91	215.65	357.98	22-03-2121
	2	.190 (4.83)	WM4100-ND	.29	2.52	16.81	67.21	111.57	22-05-2021
	3	.290 (7.37)	WM4101-ND	.37	3.31	22.05	88.22	146.44	22-05-2031
	4	.390 (9.91)	WM4102-ND	.47	4.16	27.73	110.92	184.13	22-05-2041
	5	.490 (12.45)	WM4103-ND	.57	5.01	33.41	133.62	221.81	22-05-2051
	6	.590 (14.99)	WM4104-ND	.66	5.86	39.06	156.24	259.36	22-05-2061
2	7	.690 (17.53)	WM4105-ND	.75	6.65	44.38	177.51	294.66	22-05-2071
	8	.790 (20.07)	WM4106-ND	.86	7.56	50.39	201.56	334.58	22-05-2081
	9	.890 (22.61)	WM4107-ND	.96	8.44	56.29	225.15	373.76	22-05-2091
	10	.990 (25.15)	WM4108-ND	.96	8.47	56.43	225.70	374.65	22-05-2101
	11	1.090 (27.69)	WM4109-ND	1.05	9.26	61.72	246.88	409.81	22-05-2111
	12	1.190 (30.23)	WM4110-ND	1.13	9.95	66.30	265.18	440.20	22-05-2121
	2	.200 (5.08)	WM4200-ND	.29	2.52	16.81	67.21	111.57	22-23-2021
	3	.300 (7.62)	WM4201-ND	.36	3.20	21.36	85.43	141.81	22-23-2031
	4	.400 (10.16)	WM4202-ND	.43	3.84	25.62	102.48	170.12	22-23-2041
	5	.500 (12.70)	WM4203-ND	.50	4.44	29.55	118.19	196.19	22-23-2051
	6	.600 (15.24)	WM4204-ND	.56	4.96	33.07	132.27	219.57	22-23-2061
3	7	.700 (17.78)	WM4205-ND	.64	5.70	38.00	152.02	252.35	22-23-2071
	8	.800 (20.32)	WM4206-ND	.73	6.45	42.99	171.94	285.43	22-23-2081
	9	.900 (22.86)	WM4207-ND	.80	7.13	47.54	190.15	315.65	22-23-2091
	10	1.000 (25.40)	WM4208-ND	.81	7.19	47.93	191.69	318.20	22-23-2101
	11	1.100 (27.94)	WM4209-ND	.89	7.86	52.39	209.54	347.84	22-23-2111
	12	1.200 (30.48)	WM4210-ND	.96	8.47	56.43	225.70	374.65	22-23-2121
	2	.200 (5.08)	WM4300-ND	.47	4.11	27.40	109.58	181.89	22-05-3021
	3	.300 (7.62)	WM4301-ND	.60	5.33	35.54	142.14	235.96	22-05-3031
	4	.400 (10.16)	WM4302-ND	.75	6.60	44.00	175.98	292.13	22-05-3041
	5	.500 (12.70)	WM4303-ND	.80	7.13	47.54	190.15	315.65	22-05-3051
	6	.600 (15.24)	WM4304-ND	.89	7.87	52.50	209.99	348.59	22-05-3061
4	7	.700 (17.78)	WM4305-ND	1.03	9.08	60.55	242.20	402.06	22-05-3071
	8	.800 (20.32)	WM4306-ND	1.07	9.41	62.78	251.09	416.82	22-05-3081
	9	.900 (22.86)	WM4307-ND	1.10	9.74	64.88	259.53	430.81	22-05-3091
	10	1.000 (25.40)	WM4308-ND	1.12	9.84	65.58	262.31	435.43	22-05-3101
	11	1.100 (27.94)	WM4309-ND	1.22	10.74	71.61	286.45	475.50	22-05-3111
	12	1.200 (30.48)	WM4310-ND	1.24	11.01	73.38	293.54	487.28	22-05-3121
0,100" (2,54 mm) Mitten-Steckleisten, vergoldet									
	2	.190 (4.83)	WM2722-ND	.52	4.64	30.92	123.66	205.28	22-10-2021
	3	.290 (7.37)	WM2723-ND	.73	6.39	42.60	170.41	282.88	22-10-2031
	4	.390 (9.91)	WM2724-ND	.93	8.25	55.01	220.04	365.27	22-10-2041
	5	.490 (12.45)	WM2725-ND	1.14	10.11	67.40	269.57	447.50	22-10-2051
	6	.590 (14.99)	WM2726-ND	1.35	11.91	79.42	317.68	527.35	22-10-2061
1	7	.690 (17.53)	WM2727-ND	1.50	13.18	87.90	351.60	583.65	22-10-2071
	8	.790 (20.07)	WM2728-ND	1.70	14.98	99.92	399.70	663.50	22-10-2081
	9	.890 (22.61)	WM2729-ND	1.90	16.77	111.82	447.26	742.45	22-10-2091
	10	.990 (25.15)	WM2730-ND	2.10	18.50	123.31	493.21	818.73	22-10-2101
	11	1.090 (27.69)	WM2731-ND	2.31	20.37	135.82	543.28	901.85	22-10-2111
	12	1.190 (30.23)	WM2732-ND	2.51	22.08	147.20	588.78	977.38	22-10-2121
2	2	.190 (4.83)	WM2733-ND	.56	4.91	32.71	130.84	217.20	22-12-2021
	3	.290 (7.37)	WM2734-ND	.77	6.76	45.07	180.28	299.27	22-12-2031

Abb.	Schaltkreise	Abm. A Zoll (mm)	Digi-Key Teilenr.	Preisangaben 1	10	100	500	1,000	Molex Teilenr.
	4	.390 (9.91)	WM2735-ND	.96	8.47	56.43	225.70	374.65	22-12-2041
	5	.490 (12.45)	WM2736-ND	1.18	10.37	69.14	276.58	459.12	22-12-2051
	6	.590 (14.99)	WM2737-ND	1.40	12.33	82.22	328.90	545.96	22-12-2061
2	7	.690 (17.53)	WM2738-ND	1.62	14.24	94.95	379.78	630.43	22-12-2071
	8	.790 (20.07)	WM2739-ND	1.84	16.19	107.92	431.65	716.54	22-12-2081
	9	.890 (22.61)	WM2740-ND	2.06	18.12	120.77	483.07	801.90	22-12-2091
	10	.990 (25.15)	WM2741-ND	2.26	19.97	133.15	532.60	884.12	22-12-2101
	11	1.090 (27.69)	WM2742-ND	2.48	21.88	145.85	583.40	968.44	22-12-2111
	12	1.190 (30.23)	WM2743-ND	2.65	23.39	155.94	623.78	1035.48	22-12-2121
	2	.200 (5.08)	WM2700-ND	.58	5.11	34.10	136.40	226.43	22-11-2022
	3	.300 (7.62)	WM2701-ND	.89	7.82	52.14	208.55	346.19	22-11-2032
	4	.400 (10.16)	WM2702-ND	.91	8.03	53.57	214.30	355.74	22-11-2042
	5	.500 (12.70)	WM2703-ND	1.25	11.06	73.72	294.89	489.51	22-11-2052
	6	.600 (15.24)	WM2704-ND	1.37	12.12	80.81	323.24	536.58	22-11-2062
3	7	.700 (17.78)	WM2705-ND	1.58	13.98	93.18	372.69	618.67	22-11-2072
	8	.800 (20.32)	WM2706-ND	1.65	14.56	97.10	388.39	644.74	22-11-2082
	9	.900 (22.86)	WM2707-ND	1.85	16.31	108.76	435.06	722.20	22-11-2092
	10	1.000 (25.40)	WM2708-ND	2.04	18.01	120.07	480.28	797.27	22-11-2102
	11	1.100 (27.94)	WM2709-ND	2.24	19.76	131.74	526.95	874.73	22-11-2112
	12	1.200 (30.48)	WM2710-ND	2.43	21.46	143.07	572.27	949.96	22-11-2122
	2	.200 (5.08)	WM2711-ND	.98	8.67	57.81	231.26	383.89	22-12-2024
	3	.300 (7.62)	WM2712-ND	1.24	10.90	72.65	290.58	482.36	22-12-2034
	4	.400 (10.16)	WM2713-ND	1.45	12.76	85.07	340.29	564.89	22-12-2044
	5	.500 (12.70)	WM2714-ND	1.58	13.98	93.18	372.69	618.67	22-12-2054
	6	.600 (15.24)	WM2715-ND	1.72	15.15	100.98	403.92	670.51	22-12-2064
4	7	.700 (17.78)	WM2716-ND	1.86	16.45	109.66	438.65	728.16	22-12-2074
	8	.800 (20.32)	WM2717-ND	1.94	17.12	114.10	456.42	757.66	22-12-2084
	9	.900 (22.86)	WM2718-ND	2.17	19.16	127.73	510.89	848.07	22-12-2094
	10	1.000 (25.40)	WM2719-ND	2.40	21.19	141.30	565.18	938.20	22-12-2104
	11	1.100 (27.94)	WM2720-ND	2.63	23.25	155.00	620.01	1029.21	22-12-2114
	12	1.200 (30.48)	WM2721-ND	2.87	25.31	168.75	675.02	1120.53	22-12-2124
0,100" (2,54 mm) Mitten-Crimp-Anschlussgehäuse (Kontakte können weiter unten separat bestellt werden) mit Sperrrampe und Polarisierungsrippen									
	2	.220 (5.59)	WM2000-ND	.21	1.88	12.54	50.16	83.27	22-01-3027
	3	.320 (8.13)	WM2001-ND	.27	2.35	15.70	62.82	104.28	22-01-3037
	4	.420 (10.67)	WM2002-ND	.33	2.89	19.25	77.00	127.82	22-01-3047
	5	.520 (13.21)	WM2003-ND	.39	3.42	22.80	91.18	151.36	22-01-3057
	6	.620 (15.75)	WM2004-ND	.45	3.95	26.32	105.27	174.74	22-01-3067
5	7	.720 (18.29)	WM2005-ND	.51	4.48	29.86	119.45	198.28	22-01-3077
	8	.820 (20.83)	WM2006-ND	.58	5.10	33.97	135.86	225.53	22-01-3087
	9	.920 (23.37)	WM2007-ND	.62	5.49	36.59	146.37	242.97	22-01-3097
	10	1.020 (25.91)	WM2008-ND	.69	6.07	40.49	161.98	268.89	22-01-3107
	11	1.120 (28.45)	WM2009-ND	.75	6.55	43.68	174.72	290.04	22-01-3117
	12	1.220 (30.99)	WM2010-ND	.80	7.03	46.83	187.28	310.90	22-01-3127
Mit Verriegelungsrampe									
	2	.220 (5.59)	WM2011-ND	.19	1.72	11.46	45.86	76.13	22-01-2027
	3	.320 (8.13)	WM2012-ND	.25	2.20	14.65	58.60	97.28	22-01-2037
	4	.420 (10.67)	WM2013-ND	.30	2.62	17.50	70.00	116.20	22-01-2047
	5	.520 (13.21)	WM2014-ND	.35	3.10	20.64	82.56	137.05	22-01-2057
	6	.620 (15.75)	WM2015-ND	.40	3.52	23.49	93.96	155.97	22-01-2067
5	7	.720 (18.29)	WM2016-ND	.46	4.04	26.95	107.78	178.91	22-01-2077
	8	.820 (20.83)	WM2017-ND	.51	4.48	29.86	119.45	198.28	22-01-2087
	9	.920 (23.37)	WM2018-ND	.56	4.91	32.71	130.84	217.20	22-01-2097
	10	1.020 (25.91)	WM2019-ND	.62	5.42	36.14	144.57	239.99	22-01-2107
	11	1.120 (28.45)	WM2020-ND	.66	5.84	38.95	155.79	258.61	22-01-2117
	12	1.220 (30.99)	WM2021-ND	.72	6.32	42.11	168.44	279.61	22-01-2127
Polarisationsschlüssel für 0,100" Gehäuse			WM2400-ND	1.62/10		10.77/100		43.08/500	15-04-9209
Polarisationsstift für 0,100" Gehäuse			WM2401-ND	1.62/10		10.77/100		43.08/500	15-04-9210

Crimp-Anschlüsse für 0,100" (2,54 mm) Mitten-Gehäuse

Material: Messing, Plattierung: 200-300 µ", Feuerverzinnung.

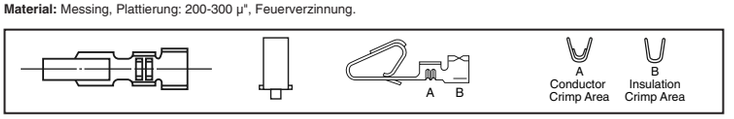

Beschreibung	Drahtgröße	Isolierungsdurchm. (Zoll)	Oberfläche	Digi-Key Teilenr.	Preisangaben 10	100	500	Molex Teilenr.
Crimp-Anschlüsse für 0,100 Gehäuse	22-30	Max. 0,062	Teilgold	WM2312-ND	2.37	18.96	78.97	08-55-0102
				WM2312CT-ND *	—	18.96	78.97	08-55-0101
				WM2312TR-ND†	584.15/10,000			08-55-0101
	22-30	Max. 0,062	Gold	WM1129-ND	4.85	38.83	161.75	08-56-0110
				WM1129CT-ND *	—	38.83	161.75	08-56-0109
				WM1129TR-ND†	2158.83/10,000			08-56-0109
	22-30	Max. 0,062	Zinn	WM1114-ND	.63	4.98	20.75	08-50-0114
				WM1114CT-ND *	—	4.98	20.75	08-50-0113
				WM1114TR-ND†	211.65/10,000			
Universal-Crimpwerkzeug (Molex)				WM9999-ND		42.96/1		63811-1000
Produktionswerkzeug (Molex)				WM9915-ND		181.72/1		11-01-0185
Extraktionswerkzeug (Molex)				WM9927-ND		8.59/1		11-03-0022
Manueller Abisolierer (Molex)				WM9969-ND		80.56/1		63817-0000

*CT = Gurtabschnitt. †TR = Gegurtet auf Rolle.

0,100" (2,54 mm) Hochdruck-Anschlussgehäuse

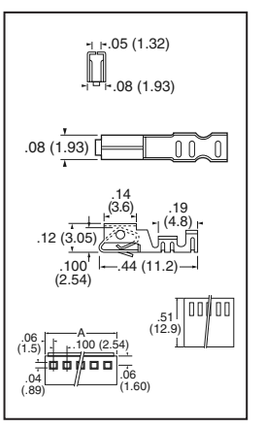

- Standardmäßig mit Verriegelungsrampe
- 94V-0 Material
- Passt auf Pins von 0,025" (0,64 mm) Größe
- Bis zu 425 g Normalkraft
- Mehrfache Kontaktpunkte
- Patentierter Doppel-Ausleger mit Box-Kontaktschutz
- Akzeptiert 22 ~ 30 AWG Draht, 0,062" Isolierungsdurchmesser

Schaltkreise	Abm. A Zoll (mm)	Digi-Key Teilenr.	Preisangaben 1	10	100	Molex Teilenr.
1	.120 (3.05)	WM2600-ND	.25	2.05	14.65	10-11-2013
2	.220 (5.59)	WM2601-ND	.20	1.77	11.83	10-11-2023
3	.320 (8.13)	WM2602-ND	.25	2.10	15.01	10-11-2033
4	.420 (10.67)	WM2603-ND	.31	2.79	18.56	10-11-2043
5	.520 (13.21)	WM2604-ND	.37	3.26	21.74	10-11-2053
6	.620 (15.75)	WM2605-ND	.42	3.73	24.91	10-11-2063
7	.720 (18.29)	WM2606-ND	.47	4.22	28.13	10-11-2073
8	.820 (20.83)	WM2607-ND	.53	4.70	31.30	10-11-2083
9	.920 (23.37)	WM2608-ND	.58	5.17	34.48	10-11-2093
10	1.020 (25.91)	WM2609-ND	.64	5.70	38.00	10-11-2103
11	1.120 (28.45)	WM2610-ND	.70	6.18	41.20	10-11-2113
12	1.220 (30.99)	WM2611-ND	.75	6.65	44.38	10-11-2123
Crimp-Anschluss, 22-30, Zinn/Kupferplattierung		WM2612-ND	—	1.66	13.30	08-50-0005

Alle Preisangaben in Euro und inklusive Zollgebühren.

0,156" Mitten-Steckleisten

0,045" Vierkant-Pins

Abmessungen
In Zoll

Das Molex KK®-Konzept verwendet ein Design mit doppelten auslegerförmigen Kontakten zur Verbindung mit Leiterplatten-Pins. UL-anerkannt (Eintragungsnr. 29179), CSA-anerkannt (Eintragungsnr. 19980).

• **Nennspannung:** Max. 250 V AC • **Nennstrom:** Bis zu 7 A (mit 18 AWG Draht) **Widerstand:** Max. 20 mΩ • **Dielektrische Haltespannung:** 1.500 V AC für 60 Sekunden
• **Lagertemperatur:** -40 °C ~ 105 °C • **Material:** 94V-0

Abb. 1 – Steckleiste, gerade

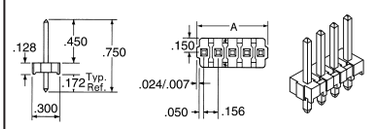

Abb. 2 - Steckleiste, rechtwinklig

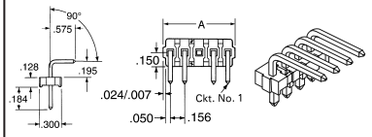

Abb. 3 - Steckleiste, gerade, Reibverschluss, nur zur Verwendung mit Sperrrampe

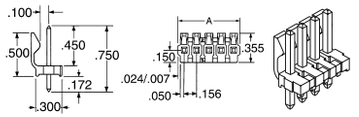

Abb. 4 - Steckleiste, rechtwinklig, Reibverschluss, nur zur Verwendung mit Sperrrampe

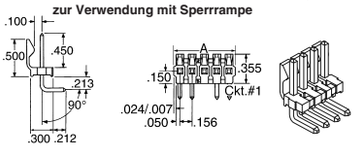

Abb. 5 - Steckleiste, gerade, Reibverschluss, nur zur Verwendung mit Sperrrampe u. Polarisationsrippen

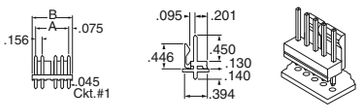

Abb. 6 - Steckleiste, rechtwinklig, Reibverschluss, nur zur Verwendung mit Sperrrampe u. Polarisationsrippen

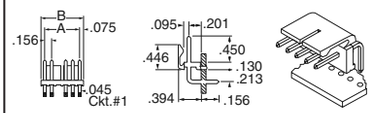

Abb. 7 - Mitten-Crimp-Anschlussgehäuse (Kontakte separat erhältlich)

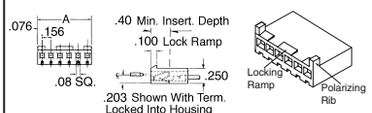

Abb.	Circuits*	Abm. (Zoll) A	Abm. (Zoll) B	Digi-Key Teilenr.	Preisangaben 1	Preisangaben 10	Preisangaben 100	Molex Teilenr.
				0,156" Mitten-Steckleisten				
	2	.267	—	WM4400-ND	.30	2.59	17.30	26-48-1021
	3	.423	—	WM4401-ND	.35	3.10	20.65	26-48-1031
	4	.579	—	WM4402-ND	.41	3.60	24.01	26-48-1041
	5	.735	—	WM4403-ND	.47	4.11	27.36	26-48-1051
	6	.891	—	WM4404-ND	.52	4.61	30.71	26-48-1061
1	7	1.047	—	WM4405-ND	.58	5.11	34.08	26-48-1071
	8	1.203	—	WM4406-ND	.63	5.61	37.43	26-48-1081
	9	1.359	—	WM4407-ND	.69	6.12	40.78	26-48-1091
	10	1.515	—	WM4408-ND	.75	6.62	44.14	26-48-1101
	11	1.671	—	WM4409-ND	.80	7.13	47.49	26-48-1111
	12	1.827	—	WM4410-ND	.86	7.63	50.85	26-48-1121
	2	.267	—	WM4500-ND	.30	2.62	17.52	26-48-1022
	3	.423	—	WM4501-ND	.36	3.15	20.99	26-48-1032
	4	.579	—	WM4502-ND	.41	3.67	24.46	26-48-1042
	5	.735	—	WM4503-ND	.47	4.19	27.93	26-48-1052
	6	.891	—	WM4504-ND	.53	4.71	31.39	26-48-1062
2	7	1.047	—	WM4505-ND	.59	5.23	34.86	26-48-1072
	8	1.203	—	WM4506-ND	.65	5.75	38.33	26-48-1082
	9	1.359	—	WM4507-ND	.71	6.27	41.80	26-48-1092
	10	1.515	—	WM4508-ND	.77	6.79	45.27	26-48-1102
	11	1.671	—	WM4509-ND	.83	7.31	48.74	26-48-1112
	12	1.827	—	WM4510-ND	.89	7.83	52.20	26-48-1122
	2	.310	—	WM4600-ND	.31	2.80	18.67	26-48-1025
	3	.466	—	WM4601-ND	.39	3.40	22.71	26-48-1035
	4	.622	—	WM4602-ND	.46	4.01	26.74	26-48-1045
	5	.778	—	WM4603-ND	.52	4.61	30.79	26-48-1055
	6	.934	—	WM4604-ND	.59	5.22	34.83	26-48-1065
3	7	1.090	—	WM4605-ND	.66	5.83	38.87	26-48-1075
	8	1.246	—	WM4606-ND	.73	6.43	42.91	26-48-1085
	9	1.402	—	WM4607-ND	.80	7.04	46.95	26-48-1095
	10	1.558	—	WM4608-ND	.86	7.64	50.99	26-48-1105
	11	1.714	—	WM4609-ND	.94	8.25	55.03	26-48-1115
	12	1.870	—	WM4610-ND	1.01	8.86	59.08	26-48-1125
	2	.310	—	WM4700-ND	.34	2.96	19.74	26-48-1026
	3	.466	—	WM4701-ND	.41	3.65	24.32	26-48-1036
	4	.622	—	WM4702-ND	.49	4.33	28.90	26-48-1046
	5	.778	—	WM4703-ND	.57	5.02	33.48	26-48-1056
	6	.934	—	WM4704-ND	.64	5.71	38.06	26-48-1066
4	7	1.090	—	WM4705-ND	.73	6.39	42.64	26-48-1076
	8	1.246	—	WM4706-ND	.80	7.09	47.22	26-48-1086
	9	1.402	—	WM4707-ND	.88	7.77	51.80	26-48-1096
	10	1.558	—	WM4708-ND	.96	8.46	56.38	26-48-1106
	11	1.714	—	WM4709-ND	1.03	9.14	60.96	26-48-1116
	12	1.870	—	WM4710-ND	1.12	9.83	65.54	26-48-1126
	2	.156	.306	WM4620-ND	.26	2.31	15.39	26-60-4020
	3	.312	.462	WM4621-ND	.35	3.05	20.33	26-60-4030
	4	.468	.618	WM4622-ND	.43	3.79	25.29	26-60-4040
	5	.624	.774	WM4623-ND	.52	4.54	30.24	26-60-4050
	6	.780	.930	WM4624-ND	.60	5.27	35.18	26-60-4060
5	7	.936	1.086	WM4625-ND	.69	6.02	40.14	26-60-4070
	8	1.092	1.242	WM4626-ND	.77	6.76	45.07	26-60-4080
	9	1.248	1.398	WM4627-ND	.86	7.51	50.08	26-60-4090
	10	1.404	1.554	WM4628-ND	.93	8.25	55.01	26-60-4100
	11	1.560	1.710	WM4629-ND	1.02	8.99	59.95	26-60-4110
	12	1.716	1.866	WM4630-ND	1.10	9.74	64.88	26-60-4120
	2	.156	.306	WM4640-ND	.27	2.41	16.09	26-60-5020
6	3	.312	.462	WM4641-ND	.36	3.20	21.36	26-60-5030
	4	.468	.618	WM4642-ND	.46	4.00	26.70	26-60-5040
	5	.624	.774	WM4643-ND	.54	4.80	31.99	26-60-5050
	6	.780	.930	WM4644-ND	.70	6.18	41.20	26-60-5060
	7	.936	1.086	WM4645-ND	.73	6.39	42.60	26-60-5070
6	8	1.092	1.242	WM4646-ND	.81	7.19	47.93	26-60-5080
	9	1.248	1.398	WM4647-ND	.91	7.98	53.24	26-60-5090
	10	1.404	1.554	WM4648-ND	.99	8.78	58.51	26-60-5100
	11	1.560	1.710	WM4649-ND	1.08	9.58	63.83	26-60-5110
	12	1.716	1.866	WM4650-ND	1.18	10.37	69.14	26-60-5120
				0,156" (2,54 mm) Mitten-Steckleisten - Gold				
	2	.267	—	WM5002-ND	.74	6.48	43.22	26-48-2021
	3	.423	—	WM5003-ND	1.02	8.93	59.53	26-48-2031
	4	.579	—	WM5004-ND	1.29	11.38	75.85	26-48-2041
	5	.735	—	WM5005-ND	1.57	13.82	92.16	26-48-2051
	6	.891	—	WM5006-ND	1.85	16.27	108.47	26-48-2061
1	7	1.047	—	WM5007-ND	2.12	18.72	124.79	26-48-2071
	8	1.203	—	WM5008-ND	2.40	21.17	141.11	26-48-2081
	9	1.359	—	WM5009-ND	2.68	23.61	157.43	26-48-2091
	10	1.515	—	WM5010-ND	2.95	26.06	173.74	26-48-2101
	11	1.671	—	WM5011-ND	3.23	28.51	190.05	26-48-2111
	12	1.827	—	WM5012-ND	3.50	30.95	206.37	26-48-2121
	2	.267	—	WM5102-ND	.86	7.51	50.08	26-48-2022
	3	.423	—	WM5103-ND	1.19	10.47	69.83	26-48-2032
	4	.579	—	WM5104-ND	1.52	13.44	89.58	26-48-2042
	5	.735	—	WM5105-ND	1.86	16.40	109.33	26-48-2052
	6	.891	—	WM5106-ND	2.19	19.36	129.07	26-48-2062
2	7	1.047	—	WM5107-ND	2.53	22.32	148.82	26-48-2072
	8	1.203	—	WM5108-ND	2.87	25.29	168.57	26-48-2082
	9	1.359	—	WM5109-ND	3.20	28.25	188.33	26-48-2092
	10	1.515	—	WM5110-ND	3.54	31.21	208.07	26-48-2102
	11	1.671	—	WM5111-ND	3.87	34.17	227.82	26-48-2112
	12	1.827	—	WM5112-ND	4.21	37.13	247.57	26-48-2122
	2	.310	—	WM5200-ND	.75	6.65	44.33	26-48-2025
	3	.466	—	WM5201-ND	1.04	9.18	61.20	26-48-2035
	4	.622	—	WM5202-ND	1.33	11.71	78.06	26-48-2045
	5	.778	—	WM5203-ND	1.62	14.24	94.94	26-48-2055
	6	.934	—	WM5204-ND	1.90	16.77	111.81	26-48-2065
3	7	1.090	—	WM5205-ND	2.18	19.30	128.68	26-48-2075
	8	1.246	—	WM5206-ND	2.47	21.83	145.56	26-48-2085
	9	1.402	—	WM5207-ND	2.76	24.37	162.42	26-48-2095
	10	1.558	—	WM5208-ND	3.05	26.90	179.29	26-48-2105
	11	1.714	—	WM5209-ND	3.34	29.43	196.17	26-48-2115
	12	1.870	—	WM5210-ND	3.62	31.96	213.04	26-48-2125
	2	.310	—	WM5212-ND	.96	8.46	56.37	26-48-2026
	3	.466	—	WM5213-ND	1.35	11.89	79.26	26-48-2036
	4	.622	—	WM5214-ND	1.74	15.32	102.15	26-48-2046
	5	.778	—	WM5215-ND	2.12	18.75	125.04	26-48-2056
	6	.934	—	WM5216-ND	2.51	22.19	147.93	26-48-2066
4	7	1.090	—	WM5217-ND	2.90	25.63	170.83	26-48-2076
	8	1.246	—	WM5218-ND	3.29	29.06	193.72	26-48-2086
	9	1.402	—	WM5219-ND	3.68	32.49	216.61	26-48-2096
	10	1.558	—	WM5220-ND	4.07	35.92	239.50	26-48-2106
	11	1.714	—	WM5221-ND	4.46	39.36	262.40	26-48-2116
	12	1.870	—	WM5222-ND	4.85	42.80	285.29	26-48-2126
	2	.156	.306	WM5224-ND	.87	7.72	51.46	26-61-4020
	3	.312	.462	WM5225-ND	1.26	11.12	74.08	26-61-4030
5	4	.468	.618	WM5226-ND	1.60	14.09	93.89	26-61-4040
	5	.624	.774	WM5227-ND	1.98	17.46	116.39	26-61-4050
	6	.780	.930	WM5228-ND	2.35	20.74	138.29	26-61-4060
	7	.936	1.086	WM5229-ND	2.73	24.09	160.59	26-61-4070
	8	1.092	1.242	WM5230-ND	3.09	27.24	181.61	26-61-4080
	9	1.248	1.398	WM5231-ND	3.46	30.53	203.53	26-61-4090
5	10	1.404	1.554	WM5232-ND	3.84	33.87	225.81	26-61-4100
	11	1.560	1.710	WM5233-ND	4.21	37.17	247.75	26-61-4110
	12	1.716	1.866	WM5234-ND	4.60	40.59	270.59	26-61-4120
	2	.156	.306	WM5235-ND	1.00	8.80	58.71	26-61-5020
	3	.312	.462	WM5236-ND	1.43	12.65	84.33	26-61-5030
	4	.468	.618	WM5237-ND	1.83	16.15	107.66	26-61-5040
	5	.624	.774	WM5238-ND	2.26	19.91	132.77	26-61-5050
	6	.780	.930	WM5239-ND	2.70	23.80	158.64	26-61-5060
6	7	.936	1.086	WM5240-ND	3.13	27.64	184.26	26-61-5070
	8	1.092	1.242	WM5241-ND	3.56	31.40	209.36	26-61-5080
	9	1.248	1.398	WM5242-ND	3.99	35.20	234.67	26-61-5090
	10	1.404	1.554	WM5243-ND	4.43	39.05	260.31	26-61-5100
	11	1.560	1.710	WM5244-ND	4.85	42.79	285.24	26-61-5110
	12	1.716	1.866	WM5245-ND	5.28	46.61	310.68	26-61-5120
				0,156" Mitten-Crimp-Anschlussgehäuse (Kontakte separat erhältlich, s. weiter unten) mit Sperrrampe - 94V-2 Nylon				
	2	.310	—	WM2100-ND	.21	1.88	12.54	09-50-3021
	3	.460	—	WM2101-ND	.27	2.41	16.09	09-50-3031
	4	.620	—	WM2102-ND	.33	2.95	19.63	09-50-3041
	5	.780	—	WM2103-ND	.39	3.47	23.15	09-50-3051
	6	.930	—	WM2104-ND	.46	4.00	26.70	09-50-3061
7	7	1.090	—	WM2105-ND	.52	4.54	30.24	09-50-3071
	8	1.240	—	WM2106-ND	.58	5.06	33.76	09-50-3081
	9	1.400	—	WM2107-ND	.63	5.60	37.34	09-50-3091
	10	1.560	—	WM2108-ND	.71	6.30	41.97	09-50-3101
	11	1.710	—	WM2109-ND	.75	6.65	44.38	09-50-3111
	12	1.870	—	WM2110-ND	.84	7.36	49.07	09-50-3121
				Mit Sperrrampe und Polarisierungsrippen - 94V-0 Polyester				
	2	.340	—	WM2111-ND	.23	2.04	13.62	09-50-8023
	3	.500	—	WM2112-ND	.30	2.68	17.86	09-50-8033
	4	.650	—	WM2113-ND	.37	3.26	21.74	09-50-8043
	5	.810	—	WM2114-ND	.44	3.89	25.98	09-50-8053
	6	.970	—	WM2115-ND	.51	4.48	29.86	09-50-8063
7	7	1.120	—	WM2116-ND	.58	5.11	34.10	09-50-8073
	8	1.280	—	WM2117-ND	.64	5.65	37.65	09-50-8083
	9	1.430	—	WM2118-ND	.71	6.28	41.89	09-50-8093
	10	1.600	—	WM2119-ND	.78	6.87	45.81	09-50-8103
	11	1.750	—	WM2120-ND	.86	7.51	50.08	09-50-8113
	12	1.900	—	WM2121-ND	.92	8.14	54.32	09-05-8123
				Mit Verriegelungsrampe - 94V-0 Polyester				
	2	.340	—	WM2122-ND	.22	1.93	12.88	09-50-8021
	3	.500	—	WM2123-ND	.29	2.57	17.12	09-50-8031
	4	.650	—	WM2124-ND	.35	3.10	20.64	09-50-8041
	5	.810	—	WM2125-ND	.41	3.68	24.57	09-50-8051
	6	.970	—	WM2126-ND	.47	4.22	28.13	09-50-8061
7	7	1.120	—	WM2127-ND	.55	4.85	32.33	09-50-8071
	8	1.280	—	WM2128-ND	.61	5.38	35.90	09-50-8081
	9	1.430	—	WM2129-ND	.68	5.97	39.80	09-50-8091
	10	1.600	—	WM2130-ND	.74	6.49	43.30	09-50-8101
	11	1.750	—	WM2131-ND	.80	7.09	47.22	09-50-8111
	12	1.900	—	WM2132-ND	.87	7.66	51.08	09-50-8121
Polarisationsschlüssel für 0,156" Gehäuse				WM2402-ND	.23/1	2.04/10		15-04-0219
Polarisationsstift für 0,156" Gehäuse				WM2403-ND	.23/1	2.04/10		15-04-0220
Polarisierungsnippel für 0,156" Friclock-Gehäuse				WM2404-ND	.22/1	1.93/10		15-04-0297

*Schaltkreise

Crimp-Anschlüsse für 0,156" (2,54 mm) Mitten-Gehäuse

Abb. 1

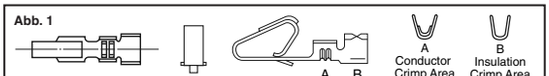

Abb. 2 **Trifurcon**

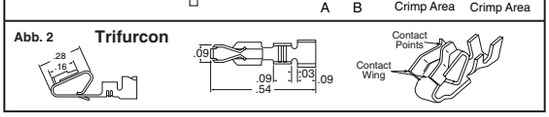

Beschreibung	Digi-Key Teilenr.	Stückpreis	Molex Teilenr.
Handwerkzeug (Waldom)	WM9903-ND	12.32	W-HT-1919
Universal-Crimpwerkzeug (Molex)	WM9999-ND	42.96	63811-1000
Extraktionswerkzeug (Molex)	WM9928-ND	8.59	11-03-0016
Produktionswerkzeug (Molex)	WM9926-ND	181.72	63811-2200
Produktionswerkzeug (Molex)	WM9914-ND	181.72	63811-2300
Manueller Abisolierer (Molex)	WM9969-ND	80.56	63817-0000

Überzug: 100 µ" verzinnt oder 20 µ" Teilgold

Abb.	Material	Drahtgröße	Isolierungs-durchm. (Zoll)	Oberfläche	Digi-Key Teilenr.	Preisangaben 10	Preisangaben 100	Preisangaben 500	Molex Teilenr.
		18-24	.110 Max.	Zinn	WM2300-ND*	.59	4.77	19.85	08-50-0106
	Messing	18-24	.110	Zinn	WM2300CT-ND*‡	—	4.77	19.85	08-50-0105
		18-24	.110	Zinn	WM2300TR-ND*◊		148.16/7,000		08-50-0105
	Messing	22-26	.065 Max.	Zinn	WM2301-ND†	.47	3.77	15.70	08-50-0108
		18-24	.110	Zinn	WM2302-ND*	.80	6.41	26.70	08-52-0072
	Bronze	18-24	.110	Zinn	WM2302CT-ND*‡	—	6.41	26.70	08-52-0071
1		18-24	.110	Zinn	WM2302TR-ND*◊		148.16/7,000		08-52-0071
	Bronze	22-26	.065	Zinn	WM2303-ND†	.59	4.72	19.63	08-50-0134
	Messing	18-24	.110	Gold	WM2305-ND*	6.36	50.86	211.90	08-56-0106
	Messing	22-26	.065	Gold	WM2306-ND†	6.36	50.86	211.90	08-56-0108
		18-24	.110	Gold	WM2304-ND*	6.58	52.63	219.30	08-58-0122
	Phosphor Bronze	18-24	.110	Gold	WM2304CT-ND*‡	—	52.63	219.30	08-58-0121
		18-24	.110	Gold	WM2304TR-ND*◊		1997.13/7,000		08-58-0121
	Bronze	22-26	.065	Gold	WM2307-ND†	6.58	52.63	219.30	08-58-0126
	Phosphor	18-20	.110	Zinn	WM2313-ND*	.86	6.84	28.49	08-52-0113
	Bronze	22-26	.065	Zinn	WM2314-ND†	.87	6.95	28.95	08-52-0125
2					WM17403-ND*	.87	6.95	28.95	08-50-0189
	Messing	18-20	.110	Zinn	WM17403CT-ND*‡	—	6.95	28.95	08-50-0187
					WM17403TR-ND*◊		201.49/7,000		08-50-0187

*Zur Verwendung mit dem WM9926-ND Crimp-Tool. †Zur Verwendung mit dem WM9914-ND Crimp-Tool. ‡ Gurtabschnitt. ◊ Gegurtet auf Rolle

Leiterplatten-Steckverbinder

0,100 (2,54 mm) Leiterplatten-Steckverbinder

94V-O-Material, passt auf 0,025" (0,64 mm) Vierkant-Pins, von Ende zu Ende stapelbar.

Abb. 1 – Seiteneingang

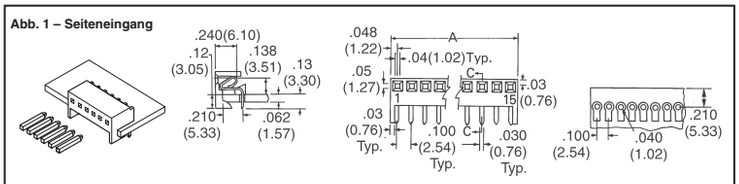

Abb. 2 – Eingang von unten

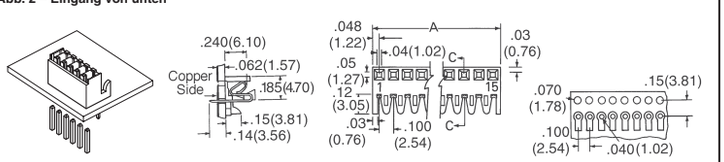

Abb. 3 – Eingang von oben

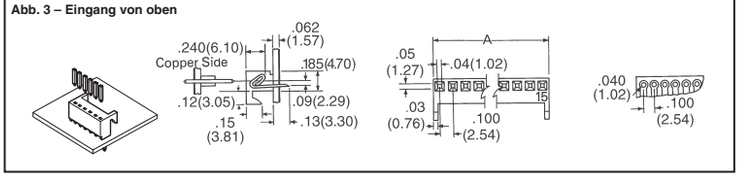

Abb.	Schalt-kreise	Abm. A Zoll (mm)	Digi-Key Teilenr.	Preisangaben 1	10	100	Molex Teilenr.
0,100 (2,54 mm) Leiterplatten-Steckverbinder							
1	2	.196 (4.98)	WM3000-ND	.33	2.92	19.47	22-15-2026
	3	.296 (7.52)	WM3001-ND	.36	3.16	21.05	22-15-2036
	4	.396 (10.06)	WM3002-ND	.56	4.96	33.07	22-15-2046
	5	.496 (12.60)	WM3003-ND	.60	5.33	35.49	22-15-2056
	6	.596 (15.14)	WM3004-ND	.73	6.42	42.79	22-15-2066
	7	.696 (17.68)	WM3005-ND	.83	7.34	48.91	22-15-2076
	8	.796 (20.22)	WM3006-ND	.96	8.45	56.33	22-15-2086
	9	.896 (22.76)	WM3007-ND	1.07	9.41	62.78	22-15-2096
	10	.996 (25.30)	WM3008-ND	1.19	10.49	69.91	22-15-2106
	11	1.096 (27.84)	WM3009-ND	1.38	12.17	81.15	22-15-2116
	12	1.196 (30.38)	WM3010-ND	1.44	12.73	84.90	22-15-2126
2	2	.196 (4.98)	WM3100-ND	.34	3.00	19.97	22-14-2024
	3	.296 (7.52)	WM3101-ND	.36	3.12	20.84	22-14-2034
	4	.396 (10.06)	WM3102-ND	.58	5.17	34.48	22-14-2044
	5	.496 (12.60)	WM3103-ND	.70	6.24	41.58	22-14-2054
	6	.596 (15.14)	WM3104-ND	.83	7.35	48.98	22-14-2064
	7	.696 (17.68)	WM3105-ND	.96	8.41	56.04	22-14-2074
	8	.796 (20.22)	WM3106-ND	1.01	8.91	59.46	22-14-2084
	9	.896 (22.76)	WM3107-ND	1.20	10.58	70.54	22-14-2094
	10	.996 (25.30)	WM3108-ND	1.24	11.01	73.45	22-14-2104
	11	1.096 (27.84)	WM3109-ND	1.37	12.10	80.63	22-14-2114
	12	1.196 (30.38)	WM3110-ND	1.51	13.31	88.73	22-14-2124
3	2	.196 (4.98)	WM3200-ND	.24	2.12	14.14	22-02-2025
	3	.296 (7.52)	WM3201-ND	.36	3.16	21.05	22-02-2035
	4	.396 (10.06)	WM3202-ND	.48	4.25	28.34	22-02-2045
	5	.496 (12.60)	WM3203-ND	.60	5.28	35.24	22-02-2055
	6	.596 (15.14)	WM3204-ND	.72	6.37	42.49	22-02-2065
	7	.696 (17.68)	WM3205-ND	.84	7.41	49.40	22-02-2075
	8	.796 (20.22)	WM3206-ND	.95	8.39	55.93	22-02-2085
	9	.896 (22.76)	WM3207-ND	1.08	9.53	63.56	22-02-2095
	10	.996 (25.30)	WM3208-ND	1.20	10.61	70.69	22-02-2105
	11	1.096 (27.84)	WM3209-ND	1.32	11.63	77.56	22-02-2115
	12	1.196 (30.38)	WM3210-ND	1.43	12.66	84.36	22-02-2125
0,100 (2,54 mm) Leiterplatten-Steckverbinder - Gold							
1	2	.196 (4.98)	WM3211-ND	.39	3.42	22.80	22-16-2020
	3	.296 (7.52)	WM3212-ND	.45	3.96	26.41	22-16-2030
	4	.396 (10.06)	WM3213-ND	.68	5.97	39.80	22-16-2040
	5	.496 (12.60)	WM3214-ND	.82	7.24	48.24	22-16-2050
	6	.596 (15.14)	WM3215-ND	.91	7.97	53.11	22-16-2060
	7	.696 (17.68)	WM3216-ND	1.12	9.87	65.81	22-16-2070
	8	.796 (20.22)	WM3217-ND	1.19	10.51	70.11	22-16-2080
	9	.896 (22.76)	WM3218-ND	1.41	12.39	82.59	22-16-2090
	10	.996 (25.30)	WM3219-ND	1.56	13.75	91.67	22-16-2100
	11	1.096 (27.84)	WM3220-ND	1.70	14.98	99.92	22-16-2110
	12	1.196 (30.38)	WM3221-ND	1.78	15.71	104.75	22-16-2120
2	2	.196 (4.98)	WM3222-ND	.41	3.56	23.71	22-17-3022
	3	.296 (7.52)	WM3223-ND	.55	4.85	32.33	22-17-3032
	4	.396 (10.06)	WM3224-ND	.70	6.24	41.58	22-17-3042
	5	.496 (12.60)	WM3225-ND	.86	7.56	50.39	22-17-3052
	6	.596 (15.14)	WM3226-ND	.94	8.29	55.26	22-17-3062
	7	.696 (17.68)	WM3227-ND	1.08	9.60	63.99	22-17-3072
	8	.796 (20.22)	WM3228-ND	1.32	11.64	77.62	22-17-3082
	9	.896 (22.76)	WM3229-ND	1.47	12.97	86.49	22-17-3092
	10	.996 (25.30)	WM3230-ND	1.63	14.35	95.67	22-17-3102
	11	1.096 (27.84)	WM3231-ND	1.81	16.03	106.82	22-17-3112
	12	1.196 (30.38)	WM3232-ND	1.93	17.06	113.70	22-17-3122
3	2	.196 (4.98)	WM3233-ND	.36	3.23	21.50	22-18-2021
	3	.296 (7.52)	WM3234-ND	.45	3.95	26.39	22-18-2031
	4	.396 (10.06)	WM3235-ND	.60	5.27	35.11	22-18-2041
	5	.496 (12.60)	WM3236-ND	.82	7.27	48.48	22-18-2051

0,156 (3,96 mm) Leiterplatten-Steckverbinder

94V-2 Nylongehäuse. Passt auf 0,045" (1,14 mm) Pins.

Abb. 4 – Seiteneingang

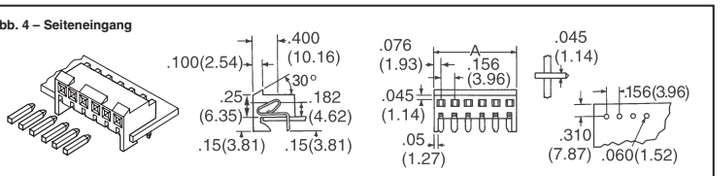

Abb. 5 – Eingang von unten

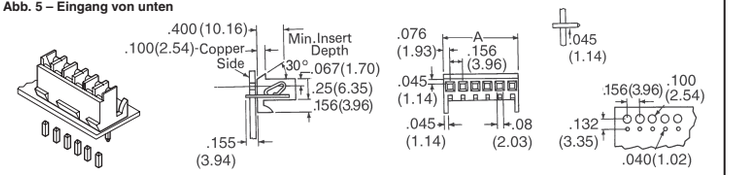

Abb. 6 – Eingang von oben

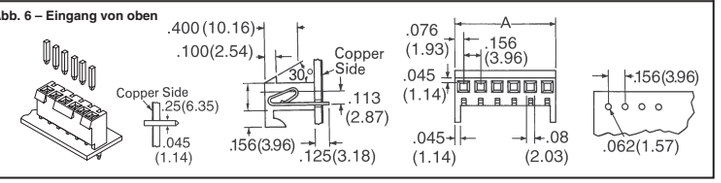

Abb.	Schalt-kreise	Abm. A Zoll (mm)	Digi-Key Teilenr.	Preisangaben 1	10	100	Molex Teilenr.
3	6	.596 (15.14)	WM3237-ND	.90	7.92	52.81	22-18-2061
	7	.696 (17.68)	WM3238-ND	1.04	9.22	61.47	22-18-2071
	8	.796 (20.22)	WM3239-ND	1.19	10.52	70.17	22-18-2081
	9	.896 (22.76)	WM3240-ND	1.33	11.70	78.01	22-18-2091
	10	.996 (25.30)	WM3241-ND	1.49	13.12	87.47	22-18-2101
	11	1.096 (27.84)	WM3242-ND	1.64	14.48	96.50	22-18-2111
	12	1.196 (30.38)	WM3243-ND	1.79	15.87	105.76	22-18-2121
0,156 (3,96 mm) Leiterplatten-Steckverbinder							
4	3	.46 (11.68)	WM3300-ND	.52	4.54	30.24	09-52-3031
	4	.62 (15.75)	WM3301-ND	.58	5.13	34.19	09-52-3041
	5	.78 (19.81)	WM3302-ND	.73	6.39	42.63	09-52-3051
	6	.93 (23.62)	WM3303-ND	.86	7.56	50.39	09-52-3061
	7	1.09 (27.69)	WM3304-ND	1.02	8.98	59.91	09-52-3071
	8	1.24 (31.50)	WM3305-ND	1.17	10.28	68.54	09-52-3081
	9	1.40 (35.56)	WM3306-ND	1.31	11.62	77.42	09-52-3091
	10	1.56 (39.62)	WM3307-ND	1.46	12.91	86.07	09-52-3101
	11	1.71 (43.43)	WM3308-ND	1.58	13.94	92.95	09-52-3111
	12	1.87 (47.50)	WM3309-ND	1.73	15.27	101.81	09-52-3121
5	3	.46 (11.68)	WM3400-ND	—	4.13	—	09-52-3032
	4	.62 (15.75)	WM3401-ND	.69	6.02	40.14	09-52-3042
	5	.78 (19.81)	WM3402-ND	.83	7.30	48.64	09-52-3052
	6	.93 (23.62)	WM3403-ND	.97	8.57	57.12	09-52-3062
	7	1.09 (27.69)	WM3404-ND	1.24	10.90	72.65	09-52-3072
	8	1.24 (31.50)	WM3405-ND	—	8.33	—	09-52-3082
	9	1.40 (35.56)	WM3406-ND	—	9.27	—	09-52-3092
	10	1.56 (39.62)	WM3407-ND	1.50	13.22	88.15	09-52-3102
	12	1.87 (47.50)	WM3409-ND	1.80	15.95	106.32	09-52-3122
6	3	.46 (11.68)	WM3500-ND	.52	4.54	30.24	09-52-3033
	4	.62 (15.75)	WM3501-ND	.59	5.21	34.71	09-52-3043
	5	.78 (19.81)	WM3502-ND	.66	5.86	39.06	09-52-3053
	6	.93 (23.62)	WM3503-ND	.86	7.55	50.32	09-52-3063
	7	1.09 (27.69)	WM3504-ND	1.08	9.51	63.36	09-52-3073
	8	1.24 (31.50)	WM3505-ND	1.13	10.02	66.75	09-52-3083
	9	1.40 (35.56)	WM3506-ND	1.30	11.46	76.41	09-52-3093
	10	1.56 (39.62)	WM3507-ND	1.42	12.55	83.66	09-52-3103
	11	1.71 (43.43)	WM3508-ND	1.58	13.94	92.92	09-52-3113
	12	1.87 (47.50)	WM3509-ND	1.74	15.29	101.92	09-52-3123
0,156 (3,96 mm) Leiterplatten-Steckverbinder - Gold							
4	3	.46 (11.68)	WM3510-ND	.78	6.87	45.81	09-62-3031
	4	.62 (15.75)	WM3511-ND	.92	8.15	54.36	09-62-3041
	5	.78 (19.81)	WM3512-ND	1.24	10.96	73.03	09-62-3051
	6	.93 (23.62)	WM3513-ND	1.41	12.39	82.56	09-62-3061
	7	1.09 (27.69)	WM3514-ND	1.69	14.97	99.79	09-62-3071
	8	1.24 (31.50)	WM3515-ND	1.93	17.00	113.34	09-62-3081
	10	1.56 (39.62)	WM3517-ND	2.39	21.09	140.60	09-62-3101
	12	1.87 (47.50)	WM3519-ND	2.79	24.61	164.09	09-62-3121
5	3	.46 (11.68)	WM3520-ND	.81	7.19	47.93	09-62-3032
	4	.62 (15.75)	WM3521-ND	1.06	9.31	62.08	09-62-3042
	6	.93 (23.62)	WM3523-ND	—	10.08	—	09-62-3062
	7	1.09 (27.69)	WM3524-ND	1.78	15.68	104.50	09-62-3072
	8	1.24 (31.50)	WM3525-ND	2.01	17.80	118.66	09-62-3082
	10	1.56 (39.62)	WM3527-ND	—	15.01	—	09-62-3102
6	3	.46 (11.68)	WM3530-ND	.78	6.87	45.81	09-62-3033
	4	.62 (15.75)	WM3531-ND	1.01	8.89	59.25	09-62-3043
	5	.78 (19.81)	WM3532-ND	1.16	10.26	68.43	09-62-3053
	6	.93 (23.62)	WM3533-ND	1.39	12.28	81.87	09-62-3063
	8	1.24 (31.50)	WM3535-ND	1.93	17.00	113.34	09-62-3083
	10	1.56 (39.62)	WM3537-ND	2.39	21.09	140.60	09-62-3103
	11	1.71 (43.43)	WM3538-ND	3.28	28.91	192.72	09-62-3113
	12	1.87 (47.50)	WM3539-ND	2.74	24.22	161.46	09-62-3123

Alle Preisangaben in Euro und inklusive Zollgebühren.

„Spielzeugauto“-Batterieanschluss

Abb. 1 – Stecker

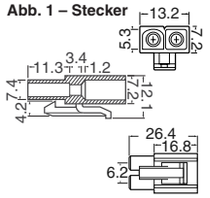

Abb. 2 – Sockel

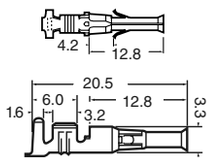

Abb. 3 – Steckbuchse

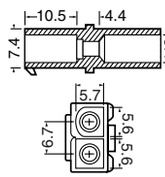

Abb. 4 – Pin

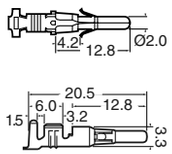

- 15 A Nennstrom pro Stromkreis
- 300 V Nennspannung
- 14-20 AWG Drahtbereich
- Nylon 6/6-Gehäuse 94V-2
- Industriestandardprodukt für funkgesteuerte Spielzeugautos

Abb.	Digi-Key Teilenr.	Preisangaben 1	10	50	100	Molex Teilenr.
1	WM2308-ND	.41	3.58	16.71	23.87	351-43-0201
2	WM2311-ND	.09	.82	3.82	5.45	357-28-0201
3	WM2309-ND	.39	3.47	16.20	23.13	351-41-0201
4	WM2310-ND	.10	.93	4.35	6.21	357-27-0201

WM9999-ND Universal-Crimpwerkzeug (Waldom) **42.96/1**
WM9969-ND Manueller Abisolierer (Waldom) **80.56/1**

Crimpanschluss-Steckverbinderkits

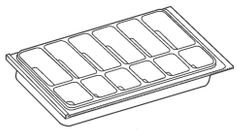

WM9803 Kit Qty.	Item	WM9804 Kit Qty.
36	Crimp Terminal Housings	48
18	Straight Headers	24
18	Right Angle Headers	24
10	Shunts	—
100	Crimp Term (22-30 AWG)	—
—	Crimp Term (18-24 AWG)	100
—	Crimping Tool HT-1919	1
1	Crimping Tool HT-1921	—
1	Extractor Tool HT-1884	1

Beschreibung	Digi-Key Teilenr.	Stückpreis	Molex Teilenr.
0,100" Steckverbinderkit	WM9803-ND	35.78	KK-100
0,156" Steckverbinderkit	WM9804-ND	36.02	KK-156

C-Grid® SL™ 0,100

• **Überzug:** Min. 15 µ" Gold oder min. 150 µ" Zinn/Blei. **MATERIAL:** • **Pins:** 0,025" vierkant, Phosphorbronze. • **Isolator:** UL 94V-0 glasgefüllt, PCT, schwarz; mit Vapor-Phase-Löten und Infrarot-Prozess kompatibel. **ELEKTRISCHE SPEZIFIKATIONEN:** • **Nennstrom:** 3 A • **Isolationswiderstand:** 1.000 MΩ. • **Durchschlagsfestigkeit:** 600 V AC eff. für 1 Minute. **UMGEBUNGSDATEN:** • **Betriebstemperatur:** -40 °C ~ 105 °C. • UL-aufgelistet u. CSA-zertifiziert.

Abb. 1 – „G“-Version, von Ende-zu-Ende stapelbar (C-Grid-Crimpanschlüsse verwenden, separat erhältlich)

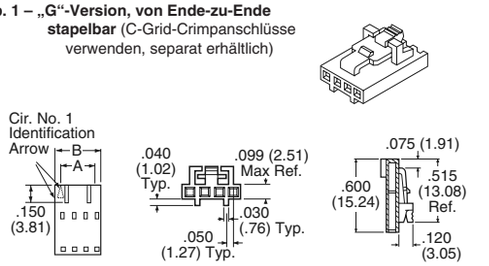

Abb. 2 – „A“-Version (C-Grid-Crimpanschlüsse verwenden, separat erhältlich)

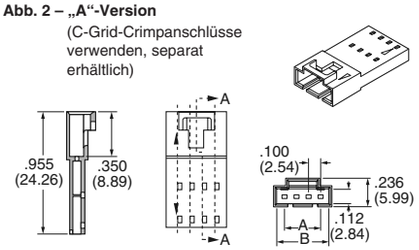

Abb. 3 – Gerade Steckleiste

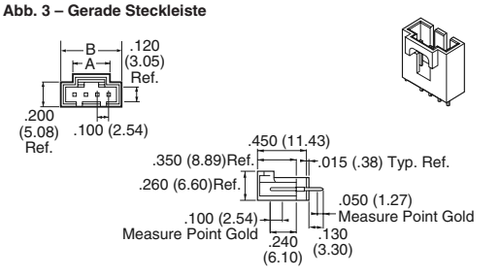

Abb. 4 – Rechtwinklige Steckleiste

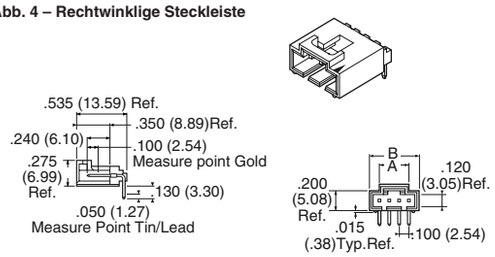

Abb. 5 – Rechtwinklige Steckleiste (SMT)

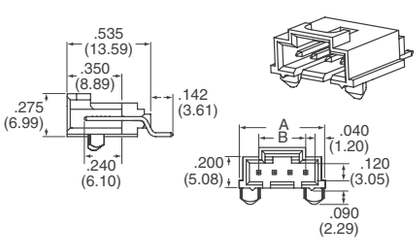

Abb. 6 – Gerade Steckleiste (SMT)

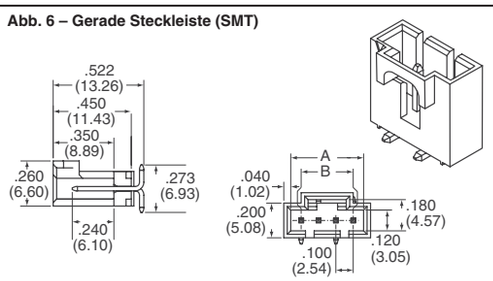

Abb.	Schalt-kreise	Abm. – Zoll. (mm) A	B	Digi-Key Teilenr.	Preisangaben 1	10	100	500	Molex Teilenr.
Buchsengehäuse (Kontakt separat erhältlich)									
1	2	.100 (2.54)	.199 (5.05)	WM2900-ND	.44	3.55	29.55	118.19	50-57-9402
	3	.200 (5.08)	.299 (7.59)	WM2901-ND	.59	4.73	39.42	157.67	50-57-9403
	4	.300 (7.62)	.399 (10.13)	WM2902-ND	.43	3.46	28.83	115.32	50-57-9404
	5	.400 (10.16)	.499 (12.67)	WM2903-ND	.53	4.27	35.54	142.14	50-57-9405
	6	.500 (12.70)	.599 (15.21)	WM2904-ND	.61	4.90	40.83	163.33	50-57-9406
	7	.600 (15.24)	.699 (17.75)	WM2905-ND	.69	5.54	46.15	184.59	50-57-9407
	8	.700 (17.78)	.799 (20.29)	WM2906-ND	.75	5.96	49.67	198.68	50-57-9408
	9	.800 (20.32)	.899 (22.83)	WM2907-ND	.75	6.04	50.39	201.56	50-57-9409
	10	.900 (22.86)	.999 (25.37)	WM2908-ND	.76	6.10	50.77	203.08	50-57-9410
	11	1.00 (25.40)	1.099 (27.91)	WM2909-ND	.80	6.47	53.87	215.47	50-57-9411
	12	1.10 (27.94)	1.199 (30.45)	WM2910-ND	.70	5.61	46.76	187.01	50-57-9412
	13	1.20 (30.48)	1.299 (32.99)	WM2911-ND	.99	7.91	65.87	263.48	50-57-9413
	14	1.30 (33.02)	1.399 (35.53)	WM2912-ND	1.08	8.58	71.57	286.27	50-57-9414
	15	1.40 (35.56)	1.499 (38.07)	WM2913-ND	1.12	8.97	74.75	299.01	50-57-9415
	16	1.50 (38.10)	1.599 (40.61)	WM2914-ND	1.18	9.43	78.62	314.44	50-57-9416
	17	1.60 (40.64)	1.699 (43.15)	WM2915-ND	1.22	9.78	81.49	325.93	50-57-9417
	18	1.70 (43.18)	1.799 (45.69)	WM2916-ND	1.29	10.29	85.74	342.98	50-57-9418
	19	1.80 (45.72)	1.899 (48.23)	WM2917-ND	1.57	12.59	104.89	419.53	50-57-9419
	20	1.90 (48.26)	1.999 (50.77)	WM2918-ND	1.63	13.05	108.76	435.06	50-57-9420
	21	2.00 (50.80)	2.099 (53.31)	WM2919-ND	1.68	13.44	111.95	447.80	50-57-9421
	22	2.10 (53.34)	2.199 (55.85)	WM2920-ND	1.73	13.82	115.16	460.64	50-57-9422
	23	2.20 (55.88)	2.299 (58.39)	WM2921-ND	1.78	14.20	118.35	473.38	50-57-9423
	24	2.30 (58.42)	2.399 (60.93)	WM2922-ND	1.84	14.67	122.25	488.99	50-57-9424
	25	2.40 (60.96)	2.499 (63.47)	WM2923-ND	1.89	15.09	125.77	503.08	50-57-9425
Stiftgehäuse (Kontakt separat erhältlich)									
2	2	.100 (2.54)	.220 (5.59)	WM2533-ND	.83	6.64	55.33	221.30	70107-0001
	3	.200 (5.08)	.320 (8.13)	WM2534-ND	.84	6.72	56.04	224.17	70107-0002

Abb.	Schaltk-reise	Abm. – Zoll. (mm) A	B	Digi-Key Teilenr.	Preisangaben 1	10	100	500	Molex Teilenr.
2	4	.300 (7.62)	.420 (10.67)	WM2535-ND	.86	6.90	57.48	229.91	70107-0003
	5	.400 (10.16)	.520 (13.21)	WM2536-ND	.98	7.87	65.58	262.31	70107-0004
	6	.500 (12.70)	.620 (15.75)	WM2537-ND	1.28	10.21	85.07	340.29	70107-0005
	7	.600 (15.24)	.720 (18.29)	WM2538-ND	1.30	10.33	86.08	344.33	70107-0006
	8	.700 (17.78)	.820 (20.83)	WM2539-ND	1.33	10.60	88.35	353.40	70107-0007
	9	.800 (20.32)	.920 (23.37)	WM2540-ND	1.35	10.80	90.01	360.03	70107-0008
	10	.900 (22.86)	1.020 (25.91)	WM2541-ND	1.41	11.23	93.57	374.31	70107-0009
Min. 15 µ" Gold									
3	2	.100 (2.54)	.290 (7.37)	WM4800-ND	.83	6.63	55.26	221.03	70543-0001
	3	.200 (5.08)	.400 (10.17)	WM4801-ND	.82	6.60	55.01	220.04	70543-0002
	4	.300 (7.62)	.500 (12.71)	WM4802-ND	.89	7.13	59.41	237.63	70543-0003
	5	.400 (10.16)	.600 (15.25)	WM4803-ND	1.02	8.22	68.50	273.98	70543-0004
	6	.500 (12.70)	.700 (17.79)	WM4804-ND	1.04	8.31	69.26	277.02	70543-0005
	7	.600 (15.24)	.800 (20.33)	WM4805-ND	1.28	10.24	85.35	341.37	70543-0006
	8	.700 (17.78)	.900 (22.87)	WM4806-ND	1.37	10.97	91.45	365.78	70543-0007
	9	.800 (20.32)	1.000 (25.41)	WM4807-ND	1.46	11.71	97.55	390.19	70543-0008
	10	.900 (22.86)	1.100 (27.95)	WM4808-ND	1.56	12.44	103.67	414.69	70543-0009
	11	1.00 (25.40)	1.200 (30.49)	WM4809-ND	1.79	14.34	119.49	477.96	70543-0010
	12	1.10 (27.94)	1.300 (33.03)	WM4810-ND	1.90	15.18	126.49	505.95	70543-0011
	13	1.20 (30.48)	1.400 (35.57)	WM4811-ND	1.99	15.94	132.81	531.26	70543-0012
	14	1.30 (33.02)	1.500 (38.11)	WM4812-ND	2.10	16.79	139.91	559.62	70543-0013
	15	1.40 (35.56)	1.600 (40.65)	WM4813-ND	2.20	17.60	146.68	586.72	70543-0014
	16	1.50 (38.10)	1.700 (43.19)	WM4814-ND	2.30	18.42	153.55	614.17	70543-0015
	17	1.60 (40.64)	1.800 (45.73)	WM4815-ND	2.39	19.12	159.40	637.60	70543-0016
	18	1.70 (43.18)	1.900 (48.27)	WM4816-ND	2.49	19.90	165.80	663.18	70543-0017
	19	1.80 (45.72)	2.000 (50.81)	WM4817-ND	2.53	20.28	168.96	675.83	70543-0018
	20	1.90 (48.26)	2.100 (53.35)	WM4818-ND	2.68	21.43	178.54	714.15	70543-0019
	21	2.00 (50.80)	2.200 (55.89)	WM4819-ND	2.80	22.41	186.77	747.08	70543-0020

(Forts.)

Abb.	Schalt-kreise	Abm. – Zoll. (mm) A	B	Digi-Key Teilenr.	Preisangaben 1	10	100	500	Molex Teilenr.
3	22	2.10 (53.34)	2.300 (58.43)	WM4820-ND	2.87	22.97	191.39	765.57	70543-0021
	23	2.20 (55.88)	2.400 (60.97)	WM4821-ND	3.00	23.98	199.85	799.40	70543-0022
	24	2.30 (58.42)	2.500 (63.51)	WM4822-ND	3.08	24.62	205.17	820.67	70543-0023
	25	2.40 (60.96)	2.600 (66.05)	WM4823-ND	3.19	25.56	212.98	851.90	70543-0024
				150 µ" Zinn/Blei					
3	2	.100 (2.54)	.290 (7.37)	WM4824-ND	.82	6.54	54.54	218.16	70543-0036
	3	.200 (5.08)	.400 (10.17)	WM4825-ND	.88	7.02	58.47	233.86	70543-0037
	4	.300 (7.62)	.500 (12.71)	WM4826-ND	.95	7.57	63.05	252.17	70543-0038
	5	.400 (10.16)	.600 (15.25)	WM4827-ND	1.00	7.99	66.59	266.35	70543-0039
	6	.500 (12.70)	.700 (17.79)	WM4828-ND	.86	6.90	57.53	230.09	70543-0040
	7	.600 (15.24)	.800 (20.33)	WM4829-ND	1.12	8.97	74.78	299.10	70543-0041
	8	.700 (17.78)	.900 (22.87)	WM4830-ND	1.17	9.35	77.96	311.85	70543-0042
	9	.800 (20.32)	1.000 (25.41)	WM4831-ND	1.23	9.82	81.82	327.28	70543-0043
	10	.900 (22.86)	1.100 (27.95)	WM4832-ND	1.30	10.37	86.42	345.68	70543-0044
	11	1.00 (25.40)	1.200 (30.49)	WM4833-ND	1.35	10.81	90.08	360.30	70543-0045
	12	1.10 (27.94)	1.300 (33.03)	WM4834-ND	1.41	11.22	93.49	373.94	70543-0046
				Min. 15 µ" Gold					
4	2	.100 (2.54)	.290 (7.37)	WM4900-ND	.70	5.60	46.64	186.57	70553-0001
	3	.200 (5.08)	.400 (10.17)	WM4901-ND	.91	7.31	60.98	243.91	70553-0002
	4	.300 (7.62)	.500 (12.71)	WM4902-ND	.95	7.60	63.38	253.51	70553-0003
	5	.400 (10.16)	.600 (15.25)	WM4903-ND	1.10	8.81	73.43	293.72	70553-0004
	6	.500 (12.70)	.700 (17.79)	WM4904-ND	1.10	8.83	73.56	294.25	70553-0005
	7	.600 (15.24)	.800 (20.33)	WM4905-ND	1.28	10.24	85.35	341.37	70553-0006
	8	.700 (17.78)	.900 (22.87)	WM4906-ND	1.37	10.97	91.45	365.78	70553-0007
	9	.800 (20.32)	1.000 (25.41)	WM4907-ND	1.46	11.71	97.55	390.19	70553-0008
	10	.900 (22.86)	1.100 (27.95)	WM4908-ND	1.56	12.44	103.67	414.69	70553-0009
	11	1.00 (25.40)	1.200 (30.49)	WM4909-ND	1.79	14.34	119.49	477.96	70553-0010
	12	1.10 (27.94)	1.300 (33.03)	WM4910-ND	1.90	15.18	126.49	505.95	70553-0011
	13	1.20 (30.48)	1.400 (35.57)	WM4911-ND	1.99	15.94	132.81	531.26	70553-0012
	14	1.30 (33.02)	1.500 (38.11)	WM4912-ND	2.10	16.79	139.93	559.70	70553-0013
	15	1.40 (35.56)	1.600 (40.65)	WM4913-ND	2.20	17.60	146.68	586.72	70553-0014
	16	1.50 (38.10)	1.700 (43.19)	WM4914-ND	2.30	18.42	153.55	614.17	70553-0015
	17	1.60 (40.64)	1.800 (45.73)	WM4915-ND	2.39	19.13	159.42	637.69	70553-0016
	18	1.70 (43.18)	1.900 (48.27)	WM4916-ND	2.49	19.90	165.80	663.18	70553-0017
	19	1.80 (45.72)	2.000 (50.81)	WM4917-ND	2.61	20.83	173.56	694.23	70553-0018
	20	1.90 (48.26)	2.100 (53.35)	WM4918-ND	2.68	21.43	178.54	714.15	70553-0019
	21	2.00 (50.80)	2.200 (55.89)	WM4919-ND	2.79	22.38	186.52	746.09	70553-0020
	22	2.10 (53.34)	2.300 (58.43)	WM4920-ND	2.87	22.97	191.39	765.57	70553-0021

Abb.	Schalt-kreise	Abm. – Zoll. (mm) A	B	Digi-Key Teilenr.	Preisangaben 1	10	100	500	Molex Teilenr.
4	23	2.20 (55.88)	2.400 (60.97)	WM4921-ND	3.00	23.98	199.87	799.49	70553-0022
	24	2.30 (58.42)	2.500 (63.51)	WM4922-ND	3.08	24.62	205.19	820.76	70553-0023
	25	2.40 (60.96)	2.600 (66.05)	WM4923-ND	3.19	25.56	212.98	851.90	70553-0024
				150 µ" Zinn/Blei					
4	2	.100 (2.54)	.290 (7.37)	WM4924-ND	.82	6.54	54.54	218.16	70553-0036
	3	.200 (5.08)	.400 (10.17)	WM4925-ND	.88	7.02	58.47	233.86	70553-0037
	4	.300 (7.62)	.500 (12.71)	WM4926-ND	.80	6.37	53.12	212.51	70553-0038
	5	.400 (10.16)	.600 (15.25)	WM4927-ND	1.00	7.99	66.59	266.35	70553-0039
	6	.500 (12.70)	.700 (17.79)	WM4928-ND	1.06	8.49	70.78	283.13	70553-0040
	7	.600 (15.24)	.800 (20.33)	WM4929-ND	1.12	8.97	74.78	299.10	70553-0041
	8	.700 (17.78)	.900 (22.87)	WM4930-ND	1.17	9.35	77.96	311.85	70553-0042
	9	.800 (20.32)	1.00 (25.41)	WM4931-ND	1.23	9.80	81.64	326.56	70553-0043
	10	.900 (22.86)	1.10 (27.95)	WM4932-ND	1.30	10.37	86.42	345.68	70553-0044
	11	1.00 (25.40)	1.20 (30.49)	WM4933-ND	1.35	10.81	90.08	360.30	70553-0045
	12	1.10 (27.94)	1.30 (33.03)	WM4934-ND	1.41	11.22	93.49	373.94	70553-0046
				15 µ" Gold					
5	2	.340 (8.63)	.100 (2.54)	WM1340-ND	2.51	20.02	166.87	667.48	15-91-2025
	3	.450 (11.43)	.200 (5.08)	WM1341-ND	2.55	20.37	169.72	678.88	15-91-2035
	4	.550 (13.97)	.300 (7.62)	WM1342-ND	2.62	20.92	174.34	697.37	15-91-2045
	5	.650 (16.51)	.400 (10.16)	WM1343-ND	2.68	21.39	178.23	712.89	15-91-2055
	6	.750 (19.05)	.500 (12.70)	WM1344-ND	2.72	21.77	181.41	725.64	15-91-2065
	7	.850 (21.59)	.600 (15.24)	WM1345-ND	2.78	22.19	184.93	739.73	15-91-2075
	8	.950 (24.13)	.700 (17.78)	WM1346-ND	2.82	22.57	188.11	752.47	15-91-2085
	9	1.050 (26.67)	.800 (20.32)	WM1347-ND	2.87	22.96	191.32	765.30	15-91-2095
	10	1.150 (29.21)	.900 (22.86)	WM1348-ND	2.94	23.51	195.95	783.78	15-91-2105
	11	1.250 (31.75)	1.00 (25.40)	WM1349-ND	3.45	27.56	229.65	918.58	15-91-2115
	12	1.350 (34.29)	1.10 (27.94)	WM1350-ND	3.99	31.89	265.76	1063.06	15-91-2125
				15 µ" Gold					
6	3	.320 (8.13)	.200 (5.08)	WM7203-ND	2.07	16.60	138.33	553.34	74099-1003
	4	.420 (10.67)	.300 (7.62)	WM7204-ND	2.57	20.50	170.78	683.10	74099-1004
	5	.520 (13.21)	.400 (10.16)	WM7205-ND	3.06	24.43	203.62	814.48	74099-1005
	6	.620 (15.75)	.500 (12.70)	WM7206-ND	3.56	28.45	237.14	948.55	74099-1006
	7	.720 (18.29)	.600 (15.24)	WM7207-ND	4.04	32.31	269.24	1076.97	74099-1007
	8	.820 (20.83)	.700 (17.78)	WM7208-ND	4.52	36.16	301.35	1205.38	74099-1008
	9	.920 (23.37)	.800 (20.32)	WM7209-ND	5.04	40.32	335.94	1343.76	74099-1009
	10	1.020 (25.91)	.900 (22.86)	WM7210-ND	5.55	44.46	370.51	1482.05	74099-1010
	11	1.120 (28.45)	1.000 (25.40)	WM7211-ND	6.00	48.02	400.15	1600.60	74099-1011
	12	1.220 (30.99)	1.100 (27.94)	WM7212-ND	6.50	52.04	433.67	1734.67	74099-1012

molex Waldom ELECTRONICS

C-Grid® Crimpsteckverbinder-Gehäuse

Abb. 1 – „A"-Version

„A"-Version, nicht polarisiert, von Ende zu Ende und Seite zu Seite stapelbar. Passt auf ungeschirmte Steckleisten.

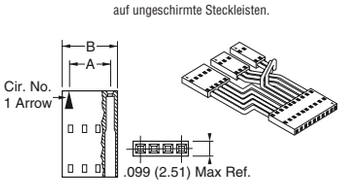

Abb. 2 – „A"-Version

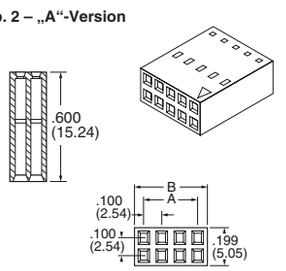

Abb.	Schalt-kreise	Abm. – Zoll. (mm) A	B	Digi-Key Teilenr.	Preisangaben 1	10	100	500	Molex Teilenr.
1	2	.100 (2.54)	.199 (5.05)	WM2800-ND	.54	4.74	31.64	126.53	50-57-9002
	3	.200 (5.08)	.299 (7.59)	WM2801-ND	.67	5.91	39.42	157.67	50-57-9003
	4	.300 (7.62)	.399 (10.13)	WM2802-ND	.69	6.12	40.83	163.33	50-57-9004
	5	.400 (10.16)	.499 (12.67)	WM2803-ND	.73	6.41	42.74	170.95	50-57-9005
	6	.500 (12.70)	.599 (15.21)	WM2804-ND	.76	6.71	44.73	178.94	50-57-9006
	7	.600 (15.24)	.699 (17.75)	WM2805-ND	.80	7.09	47.22	188.90	50-57-9007
	8	.700 (17.78)	.799 (20.29)	WM2806-ND	.85	7.45	49.67	198.68	50-57-9008
	9	.800 (20.32)	.899 (22.83)	WM2807-ND	.90	7.93	52.88	211.51	50-57-9009
	10	.900 (22.86)	.999 (25.37)	WM2808-ND	.94	8.30	55.33	221.30	50-57-9010
2	4	.100 (2.54)	.199 (5.05)	WM2519-ND	1.85	16.26	108.41	433.62	22-55-2041
	6	.200 (5.08)	.299 (7.59)	WM2520-ND	1.60	14.09	93.89	375.56	22-55-2061
	8	.300 (7.62)	.399 (10.13)	WM2521-ND	2.01	17.80	118.66	474.63	22-55-2081
	10	.400 (10.16)	.499 (12.67)	WM2522-ND	2.11	18.59	123.93	495.72	22-55-2101
	12	.500 (12.70)	.599 (15.21)	WM2523-ND	2.19	19.34	128.91	515.65	22-55-2121
	14	.600 (15.24)	.699 (17.75)	WM2524-ND	2.28	20.13	134.20	536.82	22-55-2141
	16	.700 (17.78)	.799 (20.29)	WM2525-ND	2.36	20.83	138.83	555.31	22-55-2161
	18	.800 (20.32)	.899 (22.83)	WM2526-ND	2.45	21.56	143.76	575.05	22-55-2181
	20	.900 (22.86)	.999 (25.37)	WM2527-ND	2.53	22.37	149.10	596.41	22-55-2201
	22	1.000 (25.40)	1.099 (27.91)	WM2528-ND	2.62	23.10	154.04	616.16	22-55-2221
	24	1.100 (27.95)	1.199 (30.45)	WM2529-ND	2.71	23.90	159.36	637.42	22-55-2241
	30	1.400 (35.56)	1.499 (38.07)	WM2530-ND	2.94	25.91	172.77	691.09	22-55-2301
	40	1.900 (48.26)	1.999 (50.77)	WM2531-ND	3.39	29.94	199.65	798.59	22-55-2401
	50	2.400 (60.96)	2.499 (63.47)	WM2532-ND	3.82	33.72	224.77	899.10	22-55-2501

molex Waldom ELECTRONICS

C-Grid® Box-Crimpanschlüsse

Anschlussmaterial:
Phosphorbronze.

Nennstrom:
3,0 A (24 AWG) 30 °C Anstieg über Umgebung

UL-aufgeführt u. CSA-zertifiziert.

Abb. 1

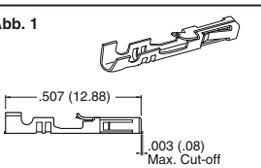

Abb. 2

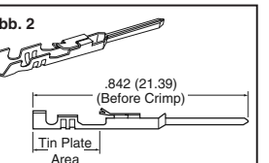

Abb.	Drahtbereich	Isol. Durchm. Zoll (mm)	Überzug	Digi-Key Teilenr.	Preisangaben 10	100	500	1,000	Molex Teilenr.
1	22-24	.064 (1.63)	Zinn‡	WM2510-ND	.84	6.96	27.82	46.18	16-02-0102
				WM2510CT-ND∞	—	6.96	27.82	46.18	16-02-0086
				WM2510TR-ND◊			694.21/20,000		16-02-0086
	24-30	.060 (1.52)	Zinn‡	WM2511-ND	.84	6.96	27.82	46.18	16-02-0096
	22-24	.064 (1.63)	Gold†	WM2512-ND	1.25	10.41	41.64	69.12	16-02-0103
				WM2512CT-ND∞	—	10.41	41.64	69.12	16-02-0087
				WM2512TR-ND◊			1117.51/20,000		16-02-0087
	24-30	.060 (1.52)	Gold†	WM2513-ND	1.25	10.41	41.64	69.12	16-02-0097
	22-24	.064 (1.63)	Zinn‡	WM2556-ND*	1.11	9.27	37.06	61.52	16-02-1114
	24-30	.060 (1.52)	Zinn‡	WM2557-ND*	1.11	9.27	37.06	61.52	16-02-1116
	22-24	.064 (1.63)	Gold†	WM2554-ND*	1.76	14.67	58.69	97.42	16-02-1125
	24-30	.060 (1.52)	Gold†	WM2555-ND*	1.76	14.67	58.69	97.42	16-02-1109
2	22-24	.064 (1.63)	Zinn‡	WM2517-ND	.84	6.96	27.82	46.18	16-02-0114
				WM2517CT-ND∞	—	6.96	27.82	46.18	16-02-0107
				WM2517TR-ND◊			694.21/20,000		16-02-0107
	24-30	.060 (1.52)	Zinn‡	WM2518-ND	.84	6.96	27.82	46.18	16-02-0108
	22-24	.064 (1.63)	Gold†	WM2515-ND	1.35	11.19	44.78	74.33	16-02-0115
				WM2515CT-ND∞	—	11.19	44.78	74.33	16-02-0081
				WM2515TR-ND◊			1066.72/20,000		16-02-0081
	24-30	.060 (1.52)	Gold†	WM2516-ND	1.33	11.11	44.42	73.74	16-02-0109
Universal-Crimpwerkzeug (Molex)				WM9999-ND			42.96/1		63811-1000
C-Grid-Hand-Crimpwerkzeug 22-24 u. 32-36 AWG				WM9917-ND			181.72/1		11-01-0208
C-Grid-Hand-Crimpwerkzeug 24-30 AWG				WM9919-ND			181.72/1		11-01-0209
Einführungswerkzeug				WM9911-ND			8.66/1		11-02-0022
Manueller Abisolierer (Molex)				WM9969-ND			80.56/1		63817-0000

* Hochdrucktyp für niedrige Pinzahl. ‡ Insgesamt 150 µ" Zinn/Blei über 50 µ" Nickel.
† Min. 15 µZoll Gold in ausgewähltem Bereich über min. 50 µZoll Nickel, insgesamt mit min. 75 µZoll Zinn/Blei in ausgewähltem Bereich.
∞ CT = Gurtabschnitt. ◊ TR = Gegurtet auf Rolle.

Alle Preisangaben in Euro und inklusive Zollgebühren.

Finish-Optionen: • 10 µ" teilvergoldet über 50 µ" Nickel auf Kontaktpfosten; 100 µ" 90/10 Lötüberzug auf Litzenteil • 100 µ" 90/0 Lötüberzug auf Pfosten und Litzen • Unterplattierung: 100 µ" Nickel • Goldwischbereich • 200 µ" 60/40 Zinn auf Lötlitzen • Nennstrom: 3 A. • Haltespannung: 100 V AC • Nenntemperatur: -55 °C ~ 105 °C • UL-Eintragungsnr.: E88080, CSA-Eintragungsnr. LR 40971

Serie 2400: • Material: Glasgefülltes Polyester • Entflammbarkeit: UL94V-O • Farbe: Grau • Phosphorbronzeüberzug

Abb. 1 - Einreihige gerade Stiftsteckleiste

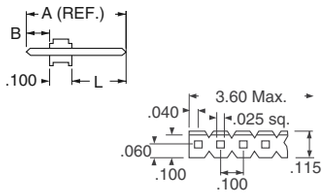

Abb. 2 - Zweireihige gerade Stiftsteckleiste (0,1" x 0, 1" Matrix)

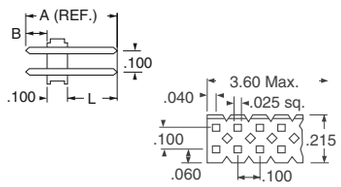

Abb. 3 - Einreihige rechtwinklige Stiftsteckleiste

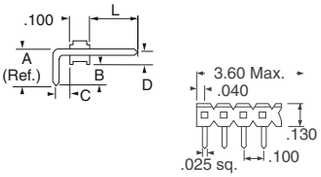

Abb. 4 - Zweireihige gerade Stiftsteckleiste (0,1" x 0, 1" Matrix)

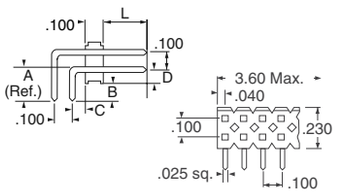

Abb. 5 - Einreihige rechtwinklige Stiftsteckleiste, polarisiert (36 Positionen)

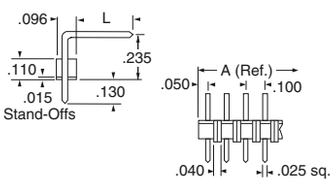

Abb. 6 - Einreihige gerade Buchsensteckleiste

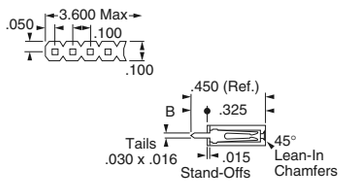

Abb. 7 - Zweireihige gerade Buchsensteckleiste (0,1" x 0, 1" Matrix)

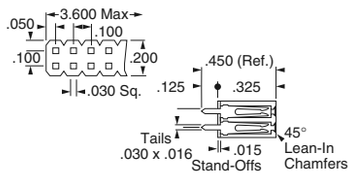

Abb. 8 – Kurzschlussbrücken

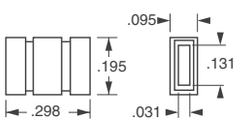

Steckleisten, 36 Pins

Abb.	Überzug	Anz. der Pins	Abmessungen (Zoll) L	A (Ref)	B	C	D	Digi-Key Teilenr.	Stückpreis 1	10	100
Einreihige gerade Stiftsteckleiste											
1	Lötzinn	36	.235	.545	.210	—	—	929834-02-36-ND	1.52	1.36	1.13
			.235	.745	.410	—	—	929834-03-36-ND	1.84	1.65	1.36
			.235	.845	.510	—	—	929834-04-36-ND	2.02	1.82	1.50
			.235	.945	.610	—	—	929834-05-36-ND	2.05	1.84	1.52
			.235	1.245	.910	—	—	929834-07-36-ND	2.34	2.10	1.73
	Gold	36	.235	.480	.145	—	—	929647-09-36-ND	2.58	2.31	1.91
			.235	.545	.210	—	—	929647-02-36-ND	2.80	2.51	2.07
			.235	.745	.410	—	—	929647-03-36-ND	3.47	3.11	2.57
			.235	.845	.510	—	—	929647-04-36-ND	4.46	4.00	3.29
			.235	.945	.610	—	—	929647-05-36-ND	4.12	3.70	3.05
			.235	1.245	.910	—	—	929647-07-36-ND	4.80	4.30	3.54
	Lötzinn	36	.295	.535	.130	—	—	929400-01-36-ND	1.52	1.36	1.13
	Gold	36	.295	.535	.130	—	—	929450-01-36-ND	2.70	2.42	2.00
Zweireihige gerade Stiftsteckleiste											
2	Lötzinn	72	.235	.480	.145	—	—	929836-09-36-ND	2.87	2.57	2.12
			.235	.545	.210	—	—	929836-02-36-ND	2.49	2.23	1.84
			.235	.645	.310	—	—	929836-08-36-ND	3.21	2.88	2.37
			.235	.845	.510	—	—	929836-04-36-ND	3.28	2.94	2.42
			.235	.945	.610	—	—	929836-05-36-ND	3.12	2.79	2.30
	Gold	72	.235	.480	.145	—	—	929665-09-36-ND	4.17	3.74	3.08
			.235	.545	.210	—	—	929665-02-36-ND	4.54	4.06	3.35
			.235	.645	.310	—	—	929665-08-36-ND	4.90	4.39	3.61
			.235	.745	.410	—	—	929665-03-36-ND	5.60	5.01	4.13
			.235	.845	.510	—	—	929665-04-36-ND	7.19	6.44	5.30
			.235	.945	.610	—	—	929665-05-36-ND	7.75	6.93	5.71
	Lötzinn	72	.318	.593	.175	—	—	929710-10-36-ND	2.61	2.34	1.93
			.318	.828	.410	—	—	929710-03-36-ND	3.72	3.33	2.74
	Gold	72	.318	.593	.175	—	—	929715-10-36-ND	4.77	4.28	3.53
			.318	.828	.410	—	—	929715-03-36-ND	6.22	5.57	4.59
Einreihige rechtwinklige Stiftsteckleiste											
3	Lötzinn	36	.235	.185	.110	.070	.075	929835-01-36-ND	1.54	1.39	1.14
Zweireihige rechtwinklige Stiftsteckleiste											
4	Lötzinn	72	.235	.220	.145	.070	.075	929838-04-36-ND	3.18	2.85	2.35
			.235	.480	.405	.070	.075	929838-02-36-ND	3.21	2.88	2.37
	Gold	72	.235	.220	.145	.070	.075	929667-04-36-ND	5.99	5.36	4.41
			.235	.480	.405	.070	.075	929667-02-36-ND	7.19	6.44	5.30
Einreihige rechtwinklige Stiftsteckleiste, polarisiert											
5	Lötzinn	36	.295	3.600	—	—	—	929500-01-36-ND	1.69	1.52	1.25
	Gold	36	.295	3.600	—	—	—	929550-01-36-ND	3.35	3.01	2.48
Einreihige gerade Buchsensteckleiste											
6	Lötzinn	36	—	—	.125	—	—	929974-01-36-ND	2.18	1.95	1.61
	Gold	36	—	—	.125	—	—	929850-01-36-ND	2.80	2.51	2.07
Zweireihige gerade Buchsensteckleiste											
7	Lötzinn	72	—	—	—	—	—	929975-01-36-ND	3.77	3.37	2.78
	Gold	72	—	—	—	—	—	929852-01-36-ND	5.36	4.80	3.95
Kurzschlussbrücken											
8	Lötzinnüberzug							929950-00-ND		1.94 pro 10	
	10 µ vergoldet							929955-06-ND		2.29 pro 10	
	30 µ vergoldet							929957-08-ND		2.64 pro 10	

Stiftsteckleisten 1-35 Pins

Schritt 1 Digi-Key Teilenr.*	Schritt 2 Grundpreis	Schritt 3 Pin-Ergänzung
Einreihige gerade Stiftsteckleiste		
929834-02-XX-ND	.728	.026
929834-03-XX-ND	1.059	.026
929834-04-XX-ND	.957	.034
929834-05-XX-ND	.991	.034
929834-07-XX-ND	1.296	.034
929647-09-XX-ND	1.253	.043
929647-02-XX-ND	1.194	.051
929647-03-XX-ND	1.609	.060
929647-04-XX-ND	2.066	.077
929647-05-XX-ND	1.998	.068
929647-07-XX-ND	2.422	.077
929400-01-XX-ND	.728	.026
929450-01-XX-ND	1.380	.043
Zweireihige gerade Stiftsteckleiste		
929836-09-XX-ND	1.262	.051
929836-02-XX-ND	1.160	.043
929836-08-XX-ND	1.626	.051
929836-04-XX-ND	1.406	.060
929836-05-XX-ND	1.524	.051
929665-09-XX-ND	2.058	.068
929665-02-XX-ND	2.142	.077
929665-08-XX-ND	2.235	.085
929665-03-XX-ND	2.676	.094
929665-04-XX-ND	3.471	.119
929665-05-XX-ND	3.471	.136
929710-10-XX-ND	1.279	.043
929710-03-XX-ND	1.863	.060
929715-10-XX-ND	2.396	.077
929715-03-XX-ND	2.743	.110
Einreihige rechtwinklige Stiftsteckleiste		
929835-01-XX-ND	.745	.026
Zweireihige rechtwinklige Stiftsteckleiste		
929838-04-XX-ND	1.600	.051
929838-02-XX-ND	1.626	.051
929667-04-XX-ND	2.786	.102
929667-02-XX-ND	3.471	.119
Einreihige rechtwinklige Stiftsteckleiste, polarisiert		
929500-01-XX-ND	.906	.026
929550-01-XX-ND	1.482	.060
Einreihige gerade Buchsensteckleiste		
929974-01-XX-ND	1.118	.034
929850-01-XX-ND	1.194	.051
Zweireihige gerade Buchsensteckleiste		
929975-01-XX-ND	1.922	.060
929852-01-XX-ND	2.422	.094

* In der Digi-Key Teilenr. „XX" durch die gewünschte Anzahl an Pins pro Reihe ersetzen.

HINWEIS: Die berechneten Preise können je nach Wechselkurs schwanken.

UND SO WIRD BESTELLT: 4 EINFACHE SCHRITTE

Wie kann ich eine 929834-02-Steckleiste mit 16 Pins bestellen?

Rufen Sie bei Digi-Key an, um Preisinformationen zu erhalten.
Oder
Ermitteln Sie die Kosten selbst.

929 □□□ - □□ - □□ - ND

Teilenummer des Grundteils — Anzahl der gewünschten Pins pro Reihe

Schritt 1. Benötigte „Digi-Key Teilenr." und Anzahl der gewünschten Pins auswählen.

Schritt 2. Den „Grundpreis" für die gewählte Teilenr. ermitteln (siehe Tabelle).

Schritt 3. Mit der gewünschten Pin-Zahl (siehe „Pin-Ergänzung") der gewählten Teilenr. (siehe Tabelle) multiplizieren

Schritt 4. Schritt 2 und 3 addieren, um Endpreis zu ermitteln!

Unser Beispiel:

Schritt 1.	929834-02-16-ND
Schritt 2.	.86
Schritt 3.	16 x .03 = .48
Schritt 4.	Ihre Kosten = 1.34

Ihre Digi-Key Teilenr.

Schritt 1.	929□□□-□□-□□-ND
Schritt 2.	_____
Schritt 3.	_____ x _____ = _____
Schritt 4.	Ihre Kosten = _____

HINWEIS: **Für Mengen von 10 oder mehr Digi-Key anrufen.**

Micro-Fit 3.0™ Steckverbinder

Merkmale: • Voll isolierte Kontakte • Voll polarisiert auf passende Buchse • Integrierte Ziehlaschen zum leichten Herausziehen **Elektrische Spezifikationen:** 250 V *Strom:* Max. 5,0 A *Kontaktwid.:* Max. 10 mΩ *Dielektrische Haltespannung:* 1.500 V AC *Isolationswiderstand:* Min. 1.000 MΩ **Physikalisch:** *Gehäuse:* UL 94V-0 *Überzug:* Zinn oder Gold **BMI-Funktionen und Vorteile:** Steckverbinder sind im Plattenausschnitt pendelnd bis zu 1,27 mm (0,050") in jeder Richtung angebracht. Standardmäßige Micro-Fit-Anschlussklemmen verwenden. Die Steckverbinder sind durch das innovative Plattenmontagedesign sicher befestigt. Vollständig isolierte Kontakte verhindern eine Beschädigung der Anschlussklemmen. Voll polarisiert, um ein falsches Einstecken sicher zu verhindern.

Abb. 1

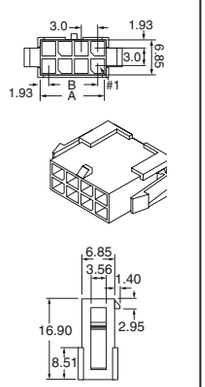

Abb. 2

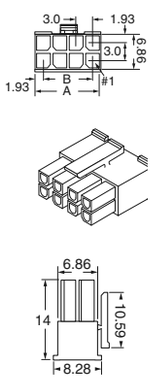

Abb. 3

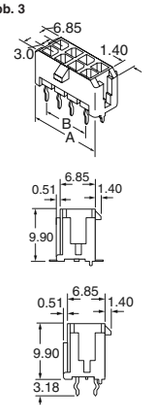

Abb. 4

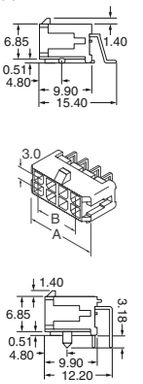

Abb. 5 – Blind Mate

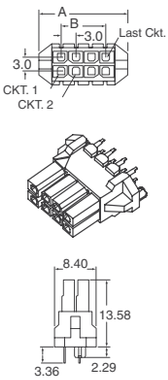

Abb. 6 – Blind Mate

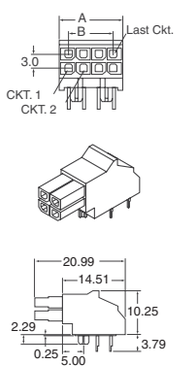

Abb. 7 – Blind Mate

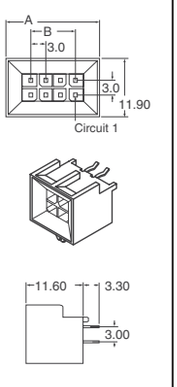

Abb.	Schalt-kreise	Abm. (mm) A	Abm. (mm) B	Überzug	Digi-Key Teilenr.	Stückpreis 1	Stückpreis 10	Stückpreis 100	Molex Teilenr.
Steckergehäuse - Plattenmontage (verwendet Steckanschluss)									
1	2	3.85	—	—	WM1777-ND	.48	.43	.29	43020-0200
	4	6.85	3.00	—	WM1778-ND	.55	.49	.33	43020-0400
	6	9.85	6.00	—	WM1779-ND	.64	.57	.38	43020-0600
	8	12.85	9.00	—	WM1780-ND	.71	.64	.43	43020-0800
	10	15.85	12.00	—	WM1781-ND	.82	.73	.49	43020-1000
	12	18.85	15.00	—	WM1782-ND	.95	.84	.56	43020-1200
	14	21.85	18.00	—	WM2483-ND	1.07	.94	.63	43020-1400
	16	24.85	21.00	—	WM2484-ND	1.22	1.08	.72	43020-1600
	18	27.85	24.00	—	WM2485-ND	1.36	1.20	.81	43020-1800
	20	30.85	27.00	—	WM2486-ND	1.51	1.33	.89	43020-2000
	22	33.85	30.00	—	WM2487-ND	1.65	1.46	.97	43020-2200
	24	36.85	33.00	—	WM2488-ND	1.80	1.59	1.06	43020-2400
Steckbuchsengehäuse (verwendet Buchsenanschluss)									
2	2	3.85	—	—	WM1783-ND	.48	.43	.29	43025-0200
	4	6.85	3.00	—	WM1784-ND	.55	.49	.33	43025-0400
	6	9.85	6.00	—	WM1785-ND	.64	.57	.38	43025-0600
	8	12.85	9.00	—	WM1786-ND	.71	.64	.43	43025-0800
	10	15.85	12.00	—	WM1787-ND	.82	.73	.49	43025-1000
	12	18.85	15.00	—	WM1788-ND	.95	.84	.56	43025-1200
	14	21.85	18.00	—	WM2489-ND	1.07	.94	.63	43025-1400
	16	24.85	21.00	—	WM2490-ND	1.22	1.08	.72	43025-1600
	18	27.85	24.00	—	WM2491-ND	1.36	1.20	.81	43025-1800
	20	30.85	27.00	—	WM2492-ND	1.51	1.33	.89	43025-2000
	22	33.85	30.00	—	WM2493-ND	1.64	1.45	.97	43025-2200
	24	36.85	33.00	—	WM2494-ND	1.80	1.59	1.06	43025-2400
Vertikale Steckleiste - Durchgangsloch mit Offsetanschlusshaltekraft									
3	2	6.65	—	Zinn	WM1789-ND	.86	.76	.51	43045-0212
	4	9.65	3.00	Zinn	WM1790-ND	1.19	1.05	.70	43045-0412
	6	12.65	6.00	Zinn	WM1791-ND	1.50	1.33	.89	43045-0612
	8	15.65	9.00	Zinn	WM1792-ND	1.82	1.61	1.08	43045-0812
	10	18.65	12.00	Zinn	WM1793-ND	2.13	1.89	1.26	43045-1012
	12	21.65	15.00	Zinn	WM1794-ND	2.47	2.18	1.46	43045-1212
	14	24.65	18.00	Zinn	WM4711-ND	2.81	2.49	1.66	43045-1412
	16	27.65	21.00	Zinn	WM4712-ND	3.13	2.77	1.85	43045-1612
	18	30.65	24.00	Zinn	WM4713-ND	3.52	3.11	2.08	43045-1812
	20	33.65	27.00	Zinn	WM4714-ND	3.91	3.46	2.31	43045-2012
	22	36.65	30.00	Zinn	WM4715-ND	4.30	3.80	2.54	43045-2212
	24	39.65	33.00	Zinn	WM4716-ND	4.69	4.14	2.76	43045-2412
	2	6.65	—	Gold, 30 µ"	WM1795-ND	1.35	1.19	.80	43045-0214
	4	9.65	3.00	Gold, 30 µ"	WM1796-ND	1.86	1.65	1.10	43045-0414
	6	12.65	6.00	Gold, 30 µ"	WM1797-ND	2.37	2.09	1.40	43045-0614
	8	15.65	9.00	Gold, 30 µ"	WM1798-ND	2.86	2.53	1.69	43045-0814
	10	18.65	12.00	Gold, 30 µ"	WM1799-ND	3.41	3.02	2.01	43045-1014
	12	21.65	15.00	Gold, 30 µ"	WM1800-ND	3.85	3.41	2.27	43045-1214
	14	24.65	18.00	Gold	WM4717-ND	4.39	3.88	2.59	43045-1414
	16	27.65	21.00	Gold	WM4718-ND	4.89	4.32	2.88	43045-1614
	18	30.65	24.00	Gold	WM4719-ND	5.50	4.86	3.24	43045-1814
	20	33.65	27.00	Gold	WM4720-ND	6.78	5.99	3.99	43045-2014
	22	36.65	30.00	Gold	WM4721-ND	6.72	5.94	3.96	43045-2214
	24	39.65	33.00	Gold	WM4722-ND	7.32	6.47	4.31	43045-2414
Vertikale Steckleiste - SMT mit Passstift									
3	2	6.65	—	Zinn	WM1801-ND	2.62	2.31	1.55	43045-0218
	4	9.65	3.00	Zinn	WM1802-ND	3.02	2.67	1.78	43045-0418
	6	12.65	6.00	Zinn	WM1803-ND	3.78	3.35	2.23	43045-0618-P
	8	15.65	9.00	Zinn	WM1804-ND	3.90	3.45	2.30	43045-0818
	10	18.65	12.00	Zinn	WM1805-ND	4.28	3.78	2.52	43045-1018
	12	21.65	15.00	Zinn	WM1806-ND	4.67	4.12	2.75	43045-1218
	2	6.65	—	Gold, 30 µ"	WM1807-ND	3.23	2.85	1.90	43045-0220
	4	9.65	3.00	Gold, 30 µ"	WM1808-ND	3.86	3.41	2.28	43045-0420
	6	12.65	6.00	Gold, 30 µ"	WM1809-ND	4.48	3.95	2.64	43045-0620
	8	15.65	9.00	Gold, 30 µ"	WM1810-ND	5.19	4.59	3.06	43045-0820
	10	18.65	12.00	Gold, 30 µ"	WM1811-ND	5.81	5.13	3.42	43045-1020
	12	21.65	15.00	Gold, 30 µ"	WM1812-ND	6.41	5.66	3.78	43045-1220
Rechtwinklige Steckleiste - Durchgangsloch									
4	2	6.65	—	Zinn	WM1813-ND	1.12	.99	.66	43045-0200
	4	9.65	3.00	Zinn	WM1814-ND	1.43	1.26	.84	43045-0400
	6	12.65	6.00	Zinn	WM1815-ND	1.80	1.60	1.07	43045-0600
	8	15.65	9.00	Zinn	WM1816-ND	2.20	1.95	1.30	43045-0800
	10	18.65	12.00	Zinn	WM1817-ND	2.58	2.28	1.52	43045-1000
	12	21.65	15.00	Zinn	WM1818-ND	2.96	2.62	1.75	43045-1200
	14	24.65	18.00	Zinn	WM4723-ND	3.38	2.99	1.99	43045-1400
	16	27.65	21.00	Zinn	WM4724-ND	3.78	3.34	2.23	43045-1600
	18	30.65	24.00	Zinn	WM4725-ND	4.25	3.75	2.50	43045-1800
	20	33.65	27.00	Zinn	WM4726-ND	4.72	4.17	2.78	43045-2000
	22	36.65	30.00	Zinn	WM4727-ND	5.19	4.59	3.06	43045-2200
	24	39.65	33.00	Zinn	WM4728-ND	5.66	5.00	3.33	43045-2400
	2	6.65	—	Gold, 30 µ"	WM1819-ND	1.63	1.45	.97	43045-0202
	4	9.65	3.00	Gold, 30 µ"	WM1820-ND	2.24	1.98	1.32	43045-0402

Abb.	Schalt-kreise	Abm. (mm) A	Abm. (mm) B	Überzug	Digi-Key Teilenr.	Stückpreis 1	Stückpreis 10	Stückpreis 100	Molex Teilenr.
4	6	12.65	6.00	Gold, 30 µ"	WM1821-ND	2.85	2.52	1.68	43045-0602
	8	15.65	9.00	Gold, 30 µ"	WM1822-ND	3.47	3.07	2.05	43045-0802
	10	18.65	12.00	Gold, 30 µ"	WM1823-ND	4.08	3.60	2.40	43045-1002
	12	21.65	15.00	Gold, 30 µ"	WM1824-ND	4.72	4.16	2.78	43045-1202
	14	24.65	18.00	Gold, 30 µ"	WM4729-ND	5.29	4.67	3.12	43045-1402
	16	27.65	21.00	Gold, 30 µ"	WM4730-ND	5.91	5.22	3.48	43045-1602
	18	30.65	24.00	Gold, 30 µ"	WM4731-ND	6.65	5.87	3.91	43045-1802
	20	33.65	27.00	Gold, 30 µ"	WM4732-ND	7.38	6.52	4.35	43045-2002
	22	36.65	30.00	Gold, 30 µ"	WM4733-ND	8.13	7.18	4.79	43045-2202
	24	39.65	33.00	Gold, 30 µ"	WM4734-ND	8.86	7.82	5.22	43045-2402
Rechtwinklige Steckleiste - SMT mit Passstift									
4	2	6.65	—	Zinn	WM1825-ND	2.54	2.24	1.50	43045-0209
	4	9.65	3.00	Zinn	WM1826-ND	3.06	2.70	1.80	43045-0409
	6	12.65	6.00	Zinn	WM1827-ND	3.53	3.12	2.08	43045-0609
	8	15.65	9.00	Zinn	WM1828-ND	4.12	3.64	2.43	43045-0809
	10	18.65	12.00	Zinn	WM1829-ND	4.59	4.05	2.70	43045-1009
	12	21.65	15.00	Zinn	WM1830-ND	5.05	4.46	2.97	43045-1209
	2	6.65	—	Gold, 30 µ"	WM1831-ND	3.28	2.89	1.93	43045-0211
	4	9.65	3.00	Gold, 30 µ"	WM1832-ND	4.06	3.59	2.40	43045-0411
	6	12.65	6.00	Gold, 30 µ"	WM1833-ND	4.79	4.24	2.83	43045-0611
	8	15.65	9.00	Gold, 30 µ"	WM1834-ND	5.67	5.01	3.34	43045-0811
	10	18.65	12.00	Gold, 30µ"	WM1835-ND	6.40	5.66	3.77	43045-1011
	12	21.65	15.00	Gold, 30µ"	WM1836-ND	7.16	6.32	4.22	43045-1211
BMI vertikale Steckbuchsen-Steckleiste mit Reibungszapfen (Blind Mate)									
5	4	12.00	3.00	Zinn	WM1953-ND	2.22	1.96	1.31	44769-0401
	6	15.00	6.00	Zinn	WM1954-ND	2.82	2.49	1.66	44769-0601
	8	18.00	9.00	Zinn	WM1955-ND	3.42	3.02	2.02	44769-0801
	10	21.00	12.00	Zinn	WM1956-ND	4.01	3.54	2.36	44769-1001
	12	24.00	15.00	Zinn	WM1957-ND	4.60	4.06	2.71	44769-1201
	14	27.00	18.00	Zinn	WM1958-ND	5.21	4.60	3.07	44769-1401
	16	30.00	21.00	Zinn	WM1959-ND	5.79	5.12	3.41	44769-1601
	4	12.00	3.00	Gold	WM1960-ND	2.77	2.45	1.63	44769-0402
	6	15.00	6.00	Gold	WM1961-ND	3.51	3.10	2.07	44769-0602
	8	18.00	9.00	Gold	WM1962-ND	4.26	3.77	2.51	44769-0802
	10	21.00	12.00	Gold	WM1963-ND	5.01	4.43	2.95	44769-1002
	12	24.00	15.00	Gold	WM1964-ND	5.74	5.07	3.38	44769-1202
	14	27.00	18.00	Gold	WM1965-ND	6.49	5.73	3.82	44769-1402
	16	30.00	21.00	Gold	WM1966-ND	7.22	6.38	4.25	44769-1602
BMI rechtwinklige Steckbuchsen-Steckleiste mit Reibungszapfen (Blind Mate)									
6	4	6.70	3.00	Zinn	WM1981-ND	2.66	2.35	1.57	44764-0401
	6	9.70	6.00	Zinn	WM1982-ND	3.37	2.98	1.99	44764-0601
	8	12.70	9.00	Zinn	WM1983-ND	4.11	3.63	2.43	44764-0801
	10	15.70	12.00	Zinn	WM1984-ND	4.83	4.26	2.84	44764-1001
	12	18.70	15.00	Zinn	WM1985-ND	5.54	4.89	3.26	44764-1201
	14	21.70	18.00	Zinn	WM1986-ND	6.26	5.53	3.69	44764-1401
	16	24.70	21.00	Zinn	WM1987-ND	6.98	6.17	4.11	44764-1601
	4	6.70	3.00	Gold	WM1988-ND	3.32	2.93	1.96	44764-0402
	6	9.70	6.00	Gold	WM1989-ND	4.21	3.72	2.48	44764-0602
	8	12.70	9.00	Gold	WM1990-ND	5.14	4.54	3.03	44764-0802
	10	15.70	12.00	Gold	WM1991-ND	6.02	5.31	3.54	44764-1002
	12	18.70	15.00	Gold	WM1992-ND	6.93	6.11	4.08	44764-1202
	14	21.70	18.00	Gold	WM1993-ND	7.81	6.89	4.60	44764-1402
	16	24.70	21.00	Gold	WM1994-ND	8.71	7.69	5.13	44764-1602
BMI vertikale Steckleiste mit Polarisierungszapfen (Blind Mate)									
7	4	13.00	3.00	Zinn	WM1967-ND	1.59	1.41	.94	44432-0401
	6	16.00	6.00	Zinn	WM1968-ND	2.02	1.79	1.19	44432-0601
	8	19.00	9.00	Zinn	WM1969-ND	2.46	2.17	1.45	44432-0801
	10	22.00	12.00	Zinn	WM1970-ND	2.88	2.54	1.70	44432-1001
	12	25.00	15.00	Zinn	WM1971-ND	3.29	2.91	1.94	44432-1201
	14	28.00	18.00	Zinn	WM1972-ND	3.73	3.30	2.20	44432-1401
	16	31.00	21.00	Zinn	WM1973-ND	4.16	3.67	2.45	44432-1601
	4	13.00	3.00	Gold	WM1974-ND	1.98	1.75	1.17	44432-0402
	6	16.00	6.00	Gold	WM1975-ND	2.51	2.23	1.49	44432-0602
	8	19.00	9.00	Gold	WM1976-ND	3.06	2.70	1.80	44432-0802
	10	22.00	12.00	Gold	WM1977-ND	3.59	3.17	2.12	44432-1002
	12	25.00	15.00	Gold	WM1978-ND	4.11	3.63	2.42	44432-1202
	14	28.00	18.00	Gold	WM1979-ND	4.66	4.11	2.74	44432-1402
	16	31.00	21.00	Gold	WM1980-ND	5.17	4.57	3.05	44432-1602
Rechtwinklige Steckleiste (Blind Mate)									
8	4	13.00	3.00	Zinn	WM1995-ND	1.92	1.70	1.13	44428-0401
	6	16.00	6.00	Zinn	WM1996-ND	2.42	2.14	1.43	44428-0601
	8	19.00	9.00	Zinn	WM1997-ND	2.95	2.62	1.75	44428-0801
	10	22.00	12.00	Zinn	WM1998-ND	3.47	3.06	2.04	44428-1001
	12	25.00	15.00	Zinn	WM1999-ND	3.98	3.51	2.35	44428-1201
	14	28.00	18.00	Zinn	WM2025-ND	4.50	3.97	2.65	44428-1401
	16	31.00	21.00	Zinn	WM2026-ND	5.01	4.43	2.96	44428-1601
	4	13.00	3.00	Gold	WM2027-ND	2.40	2.12	1.41	44428-0402
	6	16.00	6.00	Gold	WM2028-ND	3.02	2.67	1.78	44428-0602

(Forts.)

Alle Preisangaben in Euro und inklusive Zollgebühren.

Abb. 8 – Blind Mate

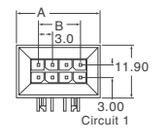

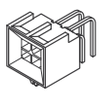

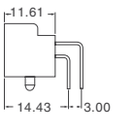

Abb. 9

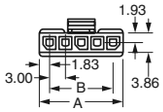

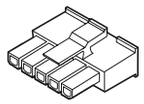

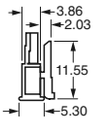

Abb. 10

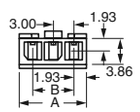

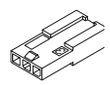

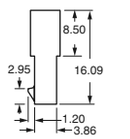

Abb. 11

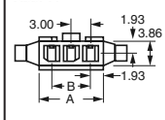

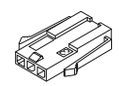

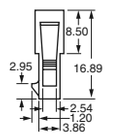

Abb. 12

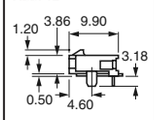

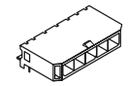

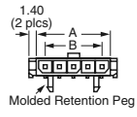

Abb. 13

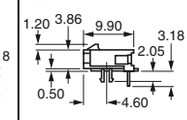

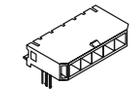

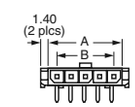

Abb. 14

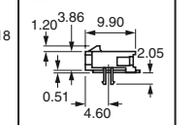

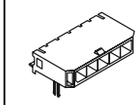

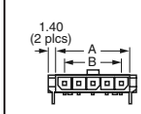

Abb. 15

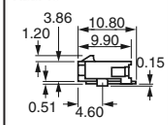

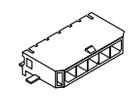

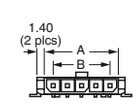

Abb. 16

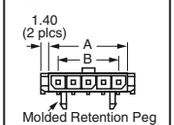

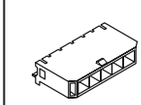

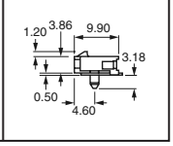

Abb.	Schalt-kreise	Abm. (mm) A	Abm. (mm) B	Überzug	Digi-Key Teilenr.	Stückpreis 1	Stückpreis 10	Stückpreis 100	Molex Teilenr.
8	8	19.00	9.00	Gold	WM2029-ND	3.69	3.26	2.17	44428-0802
	10	22.00	12.00	Gold	WM2030-ND	4.32	3.82	2.55	44428-1002
	12	25.00	15.00	Gold	WM2031-ND	4.96	4.38	2.92	44428-1202
	14	28.00	18.00	Gold	WM2032-ND	5.60	4.95	3.30	44428-1402
	16	31.00	21.00	Gold	WM2033-ND	6.25	5.52	3.68	44428-1602
Micro-Fit-Steckbuchsengehäuse									
9	2	6.85	3.00	—	WM1845-ND	.48	.43	.29	43645-0200
	3	9.85	6.00	—	WM1846-ND	.52	.43	.31	43645-0300
	4	12.85	9.00	—	WM1847-ND	.55	.49	.33	43645-0400
	5	15.85	12.00	—	WM1848-ND	.60	.53	.36	43645-0500
	6	18.85	15.00	—	WM1849-ND	.64	.57	.38	43645-0600
	7	21.85	18.00	—	WM2405-ND	.64	.57	.38	43645-0700
	8	24.85	21.00	—	WM2406-ND	.68	.60	.40	43645-0800
	9	27.85	24.00	—	WM2407-ND	.73	.65	.44	43645-0900
	10	30.85	27.00	—	WM2408-ND	.78	.69	.46	43645-1000
	11	33.85	30.00	—	WM2409-ND	.85	.75	.50	43645-1100
	12	36.85	33.00	—	WM2410-ND	.91	.81	.54	43645-1200
Micro-Fit-Steckgehäuse ohne Plattenmontageteile									
10	2	6.85	3.00	—	WM1855-ND	.48	.43	.29	43640-0201
	3	9.85	6.00	—	WM1856-ND	.52	.46	.31	43640-0301
	4	12.85	9.00	—	WM1857-ND	.55	.49	.33	43640-0401
	5	15.85	12.00	—	WM1858-ND	.60	.53	.36	43640-0501
	6	18.85	15.00	—	WM1859-ND	.64	.57	.38	43640-0601
	7	21.85	18.00	—	WM2417-ND	.64	.57	.38	43640-0701
	8	24.85	21.00	—	WM2418-ND	.68	.60	.40	43640-0801
	9	27.85	24.00	—	WM2419-ND	.73	.65	.44	43640-0901
	10	30.85	27.00	—	WM2420-ND	.78	.69	.46	43640-1001
	11	33.85	30.00	—	WM2421-ND	.85	.75	.50	43640-1101
	12	36.85	33.00	—	WM2422-ND	.91	.81	.54	43640-1201
Micro-Fit-Steckgehäuse mit Plattenmontageteilen									
11	2	6.85	3.00	—	WM1850-ND	.48	.43	.29	43640-0200
	3	9.85	6.00	—	WM1851-ND	.52	.46	.31	43640-0300
	4	12.85	9.00	—	WM1852-ND	.55	.49	.33	43640-0400
	5	15.85	12.00	—	WM1853-ND	.60	.53	.36	43640-0500
	6	18.85	15.00	—	WM1854-ND	.64	.57	.38	43640-0600
	7	21.85	18.00	—	WM2411-ND	.64	.57	.38	43640-0700
	8	24.85	21.00	—	WM2412-ND	.68	.60	.40	43640-0800
	9	27.85	24.00	—	WM2413-ND	.73	.65	.44	43640-0900
	10	30.85	27.00	—	WM2414-ND	.78	.69	.46	43640-1000
	11	33.85	30.00	—	WM2415-ND	.85	.75	.50	43640-1100
	12	36.85	33.00	—	WM2416-ND	.91	.81	.54	43640-1200
Micro-Fit-Steckleiste - rechtwinklig									
12	2	6.85	3.00	Zinn	WM1860-ND	1.04	.93	.62	43650-0200
	3	9.85	6.00	Zinn	WM1861-ND	1.24	1.10	.74	43650-0300
	4	12.85	9.00	Zinn	WM1862-ND	1.45	1.28	.85	43650-0400
	5	15.85	12.00	Zinn	WM1863-ND	1.63	1.45	.97	43650-0500
	6	18.85	15.00	Zinn	WM1864-ND	1.83	1.62	1.08	43650-0600
	7	21.85	18.00	Zinn	WM2423-ND	2.04	1.81	1.21	43650-0700
	8	24.85	21.00	Zinn	WM2424-ND	2.19	1.94	1.29	43650-0800
	9	27.85	24.00	Zinn	WM2425-ND	2.45	2.16	1.44	43650-0900
	10	30.85	27.00	Zinn	WM2426-ND	2.64	2.33	1.56	43650-1000
	11	33.85	30.00	Zinn	WM2427-ND	2.84	2.51	1.67	43650-1100
	12	36.85	33.00	Zinn	WM2428-ND	3.03	2.68	1.79	43650-1200
	2	6.85	3.00	Gold	WM1865-ND	1.31	1.16	.78	43650-0201
	3	9.85	6.00	Gold	WM1866-ND	1.55	1.37	.92	43650-0301
	4	12.85	9.00	Gold	WM1867-ND	1.79	1.58	1.05	43650-0401
	5	15.85	12.00	Gold	WM1868-ND	2.03	1.80	1.20	43650-0501
	6	18.85	15.00	Gold	WM1869-ND	2.30	2.04	1.36	43650-0601
	7	21.85	18.00	Gold	WM2429-ND	2.54	2.25	1.50	43650-0701
	8	24.85	21.00	Gold	WM2430-ND	2.79	2.47	1.65	43650-0801
	9	27.85	24.00	Gold	WM2431-ND	3.04	2.68	1.79	43650-0901
	10	30.85	27.00	Gold	WM2432-ND	3.28	2.90	1.93	43650-1001
	11	33.85	30.00	Gold	WM2433-ND	3.52	3.11	2.08	43650-1101
	12	36.85	33.00	Gold	WM2434-ND	3.77	3.33	2.22	43650-1201
Micro-Fit-Steckleiste - rechtwinklig mit Halteklammer									
13	2	6.85	3.00	Zinn	WM1870-ND	1.30	1.15	.77	43650-0203
	3	9.85	6.00	Zinn	WM1871-ND	1.50	1.33	.89	43650-0303
	4	12.85	9.00	Zinn	WM1872-ND	1.63	1.44	.96	43650-0403
	5	15.85	12.00	Zinn	WM1873-ND	1.81	1.60	1.07	43650-0503
	6	18.85	15.00	Zinn	WM1874-ND	2.06	1.82	1.22	43650-0603
	7	21.85	18.00	Zinn	WM2435-ND	2.23	1.97	1.31	43650-0703
	8	24.85	21.00	Zinn	WM2436-ND	2.43	2.15	1.43	43650-0803
	9	27.85	24.00	Zinn	WM2437-ND	2.62	2.32	1.55	43650-0903
	10	30.85	27.00	Zinn	WM2438-ND	2.82	2.49	1.66	43650-1003
	11	33.85	30.00	Zinn	WM2439-ND	3.01	2.67	1.78	43650-1103
	12	36.85	33.00	Zinn	WM2440-ND	3.21	2.83	1.89	43650-1203
	2	6.85	3.00	Gold	WM1875-ND	1.48	1.31	.88	43650-0204
	3	9.85	6.00	Gold	WM1876-ND	1.73	1.53	1.02	43650-0304
	4	12.85	9.00	Gold	WM1877-ND	1.98	1.75	1.17	43650-0404
	5	15.85	12.00	Gold	WM1878-ND	2.28	2.01	1.34	43650-0504

Abb.	Schalt-kreise	Abm. (mm) A	Abm. (mm) B	Überzug	Digi-Key Teilenr.	Stückpreis 1	Stückpreis 10	Stückpreis 100	Molex Teilenr.
13	6	18.85	15.00	Gold	WM1879-ND	2.45	2.16	1.44	43650-0604
	7	21.85	18.00	Gold	WM2441-ND	3.00	2.65	1.77	43650-0704
	8	24.85	21.00	Gold	WM2442-ND	3.02	2.67	1.78	43650-0804
	9	27.85	24.00	Gold	WM2443-ND	3.27	2.89	1.93	43650-0904
	10	30.85	27.00	Gold	WM2444-ND	3.50	3.10	2.07	43650-1004
	11	33.85	30.00	Gold	WM2445-ND	3.75	3.31	2.21	43650-1104
	12	36.85	33.00	Gold	WM2446-ND	3.99	3.52	2.35	43650-1204
Micro-Fit-Steckleiste - rechtwinklig, SMT, mit Halteklammer									
14	2	6.85	3.00	Zinn	WM1880-ND	2.41	2.13	1.43	43650-0209
	3	9.85	6.00	Zinn	WM1881-ND	2.68	2.36	1.58	43650-0309
	4	12.85	9.00	Zinn	WM1882-ND	2.93	2.59	1.73	43650-0409
	5	15.85	12.00	Zinn	WM1883-ND	3.17	2.80	1.87	43650-0509
	6	18.85	15.00	Zinn	WM1884-ND	3.40	3.00	2.01	43650-0609
	7	21.85	18.00	Zinn	WM2447-ND	3.23	2.85	1.90	43650-0709
	8	24.85	21.00	Zinn	WM2448-ND	2.87	2.54	1.69	43650-0809
	9	27.85	24.00	Zinn	WM2449-ND	3.97	3.51	2.34	43650-0909
	10	30.85	27.00	Zinn	WM2450-ND	4.64	4.10	2.73	43650-1009
	11	33.85	30.00	Zinn	WM2451-ND	4.88	4.31	2.87	43650-1109
	12	36.85	33.00	Zinn	WM2452-ND	5.11	4.51	3.01	43650-1209
	2	6.85	3.00	Gold	WM1885-ND	2.74	2.42	1.62	43650-0210
	3	9.85	6.00	Gold	WM1886-ND	3.06	2.70	1.80	43650-0310
	4	12.85	9.00	Gold	WM1887-ND	3.39	2.99	2.00	43650-0410
	5	15.85	12.00	Gold	WM1888-ND	3.67	3.24	2.16	43650-0510
	6	18.85	15.00	Gold	WM1889-ND	3.96	3.50	2.34	43650-0610
	7	21.85	18.00	Gold	WM2453-ND	3.81	3.36	2.24	43650-0710
	8	24.85	21.00	Gold	WM2454-ND	3.48	3.07	2.05	43650-0810
	9	27.85	24.00	Gold	WM2455-ND	4.45	3.93	2.62	43650-0910
	10	30.85	27.00	Gold	WM2456-ND	5.42	4.79	3.19	43650-1010
	11	33.85	30.00	Gold	WM2457-ND	5.72	5.06	3.37	43650-1110
	12	36.85	33.00	Gold	WM2458-ND	6.03	5.32	3.55	43650-1210
Micro-Fit-Steckleiste - rechtwinklig, SMT, mit Passstift									
15	2	6.85	3.00	Zinn	WM1890-ND	2.54	2.24	1.50	43650-0212
	3	9.85	6.00	Zinn	WM1891-ND	2.79	2.47	1.65	43650-0312
	4	12.85	9.00	Zinn	WM1892-ND	3.07	2.71	1.81	43650-0412
	5	15.85	12.00	Zinn	WM1893-ND	3.28	2.90	1.94	43650-0512
	6	18.85	15.00	Zinn	WM1894-ND	3.52	3.11	2.08	43650-0612
	7	21.85	18.00	Zinn	WM2459-ND	3.99	3.52	2.35	43650-0712
	8	24.85	21.00	Zinn	WM2460-ND	4.28	3.78	2.52	43650-0812
	9	27.85	24.00	Zinn	WM2461-ND	4.52	4.00	2.67	43650-0912
	10	30.85	27.00	Zinn	WM2462-ND	4.76	4.20	2.80	43650-1012
	11	33.85	30.00	Zinn	WM2463-ND	4.99	4.41	2.94	43650-1112
	12	36.85	33.00	Zinn	WM2464-ND	5.22	4.61	3.08	43650-1212
	2	6.85	3.00	Gold	WM1895-ND	2.86	2.53	1.69	43650-0213
	3	9.85	6.00	Gold	WM1896-ND	3.18	2.81	1.88	43650-0313
	4	12.85	9.00	Gold	WM1897-ND	3.49	3.08	2.06	43650-0413-P
	5	15.85	12.00	Gold	WM1898-ND	3.79	3.35	2.23	43650-0513
	6	18.85	15.00	Gold	WM1899-ND	4.08	3.60	2.40	43650-0613
	7	21.85	18.00	Gold	WM2465-ND	4.61	4.08	2.72	43650-0713
	8	24.85	21.00	Gold	WM2466-ND	4.97	4.39	2.93	43650-0813
	9	27.85	24.00	Gold	WM2467-ND	5.26	4.65	3.10	43650-0913
	10	30.85	27.00	Gold	WM2468-ND	5.55	4.90	3.27	43650-1013
	11	33.85	30.00	Gold	WM2469-ND	5.84	5.16	3.44	43650-1113
	12	36.85	33.00	Gold	WM2470-ND	6.15	5.43	3.62	43650-1213
Micro-Fit-Steckleiste - rechtwinklig, SMT, mit Haltezapfen									
16	3	9.85	6.00	Zinn	WM1901-ND	2.28	2.01	1.34	43650-0306
	4	12.85	9.00	Zinn	WM1902-ND	2.51	2.22	1.48	43650-0406
	6	18.85	15.00	Zinn	WM1904-ND	2.94	2.59	1.73	43650-0606
	3	9.85	6.00	Gold	WM1906-ND	2.62	2.32	1.55	43650-0307
	4	12.85	9.00	Gold	WM1907-ND	2.72	2.40	1.60	43650-0407
Micro-Fit-Steckleiste - vertikal, Wire-to-Board									
17	2	6.85	3.00	Zinn	WM1917-ND	.86	.76	.51	43650-0215
	3	9.85	6.00	Zinn	WM1918-ND	1.19	1.05	.70	43650-0315
	4	12.85	9.00	Zinn	WM1919-ND	1.19	1.06	.71	43650-0415
	5	15.85	12.00	Zinn	WM1920-ND	1.35	1.20	.80	43650-0515
	6	18.85	15.00	Zinn	WM1921-ND	1.51	1.33	.89	43650-0615
	7	21.85	18.00	Zinn	WM2471-ND	1.71	1.51	1.01	43650-0715
	8	24.85	21.00	Zinn	WM2472-ND	1.88	1.66	1.11	43650-0815
	9	27.85	24.00	Zinn	WM2473-ND	2.05	1.81	1.21	43650-0915
	10	30.85	27.00	Zinn	WM2474-ND	2.21	1.95	1.30	43650-1015
	11	33.85	30.00	Zinn	WM2475-ND	2.37	2.10	1.40	43650-1115
	12	36.85	33.00	Zinn	WM2476-ND	2.52	2.23	1.49	43650-1215
	2	6.85	3.00	Gold, 15 µ"	WM1922-ND	1.08	.96	.64	43650-0216
	3	9.85	6.00	Gold, 15 µ"	WM1923-ND	1.29	1.14	.76	43650-0316
	4	12.85	9.00	Gold, 15 µ"	WM1924-ND	1.48	1.31	.88	43650-0416
	5	15.85	12.00	Gold, 15 µ"	WM1925-ND	1.70	1.51	1.01	43650-0516
	6	18.85	15.00	Gold, 15 µ"	WM1926-ND	1.90	1.68	1.12	43650-0616
	7	21.85	18.00	Gold	WM2477-ND	2.12	1.88	1.25	43650-0716
	8	24.85	21.00	Gold	WM2478-ND	2.33	2.06	1.38	43650-0816
	9	27.85	24.00	Gold	WM2479-ND	2.54	2.24	1.50	43650-0916
	10	30.85	27.00	Gold	WM2480-ND	2.67	2.36	1.57	43650-1016
	11	33.85	30.00	Gold	WM2481-ND	2.95	2.61	1.74	43650-1116
	12	36.85	33.00	Gold	WM2482-ND	3.15	2.78	1.86	43650-1216

(Forts.)

Micro-Fit 3.0™ -Steckverbinder *(Forts.)*

Abb. 17

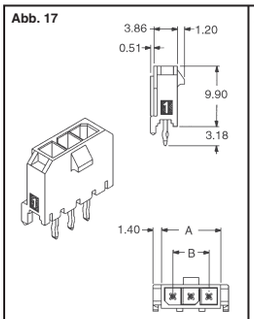

Abb. 18 – Blind Mate

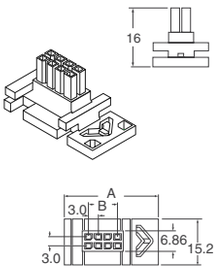

Abb. 19 – Blind Mate

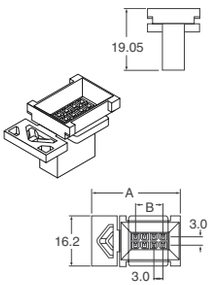

Abb.	Schalt-kreise	Abm. (mm) A	Abm. (mm) B	Überzug	Digi-Key Teilenr.	Stückpreis 1	Stückpreis 10	Stückpreis 100	Molex Teilenr.
BMI-Steckbuchse - Platte zu Platte (Blind Mate)									
18	4	24.60	3.00	—	WM3712-ND	.65	.58	.39	44133-0400
	6	27.70	6.00	—	WM3713-ND	.78	.69	.46	44133-0600
	8	30.70	9.00	—	WM3714-ND	.89	.79	.53	44133-0800
	10	33.80	12.00	—	WM3715-ND	1.03	.92	.61	44133-1000
	12	36.80	15.00	—	WM3716-ND	1.23	1.09	.73	44133-1200
	14	39.90	18.00	—	WM3717-ND	1.44	1.27	.85	44133-1400
	16	42.90	21.00	—	WM3718-ND	1.66	1.47	.98	44133-1600
	18	46.00	24.00	—	WM3719-ND	1.86	1.65	1.10	44133-1800
	20	49.00	27.00	—	WM3720-ND	2.07	1.83	1.23	44133-2000
	22	51.80	30.00	—	WM3721-ND	2.28	2.01	1.34	44133-2200
	24	54.90	33.00	—	WM3722-ND	2.50	2.21	1.47	44133-2400
BMI-Stecker - Platte zu Platte (Blind Mate)									
19	4	22.84	3.00	—	WM3608-ND	.65	.58	.39	44300-0400
	6	25.84	6.00	—	WM3609-ND	.78	.69	.46	44300-0600
	8	28.84	9.00	—	WM3610-ND	.89	.79	.53	44300-0800
	10	31.84	12.00	—	WM3611-ND	1.03	.92	.61	44300-1000
	12	34.84	15.00	—	WM3612-ND	1.23	1.09	.73	44300-1200
	14	37.84	18.00	—	WM3613-ND	1.44	1.27	.85	44300-1400
	16	40.84	21.00	—	WM3614-ND	1.66	1.47	.98	44300-1600
	18	43.84	24.00	—	WM3615-ND	1.87	1.65	1.10	44300-1800
	20	46.84	27.00	—	WM3616-ND	2.07	1.83	1.23	44300-2000
	22	49.84	30.00	—	WM3617-ND	2.28	2.01	1.34	44300-2200
	24	52.84	33.00	—	WM3618-ND	2.50	2.21	1.47	44300-2400

Micro-Fit 3.0™ -Anschlüsse

Beschreibung	Drahtgröße AWG	Isol. Durchm. (mm)	Digi-Key Teilenr.	Stückpreis 10	Stückpreis 100	Stückpreis 500	Molex Teilenr.
Buchse - Zinn	20-24	1.85	WM1837-ND	.16	.10	.08	43030-0007
			WM1837CT-ND*	—	.10	.08	43030-0001
			WM1837TR-ND†	426.69/12,000			43030-0001
Buchse - Zinn	26-30	1.27	WM1838-ND	.16	.10	.08	43030-0010
Buchse - 30 µ" Gold	20-24	1.85	WM1839-ND	.17	.11	.09	43030-0009
Buchse - 30 µ" Gold	26-30	1.27	WM1840-ND	.22	.14	.11	43030-0012
Stecker - Zinn	20-24	1.85	WM1841-ND	.16	.10	.08	43031-0007
			WM1841CT-ND*	—	.10	.08	43031-0001
			WM1841TR-ND†	426.69/12,000			43031-0001
Stecker - Zinn	26-30	1.27	WM1842-ND	.16	.10	.08	43031-0010
Stecker - 30 µ" Gold	20-24	1.85	WM1843-ND	.25	.16	.13	43031-0009
Stecker - 30 µ" Gold	26-30	1.27	WM1844-ND	.25	.16	.13	43031-0012
Buchse - 15 µ" Gold	20-24	1.27	WM1125CT-ND*	.10	.08	.07	43030-0002
			WM1125TR-ND†	467.32/12,000			
Stecker - 15 µ" Gold	20-24	1.85	WM1127CT-ND*	.11	.09	.08	43031-0002
			WM1127TR-ND†	507.96/12,000			
Universal-Crimpwerkzeug (Molex)			WM9999-ND		42.96/1		63811-1000
Crimpwerkzeug			WM9935-ND		181.72/1		63811-2800
Extraktionswerkzeug			WM9937-ND		16.15/1		11-03-0043
Manueller Abisolierer (Molex)			WM9969-ND		80.56/1		63817-0000

* Gurtabschnitt † Gegurtet auf Rolle

Mezzanine IEEE 1386-Steckverbinder

Abb. 1

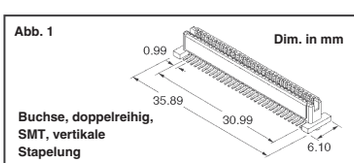

Buchse, doppelreihig, SMT, vertikale Stapelung

Abb. 2

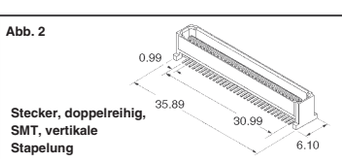

Stecker, doppelreihig, SMT, vertikale Stapelung

Elektrische Spezifikationen: Spannung: 250 V **Strom:** 0,5 A **Kontaktwiderstand:** Max. 30 mΩ **Dielektrische Haltespannung:** 250 V **Isolationswiderstand:** Min. 1.000 MΩ

Mechanische Daten: Kontakthaltekraft am Gehäuse: Min. 0,4 kgf **Steckkraft:** Max. 60 g pro Kontakt **Ziehkraft:** Min. 35 g pro Kontakt **Steckhäufigkeit:** 100 Zyklen

Physikalische Daten: Gehäuse: glasgefüllte LCP, UL 94V-O **Kontakt:** Phosphorbronze **Überzug:** Min. 0,76 µm (30 µ") Gold **Temperatur:** -15 °C ~ +85 °C

Leistungsmerkmal: Die Montagehöhe auf diesen Teilen beträgt lediglich 10 mm.

Abb.	Schaltkreise	Digi-Key Teilenr.	Stückpreis 1	Stückpreis 10	Stückpreis 100	Molex Teilenr.
1	64	WM17201-ND	6.21	5.49	3.66	71439-0164
2	64	WM17200-ND	6.78	5.99	3.99	71436-2164

MicroCross™ DVI (Digital Visual Interface) Steckverbindersystem

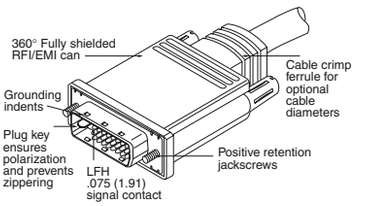

Die MicroCross DVI E/A-Steckverbinder von Molex sind bahnbrechend bei der Unterstützung des DDWG (Digital Display Working Group)-DVI-Schnittstellenstandards. MicroCross DVI wurde von DDWG als digitale Standard-schnittstelle für das Anschließen eines Host-Gerätes und Display-Gerätes zur Unterstützung von Videoanwendungen mit hoher Auflösung ausgewählt. MicroCross unterstützt einen bis zwei durch TMDS (Transition Minimized Differenzial Signaling) gesteuerte Digitalkanäle und/oder eine Analog-Schnittstelle mit hoher Bandbreite und wurde von DDWG aufgrund ihrer Größe, Leistung und Kosten ausgewählt. Einmalig in der Branche. Das innovative Design mit einer Durchgangsbodenplatine und die LFH™(Low Force Helix) Kontaktschnittstelle bieten der Industrie ein Video-Schnittstellendesign, das über 1,65 Gb/s pro Differenzialpaar (für insgesamt 9,9 Gb/s über eine Doppel-Link-Implementierung) und 2,5 GHz Support für die Analogschnittstelle bietet. Dadurch erhält die Branche den nötigen Expansionsbereich, den sie für zukünftiges Wachstum und für die Entwicklung von Videoprodukten benötigt. Diese Innovation spricht die Probleme einer Industrie an, die sich in einer Übergangsphase befindet. Durch die Bereitstellung einer einzigen Hochleistungsschnittstelle wird kostbarer Karten-E/A-Platz eingespart, was zu niedrigeren Systemkosten führt. Die Schnittstelle bietet außerdem die Vorteile einer langen Schaltzykluslebensdauer für mobile Anwendungen sowie eine verbesserte EMI-Leistung, die für Links mit hohen Geschwindigkeiten erforderlich ist. Die EMI-Leistung wird durch die 360°-Abschirmung des MicroCross DVI-Kabel- und Verbinderdesigns erzielt. Das MicroCross DVI-Steckverbindersystem und der DVI-Standard führen die Grafikindustrie auf die nächste Ebene, indem sie für eine hervorragende elektrische und mechanische Leistung sorgen, gleichzeitig jedoch eine kostengünstige Implementierung gewährleisten.

Abb. 1

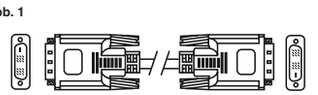

Abb. 2

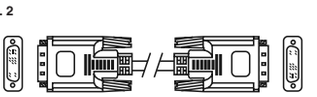

Abb. 3

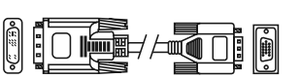

Abb. 4

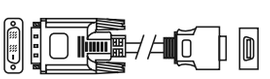

Abb. 5

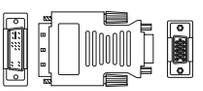

Abb. 6

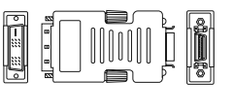

Abb. 7

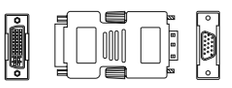

Abb. 8

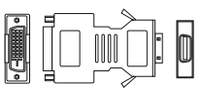

Abb. 9

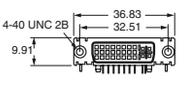

Abb. 10

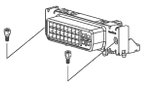

Abb.	Beschreibung	Digi-Key Teilenr.	Stückpreis 1	Stückpreis 25	Stückpreis 50	Molex Teilenr.
1	DVI-Digital an DVI-Digital, Single Link	WM18509-ND	31.70	29.06	26.42	88741-8000
2	DVI-Analog an DVI-Analog	WM18510-ND	31.54	28.92	26.30	88741-8200
3	DVI-Analog an VGA	WM18511-ND	25.82	23.67	21.52	88741-8300
4	DVI-Digital an DFP	WM18512-ND	34.30	31.45	28.59	88741-8600
5	DVI-Analog-Stecker an VGA-Steckbuchse	WM18513-ND	8.99	8.24	7.50	88741-8700
6	DVI-Digital-Stecker an DFP-Steckbuchse	WM18514-ND	14.48	13.28	12.07	88741-8800
7	DVI-I-Analog-/Digital-Steckbuchse an VGA-Stecker	WM18515-ND	16.67	15.28	13.89	88741-9100
8	DVI-Digital-Steckbuchse an DFP-Stecker	WM18516-ND	19.43	17.81	16.19	88741-9300
9	DVI-I - Steckbuchse, rechtwinklig, Goldüberzug	WM5600-ND	4.41	4.05	3.68	74320-1004
10	DVI-D - Steckbuchse, rechtwinklig, Goldüberzug	WM5601-ND	4.16	3.81	3.47	74320-4004

Serielle ATA-Steckverbinder

Abb. 1

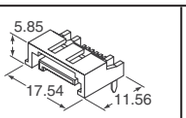

Abb. 2

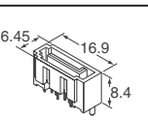

Abb. 3

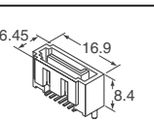

Abb. 4

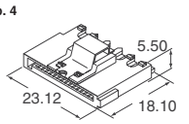

Abb. 5

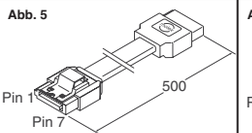

Abb. 6

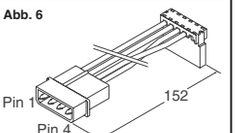

Abb.	Anz. der Pos.	Beschreibung	Digi-Key Teilenr.	Preisangaben 1	Preisangaben 10	Preisangaben 100	Molex Teilenr.
1	7	Rechtwinklige Steckleiste (SMT)	WM19021CT-ND*	1.35	11.98	79.84	47080-1005
			WM19021TR-ND†		268.20/480		47080-1005
2	7	Vertikale Steckleiste, Durchlassloch	WM19022-ND	1.28	11.30	75.34	67800-4005
3	7	Steckleiste - vertikal (SMT)	WM19023-ND	1.79	15.82	105.47	67800-1005
4	15	Stecker-Latching IDT	WM19024-ND	1.20	10.62	70.81	67926-0001
—	5	IDT-Durchführungsabdeckung	WM19025-ND	.21	1.90	12.66	67926-0041
		IDT-Durchführung an Abdeckung	WM19026-ND	.21	1.90	12.66	67926-0040
5	7	Kabelbausatz	WM19027-ND	2.88	25.38	169.20	68561-0014
6	15	Kabelbausatz	WM19028-ND	1.38	12.22	81.42	68561-0019

* Gurtabschnitt † Gegurtet auf Rolle

Alle Preisangaben in Euro und inklusive Zollgebühren.

Mini-Fit Jr.™ -Steckverbinder

Formschlüssiger Hi-Density-Leistungsverbinder

Strombelastungsfähigkeit: Die Mini-Fit, Jr.-Steckverbinder können trotz kleiner Größe standardmäßig mit Geräte-E/A-Strömen belastet werden. Der 2-Schaltkreis-Leiterplattenverbinder kann z. B. mit bis zu 9 A bei 250 V belastet werden.

Merkmale: • UL-anerkannt, CSA-zertifiziert und TÜV-lizenziert • Bis zu 9 Ampere/Schaltkreis • Nennspannung 250 V **Spezifikationen:** • Material: Anschluss: Messing; Überzug: Zinn; Gehäuse: UL 94V-2 Nylon 6/6 • Spann-ungsstrom: 250 V (vertikale Steckleiste mit Zapfen: 600 V) • Kontaktwiderstand: Max. 10 mΩ • Isolationswiderstand: Min. 1.000 MΩ • Durchschlagsfestigkeit: 1.500 V AC

Abb. 1 – Doppelreihige Steckbuchse (Buchsenkontakte separat erhältlich)

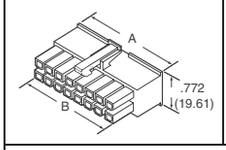

Abb. 2 – Doppelreihiger Stecker (Steckkontakte separat erhältlich)

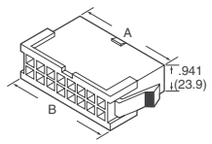

Abb. 3 – Einreihige Steckbuchse (Buchsenkontakte separat erhältlich)

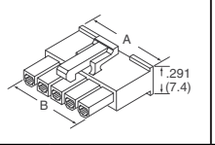

Abb. 4 – Einreihiger Stecker (Steckkontakte separat erhältlich)

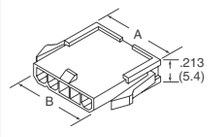

Abb. 5 – Vertikale Steckleiste

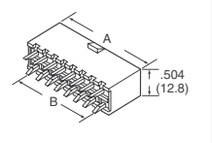

Abb. 6 – Rechtwinklig, doppelreihig

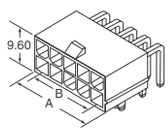

Abb. 7 – Rechtwinklige Steckleiste

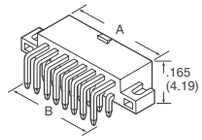

Abb. 8 – Vertikale Steckleiste mit Zapfen

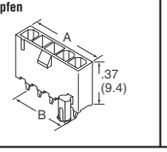

Abb. 9 – Rechtwinklige Steckleiste mit Zapfen

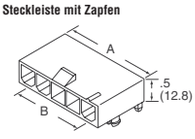

Abb. 10 – Zugentlastung (mit Abb. 1)

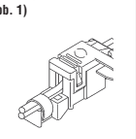

Abb.	Schalt-kreise	Amp.	Abm. – Zoll. (mm) A	Abm. – Zoll. (mm) B	Digi-Key Teilenr.	Stückpreis 1	Stückpreis 10	Stückpreis 100	Molex Teilenr.
1	2	9	.213 (5.40)	—	WM3700-ND	.39	.35	.24	39-01-2020
	4	8	.378 (9.60)	.165 (4.20)	WM3701-ND	.43	.39	.26	39-01-2040
	6	8	.543 (13.80)	.331 (8.40)	WM3702-ND	.52	.46	.31	39-01-2060
	8	7	.709 (18.00)	.496 (12.60)	WM3703-ND	.58	.51	.34	39-01-2080
	10	7	.874 (22.20)	.661 (16.80)	WM3704-ND	.67	.60	.40	39-01-2100
	12	6	1.039 (26.40)	.827 (21.00)	WM3705-ND	.75	.66	.44	39-01-2120
	14	6	1.205 (30.60)	.992 (25.20)	WM3706-ND	.89	.79	.53	39-01-2140
	16	6	1.370 (34.80)	1.158 (29.40)	WM3707-ND	.90	.80	.53	39-01-2160
	18	6	1.535 (39.00)	1.323 (33.60)	WM3708-ND	1.03	.91	.61	39-01-2180
	20	6	1.701 (43.20)	1.488 (37.80)	WM3709-ND	1.12	.93	.66	39-01-2200
	22	6	1.866 (47.40)	1.654 (42.00)	WM3710-ND	1.85	1.64	1.09	39-01-2220
	24	6	2.031 (51.60)	1.819 (46.20)	WM3711-ND	1.23	1.09	.73	39-01-2240
2	2	9	.213 (5.40)	—	WM3600-ND	.47	.42	.28	39-01-2021
	4	8	.378 (9.60)	.165 (4.20)	WM3601-ND	.51	.45	.30	39-01-2041
	6	8	.543 (13.80)	.331 (8.40)	WM3602-ND	.54	.48	.32	39-01-2061
	8	7	.709 (18.00)	.496 (12.60)	WM3603-ND	.58	.51	.34	39-01-2081
	10	7	.874 (22.20)	.661 (16.80)	WM3604-ND	.67	.60	.40	39-01-2101
	12	6	1.039 (26.40)	.827 (21.00)	WM3605-ND	.69	.61	.41	39-01-2121
	14	6	1.205 (30.60)	.992 (25.20)	WM3606-ND	.91	.81	.54	39-01-2141
	16	6	1.370 (34.80)	1.158 (29.40)	WM3607-ND	1.19	1.05	.70	39-01-2161
3	3	9	.543 (13.80)	.331 (8.40)	WM18434-ND*§	.46	.40	.27	39-01-4030
	4	8	.709 (18.01)	.496 (12.60)	WM18435-ND§	.53	.47	.32	39-01-4040
	5	8	.874 (22.20)	.661 (16.80)	WM18436-ND§	.57	.51	.34	39-01-4050
4	3	9	.543 (13.80)	.331 (8.40)	WM18437-ND*†	.50	.44	.30	39-01-4032
	3	9	.543 (13.80)	.331 (8.40)	WM18439-ND*§	.49	.44	.29	39-01-4036
	4	8	.709 (18.01)	.496 (12.60)	WM18440-ND§	.52	.47	.31	39-01-4046
	5	8	.874 (22.20)	.661 (16.80)	WM18438-ND†	.55	.49	.33	39-01-4052
	5	8	.874 (22.20)	.661 (16.80)	WM18441-NDS	.55	.49	.33	39-01-4056
Verzinnt									
5	2	9	.210 (5.40)	—	WM3800-ND	.79	.70	.47	39-28-1023
	4	8	.380 (9.60)	.170 (4.20)	WM3801-ND	.99	.88	.59	39-28-1043
	6	8	.540 (13.80)	.330 (8.40)	WM3802-ND	1.30	1.15	.77	39-28-1063
	8	7	.710 (18.00)	.500 (12.60)	WM3803-ND	1.47	1.31	.87	39-28-1083
	10	7	.870 (22.20)	.660 (16.80)	WM3804-ND	1.90	1.68	1.12	39-28-1103
	12	6	1.040 (26.40)	.825 (20.96)	WM3805-ND	1.84	1.62	1.09	39-28-1123
	14	6	1.200 (31.60)	.990 (25.20)	WM3806-ND	2.44	2.16	1.44	39-28-1143
	16	6	1.370 (34.80)	1.160 (29.40)	WM3807-ND	2.70	2.39	1.59	39-28-1163
	18	6	1.540 (39.00)	1.320 (33.60)	WM3808-ND	3.40	3.01	2.01	39-28-1183
	20	6	1.700 (43.20)	1.490 (37.80)	WM3809-ND	3.73	3.29	2.20	39-28-1203
	22	6	1.870 (47.40)	1.650 (42.00)	WM3810-ND	4.05	3.58	2.39	39-28-1223
	24	6	2.030 (51.60)	1.820 (46.20)	WM3811-ND	4.00	3.54	2.36	39-28-1243
30 vergoldet									
5	2	9	.210 (5.40)	—	WM3820-ND	1.79	1.58	1.06	39-29-0023
	4	8	.380 (9.60)	.170 (4.20)	WM3821-ND	2.79	2.46	1.64	39-29-0043
	6	8	.540 (13.80)	.330 (8.40)	WM3822-ND	3.80	3.36	2.24	39-29-0063
	8	7	.710 (18.00)	.500 (12.60)	WM3823-ND	4.79	4.23	2.82	39-29-0083
	10	7	.870 (22.20)	.660 (16.80)	WM3824-ND	5.73	5.06	3.37	39-29-0103
	12	6	1.040 (26.40)	.830 (21.00)	WM3825-ND	6.68	5.90	3.93	39-29-0123
	14	6	1.200 (30.60)	.990 (25.20)	WM3826-ND	7.79	6.87	4.58	39-29-0143
	16	6	1.370 (34.80)	1.160 (29.40)	WM3827-ND	8.79	7.76	5.17	39-29-0163
	18	6	1.540 (39.00)	1.320 (33.60)	WM3828-ND	9.83	8.68	5.79	39-29-0183
	20	6	1.700 (43.20)	1.490 (37.80)	WM3829-ND	10.87	9.59	6.40	39-29-0203
	22	6	1.870 (47.40)	1.650 (42.00)	WM3830-ND	11.91	10.51	7.01	39-29-0223
	24	6	2.030 (51.60)	1.820 (46.20)	WM3831-ND	12.95	11.43	7.62	39-29-0243
Verzinnt									
6	2	9	.213 (5.40)	—	WM1351-ND	.77	.69	.46	39-30-1020
	4	8	.378 (9.60)	.165 (4.20)	WM1352-ND	1.13	1.00	.67	39-30-1040
	6	8	.543 (13.80)	.331 (8.40)	WM1353-ND	1.38	1.22	.82	39-30-1060
	8	7	.709 (18.00)	.496 (12.60)	WM1354-ND	1.66	1.47	.98	39-30-1080
	10	7	.874 (22.20)	.661 (16.80)	WM1355-ND	1.97	1.75	1.17	39-30-1100

Abb.	Schalt-kreise	Amp.	Abm. – Zoll. (mm) A	Abm. – Zoll. (mm) B	Digi-Key Teilenr.	Stückpreis 1	Stückpreis 10	Stückpreis 100	Molex Teilenr.
6	12	6	1.039 (26.40)	.827 (21.00)	WM1356-ND	2.46	2.18	1.46	39-30-1120
	14	6	1.205 (30.60)	.992 (25.20)	WM1357-ND	2.71	2.40	1.60	39-30-1140
	16	6	1.370 (34.80)	1.158 (29.40)	WM1358-ND	3.14	2.77	1.85	39-30-1160
	18	6	1.535 (39.00)	1.323 (33.60)	WM1359-ND	3.38	2.99	1.99	39-30-1180
	20	6	1.701 (43.20)	1.488 (37.80)	WM1360-ND	3.89	3.43	2.29	39-30-1200
	22	6	1.866 (47.40)	1.654 (42.00)	WM1361-ND	4.37	3.86	2.57	39-30-1220
	24	6	2.031 (51.60)	1.819 (46.20)	WM1362-ND	4.88	4.31	2.87	39-30-1240
30 vergoldet									
6	2	9	.213 (5.40)	—	WM1363-ND	1.67	1.47	.98	39-30-1021
	4	8	.378 (9.60)	.165 (4.20)	WM1364-ND	2.12	1.88	1.25	39-30-1041
	6	8	.543 (13.80)	.331 (8.400	WM1365-ND	2.62	2.32	1.55	39-30-1061
	8	7	.709 (18.00)	.496 (12.60)	WM1366-ND	3.17	2.80	1.87	39-30-1081
	10	7	.874 (22.20)	.661 (16.80)	WM1367-ND	3.78	3.34	2.23	39-30-1101
	12	6	1.039 (26.40)	.827 (21.00)	WM1368-ND	4.43	3.91	2.61	39-30-1121
	14	6	1.205 (30.60)	.992 (25.20)	WM1369-ND	5.21	4.60	3.07	39-30-1141
	16	6	1.370 (34.80)	1.158 (29.40)	WM1370-ND	6.01	5.31	3.54	39-30-1161
	18	6	1.535 (39.00)	1.323 (33.60)	WM1371-ND	6.95	6.14	4.10	39-30-1181
	20	6	1.701 (43.20)	1.488 (37.800	WM1372-ND	7.99	7.06	4.71	39-30-1201
	22	6	1.866 (47.40)	1.654 (42.00)	WM1373-ND	9.01	7.95	5.31	39-30-1221
	24	6	2.031 (51.60)	1.819 (46.20)	WM1374-ND	10.07	8.90	5.93	39-30-1241
Verzinnt									
7	2	9	.606 (15.40)	—	WM3900-ND	.89	.79	.53	39-29-1028
	4	8	.772 (19.60)	.165 (4.20)	WM3901-ND	1.13	1.00	.67	39-29-1048
	6	8	.937 (23.80)	.331 (23.80)	WM3902-ND	1.39	1.23	.82	39-29-1068
	8	7	1.102 (28.00)	12.60 (.496)	WM3903-ND	1.68	1.48	.99	39-29-1088
	10	7	1.268 (32.20)	.661 (16.80)	WM3904-ND	1.99	1.76	1.18	39-29-1108
	12	6	1.433 (36.40)	.827 (21.00	WM3905-ND	2.34	2.07	1.38	39-29-1128
	14	6	1.598 (40.60)	.992 (25.20)	WM3906-ND	2.74	2.42	1.62	39-29-1148
	16	6	1.764 (44.80)	1.158 (29.40)	WM3907-ND	3.17	2.80	1.87	39-29-1168
	18	6	1.929 (49.00)	1.323 (33.60)	WM3908-ND	3.67	3.24	2.16	39-29-1188
	20	6	2.094 (53.20)	1.488 (37.80)	WM3909-ND	4.20	3.71	2.48	39-29-1208
	22	6	2.260 (57.40)	1.654 (42.00)	WM3910-ND	4.78	4.22	2.82	39-29-1228
	24	6	2.425 (61.60)	1.819 (46.20)	WM3911-ND	5.28	4.67	3.11	39-29-1248
Vergoldet									
7	2	9	.606 (15.40)	—	WM3920-ND	1.82	1.61	1.07	39-29-5023
	4	8	.772 (19.60)	.165 (4.20)	WM3921-ND	2.22	1.96	1.31	39-29-5043
	6	8	.937 (23.80)	.331 (8.40)	WM3922-ND	3.06	2.71	1.81	39-29-5063
	8	7	1.102 (28.00)	.496 (12.60)	WM3923-ND	3.63	3.21	2.14	39-29-5083
	10	7	1.268 (32.20)	.661 (16.80)	WM3924-ND	4.28	3.78	2.52	39-29-5103
	12	6	1.433 (36.40)	.827 (21.00)	WM3925-ND	4.96	4.38	2.92	39-29-5123
	14	6	1.598 (40.60)	.992 (25.20)	WM3926-ND	5.77	5.09	3.40	39-29-5143
	16	6	1.764 (44.80)	1.158 (29.40)	WM3927-ND	6.61	5.84	3.89	39-29-5163
	18	6	1.929 (49.00)	1.323 (33.60)	WM3928-ND	7.59	6.71	4.47	39-29-5183
	20	6	2.094 (53.20)	1.488 (37.80)	WM3929-ND	8.67	7.65	5.10	39-29-5203
	22	6	2.260 (57.40)	1.654 (42.00)	WM3930-ND	9.74	8.59	5.73	39-29-5223
	24	6	2.425 (61.60)	1.819 (46.20)	WM3931-ND	10.84	9.57	6.38	39-29-5243
Verzinnt									
8	3	9	.543 (13.80)	.331 (8.40)	WM18442-ND	.99	.88	.59	39-30-1039
	3	9	.543 (13.80)	.331 (8.40)	WM18443-ND	.99	.88	.59	39-30-2035
	4	8	.709 (18.01)	.496 (12.60)	WM18444-ND	1.57	1.39	.93	39-30-2045
	5	8	.874 (22.20)	.661 (16.80)	WM18445-ND	1.74	1.54	1.03	39-30-2056
9	3	9	.543 (13.80)	.331 (8.40)	WM18446-ND	1.19	1.05	.70	39-30-3035
	4	8	.709 (18.01)	.496 (12.60)	WM18447-ND	1.39	1.23	.82	39-30-3045
	5	8	.874 (22.20)	.661 (16.80)	WM18448-ND	1.60	1.41	.94	39-30-3055
Zugentlastung (mit Abb. 1)									
10	6	—	—	—	WM13702-ND	2.35	—	—	15-04-0296
	8	—	—	—	WM13703-ND	2.00	—	—	15-04-0343
	12	—	—	—	WM13705-ND	2.54	—	—	15-04-0345

* 3-Schaltkreis-Steckbuchse für First-Mate/Last-Break-Anwendungen † Plattenmontage § Frei hängend

Mini-Fit Jr.™ -Anschlüsse

Kontaktmaterial/Überzug

A: Verzinnte Kupferlegierung über Nickel
B: Vergoldete Phosphorbronze über Nickel
C: Vergoldetes Messing über Nickel
D: Verzinntes Messing über Kupfer
E: Verzinnte Phosphorbronze.

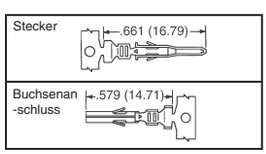

Beschreibung	Draht-größe	Material/ Überzug	Isolierungsdurchmesser Zoll (mm)	Digi-Key Teilenr.	Stückpreis 1	Stückpreis 10	Stückpreis 100	Molex Teilenr.
Stecker	16	A	.071 - .122	WM1911-ND	.31	.26	.19	44478-3112
Buchsenanschluss			(1.80 - 3.10)	WM1913-ND	.31	.26	.19	44476-3112
Stecker	16	B	.071 - .122	WM18520-ND	.85	.70	.50	39-00-0224
Buchsenanschluss			(1.80 - 3.10)	WM18517-ND	.85	.70	.50	39-00-0186
Stecker	16	C	.071 - .122	WM5963-ND	.63	.52	.37	39-00-0096
Buchsenanschluss			(1.80 - 3.10)	WM5961-ND	.58	.48	.35	39-00-0168
Stecker	18-24	D	.051 - .122	WM2500-ND	—	.07	.05	39-00-0041
			(1.30 - 3.10)	WM2500CT-ND◊	—	—	.05	39-00-0040
				WM2500TR-ND	104.98/4,000			39-00-0040
Buchsenanschluss	18-24	D	.051 - .122	WM2501-ND	—	.09	.06	39-00-0039
			(1.30 - 3.10)	WM2501CT-ND◊	—	—	.06	39-00-0038
				WM2501TR-ND	135.46/4,000			39-00-0038
Stecker	18-24	B	.051 - .122	WM18521-ND	.85	.70	.50	39-00-0220
			(1.30 - 3.10)					
Buchsenanschluss	18-24	B	.051 - .122	WM18518-ND	.74	.61	.44	39-00-0182
			(1.30 - 3.10)	WM18518CT-ND◊	—	—	.44	39-00-0181
				WM18518TR-ND◊	1161.54/4,000			39-00-0181

Beschreibung	Draht-größe	Material/ Überzug	Isolierungsdurchmesser Zoll (mm)	Digi-Key Teilenr.	Stückpreis 1	Stückpreis 10	Stückpreis 100	Molex Teilenr.
Stecker	18-20	A	.051 - .122	WM1912-ND	.31	.26	.19	44478-1112
Buchsenanschluss			(1.30 - 3.10)	WM1914-ND	.31	.26	.19	44476-1112
Buchsenanschluss	18-24	B	.060 - .120	WM18523-ND	.91	.75	.54	44485-1212
			(1.52 - 3.05)					
Stecker	18-24	D	.051 - .122	WM3940-ND*	.27	.22	.16	30490-2012
		C	(1.30 - 3.10)	WM6049-ND	.57	.47	.34	39-00-0054
Buchsenanschluss	18-24	C	.051 - .122	WM5959-ND	.58	.48	.34	39-00-0164
Stecker		B	(1.30 - 3.10)	WM3941-ND*	.88	.73	.52	30490-1012
Buchsenanschluss	18-24	C	.051 - .122	WM1137CT-ND◊	—	.38	.30	39-00-0055
			(1.30 - 3.10)	WM1137TR-ND◊	656.96/4,000			
Buchsenanschluss	18-24	E	.051 - .122	WM1138CT-ND◊	—	.10	.08	39-00-0059
			(1.30 - 3.10)	WM1138TR-ND◊	176.09/4,000			
Buchsenanschluss	18-24	B	.051 - .122	WM1139CT-ND◊	—	.33	.27	39-00-0153
			(1.30 - 3.10)	WM1139TR-ND◊	579.07/4,000			
Stecker	22-28	D	.035 - .071	WM2502-ND	—	.07	.05	39-00-0049
Buchsenanschluss			(.90 - 1.80)	WM2503-ND	—	.06	.05	39-00-0047
Stecker	22-28	B	.035 - .071	WM18522-ND	.81	.68	.48	39-00-0222
Buchsenanschluss			(.90 - 1.80)	WM18519-ND	.74	.61	.44	39-00-0184
Stecker	22-28	C	.035 - .071	WM5962-ND	.63	.52	.37	39-00-0088
Buchsenanschluss			(.90 - 1.80)	WM5960-ND	.58	.48	.34	39-00-0166
Universal-Crimpwerkzeug (Molex)				WM9999-ND	42.96	—	—	63811-1000
Mini-Fit Jr. Crimpwerkzeug, 16 AWG				WM9964-ND	181.72	—	—	11-01-0199
Mini-Fit Jr. Crimpwerkzeug, 18-24 AWG				WM9912-ND	181.72	—	—	11-01-0197
Mini-Fit Jr. Crimpwerkzeug, 22-28 AWG				WM9913-ND	181.72	—	—	11-01-0198
Extraktionswerkzeug				WM9918-ND	17.13	—	—	11-03-0044

* Erdungsstift ◊CT = Gurtabschnitt; TR = Gegurtet auf Rolle

Mini-Fit BMI™ -Steckverbinder

Abb. 1 - Steckbuchse mit Plattenmontageösen

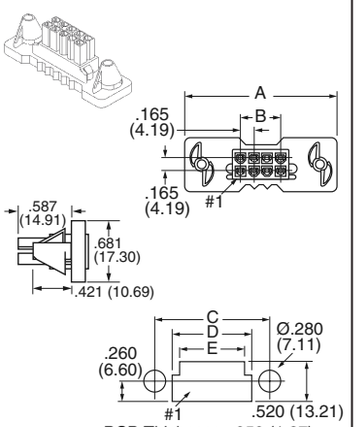

PCB Thickness: .050 (1.27)
PCB Cutout

Abb. 2 - Stecker mit Plattenmontageösen

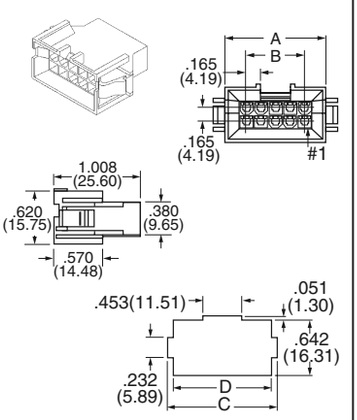

PCB Thickness: .063 (1.60)
PCB Cutout

Abb. 3 - Vertikale Steckbuchsen-Steckleiste

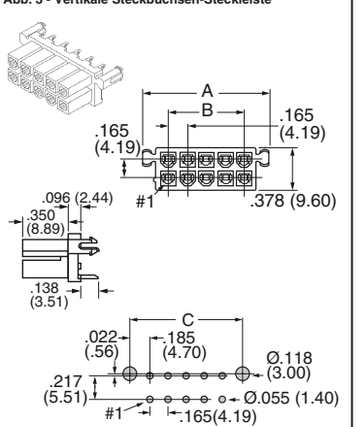

PCB Thickness: .070 (1.78)
Layout: Component Side

Abb. 4 - Vertikale Steckleiste

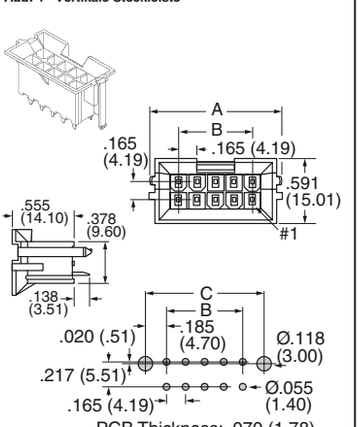

PCB Thickness: .070 (1.78)
Layout: Component Side

Abb. 5 - Rechtwinklige Steckleiste

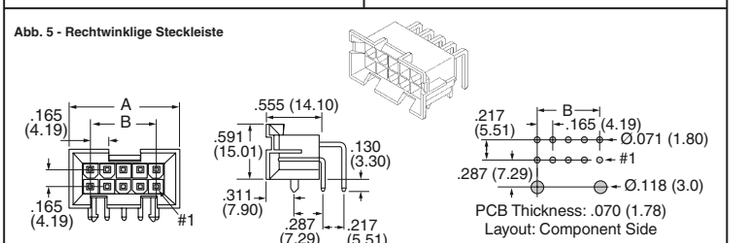

PCB Thickness: .070 (1.78)
Layout: Component Side

Merkmale und Vorteile: • Blind Mating • Passt auf Mini-Fit, Jr. • Voll isolierte Anschlussklemmen zum Schutz der Kontakte vor Beschädigung • Verwendet standardmäßige Anschlussklemmen der Mini-Fit-Serie • UL-Eintragungsnr.: E29179 • CSA-Eintragungsnr.: LR19980 • TÜV-Lizenznr.: R75142

Spezifikationen: • **Spannung:** 600 V • **Strom:** 9,0 A • **Kontaktwiderstand:** Min. 10 mΩ • **Dielektrische Haltespannung:** 1.500 V • **Isolationswiderstand:** Min. 1.000 mΩ

Physikalisch: • **Gehäuse:** 6/6 Nylon, UL 94V-2 • **Temperatur:** -40 °C ~ 105 °C

Abb.	Schalt-kreise	Abmessungen – Zoll (mm) A	B	C	D	E	Digi-Key Teilenr.	Stückpreis 1	10	100	Molex Teilenr.
Steckbuchse mit Plattenmontageösen											
1	4	1.583 (40.21)	.165 (4.19)	1.150 (29.21)	.693 (17.60)	.508 (12.90)	WM17500-ND	.79	.70	.47	15-06-0040
	6	1.748 (44.40)	.331 (8.41)	1.315 (33.40)	.858 (21.79)	.673 (17.09)	WM17501-ND	.77	.68	.46	15-06-0060
	10	2.078 (52.78)	.661 (16.79)	1.645 (41.78)	1.189 (30.20)	1.004 (25.50)	WM17502-ND	1.16	1.03	.69	15-06-0100
	14	2.409 (61.19)	.992 (25.20)	1.976 (50.19)	1.520 (38.61)	1.335 (33.91)	WM17503-ND	1.55	1.37	.92	15-06-0140
Stecker mit Plattenmontageösen											
2	4	.622 (15.80)	.165 (4.19)	.779 (19.79)	.642 (16.31)	—	WM17700-ND	.62	.55	.37	15-06-0045
	6	.787 (19.99)	.331 (8.41)	.945 (20.50)	.807 (20.50)	—	WM17701-ND	.70	.62	.42	15-06-0065
	10	1.118 (52.78)	.661 (16.79)	1.276 (28.91)	1.138 (28.91)	—	WM17702-ND	.82	.73	.49	15-06-0105
	14	1.449 (36.80)	.992 (25.20)	1.606 (38.61)	1.469 (37.31)	—	WM17703-ND	1.12	.99	.66	15-06-0145
Vertikale Steckbuchsen-Steckleiste											
3	4	.615 (15.62)	.165 (4.19)	.535 (13.59)	—	—	WM17600-ND	1.81	1.60	1.07	15-24-7040
	6	.780 (19.81)	.331 (8.41)	.701 (17.81)	—	—	WM17601-ND	2.14	1.89	1.26	15-24-7060
	10	1.111 (28.22)	.661 (16.79)	1.031 (26.19)	—	—	WM17602-ND	2.95	2.61	1.74	15-24-7100
	14	1.442 (36.63)	.992 (25.20)	1.362 (34.59)	—	—	WM17603-ND	3.41	3.02	2.01	15-24-7140
Vertikale Steckleiste											
4	4	.685 (17.40)	.170 (4.32)	.535 (13.59)	—	—	WM17900-ND	1.66	1.47	.98	15-24-6046
	10	1.181 (30.00)	.660 (16.76)	1.031 (26.19)	—	—	WM17901-ND	2.62	2.32	1.55	15-24-6106
Vertikale Steckleiste											
4	14	1.512 (38.40)	.990 (25.15)	1.362 (34.59)	—	—	WM17902-ND	3.38	2.98	1.99	15-24-6146
Rechtwinklige Steckleiste											
5	4	.165 (4.19)	.590 (14.99)	—	—	—	WM17800-ND	1.60	1.42	.95	15-24-6040
	6	.760 (19.30)	.331 (8.41)	—	—	—	WM17801-ND	2.24	1.98	1.32	15-24-6060
	10	1.090 (27.69)	.661 (16.79)	—	—	—	WM17802-ND	3.15	2.78	1.86	15-24-6100
	14	1.420 (36.07)	.992 (25.20)	—	—	—	WM17803-ND	3.62	3.20	2.14	15-24-6140

Mini-Fit, HCS™ -Steckverbinder

Doppelreihig, vertikal, ohne Zapfen

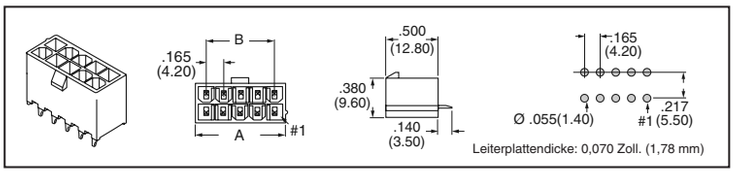

Leiterplattendicke: 0,070 Zoll. (1,78 mm)

Schalt-kreise	Amp.	Abmessungen - Zoll (mm) A	B	Digi-Key Teilenr.	Stückpreis 1	10	100	Molex Teilenr.
2	12	.210 (5.40)	—	WM18449-ND	1.09	.97	.65	44472-0254
4	11	.380 (9.60)	.170 (4.20)	WM18450-ND	1.64	1.46	.97	44472-0454
6	11	.540 (13.80)	.330 (8.40)	WM18451-ND	2.19	1.94	1.29	44472-0654
8	10	.710 (18.00)	.500 (12.60)	WM18452-ND	3.12	2.75	1.84	44472-0854
10	10	.870 (22.20)	.660 (16.80)	WM18453-ND	3.28	2.90	1.93	44472-1054
12	9	1.040 (26.40)	.830 (21.00)	WM18454-ND	3.56	3.14	2.10	44472-1254
14	9	1.200 (30.60)	.990 (25.20)	WM18455-ND	4.38	3.86	2.58	44472-1454
16	9	1.370 (34.80)	1.160 (29.40)	WM18456-ND	4.92	4.34	2.90	44472-1654

Mini-Fit, SMC™ -Steckverbinder

Zur Oberflächenmontage kompatible Steckleisten, doppelreihig

Abb. 1 – Rechtwinklig

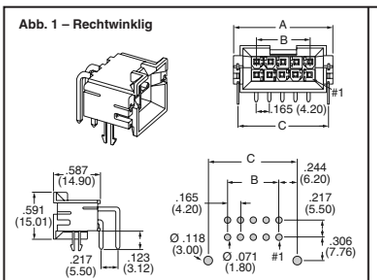

Leiterplattenstärke: .063" (1.60mm)

Abb. 2 – Vertikal

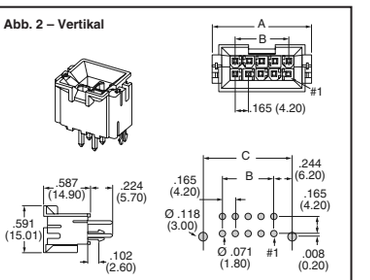

Leiterplattenstärke: .063" (1.60mm)

Abb.	Schalt-kreise	Abm. – Zoll. (mm) A	B	C	Digi-Key Teilenr.	Stückpreis 1	10	100	Molex Teilenr.
1	4	.740 (18.81)	.165 (4.20)	.653 (16.60)	WM18457-ND	3.59	3.17	2.12	43810-0001
	6	.906 (23.01)	.331 (8.40)	.819 (20.80)	WM18458-ND	4.50	3.98	2.65	43810-0002
	10	1.237 (31.41)	.661 (16.80)	1.150 (29.20)	WM18459-ND	6.41	5.66	3.78	43810-0004
2	4	.740 (18.81)	.165 (4.20)	.653 (16.60)	WM18460-ND	3.24	2.87	1.91	44068-0001
	6	.906 (23.01)	.331 (8.40)	.819 (20.80)	WM18461-ND	4.06	3.59	2.39	44068-0002
	10	1.237 (31.41)	.661 (16.80)	1.150 (29.20)	WM18462-ND	5.78	5.11	3.41	44068-0004

5,08 mm Diskettenlaufwerk-Stromversorgungsanschlusssystem

Abb. 1 - Steckbuchsengehäuse

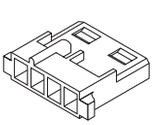

Abb. 2 - Vertikale Steckleiste

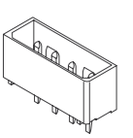

Abb.	Schalt-kreis	Beschreibung	Digi-Key Teilenr.	Stückpreis 1	10	100	Molex Teilenr.
1	4	Steckbuchsengehäuse	WM6982-ND	.74	.66	.44	15-24-4048
2	4	Vertikale Steckleiste	WM6986-ND	1.91	1.69	1.13	15-24-4157

Leistungsanschlussklemmen

Beschreibung	Drahtgröße	Max. Isolierungs-durchmesser Zoll. (mm)	Digi-Key Teilenr.	Stückpreis 1	10	100	Molex Teilenr.
Buchsenanschluss	AWG 14-20	.133 (3.39)	WM6983-ND	.25	.22	.15	02-08-1202
Stecker	AWG 14-20	.133 (3.39)	WM6984-ND	.25	.22	.15	02-08-1235
Universal-Crimpwerkzeug (Molex)			WM9999-ND		42.96/1		63811-1000
Manueller Abisolierer (Molex)			WM9969-ND		42.96/1		63817-0000

Alle Preisangaben in Euro und inklusive Zollgebühren.

Mini-Fit, Sr.™ -Steckverbinder (50 A)

Merkmale: • Hochstrom (50 A) • Voll polarisiert • Formschlüssig • Niedrige Kupplungskraft • Draht-an-Draht, Draht-an-Karte. **Elektrische Spannung:** 600 V Stromstärke: Max. 50 A **Physikalische Daten:** *Gehäuse:* Polyester *Kontakt:* Kupferlegierung *Überzug:* Zinn/Blei über Nickel *Temperatur:* -40 °C ~ 105 °C **Zulassungen:** UL-Eintragungsnr.: E29179, CSA-Eintragungsnr.: LR19980, TÜV-Lizenznr.: R9751144

Abb. 1

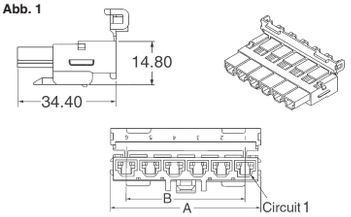

Abb. 2

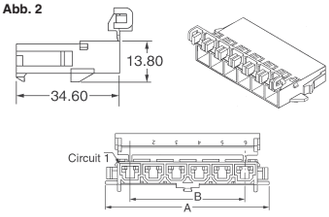

Abb. 3

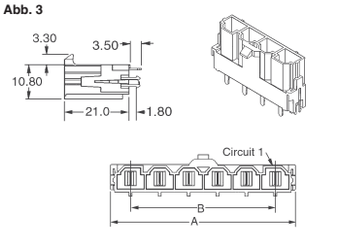

Abb. 4

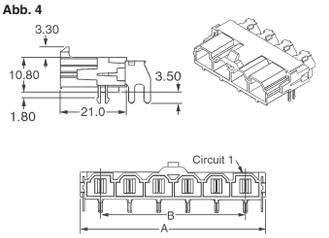

Abb.	Schalt-kreise	Abmessungen (mm) A	B	Überzug	Digi-Key Teilenr.	Stückpreis 1	10	100	Molex Teilenr.
Mini-Fit, Sr. Buchsengehäuse									
1	2	23.50	10.00	Zinn	WM1927-ND	1.54	1.36	.91	42816-0212
	3	33.50	20.00	Zinn	WM1928-ND	1.72	1.52	1.02	42816-0312
	4	43.50	30.00	Zinn	WM1929-ND	1.90	1.68	1.12	42816-0412
	5	53.50	40.00	Zinn	WM1930-ND	2.08	1.84	1.23	42816-0512
	6	63.50	50.00	Zinn	WM1931-ND	2.29	2.02	1.35	42816-0612
Mini-Fit, Sr. Steckergehäuse — Plattenmontage									
2	2	31.30	10.00	Zinn	WM1932-ND	1.56	1.38	.92	42818-0212
	3	41.30	20.00	Zinn	WM1933-ND	1.72	1.52	1.01	42818-0312
	4	51.30	30.00	Zinn	WM1934-ND	1.90	1.68	1.12	42818-0412
	5	61.30	40.00	Zinn	WM1935-ND	2.08	1.84	1.23	42818-0512
	6	71.30	50.00	Zinn	WM1936-ND	2.26	2.00	1.33	42818-0612
Mini-Fit, Sr. Steckleiste — Vertikal mit Metallclipmontage, SMC									
3	2	23.82	10.00	Zinn	WM1937-ND	3.32	2.94	1.96	42819-2212
	3	33.82	20.00	Zinn	WM1938-ND	4.42	3.90	2.60	42819-3212
	4	43.82	30.00	Zinn	WM1939-ND	5.06	4.47	2.98	42819-4212
	5	53.82	40.00	Zinn	WM1940-ND	5.73	5.06	3.38	42819-5212
	6	63.82	50.00	Zinn	WM1941-ND	6.76	5.98	3.99	42819-6212
Mini-Fit, Sr. Steckleiste — rechtwinklig mit Metallclipmontage, SMC									
4	2	23.82	10.00	Zinn	WM1942-ND	4.52	3.99	2.66	42820-2212
	3	33.82	20.00	Zinn	WM1943-ND	6.11	5.39	3.60	42820-3212
	4	43.82	30.00	Zinn	WM1944-ND	7.35	6.49	4.33	42820-4212
	5	53.82	40.00	Zinn	WM1945-ND	8.64	7.62	5.08	42820-5212
	6	63.82	50.00	Zinn	WM1946-ND	10.08	8.90	5.93	42820-6212

Mini-Fit, Sr.™ -Anschlüsse

Abb. 1

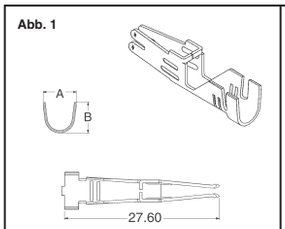

Abb. 2

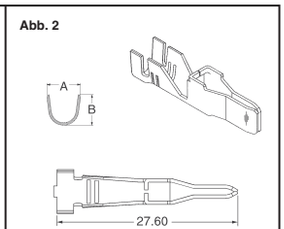

Abb.	Drahtgröße AWG	Abm. (mm) A	B	Überzug	Digi-Key Teilenr.	Stückpreis 1	10	100	Molex Teilenr.
Mini-Fit, Sr. Anschlussklemme — Buchse									
1	8	6.00	5.50	Zinn	WM1915-ND	.66	.59	.39	42-815-0031
				Gold	WM1949-ND	1.09	.97	.65	42-815-0032
	10-12	5.90	6.60	Zinn	WM1947-ND	.66	.59	.39	42-815-0011
				Gold	WM1951-ND	1.09	.97	.65	42-815-0012
Mini-Fit, Sr. Anschlussklemme — Stecker									
2	8	6.00	5.50	Zinn	WM1916-ND	.66	.59	.39	42-817-0031
				Gold	WM1950-ND	1.09	.97	.65	42-817-0032
	10-12	5.90	6.60	Zinn	WM1948-ND	.66	.59	.39	42-817-0011
				Gold	WM1952-ND	1.09	.97	.65	42-817-0012
Crimpwerkzeug, 8 AWG					WM9960-ND	343.71	—	—	63811-1500
Crimpwerkzeug, 10-12 AWG					WM9962-ND	343.71	—	—	63811-1600
Extraktionswerkzeug					WM9961-ND	61.38	—	—	63813-0400

Sabre™- Steckverbinder mit 7,50 Pitch

Merkmale und Vorteile: • Patentiertes neues, integriertes Terminal Position Assurance (TPA) -Design für die Einführung von Steck- und Buchsenklemmen • Ein Herausrutschen der Klemmen wird praktisch eliminiert • Draht-an-Draht- und Draht-an-Karte-Anschlusssystem • Polarisiertes Gehäuse gewährleistet eine korrekte Verbindung • Anschlussklemmen sind im Gehäuse voll isoliert • Formschlussverriegelung reduziert das versehentliche Lösen vom Stecker **Elektrische Spezifikationen:** • **Spannung:** 1.000 V • **Strom:** 18 A • **Kontaktwiderstand:** Max. 10 mΩ • **Dielektrische Haltespannung:** 5.000 V AC, 1 Minute • **Isolationswiderstand:** Min. 1.000 mΩ **Mechanisch:** • **Kontaktsteckkraft:** 2 lbs. max. • **Kontakthaltekraft am Gehäuse:** 20 lbs. min. • **Drahtziehkraft:** 20 lbs. min. • **Einsteckkraft:** 3 lbs. max. • **Trennkraft:** 1 lb. min. • **Normale Kraft:** 3 lbs. Nennwert • **Steckhäufigkeit:** 25 Zyklen **Physikalisch:** • **Gehäuse:** Nylon 94V-0 • **Temperatur:** -40 °C ~ 75 °C • **Zulassungen:** UL-Eintragungsnr.: E29179 und UI1950; CSA-Eintragungsnr.: LR19980

Abb. 1 – Steckbuchse

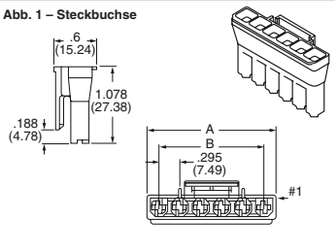

Abb. 2 – Draht-an-Draht-Stecker

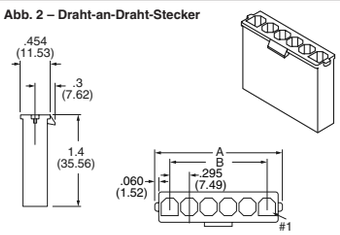

Abb. 3 – Vertikale Steckleiste, Draht-an-Karte

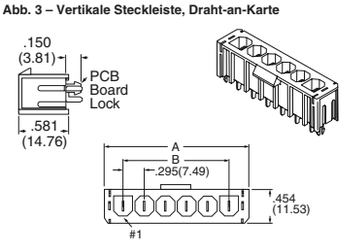

0,002" (0,062 mm) Leiterplattendicke auf Steckleisten mit Kartenverriegelung

Abb. 4 – Rechtwinklige Steckleiste, Draht-an-Karte

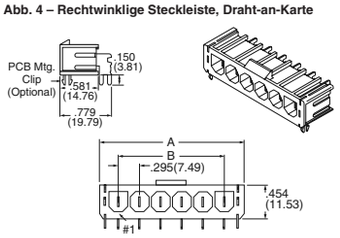

0,002" (0,062 mm) Leiterplattendicke auf Steckleisten mit Kartenverriegelung

Abb.	Schalt-kreise	Abmessungen - Zoll (mm) A	B	Digi-Key Teilenr.	Stückpreis 1	10	100	Molex Teilenr.
Einreihige Steckbuchse								
1	2	.623 (15.82)	.295 (7.49)	WM18463-ND	.86	.77	.51	44441-2002
	3	.918 (23.32)	.590 (14.99)	WM18464-ND	1.01	.90	.60	44441-2003
	4	1.213 (30.81)	.885 (22.48)	WM18465-ND	1.15	1.02	.68	44441-2004
	5	1.508 (38.30)	1.180 (29.97)	WM18466-ND	1.35	1.19	.80	44441-2005
	6	1.803 (45.80)	1.475 (37.47)	WM18467-ND	1.52	1.34	.90	44441-2006
Einreihiger Stecker								
2	2	.745 (18.92)	.295 (7.49)	WM18468-ND	.86	.77	.51	43680-2002
	3	1.040 (26.42)	.590 (14.99)	WM18469-ND	1.02	.90	.60	43680-2003
	4	1.335 (33.91)	.885 (22.48)	WM18470-ND	1.16	1.03	.69	43680-2004
	5	1.630 (41.40)	1.180 (29.97)	WM18471-ND	1.35	1.19	.80	43680-2005
	6	1.925 (48.90)	1.475 (37.47)	WM18472-ND	1.52	1.34	.89	43680-2006
Vertikale Steckleiste, SMC - ohne Kartenverriegelung								
3	2	.830 (21.08)	.295 (7.49)	WM18473-ND	1.69	1.50	1.00	43160-0102
	3	1.125 (28.58)	.590 (14.99)	WM18474-ND	2.32	2.05	1.37	43160-0103
	4	1.420 (36.07)	.885 (22.48)	WM18475-ND	2.43	2.15	1.44	43160-0104
	5	1.715 (43.56)	1.180 (29.97)	WM18476-ND	2.81	2.49	1.66	43160-0105
	6	2.010 (51.05)	1.475 (37.47)	WM18477-ND	3.17	2.81	1.87	43160-0106
Vertikale Steckleiste, SMC - mit Kartenverriegelung								
3	2	.830 (21.08)	.295 (7.49)	WM18478-ND	1.87	1.66	1.11	43160-2102
	3	1.125 (28.58)	.590 (14.99)	WM18479-ND	2.26	2.00	1.34	43160-2103
	4	1.420 (36.07)	.885 (22.48)	WM18480-ND	2.74	2.42	1.62	43160-2104
	5	1.715 (43.56)	1.180 (29.97)	WM18481-ND	3.14	2.77	1.85	43160-2105
	6	2.010 (51.05)	1.475 (37.47)	WM18482-ND	3.50	3.09	2.06	43160-2106
Rechtwinklige Steckleiste, SMC — ohne Kartenverriegelung								
4	2	.830 (21.08)	.295 (7.49)	WM18483-ND	1.86	1.65	1.10	43160-1102
	3	1.125 (28.58)	.590 (14.99)	WM18484-ND	2.26	2.00	1.34	43160-1103
	4	1.420 (36.07)	.885 (22.48)	WM18485-ND	2.66	2.35	1.57	43160-1104
	5	1.715 (43.56)	1.180 (29.97)	WM18486-ND	3.06	2.71	1.81	43160-1105
	6	2.010 (51.05)	1.475 (37.47)	WM18487-ND	3.46	3.06	2.04	43160-1106
Rechtwinklige Steckleiste, SMC — mit Kartenverriegelung								
4	2	.830 (21.08)	.295 (7.49)	WM18488-ND	2.12	1.87	1.25	43160-3102
	3	1.125 (28.58)	.590 (14.99)	WM18489-ND	2.53	2.24	1.50	43160-3103
	4	1.420 (36.07)	.885 (22.48)	WM18490-ND	2.97	2.62	1.75	43160-3104
	5	1.715 (43.56)	1.180 (29.97)	WM18491-ND	3.34	2.96	1.97	43160-3105
	6	2.010 (51.05)	1.475 (37.47)	WM18492-ND	3.80	3.36	2.24	43160-3106

Sabre™- Anschlüsse mit 7,50 Pitch

Beschr.	Draht-größe (AWG)	Max. Isolier-Durchmesser Zoll (mm)	Digi-Key Teilenr.	Stückpreis 1	10	100	Molex Teilenr.
Female**	14-18	.130 (3.30)	WM18493-ND	.14	.13	.09	43-375-0001
Stecker			WM18495-ND	.17	.16	.11	43-178-1002
Female**	14-18	.180 (4.57)	WM18494-ND	.14	.13	.09	43-375-1001
Stecker			WM18496-ND	.17	.16	.11	43-178-2002

** Buchsenanschluss

Stecker

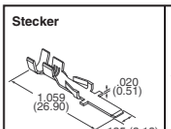

Buchsenanschluss

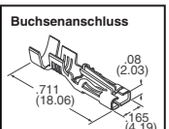

Verzinnung

Sabre™- Werkzeuge

Beschreibung	Digi-Key Teilenr.	Stückpreis	Molex Teilenr.
Crimpwerkzeug für Leistungssteckverbinder - Buchse	WM9907-ND	302.87	63811-0400
Crimpwerkzeug für Leistungssteckverbinder - Stecker	WM9908-ND	263.37	63811-0600
Extraktionswerkzeug - Buchse	WM9909-ND	28.65	63813-0500
Extraktionswerkzeug - Stecker	WM9910-ND	85.07	63813-0800
Manueller Drahtabisolierer (Molex)	WM9969-ND	80.56	63817-0000

Leistungssteckverbinder

Steckverbinder, 0,062" Durchmesser

• UL-Eintragungsnr. E-29179; CSA-Eintragungsnr. LR-19980 • Bis zu 5 A pro Schaltkreis • Nennspannung 250 V • Reibverschluss
• Standardfarbe: Natur *(Nennleistungen gelten pro Schaltkreis, basierend auf voll bestückten Gehäusen.)*

Rastermuster
(Kontakte separat erhältlich)

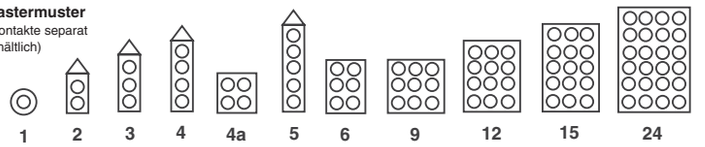

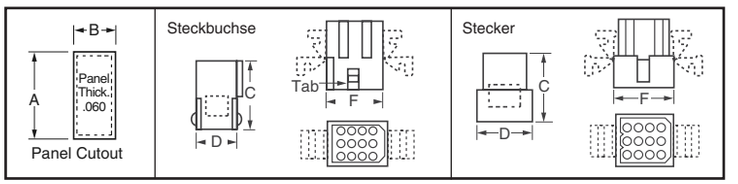

Anschlüsse, 0,062"

• Zur Verwendung mit 0,062" (1,57 mm) Gehäuse • 0,008" Werkstoff 70/30 Messing **Temperaturbereich:** -40 °C ~ +105 °C **Hochspann.-Test:** Hält 1.500 V RMS 60 Sekunden lang stand. **Nennstrom:** Ampere-Nennleistung 5 A **Lagertemperaturbereich:** -40 °C ~ 125 °C. **Überzug:** 200-300 µ Feuerverzinnung

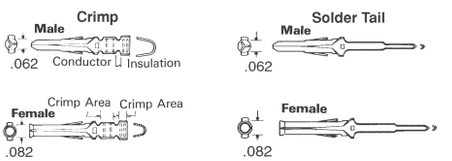

Beschreibung	Drahtgröße	Isolierungsdurchm. (Zoll.)	Digi-Key Teilenr.	Preisangaben 10	100	500	Molex Teilenr.
Stecker, Crimp-Typ	18-24	.060/.120	WM1000-ND	.84	6.71	27.93	02-06-2103
Buchse, Crimp-Typ	18-24	.060/.120	WM1001-ND	.72	5.76	24.00	02-06-1103
Stecker, Crimp-Typ	24-30	.040/.090	WM1002-ND	.69	5.47	22.77	02-06-2132
Buchse, Crimp-Typ	24-30	.040/.090	WM1003-ND	.69	5.47	22.77	02-06-1132
Stecker, Leiterplatten-Lötlitze	—	—	WM1004-ND	1.36	10.90	45.43	02-06-8103
Buchse, Leiterplatten-Lötlitze	—	—	WM1005-ND	1.36	10.90	45.43	02-06-7103
Stecker, Crimp-Typ	18-24	.060/.120	WM1006-ND *	5.03	40.25	167.70	02-06-6103
Stecker, Crimp-Typ	24-30	.040/.090	WM1007-ND *	5.03	40.25	167.70	02-06-6135
Buchse, Crimp-Typ	18-24	.060/.120	WM1008-ND *	5.03	40.25	167.70	02-06-5103
Buchse, Crimp-Typ	24-30	.040/.090	WM1009-ND *	5.03	40.25	167.70	02-06-5135
Stecker, Leiterplatte	—	—	WM1010-ND *	6.21	49.62	206.74	02-06-6122
Buchse, Leiterplatte	—	—	WM1011-ND *	6.21	49.62	206.74	02-06-7104
Handwerkzeug (Waldom)	—	—	WM9900-ND		12.32/1		W-HT-1921
Universal-Crimpwerkzeug (Molex)	—	—	WM9999-ND		42.96/1		63811-1000
Produktionswerkzeug (Molex)	24-30	—	WM9915-ND		181.72/1		11-01-0185
Produktionswerkzeug (Molex)	18-24	—	WM18585-ND		205.95/1		63811-3300
Extraktionswerkzeug (Molex)	—	—	WM9929-ND		16.15/1		11-03-0002

Stecker **Steckbuchse**

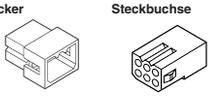

Kabelsteckverbinder-Designerkit

WM9800-ND — Enthält alle Teile, die zur Montage von Steck- und Buchsenverbindern erforderlich sind, von Einkreis- bis 36-Kreisdesigns (250 V und bis zu 5 A/Kreis); insgesamt 56 Steckverbinder. Alle haben die Pin-Anschlussklemmengröße 0,062" Durchm. mit Crimpwerkzeug, Pin-Anschlussklemmenauswurf und Gehäuse..... **34.01**

Raster	Raster Nr.	Typ	Max. Amp V. **		Abmessungen (Zoll) A	B	C	D	F	Digi-Key Teilenr.	Preisangaben 1	10	100	Molex Teilenr.
Steckverbindergehäuse — nur mit Arretierung, frei hängend														
.145"	1	Stecker	5	250	—	—	.750	—	—	WM1201-ND	.25	2.00	14.29	03-06-2011
		Steckbuchse	5	250	—	—	.780	—	.183	WM1200-ND	.25	2.12	15.19	03-06-1011
	2	Stecker	5	250	.609	.318	.780	.300	.440	WM1220-ND	.26	2.16	15.43	03-06-2023
		Steckbuchse	5	250	.505	.265	.810	.192	.340	WM1230-ND	.33	2.74	19.56	03-06-1023
	3	Stecker	5	250	.754	.318	.750	.300	.590	WM1221-ND	.39	3.19	22.80	03-06-2032
		Steckbuchse	5	250	.650	.265	.780	.192	.484	WM1231-ND	.41	3.32	23.70	03-06-1032
	4	Stecker	5	250	.865	.312	.750	.295	.730	WM1222-ND	.51	4.18	29.86	03-06-2042
		Steckbuchse	5	250	.785	.260	.780	.192	.630	WM1232-ND	.51	4.18	29.86	03-06-1042
	4a	Stecker	5	250	.615	.465	.750	.442	.442	WM1223-ND	.51	4.18	29.86	03-06-2044
		Steckbuchse	5	250	.506	.400	.750	.339	.339	WM1233-ND	.51	4.18	29.86	03-06-1044
	5	Stecker	5	250	1.044	.318	.750	.310	.890	WM1224-ND	.51	4.21	30.06	03-06-2055
		Steckbuchse	5	250	.940	.265	.780	.192	.775	WM1234-ND	.63	5.13	36.64	03-06-1056
	6	Stecker	5	250	.615	.607	.750	.600	.450	WM1225-ND	.63	5.22	37.34	03-06-2061
		Steckbuchse	5	250	.552	.505	.780	.494	.344	WM1235-ND	.63	5.22	37.34	03-06-1062
	9	Stecker	5	250	.752	.615	.750	.590	.590	WM1226-ND	.64	5.33	38.07	03-06-2092
		Steckbuchse	5	250	.650	.552	.780	.494	.489	WM1236-ND	.64	5.33	38.07	03-06-1092
	12	Stecker	5	250	.903	.614	.750	.590	.740	WM1227-ND	.66	5.43	38.75	03-06-2122
		Steckbuchse	5	250	.795	.563	.780	.494	.634	WM1237-ND	.66	5.43	38.75	03-06-1122
	15	Stecker	5	250	1.042	.614	.750	.590	.880	WM1228-ND	.78	6.42	45.81	03-06-2152
		Steckbuchse	5	250	.934	.563	.780	.487	.776	WM1238-ND	.78	6.42	45.81	03-06-1152
	24	Stecker	5	250	1.182	.765	.750	.740	1.040	WM1229-ND	1.84	15.14	108.11	03-06-2242
Steckverbindergehäuse – mit Montageösen u. Arretierung, Plattenmontage														
.145"	2	Stecker	5	250	.609	.318	.780	.300	.440	WM1203-ND	.33	2.69	19.25	03-06-2024
		Steckbuchse	5	250	.505	.265	.810	.192	.340	WM1202-ND	.33	2.69	19.25	03-06-1022
	3	Stecker	5	250	.754	.318	.750	.300	.590	WM1205-ND	.39	3.19	22.80	03-06-2033
		Steckbuchse	5	250	.650	.265	.780	.192	.484	WM1204-ND	.41	3.32	23.70	03-06-1038
	4	Stecker	5	250	.865	.312	.750	.295	.730	WM1207-ND	.51	4.18	29.86	03-06-2041
		Steckbuchse	5	250	.785	.260	.780	.192	.630	WM1206-ND	.52	4.31	30.76	03-06-1041
	4a	Stecker	5	250	.615	.465	.750	.442	.442	WM1209-ND	.51	4.18	29.86	03-06-2043
		Steckbuchse	5	250	.506	.400	.750	.339	.339	WM1208-ND	.51	4.18	29.86	03-06-1043
	5	Stecker	5	250	1.044	.318	.750	.310	.890	WM1240-ND	.63	5.13	36.64	03-06-2054
		Steckbuchse	5	250	.940	.265	.780	.192	.775	WM1241-ND	.63	5.13	36.64	03-06-1055
	6	Stecker	5	250	.615	.607	.750	.600	.450	WM1211-ND	.63	5.22	37.34	03-06-2062
		Steckbuchse	5	250	.552	.505	.780	.494	.344	WM1210-ND	.63	5.22	37.34	03-06-1061
	9	Stecker	5	250	.752	.615	.750	.590	.590	WM1213-ND	.64	5.33	38.07	03-06-2091
		Steckbuchse	5	250	.650	.552	.780	.494	.489	WM1212-ND	.64	5.33	38.07	03-06-1091
	12	Stecker	5	250	.903	.614	.750	.590	.740	WM1215-ND	.66	5.43	38.75	03-06-2121
		Steckbuchse	5	250	.795	.563	.780	.494	.634	WM1214-ND	.66	5.43	38.75	03-06-1121
	15	Stecker	5	250	1.042	.614	.750	.590	.880	WM1217-ND	.78	6.42	45.81	03-06-2151
	24	Stecker	5	250	1.182	.765	.750	.740	1.040	WM1219-ND	1.84	15.14	108.11	03-06-2241
		Steckbuchse	5	250	1.079	.715	.750	.634	.918	WM1218-ND	1.78	14.64	104.57	03-06-1241

*15 µ Teilgoldoberfläche ** Max. Verst. Spannungs-

Leistungssteckverbinder, 0,084"

Merkmale: • Passen auf andere Bauteile, die den Industriestandardversionen entsprechen • Kompatibilität durch Tests gewährleistet • UL-anerkannt, CSA-zertifiziert • Bis zu 13,5 A pro Schaltkreis (30 °C Anstieg)* • 600 Volt Nennleistung* • Formschlüssig • Voll isolierte Kontakte • Kreis-I.D. Nuten zur Reduzierung von Montagefehlern • Entlastungs-Positionierlaschen zur Reduzierung der Bruchgefahr

Rastermuster

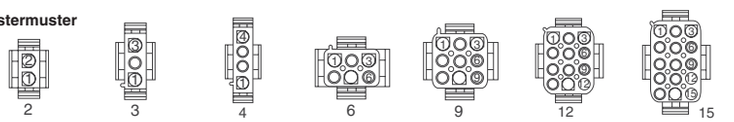

Abb. 1 - Stecker

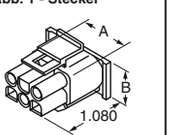

Abb. 2 - Kappe

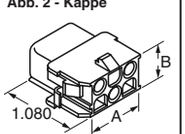

Abb. 3 - Vertikale Steckleiste

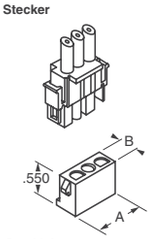

Plattenausschnitt für Kappe

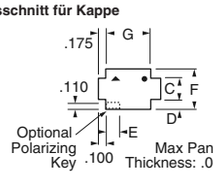

▲ - Position von Schaltkreis 1 bei Verwendung der Polarisationsschlüsseloption mit Gehäuse für 2, 3 und 4 Schaltkreise.
● - Position von Schaltkreis 1 bei Verwendung der Polarisationsschlüsseloption mit Gehäuse für 6, 9, 12 und 15 Schaltkreise.

Vertikale Steckleiste für Position 2, 3 u. 4 Karten-Layout-Abmessung

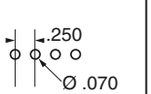

Steckleisten für Position 6, 9, 12 u. 15

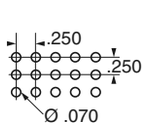

Pos.	Beschreibung	Ampere/ Schaltkreis (max.)*	Nennspannung (max.)*	Plattenausschnittabmessung (Zoll.) A	B	C††	D	E	F	G	Digi-Key Teilenr.	Preisangaben 1	10	100	500	Molex Teilenr.
Abb. 1 – Stecker																
2	Stecker	13.5	600	.300	.550	—	—	—	—	—	WM1242-ND	.50	4.44	29.55	118.19	50-84-1020
3	Stecker	13.5	600	.300	.800	—	—	—	—	—	WM1244-ND	.52	4.54	30.24	120.97	50-84-1030
4	Stecker	13.5	600	.300	1.050	—	—	—	—	—	WM1246-ND	.54	4.80	31.99	127.97	50-84-1040
6	Stecker	11.0	600	.800	.550	—	—	—	—	—	WM1248-ND	.63	5.60	37.34	149.32	50-84-1060
9	Stecker	11.0	600	.800	.800	—	—	—	—	—	WM1250-ND	.75	6.55	43.68	174.72	50-84-1090
12	Stecker	—	600	.800	1.050	—	—	—	—	—	WM1252-ND	1.23	10.85	72.33	289.32	50-84-1120
15	Stecker	—	600	.800	1.300	—	—	—	—	—	WM1254-ND	1.29	11.33	75.52	302.07	50-84-1150
Abb. 2 – Kappe																
2	Kappe	13.5	600	.300	.550	.340	.095	.250	.530	.565	WM1243-ND	.57	5.01	33.41	133.62	50-84-2020
3	Kappe	13.5	600	.300	.800	.340	.095	.250	.530	.815	WM1245-ND	.56	4.91	32.71	130.84	50-84-2030
4	Kappe	13.5	600	.300	1.050	.340	.095	.250	.530	1.065	WM1247-ND	.92	8.12	54.11	216.45	50-84-2040
6	Kappe	11.0	600	.800	.550	.340	.275	.250	1.030	.565	WM1249-ND	.92	8.14	54.32	217.26	50-84-2060
9	Kappe	11.0	600	.800	.800	.480	.275	.250	1.030	.815	WM1251-ND	.83	7.29	48.62	194.46	50-84-2090
12	Kappe	—	600	.800	1.050	.480	.275	.350	1.030	1.065	WM1253-ND	1.41	12.44	82.92	331.68	50-84-2120
15	Kappe	—	600	.800	1.300	.480	.275	.350	1.030	1.315	WM1255-ND	1.50	13.24	88.26	353.03	50-84-2150
Abb. 3 – Vertikale Steckleiste																
2	Stecker	—	—	.300	.550	—	—	—	—	—	WM1256-ND	.87	7.72	51.46	205.86	10-84-4020
2	Female#	—	—	.300	.550	—	—	—	—	—	WM1263-ND	.75	6.64	44.27	177.06	10-84-4022
3	Stecker	—	—	.300	.800	—	—	—	—	—	WM1257-ND	.99	8.78	58.51	234.04	10-84-4030
4	Stecker	—	—	.300	1.050	—	—	—	—	—	WM1258-ND	1.18	10.37	69.14	276.58	10-84-4040
4	Female#	—	—	.300	1.050	—	—	—	—	—	WM1265-ND	1.14	10.05	66.99	267.97	10-84-4042
6	Stecker	—	—	.800	.550	—	—	—	—	—	WM1259-ND	1.54	13.59	90.57	362.28	10-84-4060
6	Female#	—	—	.800	.550	—	—	—	—	—	WM1266-ND	1.60	14.09	93.89	375.56	10-84-4062
9	Stecker	—	—	.800	.800	—	—	—	—	—	WM1260-ND	1.96	17.27	115.11	460.46	10-84-4090
9	Female#	—	—	.800	.800	—	—	—	—	—	WM1267-ND	2.26	19.92	132.79	531.17	10-84-4092
12	Stecker	—	—	.800	1.050	—	—	—	—	—	WM1261-ND	2.32	20.45	136.36	545.44	10-84-4120
12	Female#	—	—	.800	1.050	—	—	—	—	—	WM1268-ND	2.86	25.23	168.19	672.78	10-84-4122
15	Stecker	—	—	.800	1.300	—	—	—	—	—	WM1262-ND	2.87	25.31	168.78	675.11	10-84-4150
15	Female#	—	—	.800	1.300	—	—	—	—	—	WM1269-ND	2.36	20.86	139.07	556.29	10-84-4152

* Nennleistungen gelten pro Schaltkreis, basierend auf voll bestückten Gehäusen.
†† Das Kappengehäuse sollte in der gleichen Richtung in die Platte eingebaut werden wie die Ausschnittsstanzung. # Buchsenanschluss

Anschlüsse, 0,084"

Splint-Pin (Stecker) **Sockel (Buchse)**

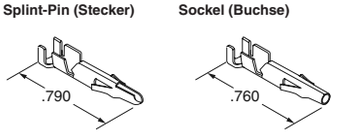

Beschreibung	Drahtgröße AWG verzinnt	Isolierungsdurchm. (Zoll.) Min.	Max.	Digi-Key Teilenr.	Preisangaben 10	100	500	1,000	Molex Teilenr.
Crimp-Stecker	14-20	.060	.130	WM1270-ND	.91	7.27	30.29	48.46	02-08-2004
Crimp-Buchse	14-20	.060	.130	WM1271-ND	.92	7.41	30.85	49.36	02-08-1002
Handwerkzeug	14-20	—	—	WM9925-ND			263.37/1		63811-3500
Extraktionswerkzeug	14-20	—	—	WM9921-ND			50.13/1		11-01-0168
Manueller Abisolierer (Molex).....				WM9969-ND			80.56/1		63817-0000

Alle Preisangaben in Euro und inklusive Zollgebühren.

Leistungssteckverbinder

Steckverbinder, 0,093" Durchmesser

- UL-Eintragungsnr. E-29179; CSA-Eintragungsnr. LR-19980
- Bis zu 12 A pro Schaltkreis (Nennwerte basieren auf voll bestückten Gehäusen)
- Nennleistung 250 V für Serie 03-09; Nennleistung 600 V für Serie 19-09
- Reibverschluss für Serie 03-09; Formschluss für Serie 19-09

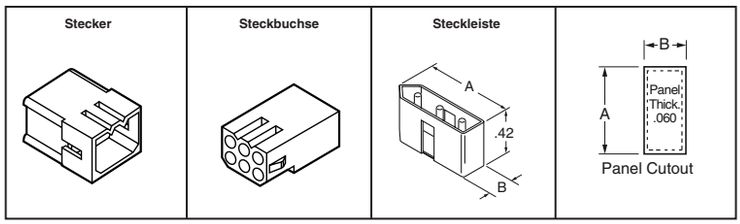

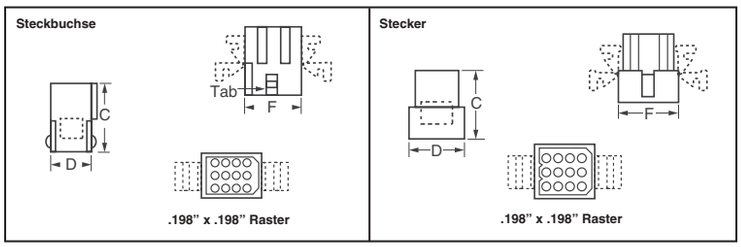

Rastermuster
(Kontakte separat erhältlich)

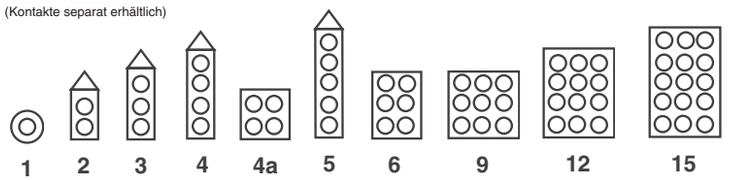

Anschlüsse, 0,093"

• Zur Verwendung mit 0,093" (2,36 mm) Gehäuse • **Temperaturbereich:** -40 °C ~ 105 °C • 0,010" Werkstoff 70/30 Messing • **Hochspannungsprüfung:** Hält einer zwischen nebeneinander liegenden Klemmen angelegten Spannung von 1.500 Volt RMS min. 60 Sekunden lang stand • **Nennstrom:** Ampere-Nennleistung bis zu 12 A bei manchen Größen • **Lagertemperaturbereich:** -40 °C ~ 125 °C • **Überzug:** 200-300 µ" Feuerverzinnung

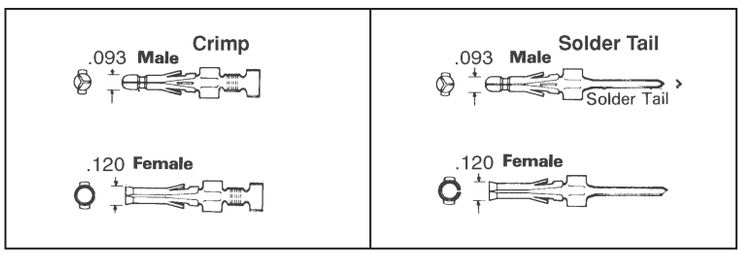

Beschreibung	Draht-größe	Isolierungs-durchm. (Zoll.)	Digi-Key Teilenr.	Preisangaben 10	100	500	Molex Teilenr.
Stecker, Crimp-Typ	14-20	.065/.160	WM1100-ND	.74	5.87	24.46	02-09-2103
			WM1100CT-ND†	—	5.87	24.46	02-09-2101
			WM1100TR-ND‡		195.56/7,000		02-09-2101
Buchse, Crimp-Typ	14-20	.065/.160	WM1101-ND	.72	5.79	24.12	02-09-1104
			WM1101CT-ND†	—	5.79	24.12	02-09-1102
			WM1101TR-ND‡		189.64/7,000		02-09-1102
Stecker, Crimp-Typ	18-22	.060/.120	WM1102-ND	.76	6.09	25.36	02-09-2118
Buchse, Crimp-Typ	18-22	.060/.120	WM1103-ND	.72	5.79	24.12	02-09-1119
Stecker, Lötlitze	—	—	WM1104-ND	1.68	13.41	55.87	02-09-2133
Buchse, Lötlitze	—	—	WM1105-ND	1.68	13.44	55.97	02-09-1134
Stecker, Crimp-Typ	18-22	.060/.120	WM1106-ND*	8.78	70.22	292.55	02-09-6123
Buchse, Crimp-Typ	18-22	.060/.120	WM1107-ND*	8.78	70.22	292.55	02-09-5142
Stecker, Crimp-Typ	24-30	.030/.060	WM1108-ND*	9.92	79.37	330.69	02-09-6145
Buchse, Crimp-Typ	24-30	.030/.060	WM1109-ND*	9.92	79.37	330.69	02-09-5147
Stecker, Lötlitze	—	—	WM1110-ND*	12.23	97.83	407.64	02-09-6132
Buchse, Lötlitze	—	—	WM1111-ND*	13.10	104.81	436.70	02-09-5132
Handwerkzeug (Waldom)	—	—	WM9903-ND		12.32/1		W-HT-1919
Handwerkzeug (Molex) (14-22 AWG)	—	—	WM17465-ND		205.95/1		63811-3200
Universal-Crimpwerkzeug (Molex)	—	—	WM9999-ND		42.96/1		63811-1000
Produktionswerkzeug, 24-30 AWG (Molex)	—	—	WM9967-ND		181.72/1		63811-3400
Extraktionswerkzeug (Molex)	—	—	WM9930-ND		16.15/1		11-03-0006
Manueller Abisolierer (Molex)	—	—	WM9969-ND		80.56/1		63817-0000

* 15 µ Teilgoldoberfläche † CT = Gurtabschnitt ‡ TR = Gegurtet auf Rolle

Raster	Raster Nr.	Typ	Max. Amp	Volt	A	B	C	D	F	Digi-Key Teilenr.	Preisangaben 1	10	100	Molex Teilenr.
Steckverbindergehäuse — nur mit Arretierung, frei hängend														
.198"	1	Stecker	12	5000	—	—	2.250	.437	—	WM1301-ND	.39	3.47	23.13	03-09-2014
		Recept.**	12	5000	—	—	1.859	.312	—	WM1300-ND	.40	3.48	23.22	03-09-1014
	1	Stecker	12	250	—	—	1.000	.358	—	WM1303-ND	.21	1.88	12.54	03-09-2011
		Recept.**	12	250	—	—	1.000	.234	—	WM1302-ND	.21	1.88	12.54	03-09-1011
	2	Stecker	12	250	.800	.375	1.000	.352	.639	WM1324-ND	.31	2.74	18.29	03-09-2022
		Recept.**	12	250	.725	.312	1.030	.250	.536	WM1331-ND	.33	2.95	19.63	03-09-1022
	3	Stecker	12	250	.933	.375	.970	.340	.770	WM1325-ND	.40	3.52	23.49	03-09-2032
		Recept.**	12	250	.840	.312	1.015	.236	.670	WM1332-ND	.41	3.68	24.57	03-09-1032
	4	Stecker	12	250	1.131	.375	1.000	.338	.971	WM1326-ND	.44	3.89	25.98	03-09-2042
		Recept.**	12	250	1.038	.312	1.000	.236	.868	WM1333-ND	.45	3.95	26.32	03-09-1042
	4a	Stecker	12	250	.555	.695	1.024	.538	.538	WM1327-ND	.65	5.73	38.23	03-09-2049
		Recept.**	12	250	.500	.600	1.000	.434	.434	WM1334-ND	.63	5.55	36.95	03-09-1049
	5Δ	Stecker	12	250	—	—	.969	.350	1.170	WM1315-ND	.70	6.24	41.58	03-09-2057
		Recept.**	12	250	—	—	1.000	.240	1.070	WM1314-ND	.68	5.99	39.93	03-09-1057
	6	Stecker	9	250	.750	.695	1.000	.733	.536	WM1328-ND	.58	5.17	34.51	03-09-2062
		Recept.**	9	250	.718	.600	1.015	.632	.434	WM1335-ND	.58	5.17	34.51	03-09-1064
	9◊	Stecker	9	250	.937	.660	.970	.730	.770	WM1329-ND	.69	6.13	40.87	03-09-2092
		Recept.**	9	250	.828	.725	1.015	.625	.666	WM1336-ND	.75	6.56	43.73	03-09-1094
	12	Stecker	7.5	250	1.155	.760	1.000	.737	.770	WM1330-ND	.82	7.26	48.35	03-09-2121
		Recept.**	7.5	250	1.050	.655	1.015	.633	.871	WM1337-ND	.77	6.77	45.14	03-09-1126
Steckverbindergehäuse — mit Formschluss frei hängend														
.248"	2	Stecker	12	600	—	—	1.031	.359	.656	WM1401-ND	.53	4.70	31.30	03-09-2028
		Recept.**	12	600	—	—	1.063	.265	.531	WM1400-ND	.51	4.48	29.86	03-09-1028
	4§	Stecker	9	600	—	—	1.031	.359	1.156	WM1405-ND	.64	5.70	38.00	03-09-2048
		Recept.**	9	600	—	—	1.063	.265	1.032	WM1404-ND	.63	5.55	36.95	03-09-1047
Steckverbindergehäuse – mit Montageösen u. Arretierung, Plattenmontage														
.198"	3	Stecker	12	250	.933	.375	.970	.340	.770	WM1307-ND	.46	4.00	26.70	03-09-2031
		Recept.**	12	250	.840	.312	1.015	.236	.670	WM1338-ND	.43	3.84	25.62	03-09-1081
	4	Stecker	12	250	1.131	.375	.969	.338	.971	WM1309-ND	.47	4.11	27.40	03-09-2041
		Recept.**	12	250	1.038	.312	1.000	.236	.868	WM1308-ND	.45	3.95	26.32	03-09-1041
	4a	Stecker	12	250	.555	.695	.969	.538	.538	WM1311-ND	.64	5.70	38.00	03-09-2040
		Recept.**	12	250	.500	.600	1.000	.434	.434	WM1310-ND	.63	5.55	36.95	03-09-1040
	6	Stecker	9	250	.750	.695	.969	.733	.536	WM1317-ND	.61	5.38	35.92	03-09-2061
		Recept.**	9	250	.718	.600	1.015	.632	.434	WM1316-ND	.61	5.38	35.92	03-09-1061
	9◊	Stecker	9	250	.937	.660	.970	.730	.770	WM1319-ND	.71	6.29	41.93	03-09-2091
		Recept.**	9	250	.828	.725	1.015	.625	.666	WM1318-ND	.71	6.29	41.93	03-09-1091
	12	Stecker	7.5	250	1.155	.760	.969	.737	.975	WM1321-ND	.75	6.66	44.42	03-09-2122
		Recept.**	7.5	250	1.050	.665	1.015	.633	.871	WM1320-ND	.77	6.77	45.14	03-09-1125
	15	Recept.**	7.5	250	1.240	.655	1.015	.632	1.066	WM1322-ND	1.02	9.05	60.35	03-09-1154
.248"	2§	Stecker	12	250	.800	.375	.968	.352	.639	WM1305-ND	.35	3.10	20.64	03-09-2021
		Recept.**	12	250	.725	.312	1.000	.250	.536	WM1304-ND	.33	2.95	19.63	03-09-1027
.250"	3	Stecker	11	600	1.022	.365	1.100	.350	.862	WM1501-ND	.70	6.24	41.58	19-09-2031
		Recept.**	11	600	.920	.310	1.140	.250	.760	WM1776-ND	.64	5.28	37.76	19-09-1030
	4	Recept.**	9	600	1.168	.311	1.140	.250	.760	WM1502-ND	.75	6.60	44.00	19-09-1043
	6	Stecker	9	600	1.048	.658	1.100	.640	.886	WM1505-ND	.80	7.13	47.54	19-09-2061
		Recept.**	9	600	.946	.608	1.140	.540	.790	WM1504-ND	.80	7.13	47.54	19-09-1061
	9	Stecker	8	600	1.048	.910	1.100	.890	.890	WM1507-ND	1.08	9.55	63.67	19-09-2091
		Recept.**	8	600	.948	.850	1.140	.790	.790	WM1506-ND	1.08	9.52	63.44	19-09-1091
	12	Stecker	6	600	1.300	.910	1.100	.890	1.140	WM1509-ND	1.14	10.11	67.40	19-09-2122
		Recept.**	6	600	1.094	.850	1.140	.790	1.034	WM1508-ND	1.62	14.28	95.23	19-09-1121
	15	Stecker	6	600	1.552	.910	1.100	.890	1.388	WM1511-ND	2.06	18.17	121.12	19-09-2153
		Recept.**	6	600	1.422	.850	1.140	.790	1.282	WM1510-ND	2.06	18.12	120.77	19-09-1151
Montagegehäuse (Formschluss)														
.264"	1	Stecker	12	600	.485	.343	.320	.320	.320	WM1601-ND	.36	3.16	21.05	19-09-2018
		Recept.**	12	600	—	—	—	.300	.400	WM1600-ND•	.36	3.16	21.05	19-09-1019
	2	Stecker	12	600	.800	.365	.635	.320	.580	WM1603-ND	.52	4.58	30.55	19-09-2028
		Recept.**	12	600	—	—	—	.300	.560	WM1602-ND•	.52	4.58	30.55	19-09-1029
	3	Stecker	11	600	1.022	.365	.862	.320	.848	WM1605-ND	.49	4.33	28.83	19-09-2038
		Recept.**	11	600	—	—	—	.300	.830	WM1604-ND•	.51	4.48	29.86	19-09-1039
	4	Stecker	9	600	1.270	.365	1.109	.321	1.110	WM1607-ND	.58	5.17	34.48	19-09-2048
		Recept.**	9	600	—	—	—	.300	1.090	WM1606-ND•	.59	5.23	34.86	19-09-1049
	6	Stecker	9	600	1.048	.658	.888	.604	.850	WM1609-ND	.65	5.79	38.59	19-09-2068
		Recept.**	9	600	—	—	—	.560	.830	WM1608-ND•	.63	5.63	37.56	19-09-1069
	9	Stecker	8	600	1.048	.909	.883	.868	.850	WM1611-ND	.73	6.45	42.99	19-09-2098
		Recept.**	8	600	—	—	—	.560	.830	WM1610-ND•	.74	6.48	43.21	19-09-1099
	12	Stecker	7	600	1.100	.910	1.140	.668	1.112	WM1613-ND	.97	8.57	57.12	19-09-2128
		Recept.**	7	600	—	—	—	.830	.900	WM1612-ND•	.82	7.24	48.28	19-09-1129
	15	Stecker	6	600	1.552	.910	1.392	.868	1.380	WM1615-ND	1.15	10.15	67.69	19-09-2158
		Recept.**	6	600	—	—	—	.868	1.380	WM1614-ND•	1.14	10.08	67.22	19-09-1159
Abgeschirmte Pin-Steckleiste														
.198"	3	Steckleiste	5	250	.770	.330	—	—	—	WM1625-ND	1.96	17.27	115.11	10-18-1032
	4	Steckleiste	5	250	.970	.330	—	—	—	WM1626-ND	2.24	19.68	131.25	10-18-1041
	6	Steckleiste	5	250	.740	.540	—	—	—	WM1627-ND	2.36	20.88	139.19	10-18-1061
	9	Steckleiste	5	250	.770	.730	—	—	—	WM1628-ND	3.04	26.82	178.81	10-18-1090
	12	Steckleiste	5	250	.980	.740	—	—	—	WM1629-ND	4.44	39.11	260.74	10-18-1120

• **Diese Steckbuchsen haben keine Montageösen.** ** Steckbuchse

§ Mittenabstand 0,248" (6,30 mm) für: 14, 16 und 18 AWG mit 1/32" (0,79 mm) Isolierung – 16-18 AWG (Doppelcrimp), jeweils mit 1/32" (0,79 mm) Isolierung; WM1400-WM1405 Gehäuse bieten Formschluss anstatt Arretierung.

Δ Formschluss anstatt Arretierung.

◊ Montageösen schließen bündig mit der hinteren Kante des Drahtendes ab.

Kabelsteckverbinder-Designerkits

Enthält dieselben Bauelemente wie WM9800-ND, ist jedoch für Einkreis- bis 15-Kreis-Designs (250 V) und bis zu 12 A/Kreis ausgelegt. 45 komplette Steckverbinder mit einem Durchmesser von 0,093" (2,36 mm) Pin-Größe. Crimpwerkzeug, Pin-Anschlussklemmenauswurf und Gehäuse inbegriffen

WM9801-ND **29.75**

Miniatur-E/A- und Leistungssteckverbinder

Serie 3200, SMT

Anwendungen: Tragbare Computer, Notebooks, elektronische Notizbücher, versch. OA-Geräte und tragbare, mobile Kommunikationsgeräte. **Spezifikationen:** Belastbarkeit: 500 mA Nennspannung: 125 V AC Isolationswiderstand: Min. 250 MΩ bei 100 V DC. Haltespannung: 300 V AC RMS für 1 Minute. **Materialien:** ***Steckbuchse:*** Isolierung: Synthetikharz, schwarz • Kontakte: Kupferlegierung mit teilweiser Vergoldung • Gehäuse: Rostfr. Stahl, Lötzinnüberzug. ***Stecker:*** Isolierung: Synthetikharz, schwarz • Kontakte: Kupferlegierung mit teilweiser Vergoldung • Gehäuse: Kupferlegierung, Lötzinnüberzug. Überzug: Synth. Harz, schwarz.

Abb. 1 — Steckbuchse

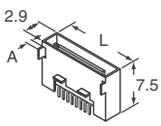

Abb. 2 — Stecker

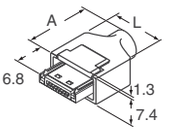

Abb.	Anz. der Kontakte	Abmessungen (mm) A	Abmessungen (mm) L	Digi-Key Teilenr.	Stückpreis 1	Stückpreis 10	Stückpreis 50	Hirose Teilenr.
	8	0.5	12.6	H10011-ND	2.53	2.10	1.75	3260-8S1
	8	1.0	12.6	H10012-ND	2.53	2.10	1.75	3260-8S2
	8	1.5	12.6	H10013-ND	2.53	2.10	1.75	3260-8S3
1	10	0.5	14.2	H10007-ND	2.78	2.30	1.92	3260-10S1
	10	1.0	14.2	H10008-ND	2.78	2.30	1.92	3260-10S2
	10	1.5	14.2	H10009-ND	2.78	2.30	1.92	3260-10S3
	12	1.5	14.2	H10010-ND	2.20	1.83	1.53	3260B-12S3(01)
	8	18	15.1	H10006-ND	3.93	3.26	2.71	3240-8P-C
2	10	21	16.7	H10004-ND	4.32	3.58	2.98	3240-10P-C
	12	21	16.7	H10005-ND	4.47	3.70	3.09	3240-12P-TO-C

Serie 3500, SMT

Abb. 1 — Vorwärts-Steckbuchse

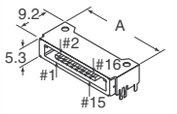

Abb. 2 — Umgekehrte Steckbuchse

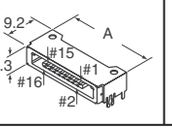

Abb. 3 — SMT-Stecker

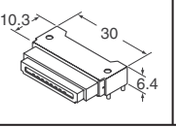

Abb. 4 — Stecker

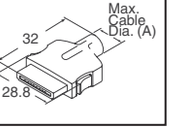

Anwendungen: Handgeräte, PDAs, Notebook PCs, mobile Kommunikationsausrüstung, Büroautomatisierungsgeräte, Messinstrumente. **Spezifikationen:** Nennspannung: 125 V AC. Belastbarkeit: 1 A Betriebstemp.: -40 °C ~ 85 °C Isolationswiderstand: 1,000 mΩ oder mehr/250 V DC. Haltespannung: 350 V AC für 1 Minute. Kontaktwiderstand: 40 MΩ oder weniger Verbindungslebensdauer: 20.000 Zyklen. **Materialien:** ***Steckbuchsen:*** Isolierung: Synth. Harz, schwarz, UL94V-0. Kontakte: Kupferlegierung, teilvergoldet 0,2 µm über Palladiumüberzug. Gehäuse: Edelstahl, lötverzinnt. ***Stecker:*** Isolierung: Synth. Harz, schwarz, UL94V-0. Kontakte: Kupferlegierung, teilvergoldet 0,2 µm über Palladiumüberzug. Gehäuse: Edelstahl Verschlussfeder: Edelstahl Überzug: Synth. Harz, schwarz.

Abb.	Anz. der Kontakte	Abm. A (mm)	Digi-Key Teilenr.	Stückpreis 1	Stückpreis 10	Stückpreis 50	Hirose Teilenr.
1	10	20.8	H10015-ND	5.08	4.21	3.51	3560-10S
	16	25.6	H10018-ND	5.59	4.74	3.98	3560-16S
2	10	20.8	H10016-ND	5.08	4.21	3.51	3560-10SR
	16	25.6	H10019-ND	5.62	4.66	3.88	3560-16SR
	16	25.6	H10020-ND	5.59	4.74	3.98	3560-16SR1
3	16	—	H10017-ND	6.12	5.18	4.36	3560-16P-PG
4	10	ø5.3	H10014-ND	7.13	6.20	5.58	3540-10P-CV
	16	ø6.2	H10000-ND	8.43	7.34	6.60	3540-16P-CV

Serie ST

Anwendungen:

• Tragbare Terminals • PDA-Geräte • Notebook Computer • Mobile Kommunikationsgeräte • Büroautomationsgeräte • Messinstrumente

Spezifikationen:

• Nennspannung: 100 V AC • Nennstrom: 0,5 A • Betriebstemperatur: -30 °C ~ 80 °C • Isolationswiderstand 100 MΩ @ 250 V DC • Kontaktwiderstand: Max. 60 mΩ

Materialien:

• Isolator: glasverstärkte Thermoplastmasse, schwarz, UL94V-0 • Kontakte: Kupferlegierung mit teilweiser Vergoldung • Gehäuse: Edelstahl, Lötzinnüberzug

Abb. 1

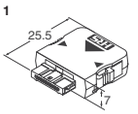

Abb. 2

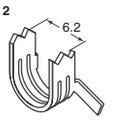

Abb. 3

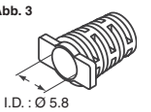

Abb. 4

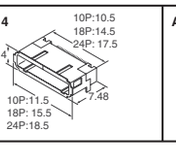

Abb. 5

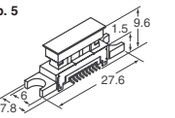

Abb. 6

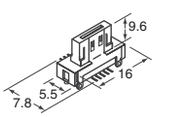

Abb.	Beschreibung	Digi-Key Teilenr.	Stückpreis 1	Stückpreis 10	Stückpreis 50	Stückpreis 100	Gurtabschnittspreis pro Stück 1	Gurtabschnittspreis pro Stück 25	Gurtabschnittspreis pro Stück 100	Digi-Key Teilenr.	Gegurtet auf Rolle Größe	Gegurtet auf Rolle Preisangaben	Hirose Teilenr.
	Stecker, 10 Pos., Löten	H1959-ND	2.73	2.27	1.89	1.68	—	—	—	—	—	—	ST40-10S-CV
1	Stecker, 18 Pos., Löten, geschirmt	H1951-ND	3.56	2.95	2.46	2.21	—	—	—	—	—	—	ST40X-18S-CV
	Stecker, 24 Pos., Löten, geschirmt	H1950-ND	3.98	3.30	2.75	2.47	—	—	—	—	—	—	ST40X-24S-CV
2	Kabelklemme, 5,8 mm	H1952-ND	.55	.39	.30	.26	—	—	—	—	—	—	ST40X-CM (5.8)
3	Kabelhülse, 5,8 mm	H1953-ND	.71	.58	.47	.42	—	—	—	—	—	—	ST40X-BS (5.8)
	Steckbuchse, 10 Pos., rechtw. SMD	H1958CT-ND	—	—	—	—	1.49	1.15	.92	H1958TR-ND	1,500	611.25/M	ST60-10P
4	Steckbuchse, 18 Pos., rechtw. SMD	H1955CT-ND	—	—	—	—	1.88	1.45	1.16	H1955TR-ND	1,500	770.17/M	ST60-18P
	Steckbuchse, 24 Pos., rechtw. SMD	H1954CT-ND	—	—	—	—	1.85	1.43	1.14	H1954TR-ND	1,500	755.54/M	ST60-24P
5	Stecker, 18 Pos., vertikale Cradle SMD	H1956CT-ND	—	—	—	—	4.10	3.19	2.55	H1956TR-ND	400	820.19	ST80X-18S
6	Stecker, 10 Pos., vertikale Cradle SMD	H1957CT-ND	—	—	—	—	2.73	2.12	1.70	H1957TR-ND	400	545.21	ST80X-10S

Serie MQ172, SMT Micro-Miniatur-Schnittstellensteckverbinder für Netzteile/Signalisierung

Merkmale: Ultra-Miniatur/SMT-Flachbauform **Abmessungen:** 3,9 mm (H) x 6,4 mm (B) x 6 mm (T) für Dreikontakt-Geräte. Diese Serie eignet sich ideal für die heutigen leichten Miniaturelektronikprodukte. **Anwendungen:** Tragbare Fernsteuergeräte, Handys, PHS, Notebook PCs, elektronische Messinstrumente. **Nenngrößen:** Belastbarkeit: 3 A (bei 4 Kontakten: 2 A, oder 3 A für optionale 2 Kontakte, und 0,5 A für sonstige 2-Kontakt-Geräte.) Temperaturbereich: -30 °C ~ 75 °C Nennspannung: ≤30 V DC, ≤40 V AC.

Abb. 1

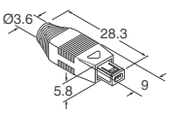

Abb. 2

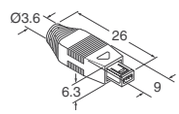

Abb. 3

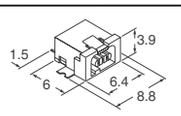

Abb. 4

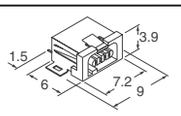

Abb.	Anz. der Kontakte	Beschreibung	Digi-Key Teilenr.	Stückpreis 1	Stückpreis 10	Stückpreis 50	Stückpreis 100	Hirose Teilenr.
1	3	Stecker, ungeschirmt	H2790-ND	2.59	2.15	1.84	1.60	MQ172-3SA-CV
2	4	Stecker, abgeschirmt	H2791-ND	2.51	2.08	1.73	1.56	MQ172X-4SA-CV
3	3	Buchse, ungeschirmt, lose	H2792-ND	1.74	1.44	1.23	1.07	MQ172-3PA

Abb.	Anz. der Kontakte	Digi-Key Teilenr.	Stückpreis *Losteile* 100	Hirose Teilenr.	*Gurtabschnitt** Stückpreis 10	50	100	Preisangabe† *gegurtet auf Rolle* 1,000	Hirose Teilenr.
				Abgeschirmt — Steckbuchse					
4	4	H2794-ND	1.34	MQ172X-4PA	1.67	1.40	1.24	821.96	MQ172X-4PA(11)

* Für Gurtabschnitte der Digi-Key-Teilenr. „CT" hinzufügen (H2794CT-ND)

† Für Gegurtet auf Rolle der Digi-Key-Teilenr. „TR" hinzufügen (H2794TR-ND)

Serie RP34 Kompakter Kunststoffsteckverbinder für AC Adapter

Ein kompakter, leichter, 3-poliger Kunststoffsteckverbinder speziell für die AC-Adapterschnittstelle bei Notebook-Computern. Stecker ist in gerader und rechtwinkliger Ausführung erhältlich. Sehr kompakte Steckbuchse mit 10 mm^2 Kontaktfläche und 11,3 mm Tiefe.

• Einrastverschluss und D-förmige Steckfläche für einfaches Verbinden/Trennen • Einer der drei Pole ist als Erdungsklemme ausgeführt • Einrastbauart des Steckers macht Schrauben unnötig • Vereinfachte kubische Außenform passt zu allen Geräten.

Materialien: • Hauptteil und Isolierung: Polycarbonatharz, glasfaserverstärkt, und PBT Harz UL94V-0, schwarz • Steckstift: Messing versilbert • Buchse: Phosphorbronze, versilbert

Stecker gerade

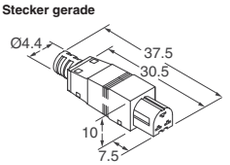

Rechtwinkliger Stecker

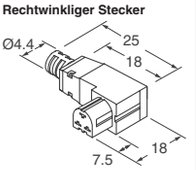

Steckbuchse

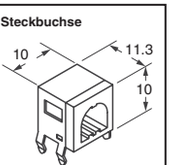

Kontakte	Beschreibung	Digi-Key Teilenr.	Stückpreis 1	Stückpreis 10	Stückpreis 100	Hirose Teilenr.
3	Stecker mit Sockel, gerade	HR170-ND†	4.74	3.93	2.95	RP34-8SP-3SC
4	Stecker mit Sockel, gerade	HR171-ND†	2.51	2.08	1.55	RP34-8SP-4SC
3	Stecker mit Sockel, rechtwinklig	HR172-ND†	2.23	1.86	1.38	RP34-8P-3SC
3	Steckbuchse mit Pin für Leiterplattenmontage	HR173-ND	2.37	1.97	1.46	RP34-8R-3PDL
4	Steckbuchse mit Pin für Leiterplattenmontage	HR174-ND	2.04	1.70	1.26	RP34-8R-4PDL
—	Buchsenkontakt, gecrimpt, Zinn	HR175-ND	.58	.48	.35	RP34-SC-112
—	Handcrimpwerkzeug	H9945-ND	315.27	—	—	RP34-TC-01

† Kontakt nicht inbegriffen, muss separat bestellt werden. (Digi-Key Part No. HR175-ND).

Serie RP34L Steckverbinder für Netzgeräte mit niedriger Bauform

Merkmale: Niedrigprofil: Diese Buchsen haben eine geringere Installationshöhe als die der typischen Serie RP34, d.h. 6,1 mm (für 2-Kern-Typ) und 5 mm (für 3-Kern-Typ). **Anwendungen:** Notebook-PCs, tragbare Fernsteuergeräte, AV-Ausrüstung.

Abb. 1

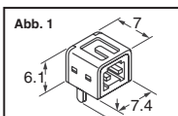

Abb. 2

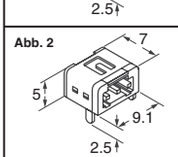

Abb. 3

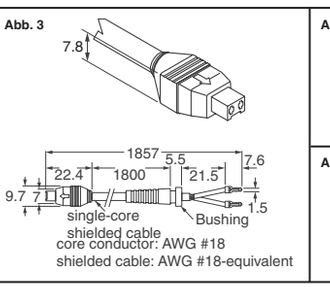

Abb. 4

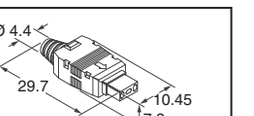

Abb. 5

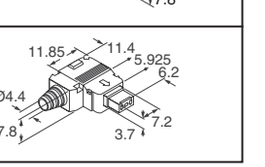

Abb.	Anz. der Pos.	Beschreibung	Digi-Key Teilenr.	Stückpreis 1	Stückpreis 25	Stückpreis 100	Hirose Teilenr.
1	2	Buchse, DIP-Lötstiftkontakt	H2348-ND	2.68	2.08	1.67	RP34L-5R-2PD
2	3	Buchse, DIP-Lötstiftkontakt	H2349-ND	2.73	2.12	1.70	RP34L-5R-3PD
3	2	Stecker, gerade, mit integriertem Kabel und Crimpbuchsenanschluss	H2350-ND	13.16	12.04	10.84	RP34L-5PA-2SC(1857)
4	3	Stecker, montiert, gerade, mit Crimpbuchsenanschluss	H2810-ND	3.27	2.54	2.03	RP34L-5PA-3SC
5	3	Stecker, montiert, rechtwinklig, mit Crimpbuchsenanschluss	H2352-ND	3.27	2.54	2.03	RP34L-5LP-3SC
—	—	Crimpanschluss - AWG 18-22	H2353CT-ND	15.98/100	57.83/500		RP34L-SC1-212(01)
—	—	Crimpanschluss - AWG 18-22	H2353TR-ND	693.93/8,000			RP34L-SC1-212(01)
—	—	Handcrimpwerkzeug	H9946-ND	1079.14	—	—	HT-102/RP34L-SC1-212

Alle Preisangaben in Euro und inklusive Zollgebühren.

HIROSE ELECTRIC CO.,LTD. Steckverbinder – Serie QR/P

Merkmale: • Teilplattierter neutraler Kontakt für Stecker- und SteckBuchsengehäuse. • Zwei Kontaktpaare an beiden Enden werden für Stromschaltkreise sortiert. Sie sind länger als die anderen. Das Formmaterial ist UL94V-0 glasverstärktes Polyester. • Der Führungsstift besteht aus vernickeltem Stahl, der auch Stoßeinwirkungen durch eine versehentliche Kopplung widersteht. • Die Steckverbinder erfüllen UL-, CSA- und TÜV-Normen. **Anwendungen:** • PPC, Datenkommunikationen, Automaten, Instrumentierung, Automationsgeräte usw. **Spezifikationen:** • **Betriebstemperaturbereich:** -10 °C ~ 60 °C • **Kontaktwiderstand:** 10 mΩ oder geringer bei 1 A DC • **Isolationswiderstand:** 5.000 mΩ oder geringer bei 500 V DC • **Haltespannung (für 1 Min.):** *Leistung:* 3.000 V AC; *Signal:* 1.000 V AC • **Nennstrom:** *Leistung:* max. 13 A. (14 AWG) *Signal:* max. 7 A (AWG #14) • **Nennspannung:** *Leistung:* 600 V AC; *Signal:* 250 V AC **Material:** • Isolator: PBT-Harz (UL94V-0), blau • Kontakt: Phosphorbronze, teilvergoldet über Nickelplattierung

Abb. 1

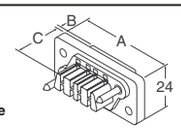

Steckergehäuse

Abb. 2

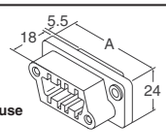

SteckBuchsengehäuse

Abb.	Anz. der Schaltkreise	Abmessungen (mm) A	B	C	Digi-Key Teilenr.	Stückpreis 1	10	50	Hirose Teilenr.
1	4	41	5	18.5	H3246-ND	4.66	3.86	3.22	QR/P-4P-C(01)
	8	52	5	18.5	H3248-ND	4.83	4.01	3.34	QR/P-8P-C(01)
	12	61	5	18.5	H3240-ND	5.23	4.33	3.61	QR/P-12P-C(01)
	16	70	5	18.5	H3242-ND	5.97	4.94	4.12	QR/P-16P-C(01)
	24	86.5	5.5	18	H3244-ND	6.34	5.37	4.52	QR/P-24P-C(01)
2	4	41	—	—	H3247-ND	4.39	3.64	3.04	QR/P-4S-C(01)
	8	52	—	—	H3249-ND	4.55	3.76	3.14	QR/P-8S-C(01)
	12	61	—	—	H3241-ND	4.83	4.01	3.34	QR/P-12S-C(01)
	16	70	—	—	H3243-ND	5.43	4.49	3.75	QR/P-16S-C(01)
	24	86.5	—	—	H3245-ND	5.66	4.79	4.03	QR/P-24S-C(01)

AWG	Preisangaben *lose* Digi-Key Teilenr.	1	10	Hirose Teilenr.	Preisangaben *Gurtabschnitt** 10	50	*Gegurtet auf Rolle †* Größe	Preisangaben	Hirose Teilenr.
Neutrale Crimpkontakte									
14-16	H3250-ND	1.08	8.85	QR/P-XC-111(12)	6.43	25.93	3,500	270.07/M	QR/P-XC-211(12)
18-24	H3251-ND	1.08	8.85	QR/P-XC-121(12)	6.43	25.93	5,000	264.14/M	QR/P-XC-221(12)

* Für Gurtabschnitte der Digi-Key-Teilenr. „CT" hinzufügen (H3250CT-ND)
† Für Gegurtet auf Rolle der Digi-Key-Teilenr. „TR" hinzufügen (H3250TR-ND)

Beschreibung	Digi-Key Teilenr.	Stückpreis	Hirose Teilenr.
Werkzeuge			
Handcrimpwerkzeug, 14-16 AWG	H9913-ND	677.96	TC-2100-111
Handcrimpwerkzeug, 18-24 AWG	H9914-ND	677.96	TC-2100-121
Extraktionswerkzeug	H9915-ND	9.89	TC-2100-21

Steckverbinder – Serie QR/P1

Steckverbinder der Serie QR/P1 sind klein und kompakt und mit 8, 12, 16, 24 und 32 Kontakten erhältlich. Crimpanschlüsse stellen die Dichteversionen der Original-QR/P-Serie sicher. Erhältlich als positive und zuverlässige Abschlüsse mit minimalem Arbeitsaufwand.
Merkmale: • Der Kopplungsmechanismus gewährleistet einen stabilen und zuverlässigen Kontaktdruck über einen Punkt-Messer-Kontakt sowie eine reibungslose Kopplung, die auch Variationen in der Kopplungslänge aufgrund der jeweiligen Steckverbindung ausgleichen kann. • Ein entgegengesetztes Paar (in 12 Kontakten), 2 Paare (in 8, 16 und 24 Kontakten) und 3 Paare (in 32 Kontakten) können als Netzteilkontakte verwendet werden. Sie liegen weiter auseinander als die anderen, sodass genügend Kriechabstand vorhanden ist, um einer hohen Spannung widerstehen zu können. Es werden feuerhemmende Isoliermaterialien (UL94-0) verwendet. • Der Führungsstift besteht aus vernickeltem Stahl, der auch Stoßeinwirkungen durch eine versehentliche Kopplung widersteht. • Die Montage eines SteckBuchsengehäuses erfolgt über pendelnde Halter. Daher können sie eine reibungslosere Kopplung von Steckverbindern durch eine selbstjustierende Funktion ermöglichen. **Spezifikationen:** • **Betriebstemperaturbereich:** -10 °C ~ 60 °C • **Spannung:** *Leistungsanschluss:* AC 250 V; *Signalverbindung:* AC 125 V • **Strom:** *Leistungsgerät:* max. 13 A (AWG 14-Verwendung); *Signalgerät:* 3 A • **Haltespannung:** *Leistungsanschluss:* 1.000 V AC; *Signalanschluss:* 500 V AC • **Isolationswiderstand:** 5.000 MΩ, höher bei 500 V DC • **Kontaktwiderstand:** *Leistungsgerät:* 10 mΩ oder geringer bei 1 A DC; *Signalgerät:* 15 mΩ oder geringer bei 1 A DC • **Material:** *Isolator:* Polyethylen-Terephtalat, schwarz; *Anschlussklemme:* Phosphor-Bronze, teilweise vergoldet mit unterem Überzug aus Nickel

Abb. 1

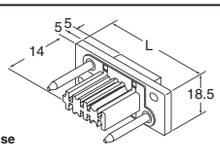

Steckergehäuse

Abb. 2

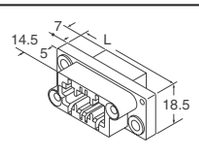

Sockelgehäuse

Abb.	Anz. der Schaltkreise	Abmessung L (mm)	Digi-Key Teilenr.	Stückpreis 1	10	50	Hirose Teilenr.
1	8	46.4	H10083-ND	3.83	3.17	2.65	QR/P1-8P-C(01)
	12	51	H10075-ND	5.18	4.29	3.58	QR/P1-12P-C(01)
	16	57.6	H10077-ND	4.52	3.74	3.12	QR/P1-16P-C(01)
	24	68.8	H10079-ND	5.53	4.58	3.81	QR/P1-24P-C(01)
	32	85.5	H10081-ND	5.77	4.88	4.11	QR/P1-32P-C(01)
2	8	46.4	H10084-ND	4.44	3.68	3.07	QR/P1-8S-C(01)
	12	51	H10076-ND	5.23	4.33	3.61	QR/P1-12S-C(01)
	16	57.6	H10078-ND	5.23	4.33	3.61	QR/P1-16S-C(01)
	24	68.8	H10080-ND	5.82	4.82	4.02	QR/P1-24S-C(01)
	32	85.5	H10082-ND	6.45	5.46	4.59	QR/P1-32S-C(01)
Kontakte							
14-16 AWG, Stecker			H10086-ND	—	.86	.69	QR/P1-PC1B-121(12)
14-16 AWG, Buchse			H10090-ND	—	.83	.67	QR/P1-SC1B-121(12)
18-24 AWG, Stecker			H10085-ND	—	.61	.49	QR/P1-PC1A-111(12)
18-24 AWG, Buchse			H10089-ND	—	.58	.47	QR/P1-SC1A-111(12)
20-24 AWG, Stecker			H10088-ND	—	.61	.49	QR/P1-PC2B-121(12)
20-24 AWG, Buchse			H10092-ND	—	.60	.48	QR/P1-SC2B-121(12)
24-28 AWG, Stecker			H10087-ND	—	.43	.35	QR/P1-PC2A-111(12)
24-28 AWG, Buchse			H10091-ND	—	.43	.35	QR/P1-SC2A-111(12)
Werkzeuge							
Hand-Crimpwerkzeug für H10086-ND			H10123-ND	651.93	—	—	TC-QR/P1-PC1B
Hand-Crimpwerkzeug für H10085-ND			H10122-ND	628.22	—	—	TC-QR/P1-PC1A
Hand-Crimpwerkzeug für H10090-ND			H10127-ND	651.93	—	—	TC-QR/P1-SC1B
Hand-Crimpwerkzeug für H10089-ND			H10126-ND	624.77	—	—	TC-QR/P1-SC1A
Hand-Crimpwerkzeug für H10088-ND			H10125-ND	677.96	—	—	TC-QR/P1-PC2B
Hand-Crimpwerkzeug für H10087-ND			H10124-ND	497.20	—	—	TC-QR/P1-PC2A
Hand-Crimpwerkzeug für H10092-ND			H10129-ND	651.93	—	—	TC-QR/P1-SC2B
Hand-Crimpwerkzeug für H10091-ND			H10128-ND	497.20	—	—	TC-QR/P1-SC2A
Extraktionswerkzeug			H10121-ND	9.02	—	—	TC-QR/P1-21

Steckverbinder – Serie QR/P4 und P6

Bei der Serie QR/P4 handelt es sich um eine Serie kleiner Steckverbinder für Einschub-Steckanwendungen. Sie ist eine kleinere, rechteckige Version der Serien QR/P und QR/P1. Erhältlich in 8, 12, 16, 24, 32 und 40 Kontakten. Zum leichteren Anschließen und zur Gewährleistung einer höheren Zuverlässigkeit werden die Anschlussdrähte ohne Lötklemmen an den Steckverbindern befestigt.
Die Serie QR/P6 ist eine Miniaturversion der Serien QR/P und QR/P1. Rechteckige Einschub-Steckanschlüsse mit mehreren Kontakten. Erhältlich in 6, 12, 16 und 24 Kontakten für einen äußerst effizienten und zuverlässigen Crimpanschluss.
Merkmale: • Bietet eine reibungslose Einführung/Extraktion und einen stabilen Kontaktdruck über einen Punkt-Messer-Kontakt und ermöglicht je nach Steckverbindung Abweichungen der Kontaktlänge • Miniaturisierung durch Trennung von Stromkontakten und Signalkontakten • Miniaturisierung mithilfe von Führungsstiften, die in den Isolator integriert sind • Die Steckverbinder der Serie erfüllen UL-, CSA- und TÜV-Normen **Anwendungen:** • PPC • Übertragungs-, Automatisierungs-, Empfangs- und Datenkommunikationseinrichtungen • Verkaufsautomaten • Messinstrumente • Schalttafeln **QR/P4-Spezifikationen:** • **Betriebstemperatur:** -10 °C ~ 60 °C • **Nennspannung:** *Leistung:* 300 V AC; *Signal:* 250 V AC • **Nennstrom:** *Leistung:* 3 A; *Signal:* 1 A • **Haltespannung:** *Leistung:* 2.000 V AC; *Signal:* 500 V AC • **Isolationswiderstand:** min. 5.000 MΩ bei 500 V DC **Kontaktwiderstand:** *Leistung:* Max. 15 mW bei 1A DC; *Signal:* Max 15 mW bei 1A DC • **Material:** *Isolator:* PBT-Harz (UL94V-0), schwarz; *Kontakt:* Phosphorbronze, Teilvergoldung über Nickel **QR/P6-Spezifikationen:** • **Betriebstemperatur:** -10 °C ~ 60 °C • **Nennspannung:** 120 V AC • **Nennstrom:** *Leistungsanschluss:* 10 A; *Signalverbindung:* 1 A • **Haltespannung** (für 1 Min.)**:** *Leistungsgerät:* 1.000 V AC; *Signalgerät:* 500 V AC • **Isolationswiderstand:** 5,000 MΩ oder geringer bei 500 V DC • **Kontaktwiderstand:** *Leistungsanschluss:* 10 mΩ oder geringer bei 1 A DC; *Signalanschluss:* 15 mΩ oder geringer bei 1 A DC • **Materialien:** *Isolator:* PBT-Harz (UL94V-0), schwarz; *Anschlussklemme:* Phosphorbronze, Teilvergoldung mit Nickelunterplattierung

Abb. 1 - QR/P4- Steckgehäuse zur Verwendung mit QR/P1- Steckkontakten

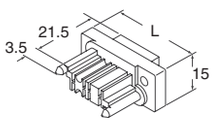

Abb. 2 - QR/P4- Buchsengehäuse zur Verwendung mit QR/P1- Buchsenkontakten

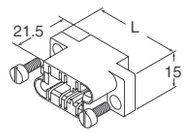

Abb. 3 - QR/P6- Steckgehäuse zur Verwendung mit QR/P1- Steckkontakten

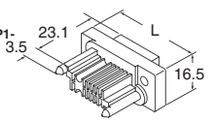

Abb. 4 - QR/P6- Buchsengehäuse zur Verwendung mit QR/P1- Buchsenkontakten

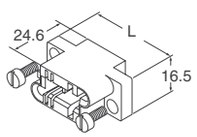

Abb.	Anz. der Schaltkreise	Abmessung L (mm)	Digi-Key Teilenr.	Stückpreis 1	10	50	Hirose Teilenr.
Serie QR/P4							
1	8	34.68	H10103-ND	2.97	2.46	2.05	QR/P4-8P-C(01)
	12	39.8	H10093-ND	3.73	3.09	2.58	QR/P4-12P-C(01)
	16	44.84	H10095-ND	4.47	3.70	3.09	QR/P4-16P-C(01)
	24	55	H10097-ND	4.83	4.01	3.34	QR/P4-24P-C(01)
	32	67.7	H10099-ND	5.23	4.33	3.61	QR/P4-32P-C(01)
	40	77.86	H10101-ND	5.72	4.85	4.08	QR/P4-40P-C(01)
2	8	34.68	H10104-ND	3.36	2.79	2.32	QR/P4-8S-C(01)
	12	39.8	H10094-ND	3.90	3.24	2.70	QR/P4-12S-C(01)
	16	44.84	H10096-ND	5.23	4.33	3.61	QR/P4-16S-C(01)
	24	55	H10098-ND	5.60	4.64	3.87	QR/P4-24S-C(01)
	32	67.7	H10100-ND	5.97	4.94	4.12	QR/P4-32S-C(01)
	40	77.86	H10102-ND	6.49	5.50	4.63	QR/P4-40S-C(01)
Serie QR/P6							
3	6	32.67	H10111-ND	2.73	2.27	1.89	QR/P6-6P-C(01)
	12	41.47	H10105-ND	2.68	2.22	1.85	QR/P6-12P-C(01)
	16	46.55	H10107-ND	2.73	2.27	1.89	QR/P6-16P-C(01)
	24	56.71	H10109-ND	2.97	2.46	2.05	QR/P6-24P-C(01)
4	6	32.67	H10112-ND	2.97	2.46	2.05	QR/P6-6S-C(01)
	12	41.47	H10106-ND	3.17	2.63	2.19	QR/P6-12S-C(01)
	16	46.55	H10108-ND	4.10	3.40	2.83	QR/P6-16S-C(01)
	24	56.71	H10110-ND	3.73	3.09	2.58	QR/P6-24S-C(01)

Steckverbinder – Serie QR/P8

Bei der Serie QR/P8 handelt es sich um eine Serie kleiner Steckverbinder für Einschub-Steckanwendungen. Sie ist eine kleinere, rechteckige Version der Serien QR/P und QR/P1. Verfügbare Elektroden sind 8, 12 und 20. Zum leichteren Anschließen und zur Gewährleistung einer höheren Zuverlässigkeit werden die Anschlussdrähte ohne Lötklemmen an den Steckverbindern befestigt.
Merkmale: • Der Steckverbinder dieser Serie ist ca. 20 % kürzer als der Steckverbinder der Serie QR/P4 mit derselben Anzahl von Elektroden. • Es können Drahtstärken von AWG 20-28 an die beiden Klemmenpaare auf den beiden Seiten angeschlossen werden, während Drahtstärken von AWG 24-28 zur Signalübertragung an die Klemmen angeschlossen werden können. • Die Stifte gewährleisten aufgrund ihres Punktkontakts mit den SteckBuchsenmesserkontakten einen stabilen Kontaktdruck und sind mit größeren Variationen in der Anschlusslänge kompatibel. • Die Steckverbinder erfüllen UL-, CSA- und TÜV-Normen. **Anwendungen:** • PPC • Übertragungs-, Automatisierungs-, Empfangs- und Datenkommunikationseinrichtungen • Verkaufsautomaten • Messinstrumente • Schalttafeln **Spezifikationen:** • **Betriebstemp:** -10 °C ~ 60 °C • **Haltespannung** (für 1 Min.)**:** *Netzteil:* 2.000 V AC; *Signalgerät:* 500 V AC • **Isolationswiderstand:** 1.000 MΩ oder geringer bei 500 V DC • **Kontaktwiderstand:** 30 mΩ oder geringer bei 1 A DC • **Material:** *Isolator:* Polycarbonatharz UL94V-0, schwarz; *Kontakt:* Phosphorbronze, Teilvergoldung über Nickel

Abb. 1 - Steckgehäuse

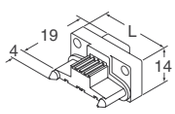

Abb. 2 - SteckBuchsengehäuse

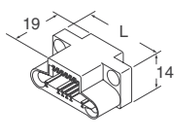

Abb.	Anz. der Schaltkreise	Abmessung L (mm)	Digi-Key Teilenr.	Stückpreis 1	10	50	Hirose Teilenr.
1	8	27	H10116-ND	2.51	2.08	1.74	QR/P8-8P-C(01)
	12	31	H10002-ND	2.58	2.14	1.78	QR/P8-12P-C(01)
	20	39	H10114-ND	3.05	2.52	2.10	QR/P8-20P-C(01)
2	8	27	H10117-ND	2.60	2.16	1.80	QR/P8-8S-C(01)
	12	31	H10113-ND	2.95	2.44	2.04	QR/P8-12S-C(01)
	20	39	H10115-ND	3.44	2.85	2.38	QR/P8-20S-C(01)
Kontakte							
20-24 AWG, Stecker			H10118-ND	—	.28	.22	QR/P8-PC-111
20-24 AWG, Buchse			H10119-ND	—	.28	.22	QR/P8-SC-111
24-28 AWG, Stecker			H10003-ND	—	.28	.22	QR/P8-PC-121
24-28 AWG, Buchse			H10120-ND	—	.28	.22	QR/P8-SC-121
Werkzeuge							
Handcrimpwerkzeug, 20-24 AWG			HR1170-ND	677.96	—	—	TC-QR/P8-111
Handcrimpwerkzeug, 24-28 AWG			HR1171-ND	647.14	—	—	TC-QR/P8-121
Extraktionswerkzeug			HR1172-ND	10.16	—	—	TC-QR/P8-21

A

HIROSE ELECTRIC CO.,LTD. — Hochdichte E/A-Steckverbinder

Die hochdichten E/A-Steckverbinder der Serie DXM mit Balgkontakten weisen ein Interconnect-Design auf, um Formschluss, mühlelose Kupplung, Anschlusssschutz und EMI-Reduzierung in einem stabilen Mini-Paket bieten zu können. Die Serie DXM umfasst die vielseitigsten und vollständigsten Sortimente an hochdichten Steckverbindern weltweit.

Anwendungen: Büro, Fabrk und Heimautomation, Computer, Mess-, Kommunikations- und Steuergeräte und andere kommerzielle Anwendungen, die hochdichte Verbindungen verlangen.

Merkmale: • 1,27 mm (0,050") Kontaktabstand spart wertvollen Platz auf der Karte und erlaubt ultradichte Designs • Balgkontakte sorgen für reibungslose und präzise Abstimmung • Einmaliges Schalendesign stellt „first make/last break"-Erdung und insgesamten Rauschschutz sicher • IDC-Anschluss sorgt für schnellen und preiswerten Anschluss an AWG 28 Drähte • Backshell und Steckbuchsengehäuse bestehen aus druckgegossener Zinklegierung oder Edelstahl, um das Eindringen von externem EMI-Rauschen zu reduzieren • Überformtes Endgehäuse bietet EDE-Schutz und ist mit Berührungsverriegelung und Schraubverriegelung erhältlich • Anschlussmethoden: IDC, Löten, rechtwinklige DIP, gerade DIP und SMT

Spezifikationen: • Stromkapazität: 0,5 A • Nennspannung: 125 V AC • Isolierwiderstand: Min. 250 MΩ @ 100 V DC • Haltespannung: 300 V AC rms für 1 Min.

Abb. 1 – Stecker, Discrete IDC

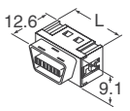

Abb. 2 – Stecker, Löttyp

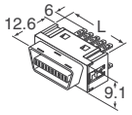

Abb. 3 – Kartensicherungsstift, Harpunentyp

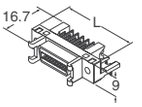

Abb. 4 – Buchse, gerade

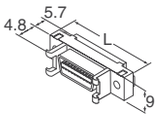

Abb. 5 – Auf Karte aufschraubbar

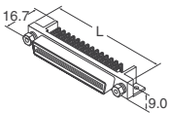

Abb. 6 – Kartensperrstift, rund

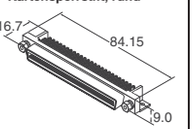

Abb. 7 – Kartensicherungsstift, Harpunentyp

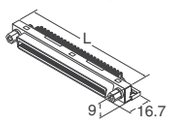

Abb. 8 – Buchse, gerade

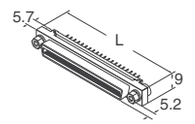

Abb. 9 – Endgehäuse, Edelstahl

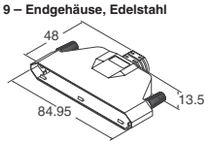

Abb. 10 – Endgehäuse, Kunststoff, beige

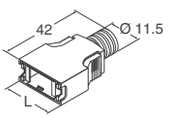

Abb. 11 – Abschluss

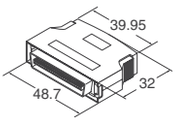

Abb.	Anz. Kontakte	Abmessung L (mm)	Digi-Key Teilenr.	Stückpreis 1	10	100	Hirose Teilenr.
1	14	17.09	H10049-ND	7.68	6.50	4.88	DX30AM-14P
	20	20.90	H10050-ND	6.87	5.82	4.36	DX30AM-20P
	26	24.71	H10001-ND	7.51	6.36	4.77	DX30AM-26P
	36	31.06	H10051-ND	7.77	6.76	5.41	DX30AM-36P
	50	39.95	H10052-ND	9.19	8.00	6.40	DX30AM-50P
	68	51.38	H10053-ND	11.43	10.58	8.86	DX30AM-68P
	80	59.00	H10054-ND	12.11	11.41	9.98	DX30AM-80P
	100	71.70	H10048-ND	12.44	11.71	10.25	DX30AM-100P
2	20	20.90	H10063-ND	8.33	7.25	5.80	DX40M-20P
	26	24.71	H10064-ND	9.06	7.88	6.30	DX40M-26P
	36	31.06	H10065-ND	8.97	8.31	6.96	DX40M-36P
	50	39.95	H10066-ND	10.45	9.67	8.10	DX40M-50P
	100	71.70	H10062-ND	15.62	15.10	13.54	DX40M-100P
3	14	29.54	H10027-ND	3.93	3.26	2.44	DX10G1M-14S
	20	33.35	H10035-ND	4.28	3.54	2.66	DX10GM-20S
	26	37.16	H10029-ND	4.28	3.54	2.66	DX10G1M-26S
	36	43.51	H10031-ND	4.47	3.70	2.78	DX10G1M-36S
	50	52.40	H10033-ND	4.99	4.13	3.10	DX10G1M-50S
	68	63.83	H10037-ND	6.71	5.69	4.27	DX10GM-68S
	14	29.54	H10028-ND*	3.39	2.81	2.11	DX10G1M-14SE
	20	33.35	H10036-ND	4.28	3.54	2.66	DX10GM-20SE
	26	37.16	H10030-ND*	3.39	2.81	2.11	DX10G1M-26SE
	36	43.51	H10032-ND*	3.56	2.95	2.21	DX10G1M-36SE
	50	52.40	H10034-ND*	4.47	3.70	2.78	DX10G1M-50SE
	68	63.83	H10038-ND	6.71	5.69	4.27	DX10GM-68SE

Abb.	Anz. Kontakte	Abmessung L (mm)	Digi-Key Teilenr.	Stückpreis 1	10	100	Hirose Teilenr.
4	14	29.54	H10042-ND	7.20	6.09	4.57	DX20M-14S
	20	33.35	H10043-ND	7.20	6.27	5.02	DX20M-20S
	26	37.16	H10044-ND	7.64	6.64	5.31	DX20M-26S
	36	43.51	H10045-ND	8.06	7.01	5.61	DX20M-36S
	50	52.40	H10046-ND	8.90	7.74	6.20	DX20M-50S
	68	63.83	H10047-ND	8.97	8.31	6.96	DX20M-68S
5	68	63.83	H10025-ND	11.80	10.92	9.15	DX10BM-68S
	80	71.45	H10026-ND	11.18	10.53	9.21	DX10BM-80S
	100	84.15	H10023-ND	12.23	11.52	10.08	DX10BM-100S
6	100	—	H10024-ND	12.44	11.71	10.25	DX10BM-100SE
7	100	84.15	H10022-ND	9.58	8.87	7.43	DX10AM-100SE2
	100	84.15	H10021-ND	9.58	8.87	7.43	DX10AM-100SE1
8	68	63.83	H10040-ND	11.31	10.47	8.77	DX20BM-68S
	80	71.45	H10041-ND	11.18	10.53	9.21	DX20BM-80S
	100	84.15	H10039-ND	12.23	11.52	10.08	DX20BM-100S
9	100	—	H10055-ND	9.58	8.87	7.43	DX30M-100-CV1
10	14	25.79	H10056-ND	4.28	3.54	2.66	DX30M-14-CV(10)
	20	29.60	H10057-ND	3.93	3.26	2.44	DX30M-20-CV(10)
	26	33.50	H10058-ND	4.47	3.70	2.78	DX30M-26-CV(10)
	36	39.80	H10059-ND	4.47	3.70	2.78	DX30M-36-CV(10)
	50	48.70	H10060-ND	5.30	4.39	3.30	DX30M-50-CV(10)
	68	60.13	H10061-ND	5.62	4.66	3.49	DX30M-68-CV(10)
11	50	—	H10067-ND	15.37	14.86	13.32	DX70M-50P(TB)CV

* Mit Kartensicherungen

EDAC INC — Gestell- und Plattensteckverbinder — Serie 516

Merkmale:
• UL-anerkannt • Stecker und Steckbuchse für Kontaktgrößen 20, 38, 56, 90 oder 120 • Kontaktterminierungsoptionen inkl. Crimp, PC Ende, Drahtloch und Drahtwicklung • Stellschrauben erleichtern die Verbindungsherstellung und Trennung • Kontakte eignen sich für Stecker- oder Steckbuchsenkontakte

Spezifikationen:
• Isolatormaterial: Diallylphthalat, Farbe: grün oder Polykarbonat Farbe: grau • Kontaktmaterial: Phosphorbronzelegierung CA-510 • Kontaktüberzug: Gold über Nickel auf gesamtem Kontakt • Abdeckung: Gussgeformtes Zink, Oberfläche grauer Emaillelack • Nennstrom: 8,5 A • Kontaktwiderstand: Max. 10 mΩ • Dielektrische Haltespannung: 2.000 V AC rms auf Meereshöhe • Isolierwiderstand: Min. 5.000 MΩ • Betriebstemperatur: -65 °C bis +125 °C • Einsteck- und Herausziehkraft: 2 ~ 16 oz. (0,56 ~ 4,45 N) pro Kontaktposition

Abb. 1 – 20-Pin Stecker und Buchse, grau

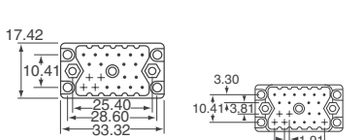

Abb. 2 – 38-Pin Stecker und Buchse, grau

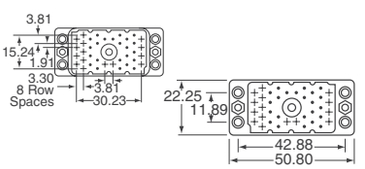

Abb. 3 – 56-Pin Stecker und Buchse, grau

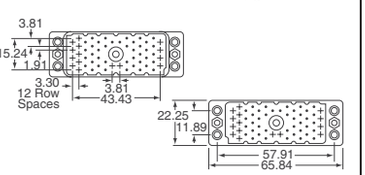

Abb. 4 – 90-Pin Stecker und Buchse, grau

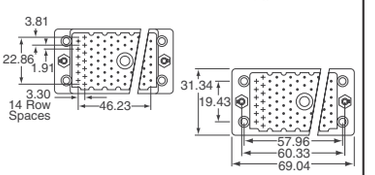

Abb. 5 – 120-Pin Stecker und Buchse, grün

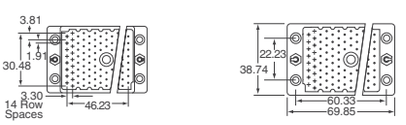

Abb. 6 – Metallsteckverbinderabdeckung

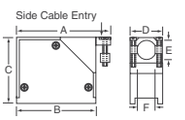

Anz. der Konta-kte	Abmessungen A	B	C	D	E	F
20	39.09	33.66	23.01	17.42	11.33	12.45
38	56.03	50.95	39.78	22.23	18.29	14.61
56	71.17	66.09	39.78	22.23	18.29	14.61
90	79.20	69.04	45.09	31.34	22.35	22.86
120	80.65	69.85	51.31	38.89	22.61	27.43

Abb. 7 – Kontakte

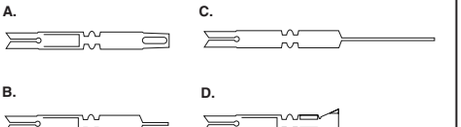

Abb.	Anz. Kontakte	Beschreibung	Digi-Key Teilenr.	Stückpreis 1	25	EDAC Teilenr.
1	20	Stecker mit Schraube	151-1024-ND	7.31	5.48	516-020-000-301
	20	Stecker mit Mutter	151-1025-ND	5.30	3.98	516-020-000-302
	20	Steckbuchse mit Schraube	151-1026-ND	6.94	5.21	516-020-000-401
	20	Steckbuchse mit Mutter	151-1027-ND	5.22	3.92	516-020-000-402
2	38	Stecker mit Schraube	151-1028-ND	7.40	5.56	516-038-000-301
	38	Stecker mit Mutter	151-1029-ND	5.21	3.92	516-038-000-302
	38	Steckbuchse mit Schraube	151-1030-ND	7.31	5.48	516-038-000-401
	38	Steckbuchse mit Mutter	151-1031-ND	5.04	3.78	516-038-000-402
3	56	Stecker mit Schraube	151-1032-ND	7.51	5.64	516-056-000-301
	56	Stecker mit Mutter	151-1033-ND	5.38	4.05	516-056-000-302
	56	Steckbuchse mit Schraube	151-1034-ND	7.40	5.55	516-056-000-401
	56	Steckbuchse mit Mutter	151-1035-ND	5.22	3.93	516-056-000-402
4	90	Stecker mit Schraube	151-1036-ND	14.35	10.77	516-090-000-301
	90	Stecker mit Mutter	151-1037-ND	6.53	4.91	516-090-000-302
	90	Steckbuchse mit Schraube	151-1038-ND	14.10	10.58	516-090-000-401
	90	Steckbuchse mit Mutter	151-1039-ND	6.35	4.76	516-090-000-402

Abb.	Anz. Kontakte	Beschreibung	Digi-Key Teilenr.	Stückpreis 1	25	EDAC Teilenr.
5	120	Stecker mit Schraube	151-1040-ND	16.81	12.61	516-120-000-101
	120	Stecker mit Mutter	151-1041-ND	8.70	6.53	516-120-000-102
	120	Steckbuchse mit Schraube	151-1042-ND	17.14	12.86	516-120-000-201
	120	Steckbuchse mit Mutter	151-1043-ND	9.02	6.78	516-120-000-202
6	—	Abdeckung für 20 Positionen	151-1044-ND	11.92	8.95	516-230-520
	—	Abdeckung für 38 Positionen	151-1045-ND	12.79	9.60	516-230-538
	—	Abdeckung für 56 Positionen	151-1046-ND	14.01	10.51	516-230-556
	—	Abdeckung für 90 Positionen	151-1047-ND	14.35	10.77	516-230-590
	—	Abdeckung für 120 Positionen	151-1048-ND	15.85	10.91	516-230-512
7A	—	Lötauge	151-1049-ND	—	3.39	516-290-500
7B	—	Lötlitze	151-1050-ND	—	3.01	516-290-520
7C	—	Drahtwickel	151-1051-ND	—	3.64	516-290-541
7D	—	Crimp-Typ	151-1052-ND	—	3.39	516-290-590
—	—	Crimpwerkzeug	151-1058-ND	103.78	—	516-280-201
—	—	Extraktionswerkzeug	151-1059-ND	42.99	—	516-280-300

Alle Preisangaben in Euro und inklusive Zollgebühren.

NORCOMP

Hochdichte D-Sub-Steckverbinder

Serie 180:

• Kompatibel mit Systemen der neuen Generation mehrerer Computerhersteller • Gehäuse verfügen über eine helle Zinnoberfläche zur EMI/RFI-Abschirmung • Steckverbindergehäuse sind mit Erdungsmarkierungen ausgestattet • Zuverlässige Crimp-Schnappkontakte bieten isolierten Griff zur besseren Haltekraft • Kontakte mit branchenüblichen Crimpwerkzeugen kompatibel.

Material: Gehäuse: Stahl, mit heller Verzinnung über Nickel. Isolator: Glasgefülltes Thermoplast, nach UL-Standard 94V-0. Steckstift: Messing. Buchsenkontakt: Phosphorbronze Kontaktüberzug: Gold über Nickel (Goldüberzug auf dem gesamten Kontakt für Lötkelch und Tauchlöten)

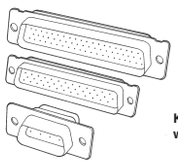

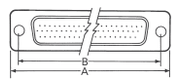

Kontakte separat erhältlich (siehe weiter unten)

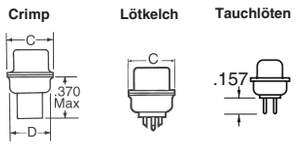

Gestanzte Kontakte für D-Sub-Steckverbinder mit hoher Dichte, Pin-Durchm.: 0,030" (0,76 mm)

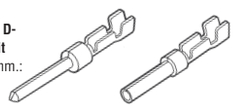

Drahtgröße: 22-26 AWG.

No. of Pins	Shell Size	Dimensions (Inch)			
		A	B	C	D
15	DB-9	1.213	.984	.496	.422
26	DB-15	1.543	1.312	.496	.422
44	DB-25	2.087	1.852	.496	.422
62	DB-37	2.732	2.500	.496	.422
78	DB-50	2.638	2.406	.606	.550

Hinweis: Kontakte für Crimp-Typ separat erhältlich (siehe unten).

Anz. d. Pins	Typ	Digi-Key Teilenr.	Stückpreis 1	10	100	500	1.000	NorComp Teilenr.
Crimp								
15	Stecker	815M-ND	1.62	1.40	.95	.82	.70	180-015-172-000
15	Buchse	815F-ND	1.62	1.40	.95	.82	.70	180-015-272-000
26	Stecker	826M-ND	4.99	4.31	2.93	2.50	2.16	180-026-172-000
26	Buchse	826F-ND	5.41	4.67	3.18	2.71	2.34	180-026-272-000
44	Stecker	844M-ND	5.82	5.02	3.42	2.91	2.51	180-044-172-000
44	Buchse	844F-ND	5.92	5.11	3.47	2.96	2.56	180-044-272-000
62	Stecker	862M-ND	7.42	6.40	4.35	3.71	3.20	180-062-172-000
62	Buchse	862F-ND	7.07	6.10	4.15	3.54	3.05	180-062-272-000
78	Stecker	878M-ND	13.25	11.43	7.77	6.63	5.72	180-078-172-000
78	Buchse	878F-ND	9.08	7.83	5.33	4.54	3.92	180-078-272-000
Crimp mit 0,065" Clinch-Muttern, kartenseitig								
15	Stecker	1815M-ND	2.56	2.21	1.50	1.28	1.11	180-015-172-010
15	Buchse	1815F-ND	2.56	2.21	1.50	1.28	1.11	180-015-272-010
26	Stecker	1826M-ND	6.33	5.47	3.72	3.17	2.74	180-026-172-010
26	Buchse	1826F-ND	6.55	5.66	3.85	3.28	2.83	180-026-272-010
44	Stecker	1844M-ND	7.00	6.04	4.11	3.50	3.02	180-044-172-010
44	Buchse	1844F-ND	7.00	6.04	4.11	3.50	3.02	180-044-272-010
62	Stecker	1862M-ND	8.64	7.45	5.07	4.33	3.73	180-062-172-010
62	Buchse	1862F-ND	8.64	7.45	5.07	4.33	3.73	180-062-272-010
78	Stecker	1878M-ND	15.57	13.42	9.13	7.79	6.71	180-078-172-010
78	Buchse	1878F-ND	11.93	10.29	7.00	5.97	5.15	180-078-272-010
Crimp mit 0,250" Clinch-Muttern, kartenseitig								
15	Stecker	2815M-ND	2.56	2.21	1.50	1.28	1.11	180-015-172-020
15	Buchse	2815F-ND	2.56	2.21	1.50	1.28	1.11	180-015-272-020
26	Stecker	2826M-ND	6.33	5.47	3.72	3.17	2.74	180-026-172-020
26	Buchse	2826F-ND	6.55	5.66	3.85	3.28	2.83	180-026-272-020
44	Stecker	2844M-ND	7.00	6.04	4.11	3.50	3.02	180-044-172-020
44	Buchse	2844F-ND	7.00	6.04	4.11	3.50	3.02	180-044-272-020
62	Stecker	2862M-ND	8.64	7.45	5.07	4.33	3.73	180-062-172-020
62	Buchse	2862F-ND	8.64	7.45	5.07	4.33	3.73	180-062-272-020
78	Stecker	2878M-ND	15.57	13.42	9.13	7.79	6.71	180-078-172-020
78	Buchse	2878F-ND	11.93	10.29	7.00	5.97	5.15	180-078-272-020
Crimp mit 0,250" Clinch-Muttern, verbindungsseitig								
15	Stecker	3815M-ND	2.56	2.21	1.50	1.28	1.11	180-015-172-030
15	Buchse	3815F-ND	2.56	2.21	1.50	1.28	1.11	180-015-272-030
26	Stecker	3826M-ND	6.33	5.47	3.72	3.17	2.74	180-026-172-030
26	Buchse	3826F-ND	6.55	5.66	3.85	3.28	2.83	180-026-272-030
44	Stecker	3844M-ND	7.00	6.04	4.11	3.50	3.02	180-044-172-030
44	Buchse	3844F-ND	7.00	6.04	4.11	3.50	3.02	180-044-272-030
62	Stecker	3862M-ND	8.64	7.45	5.07	4.33	3.73	180-062-172-030
62	Buchse	3862F-ND	8.64	7.45	5.07	4.33	3.73	180-062-272-030
78	Stecker	3878M-ND	15.57	13.42	9.13	7.79	6.71	180-078-172-030
78	Buchse	3878F-ND	11.93	10.29	7.00	5.97	5.15	180-078-272-030
Kontakte								
—	Stift	85P-ND	—	.11	.08	.07	.06	180-001-170-001
—	Sockel	85S-ND	—	.11	.08	.07	.06	180-002-170-001
Einführungs-/Abziehwerkzeugl		T2020-ND	7.42	6.40	4.35	3.71	3.20	180-901-170-000
Crimpwerkzeug für hohe Dichte		T3030-ND	168.90	—	—	—	—	180-701-170-000
Lötkelch								
15	Stecker	T815M-ND	1.80	1.56	1.06	.91	.78	180-015-102-001
15	Buchse	T815F-ND	2.07	1.79	1.22	1.04	.90	180-015-202-001
26	Stecker	T826M-ND	3.12	2.69	1.83	1.56	1.35	180-026-102-001
26	Buchse	T826F-ND	6.22	5.37	3.65	3.12	2.69	180-026-202-001
44	Stecker	T844M-ND	7.07	6.10	4.15	3.54	3.05	180-044-102-001
44	Buchse	T844F-ND	8.19	7.06	4.80	4.10	3.53	180-044-202-001
62	Stecker	T862M-ND	8.80	7.59	5.16	4.41	3.80	180-062-102-001
62	Buchse	T862F-ND	9.94	8.57	5.83	4.98	4.29	180-062-202-001
Lötkelch mit 0,065" Clinch-Muttern, kartenseitig								
15	Stecker	4815M-ND	2.78	2.40	1.63	1.39	1.20	180-015-102-011
15	Buchse	4815F-ND	3.07	2.65	1.80	1.54	1.33	180-015-202-011
26	Stecker	4826M-ND	9.74	8.41	5.72	4.88	4.21	180-026-102-011
26	Buchse	4826F-ND	7.71	6.65	4.52	3.86	3.33	180-026-202-011
44	Stecker	4844M-ND	8.64	7.45	5.07	4.33	3.73	180-044-102-011
44	Buchse	4844F-ND	9.90	8.53	5.81	4.95	4.27	180-044-202-011
62	Stecker	4862M-ND	10.61	9.15	6.22	5.31	4.58	180-062-102-011
62	Buchse	4862F-ND	14.93	12.87	8.76	7.47	6.44	180-062-202-011
78	Stecker	4878M-ND	14.93	12.87	8.76	7.47	6.44	180-078-102-011
78	Buchse	4878F-ND	15.59	13.44	9.14	7.80	6.72	180-078-202-011
Lötkelch mit 0,250" Clinch-Muttern, kartenseitig								
15	Stecker	5815M-ND	2.78	2.40	1.63	1.39	1.20	180-015-102-021
15	Buchse	5815F-ND	3.07	2.65	1.80	1.54	1.33	180-015-202-021
26	Stecker	5826M-ND	9.74	8.41	5.72	4.88	4.21	180-026-102-021
26	Buchse	5826F-ND	7.71	6.65	4.52	3.86	3.33	180-026-202-021
44	Stecker	5844M-ND	8.64	7.45	5.07	4.33	3.73	180-044-102-021
44	Buchse	5844F-ND	9.90	8.53	5.81	4.95	4.27	180-044-202-021
62	Stecker	5862M-ND	10.61	9.15	6.22	5.31	4.58	180-062-102-021
62	Buchse	5862F-ND	14.93	12.87	8.76	7.47	6.44	180-062-202-021
78	Stecker	5878M-ND	14.93	12.87	8.76	7.47	6.44	180-078-102-021
78	Buchse	5878F-ND	15.59	13.44	9.14	7.80	6.72	180-078-202-021
Lötkelch mit 0,250" Clinch-Muttern, verbindungsseitig								
15	Stecker	6815M-ND	2.78	2.40	1.63	1.39	1.20	180-015-102-031
15	Buchse	6815F-ND	3.07	2.65	1.80	1.54	1.33	180-015-202-031
26	Stecker	6826M-ND	9.74	8.41	5.72	4.88	4.21	180-026-102-031
26	Buchse	6826F-ND	7.71	6.65	4.52	3.86	3.33	180-026-202-031
44	Male	6844M-ND	8.64	7.45	5.07	4.33	3.73	180-044-102-031
44	Buchse	6844F-ND	9.90	8.53	5.81	4.95	4.27	180-044-202-031
62	Stecker	6862M-ND	10.61	9.15	6.22	5.31	4.58	180-062-102-031
62	Buchse	6862F-ND	14.93	12.87	8.76	7.47	6.44	180-062-202-031
78	Stecker	6878M-ND	14.93	12.87	8.76	7.47	6.44	180-078-102-031
78	Buchse	6878F-ND	15.59	13.44	9.14	7.80	6.72	180-078-202-031
Tauchlöten, hohe Dichte								
15	Stecker	180-15M-ND	2.01	1.74	1.19	1.01	.87	180-015-112-001
15	Buchse	180-15F-ND	1.69	1.46	1.00	.85	.74	180-015-212-001
26	Stecker	180-26M-ND	3.12	2.69	1.83	1.56	1.35	180-026-112-001
26	Buchse	180-26F-ND	3.54	3.05	2.08	1.77	1.53	180-026-212-001
44	Stecker	180-44M-ND	5.55	4.79	3.26	2.78	2.40	180-044-112-001
44	Buchse	180-44F-ND	5.53	4.77	3.24	2.77	2.39	180-044-212-001
62	Stecker	180-62M-ND	7.53	6.50	4.42	3.77	3.25	180-062-112-001
62	Buchse	180-62F-ND	7.64	6.59	4.48	3.82	3.30	180-062-212-001
78	Stecker	180-78M-ND	11.05	9.53	6.48	5.53	4.77	180-078-112-001
78	Buchse	180-78F-ND	10.80	9.32	6.34	5.41	4.66	180-078-212-001
Tauchlöten, hohe Dichte, mit 0,065" Clinch-Muttern, platinenseitig								
15	Stecker	7815M-ND	2.95	2.54	1.73	1.48	1.27	180-015-112-011
15	Buchse	7815F-ND	2.60	2.25	1.53	1.31	1.13	180-015-212-011
26	Stecker	7826M-ND	4.15	3.58	2.44	2.08	1.79	180-026-112-011
26	Buchse	7826F-ND	4.61	3.98	2.71	2.31	1.99	180-026-212-011
44	Stecker	7844M-ND	6.82	5.89	4.01	3.42	2.95	180-044-112-011
44	Buchse	7844F-ND	6.80	5.87	3.99	3.41	2.94	180-044-212-011
62	Stecker	7862M-ND	9.01	7.77	5.29	4.51	3.89	180-062-112-011
62	Buchse	7862F-ND	9.13	7.88	5.36	4.57	3.94	180-062-212-011
78	Stecker	7878M-ND	12.89	11.12	7.56	6.45	5.56	180-078-112-011
78	Buchse	7878F-ND	12.60	10.86	7.39	6.30	5.43	180-078-212-011
Tauchlöten, hohe Dichte, mit 0,250" Clinch-Muttern, platinenseitig								
15	Stecker	8815M-ND	2.95	2.54	1.73	1.48	1.27	180-015-112-021
15	Buchse	8815F-ND	2.60	2.25	1.53	1.31	1.13	180-015-212-021
26	Stecker	8826M-ND	4.15	3.58	2.44	2.08	1.79	180-026-112-021
26	Buchse	8826F-ND	4.61	3.98	2.71	2.31	1.99	180-026-212-021
44	Stecker	8844M-ND	6.82	5.89	4.01	3.42	2.95	180-044-112-021
44	Buchse	8844F-ND	6.80	5.87	3.99	3.41	2.94	180-044-212-021
62	Stecker	8862M-ND	9.01	7.77	5.29	4.51	3.89	180-062-112-021
62	Buchse	8862F-ND	9.13	7.88	5.36	4.57	3.94	180-062-212-021
78	Stecker	8878M-ND	12.89	11.12	7.56	6.45	5.56	180-078-112-021
78	Buchse	8878F-ND	12.60	10.86	7.39	6.30	5.43	180-078-212-021
Tauchlöten, hohe Dichte, mit 0,250" Clinch-Muttern, verbindungsseitig								
15	Stecker	9815M-ND	2.95	2.54	1.73	1.48	1.27	180-015-112-031
15	Buchse	9815F-ND	2.60	2.25	1.53	1.31	1.13	180-015-212-031
26	Stecker	9826M-ND	4.15	3.58	2.44	2.08	1.79	180-026-112-031
26	Buchse	9826F-ND	4.61	3.98	2.71	2.31	1.99	180-026-212-031
44	Stecker	9844M-ND	6.82	5.89	4.01	3.42	2.95	180-044-112-031
44	Buchse	9844F-ND	6.80	5.87	3.99	3.41	2.94	180-044-212-031
62	Stecker	9862M-ND	9.01	7.77	5.29	4.51	3.89	180-062-112-031
62	Buchse	9862F-ND	9.13	7.88	5.36	4.57	3.94	180-062-212-031
78	Stecker	9878M-ND	12.89	11.12	7.56	6.45	5.56	180-078-112-031
78	Buchse	9878F-ND	12.60	10.86	7.39	6.30	5.43	180-078-212-031

NORCOMP

90° Platinenmontage-D-Sub-Steckverbinder, hohe Dichte

Serie 181

SPEZIFIKATIONEN:

- **Kontaktleistung:** 5 A
- **Durchschlagsfestigkeit:** 1.000 V AC RMS
- **Isolationswiderstand:** 1.000 MΩ
- **Kontaktmaterial:** Phosphorbronze
- **Kontakt-Finish:** Goldüberzug über Nickel
- **Betriebstemperatur:** 55 °C ~ 150 °C
- **Gehäusematerial:** Stahl, verzinnt
- **Isoliermaterial:** Glasgefülltes Polyester (UL 94V-0)
- **Anschlussart:** SteckBuchse

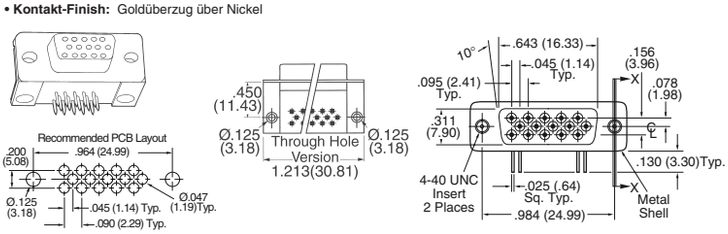

Anz. d. Pins	Typ	Digi-Key Teilenr.	Stückpreis 1	10	100	500	1.000	NorComp Teilenr.
Serie 181 (Auflagefläche 0,350")								
15	Buchse	815RF-ND	2.52	2.18	1.48	1.26	1.09	181-015-212-171
26	Buchse	826RF-ND	7.15	6.17	4.20	3.58	3.09	181-026-212-171
44	Buchse	844RF-ND	7.73	6.67	4.54	3.87	3.34	181-044-212-171
62	Buchse	862RF-ND	10.30	8.89	6.05	5.16	4.45	181-062-212-171

A

A

Serie 173, 174, 175 und 176

Materialien:

- **Gehäuse:** Stahl, verzinkt, mit gelbem Chromat
- **Isolator:** Glasgefülltes Thermoplast, nach UL-Standard 94V-0
- **Maschinell bearbeitete Kontakte:** Stecker: Messing; Buchse: Phosphorbronze
- **Überzug:** Goldüberzug auf dem gesamten Kontakt

Steckverbinder-grösse	Abmessungen (Zoll)		
	A	B	C
9	1.213	.984	.494
15	1.541	1.312	.494
25	2.088	1.852	.494
37	2.729	2.500	.494

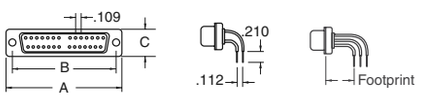

Anz. d. Pins	Typ	Digi-Key Teilenr.	Stückpreis 1	10	100	NorComp Teilenr.
Serie 173 (0,283" Auflagefläche) - Gelbes Chromat, kurzer Halter mit 4-40 Schraubverschluss*						
9	Stecker	173-09M-ND	4.75	4.09	2.79	173-009-111-141
9	Buchse	173-09F-ND	5.82	5.03	3.42	173-009-211-141
15	Stecker	173-15M-ND	6.24	5.38	3.66	173-015-111-141
15	Buchse	173-15F-ND	8.01	6.90	4.70	173-015-211-141
25	Stecker	173-25M-ND	8.57	7.40	5.03	173-025-111-141
25	Buchse	173-25F-ND	11.67	10.06	6.85	173-025-211-141
37	Stecker	173-37M-ND	11.24	9.70	6.60	173-037-111-141
37	Buchse	173-37F-ND	15.96	13.76	9.36	173-037-211-141
Serie 173 (Auflagefläche 0,283") - Zinn						
9	Stecker	173-109M-ND	4.42	3.81	2.60	173-009-112-141
9	Buchse	173-109F-ND	5.41	4.66	3.17	173-009-212-141
15	Stecker	173-115M-ND	5.82	5.02	3.42	173-015-112-141
15	Buchse	173-115F-ND	7.40	6.38	4.34	173-015-212-141
25	Stecker	173-125M-ND	7.91	6.82	4.64	173-025-112-141
25	Buchse	173-125F-ND	10.75	9.27	6.31	173-025-212-141
37	Stecker	173-137M-ND	10.34	8.92	6.07	173-037-112-141
37	Buchse	173-137F-ND	14.63	12.62	8.59	173-037-212-141
Serie 174 (Auflagefläche 0,370") - Zinn						
9	Stecker	174-109M-ND	4.37	3.77	2.57	174-009-112-141
9	Buchse	174-109F-ND	5.36	3.62	3.15	174-009-212-141
15	Stecker	174-115M-ND	6.90	5.96	4.05	174-015-112-141
25	Stecker	174-125M-ND	8.99	7.75	5.28	174-025-112-141
37	Stecker	174-137M-ND	10.14	8.75	5.96	174-037-112-141
37	Buchse	174-137F-ND	12.47	10.76	7.32	174-037-212-141
Serie 175 (Auflagefläche 0,454") - Zinn						
15	Stecker	175-115M-ND	5.53	4.77	3.24	175-015-112-151
15	Buchse	175-115F-ND	13.33	11.50	7.82	175-015-212-151
25	Stecker	175-125M-ND	6.80	5.87	3.99	175-025-112-151
37	Stecker	175-137M-ND	7.93	6.84	4.65	175-037-112-151
37	Buchse	175-137F-ND	14.54	12.53	8.53	175-037-212-151
Serie 176 (Auflagefläche 0,545") - Zinn						
9	Stecker	176-109M-ND	4.20	3.62	2.47	176-009-112-151
9	Buchse	176-109F-ND	9.63	8.30	5.65	176-009-212-151
15	Stecker	176-115M-ND	5.18	4.47	3.04	176-015-112-151
15	Buchse	176-115F-ND	10.41	8.98	6.11	176-015-212-151
25	Buchse	176-125F-ND	13.45	11.60	7.89	176-025-212-151
37	Stecker	176-137M-ND	6.93	5.97	4.06	176-037-112-151
37	Buchse	176-137F-ND	13.48	11.62	7.91	176-037-212-151

***** Kurze Montagehalterung, befestigt mit 4-40 SteckBuchsen-Schraubverriegelungen.

Serie 177

Materialien:

- **Gehäuse:** Stahl, Zink mit Verzinnung oder Kunststoff
- **Isolator:** Glasgefülltes Thermoplast, nach UL-Standard 94V-0
- **Gestanzte Kontakte:** Cupronickel-Legierungen
- **Überzug:** Gold über Nickel im Verbindungsbereich, Zinn/Blei auf Lötlitzen

Connector Size	Dimensions (Inch)		
	A	B	C
9	1.228	.984	.436
15	1.556	1.312	.763
25	2.100	1.852	1.308
37	2.742	2.500	1.962

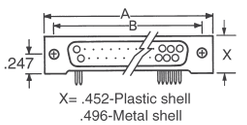

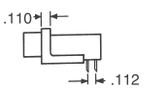

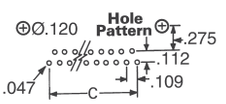

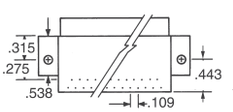

Anz. d. Pins	Typ	Digi-Key Teilenr.	Stückpreis 1	10	100	NorComp Teilenr.
0,590" Auflagefläche (Metallgehäuse mit Innenerdungslaschen und einem Lochdurchmesser von 0,120")						
9	Stecker	177-709M-ND	10.75	9.27	6.31	177-009-112-161
9	Buchse	177-709F-ND	6.63	5.72	3.89	177-009-212-161
15	Stecker	177-715M-ND	12.28	10.59	7.20	177-015-112-161
15	Buchse	177-715F-ND	12.62	10.88	7.40	177-015-212-161
25	Stecker	177-725M-ND	7.86	6.78	4.61	177-025-112-161
25	Buchse	177-725F-ND	12.52	10.80	7.34	177-025-212-161
37	Stecker	177-737M-ND	16.10	13.89	9.45	177-037-112-161
37	Buchse	177-737F-ND	14.87	12.83	8.73	177-037-212-161
0,590" Auflagefläche (Metallgehäuse mit Innenerdungslaschen und 4-40 bündigem Einsatz)						
9	Stecker	309M-ND	5.45	4.70	3.20	177-009-112-171
9	Buchse	309F-ND	7.88	6.80	4.62	177-009-212-171
15	Stecker	315M-ND	4.91	4.24	2.88	177-015-112-171
15	Buchse	315F-ND	5.40	4.66	3.17	177-015-212-171
25	Stecker	325M-ND	9.52	8.22	5.59	177-025-112-171
25	Buchse	325F-ND	6.53	5.63	3.83	177-025-212-171
37	Stecker	337M-ND	7.64	6.59	4.48	177-037-112-171
37	Buchse	337F-ND	10.31	8.89	6.05	177-037-212-171
0,590" Auflagefläche (Metallgehäuse mit Innenerdungslaschen und 4-40 Sechskantabstandshalter)						
9	Stecker	177-809M-ND	4.42	3.81	2.60	177-009-112-181
9	Buchse	177-809F-ND	4.86	4.20	2.85	177-009-212-181
15	Stecker	177-815M-ND	5.30	4.58	3.11	177-015-112-181
15	Buchse	177-815F-ND	5.65	4.87	3.32	177-015-212-181
25	Stecker	177-825M-ND	6.09	5.25	3.57	177-025-112-181
25	Buchse	177-825F-ND	6.73	5.80	3.95	177-025-212-181
37	Stecker	177-837M-ND	7.37	6.35	4.32	177-037-112-181
37	Buchse	177-837F-ND	8.59	7.41	5.04	177-037-212-181
0,590" Auflagefläche (Kunststoffgehäuse mit 0,120" großem Lochdurchmesser)						
9	Stecker	177-509M-ND	4.10	3.54	2.41	177-009-110-061
9	Buchse	177-509F-ND	5.08	4.39	2.98	177-009-210-061
15	Stecker	177-515M-ND	5.43	4.68	3.19	177-015-110-061
15	Buchse	177-515F-ND	7.15	6.16	4.19	177-015-210-061
25	Stecker	177-525M-ND	4.39	3.79	2.58	177-025-110-061
25	Buchse	177-525F-ND	6.63	5.72	3.89	177-025-210-061
37	Stecker	177-537M-ND	5.43	4.68	3.19	177-037-110-061
37	Buchse	177-537F-ND	10.31	8.89	6.05	177-037-210-061
0,590" Auflagefläche (Kunststoffgehäuse mit 4-40 bündigem Einsatz)						
9	Stecker	409M-ND	5.79	5.00	3.40	177-009-110-071
9	Buchse	409F-ND	3.90	3.37	2.29	177-009-210-071
15	Stecker	415M-ND	6.90	5.95	4.05	177-015-110-071
15	Buchse	415F-ND	4.64	4.00	2.73	177-015-210-071
25	Stecker	425M-ND	5.33	4.60	3.13	177-025-110-071
25	Buchse	425F-ND	8.27	7.14	4.86	177-025-210-071
37	Stecker	437M-ND	6.43	5.55	3.78	177-037-110-071
37	Buchse	437F-ND	7.09	6.12	4.16	177-037-210-071
0,590" Auflagefläche (Kunststoffgehäuse mit 4-40 Sechskantabstandshalter)						
9	Stecker	177-609M-ND	5.01	4.32	2.94	177-009-110-081
9	Buchse	177-609F-ND	4.25	3.67	2.49	177-009-210-081
15	Stecker	177-615M-ND	4.42	3.81	2.60	177-015-110-081
15	Buchse	177-615F-ND	9.63	8.30	5.65	177-015-210-081
25	Stecker	177-625M-ND	5.55	4.79	3.26	177-025-110-081
25	Buchse	177-625F-ND	8.10	6.99	4.75	177-025-210-081
37	Stecker	177-637M-ND	6.46	5.57	3.79	177-037-110-081
37	Buchse	177-637F-ND	7.44	6.42	4.37	177-037-210-081

Economy-Serie 182

Materialien:

- **Gehäuse:** Stahl, Verzinnung
- **Isolator:** Glasgefülltes Thermoplast, nach UL-Standard 94V-0
- **Gestanzte Kontakte:** Messing
- **Überzug:** Goldüberzug auf dem gesamten Kontakt

Steckverbinder-grösse	Abmessungen (Zoll)		
	A	B	C
9	1.213	.984	.494
15	1.541	1.312	.494
25	2.088	1.852	.494
37	2.729	2.500	.494

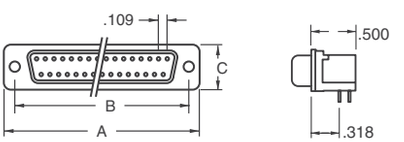

Anz. d. Pins	Typ	Digi-Key Teilenr.	Stückpreis 1	10	100	NorComp Teilenr.
0,318" Auflagefläche (Metallgehäuse mit Innenerdungslaschen und einem Lochdurchmesser von 0,120")						
9	Stecker	182-709M-ND	1.55	1.34	.91	182-009-112-161
9	Buchse	182-709F-ND	1.62	1.40	.95	182-009-212-161
15	Stecker	182-715M-ND	1.79	1.55	1.06	182-015-112-161
15	Buchse	182-715F-ND	1.94	1.68	1.14	182-015-212-161
25	Stecker	182-725M-ND	2.21	1.91	1.30	182-025-112-161
25	Buchse	182-725F-ND	2.29	1.97	1.34	182-025-212-161
37	Stecker	182-737M-ND	3.09	2.67	1.82	182-037-112-161
37	Buchse	182-737F-ND	3.22	2.78	1.89	182-037-212-161
0,318" Auflagefläche (Metallgehäuse mit Innenerdungslaschen und 4-40 bündigem Einsatz)						
9	Stecker	182-909M-ND	1.55	1.34	.91	182-009-112-171
9	Buchse	182-909F-ND	1.62	1.40	.95	182-009-212-171
15	Stecker	182-915M-ND	1.79	1.55	1.06	182-015-112-171
15	Buchse	182-915F-ND	1.94	1.68	1.14	182-015-212-171
25	Stecker	182-925M-ND	2.21	1.91	1.30	182-025-112-171
25	Buchse	182-925F-ND	2.29	1.97	1.34	182-025-212-171
37	Stecker	182-937M-ND	3.09	2.67	1.82	182-037-112-171
37	Buchse	182-937F-ND	3.22	2.78	1.89	182-037-212-171
0,318" Auflagefläche (Metallgehäuse mit Innenerdungslaschen und 4-40 Sechskantabstandshalter)						
9	Stecker	182-809M-ND	1.55	1.34	.91	182-009-112-181
9	Buchse	182-809F-ND	1.62	1.40	.95	182-009-212-181
15	Stecker	182-815M-ND	1.86	1.61	1.10	182-015-112-181
15	Buchse	182-815F-ND	2.09	1.80	1.23	182-015-212-181
25	Stecker	182-825M-ND	2.35	2.04	1.39	182-025-112-181
25	Buchse	182-825F-ND	2.43	2.10	1.43	182-025-212-181
37	Stecker	182-837M-ND	3.34	2.88	1.96	182-037-112-181
37	Buchse	182-837F-ND	3.36	2.90	1.98	182-037-212-181
0,318" Auflagefläche (Gabelplatine mit Metallgehäuse wird in vorderer Bohrung und 4-40 bündigem Einsatz verriegelt)						
9	Stecker	182-09M-ND	1.35	1.17	.80	182-009-112-531
9	Buchse	182-09F-ND	1.42	1.23	.84	182-009-212-531
15	Stecker	182-15M-ND	1.55	1.34	.91	182-015-112-531
15	Buchse	182-15F-ND	1.67	1.44	.98	182-015-212-531
25	Stecker	182-25M-ND	1.79	1.55	1.06	182-025-112-531
25	Buchse	182-25F-ND	1.89	1.63	1.11	182-025-212-531
37	Stecker	182-37M-ND	2.97	2.57	1.75	182-037-112-531
37	Buchse	182-37F-ND	3.09	2.67	1.82	182-037-212-531

(Forts.)

Alle Preisangaben in Euro und inklusive Zollgebühren.

D-Sub-Steckverbinder, rechtwinklig, (Forts.)

Economy-Serie 183

Materialien:
- **Gehäuse:** Stahl, Verzinnung
- **Isolator:** Glasgefülltes Thermoplast, nach UL-Standard 94V-0
- **Gestanzte Kontakte:** Messing
- **Überzug:** Goldüberzug auf dem gesamten Kontakt

Steckverbinder-grösse	Abmessungen (Zoll)		
	A	B	C
9	1.213	.984	.494
15	1.541	1.312	.494
25	2.088	1.852	.494
37	2.729	2.500	.494

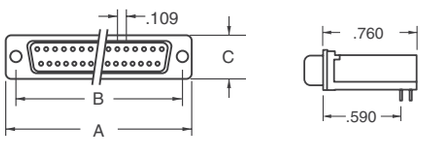

Anz. d. Pins	Typ	Digi-Key Teilenr.	Stückpreis 1	10	100	NorComp Teilenr.
0,590" Auflagefläche (Metallgehäuse mit Innenerdungslaschen und einem Lochdurchmesser von 0,120")						
9	Stecker	183-709M-ND	1.37	1.19	.81	183-009-112-161
9	Buchse	183-709F-ND	1.45	1.25	.85	183-009-212-161
15	Stecker	183-715M-ND	1.96	1.70	1.16	183-015-112-161
15	Buchse	183-715F-ND	2.04	1.76	1.20	183-015-212-161
25	Stecker	183-725M-ND	2.35	2.04	1.39	183-025-112-161
25	Buchse	183-725F-ND	2.43	2.10	1.43	183-025-212-161
37	Stecker	183-737M-ND	3.56	3.07	2.09	183-037-112-161
37	Buchse	183-737F-ND	3.68	3.18	2.16	183-037-212-161
0.590" Auflagefläche (Metallgehäuse mit Innenerdungslaschen und 4-40 bündigem Einsatz)						
9	Stecker	183-909M-ND	1.37	1.19	.81	183-009-112-171
9	Buchse	183-909F-ND	1.45	1.25	.85	183-009-212-171
15	Stecker	183-915M-ND	1.96	1.70	1.16	183-015-112-171
15	Buchse	183-915F-ND	2.04	1.76	1.20	183-015-212-171
25	Stecker	183-925M-ND	2.35	2.04	1.39	183-025-112-171
25	Buchse	183-925F-ND	2.43	2.10	1.43	183-025-212-171
37	Stecker	183-937M-ND	3.56	3.07	2.09	183-037-112-171
37	Buchse	183-937F-ND	3.68	3.18	2.16	183-037-212-171
0,590" Auflagefläche (Metallgehäuse mit Innenerdungslaschen und 4-40 Sechskantabstandshalter)						
9	Stecker	183-809M-ND	1.64	1.42	.97	183-009-112-181
9	Buchse	183-809F-ND	1.72	1.49	1.01	183-009-212-181
15	Stecker	183-815M-ND	2.13	1.85	1.26	183-015-112-181
15	Buchse	183-815F-ND	2.24	1.93	1.31	183-015-212-181
25	Stecker	183-825M-ND	2.46	2.12	1.44	183-025-112-181
25	Buchse	183-825F-ND	2.53	2.18	1.49	183-025-212-181
37	Stecker	183-837M-ND	3.76	3.24	2.21	183-037-112-181
37	Buchse	183-837F-ND	3.93	3.39	2.31	183-037-212-181
0,590" Auflagefläche (Gabelplatine mit Metallgehäuse wird in vorderer Bohrung und 4-40 bündigem Einsatz verriegelt)						
9	Stecker	183-09M-ND	1.25	1.08	.74	183-009-112-531
9	Buchse	183-09F-ND	1.25	1.08	.74	183-009-212-531
15	Stecker	183-15M-ND	1.64	1.42	.97	183-015-112-531
15	Buchse	183-15F-ND	1.86	1.61	1.10	183-015-212-531
25	Stecker	183-25M-ND	1.91	1.66	1.13	183-025-112-531
25	Buchse	183-25F-ND	2.11	1.82	1.24	183-025-212-531
37	Stecker	183-37M-ND	3.07	2.65	1.80	183-037-112-531
37	Buchse	183-37F-ND	3.07	2.65	1.80	183-037-212-531

D-Sub-Steckverbinder, dualer Port, rechtwinklig

Serie 178, 179 und 189

Materialien:
- **Gehäuse:** Stahl, Zink mit Verzinnung
- **Contacts:** Goldüberzug über Messing-überzug
- **Isolator:** Glasgefülltes Thermoplast, nach UL-Standard 94V-0, schwarz.

Conn. Size	Dim. (Inch) A	B	C
9	1.204	.984	.494
15	1.535	1.312	.494
25	2.078	1.850	.494
37	2.724	2.500	.494

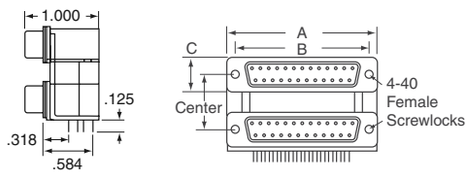

Anz. d. Pins	Typ	Digi-Key Teilenr.	Stückpreis 1	10	100	NorComp Teilenr.
Serie 178 – 0,750 Mitten						
9/9	M/M	1109MM-ND	4.64	4.00	2.73	178-009-612-571
15/15	M/M	1115MM-ND	6.98	6.02	4.09	178-015-612-571
25/25	M/M	1125MM-ND	7.49	6.46	4.39	178-025-612-571
37/37	M/M	1137MM-ND	11.34	9.78	6.65	178-037-612-571
9/9	M/F	1109MF-ND	4.64	4.00	2.73	178-009-412-571
15/15	M/F	1115MF-ND	6.98	6.02	4.09	178-015-412-571
25/25	M/F	1125MF-ND	7.49	6.46	4.39	178-025-412-571
37/37	M/F	1137MF-ND	11.34	9.78	6.65	178-037-412-571
9/9	F/F	1109FF-ND	4.64	4.00	2.73	178-009-512-571
15/15	F/F	1115FF-ND	6.98	6.02	4.09	178-015-512-571
25/25	F/F	1125FF-ND	7.49	6.46	4.39	178-025-512-571
37/37	F/F	1137FF-ND	11.34	9.78	6.65	178-037-512-571
9/9	F/M	1109FM-ND	4.64	4.00	2.73	178-009-312-571
15/15	F/M	1115FM-ND	6.98	6.02	4.09	178-015-312-571
25/25	F/M	1125FM-ND	7.49	6.46	4.39	178-025-312-571
37/37	F/M	1137FM-ND	11.34	9.78	6.65	178-037-312-571
Serie 179 – 0,900 Mitten						
9/9	M/M	1209MM-ND	4.64	4.00	2.73	179-009-612-571
15/15	M/M	1215MM-ND	6.98	6.02	4.09	179-015-612-571
25/25	M/M	1225MM-ND	7.49	6.46	4.39	179-025-612-571
37/37	M/M	1237MM-ND	11.34	9.78	6.65	179-037-612-571
9/9	M/F	1209MF-ND	4.64	4.00	2.73	179-009-412-571
15/15	M/F	1215MF-ND	6.98	6.02	4.09	179-015-412-571
25/25	M/F	1225MF-ND	7.49	6.46	4.39	179-025-412-571
37/37	M/F	1237MF-ND	11.34	9.78	6.65	179-037-412-571
9/9	F/F	1209FF-ND	4.64	4.00	2.73	179-009-512-571
15/15	F/F	1215FF-ND	6.98	6.02	4.09	179-015-512-571
25/25	F/F	1225FF-ND	7.49	6.46	4.39	179-025-512-571
37/37	F/F	1237FF-ND	11.34	9.78	6.65	179-037-512-571
9/9	F/M	1209FM-ND	4.64	4.00	2.73	179-009-312-571
15/15	F/M	1215FM-ND	6.98	6.02	4.09	179-015-312-571
25/25	F/M	1225FM-ND	7.49	6.46	4.39	179-025-312-571
37/37	F/M	1237FM-ND	11.34	9.78	6.65	179-037-312-571
Serie 189 – 0,625 Mitten						
9/9	M/M	1009MM-ND	4.64	4.00	2.73	189-009-612-571
15/15	M/M	1015MM-ND	6.98	6.02	4.09	189-015-612-571
25/25	M/M	1025MM-ND	7.49	6.46	4.39	189-025-612-571
37/37	M/M	1037MM-ND	11.34	9.78	6.65	189-037-612-571
9/9	M/F	1009MF-ND	4.64	4.00	2.73	189-009-412-571
15/15	M/F	1015MF-ND	6.98	6.02	4.09	189-015-412-571
25/25	M/F	1025MF-ND	7.49	6.46	4.39	189-025-412-571
37/37	M/F	1037MF-ND	11.34	9.78	6.65	189-037-412-571
9/9	F/F	1009FF-ND	4.64	4.00	2.73	189-009-512-571
15/15	F/F	1015FF-ND	6.98	6.02	4.09	189-015-512-571
25/25	F/F	1025FF-ND	7.49	6.46	4.39	189-025-512-571
37/37	F/F	1037FF-ND	11.34	9.78	6.65	189-037-512-571
9/9	F/M	1009FM-ND	4.64	4.00	2.73	189-009-312-571
15/15	F/M	1015FM-ND	6.98	6.02	4.09	189-015-312-571
25/25	F/M	1025FM-ND	7.49	6.46	4.39	189-025-312-571
37/37	F/M	1037FM-ND	11.34	9.78	6.65	189-037-312-571

D-Sub-Steckverbinder, dualer Port

T2325-ND 10.76/1
92.79/10
630.95/100
(178-025-512-451)

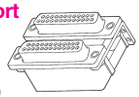

Oberflächenmontage, D-Sub-Steckverbinder

Serie 190 und 200

Materialien:
- **Gehäuse:** Stahl, verzinkt oder verzinnt
- **Isolator:** Nylon 6T nach UL-Standard 94V-0
- **Kontakte:** Phosphorbronze
- **Überzug:** Gold-Überzug auf Kontaktbe-reich, Zinn/Blei auf Lötlitzen

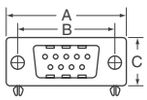

Steckverbinder-grösse	Abmessungen (Zoll) A	B	C
9	1.183	0.984	0.494
15	1.183	0.984	0.494
25	2.089	1.852	0.494

Anz. d. Pins	Typ	Digi-Key Teilenr.	Stückpreis 1	10	100	NorComp Teilenr.
Serie 190 - Rechtwinklig (0,120 Lochdurchmesser und 4-40 UNC-Gewindeeinsatz)						
9	Stecker	190-09M-ND	1.82	1.57	1.07	190-009-162-001
9	Buchse	190-09F-ND	1.82	1.57	1.07	190-009-262-001
25	Stecker	190-25M-ND	3.02	2.61	1.78	190-025-162-001
25	Buchse	190-25F-ND	3.02	2.61	1.78	190-025-262-001
Serie 200 - hohe Dichte (0,120 Lochdurchmesser und 4-40 UNC-Gewindeeinsatz)						
15	Buchse	200-15F-ND	2.48	2.14	1.46	200-015-262-001

Press Fit D-Sub-Steckverbinder

Serie 191

Materialien:
- **Gehäuse:** Stahl, Zink mit Verzinnung
- **Isoliermaterial:** Thermoplastisches Polyester, UL 94V-0
- **Kontakte:** Stecker: Messing; Buchse: Phosphorbronze
- **Überzug:** Gold-Überzug auf Kontaktbereich, Zinn/Blei auf Lötlitzen

Steckverbinder-grösse	Abmessungen (Zoll) A	B	C
9	1.214	.984	.494
15	1.545	1.312	.494
25	2.088	1.852	.494
37	2.730	2.500	.494

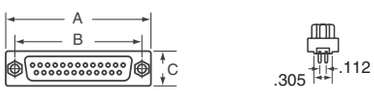

Anz. d. Pins	Typ	Digi-Key Teilenr.	Stückpreis 1	10	100	NorComp Teilenr.
Serie 191 - (0,125 Befestigungslochgröße)						
9	Stecker	191-09M-ND	2.35	2.04	1.39	191-009-122-001
9	Buchse	191-09F-ND	2.40	2.08	1.42	191-009-222-001
15	Stecker	191-15M-ND	3.24	2.80	1.90	191-015-122-001
15	Buchse	191-15F-ND	3.54	3.05	2.08	191-015-222-001
25	Stecker	191-25M-ND	4.50	3.88	2.64	191-025-122-001
25	Buchse	191-25F-ND	4.86	4.20	2.85	191-025-222-001
37	Stecker	191-37M-ND	5.67	4.89	3.33	191-037-122-001
37	Buchse	191-37F-ND	6.19	5.34	3.63	191-037-222-001

Hohe Dichte über (2) PS/2

Serie 999

Materialien:
- **Gehäuse:** Stahl
- **Isolator:** PBT nach UL-Standard 94V-0
- **Kontakte:** Messing
- **Überzüge:** Kontakte mit Goldüberzug, Gehäuse vernickelt

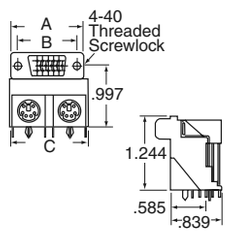

Conn. Size	Dimensions (Inch) A	B	C
15	1.213	.984	1.284

Anz. d. Pins	Typ	Digi-Key Teilenr.	Stückpreis 1	10	100	NorComp Teilenr.
15	Buchse	999-H15F-ND	6.76	5.82	3.96	999-H15-PS2-571

NorComp

Serie 170 Crimp-Poke-D-Sub-Steckverbinder

Conn. Size	Dimensions (Inch) A	B	C
9	1.213	.984	.496
15	1.541	1.312	.496
25	2.087	1.852	.496
37	2.732	2.500	.496
50	2.638	2.406	.602

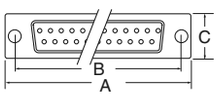

Verwendet Schnappkontakte (separat erhältlich)

Merkmale: • Erhältlich in 5 Industriegrößen/Positionen • Kostengünstige gewerbliche Version des Militärstandards • Verzinnte oder gelb chromatierte Gehäuse • Ermöglicht das problemlose Bestücken nur derjenigen Positionen, die bei der Verwendung von Crimp- und Schnappkontakten erforderlich sind • Verzinnte Steckverbindergehäuse verfügen über Markierungen für die Erdung und zusätzliche Haltekraft • Nylon-Isolator hat eine Mindest-Kontakthaltekraft von 10 lbs. • Kontaktstromnennleistung: 5 A

Materialien: • Gehäuse: Stahl, verzinkt mit gelbem Chromat oder heller Verzinnung • Isolator: Glasgefülltes Thermoplast, nach UL-Standard 94V-0

Schnappkontakte für Crimp-D-Sub-Steckverbinder

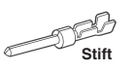
Stift

Sockel

Merkmale: Preisgünstige und hochwertige gestanzte Kontakte bieten Isolierungsunterstützung zur verstärkten Halteleistung • Kontaktbereich: 20-28 AWG • Die Kontakte sind mit gewerblicher Qualität gestanzt und kompatibel mit Industriewerkzeugen.

Material: • Steckstifte: Messing • Buchsenstifte: Phosphorbronze

Anz. d. Pins	Typ	Digi-Key Teilenr.	Stückpreis 1	10	100	NorComp Teilenr.
Zinngehäuse – Crimp-D-Sub-Standard						
9	Stecker	709M-ND	.57	.50	.34	170-009-172-000
9	Buchse	709F-ND	.57	.50	.34	170-009-272-000
15	Stecker	715M-ND	.66	.57	.39	170-015-172-000
15	Buchse	715F-ND	.73	.63	.43	170-015-272-000
25	Stecker	725M-ND	.66	.57	.39	170-025-172-000
25	Buchse	725F-ND	.71	.61	.42	170-025-272-000
37	Stecker	737M-ND	1.30	1.13	.77	170-037-172-000
37	Buchse	737F-ND	1.37	1.19	.81	170-037-272-000
50	Stecker	750M-ND	1.76	1.52	1.04	170-050-172-000
50	Buchse	750F-ND	1.79	1.55	1.06	170-050-272-000
Zinngehäuse-Crimp mit 0,065" Clinch-Muttern, platinenseitig						
9	Stecker	5709M-ND	1.45	1.25	.85	170-009-172-010
9	Buchse	5709F-ND	1.45	1.25	.85	170-009-272-010
15	Stecker	5715M-ND	1.55	1.34	.91	170-015-172-010
15	Buchse	5715F-ND	1.64	1.42	.97	170-015-272-010
25	Stecker	5725M-ND	1.55	1.34	.91	170-025-172-010
25	Buchse	5725F-ND	1.60	1.38	.94	170-025-272-010
37	Stecker	5737M-ND	2.34	2.02	1.37	170-037-172-010
37	Buchse	5737F-ND	2.31	1.99	1.36	170-037-272-010
50	Stecker	5750M-ND	3.00	2.59	1.76	170-050-172-010
50	Buchse	5750F-ND	2.70	2.33	1.59	170-050-272-010
Zinngehäuse-Crimp mit 0,250" Clinch-Muttern, platinenseitig						
9	Stecker	6709M-ND	1.45	1.25	.85	170-009-172-020
9	Buchse	6709F-ND	1.45	1.25	.85	170-009-272-020
15	Stecker	6715M-ND	1.55	1.34	.91	170-015-172-020
15	Buchse	6715F-ND	1.64	1.42	.97	170-015-272-020
25	Stecker	6725M-ND	1.55	1.34	.91	170-025-172-020
25	Buchse	6725F-ND	1.60	1.38	.94	170-025-272-020
37	Stecker	6737M-ND	2.34	2.02	1.37	170-037-172-020
37	Buchse	6737F-ND	2.31	1.99	1.36	170-037-272-020
50	Stecker	6750M-ND	3.00	2.59	1.76	170-050-172-020
50	Buchse	6750F-ND	2.70	2.33	1.59	170-050-272-020
Zinngehäuse-Crimp mit 0,250" Clinch-Muttern, verbindungsseitig						
9	Stecker	7709M-ND	1.45	1.25	.85	170-009-172-030
9	Buchse	7709F-ND	1.45	1.25	.85	170-009-272-030
15	Stecker	7715M-ND	1.55	1.34	.91	170-015-172-030
15	Buchse	7715F-ND	1.64	1.42	.97	170-015-272-030
25	Stecker	7725M-ND	1.55	1.34	.91	170-025-172-030
25	Buchse	7725F-ND	1.60	1.38	.94	170-025-272-030
37	Stecker	7737M-ND	2.34	2.02	1.37	170-037-172-030
37	Buchse	7737F-ND	2.31	1.99	1.36	170-037-272-030
50	Stecker	7750M-ND	3.00	2.59	1.76	170-050-172-030
50	Buchse	7750F-ND	2.70	2.33	1.59	170-050-272-030
Gelb chromatiert – Crimp-D-Sub-Standard						
9	Stecker	1709M-ND	1.06	.91	.62	170-009-171-000
9	Buchse	1709F-ND	1.15	1.00	.68	170-009-271-000
15	Stecker	1715M-ND	1.18	1.02	.70	170-015-171-000
15	Buchse	1715F-ND	1.15	1.00	.68	170-015-271-000
25	Stecker	1725M-ND	1.23	1.06	.72	170-025-171-000
25	Buchse	1725F-ND	1.28	1.11	.75	170-025-271-000
37	Stecker	1737M-ND	1.60	1.38	.94	170-037-171-000
37	Buchse	1737F-ND	1.69	1.46	1.00	170-037-271-000
50	Stecker	1750M-ND	1.47	1.27	.87	170-050-171-000
50	Buchse	1750F-ND	1.60	1.38	.94	170-050-271-000
Crimp, gelb chromatiert, mit 0,065" Clinch-Muttern, platinenseitig						
9	Stecker	2709M-ND	1.79	1.55	1.06	170-009-171-010
9	Buchse	2709F-ND	1.89	1.63	1.11	170-009-271-010
15	Stecker	2715M-ND	1.91	1.66	1.13	170-015-171-010
15	Buchse	2715F-ND	1.89	1.63	1.11	170-015-271-010
25	Stecker	2725M-ND	1.96	1.70	1.16	170-025-171-010
25	Buchse	2725F-ND	2.01	1.74	1.19	170-025-271-010
37	Stecker	2737M-ND	2.34	2.02	1.37	170-037-171-010
37	Buchse	2737F-ND	2.43	2.10	1.43	170-037-271-010
50	Stecker	2750M-ND	2.21	1.91	1.30	170-050-171-010
50	Buchse	2750F-ND	2.34	2.02	1.37	170-050-271-010
Crimp, gelb chromatiert, mit 250" Clinch-Muttern, platinenseitig						
9	Stecker	3709M-ND	1.79	1.55	1.06	170-009-171-020
9	Buchse	3709F-ND	1.89	1.63	1.11	170-009-271-020
15	Stecker	3715M-ND	1.91	1.66	1.13	170-015-171-020
15	Buchse	3715F-ND	1.89	1.63	1.11	170-015-271-020
25	Stecker	3725M-ND	1.96	1.70	1.16	170-025-171-020
25	Buchse	3725F-ND	2.01	1.74	1.19	170-025-271-020
37	Stecker	3737M-ND	2.34	2.02	1.37	170-037-171-020
37	Buchse	3737F-ND	2.43	2.10	1.43	170-037-271-020
50	Stecker	3750M-ND	2.21	1.91	1.30	170-050-171-020
50	Buchse	3750F-ND	2.34	2.02	1.37	170-050-271-020
Crimp, gelb chromatiert, mit 0,250 Zoll. Clinch-Muttern, verbindungsseitig						
9	Stecker	4709M-ND	1.79	1.55	1.06	170-009-171-030
9	Buchse	4709F-ND	1.89	1.63	1.11	170-009-271-030
15	Stecker	4715M-ND	1.91	1.66	1.13	170-015-171-030
15	Buchse	4715F-ND	1.89	1.63	1.11	170-015-271-030
25	Stecker	4725M-ND	1.96	1.70	1.16	170-025-171-030
25	Buchse	4725F-ND	2.01	1.74	1.19	170-025-271-030
37	Stecker	4737M-ND	2.34	2.02	1.37	170-037-171-030
37	Buchse	4737F-ND	2.43	2.10	1.43	170-037-271-030
50	Stecker	4750M-ND	2.21	1.91	1.30	170-050-171-030
50	Buchse	4750F-ND	2.34	2.02	1.37	170-050-271-030
Kontakte						
—	Stift	82P-ND	—	.14	.09	170-001-170-002
—	Sockel	82S-ND	—	.16	.11	170-002-170-002
—	Stift	82PSFCT-ND*	—	.10	.07	170-001-170-001
—	Stift	82PSFTR-ND*	486.80/10,000			170-001-170-001
—	Sockel	82SSF-ND*	—	.12	.09	170-002-170-001

Beschreibung	Digi-Key Teilenr.	Stückpreis	NorComp Teilenr.
Werkzeuge			
Einführungs-/Abziehwerkzeug	T1010-ND	2.48	170-901-170-000
Hand-Crimpwerkzeug für gedrehte Kontakte	T1000M-ND	382.83	170-702-170-000
Hand-Crimpwerkzeug für gestanzte Kontakte	T1000S-ND	168.90	170-701-170-000

* Pins und Sockel sind teilvergoldet

Parallel-Schnittstellen-Steckverbinder (Centronics-Typ)

Material: Isolator: Glasgefülltes Thermoplast, nach UL-Standard 94V-0. Gehäuse: Vernickelter Stahl. Kontakte: Kupferlegierung, 10 µ Gold über 30 µ Nickel.

Abb. 1

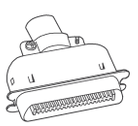

Kabelstecker:
• Kompatibel mit Industriestandard • Lötkelch • Komplett mit Kabelkappe, Gehäuse und Befestigungsmittel

Abb. 2

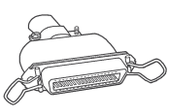

Kabelbuchse:
• Kompatibel mit Industriestandard • Komplett mit Federriegel und Kabelkappe • Lötkelch • Kann zur Plattenmontage verwendet werden

Abb. 3

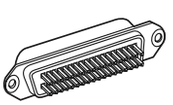

Plattenmontagestecker:
• 0,103" (2,62 mm) Montageloch nimmt Schraube Nr. 3 auf (nicht enthalten) • Kompatibel mit Industriestandard • Lötkelch • Isolatorfarbe: Blau

Abb. 4

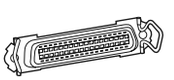

Buchse, Plattenmontage:
• Kompatibel mit Industriestandard • Komplett mit Federriegel • Lötkelch • Isolatorfarbe: Blau

Abb. 5

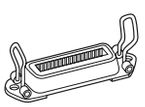

Tauchlöten, gerade:
• Für standardmäßige 0,062" (1,57 mm) Leiterplattenmontage • Riegelverschluss standardmäßig • Isolatorfarbe: Blau

Abb. 6

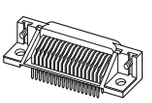

Rechtwinklige Platinenmontage:
• Kompatibel mit Industriestandard • Metallgehäuse zur EMI/RFI-Abschirmung • Isolatorfarbe: Blau

Abb. 7

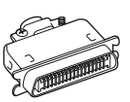

Diskreter Draht, IDC, lötfrei:
• Kompatibel mit standardmäßigen Abschlusswerkzeugen • Schneller lötfreier Abschluss für 24 oder 26 AWG • Isolatorfarbe: Grau

Abb.	Anz. der Kontakte	Typ	Digi-Key Teilenr.	Stückpreis 1	10	100	NorComp Teilenr.
1	14	Stecker	T1501-ND	2.95	2.54	1.73	110-014-103-001
	36	Stecker	T1503-ND	3.01	2.60	1.77	110-036-103-001
	50	Stecker	T1504-ND	5.33	4.60	3.13	110-050-103-001
2	14	Buchse	T1507-ND	3.39	2.93	1.99	110-014-203-001
	36	Buchse	T1509-ND	3.95	3.41	2.32	110-036-203-001
	50	Buchse	T1510-ND	5.93	5.12	3.48	110-050-203-001
3	14	Stecker	1014M-ND	2.12	1.83	1.25	111-014-103-001
	24	Stecker	1024M-ND	2.28	1.97	1.34	111-024-103-001
	36	Stecker	1036M-ND	2.21	1.91	1.30	111-036-103-001
	50	Stecker	1050M-ND	3.35	2.89	1.97	111-050-103-001
4	14	Buchse	1014F-ND	2.24	1.93	1.31	111-014-203-001
	24	Buchse	1024F-ND	3.61	3.12	2.12	111-024-203-001
	36	Buchse	1036F-ND	2.58	2.23	1.52	111-036-203-001
	50	Buchse	1050F-ND	4.17	3.60	2.45	111-050-203-001
5	14	Stecker	1014PM-ND	2.51	2.17	1.48	111-014-113-001
	24	Stecker	1024PM-ND	3.83	3.31	2.25	111-024-113-001
	36	Stecker	1036PM-ND	4.13	3.56	2.43	111-036-113-001
	50	Stecker	1050PM-ND	4.56	3.94	2.68	111-050-113-001
	14	Buchse	1014PF-ND	2.33	2.01	1.37	111-014-213-001
	24	Buchse	1024PF-ND	2.51	2.17	1.48	111-024-213-001
	36	Buchse	1036PF-ND	3.71	3.20	2.18	111-036-213-001
	50	Buchse	1050PF-ND	5.74	4.96	3.37	111-050-213-001
6	14	Stecker	1014RM-ND	2.69	2.32	1.58	112-014-113-001
	24	Stecker	1024RM-ND	3.03	2.62	1.78	112-024-113-001
	36	Stecker	1036RM-ND	4.50	3.88	2.64	112-036-113-001
	50	Stecker	1050RM-ND	5.41	4.67	3.17	112-050-113-001
	14	Buchse	1014RF-ND	3.12	2.70	1.84	112-014-213-001
	24	Buchse	1024RF-ND	3.10	2.68	1.82	112-024-213-001
	36	Buchse	1036RF-ND	3.95	3.41	2.32	112-036-213-001
	50	Buchse	1050RF-ND	5.66	4.88	3.32	112-050-213-001
7	36	Stecker	1036CM-ND	8.62	7.43	5.06	110-036-193-001
	36	Buchse	1036CF-ND	7.22	6.23	4.24	110-036-293-001

Alle Preisangaben in Euro und inklusive Zollgebühren.

NorComp

D-Sub-Steckverbinder

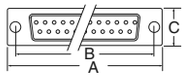

Serie 171 – gestanzte Kontakte

Serie 172 – maschinell bearbeitete Kontakte

Merkmale: • Erhältlich in 5 Industriegrößen/Positionen • Nicht abnehmbare Kontakte • Verzinnte oder gelbe Chromatgehäuse erhältlich • Verzinnte Gehäuse verfügen über Markierungen für die Erdung und zusätzliche Haltekraft • Gedrehte Kontakte bieten hohe Zuverlässigkeit.
Materialien: • Gehäuse: Stahl, verzinkt mit gelbem Chromat oder hellem Zinn über Nickel • Isolator: Glasgefülltes Thermoplast, nach UL-Standard 94V-0 • Kontakte: Steckstifte aus Messing; Buchsenstifte aus Phosphorbronze • Überzug: Goldüberzug auf dem gesamten Kontakt

Conn. Size	Dim. (Inch) A	B	C
9	1.213	.984	.496
15	1.543	1.312	.496
25	2.087	1.852	.496
37	2.732	2.500	.496
50	2.638	2.406	.606

Original-D-Subminiatur

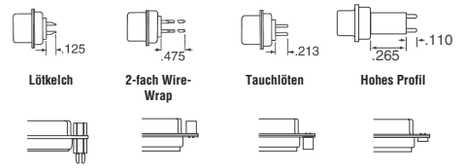

Lötkelch | 2-fach Wire-Wrap | Tauchlöten | Hohes Profil

0,225" platinenseitig/0,197" verbindungsseitig | 0,250" verbindungsseitig | 0,250" platinenseitig | 0,098" platinenseitig, 0,065" verbindungsseitig (Serie 172)

Clinch-Mutter-Befestigungsmittel
Clinch-Muttern: Messing, transparente Verzinnung mit 4-40-Gewinde

Lochmuster

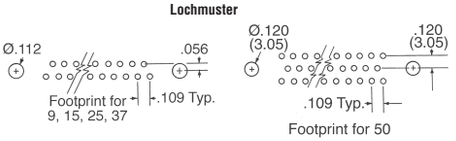

Serie 171 – gestanzte Kontakte

Anz. d. Pins	Typ	Digi-Key Teilenr.	Stückpreis 1	10	100	NorComp Teilenr.
Zinngehäuse – Lötkelch						
9	Stecker	209M-ND	.53	.47	.32	171-009-102-001
9	Buchse	209F-ND	.57	.50	.34	171-009-202-001
15	Stecker	215M-ND	.78	.67	.46	171-015-102-001
15	Buchse	215F-ND	.96	.83	.57	171-015-202-001
25	Stecker	225M-ND	.91	.79	.54	171-025-102-001
25	Buchse	225F-ND	1.07	.93	.63	171-025-202-001
37	Stecker	237M-ND	1.64	1.42	.97	171-037-102-001
37	Buchse	237F-ND	1.94	1.68	1.14	171-037-202-001
50	Stecker	250M-ND	3.45	2.97	2.02	171-050-102-001
50	Buchse	250F-ND	3.74	3.23	2.20	171-050-202-001
Zinngehäuse mit 0,098" Clinch-Muttern, platinenseitig – Lötkelch						
9	Stecker	1209M-ND	1.33	1.15	.78	171-009-102-011
9	Buchse	1209F-ND	1.37	1.19	.81	171-009-202-011
15	Stecker	1215M-ND	1.62	1.40	.95	171-015-102-011
15	Buchse	1215F-ND	1.82	1.57	1.07	171-015-202-011
25	Stecker	1225M-ND	1.77	1.53	1.04	171-025-102-011
25	Buchse	1225F-ND	1.96	1.70	1.16	171-025-202-011
37	Stecker	1237M-ND	2.58	2.23	1.52	171-037-102-011
37	Buchse	1237F-ND	2.95	2.54	1.73	171-037-202-011
50	Stecker	1250M-ND	4.59	3.96	2.70	171-050-102-011
50	Buchse	1250F-ND	4.94	4.26	2.90	171-050-202-011
Zinngehäuse mit 0,250" Clinch-Muttern, platinenseitig – Lötkelch						
9	Stecker	2209M-ND	1.33	1.15	.78	171-009-102-021
9	Buchse	2209F-ND	1.37	1.19	.81	171-009-202-021
15	Stecker	2215M-ND	1.62	1.40	.95	171-015-102-021
15	Buchse	2215F-ND	1.82	1.57	1.07	171-015-202-021
25	Stecker	2225M-ND	1.77	1.53	1.04	171-025-102-021
25	Buchse	2225F-ND	1.96	1.70	1.16	171-025-202-021
37	Stecker	2237M-ND	2.58	2.23	1.52	171-037-102-021
37	Buchse	2237F-ND	2.95	2.54	1.73	171-037-202-021
50	Stecker	2250M-ND	4.59	3.96	2.70	171-050-102-021
50	Buchse	2250F-ND	4.94	4.26	2.90	171-050-202-021
Zinngehäuse mit 0,250" Clinch-Muttern,, verbindungsseitig – Lötkelch						
9	Stecker	3209M-ND	1.33	1.15	.78	171-009-102-031
9	Buchse	3209F-ND	1.37	1.19	.81	171-009-202-031
15	Stecker	3215M-ND	1.62	1.40	.95	171-015-102-031
15	Buchse	3215F-ND	1.82	1.57	1.07	171-015-202-031
25	Stecker	3225M-ND	1.77	1.53	1.04	171-025-102-031
25	Buchse	3225F-ND	1.96	1.70	1.16	171-025-202-031
37	Stecker	3237M-ND	2.58	2.23	1.52	171-037-102-031
37	Buchse	3237F-ND	2.95	2.54	1.73	171-037-202-031
50	Stecker	3250M-ND	4.59	3.96	2.70	171-050-102-031
50	Buchse	3250F-ND	4.94	4.26	2.90	171-050-202-031
Zinngehäuse – Tauchlöten						
9	Stecker	4209M-ND	.96	.83	.57	171-009-112-001
9	Buchse	4209F-ND	1.08	.94	.64	171-009-212-001
15	Stecker	4215M-ND	1.52	1.32	.90	171-015-112-001
15	Buchse	4215F-ND	1.18	1.02	.70	171-015-212-001
25	Stecker	4225M-ND	2.13	1.85	1.26	171-025-112-001
25	Buchse	4225F-ND	1.50	1.30	.88	171-025-212-001
37	Stecker	4237M-ND	3.66	3.16	2.15	171-037-112-001
37	Buchse	4237F-ND	2.43	2.10	1.43	171-037-212-001
50	Stecker	4250M-ND	3.85	3.33	2.26	171-050-112-001
50	Buchse	4250F-ND	3.71	3.20	2.18	171-050-212-001

Anz. d. Pins	Typ	Digi-Key Teilenr.	Stückpreis 1	10	100	NorComp Teilenr.
Zinngehäuse mit 0,098" Clinch-Muttern, platinenseitig – Tauchlöten						
9	Stecker	5209M-ND	1.69	1.46	1.00	171-009-112-011
9	Buchse	5209F-ND	1.82	1.57	1.07	171-009-212-011
15	Stecker	5215M-ND	2.26	1.95	1.33	171-015-112-011
15	Buchse	5215F-ND	1.91	1.66	1.13	171-015-212-011
25	Stecker	5225M-ND	2.87	2.48	1.69	171-025-112-011
25	Buchse	5225F-ND	2.24	1.93	1.31	171-025-212-011
37	Stecker	5237M-ND	4.39	3.79	2.58	171-037-112-011
37	Buchse	5237F-ND	3.17	2.73	1.86	171-037-212-011
50	Stecker	5250M-ND	4.59	3.96	2.70	171-050-112-011
50	Buchse	5250F-ND	4.44	3.84	2.61	171-050-212-011
Zinngehäuse mit 0,250" Clinch-Muttern, platinenseitig – Tauchlöten						
9	Stecker	6209M-ND	1.69	1.46	1.00	171-009-112-021
9	Buchse	6209F-ND	1.82	1.57	1.07	171-009-212-021
15	Stecker	6215M-ND	2.26	1.95	1.33	171-015-112-021
15	Buchse	6215F-ND	1.91	1.66	1.13	171-015-212-021
25	Stecker	6225M-ND	2.87	2.48	1.69	171-025-112-021
25	Buchse	6225F-ND	2.24	1.93	1.31	171-025-212-021
37	Stecker	6237M-ND	4.39	3.79	2.58	171-037-112-021
37	Buchse	6237F-ND	3.17	2.73	1.86	171-037-212-021
50	Stecker	6250M-ND	4.59	3.96	2.70	171-050-112-021
50	Buchse	6250F-ND	4.44	3.84	2.61	171-050-212-021
Zinngehäuse mit 0,250" Clinch-Muttern, verbindungsseitig – Tauchlöten						
9	Stecker	7209M-ND	1.69	1.46	1.00	171-009-112-031
9	Buchse	7209F-ND	1.82	1.57	1.07	171-009-212-031
15	Stecker	7215M-ND	2.26	1.95	1.33	171-015-112-031
15	Buchse	7215F-ND	1.91	1.66	1.13	171-015-212-031
25	Stecker	7225M-ND	2.87	2.48	1.69	171-025-112-031
25	Buchse	7225F-ND	2.24	1.93	1.31	171-025-212-031
37	Stecker	7237M-ND	4.39	3.79	2.58	171-037-112-031
37	Buchse	7237F-ND	3.17	2.73	1.86	171-037-212-031
50	Stecker	7250M-ND	4.59	3.96	2.70	171-050-112-031
50	Buchse	7250F-ND	4.44	3.84	2.61	171-050-212-031
Zinngehäuse mit 0,225" Abstandhalter /Platinenverschluss – Tauchlöten						
9	Stecker	9209M-ND	1.77	1.53	1.04	171-009-112-911
9	Buchse	9209F-ND	2.21	1.91	1.30	171-009-212-911
15	Stecker	9215M-ND	2.62	2.27	1.54	171-015-112-911
15	Buchse	9215F-ND	2.75	2.37	1.62	171-015-212-911
25	Stecker	9225M-ND	2.80	2.42	1.65	171-025-112-911
25	Buchse	9225F-ND	2.90	2.50	1.70	171-025-212-911
37	Stecker	9237M-ND	3.71	3.20	2.18	171-037-112-911
37	Buchse	9237F-ND	4.00	3.45	2.35	171-037-212-911
50	Stecker	9250M-ND	4.74	4.09	2.78	171-050-112-911
50	Buchse	9250F-ND	4.99	4.30	2.93	171-050-212-911

Serie 172 – maschinell bearbeitete Kontakte

Anz. d. Pins	Typ	Digi-Key Teilenr.	Stückpreis 1	10	100	NorComp Teilenr.
Zinngehäuse – Lötkelch						
15	Stecker	1115M-ND	2.49	2.15	1.46	172-015-102-001
15	Buchse	1115F-ND	3.00	2.59	1.77	172-015-202-001
25	Stecker	1125M-ND	3.22	2.78	1.89	172-025-102-001
25	Buchse	1125F-ND	4.42	3.81	2.60	172-025-202-001
37	Stecker	1137M-ND	4.32	3.73	2.54	172-037-102-001
50	Stecker	1150M-ND	7.74	6.68	4.54	172-050-102-001
50	Buchse	1150F-ND	11.67	10.06	6.85	172-050-202-001
Zinngehäuse mit 0,065" Clinch-Muttern, leiterplattenseitig – Lötkelch						
9	Stecker	2109M-ND	2.87	2.49	1.69	172-009-102-011
9	Buchse	2109F-ND	3.14	2.71	1.85	172-009-202-011
15	Stecker	2115M-ND	3.39	2.93	1.99	172-015-102-011
25	Stecker	2125M-ND	4.10	3.54	2.41	172-025-102-011
25	Buchse	2125F-ND	5.33	4.60	3.13	172-025-202-011
37	Stecker	2137M-ND	5.21	4.49	3.06	172-037-102-011
37	Buchse	2137F-ND	6.90	5.96	4.05	172-037-202-011
50	Stecker	2150M-ND	8.62	7.44	5.06	172-050-102-011
50	Female	2150F-ND	12.57	10.84	7.38	172-050-202-011
Zinngehäuse mit 0,250" Clinch-Muttern, platinenseitig – Lötkelch						
9	Stecker	3109M-ND	2.87	2.49	1.69	172-009-102-021
9	Buchse	3109F-ND	3.14	2.71	1.85	172-009-202-021
15	Stecker	3115M-ND	3.39	2.93	1.99	172-015-102-021
15	Buchse	3115F-ND	3.88	3.35	2.28	172-015-202-021
25	Stecker	3125M-ND	4.10	3.54	2.41	172-025-102-021
25	Buchse	3125F-ND	5.33	4.60	3.13	172-025-202-021
37	Stecker	3137M-ND	5.21	4.49	3.06	172-037-102-021
37	Buchse	3137F-ND	6.90	5.96	4.05	172-037-202-021
50	Stecker	3150M-ND	8.62	7.44	5.06	172-050-102-021
50	Buchse	3150F -ND	12.57	10.84	7.38	172-050-202-021
Zinngehäuse mit 0,250" Clinch-Muttern, verbindungsseitig – Lötkelch						
15	Stecker	4115M-ND	3.39	2.93	1.99	172-015-102-031
25	Stecker	4125M-ND	—	—	2.41	172-025-102-031
25	Buchse	4125F-ND	5.33	4.60	3.13	172-025-202-031
37	Stecker	4137M-ND	5.21	4.49	3.06	172-037-102-031
37	Buchse	4137F-ND	6.90	5.96	4.05	172-037-202-031
50	Stecker	4150M-ND	8.62	7.44	5.06	172-050-102-031

Anz. d. Pins	Typ	Digi-Key Teilenr.	Stückpreis 1	10	100	NorComp Teilenr.
Gelbes Chromat – Lötkelch						
15	Buchse	115F-ND	3.17	2.74	1.87	172-015-201-001
25	Stecker	125M-ND	2.78	2.40	1.63	172-025-101-001
25	Buchse	125F-ND	3.81	3.29	2.24	172-025-201-001
37	Stecker	137M-ND	4.64	4.01	2.73	172-037-101-001
37	Buchse	137F-ND	6.46	5.58	3.80	172-037-201-001
50	Stecker	150M-ND	8.62	7.44	5.06	172-050-101-001
50	Buchse	150F-ND	11.67	10.06	6.85	172-050-201-001
Gelbes Chromat mit 0,065" Clinch-Muttern, platinenseitig – Lötkelch						
9	Stecker	5109M-ND	2.73	2.36	1.61	172-009-101-011
9	Buchse	5109F-ND	3.00	2.59	1.77	172-009-201-011
15	Stecker	5115M-ND	3.27	2.82	1.93	172-015-101-011
15	Buchse	5115F-ND	4.06	3.50	2.38	172-015-201-011
25	Stecker	5125M-ND	3.68	3.18	2.16	172-025-101-011
37	Stecker	5137M-ND	5.55	4.79	3.26	172-037-101-011
37	Buchse	5137F-ND	7.34	6.34	4.31	172-037-201-011
50	Stecker	5150M-ND	8.62	7.44	5.06	172-050-101-011
50	Buchse	5150F-ND	12.57	10.84	7.38	172-050-201-011
Gelbes Chromat mit 0,250" Clinch-Muttern, platinenseitig – Lötkelch						
9	Stecker	6109M-ND	2.73	2.36	1.61	172-009-101-021
9	Buchse	6109F-ND	3.00	2.59	1.77	172-009-201-021
15	Stecker	6115M-ND	3.27	2.82	1.93	172-015-101-021
15	Buchse	6115F-ND	4.06	3.50	2.38	172-015-201-021
25	Stecker	6125M-ND	3.68	3.18	2.16	172-025-101-021
25	Buchse	6125F-ND	4.69	4.05	2.76	172-025-201-021
37	Stecker	6137M-ND	5.55	4.79	3.26	172-037-101-021
37	Buchse	6137F-ND	7.34	6.34	4.31	172-037-201-021
50	Stecker	6150M-ND	8.62	7.44	5.06	172-050-101-021
50	Buchse	6150F-ND	12.57	10.84	7.38	172-050-201-021
Gelbes Chromat mit 0,250" Clinch-Muttern, verbindungsseitig – Lötkelch						
9	Stecker	7109M-ND	2.73	2.36	1.61	172-009-101-031
9	Buchse	7109F-ND	3.00	2.59	1.71	172-009-201-031
15	Stecker	7115M-ND	3.27	2.82	1.93	172-015-101-031
15	Buchse	7115F-ND	4.06	3.50	2.38	172-015-201-031
25	Stecker	7125M-ND	3.68	3.18	2.16	172-025-101-031
25	Buchse	7125F-ND	4.69	4.05	2.75	172-025-201-031
37	Stecker	7137M-ND	5.55	4.79	3.26	172-037-101-031
37	Buchse	7137F-ND	7.34	6.34	4.31	172-037-201-031
50	Buchse	7150F-ND	12.57	10.84	7.38	172-050-201-031
Gelbes Chromat – Tauchlöten						
9	Buchse	509F-ND	2.46	2.12	1.44	172-009-211-001
15	Buchse	515F-ND	3.52	3.04	2.07	172-015-211-001
25	Buchse	525F-ND	4.81	4.15	2.83	172-025-211-001
37	Stecker	537M-ND	4.66	4.03	2.74	172-037-111-001
37	Buchse	537F-ND	6.95	6.00	4.09	172-037-211-001
50	Stecker	550M-ND	7.74	6.68	4.54	172-050-111-001
50	Buchse	550F-ND	9.80	8.45	5.75	172-050-211-001
Zinngehäuse – Tauchlöten						
9	Buchse	1509FN-ND	2.54	2.19	1.50	172-009-212-001
15	Stecker	1515MN-ND	2.73	2.36	1.61	172-015-112-001
15	Buchse	1515FN-ND	3.54	3.04	2.08	172-015-212-001
25	Buchse	1525FN-ND	5.29	4.56	3.10	172-025-212-001
37	Stecker	1537MN-ND	9.44	4.01	2.73	172-037-112-001
37	Buchse	1537FN-ND	7.45	6.42	4.37	172-037-212-001
50	Stecker	1550MN-ND	7.74	6.68	4.54	172-050-112-001
50	Buchse	1550FN-ND	9.87	8.51	5.80	172-050-212-001
Zinngehäuse mit 0,065" Clinch-Muttern, platinenseitig – Tauchlöten						
9	Stecker	2509M-ND	2.92	2.53	1.72	172-009-112-011
25	Stecker	2525M-ND	4.28	3.69	2.51	172-025-112-011
25	Buchse	2525F-ND	6.16	5.32	3.62	172-025-212-011
37	Stecker	2537M-ND	5.55	4.79	3.26	172-037-112-011
50	Stecker	2550M-ND	8.62	7.44	5.06	172-050-112-011
Zinngehäuse mit 0,250" Clinch-Muttern, platinenseitig – Tauchlöten						
9	Stecker	3509M-ND	2.92	2.53	1.72	172-009-112-021
15	Stecker	3515M-ND	3.61	3.12	2.12	172-015-112-021
15	Buchse	3515F-ND	4.42	3.81	2.60	172-015-212-021
25	Stecker	3525M-ND	4.28	3.69	2.51	172-025-112-021
25	Buchse	3525F-ND	6.16	5.32	3.62	172-025-212-021
37	Stecker	3537M-ND	5.55	4.79	3.26	172-037-112-021
37	Buchse	3537F-ND	8.32	7.18	4.89	172-037-212-021
50	Stecker	3550M-ND	8.62	7.44	5.06	172-050-112-021

(Forts.)

Anz. d. Pins	Typ	Digi-Key Teilenr.	Stückpreis 1	10	100	NorComp Teilenr.
Zinngehäuse mit 0,250" Clinch-Muttern, verbindungsseitig – Tauchlöten						
9	Stecker	4509M-ND	2.92	2.53	1.72	172-009-112-031
9	Buchse	4509F-ND	3.44	2.97	2.02	172-009-212-031
15	Stecker	4515M-ND	3.61	3.12	2.12	172-015-112-031
15	Buchse	4515F-ND	4.42	3.81	2.60	172-015-212-031
25	Stecker	4525M-ND	4.28	3.69	2.51	172-025-112-031
25	Buchse	4525F-ND	6.16	5.32	3.62	172-025-212-031
37	Stecker	4537M-ND	5.55	4.79	3.26	172-037-112-031
37	Buchse	4537F-ND	4.28	3.69	2.51	172-037-212-031
50	Stecker	4550M-ND	8.62	7.44	5.06	172-050-112-031
50	Buchse	4550F-ND	10.75	9.27	6.31	172-050-212-031
Zinngehäuse mit 0,225" Clinch-Muttern, platinenseitig– 0,197" verbindungsseitig - Tauchlöten						
15	Stecker	2915M-ND	4.22	3.64	2.49	172-015-112-911
15	Buchse	2915F-ND	5.04	4.35	2.96	172-015-212-911
25	Stecker	2925M-ND	4.86	4.20	2.86	172-025-112-911
37	Stecker	2937M-ND	6.14	5.30	3.60	172-037-112-911
50	Stecker	2950M-ND	9.23	7.96	5.42	172-050-112-911
50	Buchse	2950F-ND	11.35	9.78	6.66	172-050-212-911
Gelbes Chromat mit 0,065" Clinch-Muttern, platinenseitig – Tauchlöten						
9	Buchse	5509F-ND	3.34	2.88	1.97	172-009-211-011
15	Stecker	5515M-ND	3.22	2.78	1.89	172-015-111-011
15	Buchse	5515F-ND	4.39	3.80	2.59	172-015-211-011
25	Stecker	5525M-ND	4.10	3.54	2.41	172-025-111-011
25	Buchse	5525F-ND	5.70	4.92	3.35	172-025-211-011
37	Stecker	5537M-ND	5.57	4.81	3.27	172-037-111-011
37	Buchse	5537F-ND	7.84	6.76	4.60	172-037-211-011
50	Stecker	5550M-ND	8.62	7.44	5.06	172-050-111-011
Gelbes Chromat mit 0,250" Clinch-Muttern, platinenseitig – Tauchlöten						
9	Stecker	6509M-ND	2.62	2.27	1.54	172-009-111-021
9	Buchse	6509F-ND	3.34	2.88	1.97	172-009-211-021
15	Stecker	6515M-ND	3.22	2.78	1.89	172-015-111-021
25	Stecker	6525M-ND	4.10	3.54	2.41	172-025-111-021
25	Buchse	6525F-ND	5.70	4.92	3.35	172-025-211-021
37	Stecker	6537M-ND	5.57	4.81	3.27	172-037-111-021
37	Buchse	6537F-ND	7.83	6.76	4.60	172-037-211-021
50	Stecker	6550M-ND	8.62	7.44	5.06	172-050-111-021
50	Buchse	6550F-ND	10.75	9.27	6.31	172-050-211-021
Gelbes Chromat mit 0,250" Clinch-Muttern, verbindungsseitig – Tauchlöten						
9	Stecker	7509M-ND	2.62	2.27	1.55	172-009-111-031
9	Buchse	7509F-ND	3.34	2.88	1.97	172-009-211-031
15	Buchse	7515F-ND	4.40	3.80	2.59	172-015-211-031
25	Stecker	7525M-ND	4.10	3.54	2.41	172-025-111-031
25	Buchse	7525F-ND	5.70	4.91	3.35	172-025-211-031
37	Stecker	7537M-ND	5.57	4.81	3.27	172-037-111-031
37	Buchse	7537F-ND	7.83	6.76	4.60	172-037-211-031
50	Stecker	7550M-ND	8.62	7.44	5.06	172-050-111-031
50	Buchse	7550F-ND	10.75	9.27	6.31	172-050-211-031
Zinngehäuse mit 0,225" Clinch-Muttern, platinenseitig – 0,197" Clinch-Muttern verbindungsseitig – Tauchlöten						
9	Buchse	1909F-ND	3.98	3.43	2.34	172-009-211-911
15	Stecker	1915M-ND	3.81	3.29	2.24	172-015-111-911
15	Buchse	1915F-ND	5.02	4.32	2.94	172-015-211-911
25	Buchse	1925F-ND	6.29	5.42	3.70	172-025-211-911
37	Stecker	1937M-ND	6.16	5.32	3.62	172-037-111-911
37	Buchse	1937F-ND	8.43	7.27	4.95	172-037-211-911
50	Stecker	1950M-ND	9.23	7.96	5.42	172-050-111-911
Gelbes Chromat mit 0,065" Clinch-Muttern, platinenseitig – Wire-Wrap						
9	Stecker	5609M-ND	3.19	2.76	1.88	172-009-141-011
9	Buchse	5609F-ND	3.76	3.24	2.21	172-009-241-011
15	Stecker	5615M-ND	4.96	4.28	2.91	172-015-141-011
15	Buchse	5615F-ND	5.38	4.64	3.16	172-015-241-011
25	Stecker	5625M-ND	6.33	5.47	3.72	172-025-141-011
25	Buchse	5625F-ND	6.74	5.81	3.95	172-025-241-011
37	Stecker	5637M-ND	8.79	7.58	5.16	172-037-141-011
37	Buchse	5637F-ND	11.07	9.55	6.50	172-037-241-011
50	Stecker	5650M-ND	11.42	9.85	6.70	172-050-141-011
50	Buchse	5650F-ND	14.46	12.47	8.48	172-050-241-011
Gelbes Chromat mit 0,250" Clinch-Muttern, platinenseitig – Wire-Wrap						
9	Stecker	6609M-ND	3.19	2.76	1.88	172-009-141-021
9	Buchse	6609F-ND	3.76	3.24	2.21	172-009-241-021
15	Stecker	6615M-ND	4.96	4.28	2.91	172-015-141-021
15	Buchse	6615F-ND	5.38	4.64	3.16	172-015-241-021
25	Stecker	6625M-ND	6.33	5.47	3.72	172-025-141-021
25	Buchse	6625F-ND	7.81	6.73	4.58	172-025-241-021
37	Stecker	6637M-ND	8.79	7.58	5.16	172-037-141-021
37	Buchse	6637F-ND	11.07	9.55	6.50	172-037-241-021
50	Stecker	6650M-ND	11.42	9.85	6.70	172-050-141-021
50	Buchse	6650F-ND	14.46	12.47	8.48	172-050-241-021

Anz. d. Pins	Typ	Digi-Key Teilenr.	Stückpreis 1	10	100	NorComp Teilenr.
Gelbes Chromat mit 0,250" Clinch-Muttern, verbindungsseitig – Wire-Wrap						
9	Stecker	7609M-ND	3.19	2.76	1.88	172-009-141-031
9	Buchse	7609F-ND	3.76	3.24	2.21	172-009-241-031
15	Stecker	7615M-ND	4.96	4.28	2.91	172-015-141-031
15	Buchse	7615F-ND	5.38	4.64	3.16	172-015-241-031
25	Stecker	7625M-ND	6.33	5.47	3.72	172-025-141-031
25	Buchse	7625F-ND	7.81	6.73	4.58	172-025-241-031
37	Stecker	7637M-ND	8.79	7.58	5.16	172-037-141-031
37	Buchse	7637F-ND	11.07	9.55	6.50	172-037-241-031
50	Stecker	7650M-ND	11.42	9.85	6.70	172-050-141-031
50	Buchse	7650F-ND	14.46	12.47	8.48	172-050-241-031
Gelbes Chromat mit 0,225" Clinch-Muttern, platinenseitig – 0,197" Clinch-Muttern verbindungsseitig - Wire-Wrap						
9	Stecker	3909M-ND	3.85	3.33	2.26	172-009-141-911
9	Buchse	3909F-ND	4.39	3.79	2.58	172-009-241-911
15	Stecker	3915M-ND	5.23	4.51	3.07	172-015-141-911
15	Buchse	3915F-ND	5.92	5.11	3.47	172-015-241-911
25	Stecker	3925M-ND	7.00	6.04	4.11	172-025-141-911
25	Buchse	3925F-ND	10.51	9.06	6.16	172-025-241-911
37	Stecker	3937M-ND	10.31	8.89	6.05	172-037-141-911
37	Buchse	3937F-ND	11.56	9.97	6.78	172-037-241-911
50	Stecker	3950MN-ND	12.03	10.38	7.06	172-050-141-911
50	Buchse	3950F-ND	15.32	13.21	8.99	172-050-241-911
Gehäuse, gelbes Chromat – Wire-Wrap						
9	Stecker	609M-ND	2.18	1.89	1.29	172-009-141-001
9	Buchse	609F-ND	2.67	2.31	1.57	172-009-241-001
15	Stecker	615M-ND	3.24	2.80	1.90	172-015-141-001
15	Buchse	615F-ND	3.99	3.44	2.34	172-015-241-001
25	Stecker	625M-ND	5.55	4.79	3.26	172-025-141-001
25	Buchse	625F-ND	6.15	5.31	3.61	172-025-241-001
37	Stecker	637M-ND	7.09	6.12	4.16	172-037-141-001
37	Buchse	637F-ND	9.21	7.94	5.40	172-037-241-001
50	Stecker	650M-ND	8.74	7.53	5.12	172-050-141-001
50	Buchse	650F-ND	11.74	10.13	6.89	172-050-241-001
Zinngehäuse – Wire-Wrap						
9	Stecker	1609MN-ND	2.60	2.25	1.53	172-009-142-001
9	Buchse	1609FN-ND	3.14	2.71	1.85	172-009-242-001
15	Stecker	1615MN-ND	4.00	3.45	2.35	172-015-142-001
15	Buchse	1615FN-ND	4.69	4.05	2.75	172-015-242-001
25	Stecker	1625MN-ND	5.77	4.98	3.39	172-025-142-001
25	Buchse	1625FN-ND	9.28	8.00	5.45	172-025-242-001
37	Stecker	1637MN-ND	8.25	7.12	4.84	172-037-142-001
37	Buchse	1637FN-ND	10.34	8.91	6.06	172-037-242-001
50	Stecker	1650MN-ND	10.80	9.32	6.34	172-050-142-001
50	Buchse	1650FN-ND	14.10	12.15	8.27	172-050-242-001
Zinngehäuse mit 0,065" Clinch-Muttern, platinenseitig – Wire-Wrap						
9	Stecker	2609M-ND	3.34	2.88	1.96	172-009-142-011
9	Buchse	2609F-ND	3.88	3.35	2.28	172-009-242-011
15	Stecker	2615M-ND	4.74	4.09	2.78	172-015-142-011
15	Buchse	2615F-ND	5.43	4.68	3.19	172-015-242-011
25	Stecker	2625M-ND	6.51	5.61	3.82	172-025-142-011
25	Buchse	2625F-ND	10.02	8.64	5.88	172-025-242-011
37	Stecker	2637M-ND	8.98	7.75	5.27	172-037-142-011
37	Buchse	2637F-ND	11.07	9.55	6.50	172-037-242-011
50	Stecker	2650M-ND	11.54	9.95	6.77	172-050-142-011
50	Buchse	2650F-ND	14.83	12.79	8.70	172-050-242-011
Zinngehäuse mit 0,250" Clinch-Muttern, platinenseitig – Wire-Wrap						
9	Stecker	3609M-ND	3.34	2.88	1.96	172-009-142-021
9	Buchse	3609F-ND	3.88	3.35	2.28	172-009-242-021
15	Stecker	3615M-ND	4.74	4.09	2.78	172-015-142-021
15	Buchse	3615F-ND	5.43	4.68	3.19	172-015-242-021
25	Stecker	3625M-ND	6.51	5.61	3.82	172-025-142-021
25	Buchse	3625F-ND	10.02	8.64	5.88	172-025-242-021
37	Stecker	3637M-ND	8.98	7.75	5.27	172-037-142-021
37	Buchse	3637F-ND	11.07	9.55	6.50	172-037-242-021
50	Stecker	3650M-ND	11.54	9.95	6.77	172-050-142-021
50	Buchse	3650F-ND	14.83	12.79	8.70	172-050-242-021
Gelbes Chromat mit 0,250" Clinch-Muttern, verbindungsseitig – Wire-Wrap						
9	Stecker	4609M-ND	3.34	2.88	1.96	172-009-142-031
9	Buchse	4609F-ND	3.88	3.35	2.28	172-009-242-031
15	Stecker	4615M-ND	4.74	4.09	2.78	172-015-142-031
15	Buchse	4615F-ND	5.43	4.68	3.19	172-015-242-031
25	Stecker	4625M-ND	6.51	5.61	3.82	172-025-142-031
25	Buchse	4625F-ND	10.02	8.64	5.88	172-025-242-031
37	Stecker	4637M-ND	8.98	7.75	5.27	172-037-142-031
37	Buchse	4637F-ND	11.07	9.55	6.50	172-037-242-031
50	Stecker	4650M-ND	11.54	9.95	6.77	172-050-142-031
50	Buchse	4650F-ND	14.83	12.79	8.70	172-050-242-031
Gelbes Chromat mit 0,225" Clinch-Muttern, platinenseitig – 0,197" Clinch-Muttern verbindungsseitig - Wire-Wrap						
9	Stecker	4909M-ND	3.61	3.12	2.12	172-009-142-911
9	Buchse	4909F-ND	4.10	3.54	2.41	172-009-242-911
15	Stecker	4915M-ND	4.86	4.20	2.85	172-015-142-911
15	Buchse	4915F-ND	5.50	4.75	3.23	172-015-242-911
25	Stecker	4925M-ND	6.48	5.59	3.80	172-025-142-911
25	Buchse	4925F-ND	9.68	8.34	5.68	172-025-242-911
37	Stecker	4937M-ND	8.74	7.54	5.13	172-037-142-911
37	Buchse	4937F-ND	10.63	9.17	6.24	172-037-242-911
50	Stecker	4950M-ND	11.05	9.53	6.48	172-050-142-911
50	Buchse	4950F-ND	14.05	12.11	8.24	172-050-242-911

Serie 172
Hohes Profil — maschinell bearbeitete Kontakte

Anz. d. Pins	Typ	Digi-Key Teilenr.	Stückpreis 1	10	100	NorComp Teilenr.
Gelbes Chromat						
9	Stecker	8609M-ND	3.19	2.76	1.88	172-009-181-001
9	Buchse	8609F-ND	3.73	3.22	2.19	172-009-281-001
15	Stecker	8615M-ND	4.59	3.96	2.70	172-015-181-001
15	Buchse	8615F-ND	5.84	5.04	3.43	172-015-281-001
25	Stecker	8625M-ND	6.80	5.87	3.99	172-025-181-001
25	Buchse	8625F-ND	9.03	7.79	5.30	172-025-281-001
37	Stecker	8637M-ND	9.72	8.39	5.70	172-037-181-001
37	Buchse	8637F-ND	12.94	11.16	7.59	172-037-281-001
50	Stecker	8650M-ND	12.40	10.69	7.27	172-050-181-001
50	Buchse	8650F-ND	16.89	14.57	9.91	172-050-281-001
Gelbes Chromat mit 0,065" Clinch-Muttern, platinenseitig						
9	Stecker	9609M-ND	3.93	3.39	2.31	172-009-181-011
9	Buchse	9609F-ND	4.47	3.86	2.62	172-009-281-011
15	Stecker	9615M-ND	5.33	4.60	3.13	172-015-181-011
15	Buchse	9615F-ND	6.58	5.68	3.86	172-015-281-011
25	Stecker	9625M-ND	7.53	6.50	4.42	172-025-181-011
25	Female	9625F-ND	9.77	8.43	5.73	172-025-281-011
37	Stecker	9637M-ND	10.46	9.02	6.14	172-037-181-011
37	Buchse	9637F-ND	13.67	11.79	8.02	172-037-281-011
50	Stecker	9650M-ND	13.14	11.33	7.70	172-050-181-011
50	Buchse	9650F-ND	17.63	15.20	10.34	172-050-281-011
Gelbes Chromat mit 0,250" Clinch-Muttern, platinenseitig						
9	Stecker	10609M-ND	3.93	3.39	2.31	172-009-181-021
9	Buchse	10609F-ND	4.47	3.86	2.62	172-009-281-021
15	Stecker	10615M-ND	5.33	4.60	3.13	172-015-181-021
15	Buchse	10615F-ND	6.58	5.68	3.86	172-015-281-021
25	Stecker	10625M-ND	7.53	6.50	4.42	172-025-181-021
25	Buchse	10625F-ND	9.77	8.43	5.73	172-025-281-021
37	Stecker	10637M-ND	10.46	9.02	6.14	172-037-181-021
37	Buchse	10637F-ND	13.67	11.79	8.02	172-037-281-021
50	Stecker	10650M-ND	13.14	11.33	7.70	172-050-181-021
50	Buchse	10650F-ND	17.63	15.20	10.34	172-050-281-021
Gelbes Chromat mit 0,250" Clinch-Muttern, verbindungsseitig						
9	Stecker	11609M-ND	3.93	3.39	2.31	172-009-181-031
9	Buchse	11609F-ND	4.47	3.86	2.62	172-009-281-031
15	Stecker	11615M-ND	5.33	4.60	3.13	172-015-181-031
15	Buchse	11615F-ND	6.58	5.68	3.86	172-015-281-031
25	Stecker	11625M-ND	7.53	6.50	4.42	172-025-181-031
25	Buchse	11625F-ND	9.77	8.43	5.73	172-025-281-031
37	Stecker	11637M-ND	10.46	9.02	6.14	172-037-181-031
37	Buchse	11637F-ND	13.67	11.79	8.02	172-037-281-031
50	Stecker	11650M-ND	13.14	11.33	7.70	172-050-181-031
50	Buchse	11650F-ND	17.63	15.20	10.34	172-050-281-031
Zinngehäuse						
9	Stecker	12609M-ND	2.80	2.42	1.65	172-009-182-001
9	Buchse	12609F-ND	3.68	3.18	2.16	172-009-282-001
15	Stecker	12615M-ND	4.15	3.58	2.44	172-015-182-001
15	Buchse	12615F-ND	5.45	4.70	3.20	172-015-282-001
25	Stecker	12625M-ND	6.33	5.47	3.72	172-025-182-001
25	Buchse	12625F-ND	8.52	7.35	5.00	172-025-282-001
37	Stecker	12637M-ND	12.79	11.03	7.50	172-037-182-001
37	Buchse	12637F-ND	12.57	10.84	7.37	172-037-282-001
50	Stecker	12650M-ND	12.60	10.86	7.39	172-050-182-001
50	Buchse	12650F-ND	16.89	14.57	9.91	172-050-282-001
Zinngehäuse mit 0,065" Clinch-Muttern, platinenseitig						
9	Stecker	13609M-ND	3.54	3.05	2.08	172-009-182-011
9	Buchse	13609F-ND	4.42	3.81	2.60	172-009-282-011
15	Stecker	13615M-ND	4.88	4.22	2.87	172-015-182-011
15	Buchse	13615F-ND	6.19	5.34	3.63	172-015-282-011
25	Stecker	13625M-ND	7.07	6.10	4.15	172-025-182-011
25	Buchse	13625F-ND	9.25	7.98	5.43	172-025-282-011
37	Stecker	13637M-ND	13.53	11.67	7.94	172-037-182-011
37	Buchse	13637F-ND	13.31	11.48	7.81	172-037-282-011
50	Stecker	13650M-ND	13.33	11.50	7.82	172-050-182-011
50	Buchse	13650F-ND	17.63	15.20	10.34	172-050-282-011
Zinngehäuse mit 0,250" Clinch-Muttern, platinenseitig						
9	Stecker	14609M-ND	3.54	3.05	2.08	172-009-182-021
9	Buchse	14609F-ND	4.42	3.81	2.60	172-009-282-021
15	Stecker	14615M-ND	4.88	4.22	2.87	172-015-182-021
15	Buchse	14615F-ND	6.19	5.34	3.63	172-015-282-021
25	Stecker	14625M-ND	7.07	6.10	4.15	172-025-182-021
25	Buchse	14625F-ND	9.25	7.98	5.43	172-025-282-021
37	Stecker	14637M-ND	13.53	11.67	7.94	172-037-182-021
37	Buchse	14637F-ND	13.31	11.48	7.81	172-037-282-021
50	Stecker	14650M-ND	13.33	11.50	7.82	172-050-182-021
50	Buchse	14650F-ND	17.63	15.20	10.34	172-050-282-021
Zinngehäuse mit 0,250" Clinch-Muttern, verbindungsseitig						
9	Stecker	15609M-ND	3.54	3.05	2.08	172-009-182-031
9	Buchse	15609F-ND	4.42	3.81	2.60	172-009-282-031
15	Stecker	15615M-ND	4.88	4.22	2.87	172-015-182-031
15	Buchse	15615F-ND	6.19	5.34	3.63	172-015-282-031
25	Stecker	15625M-ND	7.07	6.10	4.15	172-025-182-031
25	Buchse	15625F-ND	9.25	7.98	5.43	172-025-282-031
37	Stecker	15637M-ND	13.53	11.67	7.94	172-037-182-031
37	Buchse	15637F-ND	13.31	11.48	7.81	172-037-282-031
50	Stecker	15650M-ND	13.33	11.50	7.82	172-050-182-031
50	Buchse	15650F-ND	17.63	15.20	10.34	172-050-282-031

Alle Preisangaben in Euro und inklusive Zollgebühren.

NORCOMP

D-Sub-Backshells

Serie 970 — Gerade/Eingang von oben: • Druckguss: Leichtes Zink. Überzug: Nickel über Kupfer oder schwarz • Metallisierter Kunststoff: Hochtemperaturkunststoff UL 94V-0. Überzug: Nickel über Kupfer • Kunststoff: Hochtemperaturkunststoff UL 94V-2 • Hardware: Vernickelter Stahl.

Conn. Size‡	Abmessungen (Zoll) A	B	C	D	E
9	1.228	.984	1.571	.610	.465
15	1.555	1.312	1.634	.610	.465
25	2.102	1.852	1.913	.610	.465
37	2.744	2.500	2.110	.610	.465

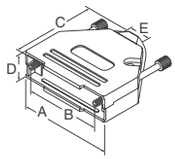

Anz. d. Pins	Typ	Digi-Key Teilenr.	Stückpreis 1	10	100	NorComp Teilenr.
9	Nickeldruckguss	970-09N-ND	4.91	4.24	2.88	970-009-030-121
15		970-15N-ND	5.84	5.04	3.43	970-015-030-121
25		970-25N-ND	5.84	5.04	3.43	970-025-030-121
37		970-37N-ND	8.94	7.71	5.24	970-037-030-121
9	Schwarz, Druckguss	970-09BC-ND	6.21	5.36	3.65	970-009-040-011
15		970-15BC-ND	7.15	6.16	4.19	970-015-040-011
25		970-25BC-ND	7.15	6.16	4.19	970-025-040-011
37		970-37BC-ND	9.50	8.20	5.57	970-037-040-011
9	Metallisierter Kunststoff	970-09MP-ND	4.59	3.96	2.70	970-009-020-121
15		970-15MP-ND	4.77	4.11	2.80	970-015-020-121
25		970-25MP-ND	4.96	4.28	2.91	970-025-020-121
37		970-37MP-ND	5.53	4.77	3.24	970-037-020-121
9	Schwarzer Kunststoff	970-09BP-ND	2.24	1.93	1.31	970-009-010-011
15		970-15BP-ND	2.24	1.93	1.31	970-015-010-011
25		970-25BP-ND	2.34	2.02	1.37	970-025-010-011
37		970-37BP-ND	2.43	2.10	1.43	970-037-010-011

‡ Steckverbindergrösse

Serie 971— 45° Eingang: • Druckguss: Leichtes Zink. Überzug: Nickel über Kupfer oder schwarz • Metallisierter Kunststoff: Hochtemperaturkunststoff UL 94V-0. Überzug: Nickel über Kupfer • Kunststoff: Hochtemperaturkunststoff UL 94V-2 • Hardware: Vernickelter Stahl.

Conn. Size‡	Abmessungen (Zoll) A	B	C	D	E
9	1.220	.984	1.496	.610	.465
15	1.595	1.312	1.618	.610	.465
25	2.114	1.852	1.646	.610	.465
37	2.748	2.500	1.646	.610	.465

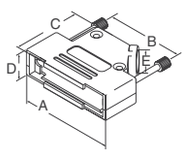

Anz. d. Pins	Typ	Digi-Key Teilenr.	Stückpreis 1	10	100	NorComp Teilenr.
9	Nickel	971-09N45-ND	4.91	4.24	2.88	971-009-030-121
15		971-15N45-ND	5.84	5.04	3.43	971-015-030-121
25		971-25N45-ND	5.84	5.04	3.43	971-025-030-121
37		971-37N45-ND	8.94	7.71	5.24	971-037-030-121
9	Schwarz, Druckguss	971-09CB45-ND	6.21	5.36	3.65	971-009-040-011
15		971-15CB45-ND	7.15	6.16	4.19	971-015-040-011
25		971-25CB45-ND	7.15	6.16	4.19	971-025-040-011
37		971-37CB45-ND	9.50	8.20	5.57	971-037-040-011
9	Metallisierter Kunststoff	971-09MP45-ND	4.59	3.96	2.70	971-009-020-121
15		971-15MP45-ND	4.77	4.11	2.80	971-015-020-121
25		971-25MP45-ND	4.96	4.28	2.91	971-025-020-121
37		971-37MP45-ND	5.53	4.77	3.24	971-037-020-121
9	Schwarzer Kunststoff	971-09BP45-ND	2.24	1.93	1.31	971-009-010-011
15		971-15BP45-ND	2.24	1.93	1.31	971-015-010-011
25		971-25BP45-ND	2.34	2.02	1.37	971-025-010-011
37		971-37BP45-ND	2.43	2.10	1.43	971-037-010-011

‡ Steckverbindergrösse

Serie 972 – Zweischalen-Design, Slim-Line: • Hochtemperatur-ABS-Kunststoff UL 94V-2

Conn. Size‡	Abmessungen (Zoll) A	B	C	D	E
9	1.240	.984	1.339	.591	.453
15	1.575	1.312	1.339	.591	.453
25	2.106	1.852	1.575	.591	.453
37	2.795	2.500	1.575	.591	.453

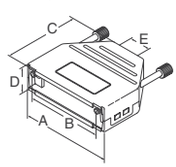

Anz. d. Pins	Typ	Digi-Key Teilenr.	Stückpreis 1	10	100	NorComp Teilenr.
9	Grauer Kunststoff	972-09SG-ND	2.68	2.31	1.57	972-009-01S-031
15		972-15SG-ND	2.83	2.44	1.66	972-015-01S-031
25		972-25SG-ND	2.97	2.57	1.75	972-025-01S-031
37		972-37SG-ND	3.12	2.69	1.83	972-037-01S-031
9	Schwarzer Kunststoff	972-09SB-ND	2.68	2.31	1.57	972-009-01S-011
15		972-15SB-ND	2.83	2.44	1.66	972-015-01S-011
25		972-25SB-ND	2.97	2.57	1.75	972-025-01S-011
37		972-37SB-ND	3.12	2.69	1.83	972-037-01S-011

‡ Steckverbindergrösse

Serie 973 — Gerade/Eingang von oben: • Metallisierter Kunststoff: Hochtemperaturkunststoff UL 94V-0. Überzug: Nickel über Kupfer • Kunststoff: Hochtemperaturkunststoff UL 94V-2 (schwarz) • Hardware: Vernickelter Stahl.

Conn. Size‡	Abmessungen (Zoll) A	B	C	D	E
9	1.240	.984	1.221	.598	.335
15	1.575	1.312	1.378	.598	.335
25	2.106	1.852	1.496	.598	.433
37	2.756	2.500	1.575	.598	.433

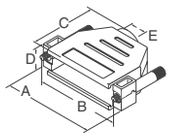

Anz. d. Pins	Typ	Digi-Key Teilenr.	Stückpreis 1	10	100	NorComp Teilenr.
9	Metallisierter Kunststoff	973-09MP-ND	6.14	5.30	3.60	973-009-020-121
15		973-15MP-ND	6.36	5.49	3.73	973-015-020-121
25		973-25MP-ND	6.51	5.61	3.82	973-025-020-121
37		973-37MP-ND	8.81	7.60	5.17	973-037-020-121
9	Schwarzer Kunststoff	973-09BP-ND	3.27	2.82	1.92	973-009-010-011
15		973-15BP-ND	3.41	2.95	2.01	973-015-010-011
25		973-25BP-ND	3.58	3.09	2.11	973-025-010-011
37		973-37BP-ND	4.34	3.75	2.55	973-037-010-011

‡ Steckverbindergrösse

Serie 974 — 40° Eingang: • Metallisierter Kunststoff: Hochtemperaturkunststoff UL 94V-0. Überzug: Nickel über Kupfer • Kunststoff: Hochtemperaturkunststoff UL 94V-0 (schwarz) • Hardware: Vernickelter Stahl.

Conn. Size‡	Abmessungen (Zoll) A	B	C	D	E
9	1.240	.984	1.457	.598	.335
15	1.575	1.312	1.457	.598	.335
25	2.106	1.852	1.614	.598	.433
37	2.756	2.500	1.614	.598	.433

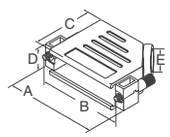

Anz. d. Pins	Typ	Digi-Key Teilenr.	Stückpreis 1	10	100	NorComp Teilenr.
9	Metallisierter Kunststoff	974-09MP40-ND	6.14	5.30	3.60	974-009-020-121
15		974-15MP40-ND	6.36	5.49	3.73	974-015-020-121
25		974-25MP40-ND	6.51	5.61	3.82	974-025-020-121
37		974-37MP40-ND	8.81	7.60	5.17	974-037-020-121
9	Schwarzer Kunststoff	974-09BP40-ND	3.27	2.82	1.92	974-009-010-011
15		974-15BP40-ND	3.41	2.95	2.01	974-015-010-011
25		974-25BP40-ND	3.58	3.09	2.11	974-025-010-011
37		974-37BP40-ND	4.34	3.75	2.55	974-037-010-011

‡ Steckverbindergrösse

Serie 976 — Kunststoff, Flachband: • ABS-Hochtemperaturkunststoff 94HB. Komplett mit 4-40 Verbindungsschrauben, Gehäuseschrauben und Gehäusemuttern.

Conn. Size‡	Abmessungen (Zoll) A	B	C	D
9	1.319	.984	.758	.946
15	1.622	1.312	1.102	1.289
25	2.157	1.852	1.642	1.874
37	2.815	2.500	2.283	2.470

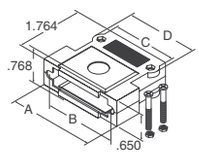

Anz. d. Pins	Typ	Digi-Key Teilenr.	Stückpreis 1	10	100	NorComp Teilenr.
9	Grauer Kunststoff	976-09RP-ND	1.18	1.02	.70	976-009-010-031
15		976-15RP-ND	1.33	1.15	.78	976-015-010-031
25		976-25RP-ND	1.57	1.36	.93	976-025-010-031
37		976-37RP-ND	1.67	1.44	.98	976-037-010-031

‡ Steckverbindergrösse

Serie 977 — Kunststoff oder metallisiert: • Erhältlich als einfache Kunststoff- sowie als metallisierte Ausführung zur EMI/RFI-Unterdrückung • Abschirmung über 60 dB • Materialien: Gehäuse – Thermoplast-Polyester; nach UL-Standard 94V-0; Schraubverschlüsse – Messing; EMI/RFI-Überzug – Galvanischer Überzug mit Nickel über Kupfer

Conn. Size‡	Abmessungen (Zoll) A	B	C	D	E
9	1.213	.984	1.594	.646	.275
15	1.563	1.312	1.453	.646	.400
25	2.165	1.852	1.752	.646	.435
37	2.736	2.500	2.096	.984	.535
50	2.640	2.406	1.750	.731	.450

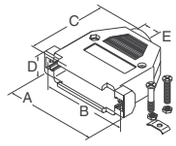

Anz. d. Pins	Typ	Digi-Key Teilenr.	Stückpreis 1	10	100	NorComp Teilenr.
9	Abgeschirmter metallisierter Kunststoff (für EMI/RFI)	909GM-ND	.63	.55	.38	977-009-020-121
15		915GM-ND	.75	.65	.45	977-015-020-121
25		925GM-ND	.75	.65	.45	977-025-020-121
37		937GM-ND	1.89	1.63	1.11	977-037-020-121
50		950GM-ND	1.48	1.28	.87	977-050-020-121
9	Einfacher Kunststoff	909GP-ND	.46	.40	.27	977-009-010-031
15		915GP-ND	.57	.50	.34	977-015-010-031
25		925GP-ND	.62	.53	.36	977-025-010-031
37		937GP-ND	.85	.73	.50	977-037-010-031
50		950GP-ND	1.28	1.11	.75	977-050-010-031

‡ Steckverbindergrösse

Serie 978 — Kunststoff oder metallisiert: • Erhältlich als einfache Kunststoff- sowie als metallisierte Ausführung zur EMI/RFI-Unterdrückung • Abschirmung über 60 dB • EMI/RFI-Überzug - Galvanischer Überzug mit Nickel über Kupfer • Materialien: Gehäuse – Thermoplast-Polyester; nach UL-Standard 94V-0; Schraubverschlüsse – Messing

Conn. Size‡	Abmessungen (Zoll) A	B	C	D	E
9	1.220	.984	1.693	.655	.276
15	1.535	1.312	1.693	.655	.315
25	2.118	1.852	1.929	.655	.374
37	2.756	2.500	1.929	.655	.433
50	2.650	2.406	1.909	.655	.551

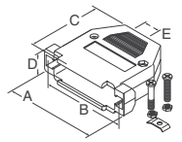

Anz. d. Pins	Typ	Digi-Key Teilenr.	Stückpreis 1	10	100	NorComp Teilenr.
9	Nicht geschirmt	909C-ND	.93	.81	.55	978-009-010-031
15		915C-ND	1.01	.87	.59	978-015-010-031
25		925C-ND	1.05	.91	.62	978-025-010-031
37		937C-ND	1.46	1.26	.86	978-037-010-031
50		950C-ND	1.48	1.28	.87	978-050-010-031
9	Geschirmt	909CA-ND	1.16	1.01	.69	978-009-020-121
15		915CA-ND	1.30	1.13	.77	978-015-020-121
25		925CA-ND	1.41	1.22	.83	978-025-020-121

‡ Steckverbindergrösse

Serie 979 — Zinkdruckguss: • Gummitülle/Zugentlastung zur kompletten EMI/RFI-Abschirmung (über 70 db) • Massive Zinkdruckgusskonstruktion • Komplett mit Gummitüllenkit und Steckschraubverschlüssen.

Conn. Size‡	Abmessungen (Zoll) A	B	C	D	E
9	1.22	.79	.63	1.9	.42
15	1.55	1.11	.63	1.9	.42
25	2.10	1.64	.63	1.9	.42
37	2.73	2.27	.63	1.9	.43
50	2.64	2.18	.77	1.9	.73

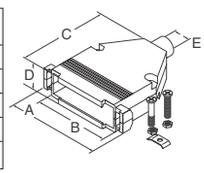

Anz. d. Pins	Typ	Digi-Key Teilenr.	Stückpreis 1	10	100	NorComp Teilenr.
9	Zinkdruckguss	909Z-ND	2.24	1.93	1.31	979-009-030-121
15		915Z-ND	2.62	2.27	1.54	979-015-030-121
25		925Z-ND	3.31	2.86	1.94	979-025-030-121
37		937Z-ND	4.47	3.86	2.62	979-037-030-121
50		950Z-ND	6.11	5.27	3.59	979-050-030-121

‡ Steckverbindergrösse

Serie 979 – Kunststoff- oder metallisierte Backshell: • ABS-Hochtemperaturkunststoff UL94HB • Verchromung

Conn. Size‡	Abmessungen (Zoll) A	B	C	D	E
9	1.232	.984	1.913	.656	.354
15	1.555	1.312	1.895	.669	.374
25	2.100	1.852	1.900	.655	.397
37	2.748	2.500	1.900	.655	.512
50	2.697	2.406	1.900	.770	.512

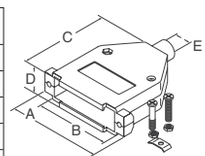

Anz. d. Pins	Typ	Digi-Key Teilenr.	Stückpreis 1	10	100	NorComp Teilenr.
9	Grauer Kunststoff	979-09PG-ND	1.03	.89	.61	979-009-010-031
15		979-15PG-ND	1.11	.96	.65	979-015-010-031
25		979-25PG-ND	1.18	1.02	.70	979-025-010-031
37		979-37PG-ND	2.21	1.91	1.30	979-037-010-031
50		979-50PG-ND	2.35	2.04	1.39	979-050-010-031
9	Metallisierter Kunststoff	979-09MP-ND	1.45	1.25	.85	979-009-020-121
15		979-15MP-ND	1.57	1.36	.93	979-015-020-121
25		979-25MP-ND	1.79	1.55	1.06	979-025-020-121
37		979-37MP-ND	3.02	2.61	1.78	979-037-020-121
50		979-50MP-ND	3.27	2.82	1.92	979-050-020-121

‡ Steckverbindergrösse

Serie 980 / 981 — Ethernet: • **Material:** Druckgusszinklegierung, vernickelt. Komplett mit Gehäuseschrauben und Gehäusemuttern.

Conn. Size‡	Abmessungen (Zoll) A	B	C
9	.984	1.240	1.850
15	1.312	1.555	2.323
25	1.852	2.106	2.835

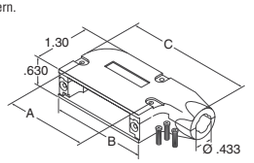

(Serie 981 - gewinkelt ist dargestellt)

Anz. d. Pins	Typ	Digi-Key Teilenr.	Stückpreis 1	10	100	NorComp Teilenr.
15	Serie 980, gerade	915ES-ND	3.39	2.93	2.00	980-015-030-121
9	Serie 981, rechtwinklig	909ER-ND	3.46	2.99	2.03	981-009-030-121
15		915ER-ND	3.69	3.19	2.17	981-015-030-121
25		925ER-ND	3.63	3.14	2.13	981-025-030-121

‡ Steckverbindergrösse *(Forts.)*

A

NorComp D-Sub-Endgehäuse *(Forts.)*

Serie 982 — Kunststoff oder metallisiert: • Kabelausgang oben oder seitlich • Erhältlich als einfache Kunststoff- sowie als metallisierte Ausführung zur EMI/RFI-Unterdrückung • Über 60 dB Abschirmung • Betriebstemperatur: -35 °C ~ 95 °C • Materialien: Gehäuse: Thermoplast-Polyester; nach UL-Standard 94V-0; Schraubverschlüsse: Messing; EMI/RFI-Überzug: Galvanischer Überzug mit Nickel über Kupfer. Teile mit galvanischem Überzug nicht nach UL-Standard

Conn. Size‡	Abmessungen (Zoll) A	B	C	D	E
9*	1.23	.984	1.38	.630	.350
15	1.56	1.312	1.61	.630	.374
25	2.10	1.852	1.81	.630	.444
37	2.74	2.5	1.81	.630	.444
50	2.65	2.406	1.81	.735	.543

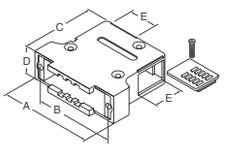

Anz. d. Pins	Typ	Digi-Key Teilenr.	Stückpreis 1	10	100	NorComp Teilenr.
9	Grauer Kunststoff	909U-ND*	2.87	2.48	1.69	982-009-010-031
15		915U-ND	3.98	3.43	2.34	982-015-010-031
25		925U-ND	3.10	2.68	1.82	982-025-010-031
37		937U-ND	3.62	3.13	2.13	982-037-010-031
50		950U-ND	4.33	3.74	2.55	982-050-010-031
9	Abgeschirmter metallisierter Kunststoff	909UA-ND*	5.41	4.67	3.17	982-009-020-121
15		915UA-ND	7.61	6.57	4.47	982-015-020-121
25		925UA-ND	5.86	5.06	3.44	982-025-020-121
37		937UA-ND	9.52	8.22	5.59	982-037-020-121
50		950UA-ND	7.48	6.45	4.39	982-050-020-121

‡ Steckverbindergrösse

* Die Teilenummern 909U-ND und 909UA-ND haben keinen seitlichen Kabelausgang.

Serie 983 — Einfacher Kunststoff oder metallisierter Kunststoff: • Kann als „Gender Changer", als Pinout Changer oder als Standard-Backshell verwendet werden • Rastende Montage • Halbklemme mit Blechschrauben bietet eine formschlüssige Zugentlastung • Verfügbar als einfacher Kunststoff oder metallisiert zur EMI/RFI-Abschirmung

Conn. Size‡	Abmessungen (Zoll) A	B	C	D	Max. Kabeldurchm.
9	1.25	.98	1.92	.65	.27
15	1.56	1.31	1.92	.63	.47
25	2.12	1.85	1.92	.63	.47
37	2.75	2.50	1.92	.63	.47
50	2.75	2.40	1.92	.75	.47

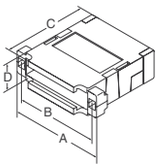

Anz. d. Pins	Typ	Digi-Key Teilenr.	Stückpreis 1	10	100	NorComp Teilenr.
9	Neutral Kunststoff	909P-ND	.96	.83	.57	983-009-010-031
15		915P-ND	1.16	1.01	.69	983-015-010-031
25		925P-ND	1.45	1.25	.85	983-025-010-031
37		937P-ND	2.35	2.04	1.39	983-037-010-031
50		950P-ND	2.48	2.14	1.46	983-050-010-031
9	Metallisiert Kunststoff	909M2-ND	1.46	1.27	.86	983-009-020-121
15		915M2-ND	1.57	1.36	.93	983-015-020-121
25		925M2-ND	2.01	1.73	1.18	983-025-020-121
37		937M2-ND	2.60	2.25	1.53	983-037-020-121
50		950M2-ND	3.19	2.76	1.88	983-050-020-121

‡ Steckverbindergrösse

Nicht leitende Gummitüllensätze: Zur besseren EMI/RFI-Abschirmung und/oder Zugentlastung. Zur Verwendung mit D-Sub-Backshells. **Hinweis:** Tüll-9/25 und Tüll-50 haben vier Tüllen pro Satz und Tüll-37 hat drei pro Satz.

Digi-Key Part No.	Outside Dia. A (Inch)	Inside Diameter B (Inch)			
901G-ND	.400	.185	.248	.290	.335
902G-ND	.620	.320	.410	.500	—
903G-ND	.730	.340	.425	.495	.650

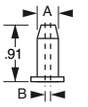

Beschreibung	Digi-Key Teilenr.	Stückpreis 5	25	100	NorComp Teilenr.
DB 9/25 Ösen-Set	901G-ND	.34	.29	.20	162-000-925-000
DB 37 Ösen-Set	902G-ND	.90	.78	.53	162-000-037-000
DB 50 Ösen-Set	903G-ND	1.23	1.06	.72	162-000-050-000

‡ Steckverbindergrösse

Serie 993— 45° Sparversion: • **Material:** Metallisierter Kunststoff und Kunststoff: ABS-Kunststoff für hohe Temperatur, 94HB. Metallisierter Überzug: Chrom. Umfasst Gehäuseschrauben, Gehäusemuttern, 4-40 Flügelschrauben, Zugentlastungsklemmen und Zugentlastungsschrauben.

Conn. Size‡	Abmessungen (Zoll) A	B	C	D	E
9	1.213	.984	1.595	.630	.260
25	2.165	1.852	2.095	.641	.400

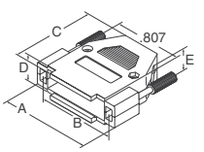

Anz. d. Pins	Typ	Digi-Key Teilenr.	Stückpreis 1	10	100	NorComp Teilenr.
9	Metallisierter Kunststoff	993-09MP45-ND	1.57	1.36	.93	993-009-020-121
25		993-25MP45-ND	1.69	1.46	1.00	993-025-020-121
9	Kunststoff	993-109P45-ND	1.11	.96	.65	993-009-010-031
25		993-125P45-ND	1.23	1.06	.72	993-025-010-031

‡ Steckverbindergrösse

Serie 994 — Druckguss, Ethernet:

• **Material:** Druckgusszinklegierung, vernickelt. Gehäuseschraube und Gehäusemuttern sind enthalten.

Conn. Size‡	Abmessungen (Zoll) A	B	C	D	E	F
9	1.244	.984	1.82	.614	.433	.790
15	1.575	1.312	1.82	.665	.433	1.135
25	2.106	1.852	1.82	.630	.433	1.640

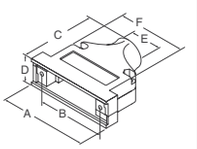

Anz. d. Pins	Typ	Digi-Key Teilenr.	Stückpreis 1	10	100	NorComp Teilenr.
9	Gerade	994-09DC-ND	2.80	2.42	1.65	994-009-030-121
15		994-15DC-ND	3.02	2.61	1.78	994-015-030-121
25		994-25DC-ND	3.34	2.88	1.96	994-025-030-121

‡ Steckverbindergrösse

Serie 112 – Lötkelch mit rechtwinkliger Backshell (Centronics-Typ):

• **Material:** Isolator: Glasgefülltes Thermoplast, nach UL-Standard 94V-0. Kontakte: Kupferlegierung. Gehäuse: Stahl, vernickelt. Kontaktüberzug: vergoldet.

Abb. 1

Abb. 2

Abb. 3

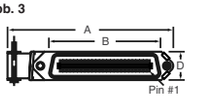

Abb. 4

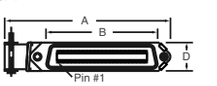

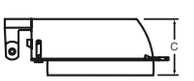

Conn. Size	Dimensions (Inch) A	B	C	D
36	3.178	1.943	1.075	.646
50	3.780	2.538	1.325	.646

Abb.	Anz. d. Pins	Typ	Digi-Key Teilenr.	Stückpreis 1	10	100	NorComp Teilenr.
1	50	Stecker	1550RM-ND	7.78	6.71	4.57	112-050-103-011
2	50	Female#	1550RF-ND	7.78	6.71	4.57	112-050-203-011
3	50	Stecker	1550LM-ND	7.78	6.71	4.57	112-050-103-021
4	50	Female#	1550LF-ND	7.78	6.71	4.57	112-050-203-021

‡ Steckverbindergrösse

Buchsenanschluss

Hardware

Abb. 1

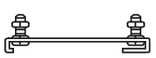

Abb. 2

Abb. 3

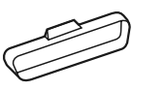

Abb. 4

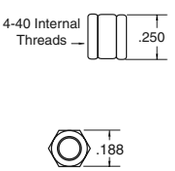

Abb. 5

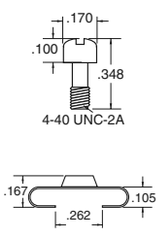

Abb. 6

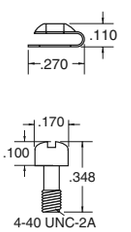

Abb. 7

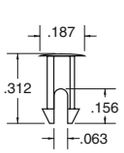

Abb. 8

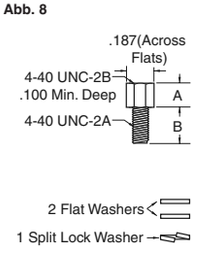

Abb. 9

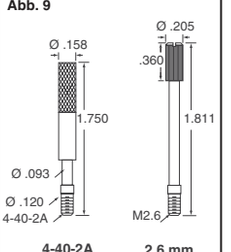

Abb.	Beschreibung	Abm. (Zoll.) A	B	Digi-Key Teilenr.	Stückpreis 1	10	100	NorComp Teilenr.
	Gleitverriegelungsstifte für Ethernet-Hauben (994 Series)							
1	9-Pin, D-Sub oder Ethernet			160-09SL-ND	1.50	1.30	.88	160-009-002-031
	15-Pin, D-Sub oder Ethernet	—	—	T2040-ND	1.09	.95	.65	160-015-003-031
	25-Pin, D-Sub oder Ethernet			160-25SL-ND	1.82	1.57	1.07	160-025-004-031
2	2 Steckverbinder erforderlich	—	—	T2042-ND	1.14/2	.50	.34	160-000-005-041
	Staubabdeckungen							
3	Buchse, 9-Position D-Sub	—	—	909DC-ND	.44	.39	.26	160-000-209-00
	Buchse, 15-Position D-Sub	—	—	915DC-ND	.44	.39	.26	160-000-215-00
	Buchse, 25-Position D-Sub	—	—	925DC-ND	.44	.39	.26	160-000-225-00
	Buchse, 37-Position D-Sub	—	—	160-37F-ND	.52	.45	.31	160-000-237-000
	Buchse, 50-Position D-Sub	—	—	160-50F-ND	.63	.55	.38	160-000-250-000
	Stecker, 9-Position D-Sub	—	—	160-09M-ND	.47	.41	.28	160-000-109-000
	Stecker, 15-Position D-Sub	—	—	160-15M-ND	.47	.41	.28	160-000-115-000
	Stecker, 25-Position D-Sub	—	—	160-25M-ND	.47	.41	.28	160-000-125-000
	Stecker, 37-Position D-Sub	—	—	160-37M-ND	.52	.45	.31	160-000-137-000
	Stecker, 50-Position D-Sub	—	—	160-50M-ND	.63	.55	.38	160-000-150-000
	Staubabdeckungen – abgeschirmt							
3	Buchse, 9-Position D-Sub	—	—	160-209F-ND	2.65	2.29	1.56	160-020-209-000
	Buchse, 15-Position D-Sub	—	—	160-215F-ND	2.78	2.40	1.63	160-020-215-000
	Buchse, 25-Position D-Sub	—	—	160-225F-ND	3.00	2.59	1.76	160-020-225-000
	Stecker, 9-Position D-Sub	—	—	160-209M-ND	2.43	2.10	1.43	160-020-109-000
	Stecker, 15-Position D-Sub	—	—	160-215M-ND	2.31	1.99	1.36	160-020-115-000
	Stecker, 25-Position D-Sub	—	—	160-225M-ND	2.73	2.35	1.60	160-020-125-000
	4-40 Buchsenkupplungsmutter							
4	Messing, Überzug gelb chromatiert	—	—	160-06YC-ND	.21	.13	.09	160-000-006-042
	Messing, Überzug Nickel	—	—	160-06N-ND	.21	.13	.09	160-000-006-032
	4-40 Steckschraubverschluss mit Aufstreifhalterung							
5	Stahl, Überzug Zinn	—	—	160-01MT-ND	.74	.64	.44	160-000-001-051
	Stahl, Überzug gelb chromatiert	—	—	160-01MYC-ND	.69	.60	.41	160-000-001-041
	4-40 Steckschraubverschluss mit Aufsteckhalterung (2 Schrauben, 2 Klammern)							
6	Schraube - Stahl, Verzinnung	—	—	160-02M-ND	.69	.60	.41	160-000-002-051
	Klammer - Edelstahl	—	—					
	Kunststoffklammern zur Befestigung von Steckverbindern an 0,062" Karte							
7	Nylon	—	—	163-01P-ND	.21	.13	.09	163-001-000-000
	4-40 Buchsenschraubverschluss-Bausatz							
8	Stahl, Überzug gelb chromatiert	.187	.312	160-10F-ND	.59	.51	.35	160-000-010-041
	Stahl, Überzug gelb chromatiert	.187	.625	160-11F-ND	.84	.72	.49	160-000-011-041
	Stahl, Überzug gelb chromatiert	.250	.156	160-12F-ND	.69	.60	.41	160-000-012-041
	Stahl, Überzug gelb chromatiert	.197	.197	160-13F-ND	.47	.41	.28	160-000-013-041
	Stahl, Überzug gelb chromatiert	.197	.323	160-15F-ND	.47	.41	.28	160-000-015-041
	Stahl, Überzug gelb chromatiert	.197	.433	160-16F-ND	.54	.47	.32	160-000-016-041
	Stahl, Überzug gelb chromatiert	.197	.520	160-17F-ND	.57	.49	.34	160-000-017-041
	Stahl, Überzug gelb chromatiert	.197	.669	160-18F-ND	.59	.51	.35	160-000-018-041
	4-40 Flügelschraube - Vernickelt, Stahloberfläche							
9	Für Backshells der Serie 977/978/979			160-02TS-ND	.22	.19	.13	160-000-050-031
	2,6-mm-Flügelschraube - Vernickelt, Stahloberfläche							
9	Für Backshells der Serie 970/972			160-03TS-ND	.59	.51	.35	160-000-060-031

T2020-ND Einführungs-/Abziehwerkzeug ..... **7.42 /1**

Alle Preisangaben in Euro und inklusive Zollgebühren.

Modulare „TM“-Steckverbinder

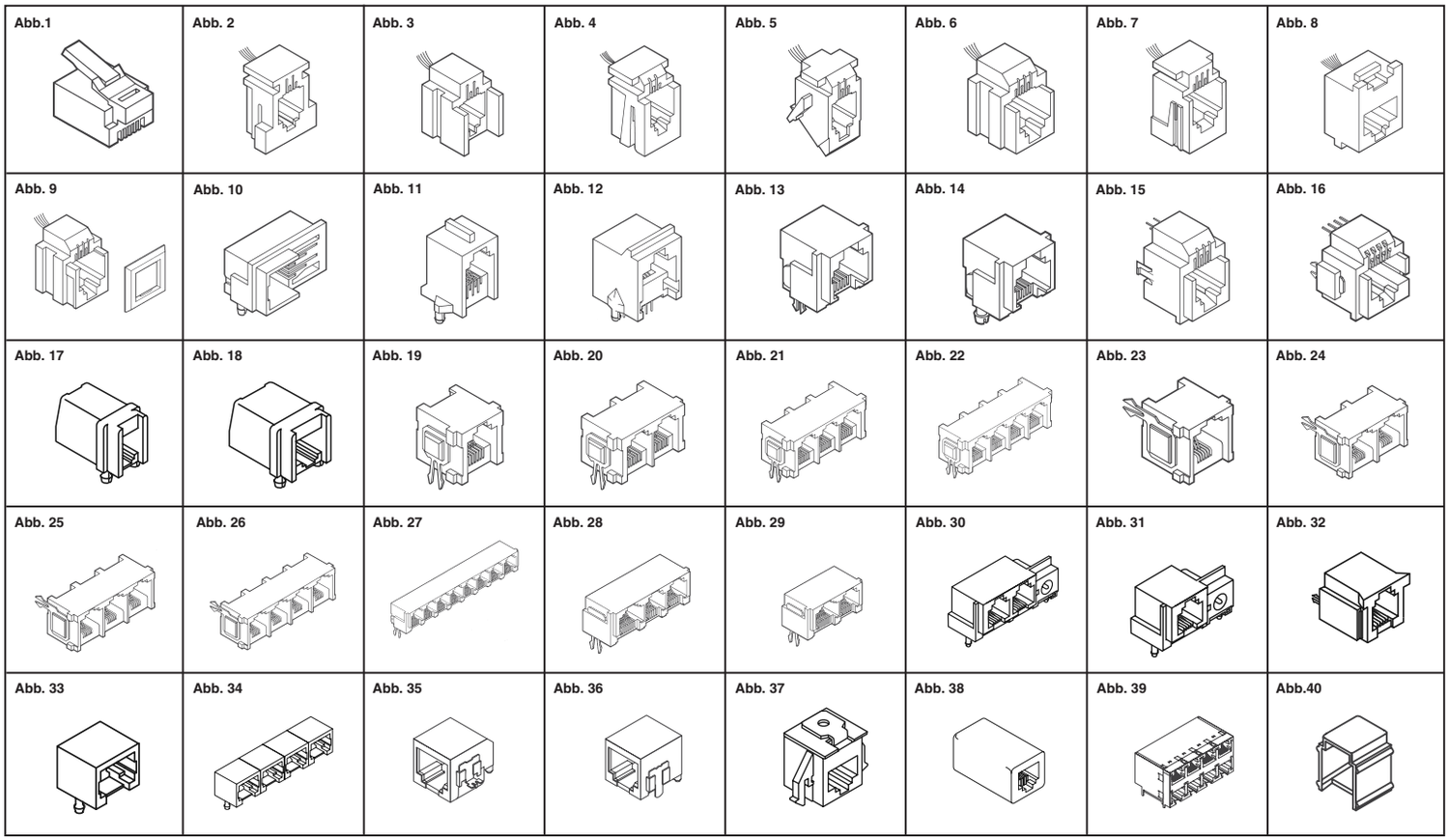

Abb.	Pos. d. Kontakte	Beschreibung	Abmessungen (mm) W	H	D	Digi-Key Teilenr.	Stückpreis 1	10	100	Hirose Teilenr.
Stecker (für IDC-Abschluss mit Flachkabel)										
1	4-4	Stecker	7.7	6.6	13.4	H9091-ND	1.13	.92	.67	TM3P-44P
	6-4		9.7	6.6	13.4	H9092-ND	1.19	.98	.71	TM3P-64P
	6-6		9.7	6.6	13.4	H9093-ND	1.38	1.13	.82	TM3P-66P
	8-8		11.7	6.6	22.5	H9094-ND	1.87	1.56	1.16	TM8P-88P
Buchsen — mit 6" (152,4 mm) Drahtanschlüssen; Farbe: grau										
2	4-4	Steckbuchse	17.5	20.5	10.2	H9001-ND	1.85	1.54	1.14	TM1R-616B44-35S-150
3	4-4		12.4	17.4	14.3	H9002-ND	1.85	1.54	1.14	TM1R-616M44-35S-150A
4	4-4		12.4	21.3	12.5	H9003-ND	6.01	5.09	3.82	TM1R-616P44-35S-150
5	4-4		15.3	20.5	10.2	H9018-ND	2.23	1.86	1.38	TM1R-616W44-4S-150
6	6-4		14.9	18.3	13.7	H9009-ND*	1.96	1.63	1.21	TM1RV-623K64-35S-150
7	6-4	Steckbuchse	12.4	21.4	12.5	H9010-ND*	1.90	1.58	1.17	TM1RV-623P64-35S-150
6	6-6		14.9	18.3	13.7	H9015-ND*	3.32	2.75	2.06	TM1RV-623K66-35S-150
7	6-6		12.4	21.4	12.5	H9016-ND*	2.40	1.99	1.48	TM1RV-623P66-35S-150
8	8-8		16.0	18.4	12.5	H9021-ND*	4.34	3.60	2.70	TM1RV-647AF88-35S150
Buchsen — Plattenmontage mit 6" (152,4 mm) Drahtanschlüssen (Blende inbegriffen); Farbe: braun										
9	6-2	Steckbuchse	14.9	18.3	13.7	H9061-ND	2.53	2.11	1.56	TM2RG-L62-5S-150
	6-4		14.9	18.3	13.7	H9062-ND	3.22	2.67	2.00	TM2RG-L64-5S-150
	6-6		14.9	18.3	13.7	H9063-ND	3.71	3.07	2.31	TM2RG-L66-5S-150
Buchsen — Leiterplatte Platinenmontage; Farbe: Grau										
10	4-4	Steckbuchse	20.0	11.0	10.5	H9031-ND	2.37	1.97	1.46	TM5RF-44
	6-4		24.6	13.0	14.0	H9032-ND	2.29	1.90	1.41	TM5RF-64
	6-6		24.6	13.0	14.0	H9033-ND	2.67	2.22	1.65	TM5RF-66
11	4-4	Steckbuchse	18.0	18.6	14.3	H9041-ND	2.09	1.74	1.29	TM5RC-44
11	6-4		18.0	21.1	14.3	H9042-ND	2.09	1.74	1.29	TM5RC-64
11	6-6		18.0	21.1	14.3	H9043-ND	2.67	2.22	1.65	TM5RC-66(01)
12	8-8		18.1	21.2	17.5	H9044-ND	3.71	3.07	2.31	TM5RC-88
13	4-4	Steckbuchse	12.8	14.0	14.0	H9081-ND	2.51	2.08	1.55	TM5RJ3-44
	6-4	Steckbuchse	14.8	14.0	14.0	H9082-ND	2.09	1.74	1.29	TM5RJ1-64
	6-6	Steckbuchse	14.8	14.0	14.0	H9083-ND	2.45	2.04	1.51	TM5RJ1-66
	8-8	Buchse (getastet)	19.2	14.0	16.0	H9084-ND	2.62	2.18	1.64	TM5RJ1-88
14	6-4	Steckbuchse	14.8	14.0	14.0	H9126-ND	2.09	1.74	1.29	TM5RJ2-64
	6-6	Steckbuchse	14.8	14.0	14.0	H9127-ND	2.59	2.15	1.60	TM5RJ2-66
	8-8	Buchse (getastet)	19.2	14.0	16.0	H9085-ND	2.37	1.97	1.46	TM5RJ-88
	8-8	Buchse (getastet)	18.6	14.0	14.0	H9128-ND	3.39	2.81	2.11	TM5RJ2-88
17	6-2	Steckbuchse	13.0	14.5	18.0	H9122-ND	1.76	1.47	1.09	TM5RE1-62(50)
17	4-4		13.0	14.5	18.0	H9123-ND	2.29	1.90	1.41	TM5RE1-44
17	6-4		15.0	14.5	18.0	H9124-ND	2.09	1.74	1.29	TM5RE1-64
18	6-6		15.0	14.5	18.0	H9125-ND	2.73	2.27	1.68	TM5RE1-66
Steckbuchsen — Leiterplatte, Zugriff von oben Platinenmontage; Farbe: Weiß										
15	4-4	Niedrige Bauform	12.9	18.3	15.0	H9071-ND	2.40	1.99	1.48	TM3RA-44
15	6-4		14.9	18.3	15.0	H9072-ND	2.40	1.99	1.48	TM3RA-64
15	6-6		14.9	18.3	15.0	H9073-ND	2.73	2.27	1.68	TM3RA-66
16	8-8		16.9	18.3	15.0	H9074-ND	4.77	3.95	2.96	TM3RA-88
Steckbuchsen — Leiterplatte Leiterplattenmontage mit verzinnten Haltelaschen; Farbe: Grau										
10	4-4	Leiterplattenmontage	20.0	11.0	10.5	H9034-ND	2.31	1.92	1.43	TM5RF1-44
19	6-2		18.0	15.4	16.0	H9064-ND	2.59	2.15	1.60	TM2REA-0602
19	6-4		18.0	15.4	16.0	H9057-ND	2.83	2.34	1.76	TM2REA-0604
19	6-6		18.0	15.4	16.0	H9058-ND	3.32	2.75	2.06	TM2REA-0606
20	2 x 6-2	Leiterplattenmontage	28.2	15.4	16.0	H9051-ND	3.19	2.65	1.99	TM2REA-1204
20	2 x 6-4	Leiterplattenmontage	28.2	15.4	16.0	H9052-ND	4.17	3.46	2.60	TM2REA-1208
20	2 x 6-6	Leiterplattenmontage	28.2	15.4	16.0	H9065-ND	4.96	4.11	3.08	TM2REA-1212

Abb.	Pos. d. Kontakte	Beschreibung	Abmessungen (mm) W	H	D	Digi-Key Teilenr.	Stückpreis 1	10	100	Hirose Teilenr.
Steckbuchsen — Leiterplatte Leiterplattenmontage mit verzinnten Haltelaschen; Farbe: Grau										
21	3 x 6-2	Leiterplattenmontage	39.2	15.4	16.0	H9053-ND	4.22	3.50	2.63	TM2REA-1806
	3 x 6-4		39.2	15.4	16.0	H9054-ND	5.67	4.70	3.53	TM2REA-1812
	3 x 6-6		39.2	15.4	16.0	H9066-ND	6.82	5.93	4.75	TM2REA-1818
22	4 x 6-2	Leiterplattenmontage	50.2	15.4	16.0	H9055-ND	5.01	4.15	3.11	TM2REA-2408
	4 x 6-4		50.2	15.4	16.0	H9056-ND	6.34	5.37	4.03	TM2REA-2416
	4 x 6-6		50.2	15.4	16.0	H9059-ND	7.13	6.20	4.96	TM2REA-2424
23	6-2	Leiterplatte Eingang von oben	17.2	16.0	15.4	H9110-ND	2.20	1.83	1.36	TM2RE-0602
	6-4		17.2	16.0	15.4	H9111-ND	2.83	2.34	1.76	TM2RE-0604
	6-6		17.2	16.0	15.4	H9112-ND	3.32	2.75	2.06	TM2RE-0606
24	2 x 6-2	Leiterplatte Eingang von oben	28.2	16.0	15.4	H9113-ND	3.19	2.65	1.99	TM2RE-1204
	2 x 6-4		28.2	16.0	15.4	H9114-ND	4.17	3.46	2.60	TM2RE-1208
	2 x 6-6		28.2	16.0	15.4	H9115-ND	4.96	4.11	3.08	TM2RE-1212
25	3 x 6-2	Leiterplatte Eingang von oben	39.2	16.0	15.4	H9116-ND	4.22	3.50	2.63	TM2RE-1806
	3 x 6-4		39.2	16.0	15.4	H9117-ND	5.67	4.70	3.53	TM2RE-1812
	3 x 6-6		39.2	16.0	15.4	H9118-ND	6.36	5.39	4.04	TM2RE-1818
26	4 x 6-2	Leiterplatte Eingang von oben	50.2	16.0	15.4	H9119-ND	5.01	4.15	3.11	TM2RE-2408
	4 x 6-4		50.2	16.0	15.4	H9120-ND	6.34	5.37	4.03	TM2RE-2416
	4 x 6-6		50.2	16.0	15.4	H9121-ND	8.97	7.81	6.25	TM2RE-2424
27	8 x 6-6	Seitenzugang 8 x 6-6	93.0	14.0	14.0	H9086-ND	10.23	9.46	7.93	TM5RJ1-4848
28	3 x 8-8	3 x 8-8	43.3	14.0	14.7	H9075-ND	6.06	5.02	3.77	TM5RSA-2424
28	—	3 x (1) 8-8, (2) 6-6	30	14	13.5	H9076-ND	7.53	6.37	4.78	TM5RQ-2020
29	—	2 x (1) 8-8, (1) 6-6	28	14	13.5	H9077-ND	5.68	4.81	3.61	TM5RQ-1414
30	2 x 6-2	mit Netzstecker	35	15	13.7	H9129-ND	2.58	2.14	1.61	TM5RT-1204PWJ
	2 x 6-2		35	15	13.7	H9130-ND	2.58	2.14	1.61	TM5RT1-1204PWJ
31	6-2	mit Netzstecker	24	15	13.7	H9132-ND	2.40	1.99	1.48	TM5RT1-62PWJ
	6-4		24	15	13.7	H9133-ND	2.65	2.20	1.65	TM5RT1-64PWJ
	6-6		24	15	13.7	H9134-ND	2.83	2.34	1.76	TM5RT1-66PWJ
32	4-4	SMT, Eingang oben	13	17	12.5	H9135-ND	2.23	1.86	1.38	TM15R-44(30)
	6-4		14	17	12.5	H9136-ND	2.59	2.15	1.60	TM15R-64(30)
33	8-8	Steckbuchse	14	11.7	17	H9138-ND	2.84	2.36	1.77	TM5RL-88
34	4 x 8-8		56	11.7	17	H9139-ND	8.67	7.54	6.03	TM5RL-3232
Buchsen — gewinkelt, SMT										
35	6-2	Steckbuchse	13.6	11.3	13.5	H10131-ND	2.84	2.36	1.77	TM18R-62
	6-4		13.6	11.3	13.5	H10132-ND	2.97	2.46	1.85	TM18R-64
	8-8		15.6	11.3	14.5	H10133-ND	4.22	3.50	2.63	TM18R-88
36	6-2	Steckbuchse	13.6	11.3	14.2	H10134-ND	1.90	1.58	1.17	TM18RA-FT-62
	6-2		13.6	11.3	14.2	H10135-ND	2.20	1.83	1.36	TM18RA-IB-62
	6-2		13.6	11.3	13.5	H10136-ND	3.32	2.75	2.06	TM18R-DL-62
	6-2		15.6	12.3	14.5	H10137-ND	3.51	2.91	2.18	TM18R-TO-62
	8-8		15.6	12.3	14.5	H10138-ND	3.63	3.01	2.26	TM18R-TO-88
Modulare „TM“-Steckverbinder										
34	4 x 8-8	mit Lichtleitungen	59.2	15.3	25.9	H9005-ND	12.02	11.32	9.90	TM21R-5A-3232-LP
37	8-8	Wire Lead 12" **	24	20	15	H9140-ND	5.97	5.05	3.79	TM11R-88-35S-300
38	8-8	Adapterbuchse zu Buchse	18.6	17	37.5	H9141-ND	9.43	8.73	7.31	TM5RL-88-JJ
39	8 x 8-8	mit Lichtleitungen	59.2	28	32.5	H10139-ND	17.02	16.45	14.75	TM21R-5B-3232D-LP
Staubabdeckungen für modulare Steckverbinder										
40	6-6	Staubschutz	12	13	8.5	H9007-ND	.52	.42	.31	TM-6-DC
40	8-8	Staubschutz	15.6	13.9	6.5	H9006-ND	.77	.63	.46	TM-8-DC

* 50µ Vergoldung ** Drahtanschluss 12" (304,8 mm)

Alle Preisangaben in Euro und inklusive Zollgebühren.

Modulare Buchsen

Abb. 1

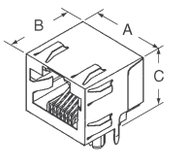

Gehäuse: schwarzes, glasgefülltes Nylon für hohe Temperaturen, UL 94V-0

Kontakt: Gold gemäß FCC 68,5 Spezifikation

Überzug: 1,27 µm (50 µ") min. Gold in Kontakt-bereich und 1,27 µm (50 µ") Zinn/Blei in Litzenbereich; beide überall über Nickel

Temperatur: -40 °C ~ 80 °C

Abb. 2

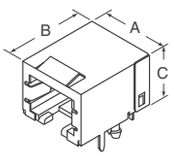

Gehäuse: Schwarzes, glasgefülltes Nylon, UL 94V-0

Kontakt: Phosphorbronze

Überzug: Post-plattiert 1,27 bis 1,52 µm (50 bis 60 µ") Gold im Kontaktbereich, 1,90 µm (75 µ") min. (90/10) Zinn/Blei im Litzenbereich, beide überall über Nickel

Temperatur: -40 °C ~ 80 °C

Abb. 3

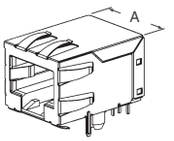

Gehäuse: Schwarzes, glasgefülltes Nylon, UL 94V-0

Kontakt: Phosphorbronze

Überzug: Post-plattiert 1,27 bis 1,52 µm (50 bis 60 µ") Gold im Kontaktbereich, 1,90 µm (75 µ") min. (90/10) Zinn/Blei im Litzenbereich, beide überall über Nickel

Temperatur: -40 °C ~ 80 °C

Abb. 4

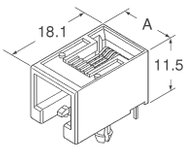

Gehäuse: Schwarzes Polyester, UL 94V-0

Kontakt: Phosphorbronze

Überzug: Post-plattiert 1,27 ~ 1,52 µm (50 ~ 60 µ") Gold im Kontaktbereich, 1,90 µm (75 µ") min. (90/10) Zinn/Blei im Litzenbereich, beide überall über Nickel

Temperatur: -40 °C ~ 80 °C

Abb. 5

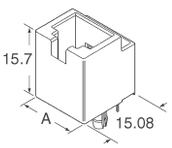

Gehäuse: Graues Polyester, UL 94V-0

Kontakt: Phosphorbronze

Überzug: Post-plattiert 1,27 ~ 1,52 µm (50 ~ 60 µ") Gold im Kontaktbereich, 1,90 µm (75 µ") min. (90/10) Zinn/Blei im Litzenbereich, beide überall über Nickel

Hinweis: Plattenausschnitt SMT aus schwarzem Polyester, UL 94V-0

Temperatur: -40 °C ~ 80 °C

Abb.	Schaltkreise - Kontakte	Abmessungen (mm) A	B	C	Digi-Key Teilenr.	Stückpreis 1	10	100	Molex Teilenr.
Rechtwinklig, Niedrigprofil, mit Lichtröhren geschirmt									
1	8-8	16.38	15.39	13.54	WM1637-ND	3.37	2.74	2.11	43860-0010-TR80
Rechtwinklig, Niedrigprofil, umgekehrt, ungeschirmt									
1	6-4	15.75	15.39	13.21	WM5430-ND	1.34	1.09	.84	43860-0003
	6-6	15.75	15.39	13.21	WM5431-ND	1.57	1.29	.99	43860-0002
	8-8	15.75	15.39	13.21	WM5432-ND	1.70	1.38	1.07	43860-0001
Rechtwinklig, Niedrigprofil, umgekehrter Schirm mit allen Plattenerdungsösen									
1	6-4	16.38	15.39	13.54	WM5433-ND	2.85	2.32	1.79	43860-0015
	6-6	16.38	15.39	13.54	WM5434-ND	2.91	2.37	1.82	43860-0014
	8-8	16.38	15.39	13.54	WM5435-ND	3.03	2.47	1.90	43860-0013
Rechtwinklig, Niedrigprofil, umgekehrter Schirm mit Offset-Plattenerdungsösen									
1	6-4	16.38	15.39	13.54	WM5436-ND	2.85	2.32	1.79	43860-0006
	6-6	16.38	15.39	13.54	WM5437-ND	2.91	2.37	1.82	43860-0005
	8-8	16.38	15.39	13.54	WM5438-ND	3.03	2.47	1.90	43860-0004
Rechtwinklig, Niedrigprofil, ungeschirmt									
2	4-4	11.18	18.03	11.58	WM5439-ND	1.65	1.34	1.04	43202-4101
	6-2	13.21	18.03	11.58	WM5440-ND	1.49	1.22	.94	43202-6107
	6-4	13.21	18.03	11.58	WM5441-ND	1.58	1.29	.99	43202-6105
	6-6	13.21	18.03	11.58	WM5442-ND	1.76	1.44	1.11	43202-6101
	8-4	15.24	18.03	11.58	WM5443-ND	1.75	1.43	1.10	43202-8119
	8-6	15.24	18.03	11.58	WM5444-ND	1.84	1.50	1.15	43202-8116
	8-8	15.24	18.03	11.58	WM5445-ND	1.87	1.53	1.18	43202-8104
	8-10	15.24	18.03	11.58	WM5446-ND	1.91	1.56	1.20	43202-8101
Rechtwinklig, Niedrigprofil									
3	8-8	16.38	—	—	WM1635-ND*	2.91	2.37	1.83	43202-8816-TR80
	8-8	16.38	—	—	WM1636-ND**	2.91	2.37	1.83	43202-8817-TR80

Abb.	Schaltkreise - Kontakte	Schlüssel	Abm. (mm) A	Digi-Key Teilenr.	Stückpreis 1	10	100	Molex Teilenr.
Rechtwinklig, Niedrigprofil								
4	4-4	nein	11.18	WM5410-ND	1.27	1.04	.80	95001-2441
	6-4	nein	13.21	WM5411-ND	1.41	1.14	.88	95001-2641
	6-6	nein	13.21	WM5412-ND	1.47	1.20	.92	95001-2661
	8-8	nein	15.24	WM5414-ND	1.55	1.27	.97	95001-2881
	8-8	ja	15.24	WM5415-ND	2.34	1.90	1.47	95001-2882
Rechtwinklig, Niedrigprofil SMT								
4	4-4	nein	11.18	WM5416-ND	2.21	1.80	1.39	95001-6441
	6-4	nein	13.21	WM5417-ND	2.54	2.07	1.59	95001-6641
	6-6	nein	13.21	WM5418-ND	2.74	2.23	1.72	95001-6661
	8-8	nein	15.24	WM5419-ND	2.94	2.39	1.84	95001-6881
	8-8	ja	15.24	WM5420-ND	3.28	2.67	2.05	95001-6882
Vertikal, Standardprofil mit kleinem Plattenausschnitt								
5	4-4	nein	11.18	WM5421-ND	1.27	1.04	.80	95003-2441
	6-4	nein	13.21	WM5422-ND	1.41	1.14	.88	95003-2641
	6-6	nein	13.21	WM5423-ND	1.47	1.20	.92	95003-2661
	8-8	nein	15.24	WM5424-ND	1.67	1.36	1.05	95003-2881
	8-8	ja	15.24	WM5425-ND	2.17	1.76	1.36	95003-2882
Vertikal, Standardprofil mit kleinem Plattenausschnitt SMT								
5	4-4	nein	11.18	WM5426-ND	1.67	1.36	1.05	95003-6441
	6-4	nein	13.21	WM5427-ND	1.70	1.39	1.07	95003-6641
	6-6	nein	13.21	WM5428-ND	1.80	1.47	1.13	95003-6661
	8-8	nein	15.24	WM5429-ND	1.94	1.58	1.22	95003-6881-TB36

***Keine oberen oder seitlichen Ösen **Obere Ösen

Industrielle Ethernet-Stecker und Klinkenstecker, Kategorie 5E

Spezifikationen:
- Kontakt: Phosphorbronze (CuSn)
- Kontaktüberzug: 1,27 µm (50 µ") Gold (Au)
- Unterplattierung: Nickel (Ni)
- Gehäusematerial: PA-Polyamid (Nylon), PBT-Polyester, TPE Thermoplast-Elastomer
- Farbe: Schwarz
- Entflammbarkeit: UL94 V-0
- Haltbarkeit (Passzyklen): Min. 500 Zyklen
- Strom: Max. 1,5 A
- Spannung: Max. 125 V
- Haltespannung: 1.000 V AC
- Kontaktwiderstand: Max. 20 mΩ
- Isolationswiderstand: Min. 500 MΩ

Abb. 1

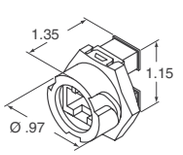

Abb. 2

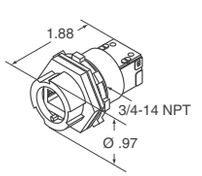

Abb. 3

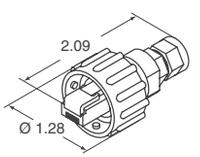

Abb. 4

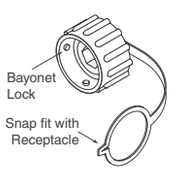

Abb.	Schaltkreise - Kontakte	Beschreibung	Digi-Key Teilenr.	Stückpreis 1	10	100	Molex Teilenr.
1	8-8	Steckbuchse, Plattenmontage	WM17486-ND	23.71	21.35	18.97	84702-0006-P
1	8-8	Steckbuchse, Plattenmontage, voll vergossen	WM17487-ND	20.53	18.48	16.43	84702-0008-P
2	8-8	Steckbuchse, Bulkhead	WM17488-ND	32.49	29.25	26.00	84700-0001-P
3	8-8	Stecker	WM17489-ND	21.68	19.52	17.35	84700-0002-P
4	—	Staubabdeckung für Ethernet-Buchse	WM17490-ND	11.72	10.55	9.38	84700-0003-P
Crimpwerkzeug für Ethernet 8-8			WM17485-ND	29.77	—	—	64016-0045

Alle Preisangaben in Euro und inklusive Zollgebühren.

Modulare Steckverbinder

Abb. 1 — TX MagJack®

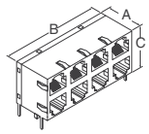

Abb. 2 — Serie SI, 64, 70, 71

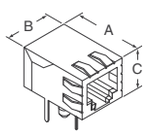

Abb. 3 — Serie SI

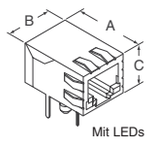

Abb. 4 — Serie 30, 36, 37, 39

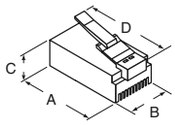

Abb. 5 —Serie 65, 71

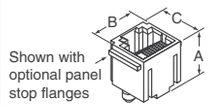

Abb. 6 — Serie 65, 71

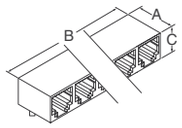

Abb. 7 — Serie 68

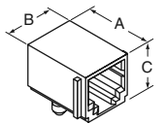

Abb. 8 — Serie 71, SI

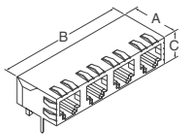

Abb. 9 — Serie 73, SI

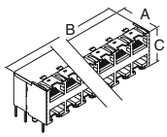

Abb. 10 — Serie 80

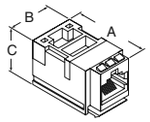

Abb. 11 — Serie SI

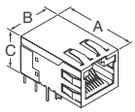

Abb. 12 — Serie SI

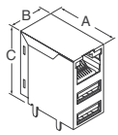

Crimpwerkzeuge und Einsätze

CRIMPWERKZEUG

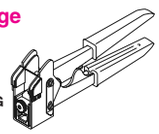

Beschreibung	Digi-Key Teilenr.	Preis pro	Stewart Teilenr.
Hand-Crimpwerkzeug mit Einsatz			
4 Positionen	380-1055-ND	78.73	2990001-01
6 Positionen	380-1056-ND	78.73	2990002-01
8 Positionen	380-1057-ND	78.73	2990003-01
10 Positionen	380-1058-ND	78.73	2990007-01
Einsatz, modular			
4 Positionen	380-1059-ND	15.24	2990004-01
6 Positionen	380-1060-ND	24.13	2990005-01
8 Positionen	380-1061-ND	24.13	2990006-01
10 Positionen	380-1062-ND	24.13	2990008-01

10/100 Base-TX MagJacks: Geschirmter Multi-Port-RJ-45-Steckverbinder mit integrierten 10/100 Magneten. Hoch integriertes und daher platzsparendes Design. Design unterstützt AutoMDIX-Anwendungen. 50 Mikrozoll hart vergoldete Kontakte. UL 94V-0. Betriebstemp: 0 °C – 70 °C.

Serie SI: MagJack Modularbuchsen mit integrierten Magneten. Die MagJack-Steckverbinder der SI-Serie bieten Filterfunktionen für Ihr Hochgeschwindigkeitsnetzwerk und Ihre Telekommunikationsanwendungen. Durch die Integration der Magnetik in den Buchsenkörper verbessern die Hochgeschwindigkeits-MagJack-Steckverbinder Ihr Signal und sparen gleichzeitig Platz auf der Platine.

Hinweis: Stifte ohne elektrische Anschlüsse sind ausgelassen.

Serie 30: Ungeschirmte modulare Stecker bieten eine ausgezeichnete Leistung für Sprach-, Daten- und Hochgeschwindigkeits-Netzwerkanwendungen.

Serie 36: Geschirmte modulare Stecker bieten für Hochgeschwindigkeits-Netzwerkanwendungen eine äußerst zuverlässige Verbindung mit SteckBuchsen. Durch die erstklassigen Abschirmungseigenschaften sind die Stecker der Serie 36 ideal für Umgebungen geeignet, die EMI-Schutz erfordern.

Serie 37: Modulare Stecker der Kategorie 5 sind so ausgelegt, dass sie eine hervorragende Leistung in Hochgeschwindigkeits-Kommunikationsanwendungen bieten. Alle Stecker der Serie 37 verwenden elektropolierte, mit 50 Mikrozoll vergoldeten Kontakten zur Sicherstellung einer zuverlässigen, dauerhaften Leistung.

Serie 39: Der modulare Hochleistungsstecker für modernste Betriebsbereichverdrahtungen.

Serie 64, 65 u. 70: Die Buchsen der Serie 64 und 70 bieten flexible und zuverlässige rechtwinklige Lösungen für Ihre Netzwerkanwendungen.

Serie 66: Unsere umfassende Produktgruppe von einreihigen Harmonikabuchsen bietet geschirmte und ungeschirmte Lösungen für Twisted-Pair-Netzwerkumgebungen. Die Kontakte sind zur Gewährleistung maximaler Effizienz und langer Lebensdauer vollständig umschlossen.

Serie 68: SOF-LOK™-Stifte verwenden Metalllaschen zum festen Verriegeln des Klinkensteckers an der Karte; sehr geringe Stoßeinwirkung. Die Kontakte mit Pogo-Effekt bieten einen gleichmäßigen Druck auf die Lötaugen und absorbieren die Stoßwirkung von wiederholten Steckzyklen zur Gewährleistung einer max. Steckhäufigkeit.

Serie 71: Unsere modularen Hochleistungsbuchsen sind für eine schnelle Installation in Hochgeschwindigkeitsanwendungen konzipiert. Das dem Industriestandard entsprechende Design mit 8 Positionen ist ein leicht auswechselbarer Ersatz für Buchsen der Kategorie 3.

Serie 73: Eine verbesserte Abschirmung bietet einen optimalen Schutz gegen EMI, und unsere speziellen Plattenlaschen sorgen für eine hohe Normalkraft zur Erzielung einer ausgezeichneten Abschirmungsleistung. Die längeren Federn ermöglichen wiederholtes Stecken/Ziehen auf der Platte und verhindern ein Verhaken an der Platte bei zu weitem Einstecken. Die Hochleistungs-StackJack-Steckverbinder wurden für anspruchsvolle Anwendungen der Kategorie 5 entwickelt.

Serie 80: Das robuste Design unserer komplett konfektionierten Klinkenstecker eignet sich ideal für Telekommunikations-, Daten-, mobile und Kopplungsanwendungen. Erhältlich mit integrierter Zugentlastung.

Serie	Abb.	Beschreibung	Pos. d. Kontakte	Abmessungen - Zoll (mm) A	B	C	D	Digi-Key Teilenr.	Stückpreis 1	25	Stewart Teilenr.
MagJack ICMs (Integrierte Steckverbindermodule)											
TX	1	MagJack RJ-45 mit EMI-Abschirmung, 8 Ports, 10/100BT	8-8	1.130 (28.70)	2.330 (59.18)	1.004 (25.50)	—	380-1088-ND	14.63	12.15	0811-2X4R-28
		MagJack RJ-45 mit EMI-Abschirmung, 12 Ports, 10/100BT	8-8	1.130 (28.70)	3.430 (87.12)	1.004 (25.50)	—	380-1089-ND	35.78	29.70	0811-2X6R-28
		MagJack RJ-45 mit EMI-Abschirmung, 16 Ports, 10/100BT	8-8	1.130 (28.70)	4.530 (115.06)	1.004 (25.50)	—	380-1090-ND	47.71	39.61	0811-2X8R-28
SI	2	MagJack RJ45 mit EMI-Abschirmung	8-8	.850 (21.59)	.635 (16.13)	.550 (13.97)	—	380-1077-ND *	3.47	3.26	SI-10021
		MagJack RJ45 mit EMI-Abschirmung, Gleichtaktdrossel	8-8	.850 (21.59)	.635 (16.13)	.550 (13.97)	—	380-1011-ND *	5.47	5.14	SI-20140
	3	MagJack RJ45 mit EMI-Abschirmung, gelbe LED links, grüne rechts	8-8	.850 (21.59)	.635 (16.13)	.550 (13.97)	—	380-1012-ND *	3.74	3.51	SI-40138
		MagJack RJ45 mit EMI-Abschirmung, grüne/gelbe zweifarbige LED auf beiden Seiten	8-8	.850 (21.59)	.635 (16.13)	.550 (13.97)	—	380-1013-ND *	3.74	3.51	SI-40141
	8	MagJack mit EMI-Abschirmung, 2 Ports, 10/100BT, grüne LED	8-8	.828 (21.03)	1.220 (30.99)	.545 (13.84)	—	380-1083-ND *	7.48	7.01	SI-40131
		MagJack mit EMI-Abschirmung, 4 Ports, 10/100BT	8-8	.865 (21.97)	2.354 (59.79)	.545 (13.84)	—	380-1079-ND *	13.19	12.37	SI-10022
		MagJack mit EMI-Abschirmung, 4 Ports, 10/100BT, grüne LED	8-8	.865 (21.97)	2.354 (59.79)	.545 (13.84)	—	380-1084-ND *	14.17	13.29	SI-40144
	9	MagJack mit EMI-Abschirmung, 8 Ports, 10/100BT	8-8	1.103 (28.02)	2.329 (59.16)	1.004 (25.50)	—	380-1080-ND *	18.47	15.34	SI-30005
		MagJack mit EMI-Abschirmung, 12 Ports, 10/100BT	8-8	1.103 (28.02)	3.429 (87.10)	1.004 (25.50)	—	380-1081-ND *	27.70	23.00	SI-30006
		MagJack mit EMI-Abschirmung, 16 Ports, 10/100BT	8-8	1.103 (28.02)	4.529 (115.04)	1.004 (25.50)	—	380-1082-ND *	36.95	30.67	SI-30019
	11	MagJack mit EMI-Abschirmung, 1 Port, 10/100BT, grüne LED	8-8	1.000 (25.40)	.635 (16.13)	.550 (13.97)	—	380-1086-ND *	3.68	3.46	SI-50170
		MagJack mit EMI-Abschirmung, 1 Port, 10/100/1000BT, grüne LED	8-8	1.300 (33.02)	.661 (16.79)	.536 (13.61)	—	380-1085-ND *	10.73	10.06	SI-50080
	12	MagJack Dual-USB mit EMI-Abschirmung, grüne und gelbe LED	—	1.090 (27.69)	.751 (19.07)	1.237 (31.42)	—	380-1091-ND *	4.39	4.12	C893-1AX1-EI
Modulare Steckverbinder											
30	4	Stecker, ungeschirmt, verseilt/massiv	6-2	.525 (13.33)	.380 (9.65)	.260 (6.60)	.534 (13.57)	380-1001-ND	.17	.16	940-SP-3026
		Stecker, Handset, ungeschirmt, verseilt/massiv	4-4	.525 (13.33)	.300 (7.62)	.260 (6.60)	.485 (12.32)	380-1002-ND	.19	.18	940-SP-3044
		Stecker, ungeschirmt, verseilt/massiv	6-4	.525 (13.33)	.380 (9.65)	.260 (6.60)	.534 (13.57)	380-1003-ND	.19	.18	940-SP-3046
		Stecker, ungeschirmt, verseilt/massiv	6-6	.525 (13.33)	.260 (6.60)	.260 (6.60)	.534 (13.57)	380-1004-ND	.22	.21	940-SP-3066
	4	Stecker, ungeschirmt, verseilt/massiv	10-10	.885 (22.48)	.460 (11.68)	312 (7.92)	.622 (15.80)	380-1000-ND	.49	.46	940-SP-301010R
		Stecker, ungeschirmt, verseilt/massiv, Kabel 0,038" (0,965 mm) AD	8-8	.885 (22.48)	.460 (11.68)	312 (7.92)	.622 (15.80)	380-1005-ND	.32	.31	940-SP-3088R
		Stecker, ungeschirmt, verseilt/massiv, Kabel 0,040" (1,02 mm) AD	8-8	.885 (22.48)	.460 (11.68)	312 (7.92)	.622 (15.80)	380-1006-ND	.36	.33	940-SP-3088R-A133
36	4	Stecker, geschirmt, verseilt/massiv	8-8	1.046 (26.57)	.460 (11.68)	.360 (9.14)	—	380-1007-ND	.92	.87	940-SP-360808-A108
37	4	Stecker, CAT-5	8-8	.884 (22.46)	.460 (11.68)	312 (7.92)	.622 (15.80)	380-1008-ND	.41	.39	943-SP-370808M2-A264
		Stecker, CAT-5, geschirmt	8-8	.884 (22.46)	.460 (11.68)	.360 (9.14)	—	380-1009-ND	1.13	1.07	943-SP-370808SM2A264
39	4	Stecker, CAT-6	8-8	.884 (22.46)	.460 (11.68)	312 (7.92)	.622 (15.80)	380-1014-ND	1.76	1.66	SS-39100-002
64	2	Klinkenstecker, ungeschirmt ohne Anschläge	10-10	.815 (20.70)	.605 (15.36)	.505 (12.83)	—	380-1015-ND	.90	.84	SS-641010-NF
		Klinkenstecker, einteiliger Schirm, ohne Anschläge	10-10	.850 (21.59)	.635 (16.13)	.550 (13.97)	—	380-1016-ND	1.49	1.40	SS-641010S-A-NF
		Klinkenstecker, ungeschirmt ohne Anschläge	4-4	.815 (20.70)	.445 (11.30)	.505 (12.83)	—	380-1017-ND	.65	.61	SS-6444-NF
		Klinkenstecker, ungeschirmt ohne Anschläge	6-4	.815 (20.70)	.530 (13.46)	.505 (12.83)	—	380-1018-ND	.79	.74	SS-6446-NF
		Klinkenstecker, ungeschirmt ohne Anschläge	6-6	.815 (20.70)	.530 (13.46)	.505 (12.83)	—	380-1019-ND	.79	.74	SS-6466-NF
		Klinkenstecker, geschirmt ohne Anschläge	6-6	.850 (21.59)	.545 (13.84)	.545 (13.84)	—	380-1020-ND	1.38	1.30	SS-6466S-A-PG4-BA-50
		Klinkenstecker, ungeschirmt mit Anschlägen	8-8	.815 (20.70)	.605 (15.36)	.505 (12.82)	—	380-1021-ND	.73	.69	SS-6488-FLS
		Klinkenstecker, ungeschirmt ohne Anschläge	8-8	.815 (20.70)	.605 (15.36)	.505 (12.82)	—	380-1022-ND	.73	.69	SS-6488-NF
		Klinkenstecker, einteiliger Schirm mit Anschlägen	8-8	.850 (21.59)	.635 (16.13)	.550 (13.97)	—	380-1023-ND	1.33	1.25	SS-6488S-A-FLS
		Klinkenstecker, einteiliger Schirm, ohne Anschläge	8-8	.850 (21.59)	.635 (16.13)	.550 (13.97)	—	380-1024-ND	1.57	1.48	SS-6488S-A-NF
		Klinkenstecker, einteiliger Schirm ohne Anschläge, Standardabschirmung, Erdungsende	8-8	.850 (21.59)	.635 (16.13)	.550 (13.97)	—	380-1025-ND	1.57	1.48	SS-6488S-A-PG4-BA
65	5	Klinkenstecker, ungeschirmt ohne Anschläge	10-8	.650 (16.51)	.615 (15.62)	.627 (15.93)	—	380-1026-ND	.73	.69	SS-650810-A-NF
		Klinkenstecker, einteiliger Schirm mit Anschlägen	10-8	.670 (17.02)	.640 (16.26)	.670 (17.02)	—	380-1027-ND	1.92	1.81	SS-650810S-A-FLS
		Klinkenstecker, einteiliger Schirm, ohne Anschläge	10-8	.670 (17.02)	.640 (16.26)	.670 (17.02)	—	380-1028-ND	1.92	1.81	SS-650810S-A-NF
		Klinkenstecker, ungeschirmt ohne Anschläge	10-10	.650 (16.51)	.615 (15.62)	.627 (15.93)	—	380-1029-ND	1.44	1.35	SS-651010-A-NF
		Klinkenstecker, ungeschirmt ohne Anschläge	4-4	.650 (16.51)	.455 (11.56)	.650 (16.51)	—	380-1030-ND	1.49	1.40	SS-6544-NF
66	6	Klinkenstecker, ungeschirmt, 2 Ports, ohne Anschläge	6-6	.815 (20.70)	.848 (21.54)	.503 (12.78)	—	380-1031-ND	3.14	2.95	SS-666602-NF
		Klinkenstecker, ungeschirmt, 4 Ports, ohne Anschläge	6-6	.815 (20.70)	1.744 (44.30)	.503 (12.78)	—	380-1032-ND	4.17	3.92	SS-666604-NF
		Klinkenstecker, geschirmt, 4 Ports, ohne Anschläge	8-8	.865 (21.97)	2.100 (53.34)	.545 (13.84)	—	380-1035-ND	5.50	5.16	SS-668804S-A-PG4-AC
		Klinkenstecker, ungeschirmt, 6 Ports, ohne Anschläge	6-6	.815 (20.70)	2.640 (67.06)	.503 (12.78)	—	380-1033-ND	9.46	8.87	SS-666606-NF
		Klinkenstecker, ungeschirmt, 4 Ports, ohne Anschläge	8-8	.815 (20.70)	4.300 (109.22)	.523 (13.28)	—	380-1034-ND	2.71	2.54	SS-668804-NF
		Klinkenstecker, geschirmt, 8 Ports, ohne Anschläge	8-8	.865 (21.97)	4.300 (109.22)	.545 (13.84)	—	380-1036-ND	9.51	8.92	SS-668808S-A-PG4-AC
68	7	Klinkenstecker, ungeschirmt mit Anschlägen	6-6	.725 (18.42)	.526 (13.34)	.505 (12.83)	—	380-1037-ND	2.44	2.29	SS6866B-FLS-C40
70	2	Klinkenstecker, ungeschirmt ohne Anschläge	10-8	.712 (18.08)	.600 (15.24)	.453 (11.51)	—	380-1038-ND	.92	.87	SS-700810-NF
		Klinkenstecker, einteiliger Schirm ohne Anschläge, Alternativabschirmung, Erdungsende	10-8	.738 (18.74)	.626 (15.90)	.475 (12.06)	—	380-1039-ND	2.06	1.94	SS-700810S-A-PG4-1-BA
		Klinkenstecker, einteiliger Schirm, ohne Anschläge	10-8	.738 (18.74)	.626 (15.90)	.475 (12.06)	—	380-1040-ND	2.06	1.94	SS-700810S-A-PG4-BA
		Klinkenstecker, ungeschirmt ohne Anschläge	6-2	.712 (18.08)	.525 (13.33)	.453 (11.51)	—	380-1041-ND	1.24	1.17	SS-7026-NF
		Klinkenstecker, ungeschirmt ohne Anschläge	6-4	.712 (18.08)	.525 (13.33)	.453 (11.51)	—	380-1042-ND	1.30	1.22	SS-7046-NF
		Klinkenstecker, ungeschirmt ohne Anschläge	6-6	.712 (18.08)	.525 (13.33)	.453 (11.51)	—	380-1043-ND	1.38	1.30	SS-7066-NF
71	2	Klinkenstecker, ungeschirmt ohne Anschläge	8-8	.815 (20.70)	.605 (15.36)	.505 (12.82)	—	380-1046-ND	.86	.82	SS-7188-NF
		Klinkenstecker, einteiliger Schirm ohne Anschläge, ohne Plattenanschlagflansche	8-8	.815 (20.70)	.605 (15.36)	.505 (12.82)	—	380-1047-ND	1.68	1.58	SS-7188S-A-NF
		Klinkenstecker, einteiliger Schirm ohne Anschläge, Alternativabschirmung, Erdungsende	8-8	.850 (21.59)	.635 (16.13)	.550 (13.97)	—	380-1048-ND	1.68	1.58	SS-7188S-A-PG4-1-BA
		Klinkenstecker, einteiliger Schirm ohne Anschläge, Standardabschirmung, Erdungsende	8-8	.850 (21.59)	.635 (16.13)	.550 (13.97)	—	380-1049-ND	1.68	1.58	SS-7188S-A-PG4-BA
	5	Klinkenstecker, ungeschirmt ohne Anschläge	8-8	.650 (16.51)	.615 (15.62)	.644 (16.36)	—	380-1050-ND	.79	.74	SS-7188V-A-NF
		Klinkenstecker, Standardabschirmung ohne Anschläge	8-8	.670 (17.02)	.640 (16.26)	.670 (17.02)	—	380-1051-ND	2.22	2.09	SS-7188VS-A-NF
	6	Klinkenstecker, einteiliger Schirm, 2 Ports, ohne Anschläge	8-8	.815 (20.70)	1.205 (30.61)	.523 (13.28)	—	380-1044-ND	6.75	6.33	SS-718802S-A-NF
	8	Klinkenstecker, durchgehende Abschirmung, 4 Ports	8-8	.815 (20.70)	2.305 (58.55)	.523 (13.28)	—	380-1045-ND	7.99	7.50	SS-718804S-A-PG4-AC
73	9	Klinkenstecker, geschirmt, 12 Ports, ohne Anschläge	8-8	1.103 (28.02)	3.429 (87.10)	1.004 (25.50)	—	380-1052-ND	14.22	13.34	SS-73100-046
		Klinkenstecker, geschirmt, 16 Ports, ohne Anschläge	8-8	1.103 (28.02)	4.529 (115.04)	1.004 (25.50)	—	380-1053-ND	20.32	19.05	SS-73100-047
80	10	Klinkenstecker, ungeschirmt, komplett konfektioniert	10-8	1.300 (33.02)	.750 (19.05)	.780 (19.81)	—	380-1078-ND	5.28	4.96	SS-800810SB-SP50-040-250

***** ***Hinweis:*** **Stifte ohne elektrische Anschlüsse sind ausgelassen.**

PULSEJACK™ LAN/ Gefilterte Steckverbinder Ethernet, PoE (Power over Ethernet), Gigabit, USB-Optionen

Pulse bietet eine große Auswahl an gefilterten Steckverbindern. Jede Pulsejack-Plattform wurde zur Aufnahme einer Reihe von magnetischen Konfigurationen und anderer interner Komponenten (Gleichtakt-Terminierung) mit vier 75 Ohm Widerständen und HV-Kappe, chipseitigen Pin-outs, Schirmoptionen, USB-Ports und LED-Optionen konzipiert.
Merkmale: • Erfüllt oder übertrifft IEEE 802.3 und ANSI X3.263I Anforderungen • 1.500 Vrms Isolierung • In sich geschlossene Terminierung spart Platz auf der Karte • Patentierte InterLock-Basis-Konstruktion sorgt für hohe Zuverlässigkeit

A

Abb. 1

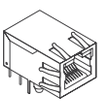

Abb. 2

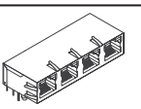

Abb. 3

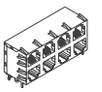

Abb. 4

Anmerkung zur Abb.: Allgemeine Darstellung des Teils; für genaue Anzahl der Ports siehe Spezifikationen.

Abb.	Reihenzahl der X Ports(7)	Ösen-Latch Auf/Ab(1)	EMI-Schirmösen(5)	Auto MDIX	LEDs-L-R(6,8)	Weitere(4) Kompo-nenten	Komm.(15) Pins pro Port (Kartenseite)	Gesamt.(16) Karten-Pins pro Port	Konfiguration(2) TX	Konfiguration(2) RX	Drehungsverhältnis(3) TX	Drehungsverhältnis(3) RX	Paketabmessungen L x B x H (mm)	Digi-Key Teilenr.	Stückpreis 1	Stückpreis 10	Stückpreis 100	Pulse Teilenr.
10/100BASE-TX																		
1	1X1	Abwärts	Ja	Ja	G-G	CMT	7	12	T,C	T,C	1CT:1.414	1CT:1	21.59 x 16.26 x 13.84	553-1236-ND	5.03	3.45	2.74	J0018D21E
	1X1	Abwärts	Ja	Ja	G-Y	CMT(12)	7	12	T,C	T,C	1CT:1	1CT:1	21.59 x 16.26 x 13.84	553-1237-ND	3.39	2.20	1.69	J00-0065
	1X1	Abwärts	Ja	Ja	G-Y	—(13)	8	12	T,C	T,C	1CT:1	1CT:1	21.59 x 16.26 x 13.84	553-1238-ND	4.29	2.94	2.34	J0006D21B
	1X1	Abwärts	Ja	Ja	—	CMT(13)	7	8	T,C	T,C	1CT:1	1CT:1	21.59 x 16.26 x 13.84	553-1239-ND	4.24	2.91	2.31	J0011D21
	1X1	Abwärts	Ja	—	G-Y	CMT(13)	8	12	T,C,S	C,T	1CT:1	1CT:1	21.59 x 16.26 x 13.84	553-1240-ND	5.18	3.55	2.83	J0026D21B
	1X1	Aufwärts	Ja	Ja	Y-G	CMT	7	12	T,C	T,C	1CT:1	1CT:1	25.4 x 16.26 x 13.51	553-1241-ND	4.98	3.41	2.71	J1012F21C
	1X1	Aufwärts	Ja	—	Y-G	CMT	8	12	T,C,S	C,T	1CT:1	1CT:1	25.4 x 16.26 x 13.51	553-1242-ND	5.74	3.93	3.13	J1026F21C
	1X1	Aufwärts	—	Ja	G-Y	CMT	8	12	T,C	T,C	1CT:1	1CT:1	25.4 x 16.26 x 13.51	553-1243-ND	4.98	3.41	2.71	J1011F01P
10/100BASE-TX Multiport																		
2	1X2	Abwärts	Ja	Ja	G-Y	CMT	7	12	T,C	T,C	1CT:1	1CT:1	21.36 x 31.18 x 13.61	553-1244-ND	7.33	5.37	4.45	J8064D628A
	1X4	Abwärts	Ja	Ja	G-Y	CMT	7	12	T,C	T,C	1CT:1	1CT:1	21.36 x 59.12 x 13.61	553-1245-ND	13.12	10.05	8.51	J8064D648A
	1X6	Abwärts	Ja	Ja	G-Y	CMT	7	12	T,C	T,C	1CT:1	1CT:1	21.36 x 87.07 x 13.61	553-1246-ND	21.07	16.14	13.66	J8064D668A
	1X8	Abwärts	Ja	Ja	G-Y	CMT	7	12	T,C	T,C	1CT:1	1CT:1	21.36 x 114.71 x 13.61	553-1247-ND	25.53	20.31	17.50	J8064D688A
10/100BASE-TX doppelreihig, Multiport																		
3	2X2	Beides	Ja	Ja	G-Y	CMT	7	11	T,C	T,C	1CT:1	1CT:1	32.00 x 31.50 x 25.52	553-1248-ND	13.85	10.60	8.98	J20-0013
	2X4	Beides	Ja	Ja	G-Y	CMT	7	11	T,C	T,C	1CT:1	1CT:1	32.00 x 59.44 x 25.52	553-1249-ND	25.17	20.02	17.25	J20-0014
	2X6	Beides	Ja	Ja	—	CMT(13)	7	8	T,C	T,C	1CT:1	1CT:1	28.95 x 87.38 x 25.53	553-1250-ND	36.29	28.87	24.88	J2042H3B
	2X8	Beides	Ja	Ja	G-Y	CMT	7	8	T,C	T,C	1CT:1	1CT:1	32.00 x 115.31 x 25.52	553-1251-ND	50.33	40.04	34.50	J20-0016
Power over Ethernet (PoE) 10/100Base-TX																		
1	1X1	Aufwärts	Ja	Ja	Y/G-G	CMT(9)	9	13	C,T	C,T	1CT:1	1CT:1	33.02 x 16.79 x 13.61	553-1252-ND	8.23	6.02	4.99	JK0-0020
	1X1	Aufwärts	Ja	Ja	Y/G-G	CMT(10)	9	13	C,T	C,T	1CT:1	1CT:1	33.02 x 16.79 x 13.61	553-1253-ND	6.63	4.54	3.61	JK0-0025
Power over Ethernet (PoE) 10/100Base-TX Multiport																		
2	1X2	Aufwärts	Ja	Ja	Y/G-G	CMT(10)	8	12	C,T	C,T	1CT:1	1CT:1	25.40 x 31.19 x 13.84	553-1254-ND	10.78	7.89	6.53	JG0-0031
	1X4	Aufwärts	Ja	Ja	Y/G-G	CMT(10)	8	12	C,T	C,T	1CT:1	1CT:1	25.41 x 59.13 x 13.60	553-1255-ND	19.28	14.76	12.50	JG0-0032
Gigabit (10/100/1000BASE-TX)																		
1	1X1	Aufwärts	Ja	Ja	G-G	Gigabit(11)	12	16	Gigabit	Gigabit	1CT:1	1CT:1	33.02 x 16.79 x 13.87	553-1256-ND	6.63	4.54	3.61	JK0-0014
	1X1	Aufwärts	Ja	Ja	Y/G-G	Gigabit(11)	12	16	Gigabit	Gigabit	1CT:1	1CT:1	33.02 x 16.79 x 13.87	553-1257-ND	6.63	4.54	3.61	JK0-0016
	1X1	Aufwärts	Ja	Ja	—	Gigabit(11)	12	12	Gigabit	Gigabit	1CT:1	1CT:1	33.02 x 16.79 x 13.87	553-1258-ND	6.37	4.37	3.47	JK0-0017
Gigabit (10/100/1000BASE-T) Multiport																		
2	1X2	Aufwärts	Ja	Ja	G-G(14)	Gigabit(11)	10	14	Gigabit	Gigabit	1CT:1	1CT:1	25.40 x 31.19 x 13.84	553-1259-ND	10.78	7.89	6.53	JG0-0023
	1X4	Aufwärts	Ja	Ja	G-G(14)	Gigabit(11)	10	14	Gigabit	Gigabit	1CT:1	1CT:1	25.40 x 59.39 x 13.84	553-1260-ND	19.28	14.76	12.50	JG0-0025
	1X6	Aufwärts	Ja	Ja	G-G	Gigabit(12)	10	14	Gigabit	Gigabit	1CT:1	1CT:1	25.41 x 87.33 x 13.84	553-1261-ND	26.28	20.91	18.02	JG0-0027
	1X8	Aufwärts	Ja	Ja	G-G	Gigabit(11)	10	14	Gigabit	Gigabit	1CT:1	1CT:1	25.40 x 115.27 x 13.84	553-1262-ND	35.04	27.88	24.02	JG0-0028
Gigabit (10/100/1000BASE-T) doppelreihig, Multiport																		
3	2X4	Beides	Ja	Ja	—	Gigabit(11)	10	10	Gigabit	Gigabit	1CT:1	1CT:1	28.95 x 59.44 x 25.52	553-1306-ND	32.53	25.89	22.30	JC0-0131
	2X6	Beides	Ja	Ja	—	Gigabit(11)	10	10	Gigabit	Gigabit	1CT:1	1CT:1	28.95 x 87.38 x 25.52	553-1307-ND	43.90	36.38	33.45	JC0-0132
	2X8	Beides	Ja	Ja	—	Gigabit(11)	10	10	Gigabit	Gigabit	1CT:1	1CT:1	28.95 x 115.32 x 25.52	553-1308-ND	58.54	48.50	44.60	JC0-0133
Combo 10/100BASE-TX / Dual USB 2.0 Typ A, SteckBuchsen-Ports																		
4	1X1 w/2USB	Aufwärts	—	—	G-Y(6 (R))	CMT	—	—	T,C,S	C,T	1CT:1	1CT:1	27.69 x 19.08 x 31.45	553-1266-ND	7.11	4.87	3.88	JW0-0009
	1X1 w/2USB	Aufwärts	Ja	—	G/O-Y	CMT	—	—	T,C,S	C,T	1CT:1	1CT:1	26.09 x 17.09 x 29.72	553-1267-ND	7.11	4.87	3.88	JY0-0016
	1X1 w/2USB	Aufwärts	—	Ja	G/Y-G	Gigabit	—	—	Gigabit	Gigabit	1CT:1	1CT:1	27.43 x 18.82 x 31.00	553-1268-ND	7.37	5.40	4.47	JW0-0006

KEY (1) Öse abw. = Drückersperre zeigt abwärts zur Karte; Öse aufw. = Drückersperre zeigt von der Karte weg

(2) Magnetics = Chip (PHY) an Kabel (Media) Seite: T=Transformator, C = Gleichtakt-Choke, S = Shunt-Induktor

(3) Drehungsverhältnis = Chip (PHY) an Kabel (Media) Seite

(4) CMT (Gleichtaktmodus-Terminierung) mit HV-Kappe im Steckverbinder; kein zusätzlicher Kartenplatz erforderlich

(5) EMI-Ösen = Außen am Schirm zum Anschluss an Frontplatte

(6) LEDs verlangen externe 5 V Quelle und 250 Ω externe Widerstände („R") = 250 Ω interner Widerstand ist eingebaut

(7) Anmerkung: Beispiel: 1X4 = 1 Reihe/4 Spalten oder 2X4 = 2 Reihen/4 Spalten

(8) LEDs: L-R = Links - Rechts : G = grün, Y = gelb; „—" = keine; Bicolor : G/O = Grün/Orange, Y/G = Gelb/Grün, G/Y = Grün/Gelb

(9) Inklusive ESE-Überspannungsschutzdioden

(10) Liefert typischerweise 2 kV Spannungsisolierung, konform mit IEEE 802,3af PoE-Norm

(11) Schließt Gigabit kompatibler Magnetics ein

(12) Integrierter BST-Schaltkreis = Kondensator-Widerstandt-erminierungs-Schaltkreis

(13) Verschiedener elektrischer Anschluss (Siehe Datenblatt für mehr Informationen)

(14) PoE = Power over Ethernet kompatibles Produkt, konform mit IEEE 802,3af Norm; bietet min. 1,5 kV Isolierung

(15) Zahl der Kartenanschlüsse, die zur RJ-45-Steckverbinder-Kommunikation zum PHY/IC Chip erforderlich sind

(16) Gesamtzahl der Karten-Pins für Kartenlayout, inkl. LED-Option

Excelsus DSL (CPE) Filter

Diese CPE-Filter (Customer Premises Equipment) wurden zur Beschleunigung des Services und Verbesserung der Leistung von DSL (Digital Subscriber Line) und Telefonnetzwerkservices über herkömmlichen Telefonservice (POTS) entwickelt. Das Filterdesign sorgt für die elektronische Isolierung der HS-DSL- und HPN-Datenströme von den Voice-band POTS, um erstklassige Qualität und optimale DSL- und HPN-Datenraten zu bieten.

Z-230PJ, preiswerter Einzelleitungs-DSL-Filter

- Filtert ein Telefon oder mehrere Telefone, die einen Klinkenstecker teilen
- Kompaktes Inline-Design - passt in jede Standard-TelefonBuchse
- Blockiert und isoliert DSL/HPN von Telefongeräten
- Unterstützt G. lite, G.dmt ADSL, V.90, Caller ID und Metallschleifentests
- Erfüllt die Anforderungen von und ist registriert bei FCC, UL, CE, CSA und T1E1

Abb. 1

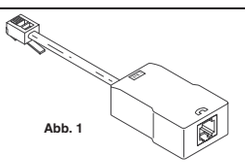

Z-230PJ, preiswerter Einzelleitungs-Telefon/DSL-Filter

- Bietet separate SteckBuchsen für Telefon und DSL/HPN
- Kompaktes Inline-Design - passt in jede Standard-TelefonBuchse
- Filtert ein Telefon oder mehrere Telefone, die einen Klinkenstecker teilen
- Blockiert und isoliert DSL/HPN von Telefongeräten
- Unterstützt G. lite, G.dmt ADSL, V.90, Caller ID und Metallschleifentests
- Erfüllt die Anforderungen von und ist registriert bei FCC, UL, CE, CSA und T1E1

Abb. 2

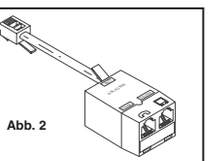

Dual-Line DSL-Filter

- Filtert ein Telefon oder mehrere Telefone, die eine Buchse auf Leitung 1 und Leitung 2 teilen
- Bietet separate SteckBuchsen für Telefon und DSL/HPN
- Blockiert und isoliert DSL/HPN von Telefongeräten
- Unterstützt G. lite, G. lite, G.dmt ADSL, V.90, Caller ID und Metallschleifentests
- Erfüllt die Anforderungen von und ist registriert bei FCC, CS03, UL, CE und CSA
- Kompaktes Inline-Design - passt in jede Standard-TelefonBuchse
- Design zur Wandmontage - schnappt in vorhandenen Wandanschluss

Abb. 3A

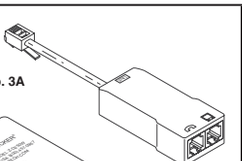

Abb. 3B

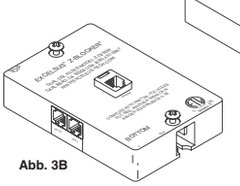

ANSI Einzelleitungs-DSL-Filter

- Erfüllt ANSI T1.421 bzgl. Sprachqualität und Leistung
- Filtert ein Telefon oder mehrere Telefone, die einen Klinkenstecker teilen
- Blockiert und isoliert DSL/HPN von Telefongeräten
- Ideal zum Blockieren von RF-Störung von SL/HPN zwecks ununterbrochenem Datenfluss
- Kompatibel mit ADSL, ADSL2, ADSL2+, ADSL2++, ADSLQ+ (Analogmodus) und VDSL
- Unterstützt G. lite, G.dmt ADSL, V.90, Caller ID und Metallschleifentests
- Erfüllt die Anforderungen von und ist registriert bei FCC, UL, CE und CSA
- Kompaktes Inline-Design - passt in jede Standard-TelefonBuchse
- Design zur Wandmontage - schnappt in vorhandenen Wandanschluss

Abb. 4A

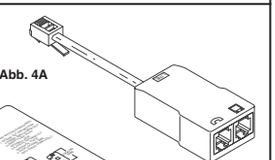

Abb. 4B

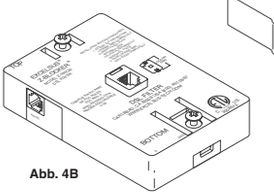

Abb.	Beschreibung	Digi-Key Teilenr.	Stückpreis 1	Stückpreis 25	Stückpreis 50	Pulse Teilenr.
1	Einf. Inline-DSL-Filter	553-1183-ND	2.39	1.41	1.27	Z-230PJ
2	Einf. Inline-Telefon/DSL-Filter	553-1184-ND	3.23	1.99	1.86	Z-230TJ
3	Zweif. Inline-Filter	553-1187-ND	3.56	2.19	2.05	Z-D250P2J
3	Zweif. Leitung, Wandmontage	553-1188-ND	5.71	3.52	3.30	Z-D250W
4	Einf. ANSI-Inline-Filter	553-1185-ND	3.36	1.99	1.79	Z-330P2J
4	Einf. ANSI-Filter, Wandmontage	553-1186-ND	5.54	3.41	3.20	Z-330CW

Alle Preisangaben in Euro und inklusive Zollgebühren.

TOSHIBA Faseroptische Empfangs- und Sendemodule

Abm. in mm

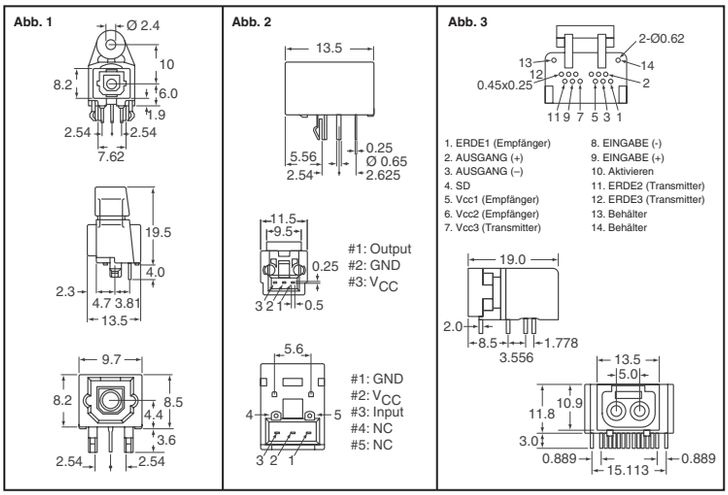

Abb.	Min./max. Versorgungs-spannung (Vcc)	Daten-rate Mb/s	Stromverbrauch (mA)	Eingangs-spannung hoch/niedrig	Digi-Key Teilenr.	Stückpreis 1	10	100	Toshiba Teilenr.
					Transmitter				
1	2.7/3.6	15	15	2.1/0.9	TOTX141-ND *	3.89	3.11	2.42	TOTX141
1	2.7/3.6	15	15	2.1/0.9	TOTX141L-ND#	4.19	3.36	2.61	TOTX141L
2	2.7/3.6	15	15	2.1/0.9	TOTX141P-ND	4.03	3.22	2.51	TOTX141P
1	2.7/3.6	25	15	2.1/0.9	TOTX142L-ND#	4.24	3.39	2.87	TOTX142L
1	2.7/3.6	15	8	2.1/0.9	TOTX147L-ND#	1.27	1.02	.77	TOTX147L(F,T,)
1	4.75/5.25	15	8	2.0/0.8	TOTX177L-ND#	1.27	1.02	.77	TOTX177L(F,T)
1	4.75/5.25	12.8	15	2.0/0.8	TOTX179-ND *	3.11	2.49	1.94	TOTX179
1	4.75/5.25	12.8	15	2.0/0.8	TOTX179L-ND#	3.29	2.64	2.06	TOTX179L
2	4.75/5.25	12.8	15	2.0/0.8	TOTX179P-ND	3.49	2.79	2.17	TOTX179P
					Empfänger				
	2.7/3.6	15	10	2.1/0.4	TORX141-ND	4.33	3.47	2.70	TORX141
	2.7/3.6	15	10	2.1/0.4	TORX141L-ND#	4.57	3.66	2.85	TORX141L
1	2.7/3.6	25	10	2.1/0.4	TORX142L-ND#	4.74	3.80	3.20	TORX142L
	4.75/5.25	12.8	22	3.6/.04	TORX179-ND	3.89	3.11	2.42	TORX179
	4.75/5.25	12.8	22	3.6/.04	TORX179L-ND#	4.08	3.27	2.54	TORX179L
					Transceiver				
3	3/3.6	250	40(T)/35(R)	—	TODX2402(F)-ND	22.86	21.34	19.82	TODX2402(F)

* Pin-Belegung: 1) Erde, 2) Vcc, 3) Eingang # mit Verschluss

SHARP MICROELECTRONICS Faseroptik

Abm. in mm

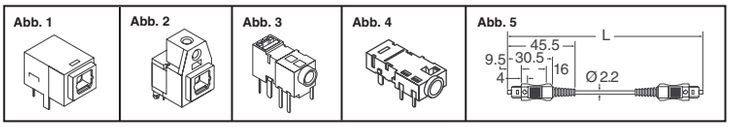

Sender und Empfänger

Abb.	Vcc Typ. (V)	ViH min. (V)	ViL max. (V)	VoH min. (V)	VoL max. (V)	Spitzen-Wellen-länge (nm) typ.	Betriebstrans-ferrate (Mbps) max.	Digi-Key Teilenr.	Rohr pro Stückpreis 1	10	100	Sharp Teilenr.
						Transmitter						
1	5	3.8	1.3	—	—	660	13.2	425-1896-5-ND	1.76	1.41	1.16	GP1FM513TZ
	5	2.9	1.3	—	—	660	13.2	425-1898-ND†	1.38	1.11	.91	GP1FP513TK
2	5	2.1	0.8	—	—	660	13.2	425-1101-5-ND	1.48	1.19	.98	GP1FA551TZ
	5	2.1	0.8	—	—	660	13.2	425-1858-ND#	1.46	1.17	.97	GP1FA512TZ
	3	2.3	0.8	—	—	660	15.5	425-1890-5-ND#	1.31	1.05	.87	GP1FA313TZ
	5	2.0	0.8	—	—	660	13.2	425-1894-5-ND#	1.23	.99	.82	GP1FA514TZ
						Empfänger						
1	5	—	—	2.7	0.5	700	13.2	425-1895-5-ND	2.06	1.65	1.36	P1FM513RZ
	5	—	—	2.7	0.5	700	13.2	425-1897-ND†	1.52	1.22	1.01	GP1FP513RK
2	3	—	—	2.1	0.5	700	15.5	425-1889-5-ND#	1.25	1.00	.83	GP1FA313RZ
	3	—	—	2.1	0.5	700	15.5	425-1891-5-ND	1.21	.97	.80	GP1FA352RZ
	5	—	—	2.7	0.5	700	13.2	425-1893-5-ND#	1.59	1.27	1.05	GP1FA513RZ
3	5	—	—	2.7	0.4	700	8	425-1110-ND†	2.74	2.26	1.83	GP1FE500RK

Mini-Buchse für Digital-Audio (elektrische und optische Übertragung)

Abb.	Vcc (V)	Spitzen-Wellenlänge (nm) typ.	Betriebstrans-ferrate (Mbps) max.	Digi-Key Teilenr.	Gurtabschnittspreis pro Stück 1	10	100	Gegurtet auf Rolle 1,000	Sharp Teilenr.
				Transmitter					
4	2.7 – 3.6	660	8	425-1113-1-ND*	2.05	1.80	1.44	1296.87	GP1FD310TP
				Empfänger					
4	2.3 – 2.8	700	8	425-1114-1-ND*	2.47	2.17	1.74	1564.82	GP1FD210RP

Kabel

Abb.	L (Meter)	Digi-Key Teilenr.	Stückpreis 1	10	100	Sharp Teilenr.
5	0.6	425-1802-ND	4.58	3.77	2.87	GP1C331A
	2.0	425-1803-ND	6.66	5.49	4.17	GP1C332
	5.0	425-1804-ND	10.73	8.83	6.71	GP1C335

* Für Gegurtet auf Rolle die Teilenr. von 1-ND in 2-ND ändern. † Tablett (kein Rohr) # mit Verschluss

INDUSTRIAL FIBER OPTICS, INC. Faseroptik-LEDS und Detektoren

Faseroptik-Gruppe preisgünstiger Mittelfrequenz-, Kurzabstandsfaseroptik-LEDs und Fotodetektoren mit folgenden Merkmalen: • Anschlussfreie Schnittstelle • Kein optisches Design erforderlich • Einfacher Faseranschluss und einfache Verbindung.

Jede LED und jeder Detektor besteht aus einem PBT-Paket, einem internen aktiven Element, wie z.B. einer LED oder einem Fotodetektor, und einer Cinch-Mutter, um die Faser festzuhalten. Das PBT-Paket enthält das aktive Element und die Cinch-Mutter, um die Verbindung von aktivem Element und umhüllter 1.000 µm Kunststofffaser zu optimieren.

Gemeinsame Zulassungen: Max. Zulassungen und Eigenschaften (T_A= 25 °C): Betriebs- und Lagertemperaturbereich (T_{OP}, T_{STG}): -40 °C ~ 85°C . Unterbelastung über 25 °C: 1,33 mW/°C.

Faseroptik-steckverbinder

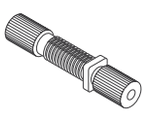

Dieser Mehrzweck-Steckverbinder ist für umhüllte Kunststofffaser mit 1 mm Kern konzipiert. Er verwendet dieselben Cinch-Muttern, Ausrichtungsprinzipien und Schnellanschlüsse, um die herkömmlichsten Anforderungen für das Verbinden von zwei Fasern zu erfüllen.

FB139-ND **12.70**

Beschreibung	Sperr-spannung V_R	Verlustleistung P_{TOT} T_A=25°C	Vorwärtsstrom DC I_F	Anstiegs- u. Abfallzeit tr,tf †	Typ. Fotosensitivität PEAK	Typ. Ausgangsleistung gekoppelt*	Digi-Key Teilenr.	Stückpreis	IFO Teilenr.
Kunststoff-Faseroptik, Infrarot-LED	3.0V	1P00mW	50mA	1.0/1.0 µs	950nm	100µW	FB118-ND	2.95	IF-E91A
Kunststoff-Faseroptik 100 Mbps Infrarot-LED	3.0V	60mW	60mA	7.0/7.0 ns	870nm	300µW	FB134-ND	4.44	IF-E91D
Kunststoff-Faseroptik, blaue LED	5.0V	60mW	35mA	0.5/0.5 µs	430nm	25µW	FB125-ND	12.17	IF-E92A
Kunststoff-Faseroptik, blaue LED	5.0V	60mW	35mA	0.6/0.6 µs	470nm	75µW	FB126-ND	12.17	IF-E92B
Kunststoff-Faseroptik, grüne LED	5.0V	60mW	35mA	3.5/16 ns	530nm	75µW	FB127-ND	9.00	IF-E93
Kunststoff-Faseroptik, rote LED	5.0V	60mW	35mA	0.1/0.1 µs	660nm	<50µW	FB128-ND	4.13	IF-E96
Kunststoff-Faseroptik, superhelle LED	5.0V	100mW	40mA	0.5/0.5 µs	660nm	<100µW	FB129-ND	5.50	IF-E97
Kunststoff-Faseroptik 50 Mbps, rote LED	5.0V	100mW	40mA	8.0/8.0 ns	650nm	>100µW	FB135-ND	11.85	IF-E98
Kunststoff-Faseroptik 155 Mbps, rote LED	5.0V	100mW	40mA	—	650nm	-1.5µW	FB136-ND	31.75	IF-E99

Beschreibung	Anstiegs- u. Abfallszeit tr, tf †	Gesamtkapazität CT	Dunkelstrom (VR=30 Volts, EE=0) ID	Rückwärts-Durchbruchspannung B(BR)R	Max. Fotosensitivität PEAK	Verlustleistung P_{TOT}	Digi-Key Teilenr.	Stückpreis	IFO Teilenr.
Aktive Fotodiode	5/5 ns	4pF	<60nA	60.0V	880nm	100mW	FB120-ND	3.54	IF-D91

Beschreibung	Anstiegs- u. Abfallszeit tr, tf †	Kollektor-EmitterSpannung VCEO	Emitter-KollektorSpannung VECO	Kollektorstrom IC	Kollektor-Spitzenstrom ICM t=1 ms	Max. Fotosensitivität PEAK	Digi-Key Teilenr.	Stückpreis	IFO Teilenr.
Aktiver Fototransistor	20/20 µs	30.0V	5.0V	50mA	100mA	870nm	FB121-ND	3.09	IF-D92
Aktiver Fotodarlington	5/2.5 ms	15.0V	5.0V	50mA	100mA	850nm	FB122-ND	4.78	IF-D93

Beschreibung	Anstiegs- u. Abfallszeit tr, tf	Versorgungs-spannungen VS	Spannung @ Ausgangsanschluss	Ausbreitungsver-zögerung tP	Max. Fotosensitivität PEAK	Verlustleistung P_{TOT}	Digi-Key Teilenr.	Stückpreis	IFO Teilenr.
Fotologischer Detektor mit Totempfahl-Ausgang	70/70 ns	18.0V	—	8 µs	800nm	100mW	FB123-ND	5.55	IF-D95T
Fotologischer Detektor mit offenem Kollektor-Ausgang	0.1/0.1 µs	18.0V	35.0V	8 µs	800nm	100mW	FB124-ND	5.55	IF-D950C
Fotologischer Detektor mit offenem Kollektor-Ausgang	—	7.0V	18.0V	65 ns	850nm	40mW	FB132-ND	9.00	IF-D96
Fotologischer Detektor mit Totempfahl-Ausgang	0.1/0.1 µs	7.0V	—	12 ns	800nm	100mW	FB133-ND	15.87	IF-D97
Fotologischer Detektor mit Totempfahl-Ausgang	3/3 ns	7.0V	3.4V	3.5 ns	1050nm	250mW	FB137-ND	26.24	IF-D98

† Anstiegs- und Abfallzeiten jeweils von den 10-%- bis 90-%- bis 10-%-Punkten gemessen. * In Plastikfaser (1 mm Kerndurchmesser) Abstand zwischen Linse und Faser <0,1 mm, 10 cm polierte Faser, IF=10 mA

HINWEIS: Verwenden Sie Faseroptikkabel, Digi-Key Teilenr. A1700-X-ND (X = 5, 10, 15, 25, 50 oder 100 m).

Abmessungen in mm

A

Abb. 1 LM 3,5/90

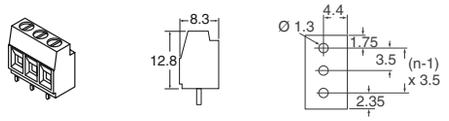

Spezifikationen:
• Schraubklemme • UL: 300 V @ 10 A • 14 AWG • Stiftlänge: 4,5 mm

Abb. 2 LM 3,5/135

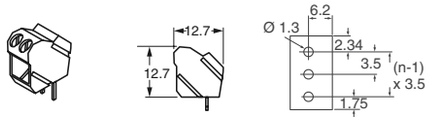

Spezifikationen:
• Schraubklemme • UL: 300 V @ 10 A • 14 AWG • Stiftlänge: 4,5 mm

Abb. 3 LM2N 3,5/90

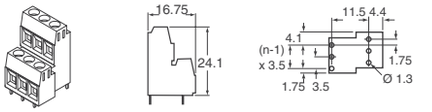

Spezifikationen:
• Schraubklemme • UL: 300 V @ 10 A • 14 AWG • Stiftlänge: 4,5 mm

Abb. 4 LM 5,00/90

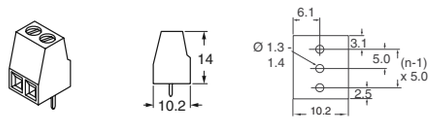

Spezifikationen:
• Schraubklemme • UL: 300V @ 10A • 12AWG • Stiftlänge: 3,5 mm

Abb. 5 LM 5,00/135

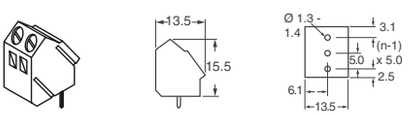

Spezifikationen:
• Schraubklemme • UL: 300V @ 10A • 12AWG • Stiftlänge: 3,5 mm

Abb. 6 LP 5,00/90

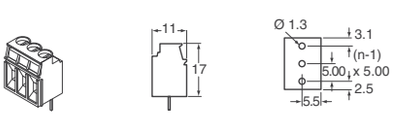

Spezifikationen:
• Schraubklemme • UL: 300V @ 15A • 12AWG • Stiftlänge: 4,5mm

Abb. 7 LP 5,00/135

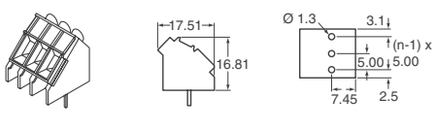

Spezifikationen:
• Schraubklemme • UL: 300V @ 15A • 12AWG • Stiftlänge: 4,5mm

Abb. 8 LP 2N/5,00

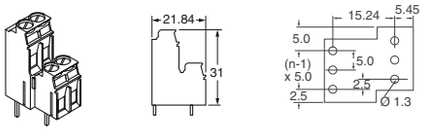

Spezifikationen:
• Schraubklemme • UL: 300V @ 15A • 12AWG • Stiftlänge: 4,5mm

Abb. 9 LPP 5,00/90

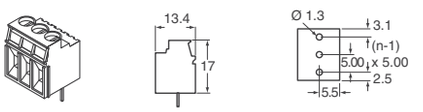

Spezifikationen:
• Schraubklemme • UL: 300V @ 15A • 12AWG • Stiftlänge: 4,5mm • Test Point

Abb. 10 LM 5,08/90

Spezifikationen:
• Schraubklemme • UL: 300V @ 10A • 12AWG • Stiftlänge: 3,5mm

Abb. 11 LM 5,08/135

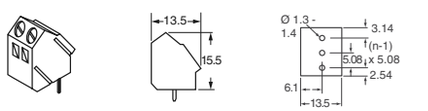

Spezifikationen:
• Schraubklemme • UL: 300V @ 10A • 12AWG • Stiftlänge: 3,5mm

Abb. 12 LM 5,08/180

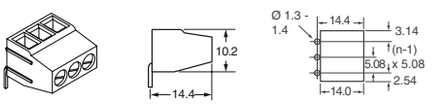

Spezifikationen:
• Schraubklemme • UL: 300V @ 10A • 12AWG • Stiftlänge: 3,5mm

Abb. 13 LM2N 5,08/90

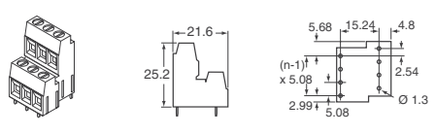

Spezifikationen:
• Schraubklemme • UL: 300V @ 10A • 12AWG • Stiftlänge: 3,5mm

Abb. 14 LM3R 5,08/90

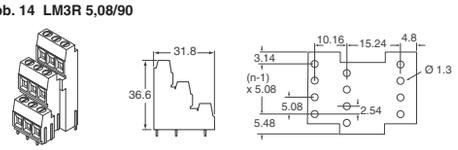

Spezifikationen:
• Schraubklemme • UL: 300V @ 10A • 12AWG • Stiftlänge: 3,5mm

Abb. 15 LP 5,08/90

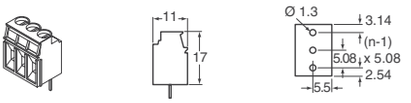

Spezifikationen:
• Schraubklemme • UL: 300V @ 15A • 12AWG • Stiftlänge: 4,5mm

Abb.	Anz. der Pole	Farbe	Digi-Key Teilenr.	Stückpreis 1	10	100	Weidmüller Teilenr.
			3,5 mm Stiftabstand - PCB-Anschlussblöcke				
1	2	Schwarz	281-1400-ND	.68	.61	.54	1699670000
	3		281-1401-ND	1.02	.92	.82	1699680000
	4		281-1402-ND	1.42	1.28	1.14	996770
	6		281-1403-ND	2.12	1.91	1.70	996772
	8		281-1404-ND	2.82	2.54	2.26	996774
	10		281-1405-ND	3.55	3.19	2.84	996776
	12		281-1406-ND	4.24	3.82	3.40	996778
2	2	Schwarz	281-1407-ND	.80	.72	.64	1715010000
	3		281-1408-ND	1.19	1.08	.96	1715050000
	4		281-1409-ND	1.59	1.43	1.27	999568
	6		281-1410-ND	2.36	2.13	1.89	999570
	8		281-1411-ND	3.17	2.86	2.54	999572
	10		281-1412-ND	3.95	3.56	3.16	999574
	12		281-1413-ND	4.75	4.28	3.80	999576
3	4	Schwarz	281-1670-ND	2.12	1.91	1.70	1720000000
	6		281-1671-ND	3.19	2.87	2.55	1720010000
	8		281-1672-ND	4.26	3.83	3.41	1720020000
	10		281-1673-ND	5.31	4.78	4.25	1720030000
	12		281-1674-ND	6.37	5.73	5.09	1720040000
	16		281-1675-ND	8.50	7.65	6.80	1720060000
	20		281-1676-ND	10.62	9.56	8.50	1720080000
	24		281-1677-ND	12.75	11.48	10.20	1720100000
			5,00 Stiftabstand - PCB-Anschlussblöcke				
4	2	Schwarz	281-1414-ND	.56	.51	.45	1715250000
	3		281-1415-ND	.83	.75	.67	1715260000
	4		281-1416-ND	1.09	.99	.88	999330
	6		281-1417-ND	1.64	1.48	1.32	999332
	8		281-1418-ND	2.18	1.97	1.75	999334
	10		281-1419-ND	2.72	2.45	2.18	999336
	12		281-1420-ND	3.27	2.94	2.62	999338
5	2	Schwarz	281-1421-ND	.60	.54	.48	1715290000
	3		281-1422-ND	.89	.80	.72	1715300000
	4		281-1423-ND	1.19	1.08	.96	999351
	6		281-1424-ND	1.78	1.60	1.43	999353
	8		281-1425-ND	2.38	2.14	1.90	999355
	10		281-1426-ND	2.96	2.67	2.37	999357
	12		281-1427-ND	3.56	3.20	2.85	999359
6	2	Schwarz	281-1876-ND	.73	.66	.58	1696060000
	3		281-1877-ND	1.07	.96	.86	1696070000

Abb.	Anz. der Pole	Farbe	Digi-Key Teilenr.	Stückpreis 1	10	100	Weidmüller Teilenr.
7	2	Schwarz	281-1880-ND	.76	.69	.61	1697180000
	3		281-1881-ND	1.16	1.04	.93	1697190000
8	4	Orange	281-1456-ND	1.83	1.65	1.47	1635170000
	6		281-1457-ND	2.74	2.47	2.20	1625570000
	8		281-1458-ND	3.63	3.27	2.91	1596440000
	10		281-1459-ND	4.56	4.11	3.65	1596480000
	12		281-1460-ND	5.46	4.92	4.37	1632710000
9	2	Schwarz	281-1878-ND	1.06	.95	.85	1697140000
	3		281-1879-ND	1.55	1.40	1.24	1697150000
			5,08 mm Stiftabstand - PCB-Anschlussblöcke				
10	2	Schwarz	281-1435-ND	.56	.51	.45	1716020000
	3		281-1436-ND	.83	.75	.67	1716030000
	4		281-1437-ND	1.09	.99	.88	999392
	6		281-1438-ND	1.64	1.48	1.32	999394
	8		281-1439-ND	2.18	1.97	1.75	999396
	10		281-1440-ND	2.72	2.45	2.18	999398
	12		281-1441-ND	3.27	2.94	2.62	999400
11	2	Schwarz	281-1442-ND	.60	.54	.48	1716060000
	3		281-1443-ND	.89	.80	.72	1716070000
	4		281-1444-ND	1.19	1.08	.96	999434
	6		281-1445-ND	1.78	1.60	1.43	999436
	8		281-1446-ND	2.38	2.14	1.90	999438
	10		281-1447-ND	2.96	2.67	2.37	999440
	12		281-1448-ND	3.56	3.20	2.85	999442
12	2	Schwarz	281-1449-ND	.60	.54	.48	1716040000
	3		281-1450-ND	.89	.80	.72	1716050000
	4		281-1451-ND	1.19	1.08	.96	999476
	6		281-1452-ND	1.78	1.60	1.43	999478
	8		281-1453-ND	2.38	2.14	1.90	999480
	10		281-1454-ND	2.96	2.67	2.37	999482
	12		281-1455-ND	3.56	3.20	2.85	999484
13	4	Schwarz	281-1564-ND	1.69	1.52	1.36	1769080000
	6		281-1565-ND	2.54	2.29	2.04	1769090000
	8		281-1566-ND	3.38	3.04	2.71	1769100000
	10		281-1567-ND	4.23	3.81	3.39	1769110000
	12		281-1568-ND	5.05	4.55	4.05	1769120000
	16		281-1569-ND	6.77	6.10	5.42	1769140000
	20		281-1570-ND	8.46	7.62	6.77	1769160000
	24		281-1571-ND	10.13	9.12	8.11	1769180000
14	6	Schwarz	281-1572-ND	2.99	2.69	2.39	1769930000
	9		281-1573-ND	4.46	4.02	3.57	1769940000
	12		281-1574-ND	5.94	5.35	4.76	1769950000

Abb.	Anz. der Pole	Farbe	Digi-Key Teilenr.	Stückpreis 1	10	100	Weidmüller Teilenr.
14	15	Schwarz	281-1575-ND	7.43	6.69	5.95	1769960000
	18		281-1576-ND	8.91	8.03	7.14	1769970000
	24		281-1577-ND	11.88	10.69	9.50	1769990000
	30		281-1578-ND	14.85	13.37	11.88	1770010000
	36		281-1579-ND	17.82	16.04	14.26	1770030000
15	2	Schwarz	281-1870-ND	.73	.66	.58	1696040000
	3		281-1871-ND	1.07	.96	.86	1696050000
16	2	Schwarz	281-1872-ND	1.06	.95	.85	1697120000
	3		281-1873-ND	1.55	1.40	1.24	1697130000
17	2	Schwarz	281-1874-ND	.76	.69	.61	1676740000
	3		281-1875-ND	1.16	1.04	.93	1676750000
18	4	Orange	281-1461-ND	1.83	1.65	1.47	1635150000
	6		281-1462-ND	2.74	2.47	2.20	1625550000
	8		281-1463-ND	3.63	3.27	2.91	1596470000
	10		281-1464-ND	4.56	4.11	3.65	1596500000
	12		281-1465-ND	5.46	4.92	4.37	1632560000
19	1	Schwarz	281-1735-ND	3.68	3.32	2.95	1755190000
20	2	Schwarz	281-1882-ND	.32	.29	.26	1760510000
	3		281-1883-ND	.47	.43	.38	1760520000
21	2	Schwarz	281-1678-ND	.69	.62	.55	1721640000
	3		281-1679-ND	.97	.87	.78	1721650000
	4		281-1680-ND	1.29	1.16	1.03	1721660000
	5		281-1681-ND	1.59	1.43	1.27	1721670000
	6		281-1682-ND	1.83	1.65	1.47	1721680000
	8		281-1683-ND	2.36	2.13	1.89	1721700000
	10		281-1684-ND	2.99	2.69	2.39	1721720000
	12		281-1685-ND	3.56	3.20	2.85	1721740000
22	2	Schwarz	281-1686-ND	.69	.62	.55	1734220000
	3		281-1687-ND	.97	.87	.78	1734230000
	4		281-1688-ND	1.29	1.16	1.03	1734240000
	5		281-1689-ND	1.59	1.43	1.27	1734250000
	6		281-1690-ND	1.83	1.65	1.47	1734260000
	8		281-1691-ND	2.36	2.13	1.89	1734280000
	10		281-1692-ND	2.99	2.69	2.39	1734300000
	12		281-1693-ND	3.56	3.20	2.85	1734320000
23	2	Schwarz	281-1694-ND	.69	.62	.55	1722400000
	3		281-1695-ND	.97	.87	.78	1722410000
	4		281-1696-ND	1.29	1.16	1.03	1722420000
	5		281-1697-ND	1.59	1.43	1.27	1722430000
	6		281-1698-ND	1.83	1.65	1.47	1722440000

(Forts.)

Alle Preisangaben in Euro und inklusive Zollgebühren.

Abb. 16 LPP 5,08/90

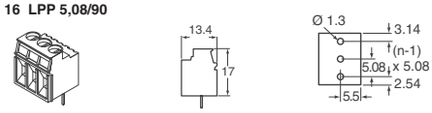

Spezifikationen:
• Schraubklemme • UL: 300V @ 15A • 12AWG • Stiftlänge: 4,5mm • Testpunkt

Abb. 17 LP 5,08/135

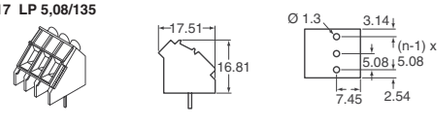

Spezifikationen:
• Schraubklemme • UL: 300V @ 15A • 12AWG • Stiftlänge: 4,5mm

Abb. 18 LP 2N/5,08

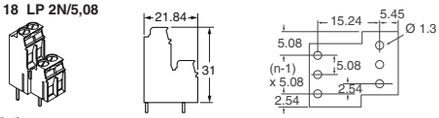

Spezifikationen:
• Schraubklemme • UL: 300V @ 15A • 12AWG • Stiftlänge: 4,5mm

Abb. 19 LPTR 5,08/90

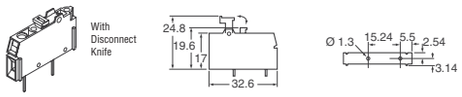

Spezifikationen:
• Schraubklemme • UL: 300V @ 15A • 12AWG • Stiftlänge: 4,5mm

Abb. 20 PM 5,08/90

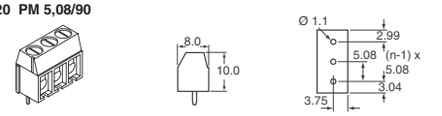

Spezifikationen:
• Blattfeder Schraubklemme • UL: 300V @ 16A • 14AWG • Stiftlänge: 3,5mm

Abb. 21 LMZF 5,08/90

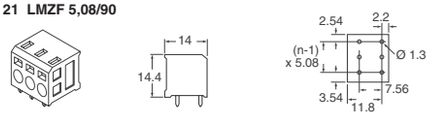

Spezifikationen:
• Spannklammer • UL: 300V @ 10A • 14AWG • Stiftlänge: 4,1mm

Abb. 22 LMZF 5,08/135

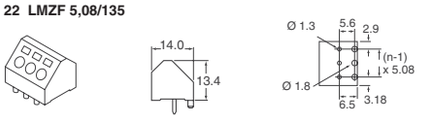

Spezifikationen:
• Spannklammer • UL: 300V @ 10A • 14AWG • Stiftlänge: 4,5mm

Abb. 23 LMZF 5,08/180

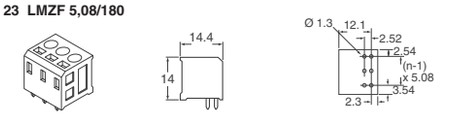

Spezifikationen:
• Spannklammer • UL: 300V @ 10A • 14AWG • Stiftlänge: 4,5mm

Abb. 24 LM2NZF 5,08/135

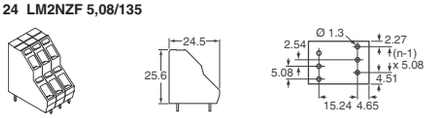

Spezifikationen:
• Spannklammer • UL: 300V @ 10A • 12AWG • Stiftlänge: 3,5mm

Abb. 25 LM3RZF 5,08/135

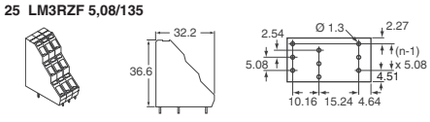

Spezifikationen:
• Spannklammer • UL: 300V @ 10A • 12AWG • Stiftlänge: 3,5mm

Abb. 26 LL 9,52/90

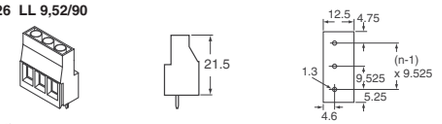

Spezifikationen:
• Schraubklemme • UL: 300V @ 30A • 10AWG • Stiftlänge: 5,0mm

Abb. 27 LX 15,00/90

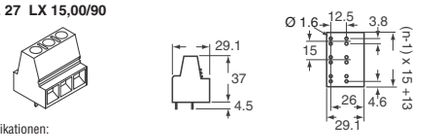

Spezifikationen:
• Schraubklemme • UL: 600V @ 85A • 4AWG • Stiftlänge: 4,5mm

Abb. 28 LXBL 15,00/90

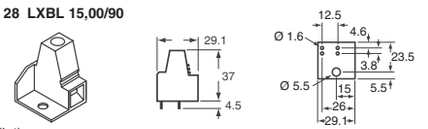

Spezifikationen:
• Schraubklemme • UL: 600V @ 85A • 4AWG • Stiftlänge: 4,5mm

Abb. 29 LXB 15,00/90

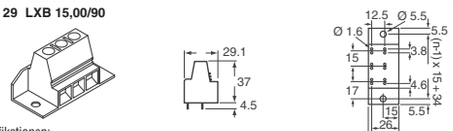

Spezifikationen:
• Schraubklemme • UL: 600V @ 85A • 4AWG • Stiftlänge: 4,5mm

Abb. 30 SL 3,5/180/...G

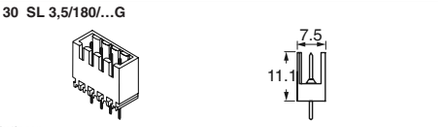

Spezifikationen:
• UL: 300V @ 10A • Stiftlänge: 4,5mm

Abb. 31 SL 3,5/180/...F

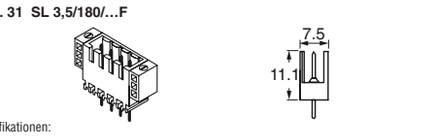

Spezifikationen:
• UL: 300V @ 10A • Stiftlänge: 4,5mm

Abb. 32 SL 3,5/90/...G

Spezifikationen:
• UL: 300V @ 10A • Stiftlänge: 4,5mm

Abb. 33 SL 3,5/90/...F

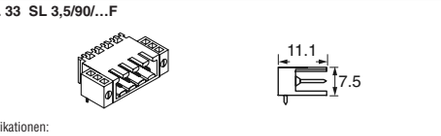

Spezifikationen:
• UL: 300V @ 10A • Stiftlänge: 4,5mm

Abb.	Anz. der Pole	Farbe	Digi-Key Teilenr.	Stückpreis 1	10	100	Weidmüller Teilenr.
23	8	Schwarz	281-1699-ND	2.36	2.13	1.89	1722460000
	10		281-1700-ND	2.99	2.69	2.39	1722480000
	12		281-1701-ND	3.56	3.20	2.85	1722500000
24	4	Orange	281-1582-ND	2.07	1.87	1.66	1764810000
	6		281-1583-ND	3.25	2.93	2.61	1764820000
	8		281-1584-ND	4.14	3.73	3.32	1764830000
	10		281-1585-ND	5.17	4.66	4.14	1764840000
	12		281-1586-ND	6.21	5.59	4.97	1764850000
	16		281-1587-ND	8.30	7.47	6.64	1764870000
	20		281-1580-ND	10.34	9.31	8.27	1758020000
	24		281-1588-ND	12.41	11.17	9.93	1764900000
25	6	Orange	281-1589-ND	3.37	3.03	2.70	1764910000
	9		281-1590-ND	4.66	4.20	3.73	1764920000
	12		281-1591-ND	6.21	5.59	4.97	1764930000
	15		281-1592-ND	7.77	7.00	6.22	1764940000
	18		281-1593-ND	9.31	8.38	7.45	1764950000
	24		281-1594-ND	12.41	11.17	9.93	1764960000
	36		281-1595-ND	18.61	16.75	14.89	1764990000
	48		281-1581-ND	24.83	22.35	19.87	1758050000
9,52 mm Stiftabstand – PCB-Anschlussblöcke							
26	2	Schwarz	281-1596-ND	.97	.87	.78	1724700000
	3		281-1597-ND	1.44	1.30	1.15	1724710000
15 mm Stiftabstand – PCB-Anschlussblöcke							
27	1	Grau	281-1598-ND	4.21	3.79	3.37	1783660000
	2		281-1599-ND	7.47	6.72	5.98	1783670000
	3		281-1600-ND	11.19	10.07	8.96	1783680000
	4		281-1601-ND	14.93	13.43	11.94	1783690000
	5		281-1602-ND	18.66	16.79	14.93	1806460000
28	1	Grau	281-1603-ND	4.26	3.83	3.41	1783700000
29	2	Grau	281-1604-ND	7.59	6.83	6.07	1783710000
	3		281-1605-ND	11.32	10.19	9.06	1783720000
	4		281-1606-ND	15.05	13.55	12.04	1783730000
	5		281-1607-ND	18.79	16.91	15.03	1806470000
	6		281-1608-ND	22.50	20.26	18.01	1783740000
	8		281-1609-ND	29.97	26.98	23.98	1783750000
3,5 mm Pitch Omnimate – PCB-Stiftsteckleiste							
30	2	Schwarz	281-1144-ND	.48	.44	.39	1614240000
	3		281-1145-ND	.73	.66	.58	1616020000
	4		281-1146-ND	.99	.90	.80	1616030000
	6		281-1147-ND	1.46	1.32	1.17	1616050000
	8		281-1148-ND	1.96	1.76	1.57	1614250000
	10		281-1149-ND	2.44	2.20	1.96	1616080000
	12		281-1150-ND	2.92	2.63	2.34	1616100000
	16		281-1151-ND	3.89	3.50	3.11	1614260000
	24		281-1152-ND	5.83	5.25	4.67	1618680000

Abb.	Anz. der Pole	Farbe	Digi-Key Teilenr.	Stückpreis 1	10	100	Weidmüller Teilenr.
31	2	Schwarz	281-1153-ND	.58	.52	.46	1616140000
	3		281-1154-ND	.86	.77	.69	1616150000
	4		281-1155-ND	1.13	1.02	.91	1616160000
	6		281-1156-ND	1.69	1.52	1.36	1616180000
	8		281-1157-ND	2.25	2.03	1.80	1614270000
	10		281-1158-ND	2.81	2.53	2.25	1616210000
	12		281-1159-ND	3.35	3.02	2.69	1616230000
	16		281-1160-ND	4.47	4.03	3.58	1616270000
	24		281-1161-ND	6.71	6.04	5.37	1618980000
32	2	Schwarz	281-1117-ND	.48	.44	.39	1614160000
	3		281-1118-ND	.73	.66	.58	1615420000
	4		281-1119-ND	.99	.90	.80	1615430000
	6		281-1120-ND	1.46	1.32	1.17	1615440000
	8		281-1121-ND	1.96	1.76	1.57	1614180000
	10		281-1122-ND	2.44	2.20	1.96	1615470000
	12		281-1123-ND	2.87	2.59	2.30	1615490000
	16		281-1124-ND	3.89	3.50	3.11	1614190000
	24		281-1125-ND	5.83	5.25	4.67	1618050000
33	2	Schwarz	281-1126-ND	.58	.52	.46	1615530000
	3		281-1127-ND	.86	.77	.69	1615540000
	4		281-1128-ND	1.13	1.02	.91	1615550000
	6		281-1129-ND	1.69	1.52	1.36	1615570000
	8		281-1130-ND	2.25	2.03	1.80	1614200000
	10		281-1131-ND	2.81	2.53	2.25	1615600000
	12		281-1132-ND	3.35	3.02	2.69	1615620000
3,81mm Pitch Omnimate – PCB-Stiftsteckleisten							
34	2	Grün	281-1948-ND	.48	.44	.39	1793610000
	3		281-1949-ND	.73	.66	.58	1793620000
	4		281-1950-ND	.99	.90	.80	1793630000
	5		281-1951-ND	1.22	1.10	.98	1793640000
	6		281-1952-ND	1.46	1.32	1.17	1793650000
	8		281-1953-ND	1.96	1.76	1.57	1793660000
	10		281-1954-ND	2.44	2.20	1.96	1793670000
	12		281-1955-ND	2.92	2.63	2.34	1793680000
	16		281-1956-ND	3.89	3.50	3.11	1793690000
35	2	Grün	281-1957-ND	.58	.52	.46	1793790000
	3		281-1958-ND	.86	.77	.69	1793800000
	4		281-1959-ND	1.13	1.02	.91	1793810000
	5		281-1960-ND	1.39	1.25	1.11	1793820000
	6		281-1961-ND	1.69	1.52	1.36	1793830000
	8		281-1962-ND	2.25	2.03	1.80	1793840000
	10		281-1963-ND	2.81	2.53	2.25	1793850000
	12		281-1964-ND	3.35	3.02	2.69	1793860000
	16		281-1965-ND	4.47	4.03	3.58	1793870000
36	2	Grün	281-1930-ND	.48	.44	.39	1793240000
	3		281-1931-ND	.73	.66	.58	1793250000
	4		281-1932-ND	.99	.90	.80	1793260000
	5		281-1933-ND	1.22	1.10	.98	1793270000

Abb.	Anz. der Pole	Farbe	Digi-Key Teilenr.	Stückpreis 1	10	100	Weidmüller Teilenr.
36	6	Grün	281-1934-ND	1.46	1.32	1.17	1793280000
	8		281-1935-ND	1.96	1.76	1.57	1793290000
	10		281-1936-ND	2.44	2.20	1.96	1793300000
	12		281-1937-ND	2.87	2.59	2.30	1793310000
	16		281-1938-ND	3.89	3.50	3.11	1793320000
37	2	Grün	281-1939-ND	.58	.52	.46	1793420000
	3		281-1940-ND	.86	.77	.69	1793430000
	4		281-1941-ND	1.13	1.02	.91	1793440000
	5		281-1942-ND	1.41	1.27	1.13	1793450000
	6		281-1943-ND	1.69	1.52	1.36	1793460000
	8		281-1944-ND	2.25	2.03	1.80	1793470000
	10		281-1945-ND	2.81	2.53	2.25	1793480000
	12		281-1946-ND	3.35	3.02	2.69	1793490000
	16		281-1947-ND	4.47	4.03	3.58	1793500000
5 mm Pitch Omnimate – PCB-Stiftsteckleisten							
38	2	Schwarz	281-1234-ND	.41	.38	.32	1626620000
	3		281-1235-ND	.61	.55	.47	1626630000
	4		281-1236-ND	.80	.72	.63	1596130000
	6		281-1237-ND	1.17	1.05	.91	1626650000
	8		281-1238-ND	1.60	1.44	1.24	1596140000
	10		281-1239-ND	1.95	1.75	1.51	1626680000
	12		281-1240-ND	2.38	2.13	1.84	1603310000
	16		281-1241-ND	3.18	2.86	2.46	1626730000
	24		281-1242-ND	4.65	4.17	3.59	1626810000
39	2	Schwarz	281-1216-ND	.41	.38	.32	1626210000
	3		281-1217-ND	.61	.55	.47	1626220000
	4		281-1218-ND	.81	.74	.63	1596150000
	6		281-1219-ND	1.17	1.05	.91	1626240000
	8		281-1220-ND	1.56	1.40	1.21	1626250000
	10		281-1221-ND	1.99	1.78	1.54	1596170000
	12		281-1222-ND	2.38	2.13	1.84	1603320000
	16		281-1223-ND	3.18	2.86	2.46	1603330000
5,08 mm Pitch Omnimate – PCB-Stiftsteckleisten							
40	2	Schwarz	281-1297-ND	.41	.38	.32	1524110000
	3		281-1298-ND	.61	.55	.47	1524210000
	4		281-1299-ND	.81	.74	.63	1524310000
	6		281-1300-ND	1.21	1.09	.94	1524510000
	8		281-1301-ND	1.60	1.44	1.24	1524710000
	10		281-1302-ND	1.99	1.78	1.54	1524910000
	12		281-1303-ND	2.38	2.13	1.84	1525110000
	16		281-1304-ND	3.18	2.86	2.46	1525510000
41	4	Schwarz	281-1893-ND	1.54	1.39	1.23	1726970000
	6		281-1894-ND	2.31	2.08	1.85	1726980000
	8		281-1895-ND	3.07	2.77	2.46	1726990000
	10		281-1896-ND	3.85	3.47	3.08	1727000000
	12		281-1897-ND	4.61	4.15	3.69	1727010000
	16		281-1898-ND	6.14	5.53	4.91	1727030000

HINWEIS: Alle Omnimate Stiftsteckleisten passen auf Omnimate Sockelblöcke. Alle Minimate Stiftsteckleisten passen auf Minimate Sockelblöcke.

(Forts.)

A

Abb. 34 SL 3,81/180G

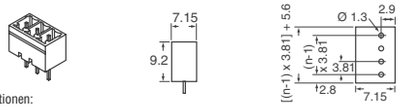

Spezifikationen:
• UL: 300V @ 8A • Stiftlänge: 3,5mm

Abb. 35 SL 3,81/180F

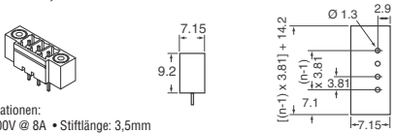

Spezifikationen:
• UL: 300V @ 8A • Stiftlänge: 3,5mm

Abb. 36 SL3,81/90G

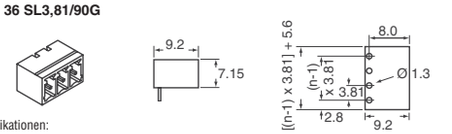

Spezifikationen:
• UL: 300V @ 8A • Stiftlänge: 3,5mm

Abb. 37 SL 3,81/90F

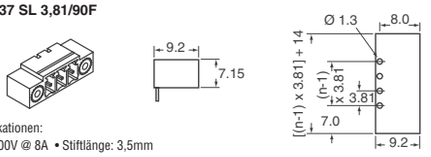

Spezifikationen:
• UL: 300V @ 8A • Stiftlänge: 3,5mm

Abb. 38 SL 5,00/180/…B

Spezifikationen:
• UL: 300V @ 15A • Stiftlänge: 4,5mm

Abb. 39 SL 5,00/90/…B

Spezifikationen:
• UL: 300V @ 15A • Stiftlänge: 4,5mm

Abb. 40 SL 5,08/180/…B

Spezifikationen:
• UL: 300V @ 15A • Stiftlänge: 4,5mm

Abb. 41 SLD 5,08V/180B

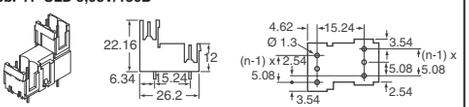

Spezifikationen:
• UL: 300V @ 15A • Stiftlänge: 4,5mm

Abb. 42 SL 5,08/90

Spezifikationen:
• UL: 300V @ 15A • Stiftlänge: 4,5mm

Abb. 43 SLD 5,08V/90B

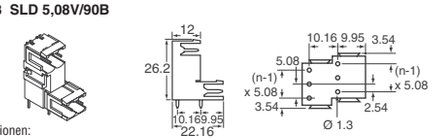

Spezifikationen:
• UL: 300V @ 15A • Stiftlänge: 4,5mm

Abb. 44 BLL 5,08/180

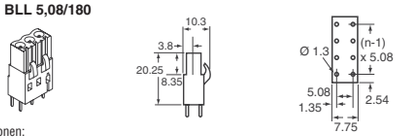

Spezifikationen:
• Lötverbindung • UL: 300V @ 15A • Stiftlänge: 4,5mm

Abb. 45 BLL 5,08/90

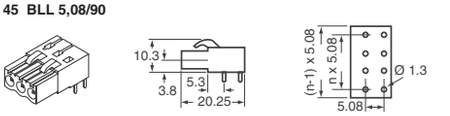

Spezifikationen:
• Lötverbindung • UL: 300V @ 15A • Stiftlänge: 4,5mm

Abb. 46 S2L 3,5/180 - doppelte Dichte

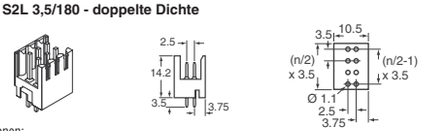

Spezifikationen:
• UL: 150V @ 5A • Stiftlänge: 3,5mm

Abb. 47 S2L 3,5/180G - doppelte Dichte

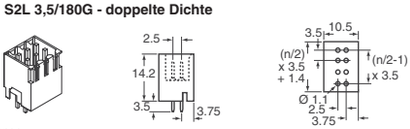

Spezifikationen:
• UL: 150V @ 5A • Stiftlänge: 3,5mm

Abb. 48 S2L 3,5/180F - doppelte Dichte

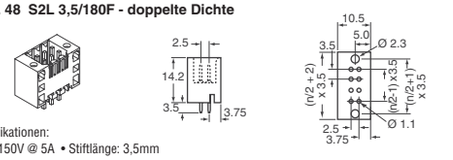

Spezifikationen:
• UL: 150V @ 5A • Stiftlänge: 3,5mm

Abb. 49 S2L 3,5/90 - doppelte Dichte

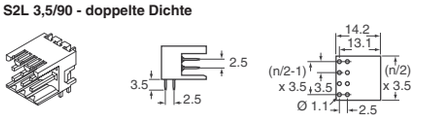

Spezifikationen:
• UL: 150V @ 5A • Stiftlänge: 3,5mm

Abb. 50 S2L 3,5/90G - doppelte Dichte

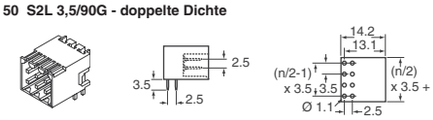

Spezifikationen:
• UL: 150V @ 5A • Stiftlänge: 3,5mm

Abb. 51 S2L 3,5/90F - doppelte Dichte

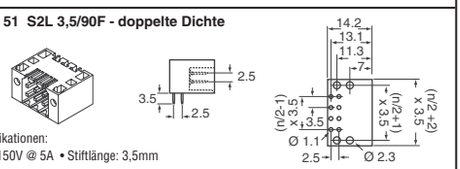

Spezifikationen:
• UL: 150V @ 5A • Stiftlänge: 3,5mm

Abb.	Anz. der Pole	Farbe	Digi-Key Teilenr.	Stückpreis 1	10	100	Weidmüller Teilenr.
41	24	Schwarz	281-1899-ND	9.21	8.29	7.37	1727070000
	32		281-1900-ND	12.29	11.07	9.84	1727110000
	48		281-1901-ND	18.43	16.59	14.75	1727190000
42	2	Schwarz	281-1279-ND	.41	.38	.32	1514910000
	3		281-1280-ND	.61	.55	.47	1515010000
	4		281-1281-ND	.81	.74	.63	1515110000
	6		281-1282-ND	1.21	1.09	.94	1515310000
	8		281-1283-ND	1.60	1.44	1.24	1515510000
	10		281-1284-ND	1.99	1.78	1.54	1515710000
	12		281-1285-ND	2.38	2.13	1.84	1515910000
	16		281-1286-ND	3.18	2.86	2.46	1516310000
43	4	Schwarz	281-1884-ND	1.54	1.39	1.23	1726510000
	6		281-1885-ND	2.31	2.08	1.85	1726520000
	8		281-1886-ND	3.07	2.77	2.46	1726530000
	10		281-1887-ND	3.85	3.47	3.08	1726540000
	12		281-1888-ND	4.61	4.15	3.69	1726550000
	16		281-1889-ND	6.14	5.53	4.91	1726570000
	24		281-1890-ND	9.21	8.29	7.37	1726610000
	32		281-1891-ND	12.29	11.07	9.84	1726650000
	48		281-1892-ND	18.43	16.59	14.75	1726730000
5,08 mm Pitch Omnimate – PCB-Sockelleisten							
44	2	Schwarz	281-1745-ND	1.09	.99	.88	1646250000
	3		281-1746-ND	1.64	1.48	1.32	1646260000
	4		281-1747-ND	2.18	1.96	1.74	1646270000
	6		281-1748-ND	3.27	2.94	2.62	1646290000
	8		281-1749-ND	4.33	3.90	3.47	1646310000
	10		281-1750-ND	5.41	4.87	4.33	1646330000
	12		281-1751-ND	6.49	5.85	5.20	1646350000
	16		281-1752-ND	8.66	7.80	6.93	1649170000
	24		281-1753-ND	12.97	11.67	10.38	1649250000
45	2	Schwarz	281-1736-ND	1.09	.99	.88	1646030000
	3		281-1737-ND	1.64	1.48	1.32	1646040000
	4		281-1738-ND	2.18	1.96	1.74	1646050000
	6		281-1739-ND	3.27	2.94	2.62	1646070000
	8		281-1740-ND	4.33	3.90	3.47	1646090000
	10		281-1741-ND	5.41	4.87	4.33	1646110000
	12		281-1742-ND	6.49	5.85	5.20	1646130000
	16		281-1743-ND	8.66	7.80	6.93	1648810000
	24		281-1744-ND	12.97	11.67	10.38	1648890000
3,5 mm Minimate-PCB-Stiftsteckleisten, doppelte Dichte							
46	6	Schwarz	281-1828-ND	1.50	1.35	1.20	1729270000
	8		281-1829-ND	2.01	1.81	1.61	1729280000
	10		281-1830-ND	2.51	2.27	2.02	1729290000
	12		281-1831-ND	3.01	2.71	2.41	1729300000

Abb.	Anz. der Pole	Farbe	Digi-Key Teilenr.	Stückpreis 1	10	100	Weidmüller Teilenr.
46	16	Schwarz	281-1832-ND	4.00	3.61	3.21	1729320000
	20		281-1833-ND	5.00	4.51	4.01	1729340000
	24		281-1834-ND	5.99	5.40	4.80	1729360000
47	6	Schwarz	281-1835-ND	1.50	1.35	1.20	1728950000
	8		281-1836-ND	2.01	1.81	1.61	1728960000
	10		281-1837-ND	2.51	2.27	2.02	1728970000
	12		281-1838-ND	3.01	2.71	2.41	1728980000
	16		281-1839-ND	4.00	3.61	3.21	1729000000
	20		281-1840-ND	5.00	4.51	4.01	1729020000
	24		281-1841-ND	5.99	5.40	4.80	1729040000
48	6	Schwarz	281-1842-ND	1.96	1.76	1.57	1729590000
	8		281-1843-ND	2.46	2.21	1.97	1729600000
	10		281-1844-ND	2.96	2.67	2.37	1729610000
	12		281-1845-ND	3.45	3.10	2.76	1729620000
	16		281-1846-ND	4.44	4.00	3.56	1729640000
	20		281-1847-ND	5.44	4.90	4.35	1729660000
	24		281-1848-ND	6.45	5.81	5.17	1729680000
49	6	Schwarz	281-1807-ND	1.50	1.35	1.20	1728310000
	8		281-1808-ND	2.01	1.81	1.61	1728320000
	10		281-1809-ND	2.51	2.27	2.02	1728330000
	12		281-1810-ND	3.01	2.71	2.41	1728340000
	16		281-1811-ND	4.00	3.61	3.21	1728360000
	20		281-1812-ND	5.00	4.51	4.01	1728380000
	24		281-1813-ND	5.99	5.40	4.80	1728400000
50	6	Schwarz	281-1814-ND	1.50	1.35	1.20	1727990000
	8		281-1815-ND	2.01	1.81	1.61	1728000000
	10		281-1816-ND	2.51	2.27	2.02	1728010000
	12		281-1817-ND	3.01	2.71	2.41	1728020000
	16		281-1818-ND	4.00	3.61	3.21	1728040000
	20		281-1819-ND	5.00	4.51	4.01	1728060000
	24		281-1820-ND	5.99	5.40	4.80	1728080000
51	6	Schwarz	281-1821-ND	1.96	1.76	1.57	1728630000
	8		281-1822-ND	2.46	2.21	1.97	1728640000
	10		281-1823-ND	2.96	2.67	2.37	1728650000
	12		281-1824-ND	3.45	3.10	2.76	1728660000
	16		281-1825-ND	4.44	4.00	3.56	1728680000
	20		281-1826-ND	5.44	4.90	4.35	1728700000
	24		281-1827-ND	6.45	5.81	5.17	1728720000
3,50 mm Minimate-Sockelblöcke, doppelte Dichte							
52	6	Schwarz	281-1849-ND	4.65	4.19	3.72	1727640000
	8		281-1850-ND	6.19	5.57	4.95	1727650000
	10		281-1851-ND	7.72	6.95	6.18	1727660000
	12		281-1852-ND	9.24	8.32	7.40	1727670000

Abb.	Anz. der Pole	Farbe	Digi-Key Teilenr.	Stückpreis 1	10	100	Weidmüller Teilenr.
52	16	Schwarz	281-1853-ND	12.36	11.13	9.89	1727690000
	20		281-1854-ND	15.42	13.88	12.34	1727710000
	24		281-1855-ND	18.49	16.65	14.80	1747940000
53	6	Schwarz	281-1856-ND	4.88	4.39	3.91	1748170000
	8		281-1857-ND	6.60	5.95	5.29	1748180000
	10		281-1858-ND	8.25	7.42	6.60	1748190000
	12		281-1859-ND	9.91	8.92	7.93	1748200000
	16		281-1860-ND	13.21	11.89	10.57	1748220000
	20		281-1861-ND	16.48	14.84	13.19	1748240000
	24		281-1862-ND	19.81	17.83	15.85	1748260000
54	6	Schwarz	281-1863-ND	5.96	5.37	4.77	1748490000
	8		281-1864-ND	7.64	6.87	6.11	1748500000
	10		281-1865-ND	9.30	8.37	7.44	1748510000
	12		281-1866-ND	11.00	9.90	8.80	1748520000
	16		281-1867-ND	14.37	12.93	11.50	1748540000
	20		281-1868-ND	17.74	15.97	14.20	1748560000
	24		281-1869-ND	21.12	19.01	16.90	1748580000
3,50 mm Omnimate-Sockelblöcke							
55	2	Schwarz	281-1054-ND	1.44	1.30	1.15	1615670000
	3		281-1055-ND	2.13	1.92	1.71	1615680000
	4		281-1056-ND	2.84	2.56	2.28	1615690000
	6		281-1057-ND	4.29	3.87	3.44	1610180000
	8		281-1058-ND	5.71	5.15	4.58	1615700000
	10		281-1059-ND	7.14	6.43	5.71	1610200000
	12		281-1060-ND	8.56	7.71	6.85	1615730000
	16		281-1061-ND	11.40	10.27	9.13	1615770000
	24		281-1062-ND	17.08	15.38	13.67	1620440000
56	2	Schwarz	281-1063-ND	1.50	1.35	1.20	1615780000
	3		281-1064-ND	2.25	2.03	1.80	1615790000
	4		281-1065-ND	3.00	2.70	2.40	1615800000
	6		281-1066-ND	4.51	4.06	3.61	1615820000
	8		281-1067-ND	6.10	5.49	4.88	1615840000
	10		281-1068-ND	7.64	6.87	6.11	1615860000
	12		281-1069-ND	9.16	8.25	7.33	1615880000
	16		281-1070-ND	12.21	10.99	9.77	1615920000
	24		281-1071-ND	18.30	16.47	14.64	1620910000
57	2	Schwarz	281-1018-ND	1.50	1.35	1.20	1638780000
	3		281-1019-ND	2.25	2.03	1.80	1638790000
	4		281-1020-ND	3.00	2.70	2.40	1638800000
	6		281-1021-ND	4.50	4.05	3.60	1638820000
	8		281-1022-ND	5.99	5.39	4.79	1638840000
	10		281-1023-ND	7.48	6.74	5.99	1638860000
	12		281-1024-ND	8.98	8.09	7.19	1638880000
	16		281-1025-ND	11.96	10.77	9.57	1638920000
	24		281-1026-ND	17.95	16.15	14.36	1639000000

HINWEIS: Alle Omnimate Stiftsteckleisten passen auf Omnimate Sockelblöcke. Alle Minimate Stiftsteckleisten passen auf Minimate Sockelblöcke.

(Forts.)

Alle Preisangaben in Euro und inklusive Zollgebühren.

Abb. 52 B2L 3,5

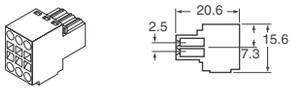

Spezifikationen:
• Spannklammer • UL: 150V @ 5A • 16AWG

Abb. 53 B2L 3,5F

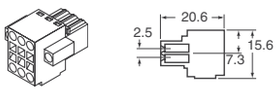

Spezifikationen:
• Spannklammer • UL: 150V @ 5A • 16AWG

Abb. 54 B2L 3,5LH

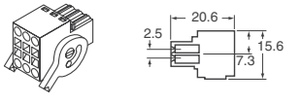

Spezifikationen:
• Spannklammer • UL: 150V @ 5A • 16AWG

Abb. 55 BL 3,5

Spezifikationen:
• Schraubklemme • UL: 300V @ 10A • 14AWG

Abb. 56 BL 3,5/...F

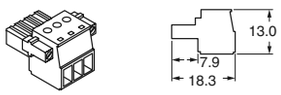

Spezifikationen:
• Schraubklemme • UL: 300V @ 10A • 14AWG

Abb. 57 BL 3,5/90

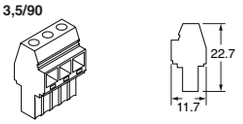

Spezifikationen:
• Schraubklemme • UL: 300V @ 10A • 14AWG

Abb. 58 BL 3,5/270

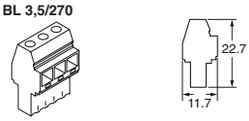

Spezifikationen:
• Schraubklemme • UL: 300V @ 10A • 14AWG

Abb. 59 BLIDC 3,5

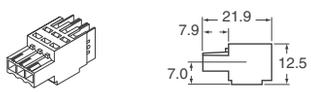

Spezifikationen:
• IDC-Verbindung • UL: 300V @ 7A • 20AWG

Abb. 60 BLIDC 3,5F

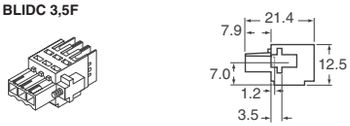

Spezifikationen:
• IDC-Verbindung • UL: 300V @ 7A • 20AWG

Abb. 61 BL-I/O 3,5/10F

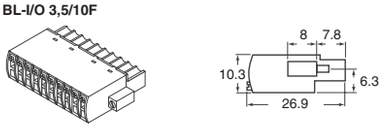

Spezifikationen:
• Eindrück-Federverbindung • UL: 50V @ 5A • 16AWG

Abb. 62 BL-I/O 3,5/10F LED

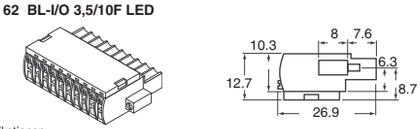

Spezifikationen:
• Eindrück-Federverbindung • UL: 24V @ 5A • 16AWG • Integrated LEDs

Abb. 63 BL-I/O 3,5/10FP

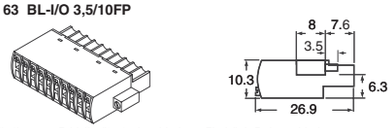

Spezifikationen: • Feld-Gerätesteckverbinder • Eindrück-Federverbindung
• UL: 50V @ 5A • 16AWG • Offset-Flansche

Abb. 64 BL-I/O 3,5/10FP LED

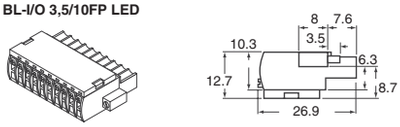

Spezifikationen: • Feld-Gerätesteckverbinder • Eindrück-Federverbindung
• UL: 24V @ 5A • 16AWG • Offset-Flansche • Integrierte LEDs

Abb. 65 BL-I/O 3,5/30F

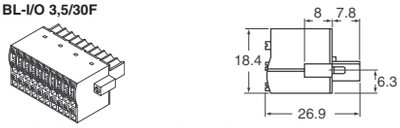

Spezifikationen:• Feld-Gerätesteckverbinder • Eindrück-Federverbindung
• UL: 50V @ 5A • 16AWG

Abb. 66 BL-I/O 3,5/30F LED

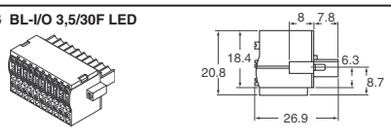

Spezifikationen: • Feld-Gerätesteckverbinder • Eindrück-Federverbindung
• UL: 24V @ 5A • 16AWG • Integrierte LEDs

Abb. 67 BL-I/O 3,5/30 FP

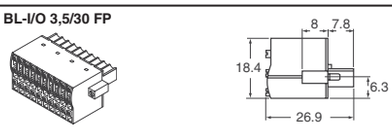

Spezifikationen: • Feld-Gerätesteckverbinder • Eindrück-Federverbindung
• UL: 50V @ 5A • 16AWG • Offset-Flansche

Abb. 68 BL-I/O 3,5/30FP LED

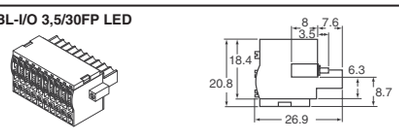

Spezifikationen: • Feld-Gerätesteckverbinder • Eindrück-Federverbindung
• UL: 24V @ 5A • 16AWG • Offset-Flansche • Integrierte LEDs

Abb. 69 BL3,81

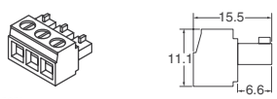

Spezifikationen:
• Klemmgabel • UL 300V @ 8A • 16AWG

Abb. 70 BL 3,81F

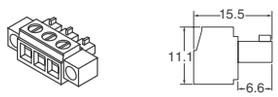

Spezifikationen:
• Klemmgabel • UL: 300V @ 8A • 16AWG

Abb. 71 BL 3,81/90

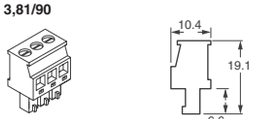

Spezifikationen:
• Klemmgabel • UL 300V @ 8A • 16AWG

Abb. 72 BL 3,81/90F

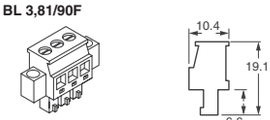

Spezifikationen:
• Klemmgabel • UL: 300V @ 8A • 16AWG

Abb.	Anz. der Pole	Farbe	Digi-Key Teilenr.	Stückpreis 1	10	100	Weidmüller Teilenr.
58	2	Schwarz	281-1036-ND	1.50	1.35	1.20	1639700000
	3		281-1037-ND	2.25	2.03	1.80	1639710000
	4		281-1038-ND	3.00	2.70	2.40	1639720000
	6		281-1039-ND	4.50	4.05	3.60	1639740000
	8		281-1040-ND	5.99	5.39	4.79	1639760000
	10		281-1041-ND	7.48	6.74	5.99	1639780000
	12		281-1042-ND	8.98	8.09	7.19	1639800000
	16		281-1043-ND	11.96	10.77	9.57	1639840000
	24		281-1044-ND	17.95	16.15	14.36	1639920000
59	2	Schwarz	281-1702-ND	1.70	1.54	1.37	1770940000
	3		281-1703-ND	2.54	2.29	2.04	1770950000
	4		281-1704-ND	3.39	3.06	2.72	1770960000
	6		281-1705-ND	5.10	4.59	4.08	1770980000
	8		281-1706-ND	6.78	6.11	5.43	1771000000
	10		281-1707-ND	8.47	7.63	6.78	1771020000
	12		281-1708-ND	10.18	9.16	8.14	1771040000
	16		281-1709-ND	13.55	12.20	10.84	1771080000
	2	Schwarz	281-1718-ND*	1.78	1.60	1.43	1770670000
	3		281-1719-ND*	2.67	2.40	2.14	1770680000
	4		281-1720-ND*	3.57	3.22	2.86	1770690000
	6		281-1721-ND*	5.33	4.80	4.27	1770710000
	8		281-1722-ND*	7.11	6.40	5.69	1770730000
60	2	Schwarz	281-1710-ND	1.83	1.65	1.47	1771090000
	3		281-1711-ND	2.74	2.47	2.20	1771100000
	4		281-1712-ND	3.62	3.26	2.90	1771110000
	6		281-1713-ND	5.44	4.90	4.35	1771130000
	8		281-1714-ND	7.26	6.53	5.81	1771150000
	10		281-1715-ND	9.07	8.16	7.26	1771170000
	12		281-1716-ND	10.89	9.80	8.71	1771190000
	16		281-1717-ND	14.52	13.07	11.62	1771230000
	2	Schwarz	281-1723-ND*	1.92	1.73	1.54	1770740000
	3		281-1724-ND*	2.87	2.59	2.30	1770750000
	4		281-1725-ND*	3.81	3.43	3.05	1770760000
	6		281-1726-ND*	5.71	5.14	4.57	1770780000
	8		281-1727-ND*	7.46	6.71	5.97	1770800000
3,50 mm Omnimate-BL E/A-Sockelblöcke							
61	10	Schwarz	281-1803-ND	6.27	5.65	5.02	1779880000
62	10	Schwarz	281-1804-ND	19.95	17.96	15.97	1789090000
63	10	Schwarz	281-1805-ND	6.27	5.65	5.02	1779870000
64	10	Schwarz	281-1806-ND	19.95	17.96	15.97	1789080000
65	30	Schwarz	281-1799-ND	26.64	23.98	21.32	1779920000
66	30	Schwarz	281-1800-ND	40.33	36.30	32.27	1789110000
67	30	Schwarz	281-1801-ND	26.64	23.98	21.32	1779910000
68	30	Schwarz	281-1802-ND	40.33	36.30	32.27	1789100000

Abb.	Anz. der Pole	Farbe	Digi-Key Teilenr.	Stückpreis 1	10	100	Weidmüller Teilenr.
3,81 mm Omnimate-Sockelblöcke							
69	2	Grün	281-1912-ND	1.41	1.27	1.13	1792860000
	3		281-1913-ND	2.10	1.89	1.68	1792870000
	4		281-1914-ND	2.79	2.52	2.24	1792880000
	5		281-1915-ND	3.50	3.15	2.80	1792890000
	6		281-1916-ND	4.21	3.79	3.37	1792900000
	8		281-1917-ND	5.60	5.05	4.49	1792910000
	10		281-1918-ND	7.01	6.31	5.61	1792920000
	12		281-1919-ND	8.40	7.56	6.72	1792930000
	16		281-1920-ND	11.19	10.07	8.96	1792940000
70	2	Grün	281-1921-ND	1.47	1.33	1.18	1793040000
	3		281-1922-ND	2.21	1.99	1.77	1793050000
	4		281-1923-ND	2.94	2.65	2.35	1793060000
	5		281-1924-ND	3.76	3.39	3.01	1793070000
	6		281-1925-ND	4.42	3.98	3.54	1793080000
	8		281-1926-ND	5.99	5.39	4.79	1793090000
	10		281-1927-ND	7.49	6.75	6.00	1793100000
	12		281-1928-ND	8.98	8.09	7.19	1793110000
	16		281-1929-ND	11.98	10.78	9.59	1793120000
71	2	Grün	281-1966-ND	1.47	1.33	1.18	1798680000
	3		281-1967-ND	2.21	1.99	1.77	1798690000
	4		281-1968-ND	2.94	2.65	2.35	1798710000
	5		281-1969-ND	3.67	3.31	2.94	1798720000
	6		281-1970-ND	4.41	3.97	3.53	1798730000
	8		281-1971-ND	5.87	5.28	4.70	1798740000
	10		281-1972-ND	7.34	6.61	5.88	1798750000
	12		281-1973-ND	8.80	7.93	7.05	1798760000
	16		281-1974-ND	11.73	10.56	9.39	1798770000
72	2	Grün	281-1975-ND	1.57	1.42	1.26	1798850000
	3		281-1976-ND	2.36	2.13	1.89	1798860000
	4		281-1977-ND	3.14	2.83	2.51	1798870000
	5		281-1978-ND	3.93	3.54	3.14	1798880000
	6		281-1979-ND	4.72	4.25	3.77	1798890000
	8		281-1980-ND	6.27	5.65	5.02	1798900000
	10		281-1981-ND	7.86	7.08	6.29	1798910000
	12		281-1982-ND	9.44	8.50	7.55	1798920000
	16		281-1983-ND	12.57	11.32	10.06	1798930000
73	2	Grün	281-1984-ND	1.47	1.33	1.18	1799010000
	3		281-1985-ND	2.21	1.99	1.77	1799020000
	4		281-1986-ND	2.94	2.65	2.35	1799030000
	5		281-1987-ND	3.67	3.31	2.94	1799040000
	6		281-1988-ND	4.41	3.97	3.53	1799050000
	8		281-1989-ND	5.87	5.28	4.70	1799060000
	10		281-1990-ND	7.34	6.61	5.88	1799070000
	12		281-1991-ND	8.80	7.93	7.05	1799080000
	16		281-1992-ND	11.73	10.56	9.39	1799090000

Abb.	Anz. der Pole	Farbe	Digi-Key Teilenr.	Stückpreis 1	10	100	Weidmüller Teilenr.
74	2	Grün	281-1993-ND	1.57	1.42	1.26	1799170000
	3		281-1994-ND	2.36	2.13	1.89	1799180000
	4		281-1995-ND	3.14	2.83	2.51	1799190000
	5		281-1996-ND	3.93	3.54	3.14	1799200000
	6		281-1997-ND	4.72	4.25	3.77	1799210000
	8		281-1998-ND	6.27	5.65	5.02	1799220000
	10		281-1999-ND	7.86	7.08	6.29	1799230000
	12		281-2000-ND	9.44	8.50	7.55	1799240000
	16		281-2001-ND	12.57	11.32	10.06	1799250000
5 mm Omnimate-Sockelblöcke							
75	2	Schwarz	281-1180-ND	1.08	.98	.84	1625610000
	3		281-1181-ND	1.61	1.45	1.25	1625620000
	4		281-1182-ND	2.12	1.91	1.64	1596080000
	6		281-1183-ND	3.18	2.86	2.46	1596090000
	8		281-1184-ND	4.32	3.87	3.33	1596110000
	10		281-1185-ND	5.38	4.82	4.15	1596120000
	12		281-1186-ND	7.01	6.28	5.41	1602990000
	16		281-1187-ND	9.36	8.39	7.22	1603300000
	24		281-1188-ND	14.01	12.55	10.80	1611470000
76	2	Schwarz	281-1189-ND	1.19	1.07	.93	1636890000
	3		281-1190-ND	1.84	1.65	1.42	1636900000
	4		281-1191-ND	2.44	2.19	1.88	1636910000
	6		281-1192-ND	3.56	3.19	2.75	1636930000
	8		281-1193-ND	4.77	4.27	3.68	1636950000
	10		281-1194-ND	5.93	5.31	4.57	1636970000
	12		281-1195-ND	7.09	6.36	5.47	1636990000
	16		281-1196-ND	9.46	8.48	7.30	1637030000
5,08 mm Omnimate-Sockelblöcke							
77	2	Schwarz	281-1243-ND	1.11	1.00	.86	1526410000
	3		281-1244-ND	1.67	1.50	1.29	1526510000
	4		281-1245-ND	2.21	1.98	1.71	1526610000
	6		281-1246-ND	3.29	2.95	2.54	1526810000
	8		281-1247-ND	4.40	3.95	3.40	1527010000
	10		281-1248-ND	5.49	4.92	4.23	1527210000
	12		281-1249-ND	6.57	5.89	5.07	1527410000
	16		281-1250-ND	8.57	7.68	6.61	1527810000
	24		281-1251-ND	13.14	11.78	10.14	1528610000
78	2	Schwarz	281-1902-ND	3.39	3.06	2.72	1499510000
	3		281-1903-ND	5.08	4.58	4.07	1499610000
	4		281-1904-ND	6.77	6.10	5.42	1499710000
	5		281-1905-ND	8.45	7.61	6.76	1499810000
	6		281-1906-ND	10.34	9.31	8.27	1499910000
	8		281-1907-ND	13.48	12.13	10.78	1500110000
	10		281-1908-ND	16.86	15.17	13.49	1500310000
	12		281-1909-ND	20.67	18.60	16.53	1500510000
	16		281-1910-ND	26.94	24.25	21.55	1500910000
	24		281-1911-ND	42.51	38.26	34.01	1501710000

* Bus Version

HINWEIS: Alle Omnimate Stiftsteckleisten passen auf Omnimate Sockelblöcke. Alle Minimate Stiftsteckleisten passen auf Minimate Sockelblöcke.

(Forts.)

Abb. 73 BL 3,81/270

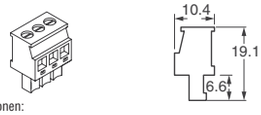

Spezifikationen:
• Klemmgabel • UL: 300V @ 8A •16AWG

Abb. 74 BL 3,81/270F

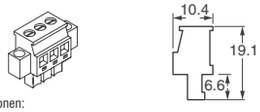

Spezifikationen:
• Klemmgabel • UL: 300V @ 8A •16AWG

Abb. 75 BLZ 5,00

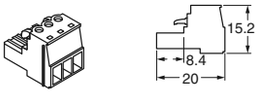

Spezifikationen:
• Schraubklemme • UL: 300V @ 15A • 12AWG

Abb. 76 BLZ 5,00/90

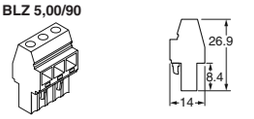

Spezifikationen:
• Schraubklemme • UL: 300V @ 15A • 12AWG

Abb. 77 BLZ 5,08

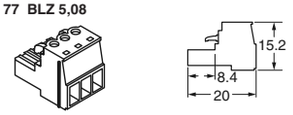

Spezifikationen:
• Schraubklemme • UL: 300V @ 15A • 12AWG

Abb. 78 BLT 5,08/180

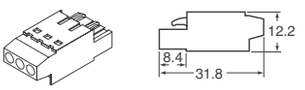

Spezifikationen:
• Verbindung oben • UL 300V @ 15A • 12AWG

Abb. 79 BLZ 5,08/90

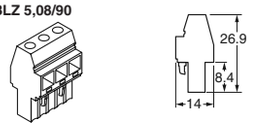

Specification:
• Schraubklemme • UL: 300V @ 15A • 12AWG

Abb. 80 BLZ 5,08/270

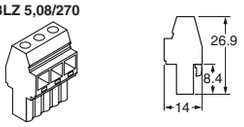

Spezifikationen:
• Schraubklemme • UL: 300V @ 15A • 12AWG

Abb. 81 BLIDC 5,08

Spezifikationen:
• IDC-Verbindung • UL: 300V @ 8A • 20AWG

Abb. 82 SLZF 5,08/180

Spezifikationen:
• Spannklammer • UL: 300V @ 10A • 12AWG

Abb. 83 SL-SMT 3,5/180G

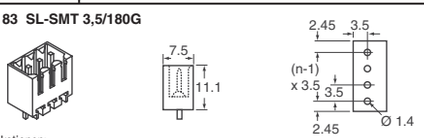

Spezifikationen:
• Durchlassloch-Aufschwemmlötverbindung • UL: 300V @ 10A • Stiftlänge: 1,5mm

Abb. 84 SL-SMT 3,5/180LF

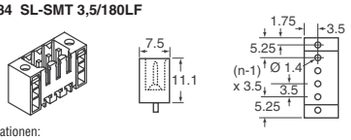

Flange with integrated solder pin.

Spezifikationen:
• Durchlassloch-Aufschwemmlötverbindung • UL: 300V @ 10A • Stiftlänge: 1.5mm

Abb. 85 SL-SMT 3,5/90G

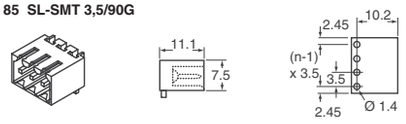

Spezifikationen:
• Durchlassloch-Aufschwemmlötverbindung • UL: 300V @ 10A • Stiftlänge: 1,5mm

Abb. 86 SL-SMT 3,5/90LF

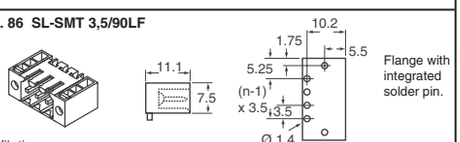

Flange with integrated solder pin.

Spezifikationen:
• Durchlassloch-Aufschwemmlötverbindung • UL: 300V @ 10A • Stiftlänge: 1,5mm

Abb. 87 SL-SMT 5,08/180

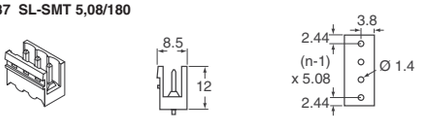

Spezifikationen:
• Durchlassloch-Aufschwemmlötverbindung • UL: 300V @ 15A • Stiftlänge: 1.5mm

Abb. 88 SL-SMT 5,08/180G

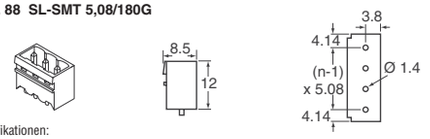

Spezifikationen:
• Durchlassloch-Aufschwemmlötverbindung • UL: 300V @ 15A • Stiftlänge: 1,5mm

Abb. 89 SL-SMT 5,08/180LF

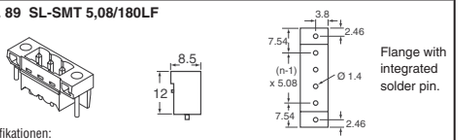

Flange with integrated solder pin.

Spezifikationen:
• Durchlassloch-Aufschwemmlötverbindung • UL: 300V @ 15A • Stiftlänge: 1,5mm

Abb. 90 SL-SMT 5,08/90

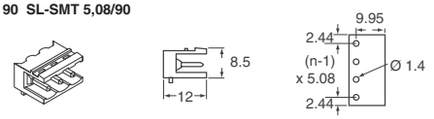

Spezifikationen:
• Durchlassloch-Aufschwemmlötverbindung • UL: 300V @ 15A • Stiftlänge: 1.5mm

Abb. 91 SL-SMT 5,08/90G

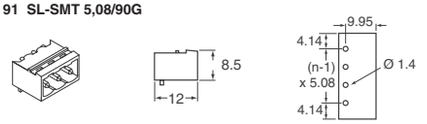

Spezifikationen:
• Durchlassloch-Aufschwemmlötverbindung • UL: 300V @ 15A • Stiftlänge: 1,5mm

Abb. 92 SL-SMT 5,08/90LF

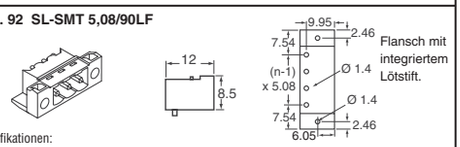

Flansch mit integriertem Lötstift.

Spezifikationen:
• Durchlassloch-Aufschwemmlötverbindung • UL: 300V @ 15A • Stiftlänge: 1,5mm

Abb.	Anz. der Pole	Farbe	Digi-Key Teilenr.	Stückpreis 1	10	100	Weidmüller Teilenr.
79	2	Schwarz	281-1252-ND	1.27	1.14	.98	1552710000
	3		281-1253-ND	1.88	1.69	1.45	1552810000
	4		281-1254-ND	2.49	2.23	1.92	1552910000
	6		281-1255-ND	3.71	3.32	2.86	1553110000
	8		281-1256-ND	4.95	4.44	3.82	1553310000
	10		281-1257-ND	6.18	5.54	4.77	1553510000
	12		281-1258-ND	7.40	6.63	5.71	1553710000
	16		281-1259-ND	9.86	8.84	7.61	1554110000
	24		281-1260-ND	14.68	13.15	11.32	1554910000
80	2	Schwarz	281-1261-ND	1.22	1.10	.94	1557310000
	3		281-1262-ND	1.83	1.64	1.41	1557410000
	4		281-1263-ND	2.49	2.23	1.92	1557510000
	6		281-1264-ND	3.63	3.26	2.81	1557710000
	8		281-1265-ND	4.95	4.44	3.82	1557910000
	10		281-1266-ND	6.04	5.41	4.66	1558110000
	12		281-1267-ND	7.40	6.63	5.71	1558310000
	16		281-1268-ND	9.86	8.84	7.61	1558710000
81	2	Schwarz	281-1728-ND	1.68	1.51	1.35	1759390000
	3		281-1729-ND	2.51	2.27	2.02	1759400000
	4		281-1730-ND	3.35	3.02	2.69	1759410000
	6		281-1731-ND	5.02	4.52	4.02	1759430000
	8		281-1732-ND	6.70	6.03	5.36	1759450000
	10		281-1733-ND	8.37	7.54	6.70	1759470000
	12		281-1734-ND	10.02	9.02	8.02	1759490000
5,08 mm Omnimate-Pin-Stecker							
82	2	Schwarz	281-1790-ND	1.52	1.38	1.22	1709600000
	3		281-1791-ND	1.97	1.78	1.58	1709610000
	4		281-1792-ND	2.40	2.17	1.93	1709620000
	6		281-1793-ND	3.27	2.94	2.62	1709640000
	8		281-1794-ND	4.23	3.81	3.39	1709660000
	10		281-1795-ND	5.10	4.59	4.08	1709680000
	12		281-1796-ND	5.96	5.37	4.77	1709700000
	16		281-1797-ND	7.61	6.85	6.09	1709740000
	24		281-1798-ND	11.20	10.08	8.97	1709820000
3,5 mm Omnimate – SMT-kompatible PCB-Stiftsteckleisten							
83	2	Schwarz	281-1772-ND	.56	.51	.45	1752982001
	3		281-1773-ND	.84	.76	.68	1752992001
	4		281-1774-ND	1.13	1.02	.91	1753002001
	6		281-1775-ND	1.69	1.52	1.36	1753022001
	8		281-1776-ND	2.20	1.98	1.76	1753042001
	10		281-1777-ND	2.79	2.51	2.23	1753062001
	12		281-1778-ND	3.29	2.97	2.64	1753082001
	16		281-1779-ND	4.46	4.02	3.57	1753122001
	24		281-1780-ND	6.55	5.90	5.25	1753202001

Abb.	Anz. der Pole	Farbe	Digi-Key Teilenr.	Stückpreis 1	10	100	Weidmüller Teilenr.
84	2	Schwarz	281-1781-ND	.66	.60	.53	1760962001
	3		281-1782-ND	1.01	.91	.81	1760972001
	4		281-1783-ND	1.29	1.16	1.03	1760982001
	6		281-1784-ND	1.93	1.74	1.55	1761002001
	8		281-1785-ND	2.58	2.33	2.07	1761022001
	10		281-1786-ND	3.20	2.88	2.57	1761042001
	12		281-1787-ND	3.84	3.46	3.07	1761062001
	16		281-1788-ND	5.13	4.62	4.11	1761102001
	24		281-1789-ND	7.66	6.90	6.13	1761182001
85	2	Schwarz	281-1754-ND	.56	.51	.45	1761542001
	3		281-1755-ND	.84	.76	.68	1761552001
	4		281-1756-ND	1.13	1.02	.91	1761562001
	6		281-1757-ND	1.69	1.52	1.36	1761582001
	8		281-1758-ND	2.20	1.98	1.76	1761602001
	10		281-1759-ND	2.79	2.51	2.23	1761622001
	12		281-1760-ND	3.29	2.97	2.64	1761642001
	16		281-1761-ND	4.46	4.02	3.57	1761682001
	24		281-1762-ND	6.55	5.90	5.25	1761762001
86	2	Schwarz	281-1763-ND	.66	.60	.53	1762002001
	3		281-1764-ND	1.01	.91	.81	1762012001
	4		281-1765-ND	1.29	1.16	1.03	1762022001
	6		281-1766-ND	1.93	1.74	1.55	1762042001
	8		281-1767-ND	2.58	2.33	2.07	1762062001
	10		281-1768-ND	3.20	2.88	2.57	1762082001
	12		281-1769-ND	3.84	3.46	3.07	1762102001
	16		281-1770-ND	5.13	4.62	4.11	1762142001
	24		281-1771-ND	7.66	6.90	6.13	1762222001
5,08 mm Omnimate – SMT-kompatible PCB-Stiftsteckleisten							
87	2	Schwarz	281-1610-ND	.47	.43	.38	1775522001
	3		281-1611-ND	.70	.63	.56	1775572001
	4		281-1612-ND	.93	.84	.75	1775592001
	5		281-1613-ND	1.16	1.04	.93	1775632001
	6		281-1614-ND	1.39	1.25	1.11	1775642001
	8		281-1615-ND	1.82	1.64	1.46	1775662001
	10		281-1616-ND	2.29	2.06	1.83	1775682001
	12		281-1617-ND	2.73	2.46	2.19	1775702001
	16		281-1618-ND	3.65	3.29	2.92	1775742001
	24		281-1619-ND	5.31	4.78	4.25	1775822001
88	2	Schwarz	281-1620-ND	.47	.43	.38	1775922001
	3		281-1621-ND	.70	.63	.56	1775932001
	4		281-1622-ND	.93	.84	.75	1775942001
	5		281-1623-ND	1.16	1.04	.93	1775952001
	6		281-1624-ND	1.39	1.25	1.11	1775962001
	8		281-1625-ND	1.82	1.64	1.46	1775982001
	10		281-1626-ND	2.29	2.06	1.83	1776002001

Abb.	Anz. der Pole	Farbe	Digi-Key Teilenr.	Stückpreis 1	10	100	Weidmüller Teilenr.
88	12	Schwarz	281-1627-ND	2.73	2.46	2.19	1776022001
	16		281-1628-ND	3.65	3.29	2.92	1776272001
	24		281-1629-ND	5.31	4.78	4.25	1776352001
89	2	Schwarz	281-1630-ND	.76	.69	.61	1776362001
	3		281-1631-ND	.93	.84	.75	1776372001
	4		281-1632-ND	1.13	1.02	.91	1776382001
	5		281-1633-ND	1.32	1.19	1.06	1776392001
	6		281-1634-ND	1.52	1.38	1.22	1776402001
	8		281-1635-ND	2.01	1.81	1.61	1776422001
	10		281-1636-ND	2.51	2.27	2.02	1776442001
	12		281-1637-ND	3.00	2.70	2.40	1776462001
	16		281-1638-ND	4.00	3.61	3.21	1776502001
	24		281-1639-ND	5.84	5.26	4.68	1776592001
90	2	Schwarz	281-1640-ND	.47	.43	.38	1774762001
	3		281-1641-ND	.70	.63	.56	1774772001
	4		281-1642-ND	.93	.84	.75	1774782001
	5		281-1643-ND	1.16	1.04	.93	1774792001
	6		281-1644-ND	1.39	1.25	1.11	1774802001
	8		281-1645-ND	1.82	1.64	1.46	1774822001
	10		281-1646-ND	2.29	2.06	1.83	1774842001
	12		281-1647-ND	2.73	2.46	2.19	1774862001
	16		281-1648-ND	3.65	3.29	2.92	1774902001
	24		281-1649-ND	5.31	4.78	4.25	1774982001
91	2	Schwarz	281-1660-ND	.47	.43	.38	1775002001
	3		281-1661-ND	.70	.63	.56	1775012001
	4		281-1662-ND	.93	.84	.75	1775022001
	5		281-1663-ND	1.16	1.04	.93	1775032001
	6		281-1664-ND	1.39	1.25	1.11	1775042001
	8		281-1665-ND	1.82	1.64	1.46	1775062001
	10		281-1666-ND	2.29	2.06	1.83	1775082001
	12		281-1667-ND	2.73	2.46	2.19	1775102001
	16		281-1668-ND	3.65	3.29	2.92	1775142001
	24		281-1669-ND	5.31	4.78	4.25	1775222001
92	2	Schwarz	281-1650-ND	.76	.69	.61	1775232001
	3		281-1651-ND	.93	.84	.75	1775242001
	4		281-1652-ND	1.13	1.02	.91	1775252001
	5		281-1653-ND	1.32	1.19	1.06	1775262001
	6		281-1654-ND	1.52	1.38	1.22	1775272001
	8		281-1655-ND	2.01	1.81	1.61	1775292001
	10		281-1656-ND	2.51	2.27	2.02	1775312001
	12		281-1657-ND	3.00	2.70	2.40	1775332001
	16		281-1658-ND	4.00	3.61	3.21	1775372001
	24		281-1659-ND	5.84	5.26	4.68	1775452001

HINWEIS: Alle Omnimate Stiftsteckleisten passen auf Omnimate Sockelblöcke. Alle Minimate Stiftsteckleisten passen auf Minimate Sockelblöcke.

281-1376-ND Schraubendreher für 3,5 mm Stecker.....9.96 (903705)

AMERICAN ELECTRICAL INC.

DIN-Schiene

Merkmale: • Stahldesign • CE-Zulassung • Zinkchromat-Auflage • Keine Markierungen an Schiene

Ist in Stufen von 1" von 3" bis 78" erhältlich. Rufen Sie an, wenn Sie Sonderlängen oder Preisangaben benötigen!

Hinweis: Für Längen über 48" entstehen u.U. zusätzliche Versandkosten.

PART NUMBERING SYSTEM

ADR□□□□-□□□□□-ND

- DR = DIN RAIL
- Width and height in MM: 3575 = 35MM X 7.55MM; 3515 = 35MM X 15MM
- S = Slotted; U = Unslotted
- Length in inches with an implied decimal point after the second digit. Example: 3 IN = 0300
- A = AMERICAN ELECTRICAL INC

Ohne Schlitz, 7,55 mm x 35 mm

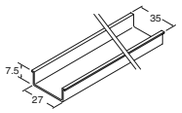

Mit Schlitz, 7,55 mm x 35 mm

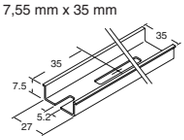

Ohne Schlitz, 15 mm x 35 mm

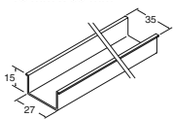

Mit Schlitz, 15 mm x 35 mm

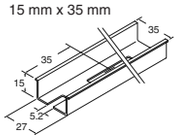

Länge in Zoll	Digi-Key Teilenr.	„U" Preis pro Stück 1	10	100	„S" Preis pro Stück 1	10	100
	U = Nicht geschlitzt S = Geschlitzt						
3	ADR3575-□0300-ND	1.22	.92	.64	1.22	.92	.64
4	ADR3575-□0400-ND	1.36	1.04	.74	1.36	1.04	.74
5	ADR3575-□0500-ND	1.38	1.07	.80	1.38	1.07	.80
6	ADR3575-□0600-ND	1.59	1.23	.92	1.59	1.23	.92
7	ADR3575-□0700-ND	1.82	1.41	1.06	1.82	1.41	1.06
8	ADR3575-□0800-ND	2.03	1.58	1.19	2.03	1.58	1.19
9	ADR3575-□0900-ND	2.24	1.75	1.31	2.24	1.75	1.31
10	ADR3575-□1000-ND	2.45	1.91	1.43	2.45	1.91	1.43
11	ADR3575-□1100-ND	2.63	2.06	1.55	2.63	2.06	1.55
12	ADR3575-□1200-ND	2.81	2.21	1.66	2.81	2.21	1.66
24	ADR3575-□2400-ND	4.25	3.41	2.56	4.25	3.41	2.56
36	ADR3575-□3600-ND	5.56	4.46	3.37	5.56	4.46	3.37
48	ADR3575-□4800-ND	6.75	5.40	4.13	6.75	5.40	4.13
—	ADR3575-□7874-ND*	9.41	7.41	5.80	9.41	7.41	5.80

Länge in Zoll	Digi-Key Teilenr.	„U" Preis pro Stück 1	10	100	„S" Preis pro Stück 1	10	100
	U = Nicht geschlitzt S = Geschlitzt						
3	ADR3515-□0300-ND	1.28	.96	.68	1.28	.96	.68
4	ADR3515-□0400-ND	1.39	1.06	.77	1.39	1.06	.77
5	ADR3515-□0500-ND	1.47	1.14	.86	1.47	1.14	.86
6	ADR3515-□0600-ND	1.74	1.34	1.01	1.74	1.34	1.01
7	ADR3515-□0700-ND	1.98	1.54	1.15	1.98	1.54	1.15
8	ADR3515-□0800-ND	2.21	1.72	1.29	2.21	1.72	1.29
9	ADR3515-□0900-ND	2.43	1.90	1.43	2.43	1.90	1.43
10	ADR3515-□1000-ND	2.64	2.07	1.55	2.64	2.07	1.55
11	ADR3515-□1100-ND	2.84	2.23	1.67	2.84	2.23	1.67
12	ADR3515-□1200-ND	3.02	2.38	1.79	3.02	2.38	1.79
24	ADR3515-□2400-ND	4.40	3.52	2.64	4.40	3.52	2.64
36	ADR3515-□3600-ND	5.97	4.78	3.63	5.97	4.78	3.63
48	ADR3515-□4800-ND	7.14	5.72	4.40	7.14	5.72	4.40
—	ADR3515-□7874-ND*	9.97	7.80	6.14	9.97	7.80	6.14

Hinweis: □ S = Mit Schlitz, U = Ohne Schlitz **Hinweis:**Ist in Stufen von 1" von 3" bis 78" erhältlich. Rufen Sie an, wenn Sie Sonderlängen oder Preisangaben benötigen! * 2 m lang

Crimp-Drahtzwingen Zur Verwendung mit europäischen Anschlussblöcken

CE

Drahtzwingen – Isoliert

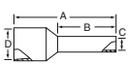

Material: Kupfer/Kunststoff Oberfläche: Verzinnt.

Größe mm²	AWG	Typ	Farb-code	Abmessungen (mm) A	B	C	D	Digi-Key Teilenr.	Preisangaben 10	50	100	AE Teilenr.
0.14	26	DIN	Grau	10.5	6	0.8	2.0	288-1001-ND*	1.96	8.59	14.73	1161014
				12.5	8	0.8	2.0	288-1002-ND*	2.10	9.19	15.75	1181014
		W	Grau	10.5	6	0.8	2.0	288-1039-ND*	1.96	8.59	14.73	1162014
0.25	24	DIN	Gelb	10.5	6	0.8	2.0	288-1003-ND*	1.96	8.59	14.73	11610025
				12.5	8	0.8	2.0	288-1004-ND*	2.10	9.19	15.75	11810025
		W	Blau	10.5	6	0.8	2.0	288-1041-ND*	1.96	8.59	14.73	11620025
				12.5	8	0.8	2.0	288-1042-ND*	2.10	9.19	15.75	11820025
0.34	22	DIN	Türkis	10.5	6	0.8	2.0	288-1005-ND*	1.96	8.59	14.73	1161034
				12.5	8	0.8	2.0	288-1006-ND*	2.10	9.19	15.75	1181034
		W	Türkis	10.5	6	0.8	2.0	288-1043-ND*	1.96	8.59	14.73	1162034
				12.5	8	0.8	2.0	288-1044-ND*	2.10	9.19	15.75	1182034
0.50	20	DIN	Weiß	11.5	6	1.1	2.5	288-1007-ND	1.42	6.22	10.67	1161050
				13.5	8	1.1	2.5	288-1008-ND	1.02	4.44	7.62	1181050
				15.5	10	1.1	2.5	288-1009-ND	1.42	6.22	10.67	11101050
		W	Orange	11.5	6	1.1	2.5	288-1045-ND	1.42	6.22	10.67	1162050
				13.5	8	1.1	2.5	288-1046-ND	1.02	4.44	7.62	1182050
				15.5	10	1.1	2.5	288-1047-ND	1.42	6.22	10.67	11102050
0.75	20	DIN	Grau	12.0	6	1.3	2.8	288-1010-ND	1.49	6.52	11.18	1161075
				14.0	8	1.3	2.8	288-1011-ND	1.02	4.44	7.62	1181075
				16.0	10	1.3	2.8	288-1012-ND	1.49	6.52	11.18	11101075
				18.0	12	1.3	2.8	288-1013-ND	1.49	6.52	11.18	11121075
		W	Weiß	12.0	6	1.3	2.8	288-1048-ND	1.49	6.52	11.18	1162075
				14.0	8	1.3	2.8	288-1049-ND	1.02	4.44	7.62	1182075
1.00	18	DIN	Rot	12.5	6	1.5	3.0	288-1014-ND	1.69	7.41	12.70	1161010
				14.5	8	1.5	3.0	288-1015-ND	1.08	4.74	8.13	1181010
				16.5	10	1.5	3.0	288-1016-ND	1.69	7.41	12.70	11101010
		W	Gelb	12.5	6	1.5	3.0	288-1052-ND	1.69	7.41	12.70	1162010
				14.5	8	1.5	3.0	288-1053-ND	1.08	4.74	8.13	1182010
				16.5	10	1.5	3.0	288-1054-ND	1.69	7.41	12.70	11102010
				18.5	12	1.5	3.0	288-1055-ND	1.69	7.41	12.70	11122010
1.50	16	DIN	Schwarz	12.5	6	1.8	3.4	288-1018-ND*	2.37	10.37	17.78	1161015
				14.5	8	1.8	3.4	288-1019-ND	1.49	6.52	11.18	1181015
				16.5	10	1.8	3.4	288-1020-ND	2.37	10.37	17.78	11101015
				18.5	12	1.8	3.4	288-1021-ND	2.37	10.37	17.78	11121015
				12.5	6	1.8	3.4	288-1056-ND*	2.37	10.37	17.78	1162015
		W	Rot	14.5	8	1.8	3.4	288-1057-ND	1.49	6.52	11.18	1182015
				16.5	10	1.8	3.4	288-1058-ND	2.37	10.37	17.78	11102015
2.08	14	DIN	Gelb	14.5	8	2.05	3.6	288-1023-ND*	1.86	8.15	13.97	1181208
2.50	14	DIN	Blau	15.0	8	2.3	4.2	288-1024-ND	1.49	6.52	11.18	1181025
				19.0	12	2.3	4.2	288-1025-ND	2.03	8.89	15.24	11121025
		W	Blau	15.0	8	2.3	4.2	288-1062-ND	1.49	6.52	11.18	1182025
				19.0	12	2.3	4.2	288-1063-ND	2.03	8.89	15.24	11122025
4.00	12	DIN	Grau	17.5	10	2.9	4.8	288-1027-ND	2.44	10.67	18.29	11101040
				20.0	12	2.9	4.8	288-1028-ND	2.44	10.67	18.29	11121040
		W	Grau	17.5	10	2.9	4.8	288-1065-ND	2.44	9.14	12.19	11102040
				20.0	12	2.9	4.8	288-1066-ND	2.44	9.14	12.19	11122040
6.00	10	DIN	Gelb	20.0	12	3.6	6.2	288-1030-ND	3.22	12.06	16.09	11121060
		W	Schwarz	20.0	12	3.6	6.2	288-1068-ND	3.22	12.06	16.09	11122060
10.00	8	DIN	Rot	21.0	12	4.6	7.5	288-1032-ND	3.22	12.06	16.09	11121100
16.00	6	DIN	Blau	23.0	12	6.0	8.8	288-1034-ND	4.40	16.51	22.01	11121160
25.00	4	DIN	Gelb	29.0	16	7.5	11.0	288-1036-ND	11.18	41.91	55.88	11161250

* Erfüllt DIN 46228 Part 4 nicht

Hinweis: Weitere Größen finden Sie unter www.digikey.com

Doppeldrahtzwingen für zwei Drähte

Material: Kupfer/Kunststoff Oberfläche: Verzinnt.

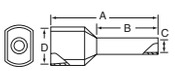

Größe mm²	AWG	Farbe	Abmessungen (mm) A	B	C	D	Digi-Key Teilenr.	Preisangaben 10	50	100	AE Teilenr.
2 x 0.50	2 x 20	Weiß	15.0	8.0	1.5	2.3 / 4.5	288-1124-ND	1.35	5.93	10.16	1381050
2 x 0.75	2 x 20	Grau	15.0	8.0	1.8	2.6 / 5.1	288-1125-ND	1.35	5.93	10.16	1381075
2 x 0.75	2 x 20	Grau	17.0	10.0	1.8	2.6 / 5.1	288-1126-ND	1.73	7.56	12.95	13101075
2 x 1.00	2 x 18	Rot	15.0	8.0	2.05	3.2 / 5.1	288-1127-ND	1.59	6.97	11.94	1381010
2 x 1.00	2 x 18	Rot	17.0	10.0	2.05	3.2 / 5.1	288-1128-ND	2.20	9.63	16.51	13101010
2 x 1.50	2 x 16	Schwarz	16.0	8.0	2.3	3.5 / 6.4	288-1129-ND	1.90	8.30	14.22	1381015
2 x 1.50	2 x 16	Schwarz	20.0	12.0	2.3	3.5 / 6.4	288-1130-ND	2.71	11.85	20.32	13121015
2 x 2.50	2 x 14	Blau	18.5	10.0	2.9	4.0 / 7.5	288-1131-ND	2.71	11.85	20.32	13101025
2 x 2.50	2 x 14	Blau	21.5	13.0	2.9	4.0 / 7.5	288-1132-ND	2.71	11.85	20.32	13131025
2 x 4.00	2 x 12	Grau	23.0	12.0	3.8	4.9 / 8.6	288-1133-ND	4.91	18.41	24.55	13121040
2 x 6.00	2 x 10	Gelb	25.0	14.0	4.9	5.8 / 9.6	288-1134-ND	5.25	19.68	26.24	13141060
2 x 10.0	2 x 8	Rot	26.0	14.0	6.5	7.0 / 12.6	288-1135-ND	6.43	24.13	32.17	13141100
2 x 16.0	2 x 6	Blau	31.0	16.0	8.5	8.8 / 16.6	288-1136-ND	16.93	74.08	126.99	13161160

Drahtzwingen – Nicht isoliert

Material: Kupfer Oberfläche: Verzinnt.

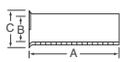

Größe mm²	AWG	Abmessungen (mm) A	B	C	Digi-Key Teilenr.	Preisangaben 10	50	100	AE Teilenr.
0.25	24	5	0.8	1.7	288-1077-ND*	.51	2.23	3.81	12510025
		7	0.8	1.7	288-1078-ND*	.51	2.23	3.81	12710025
0.34	22	5	0.9	1.8	288-1079-ND*	.54	2.37	4.06	12510034
		7	0.9	1.8	288-1080-ND*	.54	2.37	4.06	12710034
0.50	20	6	1.0	2.1	288-1081-ND	.58	2.52	4.32	12610050
		8	1.0	2.1	288-1082-ND*	.61	2.67	4.57	12810050
		10	1.0	2.1	288-1083-ND	.61	2.67	4.57	121010050
0.75	20	6	1.2	2.3	288-1084-ND	.71	3.12	5.33	12610075
		8	1.2	2.3	288-1085-ND*	.71	3.12	5.33	12810075
		10	1.2	2.3	288-1086-ND	.75	3.26	5.59	121010075
		12	1.2	2.3	288-1087-ND	.81	3.56	6.10	121210075
1.00	18	6	1.4	2.5	288-1088-ND	.75	3.26	5.59	12610100
		7	1.4	2.5	288-1089-ND	.75	3.26	5.59	12710100
		8	1.4	2.5	288-1090-ND*	.75	3.26	5.59	12810100
		10	1.4	2.5	288-1091-ND	.75	3.26	5.59	121010100
		12	1.4	2.5	288-1092-ND*	.85	3.71	6.35	121210100
1.50	16	7	1.7	2.8	288-1093-ND	.78	3.41	5.84	12710150
		8	1.7	2.8	288-1094-ND	.78	3.41	5.84	12810150
		10	1.7	2.8	288-1095-ND	.81	3.56	6.10	121010150
		12	1.7	2.8	288-1096-ND	.91	4.00	6.86	121210150
		15	1.7	2.8	288-1097-ND*	.91	4.00	6.86	121510150
2.50	14	7	2.2	3.4	288-1099-ND	.98	4.30	7.37	12710250
		8	2.2	3.4	288-1100-ND	.98	4.30	7.37	12810250
		10	2.2	3.4	288-1101-ND	.98	4.30	7.37	121010250
		12	2.2	3.4	288-1102-ND	.98	4.30	7.37	121210250
4.00	12	9	2.8	4.0	288-1105-ND	.95	4.15	7.11	12910400
		10	2.8	4.0	288-1106-ND	.95	4.15	7.11	121010400
		12	2.8	4.0	288-1107-ND	.85	3.71	6.35	121210400
6	10	10	3.5	4.7	288-1110-ND	1.90	8.30	14.22	121010600
		12	3.5	4.7	288-1111-ND	1.90	8.30	14.22	121210600
10.00	8	12	4.5	5.8	288-1114-ND	1.69	7.41	12.70	1212110
25.00	4	12	7.3	9.5	288-1121-ND*	8.80	38.52	66.03	1212125

* Erfüllt DIN 46228 Part 1 nicht

Sortiment-Boxen

Sortiment-Box 1, 150 Stück	Sortiment-Box 2, 400 Stück	Sortiment-Box 3, 100 Stück
(Je 30 Stück der Größen 0,25, 0,34, 0,50, 0,75 und 1,00)	(Je 50 Stück der Größen 0,50 und 2,50; je 100 Stück der Größen 0,75, 1,00 und 1,50)	(Je 50 Stück der Größe 4,00; je 20 Stück der Größen 6,00 und 10,00, je 10 Stücke der Größe 16,00)
DIN-Typ	DIN-Typ	DIN-Typ
288-1147-ND 42.33	**288-1148-ND** 63.50	**288-1149-ND** 52.91
Typ W	Typ W	DIN-Typ
288-1153-ND 42.33	**288-1154-ND** 63.50	**288-1155-ND** 52.91

Sortiment-Boxen

288-1156-ND **Sortiment-Box 7 — 1.800 Stück** (500 Stück der Größe 0,50; je 400 Stück der Größen 0,75 und 1,00; 300 Stück der Größe 1,50; 200 Stück der Größe 2,50) **74.08**

288-1157-ND **Sortiment-Box 8 — 370 Stück** (150 Stück der Größe 4,00; 100 Stück der Größe 6,00; 80 Stück der Größe 10,00; 40 Stück der Größe 16,00) **63.50**

Crimp-werkzeuge

288-1163-ND Prototyp-Werkzeug für 10-22 AWG Zwingen (AE Teilenr. TRAP 22-10) **37.02**

288-1158-ND Für 10-24 AWG Zwingen (AE Teilenr. TRAP 24-10) **148.16**

288-1159-ND Für 4-8 AWG Zwingen (AE Teilenr. TRAP 8-4) **159.55**

288-1161-ND Für 10-28 AWG Zwingen (AE Teilenr. SQ 28-10) **177.79**

288-1162-ND Für 8-12 AWG Zwingen (AE Teilenr. TRAP 12-8 TW) **212.26**

A

Abb. 1 - WDU 2.5N

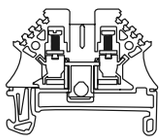

- Anschlussblockbreite: 5 mm
- Drahtgröße (UL): 24–12 AWG
- Spannungszulassung (UL): 300 V
- Stromzulassung (UL): 25 A

Abb. 2 - WDU 2.5

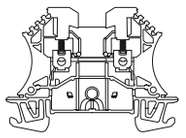

- Anschlussblockbreite: 5 mm
- Drahtgröße (UL): 22–12 AWG
- Spannungszulassung (UL): 600 V
- Stromzulassung (UL): 25 A

Abb. 3 - WDU 4

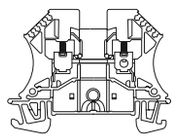

- Anschlussblockbreite: 6 mm
- Drahtgröße (UL): 22–10 AWG
- Spannungszulassung (UL): 600 V
- Stromzulassung (UL): 35 A

Abb. 4- WDU 6

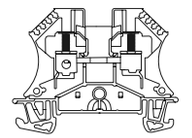

- Anschlussblockbreite: 8 mm
- Drahtgröße (UL): 20–8 AWG
- Spannungszulassung (UL): 600 V
- Stromzulassung (UL): 45 A

Abb. 5 - WDU 10

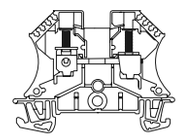

- Anschlussblockbreite: 10 mm
- Drahtgröße (UL): 16–6 AWG
- Spannungszulassung (UL): 1.000 V
- Stromzulassung (UL): 65 A

Abb. 6 - WDU 16

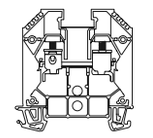

- Anschlussblockbreite: 12 mm
- Drahtgröße (UL): 14–6 AWG
- Spannungszulassung (UL): 600 V
- Stromzulassung (UL): 70 A

Abb. 7 - WDK 2.5N

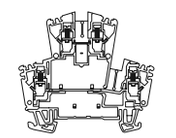

- Anschlussblockbreite: 5 mm
- Drahtgröße (UL): 22–12 AWG
- Spannungszulassung (UL): 600 V
- Stromzulassung (UL): 20 A

Abb. 8 - WDK 2.5 DU-PE

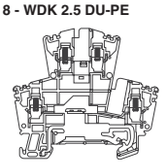

- Anschlussblockbreite: 5 mm
- Drahtgröße (UL): 22–12 AWG
- Spannungszulassung (UL): 300 V
- Stromzulassung (UL): 20 A

Abb. 9 - WDU 1.5/R 3.5

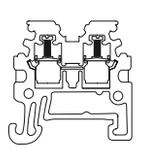

- Anschlussblockbreite: 3,5 mm
- Drahtgröße (UL): 26–14 AWG
- Spannungszulassung (UL): 300 V
- Stromzulassung (UL): 15 A

Abb. 10 - WDK 1.5/R 3.5

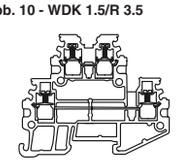

- Anschlussblockbreite: 3,5 mm
- Drahtgröße (UL): 26–14 AWG
- Spannungszulassung (UL): 300 V
- Stromzulassung (UL): 15 A

Abb. 11 - WDK 4N

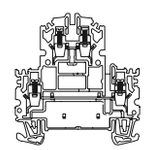

- Anschlussblockbreite: 6 mm
- Drahtgröße (UL): 22–10 AWG
- Spannungszulassung (UL): 600 V
- Stromzulassung (UL): 35 A

Abb. 12 - WDK 4NV

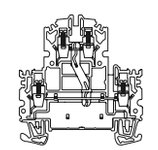

- Anschlussblockbreite: 6 mm
- Drahtgröße (UL): 22–10 AWG
- Spannungszulassung (UL): 600 V
- Stromzulassung (UL): 35 A

Abb.13 - WDK 2.5 NV

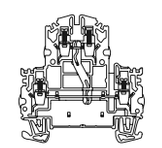

- Anschlussblockbreite: 5 mm
- Drahtgröße (UL): 26–12 AWG
- Spannungszulassung (UL): 600 V
- Stromzulassung (UL): 20 A

ANSCHLUSSBLÖCKE							ZUBEHÖR (Beschreibungen und Preise weiter unten)							
Abb.	Serie	Digi-Key Teilenr.	Stückpreis 1	10	100	Weidmuller Teilenr.	Grund-blöcke	End-platten	Endhal-terungen	Zwischenwände	Brücken/ Brücken-Links	Kerbwerk-zeuge	DIN-Schiene	Markierungs-etiketten
1	WDU 2.5N	281-1466-ND	1.34	1.20	1.07	1040800000	281-1490-ND	281-1499-ND	281-1503-ND	—	281-1505-ND	281-1533-ND	281-1534-ND	281-1550-ND
2	WDU 2.5	281-1467-ND	1.11	1.00	.89	1020000000	281-1491-ND	281-1500-ND	281-1503-ND	—	281-1505-ND	281-1533-ND	281-1534-ND	281-1550-ND
3	WDU 4	281-1468-ND	1.19	1.08	.96	1020100000	281-1492-ND	281-1500-ND	281-1503-ND	—	281-1514-ND	281-1533-ND	281-1534-ND	281-1551-ND
4	WDU 6	281-1469-ND	1.64	1.48	1.32	1020200000	281-1493-ND	281-1500-ND	281-1503-ND	—	281-1518-ND 281-1521-ND	281-1533-ND	281-1534-ND	—
5	WDU 10	281-1470-ND	2.18	1.96	1.74	1020300000	281-1494-ND	281-1500-ND	281-1503-ND	—	281-1522-ND 281-1525-ND	281-1533-ND	281-1534-ND	—
6	WDU 16	281-1471-ND	4.29	3.87	3.44	1020400000	281-1495-ND	—	281-1502-ND	—	— 281-1529-ND	281-1533-ND	281-1534-ND	—
7	WDK 2.5N	281-1472-ND	3.38	3.04	2.71	1041100000	281-1496-ND	—	281-1502-ND	281-1501-ND	281-1505-ND 281-1506-ND	281-1533-ND	281-1534-ND	281-1550-ND
8	WDK 2.5 DU-PE	281-1555-ND	5.11	4.60	4.09	1036400000	281-1496-ND	—	281-1502-ND	281-1501-ND	—	281-1533-ND	281-1534-ND	281-1550-ND
9	WDU 1.5/R 3.5	281-1476-ND	1.39	1.25	1.11	1753280000	—	281-1478-ND	281-1480-ND	—	281-1481-ND 281-1482-ND	281-1533-ND	281-1535-ND	281-1536-ND 281-1537-ND
10	WDK 1.5/R 3.5	281-1477-ND	3.04	2.74	2.43	1753290000	—	281-1479-ND	281-1480-ND —	—	281-1481-ND 281-1482-ND	281-1533-ND	281-1535-ND	281-1536-ND 281-1537-ND
11	WDK 4N	281-1473-ND	4.83	4.35	3.87	1041900000	281-1497-ND	—	281-1502-ND	281-1501-ND	281-1514-ND 281-1515-ND	281-1533-ND	281-1534-ND	281-1550-ND
12	WDK 4NV	281-1474-ND	6.80	6.12	5.44	1041910000	281-1497-ND	—	281-1502-ND	281-1501-ND	281-1514-ND 281-1515-ND	281-1533-ND	281-1534-ND	281-1550-ND
13	WDK 2.5 NV	281-1475-ND	6.88	6.20	5.51	1041610000	281-1497-ND	—	281-1502-ND	281-1501-ND	281-1505-ND 281-1506-ND	281-1533-ND	281-1534-ND	281-1550-ND

Zubehör

Beschreibung	Digi-Key Teilenr.	Stückpreis 1	10	100	Weidmüller Teilenr.
Erdungsblöcke					
WPE 2.5N	281-1490-ND	4.85	4.37	3.89	1016200000
WPE 2.5	281-1491-ND	5.54	4.99	4.43	1010000000
WPE 4	281-1492-ND	5.71	5.14	4.57	1010100000
WPE 6	281-1493-ND	5.88	5.30	4.71	1010200000
WPE 10	281-1494-ND	6.37	5.73	5.09	101 0300000
WPE 16	281-1495-ND	7.74	6.97	6.19	1010400000
WDK 2.5N DU-PE	281-1496-ND*	6.12	5.51	4.90	1041650000
WDK 4N PE	281-1497-ND†	6.81	6.13	5.45	1041920000
Endplatten					
WAP WDU 1.5/R 3.5	281-1478-ND	.30	.27	.24	1754190000
WAP WDK 1.5/R 3.5	281-1479-ND	.78	.70	.62	1754200000
WAP WDU 1.5	281-1499-ND	.71	.64	.57	1060000000
WAP WDU 2.5	281-1500-ND	.75	.68	.60	1050000000
Endhalterungen					
EW 15	281-1480-ND	.61	.55	.49	3828600000
WEW 35/1	281-1502-ND	3.75	3.38	3.00	1061200000
WEW 35/2	281-1503-ND	1.75	1.58	1.41	1059000000
Zwischenwände					
WTW	281-1501-ND	4.11	3.70	3.29	1058800000
Jumper					
ZQV 1.5/R 3.5/2 GE	281-1481-ND	.46	.42	.37	1754210000
ZQV 1.5/R 3.5/3 GE	281-1482-ND	.91	.82	.73	1754220000
ZQV 2.5N/2	281-1505-ND	.50	.45	.40	1693800000
ZQV 2.5N/3	281-1506-ND	.93	.84	.75	1693810000
ZQV 4N/2	281-1514-ND	.98	.88	.79	1758250000
ZQV 4N/3	281-1515-ND	1.45	1.31	1.16	1762630000
ZQV 4N/10	281-1517-ND	4.72	4.25	3.77	1758260000

Beschreibung	Digi-Key Teilenr.	Stückpreis 1	10	100	Weidmüller Teilenr.
Brücken-Links					
WQV 6/2	281-1518-ND	1.39	1.25	1.11	1052360000
WQV 6/3	281-1519-ND	2.12	1.91	1.70	1054760000
WQV 6/4	281-1520-ND	2.67	2.40	2.14	1054860000
WQV 6/10	281-1521-ND	6.62	5.96	5.30	1052260000
WQV 10/2	281-1522-ND	1.55	1.40	1.24	1052560000
WQV 10/3	281-1523-ND	2.18	1.96	1.74	1054960000
WQV 10/4	281-1524-ND	2.82	2.54	2.26	1055060000
WQV 10/10	281-1525-ND	6.75	6.07	5.40	1052460000
WQV 16/10	281-1529-ND	7.06	6.36	5.65	1053360000
Kerbwerkzeug					
Schneidewerkzeug WAW 1	281-1533-ND	40.32	—	—	900450
Schraubendreher					
0.6 x 3.5	281-1530-ND	9.68	8.71	7.75	9008330000
0.8 x 4.0	281-1531-ND	13.11	11.80	10.49	9008340000
1.0 x 5.5	281-1532-ND	17.82	16.04	14.26	9008350000
DIN-Schiene - geschlitzt 1M					
TS 35 x 7.5mm	281-1534-ND	10.84	9.75	8.67	51451
TS 15 x 5.5mm	281-1535-ND	13.93	12.54	11.15	11751
Markierungsstift					
STI - schwarz	281-1554-ND	7.01	6.31	5.61	508401694
Steckdosenmodule					
AC, einfach	281-1560-ND	12.48	11.41	8.92	9915480000
AC, Duplex	281-1561-ND	18.03	16.49	12.88	9915490000
Sicherungsblock					
Mit Anzeige	281-1562-ND	10.57	9.67	7.55	67601493

* Einzelebene + Erde † Doppelebene-Erdungsblock

Beschreibung	Digi-Key Teilenr.	Stückpreis 1	10	100	Weidmüller Teilenr.
Markierungsstreifen					
DEK 5/3,5 MC leer (nicht bedruckt)	281-1536-ND	41.17	37.06	32.94	1755270000
DEK 5/3,5 FS 1-10 vormarkiert (bedruckt)	281-1537-ND	41.17	37.06	32.94	1762320001
WS 10/5 leer (nicht bedruckt)	281-1547-ND	1.41	1.27	1.13	1060860000
WS 10/6 leer (nicht bedruckt)	281-1548-ND	1.45	1.31	1.16	1060960000
DEK 5/5 leer (nicht bedruckt)	281-1550-ND	2.38	2.14	1.90	0473360000
DEK 5/6 leer (nicht bedruckt)	281-1551-ND	2.38	2.14	1.90	0468560000
DEK 5/8 leer (nicht bedruckt)	281-1553-ND	2.51	2.27	2.02	1277060000

Erdungsblöcke - Erden verbundene Drähte an DIN-Schiene

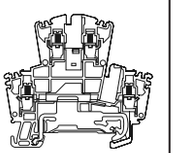

Endplatten - Bedecken das offene Ende des Anschlussblocks

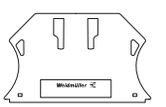

Endklemmen - Klemmen Blöcke in ihre Position auf der Schiene

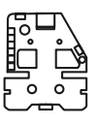

Unterteilungen - WTW

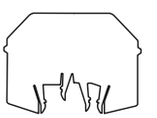

Brücken - Für Querverbindung ZQV

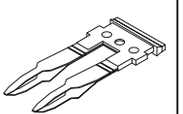

Brücken-Links - Für Querverbindung WQV

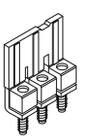

DIN-Schiene mit Montagelöchern

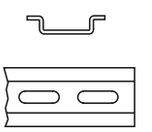

Markierungsstreifen - Markiert die Anschlusspunkte

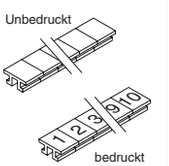

Sicherungsblock: TS 35 DIN Schiene mit Neonanzeige

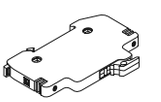

Ausgangsmodule-TS 35 DIN Schiene

Duplex

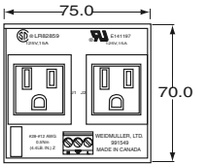

Einfach

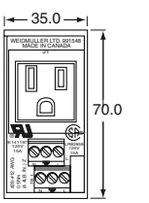

Alle Preisangaben in Euro und inklusive Zollgebühren.

Abb. 1
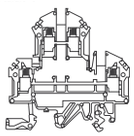
Farbe: Beige

Abb. 2
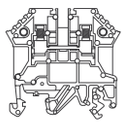
Farbe: Beige

Abb. 3
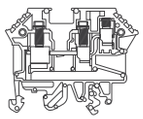
Farbe: Beige

Abb. 4
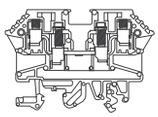
Farbe: Beige

Abb. 5
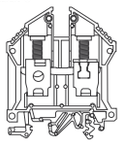
Farbe: Beige

Abb. 6
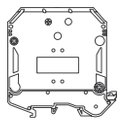
Farbe: Beige oder grün/gelb

Abb. 7
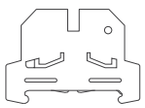
Farbe: Grün/gelb

Abb. 8
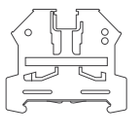
Farbe: Grün/gelb

Abb. 9
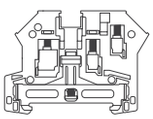
Farbe: Grün/gelb

Abb. 10
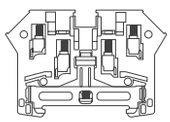
Farbe: Grün/gelb

Abb. 11
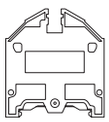
Farbe: Grün/gelb

Abb. 12
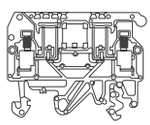
Farbe: Beige

Abb. 13
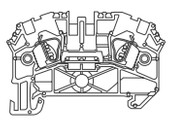
Farbe: Beige oder grün/gelb

Abb. 14
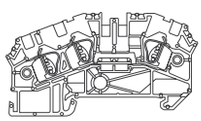
Farbe: Beige oder grün/gelb

Abb. 15
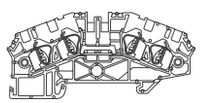
Farbe: Beige oder grün/gelb

Abb. 16
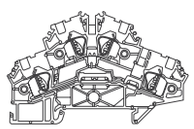
Farbe: Beige oder grün/gelb

Anschlussblöcke							Spezifikationen				Zubehör								
Abb.	Serie	Digi-Key Teilenr.	Stückpreis 1	10	100	On-Shore Teilenr.	Abmessungen L x B x H (mm)	Draht-größe (AWG)	UL-Nenn-spannung (V)	UL-Nenn-strom (A)	End-platte	Isolierende Trennvor-richtung	Separator	Endhal-terung	Test-sockel	Test-Stecker	Querschnitt	Markier-streifen (leer)	Markier-streifen (1-10)
Schraubenanschluss																			
1	SRD 2.5	ED2542-ND	2.18	1.97	1.75	41206.2	59 x 5 x 60	22-14	300	20	2101.2	—	2566.2	2826.2	2075.0	2007.0	2567.0/2570.0	2430.0	2431.0
	SRD 4	ED2527-ND	2.28	2.05	1.83	41020.2	59 x 6 x 60	22-12	300	30	2101.2	—	2566.2	2826.2	2075.0	2007.0	2087.0/2090.0	2430.0	2431.0
2	SR 10	ED2526-ND	1.40	1.26	1.12	41005.2	48 x 8 x 47	22-8	600	65	2001.2	2002.2	2003.2	2826.2	—	—	2060.0/2750.2 & 2063.0/2753.2	—	—
	SR 2.5	ED2547-ND	.88	.79	.71	41296.2	48 x 5 x 47	22-14	600	20	2001.2	2002.2	2566.2	2826.2	2075.0	2007.0	2567.0/2570.0	2430.0	2431.0
	SR 4	ED2525-ND	.91	.82	.73	41001.2	48 x 6 x 47	22-10	600	40	2001.2	2002.2	2003.2	2826.2	2006.0	2007.0	2019.0/2740.2 & 2022.0/2743.2	2035.0	2036.0
3	SR 4 DR	ED2543-ND	1.75	1.58	1.41	41210.2	57 x 6 x 47	22-12	600	20	—	—	2003.2	2826.2	2006.0	2007.0	2019.0/2740.2 & 2022.0/2743.2	2035.0	2036.0
4	SR 4 DRL	ED2544-ND	2.45	2.20	1.96	41211.2	67 x 6 x 47	22-12	600	20	—	—	2003.2	2826.2	2006.0	2007.0	2019.0/2740.2 & 2022.0/2743.2	2035.0	2036.0
5	SR 16	ED2528-ND	2.09	1.88	1.67	41050.2	50 x 12 x 58	12-4	600	85	2104.2	—	2003.2	2826.2	—	—	2112.0	—	—
	SR 35	ED2529-ND	4.08	3.67	3.27	41052.2	58 x 16 x 71	12-2	600	115	2116.2	—	—	2761.0	—	—	—	—	—
6	SR 150	ED2538-ND	23.40	21.06	18.72	41124.2	93 x 31 x 109	2-300MCM	600	275	—	—	—	2761.0	—	—	—	—	—
	SR 240	ED2539-ND	28.09	25.29	22.48	41126.2	93 x 36 x 123	2/0-500	600	370	—	—	—	2761.0	—	—	—	—	—
	SR 50	ED2536-ND	9.44	8.50	7.55	41120.2	79 x 20 x 76	6-1/0	600	150	—	—	—	2761.0	—	—	—	—	—
	SR 95	ED2537-ND	18.73	16.86	14.99	41122.2	84 x 25 x 88	2-4/0	600	230	—	—	—	2761.0	—	—	—	—	—
12	SRSI 4-2	ED2535-ND	4.11	3.70	3.29	41078.2	51 x 8 x 39	22-12	300	6.3	—	—	—	2826.2	—	—	—	—	—
Spannfeder																			
13	ZR 2.5	ED2548-ND*	.92	.84	.74	43500.2	59 x 5 x 39	20-12	600	27	3700.2	2957.2	—	—	—	—	3710.8/3718.8	2430.0	2431.0
	ZR 4	ED2553-ND*	1.09	.99	.88	43515.2	64 x 6 x 42	20-10	600	35	3703.2	2957.2	—	—	—	—	3720.8/3728.8	2035.0	2036.0
14	ZR 2.5 DR	ED2549-ND*	1.33	1.20	1.07	43501.2	71.3 x 5 x 39	20-12	600	27	3701.2	2957.2	—	—	—	—	3710.8/3718.8	2430.0	2431.0
	ZR 4 DR	ED2554-ND*	1.50	1.35	1.20	43516.2	78.5 x 6 x 42	20-10	600	35	3704.2	2957.2	—	—	—	—	3720.8/3728.8	2035.0	2036.0
15	ZR 2.5 DRL	ED2550-ND*	1.74	1.56	1.39	43502.2	83.6 x 5 x 39	20-12	600	27	3702.2	2957.2	—	—	—	—	3710.8/3718.8	2430.0	2431.0
	ZR 4 DRL	ED2555-ND*	1.87	1.69	1.50	43517.2	93 x 6 x 42	20-10	600	35	3705.2	2957.2	—	—	—	—	3720.8/3728.8	2035.0	2036.0
16	ZRD 2.5	ED2559-ND	2.13	1.92	1.71	43562.2	84 x 5 x 53	20-12	300	10	3756.2	—	—	3748.2	—	—	3710.8/3718.8	2430.0	2431.0

Grundblöcke											
Abb.	Serie	Digi-Key Teilenr.	Stückpreis 1	10	100	On-Shore Teilenr.	Abm. (mm) L x B x H	Drahtgröße (AWG)	Isolierende Trennvorrichtung	Markierstreifen (leer)	Markierstreifen (1-10)
6	SRSL 4-T15	ED2534-ND†	2.66	2.39	2.13	41064.2	32 x 7 x 32	22-10	—	—	—
7	SRSLN 2.5-T35	ED2531-ND†	2.78	2.50	2.22	41058.2	52 x 6 x 39	22-14	—	2035.0	2036.0
8	SRSL 10-T35	ED2546-ND†	3.67	3.31	2.94	41213.2	56 x 10 x 47	20-8	—	—	—
	SRSL 2.5-T35	ED2530-ND†	2.78	2.50	2.22	41056.2	52 x 6 x 47	22-14	—	2035.0	2036.0
	SRSL 4-T35	ED2545-ND†	2.96	2.67	2.38	41212.2	56 x 8 x 47	22-10	—	—	—
9	SRSL 2.5-T35 DR	ED2532-ND†	3.75	3.38	3.00	41060.2	62.5 x 6 x 47	22-14	—	2430.0	2431.0
10	SRSL 2.5-T35 DRL	ED2533-ND†	3.89	3.50	3.12	41062.2	67 x 6 x 47	22-14	—	2035.0	2036.0
11	SRSL 16-T35	ED2540-ND†	5.74	5.17	4.59	41197.2	56 x 12 x 58	12-6	—	—	—
	SRSL 35-T35	ED2541-ND†	7.70	6.94	6.17	41199.2	58 x 16 x 71	12-2	—	—	—
13	ZRSL 2.5	ED2551-ND†	3.23	2.91	2.58	43510.2	59 x 5 x 39	20-12	2957.2	2430.0	2431.0
	ZRSL 4	ED2556-ND†	3.25	2.93	2.60	43525.2	64 x 6 x 42	20-10	2957.2	2035.0	2036.0
14	ZRSL 4 DR	ED2557-ND†	3.91	3.52	3.13	43526.2	78.5 x 6 x 42	20-10	2957.2	2430.0	2431.0
15	ZRSL 2.5 DRL	ED2552-ND†	4.46	4.02	3.57	43512.2	83.6 x 5 x 39	20-12	2957.2	2430.0	2431.0
	ZRSL 4 DRL	ED2558-ND†	5.24	4.72	4.20	43527.2	93 x 6 x 42	20-10	2957.2	2035.0	2036.0
16	ZRSLD 2.5	ED2560-ND†	3.87	3.48	3.10	43567.2	84 x 5 x 53	20-12	—	2430.0	2431.0

* UL-Zulassungen angemeldet † Farbe: Grün/gelb

Accessories

ENDPLATTEN

Gewöhnlich werden Endplatten am Ende jeder Anschlussreihe verwendet. Werden verschieden große Anschlüsse in einer Anschlussreihe verwendet, werden Endplatten auch zwischen diesen verschieden großen Anschlüssen eingesetzt. Die Gesamtgröße von Endplatten entspricht der Größe des zu entsprechenden Anschlusses.

ISOLIERUNTERTEILUNGEN:

Beim Einbezug von Querverbindern müssen Unterteilungsplatten zwischen die Querverbinder eingefügt werden. Dies ist notwendig, um die vorgeschriebenen Luft- und Kriechstromabstände einzuhalten.

TRENNSTÜCKE:

Einige Anschlusstypen werden mit Separatoren verwendet, wenn sie mit Querverbindern betrieben werden, damit vorgeschriebene Luft- und Kriechstromabstände gewahrt bleiben. Separatoren können später zwischen die Querverbinder montiert werden.

TESTSOCKEL:

Sockel vom Typ STB werden in die Bus-Stange eingesetzt oder anstatt der Anschlussschraube in den modularen Anschluss geschraubt. Sie füllen die Testockel vom Typ PS.

TESTSTECKER:

Teststecker vom Typ PS dienen zum letzten Test der fertig verdrahteten Anschlussstreifen.

QUERVERBINDERSYSTEME:

Q - Querverbindung; QI - Die Querverbindungsstange, Verbindungshülse und Befestigungsschraube sind bereits unverlierbar mit der entsprechenden Pfostenzahl montiert.

Serie	Beschreibung	Digi-Key Teilenr.	Stückpreis 1	10	100	On-Shore Teilenr.
Endplatten						
AP 1.5-4	—	ED2505-ND	.43	.39	.35	2738.2
AP 16	—	ED2495-ND	.67	.60	.54	2104.2
AP 2.5-10	—	ED2478-ND	.47	.43	.38	2001.2
AP 35	—	ED2497-ND	.95	.86	.76	2116.2
AP 4	—	ED2494-ND	.79	.71	.63	2101.2
AP-SR	—	ED2490-ND	.43	.39	.35	2070.2
ZAP 2.5/2A	—	ED2513-ND	.59	.54	.48	3700.2
ZAP 2.5/3A	—	ED2514-ND	.62	.56	.50	3701.2
ZAP 2.5/4A	—	ED2515-ND	.64	.58	.52	3702.2
ZAP 4/2A	—	ED2516-ND	.62	.56	.50	3703.2
ZAP 4/3A	—	ED2517-ND	.67	.60	.54	3704.2
ZAP 4/4A	—	ED2518-ND	.69	.62	.56	3705.2
ZAPD 2.5	—	ED2524-ND	1.00	.90	.80	3756.2
Isolierunterteilungen						
TW 2.5-10	—	ED2479-ND	.62	.56	.50	2002.2
TWMF	—	ED2512-ND	2.16	1.95	1.73	2957.2
Trennstücke						
TRS 1	—	ED2480-ND	.14	.13	.12	2003.2
TRS 3	—	ED2502-ND	.17	.15	.14	2566.2
Endhalterungen						
ES 35/2/K	7.5mm	ED2481-ND	.50	.45	.40	2005.2
ES 35/2/K	8mm	ED2509-ND	.79	.71	.63	2826.2
HES 35 ST	11mm	ED2508-ND	2.42	2.18	1.94	2761.0
ZES 35	6mm	ED2523-ND	.76	.69	.61	3748.2
Testsockel						
STB 14/2.3	—	ED2482-ND	.29	.26	.23	2006.0
STB 8.5/2.3	—	ED2491-ND	.29	.26	.23	2075.0
Test-Stecker						
PS 2.3	—	ED2483-ND	2.45	2.20	1.96	2007.0

Serie	Beschreibung	Digi-Key Teilenr.	Stückpreis 1	10	100	On-Shore Teilenr.
Querverbindungs-Jumper für Schraubanschlussblöcke						
Q 2	—	ED2484-ND	.86	.77	.69	2019.0
Q 2	—	ED2488-ND	1.26	1.14	1.01	2060.0
Q 2	—	ED2492-ND	.86	.77	.69	2087.0
Q 2	—	ED2496-ND	1.45	1.31	1.16	2112.0
Q 2	—	ED2498-ND	.86	.77	.69	2422.0
Q 2	—	ED2503-ND	.86	.77	.69	2567.0
Q 2	—	ED2510-ND	.86	.77	.69	2832.0
Q 10	—	ED2485-ND	3.67	3.31	2.94	2022.0
Q 10	—	ED2489-ND	5.83	5.25	4.67	2063.0
Q 10	—	ED2493-ND	3.67	3.31	2.94	2090.0
Q 10	—	ED2499-ND	3.67	3.31	2.94	2425.0
Q 10	—	ED2504-ND	3.67	3.31	2.94	2570.0
Q 10	—	ED2511-ND	3.67	3.31	2.94	2835.0
QI 2	—	ED2506-ND	1.02	.92	.82	2740.2
QI 10	—	ED2507-ND	4.88	4.40	3.91	2743.2
Querverbindungs-Jumper für Festanschlussblöcke, Federkäfig						
ZQI 2.5/10	—	ED2520-ND	4.46	4.02	3.57	3718.8
ZQI 2.5/2	—	ED2519-ND	.50	.45	.40	3710.8
ZQI 4/10	—	ED2522-ND	4.83	4.36	3.87	3728.8
ZQI 4/2	—	ED2521-ND	.55	.50	.44	3720.8
Markierungsstreifen						
SB 5/10	Blank Strip/10 5mm	ED2500-ND	.47	.42	.38	2430.0
SB 5/10 FW 1-10	Printed Strip/10 5mm	ED2501-ND	.32	.29	.26	2431.0(1-10)
SB 6/10	Blank Strip/10 6mm	ED2486-ND	.47	.42	.38	2035.0
SB 6/10 FW 1-10	Printed Strip/10 6mm	ED2487-ND	.47	.42	.38	2036.0(1-10)

Auf DIN-Schienen montierte Anschlussblöcke und Zubehör

Abb. 1 — MT 1.5
- Anschlussblockbreite: 4,2 mm
- Anschlüsse pro linearen Meter: 476
- Drahtgröße (UL): 30-14 AWG
- Spannungszulassung (UL): 300 V
- Stromzulassung (UL): 15 A

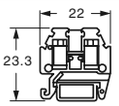

Abb. 2 — MTTB 1.5
- Anschlussblockbreite: 4,2 mm
- Anschlüsse pro linearen Meter: 952
- Drahtgröße (UL): 30-14 AWG
- Spannungszulassung (UL): 300 V
- Stromzulassung (UL): 15 A

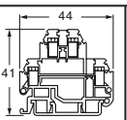

Abb. 3 — MBK 3/E-Z
- Anschlussblockbreite: 5,2 mm
- Anschlüsse pro linearen Meter: 384
- Drahtgröße (UL): 28-12 AWG
- Spannungszulassung (UL): 600 V
- Stromzulassung (UL): 20 A

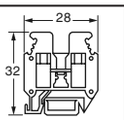

Abb. 4 — MBK 5/E-Z
- Anschlussblockbreite: 6,2 mm
- Anschlüsse pro linearen Meter: 322
- Drahtgröße (UL): 26-10 AWG
- Spannungszulassung (UL): 600 V
- Stromzulassung (UL): 30 A

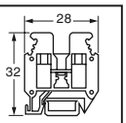

Abb. 5 — UK 1.5 N
- Anschlussblockbreite: 4,2 mm
- Anschlüsse pro linearen Meter: 476
- Drahtgröße (UL): 30-14 AWG
- Spannungszulassung (UL): 300 V
- Stromzulassung (UL): 15 A

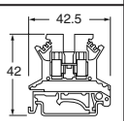

Abb. 6 — UK 2.5 N
- Anschlussblockbreite: 5,2 mm
- Anschlüsse pro linearen Meter: 384
- Drahtgröße (UL): 30-12 AWG
- Spannungszulassung (UL): 300 V
- Stromzulassung (UL): 20 A

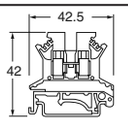

Abb. 7 — UK 5 N
- Anschlussblockbreite: 6,2 mm
- Anschlüsse pro linearen Meter: 322
- Drahtgröße (UL): 30-10 AWG
- Spannungszulassung (UL): 600 V
- Stromzulassung (UL): 30 A

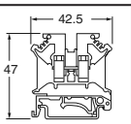

Abb. 8 — UK 6 N
- Anschlussblockbreite: 8,2 mm
- Anschlüsse pro linearen Meter: 242
- Drahtgröße (UL): 26-8 AWG
- Spannungszulassung (UL): 600 V
- Stromzulassung (UL): 50 A

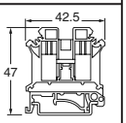

Abb. 9 — UK 10 N
- Anschlussblockbreite: 10,2 mm
- Anschlüsse pro linearen Meter: 196
- Drahtgröße (UL): 24-6 AWG
- Spannungszulassung (UL): 600 V
- Stromzulassung (UL): 65 A

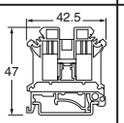

Abb. 10 — UKK 5
- Anschlussblockbreite: 6,2 mm
- Anschlüsse pro linearen Meter: 644
- Drahtgröße (UL): 26-10 AWG
- Spannungszulassung (UL): 600 V
- Stromzulassung (UL): 30 A

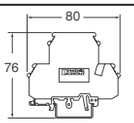

Abb. 11 — SLKK 5
- Anschlussblockbreite: 6,2 mm
- Anschlüsse pro linearen Meter: 805
- Drahtgröße (UL): 26-10 AWG
- Spann. Zulassung (UL): 600 V
- Stromzulassung (UL): 30 A

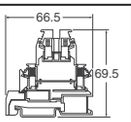

Abb. 12 — DIK 1.5
- Anschlussblockbreite: 6,2 mm
- Drahtgröße (UL): 30-14 AWG
- Spannungszulassung (UL): 300 V
- Stromzulassung (UL): 15 A

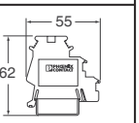

Abb. 13 — DIKD 1.5
- Anschlussblockbreite: 6,2 mm
- Drahtgröße (UL): 30-14 AWG
- Spannungszulassung (UL): 300 V
- Stromzulassung (UL): 15 A

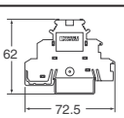

Abb. 14 — UDK 4
- Anschlussblockbreite: 6,2 mm
- Drahtgröße (UL): 30-10 AWG
- Spannungszulassung (UL): 600 V
- Stromzulassung (UL): 30 A

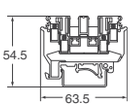

Abb. 15 — UK 4
- Anschlussblockbreite: 6,2 mm
- Drahtgröße (UL): 28-12 AWG
- Spannungszulassung (UL): 600 V
- Stromzulassung (UL): 20 A

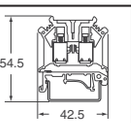

Abb. 16 — UK 5-HESI
- Anschlussblockbreite: 8,2 mm
- Drahtgröße (UL): 26-10 AWG
- Spannungszulassung (UL): 600 V
- Stromzulassung (UL): 6,3 A

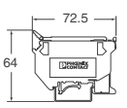

Abb. 17 — UKK 5-HESI
- Anschlussblockbreite: 8,2 mm
- Drahtgröße (UL): 24-8 AWG
- Spannungszulassung (UL): 600 V
- Stromzulassung (UL): 30 A

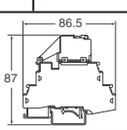

Abb. 18 — UK 6.3-HESI
- Anschlussblockbreite: 10,2 mm
- Drahtgröße (UL): 26-8 AWG
- Spannungszulassung (UL): 600 V
- Stromzulassung (UL): 25 A

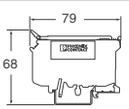

Abb. 19 — UK 10.3-HESI
- Anschlussblockbreite: 17,6 mm
- Drahtgröße (UL): 24-8 AWG
- Spannungszulassung (UL): 600 V
- Stromzulassung (UL): 35 A

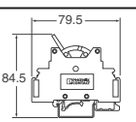

Anschlussblöcke

Abb.	Serie	Digi-Key Teilenr.	Stückpreis 1	Stückpreis 10	Hersteller Teilenr.
1	MT 1.5	277-1506-ND	1.88	1.70	3100305
2	MTTB 1.5	277-1483-ND	4.61	4.15	1414129
3	MBK 3/E-Z	277-1481-ND	2.29	2.07	1413036
4	MBK 5/E-Z	277-1480-ND	2.20	1.98	1402940
5	UK 1.5 N	277-1504-ND	1.55	1.40	3005837
6	UK 2.5 N	277-1499-ND	1.47	1.33	3003347
7	UK 5 N	277-1501-ND	1.50	1.35	3004362
8	UK 6 N	277-1502-ND	2.04	1.84	3004524
9	UK 10 N	277-1503-ND	2.67	2.40	3005073
10	UKK 5	277-1491-ND	4.06	3.66	2774017
	UKK 5-TG	277-1563-ND	9.99	9.00	3007042
11	SLKK 5	277-1521-ND	7.89	7.11	0461018
12	DIK 1.5	277-1543-ND	4.83	4.36	2715966
13	DIKD 1.5	277-1544-ND	8.42	7.58	2715979
	DIKD 1.5-TG	277-1564-ND	8.80	7.93	2774237
	DIKD 1.5-2D	277-1565-ND	10.31	9.28	2716512
14	UDK 4	277-1576-ND	3.34	3.01	2775016
	UDK 4-TG	277-1554-ND	3.81	3.43	2777014
15	UK 4-TG	277-1556-ND	3.78	3.41	2812018
16	UK 5-HESI	277-1557-ND	7.15	6.45	3004100
	UK 5-HESILA 250	277-1558-ND	11.06	9.96	3004142
16	UK 5-HESILED 24	277-1559-ND	11.06	9.96	3004126
17	UKK 5-HESI (5x20)	277-1569-ND	16.99	15.29	3007204
	UKK 5-HESI (6.3x32)	277-1570-ND	17.79	16.01	3007217
	UKK 5-HESILA 250 (5x20)	277-1571-ND	25.34	22.81	0711629
	UKK 5-HESILED 24 (6.3x32)	277-1572-ND	25.40	22.86	0711632
	UKK 5-HESILA 250 (6.3x32)	277-1573-ND	26.41	23.77	0711616
	UKK 5-HESILED 24 (5x20)	277-1574-ND	23.94	21.55	3026654
18	UK 6.3-HESI	277-1560-ND	8.91	8.03	3004171
	UK 6.3-HESILED 24	277-1561-ND	13.80	12.42	3004265
	UK 6.3-HESILA 250	277-1562-ND	13.80	12.42	3004249
19	UK 10.3-HESI	277-1555-ND	14.18	12.77	3004906

Zubehör

Markierstreifen: **U** = Nicht gedruckt **P** = Gedruckt

Abb.	Serie	Digi-Key Teilenr.	Erdungsblock	Endabdeckung	Abstandshalter-Abdeckung	Abstandsplatte	Trennplatte	Isolator-Brückenstange	Brückenstange Isolator	Feste Brücke	Einsetzbrücke	Markierstreifen U	Markierstreifen P	Markierstift	Schraubendreher	Endhalterung	DIN-Schiene
1	MT 1.5	277-1506-ND	277-1507-ND	277-1508-ND	—	—	—	—	—	277-1494-ND	—	A	B	277-1474-ND	277-1477-ND	277-1485-ND	277-1509-ND
2	MTTB 1.5	277-1483-ND	—	277-1495-ND	277-1496-ND	277-1497-ND	—	—	—	277-1494-ND	—	A	B	277-1474-ND	277-1477-ND	277-1485-ND 277-1523-ND	277-1509-ND 277-1510-ND
3	MBK 3/E-Z	277-1481-ND	277-1482-ND	277-1484-ND	—	—	—	—	—	277-1488-ND	277-1486-ND	D	H, L	277-1474-ND	277-1478-ND	277-1485-ND	277-1509-ND
4	MBK 5/E-Z	277-1480-ND	277-1520-ND	277-1484-ND	—	—	—	—	—	277-1514-ND	277-1511-ND	E	I, M	277-1474-ND	277-1478-ND	277-1485-ND	277-1509-ND
5	UK 1.5 N	277-1504-ND	277-1505-ND	277-1493-ND	—	—	—	—	—	277-1494-ND	—	C	P, Q	277-1474-ND	277-1477-ND	277-1523-ND	277-1510-ND
6	UK 2.5 N	277-1499-ND	277-1517-ND	277-1493-ND	—	—	—	—	—	277-1488-ND	277-1486-ND	D	H, L	277-1474-ND	277-1478-ND	277-1523-ND	277-1510-ND
7	UK 5 N	277-1501-ND	277-1518-ND	277-1498-ND	—	—	—	—	—	277-1514-ND	277-1511-ND	E	I, M	277-1474-ND	277-1478-ND	277-1523-ND	277-1510-ND
8	UK 6 N	277-1502-ND	277-1519-ND	277-1498-ND	—	—	—	—	—	277-1515-ND	277-1512-ND	F	J, N	277-1474-ND	277-1479-ND	277-1523-ND	277-1510-ND
9	UK 10 N	277-1503-ND	277-1500-ND	277-1498-ND	—	—	—	—	—	277-1516-ND	277-1513-ND	G	K, O	277-1474-ND	277-1479-ND	277-1523-ND	277-1510-ND
10	UKK 5	277-1491-ND	277-1492-ND	277-1487-ND	277-1490-ND	277-1489-ND	—	—	—	277-1514-ND	277-1511-ND	E	I, M	277-1474-ND	—	277-1523-ND	277-1510-ND
	UKK 5-TG	277-1563-ND	—	—	—	—		277-1550-ND	277-1549-ND							—	—
11	SLKK 5	277-1521-ND	—	277-1487-ND	277-1490-ND	277-1489-ND	—	—	—	277-1514-ND	277-1511-ND	E	I, M	277-1474-ND	277-1478-ND	277-1523-ND	277-1510-ND
12	DIK 1.5	277-1543-ND	—	—	—	—	277-1540-ND	—	—	277-1514-ND	277-1546-ND 277-1547-ND	E	I, M	277-1474-ND	277-1478-ND	—	—
13	DIKD 1.5	277-1544-ND	—	—	—	—	277-1541-ND	—	—	277-1514-ND	277-1546-ND 277-1547-ND	E	I, M	277-1474-ND	277-1478-ND	—	—
	DIKD 1.5-TG	277-1564-ND	—	—	—	—	277-1541-ND	—	—	—	277-1546-ND 277-1547-ND	E	I, M	277-1474-ND	277-1478-ND	—	—
	DIKD 1.5-2D	277-1565-ND	—	—	—	—	277-1541-ND	—	—	277-1514-ND	277-1546-ND 277-1547-ND	E	I, M	277-1474-ND	277-1478-ND	—	—
14	UDK 4	277-1576-ND	—	—	—	—	—	277-1550-ND	277-1549-ND	277-1514-ND	277-1511-ND	E	I, M	277-1474-ND	277-1478-ND	—	—
	UDK 4-TG	277-1554-ND		277-1545-ND				—	—	—							
15	UK 4-TG	277-1556-ND	—	277-1498-ND	—	—	277-1542-ND	—	—	—	277-1511-ND	E	I, M	277-1474-ND	277-1478-ND	—	—
16	UK 5-HESI	277-1557-ND	—	—	—	—	—	—	—	—	277-1548-ND	F	J, N	277-1474-ND	277-1478-ND	—	—
	UK 5-HESILA 250	277-1558-ND															
	UK 5-HESILED 24	277-1559-ND															
17	UKK 5-HESI (5x20)	277-1569-ND	—	—	—	—	—	—	—	277-1568-ND	—	F	J, N	277-1474-ND	277-1478-ND	—	—
	UKK 5-HESI (6.3x32)	277-1570-ND															
	UKK 5-HESILA 250 (5x20)	277-1571-ND															
	UKK 5-HESILED 24 (6.3x32)	277-1572-ND															
	UKK 5-HESILA 250 (6.3x32)	277-1573-ND															
	UKK 5-HESILED 24 (5x20)	277-1574-ND															
18	UK 6.3-HESI	277-1560-ND	—	—	—	—	—	—	—	—	277-1513-ND	G	K, O	277-1474-ND	277-1479-ND	—	—
	UK 6.3-HESILED 24	277-1561-ND															
	UK 6.3-HESILA 250	277-1562-ND															
19	UK 10.3-HESI	277-1555-ND	—	—	—	—	—	—	—	—	277-1566-ND 277-1567-ND	G	K, O	277-1474-ND	277-1479-ND	—	—

(Forts.)

Alle Preisangaben in Euro und inklusive Zollgebühren.

Zubehör *(Forts.)*

Erdungsblock
Erdet verbundene Drähte an DIN-Schiene

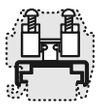

Endabdeckung
Deckt offenes Ende des Anschlussblocks

Abstandshalter-Abdeckung
Deckt offenes Ende des Anschlussblocks mit 2 Ebenen ab und gleicht Level-Offset aus

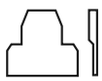

Abstandsplatte
Gleicht Level-Offset auf dem geschlossenen Ende des Anschlussblocks mit 2 Ebenen aus

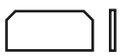

Feste Brücke
Für Querverbindungen zwischen Anschlussblöcken in Anschlussmittenvertiefung, 10 Positionen, unterteilbar

Einsetzbrücke
Für Querverbindungen zwischen Anschlussblöcken in Drahtanschlussaushöhlung, 10 Positionen, unterteilbar

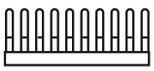

Markierstift
Zum Beschriften der unbedruckten Markierungsstreifen

Schraubendreher
Voll isolierter Klingenschaft, gerade Klinge

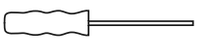

Endhalterung
Klemmt Anschlussblöcke in ihre Position auf der DIN-Schiene

Für 15 mm breite DIN-Schiene

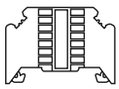
Für 35 mm breite DIN-Schiene

DIN-Schiene
Mit verlängerten Montagelöchern

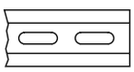
15 mm breit
5,5 mm tief
1 m lang

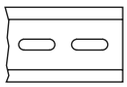
35 mm breit
7,5 mm tief
1 m lang

Markierstreifen
Unbedruckt oder bedruckt, markiert Anschlusspunkte

Typ ZBFM

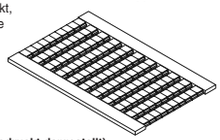
(Unbedruckt dargestellt)

Typ ZB

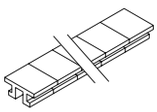
Unbedruckt

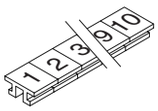

Bedruckt

Sicherungsstecker
Sicherungsstecker für Sicherungskassetten der Größe 5x20 mm; Farbe: schwarz; mit LED/Lichtanzeige

Zur Verwendung mit TG-Sicherungshaltern

Beschreibung, Breite	Digi-Key Teilenr.	Stückpreis 1	10	100	Phoenix-Contact Teilenr.
Erdungsblöcke					
MT 1.5-PE, 4,2mm	277-1507-ND	5.90	5.32	4.73	3100318
MBK 3/E-Z-PE, 5,2mm	277-1482-ND	5.30	4.78	4.25	1413117
MBK 5/E-Z-PE, 6,2mm	277-1520-ND	5.72	5.15	4.58	0452043
USLKG 1.5 N, 4,2mm	277-1505-ND	11.87	10.69	9.50	3005853
USLKG 2.5 N, 5,2mm	277-1517-ND	6.02	5.42	4.82	0441119
USLKG 5, 6,2mm	277-1518-ND	5.76	5.19	4.61	0441504
USLKG 6 N, 8,2mm	277-1519-ND	6.48	5.84	5.19	0442079
USLKG 10 N, 10,2mm	277-1500-ND	7.04	6.34	5.63	3003923
UKK 5-PE, 6,2mm	277-1492-ND	12.36	11.13	9.89	2774211
Endabdeckungen					
D-MT 1,5	277-1508-ND	.54	.49	.44	3100321
D-MTTB 1,5	277-1495-ND	.84	.76	.67	3002665
D-MBK/E	277-1484-ND	.63	.58	.52	1415021
D-UK 2,5	277-1493-ND	.86	.78	.69	3001022
D-UK 4/10	277-1498-ND	.88	.80	.71	3003020
D-UKK 3/5	277-1487-ND	1.34	1.21	1.08	2770024
D-UDK RELG	277-1545-ND	1.00	.90	.80	2777027
D-UDK 4	277-1577-ND	1.22	1.10	.98	2775113
Abstandshalter-Abdeckungen					
DG-MTTB 1,5, 2mm	277-1496-ND	1.01	.91	.81	3002678
DG-UKK 3/5, 2,5mm	277-1490-ND	1.45	1.31	1.16	2770817
Abstandshalter-Platten					
DP-MTTB 1,5, 2mm	277-1497-ND	.95	.86	.76	3002681
DP-UKK 3/5, 2,5mm	277-1489-ND	.98	.89	.79	2770794
Feste Brücke					
FBRN 10-4 N	277-1494-ND	5.51	4.96	4.41	3001624
FBRI 10-5 N	277-1488-ND	7.62	6.87	6.10	2770642
FBRI 10-8 N	277-1568-ND	8.08	7.27	6.47	2772080
FBI 10-6	277-1514-ND	6.31	5.68	5.05	0203250
FBI 10-8	277-1515-ND	7.60	6.84	6.08	0203263
FBI 10-10	277-1516-ND	9.85	8.87	7.88	0203276
Trennplatte					
2mm for DIK	277-1540-ND	1.31	1.19	1.06	1413272

Beschreibung, Breite	Digi-Key Teilenr.	Stückpreis 1	10	100	Phoenix-Contact Teilenr.
2mm for DIKD	277-1541-ND	1.45	1.31	1.16	1413285
1,5mm for UK	277-1542-ND	1.02	.92	.82	3003224
Isolator-Brückenstange					
Mit 1302338 verwenden	277-1550-ND	5.05	4.56	4.05	0301505
Brückenstangen-Isolator					
Mit 0301505 verwenden	277-1549-ND	.41	.37	.33	1302338
Einsetzbrücke					
EBL 10-5	277-1486-ND	2.26	2.04	1.81	2303132
EB 10-6	277-1511-ND	3.62	3.26	2.90	0201139
EB 10-8	277-1512-ND	4.48	4.04	3.59	0202138
EBS 10-8	277-1548-ND	4.58	4.13	3.67	3118135
EB 10-10	277-1513-ND	6.02	5.42	4.82	0203137
EB 56-18	277-1566-ND	52.95	47.66	42.36	3009299
EB 56-18/L1-L2-L3	277-1567-ND	152.17	136.96	121.74	3009367
EB 80-DIK BU	277-1546-ND	40.98	36.88	32.79	2715940
EB 80-DIK RD	277-1547-ND	40.98	36.88	32.79	2715953
Markierstift					
M-PEN, schwarz	277-1474-ND	12.47	11.23	9.98	1051993
Schraubendreher					
SZS 0.4 x 2.5	277-1477-ND	12.77	11.49	10.22	1205037
SZS 0.6 x 3.5	277-1478-ND	12.77	11.49	10.22	1205053
SZS 1.0 x 4.0	277-1479-ND	19.31	17.39	15.46	1205066
Endhalterungen					
E/MK 1, 6mm	277-1485-ND	.84	.76	.67	1421659
E/NS 35 N, 9,5mm	277-1523-ND	1.19	1.08	.96	0800886
DIN-Schiene					
NS 15 PERF 1 METER	277-1509-ND	7.73	6.96	6.19	5602099
NS 35/7,5 PERF 1 METER	277-1510-ND	8.76	7.89	7.01	5602100
Sicherungsstecker					
ST-SILA 250-UK 4	277-1551-ND	9.36	8.43	7.50	0921053
ST-SILED 24-UK 4	277-1552-ND	12.78	11.51	10.23	0921037
ST-SI-UK 4	277-1553-ND	3.44	3.10	2.75	0921011

Typ	Beschreibung	Digi-Key Teilenr.	Stückpreis 1	10	100	Phoenix-Contact Teilenr.
Markierungsstreifen						
A	ZBFM 4/WH: UNBEDRUCKT - unbedruckt, markiert 100 Anschlussstellen	277-1524-ND	7.91	7.12	6.33	0803579
B	ZBFM 4/WH, LGS: 1-100 - vorbedruckt 1-100, markiert 100 Anschlussstellen	277-1522-ND	11.92	10.73	9.54	0800268
A	ZBFM 8/WH: UNBEDRUCKT	277-1575-ND	8.49	7.65	6.80	0800734
C	ZB 4: UNBEDRUCKT - unbedruckt, markiert 10 Anschlussstellen	277-1525-ND	1.40	1.26	1.12	0805001
D	ZB 5: UNBEDRUCKT - unbedruckt, markiert 10 Anschlussstellen	277-1472-ND	.82	.74	.66	1050004
E	ZB 6: UNBEDRUCKT - unbedruckt, markiert 10 Anschlussstellen	277-1473-ND	.82	.74	.66	1051003
F	ZB 8: UNBEDRUCKT - unbedruckt, markiert 10 Anschlussstellen	277-1475-ND	.90	.81	.72	1052002
G	ZB 10: UNBEDRUCKT - unbedruckt, markiert 10 Anschlussstellen	277-1476-ND	1.36	1.23	1.10	1053001
H	ZB 5, LGS: 1-10 - vorbedruckt 1-10, markiert 10 Anschlussstellen	277-1528-ND	1.22	1.10	.98	1050017:0001
I	ZB 6, LGS: 1-10 - vorbedruckt 1-10, markiert 10 Anschlussstellen	277-1530-ND	1.22	1.10	.98	1051016:0001
J	ZB 8, LGS: 1-10 - vorbedruckt 1-10, markiert 10 Anschlussstellen	277-1532-ND	1.86	1.68	1.50	1052015:0001
K	ZB 10, LGS: 1-10 - vorbedruckt 1-10, markiert 10 Anschlussstellen	277-1534-ND	1.89	1.71	1.52	1053014:0001
L	ZB 5, LGS: 11-20 - vorbedruckt 11-20, markiert 10 Anschlussstellen	277-1529-ND	1.22	1.10	.98	1050017:0011
M	ZB 6, LGS: 11-20 - vorbedruckt 11-20, markiert 10 Anschlussstellen	277-1531-ND	1.22	1.10	.98	1051016:0011
N	ZB 8, LGS: 11-20 - vorbedruckt 11-20, markiert 10 Anschlussstellen	277-1533-ND	1.86	1.68	1.50	1052015:0011
O	ZB 10, LGS: 11-20 - vorbedruckt 11-20, markiert 10 Anschlussstellen	277-1535-ND	1.89	1.71	1.52	1053014:0011
P	ZB 4, QR: 1-10 - vorbedruckt 1-10, markiert 10 Anschlussstellen	277-1526-ND	1.91	1.73	1.54	0805807:0001
Q	ZB 4, QR: 11-20 - vorbedruckt 11-20, markiert 10 Anschlussstellen	277-1527-ND	1.91	1.73	1.54	0805807:0011

Abb. 1

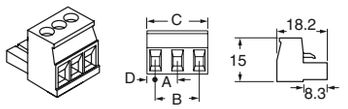

Spezifikationen:
UL: 300 V @ 10 A. 12-30 AWG.
IEC: 250 V @ 12 A. 12-24 AWG. **Farbe:** Grün

Abb. 2

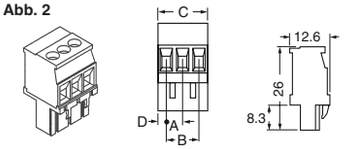

Spezifikationen:
UL: 300 V @ 10 A. 12-30 AWG.
IEC: 250 V @ 12 A. 12-24 AWG. **Farbe:** Grün

Abb. 3

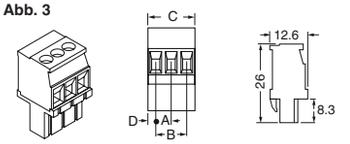

Spezifikationen:
UL: 300 V @ 10 A. 12-30 AWG.
IEC: 250 V @ 12 A. 12-24 AWG. **Farbe:** Grün

Abb. 4

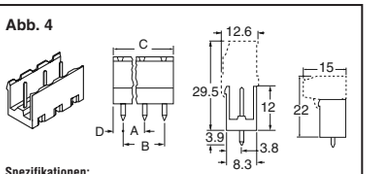

Spezifikationen:
UL: 300 V @ 10 A.
IEC: 250 V @ 12 A. **Farbe:** Grün

Abb. 5

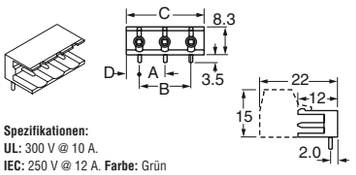

Spezifikationen:
UL: 300 V @ 10 A.
IEC: 250 V @ 12 A. **Farbe:** Grün

Abb. 6

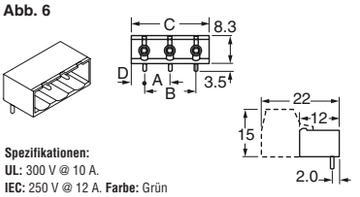

Spezifikationen:
UL: 300 V @ 10 A.
IEC: 250 V @ 12 A. **Farbe:** Grün

Abb. 7

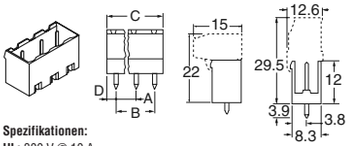

Spezifikationen:
UL: 300 V @ 10 A.
IEC: 250 V @ 12 A. **Farbe:** Grün

Abb. 8

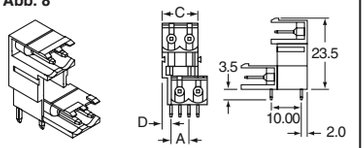

Spezifikationen:
UL: 300 V @ 10 A. **IEC:** 250 V @ 10 A. **Farbe:** Grün

Anz. der Pos.	Abmessungen (mm) A	B	C	D	Digi-Key Teilenr.	Stückpreis 1	10	100	Phoenix Contact Typen-Nr.	Phoenix Contact Teilenr.
Abb. 1 — 5 mm Anschlussblock-Steckverbinder										
2	5.0	5	10	2.5	277-1000-ND	1.30	1.17	1.04	MSTB 2.5/2-ST	1754449
3	5.0	10	15	2.5	277-1001-ND	1.95	1.76	1.56	MSTB 2.5/3-ST	1754465
4	5.0	15	20	2.5	277-1002-ND	2.60	2.34	2.08	MSTB 2.5/4-ST	1754481
5	5.0	20	25	2.5	277-1003-ND	3.22	2.90	2.58	MSTB 2.5/5-ST	1754504
6	5.0	25	30	2.5	277-1004-ND	3.86	3.48	3.10	MSTB 2.5/6-ST	1754520
7	5.0	30	35	2.5	277-1005-ND	4.55	4.11	3.65	MSTB 2.5/7-ST	1754546
8	5.0	35	40	2.5	277-1006-ND	5.18	4.67	4.15	MSTB 2.5/8-ST	1754562
9	5.0	40	45	2.5	277-1007-ND	5.85	5.27	4.68	MSTB 2.5/9-ST	1754588
10	5.0	45	50	2.5	277-1008-ND	6.46	5.82	5.17	MSTB 2.5/10-ST	1754601
11	5.0	50	55	2.5	277-1009-ND	7.13	6.42	5.71	MSTB 2.5/11-ST	1754627
12	5.0	55	60	2.5	277-1010-ND	7.79	7.01	6.23	MSTB 2.5/12-ST	1754643
Abb. 1 — 5,08 mm Anschlussblock-Steckverbinder										
2	5.08	5.08	10.16	2.54	277-1011-ND	1.30	1.17	1.04	MSTB 2.5/2-ST-5.08	1757019
3	5.08	10.16	15.24	2.54	277-1012-ND	1.95	1.76	1.56	MSTB 2.5/3-ST-5.08	1757022
4	5.08	15.24	20.32	2.54	277-1013-ND	2.60	2.34	2.08	MSTB 2.5/4-ST-5.08	1757035
5	5.08	20.32	25.40	2.54	277-1014-ND	3.22	2.90	2.58	MSTB 2.5/5-ST-5.08	1757048
6	5.08	25.40	30.48	2.54	277-1015-ND	3.86	3.48	3.10	MSTB 2.5/6-ST-5.08	1757051
7	5.08	30.48	35.56	2.54	277-1016-ND	4.52	4.07	3.62	MSTB 2.5/7-ST-5.08	1757064
8	5.08	35.56	40.64	2.54	277-1017-ND	5.15	4.63	4.12	MSTB 2.5/8-ST-5.08	1757077
9	5.08	40.64	45.72	2.54	277-1018-ND	5.82	5.24	4.66	MSTB 2.5/9-ST-5.08	1757080
10	5.08	45.72	50.80	2.54	277-1019-ND	6.46	5.82	5.17	MSTB 2.5/10-ST-5.08	1757093
11	5.08	50.80	55.88	2.54	277-1020-ND	7.13	6.42	5.71	MSTB 2.5/11-ST-5.08	1757103
12	5.08	55.88	60.96	2.54	277-1021-ND	7.74	6.97	6.20	MSTB 2.5/12-ST-5.08	1757116
Abb. 2 — 5 mm Anschlussblock-Steckverbinder										
2	5.0	5	10	2.5	277-1029-ND	1.52	1.36	1.21	MVSTBR 2.5/2-ST	1792016
3	5.0	10	15	2.5	277-1030-ND	2.22	2.00	1.78	MVSTBR 2.5/3-ST	1792029
4	5.0	15	20	2.5	277-1031-ND	2.99	2.69	2.40	MVSTBR 2.5/4-ST	1792032
5	5.0	20	25	2.5	277-1032-ND	3.75	3.38	3.00	MVSTBR 2.5/5-ST	1792045
6	5.0	25	30	2.5	277-1033-ND	4.50	4.05	3.60	MVSTBR 2.5/6-ST	1792058
7	5.0	30	35	2.5	277-1034-ND	5.25	4.73	4.20	MVSTBR 2.5/7-ST	1792061
8	5.0	35	40	2.5	277-1035-ND	5.99	5.39	4.79	MVSTBR 2.5/8-ST	1792074
9	5.0	40	45	2.5	277-1036-ND	6.74	6.07	5.39	MVSTBR 2.5/9-ST	1792087
10	5.0	45	50	2.5	277-1037-ND	7.47	6.72	5.98	MVSTBR 2.5/10-ST	1792090
11	5.0	50	55	2.5	277-1038-ND	8.24	7.42	6.59	MVSTBR 2.5/11-ST	1792100
12	5.0	55	60	2.5	277-1039-ND	8.97	8.08	7.18	MVSTBR 2.5/12-ST	1792113
Abb. 2 — 5,08 mm Anschlussblock-Steckverbinder										
2	5.08	5.08	10.16	2.54	277-1040-ND	1.50	1.35	1.20	MVSTBR 2.5/2-ST-5.08	1792249
3	5.08	10.16	15.24	2.54	277-1041-ND	2.20	1.99	1.77	MVSTBR 2.5/3-ST-5.08	1792252
4	5.08	15.24	20.32	2.54	277-1042-ND	2.98	2.68	2.39	MVSTBR 2.5/4-ST-5.08	1792265
5	5.08	20.32	25.40	2.54	277-1043-ND	3.75	3.38	3.00	MVSTBR 2.5/5-ST-5.08	1792278
6	5.08	25.40	30.48	2.54	277-1044-ND	4.50	4.05	3.60	MVSTBR 2.5/6-ST-5.08	1792281
7	5.08	30.48	35.56	2.54	277-1045-ND	5.25	4.73	4.20	MVSTBR 2.5/7-ST-5.08	1792294
8	5.08	35.56	40.64	2.54	277-1046-ND	5.99	5.39	4.79	MVSTBR 2.5/8-ST-5.08	1792304
9	5.08	40.64	45.72	2.54	277-1047-ND	6.74	6.07	5.39	MVSTBR 2.5/9-ST-5.08	1792317
10	5.08	45.72	50.80	2.54	277-1048-ND	7.47	6.72	5.98	MVSTBR 2.5/10-ST-5.08	1792320
11	5.08	50.80	55.88	2.54	277-1049-ND	8.24	7.42	6.59	MVSTBR 2.5/11-ST-5.08	1792333
12	5.08	55.88	60.96	2.54	277-1050-ND	8.97	8.08	7.18	MVSTBR 2.5/12-ST-5.08	1792346
Abb. 3 — 5 mm Anschlussblock-Steckverbinder										
2	5.0	5	10	2.5	277-1051-ND	1.52	1.36	1.21	MVSTBW 2.5/2-ST	1792524
3	5.0	10	15	2.5	277-1052-ND	2.22	2.00	1.78	MVSTBW 2.5/3-ST	1792537
4	5.0	15	20	2.5	277-1053-ND	2.99	2.69	2.40	MVSTBW 2.5/4-ST	1792540
5	5.0	20	25	2.5	277-1054-ND	3.75	3.38	3.00	MVSTBW 2.5/5-ST	1792553
6	5.0	25	30	2.5	277-1055-ND	4.50	4.05	3.60	MVSTBW 2.5/6-ST	1792566
7	5.0	30	35	2.5	277-1056-ND	5.25	4.73	4.20	MVSTBW 2.5/7-ST	1792579
8	5.0	35	40	2.5	277-1057-ND	5.99	5.39	4.79	MVSTBW 2.5/8-ST	1792582
9	5.0	40	45	2.5	277-1058-ND	6.74	6.07	5.39	MVSTBW 2.5/9-ST	1792595
10	5.0	45	50	2.5	277-1059-ND	7.47	6.72	5.98	MVSTBW 2.5/10-ST	1792605
11	5.0	50	55	2.5	277-1060-ND	8.24	7.42	6.59	MVSTBW 2.5/11-ST	1792618
12	5.0	55	60	2.5	277-1061-ND	8.97	8.08	7.18	MVSTBW 2.5/12-ST	1792621
Abb. 3 — 5,08 mm Anschlussblock-Steckverbinder										
2	5.08	5.08	10.16	2.54	277-1062-ND	1.50	1.35	1.20	MVSTBW 2.5/2-ST-5.08	1792757
3	5.08	10.16	15.24	2.54	277-1063-ND	2.20	1.99	1.77	MVSTBW 2.5/3-ST-5.08	1792760
4	5.08	15.24	20.32	2.54	277-1064-ND	2.98	2.68	2.39	MVSTBW 2.5/4-ST-5.08	1792773
5	5.08	20.32	25.40	2.54	277-1065-ND	3.75	3.38	3.00	MVSTBW 2.5/5-ST-5.08	1792786
6	5.08	25.40	30.48	2.54	277-1066-ND	4.50	4.05	3.60	MVSTBW 2.5/6-ST-5.08	1792799
7	5.08	30.48	35.56	2.54	277-1067-ND	5.25	4.73	4.20	MVSTBW 2.5/7-ST-5.08	1792809
8	5.08	35.56	40.64	2.54	277-1068-ND	5.99	5.39	4.79	MVSTBW 2.5/8-ST-5.08	1792812
9	5.08	40.64	45.72	2.54	277-1069-ND	6.74	6.07	5.39	MVSTBW 2.5/9-ST-5.08	1792825
10	5.08	45.72	50.80	2.54	277-1070-ND	7.47	6.72	5.98	MVSTBW 2.5/10-ST-5.08	1792838
11	5.08	50.80	55.88	2.54	277-1071-ND	8.24	7.42	6.59	MVSTBW 2.5/11-ST-5.08	1792841
12	5.08	55.88	60.96	2.54	277-1072-ND	8.97	8.08	7.18	MVSTBW 2.5/12-ST-5.08	1792854
Abb. 4 — 5 mm Steckverbinder-Steckleiste — vertikal										
2	5.0	5	10	2.5	277-1073-ND	.45	.41	.36	MSTBV 2.5/2-G	1753437
3	5.0	10	15	2.5	277-1074-ND	.68	.62	.55	MSTBV 2.5/3-G	1753453
4	5.0	15	20	2.5	277-1075-ND	.91	.82	.73	MSTBV 2.5/4-G	1753479
5	5.0	20	25	2.5	277-1076-ND	1.14	1.03	.92	MSTBV 2.5/5-G	1753495
6	5.0	25	30	2.5	277-1077-ND	1.35	1.22	1.08	MSTBV 2.5/6-G	1753518
7	5.0	30	35	2.5	277-1078-ND	1.58	1.43	1.27	MSTBV 2.5/7-G	1753534
8	5.0	35	40	2.5	277-1079-ND	1.80	1.62	1.44	MSTBV 2.5/8-G	1753550
9	5.0	40	45	2.5	277-1080-ND	2.03	1.83	1.63	MSTBV 2.5/9-G	1753576
10	5.0	45	50	2.5	277-1081-ND	2.25	2.03	1.80	MSTBV 2.5/10-G	1753592
11	5.0	50	55	2.5	277-1082-ND	2.49	2.25	2.00	MSTBV 2.5/11-G	1753615
12	5.0	55	60	2.5	277-1083-ND	2.73	2.45	2.18	MSTBV 2.5/12-G	1753631
Abb. 4 — 5,08 mm Steckverbinder-Steckleiste — vertikal										
2	5.08	5.08	10.16	2.54	277-1128-ND	.45	.41	.36	MSTBV 2.5/2-G-5.08	1758018
3	5.08	10.16	15.24	2.54	277-1129-ND	.68	.62	.55	MSTBV 2.5/3-G-5.08	1758021
4	5.08	15.24	20.32	2.54	277-1130-ND	.90	.81	.72	MSTBV 2.5/4-G-5.08	1758034
5	5.08	20.32	25.40	2.54	277-1131-ND	1.14	1.03	.92	MSTBV 2.5/5-G-5.08	1758047
6	5.08	25.40	30.48	2.54	277-1132-ND	1.35	1.22	1.08	MSTBV 2.5/6-G-5.08	1758050
7	5.08	30.48	35.56	2.54	277-1133-ND	1.58	1.43	1.27	MSTBV 2.5/7-G-5.08	1758063
8	5.08	35.56	40.64	2.54	277-1134-ND	1.80	1.62	1.44	MSTBV 2.5/8-G-5.08	1758076
9	5.08	40.64	45.72	2.54	277-1135-ND	2.03	1.83	1.63	MSTBV 2.5/9-G-5.08	1758089
10	5.08	45.72	50.80	2.54	277-1136-ND	2.25	2.03	1.80	MSTBV 2.5/10-G-5.08	1758092
11	5.08	50.80	55.88	2.54	277-1137-ND	2.49	2.25	2.00	MSTBV 2.5/11-G-5.08	1758102
12	5.08	55.88	60.96	2.54	277-1138-ND	2.73	2.45	2.18	MSTBV 2.5/12-G-5.08	1758115
Abb. 5 — 5 mm Steckverbinder-Steckleiste — rechtwinklig										
2	5.0	5	10	2.5	277-1084-ND	.45	.41	.36	MSTB 2.5/2-G	1754436
3	5.0	10	15	2.5	277-1085-ND	.68	.62	.55	MSTB 2.5/3-G	1754452
4	5.0	15	20	2.5	277-1086-ND	.91	.82	.73	MSTB 2.5/4-G	1754478
5	5.0	20	25	2.5	277-1087-ND	1.14	1.03	.92	MSTB 2.5/5-G	1754494
6	5.0	25	30	2.5	277-1088-ND	1.35	1.22	1.08	MSTB 2.5/6-G	1754517
7	5.0	30	35	2.5	277-1089-ND	1.58	1.43	1.27	MSTB 2.5/7-G	1754533
8	5.0	35	40	2.5	277-1090-ND	1.80	1.62	1.44	MSTB 2.5/8-G	1754559
9	5.0	40	45	2.5	277-1091-ND	2.03	1.83	1.63	MSTB 2.5/9-G	1754575
10	5.0	45	50	2.5	277-1092-ND	2.25	2.03	1.80	MSTB 2.5/10-G	1754591
11	5.0	50	55	2.5	277-1093-ND	2.49	2.25	2.00	MSTB 2.5/11-G	1754614
12	5.0	55	60	2.5	277-1094-ND	2.73	2.45	2.18	MSTB 2.5/12-G	1754630
Abb. 5 — 5,08 mm Steckverbinder-Steckleiste — rechtwinklig										
2	5.08	5.08	10.16	2.54	277-1095-ND	.45	.41	.36	MSTB 2.5/2-G-5.08	1759017
3	5.08	10.16	15.24	2.54	277-1096-ND	.68	.62	.55	MSTB 2.5/3-G-5.08	1759020
4	5.08	15.24	20.32	2.54	277-1097-ND	.91	.82	.73	MSTB 2.5/4-G-5.08	1759033
5	5.08	20.32	25.40	2.54	277-1098-ND	1.14	1.03	.92	MSTB 2.5/5-G-5.08	1759046
6	5.08	25.40	30.48	2.54	277-1099-ND	1.35	1.22	1.08	MSTB 2.5/6-G-5.08	1759059
7	5.08	30.48	35.56	2.54	277-1100-ND	1.58	1.43	1.27	MSTB 2.5/7-G-5.08	1759062
8	5.08	35.56	40.64	2.54	277-1101-ND	1.80	1.62	1.44	MSTB 2.5/8-G-5.08	1759075
9	5.08	40.64	45.72	2.54	277-1102-ND	2.03	1.83	1.63	MSTB 2.5/9-G-5.08	1759088
10	5.08	45.72	50.80	2.54	277-1103-ND	2.25	2.03	1.80	MSTB 2.5/10-G-5.08	1759091
11	5.08	50.80	55.88	2.54	277-1104-ND	2.49	2.25	2.00	MSTB 2.5/11-G-5.08	1759101
12	5.08	55.88	60.96	2.54	277-1105-ND	2.73	2.45	2.18	MSTB 2.5/12-G-5.08	1759114
Abb. 6 — 5 mm Steckverbinder-Steckleiste — rechtwinklig										
2	5.0	5	12	3.5	277-1117-ND	.45	.41	.36	MSTBA 2.5/2-G	1757475
3	5.0	10	17	3.5	277-1118-ND	.68	.62	.55	MSTBA 2.5/3-G	1757488
4	5.0	15	22	3.5	277-1119-ND	.90	.81	.72	MSTBA 2.5/4-G	1757491
5	5.0	20	27	3.5	277-1120-ND	1.13	1.02	.91	MSTBA 2.5/5-G	1757501
6	5.0	25	32	3.5	277-1121-ND	1.34	1.21	1.08	MSTBA 2.5/6-G	1757514
7	5.0	30	37	3.5	277-1122-ND	1.58	1.43	1.27	MSTBA 2.5/7-G	1755493
8	5.0	35	42	3.5	277-1123-ND	1.79	1.61	1.44	MSTBA 2.5/8-G	1757527
9	5.0	40	47	3.5	277-1124-ND	2.03	1.83	1.63	MSTBA 2.5/9-G	1757530
10	5.0	45	52	3.5	277-1125-ND	2.24	2.02	1.80	MSTBA 2.5/10-G	1757543
11	5.0	50	57	3.5	277-1126-ND	2.49	2.25	2.00	MSTBA 2.5/11-G	1757556
12	5.0	55	62	3.5	277-1127-ND	2.73	2.45	2.18	MSTBA 2.5/12-G	1757569
Abb. 6 — 5,08 mm Steckverbinder-Steckleiste — rechtwinklig										
2	5.08	5.08	12.16	3.54	277-1106-ND	.45	.41	.36	MSTBA 2.5/2-G-5.08	1757242
3	5.08	10.16	17.24	3.54	277-1107-ND	.68	.62	.55	MSTBA 2.5/3-G-5.08	1757255
4	5.08	15.24	22.32	3.54	277-1108-ND	.90	.81	.72	MSTBA 2.5/4-G-5.08	1757268
5	5.08	20.32	27.40	3.54	277-1109-ND	1.13	1.02	.91	MSTBA 2.5/5-G-5.08	1757271
6	5.08	25.40	32.48	3.54	277-1110-ND	1.34	1.21	1.08	MSTBA 2.5/6-G-5.08	1757284
7	5.08	30.48	37.56	3.54	277-1111-ND	1.58	1.43	1.27	MSTBA 2.5/7-G-5.08	1757297
8	5.08	35.56	42.64	3.54	277-1112-ND	1.79	1.61	1.44	MSTBA 2.5/8-G-5.08	1757307
9	5.08	40.64	47.72	3.54	277-1113-ND	2.03	1.83	1.63	MSTBA 2.5/9-G-5.08	1757310
10	5.08	45.72	52.80	3.54	277-1114-ND	2.24	2.02	1.80	MSTBA 2.5/10-G-5.08	1757323
11	5.08	50.80	57.88	3.54	277-1115-ND	2.49	2.25	2.00	MSTBA 2.5/11-G-5.08	1757336
12	5.08	55.88	62.96	3.54	277-1116-ND	2.70	2.43	2.16	MSTBA 2.5/12-G-5.08	1757349
Abb. 7 — 5 mm Steckverbinder-Steckleiste — vertikal										
2	5.0	5	12	3.5	277-1140-ND	.45	.41	.36	MSTBVA 2.5/2-G	1755516
3	5.0	10	17	3.5	277-1141-ND	.68	.62	.55	MSTBVA 2.5/3-G	1755529
4	5.0	15	22	3.5	277-1142-ND	.90	.81	.72	MSTBVA 2.5/4-G	1755532
5	5.0	20	27	3.5	277-1143-ND	1.14	1.03	.92	MSTBVA 2.5/5-G	1755545
6	5.0	25	32	3.5	277-1144-ND	1.34	1.21	1.08	MSTBVA 2.5/6-G	1755558
7	5.0	30	37	3.5	277-1145-ND	1.58	1.43	1.27	MSTBVA 2.5/7-G	1755561
8	5.0	35	42	3.5	277-1146-ND	1.79	1.61	1.44	MSTBVA 2.5/8-G	1755574
9	5.0	40	47	3.5	277-1147-ND	2.03	1.83	1.63	MSTBVA 2.5/9-G	1755587
10	5.0	45	52	3.5	277-1139-ND	2.25	2.03	1.80	MSTBVA 2.5/10-G	1755503
11	5.0	50	57	3.5	277-1148-ND	2.49	2.25	2.00	MSTBVA 2.5/11-G	1755590
12	5.0	55	62	3.5	277-1149-ND	2.73	2.45	2.18	MSTBVA 2.5/12-G	1755600

(Forts.)

Abb. 9

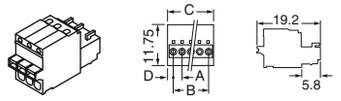

Spezifikationen:
UL: 125 V @ 4 A, 20-28 AWG.
IEC: 100 V @ 4 A, 20-28 AWG. **Farbe:** Grün

Abb. 10

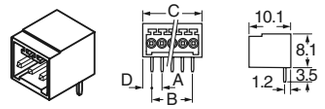

Spezifikationen:
UL: 125 V @ 4 A. **IEC:** 80 V @ 4 A. **Farbe:** Grün

Abb. 11

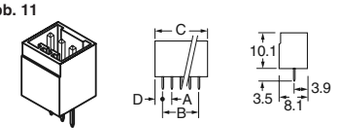

Spezifikationen:
UL: 125 V @ 4 A. **IEC:** 80 V @ 4 A. **Farbe:** Grün

Abb. 12

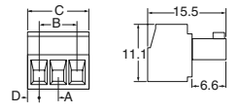

Spezifikationen:
UL: 300 V @ 8 A. 14-30 AWG.
IEC: 125 V @ 8 A. 16-28 AWG. **Farbe:** Grün

Abb. 13

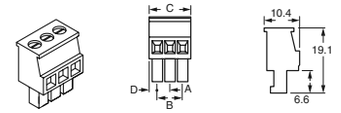

Spezifikationen:
UL: 300 V @ 8 A. 14-30 AWG.
IEC: 125 V @ 8 A. 16-28 AWG. **Farbe:** Grün

Abb. 14

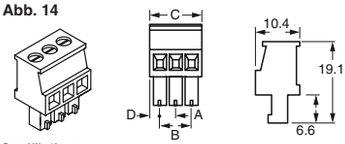

Spezifikationen:
UL: 300 V @ 8 A. 14-30 AWG.
IEC: 125 V @ 8 A. 16-28 AWG. **Farbe:** Grün

Abb. 15

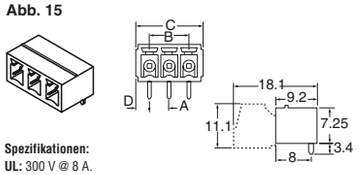

Spezifikationen:
UL: 300 V @ 8 A.
IEC: 125 V @ 8 A. **Farbe:** Grün

Abb. 16

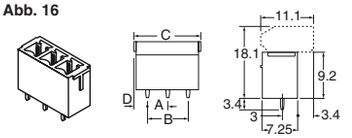

Spezifikationen:
UL: 300 V @ 8 A.
IEC: 125 V @ 8 A. **Farbe:** Grün

Abb. 17

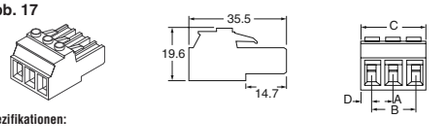

Spezifikationen:
UL: 600 V @ 30 A, 10-30 AWG. **IEC:** 800 V @ 20 A, 10-24 AWG. **Farbe:** Grün

Abb. 18

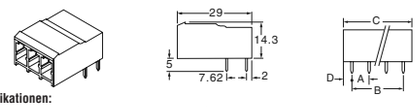

Spezifikationen:
UL: 600 V @ 30 A. **IEC:** 400 V @ 20 A. **Farbe:** Grün

Abb. 19

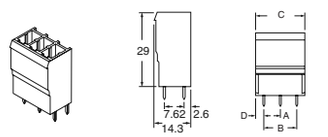

Spezifikationen:
UL: 600 V @ 30 A.
IEC: 400 V @ 20 A.
Farbe: Grün

Anz. der Pos.	Abmessungen (mm) A	B	C	D	Digi-Key Teilenr.	Stückpreis 1	10	100	Phoenix Contact Typen-Nr.	Phoenix Contact Teilenr.
Abb. 7 — 5,08 mm Steckverbinder-Steckleiste — vertikal										
2	5.08	5.08	12.16	3.54	277-1150-ND	.45	.41	.36	MSTBVA 2,5/2-G-5.08	1755736
3	5.08	10.16	17.24	3.54	277-1151-ND	.68	.62	.55	MSTBVA 2,5/3-G-5.08	1755749
4	5.08	15.24	22.32	3.54	277-1152-ND	.90	.81	.72	MSTBVA 2,5/4-G-5.08	1755752
5	5.08	20.32	27.40	3.54	277-1153-ND	1.13	1.02	.91	MSTBVA 2,5/5-G-5.08	1755765
6	5.08	25.40	32.48	3.54	277-1154-ND	1.34	1.21	1.08	MSTBVA 2,5/6-G-5.08	1755778
7	5.08	30.48	37.56	3.54	277-1155-ND	1.57	1.42	1.26	MSTBVA 2,5/7-G-5.08	1755781
8	5.08	35.56	42.64	3.54	277-1156-ND	1.79	1.61	1.44	MSTBVA 2,5/8-G-5.08	1755794
9	5.08	40.64	47.72	3.54	277-1157-ND	2.03	1.83	1.63	MSTBVA 2,5/9-G-5.08	1755804
10	5.08	45.72	52.80	3.54	277-1158-ND	2.24	2.02	1.80	MSTBVA 2,5/10-G-5.08	1755817
11	5.08	50.80	57.88	3.54	277-1159-ND	2.49	2.25	2.00	MSTBVA 2,5/11-G-5.08	1755820
12	5.08	55.88	62.96	3.54	277-1160-ND	2.70	2.43	2.16	MSTBVA 2,5/12-G-5.08	1755833
Abb. 8 — 5,0 mm u. 5,08 mm PCB-Steckleiste, Doppelebene, ohne Seitenplatten										
2	5.00	—	10.00	2.50	277-1379-ND	1.65	1.49	1.32	MDSTB 2,5/2-G	1762046
3	5.00	—	15.00	2.50	277-1380-ND	2.36	2.13	1.90	MDSTB 2,5/3-G	1762059
2	5.08	—	10.16	2.54	277-1381-ND	1.63	1.48	1.32	MDSTB 2,5/2-G-5.08	1762062
3	5.08	—	15.24	2.54	277-1382-ND	2.36	2.13	1.90	MDSTB 2,5/3-G-5.08	1762075
Abb. 9 — 2,5 mm Federkäfig-Anschlussblock-Stecker										
2	2.5	2.5	5.6	1.55	277-1430-ND	2.46	2.22	1.97	FK-MC 0,5/2-ST-2,5	1881325
3	2.5	5.0	8.1	1.55	277-1431-ND	3.32	2.99	2.66	FK-MC 0,5/3-ST-2,5	1881338
4	2.5	7.5	10.6	1.55	277-1432-ND	4.19	3.77	3.35	FK-MC 0,5/4-ST-2,5	1881341
5	2.5	10.0	13.1	1.55	277-1433-ND	5.02	4.52	4.02	FK-MC 0,5/5-ST-2,5	1881354
6	2.5	12.5	15.6	1.55	277-1434-ND	5.89	5.31	4.72	FK-MC 0,5/6-ST-2,5	1881367
7	2.5	15.0	18.1	1.55	277-1435-ND	6.75	6.08	5.40	FK-MC 0,5/7-ST-2,5	1881370
8	2.5	17.5	20.6	1.55	277-1436-ND	7.66	6.90	6.13	FK-MC 0,5/8-ST-2,5	1881383
9	2.5	20.0	23.1	1.55	277-1437-ND	8.47	7.63	6.79	FK-MC 0,5/9-ST-2,5	1881396
10	2.5	22.5	25.6	1.55	277-1438-ND	9.38	8.45	7.51	FK-MC 0,5/10-ST-2,5	1881406
11	2.5	25.0	28.1	1.55	277-1439-ND	10.19	9.18	8.16	FK-MC 0,5/11-ST-2,5	1881419
12	2.5	27.5	30.6	1.55	277-1440-ND	11.10	9.99	8.88	FK-MC 0,5/12-ST-2,5	1881422
Abb. 10 — 2,5 mm Steckverbinder-Steckleiste — rechtwinklig										
2	2.5	2.5	6.9	2.2	277-1441-ND	.58	.52	.47	MC 0,5/2-G-2.5	1881448
3	2.5	5.0	9.4	2.2	277-1442-ND	.83	.75	.67	MC 0,5/3-G-2.5	1881451
4	2.5	7.5	11.9	2.2	277-1443-ND	1.11	1.00	.89	MC 0,5/4-G-2.5	1881464
5	2.5	10.0	14.4	2.2	277-1444-ND	1.36	1.23	1.09	MC 0,5/5-G-2.5	1881477
6	2.5	12.5	16.9	2.2	277-1445-ND	1.62	1.46	1.30	MC 0,5/6-G-2.5	1881480
7	2.5	15.0	19.4	2.2	277-1446-ND	1.85	1.68	1.49	MC 0,5/7-G-2.5	1881493
8	2.5	17.5	21.9	2.2	277-1447-ND	2.12	1.91	1.70	MC 0,5/8-G-2.5	1881503
9	2.5	20.0	24.4	2.2	277-1448-ND	2.38	2.14	1.91	MC 0,5/9-G-2.5	1881516
10	2.5	22.5	26.9	2.2	277-1449-ND	2.64	2.38	2.12	MC 0,5/10-G-2.5	1881529
11	2.5	25.0	29.4	2.2	277-1450-ND	2.89	2.60	2.31	MC 0,5/11-G-2.5	1881532
12	2.5	27.5	31.9	2.2	277-1451-ND	3.15	2.84	2.52	MC 0,5/12-G-2.5	1881545
Abb. 11 — 2,5 mm Steckverbinder-Steckleiste — vertikal										
2	2.5	2.5	6.9	2.2	277-1452-ND	.58	.52	.47	MCV 0,5/2-G-2.5	1881558
3	2.5	5.0	9.4	2.2	277-1453-ND	.83	.75	.67	MCV 0,5/3-G-2.5	1881561
4	2.5	7.5	11.9	2.2	277-1454-ND	1.11	1.00	.89	MCV 0,5/4-G-2.5	1881574
5	2.5	10.0	14.4	2.2	277-1455-ND	1.36	1.23	1.09	MCV 0,5/5-G-2.5	1881587
6	2.5	12.5	16.9	2.2	277-1456-ND	1.62	1.46	1.30	MCV 0,5/6-G-2.5	1881590
7	2.5	15.0	19.4	2.2	277-1457-ND	1.85	1.68	1.49	MCV 0,5/7-G-2.5	1881600
8	2.5	17.5	21.9	2.2	277-1458-ND	2.12	1.91	1.70	MCV 0,5/8-G-2.5	1881613
9	2.5	20.0	24.4	2.2	277-1459-ND	2.38	2.14	1.91	MCV 0,5/9-G-2.5	1881626
10	2.5	22.5	26.9	2.2	277-1460-ND	2.64	2.38	2.12	MCV 0,5/10-G-2.5	1881639
11	2.5	25.0	29.4	2.2	277-1461-ND	2.89	2.60	2.31	MCV 0,5/11-G-2.5	1881642
12	2.5	27.5	31.9	2.2	277-1462-ND	3.15	2.84	2.52	MCV 0,5/12-G-2.5	1881655
Abb. 12 — 3,81 mm Anschlussblock-Steckverbinder										
2	3.81	3.81	8.41	2.3	277-1161-ND	1.53	1.39	1.23	MC 1,5/2-ST-3.81	1803578
3	3.81	7.62	12.22	2.3	277-1162-ND	2.27	2.05	1.82	MC 1,5/3-ST-3.81	1803581
4	3.81	11.43	16.03	2.3	277-1163-ND	3.01	2.71	2.41	MC 1,5/4-ST-3.81	1803594
5	3.81	15.24	19.84	2.3	277-1164-ND	3.81	3.43	3.05	MC 1,5/5-ST-3.81	1803604
6	3.81	19.05	23.65	2.3	277-1165-ND	4.53	4.08	3.63	MC 1,5/6-ST-3.81	1803617
7	3.81	22.86	27.46	2.3	277-1166-ND	5.34	4.81	4.28	MC 1,5/7-ST-3.81	1803620
8	3.81	26.67	31.27	2.3	277-1167-ND	6.04	5.43	4.83	MC 1,5/8-ST-3.81	1803633
9	3.81	30.48	35.08	2.3	277-1168-ND	6.85	6.17	5.49	MC 1,5/9-ST-3.81	1803646
10	3.81	34.29	38.89	2.3	277-1169-ND	7.57	6.81	6.06	MC 1,5/10-ST-3.81	1803659
11	3.81	38.10	42.70	2.3	277-1170-ND	8.37	7.54	6.70	MC 1,5/11-ST-3.81	1803662
12	3.81	41.91	46.51	2.3	277-1171-ND	9.13	8.22	7.30	MC 1,5/12-ST-3.81	1803675
13	3.81	45.72	50.32	2.3	277-1172-ND	9.83	8.85	7.87	MC 1,5/13-ST-3.81	1803688
14	3.81	49.53	54.13	2.3	277-1173-ND	10.66	9.60	8.53	MC 1,5/14-ST-3.81	1803691
15	3.81	53.34	57.94	2.3	277-1174-ND	11.42	10.28	9.14	MC 1,5/15-ST-3.81	1803701
16	3.81	57.15	61.75	2.3	277-1175-ND	12.17	10.96	9.74	MC 1,5/16-ST-3.81	1803714
Abb. 13 — 3,81 mm Anschlussblock-Steckverbinder										
2	3.81	3.81	8.41	2.3	277-1176-ND	1.65	1.49	1.32	MCVW 1,5/2-ST-3.81	1826979
3	3.81	7.62	12.22	2.3	277-1177-ND	2.46	2.22	1.97	MCVW 1,5/3-ST-3.81	1826982
4	3.81	11.43	16.03	2.3	277-1178-ND	3.27	2.94	2.62	MCVW 1,5/4-ST-3.81	1826995

Anz. der Pos.	Abmessungen (mm) A	B	C	D	Digi-Key Teilenr.	Stückpreis 1	10	100	Phoenix Contact Typen-Nr.	Phoenix Contact Teilenr.
5	3.81	15.24	19.84	2.3	277-1179-ND	4.11	3.70	3.29	MCVW 1,5/5-ST-3.81	1827004
6	3.81	19.05	23.65	2.3	277-1180-ND	4.91	4.43	3.94	MCVW 1,5/6-ST-3.81	1827017
7	3.81	22.86	27.46	2.3	277-1181-ND	5.73	5.16	4.59	MCVW 1,5/7-ST-3.81	1827020
8	3.81	26.67	31.27	2.3	277-1182-ND	6.56	5.91	5.26	MCVW 1,5/8-ST-3.81	1827033
9	3.81	30.48	35.08	2.3	277-1183-ND	7.39	6.66	5.92	MCVW 1,5/9-ST-3.81	1827046
10	3.81	34.29	38.89	2.3	277-1184-ND	8.19	7.38	6.56	MCVW 1,5/10-ST-3.81	1827059
11	3.81	38.10	42.70	2.3	277-1185-ND	9.02	8.12	7.22	MCVW 1,5/11-ST-3.81	1827062
12	3.81	41.91	46.51	2.3	277-1186-ND	9.86	8.88	7.89	MCVW 1,5/12-ST-3.81	1827075
13	3.81	45.72	50.32	2.3	277-1187-ND	10.66	9.60	8.53	MCVW 1,5/13-ST-3.81	1827088
14	3.81	49.53	54.13	2.3	277-1188-ND	11.49	10.34	9.20	MCVW 1,5/14-ST-3.81	1827091
15	3.81	53.34	57.94	2.3	277-1189-ND	12.32	11.09	9.86	MCVW 1,5/15-ST-3.81	1827101
16	3.81	57.15	61.75	2.3	277-1190-ND	13.13	11.82	10.51	MCVW 1,5/16-ST-3.81	1827114
Abb. 14 — 3,81 mm Anschlussblock-Steckverbinder										
2	3.81	3.81	8.41	2.3	277-1191-ND	1.65	1.49	1.32	MCVR 1,5/2-ST-3.81	1827127
3	3.81	7.62	12.22	2.3	277-1192-ND	2.46	2.22	1.97	MCVR 1,5/3-ST-3.81	1827130
4	3.81	11.43	16.03	2.3	277-1193-ND	3.27	2.94	2.62	MCVR 1,5/4-ST-3.81	1827143
5	3.81	15.24	19.84	2.3	277-1194-ND	4.11	3.70	3.29	MCVR 1,5/5-ST-3.81	1827156
6	3.81	19.05	23.65	2.3	277-1195-ND	4.91	4.43	3.94	MCVR 1,5/6-ST-3.81	1827169
7	3.81	22.86	27.46	2.3	277-1196-ND	5.73	5.16	4.59	MCVR 1,5/7-ST-3.81	1827172
8	3.81	26.67	31.27	2.3	277-1197-ND	6.56	5.91	5.26	MCVR 1,5/8-ST-3.81	1827185
9	3.81	30.48	35.08	2.3	277-1198-ND	7.39	6.66	5.92	MCVR 1,5/9-ST-3.81	1827198
10	3.81	34.29	38.89	2.3	277-1199-ND	8.19	7.38	6.56	MCVR 1,5/10-ST-3.81	1827208
11	3.81	38.10	42.70	2.3	277-1200-ND	9.02	8.12	7.22	MCVR 1,5/11-ST-3.81	1827211
12	3.81	41.91	46.51	2.3	277-1201-ND	9.86	8.88	7.89	MCVR 1,5/12-ST-3.81	1827224
13	3.81	45.72	50.32	2.3	277-1202-ND	10.66	9.60	8.53	MCVR 1,5/13-ST-3.81	1827237
14	3.81	49.53	54.13	2.3	277-1203-ND	11.49	10.34	9.20	MCVR 1,5/14-ST-3.81	1827240
15	3.81	53.34	57.94	2.3	277-1204-ND	12.32	11.09	9.86	MCVR 1,5/15-ST-3.81	1827253
16	3.81	57.15	61.75	2.3	277-1205-ND	13.13	11.82	10.51	MCVR 1,5/16-ST-3.81	1827266
Abb. 15 — 3,81 mm Steckverbinder-Steckleiste — rechtwinklig										
2	3.81	3.81	9.01	2.6	277-1206-ND	.52	.47	.42	MC 1,5/2-G-3.81	1803277
3	3.81	7.62	12.82	2.6	277-1207-ND	.80	.72	.64	MC 1,5/3-G-3.81	1803280
4	3.81	11.43	16.63	2.6	277-1208-ND	1.06	.96	.85	MC 1,5/4-G-3.81	1803293
5	3.81	15.24	20.44	2.6	277-1209-ND	1.30	1.18	1.05	MC 1,5/5-G-3.81	1803303
6	3.81	19.05	24.25	2.6	277-1210-ND	1.59	1.44	1.28	MC 1,5/6-G-3.81	1803316
7	3.81	22.86	28.06	2.6	277-1211-ND	1.85	1.68	1.49	MC 1,5/7-G-3.81	1803329
8	3.81	26.67	31.87	2.6	277-1212-ND	2.11	1.90	1.69	MC 1,5/8-G-3.81	1803332
9	3.81	30.48	35.68	2.6	277-1213-ND	2.41	2.17	1.93	MC 1,5/9-G-3.81	1803345
10	3.81	34.29	39.49	2.6	277-1214-ND	2.64	2.38	2.12	MC 1,5/10-G-3.81	1803358
11	3.81	38.10	43.30	2.6	277-1215-ND	2.90	2.62	2.33	MC 1,5/11-G-3.81	1803361
12	3.81	41.91	47.11	2.6	277-1216-ND	3.17	2.86	2.54	MC 1,5/12-G-3.81	1803374
13	3.81	45.72	50.92	2.6	277-1217-ND	3.44	3.10	2.75	MC 1,5/13-G-3.81	1803387
14	3.81	49.53	54.73	2.6	277-1218-ND	3.70	3.34	2.97	MC 1,5/14-G-3.81	1803390
15	3.81	53.34	58.54	2.6	277-1219-ND	3.97	3.58	3.18	MC 1,5/15-G-3.81	1803400
16	3.81	57.15	62.35	2.6	277-1220-ND	4.22	3.80	3.38	MC 1,5/16-G-3.81	1803413
Abb. 16 — 3,81 mm Steckverbinder-Steckleiste — vertikal										
2	3.81	3.81	9.01	2.6	277-1221-ND	.52	.47	.42	MCV 1,5/2-G-3.81	1803426
3	3.81	7.62	12.82	2.6	277-1222-ND	.80	.72	.64	MCV 1,5/3-G-3.81	1803439
4	3.81	11.43	16.63	2.6	277-1223-ND	1.06	.96	.85	MCV 1,5/4-G-3.81	1803442
5	3.81	15.24	20.44	2.6	277-1224-ND	1.30	1.18	1.05	MCV 1,5/5-G-3.81	1803455
6	3.81	19.05	24.25	2.6	277-1225-ND	1.58	1.43	1.27	MCV 1,5/6-G-3.81	1803468
7	3.81	22.86	28.06	2.6	277-1226-ND	1.85	1.68	1.49	MCV 1,5/7-G-3.81	1803471
8	3.81	26.67	31.87	2.6	277-1227-ND	2.09	1.88	1.68	MCV 1,5/8-G-3.81	1803484
9	3.81	30.48	35.68	2.6	277-1228-ND	2.41	2.17	1.93	MCV 1,5/9-G-3.81	1803497
10	3.81	34.29	39.49	2.6	277-1229-ND	2.64	2.38	2.12	MCV 1,5/10-G-3.81	1803507
11	3.81	38.10	43.30	2.6	277-1230-ND	2.90	2.62	2.33	MCV 1,5/11-G-3.81	1803510
12	3.81	41.91	47.11	2.6	277-1231-ND	3.19	2.88	2.56	MCV 1,5/12-G-3.81	1803523
13	3.81	45.72	50.92	2.6	277-1232-ND	3.44	3.10	2.75	MCV 1,5/13-G-3.81	1803536
14	3.81	49.53	54.73	2.6	277-1233-ND	3.70	3.34	2.97	MCV 1,5/14-G-3.81	1803549
15	3.81	53.34	58.54	2.6	277-1234-ND	3.97	3.58	3.18	MCV 1,5/15-G-3.81	1803552
16	3.81	57.15	62.35	2.6	277-1235-ND	4.22	3.80	3.38	MCV 1,5/16-G-3.81	1803565
Abb. 17 — 7,62 mm Anschlussblock-Steckverbinder										
2	7.62	7.62	15.22	3.8	277-1463-ND	3.56	3.21	2.86	PC 4 HV/2-ST-7.62	1848892
3	7.62	15.24	22.84	3.8	277-1464-ND	5.38	4.84	4.31	PC 4 HV/3-ST-7.62	1848902
4	7.62	22.86	30.46	3.8	277-1465-ND	7.14	6.43	5.72	PC 4 HV/4-ST-7.62	1848915
Abb. 18 — 7,62 mm Steckverbinder-Steckleiste — rechtwinklig										
2	7.62	7.62	15.22	3.8	277-1466-ND	2.32	2.09	1.86	PC 4/2-G-7.62	1804797
3	7.62	15.24	22.84	3.8	277-1467-ND	3.47	3.13	2.78	PC 4/3-G-7.62	1804807
4	7.62	22.86	30.46	3.8	277-1468-ND	4.58	4.13	3.67	PC 4/4-G-7.62	1804810
Abb. 19 — 7,62 mm Steckverbinder-Steckleiste — vertikal										
2	7.62	7.62	15.22	3.8	277-1469-ND	2.32	2.09	1.86	PCV 4/2-G-7.62	1804687
3	7.62	15.24	22.84	3.8	277-1470-ND	3.47	3.13	2.78	PCV 4/3-G-7.62	1804690
4	7.62	22.86	30.46	3.8	277-1471-ND	4.58	4.13	3.67	PCV 4/4-G-7.62	1804700

Anschlussblöcke

Micro-Pitch-Anschlussblöcke: Der MPT 0,5 ist der kleinste auf dem Markt erhältliche Schraubanschlussblock. Mit einem Micro-Pitch von 2,54 mm ist der MPT 0,5 ideal für hochdichte Anwendungen geeignet.

Presspassungs-Anschlussblöcke: Das Presspassungs-Leiterplattenanschlussblocksortiment ist die perfekte Lösung für Anwendungen, bei denen Löten nicht möglich ist. Das Presspassungssortiment umfasst feste und einsteckbare Ausführungen.

Abb. 1

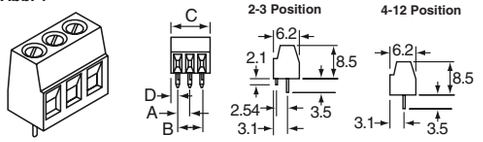

HINWEIS: Die Versionen mit 2 und 3 Positionen verfügen über einen zusätzlichen Positionierungsstift, um die mechanische Belastung zu unterstützen. **Spezifikationen: UL:** 125 V @ 6 A, 30-20 AWG **IEC:** 63 V @ 6 A, 26-20 AWG **Farbe:** Grün

Abb. 2

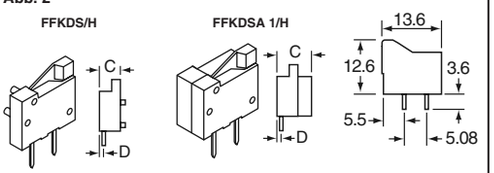

Spezifikationen: UL: 150 V @ 6 A, 26-20 AWG **IEC:** 63 V @ 6 A, 26-20 AWG **Farbe:** Grün

Abb. 3

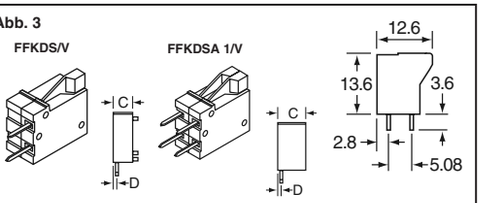

Spezifikationen: UL: 150 V @ 6 A, 26-20 AWG **IEC:** 63 V @ 6 A, 26-20 AWG **Farbe:** Grün

Abb. 4

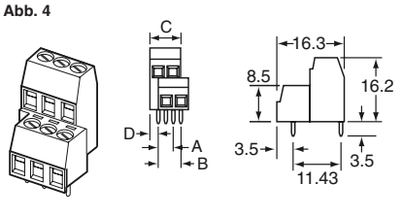

Spezifikationen:
UL: 300 V @ 10 A, 30-16 AWG
IEC: 125 V @ 10 A, 26-16 AWG
Farbe: Grün

Abb. 5

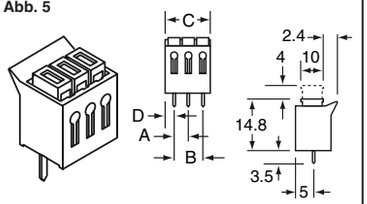

Spezifikationen:
UL: 300 V @ 5 A, 28-22 AWG
IEC: 125 V @ 5 A, 26-22 AWG
Farbe: Grün

Abb. 6

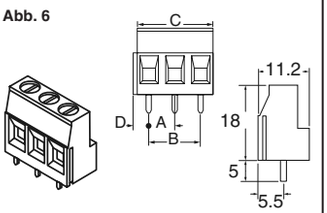

Spezifikationen:
UL: 300 V @ 15 A, 12-30 AWG
IEC: 250 V @ 32 A, 12-24 AWG.
Farbe: Grün

Abb. 7

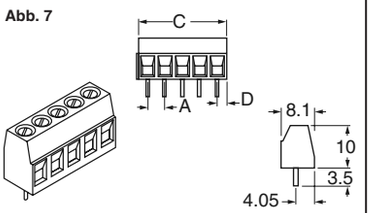

Spezifikationen:
UL: 300 V @ 10 A, 14-30 AWG
IEC: 250 V @ 16 A, 16-26 AWG.
Farbe: Grün

Abb. 8

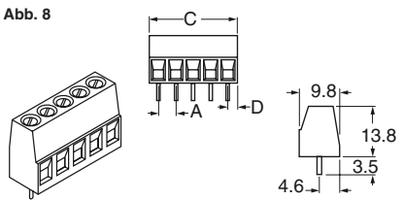

Spezifikationen:
UL: 300 V @ 10 A, 14-30 AWG
IEC: 250 V @ 24 A, 14-26 AWG. **Farbe:** Grün

Abb. 9

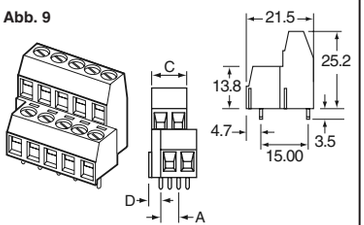

Spezifikationen:
UL: 300 V @ 10 A, 30-14 AWG
IEC: 250 V @ 24 A, 26-14 AWG. **Farbe:** Grün

Abb. 10

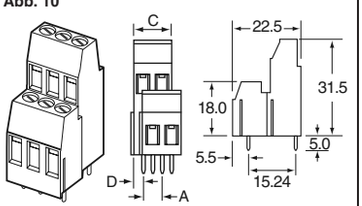

Spezifikationen:
UL: 300 V @ 10 A, 30-12 AWG
IEC: 250 V @ 22 A, 24-12 AWG **Farbe:** Grün

Abb. 11

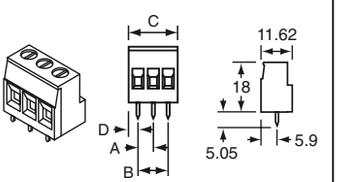

Spezifikationen:
UL: 300 V @ 10 A, 30-12 AWG
IEC: 250 V @ 12 A, 28-14 AWG **Farbe:** Grün

Anz. der Pos.	Abmessungen (mm) A	B	C	D	Digi-Key Teilenr.	Stückpreis 1	10	100	Phoenix Contact Typen-Nr.	Phoenix Contact Teilenr.
Abb. 1 — 2,54 mm Micro-Pitch-Anschlussblöcke										
2	2.54	2.54	5.54	1.50	277-1273-ND	1.01	.91	.81	MPT 0.5/2-2.54	1725656
3	2.54	5.08	8.08	1.50	277-1274-ND	1.52	1.36	1.21	MPT 0.5/3-2.54	1725669
4	2.54	7.62	10.62	1.50	277-1275-ND	2.01	1.82	1.62	MPT 0.5/4-2.54	1725672
5	2.54	10.16	13.16	1.50	277-1276-ND	2.52	2.28	2.03	MPT 0.5/5-2.54	1725685
6	2.54	12.70	15.70	1.50	277-1277-ND	3.02	2.72	2.42	MPT 0.5/6-2.54	1725698
7	2.54	15.24	18.24	1.50	277-1278-ND	3.52	3.17	2.82	MPT 0.5/7-2.54	1725708
8	2.54	17.78	20.78	1.50	277-1279-ND	4.05	3.65	3.24	MPT 0.5/8-2.54	1725711
9	2.54	20.32	23.32	1.50	277-1280-ND	4.53	4.08	3.63	MPT 0.5/9-2.54	1725724
10	2.54	22.86	25.86	1.50	277-1281-ND	5.05	4.55	4.05	MPT 0.5/10-2.54	1725737
11	2.54	25.40	28.40	1.50	277-1282-ND	5.56	5.01	4.45	MPT 0.5/11-2.54	1725740
12	2.54	27.94	30.94	1.50	277-1283-ND	6.08	5.48	4.87	MPT 0.5/12-2.54	1725753
Abb. 2 — Modularer 2,54 mm fester PCB-Federkäfig-Anschlussblock - Waagrechter Drahteingang										
1	—	—	2.54	0.90	277-1310-ND	.68	.62	.55	FFKDS/H-2.54	1791826
Abb. 2 — Endanschlussblock für FFKDS/H-2,54										
1	—	—	5.08	0.90	277-1311-ND	1.08	.98	.87	FFKDSA 1/H-5.08	1791868
Abb. 3 — Modularer 2,54 mm fester PCB-Federkäfig-Anschlussblock - Senkrechter Drahteingang										
1	—	—	2.54	0.90	277-1312-ND	.68	.62	.55	FFKDS/V-2.54	1791813
Abb. 3 — Endanschlussblock für FFKDS/V-2,54										
1	—	—	5.08	0.90	277-1313-ND	1.04	.94	.84	FFKDSA 1/V-5.08	1791855
Abb. 4 — 3,81mm Anschlussblöcke mit Doppelebene										
2	3.81	3.81	7.62	1.90	277-1356-ND	2.51	2.27	2.02	MKKDS 1/2-3.81	1708026
3	3.81	7.62	11.43	1.90	277-1357-ND	3.76	3.39	3.01	MKKDS 1/3-3.81	1708039
4	3.81	11.43	15.24	1.90	277-1358-ND	5.03	4.53	4.03	MKKDS 1/4-3.81	1708042
5	3.81	15.24	19.05	1.90	277-1359-ND	6.27	5.65	5.02	MKKDS 1/5-3.81	1708055
6	3.81	19.05	22.86	1.90	277-1360-ND	7.53	6.78	6.03	MKKDS 1/6-3.81	1708068
7	3.81	22.86	26.67	1.90	277-1361-ND	8.80	7.93	7.05	MKKDS 1/7-3.81	1708071
8	3.81	26.67	30.48	1.90	277-1362-ND	10.06	9.06	8.05	MKKDS 1/8-3.81	1708084
9	3.81	30.48	34.29	1.90	277-1363-ND	11.32	10.19	9.06	MKKDS 1/9-3.81	1708107
10	3.81	34.29	38.10	1.90	277-1364-ND	12.57	11.32	10.06	MKKDS 1/10-3.81	1708110
11	3.81	38.10	41.91	1.90	277-1365-ND	13.83	12.45	11.07	MKKDS 1/11-3.81	1708123
12	3.81	41.91	45.72	1.90	277-1366-ND	15.09	13.58	12.08	MKKDS 1/12-3.81	1708136
Abb. 5 — 3,81 mm Anschlussblöcke, Isolationsverschiebung										
2	3.81	3.81	8.81	2.50	277-1417-ND	.79	.71	.63	IDC 0.3/2-3.81	1706170
3	3.81	7.62	12.62	2.50	277-1418-ND	1.13	1.02	.91	IDC 0.3/3-3.81	1706183
4	3.81	11.43	16.43	2.50	277-1419-ND	1.44	1.30	1.16	IDC 0.3/4-3.81	1706196
5	3.81	15.24	20.24	2.50	277-1420-ND	1.79	1.61	1.44	IDC 0.3/5-3.81	1706206
6	3.81	19.06	24.05	2.50	277-1421-ND	2.09	1.88	1.68	IDC 0.3/6-3.81	1706219
7	3.81	22.86	27.86	2.50	277-1422-ND	2.45	2.21	1.96	IDC 0.3/7-3.81	1706222
8	3.81	26.67	31.67	2.50	277-1423-ND	2.76	2.49	2.21	IDC 0.3/8-3.81	1706235
9	3.81	30.48	35.48	2.50	277-1424-ND	3.09	2.79	2.48	IDC 0.3/9-3.81	1706248
10	3.81	34.29	39.29	2.50	277-1425-ND	3.43	3.09	2.75	IDC 0.3/10-3.81	1706251
11	3.81	38.10	43.10	2.50	277-1426-ND	3.75	3.38	3.00	IDC 0.3/11-3.81	1706264
12	3.81	41.91	46.91	2.50	277-1427-ND	4.07	3.67	3.26	IDC 0.3/12-3.81	1706277
Abb. 6 — 5 mm Anschlussblock, PCB-Steckverbinder										
2	5.0	5	10	2.5	277-1022-ND	1.28	1.16	1.03	MKDS 3/2	1711026
3	5.0	10	15	2.5	277-1023-ND	1.95	1.76	1.56	MKDS 3/3	1711039
4	5.0	15	20	2.5	277-1024-ND	2.57	2.32	2.06	MKDS 3/4	1711042
8	5.0	35	40	2.5	277-1025-ND	5.16	4.64	4.13	MKDS 3/8	1711084
12	5.0	55	60	2.5	277-1026-ND	7.70	6.93	6.16	MKDS 3/12	1711123

Anz. der Pos.	Abmessungen (mm) A	B	C	D	Digi-Key Teilenr.	Stückpreis 1	10	100	Phoenix Contact Typen-Nr.	Phoenix Contact Teilenr.
Abb. 7 — 5 mm Anschlussblock, PCB-Steckverbinder										
2	5.0	—	10	2.5	277-1236-ND	.68	.62	.55	MKDSN 1.5/2	1729018
3	5.0	—	15	2.5	277-1237-ND	1.04	.94	.84	MKDSN 1.5/3	1729021
4	5.0	—	20	2.5	277-1238-ND	1.36	1.23	1.09	MKDSN 1.5/4	1729034
5	5.0	—	25	2.5	277-1239-ND	1.71	1.54	1.37	MKDSN 1.5/5	1729047
6	5.0	—	30	2.5	277-1240-ND	2.06	1.85	1.65	MKDSN 1.5/6	1729050
7	5.0	—	35	2.5	277-1241-ND	2.42	2.18	1.94	MKDSN 1.5/7	1729063
8	5.0	—	40	2.5	277-1242-ND	2.76	2.49	2.21	MKDSN 1.5/8	1729076
9	5.0	—	45	2.5	277-1243-ND	3.11	2.80	2.49	MKDSN 1.5/9	1729089
10	5.0	—	50	2.5	277-1244-ND	3.44	3.10	2.75	MKDSN 1.5/10	1729092
11	5.0	—	55	2.5	277-1245-ND	3.78	3.40	3.02	MKDSN 1.5/11	1729102
12	5.0	—	60	2.5	277-1246-ND	4.13	3.72	3.31	MKDSN 1.5/12	1729115
Abb. 8 — 5 mm Anschlussblock, PCB-Steckverbinder										
2	5.0	—	10	2.5	277-1258-ND	.80	.73	.65	MKDS 1.5/2	1715022
3	5.0	—	15	2.5	277-1259-ND	1.21	1.09	.97	MKDS 1.5/3	1715035
4	5.0	—	20	2.5	277-1260-ND	1.63	1.48	1.32	MKDS 1.5/4	1715048
8	5.0	—	40	2.5	277-1261-ND	3.24	2.92	2.60	MKDS 1.5/8	1715080
12	5.0	—	60	2.5	277-1262-ND	4.90	4.42	3.93	MKDS 1.5/12	1715129
Abb. 9 — 5 mm & 5,08 mm Anschlussblöcke mit Doppelebene										
2	5.00	—	10.00	2.50	277-1367-ND	1.95	1.76	1.56	MKKDS 1.5/2	1725012
3	5.00	—	15.00	2.50	277-1368-ND	2.90	2.62	2.33	MKKDS 1.5/3	1725025
2	5.08	—	10.16	2.54	277-1369-ND	1.95	1.76	1.56	MKKDS 1.5/2-5.08	1725038
3	5.08	—	15.24	2.54	277-1370-ND	2.89	2.60	2.31	MKKDS 1.5/3-5.08	1725041
Abb. 10 — 5 mm & 5,08 mm Anschlussblöcke mit Doppelebene										
2	5.00	—	10.00	2.50	277-1371-ND	3.28	2.96	2.63	MKKDS 3/2	1721029
3	5.00	—	15.00	2.50	277-1372-ND	4.94	4.45	3.95	MKKDS 3/3	1721032
2	5.08	—	10.16	2.54	277-1373-ND	3.28	2.96	2.63	MKKDS 3/2-5.08	1721728
3	5.08	—	15.24	2.54	277-1374-ND	4.90	4.42	3.93	MKKDS 3/3-5.08	1721731
Abb. 11 — 5,08 mm PCB-Anschlussblöcke, Presspassung										
2	5.08	5.08	11.34	3.13	277-1284-ND	1.49	1.34	1.20	EMKDS 2.5/2-5.08	1730612
3	5.08	10.16	16.42	3.13	277-1285-ND	2.20	1.99	1.77	EMKDS 2.5/3-5.08	1730625
4	5.08	15.24	21.50	3.13	277-1286-ND	2.96	2.67	2.38	EMKDS 2.5/4-5.08	1730638
5	5.08	20.32	26.58	3.13	277-1287-ND	3.70	3.34	2.97	EMKDS 2.5/5-5.08	1730641
6	5.08	25.40	31.66	3.13	277-1288-ND	4.45	4.01	3.57	EMKDS 2.5/6-5.08	1730654
7	5.08	30.48	36.74	3.13	277-1289-ND	5.18	4.67	4.15	EMKDS 2.5/7-5.08	1730667
8	5.08	35.56	41.82	3.13	277-1290-ND	5.88	5.30	4.71	EMKDS 2.5/8-5.08	1730670
9	5.08	40.64	46.90	3.13	277-1291-ND	6.67	6.01	5.34	EMKDS 2.5/9-5.08	1730683
10	5.08	45.72	51.98	3.13	277-1292-ND	7.38	6.65	5.91	EMKDS 2.5/10-5.08	1730696
11	5.08	50.80	57.06	3.13	277-1293-ND	8.15	7.34	6.53	EMKDS 2.5/11-5.08	1730706
12	5.08	55.88	62.14	3.13	277-1294-ND	8.90	8.01	7.12	EMKDS 2.5/12-5.08	1730719
Abb. 6 — 5,08 mm Anschlussblock, PCB-Steckverbinder										
2	5.08	5.08	10.16	2.54	277-1027-ND	1.27	1.15	1.02	MKDS 3/2-5.08	1711725
3	5.08	10.16	15.24	2.54	277-1028-ND	1.94	1.75	1.56	MKDS 3/3-5.08	1711738
Abb. 7 — 5,08 mm Anschlussblock, PCB-Steckverbinder										
2	5.08	—	10.16	2.54	277-1247-ND	.68	.62	.55	MKDSN 1.5/2-5.08	1729128
3	5.08	—	15.24	2.54	277-1248-ND	1.04	.94	.84	MKDSN 1.5/3-5.08	1729131
4	5.08	—	20.32	2.54	277-1249-ND	1.36	1.23	1.09	MKDSN 1.5/4-5.08	1729144
5	5.08	—	25.40	2.54	277-1250-ND	1.69	1.53	1.36	MKDSN 1.5/5-5.08	1729157
6	5.08	—	30.48	2.54	277-1251-ND	2.06	1.85	1.65	MKDSN 1.5/6-5.08	1729160
7	5.08	—	35.56	2.54	277-1252-ND	2.42	2.18	1.94	MKDSN 1.5/7-5.08	1729173
8	5.08	—	40.64	2.54	277-1253-ND	2.76	2.49	2.21	MKDSN 1.5/8-5.08	1729186
9	5.08	—	45.72	2.54	277-1254-ND	3.11	2.80	2.49	MKDSN 1.5/9-5.08	1729199

(Forts.)

Alle Preisangaben in Euro und inklusive Zollgebühren.

Multi-Level-Anschlussblöcke: Mit ihrem kleinen Pitch stellen MKKDS und MK3DS mit 2 oder 3 Ebenen ideale Lösungen dar, da sie dichtere Bestückung und größere Verbindungsdichte auf Karten ermöglichen.

Isolierungsverschiebungs-Anschlussblöcke: Die IDC-Leiterplattenanschlussblöcke bieten eine schnelle Massenisolierung der Leiter, ohne dass Werkzeuge erforderlich sind.

Abb. 12

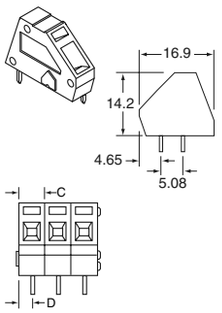

Spezifikationen:
UL: 300 V @ 6 A
IEC: 25 V @ 6 A **Farbe:** Grün

Abb. 13

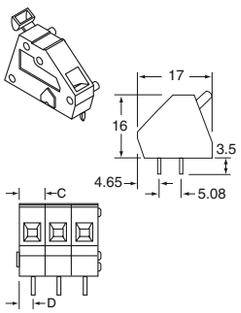

Spezifikationen:
UL: 300 V @ 6 A
IEC: 250 V @ 6 A **Farbe:** Grün

Abb. 14

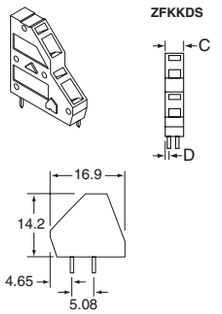

Spezifikationen: **UL:** 300 V @ 10 A, 26-12 AWG **IEC:** 250 V @ 12 A, 24-14 AWG **Farbe:** Grün

Abb. 15

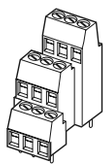

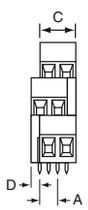

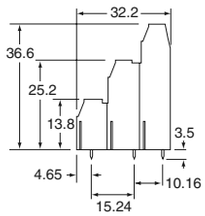

Spezifikationen:
UL: 300 V @ 10 A, 30-12 AWG
IEC: 250 V @ 22 A, 26-14 AWG **Farbe:** Grün

Abb. 16

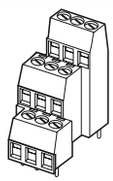

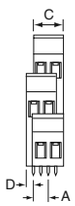

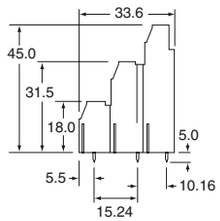

Spezifikationen:
UL: 300 V @ 10 A, 30-12 AWG
IEC: 250 V @ 32 A, 24-12 AWG **Farbe:** Grün

Abb. 17

A

Spezifikationen: **UL:** 300 V @ 10 A, 10-30 AWG **IEC:** 500 V @ 32 A, 10-24 AWG **Farbe:** Grün

B

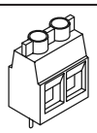

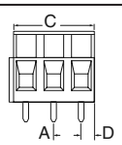

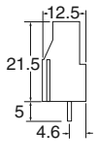

Spezifikationen:
UL: 300 V @ 10 A, 10-30 AWG und 600 V @ 5 A **IEC:** 690 V @ 32 A, 10-24 AWG **Farbe:** Grün

Anz. der Pos.	Abmessungen (mm) A	B	C	D	Digi-Key Teilenr.	Stückpreis 1	10	100	Phoenix Contact Typen-Nr.	Phoenix Contact Teilenr.
10	5.08	—	50.80	2.54	277-1255-ND	3.44	3.10	2.75	MKDSN 1.5/10-5.08	1729209
11	5.08	—	55.88	2.54	277-1256-ND	3.78	3.40	3.02	MKDSN 1.5/11-5.08	1729212
12	5.08	—	60.96	2.54	277-1257-ND	4.13	3.72	3.31	MKDSN 1.5/12-5.08	1729225
Abb. 8 — 5,08 mm Anschlussblock, PCB-Steckverbinder										
2	5.08	—	10.16	2.54	277-1263-ND	.80	.73	.65	MKDS 1.5/2-5.08	1715721
3	5.08	—	15.24	2.54	277-1264-ND	1.21	1.09	.97	MKDS 1.5/3-5.08	1715734
4	5.08	—	20.32	2.54	277-1265-ND	1.63	1.47	1.31	MKDS 1.5/4-5.08	1715747
8	5.08	—	40.64	2.54	277-1266-ND	3.24	2.92	2.60	MKDS 1.5/8-5.08	1715789
10	5.08	—	50.80	2.54	277-1267-ND	4.10	3.69	3.28	MKDS 1.5/10-5.08	1715802
12	5.08	—	60.96	2.54	277-1268-ND	4.90	4.42	3.93	MKDS 1.5/12-5.08	1715828
Abb. 12 — Modularer 5,08 mm fester PCB-Federkäfig-Anschlussblock - Einzelebene ohne Hebel										
1	—	—	5.08	2.54	277-1314-ND	.30	.27	.24	ZFKDS 1.5-5.08	1706701
Abb. 12 — Endanschlussblock für ZFKDS 1,5-5,08										
1	—	—	7.62	2.54	277-1315-ND	.41	.38	.34	ZFKDSA1.5-7.62	1706727
Abb. 13 — Modularer 5,08 mm fester PCB-Federkäfig-Anschlussblock - Einzelebene mit Hebel										
1	—	—	5.08	2.54	277-1316-ND	.37	.34	.30	ZFKDS 1.5-W-5.08	1706714
Abb. 13 — Endanschlussblock für ZFKDS 1,5-5,08										
1	—	—	7.62	2.54	277-1317-ND	.47	.43	.38	ZFKDSA 1.5-W-7.62	1706730
Abb. 14 — Modularer 5,08 mm fester PCB-Federkäfig-Anschlussblock - Doppelebene ohne Hebel										
1	—	—	5.08	1.27	277-1318-ND	.80	.73	.65	ZFKKDS 1.5-5.08	1704402
Abb. 15 — 5,08 mm Anschlussblöcke, Dreifachebene										
2	5.08	—	10.16	2.54	277-1375-ND	5.15	4.63	4.12	MK3DS 1.5/2-5.08	1724013
3	5.08	—	15.24	2.54	277-1376-ND	7.72	6.95	6.18	MK3DS 1.5/3-5.08	1724026
Abb. 16 — 5,08 mm Anschlussblöcke, Dreifachebene										
2	5.08	—	10.16	2.54	277-1377-ND	4.65	4.19	3.72	MK3DS 3/2-5.08	1723014
3	5.08	—	15.24	2.54	277-1378-ND	6.99	6.30	5.60	MK3DS 3/3-5.08	1723027
Abb. 17A — 6,35 mm Anschlussblock, PCB-Steckverbinder										
2	6.35	—	12.69	3.17	277-1269-ND	1.30	1.17	1.04	MKDS 5/2-6.35	1714955
3	6.35	—	19.04	3.17	277-1270-ND	1.80	1.62	1.44	MKDS 5/3-6.35	1714968
Abb. 17B — 9,52 mm Anschlussblock, PCB-Steckverbinder										
2	9.52	—	19.02	4.76	277-1271-ND	1.30	1.17	1.04	MKDS 5/2-9.5	1714971
3	9.52	—	28.52	4.76	277-1272-ND	1.90	1.72	1.53	MKDS 5/3-9.5	1714984

Industrielle Steckverbinder

Abm. in mm

A

Abb. 1

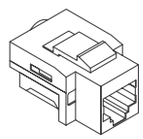

Abb. 2

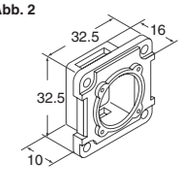

Abb. 3

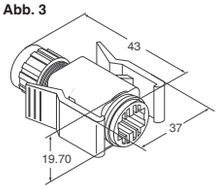

Abb. 4

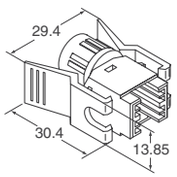

Abb. 5

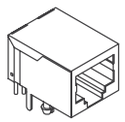

Einweg abgebildet

Abb. 6

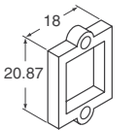

1 Position abgebildet

Abb. 7

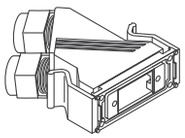

Abb. 8

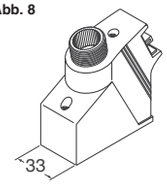

Abb. 9

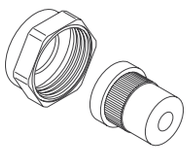

Abb. 10

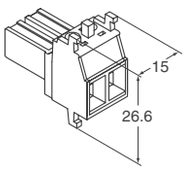

2 Positionen abgebildet

Abb. 11

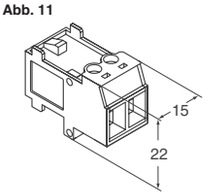

2 Positionen abgebildet

Abb. 12

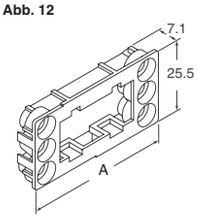

Abb.	Beschreibung	Digi-Key Teilenr.	Stückpreis 1	10	100	Phoenix Teilenr.
Ethernet und IP67 Ethernet						
1	RJ45-Einsatzbuchse, Buchse-Buchse, 8 Positionen	277-1670-ND	17.30	15.57	13.84	1689064
2	Montagerahmen ohne Befestigungsschrauben für RJ45, IP67	277-1671-ND	6.48	5.84	5.19	1689080
3	Plastikhülsen-Gehäuse mit Push-Pull-Verschluss, IP67	277-1672-ND	11.05	9.95	8.84	1688696
4	Plastikhülsen-Gehäuse mit Push-Pull-Verschluss	277-1673-ND	7.09	6.38	5.67	1688638
—	Steckeinsatz RJ45 mit IDC-Verbindung, 8 Positionen	277-1674-ND	7.45	6.71	5.97	1688573
5	Einsatzbuchse RJ45, PCB, 1-Weg, 8 Positionen	277-1675-ND	10.63	9.57	8.51	1688586
	Einsatzbuchse RJ45, PCB, 2-Weg, 8 Positionen	277-1676-ND	28.38	25.55	22.71	1688599
	Einsatzbuchse RJ45, PCB, 4-Weg, 8 Positionen	277-1677-ND	54.48	49.04	43.59	1688609
	Einsatzbuchse RJ45, PCB, 6-Weg, 8 Positionen	277-1678-ND	82.63	74.37	66.11	1688612
	Einsatzbuchse RJ45, PCB, 8-Weg, 8 Positionen	277-1679-ND	106.23	95.62	84.99	1688625
6	Montagerahmen ohne Befestigungsschrauben, 1 Position	277-1680-ND	7.17	6.46	5.74	1688641
	Montagerahmen ohne Befestigungsschrauben, 2 Position	277-1681-ND	8.57	7.72	6.86	1688654
	Montagerahmen ohne Befestigungsschrauben, 4 Position	277-1682-ND	11.07	9.97	8.86	1688667
	Montagerahmen ohne Befestigungsschrauben, 6 Position	277-1683-ND	13.64	12.28	10.92	1688670
	Montagerahmen ohne Befestigungsschrauben, 8 Position	277-1684-ND	16.20	14.58	12.96	1688683
—	Schutzplattenabdeckung für RJ45	277-1669-ND	7.45	6.71	5.97	1689200
Variocon, IP67 Stecker-Steckverbinder						
7	VARIOSUB D-SUB 9, für D-Sub 9 Kontakteinsätze mit Push-Pull-Verschluss, IP67	277-1686-ND	37.23	33.51	29.79	1689158
	VARIOSUB D-SUB, EMC-Version für D-Sub 15 Kontakteinsätzet mit Push-Pull-Verschluss, IP67	277-1685-ND	41.77	37.60	33.42	1689132
—	Schutzplattenabdeckung für DB9	277-1687-ND	14.60	13.14	11.68	1887086
	Schutzplattenabdeckung für DB15	277-1688-ND	15.99	14.40	12.80	1887099
8	Plastikhülsengehäuse, Sperrschrauben, G 16, 2 Positionen	277-1699-ND	7.70	6.93	6.16	1852930
	Plastikhülsengehäuse, Sperrschrauben, G 21, 3 Positionen	277-1700-ND	9.34	8.41	7.48	1852943
	Plastikhülsengehäuse, Sperrschrauben, G 21, 4 Positionen	277-1701-ND	10.59	9.54	8.48	1852956
	Plastikhülsengehäuse, Sperrschrauben, G 21, 5 Positionen	277-1702-ND	13.25	11.93	10.60	1852969
9	Einzelschrauben-Verbindung PG16, Plastik mit Gummidichtung, Kabel 6,5 mm ~ 9,5 mm	277-1703-ND	4.12	3.72	3.30	1853748
	Einzelschrauben-Verbindung PG21, Plastik mit Gummidichtung, Kabel 9 mm ~ 13 mm	277-1704-ND	6.80	6.13	5.45	1853900
	Einzelschrauben-Verbindung PG21, Plastik mit Gummidichtung, Kabel 11,5 mm ~ 15,5 mm	277-1705-ND	6.80	6.13	5.45	1853913
Modularer Kontakteinsatz						
10	Kontakteinsatz für Hülsengehäuse mit Schraubanschlussblöcken, 2 Positionen	277-1689-ND	4.50	4.05	3.60	1852846
	Kontakteinsatz für Hülsengehäuse mit Schraubanschlussblöcken, 6 Positionen	277-1690-ND	6.51	5.86	5.21	1853476
	Kontakteinsatz für Hülsengehäuse mit Schraubanschlussblöcken, 8 Positionen	277-1691-ND	8.95	8.06	7.16	1852820
11	Kontakteinsatz für Plattenmontagerahmen, 2 Positionen	277-1692-ND	4.37	3.94	3.50	1853528
	Kontakteinsatz für Plattenmontagerahmen, 6 Positionen	277-1693-ND	5.87	5.29	4.70	1854019
	Kontakteinsatz für Plattenmontagerahmen, 8 Positionen	277-1694-ND	7.94	7.15	6.36	1854022
12	Plattenmontagerahmen für Kontakteinsatzmodule, 2 Positionen; A = 50,6 mm	277-1695-ND	4.63	4.17	3.71	1852972
	Plattenmontagerahmen für Kontakteinsatzmodule, 3 Positionen; A = 65,6 mm	277-1696-ND	4.72	4.26	3.79	1852985
	Plattenmontagerahmen für Kontakteinsatzmodule, 4 Positionen; A = 80,6 mm	277-1697-ND	4.75	4.28	3.81	1852998
	Plattenmontagerahmen für Kontakteinsatzmodule, 5 Positionen; A = 95,6 mm	277-1698-ND	5.98	5.38	4.79	1853007

A

Abb. 1

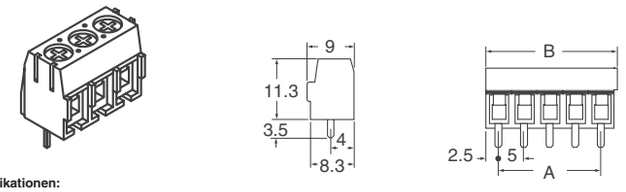

Spezifikationen:
EN/VDE: 250 V @ 16 A, 24-14 AWG.
Farbe: Grün

Abb. 2

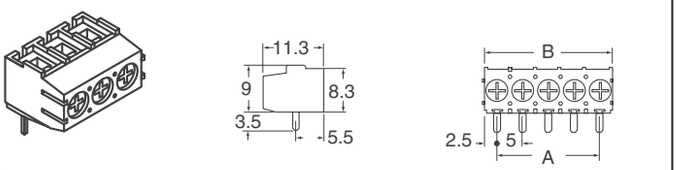

Spezifikationen:
EN/VDE: 250 V @ 16 A, 24-14 AWG.
Farbe: Grün

Abb. 3

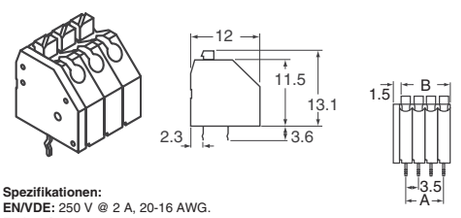

Spezifikationen:
EN/VDE: 250 V @ 2 A, 20-16 AWG.
Farbe: Grün

Abb. 4

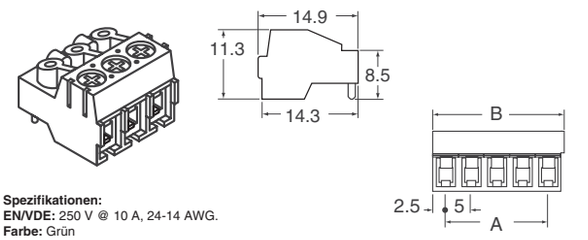

Spezifikationen:
EN/VDE: 250 V @ 10 A, 24-14 AWG.
Farbe: Grün

Abb. 5

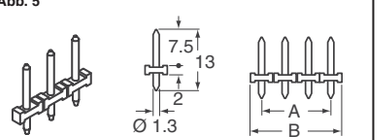

Spezifikationen:
EN/VDE: 250 V @ 10 A
Farbe: Schwarz
Hinweis: Aus stark temperaturbeständigem Material hergestellt und für Aufschmelzlöten geeignet.

Anz. der Pos.	Abm. (mm) A	Abm. (mm) B	Digi-Key Teilenr.	Stückpreis 1	10	100	Phoenix Contact Typen-Nr.	Phoenix Contact Teilenr.
Abb. 1 — 5,0 mm PCB-Anschlussblöcke								
2	5	10	277-1667-ND	.27	.25	.22	PT 1.5/2-5.0-H	1935161
3	10	15	277-1578-ND	.41	.38	.34	PT 1.5/3-5.0-H	1935174
4	15	20	277-1579-ND	.56	.51	.45	PT 1.5/4-5.0-H	1935187
5	20	25	277-1580-ND	.70	.64	.57	PT 1.5/5-5.0-H	1935190
6	25	30	277-1581-ND	.84	.76	.67	PT 1.5/6-5.0-H	1935200
7	30	35	277-1582-ND	.98	.88	.79	PT 1.5/7-5.0-H	1935213
8	35	40	277-1583-ND	1.13	1.01	.90	PT 1.5/8-5.0-H	1935226
9	40	45	277-1584-ND	1.25	1.13	1.01	PT 1.5/9-5.0-H	1935239
10	45	50	277-1585-ND	1.40	1.26	1.12	PT 1.5/10-5.0-H	1935242
11	50	55	277-1586-ND	1.54	1.39	1.24	PT 1.5/11-5.0-H	1935255
12	55	60	277-1587-ND	1.67	1.51	1.34	PT 1.5/12-5.0-H	1935268
13	60	65	277-1588-ND	1.81	1.64	1.46	PT 1.5/13-5.0-H	1935271
14	65	70	277-1589-ND	1.96	1.77	1.57	PT 1.5/14-5.0-H	1935284
15	70	75	277-1590-ND	2.10	1.90	1.69	PT 1.5/15-5.0-H	1935297
16	75	80	277-1591-ND	2.24	2.01	1.79	PT 1.5/16-5.0-H	1935307
Abb. 2 — 5,0 mm PCB-Anschlussblöcke								
2	5	10	277-1592-ND	.31	.29	.26	PT 1.5/2-5.0-V	1935310
3	10	15	277-1593-ND	.47	.43	.38	PT 1.5/3-5.0-V	1935323
4	15	20	277-1594-ND	.62	.56	.50	PT 1.5/4-5.0-V	1935336
5	20	25	277-1595-ND	.78	.70	.63	PT 1.5/5-5.0-V	1935349
6	25	30	277-1596-ND	.94	.85	.75	PT 1.5/6-5.0-V	1935352
7	30	35	277-1597-ND	1.09	.99	.88	PT 1.5/7-5.0-V	1935365
8	35	40	277-1598-ND	1.25	1.13	1.01	PT 1.5/8-5.0-V	1935378
9	40	45	277-1599-ND	1.41	1.27	1.13	PT 1.5/9-5.0-V	1935381
10	45	50	277-1600-ND	1.57	1.42	1.26	PT 1.5/10-5.0-V	1935394
11	50	55	277-1601-ND	1.73	1.56	1.39	PT 1.5/11-5.0-V	1935404
12	55	60	277-1602-ND	1.87	1.69	1.50	PT 1.5/12-5.0-V	1935417
13	60	65	277-1603-ND	2.03	1.83	1.63	PT 1.5/13-5.0-V	1935420
14	65	70	277-1604-ND	2.18	1.97	1.76	PT 1.5/14-5.0-V	1935433
15	70	75	277-1605-ND	2.35	2.12	1.88	PT 1.5/15-5.0-V	1935446
16	75	80	277-1606-ND	2.51	2.26	2.01	PT 1.5/16-5.0-V	1935459
Abb. 3 — 3,5 mm PCB-Anschlussblöcke								
2	3.5	7	277-1622-ND	.20	.19	.17	PTSA 1.5/2-3.5-Z	1985195
3	7	10.5	277-1623-ND	.30	.28	.25	PTSA 1.5/3-3.5-Z	1985205
4	10.5	14	277-1624-ND	.41	.37	.33	PTSA 1.5/4-3.5-Z	1985218
5	14	17.5	277-1625-ND	.51	.46	.41	PTSA 1.5/5-3.5-Z	1985221
6	17.5	21	277-1626-ND	.60	.55	.49	PTSA 1.5/6-3.5-Z	1985234
7	21	24.5	277-1627-ND	.70	.64	.57	PTSA 1.5/7-3.5-Z	1985247
8	24.5	28	277-1628-ND	.80	.72	.64	PTSA 1.5/8-3.5-Z	1985250
9	28	31.5	277-1629-ND	.89	.81	.72	PTSA 1.5/9-3.5-Z	1985263
10	31.5	35	277-1630-ND	.99	.90	.80	PTSA 1.5/10-3.5-Z	1985276
11	35	38.5	277-1631-ND	1.09	.99	.88	PTSA 1.5/11-3.5-Z	1985289
12	38.5	42	277-1632-ND	1.19	1.08	.96	PTSA 1.5/12-3.5-Z	1985292

Anz. der Pos.	Abm. (mm) A	Abm. (mm) B	Digi-Key Teilenr.	Stückpreis 1	10	100	Phoenix Contact Typen-Nr.	Phoenix Contact Teilenr.
13	42	45.5	277-1633-ND	1.30	1.17	1.04	PTSA 1.5/13-3.5-Z	1985302
14	45.5	49	277-1634-ND	1.40	1.26	1.12	PTSA 1.5/14-3.5-Z	1985315
15	49	52.5	277-1635-ND	1.50	1.35	1.20	PTSA 1.5/15-3.5-Z	1985328
16	52.5	56	277-1636-ND	1.60	1.44	1.28	PTSA 1.5/16-3.5-Z	1985331
17	56	59.5	277-1637-ND	1.70	1.53	1.36	PTSA 1.5/17-3.5-Z	1985344
18	59.5	63	277-1638-ND	1.80	1.62	1.44	PTSA 1.5/18-3.5-Z	1985357
19	63	66.5	277-1639-ND	1.90	1.71	1.52	PTSA 1.5/19-3.5-Z	1985360
20	66.5	70	277-1640-ND	2.00	1.81	1.61	PTSA 1.5/20-3.5-Z	1985373
21	70	73.5	277-1641-ND	2.10	1.90	1.69	PTSA 1.5/21-3.5-Z	1985386
22	73.5	77	277-1642-ND	2.20	1.99	1.77	PTSA 1.5/22-3.5-Z	1985399
23	77	80.5	277-1643-ND	2.29	2.06	1.84	PTSA 1.5/23-3.5-Z	1985409
24	80.5	84	277-1644-ND	2.39	2.15	1.92	PTSA 1.5/24-3.5-Z	1985412
Abb. 4 — 5,0 mm PCB-Anschlussblöcke (s. Abb. 5 - Montagesteckleisten)								
2	5	10	277-1607-ND	.27	.25	.22	PT 1.5/2-PVH-5.0	1934861
3	10	15	277-1608-ND	.41	.38	.34	PT 1.5/3-PVH-5.0	1934874
4	15	20	277-1609-ND	.56	.51	.45	PT 1.5/4-PVH-5.0	1934887
5	20	25	277-1610-ND	.70	.64	.57	PT 1.5/5-PVH-5.0	1934890
6	25	30	277-1611-ND	.84	.76	.67	PT 1.5/6-PVH-5.0	1934900
7	30	35	277-1612-ND	.98	.88	.79	PT 1.5/7-PVH-5.0	1934913
8	35	40	277-1613-ND	1.13	1.01	.90	PT 1.5/8-PVH-5.0	1934926
9	40	45	277-1614-ND	1.25	1.13	1.01	PT 1.5/9-PVH-5.0	1934939
10	45	50	277-1615-ND	1.40	1.26	1.12	PT 1.5/10-PVH-5.0	1934942
11	50	55	277-1616-ND	1.54	1.39	1.24	PT 1.5/11-PVH-5.0	1934955
12	55	60	277-1617-ND	1.67	1.51	1.34	PT 1.5/12-PVH-5.0	1934968
13	60	65	277-1618-ND	1.81	1.64	1.46	PT 1.5/13-PVH-5.0	1934971
14	65	70	277-1619-ND	1.96	1.77	1.57	PT 1.5/14-PVH-5.0	1934984
15	70	75	277-1620-ND	2.10	1.90	1.69	PT 1.5/15-PVH-5.0	1934997
16	75	80	277-1621-ND	2.24	2.01	1.79	PT 1.5/16-PVH-5.0	1935006
Abb. 5 — 5,0 mm Steckleisten (passt zu Abb. 4)								
2	5	10	277-1645-ND	.12	.11	.10	PST 1.3/2-5.0	1933189
3	10	15	277-1646-ND	.19	.17	.15	PST 1.3/3-5.0	1933192
4	15	20	277-1647-ND	.25	.22	.20	PST 1.3/4-5.0	1933202
5	20	25	277-1648-ND	.30	.28	.25	PST 1.3/5-5.0	1933215
6	25	30	277-1649-ND	.36	.33	.29	PST 1.3/6-5.0	1933228
7	30	35	277-1650-ND	.43	.39	.35	PST 1.3/7-5.0	1933231
8	35	40	277-1651-ND	.49	.44	.40	PST 1.3/8-5.0	1933244
9	40	45	277-1652-ND	.55	.50	.44	PST 1.3/9-5.0	1933257
10	45	50	277-1653-ND	.60	.55	.49	PST 1.3/10-5.0	1933260
11	50	55	277-1654-ND	.68	.61	.55	PST 1.3/11-5.0	1933273
12	55	60	277-1655-ND	.74	.66	.59	PST 1.3/12-5.0	1933286
13	60	65	277-1656-ND	.80	.72	.64	PST 1.3/13-5.0	1933299
14	65	70	277-1657-ND	.85	.77	.68	PST 1.3/14-5.0	1933309
15	70	75	277-1658-ND	.92	.83	.74	PST 1.3/15-5.0	1933312
16	75	80	277-1659-ND	.98	.88	.79	PST 1.3/16-5.0	1933325

Alle Preisangaben in Euro und inklusive Zollgebühren.

CINCH Waldom ELECTRONICS

Barrierensperren

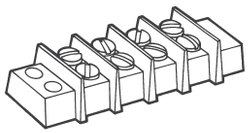

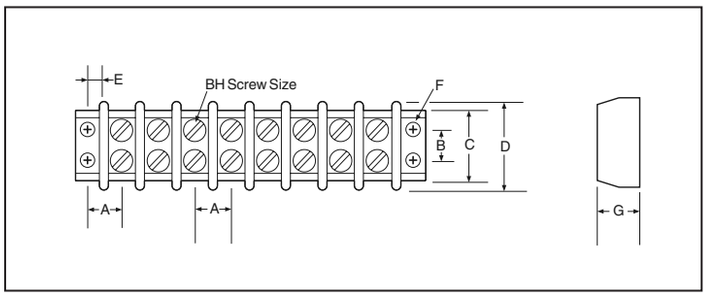

Terminal Spacing	Dimensions – Inch (mm)							BH Screw Size
	A	B	C	D	E	F	G	
.375 (9.52)	.375 (9.52)	.313 (7.95)	.688 (17.48)	.875 (22.23)	.141 (3.58)	.160 (4.06)	.406 (10.31)	5-40x3/16
.438 (11.13)	.438 (11.13)	.422 (10.72)	.875 (22.23)	1.125 (28.58)	.156 (3.96)	.175/.180 (4.44/4.57)	.500 (12.70)	6-32x1/4
.563 (14.30)	.563 (14.30)	.500 (12.70)	1.062 (26.97)	1.312 (33.32)	.203 (5.16)	.209 (5.31)	.625 (15.88)	8-32x5/16

Typ Y

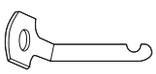

Typ 3/4W

Merkmale:

• Eingeschaltete Barrieren zwischen Anschlüssen

• Kann nur mit Halbrundschrauben mit flachem Kopf oder Halbrundschrauben mit flachem Kopf und 3/4W- und Y-Lötanschlüssen ausgestattet werden

• UL-zugelassen

Leistungsdaten:

Isoliermaterial: geformter Monoblock, Allzweckphenol

Sockelmaterial: Messing

Sockelüberzug: Nickel

Schraubenmaterial: Stahl oder Messing

Schraubenüberzug: Nickel über Kupfer-Flash

Lötanschlussmaterial: Messing

Anschlussüberzug: Zinn

Betriebstemperatur: -55 °F - 300 °F (-48 °C - 149 °C)

Maximale Drahtgröße: 0,375" (9,53 mm) - #16; 0,438" (11,13 mm) - #15; 0,563" (14,30 mm) - #10

Nennspannung: 0,375" und 0,438" (9,53 mm und 11,13 mm) - 1.100 V AC rms max.; 0,563" (14,30 mm) - 1.600 V AC rms max.

Nennstrom: 0,375" (9,53 mm) -15 A max.; 0,438" (11,13 mm) - 20 A max.; 0,563" (14,30 mm) - 30 A max.

Max. Watt pro Anschluss: 0,375" (9,53 mm) – 3.750; 0,438" (11,13 mm) – 5.000; 0,563" (14,30 mm) – 7.500

Anschluss-abstand	Anz. der Kontakte	Digi-Key Teilenr.	Preisangaben 1	25	50	100	250	500	Cinch Teilenr.
.375" (9.53 mm)	2	CBB102-ND	1.46	27.85	50.67	91.57	217.47	405.94	2-140
	3	CBB103-ND	1.78	33.76	61.41	110.99	263.60	492.05	3-140
	4	CBB104-ND	1.89	35.89	65.29	118.00	280.25	523.13	4-140
	5	CBB105-ND	2.14	40.65	73.94	133.63	317.36	592.41	5-140
	6	CBB106-ND	2.57	48.91	88.97	160.79	381.88	712.83	6-140
	7	CBB107-ND	2.72	51.70	94.06	169.99	403.73	753.62	7-140
	8	CBB108-ND	3.09	58.81	106.99	193.35	459.22	857.21	8-140
	9	CBB109-ND	3.43	65.21	118.63	214.38	509.16	950.44	9-140
	10	CBB110-ND	3.77	71.69	130.43	235.71	559.81	1044.97	10-140
	11	CBB111-ND	4.13	78.61	143.01	258.44	613.80	1145.75	11-140
	12	CBB112-ND	4.61	87.78	159.69	288.61	685.44	1279.49	12-140
.438" (11.13 mm)	2	CBB202-ND	1.41	26.69	48.57	87.77	208.45	389.11	2-141
	3	CBB203-ND	2.16	41.04	74.67	134.94	320.48	598.23	3-141
	4	CBB204-ND	2.16	41.09	74.75	135.08	320.83	598.88	4-141
	5	CBB205-ND	2.40	45.75	83.23	150.42	357.25	666.86	5-141
	6	CBB206-ND	2.70	51.26	93.25	168.53	400.26	747.14	6-141
	7	CBB207-ND	3.23	61.34	111.60	201.68	478.99	894.11	7-141
	8	CBB208-ND	3.37	64.05	116.53	210.59	500.15	933.61	8-141
	9	CBB209-ND	3.77	71.69	130.43	235.71	559.81	1044.97	9-141
	10	CBB210-ND	3.84	72.89	132.60	239.65	569.17	1062.44	10-141
	11	CBB211-ND	4.39	83.33	151.59	273.97	650.67	1214.59	11-141
	12	CBB212-ND	4.57	86.84	157.98	285.51	678.08	1265.74	12-141
.563" (14.30 mm)	2	CBB302-ND	2.03	38.55	70.14	126.76	301.06	561.97	2-142
	3	CBB303-ND	2.36	44.91	81.70	147.65	350.65	654.56	3-142
	4	CBB304-ND	2.67	50.64	92.12	166.48	395.40	738.08	4-142
	5	CBB305-ND	3.67	69.92	127.19	229.87	545.93	1019.07	5-142
	6	CBB306-ND	5.01	95.34	173.43	313.43	744.38	1389.52	6-142
	7	CBB307-ND	5.46	103.78	188.81	341.22	810.40	1512.74	7-142
	8	CBB308-ND	6.10	116.09	211.18	381.66	906.45	1692.04	8-142
	9	CBB309-ND	9.13	173.70	315.99	571.07	1356.30	2531.75	9-142
	10	CBB310-ND	9.67	183.86	334.47	604.47	1435.62	2679.83	10-142
	11	CBB311-ND	10.45	198.64	361.35	653.05	1550.99	2895.17	11-142
	12	CBB312-ND	9.34	177.59	323.06	583.85	1386.65	2588.41	12-142

3/4W- und Y-Lötanschlüsse

Serie	Typ	Digi-Key Teilenr.	Preisangaben 1	25	50	100	250	500	Cinch Teilenr.
.375" (9.53mm)	Y	CBB001-ND	.46	8.75	15.92	28.77	68.33	127.55	Y-140
	3/4W	CBB002-ND	.46	8.75	15.92	28.77	68.33	127.55	3/4W-140
.438" (11.13mm)	Y	CBB004-ND	.72	13.64	24.81	44.84	106.48	198.76	Y-141
.563" (14.30mm)	Y	CBB007-ND	.83	15.77	28.69	51.85	123.15	229.88	Y-142

HRS HIROSE ELECTRIC CO.,LTD.

Serie HR31 Steckverbinder

Merkmale: • Crimpverbindung am Anschluss herstellen und dann durch Einsetzen in das Gehäuse sichern • Hochdichte Bestückung • Verhindert Anschlussfehler • Keine Schrauben erforderlich; eingebauter Sperrstift sichert Steckverbinder auf Karte

Anwendungen: Leistungsgeräte und Kommunikationsgeräte von fabrikautomationsverwandten Geräten

Produktspezifikationen: • Nennstrom: 12 A (2,5 mm² Draht), 10 A (1,5 mm² Draht) • Nennspannung: 250 V AC, 350 V DC • Betriebstemperaturbereich: -40 °C ~ 100 °C • Lagertemperaturbereich: -40 °C ~ 85 °C (für einen Mehrstrangleiter)

Materialien: • **Stecker:** Isolator: PBT, schwarzes Finish, UL94V-0; Schraube: Stahl, verzinkt • **Steckleiste:** Isolator: PBT, schwarzes Finish, UL94V-0; Mutter: Stahl, verzinnt; Kartenhaltestift: Phosphorbronze, verzinnt

Abb.	Draht-größe (AWG)	Kontakt-überzug	Kontakt-größe (mm²)	Digi-Key Teilenr.	Preisangaben 1	25	100	Hirose Teilenr.
1	—	—	—	H4110-ND	2.48	47.62	152.39	HR31-5.08P-5SC
2	—	Zinn	—	H4111-ND	3.36	65.24	208.77	HR31-5.08R-5PD
2	—	Gold	—	H4112-ND	4.10	79.53	254.49	HR31-5.08R-5PD(01)
3	—	Zinn	—	H4113-ND	3.36	65.24	208.77	HR31-5.08R-5PDL
3	—	Gold	—	H4114-ND	4.10	79.53	254.49	HR31-5.08R-5PDL(01)
Crimpkontakte								
—	14-16	Zinn	1.04-2.63	H4116-ND	.77	13.90	45.50	HR31-SC-113
—	14-16	Gold	1.04-2.63	H4115-ND	1.04	18.78	61.45	HR31-SC-111
—	18-24	Zinn	0.2-1.65	H4118-ND	.77	13.90	45.50	HR31-SC-123
—	18-24	Gold	0.2-1.65	H4117-ND	1.24	22.45	73.47	HR31-SC-121
Kontaktextraktionswerkzeug				H9916-ND	5.45	—	—	HR31-SC-TP
Crimpwerkzeug				H9917-ND	83.18	—	—	HR31-TC-01

Abb. 1

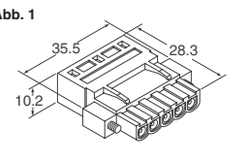

Abb. 2

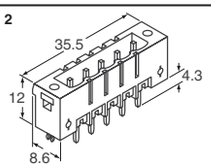

Abb. 3

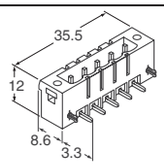

GC ELECTRONICS

Gefederte Tastenanschlüsse

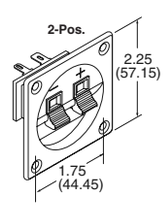

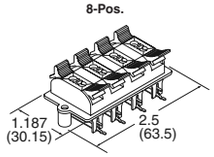

Diese Anschlüsse verfügen über federgeladene Pfosten mit rotem und schwarzem Farbcode zur einfachen Verbindung. Für verschiedene Audio-Anwendungen, wie z.B. Surround- und Lautsprecheranschlüsse, Verstärker usw. entwickelt. Maximal zulässige Drahtgröße 14 AWG.

GC399-ND 2 Pos. für Plattenmontage zu Lautsprechern; in 2" (50,8 mm) Loch montiert **1.35**

GC400-ND 4-Pos.-Platte für Montage direkt zu Chassis oder zu Platten **1.56**

GC401-ND 8-Pos. mit rechtwinkligen PCB-Anschlüssen, mit Montageösen **2.36**

Barrieren-Anschlussblöcke

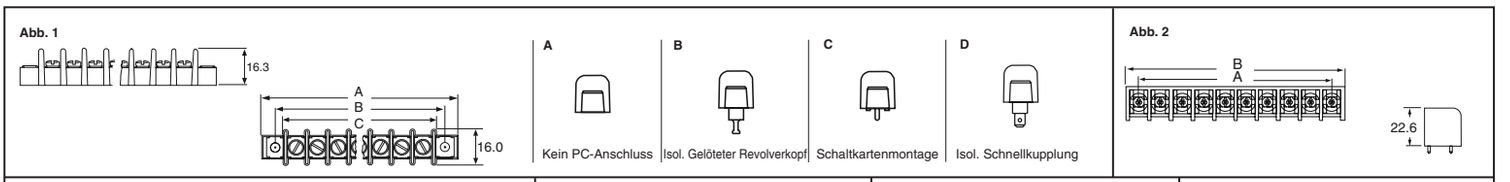

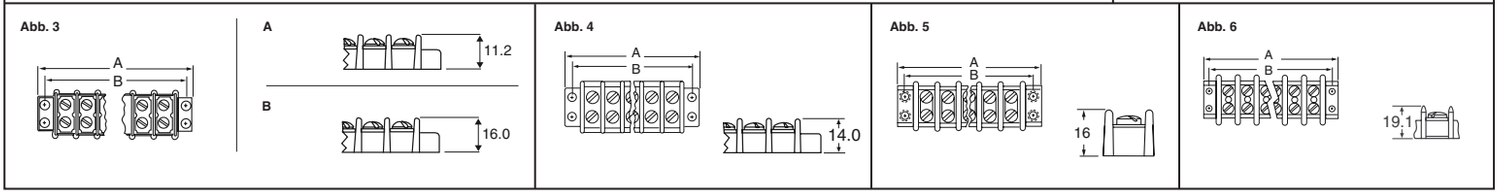

0,375" PCB Einzel-Barrieren-Anschlussstreifen
Zulassungen: Nr. 6-32 Halbrundschraube: UL: Klasse B - 15 A @ 300 V 14 AWG. Klasse C - 15 A @ 150 V 14 AWG. CSA: Klasse B u. C - 20 A @ 300 V 14 AWG, mechanisch: Drehmoment - 12 in-lbs. Streifenlänge - 5/16". Drahtstärkebereich - 12 ~ 24 AWG, Materialien: Isolator: Thermoplast, UL94V-0, schwarz. Anschluss: Messing, Zinn-Blei-Plattierung. Schrauben: Nr. 6-32, Kreuzschlitz/geschlitzt, Stahl mit Zinkchromatüberzug

Anschlussstreifen mit Tri-Barriere und Doppelreihenbarriere
PCB-Anschlussstreifen mit Tri-Barriere, 600 V
Zulassungen: M4-Drahtklemmenschraube: UL u. CSA Klasse B u. C: 45 A @ 600 V, 8 AWG; mechanisch: Drehmoment - 16 in-lbs Drahtstärkenbereich: 8 ~ 18 AWG Streifenlänge - 5/16" Isolator: Thermoplast, UL94V-0, schwarz. Anschluss: Hochwertiges Kupfermessing, Zinn-Blei-Plattierung. Schrauben: M4, Stahl mit Zinkchromatüberzug und Klemmscheibe. UL-Eintragungsnr.: E48521, CSA-Eintragungsnr.: 025562 für alle Tri-Barrieren, Doppelreihen und Einzelreihen

Barrieren-Anschlussstreifen mit Flachprofil, 0,375"
Zulassungen: Nr. 6-32 Halbrundschraube: UL: Klasse B - 15 A @ 300 V 14 AWG, Klasse C - 15 A @ 150 V 14 AWG. CSA: Klasse B u. C - 20 A @ 150 V 14 AWG, mechanisch: Drehmoment - 8 in-lbs. Streifenlänge - 5/16" Drahtstärkenbereich -12 ~ 24 AWG, Isolator: Thermoplast, UL94V-0, schwarz. Anschluss: Messing, Zinn-Blei-Plattierung. Schrauben: Nr. 6-32, Kreuzschlitz/geschlitzt, Stahl mit Zinkchromatüberzug

0,375" Anschlussstreifen mit Doppelreihen-Barriere
Wie das Flachprofil, außer den CSA-Werten: Klasse B u. C: 20 A @ 300 V 14 AWG

0,438" Anschlussstreifen mit Doppelreihen-Barriere
Zulassungen: Nr. 6-32 Halbrundschraube. UL: Klasse B u. C 15 A @ 300 V 14 AWG CSA: Klasse B u. C 20 A @ 300 V 14 AWG mechanisch: Drehmoment - 8 in-lbs. Streifenlänge - 5/16: Drahtstärkenbereich -12 ~ 24 AWG, Material: Dasselbe wie die 0,375" Anschlussstreifen

0,563" Phenol-Anschlussstreifen mit Doppelreihen-Barriere
Zulassungen: Nr. 8-32 Halbrundschraube: UL u. CSA: Klasse B u. C: 30 A @ 300 V, 10 AWG; mechanisch: Drehmoment - 16 in-lbs Streifenlänge - 5/16" Drahtstärkenbereich -10 ~ 18 AWG, Materialien: Isolator: Allzweckphenol, UL94V-0, schwarz. Anschluss: Messing, Zinn-Blei-Plattierung. Schrauben: Nr. 8-32, Kreuzschlitz/geschlitzt, Stahl mit Zinkchromatüberzug

0,688" Phenol-Anschlussstreifen mit Doppelreihen-Barriere
Zulassungen: Nr. 10-32 Halbrundschraube: UL: Klasse B - 50 A @ 300 V 6 AWG (mit Fahne). Klasse C - 50 A @ 150 V, 6 AWG (mit Fahne). CSA: Klasse B - 50 A @ 300 V, 6 AWG (mit Fahne). Mechanisch: Drehmoment - 20 in-lbs. Drehmoment - 22 in-lbs. Streifenlänge - 5/16" Drahtstärkenbereich - 6 AWG (mit Fahne). Max. Materialien: Wie die 0,562"-Version, außer dass die Schraubengröße Nr. 10-32 lautet

Abb.	Anz. der Kontakte	Abm. – Zoll (mm) A	B	C	Digi-Key Teilenr.	Stückpreis 1	10	100	Molex Teilenr.
0,375" PCB-Anschlussstreifen mit Einzelreihen-Barriere									
1A	2	1.58 (78.3)	1.13 (28.6)	.83 (21.1)	WM5720-ND	1.48	1.31	.88	38720-0202
	3	1.96 (49.7)	1.50 (38.1)	1.21 (30.7)	WM5721-ND	1.92	1.70	1.13	38720-0203
	4	2.33 (59.2)	1.88 (47.6)	1.58 (40.2)	WM5722-ND	2.19	1.94	1.30	38720-0204
	5	2.71 (68.8)	2.25 (57.2)	1.96 (49.7)	WM5723-ND	2.69	2.38	1.59	38720-0205
	6	3.08 (78.3)	2.63 (66.7)	2.33 (59.2)	WM5724-ND	3.02	2.67	1.78	38720-0206
	8	3.83 (97.3)	3.38 (85.7)	3.08 (78.3)	WM5725-ND	3.84	3.39	2.26	38720-0208
	10	4.58 (116)	4.13 (105)	3.83 (97.3)	WM5726-ND	4.66	4.12	2.75	38720-0210
	12	5.33 (135)	4.88 (124)	4.58 (116)	WM5727-ND	5.38	4.75	3.17	38720-0212
1B	2	1.58 (78.3)	1.13 (28.6)	.83 (21.1)	WM5728-ND	1.75	1.55	1.04	38720-3202
	3	1.96 (49.7)	1.50 (38.1)	1.21 (30.7)	WM5729-ND	2.30	2.04	1.36	38720-3203
	4	2.33 (59.2)	1.88 (47.6)	1.58 (40.2)	WM5730-ND	2.85	2.52	1.68	38720-3204
	5	2.71 (68.8)	2.25 (57.2)	1.96 (49.7)	WM5731-ND	3.34	2.96	1.97	38720-3205
	6	3.08 (78.3)	2.63 (66.7)	2.33 (59.2)	WM5732-ND	3.84	3.39	2.26	38720-3206
	7	3.46 (87.8)	3.00 (76.2)	2.71 (68.8)	WM5733-ND	4.33	3.83	2.56	38720-3207
	8	3.83 (97.3)	3.38 (85.7)	3.08 (78.3)	WM5734-ND	4.88	4.31	2.88	38720-3208
	10	4.58 (116)	4.13 (105)	3.83 (97.3)	WM5735-ND	5.99	5.28	3.52	38720-3210
	11	4.96 (126)	4.50 (114)	4.21 (107)	WM5736-ND	6.48	5.72	3.81	38720-3211
	12	5.33 (135)	4.88 (124)	4.58 (116)	WM5737-ND	6.97	6.15	4.10	38720-3212
1C	2	1.58 (78.3)	1.13 (28.6)	.83 (21.1)	WM5738-ND	1.54	1.36	.91	38720-6202
	3	1.96 (49.7)	1.50 (38.1)	1.21 (30.7)	WM5739-ND	2.03	1.80	1.20	38720-6203
	3	1.96 (49.7)	1.50 (38.1)	1.21 (30.7)	WM5740-ND*	1.59	1.41	.94	38720-6303
	4	2.33 (59.2)	1.88 (47.6)	1.58 (40.2)	WM5741-ND	2.41	2.14	1.43	38720-6204
	4	2.33 (59.2)	1.88 (47.6)	1.58 (40.2)	WM5742-ND*	1.92	1.70	1.13	38720-6304
	5	2.71 (68.8)	2.25 (57.2)	1.96 (49.7)	WM5743-ND	2.96	2.62	1.75	38720-6205
	5	2.71 (68.8)	2.25 (57.2)	1.96 (49.7)	WM5744-ND*	2.41	2.14	1.43	38720-6305
	6	3.08 (78.3)	2.63 (66.7)	2.33 (59.2)	WM5745-ND	3.34	2.96	1.97	38720-6206
	6	3.08 (78.3)	2.63 (66.7)	2.33 (59.2)	WM5746-ND*	2.85	2.52	1.68	38720-6306
	8	3.83 (97.3)	3.38 (85.7)	3.08 (78.3)	WM5747-ND	4.28	3.78	2.52	38720-6208
	10	4.58 (116)	4.13 (105)	3.83 (97.3)	WM5748-ND	5.22	4.60	3.07	38720-6210
1D	2	1.58 (78.3)	1.13 (28.6)	.83 (21.1)	WM5749-ND	1.59	1.41	.94	38721-6702
	3	1.96 (49.7)	1.50 (38.1)	1.21 (30.7)	WM5750-ND	2.08	1.85	1.23	38721-6703
	4	2.33 (59.2)	1.88 (47.6)	1.58 (40.2)	WM5751-ND	2.52	2.23	1.49	38721-6704
	6	3.08 (78.3)	2.63 (66.7)	2.33 (59.2)	WM5752-ND	3.45	3.05	2.04	38721-6706

* Keine Montageösen

Abb.	Anz. der Kontakte	Abm. – Zoll (mm) A	B	Digi-Key Teilenr.	Stückpreis 1	10	100	Molex Teilenr.
0,500" Einzelreihen-PCB-Anschlussstreifen mit Tri-Barriere, 600 V								
2	3	1.00 (25.4)	1.61 (40.9)	WM5754-ND	7.03	6.21	4.14	38660-7803
	4	1.50 (38.1)	2.11 (53.6)	WM5755-ND	8.88	7.84	5.23	38660-7804
	5	2.00 (50.8)	2.61 (66.3)	WM5756-ND	10.79	9.52	6.35	38660-7805
	6	2.50 (63.5)	3.11 (79.0)	WM5757-ND	12.68	11.20	7.47	38660-7806
	7	3.00 (76.2)	3.61 (91.7)	WM5758-ND	14.60	12.89	8.59	38660-7807
Barrieren-Anschlussstreifen mit Flachprofil, 0,375"								
3A	2	1.41 (35.8)	1.13 (28.7)	WM5759-ND	1.32	1.17	.78	38770-0102
	3	1.78 (45.2)	1.50 (38.1)	WM5760-ND	1.48	1.31	.88	38770-0103
	4	2.16 (54.9)	1.88 (47.8)	WM5761-ND	1.81	1.60	1.07	38770-0104
	5	2.53 (64.3)	2.25 (57.2)	WM5762-ND	2.36	2.09	1.39	38770-0105
	6	2.91 (73.9)	2.63 (66.8)	WM5763-ND	2.80	2.47	1.65	38770-0106
	7	3.28 (83.3)	3.00 (76.3)	WM5764-ND	2.91	2.57	1.72	38770-0107
	8	3.66 (93.1)	3.38 (85.9)	WM5765-ND	3.45	3.05	2.04	38770-0108
	10	4.41 (112)	4.13 (105)	WM5766-ND	4.17	3.68	2.46	38770-0110
	12	5.16 (131)	4.88 (124)	WM5767-ND	4.72	4.17	2.78	38770-0112
	13	5.53 (140)	5.25 (133)	WM5768-ND	5.22	4.60	3.07	38770-0113
	14	5.91 (150)	5.63 (143)	WM5769-ND	5.60	4.94	3.30	38770-0114
	16	6.66 (169)	6.38 (162)	WM5770-ND	6.31	5.57	3.72	38770-0116
	18	7.41 (188)	7.13 (181)	WM5771-ND	6.97	6.15	4.10	38770-0118
	20	8.16 (207)	7.88 (200)	WM5772-ND	7.85	6.93	4.62	38770-0120
	30	11.91 (303)	11.63 (295)	WM5773-ND	11.41	10.08	6.72	38770-0130
0,375" Anschlussstreifen mit Doppelreihen-Barriere								
3B	2	1.41 (35.8)	1.13 (28.7)	WM5774-ND	1.32	1.17	.78	38760-0102
	3	1.78 (45.2)	1.50 (38.1)	WM5775-ND	1.48	1.31	.88	38760-0103

Abb.	Anz. der Kontakte	Abm. – Zoll (mm) A	B	Digi-Key Teilenr.	Stückpreis 1	10	100	Molex Teilenr.
3B	4	2.16 (54.9)	1.88 (47.8)	WM5776-ND	1.81	1.60	1.07	38760-0104
	5	2.53 (64.3)	2.25 (57.2)	WM5777-ND	2.36	2.09	1.39	38760-0105
	6	2.91 (73.9)	2.63 (66.8)	WM5778-ND	2.80	2.47	1.65	38760-0106
	7	3.28 (83.3)	3.00 (76.3)	WM5779-ND	2.91	2.57	1.72	38760-0107
	8	3.66 (93.1)	3.38 (85.9)	WM5780-ND	3.45	3.05	2.04	38760-0108
	10	4.41 (112)	4.13 (105)	WM5781-ND	4.17	3.68	2.46	38760-0110
	12	5.16 (131)	4.88 (124)	WM5782-ND	4.72	4.17	2.78	38760-0112
	14	5.91 (150)	5.63 (143)	WM5783-ND	5.60	4.94	3.30	38760-0114
	16	6.66 (169)	6.38 (162)	WM5784-ND	6.31	5.57	3.72	38760-0116
	18	7.41 (188)	7.13 (181)	WM5785-ND	6.97	6.15	4.10	38760-0118
	20	8.16 (207)	7.88 (200)	WM5786-ND	7.79	6.88	4.59	38760-0120
	22	8.91 (226)	8.63 (219)	WM5787-ND	8.29	7.32	4.88	38760-0122
	24	9.66 (245)	9.38 (238)	WM5788-ND	9.22	8.14	5.43	38760-0124
	30	11.91 (303)	11.63 (295)	WM5789-ND	11.41	10.08	6.72	38760-0130
0,438" Anschlussstreifen mit Doppelreihen-Barriere								
4	2	1.63 (41.4)	1.31 (33.3)	WM5790-ND	1.37	1.22	.81	38780-0102
	3	2.06 (52.3)	1.75 (44.5)	WM5791-ND	1.75	1.55	1.04	38780-0103
	4	2.50 (63.5)	2.19 (55.6)	WM5792-ND	2.47	2.18	1.46	38780-0104
	5	2.94 (74.7)	2.63 (66.8)	WM5793-ND	2.74	2.43	1.62	38780-0105
	6	3.38 (85.9)	3.06 (77.7)	WM5794-ND	3.23	2.86	1.91	38780-0106
	7	3.81 (96.8)	3.50 (88.9)	WM5795-ND	3.89	3.44	2.30	38780-0107
	8	4.25 (108)	3.94 (100)	WM5796-ND	4.11	3.64	2.43	38780-0108
	10	5.13 (130)	4.81 (122)	WM5797-ND	4.99	4.41	2.94	38780-0110
	12	6.00 (152)	5.69 (145)	WM5798-ND	5.99	5.28	3.52	38780-0112
	14	6.88 (175)	6.56 (167)	WM5799-ND	6.97	6.15	4.10	38780-0114
	16	7.75 (197)	7.44 (189)	WM5800-ND	7.74	6.83	4.56	38780-0116
	18	8.63 (219)	8.31 (211)	WM5801-ND	8.51	7.51	5.01	38780-0118
	20	9.50 (241)	9.19 (233)	WM5802-ND	9.27	8.19	5.46	38780-0120
Phenol-Anschlussstreifen mit Doppelreihen-Barriere, geschlossener Boden, 0,563"								
5	2	2.09 (53.9)	1.69 (42.9)	WM5803-ND	2.29	2.02	1.35	38211-0102
	3	2.66 (67.6)	2.25 (57.2)	WM5804-ND	3.38	2.99	1.99	38211-0103
	4	3.22 (81.8)	2.81 (71.4)	WM5805-ND	4.09	3.61	2.41	38211-0104
	5	3.78 (96.0)	3.38 (85.9)	WM5806-ND	5.35	4.73	3.15	38211-0105
	6	4.34 (110)	3.94 (100)	WM5807-ND	6.19	5.47	3.65	38211-0106
	7	4.91 (125)	4.50 (114)	WM5808-ND	6.43	5.68	3.79	38211-0107
	8	5.47 (139)	5.06 (129)	WM5809-ND	7.33	6.48	4.32	38211-0108
	10	6.59 (167)	6.19 (157)	WM5810-ND	9.04	7.98	5.33	38211-0110
	12	7.72 (196)	7.31 (186)	WM5811-ND	10.96	9.67	6.45	38211-0112
	16	9.97 (253)	9.56 (243)	WM5812-ND	14.91	13.16	8.77	38211-0116
	20	12.22 (310)	11.81 (300)	WM5813-ND	17.98	15.87	10.58	38211-0120
	24	14.47 (368)	14.06 (357)	WM5814-ND	21.36	18.85	12.57	38211-0124
0,688" Phenol-Anschlussstreifen mit Doppelreihen-Barriere								
6	2	2.50 (63.5)	2.06 (52.4)	WM5815-ND	5.06	4.47	2.98	38280-0102
	3	3.19 (81)	2.75 (69.9)	WM5816-ND	7.17	6.33	4.22	38280-0103
	4	3.88 (98.4)	3.44 (87.3)	WM5817-ND	9.34	8.24	5.50	38280-0104
	5	4.56 (116)	4.13 (105)	WM5818-ND	10.96	9.67	6.45	38280-0105
	6	5.25 (133)	4.81 (122)	WM5819-ND	14.33	12.65	8.44	38280-0106
	8	6.63 (168)	6.19 (157)	WM5820-ND	17.95	15.84	10.56	38280-0108
	10	8.00 (203)	7.56 (192)	WM5821-ND	22.10	19.51	13.01	38280-0110
	12	9.38 (238)	8.94 (227)	WM5822-ND	26.68	23.55	15.70	38280-0112

Lötanschlüsse vom Typ 1, 2 und 3

Serie	Typ	Digi-Key Teilenr.	Stückpreis 1	10	100	Molex Teilenr.
.375	1	WM5918-ND	.19	.17	.12	38002-0204
	2	WM5919-ND	.25	.23	.16	38002-0157
	3	WM5920-ND	.11	.10	.07	38002-0159
.438	1	WM5921-ND	.25	.22	.15	38002-0304
	2	WM5922-ND	.31	.28	.19	38002-0255
	3	WM5923-ND	.20	.18	.12	38002-0257
.563	1	WM5924-ND	.37	.33	.22	38002-0321
	2	WM5925-ND	.44	.39	.26	38002-0323
	3	WM5926-ND	.46	.41	.28	38002-0325

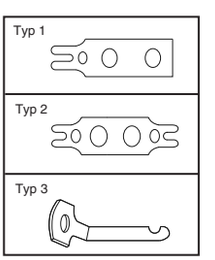

Alle Preisangaben in Euro und inklusive Zollgebühren.

Barrieren- und Eurostyle® -Anschlussblöcke

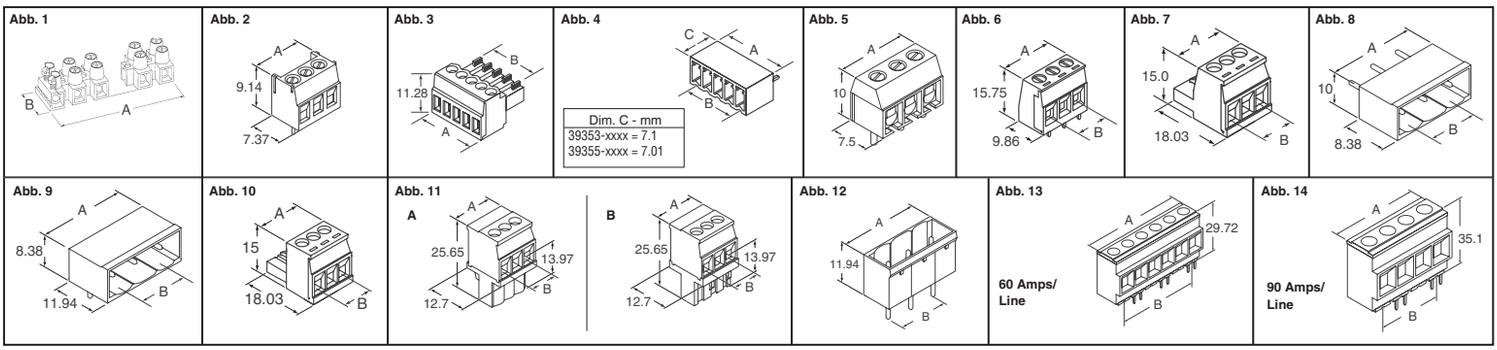

8 mm Anschlussstreifen mit zwei Schrauben: ***Zulassungen:*** UL Klasse B: 10 A @ 250 V, 12 AWG; Klasse C: 10 A @ 300 V, 12 AWG; CSA: Klasse B u. C: 10 A @ 300 V, 12 AWG; Sicherheitsbehörden: UL-Eintragungsnr.: E82573, CSA: Files No. 25562 ***Mechanisch:*** Drehmoment: 4 in. lbs., Drahtstärkenbereich: 12 ~ 24 AWG ***Materialien:*** Isolator: Nylon 6.6, UL94V-2, weiß; Einsätze: Messing, chemisch verzinnt; Drahtschutz: 18/18 Edelstahlband; Schrauben: verzinkter Stahl; Anschlüsse: vernickeltes Messing

10 mm Anschlussstreifen mit zwei Schrauben: ***Zulassungen:*** UL Klasse B: 16 A @ 250 V, 10 AWG; Klasse C: 16 A @ 300 V, 10 AWG; CSA: Klasse B u. C: 25 A @ 300 V, 10 AWG; Sicherheitsbehörden: UL-Eintragungsnr.: E82573, CSA File Nr. 25562 ***Mechanisch:*** Drehmoment: 5 in. lbs., Drahtstärkenbereich: 10 ~ 24 AWG ***Materialien:*** Wie für 8-mm-Ausführung

12 mm Anschlussstreifen mit zwei Schrauben: ***Zulassungen:*** UL u. CSA: Klasse B u. C: 25 A @ 600 V, 8 AWG ***Mechanisch:*** Drehmoment: 10 in. lbs., Drahtstärkenbereich: 8 ~ 24 AWG ***Materialien:*** Wie für 8-mm- und 10-mm-Ausführung

3,5 mm Eurostyle feste PCB-Anschlussblöcke: ***Zulassungen:*** UL: Klasse B: 8 A @ 150 V 16 AWG; CSA: wie UL; Sicherheitsbehörden: UL u. CSA angemeldet ***Mechanisch:*** Drehmoment: 2 in. lbs., Streifenlänge: 0,250" (6 mm), Drahtstärkenbereich: 16 ~ 26 AWG ***Materialien:*** Isolator: Polyimid, UL94V-0, grün; Anschluss: Messing, verzinnt; Klemme: Messing, vernickelt; Schrauben: Stahl, mit Zinkchromat überzogen

3,5 mm einsteckbarer Pitch Beau PCB-Anschlussblock, Eurostyle: ***Zulassungen:*** UL-Eintragungsnr.: E48521, Ratgeber Nr.: XCFR2 ***Elektrik:*** Spannung: 300 V; Höchststrom: 10 A; Isolationsswiderstand: >5.000 MΩ ***Mechanik:*** Rec. Befestigungsdrehmoment: 2,5 in. lbs, 0,31 Nm. Betriebstemperatur: 140 °C ***Physikalisch:*** Gehäuse: Polyamid 4/6, schwarz; Schrauben: M2 Cheesehead, Silikonbronze; Schraubenüberzug: Nickel; Kontakte: Berylliumkupfer; Kontaktüberzug: feuerverzinnt; Druckklemme: gelbes Messing; Druckklemmenüberzug: Nickel; Drahtstärkenbereich: 16 bis 24 AWG, 1,0 bis 0,2 mm²

3,5 mm Pitch Beau PCB-Anschlussblock, Eurostyle, für hohe Temperatur: ***Physikalisch:*** Steckleistenstifte: Messing, 3/4 hart; Steckleistenstiftüberzug: Zinn

5 mm Schraubanschlussblock, Eurostyle® Economy: ***Zulassungen:*** UL: Klasse B: 15 A @ 250 V, 14 AWG; Klasse C: 10 A @ 300 V, 14 AWG; CSA: 15 A @ 300 V, 14 AWG Sicherheitsbehörden: UL-Eintragungsnr.: E150931 ***Mechanisch:*** Drehmoment: 3 in. lbs., Streifenlänge: 0,250" (6 mm), Drahtstärkenbereich: 14 bis 24 AWG ***Materialien:*** Isolator: Polyimid, UL94V-0, grau; Anschluss: Messing, verzinnt; Drahtschutz: Phosphorbronze; verzinnt; Schrauben: Stahl, mit Zinkchromat überzogen

5 mm u. 5,08 mm einsteckbarer PCB-Anschlussblock, Eurostyle: ***Zulassungen:*** UL Klasse B: 15 A @ 300 V, 12 AWG; Klasse C: 10 A @ 300 V, 12 AWG; CSA: Klasse B: 15 A @ 300 V, 12 AWG; Sicherheitsbehörden: UL-Eintragungsnr.: E48521, CSA-Eintragungsnr.: 025562 ***Mechanisch:*** Drehmoment: 5 in. lbs., Streifenlänge: 250" (6 mm), Drahtstärkenbereich: 12 bis 26 AWG ***Materialien:*** Isolator: Polyimid, UL94V-0, schwarz; Druckklemme: Messing, vernickelt; Kontakte: Phosphorbronze, verzinnt; Steckleistenstifte: Messing, verzinnt; Schrauben: 2,5 mm, Stahl, Zinkchromatüberzug

5 mm und 5,08 mm einsteckbarer PCB-Anschlussblock, Eurostyle, geschlossene Enden: ***Zulassungen:*** UL u. CSA - Klasse B: 15 A @ 300 V; UL: Klasse C: 10 A @ 300 V Eintragungsnr.: E150931 ***Materialien:*** Nylon 6.6, UL94V-0, schwarz; Steckleistenstifte: Messing, verzinnt

10,16 mm feste Blöcke für Hochleistung, Eurostyle®: ***Zulassungen:*** UL u. CSA-Behörden: UL-Eintragungsnr.: E48521, Ratgeber Nr.: XCFR2, CSA-Eintragungsnr.: 025562 ***Elektrik:*** Spannung: 600 V; Höchststrom: 60 A; Isolationsswiderstand: >50.000 GΩ ***Mechanisch:*** Max. Befestigungs-drehmoment: 18 in.-lbs. 2,03 Nm.; Betriebstemperatur: 130 °C ***Physikalisch:*** Isolator: PBT UL94 V-0, schwarz; Schrauben: Bronze; Schraubenüberzug: Zinn; Druckklemme: Messing; Druckklemmenü-berzug: Nickel; Kontakte: Kupfer; Kontaktüberzug: Zinn

15 mm feste Blöcke für Hochleistung, Eurostyle®: ***Zulassungen:*** UL u. CSA-Behörden: UL-Eintragungsnr.: E48521, Ratgeber Nr.: XCFR2, CSA-Eintragungsnr.: 025562 ***Elektrik:*** Spannung: 600 V; Höchststrom: 90 A; Isolationswiderstand: >50.000 GΩ ***Mechanik:*** Max. Befestigungsdrehmoment: 24 in.-lbs. 2,71 Nm.; Betriebstemperatur: 130 °C **Physikalisch:** Isolator: PBT UL94 V-0, schwarz; Schrauben: Bronze; Schraubenüberzug: Zinn; Druckklemme: Messing; Druckklemmenüberzug: Nickel; Kontakte:

Abb.	Anz. von Kon.	Abm. – mm A	B	Digi-Key Teilenr.	Stückpreis 1	10	100	Molex Teilenr.
8 mm Anschlussstreifen mit zwei Schrauben und Drahtschutz								
1	2	13.8	16.0	WM5900-ND	1.37	1.22	.81	39150-0302
	3	21.8	16.0	WM5901-ND	1.97	1.75	1.17	39150-0303
	4	29.8	16.0	WM5902-ND	2.63	2.33	1.55	39150-0304
	5	37.8	16.0	WM5903-ND	3.84	3.39	2.26	39150-0305
	6	45.8	16.0	WM5904-ND	3.84	3.39	2.26	39150-0306
	6	45.8	16.0	WM5905-ND*	2.63	2.33	1.55	39150-0206
	8	61.8	16.0	WM5906-ND	5.05	4.46	2.97	39150-0308
	12	93.8	16.0	WM5907-ND	7.08	6.25	4.17	39150-0312
10 mm Anschlussstreifen mit zwei Schrauben und Drahtschutz								
1	3	26.5	20.0	WM5908-ND	2.08	1.85	1.23	39400-0303
	3	26.5	20.0	WM5909-ND*	2.03	1.80	1.20	39400-0403
	4	36.5	20.0	WM5910-ND	2.69	2.38	1.59	39400-0304
	5	46.5	20.0	WM5911-ND	4.00	3.54	2.36	39400-0305
	6	56.5	20.0	WM5912-ND	4.00	3.54	2.36	39400-0306
	8	76.5	20.0	WM5913-ND	5.27	4.65	3.10	39400-0308
	10	96.5	20.0	WM5914-ND	7.58	6.69	4.46	39400-0310
	12	116.5	20.0	WM5915-ND	7.36	6.49	4.33	39400-0312
12 mm Anschlussstreifen mit zwei Schrauben und Drahtschutz								
1	10	116	24.0	WM5916-ND	11.03	9.74	6.49	39600-0310
	12	140	24.0	WM5917-ND	10.59	9.35	6.24	39600-0312

* Flaches Profil

Abb.	Anz. von Kon.	Abm. – mm A	B	Digi-Key Teilenr.	Stückpreis 1	10	100	Molex Teilenr.
3,5 mm einsteckbarer PCB-Anschlussblock, Eurostyle, 180°								
3	2	7.11	3.50	WM5605-ND	2.20	1.94	1.30	39351-0002
	3	10.41	7.00	WM5606-ND	3.23	2.85	1.90	39351-0003
	4	13.97	10.50	WM5607-ND	4.25	3.75	2.50	39351-0004
	5	17.53	14.00	WM5608-ND	5.27	4.66	3.11	39351-0005
	6	21.08	17.50	WM5609-ND	6.30	5.56	3.71	39351-0006
	7	24.64	21.00	WM5610-ND	7.32	6.46	4.31	39351-0007
	8	27.94	24.50	WM5611-ND	8.35	7.37	4.91	39351-0008
	9	31.50	28.00	WM5612-ND	9.36	8.27	5.52	39351-0009
	10	35.05	31.50	WM5613-ND	10.39	9.17	6.12	39351-0010
	11	38.61	35.00	WM5614-ND	11.41	10.08	6.72	39351-0011
	12	41.91	38.50	WM5615-ND	12.44	10.98	7.32	39351-0012
	13	45.47	42.00	WM5616-ND	13.46	11.88	7.92	39351-0013
	14	49.02	45.50	WM5617-ND	14.49	12.79	8.53	39351-0014
	15	52.58	50.00	WM5618-ND	15.51	13.69	9.13	39351-0015
	16	56.13	52.50	WM5619-ND	16.53	14.60	9.73	39351-0016
	17	59.44	56.00	WM5620-ND	17.56	15.50	10.33	39351-0017
	18	62.99	59.50	WM5621-ND	18.58	16.40	10.94	39351-0018
	19	66.55	63.00	WM5622-ND	19.61	17.31	11.54	39351-0019
	20	70.10	66.50	WM5623-ND	20.63	18.21	12.14	39351-0020
3,5 mm PCB-Steckleiste für hohe Temperatur, Eurostyle, geschlossenes Ende, vertikal								
4	2	7.62	3.50	WM5624-ND	.99	.88	.59	39353-0002
	3	10.92	7.00	WM5625-ND	1.41	1.25	.84	39353-0003
	4	14.48	10.50	WM5626-ND	1.84	1.63	1.09	39353-0004
	5	18.03	14.00	WM5627-ND	2.26	2.00	1.33	39353-0005
	6	21.59	17.50	WM5628-ND	2.68	2.37	1.58	39353-0006
	7	25.15	21.00	WM5629-ND	3.10	2.74	1.83	39353-0007
	8	28.45	24.50	WM5630-ND	3.52	3.11	2.08	39353-0008
	9	32.00	28.00	WM5631-ND	3.95	3.49	2.33	39353-0009
	10	35.56	31.50	WM5632-ND	4.37	3.86	2.57	39353-0010
	11	39.12	35.00	WM5633-ND	4.79	4.23	2.82	39353-0011
	12	42.42	38.50	WM5634-ND	5.21	4.60	3.07	39353-0012
	13	45.97	42.00	WM5635-ND	5.63	4.97	3.32	39353-0013
	14	49.53	45.50	WM5636-ND	6.05	5.35	3.57	39353-0014
	15	53.09	50.00	WM5637-ND	6.48	5.72	3.81	39353-0015
	16	56.64	52.50	WM5638-ND	6.90	6.09	4.06	39353-0016

Abb.	Anz. von Kon.	Abm. – mm A	B	Digi-Key Teilenr.	Stückpreis 1	10	100	Molex Teilenr.
	17	59.94	56.00	WM5639-ND	7.32	6.46	4.31	39353-0017
	18	63.50	59.50	WM5640-ND	7.74	6.83	4.56	39353-0018
	19	67.06	63.00	WM5641-ND	8.16	7.21	4.81	39353-0019
	20	71.61	66.50	WM5642-ND	8.58	7.58	5.05	39353-0020
	2	7.62	3.50	WM5643-ND	.99	.88	.59	39355-0002
	3	10.92	7.00	WM5644-ND	1.41	1.25	.84	39355-0003
	4	14.48	10.50	WM5645-ND	1.84	1.63	1.09	39355-0004
	5	18.03	14.00	WM5646-ND	2.26	2.00	1.33	39355-0005
	6	21.59	17.50	WM5647-ND	2.68	2.37	1.58	39355-0006
	7	25.15	21.00	WM5648-ND	3.10	2.74	1.83	39355-0007
4	8	28.45	24.50	WM5649-ND	3.52	3.11	2.08	39355-0008
	9	32.00	28.00	WM5650-ND	3.95	3.49	2.33	39355-0009
	10	35.56	31.50	WM5651-ND	4.37	3.86	2.57	39355-0010
	11	39.12	35.00	WM5652-ND	4.79	4.23	2.82	39355-0011
	12	42.42	38.50	WM5653-ND	5.21	4.60	3.07	39355-0012
	13	45.97	42.00	WM5654-ND	5.63	4.97	3.32	39355-0013
	14	49.53	45.50	WM5655-ND	6.05	5.35	3.57	39355-0014
	15	53.09	50.00	WM5656-ND	6.48	5.72	3.81	39355-0015
	16	56.64	52.50	WM5657-ND	6.90	6.09	4.06	39355-0016
	17	59.94	56.00	WM5658-ND	7.32	6.46	4.31	39355-0017
	18	63.50	59.50	WM5659-ND	7.74	6.83	4.56	39355-0018
	19	67.06	63.00	WM5660-ND	8.16	7.21	4.81	39355-0019
	20	70.61	66.50	WM5661-ND	8.58	7.58	5.05	39355-0020
5 mm einsteckbarer PCB-Anschlussblock, Eurostyle								
7	2	9.9	5	WM5862-ND	1.75	1.55	1.04	39870-0102
	3	14.9	10	WM5863-ND	2.69	2.38	1.59	39870-0103
	4	19.9	15	WM5864-ND	3.56	3.15	2.10	39870-0104
	5	24.9	20	WM5865-ND	4.44	3.93	2.62	39870-0105
	6	29.9	25	WM5866-ND	5.33	4.70	3.14	39870-0106
	7	34.9	30	WM5867-ND	6.20	5.48	3.65	39870-0107
	8	39.9	35	WM5868-ND	7.08	6.25	4.17	39870-0108
	9	44.9	40	WM5869-ND	7.96	7.03	4.69	39870-0109
	10	49.9	45	WM5870-ND	8.89	7.85	5.23	39870-0110
	12	59.9	55	WM5871-ND	10.65	9.40	6.27	39870-0112
5 mm einsteckbarer PCB-Anschlussblock, Eurostyle,geschlossene Enden, vertikal								
8	2	11.3	5	WM5872-ND	.66	.59	.39	39870-0502
	3	16.3	10	WM5873-ND	.99	.88	.59	39870-0503
	4	21.3	15	WM5874-ND	1.37	1.22	.81	39870-0504
	5	26.3	20	WM5875-ND	1.70	1.51	1.01	39870-0505
	6	31.3	25	WM5876-ND	2.03	1.80	1.20	39870-0506
	7	36.9	30	WM5877-ND	2.36	2.09	1.39	39870-0507
	8	41.9	35	WM5878-ND	2.69	2.38	1.59	39870-0508
	9	46.9	40	WM5879-ND	3.07	2.72	1.81	39870-0509
	10	51.9	45	WM5880-ND	3.40	3.01	2.01	39870-0510
	12	62.0	55	WM5881-ND	4.06	3.59	2.39	39870-0512
5 mm einsteckbarer PCB-Anschlussblock, Eurostyle, geschlossene Enden, rechtwinklig								
9	2	11.3	5	WM5882-ND	.66	.59	.39	39870-0702
	3	16.3	10	WM5883-ND	.99	.88	.59	39870-0703
	4	21.3	15	WM5884-ND	1.37	1.22	.81	39870-0704
	5	26.3	20	WM5885-ND	1.70	1.51	1.01	39870-0705
	6	31.3	25	WM5886-ND	2.03	1.80	1.20	39870-0706
	7	36.9	30	WM5887-ND	2.36	2.09	1.39	39870-0707
	8	41.9	35	WM5888-ND	2.69	2.38	1.59	39870-0708
	9	46.9	40	WM5889-ND	3.07	2.72	1.81	39870-0709
	10	51.9	45	WM5890-ND	3.40	3.01	2.01	39870-0710
	12	62.0	55	WM5891-ND	4.06	3.59	2.39	39870-0712
5,08 mm einsteckbarer PCB-Anschlussblock, Eurostyle, rechtwinklig								
10	2	10	5.1	WM5827-ND	1.75	1.55	1.04	39860-0102
	3	15.1	10.2	WM5828-ND	2.69	2.38	1.59	39860-0103
	4	20.2	15.2	WM5829-ND	3.56	3.15	2.10	39860-0104

Abb.	Anz. von Kon.	Abm. – mm A	B	Digi-Key Teilenr.	Stückpreis 1	10	100	Molex Teilenr.
	5	25.3	20.3	WM5830-ND	4.44	3.93	2.62	39860-0105
	6	30.4	25.4	WM5831-ND	5.33	4.70	3.14	39860-0106
10	8	40.5	35.6	WM5832-ND	7.08	6.25	4.17	39860-0108
	10	50.7	45.7	WM5833-ND	8.89	7.85	5.23	39860-0110
	12	60.8	55.9	WM5834-ND	10.65	9.40	6.27	39860-0112
5.08mm einsteckbarer PCB-Anschlussblock, Eurostyle, vertikal								
	2	10	5.1	WM5835-ND	2.23	1.97	1.32	39860-0202
	3	15.1	10.2	WM5836-ND	3.37	2.98	1.99	39860-0203
11A	4	20.2	15.2	WM5837-ND	4.45	3.94	2.63	39860-0204
	5	25.3	20.3	WM5838-ND	5.60	4.95	3.30	39860-0205
	6	30.4	25.4	WM5839-ND	6.69	5.90	3.94	39860-0206
	8	40.5	35.6	WM5840-ND	8.93	7.89	5.26	39860-0208
	10	50.7	45.7	WM5841-ND	11.20	9.89	6.59	39860-0210
	2	10	5.1	WM5842-ND	2.23	1.97	1.32	39860-0302
11B	3	15.1	10.2	WM5843-ND	3.37	2.98	1.99	39860-0303
	4	20.2	15.2	WM5844-ND	4.45	3.94	2.63	39860-0304
	6	30.4	25.4	WM5845-ND	6.69	5.90	3.94	39860-0306
5,08 mm einsteckbare PCB-Steckleiste, Eurostyle, geschlossene Enden, vertikal								
	2	11.4	5.1	WM5846-ND	.66	.59	.39	39860-0502
	3	16.5	10.2	WM5847-ND	.99	.88	.59	39860-0503
	4	21.6	15.2	WM5848-ND	1.37	1.22	.81	39860-0504
12	5	26.7	20.3	WM5849-ND	1.70	1.51	1.01	39860-0505
	6	31.8	25.4	WM5850-ND	2.03	1.80	1.20	39860-0506
	8	42.5	35.6	WM5851-ND	2.69	2.38	1.59	39860-0508
	10	52.7	45.7	WM5852-ND	3.40	3.01	2.01	39860-0510
	12	62.8	55.9	WM5853-ND	4.06	3.59	2.39	39860-0512
5,08 mm einsteckbare PCB-Steckleiste, Eurostyl, geschlossene Enden, rechtwinklig								
	2	11.4	5.1	WM5854-ND	.66	.59	.39	39860-0702
	3	16.5	10.2	WM5855-ND	.99	.88	.59	39860-0703
	4	21.6	15.2	WM5856-ND	1.37	1.22	.81	39860-0704
9	5	26.7	20.3	WM5857-ND	1.70	1.51	1.01	39860-0705
	6	31.8	25.4	WM5858-ND	2.03	1.80	1.20	39860-0706
	8	42.5	35.6	WM5859-ND	2.69	2.38	1.59	39860-0708
	10	52.7	45.7	WM5860-ND	3.40	3.01	2.01	39860-0710
	12	62.8	55.9	WM5861-ND	4.06	3.59	2.39	39860-0712
3,5 mm fester PCB-Anschlussblock, Eurostyle								
2	2	7	—	WM5823-ND	.99	.88	.59	39830-0102
	3	10.5	—	WM5824-ND	1.54	1.36	.91	39830-0103
5 mm Economy-Schraubanschlussblock, Eurostyle								
5	2	10	—	WM5825-ND	.66	.59	.39	39840-0102
	3	15	—	WM5826-ND	.99	.88	.59	39840-0103
5,08 mm einteiliger (fester) Block, Eurostyle								
	2	10.7	5.1	WM5892-ND	1.15	1.02	.68	39880-0102
	3	15.7	10.2	WM5893-ND	1.70	1.51	1.01	39880-0103
	4	20.8	15.2	WM5894-ND	2.30	2.04	1.36	39880-0104
6	5	25.9	20.3	WM5895-ND	2.85	2.52	1.68	39880-0105
	6	31	25.4	WM5896-ND	3.45	3.05	2.04	39880-0106
	8	41.1	35.6	WM5897-ND	4.61	4.07	2.72	39880-0108
	10	51.3	45.7	WM5898-ND	5.77	5.09	3.39	39880-0110
10,16 mm feste Blöcke für Hochleistung, Eurostyle								
	2	21.84	10.16	WM5964-ND	3.97	3.58	3.18	39910-0102
	3	32.00	20.32	WM5965-ND	5.38	4.85	4.31	39910-0103
13	4	42.16	30.48	WM5966-ND	6.76	6.10	5.42	39910-0104
	6	62.48	50.80	WM5967-ND	9.56	8.61	7.65	39910-0106
	8	82.80	71.12	WM5968-ND	12.37	11.14	9.90	39910-0108
15 mm feste Blöcke für Hochleistung, Eurostyle								
	2	29.21	14.99	WM5969-ND	6.22	5.61	4.98	39920-0102
	3	44.20	30.00	WM5970-ND	8.13	7.32	6.51	39920-0103
14	4	59.18	44.96	WM5971-ND	10.03	9.03	8.03	39920-0104
	6	89.15	74.93	WM5972-ND	13.88	12.49	11.11	39920-0106
	8	119.13	104.90	WM5973-ND	17.66	15.90	14.13	39920-0108

Diese On-Shore Technology-Anschlussblöcke sind für jede Kontaktzahl stapelbar. 4,5 mm Anschlusslänge.

A

Abb. 1

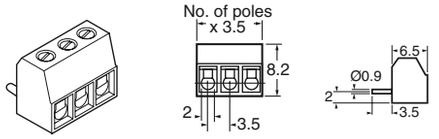

SPEZIFIKATIONEN: • Nennspannung: 125 V • Nennstrom: 6 A • Drahtgröße: 28-16 AWG • Temperatur: -30 °C / 105 °C • Flammbarkeit: UL94V-O • Farbe: Grau

Abb. 2

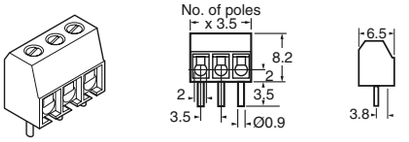

SPEZIFIKATIONEN: • Nennspannung: 125 V • Nennstrom: 6 A • Drahtgröße: 28-16 AWG • Temperatur: -30 °C / 105 °C • Flammbarkeit: UL94V-O • Farbe: Grau

Abb. 3

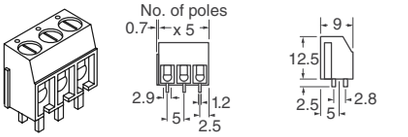

SPEZIFIKATIONEN: • Nennspannung: 300 V • Nennstromstärke: 15 A • Drahtgröße: 22-12 AWG • Temperatur: -30 °C / 105 °C • Flammbarkeit: UL94V-O • Farbe: Grau

Abb. 4

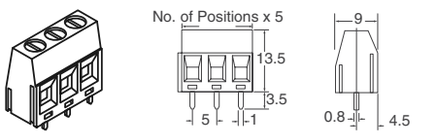

SPEZIFIKATIONEN: • Nennspannung: 300 V • Nennstromstärke: 16 A • Drahtgröße: 28-12 AWG • Temperatur: -30 °C / 105 °C • Flammbarkeit: UL94V-O • Farbe: Grün

Abb. 5

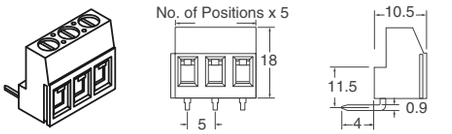

SPEZIFIKATIONEN: • Nennspannung: 300 V • Nennstromstärke: 20 A • Drahtgröße: 22-14 AWG • Temperatur: -30 °C / 105 °C • Flammbarkeit: UL94V-O • Farbe: Grün

Abb. 6

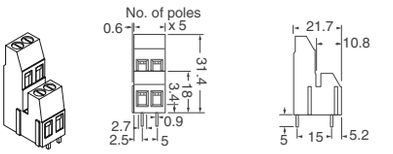

SPEZIFIKATIONEN: • Nennspannung: 300 V • Nennstrom: 20 A • Drahtgröße: 30-12 AWG • Temperatur: -30 °C / 105 °C • Flammbarkeit: UL94V-O • Farbe: Grün

Abb. 7

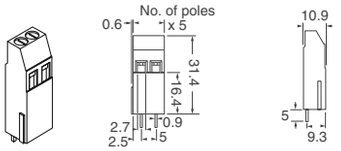

SPEZIFIKATIONEN: • Nennspannung: 300 V • Nennstromstärke: 20 A • Drahtgröße: 30-12 AWG • Temperatur: -30 °C / 105 °C • Flammbarkeit: UL94V-O • Farbe: Grün

Abb. 8

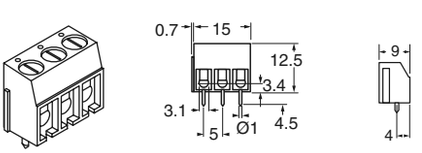

SPEZIFIKATIONEN: • Nennspannung: 300 V • Nennstromstärke: 15 A • Drahtgröße: 22-14 AWG • Temperatur: -30 °C / 105 °C • Flammbarkeit: UL94V-O • Farbe: Blau

Abb. 9

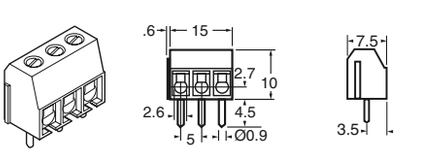

SPEZIFIKATIONEN: • Nennspannung: 300 V • Nennstromstärke: 15 A • Drahtgröße: 22-14 AWG • Temperatur: -30 °C / 105 °C • Flammbarkeit: UL94V-O • Farbe: Blau

Abb. 10

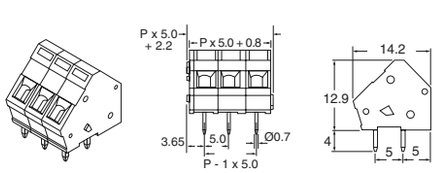

SPEZIFIKATIONEN: • Nennspannung: 300 V • Nennstromstärke: 15 A • Drahtgröße: 28-14 AWG • Temperatur: -30 °C / 105 °C • Flammbarkeit: UL94V-O • Farbe: Schiefergrau

Abb. 11

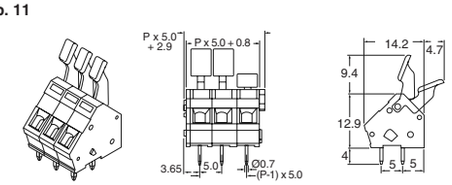

SPEZIFIKATIONEN: • Nennspannung: 300 V • Nennstromstärke: 15 A • Drahtgröße: 28-14 AWG • Temperatur: -30 °C / 105 °C • Flammbarkeit: UL94V-O • Farbe: Schiefergrau

Abb. 12

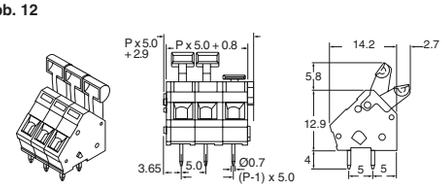

SPEZIFIKATIONEN: • Nennspannung: 300 V • Nennstromstärke: 15 A • Drahtgröße: 28-14 AWG • Temperatur: -30 °C / 105 °C • Flammbarkeit: UL94V-O • Farbe: Schiefergrau

Abb.	Anz. der Pos.	Block-länge (mm)	Digi-Key Teilenr.	Stückpreis 1	10	100
3,5 mm Anschlussabstand - Anschlussblöcke						
1	2	7.0	ED1501-ND	.38	.35	.31
	3	10.5	ED1502-ND	.57	.52	.46
	4	14.0	ED1503-ND	.76	.69	.61
	5	17.5	ED1504-ND	.95	.86	.76
	6	21.0	ED1505-ND	1.14	1.03	.92
	7	24.5	ED1506-ND	1.33	1.20	1.07
	8	28.0	ED1507-ND	1.52	1.37	1.22
	9	31.5	ED1508-ND	1.71	1.54	1.37
	10	35.0	ED1509-ND	1.90	1.71	1.52
	11	38.5	ED1510-ND	2.09	1.88	1.67
	12	42.0	ED1511-ND	2.28	2.05	1.83
	14	49.0	ED1512-ND	2.66	2.39	2.13
	16	56.0	ED1513-ND	3.04	2.74	2.43
2	2	7.0	ED1514-ND	.38	.35	.31
	3	10.5	ED1515-ND	.57	.52	.46
	4	14.0	ED1516-ND	.76	.69	.61
	5	17.5	ED1517-ND	.95	.86	.76
	6	21.0	ED1518-ND	1.14	1.03	.92
	7	24.5	ED1519-ND	1.33	1.20	1.07
	8	28.0	ED1520-ND	1.52	1.37	1.22
	9	31.5	ED1521-ND	1.71	1.54	1.37
	10	35.0	ED1522-ND	1.90	1.71	1.52
	11	38.5	ED1523-ND	2.09	1.88	1.67
	12	42.0	ED1524-ND	2.28	2.05	1.83
	14	49.0	ED1525-ND	2.66	2.39	2.13
	16	56.0	ED1526-ND	3.04	2.74	2.43
5 mm Anschlussabstand - Anschlussblöcke						
3	2	10.0	ED1556-ND	.62	.56	.50
	3	15.0	ED1557-ND	.92	.84	.74
	4	20.0	ED1558-ND	1.24	1.11	.99
	5	25.0	ED1559-ND	1.54	1.39	1.24
	6	30.0	ED1560-ND	1.85	1.67	1.48
	7	35.0	ED1561-ND	2.16	1.95	1.73
	8	40.0	ED1562-ND	2.46	2.22	1.98
3	9	45.0	ED1563-ND	2.78	2.50	2.22
	10	50.0	ED1564-ND	3.08	2.78	2.47
	11	55.0	ED1565-ND	3.39	3.06	2.72
	12	60.0	ED1566-ND	3.70	3.33	2.96
4	2	10.0	ED1930-ND	.52	.47	.42
	3	15.0	ED1931-ND	.79	.71	.63
5	2	10.0	ED1932-ND	.83	.75	.67
	3	15.0	ED1933-ND	1.24	1.12	1.00
6	2	10.0	ED1578-ND	1.90	1.71	1.52
	4	20.0	ED1580-ND	3.79	3.42	3.04
	5	25.0	ED1581-ND	4.74	4.27	3.80
	6	30.0	ED1582-ND	5.69	5.12	4.56
	7	35.0	ED1583-ND	6.64	5.98	5.31
	8	40.0	ED1584-ND	7.59	6.83	6.07
	9	45.0	ED1585-ND	8.53	7.68	6.83
	10	50.0	ED1586-ND	9.48	8.54	7.59
	11	55.0	ED1587-ND	10.43	9.39	8.35
	12	60.0	ED1588-ND	11.38	10.24	9.11
7	2	10.0	ED1589-ND	1.16	1.05	.93
	4	20.0	ED1591-ND	2.33	2.10	1.86
	6	30.0	ED1593-ND	3.49	3.14	2.79
	8	40.0	ED1595-ND	4.65	4.19	3.72
	10	50.0	ED1597-ND	5.81	5.23	4.65
	12	60.0	ED1599-ND	6.97	6.28	5.58
8	2	10.0	ED1601-ND	.32	.30	.26
	3	15.0	ED1602-ND	.49	.44	.39
	4	20.0	ED2233-ND	.65	.59	.53
	6	30.0	ED2234-ND	.98	.89	.79
8	8	40.0	ED2235-ND	1.31	1.18	1.05
	12	60.0	ED2236-ND	1.96	1.77	1.57
9	2	10.0	ED1623-ND	.36	.32	.29
	3	15.0	ED1624-ND	.52	.48	.43
	4	20.0	ED2221-ND	.70	.64	.57
	5	25.0	ED2222-ND	.88	.79	.71
	6	30.0	ED2223-ND	1.05	.95	.85
	7	35.0	ED2224-ND	1.23	1.11	.99
	10	50.0	ED2225-ND	1.75	1.58	1.41
	12	60.0	ED2226-ND	2.11	1.90	1.69
10	2	10.0	ED2237-ND	.57	.52	.46
	3	15.0	ED2238-ND	.86	.77	.69
	4	20.0	ED2239-ND	1.14	1.03	.92
	5	25.0	ED2240-ND	1.42	1.28	1.14
	6	30.0	ED2241-ND	1.71	1.54	1.37
	7	35.0	ED2242-ND	1.99	1.80	1.60
	8	40.0	ED2243-ND	2.28	2.05	1.83
	9	45.0	ED2244-ND	2.57	2.31	2.05
	10	50.0	ED2245-ND	2.84	2.56	2.28
	11	55.0	ED2246-ND	3.13	2.82	2.51
	12	60.0	ED2247-ND	3.41	3.08	2.74
11	2	10.0	ED2248-ND	.69	.62	.56
	3	15.0	ED2249-ND	1.03	.93	.83
	4	20.0	ED2250-ND	1.38	1.24	1.11
	5	25.0	ED2251-ND	1.72	1.55	1.38
	6	30.0	ED2252-ND	2.07	1.86	1.65
	7	35.0	ED2253-ND	2.40	2.17	1.93
	8	40.0	ED2254-ND	2.75	2.48	2.20
	9	45.0	ED2255-ND	3.10	2.79	2.48
	10	50.0	ED2256-ND	3.44	3.10	2.75
	11	55.0	ED2257-ND	3.78	3.41	3.03
	12	60.0	ED2258-ND	4.12	3.72	3.30

(Forts.)

Abb. 13

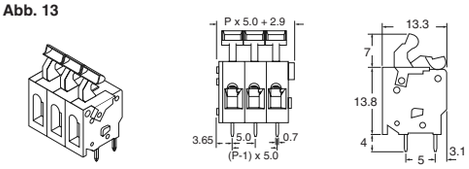

SPEZIFIKATIONEN: • Nennspannung: 300 V • Nennstromstärke: 15 A • Drahtgröße: 28-14 AWG • Temperatur: -30 °C / 105 °C • Flammbarkeit: UL94V-0 • Farbe: Schiefergrau

Abb. 14

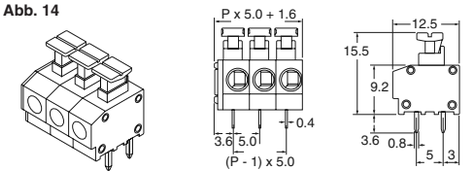

SPEZIFIKATIONEN: • Nennspannung: 300 V • Nennstromstärke: 10 A • Drahtgröße: 20-14 AWG • Temperatur: -30 °C / 105 °C • Flammbarkeit: UL94V-0 • Farbe: Schiefergrau

Abb. 15

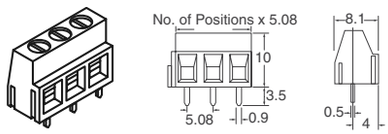

SPEZIFIKATIONEN: • Nennspannung: 300 V • Nennstromstärke: 16 A • Drahtgröße: 28-14 AWG • Temperatur: -30 °C / 105 °C • Flammbarkeit: UL94V-0 • Farbe: Grün

Abb. 16

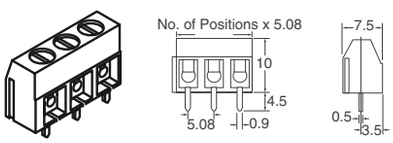

SPEZIFIKATIONEN: • Nennspannung: 300 V • Nennstromstärke: 15 A • Drahtgröße: 22-14 AWG • Temperatur: -30 °C / 105 °C • Flammbarkeit: UL94V-0 • Farbe: Blau

Abb. 17

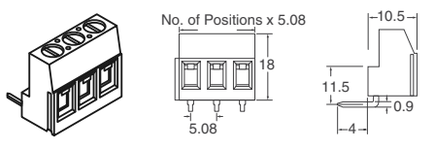

SPEZIFIKATIONEN: • Nennspannung: 300 V • Nennstromstärke: 15 A • Drahtgröße: 22-14 AWG • Temperatur: -30 °C / 105 °C • Flammbarkeit: UL94V-0 • Farbe: Grün

Abb. 18

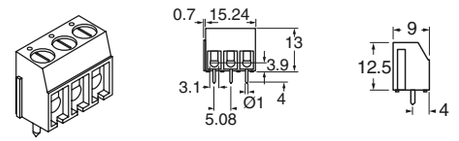

SPEZIFIKATIONEN: • Nennspannung: 300 V • Nennstromstärke: 15 A • Drahtgröße: 22-14 AWG • Temperatur: -30 °C / 105 °C • Flammbarkeit: UL94V-0 • Farbe: Blau

Abb. 19

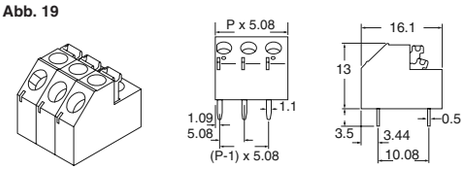

SPEZIFIKATIONEN: • Nennspannung: 300 V • Nennstromstärke: 15 A • Drahtgröße: 22-15 AWG • Temperatur: -30 °C / 105 °C • Flammbarkeit: UL94V-0 • Farbe: Schiefergrau

Abb. 20

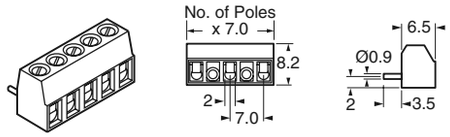

SPEZIFIKATIONEN: • Nennspannung: 300 V • Nennstrom: 6 A • Drahtgröße: 28-16 AWG • Temperatur: -30 °C / 105 °C • Flammbarkeit: UL94V-0 • Farbe: Grau

Abb. 21

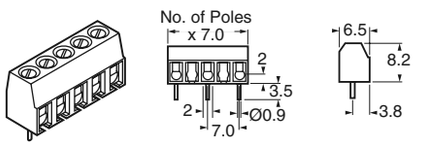

SPEZIFIKATIONEN: • Nennspannung: 300 V • Nennstrom: 6 A • Drahtgröße: 28-16 AWG • Temperatur: -30 °C / 105 °C • Flammbarkeit: UL94V-0 • Farbe: Grau

Abb. 22

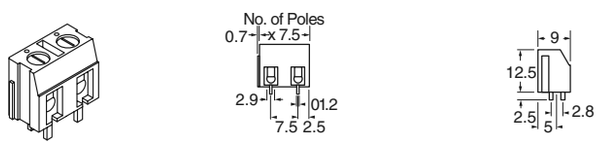

SPEZIFIKATIONEN: • Nennspannung: 300 V • Nennstromstärke: 15 A • Drahtgröße: 22-12 AWG • Temperatur: -30 °C / 105 °C • Flammbarkeit: UL94V-0 • Farbe: Grau

Abb. 23

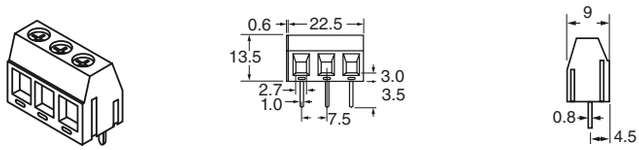

SPEZIFIKATIONEN: • Nennspannung: 300 V • Nennstromstärke: 16 A • Drahtgröße: 22-12 AWG • Temperatur: -30 °C / 105 °C • Flammbarkeit: UL94V-0 • Farbe: Grün

Abb.	Anz. der Pos.	Block-länge (mm)	Digi-Key Teilenr.	Stückpreis 1	10	100
12	2	10.0	ED2259-ND	.69	.62	.56
	3	15.0	ED2260-ND	1.03	.93	.83
	4	20.0	ED2261-ND	1.38	1.24	1.11
	5	25.0	ED2262-ND	1.72	1.55	1.38
	6	30.0	ED2263-ND	2.07	1.86	1.65
	7	35.0	ED2265-ND	2.40	2.17	1.93
	8	40.0	ED2266-ND	2.75	2.48	2.20
	9	45.0	ED2267-ND	3.10	2.79	2.48
	10	50.0	ED2268-ND	3.44	3.10	2.75
	11	55.0	ED2269-ND	3.78	3.41	3.03
	12	60.0	ED2270-ND	4.12	3.72	3.30
13	2	10.0	ED2293-ND	.64	.58	.52
	3	15.0	ED2294-ND	.97	.87	.77
	4	20.0	ED2295-ND	1.28	1.16	1.03
	5	25.0	ED2296-ND	1.60	1.44	1.29
	6	30.0	ED2297-ND	1.92	1.73	1.54
	7	35.0	ED2298-ND	2.24	2.02	1.80
	8	40.0	ED2299-ND	2.57	2.31	2.05
	9	45.0	ED2300-ND	2.88	2.60	2.31
	10	50.0	ED2301-ND	3.20	2.88	2.57
	11	55.0	ED2302-ND	3.52	3.17	2.82
	12	60.0	ED2303-ND	3.84	3.46	3.08
14	2	10.0	ED2315-ND	.69	.62	.56
	3	15.0	ED2316-ND	1.03	.93	.83
	4	20.0	ED2317-ND	1.38	1.24	1.11
	5	25.0	ED2318-ND	1.72	1.55	1.38
	6	30.0	ED2319-ND	2.07	1.86	1.65
	7	35.0	ED2320-ND	2.40	2.17	1.93
	8	40.0	ED2321-ND	2.75	2.48	2.20
	9	45.0	ED2322-ND	3.10	2.79	2.48
14	10	50.0	ED2323-ND	3.44	3.10	2.75
	11	55.0	ED2324-ND	3.78	3.41	3.03
	12	60.0	ED2325-ND	4.12	3.72	3.30
5,08 mm Anschlussabstand - Anschlussblöcke						
15	2	10.16	ED1973-ND	.57	.52	.46
	3	15.24	ED1974-ND	.86	.77	.69
16	2	10.16	ED1975-ND	.38	.35	.31
	3	15.24	ED1976-ND	.57	.52	.46
17	2	10.16	ED1977-ND	.83	.75	.67
	3	15.24	ED1978-ND	1.24	1.12	1.00
18	2	10.16	ED1609-ND	.36	.32	.29
	3	15.24	ED1610-ND	.52	.48	.42
	4	20.32	ED2227-ND	.70	.64	.57
	5	25.40	ED2228-ND	.88	.79	.71
	6	30.48	ED2229-ND	1.05	.95	.85
	7	35.56	ED2230-ND	1.23	1.11	.99
	10	50.80	ED2231-ND	1.75	1.58	1.41
	12	60.96	ED2232-ND	2.11	1.90	1.69
19	2	10.16	ED2326-ND	.74	.67	.59
	3	15.24	ED2327-ND	1.10	1.00	.89
	4	20.32	ED2328-ND	1.47	1.33	1.18
	5	25.40	ED2329-ND	1.84	1.66	1.47
	6	30.48	ED2330-ND	2.21	1.99	1.77
	7	35.56	ED2331-ND	2.57	2.32	2.06
7 mm Anschlussabstand - Anschlussblöcke						
20	2	14.0	ED1527-ND	.41	.38	.34
	3	21.0	ED1528-ND	.63	.57	.51
	4	28.0	ED1529-ND	.84	.76	.67
	5	35.0	ED1530-ND	1.04	.94	.84
	7	49.0	ED1532-ND	1.46	1.32	1.17
	8	56.0	ED1533-ND	1.67	1.51	1.34
21	2	14.0	ED1534-ND	.41	.38	.34
	3	21.0	ED1535-ND	.63	.57	.51
	4	28.0	ED1536-ND	.84	.76	.67
	5	35.0	ED1537-ND	1.04	.94	.84
	6	42.0	ED1538-ND	1.25	1.13	1.01
	7	49.0	ED1539-ND	1.46	1.32	1.17
	8	56.0	ED1540-ND	1.67	1.51	1.34
7,5 mm Anschlussabstand - Anschlussblöcke						
22	2	15.0	ED1567-ND	.71	.64	.57
	3	22.5	ED1568-ND	1.07	.96	.86
	4	30.0	ED1569-ND	1.42	1.28	1.14
	5	37.5	ED1570-ND	1.78	1.60	1.43
	6	45.0	ED1571-ND	2.13	1.92	1.71
	7	52.5	ED1572-ND	2.49	2.24	2.00
	8	60.0	ED1573-ND	2.84	2.56	2.28
	9	67.5	ED1574-ND	3.20	2.88	2.57
	10	75.0	ED1575-ND	3.56	3.20	2.85
	11	82.5	ED1576-ND	3.91	3.52	3.13
	12	90.0	ED1577-ND	4.27	3.84	3.42
23	2	15.0	ED2354-ND	.64	.58	.52
	3	22.5	ED2355-ND	.97	.87	.77
	4	30.0	ED2356-ND	1.28	1.16	1.03
	5	37.5	ED2357-ND	1.60	1.44	1.29
	6	45.0	ED2358-ND	1.92	1.73	1.54
	7	52.5	ED2359-ND	2.24	2.02	1.80
	8	60.0	ED2360-ND	2.57	2.31	2.05
	9	67.5	ED2361-ND	2.88	2.60	2.31
	10	75.0	ED2362-ND	3.20	2.88	2.57
	11	82.5	ED2363-ND	3.52	3.17	2.82
	12	90.0	ED2364-ND	3.84	3.46	3.08

Zweiteilige Anschlussblöcke

MERKMALE

• Modularität:
Feste und einsteckbare Leiterplattenanschlüsse in metrischen und Zoll-Pin-Abständen erhältlich. Das Hauptmerkmal unserer modularen Anschlussgehäuse ist ihre Halbschalenkonstruktion, die eine Verbindung von 2 bis 3 einzelnen Anschlussmodulen zulässt, um mehrpolige Anschlussbaugruppen herzustellen.

• Gehäuse:
PCB Mini-Anschlussblockgehäuse werden aus selbstlöschendem 6,6 Polyimid-(Nylon)-Gussmaterial präzisionsgegossen. Alle Gehäuse verfügen über trichterförmige Drahteinführungen, um ein Ausfransen zu verhindern und Fehlanschlüsse auf ein Minimum zu beschränken.

Abb. 1

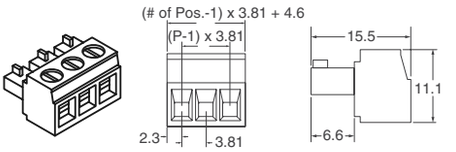

SPEZIFIKATIONEN: • **Nennspannung:** 300 V • **Nennstromstärke:** 8 A • **Drahtgröße:** 28-16 AWG • **Temperatur:** -30 °C / +105 °C • **Entflammbarkeit:** UL94V-0 • **Farbe:** Grün

Abb. 2

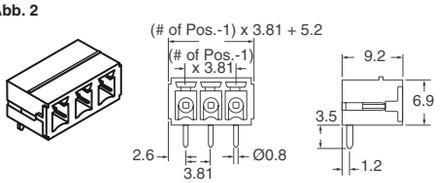

SPEZIFIKATIONEN: • **Nennspannung:** 300 V • **Nennstromstärke:** 8 A • **Temperatur:** -30 °C / +105 °C • **Entflammbarkeit:** UL94V-0 • **Farbe:** Grün

Abb. 3

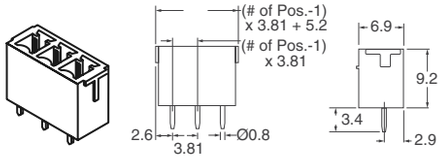

SPEZIFIKATIONEN: • **Nennspannung:** 300 V • **Nennstromstärke:** 8 A • **Temperatur:** -30 °C / +105 °C • **Entflammbarkeit:** UL94V-0 • **Farbe:** Grün

Abb. 4

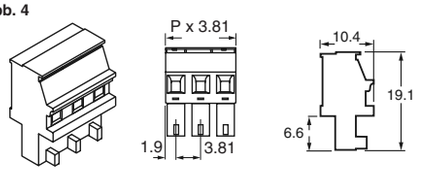

SPEZIFIKATIONEN: • **Nennspannung:** 300 V • **Nennstromstärke:** 8 A • **Drahtgröße:** 28-16 AWG • **Temperatur:** -30 °C / +105 °C • **Entflammbarkeit:** UL94 V-0 • **Farbe:** Grün

Abb. 5

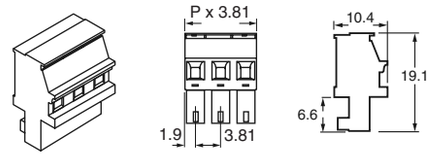

SPEZIFIKATIONEN: • **Nennspannung:** 300 V • **Nennstromstärke:** 8 A • **Drahtgröße:** 28-16 AWG • **Temperatur:** -30 °C / +105 °C • **Entflammbarkeit:** UL94 V-0 • **Farbe:** Grün

Abb. 6

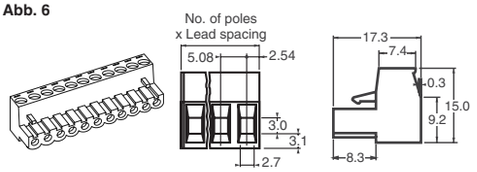

SPEZIFIKATIONEN: • **Nennspannung:** 300 V • **Nennstromstärke:** 15 A • **Drahtgröße:** 22-12 AWG • **Temperatur:** -30 °C / +105 °C • **Entflammbarkeit:** UL94 V-0 • **Farbe:** Grün

Abb. 7

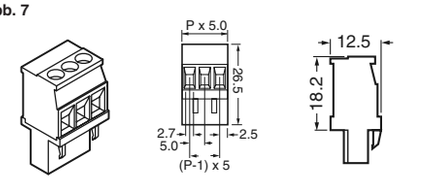

SPEZIFIKATIONEN: • **Nennspannung:** 300 V • **Nennstromstärke:** 15 A • **Drahtgröße:** 22-10 AWG • **Temperatur:** -30 °C / +105 °C • **Entflammbarkeit:** UL94 V-0 • **Farbe:** Grün

Abb. 8

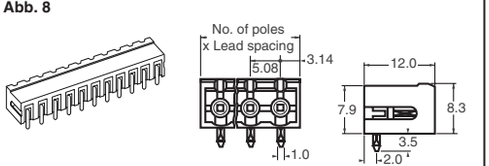

SPEZIFIKATIONEN: • **Nennspannung:** 300 V • **Nennstromstärke:** 15 A • **Temperatur:** -30 °C / +105 °C • **Entflammbarkeit:** UL94 V-0 • **Farbe:** Grün

Abb.	Anz. der Pole	Block-länge (mm)	Digi-Key Teilenr.	Stückpreis 1	10	100
3,81 mm Anschlussabstand – Stecker						
1	2	8.41	ED1960-ND	1.09	.99	.88
	3	12.22	ED1961-ND	1.63	1.48	1.31
	4	16.03	ED1962-ND	2.18	1.97	1.75
	5	19.84	ED1963-ND	2.73	2.46	2.19
	6	23.65	ED1964-ND	3.28	2.95	2.62
	7	27.46	ED1965-ND	3.82	3.44	3.06
	8	31.27	ED1966-ND	4.36	3.93	3.49
	9	35.08	ED1967-ND	4.91	4.42	3.93
	10	38.89	ED1968-ND	5.45	4.91	4.37
	11	42.70	ED1969-ND	6.00	5.40	4.80
	12	46.51	ED1970-ND	6.54	5.89	5.24
	14	54.13	ED1971-ND	7.64	6.87	6.11
	16	61.75	ED1972-ND	8.73	7.86	6.98
3,81 mm Anschlussabstand – horizontale Steckleiste						
2	2	9.01	ED1934-ND	.47	.43	.38
	3	12.82	ED1935-ND	.71	.64	.57
	4	16.63	ED1936-ND	.95	.86	.76
	5	20.44	ED1937-ND	1.19	1.07	.95
	6	24.25	ED1938-ND	1.42	1.28	1.14
	7	28.06	ED1939-ND	1.66	1.50	1.33
	8	31.87	ED1940-ND	1.90	1.71	1.52
	9	35.68	ED1941-ND	2.13	1.92	1.71
	10	39.49	ED1942-ND	2.37	2.14	1.90
	11	43.30	ED1943-ND	2.61	2.35	2.09
	12	47.11	ED1944-ND	2.84	2.56	2.28
	14	54.73	ED1945-ND	3.32	2.99	2.66
	16	63.35	ED1946-ND	3.79	3.42	3.04
3,81 mm Anschlussabstand – vertikale Steckleiste						
3	2	9.01	ED1947-ND	.47	.43	.38
	3	12.82	ED1948-ND	.71	.64	.57
	4	16.63	ED1949-ND	.95	.86	.76
	5	20.44	ED1950-ND	1.19	1.07	.95
	6	24.25	ED1951-ND	1.42	1.28	1.14
	7	28.06	ED1952-ND	1.66	1.50	1.33
	8	31.87	ED1953-ND	1.90	1.71	1.52
	9	35.68	ED1954-ND	2.13	1.92	1.71
	10	39.49	ED1955-ND	2.37	2.14	1.90
	11	43.30	ED1956-ND	2.61	2.35	2.09
	12	47.11	ED1957-ND	2.84	2.56	2.28
	14	54.73	ED1958-ND	3.32	2.99	2.66
	16	63.35	ED1959-ND	3.79	3.42	3.04
3,81 mm Anschlussabstand – Stecker						
4	2	7.62	ED2454-ND	.86	.77	.69
	3	11.43	ED2455-ND	1.28	1.16	1.03
4	4	15.24	ED2456-ND	1.71	1.54	1.37
	5	19.05	ED2457-ND	2.13	1.92	1.71
	6	22.86	ED2458-ND	2.57	2.31	2.05
	7	26.67	ED2459-ND	2.99	2.69	2.39
	8	30.48	ED2460-ND	3.41	3.08	2.74
	9	34.29	ED2461-ND	3.84	3.46	3.08
	10	38.10	ED2462-ND	4.27	3.84	3.42
	12	45.72	ED2463-ND	5.12	4.61	4.10
	14	53.34	ED2464-ND	5.98	5.38	4.78
	16	60.96	ED2465-ND	6.83	6.15	5.47
3,81 mm Anschlussabstand – Stecker						
5	2	7.62	ED2466-ND	.86	.77	.69
	3	11.43	ED2467-ND	1.28	1.16	1.03
	4	15.24	ED2468-ND	1.71	1.54	1.37
	5	19.05	ED2469-ND	2.13	1.92	1.71
	6	22.86	ED2470-ND	2.57	2.31	2.05
	7	26.67	ED2471-ND	2.99	2.69	2.39
	8	30.48	ED2472-ND	3.41	3.08	2.74
	9	34.29	ED2473-ND	3.84	3.46	3.08
	10	38.10	ED2474-ND	4.27	3.84	3.42
	12	45.72	ED2475-ND	5.12	4.61	4.10
	14	53.34	ED2476-ND	5.98	5.38	4.78
	16	60.96	ED2477-ND	6.83	6.15	5.47
5 mm Anschlussabstand – Stecker						
6	2	10	ED1701-ND*	.88	.79	.70
	3	15	ED1702-ND*	1.33	1.19	1.04
	4	20	ED1703-ND*	1.52	1.37	1.22
	5	25	ED1704-ND*	1.90	1.71	1.52
	6	30	ED1705-ND*	2.28	2.05	1.83
	7	35	ED1706-ND*	2.66	2.39	2.13
	8	40	ED1707-ND*	3.04	2.74	2.43
	9	45	ED1708-ND*	3.41	3.08	2.74
	10	50	ED1709-ND*	3.79	3.42	3.04
	11	55	ED1710-ND*	4.17	3.76	3.34
	12	60	ED1711-ND*	4.55	4.10	3.65
	14	70	ED1712-ND*	5.31	4.78	4.25
	16	80	ED1713-ND*	6.07	5.47	4.86
	18	90	ED1714-ND*	6.83	6.15	5.47
	20	100	ED1715-ND*	7.59	6.83	6.07
	24	120	ED1716-ND*	9.10	8.20	7.29
5 mm Anschlussabstand – Stecker						
7	2	10	ED2376-ND	1.24	1.11	.99
	3	15	ED2377-ND	1.85	1.67	1.48
	4	20	ED2378-ND	2.46	2.22	1.98
	5	25	ED2379-ND	3.08	2.78	2.47
	6	30	ED2380-ND	3.70	3.33	2.96
7	7	35	ED2381-ND	4.32	3.89	3.46
	8	40	ED2382-ND	4.94	4.44	3.95
	9	45	ED2383-ND	5.55	5.00	4.44
	10	50	ED2384-ND	6.16	5.55	4.94
	12	60	ED2385-ND	7.40	6.66	5.92
	14	70	ED2386-ND	8.63	7.77	6.91
	16	80	ED2387-ND	9.86	8.88	7.89
5 mm Anschlussabstand – horizontale Steckleisten						
8	2	10	ED1801-ND†	.32	.29	.26
	3	15	ED1802-ND†	.48	.44	.39
	4	20	ED1803-ND†	.65	.58	.51
	5	25	ED1804-ND†	.81	.73	.64
	6	30	ED1805-ND†	.97	.87	.77
	7	35	ED1806-ND†	1.13	1.01	.89
	8	40	ED1807-ND†	1.30	1.16	1.02
	9	45	ED1808-ND†	1.46	1.30	1.15
	10	50	ED1809-ND†	1.62	1.45	1.27
	11	55	ED1810-ND†	1.78	1.59	1.40
	12	60	ED1811-ND†	1.94	1.74	1.53
	14	70	ED1812-ND†	2.27	2.03	1.78
	16	80	ED1813-ND†	2.59	2.31	2.04
	18	90	ED1814-ND†	2.91	2.61	2.29
	20	100	ED1815-ND†	3.24	2.89	2.54
	24	120	ED1816-ND†	3.89	3.47	3.05
5 mm Anschlussabstand – vertikale Steckleisten ‡						
9	2	10	ED1833-ND†	.32	.29	.26
	3	15	ED1834-ND†	.48	.44	.39
	4	20	ED1835-ND†	.65	.58	.51
	5	25	ED1836-ND†	.81	.73	.64
	6	30	ED1837-ND†	.97	.87	.77
	7	35	ED1838-ND†	1.13	1.01	.89
	8	40	ED1839-ND†	1.30	1.16	1.02
	9	45	ED1840-ND†	1.46	1.30	1.15
	10	50	ED1841-ND†	1.62	1.45	1.27
	11	55	ED1842-ND†	1.78	1.59	1.40
	12	60	ED1843-ND†	1.94	1.74	1.53
	14	70	ED1844-ND†	2.27	2.03	1.78
	16	80	ED1845-ND†	2.59	2.31	2.04
	18	90	ED1846-ND†	2.91	2.61	2.29
	20	100	ED1847-ND†	3.24	2.89	2.54
	24	120	ED1848-ND†	3.89	3.47	3.05
5,08 mm Anschlussabstand – Stecker						
6	2	10.16	ED1717-ND*	.88	.79	.70
	3	15.24	ED1718-ND*	1.33	1.19	1.04
	4	20.32	ED1719-ND*	1.77	1.58	1.39
	5	25.40	ED1720-ND*	2.22	1.98	1.73
6	6	30.48	ED1721-ND*	2.66	2.37	2.08
	7	35.56	ED1722-ND*	3.10	2.76	2.42
	8	40.64	ED1723-ND*	3.54	3.16	2.77
	9	45.72	ED1724-ND*	3.99	3.55	3.12
	10	50.80	ED1725-ND*	4.43	3.94	3.46
	11	55.88	ED1726-ND*	4.87	4.34	3.81
	12	60.96	ED1727-ND*	5.31	4.73	4.15
	14	71.12	ED1728-ND*	6.20	5.46	4.84
	16	81.28	ED1729-ND*	7.08	6.24	5.53
	18	91.44	ED1730-ND*	7.97	7.02	6.23
	20	101.60	ED1731-ND*	8.85	7.79	6.92
	24	121.92	ED1732-ND*	10.62	9.35	8.30
5,08 mm Anschlussabstand – Stecker						
10	2	20.32	ED2409-ND	1.19	1.07	.95
	3	25.40	ED2410-ND	1.78	1.60	1.43
	4	30.48	ED2411-ND	2.37	2.14	1.90
	5	35.56	ED2412-ND	2.96	2.67	2.38
	6	40.64	ED2413-ND	3.56	3.20	2.85
	7	45.72	ED2414-ND	4.15	3.74	3.32
	8	50.80	ED2415-ND	4.74	4.27	3.80
	9	55.88	ED2416-ND	5.33	4.80	4.27
	10	60.96	ED2417-ND	5.93	5.34	4.75
5,08 mm Anschlussabstand – horizontale Steckleisten						
8	2	10.16	ED1817-ND†	.32	.29	.26
	3	15.24	ED1818-ND†	.48	.44	.39
	4	20.32	ED1819-ND†	.65	.58	.51
	5	25.40	ED1820-ND†	.81	.73	.64
	6	30.48	ED1821-ND†	.97	.87	.77
	7	35.56	ED1822-ND†	1.13	1.01	.89
	8	40.64	ED1823-ND†	1.30	1.16	1.02
	9	45.72	ED1824-ND†	1.46	1.30	1.15
	10	50.80	ED1825-ND†	1.62	1.45	1.27
	11	55.88	ED1826-ND†	1.78	1.59	1.40
	12	60.96	ED1827-ND†	1.94	1.74	1.53
	14	71.12	ED1828-ND†	2.27	2.03	1.78
	16	81.28	ED1829-ND†	2.59	2.31	2.04
	18	91.44	ED1830-ND†	2.91	2.61	2.29
	20	101.60	ED1831-ND†	3.24	2.89	2.54
	24	121.92	ED1832-ND†	3.89	3.47	3.05
5,08 mm Anschlussabstand – horizontale Steckleisten						
11	2	20.32	ED2427-ND	1.42	1.28	1.14
	3	25.40	ED2428-ND	1.42	1.28	1.14
	4	30.48	ED2429-ND	1.90	1.71	1.52
	5	35.56	ED2430-ND	2.37	2.14	1.90

* Keying Star ED1901-ND verwenden † Keying Star ED1902-ND verwenden
‡ Zeichnung zeigt 5,08 Pitch *(Forts.)*

Alle Preisangaben in Euro und inklusive Zollgebühren.

Abb. 9

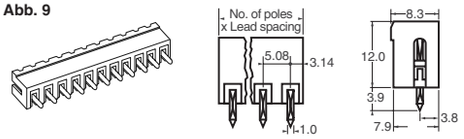

SPEZIFIKATIONEN: • **Nennspannung:** 300 V • **Nennstromstärke:** 15 A • **Temperatur:** -30 °C / +105 °C • **Entflammbarkeit:** UL94 V-0 • **Farbe:** Grün

Abb. 10

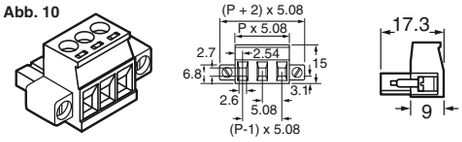

SPEZIFIKATIONEN: • **Nennspannung:** 300 V • **Nennstromstärke:** 15 A • **Drahtgröße:** 28-12 AWG • **Temperatur:** -30 °C / +105 °C • **Entflammbarkeit:** UL94 V-0 • **Farbe:** Grün

Abb. 11

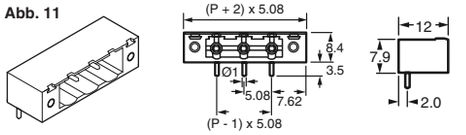

SPEZIFIKATIONEN: • **Nennspannung:** 300 V • **Nennstromstärke:** 15 A • **Temperatur:** -30 °C / +105 °C • **Entflammbarkeit:** UL94 V-0 • **Farbe:** Grün

Abb. 12

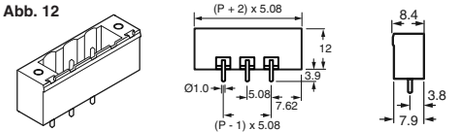

SPEZIFIKATIONEN: • **Nennspannung:** 300 V • **Nennstromstärke:** 15 A • **Temperatur:** -30 °C / +105 °C • **Entflammbarkeit:** UL94 V-0 • **Farbe:** Grün

Abb. 13

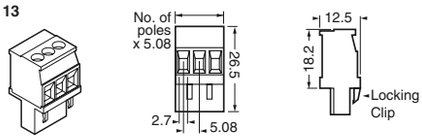

SPEZIFIKATIONEN: • **Nennspannung:** 300 V • **Nennstromstärke:** 15 A • **Drahtgröße:** 22-10 AWG • **Temperatur:** -30 °C / +105 °C • **Entflammbarkeit:** UL94 V-0 • **Farbe:** Grün

Abb. 14

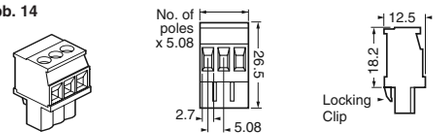

SPEZIFIKATIONEN: • **Nennspannung:** 300 V • **Nennstromstärke:** 15 A • **Drahtgröße:** 22-10 AWG • **Temperatur:** -30 °C / +105 °C • **Entflammbarkeit:** UL94 V-0 • **Farbe:** Grün

Abb. 15

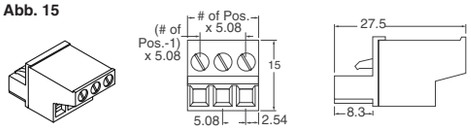

SPEZIFIKATIONEN: • **Nennspannung:** 300 V • **Nennstromstärke:** 15 A • **Drahtgröße:** 22-12 AWG • **Temperatur:** -30 °C / +105 °C • **Entflammbarkeit:** UL94 V-0 • **Farbe:** Grün

Abb. 16

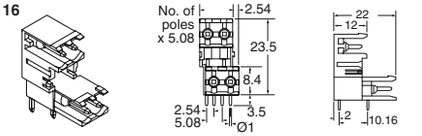

SPEZIFIKATIONEN: • **Nennspannung:** 300 V • **Nennstromstärke:** 15 A • **Temperatur:** -30 °C / +105 °C • **Entflammbarkeit:** UL94 V-0 • **Farbe:** Grün

Abb. 17

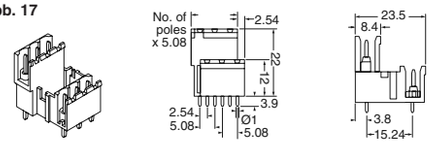

SPEZIFIKATIONEN: • **Nennspannung:** 300 V • **Nennstromstärke:** 15 A • **Temperatur:** -30 °C / +105 °C • **Entflammbarkeit:** UL94 V-0 • **Farbe:** Grün

Abb. 18

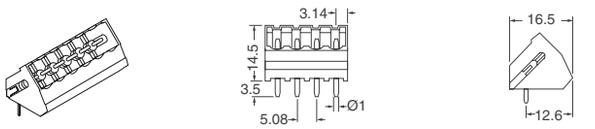

SPEZIFIKATIONEN: • **Nennspannung:** 300 V • **Nennstromstärke:** 15 A • **Temperatur:** -30 °C / +105 °C • **Entflammbarkeit:** UL94 V-0 • **Farbe:** Grün

Abb. 19

SPEZIFIKATIONEN: • **Nennspannung:** 300 V • **Nennstromstärke:** 15 A • **Drahtgröße:** 22-12 AWG • **Temperatur:** -30 °C / +105 °C • **Entflammbarkeit:** UL94V-O • Farbe: Grün

Abb. 20

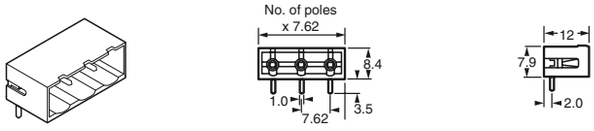

SPEZIFIKATIONEN: • **Nennspannung:** 300 V • **Nennstromstärke:** 15 A • **Temperatur:** -30 °C / +105 °C • **Entflammbarkeit:** UL94V-O • **Farbe:** Grün

Abb. 21

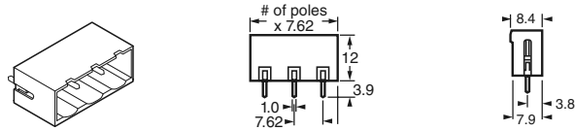

SPEZIFIKATIONEN: • **Nennspannung:** 300 V • **Nennstromstärke:** 15 A • **Temperatur:** -30 °C / +105 °C • **Entflammbarkeit:** UL94V-O • **Farbe:** Grün

Abb.	Anz. der Pole	Block-länge (mm)	Digi-Key Teilenr.	Stückpreis 1	10	100
	6	40.64	ED2431-ND	2.84	2.56	2.28
	7	45.72	ED2432-ND	3.32	2.99	2.66
11	8	50.80	ED2433-ND	3.79	3.42	3.04
	9	55.88	ED2434-ND	4.27	3.84	3.42
	10	60.96	ED2435-ND	4.74	4.27	3.80
5,08 mm Anschlussabstand – vertikale Steckleisten						
	2	10.16	ED1849-ND†	.32	.29	.26
	3	15.24	ED1850-ND†	.48	.44	.39
	4	20.32	ED1851-ND†	.65	.58	.51
	5	25.40	ED1852-ND†	.81	.73	.64
	6	30.48	ED1853-ND†	.97	.87	.77
	7	35.56	ED1854-ND†	1.13	1.01	.89
	8	40.64	ED1855-ND†	1.30	1.16	1.02
9	9	45.72	ED1856-ND†	1.46	1.30	1.15
	10	50.80	ED1857-ND†	1.62	1.45	1.27
	11	55.88	ED1858-ND†	1.78	1.59	1.40
	12	60.96	ED1859-ND†	1.94	1.74	1.53
	14	71.12	ED1860-ND†	2.27	2.03	1.78
	16	81.28	ED1861-ND†	2.59	2.31	2.04
	18	91.44	ED1862-ND†	2.91	2.61	2.29
	20	101.60	ED1863-ND†	3.24	2.89	2.54
	24	121.92	ED1864-ND†	3.89	3.47	3.05
5,08 mm Anschlussabstand – vertikale Steckleisten						
	2	20.32	ED2445-ND	1.42	1.28	1.14
	3	25.40	ED2446-ND	1.42	1.28	1.14
	4	30.48	ED2447-ND	1.90	1.71	1.52
	5	35.56	ED2448-ND	2.37	2.14	1.90
12	6	40.64	ED2449-ND	2.84	2.56	2.28
	7	45.72	ED2450-ND	3.32	2.99	2.66
	8	50.80	ED2451-ND	3.79	3.42	3.04
	9	55.88	ED2452-ND	4.27	3.84	3.42
	10	60.96	ED2453-ND	4.74	4.27	3.80
5,08 mm Anschlussabstand – vertikale Stecker						
	2	10.16	ED1746-ND†	1.24	1.11	.99
	3	15.24	ED1747-ND†	1.85	1.67	1.48
13	4	20.32	ED1748-ND†	2.46	2.22	1.98
	5	25.40	ED1749-ND†	3.08	2.78	2.47
	6	30.48	ED1750-ND†	3.70	3.33	2.96

Abb.	Anz. der Pole	Block-länge (mm)	Digi-Key Teilenr.	Stückpreis 1	10	100
	7	35.56	ED1751-ND†	4.32	3.89	3.46
	8	40.64	ED1752-ND†	4.94	4.44	3.95
	9	45.72	ED1753-ND†	5.55	5.00	4.44
	10	50.80	ED1754-ND†	6.16	5.55	4.94
13	11	55.88	ED1755-ND†	6.78	6.11	5.43
	12	60.96	ED1756-ND†	7.40	6.66	5.92
	14	71.12	ED1757-ND†	8.63	7.77	6.91
	16	81.28	ED1758-ND†	9.86	8.88	7.89
5,08 mm Anschlussabstand – vertikale Stecker						
	2	10.16	ED1759-ND†	1.24	1.11	.99
	3	15.24	ED1760-ND†	1.85	1.67	1.48
	4	20.32	ED1761-ND†	2.46	2.22	1.98
	5	25.40	ED1762-ND†	3.08	2.78	2.47
	6	30.48	ED1763-ND†	3.70	3.33	2.96
	7	35.56	ED1764-ND†	4.32	3.89	3.46
14	8	40.64	ED1765-ND†	4.94	4.44	3.95
	9	45.72	ED1766-ND†	5.55	5.00	4.44
	10	50.80	ED1767-ND†	6.16	5.55	4.94
	11	55.88	ED1768-ND†	6.78	6.11	5.43
	12	60.96	ED1769-ND†	7.40	6.66	5.92
	14	71.12	ED1770-ND†	8.63	7.77	6.91
	16	81.28	ED1771-ND†	9.86	8.88	7.89
5,08 mm Anschlussabstand – Stecker						
	2	5.08	ED1983-ND	1.90	1.71	1.52
	3	10.16	ED1984-ND	2.84	2.56	2.28
	4	15.24	ED1985-ND	3.79	3.42	3.04
	5	20.32	ED1986-ND	4.74	4.27	3.80
	6	25.40	ED1987-ND	5.69	5.12	4.56
	7	30.48	ED1988-ND	6.64	5.98	5.31
	8	35.56	ED1989-ND	7.59	6.83	6.07
15	9	40.64	ED1990-ND	8.53	7.68	6.83
	10	45.72	ED1991-ND	9.48	8.54	7.59
	11	50.80	ED1992-ND	10.43	9.39	8.35
	12	55.88	ED1993-ND	11.38	10.24	9.11
	14	66.04	ED1994-ND	13.27	11.95	10.62
	16	76.20	ED1995-ND	15.17	13.66	12.14
	18	86.36	ED1996-ND	17.07	15.37	13.66
	20	96.52	ED1997-ND	18.96	17.07	15.18
	24	116.84	ED1998-ND	22.76	20.49	18.21

Abb.	Anz. der Pole	Block-länge (mm)	Digi-Key Teilenr.	Stückpreis 1	10	100
5,08 mm Anschlussabstand – horizontale Steckleisten						
16	4	5.08	ED1903-ND	1.42	1.28	1.14
	6	10.16	ED1904-ND	2.13	1.92	1.71
5,08 mm Anschlussabstand – vertikale Steckleisten						
17	4	5.08	ED1905-ND	1.42	1.28	1.14
	6	10.16	ED1906-ND	2.13	1.92	1.71
5,08 mm Anschlussabstand – 45° Steckleiste						
	2	5.08	ED1907-ND	.33	.30	.27
	3	10.16	ED1908-ND	.50	.45	.40
	4	15.24	ED1909-ND	.67	.60	.54
	5	20.32	ED1910-ND	.83	.75	.67
	6	25.40	ED1911-ND	1.00	.90	.80
	7	30.48	ED1912-ND	1.16	1.05	.93
	8	35.56	ED1913-ND	1.33	1.20	1.07
	9	40.64	ED1914-ND	1.50	1.35	1.20
	10	45.72	ED1915-ND	1.66	1.50	1.33
	11	50.80	ED1916-ND	1.83	1.65	1.46
	12	55.88	ED1917-ND	1.99	1.80	1.60
18	13	60.96	ED1918-ND	2.16	1.95	1.73
	14	66.04	ED1919-ND	2.33	2.10	1.86
	15	71.12	ED1920-ND	2.49	2.24	2.00
	16	76.20	ED1921-ND	2.66	2.39	2.13
	17	81.28	ED1922-ND	2.82	2.54	2.26
	18	86.36	ED1923-ND	2.99	2.69	2.39
	19	91.44	ED1924-ND	3.16	2.84	2.53
	20	96.52	ED1925-ND	3.32	2.99	2.66
	21	101.60	ED1926-ND	3.49	3.14	2.79
	22	106.68	ED1927-ND	3.65	3.29	2.93
	23	111.76	ED1928-ND	3.82	3.44	3.06
	24	116.84	ED1929-ND	3.99	3.59	3.19
7,62 mm Anschlussabstand – Stecker						
	2	15.24	ED1733-ND*	1.19	1.07	.95
	3	22.86	ED1734-ND*	1.78	1.60	1.43
19	4	30.48	ED1735-ND*	2.37	2.14	1.90
	5	38.10	ED1736-ND*	2.96	2.67	2.38
	6	45.72	ED1737-ND*	3.56	3.20	2.85
	7	53.34	ED1738-ND*	4.15	3.74	3.32

Abb.	Anz. der Pole	Block-länge (mm)	Digi-Key Teilenr.	Stückpreis 1	10	100
	8	60.96	ED1739-ND*	4.74	4.27	3.80
	9	68.58	ED1740-ND*	5.33	4.80	4.27
	10	76.20	ED1741-ND*	5.93	5.34	4.75
19	11	83.82	ED1742-ND*	6.52	5.87	5.22
	12	91.44	ED1743-ND*	7.11	6.40	5.69
	14	106.68	ED1744-ND*	8.30	7.47	6.64
	16	121.92	ED1745-ND*	9.48	8.54	7.59
7,62 mm Anschlussabstand – horizontale Steckleiste						
	2	15.24	ED1865-ND†	.43	.39	.35
	3	22.86	ED1866-ND†	.64	.58	.52
	4	30.48	ED1867-ND†	.86	.77	.69
	5	38.10	ED1868-ND†	1.07	.96	.86
	6	45.72	ED1869-ND†	1.28	1.16	1.03
	7	53.34	ED1870-ND†	1.50	1.35	1.20
20	8	60.96	ED1871-ND†	1.71	1.54	1.37
	9	68.58	ED1872-ND†	1.92	1.73	1.54
	10	76.20	ED1873-ND†	2.13	1.92	1.71
	11	83.82	ED1874-ND†	2.35	2.12	1.88
	12	91.44	ED1875-ND†	2.57	2.31	2.05
	14	106.68	ED1876-ND†	2.99	2.69	2.39
	16	121.92	ED1877-ND†	3.41	3.08	2.74
7,62 mm Anschlussabstand – vertikale Steckleiste						
	2	15.24	ED1878-ND†	.43	.39	.35
	3	22.86	ED1879-ND†	.64	.58	.52
	4	30.48	ED1880-ND†	.86	.77	.69
	5	38.10	ED1881-ND†	1.07	.96	.86
	6	45.72	ED1882-ND†	1.28	1.16	1.03
	7	53.34	ED1883-ND†	1.50	1.35	1.20
21	8	60.96	ED1884-ND†	1.71	1.54	1.37
	9	68.58	ED1885-ND†	1.92	1.73	1.54
	10	76.20	ED1886-ND†	2.13	1.92	1.71
	11	83.82	ED1887-ND†	2.35	2.12	1.88
	12	91.44	ED1888-ND†	2.57	2.31	2.05
	14	106.68	ED1890-ND†	2.99	2.69	2.39
	16	121.92	ED1891-ND†	3.41	3.08	2.74
Keying Star			ED1901-ND	.67	.60	.54
Keying Star			ED1902-ND	.67	.60	.54

* Keying Star ED1901-ND verwenden † Keying Star ED1902-ND verwenden

Einsteckbare Anschlussblöcke und Stiftsteckleisten

Anschlussblöcke: • **Lochdurchmesser:** 1,3 mm • **Spannung:** 250 V • **Strom:** 16 A • **Temperatur:** -30 °C~120 °C • **Plattierung:** BeCu • **Drahtgröße:** 14-22 AWG • **Entflammbarkeit:** 94V-0 **Stiftsteckleisten** • **Abstand:** 5 mm • **Nennspannung:** 300 V (250 V für ED2673-ND und ED2674-ND) • **Nennstromstärke:** 10 A • **Anschlussüberzug:** Zinn

Abb. 1

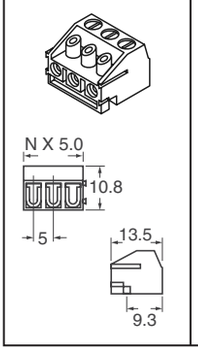

Abb. 2

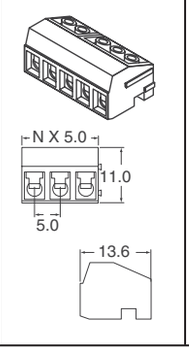

Abb. 3

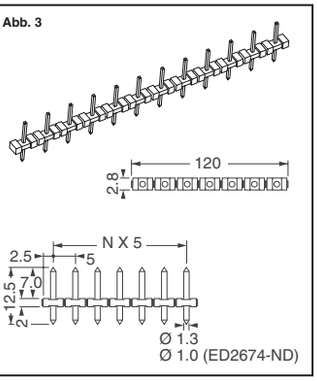

Abb.	Anz. der Pos.	Digi-Key Teilenr.	Preisangaben 1	10	100
		Einsteckbare Anschlussblöcke			
1	2	ED1613-ND	.58	5.27	46.90
	3	ED1614-ND	.88	7.89	70.10
	4	ED2214-ND	1.18	10.59	94.14
	5	ED2215-ND	1.47	13.22	117.51
	6	ED2216-ND	1.76	15.87	141.04
2	7	ED2217-ND	2.06	18.52	164.58
	10	ED2218-ND	2.94	26.46	235.19
	12	ED2219-ND	3.53	31.76	282.26
2	2	ED2655-ND	.29	2.56	22.69
	3	ED2656-ND	.43	3.85	34.20
	4	ED2657-ND	.57	5.12	45.55
	5	ED2658-ND	.71	6.40	56.89
	6	ED2659-ND	.86	7.68	68.24
	7	ED2660-ND	1.00	8.96	79.58
	8	ED2661-ND	1.14	10.25	91.09
	10	ED2662-ND	1.42	12.80	113.78
	12	ED2663-ND	1.78	16.00	142.23
		Pin-Steckleisten			
3	2	ED1660-ND	.24	2.12	18.84
	3	ED1661-ND	.26	2.35	20.81
	4	ED1662-ND	.29	2.59	22.99
	5	ED1663-ND	.32	2.86	25.41
	6	ED1664-ND	.35	3.16	28.08
	7	ED1665-ND	.39	3.49	31.03
	8	ED1666-ND	.43	3.86	34.29
	9	ED1667-ND	.47	4.26	37.89
	10	ED1668-ND	.52	4.71	41.86
	11	ED1669-ND	.58	5.21	46.25
	12	ED1670-ND	.63	5.75	51.11
	13	ED1671-ND	.70	6.35	56.48
	14	ED1672-ND	.78	7.02	62.40
3	15	ED1673-ND	.86	7.75	68.96
	16	ED1674-ND	.95	8.57	76.19
	17	ED1675-ND	1.05	9.47	84.19
	18	ED1676-ND	1.16	10.46	93.02
	19	ED1677-ND	1.29	11.56	102.79
	20	ED1678-ND	1.42	12.78	113.58
	21	ED1679-ND	1.57	14.12	125.50
	22	ED1680-ND	1.74	15.60	138.68
	23	ED1681-ND	1.91	17.24	153.23
	24	ED1682-ND	2.37	21.33	189.64
	24	ED2673-ND	1.42	12.80	113.78
	24	ED2674-ND	1.42	12.80	113.78

Anschlussblöcke

UL# E101811, 86ME2081 CSA# 068503X0000

Spezifikationen: • **Nennstromstärken:** 10 A/15 A/16 A • **Isolator:** PA 6 GV/PBTP und PBT • **Temperaturbereiche:** -30 °C~105 °C/ -33 °C~120 °C • **Entflammbarkeit:** 94V-0

Diese On-Shore Technology-Anschlussblöcke sind für jede Kontaktzahl stapelbar. 4,5 mm Anschlusslänge.

Abb. 1 Kabeleingang: Front-Strom: 16 A -30 °C~105 °C

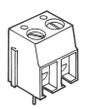

Abb. 2 Kabeleingang: Front-Strom:16A -30 °C~105 °C

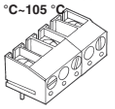

Abb. 3 Kabeleingang: 45°-Strom: 16 A -30 °C~105 °C

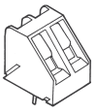

Abb. 4 Doppelanschluss-blockstrom: 16 A -30 °C~105 °C

Abb. 5 Vertikalstrom: 16 A -33 °C~120 °C

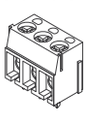

Abb. 6 Horizontalstrom: 16 A -33 °C~120 °C

Abb. 7 Vertikalisolator: PBT-Strom: 16 A -33 °C~120 °C

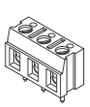

Abb. 8 Vertikalstrom: 16 A -33 °C~120°C

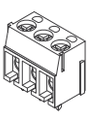

Abb. 9 Horizontalstrom: 16 A -33 °C~120 °C

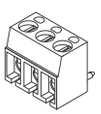

Abb. 10 Vertikalstrom: 16 A -33 °C~120 °C

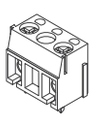

Abb. 11 Horizontalstrom: 16 A -33 °C~120 °C

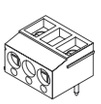

Abb. 12 Vertikalstrom: 16 A -33 °C~120 °C

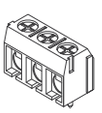

Abb. 13 Vertikalstrom: 16 A -33 °C~120 °C

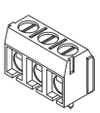

Abb. 14 Horizontalstrom: 16 A -33 °C~120 °C

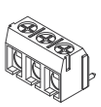

Abb. 15 Horizontalstrom: 10 A -33 °C~120 °C

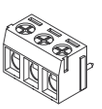

Abb. 16 Vertikalstrom: 10 A -33 °C~120 °C

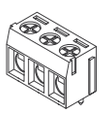

Abb. 17 Vertikalstrom: 16 A -33 °C~120 °C

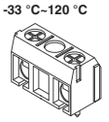

Abb. 18 Horizontalstrom: 16 A -33 °C~120 °C

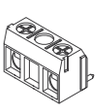

Abb. 19 Horizontalstrom: 10 A -33 °C~120 °C

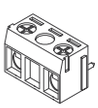

Abb. 20 Vertikalstrom: 15 A -33 °C~120 °C

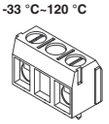

Abb. 21 Vertikalstrom: 10 A -33 °C~120 °C

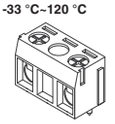

Abb.	Anz. der Pos.	Raster-maß (mm)	Nennsp. (V-) VDE 0110	Term-inal Plating*	Block-länge (mm)	Digi-Key Teilenr.	Preisangaben 1	10	100
1	2	5.0	250	Nickel	10	ED1631-ND	.62	5.55	49.27
	2	5.08	300	Zinn	10.16	ED1643-ND	.52	4.69	41.65
	2	7.5	380	Zinn	15	ED1605-ND	.50	4.48	39.79
	2	10.0	500	Zinn	15	ED1615-ND	.50	4.48	39.79
	2	10.0	250	Zinn	15	ED1627-ND	.50	4.48	39.79
	2	10.0	500	Nickel	15	ED1633-ND	.76	6.82	60.62
	3	5.0	250	Nickel	15	ED1632-ND	.92	8.32	73.99
	3	5.08	300	Zinn	15.24	ED1644-ND	.79	7.05	62.65
	3	7.5	380	Zinn	22.5	ED1606-ND	.75	6.72	59.77
	3	10.0	500	Zinn	25	ED1616-ND	.75	6.72	59.77
	3	10.0	250	Zinn	25	ED1628-ND	.75	6.72	59.77
	3	10.0	500	Nickel	25	ED1634-ND	1.14	10.25	91.09
2	2	5.0	250	Zinn	10	ED1603-ND	.50	4.48	39.79
	2	5.0	125	Zinn	10	ED1625-ND	.50	4.48	39.79
	2	5.08	250	Zinn	10.16	ED1611-ND	.50	4.48	39.79
	2	7.5	380	Zinn	15	ED1607-ND	.57	5.12	45.55
	2	10.0	250	Zinn	15	ED1617-ND	.57	5.12	45.55
	2	10.0	250	Zinn	15	ED1629-ND	.57	5.12	45.55
	3	5.0	250	Zinn	15	ED1604-ND	.75	6.72	59.77
	3	5.0	125	Zinn	15	ED1626-ND	.75	6.72	59.77
	3	5.08	250	Zinn	15.25	ED1612-ND	.75	6.72	59.77
	3	7.5	380	Zinn	22.5	ED1608-ND	.86	7.68	68.24
	3	10.0	250	Zinn	25	ED1618-ND	.86	7.68	68.24
	3	10.0	250	Zinn	25	ED1630-ND	.86	7.68	68.24
3	2	5.0	250	Nickel	10	ED1619-ND	.56	4.99	44.36
	2	10.0	250	Nickel	15	ED1621-ND	.71	6.40	56.89
	3	5.0	250	Nickel	15	ED1620-ND	.83	7.47	66.37
	3	10.0	250	Nickel	25	ED1622-ND	1.07	9.60	85.34
4	2	5.0	300	Zinn	10	ED1653-ND	1.21	10.88	96.68
	3	5.0	300	Zinn	15	ED1654-ND	1.81	16.32	145.11
5	2	5.0	250	Zinn	10	ED2561-ND	.24	2.13	18.96
	3	5.0	250	Zinn	15	ED2562-ND	.36	3.20	28.45
	4	5.0	250	Zinn	20	ED2563-ND	.47	4.27	37.93
	5	5.0	250	Zinn	25	ED2565-ND	.59	5.33	47.41
	6	5.0	250	Zinn	30	ED2566-ND	.71	6.40	56.89
	8	5.0	250	Zinn	40	ED2567-ND	1.07	9.60	85.34
	10	5.0	250	Zinn	50	ED2568-ND	1.19	10.67	94.82
	12	5.0	250	Zinn	60	ED2569-ND	1.42	12.80	113.78
6	2	5.0	250	Messing	10	ED2570-ND	.29	2.56	22.69
	3	5.0	250	Messing	15	ED2571-ND	.43	3.85	34.20
	4	5.0	250	Messing	20	ED2572-ND	.57	5.12	45.55
	5	5.0	250	Messing	25	ED2573-ND	.71	6.40	56.89
	6	5.0	250	Messing	30	ED2574-ND	.86	7.68	68.24
	8	5.0	250	Messing	40	ED2575-ND	1.14	10.25	91.09
	10	5.0	250	Messing	50	ED2576-ND	1.42	12.80	113.78
	12	5.0	250	Messing	60	ED2577-ND	1.71	15.36	136.47
7	2	7.5	250	CuZn	15	ED2578-ND	.38	3.41	30.31
	3	7.5	250	CuZn	22.5	ED2579-ND	.57	5.12	45.55
8	2	5.08	250	Messing	10.16	ED2580-ND	.24	2.13	18.96
	3	5.08	250	Messing	15.24	ED2581-ND	.36	3.20	28.45
	4	5.08	250	Messing	20.32	ED2582-ND	.47	4.27	37.93
	5	5.08	250	Messing	25.4	ED2583-ND	.59	5.33	47.41
	6	5.08	250	Messing	30.48	ED2584-ND	.71	6.40	56.89
	7	5.08	250	Messing	35.56	ED2585-ND	.83	7.47	66.37
	8	5.08	250	Messing	40.64	ED2586-ND	.95	8.53	75.86
	10	5.08	250	Messing	50.8	ED2587-ND	1.19	10.67	94.82
	12	5.08	250	Messing	60.92	ED2588-ND	1.42	12.80	113.78
9	2	5.08	250	Messing	10.16	ED2589-ND	.29	2.56	22.69
	3	5.08	250	Messing	15.24	ED2590-ND	.43	3.85	34.20
	4	5.08	250	Messing	20.32	ED2591-ND	.57	5.12	45.55
	6	5.08	250	Messing	30.48	ED2592-ND	.86	7.68	68.24
	8	5.08	250	Messing	40.64	ED2593-ND	1.14	10.25	91.09
	10	5.08	250	Messing	50.8	ED2594-ND	1.42	12.80	113.78
	12	5.08	250	Messing	60.96	ED2595-ND	1.71	15.36	136.47
10	2	10.0	250	Zinn	15	ED2596-ND	.31	2.79	24.72
	3	10.0	250	Zinn	25	ED2597-ND	.47	4.16	36.91
11	2	10.0	250	Messing	15	ED2598-ND	.33	2.99	26.58
	3	10.0	250	Messing	25	ED2599-ND	.50	4.48	39.79
12	2	5.0	250	Messing	10	ED2600-ND	.24	2.13	18.96
	3	5.0	250	Messing	15	ED2601-ND	.36	3.20	28.45
	4	5.0	250	Messing	20	ED2602-ND	.47	4.27	37.93
	5	5.0	250	Messing	25	ED2603-ND	.59	5.33	47.41
	6	5.0	250	Messing	30	ED2604-ND	.71	6.40	56.89
	7	5.0	250	Messing	35	ED2605-ND	.83	7.47	66.37
	8	5.0	250	Messing	40	ED2606-ND	.95	8.53	75.86
	10	5.0	250	Messing	50	ED2607-ND	1.19	10.67	94.82
	12	5.0	250	Messing	60	ED2608-ND	1.42	12.80	113.78
13	2	5.08	300	Messing	10.16	ED2609-ND	.24	2.13	18.96
	3	5.08	300	Messing	15.24	ED2610-ND	.36	3.20	28.45
	4	5.08	300	Messing	20.32	ED2611-ND	.47	4.27	37.93
	5	5.08	300	Messing	25.4	ED2612-ND	.59	5.33	47.41
	6	5.08	300	Messing	30.48	ED2613-ND	.71	6.40	56.89
	7	5.08	300	Messing	35.56	ED2614-ND	.83	7.47	66.37
	8	5.08	300	Messing	40.64	ED2615-ND	.95	8.53	75.86
	10	5.08	300	Messing	50.8	ED2616-ND	1.19	10.67	94.82
	12	5.08	300	Messing	60.96	ED2617-ND	1.42	12.80	113.78
14	2	5.0	250	Messing	10	ED2618-ND	.29	2.56	22.69
	3	5.0	250	Messing	15	ED2619-ND	.43	3.85	34.20
	4	5.0	250	Messing	20	ED2620-ND	.57	5.12	45.55
	5	5.0	250	Messing	25	ED2621-ND	.71	6.40	56.89
	6	5.0	250	Messing	30	ED2622-ND	.86	7.68	68.24
15	2	3.5	125	Messing	7	ED2623-ND	.29	2.56	22.69
	3	3.5	125	Messing	10.5	ED2624-ND	.43	3.85	34.20
	4	3.5	125	Messing	14	ED2625-ND	.57	5.12	45.55
	5	3.5	125	Messing	17.5	ED2626-ND	.71	6.40	56.89
	6	3.5	125	Messing	21	ED2627-ND	.86	7.68	68.24
	7	3.5	125	Messing	24.5	ED2628-ND	1.00	8.96	79.58
	8	3.5	125	Messing	28	ED2629-ND	1.14	10.25	91.09
	9	3.5	125	Messing	31.5	ED2630-ND	1.28	11.52	102.44
	10	3.5	125	Messing	35	ED2631-ND	1.42	12.80	113.78
	12	3.5	125	Messing	49	ED2632-ND	1.71	15.36	136.47
	14	3.5	125	Messing	56	ED2633-ND	1.99	17.92	159.33
	16	3.5	125	Messing	63	ED2634-ND	2.28	20.48	182.02
16	2	3.5	125	Messing	7	ED2635-ND	.29	2.56	22.69
	3	3.5	125	Messing	10.5	ED2636-ND	.43	3.85	34.20
	4	3.5	125	Messing	14	ED2637-ND	.57	5.12	45.55
	5	3.5	125	Messing	17.5	ED2638-ND	.71	6.40	56.89
	6	3.5	125	Messing	21	ED2639-ND	.86	7.68	68.24
	7	3.5	125	Messing	24.5	ED2640-ND	1.00	8.96	79.58
	8	3.5	125	Messing	28	ED2641-ND	1.14	10.25	91.09
	9	3.5	125	Messing	31.5	ED2642-ND	1.28	11.52	102.44
	10	3.5	125	Messing	35	ED2643-ND	1.42	12.80	113.78
	12	3.5	125	Messing	49	ED2644-ND	1.71	15.36	136.47
	14	3.5	125	Messing	56	ED2645-ND	1.99	17.92	159.33
	16	3.5	125	Messing	63	ED2646-ND	2.28	20.48	182.02
17	2	10.0	250	Messing	15	ED2647-ND	.29	2.56	22.69
	3	10.0	250	Messing	25	ED2648-ND	.43	3.85	34.20
18	2	10.0	250	Messing	15	ED2649-ND	.31	2.79	24.72
	3	10.0	250	Messing	25	ED2650-ND	.47	4.16	36.91
19	2	7.0	125	Messing	3.5	ED2651-ND	.31	2.82	25.06
	3	7.0	125	Messing	10.5	ED2652-ND	.47	4.23	37.59
20	2	10.16	300	Messing	15.24	ED2653-ND	.29	2.56	22.69
	3	10.16	300	Messing	25.4	ED2654-ND	.43	3.85	34.20
21	2	7.0	125	Messing	10.5	ED2666-ND	.29	2.56	22.69
	3	7.0	125	Messing	17.5	ED2667-ND	.43	3.85	34.20
	4	7.0	125	Messing	24.5	ED2668-ND	.57	5.12	45.55
	5	7.0	125	Messing	31.5	ED2669-ND	.71	6.40	56.89
	6	7.0	125	Messing	38.5	ED2670-ND	.86	7.68	68.24
	7	7.0	125	Messing	45.5	ED2671-ND	1.00	8.96	79.58
	8	7.0	125	Messing	52.5	ED2672-ND	1.14	10.25	91.09

* Anschliussüberzug

Alle Preisangaben in Euro und inklusive Zollgebühren.

Abb. 1	Abb. 2	Abb. 3	Abb. 4	Abb. 5
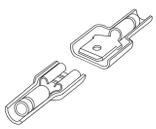	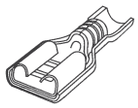	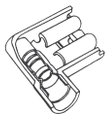	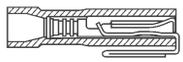	

Abb. 6	Abb. 7	Abb. 8	Abb. 9	Abb. 10
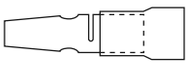	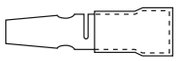	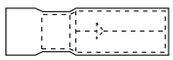	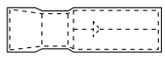	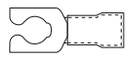

Voll isolierteSchnelltrennungen

Abb.	AWG	Crimp-werkzeug Nr.	Ösengröße, Zoll (mm)	Max. Wire Insul. Dia. ** Zoll (mm)	Digi-Key Teilenr.	Stückpreis 10	100	500	Molex Teilenr.
Avikrimp® - Stecker									
1	22-18 Rot	18	.250 (6.35)	.140 (3.56)	WM18225-ND	.43	.35	.29	19001-0001
		18	.187 (4.75)	.140 (3.56)	WM18226-ND	.43	.35	.29	19001-0003
	16-14 Blau	18	.250 (6.35)	.170 (4.32)	WM18227-ND	.43	.34	.29	19001-0006
		18	.187 (4.75)	.170 (4.32)	WM18228-ND	.49	.39	.33	19001-0008
	12-10 Gelb	4	.250 (6.35)	.230 (5.84)	WM18229-ND	.51	.41	.34	19001-0010
Avikrimp® - Buchse									
1	22-18 Rot	15	.250 (6.35)	.125 (3.18)	WM18230-ND	.39	.32	.26	19002-0001
			.187 (4.75)	.125 (3.18)	WM18231-ND	.39	.32	.26	19002-0005
	16-14 Blau	15	.250 (6.35)	.155 (3.94)	WM18232-ND	.39	.32	.26	19002-0024
			.187 (4.75)	.155 (3.94)	WM18233-ND	.40	.32	.27	19002-0028
	12-10 Gelb	15	.250 (6.35)	.245 (6.22)	WM18234-ND	.46	.37	.31	19002-0044
Insulkrimp® - Buchse (Standard-Kelchung)									
2	26-24 Gelb	5	.250 (6.35)	.075 (1.91)	WM18235-ND	.21	.17	.14	19003-0071
			.187 (4.75)	.075 (1.91)	WM18236-ND	.20	.16	.14	19003-0064
	22-18 Rot	15	.250 (6.35)	.135 (3.43)	WM18237-ND	.22	.18	.15	19003-0001
			.187 (4.75)	.135 (3.43)	WM18238-ND	.21	.17	.14	19003-0011
	22-18 Rot	—	.187 x .032 (4.75 x 0.81)	.135 (3.43)	WM5928-ND*	.24	.19	.16	19003-0129
	16-14 Blau	14	.250 (6.35)	.145 (3.68)	WM18239-ND	.21	.17	.14	19003-0040
		14	.187 (4.75)	.160 (4.06)	WM18240-ND	.17	.13	.11	19003-0050
	16-14 Blau	14	.250 x .032 (6.35 x 0.81)	.145 (3.68)	WM5929-ND*	.19	.15	.13	19003-0044
		—	.187 x .020 (4.75 x 0.51)	.160 (4.06)	WM5927-ND*	.25	.20	.17	19003-0132
		—	.187 x .032 (4.75 x 0.81)	.160 (4.06)	WM5930-ND*	.27	.22	.18	19003-0135
Insulkrimp® - Buchse (Erweiterter Öffnungswinkel)									
2	12-10 Gelb	15	.250 (6.35)	.275 (6.98)	WM18241-ND	.30	.24	.20	19005-0010

* Mit 94V-0 Material ** Max. Drahtisolierung Durchmesser

Avikrimp® Schnelltrennfahnen, voll vorisoliert

Abb.	AWG	Crimp-werkzeug Nr.	Ösengröße, Zoll (mm)	Max. Wire Insul. Dia. ** Zoll (mm)	Digi-Key Teilenr.	Stückpreis 10	100	500	Molex Teilenr.
3	22-18 Rot	9	.250 x .032(6.35 x 0.81)	.150 (3.81)	WM18242-ND	.40	.32	.27	19006-0001
			.187 x .020 (4.75 x 0.51)	.150 (3.81)	WM18245-ND	.40	.32	.27	19006-0005
	16-14 Blau	9	.250 x .032 (6.35 x 0.81)	.170 (4.32)	WM18243-ND	.41	.33	.27	19006-0011
			.187 .020 (4.75 x 0.81)	.170 (4.32)	WM18246-ND	.40	.33	.27	19006-0015
	12-10 Gelb	10	.250 x .032 (6.35 x 0.81)	.248 (6.30)	WM18244-ND	.79	.64	.53	19006-0019

** Max. Drahtisolierung Durchmesser

Insulkrimp® Schnelltrennfahnen, voll isoliert

Abb.	AWG	Crimp-werkzeug Nr.	Ösengröße, Zoll (mm)	Max. Wire Insul. Dia. ** Zoll (mm)	Digi-Key Teilenr.	Stückpreis 10	100	500	Molex Teilenr.
3	22-18 Rot	11	.250 (6.35)	.175 (4.44)	WM18247-ND	.20	.16	.14	19007-0001
			.187 (4.75)	.175 (4.44)	WM18250-ND	.31	.25	.21	19007-0009
	16-14 Blau	11	.250 (6.35)	.200 (5.08)	WM18248-ND	.31	.25	.21	19007-0021
			.187 (4.75)	.200 (5.08)	WM18251-ND	.30	.24	.20	19007-0029
	16-14 Blau	11	.250 (6.35)	.200 (5.08)	WM5931-ND*	.27	.22	.18	19007-0073
	12-10 Gelb	10	.250 (6.35)	.262 (6.65)	WM18249-ND	.68	.54	.45	19007-0040

* Mit 94V-0 Material ** Max. Drahtisolierung Durchmesser

Piggyback QD, voll isolierte Schnelltrennungen

Abb.	AWG	Crimp-werkzeug Nr.	Ösengröße, Zoll (mm)	Max. Wire Insul. Dia. ** Zoll (mm)	Digi-Key Teilenr.	Stückpreis 10	100	500	Molex Teilenr.
4	22-18	10	.250 (6.35)	.060 (1.52)	WM18252-ND	.59	.47	.39	19013-0001
	16-14	10	.250 (6.35)	.145 (3.68)	WM18253-ND	.59	.48	.40	19013-0005
	12-10	19	.250 (6.35)	.150 (3.81)	WM18254-ND	.84	.67	.56	19013-0018

** Max. Drahtisolierung Durchmesser

Avikrimp® mit Nylon isolierte Schnelltrennungen mit Vibrations-Support

Abb.	AWG	Crimp-werkzeug Nr.	Ösengröße, Zoll (mm)	Max. Wire Insul. Dia. ** Zoll (mm)	Digi-Key Teilenr.	Stückpreis 10	100	500	Molex Teilenr.
Buchsenanschluss									
5	22-18	18	.250 x.032 (6.3 x 0.8)	.115 (2.9)	WM18255-ND	.24	.19	.16	19019-0012
			.187 x .020 (4.7 x 0.5)	.115 (2.9)	WM18257-ND	.19	.15	.13	19019-0006
			.110 x .032 (2.8 x 0.8)	.115 (2.9)	WM18259-ND	.19	.15	.13	19019-0004
			.110 x .020 (2.8 x 0.5)	.115 (2.9)	WM18260-ND	.25	.20	.17	19019-0001
	16-14	18	.250 x .032 (6.3 x 0.8)	.138 (3.5)	WM18262-ND	.19	.15	.13	19019-0031
			.187 x .020 (4.7 x 0.5)	.138 (3.5)	WM18258-ND	.19	.15	.13	19019-0027
			.110 x .020 (2.8 x 0.5)	.138 (3.5)	WM18261-ND	.25	.20	.17	19019-0022
	12-10	18	.250 x .032 (6.3 x 0.8)	.225 (5.7)	WM18256-ND	.38	.30	.25	19019-0037

Schnappstecker

Abb.	AWG	Crimp-werkzeug Nr.	Durchmesser-Zoll (mm)	Max. Wire Insul. Dia. ** Zoll (mm)	Digi-Key Teilenr.	Stückpreis 10	100	500	Molex Teilenr.
Insulkrimp® (PVC-Isolierung)									
6	22-18	12	.156 (3.96)	.140 (3.6)	WM18263-ND	.20	.16	.14	19034-0005
	16-14	12	.156 (3.96)	.175 (4.4)	WM18264-ND	.19	.15	.13	19034-0009
Avikrimp® (Nylon-Isolierung)									
7	22-18	12	.156 (3.96)	.140 (3.6)	WM18267-ND	.31	.25	.21	19036-0003
	16-14	12	.156 (3.96)	.170 (4.3)	WM18268-ND	.33	.26	.22	19036-0008

Schnappsteckerbuchsen

Abb.	AWG	Crimp-werkzeug Nr.	Schnappstecker-durchmesser Zoll (mm)	Max. Wire Insul. Dia. ** Zoll (mm)	Digi-Key Teilenr.	Stückpreis 10	100	500	Molex Teilenr.
Insulkrimp® (PVC-Isolierung)									
8	22-18	20	.156 (3.9)	.140 (3.5)	WM18265-ND	.19	.15	.13	19038-0001
	16-14	13	.156 (3.9)	.170 (4.3)	WM18266-ND	.19	.15	.13	19038-0007
Avikrimp® (Nylon-Isolierung)									
9	22-18	20	.156 (3.9)	.125 (3.2)	WM18269-ND	.30	.24	.20	19039-0001
	16-14	13	.156 (3.9)	.150 (3.8)	WM18270-ND	.30	.24	.20	19039-0006

Schnappkabelanschlüsse

Abb.	AWG	Crimp-werkzeug Nr.	Bolzen-größe	Max. Wire Insul. Dia.** Zoll (mm)	Max. Breite, Zoll (mm)	Digi-Key Teilenr.	Stückpreis 10	100	500	Molex Teilenr.
Insulkrimp® (PVC-Isolierung)										
10	22-18 Rot	12	5-6	.145 (3.7)	.260 (6.6)	WM18315-ND	.15	.12	.10	19099-0009
			8	.145 (3.7)	.300 (7.6)	WM18316-ND	.15	.12	.10	19099-0003
			10	.145 (3.7)	.340 (8.6)	WM18317-ND	.15	.12	.10	19099-0015
	16-14 Blau	12	5-6	.175 (4.4)	.260 (6.6)	WM18318-ND	.19	.15	.13	19099-0027
			8	.175 (4.4)	.320 (8.1)	WM18319-ND	.20	.16	.13	19099-0032
			10	.175 (4.4)	.340 (8.6)	WM18320-ND	.15	.12	.10	19099-0034
	12-10 Gelb	12	5-6	.250 (6.4)	.260 (6.6)	WM18321-ND	.28	.23	.19	19099-0044
			8	.250 (6.4)	.330 (8.4)	WM18322-ND	.25	.20	.17	19099-0038
			10	.250 (6.4)	.340 (8.6)	WM18323-ND	.19	.16	.13	19099-0050
Avikrimp® (Nylon-Isolierung)										
10	22-18 Rot	12	5-6	.140 (3.6)	.260 (6.6)	WM18324-ND	.20	.16	.14	19115-0009
			5-6	.140 (3.6)	.270 (6.8)	WM18325-ND	.26	.21	.17	19115-0001
			8	.140 (3.6)	.300 (7.6)	WM18326-ND	.20	.16	.14	19115-0003
			8	.140 (3.6)	.320 (8.1)	WM18327-ND	.26	.21	.17	19115-0012
			10	.140 (3.6)	.340 (8.6)	WM18328-ND	.26	.21	.18	19115-0014
	16-14 Blau	12	5-6	.170 (4.3)	.260 (6.6)	WM18329-ND	.26	.21	.18	19115-0024
			5-6	.170 (4.3)	.270 (6.8)	WM18330-ND	.20	.16	.14	19115-0016
			8	.170 (4.3)	.320 (8.1)	WM18331-ND	.20	.16	.14	19115-0079
			10	.170 (4.3)	.340 (8.6)	WM18332-ND	.22	.18	.15	19115-0031
	12-10 Gelb	12	5-6	.225 (5.7)	.260 (6.6)	WM18333-ND	.47	.38	.32	19115-0042
			8	.225 (5.7)	.330 (8.4)	WM18334-ND	.25	.20	.17	19115-0035
			10	.225 (5.7)	.340 (8.6)	WM18335-ND	.27	.22	.18	19115-0048

** Max. Drahtisolierung Durchmesser

(Forts.)

Abb. 11 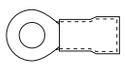

Abb. 12 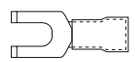

Abb. 13

Abb. 14

Abb. 15

Abb. 16 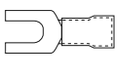

Abb. 17 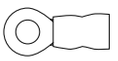

Abb. 18

Abb. 19

Abb. 20 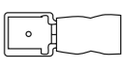

Abb. 21 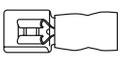

Standard-Ringzunge

Abb.	AWG	Crimp-werkzeug Nr.	Bolzen-größe	Max. Breite, Zoll (mm)	Digi-Key Teilenr.	Stückpreis 10	100	500	Molex Teilenr.
Insulkrimp® (PVC-Isolierung)									
11	22-18	12	1-2	.235 (6.0)	WM18271-ND	.13	.11	.09	19070-0005
			3-4	.235 (6.0)	WM18272-ND	.13	.11	.09	19070-0007
			5-6	.264 (6.7)	WM18273-ND	.18	.15	.12	19070-0040
			10	.322 (8.2)	WM18275-ND	.19	.16	.13	19070-0015
			1/4	.477 (12.1)	WM18276-ND	.21	.17	.14	19070-0023
			5/16	.477 (12.1)	WM18277-ND	.21	.17	.14	19070-0026
			3/8	.544 (13.8)	WM18278-ND	.22	.18	.15	19070-0033
	16-14	12	3-4	.260 (6.6)	WM18279-ND	.18	.14	.12	19070-0067
			5-6	.260 (6.6)	WM18280-ND	.18	.15	.12	19070-0069
			8	.322 (8.2)	WM18281-ND	.13	.11	.09	19070-0086
			10	.322 (8.2)	WM18282-ND	.19	.15	.13	19070-0090
			1/4	.477 (12.1)	WM18283-ND	.21	.17	.14	19070-0075
			5/16	.477 (12.1)	WM18284-ND	.20	.16	.14	19070-0078
			3/8	.544 (13.8)	WM18285-ND	.24	.19	.16	19070-0059
	12-10	12	5-6	.292 (7.4)	WM18286-ND	.17	.14	.12	19070-0143
			8	.292 (7.4)	WM18287-ND	.23	.19	.16	19070-0145
			10	.385 (9.8)	WM18288-ND	.17	.14	.12	19070-0123
			1/4	.540 (13.7)	WM18289-ND	.19	.16	.13	19070-0132
			5/16	.540 (13.7)	WM18290-ND	.19	.16	.13	19070-0136
			3/8	.598 (15.2)	WM18291-ND	.29	.23	.19	19070-0153
			1/2	.760 (19.3)	WM18292-ND	.34	.27	.23	19070-0109
Avikrimp® (Nylon-Isolierung)									
11	22-18	12	1-2	.235 (6.0)	WM18293-ND	.24	.19	.16	19073-0005
			3-4	.235 (6.0)	WM18294-ND	.24	.19	.16	19073-0007
			5-6	.264 (6.7)	WM18295-ND	.24	.20	.16	19073-0038
			8	.322 (8.2)	WM18296-ND	.20	.16	.13	19073-0013
			10	.322 (8.2)	WM18297-ND	.20	.16	.13	19073-0017
			1/4	.477 (12.1)	WM18298-ND	.27	.22	.18	19073-0024
			5/16	.477 (12.1)	WM18299-ND	.27	.22	.18	19073-0027
			3/8	.544 (13.8)	WM18300-ND	.36	.29	.24	19073-0032
	16-14	12	3-4	.260 (6.6)	WM18301-ND	.25	.20	.17	19073-0065
			5-6	.260 (6.6)	WM18302-ND	.20	.16	.13	19073-0067
			8	.322 (8.2)	WM18303-ND	.26	.21	.17	19073-0085
			10	.322 (8.2)	WM18304-ND	.20	.16	.13	19073-0087
			1/4	.477 (12.1)	WM18305-ND	.28	.22	.19	19073-0076
			5/16	.477 (12.1)	WM18306-ND	.28	.22	.19	19073-0079
			3/8	.544 (13.8)	WM18307-ND	.30	.24	.20	19073-0059
	12-10	12	5-6	.292 (7.4)	WM18308-ND	.35	.28	.23	19073-0216
			8	.292 (7.4)	WM18309-ND	.35	.28	.23	19073-0222
			10	.385 (9.8)	WM18310-ND	.32	.26	.22	19073-0170
			1/4	.540 (13.7)	WM18311-ND	.38	.31	.26	19073-0188
			5/16	.540 (13.7)	WM18312-ND	.26	.21	.18	19073-0200
			3/8	.598 (15.2)	WM18313-ND	.40	.32	.27	19073-0236
			1/2	.760 (19.3)	WM18314-ND	.43	.35	.29	19073-0145

Geflanschte Kabelanschlüsse

Abb.	AWG	Crimp-werkzeug Nr.	Bolzen-größe	Max. Wire Insul. Dia.* Zoll (mm)	Max. Breite, Zoll (mm)	Digi-Key Teilenr.	Stückpreis 10	100	500	Molex Teilenr.
Insulkrimp® (PVC-Isolierung)										
12	22-18 Rot	12	5-6	.145 (3.7)	.301 (7.6)	WM18336-ND	.13	.11	.09	19121-0005
			8	.145 (3.7)	.301 (7.6)	WM18337-ND	.19	.15	.13	19121-0007
			10	.145 (3.7)	.301 (7.6)	WM18338-ND	.19	.15	.13	19121-0009
	16-14 Blau	12	5-6	.175 (4.4)	.301 (7.6)	WM18339-ND	.18	.14	.12	19121-0026
			8	.175 (4.4)	.301 (7.6)	WM18340-ND	.13	.11	.09	19121-0028
			10	.175 (4.4)	.301 (7.6)	WM18341-ND	.13	.11	.09	19121-0030
	12-10 Gelb	12	8	.250 (6.4)	.385 (9.8)	WM18342-ND	.15	.12	.10	19121-0053
			10	.250 (6.4)	.385 (9.8)	WM18343-ND	.15	.12	.10	19121-0056
Avikrimp® (Nylon-Isolierung)										
12	22-18	12	5-6	.140 (3.6)	.301 (7.6)	WM18344-ND	.24	.20	.16	19127-0007
			10	.140 (3.6)	.301 (7.6)	WM18346-ND	.24	.20	.16	19127-0012
	16-14 Blau	17	5-6	.170 (4.3)	.301 (7.6)	WM18347-ND	.25	.20	.17	19127-0039
		12	8	.170 (4.3)	.301 (7.6)	WM18348-ND	.25	.20	.17	19127-0042
		12	10	.170 (4.3)	.301 (7.6)	WM18349-ND	.25	.20	.17	19127-0099
	12-10 Gelb	12	8	.225 (5.7)	.385 (9.8)	WM18350-ND	.39	.32	.26	19127-0086
			10	.225 (5.7)	.385 (9.8)	WM18351-ND	.39	.32	.26	19127-0089

Drahtstiftanschlüsse

Abb.	AWG	Crimp-werkzeug Nr.	Pin-Durchm. Zoll (mm)	Max. Wire Insul. Dia.* Zoll (mm)	Digi-Key Teilenr.	Stückpreis 10	100	500	Molex Teilenr.
Krimptite® (nicht-isoliert)									
13	22-18	17	.08 (2.03)	—	WM18374-ND	.14	.11	.10	19211-0003
	16-14		.08 (2.03)	—	WM18375-ND	.14	.11	.10	19211-0005
	12-10		.12 (3.05)	—	WM18376-ND	.19	.15	.13	19211-0001
Insulkrimp® (PVC-Isolierung)									
14	22-18 Rot	12	.08 (2.03)	.145 (3.68)	WM18377-ND	.24	.19	.16	19212-0003
	16-14 Blau		.08 (2.03)	.175 (4.44)	WM18378-ND	.16	.13	.11	19212-0005
	12-10 Gelb		.12 (3.05)	.25 (6.35)	WM18379-ND	.21	.17	.14	19212-0001
Avikrimp® (Nylon-Isolierung)									
15	22-18 Rot	12	.08 (2.03)	.14 (3.56)	WM18380-ND	.30	.24	.20	19213-0009
	16-14 Blau		.08 (2.03)	.17 (4.32)	WM18381-ND	.30	.24	.20	19213-0011
	12-10 Gelb		.12 (3.05)	.225 (5.71)	WM18382-ND	.36	.29	.24	19213-0007

Zungenanschlüsse

Abb.	AWG	Crimp-werkzeug Nr.	Bolzen-größe	Max. Wire Insul. Dia.* Zoll (mm)	Max. Breite, Zoll (mm)	Digi-Key Teilenr.	Stückpreis 10	100	500	Molex Teilenr.
Insulkrimp® (PVC-Isolierung)										
16	22-18 Rot	12	5-6	.145 (3.7)	.326 (8.3)	WM18352-ND	.13	.11	.09	19144-0001
			8	.145 (3.7)	.326 (8.3)	WM18353-ND	.13	.11	.09	19144-0003
			10	.145 (3.7)	.326 (8.3)	WM18354-ND	.19	.15	.13	19144-0005
	16-14 Blau	12	5-6	.175 (4.4)	.305 (7.7)	WM18355-ND	.15	.12	.10	19144-0018
			8	.175 (4.4)	.305 (7.7)	WM18356-ND	.15	.12	.10	19144-0020
			8	.175 (4.4)	.372 (9.4)	WM18357-ND	.13	.11	.09	19144-0024
			10	.175 (4.4)	.372 (9.4)	WM18358-ND	.19	.15	.13	19144-0026
	12-10 Gelb	12	5-6	.250 (6.4)	.385 (9.8)	WM18359-ND	.15	.12	.10	19144-0037
			8	.250 (6.4)	.385 (9.8)	WM18360-ND	.29	.24	.20	19144-0039
			10	.250 (6.4)	.385 (9.8)	WM18361-ND	.15	.12	.10	19144-0042
			1/4	.250 (6.4)	.543 (13.8)	WM18362-ND	.27	.22	.18	19144-0046
Avikrimp® (Nylon-Isolierung)										
16	22-18 Rot	12	5-6	.140 (3.6)	.326 (8.3)	WM18363-ND	.26	.21	.17	19198-0070
			8	.140 (3.6)	.326 (8.3)	WM18364-ND	.26	.21	.17	19198-0004
			10	.140 (3.6)	.326 (8.3)	WM18365-ND	.26	.21	.17	19198-0006
	16-14 Blau	12	5-6	.170 (4.3)	.305 (7.7)	WM18366-ND	.25	.20	.17	19198-0016
			8	.170 (4.3)	.305 (7.7)	WM18367-ND	.22	.17	.15	19198-0019
			10	.170 (4.3)	.372 (9.4)	WM18369-ND	.26	.21	.18	19198-0025
	12-10 Gelb	12	5-6	.225 (5.7)	.385 (9.8)	WM18370-ND	.37	.30	.25	19198-0044
			8	.225 (5.7)	.385 (9.8)	WM18371-ND	.37	.30	.25	19198-0047
			10	.225 (5.7)	.385 (9.8)	WM18372-ND	.37	.30	.25	19198-0050
			1/4	.225 (5.7)	.543 (13.8)	WM18373-ND	.38	.30	.25	19198-0056

Perma-Seal - Für jedes Wetter, wärmeversiegelbare Nylonanschlüsse und Spleiße

Abb.	AWG	Crimpwerkzeug Nr.	Bolzen-größe	Digi-Key Teilenr.	Stückpreis 10	100	500	Molex Teilenr.
Ring								
17	22/18	1	6	WM18397-ND	.73	.59	.49	19164-0085
			8	WM18398-ND	.73	.58	.49	19164-0086
			10	WM18399-ND	.73	.59	.49	19164-0003
			1/4	WM18400-ND	.73	.59	.49	19164-0004
			3/8	WM18401-ND	.73	.58	.49	19164-0005
	16/14	1	6	WM18402-ND	.76	.61	.51	19164-0032
			8	WM18403-ND	.76	.61	.51	19164-0033
			10	WM18404-ND	.77	.61	.51	19164-0034
			1/4	WM18405-ND	.77	.61	.51	19164-0026
			5/16	WM18406-ND	.77	.61	.51	19164-0027
			3/8	WM18407-ND	.76	.61	.51	19164-0020
	12/10	1	6	WM18408-ND	.82	.66	.55	19164-0061
			8	WM18409-ND	.82	.66	.55	19164-0062
			10	WM18410-ND	.82	.66	.55	19164-0065
			1/4	WM18411-ND	.75	.60	.50	19164-0066
			5/16	WM18412-ND	.82	.66	.55	19164-0067
			3/8	WM18413-ND	.82	.66	.55	19164-0068
			1/2	WM18414-ND	.82	.66	.55	19164-0058
Kabelschuh								
18	22/18	1	6	WM18415-ND	.73	.58	.49	19164-0006
			8	WM18416-ND	.73	.59	.49	19164-0007
			10	WM18417-ND	.73	.58	.49	19164-0008
	16/14	1	6	WM18418-ND	.76	.61	.51	19164-0028
			8	WM18419-ND	.76	.61	.51	19164-0029
			10	WM18420-ND	.76	.61	.51	19164-0030
	12/10	1	6	WM18421-ND	.82	.66	.55	19164-0069
			8	WM18422-ND	.82	.66	.55	19164-0070
			10	WM18423-ND	.82	.66	.55	19164-0072
			1/4	WM18424-ND	.82	.66	.55	19164-0073
Stumpfspleiße								
19	22-18	1	—	WM18425-ND	.76	.61	.51	19164-0013
	16-14		—	WM18426-ND	.79	.64	.53	19164-0044
	12-10		—	WM18427-ND	.85	.68	.57	19164-0056
Schnelltrennkupplung - Stift								
20	22/18	3	.250 (6.35)	WM18428-ND	.75	.60	.50	19164-0015
	16/14	3	.250 (6.35)	WM18430-ND	.79	.63	.53	19164-0048
	12/10	2	.250 (6.35)	WM18432-ND	.85	.68	.57	19164-0075
Schnelltrennkupplung - Buchse								
21	22/18	3	.250 (6.35)	WM18429-ND	.75	.60	.50	19164-0017
	16/14	3	.250 (6.35)	WM18431-ND	.79	.63	.53	19164-0050
	12/10	2	.250 (6.35)	WM18433-ND	.85	.68	.57	19164-0076

* Max. Drahtisolierung Durchmesser

(Forts.)

Abb. 22

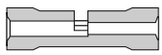

Abb. 23

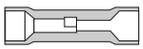

Abb. 24

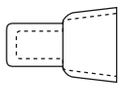

Abb. 25

Abb. 26

Abb. 27

Stoßverbinder, Step Down

Abb.	AWG	Crimp Tool #*	Isolierfarbe	Digi-Key Teilenr.	Stückpreis 10	100	500	Molex Teilenr.
22	16/14 ~ 22/18	17	Nicht isoliert	WM18389-ND	.89	.71	.59	19215-0013
	12/10 ~ 16/14		Nicht isoliert	WM18390-ND	.95	.76	.64	19215-0023
23	16/14 ~ 22/18	12	Blau mit rotem Streifen	WM18391-ND	.75	.60	.50	19154-0022
	12/10 ~ 16/14	8	Gelb mit blauem Streifen	WM18392-ND	.99	.80	.66	19154-0035

Mit Nylon isolierte Steckverbinder mit geschlossenen Enden

Abb.	AWG	Crimp Tool #*	Durchmesser Zoll (mm)	Digi-Key Teilenr.	Stückpreis 10	100	500	Molex Teilenr.
24	22-14	—	.31 (7.8)	WM18393-ND	.11	.09	.08	19160-0012
	22-12	6	.35 (8.9)	WM18394-ND	.11	.09	.08	19160-0009
	16-10	—	.44 (11.2)	WM18395-ND	.15	.12	.10	19160-0002
	8	7	.56 (14.2)	WM18396-ND	.29	.23	.19	19160-0024

Ringkontaktanschlüsse für hohe Beanspruchung

Abb.	AWG	Crimp Tool #*	Bolzen-größe	Abmessungen Länge, Zoll (mm)	Breite, Zoll (mm)	Digi-Key Teilenr.	Stückpreis 1	10	100	Molex Teilenr.
25	8	16	1#10	1.20 (30.48)	.445 (11.30)	WM5932-ND	.76	.64	.46	19221-0223
			1/4	1.20 (30.48)	.445 (11.30)	WM5933-ND	.76	.63	.46	19221-0224
			5/16	1.305 (33.15)	.445 (11.30)	WM5934-ND	.76	.63	.46	19221-0225
			3/8	1.305 (33.15)	.605 (15.37)	WM5935-ND	1.02	.85	.61	19221-0226
	6	16	1/4	1.270 (32.26)	.605 (15.37)	WM5936-ND	1.35	1.12	.80	19221-0227
			5/16	1.410 (35.81)	.605 (15.37)	WM5937-ND	1.44	1.19	.85	19221-0228
			3/8	1.410 (35.81)	.605 (15.37)	WM5938-ND	1.44	1.19	.85	19221-0229
	4	16	1/4	1.500 (38.10)	.525 (13.33)	WM5939-ND	1.41	1.16	.83	19221-0230
			5/16	1.530 (38.86)	.525 (13.33)	WM5940-ND	1.37	1.14	.81	19221-0231
			3/8	1.530 (38.86)	.525 (13.33)	WM5941-ND	1.37	1.14	.81	19221-0232
	2	16	5/16	1.620 (41.15)	.615 (15.62)	WM5942-ND	1.92	1.59	1.13	19221-0233
			3/8	1.620 (41.15)	.615 (15.62)	WM5943-ND	1.92	1.59	1.13	19221-0235
			1/2	1.750 (44.45)	.755 (19.18)	WM5944-ND	2.58	2.13	1.52	19221-0236
	1	16	5/16	1.720 (43.69)	.655 (16.64)	WM5945-ND	2.00	1.65	1.18	19221-0237
			3/8	1.720 (43.69)	.655 (16.64)	WM5946-ND	2.00	1.65	1.18	19221-0238
			1/2	1.830 (46.48)	.755 (19.18)	WM5947-ND	2.76	2.28	1.63	19221-0239
	1/0	16	5/16	1.830 (46.48)	.725 (18.42)	WM5948-ND	2.64	2.18	1.56	19221-0240
			3/8	1.830 (46.48)	.725 (18.42)	WM5949-ND	2.64	2.18	1.56	19221-0241
			1/2	1.830 (46.48)	.725 (18.42)	WM5950-ND	2.64	2.18	1.56	19221-0242
	2/0	16	5/16	2.062 (52.37)	.815 (20.70)	WM5951-ND	2.87	2.37	1.69	19221-0243
			3/8	2.062 (52.37)	.815 (20.70)	WM5952-ND	2.87	2.37	1.69	19221-0244
			1/2	2.062 (52.37)	.815 (20.70)	WM5953-ND	2.87	2.37	1.69	19221-0245
	3/0	16	5/16	2.160 (54.86)	.895 (22.73)	WM5954-ND	3.95	3.26	2.33	19221-0246
			3/8	2.160 (54.86)	.895 (22.73)	WM5955-ND	3.59	2.96	2.11	19221-0247
			1/2	2.160 (54.86)	.895 (22.73)	WM5956-ND	3.59	2.96	2.11	19221-0248
	4/0	16	3/8	2.350 (59.69)	.985 (25.02)	WM5957-ND	4.46	3.68	2.63	19221-0250
			1/2	2.350 (59.69)	.985 (25.02)	WM5958-ND	4.46	3.68	2.63	19221-0251

* Crimpwerkzeug Nr.

Stumpfspleiße

Abb.	AWG	Crimp Tool #*	Außendurchm. Zoll (mm)	Digi-Key Teilenr.	Stückpreis 10	100	500	Molex Teilenr.
Insulkrimp® (PVC-Isolierung)								
26	22-18	12	.135 (3.4)	WM18383-ND	.12	.10	.08	19154-0004
	16-14		.160 (4.1)	WM18384-ND	.14	.11	.10	19154-0015
	12-10		.220 (5.6)	WM18385-ND	.19	.16	.13	19154-0028

Fenster-Stumpfspleiße

Abb.	AWG	Crimpwerk-zeug Nr.	Max. Drahtisolierung Durchm. Zoll (mm)	Digi-Key Teilenr.	Stückpreis 10	100	500	Molex Teilenr.
27	22-18 Rot	12	.140 (3.56)	WM18386-ND	.74	.59	.50	19199-0007
	16-14 Blau	12	.170 (4.32)	WM18387-ND	.37	.30	.25	19199-0009
	12-10 Gelb	—	.228 (5.79)	WM18388-ND	.51	.41	.34	19199-0011

Crimpwerkzeuge

Crimp Tool #*	Beschreibung	Digi-Key Teilenr.	Stückpreis
#1	Versiegelter Ring, Kabelschuh und Stirnflächenverbindungen	WM9975-ND	236.24
#2	Versiegelt, 10-12 AWG, 0,250" (6,35 mm)	WM9939-ND	343.14
#3	Versiegelt, 14-22 AWG, 0,250" (6,35 mm)	WM9976-ND	222.34
#4	10-12 AWG, 0,250" (6,35 mm)	WM17466-ND	290.76
#5	24-26 AWG, 0,187" (4,75 mm) und 0,250" (6,35 mm)	WM9942-ND	288.54
#6	Spleiß 12-22 AWG	WM9977-ND	222.34
#7	Spleiß 8 AWG	WM9945-ND	288.54
#8	Stirnflächenverbindungsspleiß, 10-12 AWG	WM17468-ND	254.41
—	Piggyback, 0,250" Zoll Q.C.	WM9948-ND	266.53
#9	Fahne Q.C. 0,187" (4,75 mm) und 0,250" (6,35 mm)	WM18524-ND	254.41
#10	Fahne Q.C. 0,250" (6,35 mm) 10-12 AWG	WM18589-ND	290.76
#11	Fahne Q.C. 0,187" (4,75 mm)	WM17467-ND	254.41
#12	Anschlüsse/Spleiße, 10-22 AWG	WM9952-ND	288.54
#13	Schnappstecker, 14-16 AWG	WM9958-ND	212.19
#14	14-16 AWG, 0,187" und 0,250" (4,75 mm und 6,35 mm)	WM9972-ND	322.63
#15	18-22 AWG, 0,187" (4,75 mm)	WM5979-ND	199.32
#16	Ringanschluss, 8-4/0 AWG	WM5980-ND	109.84
#17	Draht-Pins, 10-22 AWG	WM9974-ND	254.41
#18	Schnellkupplungen, 10-22 AWG	WM9965-ND	288.54
#19	Schnappstecker, 14-16 AWG	WM9966-ND	280.71
—	Schnappstecker, 18-22 AWG	WM9957-ND	262.31
#20	Schnappstecker, 18-22 AWG	WM18540-ND	290.76
—	Manueller Abisolierer	WM9969-ND	80.56

* Crimpwerkzeug Nr.

JST PS-Steckverbinder für Ösen

Besonderheiten:

Sichere Verriegelung, leichtes Einsetzen: Die Kombination von Anschluss und Gehäuse erleichtert die Anpassung an die Stiftöse. Das Trennen ist ebenfalls einfach. Das Gehäuse während des Abziehens festhalten; die Kontaktverriegelungsfeder wird durch die Verjüngung innen im Gehäuse geöffnet. Wird versehentlich am Draht gezogen, stellt der Verriegelungsmechanismus sicher, dass keine Öffnung erfolgt.

Stabile Kontaktleistung: Großer Kontaktbereich, um selbst bei Anwendung von Starkstrom eine stabile Leistung zu gewährleisten.

Mechanismus verhindert falsches Einsetzen und Gehäuselanze: Im Innern des Gehäuses verhindert ein Stopper ein falsches Einsetzen, wodurch kein Kontakt versehentlich in das Gehäuse eingeführt werden kann.

Spezifikationen: Nennstrom: 25 A AC, DC (250 + AWG 10) **Nennspannung:** 250 V AC, DC **Temperaturbereich:** -40 °C ~ 105 °C

Öse: 0,187" Öse 0,5 mm (0,020")/0,8 mm (0,031") dick oder 0,250" Öse 0,8 mm (0,031") dick.

Abb. 1

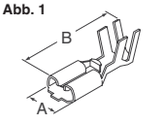

Kontakt für Abb. 2, 3 u. 4

Abb. 2

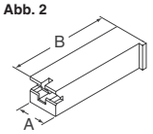

Abb. 3

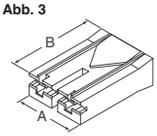

Abb. 4

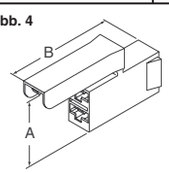

Abb. 5

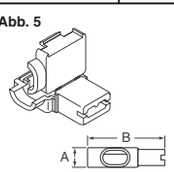

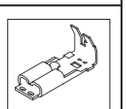

Kontakte separat erhältlich

Kontakte separat erhältlich

Schalt-kreise	Laschen-grösse	AWG	Abm. (Zoll) A	B	Digi-Key Teilenr.	Preisangaben 10	100	500	Digi-Key Teilenr.	Preis. f. geg. auf Rolle	JST Teilenr.
Abb. 1 – Nicht-isolierte Anschlusskontakte für Abb. 2, 3 und 4 und Crimpwerkzeuge											
—	.187"	20-26	.22	.68	455-1106-1-ND	.57	5.05	22.26	455-1106-2-ND	237.05/10,000	SPS-01T-187
Crimpwerkzeug für 20-26 AWG, 0,187" (4,75 mm) Anschlüsse					455-1107-ND		310.71/1		—	—	WC-730
—	.187"	14-20	.22	.68	455-1149-1-ND	.45	4.00	17.69	455-1149-2-ND	139.69/7,500	SPS-51T-187
Crimpwerkzeug für 16-20 AWG, 0,187" (4,75 mm) Anschlüsse					455-1144-ND		310.71/1		—	—	WC-710
Crimpwerkzeug für 14-18 AWG, 0,187" (4,75 mm) Anschlüsse					455-1145-ND		329.25/1		—	—	YC-711
—	.250"	18-22	.30	.82	455-1115-1-ND	.91	8.09	35.65	455-1115-2-ND	190.49/5,000	SPS-21T-250
Crimpwerkzeug für 18-22 AWG, 0,250" (6,35 mm) Anschlüsse					455-1116-ND		310.71/1		—	—	WC-780
—	.250"	14-18	.30	.82	455-1117-1-ND	.82	7.32	32.31	455-1117-2-ND	173.55/5,000	SPS-61T-250
	.250"	14-18	.30	.82	455-1119-1-ND*	.64	5.73	25.27	455-1119-2-ND*	304.78/15,000	SRSF-61T-250A
Crimpwerkzeug für 14-18 AWG, 0.250" (6,35 mm) Anschlüsse					455-1118-ND		310.71/1		—	—	WC-720
Abb. 2 - Vertikale Einzelgehäuse (Kontakte werden separat verkauft weiter oben)											
1	.187"	—	.30	.96	455-1108-ND	.46	3.82	15.29	—	—	PS-187
	.250"	—	.35	1.09	455-1112-ND	.47	3.95	15.76	—	—	PS-250
Abb. 3 - Vertikale Doppelgehäuse (Kontakte werden separat verkauft weiter oben)											
2	.187"	—	.88	.96	455-1109-ND	1.05	8.74	34.95	—	—	PS-187-2A-15
	.250"	—	.94	1.09	455-1113-ND	—	—	30.86	—	—	PS-250-2A-15
Abb. 4 - Dreifach gestapelte vertikale Gehäuse (Kontakte werden separat verkauft weiter oben)											
3	.187"	—	.72	1.69	455-1110-ND	1.56	12.96	51.85	—	—	PS-187-3V
Abb. 5 - Einzelgehäuse, rechtwinklig, „One Touch Sleeve"-Gehäuse (Kontakte werden separat verkauft weiter unten)											
1	.187"	—	.25	.69	455-1111-ND†	1.06	8.79	35.15	—	—	FPS-187
	.250"	—	.28	.78	455-1114-ND†	1.12	9.35	37.37	—	—	FPS-250
Kontakte und Crimpwerkzeug für Abb. 5 Gehäuse											
—	.187"	16-22	—	—	455-1147-1-ND	.76	6.84	30.17	455-1147-2-ND	160.85/5,000	SFPS-41T-187
	.250"	14-18	—	—	455-1148-1-ND	1.15	10.29	45.41	455-1148-2-ND	144.77/3,000	SFPS-61T-250
Crimpwerkzeug für 14-18 AWG, 0.250" (6,35 mm) Anschlüsse					455-1146-ND		928.12/1		—	—	YC-272

* Geringe Einsetzkraft 0,250" Anschlussl † Nicht CSA-zertifiziert

A

Isoliert			Nicht isoliert		Wärmeschrumpfung	Verschiedenes	
Abb. 1	Abb. 2	Abb. 3	Abb. 14	Abb. 15	Abb. 22 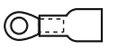	Abb. 27 -T-Tap Steckverbinder -buchse 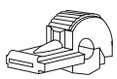	Abb. 28 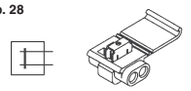
Abb. 4	Abb. 5		Abb. 16	Abb. 17	Abb. 23 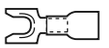	Abb. 29 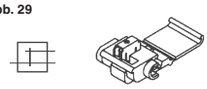	Abb. 30 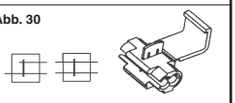
Abb. 6 Rund	Abb. 7 Rund		Abb. 18 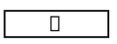	Abb. 19 A B	Abb. 24 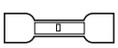	Abb. 31	Abb. 32 A B
Abb. 8 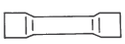	Abb. 9 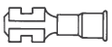	Abb. 10	Abb. 20 A B		Abb. 25	Abb. 33 – Geschlossenes Ende	Abb. 34 – Elektro-Federsteckverbinder 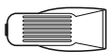
Abb. 11	Abb. 12 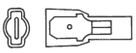	Abb. 13 — Multi-Bolzen 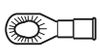		Abb. 21	Abb. 26 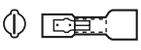	Abb. 35	Abb. 36 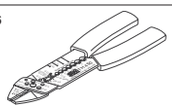

Abb.	AWG	Bolzen-größe	Isol. Durchm. Zoll (mm)	Digi-Key Teilenr.	Stückpreis 10	50	100	500	3M Teilenr.
				Isoliert					
1	26-24 Gelb	#2	.145 (3.68)	920010-30-ND	.74	.54	.48	.39	MNG24-2RK
		#4		920010-31-ND	.74	.54	.48	.39	MNG24-4RK
		#6		920010-32-ND	.74	.54	.48	.39	MNG24-6RK
		#8		920010-33-ND	.74	.54	.48	.39	MNG24-8RK
		#10		920010-34-ND	.74	.54	.48	.39	MNG24-10RK
11	26-20 Gelb	—	.145 (3.68)	920044-17-ND	.38	.28	.24	.20	MNU20-110DFIK
1	22-18 Rot	#4	.145 (3.68)	920010-35-ND	.20	.15	.13	.11	MVU18-4R/SK
		#6		920010-01-ND	.20	.15	.13	.11	MVU18-6R/SK
		#8		920010-02-ND	.20	.15	.13	.11	MVU18-8R/LK
		#10		920010-03-ND	.20	.15	.13	.11	MVU18-10R/LK
		1/4		920010-04-ND	.24	.17	.15	.13	MVU18-14R/SK
1		5/16		920010-36-ND	.30	.22	.19	.16	MVU18-516R/SK
1		3/8		920010-37-ND	.30	.22	.19	.16	MVU18-38RK
3		#4		920020-16-ND	.20	.15	.13	.11	MVU18-4FB/SK
3		#6		920022-01-ND	.20	.15	.13	.11	MVU18-6FB/SK
3		#8		920022-02-ND	.20	.15	.13	.11	MVU18-8FBK
3		#10		920020-17-ND	.20	.15	.13	.11	MVU18-10FBK
4		#6		920022-14-ND	.24	.17	.15	.13	MVU18-6FFBK
4		#8		920022-15-ND	.24	.17	.15	.13	MVU18-8FFBK
4		#10		920022-16-ND	.24	.17	.15	.13	MVU18-10FFBK
5		#4		920024-01-ND	.22	.16	.14	.12	MVU18-4FLK
5		#6		920024-02-ND	.22	.16	.14	.12	MVU18-6FLK
5		#8		920024-03-ND	.22	.16	.14	.12	MVU18-8FLK
5		#10		920024-10-ND	.22	.16	.14	.12	MVU18-10FLK
6		.156"		920048-03-ND	.50	.36	.32	.27	MNG18-156DFIK
7		.156"		920050-01-ND	.22	.16	.14	.12	MVU18-156DMK
8		—		920030-01-ND	.22	.16	.14	.12	MVU18-BCK
9		.187"	.145 (3.68)	920040-01-ND	.21	.16	.14	.12	MVU18-187DFK
9		.250"		920040-02-ND	.21	.16	.14	.12	MVU18-250DFK
10		.187"		920042-01-ND	.21	.15	.14	.11	MVU18-187DMK
10		.250"		920042-02-ND	.20	.15	.13	.11	MVU18-250DMK
11		.187"		920044-01-ND	.31	.23	.20	.17	MNU18-187DFIK
11		.250"		920044-02-ND	.31	.23	.20	.17	MNU18-250DFIK
11		.250"		920044-23-ND	.32	.23	.21	.17	FDI18-250C
12		.187"		920046-01-ND	.35	.25	.22	.19	MNU18-187DMIK
12		.250"		920046-02-ND	.35	.25	.22	.19	MNU18-250DMIK
13		6/8/10		920010-57-ND	.27	.20	.18	.15	MV18-610R
1	16-14 Blau	#4	.170 (4.32)	920010-38-ND	.20	.15	.13	.11	MVU14-4R/SK
		#8		920010-39-ND	.20	.15	.13	.11	MVU14-8RK
		#6		920010-05-ND	.20	.15	.13	.11	MVU14-6R/SK
		#8		920010-06-ND	.20	.15	.13	.11	MVU14-8R/SK
		#10		920010-07-ND	.20	.15	.13	.11	MVU14-10RK
1		1/4		920010-08-ND	.24	.17	.15	.13	MVU14-14R/SK
1		5/16		920010-40-ND	.30	.22	.19	.16	MVU14-516R/SK
1		3/8		920010-41-ND	.30	.22	.19	.16	MVU14-38RK
2		#6		920020-01-ND	.20	.15	.13	.11	MVU14-6FK
2		#8		920020-02-ND	.20	.15	.13	.11	MVU14-8FK
3		#4		920020-18-ND	.20	.15	.13	.11	MVU14-4FB/SK
3		#6		920022-03-ND	.20	.15	.13	.11	MVU14-6FB/SK
3		#8		920022-04-ND	.20	.15	.13	.11	MVU14-8FBK
3		#10		920020-19-ND	.20	.15	.13	.11	MVU14-10FBK
4		#6		920022-17-ND	.24	.17	.15	.13	MVU14-6FFBK
4		#8		920022-18-ND	.24	.17	.15	.13	MVU14-8FFBK
4		#10		920022-19-ND	.24	.17	.15	.13	MVU14-10FFBK
5		#4		920024-11-ND	.22	.16	.14	.12	MVU14-4FLK
5		1/4		920024-12-ND	.26	.19	.17	.14	MVU14-14FLK
5		#6		920024-04-ND	.22	.16	.14	.12	MVU14-6FLK
5		#8		920024-05-ND	.22	.16	.14	.12	MVU14-8FLK
5		#10		920024-06-ND	.22	.16	.14	.12	MVU14-10FLK
6		.156"		920048-02-ND	.34	.25	.22	.18	MNU14-156DFIK
7		.156"		920050-02-ND	.22	.16	.14	.12	MVU14-156DMK
8		—		920030-02-ND	.22	.16	.14	.12	MVU14-BCK
9		.187"	.170 (4.32)	920040-03-ND	.21	.16	.14	.12	MVU14-187DFK
9		.250"		920040-04-ND	.21	.16	.14	.12	MVU14-250DFK
10		.187"		920042-03-ND	.21	.15	.14	.11	MVU14-187DMK
10		.250"		920042-04-ND	.21	.15	.14	.11	MVU14-250DMK
11		.187"		920044-03-ND	.31	.23	.20	.17	MNU14-187DFIK
11		.250"		920044-04-ND	.31	.23	.20	.17	MNU14-250DFIK
11		.250"		920044-22-ND	.32	.23	.21	.17	FDI14-250C
12		.187"		920046-03-ND	.35	.25	.22	.19	MNU14-187DMIK
12		.250"		920046-04-ND	.35	.25	.22	.19	MNU14-250DMIK
13		6/8/10		920010-58-ND	.27	.20	.18	.15	MV14-610R

Abb.	AWG	Bolzen-größe	Isol. Durchm. Zoll (mm)	Digi-Key Teilenr.	Stückpreis 10	50	100	500	3M Teilenr.
1	12-10 Gelb	#4	.250 (6.35)	920010-42-ND	.25	.18	.16	.13	MVU10-4R/SK
		#6		920010-43-ND	.25	.18	.16	.13	MVU10-6RK
		#8		920010-09-ND	.25	.18	.16	.13	MVU10-8RK
		#10		920010-10-ND	.25	.18	.16	.13	MVU10-10RK
		1/4		920010-11-ND	.33	.24	.21	.18	MVU10-14R/SK
1		5/16		920010-44-ND	.33	.24	.21	.18	MVU10-516R/SK
1		3/8		920010-12-ND	.33	.24	.21	.18	MVU10-38R/SK
2		#6		920020-03-ND	.25	.18	.16	.13	MVU10-6FK
2		#8		920020-04-ND	.25	.18	.16	.13	MVU10-8FK
2		#10		920020-05-ND	.25	.18	.16	.13	MVU10-10FK
4		#6		920022-20-ND	.29	.21	.19	.15	MVU10-6FFBK
4		#8		920022-21-ND	.29	.21	.19	.15	MVU10-8FFBK
4		#10		920022-22-ND	.29	.21	.19	.15	MVU10-10FFBK
5		#6		920024-07-ND	.31	.23	.20	.17	MVU10-6FLK
5		#8		920024-08-ND	.31	.23	.20	.17	MVU10-8FLK
5		#10		920024-09-ND	.31	.23	.20	.17	MVU10-10FLK
5		1/4		920024-13-ND	.36	.26	.23	.19	MVU10-14FLK
8		—		920030-03-ND	.26	.19	.17	.14	MVU10BCK
9		.250"		920040-06-ND	.39	.29	.26	.21	MVI10-250DFK
10		.250"		920042-05-ND	.26	.19	.17	.14	MVU10-250DMK
11		.250"	.250 (6.35)	920044-21-ND	.43	.32	.28	.23	MNI10-250DFIK
12		.250"		920046-05-ND	.47	.34	.30	.25	MNU10-250DMIK
13		6/8/10		920010-59-ND	.36	.26	.23	.19	MV10-610R
				Nicht isoliert					
14	22-18	#4	—	920010-13-ND	.11	.08	.07	.06	MU18-4R/SK
		#6		920010-14-ND	.11	.08	.07	.06	MU18-6R/SK
		#8		920010-15-ND	.11	.08	.07	.06	MU18-8R/LK
		#10		920010-16-ND	.10	.08	.07	.06	MU18-10R/LK
		1/4		920010-17-ND	.17	.12	.11	.09	MU18-14R/SK
14		3/8		920010-18-ND	.18	.13	.12	.10	MU18-38RK
15		#4		920020-06-ND	.11	.08	.07	.06	MU18-4FB/SK
15		#6		920020-07-ND	.11	.08	.07	.06	MU18-6FB/SK
15		#8		920020-08-ND	.11	.08	.07	.06	MU18-8FBK
15		#10		920020-09-ND	.11	.08	.07	.06	MU18-10FBK
16		#4		920024-14-ND	.11	.08	.07	.06	MU18-4FLK
16		#6		920024-15-ND	.11	.08	.07	.06	MU18-6FLK
16		#8		920024-16-ND	.11	.08	.07	.06	MU18-8FLK
16		#10		920024-17-ND	.11	.08	.07	.06	MU18-10FLK
17		#6		920022-05-ND	.11	.08	.07	.06	MU18-6FFBK
17		#10		920022-07-ND	.10	.07	.06	.05	MU18-10FFBK
18		—		920030-07-ND	.17	.12	.11	.09	M18BCK
14	16-14	#4	—	920010-19-ND	.11	.08	.07	.06	MU14-4R/SK
		#6		920010-20-ND	.11	.08	.07	.06	MU14-6R/SK
		#8		920010-21-ND	.11	.08	.07	.06	MU14-8R/LK
		#10		920010-22-ND	.11	.08	.07	.06	MU14-10RK
		1/4		920010-23-ND	.17	.12	.11	.09	MU14-14R/SK
15		#4		920020-10-ND	.11	.08	.07	.06	MU14-4FB/SK
15		#8		920020-11-ND	.11	.08	.07	.06	MU14-8FBK
15		#10		920020-12-ND	.11	.08	.07	.06	MU14-10FBK
16		#4		920024-18-ND	.11	.08	.07	.06	MU14-4FLK
16		#6		920024-19-ND	.11	.08	.07	.06	MU14-6FLK
16		#8		920024-20-ND	.11	.08	.07	.06	MU14-8FLK
16		#10		920024-21-ND	.11	.08	.07	.06	MU14-10FLK
16		1/4		920024-22-ND	.18	.13	.12	.10	MU14-14FLK
17		#6		920022-08-ND	.11	.08	.07	.06	MU14-6FFBK
17		#8		920022-09-ND	.11	.09	.08	.06	MU14-8FFBK
17		#10		920022-10-ND	.11	.09	.08	.06	MU14-10FFBK
18		—		920030-08-ND	.17	.12	.11	.09	M14BCK
14	12-10	#4	—	920010-24-ND	.16	.12	.11	.09	MU10-4R/SK
		#6		920010-25-ND	.16	.12	.11	.09	MU10-6RK
		#8		920010-26-ND	.16	.12	.11	.09	MU10-8RK
		#10		920010-27-ND	.16	.12	.11	.09	MU10-10RK
		1/4		920010-28-ND	.19	.14	.12	.10	MU10-14R/SK
14		5/16		920010-29-ND	—	—	—	.09	MU10-516R/SK
15		#6		920020-13-ND	.16	.12	.11	.09	MU10-6FBK
15		#8		920020-14-ND	.16	.12	.11	.09	MU10-8FBK
15		#10		920020-15-ND	.16	.12	.11	.09	MU10-10FBK
16		#6		920024-23-ND	.16	.12	.10	.08	MU10-6FLK
16		#8		920024-24-ND	.16	.12	.10	.08	MU10-8FLK
16		#10		920024-25-ND	.16	.12	.10	.08	MU10-10FLK
16		1/4		920024-26-ND	.27	.20	.17	.14	MU10-14FLK

(Forts.)

Alle Preisangaben in Euro und inklusive Zollgebühren.

Abb.	AWG	Bolzen-größe	Isol. Durchm. Zoll (mm)	Digi-Key Teilenr.	Stückpreis 10	50	100	500	3M Teilenr.
17		#6	—	920022-11-ND	.16	.12	.10	.09	MU10-6FFBK
17		#8	—	920022-12-ND	.16	.12	.10	.09	MU10-8FFBK
17	12-10	#10	—	920022-13-ND	.16	.12	.10	.09	MU10-10FFBK
18		—	—	920030-09-ND	.25	.19	.16	.14	M10BCK
19A	26-20	.110"	—	920044-06-ND	.12	.09	.08	.06	MU20-110/32DFK
19B	22-18	.187"	—	920044-07-ND	.12	.09	.08	.06	MU18-187DFK
19A		.250"	—	920044-08-ND	.12	.09	.08	.06	MU18-250DFK
19A		.110"	—	920044-09-ND	.12	.09	.08	.06	MU14-110DFK
19B	16-14	.187"	—	920044-10-ND	.12	.09	.08	.06	MU14-187DFK
19A		.250"	—	920044-11-ND	.12	.09	.08	.06	MU14-250DFK
20A	22-18	.187"	—	920044-12-ND	.15	.11	.10	.08	MU18-187DF/FLAGK
20B		.250"	—	920044-13-ND	.15	.11	.10	.08	MU18-250DF/FLAGK
20A	16-14	.187"	—	920044-14-ND	.15	.11	.10	.08	MU14-187DF/FLAGK
20B		.250"	—	920044-15-ND	.15	.11	.10	.08	MU14-250DF/FLAGK
20A	12-10	.250"	—	920044-16-ND	.25	.18	.16	.14	MU10-250DF/FLAGK
21	22-18	.187"	—	920042-06-ND	.11	.08	.07	.06	MU18-187DMK
		.250"	—	920042-07-ND	.11	.08	.07	.06	MU18-250DMK
21	16-14	.187"	—	920042-08-ND	.11	.08	.07	.06	MU14-187DMK
		.250"	—	920042-09-ND	.11	.08	.07	.06	MU14-250DMK
21	12-10	.250"	—	920042-10-ND	.15	.11	.10	.08	MU10-250DMK
Multi-Stapel-Adapter									
31	22-18	.250"	—	920084-01-ND	.35	.26	.23	.19	MVU18-250DMFK
	16-14	.250"	—	920084-02-ND	.35	.26	.23	.19	MVU14-250DMFK
32A	—	.250"	—	920082-01-ND	.28	.21	.18	.15	MA250DMFMK
32B		.250"	—	920082-02-ND	.19	.14	.12	.10	MA250DMMFK

Abb.	AWG	Bolzen-größe	Isol. Durchm. Zoll (mm)	Digi-Key Teilenr.	Stückpreis 1	10	50	100	3M Teilenr.
Wärmeschrumpfisoliert									
22A		#6		920010-45-ND	.47	.35	.31	.25	MH18-6R/LK
22		#8		920010-46-ND	.47	.35	.31	.25	MH18-8R/LK
22		#10	.145 (3.68)	920010-47-ND	.47	.35	.31	.25	MH18-10R/LK
23	22-18	#6		920024-27-ND	.47	.35	.31	.25	MH18-6FLK
23	Rot	#8		920024-28-ND	.47	.35	.31	.25	MH18-8FLK
23		#10		920024-29-ND	.47	.35	.31	.25	MH18-10FLK
24		—	.145 (3.68)	920030-10-ND	.49	.36	.32	.26	MH18BCK
25		—		920044-18-ND	.63	.46	.41	.34	MNHU18-250DFIK
26		—		920042-11-ND	.63	.46	.41	.34	MNHU18-250DMIK
22	16-14 Blau	#6	.170 (4.32)	920010-48-ND	.47	.35	.31	.25	MH14-6R/LK
		#8		920010-49-ND	.47	.35	.31	.25	MH14-8R/LK
		#10		920010-50-ND	.47	.35	.31	.25	MH14-10R/LK
		1/4		920010-51-ND	.52	.38	.34	.28	MH14-14R/SK
		5/16	.170 (4.32)	920010-52-ND	.70	.63	.52	.41	MH14-516R/SK
		3/8		920010-53-ND	.70	.63	.52	.41	MH14-38RK

Abb.	AWG	Bolzen-größe	Isol. Durchm. Zoll (mm)	Digi-Key Teilenr.	Stückpreis 1	10	50	100	3M Teilenr.
23	16-14 Blau	#6	.170 (4.32)	920024-30-ND	.47	.35	.31	.25	MH14-6FLK
		#8		920024-31-ND	.65	.58	.48	.38	MH14-8FLK
		#10		920024-32-ND	.47	.35	.31	.25	MH14-10FLK
		1/4		920024-33-ND	.52	.38	.34	.28	MH14-14FLK
24		—	.170 (4.32)	920030-11-ND	.49	.36	.32	.26	MH14BCK
25		—		920044-19-ND	.63	.46	.41	.34	MNHU14-250DFIK
26		—		920042-12-ND	.63	.46	.41	.34	MNHU14-250DMIK
22	12-10 Gelb	#10	.250 (6.35)	920010-54-ND	.58	.42	.38	.31	MH10-10RK
22		1/4		920010-55-ND	.59	.44	.39	.32	MH10-14RK
22		3/8		920010-56-ND	.59	.44	.39	.32	MH10-38RK
23		#8		920024-34-ND	.57	.42	.37	.30	MH10-8FLK
23		#10		920024-35-ND	.57	.42	.37	.30	MH10-10FLK
23		1/4	.250 (6.35)	920024-36-ND	.60	.44	.39	.32	MH10-14FLK
24		—		920030-12-ND	.63	.47	.41	.34	MH10BCK
25		—		920044-20-ND	.83	.61	.54	.44	MNHU10-250DFIK
26		—		920042-13-ND	.83	.61	.54	.44	MNHU10-250DMIK
27	22-18	—	.150 (3.81)	920074-01-ND	.25	.18	.16	.13	951K
	18-14	—		920074-02-ND	.25	.18	.16	.13	952K
	12	—		920074-03-ND	.26	.20	.17	.14	953K
28	22-16 Rot	—	.120 (3.05)	920074-06-ND	.36	.26	.23	.19	557 (BOXED)
29		—		920074-07-ND	.37	.27	.24	.20	558 (BOXED)
30	18-14 Blau	—	.145 (3.68)	920074-08-ND	.23	.17	.15	.12	560 (BOXED)

923000-I-ND 3M Isolieranschlusskit — 650 Stück Anschlusssortiment (14 Größen), 200 Kabelbinder (je 100, 2 Größen), ein Drahtmarkierersperder, ein Crimpwerkzeug, ein wiederverwendbarer Metallkasten, eine Infokarte für Nachbestellungen **119.05**

Abb.	AWG	Beschreibung	Digi-Key Teilenr.	Stückpreis 10	50	100	500	3M Teilenr.
Scotchlok Steckverbinder								
33	22-14	Elektrischer	920030-13-ND	.16	.12	.10	.09	MN14CEC/STK
33	18-10	Steckverbinder,	920030-14-ND	.21	.15	.13	.11	MN10CEC/STK (Bulk)
34	14-8	geschlossenes	920090-01-ND	.47	.34	.30	.25	GK (Gray)
34	18-10	Ende	920090-02-ND	.21	.15	.13	.11	RK (Rot)
35	12-8	Federsteck-	920090-04-ND	.58	.42	.37	.31	B/G (Box)
	22-12		920090-05-ND	.14	.10	.09	.08	O/B (Box)
	18-8		920090-06-ND	.22	.16	.14	.12	R/Y (Box)
	22-8	verbinder	920090-07-ND	.21	.15	.14	.11	T/R (Box)
34	22-12	Nylon-Federsteck-	920074-04-ND	.16	.12	.11	.09	312 (Gelb)
	18-10	verbinder	920074-05-ND	.21	.15	.14	.11	512 (Rot)
Crimpwerkzeuge								
—	22-10	Ratschen	TR-482-ND	144.75/1				TR-482
36	26-6	Scherenversion	TH-450-ND	32.90/1				TH-450

Klemmen

Abb. 1
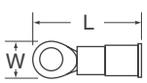

Abb. 2

Abb. 3
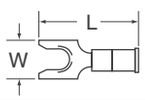

Abb. 4
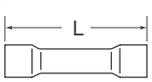

Abb. 5
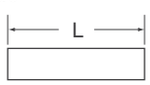

Abb. 6
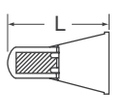

Abb. 7
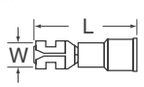

Abb. 8
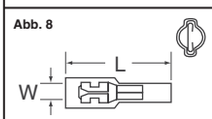

Abb. 9
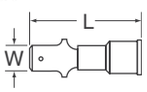

Abb. 10
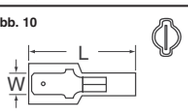

Abb. 11
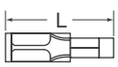

Abb. 12
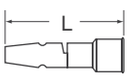

Abb. 13
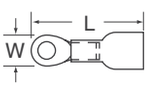

Abb. 14
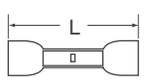

Abb.	AWG	Bolzen-größe	Länge	Breite	Digi-Key Teilenr.	Preisangaben 10	100	500	1000	3M Teilenr.
Ringkontaktanschlüsse, vinyl-isoliert, Stumpfnaht										
1	22-18 Rot	#6	0.80	0.25	94725-01-ND	.90	3.27	5.77	23.73	94725
		#8	0.90	0.33	94727-01-ND	.90	3.27	5.77	23.73	94727
		#10	0.90	0.33	94717-01-ND	.90	3.27	5.77	23.73	94717
		1/4	1.08	0.47	94719-01-ND	1.07	3.89	6.86	28.19	94719
		5/16	1.08	0.47	94723-01-ND	1.21	4.40	7.77	31.95	94723
		3/8	1.13	0.56	94721-01-ND	1.18	4.28	7.54	31.01	94721
	16-14 Blau	#6	0.90	0.33	94736-01-ND	.90	3.27	5.77	23.73	94736
		#8	0.90	0.33	94739-01-ND	.90	3.27	5.77	23.73	94739
		#10	0.90	0.33	94729-01-ND	.90	3.27	5.77	23.73	94729
		1/4	1.08	0.47	94731-01-ND	1.07	3.89	6.86	28.19	94731
		5/16	1.08	0.47	94735-01-ND	1.27	4.62	8.15	33.52	94735
		3/8	1.13	0.56	94733-01-ND	1.27	4.62	8.15	33.52	94733
	12-10 Gelb	#6	0.98	0.28	94751-01-ND	1.10	4.00	7.05	28.98	94751
		#8	1.03	0.38	94753-01-ND	1.10	4.00	7.05	28.98	94753
		#10	1.03	0.38	94741-01-ND	1.10	4.00	7.05	28.98	94741
		1/4	1.26	0.53	94743-01-ND	1.27	4.62	8.15	33.52	94743
		5/16	1.26	0.53	94749-01-ND	1.34	4.86	8.58	35.24	94749
		3/8	1.29	0.59	94745-01-ND	1.34	4.86	8.58	35.24	94745
		1/2	1.50	0.75	94747-01-ND	1.92	6.99	12.34	50.75	94747
Mit Nylon isolierte Greifringkontaktanschlüsse										
1	22-18 Rot	#6	0.79	0.25	94724-01-ND	1.36	4.98	8.78	36.10	94724
		#8	0.89	0.33	94726-01-ND	1.36	4.98	8.78	36.10	94726
		#10	0.89	0.33	94716-01-ND	1.36	4.98	8.78	36.10	94716
		1/4	1.07	0.47	94718-01-ND	1.70	6.19	10.91	44.87	94718
		5/16	1.07	0.47	94722-01-ND	1.70	6.19	10.91	44.87	94722
		3/8	1.12	0.56	94720-01-ND	1.90	6.93	12.23	50.28	94720
	16-14 Blau	#8	0.91	0.33	94738-01-ND	1.36	4.98	8.78	36.10	94738
		#10	0.89	0.33	94728-01-ND	1.36	4.98	8.78	36.10	94728
		1/4	1.09	0.47	94730-01-ND	1.70	6.19	10.91	44.87	94730
		5/16	1.09	0.47	94734-01-ND	1.70	6.19	10.91	44.87	94734
		3/8	1.14	0.56	94732-01-ND	1.90	6.93	12.23	50.28	94732
	12-10 Gelb	#6	0.98	0.28	94750-01-ND	1.70	6.20	10.94	44.95	94750
		#8	1.03	0.38	94752-01-ND	1.70	6.20	10.94	44.95	94752
		#10	1.03	0.38	94740-01-ND	1.70	6.20	10.94	44.95	94740
		1/4	1.26	0.53	94742-01-ND	1.96	7.15	12.61	51.85	94742
		5/16	1.26	0.53	94748-01-ND	1.96	7.15	12.61	51.85	94748
		3/8	1.29	0.59	94744-01-ND	1.96	7.15	12.61	51.85	94744
		1/2	1.50	0.75	94746-01-ND	2.46	8.94	15.77	64.84	94746

Abb.	AWG	Bolzen-größe	Länge	Breite	Digi-Key Teilenr.	Preisangaben 10	50	100	500	3M Teilenr.
Mit Nylon isolierte hartgelötete Ringkontaktanschlüsse, Isoliergriff										
1	8 Rot	1/4	1.26	0.47	94754-01-ND	4.41	16.06	28.34	116.53	94754
		5/16	1.38	0.59	94757-01-ND	4.41	16.06	28.34	116.53	94757
		3/8	1.38	0.59	94755-01-ND	4.41	16.06	28.34	116.53	94755
		1/2	1.72	0.81	94756-01-ND	7.01	31.38	51.68	203.01	94756
	6 Blau	1/4	1.50	0.47	94758-01-ND	4.91	17.87	31.54	129.68	94758
		5/16	1.58	0.63	94761-01-ND	6.66	29.79	49.07	192.77	94761
		3/8	1.58	0.63	94759-01-ND	4.91	17.87	31.54	129.68	94759
		1/2	1.78	0.81	94760-01-ND	5.50	20.03	35.35	145.34	94760
	4 Gelb	1/4	1.74	0.68	94762-01-ND	6.40	23.32	41.14	169.15	94762
		3/8			94763-01-ND	8.04	35.98	59.26	232.82	94763
		1/2			94764-01-ND	8.69	38.86	64.00	251.44	94764
Mit Vinyl isolierte Gabelanschlüsse, Stumpfnaht										
2	22-18 Rot	#6	0.90	0.34	94769-01-ND	.86	3.15	5.56	22.87	94769
		#8			94771-01-ND	.86	3.15	5.56	22.87	94771
		#10			94767-01-ND	.86	3.15	5.56	22.87	94767
	16-14 Blau	#6	0.90	0.34	94775-01-ND	.86	3.15	5.56	22.87	94775
		#8			94777-01-ND	.86	3.15	5.56	22.87	94777
		#10			94773-01-ND	.86	3.15	5.56	22.87	94773
	12-10 Gelb	#6	1.03	0.38	94781-01-ND	1.07	3.89	6.86	28.19	94781
		#8			94783-01-ND	1.07	3.89	6.86	28.19	94783
		#10			94779-01-ND	1.07	3.89	6.86	28.19	94779
Mit Nylon isolierte Gabelanschlüsse, Isoliergriff										
2	22-18 Rot	#6	0.89	0.34	94768-01-ND	1.33	4.84	8.55	35.16	94768
		#8			94770-01-ND	1.33	4.84	8.55	35.16	94770
		#10			94766-01-ND	1.24	4.49	7.92	32.58	94766
	16-14 Blau	#6	0.91	0.34	94774-01-ND	1.33	4.84	8.55	35.16	94774
		#8			94776-01-ND	1.33	4.84	8.55	35.16	94776
		#10			94772-01-ND	1.33	4.84	8.55	35.16	94772
	12-10 Gelb	#6	1.03	0.38	94780-01-ND	1.72	6.26	11.05	45.42	94780
		#8			94782-01-ND	1.59	5.78	10.21	41.97	94782
		#10			94778-01-ND	1.72	6.26	11.05	45.42	94778
Mit Vinyl isolierte Gabelanschlüsse mit Verschlussfunktion, Stumpfnaht										
3	22-18 Rot	#6	0.88	0.25	94865-01-ND	.94	3.41	6.02	24.75	94865
		#8		0.30	94867-01-ND	.94	3.41	6.02	24.75	94867
		#10		0.32	94863-01-ND	.94	3.41	6.02	24.75	94863

(Forts.)

3M Anschlüsse *(Forts.)*

Abb.	AWG	Bolzen-größe	Länge	Breite	Digi-Key Teilenr.	Preisangaben 10	50	100	500	3M Teilenr.
3	16-14 Blau	#6	0.88	0.25	94873-01-ND	.94	3.41	6.02	24.75	94873
		#8	0.88	0.30	94875-01-ND	.94	3.41	6.02	24.75	94875
		#10	0.88	0.32	94869-01-ND	.94	3.41	6.02	24.75	94869
		1/4	1.10	0.43	94871-01-ND	1.13	4.13	7.30	30.00	94871
	12-10 Gelb	#6	1.03	0.28	94881-01-ND	1.36	4.97	8.76	36.02	94881
		#8	1.03	0.32	94883-01-ND	1.36	4.97	8.76	36.02	94883
		#10	1.03	0.32	94877-01-ND	1.36	4.97	8.76	36.02	94877
		1/4	1.24	0.43	94879-01-ND	1.57	5.72	10.10	41.51	94879
Mit Nylon isolierte Gabelanschlüsse, Isoliergriff										
3	22-18 Rot	#6	0.87	0.25	94864-01-ND	1.43	5.22	9.22	37.90	94864
		#8		0.30	94866-01-ND	1.43	5.22	9.22	37.90	94866
		#10		0.32	94862-01-ND	1.43	5.22	9.22	37.90	94862
	16-14 Blau	#6	0.89	0.25	94872-01-ND	1.43	5.22	9.22	37.90	94872
		#8	0.89	0.30	94874-01-ND	1.43	5.22	9.22	37.90	94874
		#10	0.89	0.32	94868-01-ND	1.43	5.22	9.22	37.90	94868
		1/4	1.09	0.43	94870-01-ND	1.70	6.19	10.91	44.87	94870
	12-10 Gelb	#6	1.03	0.28	94880-01-ND	1.96	7.17	12.65	52.00	94880
		#8	1.03	0.32	94882-01-ND	1.82	6.63	11.70	48.09	94882
		#10	1.03	0.32	94876-01-ND	1.82	6.63	11.70	48.09	94876
		1/4	1.24	0.43	94878-01-ND	2.07	7.53	13.30	54.66	94878
Mit Vinyl isolierte Stoßverbinder, Stumpfnaht										
4	22-18 Rot	—	1.02	—	94785-01-ND	.94	3.41	6.02	24.75	94785
	16-14 Blau	—	1.02	—	94788-01-ND	.94	3.41	6.02	24.75	94788
	12-10 Gelb	—	1.05	—	94791-01-ND	1.17	4.25	7.51	30.86	94791
Mit Vinyl isolierte Stoßverbinder, hartgelötet										
4	8 Rot	—	1.43	—	94793-01-ND	4.27	15.54	27.43	112.77	94793
	6 Blau	—	1.69	—	94794-01-ND	6.48	23.62	41.68	171.34	94794
	4 Gelb	—	2.12	—	94795-01-ND	18.91	84.56	139.27	547.12	94795
Mit Nylon isolierte Stoßverbinder, Isoliergriff										
4	22-18 Rot	—	1.01	—	94784-01-ND	2.70	9.84	17.36	71.34	94784
	16-14 Blau	—		—	94787-01-ND	2.70	9.84	17.36	71.34	94787
Mit Nylon isolierte nahtlose Stoßverbinder										
5	22-18 Rot	—	1.02	—	94786-01-ND	1.33	4.84	8.55	35.16	94786
	16-14 Blau	—		—	94789-01-ND	1.33	4.84	8.55	35.16	94789
	12-10 Gelb	—		—	94792-01-ND	1.70	6.20	10.94	44.95	94792
Mit Nylon isolierte geschlossene Endsteckverbinder										
6	22-14	—	0.76	—	94813-01-ND	.97	3.54	6.25	25.69	94813
	18-10	—	0.85	—	94796-01-ND	.97	3.54	6.25	25.69	94796
Mit Vinyl isolierte Trennbuchsen, Stumpfnaht										
7	22-18	—	0.78	0.187	94800-01-ND	.94	3.41	6.02	24.75	94800
	Rot	—	0.87	0.250	94804-01-ND	.94	3.41	6.02	24.75	94804
	16-14	—	0.78	0.187	94817-01-ND	.94	3.41	6.02	24.75	94817
	Blau	—	0.87	0.250	94821-01-ND	.94	3.41	6.02	24.75	94821
	12-10 Gelb	—	0.96	0.250	94833-01-ND	1.03	3.76	6.63	27.25	94833
Mit Nylon isolierte Trennbuchsen, Isoliergriff										
7	22-18	—	0.77	0.187	94797-01-ND	1.41	5.13	9.05	37.20	94797
	Rot	—	0.86	0.250	94801-01-ND	1.41	5.13	9.05	37.20	94801
	16-14	—	0.77	0.187	94814-01-ND	1.41	5.13	9.05	37.20	94814
	Blau	—	0.86	0.250	94818-01-ND	1.41	5.13	9.05	37.20	94818
	12-10 Gelb	—	0.96	0.250	94830-01-ND	1.53	5.59	9.87	40.57	94830
Ganz mit Nylon isolierte Trennbuchsen, Stumpfnaht										
8	22-18	—	0.81	0.187	94799-01-ND	1.41	5.13	9.05	37.20	94799
	Rot	—	0.91	0.250	94803-01-ND	1.41	5.13	9.05	37.20	94803
	16-14	—	0.81	0.187	94816-01-ND	1.41	5.13	9.05	37.20	94816
	Blau	—	0.91	0.250	94820-01-ND	1.41	5.13	9.05	37.20	94820
	12-10 Gelb	—	0.99	0.250	94832-01-ND	1.73	6.31	11.12	45.73	94832

Abb.	AWG	Bolzen-größe	Länge	Breite	Digi-Key Teilenr.	Preisangaben 10	50	100	500	3M Teilenr.
Trennstifte, vinyl-isoliert, Stumpfnaht										
9	22-18 Rot	—	0.85	0.187	94808-01-ND	.94	3.41	6.02	24.75	94808
		—	0.93	0.250	94812-01-ND	.94	3.41	6.02	24.75	94812
	16-14 Blau	—	0.85	0.187	94825-01-ND	.94	3.41	6.02	24.75	94825
		—	0.93	0.250	94829-01-ND	.94	3.41	6.02	24.75	94829
	12-10 Gelb	—	1.05	0.250	94837-01-ND	1.03	3.76	6.63	27.25	94837
Mit Nylon isolierte Trennstifte, Isoliergriff										
9	22-18 Rot	—	0.84	0.187	94805-01-ND	1.41	5.13	9.05	37.20	94805
		—	0.92	0.250	94809-01-ND	1.41	5.13	9.05	37.20	94809
	16-14 Blau	—	0.86	0.187	94822-01-ND	1.41	5.13	9.05	37.20	94822
		—	0.94	0.250	94826-01-ND	1.41	5.13	9.05	37.20	94826
	12-10 Gelb	—	1.05	0.250	94834-01-ND	1.53	5.59	9.87	40.57	94834
Ganz mit Nylon isolierte Trennstifte, Stumpfnaht										
10	22-18 Rot	—	0.87	0.187	94807-01-ND	1.41	5.13	9.05	37.20	94807
		—	0.98	0.250	94811-01-ND	1.41	5.13	9.05	37.20	94811
	16-14 Blau	—	0.87	0.187	94824-01-ND	1.41	5.13	9.05	37.20	94824
		—	0.98	0.250	94828-01-ND	1.41	5.13	9.05	37.20	94828
	12-10 Gelb	—	1.05	0.250	94836-01-ND	1.73	6.31	11.12	45.73	94836
Ganz mit Nylon isolierte Trennstifte, mit Isoliergriff										
10	22-18 Rot	—	0.87	0.187	94806-01-ND	1.77	6.44	11.37	46.75	94806
		—	0.95	0.250	94810-01-ND	1.77	6.44	11.37	46.75	94810
	16-14 Blau	—	0.87	0.187	94823-01-ND	1.77	6.44	11.37	46.75	94823
		—	0.95	0.250	94827-01-ND	1.77	6.44	11.37	46.75	94827
	12-10 Gelb	—	1.05	0.250	94835-01-ND	2.17	7.90	13.94	57.32	94835
Mit Nylon isolierte Stumpfnaht-Trennbuchsen, kugelförmig										
11	16-14 Blau	.156"	1.02	—	94842-01-ND	1.50	5.46	9.64	39.63	94842
		.180"		—	94843-01-ND	1.57	5.71	10.07	41.42	94843
Mit Nylon isolierte Trennbuchsen, Isoliergriff, kugelförmig										
11	22-18 Rot	.156"	1.02	—	94838-01-ND	1.50	5.46	9.64	39.63	94838
		.180"		—	94839-01-ND	1.57	5.71	10.07	41.42	94839
Mit Nylon isolierte Trennstifte, kugelförmig, Isoliergriff										
12	22-18 Rot	.156"	0.85	—	94840-01-ND	1.43	5.22	9.22	37.90	94840
		.180"	0.89	—	94841-01-ND	1.53	5.58	9.85	40.48	94841
	16-14 Blau	.156"	0.87	—	94844-01-ND	1.43	5.22	9.22	37.90	94844
		.180"	0.91	—	94845-01-ND	1.53	5.58	9.85	40.48	94845
Warmschrumpfbare, hartgelötete Ringkontaktanschlüsse										
13	22-18 Rot	#6	1.0	0.31	94859-01-ND	6.74	30.16	49.66	195.10	94859
		#8			94860-01-ND	6.74	30.16	49.66	195.10	94860
		#10			94858-01-ND	6.74	30.16	49.66	195.10	94858
	16-14 Blau	#6	1.0	0.31	94855-01-ND	6.74	30.16	49.66	195.10	94855
		#8	1.0	0.31	94856-01-ND	6.74	30.16	49.66	195.10	94856
		#10	1.0	0.31	94851-01-ND	6.74	30.16	49.66	195.10	94851
		1/4	1.1	0.47	94852-01-ND	7.33	32.81	54.05	212.33	94852
		5/16	1.1	0.47	94854-01-ND	6.77	30.30	49.90	196.03	94854
		3/8	1.1	0.56	94853-01-ND	7.33	32.81	54.05	212.33	94853
	12-10 Gelb	#8	1.1	0.38	94849-01-ND	6.04	21.98	38.78	159.44	94849
		#10	1.1	0.38	94846-01-ND	8.19	36.63	60.33	237.01	94846
		1/4	1.2	0.59	94847-01-ND	6.26	22.80	40.23	165.39	94847
		3/8	1.2	0.59	94848-01-ND	6.26	22.80	40.23	165.39	94848
Warmschrumpfbare nahtlose Stoßverbinder										
14	22-18 Rot	—	1.2	—	94861-01-ND	5.05	18.40	32.46	133.44	94861
	16-14 Blau	—	1.3	—	94857-01-ND	5.05	18.40	32.46	133.44	94857
	12-10 Gelb	—	1.5	—	94850-01-ND	6.51	23.70	41.83	171.97	94850

3M Scotchlok™ Diskrete Steckverbinder und Werkzeuge

3M Isolieranschlusskit — 650 Stück Anschlusssortiment (14 Größen), 200 Kabelbinder (je 100, 2 Größen), ein Drahtmarkierersperder, ein Crimpwerkzeug, ein wiederverwendbarer Metallkasten, eine Infokarte für Nachbestellungen.

923000-I-ND.....**119.05**

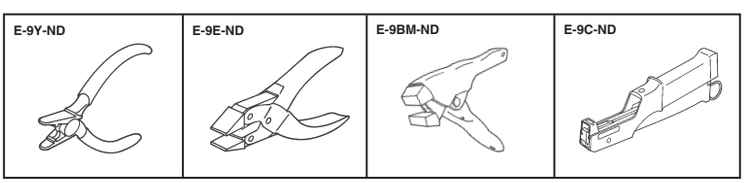

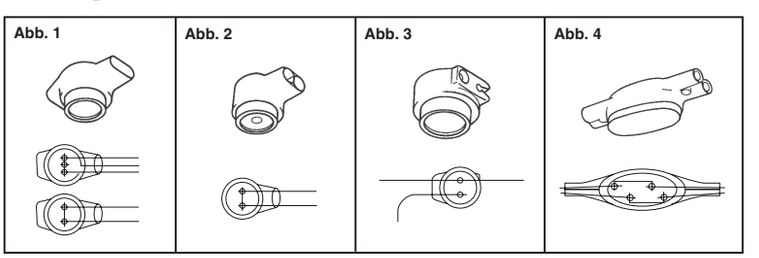

Abb.	Farbe	Max. Isol. A.D. (mm)	Kabeltyp PIC-ungefüllt AWG	PIC-gefüllt AWG	Pulpe auf Papier AWG	Pakettyp	Digi-Key Teilenr.	Stückpreis 1	10	100	E-9Y-ND 31.30	E-9E-ND 28.62	E-9BM-ND 52.83	E-9C-ND 139.74
1	Rot	1.67	19-26	22-26*	19-26	Lose	UR20074-ND	.27	.21	.15	√ (2-adrig)	√ (3-adrig)	—	—
	Grau	1.93	17-20	19-24	19-24	Kassette	UAL27828-ND	—	.59	.43	—	—	—	√
2	Gelb	1.52	22-26	22-26	22-26	Lose	UY14911-ND	.25	.19	.13	√	√	√	√
3	Grün	1.67	19-26	22-26	19-26	Lose	UG20082-ND	.41	.31	.22	√	√	√	—
4	Rot	3.18	19-24	19-24	19-24	Lose	U1R20017-ND	2.79	2.43	2.10	—	—	√	—

* Kann für 19 AWG (0,9 mm) schaumisoliertes Kabel verwendet werden.

Alle Preisangaben in Euro und inklusive Zollgebühren.

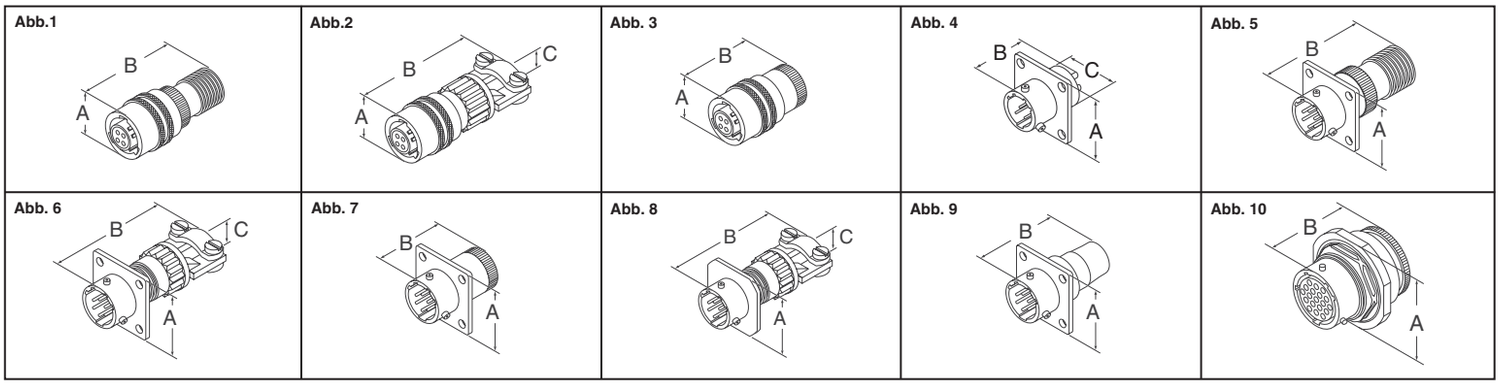

CONTACT LEGEND
16 20

Einsatzmuster ***(Stirnfläche des Stifteinsatzes abgebildet. Zeichnungen nicht maßstabsgerecht.)***

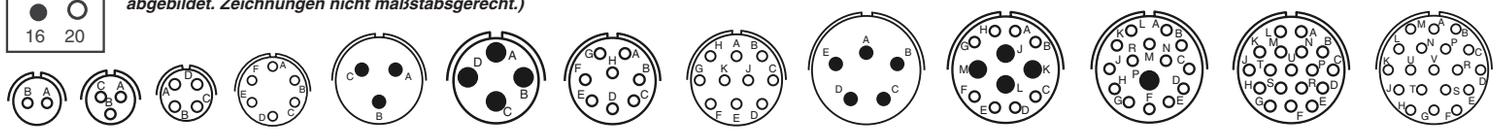

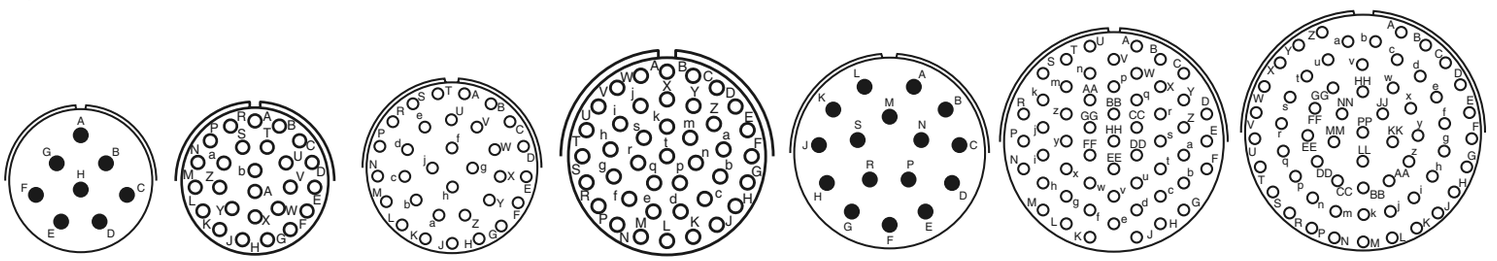

Aluminiumgehäuse-Komponenten. Standard olivgrün, elektrisch leitfähiger Cadmiumüberzug. Zuverlässige 5 Keil-Keilnut-Polarisierung mit Bajonettverschlusskopplung gewährleistet Formschluss. Federspannung durch Wellenunterlegscheibe in Kopplungsmutter stellt die Unversehrtheit der Stirnflächendichtung zwischen Verbindungshälften sicher. Einsatz und Hauptgehäusedichtung aus widerstandsfähigem Neopren geformt. **Lötkontakte** sind installiert. Stifte und Buchsen sind mit Kupferlegierung/Gold überzogen.

PT-Lötserie entspricht gemäß File Nr. E115497, Section 5, dem UL-Standard.

PT mit Lötkontakten (Typ MIL-C-26482 Serie 1)

Abb.	Gehäusegröße Einsatzanordnung Nr.	Anz. der Kontakte/ Größe	Beschreibung	Abm. in Zoll A	B	C	Digi-Key Teilenr.	Stückpreis 1	10
2	8-2	2/20	Stecker mit Sockeln	.750	1.906	.125	PT06A-8-2S(SR)-ND*	20.06	13.10
4			Buchse mit Pins	.812	.825	.449	PT02A-8-2P-ND	9.40	6.58
2	8-3	3/20	Stecker mit Sockeln	.750	1.906	.125	PT06A-8-3S(SR)-ND*	19.93	12.76
2			Stecker mit Sockeln	.750	1.906	.125	PT06E-8-3S(SR)-ND*	21.62	13.84
4			Buchse mit Pins	.812	.825	.449	PT02A-8-3P-ND	10.52	7.37
4			Buchse mit Pins	.812	.825	.449	PT02E-8-3P-ND	9.58	5.75
1	8-4	4/20	Stecker mit Sockeln	.750	1.609	—	PT06A-8-4S-ND	14.32	9.35
2			Stecker mit Pins	.750	1.906	.125	PT06E8-4P(SR)-ND*	18.72	13.10
2			Stecker mit Sockeln	.750	1.906	.125	PT06E8-4S(SR)-ND*	21.72	13.90
2			Stecker mit Pins	.750	1.906	.125	PT06A-8-4P(SR)-ND*	18.80	12.27
2			Stecker mit Sockeln	.750	1.906	.125	PT06A-8-4S(SR)-ND*	19.23	12.55
3			Stecker mit Sockeln	.750	1.266	—	PT06E-8-4S-ND	15.92	10.40
4			Buchse mit Pins	.812	.825	.449	PT02A8-4P-ND	9.70	5.83
4			Buchse mit Sockeln	.812	.825	.449	PT02A8-4S-ND	9.44	6.61
4			Buchse mit Pins	.812	.825	.449	PT02E-8-4P-ND	9.40	6.58
4			Buchse mit Sockeln	.812	.825	.449	PT02E-8-4S-ND	9.47	5.69
2	10-6	6/20	Stecker mit Pins	.869	1.906	.188	PT06E10-6P(SR)-ND*	14.42	9.41
2			Stecker mit Sockeln	.869	1.906	.188	PT06E10-6S(SR)-ND*	24.53	15.71
2			Stecker mit Pins	.859	1.906	.188	PT06A-10-6P(SR)-ND*	19.56	12.77
2			Stecker mit Sockeln	.859	1.906	.188	PT06A-10-6S(SR)-ND*	22.79	14.59
4			Buchse mit Pins	.938	.825	.573	PT02A10-6P-ND	9.35	6.55
4			Buchse mit Sockeln	.938	.825	.573	PT02A10-6S-ND	10.44	7.31
4			Buchse mit Pins	.938	.825	.573	PT02E-10-6P-ND	10.84	7.59
4			Buchse mit Sockeln	.938	.825	.573	PT02E-10-6S-ND	12.39	8.67
5			Buchse mit Pins	.938	1.553	—	PT00A-10-6P-ND	17.23	11.25
7			Buchse mit Pins	.938	1.266	—	PT00E-10-6P-ND	19.55	12.76
8			Buchse mit Pins	.938	1.922	.188	PT01A-10-6P(SR)-ND*	18.79	12.27
1	12-3	3/16	Stecker mit Sockeln	1.013	1.609	—	PT06A-12-3S-ND	14.12	9.89
2			Stecker mit Pins	1.013	1.906	.312	PT06E12-3P(SR)-ND*	16.42	10.72
2			Stecker mit Sockeln	1.013	1.906	.312	PT06E12-3S(SR)-ND*	17.58	11.47
2			Stecker mit Pins	1.013	1.906	.312	PT06A-12-3P(SR)-ND*	20.06	13.10
2			Stecker mit Sockeln	1.013	1.906	.312	PT06A-12-3S(SR)-ND*	20.06	13.10
4			Buchse mit Pins	1.031	.825	.699	PT02A12-3P-ND	8.99	5.40
4			Buchse mit Sockeln	1.031	.825	.699	PT02A12-3S-ND	14.14	9.90
4			Buchse mit Pins	1.031	.825	.699	PT02E-12-3P-ND	9.80	5.89
2	12-4	4/16	Stecker mit Pins	1.013	1.906	.312	PT06A-12-4P(SR)-ND*	22.34	14.30
4			Buchse mit Sockeln	1.031	.825	.699	PT02E-12-4S-ND	14.72	9.61
1	12-8	8/20	Stecker mit Pins	1.013	1.609	—	PT06A-12-8P-ND	16.81	10.97
1			Stecker mit Sockeln	1.013	1.609	—	PT06A-12-8S-ND	17.39	11.36
2			Stecker mit Pins	1.013	1.906	.312	PT06E-12-8P(SR)-ND*	20.42	13.07
2			Stecker mit Sockeln	1.013	1.906	.312	PT06E-12-8S(SR)-ND*	25.86	16.55
4			Buchse mit Pins	1.031	.825	.699	PT02E-12-8P-ND	10.68	7.48
2	12-10	10/20	Stecker mit Pins	1.013	1.906	.312	PT06E12-10P(SR)-ND*	17.49	11.42
2			Stecker mit Sockeln	1.013	1.906	.312	PT06E12-10S(SR)-ND*	19.12	12.24

Abb.	Gehäusegröße Einsatzanordnung Nr.	Anz. der Kontakte/ Größe	Beschreibung	Abm. in Zoll A	B	C	Digi-Key Teilenr.	Stückpreis 1	10
2	12-10	10/20	Stecker mit Pins	1.013	1.906	.312	PT06A-12-10P(SR)-ND*	14.08	9.19
2			Stecker mit Sockeln	1.013	1.906	.312	PT06A-12-10S(SR)-ND*	17.58	11.47
4			Buchse mit Pins	1.031	.825	.699	PT02A12-10P-ND	13.11	9.18
4			Buchse mit Sockeln	1.031	.825	.699	PT02A12-10S-ND	13.42	9.40
4			Buchse mit Pins	1.031	.825	.699	PT02E-12-10P-ND	10.79	7.56
4			Buchse mit Sockeln	1.031	.825	.699	PT02E-12-10S-ND	10.78	7.55
2	14-5	5/16	Stecker mit Pins	1.156	1.906	.375	PT06E14-5P(SR)-ND*	22.27	14.26
2			Stecker mit Sockeln	1.156	1.906	.375	PT06E14-5S(SR)-ND*	19.47	12.46
2			Stecker mit Sockeln	1.156	1.906	.375	PT06A-14-5S(SR)-ND*	23.48	15.04
4			Buchse mit Pins	1.125	.825	.823	PT02A14-5P-ND	11.67	8.17
4			Buchse mit Sockeln	1.125	.825	.823	PT02A14-5S-ND	16.95	11.07
4			Buchse mit Pins	1.125	.825	.823	PT02E-14-5P-ND	9.82	6.88
2	14-12	8/#20, 4/#16	Stecker mit Pins	1.156	1.906	.375	PT06A-14-12P(SR)-ND*	17.14	11.19
2			Stecker mit Sockeln	1.156	1.906	.375	PT06E-14-12S(SR)-ND*	19.80	12.93
4			Buchse mit Pins	1.125	.825	.823	PT02E-14-12P-ND	10.06	7.04
4			Buchse mit Sockeln	1.125	.825	.823	PT02E-14-12S-ND	18.46	12.05
4			Buchse mit Sockeln	1.125	.825	.823	PT02A-14-12S-ND	16.26	10.62
4	14-15	14/#20, 1/#16	Buchse mit Pins	1.125	.825	.823	PT02A-14-15P-ND	10.82	7.58
1	14-18	18/20	Stecker mit Zugentlastung	1.156	1.609	—	PT06A-14-18P-ND	15.08	9.85
2			Stecker mit Sockeln	1.156	1.906	.375	PT06E-14-18S(SR)-ND*	23.56	15.08
4			Buchse mit Pins	1.125	.825	.823	PT02A-14-18P-ND	14.74	10.32
4			Buchse mit Sockeln	1.125	.825	.823	PT02E-14-18S-ND	14.64	9.56
2	14-19	19/20	Stecker mit Pins	1.156	1.906	.375	PT06E14-19P(SR)-ND*	20.24	13.21
2			Stecker mit Sockeln	1.156	1.906	.375	PT06E14-19S(SR)-ND*	21.93	14.04
2			Stecker mit Pins	1.156	1.906	.375	PT06A-14-19P(SR)-ND*	24.03	15.39
4			Buchse mit Pins	1.125	.825	.823	PT02A14-19P-ND	14.48	10.14
4			Buchse mit Sockeln	1.125	.825	.823	PT02A14-19S-ND	15.43	10.07
2	16-8	8/16	Stecker mit Pins	1.281	2.047	.500	PT06E16-8P(SR)-ND*	28.06	17.96
2			Stecker mit Sockeln	1.281	2.047	.500	PT06E16-8S(SR)-ND*	27.43	19.21
4			Buchse mit Pins	1.219	.825	.949	PT02A16-8P-ND	11.43	8.00
4			Buchse mit Sockeln	1.219	.825	.949	PT02A16-8S-ND	13.59	9.52
4	16-26	26/20	Buchse mit Pins	1.219	.825	.949	PT02A-16-26P-ND	16.99	11.09
2	20-16	16/16	Stecker mit Pins	1.531	2.250	.625	PT06E20-16P(SR)-ND*	34.73	24.31
2			Stecker mit Sockeln	1.531	2.250	.625	PT06E20-16S(SR)-ND*	35.08	24.56
4			Buchse mit Pins	1.438	1.076	1.199	PT02A20-16P-ND	22.16	14.18
4			Buchse mit Sockeln	1.438	1.076	1.199	PT02A20-16S-ND	27.94	19.56
2	22-55	55/20	Stecker mit Pins	1.656	2.250	.750	PT06E22-55P(SR)-ND*	43.50	30.45
2			Stecker mit Sockeln	1.656	2.250	.750	PT06E22-55S(SR)-ND*	54.11	37.88
4			Buchse mit Pins	1.562	1.076	1.323	PT02A22-55P-ND	26.94	18.86
4			Buchse mit Sockeln	1.562	1.076	1.323	PT02A22-55S-ND	30.60	21.42
1	24-61	61/20	Stecker mit Pins	1.776	1.750	—	PT06A-24-61P-ND	41.89	29.33
1			Stecker mit Sockeln	1.776	1.750	—	PT06A-24-61S-ND	46.99	32.89

*(SR) am Ende der Teilenr. weist darauf hin, dass eine Zugentlastung enthalten ist.

(Forts.)

Amphenol® Runde Bajonettverschluss-Steckverbinder *(Forts.)*

MS mit Lötkontakten (Typ MIL-C-26482 Serie 1)

Abb.	Gehäusegröße Einsatzanordnung Nr.	Anz. der Kontakte/ Größe	Beschreibung	Abm. in Zoll A	B	C	Digi-Key Teilenr.	Stückpreis 1	10
2	8-2	2/20	Stecker mit Sockeln	.750	1.906	.125	MS3116F-8-2S-ND†	17.30	11.29
3			Stecker mit Sockeln	.750	1.266	—	MS3116E-8-2S-ND*	12.53	8.78
4			Buchse mit Pins	.812	.825	.449	MS3112E-8-2P-ND*	9.91	5.95
3	8-3	3/20	Stecker mit Pins	.750	1.266	—	MS3116E-8-3P-ND*	13.44	9.41
3			Stecker mit Sockeln	.750	1.266	—	MS3116E-8-3S-ND*	14.65	10.26
2			Stecker mit Sockeln	.750	1.906	.125	MS3116F-8-3S-ND†	16.75	10.94
4			Buchse mit Pins	.812	.825	.449	MS3112E-8-3P-ND*	9.17	5.51
4			Buchse mit Sockeln	.812	.825	.449	MS3112E-8-3S-ND	9.46	6.63
2	8-4	4/20	Stecker mit Pins	.750	1.906	.125	MS3116F-8-4P-ND†	15.72	10.27
3			Stecker mit Sockeln	.750	1.266	—	MS3116E-8-4S-ND*	13.76	9.63
2			Stecker mit Sockeln	.750	1.906	.125	MS3116F-8-4S-ND†	17.65	11.53
4			Buchse mit Pins	.812	.825	.449	MS3112E-8-4P-ND*	9.22	5.54
4			Buchse mit Sockeln	.812	.825	.449	MS3112E-8-4S-ND*	11.33	7.93
2	10-6	6/20	Stecker mit Pins	.859	1.906	.188	MS3116F-10-6P-ND†	15.00	9.79
2			Stecker mit Sockeln	.859	1.906	.188	MS3116F-10-6S-ND†	16.09	10.50
6			Buchse mit Pins	.938	1.922	.188	MS3110F-10-6P-ND†	22.06	14.12
6			Buchse mit Sockeln	.938	1.922	.188	MS3110F-10-6S-ND†	23.64	15.13
4			Buchse mit Pins	.938	.825	.573	MS3112E-10-6P-ND*	9.73	5.84
4			Buchse mit Sockeln	.938	.825	.573	MS3112E-10-6S-ND*	9.42	6.60
3			Stecker mit Sockeln	.859	1.266	—	MS3116E-10-6S-ND*	14.11	9.22
2	12-3	3/16	Stecker mit Pins	1.013	1.906	.312	MS3116F-12-3P-ND†	17.94	11.71
2			Stecker mit Sockeln	1.013	1.906	.312	MS3116F-12-3S-ND†	19.97	13.04
4			Buchse mit Pins	1.031	.825	.699	MS3112E-12-3P-ND*	8.53	5.98
4			Buchse mit Sockeln	1.031	.825	.699	MS3112E-12-3S-ND*	10.77	7.55
2	12-10	10/20	Stecker mit Pins	1.013	1.906	.312	MS3116F-12-10P-ND†	18.40	12.01
2			Stecker mit Sockeln	1.013	1.906	.312	MS3116F-12-10S-ND†	19.36	12.64
4			Buchse mit Pins	1.031	.825	.699	MS3112E-12-10P-ND*	9.57	6.70
4			Buchse mit Sockeln	1.031	.825	.699	MS3112E-12-10S-ND*	17.01	11.11
2	14-12	18/#20, 4/#16	Stecker mit Sockeln	1.156	1.906	.375	MS3116F-14-12S-ND†	24.31	15.56
4			Buchse mit Pins	1.125	.825	.823	MS3112E-14-12P-ND*	14.84	9.69
2	14-18	18/20	Stecker mit Sockeln	1.156	1.906	.375	MS3116F-14-18S-ND†	27.46	19.23
4			Buchse mit Pins	1.125	.825	.823	MS3112E-14-18P-ND*	16.85	11.00
2	14-19	19/20	Stecker mit Sockeln	1.156	1.906	.375	MS3116F-14-19S-ND†	27.11	18.98
4			Buchse mit Pins	1.125	.825	.823	MS3112E-14-19P-ND*	14.25	9.98
2	16-26	26/20	Stecker mit Sockeln	1.281	2.047	.500	MS3116F-16-26S-ND†	27.73	19.42
4			Buchse mit Pins	1.219	.825	.949	MS3112E-16-26P-ND*	16.14	10.54
2	18-32	32/20	Stecker mit Pins	1.319	2.078	.625	MS3116F-18-32P-ND†	34.17	23.92
2	20-41	41/20	Stecker mit Sockeln	1.531	2.250	.625	MS3116F-20-41S-ND†	44.01	30.81
2	22-55	55/20	Stecker mit Pins	1.656	2.250	.750	MS3116F22-55P-ND†	50.05	35.04
4			Buchse mit Pins	1.562	1.076	1.323	MS3112E-22-55P-ND*	27.14	17.38

*Umgebungsbeständigkeit durch Tülle mit mehreren Löchern und Klemmmutter zum Schutz einzelner offener Drähte vor Feuchtigkeit † Tüllendichtung mit Zugentlastungsklemme

Aluminiumgehäuse-Komponenten. Standard olivgrün, elektrisch leitfähiger Cadmiumüberzug. Zuverlässige 5 Keil-Keilnut-Polarisierung mit Bajonettverschlusskopplung gewährleistet Formschluss. Federspannung durch Wellenunterlegscheibe in Kopplungsmutter stellt die Unversehrtheit der Stirnflächendichtung zwischen Verbindungshälften sicher. Einsatz und Hauptgehäusedichtung aus widerstandsfähigem Neopren geformt.

Crimpkontakte sind enthalten, jedoch nicht installiert. (Siehe Empfehlungen zu Kontakt-Hand-Crimpwerkzeugen und Kontakteinbau-/-ausbauwerkzeugen weiter unten). Stifte und Buchsen sind mit Kupferlegierung/Gold überzogen.

Zugentlastung ist im Stecker enthalten.

PT-SE mit Crimpkontakten (Typ MIL-C-26482 Serie 1)

Abb.	Gehäusegröße Einsatzanordnung Nr.	Anz. der Kontakte/ Größe	Beschreibung	Abm. in Zoll A	B	C	Digi-Key Teilenr.	Stückpreis 1	10
2	10-6	6/20	Stecker mit Pins	.859	2.413	.188	PT06SE10-6P(SR)-ND*	26.41	16.90
2			Stecker mit Sockeln	.859	2.413	.188	PT06SE10-6S(SR)-ND*	22.88	14.65
9			Buchse mit Pins	.954	1.296	—	PT02SE10-6P-ND	19.12	12.24
9			Buchse mit Sockeln	.954	1.296	—	PT02SE10-6S-ND	27.22	17.43
2	12-10	10/20	Stecker mit Pins	1.031	2.413	.312	PT06SE12-10P(SR)-ND*	26.16	18.32
2			Stecker mit Sockeln	1.031	2.413	.312	PT06SE12-10S(SR)-ND*	21.15	13.54
9			Buchse mit Pins	1.047	1.296	—	PT02SE12-10P-ND	22.61	14.48
9			Buchse mit Sockeln	1.047	1.296	—	PT02SE12-10S-ND	26.16	18.32
2	16-8	8/16	Stecker mit Pins	1.281	2.528	.500	PT06SE16-8P(SR)-ND*	37.13	26.00
2			Stecker mit Sockeln	1.281	2.528	.500	PT06SE16-8S(SR)-ND*	45.65	31.96
9			Buchse mit Pins	1.234	1.296	—	PT02SE16-8P-ND	36.20	25.34
9			Buchse mit Sockeln	1.234	1.296	—	PT02SE16-8S-ND	41.03	28.72
2	18-32	32/20	Stecker mit Pins	1.391	2.528	.625	PT06SE18-32P(SR)-ND*	47.97	33.58
2			Stecker mit Sockeln	1.391	2.528	.625	PT06SE18-32S(SR)-ND*	56.87	39.82
9			Buchse mit Pins	1.328	1.296	—	PT02SE18-32P-ND	43.75	30.63
9			Buchse mit Sockeln	1.328	1.296	—	PT02SE18-32S-ND	47.38	33.17
2	20-16	16/16	Stecker mit Pins	1.531	2.753	.625	PT06SE20-16P(SR)-ND*	26.09	18.27
2			Stecker mit Sockeln	1.531	2.753	.625	PT06SE20-16S(SR)-ND*	58.86	41.20
9			Buchse mit Pins	1.453	1.358	—	PT02SE20-16P-ND	43.50	30.45
9			Buchse mit Sockeln	1.453	1.358	—	PT02SE20-16S-ND	52.79	36.96
2	22-55	55/20	Stecker mit Pins	1.656	2.753	.750	PT06SE22-55P(SR)-ND*	59.55	41.69
2			Stecker mit Sockeln	1.656	2.753	.750	PT06SE22-55S(SR)-ND*	43.01	30.11
9			Buchse mit Pins	1.578	1.358	—	PT02SE22-55P-ND	57.59	40.31
9			Buchse mit Sockeln	1.578	1.358	—	PT02SE22-55S-ND	66.78	46.75
2	24-61	61/20	Stecker mit Pins	1.777	2.830	.800	PT06SE24-61P(SR)-ND*	45.68	31.98
2			Stecker mit Sockeln	1.777	2.830	.800	PT06SE24-61S(SR)-ND*	41.11	28.78
9			Buchse mit Pins	1.703	1.358	—	PT02SE24-61P-ND	65.56	45.90
9			Buchse mit Sockeln	1.703	1.358	—	PT02SE24-61S-ND	87.71	61.40

* (SR) am Ende der Teilenr. weist darauf hin, dass eine Zugentlastung enthalten ist.

Ersatz-Crimpkontakte

Beschr.	Kontaktgröße	Digi-Key Teilenr.	Stückpreis 1	10	50
Ersatzpin	16	10-314980-16P-ND	1.24	.74	.49
Ersatzpin	20	10-314980-20P-ND	.78	.47	.31
Ersatzsockel	16	10-257982-16F-ND	2.06	1.23	.80
Ersatzsockel	20	LP-597820-355-ND	1.18	.71	.46

MS mit Crimpkontakten (Typ MIL-C-26482 Serie 1)

Abb.	Gehäusegröße Einsatzanordnung Nr.	Anz. der Kontakte/ Größe	Beschreibung	Abm. in Zoll A	B	C	Digi-Key Teilenr.	Stückpreis 1	10
2	10-6	6/20	Stecker mit Pins	—	2.413	.188	MS3126F-10-6P-ND	19.20	12.29
2			Stecker mit Sockeln	—	2.413	.188	MS3126F-10-6S-ND	16.93	11.05
6			Buchse mit Pins	.954	2.422	.188	MS3120F-10-6P-ND	24.82	15.89
6			Buchse mit Sockeln	.954	2.422	.188	MS3120F-10-6S-ND	24.75	15.84
9			Buchse mit Pins	.954	1.296	—	MS3122E-10-6P-ND	19.83	12.94
8			Buchse mit Sockeln	.955	2.422	.188	MS3121F-10-6S-ND	23.39	14.97
2	12-3	3/16	Stecker mit Sockeln	1.031	2.413	.312	MS3126F-12-3S-ND	19.49	12.48
6			Buchse mit Pins	1.047	2.422	.312	MS3120F-12-3P-ND	25.05	16.04
9			Buchse mit Pins	1.047	1.296	—	MS3122E-12-3P-ND	20.17	12.92
2	12-10	10/20	Stecker mit Pins	1.031	2.413	.312	MS3126F-12-10P-ND	20.77	13.29
2			Stecker mit Sockeln	1.031	2.413	.312	MS3126F-12-10S-ND	18.16	11.85
7			Buchse mit Pins	1.047	1.328	.312	MS3120E-12-10P-ND	19.89	12.98
9			Buchse mit Pins	1.047	1.296	—	MS3122E-12-10P-ND	16.47	10.75
9			Buchse mit Sockeln	1.047	1.296	—	MS3122E-12-10S-ND	17.33	11.32
2	14-5	5/16	Stecker mit Sockeln	1.156	2.413	.375	MS3126F-14-5S-ND	24.40	15.62
9			Buchse mit Pins	1.141	1.296	—	MS3122E-14-5P-ND	18.40	12.01
2	14-12	8/#20, 4/#16	Stecker mit Sockeln	1.156	2.413	.375	MS3126F-14-12S-ND	25.81	16.52
9			Buchse mit Pins	1.141	1.296	—	MS3122E-14-12P-ND	20.92	13.39
2	14-15	14/#20, 1/#16	Stecker mit Sockeln	1.156	2.413	.375	MS3126F-14-15S-ND	23.54	15.07
2	14-18	18/20	Stecker mit Sockeln	1.156	2.413	.375	MS3126F-14-18S-ND	26.19	16.77
9			Buchse mit Pins	1.141	1.296	—	MS3122E-14-18P-ND	19.79	12.67
2	14-19	19/20	Stecker mit Pins	1.156	2.413	.375	MS3126F-14-19P-ND	20.42	13.07
2			Stecker mit Sockeln	1.156	2.413	.375	MS3126F-14-19S-ND	26.44	16.93
9			Buchse mit Pins	1.141	1.296	—	MS3122E-14-19P-ND	20.08	12.85
6			Buchse mit Sockeln	1.141	2.422	.375	MS3120F-14-19S-ND	27.04	18.93
10			Buchse mit Sockeln	1.391	1.438	—	MS3124E-14-19S-ND	27.26	19.09
2	16-8	8/16	Stecker mit Pins	1.281	2.528	.500	MS3126F-16-8P-ND	25.51	16.33
2	16-26	26/20	Stecker mit Pins	1.281	2.528	.500	MS3126F-16-26P-ND	27.95	19.57
2			Stecker mit Sockeln	1.281	2.528	.500	MS3126F-16-26S-ND	25.43	17.81
9			Buchse mit Pins	1.234	1.296	—	MS3122E-16-26P-ND	24.44	15.65
2	18-11	11/16	Stecker mit Sockeln	1.391	2.528	.625	MS3126F-18-11S-ND	30.36	21.26
2	20-16	16/16	Stecker mit Sockeln	1.531	2.753	.625	MS3126F-20-16S-ND	34.91	24.44
2	20-41	41/20	Stecker mit Sockeln	1.531	2.753	.625	MS3126F-20-41S-ND	30.63	21.45
6			Stecker mit Sockeln	1.453	2.824	.625	MS3120F-20-41S-ND	48.46	31.02
9			Buchse mit Pins	1.453	1.358	—	MS3122E-20-41P-ND	31.07	21.75
2	22-55	55/20	Stecker mit Sockeln	1.656	2.753	.750	MS3126F-22-55S-ND	39.86	27.91
9			Buchse mit Pins	1.578	1.358	—	MS3122E-22-55P-ND	33.39	23.38
9			Buchse mit Sockeln	1.578	1.358	—	MS3122E-22-55S-ND	36.39	25.48
2	24-61	61/20	Stecker mit Sockeln	1.777	2.830	.800	MS3126F-24-61S-ND	40.94	28.66

ASTRO TOOL CORP.
CONNECTOR ASSEMBLY TOOLING

Werkzeuge

Kontaktgröße	Manuelles Crimpwerkzeug, MS Tool Teilenr. Werkzeugrahmen	Stückpreis	Revolverkopf	Stückpreis	Einführungswerkzeug Produktions-Metallzange	Stückpreis	Prototyp Kunststoff	Stückpreis	MS Teilenr.	Stückpreis	Ausbauwerkzeug Prototyp	Stückpreis	MS Teilenr.	Stückpreis
20	615708-ND	208.31	615709-ND	79.72	ATBX1-8107-20-ND	140.86	ATA1086-ND	23.76	ATML1703B-ND	21.73	AT2020-ND	28.55	M81969/19B-06-ND	28.55
16	615708-ND	208.31	615709-ND	79.72	ATBX1-8107-16-ND	140.86	ATA1101-ND	28.55	ATML1704B-ND	21.73	AT2016-ND	28.55	M81969/19B-01-ND	43.41

Alle Preisangaben in Euro und inklusive Zollgebühren.

Amphenol®

Runde Steckverbinder der Serie 97 mit Gewinde

mit Lötkontakten (Typ MIL-C-5015)

Nach Underwriters Laboratories gemäß Eintragungsnr. E115497 zugelassen. Canadian Standard Association-Zertifizierung nach Eintragungsnr. LR69183

Preisgünstige Steckverbinder (keine Umgebungsklasse) für allgemeine Zwecke des Typs MIL-C-5015. Erhältlich entweder als massive A- oder geteilte B-Gehäusetypen. Werden häufig in der Werkzeugmaschinenindustrie, der Schweißindustrie und in zahlreichen anderen gewerblichen Anwendungen eingesetzt. • Einzelne Keil-/Keilnutpolarisierung • Kopplung mit Gewinde • Harte Dielektrikumeinsätze aus Diallylphthalat • Aluminiumlegierungskomponenten mit einem leitfähigen Cadmium-Überzug, nach der Behandlung olivgrün chromatisiert • Kontakte sind Löttypkontakte, versilbert mit vorverzinnten Lötkelchen • Kabelklemmen sind aus einer Zinklegierung, Oberfläche olivgrün/grün chromatisiert

Abb. 1 — Gerader Stecker (Serie 97)

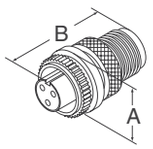

Koppelring aus massivem Aluminiumbarren für eine hohe Zugfestigkeit gedreht. Passt auf alle Buchsentypen der Serie 97. Vordergehäuse enthält Polarisierungskeilnut. Massives Gehäuse. Backshell mit Gewinde.

Abb. 2 — Stecker, gerade

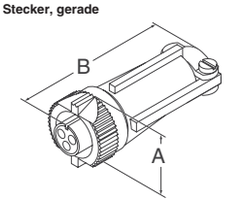

Abb. 3 — Abgewinkelter Stecker (Serie 97)

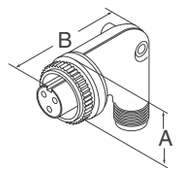

Gehäuse ist der Länge nach geteilt und ermöglicht praktische Lötarbeiten und Inspektionen. Vordergehäuse ist so geformt, dass das 90-Grad-Gehäuse in jedem 45-Grad-Inkrement gedreht und verriegelt werden kann.

Abb. 4 — Steckbuchse, Kastenmontage

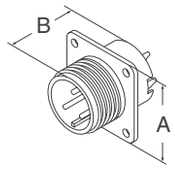

Montagelöcher Durchm. 0,147 Größen 24,28 Durchm. 0,120 alle anderen Größen

Abb. 5 — Steckbuchse, Wandmontage

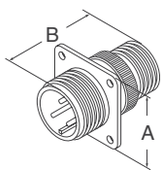

Montagelöcher 0,147 Durchm. für Größen 24 u.28, 0,120 Durchm. für alle anderen Größen

Abb. 6 — Kabelsteckbuchse

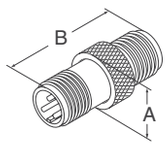

Abb. 7 — Stecker, gerade

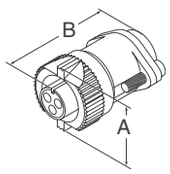

Abb. 8 — Kabelklemme

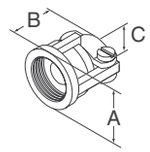

Abb. 9 — Hülse

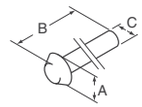

Einsatzmuster
(Stirnfläche des Stifteinsatzes abgebildet. Zeichnungen nicht maßstabsgerecht.)

NENNLEISTUNG:

		INST	A	D	E	B	C
Begrenzte Betriebs-	DC	250	700	1250	1750	2450	4200
spannungen auf Meereshöhe	AC(rms)	200	500	900	1250	1750	3000

TESTSTROM: Kontaktgröße 16 = 13 Ampere, Kontaktgröße 12 = 23 Ampere
HINWEIS: Bei der Berechnung dieser Werte wurden keine Stoßspannungen berücksichtigt.
HINWEIS: Die Betriebsgrenzspannung in einer Höhe von 50.000 ft. (15,240 m) ist ca. 25 % der Werte auf Meereshöhe.

Einsatzanordnung Nennleistung

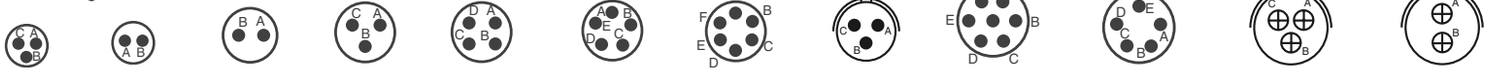

10SL-3 A · 10SL-4 A · 12S-3 A · 14S-1 A · 14S-2 INST. · 14S-5 INST. · 14S-6 INST. · 14S-7 · 16S-1 A · 16S-8 A · 16-10 · 16-11

18-1 B,C,F,G = A alle anderen = INST. · 18-4 D · 18-8 A · 18-10 A · 18-11 A · 18-12 A · 18-16 C · 18-19 A · 18-11

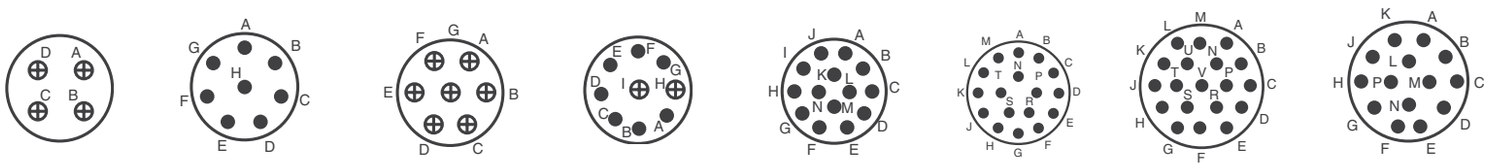

20-4 D · 20-7 A,B,H,G = D C,D,E,F = A · 20-15 A · 20-16 A · 20-27 A · 20-29 A · 22-14 A · 22-19 A

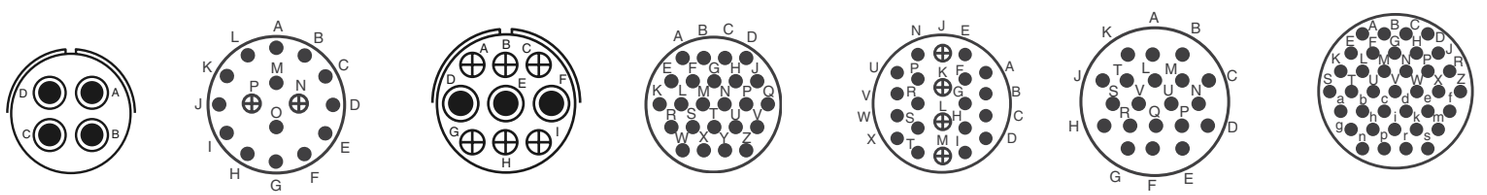

22-22 · 24-7 A · 24-11 · 24-28 INST. · 28-11 A · 28-16 A · 28-21 A

Stecker und Buchsen der Serie 97

Abb.	Gehäusegröße Einsatzanordnung Nr.	Anz. der Kontakte/ Größe	Beschreibung	Abm. (Zoll) A	Abm. (Zoll) B	Digi-Key Teilenr.	Stückpreis 1	Stückpreis 10
1	10SL-3	3/16	Stecker mit Sockel	7/8	1-3/8	97-3106A-10SL-3S-ND	12.00	8.41
3			Stecker mit Sockel	7/8	1-1/2	97-3108B-10SL-3S-ND	15.22	9.94
6			Steckbuchse mit Pins	1	1-9/32	97-3101A-10SL-3P-ND	14.08	9.86
4			Steckbuchse mit Pins	3/4	1-9/32	97-3102A-10SL-3P-ND	9.70	5.83
1	10SL-4	2/16	Stecker mit Sockel	7/8	1-3/8	97-3106A-10SL-4S-ND	11.37	7.96
3			Stecker mit Sockel	7/8	1-1/2	97-3108B-10SL-4S-ND	14.54	9.49
6			Steckbuchse mit Pins	1	1-9/32	97-3101A-10SL-4P-ND	13.42	9.40
4			Steckbuchse mit Pins	1	1-9/32	97-3102A-10SL-4P-ND	8.94	5.37

Abb.	Gehäusegröße Einsatzanordnung Nr.	Anz. der Kontakte/ Größe	Beschreibung	Abm. (Zoll) A	Abm. (Zoll) B	Digi-Key Teilenr.	Stückpreis 1	Stückpreis 10
1	12S-3	2/16	Stecker mit Pins	1	1-7/16	97-3106A-12S-3P-ND	10.40	7.28
			Stecker mit Sockel	1	1-7/16	97-3106A-12S-3S-ND	11.12	7.78
4			Steckbuchse mit Pins	1-3/32	1-15/32	97-3102A-12S-3P-ND	7.39	4.44
			Steckbuchse mit Sockel	1-3/32	1-15/32	97-3102A-12S-3S-ND	7.97	4.79
1	14S-1	3/16	Stecker mit Pins	1-1/8	1-15/32	97-3106A-14S-1P-ND	12.00	8.41
			Stecker mit Sockel	1-1/8	1-15/32	97-3106A-14S-1S-ND	12.28	8.60
3			Stecker mit Pins	1-1/8	1-23/32	97-3108B-14S-1P-ND	13.91	9.74
			Stecker mit Sockel	1-1/8	1-23/32	97-3108B-14S-1S-ND	14.27	9.99

(Forts.)

Stecker und Buchsen der Serie 97 *(Forts.)*

Abb.	Gehäusegröße Einsatzanordnung Nr.	Anz. der Kontakte/ Größe	Beschreibung	Abm. (Zoll) A	Abm. (Zoll) B	Digi-Key Teilenr.	Stückpreis 1	Stückpreis 10
5	14S-1	3/16	Steckbuchse mit Pins	1-3/16	1-15/32	97-3100A-14S-1P-ND	12.00	8.41
			Steckbuchse mit Sockel	1-3/16	1-15/32	97-3100A-14S-1S-ND	12.28	8.60
6			Steckbuchse mit Pins	7/8	1-15/32	97-3101A-14S-1P-ND	14.77	10.35
			Steckbuchse mit Sockel	7/8	1-15/32	97-3101A-14S-1S-ND	14.24	9.30
1	14S-2	4/16	Stecker mit Pins	1-1/8	1-15/32	97-3106A-14S-2P-ND	11.92	8.35
			Stecker mit Sockel	1-1/8	1-15/32	97-3106A-14S-2S-ND	12.87	9.01
3			Stecker mit Pins	1-1/8	1-23/32	97-3108B-14S-2P-ND	13.80	9.66
			Stecker mit Sockel	1-1/8	1-23/32	97-3108B-14S-2S-ND	14.16	9.24
5			Steckbuchse mit Pins	1-3/16	1-15/32	97-3100A-14S-2P-ND	13.33	9.34
			Steckbuchse mit Sockel	1-3/16	1-15/32	97-3100A-14S-2S-ND	14.48	10.14
6			Steckbuchse mit Pins	7/8	1-15/32	97-3101A-14S-2P-ND	14.69	10.29
			Steckbuchse mit Sockel	7/8	1-15/32	97-3101A-14S-2S-ND	14.78	9.65
1	14S-5	5/16	Stecker mit Pins	1-1/8	1-15/32	97-3106A-14S-5P-ND	13.33	9.34
			Stecker mit Sockel	1-1/8	1-15/32	97-3106A-14S-5S-ND	13.82	9.68
3			Stecker mit Pins	1-1/8	1-23/32	97-3108B-14S-5P-ND	14.33	9.36
			Stecker mit Sockel	1-1/8	1-23/32	97-3108B-14S-5S-ND	14.78	9.65
5			Buchse mit Pins	1-3/16	1-15/32	97-3100A-14S-5P-ND	13.33	9.34
			Buchse mit Sockel	1-3/16	1-15/32	97-3100A-14S-5S-ND	13.82	9.68
6			Buchse mit Pins	7/8	1-15/32	97-3101A-14S-5P-ND	15.04	9.82
			Buchse mit Sockel	7/8	1-15/32	97-3101A-14S-5S-ND	15.70	10.25
1	14S-6	6/16	Stecker mit Pins	1-1/8	1-15/32	97-3106A-14S-6P-ND	13.82	9.68
			Stecker mit Sockel	1-1/8	1-15/32	97-3106A-14S-6S-ND	13.93	9.75
3			Stecker mit Pins	1-1/8	1-23/32	97-3108B-14S-6P-ND	14.78	9.65
			Stecker mit Sockel	1-1/8	1-23/32	97-3108B-14S-6S-ND	15.18	9.91
5			Buchse mit Pins	1-3/16	1-15/32	97-3100A-14S-6P-ND	13.82	9.68
			Buchse mit Sockel	1-3/16	1-15/32	97-3100A-14S-6S-ND	13.93	9.75
6			Buchse mit Pins	7/8	1-15/32	97-3101A-14S-6P-ND	15.70	10.25
			Buchse mit Sockel	7/8	1-15/32	97-3101A-14S-6S-ND	16.07	10.49
1	16S-1	7/16	Stecker mit Pins	1-1/4	1-15/32	97-3106A-16S-1P-ND	13.82	9.68
			Stecker mit Sockel	1-1/4	1-15/32	97-3106A-16S-1S-ND	14.62	9.54
4			Buchse mit Pins	1-9/32	1-15/32	97-3102A-16S-1P-ND	9.72	6.81
			Buchse mit Sockel	1-9/32	1-15/32	97-3102A-16S-1S-ND	11.39	7.98
1	16S-8	5/16	Stecker mit Pins	1-1/4	1-15/32	97-3106A-16S-8P-ND	13.42	9.40
			Stecker mit Sockel	1-1/4	1-15/32	97-3106A-16S-8S-ND	13.91	9.74
4			Buchse mit Pins	1-9/32	1-15/32	97-3102A-16S-8P-ND	9.59	6.72
			Buchse mit Sockel	1-9/32	1-15/32	97-3102A-16S-8S-ND	9.97	6.98
1	18-1	10/16	Stecker mit Pins	1-11/32	1-31/32	97-3106A-18-1P-ND	17.23	11.25
			Stecker mit Sockel	1-11/32	1-31/32	97-3106A-18-1S-ND	19.07	12.44
3			Stecker mit Pins	1-11/32	2-5/32	97-3108B-18-1P-ND	20.86	13.35
			Stecker mit Sockel	1-11/32	2-5/32	97-3108B-18-1S-ND	22.48	14.39
4			Buchse mit Pins	1-3/8	1-63/64	97-3102A-18-1P-ND	13.25	9.28
			Buchse mit Sockel	1-3/8	1-63/64	97-3102A-18-1S-ND	14.69	10.29
1	18-4	4/16	Stecker mit Pins	1-11/32	1-31/32	97-3106A-18-4P-ND	14.60	10.23
			Stecker mit Sockel	1-11/32	1-31/32	97-3106A-18-4S-ND	14.96	9.77
3			Stecker mit Pins	1-11/32	2-5/32	97-3108B-18-4P-ND	18.50	12.08
			Stecker mit Sockel	1-11/32	2-5/32	97-3108B-18-4S-ND	19.73	12.88
4			Buchse mit Pins	1-3/8	1-63/64	97-3102A-18-4P-ND	9.59	6.72
			Buchse mit Sockel	1-3/8	1-63/64	97-3102A-18-4S-ND	10.40	7.28
1	18-8	4/1#12, 4/7#16	Stecker mit Pins	1-11/32	1-31/32	97-3106A-18-8P-ND	17.23	11.25
			Stecker mit Sockel	1-11/32	1-31/32	97-3106A-18-8S-ND	18.62	12.16
3			Stecker mit Pins	1-11/32	2-5/32	97-3108B-18-8P-ND	20.86	13.35
			Stecker mit Sockel	1-11/32	2-5/32	97-3108B-18-8S-ND	22.17	14.20
4			Buchse mit Pins	1-3/8	1-63/64	97-3102A-18-8P-ND	13.25	9.28
			Buchse mit Sockel	1-3/8	1-63/64	97-3102A-18-8S-ND	14.48	10.14
1	18-10	4/12	Stecker mit Pins	1-11/32	1-31/32	97-3106A-18-10P-ND	16.58	10.83
			Stecker mit Sockel	1-11/32	1-31/32	97-3106A-18-10S-ND	18.62	12.16
3			Stecker mit Pins	1-11/32	2-5/32	97-3108B-18-10P-ND	20.25	12.96
			Stecker mit Sockel	1-11/32	2-5/32	97-3108B-18-10S-ND	22.17	14.20
4			Buchse mit Pins	1-3/8	1-63/64	97-3102A-18-10P-ND	12.28	8.60
			Buchse mit Sockel	1-3/8	1-63/64	97-3102A-18-10S-ND	14.48	10.14
1	18-11	5/12	Stecker mit Pins	1-11/32	1-31/32	97-3106A-18-11P-ND	16.58	10.83
			Stecker mit Sockel	1-11/32	1-31/32	97-3106A-18-11S-ND	17.23	11.25
3			Stecker mit Pins	1-11/32	2-5/32	97-3108B-18-11P-ND	20.25	12.96
			Stecker mit Sockel	1-11/32	2-5/32	97-3108B-18-11S-ND	20.86	13.35
4			Buchse mit Pins	1-3/8	1-63/64	97-3102A-18-11P-ND	12.28	8.60
			Buchse mit Sockel	1-3/8	1-63/64	97-3102A-18-11S-ND	13.25	9.28
1	18-12	6/16	Stecker mit Pins	1-11/32	1-31/32	97-3106A-18-12P-ND	15.65	10.21
			Stecker mit Sockel	1-11/32	1-31/32	97-3106A-18-12S-ND	16.58	10.83
3			Stecker mit Pins	1-11/32	2-5/32	97-3108B-18-12P-ND	19.18	12.28
			Stecker mit Sockel	1-11/32	2-5/32	97-3108B-18-12S-ND	20.25	12.96
4			Buchse mit Pins	1-3/8	1-63/64	97-3102A-18-12P-ND	11.18	7.83
			Buchse mit Sockel	1-3/8	1-63/64	97-3102A-18-12S-ND	12.28	8.60

Abb.	Gehäusegröße Einsatzanordnung Nr.	Anz. der Kontakte/ Größe	Beschreibung	Abm. (Zoll) A	Abm. (Zoll) B	Digi-Key Teilenr.	Stückpreis 1	Stückpreis 10
1	18-16	1/12	Stecker mit Pins	1-11/32	1-31/32	97-3106A-18-16P-ND	16.58	10.83
			Stecker mit Sockel	1-11/32	1-31/32	97-3106A-18-16S-ND	19.64	12.83
3			Stecker mit Pins	1-11/32	2-5/32	97-3108B-18-16P-ND	20.88	13.37
			Stecker mit Sockel	1-11/32	2-5/32	97-3108B-18-16S-ND	24.08	15.41
4			Buchse mit Pins	1-3/8	1-63/64	97-3102A-18-16P-ND	11.73	8.21
			Buchse mit Sockel	1-3/8	1-63/64	97-3102A-18-16S-ND	14.24	9.30
1	18-19	10/16	Stecker mit Pins	1-11/32	1-31/32	97-3106A-18-19P-ND	22.49	14.40
			Stecker mit Sockel	1-11/32	1-31/32	97-3106A-18-19S-ND	19.23	12.55
3			Stecker mit Pins	1-11/32	2-5/32	97-3108B-18-19P-ND	27.13	17.36
			Stecker mit Sockel	1-11/32	2-5/32	97-3108B-18-19S-ND	22.69	14.52
4			Buchse mit Pins	1-3/8	1-63/64	97-3102A-18-19P-ND	19.07	12.44
			Buchse mit Sockel	1-3/8	1-63/64	97-3102A-18-19S-ND	14.24	9.30
1	20-4	4/12	Stecker mit Pins	1-15/32	1-7/8	97-3106A-20-4P-ND	19.09	12.22
			Stecker mit Sockel	1-15/32	1-7/8	97-3106A-20-4S-ND	26.35	16.86
4			Buchse mit Pins	1-1/2	1-57/64	97-3102A-20-4P-ND	12.00	8.41
			Buchse mit Sockel	1-1/2	1-57/64	97-3102A-20-4S-ND	14.77	10.35
1	20-7	8/16	Stecker mit Pins	1-15/32	1-7/8	97-3106A-20-7P-ND	19.09	12.22
			Stecker mit Sockel	1-15/32	1-7/8	97-3106A-20-7S-ND	20.50	13.12
4			Buchse mit Pins	1-1/2	1-57/64	97-3102A-20-7P-ND	12.00	8.41
			Buchse mit Sockel	1-1/2	1-57/64	97-3102A-20-7S-ND	13.82	9.68
1	20-15	7/12	Stecker mit Pins	1-15/32	1-7/8	97-3106A-20-15P-ND	20.92	13.39
			Stecker mit Sockel	1-15/32	1-7/8	97-3106A-20-15S-ND	27.70	17.73
4			Buchse mit Pins	1-1/2	1-57/64	97-3102A-20-15P-ND	13.93	9.75
			Buchse mit Sockel	1-1/2	1-57/64	97-3102A-20-15S-ND	19.58	12.54
1	20-16	9/2#12, 9/7#16	Stecker mit Pins	1-15/32	1-7/8	97-3106A-20-16P-ND	20.94	13.40
			Stecker mit Sockel	1-15/32	1-7/8	97-3106A-20-16S-ND	22.48	14.39
4			Buchse mit Pins	1-1/2	1-57/64	97-3102A-20-16P-ND	14.48	10.14
			Buchse mit Sockel	1-1/2	1-57/64	97-3102A-20-16S-ND	14.96	9.77
1	20-27	14/16	Stecker mit Pins	1-15/32	1-7/8	97-3106A-20-27P-ND	21.56	13.80
			Stecker mit Sockel	1-15/32	1-7/8	97-3106A-20-27S-ND	23.16	14.83
4			Buchse mit Pins	1-1/2	1-57/64	97-3102A-20-27P-ND	14.77	10.35
			Buchse mit Sockel	1-1/2	1-57/64	97-3102A-20-27S-ND	16.09	10.50
1	20-29	17/16	Stecker mit Pins	1-15/32	1-7/8	97-3106A-20-29P-ND	22.93	14.68
			Stecker mit Sockel	1-15/32	1-7/8	97-3106A-20-29S-ND	25.41	16.27
4			Buchse mit Pins	1-1/2	1-57/64	97-3102A-20-29P-ND	15.75	10.28
			Buchse mit Sockel	1-1/2	1-57/64	97-3102A-20-29S-ND	18.02	11.76
1	22-14	19/16	Stecker mit Pins	1-19/32	1-31/32	97-3106A-22-14P-ND	24.04	15.39
			Stecker mit Sockel	1-19/32	1-31/32	97-3106A-22-14S-ND	27.29	17.47
4			Buchse mit Pins	1-5/8	1-63/64	97-3102A-22-14P-ND	17.23	11.25
			Buchse mit Sockel	1-5/8	1-63/64	97-3102A-22-14S-ND	19.87	12.72
1	22-19	14/16	Stecker mit Pins	1-19/32	1-31/32	97-3106A-22-19P-ND	23.59	15.10
			Stecker mit Sockel	1-19/32	1-31/32	97-3106A-22-19S-ND	24.04	15.39
4			Buchse mit Pins	1-5/8	1-63/64	97-3102A-22-19P-ND	16.91	11.04
			Buchse mit Sockel	1-5/8	1-63/64	97-3102A-22-19S-ND	17.23	11.25
1	24-7	16/2 #12, 16/14 #16	Stecker mit Pins	1-23/32	2-1/4	97-3106A-24-7P-ND	28.46	18.22
			Stecker mit Sockel	1-23/32	2-1/4	97-3106A-24-7S-ND	27.38	19.17
4			Buchse mit Pins	1-3/4	2-1/4	97-3102A-24-7P-ND	19.20	12.29
			Buchse mit Sockel	1-3/4	2-1/4	97-3102A-24-7S-ND	21.56	13.80
1	24-28	24/16	Stecker mit Pins	1-23/32	2-1/4	97-3106A-24-28P-ND	26.45	18.52
			Stecker mit Sockel	1-23/32	2-1/4	97-3106A-24-28S-ND	29.95	20.97
4			Buchse mit Pins	1-3/4	2-1/4	97-3102A-24-28P-ND	20.89	13.38
			Buchse mit Sockel	1-3/4	2-1/4	97-3102A-24-28S-ND	24.48	15.67
1	28-11	22/4#12, 22/18#16	Stecker mit Pins	1-31/32	2-1/4	97-3106A-28-11P-ND	28.65	20.06
			Stecker mit Sockel	1-31/32	2-1/4	97-3106A-28-11S-ND	34.64	24.25
4			Buchse mit Pins	2	2-1/4	97-3102A-28-11P-ND	22.92	14.67
			Buchse mit Sockel	2	2-1/4	97-3102A-28-11S-ND	26.18	18.33
1	28-16	20/16	Stecker mit Pins	1-31/32	2-1/4	97-3106A-28-16P-ND	29.51	20.66
			Stecker mit Sockel	1-31/32	2-1/4	97-3106A-28-16S-ND	29.90	20.94
4			Buchse mit Pins	2	2-1/4	97-3102A-28-16P-ND	24.04	15.39
			Buchse mit Sockel	2	2-1/4	97-3102A-28-16S-ND	24.23	15.51
1	28-21	37/16	Stecker mit Pins	1-31/32	2-1/4	97-3106A-28-21P-ND	34.51	24.16
			Stecker mit Sockel	1-31/32	2-1/4	97-3106A-28-21S-ND	38.89	27.23
4			Buchse mit Pins	2	2-1/4	97-3102A-28-21P-ND	26.01	18.21
			Buchse mit Sockel	2	2-1/4	97-3102A-28-21S-ND	30.66	21.47

(Forts.)

Alle Preisangaben in Euro und inklusive Zollgebühren.

Zubehör für Steckverbinder der Serie 97

Abb.	Gehäusegröße Einsatz-anordnung Nr.	Beschreibung	Abmessungen (Zoll) A	B	C	Digi-Key Teilenr.	Stückpreis 1	10
8	10SL, 12S	Kabelschelle	.842	.795	5/16	97-3057-1004-ND	6.43	3.66
9		Durchführung	.374	2.875	.210	97-79-513-3-ND	1.04	.63
9		Durchführung	.500	2.750	.302	97-79-513-4-ND	1.20	.72
—		Kabelschelle mit Durchführung	—	—	—	97-3057-1004-1-ND*	7.04	4.23
8	12SL, 14S	Kabelschelle	.995	.850	7/16	97-3057-1007-ND	5.42	3.08
9		Durchführung	.614	2.625	.427	97-79-513-6-ND	1.24	.74
—		Kabelschelle mit Durchführung	—	—	—	97-3057-1007-1-ND	7.14	4.29
8	16,16S	Kabelschelle	1.120	.920	9/16	97-3057-1008-ND	7.18	4.07
9		Durchführung	.739	2.500	.552	97-79-513-8-ND	1.04	.63
—		Kabelschelle mit Durchführung	—	—	—	97-3057-1008-1-ND	7.52	4.52
8	18	Kabelschelle	1.216	.920	5/8	97-3057-1010-ND	6.04	3.43
9		Durchführung	.889	2.375	.615	97-79-513-10-ND	1.04	.63
—		Kabelschelle mit Durchführung	—	—	—	97-3057-1010-1-ND	7.12	4.04
8	20,22	Kabelschelle	1.403	.927	3/4	97-3057-1012-ND	6.07	3.45
9		Durchführung	1.084	2.250	.740	97-79-513-12-ND	1.20	.72
—		Kabelschelle mit Durchführung	—	—	—	97-3057-1012-1-ND	7.29	4.14
8	24,28	Kabelschelle	1.683	1.015	15/16	97-3057-1016-ND	6.64	3.77
9		Durchführung	1.084	2.250	.740	97-79-513-12-ND	1.20	.72
9		Durchführung	1.309	2.125	.927	97-79-513-16-ND	1.53	.92
—		Kabelschelle mit Durchführung	—	—	—	97-3057-1016-1-ND**	8.38	5.03

* Werden Klemme und Hülse für Gehäusegrößen 10SL und 12S zusammen bestellt, wird Hülse 97-79-513-4 mitgeliefert.
**Zwei Teleskophülsen (97-79-513-12 und 97-79-513-16) sind mit je einer Kabelklemme für Gehäusegröße 24 und 28 ausgestattet.

MS/Standard zylindrisch

mit Lötkontakten (Typ MIL-C-5015 Serie 1)

Abb.	Gehäusegröße Einsatz-anordnung Nr.	Anz. der Kontakte/ Größe	Beschreibung	Abm. (Zoll) A	B	Digi-Key Teilenr.	Stückpreis 1	10
1	10SL-3	3/16	Stecker mit Sockel	.946	2.129	MS3106E-10SL-3S-ND*	14.53	9.48
2		3/16	Stecker mit Sockel	.946	2.129	MS3106F-10SL-3S-ND†	14.24	9.30
7		3/16	Stecker mit Sockel	.946	1.057	MS3106R-10SL-3S-ND‡	13.83	9.69
4		3/16	Buchse mit Pins	1.000	.297	MS3102E-10SL-3P-ND*	7.68	4.36
4		3/16	Buchse mit Pins	1.000	.297	MS3102R-10SL-3P-ND‡	6.30	3.58
1	10SL-4	2/16	Stecker mit Sockel	.946	.937	MS3106A-10SL-4S-ND	11.91	8.34
1		2/16	Stecker mit Sockel	.946	2.129	MS3106E-10SL-4S-ND*	15.61	10.19
2		2/16	Stecker mit Sockel	.946	2.129	MS3106F-10SL-4S-ND†	13.77	9.64
4		2/16	Buchse mit Pins	1.000	.297	MS3102E-10SL-4P-ND*	7.55	4.29
4		2/16	Buchse mit Pins	1.000	.297	MS3102R-10SL-4P-ND‡	6.04	3.43
2	14S-2	4/16	Stecker mit Pins	1.123	2.201	MS3106F-14S-2P-ND†	13.19	9.24
1		4/16	Stecker mit Sockel	1.123	.937	MS3106A-14S-2S-ND	10.30	7.22
2		4/16	Stecker mit Sockel	1.123	2.201	MS3106F-14S-2S-ND†	14.78	9.65
4		4/16	Buchse mit Pins	1.188	.297	MS3102E-14S-2P-ND*	7.70	4.63
4		4/16	Buchse mit Sockel	1.188	.297	MS3102E-14S-2S-ND*	8.14	4.88
4		4/16	Buchse mit Pins	1.188	.297	MS3102R-14S-2P-ND‡	7.48	4.25
4		4/16	Buchse mit Sockel	1.188	.297	MS3102R-14S-2S-ND‡	7.18	4.31
1	14S-5	5/16	Stecker mit Pins	1.123	.937	MS3106A-14S-5P-ND	11.34	7.94
1		5/16	Stecker mit Sockel	1.123	.937	MS3106A-14S-5S-ND	13.46	9.43
4		5/16	Buchse mit Pins	1.188	.297	MS3102E-14S-5P-ND*	7.19	4.32
4		5/16	Buchse mit Pins	1.188	.297	MS3102R-14S-5P-ND‡	7.37	4.42
1	14S-6	6/16	Stecker mit Sockel	1.123	.937	MS3106A-14S-6S-ND	10.29	7.20
2		6/16	Stecker mit Sockel	1.123	2.201	MS3106F-14S-6S-ND†	14.34	9.36
4		6/16	Buchse mit Pins	1.188	.297	MS3102E-14S-6P-ND*	7.08	4.02
4		6/16	Buchse mit Sockel	1.188	.297	MS3102E-14S-6S-ND*	9.68	5.81
4		6/16	Buchse mit Pins	1.188	.297	MS3102R-14S-6P-ND‡	7.53	4.52
4		6/16	Buchse mit Sockel	1.188	.297	MS3102R-14S-6S-ND‡	8.81	5.29
2	14S-7	3/16	Stecker mit Sockel	1.123	2.201	MS3106F-14S-7S-ND†	16.72	10.91
1	16S-1	7/16	Stecker mit Sockel	1.250	.937	MS3106A-16S-1S-ND	13.64	9.55
2		7/16	Stecker mit Sockel	1.250	2.201	MS3106F-16S-1S-ND†	21.30	13.64
4		7/16	Buchse mit Pins	1.281	.297	MS3102E-16S-1P-ND*	9.11	5.47
4		7/16	Buchse mit Pins	1.281	.297	MS3102R-16S-1P-ND‡	8.62	5.17
1	16-10	3/12	Stecker mit Sockel	1.250	1.124	MS3106A-16-10S-ND	15.48	10.11
2		3/12	Stecker mit Sockel	1.250	2.524	MS3106F-16-10S-ND†	21.07	13.49
4	16-11	2/12	Buchse mit Pins	1.281	.484	MS3102R-16-11P-ND‡	7.91	4.75
4	18-1	10/16	Buchse mit Pins	1.375	.453	MS3102E-18-1P-ND*	9.30	6.51
4		10/16	Buchse mit Pins	1.375	.453	MS3102R-18-1P-ND‡	8.68	6.08
1		10/16	Stecker mit Sockel	1.333	1.219	MS3106A-18-1S-ND	15.96	10.42
4	18-11	5/12	Buchse mit Pins	1.375	.453	MS3102E-18-11P-ND*	9.36	6.56
4	20-27	14/16	Buchse mit Pins	.453	1.500	MS3102R-20-27P-ND‡	9.25	6.48
4	22-14	19/16	Buchse mit Pins	.453	1.625	MS3102E-22-14P-ND*	13.55	9.49
4	22-19	14/16	Buchse mit Sockel	.453	1.625	MS3102E-22-19S-ND*	14.03	9.83
4	22-22	4/8	Buchse mit Pins	.453	1.625	MS3102E-22-22P-ND*	14.60	10.22
4	24-11	3/#8 6/#12	Buchse mit Pins	.453	1.750	MS3102R-24-11P-ND‡	12.99	9.09
7			Stecker mit Sockel	1.291	1.715	MS3106R-24-11S-ND‡	22.86	14.63

* Umgebungsgeschützt
† Umgebungsgeschützt mit Zugentlastung (nur MS-Teilenummer)
‡ Leicht, umgebungsgeschützt

C 091 A Runde Steckverbinder

Merkmale/Spezifikationen:

- Metallkopplung mit Gewinde
- Anzahl der Kontakte: 3 bis 8, 12 und 14
- Interne Metallzugentlastung mit Halbgehäuse-Konstruktion und einrastender Verriegelung
- Komplette EMI-Abschirmung in vollständig eingesteckter und verriegelter Position
- Die Steckverbinder sind gemäß UL-Eintragungsnr. Nr. E 63 093 registriert
- Kontaktüberzug: Silber
- Stecker- und Buchsensteckverbinder: Löten in Position 3 bis 8, 12, 14; Crimpen in Position 3 bis 8; Kabeleingang gerade oder rechtwinklig; Metallkupplung vernickelt oder mit Kunststoff beschichtet
- Einbaustecker und -buchsen für Plattenmontage: Löten in Position 3 bis 8, 12, 14
- Lötabschluss

Abb. 1 Kabelmontage, Stecker (Löttyp)

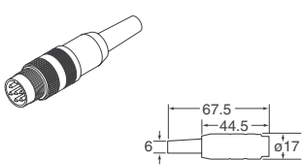

Abb. 2 Kabelmontage, Buchse (Löttyp)

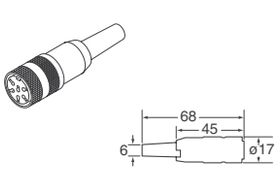

Abb. 3 Plattenmontage, Buchse

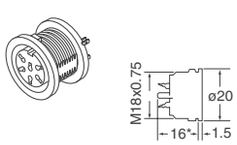

*14mm for parts with 12 or 14 contacts

Abb. 4 Plattenmontage, Stecker

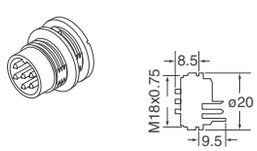

Anz. der Pos.	Digi-Key Teilenr.	Stückpreis 1	10	50	Amphenol Teilenr.
Abb. 1 Kabelmontage, Stecker					
3 DIN	361-1044-ND	6.78	5.74	4.83	T3260 001
4 IEC	361-1045-ND	6.96	5.89	4.95	T3300 001
5	361-1046-ND	6.67	5.65	4.75	T3360 001
5 S DIN	361-1047-ND	7.71	6.71	6.04	T3360 010
6 DIN	361-1048-ND	6.93	5.87	4.94	T3400 001
7	361-1049-ND	7.55	6.39	5.38	T3475 001
8 DIN	361-1050-ND	7.42	6.28	5.28	T3504 001
12	361-1051-ND	11.99	11.29	10.23	T3635 001
14	361-1052-ND	12.67	11.92	10.81	T3650 001
Abb. 2 Kabelmontage, Buchse					
3 DIN	361-1053-ND	7.59	6.43	5.41	T3261 001
4 IEC	361-1054-ND	7.48	6.34	5.33	T3301 001
5	361-1055-ND	7.64	6.47	5.44	T3361 001
5 S DIN	361-1056-ND	8.03	6.98	6.28	T3361 010
6 DIN	361-1057-ND	6.93	6.03	5.43	T3401 001
7	361-1058-ND	7.46	6.49	5.84	T3476 001
8 DIN	361-1059-ND	8.86	7.71	6.94	T3505 001
12	361-1060-ND	12.50	11.56	10.38	T3636 001
14	361-1061-ND	11.47	10.80	9.79	T3651 001

Anz. der Pos.	Digi-Key Teilenr.	Stückpreis 1	10	50	Amphenol Teilenr.
Abb. 3 Plattenmontage, Einbaubuchse					
3 DIN	361-1062-ND	4.37	3.62	3.02	T3263 000
4 IEC	361-1063-ND	4.42	3.66	3.05	T3303 000
5	361-1064-ND	4.28	3.54	2.95	T3363 000
5 S DIN	361-1065-ND	6.11	5.06	4.22	T3363 010
6 DIN	361-1066-ND	4.77	3.95	3.29	T3403 000
7	361-1067-ND	4.77	3.95	3.29	T3478 000
8 DIN	361-1068-ND	6.58	5.57	4.69	T3507 000
12	361-1069-ND	9.62	8.90	7.99	T3638 000
14	361-1070-ND	10.96	10.14	9.10	T3653 000
Abb. 4 Plattenmontage, Einbaustecker					
3 DIN	361-1071-ND	3.83	3.17	2.65	T3262 000
4 IEC	361-1072-ND	3.95	3.28	2.73	T3302 000
5	361-1073-ND	4.10	3.40	2.83	T3362 000
5 S DIN	361-1074-ND	5.65	4.68	3.90	T3362 010
6 DIN	361-1075-ND	4.34	3.60	3.00	T3402 000
7	361-1076-ND	4.47	3.70	3.09	T3477 000
8 DIN	361-1077-ND	5.18	4.29	3.58	T3506-000

Amphenol® C 16-1 Runde Steckverbinder

Die runden Steckverbinder der Serie C 16-1 sind so konzipiert, dass sie die hohen Anforderungen industrieller Anwendungen unter rauen Umgebungsbedingungen erfüllen.

Spezifikationen:

4 Positionen: • **Anzahl der Kontakte:** 4 (3 + PE) • **Abschluss:** Schraube • **Drahtstärke:** AWG 14 • **Isolierungsnennspannung:** 400V • **Belastbarkeit:** 16A • **Schutzklasse:** IP 67

7 Positionen • **Anzahl der Kontakte:** 7 (6 + PE) • **Abschluss:** Lötabschluss • **Drahtstärke:** AWG 18 • **Isolierungsnennspannung:** 250V • **Belastbarkeit:** 10A • **Schutzklasse:** IP 67 • **Kontaktüberzug:** silver

Merkmale:

- Runde Steckverbinder mit Kontaktanordnungen 3 + PE und 6 + PE für Leistungs- und Signalanwendungen
- Anwendungen in Werkzeugmaschinen, Mess- und Kontrollsystemen, Prozesstechnologie und medizinischen Ausrüstungen
- Gehäuse sind aus hochwertigem Kunststoffmaterial gefertigt
- Durch Gewindekopplungen gegen Entriegeln geschützt
- Schutzgrad IP 67 gemäß IEC 60529 in eingestecktem Zustand
- Interne Zugbelastung mit Schraubzwinge oder Klemmring bietet eine sichere Kabelstabilisierung

Abb. 1 Stecker, Kabelmontage

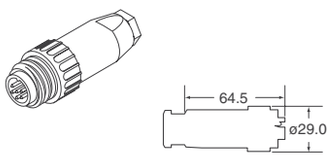

Abb. 2 Stecker, Kabelmontage, rechtwinklig

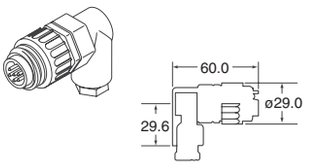

Abb. 3 Plattenmontage, Buchse

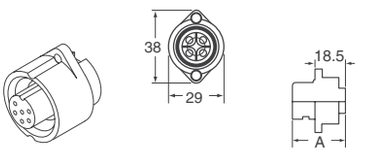

Abb. 4 Buchse, Kabelmontage

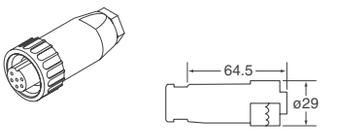

Abb. 5 Buchse, Kabelmontage, gewinkelt

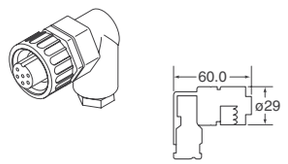

Abb. 6 Plattenmontage, Stecker

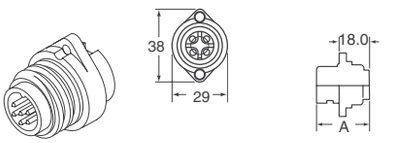

Abb. 7 Schutzkappe für Abb. 6

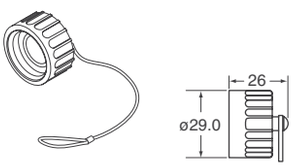

Abb. 8 Schutzkappe für Abb. 3

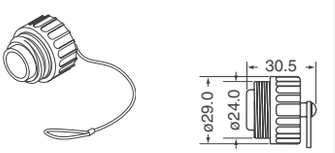

Anz. der Pos.	Kabelauslass*	Abm. A (mm)	Digi-Key Teilenr.	Stückpreis 1	10	50	Amphenol Teilenr.
Abb. 1 Kabelmontage, Stecker							
4	PG 9	—	361-1026-ND	6.54	5.54	4.66	T3108 001
4	PG 11	—	361-1027-ND	6.67	5.65	4.75	T3108 101
7	PG 9	—	361-1034-ND	7.25	6.30	5.67	T3104 001
7	PG 11	—	361-1035-ND	7.36	6.40	5.77	T3104 101
Abb. 2 Kabelmontage, Stecker, gewinkelt							
4	PG 9	—	361-1028-ND	9.45	8.74	7.85	T3108 081
7	PG 9	—	361-1036-ND	10.40	9.62	8.63	T3104 081
Abb. 3 Einbaubuchse							
4	—	32	361-1032-ND	5.84	4.84	4.03	T3111 000
7	—	30.7	361-1040-ND	7.57	6.41	5.39	T3107 000
Abb. 4 Kabelmontage, Buchse							
4	PG 9	—	361-1029-ND	7.13	6.04	5.08	T3109 001
4	PG 11	—	361-1030-ND	7.26	6.15	5.17	T3109 101

Anz. der Pos.	Kabelauslass*	Abm. A (mm)	Digi-Key Teilenr.	Stückpreis 1	10	50	Amphenol Teilenr.
Abb. 4 Kabelmontage, Buchse							
7	PG 9	—	361-1037-ND	8.37	7.29	6.56	T3105 001
7	PG 11	—	361-1038-ND	8.49	7.39	6.65	T3105 101
Abb. 5 Kabelmontage, Buchse, gewinkelt							
4	PG 9	—	361-1031-ND	10.07	9.32	8.37	T3109 081
7	PG 9	—	361-1039-ND	11.53	10.67	9.58	T3105 081
Abb. 6 Einbaustecker							
4	—	32	361-1033-ND	5.16	4.27	3.56	T3110 000
7	—	30	361-1041-ND	6.36	5.39	4.53	T3106 000
Abb. 7 Schutzkappe für Abb.6							
—	—	—	361-1042-ND	5.94	5.03	4.23	T6482 001
Abb. 8 Schutzkappe für Abb.3							
—	—	—	361-1043-ND	5.59	4.74	3.98	T6483 001

* PG9 — 6-8 mm mit Stopfbuchse und Klemmring; 8-10 mm mit Stopfbuchse, aber ohne Klemmring
PG11 — 8-10 mm mit Stopfbuchse und Klemmring; 10-12 mm mit Stopfbuchse, aber ohne Klemmring

molex Waldom ELECTRONICS

Wasserdichter Steckverbinder, Kfz-Typ

Spezifikationen: ***Elektrische Spezifikationen:*** • Dielektrische Haltespannung: Min. 1.500 V AC • Isolationswiderstand: 1.000 MΩ ***Physikalisch:*** • Gehäuse: SPS glasgefülltes Kristallin, UL 94V-0 • Polymer-Betriebstemperatur: -55 °C ~ 125 °C

Merkmale: • Umweltschützend versiegelt gemäß IP67 und USCAR-2, Rev. 3 Normen • Integrierte Mattdrahtdichtung • Integrierte Schnittstellendichtung • Integrierte Terminal Position Assurance (TPA - Anschlusspositionsgewährleistung) • Einfache Crimp-Poke-Anwendung • Kontaktentfernungssystem kann im Feld gewartet werden • Taktiles und hörbares Entsprechungs-Feedback • Unterstützt 18-22 AWG und 14-16 AWG Drahtbereich

Abb. 1

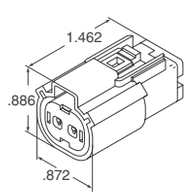

Abb. 2

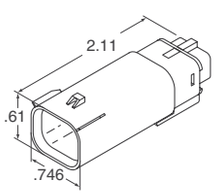

Abb. 3

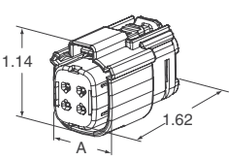

Abb. 4

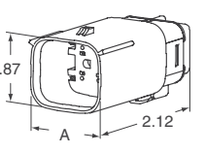

Abb.	Schaltkreise	AWG-Bereich	Abm. A (Zoll)	Digi-Key Teilenr.	Stückpreis 1	10	50	Molex Teilenr.
Einreihig								
Steckbuchse								
1	2	18-22	—	WM17407-ND	2.22	1.88	1.58	19418-0016
		14-16		WM17408-ND	2.22	1.88	1.58	19418-0017
Stecker								
2	2	18-22	—	WM17417-ND	2.22	1.88	1.58	19419-0008
		14-16		WM17418-ND	2.22	1.88	1.58	19419-0007
Doppelreihig								
Steckbuchse								
3	4	18-22	.872	WM17409-ND	2.95	2.51	2.11	19418-0018
		14-16		WM17410-ND	2.95	2.51	2.11	19418-0019
	6	18-22	1.102	WM17411-ND	4.29	3.64	3.06	19418-0020
		14-16		WM17412-ND	4.29	3.64	3.06	19418-0021
	8	18-22	1.332	WM17413-ND	5.07	4.30	3.61	19418-0022
		14-16		WM17414-ND	5.07	4.30	3.61	19418-0023
	10	18-22	1.562	WM17415-ND	6.22	5.27	4.43	19418-0024
		14-16		WM17416-ND	6.22	5.27	4.43	19418-0025

Abb.	Schaltkreise	AWG-Bereich	Abm. A (Zoll)	Digi-Key Teilenr.	Stückpreis 1	10	50	Molex Teilenr.
Stecker								
4	4	18-22	.746	WM17419-ND	2.95	2.51	2.11	19419-0005
		14-16		WM17420-ND	2.95	2.51	2.11	19419-0004
	6	18-22	.976	WM17421-ND	4.29	3.64	3.06	19419-0012
		14-16		WM17422-ND	4.29	3.64	3.06	19419-0011
	8	18-22	1.206	WM17423-ND	5.07	4.30	3.61	19419-0001
		14-16		WM17424-ND	5.07	4.30	3.61	19419-0002
	10	18-22	1.436	WM17425-ND	6.28	5.32	4.48	19419-0015
		14-16		WM17426-ND	6.22	5.27	4.43	19419-0014

Kontakte (vorverzinnt) / Werkzeuge

Beschreibung	Drahtgröße AWG	Digi Key Teilenr.	Preisangaben 10	100	500	Molex Teilenr.
Sockelstift	22-18	WM17427-ND	1.57	12.62	52.61	19420-0010
		WM17429-ND	1.57	12.62	52.61	19417-0048
Sockelstift	14-16	WM17428-ND	1.57	12.62	52.61	19420-0009
		WM17430-ND	1.61	12.87	53.62	19417-0047
Taststecker für Serie MX		WM17431-ND		2.85/10		19417-0119
Crimpwerkzeug (Prototyp).....		WM17483-ND		35.00/1		64016-0035
Crimpwerkzeug (Ratsche).....		WM17484-ND		290.76/1		63811-4400
Extraktionswerkzeug.....		WM17434-ND		12.92/1		63813-1500

Alle Preisangaben in Euro und inklusive Zollgebühren.

Stecker, vor Ort installierbar

Conxall war ein Pionier für ganz aus Kunststoff hergestellte Zylinderstecker. Voll-Kunststoffstecker ermöglichen erhebliche Ersparnisse bei gleichbleibender Leistung und Qualität.

Voll-Kunststoffstecker sind korrosionsbeständig, nicht leitend und halten Missbrauch, schädlichen Umgebungen und starken Stößen stand, die normalerweise die Metallstecker korrodieren, verformen oder elektrisch leitfähig und somit unbrauchbar oder unsicher machen würden.

Spezifikationen:

• Spannung: 600V • Temperaturbereich: -55 °C ~ +125 °C (-67 °F ~ +257 °F) • Kontakte: Messing, Goldüberzug über Nickel • Wasserdicht: NEMA 6P, 13: IEC IP67 • UL-zugelassen: Eintragungsnr. Nr. E138878 - 250 V • CSA-zertifiziert: Eintragungsnr. Nr. LR89277 - 600 V

Micro-Con-X®: • Belastbarkeit: 3,0 - 7,5 A, 600 V • Leitungsquerschnitt: 20 - 24 AWG

Mini-Con-X®: • Belastbarkeit: 4,8 - 13,0 A, 600 V • Leitungsquerschnitt: 20 - 24 AWG

Multi-Con-X®: • Nennlast: 1,95 - 23 A, 600 V • Leitungsquerschnitt: Nr. 12 Kontakte: 12 - 14 AWG; Nr. 20 Kontakte, 20 - 24 AWG

Hinweis: Die zweite Ziffer der Conxall Teilenummer bestimmt die Kontaktgröße: 1 = Nr. 12, 2 = Nr. 20

Maxi-Con-X®: • Nennlast: 1,35 - 13 A, 600 V • Leitungsquerschnitt: Nr. 12 Kontakte: 12 - 14 AWG; Nr. 16 Kontakte:16 - 18 AWG, Nr. 20 Kontakte: 20 - 24 AWG

Hinweis: Die zweite Ziffer der Conxall Teilenummer bestimmt die Kontaktgröße: 1 = Nr. 12, 2 = Nr. 20, 3 = Nr. 16

Abb. 1
(Passt zu Abb. 4 und 6)

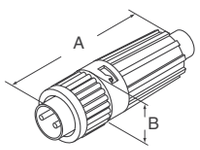

Abb. 2
(Passt zu Abb. 3 und 5)

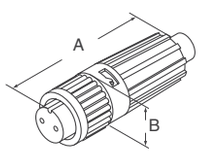

Abb. 3
(Passt zu Abb. 2)

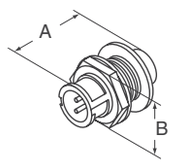

Abb. 4
(Passt zu Abb. 1)

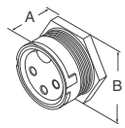

Mit Buchsenkontakt abgebildet

Abb. 5
(Passt zu Abb. 2)

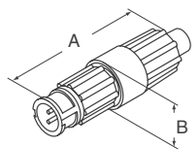

Mit Steckerkontakt abgebildet

Abb. 6
(Passt zu Abb. 1)

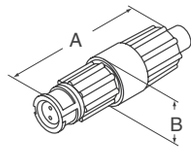

Abb. 7
(Passt zu Abb. 10 und 12)

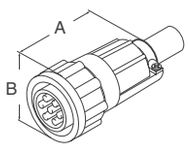

Abb. 8
(Passt zu Abb. 9 und 11)

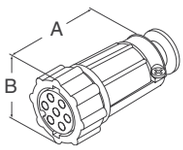

Abb. 9
(Passt zu Abb. 8)

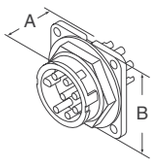

Abb. 10
(Passt zu Abb. 7)

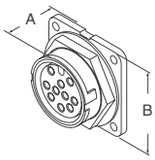

Mit Buchsenkontakt abgebildet

Abb. 11
(Passt zu Abb. 8)

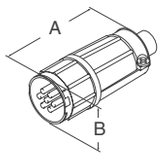

Mit Steckerkontakt abgebildet

Abb. 12
(Passt zu Abb. 7)

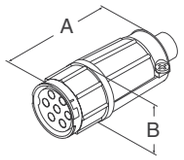

Serie Micro-Con-X®

Anz. der Pos.	Abm. (Zoll.) A	B	Max. Kabeldurchm. (Zoll)	Digi-Key Teilenr.	Stückpreis 1	10	25	Conxall Teilenr.
Abb. 1 — Kabelstift – Stecker mit Stiftkontakt								
2	1.29	.530	0.14	SC1202-ND	2.96	2.23	2.04	16282-2PG-311
3				SC1204-ND	3.49	2.62	2.39	16282-3PG-311
Abb. 2 — Kabelschuh – Stecker mit Buchsenkontakt								
2	1.29	.530	0.14	SC1203-ND	3.42	2.57	2.36	16282-2SG-311
3				SC1205-ND	4.18	3.15	2.87	16282-3SG-311
Abb. 3 — Anbaubuchse mit Stiftkontakt								
2	.715	.715	—	SC1206-ND	2.17	1.63	1.49	17282-2PG-300
3				SC1208-ND	2.68	2.01	1.85	17282-3PG-300
Abb. 4 — Anbaubuchse mit Buchsenkontakt								
2	.715	.715	—	SC1207-ND	2.78	2.09	1.91	17282-2SG-300
3				SC1209-ND	3.45	2.60	2.38	17282-3SG-300
Abb. 5 — Kabel zu Kabel - Kabelschuh mit Stiftkontakt								
2	1.32	.500	0.14	SC1210-ND	2.06	1.55	1.42	18282-2PG-311
3				SC1212-ND	3.15	2.37	2.17	18282-3PG-311
Abb. 6 — Kabel zu Kabel – Kabelschuh mit Buchsenkontakt								
2	1.32	.500	0.14	SC1211-ND	3.25	2.44	2.25	18282-2SG-311
3				SC1213-ND	4.01	3.02	2.76	18282-3SG-311

Serie Mini-Con-X®

Anz. der Pos.	Abm. (Zoll.) A	B	Max. Kabeldurchm. (Zoll)	Digi-Key Teilenr.	Stückpreis 1	10	25	Conxall Teilenr.
Abb. 1 — Kabelstift – Stecker mit Stiftkontakt								
2	1.315	.715	0.250	SC1262-ND	3.24	2.49	2.29	6282-2PG-3DC
3				SC1264-ND	3.76	2.87	2.65	6282-3PG-3DC
4				SC1266-ND	4.24	3.23	2.98	6282-4PG-3DC
5				SC1268-ND	4.72	3.59	3.31	6282-5PG-3DC
6				SC1270-ND	5.16	3.92	3.61	6282-6PG-3DC
Abb. 2 — Kabelschuh – Stecker mit Buchsenkontakt								
2	1.315	.715	0.250	SC1263-ND	3.85	2.94	2.71	6282-2SG-3DC
3				SC1265-ND	4.61	3.51	3.23	6282-3SG-3DC
4				SC1267-ND	5.34	4.06	3.74	6282-4SG-3DC
5				SC1269-ND	6.05	4.59	4.23	6282-5SG-3DC
6				SC1271-ND	6.75	5.12	4.69	6282-6SG-3DC
Abb. 3 — Anbaubuchse mit Stiftkontakt								
2	.675	.924	—	SC1272-ND	2.19	1.65	1.52	7282-2PG-300
3				SC1274-ND	2.70	2.03	1.86	7282-3PG-300
4				SC1276-ND	3.19	2.39	2.19	7282-4PG-300
5				SC1278-ND	3.66	2.74	2.51	7282-5PG-300
6				SC1280-ND	4.10	3.08	2.82	7282-6PG-300
Abb. 4 — Anbaubuchse mit Buchsenkontakt								
2	.675	.924	—	SC1273-ND	2.60	1.95	1.79	7282-2SG-300
3				SC1275-ND	3.28	2.47	2.27	7282-3SG-300
4				SC1277-ND	3.95	2.97	2.71	7282-4SG-300
5				SC1279-ND	4.59	3.44	3.16	7282-5SG-300
6				SC1281-ND	5.21	3.92	3.59	7282-6SG-300
Abb. 5 — Kabel zu Kabel - Kabelschuh mit Stiftkontakt								
2	1.395	.625	0.250	SC1282-ND	3.54	2.71	2.49	8282-2PG-3DC
3				SC1284-ND	4.06	3.09	2.85	8282-3PG-3DC
4				SC1286-ND	4.55	3.45	3.19	8282-4PG-3DC
5				SC1288-ND	5.00	3.81	3.51	8282-5PG-3DC
6				SC1290-ND	5.46	4.14	3.81	8282-6PG-3DC

Anz. der Pos.	Abm. (Zoll.) A	B	Max. Kabeldurchm. (Zoll)	Digi-Key Teilenr.	Stückpreis 1	10	25	Conxall Teilenr.
Abb. 6 — Kabel zu Kabel – Kabelschuh mit Buchsenkontakt								
2	1.395	.625	0.250	SC1283-ND	3.95	3.02	2.78	8282-2SG-3DC
3				SC1285-ND	4.72	3.59	3.31	8282-3SG-3DC
4				SC1287-ND	5.44	4.13	3.80	8282-4SG-3DC
5				SC1289-ND	6.15	4.66	4.29	8282-5SG-3DC
6				SC1291-ND	6.85	5.19	4.77	8282-6SG-3DC

Serie Multi-Con-X®

Anz. der Pos.	Abm. (Zoll.) A	B	Max. Kabeldurchm. (Zoll)	Digi-Key Teilenr.	Stückpreis 1	10	25	Conxall Teilenr.
Abb. 1 — Kabelstift – Stecker mit Stiftkontakt								
2	1.57	.875	0.250	SC1214-ND	4.39	3.34	3.07	3182-2PG-3DC
3				SC1216-ND	5.14	3.91	3.59	3182-3PG-3DC
4				SC1218-ND	4.91	3.73	3.43	3282-4PG-3DC
5				SC1220-ND	5.37	4.09	3.76	3282-5PG-3DC
6				SC1222-ND	5.82	4.42	4.07	3282-6PG-3DC
7				SC1224-ND	6.26	4.75	4.37	3282-7PG-3DC
8				SC1226-ND	6.70	5.08	4.67	3282-8PG-3DC
9				SC1228-ND	7.12	5.39	4.96	3282-9PG-3DC
Abb. 2 — Kabelschuh – Stecker mit Buchsenkontakt								
2	1.57	.875	0.250	SC1215-ND	5.40	4.10	3.78	3182-2SG-3DC
3				SC1217-ND	6.49	4.92	4.52	3182-3SG-3DC
4				SC1219-ND	6.25	4.75	4.36	3282-4SG-3DC
5				SC1221-ND	6.96	5.28	4.85	3282-5SG-3DC
6				SC1223-ND	7.65	5.80	5.33	3282-6SG-3DC
7				SC1225-ND	8.34	6.30	5.80	3282-7SG-3DC
8				SC1227-ND	9.02	6.81	6.26	3282-8SG-3DC
9				SC1229-ND	9.68	7.31	6.72	3282-9SG-3DC
Abb. 3 — Anbaubuchse mit Stiftkontakt								
2	.625	1.155	—	SC1230-ND	3.09	2.32	2.13	4182-2PG-300
3				SC1232-ND	3.85	2.89	2.65	4182-3PG-300
4				SC1234-ND	3.59	2.70	2.48	4282-4PG-300
5				SC1236-ND	4.06	3.04	2.80	4282-5PG-300
6				SC1238-ND	4.50	3.38	3.09	4282-6PG-300
7				SC1240-ND	4.94	3.71	3.40	4282-7PG-300
8				SC1242-ND	5.37	4.03	3.70	4282-8PG-300
9				SC1244-ND	5.79	4.34	3.98	4282-9PG-300
Abb. 4 — Anbaubuchse mit Buchsenkontakt								
2	.625	1.155	—	SC1231-ND	3.73	2.81	2.56	4182-2SG-300
3				SC1233-ND	4.81	3.61	3.32	4182-3SG-300
4				SC1235-ND	4.29	3.23	2.96	4282-4SG-300
5				SC1237-ND	5.07	3.80	3.49	4282-5SG-300
6				SC1239-ND	5.56	4.19	3.83	4282-6SG-300
7				SC1241-ND	6.18	4.64	4.25	4282-7SG-300
8				SC1243-ND	6.92	5.19	4.76	4282-8SG-300
9				SC1245-ND	7.51	5.64	5.17	4282-9SG-300
Abb. 5 — Kabel zu Kabel - Kabelschuh mit Stiftkontakt								
2	1.65	.766	0.250	SC1246-ND	—	—	3.04	5182-2PG-3DC
3				SC1248-ND	4.84	3.68	3.39	5182-3PG-3DC
4				SC1250-ND	—	—	3.40	5282-4PG-3DC
5				SC1252-ND	5.06	3.85	3.54	5282-5PG-3DC
6				SC1254-ND	5.49	4.17	3.84	5282-6PG-3DC
7				SC1256-ND	5.80	4.40	4.05	5282-7PG-3DC
8				SC1258-ND	6.21	4.70	4.33	5282-8PG-3DC
9				SC1260-ND	6.61	5.01	4.61	5282-9PG-3DC

(Forts.)

Serie Multi-Con-X® *(Forts.)*

Anz. der Pos.	Abm. (Zoll.) A	B	Max. Kabel-durchm. (Zoll)	Digi-Key Teilenr.	Stückpreis 1	10	25	Conxall Teilenr.
Abb. 6 — Kabel zu Kabel – Kabelschuh mit Buchsenkontakt								
2	1.65	.766	0.250	SC1247-ND	—	—	3.50	5182-2SG-3DC
3				SC1249-ND	5.79	4.39	4.04	5182-3SG-3DC
4				SC1251-ND	—	—	4.08	5282-4SG-3DC
5				SC1253-ND	6.24	4.73	4.35	5282-5SG-3DC
6				SC1255-ND	—	—	4.97	5282-6SG-3DC
7				SC1257-ND	7.44	5.63	5.18	5282-7SG-3DC
8				SC1259-ND	—	—	5.90	5282-8SG-3DC

Serie Maxi-Con-X®

Anz. der Pos.	Abm. (Zoll.) A	B	Max. Kabel-durchm. (Zoll)	Digi-Key Teilenr.	Stückpreis 1	10	25	Conxall Teilenr.
Abb. 7 — Kabelstift – Stecker mit Stiftkontakt								
7	2.0	1.06	.30	SC1184-ND	—	—	6.46	13182-7PG-326
10				SC1188-ND	—	—	6.71	13382-10PG-326
18				SC1186-ND	—	—	7.90	13282-18PG-326

Anz. der Pos.	Abm. (Zoll.) A	B	Max. Kabel-durchm. (Zoll)	Digi-Key Teilenr.	Stückpreis 1	10	25	Conxall Teilenr.
Abb. 8 — Kabelschuh – mit Buchsenkontakt								
7	2.0	1.06	.30	SC1185-ND	—	—	7.79	13182-7SG-326
10				SC1189-ND	—	—	8.51	13382-10SG-326
18				SC1187-ND	—	—	10.99	13282-18SG-326
Abb. 9 — Anbaubuchse mit Stiftkontakt								
7	.670	1.25	—	SC1190-ND	8.46	6.35	5.82	14182-7PG-300
10				SC1194-ND	—	—	5.08	14382-10PG-300
Abb. 10 — Anbaubuchse mit Buchsenkontakt								
7	.670	1.25	—	SC1191-ND	—	—	6.37	14182-7SG-300
Abb. 11 — Kabel zu Kabel - Kabelschuh mit Stiftkontakt								
7	2.0	1.06	.30	SC1196-ND	10.39	7.79	7.14	15182-7PG-326
10				SC1200-ND	8.86	6.66	6.10	15382-10PG-326
18				SC1198-ND	13.81	10.36	9.50	15282-18PG-326
Abb. 12 — Kabel zu Kabel – Kabelschuh mit Buchsenkontakt								
7	2.0	1.06	.30	SC1197-ND	—	—	7.13	15182-7SG-326
10				SC1201-ND	—	—	7.99	15382-10SG-326
18				SC1199-ND	14.49	10.87	9.96	15282-18SG-326

conxall SENSOR-LINK

A Switchcraft Company

Kabel mit einseitig angespritzen Steckern und Anbaubuchsen mit Drahtzuleitungen

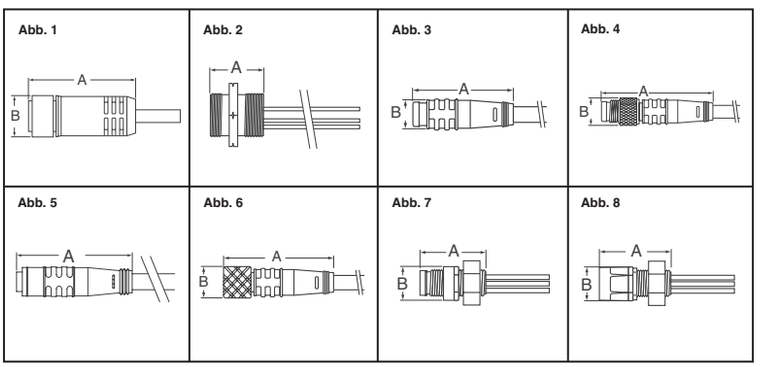

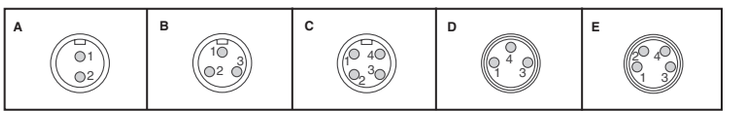

Abb.	Anz. der Pos.	Beschreibung	Länge (Fuß)	Abm. - (Zoll) A	B	Digi-Key Teilenr.	Stückpreis 1	25	Conxall Teilenr.
Mini-Mizer® , Größe „A“									
1A	2	Buchse	6	2.25	1.0	SC1293-ND	13.46	10.65	162S72
			12	2.25	1.0	SC1292-ND	16.20	12.84	162S144
1B	3	Buchse	6	2.25	1.0	SC1295-ND	15.92	12.60	163S72
			12	2.25	1.0	SC1294-ND	19.42	15.38	163S144
1C	4	Buchse	12	2.25	1.0	SC1296-ND	21.96	17.38	164S144
2A	2	Stecker	1	1.0	—	SC1297-ND	6.81	5.39	172P12
2B	3		1	1.0	—	SC1298-ND	7.88	6.23	173P12
2C	4		1	1.0	—	SC1299-ND	8.84	7.01	174P12
Serie Nano-Mizer®									
3D	3	Stecker	6	1.16	.328	SC1300-ND	5.99	4.69	603PS2
4D	3	Stecker	6	1.575	.390	SC1301-ND	7.15	5.59	603PT2
4E	4		6	1.575	.390	SC1305-ND	8.13	6.36	604PT2
5D	3	Buchse	6	1.305	—	SC1302-ND	6.52	5.09	603SS2
5E	4		6	1.305	—	SC1306-ND	7.67	6.01	604SS2
6D	3	Buchse	6	1.38	.390	SC1303-ND	9.43	7.38	603ST2
6E	4		6	1.38	.390	SC1307-ND	10.60	8.28	604ST2
7D	3	Stecker	1	.750	.4375	SC1308-ND	6.74	5.27	613P.3
8D	3	Buchse	1	.800	.367	SC1309-ND	8.11	6.35	613S.3
8E	4		1	.800	.367	SC1311-ND	8.88	6.95	614S.3

Merkmale:

Die Sensor-Link-Serie wurde geschaffen, um die Anforderungen von UL, CSA, NEMA, ANSI, IEC und SAE zu erfüllen oder zu übertreffen. Bauteile passen zu den Teilen anderer Hersteller.

Spezifikationen der Serie Mini-Mizer® , Größe „A“:

• Spannung: 600 V • Kontakte: Kupferlegierung vergoldet • Kabel: 16 AWG, PVC-isoliert, 600 V, 105 °C • Anspritzmaterial: Polyurethan • Betriebsumgebungstemperatur: -20 °C ~ 80 °C

Spezifikationen der Serie Nano-Mizer® :

• Belastbarkeit: 300 V, 4 A • Kontakte: Kupferlegierung vergoldet • Kabel: 0,25 mm (ungefähr AWG 22), PVC isoliert • Betriebsumgebungstemperatur: -20 °C ~ 105 °C

Switchcraft®

EN3 wetterfeste Stecker

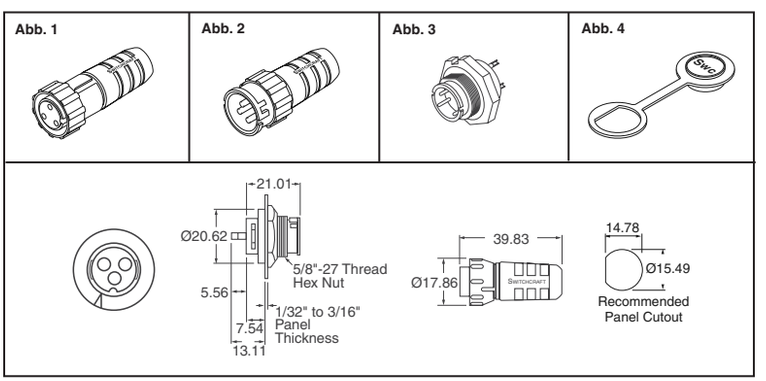

Abb.	Anz. der Pos.	Beschreibung	Digi-Key Teilenr.	Stückpreis 1	10	25	Switchcraft Teilenr.
Stecker							
1	3	Buchse	SC1156-ND	4.74	3.56	3.26	EN3C3F
		Stecker	SC1157-ND	3.42	2.57	2.36	EN3C3M
	4	Buchse	SC1158-ND	5.66	4.25	3.89	EN3C4F
		Stecker	SC1159-ND	3.93	2.95	2.71	EN3C4M
	5	Buchse	SC1160-ND	6.54	4.91	4.50	EN3C5F
		Stecker	SC1161-ND	4.50	3.38	3.10	EN3C5M
	6	Buchse	SC1162-ND	7.48	5.62	5.15	EN3C6F
		Stecker	SC1163-ND	4.98	3.74	3.43	EN3C6M
	8	Buchse	SC1164-ND	9.41	7.07	6.48	EN3C8F
Inline-Buchsen							
2	3	Buchse	SC1175-ND	4.61	3.46	3.17	EN3L3F
		Stecker	SC1176-ND	3.35	2.52	2.31	EN3L3M
	4	Buchse	SC1177-ND	5.52	4.14	3.80	EN3L4F
		Stecker	SC1178-ND	3.79	2.85	2.61	EN3L4M
	5	Buchse	SC1179-ND	6.37	4.78	4.38	EN3L5F
		Stecker	SC1180-ND	4.37	3.28	3.01	EN3L5M
	6	Buchse	SC1181-ND	7.25	5.44	4.99	EN3L6F
		Stecker	SC1182-ND	4.84	3.64	3.33	EN3L6M
	8	Stecker	SC1183-ND	5.96	4.47	4.10	EN3L8M
Anbaubuchsen							
3	3	Buchse	SC1165-ND	4.20	3.15	2.89	EN3P3F
		Stecker	SC1166-ND	3.05	2.29	2.10	EN3P3M
	4	Buchse	SC1167-ND	5.05	3.79	3.48	EN3P4F
		Stecker	SC1168-ND	3.52	2.65	2.43	EN3P4M
	5	Buchse	SC1169-ND	5.96	4.47	4.10	EN3P5F
		Stecker	SC1170-ND	4.06	3.05	2.80	EN3P5M
	6	Buchse	SC1171-ND	6.87	5.16	4.73	EN3P6F
		Stecker	SC1172-ND	4.61	3.46	3.17	EN3P6M
	8	Stecker	SC1173-ND	5.66	4.25	3.89	EN3P8M
4	—	Staubkappe	SC1174-ND	.95	.72	.66	EN3CAP

Merkmale und Vorteile: • Gehäuse entspricht UL 94V-O gegen Brennbarkeit • Klemme: Lötkelch-Kontakte • Anbaustecker-Gehäuse mit Keilnut zur leichteren Positionierung, um Fehlausrichtungen zu vermeiden. • Ohne Gummitüllen. Kabelklemme mit Scharnieren, die sich zum Sichern des Kabels leicht auf dieses aufschnappen lassen • Als Kabel- oder Anbaustecker • 2-8 Stifte • Übertrifft die Anforderungen der US-Küstenwache für Wasserdichtheit (CFR 46 Part 110,20) • Eine als Option erhältliche Kappe schützt das Plattengehäuse, wenn nicht in Gebrauch

Anwendungen: • Prozesssteuerung • Marine-Elektronik • Medizinische Geräte • Geothermische Instrumente • Kommunikation • Transport • Allgemeine industrielle Elektronik

Spezifikationen: • Mechanische Daten: Schock: Mil-Std 202 Methode 213B, Bedingung K • Vibration: Mil-Std 202 Methode 201 • Lebensdauer: Min. 600 Verbindungszyklen **Elektrische Spezifikationen:** Nennspannung (Meereshöhe): • Getestet bei: 600 VRMS • Isolationswiderstand: Min. 100 MΩ bei 77 °F (25 °C) • Kontaktwiderstand: Max. 3 mΩ • Belastbarkeit: 7.5 A (Kontaktgröße Nr. 20) **Umwelt:** • Temperaturgrenzen: -40 °C ~ +65 °C (im Ruhezustand) • Feuchtigkeitsbeständigkeit: Mil-Std 202 Methode 106F • Isolationswiderstand: Mil-Std 202 Methode 302, Bedingung B • Thermischer Schock: Mil-Std 202 Methode 107G • Salzsprühnebel: Mil-Std 202 Methode 101D, Bedingung B • Wasserdichtheitstest: U.S. US-Küstenwache CFR 46 Part 110,20

Rundstecker

Serie HR10

7 mm Push-Pull-Steckverbinder; VERGOLDETE KONTAKTE

Merkmale: HR10: Eine höchst-kompakte Serie in einfacher, ausgewogener Anordung auf kleinem Raum; leichte „Push-Pull" Betätigung; 5-Nocken Polarisierung - nur eine Verbindungsmöglichkeit.

Elektrische Spezifikationen: • Nennstrom: 2 A • Isolationswiderstand: Min. 1.000 MΩ bei 100 V DC • Kontaktwiderstand: ≤10 mΩ bei 1 A DC.

Staubkappe

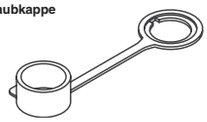

Stecker

Klinkenstecker

Steckbuchse

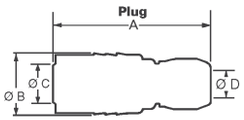

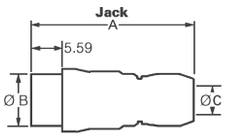

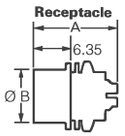

Steckertabelle

No. of Pins	Digi-Key Part No.	Dimensions (mm) A	B	C	D
4	HR100, HR103	28.50	11.00	7.00	5.20
6	HR101, HR104	28.50	11.00	7.00	5.20
12	HR102, HR105	32.50	14.00	9.50	7.20

Klinkentabelle

No. of Pins	Digi-Key Part No.	Dimensions (mm) A	B	C
4	HR300, HR303	28.50	8.85	5.20
6	HR301, HR304	28.50	8.85	5.20
12	HR302, HR305	32.50	11.90	7.20

Steckbuchsentabelle

No. of Pins	Digi-Key Part No.	Dimensions (mm) A	B
4	HR342	15.50	8.85
	HR200, HR203	14.00	8.85
6	HR343, HR344	15.50	8.85
	HR201, HR204	14.00	8.85
12	HR202, HR205	16.00	11.90
	HR347, HR348	15.50	11.90

Kon-takte	Beschreibung	Digi-Key Teilenr.	Stückpreis 1	10	100	Hirose Teilenr.
	Serie HR10					
4	Stecker mit Pin-Einsatz	HR100-ND	10.31	9.54	8.00	HR10-7P-4P
6	Stecker mit Pin-Einsatz	HR101-ND	11.82	10.94	9.16	HR10-7P-6P
12	Stecker mit Pin-Einsatz	HR102-ND	12.26	11.55	10.10	HR10-10P-12P
4	Stecker mit Sockeleinsatz	HR103-ND	11.77	10.89	9.12	HR10-7P-4S
6	Stecker mit Sockeleinsatz	HR104-ND	11.73	11.04	9.66	HR10-7P-6S
12	Stecker mit Sockeleinsatz	HR105-ND	13.33	12.89	11.56	HR10-10P-12S
4	Steckbuchse mit Pin-Einsatz	HR200-ND	7.26	6.15	4.61	HR10-7R-4P
6	Steckbuchse mit Pin-Einsatz	HR201-ND	7.16	6.24	4.99	HR10-7R-6P
12	Steckbuchse mit Pin-Einsatz	HR202-ND	8.57	7.93	6.64	HR10-10R-12P
4	Steckbuchse mit Sockeleinsatz	HR203-ND	7.50	6.52	5.22	HR10-7R-4S
6	Steckbuchse mit Sockeleinsatz	HR204-ND	9.42	8.20	6.56	HR10-7R-6S
12	Steckbuchse mit Sockeleinsatz	HR205-ND	11.48	10.62	8.90	HR10-10R-12S
4	Klinkenstecker mit Pin-Einsatz	HR300-ND	9.02	8.35	7.00	HR10-7J-4P
6	Klinkenstecker mit Pin-Einsatz	HR301-ND	9.65	8.93	7.48	HR10-7J-6P
12	Klinkenstecker mit Pin-Einsatz	HR302-ND	12.17	11.27	9.44	HR10-10J-12P
4	Klinkenstecker mit Sockeleinsatz	HR303-ND	10.92	10.11	8.47	HR10-7J-4S
6	Klinkenstecker mit Sockeleinsatz	HR304-ND	12.45	11.52	9.65	HR10-7J-6S
12	Klinkenstecker mit Sockeleinsatz	HR305-ND	13.59	13.14	11.78	HR10-10J-12S
6	Steckbuchse mit Pin-Einsatz, Leiterplatte	HR343-ND	10.38	9.61	8.31	HR10-7R-6PA
12	Steckbuchse mit Pin-Einsatz, Leiterplatte	HR347-ND	12.15	11.44	10.01	HR10-10R-12PA
4	Steckbuchse mit Sockeleinsatz, Leiterplatte	HR342-ND	8.61	7.49	5.81	HR10-7R-4SA
6	Steckbuchse mit Sockeleinsatz, Leiterplatte	HR344-ND	9.02	8.35	7.00	HR10-7R-6SA
12	Steckbuchse mit Sockeleinsatz, Leiterplatte	HR348-ND	12.65	11.70	8.23	HR10-10R-12SA
—	Staubkappe f. 4-6-Pos.-Steckbuchse	HR345-ND	2.34	1.95	1.44	HR10-7R-C
—	Staubkappe f. 10-12-Pos.-Steckbuchse	HR349-ND	2.58	2.14	1.78	HR10-10R-C

Serie HR10A

Einrast- und Schraubkupplungen

VERSILBERTE KONTAKTE

Merkmale:

- Kompatibel mit aktueller Serie HR10: Kabelcrimpwerkzeug liefert gleichbleibende Kabelklemmkraft.
- Um ein Abgleiten zu verhindern, wird die Serie HR10A mit abgeflachten Seiten geliefert.

Elektrische Spezifikationen:

- Nennstrom: 2 A
- Isolationswiderstand: Min. 1.000 MΩ
- Kontaktwiderstand: Max. 10 mΩ.

Steckbuchse

Receptacle

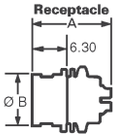

Steckbuchse m. Gewinde

Steckbuchsentabelle

Anz. d. Pins	Digi-Key Teilenr.	Abmessung (mm) A	B
4	HR350, HR351, HR660	15.60	8.85
	HR210, HR213, HR644, HR647	14.00	8.85
	HR232	12.20	8.85
	HR237	12.00	8.85
5	HR352	15.60	8.85
	HR218, HR219	14.00	8.85
6	HR353, HR354, HR658, HR661	15.60	8.85
	HR357, HR671	15.50	11.00
	HR346	14.00	11.00
	HR211, HR214, HR645, HR649	14.00	8.85
	HR233	12.20	8.85
	HR238	12.00	8.85
10	HR216, HR217	16.00	14.00
	HR650, HR682	16.00	11.90
	HR358, HR359, HR662	15.60	11.90
	HR234	12.20	11.90
	HR239	12.00	11.90
12	HR664	22.00	11.90
	HR368, HR373, HR675, HR676	16.00	14.00
	HR212, HR215, HR683, HR684	16.00	11.90
	HR677	15.60	14.00
	HR360, HR361, HR659, HR663	15.60	11.90
	HR367, HR369, HR374	15.50	14.00
	HR235	12.20	11.90
	HR370	12.00	14.00
	HR240	11.90	12.00
20	HR377, HR646	20.20	15.40
	HR379, HR651	19.20	15.40
	HR383, HR384, HR670, HR672	17.80	18.00
	HR378, HR380, HR665	17.80	15.40
	HR385	15.00	18.00
	HR236, HR241	15.00	15.40

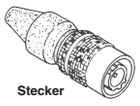

Stecker

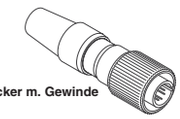

Stecker m. Gewinde

Klinkenstecker

Klinkenstecker m. Gewinde

Stecker

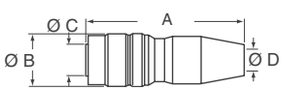

Steckertabelle

Anz. d. Pins	Digi-Key Teilenr.	Abmessung (mm) A	B	C	D
4	HR679	37.00	11.50	7.00	5.00
	HR110, HR113, HR160	35.00	11.50	7.00	5.00
	HR165, HR634, HR640	35.00	11.50	7.00	5.00
5	HR118, HR119	35.00	11.50	7.00	5.00
6	HR355, HR356	35.00	12.00	7.00	5.00
	HR111, HR114, HR161	35.00	11.50	7.00	5.00
	HR166, HR635, HR641	35.00	11.50	7.00	5.00
10	HR116, HR117, HR162	43.00	14.70	9.50	7.00
	HR167, HR636, HR642				
12	HR371, HR372	45.80	15.00	9.50	6.50
	HR673, HR674	45.80	15.00	9.50	6.50
	HR364, HR365	43.00	17.00	9.50	7.00
	HR366, HR668	43.00	17.00	9.50	7.00
	HR112, HR115, HR163	43.00	14.70	9.50	7.00
	HR168, HR680, HR681	43.00	14.70	9.50	7.00
20	HR638, HR639	64.80	19.00	13.00	7.00
	HR164, HR169, HR375	58.80	19.00	13.00	7.00
	HR376, HR637, HR643	58.80	19.00	13.00	7.00
	HR382, HR666	56.50	20.00	13.00	7.00
	HR667, HR669	56.50	20.00	13.00	7.00

Jack

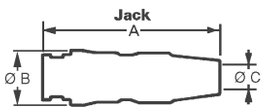

Klinkentabelle

Anz. d. Pins	Digi-Key Teilenr.	Abmessung (mm) A	B	C
4	HR310, HR313	35.30	8.85	5.00
	HR332, HR337			
	HR652			
6	HR311, HR314	35.30	8.85	5.00
	HR333, HR338			
	HR653, HR655			
10	HR316, HR317	43.00	11.90	7.00
	HR334, HR339			
	HR656			
12	HR678	46.50	14.00	6.50
	HR312, HR315	43.00	11.90	7.00
	HR335, HR340	43.00	11.90	7.00
	HR654, HR685	43.00	11.90	7.00
	HR362, HR363	41.30	14.70	7.00
20	HR657	64.50	15.40	8.30
	HR336, HR341	58.50	15.40	7.00

BUCHSE

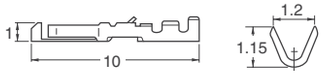

STECKSTIFT

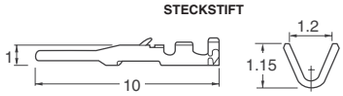

Kon-takte	Beschreibung	Digi-Key Teilenr.	Stückpreis 1	10	100	Hirose Teilenr.
	Serie HR10A, m. Lötkelch-Kontakten					
4	Stecker mit Pin-Einsatz	HR110-ND	9.11	8.43	7.06	HR10A-7P-4P
4	Stecker mit Pin-Einsatz, 5 mm Kabelloch durch Boot	HR634-ND*	9.45	8.74	7.33	HR10A-7P-4P(01)
4	Stecker mit Pin-Einsatz, 3 mm Kabelloch durch Boot	HR679-ND*	12.89	12.46	11.18	HR10A-7PH-4P(01)
5	Stecker mit Pin-Einsatz	HR118-ND	9.33	8.63	7.24	HR10A-7P-5P
6	Stecker mit Pin-Einsatz	HR111-ND	11.33	10.48	8.78	HR10A-7P-6P
6	Stecker mit Pin-Einsatz	HR635-ND*	10.06	9.31	7.80	HR10A-7P-6P(01)
10	Stecker mit Pin-Einsatz	HR116-ND	11.40	10.73	9.39	HR10A-10P-10P
10	Stecker mit Pin-Einsatz	HR636-ND*	12.50	11.56	9.69	HR10A-10P-10P(01)
12	Stecker mit Pin-Einsatz	HR112-ND	10.94	10.30	9.01	HR10A-10P-12P
12	Stecker mit Pin-Einsatz	HR680-ND*	12.26	11.55	10.10	HR10A-10P-12P(01)
20	Stecker mit Pin-Einsatz	HR375-ND	25.65	24.80	22.24	HR10A-13P-20P
20	Stecker mit Pin-Einsatz, 7 mm Kabelloch durch Boot	HR637-ND*	31.56	30.51	27.35	HR10A-13P-20P(01)
20	Stecker mit Pin-Einsatz, 8,3 mm Kabelloch durch Boot	HR638-ND*	30.49	29.48	26.43	HR10A-13PA-20P(01)
20	Stecker mit Pin-Einsatz, 6,2 mm Kabelloch durch Boot	HR639-ND*	38.87	36.93	34.70	HR10A-13PD-20P(01)
4	Stecker mit Sockeleinsatz	HR113-ND	8.84	8.18	6.85	HR10A-7P-4S
4	Stecker mit Sockeleinsatz	HR640-ND*	9.21	8.52	7.14	HR10A-7P-4S(01)
5	Stecker mit Sockeleinsatz	HR119-ND	8.97	8.31	6.96	HR10A-7P-5S
6	Stecker mit Sockeleinsatz	HR114-ND	9.11	8.43	7.06	HR10A-7P-6S
6	Stecker mit Sockeleinsatz	HR641-ND*	9.70	8.98	7.52	HR10A-7P-6S(01)
10	Stecker mit Sockeleinsatz	HR117-ND	12.12	11.22	9.40	HR10A-10P-10S
10	Stecker mit Sockeleinsatz	HR642-ND*	11.58	10.72	8.98	HR10A-10P-10S(01)
12	Stecker mit Sockeleinsatz	HR115-ND	12.11	11.41	9.98	HR10A-10P-12S
12	Stecker mit Sockeleinsatz	HR681-ND*	12.22	11.31	9.48	HR10A-10P-12S(01)
20	Stecker mit Sockeleinsatz	HR376-ND	29.63	28.15	26.46	HR10A-13P-20S
20	Stecker mit Sockeleinsatz	HR643-ND*	37.45	35.59	33.45	HR10A-13P-20S(01)
4	Steckbuchse mit Pin-Einsatz	HR210-ND	5.92	5.01	3.76	HR10A-7R-4P
4	Steckbuchse mit Pin-Einsatz	HR644-ND*	6.14	5.20	3.90	HR10A-7R-4P(01)
5	Steckbuchse mit Pin-Einsatz	HR218-ND	5.99	5.07	3.80	HR10A-7R-5P
6	Steckbuchse mit Pin-Einsatz	HR211-ND	6.43	5.44	4.08	HR10A-7R-6P
6	Steckbuchse mit Pin-Einsatz	HR645-ND*	6.93	5.87	4.41	HR10A-7R-6P(01)
10	Steckbuchse mit Pin-Einsatz	HR217-ND	8.45	7.35	5.88	HR10A-10R-10P
10	Steckbuchse mit Pin-Einsatz	HR682-ND*	9.45	8.22	6.57	HR10A-10R-10P(01)
12	Steckbuchse mit Pin-Einsatz	HR212-ND	9.09	7.91	6.33	HR10A-10R-12P
12	Steckbuchse mit Pin-Einsatz	HR683-ND*	8.48	7.85	6.58	HR10A-10R-12P(01)
20	Steckbuchse mit Pin-Einsatz	HR377-ND	14.60	14.12	12.66	HR10A-13R-20P
20	Steckbuchse mit Pin-Einsatz	HR646-ND*	16.25	15.72	14.09	HR10A-13R-20P(01)
4	Steckbuchse mit Sockeleinsatz	HR213-ND	6.01	5.09	3.82	HR10A-7R-4S
4	Steckbuchse mit Sockeleinsatz	HR647-ND*	5.83	4.94	3.71	HR10A-7R-4S(01)
5	Steckbuchse mit Sockeleinsatz	HR219-ND	6.12	5.18	3.89	HR10A-7R-5S

* vergoldet

(Forts.)

Rundstecker *(Forts.)*

Konta-kte	Beschreibung	Digi-Key Teilenr.	Stückpreis 1	10	100	Hirose Teilenr.
6	Steckbuchse mit Sockeleinsatz	HR214-ND	7.00	5.93	4.45	HR10A-7R-6S
6	Steckbuchse mit Sockeleinsatz	HR649-ND*	6.45	5.46	4.10	HR10A-7R-6S(01)
10	Steckbuchse mit Sockeleinsatz	HR216-ND	8.70	7.57	6.06	HR10A-10R-10S
10	Steckbuchse mit Sockeleinsatz	HR650-ND*	8.53	7.42	5.94	HR10A-10R-10S(01)
12	Steckbuchse mit Sockeleinsatz	HR215-ND	8.70	7.57	6.06	HR10A-10R-12S
12	Steckbuchse mit Sockeleinsatz	HR684-ND*	9.06	7.88	6.30	HR10A-10R-12S(01)
20	Steckbuchse mit Sockeleinsatz	HR379-ND	30.35	29.34	26.31	HR10A-13R-20S
20	Steckbuchse mit Sockeleinsatz	HR651-ND*	30.60	29.59	26.53	HR10A-13R-20S(01)
4	Klinkenstecker mit Pin-Einsatz	HR310-ND	8.60	7.96	6.67	HR10A-7J-4P
4	Klinkenstecker mit Pin-Einsatz	HR652-ND*	8.97	8.31	6.96	HR10A-7J-4P(01)
6	Klinkenstecker mit Pin-Einsatz	HR311-ND	8.57	7.45	5.97	HR10A-7J-6P
6	Klinkenstecker mit Pin-Einsatz	HR653-ND*	9.57	8.85	7.42	HR10A-7J-6P(01)
10	Klinkenstecker mit Pin-Einsatz	HR317-ND	11.00	10.35	9.06	HR10A-10J-10P
12	Klinkenstecker mit Pin-Einsatz	HR312-ND	11.04	10.22	8.56	HR10A-10J-12P
12	Klinkenstecker mit Pin-Einsatz	HR654-ND*	12.56	11.83	10.35	HR10A-10J-12P(01)
4	Klinkenstecker mit Sockeleinsatz	HR313-ND	7.89	6.86	5.49	HR10A-7J-4S
6	Klinkenstecker mit Sockeleinsatz	HR314-ND	8.39	7.30	5.84	HR10A-7J-6S
6	Klinkenstecker mit Sockeleinsatz	HR655-ND*	9.21	8.52	7.14	HR10A-7J-6S(01)
10	Klinkenstecker mit Sockeleinsatz	HR316-ND	9.75	9.03	7.56	HR10A-10J-10S
10	Klinkenstecker mit Sockeleinsatz	HR656-ND*	12.14	11.23	9.41	HR10A-10J-10S(01)
12	Klinkenstecker mit Sockeleinsatz	HR315-ND	10.18	9.42	7.89	HR10A-10J-12S
12	Klinkenstecker mit Sockeleinsatz	HR685-ND*	12.05	11.34	9.93	HR10A-10J-12S(01)
20	Klinkenstecker mit Sockeleinsatz, 8,3 mm Kabelloch durch Manschette	HR657-ND*	43.89	41.70	39.19	HR10A-13JA-20S(01)
	Serie HR10A, Crimptyp (Kontakte separat erhältlich)					
4	Stecker für Pin-Einsatz, Crimptyp	HR160-ND	8.84	8.18	6.85	HR10A-7P-4PC
6	Stecker für Pin-Einsatz, Crimptyp	HR161-ND	9.62	8.37	6.70	HR10A-7P-6PC
10	Stecker für Pin-Einsatz, Crimptyp	HR162-ND	11.40	10.55	8.84	HR10A-10P-10PC
12	Stecker für Pin-Einsatz, Crimptyp	HR163-ND	11.02	10.20	8.55	HR10A-10P-12PC
20	Stecker für Pin-Einsatz, Crimptyp	HR164-ND	21.59	20.87	18.71	HR10A-13P-20PC
4	Stecker für Sockeleinsatz, Crimptyp	HR165-ND	8.97	8.31	6.96	HR10A-7P-4SC
6	Stecker für Sockeleinsatz, Crimptyp	HR166-ND	8.97	8.31	6.96	HR10A-7P-6SC
10	Stecker für Sockeleinsatz, Crimptyp	HR167-ND	11.63	10.76	9.02	HR10A-10P-10SC
12	Stecker für Sockeleinsatz, Crimptyp	HR168-ND	11.63	10.76	9.02	HR10A-10P-12SC
20	Stecker für Sockeleinsatz, Crimptyp	HR169-ND	21.59	20.87	18.71	HR10A-13P-20SC
4	Steckbuchse für Pin-Einsatz, Crimptyp	HR232-ND	5.97	4.94	3.71	HR10A-7R-4PC
6	Steckbuchse für Pin-Einsatz, Crimptyp	HR233-ND	5.97	4.94	3.71	HR10A-7R-6PC
10	Steckbuchse für Pin-Einsatz, Crimptyp	HR234-ND	7.40	6.26	4.70	HR10A-10R-10PC
12	Steckbuchse für Pin-Einsatz, Crimptyp	HR235-ND	7.40	6.26	4.70	HR10A-10R-12PC
20	Steckbuchse für Pin-Einsatz, Crimptyp	HR236-ND	12.89	12.13	10.61	HR10A-13R-20PC
4	Steckbuchse für Sockeleinsatz, Crimptyp	HR237-ND	5.62	4.66	3.49	HR10A-7R-4SC
6	Steckbuchse für Sockeleinsatz, Crimptyp	HR238-ND	5.62	4.66	3.49	HR10A-7R-6SC
10	Steckbuchse für Sockeleinsatz, Crimptyp	HR239-ND	6.83	5.95	4.76	HR10A-10R-10SC
12	Steckbuchse für Sockeleinsatz, Crimptyp	HR240-ND	7.24	6.13	4.60	HR10A-10R-12SC
20	Steckbuchse für Sockeleinsatz, Crimptyp	HR241-ND	12.89	12.13	10.61	HR10A-13R-20SC
4	Klinkenstecker für Pin-Einsatz, Crimptyp	HR332-ND	9.33	8.16	6.22	HR10A-7J-4PC
10	Klinkenstecker für Pin-Einsatz, Crimptyp	HR334-ND	11.75	10.87	9.11	HR10A-10J-10PC
12	Klinkenstecker für Pin-Einsatz, Crimptyp	HR335-ND	11.75	10.87	9.11	HR10A-10J-12PC
20	Klinkenstecker für Pin-Einsatz, Crimptyp	HR336-ND	21.84	21.12	18.93	HR10A-13J-20PC
4	Klinkenstecker für Sockeleinsatz, Crimptyp	HR337-ND	9.35	8.13	6.51	HR10A-7J-4SC
6	Klinkenstecker für Sockeleinsatz, Crimptyp	HR338-ND	9.35	8.13	6.51	HR10A-7J-6SC
10	Klinkenstecker für Sockeleinsatz, Crimptyp	HR339-ND	12.00	11.11	9.31	HR10A-10J-10SC
12	Klinkenstecker für Sockeleinsatz, Crimptyp	HR340-ND	11.63	10.76	9.02	HR10A-10J-12SC
20	Klinkenstecker für Sockeleinsatz, Crimptyp	HR341-ND	21.84	21.12	18.93	HR10A-13J-20SC
	Serie HR10A, Leiterplatten-Typ					
4	Steckbuchse mit Pin-Einsatz	HR350-ND	5.68	4.81	3.61	HR10A-7R-4PB
6	Steckbuchse mit Pin-Einsatz	HR353-ND	7.22	6.29	5.19	HR10A-7R-6PB
6	Steckbuchse mit Pin-Einsatz	HR658-ND*	7.31	6.19	4.64	HR10A-7R-6PB(01)
10	Steckbuchse mit Pin-Einsatz	HR358-ND	8.03	6.98	5.59	HR10A-10R-10PB
12	Steckbuchse mit Pin-Einsatz	HR360-ND	9.23	8.03	6.43	HR10A-10R-12PB
12	Steckbuchse mit Pin-Einsatz	HR659-ND*	9.67	8.95	7.50	HR10A-10R-12PB(01)
20	Steckbuchse mit Pin-Einsatz	HR378-ND	14.60	14.12	12.66	HR10A-13R-20PB
4	Steckbuchse mit Sockeleinsatz	HR351-ND	5.99	5.07	4.15	HR10A-7R-4SB
4	Steckbuchse mit Sockeleinsatz	HR660-ND*	6.58	5.57	4.18	HR10A-7R-4SB(01)
5	Steckbuchse mit Sockeleinsatz	HR352-ND	5.53	4.68	3.51	HR10A-7R-5SB
6	Steckbuchse mit Sockeleinsatz	HR354-ND	6.41	5.42	4.07	HR10A-7R-6SB
6	Steckbuchse mit Sockeleinsatz	HR661-ND*	7.31	6.19	4.64	HR10A-7R-6SB(01)
10	Steckbuchse mit Sockeleinsatz	HR359-ND	8.18	7.12	5.87	HR10A-10R-10SB
10	Steckbuchse mit Sockeleinsatz	HR662-ND*	8.03	6.98	5.59	HR10A-10R-10SB(01)
12	Steckbuchse mit Sockeleinsatz	HR361-ND	9.85	9.12	7.89	HR10A-10R-12SB
12	Steckbuchse mit Sockeleinsatz, Präge-Dip-Pfosten (0,2 mm x 0,5 mm)	HR663-ND*	9.58	8.34	6.67	HR10A-10R-12SB(01)
12	Steckbuchse mit Sockeleinsatz, gedrehtem Dip-Pfosten, Ø (0,55 mm)	HR664-ND*	23.62	22.84	20.48	HR10A-10R-12SD(01)
20	Steckbuchse mit Sockeleinsatz	HR380-ND	14.60	14.12	12.66	HR10A-13R-20SB
	Steckbuchse mit Sockeleinsatz	HR665-ND*	16.25	15.72	14.09	HR10A-13R-20SB(01)
	Serie HR10A mit Schraubkupplung, Lötkelch-Typ					
6	Stecker mit Pin-Einsatz	HR355-ND	12.95	12.53	11.23	HR10A-7TP-6P
6	Stecker mit Pin-Einsatz	HR356-ND*	13.33	12.89	11.56	HR10A-7TP-6P(01)
12	Stecker mit Pin-Einsatz	HR364-ND	16.38	15.84	14.20	HR10A-10TP-12P
12	Stecker mit Pin-Einsatz	HR371-ND	16.64	16.09	14.42	HR10A-10WTP-12P
12	Stecker mit Pin-Einsatz	HR673-ND*	17.52	16.94	15.19	HR10A-10WTP-12P(01)
20	Stecker mit Pin-Einsatz	HR382-ND	30.99	29.96	26.86	HR10A-13TPD-20P
20	Stecker mit Pin-Einsatz, keine Teflonunterlegscheibe	HR666-ND*	30.58	29.05	27.31	HR10A-13TPD-20P(01)
20	Stecker mit Pin-Einsatz, weiß, Teflonunterlegscheibe in Koppelring	HR667-ND*	38.87	36.93	34.70	HR10A-13TPK-20P(01)
	Stecker mit Sockeleinsatz	HR366-ND	16.89	16.33	14.64	HR10A-10TPA-12S
12	Stecker mit Sockeleinsatz	HR668-ND*	18.29	17.68	15.85	HR10A-10TPA-12S(01)
	Stecker mit Sockeleinsatz	HR372-ND	16.38	15.84	14.20	HR10A-10WTP-12S
12	Stecker mit Sockeleinsatz	HR674-ND*	17.78	17.19	15.41	HR10A-10WTP-12S(01)
20	Stecker mit Sockeleinsatz	HR669-ND*	38.64	36.71	34.50	HR10A-13TPD-20S(01)
12	Steckbuchse mit Pin-Einsatz, 0,8 mm Durchmesser, Lötkelche	HR675-ND*	13.33	12.89	11.56	HR10A-10WTR-12P(01)
6	Steckbuchse mit Sockeleinsatz	HR346-ND	13.71	13.26	11.89	HR10-7TR-6S
12	Steckbuchse mit Sockeleinsatz	HR368-ND	10.67	9.87	8.27	HR10A-10TR-12S
12	Steckbuchse mit Sockeleinsatz	HR373-ND	12.77	12.02	10.52	HR10A-10WTR-12S
12	Klinkenstecker mit Sockeleinsatz	HR363-ND	13.46	13.02	11.67	HR10A-10TJ-12S
	Klinkenstecker mit Sockeleinsatz	HR678-ND*	21.84	21.12	18.93	HR10A-10WTJ-12S(01)
12	Klinkenstecker mit Pin-Einsatz	HR362-ND	14.86	14.37	12.88	HR10A-10TJ-12P
	Serie HR10A - m. Schraubkupplung, Crimptyp (Kontakte separat erhältlich)					
12	Stecker für Pin-Einsatz, Crimptyp	HR365-ND	15.62	15.10	13.54	HR10A-10TP-12PC
12	Steckbuchse für Sockeleinsatz, Crimptyp	HR370-ND	9.70	8.98	7.52	HR10A-10TR-12SC
20	Steckbuchse für Sockeleinsatz, Crimptyp	HR385-ND	14.48	14.00	12.55	HR10A-13TR-20SC
	Serie HR10A, m. Schraubkupplung, Leiterplatten-Typ					
6	Steckbuchse mit Sockeleinsatz	HR357-ND	12.67	11.92	10.44	HR10A-7TR-6SA
6	Steckbuchse mit Sockeleinsatz	HR671-ND*	13.28	12.51	10.94	HR10A-7TR-6SA(01)
12	Steckbuchse mit Sockeleinsatz	HR369-ND	10.67	9.87	8.27	HR10A-10TR-12SB
12	Steckbuchse mit Sockeleinsatz	HR374-ND	12.77	12.02	10.52	HR10A-10WTR-12SB
12	Steckbuchse mit Sockeleinsatz	HR677-ND*	22.76	22.00	19.73	HR10A-10WTRB-12SB(01)
20	Steckbuchse mit Sockeleinsatz	HR384-ND	17.65	17.07	15.30	HR10A-13TR-20SB
20	Steckbuchse mit Sockeleinsatz	HR672-ND*	19.43	18.79	16.84	HR10A-13TR-20SB(01)
12	Steckbuchse mit Pin-Einsatz	HR367-ND	10.67	9.87	8.27	HR10A-10TR-12PB
12	Steckbuchse mit Pin-Einsatz, 0,55 mm Durchmesser, gedrehte Dip-Pfosten	HR676-ND*	14.86	14.37	12.88	HR10A-10WTR-12PA(01)
20	Steckbuchse mit Pin-Einsatz	HR383-ND	17.65	17.07	15.30	HR10A-13TR-20PB
	Steckbuchse mit Pin-Einsatz	HR670-ND*	19.43	18.79	16.84	HR10A-13TR-20PB(01)
—	Staubkappe f. 4-6-Pos.-Steckbuchse	HR345-ND	2.34	1.95	1.44	HR10-7R-C
—	Staubkappe f. 10-12-Pos.-Steckbuchse	HR349-ND	2.58	2.14	1.78	HR10-10R-C
—	Staubkappe f. 20-Pos.-Steckbuchse	HR381-ND	2.78	2.30	1.73	HR10A-13R-C
—	Stiftstecker, Crimp, Gold	HR450-ND	—	.27	.16	HR10-PC-111
—	Buchse, Crimp, Gold	HR452-ND	—	.26	.15	HR12-SC-111
—	Stiftstecker, Crimp, Silber	HR451-ND	—	.19	.11	HR10-PC-112
—	Buchse, Crimp, Silber	HR453-ND	—	.21	.13	HR12-SC-112
—	Hand-Crimpwerkzeug für Serie HR10A	HR497-ND	596.88	—	—	HR12-SC-TC
—	Hand-Crimpwerkzeug für Serie HR10A	H9974-ND	315.27	—	—	HR10A-TC-02
—	Extraktionswerkzeug für Buchsen	HR498-ND	11.85	—	—	HR12-SC-TP
—	Extraktionswerkzeug für Steckstifte	HR499-ND	7.35	—	—	RP6-SC-TP

* vergoldet

Serie MXR - Rundstecker

Miniatur Push-Pull-Stecker mit Erdung

Stecker der Serie MXR sind leichte Miniaturstecker mit Push-Pull-Verriegelung und mit Erdung, die zum Gebrauch mit VTR-Kameras und Systemkameraschnittstellen entwickelt wurden.

Merkmale:

- Die in einem Handgriff mögliche Push-Pull-Verriegelung gestattet schnelle Verbindungen und eine hohe Einbaudichte.
- Ein klares Klickgeräusch bestätigt die sichere Verbindung
- Das aus einer Aluminiumlegierung bestehende Gehäuse trägt zum leichten Gewicht bei
- Der Stecker ist so konstruiert, dass einer der drei Leiter zuerst eine Verbindung bildet.

Spezifikationen:

• Haltespannung: 300 V AC für 1 Minute **• Nennstrom:** 2 A **• Isolationswiderstand:** Min. 1.000 MΩ bei 100 V DC **• Kontaktwiderstand:** Max. 20 mΩ bei 1 A AC **• Lötkelch:** 0,9 mm Ø **Anwendungen:** VTR-Kameras, Systemkameras, Audioausrüstungen, etc. **Materialien: • Gehäuse:** Aluminiumlegierung, vernickelt **• Isolierung:** PBT Harz, schwarz, UL94V-0 **• Steckstifte:** Messing, vergoldet **• Buchsenstifte:** Phosphorbronze, teilvergoldet

Abb. 1 – Stecker

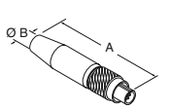

Abb. 2 – Lötkelch

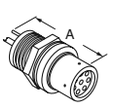

Abb. 3 – Lötstift

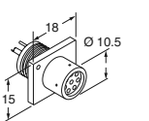

Abb.	Anz. der Kontakte	Beschreibung	Abm. (mm) A	B	Digi-Key Teilenr.	Stückpreis 1	10	50	100	Hirose Teilenr.
		Stecker								
1	3	Durchführung, schwarz	47	5	HR603-ND	12.79	12.37	11.51	11.09	MXR-8PA-3PB
	4	Durchführung, schwarz	47	5	HR604-ND	12.97	12.54	11.67	11.24	MXR-8PA-4PB
	6	Durchführung, schwarz	47	5	HR606-ND	12.82	12.39	11.54	11.11	MXR-8PA-6PB
	8	Durchführung, schwarz	50	8	HR608-ND	13.79	13.34	12.42	11.96	MXR-8P-8P
	8	Durchführung, weiß	50	8	HR610-ND	13.97	13.51	12.58	12.11	MXR-8P-8P(01)
		Steckbuchsen								
2	3	Lötkelch	19.3	—	HR613-ND	8.06	7.01	6.31	5.61	MXR-8RA-3S
	4		19.3	—	HR614-ND	8.36	7.27	6.54	5.82	MXR-8RA-4S
	6		19.3	—	HR616-ND	7.58	6.59	5.93	5.27	MXR-8RA-6S
	8		20.4	—	HR618-ND	9.17	7.98	7.18	6.38	MXR-8RA-8S
3	3	Lötstift	—	—	HR623-ND	8.06	7.01	6.31	5.61	MXR-8R-3SA
	4		—	—	HR624-ND	8.36	7.27	6.54	5.82	MXR-8R-4SA
	6		—	—	HR626-ND	8.76	7.62	6.86	6.10	MXR-8R-6SA
	8		—	—	HR628-ND	9.17	7.98	7.18	6.38	MXR-8R-8SA
		Werkzeuge für Serie MXR								
		Werkzeug, Spannlehre			H9988-ND		184.66/1			MXR-8P-T01
		Werkzeug, Kabelcrimper			H9989-ND		277.82/1			HR10A-TC-04

(Forts.)

Alle Preisangaben in Euro und inklusive Zollgebühren.

Serie HR30 - Mini-Kunststoffsteckverbinder, wasserdicht

Merkmale:

Klein und kompakt: Der HR30 ermöglicht für Stecker in den Positionen 3 u. 6 einen max. Außendurchmesser von 12,6 mm, und in den Positionen 10 und 12 15,5 mm. Die kompakte Bauweise ermöglicht, wenn der Stecker eingefügt ist, einen Abstand von der Montageplatte von nur 32,3 mm für die 3- u. 6-Positions-Version, und 42,1 mm für die 10- und 12-Pos.-Version. Wasserdichte Verbindung: Entspricht der IP67 Norm, wenn gepaart. Push-Pull-Verriegelung - Der HR30-Stecker ist mit Hiroses besonderem Verriegelungsmechanismus sicher, robust, und leicht zu bedienen. Leicht und korrosionsbeständig.

Anwendungen:

Test-, Mess- und Kommunikationsgeräte und andere elektronische Miniaturgeräte.

Spezifikationen:

Nennstrom: 5 A (3-Pos.), 2 A (6, 10, 12-Pos.). Betriebstemperatur: -25 °C ~ 85 °C. Nennspannung: 100 V AC, 140 V DC (3, 6-Pos.), 30 V AC, 42 V DC (10, 12-Pos.). Lagertemperaturbereich: -25 °C ~ 85 °C. Kontaktwiderstand: Max. 5 mΩ (3-Pos.), max. 15 mΩ (6, 10, 12-Pos.) bei 1 A DC. Isolationswiderstand: Min. 1.000 MΩ bei 100 V DC. Wasserdichtheit: Wasser darf nicht in den Stecker eindringen. Mit einem passenden Stecker gepaart bei einer Tiefe von 1 m 30 Min. unter Wasser lassen.

Material:

Stecker: Isolator: PPS und PBT, schwarz, UL94V-0, Polyacetal, naturfarben. Dichtung: SIR/CR, rot/schwarz. Kontakte: Messing, Phosphorbronze, vergoldet Feder: Edelstahl
Steckbuchsen: Isolator: PPS, schwarz, UL94V-0. Dichtung: CR, schwarz. Kontakte: Messing, Phosphorbronze, vergoldet Sechskantmutter: Zinklegierung, chromatiert. Unterlegscheibe: Phosphorbronze, vernickelt.

Crimpkontakte: Kontakte: Phosphorbronze, teilvergoldet

Abm. in mm

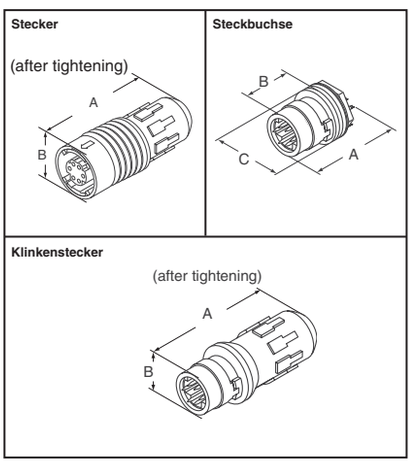

Digi-Key Part No.	Cable Diameter	Dim. A	Dim. B	Dim. C
HR855-ND	4.2~5	29.8	12.6	—
HR856-ND	4.2~5	29.8	12.6	—
HR857-ND	4.2~5	30.3	12.6	—
HR858-ND	3.5~4.3	29.8	12.6	—
HR859-ND	3.5~4.3	29.8	12.6	—
HR860-ND	3.5~4.3	30.3	12.6	—
HR861-ND	6.2~7	39.8	15.5	—
HR862-ND	6.2~7	39.8	15.5	—
HR863-ND	6.2~7	39.8	15.5	—
HR864-ND	—	16	8.3	12
HR865-ND	—	16	8.3	12
HR866-ND	—	18.4	8.3	12
HR867-ND	—	15.5	9.3	15
HR868-ND	—	15.5	9.3	15
HR869-ND	—	15.5	9.3	15
HR870-ND	4.2~5	28.9	12	—
HR871-ND	3.5~4.3	28.9	12	—
HR872-ND	6.2~7	38	15	—
HR873-ND	6.2~7	38	15	—
HR874-ND	6.2~7	38	15	—

Kontakte	Beschreibung	Digi-Key Teilenr.	Stückpreis 1	10	50	100	Hirose Teilenr.
3	Stecker, Buchsenlötkontakt	HR855-ND	8.76	7.62	6.86	6.10	HR30-6P-3S
6	Stecker, Buchsenlötkontakt	HR856-ND	5.75	4.87	4.09	3.65	HR30-6P-6S
6	Stecker, Steckstiftlötkontakt	HR857-ND	6.38	5.41	4.55	4.06	HR30-6P-6P
3	Stecker, Buchsendünndrahtlötkontakt	HR858-ND	8.76	7.62	6.86	6.10	HR30-6PA-3S
6	Stecker, Buchsendünndrahtlötkontakt	HR859-ND	5.75	4.87	4.09	3.65	HR30-6PA-6S
6	Stecker, Steckstiftdünndrahtlötkontakt	HR860-ND	6.38	5.41	4.55	4.06	HR30-6PA-6P
10	Stecker, Buchsencrimpkontakt	HR861-ND	5.89	4.88	4.07	3.66	HR30-7P-10SC
12	Stecker, Buchsencrimpkontakt	HR862-ND	5.89	4.88	4.07	3.66	HR30-7P-12SC
12	Stecker, Steckstiftcrimpkontakt	HR863-ND	5.89	4.88	4.07	3.66	HR30-8P-12PC
3	Steckbuchse, Steckstiftlötkontakt	HR864-ND	6.56	5.55	4.67	4.17	HR30-6R-3P
6	Steckbuchse, Steckstiftlötkontakt	HR865-ND	5.35	4.43	3.70	3.33	HR30-6R-6P
6	Steckbuchse, Buchsenlötkontakt	HR866-ND	5.92	5.01	4.22	3.76	HR30-6R-6S
10	Steckbuchse, Steckstiftcrimpkontakt	HR867-ND	4.10	3.40	2.83	2.55	HR30-7R-10PC
12	Steckbuchse, Steckstiftcrimpkontakt	HR868-ND	4.10	3.40	2.83	2.55	HR30-7R-12PC
12	Steckbuchse, Buchsencrimpkontakt	HR869-ND	4.10	3.40	2.83	2.55	HR30-8R-12SC
6	Klinkenstecker, Steckstiftlötkontakt	HR870-ND	6.08	5.15	4.33	3.86	HR30-6J-6P
6	Klinkenstecker, Steckstiftdünndrahtlötkontakt	HR871-ND	6.08	5.15	4.33	3.86	HR30-6JA-6P
10	Klinkenstecker, Steckstiftcrimpkontakt	HR872-ND	5.53	4.58	3.81	3.43	HR30-7J-10PC
12	Klinkenstecker, Steckstiftcrimpkontakt	HR873-ND	5.53	4.58	3.81	3.43	HR30-7J-12PC
12	Klinkenstecker, Buchsencrimpkontakt	HR874-ND	5.53	4.58	3.81	3.43	HR30-8J-12SC
—	Staubkappe für Anlötstecker	HR875-ND	2.01	1.67	1.40	1.24	HR30-6P-C
—	Staubkappe für Crimpstecker	HR876-ND	2.01	1.67	1.40	1.24	HR30-7P-C
—	Staubkappe für Crimpstecker	HR877-ND	2.01	1.67	1.40	1.24	HR30-8P-C
—	Staubkappe für Lötsteckbuchse	HR878-ND	2.01	1.67	1.40	1.24	HR30-6R-C
—	Staubkappe für Crimpsteckbuchse	HR879-ND	2.01	1.67	1.40	1.24	HR30-7R-C
	Werkzeuge für Serie HR30						
	Verdrahtungsvorrichtung f. Lötstecker	H9950-ND		161.01/1			HR30-6P-6S-T01
	Verdrahtungsvorrichtung f. Steckbuchse und Klinkenstecker	H9951-ND		161.01/1			HR30-6R-6P-T01
	Endgehäuseanziehrung	H9952-ND		107.03/1			HR30-6P-T02
	Handcrimpwerkzeug	H9953-ND		982.82/1			HT-102/HR30-1

Beschreibung	Digi-Key Teilenr.	Preisangaben lose 100	Hirose Teilenr.	Gurtabschnitt* 10	50	100	Gegurtet auf Rolle† Preisangaben 10,000	Hirose Teilenr.
Kontakte - Steckstift - Phosphorbronze, teilvergoldet								
26-30AWG	HR880-ND	16.51	HR30-PC-111	2.18	7.25	12.49	62.44/M	HR30-PC-211
Kontakte - Buchse - Phosphorbronze, teilvergoldet								
26-30AWG	HR881-ND	16.51	HR30-SC-111	2.18	7.25	12.49	62.44/M	HR30-SC-211

***** Für Gurtabschnitte der Digi-Key-Teilenr. „CT" hinzufügen (HR880CT-ND)
† Für gegurtet auf Rolle, der Digi-Key-Teilenr. „TR" hinzufügen (HR880TR-ND)

Serie KMC

9 mm Bajonettverschluss-Steckverbinder, wasserdicht

Merkmale: Fünfnockenmechanismus zwischen den beiden Metallgehäusen sorgt für fehlerfreie Polarisation in der Verbindung • Bajonettverschluss bietet eine einfachere und zuverlässigere Verbindung als ein Gewindeverschluss.

Elektrische Spezifikationen: • Isolationswiderstand: Min. 2.000 MΩ bei 100 V DC • Kontaktwiderstand: Max. 10 mΩ bei DC 1 A • Nennstrom: 2 A

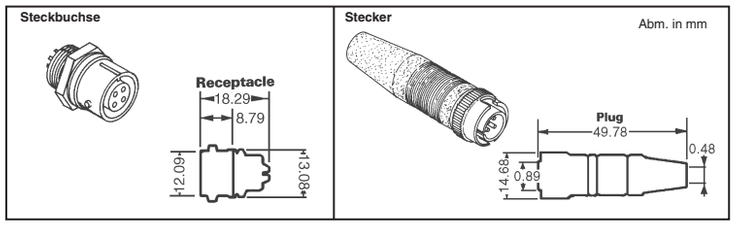

Kontakte	Beschreibung	Digi-Key Teilenr.	Stückpreis 1	10	100	Hirose Teilenr.
4	Stecker mit Pin-Einsatz	HR400-ND	15.97	15.44	13.84	KMC-9BPD-4P
6	Stecker mit Pin-Einsatz	HR401-ND	20.23	19.56	17.54	KMC-9BPD-6P
4	Steckbuchse mit Sockeleinsatz	HR402-ND	10.65	9.86	8.26	KMC-9BRD-4S
6	Steckbuchse mit Sockeleinsatz	HR403-ND	10.62	9.83	8.23	KMC-9BRD-6S

Serie RM 12 mm Video-Steckverbinder *Ohne Gummimanschette*

Merkmale: • Rohrförmiger Sockelkontakt für lange, zuverlässige Lebensdauer • UL94V-0 Diallylphthalat (DAP)-Formmaterial für hervorragende elektrische und mechanische Eigenschaften • Glattes Design mit seidenmatter Oberfläche • Bajonettverbindung für einfache Bedienung • Umkehrbare Pin- und Sockeleinsätze • Der Druckgusskörper ist mit 2, 3, 4, 5, 6 und 7 Pins lieferbar • Klinkenstecker für Verlängerungskabelprogramm erhältlich
Spezifikationen: • Betriebsspannung: 600 V AC (2 Stifte), 500 V AC (3 u. 4 Stifte), 350 V AC (5, 6 und 7 Stifte) • Nennstrom: 5 A • Isolationswiderstand: Min. 1.000 MΩ bei 500 V DC • Kontaktwiderstand: Max. 4 mΩ • Lötkelch Ø: 0,043" (1,1 mm) • Temp. Zyklus: -55 °C ~ 85 °C • Lebensdauer der Kontakte: 2.000 Verbindungen bei max. 8 mΩ

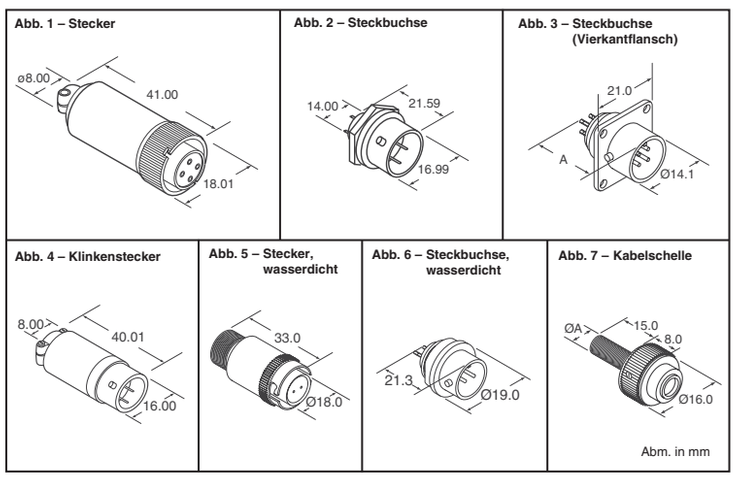

Abb.	Kontakte	Beschreibung	Abm. A (mm)	Digi-Key Teilenr.	Stückpreis 1	10	50	100	Hirose Teilenr.
1	2	Stecker mit Pin-Einsatz	—	HR882-ND	7.26	6.15	5.17	4.61	RM12BPE-2PH
	3	Stecker mit Pin-Einsatz	—	HR884-ND	7.64	6.47	5.44	4.85	RM12BPE-3PH
	4	Stecker mit Pin-Einsatz	—	HR886-ND	7.68	6.50	5.47	4.88	RM12BPE-4PH
	5	Stecker mit Pin-Einsatz	—	HR888-ND	6.99	6.08	5.48	4.87	RM12BPE-5PH
	6	Stecker mit Pin-Einsatz	—	HR890-ND	7.15	6.22	5.60	4.98	RM12BPE-6PH
	7	Stecker mit Pin-Einsatz	—	HR892-ND	7.71	6.71	6.04	5.37	RM12BPE-7PH
	2	Stecker mit Sockeleinsatz	—	HR883-ND	7.15	6.22	5.60	4.98	RM12BPE-2S
	3	Stecker mit Sockeleinsatz	—	HR885-ND	7.42	6.46	5.81	5.17	RM12BPE-3S
	4	Stecker mit Sockeleinsatz	—	HR887-ND	8.09	7.03	6.33	5.63	RM12BPE-4S
	5	Stecker mit Sockeleinsatz	—	HR889-ND	7.50	6.52	5.87	5.22	RM12BPE-5S
	6	Stecker mit Sockeleinsatz	—	HR891-ND	7.59	6.61	5.95	5.29	RM12BPE-6S
	7	Stecker mit Sockeleinsatz	—	HR893-ND	8.53	7.42	6.68	5.94	RM12BPE-7S
2	2	Steckbuchse mit Pin-Einsatz	—	HR221-ND	4.17	3.46	2.88	2.60	RM12BRD-2PH
	3	Steckbuchse mit Pin-Einsatz	—	HR223-ND	4.12	3.42	2.85	2.57	RM12BRD-3PH
	4	Steckbuchse mit Pin-Einsatz	—	HR225-ND	4.37	3.62	3.02	2.72	RM12BRD-4PH
	5	Steckbuchse mit Pin-Einsatz	—	HR227-ND	4.61	3.82	3.19	2.87	RM12BRD-5PH
	6	Steckbuchse mit Pin-Einsatz	—	HR229-ND	4.86	4.03	3.36	3.02	RM12BRD-6PH
	7	Steckbuchse mit Pin-Einsatz	—	HR231-ND	5.11	4.23	3.53	3.17	RM12BRD-7PH
	2	Steckbuchse mit Sockeleinsatz	—	HR220-ND	4.86	4.03	3.36	3.02	RM12BRD-2S
	3	Steckbuchse mit Sockeleinsatz	—	HR222-ND	5.23	4.33	3.61	3.25	RM12BRD-3S
	4	Steckbuchse mit Sockeleinsatz	—	HR224-ND	5.57	4.62	3.85	3.46	RM12BRD-4S
	5	Steckbuchse mit Sockeleinsatz	—	HR226-ND	5.94	4.92	4.10	3.69	RM12BRD-5S
	6	Steckbuchse mit Sockeleinsatz	—	HR228-ND	6.02	4.98	4.15	3.74	RM12BRD-6S
	7	Steckbuchse mit Sockeleinsatz	—	HR230-ND	5.99	5.07	4.26	3.80	RM12BRD-7S
3	2	Steckbuchse mit Pin-Einsatz	20.5	HR1045-ND	2.92	2.42	2.02	1.82	RM12BRB-2PH
	3	Steckbuchse mit Pin-Einsatz	20.5	HR1046-ND	3.17	2.63	2.19	1.97	RM12BRB-3PH
	4	Steckbuchse mit Pin-Einsatz	20.5	HR1047-ND	3.39	2.81	2.34	2.11	RM12BRB-4PH
	5	Steckbuchse mit Pin-Einsatz	20.5	HR1048-ND	3.93	3.26	2.71	2.44	RM12BRB-5PH
	6	Steckbuchse mit Pin-Einsatz	20.5	HR1119-ND	3.88	3.21	2.68	2.41	RM12BRB-6PH
	7	Steckbuchse mit Pin-Einsatz	20.5	HR1049-ND	4.12	3.42	2.85	2.57	RM12BRB-7PH
	2	Steckbuchse mit Sockeleinsatz	21.6	HR1114-ND	3.88	3.21	2.68	2.41	RM12BRB-2S
	3	Steckbuchse mit Sockeleinsatz	21.6	HR1115-ND	4.25	3.52	2.93	2.64	RM12BRB-3S
	5	Steckbuchse mit Sockeleinsatz	21.6	HR1116-ND	4.99	4.13	3.44	3.10	RM12BRB-5S
	6	Steckbuchse mit Sockeleinsatz	21.6	HR1038-ND	5.35	4.43	3.70	3.33	RM12BRB-6S
	7	Steckbuchse mit Sockeleinsatz	21.6	HR1117-ND	5.70	4.72	3.93	3.54	RM12BRB-7S
4	2	Klinkenstecker mit Pin-Einsatz	—	HR321-ND	5.55	4.70	3.95	3.53	RM12BJB-2PH
	3	Klinkenstecker mit Pin-Einsatz	—	HR323-ND	5.77	4.88	4.11	3.66	RM12BJB-3PH
	4	Klinkenstecker mit Pin-Einsatz	—	HR325-ND	5.99	5.07	4.26	3.80	RM12BJB-4PH
	5	Klinkenstecker mit Pin-Einsatz	—	HR327-ND	6.21	5.26	4.42	3.94	RM12BJB-5PH

(Forts.)

Serie RM 12 mm Video-Steckverbinder *Ohne Gummimanschette (Forts.)*

Abb.	Kon-takte	Beschreibung	Abm. A (mm)	Digi-Key Teilenr.	Stückpreis 1	10	50	100	Hirose Teilenr.
4	6	Klinkenstecker mit Pin-Einsatz	—	HR329-ND	6.43	5.44	4.58	4.08	RM12BJB-6PH
	7	Klinkenstecker mit Pin-Einsatz	—	HR331-ND	6.76	5.72	4.81	4.29	RM12BJB-7PH
	2	Klinkenstecker mit Sockeleinsatz	—	HR320-ND	7.32	6.37	5.73	5.10	RM12BJB-2S(07)
	3	Klinkenstecker mit Sockeleinsatz	—	HR322-ND	7.61	6.62	5.96	5.30	RM12BJB-3S(07)
	4	Klinkenstecker mit Sockeleinsatz	—	HR324-ND	7.91	6.88	6.19	5.50	RM12BJB-4S(07)
	5	Klinkenstecker mit Sockeleinsatz	—	HR326-ND	8.39	7.30	6.57	5.84	RM12BJB-5S(07)
	6	Klinkenstecker mit Sockeleinsatz	—	HR328-ND	8.47	7.37	6.63	5.90	RM12BJB-6S(07)
	7	Klinkenstecker mit Sockeleinsatz	—	HR330-ND	8.76	7.62	6.86	6.10	RM12BJB-7S(07)
		Wasserdichter Typ							
5	2	Stecker mit Pin-Einsatz	—	HR1078-ND	9.63	8.92	8.00	7.47	RM12WBP-2P
	3	Stecker mit Pin-Einsatz	—	HR1079-ND	9.80	9.07	8.14	7.60	RM12WBP-3P
	4	Stecker mit Pin-Einsatz	—	HR1080-ND	9.96	9.21	8.27	7.72	RM12WBP-4P
	5	Stecker mit Pin-Einsatz	—	HR1081-ND	10.13	9.37	8.41	7.85	RM12WBP-5P
	6	Stecker mit Pin-Einsatz	—	HR1082-ND	10.29	9.53	8.55	7.98	RM12WBP-6P
	2	Stecker mit Sockeleinsatz	—	HR1074-ND	10.29	9.53	8.55	7.98	RM12WBP-2S
	3	Stecker mit Sockeleinsatz	—	HR1075-ND	10.63	9.84	8.83	8.25	RM12WBP-3S
	4	Stecker mit Sockeleinsatz	—	HR1076-ND	10.97	10.15	9.11	8.51	RM12WBP-4S
	5	Stecker mit Sockeleinsatz	—	HR1077-ND	11.31	10.47	9.39	8.77	RM12WBP-5S
	6	Stecker mit Sockeleinsatz	—	HR1121-ND	11.63	10.76	9.66	9.02	RM12WBP-6S
6	2	Steckbuchse mit Pin-Einsatz	—	HR1063-ND	7.40	6.26	5.27	4.70	RM12WBR-2P
	3	Steckbuchse mit Pin-Einsatz	—	HR1064-ND	7.62	6.45	5.42	4.84	RM12WBR-3P
	4	Steckbuchse mit Pin-Einsatz	—	HR1065-ND	6.93	6.03	5.43	4.83	RM12WBR-4P
	5	Steckbuchse mit Pin-Einsatz	—	HR1066-ND	7.13	6.20	5.58	4.96	RM12WBR-5P
	6	Steckbuchse mit Pin-Einsatz	—	HR1067-ND	7.32	6.37	5.73	5.10	RM12WBR-6P
	2	Steckbuchse mit Sockeleinsatz	—	HR1068-ND	8.03	6.98	6.28	5.59	RM12WBR-2S
	3	Steckbuchse mit Sockeleinsatz	—	HR1069-ND	7.71	6.71	6.04	5.37	RM12WBR-3S
	4	Steckbuchse mit Sockeleinsatz	—	HR1070-ND	8.09	7.03	6.33	5.63	RM12WBR-4S
	5	Steckbuchse mit Sockeleinsatz	—	HR1071-ND	8.47	7.37	6.63	5.90	RM12WBR-5S
	6	Steckbuchse mit Sockeleinsatz	—	HR1072-ND	8.86	7.71	6.94	6.17	RM12WBR-6S
7		Kabelklemme, 4 mm Durchmesser	5.5	HR1083-ND	3.51	2.91	2.43	2.18	RM12WBP-CP(4)
		Kabelklemme, 5 mm Durchmesser	5.5	HR1084-ND	3.51	2.91	2.43	2.18	RM12WBP-CP(5)
		Kabelklemme, 6 mm Durchmesser	7.5	HR1085-ND	3.51	2.91	2.43	2.18	RM12WBP-CP(6)
		Kabelklemme, 7 mm Durchmesser	7.5	HR1086-ND	3.51	2.91	2.43	2.18	RM12WBP-CP(7)
—		Steckbuchsenabdeckung für Serie RM12	—	HR1073-ND	5.99	5.07	4.26	3.80	RM12WBR-C

Abb.	Kon-takte	Beschreibung	Abm. A (mm)	Digi-Key Teilenr.	Stückpreis 1	10	100	Hirose Teilenr.
5	4	Stecker mit Sockeleinsatz	—	HR1123-ND	13.67	12.87	11.26	RM15WTP-4S
	8	Stecker mit Sockeleinsatz	—	HR1087-ND	13.21	12.77	11.45	RM15WTP-8S
	10	Stecker mit Sockeleinsatz	—	HR1124-ND	14.22	13.75	12.33	RM15WTP-10S
	12	Stecker mit Sockeleinsatz	—	HR1100-ND	15.24	14.74	13.21	RM15WTP-12S
6	2	Steckbuchse mit Pin-Einsatz	21.00	HR1103-ND	9.45	8.74	7.33	RM15WTR-2P
	4	Steckbuchse mit Pin-Einsatz	21.00	HR1125-ND	9.45	8.74	7.33	RM15WTR-4P
	8	Steckbuchse mit Pin-Einsatz	20.50	HR1104-ND	10.35	9.57	8.02	RM15WTR-8P
	10	Steckbuchse mit Pin-Einsatz	20.50	HR1126-ND	10.80	10.00	8.38	RM15WTR-10P
	12	Steckbuchse mit Pin-Einsatz	21.00	HR1099-ND	11.24	10.40	8.72	RM15WTR-12P
	2	Steckbuchse mit Sockeleinsatz	21.50	HR1105-ND	10.80	10.00	8.38	RM15WTR-2S
	4	Steckbuchse mit Sockeleinsatz	21.50	HR1106-ND	10.90	10.26	8.98	RM15WTR-4S
	8	Steckbuchse mit Sockeleinsatz	21.50	HR1107-ND	12.23	11.52	10.08	RM15WTR-8S
	10	Steckbuchse mit Sockeleinsatz	21.50	HR1108-ND	13.28	12.51	10.94	RM15WTR-10S
	12	Steckbuchse mit Sockeleinsatz	21.50	HR1098-ND	14.15	13.32	11.66	RM15WTR-12S
7		Kabelklemme, 5 mm Durchmesser	6.5	HR1092-ND	5.05	4.19	3.14	RM15WTP-CP(5)
		Kabelklemme, 6 mm Durchmesser	6.5	HR1093-ND	5.05	4.19	3.14	RM15WTP-CP(6)
		Kabelklemme, 7 mm Durchmesser	8.0	HR1094-ND	5.05	4.19	3.14	RM15WTP-CP(7)
		Kabelklemme, 8 mm Durchmesser	10.5	HR1095-ND	5.05	4.19	3.14	RM15WTP-CP(8)
		Kabelklemme, 9 mm Durchmesser	10.5	HR1096-ND	5.05	4.19	3.14	RM15WTP-CP(9)
—		Kabelklemme, 7 mm Durchmesser, 17 mm lang	—	HR1109-ND	11.57	10.90	9.53	RM15WTP-CP7
—		Kabelklemme, 8 mm Durchmesser, 17 mm lang	—	HR1101-ND	11.57	10.90	9.53	RM15WTP-CP8
—		Kabelklemme, 9 mm Durchmesser, 17 mm lang	—	HR1110-ND	11.57	10.90	9.53	RM15WTP-CP9
—		Kabelklemme, 10 mm Durchmesser, 17 mm lang	—	HR1102-ND	11.57	10.90	9.53	RM15WTP-CP10
—		Staubkappe für Stecker mit Kette	—	HR1036-ND	11.87	10.98	9.20	RM15TP-C
—		Staubkappe für Steckbuchse mit Kette	—	HR1037-ND	7.59	6.43	4.82	RM15TR-C

Beschreibung	Digi-Key Teilenr.	Preisangaben 10	50	100	Hirose Teilenr.
Kontakte					
Crimpkontaktstift 20-24 AWG	HR1118-ND	3.97	16.03	28.84	RM-PC-112
Crimpkontaktstift 24-28 AWG	HR1040-ND	3.97	16.03	28.84	RM-PC-122
Crimpkontaktbuchse 20-24 AWG	HR1039-ND	3.97	16.03	28.84	RM-SC-112
Crimpkontaktbuchse 24-28 AWG	HR1041-ND	3.97	16.03	28.84	RM-SC-122
Werkzeuge für Serie RM					
Handcrimpwerkzeug AWG 20-24	HR1111-ND		300.64/1		RM-TC-11
Handcrimpwerkzeug AWG 24-28	HR1112-ND		315.27/1		RM-TC-12
Extraktionswerkzeug	HR1113-ND		8.47/1		RM-TP

† Crimptyp

Serie RM 15 mm Video-Verbindungsstecker

Spezifikationen: • Betriebsspannung: 350 V AC, 490 V DC • Nennstrom: 5 A • Isolationswiderstand: Min. 1.000 MΩ bei 500 V DC • Kontaktwiderstand: Max. 14 mΩ bei 1 A DC • Temp. Zyklus: -55 °C ~ 85 °C • Anwendbarer max. Kabel Ø: 8 mm • Stecker und Klinkenstecker mit Gummimanschette.

Abb. 1 – Stecker m. Gewinde

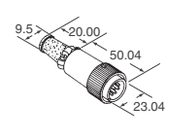

Abb. 2 – Stecker m. Gewinde

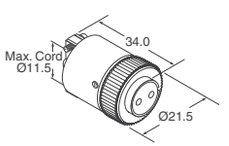

Abb. 3 – Steckbuchse

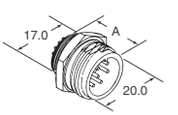

Abb. 4 – Klinkenstecker

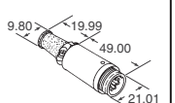

Abb. 5 – Stecker, wasserdicht

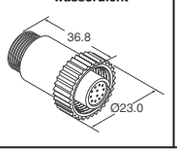

Abb. 6 – Steckbuchse, wasserdicht

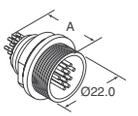

Abb. 7 – Kabelschelle

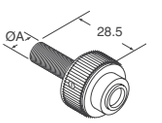

Abb.	Kon-takte	Beschreibung	Abm. A (mm)	Digi-Key Teilenr.	Stückpreis 1	10	100	Hirose Teilenr.
1	10	Stecker mit Pin-Einsatz	—	HR1043-ND†	11.24	10.40	8.72	RM15TPD-10PC
	10	Stecker mit Pin-Einsatz	—	HR106-ND	8.94	7.78	6.22	RM15TPD-10P
	12	Stecker mit Pin-Einsatz	—	HR107-ND	9.23	8.03	6.43	RM15TPD-12P
	10	Stecker mit Sockeleinsatz	—	HR108-ND	12.04	11.14	9.33	RM15TPD-10S
	12	Stecker mit Sockeleinsatz	—	HR109-ND	9.23	8.54	7.16	RM15TPD-12S
2	2	Stecker mit Pin-Einsatz	—	HR1061-ND	8.99	8.32	6.97	RM15TP-2PA
	4	Stecker mit Pin-Einsatz	—	HR1062-ND	9.45	8.74	7.33	RM15TP-4PA
	8	Stecker mit Pin-Einsatz	—	HR1054-ND	9.91	9.17	7.68	RM15TP-8PH
	10	Stecker mit Pin-Einsatz	—	HR1055-ND	11.86	11.17	9.77	RM15TP-10PH
	2	Stecker mit Sockeleinsatz	—	HR1050-ND	10.35	9.57	8.02	RM15TP-2SA
	4	Stecker mit Sockeleinsatz	—	HR1051-ND	12.38	11.45	9.60	RM15TP-4SA
	8	Stecker mit Sockeleinsatz	—	HR1034-ND	11.86	11.17	9.77	RM15TP-8S
	10	Stecker mit Sockeleinsatz	—	HR1035-ND	12.91	12.15	10.64	RM15TP-10S
3	2	Steckbuchse mit Pin-Einsatz	21.00	HR1059-ND	6.99	6.08	4.87	RM15TRH-2PA
	4	Steckbuchse mit Pin-Einsatz	21.00	HR1060-ND	7.25	6.30	5.04	RM15TRH-4PA
	8	Steckbuchse mit Pin-Einsatz	20.60	HR1056-ND	8.03	6.98	5.59	RM15TRH-8PH
	10	Steckbuchse mit Pin-Einsatz	20.60	HR1057-ND	8.53	7.42	5.94	RM15TRH-10PH
	10	Steckbuchse mit Pin-Einsatz	21.29	HR206-ND	7.46	6.32	4.74	RM15TRD-10P
	12	Steckbuchse mit Pin-Einsatz	21.29	HR207-ND	6.96	5.89	4.42	RM15TRD-12P
	2	Steckbuchse mit Sockeleinsatz	21.70	HR1052-ND	8.53	7.42	5.94	RM15TRH-2SA
	4	Steckbuchse mit Sockeleinsatz	21.70	HR1053-ND	9.45	8.74	7.33	RM15TRH-4SA
	8	Steckbuchse mit Sockeleinsatz	21.60	HR1058-ND	11.02	10.20	8.55	RM15TRH-8S
	10	Steckbuchse mit Sockeleinsatz	21.60	HR1120-ND	12.26	11.34	9.51	RM15TRH-10S
	10	Steckbuchse mit Sockeleinsatz	21.29	HR208-ND	5.97	5.05	3.79	RM15TRD-10S
	10	Steckbuchse mit Sockeleinsatz	32.30	HR1044-ND	6.21	5.26	3.94	RM15TRD-10SB
	10	Steckbuchse mit Sockeleinsatz	19.50	HR1042-ND†	8.99	8.32	6.97	RM15TRD-10SC
	12	Steckbuchse mit Sockeleinsatz	21.29	HR209-ND	6.87	5.98	4.79	RM15TRD-12S
4	10	Klinkensteckererweiterung mit Pin-Einsatz	—	HR306-ND	12.48	11.55	9.68	RM15TJD-10P
	12	Klinkensteckererweiterung mit Pin-Einsatz	—	HR307-ND	9.58	8.34	6.67	RM15TJD-12P
	10	Klinkensteckererweiterung mit Sockeleinsatz	—	HR308-ND	7.83	6.81	5.45	RM15TJD-10S
	12	Klinkensteckererweiterung mit Sockeleinsatz	—	HR309-ND	8.99	8.32	6.97	RM15TJD-12S
		Wasserdichter Typ						
5	2	Stecker mit Pin-Einsatz	—	HR1088-ND	12.33	11.61	10.16	RM15WTP-2P
	4	Stecker mit Pin-Einsatz	—	HR1089-ND	11.18	10.53	9.21	RM15WTP-4P
	8	Stecker mit Pin-Einsatz	—	HR1090-ND	11.57	10.90	9.53	RM15WTP-8P
	10	Stecker mit Pin-Einsatz	—	HR1091-ND	11.95	11.25	9.84	RM15WTP-10P
	12	Stecker mit Pin-Einsatz	—	HR1097-ND	10.81	10.18	8.91	RM15WTP-12P
	2	Stecker mit Sockeleinsatz	—	HR1122-ND	11.95	11.25	9.84	RM15WTP-2S

Serie JR Aluminium-Video-Stecker

Merkmale: Steckverbinder der Serie JR haben mit ihren fünf Polarisierungsnocken im Anschlussteil hervorragende elektrische und mechanische Eigenschaften und lassen sich problemlos verbinden.

Spezifikationen: • Haltespannung: 1.000 V AC, 1 Minute • Isolationswiderstand: Min. 1.000 MΩ • Kontaktwiderstand: Max. 5 mΩ

Stecker

No. of Pins	Digi-Key Part No.	Dimensions (mm) A	B	C	D
7	HR138-ND, HR139-ND	16.31	26.97	78.49	11.00
10	HR140-ND, HR141-ND	16.31	26.97	78.49	11.00
14	HR142-ND, HR143-ND	16.31	26.97	78.49	11.00
26	HR144-ND, HR145-ND	20.50	30.99	97.99	12.19

Steckbuchse

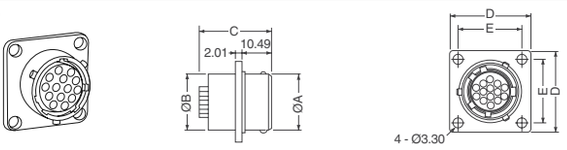

No. of Pins	Digi-Key Part No.	Dimensions (mm) A	B	C	D	E
7	HR146-ND	22.00	19.99	26.49	29.01	23.01
7	HR147-ND	22.00	19.99	27.69	29.01	23.01
10	HR148-ND, HR149-ND	22.00	19.99	26.49	29.01	23.01
14	HR150-ND	22.00	19.99	26.59	29.01	23.01
14	HR151-ND	22.00	19.99	25.78	29.01	23.01
26	HR152-ND	25.81	23.90	26.80	31.98	26.01
26	HR153-ND	25.81	23.90	27.99	31.98	26.01

Kon-takte	Beschreibung	Digi-Key Teilenr.	Stückpreis 1	10	100	Hirose Teilenr.
7	Stecker mit Pin-Einsatz	HR138-ND	13.97	13.51	12.11	JRC16BP-7P
10	Stecker mit Pin-Einsatz	HR140-ND	14.35	13.88	12.44	JRC16BP-10P
14	Stecker mit Pin-Einsatz	HR142-ND	13.71	12.91	11.30	JRC16BP-14P
26	Stecker mit Pin-Einsatz	HR144-ND	20.57	19.89	17.83	JRC21BPA-26P
7	Stecker mit Sockeleinsatz	HR139-ND	13.97	13.51	12.11	JRC16BP-7S
10	Stecker mit Sockeleinsatz	HR141-ND	14.86	14.37	12.88	JRC16BP-10S
14	Stecker mit Sockeleinsatz	HR143-ND	13.69	12.89	11.28	JRC16BP-14S
26	Stecker mit Sockeleinsatz	HR145-ND	18.54	17.93	16.07	JRC21BP-26S
7	Steckbuchse mit Pin-Einsatz	HR146-ND	9.11	8.43	7.06	JRC16BR-7P
10	Steckbuchse mit Pin-Einsatz	HR148-ND	9.67	8.95	7.50	JRC16BR-10P
14	Steckbuchse mit Pin-Einsatz	HR150-ND	8.36	7.27	5.82	JRC16BR-14P
26	Steckbuchse mit Pin-Einsatz	HR152-ND	11.36	10.51	8.81	JRC21BR-26P
7	Steckbuchse mit Sockeleinsatz	HR147-ND	9.11	8.43	7.06	JRC16BR-7S
10	Steckbuchse mit Sockeleinsatz	HR149-ND	9.67	8.95	7.50	JRC16BR-10S
14	Steckbuchse mit Sockeleinsatz	HR151-ND	9.11	7.93	6.34	JRC16BR-14S
26	Steckbuchse mit Sockeleinsatz	HR153-ND	10.80	10.00	8.38	JRC21BRA-26S

(Forts.)

Alle Preisangaben in Euro und inklusive Zollgebühren.

Serie JR

Wasserdichte Hochleistungs-Rundstecker

Merkmale:

• 48 Std. wasserdicht bei einer Tiefe von 1,8 m. (IP67 oder größer) • Außenmetall schwarzverchromt gegen Korrosion • Fünf Führungen gewährleisten eine leichtgängige Verbindung • Verschiedene Gehäusegrößen und Kernzahlen.

Anwendungen:

• Werkzeugmaschinen, FA-Ausrüstung, Kommunikationstechnik, verschiedene elektronische Ausrüstungen und Geräte

Abb. 1

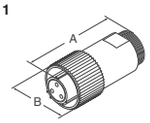

Abb. 2

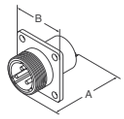

Abb. 3

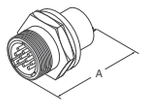

Abb. 4

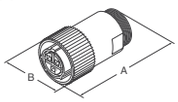

Abb. 5

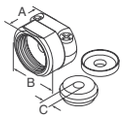

Abb. 6

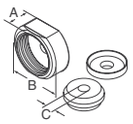

Kontakte	Gehäusegröße	Abmessungen (mm) A	B	C	Digi-Key Teilenr.	Stückpreis 1	10	100	Hirose Teilenr.
Abb. 1 Stecker - Stiftlöttyp									
3	13	44.7	21.8	—	HR901-ND	12.52	11.79	10.32	JR13WP-3P
5	13	44.7	21.8	—	HR902-ND	12.72	11.98	10.48	JR13WP-5P
7	16	46.5	21.8	—	HR903-ND	14.15	13.32	11.66	JR16WP-7P
10	16	46.5	25.8	—	HR904-ND	12.70	12.28	11.01	JR16WP-10P
10	21	51	29.8	—	HR905-ND	13.84	13.39	12.00	JR21WP-10P
16	21	51	29.8	—	HR906-ND	14.35	13.88	12.44	JR21WP-16P
4	25	56	33.8	—	HR907-ND	19.43	18.79	16.84	JR25WP-4P
5	25	56	33.8	—	HR908-ND	18.29	17.68	15.85	JR25WP-5P
8	25	56	33.8	—	HR909-ND	19.05	18.42	16.51	JR25WP-8P
16	25	56	33.8	—	HR910-ND	16.38	15.84	14.20	JR25WP-16P
24	25	56	33.8	—	HR911-ND	17.02	16.45	14.75	JR25WP-24P
Abb. 1 Stecker - Buchsenlöttyp									
3	13	44.7	21.8	—	HR912-ND	13.10	12.33	10.79	JR13WP-3S
5	13	44.7	21.8	—	HR913-ND	13.28	12.51	10.94	JR13WP-5S
7	16	46.5	25.8	—	HR914-ND	12.83	12.40	11.12	JR16WP-7S
10	16	46.5	25.8	—	HR915-ND	12.70	12.28	11.01	JR16WP-10S
10	21	51	29.8	—	HR916-ND	14.35	13.88	12.44	JR21WP-10S
16	21	51	29.8	—	HR917-ND	14.86	14.37	12.88	JR21WP-16S
4	25	56	33.8	—	HR918-ND	21.33	20.63	18.49	JR25WP-4S
5	25	56	33.8	—	HR919-ND	18.16	17.56	15.74	JR25WP-5S
8	25	56	33.8	—	HR920-ND	18.54	17.93	16.07	JR25WP-8S
16	25	56	33.8	—	HR921-ND	17.02	16.45	14.75	JR25WP-16S
24	25	56	33.8	—	HR922-ND	17.78	17.19	15.41	JR25WP-24S
Abb. 2 Steckbuchsen - Stiftlöttyp									
3	13	26.6	26	—	HR923-ND	7.59	6.43	4.82	JR13WR-3P
5	13	26.1	26	—	HR924-ND	6.99	6.08	4.87	JR13WR-5P
7	16	26.6	29	—	HR925-ND	7.50	6.52	5.22	JR16WR-7P
10	16	26.1	29	—	HR926-ND	7.89	6.86	5.49	JR16WR-10P
10	21	26.6	32	—	HR927-ND	9.19	8.00	6.40	JR21WR-10P
16	21	26.1	32	—	HR928-ND	8.67	8.02	6.72	JR21WR-16P
4	25	28	35	—	HR929-ND	11.66	10.98	9.61	JR25WR-4P
5	25	26.6	35	—	HR930-ND	12.26	11.34	9.51	JR25WR-5P
8	25	26.6	35	—	HR931-ND	11.29	10.62	9.30	JR25WR-8P
16	25	26.6	35	—	HR932-ND	9.67	8.95	7.50	JR25WR-16P
24	25	26.1	35	—	HR933-ND	10.57	9.78	8.19	JR25WR-24P
Abb. 2 Steckbuchsen - Buchsenlöttyp									
3	13	28	26	—	HR934-ND	7.50	6.52	5.22	JR13WR-3S
5	13	27	26	—	HR935-ND	7.77	6.76	5.41	JR13WR-5S
7	16	28	29	—	HR936-ND	8.03	6.98	5.59	JR16WR-7S
10	16	27	29	—	HR937-ND	8.42	7.32	5.86	JR16WR-10S
10	21	28	32	—	HR938-ND	8.67	8.02	6.72	JR21WR-10S
16	21	27	32	—	HR939-ND	9.33	8.63	7.24	JR21WR-16S
4	25	28	35	—	HR940-ND	13.86	13.05	11.42	JR25WR-4S
5	25	27.8	35	—	HR941-ND	12.04	11.14	9.33	JR25WR-5S
8	25	27.8	35	—	HR942-ND	12.60	11.66	9.77	JR25WR-8S
16	25	28	35	—	HR943-ND	10.57	9.78	8.19	JR25WR-16S
24	25	27	35	—	HR944-ND	11.48	10.62	8.90	JR25WR-24S
Abb. 2 Steckbuchsen - Stiftcrimptyp (Kontakte separat erhältlich)									
3	16	27.6	29	—	HR959-ND	7.64	6.64	5.31	JR16WR-3PC
10	16	25.1	29	—	HR960-ND	7.64	6.64	5.31	JR16WR-10PC
10	21	27.6	32	—	HR961-ND	9.58	8.34	6.67	JR21WR-10PC
16	21	25.1	32	—	HR962-ND	9.58	8.34	6.67	JR21WR-16PC
24	25	25.1	35	—	HR963-ND	9.23	8.54	7.16	JR25WR-24PC
Abb. 2 Steckbuchsen - Buchsencrimptyp (Kontakte separat erhältlich)									
3	16	27.6	29	—	HR964-ND	7.64	6.64	5.31	JR16WR-3SC
10	16	23.0	29	—	HR965-ND	7.64	6.64	5.31	JR16WR-10SC
10	21	27.6	32	—	HR966-ND	9.58	8.34	6.67	JR21WR-10SC
16	21	23.0	32	—	HR967-ND	9.58	8.34	6.67	JR21WR-16SC
24	25	23.0	35	—	HR968-ND	9.23	8.54	7.16	JR25WR-24SC
Abb. 3 Steckbuchsen - Stiftlöttyp									
4	25	28	—	—	HR1020-ND	12.72	11.98	10.48	JRC25WRG-4P
7	16	26.6	—	—	HR945-ND	9.45	8.74	7.33	JR16WRA-7P
8	25	26.8	—	—	HR1021-ND	11.86	11.17	9.77	JRC25WRG-8P
10	16	26.1	—	—	HR946-ND	9.79	9.06	7.59	JR16WRA-10P
16	25	26.8	—	—	HR1022-ND	12.81	12.06	10.55	JRC25WRG-16P
24	25	26.8	—	—	HR1023-ND	12.95	12.53	11.23	JRC25WRG-24P

Kontakte	Gehäusegröße	Abmessungen (mm) A	B	C	Digi-Key Teilenr.	Stückpreis 1	10	100	Hirose Teilenr.
Abb. 3 Steckbuchsen - Buchsenlöttyp									
4	25	27.9	—	—	HR1024-ND	13.08	12.65	11.34	JRC25WRG-4S
7	16	28	—	—	HR947-ND	9.91	9.17	7.68	JR16WRA-7S
8	25	27.8	—	—	HR1025-ND	11.29	10.62	9.30	JRC25WRG-8S
10	16	27	—	—	HR948-ND	10.24	9.48	7.94	JR16WRA-10S
16	25	27.8	—	—	HR1026-ND	12.62	11.88	10.40	JRC25WRG-16S
24	25	26.5	—	—	HR1027-ND	14.06	13.24	11.58	JRC25WRG-24S
Abb. 3 Steckbuchsen - Stiftcrimptyp (Kontakte separat erhältlich)									
3	16	27.6	—	—	HR969-ND	9.57	8.85	7.42	JR16WRA-3PC
10	16	25.1	—	—	HR970-ND	9.57	8.85	7.42	JR16WRA-10PC
Abb. 3 Steckbuchsen - Buchsencrimptyp (Kontakte separat erhältlich)									
10	16	23	—	—	HR971-ND	9.57	8.85	7.42	JR16WRA-10SC
Abb. 4 Stecker - Stiftcrimptyp (Kontakte separat erhältlich)									
3	16	46.5	21.8	—	HR949-ND	14.25	13.41	11.74	JR16WP-3PC
10	16	46.5	25.8	—	HR950-ND	14.25	13.41	11.74	JR16WP-10PC
10	21	51	29.8	—	HR951-ND	14.10	13.63	12.22	JR21WP-10PC
16	21	51	29.8	—	HR952-ND	14.10	13.63	12.22	JR21WP-16PC
24	25	56	33.8	—	HR953-ND	16.00	15.47	13.87	JR25WP-24PC
Abb. 4 Stecker - Buchsencrimptyp (Kontakte separat erhältlich)									
3	16	46.5	25.8	—	HR954-ND	14.25	13.41	11.74	JR16WP-3SC
10	16	46.5	25.8	—	HR955-ND	14.25	13.41	11.74	JR16WP-10SC
10	21	51	29.8	—	HR956-ND	14.10	13.63	12.22	JR21WP-10SC
16	21	51	29.8	—	HR957-ND	14.10	13.63	12.22	JR21WP-16SC
24	25	56	33.8	—	HR958-ND	16.00	15.47	13.87	JR25WP-24SC
Abb. 5 - Kabelklemme									
—	13	17	20	4	HR972-ND	8.42	7.32	5.86	JR13WCC-4
—	13	17	20	5	HR973-ND	8.42	7.32	5.86	JR13WCC-5
—	13	17	20	6	HR974-ND	8.42	7.32	5.86	JR13WCC-6
—	13	17	20	7	HR975-ND	8.42	7.32	5.86	JR13WCC-7
—	13	17	20	8	HR976-ND	8.42	7.32	5.86	JR13WCC-8
—	13	17	20	9	HR977-ND	8.42	7.32	5.86	JR13WCC-9
—	13	17	20	10	HR978-ND	8.42	7.32	5.86	JR13WCC-10
—	16	17.5	23	4	HR979-ND	9.06	7.88	6.30	JR16WCC-4
—	16	17.5	23	6	HR980-ND	9.06	7.88	6.30	JR16WCC-6
—	16	17.5	23	8	HR981-ND	9.06	7.88	6.30	JR16WCC-8
—	16	17.5	23	10	HR982-ND	9.06	7.88	6.30	JR16WCC-10
—	16	17.5	23	12	HR983-ND	9.06	7.88	6.30	JR16WCC-12
—	21	17.5	27	6	HR984-ND	12.38	11.45	9.60	JR21WCC-6
—	21	17.5	27	8	HR985-ND	12.38	11.45	9.60	JR21WCC-8
—	21	17.5	27	10	HR986-ND	12.38	11.45	9.60	JR21WCC-10
—	21	17.5	27	12	HR987-ND	12.38	11.45	9.60	JR21WCC-12
—	21	17.5	27	14	HR988-ND	12.38	11.45	9.60	JR21WCC-14
—	21	17.5	27	16	HR989-ND	12.38	11.45	9.60	JR21WCC-16
—	25	18	31	8	HR990-ND	12.38	11.45	9.60	JR25WCC-8
—	25	18	31	10	HR991-ND	12.38	11.45	9.60	JR25WCC-10
—	25	18	31	12	HR992-ND	12.38	11.45	9.60	JR25WCC-12
—	25	18	31	14	HR993-ND	12.38	11.45	9.60	JR25WCC-14
—	25	18	31	16	HR994-ND	12.38	11.45	9.60	JR25WCC-16
—	25	18	31	18	HR995-ND	12.38	11.45	9.60	JR25WCC-18
Abb. 6 - Kabelklemme einfach									
—	13	7.5	19	4	HR996-ND	5.23	4.33	3.25	JR13WCCA-4
—	13	7.5	19	5	HR997-ND	5.23	4.33	3.25	JR13WCCA-5
—	13	7.5	19	6	HR998-ND	5.23	4.33	3.25	JR13WCCA-6
—	13	7.5	19	7	HR999-ND	5.23	4.33	3.25	JR13WCCA-7
—	13	7.5	19	8	HR1000-ND	5.23	4.33	3.25	JR13WCCA-8
—	13	7.5	19	9	HR1001-ND	5.23	4.33	3.25	JR13WCCA-9
—	13	7.5	19	10	HR1002-ND	5.23	4.33	3.25	JR13WCCA-10
—	16	8	23	4	HR1003-ND	6.04	5.00	3.75	JR16WCCA-4
—	16	8	23	6	HR1004-ND	6.04	5.00	3.75	JR16WCCA-6
—	16	8	23	8	HR1005-ND	6.04	5.00	3.75	JR16WCCA-8
—	16	8	23	10	HR1006-ND	6.04	5.00	3.75	JR16WCCA-10
—	16	8	23	12	HR1007-ND	6.04	5.00	3.75	JR16WCCA-12
—	21	8	27	6	HR1008-ND	7.25	6.30	5.04	JR21WCCA-6
—	21	8	27	8	HR1009-ND	7.25	6.30	5.04	JR21WCCA-8
—	21	8	27	10	HR1010-ND	7.25	6.30	5.04	JR21WCCA-10
—	21	8	27	12	HR1011-ND	7.25	6.30	5.04	JR21WCCA-12
—	21	8	27	14	HR1012-ND	7.25	6.30	5.04	JR21WCCA-14
—	21	8	27	16	HR1013-ND	7.25	6.30	5.04	JR21WCCA-16
—	25	8.5	31	8	HR1014-ND	7.25	6.30	5.04	JR25WCCA-8
—	25	8.5	31	10	HR1015-ND	7.25	6.30	5.04	JR25WCCA-10
—	25	8.5	31	12	HR1016-ND	7.25	6.30	5.04	JR25WCCA-12
—	25	8.5	31	14	HR1017-ND	7.25	6.30	5.04	JR25WCCA-14
—	25	8.5	31	16	HR1018-ND	7.25	6.30	5.04	JR25WCCA-16
—	25	8.5	31	18	HR1019-ND	7.25	6.30	5.04	JR25WCCA-18
Werkzeuge									
Handcrimpwerkzeug AWG 16					H9920-ND		552.03/1		JRC-TC-11
Handcrimpwerkzeug AWG 18-20					H9921-ND		552.03/1		JRC-TC-12
Extraktionswerkzeug					H9922-ND		5.68/1		JRC-TP

Beschreibung	Digi-Key Teilenr.	Preisangaben lose 100	Hirose Teilenr.	Gurtabschnitt* Preisangaben 100	500	1,000	Gegurtet auf Rolle† Preisangaben 8,000	Hirose Teilenr.
Crimpsteckstifte, versilbert								
16-20AWG	HR1032-ND	25.67	JRC-PC-112	16.04	58.03	92.15	87.20/M	JRC-PC-212
20-24AWG	HR1028-ND	20.50	JRC-PC2-112	16.39	59.30	94.18	88.90/M	JRC-PC2-212
24-28AWG	HR1029-ND	20.50	JRC-PC2-122	16.39	59.30	94.18	88.90/M	JRC-PC2-222
Crimpbuchsen, versilbert								
16-20AWG	HR1033-ND	25.67	JRC-SC-112	13.66	49.15	76.45	69.43/M	JRC-SC-212
20-24AWG	HR1030-ND	20.50	JRC-SC2-112	16.39	59.30	94.18	88.90/M	JRC-SC2-212
24-28AWG	HR1031-ND	20.50	JRC-SC2-122	16.39	59.30	94.18	88.90/M	JRC-SC2-222

***** Für Gurtabschnitte der Digi-Key-Teilenr. „CT" hinzufügen (HR1029CT-ND)

† Für Gegurtet auf Rolle der Digi-Key-Teilenr. „TR" hinzufügen (HR1029TR-ND)

(Forts.)

A

Serie SR30 10 mm Min. Mikrofonsteckverbinder

Merkmale: Standard-Kabelgröße: 4,2 mm Außendurchmesser Stift: Messing + vergoldet oder versilbert; Buchsenstift: Kupferlegierung + vergoldet oder versilbert. **Spezifikationen:** • Nennspannung: 100 V AC, 140 V DC • Nennstrom: 1 A • Isolationswiderstand: Min. 200 MΩ bei 100 V DC • Kontaktwiderstand: Max. 10 mΩ bei 1 A DC.

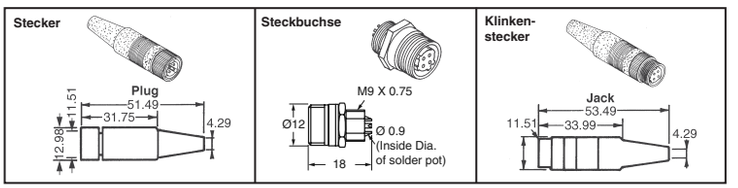

Kon-takte	Beschreibung	Digi-Key Teilenr.	Stückpreis 1	10	100	Hirose Teilenr.
4	Stecker mit Pin-Einsatz	HR500-ND	7.07	6.15	4.92	SR30-10PE-4P
6		HR501-ND	6.82	5.93	4.75	SR30-10PE-6P
7		HR510-ND	7.61	6.62	5.30	SR30-10PF-7P
4	Steckbuchse mit Sockeleinsatz	HR503-ND	6.49	5.50	4.13	SR30-10R-4S
6		HR504-ND	6.52	5.52	4.14	SR30-10R-6S
7		HR505-ND	5.72	4.74	3.56	SR30-10R-7S
4	Klinkenstecker mit Sockeleinsatz	HR506-ND	8.72	8.07	6.76	SR30-10JE-4S
6		HR507-ND	8.72	8.07	6.76	SR30-10JE-6S
7		HR508-ND	11.87	10.98	9.20	SR30-10JF-7S
—	Kabelklemme für Serie SR30	HR509-ND	.47	.33	.22	SR30-P

Serie SR38 Mikrominiatur-Hochleistungsstecker

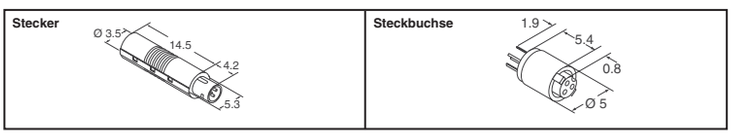

Merkmale: Mikrominiaturdesign und hohe Kontaktdichte ermöglichen platzsparende Anordnung, 5,3 mm Gehäusedurchmesser Standard (abgesehen von Überhängen). Durch einfache Schutzvorrichtungen mit Verschlussmechanismus sehr zuverlässig gegen äußere Einwirkungen wie Vibrationen. Einfach zu verdrahtende und zusammenzusetzende Stecker: Faltmechanismus, ohne spezielle Werkzeuge. Steckbuchsen: Leiterplatten-Dip-Typ. **Anwendungen:** Video, Akustik, Messinstrumente und andere elektronische Geräte.

Kontakte	Beschreibung	Digi-Key Teilenr.	Stückpreis 1	10	50	Hirose Teilenr.
3	Stecker	HR796-ND	12.91	12.15	11.02	SR38-4P-3P
3	Steckbuchse	HR797-ND	13.36	12.57	11.40	SR38-4R-3S

Serie HR22

Kompakter Hochleistungs-Rundstecker

Die kompakte 20-Pin Rundsteckverbinder der Serie HR22 wurden als Schnittstelle für Werkzeugmaschinenmotoren und Bedienungstafeln entwickelt. Mit Verriegelungsmechanismus und Schraubkupplung, um Lösen durch Motorvibrationen zu verhindern.

Merkmale: • Verschlussmechanismus gegen Lockerung gesichert. Der Verschluss hat eine lockerungssichere Feder in der Gewindeverbindung. **Zwei Arten der Terminierung:** Zum Crimpen oder Löten, mit einfacher Steckbuchsenmontage. Eine Steckbuchse kann durch Anziehen einer Mutter schnell auf einer Platte montiert werden. • **Pin-Zuteilung und wichtigste Funktionen:** • **Haltespannung:** Min. 300 V AC für 1 Minute • **Nennstrom:** 2 A • **Isolationswiderstand:** Min. 1.000 MΩ bei 100 V DC. • **Kontaktwiderstand:** Max. 20 mΩ. • **Lötkelch-Innen Ø** = 0,8

Abb. 1

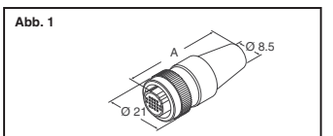

Abb. 2

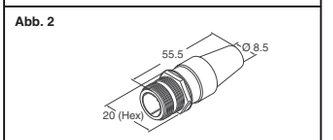

Abb.	Anz. d. Pins	Beschreibung	Abm. A mm	Digi-Key Teilenr.	Stückpreis 1	10	50	Hirose Teilenr.
1	20	Stecker - Crimpbuchse	—	HR176-ND	13.71	13.26	12.35	HR22-12TPD-20SC
		Stecker - Crimpstift	53.5	HR177-ND	13.71	13.26	12.35	HR22-12TPD-20PC
		Stecker - Lötbuchse	—	HR179-ND	33.19	31.53	30.23	HR22-12TPD-20S
		Stecker- Lötstift	—	HR180-ND	15.87	15.35	14.29	HR22-12TPD-20P
2	20	Klinkenstecker - Crimpstift	—	HR181-ND	13.97	13.51	12.58	HR22-12TJD-20PC
		Klinkenstecker - Lötstift	—	HR182-ND	15.49	14.98	13.95	HR22-12TJD-20P
		Klinkenstecker - Lötbuchse	—	HR183-ND	32.48	30.86	29.58	HR22-12TJD-20S
Steckstiftkontakt AWG 24-28 - Crimp				HR184-ND	.47	.30	.20	HR22-PC-122
Buchsen-Stiftkontakt AWG 24-28 - Crimp				HR185-ND	.47	.30	.20	HR22-SC-122
Werkzeuge								
Verdrahtungsaufspannwerkzeug für Serie HR22				H9959-ND	165.52/1			HR22-12P-T01
Handcrimpwerkzeug für Serie HR22 - AWG 24-28				H9960-ND	862.85/1			HR22-TA2428HC
Kabelcrimpwerkzeug f. Kabel Ø 8,5 mm				H9989-ND	277.82/1			HR10A-TC-04

Serie HR212 Mikrominiatur-Hochleistungsstecker

Abb. 1

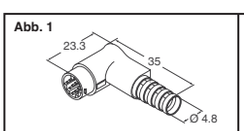

Abb. 2

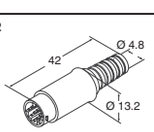

Abb. 3

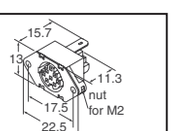

Abb. 4

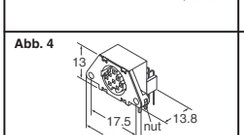

Abb. 5

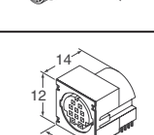

Abb. 6

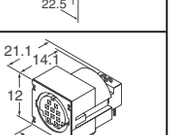

Anz. d. Pins	Überzug	Farbe	Digi-Key Teilenr.	Stückpreis 1	10	50	Hirose Teilenr.
Abb. 1 Stecker, rechtwinklig, Löttyp							
8	Zinn	Schwarz	HR454-ND	7.62	6.45	5.42	HR212-10LP-8P
8	Zinn	Beige	HR455-ND	7.62	6.45	5.42	HR212-10LP-8P(01)
8	Gold	Schwarz	HR456-ND	9.11	7.93	7.14	HR212-10LP-8P(02)
8	Gold	Beige	HR457-ND	6.97	6.07	5.46	HR212-10LP-8P(03)
Abb. 1 Stecker, rechtwinklig, Crimptyp							
5	—	Schwarz	HR458-ND	6.58	5.57	4.69	HR212-10LP-5PC
8	—	Schwarz	HR459-ND	6.58	5.57	4.69	HR212-10LP-8PC
Abb. 2 Stecker, gerade, Löttyp							
8	Zinn	Schwarz	HR460-ND	8.51	7.40	6.66	HR212-10P-8P
8	Zinn	Beige	HR461-ND	7.37	6.24	5.25	HR212-10P-8P(01)
8	Gold	Schwarz	HR462-ND	8.20	7.13	6.42	HR212-10P-8P(02)
8	Gold	Beige	HR463-ND	6.86	5.96	5.37	HR212-10P-8P(03)
Abb. 2 Stecker, gerade, Crimptyp							
5	—	Schwarz	HR464-ND	6.32	5.35	4.50	HR212-10P-5C
8	—	Schwarz	HR465-ND	6.32	5.35	4.50	HR212-10P-8PC
8	—	Beige	HR466-ND	6.32	5.35	4.50	HR212-10P-8PC(01)
10	—	Schwarz	HR467-ND	7.51	6.36	5.35	HR212-10P-10PC
10	—	Beige	HR468-ND	6.58	5.57	4.69	HR212-10P-10PC(01)
Abb. 3 Steckbuchse, Plattenmontage, Crimptyp							
8	—	Schwarz	HR469-ND	2.75	2.28	1.90	HR212-10R-8SC
8	—	Beige	HR470-ND	2.53	2.10	1.75	HR212-10R-8SC(01)
Abb. 3 Steckbuchse, senkrecht, Leiterplattentyp							
8	Zinn	Schwarz	HR471-ND	4.61	3.82	3.19	HR212-10R-8SD(02)
8	Gold	Beige	HR472-ND	4.55	3.76	3.14	HR212-10R-8SD(01)
Abb. 4 Steckbuchse, rechtwinklig, Leiterplattentyp							
5	Zinn	Schwarz	HR473-ND	3.88	3.21	2.68	HR212-10R-5SDL(02)
8	Zinn	Schwarz	HR474-ND	3.98	3.30	2.75	HR212-10R-8SDL(02)
8	Gold	Schwarz	HR475-ND	4.55	3.76	3.14	HR212-10R-8SDL(04)
8	Gold	Beige	HR476-ND	4.55	3.76	3.14	HR212-10R-8SDL(01)
Abb. 5 Steckbuchse, rechtwinklig, Leiterplattentyp							
8	Zinn	Schwarz	HR477-ND	4.79	3.97	3.31	HR212-10RA-8SDL(03)
8	Gold	Beige	HR478-ND	5.13	4.25	3.54	HR212-10RA-8SDL(01)
8	Gold	Schwarz	HR479-ND	6.19	5.24	4.41	HR212-10RA-8SDL(02)
Abb. 6 Steckbuchse, rechtwinklig, Leiterplattentyp							
10	Gold	Schwarz	HR480-ND	8.37	7.29	6.56	HR212-10RC-10SDL(02)

Serie HR25

Die kleinsten Mehrkontakt-Rundsteckverbinder der Welt

Der HR25 ist der kleinste Rundsteckverbinder der Welt mit hoher Kontaktdichte. Hirose Electric entwickelte ihn auf Basis seiner umfassenden Erfahrungen in der Miniaturisierungstechnologie als Reaktion auf den anhaltende Bedarf an stets kleinerer Miniaturisierung und Konstruktionen mit hoher Dichte für eine Vielzahl elektronischer Geräte. Die verwendete Spannung sollte unter 30 V AC oder 42 V DC liegen. Draht AWG 30.
Anwendungen: • CCD-Kameras, Messinstrumente, verschiedenste Arten von Sensoren, Funk, medizinische Geräte. **Material:** • Isolierung: PPS Harz, schwarz • Kontakte: Phosphorbronze, voll- und teilvergoldet • Gehäuse: Messing und Zinklegierung, vernickelt **Nenngrößen:** • Nennstrom: 1 A • Isolationswiderstand: Min. 1.000 mΩ • Kontaktwiderstand: 30 mΩ • Lötkelch-Innen Ø = 0,5 mm

Abb. 1

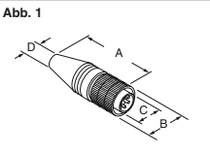

Abb. 2

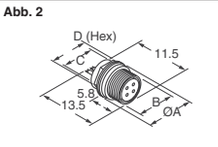

Abb. 3

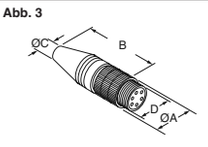

Abb. 4

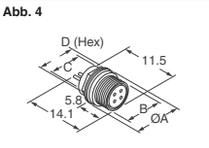

Abb. 5

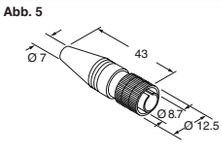

Abb. 6

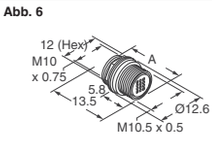

Abb. 7

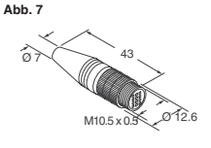

Abb. 8

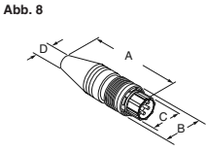

Abb. 9

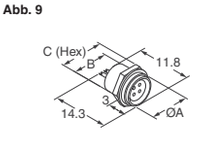

Abb. 10

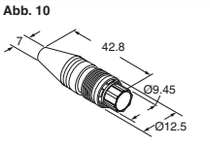

Abb. 11

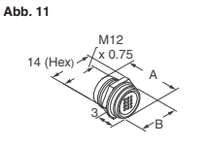

Abb. 12

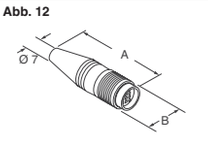

# of Cont.*	Shell Size§	Abmessungen (mm) A	B	C	D	Digi-Key Teilenr.	Stückpreis 1	10	50	100	Hirose Teilenr.
Abb. 1 Schraubverschlussstecker - Lötstifttyp											
4	7	35	10.5	6.7	5	HR700-ND	13.73	12.93	11.72	11.31	HR25-7TP-4P
6	7	35	10.5	6.7	5	HR701-ND	12.95	12.53	11.66	11.23	HR25-7TP-6P
8	7	35	10.5	6.7	5	HR702-ND	13.71	13.26	12.35	11.89	HR25-7TP-8P
12	9	43	12.5	8.7	7	HR703-ND	22.99	22.22	20.69	19.93	HR25-9TP-12P
16	9	43	12.5	8.7	7	HR704-ND	29.99	28.49	27.31	26.78	HR25-9TP-16P
20	9	43	12.5	8.7	7	HR705-ND	26.41	25.54	23.78	22.90	HR25-9TP-20P
Abb. 1 Schraubverschlussstecker - Lötbuchsentyp											
4	7	35	10.5	6.7	5	HR706-ND	13.50	12.71	11.52	11.12	HR25-7TP-4S
6	7	35	10.5	6.7	5	HR707-ND	13.96	13.14	11.91	11.50	HR25-7TP-6S
8	7	35	10.5	6.7	5	HR708-ND	12.70	12.28	11.43	11.01	HR25-7TP-8S
12	9	43	12.5	8.7	7	HR709-ND	18.16	17.56	16.35	15.74	HR25-9TP-12S
16	9	43	12.5	8.7	7	HR710-ND	18.92	18.30	17.03	16.40	HR25-9TP-16S
20	9	43	12.5	8.7	7	HR711-ND	19.56	18.91	17.61	16.95	HR25-9TP-20S

* Anz. d. Kontakte § Gehäusegröße

(Forts.)

Alle Preisangaben in Euro und inklusive Zollgebühren.

Rundstecker Serie HR25 *(Forts.)*

# of Cont.§	Shell Size◊	Abmessungen (mm) A	B	C	D	Digi-Key Teilenr.	Stückpreis 1	10	50	100	Hirose Teilenr.
Abb. 2 Steckbuchsen, Schraubverschluss - Lötkelchstiftpyp											
4	7	10.6	M8.5x0.5	M8x0.5	10	HR712-ND	11.58	10.72	9.62	8.98	HR25-7TR-4P
6	7	10.6	M8.5x0.5	M8x0.5	10	HR713-ND	11.10	10.45	9.47	9.14	HR25-7TR-6P
8	7	10.6	M8.5x0.5	M8x0.5	10	HR714-ND	11.67	10.99	9.96	9.62	HR25-7TR-8P
12	9	12.6	M10.5x0.5	M10x0.75	12	HR715-ND	14.35	13.88	12.92	12.44	HR25-9TR-12P
16	9	12.6	M10.5x0.5	M10x0.75	12	HR716-ND	16.00	15.47	14.41	13.87	HR25-9TR-16P
20	9	12.6	M10.5x0.5	M10x0.75	12	HR717-ND	17.68	17.09	15.91	15.33	HR25-9TR-20P
Abb. 2 Steckbuchsen, Schraubverschluss - Lötkelchbuchsentyp											
4	7	10.6	M8.5x0.5	M8x0.5	10	HR718-ND	11.67	10.80	9.69	9.05	HR25-7TR-4S
6	7	10.6	M8.5x0.5	M8x0.5	10	HR719-ND	11.85	10.97	9.84	9.19	HR25-7TR-6S
8	7	10.6	M8.5x0.5	M8x0.5	10	HR720-ND	11.80	10.92	9.80	9.15	HR25-7TR-8S
12	9	12.6	M10.5x0.5	M10x0.75	12	HR721-ND	12.67	11.72	10.52	9.82	HR25-9TR-12S
16	9	12.6	M10.5x0.5	M10x0.75	12	HR722-ND	11.56	10.88	9.86	9.52	HR25-9TR-16S
20	9	12.6	M10.5x0.5	M10x0.75	12	HR723-ND	12.77	12.02	10.89	10.52	HR25-9TR-20S
Abb. 3 Klinkenstecker, Schraubverschluss - Stiftlöttyp											
4	7	10.6	35	5	M8.5x0.5	HR724-ND	13.73	12.93	11.72	11.31	HR25-7TJ-4P
6	7	10.6	35	5	M8.5x0.5	HR725-ND	12.95	12.53	11.66	11.23	HR25-7TJ-6P
8	7	10.6	35	5	M8.5x0.5	HR726-ND	13.71	13.26	12.35	11.89	HR25-7TJ-8P
12	9	12.6	43	7	M10.5x0.5	HR727-ND	22.99	22.22	20.69	19.93	HR25-9TJ-12P
16	9	12.6	43	7	M10.5x0.5	HR728-ND	24.76	23.94	22.29	21.47	HR25-9TJ-16P
20	9	12.6	43	7	M10.5x0.5	HR729-ND	26.41	25.54	23.78	22.90	HR25-9TJ-20P
Abb. 3 Klinkenstecker, Schraubverschluss - Buchsenlöttyp											
4	7	10.6	35	5	M8.5x0.5	HR730-ND	13.50	12.71	11.52	11.12	HR25-7TJ-4S
6	7	10.6	35	5	M8.5x0.5	HR731-ND	13.96	13.14	11.91	11.50	HR25-7TJ-6S
8	7	10.6	35	5	M8.5x0.5	HR732-ND	12.70	12.28	11.43	11.01	HR25-7TJ-8S
12	9	12.6	43	7	M10.5x0.5	HR733-ND	18.16	17.56	16.35	15.74	HR25-9TJ-12S
16	9	12.6	43	7	M10.5x0.5	HR734-ND	19.51	18.86	17.56	16.91	HR25-9TJ-16S
20	9	12.6	43	7	M10.5x0.5	HR735-ND	20.21	19.54	18.19	17.52	HR25-9TJ-20S
Abb. 4 Steckbuchsen, Schraubverschluss - Leiterplattenstifttyp											
4	7	10.6	M8.5x0.5	M8x0.5	10	HR736-ND	11.58	10.72	9.62	8.98	HR25-7TR-4PA
6	7	10.6	M8.5x0.5	M8x0.5	10	HR737-ND	12.67	11.72	10.52	9.82	HR25-7TR-6PA
8	7	10.6	M8.5x0.5	M8x0.5	10	HR738-ND	11.67	10.99	9.96	9.62	HR25-7TR-8PA
12	9	12.6	M10.5x0.5	M10x0.75	12	HR739-ND	14.82	14.33	13.34	12.85	HR25-9TR-12PA
16	9	12.6	M10.5x0.5	M10x0.75	12	HR740-ND	16.00	15.47	14.41	13.87	HR25-9TR-16PA
20	9	12.6	M10.5x0.5	M10x0.75	12	HR741-ND	17.78	17.19	16.01	15.41	HR25-9TR-20PA
Abb. 4 Steckbuchsen, Schraubverschluss - Leiterplattenbuchsentyp											
4	7	10.6	M8.5x0.5	M8x0.5	10	HR742-ND	11.67	10.80	9.69	9.05	HR25-7TR-4SA
6	7	10.6	M8.5x0.5	M8x0.5	10	HR743-ND	11.85	10.97	9.84	9.19	HR25-7TR-6SA
8	7	10.6	M8.5x0.5	M8x0.5	10	HR744-ND	12.39	11.47	10.29	9.61	HR25-7TR-8SA
12	9	12.6	M10.5x0.5	M10x0.75	12	HR745-ND	12.67	11.72	10.52	9.82	HR25-9TR-12SA
16	9	12.6	M10.5x0.5	M10x0.75	12	HR746-ND	11.56	10.88	9.86	9.52	HR25-9TR-16SA
20	9	12.6	M10.5x0.5	M10x0.75	12	HR747-ND	12.36	11.64	10.55	10.19	HR25-9TR-20SA
Abb. 5 Stecker, Schraubverschluss - Crimp-Stifttyp (Kontakte separat erhältlich)											
12	9	—	—	—	—	HR748-ND	17.42	16.85	15.69	15.10	HR25-9TP-12PC
16	9	—	—	—	—	HR749-ND	17.69	17.10	15.93	15.34	HR25-9TP-16PC
20	9	—	—	—	—	HR750-ND	17.95	17.35	16.15	15.56	HR25-9TP-20PC
Abb. 5 Stecker, Schraubverschluss - Crimp-Buchsentyp (Kontakte separat erhältlich)											
12	9	—	—	—	—	HR751-ND	17.42	16.85	15.69	15.10	HR25-9TP-12SC
16	9	—	—	—	—	HR752-ND	17.69	17.10	15.93	15.34	HR25-9TP-16SC
20	9	—	—	—	—	HR753-ND	17.95	17.35	16.15	15.56	HR25-9TP-20SC
Abb. 6 Steckbuchsen, Schraubverschluss - Crimp-Stifttyp (Kontakte separat erhältlich)											
12	9	13	—	—	—	HR754-ND	10.90	10.09	9.06	8.46	HR25-9TR-12PC
16	9	13	—	—	—	HR755-ND	11.67	10.80	9.69	9.05	HR25-9TR-16PC
20	9	13	—	—	—	HR756-ND	11.58	10.72	9.62	8.98	HR25-9TR-20PC
Abb. 6 Steckbuchsen, Schraubverschluss - Crimp-Buchsentyp (Kontakte separat erhältlich)											
12	9	11.5	—	—	—	HR757-ND	10.90	10.09	9.06	8.46	HR25-9TR-12SC
16	9	11.5	—	—	—	HR758-ND	11.67	10.80	9.69	9.05	HR25-9TR-16SC
20	9	11.5	—	—	—	HR759-ND	11.58	10.72	9.62	8.98	HR25-9TR-20SC
Abb. 7 Klinkenstecker, Schraubverschluss - Crimp-Stifttyp (Kontakte separat erhältlich)											
12	9	—	—	—	—	HR760-ND	17.42	16.85	15.69	15.10	HR25-9TJ-12PC
16	9	—	—	—	—	HR761-ND	17.69	17.10	15.93	15.34	HR25-9TJ-16PC
20	9	—	—	—	—	HR762-ND	17.40	16.82	15.66	15.08	HR25-9TJ-20PC
Abb. 7 Klinkenstecker, Schraubverschluss - Crimp-Buchsentyp (Kontakte separat erhältlich)											
12	9	—	—	—	—	HR763-ND	17.42	16.85	15.69	15.10	HR25-9TJ-12SC
16	9	—	—	—	—	HR764-ND	17.69	17.10	15.93	15.34	HR25-9TJ-16SC
20	9	—	—	—	—	HR765-ND	17.40	16.82	15.66	15.08	HR25-9TJ-20SC
Abb. 8 Stecker, Push-Pull-Verschluss - Lötsteckertyp											
4	7	34.8	10.5	7.45	5	HR766-ND	15.62	15.10	14.06	13.54	HR25-7P-4P
6	7	34.8	10.5	7.45	5	HR767-ND	16.51	15.96	14.86	14.31	HR25-7P-6P
8	7	34.8	10.5	7.45	5	HR768-ND	17.27	16.70	15.55	14.97	HR25-7P-8P
12	9	42.8	12.5	9.45	7	HR769-ND	24.89	24.06	22.41	21.58	HR25-9P-12P
16	9	42.8	12.5	9.45	7	HR770-ND	26.67	25.78	24.01	23.12	HR25-9P-16P
20	9	42.8	12.5	9.45	7	HR771-ND	28.45	27.50	25.61	24.66	HR25-9P-20P
Abb. 8 Stecker, Push-Pull-Verschluss - Lötbuchsentyp											
4	7	34.8	10.5	7.45	5	HR772-ND	15.37	14.86	13.83	13.32	HR25-7P-4S
6	7	34.8	10.5	7.45	5	HR773-ND	15.75	15.23	14.18	13.65	HR25-7P-6S
8	7	34.8	10.5	7.45	5	HR774-ND	16.13	15.59	14.52	13.98	HR25-7P-8S
12	9	42.8	12.5	9.45	7	HR775-ND	20.72	20.04	18.66	17.97	HR25-9P-12S
16	9	42.8	12.5	9.45	7	HR776-ND	21.50	20.79	19.35	18.64	HR25-9P-16S
20	9	42.8	12.5	9.45	7	HR777-ND	21.46	20.75	19.32	18.60	HR25-9P-20S

§ Anz. d. Kontakte ◊ Gehäusegröße

# of Cont.§	Shell Size ◊	Abmessungen (mm) A	B	C	D	Digi-Key Teilenr.	Stückpreis 1	10	50	100	Hirose Teilenr.
Abb. 9 Steckbuchsen, Push-Pull-Verschluss - Lötkelchstifttyp											
4	7	11	M10x0.75	12	—	HR778-ND	12.39	11.47	10.29	9.61	HR25-7R-4P
6	7	11	M10x0.75	12	—	HR779-ND	11.45	10.77	9.76	9.43	HR25-7R-6P
8	7	11	M10x0.75	12	—	HR780-ND	12.77	12.02	10.89	10.52	HR25-7R-8P
12	9	13	M13x0.75	14	—	HR781-ND	16.51	15.96	14.86	14.31	HR25-9R-12P
16	9	13	M13x0.75	14	—	HR782-ND	18.74	18.11	16.86	16.24	HR25-9R-16P
20	9	13	M13x0.75	14	—	HR783-ND	19.94	19.28	17.95	17.28	HR25-9R-20P
Abb. 9 Steckbuchsen, Push-Pull-Verschluss - Lötkelchbuchsentyp											
4	7	11	M10x0.75	12	—	HR784-ND	11.99	11.09	9.95	9.30	HR25-7R-4S
6	7	11	M10x0.75	12	—	HR785-ND	12.53	11.59	10.40	9.72	HR25-7R-6S
8	7	11	M10x0.75	12	—	HR786-ND	11.10	10.45	9.47	9.14	HR25-7R-8S
12	9	13	M13x0.75	14	—	HR787-ND	13.17	12.40	11.24	10.85	HR25-9R-12S
16	9	13	M13x0.75	14	—	HR788-ND	13.96	13.14	11.91	11.50	HR25-9R-16S
20	9	13	M13x0.75	14	—	HR789-ND	13.08	12.65	11.78	11.34	HR25-9R-20S
Abb. 10 Stecker, Push-Pull-Verschluss - Crimp-Stifttyp (Kontakte separat erhältlich)											
12	9	—	—	—	—	HR790-ND	18.79	18.17	16.92	16.29	HR25-9P-12PC
16	9	—	—	—	—	HR791-ND	19.68	19.03	17.72	17.06	HR25-9P-16PC
20	9	—	—	—	—	HR792-ND	19.94	19.28	17.95	17.28	HR25-9P-20PC
Abb. 10 Stecker, Push-Pull-Verschluss - Crimp-Buchsentyp (Kontakte separat erhältlich)											
12	9	—	—	—	—	HR793-ND	19.42	18.77	17.48	16.83	HR25-9P-12SC
16	9	—	—	—	—	HR794-ND	19.05	18.42	17.15	16.51	HR25-9P-16SC
20	9	—	—	—	—	HR795-ND	19.94	19.28	17.95	17.28	HR25-9P-20SC
Abb. 11 Steckbuchse Push-Pull-Verschluss - Crimp-Stifttyp (Kontakte separat erhältlich)											
12	9	13.8	—	—	—	HR520-ND	11.67	10.99	9.96	9.62	HR25-9R-12PC
16	9	13.8	—	—	—	HR521-ND	12.02	11.32	10.26	9.90	HR25-9R-16PC
20	9	13.8	—	—	—	HR522-ND	12.25	11.53	10.45	10.09	HR25-9R-20PC
Abb. 11 Steckbuchse Push-Pull-Verschluss - Crimp-Stifttyp (Kontakte separat erhältlich)											
4	7	11.8	11	—	—	HR412-ND	12.39	11.47	10.29	9.61	HR25-7R-4PA
6	7	11.8	11	—	—	HR414-ND	11.45	10.77	9.76	9.43	HR25-7R-6PA
8	7	11.8	11	—	—	HR416-ND	12.36	11.64	10.55	10.19	HR25-7R-8PA
12	9	11.8	11	—	—	HR424-ND	16.51	15.96	14.86	14.31	HR25-9R-12PA
16	9	11.8	11	—	—	HR426-ND	18.16	17.56	16.35	15.74	HR25-9R-16PA
20	9	11.8	11	—	—	HR428-ND	19.94	19.28	17.95	17.28	HR25-9R-20PA
Abb. 11 Steckbuchse Push-Pull-Verschluss - Crimpbuchsentyp (Kontakte separat erhältlich)											
12	9	11.8	13	—	—	HR523-ND	11.67	10.99	9.96	9.62	HR25-9R-12SC
16	9	11.8	13	—	—	HR524-ND	12.02	11.32	10.26	9.90	HR25-9R-16SC
20	9	11.8	13	—	—	HR525-ND	12.25	11.53	10.45	10.09	HR25-9R-20SC
Abb. 11 Steckbuchse Push-Pull-Verschluss - Lötbuchsentyp (Kontakte separat erhältlich)											
4	7	11.8	11	—	—	HR413-ND	11.99	11.09	9.95	9.30	HR25-7R-4SA
6	7	11.8	11	—	—	HR415-ND	12.53	11.59	10.40	9.72	HR25-7R-6SA
8	7	11.8	11	—	—	HR417-ND	11.10	10.45	9.47	9.14	HR25-7R-8SA
12	9	11.8	13	—	—	HR425-ND	13.17	12.40	11.24	10.85	HR25-9R-12SA
16	9	11.8	13	—	—	HR427-ND	13.96	13.14	11.91	11.50	HR25-9R-16SA
20	9	11.8	13	—	—	HR429-ND	13.08	12.65	11.78	11.34	HR25-9R-20SA
Abb. 12 Klinkenstecker, Push-Pull-Verschluss - Crimp-Stifttyp (Kontakte separat erhältlich)											
12	9	43.8	13.8	—	—	HR526-ND	19.42	18.77	17.48	16.83	HR25-9J-12PC
16	9	43.8	13.8	—	—	HR527-ND	19.68	19.03	17.72	17.06	HR25-9J-16PC
20	9	43.8	13.8	—	—	HR528-ND	19.94	19.28	17.95	17.28	HR25-9J-20PC
Abb. 12 Klinkenstecker, Push-Pull-Verschluss - Lötstifttyp (Kontakte separat erhältlich)											
4	7	35.8	11.8	—	—	HR406-ND	15.62	15.10	14.06	13.54	HR25-7J-4P
6	7	35.8	11.8	—	—	HR408-ND	16.51	15.96	14.86	14.31	HR25-7J-6P
8	7	35.8	11.8	—	—	HR410-ND	17.27	16.70	15.55	14.97	HR25-7J-8P
12	9	43.8	13.8	—	—	HR418-ND	24.89	24.06	22.41	21.58	HR24-9J-12P
16	9	43.8	13.8	—	—	HR420-ND	26.67	25.78	24.01	23.12	HR25-9J-16P
20	9	43.8	13.8	—	—	HR422-ND	28.45	27.50	25.61	24.66	HR25-9J-20P
Abb. 12 Klinkenstecker, Push-Pull-Verschluss - Crimp-Buchsentyp (Kontakte separat erhältlich)											
12	9	43.8	13.8	—	—	HR529-ND	19.42	18.77	17.48	16.83	HR25-9J-12SC
16	9	43.8	13.8	—	—	HR530-ND	19.68	19.03	17.72	17.06	HR25-9J-16SC
20	9	43.8	13.8	—	—	HR531-ND	19.94	19.28	17.95	17.28	HR25-9J-20SC
Abb. 12 Klinkenstecker, Push-Pull-Verschluss - Lötbuchsentyp (Kontakte separat erhältlich)											
4	7	35.8	11.8	—	—	HR407-ND	15.37	14.86	13.83	13.32	HR25-7J-4S
6	7	35.8	11.8	—	—	HR409-ND	15.75	15.23	14.18	13.65	HR25-7J-6S
8	7	35.8	11.8	—	—	HR411-ND	16.13	15.59	14.52	13.98	HR25-7J-8S
12	9	43.8	13.8	—	—	HR419-ND	20.06	19.40	18.06	17.39	HR25-9J-12S
16	9	43.8	13.8	—	—	HR421-ND	20.83	20.14	18.75	18.05	HR25-9J-16S
20	9	43.8	13.8	—	—	HR423-ND	21.46	20.75	19.32	18.60	HR25-9J-20S

Beschreibung	Digi-Key Teilenr.	Stückpreis *Losteile* 100	Hirose Teilenr.	*Gurtabschnitt** Stückpreis 1	10	50	*Gegurtet auf Rolle †* Preisangaben 10,000	Hirose Teilenr.
Crimpkontakte - Stifte								
30-32	HR532-ND	.17	HR25-PC-111	.40	.25	.17	71.12/M	HR25-PC-211
Crimpkontakte - Buchsen								
30-32	HR536-ND	.17	HR25-5C-111	.40	.25	.17	71.12/M	HR25-5C-211
Werkzeug für Serie HR25								
Handcrimpwerkzeug (Kontakt)			H9975-ND			1137.92 /1		HR25-TA3032HC
Handcrimpwerkzeug (Zwinge)			H9974-ND			315.27 /1		HR10A-TC-02

***** Für Gurtabschnitte der Digi-Key-Teilenr. „CT" hinzufügen (HR532CT-ND) § Anz. d. Kontakte ◊ Gehäusegröße

† Für Gegurtet auf Rolle der Digi-Key-Teilenr. „TR" hinzufügen (HR532TR-ND) *(Forts.)*

A

Serie RP13A

Push-Pull-Verschluss-Steckverbinder

Leistung:

Haltespannung: Min. 300 V AC

Nennstrom: 2 A (AWG 24)

Isolierung: Max. 1.000 MΩ (250 V DC)

Kontakt: Min. 15 mΩ (1 A DC)

Merkmale: Push-Pull-Verriegelung in einem einzigen Bewegungsablauf ermöglicht verbesserte Schnelleinfügungs-/Abziehfähigkeit. Mehrschlitz-Keilnutführung verhindert falsche Verbindungen. Außengehäuse aus festem Glasfaser-Polycarbonatharz, leicht und stabil. Kabelanschlussmethode: Stecker gecrimpt, Buchsen gecrimpt und Leiterplatten-DIP.

Abb. 1

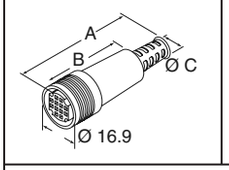

Abb. 2

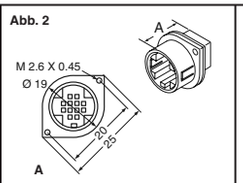

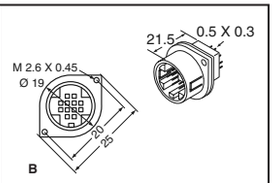

Abb. 3

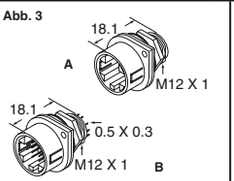

Abb. 4

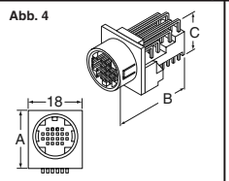

Abb. 5

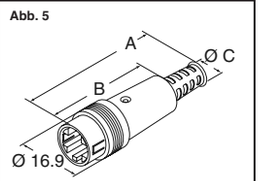

Anz. d. Pins	Abmessungen (mm) A	B	C	Digi-Key Teilenr.	Stückpreis 1	10	50	Hirose Teilenr.
Abb. 1 - Stecker mit Buchsenkontakt - Crimp								
13	47.2	32	6.1	HR242-ND	5.70	4.72	3.93	RP13A-12PA-13SC
13	47.2	32	5.7	HR243-ND	5.70	4.72	3.93	RP13A-12PB-13SC
13	52.2	37	6.1	HR244-ND	5.72	4.74	3.95	RP13A-12PD-13SC
13	47.2	32	6.4	HR245-ND	5.88	4.98	4.19	RP13A-12PE-13SC
13	52.2	37	7.1	HR246-ND	6.32	5.35	4.50	RP13A-12PK-13SC
13	52.2	37	8.1	HR247-ND	5.87	4.86	4.05	RP13A-12PS-13SC
15	52.2	37	6.1	HR248-ND	5.88	4.98	4.19	RP13A-12PD-15SC
15	52.2	37	7.1	HR249-ND	7.28	6.34	5.70	RP13A-12PK-15SC
15	52.2	37	7.5	HR250-ND	7.04	5.96	5.02	RP13A-12PP-15SC
20	52.2	37	6.1	HR251-ND	6.92	6.02	5.41	RP13A-12PD-20SC
20	52.2	37	7.5	HR252-ND	7.64	6.47	5.44	RP13A-12PG-20SC
20	47.2	32	6.4	HR253-ND	7.66	6.49	5.46	RP13A-12PH-20SC
20	52.2	37	7.1	HR254-ND	7.64	6.47	5.44	RP13A-12PK-20SC
20	47.2	32	4.7	HR255-ND	7.48	6.34	5.33	RP13A-12PO-20SC
20	52.2	37	8.1	HR256-ND	7.64	6.47	5.44	RP13A-12PS-20SC
Abb. 2A - Steckbuchse (Flanschtyp) mit Stiftkontakt - Crimp								
13	18.1	—	—	HR257-ND	2.46	2.04	1.70	RP13A-12RA-13PC
15	18.1	—	—	HR258-ND	3.27	2.71	2.26	RP13A-12RA-15PC
20	16	—	—	HR259-ND	4.20	3.48	2.90	RP13A-12RA-20PC
Abb. 2B - Steckbuchse (Flanschtyp) mit Stiftkontakt - DIP								
13	—	—	—	HR260-ND	4.96	4.11	3.43	RP13A-12RA-13PA
15	—	—	—	HR261-ND	5.57	4.72	3.97	RP13A-12RA-15PA
Abb. 3A - Steckbuchse (Gegenmuttertyp) mit Stiftkontakt - Crimp								
13	—	—	—	HR262-ND	2.46	2.04	1.70	RP13A-12RB-13PC
Abb. 3B - Steckbuchse (Gegenmuttetyp) mit Stiftkontakt - DIP								
13	—	—	—	HR263-ND	5.55	4.60	3.83	RP13A-12RB-13PA
Abb. 4 - Winkel-DIP mit Stiftkontakt								
13	17.5	23.5	13	HR264-ND	7.98	6.95	6.25	RP13A-12RC-13PB
20	19.5	31.5	15	HR265-ND	8.51	7.40	6.66	RP13A-12RC-20PB
Abb. 5 - Klinkenstecker mit Stiftkontakt - Crimp								
13	49.1	34.6	6.1	HR266-ND	6.16	5.22	4.39	RP13A-12J-13PC
15	54.1	39.6	6.1	HR267-ND	10.50	9.72	8.72	RP13A-12JD-15PC
15	54.1	39.6	7.1	HR268-ND	10.50	9.72	8.72	RP13A-12JK-15PC
20	52.6	37.4	7.4	HR269-ND	12.00	11.11	9.97	RP13A-12JG-20PC
Pins für 13 und 15 Kontakte								
Stift - vergoldet, 24-28 AWG				HR270-ND	.39	.28	.21	RP13-PC-121
Stift - versilbert, 24-28 AWG				HR271-ND	.45	.28	.19	RP13-PC-122
Buchse - vergoldet, 24-28 AWG				HR272-ND	.41	.30	.23	RP13A-SC-121
Buchse - versilbert, 24-28 AWG				HR273-ND	.37	.23	.16	RP13A-SC-122
Pins für AWG 13 extrastarke Drähte								
Stift - versilbert, 18-22 AWG				HR274-ND	.32	.21	.14	RP13-PC-112
Buchse - versilbert, 18-22 AWG				HR275-ND	.37	.23	.16	RP13A-SC-112
Pins für 20 Kontakte								
Stift - versilbert, 18-22 AWG				HR276-ND	.30	.19	.13	RP19-PC-112
Buchse - versilbert, 18-22 AWG				HR277-ND	.30	.19	.13	RP19-SC-112
Stift - vergoldet, 24-30 AWG				HR278-ND	.37	.26	.20	RP19-PC-121
Buchse - vergoldet, 24-30 AWG				HR279-ND	.42	.30	.23	RP19-SC-121
Stift - versilbert, 24-30 AWG				HR280-ND	.30	.19	.13	RP19-PC-122
Buchse - versilbert, 24-30 AWG				HR281-ND	.32	.21	.14	RP19-SC-122

Beschreibung	Digi-Key Teilenr.	Stückpreis	Hirose Teilenr.
Werkzeuge			
Handcrimpwerkzeug für Serie RP13 - AWG 18-22	H9973-ND	554.69	RP13-TC-11
Handcrimpwerkzeug für Serie RP13 - AWG 24-28	H9972-ND	554.69	RP13-TC-12
Handcrimpwerkzeug für Serie RP13A - AWG 18-22	H9971-ND	554.69	RP13A-TC-11
Handcrimpwerkzeug für Serie RP13A - AWG 24-28	H9970-ND	554.69	RP13A-TC-12

Beschreibung	Digi-Key Teilenr.	Stückpreis	Hirose Teilenr.
Handcrimpwerkzeug für Serie RP19 - AWG 18-22	H9969-ND	521.45	RP19-TC-11
Handcrimpwerkzeug für Serie RP19 - AWG 24-30	H9968-ND	592.11	RP19-TC-12
Kabelcrimpwerkzeug für Serie RP13A, Kabel Ø 7,3-8,3 mm	H9967-ND	677.96	RP13A-TC-01
Kabelcrimpwerkzeug für Serie RP13A, Kabel Ø 7,5-8,6 mm	H9966-ND	677.96	RP13A-TC-02
Extraktionswerkzeug - Steckstifte RP13	H9965-ND	6.60	RP13-PC-TP
Extraktionswerkzeug - Buchsen RP13A	H9964-ND	4.91	RP13A-SC-TP

Serie RP17

Push-Pull-Verschluss-Steckverbinder

Kontakt-Anordnung:

- **Haltespannung:** 1.000 V AC für 1 Minute
- **Nennstrom:** 5 A (AWG 18-22) für Kontakte Nr. 2, 11, 12 2A (AWG 24-30) für Kontakte Nr. 1, 3, 4, 5, 6, 7, 8, 9, 10
- **Isolationswiderstand:** Min. 1.000 MΩ (bei 500 V DC)
- **Kontaktwiderstand:** Max. 15 mΩ bei 1 ADC
- **Für Drahtstärken:** AWG 18-22 (große Hülse) AWG 24-30 (kleine Hülse)

Merkmale: Kupplungsmechanismus mit „One-Touch"-Push-Pull-Verschluss für einfaches und schnelles Verbinden/Trennen. Passendes Kabel verwenden • AWG 18-22, (abgeschirmt, Außen Ø 1,7 mm darunter), bis zu 3 von 12 Stiften, und andere Kabel • AWG 24-30, (abgeschirmt, Außen-Ø 1,2 mm darunter), je nach Crimp-Kontakt verwendbar. Mehrfach polarisierende Passkeile sichern richtige Verbindung. Einfache und schlanke Form mit intern installierter Kabelklemme. Externe Erscheinung: Matt, schwarz. Weiße Steckpositionsmarkierung für einfaches und schnelles Verbinden/Trennen.

Abb. 1

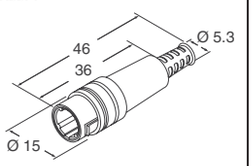

Abb. 2

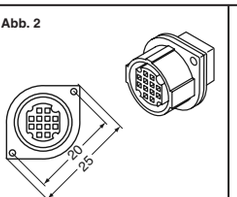

Abb. 3

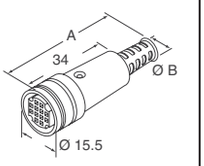

Abb.	Anz. d. Pins	Beschreibung	Abm. mm A	B	Digi-Key Teilenr.	Stückpreis 1	10	50	Hirose Teilenr.
1	12	Stecker - Crimpstift	—	—	HR282-ND	5.62	4.66	3.88	RP17-13P-12PC
		Stecker, (ESE) - Crimpstift	—	—	HR283-ND	5.79	4.80	4.00	RP17A-13P-12PC
2	12	Steckbuchse - Crimpbuchse	—	—	HR284-ND	2.12	1.76	1.47	RP17-13R-12SC
		Steckbuchse - Buchse - Dip	—	—	HR285-ND	5.79	4.80	4.00	RP17-13RA-12SD
		Steckbuchse (ESE) Buchse, Dip	—	—	HR286-ND	4.59	3.80	3.17	RP17A-13RA-12SD
3	12	Klinkenstecker - Crimpbuchse	44	5.3	HR287-ND	6.11	5.06	4.22	RP17-13J-12SC
		Klinkenstecker - Crimpbuchse	49	5.1	HR288-ND	5.82	4.82	4.02	RP17-13JA-12SC
Kontakte									
Steckstift AWG 18-22					HR289-ND	.35	.25	.19	RP17-PC-112
Steckstift AWG 24-30					HR290-ND	.36	.26	.20	RP17-PC-122
Buchse AWG 18-22					HR291-ND	.35	.25	.19	RP17-SC-112
Buchse AWG 24-30					HR292-ND	.36	.26	.20	RP17-SC-122
Werkzeuge									
Handcrimpwerkzeug für AWG 18-22					H9963-ND	412.31/1			RP17-TC-11
Handcrimpwerkzeug für AWG 24-30					H9962-ND	541.60/1			RP17-TC-12
Kabelcrimpwerkzeug					H9961-ND	245.56/1			RP17-TC-01

Serie RP Kunststoff-Steckverbinder

12 mm Steckverbinder für Plattenbefestigung

Spezifikationen:

- Betriebsspannung: 150 V AC (Pin 6, 7), 250 V AC (Pin 3)
- Nennstrom: 5 A
- Kontaktwiderstand: Max. 5 mΩ bei 1 A DC

Materialien:

- Steckstift: Messing versilbert
- Buchsenstift: Phosphorbronze, versilbert

RP1

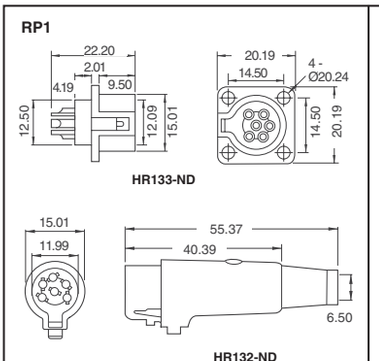

RP2

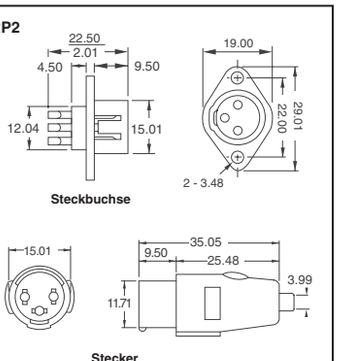

Kontakte	Beschreibung	Digi-Key Teilenr.	Stückpreis 1	10	100	Hirose Teilenr.
Serie RP1, 12 mm						
6	Steckbuchse mit Pin-Einsatz	HR133-ND	2.95	2.44	1.83	RPC1-12RB-6P
6	Stecker mit Sockeleinsatz	HR132-ND	4.39	3.64	2.73	RPC1-12P-6S(03)
Serie RP2, 12 mm						
3	Steckbuchse mit Pin-Einsatz	HR135-ND	1.57	1.23	.94	RPC2-12RB-3P(01)
7	Steckbuchse mit Pin-Einsatz	HR137-ND	3.00	2.48	1.86	RPC2-12RB-7P(01)
3	Stecker mit Sockeleinsatz	HR134-ND	3.36	2.79	2.09	RPC2-12P-3S
7	Stecker mit Sockeleinsatz	HR136-ND	5.53	4.58	3.43	RPC2-12P-7S

Alle Preisangaben in Euro und inklusive Zollgebühren.

Stecker und Buchsen

Abb. 1 *MINIATURFORMAT*

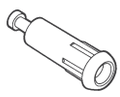

Abb. 2

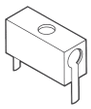

Abb. 3

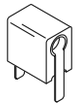

Abb. 4

Abb. 5

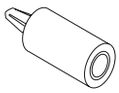

Abb. 6

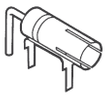

Abb. 7

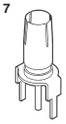

Abb. 8

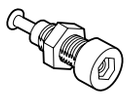

Abb. 9

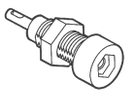

Abb. 10

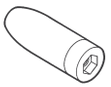

Abb. 11

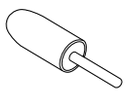

Abb. 12

Abb. 13

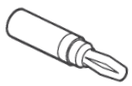

Abb. 14

Abb. 15

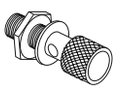

Abb. 16

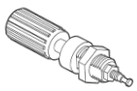

Abb. 17

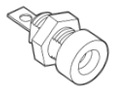

Abb. 18

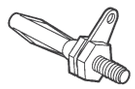

Abb. 19

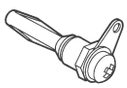

Abb. 20

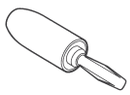

Abb. 21

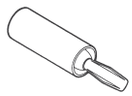

Abb. 22

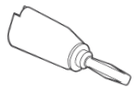

Abb.	Farbe	Digi-Key Teilenr.	Preisangaben 1	10	100	250	500	1,000	Johnson Teilenr.
Spitzenbuchsen – für Standardspitze: 2,03 mm									
1	Weiß	J330-ND	.98	8.72	69.01	145.28	272.39	508.47	105-1041-001
	Rot	J124-ND	.98	8.72	69.01	145.28	272.39	508.47	105-1042-001
	Schwarz	J125-ND	.98	8.72	69.01	145.28	272.39	508.47	105-1043-001
	Grün	J331-ND	.98	8.72	69.01	145.28	272.39	508.47	105-1044-001
	Gelb	J333-ND	.98	8.72	69.01	145.28	272.39	508.47	105-1047-001
	Blau	J126-ND	.98	8.72	69.01	145.28	272.39	508.47	105-1050-001
Horizontaltestklinkenstecker - für Standardspitze: 2,03 mm									
2	Weiß	J108-ND	.36	3.13	24.77	52.15	97.78	182.53	105-0751-001
	Rot	J109-ND*	.36	3.13	24.77	52.15	97.78	182.53	105-0752-001
	Schwarz	J110-ND*	.36	3.13	24.77	52.15	97.78	182.53	105-0753-001
	Grün	J111-ND	.36	3.13	24.77	52.15	97.78	182.53	105-0754-001
	Orange	J112-ND	.36	3.13	24.77	52.15	97.78	182.53	105-0756-001
	Gelb	J113-ND	.36	3.13	24.77	52.15	97.78	182.53	105-0757-001
	Braun	J114-ND	.36	3.13	24.77	52.15	97.78	182.53	105-0758-001
	Blau	J115-ND	.36	3.13	24.77	52.15	97.78	182.53	105-0760-001
	Violett	J116-ND	.36	3.13	24.77	52.15	97.78	182.53	105-0762-001
Miniatur-Horizontaltestklinkenstecker, isoliert – für Standardspitze: 2,03 mm									
3	Weiß	J575-ND	.35	3.05	24.13	50.80	95.24	177.79	105-1101-001
	Rot	J576-ND	.35	3.05	24.13	50.80	95.24	177.79	105-1102-001
	Schwarz	J577-ND	.35	3.05	24.13	50.80	95.24	177.79	105-1103-001
	Grün	J578-ND	.35	3.05	24.13	50.80	95.24	177.79	105-1104-001
	Gelb	J579-ND	.35	3.05	24.13	50.80	95.24	177.79	105-1107-001
	Blau	J580-ND	.35	3.05	24.13	50.80	95.24	177.79	105-1110-001
Vertikaltestklinkenstecker – für Standardspitze: 2,03 mm									
4	Weiß	J119-ND	.53	4.72	37.32	78.56	147.31	274.98	105-0851-001
	Rot	J120-ND	.53	4.72	37.32	78.56	147.31	274.98	105-0852-001
	Schwarz	J121-ND	.53	4.72	37.32	78.56	147.31	274.98	105-0853-001
	Grün	J122-ND	.53	4.72	37.32	78.56	147.31	274.98	105-0854-001
	Gelb	J123-ND	.53	4.72	37.32	78.56	147.31	274.98	105-0857-001
	Blau	J312-ND	.53	4.72	37.32	78.56	147.31	274.98	105-0860-001
Vertikaltestklinkenstecker, geformte Kontakte, isoliert – für Standardspitze: 2,03 mm									
5	Weiß	J581-ND	.48	4.27	33.78	71.11	133.34	248.90	105-2201-201
	Rot	J582-ND	.48	4.27	33.78	71.11	133.34	248.90	105-2202-201
	Schwarz	J583-ND	.48	4.27	33.78	71.11	133.34	248.90	105-2203-201
	Grün	J584-ND	.48	4.27	33.78	71.11	133.34	248.90	105-2204-201
	Gelb	J585-ND	.48	4.27	33.78	71.11	133.34	248.90	105-2207-201
Testklinkenstecker, abgeschirmt – Horizontal									
6	Zinn	J463-ND	3.74	33.26	263.32	554.35	1039.41	1940.24	129-0701-301
	Gold	J571-ND	4.61	40.46	298.15	638.89	1064.81	—	129-0701-302
Testklinkenstecker, abgeschirmt – Vertikal									
7	Zinn	J462-ND	3.48	30.97	245.14	516.09	967.66	1806.31	129-0701-201
	Gold	J570-ND	4.30	37.72	277.88	595.46	992.43	—	129-0701-202
Spitzenbuchsen – Isoliert, Deluxe: 2 mm									
8	Weiß	J105-ND	1.02	9.13	72.22	152.05	285.09	532.17	105-0601-001
	Rot	J106-ND	1.02	9.13	72.22	152.05	285.09	532.17	105-0602-001
	Schwarz	J107-ND	1.02	9.13	72.22	152.05	285.09	532.17	105-0603-001
	Grün	J337-ND	1.02	9.13	72.22	152.05	285.09	532.17	105-0604-001
	Gelb	J338-ND	1.02	9.13	72.22	152.05	285.09	532.17	105-0607-001
	Blau	J339-ND	1.02	9.13	72.22	152.05	285.09	532.17	105-0610-001
Spitzenbuchsen – Isoliert, Standard, 2 mm									
9	Weiß	J320-ND	.59	5.27	41.66	87.71	164.45	306.98	105-0801-001
	Rot	J117-ND*	.59	5.27	41.66	87.71	164.45	306.98	105-0802-001
	Schwarz	J118-ND*	.59	5.27	41.66	87.71	164.45	306.98	105-0803-001
	Grün	J321-ND	.59	5.27	41.66	87.71	164.45	306.98	105-0804-001
	Gelb	J323-ND	.59	5.27	41.66	87.71	164.45	306.98	105-0807-001
	Blau	J325-ND	.59	5.27	41.66	87.71	164.45	306.98	105-0810-001
Spitzenbuchse mit Hülse: 2 mm									
10	Weiß	J450-ND	1.22	10.85	85.90	180.83	339.06	632.92	105-0701-001
	Rot	J451-ND	1.22	10.85	85.90	180.83	339.06	632.92	105-0702-001
	Schwarz	J452-ND	1.22	10.85	85.90	180.83	339.06	632.92	105-0703-001
Spitzenbuchsen – Isoliert, lötfreier Typ: 2 mm									
11	Weiß	J300-ND	.71	6.32	50.03	105.32	197.47	368.61	105-0301-001
	Rot	J103-ND*	.71	6.32	50.03	105.32	197.47	368.61	105-0302-001
	Schwarz	J104-ND*	.71	6.32	50.03	105.32	197.47	368.61	105-0303-001
	Grün	J301-ND	.71	6.32	50.03	105.32	197.47	368.61	105-0304-001
	Blau	J305-ND	.71	6.32	50.03	105.32	197.47	368.61	105-0310-001
Spitzenstecker – Einzelkontakt, isoliert, stapelbar: 2 mm									
12	Rot	J454-ND	1.85	16.46	130.29	274.30	514.31	960.04	105-1202-001
Miniatur-Bananenstecker – Isoliert, mit Lötanschluss: 2,64 mm									
13	Rot	J457-ND	1.41	12.58	99.57	209.62	393.03	733.66	108-1002-001
	Schwarz	J458-ND	1.41	12.58	99.57	209.62	393.03	733.66	108-1003-001
Bananenstecker - Für Standard-Bananenstecker, 4,44 mm über Flachstellen									
14	—	J147-ND*	1.13	10.10	79.94	168.30	315.57	589.06	108-0740-001
Nicht isoliert, mit gerändelter Mutter, für Standard-Bananenstecker, 4,44 mm über Flachstellen									
15	—	J587-ND	2.19	19.49	154.26	324.76	608.92	1136.65	111-2223-001
Bindepfosten – Isoliert, Standard: 4,44 mm									
16	Weiß	J370-ND	1.85	16.40	129.81	273.28	512.40	956.49	111-0101-001
	Rot	J164-ND*	1.85	16.40	129.81	273.28	512.40	956.49	111-0102-001
	Schwarz	J165-ND*	1.85	16.40	129.81	273.28	512.40	956.49	111-0103-001
	Grün	J371-ND	1.99	17.69	140.10	294.96	553.04	1032.34	111-0104-001
	Gelb	J372-ND	1.85	16.40	129.81	273.28	512.40	956.49	111-0107-001
Bananenbuchsen – Isoliert, mit Lötanschluss: 4,44 mm									
17	Weiß	J150-ND*	.46	4.05	32.01	67.39	126.36	235.86	108-0901-001
	Rot	J151-ND*	.46	4.05	32.01	67.39	126.36	235.86	108-0902-001
	Schwarz	J152-ND*	.46	4.05	32.01	67.39	126.36	235.86	108-0903-001
	Grün	J153-ND	.51	4.49	35.55	74.84	140.32	261.94	108-0904-001
	Orange	J356-ND	.46	4.05	32.01	67.39	126.36	235.86	108-0906-001
	Gelb	J154-ND	.46	4.05	32.01	67.39	126.36	235.86	108-0907-001
	Braun	J357-ND	.51	4.49	35.55	74.84	140.32	261.94	108-0908-001
	Blau	J155-ND	.46	4.05	32.01	67.39	126.36	235.86	108-0910-001
	Violett	J358-ND	.51	4.49	35.55	74.84	140.32	261.94	108-0912-001
	Grau	J359-ND	.46	4.05	32.01	67.39	126.36	235.86	108-0913-001
Bananenstecker – Nicht isoliert, f. Plattenmontage, m. Gewindepfosten: 4,23 mm									
18	—	J148-ND	1.20	10.68	84.61	178.12	333.98	623.44	108-0750-001
Bananenstecker – Nicht isoliert, f. Plattenmontage, m. Schraubpfosten: 4,23 mm									
19	—	J149-ND	1.03	9.20	72.87	153.40	287.63	536.91	108-0753-001
Bananenstecker – Isoliert, lötfrei, verjüngter Griff: 4,23 mm									
20	Weiß	J144-ND*	.97	8.55	67.72	142.57	267.31	498.99	108-0301-001
	Rot	J145-ND*	.97	8.55	67.72	142.57	267.31	498.99	108-0302-001
	Schwarz	J146-ND*	.97	8.55	67.72	142.57	267.31	498.99	108-0303-001
	Grün	J340-ND	.97	8.55	67.72	142.57	267.31	498.99	108-0304-001
	Orange	J341-ND	.97	8.55	67.72	142.57	267.31	498.99	108-0306-001
	Gelb	J342-ND	.97	8.55	67.72	142.57	267.31	498.99	108-0307-001
	Braun	J343-ND	.97	8.55	67.72	142.57	267.31	498.99	108-0308-001
	Blau	J344-ND	.97	8.55	67.72	142.57	267.31	498.99	108-0310-001
	Violett	J345-ND	.97	8.55	67.72	142.57	267.31	498.99	108-0312-001
	Grau	J346-ND	.97	8.55	67.72	142.57	267.31	498.99	108-0313-001
Bananenstecker – Isoliert, rund, mit Lötanschluss: 4,23 mm									
21	Rot	J156-ND	1.93	17.19	136.08	286.49	537.17	1002.71	108-1722-101
	Schwarz	J157-ND	1.93	17.19	136.08	286.49	537.17	1002.71	108-1723-101
Bananenstecker – Isoliert, rund, mit Lötanschluss: 4,23 mm									
21	Rot	J158-ND	1.47	13.06	103.43	217.75	408.27	762.11	108-1722-103
	Schwarz	J159-ND	1.47	13.06	103.43	217.75	408.27	762.11	108-1723-103
Bananenstecker – Einzelkontakt, isoliert, stapelbar, 4,23 mm									
22	Weiß	J459-ND	1.60	14.22	112.60	237.05	444.47	829.67	108-1081-001
	Rot	J460-ND	1.60	14.22	112.60	237.05	444.47	829.67	108-1082-001
	Schwarz	J461-ND	1.60	14.22	112.60	237.05	444.47	829.67	108-1083-001

J100-KIT-ND ***Digi-Key® Stecker-und Buchsen-Kit:*** Enthält je 10 der in der Tabelle aufgeführten (*) Stecker/Klinkenstecker. Preis umfasst aufgeteilten Kunststoffbehälter zur einfachen Lagerung und für schnellen Zugriff. . **65.15**

Mini-DIN-Steckverbinder

ANWENDUNGEN: Weil Mini-DIN Stecker so kompakt und dauerhaft sind, eignen sie sich besonders für Signalanwendungen, bei denen wenig Platz zur Verfügung steht. Verschiedene Ausführungen (senkrecht, horizontal, und Inline) für die meisten Anforderungen. Diese Stecker gewähren gute EMI/RFI-Abschirmung dank der konzentrischen, zylindrischen Erdungshülse. Typische Anwendungen: Computer, Peripheriegeräte, Büro- und AV-Geräte.

ALLGEMEINE SPEZIFIKATIONEN: • **Nennstrom:** Max. 100 V AC, 1 A; max 12 V DC, 2 A • **Isolationswiderstand:** Min. 50 MΩ @ 250 V DC • **Haltespannung:** 250 V AC, 1 Minute • **Kontaktwiderstand:** Pins - max. 30 mΩ, Gehäuse - max. 50 mΩ (mit allem Zubehör)

Anz. der-Pos.	Digi-Key Teilenr.	Stückpreis 1	10	100	CUI Inc. Teilenr.
Rechtwinklige Steckbuchsen, geschirmt					
3	CP-2230-ND	.84	.73	.56	MD-30SM
4	CP-2240-ND	.86	.75	.58	MD-40SM
5	CP-2250-ND	.89	.77	.60	MD-50SM
6	CP-2260-ND	.94	.82	.63	MD-60SM
7	CP-2270-ND	1.04	.91	.70	MD-70SM
8	CP-2280-ND	1.12	.97	.75	MD-80SM
9	CP-2290-ND	1.40	1.22	.94	MD-90SM
Schmale, rechtwinklige Leiterplatten-Steckbuchsen, geschirmt					
4	CP-2245-ND	1.22	1.06	.82	MD2-40ST
6	CP-2267-ND	1.30	1.13	.87	MD2-60ST
Schmale, rechtwinklige Steckbuchsen, geschirmt, SMT					
4	CP-3145-ND	1.40	1.22	.94	MD2-40ST-SMT
6	CP-3167-ND	1.47	1.28	.99	MD2-60ST-SMT
Rechtwinklige Steckbuchsen, Leiterplattenmontage					
3	CP-2430-ND	.66	.58	.45	MD-30S
4	CP-2440-ND	.69	.60	.46	MD-40S
5	CP-2450-ND	.73	.63	.49	MD-50S
6	CP-2460-ND	.76	.66	.51	MD-60S
7	CP-2470-ND	.86	.75	.58	MD-70S
8	CP-2480-ND	.94	.82	.63	MD-80S
9	CP-2490-ND	1.30	1.13	.87	MD-90S
Geschirmte Steckbuchsen mit Schalter					
3	CP-3030-ND	1.70	1.48	1.14	MD-30SMW
4	CP-3040-ND	1.78	1.55	1.19	MD-40SMW
5	CP-3050-ND	1.85	1.61	1.24	MD-50SMW
6	CP-3060-ND	1.96	1.70	1.31	MD-60SMW
7	CP-3070-ND	2.03	1.77	1.36	MD-70SMW
8	CP-3080-ND	2.08	1.81	1.39	MD-80SMW
Geschirmte Steckbuchsen mit geknickten Pins					
3	CP-4030-ND	.84	.73	.56	MD-30SMK
4	CP-4040-ND	.86	.75	.58	MD-40SMK
5	CP-4050-ND	.89	.77	.60	MD-50SMK
6	CP-4060-ND	.94	.82	.63	MD-60SMK
7	CP-4070-ND	1.04	.91	.70	MD-70SMK
8	CP-4080-ND	1.12	.97	.75	MD-80SMK
Geschirmte Steckbuchsen mit Erdungszungen					
3	CP-5030-ND	1.12	.97	.75	MD-30SG
4	CP-5040-ND	1.14	1.00	.77	MD-40SG
5	CP-5050-ND	1.17	1.02	.78	MD-50SG
6	CP-5060-ND	1.22	1.06	.82	MD-60SG
8	CP-5080-ND	1.55	1.35	1.04	MD-80SG
Geschirmte Steckbuchsen mit Erdungszungen und geknickten Pins					
3	CP-6030-ND	1.12	.97	.75	MD-30SGK
4	CP-6040-ND	1.14	1.00	.77	MD-40SGK
5	CP-6050-ND	1.17	1.02	.78	MD-50SGK
6	CP-6060-ND	1.22	1.06	.82	MD-60SGK
8	CP-6080-ND	1.55	1.35	1.04	MD-80SGK
Vertikale Steckbuchsen, Leiterplattenmontage					
3	CP-2730-ND	.86	.75	.58	MD-30SV
4	CP-2740-ND	.91	.80	.61	MD-40SV
5	CP-2750-ND	.97	.84	.65	MD-50SV
6	CP-2760-ND	.99	.86	.67	MD-60SV
8	CP-2780-ND	1.09	.95	.73	MD-80SV
Vertical PCB Mount Threaded Receptacles with Hex Nut *					
3	CP-2830-ND	1.19	1.04	.80	MD-30CV
4	CP-2840-ND	1.24	1.08	.83	MD-40CV
5	CP-2850-ND	1.27	1.11	.85	MD-50CV
6	CP-2860-ND	1.32	1.15	.89	MD-60CV
8	CP-2880-ND	1.40	1.22	.94	MD-80CV
Inline-Stecker					
3	CP-2030-ND	.89	.77	.60	MD-30
4	CP-2040-ND	.91	.80	.61	MD-40
5	CP-2050-ND	.97	.84	.65	MD-50
6	CP-2060-ND	1.02	.88	.68	MD-60
7	CP-2070-ND	1.07	.93	.72	MD-70
8	CP-2080-ND	1.12	.97	.75	MD-80
9	CP-2090-ND	1.45	1.26	.97	MD-90
Inline-Steckbuchsen					
3	CP-2130-ND	1.04	.91	.70	MD-30J
4	CP-2140-ND	1.09	.95	.73	MD-40J
5	CP-2150-ND	1.14	1.00	.77	MD-50J
6	CP-2160-ND	1.19	1.04	.80	MD-60J
7	CP-2170-ND	1.24	1.08	.83	MD-70J
8	CP-2180-ND	1.30	1.13	.87	MD-80J
9	CP-2190-ND	1.68	1.46	1.12	MD-90J
Crimp Pin	CP-9999-ND	—	.08	.04	T-0006

* Leiterplattenmontage, vertikale Gewindesteckbuchsen mit Sechskantmutter

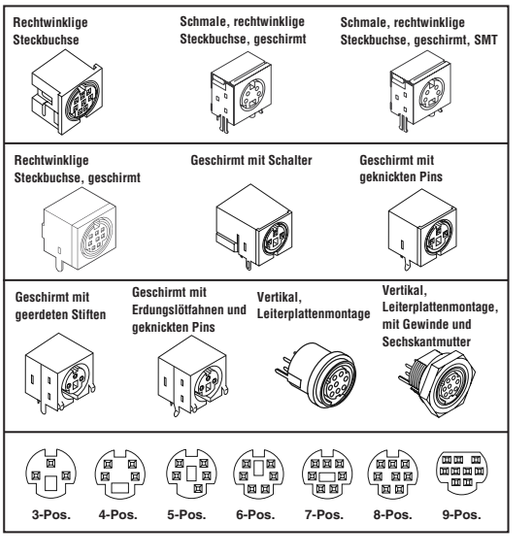

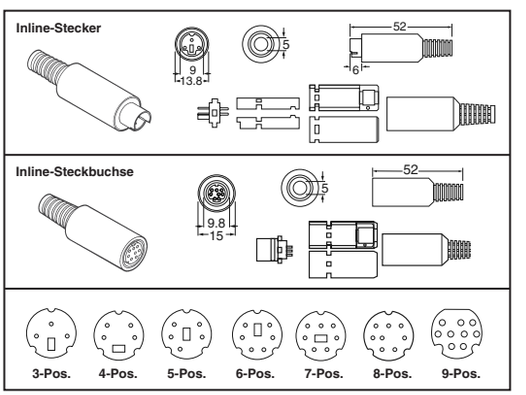

Mini-DIN-Steckverbinder, Plattenmontage

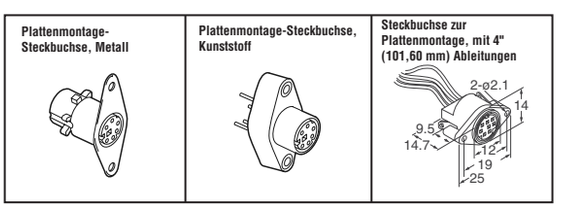

Anz. der-Pos.	Digi-Key Teilenr.	Stückpreis 1	10	100	CUI Inc. Teilenr.
Mini-DIN-Steckverbinder, Plattenmontage - Metall					
3	CP-2530-ND	1.04	.91	.70	MD-30SN
4	CP-2540-ND	1.09	.95	.73	MD-40SN
5	CP-2550-ND	1.14	1.00	.77	MD-50SN
6	CP-2560-ND	1.19	1.04	.80	MD-60SN
7	CP-2570-ND	1.24	1.08	.83	MD-70SN
8	CP-2580-ND	1.30	1.13	.87	MD-80SN
9	CP-2590-ND	1.37	1.19	.92	MD-90SN
Mini-DIN-Steckverbinder, Plattenmontage - Kunststoff					
3	CP-2630-ND	1.12	.97	.75	MD-30SP
4	CP-2640-ND	1.17	1.04	.78	MD-40SP
5	CP-2650-ND	1.22	1.06	.82	MD-50SP
6	CP-2660-ND	1.27	1.11	.85	MD-60SP
7	CP-2670-ND	1.32	1.18	.89	MD-70SP
8	CP-2680-ND	1.37	1.19	.92	MD-80SP
Mini-DIN-Steckverbinder mit 4" (101,60 mm) Anschlussleitungen, Plattenmontage (26 AWG)					
3	CP-2930-ND	1.40	1.22	.94	MD-30PL100
4	CP-2940-ND	1.47	1.28	.99	MD-40PL100
5	CP-2950-ND	1.60	1.39	1.07	MD-50PL100
6	CP-2960-ND	1.68	1.46	1.12	MD-60PL100
8	CP-2980-ND	1.85	1.61	1.24	MD-80PL100

Runde DIN-Steckverbinder

ANWENDUNGEN: Runde DIN-Steckverbinder kombinieren geringen Kontaktwiderstand mit relativer hoher zulässiger Stromstärke; deshalb für Signal- und Leistungsanwendungen gut geeignet. Ideal für Computer, Peripheriegeräte, Bürogeräte, Netzteile usw. Bewährt, da preiswert, kompakt und widerstandsfähig.

ALLGEMEINE SPEZIFIKATIONEN: • **Nennwerte:** 100 V AC, max. 2 A • **Isolationswiderstand:** MIN. 100 MΩ @ 500 V DC • **Haltespannung:** 1.000 V AC, 1 Minute • **Kontaktwiderstand:** Pins - max. 10 mΩ, Gehäuse - max. 50 mΩ (mit allem Zubehör)

Anz. der-Pos.	Digi-Key Teilenr.	Stückpreis 1	10	100	CUI Inc. Teilenr.
Plattenmontage-Steckbuchsen					
3	CP-1230-ND	.78	.68	.52	SD-30SN
4	CP-1240-ND	.83	.72	.56	SD-40SN
5	CP-1250-ND	.85	.74	.57	SD-50SN
6	CP-1260-ND	.88	.76	.59	SD-60SN
7	CP-1270-ND	.68	.59	.45	SD-70SN
8	CP-1280-ND	.98	.85	.66	SD-80SN
Plattenmontierte Sperrsteckbuchsen					
3	CP-1233-ND	2.10	1.82	1.40	SD-30LS
4	CP-1234-ND	2.22	1.93	1.48	SD-40LS
5	CP-1235-ND	2.34	2.03	1.56	SD-50LS
6	CP-1236-ND	2.46	2.14	1.65	SD-60LS
7	CP-1237-ND	2.58	2.24	1.73	SD-70LS
8	CP-1238-ND	2.71	2.35	1.81	SD-80LS
Vertikale Steckbuchsen, Leiterplattenmontage					
3	CP-3130-ND	.75	.65	.50	SD-30BV
5	CP-3150-ND	.79	.69	.53	SD-50BV
6	CP-3160-ND	.81	.71	.55	SD-60BV
7	CP-3170-ND	.84	.73	.56	SD-70BV
8	CP-3180-ND	.88	.76	.59	SD-80BV
Rechtwinklige Steckbuchsen					
3	CP-2330-ND	.58	.51	.39	SDS-30J
4	CP-2340-ND	.61	.53	.41	SDS-40J
5	CP-2350-ND	.61	.53	.41	SDS-50J
6	CP-2360-ND	.91	.80	.61	SDS-60J
7	CP-2370-ND	1.02	.88	.68	SDS-70J
8	CP-2380-ND	1.12	.97	.75	SDS-80J
13	CP-2313-ND	2.41	2.10	1.61	SDD-130J
Rechtwinklige Steckbuchsen, vorne abgeschirmt					
3	CP-7030-ND	.63	.55	.43	SDF-30J
4	CP-7040-ND	.76	.66	.51	SDF-40J
5	CP-7050-ND	.76	.66	.51	SDF-50J
6	CP-7060-ND	1.04	.91	.70	SDF-60J
7	CP-7070-ND	1.12	.97	.75	SDF-70J
8	CP-7080-ND	1.27	1.11	.85	SDF-80J
13	CP-3313-ND	2.51	2.18	1.68	SDF-130J
Steckbuchsen zur rechtwinkligen Oberflächenmontage					
4	CP-1000-ND	1.07	.93	.72	SDS-40J-SMT
8	CP-1001-ND	1.30	1.13	.87	SDS-80J-SMT
Inline-Stecker					
3	CP-1030-ND	.69	.60	.46	SD-30
4	CP-1040-ND	.71	.62	.48	SD-40
5	CP-1050-ND	.74	.64	.50	SD-50
6	CP-1060-ND	.76	.66	.51	SD-60
7	CP-1070-ND	.84	.73	.56	SD-70
8	CP-1080-ND	.86	.75	.58	SD-80
13	CP-1013-ND	1.40	1.22	.94	SD-130
Inline-Sperrstecker					
3	CP-1033-ND	2.89	2.51	1.93	SD-30LP
4	CP-1034-ND	3.01	2.61	2.01	SD-40LP
5	CP-1035-ND	3.16	2.74	2.11	SD-50LP
6	CP-1036-ND	3.28	2.85	2.19	SD-60LP
7	CP-1037-ND	3.40	2.95	2.27	SD-70LP
8	CP-1038-ND	3.52	3.06	2.35	SD-80LP
Rechtwinklige Inline-Stecker					
3	CP-1330-ND	1.93	1.68	1.29	SDR-30
5	CP-1350-ND	2.11	1.83	1.41	SDR-50
6	CP-1360-ND	2.16	1.88	1.44	SDR-60
7	CP-1370-ND	2.31	2.01	1.55	SDR-70
8	CP-1380-ND	2.39	2.07	1.60	SDR-80
Inline-Steckbuchsen					
3	CP-1130-ND	.69	.60	.46	SD-30J
4	CP-1140-ND	.79	.69	.53	SD-40J
5	CP-1150-ND	.80	.70	.54	SD-50J
6	CP-1160-ND	.83	.72	.56	SD-60J
7	CP-1170-ND	.86	.75	.58	SD-70J
8	CP-1180-ND	.89	.77	.60	SD-80J
13	CP-1113-ND	3.17	2.76	2.12	SD-130J

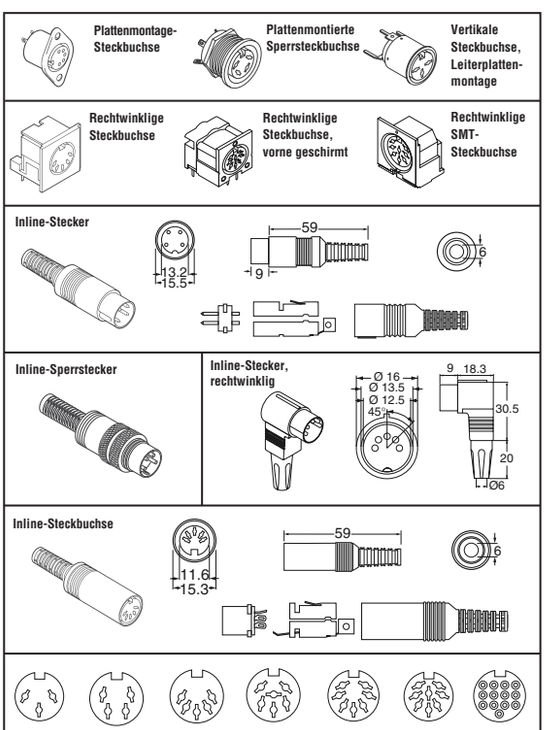

Alle Preisangaben in Euro und inklusive Zollgebühren.

SINGATRON Mini DIN-Steckverbinder

ANWENDUNGEN:

Weil Mini-DIN Stecker so kompakt und dauerhaft sind, eignen sie sich besonders für Signalanwendungen, bei denen wenig Platz zur Verfügung steht. Verschiedene Ausführungen (senkrecht, horizontal, und Inline) für die meisten Anforderungen. Diese Stecker gewähren gute EMI/RFI-Abschirmung dank der konzentrischen, zylindrischen Erdungshülse. Typische Anwendungen: Computer, Peripheriegeräte, Büro- und AV-Geräte.

ALLGEMEINE SPEZIFIKATIONEN:

• **Nennstrom:** 100 V AC, max 1 A; 12 V DC, max. 2 A • **Isolationswiderstand:** MIN. 50 MΩ @ 250 V DC • **Haltespannung:** 250 V AC, 1 Minute • **Kontaktwiderstand:** Pins - max. 30 mΩ, Gehäuse - max. 50 mΩ (mit allem Zubehör)

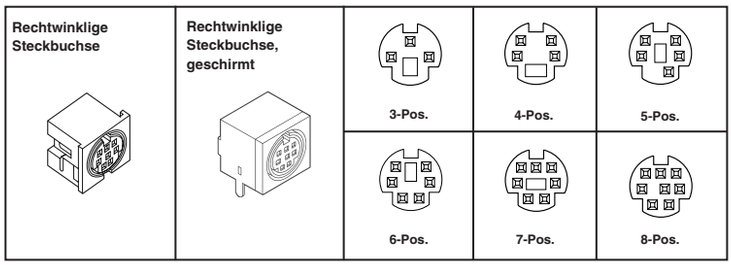

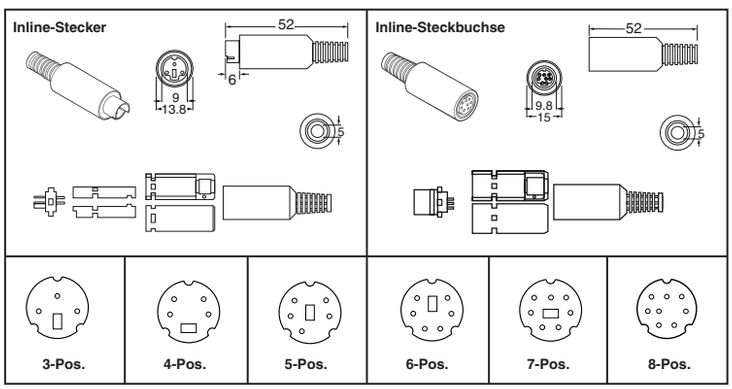

Beschreibung	Digi-Key Teilenr.	Preisangaben 1	10	100	Singatron Teilenr.
Rechtwinklige Steckbuchsen, Leiterplattenmontage					
Rechtwinklige Steckbuchse, 3-Pos.	275-1040-ND	.69	5.94	46.22	2MJ-0001A110
Rechtwinklige Steckbuchse, 4-Pos.	275-1041-ND	.71	6.17	48.00	2MJ-0002A110
Rechtwinklige Steckbuchse, 5-Pos.	275-1042-ND	.75	6.52	50.67	2MJ-0003A110
Rechtwinklige Steckbuchse, 6-Pos.	275-1043-ND	.79	6.86	53.34	2MJ-0004A110
Rechtwinklige Steckbuchse, 7-Pos.	275-1044-ND	.89	7.77	60.45	2MJ-0005A110
Rechtwinklige Steckbuchse, 8-Pos.	275-1045-ND	.97	8.46	65.78	2MJ-0006A110
Rechtwinklige Steckbuchsen, geschirmt					
Rechtwinklige Steckbuchse, 3-Pos.	275-1046-ND	.86	7.54	58.67	2MJ-0101A120
Rechtwinklige Steckbuchse, 4-Pos.	275-1047-ND	.89	7.77	60.45	2MJ-0102A120
Rechtwinklige Steckbuchse, 5-Pos.	275-1048-ND	.92	8.00	62.23	2MJ-0103A120
Rechtwinklige Steckbuchse, 6-Pos.	275-1049-ND	.97	8.46	65.78	2MJ-0104A120
Rechtwinklige Steckbuchse, 7-Pos.	275-1050-ND	1.08	9.37	72.89	2MJ-0105A120
Rechtwinklige Steckbuchse, 8-Pos.	275-1051-ND	1.15	10.06	78.23	2MJ-0106A120
Inline-Stecker					
Inline-Stecker, 3-Pos.	275-1028-ND	.79	6.86	53.34	62000-3P
Inline-Stecker, 4-Pos.	275-1029-ND	.84	7.31	56.89	62000-4P
Inline-Stecker, 5-Pos.	275-1030-ND	.89	7.77	60.45	62000-5P
Inline-Stecker, 6-Pos.	275-1031-ND	.95	8.23	64.00	62000-6P
Inline-Stecker, 7-Pos.	275-1032-ND	1.00	8.69	67.56	62000-7P
Inline-Stecker, 8-Pos.	275-1033-ND	1.05	9.14	71.11	62000-8P
Inline-Steckbuchse					
Inline-Klinkenstecker, 3-Pos.	275-1034-ND	.97	8.46	65.78	63000-3P
Inline-Klinkenstecker, 4-Pos.	275-1035-ND	1.02	8.91	69.34	63000-4P
Inline-Klinkenstecker, 5-Pos.	275-1036-ND	1.08	9.37	72.89	63000-5P
Inline-Klinkenstecker, 6-Pos.	275-1037-ND	1.13	9.83	76.45	63000-6P
Inline-Klinkenstecker, 7-Pos.	275-1038-ND	1.19	10.29	80.00	63000-7P
Inline-Klinkenstecker, 8-Pos.	275-1039-ND	1.24	10.74	83.56	63000-8P

Beschreibung	Digi-Key Teilenr.	Preisangaben 1	10	100	Singatron Teilenr.
Mini-DIN-Steckverbinder z. Plattenmontage, m. 6" (15,24 cm) Anschlusskabel (26 AWG)					
Steckbuchse, 3-Pos.	275-1100-ND	1.45	12.57	97.78	2MJ-20116000
Steckbuchse, 4-Pos.	275-1101-ND	1.65	14.40	112.01	2MJ-20216000
Steckbuchse, 5-Pos.	275-1102-ND	1.81	15.77	122.67	2MJ-20316000
Steckbuchse, 6-Pos.	275-1103-ND	1.97	17.14	133.34	2MJ-20416000
Steckbuchse, 7-Pos.	275-1104-ND	2.05	17.83	138.67	2MJ-20516000
Steckbuchse, 8-Pos.	275-1105-ND	2.05	17.83	138.67	2MJ-20616000

Plattenmontage-Steckbuchse, Kunststoff

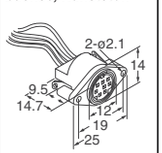

SINGATRON Runde DIN-Steckverbinder

ANWENDUNGEN:

Runde DIN-Steckverbinder kombinieren geringen Kontaktwiderstand mit relativer hoher zulässiger Stromstärke; deshalb für Signal- und Leistungsanwendungen gut geeignet. Ideal für Computer, Peripheriegeräte, Bürogeräte, Netzteile usw. Bewährt, da preiswert, kompakt und widerstandsfähig.

ALLGEMEINE SPEZIFIKATIONEN:

• **Nennwerte:** 100 V AC, max. 2 A • **Isolationswiderstand:** min. 100 MΩ @ 500 V DC • **Haltespannung:** 1.000 V AC, 1 Minute • **Kontaktwiderstand:** Stifte - max. 10 mΩ, Gehäuse - max. 50 mΩ (mit allem Zubehör)

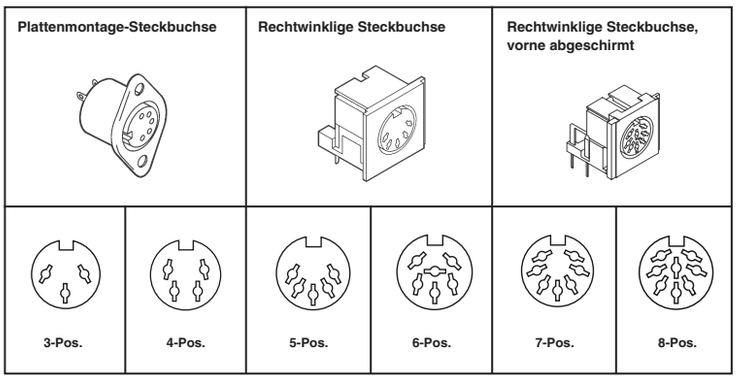

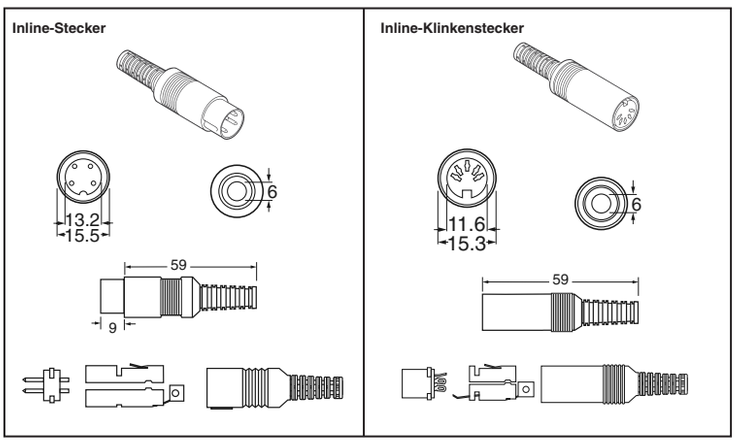

Beschreibung	Digi-Key Teilenr.	Preisangaben 1	10	100	Singatron Teilenr.
Plattenmontage-Steckbuchsen					
Steckbuchse, Plattenmontage, 3-Pos.	275-1012-ND	.54	4.69	36.45	YE-1363
Steckbuchse, Plattenmontage, 4-Pos.	275-1013-ND	.57	4.92	38.22	YE-1364
Steckbuchse, Plattenmontage, 5-Pos.	275-1014-ND	.61	5.30	41.25	YE-1365A
Steckbuchse, Plattenmontage, 6-Pos.	275-1015-ND	.64	5.60	43.56	YE-1366
Steckbuchse, Plattenmontage, 7-Pos.	275-1016-ND	.69	6.06	47.11	YE-1367
Steckbuchse, Plattenmontage, 8-Pos.	275-1017-ND	.75	6.52	50.67	YE-1368A
Rechtwinklige Steckbuchsen					
Rechtwinklige Steckbuchse, 5-Pos.	275-1019-ND	.66	5.71	44.45	2DJ-00600003
Rechtwinklige Steckbuchse, 6-Pos.	275-1020-ND	1.05	9.14	71.11	2DJ-0196PA02
Rechtwinklige Steckbuchse, 7-Pos.	275-1021-ND	1.13	9.83	76.45	2DJ-0077PA03
Rechtwinklige Steckbuchse, 8-Pos.	275-1022-ND	1.21	10.51	81.78	2DJ-0108PA03
Rechtwinklige Steckbuchsen, vorne abgeschirmt					
Rechtwinklige Buchse, vorne geschirmt, 5-Pos.	275-1024-ND	.92	8.00	62.23	2DJ-0065PSA2
Rechtwinklige Buchse, vorne geschirmt, 6-Pos.	275-1025-ND	1.21	10.51	81.78	2DJ-0196PSA2
Rechtwinklige Buchse, vorne geschirmt, 7-Pos.	275-1026-ND	1.29	11.20	87.12	2DJ-0077PSA2
Rechtwinklige Buchse, vorne geschirmt, 8-Pos.	275-1027-ND	1.45	12.57	97.78	2DJ-0108PSA2
Inline-Stecker					
Inline-Stecker, 3-Pos.	275-1000-ND	.45	3.89	30.22	YE-1153
Inline-Stecker, 4-Pos.	275-1001-ND	.47	4.11	32.00	YE-1154
Inline-Stecker, 5-Pos.	275-1002-ND	.50	4.34	33.78	YE-1155A
Inline-Stecker, 6-Pos.	275-1003-ND	.52	4.57	35.56	YE-1156
Inline-Stecker, 7-Pos.	275-1004-ND	.58	5.03	39.11	YE-1157
Inline-Stecker, 8-Pos.	275-1005-ND	.63	5.49	42.67	YE-1158A
Inline-Klinkenstecker					
Inline-Klinkenstecker, 3-Pos.	275-1006-ND	.57	4.92	38.22	YE-1333
Inline-Klinkenstecker, 4-Pos.	275-1007-ND	.62	5.38	41.78	YE-1334
Inline-Klinkenstecker, 5-Pos.	275-1008-ND	.63	5.49	42.67	YE-1335A
Inline-Klinkenstecker, 6-Pos.	275-1009-ND	.67	5.83	45.34	YE-1336
Inline-Klinkenstecker, 7-Pos.	275-1010-ND	.72	6.29	48.89	YE-1337
Inline-Klinkenstecker, 8-Pos.	275-1011-ND	.77	6.75	52.45	YE-1338A

Amphenol® RF „FAKRA“ SMB-Steckverbinder

Angesichts neuer Weiterentwicklungen auf dem Gebiet der Kommunikationstechnologie und der steigenden Verbrauchernachfrage nach einer breiten Palette von Bordtelematikdiensten sind Funkkommunikationssysteme im modernen Auto unentbehrlich geworden. Um die Funkzusammenschaltungskosten niedrig zu halten und eine hohe mechanische und elektrische Leistung zu erzielen, haben die deutsche und die amerikanische Automobilindustrie auf Basis der FAKRA- und USCAR-Normen einen leistungsfähigen, kostengünstigen RF-Steckverbinder standardisiert.

Unter Verwendung eines Standard-Metall-SMB-Steckverbinders, der in ein zu Identifizierungszwecken farbcodierbares Plastikgehäuse eingebettet ist, wurden die FAKRA-Steckverbinder für den Betrieb mit maximal 4 GHz und zur Erfüllung bestimmter mechanischer und Umweltschutzanforderungen der Automobilindustrie entwickelt.

MERKMALE:Elektrische Spezifikationen: Impedanz: 50 Ω. Frequenzbereich: DC-4 GHz. Leistungsspezifikationen: SAE/USCAR-17. Isolationswiderstand: Min. 1.000 MΩ Mittenkontaktwiderstand: Mittenkontakt <20 mΩ; Außenkontakt <10 mΩ. Durchschlagfestigkeit auf Meereshöhe >1.000 V RMS.

Mechanik: Haltbarkeit (Kupplungen): Min. 100 für Kunststoffgehäuse-Kupplungskraft: ≤20 N. Kunststoffgehäuse - Trennkraft: ≥25 N. Kodierung -13 mechanische und Farbkodierungen. Betriebstemperaturbereich: -40 °C ~ 115 °C.

Materialien: Kunststoffgehäuse: PBT mit 15 % Glasfasern. Sekundärverschlussclip - PBT mit 15 % Glasfasern. Mittenkontakt (Buchse): Berylliumkupfer; (Stift): Messing. Körper: Messing. Hülse: Messing. Halterung: Berylliumkupfer. Zwinge: Kupfer. Isolierung: TFE. Mittenkontaktüberzug: Gold. Körper, Hülse und Zwinge: Nickel.

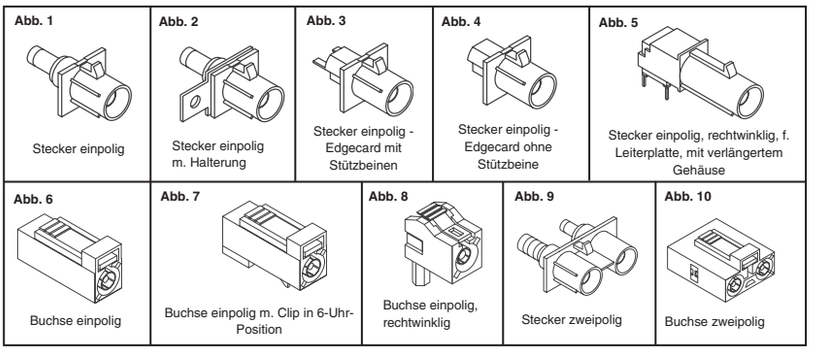

FAKRA-Kodierung

Buchsengehäuse

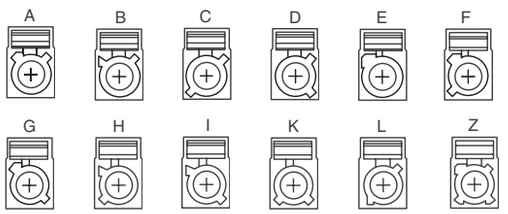

Mechanical and Color Coding

Coding	Rib Combination	Color	Similar RAL No.
A	A - B1	Deep Black	9005
B	A - B2	Signal White	9003
C	A - C	Signal Blue	5005
D	A - D	Bordeaux Violet	4004
E	B1 - B2	Leaf Green	6002
F	B1 - C	Brown	8011
G	B1 - D	Blue Grey	7031
H	B2 - C	Heather Violet	4003
I	B2 - D	Beige	1001
K	C - D	Curry Yellow	1027
L	A - E	Dahlia Yellow	1033
Z	Neutral Coding	Water Blue	5021

Steckergehäuse

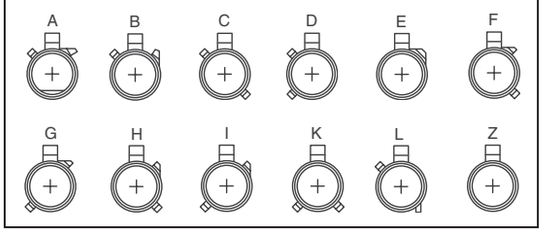

Abb.	RG/U-Kabelgruppe	Digi-Key Teilenr.	Stückpreis 1	10	25	100	Amphenol Teilenr.
	FAKRA-Kodierung „A“ (tiefschwarz)						
1	RG-174, 188, 316	ARF1253-ND	2.77	2.31	1.50	1.39	FA1-NASP-C01-1
	RG-58, 141	ARF1255-ND	2.86	2.39	1.55	1.44	FA1-NASP-C04-1
2	5RG-174, 188, 316	ARF1252-ND	3.28	2.73	1.77	1.64	FA1-NASP-C01-0
	RG-58, 141	ARF1254-ND	3.06	2.56	1.66	1.54	FA1-NASP-C04-0
3	—	ARF1256-ND	3.33	2.78	1.80	1.67	FA1-NASP-PCB-0
4	—	ARF1257-ND	2.84	2.37	1.53	1.42	FA1-NASP-PCB-1
5	—	ARF1274-ND	2.90	2.42	1.56	1.45	FA1-NARP-PCB-9
6	Kabel mit 0,057" (1,44 mm) AD	ARF1250-ND	3.48	2.90	1.88	1.74	FA1-NASJ-C09-0
	RG-178, 0,071"-AD-Kabel (1,80 mm)	ARF1251-ND	3.48	2.90	1.88	1.74	FA1-NASJ-C10-0
	RG-174, 188, 316	ARF1266-ND	3.04	2.54	1.64	1.52	FA1-NASJ-C01-0
	RG-58, 141	ARF1268-ND	3.12	2.61	1.69	1.57	FA1-NASJ-C04-0
7	RG-174, 188, 316	ARF1267-ND	3.12	2.61	1.69	1.57	FA1-NASJ-C01-6
	RG-58, 141	ARF1269-ND	3.22	2.68	1.73	1.61	FA1-NASJ-C04-6
8	RG-174, 188, 316	ARF1272-ND	3.48	2.90	1.88	1.74	FA1-NARJ-C01-0
	RG-58, 141	ARF1273-ND	3.65	3.05	1.97	1.83	FA1-NARJ-C04-0
	FAKRA-Kodierung „B“ (signalweiß)						
1	RG-174, 188, 316	ARF1278-ND	2.77	2.31	1.50	1.39	FA1-NBSP-C01-1
	RG-58, 141	ARF1280-ND	2.86	2.39	1.55	1.44	FA1-NBSP-C04-1
2	RG-174, 188, 316	ARF1277-ND	2.95	2.46	1.59	1.48	FA1-NBSP-C01-0
3	—	ARF1281-ND	2.78	2.32	1.50	1.39	FA1-NBSP-PCB-0
4	—	ARF1282-ND	2.84	2.37	1.53	1.42	FA1-NBSP-PCB-1
5	—	ARF1286-ND	3.33	2.78	1.80	1.67	FA1-NBRP-PCB-9
6	RG-174, 188, 316	ARF1287-ND	3.04	2.54	1.64	1.52	FA1-NBSJ-C01-0
	RG-58, 141	ARF1289-ND	3.12	2.61	1.69	1.57	FA1-NBSJ-C04-0
	RG-178, 0,071"-AD-Kabel (1,80 mm)	ARF1292-ND	3.48	2.90	1.88	1.74	FA1-NBSJ-C10-0
7	RG-174, 188, 316	ARF1288-ND	3.12	2.61	1.69	1.57	FA1-NBSJ-C01-6
	RG-58, 141	ARF1290-ND	3.22	2.68	1.73	1.61	FA1-NBSJ-C04-6
8	RG-174, 188, 316	ARF1275-ND	3.48	2.90	1.88	1.74	FA1-NBRJ-C01-0
	RG-58, 141	ARF1276-ND	3.65	3.05	1.97	1.83	FA1-NBRJ-C04-0
9	RG-58/RG-174 Combo-Design	ARF1297-ND	5.82	4.85	3.13	2.91	FA2-NBSP-C00-9
	FAKRA-Kodierung „C“ (signalblau)						
1	RG-174, 188, 316	ARF1316-ND	2.77	2.31	1.50	1.39	FA1-NCSP-C01-1
	RG-58, 141	ARF1317-ND	2.86	2.39	1.55	1.44	FA1-NCSP-C04-1
2	RG-174, 188, 316	ARF1300-ND	2.95	2.46	1.59	1.48	FA1-NCSP-C01-0
	RG-58, 141	ARF1301-ND	3.06	2.56	1.66	1.54	FA1-NCSP-C04-0
3	—	ARF1302-ND	3.33	2.78	1.80	1.67	FA1-NCSP-PCB-0
4	—	ARF1303-ND	2.84	2.37	1.53	1.42	FA1-NCSP-PCB-1
5	—	ARF1309-ND	2.31	1.93	1.25	1.16	FA1-NCRP-PCB-9
6	RG-174, 188, 316	ARF1310-ND	3.04	2.54	1.64	1.52	FA1-NCSJ-C01-0
	RG-58, 141	ARF1312-ND	3.12	2.61	1.69	1.57	FA1-NCSJ-C04-0
	RG-178, 0,071"-AD-Kabel (1,80 mm)	ARF1315-ND	3.48	2.90	1.88	1.74	FA1-NCSJ-C10-0
7	RG-174, 188, 316	ARF1311-ND	3.12	2.61	1.69	1.57	FA1-NCSJ-C01-6
	RG-58, 141	ARF1313-ND	3.22	2.68	1.73	1.61	FA1-NCSJ-C04-6
8	RG-174, 188, 316	ARF1307-ND	3.48	2.90	1.88	1.74	FA1-NCRJ-C01-0
	RG-58, 141	ARF1308-ND	3.65	3.05	1.97	1.83	FA1-NCRJ-C04-0
9	RG-174, 188, 316	ARF1323-ND	5.70	4.75	3.07	2.85	FA2-NCSP-C01-9
10	RG-174, 188, 316	ARF1318-ND	6.57	5.48	3.54	3.29	FA2-NCSJ-C01-0
	FAKRA-Kodierung „D“ (bordeaux lila)						
1	RG-174, 188, 316	ARF1343-ND	2.77	2.31	1.50	1.39	FA1-NDSP-C01-1
	RG-58, 141	ARF1344-ND	2.86	2.39	1.55	1.44	FA1-NDSP-C04-1
2	RG-174, 188, 316	ARF1331-ND	2.95	2.46	1.59	1.48	FA1-NDSP-C01-0
3	—	ARF1333-ND	2.78	2.32	1.50	1.39	FA1-NDSP-PCB-0
5	—	ARF1328-ND	2.31	1.93	1.25	1.16	FA1-NDRP-PCB-9
6	RG-178, 0,071"-AD-Kabel (1,80 mm)	ARF1330-ND	3.48	2.90	1.88	1.74	FA1-NDSJ-C10-0
	RG-174, 188, 316	ARF1339-ND	3.04	2.54	1.64	1.52	FA1-NDSJ-C01-0
	RG-58, 141	ARF1341-ND	3.12	2.61	1.69	1.57	FA1-NDSJ-C04-0
7	RG-174, 188, 316	ARF1340-ND	3.12	2.61	1.69	1.57	FA1-NDSJ-C01-6
	RG-58, 141	ARF1342-ND	3.22	2.68	1.73	1.61	FA1-NDSJ-C04-6
8	RG-174, 188, 316	ARF1337-ND	3.48	2.90	1.88	1.74	FA1-NDRJ-C01-0
	RG-58, 141	ARF1338-ND	3.65	3.05	1.97	1.83	FA1-NDRJ-C04-0
	FAKRA-Kodierung „E“ (blattgrün)						
1	RG-174, 188, 316	ARF1356-ND	2.72	2.27	1.47	1.36	FA1-NESP-C01-1
	RG-58, 141	ARF1358-ND	2.86	2.39	1.55	1.44	FA1-NESP-C04-1

Abb.	RG/U-Kabelgruppe	Digi-Key Teilenr.	Stückpreis 1	10	25	100	Amphenol Teilenr.
2	RG-174, 188, 316	ARF1355-ND	2.95	2.46	1.59	1.48	FA1-NESP-C01-0
	RG-58, 141	ARF1357-ND	3.06	2.56	1.66	1.54	FA1-NESP-C04-0
5	—	ARF1371-ND	2.31	1.93	1.25	1.16	FA1-NERP-PCB-9
6	RG-174, 188, 316	ARF1372-ND	3.04	2.54	1.64	1.52	FA1-NESJ-C01-0
	RG-58, 141	ARF1374-ND	3.12	2.61	1.69	1.57	FA1-NESJ-C04-0
	Kabel mit 0,057" (1,44 mm) AD	ARF1376-ND	3.48	2.90	1.88	1.74	FA1-NESJ-C09-0
	RG-178, 0,071"-AD-Kabel (1,80 mm)	ARF1377-ND	3.48	2.90	1.88	1.74	FA1-NESJ-C10-0
7	RG-174, 188, 316	ARF1373-ND	3.12	2.61	1.69	1.57	FA1-NESJ-C01-6
	RG-58, 141	ARF1375-ND	3.22	2.68	1.73	1.61	FA1-NESJ-C04-6
9	RG-174, 188, 316	ARF1368-ND	5.70	4.75	3.07	2.85	FA2-NESP-C01-9
10	RG-174, 188, 316	ARF1361-ND	6.57	5.48	3.54	3.29	FA2-NESJ-C01-0
	FAKRA-Kodierung „F“ (braun)						
2	RG-174, 188, 316	ARF1383-ND	2.95	2.46	1.59	1.48	FA1-NFSP-C01-0
5	—	ARF1380-ND	3.33	2.78	1.80	1.67	FA1-NFRP-PCB-9
6	RG-174, 188, 316	ARF1399-ND	3.04	2.54	1.64	1.52	FA1-NFSJ-C01-0
9	RG-174, 188, 316	ARF1396-ND	5.70	4.75	3.07	2.85	FA2-NFSP-C01-9
10	RG-174, 188, 316	ARF1389-ND	6.57	5.48	3.54	3.29	FA2-NFSJ-C01-0
	FAKRA-Kodierung „G“ (blaugrau)						
1	RG-174, 188, 316	ARF1408-ND	2.72	2.27	1.47	1.36	FA1-NGSP-C01-1
5	—	ARF1405-ND	2.31	1.93	1.25	1.16	FA1-NGRP-PCB-9
6	RG-174, 188, 316	ARF1413-ND	3.04	2.54	1.64	1.52	FA1-NGSJ-C01-0
	RG-58, 141	ARF1415-ND	3.12	2.61	1.69	1.57	FA1-NGSJ-C04-0
8	RG-174, 188, 316	ARF1403-ND	3.48	2.91	1.88	1.75	FA1-NGRJ-C01-0
	FAKRA-Kodierung „H“ (erikarot)						
5	—	ARF1420-ND	3.33	2.78	1.80	1.67	FA1-NHRP-PCB-9
6	Kabel mit 0,057" (1,44 mm) AD	ARF1421-ND	3.48	2.90	1.88	1.74	FA1-NHSJ-C09-0
	RG-174, 188, 316	ARF1428-ND	3.04	2.54	1.64	1.52	FA1-NHSJ-C01-0
	FAKRA-Kodierung „I“ (beige)						
3	—	ARF1442-ND	2.78	2.32	1.50	1.39	FA1-NISP-PCB-0
5	—	ARF1435-ND	2.31	1.93	1.25	1.16	FA1-NIRP-PCB-9
6	Kabel mit 0,057" (1,44 mm) AD	ARF1436-ND	3.48	2.90	1.88	1.74	FA1-NISJ-C09-0
	RG-178, 0,071"-AD-Kabel (1,80 mm)	ARF1437-ND	3.48	2.90	1.88	1.74	FA1-NISJ-C10-0
	RG-174, 188, 316	ARF1444-ND	3.04	2.54	1.64	1.52	FA1-NISJ-C01-0
7	RG-174, 188, 316	ARF1445-ND	3.12	2.61	1.69	1.57	FA1-NISJ-C01-6
	RG-58, 141	ARF1447-ND	3.22	2.68	1.73	1.61	FA1-NISJ-C04-6
	FAKRA-Kodierung „K“ (currygelb)						
1	RG-174, 188, 316	ARF1481-ND	2.77	2.31	1.50	1.39	FA1-NKSP-C01-1
	RG-58, 141	ARF1483-ND	2.86	2.39	1.55	1.44	FA1-NKSP-C04-1
2	RG-174, 188, 316	ARF1480-ND	3.28	2.73	1.77	1.64	FA1-NKSP-C01-0
	RG-58, 141	ARF1482-ND	3.06	2.56	1.66	1.54	FA1-NKSP-C04-0
3	—	ARF1484-ND	2.78	2.32	1.50	1.39	FA1-NKSP-PCB-0
5	—	ARF1486-ND	2.90	2.42	1.56	1.45	FA1-NKRP-PCB-9
6	RG-174, 188, 316	ARF1487-ND	3.04	2.54	1.64	1.52	FA1-NKSJ-C01-0
	RG-58, 141	ARF1489-ND	3.12	2.61	1.69	1.57	FA1-NKSJ-C04-0
	Kabel mit 0,057" (1,44 mm) AD	ARF1491-ND	3.48	2.90	1.88	1.74	FA1-NKSJ-C09-0
	RG-178, 0,071"-AD-Kabel (1,80 mm)	ARF1492-ND	3.48	2.90	1.88	1.74	FA1-NKSJ-C10-0
7	RG-174, 188, 316	ARF1488-ND	3.12	2.61	1.69	1.57	FA1-NKSJ-C01-6
	RG-58, 141	ARF1490-ND	3.22	2.68	1.73	1.61	FA1-NKSJ-C04-6
8	RG-174, 188, 316	ARF1478-ND	3.48	2.90	1.88	1.74	FA1-NKRJ-C01-0
	FAKRA-Kodierung „L“ (dahliengelb)						
8	RG-174, 188, 316	ARF1493-ND	3.48	2.90	1.88	1.74	FA1-NLRJ-C01-0
	RG-58, 141	ARF1494-ND	3.65	3.05	1.97	1.83	FA1-NLRJ-C04-0
	FAKRA-Kodierung „Z“ (wasserblau)						
1	RG-174, 188, 316	ARF1533-ND	2.77	2.31	1.50	1.39	FA1-NZSP-C01-1
	RG-58, 141	ARF1535-ND	2.86	2.39	1.55	1.44	FA1-NZSP-C04-1
2	RG-174, 188, 316	ARF1532-ND	2.95	2.46	1.59	1.48	FA1-NZSP-C01-0
3	—	ARF1536-ND	2.78	2.32	1.50	1.39	FA1-NZSP-PCB-0
4	—	ARF1537-ND	2.84	2.37	1.53	1.42	FA1-NZSP-PCB-1
5	—	ARF1525-ND	2.31	1.93	1.25	1.16	FA1-NZRP-PCB-9
6	RG-174, 188, 316	ARF1526-ND	3.04	2.54	1.64	1.52	FA1-NZSJ-C01-0
	RG-58, 141	ARF1528-ND	3.12	2.61	1.69	1.57	FA1-NZSJ-C04-0
	RG-178, 0,071"-AD-Kabel (1,80 mm)	ARF1531-ND	3.48	2.90	1.88	1.74	FA1-NZSJ-C10-0
7	RG-174, 188, 316	ARF1527-ND	3.12	2.61	1.69	1.57	FA1-NZSJ-C01-6
8	RG-174, 188, 316	ARF1523-ND	3.48	2.90	1.88	1.74	FA1-NZRJ-C01-0
	RG-58, 141	ARF1524-ND	3.65	3.05	1.97	1.83	FA1-NZRJ-C04-0

Alle Preisangaben in Euro und inklusive Zollgebühren.

SMA- u. SMB-Steckverbinder

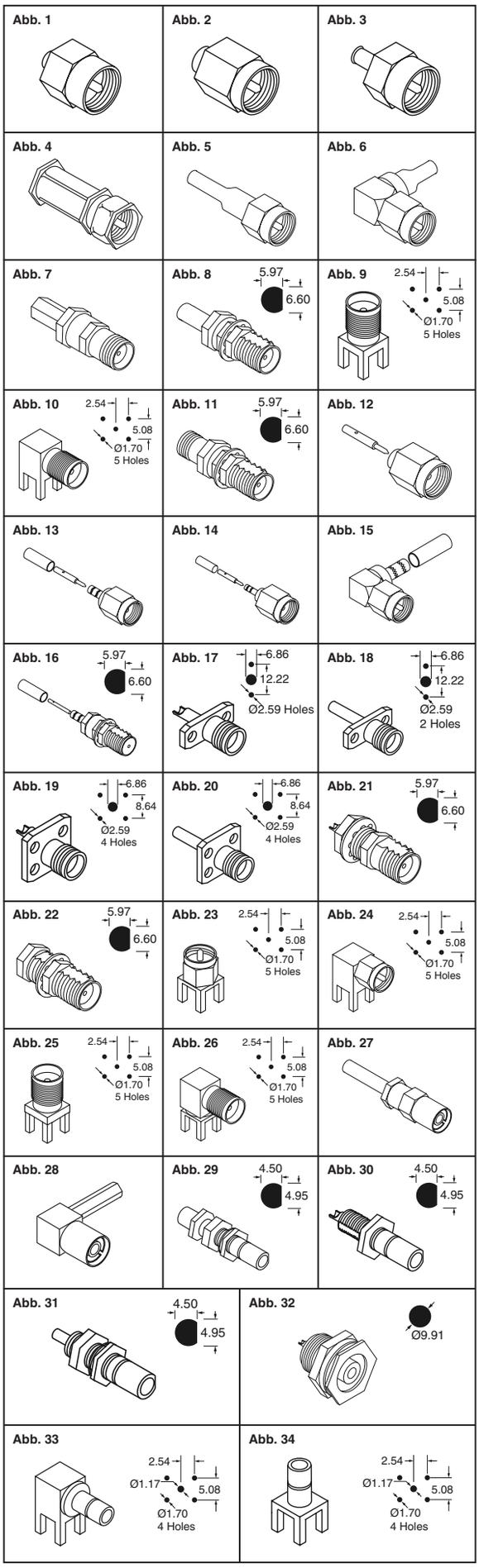

Koaxiale SMA-Steckverbinder

Abb.	Beschreibung	RG/U-Kabelgruppe	Gehäuse-überzug	Kabelbefestigung Außen / Innen		Digi-Key Teilenr.	Preisangaben 1	25	100	Amphenol Teilenr.
1	Stecker, gerade	.085" (2.2mm) RG-405 (M17/133)	Gold	Lötzinn	Steckbar	ARF1184-ND	5.16	89.62	311.74	901-9723
2	Stecker, gerade	.141" (3.6mm) RG-402 (M17/130)	Gold	Lötzinn	Steckbar	ARF1185-ND	4.76	82.76	287.84	901-9808
3	Stecker, gerade	.085" (2.2mm) RG-405 (M17/133)	Gold	Lötzinn	Steckbar	ARF1186-ND	5.48	95.24	331.51	901-9805-HP
4	Stecker, gerade	55, 58, 141, 142, 223	Gold	Klemme	Lötzinn	ARF1187-ND*	59.40	1032.87	3592.23	901-103
	Stecker, gerade	174, 316	Gold	Klemme	Lötzinn	ARF1188-ND*	34.44	713.47	2542.48	901-128-11
5	Stecker, gerade	55B, 142B, 223, 400	Gold	Crimp	Lötzinn	ARF1189-ND	8.25	143.53	498.98	901-9511-1
	Stecker, gerade	55B, 142B, 223, 400	Passiviert	Crimp	Lötzinn	ARF1190-ND	7.52	130.88	454.75	901-9511-1SF
	Stecker, gerade	174, 178, 187, 188, 316	Gold	Crimp	Lötzinn	ARF1191-ND	6.10	106.04	369.12	901-9511-3
	Stecker, gerade	174, 178, 187, 188, 316	Passiviert	Crimp	Lötzinn	ARF1192-ND	5.45	94.82	329.33	901-9511-3SF
	Stecker, gerade	Dbl. Braid RG-188, 316	Passiviert	Crimp	Lötzinn	ARF1193-ND	6.19	107.52	374.20	901-9511-12SF
6	Stecker, rechtwinklig	55, 141, 142, 223	Gold	Crimp	Lötzinn	ARF1194-ND	10.54	183.37	638.14	901-9531-1
	Stecker, rechtwinklig	SF 142B, Times AA-2423	Passiviert	Crimp	Lötzinn	ARF1195-ND	10.96	190.51	663.06	901-9531-1SF
	Stecker, rechtwinklig	174, 179, 187, 188, 316	Gold	Crimp	Lötzinn	ARF1196-ND	10.60	184.24	641.60	901-9531-3
	Stecker, rechtwinklig	174, 179, 187, 188, 316	Passiviert	Crimp	Lötzinn	ARF1197-ND	7.13	123.82	430.92	901-9531-3SF
	Stecker, rechtwinklig	Double Braid RG-316	Gold	Crimp	Lötzinn	ARF1198-ND	10.97	190.71	663.94	901-9531-12
	Stecker, rechtwinklig	Double Braid RG-316	Passiviert	Crimp	Lötzinn	ARF1199-ND	7.17	124.87	434.31	901-9531-12SF
7	Klinkenstecker	174, 179, 187, 188, 316	Gold	Crimp	Lötzinn	ARF1200-ND	—	—	6242.83	901-9602-3
	Klinkenstecker	174, 179, 187, 188, 316	Passiviert	Crimp	Lötzinn	ARF1201-ND	35.24	650.98	2264.24	901-9602-3SF
8	Klinkenstecker, Bulkhead	55, 142, 223, 400	Passiviert	Crimp	Lötzinn	ARF1202-ND	18.42	320.44	1114.13	901-9610-1SF
	Klinkenstecker, Bulkhead	174, 179, 187, 188, 316	Gold	Crimp	Lötzinn	ARF1203-ND	14.53	252.74	879.19	901-9610-3
	Klinkenstecker, Bulkhead	174, 179, 187, 188, 316	Passiviert	Crimp	Lötzinn	ARF1204-ND	12.14	211.02	748.73	901-9610-3SF
9	Klinkenstecker, Leiterplattenmontage, Platteneinbau	—	Gold	—	—	ARF1205-ND	7.19	125.09	435.15	901-144
10	Klinkenstecker, Leiterplattenmontage, rechtwinklig	—	Gold	—	—	ARF1206-ND	9.07	157.68	548.60	901-143
11	Adapters, Bulkhead Jack-Jack, Front or Rear Mt.**	—	Gold	—	—	ARF1207-ND	11.70	203.40	707.76	901-9209A
11	Adapters, Bulkhead Jack-Jack, Front or Rear Mt.**	—	Passiviert	—	—	ARF1208-ND	12.39	206.57	618.86	901-9209-ASF

* Sicherungsdrahtlöcher. ** Bulkhead-Adapter, Klinkenstecker-Klinkenstecker, vorder- oder rückseitige Montage

SMA-Messing-Koaxialsteckverbinder

Abb.	Beschreibung	RG/U-Kabelgruppe	Gehäuse-überzug	Kabelbefestigung Außen / Innen		Digi-Key Teilenr.	Preisangaben 1	25	100	Amphenol Teilenr.
12	Stecker, gerade	.141" (3.6mm) S/R	Gold	Lötzinn	Lötzinn	ARFX1209-ND	3.38	56.30	168.47	901-9868-RFX
	Stecker, gerade	.085" (2.16mm) S/R	Gold	Lötzinn	Lötzinn	ARF1210-ND	2.67	44.45	133.76	901-9867-RFX
13	Stecker, gerade	58	Gold	Crimp	Lötzinn	ARF1211-ND	4.21	73.23	254.83	901-9870
	Stecker, gerade	141, 223	Gold	Crimp	Lötzinn	ARF1212-ND	4.43	77.04	267.53	901-9871
	Stecker, gerade	58	Nickel	Crimp	Lötzinn	ARFX1213-ND	2.87	47.83	143.92	901-9876-RFX
14	Stecker, gerade	174, 188, 316	Nickel	Crimp	Lötzinn	ARFX1214-ND	2.87	47.83	143.92	901-9877-RFX
	Stecker, gerade	174, 188, 316	Gold	Crimp	Lötzinn	ARF1215-ND	4.17	72.60	252.29	901-9916
15	Stecker, rechtwinklig	174, 188, 316	Gold	Crimp	Lötzinn	ARF1216-ND	7.01	121.91	424.15	901-9872
	Stecker, rechtwinklig	58	Gold	Crimp	Lötzinn	ARF1217-ND	7.44	129.53	450.39	901-9873
	Stecker, rechtwinklig	141, 223	Gold	Crimp	Lötzinn	ARF1218-ND	6.29	109.42	380.12	901-9874
	Stecker, rechtwinklig	58	Nickel	Crimp	Lötzinn	ARFX1219-ND	4.30	74.92	260.39	901-9880-RFX
	Stecker, rechtwinklig	174, 188, 316	Nickel	Crimp	Lötzinn	ARFX1220-ND	4.62	77.04	237.05	901-9881-RFX
16	Bulkhead-Klinkenstecker	174, 188, 316	Gold	Crimp	Lötzinn	ARF1221-ND	6.29	109.42	380.12	901-9875
	Bulkhead-Klinkenstecker	174, 188, 316	Nickel	Crimp	Lötzinn	ARFX1222-ND	5.71	99.26	345.91	901-9879-RFX
17	Panel Receptacle, Jack†	—	Nickel	—	—	ARFX1223-ND	4.72	78.73	236.20	901-9893-RFX
18	Panel Receptacle, Jack†	—	Nickel	—	—	ARFX1224-ND	6.63	110.48	331.02	901-9891-RFX
19	Panel Receptacle, Jack†	—	Nickel	—	—	ARFX1225-ND	4.90	81.70	285.94	901-9892-RFX
20	Panel Receptacle, Jack†	—	Nickel	—	—	ARFX1226-ND	7.09	118.10	353.88	901-9887-RFX
21	Bulkhead Recep. Front Mt.††	—	Nickel	—	—	ARFX1227-ND	4.06	67.73	203.18	901-9889-RFX
22	Bulkhead Recep. Rear Mt. ◊	—	Nickel	—	—	ARFX1228-ND	4.06	67.73	203.18	901-9890-RFX
23	Plug Straight PCB Recep. ◊◊	—	Gold	—	—	ARFX1229-ND	3.37	58.64	204.33	901-9895-RFX
24	Plug Rt. Angle PCB Recep. ‡	—	Gold	—	—	ARFX1230-ND	7.04	117.25	351.34	901-9894-RFX
25	Steckbuchse, gerade, Leiterplatte	—	Gold	—	—	ARFX1231-ND	3.03	52.70	183.71	901-144-8RFX
26	Recep., Right Angle PCB ‡‡	—	Gold	—	—	ARFX1232-ND	4.67	81.27	282.76	901-143-6RFX

† Platteneinbau-Steckbuchse, Klinkenstecker †† Bulkhead-Steckbuchse Vordermontage ◊ Bulkhead-Steckbuchse Rückseitige Montage ◊◊ Stecker, gerade, Leiterplatten-Steckbuchse ‡ Stecker rechtwinklig, Leiterplatten-Steckbuchse ‡‡ Steckbuchse, rechtwinklig, Leiterplatte

SMB-Koaxialsteckverbinder

Abb.	Beschreibung	RG/U-Kabelgruppe	Überzug	Kabelbefestigung Außen / Innen		Digi-Key Teilenr.	Preisangaben 1	25	100	Amphenol Teilenr.
27	Stecker, gerade	RG-174, 179, 187,188, 316	Nickel	Crimp	Lötzinn	ARF1233-ND	4.71	81.91	285.30	903-370P-51S
28	Stecker, rechtwinklig	RG-174, 179, 187,188, 316	Nickel	Crimp	Lötzinn	ARF1235-ND	4.15	71.96	250.35	903-367P-51A2
	Stecker, rechtwinklig	RG-174, 179, 187,188, 316	Gold	Crimp	Lötzinn	ARF1245-ND	5.95	143.34	498.36	903-289P-51A
	Stecker, rechtwinklig	RG-178, 196	Gold	Crimp	Lötzinn	ARF1236-ND	4.50	101.43	352.48	903-291P-51A1
	Stecker, rechtwinklig	RG-178, 196	Nickel	Crimp	Lötzinn	ARF1237-ND	3.23	65.40	226.89	903-368P-51A1
29	Bulkhead-Klinkenstecker	RG-174,188A, 316	Gold	Crimp	Lötzinn	ARF1238-ND	5.11	88.89	309.01	903-505J-51S
	Bulkhead-Klinkenstecker	Dbl. Shield 316	Gold	Crimp	Lötzinn	ARF1239-ND	5.53	96.10	334.07	903-505J-51S1

Abb.	Beschreibung	Überzug	Digi-Key Teilenr.	Preisangaben 1	25	100	Amphenol Teilenr.
30	Bulkhead-Steckbuchse Frontmontage, Lötkelchklemme	Gold	ARF1240-ND	4.41	76.62	266.68	903-406J-51R
31	Bulkhead-Steckbuchse Frontmontage, Kuppenklemme	Gold	ARF1241-ND	3.62	63.07	219.27	903-402J-51R
32	Bulkhead-Klinkenstecker, Steckbuchse Versenkt, Lötkelchklemme	Gold	ARF1242-ND	24.25	421.65	1465.49	903-407J-51R
33	Klinkenstecker, rechtwinklig	Zinn/Blei (Körper/Beine) Gold (Schnittst./Anschl.)	ARF1243-ND	5.01	87.20	303.08	903-373J-51A
34	Klinkenstecker, gerade	Gold	ARF1244-ND	3.00	52.28	181.17	903-499J-51P2

Abb. 1

Abb. 2

Abb. 3

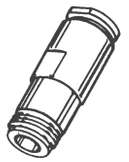

Abb. 4

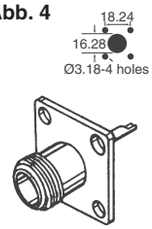

Abb. 5

Abb. 6

Abb. 7

Abb. 8

Abb. 9

Abb. 10

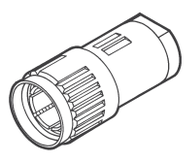

Abb. 11

Abb. 12

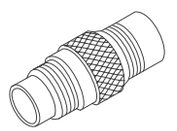

Abb. 13

Abb. 14

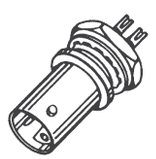

Abb. 15

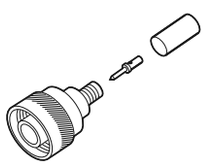

Abb. 16

Type N Coaxial Connectors

Abb.	Beschreibung	RG/U-Kabelgruppe	Militär Teilenr.	Digi-Key Teilenr.	Preisangaben 1	25	100	Amphenol Teilenr.
1	Stecker (Crimp)‡	8, 213	M39012/10B-0007	ARF1013-ND	12.70	143.56	508.66	82-340
1	Stecker (Crimp)	9, 214	—	ARF1163-ND	16.63	188.24	666.75	82-332
1	Stecker (Crimp)	55, 142, 223	—	ARF1164-ND	12.66	143.18	507.96	82-5370
2	Stecker (Klemme)	8, 9, 144, 165, 213, 214. 216. 225	UG-21D/U	ARF1014-ND	13.54	153.22	542.10	82-202
2	Stecker (Klemme)	8, 9, 144, 165, 213, 214, 216, 225	UG-1185	ARF1161-ND	10.84	122.71	468.34	82-312
2	Stecker (Klemme)	58, 141, 142	UG-536B/U	ARF1016-ND	9.40	157.89	559.14	34025
2	Stecker (Klemme)	58, 141, 142	UG-536B	ARFX1016-ND*	6.08	65.82	240.01	34025-RFX
2	Stecker (Klemme)	Belden 9913	—	ARF1020-ND	9.52	107.73	381.82	82-202-1006
2	Stecker (Klemme)	8, 9, 144, 165, 213, 214, 216, 225	UG-21D	ARFX1183-ND*	4.95	61.38	237.73	82-202-RFX
3	Klinkenstecker (Klemme)	8, 9, 87A, 144, 165,	UG-23B/U	ARF1021-ND	13.64	154.38	547.06	82-63
4	Einbausteckbuchse	—	UG-58A/U	ARF1023-ND	10.82	134.25	474.78	82-97
4	Einbausteckbuchse	—	UG-58A	ARFX1023-ND*	4.11	60.96	225.20	82-97-RFX
4	Einbausteckbuchse	—	UG-58	ARF1160-ND	10.96	123.86	438.75	82-24
5	Gerade/Klinkenstecker-Klinkenstecker	—	UG-29B/U	ARF1025-ND	14.64	165.51	586.69	82-101
5	Gerade/Klinkenstecker-Klinkenstecker	—	UG-29B	ARFX1025-ND*	6.11	74.08	201.91	82-101-RFX
6	Bulkhead/Klinkenstecker-Klinkenstecker	—	UG-30/U	ARF1026-ND	25.38	287.21	1016.77	82-66
7	Gerade/Stecker-Stecker	—	UG-57B/U	ARF1027-ND	12.94	146.25	518.12	82-100
7	Gerade/Stecker-Stecker	—	UG-57B	ARFX1027-ND*	8.62	97.46	345.93	82-100-RFX
8	Winkel/Klinkenstecker-Stecker	—	UG-27A	ARF1028-ND	27.60	312.18	1105.66	82-64

* RFX-Steckverbinder
‡ Crimpwerkzeuge sind im RF- u. RFX-Steckverbinderteil aufgeführt.

Twinaxiale Steckverbinder

Abb.	Beschreibung	RG/U-Kabelgruppe	Militär Teilenr.	Digi-Key Teilenr.	Preisangaben 1	25	100	Amphenol Teilenr.
9	Stecker (Klemme)	AA-6076, AA-6079	—	ARFX1031-ND*	7.08	80.15	283.13	82-5589-RFX
10	Stecker (Klemme) Kunststoffgehäuse	Belden 8227, 9207, IBM 7362211	—	ARF1033-ND	13.44	191.50	696.37	82-GB635-CR
11	Steckbuchse	—	—	ARFX1035-ND*	9.99	112.96	399.71	82-5590-RFX
12	Adapter/Klinkenstecker-Klinkenstecker	IBM 7362230	—	ARF1036-ND	48.65	550.30	1948.23	82-5588
12	Adapter/Klinkenstecker-Klinkenstecker			ARFX1036-ND*	7.59	85.73	303.47	82-5588-RFX
13	BNC-Stecker/Twinaxial - Noryl	108A	—	ARF1037-ND	12.28	138.86	491.27	31-224
13	BNC-Stecker/Twinaxial - TFE	108A	—	ARF1133-ND	18.79	212.71	753.47	31-2226
14	BNC-Bulkhead/Twinaxial - Noryl	—	—	ARF1038-ND	21.35	241.49	855.91	31-223
14	BNC-Bulkhead/Twinaxial - TFE	—	—	ARF1132-ND	20.34	230.19	815.52	31-2225

* RFX-Steckverbinder

TNC Koaxialsteckverbinder

Abb.	Beschreibung	RG/U-Kabelgruppe	Militär Teilenr.	Digi-Key Teilenr.	Preisangaben 1	25	100	Amphenol Teilenr.
15	Stecker (Quick Crimp)‡	—	—	ARF1081-ND	6.50	73.87	256.16	36825
15	Stecker (MIL-Crimp)	142, 223	—	ARF1135-ND	5.83	66.25	229.43	31-2373
15	Stecker (Crimp)‡	59, 62	M23329/4-05	ARF1084-ND	5.73	65.19	225.20	31-2368
16	Stecker (Klemme)	58, 141, 142A	—	ARFX1082-ND*	2.06	34.29	102.86	79875-RFX

‡ Crimpwerkzeuge sind im RF- u. RFX-Steckverbinderteil aufgeführt.

* RFX™ für Anwendungen, die keine über den 1-3-GHz-Bereich hinausgehende Leistung erfordern. RFX™ Steckverbinder sind nicht für militärische Anwendungen geeignet. RFX™ Steckverbinder sind im Allgemeinen günstiger als MIL-Spec und Standard-Industriestecker.

Alle Preisangaben in Euro und inklusive Zollgebühren.

RF- und RFX-Steckverbinder

BNC Koaxial-Steckverbinder

Abb. 1
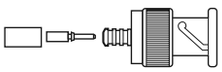
MIL-Crimp, 3 Teile

Abb. 2
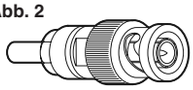
Original-Crimp

Abb. 3
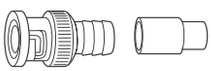
Einfach-Crimp, 2 Teile

Abb. 4
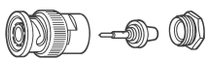
Quicktrim

Abb. 5
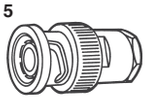
MIL-Klemme

Abb. 6
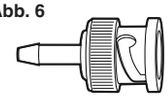
FCP

Abb. 7
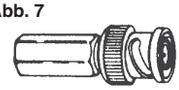
Suretwist®

Abb. 8

Winkelstecker

Abb. 9
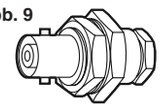
Klinkenstecker, MIL-Klemme

Abb. 10
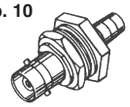
Bulkhead-Klinkenstecker, MIL-Crimp

Abb. 11
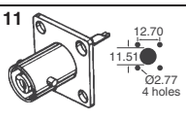

Einbausteckbuchse

Abb. 12
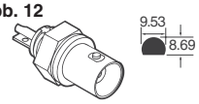

Bulkhead-Klinkenstecker, isoliert

Abb. 13
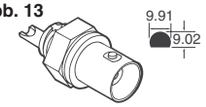

Bulkhead-Steckbuchse

Abb. 14
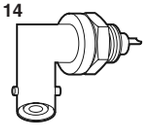

Abb. 15
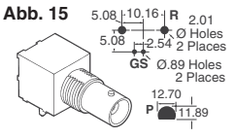

Abb. 16
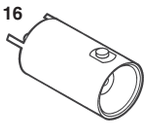

Abb. 17
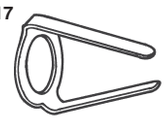

Abb. 18
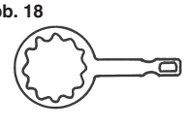

Abb. 19
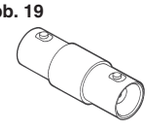

Abb. 20

Abb. 21
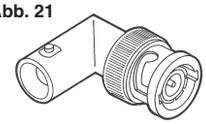

Abb. 22
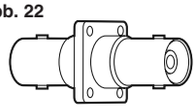

Abb. 23
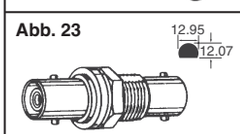

Abb. 24
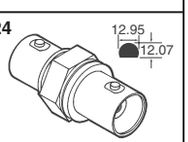

Abb. 25
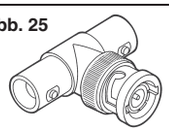

Abb. 26
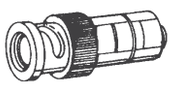

Abb. 27
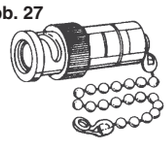

* RFX-Steckverbinder RFX™ wurde speziell für Anwendungen entwickelt, die keine Leistung über den 1-3 GHz-Bereich hinaus erfordern. RFX™ Steckverbinder sind nicht für militärische Anwendungen geeignet. RFX™ Steckverbinder sind im Allgemeinen günstiger als MIL-Spec und Standard-Industriestecker.

Abb.	Beschreibung	RG/U-Kabelgruppe	Crimp Tool Teilenr.	Digi-Key Teilenr.	Preisangaben 1	25	100	Amphenol Teilenr.
1	Stecker (MIL-Crimp)	58, 141, 142	CTL-1	ARF1039-ND	5.76	65.40	226.89	31-320
	Stecker (MIL-Crimp)	58, 141, 142	CTL-1	ARFX1039-ND*	1.40	23.28	83.81	31-320-RFX
	Stecker (Quick-Crimp)	Plenum 58	CTL-1	ARFX1041-ND*	2.00	22.56	78.28	36650-3RFX
	Stecker (MIL-Crimp)	59, 62	CTL-1	ARF1042-ND	5.88	66.88	231.97	31-321
	Stecker (MIL-Crimp)	59, 62	CTL-1	ARFX1042-ND*	1.40	23.28	83.81	31-321-RFX
	Stecker (MIL-Crimp)	59, 62, 71, 140, 210, 302	CTL-1	ARF1156-ND	5.79	65.73	228.23	68175
	Stecker (MIL-Crimp)	Belden 9259	CTL-1	ARF1052-ND	5.45	61.80	214.19	68175-1003
	Stecker (MIL-Crimp)	59 (20 AWG Mitten- leiter)	CTL-1	ARF1046-ND	5.91	67.09	232.82	68175-1005
	Stecker (MIL-Crimp)	59 (20 AWG Mitten- leiter)	CTL-1	ARFX1046-ND*	1.91	21.80	75.35	68175-5RFX
	Stecker (MIL-Crimp)	Plenum 59, 62	CTL-1	ARFX1047-ND*	2.38	27.02	93.52	68175-11RFX
	Stecker (MIL-Crimp)	174, 188, 316	CTL-2	ARF1049-ND	6.17	70.06	242.97	31-315
	Stecker (MIL-Crimp)	174, 188, 316	CTL-2	ARFX1049-ND*	1.78	29.63	88.05	31-315-RFX
	Stecker (MIL-Crimp)	179, 187	CTL-2	ARF1050-ND	7.85	89.10	309.01	31-242
	Stecker (MIL-Crimp)	Belden 8281	CTL-2	ARF1051-ND	7.26	82.42	285.73	31-321-1000
	Stecker (MIL-Crimp)	Belden 8281	CTL-2	ARFX1051-ND*	2.35	27.51	95.67	31-321-10RFX
	Stecker (MIL-Crimp)	Belden 9907, 89907	CTL-1	ARF1054-ND	5.45	61.80	214.19	31-320-1006
	Stecker (MIL-Crimp)	59, 62	CTL-1	ARFX1123-ND*	1.40	23.28	69.84	31-71008-RFX
	Stecker (MIL-Crimp), 75 Ω	59, 62	CTL-1	ARF1175-ND	4.23	48.04	166.78	31-71008
	Stecker (MIL-Crimp), 75 Ω	59, 62 (20 GACC)	CTL-1	ARF1176-ND	4.47	50.80	176.09	31-71008-1000
	Stecker (MIL-Crimp), 75 Ω	179, 187	CTL-2	ARF1174-ND	5.34	60.74	209.96	31-71013
	Stecker (MIL-Crimp), 75 Ω	Belden 8218	CTL-2	ARF1173-ND	4.36	49.53	171.86	31-71033
	Stecker (MIL-Crimp), 75 Ω	Belden 8281, 88281	CTL-2	ARF1172-ND	5.01	56.89	197.29	31-71032
	Stecker (Thinnet/Ethernet)	58	CTL-1	ARF1181-ND	2.95	33.64	120.76	31-5800
	Stecker (IBM/Arcnet)	59, 62	CTL-1	ARF1182-ND	2.87	33.33	115.13	31-5900
2	Stecker (Original-Crimp)	174, 179, 187, 188, 316	—	ARF1143-ND	19.67	195.78	677.67	31-371
3	Stecker (Einzel-Crimp)	59, 62	CTL-2	ARFX1124-ND*	2.51	37.04	96.51	31-5556-RFX
4	Stecker (Quicktrim®)	59, 62	CTL-1	ARF1045-ND	9.40	137.36	500.34	31-4541
	Stecker (Quicktrim®)	59, 62	CTL-1	ARFX1045-ND*	5.13	55.88	193.87	31-4541-RFX
5	Stecker (MIL-Klemme)	58	—	ARF1040-ND	4.94	59.05	204.03	31-202
	Stecker (MIL-Klemme)	59, 62	—	ARF1043-ND	4.75	69.00	238.74	31-212
	Stecker (MIL-Klemme)	59, 62	—	ARFX1043-ND*	1.83	30.48	89.74	31-212-RFX
	Stecker (Standard-Klemme)	8, 9, 87A, 214, 313, 225	—	ARF1155-ND	15.97	222.01	768.92	6775
	Stecker (Standard-Klemme)	55, 58, 141, 142, 223, 400	—	ARF1126-ND	5.34	69.42	240.43	31-2
	Stecker (Standard-Klemme)	55, 58, 141, 142, 223, 400	—	ARFX1119-ND*	1.90	31.75	95.24	31-2-RFX
	Stecker (Standard-Klemme)	59, 62, 71, 140, 210, 302	—	ARF1123-ND	11.73	133.25	461.43	31-12
	Stecker (MIL-Klemme)	174, 179, 187, 188, 316	—	ARF1157-ND	9.32	106.00	367.13	69475
	Stecker (Standard-Klemme)	178, 196	—	ARF1120-ND	9.55	108.54	375.43	15875
6	Stecker (FCP)	58, 141	—	ARF1145-ND	6.74	76.62	264.99	31-4700
	Stecker (FCP)	59	—	ARF1146-ND	6.95	101.88	352.58	31-4702
7	Stecker (Suretwist®)	59, 62	—	ARF1044-ND	6.43	73.02	253.13	31-5136
	Stecker (Suretwist®)	59, 62	—	ARFX1044-ND*	2.40	27.89	101.49	31-5136-RFX
	Stecker (Suretwist®)	58, 141, 142	—	ARFX1147-ND*	2.40	27.89	101.49	31-5137-RFX
	Stecker (Suretwist®)	Plenum 59, 62	—	ARF1048-ND	7.52	125.30	400.95	31-5369
8	Winkelstecker (MIL-Crimp)	58, 141, 142A	CTL-1	ARF1055-ND	29.44	334.53	1158.61	31-335
	Winkelstecker (MIL-Crimp)	58, 141, 142A	CTL-1	ARFX1055-ND*	4.55	75.77	227.31	31-335-RFX
	Winkelstecker (MIL-Crimp)	59, 62	CTL-1	ARF1056-ND	24.17	274.67	951.16	31-336
9	Bulkhead-Klinkenstecker (Klemme)	55, 58, 141, 142, 223, 400	—	ARF1127-ND	9.01	102.44	354.73	31-206
10	Bulkhead-Klinkenstecker (MIL-Crimp)	55, 58, 141, 142, 223, 400	CTL-1	ARF1060-ND	8.31	146.67	507.96	31-342
	Bulkhead-Klinkenstecker (MIL-Crimp)	55, 58, 141, 142, 223, 400	CTL-1	ARFX1060-ND*	3.51	38.10	133.34	31-342-RFX
	Bulkhead-Klinkenstecker (MIL-Crimp)	59, 62, 140, 210	CTL-1	ARFX1061-ND*	5.27	60.03	207.92	31-343-RFX
	Bulkhead-Klinkenstecker (MIL-Crimp)	174, 188, 316	CTL-2	ARF1139-ND	11.73	133.13	461.40	31-318
	Bulkhead-Klinkenstecker (MIL-Crimp)	174, 188, 316	CTL-2	ARFX1139-ND*	3.53	58.84	205.72	31-318-RFX
11	Einbau-Steckbuchse (Lötanschl.)	—	UG-290A	ARF1062-ND	7.67	87.20	301.39	31-203
	Einbau-Steckbuchse (Lötanschl.)	—	—	ARFX1062-ND*	3.00	49.95	150.69	31-203-RFX
12	Bulkhead-Steckbuchse isoliert (Lötzinn)	—	—	ARF1063-ND	5.71	64.76	224.35	31-10
	Bulkhead-Steckbuchse isoliert (Lötzinn)	—	—	ARFX1063-ND*	2.26	37.67	113.02	31-10-RFX
	Bulkhead-Steckbuchse, isoliert	—	—	ARF1121-ND	8.91	101.25	350.95	31-10-75
13	Bulkhead-Steckbuchse druckbeaufschlagt	—	UG-625B	ARF1134-ND	3.47	40.54	141.22	31-236
	Bulkhead-Steckbuchse	—	UG-1094/U	ARF1064-ND	2.73	31.11	107.52	31-221
	Bulkhead-Steckbuchse (Löten)	—	—	ARFX1064-ND*	2.64	19.26	69.01	31-221-RFX
	Bulkhead-Steckbuchse	—	UG-1094A	ARF1131-ND	3.54	40.21	138.84	31-2221
	Bulkhead-Steckbuchse	—	—	ARF1149-ND	15.64	177.62	615.05	31-70018
	Bulkhead-Steckbuchse druckbeaufschlagt	—	UG-657	ARF1122-ND	7.44	94.95	329.36	31-102
	Bulkhead-Steckbuchse druckbeaufschlagt	—	UG-912	ARF1136-ND	29.15	331.20	1147.18	31-238
14	Bulkhead-Winkelsteckbuchse	—	UG-1098	ARF1130-ND	55.19	627.01	2171.06	31-222
15	Rechter Bulkhead-winkelsteckbuchse	—	—	ARF1065-ND	6.02	68.36	237.05	31-5431
	Rechter Analog Bulkhead-Steckbuchse mit Kleinteilen	—	—	ARF1065NW-ND	6.42	81.91	284.46	31-5431-2010
	Rechter Bulkhead-Winkelsteckbuchse	75Ω	—	ARF1177-ND	5.19	59.05	204.03	31-71047-1010
	Rechter Bulkhead-Winkelsteckbuchse	50Ω	—	ARF1178-ND	5.19	59.05	204.03	31-5640-1010
	Rechter Bulkhead-Winkelsteckbuchse Metall	75Ω	—	ARF1179-ND	5.19	59.05	204.03	31-71043-1010
	Rechter Bulkhead-Winkelsteckbuchse niedrige Bauform	50Ω	—	ARF1180-ND	5.97	67.73	234.51	31-5486-1010
16	Steckbuchse, vertikal, f. Leiterplatte	—	—	ARF1066-ND	7.40	84.08	291.26	31-5329
17	Erdungsöse m. Abschirmung	—	—	ARF1067-ND	.71	7.92	27.94	31-759
18	Erdungsöse	—	—	ARF1068-ND	.63	6.98	23.70	31-10152-RFX
19	Gerade/Klinkenstecker-Klinkenstecker	—	UG-914/U	ARF1069-ND	5.71	64.76	224.35	31-219
	Gerade/Klinkenstecker-Klinkenstecker	—	—	ARFX1069-ND*	4.00	49.27	170.49	31-219-RFX
	Gerade/Klinkenstecker-Klinkenstecker	75Ω	—	ARF1150-ND	6.35	72.17	249.75	31-70019
20	Gerade/Stecker-Stecker	—	UG-491A/U	ARF1070-ND	11.05	137.89	477.48	31-218
	Gerade/Stecker-Stecker	—	—	ARFX1070-ND*	2.77	46.14	139.34	31-218-RFX
21	Winkel/Klinkenstecker-Stecker	—	UG-306/U	ARF1071-ND	14.17	161.07	557.91	31-9
	Winkel/Klinkenstecker-Stecker	—	—	ARFX1071-ND*	5.54	62.91	227.02	31-9-RFX
	Winkel/Klinkenstecker-Stecker	—	UG-306A	ARF1128-ND	16.73	189.98	658.27	31-209
22	Schalttafel/Klinkenstecker-Klinkenstecker	—	UG-414	ARF1154-ND	32.51	403.79	1398.29	47000
23	Bulkhead/Klinkenstecker-Klinkenstecker, m. Dichtung	50Ω	—	ARFX1130-ND*	4.61	53.36	185.05	31-220G-RFX
	Bulkhead/Klinkenstecker-Klinkenstecker (abgedichtet)	50Ω	UG-492A	ARF1129-ND	9.89	112.39	389.44	31-220H
	Bulkhead/Klinkenstecker-Klinkenstecker, ohne Dichtung	50Ω	—	ARF1072-ND	9.14	103.92	359.81	31-220N
	Bulkhead/Klinkenstecker-Klinkenstecker	—	—	ARFX1072-ND*	3.90	44.02	152.39	31-220N-RFX
	Bulkhead/Klinkenstecker-Klinkenstecker (abgedichtet)	—	UG-492D	ARF1140-ND	12.68	144.13	498.65	31-3220
	Bulkhead/Klinkenstecker-Klinkenstecker, m. Dichtung	75Ω	—	ARF1151-ND	23.23	263.82	913.41	31-70020
24	Bulkhead/Klinkenstecker-Klinkenstecker (isoliert)	—	—	ARF1073-ND	13.77	156.41	541.82	31-4803
25	T-Stück/Klinkenstecker-Stecker-Klinkenstecker	—	UG-274	ARF1152-ND	14.08	152.60	550.29	31-8
	T-Stück/Klinkenstecker-Stecker-Klinkenstecker	50Ω	UG-274A/U	ARF1074-ND	12.09	137.27	475.86	31-208
	T-Stück/Klinkenstecker-Stecker-Klinkenstecker	50Ω	—	ARFX1074-ND*	3.73	62.23	183.22	31-208-RFX
26	Widerstandsstecker, 50Ω	—	—	ARF1075-ND	17.74	201.43	697.67	46650-51
	Widerstandsstecker, 50Ω	—	—	ARFX1075-ND*	2.68	30.48	105.83	46650-51-RFX
	Widerstandsstecker, 75Ω	—	—	ARFX1076-ND*	2.89	32.85	113.94	46650-75-RFX
	Widerstandsstecker, 93Ω	—	—	ARFX1077-ND*	3.31	37.67	130.56	46650-93-RFX
27	Widerstandsstecker, 50Ω, m. Kette	—	—	ARF1078-ND	19.24	218.63	757.32	35650-51
	Widerstandsstecker, 75 Ω, m. Kette	—	—	ARF1079-ND	19.24	218.63	757.32	35650-75

Alle Preisangaben in Euro und inklusive Zollgebühren.

RF- und RFX-Steckverbinder

Abb. 1

Abb. 2

Abb. 3

Abb. 4

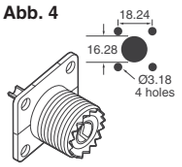

Abb. 5

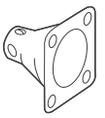

Abb. 6

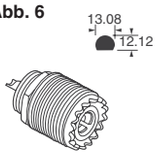

Abb. 7

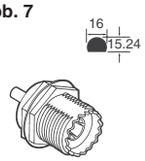

Abb. 8

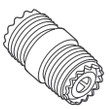

Abb. 9

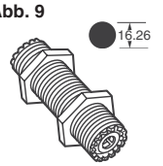

Abb. 10

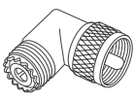

Abb. 11

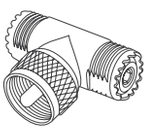

Abb. 12

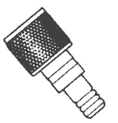

Abb. 13

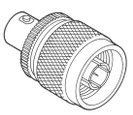

Abb. 14

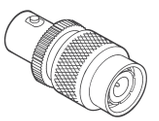

Abb. 15

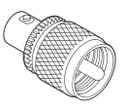

Abb. 16

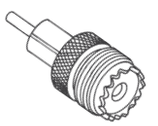

Abb. 17

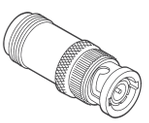

Abb. 18

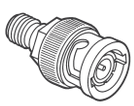

Abb. 19

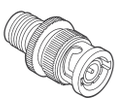

Abb. 20

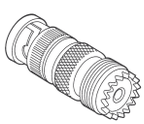

Abb. 21

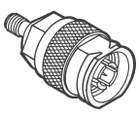

Abb. 22

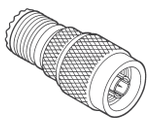

Abb. 23

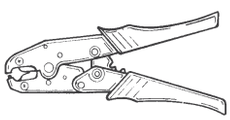

Abb. 24

UHF-Koaxialsteckverbinder

Abb.	Beschreibung	RG/U-Kabelgruppe	Militär Teilenr.	Digi-Key Teilenr.	Preisangaben 1	25	100	Amphenol Teilenr.
1	Stecker	8, 9, 87A, 214, 313, 225	PL-259/U	ARF1000-ND	4.35	38.40	120.49	83-1SP-1050
1	Stecker	8, 9, 87A, 214, 313, 225	—	ARFX1000-ND	2.29	26.03	92.28	83-1SP-15RFX
1	Stecker (TFE Isol.)	8, 9, 87A, 214, 313, 225	PL-259	ARF1001-ND	7.26	63.97	201.77	83-822
2	Stecker	58, 58A, 58C, 141, 303	—	ARF1002-ND	18.37	328.06	1181.01	83-58FCP
2	Stecker (Crimp oder Löten)	58, 141, 142	—	ARFX1002-ND*	3.12	35.35	125.30	83-58FCP-RFX
3	Reduzieradapter	58, 141, 142	UG-175	ARFX1003-ND*	.63	7.05	25.40	83-185-RFX
3	Reduzieradapter	59, 62, 71, 140, 210	UG-176/U	ARF1004-ND	8.42	108.18	387.15	83-168
3	Reduzieradapter	59, 62, 71, 140, 210	UG-176	ARFX1004-ND*	.57	6.35	22.86	83-168-RFX
4	Einbausteckbuchse	—	SO-239/U	ARF1005-ND	3.02	40.69	151.12	83-1R
4	Einbausteckbuchse	—	SO-239	ARFX1005-ND*	3.15	52.49	157.47	83-1R-RFX
4	Plattenmontage (TFE Isol.)	—	SO-239/A	ARF1168-ND	5.89	64.13	231.12	83-798
5	Gehäuse zur Plattenmontage	58, 141	UG-177	ARF1167-ND	9.78	86.27	272.22	83-765
6	Bulkhead-Steckbuchse	—	—	ARF1006-ND	20.56	222.33	700.47	83-875-1002
7	Bulkhead-Steckbuchse	—	—	ARF1007-ND	11.66	102.94	323.51	83-878
7	Bulkhead-Steckbuchse	—	—	ARFX1007-ND*	5.82	65.95	233.06	83-878-RFX
8	Gerade/Klinkenstecker-Klinkenstecker	—	PL-258/U	ARF1008-ND	9.82	128.52	413.48	83-1J
9	Bulkhead/Klinkenstecker-Klinkenstecker	—	UG-363/U	ARF1009-ND	28.81	253.96	804.61	83-1F
10	Winkel/Klinkenstecker-Stecker	—	UG-646/U	ARF1010-ND	16.81	148.04	469.36	83-1AP
11	Tee/Jack-Plug-Jack**	—	M-358	ARF1011-ND	13.44	157.24	610.16	83-1T

* RFX-Steckverbinder RFX™ für Anwendungen, die keine über den 1-3-GHz-Bereich hinausgehende Leistung erfordern. RFX™ Steckverbinder sind nicht für militärische Anwendungen geeignet. RFX™ Steckverbinder sind im Allgemeinen günstiger als MIL-Spec und Standard-Industriestecker. ** T-Stück/Klinkenstecker-Stecker-Klinkenstecker

Mini UHF-Steckverbinder

Abb.	Beschreibung	RG/U-Kabelgruppe	Digi-Key Teilenr.	Preisangaben 1	25	100	Amphenol Teilenr.
12	Stecker (Crimp)•	58, 58A, 58C, 141, 303	ARF1092-ND	4.12	41.30	131.05	81-115N-1000

• Crimpwerkzeuge sind unten aufgeführt.

Zwischenserienadapter

Abb.	Beschreibung	Militär Teilenr.	Digi-Key Teilenr.	Preisangaben 1	25	100	Amphenol Teilenr.
13	BNC-Klinkenstecker zu N-Stecker	UG-201A/U	ARF1096-ND	12.94	142.23	506.27	31-216
13	BNC-Klinkenstecker zu N-Stecker	UG-201A/U	ARFX1096-ND*	11.48	126.12	448.73	31-216-RFX
14	BNC-Klinkenstecker zu TNC-Stecker	—	ARF1098-ND	35.45	389.79	1385.84	79675
15	BNC-Klinkenstecker zu UHF-Stecker	UG-273/U	ARF1099-ND	19.12	267.34	950.33	31-28
15	BNC-Klinkenstecker zu UHF-Stecker	UG-273/U	ARFX1099-ND*	36.20	409.50	1450.40	31-28-RFX
16	UHF-Klinkenstecker zu RCA-Stecker	—	ARF1101-ND	7.58	162.91	515.24	83-10
17	BNC-Stecker zu N-Klinkenstecker	UG-349A/U	ARF1102-ND	15.90	191.75	681.51	31-217
17	BNC-Stecker zu N-Klinkenstecker	UG-349A/U	ARFX1102-ND*	18.65	211.08	747.26	31-217-RFX
18	BNC-Stecker zu SMA-Klinkenstecker	—	ARF1103-ND	62.95	692.10	2460.21	901-165
19	BNC-Stecker zu TNC-Klinkenstecker	—	ARF1104-ND	49.36	542.72	1929.55	7902
20	BNC-Stecker zu UHF-Klinkenstecker	UG-255/U	ARF1105-ND	21.94	241.07	857.61	2900
21	N-Stecker zu SMA-Klinkenstecker	—	ARF1106-ND	92.18	1130.11	4060.78	901-294
22	N-Stecker zu UHF-Klinkenstecker	UG-146/U	ARF1107-ND	20.18	240.82	856.14	4400

* RFX-Adapter.

ECONOHEX™ Crimpwerkzeuge und Gesenke

Abb.	Beschreibung	Digi-Key Teilenr.	Stück-preis	Amphenol Teilenr.
	Crimpwerkzeug, Serie CTL			
23	Crimpwerkzeug – RG 58, 59, 62, Plenum 59, 62	ARF1116-ND†	38.91	CTL-1
23	Crimpwerkzeug – RG 174, Belden 8281	ARF1117-ND†	41.66	CTL-2
23	Crimpwerkzeug - RG 58, 8, 213	ARF1118-ND†	41.66	CTL-3
23	Crimpwerkzeug - Belden 8227, IBM 7362211	ARF1119-ND†	45.06	CTL-4
23	Crimpwerkzeug - RG 55, 58, 59, 62, 140, 141, 142, 210, 223, 303, 400, Plenum 59, 62	ARF1183-ND†	45.06	CTL-5
	Crimpwerkzeug und Gesenke			
23	Werkzeuggriff ohne Gesenke	ARF1108-ND	88.33	227-987
24	Crimpeinsatz – Twin AX	ARF1110-ND	73.66	227-1417
24	Crimpeinsatz – BNC, TNC	ARF1111-ND	43.19	227-1418

† Crimpwerkzeuge der Serie CTL werden vollständig als Werkzeuggriff mit Einsatz verkauft.

Alle Preisangaben in Euro und inklusive Zollgebühren.

RF-Steckverbinder vom Typ SMA/SMB

Abb. 1	Abb. 2	Abb. 3	Abb. 4	Abb. 5	Abb. 6	Abb. 7	Abb. 8	Abb. 9	Abb. 10
Abb. 11	Abb. 12	Abb. 13	Abb. 14	Abb. 15	Abb. 16	Abb. 17	Abb. 18	Abb. 19 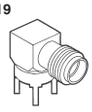	Abb. 20
Abb. 21 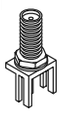	Abb. 22	Abb. 23	Abb. 24	Abb. 25	Abb. 26	Abb. 27	Abb. 28	Abb. 29	Abb. 30
Abb. 31	Abb. 32	Abb. 33 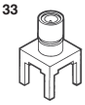	Abb. 34 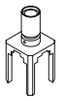	Abb. 35 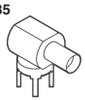	Abb. 36 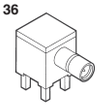	Abb. 37 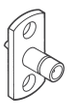	Abb. 38 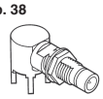	Abb. 39 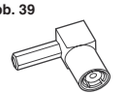	Abb. 40 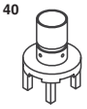

Abb.	Typ (Beschr.)	Kabelgruppe	Überzug	Digi-Key Teilenr.	Stückpreis 1	10	50	Johnson Teilenr.
			Typ SMA					
1	Crimp	2*	Gold	J523-ND	7.36	6.46	5.55	142-0303-411
	Crimp	2*	Nickel	J524-ND	7.09	6.22	5.35	142-0303-416
2	Crimp	2*	Gold	J525-ND	4.44	3.89	3.35	142-0403-011
	Crimp	2*	Nickel	J526-ND	4.08	3.58	3.08	142-0403-016
3	Lötzinn	RG-402	Gold	J485-ND	1.72	1.51	1.30	142-0694-011
	Lötzinn	RG-402	Nickel	J486-ND	1.63	1.44	1.24	142-0694-016
	Lötzinn	RG-405	Gold	J487-ND	3.60	3.16	2.72	142-0693-001
	Lötzinn	RG-405	Nickel	J488-ND	3.23	2.84	2.44	142-0693-006
	Lötzinn	0,086 Halbstarr	Nickel	J725-ND	5.18	4.55	3.91	142-0693-066
	Lötzinn	0,141 Halbstarr	Nickel	J726-ND	5.18	4.55	3.91	142-0694-066
4	Crimp	RG-178/U, 196	Gold	J605-ND	5.70	5.00	4.30	142-0402-011
	Crimp	4	Gold	J637-ND‡	6.19	5.43	4.67	142-0439-001
	Crimp	5	Gold	J638-ND‡‡	6.19	5.43	4.67	142-0435-001
5	Klemme	2*	Gold	J474-ND	10.05	8.82	7.58	142-0203-011
	Klemme	2*	Nickel	J475-ND	9.18	8.05	6.92	142-0203-016
	Klemme	3**	Gold	J480-ND	16.10	14.13	12.14	142-0207-011
	Klemme	3**	Nickel	J481-ND	15.20	13.33	11.46	142-0207-016
6	Klemme	2*	Nickel	J477-ND	7.47	6.55	5.63	142-0203-106
	Klemme	3**	Nickel	J484-ND	8.39	7.36	6.33	142-0207-106
7	Crimp	2*	Gold	J510-ND	6.48	5.68	4.89	142-0403-101
	Crimp	4	Gold	J639-ND‡	8.69	7.63	6.56	142-0439-101
	Crimp	5	Gold	J640-ND‡‡	9.66	8.48	7.29	142-0435-101
	Crimp	8ΔΔ	Gold	J713-ND	6.56	5.76	4.95	142-0404-101
8	Lötzinn	0,086 Halbstarr	Gold	J606-ND	8.13	7.13	6.13	142-0693-101
	Lötzinn	0,141 Halbstarr	Gold	J607-ND	7.97	6.99	6.01	142-0694-101
9	Klemme	2*	Gold	J478-ND	11.01	9.66	8.31	142-0103-401
10	Plattenmont.	—	Gold	J490-ND	5.01	4.40	3.78	142-0701-401
11	Plattenmont.	—	Gold	J489-ND	6.18	5.43	4.67	142-0701-411
12	Flanschmont.	—	Gold	J492-ND	5.00	4.39	3.78	142-0701-621
13	Flanschmont.	—	Gold	J493-ND	5.00	4.39	3.78	142-0701-631
14	Leiterplattenmont.	—	Gold	J494-ND	6.29	5.52	4.75	142-0701-211
	Leiterplattenmont.	—	Nickel	J495-ND	5.91	5.19	4.46	142-0701-216
15	Leiterplattenmont.	—	Gold	J500-ND	4.33	3.80	3.27	142-0701-201
16	Leiterplattenmont.	—	Gold	J608-ND	4.33	3.80	3.27	142-0701-231
17	Leiterplattenmont.	—	Gold	J496-ND	10.51	9.22	7.93	142-0701-321
	Leiterplattenmont.	—	Nickel	J497-ND	9.86	8.66	7.44	142-0701-326
18	Leiterplattenmont.	—	Gold	J569-ND	10.03	8.80	7.57	142-0701-501
	Leiterplattenmont.	—	Nickel	J714-ND	9.58	8.41	7.23	142-0701-506
	Leiterplattenmont.	—	Gold	J715-ND	10.29	9.04	7.77	142-0701-551
19	Leiterplattenmont.	—	Gold	J501-ND	6.94	6.09	5.24	142-0701-301
20	.062" PC Mt.††	—	Gold	J502-ND	4.72	4.15	3.56	142-0701-801
	.062" PC Mt.††	—	Nickel	J716-ND	4.49	3.94	3.39	142-0701-806
	.062" PC Mt.††	—	Gold	J629-ND	5.65	4.96	4.26	142-0711-821
	.031" PC Mt.†††	—	Gold	J657-ND	5.20	4.56	3.92	142-0701-881
	.062" PC Mt.††	—	Gold	J658-ND	5.51	4.84	4.16	142-0701-851
	.042" PC Mt.◊◊	—	Gold	J630-ND	6.60	5.80	4.98	142-0701-841
21	Leiterplattenmont.	—	Gold	J610-ND	6.77	5.95	5.11	142-0701-871
22	Leiterplattenmont.	—	Gold	J631-ND	5.19	4.56	3.92	142-0721-881
23	Crimp	4‡	Gold	J641-ND	9.56	8.39	7.21	142-0339-401
24	Lötzinn	0,086 Halbstarr	Nickel	J722-ND	3.88	3.40	2.93	142-0593-006
	Lötzinn	0,141 Halbstarr	Gold	J723-ND	5.81	5.10	4.39	142-0594-001
	Lötzinn	0,141 Halbstarr	Nickel	J724-ND	5.60	4.91	4.22	142-0594-006
	Lötzinn	0,086 Halbstarr	Gold	J727-ND	4.30	3.78	3.25	142-0593-001
25	50Ω Abschluss	—	Gold	J634-ND	29.06	25.49	21.91	142-0801-861
26	Schnellkupplung	7Δ	Gold	J706-ND	20.78	18.23	15.67	142-1403-001
	Schnellkupplung	8ΔΔ	Gold	J707-ND	20.78	18.23	15.67	142-1404-001
	Schnellkupplung	3**	Gold	J708-ND	20.78	18.23	15.67	142-1407-001
	Schnellkupplung	9ΔΔΔ	Gold	J709-ND	20.78	18.23	15.67	142-1408-001
27	Adapter	—	Gold	J710-ND	31.17	27.34	23.50	142-1901-821

†† 0,062" Leiterplattenmont. ††† 0,031" Leiterplattenmont. ◊◊ 0,042" Leiterplattenmont.

Abb.	Typ (Beschr.)	Kabelgruppe	Überzug	Digi-Key Teilenr.	Stückpreis 1	10	50	Johnson Teilenr.
28	Zum Aufschieben	RG-405	Gold	J711-ND	5.52	4.84	4.16	142-0693-061
	Zum Aufschieben	RG-402	Gold	J712-ND	5.52	4.84	4.16	142-0694-061
29	SMT	—	Gold	J717-ND	8.25	7.24	6.23	142-0711-301
			Typ SMB					
30	50 Ω Terminator	—	Gold	J635-ND	13.19	11.57	9.95	131-3801-811
	75 Ω Terminator	—	Gold	J636-ND	12.21	10.71	9.21	131-3801-821
31	Crimp	2*	Nickel	J464-ND	4.71	4.13	3.55	131-1403-016
32	Crimp	2*	Gold	J465-ND	4.66	4.09	3.52	131-1403-101
	Crimp	2*	Nickel	J466-ND	3.92	3.44	2.96	131-1403-116
33	Leiterplattenmont.	—	Gold	J467-ND†	2.54	2.23	1.92	131-1701-201
	Leiterplattenmont.	—	Nickel	J468-ND†	2.38	2.09	1.80	131-1701-206
	Leiterplattenmont.	—	Nickel	J469-ND†	2.38	2.09	1.80	131-1701-216
34	Leiterplattenmont.	—	Gold	J613-ND†	1.94	1.71	1.47	131-3701-261
	Leiterplattenmont.	—	Nickel	J614-ND†	1.85	1.63	1.40	131-3701-266
	Leiterplattenmont.	—	Gold	J615-ND†	1.94	1.71	1.47	131-3701-271
	Leiterplattenmont.	—	Nickel	J616-ND†	1.85	1.63	1.40	131-3701-276
35	Leiterplattenmont.	—	Gold	J472-ND	4.68	4.11	3.54	131-3701-301
36	Leiterplattenmont.	—	Gold	J470-ND	4.44	3.90	3.35	131-1701-371
	Leiterplattenmont.	—	Nickel	J471-ND	4.27	3.75	3.22	131-1701-376
37	Plattenmont.	—	Gold	J520-ND	6.49	5.70	4.90	131-3701-621
38	Plattenmont.	—	Gold	J522-ND	6.02	5.28	4.54	131-3701-341
	Leiterplattenmont.	—	Gold	J719-ND	7.02	6.16	5.29	131-3701-501
40	Leiterplattenmont.	—	Gold	J718-ND	2.05	1.80	1.55	131-3701-201
			Nichtmagnetische SMA-Steckverbinder					
3	Crimp	2*	Gold	J660-ND	11.64	10.21	8.78	142-9403-011
	Crimp	6◊	Gold	J661-ND	11.24	9.86	8.48	142-9404-011
	Crimp	3**	Gold	J664-ND	12.61	11.06	9.51	142-9407-001
8	Crimp	2*	Gold	J662-ND	17.46	15.31	13.17	142-9403-101
	Crimp	6◊	Gold	J663-ND	16.63	14.68	12.54	142-9404-101
	Crimp	3**	Gold	J665-ND	17.94	15.74	13.53	142-9407-101
16	Leiterplattenmont.	—	Gold	J666-ND	8.40	7.37	6.34	142-9701-201
	Leiterplattenmont.	—	Gold	J667-ND	7.49	6.58	5.66	142-9701-211
19	Leiterplattenmont.	—	Gold	J668-ND	14.38	12.62	10.85	142-9701-301
20	Leiterplattenmont.	—	Gold	J669-ND	9.99	8.77	7.54	142-9701-801
	Leiterplattenmont.	—	Gold	J670-ND	9.99	8.77	7.54	142-9701-811
			Nichtmagnetische SMB-Steckverbinder					
31	Crimp	2*	Gold	J671-ND	14.15	12.41	10.67	131-9403-001
	Crimp	6◊	Gold	J672-ND	12.92	11.34	9.75	131-9404-001
33	Leiterplattenmont.	—	Gold	J675-ND	8.42	7.39	6.35	131-9701-201
	Leiterplattenmont.	—	Gold	J676-ND	8.42	7.39	6.35	131-9701-211
35	Leiterplattenmont.	—	Gold	J677-ND	14.96	13.13	11.28	131-9701-301
39	Crimp	2*	Gold	J673-ND	19.89	17.44	15.00	131-9403-101
	Crimp	6◊	Gold	J674-ND	18.16	15.93	13.69	131-9404-101
			Werkzeuge					
Crimpwerkzeugrahmen				J572-ND	83.58	—	—	140-0000-952
Einsatz für Typ SMA, SMB (RG178, 316, 316DS, 58)				J573-ND	101.50	—	—	140-0000-951
Halbstarres Kabel-Schraubstock-Tool				J702-ND	437.35	—	—	140-0000-962
Kabelklemmeneinsätze, 0,086 halbstarres Tool				J703-ND	75.48	—	—	140-0000-964
Kabelklemmeneinsätze, 0,141 halbstarres Tool				J704-ND	75.48	—	—	140-0000-965
			Kit					
RF-Adapterkit, 50Ω, 70 Stck.				J687-ND	234.71	—	—	142-0000-005

* **Kabel der Gruppe 2:** RG-161/U, RG-174/U, RG-179/U, RG-187/U, RG-188/U, RG-316/U

** **Kabel der Gruppe 3:** RG-58/U, RG-141/U, RG-303/U

‡ **Kabel der Gruppe 4:** LMR-200, HPF-200, RF-200

‡‡ **Kabel der Gruppe 5:** LMR-240, HPF-240, RF-240

◊ **Kabel der Gruppe 6:** RG-179DS, RG-187DS, RG-188DS, RG-316DS

Δ **Kabel der Gruppe 7:** RG-161/U, RG-174/U, RG-188/U, RG-316/U

ΔΔ **Kabel der Gruppe 8:** RG-188DS, RG-316DS

ΔΔΔ **Kabel der Gruppe 9:** RG-55/U, RG-142/U, RG-223/U, RG-400/U

† **J467, J468, J613 und J614** Anschlusslänge: 0,155"; **J469, J615 und J616** Anschlusslänge: 0,095"

JOHNSON Components™ SMK Steckverbinder. 2.92 mm

SMK-Steckverbinder bieten eine hervorragende Lösung für Anwendungen, die HF-Übertragung verlangen. Ähnlich wie eine SMA-Schnittstelle; ein kleinerer Körperinnendurchmesser (2,92 mm) und Luft-Dielektrikum bieten eine höhere Abschaltfrequenz und andere wichtige Vorteile • Erstklassige elektrische Leistung bis 40 GHz • Buchsenkontakte mit Drei-Schlitz-Konstruktion erhöhen die Konnektivität • Im Feld auswechselbare Klinkenstecker verfügen über eine hochwertige hermetische Dichtungsdurchführung zur Verwendung in versiegelten Modulen • Die SMK-Steckerschnittstelle verwendet präzisere Größen als eine SMA und verwendet einen kürzeren „Snub Nose"-Stift, damit die Steckverbinderkörper sich vor Kontaktschluss richtig aufeinander ausrichten

Abb. 1

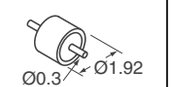

Abb. 2

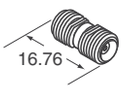

Abb. 3

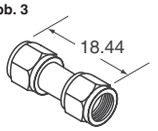

Abb. 4

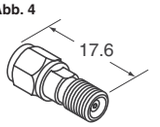

Abb. 5

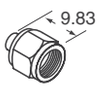

Abb. 6

Abb. 7

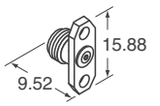

Abb. 8

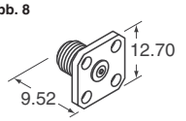

Abm. in mm

Abb.	Beschreibung	Überzug	Digi-Key Teilenr.	Stückpreis 1	10	50	Johnson Teilenr.
	Adapter						
1	Hermetische dichte Durchführung	—	J688-ND	13.43	10.56	8.83	142-1000-033
2	Adapter, Klinkenstecker-an-Klinkenstecker	Gold	J694-ND	72.86	63.06	56.05	145-0901-801
3	Adapter, Stecker-an-Stecker	Gold	J695-ND	69.18	59.86	53.21	145-0901-811
4	Adapter, Stecker-an-Klinkenstecker	Gold	J696-ND	71.01	61.46	54.63	145-0901-821
	Stecker						
5	Gerader Löttyp mit /Kontakt, Aufschiebmutter	Passiviert	J689-ND	18.47	14.52	12.14	145-0693-002
	Gerader Löttyp mit /Kontakt, Aufschiebmutter	Passiviert	J690-ND	18.47	14.52	12.14	145-0694-002
	Steckbuchse						
6	Schraubmontage, im Feld auswechselbar	Passiviert	J691-ND	22.60	17.76	14.85	145-0701-002
7	Montage-Klinkenstecker, 2-Löcher-Flansch	Passiviert	J692-ND	24.44	19.21	16.07	145-0701-602
8	Montage-Klinkenstecker, 4-Löcher-Flansch	Passiviert	J693-ND	24.44	19.21	16.07	145-0701-612

Beschreibung	Digi-Key Teilenr.	Stückpreis	Johnson Teilenr.
Werkzeuge			
Perlenwerkzeug	J697-ND	21.87	140-0000-957
Körperlötwerkzeug für 0,086 halbstarr	J698-ND	9.72	140-0000-958
Körperlötwerkzeug für 0,141 halbstarr	J699-ND	9.72	140-0000-959
Kontaktlötwerkzeug für 0,086 halbstarr	J700-ND	9.11	140-0000-960
Kontaktlötwerkzeug für 0,141 halbstarr	J701-ND	9.11	140-0000-961
Kabel-Schraubstock-Tool	J702-ND	437.35	140-0000-962
Kabel-Klemmeinsatz-Tool für 0,086 halbstarr	J703-ND	75.48	140-0000-964
Kabel-Klemmeinsatz-Tool für 0,141 halbstarr	J704-ND	75.48	140-0000-965
Schraubstock-Stopp-Tool	J705-ND	8.51	140-0000-968

RF-Steckverbinder, Typ MMCX

Abb. 1 – Gerade verkabelter Stecker

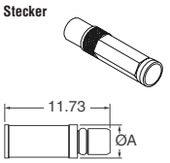

Abb. 2 – Rechtwinkliger, flexibler Kabelstecker

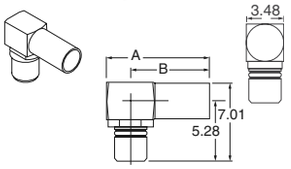

Abb. 3 – Stecker, gerade

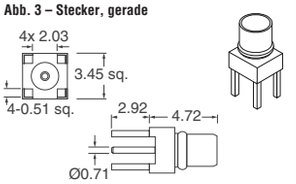

Abb. 4 – Rechtwinkliger Stecker, halbstarr

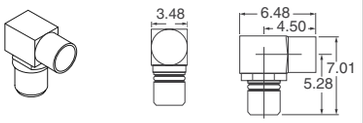

Abb. 5 – Klinkenstecker, gerade

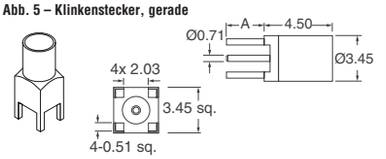

Abb. 6 – Rechtwinkliger Klinkenstecker

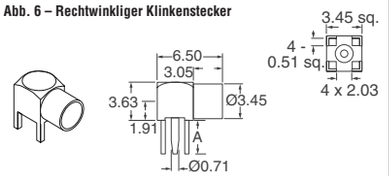

Abb. 7 – End-Launch-Klinkenstecker

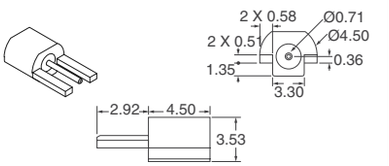

ELEKTRISCHE NENNWERTE: • **Impedanz:** 50 Ω • **Frequenzbereich:** 0-6 GHz • **Betriebsspannung:** 170 Vrms in Meereshöhe • **Isolationswiderstand:** Min. 1.000 MΩ

MECHANISCHE NENNWERTE: • **Kupplungs-/Trennkraft:** 8,0 lbs. max. Kupplung, 1,4 lbs. min. Trennung • **Kontaktsteckkraft:** 2,0 lbs. min. Axialkraft • **Kabelhaltekraft:** 30 lbs. • **Haltbarkeit:** Min. 500 Zyklen

UMWELT-NENNWERTE: • **Betriebstemperaturbereich:** -55 °C ~ 155 °C

Abb.	Kabeltyp	Abm. (mm) A	B	Digi-Key Teilenr.	Stückpreis 1	10	50	Johnson Teilenr.
1	RG 178/U, 196	3.48	—	J589-ND	4.04	3.55	3.05	135-3402-001
	RG 316/U, 188, 161, 174	4.39	—	J590-ND	6.03	5.29	4.55	135-3403-001
	RG 316 DS, 188 DS, 187 DS	4.39	—	J591-ND	6.17	5.42	4.66	135-3404-001
	.047" Duchrm. flexibel, Huber K01152-07, Axon P512479A	3.48	—	J592-ND	4.04	3.55	3.05	135-3436-001
2	RG 178/U, 196	8.99	7.01	J593-ND	7.10	6.23	5.36	135-3402-101
	RG 316/U, 188, 187, 179, 161, 174	10.46	8.48	J594-ND	7.02	6.16	5.30	135-3403-101
	RG 316 DS, RG 188 DS	10.46	8.48	J595-ND	7.18	6.30	5.41	135-3404-101
	.047" Duchrm. flexibel, Huber K01152-07, Axon P512479A	8.99	7.01	J596-ND	7.10	6.23	5.36	135-3436-101
3	—	—	—	J601-ND	8.02	7.04	6.05	135-3801-201
4	—	—	—	J602-ND	7.10	6.23	5.36	135-3693-101
5	Gerade - Gold, Leiterplatte	2.92	—	J597-ND	4.08	3.58	3.08	135-3701-201
	Gerade - Gold, Leiterplatte	1.73	—	J598-ND	4.21	3.70	3.18	135-3701-211
6	Rechtwinklig - Gold, Leiterplatte	2.92	—	J599-ND	8.65	7.60	6.53	135-3701-301
	Rechtwinklig - Gold, Leiterplatte	1.73	—	J600-ND	8.29	7.27	6.25	135-3701-311
7	End Launch - Leiterplatte	—	—	J603-ND	5.05	4.43	3.81	135-3711-801
	Handcrimpwerkzeug (nur Rahmen)			J572-ND		83.58/1		140-0000-952
	Einsatz für Crimpwerkzeug			J604-ND		173.94/1		140-0000-953

RF-Steckverbinder, Typ MCX

Abb. 1 – Rechtwinkliger Kabelstecker

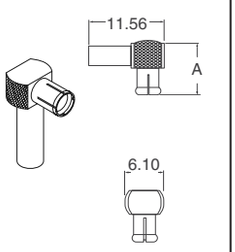

Abb. 2 – Gerader Kabelstecker

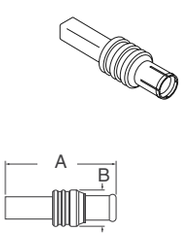

Abb. 3 – Bulkhead-Klinkenstecker, gerade, Crimptyp

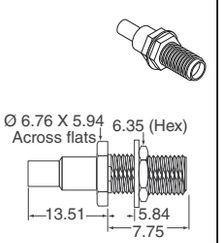

Abb. 4 – Steckbuchse, gerade

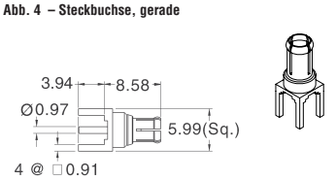

Abb. 5 – Gerader Klinkenstecker, Platinenmontage

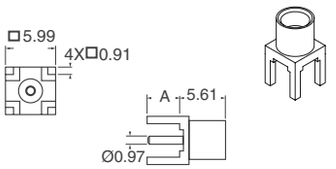

MERKMALE: • 30 % kleiner als SMB • Robustes Einschnappsystem • Unverlierbarer Kontakt

ELEKTRISCHE NENNWERTE: • **Impedanz:** 50 Ω • **Frequenzbereich:** 0-6 GHz • **Betriebsspannung auf Meereshöhe:** 335 VRMS; 250 VRMS (J531-ND und J532-ND).

MECHANISCHE NENNWERTE: • **Kupplungs-/Entkupplungskraft:** 5,6 lbs. max. Kupplung / 8 lbs. typische Kupplung • **Kontaktsteckkraft:** 2,3 lbs. min. Axialkraft • **Haltbarkeit:** min. 500 Zyklen

Abb.	Kabeltyp	Überzug	Abm. (mm) A	B	Digi-Key Teilenr.	Stückpreis 1	10	50	100	Johnson Teilenr.
	50 Ohm									
1	RG 178	Gold	11.58	—	J531-ND	4.33	3.81	3.27	2.81	133-3402-101
	RG 316	Gold	11.58	—	J535-ND	4.11	3.61	3.10	2.66	133-3403-101
	RG 178	Nickel	11.58	—	J532-ND	4.18	3.67	3.16	2.71	133-3402-106
	RG 316	Nickel	11.58	—	J536-ND	3.95	3.47	2.99	2.56	133-3403-106
	RG 188, RG 316	Nickel	7.90	—	J720-ND	3.95	3.47	2.99	2.56	133-3404-106
	.086 Halbstarr	Gold	7.90	—	J721-ND	4.11	3.61	3.10	2.66	133-3693-101
2	RG 316	Gold	15.19	4.98	J533-ND	3.42	3.01	2.59	2.22	133-3403-001
	RG 316	Nickel	15.19	4.98	J534-ND	3.19	2.81	2.41	2.07	133-3403-006
4	—	Gold	—	—	J612-ND	5.64	4.95	4.26	3.65	133-3801-201
5	—	Gold	3.94	—	J537-ND	3.12	2.74	2.35	2.02	133-3701-201
	—	Nickel	3.94	—	J538-ND	3.09	2.71	2.33	2.00	133-3701-206
	—	Gold	2.79	—	J539-ND	3.24	2.85	2.45	2.10	133-3701-211
	—	Nickel	2.79	—	J540-ND	3.09	2.71	2.33	2.00	133-3701-216
6	—	Gold	3.94	—	J541-ND	7.12	6.25	5.37	4.60	133-3701-301
	—	Nickel	3.94	—	J542-ND	6.97	6.11	5.25	4.50	133-3701-306
	—	Gold	2.79	—	J543-ND	7.29	6.40	5.50	4.71	133-3701-311
	—	Nickel	2.79	—	J544-ND	7.12	6.25	5.37	4.60	133-3701-316

(Forts.)

Alle Preisangaben in Euro und inklusive Zollgebühren.

Abb. 6 – Rechtwinkliger Klinkenstecker, Platinenmontage

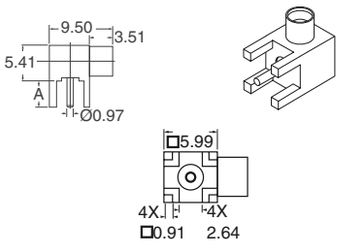

Abb. 7 – Frontmontierte Bulkhead-Steckbuchse

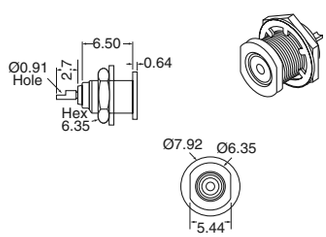

Abb. 8 – End-LaunchKlinkenstecker

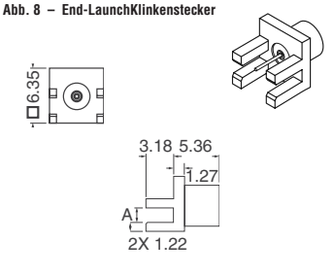

Abb. 9 – Gerader Klinkenstecker, SMT

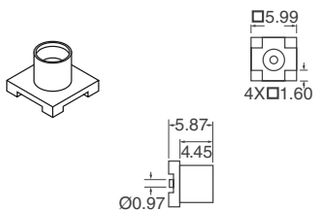

Abb. 10 – Rechtwinkliger Klinkenstecker, SMT

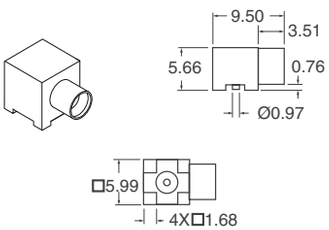

Abb. 11 – Gerade Klinkensteckerbuchse - 2,54 mm

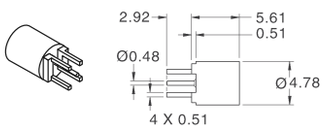

Abb.	Kabeltyp	Überzug	Abm. (mm) A	Abm. (mm) B	Digi-Key Teilenr.	Stückpreis 1	Stückpreis 10	Stückpreis 50	Stückpreis 100	Johnson Teilenr.
			50 Ω							
7	—	Gold	—	—	J545-ND	5.63	4.94	4.25	3.64	133-3701-401
	—	Nickel	—	—	J546-ND	5.44	4.78	4.11	3.52	133-3701-406
8	—	Gold	1.73	—	J547-ND	4.09	3.59	3.09	2.65	133-3701-801
9	—	Gold	—	—	J548-ND	4.66	4.09	3.52	3.01	133-3711-201
10	—	Gold	—	—	J549-ND	7.61	6.68	5.74	4.92	133-3711-301
11	—	Gold	—	—	J611-ND	3.70	3.25	2.79	2.39	133-3701-231
			75 Ω							
1	RG-179	Gold	7.98	—	J643-ND	4.74	4.16	3.58	3.07	133-8433-101
	RG-179DS	Gold	7.98	—	J644-ND	4.74	4.16	3.58	3.07	133-8434-101
2	RG-179	Gold	20.47	5.94	J645-ND	7.91	6.94	5.97	5.11	133-8433-001
3	RG-179	Gold	—	—	J647-ND	9.52	8.36	7.18	6.16	133-8333-401
	RG-179DS	Gold	—	—	J648-ND	9.52	8.36	7.18	6.16	133-8334-401
5	—	Gold	3.80	—	J649-ND	6.71	5.89	5.07	4.34	133-8701-201
	—	Gold	2.70	—	J650-ND	4.24	3.73	3.21	2.75	133-8701-211
6	—	Gold	3.80	—	J651-ND	7.53	6.61	5.69	4.87	133-8701-301
	—	Gold	2.70	—	J652-ND	7.53	6.61	5.69	4.87	133-8701-311
8	—	Gold	1.73	—	J653-ND	4.37	3.84	3.30	2.83	133-8701-801
9	—	Gold	—	—	J654-ND	4.83	4.23	3.64	3.12	133-8711-201
			Nichtmagnetische MCX-Steckverbinder							
1	RG-316/u, 188, 174	Gold	7.90	11.56	J680-ND	7.24	6.35	5.46	4.68	133-9403-101
	RG-316DS, 188DS	Gold	7.90	11.56	J681-ND	7.72	6.78	5.83	5.00	133-9404-101
2	RG-316/u, 188, 174	Gold	15.19	4.98	J678-ND	9.21	8.09	6.95	5.96	133-9403-001
	RG-316DS, 188DS	Gold	15.19	4.98	J679-ND	9.21	8.09	6.95	5.96	133-9404-001
5	—	Gold	3.94	—	J682-ND	4.96	4.35	3.74	3.21	133-9701-201
	—	Gold	2.79	—	J683-ND	4.72	4.15	3.56	3.06	133-9701-211
6	—	Gold	3.94	—	J684-ND	7.72	6.78	5.83	5.00	133-9701-301
	—	Gold	2.79	—	J685-ND	8.45	7.42	6.38	5.47	133-9701-311
8	—	Gold	1.57	—	J686-ND	9.80	8.60	7.39	6.34	133-9701-801
Crimpwerkzeug, Prototyp					J574-ND		297.45/1			141-0000-908
Handcrimpwerkzeug (nur Rahmen)					J572-ND		83.58/1			140-0000-952
Gesenk-Einsatz (RG178, 316)					J573-ND		101.50/1			140-0000-951

Adapter

Abb. 1

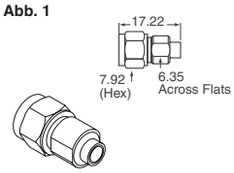

Abb. 2

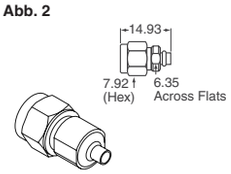

Abb. 3

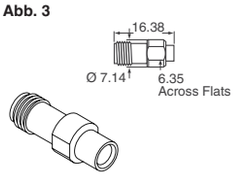

Abb. 4

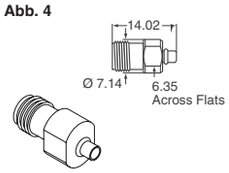

Abb. 5

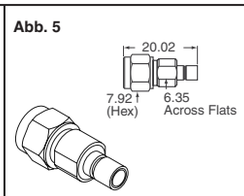

Abb. 6

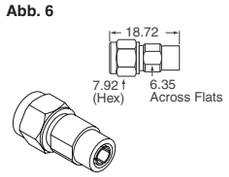

Abb. 7

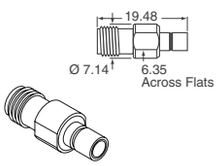

Abb. 8

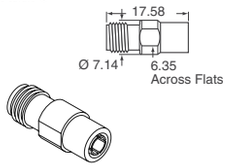

Abb. 9

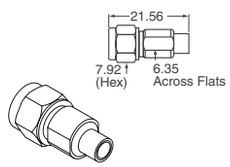

Abb. 10

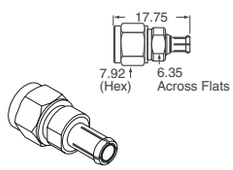

Abb. 11

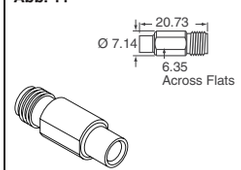

Abb. 12

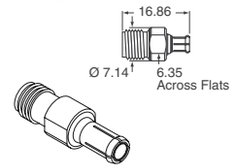

Abb. 13

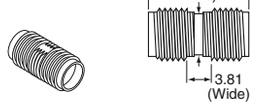

Abb. 14

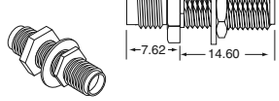

Abb. 15

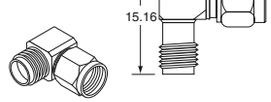

Abb. 16

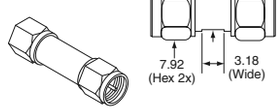

Abb. 17

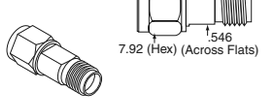

Abb.	Beschreibung	VSWR (GHz)	Frequ.-Bereich (GHz)	Digi-Key Teilenr.	Stückpreis 1	Stückpreis 10	Johnson Teilenr.
1	SMA-Stecker an MMCX-Klinkenstecker	1.05+.05f	0-6	J617-ND	29.31	24.33	134-1019-151
2	SMA-Stecker an MMCX-Stecker	1.05+.05f	0-6	J618-ND	31.75	26.36	134-1019-161
3	SMA-Klinkenstecker an MMCX-Klinkenstecker	1.05+.05f	0-6	J619-ND	26.86	22.30	134-1019-171
4	SMA-Klinkenstecker an MMCX-Stecker	1.05+.05f	0-6	J620-ND	29.31	24.33	134-1019-181
5	SMA-Stecker an SMB-Klinkenstecker	1.05+.01f	0-4	J621-ND	26.86	22.30	134-1012-011
6	SMA-Stecker an SMB-Stecker	1.05+.01f	0-4	J622-ND	29.31	24.33	134-1012-021
7	SMA-Klinkenstecker an SMB-Klinkenstecker	1.05+.01f	0-4	J623-ND	26.86	22.30	134-1012-031
8	SMA-Klinkenstecker an SMB-Stecker	1.05+.01f	0-4	J624-ND	26.86	22.30	134-1012-041
9	SMA-Stecker an MCX-Klinkenstecker	1.03+.03f	0-6	J625-ND	26.86	22.30	134-1018-001

Abb.	Beschreibung	VSWR (GHz)	Frequ.-Bereich (GHz)	Digi-Key Teilenr.	Stückpreis 1	Stückpreis 10	Johnson Teilenr.
10	SMA-Stecker an MCX-Stecker	1.03+.03f	0-6	J626-ND	29.31	24.33	134-1018-011
11	SMA-Klinkenstecker an MCX-Klinkenstecker	1.03+.03f	0-6	J627-ND	26.86	22.30	134-1018-021
12	SMA-Klinkenstecker an MCX-Stecker	1.03+.03f	0-6	J628-ND	26.86	22.30	134-1018-031
13	SMA-Klinkenstecker an SMA-Klinkenstecker	1.05+.005f	0-18	J655-ND	10.51	9.23	142-0901-801
14	SMA Jack to SMA Bulkhead Jack*	1.05+.01f	0-18	J659-ND	15.02	13.17	142-0901-401
15	SMA Jack to SMA Plug / Rt. Angle**	1.035+.02f	0-18	J632-ND	13.60	11.94	142-0901-941
16	SMA-Stecker an SMA-Stecker	1.05+.01f	0-18	J633-ND	12.12	10.64	142-0901-811
17	SMA-Stecker an SMA-Klinkenstecker	1.05+.005f	0-18	J656-ND	10.74	9.43	142-0901-821

Hinweis: Alle Adapter sind vergoldet. * SMA-Klinkenstecker an SMA-Bulkhead-Klinkenstecker ** SMA-Klinkenstecker an SMA-Stecker / rechtwinklig

RF-Steckverbinder und Adapter

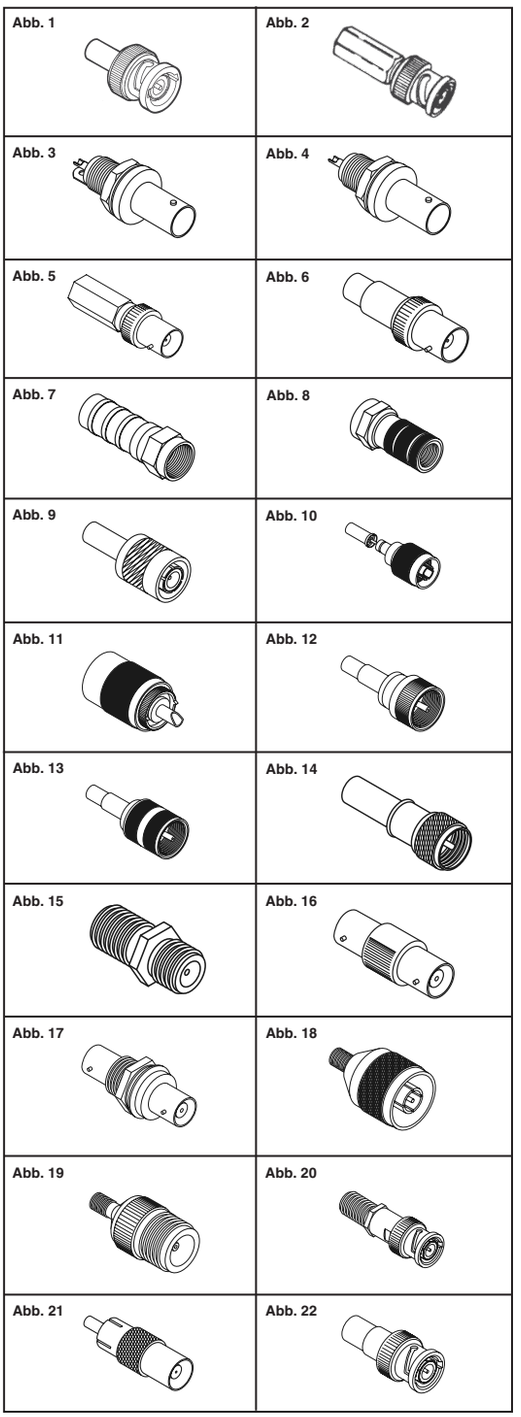

Abb.	Typ	Beschreibung	RG/U-Kabelgruppe	Digi-Key Teilenr.	Stückpreis 1	25	50	Cambridge Teilenr.
			Steckverbinder					
			Echt 75 Ω BNC					
1	Stecker	Crimp-Typ, Löt- oder Crimpkontakt, 75 Ω	RG-59, 140, 302, Belden 9209A, 8279, 8241, 8263	367-1067-ND	3.22	2.93	2.35	CPMC-68-2
			RG-6, Belden 8215	367-1069-ND	3.73	3.39	2.72	CPMC-68-5
			RG-179, 187, Belden 1520A	367-1072-ND	3.56	3.24	2.59	CPMC-68-20
			BNC					
1	Stecker	Crimp-Typ, Aufdrückdesign, 50 Ω	RG-58	367-1001-ND	1.26	1.15	.92	CP-88-1
			RG-59, 62	367-1002-ND	1.26	1.15	.92	CP-88-2
			RG-6	367-1004-ND	1.47	1.34	1.08	CP-88-5
		Crimp-Typ, Löt- oder Crimpkontakt, 50 Ω	RG-179, 187	367-1043-ND	1.66	1.51	1.21	CPM-88-20
			RG-174, 188,316	367-1044-ND	1.66	1.51	1.21	CPM-88-19
			RG-58, 141	367-1047-ND	1.19	1.09	.88	CPMC-88-1
			RG-59, 62	367-1048-ND	1.19	1.09	.88	CPMC-88-2
			RG-TFE-59, 62	367-1050-ND	1.22	1.12	.89	CPMC-88-10
			RG-142, 223, 400, 55	367-1052-ND	1.29	1.18	.94	CPMC-88-13
			Belden 8218	367-1053-ND	1.46	1.33	1.06	CPMC-88-18
		Crimp-Typ, Löt- oder Crimpkontakt, 75 Ω	RG-59, 62	367-1045-ND	1.34	1.22	.98	CPMC-78-2
			Belden 8218, 1855A	367-1046-ND	1.57	1.43	1.14	CPMC-78-18
2	Stecker	Twist-On, vor Ort installierbar, 50 Ω	RG-58	367-1030-ND	1.47	1.34	1.08	CPFI-UG88-1
			RG-59, 62	367-1031-ND	1.54	1.40	1.12	CPFI-UG88-2
			RG-6	367-1034-ND	1.52	1.38	1.11	CPFI-UG88-5
3	Jack*	Frontmontage Bulkhead-Klinkenstecker, m. Lötfahne, 50 Ω	—	367-1019-ND	.92	.84	.67	CP-1094-AST
4	Jack*	Frontmontage Bulkhead-Klinkenstecker, ohne Lötfahne, 50 Ω	—	367-1020-ND	.88	.81	.65	CP-1094-U*
5	Jack*	Twist-On-Klinkenstecker, gerade, 50 Ω	RG-59, 62	367-1036-ND	1.75	1.59	1.28	CPFI-UG89-2
6	Jack*	Klinkenstecker, Aufdrückgehäuse, Crimp-Typ, 50 Ω	RG-59, 62	367-1007-ND	1.29	1.18	.94	CP-89-2
			Typ F					
7	Stecker	Crimpstecker	RG-6	367-1022-ND	.25	.23	.18	CPF-56-ALM
			RG-6 vierf. abgeschirmt	367-1023-ND	.29	.26	.21	CPF-56-ALS
			RG-59	367-1025-ND	.24	.22	.18	CPF-59-ALM
8	Stecker	Twist-On-Stecker (kein Crimp-Typ)	RG-6	367-1027-ND	.25	.23	.18	CPFI-56
			TNC					
9	Stecker	Crimp-Typ, Löt- oder Crimpstecker	RG-58, 141	367-1056-ND	1.34	1.22	.98	CPMC-TNC-1
			RG-142, 223, 400, 55	367-1057-ND	1.52	1.38	1.11	CPMC-TNC-13
			RG-8X (MINI 8)	367-1058-ND	1.50	1.37	1.10	CPMC-TNC-17
			Typ N					
10	Stecker	Stecker, Crimp-Typ	RG-58	367-1059-ND	2.85	2.60	2.08	CPN-1
			RG-142, TFE	367-1060-ND	2.95	2.68	2.15	CPN-142T
			RG-8, 213	367-1061-ND	2.99	2.72	2.18	CPN-8
			UHF					
11	Stecker	Löt-Typ, Standard	RG-8, 213	367-1010-ND	1.24	1.13	.91	CP-AD-250
12	Stecker	Crimp-Typ, Crimpkontakt	RG-58	367-1037-ND	.87	.80	.64	CPL-259-1
			RG-8	367-1039-ND	1.08	.99	.79	CPL-259-8
			RG-8X (MINI 8)	367-1041-ND	.92	.84	.67	CPL-259-17
13	Stecker	Crimp-Typ, Crimpkontakt, Doppelmutter	RG-58	367-1042-ND	1.38	1.26	1.01	CPL-259-18
			Mini-UHF					
14	Stecker	Crimp-Typ, Löt- oder Crimpkontakt	RG-58	367-1064-ND	.95	.87	.69	MINI-UHF-1
			RG-8X (MINI 8)	367-1066-ND	.95	.87	.69	MINI-UHF-17

*Klinkenstecker

Abb.	Beschreibung	Digi-Key Teilenr.	Stückpreis 1	25	50	Cambridge Teilenr.
	Adapter					
	F in Serie					
15	Klinkenstecker zu Klinkenstecker-Adapter, 3/4"-Inline-Spleiß (19 mm)	367-1026-ND	.22	.20	.16	CPF-81
	BNC					
16	Klinkenstecker zu Klinkenstecker-Adapter	367-1015-ND	1.06	.97	.77	CP-AD-555
17	Bulkhead-Klinkenstecker zu Klinkenstecker-Adapter mit Sicherungsscheibe	367-1016-ND	1.57	1.43	1.14	CP-AD-556M
	Zwischen Serien					
18	N-Stecker zu SMA-Klinkenstecker	367-1017-ND	5.33	4.85	3.88	CP-AD-810
19	N-Klinkenstecker zu SMA-Klinkenstecker	367-1018-ND	5.41	4.92	3.94	CP-AD-819
20	BNC-Stecker zu F-Klinkenstecker	367-1014-ND	1.49	1.36	1.09	CP-AD-516
21	BNC-Klinkenstecker zu RCA-Stecker	367-1012-ND	1.02	.93	.74	CP-AD-501
22	BNC-Stecker 50 Ω an RCA-Klinkenstecker	367-1013-ND	.87	.80	.64	CP-AD-515

CUI INC Steckverbinder „F“

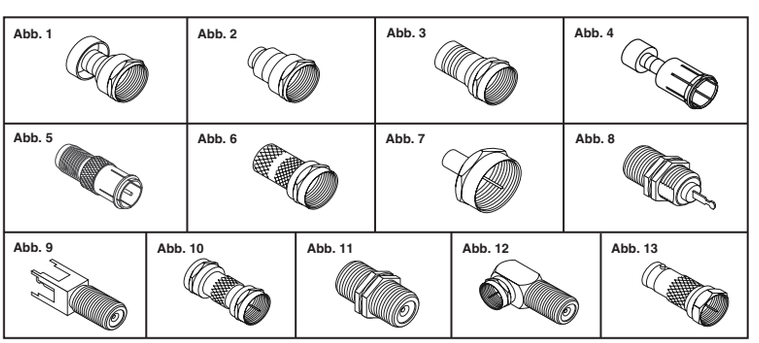

Abb.	Beschreibung	Digi-Key Teilenr.	Preisangaben 1	10	100	1,000
1	Separater Crimp-Ring für RG-59-Kabel	CP-0010-ND	.28	2.42	18.63	139.69
	Separater Crimp-Ring für RG-58-Kabel	CP-0030-ND	.30	2.64	20.32	152.39
	Separater Crimp-Ring für RG-6-Kabel	CP-0060-ND	.31	2.71	20.83	156.62
2	Integrierter Crimp-Ring für RG-59-Kabel	CP-0110-ND	.43	3.72	28.62	215.04
	Integrierter Crimp-Ring für RG-6-Kabel	CP-0160-ND	.43	3.72	28.62	215.04
3	Langer, integrierter Crimp-Ring für RG-59-Kabel	CP-0210-ND	.41	3.55	27.26	204.88
	Langer, integrierter Crimp-Ring für RG-6-Kabel	CP-0260-ND	.41	3.55	27.26	204.88
4	Crimp-Typ, zum Aufdrücken, für RG-59-Kabel	CP-0310-ND	.60	5.17	39.79	298.85
	Crimp-Typ, zum Aufdrücken, für RG-58-Kabel	CP-0330-ND	.60	5.17	39.79	298.85
5	Adapter, zum Aufschrauben/Aufdrücken	CP-2000-ND	.97	8.36	64.34	482.56
6	Twist-On-Typ für RG-59-Kabel	CP-0410-ND	.37	3.22	24.72	185.41
7	Male Terminator, with Built-In 75 Ohm Resistor	CP-0610-ND	.35	3.04	23.37	175.25
8	Bulkhead-Buchse mit Unterlegscheibe und Mutter	CP-1010-ND	.45	3.85	29.63	222.66
9	Leiterplattentyp, volle Länge 26 mm	CP-1210-ND	.65	5.64	43.35	325.09
10	Universaladapter, Stift F zu F-Kupplung	CP-2010-ND	1.05	9.09	69.93	524.89
11	Adapterbuchse, F zu F-Kupplung, mit Unterlegscheibe und Mutter	CP-2110-ND	.41	3.55	27.26	204.88
12	Adapter, F-Stift zu F-Buchse, rechtwinklig	CP-2510-ND	1.37	11.89	91.43	685.75
13	Adapter, F-Stift zu BNC-Buchse	CP-0130-ND	1.85	16.07	123.60	927.03

Alle Preisangaben in Euro und inklusive Zollgebühren.

A

U.FL SMD Ultra-Minikoaxialsteckverbinder und Bausätze

Serie U.FL: Industrienorm für Bluetooth und drahtlose LAN (die kleinsten und leichtesten Koaxialsteckverbinder der Welt, für Frequenzen bis zu 6 GHz)

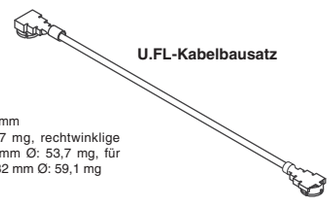

MERKMALE:
- Abstimmungshöhe: Nur 2,4 mm
- Gewicht: Steckbuchse: 15,7 mg, rechtwinklige Stecker für Kabel mit 0,81 mm Ø: 53,7 mg, für Kabel mit 1,13 mm Ø und 1,32 mm Ø: 59,1 mg

ANWENDUNGEN:
- Handys, drahtlose Kommunikationsgeräte, elektronische Messgeräte, GPS, drahtlose LAN, Bluetooth, etc.

U.FL Cable Assemblies (See Pricing Below)

Part Number	Shield	Cable Diameter (mm)	Cable Length (mm)	Mating Height (mm)	Frequency (Ghz)
With 5010 Cable					
U.FL-2LP-04-A-(200)(500)	Single	0.81	200 500	2.4	3
With 5016 Cable					
U.FL-2LP-5016-A-(200)(500)	Single	1.13	200 500	2.4	6
With 066 Cable					
U.FL-2LP-066-A-(200)(500)	Double	1.32	200 500	2.4	6

Mating Height

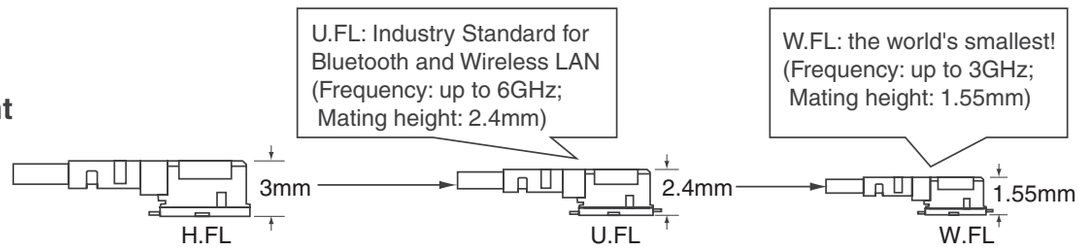

Required Board Space for Receptacle

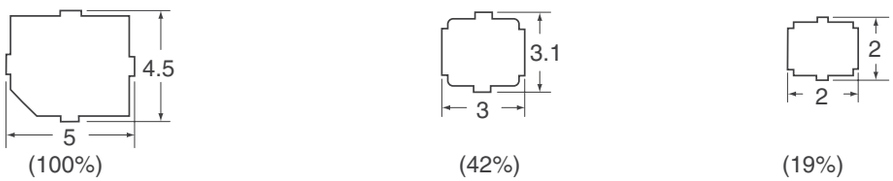

Abb. 1

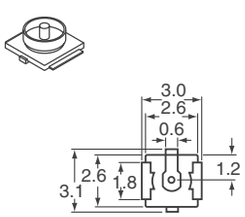

Abb. 2

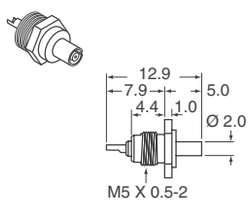

Abb. 3

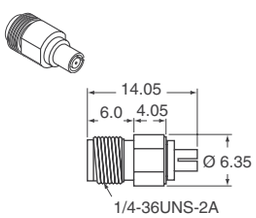

Abb. 4

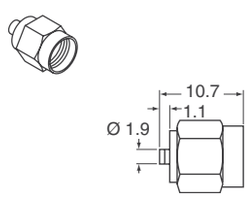

Abb. 5

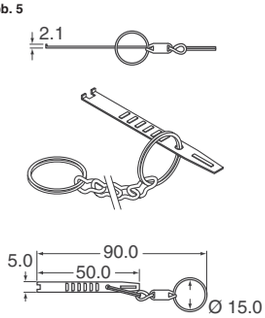

Abb. 6

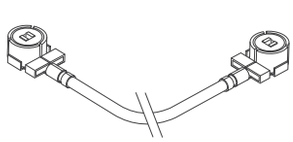

MERKMALE:
- Extrem kleiner Platzbedarf auf Karte, nur 7,7 mm²
- Abstimmungshöhe vom PCB, bei Abstimmung mit einer Steckbuchse mit einem (rechtwinkligen) Stecker: Maximal 2,5 mm
- Dies sind die leichtesten Koaxialsteckverbinder weltweit, die für Frequenzen bis zu 6 GHz geeignet sind. Steckbuchse: 15,7 mg, rechtwinklige Stecker für Kabel mit 0,81 mm Ø: 53,7 mg, für Kabel mit 1,13 mm Ø und 1,32 mm Ø: 59,1 mg
- Um die Frequenzanforderungen einer Vielzahl von Minigeräten zu erfüllen, bieten diese Steckverbinder eine Hochfrequenzleistung von DC bis 6 GHz
- Die Prägebandverpackung der Steckbuchsen gestattet automatische Montage
- Das Extraktionswerkzeug erleichtert das Entfernen der Steckverbinder
- Abstimmungsprüfungen sind einfach mit der Verschlussfühlfunktion, die eine genaue Abstimmung sicherstellt

ANWENDUNGEN:
- Handys
- Drahtlose Kommunikationsgeräte
- Elektronische Messgeräte
- GPS
- Drahtlose LAN
- Bluetooth

SPEZIFIKATIONEN:
- Charakteristische Nennimpedanz: 50 Ω
- Nennspannung: 60 V AC (rms)
- Nennfrequenz: DC bis 6 GHz
- Betriebstemperaturbereich: -40 °C ~ 90 °C
- Betriebsluftfeuchtigkeit: Max. 90 %
- Kontaktwiderstand: Mitte: Max. 20 mΩ; außen: Max. 10 mΩ
- Isolierwiderstand: Min. 500 MΩ
- V.S.W.R.: Max. 1,3

MATERIAL UND OBERFLÄCHE:
- Gehäuse: Phosphorbronze, versilbert
- Mittenkontakt (Stecker): Messing, vergoldet
- Mittenkontakt (Buchse): Phosphorbronze, vergoldet
- Isolator: Stecker: PBT, schwarz, UL94V-0; Steckbuchse: LCP, beige, UL94V-0

Abb.	Beschreibung	Digi-Key Teilenr.	Stückpreis 1	10	50	100	Hirose Teilenr.
	Serie U.FL						
1	Steckbuchse, koaxial SMD	H9161-ND	1.25	1.02	.83	.74	U.FL-R-SMT(01)
		H9161TR-ND	715.38/2,500		1403.24/5,000		U.FL-R-SMT(10)
2	Inspektionssteckbuchse	H9160-ND	18.13	17.53	16.33	15.72	U.FL-R-1
3	Adapterseitiger U.FL-Stecker/SMA-Seitenklinkenstecker	H9158-ND	17.65	17.07	15.89	15.30	HRMJ-U.FLP
4	Adapterseitiger U.FL-Klinkenstecker/SMA-Seitenstecker	H9157-ND	14.48	14.00	13.03	12.55	HRMP-U.FLJ
5	Ausbauwerkzeug	H9159-ND	20.41	19.73	18.37	17.69	U.FL-LP-N-2
	Kabelbausätze						
6	UFL/UFL 200 mm, 0,81 mm Durchmesser	H9162-ND	6.52	5.52	4.64	4.14	U.FL-2LP-04-A-(200)
	UFL/UFL 500 mm, 0,81 mm Durchmesser	H9163-ND	7.15	6.22	5.60	4.98	U.FL-2LP-04-A-(500)
	UFL/UFL 200 mm, 1,13 mm Durchmesser	H9166-ND	6.71	5.69	4.78	4.27	U.FL-2LP-068N1-A(200)
	UFL/UFL 500 mm, 1,13 mm Durchmesser	H9167-ND	7.44	6.47	5.83	5.18	U.FL-2LP-5016-A-(500)
	UFL/UFL 200 mm, 1,32 mm Durchmesser	H9164-ND	7.44	6.30	5.30	4.73	U.FL-2LP-066-A-(200)
	UFL/UFL 500 mm, 1,32 mm Durchmesser	H9165-ND	7.55	6.57	5.92	5.26	U.FL-2LP-066-A-(500)

Steckverbinder der Serie W.FL

Weltweit niedrigste Bauform, ultra-kleine Koaxialsteckverbinder (1,55 mm Stapelhöhe)

A

Abb. 1

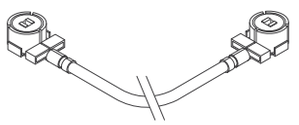

Abb. 2

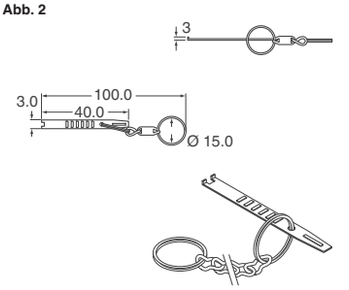

Abb. 3

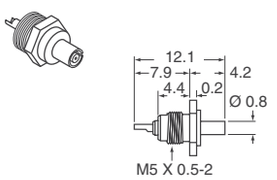

Abb. 4

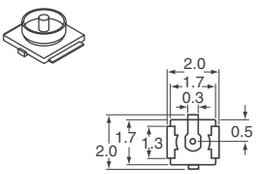

Anwendungen:
• Handys • Drahtlose PDAs • Drahtlose LAN • Bluetooth-Kommunikationsprotokoll • Drahtlose Kommunikationsgeräte • GPS

Performance	Standard	Conditions
Characteristic Impedance	50Ω	—
Insulation Resistance	500MΩ or greater	100VDC
Withstanding Voltage	200VAC	1 Minute
Contact Resistance	Inner 20MΩ, Outer 10MΩ or less	100mA or less
V.S.W.R.	V.S.W.R. 1.3 or less	Up to 3GHz

Part	Material	Finish
Outer Conductor	Phosphor Bronze	Silver Plating
Inner Conductor	Phosphor Bronze, Brass	Gold Plating
Insulator	PBT, LCP	—

Abb.	Beschreibung	Digi-Key Teilenr.	Stückpreis 1	10	50	Hirose Teilenr.
1	Ultra-Kabelbausatz, 100 mm	H9168-ND	6.30	5.33	4.48	W.FL-2LP-04-A-(100)
	Ultra-Kabelbausatz, 500 mm	H9170-ND	7.40	6.26	5.27	W.FL-2LP-04-A-(500)
	Ultra-Kabelbausatz, 1.000 mm	H9169-ND	8.14	7.08	6.37	W.FL-2LP-04-A-(1000)
2	Extraktionswerkzeug für Serie W.FL	H9171-ND	69.93	—	—	W.FL-LP-N
3	Inspektionssteckbuchse	H9172-ND	24.13	23.33	21.72	W.FL-R-1
4	Koaxial-SMD-Steckbuchse, ultraflach	H9173CT-ND	1.52	1.24	1.00	W.FL-R-SMT(10)
	Koaxial-SMD-Steckbuchse, ultraflach	H9173TR-ND	1034.55/2,000			W.FL-R-SMT(10)

Mini-RF-Steckverbinder

Abb. 1

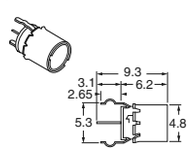

Abb. 2

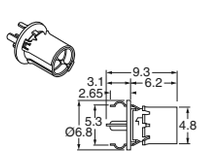

Abb. 3

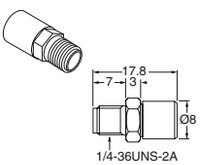

Abb. 4

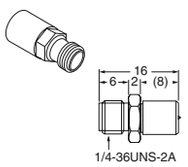

Abb. 5

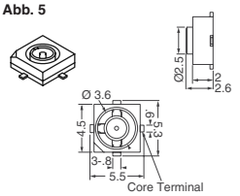

Abb. 6

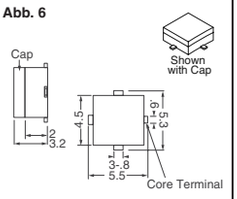

Abb. 7

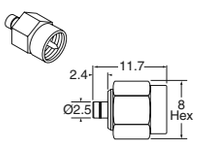

Abb. 8

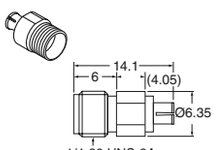

Abb. 9

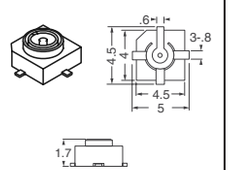

Abb. 10

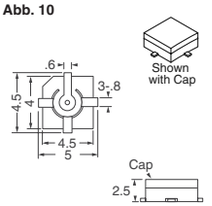

Abb. 11

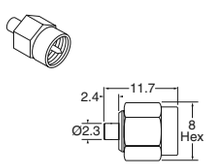

Abb. 12

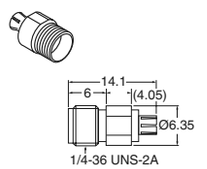

Abb. 13

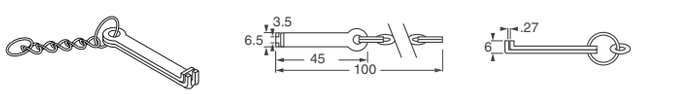

Abb. 14

Doppelseitig

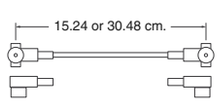

Abb. 15

Einseitig

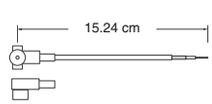

FL (Finger-Lock) Koaxialsteckverbinderserie:

Mikrominiatur-HF-Steckverbinder in niedriger Bauform Die Steckverbinder der Serie FL sind koaxiale Mikrominiatur-Steckverbinder in niedriger Bauform für hohe Packungsdichte auf Leiterplatten. Die Serie FL eignet sich ideal für die Verdrahtung von Leiterplatten mit hoher Dichte in Signalübertragungsanwendungen mit hohen Frequenzen bis zu 1 GHz.
Merkmale: Hoher Wirkungsgrad: Max. VSWR nur 1,2 bei Frequenzen von bis zu 1 GHz.
Anwendungen: Typische Anwendungen: Handys, Funkgeräte, elektronische Messinstrumente, CATV, Steuergeräte, etc.
Material und Oberfläche: • Gehäuse: Messing oder Phosphorbronze, versilbert • Mittenkontakt (Stecker): Messing, vergoldet • Mittenkontakt (Buchse): Phosphorbronze, vergoldet • Isolierung: Polybutylen-Terephthalat (PBT), schwarz.
Leistungsdaten: • Impedanz: 50 Ω • Isolationswiderstand: Min. 1.000 MΩ (bei 250 V DC) • Kontaktwiderstand: ≤10 mΩ f. Mitten- und Außenkontaktleiter (bei 1 A DC) • Haltespannung: 250 V AC (RMS) für 1 Minute. • Kopplungs-/Entkopplungskraft: 300 gf oder mehr • Kontaktlebensdauer: 50 Verbindungen

Koaxialsteckverbinder, Serie S.FL2:

Koaxialsteckverbinder der Serie S.FL2 (Super FL Typ 2) sind zur Oberflächenmontage vorgesehen; es handelt sich dabei um Miniatur-Koaxialsteckverbinder mit niedriger Bauform für hohe Packdichten. Verglichen mit den Hirose-Steckverbindern der Serie FL bietet die Serie S.FL2 im montierten Zustand ein um 50 % kleineres Profil, mit höherer Verdrahtungsdichte für HF-Übertragungsanwendungen.
Merkmale: Höchst flexibel, gute HF-Leistungseigenschaften, VSWR im 0-2000-MHz-Bereich unter 1,2.

H.FL Koaxial-Steckverbinderserie:

Die H.FL-Steckverbinder sind mit einer Montagehöhe, die ca. 30 % der Höhe unserer S.FL2-Verbinder beträgt, deutlich flacher. Sie benötigen einen um 20 % reduzierten Leiterplattenplatz und ermöglichen somit eine höhere Packungsdichte.
Merkmale: • Hochfrequenzgang ≤1,3 VSWR oder geringer, DC bis 3.000 MHz.
Material und Oberflächenbehandlung: • Gehäuse: Phosphorbronze, versilbert • Isolierung: PBT-Kunststoff (steckerseitig), schwarz; Flüssigkristallpolymer (steckbuchsenseitig), schwarz • Mittenkontakt (Stecker): Messing, vergoldet • Mittenkontakt (Buchse): Phosphorbronze, vergoldet.
Leistungsdaten: • Isolationswiderstand: Min. 500 MΩ bei 250 V DC • Kontaktwiderstand: 20 mΩ (Mitte), 10 mΩ (außen) bei 10mA DC • Durchschlagfestigkeit: 300 V AC (eff.), 1 Minute • Kontaktlebensdauer: 50 Verbindungen • Stehwellenverhältnis (SWR): ≤1,3, DC bis 3.000 MHz (Sollwert)

Abb.	Beschreibung	Digi-Key Teilenr.	Stückpreis 1	10	100	Hirose Teilenr.
	Serie FL					
1	Steckbuchse f. Leiterplattenmont.	H9142-ND	2.67	2.22	1.65	FL-R-PC(1)
2	Steckbuchse m. Unterlegscheibe	H9143-ND	3.81	3.15	2.37	FL-R-PC(3)
3	Adapterstecker/SMA-Stecker	H9144-ND	49.07	46.62	43.82	HRMJ-FLJ
4	Adaptersteckbuchse/SMA-Stecker	H9145-ND	31.88	30.29	28.47	HRMJ-FLP-1
13	Extraktionswerkzeug (Serie FL)	H9146-ND	20.84	—	—	FL-LP-N
14	6" (15,24 cm) FL/FL-Serien-Kabelbausatz	229-1000-ND	10.18	9.55	8.76	4189-06
14	12" (30,48 cm) FL/FL-Serien-Kabelbausatz	229-1001-ND	10.62	9.96	9.13	4189-12
14	12" (30,48 cm) FL/SMA-Serien-Kabelbausatz	229-1002-ND	19.78	18.55	17.00	4192-12
15	6" (15,24 cm) einendiger FL-Kabelbausatz	229-1003-ND	7.45	6.99	6.41	4191-06
	Serie S.FL2					
5	SMT-Koaxialsteckbuchse	H9152-ND	2.41	2.01	1.49	S.FL2-R-SMT(01)
6	SMT-Koaxialsteckbuchse m. Kappe	H9153CT-ND	2.29	1.91	1.42	S.FL2-R-SMT(C)(10)
6	SMT-Koaxialsteckbuchse m. Kappe	H9153TR-ND	2254.07/2,500			S.FL2-R-SMT(C)(10)
7	Adapterstecker/SMA-Klinkenstecker	H9154-ND	10.94	10.30	9.01	HRMP-S.FLJ
8	Adapter-Klinkenstecker/SMA-Stecker	H9155-ND	29.75	28.27	26.57	HRMJ-S.FLP
13	Extraktionswerkzeug (Serie S.FL2)	H9156-ND	25.40	—	—	S.FL-LP-N
14	6" (15,24 cm) S.FL2/S.FL2 Kabelbausatz	229-1008-ND	9.62	9.02	8.27	2189-06
14	12" (30,48 cm) S.FL2/S.FL2 Kabelbausatz	229-1009-ND	10.75	10.09	9.25	2189-12
14	12" (30,48 cm) S.FL2/SMA Kabelbausatz	229-1010-ND	27.36	25.66	23.52	2192-12
15	6" (15,24 cm) einendiger S.FL2-Kabelbausatz	229-1011-ND	7.18	6.73	6.17	2191-6
	Serie H.FL					
9	SMT-Koaxialsteckbuchse	H9147-ND	1.68	1.40	1.04	H.FL-R-SMT(01)
10	SMT-Koaxialsteckbuchse m. Kappe	H9148CT-ND	1.52	1.24	.90	H.FL-R-SMT(C)(10)
10	SMT-Koaxialsteckbuchse m. Kappe	H9148TR-ND	1295.93/2,500			H.FL-R-SMT(C)(10)
11	Adapter-Klinkenstecker/SMA-Stecker	H9150-ND	18.54	17.93	16.07	HRMP-H.FLJ
12	Adapterstecker/SMA-Klinkenstecker	H9149-ND	20.44	19.76	17.71	HRMJ-H.FLP-3
13	Extraktionswerkzeug (Serie H.FL)	H9151-ND	36.74	—	—	H.FL-LP-N
14	6" (15,24 cm) Kabelbausatz Serie H.FL/H.FL	229-1004-ND	8.99	8.44	7.73	1189-06
14	12" (30,48 cm) Kabelbausatz Serie H.FL/H.FL	229-1005-ND	10.13	9.50	8.71	1189-12
14	12" (30,48 cm) H.FL/SMA-Kabelbausatz	229-1006-ND	26.25	24.62	22.56	1192-12
15	6" (15,24 cm) einendiger H.FL-Kabelbausatz	229-1007-ND	6.66	6.25	5.73	1191-06

Alle Preisangaben in Euro und inklusive Zollgebühren.

Koaxial-Schaltsteckverbinder

Serie MS-145

Abb. 1

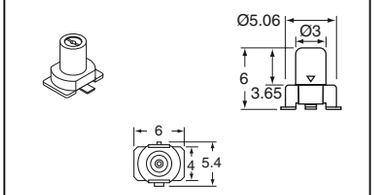

Abb. 2

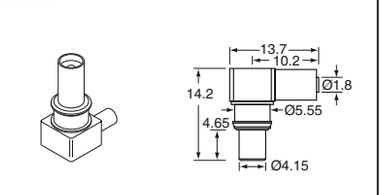

Abb. 3

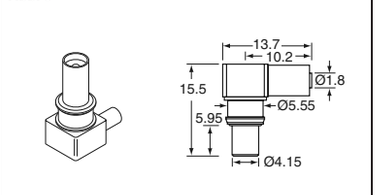

Abb. 4

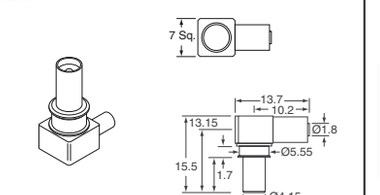

Abb. 5

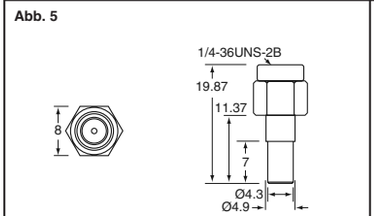

Abb. 6

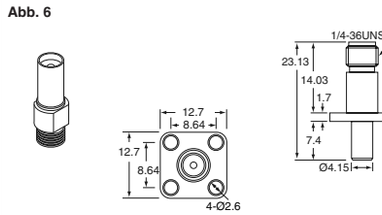

Abb. 7

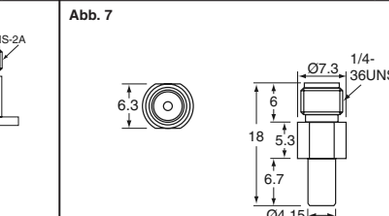

Steckeranwendungen

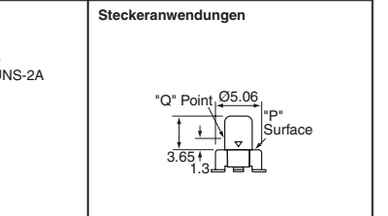

Als Schnittstelle für Koaxialschalter und andere Anwendungen konstruiert, wo Signale weitergeleitet werden müssen, wenn mit den entsprechenden Steckern gepaart. Paarung leitet die Signale von der Steckbuchsen- zur Steckerseite weiter.

Merkmale:

- **Frequenzbereich:** DC bis 2,5 GHz, sowie für GSM, PCS, cdma-One, W-CDMA usw.
- **Flachprofil:** Steht nur 6 mm über der Montagefläche (Steckbuchse) hervor
- **Haltbarkeit:** Hohe Lebensdauer (Verbinden/Trennen) von 10.000 Zyklen. Selbstausrichtend beim Stecken. Spielraum: +/- 0,5 mm.
- Koppelt, indem der 5,06 mm Ø Ansatz (P-Fläche) des MS-145 (MS-145-C(LP)-1 hochgedrückt wird bis zu einer Stelle (Q-Position), die 1,3 mm über dem 5,06 mm Ø Ansatz des MS-145 liegt).

Anwendungen:

- Mobiltelefon-Multiplexer
- Überprüfen von Mikrowellenschaltplatten usw.

Abb.	Beschreibung	Eff. Kupplung. Länge (mm)	Digi-Key Teilenr.	Stückpreis 1	25	100	Hirose Teilenr.
1	Schnittstelle für Koaxialschalter-Steckbuchse	—	H2803CT-ND	1.91	1.48	1.18	MS-145(06)
1	Schnittstelle für Koaxialschalter-Steckbuchse	—	H2803TR-ND	782.26/1,000			MS-145(06)
2	Stecker	0.82	H2804-ND*	14.06	12.87	11.58	MS-145-C(LP)-1
3	Stecker	1.32	H2805-ND*	14.10	13.16	12.22	MS-145-C(LP)-A
4	Stecker	1.32	H2806-ND*	13.77	12.60	11.35	MS-145-C(LP)-MI
5	SMA-Adapter an Stecker	1.32	H2807-ND	16.25	15.18	14.09	MS-145-HRMP-A
6	SMA-Adapter an Buchse, Platt.mont.	0.82	H2808-ND	22.48	20.98	19.49	MS-145-HRMJ
7	SMA-Adapter an Buchse, gerade	1.32	H2809-ND	16.25	15.18	14.09	MS-145-HRMJ-A-D

* Passendes Kabel f. Stecker: 1.5D-HQEW oder 1.5D-QEW (von Fujikura Ltd. hergestellt).

Koaxial-Schaltsteckverbinder Serie MS-147

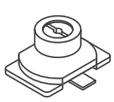

Die Schaltfunktion erfolgt durch Koppeln mit dem entsprechenden Stecker. Die Übertragung wird von der normalen Richtung zur Steckverbindung weitergeleitet. Die SMD-Steckbuchse hat eine Höhe von 3,9 mm über der Leiterplatte. Der MS147 hat einen Einfügungsverlust von 0,15 dB.

Eigenschaften: Impedanz: 50 Ω, Isolierung: Min. 25 dB (DC-2 GHz) und 20 dB (2 GHz bis 2,5 GHz). Selbstausrichtend innerhalb von 0,5 mm und mit einer garantierten Haltbarkeit von 12.000 Steckzyklen.

Anwendungen: Die meisten Mobiltelefone und Schaltkreistestanwendungen.

Beschreibung	Digi-Key Teilenr.	Stückpreis 1	25	100	Hirose Teilenr.
Schnittstelle für Koaxial-Schaltersteckbuchse	H2800CT-ND	1.85	1.43	1.15	MS-147(06)
Schnittstelle für Koaxial-Schaltersteckbuchse	H2800TR-ND	1137.83/1,500			MS-147(06)
Gegenadapter	H2801-ND	14.90	13.91	12.91	MS-147-HRMJ-1
Rechtwinkliger Stecker	H2802-ND*	13.59	12.69	11.78	MS-147-C(LP)-1

* Passendes Kabel f. Stecker: 1.5D-HQEW (von Fujikura Ltd. hergestellt).

Ultra-Miniatur-Einschnapp-Koaxialsteckverbinder

Typ MMCX, PC-Karten vom Typ II, montierbar

Abb. 1

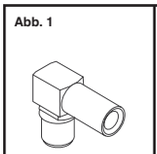

Abb. 2

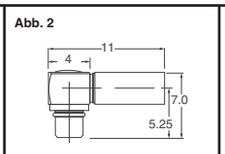

Abb. 3

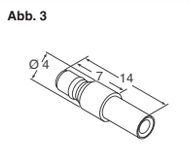

Abb. 4

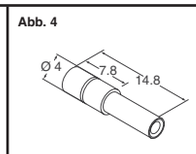

Abb. 5

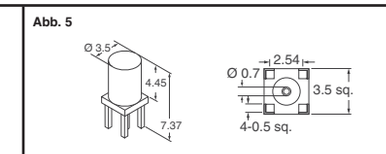

Abb. 6

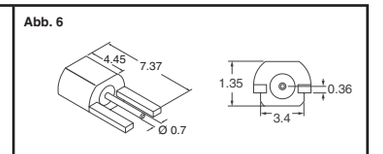

MERKMALE:

Einschnappmechanismus vereinfacht Kopplung u. Entkopplung. Flachbauform passt für PCMCIA-Karten, Typ II. Der MMCX-LR-SMT ragt nur 3,51 mm aus dem Boden einer Karte vom Typ II heraus. Für ultradünne Kabel, wie z.B. RG-178B/U (ø 1,8), RG-316/U (ø max. 2,59), ø 1,48 einfach, abgeschirmtes Kabel (eines der kleinsten auf dem Markt) und CO-6F-FH-SB (ø 1,48) von Hitachi Cable Ltd. entwickelt. Kompatibel mit allen branchenüblichen MMCX-Steckverbindern.

SPEZIFIKATIONEN:

• Charakteristische Nennimpedanz: 50 Ω **• Betriebstemperaturbereich:** -55 °C ~ +85 °C **• Nennfrequenz:** DC - 6 GHz **• Isolierwiderstand:** Min. 500 MΩ **• Kontaktwiderstand:** Max. 10 mΩ (Mitte), max. 5 mΩ (außen)

MATERIAL:

• Gehäuse: Messing, vergoldet **• Mittenkontakt (Stecker):** Phosphorbronze, vergoldet **• Mittenkontakt (Buchse):** Berylliumbronze, vergoldet **• Isolierung:** PTFE. **Klemmring:** Berylliumkupfer (Stecker), vernickelt **• Crimphülse:** Kupfer, vergoldet **• Überzug:** Messing (Stecker), vergoldet

Abb.	Kabeltyp	Digi-Key Teilenr.	Stückpreis 1	10	100	Hirose Teilenr.
	Rechtwinkliger Stecker					
1	CO-6F-FH-SB (1,48) einfach, abgeschirmt	H3220-ND	9.19	8.51	7.13	MMCX-LP-FHSB
	RG-178B/U Koaxialkabel	H3221-ND	9.03	7.86	6.29	MMCX-LP-178B/U
2	RG-316/U Koaxialkabel	H3222-ND	8.55	7.91	6.63	MMCX-LP-316/U
	Stecker, gerade					
3	CO-6F-FH-SB (1,48) einfach, abgeschirmt	H3223-ND	7.97	6.93	5.55	MMCX-P-FHSB
	RG-178B/U Koaxialkabel	H3224-ND	7.51	6.36	4.77	MMCX-P-178B/U
	Klinkenstecker, gerade					
4	CO-6F-FH-SB (1,48) einfach, abgeschirmt	H3225-ND	8.37	7.29	5.83	MMCX-J-FHSB
	RG-178B/U Koaxialkabel	H3226-ND	7.92	6.90	5.52	MMCX-J-178B/U
	Steckbuchse					
5	Leiterplatten-Durchgangsloch, vertikal	H3227-ND	8.55	7.91	6.63	MMCX-R-PC
6	Rechtwinklig, Leiterplatten-Oberflächenmontage	H3228-ND	8.76	7.62	6.10	MMCX-LR-SMT

KEYSTONE ELECTRONICS CORP.

Standardisierte Phonostecker

Abb. 1

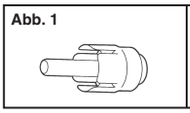

Abb. 2

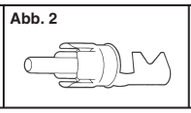

Abb. 3

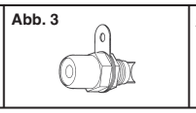

Abb. 4

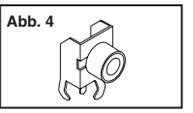

Abb.	Beschreibung	Digi-Key Teilenr.	Preisangaben 1	10	100
1	Herkömmliche Version	561K-ND	.49	4.05	36.53
2	Zugentlastungslötöse crimpt an Drahtisolierung	565K-ND	.66	5.44	46.60
3	Klinkenstecker mit Hex-Basis zur Plattenmontage	576K-ND	.74	6.09	54.24
4	Snap-Fit PC-Phono-Klinkenstecker, 90°	901K-ND	1.02	8.44	76.08

Audio-Steckverbinder und Koppler

Abb. 1

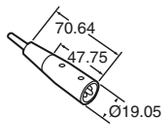

Abb. 2

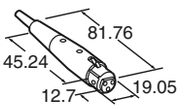

Abb. 3

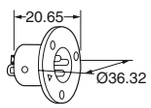

Abb. 4

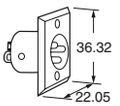

Abb. 5

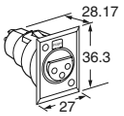

Abb.	Beschreibung	Digi-Key Teilenr.	Stückpreis 1	10	25	Hersteller Teilenr.
1	Stecker, gerade, 3-polig, seidenmatt vernickelt	SC1003-ND	4.44	3.33	3.05	A3M
	Stecker, gerade, 3-polig, schwarz, m. Silberkontakten	SC1004-ND†	4.44	3.33	3.05	A3MB
	Stecker, gerade, 4-polig, seidenmatt vernickelt	SC1014-ND	5.08	3.81	3.50	A4M
	Stecker, gerade, 5-polig, seidenmatt vernickelt	SC1022-ND	8.97	6.73	6.18	A5M
2	Buchse, gerade, 3-polig, seidenmatt vernickelt	SC1001-ND	4.98	3.74	3.43	A3F
	Buchse, gerade, 3-polig, schwarz, m. Silberkontakten	SC1002-ND†	4.98	3.74	3.43	A3FB
	Buchse, gerade, 4-polig, seidenmatt vernickelt	SC1013-ND	6.94	5.21	4.78	A4F
	Buchse, gerade, 5-polig, seidenmatt vernickelt	SC1021-ND	11.31	8.49	7.79	A5F
3	Einbaustecker, 3-polig, seidenmatt vernickelt	SC1008-ND	5.62	4.22	3.87	C3M
4	Einbaustecker, schmal, 3-polig, seidenmatt vernickelt	SC1010-ND	4.17	3.13	2.87	D3M
4	Einbaustecker, schmal, 4-polig, seidenmatt vernickelt	SC1020-ND	4.94	3.71	3.41	D4M
4	Einbaustecker, schmal, 5-polig, seidenmatt vernickelt	SC1028-ND	8.77	6.58	6.03	D5M
5	Einbaubuchse, schmal, 3-polig, seidenmatt vernickelt	SC1009-ND	5.62	4.22	3.87	D3F
5	Einbaubuchse, schmal, 4-polig, seidenmatt vernickelt	SC1019-ND	7.96	5.97	5.47	D4F
5	Einbaubuchse, schmal, 5-polig, seidenmatt vernickelt	SC1027-ND	12.87	9.66	8.85	D5F

† „Samtschwarz" (elektrisch leitfähig, verchromt)

1/4" (6,35 mm) Stecker, Klinkenstecker und Audioadapter

Abb. 1

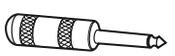

Abb. 2

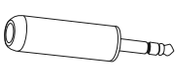

Abb. 3

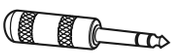

Abmessungen f. Abb. 1-3

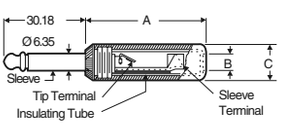

Abb. 4

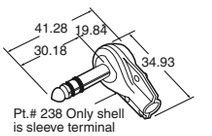

Abb. 5

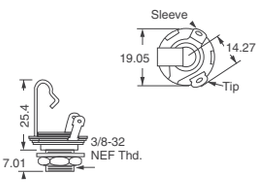

Abb. 6

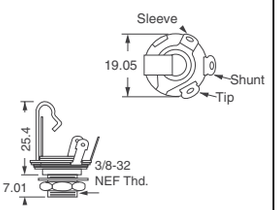

Abb. 7

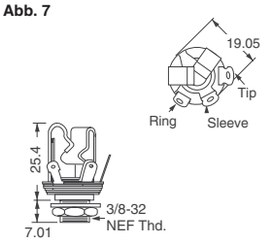

Abb. 8

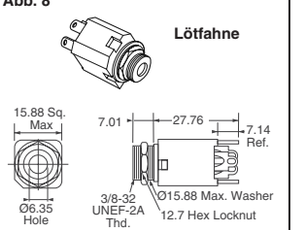

Abb. 9

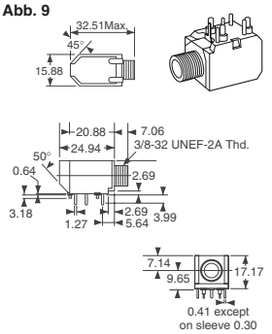

Abb. 10

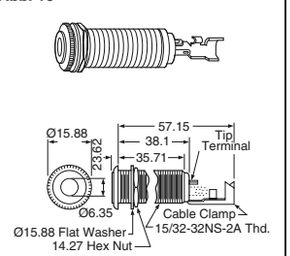

Abb. 11

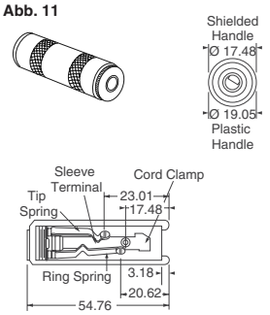

Abb. 12

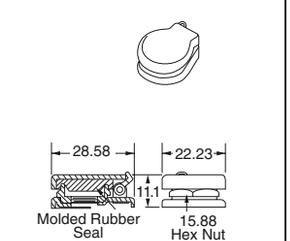

Schaltbild f. Abb. 5-10

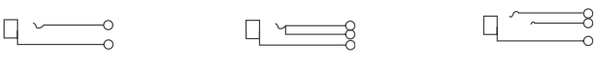

Abb.	Beschreibung	Passt zu	Abmessungen (mm) A	B	C	Digi-Key Teilenr.	Preisangaben 1	10	25	Switchcraft Teilenr.
	1/4" (6,35 mm) „Littel Plugs" 2-Leiter-Telefonstecker									
1	Abgeschirmt, m.Lötfahne u. Kabelklemme	11	42.88	7.54	12.70	SC1075-ND	3.73	27.94	64.13	280
	1/4" (6,35 mm) „Littel Plugs" 3-Leiter-Telefonstecker									
2	Schwarz, m.Lötfahne u. Kabelklemme	12B	42.88	7.54	12.70	SC1081-ND	4.37	32.76	75.14	267
3	Abgeschirmt, m.Lötfahne u. Kabelklemme	12B	42.88	7.54	12.70	SC1084-ND	5.01	37.59	86.14	297
	1/4" (6,35 mm) rechtwinklig, flach, 2-Leiter-Telefonstecker									
4	Abgeschirmt, m.Lötfahnen	11	—	—	—	SC1068-ND	4.27	32.00	73.44	228
	1/4" (6,35 mm) rechtwinklig, flach, 3-Leiter-Telefonstecker									
4	Abgeschirmt, m.Lötfahnen	12B	—	—	—	SC1069-ND	5.52	41.40	94.82	238

Abb.	Schalt-schema	Beschreibung	Digi-Key Teilenr.	Preisangaben 1	10	25	Switchcraft Teilenr.
		1/4" (6,35 mm) „Littel Jax", 2-Leiter-Telefonklinken					
5	A	Telefonklinke 1/4" (6,35 mm), Schaltkreis offen	SC1085-ND	1.90	14.22	32.59	11
6	B	Telefonklinke 1/4" (6,35 mm), Spitzen-Shunt	SC1089-ND	1.90	14.22	32.59	12A
		1/4" (6,35 mm) „Littel Jax", 3-Leiter-Telefonklinken					
7	C	Telefonklinke, doppelt, Schaltkreis offen	SC1094-ND	1.96	14.73	33.86	12B
		1/4" (6,35 mm) 2-Leiter-Klinken mit Lötfahnen-Kontakten					
8	A	Telefonklinke, gekapselt, isolierte Durchführung	SC1103-ND	2.17	16.25	37.25	N111
	B	Telefonklinke, gekapselt, einfach, Schaltkreis geschlossen	SC1104-ND	1.90	14.22	32.59	112A
		1/4" (6,35 mm) 2-Leiter-Klinken mit PC-Kontakten					
9	A	Telefonklinke, rechtwinklig, einfach, Schaltkreis offen	SC1121-ND	1.73	12.95	29.63	RN111PC
	B	Telefonklinke, rechtwinklig, einfach, Schaltkreis geschlossen	SC1122-ND	1.96	14.73	33.86	RN112APC
		1/4" (6,35 mm) 3-Leiter-Klinken mit Lötfahnen-Kontakten					
8	C	Telefonklinke, gekapselt, doppelt, Schaltkreis offen	SC1107-ND	1.93	14.48	33.23	112B
		1/4" (6,35 mm) 3-Leiter-Klinken mit PC-Kontakten					
9	C	Telefonklinke, rechtwinklig, doppelt, Schaltkreis offen	SC1123-ND	2.10	15.75	36.19	RN112BPC
		1/4" (6,35 mm) „TP-Jax", Dickwand-Telefonklinken					
10	A	2-Leiter, Schaltkreis offen	SC1034-ND	6.10	45.72	104.77	151
	C	3-Leiter, Schaltkreis offen	SC1035-ND	6.71	50.29	115.35	152B
		„Extension-Jax" 1/4" (6,35 mm) Kabelverlängerungsklinken					
11	—	In-Line, 3-Leiter, abgeschirmter Griff, Schraubenklemmen	SC1042-ND	8.16	61.21	140.32	1230
		Klinkenabdeckung					
12	—	Klinkenabdeckung, schwarz, m. Kleinteilen	SC1101-ND	7.18	53.84	123.39	515

Alle Preisangaben in Euro und inklusive Zollgebühren.

Abb. 1

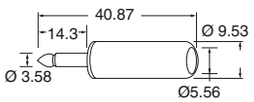

3,5-mm-Stecker

Abb. 2

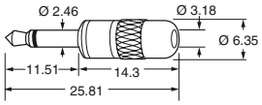

2,5-mm-Stecker

Abb. 3

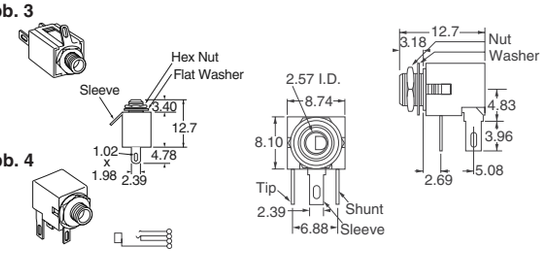

Abb. 4

Abb. 5

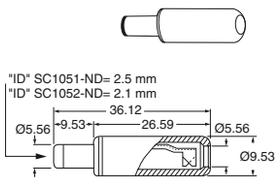

Abb. 6

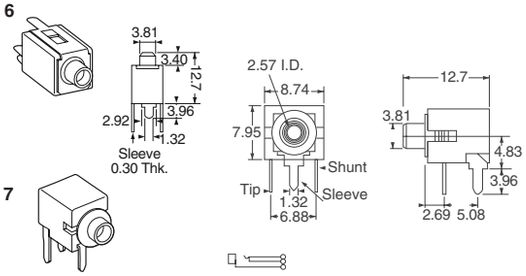

Abb. 7

Abb. 8

Leiterplatten-anschluss

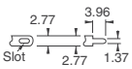

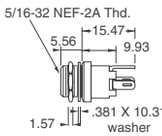

Abb. 9

Lötfahnenanschluss

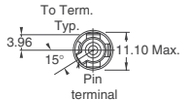

Abb. 10

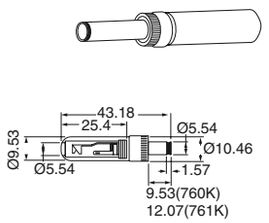

Abb. 11

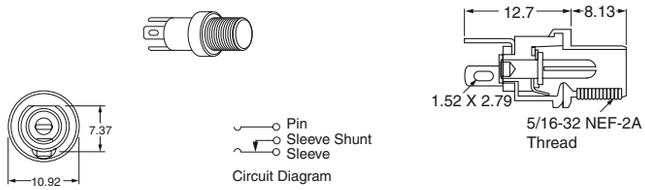

Abb. 12

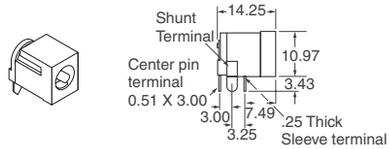

Abb. 13

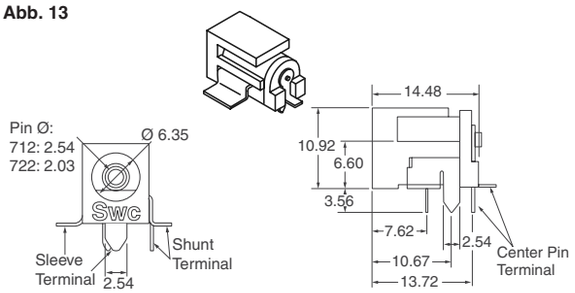

Abb. 14

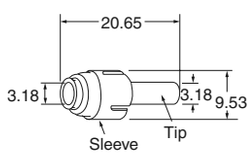

Abb. 15

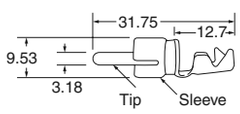

Abb. 16

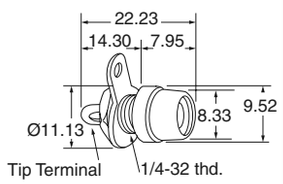

Abb. 17

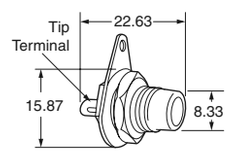

Abb. 18

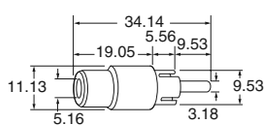

Abb. 19

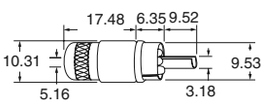

Abb. 20

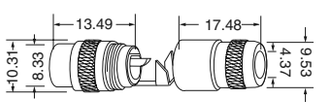

Abb.	Passt zu	Beschreibung	Digi-Key Teilenr.	Stückpreis 1	10	25	Switchcraft Teilenr.
		„Tini Plug" Miniatur-Telefonstecker					
1	41	0,141"(3,58 mm) schwarz, m. Schraubanschlüssen	SC1053-ND	3.05	2.29	2.10	740
	41	0,141"(3,58 mm) schwarz, m. Lötfahne u. Kabelklemme	SC1055-ND	2.95	2.21	2.03	750
	41	0,141"(3,58 mm) geschirmt, m. Lötfahne u. Kabelklemme	SC1057-ND	4.00	3.00	2.76	780
		„Micro-plug" Subminiatur-Telefonstecker					
2	Abb. 3,4,6,7	0,097" (2,46 mm) 2-Leiter, schwarz m. Lötfahnen	SC1058-ND	3.01	2.26	2.08	850
	Abb. 3,4,6,7	0,097" (2,46 mm) 2-Leiter, rot m. Lötfahnen	SC1059-ND	3.01	2.26	2.08	855
	Abb. 3,4,6,7	0,097" (2,46 mm) 2-Leiter, naturfarben m. Lötfahnen	SC1060-ND	3.01	2.26	2.08	880
		„Micro-d Jax" Subminiatur-Telefonstecker, umschlossen					
3	850	Subminiatur-2-Leiter, Schaltkreis geschl., m. Lötfahne	SC1043-ND	2.00	1.50	1.38	MDSL2A
6	850	Subminiatur-2-Leiter, Schaltkreis geschl., Leiterplatte	SC1044-ND	2.00	1.50	1.38	MDPC2A
4	850	Subminiatur rechtwinklig 2-Leiter, m. Lötfahne	SC1045-ND	2.20	1.66	1.52	MDSL2ARA
7	850	Subminiatur rechtwinklig Winkel-Leiterplatte	SC1046-ND	2.20	1.66	1.52	MDPC2ARA
		Netzstecker					
5	712A	Stromstecker, 0,1" Griff schwarz (2,5 mm Ø)	SC1051-ND	2.61	1.96	1.80	760
5	722A	Stromstecker, 0,08" Griff schwarz (2,1 mm Ø)	SC1052-ND	2.61	1.96	1.80	S760
10	L712A	Verbindungsstromstecker, schließend 2,5 mm schwarz	SC1148-ND	3.79	2.85	2.61	761K
10	712A	Verbindungsstromstecker, schließend 2,5 mm schwarz	SC1149-ND	3.79	2.85	2.61	760K
		Klinkenstecker, Strom					
8	760K	Klinkenstecker 0,1" Ø (2,5 mm Ø), PC-Klemmen	SC1050-ND	2.61	1.96	1.80	PC712A
8	S760K	Klinkenstecker 0,08 " Ø (2,1 mm Ø)	SC1047-ND	2.61	1.96	1.80	PC722A
9	760	Klinkenstecker 0,1" Ø (2,5 mm Ø), Lötfahne, Plattenmontage	SC1048-ND	2.61	1.96	1.80	712A
9	S760	Klinkenstecker 0,08" Ø, (2.1 mm Ø), Lötfahne, Plattenmontage	SC1049-ND	2.61	1.96	1.80	722A
11	761K	Verbindungs-Stromklinkenstecker, 2,5 mm, lang, Plattenmontage	SC1150-ND	3.56	2.67	2.45	L712A
	S761K	Verbindungs-Stromklinkenstecker, 2,1 mm, lang, Plattenmontage	SC1151-ND	3.56	2.67	2.45	L722A
12	760	Conn Power Jack Right Angle PCB 2.5 mm*	SC1152-ND	.98	.74	.68	RAPC712
	S760	Conn Power Jack Right Angle PCB 2.1 mm**	SC1153-ND	.98	.74	.68	RAPC722
13	760	Verbindungs-Stromklinkenstecker Hybrid SMT 2,5 mm	SC1154-ND	1.08	.82	.75	RASH712
	S760	Verbindungs-Stromklinkenstecker Hybrid SMT 2,1 mm	SC1155-ND	1.08	.82	.75	RASH722

Abb.	Beschreibung	Digi-Key Teilenr.	Stückpreis 1	10	25	100	Switchcraft Teilenr.
	Phono-Klinkenstecker und -Stecker						
14	Phonostecker, 2-Leiter	SC1131-ND	.49	.37	.34	.31	3501M
15	Phonostecker, 2-Leiter Mit Kabelklemme	SC1132-ND	1.02	.77	.71	.64	3501MC
16	Phonostecker, 2-Leiter Plattenmontage	SC1133-ND	1.35	1.02	.94	.85	3501FP
—	Isolierte Unterlegscheibe, flach, für SC1133-ND	SC1144-ND	.32	.24	.22	.21	S-2207
—	Isolierte Unterlegscheibe, extrudiert, für SC1133-ND	SC1145-ND	.36	.27	.25	.23	S-1564
17	Phonostecker, 2-Leiter Plattenmontage (einschl. Hardware)	SC1134-ND	1.73	1.30	1.19	1.08	3501FR
—	Isolierte Unterlegscheibe, flach, für SC1134-ND	SC1146-ND	.15	.13	.12	.11	S-1028
—	Isolierte Unterlegscheibe, extrudiert, für SC1134-ND	SC1147-ND	.36	.27	.25	.23	S-1029
18	Phonostecker, 2-Leiter m. Kabelklemme, rot	SC1135-ND	1.42	1.07	.99	.89	3558-1
18	Phonostecker, 2-Leiter m. Kabelklemme, schwarz	SC1136-ND	1.42	1.07	.99	.89	3558-2
19	Phonostecker, 2-Leiter, abgeschirmt, m. Kabelklemme	SC1138-ND	1.86	1.40	1.28	1.17	3502
20	Phono-Verlängerungsklinkenstecker, 2-Leiter, geschirmt, m. Hochleistungsklemme	SC1139-ND	2.68	2.01	1.84	1.68	3503

* Verbindungs-Stromklinkenstecker, rechtwinklig, 2,5 mm, lang, Leiterplattenmont. ** Verbindungs-Stromklinkenstecker, rechtwinklig, 2,1 mm, lang, Leiterplattenmont.

A

Abb. 1 – Rechtwinkliger Audio-Klinkenstecker, Mono, Plattenmontage

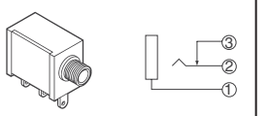

Abb. 2 – Audio-Klinkenstecker, Mono, Leiterplattenmontage

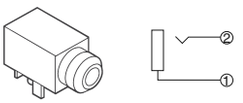

Abb. 3 – Gerader Audio-Klinkenstecker, Mono, Plattenmontage

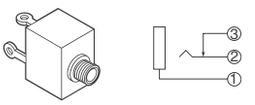

Abb. 4 – Audio-Klinkenstecker, Mono

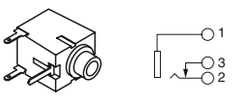

Abb. 5 – Audio-Klinkenstecker, Mono

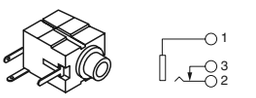

Abb. 6 – Audio-Klinkenstecker, Mono

Abb. 7 – SMT Audio-Klinkenstecker, Mono

Abb. 8 – SMT Audio-Klinkenstecker, Mono

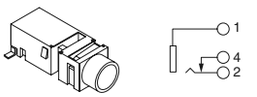

Abb. 9 – SMT Audio-Klinkenstecker

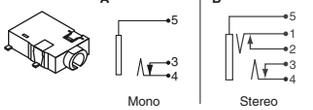

Abb. 10 – Audio-Klinkenstecker, Mono

Abb. 11 – SMT Audio-Klinkenstecker, Mono

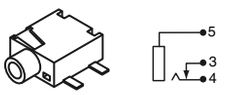

Abb. 12 – SMT Audio-Klinkenstecker, Mono

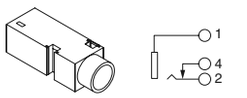

Abb. 13 – Rechtwinkliger Audio-Klinkenstecker, Mono, Plattenmontage

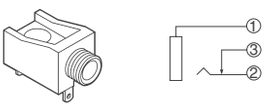

Abb. 14 – Audio-Klinkenstecker, Mono

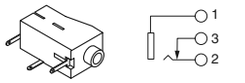

Abb. 15 – Audio-Klinkenstecker, Mono

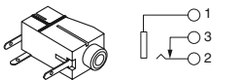

Abb. 16 – Netzstecker

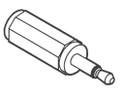

Abb. 17 – Stromklinkenstecker, geschlossen

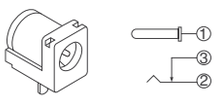

Abb. 18 – Rechtwinkliger Stromklinkenstecker

Abb. 19 – SMT Stromklinkenstecker

Abb. 20 – SMT Stromklinkenstecker

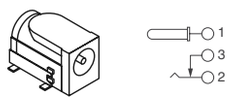

Abb. 21 – Stromklinkenstecker, offen

Abb. 22 – Klinkenstecker, Plattenmontage

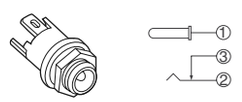

Abb. 23 – Stromklinkenstecker mit Lötösen

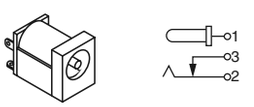

Abb. 24 – Vertikale Stromklinkenstecker SMT

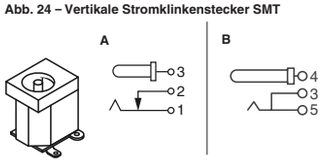

Abb. 25 – Rechtwinkliger Stromklinkenstecker

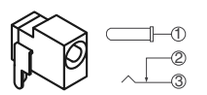

Abb. 26 – DC-Stromklinkenstecker

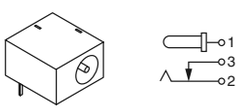

Abb. 27 – SMT Stromklinkenstecker

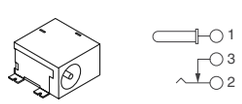

Abb. 28 – DC-Stromklinkenstecker

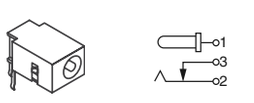

Abb. 29 – Stromklinkenstiftstecker (mit gewinkelten Leiterplatten-Pins)

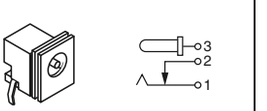

Abb. 30 – SMT Stromklinkenstecker

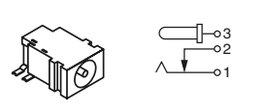

Abb. 31 – DC-Stromklinkenstecker

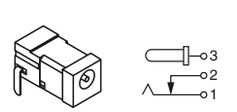

Abb. 32 – SMT Stromklinkenstecker

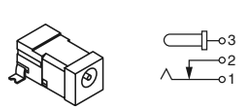

Abb. 33 – DC-Stromklinkenstecker

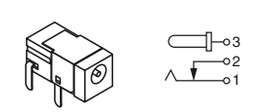

Abb. 34 – SMT Stromklinkenstecker

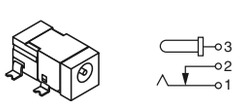

Abb. 35 – DC-Stromklinkenstecker (mit 1 mm Leiterplatten-Pins)

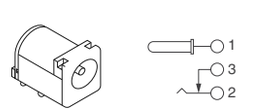

Abb.	Dia. mm**	Digi-Key Teilenr.	Stückpreis 1	10	100	CUI Inc. Teilenr.
1	2.5	CP-2502-ND*	.84	.73	.56	MJ-2502
2	2.5	CP-2503-ND†	.44	.38	.29	MJ-2503A
		CP1-2503AM-ND†	.27	.24	.18	MJ1-2503A
3	2.5	CP-2505-ND*	.79	.69	.53	MJ-2505
4	2.5	CP-2506-ND*	.35	.30	.24	MJ-2506
		CP-2506N-ND†	.35	.30	.24	MJ-2506N
5	2.5	CP-2508-ND*	.30	.26	.20	MJ-2508
		CP-2508N-ND†	.30	.26	.20	MJ-2508N
6	2.5	CP-M2509N-ND	.32	.29	.22	MJ-2509N
7	2.5	CP-2512-ND§	1.75	1.52	1.17	MJ-2510-SMT-1
		CP1-2510MJCT-ND	.58	.50	.39	MJ1-2510-SMT
		CP1-2510MJTR-ND	285.73/1,000			MJ1-2510-SMT
8	2.5	CP-2523MJCT-ND	.73	.63	.49	MJ-2523-SMT
		CP-2523MJTR-ND	363.19/1,000			MJ-2523-SMT
		CP-2523MJ-ND§	.63	.55	.43	MJ-2523-SMT-1
9A	2.5	CP-2533MJTR-ND	419.07/1,000			MJ-2533-SMT
		CP-2533MJ-ND§	.84	.73	.56	MJ-2533-SMT-1
		CP1-2533MJCT-ND	.58	.51	.40	MJ1-2533-SMT
		CP1-2533MJTR-ND	293.35/1,000			MJ1-2533-SMT
9B	2.5	CP1-2535SJCT-ND	.63	.55	.43	SJ1-2535-SMT
		CP1-2535SJTR-ND	317.48/1,000			SJ1-2535-SMT
10	3.5	CP-3502MJ-ND*	.56	.49	.38	MJ-3502
		CP-3502N-ND†	.52	.46	.35	MJ-3502N
11	3.5	CP1-3510MJCT-ND	.53	.47	.36	MJ1-3510-SMT
		CP1-3510MJTR-ND	213.34/800			MJ1-3510-SMT
12	3.5	CP-3523MJCT-ND	.74	.64	.49	MJ-3523-SMT
		CP-3523MJTR-ND	367.00/1,000			MJ-3523-SMT
13	3.5	CP-3536-ND*	.33	.29	.23	MJ-3536
14	3.5	CP-3536N-ND†	.33	.29	.23	MJ-3536N
15	3.5	CP-3536NG-ND‡	.33	.29	.23	MJ-3536NG

Abb.	Dia. mm**	Digi-Key Teilenr.	Stückpreis 1	10	100	CUI Inc. Teilenr.
16	2.5	CP-2501-ND	.64	.56	.43	MP-2501
	3.5	CP-3501-ND	.64	.56	.43	MP-3501
17	2.1	CP-002A-ND	.32	.28	.22	PJ-002A
	2.5	CP-002B-ND	.32	.28	.22	PJ-002B
18	2.0	CP-002AH-ND	.36	.31	.24	PJ-002AH
	2.5	CP-002BH-ND	.36	.31	.24	PJ-002BH
19	2.0	CP-002AHPJCT-ND	.69	.60	.46	PJ-002AH-SMT
	2.0	CP-002AHPJTR-ND	85.41/250			PJ-002AH-SMT
	2.5	CP-002BHPJCT-ND	.76	.66	.51	PJ-002BH-SMT
	2.5	CP-002BHPJTR-ND	95.24/250			PJ-002BH-SMT
20	2.1	CP-002APJCT-ND	.69	.60	.46	PJ-002A-SMT
	2.1	CP-002APJTR-ND	85.41/250			PJ-002A-SMT
	2.1	CP-002APJ-ND§	.62	.54	.42	PJ-002A-SMT-1
	2.5	CP-002BPJCT-ND	.69	.60	.46	PJ-002B-SMT
	2.5	CP-002BPJTR-ND	85.41/250			PJ-002B-SMT
	2.5	CP-002BPJ-ND§	.62	.54	.42	PJ-002B-SMT-1
21	2.1	CP-003A-ND	.29	.26	.20	PJ-003A
	2.5	CP-003B-ND	.29	.26	.20	PJ-003B
22	2.0	CP-5-ND*	1.55	1.35	1.04	PJ-005A
	2.5	CP-6-ND*	1.55	1.35	1.04	PJ-005B
23	2.1	CP-006A-ND	.38	.32	.26	PJ-006A
	2.5	CP-006B-ND	.38	.33	.26	PJ-006B
24A	2.1	CP-006APJCT-ND	.66	.58	.45	PJ-006A-SMT
	2.1	CP-006APJTR-ND	82.54/250			PJ-006A-SMT
	2.5	CP-006BPJCT-ND	.66	.58	.45	PJ-006B-SMT
	2.5	CP-006BPJTR-ND	82.54/250			PJ-006B-SMT
24B	2.1	CP-015APJCT-ND	.58	.51	.39	PJ-015A-SMT
	2.1	CP-015APJTR-ND	43.81/150			PJ-015A-SMT
	2.5	CP-015BPJCT-ND	.58	.51	.39	PJ-015B-SMT
	2.5	CP-015BPJTR-ND	43.81/150			PJ-015B-SMT

Abb.	Dia. mm**	Digi-Key Teilenr.	Stückpreis 1	10	100	CUI Inc. Teilenr.
25	1.3	CP-2519-ND	.38	.33	.26	PJ-007
26	1.0	CP-014C-ND	.36	.31	.24	PJ-014C
	1.3	CP-014D-ND	.36	.31	.24	PJ-014D
27	1.0	CP-014CHPJCT-ND	.76	.66	.51	PJ-014CH-SMT
	1.0	CP-014CHPJTR-ND	304.78/800			PJ-014CH-SMT
	1.3	CP-014DHPJCT-ND	.76	.66	.51	PJ-014DH-SMT
	1.3	CP-014DHPJTR-ND	304.78/800			PJ-014DH-SMT
	1.0	CP-014CPJCT-ND	.70	.61	.47	PJ-014C-SMT
	1.0	CP-014CPJTR-ND	281.41/800			PJ-014C-SMT
	1.0	CP-014CPJ-ND§	.61	.53	.41	PJ-014C-SMT-1
	1.3	CP-014DPJCT-ND	.70	.61	.47	PJ-014D-SMT
	1.3	CP-014DPJTR-ND	281.41/800			PJ-014D-SMT
28	1.65	CP-016-ND	.46	.40	.31	PJ-016
29	1.65	CP1-021-ND	.36	.31	.24	PJ1-021
30	1.65	CP1-021PJCT-ND	.55	.48	.37	PJ1-021-SMT
		CP1-021PJTR-ND	138.42/500			PJ1-021-SMT
31	0.65	CP-022-ND	.58	.51	.39	PJ-022
		CP1-022-ND	.51	.44	.34	PJ1-022
32	0.65	CP1-022PJCT-ND	.55	.48	.37	PJ1-022-SMT
		CP1-022PJTR-ND	273.03/1,000			PJ1-022-SMT
33	0.65	CP1-023-ND◊	.49	.43	.33	PJ1-023
34	0.65	CP1-023PJCT-ND◊	.57	.50	.38	PJ1-023-SMT
	0.65	CP1-023PJTR-ND◊	284.46/1,000			PJ1-023-SMT
35	2.1	CP-102A-ND	.32	.28	.22	PJ-102A
	2.5	CP-102B-ND	.32	.28	.22	PJ-102B
36	2.1	CP-102AH-ND	.36	.31	.24	PJ-102AH
	2.5	CP-102BH-ND	.36	.31	.24	PJ-102BH
37	2.1	CP-202A-ND	.32	.28	.22	PJ-202A
	2.5	CP-202B-ND	.32	.28	.22	PJ-202B
38	2.1	CP-202AH-ND	.36	.31	.24	PJ-202AH
	2.5	CP-202BH-ND	.36	.31	.24	PJ-202BH

* Mit Gewinde, mit Mutter † Ohne Gewinde § Tablett ‡ Ohne Gewinde und Erdisolierung ◊ Geschirmte Version ** Durchm. mm

(Forts.)

Alle Preisangaben in Euro und inklusive Zollgebühren.

Abb. 36 – Stromklinkenstecker, Leiterplatte

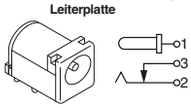

Abb. 37 – Stromklinkenstiftstecker (mit gewinkelten Leiterplatten-Pins)

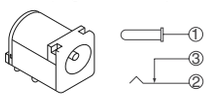

Abb. 38 – Stromklinkenstiftstecker (mit gewinkelten Leiterplatten-Pins)

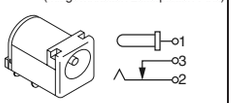

Abb. 39 - Stromanschlussbuchse

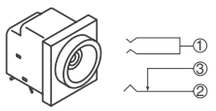

Abb. 40 – Buchsenstecker, 5,5 mm außen

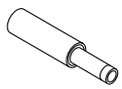

Abb. 41 – Stromeingangsbuchse

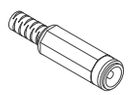

Abb. 42 – Buchsenstecker, 3,5 mm außen

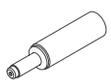

Abb. 43 – Buchsenstecker, 3,5 mm außen

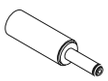

Abb. 44 – Buchsenstecker

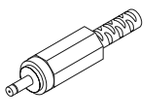

Abb. 45 – Netzstecker

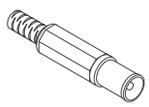

Abb. 46 – Ohrhörer-Kombi-Klinkenstecker

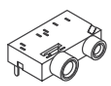

Abb. 47 – Audio-Klinkenstecker, Stereo

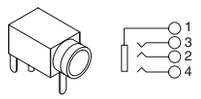

Abb. 48 – SMT Klinkenstecker, Stereo

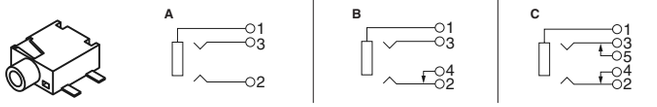

Abb. 49 – SMT Audio-Klinkenstecker, Stereo

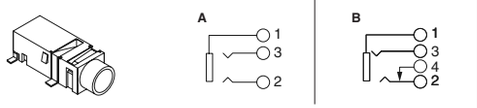

Abb. 50 – SMT Audio-Klinkenstecker, Stereo

Abb. 51 – SMT Audio-Klinkenstecker, Stereo

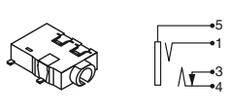

Abb. 52 – Leiterplatten-montierter KInkenstecker, rechtwinklig

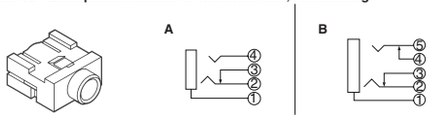

Abb. 53 – Audio-Klinkenstecker, Stereo

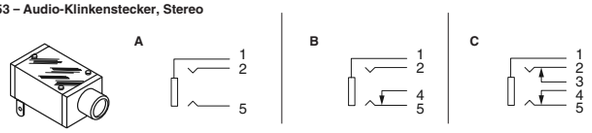

Abb. 54 – SMT Audio-Klinkenstecker, Stereo

Abb. 55 – SMT Audio-Klinkenstecker, Stereo

Abb. 56 – SMT Audio-Klinkenstecker, Stereo

Abb. 57 – Audio-Klinkenstecker, Stereo

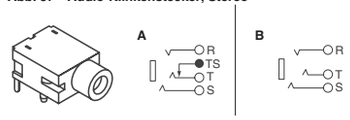

Abb. 58 – Audio-Klinkenstecker, Stereo

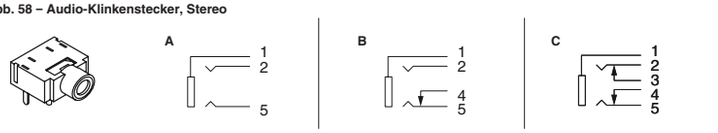

Abb. 59 – SMT Audio-Klinkenstecker, Stereo

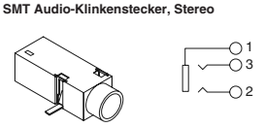

Abb. 60 – SMT Audio-Klinkenstecker, Stereo

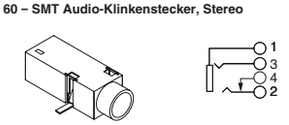

Abb. 61 – Audio-Klinkenstecker, Stereo

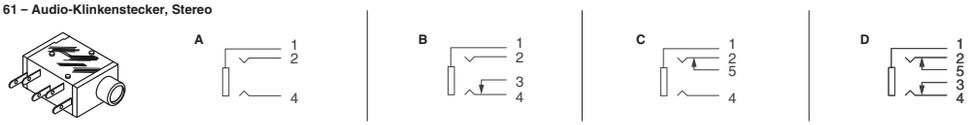

Abb. 62 – Klinkenstecker, Stereo

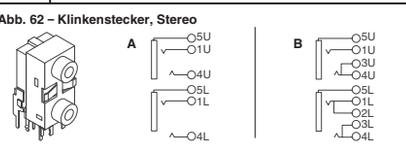

Abb.	Dia. mm**	Digi-Key Teilenr.	Stückpreis 1	10	100	CUI Inc. Teilenr.
39	1.45	CP-025-ND	.56	.49	.38	PJ-025
40	2.1	CP-004A-ND	.55	.48	.37	PP-002A
	2.5	CP-004B-ND	.55	.48	.37	PP-002B
41	2.1	CP-024A-ND	1.93	1.68	1.29	PR-002A
	2.5	CP-024B-ND	1.93	1.68	1.29	PR-002B
42	1.0	CP-002C-ND	.66	.58	.45	PP-002C
43	1.3	CP-002D-ND	.66	.58	.45	PP-002D
44	.7 x 2.35	CP-012-ND	.76	.66	.51	PP-012
	1.7 x 4.0	CP-013-ND	.71	.62	.48	PP-013
	1.7 x 4.75	CP-014-ND	.71	.62	.48	PP-014
45	1.4	CP-026-ND	.91	.80	.61	PP-016
46	3.5/ 2.5	CP-320154-ND	1.00	.87	.67	SJD-3201-54
47	2.5	CP-2503A-ND†	.55	.48	.37	SJ-2503A
		CP1-2503A-ND†	.28	.25	.19	SJ1-2503A
48A	2.5	CP1-2513SJCT-ND	.58	.50	.39	SJ1-2513-SMT
		CP1-2513SJTR-ND	285.73/1,000			SJ1-2513-SMT
48B	2.5	CP-2514TR-ND	888.93/1,000			SJ-2513-SMT
		CP-2514-ND§	1.78	1.55	1.19	SJ-2513-SMT-1
		CP1-2514SJCT-ND	.58	.51	.39	SJ1-2514-SMT
		CP1-2514SJTR-ND	292.08/1,000			SJ1-2514-SMT
48C	2.5	CP1-2515SJCT-ND	.60	.52	.40	SJ1-2515-SMT
		CP1-2515SJTR-ND	298.43/1,000			SJ1-2515-SMT
		CP-2516TR-ND	731.46/800			SJ-2514-SMT
		CP-2518TR-ND	927.03/1,000			SJ-2515-SMT
49A	2.5	CP-2523SJCT-ND	.73	.63	.49	SJ-2523-SMT
		CP-2523SJTR-ND	363.19/1,000			SJ-2523-SMT
		CP-2523SJ-ND§	.63	.55	.43	SJ-2523-SMT-1
49B	2.5	CP-2524SJCT-ND	.76	.66	.51	SJ-2524-SMT
		CP-2524SJTR-ND	379.70/1,000			SJ-2524-SMT
		CP-2524SJ-ND§	.67	.58	.45	SJ-2524-SMT-1
50	2.5	CP-2533SJ-ND§	.84	.73	.56	SJ-2533-SMT-1
		CP1-2533SJCT-ND	.58	.51	.40	SJ1-2533-SMT
		CP1-2533SJTR-ND	293.35/1,000			SJ1-2533-SMT
51	2.5	CP1-2534SJCT-ND	.63	.54	.42	SJ1-2534-SMT
		CP1-2534SJTR-ND	311.13/1,000			SJ1-2534-SMT
52A	3.5	CP-3504-ND†	1.74	1.52	1.17	SJ-3504
52B	3.5	CP-3505-ND†	1.78	1.55	1.19	SJ-3505
53A	3.5	CP-3513-ND*	.68	.59	.46	SJ-3513
		CP1-3513-ND*	.50	.44	.34	SJ1-3513

Abb.	Dia. mm**	Digi-Key Teilenr.	Stückpreis 1	10	100	CUI Inc. Teilenr.
53A	3.5	CP-3513N-ND†	.66	.57	.44	SJ-3513N
		CP1-3513N-ND†	.45	.39	.30	SJ1-3513N
53B	3.5	CP-3514-ND*	.71	.62	.48	SJ-3514
		CP1-3514-ND*	.51	.45	.35	SJ1-3514
		CP-3514N-ND†	.69	.60	.47	SJ-3514N
		CP1-3514N-ND†	.46	.40	.31	SJ1-3514N
53C	3.5	CP-3515-ND*	.71	.62	.48	SJ-3515
		CP1-3515-ND*	.52	.46	.35	SJ1-3515
		CP-3515N-ND†	.69	.60	.47	SJ-3515N
		CP1-3515N-ND†	.47	.41	.31	SJ1-3515N
54	3.5	CP-3513SJ-ND§	.59	.51	.39	SJ-3513-SMT-1
		CP1-3513SJCT-ND	.53	.47	.36	SJ1-3513-SMT
		CP1-3513SJTR-ND	213.34/800			SJ1-3513-SMT
55	3.5	CP1-3514SJCT-ND	.55	.48	.37	SJ1-3514-SMT
		CP1-3514SJTR-ND	218.42/800			SJ1-3514-SMT
56	3.5	CP1-3515SJCT-ND	.56	.49	.38	SJ1-3515-SMT
		CP1-3515SJTR-ND	223.50/800			SJ1-3515-SMT
57A	2.5	CP-S2504N-ND	.38	.34	.26	SJ-2504N
57B	2.5	CP-S2509N-ND	.36	.32	.25	SJ-2509N
58A	3.5	CP-3523N-ND†	.52	.46	.35	SJ-3523N
		CP1-3523N-ND†	.32	.28	.22	SJ1-3523N
		CP-3523NG-ND‡	.63	.55	.43	SJ-3523NG
		CP1-3523NG-ND‡	.32	.29	.22	SJ1-3523NG
58B	3.5	CP-3524NG-ND‡	.66	.58	.45	SJ-3524NG
		CP1-3524NG-ND‡	.34	.29	.23	SJ1-3524NG
		CP-3524N-ND†	.60	.52	.40	SJ-3524N
		CP1-3524N-ND†	.33	.29	.23	SJ1-3524N
58C	3.5	CP-3525NG-ND‡	.66	.58	.45	SJ-3525NG
		CP1-3525NG-ND	.35	.30	.24	SJ1-3525NG
		CP1-3525N-ND	.34	.30	.23	SJ1-3525N
59	3.5	CP-3523SJCT-ND	.74	.64	.49	SJ-3523-SMT
		CP-3523SJTR-ND	367.00/1,000			SJ-3523-SMT
60	3.5	CP-3524SJCT-ND	.76	.66	.51	SJ-3524-SMT
		CP-3524SJTR-ND	379.70/1,000			SJ-3524-SMT
61A	3.5	CP-3533-ND*	.83	.72	.56	SJ-3533
		CP1-3533-ND	.58	.50	.39	SJ1-3533
		CP1-3533N-ND	.51	.45	.35	SJ1-3533N
		CP-3533NG-ND‡	.80	.70	.54	SJ-3533NG
		CP1-3533NG-ND‡	.50	.44	.34	SJ1-3533NG
		CP-3533NGS-ND‡◊	.92	.81	.62	SJ-3533NGS
		CP1-3533NS-ND†◊	.65	.57	.44	SJ1-3533NS
61B	3.5	CP-3534-ND*	.86	.75	.58	SJ-3534
		CP1-3534-ND*	.58	.51	.40	SJ1-3534
		CP-3534N-ND†	.83	.72	.56	SJ-3534N

Abb.	Dia. mm**	Digi-Key Teilenr.	Stückpreis 1	10	100	CUI Inc. Teilenr.
61B	3.5	CP1-3534N-ND†	.52	.46	.35	SJ1-3534N
		CP-3534NG-ND‡	.83	.72	.56	SJ-3534NG
		CP1-3534NG-ND‡	.52	.45	.35	SJ1-3534NG
61C	3.5	CP-3534NGS-ND‡◊	.95	.83	.64	SJ-3534NGS
		CP-3534NS-ND†◊	.95	.83	.64	SJ-3534NS
		CP1-3534NS-ND†◊	.66	.58	.45	SJ1-3534NS
61D	3.5	CP-3535-ND*	.88	.77	.60	SJ-3535
		CP1-3535-ND*	.60	.52	.40	SJ1-3535
		CP-3535N-ND†	.86	.75	.58	SJ-3535N
		CP1-3535N-ND†	.53	.46	.36	SJ1-3535N
		CP-3535NG-ND‡	.86	.75	.58	SJ-3535NG
		CP1-3535NG-ND‡	.52	.46	.35	SJ1-3535NG
		CP-3535NGS-ND‡◊	.97	.85	.66	SJ-3535NGS
		CP-3535NS-ND†◊	.97	.85	.66	SJ-3535NS
		CP1-3535NS-ND†◊	.68	.59	.45	SJ1-3535NS
62A	3.5	CP-351133-ND	1.41	1.23	.95	SJD-3511-33
62B	3.5	CP-351145-ND	1.34	1.16	.89	SJD-3511-45
63A	3.5	CP-351033-ND	1.21	1.05	.81	SJD-3510-33
		CP-351233-ND	1.41	1.23	.95	SJD-3512-33
63B	3.5	CP-351045-ND	1.26	1.10	.84	SJD-3510-45
		CP-351245-ND	1.54	1.34	1.03	SJD-3512-45
64A	3.5	CP-3543-ND*	.81	.71	.55	SJ-3543
		CP1-3543-ND*	.52	.46	.36	SJ1-3543
		CP1-3543N-ND*	.47	.41	.31	SJ1-3543N
64B	3.5	CP-3544-ND*	.85	.74	.57	SJ-3544
		CP1-3544-ND*	.53	.47	.36	SJ1-3544
		CP-3544N-ND†	.82	.72	.55	SJ-3544N
		CP1-3544N-ND†	.47	.42	.32	SJ1-3544N
64C	3.5	CP-3545-ND*	.88	.77	.59	SJ-3545
		CP1-3545-ND*	.55	.48	.37	SJ1-3545
		CP-3545N-ND†	.85	.74	.57	SJ-3545N
		CP1-3545N-ND†	.48	.42	.32	SJ1-3545N
65A	3.5	CP-3553NG-ND‡	.76	.66	.51	SJ-3553NG
		CP1-3553NG-ND‡	.42	.37	.29	SJ1-3553NG
65B	3.5	CP-3554NG-ND‡	.80	.69	.53	SJ-3554NG
		CP1-3554NG-ND‡	.44	.38	.30	SJ1-3554NG
65C	3.5	CP-3555NG-ND‡	.83	.72	.55	SJ-3555NG
		CP1-3555NG-ND‡	.45	.39	.30	SJ1-3555NG
66A	2.5	CP1-42514-ND	.60	.53	.41	SJ1-42514
66B	2.5	CP-42515RS-ND	.89	.77	.60	SJ-42515RS
		CP1-42515RS-ND	.63	.54	.42	SJ1-42515RS
66C	2.5	CP-42515TS-ND	.89	.77	.60	SJ-42515TS
		CP1-42515TS-ND	.63	.54	.42	SJ1-42515TS

* Mit Gewinde, mit Mutter † Ohne Gewinde § Tablett ‡ Ohne Gewinde und Erdisolierung ◊ Geschirmte Version ** Durchm. mm

(Forts.)

A

Abb. 63 – Klinkenstecker, Stereo

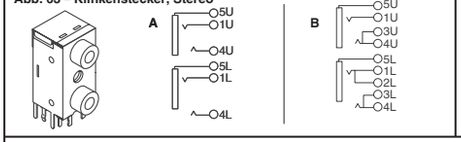

Abb. 64 – Audio-Klinkenstecker, Stereo

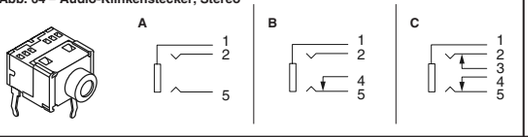

Abb. 65 – Audio-Klinkenstecker, Stereo

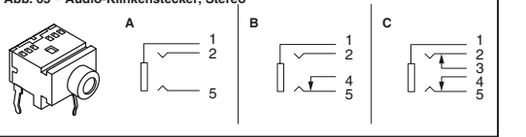

Abb. 66 – Audio-Klinkenstecker

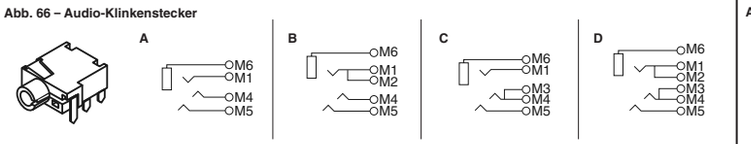

Abb. 67 – SMT Audio-Klinkenstecker

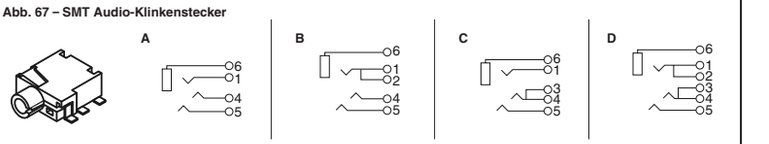

Abb. 68 – SMT Audio-Klinkenstecker

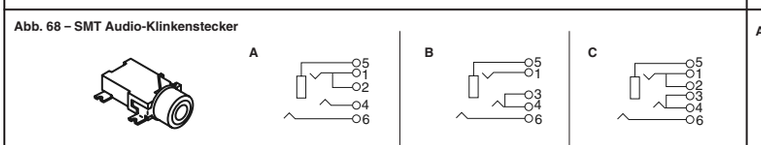

Abb. 69 – SMT Audio-Klinkenstecker

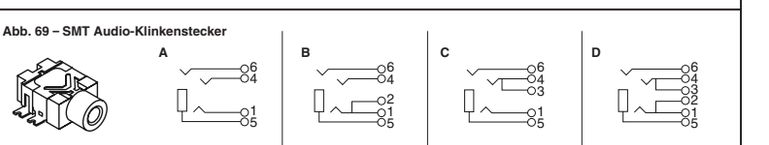

Abb. 70 – Audio-Klinkenstecker, Plattenmontage

Abb. 71 – Audio-Klinkenstecker

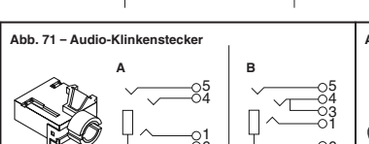

Abb. 72 – SMT Audio-Klinkenstecker

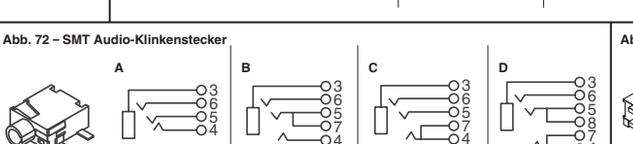

Abb. 73 – Audio-Klinkenstecker

Abb. 74 – 2,5-mm-Stereo-Stecker

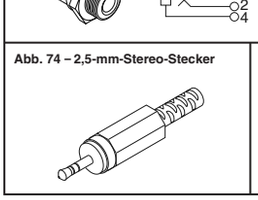

Abb. 75 – 3,5-mm-Stereo-Stecker

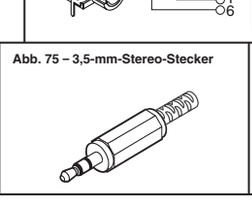

Abb. 76 - Klinkenbuchse, Mono

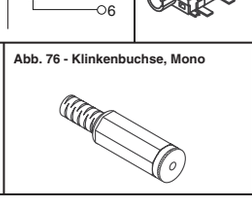

Abb. 77 - Klinkenbuchse, Stereo

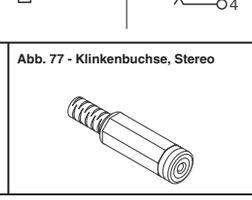

Abb. 78 – Stereo-Audiokabel

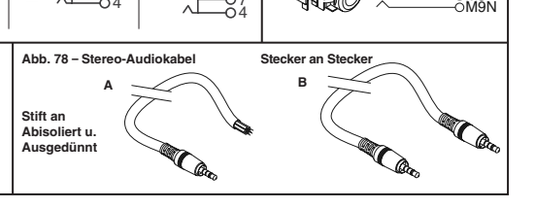

Abb.	Dia. mm**	Digi-Key Teilenr.	Stückpreis 1	10	100	CUI Inc. Teilenr.
66D	2.5	CP-42516-ND	.91	.80	.61	SJ-42516
		CP1-42516-ND	.64	.56	.43	SJ1-42516
67A	2.5	CP-42514SJTR-ND		431.77/1,000		SJ-42514-SMT
		CP-42514SJ-ND§	.87	.76	.58	SJ-42514-SMT-1
		CP1-42514SJCT-ND	.68	.59	.46	SJ1-42514-SMT
		CP1-42514SJTR-ND		339.06/1,000		SJ1-42514-SMT
67B	2.5	CP-42515RSSJTR-ND		444.47/1,000		SJ-42515RS-SMT
		CP-42515RSSJ-ND§	.89	.77	.60	SJ-42515RS-SMT-1
		CP1-42515RSSJCT-ND	.70	.61	.47	SJ1-42515RS-SMT
		CP1-42515RSSJTR-ND		349.22/1,000		SJ1-42515RS-SMT
67C	2.5	CP-42515TSSJTR-ND		444.47/1,000		SJ-42515TS-SMT
		CP-42515TSSJ-ND§	.89	.77	.60	SJ-42515TS-SMT-1
		CP1-42515TSSJCT-ND	.70	.61	.47	SJ1-42515TS-SMT
		CP1-42515TSSJTR-ND		349.22/1,000		SJ1-42515TS-SMT
67D	2.5	CP-42516SJTR-ND		457.16/1,000		SJ-42516-SMT
		CP-42516SJ-ND§	.91	.80	.61	SJ-42516-SMT-1
		CP1-42516SJCT-ND	.72	.63	.48	SJ1-42516-SMT
		CP1-42516SJTR-ND		359.38/1,000		SJ1-42516-SMT
68A	2.5	CP-42525RSSJTR-ND		444.47/1,000		SJ-42525RS-SMT

Abb.	Dia. mm**	Digi-Key Teilenr.	Stückpreis 1	10	100	CUI Inc. Teilenr.
68B	2.5	CP-42525TSSJTR-ND		444.47/1,000		SJ-42525TS-SMT
		CP-42525TSSJ-ND§	.89	.77	.60	SJ-42525TS-SMT-1
68C	2.5	CP-42526SJCT-ND	.91	.80	.61	SJ-42526-SMT
		CP-42526SJTR-ND		548.60/1,200		SJ-42526-SMT
		CP-42526SJ-ND§	.91	.80	.61	SJ-42526-SMT-1
69A	2.5	CP-42534SJTR-ND		410.60/1,000		SJ-42534-SMT
		CP-42534SJ-ND§	.97	.84	.65	SJ-42534-SMT-1
		CP1-42534SJCT-ND	.73	.63	.49	SJ1-42534-SMT
		CP1-42534SJTR-ND		361.92/1,000		SJ1-42534-SMT
69B	2.5	CP-42535RSSJTR-ND		495.26/1,000		SJ-42535RS-SMT
		CP-42535RSSJ-ND§	.99	.86	.67	SJ-42535RS-SMT-1
		CP1-42535RSSJCT-ND	.75	.65	.50	SJ1-42535RS-SMT
		CP1-42535RSSJTR-ND		372.08/1,000		SJ1-42535RS-SMT
69C	2.5	CP-42535TSSJTR-ND		495.26/1,000		SJ-42535TS-SMT
		CP-42535TSSJ-ND§	.99	.86	.67	SJ-42535TS-SMT-1
		CP1-42535TSSJCT-ND	.75	.65	.50	SJ1-42535TS-SMT
		CP1-42535TSSJTR-ND		372.08/1,000		SJ1-42535TS-SMT
69D	2.5	CP-42536SJ-ND§	1.02	.88	.68	SJ-42536-SMT-1
		CP1-42536SJCT-ND	.76	.66	.51	SJ1-42536-SMT

Abb.	Dia. mm**	Digi-Key Teilenr.	Stückpreis 1	10	100	CUI Inc. Teilenr.
69D	2.5	CP1-42536SJTR-ND		380.97/1,000		SJ1-42536-SMT
70	3.5	CP-43502PM-ND	3.12	2.71	2.09	SJ-43502PM
71A	3.5	CP-43514-ND	.76	.66	.51	SJ-43514
71B	3.5	CP-43515TS-ND	.79	.69	.53	SJ-43515TS
72A	3.5	CP-43514SJCT-ND	.58	.51	.39	SJ-43514-SMT
		CP-43514SJTR-ND		292.08/1,000		SJ-43514-SMT
72B	3.5	CP-43515RSSJCT-ND	.60	.52	.40	SJ-43515RS-SMT
		CP-43515RSSJTR-ND		298.43/1,000		SJ-43515RS-SMT
72C	3.5	CP-43515TSSJCT-ND	.60	.52	.40	SJ-43515TS-SMT
		CP-43515TSSJTR-ND		298.43/1,000		SJ-43515TS-SMT
72D	3.5	CP-43516SJCT-ND	.61	.53	.41	SJ-43516-SMT
		CP-43516SJTR-ND		304.78/1,000		SJ-43516-SMT
73	3.5	CP-63516-ND	1.07	.93	.72	SJ-63516
74	2.5	CP-2501SP-ND	.81	.71	.55	SP-2501
75	3.5	CP-3502-ND	.74	.65	.50	SP-3501
76	2.5	CP-2520-ND	1.09	.95	.73	MR-2501
	3.5	CP-3506-ND	1.09	.95	.73	MR-3501
77	2.5	CP-2521-ND	1.63	1.41	1.09	SR-2501
	3.5	CP-3507-ND	1.63	1.41	1.09	SR-3501

Abb.	Durchmesser (mm)	Länge in Metern	Digi-Key Teilenr.	Stückpreis 1	10	100	CUI Inc. Teilenr.	Mating Jacks
Kabelbausatz, 4 Leiter								
78A	2.5	1.83	CP-254CS-ND	4.27	3.70	2.85	CA-254CS	SJ-4252X-SMT
	2.5		CP-254S-ND	4.14	3.59	2.76	CA-254S	SJ-4251X-SMT, SJ-4243X-SMT
	3.5		CP-354S-ND	4.85	4.21	3.24	CA-354S	SJ-4351X, SJ-43502PM
78B	2.5	1.83	CP-254CS-M/M-ND	5.00	4.34	3.34	CA-254CS-M/M	SJ-4252X-SMT
	2.5		CP-254S-M/M-ND	4.85	4.21	3.24	CA-254S-M/M	SJ-4251X-SMT, SJ-4243X-SMT, SJ-4251X
	3.5		CP-354S-M/M-ND	5.31	4.60	3.54	CA-354S-M/M	SJ-4351X, SJ-43502PM
Kabelbausatz, 6 Leiter								
78A	3.5	1.83	CP-356CS-ND	6.81	5.90	4.54	CA-356CS	SJ-63516
78B			CP-356CS-M/M-ND	10.03	8.70	6.69	CA-356CS-M/M	SJ-63516

* Mit Gewinde, mit Mutter † Ohne Gewinde § Tablett ‡ Ohne Gewinde und Erdisolierung ◊ Geschirmte Version ** Durchm. mm

Netzkabel mit einem Ende

Abb.	Abmessungen (mm) A	B	C	Draht AWG	Digi-Key Teilenr.	Stückpreis 1	10	100	CUI Inc. Teilenr.
Kabelbausatz, gerade									
1	0.70	2.35	9.5	24	CP-2192-ND	1.07	.93	.72	CA-2192
	1.35	3.5	9.5	24	CP-2193-ND	.91	.80	.61	CA-2193
	1.7	4	10	24	CP-2194-ND	.97	.84	.65	CA-2194
	1.7	4.75	9.5	24	CP-2195-ND	.97	.84	.65	CA-2195
	2.1	5.5	12	24	CP-2185-ND	.84	.73	.56	CA-2185
	2.1	5.5	12	18	CP-2187-ND	1.14	1.00	.77	CA-2187
	2.5	5.5	12	24	CP-2184-ND	.84	.73	.56	CA-2184
	2.5	5.5	12	18	CP-2186-ND	1.14	1.00	.77	CA-2186
Kabelbausatz, rechtwinklig									
2	0.70	2.35	11	24	CP-2196-ND	1.07	.93	.72	CA-2196
	1.35	3.5	10	24	CP-2197-ND	.91	.80	.61	CA-2197
	1.7	4	9.5	24	CP-2198-ND	.97	.84	.65	CA-2198
	1.7	4.75	9.5	24	CP-2199-ND	.97	.84	.65	CA-2199
	2.1	5.5	12	24	CP-2189-ND	.84	.73	.56	CA-2189
	2.1	5.5	10	18	CP-2191-ND	1.14	1.00	.77	CA-2191
	2.5	5.5	12	24	CP-2188-ND	.84	.73	.56	CA-2188
	2.5	5.5	10	18	CP-2200-ND	1.14	1.00	.77	CA-2200

Abb. 1

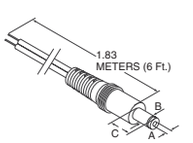

Abb. 2

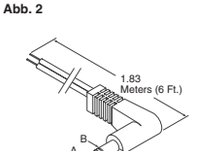

Audiokabel mit einem Ende

Abb.	Abm. (mm) A	B	Draht AWG	Digi-Key Teilenr.	Stückpreis 1	10	100	CUI Inc. Teilenr.
Mono-Stecker – gerade								
1	2.5	11.5	24	CP-2201-ND	1.57	1.37	1.05	CA-2201
	3.5	13	24	CP-2205-ND	1.60	1.39	1.07	CA-2205
Stereostecker – gerade								
1	2.5	11	24	CP-2203-ND	1.60	1.39	1.07	CA-2203
	3.5	13	24	CP-2207-ND	1.63	1.41	1.09	CA-2207
Mono-Stecker – rechtwinklig								
2	2.5	11.5	24	CP-2202-ND	1.57	1.37	1.05	CA-2202
	3.5	14.5	24	CP-2206-ND	1.60	1.39	1.07	CA-2206
Stereo-Stecker – rechtwinklig								
2	2.5	11	24	CP-2204-ND	1.60	1.39	1.07	CA-2204
	3.5	14	24	CP-2208-ND	1.63	1.41	1.09	CA-2208

Abb. 1

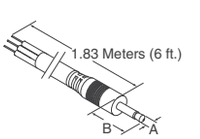

Abb. 2

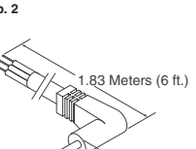

Alle Preisangaben in Euro und inklusive Zollgebühren.

CUI INC Phonostecker und Klinkenstecker

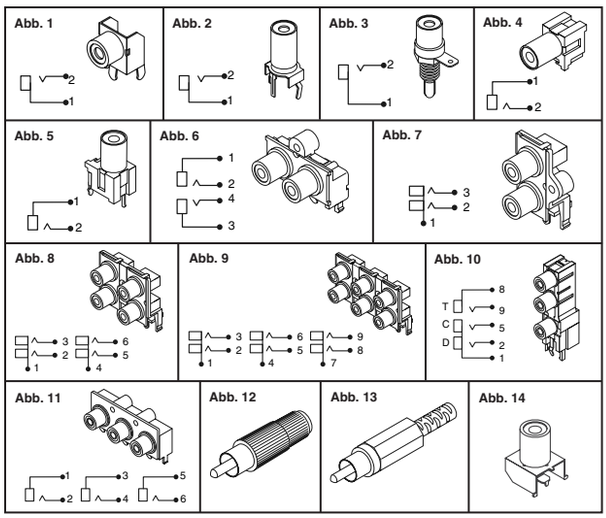

Abb.	Farbe	Digi-Key Teilenr.	Stückpreis 1	10	100	CUI Inc. Teilenr.
1	Schwarz	CP-1400-ND	.52	.45	.35	RCJ-011
	Rot	CP-1401-ND	.52	.45	.35	RCJ-012
	Weiß	CP-1402-ND	.52	.45	.35	RCJ-013
	Gelb	CP-1403-ND	.52	.45	.35	RCJ-014
	Blau	CP-1404-ND	.52	.45	.35	RCJ-015
	Grün	CP-1405-ND	.52	.45	.35	RCJ-016
	Orange	CP-1466-ND	.52	.45	.35	RCJ-017
2	Schwarz	CP-1406-ND	.49	.43	.33	RCJ-021
	Rot	CP-1407-ND	.49	.43	.33	RCJ-022
	Weiß	CP-1408-ND	.49	.43	.33	RCJ-023
	Gelb	CP-1409-ND	.49	.43	.33	RCJ-024
	Blau	CP-1410-ND	.49	.43	.33	RCJ-025
	Grün	CP-1411-ND	.49	.43	.33	RCJ-026
	Orange	CP-1467-ND	.49	.43	.33	RCJ-027
3	Schwarz	CP-1412-ND	.60	.52	.40	RCJ-031
	Rot	CP-1413-ND	.60	.52	.40	RCJ-032
	Weiß	CP-1414-ND	.60	.52	.40	RCJ-033
	Gelb	CP-1415-ND	.60	.52	.40	RCJ-034
	Blau	CP-1416-ND	.60	.52	.40	RCJ-035
	Grün	CP-1417-ND	.60	.52	.40	RCJ-036
	Orange	CP-1468-ND	.60	.52	.40	RCJ-037
4	Schwarz	CP-1418-ND	.75	.65	.50	RCJ-041
	Rot	CP-1419-ND	.75	.65	.50	RCJ-042
	Weiß	CP-1420-ND	.75	.65	.50	RCJ-043
	Gelb	CP-1421-ND	.75	.65	.50	RCJ-044
	Blau	CP-1422-ND	.75	.65	.50	RCJ-045
	Grün	CP-1423-ND	.75	.65	.50	RCJ-046
	Orange	CP-1469-ND	.75	.65	.50	RCJ-047
5	Schwarz	CP-1424-ND	.56	.49	.38	RCJ-051
	Rot	CP-1425-ND	.56	.49	.38	RCJ-052
	Weiß	CP-1426-ND	.56	.49	.38	RCJ-053
	Gelb	CP-1427-ND	.56	.49	.38	RCJ-054
	Blau	CP-1428-ND	.56	.49	.38	RCJ-055
	Grün	CP-1429-ND	.56	.49	.38	RCJ-056
	Orange	CP-1470-ND	.56	.49	.38	RCJ-057
6	Rot/schwarz	CP-1430-ND	.75	.66	.51	RCJ-2121
	Weiß/gelb	CP-1431-ND	.75	.66	.51	RCJ-2134
	Rot/weiß	CP-1432-ND	.75	.66	.51	RCJ-2123
7	Rot/schwarz	CP-1433-ND	.73	.64	.49	RCJ-2221
	Weiß/gelb	CP-1434-ND	.73	.64	.49	RCJ-2234
	Rot/weiß	CP-1435-ND	.73	.64	.49	RCJ-2223
8	Rot/schwarz	CP-1436-ND	1.24	1.08	.83	RCJ-412211
	Weiß/gelb	CP-1437-ND	1.24	1.08	.83	RCJ-413344
	Rot/weiß	CP-1438-ND	1.24	1.08	.83	RCJ-412233
9	Rot/schwarz	CP-1439-ND	1.68	1.46	1.12	RCJ-61212121
	Weiß/gelb	CP-1440-ND	1.68	1.46	1.12	RCJ-61343434
	Rot/weiß	CP-1441-ND	1.68	1.46	1.12	RCJ-61232323
	Rot/weiß/gelb	CP-1442-ND	1.68	1.46	1.12	RCJ-61223344
10	Rot/weiß/gelb	CP-1443-ND§	1.28	1.11	.85	RCJ-31234
	Rot/weiß/gelb	CP-1464-ND	1.28	1.11	.85	RCJ-33234
	Rot/grün/blau	CP-1465-ND	1.28	1.11	.85	RCJ-33265
11	Rot/weiß/gelb	CP-1445-ND	1.26	1.10	.84	RCJ-32234
	Rot/grün/blau	CP-1446-ND	1.26	1.10	.84	RCJ-32265
12	Schwarz	CP-1447-ND	.75	.65	.50	RCP-011
	Rot	CP-1448-ND	.75	.65	.50	RCP-012
	Weiß	CP-1449-ND	.75	.65	.50	RCP-013
	Gelb	CP-1450-ND	.75	.65	.50	RCP-014
	Blau	CP-1451-ND	.75	.65	.50	RCP-015
	Grün	CP-1452-ND	.75	.65	.50	RCP-016
13	Schwarz	CP-1453-ND	.78	.68	.52	RCP-021
	Rot	CP-1454-ND	.78	.68	.52	RCP-022
	Weiß	CP-1455-ND	.78	.68	.52	RCP-023
	Gelb	CP-1456-ND	.78	.68	.52	RCP-024
	Blau	CP-1457-ND	.78	.68	.52	RCP-025
	Grün	CP-1458-ND	.78	.68	.52	RCP-026
14	Schwarz	CP-1459-1-ND*	.61	.53	.48	RCJ-011-SMT
	Schwarz	CP-1459-2-ND†		101.59/250		RCJ-011-SMT
	Rot	CP-1460-1-ND*	.61	.53	.48	RCJ-012-SMT
	Rot	CP-1460-2-ND†		101.59/250		RCJ-012-SMT
	Weiß	CP-1461-1-ND*	.61	.53	.48	RCJ-013-SMT
	Weiß	CP-1461-2-ND†		101.59/250		RCJ-013-SMT
	Gelb	CP-1462-1-ND*	.61	.53	.48	RCJ-014-SMT
	Gelb	CP-1462-2-ND†		101.59/250		RCJ-014-SMT
	Orange	CP-1463-1-ND*	.61	.53	.48	RCJ-017-SMT
	Orange	CP-1463-2-ND†		101.59/250		RCJ-017-SMT

§ Nicht für Neukonstruktionen empfohlen * Gurtabschnitt † Gegurtet auf Rolle

EDAC INC Edgecard-Steckverbinder

MATERIAL: • **Isoliermaterial:** Thermoplastisches Polyester, UL 94V-0 • **Kontakte:** Kupfer, Nickel, Zinnlegierung CA-725 oder Phosphorbronze. • **Kontaktüberzug:** Gold auf Kontaktfläche, Zinn-Blei auf den Kontaktlitzen, Nickel-Unterplattierung • **Farben:** Serie 305, 306, 307, 341, 345 und 346 sind grün. Serien 357 und 395 sind schwarz. **MECHANISCHE DATEN:** • **Leiter- plattensteckplatz:** Akzeptiert Karten von 0,054" - 0,070" (1,37 mm - 1,78 mm) Dicke. **ELEKTRISCHE SPEZIFIKATIONEN:** • **Isolationswiderstand:** 5.000 MΩ @ 500 V DC. • **Dielektrische Haltespannung:** 1.500 V AC RMS auf Meereshöhe • **Nennstrom:** 3 A • **Kontaktwiderstand:** Max. 6 mΩ **UMGEBUNGSDATEN:** • **Betriebstemperatur:** -65 °C ~ 125 °C

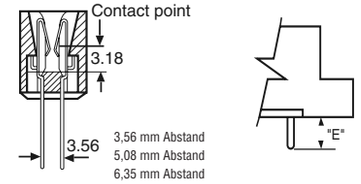

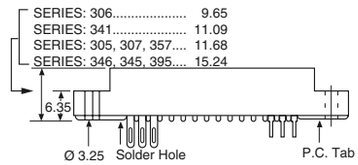

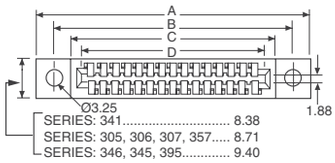

HINWEIS:
SERIE 341: 10,16 mm für 28/56-Pin und mehr.
SERIE 306: 12,70 mm für 28-Pin und mehr.
SERIE 305, 307, 357: 12,70 mm für 28/56-Pin und mehr.

Kontakte	Abmessungen (mm) A ± 0,38	B ± 0,20	C ± 0,38	D ± 0,15	E ± 0,51	Digi-Key Teilenr.	Preisangaben 1	10	100	500	EDAC Teilenr.
Lötfahne – 0,140" (3,56 mm) Reihenabstand											
0,100" (2,54 mm) Kontaktmitten											
12	37.47	29.85	22.23	17.78	3.18	EDC341122-ND	2.15	19.09	152.73	590.08	341-012-520-202
20	47.63	40.01	32.39	27.94	3.18	EDC341202-ND	1.68	14.90	119.20	460.55	341-020-520-202
30	60.33	52.71	45.09	40.64	3.18	EDC341302-ND	2.86	25.38	203.01	784.37	341-030-520-202
40	73.03	65.41	57.79	53.34	3.18	EDC341402-ND	3.12	27.71	221.64	856.34	341-040-520-202
50	85.73	78.11	70.49	66.04	3.18	EDC341502-ND	3.39	30.04	240.27	928.30	341-050-520-202
0,156" (3,96 mm) Kontaktmitten											
12	46.79	38.91	31.65	27.94	5.41	EDC305122-ND	1.41	12.57	100.58	388.59	305-012-520-202
20	62.64	54.76	47.50	43.79	5.41	EDC305202-ND	1.81	16.07	128.51	496.53	305-020-520-202
24	70.56	62.69	55.42	51.71	5.41	EDC305242-ND	2.07	18.40	147.14	568.49	305-024-520-202
30	82.45	74.57	67.31	63.60	5.41	EDC305302-ND	2.34	20.72	165.76	640.45	305-030-520-202
36	94.34	86.46	79.20	75.49	5.41	EDC305362-ND	2.68	23.75	189.98	734.00	305-036-520-202
44	110.19	102.31	95.05	91.34	5.41	EDC305442-ND	3.12	27.71	221.64	856.34	305-044-520-202
Lötfahne – 0,200" (5,08 mm) Reihenabstand											
0,100" (2,54 mm) Kontaktmitten											
20	46.61	40.01	32.00	27.94	4.44	EDC395202-ND	1.84	16.30	130.38	503.73	395-020-520-202
26	54.23	47.63	39.62	35.56	4.44	EDC395262-ND	2.00	17.69	141.55	546.90	395-026-520-202
30	59.31	52.71	44.70	40.64	4.44	EDC395302-ND	2.12	18.86	150.86	582.88	395-030-520-202
34	64.39	57.79	49.78	45.72	4.44	EDC395342-ND	2.24	19.79	158.31	611.67	395-034-520-202
36	66.93	60.33	52.32	48.26	4.44	EDC395362-ND	2.24	19.79	158.31	611.67	395-036-520-202
40	72.01	65.41	57.40	53.34	4.44	EDC395402-ND	2.36	20.95	167.63	647.65	395-040-520-202
44	77.09	70.49	62.48	58.42	4.44	EDC395442-ND	2.50	22.12	176.94	683.63	395-044-520-202
50	84.71	78.11	70.10	66.04	4.44	EDC395502-ND	2.84	25.14	201.15	777.18	395-050-520-202
56	92.33	85.73	77.72	73.66	4.44	EDC395562-ND	2.94	26.08	208.60	805.96	395-056-520-202
60	97.41	90.81	82.80	78.74	4.44	EDC395602-ND	3.07	27.24	217.91	841.94	395-060-520-202
62	99.95	93.35	85.34	81.28	4.44	EDC395622-ND	3.31	29.33	234.68	906.71	395-062-520-202
0,156" (3,96 mm) Kontaktmitten											
20	62.64	54.76	47.50	43.79	5.41	EDC357202-ND	2.00	17.69	141.55	546.90	357-020-520-202
24	70.56	62.69	55.42	51.71	5.41	EDC357242-ND	2.07	18.40	147.14	568.49	357-024-520-202
30	82.45	74.57	67.31	63.60	5.41	EDC357302-ND	2.24	19.79	158.31	611.67	357-030-520-202
36	94.34	86.46	79.20	75.49	5.41	EDC357362-ND	2.60	23.05	184.39	712.41	357-036-520-202
44	110.19	102.31	95.05	91.34	5.41	EDC357442-ND	3.07	27.24	217.91	841.94	357-044-520-202
Lötfahne – 0,250" (6,35 mm) Reihenabstand											
0,125" (3,18 mm) Kontaktmitten											
44	90.42	83.69	77.09	73.03	4.44	EDC346442-ND	2.73	24.21	193.70	748.39	346-044-520-202
56	109.47	102.74	96.14	92.08	4.44	EDC346562-ND	3.07	27.24	217.91	841.94	346-056-520-202
72	134.87	128.14	121.54	117.48	4.44	EDC346722-ND	3.67	32.59	260.75	1007.45	346-072-520-202
100	179.32	172.59	165.99	161.93	4.44	EDC346102-ND	5.22	46.33	370.64	1432.02	346-100-520-202
Lötfahne – Mittenabstand (Einzelreihe)											
0,156" (3,96 mm) Kontaktmitten											
10	62.64	54.76	47.50	43.79	5.41	EDC306102-ND	1.76	15.60	124.79	482.14	306-010-520-102
15	82.45	74.57	67.31	63.60	5.41	EDC306152-ND	2.34	20.72	165.76	640.45	306-015-520-102
18	94.34	86.46	79.20	75.49	5.41	EDC306182-ND	2.68	23.75	189.98	734.00	306-018-520-102
22	110.19	102.31	95.05	91.34	5.41	EDC306222-ND	3.12	27.71	221.64	856.34	306-022-520-102
Lötösen – 0,140" (3,56 mm) Reihenabstand											
0,156" (3,96 mm) Kontaktmitten											
12	46.79	38.91	31.65	27.94	7.16	EDC305120-ND	1.41	12.57	100.58	388.59	305-012-500-202
20	62.64	54.76	47.50	43.79	7.16	EDC305200-ND	1.81	16.07	128.51	496.53	305-020-500-202
24	70.56	62.69	55.42	51.71	7.16	EDC305240-ND	2.07	18.40	147.14	568.49	305-024-500-202
30	82.45	74.57	67.31	63.60	7.16	EDC305300-ND	2.34	20.72	165.76	640.45	305-030-500-202
36	94.34	86.46	79.20	75.49	7.16	EDC305360-ND	2.68	23.75	189.98	734.00	305-036-500-202
44	110.19	102.31	95.05	91.34	7.16	EDC305440-ND	3.39	30.04	240.27	928.30	305-044-500-202
Lötösen – 0,200" (5,08 mm) Reihenabstand											
0,156" (3,96 mm) Kontaktmitten											
12	46.79	38.91	31.65	27.94	7.16	EDC307120-ND	1.52	13.50	108.03	417.37	307-012-500-202
20	62.64	54.76	47.50	43.79	7.16	EDC307200-ND	2.00	17.69	141.55	546.90	307-020-500-202
24	70.56	62.69	55.42	51.71	7.16	EDC307240-ND	2.07	18.40	147.14	568.49	307-024-500-202
30	82.45	74.57	67.31	63.60	7.16	EDC307300-ND	2.24	19.79	158.31	611.67	307-030-500-202
36	94.34	86.46	79.20	75.49	7.16	EDC307360-ND	2.60	23.05	184.39	712.41	307-036-500-202
44	110.19	102.31	95.05	91.34	7.16	EDC307440-ND	3.07	27.24	217.91	841.94	307-044-500-202
Lötösen – Mittenabstand (Einzelreihe)											
0,156" (3,96 mm) Kontaktmitten											
10	62.64	54.76	47.50	43.79	7.16	EDC306100-ND	1.76	15.60	124.79	482.14	306-010-500-102
15	82.45	74.57	67.31	63.60	7.16	EDC306150-ND	2.34	20.72	165.76	640.45	306-015-500-102
18	94.34	86.46	79.20	75.49	7.16	EDC306180-ND	2.68	23.75	189.98	734.00	306-018-500-102
22	110.19	102.31	95.05	91.34	7.16	EDC306220-ND	3.12	27.71	221.64	856.34	306-022-500-102

Kontakte	Kontaktabstand (mm)	Abm. (mm) C ±0,38	D ±0,15	Bus-Typ	Digi-Key Teilenr.	Preisangaben 1	10	100	500	EDAC Teilenr.
Bussysteme gemäß Industriestandard										
60	2.54	82.80	78.74	MULTIBUS	EDC345602-ND	3.55	31.43	251.44	971.47	345-060-524-201
120	2.54	159.00	154.94	VERSABUS	EDC345202-ND	5.91	52.39	419.07	1619.12	345-120-520-201
56	3.18	96.14	92.08	STANDARD BUS	EDC346052-ND	3.46	30.73	245.85	949.89	346-056-520-802
62	2.54	85.34	81.28	IBM PC-XT	EDC395062-ND	.95	8.38	67.05	259.06	395-062-520-350
98	2.54	131.06	127.00	IMB PC-AT ISA	EDC395982-ND	1.19	10.48	83.81	323.82	395-098-520-350

Sullins Edgecard-Steckverbinder

Rechtwinklig	Gerade
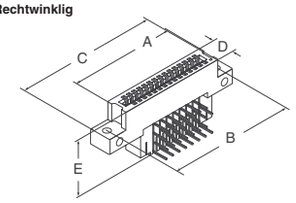	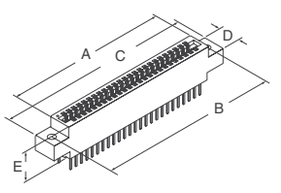

MATERIALIEN

- **Isolierung:** Glasgefülltes thermoplastisches Polyester PBT (Standard) mit Zulassung nach UL 94V-0. „PPS“ für 1 mm und 0,050" Abstandshalter; alle anderen: „PBT“
- **Kontakte:** Phosphorbronze (Standard)
- **Kontaktüberzug:** Gold über Nickel
- **UL-Eintragungsnr.:** E64287
- **Anschlussüberzug:** Zinn

Abb. 1 Öse	Abb. 2 Rechtwinklig	Abb. 3 Enges Tauchlöten	Abb. 4 Weites Tauchlöten
	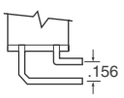	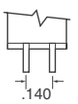	
Abb. 5 DIP, versetzt	**Abb. 6 Oberflächenmontage**	**Abb. 7 Kartenerweiterung**	**Abb. 8 Rechtwinklig**
	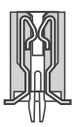		

Polarisationsnocken

Für Produkte mit 0,050 und 1 mm Kontaktmittenabstand sind Polarisationsnocken nicht lieferbar.

Beschreibung	Digi-Key Teilenr.	Preisangaben 10	Preisangaben 100	Sullins Teilenr.
Polarisierungsschlüssel für Flachprofil (0,431")	PLA-K1-ND	1.06	7.41	PLA-K1
Polarisierungsschlüssel für alle anderen Profile	PLC-K1-ND	1.06	7.41	PLC-K1

Hohes Profil

Pos./Kont.	A	B	C	D	E	Digi-Key Teilenr.	1	10	100	Sullins Teilenr.
Abb. 5 — Peripheral Component Interconnect (PCI) 0,050" (1,3 mm) Kontaktmittenabstand										
42/49	4.890	5.176	5.490	.370	.300	S09119-578-ND•	13.87	110.06	770.41	RZB91DCHN-S578
Abb. 4 — Lötfahne 0,100" (2,5 mm) (Kontaktmittenabstand										
6/12	0.700	—	0.860	.370	0.550	S1066-ND•	1.97	15.66	109.63	EZC06DCWN
10/20	1.100	—	1.260	.370	0.550	S1106-ND•	2.24	17.78	124.45	EZC10DCWN
12/24	1.300	—	1.460	.370	0.550	S1126-ND•	2.51	19.90	139.27	EZC12DCWN
15/30	1.600	—	1.760	.370	0.550	S1156-ND•	2.72	21.59	151.12	EZC15DCWN
25/50	2.600	—	2.760	.370	—	S1256-ND•	3.87	30.69	214.82	EZC25DCWN
25/50	2.760	3.075	3.335	.370	0.550	S1250-ND	4.22	33.44	234.08	EZC25DCWH
18/36	2.060	2.375	2.635	.370	—	S1186-371-ND	2.32	18.41	128.89	EZC18DCWN-S371
Abb. 5 — Rechter Winkel 0,100" (2,5 mm) Kontaktmittenabstand										
49/98	5.460	—	—	.370	—	S14916-605-ND•	12.96	102.86	720.03	EZC49DCAN-S605
Abb. 2 — Lötfahne, rechter Winkel 0,100" (2,5 mm) Kontaktmittenabstand										
10/20	1.260	1.575	1.835	.370	0.550	S11022-ND	3.87	30.69	214.82	EZC10DCAH
Wire-Wrap, 0,100" (2,5 mm) Kontaktmittenabstand										
10/20	1.260	1.575	1.835	.370	0.550	S11013-ND	3.20	25.40	177.79	EZC10DCMH
Lötfahne, 0,125" (3,2 mm) Kontaktmittenabstand										
28/56	3.785	4.045	4.325	.0.330	.431	S22821-ND††	5.20	41.27	288.90	EZA28DRJH
50/100	6.535	6.795	7.055	.370	0.610	S25011-ND	8.42	66.88	468.17	EZA50DCSD
Lötfahne, 0,156" (4 mm) Kontaktmittenabstand										
6/12	1.102	—	1.221	.370	0.550	S5066-ND•	3.20	25.40	177.79	EZM06DCWN
22/44	3.717	4.030	4.280	.370	0.550	S5220-ND	4.32	34.29	240.01	EZM22DCWH
36/72	5.782	—	5.901	.370	0.550	S5366-ND•	5.36	42.54	297.79	EZM36DCWN
43/86	6.874	—	6.993	.370	0.550	S5437-ND•	6.43	51.01	357.05	EZM43DCTN

• Keine Montageösen †† .0,165" Stiftlänge † Kartenerweiterung ‡ Haarnadelförmige Kontakte ‡‡ Auslegerförmige Kontakte § Metall-Plattenverriegelung

Niedrige Bauform

Pos./Kont.	A	B	C	D	E	Digi-Key Teilenr.	1	10	100	Sullins Teilenr.
Am Erweiterungskarten-Steckverbinder										
49/98	Leiterplatten-Erweiterungsanschluss mit Kontaktleiste					S1020-ND•	3.60	28.57	200.01	EZC49DCWN-S420
Rechtwinklig – Lötfahne – 0,156" (4 mm) Abstand										
Abb. 2 – 0,100" (2,5 mm) Kontaktmittenabstand										
5/10	0.775	1.075	1.375	.330	.431	S1051-ND	5.36	42.54	297.79	EZC05DRAS
6/12	0.875	1.175	1.475	.330	.431	S1061-ND	4.83	38.31	268.16	EZC06DRAS
10/20	1.275	1.575	1.875	.330	.431	S1101-ND	4.21	34.27	249.24	EZC10DRAS
15/30	1.775	2.075	2.375	.330	.431	S1151-ND	6.00	47.62	333.35	EZC15DRAS
18/36	2.075	2.375	2.675	.330	.431	S1181-ND	5.52	43.81	306.68	EZC18DRAS
22/44	2.475	2.775	3.075	.330	.431	S1221-ND	6.56	52.07	364.46	EZC22DRAS
Abb. 2 – 0,156" (4 mm) Kontaktmittenabstand										
12/24	2.156	2.469	2.811	.325	.431	S5121-ND	6.72	53.34	373.35	EZM12DRAS
22/44	3.716	4.029	4.371	.325	.431	S5221-ND	7.26	57.57	402.98	EZM22DRAS
Öse – 0,007" (0,18 mm) dick, 0,14" (3,6 mm) Abstand										
Abb. 1 – 0,156" (4 mm) Kontaktmittenabstand										
6/12	1.220	1.533	1.875	.325	.431	S5065-ND	3.87	30.69	214.82	EZM06DSEH
10/20	1.844	2.157	2.499	.325	.431	S5105-ND	3.62	28.78	201.49	EZM10DSEH
15/30	2.624	2.937	3.279	.325	.431	S5155-ND	5.12	40.64	284.46	EZM15DSEH
18/36	3.092	3.405	3.747	.325	.431	S5185-ND	5.15	40.85	285.94	EZM18DSEH
22/44	3.716	4.029	4.371	.325	.431	S5225-ND	6.08	48.26	337.79	EZM22DSEH
Abb. 1 – 0,100" (2,5 mm) Kontaktmittenabstand										
5/10	0.775	1.075	1.375	.330	.431	S1052-ND	2.53	20.11	140.75	EZC05DREH
6/12	0.875	1.175	1.475	.330	.431	S1062-ND	2.67	21.17	148.16	EZC06DREH
10/20	1.275	1.575	1.875	.330	.431	S1102-ND	3.55	28.15	197.05	EZC10DREH
15/30	1.775	2.075	2.375	.330	.431	S1152-ND	4.50	35.77	250.38	EZC15DREH
18/36	2.075	2.375	2.675	.330	.431	S1182-ND	4.48	35.56	248.90	EZC18DREH
22/44	2.475	2.775	3.075	.330	.431	S1222-ND	5.92	46.99	328.90	EZC22DREH
25/50	2.775	3.075	3.375	.330	.431	S1252-ND	5.36	42.54	297.79	EZC25DREH
35/70	3.775	4.075	4.375	.400	.431	S1352-ND	6.59	52.28	365.94	EZC35DREH
36/72	3.875	4.175	4.475	.400	.431	S1362-ND	7.36	58.42	408.91	EZC36DREH
Öse – 0,014" (3,6 mm) dick, 0,140" (3,6 mm) Abstand										
Abb. 1 – 0,156" (4 mm) Kontaktmittenabstand										
6/12	1.220	1.533	1.875	.325	.431	S5062-ND	3.25	25.82	180.75	EZM06DREH
10/20	1.844	2.157	2.499	.325	.431	S5102-ND	3.71	29.42	205.94	EZM10DREH
15/30	2.624	2.937	3.279	.325	.431	S5152-ND	5.12	40.64	284.46	EZM15DREH
18/36	3.092	3.405	3.747	.325	.431	S5182-ND	6.05	48.04	336.31	EZM18DREH
22/44	3.716	4.029	4.371	.325	.431	S5222-ND	5.38	42.75	299.27	EZM22DREH
28/56	4.652	4.965	5.307	.438	.431	S5282-ND	7.42	58.84	411.87	EZM28DREH
36/72	5.900	6.213	6.555	.438	.431	S5362-ND	9.68	76.83	537.80	EZM36DREH
Lötfahne – 0,140 " (3,6 mm) Abstand										
Abb. 3 – 0,100" (2,5 mm) Kontaktmittenabstand										
5/10	0.775	1.075	1.375	.330	.431	S1053-ND	2.46	19.47	136.30	EZC05DRTH
10/20	1.275	1.575	1.875	.330	.431	S1103-ND	2.83	22.43	157.04	EZC10DRTH
15/30	1.775	2.075	2.375	.330	.431	S1153-ND	3.28	26.03	182.23	EZC15DRTH
20/40	2.275	2.575	2.875	.330	.431	S1203-ND	5.33	42.33	296.31	EZC20DRTH
Abb. 3 – 0,156" (4 mm) Kontaktmittenabstand										
6/12	1.220	1.533	1.875	.325	.431	S5063-ND	4.32	34.29	240.01	EZM06DRTH
10/20	1.844	2.157	2.499	.325	.431	S5103-ND	4.08	32.38	226.68	EZM10DRTH
22/44	3.716	4.029	4.371	.325	.431	S5223-ND	4.69	37.25	260.75	EZM22DRTH
28/56	4.652	4.965	5.307	.438	.431	S5283-ND	6.82	54.18	379.28	EZM28DRTH
Lötfahne – 0,200 " (5,1 mm) Abstand										
Abb. 4 – 0,100" (2,5 mm) Kontaktmittenabstand										
5/10	0.775	1.075	1.375	.330	.431	S1054-ND	1.92	15.24	106.67	EZC05DRXH
6/12	0.875	1.175	1.475	.330	.431	S1064-ND	2.48	19.68	137.78	EZC06DRXH
10/20	1.275	1.575	1.875	.330	.431	S1104-ND	2.62	20.74	145.19	EZC10DRXH
15/30	1.775	2.075	2.375	.330	.431	S1154-ND	3.34	26.46	185.19	EZC15DRXH
18/36	2.075	2.375	2.675	.330	.431	S1184-ND	3.62	28.78	201.49	EZC18DRXH
20/40	2.275	2.575	2.875	.330	.431	S1204-ND	3.87	30.69	214.82	EZC20DRXH
22/44	2.475	2.775	3.075	.330	.431	S1224-ND	4.48	35.56	248.90	EZC22DRXH
25/50	2.775	3.075	3.375	.330	.431	S1254-ND	4.34	34.50	241.49	EZC25DRXH
30/60	3.275	3.575	3.875	.330	.431	S1304-ND	5.71	45.29	317.05	EZC30DRXH
36/72	3.875	4.175	4.475	.400	.431	S1364-ND	5.52	43.81	306.68	EZC36DRXH
40/80	4.275	4.575	4.875	.400	.431	S1404-ND	7.52	59.69	417.80	EZC40DRXH
50/100	5.275	5.575	5.875	.400	.431	S1504-ND	8.61	68.36	478.54	EZC50DRXH
60/120	6.275	6.575	6.875	.400	.431	S1604-ND	7.76	61.59	431.13	EZC60DRXH
Abb. 4 – 0,156" (4 mm) Kontaktmittenabstand										
6/12	1.220	1.533	1.875	.325	.431	S5064-ND	3.25	25.82	180.75	EZM06DRXH
10/20	1.844	2.157	2.499	.325	.431	S5104-ND	3.01	23.92	167.42	EZM10DRXH
12/24	2.156	2.469	2.811	.325	.431	S5124-ND	3.39	26.88	188.16	EZM12DRXH
15/30	2.624	2.937	3.279	.325	.431	S5154-ND	3.66	29.00	202.97	EZM15DRXH
18/36	3.092	3.405	3.747	.325	.431	S5184-ND	4.64	36.83	257.79	EZM18DRXH
22/44	3.716	4.029	4.371	.325	.431	S5224-ND	4.59	36.40	254.83	EZM22DRXH
25/50	4.184	4.497	4.839	.325	.431	S5254-ND	4.96	39.37	275.57	EZM25DRXH
28/56	4.652	4.965	5.307	.438	.431	S5284-ND	5.20	41.27	288.90	EZM28DRXH
36/72	5.900	6.213	6.555	.438	.431	S5364-ND	7.70	61.17	428.17	EZM36DRXH
DIP, versetzt										
Abb. 5 – 0,05" (1,3 mm) Kontaktmittenabstand										
6/12	0.540	0.826	1.140	.370	.610	S3118-ND•	8.83	70.06	490.39	RZB06DHHN
10/20	0.740	1.026	1.340	.370	.610	S3119-ND•	9.25	73.44	440.66	RZB10DHHN
13/26	0.890	1.176	1.490	.370	.610	S3120-ND•	9.52	75.56	453.35	RZB13DHHN
15/30	0.990	1.276	1.590	.370	.610	S3121-ND•	9.76	77.46	464.78	RZB15DHHN
20/40	1.240	1.526	1.840	.370	.610	S3122-ND•	10.21	81.06	486.37	RZB20DHHN
22/44	1.340	1.626	1.940	.370	.610	S3123-ND•	10.46	82.97	497.80	RZB22DHHN
25/50	1.490	1.776	2.090	.370	.610	S3124-ND•	10.72	85.08	510.50	RZB25DHHN
30/60	1.740	2.026	2.340	.370	.610	S3125-ND•	11.25	89.32	535.90	RZB30DHHN
34/68	1.940	2.226	2.540	.370	.610	S3126-ND•	11.68	92.70	556.22	RZB34DHHN
35/70	1.990	2.276	2.590	.370	.610	S3127-ND•	11.76	93.34	560.03	RZB35DHHN
40/80	2.240	2.526	2.840	.370	.610	S3128-ND•	12.29	97.57	585.42	RZB40DHHN
45/90	2.490	2.776	3.090	.370	.610	S3129-ND•	12.72	100.96	605.74	RZB45DHHN
50/100	2.740	3.026	3.340	.370	.610	S3130-ND•	13.26	105.19	631.14	RZB50DHHN
60/120	3.240	3.526	3.840	.370	.610	S3131-ND•	14.27	113.23	679.40	RZB60DHHN
64/128	3.440	3.726	4.040	.370	.610	S3132-ND•	14.64	116.20	697.18	RZB64DHHN
75/150	3.990	4.276	4.590	.370	.610	S3133-ND•	15.76	125.09	750.51	RZB75DHHN
80/160	4.240	4.526	4.840	.370	.610	S3134-ND•	16.27	129.11	774.64	RZB80DHHN
85/170	4.490	4.776	5.090	.370	.610	S3135-ND•	16.81	133.34	800.04	RZB85DHHN
95/190	4.990	5.276	5.590	.370	.610	S3136-ND•	17.76	140.96	845.75	RZB95DHHN
100/200	5.240	5.526	5.840	.370	.610	S3137-ND•	18.27	144.98	869.88	RZB100DHHN
105/210	5.490	5.776	6.090	.370	.610	S3138-ND•	18.78	149.00	894.01	RZB105DHHN
108/216	5.640	5.926	6.240	.370	.610	S3139-ND•	19.04	151.12	906.71	RZB108DHHN
110/220	5.740	6.026	6.340	.370	.610	S3140-ND•	19.31	153.23	919.41	RZB110DHHN
120/240	6.240	6.526	6.840	.370	.610	S3141-ND•	20.34	161.49	968.93	RZB120DHHN

(Forts.)

Alle Preisangaben in Euro und inklusive Zollgebühren.

Pos./Kont.	Abmessungen (Zoll) A	B	C	D	E	Digi-Key Teilenr.	Preisangaben 1	10	100	Sullins Teilenr.
Abb. 5 – 0,050" (1,3 mm) hohe Geschwindigkeit										
73/219	—	—	4.250	.465	.613	S3282-ND•	17.65	140.11	840.67	RPWB073GKHR-T621
80/240	—	—	4.600	.465	.613	S3283-ND•	22.05	175.03	1050.21	RPWB080GKHR-T621
90/270	—	—	5.100	.465	.613	S3284-ND•	31.26	248.05	1488.32	RPWB090GKHR-T621
100/300	—	—	5.600	.465	.613	S3285-ND•	41.68	330.81	1984.85	RPWB110GKHR-T621
Abb. 5 – 1 mm Kontaktmittenabstand										
5/10	0.507	0.793	1.107	.370	.610	S3149-ND•	11.41	90.59	543.52	RZE05DHHN
10/20	0.704	0.990	1.304	.370	.610	S3150-ND•	12.43	98.63	591.77	RZE10DHHN
15/30	0.901	1.187	1.501	.370	.610	S3151-ND•	13.52	107.31	643.84	RZE15DHHN
20/40	1.098	1.384	1.698	.370	.610	S3152-ND•	14.51	115.14	690.83	RZE20DHHN
25/50	1.295	1.581	1.895	.370	.610	S3153-ND•	15.60	123.82	742.89	RZE25DHHN
30/60	1.492	1.778	2.092	.370	.610	S3154-ND•	16.69	132.49	794.96	RZE30DHHN
35/70	1.689	1.975	2.289	.370	.610	S3155-ND•	17.79	141.17	847.02	RZE35DHHN
40/80	1.885	2.171	2.485	.370	.610	S3156-ND•	18.88	149.85	899.09	RZE40DHHN
45/90	2.082	2.368	2.682	.370	.610	S3157-ND•	19.90	157.89	947.35	RZE45DHHN
50/100	2.279	2.565	2.879	.370	.610	S3158-ND•	20.99	166.57	999.41	RZE50DHHN
Oberflächenmontage										
Abb. 6 – 0,050" (1,3 mm) Kontaktmittenabstand										
6/12	0.540	0.826	1.140	.370	.610	S3204-ND•	8.83	70.06	420.34	RZB06DHFR
10/20	0.740	1.026	1.340	.370	.610	S3205-ND•	9.25	73.44	440.66	RZB10DHFR
13/26	0.890	1.176	1.490	.370	.610	S3206-ND•	9.52	75.56	453.35	RZB13DHFR
15/30	0.990	1.276	1.590	.370	.610	S3207-ND•	9.76	77.46	464.78	RZB15DHFR
20/40	1.240	1.526	1.840	.370	.610	S3208-ND•	10.21	81.06	486.37	RZB20DHFR
22/44	1.340	1.626	1.940	.370	.610	S3209-ND•	10.46	82.97	497.80	RZB22DHFR
25/50	1.490	1.776	2.090	.370	.610	S3210-ND•	10.72	85.08	510.50	RZB25DHFR
30/60	1.740	2.026	2.340	.370	.610	S3211-ND•	11.25	89.32	535.90	RZB30DHFR
34/68	1.940	2.226	2.540	.370	.610	S3212-ND•	11.68	92.70	556.22	RZB34DHFR
35/70	1.990	2.276	2.590	.370	.610	S3213-ND•	11.76	93.34	560.03	RZB35DHFR
40/80	2.240	2.526	2.840	.370	.610	S3214-ND•	12.29	97.57	585.42	RZB40DHFR
45/90	2.490	2.776	3.090	.370	.610	S3215-ND•	12.72	100.96	605.74	RZB45DHFR
50/100	2.740	3.026	3.340	.370	.610	S3216-ND•	13.26	105.19	631.14	RZB50DHFR
60/120	3.240	3.526	3.840	.370	.610	S3217-ND•	14.27	113.23	679.40	RZB60DHFR
64/128	3.440	3.726	4.040	.370	.610	S3218-ND•	14.64	116.20	697.18	RZB64DHFR
75/150	3.990	4.276	4.590	.370	.610	S3219-ND•	15.76	125.09	750.51	RZB75DHFR
80/160	4.240	4.526	4.840	.370	.610	S3220-ND•	16.27	129.11	774.64	RZB80DHFR
85/170	4.490	4.776	5.090	.370	.610	S3221-ND•	16.81	133.34	800.04	RZB85DHFR
95/190	4.990	5.276	5.590	.370	.610	S3222-ND•	17.76	140.96	845.75	RZB95DHFR
100/200	5.240	5.526	5.840	.370	.610	S3223-ND•	18.27	144.98	869.88	RZB100DHFR
105/210	5.490	5.776	6.090	.370	.610	S3224-ND•	18.78	149.00	894.01	RZB105DHFR
108/216	5.640	5.926	6.240	.370	.610	S3225-ND•	19.04	151.12	906.71	RZB108DHFR
110/220	5.740	6.026	6.340	.370	.610	S3226-ND•	19.31	153.23	919.41	RZB110DHFR
120/240	6.240	6.526	6.840	.370	.610	S3227-ND•	20.34	161.49	968.93	RZB120DHFR
Abb. 6 – 1 mm Kontaktmittenabstand										
5/10	0.507	0.793	1.107	.370	.610	S3232-ND•	11.41	90.59	543.52	RZE05DHFR
10/20	0.704	0.990	1.304	.370	.610	S3233-ND•	12.43	98.63	591.77	RZE10DHFR
15/30	0.901	1.187	1.501	.370	.610	S3234-ND•	13.52	107.31	643.84	RZE15DHFR
20/40	1.098	1.384	1.698	.370	.610	S3235-ND•	14.51	115.14	690.83	RZE20DHFR
25/50	1.295	1.581	1.895	.370	.610	S3236-ND•	15.60	123.82	742.89	RZE25DHFR
30/60	1.492	1.778	2.092	.370	.610	S3237-ND•	16.69	132.49	794.96	RZE30DHFR
35/70	1.689	1.975	2.289	.370	.610	S3238-ND•	17.79	141.17	847.02	RZE35DHFR
40/80	1.885	2.171	2.485	.370	.610	S3239-ND•	18.88	149.85	899.09	RZE40DHFR
45/90	2.082	2.368	2.682	.370	.610	S3240-ND•	19.90	157.89	947.35	RZE45DHFR
50/100	2.279	2.565	2.879	.370	.610	S3241-ND•	20.99	166.57	999.41	RZE50DHFR
Rechtwinklig										
Abb. 8 – 0,050" (1,3 mm) Kontaktmittenabstand										
6/12	0.540	0.826	1.140	.370	.915	S3242-ND	23.33	185.19	1111.16	RZB06DHAS
10/20	0.740	1.026	1.340	.370	.915	S3243-ND	24.21	192.18	1153.07	RZB10DHAS
13/26	0.890	1.176	1.490	.370	.915	S3244-ND	24.88	197.47	1184.82	RZB13DHAS
15/30	0.990	1.276	1.590	.370	.915	S3245-ND	25.44	201.91	1211.48	RZB15DHAS
20/40	1.240	1.526	1.840	.370	.915	S3246-ND	26.53	210.59	1263.55	RZB20DHAS
22/44	1.340	1.626	1.940	.370	.915	S3247-ND	27.09	215.04	1290.22	RZB22DHAS
25/50	1.490	1.776	2.090	.370	.915	S3248-ND	27.76	220.33	1321.97	RZB25DHAS
30/60	1.740	2.026	2.340	.370	.915	S3249-ND	28.96	229.85	1379.11	RZB30DHAS
34/68	1.940	2.226	2.540	.370	.915	S3250-ND	29.94	237.68	1426.10	RZB34DHAS
35/70	1.990	2.276	2.590	.370	.915	S3251-ND	30.16	239.38	1436.26	RZB35DHAS
40/80	2.240	2.526	2.840	.370	.915	S3252-ND	31.39	249.11	1494.67	RZB40DHAS
45/90	2.490	2.776	3.090	.370	.915	S3253-ND	32.51	258.00	1548.01	RZB45DHAS
50/100	2.740	3.026	3.340	.370	.915	S3254-ND	33.71	267.53	1605.15	RZB50DHAS
60/120	3.240	3.526	3.840	.370	.915	S3255-ND	36.13	286.79	1720.71	RZB60DHAS
64/128	3.440	3.726	4.040	.370	.915	S3256-ND	37.01	293.77	1762.62	RZB64DHAS
75/150	3.990	4.276	4.590	.370	.915	S3257-ND	39.65	314.72	1888.34	RZB75DHAS
80/160	4.240	4.526	4.840	.370	.915	S3258-ND	40.86	324.25	1945.49	RZB80DHAS
85/170	4.490	4.776	5.090	.370	.915	S3259-ND	42.08	333.98	2003.90	RZB85DHAS
95/190	4.990	5.276	5.590	.370	.915	S3260-ND	44.40	352.40	2114.38	RZB95DHAS
100/200	5.240	5.526	5.840	.370	.915	S3261-ND	45.61	361.92	2171.53	RZB100DHAS
105/210	5.490	5.776	6.090	.370	.915	S3262-ND	46.83	371.66	2229.94	RZB105DHAS
108/216	5.640	5.926	6.240	.370	.915	S3263-ND	47.58	377.58	2265.50	RZB108DHAS
110/220	5.740	6.026	6.340	.370	.915	S3264-ND	48.03	381.18	2287.09	RZB110DHAS
120/240	6.240	6.526	6.840	.370	.915	S3265-ND	50.46	400.44	2402.65	RZB120DHAN
Abb. 8 – 1 mm Kontaktmittenabstand										
5/10	0.157	0.793	1.107	.370	.360	S3272-ND	40.96	325.09	1950.57	RZE05DHAS
10/20	0.354	0.990	1.304	.370	.360	S3273-ND	42.16	334.62	2007.71	RZE10DHAS
15/30	0.551	1.187	1.501	.370	.360	S3274-ND	43.47	344.99	2069.94	RZE15DHAS
20/40	0.748	1.384	1.698	.370	.360	S3275-ND	44.67	354.51	2127.08	RZE20DHAS
25/50	0.945	1.581	1.895	.370	.360	S3276-ND	45.98	364.88	2189.31	RZE25DHAS
30/60	1.142	1.778	2.092	.370	.360	S3277-ND	47.28	375.26	2251.53	RZE30DHAS
35/70	1.465	1.975	2.289	.370	.360	S3278-ND	48.61	385.84	2315.03	RZE35DHAS
40/80	1.535	2.171	2.485	.370	.360	S3279-ND	49.92	396.21	2377.25	RZE40DHAS
45/90	1.732	2.368	2.682	.370	.360	S3280-ND	51.13	405.73	2434.40	RZE45DHAS
50/100	1.929	2.565	2.879	.370	.360	S3281-ND	52.43	416.10	2496.62	RZE50DHAS
Erweiterungskartenbiegung										
Abb. 7 – 0,050" (1,3 mm) Kontaktmittenabstand										
6/12	0.540	0.826	1.140	.370	.610	S3164-ND•†	8.32	66.03	396.21	RZB06DHRN
10/20	0.740	1.026	1.340	.370	.610	S3165-ND•†	8.75	69.42	416.53	RZB10DHRN
13/26	0.890	1.176	1.490	.370	.610	S3166-ND•†	9.02	71.54	429.23	RZB13DHRN
15/30	0.990	1.276	1.590	.370	.610	S3167-ND•†	9.28	73.65	441.93	RZB15DHRN
20/40	1.240	1.526	1.840	.370	.610	S3168-ND•†	9.71	77.04	462.24	RZB20DHRN
22/44	1.340	1.626	1.940	.370	.610	S3169-ND•†	9.97	79.16	474.94	RZB22DHRN
25/50	1.490	1.776	2.090	.370	.610	S3170-ND•†	10.24	81.27	487.64	RZB25DHRN
30/60	1.740	2.026	2.340	.370	.610	S3171-ND•†	10.74	85.29	511.77	RZB30DHRN
34/68	1.940	2.226	2.540	.370	.610	S3172-ND•†	11.18	88.68	532.09	RZB34DHRN
35/70	1.990	2.276	2.590	.370	.610	S3173-ND•†	11.28	89.53	537.17	RZB35DHRN
40/80	2.240	2.526	2.840	.370	.610	S3174-ND•†	11.78	93.55	561.30	RZB40DHRN
45/90	2.490	2.776	3.090	.370	.610	S3175-ND•†	12.24	97.15	582.88	RZB45DHRN
50/100	2.740	3.026	3.340	.370	.610	S3176-ND•†	12.75	101.17	607.01	RZB50DHRN
60/120	3.240	3.526	3.840	.370	.610	S3177-ND•†	13.79	109.42	656.54	RZB60DHRN
64/128	3.440	3.726	4.040	.370	.610	S3178-ND•†	14.14	112.17	673.05	RZB64DHRN
75/150	3.990	4.276	4.590	.370	.610	S3179-ND•†	15.26	121.06	726.38	RZB75DHRN
80/160	4.240	4.526	4.840	.370	.610	S3180-ND•†	15.79	125.30	751.78	RZB80DHRN
85/170	4.490	4.776	5.090	.370	.610	S3181-ND•†	16.30	129.32	775.91	RZB85DHRN
95/190	4.990	5.276	5.590	.370	.610	S3182-ND•†	17.25	136.94	821.63	RZB95DHRN
100/200	5.240	5.526	5.840	.370	.610	S3183-ND•†	17.76	140.96	845.75	RZB100DHRN
105/210	5.490	5.776	6.090	.370	.610	S3184-ND•†	18.30	145.19	871.15	RZB105DHRN
108/216	5.640	5.926	6.240	.370	.610	S3185-ND•†	18.56	147.31	883.85	RZB108DHRN
110/220	5.740	6.026	6.340	.370	.610	S3186-ND•†	18.80	149.21	895.28	RZB110DHRN
120/240	6.240	6.526	6.840	.370	.610	S3187-ND•†	19.84	157.47	944.81	RZB120DHRN
Abb. 7 – 1 mm Kontaktmittenabstand										
5/10	0.507	0.793	1.107	.370	.610	S3193-ND•†	10.78	85.51	513.04	RZE05DHRN
10/20	0.704	0.990	1.304	.370	.610	S3194-ND•†	11.76	93.34	560.03	RZE10DHRN
15/30	0.901	1.187	1.501	.370	.610	S3195-ND•†	12.85	102.02	612.09	RZE15DHRN
20/40	1.098	1.384	1.698	.370	.610	S3196-ND•†	13.87	110.06	660.35	RZE20DHRN
25/50	1.295	1.581	1.895	.370	.610	S3197-ND•†	14.96	118.74	712.41	RZE25DHRN
30/60	1.492	1.778	2.092	.370	.610	S3198-ND•†	16.05	127.41	764.48	RZE30DHRN
35/70	1.689	1.975	2.289	.370	.610	S3199-ND•†	17.14	136.09	816.55	RZE35DHRN
40/80	1.885	2.171	2.485	.370	.610	S3200-ND•†	18.24	144.77	868.61	RZE40DHRN
45/90	2.082	2.368	2.682	.370	.610	S3201-ND•†	19.23	152.60	915.60	RZE45DHRN
50/100	2.279	2.565	2.879	.370	.610	S3202-ND•†	20.34	161.49	968.93	RZE50DHRN
PCI-Erweiterungskarte, zweifach, 0,050" (1,3 mm) Kontaktmittenabstand										
60/120	—	—	3.340	.370	.550	S3188-ND•†‡	13.79	109.42	656.54	RZB60DHRN-S578
60/120	2.490	2.550	3.340	.350	.610	S3142-ND•‡‡	.64	5.12	30.73	TRWB060DKHN-T578
60/120	3.340	3.465	3.715	.349	.551	S3191-ND†‡‡	3.71	29.42	176.52	TRWB060DKRQ-T578
60/120	3.340	—	—	.350	.610	S3143-ND•‡‡§	.86	6.77	40.64	TRWB060DKHN-T20
60/120	—	2.550	3.340	.350	.610	S3144-ND•‡‡§	1.54	12.23	73.40	TRXB060DKHN-T20
60/120	3.340	3.464	3.940	.370	.610	S3266-ND‡	36.29	288.06	1728.33	RZB60DHAS-S621
60/120	3.340	3.464	3.940	.370	.610	S3228-ND†‡§	14.27	113.23	679.40	RZB60DHFR-S621
60/120	3.050	—	—	.350	.559	S3269-ND‡‡	4.71	37.34	224.01	TRWB060DKAN-T621
60/120	5.040	5.326	5.640	.370	.610	S3286-ND‡‡	3.62	28.78	172.71	RPWB060DKFN-T578
92/184	—	—	5.040	.370	—	S3267-ND‡	43.90	348.38	2090.26	RZB92DHAS-S250
92/184	—	4.910	5.040	.370	.610	S3229-ND‡§	17.49	138.84	833.05	RZB92DHFR-S250
92/184	4.871	—	5.040	.350	.841	S3270-ND‡‡	5.73	45.50	273.03	TRWB092DKAN-T250
92/184	5.040	5.326	5.640	.370	.610	S3268-ND‡	43.90	348.38	2090.26	RZB92DHAS-S329
92/184	—	4.910	5.040	.370	.610	S3230-ND‡§	17.49	138.84	833.05	RZB92DHFR-S329
92/184	4.871	—	5.040	.350	.841	S3271-ND‡‡	5.73	45.50	273.03	TRWB092DKAN-T329
92/184	5.040	—	5.040	.370	.758	S3189-ND†‡	16.99	134.82	808.93	RZB92DHRN-S378
92/184	—	2.350	5.040	.350	.841	S3145-ND‡‡	5.07	40.21	241.28	TRWB092DKHN-T378
92/184	5.040	5.165	5.415	.350	.550	S3192-ND†‡‡	6.16	48.89	293.35	RPWB092DKRQ-T378
92/184	5.040	—	—	.350	.610	S3146-ND‡‡§	2.67	21.17	126.99	TRWB092DKHN-T20
92/184	5.040	5.326	5.640	.370	.610	S3190-ND†‡	16.99	134.82	808.93	RZB92DHRN-S330
92/184	5.040	—	—	.350	.610	S3147-ND•‡‡	5.07	40.21	241.28	TRWB092DKHN-T330
92/184	5.040	—	—	.350	.610	S3148-ND‡‡§	2.80	22.22	133.34	TRWB092DKHN-T26
AGP-Steckverbinder										
66/132	(1,0 mm AGP m. Verschluss)					S3159-ND	2.88	22.86	137.15	TPWE066DKHN-T6
90/180	(u-AGP-PRO)					S3161-ND	1.92	15.24	91.43	TPWE090DKHN-TAGP
66/132	(1,0 mm AGP-Randkarte)					S3203-ND†	5.17	41.06	246.36	LPWE066DKRN-TAGP
66/132	(Universal AGP)					S3160-ND	1.04	8.24	49.40	TPWE066DKHN-TUGP
Steckverbinder f. Steckplatz 1										
121/242	(Stiftstecker f. Steckplatz 1)					S3162-ND	2.46	19.47	116.83	TPWE121DKHN-T621

• Keine Montageösen †† 0,165" Stiftlänge † Kartenerweiterung ‡ Haarnadelförmige Kontakte ‡‡ Auslegerförmige Kontakte § Metall-Plattenverriegelung

HIROSE ELECTRIC CO.,LTD.

DIN-Steckverbinder

A

Abb. 1
2-reihig, Stecker, rechtwinklig

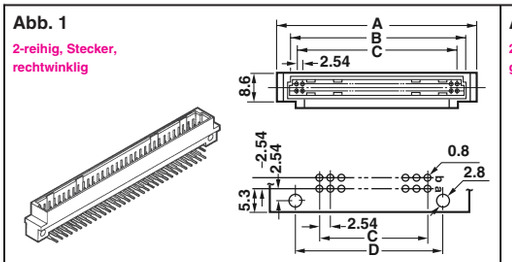

Abb. 2
2-reihig, Stecker, gerade

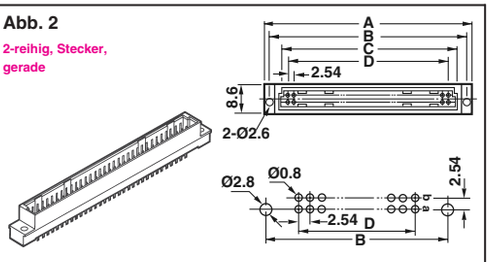

Abb. 3
2-reihig, Sockel, rechtwinklig

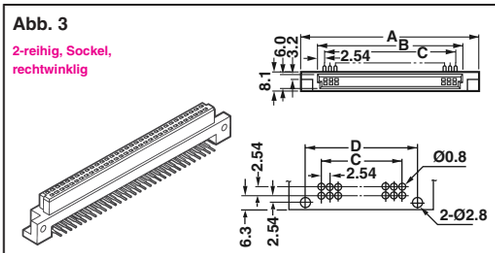

Abb. 4
2-reihig, Sockel, gerade

H1120-H1200
No Flux Entrapment

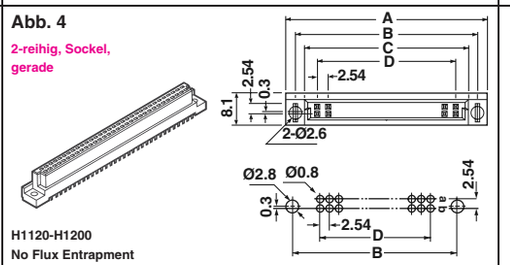

Abb. 5
3-reihig, Stecker, rechtwinklig

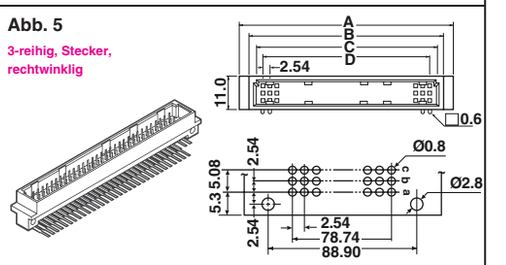

Abb. 6
3-reihig, Stecker, gerade

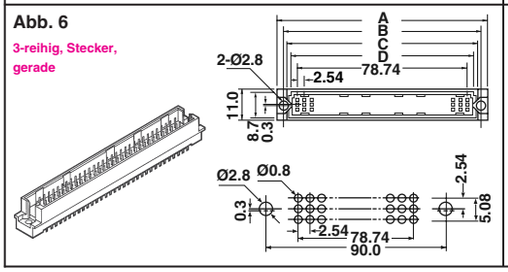

Abb. 7
3-reihig, Sockel, rechtwinklig

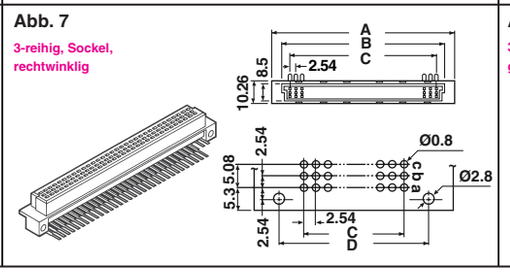

Abb. 8
3-reihig, Sockel, gerade

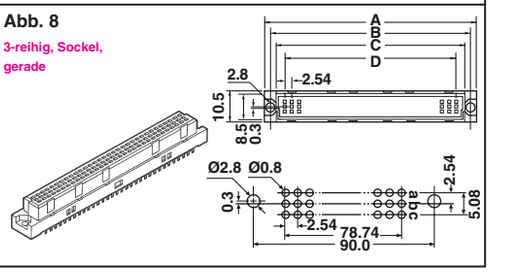

Abb.	Anz. d. Reihen	Anz. d. Pins	Typ	Abmessungen (mm) A	B	C	D	Digi-Key Teilenr.	Preisangaben 1	10	100	500	1,000	Hirose Teilenr.
		20	Stecker-rechtwinklig	38.12	29.47	22.86	33.02	H1020-ND	3.00	24.79	185.91	697.18	1342.71	PCN10-20P-2.54DS
		32	Stecker-rechtwinklig	53.26	44.71	38.10	48.26	H1032-ND	3.98	32.92	246.87	925.76	1782.94	PCN10-32P-2.54DS
		44	Stecker-rechtwinklig	68.60	59.95	53.34	63.50	H1044-ND	4.81	39.82	298.68	1120.05	2157.14	PCN10-44P-2.54DS
1	2	50	Stecker-rechtwinklig	76.22	67.57	60.96	71.12	H1050-ND	5.43	44.90	336.78	1262.92	2432.28	PCN10-50P-2.54DS
		64	Stecker-rechtwinklig	94.00	85.35	78.74	88.90	H1064-ND	6.02	49.78	373.35	1400.06	2696.42	PCN10-64P-2.54DS
		90	Stecker-rechtwinklig	127.02	118.37	111.76	121.92	H1090-ND	7.48	63.33	474.94	1914.16	3670.01	PCN10-90P-2.54DS
		100	Stecker-rechtwinklig	139.72	131.07	124.46	134.62	H1100-ND	2.58	21.33	160.01	600.03	1155.61	PCN10-100P-2.54DS
		20	Stecker-gerade	43.3	38.1	29.47	22.86	H2020-ND	3.51	29.06	217.91	817.18	1573.83	PCN10-20P-2.54DSA
		32	Stecker-gerade	58.34	53.34	44.71	38.10	H2032-ND	4.15	34.34	257.54	965.76	1859.98	PCN10-32P-2.54DSA
		44	Stecker-gerade	73.58	68.10	59.95	53.34	H2044-ND	5.11	42.26	316.97	1188.63	2289.21	PCN10-44P-2.54DSA
2	2	50	Stecker-gerade	81.40	76.20	67.57	60.96	H2050-ND	5.89	48.76	365.73	1371.49	2641.39	PCN10-50P-2.54DSA
		64	Stecker-gerade	99.18	93.98	85.34	78.74	H2064-ND	6.34	53.64	402.30	1621.41	3108.72	PCN10-64P-2.54DSA
		90	Stecker-gerade	132.20	127.00	118.37	111.76	H2090-ND	7.46	64.85	518.80	2067.08	3972.04	PCN10-90P-2.54DSA
		20	Sockel-rechtwinklig	43.10	29.12	22.86	38.10	H2120-ND	5.28	43.68	327.63	1228.63	2366.25	PCN10C-20S-2.54DS
		32	Sockel-rechtwinklig	58.34	44.36	38.10	53.34	H2132-ND	5.67	46.94	352.02	1320.06	2542.34	PCN10C-32S-2.54DS
		44	Sockel-rechtwinklig	73.58	59.60	53.34	68.58	H2144-ND	6.47	54.76	410.69	1655.19	3173.48	PCN10C-44S-2.54DS
3	2	50	Sockel-rechtwinklig	81.20	67.22	60.96	76.20	H2150-ND	7.00	59.23	444.21	1790.31	3432.54	PCN10C-50S-2.54DS
		64	Sockel-rechtwinklig	98.98	85.00	78.74	93.98	H2164-ND	7.28	63.33	506.61	2018.51	3878.70	PCN10C-64S-2.54DS
		90	Sockel-rechtwinklig	132.00	118.02	111.76	127.00	H2190-ND	8.89	82.23	688.92	2833.47	5444.70	PCN10C-90S-2.54DS
		100	Sockel-rechtwinklig	144.70	130.72	124.46	139.70	H2200-ND	9.57	88.50	741.41	3049.35	5859.53	PCN10C-100S-2.54DS
		20	Sockel-rechtwinklig	43.10	29.12	22.86	38.10	H3020-ND	2.20	18.29	135.46	507.96	900.78	PCN13-20S-2.54DS
		32	Sockel-rechtwinklig	58.34	44.36	38.10	53.43	H3032-ND	2.67	22.17	164.24	615.90	1092.20	PCN13-32S-2.54DS
		44	Sockel-rechtwinklig	73.58	59.60	53.34	68.58	H3044-ND	2.84	23.57	176.77	662.89	1276.67	PCN13-44S-2.54DS
3	2	50	Sockel-rechtwinklig	81.20	67.22	60.96	76.20	H3050-ND	3.49	28.85	216.39	811.47	1562.82	PCN13-50S-2.54DS
		64	Sockel-rechtwinklig	98.98	85.00	78.74	93.98	H3064-ND	3.56	29.46	220.96	828.61	1595.84	PCN13-64S-2.54DS
		90	Sockel-rechtwinklig	132.00	118.02	111.76	127.00	H3090-ND	4.55	37.59	281.92	1057.19	2036.07	PCN13-90S-2.54DS
		100	Sockel-rechtwinklig	144.70	130.72	124.46	139.70	H3100-ND	6.87	58.11	435.83	1756.53	3367.77	PCN13-100S-2.54DS
		20	Sockel-gerade	39.12	34.12	29.12	22.86	H1120-ND	4.50	37.18	278.87	1045.76	2014.06	PCN10C-20S-2.54DSA
		32	Sockel-gerade	54.36	49.36	44.36	38.10	H1132-ND	5.89	48.76	365.73	1371.49	2641.39	PCN10C-32S-2.54DSA
		44	Sockel-gerade	69.60	64.60	59.60	53.34	H1144-ND	7.18	60.72	455.39	1835.34	3518.89	PCN10C-44S-2.54DSA
4	2	50	Sockel-gerade	77.22	72.22	67.22	60.96	H1150-ND	7.53	63.70	477.74	1925.42	3691.60	PCN10C-50S-2.54DSA
		64	Sockel-gerade	95.00	90.00	85.00	78.74	H1164-ND	7.98	69.42	555.37	2212.80	4252.05	PCN10C-64S-2.54DSA
		90	Sockel-gerade	128.02	123.02	118.02	111.76	H1190-ND	9.16	84.74	709.92	2919.82	5610.63	PCN10C-90S-2.54DSA
		100	Sockel-gerade	140.72	135.72	130.72	124.46	H1200-ND	4.30	35.56	266.68	1000.05	1926.02	PCN10C-100S-2.54DSA
		32	Sockel-gerade-W/W	54.36	49.36	43.36	38.10	H4232-ND	7.53	63.70	477.74	1925.42	3691.60	PCN10-32S-2.54WB
		50	Sockel-gerade-W/W	77.22	72.22	67.22	60.96	H4250-ND	8.62	79.72	667.93	2747.12	5278.76	PCN10-50S-2.54WB
		64	Sockel-gerade-W/W	95.00	99.00	85.00	78.74	H4264-ND	10.36	95.85	803.08	3303.01	6346.96	PCN10-64S-2.54WB
		90	Sockel-gerade-W/W	128.02	123.00	118.00	111.76	H4290-ND	12.25	115.27	1008.64	4592.92	8825.59	PCN10-90S-2.54WB
		20	Sockel-gerade	39.12	34.12	29.12	22.86	H4020-ND	1.63	13.49	99.90	374.62	664.33	PCN13-20S-2.54DSA
4	2	32	Sockel-gerade	54.36	49.36	44.36	38.10	H4032-ND	1.93	16.00	118.52	444.47	788.18	PCN13-32S-2.54DSA
		44	Sockel-gerade	69.60	64.60	59.60	53.34	H4044-ND	2.26	18.74	138.84	520.66	923.30	PCN13-44S-2.54DSA
		50	Sockel-gerade	77.22	72.22	67.22	60.96	H4050-ND	2.48	20.57	152.39	571.46	1013.38	PCN13-50S-2.54DSA
		64	Sockel-gerade	95.00	90.00	85.00	78.74	H4064-ND	2.53	20.93	156.96	588.60	1133.60	PCN13-64S-2.54DSA
		90	Sockel-gerade	128.02	123.02	118.02	111.76	H4090-ND	5.99	50.66	379.95	1531.33	2936.01	PCN13-90S-2.54DSA
		100	Sockel-gerade	140.72	135.72	130.72	124.46	H4100-ND	3.51	29.06	217.91	817.18	1573.83	PCN13-100S-2.54DSA
4	2	64	Sockel-gerade	95.00	90.00	85.00	78.74	H8164-ND	7.75	67.39	539.11	2148.04	4127.60	PCN10MC-64S-2.54DSA
		100	Sockel-gerade	140.72	135.72	130.72	124.46	H8200-ND	9.43	87.24	730.91	3006.18	5776.56	PCN10MC-100S-2.54DSA
1	2	64	Stecker-rechtwinklig	94.00	85.35	78.74	88.90	H5164-ND	7.35	62.21	466.56	1880.38	3605.25	PCN10MC-64P-2.54DS
		100	Stecker-rechtwinklig	139.72	131.07	124.46	134.62	H5200-ND	9.29	80.77	646.13	2574.41	4946.90	PCN10MC-100P-2.54DS
		64*	Stecker-rechtwinklig	94.00	88.00	85.25	78.74	H5064-ND	6.41	54.20	406.49	1638.30	3141.10	PCN10-64ACP-2.54DS
5	3	96	Stecker-rechtwinklig	94.00	88.00	85.25	78.74	H5096-ND	7.09	61.63	493.06	1964.54	3774.99	PCN10-96P-2.54DS
		96	Stecker-rechtwinklig	94.00	88.00	85.25	78.74	H5196-ND	7.92	68.91	551.31	2196.61	4220.94	PCN10MC-96P-2.54DS
6	3	64*	Stecker-gerade	95.00	90.00	88.00	85.25	H6064-ND	7.35	62.21	466.56	1880.38	3605.25	PCN10-64ACP-2.54DSA
		96	Stecker-gerade	95.00	90.00	88.00	85.25	H6096-ND	8.67	75.35	602.78	2401.70	4615.03	PCN10-96P-2.54DSA
7	3	64*	Sockel-rechtwinklig	94.00	85.00	78.74	88.90	H7064-ND	3.81	31.49	236.20	885.76	1705.90	PCN13-64ACS-2.54DS
		96	Sockel-rechtwinklig	94.00	85.00	78.74	88.90	H7096-ND	5.16	42.67	320.01	1200.06	2311.22	PCN13-96S-2.54DS
		96	Sockel-gerade	95.00	90.00	85.00	78.74	H8196-ND	9.29	80.77	646.13	2574.41	4946.90	PCN10MC-96S-2.54DSA
8	3	64*	Sockel-gerade	95.00	90.00	85.00	78.74	H8064-ND	7.28	63.33	506.61	2018.51	3878.70	PCN10-64ACS-2.54DSA
		96	Sockel-gerade	95.00	90.00	85.00	78.74	H8096-ND	3.66	30.27	227.06	851.47	1639.86	PCN13-96S-2.54DSA
		96	Sockel-gerade-W/W	95.00	90.00	85.00	78.74	H8296-ND	12.94	121.77	1065.53	4851.97	9323.39	PCN10-96S-2.54WB

* 64 Pins; in 3-Reihenanordnung, mit offenen Pins in den äußeren Reihen und in der mittleren Reihe.

Alle Preisangaben in Euro und inklusive Zollgebühren.

70 AD Modulare Kontakte

Modell 70 AD der modularen Kontakte ist ein Flachprofil-Moduldesign-Steckverbinder, der eine hoch integre, aber dennoch schnell trennbare Verbindung herstellt.

Anwendungen: Aufladbare Batterien und Akkus, Batterieladegeräte, Handys und Mobiltelefone, Zweiweg-Radios, Laptop-Computer usw. **Materilien und Oberflächenverarbeitung: Isolator:** Glasgefülltes verstärktes Thermoplast, nach UL-Standard 94V-0, schwarz. **Kontakt:** Kupferlegierung **Verarbeitungs-Unterplattierung:** Nickel **Außenflächenkontaktbereich:** 30µ in Au über Ni (Stift), Wertmetall (Buchse) **Terminierung außen:** Zinnlegierung (erfüllt MIL-STD202, Methode 208) **Elektrische Betriebseigenschaften: Nennstrom:** DC 3 A/Kontakt **Nennspannung:** 30 V DC (Stift) **Kontaktwiderstand:** Max. 25 mΩ **Dielektrische Spannung:** 500 V AC **Isolierungswiderstand:** Min. 400 MΩ (Stift, min. 500 MΩ (Buchse) **Betriebstemperatur:** -55 °C ~ 125 °C **Mechanische Eigenschaften: Normale Kraft:** Min. 100 g (Stift) **Haltbarkeit:** 5.000 Zyklen

Modulare Kontaktbuchse

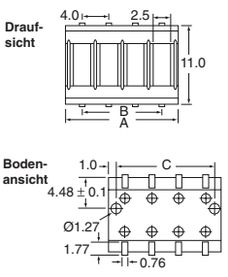

No. of Contacts	Dim. (mm) A	B	C
2	9.0	4.0	7.0
3	13.0	8.0	11.0
4	17.0	12.0	15.0
5	21.0	16.0	19.0
6	25.0	20.0	23.0

Abb. 1 - Buchse, Oberflächen-montage

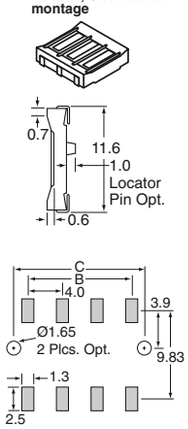

Abb. 2 - Buchse, Durchgangsloch

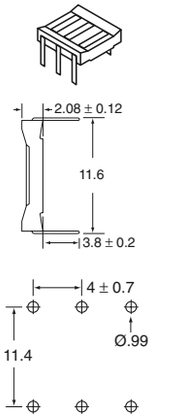

Stift, modularer Kontakt

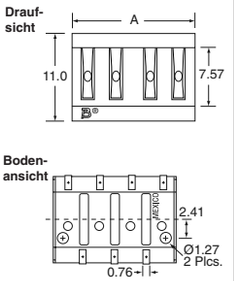

No. of Contacts	Dim. (mm) A	B
2	7.7	5.11
3	11.7	9.11
4	15.7	13.11
5	19.7	17.11
6	23.7	21.11

Abb. 3 - Stift, Oberflächen-montage

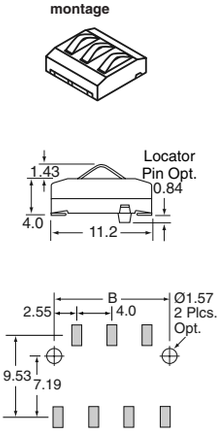

Abb. 4 - Stift, Durchgangsloch

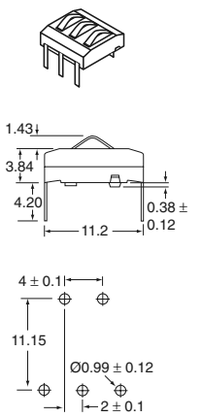

Abb.	Anz. der Pos.	Digi-Key Teilenr.	Stückpreis 1	10	50	100	Bourns Teilenr.
		SMT Buchse					
1	2	70ADJ-2-F-ND	1.04	.83	.64	.61	70ADJ-2-FL0
	3	70ADJ-3-F-ND	1.23	.99	.76	.72	70ADJ-3-FL0
	4	70ADJ-4-F-ND	1.55	1.24	.96	.90	70ADJ-4-FL0
	5	70ADJ-5-F-ND	1.85	1.48	1.14	1.07	70ADJ-5-FL0
	6	70ADJ-6-F-ND	2.16	1.73	1.33	1.26	70ADJ-6-FL0
		SMT Buchse mit Positions-Pin					
1	2	70ADJ-2-F1-ND	1.04	.83	.64	.61	70ADJ-2-FL1
	3	70ADJ-3-F1-ND	1.23	.99	.76	.72	70ADJ-3-FL1
	4	70ADJ-4-F1-ND	1.55	1.24	.96	.90	70ADJ-4-FL1
	5	70ADJ-5-F1-ND	1.85	1.48	1.14	1.07	70ADJ-5-FL1
	6	70ADJ-6-F1-ND	2.16	1.73	1.33	1.26	70ADJ-6-FL1
		Buchse, Durchgangsloch					
2	2	70ADH-2-F-ND	1.04	.83	.64	.61	70ADH-2-FL0
	3	70ADH-3-F-ND	1.23	.99	.76	.72	70ADH-3-FL0
	4	70ADH-4-F-ND	1.55	1.24	.96	.90	70ADH-4-FL0
	5	70ADH-5-F-ND	1.85	1.48	1.14	1.07	70ADH-5-FL0
	6	70ADH-6-F-ND	2.16	1.73	1.33	1.26	70ADH-6-FL0
		SMT Stift					
3	2	70ADJ-2-M-ND	1.10	.88	.68	.64	70ADJ-2-ML0
	3	70ADJ-3-M-ND	1.38	1.11	.85	.80	70ADJ-3-ML0
	4	70ADJ-4-M-ND	1.72	1.38	1.06	1.00	70ADJ-4-ML0
	5	70ADJ-5-M-ND	2.07	1.66	1.28	1.21	70ADJ-5-ML0
	6	70ADJ-6-M-ND	2.41	1.93	1.49	1.40	70ADJ-6-ML0
		SMT Stift mit Positions-Pin					
3	2	70ADJ-2-M1-ND	1.10	.88	.68	.64	70ADJ-2-ML1
	3	70ADJ-3-M1-ND	1.38	1.11	.85	.80	70ADJ-3-ML1
	4	70ADJ-4-M1-ND	1.72	1.38	1.06	1.00	70ADJ-4-ML1
	5	70ADJ-5-M1-ND	2.07	1.66	1.28	1.21	70ADJ-5-ML1
	6	70ADJ-6-M1-ND	2.41	1.93	1.49	1.40	70ADJ-6-ML1
		Stift, Durchgangsloch					
4	2	70ADH-2-M-ND	1.10	.88	.68	.64	70ADH-2-ML0
	3	70ADH-3-M-ND	1.38	1.11	.85	.80	70ADH-3-ML0
	4	70ADH-4-M-ND	1.72	1.38	1.06	1.00	70ADH-4-ML0
	5	70ADH-5-M-ND	2.07	1.66	1.28	1.21	70ADH-5-ML0
	6	70ADH-6-M-ND	2.41	1.93	1.49	1.40	70ADH-6-ML0

AVX Steckverbinder

DIN

Zulassungen: Zulassungen: Din 41612/Din-EN60603-2, IEC603-2, MIL-C-55302, BS 9000, BT, NFC 93.420, PTT, UTE C 93.420, UL-Eintragungsnr. E189169, CSA-Eintragungsnr. LR 108833

Abb. 1

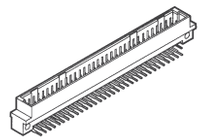

Abb. 2

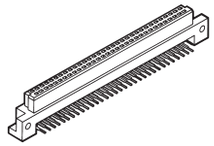

Abb. 3

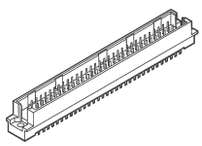

Abb. 4

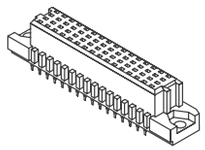

Abb.	Anz. d. Reihen	Anz. d. Pins	Typ	Digi-Key Teilenr.	Stückpreis 1	25	50	100	AVX Teilenr.
			Stecker						
1	2	32	1/2 B	478-1945-ND	3.03	2.82	2.28	1.90	108457032002025
	2	64	B	478-1946-ND	2.94	2.73	2.21	1.84	108457064002025
	3	96	C	478-1957-ND	3.25	3.02	2.44	2.03	108457096002025
	4	128	C Expandiert	478-1947-ND	6.81	6.32	5.11	4.26	108457128002025
3	3	96	R	478-1950-ND	2.90	2.69	2.17	1.81	108477096001025
	3	96	R Press-Fit	478-1954-ND	3.94	3.66	2.96	2.46	108478096001025
	3	48	R Hohe Temperatur	478-1956-ND	4.55	4.23	3.42	2.85	108577096002025
	3	48	1/2 R	478-1948-ND	2.01	1.88	1.52	1.26	108477048001025
			Steckbuchse						
2	3	96	R	478-1949-ND	4.45	4.14	3.35	2.79	208477096002025
	4	128	R Expandiert	478-1951-ND	12.61	11.71	9.46	7.89	208477128002025
	3	96	R Hohe Temperatur	478-1955-ND	5.71	5.31	4.29	3.58	208577096002025
4	3	48	1/2 C Press-Fit	478-1952-ND	3.94	3.66	2.96	2.46	208458048001025
	4	128	C Expandiert, Press-Fit	478-1953-ND	9.48	8.81	7.12	5.93	208458128001025

2 mm hart, metrisch

Spezifikationen: • Nennstrom 1,0 A /Kontakt/70 °C • Nennspannung: Max. 250 V • Dielektrische Haltespannung: 750 V AC rms/ 1 Minute • Isolationswiderstand: Min. 10^4 MΩ • Kontaktwiderstand: Max. 20 mΩ • Betriebstemperatur: -55 °C ~ 125 °C
Materialien: • Kontakt- und Erdungsrückflussschirm: Phosphorbronze • Isolator und Gehäuse: PBT 30 % glasgefüllt, nach UL 94V-0 • Code-Schlüssel: Glasgefülltes Polyester, gemäß UL 94V-0 zugelassen
Zulassungen: • IEC 61076-4-101,GR-1217-CORE, ISO9001 und PICMG

Abb. 1

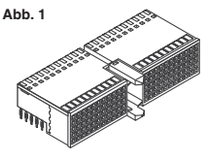

Abb. 2

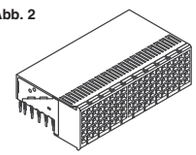

Abb. 3

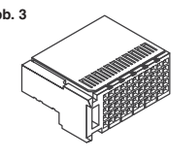

Abb. 4

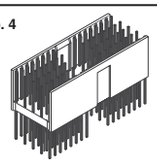

Abb. 5

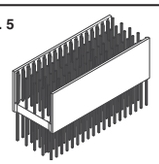

Abb. 6

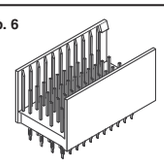

Abb.	Anz. der Pos.	Beschreibung	Digi-Key Teilenr.	Stückpreis 1	25	100	AVX Teilenr.
		Rechtwinklige Buchse					
1	110	Typ A ohne oberen Schirm, ohne Stifte	478-2848-ND	3.73	3.38	2.39	277200110000002
	110	Typ A mit oberem Schirm, ohne Stifte	478-2849-ND	5.05	4.58	3.24	277200110002002
2	110	Typ B 22 ohne oberen Schirm	478-1933-5-ND†	4.04	3.66	2.60	277200110200002
	110	Typ B 22 mit oberem Schirm	478-1934-ND	5.27	4.78	3.39	277200110202002
	95	Typ B 19 mit oberem Schirm	478-2850-ND	4.42	4.01	2.84	277200095302002
3	55	Typ C mit oberem Schirm, ohne Stift	478-2851-ND	3.01	2.73	1.93	277200055402002
		Vertikaler Stift					
4	154	Typ A Hot Swap	478-1929-5-ND†	9.15	8.29	5.88	177200154006002
	154	Typ A	478-1930-5-ND†	6.76	6.12	4.34	177200154000002
	100	Typ A Computer-Telefonie	478-1931-5-ND†	6.31	5.71	4.05	177200100008002
5	154	Typ B	478-1935-5-ND†	5.27	4.78	3.39	177200154200002
	154	Typ B P2/P5 CompactPCI®	478-1936-5-ND†	9.13	8.27	5.86	177200154202005
6	77	Typ C	478-1937-5-ND†	3.39	3.07	2.18	177200077400002

† Röhrenpreis

Codierschlüssel

Typ	Farbe	Code-Nr.	Spannung	Digi-Key Teilenr.	Stückpreis 1	25	100	AVX Teilenr.
Stecker	Gelb	3456	3.3V C-PCI	478-1941-ND	.54	.49	.35	818071000101003
	Blau	1567	5.0V C-PCI	478-1942-ND	.54	.49	.35	818071000102006
Steckbuchse	Gelb	1278	3.3V C-PCI	478-1943-ND	.65	.59	.42	828071000101003
	Blau	2348	5.0V C-PCI	478-1944-ND	.65	.59	.42	828071000102006

(Forts.)

Fein-Pitch SMT - Karte-an-Karte

1,5 mm Merkmale: • 0,4 mm Fein-Pitch und Flachprofil • Design sorgt für hörbares Klicken • Verhindert Austreten von Lötmaterial • Kompatibel mit bleifreien Hochtemperatur-Lötprozessen **Spezifikationen:** • Gegenhöhe: 1,5 mm • Pitch: 0,4 mm • Strom: Max. 0,4 A • Betriebspannung: Max. 50 V **Anwendung:** • Die 1,5-mm-Serie ist ideal für hochdichte Paketanwendungen, wie z.B. PCs, PDAs, DVD, Handys und Digitalkameras. **SOLO STACKER™ Merkmale:** • Einteiliger Steckverbinder zur Verbindung von zwei Platinen in Handys, Pagers, PDAs, Sicherheitssystemen, Hand-Scannern usw. auf preiswerte Art und Weise • Gestattet eine Abstandstoleranz bis zu ±0,30 mm

Abb. 1 Abm. in mm

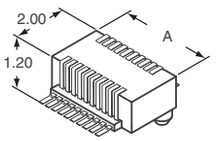

Abb. 2

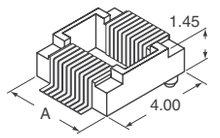

Abb. 3

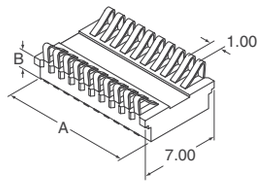

Abb.	Anz. der Pos.	Abmessungen (mm) A	B	Digi-Key Teilenr.	Gurtabschnittspreis pro Stück 1	10	100	Digi-Key Teilenr.	Gegurtet auf Rolle Größe	Preisangaben	AVX Teilenr.
1,5 mm											
Stecker											
1	20	5.1	—	478-1988-1-ND	2.44	2.09	1.63	478-1988-2-ND	2,000	948.19/M	145602020000829
	30	7.1	—	478-1989-1-ND	3.09	2.65	2.06	478-1989-2-ND	2,000	1200.06/M	145602030000829
	40	9.1	—	478-1990-1-ND	3.50	3.00	2.34	478-1990-2-ND	2,000	1363.03/M	145602040000829
Steckbuchse											
2	20	6.1	—	478-1991-1-ND	1.83	1.57	1.22	478-1991-2-ND	2,000	711.15/M	245602020000829
	30	8.1	—	478-1992-1-ND	1.95	1.67	1.30	478-1992-2-ND	2,000	755.59/M	245602030000829
	40	10.1	—	478-1993-1-ND	2.44	2.09	1.63	478-1993-2-ND	2,000	948.19/M	245602040000829
SOLO STACKER™											
mit Leiterplatten-Positionsnaben											
3	16	9.0	1.9 ~ 2.1	478-1994-1-ND	2.44	2.09	1.63	478-1994-2-ND	1,250	948.20/M	009158016020001
	20	11.0	1.9 ~ 2.1	478-1995-1-ND	3.39	2.91	2.27	478-1995-2-ND	1,250	1318.59/M	009158020020001
	24	13.0	1.9 ~ 2.1	478-1996-1-ND	2.02	1.73	1.35	478-1996-2-ND	1,250	785.23/M	009158024020001
	28	15.0	1.9 ~ 2.1	478-1997-1-ND	2.13	1.83	1.43	478-1997-2-ND	1,250	829.68/M	009158028020001
	16	9.0	2.1 ~ 2.7	478-1998-1-ND	2.10	1.80	1.40	478-1998-2-ND	1,250	814.86/M	009158016025001
	20	11.0	2.1 ~ 2.7	478-1999-1-ND	2.90	2.48	1.94	478-1999-2-ND	1,250	1125.98/M	009158020025001
	24	13.0	2.1 ~ 2.7	478-2000-1-ND	2.02	1.73	1.35	478-2000-2-ND	1,250	785.23/M	009158024025001
	28	15.0	2.1 ~ 2.7	478-2001-1-ND	2.51	2.16	1.68	478-2001-2-ND	1,250	977.83/M	009158028025001
	16	9.0	2.8 ~ 3.3	478-2002-1-ND	1.83	1.57	1.22	478-2002-2-ND	1,100	711.15/M	009158016030001
	20	11.0	2.8 ~ 3.3	478-2003-1-ND	1.98	1.70	1.33	478-2003-2-ND	1,100	770.41/M	009158020030001
	24	13.0	2.8 ~ 3.3	478-2004-1-ND	2.10	1.80	1.40	478-2004-2-ND	1,100	814.86/M	009158024030001
	28	15.0	2.8 ~ 3.3	478-2005-1-ND	2.21	1.89	1.48	478-2005-2-ND	1,100	859.30/M	009158028030001

1,00 mm Pitch

Merkmale: ZIF rechter Winkel: • Spannung: 50 V • Nennstrom: Max. 1,0 A • Betriebstemperatur: -20 °C ~ 85 °C • Materialien: Kontakt: Phosphorbronze (Zinn-Blei-Überzug), Isolator und Schieber: PPS, braune Farbe **ZIF Vertikal:** • Spannung: 50 V • Nennstrom: Max. 1,0 A • Betriebstemperatur: -30 °C ~ 85 °C • Materialien: Kontakt: Phosphorbronze (Zinn-Blei-Überzug), Isolator: Glasgefülltes Nylon, PPS **LIF rechtwinklig und vertikal:** • Spannung: 50 V • Nennstrom: Max. 0,5 A • Betriebstemperatur: -20 °C ~ 70 °C • Materialien: Kontakt: Phosphorbronze (Zinn-Blei-Überzug), Isolator: Glasgefülltes PPS

Abb. 1

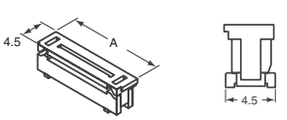

Abb. 2

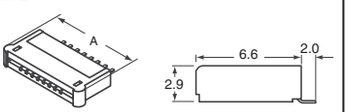

Abb. 3

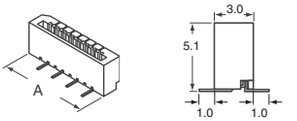

Abb. 4 Abm. in mm

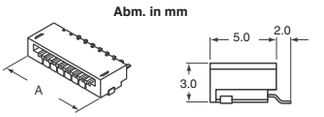

Abb.	Anz. der Pos.	Abm. (mm) A	Digi-Key Teilenr.	Gurtabschnittspreis pro Stück 1	10	100	Digi-Key Teilenr.	Gegurtet auf Rolle Größe	Preisangaben	AVX Teilenr.
ZIF										
Vertikal, SMT ohne Nabe										
1	5	11.4	478-1958-1-ND	1.03	.88	.69	478-1958-2-ND	1,000	400.02	006208505110000
	6	12.4	478-1959-1-ND	1.45	1.24	.97	478-1959-2-ND	1,000	562.99	006208506110000
	8	14.4	478-1960-1-ND	2.06	1.76	1.38	478-1960-2-ND	1,000	800.04	006208508110000
	10	16.4	478-1961-1-ND	2.02	1.73	1.35	478-1961-2-ND	1,000	785.22	006208510110000
	12	18.4	478-1962-1-ND	2.18	1.86	1.45	478-1962-2-ND	1,000	844.48	006208512210000
	14	20.4	478-1963-1-ND	2.33	1.99	1.55	478-1963-2-ND	1,000	903.75	006208514210000
	16	22.4	478-1964-1-ND	2.44	2.09	1.63	478-1964-2-ND	1,000	948.19	006208516210000
Rechtwinklig, SMT, Bodenkontakttyp mit Lötöse, ohne Nabe										
2	5	12.25	478-1965-1-ND	1.11	.95	.74	478-1965-2-ND	1,000	429.65	006200505130000
	6	13.25	478-1966-1-ND	1.49	1.28	1.00	478-1966-2-ND	1,000	577.80	006200506130000
	8	15.25	478-1967-1-ND	1.52	1.31	1.02	478-1967-2-ND	1,000	592.62	006200508130000
	10	17.25	478-1968-1-ND	1.60	1.37	1.07	478-1968-2-ND	1,000	622.25	006200510130000
	12	19.25	478-1969-1-ND	1.37	1.18	.92	478-1969-2-ND	1,000	533.36	006200512230000
	14	21.25	478-1970-1-ND	1.79	1.54	1.20	478-1970-2-ND	1,000	696.33	006200514230000
	16	23.25	478-1971-1-ND	1.72	1.47	1.15	478-1971-2-ND	1,000	666.70	006200516230000

Abb.	Anz. der Pos.	Abm. (mm) A	Digi-Key Teilenr.	Gurtabschnittspreis pro Stück 1	10	100	Digi-Key Teilenr.	Gegurtet auf Rolle Größe	Preisangaben	AVX Teilenr.
LIF										
Vertikal, SMT										
3	3	6.0	478-1980-1-ND	.76	.66	.51	478-1980-2-ND	900	266.68	046232103015800
	4	7.0	478-1981-1-ND	.80	.69	.54	478-1981-2-ND	900	280.01	046232104015800
	6	9.0	478-1982-1-ND	.84	.72	.56	478-1982-2-ND	900	293.35	046232106015800
	8	11.0	478-1983-1-ND	.91	.79	.61	478-1983-2-ND	900	320.01	046232108015800
	10	13.0	478-1984-1-ND	.96	.82	.64	478-1984-2-ND	900	333.35	046232110015800
	12	15.0	478-1985-1-ND	1.03	.88	.69	478-1985-2-ND	900	360.02	046232112015800
	14	17.0	478-1986-1-ND	1.11	.95	.74	478-1986-2-ND	900	386.68	046232114015800
	16	19.0	478-1987-1-ND	1.14	.98	.77	478-1987-2-ND	900	400.02	046232116015800
Rechter Winkel, SMT, Kontakte oben										
4	3	6.6	478-1972-1-ND	.88	.75	.59	478-1972-2-ND	1,000	340.76	046232103003800
	4	7.6	478-1973-1-ND	.91	.79	.61	478-1973-2-ND	1,000	355.57	046232104103800
	6	9.6	478-1974-1-ND	1.03	.88	.69	478-1974-2-ND	1,000	400.02	046232106103800
	8	11.6	478-1975-1-ND	1.07	.92	.72	478-1975-2-ND	1,000	414.83	046232108103800
	10	13.6	478-1976-1-ND	1.14	.98	.77	478-1976-2-ND	1,000	444.47	046232110103800
	12	15.6	478-1977-1-ND	1.22	1.05	.82	478-1977-2-ND	1,000	474.10	046232112103800
	14	17.6	478-1978-1-ND	1.26	1.08	.84	478-1978-2-ND	1,000	488.91	046232114103800
	16	19.6	478-1979-1-ND	1.34	1.15	.89	478-1979-2-ND	1,000	518.54	046232116103800

HIROSE ELECTRIC CO.,LTD. SIM-Kartensockel — Serie ID1A

Merkmale: Für Plug-in SIM Cards des GSM-Standards (11.11) geeignet. SIM Card Subscriber-Identitätsmodule dienen zur Identifizierung der Abonnenten mit Handy-Anschlüssen mit (oder unter Verwendung von) Plug-in SIM Cards, die dem GSM-Standard (11.11) entsprechen. Diese Sockel haben Miniaturformat und sind dünn; 2,45 mm hoch, 30,6 mm lang und 17,4 mm breit.

Anwendungen: Tragbare Terminals und Geräte, die GSM-Standard (11.11) Plug-in SIM-Karten verwenden.

Nenngrößen: Strom: 1 A Temperaturbereich: -30 °C ~ 80 °C. Spannung: 100 V AC

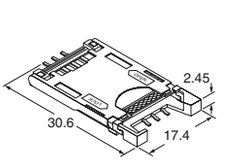

Digi-Key Teilenr.	Mengenpreis pro Stück 1	25	100	Hirose Teilenr.	Digi-Key Teilenr.	T & R Pricing* 500	Hirose Teilenr.
H1016-ND	2.97	2.31	1.85	ID1A-6S-2.54SF	H1016TR-ND	622.89	ID1A-6S-2.54SF(21)

* Preisangabe für Gegurtet auf Rolle

SmartMedia-Steckverbinder — Serie MCR 102

Merkmale:

Die dünnen Mini-Steckverbinder der Serie MCR102 entsprechen dem SSFDC Forum von "SmartMedia" Mini-Speichermedien.

Anwendungen:

Digitalkameras, PDA, Voice Recorder und andere Geräte, die SmartMedia verwenden.

Nenngrößen:

Strom: 0,5 A Temperaturbereich: -20 °C ~ 60 °C Spannung: 125 V AC

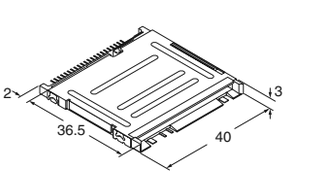

Anz. der Pos.	Beschreibung	Digi-Key Teilenr.	Stückpreis 1	25	100	Hirose Teilenr.
22	Smart Card, 5 V	H2340-ND	4.52	3.62	2.80	MCR102A-22RH-1.27SF

Alle Preisangaben in Euro und inklusive Zollgebühren.

Speicherkarten

PCMCIA PC

Merkmale: • Einzelstapel-Steckleiste in SMT oder Durchlassloch **Spezifikationen:** • Kontaktanzahl: 68 • Pitch: 1,27 mm (0,05) • Nennstrom: max. 0,5 A • Nennspannung: max. 5 V • Steckhäufigkeit: 10.000

Abb. 1

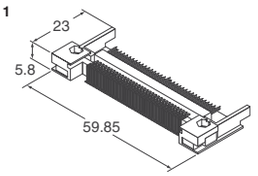

Abb. 2 Abm. in mm

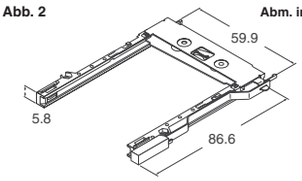

Abb.	Typ	Tastung	Tasten seite	Digi-Key Teilenr.	Stückpreis 1	25	100	AVX Teilenr.
1	II	Normal	Links	478-2006-ND	12.20	9.47	7.58	315025068305871
	II	Rückwärts	Links	478-2008-ND	12.20	9.47	7.58	315025068355871
2	II	Normal	Rechts	478-2007-ND	5.43	4.21	3.37	305025000322000
	II	Rückwärts	Links	478-2009-ND	4.99	3.88	3.11	305025000321000

Sicher, digital

SERIE 5638:Merkmale: • SD (Secure Digital) Memory Card Technologie entwickelt sich zum nächsten Industriestandard für herausnehmbare Flash-Speicher und Eingabe-/Ausgabe-Bausteine • Flachprofil • Normale und umgekehrte Verkeilung • Kartenerkennungsfunktion • Akzeptiert SD- und Multimedien-Karten • Steckhäufigkeit: 10.000 **Spezifikationen:** • Nennstrom: 0,5 A • Nennspannung: 5 V • Isolationswiderstand: min. 1.000 MΩ • Kontaktwiderstand: max 40 mΩ • DW-Spannung: 500 V AC • Betriebstemperatur: -25 °C ~ 90 °C **Anwendungen:** • MP3 Player, PDAs, Handys, Digitalkameras, Digital-Camcorder, usw.

SERIE 5738: Merkmale: • Basiert auf dem durch den E/A-Betrieb der SD-Association definierten Standard (eine SD-Speicherkarten-Unterstützungsgruppe) • Flachprofil • Einführung des Federauswurfs für einfache Bedienung • Mit stützenden Metallarmaturen für eine feste Montage und ausreichende Stärke als E/A versehen, durch Umgestalten des Isolators und der Gehäusestruktur und Vergrößern der festen Metallarmatur **Spezifikationen:** • Pitch: 2,50 mm • Kontaktendverarbeitung: Goldüberzug • Kontaktendverarbeitungsstärke: 0,50 µm • Strom: 0,50 A • Spannung: 5,0 V • Haltespannung: 500 Vrms • Flammbarkeitzulassung: UL 94V-0

SERIE 9162: Merkmale: • Der Standard-SIM (Subscriber Identity Module) -Steckverbinder wurde speziell für handgehaltene Geräte konzipiert • Abstand-Design erlaubt die Montage anderer Komponenten unter dem Steckverbinder, was zu einer effizienteren Nutzung des Platinenraums führt • Isolator wurde aus Hochtemperatur-Kunststoff geformt, sodass der Steckverbinder in Umluft- oder Infrarot-Lötprozessen verwendet werden kann **Spezifikationen:** • Pitch: 2,540 mm • Kontaktmaterial: Kupferlegierung • Kontaktendverarbeitung: Goldüberzug **Anwendungen:** • Zur Verwendung mit vollen ISO-Karten und Micro-SIM-Karten

SERIE 5036: Merkmale: • SIM-Steckverbinder mit Befestigungsnabe • Optionale Kartenverriegelung • Flachprofil, Metallkörper • Integrierte SMT Zugentlastungsösen • Kartenerkennungsschalter • Header mit Push/Push-Kartenauswurf **Spezifikationen:** • Kontaktmaterial: Phosphorbronze. • Kontaktendverarbeitung: Goldüberzug • Flammbarkeitzulassung: UL 94V-0 **Anwendungen:** • GSM oder WCDMA Handys, Navigationssysteme und tragbare Datengeräte

Abb. 1

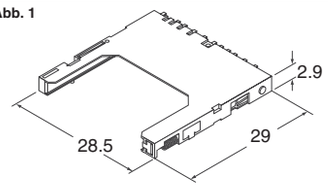

Abb. 2 Abm. in mm

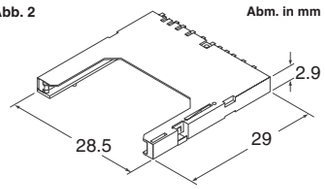

Abb. 3

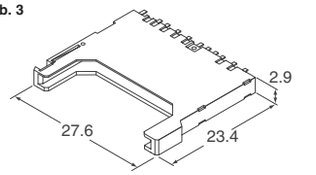

Abb. 4

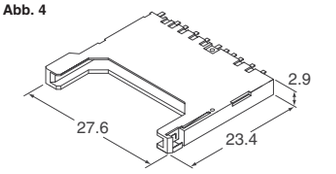

Abb. 5

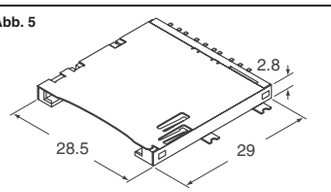

Abb. 6

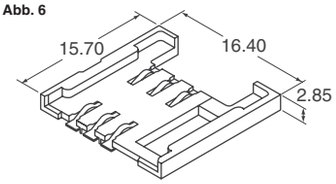

Abb. 7

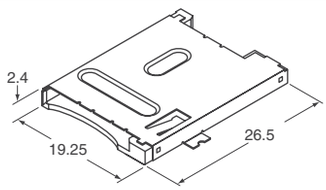

Abb.	Tastung	Platinen-montage	Auswurf-typ	Digi-Key Teilenr.	Gurtabschnittspreis pro Stück 1	25	100	Gegurtet auf Rolle* Größe	Preisangaben	AVX Teilenr.
1	Normal	Oberseite	Push/Push	478-2016-1-ND	3.17	2.46	1.97	250	395.90	145638009511862
2	Rückwärts	Boden	Push/Push	478-2017-1-ND	4.69	3.64	2.92	250	586.17	145638109511862
3	Normal	Oberseite	ohne	478-2018-1-ND	2.26	1.76	1.41	350	395.28	145638009211862
4	Rückwärts	Boden	ohne	478-2019-1-ND	2.26	1.76	1.41	350	395.28	145638109211862
5	Anschl. Speicherkarte mit Normal-E/A			478-2020-1-ND	3.19	2.48	1.99	250	398.96	145738009783862
6	Anschl. SIM-Karte, Einschub-SMD			478-2021-1-ND	.98	.77	.61	1,100	491.03/M	009162006200175
7	Anschl. SIM-Karte 13,52 mm mit Nabe			478-2022-1-ND	4.52	3.51	2.81	500	1129.36	045036006100862

* Für Gegurtet auf Rolle, Teilenr. von -1 in -2 ändern.

Compact Flash

Merkmale: • Speicherkartensteckverbinder, die Compact Flash unterstützen • Zur Verwendung in kleinen tragbaren Geräten **Spezifikationen:** • Kontaktanzahl: 50 • Pitch: 1,27 mm (0,05) • Nennstrom: max. 0,5 A • Nennspannung: max. 5 V • Steckhäufigkeit: 10.000 **Anwendungen:** • Digitalkameras, Notebook-Computer, PDA usw.

Abb. 1

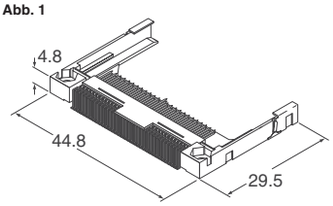

Abb. 2 Abm. in mm

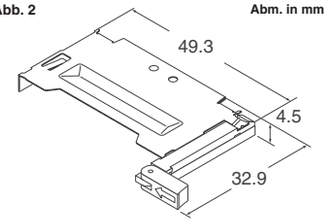

Abb. 3

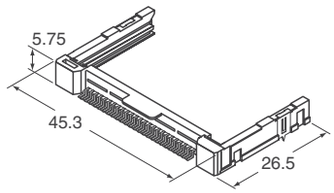

Abb. 4

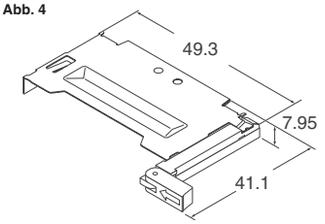

Abb.	Typ	Tastung	Auswurf-typ	Tastenseite	Digi-Key Teilenr.	Stückpreis 1	25	100	AVX Teilenr.
1	I	Normal	Gerade	Links	478-2010-ND	3.51	2.73	2.18	315610050500871
	I	Normal	Gerade	Rechts	478-2012-ND	3.19	2.48	1.99	315610050210871
2	I	Normal	Faltbar	Links	478-2013-ND	2.38	1.85	1.48	305610000005000
	I	Normal	Faltbar	Rechts	478-2011-ND	3.00	2.33	1.86	305610000006000
3	II	Normal	Gerade	Links	478-2014-ND	3.51	2.73	2.18	315620050116871
4	II	Normal	Faltbar	Rechts	478-2015-ND	2.35	1.83	1.47	305620000006000

HIROSE ELECTRIC CO.,LTD.

PCMCIA IC-Speicherkartensteckverbinder

Abb. 1: Serie IC1

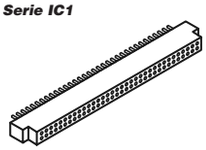

Die Steckverbinder der Serie IC1 erfüllen Ver. 3 und Ver. 4.2 der JEIDA- und PCMCIA-2.0-Standards. **Merkmale:** • Mit allen Funktionen der JEIDA- und PCMCIA-Standards versehen, z.B. Polarisationsmethode, Sequenzkonstruktion für Schaltkreisschutz • Sockelsteckverbinder für Oberflächenmontage erhältlich (Kartenseite) • Von der Mitte abweichende Sockelsteckverbinder sind ebenfalls erhältlich; sie sorgen für ein hohes Paketprofil. • Alle beschriebenen Pin-Steckverbinder sind mit Karten vom Typ I und II kompatibel • Header-Anschlüsse für Oberflächenmontage erhältlich

Abb. 1A

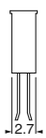

Abb. 1B

Abb. 1C

Abb. 1D

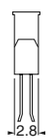

Abb. 1E

Abb. 1F

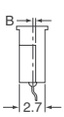

Abb. 1G

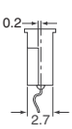

Abb. 1H

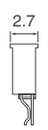

Abb. 2: Serie IC7

Die Serie IC7 der leichten, 68-Pin Mini-Steckverbinder erfüllt die JEIDA Ver. 4.2 und eignet sich zur Verwendung mit PCMCIA-Karten vom Typ III. **Merkmale:** • Kleiner und dünner als unser früheres Produkt • 47 % leichter als unser früheres Produkt • Mit einer Auswurftaste zur reibungslosen Entnahme von Karten ausgestattet • Zwei Auswurftastenmodelle, entweder links oder rechts • Umgekehrte Verkeilung erhältlich zur Montage auf der Rückseite der Platine • Mit einem Rahmenerdungsanschluss versehen • In Ausführungen zur DIP- und SMT-Montage erhältlich • Der SMT-Typ kann auf beiden Platinenseiten montiert werden. Er kann auch als Steckverbinder mit 2 Steckplätzen dienen.

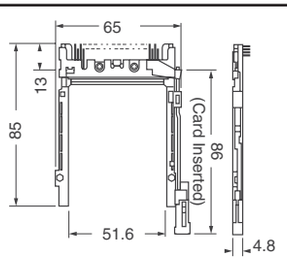

Abb.	Anzahl der Pins	Typ	Beschreibung	Digi-Key Teilenr.	Preisangaben 1	10	Hirose Teilenr.
Buchsensteckverbinder - Speicherkarte							
1A	68	I, II	2,7 mm, zweifach	HR831-ND	5.77	47.75	IC1F-68RD-1.27SH
1B	68	I, II	Einseitig, A = 0,3 mm	HR828-ND	6.52	55.13	IC1F-68RD-1.27SF
1B	68	I, II	Einseitig, A = 0,854 mm	HR829-ND	6.69	56.62	IC1F-68RD-1.27SFA
1C	68	I, II	Nicht zentriert	HR830-ND	6.01	50.85	IC1H-68RD-1.27SH
1D	68	I, II	2,8 mm, zweifach	HR832-ND	5.86	49.54	IC1BB-68RD-1.27SH
1E	68	I, II	2,8 mm, zweifach	HR833-ND	7.18	60.72	IC1BA-68RD-1.27SH
1H	68	I, II	2,7 mm, zweifach	HR630-ND	3.90	32.31	IC1HA-68RD-1.27SH
1F	68	I, II	2,7 mm zweifach, B = 0,3 mm	HR631-ND	3.76	31.09	IC1K-68RD-1.27SF
1F	68	I, II	2,7 mm zweifach, B = 0,9 mm	HR632-ND	3.76	31.09	IC1K-68RD-1.27SFA
1G	68	I, II	2,7 mm, zweifach	HR633-ND	3.76	31.09	IC1K-68RD-1.27SFB
Speicherkartensteckverbinder							
2	68	I, II, III	Leicht, Auswurf rechts	HR816-ND	7.53	63.70	IC7-68PD-1.27DS-EJR
	68	I, II, III	Leicht, Auswurf links	HR817-ND	7.53	63.70	IC7-68PD-1.27DS-EJL
	68	I, II, III	Leicht, Auswurf rechts, umgekehrt	HR818-ND	7.53	63.70	IC7-68PDR-1.27DS-EJR
	68	I, II, III	Leicht, Auswurf links, umgekehrt	HR819-ND	7.53	63.70	IC7-68PDR-1.27DS-EJL

PCMCIA IC-Speicherkartensteckverbinder

Abb. 1

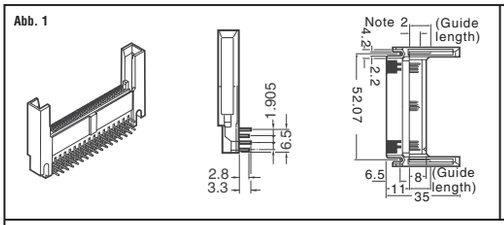

Abb. 2

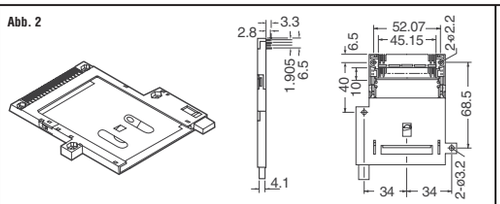

Abb. 3

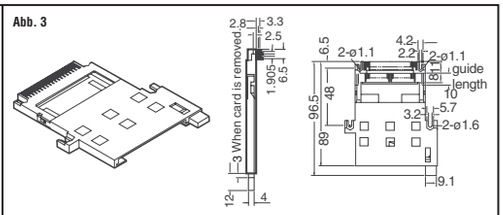

Abb. 4

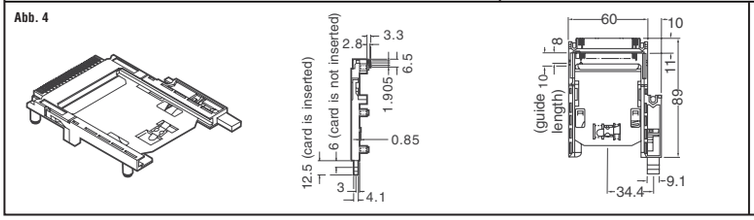

Abb. 5

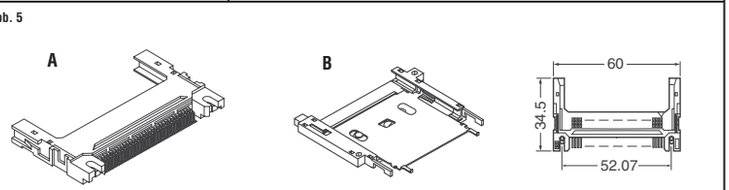

• Führende Merkmale des PCMCIA-Standards des Fehleinsatz-Verhinderungsmechanismus und des Sequenzmechanismus sind integriert • Oberflächenbefestigte Buchse • Drucktaste des Auswurfteils verfügt über eine innere Feder, die die Taste vor Vibration schützt.

Material: • Isolator: PPS, schwarz, UL94V-0 • Kontakt: Teilvergoldung • Auswurf: SUS

Elektrische Spezifikationen: • Nennstrom: 0,5 A/Pin • Nennspannung: 125 V AC • Haltespannung: 500 V AC für eine Minute bei spezifischem Wert • Isolationswiderstand: min. 1.000 MΩ bei 500 V DC • Kontaktwiderstand: max. 40 mΩ gemessen bei 1 mA DC

Abb.	Anz. der Pins	Typ	Beschreibung	Digi-Key Teilenr.	Preisangaben 1	Preisangaben 10	Hirose Teilenr.
1	68	I, II	Speicherkartensteckverbinder	HR801-ND	5.77	47.75	IC1FA-68PD-1.27DS
2	68	I, II	Speicherkartensteckverbinder mit Auswurfmechanismus	HR802-ND	9.52	88.02	IC1G-68PD-1.27DS-EJ
	68	I, II	Mit Auswurf- und ESE-Erdungsfunktion	HR810-ND	10.02	92.72	IC1G-68PD-1.27DS-EJ-E
3	68	I	Speicherkartensteckverbinder mit Auswurfmechanismus	HR803-ND	11.06	102.28	IC1F-68PD-1.27DS-EJ
4	68	I, II	Speicherkartensteckverbinder mit Auswurfmechanismus und Abstandsstück	HR804-ND	9.52	88.02	IC1FB-68PD-1.27DS-EJ
5A	68	I, II	SMT-Steckverbinder ohne Auswurf	HR805-ND	7.53	65.53	IC1G-68PD-1.27SF
5B	68	I, II	SMT-Auswurf für HR805	HR806-ND	5.53	46.75	IC1G-68PD-EJ

PCMCIA-Steckverbinder
Serie IC11S

Merkmale: • Erdung ist erforderlich, um die HS-Signalanforderungen des PC-Karten-Standards zu erfüllen • Erdungszuverlässigkeit wird mit einer Erdungsplatte und 8 Erdungskontakten erzielt • Karten vom Typ I, Typ II und Typ III sind gedeckt. Anschlüsse für Erdungsklemmen sind vorhanden • Auf 5,6 mm reduzierte Steckverbinderhöhe ermöglicht dünnere Produktdesigns • Das Gewicht von 12,7 g für den Normaltastentyp trägt zur Erzielung eines geringeren Gewichtes bei, was für die heutigen Produkte wichtig ist **Material: Isolator:** • PPS • Schwarze Endverarbeitung • UL94V-0 **Kontakt:** • Kartenverbundener Abschnitt: • Messing • Kontaktabschnitt: Vergoldet • Anschlussabschnitt: Lötüberzug • Kontakterdungsplatte: • Phosphor-Bronze • Kontaktabschnitt: Vergoldet • Anschlussteil: Auswurfanschlüsse mit Lötüberzug, Führungsplatte und Stößelstange: • Auswurftaste aus Edelstahl: • PBT • Schwarze Endverarbeitung • UL94V-0 **Elektrische Spezifikationen:** • Nennstrom: 0,5 A/Pin • Nennspannung: 125 V AC • Haltespannung: 500 V AC für eine Minute bei spezifischem Wert • Isolationswiderstand: min. 1.000 MΩ bei 500 V DC • Kontaktwiderstand: max. 40 MΩ gemessen bei 1 mA DC • Betriebstemperatur: -55 °C ~ 85 °C

Steckverbinder und Auswurfführungen sind separat erhältlich.

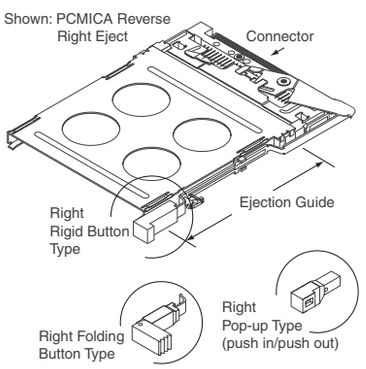

Abstands-typ	Beschreibung	Digi-Key Teilenr.	Preisangaben 1	Preisangaben 10	Preisangaben 50	Hirose Teilenr.
	PCMCIA, Standardauswurf rechts					
—	SMT-Steckverbinder, 68 Positionen, 1,27 mm	HR1127-ND	7.01	60.96	274.30	IC11S-68PL-1.27SF-EJR
—	Führung - feste Taste	HR1128-ND	3.24	26.82	111.75	IC11S-BD-EJR
—	Führung - Klapptaste	HR1129-ND	3.95	32.71	136.30	IC11S-BD-FEJR
—	Führung - Pop-Up-Taste	HR1130-ND	5.38	44.50	185.41	IC11S-BD-PEJR
—	Führung - erweiterte Pop-Up-Taste	HR1131-ND	3.05	25.19	104.98	IC11S-BD-PNEJR
2.2mm	SMT-Steckverbinder, 68 Positionen, 1,27 mm	HR1132-ND	7.01	60.96	274.30	IC11SA-68PL-1.27SF-EJR
2.2mm	Führung - feste Taste	HR1133-ND	3.24	26.82	111.75	IC11SA-BD-EJR
2.2mm	Führung - Klapptaste	HR1134-ND	3.95	32.71	136.30	IC11SA-BD-FEJR
2.2mm	Führung - Pop-Up-Taste	HR1135-ND	5.38	44.50	185.41	IC11SA-BD-PEJR
2.2mm	Führung - erweiterte Pop-Up-Taste	HR1136-ND	3.05	25.19	104.98	IC11SA-BD-PNEJR
	PCMCIA, Standardauswurf links					
—	SMT-Steckverbinder, 68 Positionen, 1,27 mm	HR1137-ND	7.01	60.96	274.30	IC11S-68PL-1.27SF-EJL
—	Führung - feste Taste	HR1138-ND	3.24	26.82	111.75	IC11S-BD-EJL
—	Führung - Klapptaste	HR1139-ND	3.95	32.71	136.30	IC11S-BD-FEJL
—	Führung - Pop-Up-Taste	HR1140-ND	5.38	44.50	185.41	IC11S-BD-PEJL
—	Führung - erweiterte Pop-Up-Taste	HR1141-ND	3.05	25.19	104.98	IC11S-BD-PNEJL
2.2mm	SMT-Steckverbinder, 68 Positionen, 1,27 mm	HR1142-ND	7.01	60.96	274.30	IC11SA-68PL-1.27SF-EJL
2.2mm	Führung - feste Taste	HR1143-ND	3.24	26.82	111.75	IC11SA-BD-EJL
2.2mm	Führung - Klapptaste	HR1144-ND	3.95	32.71	136.30	IC11SA-BD-FEJL
2.2mm	Führung - Pop-Up-Taste	HR1145-ND	5.38	44.50	185.41	IC11SA-BD-PEJL
2.2mm	Führung - erweiterte Pop-Up-Taste	HR1146-ND	3.05	25.19	104.98	IC11SA-BD-PNEJL
	PCMCIA, umgekehrter Auswurf rechts					
—	SMT-Steckverbinder, 68 Positionen, 1,27 mm	HR1147-ND	7.11	60.16	252.95	IC11S-68PLR-1.27SF-EJR
—	Führung - feste Taste	HR1148-ND	3.24	26.82	111.75	IC11S-BUR-EJR
—	Führung - Klapptaste	HR1149-ND	4.30	35.56	148.16	IC11S-BUR-FEJR
—	Führung - Pop-Up-Taste	HR1150-ND	5.38	44.50	185.41	IC11S-BUR-PEJR
—	Führung - erweiterte Pop-Up-Taste	HR1151-ND	3.05	25.19	104.98	IC11S-BUR-PNEJR
2.2mm	SMT-Steckverbinder, 68 Positionen, 1,27 mm	HR1152-ND	7.11	60.16	252.95	IC11SA-68PLR-1.27SF-EJR
2.2mm	Führung - feste Taste	HR1153-ND	3.24	26.82	111.75	IC11SA-BUR-EJR
2.2mm	Führung - Klapptaste	HR1154-ND	4.30	35.56	148.16	IC11SA-BUR-FEJR
2.2mm	Führung - Pop-Up-Taste	HR1155-ND	5.38	44.50	185.41	IC11SA-BUR-PEJR
2.2mm	Führung - erweiterte Pop-Up-Taste	HR1156-ND	3.05	25.19	104.98	IC11SA-BUR-PNEJR
	PCMCIA, umgekehrter Auswurf links					
—	SMT-Steckverbinder, 68 Positionen, 1,27 mm	HR1157-ND	7.11	60.16	252.95	IC11S-68PLR-1.27SF-EJL
—	Führung - feste Taste	HR1158-ND	3.24	26.82	111.75	IC11S-BUR-EJL
—	Führung - Klapptaste	HR1159-ND	4.30	35.56	148.16	IC11S-BUR-FEJL
—	Führung - Pop-Up-Taste	HR1160-ND	5.38	44.50	185.41	IC11S-BUR-PEJL
—	Führung - erweiterte Pop-Up-Taste	HR1161-ND	3.05	25.19	104.98	IC11S-BUR-PNEJL
2.2mm	SMT-Steckverbinder, 68 Positionen, 1,27 mm	HR1162-ND	7.11	60.16	252.95	IC11SA-68PLR-1.27SF-EJL
2.2mm	Führung - feste Taste	HR1163-ND	3.24	26.82	111.75	IC11SA-BUR-EJL
2.2mm	Führung - Klapptaste	HR1164-ND	4.30	35.56	148.16	IC11SA-BUR-FEJL
2.2mm	Führung - Pop-Up-Taste	HR1165-ND	5.38	44.50	185.41	IC11SA-BUR-PEJL
2.2mm	Führung - erweiterte Pop-Up-Taste	HR1166-ND	3.05	25.19	104.98	IC11SA-BUR-PNEJL

PC-Kartensteckverbinder für PC CardBus Serie IC11

Merkmale: Platzsparendes Design: Miniaturausführung, dünn, mit 62,9 mm (Breite) x 85 mm (Länge) x 5,65 mm (Höhe). Dieses platzsparende Design nimmt nur 8 mm von der Kartenrandposition bis zum Steckverbinderspitzenteil ein. **Größerer Kartenauswurfwinkel:** Ein originelles Auswurfdesign vergrößert den Kartenauswurfwinkel.**Materialien:Isolierung:** • SMT-Abschnitt Flüssigkristallpolymer (UL94V-0), beige • Kartenführungsabschnitt - PBT-Harz (UL94V-0), schwarz • Signalabschnitt - Messing, teilvergoldet • Cardbus-Erdungsplattenabschnitt - Phosphorbronze, teilvergoldet

Beschrei-bung	Digi-Key Teilenr.	Preisangaben 1	Preisangaben 10	Preisangaben 50	Hirose Teilenr.
	PC-Kartensteckverbinder für PC CardBus, 68 Positionen				
—	HR842-ND	7.31	63.50	301.60	IC11-68PL-1.27SF-EJR
	PC-CardBus, Auswurf-Steckverbinder				
Rechts	HR843-ND	3.83	31.70	132.07	IC11-BD-EJR
Links	HR844-ND	3.83	31.70	132.07	IC11-BD-EJL

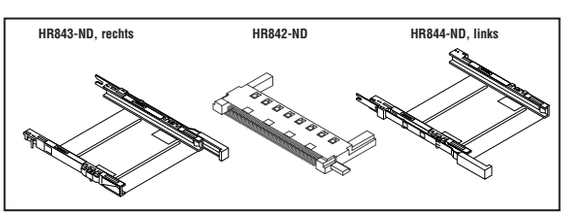

PC-Kartensteckplatz, SMT-Steckverbinder für den AV-Markt Serie IC15

Merkmale: Für front-montierte Audio-/visuelle Geräte; die Steckverbinder werfen die eingesetzte Karte durch Anwendung eines gleichmäßigen Drucks auf jeden Kartenrand aus. Die Taste steht ohne eingesetzte Karte nicht heraus, sodass Schäden beim Tragen von tragbaren Geräten verhindert werden. **Anwendungen:** DVD-Spieler, LCD-Fernseher, PDP u. sonstige digitalen Telekommunikationsgeräte
Spezifikationen: • Nennstrom: 0,5 A • Betriebstemperatur: -55 °C ~ 85 °C • Nennspannung:125 V AC • Isolationswiderstand: min. 100 MΩ • Kontaktwiderstand: max. 60 mΩ (anfänglich) • Vibration: Keine elektrische Diskontinuität von 100 ns oder mehr. **Materialien: Oberfläche:** Isolator: schwarz, UL94V-0 • Kontakte: Bronze; Kontaktbereich: vergoldet; verzinnter Anschlussbereich • Erde/Auswurf-Metallanschlüsse: Edelstahl • Positionierstift: Messing, verzinnt • Rahmen: Schwarz, UL94V-0 • Abdeckung/Metallkomponenten: Edelstahl • Feder: Edelstahl • Auswurftaste: UL94V-HB, grau

Digi-Key Teilenr.	Preisangaben 1	Preisangaben 10	Preisangaben 50	Hirose Teilenr.
PC-Kartenführung-Steckverbinder				
H5005-ND	4.06	33.53	139.69	IC15A-G-PEJL
PC-Kartensteckverbinder für AV-Markt, 68 Positionen				
H5003-ND	3.17	26.21	109.21	IC15A-PDR-SF-EJL
H5004-ND	3.24	26.82	111.75	IC15A-PDR-SFM-EJL

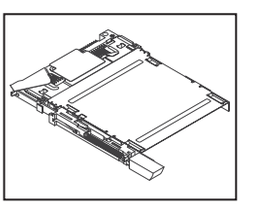

Alle Preisangaben in Euro und inklusive Zollgebühren.

SIMM-Sockel

Merkmale und Vorteile: • Zero-Insertion-Force-Kontakte verbessern die Buchsen- und Modulkontaktlebensdauer und ermöglichen eine schnelle Inline-Montage. Garantiert 2 Kontaktpunkte pro Anzeige mit Standard-JEDEC-Modul. • Latch-Funktion mit Überlastungsschutz bietet zusätzlichen Schutz beim Modulausbau • Polarisierungsstifte ermöglichen korrekte Ausrichtung für das Einführen des Sockels in die Leiterplatte • Polarisierungssteg richtet Modul korrekt auf Sockel aus • EIA-Standardabmessungen

Elektrische Spezifikationen: • Spannung: 250 V • Strom: 1,0 A • Kontaktwiderstand: Max. 30 mΩ • Dielektrische Haltespannung: 1.000 V AC • Isolationswiderstand: Min. 5.000 MΩ • Kapazität: Max. 2,5 pF

Mechanische Spezifikationen: • Normale Kraft: 150 g • Haltbarkeit: 25 Zyklen **Physikalische Spezifikationen:** • Gehäuse: LCP, schwarz, UL94V-0 • Latch: Edelstahl • Kontakt: Phosphor-Bronze-Legierung • Temperatur: -40 °C ~ 85 °C

Abb. 1

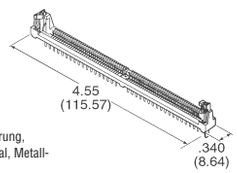

Linke Polarisierung, einreihig vertikal, Metall-Latch

Abb. 2

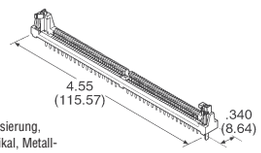

Rechte Polarisierung, einreihig vertikal, Metall-Latch

Abb. 3

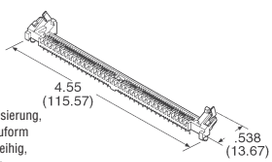

Linke Polarisierung, niedrige Bauform (22,5°) einreihig, Metall-Latch

Abb. 4

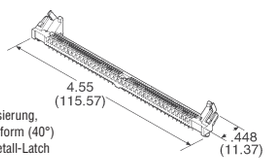

Linke Polarisierung, niedrige Bauform (40°) einreihig, Metall-Latch

Abb. 5

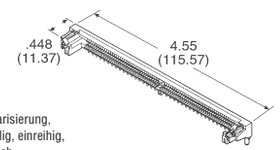

Linke Polarisierung, rechtwinklig, einreihig, Metall-Latch

Abb. 6

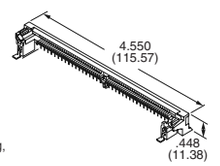

Linke Polarisierung, rechtwinklig, einreihig, Metall-Latch, SMT

Abb.	Platte	Digi-Key Teilenr.	Stückpreis 1	25	50	100	Molex Teilenr.
1	Zinn	WM1700-ND	3.72	3.42	3.11	2.80	15-82-0775
	Gold	WM1702-ND	4.23	3.89	3.53	3.18	15-82-0762
2	Zinn	WM1701-ND	3.72	3.42	3.11	2.80	15-82-0777
	Gold	WM1703-ND	4.23	3.89	3.53	3.18	15-82-0788
3	Zinn	WM1704-ND	3.92	3.60	3.27	2.94	15-82-0678
	Gold	WM1705-ND	4.39	4.03	3.67	3.30	15-82-0675
4	Zinn	WM1706-ND	4.55	4.18	3.80	3.42	15-82-0649
	Gold	WM1707-ND	5.34	4.90	4.46	4.01	15-82-0627
5	Zinn	WM1709-ND	7.12	6.53	5.94	5.35	15-82-1538
	Gold	WM1708-ND	10.68	9.80	8.91	8.02	15-82-0312
6	Gold	WM18502-ND	14.25	13.06	11.88	10.69	15-82-0328

DDR DIMM-Sockel

Merkmale und Vorteile: • Akzeptiert JEDEC M0-206-Module für 100 %-ige Industriekompatibilität • Doppelte Auswerfriegel zum leichten Modulausbau mit Eigenschaften zur Minimierung der Mikrobewegung

Elektrische Daten: • Spannung: 125 V AC • Strom: 1,0 A • Kontaktwiderstand: Max. 40 mΩ • Dielektrische Haltespannung: 500 V AC • Isolationswiderstand: Min. 1.000 MΩ

Physikalisch: • Gehäuse: Thermoplast für Hochtemperatur, UL 94V-0 • Kontakte: Phosphorbronze • Betriebstemperatur: -10 °C ~ 85 °C

Abb. 1

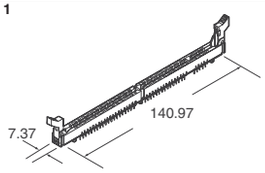

Abb. 2

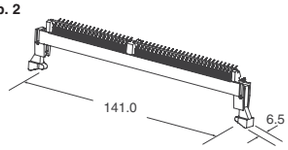

Abb. 3

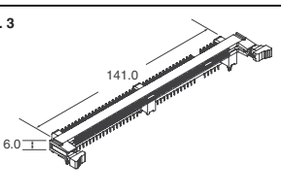

Abb.	Beschreibung	Schalt-kreise	Spannungs-kerbe	Digi-Key Teilenr.	Stückpreis 1	25	50	Molex Teilenr.
1	Vertikal, Gold	184	Links (2,5 V)	WM7306-ND	1.63	1.51	1.37	87636-0002
2	25° Winkel, Flachprofil, Gold	184	Links (2,5 V)	WM7307-ND	6.90	6.33	5.76	87623-0001
3	Rechtwinklig, Kontaktüberzug 15 m* Gold	184	Links (2,5 V)	WM7308-ND	11.33	10.39	9.45	87655-0001

DIMM-Sockel

Merkmale und Vorteile: • Akzeptiert JEDEC M0-161-Module zur 100 %-igen Industriekompatibilität • Doppelte Auswerfriegel zum leichten Modulausbau • Palladiumnickel mit Goldüberzug für verbesserte Zuverlässigkeit • Zusätzliche Kontaktreibung für erhöhte Zuverlässigkeit

Elektrische Spezifikationen: • Spannung: 100 V • Strom: 1,0 A • Übergangswiderstand: Max. 20 mΩ • Dielektrische Haltespannung: 750 V AC • Isolationswiderstand: Min. 100 MΩ

Mechanische Spezifikationen: • Einsteckkraft: 5 oz. pro Paar • Steckhäufigkeit: Min. 25 Zyklen **Physikalische Spezifikationen:** • Gehäuse und Latch: Hochtemperaturbeständiges Thermoplast, UL 94V-0 • Kontakte: Phosphorbronze • Überzug: Teilpalladiumnickel mit Goldüberzug und Zinn/Blei auf Lötzlitzen • Temperatur: -40 °C ~ 85 °C

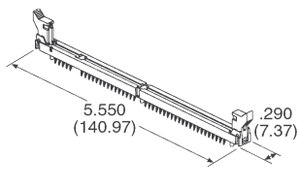

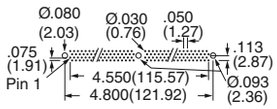

PCB Layout: Component Side

Function / Voltage Key Details

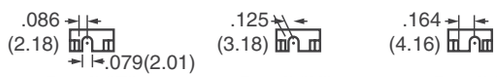

Detail "Z" **Detail "Y"** **Detail "X"**

Beschreibung	Schalt-kreise	Funktions-kerbe	Spannungs-kerbe	Digi-Key Teilenr.	Stückpreis 1	25	50	Molex Teilenr.
DRAM 3.3V	168	Detail Y	Detail Y	WM1710-ND	4.26	3.91	3.55	71251-0001
SDRAM 3.3V	168	Detail Z	Detail Y	WM1714-ND	3.97	3.64	3.31	71251-0016
Ungepufferte 3,3 V	168	Detail X	Detail Y	WM1712-ND	3.97	3.64	3.31	71251-0012
DRAM 3,3 V, Forklock-Version	168	Detail Y	Detail Y	WM18497-ND†	4.24	3.90	3.54	71736-0001

† Weißes glasgefülltes LCP, UL94-0

S.O. DIMM-Sockel

Merkmale und Vorteile: • Schaltkreise der Größe 144 • S.O. DIMM-Sockel nimmt DRAM- und SDRAM-Module des JEDEC-Standards auf; SGRAM-Sockel nimmt SGRAM-Module des JEDEC-Standards auf • Kunststoff-Latch verhindert das Verkratzen des Moduls, während eine Metallvorrichtung mit Überspannschutz das Latch zusätzlich vor zu starkem Biegen nach innen oder außen schützt • Vordere Lötösen bieten sichere PC-Karten-Haltevorrichtung • Polarisierungsnippel gewährleistet richtige Moduleinführung

Elektrische Spezifikationen: • Netzteil: 3,3 V • Spannung: 100 V • Strom: 0,3 A • Dielektrische Haltespannung: Min. 200 V AC/1 Min. • Isolationswiderstand: Min. 1.000 MΩ

Physikalische Spezifikationen: • Temperatur: -55 °C ~ 85 °C

Abb. 1 — S.O. DIMM, rechtwinklig, SMT

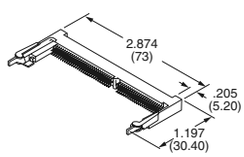

Abb. 3 — SGRAM, rechtwinklig, SMT

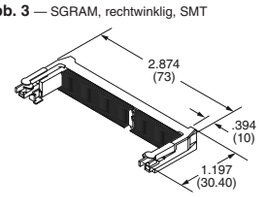

Abb. 2 — S.O. DIMM, rechtwinklig, SMT, umgekehrte Verkeilung

Durch die umgekehrte Verkeilung können Sockel mit der Rückseite aneinander montiert werden, was Platz spart

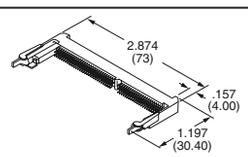

Abb.	Beschreibung	Max. Kontakt-widerstand	Montage-höhe	Digi-Key Teilenr.	Stückpreis 1	25	50	Molex Teilenr.
	S.O. DIMM-Sockel							
1	SMT, rechtwinklig	60mΩ	5.2mm	WM18581-ND*	6.81	6.24	5.67	54698-7000
	SMT, rechtwinklig	50mΩ	4.0mm	WM18588-ND*	5.46	5.01	4.56	54697-7000
2	SMT, rechtwinklig, umgekehrte Verkeilung	60mΩ	4.0mm	WM18501-ND	5.57	5.11	4.64	54432-1440
	SGRAM-Sockel							
3	SMT, rechtwinklig	70mΩ	10.0mm	WM18500-ND	4.70	4.31	3.92	54189-1440

* Bleifrei

Smart Card-Sockel

Merkmale: • Geeignet für Smart Cards, die ISO-7816 entsprechen • Die Sockel sind nur mit 8 Kontakten erhältlich; entsprechen ISO-7816 • Ein Schalter, der erkennt, ob die Smart Card sicher sitzt, um einen falschen Betrieb zu verhindern. Dieser Schalter wird auf AUS (d.h. in den nicht-leitenden Zustand) gestellt, nachdem die Smart Card ganz eingesetzt ist.

Anwendungen: Digitale Satellite Broadcast Empfänger (IRD) und andere Geräte, die Smart Cards verwenden.

Spezifikationen: • **Nennstrom:** 1 A • **Nennspannung:** 150 V AC • **Betriebstemperatur:** -50 °C ~ 80 °C • **Betriebsluftfeuchtigkeit:** 40 % ~ 80 %

Material: • **Isolierung:** PBT • **Oberfläche:** Schwarz • **Signalkontakte:** Phosphorbronze • **Kontaktabschnitt:** Goldüberzug • **Anschlussabschnitt:** Lötüberzug • **Schalterkontakte:** Phosphorbronze oder Messing • **Oberfläche:** Goldüberzug

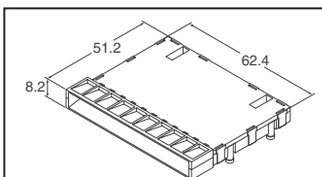

Anz. d. Pins	Beschreibung	Digi-Key Teilenr.	Preisangaben 1	10	50	Hirose Teilenr.
8	Smart Card, 2,54 mm, rechtwinkliger Steckverbinder	H1895-ND	2.73	22.63	94.29	ID2M-8S-2.54DS

HIROSE ELECTRIC CO.,LTD. Kompakte Flashcard-Steckverbinder

Karten-Steckleisten - Karten vom Typ I oder II der Serie MI21

Merkmale: • Kompaktes Design beansprucht minimalen Platz • Die Steckverbinder wurden mit kleiner Breite und Tiefe zwecks Minimierung entworfen, und der beanspruchte Platz auf der Karte wurde reduziert. • Kartenauswurfmechanismus • Zwei-Punkte-Auswurfmechanismus zur Sicherstellung eines geraden Kartenauswurfs • Entwickelt und verpackt zur automatischen Kartenmontage • Steckleisten wurden hinsichtlich der Pick-and-Place-Düsen von automatischen Montagemaschinen mit einem Abholbereich konzipiert. (Patente angemeldet) • Die Buchsen sind zur Montage auf der Karte vorgesehen. Automatische Montage ist auf der spezifischen Karte möglich.

Materialien und Verarbeitungen: • **Isolator:** PPS-Harz, schwarz, UL94V-0 • **Kontakte:** Messing • **Einsatzbereich:** Goldüberzug 0,1 µm • **Anschlussbereich:** Lötzinnüberzug • **Verstärktes Anschlussstück:** Messing, auf Auswurfmechanismus angewandt • **Auswurfanschluss:** Edelstahl • **Erdungsklemme:** Edelstahl, auf MI21 angewandt • **Mutter:** Stahl, Lötzinnüberzug

Abb. 1

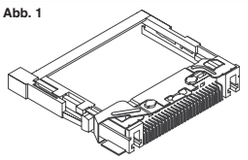

Abb. 2

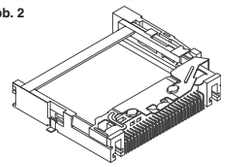

Abb. 3

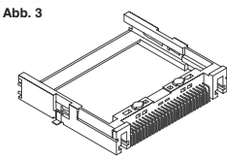

Abb.	Beschreibung	Digi-Key Teilenr.	Stückpreis 1	10	100	Hirose Teilenr.
1	Auswurftaste, rechte Seite, 0,0 mm, Standardmontage	H3230-ND	7.18	6.08	4.56	MI21-50PD-SF-EJR
2	Auswurftaste, linke Seite, kein Offset, Standardmontage	H3231-ND	7.18	6.08	4.56	MI21-50PD-SF-EJL
3	Keine Auswurftaste, kein Offset, Standardmontage	H3232-ND	5.53	4.68	3.51	MI21-50PD-SF
3	Keine Auswurftaste, kein Offset, Umkehrmontage	H3233-ND*	5.53	4.68	3.51	MI21A-50PDR-SF
1	Auswurftaste, rechte Seite, 2,2 mm, Standardmontage	H3234-ND	7.46	6.32	4.74	MI21A-50PD-SF-EJR
2	Auswurftaste, linke Seite, 2,2 mm Offset, Standardmontage	H3235-ND	7.18	6.08	4.56	MI21A-50PD-SF-EJL
3	Keine Auswurftaste, 2,2 mm Offset, Standardmontage	H3236-ND	5.75	4.87	3.65	MI21A-50PD-SF

*Umkehrmontage

molex Waldom ELECTRONICS Kompakte Flashcard-Steckverbinder

Karten-Steckleistenrs

Merkmale und Vorteile: • Schaltkreise Größe 50 • Doppelreihe 1,27 mm (0,050") Pitch an Kartenschnittstelle und 0,635 mm (0,025") Pitch Inline-SMT-Enden • Hochtemperaturgehäuse, geeignet für Aufschmelzlöten • Inline-SMT-Enden schützen gegen Schäden beim Zusammenbau

Elektrische Spezifikationen: • Spannung: 100 V • Strom: 0,5 A • Kontaktwiderstand: Max. 40 mΩ • Dielektrische Haltespannung: 500 V AC/1 Min. • Isolationswiderstand: Min. 1.000 MΩ

Physikalische Spezifikationen: • Gehäuse: Glasgefülltes LCP, UL94V-0 (WM18503-ND: schwarz; WM18505-ND und WM18506-ND: weiß) • Kontakt: Phosphorbronze • Überzug: Gold über Palladiumnickel im Kontaktbereich; Zinn/Blei im Lötlitzenbereich, Nickelbodenüberzug insgesamt • Lötfahne: Phosphorbronze, Zinn/Blei über Kupferüberzug • Temperatur: -20 °C ~ 90 °C • Leiterplattenstärke: 0,80 mm • Leiterplattenstärke: 3,30 mm ±0,1 • Leiterplattenbreite: 42,80 mm ±0,1

Kartenauswerfer

Merkmale und Vorteile: • Niedrigprofil-Moduldesign schnappt leicht auf Steckleiste • Verwendbar mit oben oder unten montierter Steckleiste • Hebel-Design sorgt für reibungslose Kartenextraktion

Physikalische Spezifikationen: • Metallhülle und -hebel: Edelstahl • Obere Taste: Glasgefülltes PBT, UL 94V-0 (WM18504-ND hat einen Messingstift und schwarze Tasten auf Polykarbonatbasis)

Abb. 1 – Rechtwinklig, SMT oben montierte Steckleiste *für Karten vom Typ I und Typ II*

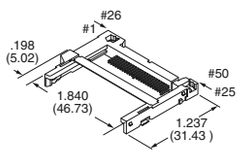

Integrierte goldüberzogene Rahmenerdungen und Lötfahnen

Abb. 2 – Kipptastenauswerfer, links, *für Steckleisten vom Typ I und Typ II*

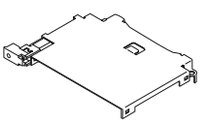

Passt zu WM18503-ND

Kipptaste faltet 90° Edelstahlstange

Abb. 3 – Rechtwinklig, SMT oben montierte Steckleiste *für Karten vom Typ I*

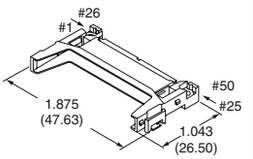

Lötfahnen vorne bieten Stabilität bei der Abstimmung

Fig. 4 – Rechtwinklig, SMT unten montierte Steckleiste *für Karten vom Typ I*

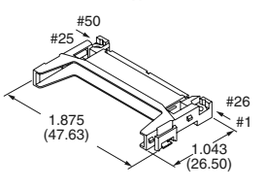

Lötösen vorne bieten Stabilität bei der Abstimmung.

Abb. 5 – Tastenauswerfer, rechts, *für Steckleisten vom Typ I*

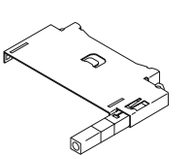

Passt zu WM18505-ND und WM18506-ND

Abb. 6 – Tastenauswerfer, links, *für Steckleisten vom Typ I*

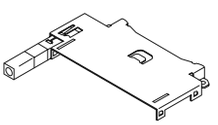

Passt zu WM18505-ND und WM18506-ND

Abb.	Beschreibung	Digi-Key Teilenr.	Preisangaben 1	25	50	Molex Teilenr.
	Für Karten und Steckleisten vom Typ I und Typ II					
1	Steckleiste, rechtwinklig, SMT, 5,85 mm Niedrigprofilhöhe	WM18503-ND	15.37	352.08	640.14	55244-5021
2	Auswerfer, Kipptaste links	WM18504-ND	4.88	111.87	203.40	55246-0011
	Für Karten und Steckleisten vom Typ I					
3	Oben montierte Steckleiste, rechtwinklig, SMT, 1,64 mm Abstandshöhe	WM18587-ND*	7.56	173.29	315.08	53856-5070
4	Unten montierte Steckleiste, rechtwinklig, SMT, 1,64 mm Abstandshöhe	WM18506-ND	7.55	173.13	314.78	53927-5010
5	Auswerfer, Kipptaste, rechts (für oben oder unten montierte Steckleisten)	WM18507-ND	5.22	119.49	217.25	55021-0001
6	Auswerfer, Kipptaste, links (für oben oder unten montierte Steckleisten)	WM18508-ND	5.22	119.49	217.25	55022-0001

* Bleifrei

HIROSE ELECTRIC CO.,LTD. Memory Stick® -Steckverbinder

Merkmale:

Der Steckverbinder verhindert das vollständige Einschieben der Karte vom falschen Ende oder umgedreht. Die Karte stoppt ca. 7 mm, bevor sie vollständig eingeführt ist, und zeigt so visuell die falsche Einführung an. Das falsche Einführen der Karte führt nicht zu einer Beschädigung der Kontakte. Die Karte kann leicht herausgezogen und wieder eingeführt werden.

Spezifikationen:

• Isolationswiderstand: Min. 1.000 MΩ • Haltespannung: Kein Überschlag bzw. Isolationsdurchbruch • Kontakt-widerstand: Max. 100 mΩ. • Steckhäufigkeit (Steck-/Ziehkraft): 12.000 Zyklen bei 400 bis 600 Zyklen pro Stunde • Nennstrom: 0,5 A • Nennspannung:125 V AC • Lagertemperatur: -40 °C ~ 85 °C • Betriebstemperatur: -20 °C - +85 °C *(einschließlich Temperaturanstieg durch Stromfluss)*

Materialien:

• **Isolator:** Wärmebeständige glasverstärkte Thermoplastmasse, schwarz, UL94V-0 • **Kontakte:** Phosphor-Bronze, Kontaktbereich: Vergoldung, Abschlussbereich: Lötzinnauftragung • **Metallniederhalter:** Phosphor-Bronze, Kontaktbereich: Vernickelung, Abschlussbereich: Lötzinnauftragung • **Abdeckung:** Edelstahl • **Auswurfmechanismuskomponenten:** Edelstahl

Abb. 1

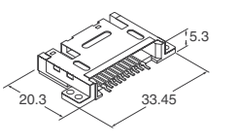

Abb. 2

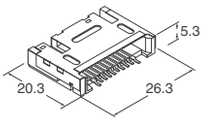

Abb. 3

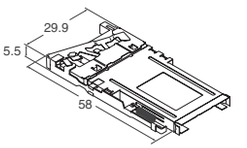

Abb. 4

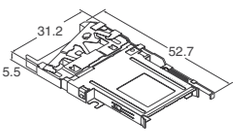

Abb.	Beschreibung	Digi-Key Teilenr.	Stückpreis 1	10	100	Hirose Teilenr.
1	10 Positionen mit Flansch zur Schraubenbefestigung	HR894-ND	4.25	3.52	2.64	CB1A-10S-1.5H(57)
1	10 Positionen mit Flansch zur Schraubenbefestigung	HR798-ND*	4.25	3.52	2.64	CB1AC-10S-1.5H(57)
2	10 Positionen ohne Flansch	HR895-ND	3.19	2.65	1.99	CB1AA-10S-1.5H(57)
3	10 Positionen, linker Auswurf	HR799-ND	7.02	5.95	4.46	CB1C-10S-1.5H-EJL
4	10 Positionen, rechter Auswurf	HR800-ND	6.21	5.26	3.94	CB1C-10S-1.5H-EJR

* Ohne Einführungsanschläge

Serie DM1 -

Sichere digitale Speicherkarten-Steckverbinder

Merkmale: • Metallabdeckung reicht über die Rückseite des Steckverbinders hinaus, sodass er einer Kraft von bis zu 400 N (statische Last) standhält, wenn er fallen gelassen oder zufällig angestoßen wird • Die Steckverbinder geben die Karte frei, wenn eine mäßige Herausziehkraft von ca. 4 N angewandt wird. Die Sperrkomponenten werden nicht beschädigt und die Steckverbinderfunktionen bleiben davon unberührt • Integrierte Sperrfunktion hält die Karte fest • Integrierter Eindrück-/Ausstoß-Auswurfmechanismus sichert einfachen und zuverlässigen Karteneinsatz und -entnahme • Zur Aufnahme sicherer digitaler E/A-Karten (eingebauter Erdkontakt) konzipiert

Anwendungen: Notebook PCs, Digitalkameras, PDAs, Audio/Videogeräte und andere Geräte, die SD E/A-Karten verwenden

Abb. 1

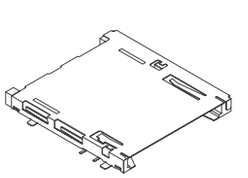

Standardtyp

Abb. 2

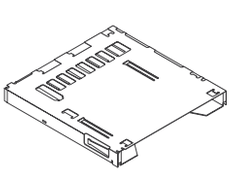

Umkehrtyp

Abb.	Digi-Key Teilenr.	Gurtabschnitt-spreise 1	25	100	Digi-Key Teilenr.	T & R Pricing † 450	Hirose Teilenr.
1	HR845CT-ND	3.61	70.01	224.01	HR845TR-ND	812.04	DM1AA-SF-PEJ(21)
2	HR846CT-ND	3.46	67.14	214.87	HR846TR-ND	779.08	DM1B-DSF-PEJ(22)

† Preisangabe für Gegurtet auf Rolle

Alle Preisangaben in Euro und inklusive Zollgebühren.

Gigabit Schnittstellen-Converter (GBIC)

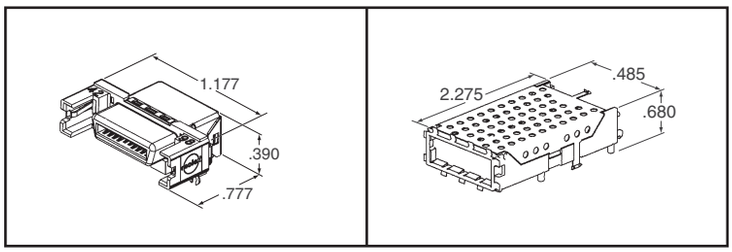

Merkmale und Vorteile:

• Erfüllt die Spezifikationen für Gigabit Interface Converter (GBIC) • Stabile Blindabstimmungs-Führungsösen mit ±2,00 mm (0,079") Fehlabstimmungstoleranz • Geschirmter oder verbesserter EMI-Schutz mit ESE-Erdungskontakten und optionalen Schutzstiften • Versetzte „hot-plug" „first-mate", „last-break" Kontakte auf 1,27 mm (0,050") Pitch Abstand

Elektrische Spezifikationen:

• Spannung: 30 V • Strom: 1,0 A • Kontaktwiderstand: 20 mΩ • Dielektrische Haltespannung: 500 V • Isolationswiderstand: 1.000 MΩ

GBIC-Führungsrahmen:

• Erfüllt die aktuelle GBIC-Norm (SFF-8053) • Ganzmetallkonstruktion bietet optimalen EMI-Schutz • Überzogenes Druckgussgehäuse bietet die Option, direkt auf der Leiterplatte zu löten • EMI-Dichtung liefert 360 Grad Kontakt zum Chassis • Kompatibel mit der industriegenormten Standardauflagefläche • Montageoptionen für horizontale und vertikale Anwendungen

Beschreibung	Digi-Key Teilenr.	Stückpreis 1	25	50	Molex Teilenr.
20 Pos., SCA-2-Buchse mit Schutzstiften	WM1630-ND	11.73	10.75	9.78	74065-0005
Führungsrahmen für GBIC	WM1631-ND	14.95	13.71	12.47	73847-0001-TR12
Adapt. ohne serielle ID, Kupfer GBIC zu DB9 Buchse	WM1632-ND	73.87	67.71	61.56	73086-0001-TR12

Ultra+™ VHDCI Steckverbinder und Bausätze

High Density Cable Interconnect, wurde als die nächste Generation der physischen SCSI-Schnittstellen definiert (Schnittstelle für kleine Computersysteme). VHDCI wird manchmal fälschlicherweise auch als SCSI-4 bezeichnet und ersetzt SCSI-2- und -3-Architektur in neuen Anwendungen. VHDCI bietet kleineres Format, größere Stabilität, bessere elektrische Leistung und höhere Dichte im Vergleich zu vorherigen SCSI-Steckverbindern.

Zu beachten ist, dass VHDCI sich auf die Steckverbinderschnittstelle bezieht, während SCSI das vom Steckverbinder unterstützte Kommunikationsprotokoll ist. Ultra+ erfüllt SFF-8441, Rev 9.0 und EIA PN-3652 Standards, um die Verbindbarkeit unter konformen Produkten sicherzustellen.

Merkmale: • Konform mit EIA/SFF-Spezifikationen zur Sicherstellung der Verbindbarkeit mit konformen Produkten. • Schirmdesign kann Aufschmelzlöt-Erdverbindung unnötig machen • UL Eintragungsnr. Nr.: E29179 • CSA Eintragungsnr. Nr.: LR19980-520

Elektrische Spezifikationen: • Spannung: 30 V • Strom: 0,5 A • Kontaktwiderstand: Max. 50 mΩ • Dielektrische Haltespannung: 250 V • Isolierwiderstand: Min. 500 MΩ

Mechanisch: • Kontaktkraft: 0,54 N (55 g) • Ziehkraft: 0,15 N (15 g) • Steckhäufigkeit: Max. 500 Zyklen.

Physikalisch: • Gehäuse: Schwarzes Thermoplast für Hochtemperatur, UL 94V-0-Zulassung • Kontakte: Phosphorbronze • Überzug: Goldüberzug über Palladium-Nickel • Betriebstemperatur: -55 °C ~ 85 °C

Abb. 1

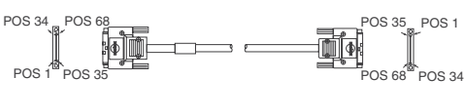

Abb. 2

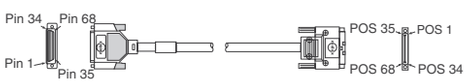

Abb. 3

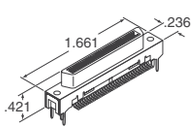

Abb. 4

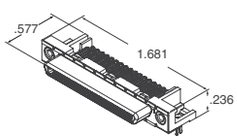

Abb. 5

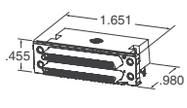

Abb.	Beschreibung	Digi-Key Teilenr.	Stückpreis 1	10	100	Molex Teilenr.
1	Ultra+ VHDCI an Ultra+ VHDCI Kabelsatz+	WM7300-ND	47.95	41.97	32.37	79918-0080
2	Ultra+ VHDCI an SCSI+ Kabelsatz	WM7301-ND	46.94	41.08	31.69	79913-0050
3	Ultra+ VHDCI Buchse	WM7304-ND	18.84	16.96	15.08	73776-0201
4	Ultra+ VHDCI Buchse	WM7302-ND	13.30	11.98	10.65	71430-0006
	Ultra+ VHDCI Buchse mit erweitertem Schirm	WM7303-ND	11.57	10.42	9.26	71430-0008
5	Ultra+ VHDCI Stapelbuchse, zweifach	WM7305-ND	30.02	27.02	24.02	74337-0051

Kleine an den Rahmen schnappende Steckverbinder und Rahmen (SFP)

Merkmale:

Das SFP-System folgt der Funktion der Standard-Gigabit Interface Converter (GBIC)-Produkte mit reduzierter Größe und höheren Datentransferraten bei und über zwei Gigabits pro Sekunde (Gbps). Unsere SFP-Produkte, eine Mehrquellen-Industriestandard-Produktreihe, bietet eine gemeinsame Designschnittstelle zur Verwendung mit mehreren Datentransferprotokollen, einschließlich Fibre Channel, Gigabit Ethernet, InfiniBand und eigener Links.

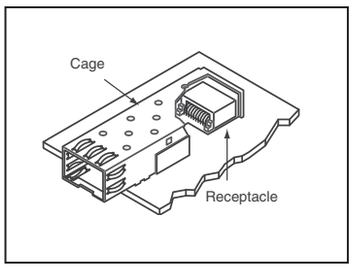

Käfigmerkmale:

• Ganzmetallkonstruktion für EMI-Schutz • Zwei-Punkt-Federkontakte für optimale EMI-Erdung • Abgeschrägte Kanten an der Abdeckung erleichtern den Zusammenbau • Das Design ermöglicht die Montage der Käfige an gegenüberliegenden Seiten der Platine für „belly-to-belly"-Anwendungen

SMT-Buchse:

• Ausrichtungsstifte bieten Stabilität zur Platzierung auf der Leiterplatte • Abstandshalter ermöglichen leichte Leiterplattenreinigung nach dem Löten • SMT-Design bietet die Option zur Platzierung auf beiden Seiten der Platine

Schalt-kreise	Digi-Key Teilenr.	Stückpreis 1	10	100	T & R Pricing ‡ * 480	Molex Teilenr.
Buchse, rechtwinklig, SMT						
20	WM1633CT-ND†	3.95	3.63	3.30	1108.17	74441-0001
Käfig für Klein-Rahmen-Lötlitzenstift						
—	WM1634-ND	11.39	10.44	8.54	—	73927-0002-TR24

† Gurtabschnitt • Für „Gegurtet auf Rolle" die Teilenr. von CT in TR ändern ‡ Preisangabe für Gegurtet auf Rolle*

HSSDC2 Steckverbinder und Bausätze

Merkmale und Vorteile:

Serieller Standard-HS-Data 2-Steckverbinder für InfiniBand™ (Mark von InfiniBand (SM) Handelsgruppe) und Fibre Channel SFF Kupfer; erfüllt die elektrischen und mechanischen Anforderungen, die von diesen Protokollen verlangt werden. Formschluss-Schnittstelle verhindert versehentliches Lösen, mit Tastoptionen zum Abstimmen des Steckverbinders zur Polarisierung und zum Verhindern von Fehlabstimmung. Sechs Chassis-Erdungsstellen, sechs Leiterplatten- Erdungs-/Haltekontakte und vier Stecker-zu-Buchse-Erdungspunkte zur Minimierung von EMI/RFI

Abb. 1

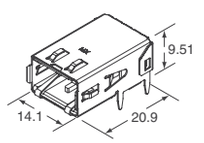

Abb. 2

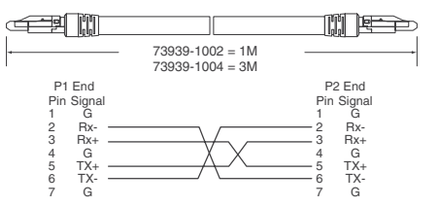

Abb.	Schalt-kreise	Digi-Key Teilenr.	Stückpreis 1	10	25	100	Molex Teilenr.
Steckbuchse, rechtwinklig geschirmt, InfiniBand-getastet							
1	7	WM5976-ND	16.78	13.99	11.19	9.79	74703-0007
Steckbuchse, rechtwinklig geschirmt, Fibre-Kanal-getastet							
1	7	WM5977-ND	19.35	16.13	12.91	11.30	74703-0107
Kupferkabel-Bausätze, Stecker-an-Stecker, unausgeglichen, 3,0 m							
2	7	WM2497-ND	30.79	26.95	23.10	20.79	73939-1002
2	7	WM2498-ND	47.36	41.44	35.52	31.97	73939-1004

InfiniBand™

LaneLink 4X und 12X Kabel bieten ein Kabel-Karten-E/A-System, das für Differenzialsignalisierung bei 2,5 Gbps pro Paar optimiert wurde. Die Leiterplatten-Steckbuchse mit ihrem Druckgussrahmen, den einheitlichen Haltebolzen und Schraubbefestigungen an der Leiterplatte bietet hervorragende Isolierung der Kabellasten von den SMT-Lötlitzen. Sperrhebel, die durch Zusammendrücken geöffnet werden, (Pinch-to-release) bieten positive Sperrenöffnung, bevor das Kabel heraus gezogen wird.

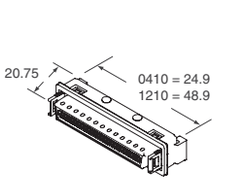

Merkmale:

• Der gegossene Rahmen der Steckbuchse mit einheitlichen Verriegelungsbolzen und Schraube wird an der Leiterplatte befestigt. Dies bietet die bestmögliche Zugentlastung des Kabels zum Sockel und der Isolierkabellasten zu den SMT-Enden.

• Optionale oben montierte Schrauben befestigen den Gussrahmen am Chassis, um zusätzliche Zugentlastung zu bieten. Ergänzt zusätzliche Zugentlastung.

• Steckbuchse bietet ein optionales Paar zusätzlicher Schraubbefestigungen des Rahmens an die Leiterplatte. Sichert und isoliert die SMD-Litze weiter vom Kabel.

Anwendungen:

• Telekommunikationsanlagen • Datenkommunikationsgerät • Internet Working-Geräte • Storage Area Network (SAN)-Schalter • Redundant Array of Inexpensive Disks (RAID)-Geräte • Server • Computer • Speichergeräte

Beschreibung	Digi-Key Teilenr.	Stückpreis 1	25	50	100	Molex Teilenr.
Buchsenleiste, 4-Spur, 0,5 mm	WM7309-ND	17.46	16.01	14.55	13.10	91525-0410
Buchsenleiste, 12-Spur, 0,5 mm	WM7310-ND	24.72	22.67	20.61	18.55	91525-1210

A

PUSHMATIC® II mit oder ohne Verschlussarme

Abb.1

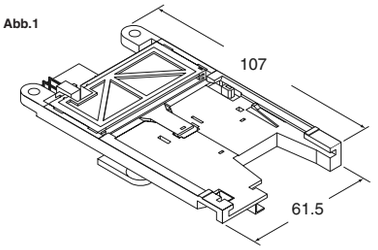

Abb. 2

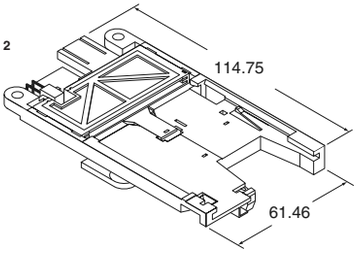

Abb. 3

(Platte)

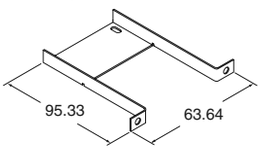

Abb. 4

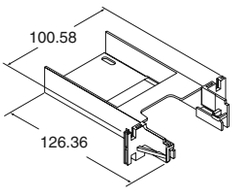

Anwendungen: • Zahlungs- und Sicherheitssysteme **Designmerkmale:** • Gegen Vandalismus gesicherte Smart Card-Steckverbinder für unbesetzte Terminals • Miniausführung, für mobile Schnittstellengeräte geeignet • Kartenzugriff während Stromausfall möglich • Kartenpräsenzschalter, kann auch zum Aufwecken des Systems verwendet werden • Kartenendpositionsschalter dient auch als Kartensperrsensor • Zusätzlicher Sensor für Kartenaktivierungsposition erkennt abnormales Beenden einer Transaktion • Selbstrückzug und -reinigung der Datenkontakte bieten Schutz gegen Vandalismus • SCC erfüllt die Anforderungen von Dokument EMV 96 (Europay Mastercard Visa/Integrierte Schaltkreiskartenspezifikation für Zahlungssysteme) • Der Gehäuseboden enthält einen großen Abfallschlitz zum Herausfallen von Münzen, Papier und in der Mitte durchgeschnittenen Karten • 16-Weg-Interface-Steckleiste für kundenspezifische Verkabelung **Zusammenbauanleitungen:** • PUSHMATIC® II kann je nach Kundendesign mit Montageadapter und Blenden verwendet werden.

Standardmäßige Smart Card-Steckverbinder

Abb. 5

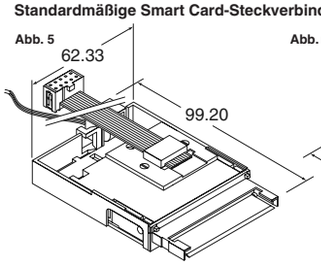

Abb. 6

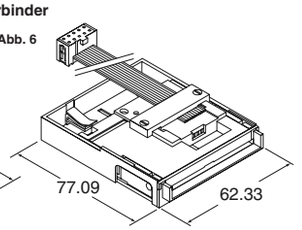

Abb. 7

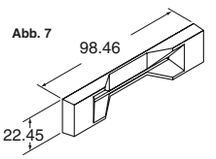

Hinweis: Nur mit Abb. 6 verwenden
C702 10M008 5142
C702 10M008 5222

Anwendungen: • Unbemannte Verkaufssysteme • Verkaufsautomaten • Zugriffskontrolle **Designmerkmale:** • Hohe Anzahl von Karteneinführzyklen aufgrund des Kontaktlandungsprinzips • Für robuste Anwendungen und Umgebungen • Modulsystem mit verschiedenen Betriebsmethoden, vom manuellen Betrieb bis zum automatischen Kartenauswurf • Blendenzubehör **Zusammenbauanleitungen:** • Achten Sie darauf, dass die Schnittstellenkabel unbehindert verlaufen und sich auch nach dem Zusammenbau frei bewegen lassen.

Superflache Smart Card-Steckverbinder

Abb. 8

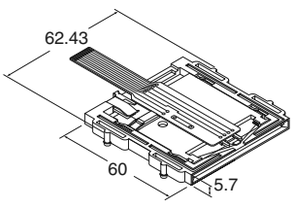

Abb. 9

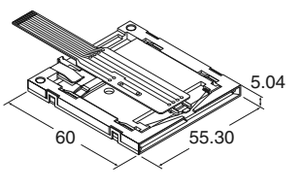

Anwendungen: • Verkaufssysteme • Mobile Geräte • Zugriffskontrolle • Tastaturen **Designmerkmale:** • Miniformat eignet sich ideal für mobile Geräte **Zusammenbauanleitungen:** • Achten Sie darauf, dass die Flexprints auch nach dem Zusammenbau frei beweglich sind.

Smart Card-Steckverbinder, Laufwerkschlitz

Abb. 10

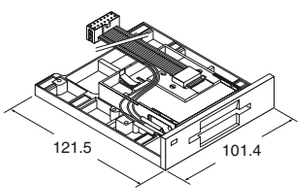

Designmerkmale: • Ein Smart Card-Steckverbinder (C702-1) mit Push-Pull-Kartenhandhabung • Auf einem 3,5 Zoll hohen Laufwerkrahmen (beige: RAL 7032) montiert, mit zweifarbiger LED (rot/grün) • Montageschrauben inklusive **Zusammenbauanleitungen:** • Achten Sie darauf, dass die Schnittstellenkabel unbehindert verlaufen und sich auch nach dem Zusammenbau frei bewegen lassen.

Platinenmontierbare Schleifkontakt-Smart-Card-Steckverbinder

Abb. 11

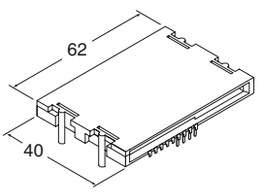

Anwendungen: • Aufsatzkästen • Transponder für Mautstraßen • Parkuhren • Versorgungsmesssysteme **Designmerkmale:** • Abschluss: Dip-Lötstifte • Spezialform der Schleifkontakte minimieren Verkratzen und Abnutzung der Karten • Smart Card-Steckverbinder erfüllt die Anforderungen von Dokument ISO 7816 **Lötkonditionen:** • Wellenlöten: 260 °C; max. 10 s

Platinenmontierbare Schleifkontakt-Smart-Card-Steckverbinder

Abb. 12

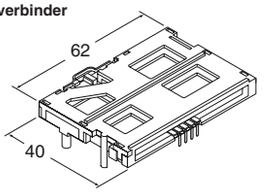

C702 10M008 2724

C702 10M008 2554 mit 3 mm Abstandsstücken

Diese Akzeptoren sind preiswert und bieten direkten Schleifkontakt zwischen Akzeptor und Chip-Karte. Diese Akzeptoren verfügen über normal geschlossene Kartenpräsenzschalter, die sich öffnen, wenn die Karte ganz eingeführt wird.

Anwendungen: • Aufsatzkästen • Transponder für Mautstraßen • Parkuhren • Versorgungsmesssysteme **Designmerkmale:** • Abschluss: Dip-Lötstifte • Spezialform der Schleifkontakte minimieren Verkratzen und Abnutzung der Karten • Smart Card-Steckverbinder erfüllt die Anforderungen von Dokument EMV 96 (Europay Mastercard Visa/Integrierte Schaltkreiskartenspezifikation für Zahlungssysteme) Einschließlich 3 mm Abstandsstücken **Lötkonditionen:** • Wellenlöten: 260 °C; max. 10 s

Leiterplattenmontierbare Schleifkontakt-Smart-Card-Steckverbinder mit 3 mm Abstandshaltern

Abb. 13

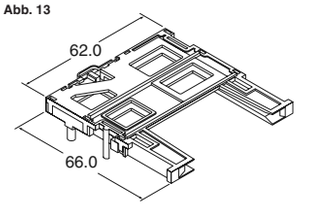

Anwendungen: • TV/Satellitendecoder • Verkaufssysteme • Computernetze und Strommessgeräte • Auch für Anwendungen mit permanent installierten Karten unter wechselnden klimatischen Bedingungen geeignet **Designmerkmale:** • Erfüllt die Spezifikation für EMV Integrierte Schaltkreiskarten für Zahlungssysteme (Europay Mastercard Visa) • Hat einen Schalter, der anzeigt, ob sich eine Karte in der Leseposition befindet

Leiterplattenmontierbare Landekarten-Smart-Card-Steckverbinder

Abb. 14

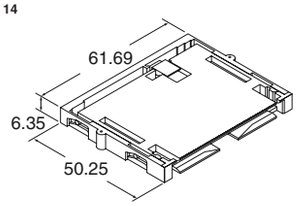

Designmerkmale: • Hohe Anzahl von Abstimmzyklen aufgrund minimierter Schleifabstände auf den Kartenkontakten • Selbstreinigungseffekt des Kontakts • Kurze Karteneinführtiefe **Lötkonditionen:** • Wellenlöten: 260 °C; max. 10 s

SIMLOCK®

Abb. 15

(Mit Ausrichtstiften gezeigt)

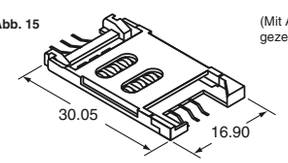

Anwendungen: • Für Mini-SIM/SAM-Karte entwickelt **Designmerkmale:** • Größe: Gleiche Auflagefläche wie SIM-Karte • Zuverlässige Funktion im gesperrten Zustand bei mobiler Verwendung • Polarisationskerbe verhindert falsche Kartenpositionierung • Für automatische Zusammenbauverfahren geeignet (Pick & Place, Tape & Reel und Reflow) **Lötkonditionen:** • Infrarot-Rückfluss: 245 °C; max. 10 s

SIMBLOCK®

Abb. 16

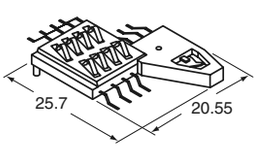

Abb. 17

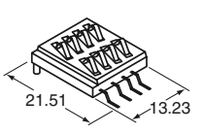

Anwendungen: • Handsets • E-Purses **Designmerkmale:** • Kontaktiert Chip-Karten gemäß ISO 7816 und Plug-in SIM-Karten • Geringe Höhe (2 mm Standard) • Hohe Ko-Planheitsgenauigkeit • SMT-Version mit 6 Kontakten speziell für GSM 11.11 Schnittstellen entwickelt **Lötkonditionen:** • Infrarot-Rückfluss: 245 °C; max. 10 s

Abb.	Beschreibung	Digi-Key Teilenr.	Stückpreis 1	25	100	T&R Pricing**	Amphenol Teilenr.
1	Pushmatic® II, 12V	361-1005-ND	30.13	27.98	26.91	—	C702 10M008 9042
	Pushmatic® II, 5V	361-1007-ND	30.13	27.98	26.91	—	C702 10M008 9062
2	Pushmatic® II, 12 V, mit Verschlussarmen	361-1006-ND	33.92	31.50	30.29	—	C702 10M008 9052
	Pushmatic® II, 5 V, mit Verschlussarmen	361-1008-ND	34.69	32.22	30.98	—	C702 10M008 9072
3	Metallmontageplatte für Pushmatic® II	361-1010-ND	4.88	3.80	3.04	—	C702 G51 012 E2
4	Plastikadapter für Tiefblende	361-1011-ND	9.43	8.26	7.31	—	C702 N25 040 E2
5	Pushmatic®, 12 V, ISO	361-1001-ND	21.77	20.32	18.87	—	C702 10M008 7002
	Pushmatic®, 5 V, ISO	361-1002-ND	21.77	20.32	18.87	—	C702 10M008 7012
6	Push-Pull, ISO	361-1003-ND	12.72	11.88	11.03	—	C702 10M008 5142
	Push-Pull, Afnor	361-1004-ND	19.14	17.87	16.59	—	C702 10M008 5222
7	Plastikblende, schwarz, Standardtyp	361-1012-ND	12.67	11.09	9.82	—	C702 N11 141 E2
8	Superflaches Schnappdesign, EMV-kompatibel	361-1014-ND	8.86	7.32	6.17	—	C702 10M008 0664
9	Superflach	361-1015-ND	10.50	9.19	8.14	—	C702 10M008 0014
10	Disk-Laufwerkschlitz, Desktop	361-1022-ND	31.28	29.20	27.11	—	C705 10M008 0195

Abb.	Beschreibung	Digi-Key Teilenr.	Stückpreis 1	25	100	T&R Pricing**	Amphenol Teilenr.
11	ISO-Schleifkontakt, Schnappdesign	361-1016-ND	2.64	2.04	1.63	—	C702 10M008 2064
12	ISO-Schleifkontakt, EMV, Schnappdesign	361-1018-ND	2.12	1.63	1.31	—	C702 10M008 2724
	ISO-Schleifkontakt, EMV, mit Abstandsstücken	361-1019-ND	2.31	1.78	1.43	—	C702 10M008 2554
13	ISO Wiping Contact w/Rails, w/Standoffs†	361-1017-ND	2.48	1.91	1.53	—	C702 10M008 2834
14	ISO-Landeplatine	361-1013-ND	5.97	4.82	3.79	—	C702 10M008 1214
15	SIMLOCK® ohne Ausrichtstifte, schwarz	361-1020-1-ND*	2.23	1.72	1.38	—	C707 10M006 5002
	SIMLOCK® ohne Ausrichtstifte, schwarz	361-1020-2-ND	—	—	—	768.04/800	C707 10M006 5002
	SIMLOCK® mit Ausrichtstiften, schwarz	361-1021-1-ND*	2.23	1.72	1.38	—	C707 10M006 0492
	SIMLOCK® mit Ausrichtstiften, schwarz	361-1021-2-ND	—	—	—	768.04/800	C707 10M006 0492
16	SIMBLOCK® mit NC-Schalter	361-1023-ND	2.87	2.23	1.79	—	C707 10M006 0532
17	SIMBLOCK® ohne Schalter	361-1024-ND	2.59	1.99	1.60	—	C707 10M006 0522

* Bezeichnet Gurtabschnitt ** Preisangaben für Gegurtet auf Rolle † ISO-Schleifkontakt, EMV, mit Schienen, mit Abstandsstücken

Alle Preisangaben in Euro und inklusive Zollgebühren.

Smart Card Verbindungsgeräte

CCM01

MK I: MK I Steckverbinder haben feste Kontakte und nicht versiegelten Messerschalter zur Kartener-kennung. Diese Steckverbinder eignen sich für Anwendungen mit relativ geringer Kartenverwendung und günstiger Umgebung.
Kompatibel mit MK II: EMV™. MK II Steckverbinder mit festen Kontakten wurden für Anwendungen entwickelt, die keinen Landekontaktmechanismus verlangen, bei denen es aber auf Leistung und Zuverlässigkeit ankommt.
Kompatibel mit MK III: EMV. MK III Steckverbinder sind für Anwendungen, wie z. B. Pay TV, Heim-Shopping und Versorgungsmessgeräte vorgesehen. Hauptsächlich getrieben durch den Aufsatzkasten-Markt für Zahlungen und/oder Entschlüsselung.

Abb. 1

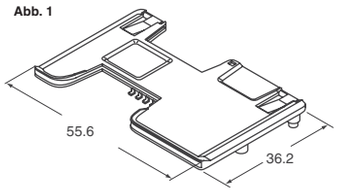

Abb. 2

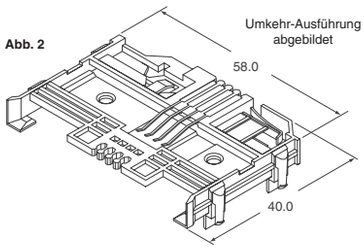

CCM02 - Abb. 3

MK I: MK I ist ein Steckverbinder mit Landekontakten. Die Kontakte berühren die Karte erst, wenn sie fast ganz eingesetzt ist - eine minimale Wischaktion entfernt alles nichtleitfähige Material. Das Design soll bei kompletten Einsatz der Karte ein positives Gefühl verleihen. ***Merkmale:*** 100.000 Einsetzzyklen.
Kompatibel mit MK II: EMV. MK II Steckverbinder mit Landekontakten sind für Anwendungen gedacht, bei denen eine hohe Leserverwendung und lange Haltbarkeit der Karte wichtige Gesichtspunkte sind. Er wurde zwecks verbesserter Leistung in einem kompakten preiswerten Paket neu konzipiert. ***Merkmale:*** 500.000 Einsetzzyklen.

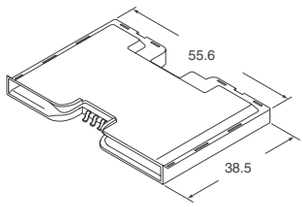

CCM03

Abb. 4

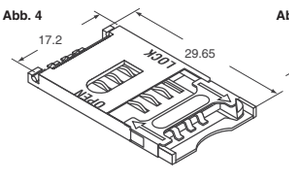

Abb. 5

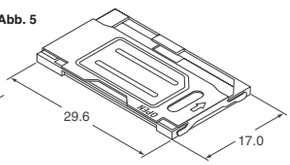

Abb. 6

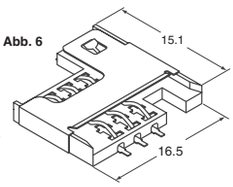

MK II: Als Schnittstelle mit SIM/SAM-Karten gemäß GSM11-11 und ENV1375-1 entwickelt. Erhältlich mit Abdeckungen mit Scharnier oder festen Abdeckungen. Das Design minimiert die erforderliche Auflagefläche auf der Karte. Die Thermoplastformen für hohe Temperaturen eignen sich für Infrarot- und Konvektionslötprozesse.
MK III: SIM/SAM Kartensteckverbinder verfügen über einen integrierten Schalter zur Kartenerkennung, was gegenüber Smart Card Lesegeräten einen Vorteil darstellt, da nur minimaler Platz auf der Leiterplatte beansprucht wird; seitliche Öffnung bietet praktischen Kartenzugang, ohne dass das Gerät geöffnet werden muss. Das einzigartige Design macht ihn ideal geeignet für Telekommunikation, tragbare elektronische Geräte, POS-Terminals und ähnliche Anwendungen. Erfüllt die Spezifikationen von GSM11-11.

CCM04

Abb. 7

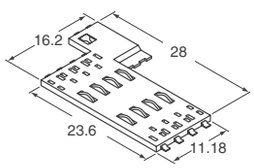

Abb. 8

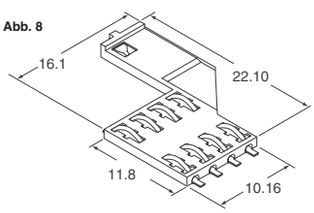

MK II: Steckverbinder haben keine Kartenführung und werden immer dann verwendet, wenn Platz knapp ist und die Kartenführung um den Steckverbinder herum gebaut werden kann (anstatt vom Steckverbinder selbst geboten zu werden).
Kompatibel mit MK III: EMV. Als Schnittstelle mit vollen oder SIM/SAM Smart Cards entwickelt. Minimale Platzanforderungen auf der Leiterplatte.

CCM05 - Abb. 9

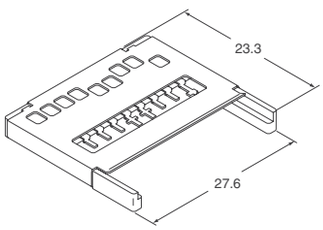

MK II: Akzeptiert Secure Data (SD) und Multi Media Card (MMC) Flash-Speicherkarten. Zum Integrieren in Anwendungen wie Handys, PDA, Smart Phones, MP3 Player, Handformat-GPS, elektronische Bücher, industrielle Steuerungen oder überall dort, wo tragbarer Speicher benötigt wird.

CCM05 - Abb. 10

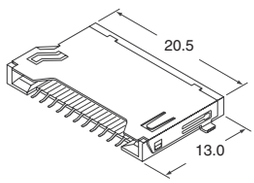

MK II: Für eines der häufigsten Kartenformate bietet ITT Standard- und Umkehrleseoptionen in einem kleinen und robusten Paket. Akzeptiert Mini SD Flash-Speicherkarten. Für den Mobilkommunikationsbedarf. Push-Push-Steckverbinder, Flachprofil, 2,10 mm.

Abb.	Beschreibung	Digi-Key Teilenr.	Mengenpreis pro Stück 1	25	100	ITT Teilenr.
	CCM01					
—	MK I, 8 Kontakt-Leiterplatte	401-1671-ND	2.82	2.26	1.79	CCM01-1NF
1	MK II, 8 Kontakt-SMT mit Kartenverriegelung	401-1672-ND	3.12	2.50	1.98	CCM01-2065
	MK II, 8 Kontakt-SMT	401-1673-ND	3.05	2.45	1.94	CCM01-2251
2	MK III, 8 Kontakt-Leiterplatte, Standardausführung	401-1674-ND	1.06	.98	.90	CCM01-6101
	MK III, 8 Kontakt-Leiterplatte, Umkehrausführung	401-1675-ND	1.10	1.02	.94	CCM01-6201
	CCM02					
3	MK I, 8 Kontakt-Leiterplatte mit Landekontakten, Standard	401-1676-ND	7.08	5.67	4.49	CCM02-1NO-3
	MK I, 8 Kontakt-Leiterplatte mit Landekontakten, schmale Ausführung	401-1677-ND	7.08	5.67	4.49	CCM02-1NO-32
	MK I, 8 Kontakt-Leiterplatte mit Landekontakten u. erweiterter Abdeckung	401-1678-ND	9.21	7.37	5.84	CCM02-1NO-35
	MK II, 8 Kontakt-Leiterplatte mit vier Kartenverriegelungen	401-1679-ND	5.78	4.63	3.67	CCM02-2503
	MK II, 8 Kontakt-SMT mit vier Kartenverriegelungen	401-1680-ND	6.08	4.86	3.85	CCM02-2504
	MK II, 8 Kontakt-SMT mit zwei Stiften	401-1681-ND	5.78	4.63	3.67	CCM02-2508
	MK II, 8 Kontakt-Leiterplatte mit vier Stiften	401-1682-ND	5.78	4.63	3.67	CCM02-2511

Abb.	Beschreibung	Digi-Key Teilenr.	Gurtabschnittspreis pro Stück 1	25	100	Digi-Key Teilenr.	Gegurtet auf Rolle Größe	Preisangaben	ITT Teilenr.
	CCM03								
4	MK II, 6 Kontakt-Abdeckung mit Scharnier	401-1683-1-ND	1.23	1.14	1.05	401-1683-2-ND	1,000	681.17	CCM03-3001
	MMK II, 8 Kontakt-Abdeckung mit Scharnier und Positionierhilfe	401-1684-1-ND	1.31	1.22	1.12	401-1684-2-ND	1,000	726.89	CCM03-3004
	MK II, 6 Kontakt-Abdeckung mit Scharnier, gold	401-1685-1-ND	1.23	1.14	1.05	401-1685-2-ND	1,000	681.17	CCM03-3009
	MK II, 8 Kontakt-Abdeckung mit Scharnier und Positionierhilfe, gold	401-1686-1-ND	1.31	1.22	1.12	401-1686-2-ND	1,000	726.89	CCM03-3012
	MK II, 6 Kontakt-Abdeckung, gold, mit Kartenschalter	401-1687-1-ND	1.45	1.34	1.23	401-1687-2-ND	1,000	801.56	CCM03-3013
	MK II, 8 Kontakt-Abdeckung, fest	401-1688-1-ND	1.20	1.11	1.02	401-1688-2-ND	1,200	665.94/M	CCM03-3504
5	MK II, 6 Kontakt-Abdeckung mit Seitenscharnier, autom. Verriegelung	401-1689-1-ND	1.37	1.27	1.17	401-1689-2-ND	1,300	760.42/M	CCM03-3517
	MK II, 6 Kontakt-Abdeckung mit Vorderscharnier, mit Kartenschalter, autom. Verriegelung	401-1690-1-ND	1.37	1.27	1.17	401-1690-2-ND	1,300	760.42/M	CCM03-3518
6	MK III 6 Kontakt-SIM/SAM-Steckverbinder	401-1691-1-ND	2.06	1.91	1.75	401-1691-2-ND	5,000	951.16/M	CCM03-3754
	MK III 6 Kontakt-SIM/SAM-Steckverbinder mit Erdung	401-1692-1-ND	2.45	2.26	2.07	401-1692-2-ND	1,000	1401.97	CCM03-3758
	CCM04								
7	MK II, 8 Kontakt-SMT, Flachprofil, 1,25 mm	401-1693-1-ND	2.40	2.22	2.03	401-1693-2-ND	1,000	1327.30	CCM04-1889
	MK II, 8 Kontakt-SMT, Flachprofil, 2,75 mm	401-1694-1-ND	3.10	2.87	2.63	401-1694-2-ND	700	1321.66	CCM04-1316
	MK II, 8 Kontakt-SMT, Flachprofil, 2,75 mm mit Schalter	401-1695-1-ND	3.25	3.00	2.75	401-1695-2-ND	700	1258.72	CCM04-1317
8	MK III, 8 Kontakt-SMT, Flachprofil, 1,90 mm mit Schalter	401-1696-1-ND	2.29	2.13	1.95	401-1696-2-ND	1,000	1272.44	CCM04-4248
	CCM05								
9	MK II 9 Kontakt-SD/MMC-Speicherkarten-Steckverbinder	401-1697-1-ND	2.43	2.25	2.06	401-1697-2-ND	600	807.15	CCM05-5761R601
10	MK II 10 Kontakt-Mini-SD-Speicherkarten-Steckverbinder	401-1699-ND†	1.90	1.53	1.21	—	—	—	CCM05-5773

† Mengenpreis

ON-SHORE TECHNOLOGY, INC.

Oberflächenmontage, I.C. Sockel

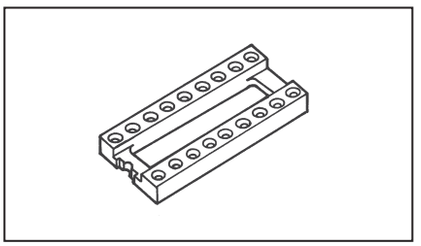

Besondere Merkmale/Anwendungen:
- Für Oberflächenmontage-Technologie
- Zinn zum Löten muss in der PC-Karte vorhanden sein

Technische Daten:
- Material des Isolatorkörpers: Glasgefülltes Polyethersulphon
- Temperaturbereich: 55 °C ~ 200 °C, kontinuierlich
- Löttemperatur: 280 °C, intermittierend

Überzug:
- Stift: Min. verzinnt 80 µ Nickel + min. 150 µ Zinn/Blei
- Isolator für hohe Temperaturen

Anz. d. Pins	Kontakt-abstand Zoll (mm)	Digi-Key Teilenr.	Stückpreis 1	10	100	1.000
Oberflächenmontage - Gedrehte Pins ohne Lötlitze						
6	.300 (7.62)	ED2201-ND	.68	.57	.47	.39
8	.300 (7.62)	ED2202-ND	.91	.75	.63	.52
14	.300 (7.62)	ED2203-ND	1.58	1.32	1.10	.91
16	.300 (7.62)	ED2204-ND	1.81	1.50	1.25	1.04
18	.300 (7.62)	ED2205-ND	1.83	1.52	1.27	1.05
20	.300 (7.62)	ED2206-ND	2.03	1.69	1.41	1.17
22	.400 (10.16)	ED2207-ND	2.24	1.86	1.55	1.29
24	.600 (15.24)	ED2208-ND	2.72	2.25	1.88	1.56
28	.600 (15.24)	ED2209-ND	3.17	2.62	2.19	1.82
36	.600 (15.24)	ED2210-ND	3.67	3.04	2.53	2.10
40	.600 (15.24)	ED2211-ND	4.07	3.37	2.81	2.33
48	.600 (15.24)	ED2212-ND	4.88	4.05	3.37	2.80
64	.600 (15.24)	ED2213-ND	6.51	5.39	4.50	3.73

NorComp DIN-Steckverbinder

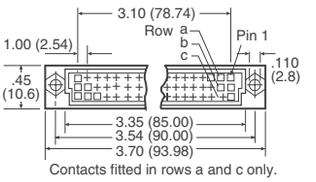

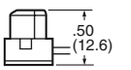

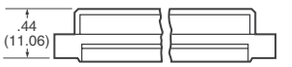

Anz. d. Reihen	Anz. d. Pins	Typ	Digi-Key Teilenr.	Stückpreis 1	10	100	NorComp Teilenr.
3	64	Typ Socket-IDC	T8064-ND	11.51	9.93	6.75	689-096-290-001
—	64	Zugentlastung	T0064-ND	.91	.79	.54	164-096-001-000

Siehe **3M Flachkabel** im Verzeichnis für Flachkabel (MC64M-ND und MC64G-ND).

OK Industries
Division of Jonard Industries Corp.

I.D. zur Umwicklung bei Buchsen

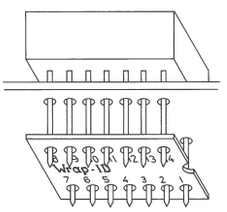

- Presspassung auf Sockel-Pins
- Beschleunigt die Verdrahtung
- Sofortige Pin-Nummerierung
- Verringert Verdrahtungsfehler
- Große Fläche für Benutzerinformationen
- Vereinfacht die Fehlersuche

Nun im Angebot: Ein interessanter, preiswerter Artikel zur Identifizierung der Pin-Zahl auf Drahtwickelsockeln. Die Sockelwickel-ID besteht aus einem sockelgroßen Plastikfeld mit nummerierten Löchern an den Pin-Stellen, das einfach vor dem Wickeln auf den Sockel geschoben wird.

Sie können auch auf das Feld schreiben, um Position, IC-Teilenr., Funktion usw. einfach zu identifizieren. Diese einzigartigen Elemente vereinfachen nicht nur die erste Drahtwicklung, sondern auch spätere Fehlersuche oder Reparatur.

Eine große Hilfe für Bastler, Techniker und Produktionsstätten.

Abstand Zoll (mm)	Beschreibung	Digi-Key Teilenr.	Preisangaben 5	25	50	100
.3 (7.62)	8-Pin ID	K470-ND	2.50	7.81	10.93	20.23
	14-Pin ID	K266-ND	2.50	7.81	10.93	20.23
	16-Pin ID	K267-ND	2.50	7.81	10.93	20.23
	18-Pin ID	K496-ND	4.99	15.61	21.85	40.46
	20-Pin ID	K269-ND	4.99	15.61	21.85	40.46
.4 (10.16)	22-Pin ID	K497-ND	4.99	15.61	21.85	40.46
	24-Pin ID	K495-ND	4.99	15.61	21.85	40.46
.6 (15.24)	28-Pin ID	K272-ND	4.99	15.61	21.85	40.46
	40-Pin ID	K486-ND	9.99	31.22	43.71	80.92

Kostengünstige PLCC-Sockel

Abb. 1 — Durchgangslochmontage

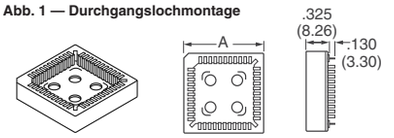

- Nimmt JEDEC PLCCs MO-052 AE auf
- Löcher zur Dränage • Abstandshalter zur Wärmeableitung und Reinigung • Interne Abstandshalter gewährleisten die richtige Positionierung des Chip-Trägers im Sockel • Leichter Zugriff zur Untersuchung des eingebauten Chip-Trägers

Abb. 2 — Oberflächenmontage

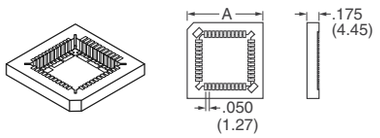

- Nimmt JEDEC PLCCs MO-052 AE auf • Flachprofil zur besseren Stapelung hochdichter PC-Karten • Abstandshalter zur Wärmeableitung und Reinigung

Anz. d. Pins	Abmessungen - Zoll (mm) A	Digi-Key Teilenr.	Stückpreis 1	10	100	Mill-Max Teilenr.
Abb. 1 — Durchlasslochmontage						
20	0.613 (15.57)	ED80021-ND	.77	.66	.54	940-99-020-24-000000
28	0.720 (18.29)	ED80022-ND	.68	.58	.47	940-99-028-24-000000
32	0.820 (20.83) / .722 (18.34)	ED80023-ND	.69	.59	.48	940-99-032-24-000000
44	0.920 (23.37)	ED80024-ND	.70	.60	.49	940-99-044-24-000000
52	1.020 (25.91)	ED80025-ND	.75	.64	.53	940-99-052-24-000000
68	1.220 (30.99)	ED80026-ND	.77	.66	.54	940-99-068-24-000000
84	1.420 (36.07)	ED80027-ND	.97	.82	.67	940-99-084-24-000000
Abb. 2 — Oberflächenmontage						
20	0.613 (15.57)	ED80028-ND	.70	.60	.49	940-99-020-17-400000
28	0.720 (18.29)	ED80029-ND	.78	.67	.55	940-99-028-17-400000
32	0.820 (20.83) / .720 (18.29)	ED80030-ND	.62	.53	.44	940-99-032-17-400000
44	0.920 (23.37)	ED80031-ND	.74	.63	.52	940-99-044-17-400000
52	1.020 (25.91)	ED80032-ND	.90	.77	.63	940-99-052-17-400000
68	1.220 (30.99)	ED80033-ND	.88	.75	.61	940-99-068-17-400000
84	1.420 (36.07)	ED80034-ND	1.12	.95	.78	940-99-084-17-400000

3M Intra-Connector™

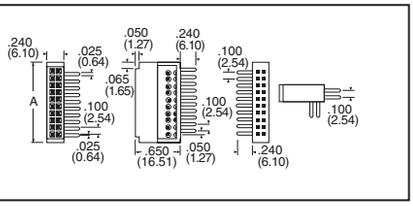

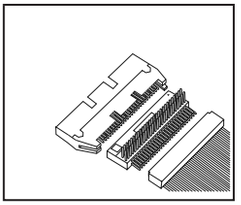

Beim Testen wegen eines Problems, das u. U. von der Platine oder dem Kabel ausging, kam es bisher zu Schwierigkeiten. Kein Zugang? Nicht mit einem 3M ESP Intra-Connector™ System. Das Intra-Connector-System passt inline mit Standard-Doppelreihen-Buchsensteckverbindern zusammen. Es hat einen Satz Buchsen, aber zwei Sätze Winkelkontaktstifte. Dadurch entsteht sofortige „line-by-line"-Prüfbarkeit. Die Pins können auch zur Datenkettung von einem einzelnen Steckverbinderkabelende dienen. Für besondere Verbindungen stehen auch modifizierte Konfigurationen schnell zur Verfügung. Das Intra-Connector-System bietet gerade und rechtwinklige Einsteckfunktionen. Es passt zu standardmäßigen 0,10" x 0,10" (2,54 mm x 2,54 mm) Doppelreihen-Steckverbindern oder leiterplattenmontierten 0,025" (0,64 mm) Vierkant-Pins. Zwei Intra-Connector-Systeme, die mit dem Intra-Switch™ System verwendet werden, bilden einen kompletten Testsatz zur Prüfung von Signalen unter unbelasteten und voll belasteten Konditionen. Die Kontakte bestehen aus korrosionsbeständigem Alloy 770; der Körper besteht aus glasgefülltem Polyester-Thermoplast.

Anz. der Kontakte	Abmessung A Zoll (mm)	Digi-Key Teilenr.	Stück preis
20	1.160 (29.46)	922576-20-ND	12.56
26	1.460 (37.08)	922576-26-ND	13.08
34	1.860 (47.24)	922576-34-ND	14.60
40	2.160 (54.86)	922576-40-ND	16.00
50	2.660 (67.56)	922576-50-ND	17.31
60	3.160 (80.26)	922576-60-ND	20.12

3M Intra-Switch™

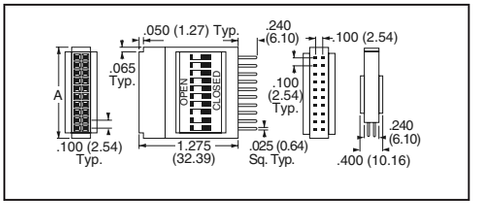

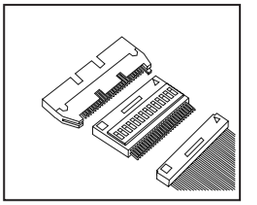

Es gibt eine Reihe komplizierter und zeitraubender Arten, eine Signalleitung auf einem Bausatz zu unterbrechen - von denen einige womöglich die PC-Karte beschädigen. Es gibt aber auch eine einfache Art – mit Intra-Switch™ von 3M ESP. Durch Einsetzen eines Intra-Switch™ Steckverbinders zwischen zusammenpassenden System-Steckverbindern wird Leitung für Leitung spontanes Umschalten ermöglicht. Das Flachprofildesign und die vertieften Schalttasten stören nicht, selbst wenn nur wenig Arbeitsplatz zur Verfügung steht. Die Schalter können einzeln oder alle zusammen mit einem Bleistift oder einer Sondenspitze aktiviert werden. Die Anwendungsmöglichkeiten umfassen Schaltbefehlsignale an oder von Testgeräten und Programmierung optionaler voreingestellter Logikfunktionen. Die Schalttasten sind vertieft angebracht, um einer versehentlichen Betätigung vorzubeugen. Die Stellungen „Offen" und „Geschlossen" sind deutlich markiert, d. h. in den Körper gegossen. Die Kontakte bestehen aus korrosionsbeständigem Alloy 770; der Körper besteht aus glasgefülltem Polyester-Thermoplast. Intra-Switch ist mit den meisten Sockeln und entsprechenden Steckleisten für Flachkabel kompatibel, einschließlich 3M, T&B/Ansley, Berg, Amp, Symbex und vielen anderen.

Anz. der Kontakte	Abmessung A Zoll (mm)	Digi-Key Teilenr.	Stück preis
20	1.160 (29.46)	922578-20-ND	25.08
34	1.860 (47.24)	922578-34-ND	32.31
40	2.160 (54.86)	922578-40-ND	39.27
50	2.660 (67.56)	922578-50-ND	35.02

Alle Preisangaben in Euro und inklusive Zollgebühren.

Dual-In-Line- und PLCC-Sockel

Abb. 1 - Dual-In-Line-Sockel, geschlossene Bauform

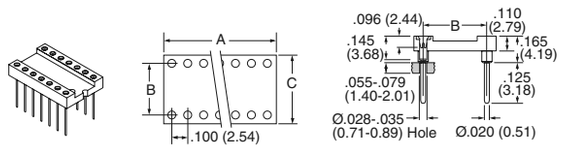

• Isolator, geschlossene Bauform, hält starken mechanischen Stößen stand. • Flachprofil • Überzug; Hülse (Pin) 200 µ" Sn und Kontakt (Clip) 30 µ" Au.

Abb. 2 - Dual-In-Line-Sockel, offene Bauform

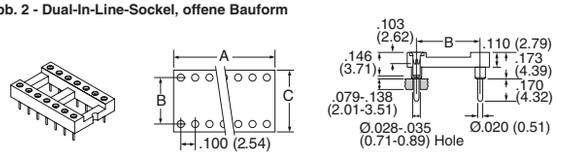

• DIP-Sockel mit Lötlitzenlänge von 0,170" (4,32 mm) zur Verwendung auf Vielschichtleiterplatten von bis zu 0,139" (3,53 mm). • Überzug; Hülse (Pin) 200 µ" Sn und Kontakt (Clip) 30 µ" Au.

Abb. 3 - Kompakte PLCC-Sockel

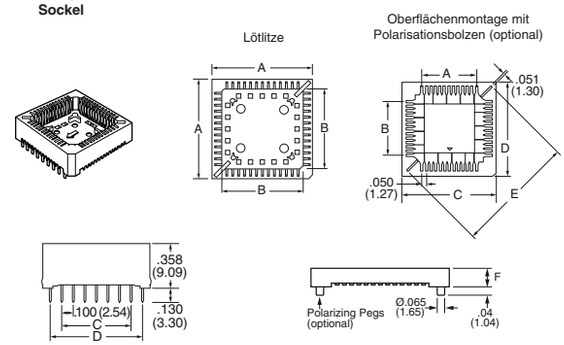

• Für Geräte vom Typ JEDEC. • Offene Bauform im Lötbereich verbessert die Ergebnisse des IR-Lötens und erleichtert die visuelle Inspektion von Lötaugen. • Der braune PPS (Ryton R-4) -Isolator verfügt über optionale Polarisationsstifte (PP).

Anz. d. Pins	Abmessungen (Zoll) A	B	C	D	E	F	Digi-Key Teilenr.	Stückpreis 1	10	100	Mill-Max Teilenr.
Abb. 1 — Dual-In-Line Sockel, Lötlitze, geschlossene Bauform											
8	0.4	0.3	0.4	—	—	—	ED60000-ND	.36	.25	.20	210-93-308-41-001000
14	0.7	0.3	0.4	—	—	—	ED60001-ND	.62	.43	.35	210-93-314-41-001000
16	0.8	0.3	0.4	—	—	—	ED60002-ND	.70	.49	.40	210-93-316-41-001000
24	1.2	0.3	0.4	—	—	—	ED60003-ND	1.06	.74	.60	210-93-324-41-001000
24	1.2	0.6	0.7	—	—	—	ED60004-ND	1.06	.74	.60	210-93-624-41-001000
28	1.4	0.6	0.7	—	—	—	ED60005-ND	1.24	.86	.70	210-93-628-41-001000
32	1.6	0.6	0.7	—	—	—	ED60006-ND	1.41	.98	.80	210-93-632-41-001000
40	2.0	0.6	0.7	—	—	—	ED60007-ND	1.77	1.23	.99	210-93-640-41-001000
Abb. 2 — Dual-In-Line Sockel, lange Lötlitze für Vielschichtkarten, offene Bauform											
8	0.4	0.3	0.4	—	—	—	ED60008-ND	.50	.35	.28	111-93-308-41-001000
14	0.7	0.3	0.4	—	—	—	ED60009-ND	.83	.58	.47	111-93-314-41-001000
16	0.8	0.3	0.4	—	—	—	ED60010-ND	.96	.66	.54	111-93-316-41-001000
20	1.0	0.3	0.4	—	—	—	ED60011-ND	1.15	.80	.65	111-93-320-41-001000
24	1.2	0.3	0.4	—	—	—	ED60012-ND	1.38	.96	.78	111-93-324-41-001000
24	1.2	0.6	0.7	—	—	—	ED60013-ND	1.38	.96	.78	111-93-624-41-001000
28	1.4	0.6	0.7	—	—	—	ED60014-ND	1.61	1.12	.90	111-93-628-41-001000
32	1.6	0.6	0.7	—	—	—	ED60015-ND	1.84	1.28	1.03	111-93-632-41-001000
40	2.0	0.6	0.7	—	—	—	ED60016-ND	2.30	1.60	1.29	111-93-640-41-001000
Abb. 3 — Kompakte PLCC-Sockel, Lötlitze											
20	.590	.360	.200	.400	—	—	ED80000-ND	.94	.85	.75	540-99-020-24-000000
28	.690	.460	.300	.500	—	—	ED80001-ND	1.16	1.05	.93	540-99-028-24-000000
32*	.783/.683	.564/.464	.400/.300	.600/.500	—	—	ED80002-ND	1.26	1.14	1.01	540-99-032-24-000000
44	.890	.660	.500	.700	—	—	ED80003-ND	1.25	1.13	1.01	540-99-044-24-000000
52	.990	.760	.600	.800	—	—	ED80004-ND	1.74	1.57	1.40	540-99-052-24-000000
68	1.190	.960	.800	1.000	—	—	ED80005-ND	1.58	1.43	1.27	540-99-068-24-000000
84	1.390	1.160	1.000	1.200	—	—	ED80006-ND	2.02	1.82	1.62	540-99-084-24-000000
Abb. 3 — Kompakte PLCC-Sockel, Oberflächenmontage											
20	.200	.200	.585	.585	.657	.180	ED80007-ND	1.07	.96	.85	540-99-020-17-400000
28	.300	.300	.685	.685	.799	.180	ED80008-ND	1.09	.98	.88	540-99-028-17-400000
32*	.300	.400	.665	.766	.885	.168	ED80009-ND	1.16	1.05	.93	540-99-032-17-400000
44	.500	.500	.885	.885	1.082	.180	ED80010-ND	1.41	1.28	1.14	540-99-044-17-400000
52	.600	.600	1.000	1.000	1.224	.180	ED80011-ND	1.51	1.36	1.21	540-99-052-17-400000
68	.800	.800	1.202	1.202	1.507	.180	ED80012-ND	1.68	1.51	1.34	540-99-068-17-400000
84	1.000	1.000	1.400	1.400	1.791	.180	ED80013-ND	1.87	1.69	1.50	540-99-084-17-400000
Abb. 3 — Kompakte PLCC-Sockel, Oberflächenmontage mit Polarisationstiften											
20	.200	.200	.585	.585	.657	.180	ED80014-ND	1.07	.96	.85	540-99-020-17-400200
28	.300	.300	.685	.685	.799	.180	ED80015-ND	1.09	.98	.88	540-99-028-17-400200
32*	.300	.400	.665	.766	.885	.168	ED80016-ND	1.16	1.05	.93	540-99-032-17-400200
44	.500	.500	.885	.885	1.082	.180	ED80017-ND	1.41	1.28	1.14	540-99-044-17-400200
52	.600	.600	1.000	1.000	1.224	.180	ED80018-ND	1.51	1.36	1.21	540-99-052-17-400200
68	.800	.800	1.202	1.202	1.507	.180	ED80019-ND	1.68	1.51	1.34	540-99-068-17-400200
84	1.000	1.000	1.400	1.400	1.791	.180	ED80020-ND	1.87	1.69	1.50	540-99-084-17-400200

* Rechteckig

Pin-Grid-Array-Sockel

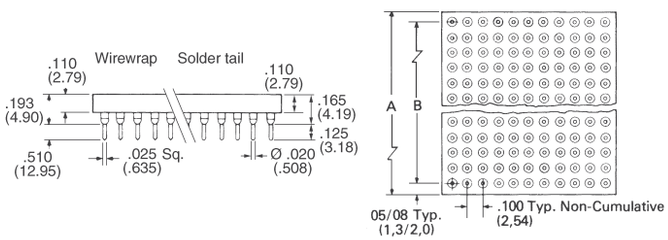

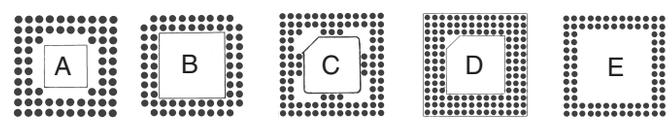

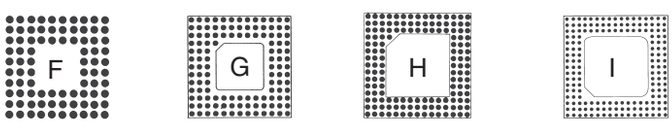

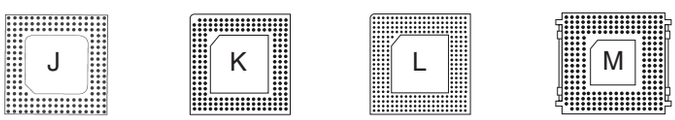

MATERIAL:

- **Isolatorkörper:** Standardmaterial ist glasgefülltes Thermoplast-Polyester (PCT), selbstlöschend, Nennleistung UL94V-0.
- **Farbe:** Schwarz
- **Buchse (Hülse):** Messing, gedreht (QQ-B-626), Plattierung 200 µ" Zinn-Blei (SnPb 90/10) über 80-120 µ" Nickel
- **Pin:** Schraube - Messing, gedreht (QQ-B-626), Plattierung 200 µ" Zinn-Blei (SnPb 90/10) über 80-120 µ" Nickel
- **Kontakt (Clip):** Berylliumkupfer, gestanzt (QQ-C-533) wärmebehandelt, Goldüberzug, 30 µ" Gold über 80-120 µ" Nickel.

ELEKTRISCHE DATEN:

- **Nennstromstärke:** 1 A
- **Nennspannung:** 100 VRMS/150 V DC
- **Kontaktwiderstand:** Max. 10 mΩ
- **Isolationswiderstand:** Min. 10.000 MΩ
- **Durchschlagsfestigkeit:** Min. 1.000 VRMS
- **Kapazität:** Max. 0,8 pF
- **Betriebstemperaturbereich:** -55 °C ~ 125 °C

Pin-Grid-Array-Größe	Anz. d. Pins	Auflagefläche (siehe Diag.)	Isolatorgröße Zoll (mm) A	B	Beschreibung (Kontakttyp)	Rahmenstil	Digi-Key Teilenr.	Stückpreis 1	10	100
10x10	68	A	1.0 (25.40)	.9 (22.86)	Lötlitze	Offen	ED2002-ND	2.85	2.48	2.00
11x11	68	B	1.1 (27.94)	1.0 (25.40)	Lötlitze	Offen	ED2004-ND	2.85	2.48	2.00
13x13	101	C	1.3 (33.02)	1.2 (30.48)	Lötlitze	Offen	ED2007-ND	3.96	3.44	2.78
14x14	132	D	1.4 (35.56)	1.3 (33.02)	Lötlitze	Offen	ED2008-ND	5.18	4.49	3.63
13x13	88	E	1.3 (33.02)	1.2 (30.48)	Lötlitze	Offen	ED2009-ND	3.70	3.20	2.59
13x13	121	G	1.3 (33.02)	1.2 (30.48)	Lötlitze	Offen	ED2027-ND	4.75	4.12	3.33
15x15	145	H	1.5 (38.10)	1.4 (35.56)	Lötlitze	Offen	ED2029-ND	5.69	4.94	3.99
17x17	168	I	1.7 (43.18)	1.6 (40.64)	Lötlitze	Offen	ED2030-ND	6.60	5.72	4.62
17x17	169	J	1.7 (43.18)	1.6 (40.64)	Lötlitze	Offen	ED2031-ND	6.64	5.75	4.65
10x10	68	A	1.0 (25.40)	.9 (22.86)	3-fach Wire-Wrap	Offen	ED2014-ND	8.04	6.97	5.63
11x11	68	B	1.1 (27.94)	1.0 (25.40)	3-fach Wire-Wrap	Offen	ED2016-ND	8.04	6.97	5.63
14x14	132	D	1.4 (35.56)	1.3 (33.02)	3-fach Wire-Wrap	Offen	ED2020-ND	14.60	12.65	10.22
13x13	88	E	1.3 (33.02)	1.2 (30.48)	3-fach Wire-Wrap	Offen	ED2021-ND	9.73	8.44	6.82
10x10	84	F	1.0 (25.40)	.9 (22.86)	3-fach Wire-Wrap	Offen	ED2023-ND	8.55	7.42	5.99
13x13	121	G	1.3 (33.02)	1.2 (30.48)	3-fach Wire-Wrap	Offen	ED2037-ND	13.38	11.60	9.37
15x15	145	H	1.5 (38.10)	1.4 (35.56)	3-fach Wire-Wrap	Offen	ED2039-ND	15.87	13.76	11.12
18x18	179	K	1.8 (45.72)	1.7 (43.18)	Lötlitze	Offen	ED2042-ND	7.03	6.10	4.92
21x21	273	L	2.1 (53.34)	2.0 (50.80)	Lötlitze	Offen	ED2044-ND	10.61	9.20	7.43
18x18	223	M	1.8 (45.72)	1.7 (43.18)	Lötlitze	Offen	ED2046-ND	11.16	9.67	7.82

Dual-In-Line-Sockel – Offene Bauform (gedreht)

A

Lötlitze

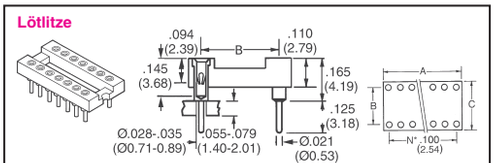

Gängigste Serie standardmäßiger IC-Sockel mit niedriger Bauform. Durch offene Bauform bleibt Platz unter dem IC zur besseren Wärmeableitung, leichteren PC-Karten-Reinigung und Prüfung. **Einführungsmerkmal:** 4-Finger-Standard Überzug: **Für ED3308-ED3964:** Hülse (Pin) – 200 µ" Sn. Kontakt (Clip) – 30 µ" Au. **Für ED3108-ED3764:** Hülse (Pin) – 200 µ" Sn. Kontakt (Clip) – 150 µ" Sn. **Für ED56083-ED56646:** Hülse (Pin) – 10 µ" Au. Kontakt (Clip) – 30 µ" Au.

Wire-Wrap

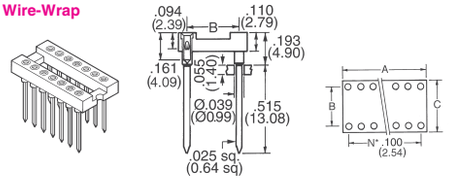

Lötlose Wire-Wrap-Klemmen sind fest im Isolatorkörper eingepasst, um der Drehkraft des Wickelwerkzeugs standhalten zu können. Länge der Klemme für 3-fach-Wicklung. **Einführungsmerkmal:** 4-Finger-Standard Überzug: **Für ED4308-ED4964:** Hülse (Pin) – 200 µ" Sn. Kontakt (Clip) – 30 µ" Au. **Für ED57083-ED57406**: Hülse (Pin) — 10 µ" Au. Kontakt (Clip) – 30 µ" Au.

Niedrige Bauform

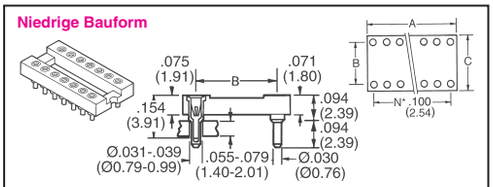

Dual-in-Line-Sockel mit ultra-niedriger Bauform sind mit speziell konstruierten Kontakten ausgestattet, die eine Höhe von 0,095" (2,41 mm) über der PC-Karte ermöglichen. Der spezielle kurze Kontakt benötigt eine Einführungstiefe von lediglich 0,075" (1,91 mm). Lötlitzendurchmesser 0,030" (0,76mm). **Einführungsmerkmal:** Kurzer 4-Finger-Kontakt **Überzug:** Hülse (Pin) — 200 µ" Sn. Kontakt (Clip) – 30 µ" Au.

Anz. d. Pins	Abmessungen – Zoll (mm) A	B	C	Digi-Key Teilenr.	Stückpreis 1	10	100	500	Mill-Max Teilenr.
Lötlitze (Gold)									
8	0.4 (10.16)	0.3 (7.62)	0.4 (10.16)	ED3308-ND	.36	.25	.20	.17	110-93-308-41-001000
14	0.7 (17.78)	0.3 (7.62)	0.4 (10.16)	ED3314-ND	.62	.43	.35	.30	110-93-314-41-001000
16	0.8 (20.30)	0.3 (7.62)	0.4 (10.16)	ED3316-ND	.70	.49	.40	.34	110-93-316-41-001000
18	0.9 (22.86)	0.3 (7.62)	0.4 (10.16)	ED3318-ND	.80	.55	.45	.39	110-93-318-41-001000
20	1.0 (25.40)	0.3 (7.62)	0.4 (10.16)	ED3320-ND	.88	.62	.50	.43	110-93-320-41-001000
24	1.2 (30.48)	0.3 (7.62)	0.4 (10.16)	ED3324-ND	1.06	.74	.60	.51	110-93-324-41-001000
28	1.4 (35.56)	0.3 (7.62)	0.4 (10.16)	ED3328-ND	1.24	.86	.70	.60	110-93-328-41-001000
22	1.1 (27.94)	0.4 (10.16)	0.5 (12.70)	ED3422-ND	.97	.68	.55	.47	110-93-422-41-001000
24	1.2 (30.48)	0.4 (10.16)	0.5 (12.70)	ED3424-ND	1.06	.74	.60	.51	110-93-424-41-001000
24	1.2 (30.48)	0.6 (15.24)	0.7 (17.78)	ED3624-ND	1.06	.74	.60	.51	110-93-624-41-001000
28	1.4 (35.56)	0.6 (15.24)	0.7 (17.78)	ED3628-ND	1.24	.86	.70	.60	110-93-628-41-001000
32	1.6 (40.64)	0.6 (15.24)	0.7 (17.78)	ED3632-ND	1.41	.98	.80	.68	110-93-632-41-001000
40	2.0 (50.80)	0.6 (15.24)	0.7 (17.78)	ED3640-ND	1.77	1.23	.99	.85	110-93-640-41-001000
48	2.4 (60.96)	0.6 (15.24)	0.7 (17.78)	ED3648-ND	2.12	1.47	1.19	1.02	110-93-648-41-001000
50	2.5 (63.50)	0.9 (22.86)	1.0 (25.40)	ED3950-ND	2.21	1.53	1.24	1.06	110-93-950-41-001000
64	3.2 (81.28)	0.9 (22.86)	1.0 (25.40)	ED3964-ND	2.83	1.96	1.59	1.36	110-93-964-41-001000
Lötlitze (Gold)									
8	0.4 (10.16)	0.3 (7.62)	0.4 (10.16)	ED56083-ND	.50	.35	.29	.25	110-13-308-41-001000
14	0.7 (17.78)	0.3 (7.62)	0.4 (10.16)	ED56143-ND	.88	.61	.50	.43	110-13-314-41-001000
16	0.8 (20.30)	0.3 (7.62)	0.4 (10.16)	ED56163-ND	1.00	.70	.56	.48	110-13-316-41-001000
18	0.9 (22.86)	0.3 (7.62)	0.4 (10.16)	ED56183-ND	1.13	.79	.64	.55	110-13-318-41-001000
20	1.0 (25.40)	0.3 (7.62)	0.4 (10.16)	ED56203-ND	1.25	.87	.71	.61	110-13-320-41-001000
24	1.2 (30.48)	0.3 (7.62)	0.4 (10.16)	ED56243-ND	1.50	1.05	.85	.73	110-13-324-41-001000
28	1.4 (35.56)	0.3 (7.62)	0.4 (10.16)	ED56283-ND	1.75	1.22	.99	.85	110-13-328-41-001000
24	1.2 (30.48)	0.6 (15.24)	0.7 (17.78)	ED56246-ND	1.50	1.05	.85	.73	110-13-624-41-001000
28	1.4 (35.56)	0.6 (15.24)	0.7 (17.78)	ED56286-ND	1.75	1.22	.99	.85	110-13-628-41-001000
32	1.6 (40.64)	0.6 (15.24)	0.7 (17.78)	ED56326-ND	2.00	1.39	1.13	.96	110-13-632-41-001000
40	2.0 (50.80)	0.6 (15.24)	0.7 (17.78)	ED56406-ND	2.51	1.74	1.41	1.21	110-13-640-41-001000
64	3.2 (81.28)	0.9 (22.86)	1.0 (25.40)	ED56646-ND	4.00	2.78	2.25	1.93	110-13-964-41-001000
Lötlitze (Zinn)									
8	0.4 (10.16)	0.3 (7.62)	0.4 (10.16)	ED3108-ND	.27	.19	.16	.14	110-99-308-41-001000
14	0.7 (17.78)	0.3 (7.62)	0.4 (10.16)	ED3114-ND	.48	.34	.27	.24	110-99-314-41-001000
16	0.8 (20.30)	0.3 (7.62)	0.4 (10.16)	ED3116-ND	.55	.39	.31	.27	110-99-316-41-001000
18	0.9 (22.86)	0.3 (7.62)	0.4 (10.16)	ED3118-ND	.62	.43	.35	.30	110-99-318-41-001000
20	1.0 (25.40)	0.3 (7.62)	0.4 (10.16)	ED3120-ND	.69	.48	.39	.33	110-99-320-41-001000
24	1.2 (30.48)	0.3 (7.62)	0.4 (10.16)	ED3124-ND	.82	.57	.47	.40	110-99-324-41-001000
28	1.4 (35.56)	0.3 (7.62)	0.4 (10.16)	ED3128-ND	.96	.67	.54	.47	110-99-328-41-001000
24	1.2 (30.48)	0.4 (10.16)	0.5 (12.70)	ED3524-ND	.82	.58	.47	.40	110-99-424-41-001000
24	1.2 (30.48)	0.6 (15.24)	0.7 (17.78)	ED3724-ND	.82	.57	.47	.40	110-99-624-41-001000
28	1.4 (35.56)	0.6 (15.24)	0.7 (17.78)	ED3728-ND	.96	.67	.54	.47	110-99-628-41-001000
32	1.6 (40.64)	0.6 (15.24)	0.7 (17.78)	ED3732-ND	1.10	.77	.62	.53	110-99-632-41-001000
40	2.0 (50.80)	0.6 (15.24)	0.7 (17.78)	ED3740-ND	1.37	.96	.77	.66	110-99-640-41-001000
48	2.4 (60.96)	0.6 (15.24)	0.7 (17.78)	ED3748-ND	1.64	1.15	.93	.79	110-99-648-41-001000
64	3.2 (81.28)	0.9 (22.86)	1.0 (25.40)	ED3764-ND	2.19	1.53	1.23	1.06	110-99-964-41-001000

Anz. d. Pins	Abmessungen – Zoll (mm) A	B	C	Digi-Key Teilenr.	Stückpreis 1	10	100	500	Mill-Max Teilenr.
Wire-Wrap									
8	0.4 (10.16)	0.3 (7.62)	0.4 (10.16)	ED4308-ND	.78	.54	.44	.38	123-93-308-41-001000
14	0.7 (17.78)	0.3 (7.62)	0.4 (10.16)	ED4314-ND	1.35	.94	.76	.66	123-93-314-41-001000
16	0.8 (20.30)	0.3 (7.62)	0.4 (10.16)	ED4316-ND	1.55	1.08	.87	.75	123-93-316-41-001000
18	0.9 (22.86)	0.3 (7.62)	0.4 (10.16)	ED4318-ND	1.74	1.21	.98	.84	123-93-318-41-001000
20	1.0 (25.40)	0.3 (7.62)	0.4 (10.16)	ED4320-ND	1.94	1.35	1.09	.93	123-93-320-41-001000
24	1.2 (30.48)	0.3 (7.62)	0.4 (10.16)	ED4324-ND	2.33	1.62	1.31	1.12	123-93-324-41-001000
28	1.4 (35.56)	0.3 (7.62)	0.4 (10.16)	ED4328-ND	2.71	1.88	1.52	1.31	123-93-328-41-001000
22	1.1 (27.94)	0.4 (10.16)	0.5 (12.70)	ED4422-ND	2.13	1.48	1.20	1.03	123-93-422-41-001000
24	1.2 (30.48)	0.4 (10.16)	0.5 (12.70)	ED4424-ND	2.33	1.62	1.31	1.12	123-93-424-41-001000
24	1.2 (30.48)	0.6 (15.24)	0.7 (17.78)	ED4624-ND	2.33	1.62	1.31	1.12	123-93-624-41-001000
28	1.4 (35.56)	0.6 (15.24)	0.7 (17.78)	ED4628-ND	2.71	1.88	1.52	1.31	123-93-628-41-001000
32	1.6 (40.64)	0.6 (15.24)	0.7 (17.78)	ED4632-ND	3.10	2.15	1.74	1.49	123-93-632-41-001000
40	2.0 (50.80)	0.6 (15.24)	0.7 (17.78)	ED4640-ND	3.88	2.69	2.17	1.86	123-93-640-41-001000
48	2.4 (60.96)	0.6 (15.24)	0.7 (17.78)	ED4648-ND	4.65	3.23	2.61	2.24	123-93-648-41-001000
50	2.5 (63.50)	0.9 (22.86)	1.0 (25.40)	ED4950-ND	4.84	3.36	2.72	2.33	123-93-950-41-001000
64	3.2 (81.28)	0.9 (22.86)	1.0 (25.40)	ED4964-ND	6.20	4.30	3.48	2.98	123-93-964-41-001000
Wire-Wrap									
8	0.4 (10.16)	0.3 (7.62)	0.4 (10.16)	ED57083-ND	.98	.69	.56	.48	123-13-308-41-001000
14	0.7 (17.78)	0.3 (7.62)	0.4 (10.16)	ED57143-ND	1.73	1.20	.97	.83	123-13-314-41-001000
16	0.8 (20.30)	0.3 (7.62)	0.4 (10.16)	ED57163-ND	1.97	1.37	1.11	.95	123-13-316-41-001000
20	1.0 (25.40)	0.3 (7.62)	0.4 (10.16)	ED57203-ND	2.46	1.71	1.38	1.19	123-13-320-41-001000
24	1.2 (30.48)	0.3 (7.62)	0.4 (10.16)	ED57243-ND	2.95	2.05	1.66	1.42	123-13-324-41-001000
24	1.2 (30.48)	0.6 (15.24)	0.7 (17.78)	ED57246-ND	2.95	2.05	1.66	1.42	123-13-624-41-001000
28	1.2 (30.48)	0.6 (15.24)	0.7 (17.78)	ED57286-ND	3.45	2.40	1.94	1.66	123-13-628-41-001000
40	2.0 (50.80)	0.6 (15.24)	0.7 (17.78)	ED57406-ND	4.93	3.42	2.76	2.37	123-13-640-41-001000
Niedrige Bauform									
8	0.4 (10.16)	0.3 (7.62)	0.4 (10.16)	ED5308-ND	.59	.42	.34	.29	115-93-308-41-003000
14	0.7 (17.78)	0.3 (7.62)	0.4 (10.16)	ED5314-ND	1.00	.70	.56	.48	115-93-314-41-003000
16	0.8 (20.30)	0.3 (7.62)	0.4 (10.16)	ED5316-ND	1.14	.79	.64	.55	115-93-316-41-003000
18	0.9 (22.86)	0.3 (7.62)	0.4 (10.16)	ED5318-ND	1.29	.89	.72	.62	115-93-318-41-003000
20	1.0 (25.40)	0.3 (7.62)	0.4 (10.16)	ED5320-ND	1.37	.96	.77	.66	115-93-320-41-003000
24	1.2 (30.48)	0.3 (7.62)	0.4 (10.16)	ED5324-ND	1.65	1.15	.93	.80	115-93-324-41-003000
28	1.4 (35.56)	0.3 (7.62)	0.4 (10.16)	ED5328-ND	1.92	1.34	1.08	.93	115-93-328-41-003000
22	1.1 (27.94)	0.4 (10.16)	0.5 (12.70)	ED5422-ND	1.52	1.05	.85	.73	115-93-422-41-003000
24	1.2 (30.48)	0.4 (10.16)	0.5 (12.70)	ED5424-ND	1.65	1.15	.93	.80	115-93-424-41-003000
24	1.2 (30.48)	0.6 (15.24)	0.7 (17.78)	ED5624-ND	1.65	1.15	.93	.80	115-93-624-41-003000
28	1.4 (35.56)	0.6 (15.24)	0.7 (17.78)	ED5628-ND	1.92	1.34	1.08	.93	115-93-628-41-003000
32	1.6 (40.64)	0.6 (15.24)	0.7 (17.78)	ED5632-ND	2.20	1.53	1.24	1.06	115-93-632-41-003000
40	2.0 (50.80)	0.6 (15.24)	0.7 (17.78)	ED5640-ND	2.75	1.91	1.54	1.32	115-93-640-41-003000
48	2.4 (60.96)	0.6 (15.24)	0.7 (17.78)	ED5648-ND	3.30	2.29	1.85	1.59	115-93-648-41-003000

Dual-In-Line-Sockel – rechtwinklige Montage, geschlossene Bauform

- Für Komponenten, die senkrecht zur PC-Karte montiert werden müssen, z. B. LED-Displays.
- Lötlitzen zur horizontalen Montage sind mit einem Reihenabstand von 0,300" (7,62 mm) [Standard] oder 0,100" (2,54 mm) erhältlich.

Abb. 1

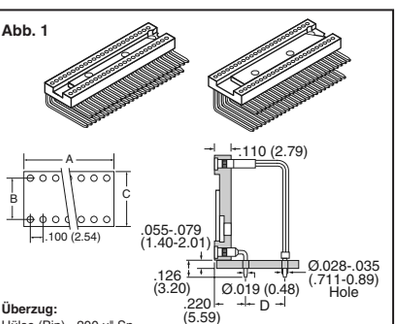

Überzug:
Hülse (Pin) - 200 µ" Sn.
Kontakt (Feder) – 30 µ" Au.

Abb. 2

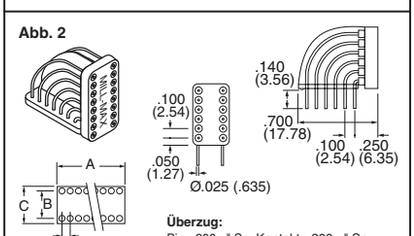

Überzug:
Pin - 200 µ" Sn; Kontakt - 200 µ" Sn

Abb.	Anz. d. Pins	Abmessungen – Zoll (mm) A	B	C	D	Digi-Key Teilenr.	Stückpreis 1	10	100	500	1.000	Mill-Max Teilenr.
	6	0.3 (7.62)	0.3 (7.62)	0.4 (10.16)	.300 (7.62)	ED58407-ND	2.08	1.45	1.17	1.00	.84	299-93-306-10-001000
	8	0.4 (10.16)	0.3 (7.62)	0.4 (10.16)	.300 (7.62)	ED58408-ND	2.78	1.93	1.56	1.34	1.12	299-93-308-10-001000
	10	0.5 (12.70)	0.3 (7.62)	0.4 (10.16)	.300 (7.62)	ED58409-ND	3.33	2.31	1.87	1.60	1.34	299-93-310-10-001000
	12	0.6 (15.24)	0.3 (7.62)	0.4 (10.16)	.300 (7.62)	ED58410-ND	3.99	2.77	2.24	1.92	1.60	299-93-312-10-001000
1	14	0.7 (17.78)	0.3 (7.62)	0.4 (10.16)	.300 (7.62)	ED58411-ND	4.66	3.23	2.61	2.24	1.87	299-93-314-10-001000
	16	0.8 (20.30)	0.3 (7.62)	0.4 (10.16)	.300 (7.62)	ED58412-ND	5.33	3.70	2.99	2.56	2.13	299-93-316-10-001000
	18	0.9 (22.86)	0.3 (7.62)	0.4 (10.16)	.300 (7.62)	ED58413-ND	5.99	4.16	3.36	2.88	2.40	299-93-318-10-001000
	20	1.0 (25.40)	0.3 (7.62)	0.4 (10.16)	.300 (7.62)	ED58414-ND	6.42	4.46	3.60	3.09	2.57	299-93-320-10-001000
	24	1.2 (30.48)	0.3 (7.62)	0.4 (10.16)	.300 (7.62)	ED58415-ND	7.70	5.34	4.32	3.70	3.09	299-93-324-10-001000
	8	0.4 (10.16)	0.6 (15.24)	0.7 (17.78)	.300 (7.62)	ED58416-ND	3.22	2.23	1.81	1.55	1.29	299-93-608-10-002000
	10	0.5 (12.70)	0.6 (15.24)	0.7 (17.78)	.300 (7.62)	ED58417-ND	3.85	2.67	2.16	1.85	1.55	299-93-610-10-002000
	12	0.6 (15.24)	0.6 (15.24)	0.7 (17.78)	.300 (7.62)	ED58418-ND	4.62	3.21	2.59	2.22	1.85	299-93-612-10-002000
	14	0.7 (17.78)	0.6 (15.24)	0.7 (17.78)	.300 (7.62)	ED58419-ND	5.39	3.74	3.03	2.59	2.16	299-93-614-10-002000
	16	0.8 (20.30)	0.6 (15.24)	0.7 (17.78)	.300 (7.62)	ED58420-ND	6.16	4.28	3.46	2.96	2.47	299-93-616-10-002000
	18	0.9 (22.86)	0.6 (15.24)	0.7 (17.78)	.300 (7.62)	ED58421-ND	6.93	4.81	3.89	3.33	2.78	299-93-618-10-002000
	20	1.0 (25.40)	0.6 (15.24)	0.7 (17.78)	.300 (7.62)	ED58422-ND	7.43	5.16	4.17	3.57	2.98	299-93-620-10-002000
1	22	1.1 (27.94)	0.6 (15.24)	0.7 (17.78)	.300 (7.62)	ED58423-ND	8.18	5.68	4.58	3.93	3.28	299-93-622-10-002000
	24	1.2 (30.48)	0.6 (15.24)	0.7 (17.78)	.300 (7.62)	ED58424-ND	8.92	6.19	5.00	4.29	3.57	299-93-624-10-002000
	26	1.3 (33.02)	0.6 (15.24)	0.7 (17.78)	.300 (7.62)	ED58425-ND	9.67	6.71	5.42	4.65	3.87	299-93-626-10-002000
	28	1.4 (35.56)	0.6 (15.24)	0.7 (17.78)	.300 (7.62)	ED58426-ND	10.41	7.22	5.83	5.00	4.17	299-93-628-10-002000
	30	1.5 (38.10)	0.6 (15.24)	0.7 (17.78)	.300 (7.62)	ED58427-ND	11.15	7.74	6.25	5.36	4.47	299-93-630-10-002000
	32	1.6 (40.64)	0.6 (15.24)	0.7 (17.78)	.300 (7.62)	ED58428-ND	11.89	8.25	6.67	5.71	4.76	299-93-632-10-002000
	36	1.8 (45.72)	0.6 (15.24)	0.7 (17.78)	.300 (7.62)	ED58429-ND	13.38	9.28	7.50	6.43	5.36	299-93-636-10-002000
	40	2.0 (50.80)	0.6 (15.24)	0.7 (17.78)	.300 (7.62)	ED58430-ND	14.87	10.31	8.33	7.14	5.95	299-93-640-10-002000
	6	.300 (7.62)	0.3 (7.62)	0.4 (10.16)	.100 (2.54)	ED58431-ND	2.03	1.42	1.14	.98	.82	299-93-306-11-001000
	8	0.4 (10.16)	0.3 (7.62)	0.4 (10.16)	.100 (2.54)	ED58432-ND	2.71	1.88	1.52	1.31	1.09	299-93-308-11-001000
	10	0.5 (12.70)	0.3 (7.62)	0.4 (10.16)	.100 (2.54)	ED58433-ND	3.25	2.26	1.83	1.57	1.31	299-93-310-11-001000
	12	0.6 (15.24)	0.3 (7.62)	0.4 (10.16)	.100 (2.54)	ED58434-ND	3.90	2.71	2.19	1.88	1.56	299-93-312-11-001000
1	14	0.7 (17.78)	0.3 (7.62)	0.4 (10.16)	.100 (2.54)	ED58435-ND	4.55	3.16	2.55	2.19	1.82	299-93-314-11-001000
	16	0.8 (20.30)	0.3 (7.62)	0.4 (10.16)	.100 (2.54)	ED58436-ND	5.20	3.61	2.92	2.50	2.09	299-93-316-11-001000
	18	0.9 (22.86)	0.3 (7.62)	0.4 (10.16)	.100 (2.54)	ED58437-ND	5.85	4.06	3.28	2.81	2.34	299-93-318-11-001000
	20	1.0 (25.40)	0.3 (7.62)	0.4 (10.16)	.100 (2.54)	ED58438-ND	6.27	4.35	3.52	3.02	2.51	299-93-320-11-001000
	24	1.2 (30.48)	0.3 (7.62)	0.4 (10.16)	.100 (2.54)	ED58439-ND	7.53	5.22	4.22	3.62	3.02	299-93-324-11-001000
2	10	0.5 (12.70)	0.2 (5.08)	0.3 (7.62)	—	ED7800-ND	7.12	4.94	3.99	3.42	2.85	299-99-210-12-001800

Alle Preisangaben in Euro und inklusive Zollgebühren.

IC-Sockel

Mit integriertem Entkopplungskondensator, Kontakt gedreht

Besondere Merkmale/Anwendungen:

- Zum Ausschalten von Rauschen an der Quelle, bevor es den Chip erreichen kann
- Vorteile für den Einsatz in Logik- und Speicherapplikationen mit hoher Geschwindigkeit
- Zum Ausschalten langer Leitungen als potenzielle Quellen von Rauschen, da Kondensatorleitungen direkt mit der Masse und dem Spannungsstift des Sockels verbunden sind
- Spart mindestens 12 % Platz auf der Platine

Technische Daten:

- Material des Isolatorkörpers: Glasgefülltes Polyester UL94VO
- Pin: Gedreht

Sockel mit integriertem, glasverkapseltem Kondensator, 0,1 µF, 50 V DC

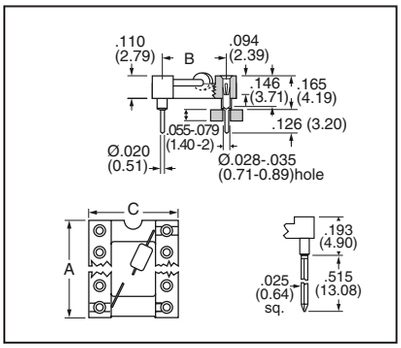

Pin-typ	Anz. d. Pins	Abm. – Zoll (mm) A	B	C	Digi-Key Teilenr.	Preisangaben 1	10	100	Mill-Max Teilenr.
Verzinnt, Lötöse	14	0.7 (17.78)	0.3 (7.62)	0.4 (10.16)	ED2101-ND	1.42	12.33	99.56	110-93-314-41-801000
	16	0.8 (20.32)	0.3 (7.62)	0.4 (10.16)	ED2102-ND	1.52	13.21	106.67	110-93-316-41-801000
	18	0.9 (22.86)	0.3 (7.62)	0.4 (10.16)	ED2103-ND	1.63	14.11	113.96	110-93-318-41-801000
	20	1.0 (25.40)	0.3 (7.62)	0.4 (10.16)	ED2104-ND	1.66	14.38	116.09	110-93-320-41-801000
	24#	1.2 (30.48)	0.3 (7.62)	0.4 (10.16)	ED2106-ND	1.90	16.40	132.45	110-93-324-41-801000
	24	1.2 (30.48)	0.6 (15.24)	0.7 (17.78)	ED2105-ND	2.09	18.12	146.32	110-93-624-41-801000
	28	1.4 (35.56)	0.6 (15.24)	0.7 (17.78)	ED2107-ND	2.26	19.56	158.05	110-93-628-41-801000
	40	2.0 (50.80)	0.6 (15.24)	0.7 (17.78)	ED2108-ND	2.66	23.07	186.32	110-93-640-41-801000
Vergoldet, Lötöse	14	0.7 (17.78)	0.3 (7.62)	0.4 (10.16)	ED2109-ND	1.68	14.55	117.52	110-13-314-41-801000
	16	0.8 (20.32)	0.3 (7.62)	0.4 (10.16)	ED2110-ND	1.84	15.93	128.72	110-13-316-41-801000
	18	0.9 (22.86)	0.3 (7.62)	0.4 (10.16)	ED2111-ND	1.96	17.03	137.61	110-13-318-41-801000
	20	1.0 (25.40)	0.3 (7.62)	0.4 (10.16)	ED2112-ND	2.03	17.61	142.23	110-13-320-41-801000
	24#	1.2 (30.48)	0.3 (7.62)	0.4 (10.16)	ED2114-ND	2.35	20.32	164.10	110-13-324-41-801000
	24	1.2 (30.48)	0.6 (15.24)	0.7 (17.78)	ED2113-ND	2.54	22.04	177.96	110-13-624-41-801000
	28	1.4 (35.56)	0.6 (15.24)	0.7 (17.78)	ED2115-ND	2.77	23.97	193.61	110-13-628-41-801000
	40	2.0 (50.80)	0.6 (15.24)	0.7 (17.78)	ED2116-ND	3.27	28.35	228.99	110-13-640-41-801000
3-facher verzinnter Wire-Wrap	14	0.7 (17.78)	0.3 (7.62)	0.4 (10.16)	ED2117-ND	2.30	19.92	160.90	123-93-314-41-801000
	16	0.8 (20.32)	0.3 (7.62)	0.4 (10.16)	ED2118-ND	2.54	22.01	177.79	123-93-316-41-801000
	18	0.9 (22.86)	0.3 (7.62)	0.4 (10.16)	ED2119-ND	3.24	28.11	227.03	123-93-318-41-801000
	20	1.0 (25.40)	0.3 (7.62)	0.4 (10.16)	ED2120-ND	2.86	24.81	200.36	123-93-320-41-801000
	24	1.2 (30.48)	0.6 (15.24)	0.7 (17.78)	ED2121-ND	4.03	34.89	281.79	123-93-624-41-801000
	28	1.4 (35.56)	0.6 (15.24)	0.7 (17.78)	ED2122-ND	4.49	38.92	314.33	123-93-628-41-801000
	40	2.0 (50.80)	0.6 (15.24)	0.7 (17.78)	ED2123-ND	5.86	50.76	409.97	123-93-640-41-801000

mit 0,300" (7,62 mm) Kontaktreihenabstand.

Shrink-Dip-Sockel - Lötlitze – offene Bauform

- Hochdichte Dual-In-Line-Sockel für Geräte mit einem Rastermaß von 0,070" (1,78 mm).
- Vier-Finger-Kontakte aus Berylliumkupfer erfüllen die höchsten Anforderungen an Vibrations- und Stoßfestigkeit.

Einführungsmerkmal: 4-Finger-Standard.

Überzug: Hülse (Pin) 200 µ" Sn.; Kontakt (Clip) 30 µ" Au.

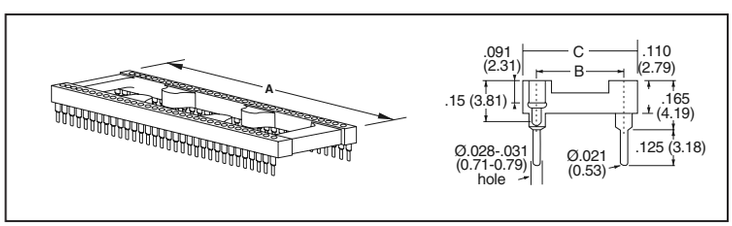

Anz. d. Pins	Abm. – Zoll (mm) A	B	C	Digi-Key Teilenr.	Preisangaben 1	10	100	500	Mill-Max Teilenr.
16	0.572 (14.53)	0.3 (7.62)	0.39 (9.91)	ED22163-ND	1.35	9.40	75.91	325.35	117-93-316-41-005000
28	0.992 (25.20)	0.4 (10.16)	0.49 (12.45)	ED22284-ND	2.29	15.89	128.36	550.12	117-93-428-41-005000
30	1.062 (26.97)	0.4 (10.16)	0.49 (12.45)	ED22304-ND	2.46	17.02	137.43	588.98	117-93-430-41-005000
48	1.692 (42.98)	0.4 (10.16)	0.49 (12.45)	ED22484-ND	3.93	27.23	219.92	942.52	117-93-448-41-005000
20	0.712 (18.08)	0.6 (15.24)	0.69 (17.53)	ED22206-ND	1.63	11.34	91.56	392.40	117-93-620-41-005000
28	0.992 (25.20)	0.6 (15.24)	0.69 (17.53)	ED22286-ND	2.29	15.89	128.36	550.12	117-93-628-41-005000
40	1.412 (35.86)	0.6 (15.24)	0.69 (17.53)	ED22406-ND	3.27	22.67	183.12	784.80	117-93-640-41-005000
42	1.482 (37.64)	0.6 (15.24)	0.69 (17.53)	ED22426-ND	3.43	23.80	192.19	823.66	117-93-642-41-005000
48	1.692 (42.98)	0.6 (15.24)	0.69 (17.53)	ED22486-ND	3.93	27.23	219.92	942.52	117-93-648-41-005000
52	1.832 (46.53)	0.6 (15.24)	0.69 (17.53)	ED22526-ND	4.13	28.66	231.48	992.05	117-93-652-41-005000
56	1.972 (50.09)	0.6 (15.24)	0.69 (17.53)	ED22566-ND	4.45	30.88	249.43	1069.00	117-93-656-41-005000
64	2.252 (57.20)	0.6 (15.24)	0.69 (17.53)	ED22646-ND	5.10	35.30	285.17	1222.15	117-93-664-41-005000
64	2.252 (57.20)	0.75 (19.05)	0.84 (21.34)	ED22647-ND	5.10	35.30	285.17	1222.15	117-93-764-41-005000
68	2.392 (60.76)	0.6 (15.24)	0.69 (17.53)	ED22686-ND	5.41	37.50	302.95	1298.35	117-93-668-41-005000

Dual-In-Line-Sockelträger, Mini-Version

- Wiederverwendbare Träger
- Pin-Trägerbaugruppen gewährleisten die größtmögliche Ventilation und bessere Sichtbarkeit für Prüfungen und Reparaturen.
- Leichte Montage aufgrund des **RECYCLINGFÄHIGEN KUNSTSTOFFTRÄGERS.** Keine Probleme mit Wicking-Effekten beim Löten.

Voraussetzung: Min. 0,039" (0,99 mm) große Löcher in PC-Karte.

Einführungsmerkmal: 3-Finger.

Überzug: Hülse (Pin) 200 µ" Sn.; Kontakt (Clip) 30 µ" Au.

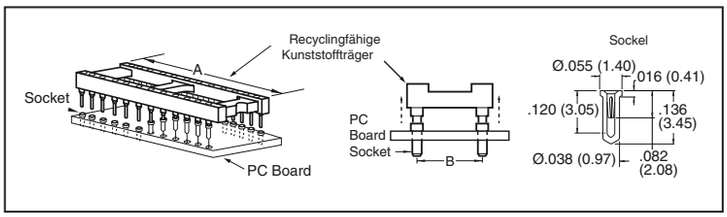

Anz. d. Pins	Abm. – Zoll (mm) A	B	Digi-Key Teilenr.	Preisangaben 1	10	100	500	Mill-Max Teilenr.
8	0.4 (10.16)	0.3 (7.62)	ED6008-ND	.79	5.46	44.09	188.96	614-93-308-31-012000
14	0.7 (17.78)	0.3 (7.62)	ED6014-ND	1.38	9.55	77.16	330.68	614-93-314-31-012000
16	0.8 (20.32)	0.3 (7.62)	ED6016-ND	1.57	10.92	88.18	377.92	614-93-316-31-012000
18	0.9 (22.86)	0.3 (7.62)	ED6018-ND	1.77	12.28	99.20	425.16	614-93-318-31-012000
20	1.0 (25.40)	0.3 (7.62)	ED6020-ND	1.97	13.65	110.23	472.40	614-93-320-31-012000
24	1.2 (30.48)	0.3 (7.62)	ED6024-ND	2.36	16.37	132.27	566.88	614-93-324-31-012000
28	1.4 (35.56)	0.3 (7.62)	ED6028-ND	2.76	19.11	154.32	661.36	614-93-328-31-012000
24	1.2 (30.48)	0.6 (15.24)	ED6124-ND	2.36	16.37	132.27	566.88	614-93-624-31-012000
28	1.4 (35.56)	0.6 (15.24)	ED6128-ND	2.76	19.11	154.32	661.36	614-93-628-31-012000
32	1.6 (40.64)	0.6 (15.24)	ED6132-ND	3.15	21.83	176.36	755.84	614-93-632-31-012000
40	2.0 (50.80)	0.6 (15.24)	ED6140-ND	3.94	27.29	220.45	944.81	614-93-640-31-012000

Dual-In-Line-Sockel – Flachprofil, offene Bauform

- Dip-Sockel mit reduzierter Höhe; nur 0,122" (3,10 mm) über der PC.Karte.
- Hi-Rel, 4-Finger #30 Feder.

Überzug: Hülse (Pin) 200 µ" Sn.; Kontakt (Clip) 30 µ" Au.

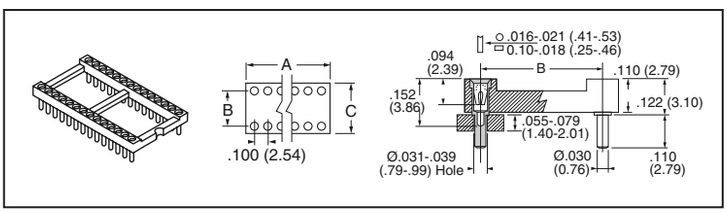

Anz. d. Pins	Abm. – Zoll (mm) A	B	C	Digi-Key Teilenr.	Preisangaben 1	10	100	500	Mill-Max Teilenr.
8	0.4 (10.16)	0.3 (7.62)	0.4 (10.16)	ED58083-ND	.52	4.47	36.57	134.91	115-93-308-41-001000
14	0.7 (17.78)	0.3 (7.62)	0.4 (10.16)	ED58143-ND	.89	7.50	61.34	226.26	115-93-314-41-001000
16	0.8 (20.32)	0.3 (7.62)	0.4 (10.16)	ED58163-ND	1.02	8.57	70.10	258.59	115-93-316-41-001000
18	0.9 (22.86)	0.3 (7.62)	0.4 (10.16)	ED58183-ND	1.14	9.64	78.86	290.91	115-93-318-41-001000
20	1.0 (25.40)	0.3 (7.62)	0.4 (10.16)	ED58203-ND	1.22	10.34	84.58	311.99	115-93-320-41-001000
24	1.2 (30.48)	0.3 (7.62)	0.4 (10.16)	ED58243-ND	1.46	12.41	101.53	374.53	115-93-324-41-001000
28	1.4 (35.56)	0.3 (7.62)	0.4 (10.16)	ED58283-ND	1.71	14.49	118.48	437.07	115-93-328-41-001000
24	1.2 (30.48)	0.6 (15.24)	0.7 (17.78)	ED58246-ND	1.46	12.41	101.53	374.53	115-93-624-41-001000
28	1.4 (35.56)	0.6 (15.24)	0.7 (17.78)	ED58286-ND	1.71	14.49	118.48	437.07	115-93-628-41-001000
32	1.6 (40.64)	0.6 (15.24)	0.7 (17.78)	ED58326-ND	1.96	16.53	135.24	498.90	115-93-632-41-001000
40	2.0 (50.80)	0.6 (15.24)	0.7 (17.78)	ED58406-ND	2.45	20.67	169.15	623.98	115-93-640-41-001000

Dual-In-Line-Sockel – Oberflächenmontage, Stummelanschluss, geschlossene Bauform

- Isolator mit geschlossener Bauform ist mit Vision-Systemen kompatibel.
- Hochtemp Nylon 46, geeignet für Infrarot- und Vapor-Phase-Löten.

Überzug: Hülse (Pin) - 200 µ" Sn.;
Kontakt (Feder) – 200 µ" Sn.

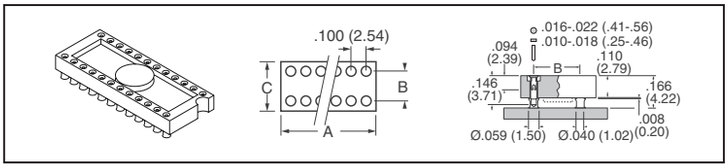

Anz. d. Pins	Abm. – Zoll (mm) A	B	C	Digi-Key Teilenr.	Preisangaben 1	10	100	500	1.000	Mill-Max Teilenr.
Saugnäpfe, nur oben										
8	0.4 (10.16)	0.3 (7.62)	0.4 (10.16)	ED2128-ND	.48	4.18	33.78	144.77	241.28	214-99-308-01-670800
14	0.7 (17.78)	0.3 (7.62)	0.4 (10.16)	ED2129-ND	.81	7.02	56.71	243.06	405.10	214-99-314-01-670800
16	0.8 (20.32)	0.3 (7.62)	0.4 (10.16)	ED2130-ND	.93	8.03	64.89	278.11	463.51	214-99-316-01-670800
18	0.9 (22.86)	0.3 (7.62)	0.4 (10.16)	ED2131-ND	1.04	9.00	72.71	311.63	519.39	214-99-318-01-670800
20	1.0 (25.40)	0.3 (7.62)	0.4 (10.16)	ED2132-ND	1.12	9.69	78.23	335.25	558.76	214-99-320-01-670800
Saugnäpfe, oben und unten										
24	1.2 (30.48)	0.6 (15.24)	0.7 (17.78)	ED2133-ND	1.34	11.60	93.69	401.54	669.24	214-99-624-01-670800
28	1.4 (35.56)	0.6 (15.24)	0.7 (17.78)	ED2134-ND	1.57	13.54	109.34	468.59	780.99	214-99-628-01-670800
32	1.6 (40.64)	0.6 (15.24)	0.7 (17.78)	ED2135-ND	1.79	15.49	125.16	536.41	894.01	214-99-632-01-670800
40	2.0 (50.80)	0.6 (15.24)	0.7 (17.78)	ED2136-ND	2.24	19.34	156.27	669.75	1116.24	214-99-640-01-670800

In-Line-Sockel und Steckleisten - Lötlitze und lötfrei

Abb. 1

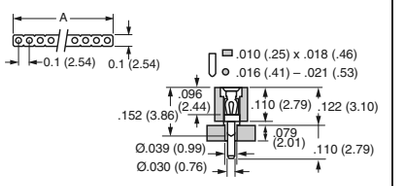

Abb. 2

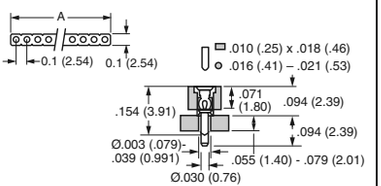

Abb. 3

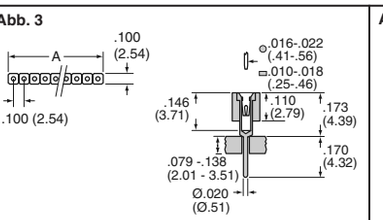

Abb. 4

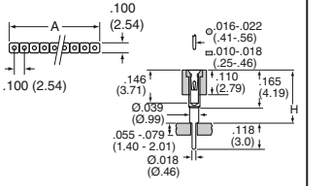

Abb. 5

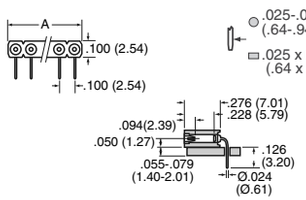

Abb. 6

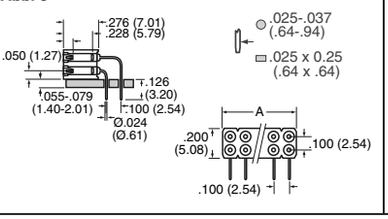

Abb. 7

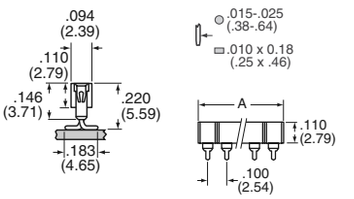

Abb. 8

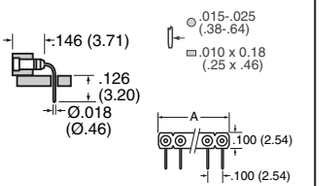

Abb. 9

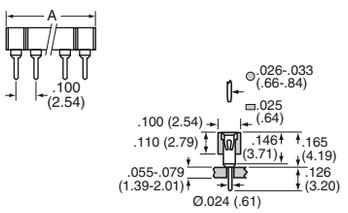

Abb. 10

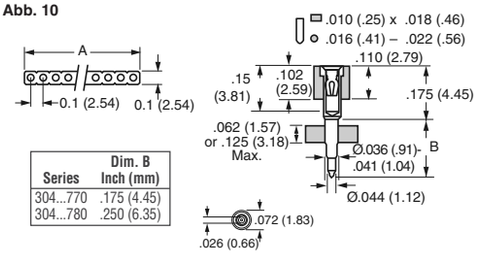

Series	Dim. B Inch (mm)
304...770	.175 (4.45)
304...780	.250 (6.35)

Abb. 11

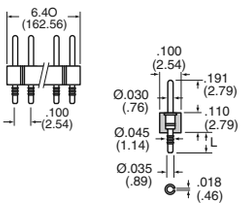

Abb. 12

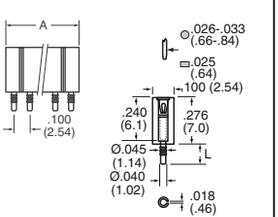

Abb. 13

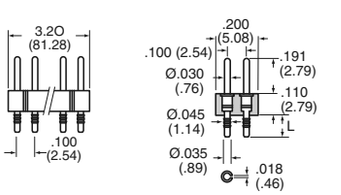

Abb. 14

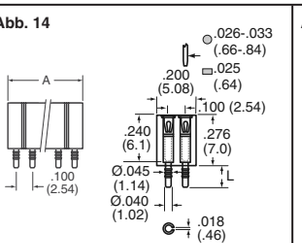

Abb. 15

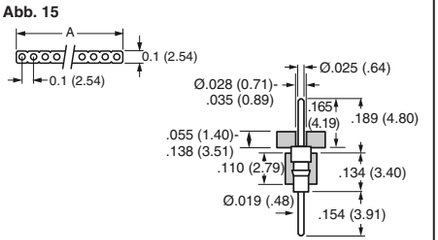

Abb. 16

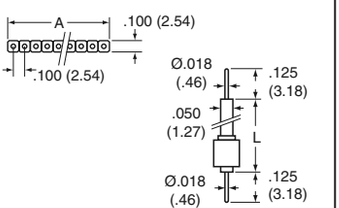

Abb. 17

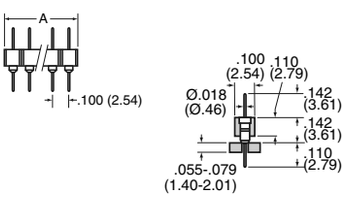

Abb. 18

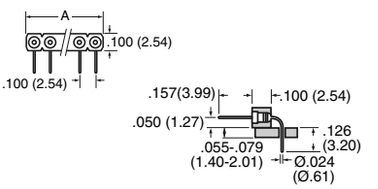

Abb. 19

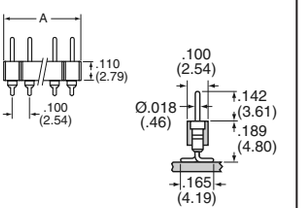

Abb. 20

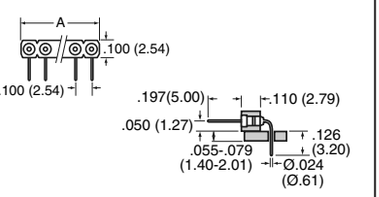

Abb.	Beschreibung	Anz. d. Pins	Abm. A Zoll (mm)	Überzug Hülse/Pin	Überzug Kontakt/Clip	Digi-Key Teilenr.	Stückpreis 1	Stückpreis 10	Stückpreis 100	Mill-Max Teilenr.
	Lötlitzen-Sockel									
1	Sehr niedrige Bauform, Serie 315...01	64	6.4" (162.56)	200µ" Sn	30µ" Au	ED7864-ND	3.52	2.98	2.44	315-93-164-41-001000
2	Ultra-niedrige Bauform, Serie 315...03	64	6.4" (162.56)	200µ" Au	30µ" Au	ED7964-ND	3.44	2.91	2.38	315-93-164-41-003000
3	Einreihig, lange Lötlitze, Serie 311...01	64	6.4" (162.56)	200µ" Sn	30µ" Au	ED1064-ND	2.68	2.32	1.88	311-93-164-41-001000
4	Einreihig, Serie 316…01 H=0,594	64	6.4" (162.56)	200µ" Sn	30µ" Au	ED1164-ND	7.18	6.22	5.03	316-93-164-41-001000
4	Einreihig, Serie 316…03 H=0,315	64	6.4" (162.56)	200µ" Sn	30µ" Au	ED1264-ND	6.21	5.38	4.35	316-93-164-41-003000
4	Einreihig, Serie 316…06 H=0,236	64	6.4" (162.56)	200µ" Sn	30µ" Au	ED1364-ND	5.86	5.08	4.11	316-93-164-41-006000
4	Einreihig, Serie 316…07 H=0,402	64	6.4" (162.56)	200µ" Sn	30µ" Au	ED1464-ND	6.48	5.62	4.54	316-93-164-41-007000
4	Einreihig, Serie 316…08 H=0,472	64	6.4" (162.56)	200µ" Sn	30µ" Au	ED15064-ND	6.78	5.88	4.75	316-93-164-41-008000
5	Einreihig, rechtwinklig, Durchm. 0,030" Stifte	50	5.0" (127.00)	200µ" Sn	30µ" Au	ED1450-ND	4.99	4.33	3.50	801-93-050-20-001000
6	Doppelreihig, rechtwinklig, Durchm. 0,030" Stifte	2 x 50	5.0" (127.00)	200µ" Sn	30µ" Au	ED14100-ND	12.11	10.50	8.49	803-93-100-20-001000
7	Einreihig, 0,220" Oberflächenmontage	64	6.4" (162.56)	200µ" Sn	30µ" Au	ED23064-ND	4.94	4.29	3.46	310-93-164-41-105000
8	Einreihig, Serie 399…03 rechtwinklig	64	6.4" (162.56)	200µ" Sn	30µ" Au	ED22064-ND	4.77	4.13	3.34	399-93-164-10-003000
9	Einreihig, niedrige Bauform, Durchm. 0,030" Stifte	64	6.4" (162.56)	200µ" Sn	30µ" Au	ED2764-ND	5.25	4.56	3.68	801-93-064-10-002000
	Presspassungs-Steckleiste/Sockel, lötfrei									
10	Presspassungs-Sockel, lötfrei, Serie 304...770	64	6.4" (162.56)	10µ" Au	30µ" Au	ED8064-ND	5.53	4.68	3.83	304-13-164-41-770000
10	Presspassungs-Sockel, lötfrei, Serie 304...780	64	6.4" (162.56)	10µ" Au	30µ" Au	ED8164-ND	5.97	5.06	4.14	304-13-164-41-780000
11	Steckleiste, einreihig, konforme Litze L=0,104	64	6.4" (162.56)	10µ" Au	—	ED2864-ND	7.65	6.63	5.36	800-10-064-61-001000
11	Steckleiste, einreihig, konforme Litze L=0,143	64	6.4" (162.56)	10µ" Au	—	ED2964-ND	7.76	6.73	5.44	800-10-064-62-001000
12	Sockel, einreihig, konforme Litze L=0,104	50	5.0" (127.00)	200µ" Sn	30µ" Au	ED15050-ND	7.42	6.43	5.19	801-93-050-61-001000
12	Sockel, einreihig, konforme Litze L=0,143	50	5.0" (127.00)	200µ" Sn	30µ" Au	ED1650-ND	7.44	6.45	5.21	801-93-050-62-001000
13	Steckleiste, doppelreihig, konforme Litze L=0,104	2 x 32	3.2" (81.28)	10µ" Au	—	ED3064-ND	7.65	6.63	5.36	802-10-064-61-001000
13	Steckleiste, doppelreihig, konforme Litze L=0,143	2 x 32	3.2" (81.28)	10µ" Au	—	ED3164-ND	7.76	6.73	5.44	802-10-064-62-001000
14	Sockel, doppelreihig, konforme Litze L=0,104	2 x 50	5.0" (127.00)	200µ" Sn	30µ" Au	ED15100-ND	14.68	12.73	10.28	803-93-100-61-001000
14	Sockel, doppelreihig, konforme Litze L=0,143	2 x 50	5.0" (127.00)	200µ" Sn	30µ" Au	ED16100-ND	14.73	12.77	10.32	803-93-100-62-001000
	Lötlitze, Steckleiste									
15	Pin/Lötlitze, Steckleiste, Serie 350	64	6.4" (162.56)	10µ" Au	—	ED7764-ND	5.18	4.39	3.59	350-10-164-00-001000
16	Einreihig, 0,018/0,018 Pin L=0,210	64	6.4" (162.56)	10µ" Au	—	ED16064-ND	5.07	4.40	3.56	342-10-164-00-591000
16	Einreihig, 0,018/0,018 Pin L=0,335	64	6.4" (162.56)	10µ" Au	—	ED17064-ND	5.44	4.71	3.81	342-10-164-00-592000
16	Einreihig, 0,018/0,018 Pin L=0,585	64	6.4" (162.56)	10µ" Au	—	ED18064-ND	7.26	6.29	5.08	342-10-164-00-593000
16	Einreihig, 0,018/0,018 Pin L=0,835	64	6.4" (162.56)	10µ" Au	—	ED19064-ND	9.51	8.24	6.66	342-10-164-00-594000
17	Einreihig, Serie 350…06, gerade	64	6.4" (162.56)	10µ" Au	—	ED2064-ND	4.88	4.23	3.42	350-10-164-00-006000

(Forts.)

Alle Preisangaben in Euro und inklusive Zollgebühren.

Abb. 21

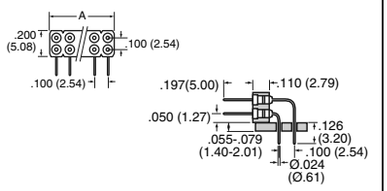

Abb. 22

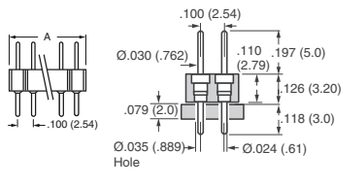

Abb. 23

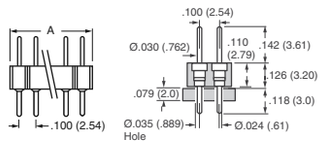

Abb. 24

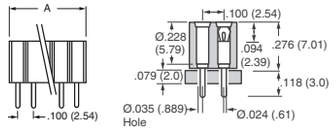

Abb. 25

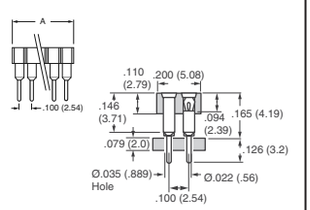

Abb. 26

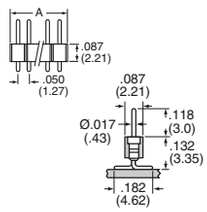

Abb. 27

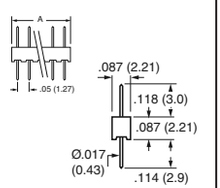

Abb. 28

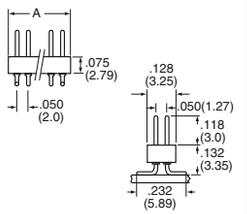

Abb. 29

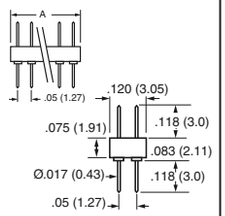

Abb. 30

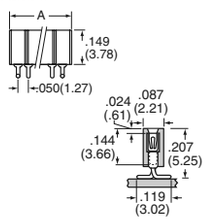

Abb. 31

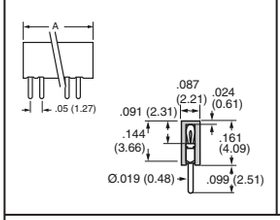

Abb. 32

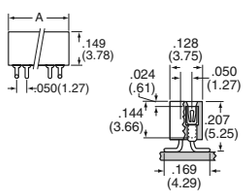

Abb. 33

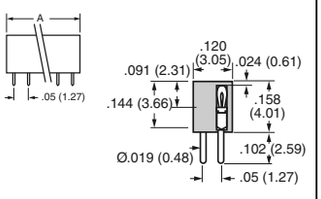

Abb. 34

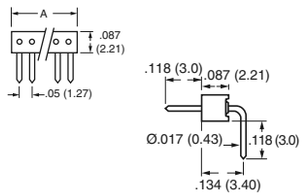

Abb. 35

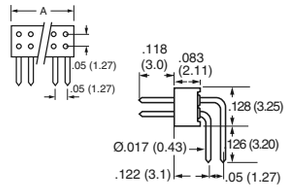

Abb. 36

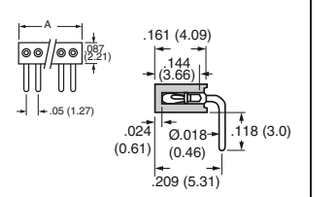

Abb. 37

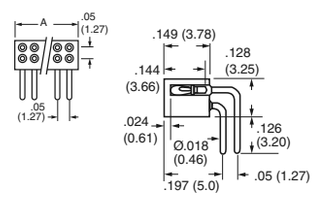

Abb. 38

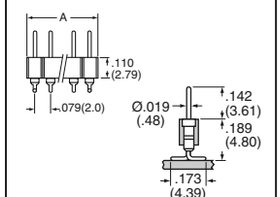

Abb. 39

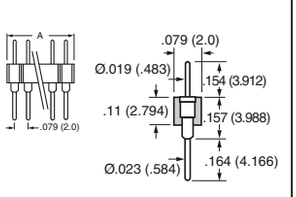

Abb. 40

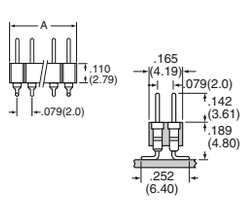

Abb. 41

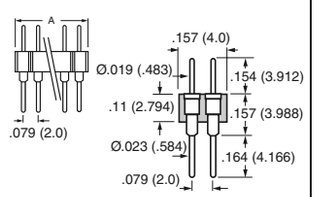

Abb. 42

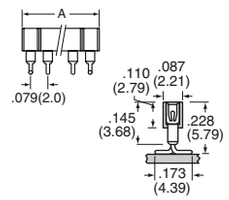

Abb. 43

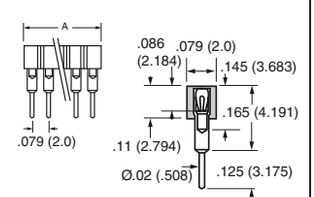

Abb. 44

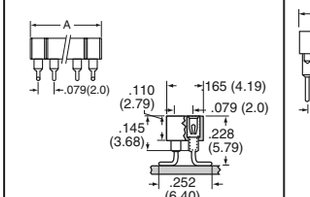

Abb. 45

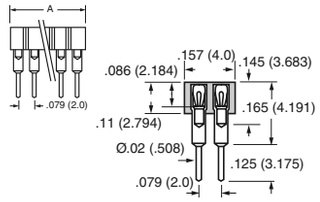

Abb.	Beschreibung	Anz. d. Pins	Abm. A Zoll (mm)	Überzug Hülse/Pin	Überzug Kontakt/Clip	Digi-Key Teilenr.	Stückpreis 1	Stückpreis 10	Stückpreis 100	Mill-Max Teilenr.
	Lötlitze, Steckleiste (Forts.)									
18	Einreihig, Serie 399…09 rechtwinklig	64	6.4" (162.56)	10µ" Au	—	ED2164-ND	5.58	4.84	3.91	399-10-164-10-009000
19	Einreihig, 0,189", Steckleiste, Oberflächenmontage	64	6.4" (162.56)	10µ" Au	—	ED24064-ND	7.09	6.15	4.97	350-10-164-00-106000
20	Einreihig, rechtwinklig, Pin-Durchm. 0,030"	64	6.4" (162.56)	10µ" Au	—	ED2564-ND	5.76	5.00	4.04	800-10-064-20-001000
21	Doppelreihig, rechtwinklig, Pin-Durchm. 0,030"	2 x 32	3.2" (81.28)	10µ" Au	—	ED2664-ND	6.11	5.30	4.28	802-10-064-20-001000
	Steckverbindungen, 0,100" (2,54 mm) Gitter									
22	Doppelreihig, Stiftleiste, gerade Lötlitze	2 x 32	3.2" (81.28)	10µ" Au	—	ED9464-ND	5.80	4.91	4.02	802-10-064-10-001000
23	Doppelreihig, Stiftleiste, niedrige Bauform	2 x 32	3.2" (81.28)	10µ" Au	—	ED9564-ND	5.69	4.82	3.94	802-10-064-10-002000
24	Doppelreihig, Sockel, gerade Lötlitze	2 x 36	3.6" (91.44)	200µ" Sn	30µ" Au	ED9672-ND	7.30	6.18	5.05	803-93-072-10-001000
25	Doppelreihig, Sockel, niedrige Bauform	2 x 36	3.6" (91.44)	200µ" Sn	30µ" Au	ED9772-ND	6.85	5.80	4.74	803-93-072-10-002000
	Steckverbindungen, 0,050" (1,27 mm) Gitter									
26	Einreihig, 0,132" (3,35 mm) SMT-Steckleiste	50	2.5" (63.50)	10µ" Au	—	ED1050-ND	8.17	7.09	5.72	850-10-050-30-001000
27	Einreihig, 0,087" (2,21 mm) Stiftleiste, niedrige Bauform	50	2.5" (63.50)	10µ" Au	—	ED8250-ND	6.01	5.09	4.17	850-10-050-10-001000
28	Doppelreihig, 0,132" (3,35 mm) SMT-Steckleiste	2 x 50	2.5" (63.50)	10µ" Au	—	ED10100-ND	14.91	12.93	10.44	852-10-100-30-001000
29	Doppelreihig, 0,075" (1,91 mm) Stiftleiste, niedrige Bauform	2 x 50	2.5" (63.50)	10µ" Au	—	ED83100-ND	12.02	10.18	8.33	852-10-100-10-001000
30	Einreihig, 0,207" (5,26 mm) SMT-Sockel	50	2.5" (63.50)	200µ" Sn	30µ" Au	ED1150-ND	11.11	9.63	7.78	851-93-050-30-001000
31	Einreihig, 0,161" (4,09 mm) Sockel, niedrige Bauform	50	2.5" (63.50)	200µ" Sn	30µ" Au	ED8450-ND	9.16	7.76	6.35	851-93-050-10-001000
32	Doppelreihig, 0,207" (5,26mm) SMT-Sockel	2 x 50	2.5" (63.50)	200µ" Sn	30µ" Au	ED11100-ND	20.72	17.97	14.51	853-93-100-30-001000
33	Doppelreihig, 0,161" (4,09 mm) Sockel, niedrige Bauform	2 x 50	2.5" (63.50)	200µ" Sn	30µ" Au	ED85100-ND	18.33	15.51	12.69	853-93-100-10-001000
	Rechtwinklige Steckverbindungen, 0,050" (1,27 mm) Gitter									
34	Einreihig, Steckleiste, recht winklige Lötlitze	50	2.5" (63.50)	10µ" Au	—	ED8650-ND	8.16	6.91	5.65	850-10-050-20-001000
35	Doppelreihig, Steckleiste, recht winklige Lötlitze	2 x 50	2.5" (63.50)	10µ" Au	—	ED87100-ND	16.46	13.93	11.40	852-10-100-20-001000
36	Einreihig, Sockel, recht winklige Lötlitze	50	2.5" (63.50)	200µ" Sn	30µ" Au	ED8850-ND	11.40	9.65	7.90	851-93-050-20-001000
37	Doppelreihig, Sockel, recht winklige Lötlitze	2 x 50	2.5" (63.50)	200µ" Sn	30µ" Au	ED89100-ND	22.89	19.37	15.85	853-93-100-20-001000
	Steckverbindungen, 2 mm Gitter									
38	Einreihig, 0,189" (4,80 mm) SMT-Steckleiste	50	3.94" (100.08)	10µ" Au	—	ED1250-ND	7.44	6.45	5.21	830-10-050-30-001000
39	Einreihige Stiftleiste	50	3.94" (100.08)	10µ" Au	—	ED9050-ND	5.34	4.52	3.70	830-10-050-10-001000
40	Doppelreihig, 0,189" (4,80 mm) SMT-Steckleiste	2 x 50	3.94" (100.08)	10µ" Au	—	ED12100-ND	14.73	12.77	10.32	832-10-100-30-001000
41	Doppelreihig, Stiftleiste	2 x 50	3.94" (100.08)	10µ" Au	—	ED91100-ND	10.68	9.04	7.40	832-10-100-10-001000
42	Einreihig, 0,228" (5,79 mm) SMT-Sockel	50	3.94" (100.08)	200µ" Sn	30µ" Au	ED1350-ND	5.77	5.01	4.05	831-93-050-30-001000
43	Einreihig, Sockel	50	3.94" (100.08)	200µ" Sn	30µ" Au	ED9250-ND	3.44	2.92	2.39	831-93-050-10-001000
44	Doppelreihig, 0,228" (5,79mm) SMT-Sockel	2 x 50	3.94" (100.08)	200µ" Sn	30µ" Au	ED13100-ND	11.43	9.91	8.01	833-93-100-30-001000
45	Doppelreihig, Sockel	2 x 50	3.94" (100.08)	200µ" Sn	30µ" Au	ED93100-ND	6.88	5.82	4.77	833-93-100-10-001000

Alle Preisangaben in Euro und inklusive Zollgebühren.

Oberflächenmontierte Steckverbinder — Modulare federgeladene Kontakte

- Modulare Kontakte zur Verwendung auf 0,100" Raster; erhältlich in sieben Höhen von 0,177" - 0,295", in Einzel- und Doppelreihen-Kontaktstreifen
- Präzisionsgearbeitete Kolben/Basis und vergoldete Bauteile sorgen für eine Mindesthaltbarkeit von 40.000 Betriebszyklen.
- Kolben haben im Verhältnis zum niedrigen Profil des Bausatzes einen langen Hub.
- Geringer Widerstand, Kontakte für hohe Stromstärke mit Nennwert von 2 A Dauerbelastung, 3 A Spitze.
- Thermoplast-Isolatoren für hohe Temperaturen eignen sich für die Oberflächenmontage
- Typische Anwendung wäre als Grundeinheit- (Batterie/Ladegerät-) Schnittstelle für tragbare Geräte, wie z.B. Handys/Radios, Barcodeleser, medizinische und Testinstrumente.

Abb. 1

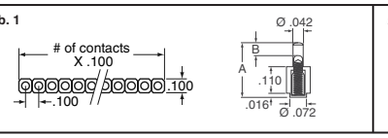

Abb. 2

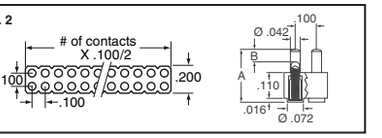

Abb.	Kontakte	Ursprüngliche Höhe A Zoll (mm)	Hub-Abmessung B Zoll (mm)	Digi-Key Teilenr.	Stückpreis 1	10	100	Mill-Max Teilenr.
				Einreihig - Serie 811				
1	64	.177 (4.50)	.055 (1.40)	ED8111-64-ND	14.90	13.84	12.07	811-22-064-30-001101
		.197 (5.00)	.055 (1.40)	ED8112-64-ND	14.90	13.84	12.07	811-22-064-30-002101
		.217 (5.51)	.055 (1.40)	ED8113-64-ND	14.90	13.84	12.07	811-22-064-30-003101
		.236 (5.99)	.055 (1.40)	ED8114-64-ND	14.90	13.84	12.07	811-22-064-30-004101
		.256 (6.50)	.055 (1.40)	ED8115-64-ND	14.90	13.84	12.07	811-22-064-30-005101
		.276 (7.01)	.055 (1.40)	ED8116-64-ND	14.90	13.84	12.07	811-22-064-30-006101
		.295 (7.49)	.055 (1.40)	ED8117-64-ND	14.90	13.84	12.07	811-22-064-30-007101
				Zweireihig - Serie 813				
2	72	.177 (4.50)	.055 (1.40)	ED8131-72-ND	16.76	15.57	13.57	813-22-072-30-001101
		.197 (5.00)	.055 (1.40)	ED8132-72-ND	16.76	15.57	13.57	813-22-072-30-002101
		.217 (5.51)	.055 (1.40)	ED8133-72-ND	16.76	15.57	13.57	813-22-072-30-003101
		.236 (5.99)	.055 (1.40)	ED8134-72-ND	16.76	15.57	13.57	813-22-072-30-004101
		.256 (6.50)	.055 (1.40)	ED8135-72-ND	16.76	15.57	13.57	813-22-072-30-005101
		.276 (7.01)	.055 (1.40)	ED8136-72-ND	16.76	15.57	13.57	813-22-072-30-006101
		.295 (7.49)	.055 (1.40)	ED8137-72-ND	16.76	15.57	13.57	813-22-072-30-007101

Digi-Key Teilenr.	Grundpreis	Pin-Ergänzung
Einreihig - Serie 811		
ED8111-XX-ND	7.197	.127
ED8112-XX-ND	7.197	.127
ED8113-XX-ND	7.197	.127
ED8114-XX-ND	7.197	.127
ED8115-XX-ND	7.197	.127
ED8116-XX-ND	7.197	.127
ED8117-XX-ND	7.197	.127
Zweireihig - Serie 813		
ED8131-XX-ND	7.916	.263
ED8132-XX-ND	7.916	.263
ED8133-XX-ND	7.916	.263
ED8134-XX-ND	7.916	.263
ED8135-XX-ND	7.916	.263
ED8136-XX-ND	7.916	.263
ED8137-XX-ND	7.916	.263

HINWEIS: Die berechneten Preise können je nach Wechselkurs schwanken.

BESTELLUNG - 4 EINFACHE SCHRITTE

Wie bestelle ich eine ED8111-63 Steckleiste mit 63 Pins?
Digi-Key anrufen, um Preisinformationen zu erhalten,
oder den Preis selbst bestimmen.

Bestellung - 4 einfache Schritte	***Our Example***	***Your Digi-Key Part Number***
Schritt 1. Benötigte „Digi-Key Teilenr." und Anzahl der gewünschten Pins auswählen.	ED8111-63-ND	ED __ __ __ __ - __ __ -ND
Schritt 2. Den „Grundpreis" für die gewählte Teilenr. ermitteln (siehe Tabelle).	4.56	_____
Schritt 3. Mit der gewünschten Pin-Zahl (siehe „Pin-Ergänzung" der gewählten Teilenr. (siehe Tabelle) multiplizieren.	63 x .40 = 25.60	____ x ____ = _____
Schritt 4. Schritt 2 und 3 addieren, um Endpreis zu ermitteln!	Ihre Kosten = 29.76	Ihre Kosten = _____

Hinweis: **Für Mengen von 10 oder mehr Digi-Key® anrufen.**

Serielle Universal-Bus-Controller

Merkmale:

- USB-Steckbuchsen für Durchgangsloch- und Oberflächenmontage
- Steckerhalteösen
- Geknickte Lokalisierungsbeine für sicheren Leiterplattenhalt
- Mit USB 1.0 Spezifikation voll kompatibel
- Erfüllt die 16MHz Signalabschwächungsanforderungen gemäß ASTM-D-4566

Material-Spezifikationen:

- Gehäuse und Kontakt: Kupferlegierung
- Gehäuse-Oberfläche: Zinn/Blei über Kupfer
- Kontakt-Oberfläche: 30 µ Teilvergoldung, Zinn/Blei-Litze
- Gehäuse: Glasgefülltes Thermoplast, Nennleistung UL94V-0

Nenngrößen:

- Spannung: 30 V AC (rms)
- Strom: Max. 1 A pro Kontakt für 30 °C Temperaturanstieg Durchgangslochgehäuse zugelassen für Wellenlöten bei 130 °C. SMT-Gehäuse zugelassen für Aufschmelzlöten bei 240 °C.

Elektrische Spezifikationen:

- Kontaktwiderstand: Max. 30 mW
- Isolationswiderstand: Min. 1.000 mΩ
- Durchschlagfestigkeit auf Meereshöhe: 750 V AC
- Kapazität: Max. 2 pF

Abb. 1

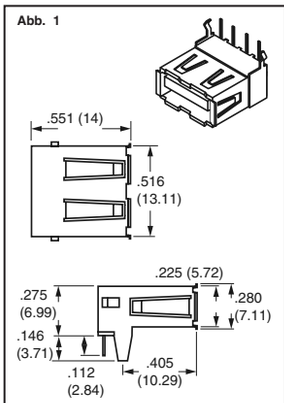

Abb. 2

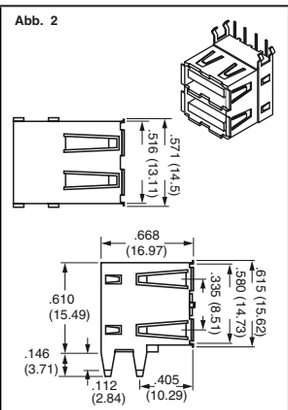

Abb. 3

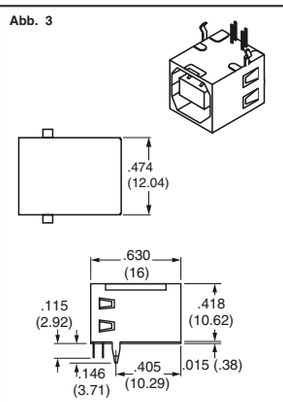

Abb. 4

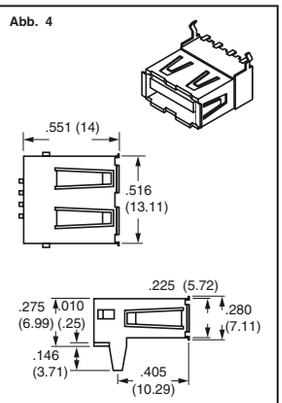

Abb.	Beschreibung	Digi-Key Teilenr.	Stückpreis 1	10	100	500	1.000	Mill-Max Teilenr.
1	Typ A, Steckbuchse, einfach, Durchgangsloch	ED90001-ND	1.04	.88	.72	.54	.45	896-30-004-90-000000
2	Typ A, Steckbuchse, zweifach, Durchgangsloch	ED90002-ND	1.63	1.39	1.14	.84	.71	896-30-008-90-000000
3	Typ B, Steckbuchse, einfach, Durchgangsloch	ED90003-ND	1.04	.88	.72	.54	.45	897-30-004-90-000000
4	Typ A, Steckbuchse, einfach, Oberflächenmontage	ED90004-ND	1.04	.88	.72	.54	.45	896-30-004-00-000000

PLCC-Adapter, 68 Positionen

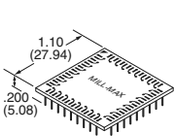

Pin-Überzug: Gold

Beschreibung	Digi-Key Teilenr.	Stückpreis 1	10	100	500	Mill-Max Teilenr.
68-Pos. PLCC-Adapter	ED7700-ND	8.51	7.20	5.90	4.36	S894-10-068-00-240000

Zickzack-Sockel

Zweireihige gestaffelte Streifen für Single-in-Line Zickzack-Speicherpakete auf hochdichten Karten, links stapelbar.
Einführungsmerkmal: 4-Finger, geringer Kraftaufwand
Überzug: Hülse (Pin) 200 µ" Sn.; Kontakt (Clip) 30 µ" Au

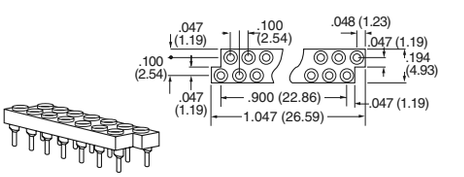

Anz. der Pins	Isolatorkörper	Digi-Key Teilenr.	Stückpreis 1	10	100	500	1.000	Mill-Max Teilenr.
20	Links stapelbar	ED2220-ND	1.16	.81	.65	.56	.47	410-93-220-10-001

Alle Preisangaben in Euro und inklusive Zollgebühren.

Single In-Line Streifensockel — Lötlitze und lötfrei

MATERIAL:

• **Isolatorkörper:** Glasgefülltes Thermoplast-Polyester, selbstlöschend, UL94V-0-Zulassung; schwarz; beständig gegen Reinigungsmittel, Mineralsäuren, Lösungen, Schmierstoffe und Öle (kurzzeitig) • **Steckbuchse (Hülse):** Gedrehtes Messing mit 200 µ" Zinn-Blei-Überzug •**Pin:** Gedrehtes Messing mit 10 µ" Vergoldung • **Kontakt:** Gestanztes Beryllium-Kupfer mit 30 µ" Goldüberzug • **Lebensdauer** Mechanisch: Min. 100 Schaltungen **ELEKTRISCHE SPEZIFIKATIONEN:** • **Nennstrom:** 1 A (Serie 7000, 7400); 3 A (7100, 7200, 7500, 7600) • **Nennspannung:** 100 VRMS/150 V DC • **Kontaktwiderstand:** Max. 10 mΩ • **Isolationswiderstand:** Min. 10.000 MΩ. • **Durchschlagsfestigkeit:** Min. 1.000 VRMS. • **Max. Kapazität:** 0,8 pF (Serie 7000, 7400); 1 pF (7100, 7200, 7500, 7600) **UMWELTDATEN.** • **Betriebstemperaturbereich:** -55 °C ~ 125 °C • **Vibration:** 10-2.000 Hz, 15 g. • **Schock:** 150 g (keine elektrische Diskontinuität größer als 1 µs) • **Lötbarkeit:** IEC 68-2-20 Ta • **Widerstand gegen Löthitze:** IEC 68-2-20, 260 °C, 5 s • **Widerstand gegen atmosphärische Korrosion:** IEC 68-2-42 & 43.

Abb. 1 — Standard-Lötlitze

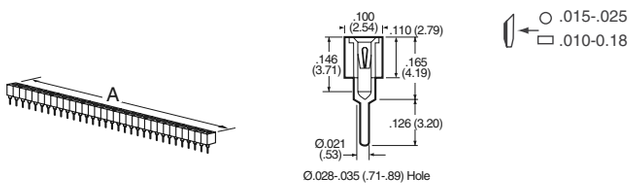

Abb. 2 — Niedrigprofilsockel

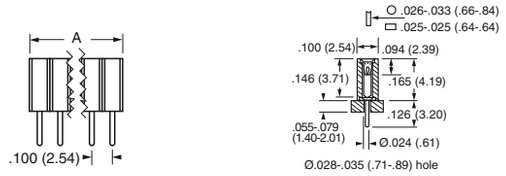

Abb. 3 — Sockelstreifen

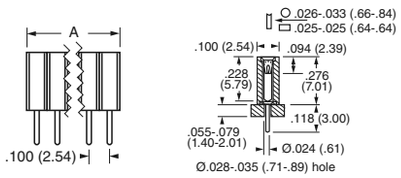

Abb. 4 — Niedrigprofil-Stiftsteckleiste

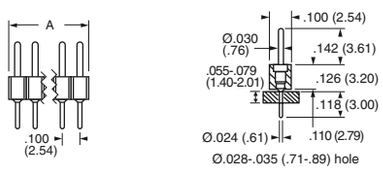

Abb. 5 — Stiftsteckleistenstreifen

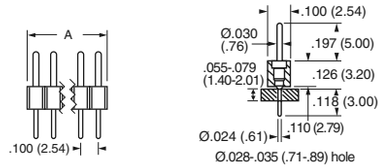

Abb.	Anz. der Pins	Abm. A Zoll (mm)	Überzug Hülse/Pin	Überzug Klemme	Digi-Key Teilenr.	Preisangaben 1	10	100	Mill-Max Teilenr.
Buchsenlötlitze — Serie 7000									
1	64	6.4 (162.56)	200µ" Sn	30µ" Au	ED7064-ND	2.15	19.22	158.23	310-93-164-41-001000
Einreihiger Sockel, gerade Lötlitze — Serie 7400									
1	64	6.4 (162.56)	10µ" Au	30µ" Au	ED7464-ND	3.04	27.23	224.19	310-13-164-41-001000
Einreihiger Niedrigprofilsockel — Serie 7600									
2	36	3.6 (91.44)	200µ" Sn	30µ" Au	ED7636-ND	3.07	27.51	226.50	801-93-036-10-012000
Einreihiger Stiftsockel, gerade Lötlitze — Serie 7100									
3	50	5.0 (127.00)	200µ" Sn	30µ" Au	ED7150-ND	4.44	39.75	327.30	801-93-050-10-001000
Einreihige Niedrigprofilstiftsteckleiste — Serie 7500									
4	64	6.4 (162.56)	10µ" Au	—	ED7564-ND	4.99	44.62	367.48	800-10-064-10-002000
Einreihige Stiftsteckleiste, gerade Lötlitze — Serie 7200									
5	64	6.4 (162.56)	10µ" Au	—	ED7264-ND	5.09	45.50	374.77	800-10-064-10-001000

Digi-Key Teilenr.	Grundpreis	Pin-Ergänzung
7000 Serie		
ED70XX-ND	.703	.026
Serie 7400		
ED74XX-ND	1.093	.034
Serie 7600		
ED76XX-ND	1.186	.060
Serie 7100		
ED71XX-ND	1.397	.068
Serie 7500		
ED75XX-ND	1.550	.060
Serie 7200		
ED72XX-ND	1.660	.060

HINWEIS: Die berechneten Preise können je nach Wechselkurs schwanken.

Einfacher In-Line-Streifensockel — Lötfreie Druckpassung, flexible Litze

MERKMALE:

Einzigartige flexible Litzenstifte entsprechen 0,040" ±0,003" (1,02 mm ±0,08 mm) Endlochdurchmesser ohne Stress auf die Innenschichten

ANWENDUNG VON FLEXIBLEN LITZENSTIFTEN:

Die Litzenstifte nach dem Mill-Max Patent (Patentnr. 4.799.904) bestehen aus präzisionsgearbeiteten, hohlen Pins, die so gesteckt werden, dass sie einem PTH-Durchmesser von 0,040" ±0,003" (1,02 mm ± 0,08 mm) entsprechen. Beim Einsetzen des Pins wird der Steckplatz zusammengedrückt, um dem PTH zu entsprechen, wodurch Beschädigungen vermieden werden (siehe Abb.). Das Ende des Stifts verfügt über feine Sägezahneinschnitte, die eine perfekte „gasundurchlässige" Verbindung bilden, die nicht gelötet werden muss. Da der Stift ferner das Loch nicht beschädigt, sind flexible Litzensockel und Steckverbinder schnell zu ersetzen.

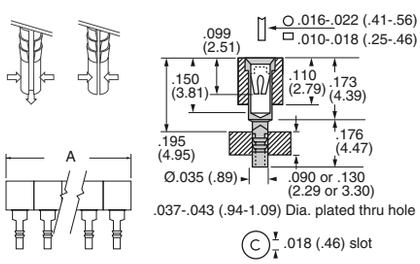

Anz. der Pins	Abm. A Zoll (mm)	Überzug Hülse/Pin	Überzug Klemme	Digi-Key Teilenr.	Preisangaben 1	10	100	Mill-Max Teilenr.
64	6.4" (162.56)	200µ" Sn	30µ" Au	ED7364-ND	5.45	48.79	401.80	346-93-164-41-013000

Digi-Key Teilenr.	Grund preis	Pin-Ergänzung
ED73XX-ND	2.049	.060

HINWEIS: Die berechneten Preise können je nach Wechselkurs schwanken.

BESTELLUNG - 4 EINFACHE SCHRITTE

Wie kann ich eine ED7064-Steckleiste mit 64 Pins bestellen?
Digi-Key anrufen, um Preisinformationen zu erhalten,
oder den Preis selbst bestimmen.

ED □□□□ - ND
Serie — Anzahl der gewünschten Pins

Bestellung - 4 einfache Schritte	***Unser Beispiel:***	***Ihre Digi-Key Teilenummer***
Schritt 1. Benötigte „Digi-Key Teilenr." und Anzahl der gewünschten Pins auswählen.	ED7064-ND	ED __ __ __ __ -ND
Schritt 2. Den „Grundpreis" für die gewählte Teilenr. ermitteln (siehe Tabelle).	.33	_____
Schritt 3. Mit der gewünschten Pin-Zahl (siehe „Pin-Ergänzung" der gewählten Teilenr. (siehe Tabelle) multiplizieren.	64 x .04 = 2.56	____ x ____ = ____
Schritt 4. Schritt 2 und 3 addieren, um Endpreis zu ermitteln!	Ihre Kosten = 2.89	Ihre Kosten = ____

Hinweis: **Für Mengen von 10 oder mehr Digi-Key® anrufen.**

Abb. 1

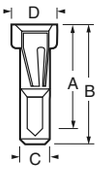

Abb. 2

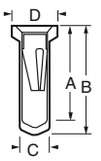

Abb. 3

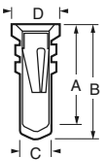

Abb. 4

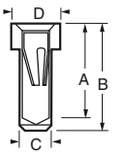

Abb. 5

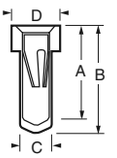

Abb. 6

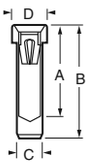

Abb. 7

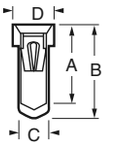

Abb. 8

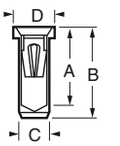

Abb. 9

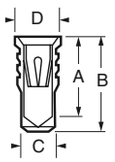

Abb. 10

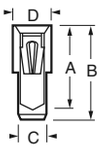

Abb. 11

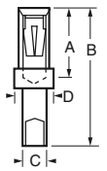

Abb. 12

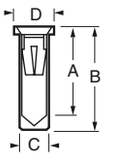

Abb. 13

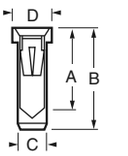

Abb. 14

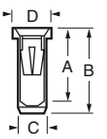

Abb. 15

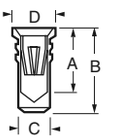

Abb. 16

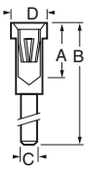

Abb. 17

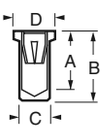

Abb. 18

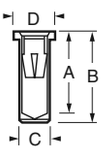

Abb. 19

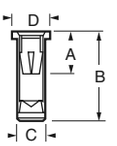

Abb. 20

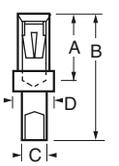

Abb. 21

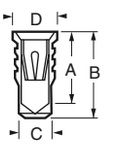

Abb. 22

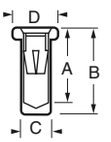

Abb. 23

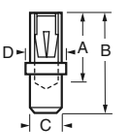

Abb. 24

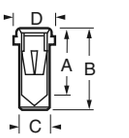

Abb. 25

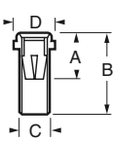

Abb. 26

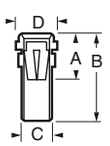

Abb. 27

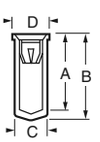

Abb. 28

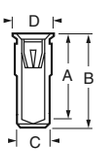

Abb. 29

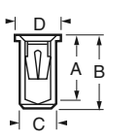

Abb. 30

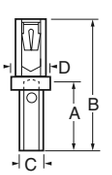

Abb. 31

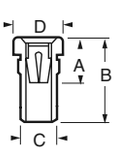

Abb. 32

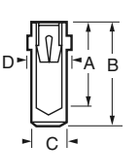

Abb. 33

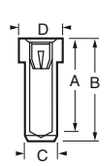

Abb. 34

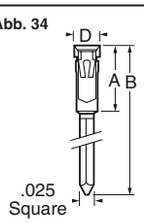

Abb. 35

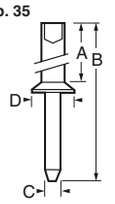

Abb. 36

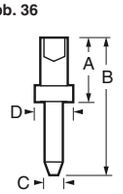

Abb. 37

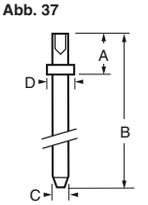

Abb. 38

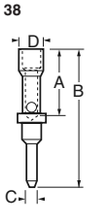

Abb. 39

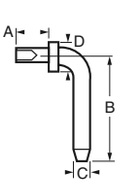

Abb. 40

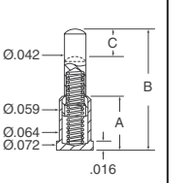

Abb.	Montageloch-durchmesser	Abmessungen - Zoll (mm) A	B	C	D	Digi-Key Teilenr.	Preisangaben 10	100	1,000
0,015" – 0,021" (0,38 mm – 0,53 mm) Pin-Durchmesser									
1	.036 (.91)	.138 (3.51)	.155 (3.94)	.034 (.86)	.058 (1.47)	ED5036-ND	1.25	9.40	62.65
2	.040 (1.02)	.120 (3.05)	.136 (3.45)	.038 (.97)	.055 (1.40)	ED5037-ND	.68	5.08	33.86
2	.040 (1.02)	.150 (3.81)	.170 (4.32)	.038 (.97)	.055 (1.40)	ED5038-ND	.69	5.16	34.37
3	.041 (1.04)	.124 (3.15)	.140 (3.56)	.038 (.97)	.055 (1.40)	ED5039-ND	1.33	9.98	66.54
3	.041 (1.04)	.154 (3.91)	.170 (4.32)	.038 (.97)	.055 (1.40)	ED5040-ND	1.34	10.06	67.05
4	.040 (1.02)	.127 (3.23)	.146 (3.71)	.038 (.97)	.055 (1.40)	ED5046-ND	.79	5.89	39.28
5	.040 (1.02)	.140 (3.56)	.160 (4.06)	.038 (.97)	.056 (1.42)	ED5041-ND	1.50	11.23	74.84
0,015" – 0,025" (0,38 mm – 0,64 mm) Pin-Durchmesser									
6	.051 (1.30)	.205 (5.21)	.248 (6.30)	.049 (1.24)	.063 (1.60)	ED5045-ND	1.76	13.18	87.88
7	.053 (1.35)	.135 (3.43)	.160 (4.06)	.051 (1.30)	.072 (1.83)	ED5042-ND	1.45	10.87	72.47
8	.057 (1.45)	.142 (3.61)	.161 (4.09)	.055 (1.40)	.072 (1.83)	ED5044-ND	.84	6.30	41.99
9	.057 (1.45)	.150 (3.81)	.170 (4.32)	.053 (1.35)	.072 (1.83)	ED5004-ND	1.48	11.10	73.99
10	.061 (1.55)	.150 (3.81)	.180 (4.57)	.058 (1.47)	.080 (2.03)	ED5043-ND	1.35	10.18	67.90
0,022" – 0,032" (0,56 mm – 0,81 mm) Pin-Durchmesser									
11	.060 (1.52)	.170 (4.32)	.294 (7.47)	.058 (1.47)	.094 (2.39)	ED5015-ND	3.61	27.02	180.16
12	.063 (1.60)	.233 (5.92)	.259 (6.58)	.060 (1.52)	.077 (1.96)	ED5008-ND	1.60	11.99	79.92
13	.071 (1.80)	.210 (5.33)	.250 (6.35)	.068 (1.73)	.093 (2.36)	ED5006-ND	1.73	12.95	86.35
14	.076 (1.93)	.185 (4.70)	.206 (5.23)	.073 (1.85)	.090 (2.29)	ED5007-ND	1.69	12.72	84.83
0,025" – 0,037" (0,64 mm – 0,94 mm) Pin-Durchmesser									
15	.061 (1.55)	.165 (4.19)	.200 (5.08)	.057 (1.45)	.078 (1.98)	ED5005-ND	2.41	18.08	120.56
16	.042 (1.07)	.180 (4.57)	.320 (8.13)	.040 (1.02)	.078 (1.98)	ED5009-ND	2.01	15.14	100.91
16	.042 (1.07)	.180 (4.57)	.397 (10.08)	.040 (1.02)	.078 (1.98)	ED5010-ND	2.39	17.88	119.20
0,037" – 0,043" (0,94 mm – 1,09 mm) Pin-Durchmesser									
17	.071 (1.80)	.127 (3.23)	.150 (3.81)	.069 (1.75)	.090 (2.29)	ED5019-ND	1.90	14.22	94.82
0,032" – 0,047" (0,56 mm – 1,19 mm) Pin-Durchmesser									
18	.075 (1.91)	.180 (4.57)	.206 (5.23)	.072 (1.83)	.090 (2.29)	ED5016-ND	1.73	12.95	86.35
19	.075 (1.91)	.125 (3.18)	.221 (5.61)	.072 (1.83)	.090 (2.29)	ED5018-ND	3.56	26.72	178.12
20	.067 (1.70)	.200 (5.08)	.324 (8.23)	.065 (1.65)	.125 (3.18)	ED5021-ND	3.88	29.11	194.04
21	.076 (1.93)	.180 (4.57)	.206 (5.23)	.071 (1.80)	.090 (2.29)	ED5017-ND	2.05	15.34	102.27
22	.091 (2.31)	.220 (5.59)	.253 (6.43)	.088 (2.24)	.120 (3.05)	ED5013-ND	2.51	18.77	125.13
23	.089 (2.26)	.220 (5.59)	.317 (8.05)	.085 (2.16)	.125 (3.18)	ED5014-ND	3.10	23.26	155.10
24	.087 (2.21)	.195 (4.95)	.236 (5.99)	.085 (2.16)	.125 (3.18)	ED5012-ND	2.15	16.13	107.52
25	.087 (2.21)	.130 (3.30)	.236 (5.99)	.085 (2.16)	.125 (3.18)	ED5011-ND	2.15	16.15	107.69
26	.089 (2.26)	.131 (3.33)	.250 (6.35)	.080 (2.03)	.110 (2.79)	ED5028-ND	2.66	19.96	133.09
0,040" – 0,050" (1,02 mm – 1,27 mm) Pin-Durchmesser									
27	.102 (2.59)	.260 (6.60)	.290 (7.37)	.100 (2.54)	.118 (3.00)	ED5024-ND	2.13	15.98	106.50
28	.103 (2.62)	.260 (6.60)	.290 (7.37)	.088 (2.24)	.118 (3.00)	ED5023-ND	2.99	22.43	149.51

Abb.	Montageloch-durchmesser	Abmessungen - Zoll (mm) A	B	C	D	Digi-Key Teilenr.	Preisangaben 10	100	1,000
0,048" – 0,064" (1,22 mm – 1,63 mm) Pin-Durchmesser									
29	.102 (2.59)	.180 (4.57)	.213 (5.41)	.098 (2.49)	.120 (3.05)	ED5029-ND	2.78	20.80	138.67
30	—	.267 (6.78)	.530 (13.46)	.103 (2.62)	.141 (3.58)	ED5032-ND	6.19	46.40	309.35
31	.108 (2.74)	.134 (3.40)	.250 (6.35)	.102 (2.59)	.136 (3.45)	ED5031-ND	3.41	25.60	170.67
0,065" – 0,082" (1,65 mm – 2,08 mm) Pin-Durchmesser									
32	.144 (3.66)	.340 (8.64)	.412 (10.46)	.142 (3.61)	.188 (4.78)	ED5035-ND	4.67	35.05	233.66
0,084" – 0,102" (2,13 mm – 2,59 mm) Pin-Durchmesser									
33	.144 (3.66)	.415 (10.54)	.465 (11.81)	.142 (3.61)	.188 (4.78)	ED5034-ND	5.66	42.41	282.76
0,015" – 0,025" (0,38 mm – 0,64 mm) Pin-Durchmesser									
34	.055 (1.40)	.200 (5.08)	.700 (17.78)	—	.072 (1.83)	ED5001-ND	1.19	8.97	59.77
34	.055 (1.40)	.200 (5.08)	.560 (14.22)	—	.072 (1.83)	ED5002-ND	1.07	7.97	53.17
34	.055 (1.40)	.200 (5.08)	.460 (11.68)	—	.072 (1.83)	ED5003-ND	1.37	10.26	68.41
0,025" (0,64 mm) Pin-Durchmesser									
35	.035 (.89)	.047 (1.19)	.260 (6.60)	.025 (.64)	.062 (1.57)	ED5055-ND	.71	5.33	35.56
35	.035 (.89)	.078 (1.98)	.291 (7.39)	.025 (.64)	.062 (1.57)	ED5056-ND	.56	4.22	28.11
36	.043 (1.09)	.076 (1.93)	.201 (5.11)	.025 (.64)	.062 (1.57)	ED5053-ND	.70	5.26	35.05
36	.043 (1.09)	.107 (2.72)	.232 (5.89)	.025 (.64)	.062 (1.57)	ED5054-ND	.57	4.27	28.45
0,040" (1,02 mm) Pin-Durchmesser									
37	.043 (1.09)	.047 (1.19)	.221 (5.61)	.040 (1.02)	.070 (1.78)	ED5047-ND	.61	4.57	30.48
37	.043 (1.09)	.102 (2.59)	.252 (6.40)	.040 (1.02)	.070 (1.78)	ED5048-ND	.63	4.77	31.83
37	.043 (1.09)	.102 (2.59)	.290 (7.37)	.040 (1.02)	.070 (1.78)	ED5050-ND	.68	5.11	34.03
37	.043 (1.09)	.102 (2.59)	.402 (10.21)	.040 (1.02)	.070 (1.78)	ED5052-ND	.80	6.04	40.30
38	—	.282 (7.16)	.588 (14.94)	.040 (1.02)	.105 (2.67)	ED5061-ND	3.67	27.51	183.37
0,040" (1,02 mm) Pin-Durchmesser									
39	.043 (1.09)	.082 (2.08)	.257 (6.53)	.040 (1.02)	.070 (1.78)	ED5058-ND	2.24	16.81	112.09

Abb.	Abmessungen - Zoll (mm) A	B	C	Digi-Key Teilenr.	Preisangaben 10	100	1,000
Modulare federnde Kontakte							
40	.098 (2.49)	.137 (3.48)	.039 (.991)	ED9000-ND	2.45	20.12	136.57
	.106 (2.69)	.177 (4.50)	.055 (1.40)	ED9001-ND	2.45	20.12	136.57
	.106 (2.69)	.197 (5.00)	.055 (1.40)	ED9002-ND	2.45	20.12	136.57
	.106 (2.69)	.217 (5.51)	.055 (1.40)	ED9003-ND	2.45	20.12	136.57
	.106 (2.69)	.236 (5.99)	.055 (1.40)	ED9004-ND	2.45	20.12	136.57
	.106 (2.69)	.256 (6.50)	.055 (1.40)	ED9005-ND	2.45	20.12	136.57
	.106 (2.69)	.276 (7.01)	.055 (1.40)	ED9006-ND	2.45	20.12	136.57
	.106 (2.69)	.295 (7.49)	.055 (1.40)	ED9007-ND	2.45	20.12	136.57

Alle Preisangaben in Euro und inklusive Zollgebühren.

ARIES®
ELECTRONICS, INC.

I.C. Sockel

Dual-Blatt, verzinnte Drahtwicklung

Kontakte: Phosphorbronze, CA510
Kontakt-Finish: Verzinnung, 200µ" Minimum

Anz. d. Pins	Digi-Key Teilenr.	Preisangaben 1	25	100	500	1,000	2,500
8	C8108-ND	1.61	33.99	131.38	540.99	1004.68	927.40/M
14	C8114-ND	2.24	47.49	183.58	755.90	1403.80	1295.82/M
16	C8116-ND	2.49	52.62	203.37	837.41	1555.19	1435.57/M
18	C8118-ND	2.60	54.94	212.37	874.46	1624.01	1499.08/M
20	C8120-ND	3.19	67.52	260.96	1074.56	1995.60	1842.10/M
24	C8124-ND	4.03	85.21	329.35	1356.16	2518.58	2324.85/M
28	C8128-ND	4.58	96.85	374.35	1541.43	2862.65	2642.45/M
40	C8140-ND	6.58	139.22	538.12	2215.81	4115.06	3798.52/M

Dual-Blatt, Goldeinlage-Drahtwicklung

Kontakte: Kupferlegierung CA725
Kontakt-Finish: Goldeinlage 50 µ" über 50 µ", Nickel-Interliner

Anz. d. Pins	Digi-Key Teilenr.	Preisangaben 1	25	100	500	1,000	2,500
8	C9108-ND	1.87	39.58	152.98	629.91	1169.83	1079.85/M
14	C9114-ND	3.08	65.19	251.97	1037.50	1926.79	1778.58/M
16	C9116-ND	3.55	74.97	289.76	1193.12	2215.81	2045.36/M
18	C9118-ND	3.92	82.88	320.35	1319.10	2449.77	2261.33/M
20	C9120-ND	4.33	91.73	354.55	1459.91	2711.26	2502.71/M
22	C9122-ND	4.71	99.64	385.14	1585.89	2945.23	2718.68/M
24	C9124-ND	5.20	109.89	424.74	1748.93	3248.01	2998.17/M
28	C9128-ND	6.10	128.98	498.53	2052.77	3812.28	3519.04/M
40	C9140-ND	8.43	178.34	689.30	2838.30	5271.13	4865.67/M

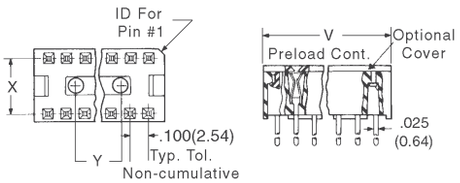

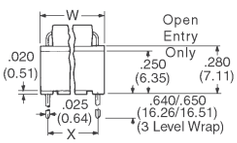

Pins	"V"±.25 Inch (mm)	"W"Max. Inch (mm)	"X"±.13 Inch (mm)	"Y"±.25 Inch (mm)
8	.465 (11.81)	.400 (10.16)	.300 (7.62)	n/a
14	.765 (19.43)	.400 (10.16)	.300 (7.62)	.300 (7.62)
16	.865 (21.97)	.400 (10.16)	.300 (7.62)	.400 (10.16)
18	.965 (24.51)	.400 (10.16)	.300 (7.62)	.400 (10.16)
20	1.065 (27.05)	.400 (10.16)	.300 (7.62)	.400 (10.16)
22	1.180 (29.97)	.500 (12.70)	.400 (10.16)	.500 (12.70)
24	1.280 (32.51)	.700 (17.78)	.600 (15.24)	.500 (12.70)
28	1.480 (37.59)	.700 (17.78)	.600 (15.24)	.500 (12.70)
40	2.080 (52.83)	.700 (17.78)	.600 (15.24)	.800 (20.32)

Merkmale: • Universale Montage- und Paketierungsmöglichkeiten • Die Kontakte eignen sich für 0,015" - 0,021" (0,38 mm - 0,53 mm) rechteckige oder runde Doppel-Inline-Anschlüsse. • Drahtwickelpfosten werden in ihrer effektiven Position von 0,015" (0,38 mm) festgehalten und bieten somit eine effektive Position von 0,020" (0,51 mm) auf Karten zwecks effizienter automatischer Drahtwicklung **Spezifikationen:** Sockelkörper: UL94V-0 glasgefülltes Polyester **Anmerkungen:** Die Sockel erfüllen die Anforderungen der Gerätetestspezifikation TS-0003 und des Testberichts TR-0001 von Texas Instruments. Für Standardanschlüsse (C) bis 0,001" x 0,018" (0,03 mm x 0,46 mm) Größe. Sockel können automatisch oder simultan mit Draht umwickelt werden.

4-Pin Oszillator-Sockel

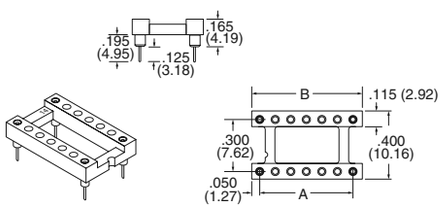

Spezifikationen: • Sockelmaterial: Blaues glasgefülltes Polyester-Thermoplast (PBT) gemäß UL 94V-0 • Stiftkörper-Überzug: Min. 200 µ Zinn (gemäß MIL-T-10727) über min. 100 µ. Nickel gemäß QQ-N-290 • Kontaktüberzug: Min. 10 µ Gold über min. 50 µ gemäß MIL-G-45204 Nickel gemäß QQ-N-290 • Kontaktstromnennleistung: 3 A • Betriebstemperatur: 105°C • Einsteckkraft: 180 g/Pin; Ziehkraft: 90 g/Pin; normale Kraft: 140 g/Pin; basierend auf einem Testanschluss mit 0,018" (0,46 mm) Durchmesser • Akzeptiert Anschlüsse von 0,015"-0,025" (0,38 mm - 0,64 mm) Durchmesser, 0,100"-0,146" (2,54 mm - 3,71 mm) Länge

Größe	Abmessungen – Zoll (mm) A	B	Digi-Key Teilenr.	Stückpreis 1	25	100	Aries Teilenr.
Voll	.600 (15.24)	.700 (17.78)	A462-ND	.47	.40	.32	1107741
Halb	.300 (7.62)	.400 (10.16)	A463-ND	.47	.40	.32	1108800

Maschinenstift Ringverschluss-Sockel, offene Bauform

Spezifikationen: • Kontakte: Ringverschluss – Berylliumkupfer mit 10" Goldüberzug; Körper: Messing • Ringverschluss akzeptiert runde Anschlüsse mit 0,014" - 0,022" (0,38 mm - 0,56 mm) Durchmesser• Plattform: Glasgefülltes Thermoplast (UL94V-0) • Kompatibel mit automatischen Platzieranlagen • Ringverschluss ist 10" vergoldet

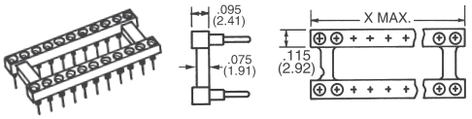

Pin-Mitten Zoll (mm)	Anz. d. Pins	Abm. „X" Zoll (mm)	Digi-Key Teilenr.	Preisangaben 1	25	100
.300 (7.62)	8	.400 (10.16)	A400-ND	.39	9.08	20.59
.300 (7.62)	14	.700 (17.78)	A401-ND	.63	14.60	33.12
.300 (7.62)	16	.800 (20.32)	A402AE-ND	.72	16.51	37.44
.300 (7.62)	18	.900 (22.86)	A403AE-ND	.91	20.95	47.51
.300 (7.62)	20	1.000 (25.40)	A404AE-ND	.80	18.41	41.75
.300 (7.62)	24	1.200 (30.48)	A405-ND	1.02	23.49	53.28
.400 (10.16)	22	1.100 (27.97)	A406-ND	1.19	24.29	73.43
.400 (10.16)	24	1.200 (30.48)	A407-ND	1.35	27.62	83.51
.600 (15.24)	24	1.200 (30.48)	A408-ND	1.00	22.52	54.72
.600 (15.24)	28	1.400 (35.56)	A409AE-ND	1.19	26.67	64.79
.600 (15.24)	32	1.600 (40.64)	A410AE-ND	1.36	30.82	74.87
.600 (15.24)	40	2.000 (50.80)	A411-ND	1.57	35.56	86.39
.600 (15.24)	48	2.400 (60.96)	A412-ND	2.05	46.22	112.30
.900 (22.86)	50	2.500 (63.50)	A413-ND	2.70	55.24	167.02
.900 (22.86)	64	3.200 (81.28)	A414-ND	3.45	70.48	213.09

DIP-Header und Abdeckungen

Steckleisten und Abdeckungen separat bestellen

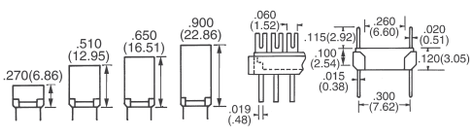

Anz. d. Pins	DIP-Steckleiste, Teilenr.	Preisangaben 1	25	100	Abdeckung, Auswahlhinweise – Zoll (mm) 0,27 (6,86)	0,51 (12,95)	0,65 (16,51)	0,90 (22,86)
8	A101-ND	.93	20.45	66.23	A105-ND	—	—	—
14	A102AE-ND	1.32	28.89	93.58	A106-ND	A107-ND	A108-ND	A109-ND
16	A103-ND	1.42	31.11	100.79	A110AE-ND	A111-ND	A112-ND	A113-ND
18	A133-ND	1.61	35.12	113.74	A137-ND	—	—	—
20	A104AE-ND	1.71	37.34	120.95	A114-ND	—	—	—
24	A134-ND*	2.09	45.78	148.30	A138-ND	A139-ND	—	—
28	A135-ND*	2.46	53.78	174.21	A140-ND	—	—	—
40	A136-ND*	3.25	71.11	230.37	A142-ND	—	—	—

* 0,600 (10,16 mm) Pin-Abstand

Abdeckung, Teilenr.	Preisangaben 1	25	100
A105-ND, A106-ND	.29	5.88	17.34
A107-ND - A111-ND	.30	6.26	18.49
A112-ND, A113-ND	.35	7.05	20.80
A114-ND	.36	7.44	21.96
A137-ND	.36	7.44	21.96
A138-ND	.38	8.04	23.11
A139-ND	.46	9.65	27.73
A140-ND	.52	10.86	31.21
A142-ND	.55	11.67	33.52

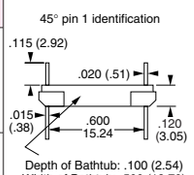

ARIES®
ELECTRONICS, INC.

IC-Stiftbegradiger

A998-ND
27.51/1
601.84/25

DIP-Extraktionswerkzeug

A999-ND
4.30/1
94.04/25

A998-ND Antistatischer IC-Stiftbegradiger:
Begradigt IC-Füsschen mit nur einem Druck. Setzen Sie 0,300" (7,62 mm) ICs in eine Seite des Werkzeugs und 0,600" (15,24 mm) ICs in die andere Seite ein. Auf diese Weise werden die Anschlüsse auf eine Toleranz von 0,320" (8,13 mm) bzw. 0,620" (15,75 mm) gebracht.

Hinweis: Dieses Werkzeug begradigt keine IC-Füsschen, die so verbogen sind, dass der Abstand zwischen den Pins mehr als 0,100" (2,54 mm) beträgt.

A999-ND Dip- Extraktionswerkzeug:
Ein sehr praktisches, preiswertes Werkzeug zum Entfernen von ICs aus Dip-Sockeln.

Vertisockel
Vertikale Befestigung

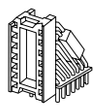

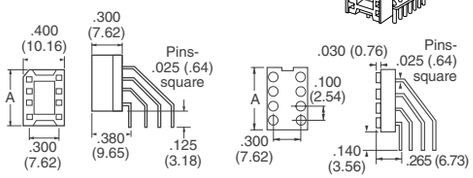

A117-ND – A121-ND **A122-ND – A125-ND**

Merkmale: • Begrenzter Eingang zum Schutz des Kontakts • Maximaler elektrischer Kontakt • Akzeptiert Standard-LEDs, Glühlampen-Displays und große 0,5" (12,70 mm) und 0,6" (15,24 mm) hohe Displays

Spezifikationen: • **Kontakte:** Klasse A, abgefederte Phosphorbronze • Überzug: 10 µ Gold (gemäß MIL-G-45204) über 50 µ Nickel (gemäß QQN-290), 100 µ verzinnt (gemäß MIL-T-10727) über 50 µ Nickel (gemäß QQN-290) • **Sockel:** Glasgefülltes Thermoplast

Anz. d. Pins	Pin-Mitten Zoll (mm)	Beschreibung	Abmessung A Zoll (mm)	Digi-Key Teilenr.	Preisangaben 1	25
8	.300 (7.62)	Vergoldet	.45 (11.43)	A117-ND	3.81	83.81
14	.300 (7.62)	Vergoldet	.75 (19.05)	A118-ND	4.51	99.18
16	.300 (7.62)	Vergoldet	.85 (21.59)	A119-ND	5.87	128.98
8	.600 (15.24)	Vergoldet	—	A466-ND	4.81	100.90
14	.300 (7.62)	Verzinnt	.75 (19.05)	A120-ND	3.37	74.04
16	.300 (7.62)	Verzinnt	.85 (21.59)	A121-ND	4.55	100.11
10	.300 (7.62)	Ringverschlusskontakte	.495 (12.57)	A122-ND	5.25	115.48
14	.300 (7.62)	Ringverschlusskontakte	.695 (17.65)	A124-ND	6.52	143.41
16	.300 (7.62)	Ringverschlusskontakte	.795 (20.19)	A125-ND	7.20	158.31
8	.600 (15.24)	Vergoldet	—	A464-ND	3.77	79.11
10	.200 (5.08)	Vergoldet	—	A465-ND	4.51	94.68

Vertisockel
Horizontale Befestigung

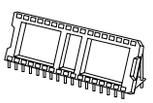

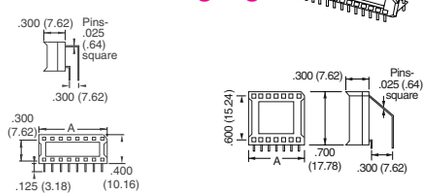

A126-ND – A129-ND **A130-ND – A132-ND**

Merkmale: • Begrenzter Eingang zum Schutz des Kontakts • Maximaler elektrischer Kontakt • Akzeptiert Standard-LEDs, Glühlampen-Displays und große 0,5" (12,70 mm) und 0,6" (5,24 mm) hohe Displays

Spezifikationen: • **Kontakte:** Klasse A, Federzustand, Phosphorbronze • **Überzug:** 10 µ Gold (gemäß MIL-G-45204) über 50 µ Nickel, (gemäß QQN-290), 100 µ verzinnt (gemäß MIL-T-10727) über 50 µ Nickel (gemäß QQN-290) • **Sockel:** Glasgefülltes Thermoplast

Anz. d. Pins	Pin-Mitten Zoll (mm)	Abmessung A Zoll (mm)	Digi-Key Teilenr.	Preisangaben 1	25	100
8	.300 (7.62)	.45 (11.43)	A126-ND	3.13	68.91	213.09
14	.300 (7.62)	.75 (19.05)	A127-ND	3.84	84.28	260.60
16	.300 (7.62)	.85 (21.59)	A128-ND	4.15	91.26	282.20
20	.300 (7.62)	1.05 (26.67)	A129-ND	5.12	112.68	348.43
24	.600 (15.24)	1.25 (31.75)	A130-ND	7.87	173.21	535.60
28	.600 (15.24)	1.45 (36.83)	A131-ND	8.83	194.17	600.39
40	.600 (15.24)	2.05 (52.07)	A132-ND	11.50	252.84	781.81

Vertikaler Sockel

Für Displays auf 0,300" (7,62 mm) Mitten, 14 Pins Diese preiswerten Vertisockel werden für großvolumige vertikale Display-Montageanwendungen empfohlen. Nur verzinnt erhältlich.

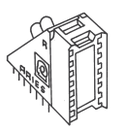

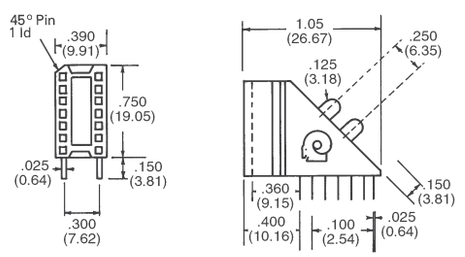

Digi-Key Teilenr.	Preisangaben 1	25	100	500	Aries Teilenr.
A116-ND	2.50	54.94	169.90	749.54	14-810-90R

ARIES® ELECTRONICS, INC.

A

Dip-Sockel verschließen/auswerfen

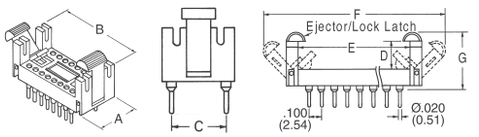

Anz. d. Pins	Abmessungen Zoll (mm) A	B	C	D	E	F	G
14	.400 (10.16)	.950 (24.16)	.300 (7.62)	.280 (7.11)	.770 (19.56)	1.300 (33.02)	.490 (12.45)
16	.400 (10.16)	1.050 (26.70)	.300 (7.62)	.280 (7.11)	.870 (22.10)	1.540 (39.12)	.490 (12.45)
24	.700 (17.78)	1.490 (37.85)	.600 (15.24)	.182 (4.62)	1.300 (33.02)	1.800 (45.72)	.460 (11.68)
28	.700 (17.78)	1.690 (42.90)	.600 (15.24)	.182 (4.62)	1.500 (38.10)	2.000 (50.80)	.460 (11.68)
32	.700 (17.78)	1.890 (48.00)	.600 (15.24)	.182 (4.62)	1.700 (43.18)	2.200 (55.88)	.460 (11.68)
40	.700 (17.78)	2.290 (58.20)	.600 (15.24)	.182 (4.62)	2.100 (53.34)	2.600 (66.04)	.460 (11.68)

Anz. d. Pins	Passend für Brücken-Steck-verbinder wie:	Digi-Key Teilenr.	Stückpreis 1	25	100	Aries Teilenr.
14	IC-Pakete	A514-ND	2.57	2.05	1.46	14-C280-10
16	IC-Pakete	A516-ND	2.78	2.22	1.58	16-C280-10
24	IC-Pakete	A524-ND	3.88	3.10	2.20	24-C182-10
28	IC-Pakete	A528-ND	4.11	3.29	2.33	28-C182-10
32	IC-Pakete	A532-ND	4.72	3.78	2.68	32-C182-10
40	IC-Pakete	A540-ND	5.97	4.78	3.39	40-C182-10

Serie X518 Ringverschluss-Sockel mit Lötlitzen-Pins

Einreihig

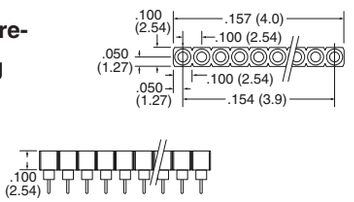

Merkmale: • Kann auf die Anzahl der für die Anwendung gewünschten Pins zugeschnitten werden • Seite-an-Seite und Ende-an-Ende stapelbar **Spezifikationen:** • Sockelmaterial: schwarz, UL 94V-0 Nylon 4/6 • Kontaktstromnennleistung: 3 A • Betriebstemperatur: Verzinnt: 221 °F (105 °C); vergoldet: 257 °F (125 °C) • Akzeptiert Anschüsse von min. 0,015" – 0,025" (0,381 mm – 0,635 mm) Durchmesser, 0,100" (2,54 mm) in Länge **Montage:** Empfohlene PC-Karten-Lochgröße: 0,030" ±0,002" (0,76 mm ±0,05 mm) Durchmesser

Anz. d. Pins	Beschreibung	Digi-Key Teilenr.	Stückpreis 1	25	Aries Teilenr.
40	Tin Plated	A460-ND	1.86	1.57	40-0518-10
40	Gold Plated	A461-ND	2.75	2.32	40-0518-11

Pin-Leitungssockel mit „Brechfunktion“

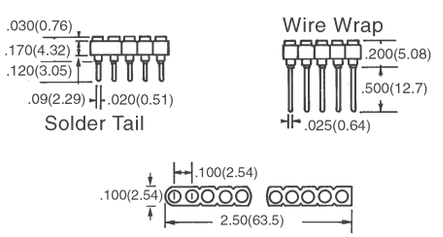

Merkmale: • Verzinnte Pin-Leitungssockel können in eine beliebige Anzahl von Pins zerlegt werden, ohne dass Pins beschädigt werden oder verloren gehen. • Pin-Leitungssockel sind Flachprofile und werden zur Montage von Bausteinen mit 0,100" (2,54 mm) Pin-Abstand verwendet. • Reihen von Sockelstreifen können auf beliebigen Mitten oder nebeneinander montiert werden, um 0,100" (2,54 mm) Raster oder Matrixmuster zu bilden. Die Streifen stoßen auch stumpf aneinander (Ende-an-Ende) und behalten einen Abstand von 0,100" (2,54 mm) bei.

Anz. d. Pins	Digi-Key Teilenr.	Stückpreis 1	25	100
Lötlitzen-DIP-Sockel mit gedrehtem Stift				
25	A208-ND	1.95	1.72	1.33
Drahtwickel-Sockel mit gedrehtem Stift				
25	A209-ND	4.59	3.99	3.02

Pin-Line SIP-Steckleiste

Abb. 1

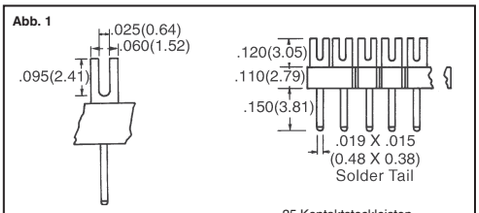

25 Kontaktsteckleisten-Überzug = 100 µ" Zinn

Abb. 2

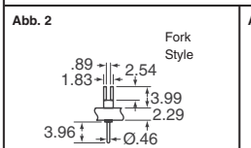

25 Kontaktsteckleisten-Überzug = 10 µ" Gold

Abb. 3

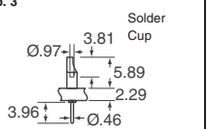

25 Kontaktsteckleisten-Überzug = 10 µ" Gold

Merkmale: • Geprägte Kontakte • „Brechfunktion“ der Pin-Leitungssteckleisten stellt sicher, dass die Steckleisten leicht aus jeder beliebigen Position „abgebrochen“ werden können, ohne dass Pins verloren gehen oder beschädigt werden. Kein Werkzeug notwendig. Die „Brechfunktion“ minimiert Bestückungsprobleme und bietet sofortige Anpassfähigkeit für jede Header-Längen-Anforderung für beliebige Gitter- oder Matrixmuster.

Abb.	Digi-Key Teilenr.	Stückpreis 1	10	25	100	Aries Teilenr.
1	A115-ND	2.05	—	1.80	1.46	25-0600-10
2	A738-ND	6.44	4.90	—	3.61	25-0625-11
3	A739-ND	6.89	5.24	—	3.86	25-0625-31

Leiterbahn SIP-Sockel

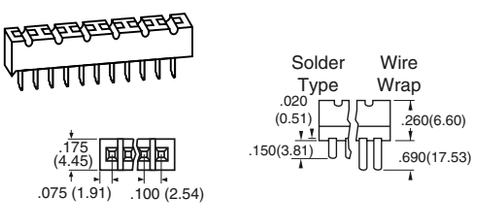

Merkmale: Gabelkontakte

Spezifikationen: • Kontakte: Klasse A Federzustand, Phosphorbronze, QQB-7500 • Überzug: 100 µ Zinn gemäß MIL-T-10727 • Sockel: Glasgefülltes Thermoplast

Anz. d. Pins	Solder Tail Digi-Key Teilenr.	Stückpreis 1	25	100	Wire Wrap Digi-Key Teilenr.	Stückpreis 1	25	100
12	A200-ND	1.19	1.08	.92	A204-ND	1.57	1.37	1.04
20	A201-ND	1.58	1.44	1.23	A205-ND	2.34	2.03	1.54
25	A202-ND	1.98	1.80	1.53	A206-ND	2.91	2.53	1.92
34	A203-ND	2.02	1.85	1.57	A207-ND	4.97	4.32	3.27

DIP an SOWIC-Adapter, Oberflächenmontage

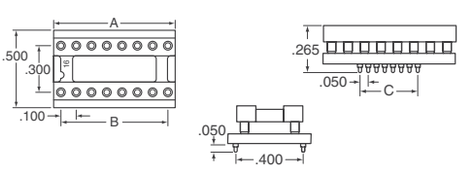

Merkmale: Praktische und preiswerte Art DIP-Pakete in SOWIC-PC-Karten-Layouts zu verwandeln.

Spezifikationen: • Sockelmaterial: Schwarzes glasgefülltes Nylon (4/6) gemäß UL 94V-0, 170 °C Dauerbetriebstemperatur • Karte: FR-4, 0,062" (1,57 mm) dick • Pins: Messinglegierung 360, 1/2 hart • Überzug: Steckeradapter-Pin: Min. 200 µ (5,08 µm) Zinn gemäß MIL-T-10727 Typ 1 oder Zinn/Blei 90/10 gemäß MIL-P-81728 über 100 µ (2,54 µm) min. Nickel gemäß QQ-N-290 • Kontaktstromnennleistung: 3 A • Sockel akzeptiert Anschlüsse von 0,015"-0,025" (0,38 mm - 0,64 mm) Durchmesser, 0,100"-0,125" (2,54 mm - 3,18 mm) Länge.

Montage: Empfohlene PCB-Löt-Padgröße: Min. 0,028" (0,71 mm) Breite

Anz. d. Pins	Digi-Key Teilenr.	Abmessungen (Zoll) A	B	C
14	A740-ND	.7	.6	.3
16	A741-ND	.8	.7	.35
20	A742-ND	1.0	.9	.45
24	A743-ND	1.2	1.1	.55

Anz. d. Pins	Digi-Key Teilenr.	Stückpreis 1	10	100	Aries Teilenr.
14	A740-ND	21.30	16.19	11.93	14-354W00-10
16	A741-ND	21.30	16.19	11.93	16-354W00-10
20	A742-ND	21.30	16.19	11.93	20-354W00-10
24	A743-ND	21.30	16.19	11.93	24-354W00-10

Oberflächenmontage SOIC-auf-DIP-, SSOP-auf-DIP- und SOJ-auf-DIP-Adapter

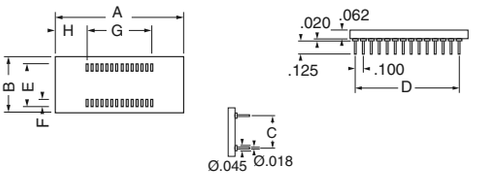

Spezifikationen: • Karte: 0,062" (1,57 mm) dicke, doppelseitige FR-4 mit 1 oz. Kupferspuren • Pins: Messinglegierung 360, 1/2 hart • Pin-Überzug: Min. 200 µ" (5,08 µm) Zinn/Blei gemäß MIL-T-10727 Typ 1 über min. 100 µ" (2,54 µm) Mindest-Nickel gemäß QQ-N-290

Montage: Empfohlenes Montageloch: 0,028" (0,71 mm) Durchmesser

Anz. d. Pins	Digi-Key Teilenr.	Abmessungen (Zoll) A	B	C	D	E	F	G	H
8	A724-ND	.400	.460	.300	.300	.455	.155	.150	.121
14	A725-ND	.700	.450	.300	.600	.420	.138	.300	.180
14	A730-ND	.700	.400	.300	.600	.340	.060	.154	—
16	A726-ND	.800	.450	.300	.700	.420	.138	.350	.180
16	A731-ND	.800	.400	.300	.700	.340	.060	.179	—
18	A732-ND	.900	.400	.300	.800	.340	.060	.205	—
18	A736-ND	.900	.450	.300	.800	.420	.138	.400	.180
20	A727-ND	1.000	.450	.300	.900	.420	.138	.450	.180
20	A325-ND	1.000	.420	.300	.900	.350	.090	.600	.060
20	A733-ND	1.000	.400	.300	.900	.340	.060	.230	—
24	A720-ND	1.200	.700	.600	1.100	.455	.150	.550	.180
24	A322-ND	1.200	.450	.300	1.100	.420	.138	.550	.180
28	A320-ND	1.400	.700	.600	1.300	.450	.075	.650	.375
28	A321-ND	1.400	.400	.300	1.300	.350	.090	.650	.375
28	A734-ND	1.400	.400	.300	1.300	.340	.060	.333	—
28	A735-ND	1.400	.700	.600	1.300	.340	.070	.333	—
32	A323-ND	1.600	.700	.600	1.500	.650	.200	.750	.425
32	A324-ND	1.600	.530	.400	1.500	.500	.090	.750	.425

Anz. d. Pins	Typ	Digi-Key Teilenr.	Stückpreis 1	25	100	Aries Teilenr.
8	SOIC	A724-ND	5.04	4.24	2.76	08-350000-10
14	SOIC	A725-ND	5.04	4.24	2.76	14-350000-10
14	SSOP	A730-ND	22.71	19.08	12.41	14-351000-10
16	SOIC	A726-ND	5.04	4.24	2.76	16-350000-10
16	SSOP	A731-ND	22.71	19.08	12.41	16-351000-10
18	SSOP	A732-ND	16.76	14.08	9.16	18-351000-10
18	SOIC	A736-ND	4.97	4.27	3.88	18-350000-10
20	SOIC	A727-ND	5.04	4.24	2.76	20-350000-10
20	SOJ	A325-ND	5.31	4.55	4.14	20-350001-10
20	SSOP	A733-ND	22.71	19.08	12.41	20-351000-10
24	SOIC	A720-ND	8.41	7.06	4.59	24-650000-10
24	SOIC	A322-ND	3.53	3.03	2.76	24-350000-10
28	SOIC	A320-ND	8.33	7.14	6.50	28-650000-10
28	SOIC	A321-ND	5.31	4.55	4.14	28-350002-10
28	SSOP	A734-ND	19.79	16.63	10.81	28-351000-10
28	SSOP	A735-ND	30.01	25.21	16.39	28-651000-10
32	SOJ	A323-ND	8.75	7.51	6.83	32-650000-10
32	SOJ	A324-ND	7.70	6.61	6.01	32-450001-10

Quad-Flat-Pack (QFP) zu PGA-Adapter für Motorola 68340

Spezifikationen: • Adapterkörper: schwarzer FR-4; 0,094 (2,39) dick, mit min. 1 oz. Kupferspuren. • Pins: Messinglegierung 360, 1/2 hart gemäß QQ-B-626 • Pin-Überzug: Min. 200 µ" (5,08 µm) Zinn gemäß MIL-T-10727 über min. 100 µ" (2,54 µm) Nickel gemäß QQ-N-290 • Betriebstemperatur: 221 °F (125 °C)

Pin-Zählung	Digi-Key Teilenr.	Stückpreis 1	25	Aries Teilenr.
144	A723-ND	77.03	66.03	97-68340

Quad-Flat-Pack (QFP) auf PGA-Adapter

Abb. 1

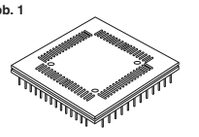

Abb. 2

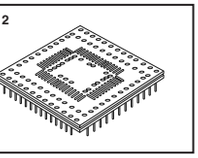

Merkmale:

• Adapter wandeln oberflächenmontierbare Quad Flat Pack-Pakete (QFP) in Standard-Pin Grid Array-Durchlasslochpakete auf 0,100" (2,54 mm) Pin-Abstand um. Dadurch kann das oberflächenmontierbare QFP-Paket in Standard-PGA- und PGA-ZIF-Sockeln verwendet werden, was besonders zu Testzwecken äußerst nützlich ist. • SMD-QFP-Pakete kosten gewöhnlich weniger und sind häufiger erhältlich als ihre Durchlassloch-Entsprechungen (PGA). • Außerdem muss der Benutzer eine Durchlasslochkarte nicht neu gestalten, um in den Genuss der Vorteile der oberflächenmontierbaren QFP-Pakete zu kommen.

Abb.	Chip Typ/ Herst.	Pad-Nr.	PGA-Nr.	Pins/ Matrix	Digi-Key Teilenr.	Stückpreis 1	25	Aries Teilenr.
1	JEDEC	132	132	13x13	A174-ND	27.26	23.37	95-132I25
2	EIAJ	100	100	13x13	A175-ND	26.35	22.60	96-100M65
1	EIAJ	160	160	15x15	A176-ND	26.35	22.60	96-160M65
—	EIAJ	208	208	17x17	A722-ND	38.89	33.34	96-208M50

Alle Preisangaben in Euro und inklusive Zollgebühren.

Oberflächenmontage PLCC auf DIP-Adapter

Materialien: Pins und Kontakte: Phosphorbronze-Adapter **Körper:** FR-4, 0,062" (1,57 mm) dick **Sockel:** LCP, UL 94V-0-Zulassung **Pads und Traces:** 1 oz. min. Kupfer. **Überzug: Pins:** 200 µ" Zinn gemäß MIL-T-10727 über 100 µ" Nickel gemäß QQ-N-290 **Kontakte:** 150 µ" 90/10 Zinn/Blei

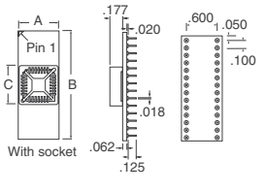

Anz. d. Pins	Abm. (Zoll) A	B	C	Digi-Key Teilenr.	Stückpreis 1	25	Aries Teilenr.
28	.77	1.40	.705	A326-ND	20.19	17.31	28-653000-10
32	.705	1.60	.805	A721-ND	32.51	27.31	32-653000-10
44	.97	2.20	.910	A327-ND	23.26	19.94	44-653000-10
68	1.28	3.40	1.220	A328-ND	26.92	23.08	68-653000-10
84	1.48	4.20	1.420	A329-ND	26.92	23.08	84-653000-10

TO zu DIP-Adapter/Sockel

Merkmale: DIP-IC-Sockel (8-Pin) oben und runde TO-can (8-Pin) Steckstift-Auflagefläche unten; leicht auf Platinen mit TO-Durchlassloch-Auflageflächen zu montieren, ohne einen Neuentwurf der Platine erforderlich zu machen.

Spezifikationen: • **Sockelkörper:** Schwarzes glasgefülltes Polyester-Thermoplast nach UL94V-0 • **Buchsenstiftkörper-Überzug:** Min. 200 µ" Zinn über min. 100 µ" Nickel • **Kontaktüberzug:** Min. 10 µ" Gold über min. 50 µ" Nickel • **Steckstift:** Messinglegierung 360 • Steckstiftkörper-Überzug: Min. 200 µ" Zinn • **Nennstrom:** 3 A • **Betriebstemperatur:** 221 °F (105 °C) verzinnt • Akzeptiert Anschlüsse von 0,015"-0,025" (0,38 mm - 0,64 mm) Durchmesser, 0,100"-0,125" (2,54 mm - 3,18 mm) Länge. **Montageüberlegungen:** Empfohlene PCB-Lochgröße: 0,028" (0,71 mm) Durchmesser.

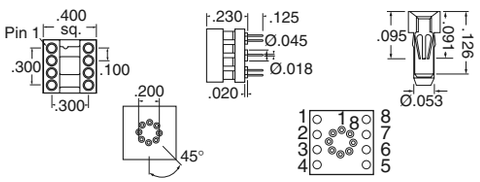

Digi-Key Teilenr.	Stückpreis 1	25	100	500	Aries Teilenr.
A330-ND	5.13	4.40	4.00	3.67	1109523

Adapter-Sockel

A501/502

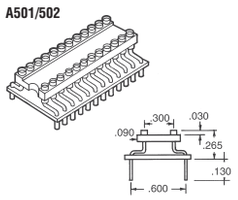

A503/504

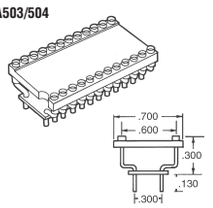

Anz. d. Pins	Beschreibung (Zoll)	Digi-Key Teilenr.	Stückpreis 1	25	100	Aries Teilenr.
24	.300 ~ .600	A501-ND	6.18	4.70	3.10	1106396-24
28	.300 ~ .600	A502-ND	6.76	5.14	3.38	1106396-28
24	.600 ~ .300	A503-ND	6.18	4.70	3.10	1107254-24
28	.600 ~ .300	A504-ND	6.76	5.14	3.38	1107254-28

PGA-Nulleinsetzkraft- (ZIF-) Sockel

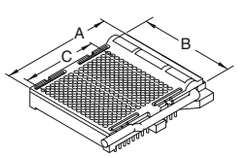

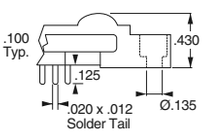

Merkmale: • Der Aries ZIF PGA ist ein extrem stabiler, dennoch reibungslos funktionierender Testsockel. • Feste Metallnocke aktiviert die Öffnungskontakte, die normalerweise geschlossen sind. Dadurch wird eine Abhängigkeit von Plastik als Kontaktkraft vermieden. • Gehäuse aus glasgefülltem PPS mit UL-94V-O-Zulassung.

Spezifikationen: • **Kontakte:** Berylliumkupfer • **Temperaturbereich:** -65 °C ~ 125 °C • **Gehäuse:** Glasgefülltes PPS, UL94VO zugelassen • **Griff:** Edelstahl

Gitter größe	Anz. d. Pins	Abmessungen (Zoll) A	B	C	Digi-Key Teilenr.	Stück preis
13 x 13	169	1.894	1.675	1.200	A314-ND	24.93
15 x 15	225	2.094	1.875	1.400	A315-ND	31.06
17 x 17	289	2.294	2.075	1.600	A316-ND	37.89
19 x 19	361	2.494	2.275	1.800	A317-ND	45.57
21 x 21	441	2.694	2.475	2.000	A318-ND	54.17

Oberflächenmontierte Universal-SOIC-Nulleinsetzkraft- (ZIF-) Testsockel

Sockel akzeptiert: SOIC Gull Wing- und J-Anschluss-Bausteine mit bis zu 44 Pins; 0,050" (1,27 mm) Anschluss-Pitch; Körperbreiten von 0,15" (3,81 mm) bis 0,60" (15,24 mm)

Materialien: • Körper: Glasgefülltes PPS, UL 94V-0 ssung • Zula Kontakte: Berylliumkupfer gemäß QQ-C-543 • Hardware: Edelstahl

Überzug: Min. 20 µ" Gold über min. 100 µ" gemäß MIL-G-45204 Nickel über min. 20 µ" gemäß QQ-N-290 Kupfer gemäß MIL-C-14550

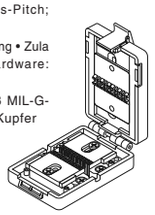

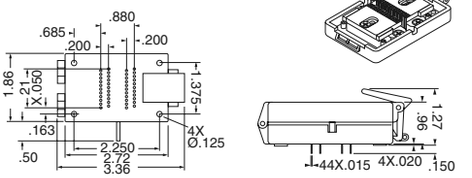

Digi-Key Teilenr.	Stückpreis	Aries Teilenr.
A339-ND	113.77	44-547-11
44 Pos. DIP-Adapter (wandelt A339-ND in standardmäßige 44-Pos. DIP um)		
A728-ND	52.02	44-647-10

Nulleinsetzkraft (ZIF) Sockel

Spezifikationen:
• **Kontakte:** wärmebehandeltes Berylliumkupfer • **Überzug:** 100 µ Zinnüberzug gemäß MIL-T-10727 • **Sockel:** Glasgefülltes Thermoplast

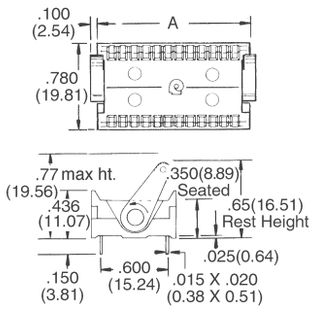

Anz. d. Pins	Abm. A Zoll (mm)	Digi-Key Teilenr.	Stückpreis 1	25	100	Aries Teilenr.
24	1.30 (33.02)	A150-ND	7.43	6.69	6.32	24-516-10
28	1.62 (41.15)	A146-ND	8.03	7.22	6.83	28-516-10
40	2.10 (53.34)	A152-ND	10.57	9.51	8.99	40-516-10

PLCC ZIF-Testsockel

Merkmale: • ZIF-Nullkraft (Zero Insertion Force) • Eckpfosten bieten positive Paketregistrierung • 12 µ" Goldüberzug • Min. 10.000 Einsätze

Anwendung: • Kann so unterlegt werden, dass eine Aufnahme von vielen Keramik-, Anschlusslosen- und J-Anschluss-Paketen möglich wird.

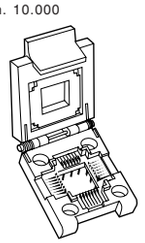

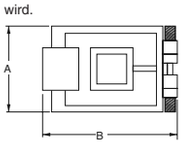

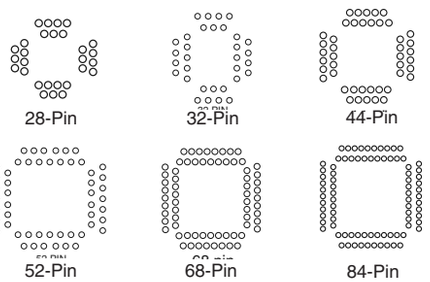

Anz. d. Pins	Abm. Zoll (mm) A	B	Digi-Key Teilenr.	Stückpreis 1	25	100
28	1.181 (30.00)	1.605 (40.77)	A310-ND	52.02	46.08	40.58
32	1.180 (29.97)	1.583 (40.21)	A449-ND	55.56	46.67	30.34
44	1.339 (34.01)	1.772 (45.01)	A311-ND	55.87	49.49	43.58
52	1.500 (38.10)	1.920 (48.77)	A450-ND	55.56	46.67	30.34
68	1.654 (42.01)	2.343 (59.51)	A312-ND	68.74	60.89	53.63
84	1.890 (48.01)	2.580 (65.53)	A313-ND	76.96	68.18	60.04

Universal-Nulleinsetzkraft- (ZIF-) Testsockel

Der neue Universal-Testsockel von Aries ist ein direkter Ersatz für andere derzeit auf dem Markt befindliche Testsockel mit erheblichen zusätzlichen Vorteilen. • Gesamthöhe von 0,9" (22,86 mm) bei hohem Kontaktniveau • Erhältlich mit 24, 28, 32, 40, 48 Pins in Körper aus Polyphenylensulfid mit UL 94VO-Zulassung. • Kontakte sind verzinnt (für bis zu 105 °C) oder vergoldet (für bis zu 150 °C) erhältlich.• Isolationswiderstand - min. 1.000 MΩ. Dielektrische Haltespannung - min. 1.000 V AC • Kontaktleistung - 1 A • Alle Pinzahl-Sockel (24, 28, 32, 40, 48) passen in Leiterplatten mit 0,600 (15,24) Mitten. • Die Sockel können auf die Karte gelötet oder in beliebige Sockel gesteckt werden. • Die Kontakte sind Öffnungskontakte, um die Abhängigkeit vom Kunststoff zur Kontakterhaltung zu eliminieren.

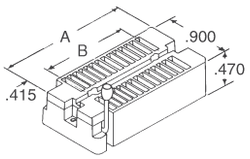

No. of Pins	Dim. (Inch) A	B
24	1.74	1.10
28	1.94	1.30
32	2.14	1.50
40	2.54	1.90
48	2.94	2.30

Anz. d. Pins	Kontakt-überzug	Digi-Key Teilenr.	Stückpreis 1	25	100	Aries Teilenr..
24	Zinn	A300-ND	6.69	5.86	5.69	24-6554-10
24	Gold	A301AE-ND	9.67	8.46	8.23	24-6554-11
28	Zinn	A302-ND	7.64	6.69	6.50	28-6554-10
28	Gold	A303-ND	10.48	9.18	8.92	28-6554-11
32	Zinn	A304-ND	8.52	7.46	7.25	32-6554-10
32	Gold	A305-ND	11.63	10.18	9.90	32-6554-11
40	Zinn	A306-ND	10.18	8.91	8.66	40-6554-10
40	Gold	A307-ND	13.87	12.14	11.80	40-6554-11
48	Zinn	A308-ND	11.94	10.45	10.16	48-6554-10
48	Gold	A309-ND	16.22	14.20	13.80	48-6554-11

ZIF-Nulleinsetzkraft (Zero Insertion Force) Flachprofil-Sockel

Merkmale: Ein komplettes Sortiment in Größen mit 24, 28 und 40 Pins; diese flachen ZIF (Zero Insertion Force)-Sockel bieten eine preisgünstige Lösung für Testsockel mit einer Höhe von nur 0,319" (8,10 mm) [8, 10], die sogar mit Griff in geöffneter Stellung nur 0,554" (14,07 mm) messen.

Spezifikationen: • Pin: Abgefedert, Berylliumkupfer, verzinnt • Körper: Glasgefülltes Polyester gemäß UL94VO. • Nocke: Gussmetall

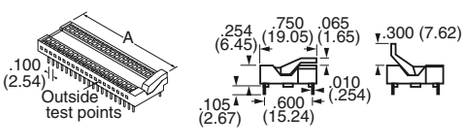

Anz. d. Pins	Abm. A Zoll (mm)	Digi-Key Teilenr.	Stückpreis 1	25	100	Aries Teilenr.
24	1.450 (36.83)	A346-ND	5.19	4.72	4.02	24-526-10
28	1.650 (41.91)	A347-ND	5.59	5.08	4.32	28-526-10
40	2.250 (57.15)	A348-ND	6.73	6.12	5.21	40-526-10

Universal ZIF-Testsockel, Schnellfreigabe

Merkmale:

• Universal-Testsockel von Aries akzeptiert Bausteine auf 0,300" - 0,600" (7,62 mm - 15,24 mm) Mitten • Die Sockel passen in Platinen-Mitten von 0,600" (15,24 mm) • Den Schnellfreigabegriff nach unten drücken, um die Kontakte zu öffnen und den Baustein einzuführen. Beim Loslassen kehrt der Griff automatisch in seine Position zurück, wenn die Kontakte sich mit den Bausteinableitungen verbinden.

Spezifikationen:

• **Sockelkörper:** Schwarzes glasgefülltes Polyphenylensulfid (PPS) UL 94V-0 • **Griff:** Edelstahl • **Kontakt-Nennstrom:** 1 A • **Isolierwiderstand:** Min. 1.000 MΩ • **Haltbarkeit:** 25.000 - 50.000 Zyklen • **Betriebstemperatur:** 221 °F (105 °C) verzinnt; 302 °F (150 °C) vergoldet **Haltekraft (wenn geschlossen):** 55 g/Pin, basiert auf einem Testanschluss mit einem Durchmesser von 0,020" (0,51 mm) • Akzeptiert Anschlüsse von 0,015"-0,035" (0,38 mm - 0,89 mm) Durchmesser, 0,100"-0,280" (2,79 mm - 7,11 mm) Länge

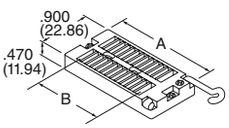

No. of Pins	Dim. – In. (mm) A	B
24	1.79 (45.47)	1.10 (27.94)
28	1.99 (50.55)	1.30 (33.02)
32	2.19 (55.63)	1.50 (38.10)
40	2.59 (65.79)	1.90 (48.26)
48	2.99 (75.95)	2.30 (58.42)

Anz. d. Pins	Beschreibung	Digi-Key Teilenr.	Stückpreis 1	25	100	Aries Teilenr.
24	Verzinnt	A439-ND	8.76	7.37	5.97	24-6574-10
24	Vergoldet	A440-ND	10.16	8.54	6.92	24-6574-11
28	Verzinnt	A441-ND	10.02	8.41	6.82	28-6574-10
28	Vergoldet	A442-ND	13.76	11.56	9.36	28-6574-11
32	Verzinnt	A443-ND	11.29	9.48	7.68	32-6574-10
32	Vergoldet	A444-ND	15.39	12.93	10.47	32-6574-11
40	Verzinnt	A445-ND	13.36	11.22	9.09	40-6574-10
40	Vergoldet	A446-ND	18.20	15.29	12.39	40-6574-11
48	Verzinnt	A447-ND	15.66	13.16	10.66	48-6574-10
48	Vergoldet	A448-ND	21.29	17.89	14.49	48-6574-11

ASSMANN Doppelte Schleifkontakt-Lötlitze

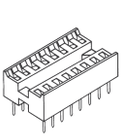

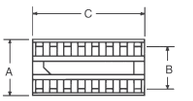

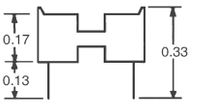

Kontakte • Phosphor-Bronze Schutz vor Kapillaraktivität.
Mechanische und elektrische Daten: • Übergangswiderstand ≤12 mΩ Kapazität zwischen benachbarten Kontakten: < 0,9 pF. Kapazität zwischen gegenüberliegenden Kontakten: < 0,4 pF. Durchbruchspannung: 600 V_{eff} • Einsteckkraft: ≤ 1,5 N • Extraktionskraft: ≥ 0,7 N
Isolatoren: • Polyester-GV, VO, UL 94 • Isolationswiderstand: 10^{12} Ω • Betriebstemperaturbereich: -65 °C ~ 150 °C

A

Anz. der Kontakte	Kontakt-überzug	Abmessungen (Zoll) A	B	C	Digi-Key Teilenr.	Stückpreis 1	10	100	500	Assmann Teilenr.
6	Zinn	0.39	0.30	0.30	AE8906-ND	.14	.12	.10	.07	A06-LC-TT
6	Gold	0.39	0.30	0.30	AE9806-ND	.28	.24	.20	.17	A06-LCG
8	Zinn	0.39	0.30	0.39	AE8908-ND	.08	.07	.06	.04	A08-LC-TT
8	Gold	0.39	0.30	0.39	AE9808-ND	.28	.25	.20	.17	A08-LCG
8	Zinn	0.40	0.30	0.40	AE9841-ND†	.12	.10	.08	.06	A08-LC-TR
14	Zinn	0.39	0.30	0.70	AE8914-ND	.14	.12	.10	.07	A14-LC-TT
14	Gold	0.39	0.30	0.70	AE9814-ND	.49	.43	.34	.30	A14-LCG
14	Zinn	0.40	0.30	0.70	AE9842-ND†	.16	.13	.11	.08	A14-LC-TR
16	Zinn	0.39	0.30	0.80	AE8916-ND	.16	.14	.11	.08	A16-LC-TT
16	Gold	0.39	0.30	0.80	AE9816-ND	.55	.49	.39	.34	A16-LCG
16	Zinn	0.40	0.30	0.80	AE9843-ND†	.19	.15	.12	.09	A16-LC-TR
18	Zinn	0.39	0.30	0.90	AE8918-ND	.19	.15	.13	.09	A18-LC-TT
18	Gold	0.39	0.30	0.90	AE9818-ND	.62	.55	.44	.38	A18-LCG
18	Zinn	0.40	0.30	0.90	AE9844-ND†	.19	.16	.13	.10	A18-LC-TR
20	Zinn	0.39	0.30	1.00	AE8920-ND	.21	.17	.14	.11	A20-LC-TT
20	Gold	0.40	0.30	1.00	AE9820-ND	.69	.60	.49	.42	A20-LCG
20	Zinn	0.40	0.30	1.00	AE9845-ND†	.22	.18	.15	.11	A20-LC-TR
22	Zinn	0.50	0.40	1.10	AE8922-ND	.41	.33	.27	.20	A22-LC-T2
22	Gold	0.50	0.40	1.10	AE9822-ND	.75	.66	.53	.46	A22-LCG
24	Zinn	0.70	0.60	1.20	AE8924-ND	.25	.20	.16	.12	A24-LC-TT
24	Gold	0.70	0.60	1.20	AE9824-ND	.83	.72	.58	.50	A24-LCG
24	Zinn	0.70	0.60	1.20	AE9848-ND†	.27	.22	.18	.13	A24-LC-TR
28	Zinn	0.70	0.60	1.40	AE8928-ND	.29	.24	.19	.14	A28-LC-TT
28	Gold	0.70	0.60	1.40	AE9828-ND	.97	.84	.68	.58	A28-LCG
28	Zinn	0.70	0.60	1.40	AE9849-ND†	.30	.24	.20	.14	A28-LC-TR
32	Zinn	0.70	0.60	1.60	AE9850-ND†	.31	.25	.21	.15	A32-LC-TR
40	Zinn	0.70	0.60	2.00	AE8940-ND	.41	.33	.27	.20	A40-LC-TT
40	Gold	0.70	0.60	2.00	AE9840-ND	1.38	1.20	.97	.83	A40-LCG
40	Zinn	0.70	0.60	2.00	AE9851-ND†	.39	.32	.26	.19	A40-LC-TR

† Haltebein-Version

IC-Sockel-Maschinenstift

Mit vergoldeten Präzisionsfederkontakten, offenem Rahmen, Löt-Pin und Drahtwickelanschlüssen.

Abb. 1

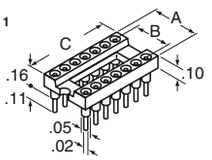

Abb. 2

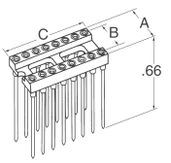

Kontakte • Kontaktfeder: Kupferlegierung, 4 mal geschlitzt. Goldoberfläche über Nickel. Absoluter Schutz vor Kapillaraktivität. Verbindungsstifte: Messing, Lötversion
Mechanische und Elektrische Daten: • Einführtiefe 2,3 ~ 3,7 mm. Vibration: 20 g gemäß MIL-STD-202. Schock: 150 g gemäß MIL-STD-202. Einsetzhäufigkeit: >1.000. Übergangswiderstand nach 100 Einsatzzyklen: ≤12 mΩ. Kapazität zwischen benachbarten Kontakten: <0,9 pF. Kapazität zwischen gegenüberliegenden Kontakten: <0,4 pF. Luft- und Kriechstromzwischenraum zwischen benachbarten Kontakten: >0,4 mm. Zugfestigkeit: 1.000 V_{eff}.
Isolatoren: • Polyester-GV, VO selbstlöschend, UL 94. Isolationswiderstand: 10^{12} Ω. Betriebstemperaturbereich: -65°C ~ 150°C Behält Form im Lötbad bei. Detergentienbeständig.
Kontaktüberzug: • Pin: Zinn; Clip: Gold.

Abb.	Anz. der Kontakte	Abmessungen (Zoll) A	B	C	Digi-Key Teilenr.	Stückpreis 1	10	100	Assmann Teilenr.
					Lötlitze				
					Goldüberzug				
1	8	0.40	0.30	0.40	AE7208-ND	.30	.27	.22	AR08-HZL-TT
	14	0.40	0.30	0.70	AE7214-ND	.54	.47	.38	AR14-HZL-TT
	16	0.40	0.30	0.80	AE7216-ND	.61	.53	.43	AR16-HZL-TT
	18	0.40	0.30	0.90	AE7218-ND	.71	.62	.50	AR18-HZL-TT
	20	0.40	0.30	1.00	AE7220-ND	.79	.69	.56	AR20-HZL-TT
	22	0.50	0.40	1.10	AE7222-ND	.86	.75	.61	AR22-HZL-TT
	24	0.70	0.60	1.20	AE7224-ND	.97	.84	.68	AR24-HZL-TT
	28	0.70	0.60	1.40	AE7228-ND	1.12	.98	.79	AR28-HZL-TT
	40	0.70	0.60	2.00	AE7240-ND	1.65	1.43	1.16	AR40-HZL-TT
	48	0.70	0.60	2.40	AE7248-ND	2.01	1.74	1.41	AR48-HZL-TT
	64	1.00	0.90	3.20	AE7264-ND	2.44	2.12	1.71	AR64-HZL-TT
					10 µ" Gold				
1	6	0.40	0.30	0.30	AE7300-ND	.47	.41	.33	AR06-HZL/01-TT
	8	0.40	0.30	0.40	AE7301-ND	.60	.52	.42	AR08-HZL/01-TT
	14	0.40	0.30	0.70	AE7302-ND	.94	.82	.66	AR14-HZL/01-TT
	16	0.40	0.30	0.80	AE7303-ND	1.07	.93	.75	AR16-HZL/01-TT
	20	0.40	0.30	1.00	AE7304-ND	1.27	1.11	.89	AR20-HZL/01-TT
	24	0.70	0.60	1.20	AE7305-ND	1.57	1.36	1.10	AR24-HZL/01-TT
	24	0.40	0.30	1.20	AE7306-ND	1.57	1.37	1.11	AR24-HZL/7/01-TT
	28	0.70	0.60	1.40	AE7307-ND	1.83	1.59	1.28	AR28-HZL/01-TT
	28	0.40	0.30	1.40	AE7308-ND	1.83	1.59	1.28	AR28-HZL/7/01-TT
	32	0.70	0.60	1.60	AE7309-ND	2.08	1.81	1.46	AR32-HZL/01-TT
	40	0.70	0.60	2.00	AE7310-ND	2.59	2.25	1.82	AR40-HZL/01-TT
	48	0.70	0.60	2.40	AE7311-ND	3.17	2.75	2.22	AR48-HZL/01-TT
					30 µ" Gold				
1	6	0.40	0.30	0.30	AE7312-ND	.61	.54	.43	AR06-HZL/07-TT
	8	0.40	0.30	0.40	AE7313-ND	.79	.69	.56	AR08-HZL/07-TT
	14	0.40	0.30	0.70	AE7314-ND	1.24	1.08	.87	AR14-HZL/07-TT
	16	0.40	0.30	0.80	AE7315-ND	1.41	1.23	.99	AR16-HZL/07-TT
	18	0.40	0.30	0.90	AE7316-ND	1.57	1.37	1.11	AR18-HZL/07-TT
	20	0.40	0.30	1.00	AE7317-ND	1.75	1.52	1.23	AR20-HZL/07-TT
	24	0.70	0.60	1.20	AE7318-ND	2.09	1.82	1.47	AR24-HZL/07-TT
	24	0.40	0.30	1.20	AE7319-ND	2.10	1.82	1.48	AR24-HZL/7/07-TT
	28	0.70	0.60	1.40	AE7320-ND	2.44	2.12	1.71	AR28-HZL/07-TT
	28	0.40	0.30	1.40	AE7321-ND	2.44	2.12	1.71	AR28-HZL/7/07-TT
	32	0.70	0.60	1.60	AE7322-ND	2.78	2.41	1.95	AR32-HZL/07-TT
	40	0.70	0.60	2.00	AE7323-ND	3.85	3.35	2.70	AR40-HZL/07-TT
	48	0.70	0.60	2.40	AE7324-ND	4.21	3.65	2.95	AR48-HZL/07-TT
					Wire-Wrap				
2	8	0.40	0.30	0.40	AE7108-ND	.82	.72	.58	AR08-HZW/T
	14	0.40	0.30	0.70	AE7114-ND	1.40	1.22	.98	AR14-HZW/T
	16	0.40	0.30	0.80	AE7116-ND	1.60	1.39	1.13	AR16-HZW/T
	18	0.40	0.30	0.90	AE7118-ND	1.80	1.57	1.27	AR18-HZW/T
	20	0.40	0.30	1.00	AE7120-ND	2.01	1.75	1.41	AR20-HZW/T
	22	0.50	0.40	1.10	AE7122-ND	2.21	1.93	1.55	AR22-HZW/T
	24	0.70	0.60	1.20	AE7124-ND	2.41	2.10	1.69	AR24-HZW/T
	28	0.70	0.60	1.40	AE7128-ND	2.79	2.43	1.96	AR28-HZW/T
	40	0.70	0.60	2.00	AE7140-ND	4.01	3.48	2.81	AR40-HZW/T

PLCC-Sockel

Spezifikationen: • Kontakte: Phosphorbronze, Zinn- und Goldüberzug • Nennstrom: 1 A • Isolationswiderstand: Min.1.000 MΩ • Haltespannung: 600 Vrms • Kontaktwiderstand: Max. 30mΩ • Betriebstemperatur: -55 °C ~ 110 °C • Isolator: PBT gemäß UL 94V-0

Abb. 1

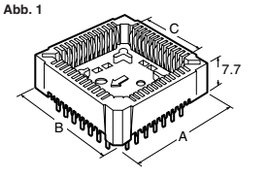

Abb. 2

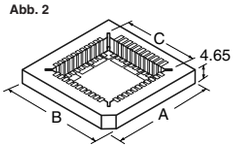

Abb.	Anz. der Kontakte	Abmessungen (Zoll) A	B	C	Digi-Key Teilenr.	Stückpreis 1	10	100	Assmann Teilenr.
					PLCC-Durchlassloch				
					Zinn				
1	20	0.61	0.61	0.20	AE7325-ND	.63	.55	.45	A-CCS20-Z
	28	0.71	0.71	0.30	AE7326-ND	.66	.58	.47	A-CCS28-Z
	32	0.71	0.81	0.30	AE7327-ND	.69	.61	.49	A-CCS32-Z
	44	0.93	0.93	0.50	AE7328-ND	.76	.66	.54	A-CCS44-Z
	52	1.02	1.02	0.60	AE7329-ND	.83	.72	.58	A-CCS52-Z
	68	1.23	1.23	0.80	AE7330-ND	.85	.74	.60	A-CCS68-Z
	84	1.42	1.42	1.00	AE7331-ND	.97	.85	.69	A-CCS84-Z
					Gold				
1	20	0.61	0.61	0.20	AE7332-ND	1.02	.89	.72	A-CCS20-G
	28	0.71	0.71	0.30	AE7333-ND	1.02	.89	.72	A-CCS28-G
	32	0.71	0.81	0.30	AE7334-ND	1.19	1.03	.83	A-CCS32-G
	44	0.93	0.93	0.50	AE7335-ND	1.29	1.12	.90	A-CCS44-G
	52	1.02	1.02	0.60	AE7336-ND	1.29	1.12	.90	A-CCS52-G
	68	1.23	1.23	0.80	AE7337-ND	1.34	1.16	.94	A-CCS68-G
	84	1.42	1.42	1.00	AE7338-ND	1.49	1.29	1.04	A-CCS84-G
					PLCC - Oberflächenmontage				
					Zinn				
2	20	0.62	0.62	0.20	AE7339-ND	.57	.49	.40	A-CCS20-Z-SM
	28	0.72	0.72	0.30	AE7340-ND	.60	.52	.42	A-CCS28-Z-SM
	32	0.72	0.82	0.40	AE7341-ND	.55	.48	.39	A-CCS32-Z-SM
	44	0.92	0.92	0.50	AE7342-ND	.66	.58	.47	A-CCS44-Z-SM
	52	1.02	1.02	0.60	AE7343-ND	.81	.71	.57	A-CCS52-Z-SM
	68	1.22	1.22	0.80	AE7344-ND	.88	.76	.62	A-CCS68-Z-SM
	84	1.42	1.42	1.00	AE7345-ND	1.02	.89	.72	A-CCS84-Z-SM

OK Industries
Division of Jonard Industries Corp.

IC-Einführungs-/Extraktionswerkzeuge

K153-ND K154-ND K155-ND K156-ND K157-ND K158-ND K293-ND

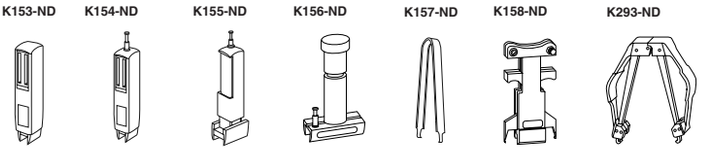

Beschreibung	Digi-Key Teilenr.	Stück-preis
14-16-Pin DIP/IC-Einführungswerkzeug	K153-ND	8.13
14-16-Pin CMOS-Einführungswerkzeug, sicher	K154-ND	17.30
24-28-Pin CMOS-Einführungswerkzeug, sicher	K155-ND	17.30
36-40-Pin CMOS-Einführungswerkzeug, sicher	K156-ND	19.88
Extraktionswerkzeug (8 ~ 24 Pins)	K157-ND	2.67
Extraktionswerkzeug (24 ~ 40 Pins)	K158-ND	19.87
Einführungs- und Extraktions-Kit	K159-ND†	67.58
Universal-PLCC-Extraktionswerkzeug, ESE-Schutz	K293-ND	18.41
Preiswertes Universal-PLCC-Extraktionswerkzeug	K374-ND	9.28

Das Kit K159 enthält: K154, K155, K156, K157 u. K158.

Alle Preisangaben in Euro und inklusive Zollgebühren.

TEXTOOL/ 3M ZIF - Nullkraft (Zero-Insertion-Force) I.C. Sockel

ZIP DIP II

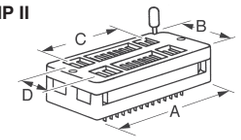

Econo ZIF

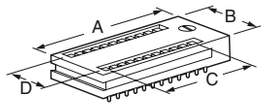

Buchse für ZIP-DIP-Sockel

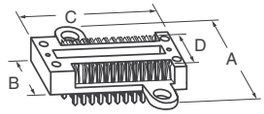

Universal-ZIP-DIP

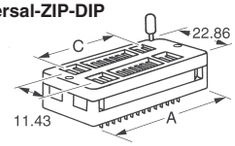

ZIPDIP II-SOCKEL: Für Test und Burn-in aller gängigen Dual-In-LinePakete auf dem Rastermaß 0,100". Aufgrund der Nullkraft lässt sich der Sockel problemlos einführen und herausziehen, ohne dass es zu Anschlu-lussverbiegungen kommt. Die Buchsen eignen sich ideal für häufigen Einsatz, z. B. bei der PROM-Programmierung.

ECONO ZIF-SOCKEL: Für OEM/Gebrauchsanwendungen, in denen ein Ersetzen vor Ort oder die Programmierung von DIPs erforderlich ist. Die patentierte ZIF-Funktion verwendet eine Schraubendreher-Nockendrehung (anstelle eines Hebels) zum Schutz vor Vibrationen oder versehentlichem Lösen. Die Anschlüsse sind auf 0,100" Mitten.

BUCHSEN FÜR ZIP DIP: Merkmale: • Passende Buchse für jeden ZIP-DIP-Sockel • Flanschmontage als Standardoption, um die Buchse an der Platine zu befestigen • Vorgeschnittene Löcher im Buchsenkörper passen auf Schraubenloch im Sockel zur sicheren Befestigung des Sockels an der Buchse (2 Schrauben für jede Buchse inbegriffen) • Erhältlich als Lötlitzenoptionen. **Physikalische Spezifikationen:** • Isoliermaterial: Glasverstärktes Polysulfon, Entflammbarkeitsstufe: UL 94V-0 • Farbe: Grün• Markierung: Teilenummeridentifikation • Kontaktmaterial: Berylliumkupfer • Überzug: 30 µ" (0,076 µm) Gold — MIL-G-45204, Type II, Güte C über 50 µ" (1,3 µm) Sulfamatnickel gemäß QQ-N-290A, Klasse 2 oder 75 µ" (1,9 µm) Nickelbor. **Elektrische Spezifikationen:** • Nennstrom: 1 A • Isolationswiderstand: >1 x 10^{12} Ω bei 500 V DC • Haltespannung: 1.000 Vrms in Meereshöhe Umgebungsdaten: • Betriebsnenntemperatur: -67 °F (-55 °C) ~ 302 °F (150 °C)

ZIP-DIP-SOCKEL 0,100 MITTEN - DOPPELTER DIP: Merkmale: • Für DIPs mit 0,100" Rastermaß • Besonders breite Kontaktzone ermöglicht die Einführung von DIPs mit einem Abstand von 0,300" bis 0,600" zwischen Reihen • Hebelbetätigter ZIF-Mechanismus • Sockel lässt sich für Reparaturen leichter auseinanderbauen

Anz. d. Pins	Kontakt-überzug	Abmessungen – Zoll (mm) A	B	C	D	Digi-Key Teilenr.	Preisangaben 1	10	3M Teilenr.
				ZIP DIP II-Sockel					
14	Gold	1.30 (33.02)	.60 (15.24)	.60 (15.24)	.300 (7.62)	3M1402-ND	13.92	110.48	214-3339-00-0602J
16	Gold	1.39 (35.31)	.60 (15.24)	.70 (17.78)	.300 (7.62)	3M1602-ND	14.49	115.05	216-3340-00-0602J
18	Gold	1.49 (37.85)	.60 (15.24)	.80 (20.32)	.300 (7.62)	3M1802-ND	15.07	119.62	218-3341-00-0602J
20	Gold	1.59 (40.39)	.60 (15.24)	.90 (22.86)	.300 (7.62)	3M2002-ND	15.65	124.11	220-3342-00-0602J
22	Gold	1.69 (42.93)	.70 (17.78)	1.00 (25.40)	.400 (10.16)	3M2202-ND	16.21	128.68	222-3343-00-0602J
24	Gold	1.79 (45.47)	.90 (22.86)	1.10 (27.94)	.600 (15.24)	3M2402-ND	14.43	114.54	224-1275-00-0602J
28	Gold	1.99 (50.55)	.90 (22.86)	1.30 (33.02)	.600 (15.24)	3M2802-ND	16.03	127.16	228-1277-00-0602J
40	Gold	2.60 (66.04)	.90 (22.86)	1.90 (48.26)	.600 (15.24)	3M4002-ND	20.75	164.66	240-1280-00-0602J
64	Gold	3.95 (100.33)	1.30 (33.02)	3.10 (78.74)	.900 (22.86)	3M6402-ND	30.65	243.23	264-4493-00-0602J
				Econo-ZIF-Sockel					
16	Gold	1.10 (27.94)	.50 (12.70)	.700 (17.78)	.300 (7.62)	3M1603-ND	6.71	58.42	216-6278-00-3303
				ZIP DIP-Buchsen					
14	Gold	1.00 (25.40)	.60 (15.24)	1.28 (32.51)	.300 (7.62)	3M1401-ND	13.08	98.97	214-3339-09-0602J
16	Gold	.96 (24.38)	.56 (14.22)	1.37 (34.80)	.300 (7.62)	3M1601-ND	13.64	103.20	216-3340-09-0602J
18	Gold	.95 (24.13)	.55 (13.97)	1.49 (37.85)	.300 (7.62)	3M1801-ND	14.27	108.03	218-3341-09-0602J
20	Gold	1.00 (25.40)	.60 (15.24)	1.58 (40.13)	.300 (7.62)	3M2001-ND	14.83	112.17	220-3342-09-0602J
22	Gold	1.06 (26.92)	.65 (16.51)	1.69 (42.93)	.400 (10.16)	3M2201-ND	15.39	116.41	222-3343-09-0602J
24	Gold	1.26 (32.00)	.86 (21.84)	1.77 (44.96)	.603 (15.32)	3M2401-ND	13.71	103.79	224-1275-09-0602J
28	Gold	1.26 (32.00)	.86 (21.84)	1.98 (50.29)	.600 (15.24)	3M2801-ND	15.23	115.22	228-1277-09-0602J
40	Gold	1.27 (32.26)	.86 (21.84)	2.58 (65.53)	.606 (15.39)	3M4001-ND	18.98	143.58	240-1280-09-0602J
64	Gold	1.70 (43.18)	1.30 (33.02)	3.95 (100.33)	.900 (22.86)	3M6401-ND	30.38	229.85	264-4493-09-0602J
				Universal-ZIP-DIP-Sockel					
24	Gold	1.77 (44.96)	—	1.10 (27.94)	—	3M2406-ND	20.11	159.58	224-1286-00-0602J
28	Gold	1.99 (50.55)	—	1.30 (33.02)	—	3M2806-ND	22.73	180.41	228-1371-00-0602J
40	Gold	2.59 (65.79)	—	1.90 (48.26)	—	3M4006-ND	29.69	235.61	240-1288-00-0602J

3M OEM-Typ „A", LCC-Sockel

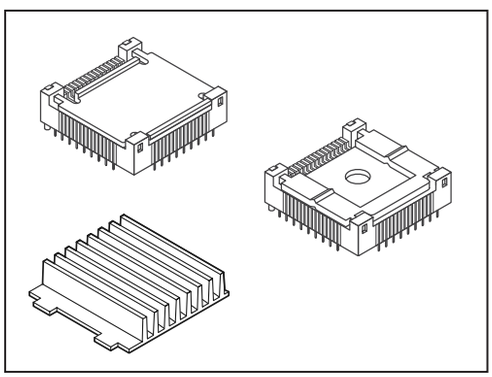

Merkmale: • Nimmt anschlusslose JEDEC-Keramikchipträger des Typs „A" auf • Verschiedene Deckeloptionen erhältlich • „U"-Deckel für I.C.E. Adapter-I/O-Kabelausgang • Kühlkörper akzeptabel und erhältlich • Drückerfeder zur Registrierung der drei Eckkerben des Substrats, Beibehaltung der Zentrierung • Polarisierungsstift auf Unterseite des Sockels • Durchgangsloch-Kontaktlitzen • Zum Ein-/Ausbauen des Gehäuses sind keine Werkzeuge erforderlich • Vollständige Kontaktprüfbarkeit • PPS-Kunststoff für hohe Temperaturen und BeCu-Kontakte für robuste Leistung

Physikalische Spezifikationen: • Isolierung: • Material: Glasgefülltes Polyphenylensulfid (PPS) • Entflammbarkeit: UL94 V-0 • Farbe: Schwarz • Deckelmaterial: Aluminium • Latch-Material: Edelstahl • Drücker- u. Kontaktmaterial: Berylliumkupfer (C172) Überzug; Bodenüberzug: 50 µ" (1,27 µm) Nickel; Wischbereich: 30 µ" (0,76 µm) Gold; Lötlitzen: 30 µ" (0,76 µm) Gold • Markierung: Geprägte Buchstaben

Elektrische Spezifikationen: • Nennstrom: 1 A • Isolationswiderstand: >1 x 10^{12} Ω • Haltespannung: 1.000 Vrms in Meereshöhe

Umgebungsdaten: • Betriebstemperaturbereich: -55 °C ~ 105 °C

Deckel typ	Anzahl/ Kontakte	Digi-Key Teilenr.	Preisangaben 1	10	3M Teilenr.
		LCC-Sockel			
Voll	68	3M6809A-ND	13.67	119.12	268-5401-00-1102JH
Ohne Deckel	68	3M6809B-ND	13.67	119.12	268-5401-11-1102JH
U-Form	68	3M6809C-ND	13.77	119.96	268-5401-50-1102JH
Gerippt Kühlkörper	68	3M6809D-ND	16.23	141.38	268-5401-52-1102JH
		LCC-Sockeldeckel			
Voll	—	3MLLSF-ND	.77	6.69	268-5401-00-0000
U-Form	—	3MLLSU-ND	.87	7.62	268-5401-50-0000
Gerippt Kühlkörper	—	3MLLSH-ND	2.92	25.40	268-5401-52-0000

3M IC-Test-Clips

Neues Design mit „offenen Greifbacken" ermöglicht jetzt das Zugreifen auf DIP-Anschlüsse mit Prüfspitzen.

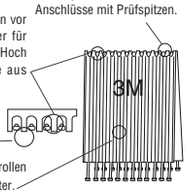

• Vereinfachte Prototyp- und Produktionstests, Arbeiten vor Ort und Qualitätskontrolle. • Neuer einteiliger Körper für jede DIP-Größe. TC-14 passt auf 14-Pin DIP, usw. • Hoch zuverlässige Goldkontakte. • Bewährte Kontakte aus Legierung 770.

„Kammförmiger Kontakt" passt zwischen DIP-Anschlüsse und eliminiert mögliche Kurzschlüsse.

Neue Kontakte in „Entenschnabelform" sind flach und rollen daher nicht von den schmalen DIP-Anschlüssen herunter.

Robuster, technisch ausgereifter Thermoplastkörper ist um Kontaktstifte geformt

Anz. d. Pins	Reihe zu Reihe (Zoll)	Nagelkopfanschluss, Digi-Key Teilenr.	Stück-preis	Kopflose Anschlüsse, Digi-Key Teilenr.	Stück-preis
		Legierung 770			
8	.3	923695-ND	8.29	923690-08-ND	8.29
14	.3	923698-ND	8.34	923690-14-ND	8.50
16	.3	923700-ND	8.42	923690-16-ND	8.58
16	.5/.6	923702-ND	14.00	—	—
18	.3	923703-ND	11.84	923690-18-ND	11.84
20	.3	923704-ND	12.39	923690-20-ND	12.39
22	.5/.6	923705-ND	15.37	—	—
24	.5/.6	923714-ND	16.13	923690-24-ND	16.13
24	.3	—	—	923689-24-ND	16.13
28	.5/.6	923718-ND	19.34	923690-28-ND	19.34
28	.3	923717-ND	19.34	923689-28-ND	19.34
36	.5/.6	923720-ND	21.48	923690-36-ND	21.48
40	.5/.6	923722-ND	22.54	923690-40-ND	22.54
64	.9	923726-ND	34.34	—	—
		Vergoldet			
8	.3	923743-08-ND	10.05	923739-08-ND	10.05
14	.3	923743-14-ND	10.32	923739-14-ND	10.32
16	.3	923743-16-ND	10.58	923739-16-ND	10.58
18	.3	923743-18-ND	14.31	923739-18-ND	14.87
20	.3	923743-20-ND	18.35	923739-20-ND	17.08
24	.5/.6	923743-24-ND	19.66	923739-24-ND	20.23
24	.3	923742-24-ND	19.66	923738-24-ND	19.66
28	.5/.6	923743-28-ND	23.63	923739-28-ND	26.11
28	.3	923742-28-ND	23.63	923738-28-ND	23.63
40	.5/.6	923743-40-ND	27.70	923739-40-ND	27.70
48	.5/.6	—	—	923739-48-ND	37.09
64	.9	—	—	923739-64-ND	42.44

3M Test-Clips, Oberflächenmontage

von 3M Electronic Specialty Products

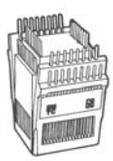

Merkmale: • Sicheres, praktisches, schnelles und einfaches Testen von normalerweise schwer zugänglichen Komponenten. Small Outline Integrated Circuits (SOICs) • Acht Größen erhältlich für 0,30" (7,62 mm) und 0,15" (3,81 mm) Gehäusegrößen • Spiralförmige Druckfedern und Isolierkontaktkämme gewährleisten Kontaktsicherheit während der Durchführung von Tests • Ermöglicht das Stapeln von Komponenten bis zu einer Dichte von 0,0505" (1,28 mm) (von Ende zu Ende), sodass sie gleichzeitig getestet werden können • Standardmäßige Vierkantkontaktstifte, 0,025" (0,64 mm), auf 0,10" (2,54 mm) Mitten am Prüfende des Clips nehmen Prüfspitzen oder einreihige Buchsensteckverbinder problemlos auf • Scharnierzapfen aus Stahl und glasgefüllter Polyesterkörper gewährleisten eine lange Nutzungsdauer • Erhältlich mit unbeschichteten Leitungen aus Legierung 764 und vergoldeten Leitungen • Ermöglicht ein sicheres, praktisches Testen von PLCC-IC-Typen • Alle vier Seiten des Test-Clips öffnen sich gleichzeitig und ermöglichen ein schnelles und problemloses Befestigen an dem zu testenden PLCC • Bleibt sicher am PLCC befestigt, bis es abgenommen wird • Spiralförimge Druckfedern und Isolierkontaktkämme gewährleisten Kontaktsicherheit während der Durchführung von Tests • Ermöglicht das Testen von ICs mit einem Reihenabstand von nur 0,200" (5,08 mm) zwischen den Bausteinen • Versetzte Kontaktreihen auf 0,100" (2,54 mm) Mitten • 0,025" (0,64 mm) Vierkantkontaktstifte gemäß Industriestandard auf 0,100" (2,54 mm) Mitten • Erhältlich mit Leitungen aus Legierung 764 und vergoldeten Leitungen.

Anz. d. Pins	Beschreibung	Enge Digi-Key Teilenr.	Stück preis	Breite Digi-Key Teilenr.	Stück-preis
		.150" SOIC		***.300" SOIC***	
8	Legierung 764	923650-08-ND	9.23	—	—
14	Legierung 764	923650-14-ND	9.35	—	—
16	Legierung 764	923650-16-ND	9.61	923660-16-ND	9.73
18	Legierung 764	—	—	923660-18-ND	10.29
20	Legierung 764	—	—	923660-20-ND	11.29
24	Legierung 764	—	—	923660-24-ND	11.66
28	Legierung 764	—	—	923660-28-ND	12.49
8	Vergoldet	923655-08-ND	9.61	—	—
14	Vergoldet	923655-14-ND	10.64	—	—
16	Vergoldet	923655-16-ND	10.54	923665-16-ND	11.17
18	Vergoldet	—	—	923665-18-ND	11.25
20	Vergoldet	—	—	923665-20-ND	11.64
24	Vergoldet	—	—	923665-24-ND	12.84
28	Vergoldet	—	—	923665-28-ND	13.79

Anz. d. Pins	Beschreibung	PLCC, Digi-Key Teilenr.	Stück-preis
		PLCC	
20	Legierung 764	923670-20-ND	25.60
28	Legierung 764	923670-28-ND	27.15
44	Legierung 764	923670-44-ND	34.45
68	Legierung 764	923670-68-ND	46.57
20	Vergoldet	923675-20-ND	28.23
28	Vergoldet	923675-28-ND	33.41
44	Vergoldet	923675-44-ND	36.94
68	Vergoldet	923675-68-ND	43.51
84	Vergoldet	923675-84-I-ND	46.87

Adapter zum Programmieren und zur Prototyperstellung

Beschreibung	Empfohlen zur Verwendung mit	Digi-Key Teilenr.	Stückpreis	Logical Systems Teilenr.
Programmieradapter				
8-Pin SOIC 0,150" Breitsockel an 8-Pin 0,300" breiten DIP-Stecker	PIC12(L)C508A, 509A; PIC12(L)CE518, 519	309-1045-ND	50.80	PA8SO1-03-3
8-Pin SOIC 0,150" Breitsockel an 8-Pin 0,600" breiten DIP-Stecker		309-1046-ND	50.80	PA8SO1-03-6
8-Pin SOIC 0,210" Breitsockel an 8-Pin 0.300" breiten DIP-Stecker	PIC12(L)C508A, 509A; PIC12(L)CE518, 519; PIC12C671, 672	309-1047-ND	59.26	PA8SO1-2006-3
8-Pin SOIC 0,210" Breitsockel an 8-Pin 0,600" breiten DIP-Stecker		309-1048-ND	59.26	PA8SO1-2006-6
14-Pin SOIC 0,150" Breitsockel an 14-Pin 0,300" breiten DIP-Stecker	PIC16C505	309-1000-ND	50.80	PA14SO1-03-3
14-Pin SOIC 0,150" Breitsockel an 14-Pin 0,600" breiten DIP-Stecker		309-1001-ND	50.80	PA14SO1-03-6
18-Pin SOIC 0,300" Breitsockel an 18-Pin 0,300" breiten DIP-Stecker	PIC16C52-58, 61, 554, 558, 621-625, 71, 710-717, F83, 84; PIC16HV510; Z86C(E)(L)02, 03, 04, 06, 08, 16, 28; Z8E000, 001	309-1010-ND	59.26	PA18SO1-08H-3
18-Pin SOIC 0,300" Breitsockel an 18-Pin 0,600" breiten DIP-Stecker		309-1011-ND	59.26	PA18SO1-08H-6
20-Pin SOIC 0,300" Breitsockel an 20-Pin 0,300" breiten DIP-Stecker	PIC16C770, 771	309-1012-ND	59.26	PA20SO1-08H-3
20-Pin SOIC 0,300" Breitsockel an 20-Pin 0,600" breiten DIP-Stecker		309-1013-ND	59.26	PA20SO1-08H-6
20-Pin SSOP-Sockel an 20-Pin 0,300" breiten DIP-Stecker		309-1014-ND	67.73	PA20SS-OT-3
20-Pin SSOP-Sockel an 18-Pin 0,600" breiten DIP-Stecker	PIC16C56(A), 58A(B), 554, 558, 620(A), 621, E623-E625, 710-717; PIC16HV540	309-1016-ND	67.73	PA20SS-P54
28-Pin SOIC 0,300" Breitsockel an 28-Pin 0,300" breiten DIP-Stecker	PIC14000; PIC16C55, 57, 62, 63, 66, 72, 73, 76, 642, 773, F872, F873, F876; PIC18C242, 252; Z86C(E)(L)30, 31, 33, 34, 35, 36, 83, 84; Z86233, 733	309-1023-ND	59.26	PA28SO1-08H-3
28-Pin SOIC 0,300" Breitsockel an 28-Pin 0,600" breiten DIP-Stecker		309-1024-ND	59.26	PA28SO1-08H-6
28-Pin SSOP-Sockel an 28-Pin 0,600" breiten DIP-Stecker	PIC14000, PIC16C62A(B), 63A, 72(A), 73B, 773, F872	309-1025-ND	67.73	PA28SS-OT-6
28-Pin SSOP-Sockel an 28-Pin 0,600" breiten DIP-Stecker	PIC16C55(A), 57(C)	309-1026-ND	67.73	PA28SS-P55
32-Pin PLCC-Sockel mit autom. Auswurf an 28-Pin 0,600" breiten DIP-Stecker	AT27C(BV, LV) 512, 256, 128, 28BV64, 29C256, 28C17, 27C040	309-1089-ND	59.26	PA32-28
32-Pin PLCC-Sockel mit Deckel an 28-Pin 0,600" breiten DIP-Stecker		309-1090-ND	76.19	PA32-28Z
32-Pin PLCC-Sockel mit autom. Auswurf an 32-Pin 0,600" breiten DIP-Stecker	AT27C010, 020, AT49F(BV,LV) 001, 002, 020, AT29C010, 020, 040A, 512	309-1091-ND	59.26	PA32-32
32-Pin PLCC-Sockel mit Deckel an 32-Pin 0,600" breiten DIP-Stecker		309-1092-ND	76.19	PA32-32Z
44-Pin PLCC-Sockel mit autom. Auswurf an 40-Pin 0,600" breiten DIP-Stecker	AT89C51, 8051	309-1093-ND	97.36	PA51-44
44-Pin PLCC-ZIF-Sockel mit Deckel an 40-Pin 0,600" breiten DIP-Stecker		309-1094-ND	114.29	PA51-44Z
44-Pin PLCC-Sockel mit autom. Auswurf an 40-Pin 0,600" breiten DIP-Stecker	AT27C1024, 2048, 4096	309-1095-ND	97.36	PA280-44
44-Pin PLCC-ZIF-Sockel mit Deckel an 40-Pin 0,600" breiten DIP-Stecker		309-1096-ND	114.29	PA280-44Z
44-Pin PQFP-Sockel an 40-Pin 0,600" breiten DIP-Stecker	PIC16C64A, 65A(B), 67, 662, 74A(B), 774, 77, F874, F877	309-1002-ND	139.69	PA16C64-QD-16
44-Pin TQFP-Sockel an 40-Pin 0,600" breiten DIP-Stecker		309-1003-ND	139.69	PA16C64-QD-03
44-Pin PLCC-ZIF-Sockel mit Deckel an 40-Pin 0,600" breiten DIP-Stecker	PIC17C42(A), 43, 44	309-1007-ND	114.29	PA17C42-PDZ
44-Pin TQFP-Sockel an 40-Pin 0,600" breiten DIP-Stecker		309-1008-ND	139.69	PA17C42-QD-03
44-Pin PLCC-Sockel mit autom. Auswurf an 40-Pin 0,600" breiten DIP-Stecker	PIC16C64A, 65A(B), 67, 662, 74A (B), 774, 77, F874, F877	309-1039-ND	97.36	PA44-40-P64-PD
44-Pin PLCC-ZIF-Sockel mit Deckel an 40-Pin 0,600" breiten DIP-Stecker		309-1040-ND	114.29	PA44-40-P64-PDZ
DIP an PLCC-Prototyperstellungsadapter				
Emulator-Adapter, 40-Pin DIP ZIF-Sockel an 44-Pin PLCC-Stecker	PIC16C64A, 65A(B), 67, 662, 74A(B), 774, 77, F874, F877	309-1031-ND	122.76	PA40-44-P64-DP
Emulator-Adapter, 40-Pin DIP-Sockel an 44-Pin PLCC-Stecker		309-1032-ND	105.83	PA40-44-P64-DP-PP
PLCC-an-PLCC-Prototyperstellungsadapter				
44-Pin PLCC-Sockel mit autom. Ausstoß an 40-Pin PLCC-Stecker 1:1 Pinout	Z86C(E)21, 40, 43, 743, 44, 45, 46, 61	309-1041-ND	122.76	PA44-PP
44-Pin PLCC-ZIF-Sockel mit Deckel an 40-Pin PLCC-Stecker 1:1 Pinout		309-1042-ND	139.69	PA44-PZP
QFP-an-QFP-Prototyperstellungsadapter				
44-Pin TQFP-Sockel an 44-Pin gelöteten QFP-Stecker. 1:1 Pinout	N/A	309-1043-ND	304.78	PA44QF03-44QF
DIP-an-SO-Stecker Prototyperstellungs-Adapterkits				
8-Pin DIP-Karte, 0,300" Zwei 8-Pin SOIC-Stecker, 0,250"	PIC12(L)C508A, 509A, DE518, CE519	309-1050-ND	16.59	PADSO-0803-D250-08/2
8-Pin DIP-Karte, 0,300" Zwei 8-Pin SOIC-Stecker, 0,310"	PIC12(L)C508A, 509A, CE518, CE519, 671, 672	309-1051-ND	16.59	PADSO-0803-D310-08/2
18-Pin DIP-Karte, 0,300", mit ZIF-Sockel Zwei 18-Pin SOIC-Stecker, 0,420"	710-717, F83, F84(A), HV540; Z86C(E)(L)02, 03, 04, 06, 08, 16, 28; Z8E000, 001	309-1059-ND	32.68	PADSO1803Z-D420-18/2
28-Pin DIP-Karte, 0,300" Zwei 28-Pin SOIC-Stecker, 0,420"	PIC14000, PIC16C55(A), 57(C), 62A(B), 57(C), 62A(B), 63(A), 66,	309-1065-ND	28.45	PADSO-2803-D420-28/2
SOIC-an-SOIC-Prototyperstellungsadapter				
18-Pin SOIC-Sockel, 0,300", an 18-Pin SOIC-Steckverbinder	PIC16C52, 54(A)(C), 56(A), 58A(B), 61, 554, 558, 621, 620(A), CE623-CE625, 71, 710-717, F83, F84(A), HV540; Z86C(E)(L)02, 03, 04, 06, 08, 16, 28; Z8E000, 001	309-1075-ND*	59.26	PA-SOD-2808-18
28-Pin SOIC-Sockel, 0,300", an 28-Pin SOIC-Steckverbinder	PIC14000, PIC16C55(A), 57(C), 62A(B), 63(A), 66, 72(A), 73A(B), 76, 642, 773, F872-F876; PIC18C242, 252, Z86C(E)(L)30, 31, 33, 34, 35, 36, 83, 84; Z86233, 733	309-1073-ND*	59.26	PA-SOD-2808-28

*Setzt SO-Stecker voraus, die separat zu bestellen sind.

Beschreibung	Digi-Key Teilenr.	Stückpreis	Logical Systems Teilenr.
Weitere DIP-Karten			
28-Pin DIP-Karte, 0,300"	309-1064-ND	20.32	PA-DSO-2803

Beschreibung	Digi-Key Teilenr.	Stückpreis	Logical Systems Teilenr.
Weitere SO-Stecker			
18-Pin Stecker, 0,420" (6 Stück)	309-1081-ND	19.30	PA-SOF-D420-18/6
28-Pin Stecker, 0,420" (6 Stück)	309-1083-ND	24.38	PA-SOF-D420-28/6

XELTEK

Superpro 280

Fortgeschrittenes Universalprogrammiergerät

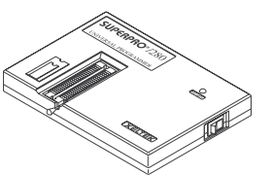

Merkmale: • Unterstützt über 4.500 Bausteine, einschließlich Speicher, Mikrocontroller und programmierbare Logik. • Parallelport-Schnittstelle • 48-Pin ZIF-Sockel, keine Adapter notwendig, für 300/600 mil DIP-Bausteine mit maximal 48 Pins • 48 optimierte Pin-Treiber - Subsatz mit universeller Funktionalität auf jedem Pin unterstützt viele Bausteine auf preiswerteste Art • Bausteinspezifische Adapater unterstützen viele Bausteine, die in demselben Paket geliefert werden. • Niederspannungs-Geräteunterstützung bis hinab zu 1,8 V • Unterstützt Windows 2000/NT, Windows 98/95
• Kompatibel mit Windows XP • 1 Jahr Garantie • **Test:** Standard-Logik-Bausteine und SRAM • **Inhalt:** Programmierbaustein, Stromversorgung, DB-25-Kabel, Benutzerhandbuch und CD-ROM mit SuperPro Software • **Programmierer-Abmessungen:** 7,9" x 5,5" x 0,95" (200 mm x 140 mm x 24 mm) • **Stromversorgung:** 100 V - 240 V AC Eingang; 12 V DC, 1,5 A Ausgang • **Gewicht:** 4 lbs. (1,81 kg) • **Baustein-Support-Liste:** Online bei www.digikey.com

Beschreibung	Digi-Key Teilenr.	Stückpreis	Xeltek Teilenr.
Hochleistungs-Universalprogrammierer, 48 Pins	415-1001-ND	380.12	SUPERPRO280

Superpro 280U

USB Universal-Schnittstellenprogrammierer

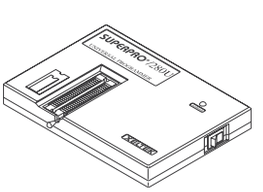

Merkmale: • Unterstützt über 8.400 Bausteine, einschließlich Speicher, Mikrocontroller und programmierbare Logik • USB-Schnittstelle • 48-Pin ZIF-Sockel, keine Adapter notwendig, für 300/600 mil DIP-Bausteine mit maximal 48 Pins • Bausteinspezifische Adapter stehen für größere Pin-Zahlen zur Verfügung • Niederspannung-Geräteunterstützung bis hinab zu 1,5 V • Kostenlose Software-Upgrades auf Lebenszeit • Unterstützt Windows® 98, ME, NT, 2000, XP • 1 Jahr Garantie • **Test:** Standard-Logik-Bausteine und SRAM • Erkennt, wenn falscher Chip eingesetzt wird • **Inhalt:** Programmierbaustein, Stromversorgung, Benutzerhandbuch und CD-ROM mit SuperPro Software • **Baustein-Support-Liste:** Online bei www.digikey.com

Beschreibung	Digi-Key Teilenr.	Stückpreis	Xeltek Teilenr.
Universalprogrammiergerät, 48 Pins	415-1006-ND	464.78	SUPERPRO280U

Superpro Z

Universal-Programmierer für Anfangsniveau mit Basic-Support

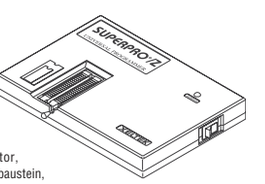

Merkmale: • Unterstützt über 3.000 Bausteine, einschließlich Speicher, Mikrocontroller und programmierbare Logik • Druckerport-Schnittstelle • 40-Pin ZIF-Sockel, keine Adapter notwendig, für 300/600 mil DIP-Bausteine mit maximal 40 Pins • 40 optimierte Pin-Treiber - Subsatz mit universeller Funktionalität auf jedem Pin unterstützt viele Bausteine auf preiswerteste Art • Bausteinspezifische Adapater unterstützen viele Bausteine, die in demselben Paket geliefert werden. • Niederspannungs-Geräteunterstützung bis hinab zu 3 V • Unterstützt von Windows® 95, 98, 2000, NT, ME und XP • 1 Jahr Garantie • **Test:** TTL/CMOS, Speicher, Vektor, Testmusterbearbeitung, Audio-Identifizierung TT/CMOS-Baustein • **Inhalt:** Programmierbaustein, Stromversorgung, DB-25-Kabel, Benutzerhandbuch und CD-ROM mit SuperPro Software
• **Programmierer-Abmessungen:** 7,75" x 5,5" x 0,75" (196,85 mm x 139,70 mm x 19,05 mm)
• **Stromversorgung:** 100 V - 240 V AC Eingang; 12 V DC, 1,5 A Ausgang • **Gewicht:** 4 lbs. (1,81 kg) • **Baustein-Support-Liste:** Online bei www.digikey.com

Beschreibung	Digi-Key Teilenr.	Stückpreis	Xeltek Teilenr.
Universalprogrammiergerät, 40 Pins	415-1000-ND	210.80	SUPERPROZ

Superpro 580U

Fortgeschrittenes Universalprogrammiergerät

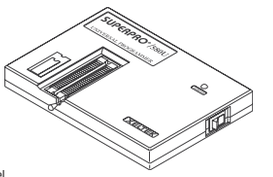

Merkmale: • Unterstützt über 11.000 Bausteine, einschließlich Speicher, Mikrocontroller und programmierbare Logik • USB-Schnittstelle • 48-Pin Universal-Pin Treiber, volle Funktionalität an jedem Pin optimiert Adapterflexibilität • Universal-Adapter unterstützen alle Bausteine, die im selben Paket enthalten sind und aktivieren neue Bausteine in dem Paket, indem sie eine Unterstützung durch kostenlose Software-Updates über das Internet zulassen. • Niederspannung-Geräteunterstützung bis hinab zu 1,5 V • Autom. Abtast- und Batch-Modus vereinfachen und beschleunigen den Arbeitsfluss beim Programmieren. • Unterstützt Windows® 95, 98, ME, NT, 2000, XP • 1 Jahr Garantie • **Test:** Standard-TTL/CMOS Logik-Schaltkreis und SRAM • **Inhalt:** Programmierbaustein, Stromversorgung, USB-Kabel, Benutzerhandbuch und CD mit SuperPro Software • **Abmessungen:** 8,66" x 5,5" x 0,95" (220 mm x 140 mm x 24 mm) (2 kg) • **Baustein-Support-Liste:** Online bei www.digikey.com

Beschreibung	Digi-Key Teilenr.	Stückpreis	Xeltek Teilenr.
Hochleistungs-Universalprogrammierer, 48 Pins	415-1004-ND	588.39	SUPERPRO580U

Alle Preisangaben in Euro und inklusive Zollgebühren.

XELTEK Superpro 3000U Ultra-schneller 48-Pin Universal-Programmierer, Stand-alone

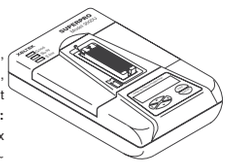

Merkmale: • Unterstützt über 12.000 Bausteine, einschließlich Speicher, Mikrocontroller und programmierbarer Logik • USB-Konnektivität • 48-Pin ZIF-Sockel, keine Adapter notwendig, für 300/600 mil DIP-Bausteine mit maximal 48 Pins • 48-Pin Universal-Pin Treiber, volle Funktionalität an jedem Pin optimiert Adapterflexibilität • Optionales 100-Pin PEP-Modul liefert volle Funktionalität an jedem Pin, um Programmierung von Bausteinen mit höherer Pin-Zahl zu ermöglichen • Niederspannung-Geräteunterstützung bis hinab zu 1,5 V für die allerneuesten Geräte • Kann im eigenständigen Modus zum Programmieren und zur Wartung betrieben werden • Integrierte LCD und Tastatur zum Betrieb ohne PC • HS-Betrieb, programmiert 32 Mbit Flash in 14 Sek. • Autom. Abtast- und Batch-Modus vereinfachen und beschleunigen den Arbeitsfluss beim Programmieren • Unterstützt Windows® 95, 98, ME, NT, 2000, XP • 1 Jahr Garantie

Inhalt: • Programmierbaustein, Stromversorgung, USB-Kabel, Benutzerhandbuch und CD mit SuperPro Software • **Abmessungen:** 9,5" x 5,9" x 2" (240 mm x 150 mm x 50 mm) **Stromversorgung:** 100 V ~ 240 V AC Eingang; 12 VDC, 2,5 A Ausgang • **Gewicht:** 5 lbs. Baustein-Support-Liste: Online bei www.digikey.com

Beschreibung	Digi-Key Teilenr.	Stückpreis	Xeltek Teilenr.
Hochleistungs-Universalprogrammierer, 48 Pins	415-1005-ND	842.37	SUPERPRO3000U

Needham's Electronics

Die Programmierer von Needham bieten preiswerte Hochleistungsprogrammieroptionen für EPROMs, EEPROMs, Mikrocontroller, PAL, Flash-Speicher usw. Für jeden Baustein werden eine einjährige Garantie und kostenlose Software-Aktualisierungen gewährt. Zu den unterstützten Dateiformaten zählen Binär, JEDEC, Intel Hex, Motorola S, Tek-Hex und POF. Siehe nachstehende Matrix zum Vergleich der Programmierer.

B

Geräteadapter

Beschreibung	Digi-Key Teilenr.	Stückpreis	Needham's Teilenr.
44-PSOP-Adapter für EMP-11	E11-PSOPA-29-ND	76.19	E11-PSOPA-29
48-PSOP Adapter für EMP-11	E11-TSOPA-48-ND	105.83	E11-TSOPA-48
52-PSOP Adapter für EMP-11	E11-PSOPA-52-ND	76.19	E11-PSOPA-52
44-PSOP-Adapter für EMP-11	E11-PSOPA-W-ND	76.19	E11-PSOPA-W
Sockelmodul für EMP-300, 20-PLCC	PLCC20-ND	88.89	PLCC20
Sockelmodul für EMP-300, 32-PLCC	PLCC32-ND	88.89	PLCC32
Sockelmodul für EMP-300, 44-PLCC	PLCC44-ND	88.89	PLCC44
Sockelmodul für EMP-300, 52-PLCC	PLCC52-ND	105.83	PLCC52
Sockelmodul für EMP-300, 48-TSOP	TSOP48-ND	105.83	TSOP48
Sockelmodul für EMP-300, 56-TSOP	TSOP56-ND	105.83	TSOP56

Programmierer

Beschreibung	Digi-Key Teilenr.	Stückpreis	Needham's Teilenr.
Baustein-Programmierer, parallel	EMP-11-ND	283.57	EMP-11
Baustein-Programmierer, USB, parallel	EMP-21-ND	550.25	EMP-21
Baustein-Programmierer, parallel	EMP-31-ND	866.10	EMP-31
Baustein-Programmierer, USB, parallel	EMP-31USB-ND	931.22	EMP-31USB
Baustein-Programmierer, USB	EMP-300 110V-ND	1100.54	EMP-300 110V

Programmierervergleich

Needham's Teilenr.	Gerätetyp	Baustein-Support	Systemanforderungen	PC-Schnittstelle	Nieder-spannungs-Support	Sockel	Inbegriffene Gruppenmodule	Programmieren/Verifizieren (Zeiten)
EMP-11	EPROMs, Flash, 8051-artige Micros, Microchip PICs u. GALs	3700+	IBM-kompatibel, PC 95, 98, 2000 oder ME. 75 Mb freier Festplattenplatz	Parallel	1.8V	40 Pin ZIF	4	70.67 Sec. / 50.23 Sek.
EMP-21	EPROMs, Gals, Mikrocontroller, PLD, Flash, EEPROMs, serielle EEPROMs usw.	6500+	IBM-kompatibel, PC 95, 98, 2000 oder XP. 75 Mb freier Festplattenplatz	USB, parallel	1.8V	48 Pin ZIF	20	36.5 Sec. / 28.22 Sek.
EMP-31 (USB)	EPROMs, Gals, Mikrocontroller, PLD, Flash, EEPROMs, serielle EEPROMs usw.	7000+	IBM-kompatibel, PC 95, 98, 2000 oder XP. 40 MB freier Festplattenplatz.	USB, parallel	1.8V	48 Pin ZIF	13	36.47 Sec. / 28.1 Sek.
EMP-300 110V	EPROMs, Gals, Mikrocontroller, PLD, Flash, EEPROMs, serielle EEPROMs usw.	7300+	IBM-kompatibel, PC 95, 98, 2000 oder XP. 40 MB freier Festplattenplatz.	USB	1.8V	48 Pin ZIF	13	7.8 Sec. / 1.9 Sek.

EQUINOX TECHNOLOGIES — The Embedded Solutions Company

FS2003 - Tragbarer HS ISP-Programmierer für 8051 und AVR Mikrocontroller

Der FS2003-Programmierer unterstützt HS In-System Programming (ISP) vieler 8051 und Atmel AVR-Mikrocontroller. Der Programmierer kann als Standard im eigenständigen Modus, d.h. ohne PC, verwendet werden, wodurch er sich hervorragend für die Feld-Service und/oder ISP-Produktionsumgebungen eignet. Der Bediener wählt einfach eines der 64 lokal auf dem Programmierer gespeicherten Projekte aus und betätigt dann eine einzige Taste („Auto-program"), um den Zielbaustein zu programmieren. Der FS2003 unterstützt in seiner Standardausführung SPI und Bootloader (UART) ISP; er kann zur Unterstützung von JTAG ISP aufgerüstet werden.

Programmiermodi: • Eigenständiger Modus - Tastatur + LCD (kein PC) • Entwicklungsmodus - wird über Equinox Development Suite (EDS) auf einem PC gesteuert • Script-Modus - aufladbares Upgrade

In-System Programmier-Header: • Für SPI: Equinox 10-Weg, Atmel 10-Weg, Atmel 6-Weg IDC Header • Für UART: Equinox 10-Weg Header • Für JTAG: Atmel 10-Weg IDC Header

483-1003-ND **423.26**
483-1009-ND FS2003 - JTAG ISP Upgrade **253.94**

FS2000A - Tragbarer ISP-Programmierer für Atmel AVR- und AT89S-Mikrocontroller

Der FS2000A-Programmierer unterstützt HS In-System Programming (ISP) der meisten Atmel AVR- und AT89S FLASH Mikrocontroller. Der Programmierer kann als Standard im eigenständigen Modus, d.h. ohne PC, verwendet werden, wodurch er sich hervorragend für die Feld-Service und/oder ISP-Produktionsumgebungen eignet. Der Bediener wählt einfach eines der 64 lokal auf dem Programmierer gespeicherten Projekte aus und betätigt dann eine einzige Taste („Auto-program"), um den Zielbaustein zu programmieren. Jedes Projekt ist individuell versionsgesteuert und CRC-geprüft, um sicherzustellen, dass stets die richtige Firmware programmiert wird.

Baustein-Support: • Atmel AT90S, ATmega, ATtiny AVR Mikrocontroller-Gruppen • Atmel AT89S 51/52/53/8252 8051 Mikrocontroller

******Nicht für neue Designs verwenden. Bitte benutzen Sie den FS2003 Programmierer******

483-1001-ND **423.26**

PPM3-MK2 ISP-Produktionsprogrammierer

Dieser anspruchsvolle Produktionsprogrammierer wurde für HS In-System Programming (ISP) von programmierbaren Bausteinen entwickelt, die auf einem Zielsystem montiert sind. Er wird über ein austauschbares E/A-Steckverbindermodul mit dem Zielsystem verbunden, sodass der Programmierer für jede Zielverbindungssituation geeignet ist.

Merkmale: • Schnellstmögliche Programmierungszeiten aufgrund von integrierten Daten, HS-SPI und JTAG-Port • Unterstützt FLASH, EEPROM, FUSE Bits, Security Bits und RC-Oszillator-Kalibrierbytes • 32Mbits nicht-flüchtiger integrierter FLASH-Speicher für das Speichern von Benutzerprojekten (eigenständiger Modus) **Gang-Programmierfunktion:** • Erweiterbar von 1-16 Programmierkanälen • Jeder Kanal kann unabhängig von anderen Programmierern ein Zielsystem programmieren (vollständig asynchrone Programmierung) • Ein RS485-Wandler ist notwendig, um die Multikanal-Programmierung (konfiguriert/gesteuert von Equinox-EQTools) zu implementieren **Software:** • Equinox Development Suite (EDS) • Project Builder - zum Erstellen/Bearbeiten von Programmierprojekten • Project Manager - zum Erstellen und Unterhalten von Projektsammlungen • Dienstprogramm zum Heraufladen/Herunterladen von Projekten zum Programmierer, zur Verwendung im eigenständigen Modus **Unterstützt alle beliebten ISP-Steckleisten zur Verbindung mit dem Zielsystem:** • Austauschbare „E/A-Steckverbindermodule" unterstützen alle beliebten ISP-Steckleistenformate: • Atmel 10-Weg SPI-Header (gemäß STK200/STK500) • Atmel 6-Weg ISP-Header • Equinox 10-Weg SPI-Steckleiste mit Support für Slave Select und SCK2 • Atmel 10-Weg JTAG-Header (gemäß Atmel JTAG-ICE) • Equinox 10-Weg UART-Header für Atmel T89C51Rx2 (8051) und Philips P89C51 ISP FLASH Mikrocontroller • Clip-In-Drahtverbinder zum schnellen Anschluss • Drahtumwickelte Steckverbinder

483-1002-ND **812.69**
483-1004-ND PPM3-MK2 - Sonderfunktions-Antriebsmodul (Ersatz) **83.74**
483-1005-ND PPM3-MK2 - E/A-Anschlussmodul 3 für Atmel ATmega JTAG ISP **92.05**
483-1006-ND Serieller Kommunikationswandler, RS232 an RS485 ..... **169.28**
483-1007-ND PPM3-MK2 - Atmel ATmega AVR - JTAG ISP Upgrade-Lizenz **459.58**
483-1010-ND PPM3-MK2 - Steuerungsentwicklungspack, Fernanwendungen **1012.49**

Epsilon5 - Tragbarer ISP-Programmierer

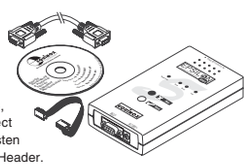

Der Epsilon5 ist ein HS-Entwicklungs-/Feldproduktionsprogrammierer, der viele 8051- und AVR-Microcontroller von Atmel unterstützt. Er kann während der Entwicklung und zur Projektkonfiguration/Heraufladung mit PC-Steuerung betrieben werden. Für Feld/Produktionsanwendungen ist die Einheit in einer eigenständigen Version, d.h. ohne PC, erhältlich. Der Programmierer wird komplett mit Equinox Development Suite (EDS), Project Builder/Manager und Project Upload Utility geliefert. Es wurden alle beliebten ISP-Steckleisten berücksichtigt, einschließlich10-Weg-Atmel/Equinox, 6-Weg-Atmel und Atmel 10-Weg/ JTAG-Header. Der Programmierer unterstützt in seiner Standardausführung LV + HV SPI und Bootloader (UART) ISP; er kann zur Unterstützung von Atmel Atmega JTAG ISP aufgerüstet werden.

483-1000-ND **211.61**
483-1008-ND Upgrade Epsilon5 JTAG ISP AVR MCU **169.28**

Xilinx FPGA Leistungsmanagementsysteme

Die Xilinx Stromversodergungsanfoderderungen für den Kern, E/A und zusätzliche Stromversodergungen schließen Spannungsausgänge von 1,2 V bis 5 V und Stromausgänge von 10 mA bis zu mehreren Ampere ein. Je nach Systemanfoderderungen kann ein linearer oder ein Schaltregler verwendet werden, um dem FPGA Strom zuzuführen.

STMicroelectronics stellt sowohl lineare Regler als auch Schaltregler für viele verschiedene Ausgangsspannungen und Ausgangsströme her.
Wird Leistungssequenzierung benötigt, steuert der Folgeschaltkreis die Hochfahr- und Herunterfahrsequenz der Vcc-Kern- und Vcco-Versorgungsspannungen.

Lineare Regler sind die beste Wahl bei begrenztem Platz, wenn geringes Ausgangsrauschen wichtig ist oder wenn eine schnelle Reaktion auf Eingänge und Stoßspannungen erfoderderlich ist. Lineare Regler bieten niedrige bis mittlere Ausgangsströme (bis zu 3 A) mit einem einfachen Design.

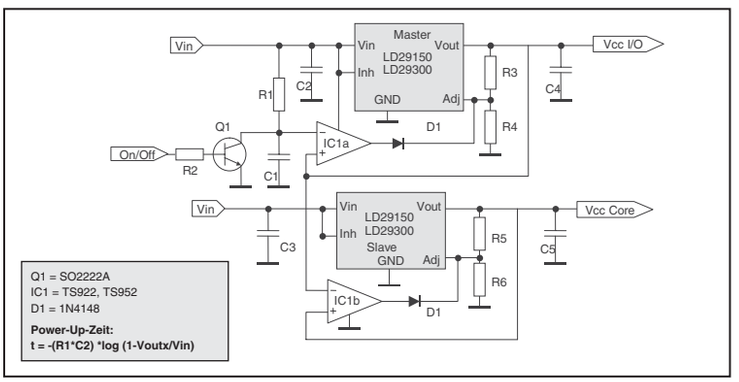

Lineare Lösung

Voderstehende Lösung implementiert eine kontrollierte Slew-Rate beim Power-Up und bei der Leistungssequenzierung für Kern und E/A-Spannungen. Beide Ausgänge steigen und fallen mit der gleichen Slew-Rate, die von R1 und C1 bestimmt wird. t = -(R1*C2) *Log (1-Vccx/Vin)

Hinweis: Vout Master muss höher sein als Vout Slave

Schaltregler eignen sich am besten bei Designs, wo Effizienz wichtig ist und/oder hohe Ausgangsströme verlangt werden (z.B. Spartan-3™ und Virtex-II™). Schaltversodergungen sind für hervoderragende Effizienz bekannt, nur kann der Ausgang aufgrund der Schaltnatur des Reglers rauschempfindlicher sein.

Schaltregler setzen Induktoderen und Eingangs- und Ausgangskondensatoderen für die DC-DC-Wandlung voderaus.

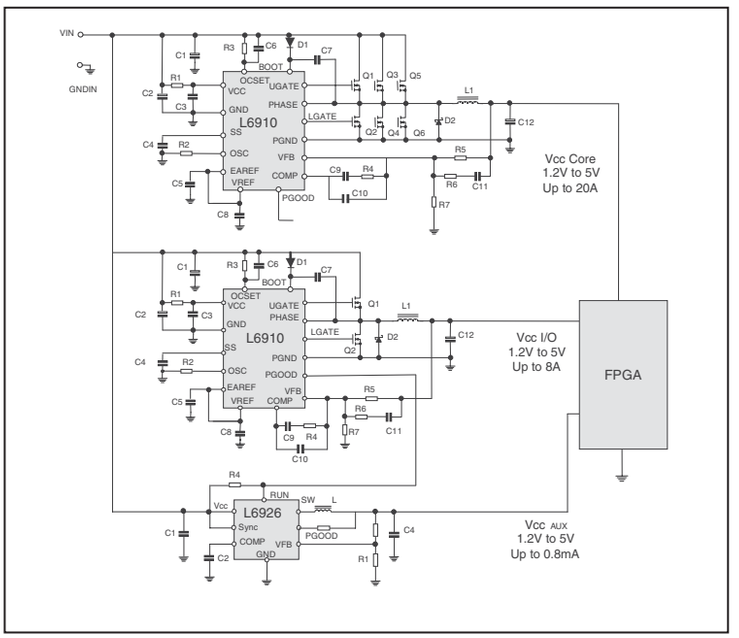

Schaltlösung

Voderstehende Lösung bietet eine Kernspannung von 1,2 V ~ 5 V bei einem Strom von bis zu 20 A, eine E/A-Spannung von 1,2 V ~ 5 V bei einer Stromkapazität von bis zu 10 A und eine zusätzliche Stromversodergung von 1,2 V ~ 5 V bis zu 800 mA.

STMicroelectronics lineare und Schaltspannungsregler

Xilinx-Teilenr.	LINEAR			SCHALTUNG		
Virtex-II™ Pro	**Vccint (1.5V)**	**Vccaux (2.5V)**	**Vcco★ (1,5 V bis 3,3 V)**	**Vccint**	**Vccaux**	**Vcco★**
XC2VP2 bis XC2VP30	KF15 oder LD1117	L4931ABD25x	LD29300	L5970D	L6926D oder L5970D	
XC2VP40 bis XC2VP125	LD29150xx15	L4931ABD25x	LD29300	L5972D	L6926D oder L5970D	
Virtex-II™	**Vccint (1.5V)**	**Vccaux (3.3V)**	**Vcco★ (1,5 V bis 3,3 V)**	**Vccint**	**Vccaux**	**Vcco★**
XC2V40 bis XC2V1000	L4931ABD15TR	LD2981Cxx33	L4931, LD29300	L4973 L6910	L6926D	L4973
XC2V1500 bis XCE2V3000	KF15	LD2981Cxx33	L4931, LD29300	L4973 L6910	L6926D	L4973
XCE2V4000 bis XCE2V8000	LD29150xx15	LD2981Cxx33	L4931, LD29300	L4973 L6910	L6926D	L4973
Virtex-EM™ und Virtex-E™	**Vccint (1.8V)**		**Vcco★ (1,2 V bis 3,3 V)**	**Vccint**	**Vcco★**	
XCV50E (C) bis XCV600E (C)	LF18Cxx		L4931	L5970D	L6926D oder L5970D	
XCV812E (C) bis XCV2000E (C)	LD1117Axx18		L4931	L5970D	L6926D oder L5970D	
XCV2600E (C) bis XCV3200E (C)	LD1086xx18		L4931	L5972D	L6926D oder L5970D	
XCV50E (I) bis XCV3200E (I)	LD1085xx18		L4931	L5973D	L6926D oder L5970D	
Spartan-II™	**Vccint (2.5V)**		**Vcco★ (1,5 V bis 3,3 V)**	**Vccint**	**Vcco★**	
XC2S15 bis XC2S150 (0 °C < Tj)	KF25xx		LFxx, KFxx	L5973D oder L4973	L6926D	
XC2S15 bis XC2S150 (Tj < 0 °C)	LD1085xx25 / LD29300xx25		LFxx, KFxx	L5973D oder L4973	L6926D	
Spartan-IIE™	**Vccint (1.8V)**		**Vcco★ (1,2 V bis 3,3 V)**	**Vccint**	**Vcco★**	
XC2S50E (C) bis XC2S600E (C)	LF18C, LD1086xx18, LD29150xx18		L4931	L5973D oder L4973	L6926D oder L5970D	
XC2S50E (I) bis XC2S300E (I)	LF18C, LD1086xx18, LD29150xx18		L4931	L5973D oder L4973	L6926D oder L5970D	
XC2S400E (I) bis XC2S600E (I)	LD1085xx18, LD29300xx18		L4931	L4973	L6926D oder L5970D	
Spartan-3™	**Vccint (1.2V)**	**Vccaux (2.5V)**	**Vcco★ (1,2 V bis 3,3 V)**	**Vccint**	**Vccaux**	**Vcco★**
XC3S50 bis XC3S400	LD1117Axx12	KF25xx	LD29300	L4973	L6926D	L4973
XC3S1000 bis XC3S2000	LD1117Axx12	KF25xx	LD29300	L4973, L6910	L6926D	L4973
XC3S4000 bis XC3S5000	LD1117Axx12	KF25xx	LD29300	L4973, L6910	L6926D	L4973, L6910

★ Der erforderliche E/A-Strom hängt von mehreren spezifischen Designfaktoren ab, inkl. E/A-Verwendung, Belastung, etc. Designer sollten FPGA-Leistungsschätz-Tools zur Bestimmung des erforderlichen Iccio-Strom heranziehen.

http://dkc3.digikey.com/PDF/Marketing/FPGA_Xilinx.pdf

Alle Preisangaben in Euro und inklusive Zollgebühren.

XILINX XC9500 In-System programmierbare CPLDs (komplexe programmierbare Logikbausteine)

Die **XC9500 CPLD-Gruppe** ist mit hoch entwickelten, In-System Programmierungs- und Testfunktionen ausgestattet, die eine hohe Leistung für die Logikintegration in Mehrzweckanwendungen sicherstellt. Alle Bausteine sind für mindestens 10.000 Programmier-/Löschzyklen In-System programmierbar. Außerdem ist in allen Bausteinen der Gruppe ein Boundary-Scan-Support (IEEE 1149.1; JTAG) enthalten. Die XC9500-Gruppe ist vollständig pinkompatibel und ermöglicht somit eine problemlose Design-Migration zu Multiple-Density-Optionen in einer vorgegebenen Paketgrundfläche. Fortgeschrittene Systemfunktionen sind u.a. Ausgangsanstiegsratensteuerung und benutzerprogrammierbare Erdungs-Pins zum Reduzieren von Systemrauschen. E/A können für den Betrieb mit 3,3 V oder 5 V konfiguriert werden. Alle Ausgänge bieten eine Speisung mit 24 mA. Die **FastFLASH XC9500XL-Gruppe** ist eine CPLD-Gruppe mit 3,3 V, die für hochleistungsfähige Niederspannungsanwendungen entwickelt wurde. Die XC9500XL-Architektur erfüllt alle Anforderungen der In-System-Programmierbarkeit. Eine erweiterte Data-Retention unterstützt eine längere und zuverlässigere Systemlebensdauer. Fortgeschrittene Systemfunktionen sind u.a. Ausgangsanstiegsratensteuerung und benutzerprogrammierbare Erdungs-Pins zum Reduzieren von Systemrauschen. Jeder Benutzer-Pin ist mit Eingängen mit 5 V, 3,3 V und 2,5 V kompatibel und die Ausgänge können für den Betrieb mit 3,3 V oder 2,5 V konfiguriert werden. Der XC9500XL-Baustein weist einen symmetrischen, vollen Ausgangssteuerbereich mit 3,3 V auf und ermöglicht somit symmetrische Anstiegs- und Abfallzeiten.

Paket	Makrozellen	Nutzbare Gates	Register	Systemfrequenz MHz (min)	Pin-zu-Pin Verzögerung ns	E/A-Pins	Digi-Key Teilenr.	Stückpreis 1	25	100	Xilinx Teilenr.
5 Volt											
44-VQFP	36	800	36	100	5	34	122-1254-ND	8.30	7.71	7.16	XC9536-5VQ44C
44-PLCC	36	800	36	100	6	34	122-1253-ND	8.30	7.71	7.16	XC9536-6PC44C
44-PLCC	36	800	36	83	7.5	34	122-1169-ND	3.64	3.39	3.14	XC9536-7PC44C
44-VQFP	36	800	36	83	7.5	34	122-1170-ND	3.64	3.39	3.14	XC9536-7VQ44C
44-PLCC	36	800	36	55	15	34	122-1167-ND	2.79	2.59	2.42	XC9536-15PC44C
44-VQFP	36	800	36	55	15	34	122-1168-ND	2.79	2.59	2.42	XC9536-15VQ44C
84-PLCC	72	1600	72	83	7.5	69	122-1262-ND	12.02	10.17	8.77	XC9572-7PC84C
100-PQFP	72	1600	72	83	7.5	72	122-1173-ND	20.74	17.53	15.16	XC9572-7PQ100C
84-PLCC	72	1600	72	66	10	69	122-1261-ND	7.40	6.26	5.42	XC9572-10PC84C
100-PQFP	72	1600	72	69	10	72	122-1174-ND	12.78	10.84	9.36	XC9572-10PQ100C
44-PLCC	72	1600	72	55	15	34	122-1171-ND	4.53	3.69	2.93	XC9572-15PC44C
84-PLCC	72	1600	72	55	15	69	122-1172-ND	5.16	4.36	3.77	XC9572-15PC84C
84-PLCC	108	2400	108	83	7.5	69	122-1176-ND	24.26	20.53	17.74	XC95108-7PC84C
84-PLCC	108	2400	108	83	7.5	69	122-1247-ND	27.90	23.62	20.41	XC95108-7PC84I
100-PQFP	108	2400	108	83	7.5	81	122-1179-ND	31.07	26.29	22.69	XC95108-7PQ100C
84-PLCC	108	2400	108	66	10	69	122-1245-ND	17.31	14.65	12.66	XC95108-10PC84C
100-PQFP	108	2400	108	69	10	81	122-1178-ND	22.18	18.76	16.22	XC95108-10PQ100C
84-PLCC	108	2400	108	55	15	69	122-1175-ND	10.24	8.68	7.50	XC95108-15PC84C
84-PLCC	108	2400	108	55	15	69	122-1246-ND	11.81	9.99	8.64	XC95108-15PC84I
100-TQFP	108	2400	108	55	15	81	122-1177-ND	13.12	11.10	9.61	XC95108-15TQ100C
100-PQFP	144	3200	144	66	10	81	122-1248-ND	24.34	20.58	17.78	XC95144-10PQ100C
100-TQFP	144	3200	144	55	15	81	122-1249-ND	14.48	12.28	10.59	XC95144-15TQ100C
3,3 Volt											
44-PLCC	36	800	36	178	5	34	122-1258-ND	1.85	1.57	1.49	XC9536XL-5PC44C
44-VQFP	36	800	36	178	5	34	122-1259-ND	1.85	1.57	1.49	XC9536XL-5VQ44C
44-PLCC	36	800	36	100	10	34	122-1255-ND	1.37	1.17	.91	XC9536XL-10PC44C
44-VQFP	36	800	36	100	10	34	122-1256-ND	1.37	1.17	.91	XC9536XL-10VQ44C
64-VQFP	36	800	36	100	10	52	122-1257-ND	1.54	1.31	1.02	XC9536XL-10VQ64C
44-PLCC	72	1600	72	178	5	34	122-1267-ND	4.77	4.05	3.73	XC9572XL-5PC44C
100-TQFP	72	1600	72	178	5	72	122-1268-ND	6.09	5.15	4.75	XC9572XL-5TQ100C
44-VQFP	72	1600	72	178	5	34	122-1269-ND	4.77	4.05	3.73	XC9572XL-5VQ44C
44-PLCC	72	1600	72	125	7.5	34	122-1270-ND	3.70	3.13	2.54	XC9572XL-7PC44C
100-TQFP	72	1600	72	125	7.5	72	122-1271-ND	4.62	3.92	3.22	XC9572XL-7TQ100C
44-PLCC	72	1600	72	100	10	34	122-1263-ND	2.62	2.22	1.73	XC9572XL-10PC44C
100-TQFP	72	1600	72	100	10	72	122-1264-ND	3.31	2.81	2.19	XC9572XL-10TQ100C
44-VQFP	72	1600	72	100	10	34	122-1265-ND	2.62	2.22	1.73	XC9572XL-10VQ44C
64-VQFP	72	1600	72	100	10	52	122-1266-ND	3.09	2.61	.85	XC9572XL-10VQ64C
100-TQFP	144	3200	144	100	5	81	122-1250-ND	13.21	12.07	11.14	XC95144XL-5TQ100C
144-TQFP	144	3200	144	100	5	117	122-1251-ND	14.27	13.04	12.03	XC95144XL-5TQ144C
100-TQFP	144	3200	144	125	7.5	81	122-1252-ND	8.81	8.05	7.41	XC95144XL-7TQ100C

Feldprogrammierbare Virtex und Spartan Gate-Arrays

Die **Virtex FPGA-Gruppe** liefert hoch leistungsfähige programmierbare Logik-Lösungen mit hoher Kapazität. Die drastische Steigerung der Siliziumeffizienz ist auf die Optimierung der neuen Architektur zur Erzielung einer besseren Place-and-Route-Effizienz und auf die Nutzung eines aggressiven CMOS-Prozesses mit 5 Metallschichten (0,22 µm) zurückzuführen. Dank dieser Fortschritte sind Virtex-FPGAs leistungsstarke und flexible Alternativen zur Maskierung von programmierten Gate-Arrays. Systemleistung bis zu 200 MHz - 66 MHz PCI-konform, Hot-Swap-fähig für Compact PCI. Die **Virtex-E-Gruppe** ist bis zu 30 % schneller als die Virtex-Gruppe. Systemleistung bis zu 240 MHz unter Verwendung der einseitigen SelectI/O+™-Technologie. Virtex-E-Bausteine verfügen über einen bis zu 640 KB schnelleren (250 MHz) Block SelectRAM+™, aber die einzelnen RAMs haben dieselbe Größe und Struktur wie die Virtex-Gruppe. Beide Virtex-Gruppen werden durch FPGA Foundation™ und Alliance Development-Systeme unterstützt.

Die **Spartan™-II-2,5-V-Gruppe** feldprogrammierbarer Gate-Arrays bietet Benutzern äußerst leistungsfähige und umfassende Logikressourcen und eine reichhaltige Funktionspalette, und das alles für einen außergewöhnlich günstigen Preis. Es wird eine Systemleistung bis zu 200 MHz unterstützt. Das **Spartan™-II 1,8 V** feldprogrammierbare Gate-Array ähnelt der Spartan-II-Gruppe, arbeitet jedoch bei einer niedrigeren Spannung.

Paket	Gates	Nr. CLB	E/A-Pins	Betriebsspannung (V)	Digi-Key Teilenr.	Stückpreis 1	25	100	Xilinx Teilenr.
Serie Virtex									
256-BGA	57K	384	180	2.5	122-1212-ND	56.26	50.38	43.52	XCV50-5BG256C
240-PQFP	57K	384	180	2.5	122-1213-ND	56.26	50.38	43.52	XCV50-5PQ240C
240-PQFP	108K	600	180	2.5	122-1214-ND	105.83	94.82	81.57	XCV100-5PQ240C
Serie Virtex-E									
240-PQFP	71K	384	176	1.8	122-1215-ND	44.07	39.88	34.63	XCV50E-7PQ240C
352-BGA	128K	600	196	1.8	122-1216-ND	51.18	46.31	40.22	XCV100E-6BG352C
240-PQFP	128K	600	196	1.8	122-1217-ND	46.90	42.46	36.87	XCV100E-6PQ240C
Serie SPARTAN-II									
144-TQFP	15K	96	86	2.5	122-1218-ND	9.22	7.69	6.90	XC2S15-5TQ144C
100-VQFP	15K	96	60	2.5	122-1219-ND	8.00	6.68	6.01	XC2S15-5VQ100C
208-PQFP	30K	216	132	2.5	122-1220-ND	15.70	13.08	11.77	XC2S30-5PQ208C
144-TQFP	30K	216	92	2.5	122-1221-ND	14.48	10.86	9.63	XC2S30-5TQ144C
100-VQFP	30K	216	60	2.5	122-1222-ND	11.35	9.47	8.51	XC2S30-5VQ100C
256-FBGA	50K	384	176	2.5	122-1223-ND	18.82	15.69	14.10	XC2S50-5FG256C
208-PQFP	50K	384	140	2.5	122-1224-ND	16.69	13.91	12.49	XC2S50-5PQ208C
144-TQFP	50K	384	92	2.5	122-1225-ND	14.48	12.07	10.88	XC2S50-5TQ144C
256-FBGA	100K	600	176	2.5	122-1226-ND	27.81	23.18	20.87	XC2S100-5FG256C
456-FBGA	100K	600	196	2.5	122-1227-ND	34.97	29.15	26.25	XC2S100-5FG456C
208-PQFP	100K	600	140	2.5	122-1228-ND	22.10	18.42	16.56	XC2S100-5PQ208C
144-TQFP	100K	600	92	2.5	122-1229-ND	19.89	16.58	14.91	XC2S100-5TQ144C
256-FBGA	150K	864	176	2.5	122-1230-ND	30.48	25.40	22.86	XC2S150-5FG256C
456-FBGA	150K	864	260	2.5	122-1231-ND	39.62	33.02	29.72	XC2S150-5FG456C
208-PQFP	150K	864	140	2.5	122-1232-ND	23.71	20.32	18.29	XC2S150-5PQ208C
456-FBGA	200K	1176	284	2.5	122-1233-ND	44.19	36.83	33.11	XC2S200-5FG456C
208-PQFP	200K	1176	140	2.5	122-1234-ND	29.64	24.71	22.23	XC2S200-5PQ208C
Serie SPARTAN-IIE									
144-TQFP	50K	384	182	1.8	122-1204-ND	10.37	10.25	10.12	XC2S50E-6TQ144C
208-PQFP	50K	384	182	1.8	122-1205-ND	12.32	12.24	12.03	XC2S50E-6PQ208C
144-TQFP	100K	600	202	1.8	122-1206-ND	12.74	12.58	12.41	XC2S100E-6TQ144C
208-PQFP	100K	600	202	1.8	122-1207-ND	16.21	16.09	15.88	XC2S100E-6PQ208C
256-FBGA	100K	600	202	1.8	122-1208-ND	20.49	20.32	20.03	XC2S100E-6FT256C
208-PQFP	200K	1176	289	1.8	122-1209-ND	20.83	20.58	20.32	XC2S200E-6PQ208C
456-FPGA	200K	1176	289	1.8	122-1210-ND	31.75	31.54	31.08	XC2S200E-6FG456C
208-PQFP	300K	1536	329	1.8	122-1211-ND	32.68	32.47	31.96	XC2S300E-6PQ208C

XILINX Programmierbare Gate-Arrays

FPGA (Feldprogrammierbare Gate-Arrays)

Eine technische Übersicht:

Jedes FPGA von Xilinx übt ebenso wie ein Gate-Array die Funktion einer anwendungsspezifischen LSI-Schaltung aus, aber der Xilinx-Baustein ist benutzerprogrammierbar und sogar im System umprogrammierbar.

Xilinx vertreibt standardmäßige Bausteine ab Lager in zahlreichen verschiedenen Größen, Geschwindigkeiten, Betriebstemperaturbereichen und Paketen.

Der Benutzer wählt das entsprechende Xilinx-Bauelement und wandelt die Designvorgabe oder das Schema in eine Konfigurati-onsdatendatei um. Dazu wird die Entwicklungssystemsoftware von Xilinx eingesetzt. Anschließend wird diese Datei in das Xilinx-FPGA hochgeladen.

XC3000/XC3100

• Ersetzt TTI, MSI und sonstige PLD-Bausteine • Toggle-Raten von 70 bis 125 MHz, Verzögerungen von 9 ~ 5,5 ns • Unbegrenzte Umprogrammierbarkeit

XC3000A

• Fünf Bauelementtypen (1.300~7.500 Gates) • Look-Up-Tabellen, 4 Eingaben • Flip-Flop-Toggle-Rate über 110 MHz • Kein On-Chip RAM, Datenspeicherung auf Flip-Flops begrenzt • Für Anwendungen mittlerer Geschwindigkeit und mittlerer Komplexität

XC3100A

• Funktionen und Bitstream mit der Serie XC3000A identisch • Fünf Bauelementtypen (1.300~7.500 Gates) • Look-Up-Tabellen, 4 Eingaben • Kein On-Chip RAM, Datenspeicherung auf Flip-Flops begrenzt • Für Hochleistungsdesign, Systemtakt bis zu 100 MHz

XC4000/XC4000A

• Vorteile anwendungsspezifischer CMOS VLSI • Gate-Bereiche von 2.000 ~ 20.000 • Unbegrenzte Umprogrammierbarkeit

XC4000E

• Zehn Bausteintypen (2.000~25.000 Gates) • Dediziertes Übertragungsnetzwerk • Funktionsgenerator kann als RAM verwendet werden • Für Mehrzweck-Logik- und Datenpfad-Logikanwendungen

XC4000L

• Niederspannungsversion der XC4000E-Bauelemente (3~3,6 V)

XC4000EX

• Größere Version der XC4000E-Gruppe (28.000~125.000 Gates) • Mehr Routing-Ressourcen • Schnellere Taktoptionen, vielseitigere Ausgangslogik • Für komplexe Designs mit mehr als 20.000 Gates

XC4000XL

• Niederspannungsversion der XC4000EX-Bauelemente (3~3,6 V)

XC5200

• Preiswerte FPGA • Dedizierte Übertragungsstruktur (kein RAM) • Funktionsgeneratoren, 4 Eingänge • Für Mehrzweck-Logik- und Datenpfad-Logikanwendungen

Paket	Gates	Nr. CLB	E/A-Pins	Flip Flops	Betriebs-spannung (V)	Digi-Key Teilenr.	Stückpreis 1	25	100	Xilinx Teilenr.
Serie XC3000/XC3100										
44-PLCC	3000	100	34	360	4.75 ~ 5.25	122-1011-ND	15.20	12.87	11.09	XC3030-100PC44C
84-PLCC	3000	100	80	360	4.75 ~ 5.25	122-1013-ND	16.09	13.64	11.77	XC3030-100PC84C
84-PLCC	4200	144	74	480	4.75 ~ 5.25	122-1020-ND	18.75	15.88	13.72	XC3042-100PC84C
Serie XC3000A/XC3100A										
68-PLCC	2000	64	64	256	4.75 ~ 5.25	122-1009-ND	11.18	9.44	8.77	XC3020A-7PC68C
44-PLCC	3000	100	80	360	4.75 ~ 5.25	122-1017-ND	11.77	9.99	9.28	XC3030A-7PC44C
84-PLCC	3000	100	80	360	4.75 ~ 5.25	122-1018-ND	12.49	10.59	9.83	XC3030A-7PC84C
100-PQFP	3000	100	80	360	4.75 ~ 5.25	122-1019-ND	13.80	11.69	10.84	XC3030A-7PQ100C
84-PLCC	4200	144	96	480	4.75 ~ 5.25	122-1025-ND	16.25	13.76	12.79	XC3042A-7PC84C
100-PQFP	4200	144	96	480	4.75 ~ 5.25	122-1026-ND	17.86	15.12	14.06	XC3042A-7PQ100C
84-PLCC	6400	224	120	688	4.75 ~ 5.25	122-1029-ND	30.18	25.57	23.75	XC3064A-7PC84C
84-PLCC	2000	64	64	256	4.75 ~ 5.25	122-1038-ND	14.10	11.94	11.10	XC3120A-3PC84C
84-PLCC	3000	100	80	360	4.75 ~ 5.25	122-1040-ND	16.17	13.68	12.70	XC3130A-3PC84C
100-PQFP	3000	100	80	360	4.75 ~ 5.25	122-1041-ND	17.52	14.82	13.76	XC3130A-3PQ100C
100-PQFP	4200	144	96	480	4.75 ~ 5.25	122-1044-ND	21.84	18.46	17.15	XC3142A-3PQ100C
84-PLCC	9000	320	144	928	4.75 ~ 5.25	122-1046-ND	45.08	40.39	37.51	XC3190A-3PC84C
144-TQFP	4500	224	120	688	4.75 ~ 5.25	122-1084-ND	31.83	26.97	25.02	XC3164A-3TQ144C
Serie XC4000/XC4000A										
160-PQFP	5000	196	112	616	4.75 ~ 5.25	122-1050-ND	88.89	81.74	75.90	XC4005-5PQ160C
84-PLCC	3000	100	61	360	4.75 ~ 5.25	122-1066-ND	47.07	43.44	40.30	XC4003-6PC84C
208-PQFP	8000	324	144	936	4.75 ~ 5.25	122-1070-ND	154.08	142.23	132.07	XC4008-5PQ208C
Serie XC4000E										
84-PLCC	3000	100	80	360	4.75 ~ 5.25	122-1086-ND	20.06	18.50	17.19	XC4003E-4PC84C
100-PQFP	3000	100	77	360	4.75 ~ 5.25	122-1087-ND	28.19	26.00	24.13	XC4003E-3PQ100C
84-PLCC	5000	196	61	616	4.75 ~ 5.25	122-1180-ND	22.56	20.96	19.48	XC4005E-4PC84C
100-PQFP	5000	196	112	616	4.75 ~ 5.25	122-1089-ND	45.17	41.66	38.65	XC4005E-3PQ100C
160-PQFP	5000	196	112	616	4.75 ~ 5.25	122-1090-ND	47.07	43.39	40.30	XC4005E-3PQ160C
160-PQFP	5000	196	112	616	4.75 ~ 5.25	122-1091-ND	36.19	33.40	30.99	XC4005E-4PQ160C
208-PQFP	6000	256	128	768	4.75 ~ 5.25	122-1094-ND	83.81	64.52	55.74	XC4006E-3PQ208C
208-PQFP	6000	256	128	768	4.75 ~ 5.25	122-1095-ND	53.84	49.66	46.10	XC4006E-4PQ208C
144-TQFP	6000	256	128	768	4.75 ~ 5.25	122-1096-ND	57.10	52.66	48.94	XC4006E-4TQ144C
160-PQFP	8000	324	144	936	4.75 ~ 5.25	122-1098-ND	61.17	56.43	52.41	XC4008E-4PQ160C
84-PLCC	10000	400	160	1120	4.75 ~ 5.25	122-1101-ND	68.66	63.75	59.27	XC4010E-3PC84C
84-PLCC	10000	400	160	1120	4.75 ~ 5.25	122-1102-ND	52.79	49.02	45.59	XC4010E-4PC84C

Paket	Gates	Nr. CLB	E/A-Pins	Flip Flops	Betriebs-spannung (V)	Digi-Key Teilenr.	Stückpreis 1	25	100	Xilinx Teilenr.
160-PQFP	10000	400	160	1120	4.75 ~ 5.25	122-1103-ND	92.28	85.51	79.04	XC4010E-3PQ160C
208-PQFP	10000	400	160	1120	4.75 ~ 5.25	122-1105-ND	149.00	137.15	126.99	XC4010E-2PQ208C
208-PQFP	10000	400	160	1120	4.75 ~ 5.25	122-1106-ND	110.06	101.60	93.98	XC4010E-3PQ208C
208-PQFP	10000	400	160	1120	4.75 ~ 5.25	122-1107-ND	84.66	78.15	72.56	XC4010E-4PQ208C
160-PQFP	13000	576	192	1536	4.75 ~ 5.25	122-1109-ND	86.35	79.92	74.34	XC4013E-4PQ160C
208-PQFP	13000	576	160	1536	4.75 ~ 5.25	122-1111-ND	188.79	175.27	163.40	XC4013E-2PQ208C
208-PQFP	13000	576	160	1536	4.75 ~ 5.25	122-1112-ND	139.69	138.01	121.08	XC4013E-3PQ208C
208-PQFP	13000	576	160	1536	4.75 ~ 5.25	122-1113-ND	107.52	99.90	93.13	XC4013E-4PQ208C
208-HQFP	20000	784	224	2016	4.75 ~ 5.25	122-1114-ND	242.13	225.20	209.12	XC4020E-2HQ208C
240-HQFP	20000	784	193	2016	4.75 ~ 5.25	122-1116-ND	375.89	347.11	321.71	XC4020E-2HQ240C
240-HQFP	20000	784	193	2016	4.75 ~ 5.25	122-1117-ND	278.53	256.52	238.75	XC4020E-3HQ240C
240-HQFP	25000	1024	193	2560	4.75 ~ 5.25	122-1119-ND	318.33	295.48	275.17	XC4025E-2HQ240C
Serie XC4000L										
84-PLCC	5000	196	61	616	3.0 ~ 3.6	122-1120-ND	24.97	23.20	21.55	XC4005L-5PC84C
100-PQFP	5000	196	81	616	3.0 ~ 3.6	122-1121-ND	38.73	35.69	33.15	XC4005L-5PQ100C
208-PQFP	5000	196	112	616	3.0 ~ 3.6	122-1122-ND	43.60	40.22	37.34	XC4005L-5PQ208C
84-PLCC	10000	400	61	1120	3.0 ~ 3.6	122-1123-ND	60.96	56.60	52.66	XC4010L-5PC84C
208-PQFP	13000	576	160	1536	3.0 ~ 3.6	122-1125-ND	143.08	132.92	123.61	XC4013L-5PQ208C
Serie XC4000EX										
208-HQFP	28000	1024	160	2560	4.75 ~ 5.25	122-1127-ND	206.57	184.56	159.16	XC4028EX-3HQ208C
Serie XC4000XL										
240-HQFP	36000	1296	193	3168	3.0 ~ 3.6	122-1129-ND	319.17	286.16	247.21	XC4036XL-1HQ240C
240-HQFP	36000	1296	193	3168	3.0 ~ 3.6	122-1130-ND	236.20	211.65	182.87	XC4036XL-2HQ240C
Serie XC5200										
84-PLCC	3000	64	84	256	4.75 ~ 5.25	122-1131-ND	8.59	7.29	6.27	XC5202-6PC84C
100-PQFP	3000	64	84	256	4.75 ~ 5.25	122-1132-ND	10.46	8.85	7.67	XC5202-6PQ100C
84-PLCC	6000	120	124	480	4.75 ~ 5.25	122-1133-ND	15.62	13.25	11.43	XC5204-6PC84C
160-PQFP	6000	120	124	480	4.75 ~ 5.25	122-1135-ND	20.49	17.36	14.99	XC5204-6PQ160C
100-VQFP	6000	120	124	480	4.75 ~ 5.25	122-1137-ND	18.16	15.37	13.25	XC5204-6VQ100C
84-PLCC	10000	196	148	784	4.75 ~ 5.25	122-1138-ND	32.09	27.14	23.46	XC5206-5PC84C
160-PQFP	10000	196	148	784	4.75 ~ 5.25	122-1140-ND	41.36	35.01	30.23	XC5206-5PQ160C
208-PQFP	10000	196	148	784	4.75 ~ 5.25	122-1142-ND	43.60	36.92	31.88	XC5206-5PQ208C
160-PQFP	16000	324	133	1296	4.75 ~ 5.25	122-1145-ND	78.52	66.42	57.37	XC5210-4PQ160C
160-PQFP	16000	324	196	1296	4.75 ~ 5.25	122-1146-ND	65.40	55.37	47.80	XC5210-5PQ160C
240-PQFP	16000	324	196	1296	4.75 ~ 5.25	122-1151-ND	62.10	52.54	45.38	XC5210-6PQ240C

Serielle Konfigurations-Proms

Paket	Speicher-größe	Spannung	Digi-Key Teilenr.	Stückpreis 1	25	100	Xilinx Teilenr.
8-Dip	248K	5	122-1272-ND	8.34	7.03	6.10	XC17S30PD8C
8-Dip	330K	3.3	122-1273-ND	6.18	5.21	4.49	XC17S40XLPD8C
8-Dip	330K	5	122-1275-ND	10.03	8.47	7.33	XC17S40PD8C
8-Dip	36K	5	122-1187-ND	2.92	2.50	2.16	XC1736EPD8C
8-SOIC	36K	5	122-1189-ND	3.51	2.97	2.59	XC1736ESO8C
8-SOIC	36K	5	122-1192-ND	3.51	2.97	2.59	XC1736EVO8C
8-Dip	65K	5	122-1188-ND	3.39	2.88	2.50	XC1765EPD8C
8-SOIC	65K	5	122-1190-ND	4.06	3.43	2.97	XC1765ESO8C
8-SOIC	65K	5	122-1193-ND	4.06	3.43	2.97	XC1765EVO8C
8-SOIC	65K	3	122-1194-ND	4.61	3.90	3.39	XC1765ELVO8C
8-Dip	128K	5	122-1191-ND	5.08	4.58	4.24	XC17128EPD8C
8-SOIC	128K	5	122-1195-ND	5.84	5.25	4.87	XC17128EVO8C
8-SOIC	128K	3	122-1196-ND	5.21	4.66	4.32	XC17128ELVO8C
20-PLCC	128K	5	122-1197-ND	5.84	5.25	4.87	XC17128EJC20C
8-Dip	128K	3	122-1198-ND	4.53	4.03	3.77	XC17128ELPD8C

Paket	Speicher-größe	Spannung	Digi-Key Teilenr.	Stückpreis 1	25	100	Xilinx Teilenr.
8-Dip	256K	5	122-1199-ND	9.69	8.68	8.05	XC17256EPD8C
8-SOIC	256K	5	122-1200-ND	11.51	10.33	9.57	XC17256EVO8C
8-Dip	256K	3	122-1201-ND	6.73	6.23	5.80	XC17256ELPD8C
8-SOIC	256K	3	122-1202-ND	7.24	6.74	6.27	XC17256ELVO8C
20-PLCC	256K	5	122-1203-ND	11.51	10.33	9.57	XC17256EPC20C
20-SOIC	256K	3.3	122-1243-ND	9.78	9.11	8.47	XC18V256SO20C
44-PQFP	256K	3.3	122-1244-ND	10.37	9.61	8.94	XC18V256VQ44C
20-PLCC	512K	3.3	122-1239-ND	13.88	11.73	10.12	XC18V512PC20C
20-SOIC	512K	3.3	122-1240-ND	13.88	11.73	10.12	XC18V512SO20C
44-PQFP	512K	3.3	122-1241-ND	13.88	11.73	10.12	XC18V512VQ44C
20-PLCC	1.0M	3.3	122-1236-ND	16.93	14.35	12.41	XC18V01PC20C
20-SOIC	1.0M	3.3	122-1237-ND	16.93	14.35	12.41	XC18V01SO20C
44-PQFP	1.0M	3.3	122-1238-ND	16.93	14.35	12.41	XC18V01VQ44C
44-PLCC	2.0M	3.3	122-1235-ND	19.56	18.16	16.89	XC18V02PC44C
44-PLCC	4.0M	3.3	122-1274-ND	30.82	26.08	22.52	XC18V04PC44C

Parallelkabel IV, PC4

Beschreibung	Digi-Key Teilenr.	Stückpreis 1	25	100	Xilinx Teilenr.
Programmierungskabel für Xilinx-Bausteine	122-1276-ND	114.29	95.25	85.72	HW-PC4

Das Xilinx Parallelkabel IV (PC4) ist ein HS-Kabel zum Herunterladen, das alle Xilinx FPGA, CPLD, ISP PROM und System ACE MPM-Bausteine konfiguriert oder programmiert.

MERKMALE: • Herunterladegeschwindigkeit bis zu 5 Mb/s • In-System Programs konfiguriert alle Xilinx-Bausteine: Virtex™ / Virtex-E / Virtex-II / Virtex-II Pro™, Spartan™ / Spartan-XL / Spartan-II / Spartan-IIE / Spartan-3, XC9500™ / XC9500XL / XC9500XV, CoolRunner™ (XPLA3) / CoolRunner-II, XC18V00™ ISP PROM-Gruppe, XC4000XL™ / XV / EX / E, System ACE™ Multi-Package Modul (MPM), Platform Flash PROM-Gruppe

ROMAN-JONES, INC. Xilinx Serial PROM-Programmierer

Der Xilinx Serial PROM-Programmierer stellt eine preisgünstige Alternative zur Programmierung von PROM-Bausteinen der Xilinx XC17xx-Gruppenserie dar. Das Programmiererprodukt besteht aus einem externen Programmierer und zugehöriger Schnittstellen-Software. Der Programmierer und die Software wurden von Xilinx getestet und zertifiziert.

MERKMALE:

• Parallelport-Schnittstelle mit Direktanschlussmöglichkeit (wenn ein Kabel gewünscht wird - Empfehlung: M7PSG-2506J-ND) • Koexistenz mit Druckern, die einen A/B-Schaltkasten verwenden • Keine besonderen Schnittstellenkarten erforderlich • Wird mit einer 9-V-Batterie (nicht inbegriffen) betrieben (am besten P145-ND) • Unterstützt ALLE seriellen Xilinx-PROMs • Einfaches Bedienfeld Einfach zu gebrauchende Software • Unterstützt unter DOS 2.2 oder höher, Windows® 95/98 und NT 4.0 • Unterstützt von Xilinx-Compilern erstellte Intel® Hex und Binärdateien • **Software nicht inbegriffen. Setzt Herunterladen von www.roman-jones.com voraus • Kostenlose Updates können auch vom FTP-Server heruntergeladen werden**

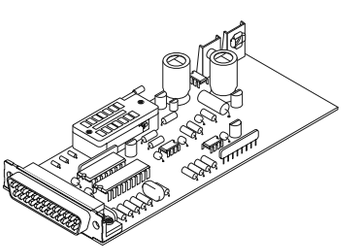

Beschreibung	Digi-Key Teilenr.	Stückpreis
Programmiergerät		
SPROM-Programmierer mit 8-Pin Dip ZIF-Sockel	SPROM-TZS-ND	118.48
Adapter		
8-Pin Dip an 8-Pin SOIC/VOIC	SA1-ND	38.05
8-Pin Dip an 44-Pin VQFP	SA2-ND	81.23
8-Pin Dip an 20-Pin PLCC	SA3-ND	42.29
8-Pin Dip an 20-Pin SOIC	SA4-ND	46.52
8-Pin Dip an 44-Pin PLCC	SA5-ND	54.99

Alle Preisangaben in Euro und inklusive Zollgebühren.

CPLDs (Komplexe programmierbare Logikbausteine)

Atmel bietet einen umfassenden Bereich hochdichter und kostengünstiger Niedrigleistungslösungen, mit denen Designer Produkte herstellen können, die genau auf die Marktanforderungen zugeschnitten sind. CPLDs von Atmel basieren auf einer Standardarchitektur, die branchenübliche Entwicklungstools verwendet. Sie bieten die einzigartige Niedrigleistung- oder „L"-Funktion und gewährleisten eine 100 % Konnektivität. Diese Bauelemente werden mit eigentumsrechtlich geschützten 0,65-Mikron-Prozessen von Atmel verarbeitet und verfügen über einen EEPROM-Speicher.

Die ATF750/C CPLDs basieren auf einer Architektur vom 22 V Typ 10 und gewährleisten eine marktführende Kapazität sowie Flexibilität in einer 22V10-Grundfläche mit der doppelten Anzahl an Registern und zusätzlichen Funktionen zur besseren Logikausnutzung.

Die ATF1500-Serie zielt auf eine breitere Logikdichte mit einer höheren Anzahl von E/A ab. Diese Gruppe stellt Bausteine von 44 bis 160 Pins und 32 bis 96 E/A bereit. Aufgrund der hohen Konnektivität und flexiblen Architektur sind diese Elemente für das Systemdesign ideal geeignet. Eine im System integrierte Programmierbarkeit in größeren Bausteinen ermöglichen eine Umkonfiguration, selbst nachdem das Bauelement bereits in das System eingebaut wurde.

Standardmäßige Entwicklungstools:
Atmel verfolgt die Philosophie, dass Designer in der Lage sein sollten, bekannte Entwicklungstools zu benutzen. Designtools von Drittanbietern wie Synario™, ABEL™, CUPL™, PPLDesigner-XL™, LOG/iC™ und PLDSyn™ unterstützen EPLDs von Atmel. Außerdem werden Atmel-spezifische Versionen der gängigen Designtools Synario, ABEL und CUPL angeboten. Darüber hinaus ist ein Workstation-Support für gängige Plattformen mit Viewlogic, MINC, Cadence, Mentor und Synopsys erhältlich.

B

Spannung	ISP	Tpd (ns)	Register	Makrozellen	Nutzbare Gates	Power-Option	Pakettyp	Digi-Key Teilenr.	Stückpreis 1	25	100	Atmel Teilenr.
Serie ATF750												
5.0	Nein	7.5	20	10	500	Standard	28-PLCC	ATF750C-7JC-ND	8.92	6.40	5.98	ATF750C-7JC
							24-DIP	ATF750C-7PC-ND	8.92	6.40	5.98	ATF750C-7PC
							24-SOIC	ATF750C-7SC-ND	8.92	6.40	5.98	ATF750C-7SC
5.0	Nein	10	20	10	500	Standard	28-PLCC	ATF750C-10JC-ND	5.46	3.92	3.66	ATF750C-10JC
							24-DIP	ATF750C-10PC-ND	5.46	3.92	3.66	ATF750C-10PC
							24-SOIC	ATF750C-10SC-ND	5.46	3.92	3.66	ATF750C-10SC
5.0	Nein	15	20	10	750	Standard	28-PLCC	ATF750C-15JC-ND	3.59	2.57	2.41	ATF750C-15JC
							24-DIP	ATF750C-15PC-ND	3.59	2.57	2.41	ATF750C-15PC
							24-SOIC	ATF750C-15SC-ND	3.59	2.57	2.41	ATF750C-15SC
5.0	Nein	15	20	10	750	Niedrig	28-PLCC	ATF750CL-15JC-ND	3.59	2.57	2.41	ATF750CL-15JC
							24-DIP	ATF750CL-15PC-ND	3.59	2.57	2.41	ATF750CL-15PC
							24-SOIC	ATF750CL-15SC-ND	3.59	2.57	2.41	ATF750CL-15SC
3-3.6	Nein	15	20	10	500	Standard	28-PLCC	ATF750LVC-15JC-ND	4.48	3.21	3.01	ATF750LVC-15JC
							24-DIP	ATF750LVC-15PC-ND	4.48	3.21	3.01	ATF750LVC-15PC
							24-SOIC	ATF750LVC-15SC-ND	4.48	3.21	3.01	ATF750LVC-15SC
Serie ATF1500												
5.0	Nein	7.5	32	32	1000	Standard	44-TQFP	ATF1500A-7AC-ND	4.88	3.49	3.27	ATF1500A-7AC
							44-PLCC	ATF1500A-7JC-ND	4.88	3.49	3.27	ATF1500A-7JC
		10	32	32	1500	Standard	44-TQFP	ATF1500A-10AC-ND	3.44	2.47	2.31	ATF1500A-10AC
							44-PLCC	ATF1500A-10JC-ND	3.44	2.47	2.31	ATF1500A-10JC
2.7	Nein	12	32	32	1500	Standard	44-PLCC	ATF1500ABV-12JC-ND	4.92	3.53	3.30	ATF1500ABV-12JC
		15	32	32	1500	Niedrig	44-TQFP	ATF1500ABV-15AC-ND	4.44	3.18	2.98	ATF1500ABV-15AC
							44-PLCC	ATF1500ABV-15JC-ND	4.44	3.18	2.98	ATF1500ABV-15JC
5.0	Nein	20	32	32	1000	Niedrig	44-TQFP	ATF1500AL-20AC-ND	3.59	2.57	2.41	ATF1500AL-20AC
							44-PLCC	ATF1500AL-20JC-ND	3.59	2.57	2.41	ATF1500AL-20JC
5.0	Ja	7.5	32	32	750	Standard	44-TQFP	ATF1502AS-7AC44-ND	3.26	2.21	1.90	ATF1502AS-7AC44
							44-PLCC	ATF1502AS-7JC44-ND	3.26	2.21	1.90	ATF1502AS-7JC44
		10	32	32	750	Standard	44-TQFP	ATF1502AS-10AC-ND	2.37	1.60	1.38	ATF1502AS-10AC44
							44-PLCC	ATF1502AS-10JC-ND	2.37	1.60	1.38	ATF1502AS-10JC44
5.0	Ja	15	32	32	750	Standard	44-PLCC	ATF1502AS-15JI44-ND	2.10	1.85	1.60	ATF1502AS-15JI44
5.0	Ja	25	32	32	750	Niedrig	44-TQFP	ATF1502ASL-25AC44-ND	2.37	1.60	1.38	ATF1502ASL-25AC44
							44-PLCC	ATF1502ASL-25JC44-ND	2.37	1.60	1.38	ATF1502ASL-25JC44
3-3.6	Ja	20	32	32	750	Standard	44-TQFP	ATF1502ASV-20AC44-ND	1.79	1.21	1.05	ATF1502ASV-20AC44
							44-PLCC	ATF1502ASV-20JC44-ND	1.79	1.21	1.05	ATF1502ASV-20JC44
5.0	Ja	7.5	64	64	1500	Standard	44-TQFP	ATF1504AS-7AC44-ND	7.55	7.19	6.27	ATF1504AS-7AC44
							44-PLCC	ATF1504AS-7JC44-ND	7.64	5.16	4.45	ATF1504AS-7JC44
							68-PLCC	ATF1504AS-7JC68-ND	8.75	5.91	5.09	ATF1504AS-7JC68
							84-PLCC	ATF1504AS-7JC84-ND	9.12	6.15	5.30	ATF1504AS-7JC84
							100-TQFP	ATF1504AS-7AC100-ND	8.85	5.96	5.14	ATF1504AS-7AC100
							100-PQFP	ATF1504AS-7QC100-ND	11.41	7.69	6.63	ATF1504AS-7QC100
5.0	Ja	10	64	64	1500	Standard	44-TQFP	ATF1504AS-10AC44-ND	3.99	2.70	2.32	ATF1504AS-10AC44
							44-PLCC	ATF1504AS-10JC44-ND	4.08	2.76	2.38	ATF1504AS-10JC44
							68-PLCC	ATF1504AS-10JC68-ND	4.83	3.26	2.81	ATF1504AS-10JC68
							84-PLCC	ATF1504AS-10JC84-ND	5.19	3.50	3.02	ATF1504AS-10JC84
							100-TQFP	ATF1504AS-10AC100-ND	4.92	3.32	2.86	ATF1504AS-10AC100
							100-PQFP	ATF1504AS-10QC100-ND	6.77	4.57	3.94	ATF1504AS-10QC100
5.0	Ja	20	64	64	1500	Niedrig	44-TQFP	ATF1504ASL-20AC44-ND	3.91	2.64	2.27	ATF1504ASL-20AC44
							44-PLCC	ATF1504ASL-20JC44-ND	4.00	2.70	2.32	ATF1504ASL-20JC44
							68-PLCC	ATF1504ASL-20JC68-ND	4.73	3.20	2.76	ATF1504ASL-20JC68
							84-PLCC	ATF1504ASL-20JC84-ND	5.10	3.44	2.97	ATF1504ASL-20JC84
							100-TQFP	ATF1504ASL20AC100-ND	4.83	3.26	2.81	ATF1504ASL-20AC100
							100-PQFP	ATF1504ASL20QC100-ND	6.66	4.49	3.87	ATF1504ASL-20QC100
3-3.6	Ja	15	64	64	1500	Standard	44-TQFP	ATF1504ASV-15AC44-ND	3.04	1.99	1.77	ATF1504ASV-15AC44
							44-PLCC	ATF1504ASV-15JC44-ND	3.04	1.99	1.77	ATF1504ASV-15JC44
							68-PLCC	ATF1504ASV-15JC68-ND	3.73	2.43	2.17	ATF1504ASV-15JC68
							84-PLCC	ATF1504ASV-15JC84-ND	5.00	3.26	2.92	ATF1504ASV-15JC84
							100-TQFP	ATF1504ASV15AC100-ND	4.37	2.85	2.54	ATF1504ASV-15AC100
							100-PQFP	ATF1504ASV15QC100-ND	6.19	4.03	3.60	ATF1504ASV-15QC100
3-3.6	Ja	20	64	64	1500	Niedrig	44-TQFP	ATF1504ASVL20AC44-ND	3.26	2.13	1.90	ATF1504ASVL-20AC44
							44-PLCC	ATF1504ASVL20JC44-ND	3.26	2.13	1.90	ATF1504ASVL-20JC44
							68-PLCC	ATF1504ASVL20JC68-ND	4.00	2.61	2.33	ATF1504ASVL-20JC68
							84-PLCC	ATF1504ASVL20JC84-ND	5.33	3.48	3.10	ATF1504ASVL-20JC84
							100-TQFP	ATF1504ASVL20AC10-ND	4.68	3.05	2.73	ATF1504ASVL-20AC100
							100-PQFP	ATF1504ASVL20QC10-ND	6.60	4.31	3.84	ATF1504ASVL-20QC100
5.0	Ja	7.5	128	128	3000	Standard	84-PLCC	ATF1508AS-7JC84-ND	11.47	7.74	6.41	ATF1508AS-7JC84
							100-TQFP	ATF1508AS-7AC100-ND	14.34	9.67	8.01	ATF1508AS-7AC100
							100-PQFP	ATF1508AS-7QC100-ND	14.91	10.06	8.33	ATF1508AS-7QC100
							160-PQFP	ATF1508AS-7QC160-ND	19.02	12.83	10.62	ATF1508AS-7QC160
5.0	Ja	10	128	128	3000	Standard	84-PLCC	ATF1508AS-10JC84-ND	9.94	6.71	5.55	ATF1508AS-10JC84
							100-TQFP	ATF1508AS-10AC100-ND	12.43	8.39	6.94	ATF1508AS-10AC100
							100-PQFP	ATF1508AS-10QC100-ND	16.73	11.29	9.34	ATF1508AS-10QC100
							160-PQFP	ATF1508AS-10QC160-ND	16.73	11.29	9.34	ATF1508AS-10QC160
5.0	Ja	20	128	128	3000	Niedrig	84-PLCC	ATF1508ASL-20JC84-ND	8.10	5.47	4.53	ATF1508ASL-20JC84
							100-TQFP	ATF1508ASL20AC100-ND	10.12	6.84	5.66	ATF1508ASL-20AC100
							100-PQFP	ATF1508ASL20QC100-ND	10.54	7.11	5.88	ATF1508ASL-20QC100
							160-PQFP	ATF1508ASL20QC160-ND	13.98	9.43	7.80	ATF1508ASL-20QC160
3-3.6	Ja	15	128	128	3000	Standard	84-PLCC	ATF1508ASV-15JC84-ND	7.74	5.22	4.32	ATF1508ASV-15JC84
							100-TQFP	ATF1508ASV15AC100-ND	8.64	5.84	4.83	ATF1508ASV-15AC100
							100-PQFP	ATF1508ASV15QC100-ND	12.56	8.48	7.01	ATF1508ASV-15QC100
							160-PQFP	ATF1508ASV15QC160-ND	19.12	12.90	10.67	ATF1508ASV-15QC160
3-3.6	Ja	20	128	128	3000	Niedrig	100-TQFP	ATF1508ASVL20AC10-ND	9.01	6.08	5.03	ATF1508ASVL-20AC100
							84-PLCC	ATF1508ASVL20JC84-ND	8.10	5.47	4.53	ATF1508ASVL-20JC84
							100-PQFP	ATF1508ASVL20QC10-ND	13.11	8.84	7.32	ATF1508ASVL-20QC100
							160-PQFP	ATF1508ASV20QC160-ND	19.84	13.39	11.08	ATF1508ASVL-20QC160
Serie ATF2500												
5	Nein	20	48	24	1500	Standard	44-PLCC	ATF2500C-15JC-ND	5.46	4.20	3.69	ATF2500C-15JC
							44-PLCC	ATF2500C-20JC-ND	4.84	3.72	3.27	ATF2500C-20JC
							40-DIP	ATF2500C-20PC-ND	4.84	3.72	3.27	ATF2500C-20PC
							40-DIP	ATF2500C-20PI-ND*	4.99	3.82	3.37	ATF2500C-20PI
5	Nein	20	48	24	1500	Standard	40-PLCC	ATF2500CL-20JI-ND*	5.24	4.03	3.54	ATF2500CL-20JI

*Industrielle Temperatur

ATF15xx-DK2-CPLD-Entwicklungskit

Das ATF15xx-DK2 ist ein preisgünstiges Programmierer-Entwicklungskit für Designer, die den Einstieg in die Atmel-ATF15xx-Gruppe branchenüblicher pinkompatibler CPLDs (Complex Programmable Logic Devices) mit Logic Doubling™ planen. Wie das ursprüngliche ATF15xx-DK ermöglicht das „DK2" Designern die Entwicklung, Synthese, Simulation, Programmierung und Evaluierung ihrer Designs. Dabei können sie entweder die kostenlose Atmel-WinCUPL™-Designsoftware oder 30 Tage lang eine kostenlose Probeversion der Software Atmel-ProChip Designer™ benutzen. Dazu wird eines der ATF15xx-Bauelemente mit 84 Pins verwendet, die im Kit enthalten sind. Außerdem kann das Kit so erweitert werden, dass alle Elemente der ATF15xx-Gruppe von Atmel mit unterschiedlichen Paketen verwendet werden können, indem lediglich die Paketadapter zusätzlich erworben werden (nur das PLCC84 ist im Kit enthalten). Nach Vervollständigung des Designs kann der Designer ein Probebauelement der ATF15xx-Gruppe in die bereitgestellte Leiterkarte einbauen und sie mit der integrierten In-System programmierbaren (ISP) branchenüblichen 4-Pin JTAG-Schnittstelle, der ATMISP-Software und dem mitgelieferten PC-Kabel für den Parallelport programmieren. Das im Lieferumfang enthaltene Lernprogramm bietet schrittweise Anweisungen für den kompletten CPLD-Entwicklungsprozess. Alle Softwareprogramme laufen auf PC Windows™-Plattformen. Darüber hinaus sind Montagelöcher vorgebohrt, mit denen drahtumwickelte Anschlussklemmen für alle Pins hinzugefügt werden können, damit eine umfassende Prüfung und Evaluierung von Prototypen durchgeführt werden kann. Das ATF15xx-DK2 enthält alles, was ein Designer für den Einstieg mit Atmel-Logic Doubling CPLDs benötigt, u.a.:

CPLD-Demo-Karte/Programmierer-Karte: • PLCC-Adapter, 84 Leitungen • ISP-(JAT) Port • Bohrlöcher für drahtumwickelte Anschlussklemmen - alle Pins • Kristalloszillator, 2 MHz • Acht LED-Anzeigen mit 8 Segmenten • 5 V und 3,3 V VCC Betrieb • Leichter Zugriff auf CPLD-E/A-Pins • Global Clear, Ausgangsfreigabe und Leistungsschalter

Logic Doubling™ CPLDs: • ATF1508AS-15JC84 5V 128 Makrozellen-CPLD mit ISP • ATF1508ASVL-20JC84 3,3 V 128 Makrozelle-CPLD mit ISP, Niedrigleistung

Programmierbares CPLD-Kabel: • 5 V und 3,3 V ISP-Kabel für PC-Parallelport mit automatischer VCC-Erkennung

Software-CD: • Kostenlose Atmel-WinCUPL-Designsoftware und Benutzerhandbuch • Probeversion der Atmel-ProChip Designer™-Software für 30 Tage • Logic Doubling-Support und Dokumentation • Logic Doubling-Referenz • Atmel-Datenbuch-CD

Atmel-WinCUPL:

Design-Eingabe: • CUPL • Kompilierung • WinSIM-Funktionssimulation • Eigentumsrechtlich geschützte Bausteinfilter von Atmel mit Logic Doubling

Atmel-ProChip Designer:

Design-Eingabe: • VHDL, Schaltschema und CUPL • Synthese • Funktionssimulation • Eigentumsrechtlich geschützte Bausteinfilter von Atmel mit Logic Doubling • Timing-Simulation

ATF15XX-DK2-ND	CPLD-Entwicklungskit	**79.53**
ATF15XX-SAA100-ND	100-TQFP Adapter	**114.29**
ATF15XX-SAA44-ND	44-TQFP Adapter	**29.63**
ATF15XX-SAJ44-ND	44-PLCC Adapter	**29.63**
ATF15XX-SAJ68-ND	68-PLCC Adapter	**29.63**
ATF15XX-SAQ100-ND	100-PQFP Adapter	**114.29**
ATF15XX-SAQ160-ND	160-PQFP Adapter	**126.14**
ATDS1500PC-ND	Prochip Design Software	**83.81**

FPGA-Konfigurator-Programmierkit (erweitert) ATDH2200E

Atmel bietet ein kostengünstiges Entwicklungskit für Designer, die den Einstieg in die AT17-Serie der ISP FPGA-Konfigurationsspeicher planen. Mit diesem Kit können Designer direkt von einem PC aus alle Mitglieder der AT17-Gruppe von Atmel lesen, beschreiben und im System programmieren. Es werden alle standardmäßigen Dateieingabeformate, die von den verschiedenen FPGA-Anbietern hergestellt werden, unterstützt. Bausteine der AT17-Serie können direkt auf der Programmierkarte programmiert werden bzw. kann die Karte dazu verwendet werden, das In-System Programmieren von Bausteinen der AT17-Serie in der Zielanwendung zu erleichtern (Kabel im Lieferumfang enthalten). Das ATDH2200E unterstützt alle Konfigurationsspeicher der AT17-Serie von Atmel.

MERKMALE:

Hardware: • Unterstützt die Programmierung aller Bausteine der AT17C/LV-Serie • Anschluss ermöglicht In-System Programming (ISP) • Netzteil mit 5,0 V oder 3,0 V

Software: • CPS - Konfigurator-Programmiersystem • GUI-basierte Schnittstelle • Unterstützt Win95/Win98/WinNT • Online-Hilfe • Unterstützt die Programmierung der Reset-Polarität • Verifizierungsroutinen zur Validierung der Programmierung • Akzeptiert die Dateiformate HEX, MCS, POF, RBF und BST

Systeminhalt: • ATDH2200-Programmierkarte • ATDH2222 PLCC-Adapter, 20-Pin • CPS-Software • ATDH2200E-Datenblatt • ATDH2200E-Programmierkit - Benutzerhandbuch • Standardmäßiges paralleles Kabel (PC-Druckeranschluss) • 10-Pin Flachkabel für ISP • Center-Positive-Netzteil, 9 V DC, 200 mA, 2,1 mm • AT17C/LV-Bausteinmuster

ATDH2200E-ND	FPGA-Konfigurator-Programmkit	**351.25**
ATDH2221-ND	20-SOIC-Adapter	**118.52**
ATDH2222-ND	20-PLCC Adapter	**118.52**
ATDH2223-ND	8-SOIC-Adapter	**118.52**
ATDH2224-ND	44-TQFP Adapter	**126.14**
ATDH2225-ND	AT17 ISP-Kabel	**75.14**
ATDH2227-ND	44-PLCC Adapter	**126.14**
ATDH2227A-ND	44-PLCC Adapter	**126.14**
ATDH2228-ND	8-LAP Adapter	**126.14**

FPGA-Konfigurationsspeicher In-System umprogrammierbare serielle EEPROMs

Die FPGA-Konfigurations-EEPROMs der AT17-Serie (Konfiguratoren) bieten einen benutzerfreundlichen, kostengünstigen Konfigurationsspeicher für feldprogrammierbare Gate-Arrays. Dieser Speicher verwendet ein einfaches serielles Zugriffsverfahren zur Konfiguration eines oder mehrerer FPGA-Bausteine. Aufgrund der Gliederung steht genügend Speicherplatz zum Konfigurieren eines oder mehrerer kleiner FPGAs zur Verfügung. Die Konfiguratoren können mit branchenüblichen Programmierern oder dem ATDH2200E-Programmiersystem von Atmel programmiert werden. **MERKMALE:** • EE-umprogrammierbare serielle Speicher zum Speichern von Konfigurationsprogrammen für feldprogrammierbare Gate Arrays (FPGAs) • In-System programmierbar über 2-adrigen Bus • Einfache Schnittstelle zu SRAM FPGAs • Kompatibel mit den Atmel-Bausteinen AT6000, AT40K FPGAs, Altera FLEX®-Bausteinen, ORCA® FPGAs, Xilinx XC3000, XC4000, XC5200, Spartan®, Virtex® FPGAs • Kaskadierbares Read-Back zur Unterstützung weiterer Konfigurationen oder zukünfiger hochdichter Arrays • CMOS EEPROM Prozess, Niedrigleistung • Programmierbare Reset-Polarität • Als PLCC-Paket erhältlich (Pin-kompatibel mit Produktgruppe • Emulation von Atmels AT24CXXX seriellen EEPROMs • Erhältlich in 3,3 V ± 10 % LV und 5 V ± 5 % C Versionen • Systemfreundlicher BEREIT-Pin • Bereitschaftsstrom, Niedrigleistung

Paketoptionen	Speichergröße	Vcc	Digi-Key Teilenr.	Stückpreis 1	25	100
8-SOIC	64Kbit	5.0	AT17C65-10NC-ND	5.59	3.78	3.41
8-LAP	64Kbit	5.0	AT17C65-10CC-ND	4.72	3.13	2.82
20-SOIC	64Kbit	3.3	AT17LV65-10SI-ND	6.55	4.46	4.21
20-SOIC	64Kbit	3.3	AT17LV65-10SC-ND	5.46	3.71	3.51
8-DIP	64Kbit	3.3	AT17LV65-10PI-ND	5.46	3.71	3.51
8-DIP	64Kbit	3.3	AT17LV65-10PC-ND	4.92	3.34	3.16
8-SOIC	64Kbit	3.3	AT17LV65-10NI-ND	6.55	4.46	4.21
8-SOIC	64Kbit	3.3	AT17LV65-10NC-ND	5.46	3.71	3.51
8-LAP	64Kbit	3.3	AT17LV65-10CI-ND	5.90	4.56	4.13
8-LAP	64Kbit	3.3	AT17LV65-10CC-ND	4.70	3.70	3.34
20-PLCC	64Kbit	3.3	AT17LV65-10JI-ND	5.46	3.71	3.51
20-PLCC	64Kbit	3.3	AT17LV65-10JC-ND	4.92	3.34	3.16
8-SOIC	128Kbit	5.0	AT17C128-10NC-ND	8.28	5.81	5.29
8-LAP	128Kbit	5.0	AT17C128-10CC-ND	6.97	4.82	4.37
20-SOIC	128Kbit	3.3	AT17LV128-10SI-ND	13.98	9.50	8.98
20-SOIC	128Kbit	3.3	AT17LV128-10SC-ND	11.36	7.72	7.29
8-DIP	128Kbit	3.3	AT17LV128-10PI-ND	10.92	8.05	7.36
8-DIP	128Kbit	3.3	AT17LV128-10PC-ND	8.74	5.94	5.61
8-SOIC	128Kbit	3.3	AT17LV128-10NI-ND	13.98	9.50	8.98
8-SOIC	128Kbit	3.3	AT17LV128-10NC-ND	11.36	7.72	7.29
8-LAP	128Kbit	3.3	AT17LV128-10CI-ND	9.43	7.03	6.41
8-LAP	128Kbit	3.3	AT17LV128-10CC-ND	7.52	5.70	5.19
20-PLCC	128Kbit	3.3	AT17LV128-10JI-ND	13.11	9.54	8.74
20-PLCC	128Kbit	3.3	AT17LV128-10JC-ND	10.48	7.12	6.74
20-SOIC	256Kbit	3.3	AT17LV256-10SI-ND	12.23	8.31	7.85
20-SOIC	256Kbit	3.3	AT17LV256-10SC-ND	10.19	6.93	6.55
8-DIP	256Kbit	3.3	AT17LV256-10PI-ND	10.19	6.93	6.55
8-DIP	256Kbit	3.3	AT17LV256-10PC-ND	9.18	6.24	5.90
8-SOIC	256Kbit	3.3	AT17LV256-10NI-ND	12.23	8.31	7.85
8-SOIC	256Kbit	3.3	AT17LV256-10NC-ND	10.19	6.93	6.55
8-LAP	256Kbit	3.3	AT17LV256-10CI-ND	11.01	7.48	7.07
8-LAP	256Kbit	3.3	AT17LV256-10CC-ND	8.77	5.96	5.63
20-PLCC	256Kbit	3.3	AT17LV256-10JI-ND	10.19	6.93	6.55
20-PLCC	256Kbit	3.3	AT17LV256-10JC-ND	9.18	6.24	5.90
8-LAP	512Kbit	5.0	AT17C512-10CC-ND	15.24	11.25	10.34
8-DIP	512Kbit	3.3	AT17LV512-10PI-ND	13.66	9.28	8.77
8-DIP	512Kbit	3.3	AT17LV512-10PC-ND	12.28	8.35	7.90
8-LAP	512Kbit	3.3	AT17LV512-10CI-ND	14.75	10.02	9.47
8-LAP	512Kbit	3.3	AT17LV512-10CC-ND	11.74	7.98	7.54
20-PLCC	512Kbit	3.3	AT17LV512-10JI-ND	13.66	9.28	8.77
20-PLCC	512Kbit	3.3	AT17LV512-10JC-ND	12.28	8.35	7.90
20-SOIC	512Kbit	3.3	AT17LV512-10SI-ND	16.38	11.13	10.52
20-SOIC	512Kbit	3.3	AT17LV512-10SC-ND	13.66	9.28	8.77
20-PLCC	512Kbit	3.3	AT17LV512A-10JI-ND	6.82	4.64	4.39
20-PLCC	512Kbit	3.3	AT17LV512A-10JC-ND	6.15	4.18	3.95
8-DIP	512Kbit	3.3	AT17LV512A-10PI-ND	6.82	4.64	4.39
8-DIP	512Kbit	3.3	AT17LV512A-10PC-ND	6.15	4.18	3.95
8-LAP	1-Mbit	5.0	AT17C010-10CC-ND	19.57	14.71	13.55
8-DIP	1-Mbit	3.3	AT17LV010-10PI-ND	23.57	16.01	15.13
8-DIP	1-Mbit	3.3	AT17LV010-10PC-ND	18.85	12.81	12.11
8-LAP	1-Mbit	3.3	AT17LV010-10CI-ND	20.37	13.84	13.08
8-LAP	1-Mbit	3.3	AT17LV010-10CC-ND	16.22	11.02	10.42
20-PLCC	1-Mbit	3.3	AT17LV010-10JI-ND	28.28	19.21	18.16
20-PLCC	1-Mbit	3.3	AT17LV010-10JC-ND	22.62	15.37	14.53
20-SOIC	1-Mbit	3.3	AT17LV010-10SI-ND	30.18	20.49	19.38
20-SOIC	1-Mbit	3.3	AT17LV010-10SC-ND	24.52	16.65	15.74

Paketoptionen	Speichergröße	Vcc	Digi-Key Teilenr.	Stückpreis 1	25	100
20-PLCC	1-Mbit	3.3	AT17LV010A-10JI-ND	18.22	14.15	12.12
20-PLCC	1-Mbit	3.3	AT17LV010A-10JC-ND	14.56	11.13	9.83
8-DIP	1-Mbit	3.3	AT17LV010A-10PI-ND	15.18	11.56	10.09
8-DIP	1-Mbit	3.3	AT17LV010A-10PC-ND	12.14	8.20	7.35
32-TQFP	1-Mbit	3.3	AT17LV010A-10QI-ND	18.22	12.97	11.93
32-TQFP	1-Mbit	3.3	AT17LV010A-10QC-ND	14.56	11.12	9.82
8-LAP	2-Mbit	5.0	AT17C002-10CC-ND	26.52	20.32	18.78
20-PLCC	2-Mbit	5.0	AT17C002-10JC-ND	29.86	23.04	21.31
8-LAP	2-Mbit	3.3	AT17LV002-10CI-ND	36.75	25.02	23.16
8-LAP	2-Mbit	3.3	AT17LV002-10CC-ND	29.45	20.33	18.78
20-PLCC	2-Mbit	3.3	AT17LV002-10JI-ND	42.08	28.42	26.33
20-PLCC	2-Mbit	3.3	AT17LV002-10JC-ND	33.65	23.04	21.31
44-PLCC	2-Mbit	3.3	AT17LV002-10BJI-ND	42.08	28.42	26.33
44-PLCC	2-Mbit	3.3	AT17LV002-10BJC-ND	33.65	23.04	21.31
20-SOIC	2-Mbit	3.3	AT17LV002-10SC-ND	35.35	24.01	22.69
20-SOIC	2-Mbit	3.3	AT17LV002-10SI-ND	42.92	29.14	27.55
44-TQFP	2-Mbit	3.3	AT17LV002-10TQI-ND	42.08	28.42	26.33
44-TQFP	2-Mbit	3.3	AT17LV002-10TQC-ND	33.65	23.04	21.31
44-PLCC	4-Mbit	3.3	AT17LV040-10BJC-ND	40.04	27.20	25.71
44-PLCC	4-Mbit	3.3	AT17LV040-10BJI-ND	43.68	29.67	28.04
44-TQFP	4-Mbit	3.3	AT17LV040-10TQI-ND	43.68	29.67	28.04
44-TQFP	4-Mbit	3.3	AT17LV040-10TQC-ND	36.40	24.73	23.37
8-LAP	4-Mbit	3.3	AT17F040-30CC-ND	13.58	10.27	9.68
8-LAP	4-Mbit	3.3	AT17F040-30CI-ND	15.11	11.43	10.77
20-PLCC	4-Mbit	3.3	AT17F040-30JC-ND	19.12	14.46	13.64
20-PLCC	4-Mbit	3.3	AT17F040-30JI-ND	21.99	16.63	15.68
20-PLCC	4-Mbit	3.3	AT17F040-30VJC-ND	19.12	14.46	13.64
20-PLCC	4-Mbit	3.3	AT17F040-30VJI-ND	21.99	16.63	15.68
20-PLCC	4-Mbit	3.3	AT17F040A-30JC-ND	13.66	10.33	9.74
20-PLCC	4-Mbit	3.3	AT17F040A-30JI-ND	15.70	11.88	11.21
32-TQFP	4-Mbit	3.3	AT17F040A-30QC-ND	13.66	10.33	9.74
32-TQFP	4-Mbit	3.3	AT17F040A-30QI-ND	15.70	11.88	11.21
44-PLCC	8-Mbit	3.3	AT17F080-30BJC-ND	32.76	24.79	23.37
44-PLCC	8-Mbit	3.3	AT17F080-30BJI-ND	37.68	28.51	26.88
8-LAP	8-Mbit	3.3	AT17F080-30CC-ND	23.26	17.61	16.60
8-LAP	8-Mbit	3.3	AT17F080-30CI-ND	25.88	19.59	18.46
20-PLCC	8-Mbit	3.3	AT17F080-30JC-ND	32.76	24.79	23.37
20-PLCC	8-Mbit	3.3	AT17F080-30JI-ND	37.68	28.51	26.88
44-TQFP	8-Mbit	3.3	AT17F080-30TQC-ND	32.76	24.79	23.37
44-TQFP	8-Mbit	3.3	AT17F080-30TQI-ND	37.68	28.51	26.88
20-PLCC	8-Mbit	3.3	AT17F080A-30JC-ND	21.84	16.53	15.58
20-PLCC	8-Mbit	3.3	AT17F080A-30JI-ND	25.12	19.01	17.92
32-TQFP	8-Mbit	3.3	AT17F080A-30QC-ND	21.84	16.53	15.58
32-TQFP	8-Mbit	3.3	AT17F080A-30QI-ND	25.12	19.01	17.92
44-PLCC	16-Mbit	3.3	AT17F16-30BJC-ND	54.61	41.32	38.95
44-PLCC	16-Mbit	3.3	AT17F16-30BJI-ND	62.80	47.52	44.79
8-LAP	16-Mbit	3.3	AT17F16-30CC-ND	38.77	29.34	27.65
8-LAP	16-Mbit	3.3	AT17F16-30CI-ND	43.14	32.64	30.77
20-PLCC	16-Mbit	3.3	AT17F16-30JC-ND	54.61	41.32	38.95
20-PLCC	16-Mbit	3.3	AT17F16-30JI-ND	62.80	47.52	44.79
44-TQFP	16-Mbit	3.3	AT17F16-30TQC-ND	54.61	41.32	38.95
44-TQFP	16-Mbit	3.3	AT17F16-30TQI-ND	62.80	47.52	44.79
20-PLCC	16-Mbit	3.3	AT17F16A-30JC-ND	38.22	28.92	27.27
20-PLCC	16-Mbit	3.3	AT17F16A-30JI-ND	43.96	33.26	31.35

Alle Preisangaben in Euro und inklusive Zollgebühren.

FPGAs (Feldprogrammierbare Gate-Arrays)

FPGAs der Serie AT40K

Die Koprozessor-FPGAs der Serie AT40K von Atmel haben einen Bereich von 5K – 50K nutzbarer Gates und wurden für hochdichte, rechnungsintensive DSP- und andere schnelle Logikdesigns entwickelt. Die AT40K-Gruppe löst das Problem von Logik vs. SRAM, indem ein schneller, flexibler, verteilter FreeRAM™ (10 ns) bereitgestellt wird, ohne wertvolle Logikressourcen aufzubrauchen. Strukturierte Logikfunktionen, einschließlich variabler Feldmultiplizierer, können direkt in Kernzellen integriert werden, ohne dass irgendwelche Bus-Ressourcen erforderlich sind. Dies führt zu drastischen Verbesserungen der Geschwindigkeit, Nutzung, Leistung und Systemkosten.

Mit der AT40K-Gruppe ist es möglich, ein Cache-Logik-Design zu implementieren, bei dem ein Teil des FPGA ohne Verlust der Registerdaten umprogrammiert werden kann, während der Rest des FPGA weiterhin unterbrechungsfrei arbeitet. Dies ist ideal für die Konstruktion von Adapterfiltern, variablen Koeffizientenmultiplizierern und sonstigen Designs, bei denen der Datenpfad zur Steigerung der Systemleistung geändert werden kann.
Alle FPGAs von Atmel können mithilfe von branchenüblichen CAE-Tools für Schaltbilder, VHDL und Verilog auf einer PC-, Sun- oder HP-Workstation konstruiert werden. Die Softwaretools sind auf der Atmel-Website unter http://www.atmel.com/fpga_software.html erhältlich.

Merkmale:
- Verteilter SRAM mit Single-/Dual-Port, 10 ns, unabhängig von Logikzellen
- Bis zu 384 PCI-konforme E/A
- Kombinierte 3 V/5 V-Fähigkeit
- Architektur für effiziente, ultraschnelle Feldmultiplizierer
- Dynamische volle/partielle In-System Cache Logic®-Umkonfigurierbarkeit
- Acht Global Clocks
- Effiziente branchenübliche Design-Tools, die für die Synthese optimiert sind
- QuickChange™-Tools für adaptive Hardware-Designs
- Auswahl an Oberflächenmontagepaketen
- Alle Bausteine der Gruppe sind pin-kompatibel

Nutzbare Gates	Zellen	RAM (Bit)	Geschwindigkeit (ns)	Vcc	E/A (max.)	Paketoptionen	Digi-Key Teilenr.	Stückpreis 1	25	100
5K-10K	256	2,048	2	5.0	62	84-PLCC	AT40K05-2AJC-ND	21.84	15.36	14.16
					62	84-PLCC	AT40K05-2AJI-ND	25.12	17.06	16.13
					78	100-TQFP	AT40K05-2AQI-ND	27.49	18.64	17.61
					114	144-LQFP	AT40K05-2BQC-ND	24.48	17.09	15.77
					128	160-PQFP	AT40K05-2CQC-ND	24.66	16.77	15.84
					128	208-PQFP	AT40K05-2DQI-ND	28.39	19.31	18.25
					128	208-PQFP	AT40K05-2DQC-ND	24.66	16.77	15.84
5K-10K	256	2,048	1	3.3	62	84-PLCC	AT40K05AL-1AJC-ND	10.92	7.41	7.03
					78	100-TQFP	AT40K05AL-1AQC-ND	12.38	8.39	7.92
					128	208-PQFP	AT40K05AL-1DQC-ND	12.38	8.39	7.92
					128	208-PQFP	AT40K05AL-1DQI-ND	14.20	9.66	9.11
5K-10K	256	2,048	3	3.3	62	84-PLCC	AT40K05LV-3AJC-ND	14.56	10.52	9.66
					114	144-TQFP	AT40K05LV-3BQC-ND	16.31	11.69	10.74
					128	208-PQFP	AT40K05LV-3DQC-ND	16.75	11.98	11.02
10K-20K	576	4,608	2	5.0	62	84-PLCC	AT40K10-2AJC-ND	32.76	22.27	21.04
					62	84-PLCC	AT40K10-2AJI-ND	37.68	25.57	24.18
					78	100-TQFP	AT40K10-2AQC-ND	37.04	25.15	23.75
					114	144-LQFP	AT40K10-2BQC-ND	36.67	24.94	23.54
					161	208-PQFP	AT40K10-2DQC-ND	37.04	25.15	23.75
10K-20K	954	4,608	1	3.3	114	144-LQFP	AT40K10AL-1BQC-ND	20.39	13.85	13.09
10K-20K	576	4,608	3	3.3	62	84-PLCC	AT40K10LV-3AJC-ND	21.84	15.36	14.16
					114	144-TQFP	AT40K10LV-3BQC-ND	24.47	17.08	15.76
					161	208-PQFP	AT40K10LV-3DQC-ND	25.12	17.51	16.16
20K-30K	1,024	8,192	2	5.0	62	84-PLCC	AT40K20-2AJC-ND	58.25	39.54	37.38
					62	84-PLCC	AT40K20-2AJI-ND	66.98	45.51	43.01
					78	100-TQFP	AT40K20-2AQC-ND	64.07	43.49	41.10
					114	144-LQFP	AT40K20-2BQC-ND	65.80	44.71	42.25
					161	208-PQFP	AT40K20-2DQC-ND	65.80	44.71	42.25
					161	208-PQFP	AT40K20-2DQI-ND	75.72	51.44	48.60
					193	240-PQFP	AT40K20-2EQC-ND	65.80	44.71	42.25
					193	240-PQFP	AT40K20-2EQI-ND	75.72	51.44	48.60
20K-30K	1,024	8,192	3	3.3	62	84-PLCC	AT40K20LV-3AJC-ND	36.40	24.80	22.95
					114	144-TQFP	AT40K20LV-3BQC-ND	40.77	27.59	25.56
					161	208-PQFP	AT40K20LV-3DQC-ND	41.86	28.29	26.20
40K-50K	2,304	18,432	2	5.0	114	144-LQFP	AT40K40-2BQC-ND	137.70	93.51	88.39
					161	208-PQFP	AT40K40-2DQC-ND	137.70	93.51	88.39
40K-50K	2,304	18,432	1	3.3	114	144-TQFP	AT40K40AL-1BQI-ND	70.99	48.22	45.55
					161	208-PQFP	AT40K40AL-1DQI-ND	70.99	48.22	45.55
					193	240-PQFP	AT40K40AL-1EQI-ND	70.99	48.22	45.55
40K-50K	2,304	18,432	3	3.3	114	144-TQFP	AT40K40LV-3BQC-ND	96.11	61.95	57.66
					161	208-PQFP	AT40K40LV-3DQC-ND	100.47	64.61	60.15

SPLDs (PAL-kompatibel, 16V8, 20V8, 22V10)

SPLDs von Atmel basieren auf der klassischen PAL-Architektur und entsprechen dem gängigen Industriestandard 16V8, 20V8 und 22V10 mit unterschiedlichen Geschwindigkeiten, Paketen und Leistungsdaten. Diese Variationen werden durch eine große Vielzahl von Entwicklungstools unterstützt und bieten Funktionen wie Viertelstrom, niedrigen Standby-Strom und Null (<25 µA) Standby-Strom. Die Atmel-Gruppe Flash-basierter elektrisch löschbarer Komponenten kombiniert bewährte hohe Leistungsfähigkeit mit Niedrigleistungs-Technologie.

Nutzbare Gates	Makro-zellen	Reg.	Tpd (ns)	(V)	Leistung Opt.	Pakettyp	Digi-Key Teilenr.	Stückpreis 1	25	100
500	10	10	20	3.0-5.5	Std	28-PLCC	AT22LV10-20JC-ND	6.26	3.93	3.50
						24-DIP	AT22LV10-20PC-ND	6.26	3.93	3.50
						24-SOIC	AT22LV10-20SC-ND	6.71	4.22	3.75
500	10	10	25	3.0-5.5	Std	28-PLCC	AT22LV10-25JC-ND	5.00	3.15	2.80
						24-DIP	AT22LV10-25PC-ND	5.00	3.15	2.80
						24-SOIC	AT22LV10-25SC-ND	5.46	3.43	3.05
500	10	10	25	3.0-5.5	Niedrig	28-PLCC	AT22LV10L-25JC-ND	5.28	3.32	2.95
						24-DIP	AT22LV10L-25PC-ND	5.28	3.32	2.95
						24-SOIC	AT22LV10L-25SC-ND	5.73	3.60	3.21
250	8	8	10	5.0	Std	20-PLCC	ATF16V8B-10JC-ND	2.37	1.70	1.59
						20-Dip	ATF16V8B-10PC-ND	2.37	1.70	1.59
						20-SOIC	ATF16V8B-10SC-ND	2.37	1.70	1.59
250	8	8	10	5.0	Viert.	20-PLCC	ATF16V8BQ-10JC-ND	1.91	1.29	1.11
						20-Dip	ATF16V8BQ-10PC-ND	1.91	1.29	1.11
250	8	8	10	5.0	Viert.	20-SOIC	ATF16V8BQ-10SC-ND	1.91	1.29	1.11
250	8	8	15	5.0	Viert. u. niedr.	20-PLCC	ATF16V8BQL-15JC-ND	1.35	.85	.79
						20-Dip	ATF16V8BQL-15PC-ND	1.35	.85	.79
						20-SOIC	ATF16V8BQL-15SC-ND	1.35	.85	.79
250	8	8	5.0	5.0	Std	20-PLCC	ATF16V8C-5JC-ND	2.37	1.70	1.59
250	8	8	7.5	5.0	Std	20-PLCC	ATF16V8C-7JC-ND	2.18	1.48	1.22
						20-Dip	ATF16V8C-7PC-ND	2.18	1.48	1.22
						20-SOIC	ATF16V8C-7SC-ND	2.18	1.48	1.22
250	8	8	12	5.0	Std u. null	20-PLCC	ATF16V8CZ-12JC-ND	2.73	2.10	1.69
						20-Dip	ATF16V8CZ-12PC-ND	2.73	2.10	1.69
						20-SOIC	ATF16V8CZ-12SC-ND	2.73	2.10	1.69
250	8	8	15	5.0	Std u. null	20-PLCC	ATF16V8CZ-15JC-ND	2.09	1.61	1.30
						20-Dip	ATF16V8CZ-15PC-ND	2.09	1.61	1.30
						20-SOIC	ATF16V8CZ-15SC-ND	2.09	1.61	1.30
250	8	8	10	3.0-5.5	Std	20-PLCC	ATF16LV8C-10JC-ND	2.96	2.44	2.18
						20-PLCC	ATF16LV8C-10JI-ND	3.86	3.09	2.78
						20-Dip	ATF16LV8C-10PC-ND	2.96	2.44	2.18
						20-Dip	ATF16LV8C-10PI-ND	3.86	2.44	2.18
						20-SOIC	ATF16LV8C-10SC-ND	2.96	2.44	2.18
						20-SOIC	ATF16LV8C-10SI-ND	3.86	2.51	2.25

Nutzbare Gates	Makro-zellen	Reg.	Tpd (ns)	(V)	Leistung Opt.	Pakettyp	Digi-Key Teilenr.	Stückpreis 1	25	100
300	8	8	7.5	5.0	Std	28-PLCC	ATF20V8B-7JC-ND	4.84	3.27	2.82
						24-Dip	ATF20V8B-7PC-ND	4.84	3.27	2.82
						24-SOIC	ATF20V8B-7SC-ND	4.84	3.27	2.82
300	8	8	10	5.0	Std	28-PLCC	ATF20V8B-10JC-ND	2.73	1.72	1.59
						24-Dip	ATF20V8B-10PC-ND	2.73	1.72	1.59
						24-SOIC	ATF20V8B-10SC-ND	2.73	1.72	1.59
300	8	8	10	5.0	Viert.	28-PLCC	ATF20V8BQ-10JC-ND	2.73	1.85	1.60
						24-Dip	ATF20V8BQ-10PC-ND	2.73	1.85	1.60
300	8	8	15	5.0	Viert. u. niedr.	28-PLCC	ATF20V8BQL-15JC-ND	1.64	1.11	1.02
						24-Dip	ATF20V8BQL-15PC-ND	1.64	1.11	1.02
						24-SOIC	ATF20V8BQL-15SC-ND	1.64	1.11	1.02
500	10	10	5.0	5.0	Std	28-PLCC	ATF22V10C-5JC-ND	5.46	3.68	3.17
500	10	10	7.5	5.0	Std	28-PLCC	ATF22V10C-7JC-ND	2.73	1.85	1.60
						24-Dip	ATF22V10C-7PC-ND	2.73	1.85	1.60
						24-SOIC	ATF22V10C-7SC-ND	2.73	1.85	1.60
500	10	10	10	5.0	Std	28-PLCC	ATF22V10C-10JC-ND	1.91	1.29	1.11
						24-Dip	ATF22V10C-10PC-ND	1.91	1.29	1.11
						24-SOIC	ATF22V10C-10SC-ND	1.91	1.29	1.11
500	10	10	15	5.0	Viert.	28-PLCC	ATF22V10CQ-15JC-ND	1.82	1.23	1.02
						24-Dip	ATF22V10CQ-15PC-ND	1.82	1.23	1.02
						24-SOIC	ATF22V10CQ-15SC-ND	1.82	1.23	1.02
500	10	10	20	5.0	Viert. u. null.	28-PLCC	ATF22V10CQZ-20JC-ND	2.28	1.54	1.27
						24-Dip	ATF22V10CQZ-20PC-ND	2.28	1.54	1.27
						24-SOIC	ATF22V10CQZ-20SC-ND	2.28	1.54	1.27
500	10	10	25	5.0	Std u. null	28-PLCC	ATF22V10CZ-12JC-ND	5.46	3.72	3.18
						24-Dip	ATF22V10CZ-12PC-ND	5.46	3.72	3.18
						24-SOIC	ATF22V10CZ-12SC-ND	5.46	3.72	3.18
500	10	10	15	5.0	Std u. null	28-PLCC	ATF22V10CZ-15JC-ND	4.37	3.46	3.12
						24-Dip	ATF22V10CZ-15PC-ND	4.37	3.46	3.12
						24-SOIC	ATF22V10CZ-15SC-ND	4.37	3.46	3.12
500	10	10	10	3.0-5.5	Std	28-PLCC	ATF22LV10C-10JC-ND	2.37	1.60	1.33
						24-Dip	ATF22LV10C-10PC-ND	2.37	1.60	1.33
						24-SOIC	ATF22LV10C-10SC-ND	2.37	1.60	1.33
500	10	10	25	3.0-5.5	Std u. null	28-PLCC	ATF22LV10CZ-25JC-ND	2.73	1.85	1.53
						24-Dip	ATF22LV10CZ-25PC-ND	2.73	1.85	1.53
						24-SOIC	ATF22LV10CZ-25SC-ND	2.73	1.85	1.53
500	10	10	25	3.0-5.5	Viert. u. null	28-PLCC	ATF22LV10CQZ-30JC-ND	2.18	1.48	1.22
						28-PLCC	ATF22LV10CQZ-30JI-ND	2.73	1.85	1.53
						24-Dip	ATF22LV10CQZ-30PC-ND	2.18	1.48	1.22
						24-Dip	ATF22LV10CQZ-30PI-ND	2.73	1.85	1.53
						24-SOIC	ATF22LV10CQZ-30SC-ND	2.18	1.48	1.22

Serie AT91 Smart ARM® Mikrocontroller

• **Serie 40:** Der ideale Anwendungsmodul-Prozessor für Protokollstapel-Abwicklung und Applikationsschichtverarbeitung in Modulen mit wenig Platz, wie z.B. GPS, Bluetooth, GSM/GPRS, Wired Ethernet, Wireless LAN, TCP-IP Networking. Diese Gruppe umfasst M40800, R40008, FR4042 und FR40162.

• **RM9200:** Peripher reichhaltige ARM9 Mikrocontroller mit eingebautem 10/100 Ethernet MAC. Ideal für industrielles Steuer-Networking, Kommunikations-Brückenanwendungen.

Jedes innovative System startet mit Standardprodukten

Die Serie AT91 ist eine schnell wachsende Gruppe von Mikrocontrollern auf ARM-Basis, dem vorgegebenen 32-Bit-Standard. Sie sind die idealen Mikrocontroller für ein Produkt der nächsten Generation oder Ihre innovative Anwendung. Atmel ist der ideale Partner für zukünftige Kosteneinsparungen, indem das Unternehmen einen aggressiven ARM-Mikrocontroller und eine ASSP-Roadmap sowie software-kompatible SoCs anbietet.

B

Entwicklungskits und Software-Entwicklungs-Tools Dritter

Atmel unterstützt die Serie AT91 mit einer umfangreichen Reihe von Entwicklungs- und Evaluierungskits.

Produkt	Beschreibung	Inhalt
AT91EB40A	Serie AT91 40- Evaluierungskit	Karte, Versorgungskabel, RS232-Kabel, Evaluierungskopien von ARM ADS und Green Hills® Software-Entwicklungstools
AT91EB42	AT91M42800A- Evaluierungskit	Karte, Versorgungskabel, RS232-Kabel, Evaluierungskopien von ARM ADS und Green Hills® Software-Entwicklungstools
AT91EB55	AT91M55800A- Evaluierungskit	Karte, Versorgungskabel, RS232-Kabel, Evaluierungskopien von ARM ADS und Green Hills® Software-Entwicklungstools
AT91MEC01	Speichererweiterungskarte für EB40A, EB42 und EB55	Karte und Steckverbinder
AT91RM9200-DK	AT91RM9200 Entwicklungs-/ Evaluierungskit	Karte, Stromversorgung, RS232-Kabel, USB-Kabel, Ethernet-Kabel, Evaluierungskopien ARM ADS und Green Hills® Software-Entwicklungstools

Qualifizierte Drittparteien stellen eine breite Auswahl an Entwicklungstools zur Verfügung. Zu diesen zählen Entwicklungs-Packs, C und C++ Kompilierer, Assembler, Debugger, JTAG ICE Schnittstellen, Realtime-Betriebssysteme, Karten-Support-Packungen und Flash-Programmierer. Mit einem derart hohen Support-Niveau können AT91-Kunden ihre Anwendungen schnell, preiswert und mit wenig Risiko entwickeln.

Teilenummer	ARM7TDMI	ARM920T	ARM926EJ-S	Taktgeschwindigkeit (MHz)*	SRAM (Bytes)	Flash (Bytes)	Boot ROM (Bytes)	Externe Bus-Schnittstelle	SDRAM-Schnittstelle	USART	Erweiterte USART	SPI	TWI	SSC	PDC-Kanal	MCI	CAN	USB-Bauteil (Voll-geschwindigkeit)	USB-Host (Voll-geschwindigkeit)	Ethernet MAC 10/100	LCD-Controller
AT91M40800	X			40	8K	—	—	1	—	2	—	—	—	—	4	—	—	—	—	—	—
AT91R40008	X			70	256K	—	—	1	—	2	—	—	—	—	4	—	—	—	—	—	—
AT91FR4042	X			70	256K	512K	—	1	—	2	—	—	—	—	4	—	—	—	—	—	—
AT91FR40162	X			70	256K	2M	—	1	—	2	—	—	—	—	4	—	—	—	—	—	—
AT91M42800A	X			33	8K	—	—	1	—	2	—	2	—	—	8	—	—	—	—	—	—
AT91M55800A	X			33	8K	—	—	1	—	3	—	1	—	—	10	—	—	—	—	—	—
AT91RM9200		X		180	16K	—	128K	1	1	—	4	1	1	3	20	1	—	1	2	1	—

Teilenummer	16-Bit Timer	PWM-Controller	Intermittierender Intervall-Timer	Watchdog-Timer	RTC	RTT	10-Bit ADU-Kanal	10-Bit DAU-Kanal	Einschalt-Rückstellung (Einschaltung)	Brown-Out-Erkennung	On-Chip RC-Oszillator	Hochstrom-Pads	E/A-Pins	Stromversorgung (V)	Pakete	Muster	Produktion
AT91M40800	3	—	—	1	—	—	—	—	—	—	—	—	32	1,8-3,6	QFP100	Jetzt	Jetzt
AT91R40008	3	—	—	1	—	—	—	—	—	—	—	—	32	1,65-1,95 Kern 2,7-3,6 E/A	QFP100	Jetzt	Jetzt
AT91FR4042	3	—	—	1	—	—	—	—	—	—	—	—	32	1,65-1,95 Kern 2,7-3,6 E/A	BGA121	Jetzt	Jetzt
AT91FR40162	3	—	—	1	—	—	—	—	—	—	—	—	32	1,65-1,95 Kern 2,7-3,6 E/A	BGA121	Jetzt	Jetzt
AT91M42800A	6	—	1	1	—	1	—	—	—	—	—	—	54	2,7-3,6 Kern 2,7-5,5 E/A	QFP144 BGA144	Jetzt	Jetzt
AT91M55800A	6	—	—	1	1	—	8	2	—	—	—	—	58	2,7-3,6 Kern/Analog 2,7-5,5 E/A	QFP176 BGA176	Jetzt	Jetzt
AT91RM9200	6	—	1	1	1	1	—	—	—	—	—	—	94	1,65-1,95 Kern 1,65-3,6 E/A	QFP208 BGA256	Jetzt	Jetzt

ARM920T: ARM9TDMI RISC CPU, 16 KB Instruktions- und 16 KB Data-Caches, MMU, Schreibpuffer und eingebettete Trace Macrocell.

Erweitertes USART: unterstützt RS485, ISO7816, IrDA und Modemsteuerleitungen.

TWI: Zwei-Draht-Schnittstelle, verbindet Bauteile auf einem Zwei-Draht-Bus.

SSC: Serieller synchroner Controller, unterstützt viele serielle synchrone Kommunikationsprotokolle, die in Audio- und Telekom-Anwendungen verwendet werden, z.B. I2S, Kurz- oder Langrahmen-Sync.

MCI: Multimedia Card Interface, unterstützt die Multimedia-Kartenspezifikation V 2.2 und die SD-Speicherkartenspezifikation V 1.0.

16-Bit Timer: Erfassen/Compare, Wellenformerzeugung und PWM-Modi.

PDC: Peripherer Data Controller (DMA), überträgt Daten zwischen On-Chip-USART, SSC, SPI, MCI, ADC und den On- und Off-Chip-Speichern ohne CPU-Eingriff.

*** Taktgeschwindigkeit:** Max. Taktgeschwindigkeit bei +85 °C

Alle Preisangaben in Euro und inklusive Zollgebühren.

AT91 ARM Thumb-Mikrocontroller

Die beste Kombination aus niedrigem Stromverbrauch, 32-Bit Leistung und 16-Bit Systemkosten.
Die AT91-Serie bietet die optimale Kombination aus Prozessorleistung, Peripheriegeräten und Speicherblöcken für anspruchsvolle Echtzeitanwendungen, die eine hohe Leistung bei knappen Budgets erfordern. Aufgrund des umfassenden Bereichs an Echtzeitbetriebssystemen und intelligenten Anwendungsentwicklungstools werden das Risiko und die Zeit der Markteinführung neuer Anwendungen auf ein Minimum reduziert.

Merkmale: • Optimale Kombination aus großen SRAM-, ROM- und Flash-Speichern • Große Auswahl an On-Chip Peripheriegeräten • 3-phasige Befehlsausführungs-Pipeline für hohen Befehlsdurchsatz • Speicherzugriff über EBI in einem Zyklus • Hardware-Multiplizierer plus Barrel-Shifter gewährleistet DSP-Funktionalität • PDC-Kanäle (On-Chip DMA) entlasten den Prozessor für die Anwendung • Erweitertes Power-Management bietet Idle Mode und deaktiviert nicht verwendete Peripheriegeräte • Hoch entwickelter Low Latency Interrupt Controller • Banked Registers bieten separate Stacks und Call/Returns im Interrupt-Modus • Umfassendes Angebot an Echtzeitbetriebssystemen zur leichteren Entwicklung von Echtzeitanwendungen • Eine Vielfalt von Anwendungsentwicklungstools für schnelle, risikoarme Softwareentwicklung • Weit verbreitet in eingebetteten GPS-Systemen, Handheld-Kommunikationsgeräten, Wireless Networking, industrieller Automatisierung • Betriebstemperatur: Industriell: -40 °C ~ 85 °C

AT91 ARM Thumb-Evaluierungskits

Die Evaluierungskits sind komplette preisgünstige Evaluierungsplattformen, die eine Code-Entwicklung in Echtzeit und die Erforschung der AT91 ARM Thumb-Mikrocontroller ermöglichen. Die Kits enthalten: • Mikrocontroller-Muster • Evaluierungskarte mit Angel Debug Monitor • AT91 CD-ROM Erste Schritte mit Datenblättern und Beispielen • Serielles DB9-Kabel • 2,1 mm Buchse (Netzteil nicht inbegriffen) • Evaluierungskopien von Compilern und Debuggern von Green Hills und ARM • SRAM • Flash • 2 serielle Anschlüsse • Reset-Taste und Controller • Drucktasten • LEDs • 20-Pin JTAG ICE-Schnittstellensteckverbinder • Spannungsregelung • Taktgeber • Eigentestprogramm der Karte • Angel Debug Monitor • Stromverbrauch-Messfähigkeit • Erweiterungsplätze für Zusatzkarten mit benutzerspezifischen Speichern und Peripheriegeräten

AT91EB63-ND	Evaluierungskit für die Serien AT91 63 und 43	**211.65**
AT91MEC01-ND	Speichererweiterungskarte für EB40 und EB63	**253.98**
AT91EB40A-ND	Evaluierungskit für AT91R40008	**167.63**
AT91EB55-ND	Evaluierungskit für AT91M55800A	**211.65**
AT91EB42-ND	Evaluierungskit für AT91M42800A	**211.65**
AT91RM3400-DK-ND	Entwicklungskit für AT91RM3400	**1684.74**
AT91SAM7A1-EK-ND	Evaluierungskarte für AT91SAM7A1	**507.11**
AT91SAM7A2-EK-ND	Evaluierungskarte für AT91SAM7A2	**507.11**
AT91SAM7S64-IAR-ND	Entwicklungskit für AT91SAM7S64	**249.75**

B

Programm-speichertyp	Speichergröße: Programm-Bytes	RAM-Bytes	Boot ROM-Bytes	E/A-Pins	UART	TWI	SPI	Timer/Zähler (16-Bit)	WDT	ADU	DAU	Clock Speed* (MHz)	VCC- (Kern)	Betr. Temp.	Paket	Digi-Key Teilenr.	Stückpreis 1	25	100
Flash	2M	8K	—	32	2 (USART)	—	—	3	Ja	—	—	33MHz	2.7 ~ 3.6V	Ind.	120-BGA	AT91F40816-33CI-ND	36.40	22.02	21.17
Flash	2M	136K	—	32	2 (USART)	—	—	3	Ja	—	—	33MHz	2.7 ~ 3.6V	Ind.	120-BGA	AT91FR40161-CI-ND	33.86	20.00	18.90
Flash	2M	256K	—	32	2 (USART)	—	—	3	Ja	—	—	70MHz	1.65 ~ 1.95V	Ind.	121-BGA	AT91FR40162-CI-ND	22.11	14.92	13.07
Flash	512K	256K	—	32	2 (USART)	—	—	3	Ja	—	—	70MHz	1.65 ~ 1.95V	Ind.	121-BGA	AT91FR4042-CI-ND	18.02	10.65	9.89
Flash	256K	64K	—	32	3 (USART)	1	1	3	Ja	8-Kan. 10-Bit	—	55MHz	3.0 ~ 3.6V	Ind.	64-LQFP	AT91SAM7S256AU001-ND	12.20	8.51	7.38
Flash	128K	32K	—	32	3 (USART)	1	1	3	Ja	8-Kan. 10-Bit	—	55MHz	3.0 ~ 3.6V	Ind.	64-LQFP	AT91SAM7S128AU001-ND	10.02	6.99	6.06
Flash	64K	16K	—	32	3 (USART)	1	1	3	Ja	8-Kan. 10-Bit	—	55MHz	3.0 ~ 3.6V	Ind.	64-LQFP	AT91SAM7S64-AU001-ND	8.01	5.59	4.66
Flash	32K	8K	—	21	2 (USART)	1	1	3	Ja	8-Kan. 10-Bit	—	55MHz	3.0 ~ 3.6V	Ind.	48-LQFP	AT91SAM7S32-AU001-ND	5.92	4.13	3.44
—	—	256K	—	32	2 (USART)	—	—	3	Ja	—	—	70MHz	1.65 ~ 1.95V	Ind.	100-TQFP	AT91R40008-66AI-ND	18.66	13.26	12.20
—	—	136K	—	32	2 (USART)	—	—	3	Ja	—	—	33MHz	1.8 ~ 3.6V	Ind.	100-TQFP	AT91R40807-33AI-ND	26.67	15.76	14.89
—	—	96K	—	63	5 (USART)	1	1	6	Ja	—	—	66MHz	1.65 ~ 1.95V	Ind.	100-LQFP	AT91RM3400-AU-002-ND	11.74	8.89	8.38
—	—	16K	128K	94	4 (EUSART)	1	1	6	Ja	—	—	180MHz	1.65 ~ 1.95V	Ind.	208-PQFP	AT91RM9200-QI-002-ND	20.21	14.10	12.22
—	—	16K	128K	94	4 (EUSART)	1	1	6	Ja	—	—	180MHz	1.65 ~ 1.95V	Ind.	256-BGA	AT91RM9200-CI-002-ND	25.75	15.15	14.38
—	—	16K	—	57	2 (USART)	—	1	10	Ja	16-Kan. 10-Bit	—	30MHz	3.0 ~ 3.6V	Ind.	176-LQFP	AT91SAM7A2-AU-ND	14.56	10.16	8.47
—	—	8K	—	58	3 (USART)	—	1	6	Ja	8-Kan. 10-Bit	2-Kan. 10-Bit	33MHz	2.7 ~ 3.6V	Ind.	176-TQFP	AT91M55800A-33AI-ND	17.62	12.57	11.56
—	—	8K	—	58	3 (USART)	—	1	6	Ja	8-Kan. 10-Bit	2-Kan. 10-Bit	33MHz	2.7 ~ 3.6V	Ind.	176-BGA	AT91M55800A-33CI-ND	19.44	13.78	12.68
—	—	8K	—	54	2 (USART)	—	2	6	Ja	—	—	33MHz	2.7 ~ 3.6V	Ind.	144-TQFP	AT91M42800A-33AI-ND	9.92	6.93	6.00
—	—	8K	—	54	2 (USART)	—	2	6	Ja	—	—	33MHz	2.7 ~ 3.6V	Ind.	144-BGA	AT91M42800A-33CI-ND	17.09	12.22	11.23
—	—	8K	—	32	2 (USART)	—	—	3	Ja	—	—	40MHz	1.8 ~ 3.6V	Ind.	100-TQFP	AT91M40800-33AI-ND	6.55	4.58	3.81
—	—	4K	—	49	3 (USART)	—	1	9	Ja	8-Kan. 10-Bit	—	40MHz	3.0 ~ 3.6V	Ind.	144-LQFP	AT91SAM7A1-AU-ND	10.74	7.50	6.25
—	—	3K	—	58	3 (USART)	—	1	6	Ja	—	—	25MHz	1.8 ~ 3.6V	Ind.	176-TQFP	AT91M63200-25AI-ND	16.57	11.86	10.91
—	—	3K	—	58	3 (USART)	—	1	6	Ja	—	—	25MHz	2.7 ~ 5.5V	Ind.	144-BGA	AT91M43300-25CI-ND	16.57	11.86	10.91

*Taktgeschwindigkeit

FPSLIC — Field Programmable System Level Integrated Circuit

FPSLIC — FPGA + AVR in einem Paket! Die Serie AT94K (FPSLIC-Gruppe) ist eine Kombination aus der gängigen AT40K-Serie der SRAM FPGAs von Atmel und dem hochleistungsfähigen AVR 8-Bit RISC-Mikrocontroller von Atmel mit Standard-Peripheriegeräten. • 2K ~ 18,4K Bit verteilter FPGA Benutzer-SRAM mit Single-/Dual-Port • Hochleistungs-FPGA-Kernzelle, DSP-optimiert • Dynamisch In-System umkonfigurierbar – FPGA-Konfigurationszugriff. • FPGA-Makro-Bibliothek für benutzerdefinierte Peripheriegeräte **16 FPGA-versorgte interne Unterbrecher zu AVR bis zu vier externe Unterbrecher zu AVR 8 Global-FPGA-Clocks:** • Zwei FPGA-Clocks, angesteuert über AVR-Logik • Zugriff auf FPGA-Global-Clock über FPGA-Kern
Merkmale: • Timer/Zähler 8/16-Bit: 2/1 • Watchdog-Timer • UART: 2 • TWI (I2C) • PWM: 3 • JTAG • Taktgeschwindigkeit: 25 MHz • V_{CC}: 3 V ~ 3,6 V

FPGA: Gates	Kernzellen	SRAM Bytes	Register	E/A	AVR: Programmspeichertyp	Speichergröße: RAM Bytes	EEPROM Bytes	AVR E/A-Pins	ISP	Betriebstemp.	Paket	Digi-Key Teilenr.	Stückpreis 1	25	100
5K	256	256	436	46	Ohne ROM	20K	—	8	—	Gem.	84-PLCC	AT94K05AL-25AJC-ND	16.38	11.14	10.50
				46	Ohne ROM	20K	—	8	—	Ind.	84-PLCC	AT94K05AL-25AJI-ND	18.84	12.79	12.11
				58	Ohne ROM	20K	—	8	—	Gem.	100-TQFP	AT94K05AL-25AQC-ND	17.20	11.69	11.05
				58	Ohne ROM	20K	—	8	—	Ind.	100-TQFP	AT94K05AL-25AQI-ND	19.84	13.47	12.75
				82	Ohne ROM	20K	—	8	—	Gem.	144-LQFP	AT94K05AL-25BQC-ND	17.20	11.69	11.05
				82	Ohne ROM	20K	—	8	—	Ind.	144-LQFP	AT94K05AL-25BQI-ND	20.84	14.14	13.34
				96	Ohne ROM	20K	—	8	—	Gem.	208-PQFP	AT94K05AL-25DQC-ND	20.02	13.59	12.83
				96	Ohne ROM	20K	—	8	—	Ind.	208-PQFP	AT94K05AL-25DQI-ND	22.93	15.58	14.74
5K	256	256	436	93	EEPROM	20K	64K	8	Ja	Gem.	256-CABGA	AT94S05AL-25DGC-ND	24.03	16.30	15.41
10K	576	512	846	46	Ohne ROM	36K	—	16	—	Gem.	84-PLCC	AT94K10AL-25AJC-ND	27.30	18.55	17.53
				46	Ohne ROM	36K	—	16	—	Ind.	84-PLCC	AT94K10AL-25AJI-ND	31.40	21.34	20.15
				58	Ohne ROM	36K	—	16	—	Gem.	100-TQFP	AT94K10AL-25AQC-ND	28.67	19.48	18.42
				58	Ohne ROM	36K	—	16	—	Ind.	100-TQFP	AT94K10AL-25AQI-ND	33.03	22.44	21.21
				84	Ohne ROM	36K	—	16	—	Gem.	144-LQFP	AT94K10AL-25BQC-ND	28.67	19.48	18.42
				84	Ohne ROM	36K	—	16	—	Ind.	144-LQFP	AT94K10AL-25BQI-ND	34.68	23.54	22.27
				116	Ohne ROM	36K	—	16	—	Gem.	208-PQFP	AT94K10AL-25DQC-ND	33.31	22.61	21.38
				116	Ohne ROM	36K	—	16	—	Ind.	208-PQFP	AT94K10AL-25DQI-ND	38.22	25.95	24.56
10K	576	512	846	84	EEPROM	36K	64K	16	Ja	Gem.	144-TQFP	AT94S10AL-25BQC-ND	39.32	26.72	25.23
				84	EEPROM	36K	64K	16	Ja	Ind.	144-TQFP	AT94S10AL-25BQI-ND	45.23	30.69	29.04
				137	EEPROM	36K	64K	16	Ja	Gem.	256-CABGA	AT94S10AL-25DGC-ND	39.32	26.72	25.23
				137	EEPROM	36K	64K	16	Ja	Ind.	256-CABGA	AT94S10AL-25DGI-ND	45.23	30.69	29.04
40K	2304	2304	2862	84	Ohne ROM	36K	—	16	—	Gem.	144-LQFP	AT94K40AL-25BQC-ND	41.86	34.21	32.35
				84	Ohne ROM	36K	—	16	—	Ind.	144-LQFP	AT94K40AL-25BQI-ND	60.98	41.40	39.12
				120	Ohne ROM	36K	—	16	—	Gem.	208-PQFP	AT94K40AL-25DQC-ND	58.52	39.75	37.59
				120	Ohne ROM	36K	—	16	—	Ind.	208-PQFP	AT94K40AL-25DQI-ND	67.17	45.64	43.14
40K	2304	2304	2862	162	EEPROM	36K	128K	16	Ja	Gem.	256-CABGA	AT94S40AL-25DGC-ND	69.07	46.91	44.32
				162	EEPROM	36K	128K	16	Ja	Ind.	256-CABGA	AT94S40AL-25DGI-ND	79.45	53.93	51.01

ATSTK94 *FPSLIC* Starterkit

Das ATSTK94 ist ein preiswertes Entwicklungskit für Designer, die den Einstieg in die preisgekrönte FPSLIC™ (FIELD PROGRAMMABLE SYSTEM-LEVEL INTEGRATION) AT94K-Bausteingruppe planen. Mit diesem Kit können Designer die neuen FPSLIC-Produkte von Atmel entwickeln, synthetisieren, simulieren und programmieren. Ein umfassendes Lernprogramm bietet schrittweise Anweisungen für den kompletten FPSLIC-Entwicklungsprozess. **Merkmale:** • ATK94K40-Baustein • AT17LV010-Baustein • ISP-Port zum direkten Herunterladen vom PC • Druckschalter und LEDs • 4 alphanumerische LED-Anzeigen • 2 RS232-Ports zum Senden/Empfangen • 18,432 MHz, 4 MHz und 32 kHz Taktquellen • Leistungsmanagement-Schaltkreise (9 V Netzteil inbegriffen) • Zugriff auf alle FPSLIC-Pins über Header • Die System Designer™ Software (4-monatige Lizenz)

ATSTK94-ND FPSLIC-Starterkit **418.79**

STK594-Entwicklungskit

Mit diesem Kit können Designer die neuen FPSLIC-Bausteine von Atmel entwickeln, simulieren synthetisieren und programmieren. Das STK594 enthält die Hardware, die für den kompletten Support der neuen Funktionen auf den FPSLIC-Bausteinen erforderlich ist. Ein zusätzlicher RS232-Treiber, eine 32 kHz-Echtzeituhr und eine zweiadrige serielle Schnittstelle zählen zu den neuen Ausstattungen. Das STK594-Kit besteht aus einer Entwicklungskit-Karte mit folgenden Merkmalen: • STK500-Kompatibilität • AT94K10AL- und AT17FS10-Bausteine • Zugriff auf alle FPSLIC-Pins über Header • Zusätzlicher RS232-Treiber und Steckverbinder • Integrierter 32 kHz Taktgeberoszillator für einfache Echtzeituhr-Implementierungen • JTAG-Header für On-Chip Debugging mit JTAG ICE • Systemdesigner-Softwaresuite mit einer viermonatigen Lizenz • ATDH2225 Programmierkabel für In-System Programming • Umfassendes Benutzerhandbuch und Lernprogramm

ATSTK594-ND STK594-Entwicklungskit **83.81**

MARC 4-Programmierer

Der TMEB893 ist der Programmierer für MARC 4 MTPs M48C893, M48C510 und den U9380 von Atmel. Dieser Programmierer arbeitet zusammen mit dem PC oder als Standalone-Produkt. Im Standalone-Modus schreibt der Programmierer das zuletzt gespeicherte MARC 4-Programm auf das Ziel-Chip. Der Speicher im Programmierer wird durch einen Akkumulator gepuffert. Zwei oben befindliche Tasten und zwei LEDs steuern den Betrieb des Programmierer. Er ermöglicht eine Einzelchip- sowie In-System Programming.

TMEB893-ND MARC 4-Programmierer **282.77**

H-Brücke

Die U6815BM ist eine vollständig geschützte Treiberschnittstelle mit 0,8 µm BCDMOS-Technologie. Sie wird zur Steuerung von bis zu 12 unterschiedlichen Lasten durch einen Mikrocontroller in Automobil- und industriellen Anwendungen verwendet. Jeder der 6 High-Side- und der 6 Low-Side-Treiber kann Ströme bis 600 mA ansteuern. Die Treiber sind frei konfigurierbar und können separat von einer standardmäßigen seriellen Datenschnittstelle aus gesteuert werden. Daher können alle Arten von Lasten, beispielsweise Birnen, Widerstände, Kondensatoren und Induktoren, kombiniert werden. Das IC-Design unterstützt insbesondere die Anwendungen der H-Brücke zum Steuern von DC-Motoren.

U6815BM-MFL-ND Zweif. Hex-DMOS-Ausgangstreiber mit serieller Eingangssteuerung, Paket SOP-28 ..... **5.10**

USB-Entwicklungskits

AT43DK301

Das AT43DK301 enthält alles, was Designer benötigen, um einen preiswerten, selbst- und bus-betriebenen USB-Hub zu entwickeln. Um typische Probleme bei der Prototyp-Erstellung auszuräumen, ist ein voll bestückter unabhängiger Hub inbegriffen. Designer können den unabhängigen Hub aus dem Kasten des Systems nehmen, um den Betrieb des AT43301 Hub-Controller-Chips zu sehen.

AT43DK301-ND **117.47**
AT43301-AC-ND IC USB HUB Controller, 4-Port, 32-LQFP **1.55**
AT43301-SC-ND IC USB HUB Controller, 4-Port, 24-SOIC **1.55**

AT43DK312A

Das AT43DK312A enthält alles, was Designer benötigen, um einen USB-Hub mit sämtlichen Funktionen zu entwickeln. Um typische Probleme bei der Prototyperstellung auszuräumen, ist ein voll bestückter unabhängiger Hub inbegriffen. Designer können den unabhängigen Hub aus dem Kasten des Systems nehmen, um den Betrieb des AT43312A Hub-Controller-Chips zu sehen.

AT43DK312A-ND **316.42**
AT43312A-AC-ND IC USB HUB Controller, 4-Port, 32-LQFP **1.71**

AT43DK320A

Das AT43DK320A-Entwicklungskit enthält alles, was zur Entwicklung einer USB-Anwendung mit sämtlichen Funktionen unter Verwendung von AT43USB320A erforderlich ist. Es wird komplett als betriebsbereiter Hub mit einer programmierbaren, eingebetteten USB-Funktion und bis zu vier nachgeschalteten USB-Ports geliefert. Es können beliebig viele nachgeschaltete USB-Ports ausgeschaltet werden (die Verwendung des Hubs ist nicht erforderlich). Der USB-Quellcode für eine eingebettete Funktion und eine USB-Bibliothek für den HUB stehen bereit, sodass dem Benutzer die mühselige Entwicklung eines solchen Codes erspart bleibt. So können Sie Ihre Zeit ganz für die zu entwickelnde Anwendung verwenden! Das AT43USB320A basiert auf dem AT90S8515, dem 8-Bit RISC AVR® Mikrocontroller von Atmel.

AT43DK320A-ND **160.01**
AT43USB320A-AC-ND IC USB MCU Embed Hub AVR, 100-LQFP **3.88**

AT43DK326

Das AT43DK326 ist ein komplettes Starterkit und Entwicklungssystem für die AT43USB326x-Gruppe von Atmel, d.h. die AVR®-basierenden USB-Mikrocontroller (MCUs). Das Kit enthält alle erforderliche Hardware- und Firmware-Komponenten, um schnelle Prototyp-Erstellung und Firmware-Entwicklung der AT43USB326x-Anwendungen zu ermöglichen.

AT43DK326-ND **160.01**
AT43USB326-AC-ND IC USB Tastatur-Controller-Hub, 48-LQFP **2.31**

AT43DK325

Das AT43DK325 ist ein komplettes Starterkit und Entwicklungssystem für die AT43USB325x-Gruppe von Atmel, d.h. die AVR®-basierenden USB-Mikrocontroller (MCUs). Das Kit enthält alle erforderliche Hardware- und Firmware-Komponenten, um schnelle Prototyp-Erstellung und Firmware-Entwicklung der AT43USB325x-Anwendungen zu ermöglichen.

Merkmale:

- Entwicklungskarte für AT43USB325 USB MCU mit: AT43US325 Vollgeschwindigkeits-USB-Controller, programmierbar als Verbundbaustein, ein (nur) Hub-Baustein oder ein (nur Funktions-) Baustein, ein interner und vier externe nachgeschaltete HUB-Ports, 512 Bytes On-Chip Programm-SRAM, 16 KB Programmspeicher, Parallelschnittstelle zum PC für In-System Firmware-Programmierung, Stiftsteckleisten-Steckverbinder für Zugriff auf alle verfügbaren GPIO-Pins
- Hardware (Schaltbilder und Karten-Layout) Design-Dateien
- USB 2.0-konforme USB-Firmware-Bibliothek
- USB Wizard, ein Dienstprogramm zur Erstellung von Firmware-Quellcode
- In-System Programmier-Tool
- Komplettes Benutzerhandbuch

AT43DK325-ND **316.42**
AT43USB325E-AC-ND IC USB Tastatur-Controller-Hub, 64-LQFP **4.24**

AT43DK355

Das AT43DK355 ist ein komplettes Entwicklungskit für die AT43USB35x-Gruppe der AVR-basierten USB-Mikrocontroller von Atmel. Es enthält alle erforderlichen Hardware- und Firmware-Komponenten, um schnelle Prototyp-Erstellung und Firmware-Entwicklung der AT43USB35x-Anwendungen zu ermöglichen. Die Hauptkomponente dieses Entwicklungskits ist der AT43USB355E, ein USB 2.0 konformer Vollgeschwindigkeits-Verbundbaustein mit integriertem AVR-Mikrocontroller und eingebettetem Hub, der bis zu einem internen und zwei externen USB-Ports unterstützt.

AT43DK355-ND **159.80**
AT43USB355E-AC-ND IC USB Host/Funktionsprozessor, 64-LQFP **5.26**

AT43DK370

Das AT43DK370 ist ein komplettes Starterkit und Entwicklungssystem für den AT43USB370 Host/Funktionsprozessor. Es dient zur Echtzeit-Firmware-Entwicklung und Evaluierung des AT43USB370 USB Host/Funktionsprozessors.

Merkmale: • Referenz-Designkarte mit: ARM Systemprozessor, 1 MB Flash ROM, 2 MB statischem RAM, USB-artigen A/B-Ports, seriellem RS232-Port, MII Expansionssteckverbinder, allgemeinem 8-Bit Expansionssteckverbinder, 20-Pin JTAG-Schnittstellen-Steckverbinder, Rücksetzknopf, Stromanzeige-LED, In-System Firmware-Programmierfunktion • USB Firmware Bibliothek inklusive USB Host Stack, Gerätetreiber der Benutzerklasse und High Level APIs in C • USB Clinic Schaltkreis-Emulationstool

AT43DK370-ND **422.45**
AT43USB370E-AC-ND IC USB Host/Funktionsprozessor, 100-LQFP **6.95**

AT43DK380

Der AT43USB380 ist eine USB-Gesamtlösung, die speziell zur Verbergung der Komplexität des Hinzufügens von OTG/Hostfunktionen in eingebettete Designs konzipiert wurde.

Merkmale: • Ein intelligenter OTG/Host/Funktionsprozessor, der USB-Transaktionen ohne Eingriff eines Systemprozessors verwalten kann • Eine Prozessor-/RTOS-unabhängige Software-Suite, die Standard-Bausteintreiber der USB-Klasse und eine einfache Anwendungsschnittstelle (API) für benutzerspezifische Treiberentwicklung umfasst

Das AT43DK380 ist ein komplettes Starterkit und Entwicklungssystem für den AT43USB380 OTG/Host-Funktionsprozessor.

Merkmale: • AT43USB380 Referenz-Designkarte: OTG/Host/Funktionsprozessor; 1 MB Flash ROM expandierbar auf 2 MB; 2 MB statischer RAM; 4-Port USB Voll-/Niedriggeschwindigkeits-Hub; OTG Ladepumpe und Spannungskomparator; USB-Typ A, Mini-A/B-Ports; 20-Pin JTAG Schnittstellensteckverbinder; Expansionssteckverbinder zum Support des 32/16/8-Bit Systemprozessors • Systemprozessor-Tochterplatinen • USB-Software-Suite: USB-Stapel; Systembibliothek API-Satz; Standard-Treiber der USB-Klasse • USB-Tool für klinische Diagnose und Debugging

AT43DK380-PDC2-ND **125.93**
AT43DK380-BD1-ND **422.45**
AT43DK380-BD2-ND **464.78**
AT43USB380E-AC-ND IC USB-Prozessor, 100-TQFP **6.95**

AVR® 8-Bit RISC-Mikrocontroller

STK500-Starterkit

Das AVR® STK500 von Atmel ist ein komplettes Starterkit und Entwicklungssystem für die AVR FLASH Mikrocontroller von Atmel. Das STK500 ermöglicht dem Designer einen schnellen Start bei der Entwicklung von Code auf dem AVR, kombiniert mit Funktionen zur Verwendung des Starterkits zur Entwicklung von Prototypen und zum Testen neuer Designs. Das STK500 arbeitet Hand in Hand mit AVR Studio®, dem Integrated Development Environment (IDE) von Atmel, bei der Code-Erstellung und dem Debugging.

ATSTK500-ND **66.88**

STK501-Erweiterungsmodul

Die STK501-Karte ist ein Erweiterungsmodul, das zur Bereitstellung von 64-Pin TQFP-Support für die STK500-Entwicklungskarte von Atmel® konzipiert wurde. Die STK500- und STK501-Erweiterungsmodule erweitern den Support auf alle derzeitigen AVR®-Bausteine.

ATSTK501-ND **66.88**
ATADAPCAN01-ND CAN-Erweiterung für STK500/501 ..... **16.09**

STK502-Erweiterungsmodul

Die STK502-Karte ist ein Hardware-Erweiterungsmodul für das STK500 Starterkit und bietet Support für den ATmega169 Baustein mit einem On-Chip-LCD-Controller. Die STK502-Karte umfasst Steckverbinder, Brücken und Hardware zur Unterstützung der vollen Funktionalität auf der mega169, einschließlich einer LCD-Anzeige.

ATSTK502-ND **83.81**

ISP In-System Programmierer

Der In-System AVR-Programmierer eignet sich für Feld-Upgrades vorhandener Produkte mithilfe der Atmel AVR-Architektur. Der In-System AVR-Programmierer basiert auf der STK500 Hardware und Software. Unterstützt alle In-System programmierbaren AVR-Bausteine.

ATAVRISP-ND **24.55**

ICE40 In-Circuit-Emulator

Der neue ICE40 ist eine preisgünstige Lösung für die Hardware- und Software-Integration und ist ebenso wie die Chips erweiterbar. Der ICE40 mit AVR Studio®-Benutzerschnittstelle ermöglicht dem Designer die komplette Kontrolle der internen Ressourcen des tiny26- und mega8-Mikrocontrollers und hilft bei der Reduzierung der Entwicklungszeit durch Erleichterung des Debugging. Er kann durch den Kauf und die Installation des ICE50 Upgrade-Kits aktualisiert werden; dieses wandelt den ICE40 in den qualitativ hochwertigen ICE50 um, der fähig ist, alle AVR-Bausteine auszutesten.

ATICE40-ND **842.37**

ICE50 In-Circuit-Emulator

Der AVR ICE50 ist ein hochmodernes Entwicklungstool zur kompletten Schaltkreis-Emulation der meisten AVR 8-Bit RISC-Mikrocontroller. Der ICE50 und die AVR Studio 4-Benutzerschnittstelle ermöglichen dem Benutzer die komplette Kontrolle der internen Ressourcen des Mikrocontrollers und helfen bei der Reduzierung der Entwicklungszeit zur Erleichterung des Debugging.

ATICE50-ND **2963.10**
ATICE50PROBE-ND Sonde mit Flexkabeln **67.14**
ATICE50POD-ND Ersatz-POD für ICE40, ICE50 ..... **370.39**
ATADAP128_TOP-ND TOP Adaptermodul für MEGA64 ..... **158.74**
ATADAPMEGA162-ND Merkmaladapter für ATMEGA162 ..... **33.02**
ATADAPMEGA32-ND Merkmaladapter für ATMEGA32 ..... **33.02**
ATADAPMEGA8-ND Merkmaladapter für ATMEGA8 ..... **32.81**
ATADAPTEST-ND ICE50-Testadapter **32.81**
ATADAPTINY26-ND Merkmaladapter für ATTINY26 ..... **32.81**
ATADAP169_TOP-ND Merkmaladapter für ATMEGA169 ..... **152.39**
ATADAPT2313-ND Merkmaladapter für ATTiny2313 ..... **33.02**
ATADAPTINY13-ND Merkmaladapter für ATTiny13 ..... **33.02**
AVRSERVICE-ND Kabel-Repl. für ICE Emulatoren **7.13**

JTAG ICE On-Chip Debug-System

Der AVR® JTAG ICE von Atmel ist ein In-Circuit-Emulator für die megaAVR® FLASH Mikrocontroller von Atmel mit 16K oder mehr Programmierspeicher. Der JTAG ICE kommuniziert mit dem On-Chip Debug-Modul auf den AVR-Bausteinen, um eine möglichst präzise Emulation zu ermöglichen. Der Emulator unterstützt die Entwickler bei der Identifizierung von Software-Bugs, was die Entwicklungszeit wesentlich verkürzt. Der JTAG ICE ist mit dem AVR Studio®, Atmels Integrated Development Environment (IDE) für Code-Entwicklung und Debugging verbunden.

ATJTAGICE2-ND JTAG-Emulator für AVR mit OCD **253.13**
ATJTAGPROBE-ND Sonde JTAG ICE mit Flexkabeln **33.02**

Butterfly-Evaluierungskit

Das AVR Butterfly-Kit kann verwendet werden, um sich mit der AVR-Architektur vertraut zu machen, um die Funktionalität der LCD-Gruppe zu beurteilen oder um als Hardware-Plattform für die Code-Entwicklung zu dienen.

Merkmale:

• LCD-Display-Glas • Joystick als Benutzerschnittstelle • Piezo-Element zur Tonerzeugung • Integrierte Temperatur- und Lichtsensoren • Mega 169 in MLF-Paket • 4 Megabit-Dataflash zur Datenspeicherung • Steckanschlüsse für den Zugriff auf E/A-Ports können hinzugefügt werden • Umprogrammierung über UART, ISP und JTAG • Knopfzellenbatterie • Echtzeituhr

Inhalt: Demo-Firmware mit folgenden Leistungsmerkmalen:

• Uhr mit Kalenderfunktion • Digitalthermometer • Lichtintensitätsmessung • Digitales Namensschild • Jukebox • Autom. Abschaltung

ATAVRBFLY-ND Butterfly-Evaluierungskit **16.92**

	Anfängersets						Emulatoren		
Teilenummer	**STK500 & ISP**	**STK501**	**STK502**	**ATADAPCAN01**	**AVRBFLY**	**AT90EIT1**	**ICE40**	**ICE50**	**JTAGICE2**
ATTINY11	Ja	—	—	—	—	—	—	—	—
ATTINY12	Ja	—	—	—	—	—	—	—	—
ATTINY13	Ja	—	—	—	—	—	—	—	Ja
ATTINY15	Ja	—	—	—	—	—	—	—	—
ATTINY26	Ja	—	—	—	—	—	Ja	Ja	—
ATTINY28	Ja	—	—	—	—	—	—	—	—
ATTINY2313	Ja	—	—	—	—	—	—	—	Ja
AT90CAN128	Ja‡	Ja	—	Ja	—	—	—	Ja	Ja
AT90S1200	Ja‡	—	—	—	—	—	—	—	—
AT90S2313	Ja	—	—	—	—	—	—	—	—
AT90S2323	Ja	—	—	—	—	—	—	—	—
AT90S2343	Ja	—	—	—	—	—	—	—	—
ATMEGA128	Ja‡	Ja	Ja	—	—	Ja	—	Ja	Ja
ATMEGA16	Ja	—	—	—	—	—	—	Ja	Ja
ATMEGA162	Ja	—	—	—	—	—	—	Ja	Ja
ATMEGA169	Ja‡	—	Ja	—	Ja	—	—	Ja	Ja
ATMEGA32	Ja	—	—	—	—	—	—	Ja	Ja
ATMEGA48	Ja	—	—	—	—	—	—	—	Ja
ATMEGA64	Ja‡	Ja	Ja	—	—	—	—	Ja	Ja
ATMEGA8	Ja	—	—	—	—	—	Ja	Ja	—
ATMEGA8515	Ja	—	—	—	—	—	—	Ja	—
ATMEGA8535	Ja	—	—	—	—	—	—	Ja	—
ATMEGA88	Ja	—	—	—	—	—	—	—	Ja

‡Muss Erweiterungsmodul in Verbindung mit STK500 verwenden

Alle Preisangaben in Euro und inklusive Zollgebühren.

C Compiler für AVR®

ICCAVR unterstützt alle AT90S- und ATmega-Bausteine (ausgenommen 1200, welcher über keinen SRAM verfügt), Tiny26 und AT94K FPSLIC. **ANSI C-Compiler:** • Moderner, schneller C-Compiler mit VOLLSTÄNDIGEM Support der ANSI-C-Sprache. • Nicht Mikro-C oder erweitertes K&R C. • 32-Bit Längen, 32-Bit IEEE **Professionelle Version ICCAVR PRO** (einzelnes Präzisionsgleitkomma): Code-Komprimierer-Optimierer, der den endgültigen Code um 8-18 % reduziert. Dieser hochmoderne Ganzprogramm-Optimierer ist nicht in anderen gewerblichen eingebetteten Compilern verfügbar.

Target-CPUs	Code-Speichergröße	Code-Browser	Code-Komprimierer	Debugger	Application Builder	Optimierungen	Digi-Key Teilenr.	Stückpreis
C-Compiler für AVR	Bis zu 64 KB	Ja	Nein	AVR Studio, Flash Studio+	Ja	Registerzuordnung, Peephole	ICCV7 AVR STD-ND	190.49
C-Compiler PRO für AVR	Bis zu 128K Byte	Ja	Ja	AVR Studio, Flash Studio+	Ja	Registerzuordnung, Peephole	ICCV7 AVR ADV-ND	317.48

AVR® 8-Bit RISC-Mikrocontroller

Die neuen AVR-Mikrocontroller von Atmel haben einen RISC-Kern, der Single-Cycle-Befehle ausführt und eine gut definierte E/A-Struktur aufweist, bei der externe Komponenten nicht erforderlich sind. Interne Oszillatoren, Timer, UART, SPI, Pull-Up-Widerstände, Impulsdauermodulation, ADC, Analogkomparator und Watchdog-Timer sind einige der Leistungsmerkmale, mit denen AVR-Bausteine ausgestattet sind. AVR-Befehle werden so eingestellt, dass die Größe des Programms verringert wird, und zwar unabhängig davon, ob es in C oder Assembly geschrieben ist. Mit einem On-Chip In-System programmierbaren Flash und EEPROM ist der AVR ideal geeignet, die Kosten zu optimieren und ein Produkt rasch in den Markt einzuführen.

Der AVR ist eine 8-Bit CMOS-Niedrigleistungsserie von Mikrocontrollern, die auf der AVR RISC-Architektur basieren. Durch die Ausführung leistungsstarker Befehle in einem einzigen Single-Clock-Cycle werden Durchsätze von nahezu 1 MIPS pro MHz erzielt, sodass der Systemdesigner den Stromverbrauch im Verhältnis zur Verarbeitungsgeschwindigkeit optimieren kann. Der AVR-Kern verbindet einen umfassenden Befehlssatz mit den 32 Allzweck-Arbeitsregistern. Alle 32 Register sind direkt mit der Arithmetik-Logik-Einheit verbunden, sodass zwei unabhängige Register mit einem einzigen Befehl zugängig und in einem Taktzyklus ausgeführt werden. Die daraus resultierende Architektur ist Code-effizienter und erzielt gleichzeitig Durchsätze, die bis zu zehnmal schneller sind als bei konventionellen CISC-Mikrocontrollern.

Allgemeine Merkmale: • Nutzt die hohe AVR-Leistung und die Niedrigleistungs-RISC-Architektur • 32 x 8 Arbeitsregister für allgemeine Zwecke • Programmierungssperre für Flash-Programm und EEPROM-Datensicherheit • Niedrigleistungs-Idle und Power-Down-Modi • Externe und interne Interruptquellen • Hochgeschwindigkeits-CMOS-Prozesstechnologie, Niedrigleistung • Voll statischer Betrieb

Speichergröße (Bytes)			E/A-Pins	Timer/Zähler 8/16-Bit	Serielle Kommunikation	PWM-Kanäle	A/D	Interne Osz.	Clock Speed**	ISP	JTAG/, Debug-WIRE	VCC	Betriebs-temp.†	Paket	Digi-Key Teilenr.	Stückpreis 1	25	100
Programm	RAM	EEPROM																
1K	—	—	6	1/—	—	—	—	Ja	6MHz	—	—	4.0 - 5.5V	Komm.	8-Dip	ATTINY11-6PC-ND	.46	.35	.32
													Ind.	8-Dip	ATTINY11-6PI-ND	.46	.35	.32
													Komm.	8-SOIC	ATTINY11-6SC-ND	.46	.35	.32
													Ind.	8-SOIC	ATTINY11-6SI-ND	.46	.35	.32
1K	—	—	6	1/—	—	—	—	Ja	2MHz	—	—	2.7 - 5.5V	Komm.	8-Dip	ATTINY11L-2PC-ND	.46	.35	.32
													Ind.	8-Dip	ATTINY11L-2PI-ND	.46	.35	.32
													Komm.	8-SOIC	ATTINY11L-2SC-ND	.46	.35	.32
													Ind.	8-SOIC	ATTINY11L-2SI-ND	.46	.35	.32
1K	—	64	6	1/—	—	—	—	Ja (1MHz)	8MHz	Ja	—	4.0 - 5.5V	Komm.	8-Dip	ATTINY12-8PC-ND	1.55	.98	.90
													Ind.	8-Dip	ATTINY12-8PI-ND	1.55	.98	.90
													Komm.	8-SOIC	ATTINY12-8SC-ND	1.46	.92	.85
													Ind.	8-SOIC	ATTINY12-8SI-ND	1.46	.92	.85
1K	—	64	6	1/—	—	—	—	Ja (1MHz)	4MHz	Ja	—	2.7 - 5.5V	Komm.	8-Dip	ATTINY12L-4PC-ND	1.55	.98	.90
													Ind.	8-Dip	ATTINY12L-4PI-ND	1.55	.98	.90
													Komm.	8-SOIC	ATTINY12L-4SC-ND	1.46	.92	.85
													Ind.	8-SOIC	ATTINY12L-4SI-ND	1.46	.92	.85
1K	—	64	6	1/—	—	—	—	Ja (1MHz)	1.2MHz	Ja	—	1.8 - 5.5V	Komm.	8-Dip	ATTINY12V-1PC-ND	1.55	.98	.90
													Ind.	8-Dip	ATTINY12V-1PI-ND	1.55	.98	.90
													Komm.	8-SOIC	ATTINY12V-1SC-ND	1.46	.92	.85
													Ind.	8-SOIC	ATTINY12V-1SI-ND	1.46	.92	.85
1K	64	64	6	1/—	—	2	4-Kan. 10-Bit	Ja (9.6MHz)	20MHz	Ja	DW	2.7 - 5.5V	Ind.	8-PDIP	ATTINY13-20PI-ND	1.19	.75	.69
													Ind.	8-SOIC	ATTINY13-20SI-ND	1.09	.69	.64
													Ind.	8-SOIC	ATTINY13-20SSI-ND	1.19	.75	.69
1K	64	64	6	1/—	—	2	4-Kan. 10-Bit	Ja (9.6MHz)	10MHz	Ja	DW	1.8 - 5.5V	Ind.	8-PDIP	ATTINY13V-10PI-ND	1.19	.75	.69
													Ind.	8-SOIC	ATTINY13V-10SI-ND	1.09	.69	.64
													Ind.	8-SOIC	ATTINY13V-10SSI-ND	1.19	.75	.69
1K	—	64	6	2/—	—	1	4-Kan. 10-Bit	Ja (1.6MHz)	1.6MHz	Ja	—	2.7 - 5.5V	Komm.	8-Dip	ATTINY15L-1PC-ND	1.90	1.19	1.11
													Ind.	8-Dip	ATTINY15L-1PI-ND	1.90	1.19	1.11
													Komm.	8-SOIC	ATTINY15L-1SC-ND	1.80	1.14	1.05
													Ind.	8-SOIC	ATTINY15L-1SI-ND	1.80	1.14	1.05
1K	—	64	15	1/—	—	—	—	Ja (1MHz)	12MHz	Ja	—	4.0 - 6.0V	Ind.	20-SOIC	AT90S1200-12SI-ND	2.44	1.81	1.61
													Komm.	20-SSOP	AT90S1200-12YC-ND	2.64	1.96	1.75
1K	—	64	15	1/—	—	—	—	Ja (1MHz)	4MHz	Ja	—	2.7 - 6.0V	Ind.	20-Dip	AT90S1200-4PI-ND	2.55	1.89	1.69
													Ind.	20-SSOP	AT90S1200-4YI-ND	2.91	2.16	1.94
1K	—	64	15	1/—	—	—	—	Ja (1MHz)	12MHz	Ja	—	4.0 - 6.0V	Komm.	20-Dip	AT90S1200A-12PC-ND	2.46	1.82	1.63
													Komm.	20-SSOP	AT90S1200A-12YC-ND	2.82	2.09	1.87
													Ind.	20-SSOP	AT90S1200A-12YI-ND	2.99	2.21	1.99
1K	—	64	15	1/—	—	—	—	Ja (1MHz)	4MHz	Ja	—	2.7 - 6.0V	Komm.	20-Dip	AT90S1200A-4PC-ND	2.58	1.91	1.71
													Ind.	20-Dip	AT90S1200A-4PI-ND	2.77	2.05	1.83
													Ind.	20-SOIC	AT90S1200A-4SI-ND	2.77	2.05	1.83
2K	128	128	3	1/—	—	—	—	—	10MHz	Ja	—	4.0 - 6.0V	Komm.	8-Dip	AT90S2323-10PC-ND	2.73	2.03	1.81
													Ind.	8-Dip	AT90S2323-10PI-ND	2.93	2.16	1.94
													Komm.	8-SOIC	AT90S2323-10SC-ND	2.73	2.03	1.81
													Ind.	8-SOIC	AT90S2323-10SI-ND	2.93	2.16	1.94
2K	128	128	3	1/—	—	—	—	—	4MHz	Ja	—	2.7 - 6.0V	Komm.	8-Dip	AT90LS2323-4PC-ND	2.88	2.13	1.90
													Ind.	8-Dip	AT90LS2323-4PI-ND	3.07	2.28	2.04
													Komm.	8-SOIC	AT90LS2323-4SC-ND	2.88	2.13	1.90
2K	128	128	4	1/—	—	—	—	Ja (1MHz)	10MHz 10MHz 4MHz	Ja	—	4.0 - 6.0V 4.0 - 6.0V 2.7 - 6.0V	Ind. Komm. Komm.	8-Dip 8-SOIC 8-SOIC	AT90S2343-10PI-ND AT90S2343-10SC-ND AT90LS2343-4SC-ND	2.93 2.73 2.88	2.16 2.03 2.13	1.94 1.81 1.90
2K	128	128	6	2/—	SPI, TWI	4	4-Kan. 10-Bit	Ja	10MHz	Ja	DW	1.8 - 5.5V	Ind.	8-Dip	ATTINY25V-10PI-ND	1.49	.94	.88
													Ind.	8-SOIC	ATTINY25V-10SI-ND	1.41	.89	.82
2K	128	128	6	2/—	SPI, TWI	4	4-Kan. 10-Bit	Ja	20MHz	Ja	DW	2.7 - 5.5V	Ind.	8-Dip	ATTINY25-20PI-ND	1.49	.94	.87
													Ind.	8-SOIC	ATTINY25-20SI-ND	1.41	.89	.82
2K	128	128	18	1/1	1(USART), SPI, TWI	4	—	Ja (8MHz)	20MHz	Ja	DW	2.7 - 5.5V	Ind.	20-Dip	ATTINY2313-20PI-ND	1.91	1.21	1.12
													Ind.	20-SOIC	ATTINY2313-20SI-ND	1.82	1.15	1.06
2K	128	128	16	2/—	—	2	8-Kan. 10-Bit	Ja (8MHz)	16MHz	Ja	—	4.5 - 5.5V	Ind.	20-Dip	ATTINY26-16PI-ND	2.09	1.32	1.22
													Komm.	20-Dip	ATTINY26-16PC-ND	2.09	1.32	1.22
													Komm.	20-SOIC	ATTINY26-16SC-ND	2.01	1.27	1.17
													Ind.	20-SOIC	ATTINY26-16SI-ND	2.01	1.27	1.17
													Komm.	20-MLF	ATTINY26-16MC-ND	2.09	1.32	1.22
													Ind.	20-MLF	ATTINY26-16MI-ND	2.09	1.32	1.22

† Kom. = Kommerzieller Temperaturbereich: 0 °C ~ 70 °C (32 °F ~ 158 °F); Ind. = Industrieller Temperaturbereich: -40 °C ~ 85 °C (-40 °F ~ 185 °F) *A/D 8-Kan./10-Bit **Taktgeschwindigkeit

(Forts.)

B

Speichergröße (Bytes)			E/A-	Timer/ Zähler	Serielle	PWM-		Interne	Clock		JTAG/, Debug-		Betriebs-		Digi-Key	Stückpreis		
Programm	RAM	EEPROM	Pins	8/16-Bit	Kommunikation	Kanäle	A/D	Osz.	Speed**	ISP	WIRE	VCC	temp.†	Paket	Teilenr.	1	25	100
2K	128	128	16	2/—	—	2	8-Kan. 10-Bit	Ja (8MHz)	8MHz	Ja	—	2.7 - 5.5V	Komm.	20-Dip	ATTINY26L-8PC-ND	2.09	1.32	1.22
													Ind.	20-Dip	ATTINY26L-8PI-ND	2.09	1.32	1.22
													Komm.	20-SOIC	ATTINY26L-8SC-ND	2.01	1.27	1.17
													Ind.	20-SOIC	ATTINY26L-8SI-ND	2.01	1.27	1.17
													Komm.	20-MLF	ATTINY26L-8MC-ND	2.09	1.32	1.22
													Ind.	20-MLF	ATTINY26L-8MI-ND	2.09	1.32	1.22
2K	—	—	11	1/—	—	—	—	Ja (1.2MHz)	4MHz	—	—	2.7 - 5.5V	Komm.	28-Dip	ATTINY28L-4PC-ND	1.36	.86	.80
													Ind.	28-Dip	ATTINY28L-4PI-ND	1.36	.86	.80
													Komm.	32-TQFP	ATTINY28L-4AC-ND	1.28	.81	.75
													Ind.	32-TQFP	ATTINY28L-4AI-ND	1.28	.81	.75
													Komm.	32-MLF	ATTINY28L-4MC-ND	1.36	.86	.80
													Ind.	32-MLF	ATTINY28L-4MI-ND	1.36	.86	.80
2K	—	—	11	1/—	—	—	—	Ja (1.2MHz)	1.2MHz	—	—	1.8 - 5.5V	Komm.	28-Dip	ATTINY28V-1PC-ND	1.36	.86	.80
													Ind.	28-Dip	ATTINY28V-1PI-ND	1.36	.86	.80
													Komm.	32-TQFP	ATTINY28V-1AC-ND	1.28	.81	.75
													Ind.	32-TQFP	ATTINY28V-1AI-ND	1.28	.81	.75
													Komm.	32-MLF	ATTINY28V-1MC-ND	1.36	.86	.80
													Ind.	32-MLF	ATTINY28V-1MI-ND	1.36	.86	.80
4K	256	256	6	2/—	SPI, TWI	4	4-Kan. 10-Bit	Ja	10MHz	Ja	DW	1.8 - 5.5V	Ind.	8-Dip	ATTINY45V-10PI-ND	1.80	1.14	1.05
													Ind.	8-SOIC	ATTINY45V-10SI-ND	1.71	1.08	1.00
4K	256	256	6	2/—	SPI, TWI	4	4-Kan. 10-Bit	Ja	20MHz	Ja	DW	2.7 - 5.5V	Ind.	8-Dip	ATTINY45-20PI-ND	1.80	1.14	1.05
													Ind.	8-SOIC	ATTINY45-20SI-ND	1.71	1.08	1.00
4K	128	256	20	1/1	1 (USART), SPI	1	6-Kan. 10-Bit	—	4MHz	Ja	—	2.7 - 6.0V	Komm.	28-Dip	AT90LS4433-4PC-ND	4.88	3.83	3.47
4K	512	256	23	2/1	1 (USART), SPI, TWI	6	6-Kan. 10-Bit	Ja (8MHz)	20MHz	Ja	DW	2.7 - 5.5V	Ind.	32-TQFP	ATMEGA48-20AI-ND*	2.18	1.38	1.27
													Ind.	32-MLF	ATMEGA48-20MI-ND*	2.28	1.44	1.33
													Ind.	28-Dip	ATMEGA48-20PI-ND	2.28	1.44	1.33
4K	512	256	23	2/1	1 (USART), SPI, TWI	6	6-Kan. 10-Bit	Ja (8MHz)	10MHz	Ja	DW	1.8 - 5.5V	Ind.	32-TQFP	ATMEGA48V-10AI-ND*	2.18	1.38	1.27
													Ind.	32-MLF	ATMEGA48V-10MI-ND*	2.28	1.44	1.33
													Ind.	28-Dip	ATMEGA48V-10PI-ND	2.28	1.44	1.33
8K	512	512	6	2/—	SPI, TWI	4	4-Kan. 10-Bit	Ja	10MHz	Ja	DW	1.8 - 5.5V	Ind.	8-Dip	ATTINY85V-10PI-ND	2.31	1.46	1.35
													Ind.	8-SOIC	ATTINY85V-10SI-ND	2.22	1.40	1.30
8K	512	512	6	2/—	SPI, TWI	4	4-Kan. 10-Bit	Ja	20MHz	Ja	DW	2.7 - 5.5V	Ind.	8-Dip	ATTINY85-20PI-ND	2.31	1.46	1.35
													Ind.	8-SOIC	ATTINY85-20SI-ND	2.22	1.40	1.30
8K	1K	512	23	2/1	1 (USART), SPI, TWI	3	6-Kan. 10-Bit	Ja (8MHz)	16MHz	Ja	—	4.5 - 5.5V	Komm.	28-Dip	ATMEGA8-16PC-ND	3.10	1.95	1.81
													Ind.	28-Dip	ATMEGA8-16PI-ND	3.10	1.95	1.81
													Komm.	32-TQFP	ATMEGA8-16AC-ND*	3.01	1.89	1.75
													Ind.	32-TQFP	ATMEGA8-16AI-ND*	3.01	1.89	1.75
													Komm.	32-MLF	ATMEGA8-16MC-ND*	3.10	1.95	1.81
													Ind.	32-MLF	ATMEGA8-16MI-ND*	3.10	1.95	1.81
8K	1K	512	23	2/1	1 (USART), SPI, TWI	3	6-Kan. 10-Bit	Ja (8MHz)	8MHz	Ja	—	2.7 - 5.5V	Komm.	28-Dip	ATMEGA8L-8PC-ND	3.10	1.95	1.81
													Ind.	28-Dip	ATMEGA8L-8PI-ND	3.10	1.95	1.81
													Komm.	32-TQFP	ATMEGA8L-8AC-ND*	3.01	1.89	1.75
													Ind.	32-TQFP	ATMEGA8L-8AI-ND*	3.01	1.89	1.75
													Komm.	32-MLF	ATMEGA8L-8MC-ND*	3.10	1.95	1.81
													Ind.	32-MLF	ATMEGA8L-8MI-ND*	3.10	1.95	1.81
8K	1K	512	23	2/1	1 (USART), SPI, TWI	6	6-Kan. 10-Bit	Ja (8MHz)	20MHz	Ja	DW	2.7 - 5.5V	Ind.	32-TQFP	ATMEGA88-20AI-ND*	3.18	2.00	1.86
													Ind.	32-MLF	ATMEGA88-20MI-ND*	3.28	2.06	1.91
													Ind.	28-Dip	ATMEGA88-20PI-ND	3.28	2.06	1.91
8K	1K	512	23	2/1	1 (USART), SPI, TWI	6	6-Kan. 10-Bit	Ja (8MHz)	10MHz	Ja	DW	1.8 - 5.5V	Ind.	32-TQFP	ATMEGA88V-10AI-ND*	3.18	2.00	1.86
													Ind.	32-MLF	ATMEGA88V-10MI-ND*	3.28	2.06	1.91
													Ind.	28-Dip	ATMEGA88V-10PI-ND	3.28	2.06	1.91
8K	512	512	32	1/1	1 (USART), SPI	1	—	—	4MHz	Ja	—	2.7 - 6.0V	Komm.	40-Dip	AT90S8515-4PC-ND	6.55	5.02	4.56
													Ind.	40-Dip	AT90S8515-4PI-ND	6.55	5.02	4.56
8K	512	512	32	1/1	1 (USART), SPI	1	—	—	4MHz	Ja	—	2.7 - 6.0V	Komm.	44-TQFP	AT90S8515A-4AC-ND	6.55	5.02	4.56
8K	512	512	35	1/1	1 (USART), SPI	3	—	Ja (8MHz)	16MHz	Ja	—	4.5 - 5.5V	Komm.	40-Dip	ATMEGA8515-16PC-ND	4.46	2.81	2.60
													Ind.	40-Dip	ATMEGA8515-16PI-ND	4.46	2.81	2.60
													Komm.	44-PLCC	ATMEGA8515-16JC-ND	4.46	2.81	2.60
													Ind.	44-PLCC	ATMEGA8515-16JI-ND	4.46	2.81	2.60
													Komm.	44-TQFP	ATMEGA8515-16AC-ND	4.37	2.75	2.54
													Ind.	44-TQFP	ATMEGA8515-16AI-ND	4.37	2.75	2.54
													Komm.	44-MLF	ATMEGA8515-16MC-ND	4.46	2.81	2.60
													Ind.	44-MLF	ATMEGA8515-16MI-ND	4.46	2.81	2.60
8K	512	512	35	1/1	1 (USART), SPI	3	—	Ja (8MHz)	8MHz	Ja	—	2.7 - 5.5V	Komm.	40-Dip	ATMEGA8515L-8PC-ND	4.46	2.81	2.60
													Ind.	40-Dip	ATMEGA8515L-8PI-ND	4.46	2.81	2.60
													Komm.	44-PLCC	ATMEGA8515L-8JC-ND	4.46	2.81	2.60
													Ind.	44-PLCC	ATMEGA8515L-8JI-ND	4.46	2.81	2.60
													Komm.	44-TQFP	ATMEGA8515L-8AC-ND	4.37	2.75	2.54
													Ind.	44-TQFP	ATMEGA8515L-8AI-ND	4.37	2.75	2.54
													Komm.	44-MLF	ATMEGA8515L-8MC-ND	4.46	2.81	2.60
													Ind.	44-MLF	ATMEGA8515L-8MI-ND	4.46	2.81	2.60
8K	512	512	32	2/1	1 (USART), SPI, TWI	4	8-Kan. 10-Bit	Ja (8MHz)	16MHz	Ja	—	4.5 - 5.5V	Komm.	40-Dip	ATMEGA8535-16PC-ND	4.83	3.04	2.81
													Ind.	40-Dip	ATMEGA8535-16PI-ND	4.83	3.04	2.81
													Komm.	44-PLCC	ATMEGA8535-16JC-ND	4.83	3.04	2.81
													Ind.	44-PLCC	ATMEGA8535-16JI-ND	4.83	3.04	2.81
													Komm.	44-TQFP	ATMEGA8535-16AC-ND	4.73	2.98	2.76
													Ind.	44-TQFP	ATMEGA8535-16AI-ND	4.73	2.98	2.76
													Komm.	44-MLF	ATMEGA8535-16MC-ND	4.83	3.04	2.81
													Ind.	44-MLF	ATMEGA8535-16MI-ND	4.83	3.04	2.81
8K	512	512	32	2/1	1 (USART), SPI, TWI	4	8-Kan. 10-Bit	Ja (8MHz)	8MHz	Ja	—	2.7 - 5.5V	Komm.	40-Dip	ATMEGA8535L-8PC-ND	4.83	3.04	2.81
													Ind.	40-Dip	ATMEGA8535L-8PI-ND	4.83	3.04	2.81
													Komm.	44-PLCC	ATMEGA8535L-8JC-ND	4.83	3.04	2.81
													Ind.	44-PLCC	ATMEGA8535L-8JI-ND	4.83	3.04	2.81
													Komm.	44-TQFP	ATMEGA8535L-8AC-ND	4.73	2.98	2.76
													Ind.	44-TQFP	ATMEGA8535L-8AI-ND	4.73	2.98	2.76
													Komm.	44-MLF	ATMEGA8535L-8MC-ND	4.83	3.04	2.81
													Ind.	44-MLF	ATMEGA8535L-8MI-ND	4.83	3.04	2.81
16K	1K	512	23	2/1	1 (USART), SPI, TWI	6	6-Kan. 10-Bit	Ja	10MHz	Ja	DW	1.8 - 5.5V	Ind.	28-Dip	ATMEGA168V-10PI-ND	3.48	2.19	2.03
													Ind.	32-TQFP	ATMEGA168V-10AI-ND*	3.39	2.13	1.98
													Ind.	32-MLF	ATMEGA168V-10MI-ND*	3.48	2.19	2.02
16K	1K	512	23	2/1	1 (USART), SPI, TWI	6	6-Kan. 10-Bit	Ja	20MHz	Ja	DW	2.7 - 5.5V	Ind.	28-Dip	ATMEGA168-20PI-ND	3.48	2.19	2.02
													Ind.	32-TQFP	ATMEGA168-20AI-ND*	3.39	2.13	1.98
													Ind.	32-MLF	ATMEGA168-20MI-ND*	3.48	2.19	2.02
16K	1K	512	35	2/1	2 (USART), SPI	4	—	—	8MHz	Ja	—	4.0 - 5.5V	Komm.	44-TQFP	ATMEGA161-8AC-ND	9.46	7.05	6.44

† Kom. = Kommerzieller Temperaturbereich: 0 °C ~ 70 °C (32 °F ~ 158 °F); Ind. = Industrieller Temperaturbereich: -40 °C ~ 85 °C (-40 °F ~ 185 °F) *A/D 8-Kan./10-Bit **Taktgeschwindigkeit

(Forts.)

Alle Preisangaben in Euro und inklusive Zollgebühren.

Speichergröße (Bytes)			E/A-	Timer/ Zähler	Serielle	PWM-		Interne	Clock		JTAG/, Debug-		Betriebs-		Digi-Key	Stückpreis		
Programm	RAM	EEPROM	Pins	8/16-Bit	Kommunikation	Kanäle	A/D	Osz.	Speed**	ISP	WIRE	VCC	temp.†	Paket	Teilenr.	1	25	100
16K	1K	512	35	2/1	2 (USART), SPI	4	—	—	4MHz	Ja	—	2.7 - 5.5V	Ind.	40-Dip	ATMEGA161L-4PI-ND	10.42	7.71	7.05
16K	1K	512	35	2/2	2 (USART), SPI	4	—	Ja (8MHz)	16MHz	Ja	JTAG	2.7 - 5.5V	Ind. Ind.	40-PDip 44-TQFP	ATMEGA162-16PI-ND ATMEGA162-16AI-ND	5.73 5.65	3.60 3.55	3.34 3.29
16K	1K	512	35	2/2	2 (USART), SPI	4	—	Ja (8MHz)	8MHz	Ja	JTAG	2.7 - 5.5V	Komm. Ind. Ind. Ind.	44-TQFP 40-PDip 44-TQFP 44-MLF	ATMEGA162V-1AC-ND ATMEGA162V-8PI-ND ATMEGA162V-8AI-ND ATMEGA162V-8MI-ND	5.65 5.73 5.65 5.73	4.18 3.60 3.55 3.60	3.73 3.34 3.29 3.34
16K	1K	512	54	2/1	1 (USART), SPI, TWI	4	8-Kan. 10-Bit	Ja	8MHz	Ja	JTAG	1.8 - 5.5V	Ind. Ind.	64-TQFP 64-MLF	ATMEGA165V-8AI-ND ATMEGA165V-8MI-ND	4.77 4.86	3.00 3.05	2.78 2.83
16K	1K	512	54	2/1	1 (USART), SPI, TWI	4	8-Kan. 10-Bit	Ja	16MHz	Ja	JTAG	2.7 - 5.5V	Ind. Ind.	64-TQFP 64-MLF	ATMEGA165-16AI-ND ATMEGA165-16MI-ND	4.77 4.86	3.00 3.05	2.78 2.83
16K	1K	512	32	2/1	1 (USART), SPI, TWI	3	8-Kan. 10-Bit	Ja (1MHz)	16MHz	Ja	JTAG	2.7 - 5.5V	Komm. Ind. Komm. Ind. Komm. Ind.	40-Dip 40-Dip 44-TQFP 44-TQFP 44-MLF 44-MLF	ATMEGA16-16PC-ND ATMEGA16-16PI-ND ATMEGA16-16AC-ND ATMEGA16-16AI-ND ATMEGA16-16MC-ND ATMEGA16-16MI-ND	5.55 5.55 5.46 5.46 5.55 5.55	3.49 3.49 3.43 3.43 3.49 3.49	3.23 3.23 3.18 3.18 3.23 3.23
16K	1K	512	32	2/1	1 (USART), SPI, TWI	3	8-Kan. 10-Bit	Ja (8MHz)	8MHz	Ja	JTAG	2.7 - 5.5V	Komm. Ind. Komm. Ind. Komm. Ind.	40-Dip 40-Dip 44-TQFP 44-TQFP 44-MLF 44-MLF	ATMEGA16L-8PC-ND ATMEGA16L-8PI-ND ATMEGA16L-8AC-ND ATMEGA16L-8AI-ND ATMEGA16L-8MC-ND ATMEGA16L-8MI-ND	5.55 5.55 5.46 5.46 5.55 5.55	3.49 3.49 3.43 3.43 3.49 3.49	3.23 3.23 3.18 3.18 3.23 3.23
16K	1K	512	54	2/1	1 (USART), SPI, TWI	4	8-Kan. 10-Bit	Ja	16MHz	Ja	JTAG	2.7 - 5.5V	Ind. Ind.	64-TQFP 64-MLF	ATMEGA169-16AI-ND ATMEGA169-16MI-ND	7.28 7.37	4.58 4.64	4.24 4.29
16K	1K	512	54	2/1	1 (USART), SPI, TWI	4	8-Kan. 10-Bit	Ja (1MHz)	8MHz	Ja	JTAG	2.7 - 5.5V	Ind. Ind.	64-TQFP 64-MLF	ATMEGA169L-8AI-ND ATMEGA169L-8MI-ND	9.34 9.34	6.91 6.91	6.17 6.17
16K	1K	512	54	2/1	1 (USART), SPI, TWI	4	8-Kan. 10-Bit	Ja (1MHz)	1MHz	Ja	JTAG	1.8 - 5.5V	Ind. Ind.	64-TQFP 64-MLF	ATMEGA169V-8AI-ND ATMEGA169V-8MI-ND	9.15 7.37	5.75 4.64	5.33 4.29
32K	2K	1K	32	2/1	1 (USART), SPI, TWI	4	8-Kan. 10-Bit	Ja (8MHz)	16MHz	Ja	JTAG	4.0 - 5.5V	Komm. Ind. Komm. Ind. Komm. Ind.	40-Dip 40-Dip 44-TQFP 44-TQFP 44-MLF 44-MLF	ATMEGA32-16PC-ND ATMEGA32-16PI-ND ATMEGA32-16AC-ND ATMEGA32-16AI-ND ATMEGA32-16MC-ND ATMEGA32-16MI-ND	6.92 6.92 6.92 6.92 6.92 6.92	4.35 4.35 4.35 4.35 4.35 4.35	4.03 4.03 4.03 4.03 4.03 4.03
32K	2K	1K	32	2/1	1 (USART), SPI, TWI	4	8-Kan. 10-Bit	Ja (8MHz)	8MHz	Ja	JTAG	2.7 - 5.5V	Komm. Ind. Komm. Ind. Komm. Ind.	40-Dip 40-Dip 44-TQFP 44-TQFP 44-MLF 44-MLF	ATMEGA32L-8PC-ND ATMEGA32L-8PI-ND ATMEGA32L-8AC-ND ATMEGA32L-8AI-ND ATMEGA32L-8MC-ND ATMEGA32L-8MI-ND	6.92 6.92 6.92 6.92 6.92 6.92	4.35 4.35 4.35 4.35 4.35 4.35	4.03 4.03 4.03 4.03 4.03 4.03
32K	2K	1K	53	2/1	1 (USART), SPI, TWI	4	8-Kan. 10-Bit	Ja	8MHz	Ja	JTAG	1.8 - 5.5V	Ind. Ind.	64-TQFP 64-MLF	ATMEGA325V-8AI-ND ATMEGA325V-8MI-ND	5.82 5.92	3.66 3.71	3.39 3.44
32K	2K	1K	53	2/1	1 (USART), SPI, TWI	4	8-Kan. 10-Bit	Ja	16MHz	Ja	JTAG	2.7 - 5.5V	Ind. Ind.	64-TQFP 64-MLF	ATMEGA325-16AI-ND ATMEGA325-16MI-ND	5.82 5.92	3.66 3.71	3.39 3.44
32K	2K	1K	53	2/1	1 (USART), SPI, TWI	4	8-Kan. 10-Bit	Ja	8MHz	Ja	JTAG	1.8 - 5.5V	Ind. Ind.	64-TQFP 64-MLF	ATMEGA329V-8AI-ND ATMEGA329V-8MI-ND	6.44 6.54	4.05 4.11	3.76 3.80
32K	2K	1K	53	2/1	1 (USART), SPI, TWI	4	8-Kan. 10-Bit	Ja	16MHz	Ja	JTAG	2.7 - 5.5V	Ind. Ind.	64-TQFP 64-MLF	ATMEGA329-16AI-ND ATMEGA329-16MI-ND	6.44 6.54	4.05 4.11	3.76 3.80
32K	2K	1K	68	2/1	1 (USART), SPI, TWI	4	8-Kan. 10-Bit	Ja	8MHz	Ja	JTAG	1.8 - 5.5V	Ind.	100-TQFP	ATMEGA3250V-8AI-ND	6.14	3.86	3.57
32K	2K	1K	68	2/1	1 (USART), SPI, TWI	4	8-Kan. 10-Bit	Ja	16MHz	Ja	JTAG	2.7 - 5.5V	Ind.	100-TQFP	ATMEGA3250-16AI-ND	6.14	3.86	3.57
32K	2K	1K	68	2/1	1 (USART), SPI, TWI	4	8-Kan. 10-Bit	Ja	8MHz	Ja	JTAG	1.8 - 5.5V	Ind.	100-TQFP	ATMEGA3290V-8AI-ND	7.31	4.60	4.26
32K	2K	1K	68	2/1	1 (USART), SPI, TWI	4	8-Kan. 10-Bit	Ja	16MHz	Ja	JTAG	2.7 - 5.5V	Ind.	100-TQFP	ATMEGA3290-16AI-ND	7.31	4.60	4.26
64K	4K	2K	53	2/2	2 (USART), SPI, TWI	8	8-Kan. 10-Bit	Ja (8MHz)	16MHz	Ja	JTAG	2.7 - 5.5V	Komm. Ind. Komm. Ind.	64-TQFP 64-TQFP 64-MLF 64-MLF	ATMEGA64-16AC-ND ATMEGA64-16AI-ND ATMEGA64-16MC-ND ATMEGA64-16MI-ND	10.02 10.02 10.10 10.10	6.30 6.30 6.35 6.35	5.83 5.83 5.88 5.88
64K	4K	2K	53	2/2	2 (USART), SPI, TWI	8	8-Kan. 10-Bit	Ja (8MHz)	8MHz	Ja	JTAG	2.7 - 5.5V	Komm. Ind. Komm. Ind.	64-TQFP 64-TQFP 64-MLF 64-MLF	ATMEGA64L-8AC-ND ATMEGA64L-8AI-ND ATMEGA64L-8MC-ND ATMEGA64L-8MI-ND	10.02 10.02 10.10 10.10	6.30 6.30 6.35 6.35	5.83 5.83 5.88 5.88
128K	4K	4K	53	2/2	2 (USART), SPI, TWI	8	8-Kan. 10-Bit	Ja (8MHz)	16MHz	Ja	JTAG	2.7 - 5.5V	Komm. Ind. Komm. Ind.	64-TQFP 64-TQFP 64-MLF 64-MLF	ATMEGA128-16AC-ND ATMEGA128-16AI-ND ATMEGA128-16MC-ND ATMEGA128-16MI-ND	12.74 12.74 12.83 12.83	8.01 8.01 8.06 8.06	7.41 7.41 7.46 7.46
128K	4K	4K	53	2/2	2 (USART), SPI, TWI	8	8-Kan. 10-Bit	Ja (8MHz)	8MHz	Ja	JTAG	2.7 - 5.5V	Komm. Ind. Komm. Ind.	64-TQFP 64-TQFP 64-MLF 64-MLF	ATMEGA128L-8AC-ND ATMEGA128L-8AI-ND ATMEGA128L-8MC-ND ATMEGA128L-8MI-ND	12.74 12.74 12.83 12.83	8.01 8.01 8.06 8.06	7.41 7.41 7.46 7.46
128K	4K	4K	53	2/2	2 (USART), SPI, TWI	8	8-Kan. 10-Bit	Ja (8MHz)	16MHz	Ja	JTAG	2.7 - 5.5V	Ind. Ind.	64-TQFP 64-QFN	AT90CAN128-16AI-ND AT90CAN128-16MI-ND	14.20 14.29	8.92 8.98	8.26 8.31
256K	8K	4K	86	2/4	4 (USART), SPI, TWI	12	16-Kan. 10-Bit	Ja	8MHz 16MHz	Ja	JTAG	1.8 - 5.5V 2.7 - 5.5V	Ind. Ind.	100-TQFP 100-TQFP	ATMEGA2560V-8AI-ND ATMEGA2560-16AI-ND	15.21 15.21	9.56 9.56	8.85 8.85
256K	8K	4K	51	2/4	2 (USART), SPI, TWI	6	16-Kan. 10-Bit	Ja	8MHz	Ja	JTAG	1.8 - 5.5V	Ind. Ind.	64-TQFP 64-QFN	ATMEGA2561V-8AI-ND ATMEGA2561V-8MI-ND	14.38 14.47	9.03 9.09	8.37 8.42
256K	8K	4K	51	2/4	2 (USART), SPI, TWI	6	16-Kan. 10-Bit	Ja	16MHz	Ja	JTAG	4.5 - 5.5V	Ind. Ind.	64-TQFP 64-QFN	ATMEGA2561-16AI-ND ATMEGA2561-16MI-ND	14.38 14.47	9.03 9.09	8.37 8.42

† Kom. = Kommerzieller Temperaturbereich: 0 °C ~ 70 °C (32 °F ~ 158 °F); Ind. = Industrieller Temperaturbereich: -40 °C ~ 85 °C (-40 °F ~ 185 °F) *A/D 8-Kan./10-Bit **Taktgeschwindigkeit

FingerChip® Biometrie-Modul

Basierend auf dem FingerChip-Fingerabdrucksensor von Atmel, einem ARM9® Mikrocontroller und Flash-Speicher, liefert der AT77SM0101BCB02VKE-Baustein die wichtigsten biometrischen Funktionen, wie z.B. Benutzeranmeldung, Authentisierung und Identifizierung in einem Paketmodul, was die Integrierung in ein endgültiges System einfacher macht. Er bietet große Flexibilität aufgrund der Speicherkapazität und des leistungsstarken Mikrocontrollers, der mit dem Linux®-Betriebssystem geladen wird, und stellt viele Schnittstellen bereit, einschließlich Ethernet. Setzt den Kauf des AT77SM0101BCB02VKE Evaluierungs-/Entwicklungskits zur Entwicklung der Benutzerschnittstelle der endgültigen Anwendung voraus. **Merkmale:** • Modulgröße: 55 x 72 mm (kleiner als Smart Card) • Mikrocontroller: Atmel ARM9® basierend auf AT91RM9200 • SDRAM: 128 Mbits • Flash: Atmel DataFlash® 32 Mbits • Fingerabdrucksensor: Atmel FingerChip® AT77C101B-CB02V • Betriebssystem: Linux (Kernel 2.4.19) • Auf dem Erweiterungssteckverbinder verfügbare Schnittstellen: Treiber für SPI, Ethernet, Serielle DBGU; nicht mitgelieferte Treiber für USB Host und Baustein, TWI, RS485, IrDA, SmartCard, MMC/SD Card, SSC, RTC, JTAG

AT77SM0101BCB02VK-ND **84.62**

FingerChip® Biometrie-Modul, Evaluierungskit

Ein komplettes Software-Entwicklungskit (SDK) zum einfachen Zugriff auf die FingerChip Hardware (Bilderfassung). Dieses SDK ermöglicht dem Benutzer auch die Steuerung der Biomaschine (Authentisierungsssoftware) und die Verwaltung der Datenbank mit Funktionen der höchsten Ebene. Die Authentisierungssoftware wird im Voraus direkt auf das Modul geladen. Das SDK umfasst auch ein Kommunikationsprotokoll, um das Modul von einem PC aus zu steuern. Das Kit enthält: • Eine Demo-Kit-Karte mit einem integrierten biometrischen Modul • Eine Stromversorgung mit Adaptern für internationale Steckdosen • Ein gekreuztes Ethernet-Kabel • Ein serielles Kabel • Eine Schnellstart-Anleitung • Eine CD-ROM mit allen erforderlichen Tools und der Dokumentierung

AT77SM0101BCB02VE-ND **528.04**

Betriebstemperatur: Industriell: -40 °C ~ 85 °C Kommerziell: 0 °C ~ 70 °C

Programm-speichertyp	Speichergröße Prog. Bytes	RAM-Bytes	EEPROM-Bytes	E/A-Pins	Timer/Zähler 8/16-Bit	WDT	UART	ISP	SPI	CAN	PWM	A/D	Analog-Comp	Clock Speed* (MHz)	VCC (V)	Betr. Temp.	Paket	Digi-Key Teilenr.	Stückpreis 1	25	100	Gegurtet auf Rolle‡ Größe	Preisangaben
Mask ROM	16K	—	—	14	-/2	Ja	1 (EUART)	—	—	—	—	—	—	16	2.85 ~ 5.5	Ind.	24-SSOP	AT83C21GC144ICSIL-ND	7.28	5.38	4.75	—	—
															3.6 ~ 5.5		64-VQFP	AT83C22OK103RDTIM-ND	10.19	7.53	6.64	—	—
															3.6 ~ 5.5		32-VQFP	AT83C23OK101RATIM-ND	9.10	6.73	5.93	—	—
															2.85 ~ 5.5		28-QFN	AT83C24-PRTIL-ND	2.73	2.02	1.78	—	—
															2.85 ~ 5.5		28-SOIC	AT83C24-TISIL-ND	2.73	2.02	1.78	—	—
															3.6 ~ 5.5		64-VQFP	AT83C25OK100RDTIM-ND	11.67	8.61	7.60	—	—
ROM	32K	32K	—	45	-/2	Ja	1	—	Master/ Slave	—	—	—	—	16	3.6 ~ 5.5	Ind.	64-VQFP	AT85C5122D-RDTIM-ND	8.37	6.18	5.46	—	—
				13													28-PLCC	AT85C5122D-SISIM-ND	7.96	5.88	5.19	—	—
Flash	16K	16K	—	14	-/2	Ja	1 (EUART)	—	—	—	—	—	—	16	2.85 ~ 5.4	Ind.	24-SSOP	T85C5121-ICSIL-ND	6.55	4.84	4.27	—	—
				27													52-PLCC	T85C5121-S3SIL-ND	7.50	5.54	4.89	—	—
OTP QuickFlash	4K	128	—	32	-/2	—	1	—	—	—	—	—	—	24	4.0 ~ 6.0	Ind.	44-TQFP	AT87F51-24AI-ND	2.90	2.38	2.13	—	—
																Ind.	44-PLCC	AT87F51-24JI-ND	2.73	2.26	2.02	—	—
																Komm.	40-DIP	AT87F51-24PC-ND	2.55	2.13	1.89	—	—
																Ind.	40-DIP	AT87F51-24PI-ND	2.73	2.26	2.02	—	—
OTP QuickFlash	8K	256	—	32	-/3	—	1	—	—	—	—	—	—	24	4.0 ~ 6.0	Ind.	44-TQFP	AT87F52-24AI-ND	3.15	2.57	2.30	—	—
																Komm.	40-DIP	AT87F52-24PC-ND	2.37	1.99	1.77	—	—
OTP QuickFlash	20K	256	—	32	-/2	Ja	1	—	—	—	—	—	—	24	4.0 ~ 5.5	Ind.	44-TQFP	AT87F55WD-24PI-ND	6.63	5.07	4.61	—	—
																	44-PLCC	AT87F55WD-24JI-ND	6.63	5.07	4.61	—	—
																	40-DIP	AT87F55WD-24AI-ND	6.81	5.20	4.72	—	—
Flash	2K	128	—	15	-/2	—	1	—	—	—	—	—	1	24	4.0 ~ 6.0	Komm.	20-DIP	AT89C2051-24PC-ND	1.41	1.04	.93	—	—
																Ind.	20-DIP	AT89C2051-24PI-ND	1.41	1.04	.93	—	—
																Komm.	20-SOIC	AT89C2051-24SC-ND	1.41	1.04	.93	—	—
																Ind.	20-SOIC	AT89C2051-24SI-ND	1.41	1.04	.93	—	—
Flash	4K	128	—	15	-/2	—	1	—	—	—	—	—	1	24	4.0 ~ 6.0	Komm.	20-DIP	AT89C4051-24PC-ND	1.60	1.19	1.06	—	—
																Ind.	20-DIP	AT89C4051-24PI-ND	1.60	1.19	1.06	—	—
																Komm.	20-SOIC	AT89C4051-24SC-ND	1.60	1.19	1.06	—	—
																Ind.	20-SOIC	AT89C4051-24SI-ND	1.60	1.19	1.06	—	—
Flash	4K	128	—	32	-/2	—	1	—	—	—	—	—	—	24	4.0 ~ 6.0	Ind.	44-TQFP	AT89C51-24AI-ND	4.46	3.53	3.18	—	—
Flash	4K	128	—	32	-/2	—	1	—	—	—	—	—	—	33	4.0 ~ 6.0	Ind.	44-TQFP	AT89C51-33AI-ND	2.09	1.55	1.38	—	—
																	44-PLCC	AT89C51-33JI-ND	2.09	1.55	1.38	—	—
																	40-DIP	AT89C51-33PI-ND	2.09	1.55	1.38	—	—
Flash	4K	128	—	32	-/2	Ja	1	Ja	—	—	—	—	—	16	2.7 ~ 6.0	Ind.	44-TQFP	AT89LS51-16AI-ND	1.91	1.42	1.27	—	—
																	44-PLCC	AT89LS51-16JI-ND	1.91	1.42	1.27	—	—
																	40-DIP	AT89LS51-16PI-ND	1.91	1.42	1.27	—	—
Flash	4K	128	—	32	-/2	Ja	1	Ja	—	—	—	—	—	24	4.0 ~ 5.5	Ind.	44-TQFP	AT89S51-24AI-ND	1.60	1.19	1.06	—	—
																Ind.	44-PLCC	AT89S51-24JI-ND	1.60	1.19	1.06	—	—
																Komm.	40-DIP	AT89S51-24PC-ND	1.60	1.19	1.06	—	—
																Ind.	40-DIP	AT89S51-24PI-ND	1.60	1.19	1.06	—	—
Flash	8K	256	—	32	-/3	Ja	1	Ja	—	—	—	—	—	16	2.7 ~ 6.0	Ind.	44-TQFP	AT89LS52-16AI-ND	2.09	1.55	1.38	—	—
																	44-PLCC	AT89LS52-16JI-ND	2.09	1.55	1.38	—	—
																	40-DIP	AT89LS52-16PI-ND	2.09	1.55	1.38	—	—
Flash	8K	256	—	32	-/3	Ja	1	Ja	—	—	—	—	—	24	4.0 ~ 5.5	Ind.	44-TQFP	AT89S52-24AI-ND	1.70	1.26	1.13	—	—
																	44-PLCC	AT89S52-24JI-ND	1.70	1.26	1.13	—	—
																	40-DIP	AT89S52-24PI-ND	1.70	1.26	1.13	—	—
Flash	8K	256	—	32	-/3	Ja	1	Ja	—	—	—	—	—	33	4.5 ~ 5.5	Ind.	44-TQFP	AT89S52-33AI-ND	1.70	1.08	1.00	—	—
																Komm.	40-DIP	AT89S52-33PC-ND	1.70	1.08	1.00	—	—
																Ind.	40-DIP	AT89S52-33PI-ND	1.70	1.08	1.00	—	—
Flash	8K	256	2K	32	-/3	Ja	1	Ja	Ja	—	—	—	—	12	2.7 ~ 6.0	Ind.	44-TQFP	AT89LS8252-12AI-ND	4.55	3.37	3.01	—	—
																	44-PLCC	AT89LS8252-12JI-ND	4.55	3.37	3.01	—	—
																	40-DIP	AT89LS8252-12PI-ND	4.55	3.37	3.01	—	—
Flash	8K	256	2K	32	-/3	Ja	1	Ja	Ja	—	—	—	—	24	4.0 ~ 6.0	Komm.	44-TQFP	AT89S8252-24AC-ND	4.37	3.24	2.89	—	—
																Ind.	44-TQFP	AT89S8252-24AI-ND	4.37	3.24	2.89	—	—
																Komm.	44-PLCC	AT89S8252-24JC-ND	4.37	3.24	2.89	—	—
																Ind.	44-PLCC	AT89S8252-24JI-ND	4.37	3.24	2.89	—	—
																Ind.	40-DIP	AT89S8252-24PI-ND	4.37	3.24	2.89	—	—
Flash	12K	256	—	32	-/3	Ja	1	Ja	Ja	—	—	—	—	12	2.7 ~ 6.0	Ind.	44-PLCC	AT89LS53-12JI-ND	4.55	3.37	3.01	—	—
																	40-DIP	AT89LS53-12PI-ND	4.55	3.37	3.01	—	—
Flash	12K	256	—	32	-/3	Ja	1	Ja	Ja	—	—	—	—	24	4.0 ~ 6.0	Ind.	44-PLCC	AT89S53-24JI-ND	4.37	3.24	2.89	—	—
Flash	16K	256	2K	20	-/3	Ja	1	Ja	—	2.0 A&B	2	8-Kan. 10-Bit	—	40	3.0 ~ 5.5	Ind.	32-VQFP	T89C51CC02CARATIM-ND	8.09	5.64	4.97	—	—
																	28-PLCC	T89C51CC02CASISIM-ND	8.09	5.64	4.97	—	—
																	24-SOIC	T89C51CC02CATDSIM-ND	8.09	5.64	4.97	—	—
																	28-SOIC	T89C51CC02CATISIM-ND	8.09	5.64	4.97	—	—
Flash	16K	256	2K	20	-/3	Ja	1	Ja	—	2.0 A&B	2	8-Kan. 10-Bit	—	40	3.0 ~ 5.5	Ind.	32-VQFP	T89C51CC02UARATIM-ND	8.09	5.64	4.97	—	—
																	28-PLCC	T89C51CC02UASISIM-ND	8.09	5.64	4.97	—	—
																	28-SOIC	T89C51CC02UATISIM-ND	8.09	5.64	4.97	—	—
Flash	16K	256	2K	20	-/3	Ja	1	Ja	—	—	1	8-Kan. 10-Bit	—	40	3.0 ~ 5.5	Ind.	32-VQFP	T89C5115-RATIM-ND	5.79	4.04	3.56	—	—
																	28-PLCC	T89C5115-SISIM-ND	6.60	4.62	4.06	—	—
																	24-SOIC	T89C5115-TDSIM-ND	6.92	5.11	4.51	—	—
																	28-SOIC	T89C5115-TISIM-ND	6.92	5.11	4.51	—	—
Flash	16K	16K	16K	14	-/2	Ja	1 (EUART)	—	—	—	—	—	—	16	2.85 ~ 5.4	Ind.	24-SSOP	T89C5121-ICUIL-ND	7.42	5.19	4.57	—	—
Flash	16K	1024	—	32	-/3	Ja	1	Ja	Master/ Slave	—	5	—	—	40	2.7 ~ 5.5	Ind.	40-DIP	AT89C51RB2-3CSIM-ND	6.11	4.27	3.76	—	—
															2.7 ~ 3.6		44-VQFP	AT89C51RB2-RLTIL-ND	6.11	4.27	3.76	—	—
															2.7 ~ 5.5		44-VQFP	AT89C51RB2-RLTIM-ND	6.11	4.27	3.76	—	—
															2.7 ~ 3.6		44-PLCC	AT89C51RB2-SLSIL-ND	6.11	4.27	3.76	—	—
															2.7 ~ 5.5		44-PLCC	AT89C51RB2-SLSIM-ND	6.11	4.27	3.76	—	—
Flash	16K	1024	—	32	-/3	Ja	1	Ja	Master/ Slave	—	5	—	—	60	2.7 ~ 5.5	Ind.	44-PLCC	AT89C51RB2SLRILCT-ND†	6.81	5.70	4.75	500	2295.56
																	44-VQFP	AT89C51RB2RLRIMCT-ND†	6.46	5.41	4.51	1,500	4358.30/M
																	44-VQFP	AT89C51RB2RLRILCT-ND†	7.11	5.96	4.96	1,500	4793.67/M
																	44-PLCC	AT89C51RB2SLRIMCT-ND†	6.19	5.19	4.32	500	2086.87

‡ Für Band und Spule die Teilenummer CT-ND in TR-ND ändern † Gurtabschnittspreis *Taktgeschwindigkeit

(Forts.)

Alle Preisangaben in Euro und inklusive Zollgebühren.

Betriebstemperatur: Industriell: -40 °C ~ 85 °C Kommerziell: 0 °C ~ 70 °C

Programm-speichertyp	Speichergröße: Prog. Bytes	RAM-Bytes	EEPROM-Bytes	E/A-Pins	Timer/Zähler 8/16-Bit	WDT	UART	ISP	SPI	CAN	PWM	A/D	Analog-Comp	Clock Speed* (MHz)	VCC (V)	Betr. Temp.	Paket	Digi-Key Teilenr.	Stückpreis: 1	25	100	Gegurtet auf Rolle‡: Größe	Preisangaben
Flash	16K	256	—	32	-/3	Ja	1 (EUART)	Ja	Master/ Slave	—	5	—	—	48	2.7 ~ 5.5	Ind.	44-VQFP	T89C51RB2-RLTIM-ND	6.32	5.29	4.41	—	—
																	44-PLCC	T89C51RB2-SLSIM-ND	6.10	5.11	4.26	—	—
Flash	16K	256	2K	20	-/3	Ja	1	Ja	—	A&B	2	10-bit	—	40	3.0 ~ 5.5	Ind.	28-PLCC	T89C51CC02UASITIM-ND	7.83	6.56	5.47	—	—
Flash	20K	256	—	32	-/3	Ja	1	—	—	—	—	—	—	24	4.0 ~ 5.5	Ind.	44-TQFP	AT89C55WD-24AI-ND	3.11	2.37	2.07	—	—
Flash	20K	256	—	32	-/3	Ja	1	—	—	—	—	—	—	33	4.0 ~ 6.0	Ind.	44-PLCC	AT89C55WD-33JI-ND	3.11	2.30	2.06	—	—
																	40-DIP	AT89C55WD-33PI-ND	3.11	2.30	2.06	—	—
Flash	20K	256	—	32	-/3	—	1	—	—	—	—	—	—	12	2.7 ~ 6.0	Komm.	44-TQFP	AT89LV55-12AC-ND	3.46	2.56	2.29	—	—
																Ind.	44-TQFP	AT89LV55-12AI-ND	3.46	2.56	2.29	—	—
																Komm.	44-PLCC	AT89LV55-12JC-ND	3.46	2.56	2.29	—	—
																Ind.	44-PLCC	AT89LV55-12JI-ND	3.46	2.56	2.29	—	—
																Komm.	40-DIP	AT89LV55-12PC-ND	3.46	2.56	2.29	—	—
																Ind.	40-DIP	AT89LV55-12PI-ND	3.46	2.56	2.29	—	—
Flash	32K	512	—	32	-/3	Ja	1	—	—	—	—	—	—	33	4.0 ~ 6.0	Komm.	44-TQFP	AT89C51RC-33AC-ND	3.50	2.60	2.32	—	—
																	44-PLCC	AT89C51RC-33JC-ND	3.50	2.60	2.32	—	—
																	40-DIP	AT89C51RC-33PC-ND	3.50	2.60	2.32	—	—
Flash	32K	32K	—	45	-/2	Ja	1	Ja	Master/ Slave	—	—	—	—	16	3.6 ~ 5.5	Ind.	64-VQFP	AT89C5122D-RDTIM-ND	10.38	7.67	6.76	—	—
Flash	32K	32K	—	45	-/2	Ja	1	Ja	Master/ Slave	—	—	—	—	16	3.6 ~ 5.5	Ind.	64-VQFP	AT89C5122DRDRIMCT-ND†	10.46	8.77	7.31	1,500	7058.53/M
Flash	32K	1024	—	32	-/3	Ja	1	Ja	Master/ Slave	—	5	—	—	40	2.7 ~ 3.6	Komm.	44-VQFP	AT89C51IC2-RLTIL-ND	7.42	5.19	4.57	—	—
															2.7 ~ 5.5	Ind.	44-VQFP	AT89C51IC2-RLTIM-ND	7.42	5.19	4.57	—	—
															2.7 ~ 3.6	Komm.	44-PLCC	AT89C51IC2-SLSIL-ND	7.42	5.19	4.57	—	—
															2.7 ~ 5.5	Ind.	44-PLCC	AT89C51IC2-SLSIM-ND	7.42	5.19	4.57	—	—
Flash	32K	1024	—	32	-/3	Ja	1	Ja	Master/ Slave	—	5	—	—	40	2.7 ~ 5.5	Ind.	44-PLCC	AT89C51IC2SLRIMCT-ND†	7.92	6.63	5.53	500	2670.18
															2.7 ~ 3.6		44-PLCC	AT89C51IC2SLRILCT-ND†	8.71	7.30	6.08	500	2936.86
															2.7 ~ 5.5		44-VQFP	AT89C51IC2RLRIMCT-ND†	8.10	6.79	5.66	1,500	5462.69/M
															2.7 ~ 3.6		44-VQFP	AT89C51IC2RLRILCT-ND†	8.91	7.46	6.22	1,500	6008.96/M
Flash	32K	1024	—	32	-/3	Ja	1	Ja	Master/ Slave	—	5	—	—	48	2.7 ~ 5.5	Ind.	40-DIP	AT89C51RC2-3CSIM-ND	6.55	4.58	4.03	—	—
															2.7 ~ 3.6		44-VQFP	AT89C51RC2-RLTIL-ND	6.55	4.58	4.03	—	—
															2.7 ~ 5.5		44-VQFP	AT89C51RC2-RLTIM-ND	6.55	4.58	4.03	—	—
															2.7 ~ 3.6		44-PLCC	AT89C51RC2-SLSIL-ND	6.55	4.58	4.03	—	—
															2.7 ~ 5.5		44-PLCC	AT89C51RC2-SLSIM-ND	6.55	4.58	4.03	—	—
Flash	32K	1024	—	32	-/3	Ja	1	Ja	Master/ Slave	—	5	—	—	48	2.7 ~ 5.5	Ind.	44-PLCC	AT89C51RC2SLRIMCT-ND†	7.28	6.10	5.08	500	2455.14
															2.7 ~ 3.6		44-VQFP	AT89C51RC2RLRILCT-ND†	8.31	6.96	5.80	1,500	5603.65/M
															2.7 ~ 3.3		44-PLCC	AT89C51RC2SLRILCT-ND†	8.01	6.71	5.59	500	2700.65
															2.7 ~ 5.5		44-VQFP	AT89C51RC2RLRIMCT-ND†	7.55	6.33	5.28	1,500	5094.42/M
Flash	32K	1024	4K	34	-/3	Ja	1 (EUART)	Ja	Master/ Slave	—	5	—	—	32	3.0 ~ 3.6	Ind.	48-QFN	AT89C5131A-PLTIL-ND	8.92	6.59	5.81	—	—
																	64-VQFP	AT89C5131A-RDTIL-ND	6.92	4.83	4.25	—	—
																	52-PLCC	AT89C5131-S3SIL-ND	8.92	6.59	5.81	—	—
																	28-SOIC	AT89C5131-TISIL-ND	8.92	6.59	5.81	—	—
Flash	32K	256	2	34	-/3	Ja	1	Ja	—	—	5	8-Kan. 10-Bit	—	40	3.0 ~ 5.5	Ind.	44-VQFP	T89C51AC2-RLTIM-ND	8.23	6.07	5.36	—	—
																	44-PLCC	T89C51AC2-SLSIM-ND	7.53	5.26	4.63	—	—
Flash	32K	256	2K	34	-/3	Ja	1	Ja	—	2.0 A&B	5	8-Kan. 10-Bit	—	40	3.0 ~ 5.5	Ind.	64-BGA	T89C51CC01CA7CTIM-ND	8.52	5.95	5.24	—	—
																	64-BGA	T89C51CC01UA7CTIM-ND	8.52	5.95	5.24	—	—
																	44-VQFP	T89C51CC01CARLTIM-ND	8.52	5.95	5.24	—	—
																	44-PLCC	T89C51CC01CASLSIM-ND	8.52	5.95	5.24	—	—
																	44-VQFP	T89C51CC01UARLTIM-ND	8.52	5.95	5.24	—	—
																	44-PLCC	T89C51CC01UASLSIM-ND	8.52	5.95	5.24	—	—
Flash	64K	256	2048	32	-/3	Ja	1	Ja	Master/ Slave	—	—	—	—	40	2.7 ~ 5.5	Ind.	44-VQFP	AT89C51ID2-RLTIM-ND	9.46	6.99	6.17	—	—
																	44-PLCC	AT89C51ID2-SLSIM-ND	9.83	6.86	6.04	—	—
Flash	64K	256	2048	32	-/3	Ja	1	Ja	Master/ Slave	—	—	—	—	40	2.7 ~ 5.5	Ind.	44-VQFP	AT89C51ID2RLRIMCT-ND†	9.56	8.01	6.67	1,500	6444.74/M
																	44-PLCC	AT89C51ID2SLRIMCT-ND†	9.56	8.01	6.67	500	3222.58
Flash	64K	1792	—	32	-/3	Ja	1	Ja	Master/ Slave	—	—	—	—	40	2.7 ~ 5.5	Ind.	44-VQFP	AT89C51RD2-RLTIM-ND	7.10	4.96	4.36	—	—
																	44-PLCC	AT89C51RD2-SLSIM-ND	7.10	4.96	4.36	—	—
Flash	64K	1792	—	32	-/3	Ja	1	Ja	Master/ Slave	—	—	—	—	40	2.7 ~ 5.5	Ind.	44-VQFP	AT89C51RD2RLRIMCT-ND†	7.10	5.95	4.96	1,500	4787.52/M
																	44-PLCC	AT89C51RD2SLRIMCT-ND†	7.10	5.95	4.96	500	2393.76
Flash	64K	2304	—	44	-/2	Ja	1	Ja	Master/ Slave	—	—	2-Kan. 8-Bit	—	40	3.0	Ind.	80-TQFP	AT89C51SND1CROTIL-ND	13.11	9.15	8.05	—	—
Flash	64K	2304	—	44	-/2	Ja	1	Ja	Master/ Slave	—	—	2-Kan. 8-Bit	—	20	3.0	Ind.	80-TQFP	AT89C5132-ROTIL-ND	11.36	7.93	6.98	—	—
Flash	64K	256	2K	36	-/3	Ja	1	Ja	Ja Ja Nein Ja Nein	2.0 A&B	5	8-Kan. 10-Bit	—	40	3.0 ~ 5.5	Ind.	64-BGA	AT89C51CC03C7CTIM-ND	13.20	9.75	8.60	—	—
																	64-VQFP	AT89C51CC03CRDTIM-ND	9.83	6.86	6.04	—	—
																	44-VQFP	AT89C51CC03CRLTIM-ND	9.83	6.86	6.04	—	—
																	52-PLCC	AT89C51CC03CS3SIM-ND	9.83	6.86	6.04	—	—
																	44-PLCC	AT89C51CC03CSLSIM-ND	9.83	6.86	6.04	—	—
Flash	64K	256	2K	36	-/3	Ja	1	Ja	Ja Ja Nein Ja Nein	2.0 A&B	5	8-Kan. 10-Bit	—	40	3.0 ~ 5.5	Ind.	64-BGA	AT89C51CC03U7CTIM-ND	13.20	9.75	8.60	—	—
																	64-VQFP	AT89C51CC03URDTIM-ND	9.83	6.86	6.04	—	—
																	44-VQFP	AT89C51CC03URLTIM-ND	12.36	9.13	8.06	—	—
																	52-PLCC	AT89C51CC03US3SIM-ND	9.83	6.86	6.04	—	—
																	44-PLCC	AT89C51CC03USLSIM-ND	9.83	6.86	6.04	—	—
Flash	64K	256	2K	36	-/3	Ja	1	Ja	Nein Nein Ja Ja	2.0 A&B	5	8-Kan. 10-Bit	—	40	3.0 ~ 5.5	Ind.	44-PLCC	AT89C51CC03CSLRCT-ND†	12.23	10.25	8.54	500	4124.64
																	44-VQFP	AT89C51CC03CRLRCT-ND†	12.50	10.47	8.73	1,500	8433.41/M
																	52-PLCC	AT89C51CC03CS3RCT-ND†	12.41	10.40	8.67	500	4186.01
																	64-VQFP	AT89C51CC03CRDRCT-ND†	12.69	10.63	8.86	1,500	8556.16/M
Flash	64K	256	2K	36	-/3	Ja	1	Ja	Nein Ja Ja Nein	2.0 A&B	5	8-Kan. 10-Bit	—	40	3.0 ~ 5.5	Ind.	44-VQFP	AT89C51CC03URLRCT-ND†	12.50	10.47	8.73	1,500	8433.41/M
																	64-VQFP	AT89C51CC03URDRCT-ND†	12.69	10.63	8.86	1,500	8556.16/M
																	52-PLCC	AT89C51CC03US3RCT-ND†	12.41	10.40	8.67	500	4186.01
																	44-PLCC	AT89C51CC03USLRCT-ND†	12.23	10.25	8.54	500	4124.64
Flash	64K	1792	2048	32 48 32 32 48	-/3	Ja	1	Ja	Master/ Slave	—	1	—	—	40	2.7 ~ 5.5	Ind.	40-DIP	AT89C51ED2-3CSIM-ND	10.02	6.99	6.15	—	—
																	64-VQFP	AT89C51ED2-RDTIM-ND	10.02	6.99	6.15	—	—
																	44-VQFP	AT89C51ED2-RLTIM-ND	9.29	6.48	5.70	—	—
																	44-PLCC	AT89C51ED2-SLSIM-ND	9.29	6.48	5.70	—	—
																	68-PLCC	AT89C51ED2-SMSIM-ND	10.02	6.99	6.15	—	—
Flash	64K	1792	2048	48 48 32 32	-/3	Ja	1	Ja	Master/ Slave	—	1	—	—	40	2.7 ~ 5.5	Ind.	64-VQFP	AT89C51ED2RDRIMCT-ND†	10.02	8.39	6.99	1,500	6751.64/M
																	68-PLCC	AT89C51ED2SMRIMCT-ND†	10.02	8.39	6.99	250	2095.34
																	44-PLCC	AT89C51ED2SLRIMCT-ND†	9.29	7.78	6.48	500	3130.30
																	44-VQFP	AT89C51ED2RLRIMCT-ND†	9.29	7.78	6.48	1,500	6260.61/M
Flash	64K	256	2K	48	-/3	Ja	1 (EUART)	—	Master/ Slave	—	5	—	—	60	2.7 ~ 5.5	Ind.	68-PLCC	T89C51RD2-SMSIM-ND	9.46	7.93	6.61	—	—

‡ Für Band und Spule die Teilenummer CT-ND in TR-ND ändern † Gurtabschnittspreis *Taktgeschwindigkeit

B

8051-Mikrocontroller-Kits

AT89STK-06 Starterkit und CANADAPT28-Adapter

Das AT89STK-06 Starterkit ist eine selbständige Anwendungskarte für die problemlose Evaluierung des T89C51CC01-Bausteins. Verwendungsmöglichkeiten für das T89C51CC01 UART: Anschluss an PC-Port oder Verbindung zwischen CAN-Busschnittstelle und CAN-Karte bzw. einem parallel angeschlossenen Dongle, um eine CAN-Line zu erstellen. Darüber hinaus kann dieses Kit auch an ein vorhandenes CAN-Hochgeschwindigkeitsnetzwerk angeschlossen werden, um CAN-Meldungen einzuleiten oder zu empfangen.

Das Kit enthält:

• Benutzerhandbuch • CANary™ CDROM mit komplettem Dokumentationssatz und dazugehöriger Software

Merkmale:

• CAN: CAN Transceiver Atmel ATA6660 auf der Karte; D-sub Steckverbinder gemäß der Empfehlung CiA (User Group: „CAN in Automation") für CAN-Hochgeschwindigkeits-Bus
• Zwei verschiedene Sockel zur Unterstützung von AT89C51CC03 und AT89C51AC3 in PLCC52 und alle Controller in PLCC 44 Paketen
• Die Unterstützung der T89C51CC02 und T89C5115 Mikrocontroller setzt die Verwendung eines PLCC28 Adapters (CANADAPT28) voraus
• Die Karte enthält bereits die Muster AT89C51CC03-UA (PLCC44 Paket) und AT89C51CC03-CA (PLCC52 Paket)
• Analog-Digital-Wandler: Potentiometer, Thermistor, integrierte ADC-Referenzspannung
• Integrierte Rückstellung, INT0, INT1, LEDs, EA, ISP und Programmierschnittstelle
• Strom, ALE, RS232 Rx und Tx LEDs
• CAN, SPI und RS232 Hardware-Steckverbinder
• Integrierter Spannungsregler
• Betriebsspannung: 6 V bis 15 V
• Betriebstemperatur: 0 °C ~ 70 °C
• Abmessungen: 80 mm x 100 mm

AT89STK-06-ND	Starterkit	**111.75**
CANADAPT28-ND	44PLCC- zu 28PLCC-Adapter	**56.30**

ATWEBEVK-01 Evaluierungskit

Das @Web-Evaluierungskit ermöglicht dem Benutzer die Evaluierung des gesamten Optionenbereichs, der für die Integration der TCP/IP-Software in die Atmel C51-Flash-MCUs erforderlich ist. Nachdem der Benutzer die Demonstration beendet hat, kann er über das Internet Informationen in den und vom Flash-Speicher zum Mikrocontroller lesen und schreiben.
Außerdem sieht der Benutzer, wie alle auf dem Mikrocontroller aufgezeichneten Informationen mithilfe von standardmäßigen PC Tools, wie beispielsweise einem Web Browser, Hyperterminal und dem DFÜ-Netzwerk verfügbar sind.

Das Kit enthält:

• Evaluierungskarte mit T89C51AC2-Controlle • Externen Lautsprecher • Serielles RS232-Nullmodemkabel • 9-V Batterie und Kabel • CD-ROM einschließlich Dokumentation und Software

ATWEBEVK-01-ND		**210.80**

AT89C5131 MCU/USB Starterkit

Unterstützt Entwickler, die AT89C5131 USB FLASH Mikrocontroller verwenden.

Das Kit enthält: • Evaluierungskarte • In-System Programmier-Tool (FLIP) • HID (Human Interface Device) Tastatur-Demoprogramm

Evaluierungskarte

Merkmale: • Auswahl zwischen zwei Paketen für den AT89C5131: entweder PLCC 52-Pin oder VQFP 64-Pin • Integrierte Stromversorgungsschaltkreise; von einem externen Stromsteckverbinder, einer externen Batterie oder von der USB-Leitung über den integrierten USB-Steckverbinder • Integrierte Rückstellung, INT0, LEDs, EA, ISP und Programmierschnittstelle • Strom, ALE, RS232 Rx und Tx LEDs • Externer Systemtakt-Steckverbinder • PCA Takt-Steckverbinder • USB, TWI, SPI und RS232 Hardware-Steckverbinder • Steckverbinder zur Schnittstelle mit der C51 Allgemeinkarte

FLIP-Software

Merkmale: • Läuft auf Windows® (98/2000, NT, XP) • Unterstützt In-System Programmieren von Flash C51 Bausteinen durch RS232 • Neueste Version ist auf der Atmel-Website zu finden • Linux-Version ist ebenfalls erhältlich

HID (Human Interface Device) Tastatur-Demoprogramm

Zum Senden von numerischen Daten über die Tastatur durch den AT89C5131 Mikrocontroller an einen Host-PC über USB.

AT89STK-05-ND	Starterkit für AT89C5131	**111.75**

AT89ISP Programmiererkabel

Die Atmel Mikrocontroller ISP Software ist in erster Linie für die Funktion der In-System Programmierfunktionen von Atmel AT89S Bausteinen verantwortlich. Sie bietet eine intuitive Schnittstelle für In-System Programmieren, das von einem PC gesteuert werden kann.

AT89ISP-ND	Programmierkabel	**21.17**

MP3 Player Referenz und Demokarte

Atmel's Lösung für MP3 Player bietet den besten Kompromiss zwischen Stromverbrauch, Kosten und Funktionalität. Sie besteht aus einem vollständig integrierten, fest verdrahteten Standalone-MPEGI/II Layer-3-Decoder mit einem C51-Mikrocontrollerkern, der die Datenflusssteuerung und MP3-Player-Steuerung regelt.

Beschreibung:

Das **AT89C51SND1-Entwicklungskit** enthält eine Entwicklungskarte mit folgenden Demos der AT89C51SND1-Funktionalität: • Abspielen von MP3-Songs • Sprachaufzeichnung/Abspielen • MultiMedia Card mit FAT16 • USB-Massenspeicher • USB-Firmware-Upgrade • Serieller DataFlash-Speicher • Eine kostenlose 30-tägige Jungo WinDriver-Evaluierungs-CD mit vollständiger Funktionalität

AT89RFD-02: Das USB Smart Card Reader Reference Designkit gestattet schnelles Lesen und Schreiben aller Arten von Smart Cards über ein USB-Link. Es baut auf einer schlüsselfertigen Einzelchip-Lösung auf, die die Atmel AT83C22OK/AT83C23OK-Microcontroller und OMNIKEY-Firmware kombiniert (smart@key and smart@link). Diese Lösung kann schnell und einfach in jede USB-Smart-Card-Tastatur oder jedes Peripheriegerät integriert werden. Sie ermöglicht eine schnelle und einfache EMVCo-Genehmigung. Das Kit enthält Referenzkarte, Muster, Spezifikationen, Schaltpläne und Materiallisten, Software-Treiber und Testdienstprogramme.

AT89RFD-05: Das USB Smart Card Reader Reference Designkit gestattet schnelles Lesen und Schreiben aller Arten von Smart Cards über einen seriellen Link. Es baut auf einer schlüsselfertigen Einzelchip-Lösung auf, die die Atmel AT83C21GC-Microcontroller und Gemplus GemCore® Seriel Lite Pro Software kombiniert. Diese Lösung kann schnell und einfach in jeden seriellen Smart-Card-Leser integriert werden. Sie ermöglicht eine schnelle und einfache EMVCo-Genehmigung. Das Kit enthält Referenzkarte, GemCore Serial Lite Pro Technische Daten und Handbuch, auf GemCore basierende Reader Testing Guideline zum Vorbereiten von Produktionstest-Bänken, das GemCore Interface Library Kit (GILK) inklusive: GILK Programmer's Guide, API-Quellcode und Software-Muster-Quellcode

AT89RFD-06: Das PCMCIA Smart Card Reader Reference Designkit gestattet schnelles Lesen und Schreiben aller Arten von Smart Cards über einen PCMCIA-Link. Es baut auf einer schlüsselfertigen Einzelchip-Lösung auf, die die Atmel AT83C25OK-Microcontroller und OMNIKEY smart@bus Firmware kombiniert Diese Lösung kann schnell und einfach in jeden PCMCIA Smart-Card-Leser integriert werden.Sie ermöglicht eine schnelle und einfache EMVCo-Genehmigung. Das Kit enthält Referenzkarte, Muster, Spezifikationen, Schaltpläne und Materiallisten, Software-Treiber und Testdienstprogramme.

AT89RFD-01-ND	AT89C51SND1-Referenzdesign	**179.48**
AT89DVK-04-ND	MP3 Player Demo-Karte	**592.62**
AT89RFD-02-ND	AT83C22OK/23OK Referenz-Design	**211.65**
AT89RFD-05-ND	AT83C21GC Referenz-Design	**211.65**
AT89RFD-06-ND	PCMCIA-Leser-Referenz-Design	**211.65**

Smart Card-Starterkit

Merkmale: • Starterkit arbeitet entweder als Standalone-Produkt mit On-Chip-EEPROM-Programmspeicher (T89C5121 Produktversion) oder integriertem EEPROM-Programmspeicher • In-System programmierbar (ISP) (mit ROM-Bootloader zum Herunterladen von Hex-Dateien in den internen Speicher) • Smart Card-Steckverbinder • SIMM-Steckverbinder • 2 LEDS • Integrierter Spannungsregler mit Spannungseinstellung • Sockel: SSOP24, DIL24 für Paketadapter • Serieller RS232-Port • Interrupt (INT1) -Eingang • Optionaler manueller Reset-Schalter • Verbindungen zu Daten-, Adress- und Steuerleitungen werden praktischerweise über Anschlussstecker hergestellt • Prototypbereich

Beschreibung: Das T8xC5121-Starterkit enthält eine Demokarte, mit der die Evaluierung des T8xC5121-Mikrocontrollers möglich ist. Designer können entweder das Demonstrationsprogramm oder ihre eigene Anwendung ausführen. Die Demonstrationskarte unterstützt die Kommunikation über den seriellen RS232-Kommunikationsmodus. Die Karte kann auch als Programmierer für das T89C5121-Produkt verwendet werden.

T89C5121-SK1-ND	Smart Card-Starterkit	**225.76**

89C51SND1 Emulator

Das AT89EMK-01 Entwicklungssystem für die Atmel AT89C51SND1 Mikrocontroller-Derivative mit 6/12 Takt/Zyklus erfüllt die verschiedenen Anforderungen des Emulationsbetriebs auf sehr effiziente Weise.

Merkmale: • Emuliert AT89C51SND1 Derivative mit 6/12 Takt/Zyklus • 62K Code-Speicher • Echtzeit-Emulation • Frequenz bis zu 20 MHz/3V • ISP und X2-Mode-Support • MS Windows Debugger für C-Sprache und Assembler • Kompatibel mit Keil µVision2 Debugger • QFP und PLCC Emulations-Steckleisten • ISP-Programmierer inbegriffen • Mit 115 KBaud seriell mit PC verbunden

AT89EMK-01-ND	Emulator für MP3 SND1 MCU	**1296.15**

AT8xC5122/23 Starterkit

Die im AT89STK-03 Starterkit inbegriffene Evaluierungskarte ist für die Mikrocontroller der Teilenummer-Smart-Card-Leser dediziert. Mit dieser Karte soll die Evaluierung des Produkts unter Verwendung von Demo-Software erleichtert werden.

Merkmale:

Die Teilenummer-Evaluierungskarte bietet folgende Funktionen: • Auswahl zwischen drei Paketen: PLCC 68-Pin Paket, VQFP 64-Pin Paket, PLCC 28-Pin Paket • Integrierte Stromversorgungsschaltkreise mit Abfallregler: von einem externen Stromsteckverbinder, einer externen Batterie oder von der USB-Leitung über den untegrierten USB-Steckverbinder • ISO7816 Steckverbinder für Smart Card • Alternativkarte für SIM-Steckverbinder • Integrierte Rückstellung, INT1, 7 LEDs, EA • EEPROM 24C256-Sockel für automatisches Herunterladen • Strom, ALE, RS232 Rx und Tx LEDs • USB, SPI und RS232 Hardware-Steckverbinder

AT89STK-03-ND	Starterkit für MCU AT8XC5122/23	**211.65**

Fest verdrahtete @Web TCP/IP-Ethernet-Lösungen

@Web LAN51H-Entwicklungskit

Das @Web LAN51H-Entwicklungskit wurde zur Prüfung der Hochgeschwindigkeits-Internet-Konnektivität mit der Atmel 80C51 Flash MCU und dem WIZnet i2Chip®, einem speziellen, fest verdrahteten, eingebetteten Ethernet TCP/IP-Chip, entwickelt. Der Kunde kann Funktionen ändern und mithilfe der In-System Programmierfunktionalität Firmware neu laden. Auf dem LCD-Bildschirm lassen sich Fehlermeldungen einblenden, wodurch ein problemloses Debugging der Benutzeranwendung ermöglicht wird. Nach der Evaluierung kann das im Kit mitgelieferte Drop-in-Netzwerkmodul (IIM7010) wieder verwendet werden.

ATWEBDVK-02-ND		**227.74**

Gateway-Module

ATWEBSEG-32-ND	RS232-zu-Ethernet-Gateway-Modul	**29.63**
ATWEBEVK-05-ND	RS232-zu-Ethernet-Evaluierungskarte	**160.01**
ATWEBCEG-32-ND	CAN an Ethernet Gateway-Modul	**33.78**
ATWEBEVK-06-ND	CAN an Ethernet-Evaluierungskarte	**210.80**

@Web LAN51H-Module

Atmel bietet @Web LAN51H-Entwicklungskits mit zusätzlichen Modulen an, die direkt an der @Web LAN51H-Entwicklungskarte angeschlossen sind. Diese zusätzlichen Module können folgende Funktionen ausüben: Remote-Ein/Aus-Steuerung, Sprachübertragung (VoIP) oder Netzwerk-Webkamera.

Remote-Controller-Funktionen:

• Ein/Aus-Steuerfunktion mit Webserver • LED-Ein/Aus-Steuerung und Text-LCD-Anzeige mit Web-Browser 3 x 110 V - 220 V Relaisschalter

Sprachübertragungs- (VoIP) Funktionen:

• Vollduplex-Sprachübertragung über das Internet • Unterstützt G723.1 Standard „TrueSpeech Voice Codec" • Normaler Mikrofoneingang und Lautsprecherausgang • Audio-DAC (MC745483) und DSP (CT8022A) • Inbegriffen - Lautsprecheranschluss

Netzwerk-WebCam-Funktionen:

• CMOS-Webkamera mit standardmäßiger JPEG-Kodierung, vier Kanäle • Video-Kodierung: Hardware MFPEG Codec (LC82210 von Sanyo) • Video-Modus: VGA, CIF, QCIF • CMOS-Sensor: 1/3" CMOS-Farbbildsensor (OV7620 von OmniVision), maximale Frame-Rate: 3 fps mit Standard-C51

ATWEBDVK-02RC-ND	LAN51H und Remote-Controller-Kit	**320.86**
ATWEBDVK-02VOIP-ND	LAN51H und Sprachübertragungs-Kit	**532.51**
ATWEBDVK-02WC-ND	LAN51H und Netzwerk-WebCam-Kit	**761.09**

Alle Preisangaben in Euro und inklusive Zollgebühren.

Jackrabbit™ preisgünstige Single-Board-Computer

Dieser hochleistungsfähige Single-Board-Computer von Z-World ist mit E/A, Speicher und Kommunikationsports ausgerüstet. Mit Abmessungen von lediglich 2,5" x 3,5" (63,5 x 88,9 mm) lässt sich der Jackrabbit optimal für eingebettete Steuerungen einsetzen. Durch sein bemerkenswertes Preis-/Leistungsverhältnis, seine hohe Geschwindigkeit, Gleitkommafunktionalität und interaktives Austesten eignet sich der Jackrabbit ideal für OEM-Anwendungen. Außerdem bietet der Jackrabbit durch umfassende RAM-, E/A- und Coderaumkapazität eine außerordentliche Flexibilität für Anwendungen. Die Software für den Jackrabbit wird mithilfe der Dynamic C®-Sprache entwickelt, einem in der Branche bewährten integrierten C-Sprachentwicklungspaket, das einen interaktiven Compiler, Editor und Austester enthält und somit die problemlose Programmierung und Entwicklung des Jackrabbit ermöglicht.

Modell BL1800: • **Kartengröße:** 2,50" x 3,50" x 0,94" (64 mm x 89 mm x 24 mm) • **Eingangsspannung:** 8-40 V DC, Schaltregler, 49 mA typ. bei 24 V DC • **Mehrzweck-E/A:** 14 bidirektional, 6 Eingänge, 4 Ausgänge (CMOS-kompatibel) • **Hochleistungsausgänge:** 3 stromziehend (1 A) und 1 stromliefernd (500 mA) • **1 Analogeingang:** 9-Bit Auflösung, 8-Bit Genauigkeit, 0,1-2,8 V Eingangsbereich, 75 ms typ. Aufnahmezeit • **2 Analogausgänge:** gefilterte/gepufferte PWM-Ausgänge • **Prozessor:** Rabbit 2000, Takt, 29,5 MHz • **Speicher:** SRAM 128K, Flash 256K • **Timer:** Fünf kaskadierbare 8-Bit Timer, ein 10-Bit Timer mit 2 Match-Registern • **Serielle Ports:** (2) RS232 (oder einer mit CTS/RTS) mit einer Nennleistung von 1 KV ESE, (1) RS485 mit einer Nennleistung von 15 kV ESE, (1) 5 V CMOS-kompatibel (Programmierungsport), 2 serielle Ports können getaktet werden. • **Serielle Geschwindigkeit:** Wählbare Baudraten bis zu 115.200 bps (RS232), 230.400 bps (RS485). CMOS-kompatibler Port bis zu 7,37 Mbps, 5 V **Zusatzfunktionen:** Watchdog/Supervisor, Zeit/Datumuhr und Reservebatterie

Modell BL1810: Wie BL1800, nur mit 14,7 MHz Takt, 128K Flash, linearem Regler (8-25 V), Hochspannungsausgänge, 3 stromziehend (200 mA) und 1 stromliefernd (100 mA), und CMOS-Port-Baudrate von 3,69 Mbps.

Modell BL1820: Wie BL1810, nur kein RS485, keine Reservebatterie oder Batterieschaltung und 3 zusätzliche E/A

Beschreibung	Digi-Key Teilenr.	Stückpreis 1	5	25	Z-World Teilenr.
Modell BL1800	316-1011-ND	83.81	—	—	101-0356
Modell BL1810	316-1001-ND	58.47	55.03	51.65	101-0357
Modell BL1820	316-1002-ND	41.53	38.95	36.41	101-0358

Jackrabbit™ Entwicklungskit

Nur Digi-Key-Teilenr. 316-1000-ND (101-0363) 117.68

Jackrabbit BL1810, Handbuch, Schaltbilder, Netzadapter, Prototypkarte, Programmierkabel, Dokumentation auf CD-ROM, zusätzliche Teile und komplettes Dynamic C SE Software-Entwicklungssystem (keine Probeversion).

B

Preisgünstiger Einzelkarten-Computer

Der LP3500 eignet sich ideal zur Überwachung von Prozessen, die weit von einer Stromversorgung entfernt sind, für Ferntelemetrie (RTU), zur Pipeline-Steuerung und -überwachung, zur Bohrkopfüberwachung: und zur Verwendung mit mobilen Geräten, wie z. B. Kühllastern.

Bei dem LP3500 handelt es sich um einen Niedrigleistungs-Einzelkarten-Computer mit dem leistungsstarken und störstrahlungsarmen Rabbit 3000 Mikroprozessor, Flash-Speicher, statischem RAM, digitalen E/A-Ports, A/D-Wandlereingängen, PWM-Ausgängen, RS232/RS485 seriellen Ports und sowohl parallelen als auch seriellen Schnittstellen zum Anschluss anderer Bausteine an den LP3500. Die CPU wird mit 2,8 V betrieben, um Strom zu sparen. Sie verbraucht weniger als 20 mA bei vollem Betrieb und weniger als 100 µA im Stromsparmodus.

Merkmale:
- Rabbit 3000® Mikroprozessor mit Betrieb bei maximal 7,4 MHz
- 512/128K statischer RAM und 512K/256K Flash-Speicher-Optionen
- 26 Digital-E/A: 16 geschützte Digitaleingänge und 10 Digitalausgänge für hohen Strom
- 8 Einzelende- oder 4 Differenzial-Analog-Kanäle mit Vcc-Überwachungsoption: 11-Bit Einzelende oder 12-Bit Differenzialkanäle
- 3 PWM-Ausgänge
- 6 serielle Ports
- Durch Batteriebetrieb sicherbare Echtzeituhr
- Watchdog Supervisor

Der LP3500 kann an einer Platte oder an einer mit Kunststoff verkapselten Basis montiert werden.

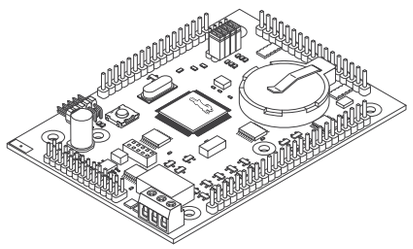

Beschreibung	Digi-Key Teilenr.	Stückpreis	Rabbit Teilenr.
Modell LP3500	316-1058-ND	168.47	101-0525
Fox Tool-Kit	316-1056-ND	169.32	101-0529

Schnittstelle OP7200 mit Touchscreen

Die OP7200 intelligente Benutzerschnittstelle ist eine kleine leistungsstarke, C-programmierbare Datenerfassungs- und Anzeigeeinheit mit integriertem E/A, Ethernet-Konnektivität und einem optionalen Berührungsbildschirm. Der OP7200 ist zur Kartenmontage vorgesehen.

Merkmale:
- Kleine Größe: 4,4" x 5,7" x 1,7" (112 mm x 144 mm x 43 mm)
- 1/4 VGA LCM-Anzeige (320 x 240 Pixel) mit weißer LED-Hintergrundbeleuchtung
- Tastatur mit 9 Tasten
- LCD-Controller und SRAM-kompatibel mit OP7100
- 4 Status-LEDs
- 24 digitale E/A
- Rabbit 2000® Mikroprozessor mit Betrieb bei 22,1 MHz
- Hörbarer Alarmsummer
- 128K statischer RAM und 256K Flash-Speicher-Standard
- Ein RJ-45 Ethernet-Port
- 4 serielle Ports
- Integrierte Reservebatterie
- Watchdog
- Externer Rückstellungseingang
- Erfüllt die NEMA 4 Spezifikationen bzgl. Wasserdichte, wenn in einer Platte montiert.

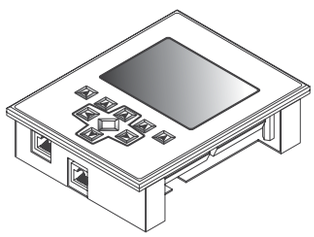

Beschreibung	Digi-Key Teilenr.	Stückpreis	Rabbit Teilenr.
Modell OP7200 mit Touchscreen	316-1059-ND	380.12	101-0535
LCD/Tastatur, plattenmontiert	316-1050-ND	83.81	101-0541
LCD/Tastatur-Einsteckmodul	316-1051-ND	66.88	101-0465
20" Kabel für plattenmontierte Tastatur/Anzeige	316-1052-ND	12.70	540-0066
OP7200 Toolkit	316-1057-ND	169.32	101-0543

OP6800 Schnittstelle mit Ethernet-Port

Die intelligente OP6800 Anschlussschnittstelle beinhaltet den leistungsstarken Rabbit 2000 Mikroprozessor, Flash-Speicher, statischen RAM, digitale E/A-Ports, serielle RS232/RS485 Ports und einen 10 Base-T Ethernet-Port.

Merkmale:
- 122 x 32 Grafikanzeige
- Tastatur mit 7 Tasten
- 7 LEDs
- 24 digitale E/A
- Rabbit 2000® Mikroprozessor mit Betrieb bei 22,1 MHz
- 128K statischer RAM und 256K Flash-Speicher
- Ein RJ-45 Ethernet-Port
- 4 serielle Ports
- Durch Batteriebetrieb sicherbare Echtzeituhr, Batterie inbegriffen
- Watchdog
- Rückstellgenerator
- Erfüllt die NEMA 4 Spezifikationen bzgl. Wasserdichte, wenn in einer Platte montiert.

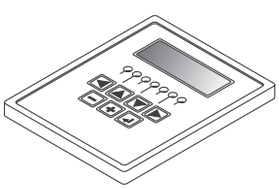

Beschreibung	Digi-Key Teilenr.	Stückpreis	Rabbit Teilenr.
Modell OP6800 mit Ethernet-Port	316-1060-ND	210.80	101-0492

SF1000 Erweiterungskarte — 8MB

Die SF1000 ist eine Flash-Speicherkarte mit serieller Schnittstelle, die zur Verwendung mit Einzelkarten-Computern von Z-World entwickelt wurde. Einzelkarten-Computer, die mit dem Rabbit 2000 Prozessor ausgestattet sind, können die SF1000-Karte entweder mit einem synchronen oder einem emulierten SPI über parallele E/A-Ports verwenden.

Die serielle Flash-Karte eignet sich besonders gut für Anwendungen, die das vorübergehende Speichern großer Datenmengen verlangen. Diese Daten können abgerufen oder mithilfe des steuernden Einzelkarten-Computers unter Verwendung von TCP/IP oder serieller Kommunikation auf ein anderes System heruntergeladen werden, oder die Karte kann herausgenommen werden, um die Datenübertragung an einen anderen Ort zu erleichtern.

Die SF1000 wird mit einer 10-Pin 5 x 2 Steckleiste (2 mm) geliefert.

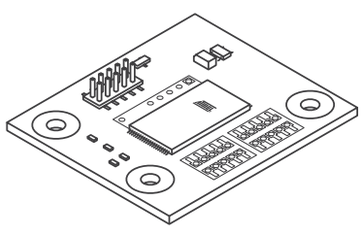

Beschreibung	Digi-Key Teilenr.	Stückpreis	Rabbit Teilenr.
Modell SF1000 Serielle Flash Erweiterungskarte, 8MB	316-1053-ND	100.75	101-0467

Rabbit Cloning-Karte

Die Rabbit Cloning-Karte kopiert bestimmte Teile des Flash-Speichers von einem Rabbit-basierten Controller (dem Master) zu einem anderen (dem Clone). Zur Verwendung der Cloning-Karte ist Dynamic C Version 6.50 oder neuer erforderlich.

Vorteile: • Die Rabbit Cloning-Karte ersetzt einen PC oder EPROM-Brenner als das primäre Tool zum Laden von Programmen und führt zu Kosten- und Platzersparnissen. • Programme können schnell auf leere aufgelötete Flash-Bausteine geladen werden. • Hochgeschwindigkeitsübertragungen mit 57.600 bps oder 115.200 bps • Höhere Datenübertragungsgeschwindigkeiten bis zu 921.600 bps beginnen mit Dynamic C Version 7.05 • Ideal für die Cloning-Produktion kleiner Mengen

Beschreibung	Digi-Key Teilenr.	Stückpreis	Rabbit Teilenr.
Cloning-Karte	316-1047-ND	75.35	101-0589

Kabelwandler

Beschreibung	Digi-Key Teilenr.	Stückpreis	Rabbit Teilenr.
RS232 an USB, Kabelwandler	316-1054-ND	33.02	540-0070

Rabbit 3000A™ -Mikroprozessor

Der neue Rabbit 3000A™ ist ein Mikroprozessor mit extrem niedriger Störstrahlung, der speziell für die eingebettete Steuerung, Kommunikation und Ethernet-Konnektivität entwickelt wurde. Der Rabbit 3000A benutzt denselben Befehlssatz und basiert auf demselben Konzept wie der bewährte Rabbit 2000™.

Der Rabbit 3000A ist schnell — bis zu 54 MHz — und ist C-freundlich. Darüber hinaus unterstützt er Compact Code und den direkten Software-Support für 1 MB Code-/Datenraum. Rabbit 3000A-Entwicklungstools bieten eine umfassende Unterstützung der Internet- und Netzwerk-Konnektivität, wobei der vollständige Quellcode für TCP/IP ohne Lizenzgebühr bereitgestellt wird.

Der Rabbit 3000A arbeitet bei 3,3 V (mit 5-V toleranten E/A) und ist mit 6 seriellen Ports mit IrDA, 56+ Digital-E/A, Quadratur-Encoder-Eingängen, PWM-Ausgängen und Impulserfassungs- und Messfunktionen ausgestattet. Außerdem verfügt er über eine durch Batteriebetrieb gesicherte Echtzeituhr, Glueless-Interfacing und Ultra-Niedrigleistung-Modi. Aufgrund seines kompaktes Befehlssatzes und der hohen Taktgeschwindigkeiten erzielt der Rabbit 3000A superschnelle Leistungen für mathematische, logische und E/A-Funktionen.

Programmierung des Rabbit 3000A:

Die Mikroprozessor-Hardware und Software-Entwicklung gestaltet sich für Rabbit-Benutzer extrem leicht. Der Rabbit 3000A wird mithilfe des in der Branche bewährten Dynamic C®-Software-Entwicklungssystems des angegliederten Unternehmensbereichs Z-World programmiert.

Hauptmerkmale:

• Low-EMI: in der Regel <10 dB µV/m @ 3 m • Ultra-Niedrigleistungs-Modi • 1,5-3,6 V (5-V toleranter E/A) • Taktgeschwindigkeit 54 MHz • 56+ digitaler E/A • 6 serielle Ports mit Support für IrDA, SDLC/HDLC, Async, SPI • Impulserfassung und -messung • Quadratur-Encoder-Eingänge • PWM-Ausgänge

Standardfunktionen:

• Glueless-Speicher und E/A-Schnittstelle • Direkter Support für 1 MB Code-/Datenraum (bis zu 6 MB mit Glueless-Schnittstelle) • Durch Batteriebetrieb sicherbare Echtzeituhr • Watchdog-Timer • Remote-Boot/Programm • Slave-Port-Schnittstelle

Designvorteile:

• Umfassender Ethernet-/Internet-Support und lizenzfreier TCP/IP-Stack mit Quellcode und Musterprogrammen • Dynamic C®-Entwicklungsumgebung für Echtzeitentwicklung und Debugging • Superschnelle Leistung für mathematische, logische und E/A-Funktionen

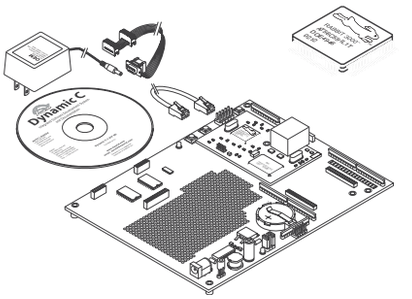

Beschreibung	Digi-Key Teilenr.	Stückpreis 2	Rabbit Teilenr.
Rabbit 3000A™ 54 MHz, 128 LQFP	316-1043-ND	12.28	668-0011

Rabbit 3000/A/RCM3000 Entwicklungskit

Nur Digi-Key-Teilenr. 316-1017-ND (101-0523) 253.13

Das Rabbit 3000A/RCM3000-Entwicklungskit enthält ein RCM3010-Ethernet-Kernmodul (mit Rabbit 3000A Mikroprozessor, Flash, SRAM, Ethernet-Hardware), einer Prototypkarte, einem kompletten Dynamic C SE Software-Entwicklungssystem (keine Probeversion) mit TCP/IP-Stack und Dokumentation auf CD-ROM, Netzteil und seriellem Kabel zum Programmieren und zum Debugging.

RabbitCore™ RCM3400 Analog-Kernmodul

Das RCM3400 RabbitCore Analogmodul verfügt über einen Prozessorkern und ein Analogeingangssubsystem, die OEMs schnell in benutzerspezifische Designs integrieren können. Das RCM3400 bietet ein Rabbit 3000-basiertes CPU-Subsystem mit niedriger Störstrahlung, 29, 4 MHz, 512K Flash/512K SRAM oder 256K Flash/256K SRAM, 5 serielle Ports und 8 Kanäle eines programmierbaren Verstärkungsanalogeingangs auf einer extrem kleinen Grundfläche (1,37" x 1,16" - 34 mm x 29 mm). Das RCM3400 wird mit einer im Voraus zugeordneten MAC I.D. geliefert, sodass es Ethernet-bereit ist, und die Entwicklungskarte verfügt über 10/100 Base-T Ethernet-Anschlüsse und kann zusammen mit den lizenzfreien Dynamic C® TCP/IP-Software-Bibliotheken auch als Referenzdesign verwendet werden. Mithilfe ausführlicher Demo-Programme und Softwareanwendungsvorlagen kann das RCM3400 problemlos in Rekordzeit in Betrieb genommen werden.

RabbitCores lassen sich direkt auf eine vom Benutzer entwickelte Mutterplatine montieren und können mit allen Typen von CMOS-kompatiblen digitalen Bausteinen eingesetzt werden. 47 digitale E/A (gemeinsame Nutzung mit seriellen Ports), Strom- und sonstige Signale werden über zwei 34-Pin Anschlussstecker an die Mutterplatine übertragen. Mithilfe von integrierten Low-EMI-Funktionen, einschließlich Clock Spectrum Spreader, werden EMI-Probleme praktisch beseitigt und OEMs werden bei der Durchführung von CE- und behördlichen RF- Emissionsstests unterstützt. Das RCM3400 ist mit 5-V toleranten E/A, Quadratur-Encoder-Eingängen, PWM-Ausgängen und Impulserfassungs- und messfunktionen ausgestattet. Das RCM3400 verfügt außerdem über eine durch Batteriebetrieb gesicherte Echtzeituhr, Glueless-Speicher und E/A-Schnittstellen sowie Niedrigleistungs-„Sleepy"-Modi. Ein vollständig aktivierter 8-Bit Slave-Port ermöglicht eine problemlose Master-Slave-Verbindung mit einem anderen prozessorbasierten System, und es kann ein alternativer E/A-Bus für 8 Datenleitungen und 6 Adressleitungen konfiguriert werden (gemeinsame Nutzung mit parallelem E/A).

Merkmale:

• Betrieb mit 3,3 V • Leistungsstarker Rabbit 3000™ Mikroprozessor • Low-EMI (typisch <10 dB µV/m @ 3 m) • RCM3400-512K Flash/512K SRAM, RCM3410-256K Flash/256K SRAM • 12-Bit A/D mit programmierbarer Verstärkung, 8 Kanäle • 47 digitale E/A, alternativer E/A-Bus • 5 serielle Ports (IrDA, SDLC/HDLC, Asynch, SPI) • MAC I.D. installiert

Designvorteile: • Vorgefertigte Plattform zur schnellen Markteinführung • Kompakte Größe erleichtert Integration • Dynamic C-Entwicklungsumgebung für Echtzeitentwicklung und Debugging • Außergewöhnlich schnelle Leistung für mathematische, logische und E/A-Funktionen

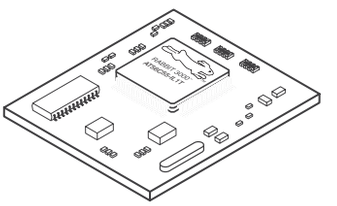

Beschreibung	Digi-Key Teilenr.	Stückpreis 1	10	100	Rabbit Teilenr.
RCM3400-Kernmodul	316-1025-ND	66.88	56.60	51.45	101-0561
RCM3410-Kernmodul	316-1026-ND	49.95	42.27	38.43	101-0562

Rabbit RCM3400 RabbitCore- Entwicklungskit

Nur Digi-Key-Teilenr. 316-1027-ND (101-0587) 337.79

Das RCM3400 Entwicklungskit enthält ein RCM3400-Kernmodul, eine Prototypkarte, AC-Adapter (nur USA), 10-Pin Steckleiste zum DE9-Programmierkabel mit integrierten Level-Abstimmungsschaltkreisen, komplettes Dynamic C SE Software-Entwicklungssystem (keine Probeversion) mit Dokumentation auf CD-ROM und einen Beutel mit Zubehörteilen zur Verwendung auf der Prototypenkarte.

RabbitCore™ RCM3100 Kernmodul

Das RCM3100 RabbitCore Mikroprozessor-Kernmodul ist die ideale Lösung für Designer, die eine rasche Entwicklung und Implementierung von eingebetteten Systemen anstreben. Das kompakte RCM3100-Modul wird durch den neuen Rabbit 3000™ Mikroprozessor gesteuert und ist randvoll gepackt mit leistungsstarken Funktionen. Außerdem verfügt es über eine kleine Grundfläche — 1,85" x 1,65 " (47 mm x 42 mm). Das RCM3100-Modul hat 6 serielle Ports und wird bei 29,4 MHz und 3,3 V betrieben (mit 5-V toleranten E/A). Außerdem verfügt es über integrierte Low-EMI-Funktionen, u. a. einen Clock Spectrum Spreader. Das RCM3100-Modul ist in zwei Modellausführungen erhältlich und ist mit jeweils 512K Flash- und SRAM-Speicher, Quadratur-Encoder-Eingängen, PWM-Ausgängen sowie Impulserfassungs- und -messfähigkeiten ausgestattet. Über zwei 34-Pin Connection-Headers werden 54 digitale E/A zur Verfügung gestellt, die mit den 6 seriellen Ports und alternativen E/A-Funktionen gemeinsam genutzt werden.Das RCM3110-Modul bietet 256K Flash- und 128K SRAM-Speicher.

Außerdem verfügt das RCM3100 über eine durch Batteriebetrieb gesicherte Echtzeituhr, Glueless-Speicher und E/A-Schnittstellen sowie Niedrigleistungs-„Sleepy"-Modi. Ein vollständig aktivierter 8-Bit Slave-Port ermöglicht eine problemlose Master-Slave-Verbindung mit einem anderen prozessorbasierten System, und es kann ein alternativer E/A-Bus für 8 Datenleitungen und 6 Adressleitungen konfiguriert werden (gemeinsame Nutzung mit parallelem E/A).

Merkmale:

• Tatsächliche Größe: 1,85" x 1,65" x 0,48" (47 mm x 42 mm x 12 mm) • Taktgeschwindigkeit 29,4 MHz • Betrieb mit 3,3 V • Leistungsstarker Rabbit 3000™ Mikroprozessor • Low-EMI (in der Regel <10 dB µV/m @ 3 m) • RCM3100: Bis zu 512K Flash/512K SRAM • RCM3110: 256K Flash- und 128K SRAM-Speicher. • 54 digitale E/A • 6 serielle Ports (IrDA, SDLC/HDLC, Async, SPI) • Alternativer E/A-Bus • Ultra-Niedrigleistungs-„Sleepy"-Modi • Impulserfassung und -messung • Quadratur-Encoder-Eingänge • PWM-Ausgänge

Designvorteile:

• Vorgefertigte Plattform zur schnellen Markteinführung • Kompakte Größe erleichtert Integration • Pin-kompatibel mit Ethernet RCM3000 für parallele Produktentwicklung • Dynamic C®-Entwicklungsumgebung für Echtzeitentwicklung und Debugging • Außergewöhnlich schnelle Leistung für mathematische, logische und E/A-Funktionen

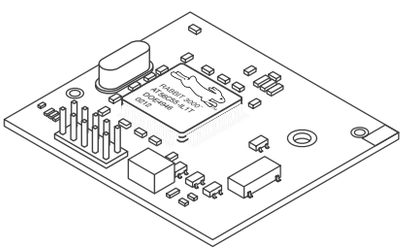

Beschreibung	Digi-Key Teilenr.	Stückpreis 1	10	100	Rabbit Teilenr.
RCM3100-Kernmodul	316-1021-ND	55.03	46.57	42.33	101-0517
RCM3110-Kernmodul	316-1022-ND	38.10	32.18	29.64	101-0518

Rabbit RCM3100 RabbitCore- Entwicklungskit

Nur Digi-Key-Teilenr. 316-1020-ND (101-0533) 202.34

Das RCM3100-Entwicklungskit enthält ein RCM3110-Kernmodul (mit Rabbit 3000-Mikroprozessor, Flash, SRAM, seriellen Ports und E/A-Ports), eine Prototypkarte, ein komplettes Dynamic C SE Software-Entwicklungssystem (keine Probeversion) mit Dokumentation auf CD-ROM, AC-Adapter (nur USA) und ein serielles Kabel für Programmieren und Debugging.

RabbitCore™ RCM3000-Kernmodul

Das RCM3000 RabbitCore-Modul ist das derzeit leistungsstärkste und funktionsreichste Mikroprozessor-Kernmodul von Rabbit Semiconductor. Das RCM3000-Modul basiert auf dem neuen Rabbit 3000A™ — dem „EMI-freien Mikroprozessor" — und ist die ideale Option für Designer, die eine rasche Entwicklung und Implementierung von eingebetteten Systemen mit vollständig integrierter Ethernet-Konnektivität anstreben.

Das Modul hat lediglich eine Größe von 2,73" x 1,85" (69 mm x 47 mm) und wird mit 3,3 V betrieben (mit 5-V tolerantem E/A). Außerdem ist es mit 6 seriellen Ports ausgestattet und verfügt über integrierte Low-EMI-Funktionen, u. a. einen Clock Spectrum Spreader.

Das RCM3000-Modul ist in zwei Ausführungen erhältlich und ist mit einem integrierten 10Base-T Ethernet-Port, bis zu jeweils 512K Flash- und SRAM-Speicher, Quadratur-Encoder-Eingängen, PWM-Ausgängen sowie Impulserfassungs- und -messfähigkeiten ausgestattet. Über zwei 34-Pin Connection Headers werden 52 digitale E/A zur Verfügung gestellt, die mit den 6 seriellen Ports und alternativen E/A-Funktionen gemeinsam genutzt werden. Das RCM3010-Modul bietet 256K Flash- und 128K SRAM-Speicher.

Außerdem verfügt das RCM3000 über eine durch Batteriebetrieb gesicherte Echtzeituhr, Glueless-Speicher und E/A-Schnittstellen sowie Niedrigleistungs-„Sleepy"-Modi. Ein vollständig aktivierter Slave-Port ermöglicht eine problemlose Master-Slave-Verbindung mit einem anderen prozessorbasierten System, und es kann ein alternativer E/A-Bus für 8 Datenleitungen und 8 Adressleitungen konfiguriert werden (gemeinsame Nutzung mit parallelem E/A).

Merkmale: • Tatsächliche Größe: 2,73" x 1,85" x 0,086" (69 mm x 47 mm x 22 mm) • Taktgesch-windigkeit 29,4 MHz • 10Base-T • Leistungsstarker Rabbit 3000™ Mikroprozessor • Low-EMI (in der Regel <10 dB µV/m @ 3 m) • Integriertes Ethernet zur vereinfachten Konnektivität • Betrieb mit 3,3 V • RCM3000: Bis zu 512K Flash/512K SRAM • RCM3010: 256K Flash- und 128K SRAM-Speicher. • 52 digitale E/A • 6 serielle Ports (IrDA, SDLC/HDLC, Async, SPI) • Alternativer E/A-Bus • Ultra-Niedrigleistungs-„Sleepy"-Modi • Impulserfassung und -messung • Quadratur-Encoder-Eingänge • PWM-Ausgänge

Designvorteil: • Vorgefertigte Plattform zur schnellen Markteinführung • Dynamic C®-Entwicklungsumgebung für Echtzeitentwicklung und Debugging

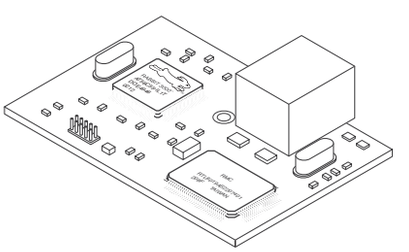

Beschreibung	Digi-Key Teilenr.	Stückpreis 1	10	100	Rabbit Teilenr.
RCM3000-Kernmodul	316-1018-ND	70.45	62.43	57.08	101-0507
RCM3010-Kernmodul	316-1019-ND	53.58	46.32	44.51	101-0508

Alle Preisangaben in Euro und inklusive Zollgebühren.

Rabbit 2000™
8-Bit Mikroprozessor

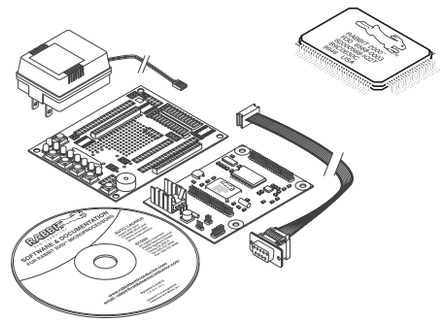

Der Rabbit 2000 ist ein 8-Bit Hochleistungs-Mikroprozessor, der sich durch seinen C-freundlichen Befehlssatz, seine schnelle Rechenleistung und zahlreichen On-Chip Peripheriergeräte auszeichnet.

Die integrierten Funktionen umfassen: 4 serielle Ports, einen Slave-Port, eine Remote-Bootstrap-Funktion, erweiterte Taktoptionen und eine Glueless-Schnittstelle für Speicher und E/A, womit das Hardware-Design vereinfacht wird. Mit einer maximalen Taktgeschwindigkeit von 30 MHz und einem optimierten C-ausgerichteten Befehlssatz erbringt der Rabbit 2000 eine höhere Leistung als alternative 16- und 32-Bit Prozessoren bei wesentlich geringeren Systemkosten. Der Rabbit 2000 wird durch das in der Branche bewährte Dynamic C® System von Z-World unterstützt und kann C-Sprachenanwendungen von ca. 1 MB (50.000+ C-Anweisungen) verarbeiten. Dynamic C bietet einen interaktiven Compiler, Editor und Source-Level-Debugger. Außerdem sind zahlreiche Anwendungsbibliotheken enthalten. Diese enge Integration von Hardware und Software verkürzt die Entwicklungszeit und macht das Programmieren wesentlich leichter.

Vorteile des Rabbit 2000

- Architektur für erweiterte mathematische Leistung
- Glueless-Speicher und E/A-Schnittstelle
- Remote Cold-Boot
- Slave-Schnittstelle
- 4 serielle Ports
- Mehr als 40 multifunktionale E/A-Pins
- Durch Batteriebetrieb sicherbare Echtzeituhr
- Watchdog-Timer
- Fünf kaskadierbare 8-Bit Timer und 2/10-Bit Timer mit Match-Registern
- Periodic Interrupt 488 Mikrosekunden
- Taktoptionen für Niedrigleistungs-Anwendungen

Rabbit 2000™ Entwicklungskit

Nur Digi-Key-Teilenr. 316-1003-ND (101-0359) 117.68

Das Kit enthält Jackrabbit Single-Board-Computer, Handbuch, Schaltbilder, AC-Adapter, Prototypkarte, Programmierkabel, Dokumentation auf CD-ROM, zusätzliche Teile und komplettes Dynamic C SE Software-Entwicklungssystem (keine Probeversion).

Beschreibung	Digi-Key Teilenr.	Stückpreis 2	10	100	Rabbit Teilenr.
Rabbit 2000	316-1004-ND	10.80	9.95	9.11	668-0003

B

Rabbit 2000™
8-Bit Mikroprozessor mit TCP/IP-Support

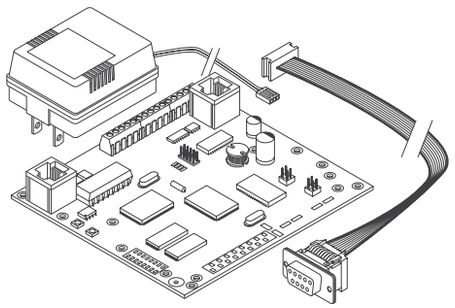

Der Rabbit 2000 ist jetzt mit vollständigem TCP/IP-Support erhältlich! Der Rabbit 2000 ist ein 8-Bit Hochleistungs-Mikroprozessor, der sich durch seinen C-freundlichen Befehlssatz, seine schnelle Rechenleistung und zahlreichen On-Chip Peripheriergeräte auszeichnet.

Die integrierten Funktionen umfassen 4 serielle Ports, einen Slave-Port, eine Remote-Bootstrap-Funktion, erweiterte Taktoptionen und eine Glueless-Schnittstelle für Speicher und E/A. Mit der Dynamic C®-Software auf CD-ROM wird der vollständige TCP/IP-Quellcode für den Rabbit 2000 mitgeliefert. ICMP, HTTP, DCHP (einschließlich SSI, CGI-Routinen, Cookies und einfache Authentifizierung), SMTP, FTP und TFTP (Client und Server) -Funktionen werden bereitgestellt. Außerdem sind Ethernet-Treiber für den Realtek NE2000-kompatiblen Chipsatz enthalten. Der Rabbit 2000 wird durch das in der Branche bewährte Dynamic C-System unterstützt und kann C-Sprachenanwendungen von ca. 1 MB (50.000+ C-Anweisungen) verarbeiten. Die Software-Entwicklung mit dem interaktiven Dynamic C-Compiler, Editor und Source-Level-Debugger ist leichter und schneller. Außerdem sind zahlreiche Anwendungsbibliotheken enthalten.

Rabbit 2000 TCP/IP Designvorteile

- Kostengünstig – keine Runtime-Lizenzgebühren!
- Zur Entwicklung robuster 10baseT-Ethernet-Anwendungen
- Direktes Schreiben zu TCP- oder UDP-Sockets
- Entwicklungskarte enthält RS232- und RS485-Ports, 4 Hochstromausgänge (200 mA), 4 digitale Eingänge, 512K Flash, 128K SRAM, fünf kaskadierbare 8-Bit Timer und 2 10-Bit Timer mit Match-Register, eine durch Batteriebetrieb sicherbare Echtzeituhr und eine 10baseT Ethernet-Schnittstelle.

Rabbit 2000™ TCP/IP-Entwicklungskit

Nur Digi-Key-Teilenr. 316-1005-ND (101-0401) 168.47

Das Kit enthält die Rabbit 2000™ TCP/IP-Entwicklungskarte (mit Rabbit 2000-Mikroprozessor, Flash, SRAM, Ethernet-Hardware, 8 digitalen E/A), Demo-Karte, Netzteil, serielles PC-Kabel für Echtzeit-Debugging und ein komplettes Dynamic C SE Software-Entwicklungssystem (keine Probeversion) mit TCP/IP auf CD-ROM.

Beschreibung	Digi-Key Teilenr.	Stückpreis	Rabbit Teilenr.
Rabbit 2000 TCP/IP-Toolkit	316-1006-ND	83.81	101-0403

RabbitCore 2000™
Mikroprozessor-Kernmodul

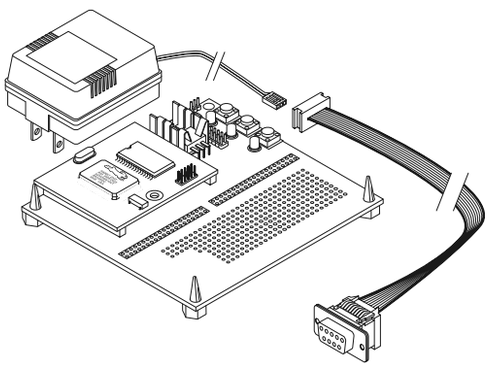

Das RabbitCore 2000-Modul ist eine leistungsfähige Alternative zu einem Mikrocontroller und bietet Ihnen bei Ihrem Board-Design ausgezeichnete Starthilfe. Inbegriffen sind eine Allzweck-E/A-Speicher-Schnittstelle, eine Backup-Schnittstelle und Master-Slave-Steuerpins. Doppelte 40-Pin Steckverbinder auf dem RabbitCore 2000-Modul passen in gewöhnliche zweireihige 2-mm Sockel auf Ihrer Karte. Flash und SRAM sind auf der Karte integriert und liefern eine entwicklungsbereite Speicherschnittstelle. Fünf parallele Ports stellen bis zu 40 parallele E/A-Leitungen bereit, die zum Anschluss von nahezu allen digitalen Geräten geeignet sind. Es werden 8-Bit Datenbusleitungen, 13 Adressleitungen und die erforderlichen Strobes bereitgestellt, sodass der Anschluss von Kommunikationsperipheriegeräten, E/A-Registern oder kleinen Speichern wie E/A-Geräte oder externe Speicher problemlos möglich ist.

Die Programme werden mit Dynamic C® von Z-World erstellt, einer C-Sprachenumgebung, die einen Editor, Compiler und Debugger enthält.

Das RabbitCore 2000-Modul eignet sich ideal für die Reduzierung der Produktionskosten, die Prototypentwicklung eines neuen Designs und eine beschleunigte Markteinführung Ihres Produkts.

RABBITCORE 2000

- **Kartengröße:** 1,90" x 2,30" x 0,50" (48,3 mm x 58,4 mm x 12,7 mm)
- **Eingangsspannung:** 4,75-5,25 V DC
- **Strom:** 98 mA bei 18,432 MHz, 5 V DC (130 mA bei 25,8 MHz, 5 V DC)
- **Prozessor:** Rabbit 2000
- **Mehrzweck-E/A:** 40 parallele E/A-Leitungen, gruppiert in fünf 8-Bit Ports (gemeinsame Nutzung mit seriellen Ports)
- **Speicher, E/A-Schnittstelle:** 13 Adressleitungen, 8 Datenleitungen, E/A Lesen/Schreiben, Puffer-Aktivierung, Status, Takt
- **Zusätzliche Digitaleingänge:** (2), Start-Modus (für Master/Slave), Reset-Eing.
- **Zusätzliche Digitalausgänge:** Watchdog-Ausgang, Rückstellausg.
- **Takt:** 18,432 MHz - 25,8 MHz (siehe Versionen)
- **SRAM:** 128K - 512K, (siehe Versionen)
- **Flash:** 256K
- **Timer:** Fünf kaskadierbare 8-Bit Timer, ein 10-Bit Timer mit 2 Match-Registern
- **Serielle Ports:** 4 CMOS-kompatible Ports. Max. asynchrone Baudrate ist 806.400 bps, max. synchrone Rate ist 6,45 Mbps. Zwei Ports sind als getaktete Ports konfigurierbar
- **Slave-Schnittstelle:** Mit dieser Schnittstelle kann das RabbitCore 2000-Modul als intelligentes Peripheriegerät als Slave mit einem Master-Prozessor verwendet werden

Zusätzliche Funktionen: Watchdog/Supervisor, Zeit/Datumuhr, Reservebatterieschaltung und Anschlüsse für die vom Benutzer bereitgestellte Batterie. Passt mit doppelten 40-Pin Steckverbindern auf Ihre Karte.

RabbitCore 2000™ Entwicklungskit

Nur Digi-Key-Teilenr. 316-1007-ND (101-0398) 143.08

Das Kit beinhaltet ein Modell-RCM2020, Handbuch mit Schaltbildern und Dokumentation auf CD-ROM, "Erste Schritte"-Einführungshandbuch, AC-Adapter, Prototypkarte, Programmierkabel und ein komplettes Dynamic C SE Software-Entwicklungssystem (keine Probeversion) auf CD-ROM.

Beschreibung	Digi-Key Teilenr.	Stückpreis	Rabbit Teilenr.
RCM2000 (25,8 MHz Takt und 512K SRAM)	316-1008-ND	58.42	101-0404
RCM2010 (25,8 MHz Takt und 128K SRAM)	316-1009-ND	41.48	101-0405
RCM2020 (18,432 MHz Takt und 128K SRAM)	316-1010-ND	33.02	101-0383

RabbitLink™ EG2110

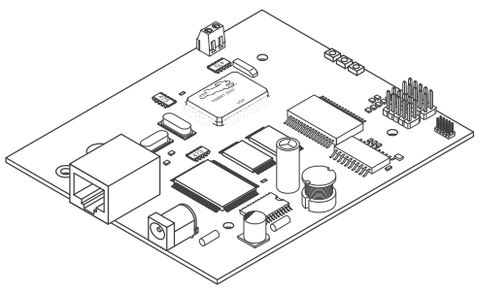

Rabbit-basierte eingebettete Systeme werden gewöhnlich mithilfe einer Direktverbindung zwischen einem PC und dem Programmieranschluss des Rabbit-basierten Systems programmiert. RabbitLink bietet eine indirekte Verbindung zwischen den beiden Bausteinen für entferntes Herunterladen und Debugging.

Merkmale:

- Rabbit 2000® Mikroprozessor mit Betrieb bei 22,1 MHz
- RJ-45 Ethernet-Port konform mit IEEE 802.3 Standard für 10 Base-T Ethernet-Protokoll
- 2 serielle Anschlüsse
- 3 Status-LED-Anzeigen:BENUTZER; ACT und LINK
- 128K statischer RAM und 512K Flash-Speicher
- Installierte Firmware
- Einfache Einrichtung mit DHCP oder einfachen Konsolenbefehlen
- Kennwortschutz
- Entferntes Herunterladen von Programmen und Debugging

Beschreibung	Digi-Key Teilenr.	Stückpreis	Rabbit Teilenr.
EG2110 RabbitLink-Karte	316-1049-ND	109.21	101-0580

RabbitCore™ RCM2200 Mikroprozessor-Kernmodul

Mit den Abmessungen von nur 1,6" x 2,3" x 0,86" (40,6 mm x 58,4 mm x 21,8 mm) erleichtert dieses kompakte Mikroprozessorkernmodul mit integriertem Ethernet die rasche Entwicklung von eingebetteten Systemen und liefert Designern ein komplettes Paket zur Steuerung und Kommunikation mit sofortiger lokaler oder weltweiter Konnektivität.

Im Lieferumfang enthalten sind Allzweck-E/A, Speicher-E/A-Schnittstelle, durch Batteriebetrieb gesicherte Uhr, Cold-Boot-Funktionalität und Slave-Modusbetrieb. Der integrierte Ethernet-Port hebt Beschränkungen der Kommunikation über eine serielle Schnittstelle auf. Eingebettete Systeme mit dem RCM2200 können in jedem Netzwerk oder im Internet gesteuert und überwacht werden (und bei Verwendung der entsprechenden Hardware programmiert und debugged werden). Zwei 26-Pin Steckverbinder auf dem RCM2200-Modul passen in gewöhnliche zweireihige 2-mm-Sockel auf Ihrer Karte. Flash und SRAM sind auf der Karte integriert und liefern eine entwicklungsbereite Speicherschnittstelle. 26 parallele E/A-Leitungen können zum Anschluss an fast jeden beliebigen digitalen Baustein verwendet werden. Bidirektionale 8-Bit Datenbusleitungen, 4 Adressleitungen und die notwendigen Strobes werden zum leichten Anschluss von Kommunikationsperipheriegeräten, Eingangs- oder Ausgangsregistern oder kleinen Speichern als E/A-Geräte verwendet.

Die Programme werden mit Dynamic C® von Z-World erstellt, einer C-Sprachenumgebung, die einen Editor, Compiler und Debugger mit lizenzfreiem TCP/IP-Stack in Quellenform enthält. Um eine parallele Entwicklung zu ermöglichen, ist das RCM2200-Modul mit dem nicht-Ethernet-konformen RCM2300 Pin-kompatibel.

RabbitCore RCM2200

• Kartengröße: 1,60" x 2,30" x 0,86" (41 mm x 59 mm x 22 mm) **• Eingangsspannung:** 4,75-5,25 V DC **• Strom:** 134 mA bei 5 V DC **• Prozessor:** Rabbit 2000 **• Mehrzweck-E/A:** 26 parallele E/A-Leitungen, gruppiert in fünf 8-Bit Ports (gemeinsame Nutzung mit seriellen Ports) **• Speicher, E/A-Schnittstelle:** 4 Adressleitungen, 8 Datenleitungen E/A Lesen-Schreiben **• Zusätzliche Digitaleingänge:** Startup-Modus, Reset **• Zusätzliche Digitalausgänge:** Status, Rückstellung **• Takt:** 22,1 MHz **• SRAM:** 128K, Oberflächenmontage **• Flash:** 256K, Oberflächenmontage **• Timer:** Fünf 8-Bit Timer, ein 10-Bit Timer. Fünf Timer sind in Paaren kaskadierbar **• Serielle Ports:** 4 CMOS-kompatible Ports. Max. asynchrone Baudrate ist 691.000 bps, max. synchrone Rate ist 5,53 Mbps. Zwei Ports sind als getaktete Ports konfigurierbar **• Slave-Schnittstelle:** Mit dieser Schnittstelle kann das RCM2200-Modul als intelligentes Peripheriegerät als Slave mit einem Master-Prozessor verwendet werden

Zusätzliche Funktionen: Watchdog/Supervisor, Zeit/Datumuhr, Reservebatterieschaltung und Anschlüsse für die vom Benutzer bereitgestellte Batterie.

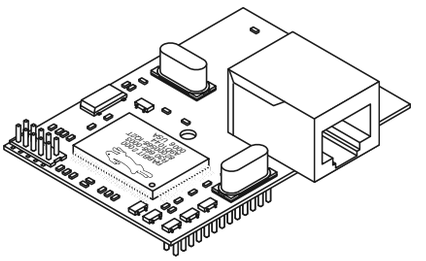

RabbitCore™ RCM2200-Entwicklungskit

Nur **Digi-Key-Teilenr. 316-1012-ND (101-0475)** **202.34**

Das Kit enthält ein RCM2200-Kernmodul (Ethernet, 256K Flash, 128K SRAM), "Erste Schritte"-Einführungshandbuch mit Schaltbildern, DC-Stromversorgung (nur US), Prototypkarte, serielles PC-Kabel und komplettes Dynamic C SE Software-Entwicklungssystem (keine Probeversion) sowie komplette Dokumentation auf CD-ROM.

Beschreibung	Digi-Key Teilenr.	Stückpreis	Rabbit Teilenr.
RCM2200	316-1013-ND	46.56	101-0454

RabbitCore™ RCM2300-Mikroprozessor-Kernmodul

Dieses ultrakompakte Mikroprozessor-Kernmodul ist lediglich 1,15" x 1,60" x 0,47" (29,2 mm x 40,6 mm x 11,8 mm) groß und eröffnet eine neue Welt der Designoptionen für wirtschaftliche Steuerungsprodukte.

Im Lieferumfang enthalten sind Allzweck-E/A, Speicher-E/A-Schnittstelle, durch Batteriebetrieb gesicherte Uhr, Cold-Boot-Funktionalität und Slave-Modusbetrieb. Zwei 26-Pin Steckverbinder auf dem RCM2300-Modul passen in gewöhnliche zweireihige 2-mm-Sockel auf Ihrer Karte. Flash und SRAM sind auf der Karte integriert und liefern eine entwicklungsbereite Speicherschnittstelle. 29 parallele E/A-Leitungen können zum Anschluss an fast jedes beliebige digitale Gerät verwendet werden. Bidirektionale 8-Bit Datenbusleitungen, 4 Adressleitungen und die notwendigen Strobes werden zum leichten Anschluss von Kommunikationsperipheriegeräten, Eingangs- oder Ausgangsregistern oder kleinen Speichern als E/A-Geräte verwendet.

Die Programme werden mit Dynamic C® von Z-World erstellt, einer C-Sprachenumgebung, die einen Editor, Compiler und Debugger enthält. Um eine parallele Entwicklung zu ermöglichen, ist das RCM2300-Modul mit dem Ethernet-RCM2200 Pin-kompatibel.

RabbitCore RCM2300:

• Kartengröße: 1,15" x 1,60" x 0,47" (29 mm x 41 mm x 12 mm) **• Eingangsspannung:** 4,75-5,25 V DC **• Strom:** 108 mA bei 5 V DC **• Prozessor:** Rabbit 2000 **• Mehrzweck-E/A:** 29 parallele E/A-Leitungen, gruppiert in fünf 8-Bit Ports (gemeinsame Nutzung mit seriellen Ports) **• Speicher, E/A-Schnittstelle:** 4 Adressleitungen, 8 Datenleitungen, E/A Lesen-Schreiben (zusätzliche Adressleitungen und Pufferaktivierung über separate Anschlüsse) **• Zusätzliche Digitaleingänge:** Startup-Modus, Reset **• Zusätzliche Digitalausgänge:** Status, Rückstellung **• Takt:** 22,1 MHz **• SRAM:** 128K, Oberflächenmontage **• Flash:** 256K, Oberflächenmontage **• Timer:** Fünf 8-Bit Timer, ein 10-Bit Timer. Fünf Timer sind in Paaren kaskadierbar **• Serielle Ports:** 4 CMOS-kompatible Ports. Max. asynchrone Baudrate ist 691.000 bps, max. synchrone Rate ist 5,53 Mbps. Zwei Ports sind als getaktete Ports konfigurierbar **• Slave-Schnittstelle:** Mit dieser Schnittstelle kann das RCM2300-Modul als intelligentes Peripheriegerät als Slave mit einem Master-Prozessor verwendet werden

Zusätzliche Funktionen: Watchdog/Supervisor, Zeit/Datumuhr, Reservebatterieschaltung und Anschlüsse für die vom Benutzer bereitgestellte Batterie.

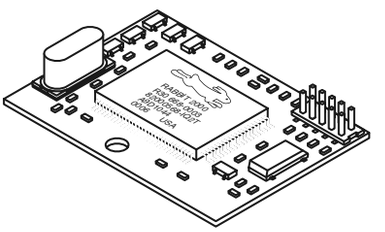

RabbitCore™ RCM2300-Entwicklungskit

Nur **Digi-Key-Teilenr. 316-1015-ND (101-0480)** **168.47**

Das Kit enthält ein RCM2300-Kernmodul (256K Flash, 128K SRAM), „Erste Schritte"-Einführungshandbuch mit Schaltbildern, Gleichstromversorgung (nur US), Prototypkarte, serielles PC-Kabel und komplettes Dynamic C SE Software-Entwicklungssystem (keine Probeversion) sowie komplette Dokumentation auf CD-ROM.

Beschreibung	Digi-Key Teilenr.	Stückpreis	Rabbit Teilenr.
RCM2300	316-1014-ND	35.56	101-0453

RabbitCore™ RCM3200-Mikroprozessor-Kernmodul

Das RCM3200 RabbitCore-Mikroprozessor-Kernmodul ist die ideale Option für Designer, die eine rasche Entwicklung und Implementierung von eingebetteten Systemen mit vollständig integrierter 10/100Base-T Ethernet-Konnektivität anstreben. Das RCM3200-Modul hat lediglich eine Größe von 2,73" x 1,85" (69 x 47 mm) und wird bei 3,3 V mit 5-V toleranten E/A betrieben und verfügt über 6 serielle Ports. Mithilfe von integrierten Low-EMI-Funktionen, einschließlich Clock Spectrum Spreader, werden EMI-Probleme praktisch eliminiert und OEMs werden bei der Durchführung von CE- und behördlichen RF- Emissionstests unterstützt.

Das RCM3200-Modul basiert auf dem Rabbit 3000-Mikroprozessor und läuft bei einer Taktgeschwindigkeit von 44,2 MHz. Es ist mit einem 512K Flash-Speicher, 512K Programmausführungs-SRAM und 256K Daten-SRAM, Quadratur-Decoder, PWM-Ausgängen und Impulserfassungsfunktionen ausgestattet. Über zwei 34-Pin Connection-Headers werden 52 digitale E/A zur Verfügung gestellt, die mit den 6 seriellen Ports und alternativen E/A-Funktionen gemeinsam genutzt werden. Der integrierte Ethernet-Port gestattet Echtzeit-Konnektivität lokal und weltweit.

Das RCM3200 verfügt außerdem über eine durch Batteriebetrieb gesicherte Echtzeituhr, Glueless-Speicher und E/A-Schnittstellen sowie Niedrigleistungs-„Sleepy"-Modi. Die effiziente Hardware- und Softwareintegration beschleunigt Design und Entwicklung. Benutzerprogramme können mithilfe von Dynamic C und einem Programmierkabel kompiliert, ausgeführt und ausgetestet werden - dazu ist kein schaltungsintegrierter Emulator erforderlich.

Designs mit RabbitCores: RabbitCores basieren auf äußerst leistungsfähigen 8-Bit Rabbit-Mikroprozessoren mit umfassenden integrierten Funktionen und einem C-freundlichen Befehlssatz, der zur Verwendung mit dem Dynamic C®-Entwicklungssystem konzipiert wurde. Eingebettete Systeme mit dem Ethernet RabbitCore-Modul können in jedem Netzwerk oder im Internet gesteuert und überwacht werden (und bei Verwendung der entsprechenden Hardware programmiert und ausgetestet werden).

Programmierung des RCM3200-Moduls:

Die Programme werden mithilfe unseres in der Branche bewährten Dynamics C Software-Entwicklungssystems entwickelt (SE-Version in preisgünstigen Entwicklungskits enthalten). Es steht eine umfassende Bibliothek von Treibern und Musterprogrammen sowie ein lizenzfreier TCP/IP-Stack mit Quellcode zur Verfügung.

RabbitCore RCM3200:

• Kartengröße: 2,73" x 1,85" x 0,86" (69 mm x 47 mm x 22 mm) **• Leistung:** 3,15–3,45 V DC **• Strom:** 255 mA bei 3.3V **• Prozessor:** Rabbit 3000 bei 44,2 MHz **• Mehrzweck-E/A:** 52 digitale E/A (44 konfigurierbare E/A, 4 feste Eingänge und 4 feste Ausgänge) **• Zusätzliche Digitaleingänge:** 2 Startup-Modi, Reset-Eing. **• Zusätzliche Digitalausgänge:** Status, Reset-Ausg. **• Echtzeituhr:** Ja **• SRAM:** 512K Programm +256K Daten **• Flash:** 512K **• Timer:** Zehn 8-Bit Timer (6 kaskadierbar vom ersten) und ein 10-Bit Timer mit 2 Match-Registern **• Serielle Ports:** 6 CMOS-kompatibel: 6 konfigurierbar als asynchron (mit IrDA), 4 als getaktet seriell (SPI) und 2 als SDLC/HDLC (mit IrDA), 1 asynchroner getakteter serieller Port, der für Programmierung dediziert ist, Support für MIR/SIR IrDA-Transceiver **• Slave-Schnittstelle:** Ermöglicht die Verwendung als Master oder intelligentes Peripheriegerät mit Rabbit-basiertem oder sonstigem Master-Controller

Zusätzliche Funktionen:

Ethernet-Port, Watchdog/Supervisor, Impulsdauermodulatoren, Quadratur-Decoder, Echtzeituhr und Reservebatterie

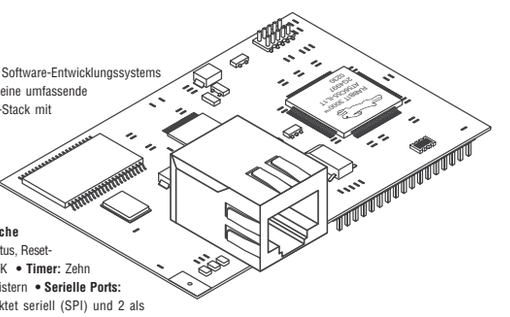

RabbitCore™ RCM3200 preisgünstiges Entwicklungskit

Nur **Digi-Key-Teilenr. 316-1023-ND (101-0552)** **295.46**

Das Kit enthält RCM3200 RabbitCore, „Erste Schritte"-Einführungshandbuch, DC-Stromversorgung (nur USA), Prototypkarte, serielles Kabel zum Programmieren und Debugging und komplettes Dynamic C SE Software-Entwicklungssystem (keine Probeversion) sowie komplette Dokumentation auf CD-ROM.

Beschreibung	Digi-Key Teilenr.	Stückpreis	Rabbit Teilenr.
Modul RCM3200 MPU	316-1024-ND	75.35	101-0520

RabbitCore™ RCM2100 Mikroprozessor-Kernmodul

Das RCM2100 ist unser mit allen Funktionen ausgestattetes RabbitCore-Mikroprozessorkernmodul mit integriertem Ethernet. Das RCM2100 bietet 512K Flash-Speicher und 512K SRAM sowie gepufferte externe Speicheradressierungsfunktionalität. Die 34 parallelen Benutzer-E/A, die mit 4 seriellen Ports gemeinsam genutzt werden, machen die lokale Steuerung und Kommunikation zum Kinderspiel.

Merkmale:

• Ethernet • 3,5" x 2,0" x 0,86" (88,9 mm x 50,8 mm x 21,8 mm) • 512K SRAM • 512K Flash • 34 Mehrzweck-E/A

Technische Daten des RabbitCore RCM2100:

• Mikroprozessor: Rabbit 2000 bei 22,1 MHz **• Mehrzweck-E/A:** 34 parallele E/A (20 konfigurierbare E/A, 8 feste Eingänge und 6 feste Ausgänge) **• Zusätzliche Eingänge:** 2 Startup-Modi, Reset-Eing. **• Zusätzliche Ausgänge:** Status, Uhr, Watchdog Out, Reset-Ausg. **• Speicher-E/A:** 13 gepufferte Adress-E/A, 8 gepufferte Daten-E/A sowie E/A Lesen-Schreiben und Pufferaktivierung **• Serielle Ports:** vier 5 V CMOS-kompatibel; 2 konfigurierbar als getaktete Ports **• Serielle Geschwindigkeit:** Max. Burst-Rate = CLK/32 Max. Halterate = Burst/2 **• Anschlussstecker:** zwei 2 x 20, 2 mm IDC Header **• Slave-Schnittstelle:** Ermöglicht die Verwendung als Master oder intelligentes Peripheriegerät mit Rabbit-basiertem oder sonstigem Master-Controller **• Echtzeituhr:** Ja **• Timer:** Fünf 8-Bit Timer (4 kaskadierbar vom ersten) und ein 10-Bit Timer mit 2 Match-Registern **• Watchdog/Supervisor:** Ja **• Strom:** 4,75-5,25 V DC, 140 mA **• Betriebstemp.:** -40 °C bis +70 °C **• Feuchtigkeit:** 5-95 %, nicht kondensierend **• Kartengröße:** 3,5" x 2,0" x 0,85" (89 x 51 x 22 mm)

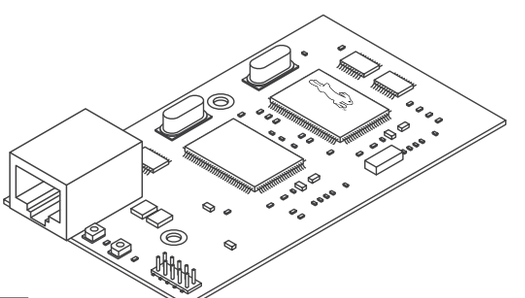

RabbitCore™ 2000/RCM2100 preisgünstiges Entwicklungskit

Nur **Digi-Key-Teilenr. 316-1028-ND (101-0451)** **236.20**

Optimieren Sie Ihre Evaluierungs- und Designaufgaben mit einem kompletten Entwicklungskit, das Folgendes enthält: RCM2100-Mikroprozessor-Kernmodul, Prototypkarte, Dynamic C SE Software-Entwicklungssystem (keine Probeversion), sowie komplette Dokumentation auf CD-ROM, serielles Kabel für Programmierung und Debugging, "Erste Schritte"-Einführungshandbuch und Netzadapter (nur USA und Kanada).

Beschreibung	Digi-Key Teilenr.	Stückpreis	Rabbit Teilenr.
Modul RCM2100-MPU	316-1029-ND	75.35	101-0434

Alle Preisangaben in Euro und inklusive Zollgebühren.

RabbitCore™
RCM3300/3310-Kernmodul

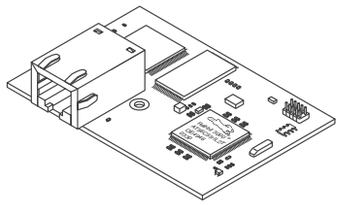

Das RCM3310-Modul ist die ideale Lösung für Designer, die eine rasche Entwicklung und Implementierung von sicheren, eingebetteten Systemen anstreben. Das funktionsreiche RCM3310-Modul beruht auf Feedback aus der Industrie und vereint traditionelle RabbitCore-Produktstärken in einem Gerät: Rabbit 3000 @ 44 MHz Takt, 10/100Base-T Ethernet-Konnektivität, 4 oder 8 MB serieller Flash, 512K Flash, 512K Programmausführung und 512K Daten-SRAM. 49 Digital-E/A werden zusammen mit den 5 seriellen Ports mit 3,3 V (mit 5 V-toleranten E/A) betrieben

Merkmale: • 3,3 V Betrieb • Leistungsstarker Rabbit 3000A-Mikroprozessor • 512K Flash/ 512K SRAM • 49 digitale E/A • 5 serielle Ports

Designvorteile: • Fertigplattformen für kurze Markeinführungszeiten • Kompakte Größe • Dynamic C®-Entwicklungsumgebung für Echtzeitentwicklung und Debugging • Schnelle Leistung für mathematische, logische und E/A-Funktionen

RabbitCore™ RCM3300-Entwicklungskit

Nur **Digi-Key-Teilenummer 316-1036-ND (101-0704)** **253.13**

Das RCM3300 Entwicklungskit enthält ein RCM3300-Kernmodul, eine Prototypkarte, AC-Adapter (nur USA), Programmierkabel, komplettes Dynamic C SE Software Entwicklungssystem (keine Probeversion) mit Dokumentation auf CD-ROM und einen Beutel mit Zubehörteilen zur Verwendung auf der Prototypenkarte.

Beschreibung	Digi-Key Teilenr.	Stückpreis	Rabbit Teilenr.
Modul RCM3300	316-1030-ND	100.75	101-0691
Modul RCM3310	316-1031-ND	83.81	101-0698

RabbitCore™
RCM3600/3610-Kernmodul

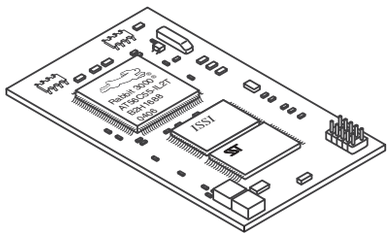

Das RCM3600 RabbitCore-Modul ist das preiswerteste Kernmodul auf Rabbit 3000 Mikroprozessor-Basis, das für eine Vielzahl von Anwendungen entworfen wurde. Das RCM3600 bietet 512K Flash/512K SRAM oder 256K Flash/128K SRAM, 4 serielle Ports und benötigt eine extrem kleine Grundfläche (2,10" x 1,20" / 53 mm x 30 mm). Dieses RabbitCore-Modul wird direkt auf eine benutzerspezifische Mutterplatine mit einem einzigen 0,1" (2,54 mm) 2x20 Doppelreihen-IDC Header montiert und kann mit allen Arten von CMOS-kompatiblen Digitalbausteinen verbunden werden. 33 digitale E/A (gemeinsame Nutzung mit seriellen Ports), Strom- und sonstige Signale werden direkt an die Mutterplatine geleitet. Mithilfe von integrierten Low-EMI-Funktionen, einschließlich Clock Spectrum Spreader, werden EMI-Probleme praktisch eliminiert und OEMs werden bei der Durchführung von CE- und behördlichen RF- Emissionstests unterstützt.

Merkmale: • Betrieb mit 3,3 V • Leistungsstarker Rabbit 3000A-Processor • 256K (3610) bis 512K (3600) Flash-Speicher und SRAM • 33 digitale E/A • 4 serielle Ports

Designvorteile: • Preiswerte Lösung • Fertigplattform für einfache Design-Implementierung • Kompakte Größe • Dynamic C®-Entwicklungsumgebung für Echtzeitentwicklung und Debugging • Schnelle Leistung für mathematische, logische und E/A-Funktionen

RabbitCore™ RCM3600-Entwicklungskit

Nur **Digi-Key-Teilenummer 316-1037-ND (101-0678)** **202.34**

Das RCM3600 Entwicklungskit enthält ein RCM3600-Kernmodul, eine Prototypkarte, AC-Adapter (nur USA), Programmierkabel, komplettes Dynamic C SE Software Entwicklungssystem (keine Probeversion) mit Dokumentation auf CD-ROM und einen Beutel mit Zubehörteilen zur Verwendung auf der Prototypenkarte.

Beschreibung	Digi-Key Teilenr.	Stückpreis	Rabbit Teilenr.
Modul RCM3600	316-1032-ND	41.48	101-0672
Modul RCM3610	316-1033-ND	33.02	101-0673

RabbitCore™
RCM3700/3710-Kernmodul

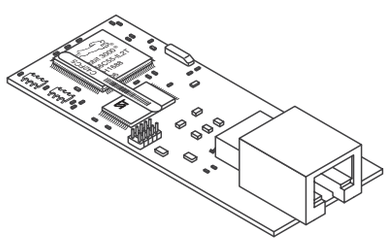

Das RCM3700 RabbitCore-Modul ist das preiswerteste Kernmodul auf Rabbit 3000 Mikroprozessor-Basis, das für Ethernet/Internet Anwendungen entworfen wurde. Das RCM3700 bietet 512K Flash/512K SRAM oder 256K Flash/128K SRAM, 4 serielle Ports und benötigt eine extrem kleine Grundfläche (2,95" x 1,20" / 75 mm x 30 mm). 33 Digital-E/A (zusammen mit seriellen Anschlüssen) sind mit +5 V DC toleranten E/A-, Quadratur-Encoder-Eingängen, PWM-Ausgängen und Impulserfassungs- und -messfunktionen ausgerüstet. Das RCM3700 verfügt außerdem über eine durch Batteriebetrieb gesicherte Echtzeituhr, einen Glueless-Speicher und E/A-Schnittstellen sowie Niedrigleistungs-Schlafmodi. Ein anderer E/A-Bus kann für 8 Datenleitungen und 6 Adressleitungen konfiguriert werden (gemeinsam mit Parallel-E/A).

Merkmale: • Betrieb mit 3,3 V • Leistungsstarker Rabbit 3000A-Processor • 512K Flash/ 512K SRAM • 33 digitale E/A • Designvorteil: 4 serielle Ports • Preiswerte Lösung • Fertigplattform für einfache Design-Implementierung • Kompakte Größe • Dynamic C®-Entwicklungsumgebung für Echtzeitentwicklung und Debugging • Schnelle Leistung für mathematische, logische und E/A-Funktionen

RabbitCore™ RCM3700-Entwicklungskit

Nur **Digi-Key-Teilenummer 316-1038-ND (101-0680)** **253.13**

Das RCM3700 Entwicklungskit enthält ein RCM3700-Kernmodul, eine Prototypkarte, AC-Adapter (nur USA), Programmierkabel, komplettes Dynamic C SE Software Entwicklungssystem (keine Probeversion) mit Dokumentation auf CD-ROM und einen Beutel mit Zubehörteilen zur Verwendung auf der Prototypenkarte.

Beschreibung	Digi-Key Teilenr.	Stückpreis	Rabbit Teilenr.
Modul RCM3700	316-1034-ND	49.95	101-0674
Modul RCM3710	316-1035-ND	41.48	101-0675

RabbitCore™
RCM3360/3370-Kernmodul

Die RCM3360/RCM3370 Module mit herausnehmbaren xD-Picture Cards™ stellen eine neue Form eingebetteter Flexibilität dar. Dieses RabbitCore-Modul unterstützt integriertes 16MB NAND Flash sowie Speicherkarten bis zu 128MB und eignet sich perfekt für große Datenanwendungen, die Niedrigstrombetrieb verlangen.

Merkmale: • Leistungsstarker Rabbit 3000 Mikroprozessor @ 44 MHz Takt • 10/100Base-T Ethernet-Konnektivität • Betrieb mit 3,3 V • 512K Flash/512K Programm + 512K Daten-SRAM • 49 digitale E/A und 5 serielle Ports (RCM3300/3310) • 52 digitale E/A und 6 serielle Ports (RCM3360/RCM3370) • Kartengröße: 1,85" x 2,73" x 0,86" (47 mm x 69 mm x 22 mm)

Designvorteile: • Ideal für Netzwerk-aktivierende Sicherheits- und Zugriffssysteme, Heimautomatisierung, HVAC-Systeme und industrielle Steuerungen

RabbitCore™ RCM3360-Entwicklungskit

Nur **Digi-Key-Teilenummer 316-1046-ND (101-0953)** **337.79**

Das RCM3360 Entwicklungskit enthält ein RCM3360-Kernmodul, eine Prototypkarte, AC-Adapter (nur USA), C-Programmierung, serielles Kabel und eine 32MB xD-Picture Card™

Beschreibung	Digi-Key Teilenr.	Stückpreis	Rabbit Teilenr.
Modul RCM3360	316-1044-ND	88.89	101-0949
Modul RCM3370	316-1045-ND	80.43	101-0950

RabbitCore™
Anwendungs-Entwicklungskits

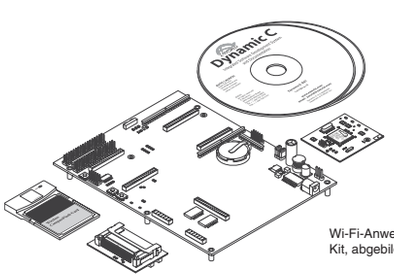

Wi-Fi-Anwendung Kit, abgebildet

Wi-Fi Kit: • Optimieren Sie Ihr drahtloses Anwendungsdesign mit einem kompletten Anwendungskit. Die Integration von Wi-Fi (IEEE 802,11b) mit einem RabbitCore™-Entwicklungskit eingebetteter Systemintegratoren kann jetzt ein drahtloses eingebettetes System aktivieren. Drahtlose Konnektivität erübrigt Ethernet-Kabel und bietet mehr Flexibilität und Mobilität für drahtlose eingebettete Netzwerke.

Inhalt: • Linksys Wi-Fi-Karte • RCM3100 Mikroprozessor-Kernmodul • Prototypkarte • Dynamic C Entwicklungssystem und komplette Dokumentation auf CD-ROM • Serielles Kabel für Programmierung und Debugging. • 10-Pin DB15 Wandlerkabel • Handbücher • AC-Adapter (nur USA/Kanada)

M2M-Kit: • Optimieren Sie Ihr M2M-Anwendungsdesign mit einem kompletten Anwendungskit. **Inhalt:** • Wavecom Fastrack Modem • Bausteinantenne • RCM3200 Mikroprozessor-Kernmodul • Prototypkarte • Dynamic C Entwicklungssystem und komplette Dokumentation auf CD-ROM • Serielles Kabel für Programmierung und Debugging. • 10-Pin DB15 Wandlerkabel • Ethernet-Kreuzkabel • Handbücher • AC-Adapter (nur USA/Kanada)

Secure Embedded Web: Da mehr und mehr eingebettete Anwendungen Zugriff über das Internet enthalten, wird die sichere Übertragung von Daten ständig wichtiger. Das „Secure Embedded Web Application Kit" bietet optimierte Software-Entwicklungstools zum einfachen Aufbau von sicheren Web-Schnittstellen für neue und vorhandene Anwendungen. Das um den RCM3700 RabbitCore™ konzipierte, von einem Rabbit 3000 Mikroprozessor getriebene „Secure Embedded Web Application Kit" stellt Secure Socket Layer (SSL) bereit, das eine 128-Bit Sperre und Schlüssellösung zum Verschlüsseln von Datenübertragungen implementiert. **Inhalt:** • RCM3700 Mikroprozessor-Kernmodul • Entwicklungskarte mit Prototyping-Bereich • Dynamic C Entwicklungssystem und komplette Dokumentation auf CD-ROM • SSL • RabbitWeb • FAT-Dateisystem • Serielles Kabel für Programmierung und Debugging. • „Erste Schritte" - Einführungshandbuch • AC-Adapter (nur USA/Kanada)

Seriell an Ethernet: Nun steht dem Designer ein Seriell-an-Ethernet-Anwendungskit zur Verfügung, das einfach zu verwenden ist. Die einfache Installation in drei Schritten zur Übertragung von Daten von einem digitalen Spannungsmesser über einen seriellen Port an einen TCP/IP-Strom ermöglicht es selbst absoluten Anfängern, schnell eine Seriell-an-Ethernet-Anwendung zu entwickeln. Das Kit enthält Spannungsmesser-Software-Bibliotheken, Musterprogramme und ein Menüsystem; außerdem bietet es eine Dynamic C® integrierte Entwicklungsumgebung. **Inhalt:** • RCM3010 Mikroprozessor-Kernmodul • Prototypkarte • Dynamic C Entwicklungssystem und komplette Dokumentation auf CD-ROM • Serielles Kabel für Programmierung und Debugging. • DB-9 Nullmodemkabel • 10-Pin DB9 Wandlerkabel • Ethernet-Kreuzkabel • „Erste Schritte" - Einführungshandbuch • Tastatur/Display • AC-Adapter (nur USA/Kanada)

Beschreibung	Digi-Key Teilenr.	Stückpreis	Rabbit Teilenr.
Wi-Fi-Anwendungskit	316-1039-ND	507.11	101-0911
Maschine-Maschine-Kit	316-1040-ND	591.77	101-0721
Sicheres, eingebettetes Kit	316-1041-ND	591.77	101-0897
Seriell-an-Ethernet-Kit	316-1042-ND	295.46	101-0689

C8051F Hochleistungs-MCUs für Mischsignale

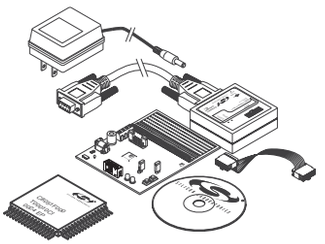

Präz.-Mischsignal-MCUs - MCUs mit allen Funktionen und einer Supercharged 8051 CPU

Die Präzisions-Mikrocontroller-Gruppe für Mischsignale verbindet hochpräzise Analogdatenwandler mit einer 8051 CPU mit hohem Durchsatz, wodurch sie sich für analoge und rechnungsintensive Anwendungen ideal eignet. Die ADC-Auflösungen reichen von 8 bis 24 Bits und der CPU-Durchsatz reicht von 20 bis 100 MIPS. Andere analoge On-Chip-Peripheriegeräte umfassen DACs (Auflösungen bis zu 12 Bit), eine Spannungsreferenz, Komparatoren, einen Temperatursensor und Ozillatoren. Zu den Digitalperipheriegeräten zählen externe Speicherschnittstellen, Timer, PCA-Module und UART, SPI und SMBus serielle Anschlüsse. ***Merkmale:*** **• C8051F01x und C8051F12x, C8051F13x:** Externe Speicherschnittstelle, Temperatursensor und VREF **• C8051F02x und C8051F00x:** Temperatursensor und VREF **• C8051F35x:** Temperatursensor, PGA und VREF **• C8051F064 und C8051F066:** Externer Speicher und VREF **• C8051F065 und C8051F067:** VREF

B

Flash-Speicher (Bytes)	RAM (Bytes)	Digital-Port, E/A-Pins	Timer (16-Bit)	PCA-Kanäle	Serielle Busse	ADC1	ADC2	DAU	Komp.	Andere	Interne Osz.	MIPS (Spitzen)	Paket	Digi-Key Teilenr.*	Gurtabschnittspreis pro Stück 1	25	100	Silicon Labs Teilenr.	Entwicklungskit-Teilenr.
128K	8448	64	5	6	2 UARTs, SMBus, SPI	12-Bit, 8-Kan. 100 KSPS	8-Bit, 8-Kan. 500ksps	12-Bit, 2-Kan.	2	16x16 MAC	±2%	100	100-TQFP	336-1079-1-ND	31.07	23.02	18.56	C8051F120R	C8051F120DK-U
128K	8448	32	5	6	2 UARTs, SMBus, SPI	12-Bit, 8-Kan. 100 KSPS	8-Bit, 8-Kan. 500ksps	12-Bit, 2-Kan.	2	16x16 MAC	±2%	100	64-TQFP	336-1080-1-ND	30.09	22.30	17.98	C8051F121R	C8051F120DK-U
128K	8448	64	5	6	2 UARTs, SMBus, SPI	10-Bit, 8-Kan. 100 KSPS	8-Bit, 8-Kan. 500ksps	12-Bit, 2-Kan.	2	16x16 MAC	±2%	100	100-TQFP	336-1081-1-ND	28.79	21.34	17.21	C8051F122R	C8051F120DK-U
128K	8448	32	5	6	2 UARTs, SMBus, SPI	10-Bit, 8-Kan. 100 KSPS	8-Bit, 8-Kan. 500ksps	12-Bit, 2-Kan.	2	16x16 MAC	±2%	100	64-TQFP	336-1082-1-ND	27.84	20.63	16.63	C8051F123R	C8051F120DK-U
128K	8448	64	5	6	2 UARTs, SMBus, SPI	12-Bit, 8-Kan. 100 KSPS	8-Bit, 8-Kan. 500ksps	12-Bit, 2-Kan.	2	—	±2%	50	100-TQFP	336-1059-1-ND	27.25	20.19	16.28	C8051F124R	C8051F120DK-U
128K	8448	32	5	6	2 UARTs, SMBus, SPI	12-Bit, 8-Kan. 100 KSPS	8-Bit, 8-Kan. 500ksps	12-Bit, 2-Kan.	2	—	±2%	50	64-TQFP	336-1060-1-ND	26.24	19.43	15.68	C8051F125R	C8051F120DK-U
128K	8448	64	5	6	2 UARTs, SMBus, SPI	10-Bit, 8-Kan. 100 KSPS	8-Bit, 8-Kan. 500ksps	12-Bit, 2-Kan.	2	—	±2%	50	100-TQFP	336-1061-1-ND	24.98	18.50	14.93	C8051F126R	C8051F120DK-U
128K	8448	32	5	6	2 UARTs, SMBus, SPI	10-Bit, 8-Kan. 100 KSPS	8-Bit, 8-Kan. 500ksps	12-Bit, 2-Kan.	2	—	±2%	50	64-TQFP	336-1062-1-ND	24.03	17.80	14.35	C8051F127R	C8051F120DK-U
128K	8448	64	5	6	2 UARTs, SMBus, SPI	10-Bit, 8-Kan. 100 KSPS	—	12-Bit, 2-Kan.	2	16x16 MAC	±2%	100	100-TQFP	336-1147-ND†	16.13	13.91	10.77	C8051F130	C8051F120DK-U
128K	8448	32	5	6	2 UARTs, SMBus, SPI	10-Bit, 8-Kan. 100 KSPS	—	12-Bit, 2-Kan.	2	16x16 MAC	±2%	100	64-TQFP	336-1148-ND†	15.47	13.34	10.33	C8051F131	C8051F120DK-U
64K	8448	64	5	6	2 UARTs, SMBus, SPI	10-Bit, 8-Kan. 100 KSPS	—	12-Bit, 2-Kan.	2	16x16 MAC	±2%	100	100-TQFP	336-1149-ND†	13.06	11.64	9.02	C8051F132	C8051F120DK-U
64K	8448	32	5	6	2 UARTs, SMBus, SPI	10-Bit, 8-Kan. 100 KSPS	—	12-Bit, 2-Kan.	2	16x16 MAC	±2%	100	64-TQFP	336-1150-ND†	12.83	11.07	8.57	C8051F133	C8051F120DK-U
64K	4352	64	5	5	2 UARTs, SMBus, SPI	12-Bit, 8-Kan. 100 KSPS	8-Bit, 8-Kan. 500ksps	12-Bit, 2-Kan.	2	—	±20%	25	100-TQFP	336-1032-1-ND	26.54	19.10	15.16	C8051F020R	C8051F020DK-U
64K	4352	32	5	5	2 UARTs, SMBus, SPI	12-Bit, 8-Kan. 100 KSPS	8-Bit, 8-Kan. 500ksps	12-Bit, 2-Kan.	2	—	±20%	25	64-TQFP	336-1033-1-ND	25.59	18.42	14.62	C8051F021R	C8051F020DK-U
64K	4352	64	5	5	2 UARTs, SMBus, SPI	10-Bit, 8-Kan. 100 KSPS	8-Bit, 8-Kan. 500ksps	12-Bit, 2-Kan.	2	—	±20%	25	100-TQFP	336-1034-1-ND	21.11	15.19	12.06	C8051F022R	C8051F020DK-U
64K	4352	32	5	5	2 UARTs, SMBus, SPI	10-Bit, 8-Kan. 100 KSPS	8-Bit, 8-Kan. 500ksps	12-Bit, 2-Kan.	2	—	±20%	25	64-TQFP	336-1035-1-ND	19.61	14.12	11.21	C8051F023R	C8051F020DK-U
32K	256	32	4	5	UART, SMBus, SPI	12-Bit, 8-Kan. 100 KSPS	—	12-Bit, 2-Kan.	2	—	±20%	20	64-TQFP	336-1000-1-ND	18.77	13.51	10.72	C8051F000R	C8051F005DK-U
32K	256	16	4	5	UART, SMBus, SPI	12-Bit, 8-Kan. 100 KSPS	—	12-Bit, 2-Kan.	2	—	±20%	20	48-TQFP	336-1001-1-ND	18.46	13.29	10.55	C8051F001R	C8051F005DK-U
32K	256	8	4	5	UART, SMBus, SPI	12-Bit, 4-Kan. 100 KSPS	—	12-Bit, 2-Kan.	1	—	±20%	20	32-LQFP	336-1002-1-ND	18.18	13.09	10.39	C8051F002R	C8051F005DK-U
32K	2304	32	4	5	UART, SMBus, SPI	12-Bit, 8-Kan. 100 KSPS	—	12-Bit, 2-Kan.	2	—	±20%	25	64-TQFP	336-1003-1-ND	20.12	14.48	11.49	C8051F005R	C8051F005DK-U
32K	2304	16	4	5	UART, SMBus, SPI	12-Bit, 8-Kan. 100 KSPS	—	12-Bit, 2-Kan.	2	—	±20%	25	48-TQFP	336-1004-1-ND	19.58	14.09	11.19	C8051F006R	C8051F005DK-U
32K	2304	8	4	5	UART, SMBus, SPI	12-Bit, 4-Kan. 100 KSPS	—	12-Bit, 2-Kan.	1	—	±20%	25	32-LQFP	336-1041-1-ND	19.12	13.76	10.93	C8051F007R	C8051F005DK-U
32K	256	32	4	5	UART, SMBus, SPI	10-Bit, 8-Kan. 100 KSPS	—	12-Bit, 2-Kan.	2	—	±20%	20	64-TQFP	336-1005-1-ND	17.58	12.65	10.04	C8051F010R	C8051F005DK-U
32K	256	16	4	5	UART, SMBus, SPI	10-Bit, 8-Kan. 100 KSPS	—	12-Bit, 2-Kan.	2	—	±20%	20	48-TQFP	336-1006-1-ND	17.25	12.42	9.85	C8051F011R	C8051F005DK-U
32K	256	8	4	5	UART, SMBus, SPI	10-Bit, 4-Kan. 100 KSPS	—	12-Bit, 2-Kan.	1	—	±20%	20	32-LQFP	336-1007-1-ND	16.79	12.09	9.59	C8051F012R	C8051F005DK-U
32K	2304	32	4	5	UART, SMBus, SPI	10-Bit, 8-Kan.. 100 KSPS	—	12-Bit, 2-Kan.	2	—	±20%	25	64-TQFP	336-1030-1-ND	19.00	13.68	10.85	C8051F015R	C8051F005DK-U
32K	2304	16	4	5	UART, SMBus, SPI	10-Bit, 8-Kan. 100 KSPS	—	12-Bit, 2-Kan.	2	—	±20%	25	48-TQFP	336-1031-1-ND	18.69	13.46	10.68	C8051F016R	C8051F005DK-U
32K	2304	8	4	5	UART, SMBus, SPI	10-Bit, 4-Kan. 100 KSPS	—	12-Bit, 2-Kan.	1	—	±20%	25	32-LQFP	336-1042-1-ND	18.49	13.30	10.56	C8051F017R	C8051F005DK-U
16K	1280	32	4	5	UART, SMBus, SPI	10-Bit, 8-Kan. 100 KSPS	—	—	2	—	±20%	25	64-TQFP	336-1048-1-ND	15.34	11.04	8.77	C8051F018R	C8051F005DK-U
16K	1280	16	4	5	UART, SMBus, SPI	10-Bit, 8-Kan. 100 KSPS	—	—	2	—	±20%	25	48-TQFP	336-1049-1-ND	14.78	10.64	8.45	C8051F019R	C8051F005DK-U
64K	4352	59	5	6	2 UARTs, SMBus, SPI	16-Bit, 2-Kan. 1 MSPS	—	—	3	DMA	±2%	25	100-TQFP	336-1089-1-ND	13.79	10.62	8.85	C8051F064	C8051F064EK-U
64K	4352	24	5	6	2 UARTs, SMBus, SPI	16-Bit, 2-Kan. 1 MSPS	—	—	3	DMA	±2%	25	64-TQFP	336-1090-1-ND	13.38	10.30	8.59	C8051F065	C8051F064EK-U
32K	4352	59	5	6	2 UARTs, SMBus, SPI	16-Bit, 2-Kan. 1 MSPS	—	—	3	DMA	±2%	25	100-TQFP	336-1091-1-ND	13.04	10.03	8.36	C8051F066	C8051F064EK-U
32K	4352	24	5	6	2 UARTs, SMBus, SPI	16-Bit, 2-Kan. 1 MSPS	—	—	3	DMA	±2%	25	64-TQFP	336-1092-1-ND	12.50	9.62	8.01	C8051F067	C8051F064EK-U
8K	768	17	4	3	UART, SPI, SMBus	24-Bit, 8-Kan. 1 KSPS	—	8-Bit, 2-Kan.	1	—	±2%	50	32-LQFP	336-1084-1-ND	7.34	5.93	4.90	C8051F350R	C8051F350DK-U
8K	768	17	4	3	UART, SPI, SMBus	24-Bit, 8-Kan. 1 KSPS	—	8-Bit, 2-Kan.	1	—	±2%	50	28-MLP	336-1085-1-ND	6.03	4.86	4.03	C8051F351R	C8051F350DK-U
8K	768	17	4	3	UART, SPI, SMBus	16-Bit, 8-Kan. 1 KSPS	—	8-Bit, 2-Kan.	1	—	±2%	50	32-LQFP	336-1086-1-ND	5.43	4.38	3.62	C8051F352R	C8051F350DK-U
8K	768	17	4	3	UART, SPI, SMBus	16-Bit, 8-Kan. 1 KSPS	—	8-Bit, 2-Kan.	1	—	±2%	50	28-MLP	336-1087-1-ND	4.55	3.68	3.04	C8051F353R	C8051F350DK-U

* Für die Teilenr. für Gegurtet auf Rolle die -1 in -2 ändern. Für Preisangaben für Gegurtet auf Rolle bitte bei Digi-Key anrufen. † Großmenge

USB Mikrocontroller - integrierter USB 2.0 Funktions-Controller

Die USB-Mikrocontroller-Gruppe bietet einen integrierten USB 2.0 Funktions-Controller mit integriertem Transceiver und On-Chip-Taktwiederherstellung. Es sind keine Widerstände, weder aus Kristall noch regulärer Art, kein EEPROM oder andere externe Komponenten erforderlich. On-Chip Digitalressourcen umfassen eine Pipeline 25 MIPS, 8051 CPU mit 16 KB Flash und UART, SMBus und SPI seriellen Schnittstellen. On-Chip Analogfunktionen umfassen einen Mehrkanal-10-Bit ADC, Spannungsreferenz, Oszillator, Komparatoren und einen Temperatursensor. Diese als 32-Pin LQFP oder 28-Pin MLP (5x5 mm) erhältlichen Bausteine stellen eine Einzel-Chip-Lösung für eingebettete USB-Anwendungen dar.

Flash-Speicher (Bytes)	RAM (Bytes)	Digital-Port, E/A-Pins	Timer (16-Bit)	PCA-Kanäle	Serielle Busse	ADC1	Komp.	Interne Osz.	MIPS (Spitze)	Paket	Digi-Key Teilenr.*	Gurtabschnittspreis pro Stück 1	25	100	Silicon Labs Teilenr.	Entwicklungskit-Teilenr.
16K	2304	25	4	5	USB 2.0, UART, SMBus, SPI	10-Bit, 17-Kan. 200 KSPS	2	±1.5%	25	32-LQFP	336-1066-1-ND	7.31	5.89	4.79	C8051F320R	C8051F320DK-U
16K	2304	21	4	5	USB 2.0, UART, SMBus, SPI	10-Bit, 13-Kan. 200 KSPS	2	±1.5%	25	28-MLP	336-1067-1-ND	6.65	4.76	3.87	C8051F321R	C8051F320DK-U

* Für die Teilenr. für Gegurtet auf Rolle die -1 in -2 ändern. Für Preisangaben für Gegurtet auf Rolle bitte bei Digi-Key anrufen.

(Forts.)

Alle Preisangaben in Euro und inklusive Zollgebühren.

C8051F Hochleistungs-MCUs für Mischsignale *(Forts.)*

Allzweck-Mikrocontroller von hervorragendem Wert für umfangreiche MCUs

Die Allzweck-Mikrocontroller-Gruppe bietet ein hervorragendes Preis-Leistungsverhältnis für eingebettete Steuerfunktionen. Jedes Bauelement bietet ein 25MIPS Pipeline 8051 CPU mit 8 KB Flash, UART und seriellen SPI-Schnittstellen, internem Oszillator und zahlreichen digitalen E/A-Optionen. Die On-Chip-Analogfunktionen schließen 32-Kanal, 12-Bit oder 8-Bit ADC und zwei Komparatoren ein. Die Entwicklungs-Tools sind benutzerfreundlich und schließen alle Hardware und Software ein, die zum Design komplexer Elektroniksysteme auf einem Standard-PC mit Windows notwendig sind.

Flash-Speicher (Bytes)	RAM (Bytes)	Digital-Port, E/A-Pins	Timer (16-Bit)	Serielle Busse	ADC1	Komp.	Interne Osz.	MIPS (Spitze)	Paket	Digi-Key Teilenr.*	Gurtabschnittspreis pro Stück 1	25	100	Silicon Labs Teilenr.	Entwicklungskit-Teilenr.
8K	1280	32	3	UART, SPI	12-Bit, 32-Kan. 100 KSPS	2	±20%	25	48-TQFP	336-1036-1-ND	5.78	4.16	3.31	C8051F206R	C8051F206DK-U
8K	256	32	3	UART, SPI	8-Bit, 32-Kan. 100 KSPS	2	±20%	25	48-TQFP	336-1008-1-ND	4.77	3.44	2.73	C8051F220R	C8051F226DK-U
8K	256	22	3	UART, SPI	8-Bit, 32-Kan. 100 KSPS	2	±20%	25	32-LQFP	336-1009-1-ND	4.26	3.07	2.43	C8051F221R	C8051F226DK-U
8K	1280	32	3	UART, SPI	8-Bit, 32-Kan. 100 KSPS	2	20%	25	48-TQFP	336-1010-1-ND	5.04	3.63	2.88	C8051F226R	C8051F226DK-U
8K	256	32	3	UART, SPI	—	2	±20%	25	48-TQFP	336-1011-1-ND	4.50	3.24	2.57	C8051F230R	C8051F226DK-U
8K	256	22	3	UART, SPI	—	2	±20%	25	32-LQFP	336-1012-1-ND	4.06	2.93	2.32	C8051F231R	C8051F226DK-U
8K	1280	32	3	UART, SPI	—	2	±20%	25	48-TQFP	336-1013-1-ND	4.71	3.39	2.69	C8051F236R	C8051F226DK-U

* Für die Teilenr. für Gegurtet auf Rolle die -1 in -2 ändern. Für Preisangaben für Gegurtet auf Rolle bitte bei Digi-Key anrufen.

B

Mikrocontroller, kleiner Formfaktor - Hochleistungs-MCU in einem winzigen Paket

Die kleine Formfaktor-Gruppe ist für Anwendungen mit geringem Platz, Niedrigleistung und geringem Preis im Bereich der Verbraucher- und industriellen Kommunikation und auf dem Automobilmarkt optimiert. Aufgrund preiswerter professioneller Entwicklungs-Tools und In-System-Debugging.ist die Entwicklung schnell und einfach. ***Merkmale:*** **• C8051F311, C8051F300, C8051F302 und C8051F310, C8051F312 und C8051F313:** Temperatursensor **• C8051F330 und C8051F330-GP:** Temperatursensor und VREF

Flash-Speicher (Bytes)	RAM (Bytes)	Digital-Port, E/A-Pins	Timer (16-Bit)	PCA-Kanäle	Serielle Busse	ADC1	DAU	Komp.	Interne Osz.	MIPS (Spitze)	Paket	Digi-Key Teilenr.*	Gurtabschnittspreis pro Stück 1	25	100	Silicon Labs Teilenr.	Entwicklungskit-Teilenr.
8K	256	8	3	3	UART, SMBus	8-Bit, 8-Kan., 500 KSPS	—	1	±2%	25	11-MLP	336-1043-1-ND	3.18	2.27	1.82	C8051F300R	C8051F300DK-U
8K	256	8	3	3	UART, SMBus	8-Bit, 8-Kan., 500 KSPS	—	1	±2%	25	14-Dip	336-1050-5-ND†	5.59	—	—	C8051F300P	C8051F300DK-U
8K	256	8	3	3	UART, SMBus	—	—	1	±2%	25	11-MLP	336-1044-1-ND	3.01	2.16	1.73	C8051F301R	C8051F300DK-U
8K	256	8	3	3	UART, SMBus	8-Bit, 8-Kan., 500 KSPS	—	1	±20%	25	11-MLP	336-1045-1-ND	2.96	2.12	1.70	C8051F302R	C8051F300DK-U
8K	256	8	3	3	UART, SMBus	—	—	1	±20%	25	11-MLP	336-1046-1-ND	2.85	2.04	1.64	C8051F303R	C8051F300DK-U
4K	256	8	3	3	UART, SMBus	—	—	1	±20%	25	11-MLP	336-1063-1-ND	2.55	1.82	1.46	C8051F304R	C8051F300DK-U
2K	256	8	3	3	UART, SMBus	—	—	1	±20%	25	11-MLP	336-1064-1-ND	2.46	1.77	1.41	C8051F305R	C8051F300DK-U
16K	1280	29	4	5	UART, SPI, SMBus	10-Bit, 21-Kan., 200 KSPS	—	2	±2%	25	32-LQFP	336-1056-1-ND	6.08	4.35	3.48	C8051F310R	C8051F310DK-U
16K	1280	25	4	5	UART, SPI, SMBus	10-Bit, 17-Kan., 200 KSPS	—	2	±2%	25	28-MLP	336-1057-1-ND	5.44	3.89	3.11	C8051F311R	C8051F310DK-U
8K	1280	29	4	5	UART, SPI, SMBus	10-Bit, 21-Kan., 200 KSPS	—	2	±2%	25	32-LQFP	336-1151-ND	3.96	3.36	2.93	C8051F312	C8051F310DK-U
8K	1280	25	4	5	UART, SPI, SMBus	10-Bit, 17-Kan., 200 KSPS	—	2	±2%	25	28-MLP	336-1152-ND	3.67	3.12	2.71	C8051F313	C8051F310DK-U
8K	1280	29	4	5	UART, SPI, SMBus	—	—	2	±2%	25	32-LQFP	336-1153-ND	3.35	2.84	2.47	C8051F314	C8051F310DK-U
8K	1280	25	4	5	UART, SPI, SMBus	—	—	2	±2%	25	28-MLP	336-1154-ND	3.11	2.64	2.29	C8051F315	C8051F310DK-U
8K	768	17	4	3	UART, SPI, SMBus	10-Bit, 16-Kan., 200ksps	10-Bit, 1-Kan.	1	±2%	25	20-Dip	336-1155-ND	4.42	3.57	2.91	C8051F330D	C8051F330DK-U
8K	768	17	4	3	UART, SPI, SMBus	10-Bit, 16-Kan., 200 KSPS	10-Bit, 1-Kan.	1	±2%	25	20-MLP	336-1069-1-ND	4.51	3.23	2.59	C8051F330R	C8051F330DK-U
8K	768	17	4	3	UART, SPI, SMBus	—	—	1	±2%	25	20-MLP	336-1070-1-ND	4.06	2.90	2.32	C8051F331R	C8051F330DK-U

* Für die Teilenr. für Gegurtet auf Rolle die -1 in -2 ändern. Für Preisangaben für Gegurtet auf Rolle bitte bei Digi-Key anrufen. † Dip-Version für Entwicklungszwecke.

CAN Interface Mikrocontroller — MCUs mit integriertem CAN 2.0B Controller

Jede CAN MCU bietet eine 25 MIPS 8051 Pipeline CPU, einen integrierten CAN 2.0 B Controller, 64 KB Flash, 4 KB SRAM, externe Speicherschnittstelle und zahlreiche Digital-E/A-Optionen. Dual UARTs, SMBus und serielle SPI-Schnittstellen und On-Chip-Analogfunktionen, einschließlich ADC, DAU, Spannungsreferenz, internem Oszillator und Temperatursensor machen diese Produkte zur optimalen Lösung für industrielle Steuer- und Automobilanwendungen.
Merkmale: • Vorst. Speicherschnittstelle, Temperatursensor und Spannungsreferenz

Flash-Speicher (Bytes)	RAM (Bytes)	Digital-Port, E/A-Pins	Timer (16-Bit)	PCA-Kanäle	Serielle Busse	ADC1	ADC2	DAU	Komp.	Andere	Interne Osz.	MIPS (Spitze)	Paket	Digi-Key Teilenr.*	Gurtabschnittspreis pro Stück 1	25	100	Silicon Labs Teilenr.	Entwicklungskit-Teilenr.
64K	4352	64	5	6	CAN2.0B, 2 UARTs, SMBus, SPI	12-Bit, 13-Kan. 100 KSPS	8-Bit, 8-Kan. 500 KSPS	12-Bit, 2-Kan.	3	±60V PGA	±2%	25	100-TQFP	336-1051-1-ND	16.91	12.17	9.66	C8051F040R	C8051F040DK-U
64K	4352	32	5	6	CAN2.0B, 2 UARTs, SMBus, SPI	12-Bit, 13-Kan. 100 KSPS	8-Bit, 8-Kan. 500 KSPS	12-Bit, 2-Kan.	3	±60V PGA	±2%	25	64-TQFP	336-1052-1-ND	16.27	11.71	9.30	C8051F041R	C8051F040DK-U
64K	4352	64	5	6	CAN2.0B, 2 UARTs, SMBus, SPI	10-Bit, 13-Kan. 100 KSPS	8-Bit, 8-Kan. 500 KSPS	12-Bit, 2-Kan.	3	±60V PGA	±2%	25	100-TQFP	336-1053-1-ND	15.97	11.49	9.12	C8051F042R	C8051F040DK-U
64K	4352	32	5	6	CAN2.0B, 2 UARTs, SMBus, SPI	10-Bit, 13-Ch. 100 KSPS	8-Bit, 8-Kan. 500 KSPS	12-Bit, 2-Kan.	3	±60V PGA	±2%	25	64-TQFP	336-1054-1-ND	13.92	10.01	7.95	C8051F043R	C8051F040DK-U
64K	4352	64	5	6	CAN2.0B, 2 UARTs, SMBus, SPI	10-Bit, 13-Kan. 100 KSPS	—	—	3	±60V PGA	±2%	25	100-TQFP	336-1156-ND	11.45	9.89	7.37	C8051F044	C8051F040DK-U
64K	4352	32	5	6	CAN2.0B, 2 UARTs, SMBus, SPI	10-Bit, 13-Kan. 100 KSPS	—	—	3	±60V PGA	±2%	25	64-TQFP	336-1157-ND	—	—	5.59	C8051F045	C8051F040DK-U
32K	4352	64	5	6	CAN2.0B, 2 UARTs, SMBus, SPI	10-Bit, 13-Kan. 100 KSPS	—	—	3	±60V PGA	±2%	25	100-TQFP	336-1158-ND	8.58	7.38	5.51	C8051F046	C8051F040DK-U
32K	4352	32	5	6	CAN2.0B, 2 UARTs, SMBus, SPI	10-Bit, 13-Kan. 100 KSPS	—	—	3	±60V PGA	±2%	25	64-TQFP	336-1159-ND	8.08	6.90	5.18	C8051F047	C8051F040DK-U

* Für die Teilenr. für Gegurtet auf Rolle die -1 in -2 ändern. Für Preisangaben für Gegurtet auf Rolle bitte bei Digi-Key anrufen.

(Forts.)

C8051F Hochleistungs-MCUs für Mischsignale *(Forts.)*

Flash-Speicher (Bytes)	RAM (Bytes)	Digital-Port, E/A-Pins	Timer (16-Bit)	PCA-Kanäle	Serielle Busse	ADC1	ADC2	DAU	Komp.	Andere	Interne Osz.	MIPS (Spitze)	Paket	Digi-Key Teilenr.*	Gurtabschnittspreis pro Stück 1	25	100	Silicon Labs Teilenr.	Entwicklungskit-Teilenr.
64K	4352	59	5	6	CAN2.0B, 2 UARTs, SMBus, SPI	16-Bit, 2-Kan. 1 MSPS	10-Bit, 8-Kan. 200 KSPS	12-Bit, 2-Kan.	3	DMA	±2%	25	100-TQFP	336-1072-1-ND	19.18	15.01	12.30	C8051F060R	C8051F060DK-U
64K	4352	24	5	6	CAN2.0B, 2 UARTs, SMBus, SPI	16-Bit, 2-Kan. 1 MSPS	10-Bit, 8-Kan. 200 KSPS	12-Bit, 2-Kan.	3	DMA	±2%	25	64-TQFP	336-1073-1-ND	17.44	13.42	11.18	C8051F061R	C8051F060DK-U
64K	4352	59	5	6	CAN2.0B, 2 UARTs, SMBus, SPI	16-Bit, 2-Kan. 1 MSPS	10-Bit, 8-Kan. 200 KSPS	12-Bit, 2-Kan.	3	DMA	±2%	25	100-TQFP	336-1074-1-ND	16.29	12.54	10.44	C8051F062R	C8051F060DK-U
64K	4352	24	5	6	CAN2.0B, 2 UARTs, SMBus, SPI	16-Bit, 2-Kan. 1 MSPS	10-Bit, 8-Kan. 200 KSPS	12-Bit, 2-Kan.	3	DMA	±2%	25	64-TQFP	336-1075-1-ND	15.85	12.20	10.17	C8051F063R	C8051F060DK-U

* Für die Teilenr. für Gegurtet auf Rolle die -1 in -2 ändern. Für Preisangaben für Gegurtet auf Rolle bitte bei Digi-Key anrufen.

B

Mikrocontroller-Entwicklungstools

Entwicklungskits: • Komplettes Entwicklungs-/Prototyperstellungssystem • Prototyperstellungs-Karte • In-System Flash-Programmierung • Schaltkreis-Debugging • MCU-Konfigurationsassistent
IDE: • Quellcode-Bearbeiter, Projektmanager • Flash-Programmierer • Unterstützt Vollgeschwindigkeits-, nicht-intrusive schaltungsinterne Debug-Logik • Echtzeit-Breakpoints, Debugging auf Quellebene • Konditionelle Speicher-Beobachtungspunkte • Inspektion/Änderung von Speicher und Register • Ausführmodi mit einem Schritt und Animation • Variables Beobachtungsfenster

Digi-Key Teile- Nr.	Stückpreis	Development Kit Teilenr.
336-1017-ND	83.81	C8051F005DK-U
336-1038-ND	109.21	C8051F020DK-U
336-1050-ND	388.59	C8051F040DK-U
336-1018-ND	253.13	C8051F060DK-U
336-1078-ND	126.14	C8051F120DK-U
336-1040-ND	83.81	C8051F206DK-U
336-1024-ND	83.81	C8051F226DK-U
336-1047-ND	83.81	C8051F300DK-U
336-1055-ND	83.81	C8051F310DK-U
336-1065-ND	193.87	C8051F320DK-U
336-1068-ND	83.81	C8051F330DK-U
336-1083-ND	109.21	C8051F350DK-U
336-1088-ND	21.12	C8051F064EK-U

Einzelchip-USB-an-UART-Brücke

Die CP210x ist eine Einzelchip-USB-an-UART-Brücke, die Datenverkehr zwischen USB und UART-Formaten wandelt. Der Chip umfasst einen kompletten USB 2.0 Vollgeschwindigkeits-Funktions-Controller, Brücken-Steuerungslogik und eine UART-Schnittstelle mit Empfänger/Sender-Puffern und Modem-Handshake-Signalen.

Der Baustein bietet auch integrierten EEPROM, einen Spannungsregler, einen USB-Transceiver und einen integrierten internen Oszillator, wodurch die gewöhnlich für USB-Anwendungen benötigten externen Komponenten entfallen. Die Systementwicklung wird weiterhin durch das CP210xEK Evaluierungskit vereinfacht, das eine komplette USB-an- RS232 Evaluierungskarte und lizenzfreie Bausteintreiber für PC und Macintosh-Plattformen einschließt.

Beschreibung	Digi-Key Teilenr.	Stückpreis	Development Kit Teilenr.
Einzelchip-USB-an-UART-Brücke	336-1076-ND	41.48	CP2101EK
Einzelchip-USB-an-UART-Brücke	336-1161-ND	42.29	CP2102EK

USB 2.0 (Mbps)	EEPROM	Takt	UART-Baudraten	RX/TX Puffer	Paket	Digi-Key Teilenr.	Gurtabschnittspreis pro Stück 1	25	Digi-Key Teilenr.	Gegurtet auf Rolle 1.500	Silicon Labs Teilenr.
12	512B	Intern	300bps ~ 1Mbps	512B	28-MLP (5mm x 5mm)	336-1077-1-ND	3.84	3.66	336-1077-2-ND	2634.79/M	CP2101R
12	1024B	Intern	300bps ~ 921.6kbps	640B	28-MLP (5mm x 5mm)	336-1160-ND†	3.59	3.43	—	—	CP2102-GM

† Röhre

Wireless, Wireline und Optical Networking Solutions

SiPHY® HS-Transceiver: Merkmale: • Integrierter Begrenzungsverstärker, CDR, CMU und MUX/DEMUX • Geringes Zittern: <2,0 mUIRMS (typ. OC-48) • Zitterdämpfende CMU erübrigt den externen Reinigungs-PLL • NL-Betrieb

Präzisionstakt-ICs:
Merkmale:
• Zittern unter 0,3 ps_{RMS} (typ. OC-192) • Vorwärts- und Rückwärts-FEC-Takt-Skalierung • Wählbare Schleifenfilter-Bandbreiten

Takt- und Datenwiederherstellungs-ICs:
Merkmale: • Multi-Raten-Betrieb: OC-3/12/48, STM-1/4/16, GbE und 2.7 Gbps • Geringes Zittern; NL-Betrieb • DSPLL™ Technologie macht externe Schleifenfilterkomponenten überflüssig

Beschreibung	Paket	Digi-Key Teilenr.	Stückpreis 1	25	Silicon Labs Teilenr.	Evaluierungskarte, Digi-Key-Teilenr.	Stückpreis	Silicon Labs Teilenr.
SiPHY® HS-Transceiver								
OC-48, STM-16 SONET/SDH Transceiver, 1:16 Deserializer und 16:1 Serializer	195-CBGA	336-1135-ND	166.32	147.50	SI5100-F-BC	336-1136-ND	296.31	SI5100-EVB
OC-48, STM-16 SONET/SDH Transceiver, 1:4 Deserializer und 4:1 Serializer	99-CBGA	336-1137-ND	166.32	147.50	SI5110-F-BC	336-1138-ND	296.31	SI5110-EVB
Präzisionstakt-ICs								
Präzisionstakt-Multiplizierer/Regenerator, 155 MHz, 622 MHz	20-MLP	336-1139-ND	26.17	23.58	SI5310-BM	336-1140-ND	296.31	SI5310-EVB
SONET/SDH Taktmultiplizierer/Zitterdämpfung, 19 MHz, 155 MHz, 622 MHz Ausgang, 15/14 Skalierung	63-CBGA	336-1141-ND	88.60	77.72	SI5320-F-BC	336-1142-ND	296.31	SI5320-EVB
SONET/SDH Taktmultiplizierer/Zitterdämpfung, 19 MHz ~ 2,5 GHz Ausgang, G.709 FEC und 66/64 Skalierung	63-CBGA	336-1143-ND	106.31	93.27	SI5321-F-BC	336-1144-ND	296.31	SI5321-EVB
SONET/SDH Taktmultiplizierer/Zitterdämpfung, Auto Hitless Schaltung, vier Ausgänge mit 19 MHz, 155 MHz oder 622 MHz	99-CBGA	336-1145-ND	144.02	126.39	SI5364-F-BC	336-1146-ND	296.31	SI5364-EVB
Takt- und Datenwiderherstellungs-ICs								
OC-12/3, STM-4/1 SONET/SDH, 2,5 V	20-MLP	336-1120-ND	20.34	13.93	SI5010-BM	336-1121-ND	296.31	SI5010-EVB
OC-12/3, STM-4/1 SONET/SDH, mit Begrenzungsverst., 3,3 V	28-MLP	336-1122-ND	22.26	15.24	SI5013-BM	336-1123-ND	296.31	SI5013-EVB
OC-48, STM-16 SONET/SDH, 2,7 Gbps, mit Begrenzungsverst., 3,3 V	28-MLP	336-1124-ND	70.03	61.43	SI5017-BM	336-1125-ND	296.31	SI5017-EVB
OC-48, STM-16 SONET/SDH, 2,7 Gbps, 2,5 V	20-MLP	336-1126-ND	47.00	42.52	SI5018-BM	336-1127-ND	423.30	SI5018-EVB
OC-48/12/3, STM-16/4/1 SONET/SDH, GbE, 2,7 Gbps, 2,5 V	20-MLP	336-1128-ND	58.75	53.14	SI5020-BM	336-1129-ND	423.30	SI5020-EVB
OC-48/12/3, STM-16/4/1 SONET/SDH, GbE, 2,7 Gbps, mit Begrenzungsverst., 3,3 V	28-MLP	336-1133-ND	87.11	76.40	SI5023-BM	336-1134-ND	423.30	SI5023-EVB

ISOmodem® Eingebettete Modems

Bei den eingebetteten Modem-Lösungen von Silicon Laboratories handelt es sich um die funktionsfähigsten, kompaktesten und flexibelsten 2400 Baud Modems auf dem Markt. Die in zwei 16-Pin SOIC-Paketen eingebetteten Modem-Lösungen Si2401 und Si2400 erübrigen eine separate DSP-Datenpumpe, Modem-Controller, Codec, Isoliertransformator, Relais, Opto-Isolatoren und 2-4 Drahthybrid.
Merkmale: • UART-Schnittstelle für einfachen AT-Befehl • Global konforme Leitungsschnittstelle • Erkennung von besetzter Leitung und paralleler Telefon-Intrusion • Anrufer-ID-Erkennung und Dekodierung

Beschreibung	Max. Datenrate	Voice-CODEC	Paket	Systemseitige Digi-Key-Teilenr.	Stückpreis 1	25	Silicon Labs Teilenr.	Leitungsseitige Digi-Key-Teilenr.	Stückpreis 1	25	Silicon Labs Teilenr.
V.22bis Modem, Chipset	2400 bps	Nein	16-SOIC	336-1095-ND	20.41	17.26	SI2401-FS	336-1096-ND	4.06	3.69	SI3010-FS
V.22bis Modem, Chipset	2400 bps	Ja	16-SOIC	336-1093-ND	22.32	15.08	SI2400-KS	336-1094-ND	6.11	5.54	SI3015-KS

RF Synthesizer

Die Wireless-Lösungen von Silicon Laboratories sind die weltweit am besten integrierten und benutzerfreundlichsten Wireless-Lösungen auf dem heutigen Markt, robust und zuverlässig. Durch die Beseitigung von mehr diskreten Komponenten und aufgrund der geringen Anzahl externer Komponenten, die Lösungen abwechseln, bieten unsere Produkte dem Kunden wertvolle Funktionen und kurze Markteinführungszeiten. Darüber hinaus werden diese erstklassigen Produkte mit bewährter Standard-CMOS-Prozesstechnologie entwickelt und konzipiert.
Merkmale: • CMOS RF Synthesizer mit integrierten VCOs, Schleifenfiltern und Varaktoren • Flachprofilpakete

Beschreibung	RF1 (MHz)	RF2 (MHz)	IF (MHz)	Erholzeit (µs)	Eingangs-RF (MHz)	Paket	Digi-Key Teilenr.	Stückpreis 1	25	Silicon Labs Teilenr.	Evaluierungskarte, Digi-Key Teilenr.	Stückpreis	Silicon Labs Teilenr.
Mehrzweck	Entfällt	Entfällt	62.5 ~ 1000	200*	2 ~ 26	28-MLP	336-1097-ND	5.70	4.49	SI4112-BM	336-1098-ND	190.49	SI4112M-EVB
Mehrzweck	900 ~ 2050	750 ~ 1500	Entfällt	200*	2 ~ 26	28-MLP	336-1099-ND	7.39	6.66	SI4113-D-GM	336-1100-ND	190.49	SI4113M-EVB
Mehrzweck	Entfällt	750 ~ 1500	62.5 ~ 1000	200*	2 ~ 26	28-MLP	336-1103-ND	7.39	6.66	SI4122-D-GM	336-1104-ND	190.49	SI4122M-EVB
Mehrzweck	900 ~ 2050	Entfällt	62.5 ~ 1000	200*	2 ~ 26	28-MLP	336-1107-ND	7.39	6.66	SI4123-BM	336-1108-ND	190.49	SI4123M-EVB
802.11b.g und Ism Band	Entfällt	2025 ~ 2300	62.5 ~ 1000	80†	2 ~ 50	28-MLP	336-1111-ND	7.39	6.66	SI4126-BM	336-1112-ND	190.49	SI4126M-EVB
Mehrzweck	900 ~ 2050	750 ~ 1500	62.5 ~ 1000	200*	2 ~ 26	28-MLP	336-1113-ND	9.22	8.30	SI4133-BM	336-1116-ND	190.49	SI4133M-EVB
802.11b.g und Ism Band	2300 ~ 2500	2025 ~ 2300	62.5 ~ 1000	80†	2 ~ 50	28-MLP	336-1118-ND	9.22	8.30	SI4136-BM	336-1119-ND	190.49	SI4136M-EVB

*Für eine 200 kHz Aktualisierungsrate † Für Aktualisierungsraten >500 kHz

Alle Preisangaben in Euro und inklusive Zollgebühren.

COPELAND COMMUNICATIONS, INC.

Modems und Socket Radio

Die World Modem II™ Bausteine ermöglichen die schnelle Implementierung einer Modemschnittstelle in zahlreiche Anwendungen. **Merkmale:** • Socket Modem™ kompatibel • Betrieb mit 3,3 V • Entspricht weltweiten Normen • Anruferkennung, Anrufverlauf und Schnellverbindung • Kleine Auflagefläche 1,045" x 2,54" • Standard- und erweiterter AT-Befehlssatz.

Das Socket Radio gestattet die schnelle Implementierung einer drahtlosen Modemfunktion in beliebigen Anwendungen mit Datenraten bis zu 33,6 Kbaud. **Merkmale:** • Betrieb mit 3,3 V • Socket Modem™ kompatibel • 200' Reichweite (drinnen) • 900 MHz-Band • FCC 15.249-konform • AT-Befehlssatz • Kleine Auflagefläche 1,045" x 2,54" • MMCX-Steckverbinder (CB-Version) • Integrierte Antenne (CA-Version)

Datenrate (Baud)	Beschreibung	Digi-Key Teilenr.	Stückpreis 1	Stückpreis 50	Copeland Teilenr.
	World Modem II				
2400	Serielles Modem	539-1000-ND	25.24	21.87	CC-24K2-CS
56K	Serielles Modem	539-1001-ND	34.61	30.00	CC-56K2-CS
56K	Kompatibel mit seriellem Modem (5V)	539-1006-ND	36.23	31.40	CC-56K2-CS5
92K	Kompatibel mit seriellem Modem (5V)	539-1007-ND	40.41	35.03	CC-92K2-CS5
92K	Serielles Modem	539-1008-ND	38.78	33.62	CC-92K2-CS
	Socket Funkmodem				
33.6K	Funkmodem 900 MHz MMCX Steckverbinder	539-1003-ND	41.00	38.52	CC-900W-CB
33.6K	Funkmodem 900 MHz mit Antenne	539-1005-ND	55.52	52.17	CC-900W-CA
	Entwicklungskits				
—	World Modem II Entwicklungskit	539-1002-ND	168.47	—	CC-WM2-EVAL
—	Socket Radio-Entwicklungskit	539-1004-ND	337.79	—	CC-SR-EVAL

B

LOGIC

Zoom™ Starter-Entwicklungskit

Preisgünstiges ARM-Entwicklungssystem

Beschreibung	Digi-Key Teilenr.	Stückpreis	Logic Product Dev. Teilenr.
Zoom-Starterkit für LH79520	460-1000-ND	286.00	SDK-LH79520-10-3208
Card Engine für LH79520	460-1013-ND	263.29	CENG-LH79520-10-403HC
Zoom-Starterkit für LH7A400	460-1007-ND	333.29	SDK-LH7A400-10-6416
Card Engine für LH7A400, 32 Mb, NOR Flash	460-1014-ND	315.05	CENG-LH7A400-10-504HC
Card Engine für LH7A400, 16 Mb, NOR Flash	460-3459-ND	248.84	CENGLH7A400-10-503HC
Zoom Integrated Kit mit LH7A400	460-1019-ND	2246.33	IDK-LH7A400-10P-6432
Zoom-Starterkit für LH75401	460-1016-ND	286.00	SDK-LH75401-11-0204
Zoom-Starterkit für LH7A404	460-1017-ND	337.79	SDK-LH7A404-11-6416
Zoom Integrated Kit mit LH7A404	460-1020-ND	2246.33	IDK-LH7A404-11P-6432
Card Engine für LH7A404 mit 16 Mb NOR Flash	460-3460-ND	259.06	CENGLH7A404-11-503HC
Card Engine für LH7A404 mit 32 Mb NOR Flash	460-3461-ND	296.31	CENGLH7A404-11-504HC
Zoom-Starterkit für LH79524	460-1022-ND	371.57	SDK-LH79524-10-3216

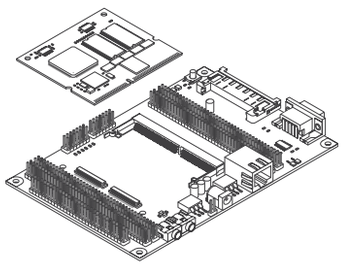

Zoom Starter-Entwicklungskit beinhaltet: • Sharp Card Engine (LH79520,LH79524, LH75401, LH7A400, LH7A404) • Anwendungskarte • Standardperipheriesteckanschlüsse zur Unterstützung von: Ethernet, LCD, Audio E/A, Seriell, Compact Flash siehe Card Engine für Peripheriegeräte-Support) • Netzteil und Adapter für serielles Kabel für GB, US, EU, Japan • Serielles Kabel • LogicLoader™ (Bootloader/Monitor) in ausführbarem Format • Je nach gekaufter Card Engine BSPs erhältlich • GNU Cross-Development Tools (Compiler, Linker, Assembler, Debugger) für Linux-Entwicklungssysteme sind inbegriffen **Das Zoom Integrated Entwicklungskit beinhaltet:** • Netzwerk-Support 2 x RJ45 Ethernet-Buchsen (Anwendung und Debugging) • PC-Karten-Expansion: Compact Flash Typ 1 (nur Speichermodus) PCMCIA1 (2 Steckplätze und MMC/SD) • USB (2 Host-Kanäle oder 1 Host und 1 Client) • SPI unterstützt Motorola SPI™, National Semiconductor MICROWIRE™, TI SSI • Serielle Ports: 2 x 115,2 KBPS RS232 (Doppel-UART 16C752) und 1 x IrDA; 115,2 KBPS RS232 Debug serieller Port (unterstützt von Card Engine) • CAN Ver 2.0b • 2 x TTL Anwendungsentwicklungskits für serielle Ports verkürzen die Produktentwicklungszeit, da Software-Teams die Anwendungsentwicklung sofort auf Plattformen beginnen können, die sich nahtlos in die Produktion integrieren lassen. Diese bieten: • Produktbereite Card Engine Plattformen unterstützen die endgültige Produktion • Gerätetreiber und Bootloader in Produktionsqualität • Unterstützung für Microsoft Windows CE und CE.NET, in Linux eingebettetes OS, VxWorks, ThreadX und MC/OSII • Große Auswahl an integrierten Hardware-Peripheriegeräten

Zoom-Anzeigekit

Die Zoom™-Anzeigekits sind einsatzbereit für LCD-Anzeigen, die sofort an Zoom-Anwendungsentwicklungskits angeschlossen werden können. Die Anzeigekits enthalten: • Hintergrundlicht • 4-adriges resistives Touch-Panel • Kabelbausätze

Beschreibung	Sharp LCD Teilenr.	Digi-Key Teilenr.	Stückpreis	Logic Product Dev. Teilenr.	Anzeigeformat	Sharp Card Engine LH79520	LH79524	LH75401	LH7A400	LH7A404
3,5" QVGA (240 x 320), Farb-AD-TFT	LQ035Q7DB02	460-1004-ND	409.86	LCD-3.5-QVGA-10	QVGA (240 x 320)	X	X	X	X	X
3,5" QVGA (240 x 320), Farb-TFT	LQ035Q7DB02	460-1015-ND	409.86	LCD-3.5-QVGA-20	QVGA (240 x 320)	X	X	X	X	X
5,7" QVGA (320 x 240), Farb-TFT	LQ057Q3DC02	460-1021-ND	653.74	LCD-5.7-QVGA-10	QVGA (320 x 240)	X	X	X	X	X
6,4" VGA (640 x 480), Farb-TFT	LQ64D343	460-1005-ND	764.54	LCD-6.4-VGA-10	VGA (640 x 480)	X	X		X	X
10,4" VGA (640 x 480), Farb-TFT	LQ10D368	460-1011-ND	802.82	LCD-10.4-VGA-10	VGA (640 x 480)	X	X		X	X

SHARP MICROELECTRONICS

BlueStreak MCU/SoC

16/32-Bit BlueStreak MCU/SoCs bieten eine höhere Leistung als gewöhnliche 16-Bit MCU und verwenden den ARM7TDMI-Kern mit 32 KB On-Chip SRAM, Farb- und Grauskala-LCD-Controller sowie drei UARTs, SPI, CAN 2.0B, drei 16-Bit Zähler/Timer, A/D-Wandler, Watchdog Timer und Niederspannungsdetektor. Sie stellen eine ausgezeichnete Lösung dar, wenn zwischen Geschwindigkeit und Kosten abgewogen werden muss. Die Anwendungen umfassen GPS, PDA, Drucker/Kopierer, Sicherheitsschalttafeln und Elektro-Haushaltsgeräte.

Am Anfang der 32-Bit Serie der BlueStreak MCU/SoCs steht der LH79520, der einen 32-Bit ARM7TDMI RISC-Kern mit 8 KB Cache, MMU, Farb-LCD-Controller und 32 KB SRAM bietet. Darüber hinaus stehen eine Reihe von wichtigen Peripheriegeräten, z. B. ein DMA-Controller, serielle und parallele Schnittstellen, Infrarot-Support, Zähler/Timer, Echtzeituhr, Watchdog Timer, Impulsdauermodulatoren und ein On-Chip Phase Lock Loop zur Verfügung. Für eine höhere Leistung bauen LH7A400 SoCs auf dieser Grundausstattung mit ARM9-Kernen auf und fügen attraktive Funktionen wie USB und MMC hinzu. Mit ihrer hohen Leistung und Integration sind die 32-Bit BlueStreak-Bausteine für Handheld-Geräte wie GPS, Spiele, PDAs, Pocket PCs und Media Player ideal geeignet.

Merkmale: • Betriebstemp.: Industriell • **VCC:** 1,8 V • **SPI:** Ja • **WDT:** Ja • **JTAG:** Ja

Speichergrößen-RAM-Bytes	GP E/A-Pins	UART	CAN	DMA	USB	Microwire	Timer/Zähler 16-Bit	PWM	ADU	LCD-Controller	Clock Speed* (MHz)	Paket	Digi-Key Teilenr.	Stückpreis	Sharp Teilenr.
32K	64	3 (mit IrDA)	—	4-Kanal	—	Ja	4	2	—	Y (Farbe)	77.4	176-LQFP	425-1820-ND	12.31	LH79520N0M000B1
32K	76	3	2.0B	4-Kanal	—	Ja	3	3	8-Kan., 10-Bit	Y (grau)	70	144-TQFP	425-1860-ND	10.51	LH75400N0M100C0
32K	76	3	2.0B	4-Kanal	—	Ja	3	3	8-Kan., 10-Bit	Y (Farbe)	70	144-TQFP	425-1861-ND	11.50	LH75401N0M100C0
32K	76	3	—	4-Kanal	—	Ja	3	3	8-Kan., 10-Bit	Y (grau)	70	144-TQFP	425-1862-ND	9.52	LH75410N0M100C0
32K	76	3	—	4-Kanal	—	Ja	3	3	8-Kan., 10-Bit	Y (Farbe)	70	144-TQFP	425-1863-ND	10.51	LH75411N0M100C0
32K	104	3 (mit IrDA)	—	4-Kanal	v2.0	Ja	3	3	10-Kan., 10-Bit	Y (Farbe)	77.4	208-CABGA	425-1865-ND	15.85	LH79524N0E100
32K	86	3 (mit IrDA))	—	4-Kanal	v2.0	Ja	3	3	10-Kan., 10-Bit	Y (Farbe)	77.4	176-LQFP	425-1866-ND	13.46	LH79525N0M100
80K	60	3 (mit IrDA)	—	10-Kanal	v2.0	Ja	3	2	—	Y (Farbe)	200	256-CABGA	425-1867-ND	16.47	LH7A400N0E000B3A
80K	64	3 (mit IrDA)	—	12-Kanal	v2.0	Ja	3	2	10-Kan., 10-Bit	Y (Farbe)	200	324-CABGA	425-1868-ND	23.21	LH7A404N0E000B0A
80K	60	3 (mit IrDA)	—	10-Kanal	v1.1	Ja	3	2	—	Y (Farbe)	200	256-PBGA	425-1864-ND	18.26	LH7A400N0B000B3A

*Taktgeschwindigkeit

SENSORY

Interaktives Speech™ Voice Extreme™ Toolkit

Voice Extreme™ ist ein programmierbares Modul und eine Suite von Entwicklungstools zum schnellen und einfachen Aufbau interaktiver Sprachanwendungen. Programme können in VE-C, einer höheren Sprache ähnlich wie ANSI-C, geschrieben werden. VE-C bietet Zugriff auf zahlreiche Stimmen- und Audiotechnologien, zusätzlich zu Hardware-Funktionen, wie z.B. E/A-Ports, Timer und eine RS232-Schnittstelle. Eine Voice Extreme™-Anwendung besteht aus einer Programmdatei und den benötigten Datendateien, verbunden in einer binären Image-Datei, die auf einen 2 Mbit Flash-Speicher heruntergeladen werden kann. • **Sprecher-unabhängig:** Kein Training erforderlich • **Sprecher-abhängig:** Individuelle Befehle • **Sprecherbestätigung:** Voice-Passwort • **Kontinuierliches Zuhören:** Gateway-Zugriff • **Worterkennung:** Identifiziert eine Phrase in einem Satz • **Sprachsynthese:** Individuelle Aufforderungen • **Aufzeichnen & Wiedergabe Music2:** 4-Voice, Midi-Stil • **DTMF-Generation:** Touchtone-Wählen

Kitinhalt: • Voice Extreme™ Entwicklungskarte mit eingebautem Mikrofon und Lautsprecher • Voice Extreme-Modul • Netzteil • Serielles Kabel für PC RS232-Anschluss • Schnellstart-Anleitung **Software-CD mit:** • Voice Extreme IDE • Quick Synthesis™ • Musterprojekten und Daten • Dokumentation **Voice Extreme IDE:** Merkmale: Editor mit Debugging auf Ursprungslevel • Projektmanagement, das Syntax-Coloring, Macro-Erstellung, Buchzeichen, Zeilenerinnerungen und andere in Dienstprogramme integrierte Batch-Modus-Geräteprogrammierer unterscheidet, assembliert, verbindet und prüft. **Quick Synthesis:** Das Sensory Quick Synthesis Tool wurde zur Unterstützung bei der Erstellung und Verwaltung von Sprachsynthese für Voice Extreme und andere Sensory RSC Mikrocontroller-Anwendungen entworfen. **Systemvoraussetzungen:** • Windows (95/98/ME/NT/2000) 0 • 16 MB RAM • 15 MB freier Festplattenplatz • RS232-Port

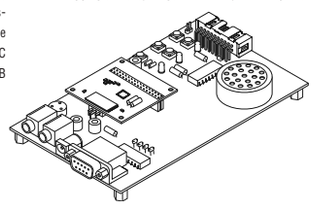

Beschreibung	Digi-Key Teilenr.	Stückpreis	Sensory Teilenr.
Voice Extreme Toolkit	VEKIT-ND	109.21	EEKVXTHSX
Voice Extreme Modul	VEMOD-ND	49.95	EPMVXTHSX

Voice Direct™ II Spracherkennungskit

Voice Direct™ II dient zur sprecherabhängigen diskreten Worterkennung, indem ein in Echtzeit erzeugtes Muster mit früher trainierten Wortvorlagen verglichen wird. Voice Direct™ II bietet integrierte Sprechaufforderungen für Training und Erkennung, sodass die Entwicklung von hoch entwickelten interaktiven Produkten mit minimalem Programmieren voranschreiten kann. **Merkmale:** • Flankenge-steuerte, kontinuierliche Zuhör- und Worterkennungs-Sprachtechnologien • Minimale externe Komponenten • Erkennt bis zu 15 Wörter oder Phrasen (in 1, 2 oder 3 Sätze unterteilt) • Über 99 % Erkennungsgenauigkeit bei richtigem Design • Phrasenerkennung bis zu 2, 5 Sekunden • Benutzerfreundliche Sprachaufforderungen • Schnelles Setup **Inhalt:** • Eine Voice Direct™ II Mutterplatine • Ein Voice Direct™ II Modul • Eine Batterieklemme • Drei 10K Widerstände • Ein 470 Ω Widerstand • 3 rote LEDs • 1 gelbe LED • Ein Quickstart-Handbuch

Digi-Key Teilenr.	Stückpreis	Sensory Teilenr.
VDIISRKKIT-ND	41.48	VDIISRK

Alle Preisangaben in Euro und inklusive Zollgebühren.

Winbond Electronics Corporation America

Sprachaufzeichnungs-/Playback-Geräte mit Einzelchip

Allgemeine Beschreibung: Die patentierte ChipCorder®-Technologie von Winbond ist eine revolutionäre Multilevel-Technik zum Aufzeichnen und Abspielen von Ton auf einem Einzelchip. Diese fortgeschrittene Technologie bietet eine natürliche Klangreproduktion in einem preisgünstigen Baustein, der gespeicherte Nachrichten im Fall von Stromausfällen oder bei Batterieaustausch speichert.

Die Technologie basiert auf einem speziellen Multilevel-Speicheransatz, bei dem mehrere Spannungsebenen in zuvor binären EEPROM-Speicherzellen mit zwei Ebenen gespeichert werden. Anders als traditionelle Sprachlösungen, bei denen die Sprache digitalisiert wird, werden bei dem Winbond-Ansatz Analogsignale direkt in einzelnen Zellen in mehr als 250 Ebenen gespeichert.

In allen ChipCorder-Produkten sind der Oszillator, der Mikrofon-Vorverstärker, die automatische Verstärkungssteuerung, der Anti-Aliasing-Filter, der Glättungsfilter und ein Lautsprecherverstärker auf dem Chip integriert, sodass ein komplettes „Chipsystem" erstellt wird. Es werden lediglich ein Mikrofon, ein Lautsprecher, eine Stromquelle und einige passive Komponenten benötigt, um eine komplette Aufzeichnungs-/Playback-Funktion bereitzustellen.

Serie ISD1100: Beschreibung: Das ISD1100 wurde für preisgünstige Verbraucheranwendungen entwickelt, bei denen ein ungehäuster Chip direkt auf die PC-Karte montiert wird. Durch das Hinzufügen von Pull-Up- oder Pull-Down-Widerständen auf den Eingangspins wird die Anzahl der verwendeten Signale und die Anzahl der erforderlichen externen Komponenten oder Bonding-Drähte minimiert. **Merkmale:** • Drucktastenschnittstelle • 5 Volt Betriebsbereich • Automatische Abschaltung **Serie ISD1200: Beschreibung:** Die Serie ISD1200 bietet eine einfache Drucktastenschnittstelle, gekoppelt mit einer automatischen Abschaltfunktion. Sie bietet eine vollständige Adressierbarkeit, sodass mehrere Nachrichten auf einem einzigen Chip verarbeitet werden können. Sie ist für Spielzeuganwendungen ideal geeignet. **Merkmale:** • 5 Volt Betriebsbereich • Automatische Abschaltung • Vollständig adressierbar zur Verarbeitung mehrerer Nachrichten **Serie ISD1400: Beschreibung:** Die Serie ISD1400 baut auf der einfachen Drucktastenschnittstelle des ISD1200 auf und bietet darüber hinaus mit 16 und 20 Sekunden eine längere Speicherdauer. Sie bietet eine vollständige Adressierbarkeit, sodass mehrere Nachrichten auf einem einzigen Chip verarbeitet werden können. Wird in Kommunikations- und Verbraucheranwendungen eingesetzt. **Merkmale:** • 5 Volt Betriebsbereich • Automatische Abschaltung • Vollständig adressierbar zur Verarbeitung mehrerer Nachrichten **Serie ISD2500: Beschreibung:** Die Serie ISD2500 bietet eine Verbesserung der Sprachenlänge von bis zu maximal 90 Sekunden. Dadurch wird die Nutzbarkeit der Einzelchip-Sprachlösung auf industrielle und High-End-Verbraucheranwendungen ausgedehnt. Diese Gruppe bietet Sound-Funktionalität für neue Anwendungen wie Handys, Anrufbeantworter, Voice-Response-Faxeinrichtungen, Kopierer und industrielle Anwendungen, bei denen Sprachaufforderungen zur Produktdifferenzierung für Geräte und Hersteller verwendet werden. **Merkmale:** • 5 Volt Betriebsbereich • Vollständig adressierbar zur Verarbeitung mehrerer Nachrichten • Für längere Dauer kaskadierbar • Automatische Abschaltung (Drucktastenmodus) **Serie ISD400X: Beschreibung:** Die Serie ISD4000 bietet qualitativ hochwertige Einzelchip-Aufzeichnungs-/Playback-Lösungen mit 3 Volt für 2- bis 4-minütige (ISD4002), 4- bis 8-minütige (ISD4003) und 8- bis 16-minütige (ISD4004) Messaging-Anwendungen. Diese CMOS-basierten Bausteine enthalten einen On-Chip Oszillator, Anti-Aliasing-Filter, Glättungsfilter, eine AutoMute™-Funktion, einen Audioverstärker und hochdichten Multilevel-Flash-Speicherarray. **Merkmale:** • Einzelne +3 Volt-Versorgung • Niedriger Stromverbrauch • Die AutoMute-Funktion bietet eine Dämpfung des Hintergrundrauschens • Vollständig adressierbar zur Verarbeitung mehrerer Nachrichten • On-Chip Taktquelle • Mikrocontroller-SPI oder serielle Microwire™ Schnittstelle **Serie ISD5008: Beschreibung:** Der ISD5008-Baustein wurde zur Verwendung in einem Mikroprozessor- oder Mikrocontroller-basierten System entwickelt. Adressierung, Steuerung und Auswahl der Dauer erfolgen über ein Serial Peripheral Interface (SPI) oder eine serielle Microwire-Schnittstelle, um die Pinzahl zu minimieren. Die Aufzeichnungen werden in nicht flüchtigen On-Chip Speicherzellen gespeichert, wobei die Speicherung ohne Strom erfolgt. Sprach- und Audiosignale werden in ihrer natürlichen, unkomprimierten Form direkt im Festkörperspeicher gespeichert, was eine ausgezeichnete Sprach- und Musikreproduktion ermöglicht. **Merkmale:** • Vollständig integrierte Lösung • Niedriger Stromverbrauch • Einzelne +3 Volt-Versorgung • Erweiterte Sprachfunktionen • Benutzerfreundlich und leicht zu steuern • Qualitativ hochwertige Lösung **Serie ISD5116: Beschreibung:** Das ISD5116 ChipCorder-Produkt bietet qualitativ hochwertige und vollständig integrierte Einzelchip-Aufzeichnungs-/Playback-Lösungen für 8-16 minütige Messaging-Anwendungen, die für die Verwendung in Handys, in der Automobilkommunikation, in GPS/Navigationssystemen und sonstigen tragbaren Produkten ideal geeignet sind. **Merkmale: Vollständig integrierte Lösung:** • Spracha-ufzeichnungs-/Playback-Lösung mit Einzelchip • Niedriger Stromverbrauch unterstützt eine 2,0 V- und 3,0 V-Schnittstellenlogik • Erweiterte Sprachfunktionen • Digitaler Speicher bis zu 4 MB • Benutzerfreundlich und leicht zu steuern • Qualitativ hochwertige Sprach- und Musikreproduktion

Dauer	Schnittstelle	Input Sample Rate† (kHz)	Passfilter-band (kHz)	Paket	Digi-Key Teilenr.	Stückpreis 1	10	25	Winbond Teilenr.
10 Sek.	Drucktaste	6.4	2.6	28-DIP	ISD1110P-ND	4.77	3.90	3.12	ISD1110P
				28-SOIC	ISD1110S-ND	4.77	3.90	3.12	ISD1110S
12 Sek.	Drucktaste	5.3	2.2	28-DIP	ISD1212P-ND	4.28	3.51	2.81	ISD1212P
				28-SOIC	ISD1212S-ND	4.28	3.51	2.81	ISD1212S
16 Sek.	Drucktaste	8.0	3.3	28-DIP	ISD1416P-ND	5.95	4.86	3.89	ISD1416P
				28-SOIC	ISD1416S-ND	5.95	4.86	3.89	ISD1416S
20 Sek.	Drucktaste	6.4	2.6	28-DIP	ISD1420P-ND	5.95	4.86	3.89	ISD1420P
				28-DIP	ISD1420PI-ND*	6.85	5.59	4.47	ISD1420PI
				28-SOIC	ISD1420S-ND	5.95	4.86	3.89	ISD1420S
				28-SOIC	ISD1420SI-ND*	6.85	5.59	4.47	ISD1420SI
32 Sek.	Taste/MCU	8.0	3.4	28-DIP	ISD2532P-ND	7.75	6.34	5.07	ISD2532P
				28-SOIC	ISD2532S-ND	7.75	6.34	5.07	ISD2532S
48 Sek.	Taste/MCU	5.3	2.3	28-DIP	ISD2548P-ND	7.75	6.34	5.07	ISD2548P
				28-SOIC	ISD2548S-ND	7.75	6.34	5.07	ISD2548S
1 Min.	Taste/MCU	8.0	3.4	28-TSOP	ISD2560E-ND	10.14	8.28	6.63	ISD2560E
				28-DIP	ISD2560P-ND	10.14	8.28	6.63	ISD2560P
				28-SOIC	ISD2560S-ND	10.14	8.28	6.63	ISD2560S
64 Sek.	Taste/MCU	4.0	1.7	28-DIP	ISD2564P-ND	7.75	6.34	5.07	ISD2564P
75 Sek.	Taste/MCU	6.4	2.7	28-DIP	ISD2575P-ND	10.14	8.28	6.63	ISD2575P
				28-SOIC	ISD2575S-ND	10.14	8.28	6.63	ISD2575S
90 Sek.	Taste/MCU	5.3	2.3	28-DIP	ISD2590P-ND	10.14	8.28	6.63	ISD2590P
				28-SOIC	ISD2590S-ND	10.14	8.28	6.63	ISD2590S
2 Min.	Taste/MCU	4.0	1.7	28-DIP	ISD25120P-ND	10.14	8.28	6.63	ISD25120P
				28-SOIC	ISD25120S-ND	10.14	8.28	6.63	ISD25120S
2 Min.	SPI/ Microwire	8.0	3.4	28-DIP	ISD4002-120P-ND	9.23	7.54	6.03	ISD4002-120P
				28-SOIC	ISD4002-120S-ND	9.23	7.54	6.03	ISD4002-120S
				28-TSOP	ISD4002-120E-ND	9.23	7.54	6.03	ISD4002-120E
150 Sek.	SPI/ Microwire	6.4	2.7	28-DIP	ISD4002-150P-ND	9.23	7.54	6.03	ISD4002-150P
				28-SOIC	ISD4002-150S-ND	9.23	7.54	6.03	ISD4002-150S
				28-TSOP	ISD4002-150E-ND	9.23	7.54	6.03	ISD4002-150E
3 Min.	SPI/ Microwire	5.3	2.3	28-DIP	ISD4002-180P-ND	9.23	7.54	6.03	ISD4002-180P
				28-SOIC	ISD4002-180S-ND	9.23	7.54	6.03	ISD4002-180S
				28-TSOP	ISD4002-180E-ND	9.23	7.54	6.03	ISD4002-180E
4 Min.	SPI/ Microwire	8.0	3.4	28-DIP	ISD4003-04MP-ND	11.33	9.25	7.40	ISD4003-04MP
				28-SOIC	ISD4003-04MS-ND	11.33	9.25	7.40	ISD4003-04MS
				28-TSOP	ISD4003-04ME-ND	11.33	9.25	7.40	ISD4003-04ME
5 Min.	SPI/ Microwire	6.4	2.7	28-DIP	ISD4003-05MP-ND	11.33	9.25	7.40	ISD4003-05MP
				28-SOIC	ISD4003-05MS-ND	11.33	9.25	7.40	ISD4003-05MS
				28-TSOP	ISD4003-05ME-ND	11.33	9.25	7.40	ISD4003-05ME
6 Min.	SPI/ Microwire	5.3	2.3	28 DIP	ISD4003-06MP-ND	11.33	9.25	7.40	ISD4003-06MP
				28-SOIC	ISD4003-06MS-ND	11.33	9.25	7.40	ISD4003-06MS
				28-TSOP	ISD4003-06ME-ND	11.33	9.25	7.40	ISD4003-06ME
8 Min.	SPI/ Microwire	4.0	1.7	28-DIP	ISD4003-08MP-ND	11.33	9.25	7.40	ISD4003-08MP
				28-SOIC	ISD4003-08MS-ND	11.33	9.25	7.40	ISD4003-08MS
				28-TSOP	ISD4003-08ME-ND	11.33	9.25	7.40	ISD4003-08ME
8 Min.	SPI/ Microwire	8.0	3.4	28-DIP	ISD4004-08MP-ND	16.24	13.26	10.61	ISD4004-08MP
				28-SOIC	ISD4004-08MS-ND	16.24	13.26	10.61	ISD4004-08MS
				28-TSOP	ISD4004-08ME-ND	16.24	13.26	10.61	ISD4004-08ME
10 Min.	SPI/ Microwire	6.4	2.7	28-DIP	ISD4004-10MP-ND	16.24	13.26	10.61	ISD4004-10MP
				28-SOIC	ISD4004-10MS-ND	16.24	13.26	10.61	ISD4004-10MS
				28-TSOP	ISD4004-10ME-ND	16.24	13.26	10.61	ISD4004-10ME
12 Min.	SPI/ Microwire	5.3	2.3	28-DIP	ISD4004-12MP-ND	16.24	13.26	10.61	ISD4004-12MP
				28-SOIC	ISD4004-12MS-ND	16.24	13.26	10.61	ISD4004-12MS
				28-TSOP	ISD4004-12ME-ND	16.24	13.26	10.61	ISD4004-12ME
16 Min.	SPI/ Microwire	4.0	1.7	28-DIP	ISD4004-16MP-ND	16.24	13.26	10.61	ISD4004-16MP
				28-SOIC	ISD4004-16MS-ND	16.24	13.26	10.61	ISD4004-16MS
				28-TSOP	ISD4004-16ME-ND	16.24	13.26	10.61	ISD4004-16ME
4-8 Min.	SPI/ Microwire	4.0-8.0	1.7-3.4	28-DIP	ISD5008P-ND	14.60	11.92	9.54	ISD5008P
				28-SOIC	ISD5008S-ND	14.60	11.92	9.54	ISD5008S
				28-TSOP	ISD5008E-ND	14.02	11.45	9.16	ISD5008E
8-16 Min.	I²C	4.0-8.0	1.7-3.4	28-DIP	ISD5116P-ND	16.65	13.60	10.88	ISD5116P
				28-SOIC	ISD5116S-ND	16.65	13.60	10.88	ISD5116S
				28-TSOP	ISD5116E-ND	16.65	13.60	10.88	ISD5116E
8-16 Min.	I²C	4.0-8.0	1.8-3.7	28-DIP	ISD5216P-ND	16.39	13.38	10.71	ISD5216P

*Industriell † Abtastgeschwindigkeit f. Eingaben

Einzel- und Zweikanal-Voiceband CODEC

Die Winbond-Gruppe der Voice-CODEC-Lösungen erfüllt die Marktanforderungen für A/D- und D/A-Wandlung von Voice-Qualität zu niedrigstmöglichen Kosten.

Um die klarsten Voice-Signale zu digitalisieren und rekonstruieren, wurden die Einzel- und Zweikanal-CODECs den Empfehlungen der Industrie gemäß auf G.712 Filterspezifikation sowie µ-Law und A-Law G.711 Press- und Dehnspezifikationen entwickelt.

Merkmale:

- A-Law/µ-Law Pressen und Dehnen gemäß ITU-T G.711 durch Pin-Auswahl
- A/D- und D/A-Filter gemäß ITU-T G.712
- Geringste Stromdisspation in der Industrie im Bereitschafts- und Betriebsmodus.
- Vier PCM-Digitalschnittstellen-Taktformate - kurzer Rahmen synch., langer Rahmen synch., IDL und GCI
- Voll differenzielles Analog-Schaltkreisdesign, besonders rauscharm
- On-Chip Präzisionsreferenzspannung
- Industrie-Temperaturbereich: -40 °C ~ 85 °C

Anwendungen:

- PABX/SOHO-Systeme
- ISDN-Geräte
- Modems/PC-Karten
- „Fiber-to-the curb"-Geräte
- Unternehmenstelefone
- VOIP und Internet-Telefone
- Telematik
- Konferenztelefon
- Digital-Telefoniesysteme

Beschreibung	Paket	Digi-Key Teilenr.	Stückpreis	Winbond Teilenr.
IC-Voiceband				
Einf. 5 V	20-DIP	W6810IE-ND	2.95	W6810IE
Einf. 5 V	20-SSOP	W6810IR-ND	3.07	W6810IR
Einf. 5 V	20-SOP	W6810IS-ND	2.95	W6810IS
Einf. 5 V	20-TSSOP	W6810IW-ND	3.07	W6810IW
Einf. 3/5 V	24-DIP	W6811IE-ND	3.12	W6811IE
Einf. 3/5 V	24-SSOP	W6811IR-ND	3.28	W6811IR
Einf. 3/5 V	24-SOP	W6811IS-ND	3.12	W6811IS
Einf. 3/5 V	24-TSSOP	W6811IW-ND	3.28	W6811IW
Einf. 3 V	20-SSOP	W681310R-ND	3.07	W681310R
Einf. 3 V	20-SOP	W681310S-ND	2.95	W681310S
Einf. 5 V	20-SOP	W681511S-ND	2.49	W681511S
Einf. 5 V	20-SSOP	W681512R-ND	3.07	W681512R
Einf. 5 V	20-SOP	W681512S-ND	2.95	W681512S
Einf. 5 V	20-SOP	W681513S-ND	2.73	W681513S
Zweif. 3 V	20-SSOP	W682310R-ND	4.34	W682310R
Zweif. 3 V	24-SOP	W682310S-ND	4.13	W682310S
Zweif. 5 V	20-DIP	W682510E-ND	4.13	W682510E
Zweif. 5 V	20-SSOP	W682510R-ND	4.34	W682510R
Zweif. 5 V	24-SOP	W682510S-ND	4.13	W682510S
Evaluierungssystem				
Serie W6810		W6810ES-ND	12.70	W6810ES
Serie W681310		W681310ES-ND	12.70	W681310ES
Serie W681512		W681512ES-ND	12.70	W681512ES
Entwicklungskits				
Serie W6810		W6810DK-ND	112.60	W6810DK
Serie W682310		W682310DK-ND	90.08	W682310DK
Serie W682510		W682510DK-ND	90.08	W682510DK

Einzelchip-Text-to-Speech-Prozessor

Der WTS701 ist eine qualitativ hochwertige, vollständig integrierte Einzelchip-Text-to-Speech-Lösung, die für Anwendungen wie Automobilgeräte, GPS/Navigationssysteme, Handys und sonstige tragbare Produkte oder Zubehörteile ideal geeignet ist. Das WTS701-Produkt akzeptiert ASCII-Eingaben (und Unicode für Mandarin) über einen SPI-Port und wandelt diese Eingaben über einen Analogausgang oder digitalen CODEC-Ausgang in eine gesprochene Audioausgabe um. Die Leistung ist über den Industrie-Temperaturbereich von -40 °C ~ 85 °C vorgegeben.

Der Chip kann über den SPI-Port programmiert werden, was das Herunterladen von verschiedenen Sprachen und Sprecherdatenbanken ermöglicht.

Die Paketgröße für WTS701EF/T-ND und WTS701EM/T-ND ist 56-TSOP.

Beschreibung	Digi-Key Teilenr.	Stückpreis	Winbond Teilenr.
English Female**	WTS701EF/T-ND	30.27	WTS701EF/T
English Male***	WTS701EM/T-ND	30.27	WTS701EM/T
Entwicklungskit	WTS-ES701-ND	270.23	WTS-ES701

**Weibliche Stimme, Englisch ***Männliche Stimme, Englisch

Quadravox

QV400D: Prototyp-Programmierungskit für Winbond ChipCorder-Geräte

Systemüberblick: Der QV400D™ bietet alle Software- und Hardwarefunktionen, die für die Entwicklung komplexer Messaging-Systeme erforderlich sind, bei denen die Winbond ChipCorder-Gruppe analoger Aufzeichnungsgeräte zum Einsatz kommt. Verwendet standardmäßiges Windows® .wav-Format zur Eingabe (11,025 kHz, nur 16-Bit Mono-Format). **Projekt-Software:** QV400S™ ist ein Softwarepaket, das von Quadravox zur Vereinheitlichung der Schnittstelle zwischen Benutzern und verschiedenen Sprachentwicklungssystemen konzipiert wurde. Es besteht aus einer ausführbaren Datei, QV400S1.exe (für Windows 95 oder höher), mehreren DLLs (für jedes Entwicklungssystem mindestens eine), mehreren Hilfedateien und einer Initialisierungsdatei, QV400S1.ini (Win95 oder später). **Programmierungs-Hardware:** Die durch die Projektsoftware erstellten Sprachdaten können mithilfe der QV400D-Programmiererkarte in ein beliebiges Winbond ChipCorder-Gerät programmiert werden. Separate benutzerfreundliche ZIF-Sockel werden für die ISD1000-2500- und ISD33000-4000-Bausteine bereitgestellt. **Stromversorgung:** Ausgangsspannung: 9 V DC; Strom: min. 200 mA, 110 V AC, 60 Hz Eingang **Mindestsystemvoraussetzungen:** QV400D läuft auf jedem PC mit Windows 95 oder 98 • CPU Pentium 66 MHz • 8 MB RAM (16 MB und höher bevorzugt) • 1,5 MB Festplattenspeicher • Für die Datenerfassung sind eine 16-Bit Soundkarte, die 11,025 kHz aufzeichnen kann, sowie 16-Bit 44,1 kHz Stereo-Playback erforderlich.

Ausführung	Für Bausteintyp	Digi-Key Teilenr.	Stückpreis
Sockeladapter für QV400D			
28/600 DIP	ISD5008P und ISD5116P	QV400D-03A-ND	33.02
28/300 SOIC	ISD5008S und ISD5116S	QV400D-03B-ND	33.02
28-Pin TSOP	ISD5008E und ISD5116E	QV400D-03C-ND	33.02
28/300 SOIC	ISD1100S, 1200S,1400S und 2500S	QV400D-04-ND	33.02
28/350 SOIC	ISD1100G und ISD2500G	QV400D-05-ND	33.02
28/300 SOIC	ISD33000S und ISD4000S	QV400D-06-ND	33.02
28-Pin TSOP	ISD33000E und ISD4000E	QV400D-07-ND	33.02
—	Auf ISD33000 ODER 4000 basiertes Modul	QV400D-08-ND	16.09

Prototyp-Programmierungskit für Winbond ChipCorder-Geräte

Kitinhalt: • 2 Disketten mit allen QV400D-Softwareprogrammen und Dokumentation (Hilfedatei) • 1 Programmiererkarte mit zwei leeren ZIF-Sockeln • 1 Audiokabel (6 ' abgeschirmt, 1/8" Stereo-Mini-Stecker an beiden Enden) • 1 Netzteil: 9 V DC 300 mA, 2,1 mm Steckbuchse, Center-Positiv.

QV400D-ND 210.80

Alle Preisangaben in Euro und inklusive Zollgebühren.

Herausgegebene Produkte	Rev. D/BS1-IC	BS2-IC	BS2e-IC	BS2sx-IC	BS2p24-IC	BS2p40-IC	Javelin Stamp Modul
Paket	Karte mit Proto / 14-Pin SIP	24-Pin DIP	24-Pin DIP	24-Pin DIP	24-Pin DIP	40-Pin DIP	24-Pin DIP
Paketabmessungen (L x B x H)	2.5" x 1.5" x .5" / 1.4" x 0.6" x 0.1"	1.2" x 0.6" x 0.4"	1.2" x 0.6" x 0.4"	1.2" x 0.6" x 0.4"	1.2" x 0.6" x 0.4"	2.1" x 0.6" x 0.4"	1.24" x 0.6" x 0.45"
Umgebung*	0°C ~ 70°C (32°F ~ 158°F)**	0°C ~ 70°C (32°F ~ 158°F)**	0°C ~ 70°C (32°F ~ 158°F)	0°C ~ 70°C (32°F ~ 158°F)	0°C ~ 70°C (32°F ~ 158°F)	0°C ~ 70°C (32°F ~ 158°F)	0°C ~ 70°C (32°F ~ 158°F)
Mikrocontroller	Mikrochip PIC16C56c	Mikrochip PIC16C57c	Scenix SX28AC	Scenix SX28AC	Scenix SX48AC	Scenix SX48AC	Ubicom SX48AC
Prozessorgeschwindigkeit	4MHz	20MHz	20MHz	50MHz	20 MHz Turbo	20 MHz Turbo	25 MHz Turbo
Program Execution Speed‡	~ 2.000 Befehle / Sek	~ 4.000 Befehle / Sek	~ 4.000 Befehle / Sek	~ 10.000 Befehle / Sek	~ 12.000 Befehle / Sek	~ 12.000 Befehle / Sek	~ 8.500 Befehle/Sek.
RAM-Größe	16 Bytes (2 E/A, 14 Variablen)	32 Bytes (6 E/A, 26 Variablen)	32 Bytes (6 E/A, 26 Variablen)	32 Bytes (6 E/A, 26 Variablen)	38 Bytes (12 E/A, 26 Variablen)	38 Bytes (12 E/A, 26 Variablen)	32.768 Bytes
Scratch Pad RAM	Entfällt	Entfällt	64 Bytes	64 Bytes	128 Bytes	128 Bytes	Entfällt
EEPROM-Grösse (Programm)	256 Bytes, ~ 80 Befehle	2 KBytes, ~ 500 Befehle	8 x 2 KBytes, ~ 4.000 Befehle	8 x 2 KBytes, ~ 4.000 Befehle	8 x 2 KBytes, ~ 4.000 Befehle	8 x 2 KBytes, ~ 4.000 Befehle	32.768 Bytes
Anzahl der E/A-Pins	8	16 + 2 dediziert seriell	16 + 2 dediziert seriell	16 + 2 dediziert seriell	16 + 2 dediziert seriell	32 + 2 dediziert seriell	16
Spannungsanforderungen	5 ~ 15VDC	5 ~ 15VDC	5 ~ 12VDC	5 ~ 12VDC	5 ~ 12VDC	5 ~ 12VDC	5 V DC Reg. 6 ~ 24 V DC (nicht-reg.)
Stromaufnahme bei 5 V	2 mA Betrieb / 20 µA Ruhezustand	8 mA Betrieb / 100 µA Ruhezustand	20 mA Betrieb / 100 µA Ruhezustand	60 mA Betrieb / 200 µA Ruhezustand	40 mA Betrieb / 400 µA Ruhezustand	40 mA Betrieb / 400 µA Ruhezustand	60 mA Betrieb / 13 mA Ruhezustand
Stromquelle / Senke Strom pro E/A	20mA / 25mA	20mA / 25mA	30mA / 30mA	30mA / 30mA	30mA / 30mA	30mA / 30mA	30mA / 30mA
Stromquelle / Senke Strom pro Einheit	40mA / 50mA	40mA / 50mA pro 8 E/A-Pins	60mA / 60mA pro 8 E/A-Pins	60mA / 60mA pro 8 E/A-Pins	60mA / 60mA pro 8 E/A-Pins	60mA / 60mA pro 8 E/A-Pins	60mA / 60mA pro 8 E/A-Pins
PBASIC-Befehle	32	36	39	39	55	55	0 (Java)
PC Programmierschnittstelle	Parallelport	Serieller Port (9.600 Baud)	Serieller Port (9.600 Baud)	Serieller Port (9.600 Baud)	Serieller Port	Serieller Port	Serieller Port
DOS Text Editor	STAMP.EXE	STAMP2.EXE	STAMP2E.EXE	STAMP2SX.EXE	STAMP2P.EXE	STAMP2P.EXE	Entfällt
Windows Text Editor	Entfällt	Stampw.exe (V 1.04 und höher)	Stampw.exe (V 1.096 und höher)	Stampw.exe (V 1.091 und höher)	Stampw.exe (V 1.1 und höher)	Stampw.exe (V 1.1 und höher)	Javelin Stamp IDE

* 70 % Nicht-kondensierende Feuchtigkeit ** Industrielle Modelle erhältlich: -40 °C ~ 85 °C (-40 °F ~ 185 °F) Bestellnummer: BS2I-IC-ND ‡ Programmausführungsgeschwindigkeit

STAMP2-ND

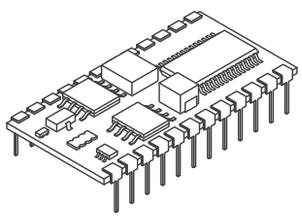

BASIC Stamp 2 (BS2-IC):
Der BS2-IC ist ein beliebtes Modul für Hobby-, Ausbildungs- und industrielle Anwendungen. Dieser Allzweck-Computer wird in BASIC programmiert und verfügt über 16 E/A-Leitungen.

27297-ND

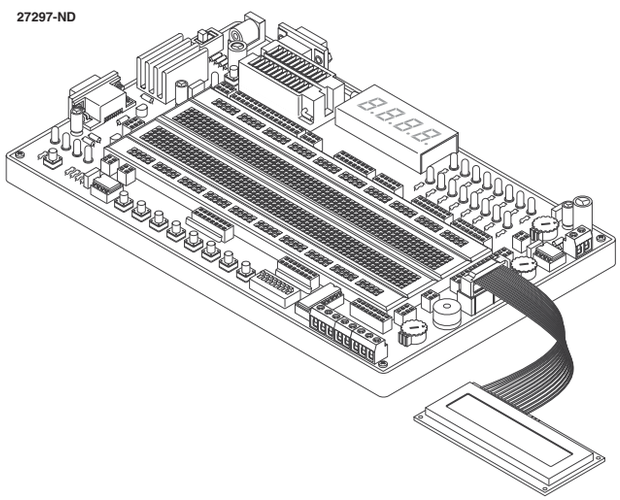

StampWorks Experimentierkit:
Das Stampworks Experimentierkit enthält die NX-1000 Entwicklungkarte für Prototypen, Parallel-LCD, Komponenten, Hand-Tools, Draht und alles, was zur Ausführung der 32 im Textbuch aufgeführten Experimente und für eigene Tests erforderlich ist.

28119-ND

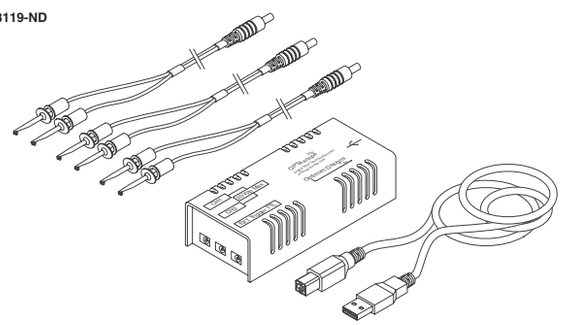

Verstehen von Signalen, Bauteilen und Text:
Dieses Paket umfasst ein Zwei-Spuren-Parallax-Digitaloszilloskop, das über ein USB-Kabel (inbegriffen) mit einem PC verbunden wird. Dieses Oszilloskop verlangt keine exerne Stromversorgung und alle Oszilloskopsteuerungen werden über eine Point-and-Click-Schnittstelle verwaltet. Ferner sind drei Paar Sonden, eine 144 Seiten umfassende Erklärung der Signale und ein Kit zum Verstehen der Signalbauteile enthalten.

Beschreibung	Digi-Key Teilenr.	Stückpreis 1	5	10	25
BASIC Stamp Module					
BS1-IC BASIC Stamp-Modul	STAMP1-ND	24.55	—	22.10	20.87
BS2-IC BASIC Stamp-Modul	STAMP2-ND	41.48	—	37.34	35.27
BASIC Stamp 2 Industrielles Modul	BS2I-IC-ND	45.72	—	41.15	38.86
BASIC Stamp 2E-Modul	BS2E-IC-ND	45.72	—	41.15	38.86
BASIC Stamp 2SX-Modul	BS2SX-IC-ND	49.95	47.46	44.96	42.46
BASIC Stamp 2P 24-Pin Modul	BS2P24-ND	66.88	63.54	60.20	56.85
BASIC Stamp 2P 40-Pin Modul	BS2P40-ND	75.35	71.58	67.82	64.05
BASIC Stamp Javelin-Modul	JS1-IC-ND	75.35	71.58	67.82	—
BASIC Stamp Collection-Modul	020-78267-ND	168.47	—	—	—
BASIC Stamp Starterkits					
BASIC Stamp 1 Starterkit	27205-ND	66.88	63.54	60.20	—
BASIC Stamp 2 Starterkit	27203-ND	100.75	95.71	90.68	—
BASIC Stamp 2 OEM-Modulkit	27291-ND	38.10	36.20	34.29	—
BASIC Stamp 2SX Starterkit	27206-ND	143.08	135.93	128.77	—
Javelin-Stamp-Starterkit	27237-ND	202.34	192.22	182.11	—
Board of Education - volles Kit	28102-ND	83.81	—	68.73	67.06
BASIC Stamp 2P24 Professional - Starterkit	27235-ND	169.28	160.82	152.36	—
Prototyp- und Entwicklungskarten					
BASIC Stamp Super-Trägerkarte	27130-ND	41.48	—	37.34	35.27
BASIC Stamp 1 Projektkarte	27112-ND	24.55	—	—	—
Board of Education	28150-ND	55.03	—	45.13	44.03
BS1-IC Trägerkarte	STAMP1C-ND	12.70	—	11.43	10.80
BS2-IC Trägerkarte	STAMP2C-ND	20.32	—	18.29	17.28
BS2P Demo-Karte	45183-ND	75.35	71.58	67.82	—
BASIC Stamp Zubehörmodule					
BASIC Stamp 1 serieller Adapter	27111-ND	4.19	—	—	—
Pocket Watch B	27962-ND	24.55	23.33	—	—
Motor Mind B	27961-ND	24.55	23.33	—	—
PWMPAL 4 Ausgangskanäle	28020-ND	24.55	—	—	—
DS2760 Thermoelementkit	28022-ND	25.36	—	—	—
Anwendungskits					
Toddler volles Kit - Blau	27311-ND	210.80	—	—	—
Stache Feld-Programmierer	27330-ND	94.29	—	82.98	—
Serielles LCD-Modul 2x16	27910-ND	41.48	—	—	—
Serielles LCD-Modul 2x16, Hintergrundbeleuchtung	27923-ND	49.95	47.46	44.96	—
Parallax Standard-Servo-Motor	900-00005-ND	10.16	9.66	9.15	—
Little Step U-Stepper Motor-Controller	27938-ND	58.42	55.50	52.58	—
16 Servo-Motor-Controller	28023PAR-ND	33.02	31.75	—	—
BASIC Stamp 2P Plus-Pack	45184-ND	58.42	46.74	—	—
Bücher					
Mikrocontroller-Projekte mit BASIC Stamps	27952-ND	38.05	—	—	—
Microcontroller Application Cookbook	28111-ND	25.36	24.09	22.32	—
BASIC Stamp Handbuch Ver.2.0	27218-ND	21.12	19.02	16.86	—
Parallax CD-ROM	27000-ND	2.54	—	—	—
Stamps in Class Educational Kits†					
Toddler volles Kit - Gold	27310PAR-ND	210.80	—	—	—
Verstehen des Signalkits „What is a Microcontroller?" - Teilekit und Text	28119-ND	126.14	—	—	—
„Earth Measurements" - Teilekit und Text	28152-ND	55.03	—	49.53	—
„Robotics!" - Teilekit und Text	28153-ND	66.88	—	60.20	—
Boe-Bot, komplettes Kit	28154-ND	100.75	—	90.68	—
„Industrial Control" - Teilekit und Text	28132-ND	151.54	—	—	—
„BASIC Analog und Digital" - Teilekit und Text	28156-ND	49.95	—	44.96	—
	28155-ND	38.10	—	34.29	—

† Verlangt das volle Board of Education Kit oder BASIC Stamp II Starterkit

8-Pin, 8-Bit Mikrocontroller der Serie PIC12C50X und PIC12C67X

Hochleistungs-RISC-CPU: • Nur 33 Einzelwortbefehle zu lernen • Alles Einzelzyklusbefehle (1µs) mit Ausnahme von Programmzweigen, die zwei Zyklen sind • Betriebsgeschwindigkeit: DC – 4 MHz Takteingang; DC – 1 µs Befehlszyklus • 12-Bit breite Befehle • 8-Bit breiter Datenpfad • Sieben Sonderfunktions-Hardware-Register • Hardware-Stack mit zwei Ebenen • Direkte, indirekte und relative Adressiermodi für Daten und Befehle • Interner 4 MHz RC-Oszillator mit programmierbarer Kalibrierung • Serielle Schaltkreis-Programmierung

Peripheriegeräte umfassen: • 8-Bit Echtzeit Timer/Zähler (TMR0) mit programmierbarem 8-Bit Prescaler • Power-on Reset (POR -Rückstellen beim Einschalten) • Device Reset Timer (DRT - Baustein-Rückstell Timer) • Watchdog Timer (WDT) mit eigenem On-Chip RC-Oszillator zur Gewährleistung eines zuverlässigen Betriebs • Programmierbarer Codeschutz • Stromsparender SLEEP-Modus • Wechsel Wake-up von SLEEP auf Pin • Interne Pull-Ups auf E/A-Pins

Wählbare Oszillatoroptionen: • INTRC - Interner 4 MHz RC-Oszillator • EXTRC - Externer preiswerter RC-Oszillator • XT - Standard-Kristall/Resonator • NL - Stromsparendes Niedrigfrequenzkristall • Interner Pull-up auf MCLR-Pin

Anwendungen: Die Serie PIC12C5XX passt perfekt für Anwendungen, wie z.B. Körperpflegegeräte und Sicherheitheitsanlagen, bis hin zu NL-Fernsendern/-empfängern (z.B. Timer-Funktionen, Ersatz von „Glue"-Logik und PLDs in großen Systemen, Koprozessoranwendungen).

8-Pin MCU mit A/D:

PIC12C67X Mikrocontroller erzielen gewöhnlich eine Code-Komprimierung von 2:1 und eine Geschwindigkeitsverbesserung von 4:1 im Vergleich zu anderen 8-Bit Mikrocontrollern in ihrer Klasse. Die PIC12C67X-Bausteine bieten 128 Bytes RAM und 6 E/A-Pins. Außerdem ist ein Timer/Zähler erhältlich. Ein 4-Kanal HS 8-Bit A/D ist ebenfalls inbegriffen. Die 8-Bit Auflösung eignet sich ideal für Anwendungen, die preiswerte Analogschnittstellen verlangen (Thermostatregler, Drucktastung usw.)

DS00161-ND	CD-ROM Technische Bibliothek von Microchip	**2.54**
DS00711-ND	Handbuch für eingebettete Steuerungen, Update 2000	**4.23**

Speichergröße								Digi-Key	Stückpreis		
EPROM	RAM	Konfiguration	E/A-Leitungen	Oszillatortyp extern †	Frequenzbereich min./max.	Betriebstemperaturbereich	Paket	Teilenr.	1	25	100
512 x 12	25 x 8	EPROM	5	Xtal/RC	DC-4MHz	32° ~ 158°F (0° ~ 70°C)	8-CDip	PIC12C508/JW-ND	8.58	—	7.51
512 x 12	25 x 8	OTP	5	Xtal/RC	DC-4MHz	32° ~ 158°F (0° ~ 70°C)	8-Dip	PIC12C508-04/P-ND	1.90	1.49	1.30
512 x 12	25 x 8	OTP	5	Xtal/RC	DC-4MHz	32° ~ 158°F (0° ~ 70°C)	8-SOIC*	PIC12C508-04/SM-ND	1.99	1.56	1.36
512 x 12	25 x 8	OTP	5	Xtal/RC	DC-4MHz	-40° ~ 185°F (-40° ~ 85°C)	8-Dip	PIC12C508-04I/P-ND	2.07	1.61	1.40
512 x 12	25 x 8	OTP	5	Xtal/RC	DC-4MHz	-40° ~ 185°F (-40° ~ 85°C)	8-SOIC*	PIC12C508-04I/SM-ND	2.18	1.70	1.48
512 x 12	25 x 8	EPROM	5	Xtal/RC	DC-4MHz	32° ~ 158°F (0° ~ 70°C)	8-CDip	PIC12C508A/JW-ND	8.47	—	8.16
512 x 12	25 x 8	OTP	5	Xtal/RC	DC-4MHz	32° ~ 158°F (0° ~ 70°C)	8-Dip	PIC12C508A-04/P-ND	1.46	.91	.87
512 x 12	25 x 8	OTP	5	Xtal/RC	DC-4MHz	32° ~ 158°F (0° ~ 70°C)	8-SOIC*	PIC12C508A-04/SM-ND	1.46	.91	.87
512 x 12	25 x 8	OTP	5	Xtal/RC	DC-4MHz	32° ~ 158°F (0° ~ 70°C)	8-SOIC	PIC12C508A-04/SN-ND	1.51	.92	.88
512 x 12	25 x 8	OTP	5	Xtal/RC	DC-4MHz	-40° ~ 185°F (-40° ~ 85°C)	8-Dip	PIC12C508A-04I/P-ND	1.61	1.00	.94
512 x 12	25 x 8	OTP	5	Xtal/RC	DC-4MHz	-40° ~ 185°F (-40° ~ 85°C)	8-SOIC*	PIC12C508A-04I/SM-ND	1.61	1.00	.94
512 x 12	25 x 8	OTP	5	Xtal/RC	DC-4MHz	-40° ~ 185°F (-40° ~ 85°C)	8-SOIC	PIC12C508A-04I/SN-ND	1.65	1.03	.96
1K x 12	41 x 8	EPROM	5	Xtal/RC	DC-4MHz	32° ~ 158°F (0° ~ 70°C)	8-CDip	PIC12C509/JW-ND	9.02	—	7.88
1K x 12	41 x 8	OTP	5	Xtal/RC	DC-4MHz	32° ~ 158°F (0° ~ 70°C)	8-Dip	PIC12C509-04/P-ND	2.10	1.63	1.42
1K x 12	41 x 8	OTP	5	Xtal/RC	DC-4MHz	32° ~ 158°F (0° ~ 70°C)	8-SOIC*	PIC12C509-04/SM-ND	2.18	1.70	1.48
1K x 12	41 x 8	OTP	5	Xtal/RC	DC-4MHz	-40° ~ 185°F (-40° ~ 85°C)	8-Dip	PIC12C509-04I/P-ND	2.31	1.80	1.57
1K x 12	41 x 8	OTP	5	Xtal/RC	DC-4MHz	-40° ~ 185°F (-40° ~ 85°C)	8-SOIC*	PIC12C509-04I/SM-ND	2.41	1.88	1.64
1K x 12	41 x 8	EPROM	5	Xtal/RC	DC-4MHz	32° ~ 158°F (0° ~ 70°C)	8-CDip	PIC12C509A/JW-ND	8.58	—	7.51
1K x 12	41 x 8	OTP	5	Xtal/RC	DC-4MHz	32° ~ 158°F (0° ~ 70°C)	8-Dip	PIC12C509A-04/P-ND	1.51	.92	.88
1K x 12	41 x 8	OTP	5	Xtal/RC	DC-4MHz	32° ~ 158°F (0° ~ 70°C)	8-SOIC*	PIC12C509A-04/SM-ND	1.51	.92	.88
1K x 12	41 x 8	OTP	5	Xtal/RC	DC-4MHz	32° ~ 158°F (0° ~ 70°C)	8-SOIC	PIC12C509A-04/SN-ND	1.59	.98	.93
1K x 12	41 x 8	OTP	5	Xtal/RC	DC-4MHz	-40° ~ 185°F (-40° ~ 85°C)	8-Dip	PIC12C509A-04I/P-ND	1.65	1.03	.96
1K x 12	41 x 8	OTP	5	Xtal/RC	DC-4MHz	-40° ~ 185°F (-40° ~ 85°C)	8-SOIC*	PIC12C509A-04I/SM-ND	1.65	1.03	.96
1K x 12	41 x 8	OTP	5	Xtal/RC	DC-4MHz	-40° ~ 185°F (-40° ~ 85°C)	8-SOIC	PIC12C509A-04I/SN-ND	1.72	1.06	1.00
512 x 12	25 x 8	EPROM‡	5	Xtal/RC	DC-4MHz	32° ~ 158°F (0° ~ 70°C)	8-CDip	PIC12CE518/JW-ND	9.09	—	7.95
512 x 12	25 x 8	OTP‡	5	Xtal/RC	DC-4MHz	32° ~ 158°F (0° ~ 70°C)	8-Dip	PIC12CE518-04/P-ND	1.78	1.11	1.04
512 x 12	25 x 8	OTP‡	5	Xtal/RC	DC-4MHz	32° ~ 158°F (0° ~ 70°C)	8-SOIC*	PIC12CE518-04/SM-ND	1.89	1.17	1.11
512 x 12	25 x 8	OTP‡	5	Xtal/RC	DC-4MHz	-40° ~ 185°F (-40° ~ 85°C)	8-Dip	PIC12CE518-04I/P-ND	1.95	1.21	1.15
512 x 12	25 x 8	OTP‡	5	Xtal/RC	DC-4MHz	-40° ~ 185°F (-40° ~ 85°C)	8-SOIC*	PIC12CE518-04I/SM-ND	2.06	1.27	1.20
1K x 12	41 x 8	EPROM‡	5	Xtal/RC	DC-4MHz	32° ~ 158°F (0° ~ 70°C)	8-CDip	PIC12CE519/JW-ND	9.61	—	8.40
1K x 12	41 x 8	OTP‡	5	Xtal/RC	DC-4MHz	32° ~ 158°F (0° ~ 70°C)	8-Dip	PIC12CE519-04/P-ND	1.95	1.21	1.15
1K x 12	41 x 8	OTP‡	5	Xtal/RC	DC-4MHz	32° ~ 158°F (0° ~ 70°C)	8-SOIC*	PIC12CE519-04/SM-ND	2.03	1.26	1.20
1K x 12	41 x 8	OTP‡	5	Xtal/RC	DC-4MHz	32° ~ 158°F (0° ~ 70°C)	8-SOIC	PIC12CE519-04/SN-ND	2.07	1.28	1.21
1K x 12	41 x 8	OTP‡	5	Xtal/RC	DC-4MHz	-40° ~ 185°F (-40° ~ 85°C)	8-Dip	PIC12CE519-04I/P-ND	2.14	1.32	1.25
1K x 12	41 x 8	OTP‡	5	Xtal/RC	DC-4MHz	-40° ~ 185°F (-40° ~ 85°C)	8-SOIC*	PIC12CE519-04I/SM-ND	2.20	1.36	1.29
1K x 14	128	EPROM	6 (4-Kan., 8-Bit A/D)	Xtal/RC	DC-10MHz	32° ~ 158°F (0° ~ 70°C)	8-CDip	PIC12C671/JW-ND	7.66	—	6.70
1K x 14	128	OTP	6 (4-Kan., 8-Bit A/D)	Xtal/RC	DC-4MHz	32° ~ 158°F (0° ~ 70°C)	8-Dip	PIC12C671-04/P-ND	2.67	1.65	1.56
1K x 14	128	OTP	6 (4-Kan., 8-Bit A/D))	Xtal/RC	DC-4MHz	32° ~ 158°F (0° ~ 70°C)	8-SOIC*	PIC12C671-04/SM-ND	2.78	1.72	1.62
1K x 14	128	OTP	6 (4-Kan., 8-Bit A/D)	Xtal/RC	DC-10MHz	32° ~ 158°F (0° ~ 70°C)	8-Dip	PIC12C671-10/P-ND	2.84	1.75	1.66
1K x 14	128	OTP	6 (4-Kan., 8-Bit A/D)	Xtal/RC	DC-10MHz	32° ~ 158°F (0° ~ 70°C)	8-SOIC*	PIC12C671-10/SM-ND	2.99	1.85	1.75
1K x 14	128	OTP	6 (4-Kan., 8-Bit A/D)	Xtal/RC	DC-4MHz	-40° ~ 185°F (-40° ~ 85°C)	8-Dip	PIC12C671-04I/P-ND	2.90	1.79	1.70
1K x 14	128	OTP	6 (4-Kan., 8-Bit A/D))	Xtal/RC	DC-4MHz	-40° ~ 185°F (-40° ~ 85°C)	8-SOIC*	PIC12C671-04I/SM-ND	3.05	1.89	1.79
1K x 14	128	OTP	6 (4-Kan., 8-Bit A/D)	Xtal/RC	DC-10MHz	-40° ~ 185°F (-40° ~ 85°C)	8-Dip	PIC12C671-10I/P-ND	3.13	1.95	1.84
2K x 14	128	EPROM	6 (4-Kan., 8-Bit A/D)	Xtal/RC	DC-10MHz	32° ~ 158°F (0° ~ 70°C)	8-CDip	PIC12C672/JW-ND	7.97	—	7.67
2K x 14	128	OTP	6 (4-Kan., 8-Bit A/D)	Xtal/RC	DC-4MHz	32° ~ 158°F (0° ~ 70°C)	8-Dip	PIC12C672-04/P-ND	2.67	1.65	1.56
2K x 14	128	OTP	6 (4-Kan., 8-Bit A/D)	Xtal/RC	DC-4MHz	32° ~ 158°F (0° ~ 70°C)	8-Soic*	PIC12C672-04/SM-ND	2.78	1.72	1.62
2K x 14	128	OTP	6 (4-Kan., 8-Bit A/D)	Xtal/RC	DC-10MHz	32° ~ 158°F (0° ~ 70°C)	8-Dip	PIC12C672-10/P-ND	2.84	1.75	1.66
2K x 14	128	OTP	6 (4-Kan., 8-Bit A/D)	Xtal/RC	DC-10MHz	32° ~ 158°F (0° ~ 70°C)	8-SOIC*	PIC12C672-10/SM-ND	2.99	1.85	1.75
2K x 14	128	OTP	6 (4-Kan., 8-Bit A/D)	Xtal/RC	DC-4MHz	-40° ~ 185°F (-40° ~ 85°C)	8-Dip	PIC12C672-04I/P-ND	2.90	1.79	1.70
2K x 14	128	OTP	6 (4-Kan., 8-Bit A/D)	Xtal/RC	DC-4MHz	-40° ~ 185°F (-40° ~ 85°C)	8-SOIC*	PIC12C672-04I/SM-ND	3.05	1.89	1.79
2K x 14	128	OTP	6 (4-Kan., 8-Bit A/D)	Xtal/RC	DC-10MHz	-40° ~ 185°F (-40° ~ 85°C)	8-Dip	PIC12C672-10I/P-ND	3.13	1.95	1.84
2K x 14	128	OTP	6 (4-Kan., 8-Bit A/D)	Xtal/RC	DC-10MHz	-40° ~ 185°F (-40° ~ 85°C)	8-SOIC*	PIC12C672-10I/SM-ND	3.28	2.03	1.92
1K x 14	128 x 8	EPROM‡	6 (4-Kan., 8-Bit A/D)	Xtal/RC	DC-10MHz	32° ~ 158°F (0° ~ 70°C)	8-CDip	PIC12CE673/JW-ND	8.76	—	8.44
1K x 14	128 x 8	OTP‡	6 (4-Kan., 8-Bit A/D)	Xtal/RC	DC-4MHz	32° ~ 158°F (0° ~ 70°C)	8-Dip	PIC12CE673-04/P-ND	3.13	1.95	1.84
1K x 14	128 x 8	OTP‡	6 (4-Kan., 8-Bit A/D)	Xtal/RC	DC-10MHz	32° ~ 158°F (0° ~ 70°C)	8-Dip	PIC12CE673-10/P-ND	3.37	2.08	1.97
2K x 14	128 x 8	EPROM‡	6 (4-Kan., 8-Bit A/D)	Xtal/RC	DC-10MHz	32° ~ 158°F (0° ~ 70°C)	8-CDip	PIC12CE674/JW-ND	8.76	—	8.44
2K x 14	128 x 8	OTP‡	6 (4-Kan., 8-Bit A/D)	Xtal/RC	DC-4MHz	32° ~ 158°F (0° ~ 70°C)	8-Dip	PIC12CE674-04/P-ND	3.13	1.95	1.84
2K x 14	128 x 8	OTP‡	6 (4-Kan., 8-Bit A/D)	Xtal/RC	DC-4MHz	-40° ~ 185°F (-40° ~ 85°C)	8-Dip	PIC12CE674-04I/P-ND	3.43	2.12	2.00
2K x 14	128 x 8	OTP‡	6 (4-Kan., 8-Bit A/D)	Xtal/RC	DC-10MHz	32° ~ 158°F (0° ~ 70°C)	8-Dip	PIC12CE674-10/P-ND	3.37	2.08	1.97

† Verfügt über internen RC-Oszillator @ 4 MHz (siehe Datenblatt bzgl. Genauigkeit) ‡ 16-Byte EEPROM * Körperbreite = 0,208 Zoll (nominal)

8-Bit CMOS-Mikrocontroller mit LIN-Bus-Transceiver, Serie PIC16C433.

Der PIC16C432/433-Baustein ist ein preiswerter, leistungsstarker, voll statischer, 8-Bit CMOS-Mikrocontroller mit integriertem Analog-an-Digital (A/D)-Wandler und einem integrierten LIN-Bus-Transceiver. Die physikalische LIN-Schicht wird in der Hardware mit einem Spannungsbereich von 0 V bis 18 V und einer Stoßspannungskapazität von 40 V implementiert. Das LIN-Protokoll wird in Firmware implementiert, was Flexibilität für zukünftige Revisionen des LIN-Protokolls bietet.

Hochleistungs-RISC-CPU:

• Nur 35 Einzelwortbefehle zu lernen • Alle Befehle sind Einzelzyklusbefehle (400 ns) mit Ausnahme von Programmzweigen, die zwei Zyklen sind • Betriebsgeschwindigkeit: DC-10 MHz Takteingang; 400 ns Befehlszyklus • 14-Bit breite Befehle • 8-Bit breiter Datenpfad • Unterbrechungsfunktion • Sonderfunktions-Hardware-Register • Hardware-Stack mit acht Ebenen • Direkte, indirekte und relative Adressiermodi für Daten und Befehle

Peripheriegeräte umfassen:

• Integriertes LIN-Bus-Transceiver Wake-up auf Bus-Aktivität • 12 V Batteriebetrieb für Transceiver • Thermische Abschaltung für Transceiver • Erdungsverlustschutz, 4-Kanal • 8-Bit A/D-Wandler (433) • Zwei 8-Bit Komparatoren (432) • 6 E/A (433) • 12 E/A (432) • 8-Bit Echtzeit Timer/Zähler (TMR0) mit programmierbarem Prescaler

Spezielle Mikrocontroller-Funktionen:

• In-Circuit Serial Programming (ICSP™) • Interner 4 MHz RC-Oszillator mit programmierbarer Kalibrierung • Wählbares „Clockout" • Power-on Reset (POR) • Power-up Timer (PWRT) und Oszillator Start-up Timer (OST) • Watchdog Timer (WDT) mit eigenem On-Chip RC-Oszillator zur Gewährleistung eines zuverlässigen Betriebs • Programmierbarer Code-Schutz • Stromsparender SLEEP-Modus • Wählbare Oszillatoroptionen: INTRC - interner Präzisionsoszillator (4 MHz); EXTRC - Externer preiswerter RC-Oszillator; XT - Standardkristall/Resonator; HS - Kristall/Resonator; NL - Stromsparend, Niedrigfrequenzkristall

CMOS-Technologie:

• NL, Hochgeschwindigkeits-CMOS-EPROM/HV-Technologie • Voll statisches Design • Betriebsspannungsbereich: 4,5 V ~ 5,5 V • Industrie- und erweiterte Temperaturbereiche • Geringer Stromverbrauch <2 mA @ 5 V, 4 MHz <1 A typischer Bereitschaftsstrom

PICDEM™ LIN-Demokarte

Enthält einen PICo® Mikrocontroller (PIC16C432/433) mit integrierter LIN Bus-Funktion (Local Interconnect Network). Sie unterstützt besonders Slave-Node-Anwendungen mit PIC16C432, PIC16C433, PIC16C7xx und Master Node-Anwendungen mit PIC16x8x und PIC18Fxx8. PIC16C432, PIC16C433 sind die ersten Mikrocontroller der Industrie mit integrierten LIN-Transceivern gemäß LIN-Bus-Spezifikation Version 1.2. Das PICDEM LIN-Kit enthält eine CD-ROM mit Beispielprogrammen zur Demonstration. Diese Programme können mit den beigefügten Musterbausteinen oder mit einem Emulatorsystem verwendet werden. PICDEM LIN kann als unabhängige Einheit mit einem programmierten Teil oder mit einem Emulatorsystem, wie z.B. MPLAB ICE 2000, verwendet werden. Musterprogramme dienen zur Demonstration der Funktionen der unterstützten Bausteine.

Das Kit enthält: • PICDEM LIN Demo-Karte • PIC16F874 verwendet als Master in der LIN-Kommunikation • Musterprogramme • PICDEM LIN Demo-Karte und Benutzerhandbuch

Merkmale: • 18, 28 und 40-Pin DIP-Sockel • Integrierter +12-V-Regler-Direkteingang von 12 V • RS232C-Sockel und verbundene Hardware für Direktanschluss an RS232-Schnittstelle • CAN-Bus-Schnittstelle • Bedienfeld-Schnittstelle für LIN Bus Master • RF-Stufe für schlüsselfreie Eingabefunktion

DM163005-ND Für PIC16C432/433 ..... **376.74**

Speichergröße								Digi-Key	Stückpreis		
EPROM	RAM	Konfiguration	E/A-Leitungen	Oszillatortyp extern	Min./max. Frequenzbereich	Betriebstemperaturbereich	Paket	Teilenr.	1	25	100
2K x 14	128 x 8	EPROM	12	Xtal/RC	DC-20MHz	-40° ~ 185°F (-40° ~ 85°C)	20-CDip	PIC16C432/JW-ND	9.69	—	8.47
2K x 14	128 x 8	OTP	12	Xtal/RC	DC-20MHz	-40° ~ 185°F (-40° ~ 85°C)	20-SSOP	PIC16C432-I/SS-ND	4.83	2.65	2.46
2K x 14	128 x 8	EPROM	5 (1-Eingang)*	Xtal/RC	DC-10MHz	-40° ~ 185°F (-40° ~ 85°C)	18-CDip	PIC16C433/JW-ND	10.38	—	8.72
2K x 14	128 x 8	OTP	5 (1-Eingang)*	Xtal/RC	DC-10MHz	-40° ~ 185°F (-40° ~ 85°C)	18-Dip	PIC16C433-I/P-ND	4.51	2.46	2.29
2K x 14	128 x 8	OTP	5 (1-Eingang)*	Xtal/RC	DC-10MHz	-40° ~ 185°F (-40° ~ 85°C)	18-SOIC	PIC16C433-I/SO-ND	4.51	2.46	2.29

* Mit 4, 8-Bit ADUs

Alle Preisangaben in Euro und inklusive Zollgebühren.

8-Bit RISC Mikrocontroller

Serie PIC16C6X

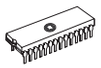

Allgemeine Beschreibung:
Die PIC16C6X ist eine Gruppe von preiswerten, leistungsfähigen, voll statischen 8-Bit CMOS-Mikrocontrollern.

Die Teile der „A"-Version enthalten einen zusätzlichen „Brown-out"-Erkennungsschaltkreis.

(Verwenden Sie den Programmierer PICSTART Plus)
Alle PIC16/17 Mikrocontroller verwenden eine fortschrittliche RISC-ähnliche Architektur. Der PIC16CXX bietet erweiterte Kernfunktionen, einen acht Level hohen Stapel und mehrere interne und externe Interrupt-Quellen. Die separaten Befehls- und Daten-Busse der Harvard-Architektur lassen einen 14-Bit breiten Befehl mit separaten 8-Bit breiten Daten zu. Die zweiphasige Anleitungs-Pipeline ermöglicht die Ausführung alle Befehle in einem einzigen Zyklus, außer bei Programmzweigen (die zwei Zyklen verlangen). Insgesamt stehen 35 Befehle zur Verfügung (reduzierter Befehlsatz). Außerdem liefert ein großes Register einige der architektonischen Innovationen, die zur Erzielung höchster Leistung verwendet werden.

Kernmerkmale der PIC16C6X Mikrocontroller: • Hochleistungs-RISC-CPU • Nur 35 Einzelwortbefehle zu lernen • Alles Einzelzyklusbefehle mit Ausnahme von Programmzweigen, die zwei Zyklen haben. • Betriebsgeschwindigkeit: DC – 20 MHz Takteingang; DC – 200 ns Befehlszyklus • Unterbrechungsfunktion • Hardware-Stack mit acht Ebenen • Direkter, indirekter und relativer Adressiermodus • Power-on Reset (POR) • Power-up Timer (PWRT) und Oszillator Start-up Timer (OST) • Watchdog Timer (WDT) mit eigenem On-Chip RC-Oszillator zur Gewährleistung eines zuverlässigen Betriebs • Programmierbarer Codeschutz • Stromsparender SLEEP-Modus • Wählbare Oszillatoroptionen • NL, HS-CMOS EPROM/ROM-Technologie • Voll statisches Design • Breiter Betriebsspannungsbereich: 2,5 V bis 6 V • Kommerzielle, industrielle und erweiterte Temperaturbereiche • Niedrigerer Stromverbrauch: <2 mA @ 5 V, 4 MHz; 15 µA typisch @ 3 V, 32 kHz; <1 µA typischer Standby-Strom

Die PIC16C6X: Peripheriegeräte umfassen: • Timer0: 8-Bit Timer/Zähler mit 8-Bit Prescaler • Timer1: 16-Bit Timer/Zähler mit Prescaler, kann während des Sleep-Modus über externes Kristall/externe Uhr hochgezählt werden • Timer2: 8-Bit Timer/Zähler mit 8-Bit Periodenregister, Prescaler und Postscaler • Erfassungs-/Compare-/PWM- (CCP) Modul(e) • Erfassung ist 16-Bit, max. Auflösung ist 12, 5 ns; Compare ist 16-Bit, max. Auflösung ist 200 ns; PWM max. Auflösung ist 10-Bit • Synchroner serieller Port (SSP) mit SPI™ und I2C™ • Universal Synchronous Asynchronous Receiver Transmitter (USART/SCI) • Paralleler Slave-Port (PSP), 8-Bit breit, mit externer Lese-, Schreib- und Chipauswahlsteuerung • Spannungsabfall-Erkennungsschaltung für Brown-out Reset (BOR)

DS00092D-ND	Handbuch für eingebettete Steuerungen, Band 1	**8.42**
DS00711-ND	Handbuch für eingebettete Steuerungen, Update 2000	**4.23**
DS00161-ND	CD-ROM - Technische Bibliothek von Microchip	**2.54**

B

Speichergröße		Konfi-	E/A-	Oszillatortyp	Min./max.			Digi-Key	Stückpreis		
EPROM	RAM	guration	Leitungen	extern	Frequenzbereich	Betriebstemperaturbereich	Paket	Teilenr.	1	25	100
1K x 14	128 x 16	OTP	16	Xtal/RC	DC-20MHz	-40° ~ 185°F (-40° ~ 85°C)	20-Dip	PIC16C781-I/P-ND	5.12	2.80	2.61
1K x 14	128 x 16	OTP	16	Xtal/RC	DC-20MHz	-40° ~ 185°F (-40° ~ 85°C)	20-SOIC	PIC16C781-I/SO-ND	5.21	2.85	2.65
1K x 14	128 x 16	OTP	16	Xtal/RC	DC-20MHz	-40° ~ 185°F (-40° ~ 85°C)	20-SSOP	PIC16C781-I/SS-ND	5.71	3.13	2.90
1K x 14	128 x 16	OTP	16	Xtal/RC	DC-20MHz	32° ~ 158°F (0° ~ 70°C)	20-CDIP	PIC16C781/JW-ND	11.19	—	9.77
2K x 14	128 x 8	EPROM	22	Xtal/RC	DC-20MHz	32° ~ 158°F (0° ~ 70°C)	28-CDip	PIC16C62B/JW-ND	9.21	—	—
2K x 14	128 x 8	OTP	22	Xtal/RC	DC-4MHz	32° ~ 158°F (0° ~ 70°C)	28-Dip .3"	PIC16C62B-04/SP-ND★	4.06	2.51	2.39
2K x 14	128 x 8	OTP	22	Xtal/RC	DC-4MHz	32° ~ 158°F (0° ~ 70°C)	28-SOIC	PIC16C62B-04/SO-ND★	4.06	2.51	2.39
2K x 14	128 x 8	OTP	22	Xtal/RC	DC-4MHz	32° ~ 158°F (0° ~ 70°C)	28-SSOP	PIC16C62B-04/SS-ND★	4.30	2.67	2.52
2K x 14	128 x 8	OTP	22	Xtal/RC	DC-20MHz	32° ~ 158°F (0° ~ 70°C)	28-Dip .3"	PIC16C62B-20/SP-ND★	4.34	2.69	2.55
2K x 14	128 x 8	OTP	22	Xtal/RC	DC-20MHz	32° ~ 158°F (0° ~ 70°C)	28-SOIC	PIC16C62B-20/SO-ND★	4.34	2.69	2.55
2K x 14	128 x 8	OTP	22	Xtal/RC	DC-20MHz	32° ~ 158°F (0° ~ 70°C)	28-SSOP	PIC16C62B-20/SS-ND★	4.60	2.84	2.69
2K x 14	128 x 8	OTP	22	Xtal/RC	DC-4MHz	-40° ~ 185°F (-40° ~ 85°C)	28-Dip .3"	PIC16C62B-04I/SP-ND★	4.49	2.77	2.63
2K x 14	128 x 8	OTP	22	Xtal/RC	DC-20MHz	-40° ~ 185°F (-40° ~ 85°C)	28-Dip .3"	PIC16C62B-20I/SP-ND★	4.78	2.96	2.81
4K x 14	192 x 8	EPROM	22	Xtal/RC	DC-20MHz	32° ~ 158°F (0° ~ 70°C)	28-CDip .3"	PIC16C63/JW-ND	12.46	—	11.99
4K x 14	192 x 8	OTP	22	Xtal/RC	DC-4MHz	32° ~ 158°F (0° ~ 70°C)	28-Dip .3"	PIC16C63-04/SP-ND★	7.86	4.86	4.61
4K x 14	192 x 8	OTP	22	Xtal/RC	DC-4MHz	32° ~ 158°F (0° ~ 70°C)	28-SOIC	PIC16C63-04/SO-ND★	7.86	4.86	4.61
4K x 14	192 x 8	OTP	22	Xtal/RC	DC-10MHz	32° ~ 158°F (0° ~ 70°C)	28-Dip .3"	PIC16C63-10/SP-ND★	8.41	5.20	4.92
4K x 14	192 x 8	OTP	22	Xtal/RC	DC-10MHz	32° ~ 158°F (0° ~ 70°C)	28-SOIC	PIC16C63-10/SO-ND★	8.41	5.20	4.92
4K x 14	192 x 8	OTP	22	Xtal/RC	DC-20MHz	32° ~ 158°F (0° ~ 70°C)	28-Dip .3"	PIC16C63-20/SP-ND★	8.41	5.20	4.92
4K x 14	192 x 8	OTP	22	Xtal/RC	DC-20MHz	32° ~ 158°F (0° ~ 70°C)	28-SOIC	PIC16C63-20/SO-ND★	8.41	5.20	4.92
4K x 14	192 x 8	OTP	22	Xtal/RC	DC-4MHz	-40° ~ 185°F (-40° ~ 85°C)	28-Dip .3"	PIC16C63-04I/SP-ND★	8.64	5.33	5.05
4K x 14	192 x 8	OTP	22	Xtal/RC	DC-4MHz	-40° ~ 185°F (-40° ~ 85°C)	28-SOIC	PIC16C63-04I/SO-ND★	8.64	5.33	5.05
4K x 14	192 x 8	OTP	22	Xtal/RC	DC-20MHz	-40° ~ 185°F (-40° ~ 85°C)	28-Dip .3"	PIC16C63-20I/SP-ND★	9.27	5.73	5.43
4K x 14	192 x 8	OTP	22	Xtal/RC	DC-20MHz	-40° ~ 185°F (-40° ~ 85°C)	28-SOIC	PIC16C63-20I/SO-ND★	9.27	5.73	5.43
4K x 14	192 x 8	OTP	22	Xtal/RC	DC-4MHz†	-40° ~ 185°F (-40° ~ 85°C)	28-Dip .3"	PIC16LC63-04I/SP-ND★	9.04	5.60	5.29
4K x 14	192 x 8	OTP	22	Xtal/RC	DC-4MHz†	-40° ~ 185°F (-40° ~ 85°C)	28-SOIC	PIC16LC63-04I/SO-ND★	9.04	5.60	5.29
4K x 14	192 x 8	EPROM	22	Xtal/RC	DC-20MHz	32° ~ 158°F (0° ~ 70°C)	28-CDip .3"	PIC16C63A/JW-ND	8.84	—	—
4K x 14	192 x 8	OTP	22	Xtal/RC	DC-4MHz	32° ~ 158°F (0° ~ 70°C)	28-Dip .3"	PIC16C63A-04/SP-ND★	4.95	3.06	2.90
4K x 14	192 x 8	OTP	22	Xtal/RC	DC-4MHz	32° ~ 158°F (0° ~ 70°C)	28-SOIC	PIC16C63A-04/SO-ND★	4.95	3.06	2.90
4K x 14	192 x 8	OTP	22	Xtal/RC	DC-4MHz	32° ~ 158°F (0° ~ 70°C)	28-SSOP	PIC16C63A-04/SS-ND★	5.19	3.20	3.04
4K x 14	192 x 8	OTP	22	Xtal/RC	DC-4MHz	-40° ~ 185°F (-40° ~ 85°C)	28-Dip .3"	PIC16C63A-04I/SP-ND★	5.49	3.39	3.21
4K x 14	192 x 8	OTP	22	Xtal/RC	DC-4MHz	-40° ~ 185°F (-40° ~ 85°C)	28-SOIC	PIC16C63A-04I/SO-ND★	5.49	3.39	3.21
4K x 14	192 x 8	OTP	22	Xtal/RC	DC-4MHz	-40° ~ 185°F (-40° ~ 85°C)	28-SSOP	PIC16C63A-04I/SS-ND★	5.71	3.53	3.35
4K x 14	192 x 8	OTP	22	Xtal/RC	DC-20MHz	32° ~ 158°F (0° ~ 70°C)	28-Dip .3"	PIC16C63A-20/SP-ND★	5.33	3.30	3.13
4K x 14	192 x 8	OTP	22	Xtal/RC	DC-20MHz	32° ~ 158°F (0° ~ 70°C)	28-SOIC	PIC16C63A-20/SO-ND★	5.33	3.30	3.13
4K x 14	192 x 8	OTP	22	Xtal/RC	DC-20MHz	32° ~ 158°F (0° ~ 70°C)	28-SSOP	PIC16C63A-20/SS-ND★	5.57	3.44	3.25
4K x 14	192 x 8	OTP	22	Xtal/RC	DC-20MHz	-40° ~ 185°F (-40° ~ 85°C)	28-Dip .3"	PIC16C63A-20I/SP-ND★	5.87	3.63	3.43
4K x 14	192 x 8	OTP	22	Xtal/RC	DC-20MHz	-40° ~ 185°F (-40° ~ 85°C)	28-SOIC	PIC16C63A-20I/SO-ND★	5.87	3.63	3.43
4K x 14	192 x 8	OTP	22	Xtal/RC	DC-20MHz	-40° ~ 185°F (-40° ~ 85°C)	28-SSOP	PIC16C63A-20I/SS-ND★	6.12	3.79	3.59
2K x 14	128 x 8	EPROM	33	Xtal/RC	DC-20MHz	32° ~ 158°F (0° ~ 70°C)	40-CDip	PIC16C64A/JW-ND	11.61	—	11.18
2K x 14	128 x 8	OTP	33	Xtal/RC	DC-4MHz	32° ~ 158°F (0° ~ 70°C)	40-Dip	PIC16C64A-04/P-ND★	7.32	4.52	4.28
2K x 14	128 x 8	OTP	33	Xtal/RC	DC-4MHz	32° ~ 158°F (0° ~ 70°C)	44-PLCC	PIC16C64A-04/L-ND★	7.94	5.54	5.13
2K x 14	128 x 8	OTP	33	Xtal/RC	DC-20MHz	32° ~ 158°F (0° ~ 70°C)	40-Dip	PIC16C64A-20/P-ND★	7.86	4.86	4.61
2K x 14	128 x 8	OTP	33	Xtal/RC	DC-20MHz	32° ~ 158°F (0° ~ 70°C)	44-PLCC	PIC16C64A-20/L-ND★	8.47	6.60	5.74
2K x 14	128 x 8	OTP	33	Xtal/RC	DC-4MHz	-40° ~ 185°F (-40° ~ 85°C)	40-Dip	PIC16C64A-04I/P-ND★	8.07	4.98	4.71
2K x 14	128 x 8	OTP	33	Xtal/RC	DC-20MHz	-40° ~ 185°F (-40° ~ 85°C)	44-PLCC	PIC16C64A-20I/L-ND★	9.25	7.20	6.27
4K x 14	192 x 8	EPROM	33	Xtal/RC	DC-20MHz	32° ~ 158°F (0° ~ 70°C)	40-CDip	PIC16C65A/JW-ND	12.96	—	12.46
4K x 14	192 x 8	OTP	33	Xtal/RC	DC-4MHz	32° ~ 158°F (0° ~ 70°C)	40-Dip	PIC16C65A-04/P-ND★	9.80	6.06	5.73
4K x 14	192 x 8	OTP	33	Xtal/RC	DC-10MHz	32° ~ 158°F (0° ~ 70°C)	40-Dip	PIC16C65A-10/P-ND★	10.50	6.49	6.14
4K x 14	192 x 8	OTP	33	Xtal/RC	DC-10MHz	32° ~ 158°F (0° ~ 70°C)	44-PLCC	PIC16C65A-10/L-ND★	12.06	9.38	8.16
4K x 14	192 x 8	OTP	33	Xtal/RC	DC-20MHz	32° ~ 158°F (0° ~ 70°C)	40-Dip	PIC16C65A-20/P-ND★	10.50	6.49	6.14
4K x 14	192 x 8	OTP	33	Xtal/RC	DC-20MHz	32° ~ 158°F (0° ~ 70°C)	44-PLCC	PIC16C65A-20/L-ND★	12.06	9.38	8.16
4K x 14	192 x 8	OTP	33	Xtal/RC	DC-4MHz†	32° ~ 158°F (0° ~ 70°C)	40-Dip	PIC16LC65A-04/P-ND★	10.29	6.35	6.01
4K x 14	192 x 8	OTP	33	Xtal/RC	DC-4MHz†	32° ~ 158°F (0° ~ 70°C)	44-PLCC	PIC16LC65A-04/L-ND★	11.88	9.25	8.05
4K x 14	192 x 8	OTP	33	Xtal/RC	DC-4MHz	-40° ~ 185°F (-40° ~ 85°C)	40-Dip	PIC16C65A-04I/P-ND★	10.79	6.68	6.33
4K x 14	192 x 8	OTP	33	Xtal/RC	DC-4MHz	-40° ~ 185°F (-40° ~ 85°C)	44-PLCC	PIC16C65A-04I/L-ND★	12.39	9.64	8.39
4K x 14	192 x 8	OTP	33	Xtal/RC	DC-20MHz	-40° ~ 185°F (-40° ~ 85°C)	40-Dip	PIC16C65A-20I/P-ND★	11.54	7.13	6.74
4K x 14	192 x 8	OTP	33	Xtal/RC	DC-20MHz	-40° ~ 185°F (-40° ~ 85°C)	44-PLCC	PIC16C65A-20I/L-ND★	13.12	10.22	8.89
4K x 14	192 x 8	OTP	33	Xtal/RC	DC-4MHz†	-40° ~ 185°F (-40° ~ 85°C)	44-PLCC	PIC16LC65A-04I/L-ND★	12.83	9.98	8.69
4K x 14	192 x 8	EPROM	33	Xtal/RC	DC-20MHz	32° ~ 158°F (0° ~ 70°C)	40-CDip	PIC16C65B/JW-ND	9.70	—	—
4K x 14	192 x 8	OTP	33	Xtal/RC	DC-4MHz	32° ~ 158°F (0° ~ 70°C)	40-Dip	PIC16C65B-04/P-ND★	5.57	3.44	3.25
4K x 14	192 x 8	OTP	33	Xtal/RC	DC-4MHz	32° ~ 158°F (0° ~ 70°C)	44-PLCC	PIC16C65B-04/L-ND★	6.46	5.03	4.38
4K x 14	192 x 8	OTP	33	Xtal/RC	DC-20MHz	32° ~ 158°F (0° ~ 70°C)	40-Dip	PIC16C65B-20/P-ND★	5.97	3.69	3.50
4K x 14	192 x 8	OTP	33	Xtal/RC	DC-20MHz	32° ~ 158°F (0° ~ 70°C)	44-PLCC	PIC16C65B-20/L-ND★	6.86	5.33	4.65
4K x 14	192 x 8	OTP	33	Xtal/RC	DC-4MHz†	-40° ~ 185°F (-40° ~ 85°C)	40-Dip	PIC16C65B-04I/P-ND★	6.16	3.80	3.60
4K x 14	192 x 8	OTP	33	Xtal/RC	DC-20MHz	-40° ~ 185°F (-40° ~ 85°C)	40-Dip	PIC16C65B-20I/P-ND★	6.56	4.06	3.85
4K x 14	192 x 8	OTP	33	Xtal/RC	DC-20MHz	-40° ~ 185°F (-40° ~ 85°C)	44-PLCC	PIC16C65B-20I/L-ND★	7.48	5.81	5.06
8K x 14	368	EPROM	22	Xtal/RC	DC-20MHz	32° ~ 158°F (0° ~ 70°C)	28-CDip .3"	PIC16C66/JW-ND	12.34	—	12.03
8K x 14	368	OTP	22	Xtal/RC	DC-4MHz	32° ~ 158°F (0° ~ 70°C)	28-Dip .3"	PIC16C66-04/SP-ND★	7.24	4.48	4.25
8K x 14	368	OTP	22	Xtal/RC	DC-4MHz	32° ~ 158°F (0° ~ 70°C)	28-SOIC	PIC16C66-04/SO-ND★	7.24	4.48	4.25
8K x 14	368	OTP	22	Xtal/RC	DC-10MHz	32° ~ 158°F (0° ~ 70°C)	28-Dip .3"	PIC16C66-10/SP-ND★	7.75	4.80	4.54
8K x 14	368	OTP	22	Xtal/RC	DC-10MHz	32° ~ 158°F (0° ~ 70°C)	28-SOIC	PIC16C66-10/SO-ND★	7.75	4.80	4.54
8K x 14	368	OTP	22	Xtal/RC	DC-20MHz	32° ~ 158°F (0° ~ 70°C)	28-Dip .3"	PIC16C66-20/SP-ND★	7.75	4.80	4.54
8K x 14	368	OTP	22	Xtal/RC	DC-20MHz	32° ~ 158°F (0° ~ 70°C)	28-SOIC	PIC16C66-20/SO-ND★	7.75	4.80	4.54
8K x 14	368	OTP	22	Xtal/RC	DC-4MHz	32° ~ 158°F (0° ~ 70°C)	28-Dip .3"	PIC16LC66-04/SP-ND★	7.62	4.71	4.46
8K x 14	368	OTP	22	Xtal/RC	DC-4MHz	32° ~ 158°F (0° ~ 70°C)	28-SOIC	PIC16LC66-04/SO-ND★	7.62	4.71	4.46
8K x 14	368	OTP	22	Xtal/RC	DC-4MHz	-40° ~ 185°F (-40° ~ 85°C)	28-Dip .3"	PIC16C66-04I/SP-ND★	7.96	4.92	4.65
8K x 14	368	OTP	22	Xtal/RC	DC-20MHz	-40° ~ 185°F (-40° ~ 85°C)	28-Dip .3"	PIC16C66-20I/SP-ND★	8.53	5.26	4.99
8K x 14	368	OTP	22	Xtal/RC	DC-20MHz	-40° ~ 185°F (-40° ~ 85°C)	28-SOIC	PIC16C66-20I/SO-ND★	8.53	5.26	4.99
8K x 14	368	EPROM	33	Xtal/RC	DC-20MHz	32° ~ 158°F (0° ~ 70°C)	40-CDip	PIC16C67/JW-ND	12.75	—	12.26
8K x 14	368	OTP	33	Xtal/RC	DC-4MHz	32° ~ 158°F (0° ~ 70°C)	40-Dip	PIC16C67-04/P-ND★	7.90	4.87	4.62
8K x 14	368	OTP	33	Xtal/RC	DC-10MHz	32° ~ 158°F (0° ~ 70°C)	40-Dip	PIC16C67-10/P-ND★	8.47	5.24	4.96
8K x 14	368	OTP	33	Xtal/RC	DC-10MHz	32° ~ 158°F (0° ~ 70°C)	44-PLCC	PIC16C67-10/L-ND★	8.96	6.26	5.80
8K x 14	368	OTP	33	Xtal/RC	DC-20MHz	32° ~ 158°F (0° ~ 70°C)	40-Dip	PIC16C67-20/P-ND★	8.47	5.24	4.96
8K x 14	368	OTP	33	Xtal/RC	DC-20MHz	32° ~ 158°F (0° ~ 70°C)	44-PLCC	PIC16C67-20/L-ND★	8.96	6.26	5.80
8K x 14	368	OTP	33	Xtal/RC	DC-4MHz	-40° ~ 185°F (-40° ~ 85°C)	40-Dip	PIC16C67-04I/P-ND★	8.70	5.37	5.10
8K x 14	368	OTP	33	Xtal/RC	DC-20MHz	-40° ~ 185°F (-40° ~ 85°C)	40-Dip	PIC16C67-20I/P-ND★	9.27	5.73	5.43
8K x 14	368	OTP	33	Xtal/RC	DC-20MHz	-40° ~ 185°F (-40° ~ 85°C)	44-PLCC	PIC16C67-20I/L-ND★	9.76	6.81	6.30

† NL-Oszillation max. 200 kHz

★ ***Dieses Teil kann von Digi-Key programmiert werden. Sollten Sie weitere Informationen und Preisangaben benötigen, rufen Sie bei Digi-Key an und fragen nach dem Programmierzentrum.***

8-Bit RISC-Mikrocontroller
PIC16C62X / 16CE62X (EEPROM – Speicher)

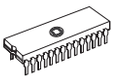
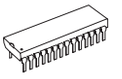

PIC16C62X
(Verwenden Sie den Programmierer PICSTART Plus oder MP-PROG-ND)

Beschreibung: Der PIC16C62X umfasst 18-Pin EPROM-basierte Mitglieder der vielseitig verwendbaren PIC16CXX-Gruppe preiswerter, voll statischer 8-Bit CMOS-Hochleistungs-Mikrocontroller. Sowohl der PIC16C620 als auch der PIC16C621 verfügt über 80 Bytes RAM. Der PIC16C622 verfügt über 128 Bytes RAM. Jeder Baustein bietet 13 E/A-Pins und einen 8-Bit Timer/Zähler mit einem programmierbaren 8-Bit Prescaler. Außerdem verfügt der PIC16C62X über zwei zusätzliche Analogkomparatoren mit einem programmierbaren On-Chip Spannungsreferenzmodul. Das Komparatormodul eignet sich ideal für Anwendungen, die preiswerte Analogschnittstellen verlangen, wie z.B. Batterieladegeräte, Schwellendetektoren, Controller für Elektro-Haushaltsgeräte usw.)

Merkmale: RISC-ähnliche Hochleistungs-CPU: • Nur 35 Einzelwortbefehle zu lernen • Alles Einzelzyklusbefehle (200 ns), mit Ausnahme von Programmzweigen, die zwei Zyklen haben • Betriebsgeschwindigkeit: DC – 20 MHz Takteingang; DC – 200 ns Befehlszyklus • Unterbrechungsfunktion • 16 Sonderfunktions-Hardware-Register • Hardware-Stack mit 8 Ebenen • Direkter, indirekter und relativer Adressiermodus

Peripheriegeräte umfassen: • 13 E/A-Pins mit individueller Richtungssteuerung • 25 mA Senke/Quelle pro E/A für direkten LED-Antrieb • Analogkomparatormodul mit: 2 Analogkomparatoren, programmierbarem On-Chip Spannungsreferenzmodul (VREF), programmierbaren Eingangs-Multiplexing-Formbausteineingängen und interner Spannungsreferenz; Komparatorausgänge können als Ausgangssignale dienen • TMR0: 8-Bit Timer/Zähler mit programmierbarem 8-Bit Prescaler

Spezielle Mikrocontroller-Funktionen: • Power-on Reset (POR) • Power-up Timer (PWRT) und Oszillator Start-up Timer (OST) • „Brown-out"-Schutz • Watchdog Timer (WDT) mit eigenem On-Chip RC-Oszillator zur Gewährleistung eines zuverlässigen Betriebs • Programmierbarer Code-Schutz • Stromsparender SLEEP-Modus • Oszillatoroptionen mit wählbarer Sicherung • Serielle integrierte Programmierung (über zwei Pins) • 4 vom Benutzer programmierbare ID-Stellen

CMOS-Technologie: • NL, HS-CMOS-EPROM-Technologie • Voll statisches Design • Breiter Betriebsspannungsbereich - 3,0 V bis 6,0 V • Kommerzielle und industrielle Temperaturbereiche • Niedriger Stromverbrauch - <2 mA bei 5 V, 4 MHz; 15 µA typisch bei 3 V, 32 kHz; <1 µA typischer Standby-Strom @ 3 V

DS00092D-ND	Handbuch für eingebettete Steuerungen, Band 1	**8.42**
DS00711-ND	Handbuch für eingebettete Steuerungen, Update 2000	**4.23**
DS00161-ND	CD-ROM - Technische Bibliothek von Microchip	**2.54**

Speichergröße			Oszillator-E/A-Leitungen	Frequenztyp extern	Betriebsbereich min./max.			Digi-Key	Stückpreis		
Programm	RAM	Konfiguration				Temperaturbereich	Paket	Teilenr.	1	25	100
512 X 14	80 x 8	EPROM✦	13	Xtal/RC	DC-20MHz	32° ~ 158°F (0° ~ 70°C)	18-CDip	PIC16C620/JW-ND	7.55	—	6.61
512 X 14	80 x 8	OTP✦	13	Xtal/RC	DC-4MHz	32° ~ 158°F (0° ~ 70°C)	18-Dip	PIC16C620-04/P-ND★	4.05	3.15	2.74
512 X 14	80 x 8	OTP✦	13	Xtal/RC	DC-4MHz	32° ~ 158°F (0° ~ 70°C)	18-Soic	PIC16C620-04/SO-ND★	4.09	3.18	2.77
512 X 14	80 x 8	OTP✦	13	Xtal/RC	DC-20MHz	32° ~ 158°F (0° ~ 70°C)	18-Dip	PIC16C620-20/P-ND★	4.30	3.35	2.92
512 X 14	80 x 8	OTP✦	13	Xtal/RC	DC-20MHz	32° ~ 158°F (0° ~ 70°C)	18-Soic	PIC16C620-20/SO-ND★	4.39	3.42	2.98
512 X 14	80 x 8	OTP✦	13	Xtal/RC	DC-4MHz†	32° ~ 158°F (0° ~ 70°C)	18-Dip	PIC16LC620-04/P-ND★	4.22	3.29	2.86
512 X 14	80 x 8	OTP✦	13	Xtal/RC	DC-4MHz†	32° ~ 158°F (0° ~ 70°C)	18-Soic	PIC16LC620-04/SO-ND★	4.30	3.35	2.92
512 X 14	80 x 8	OTP✦	13	Xtal/RC	DC-4MHz	-40° ~ 185°F (-40° ~ 85°C)	18-Dip	PIC16C620-04I/P-ND★	4.40	3.42	2.98
512 X 14	80 x 8	OTP✦	13	Xtal/RC	DC-4MHz	-40° ~ 185°F (-40° ~ 85°C)	18-Soic	PIC16C620-04I/SO-ND★	4.51	3.50	3.05
1K x14	80 x 8	EPROM✦	13	Xtal/RC	DC-20MHz	32° ~ 158°F (0° ~ 70°C)	18-CDip	PIC16C621/JW-ND	8.23	—	7.20
1K x14	80 x 8	OTP✦	13	Xtal/RC	DC-4MHz	32° ~ 158°F (0° ~ 70°C)	18-Dip	PIC16C621-04/P-ND★	4.51	3.51	3.05
1K x14	80 x 8	OTP✦	13	Xtal/RC	DC-4MHz	32° ~ 158°F (0° ~ 70°C)	18-Soic	PIC16C621-04/SO-ND★	4.61	3.59	3.13
1K x14	80 x 8	OTP✦	13	Xtal/RC	DC-20MHz	32° ~ 158°F (0° ~ 70°C)	18-Dip	PIC16C621-20/P-ND★	4.85	3.78	3.29
1K x14	80 x 8	OTP✦	13	Xtal/RC	DC-20MHz	32° ~ 158°F (0° ~ 70°C)	18-Soic	PIC16C621-20/SO-ND★	4.95	3.87	3.37
1K x14	80 x 8	OTP✦	13	Xtal/RC	DC-4MHz†	32° ~ 158°F (0° ~ 70°C)	18-Dip	PIC16LC621-04/P-ND★	4.77	3.71	3.23
1K x14	80 x 8	OTP✦	13	Xtal/RC	DC-4MHz†	32° ~ 158°F (0° ~ 70°C)	18-Soic	PIC16LC621-04/SO-ND★	4.85	3.78	3.29
1K x14	80 x 8	OTP✦	13	Xtal/RC	DC-4MHz	-40° ~ 185°F (-40° ~ 85°C)	18-Dip	PIC16C621-04I/P-ND★	4.99	3.89	3.38
1K x14	80 x 8	OTP✦	13	Xtal/RC	DC-20MHz	-40° ~ 185°F (-40° ~ 85°C)	18-Soic	PIC16C621-20I/SO-ND★	5.46	4.26	3.70
1K x14	80 x 8	OTP✦	13	Xtal/RC	DC-4MHz†	-40° ~ 185°F (-40° ~ 85°C)	18-Dip	PIC16LC621-04I/P-ND★	5.27	4.10	3.57
2K x 14	128 x 8	EPROM✦	13	Xtal/RC	DC-20MHz	32° ~ 158°F (0° ~ 70°C)	18-CDip	PIC16C622/JW-ND	9.02	—	7.88
2K x 14	128 x 8	OTP✦	13	Xtal/RC	DC-4MHz	32° ~ 158°F (0° ~ 70°C)	18-Dip	PIC16C622-04/P-ND★	5.19	4.04	3.52
2K x 14	128 x 8	OTP✦	13	Xtal/RC	DC-4MHz	32° ~ 158°F (0° ~ 70°C)	18-Soic	PIC16C622-04/SO-ND★	5.29	4.12	3.59
2K x 14	128 x 8	OTP✦	13	Xtal/RC	DC-4MHz	32° ~ 158°F (0° ~ 70°C)	20-SSOP	PIC16C622-04/SS-ND	5.71	4.44	3.87
2K x 14	128 x 8	OTP✦	13	Xtal/RC	DC-20MHz	32° ~ 158°F (0° ~ 70°C)	18-Dip	PIC16C622-20/P-ND★	5.57	4.32	3.77
2K x 14	128 x 8	OTP✦	13	Xtal/RC	DC-20MHz	32° ~ 158°F (0° ~ 70°C)	18-Soic	PIC16C622-20/SO-ND★	5.67	4.41	3.84
2K x 14	128 x 8	OTP✦	13	Xtal/RC	DC-20MHz	32° ~ 158°F (0° ~ 70°C)	20-SSOP	PIC16C622-20/SS-ND	6.12	4.77	4.15
2K x 14	128 x 8	OTP✦	13	Xtal/RC	DC-4MHz†	32° ~ 158°F (0° ~ 70°C)	18-Dip	PIC16LC622-04/P-ND★	5.46	4.26	3.70
2K x 14	128 x 8	OTP✦	13	Xtal/RC	DC-4MHz†	32° ~ 158°F (0° ~ 70°C)	18-Soic	PIC16LC622-04/SO-ND★	5.57	4.32	3.77
2K x 14	128 x 8	OTP✦	13	Xtal/RC	DC-4MHz†	32° ~ 158°F (0° ~ 70°C)	20-SSOP	PIC16LC622-04/SS-ND	6.01	4.69	4.07
2K x 14	128 x 8	OTP✦	13	Xtal/RC	DC-4MHz	-40° ~ 185°F (-40° ~ 85°C)	18-Dip	PIC16C622-04I/P-ND★	5.71	4.44	3.87
2K x 14	128 x 8	OTP✦	13	Xtal/RC	DC-4MHz	-40° ~ 185°F (-40° ~ 85°C)	18-Soic	PIC16C622-04I/SO-ND★	5.84	4.54	3.96
2K x 14	128 x 8	OTP✦	13	Xtal/RC	DC-20MHz	-40° ~ 185°F (-40° ~ 85°C)	18-Dip	PIC16C622-20I/P-ND★	6.12	4.77	4.15
2K x 14	128 x 8	OTP✦	13	Xtal/RC	DC-20MHz	-40° ~ 185°F (-40° ~ 85°C)	18-Soic	PIC16C622-20I/SO-ND★	6.25	4.86	4.23
2K x 14	128 x 8	OTP✦	13	Xtal/RC	DC-4MHz†	-40° ~ 185°F (-40° ~ 85°C)	18-Dip	PIC16LC622-04I/P-ND★	6.01	4.69	4.07
2K x 14	128 x 8	OTP✦	13	Xtal/RC	DC-4MHz†	-40° ~ 185°F (-40° ~ 85°C)	18-Soic	PIC16LC622-04I/SO-ND★	6.12	4.77	4.15
512 X 14	80 x 8	EPROM✦	13	Xtal/RC	DC-20MHz	32° ~ 158°F (0° ~ 70°C)	18-CDip	PIC16C620A/JW-ND	6.69	—	5.85
512 x 14	80 x 8	OTP✦	13	Xtal/RC	DC-4MHz	32° ~ 158°F (0° ~ 70°C)	18-Dip	PIC16C620A-04/P-ND★	2.07	1.28	1.21
512 x 14	80 x 8	OTP✦	13	Xtal/RC	DC-4MHz	32° ~ 158°F (0° ~ 70°C)	18-Soic	PIC16C620A-04/SO-ND★	2.14	1.32	1.25
512 x 14	80 x 8	OTP✦	13	Xtal/RC	DC-20MHz	32° ~ 158°F (0° ~ 70°C)	18-Dip	PIC16C620A-20/P-ND★	2.20	1.36	1.29
512 x 14	80 x 8	OTP✦	13	Xtal/RC	DC-20MHz	32° ~ 158°F (0° ~ 70°C)	18-Soic	PIC16C620A-20/SO-ND★	2.29	1.41	1.34
512 x 14	80 x 8	OTP✦	13	Xtal/RC	DC-4MHz	-40° ~ 185°F (-40° ~ 85°C)	18-Dip	PIC16C620A-04I/P-ND★	2.07	1.28	1.21
1K x14	80 x 8	EPROM✦	13	Xtal/RC	DC-20MHz	32° ~ 158°F (0° ~ 70°C)	18-CDip	PIC16C621A/JW-ND	7.53	—	6.60
1K x 14	80 x 8	OTP✦	13	Xtal/RC	DC-4MHz	32° ~ 158°F (0° ~ 70°C)	18-Dip	PIC16C621A-04/P-ND★	2.33	1.44	1.37
1K x 14	80 x 8	OTP✦	13	Xtal/RC	DC-4MHz	32° ~ 158°F (0° ~ 70°C)	18-Soic	PIC16C621A-04/SO-ND★	2.37	1.47	1.40
1K x 14	80 x 8	OTP✦	13	Xtal/RC	DC-20MHz	32° ~ 158°F (0° ~ 70°C)	18-Dip	PIC16C621A-20/P-ND★	2.50	1.55	1.47
1K x 14	80 x 8	OTP✦	13	Xtal/RC	DC-20MHz	32° ~ 158°F (0° ~ 70°C)	18-Soic	PIC16C621A-20/SO-ND★	2.54	1.58	1.49
1K x 14	80 x 8	OTP✦	13	Xtal/RC	DC-4MHz	-40° ~ 185°F (-40° ~ 85°C)	18-Dip	PIC16C621A-04I/P-ND★	2.57	1.59	1.51
2K x 14	128 x 8	EPROM✦	13	Xtal/RC	DC-20MHz	32° ~ 158°F (0° ~ 70°C)	18-CDip	PIC16C622A/JW-ND	8.50	—	7.43
2K x 14	128 x 8	OTP✦	13	Xtal/RC	DC-4MHz	32° ~ 158°F (0° ~ 70°C)	18-Dip	PIC16C622A-04/P-ND★	2.62	1.62	1.53
2K x 14	128 x 8	OTP✦	13	Xtal/RC	DC-4MHz	32° ~ 158°F (0° ~ 70°C)	18-Soic	PIC16C622A-04/SO-ND★	2.69	1.66	1.57
2K x 14	128 x 8	OTP✦	13	Xtal/RC	DC-20MHz	32° ~ 158°F (0° ~ 70°C)	18-Dip	PIC16C622A-20/P-ND★	2.84	1.76	1.66
2K x 14	128 x 8	OTP✦	13	Xtal/RC	DC-20MHz	32° ~ 158°F (0° ~ 70°C)	18-Soic	PIC16C622A-20/SO-ND★	2.86	1.77	1.67
2K x 14	128 x 8	OTP✦	13	Xtal/RC	DC-4MHz	-40° ~ 185°F (-40° ~ 85°C)	18-Dip	PIC16C622A-04I/P-ND★	2.88	1.79	1.69
2K x 14	128 x 8	OTP✦	13	Xtal/RC	DC-20MHz	-40° ~ 185°F (-40° ~ 85°C)	18-Dip	PIC16C622A-20I/P-ND★	3.09	1.92	1.82
2K x 14	128 x 8	OTP✦	13	Xtal/RC	DC-20MHz	-40° ~ 185°F (-40° ~ 85°C)	18-Soic	PIC16C622A-20I/SO-ND★	3.16	1.96	1.86
512 x 14	96 x 8	EPROM‡✦	13	Xtal/RC	DC-20MHz	32° ~ 158°F (0° ~ 70°C)	18-CDip	PIC16CE623/JW-ND	7.94	—	6.94
512 x 14	96 x 8	OTP‡✦	13	Xtal/RC	DC-4MHz	32° ~ 158°F (0° ~ 70°C)	18-Dip	PIC16CE623-04/P-ND★	2.99	1.85	1.75
512 x 14	96 x 8	OTP‡✦	13	Xtal/RC	DC-4MHz	32° ~ 158°F (0° ~ 70°C)	18-Soic	PIC16CE623-04/SO-ND★	3.03	1.87	1.78
512 x 14	96 x 8	OTP‡✦	13	Xtal/RC	DC-20MHz	32° ~ 158°F (0° ~ 70°C)	18-Dip	PIC16CE623-20/P-ND★	3.17	1.97	1.87
512 x 14	96 x 8	OTP‡✦	13	Xtal/RC	DC-20MHz	32° ~ 158°F (0° ~ 70°C)	18-Soic	PIC16CE623-20/SO-ND★	3.26	2.01	1.90
512 x 14	96 x 8	OTP‡✦	13	Xtal/RC	DC-4MHz	-40° ~ 185°F (-40° ~ 85°C)	18-Dip	PIC16CE623-04I/P-ND★	3.28	2.03	1.92
512 x 14	96 x 8	OTP‡✦	13	Xtal/RC	DC-4MHz	-40° ~ 185°F (-40° ~ 85°C)	18-Soic	PIC16CE623-04I/SO-ND★	3.33	2.05	1.95
1K x14	96 x 8	EPROM‡✦	13	Xtal/RC	DC-20MHz	32° ~ 158°F (0° ~ 70°C)	18-CDip	PIC16CE624/JW-ND	8.64	—	7.57
1K x14	96 x 8	OTP‡✦	13	Xtal/RC	DC-4MHz	32° ~ 158°F (0° ~ 70°C)	18-Dip	PIC16CE624-04/P-ND★	3.33	2.05	1.95
1K x14	96 x 8	OTP‡✦	13	Xtal/RC	DC-4MHz	32° ~ 158°F (0° ~ 70°C)	18-Soic	PIC16CE624-04/SO-ND★	3.39	2.09	1.98
1K x14	96 x 8	OTP‡✦	13	Xtal/RC	DC-20MHz	32° ~ 158°F (0° ~ 70°C)	18-Dip	PIC16CE624-20/P-ND★	3.56	2.20	2.09
1K x14	96 x 8	OTP‡✦	13	Xtal/RC	DC-20MHz	32° ~ 158°F (0° ~ 70°C)	18-Soic	PIC16CE624-20/SO-ND★	3.62	2.24	2.13
1K x14	96 x 8	OTP‡✦	13	Xtal/RC	DC-4MHz	-40° ~ 185°F (-40° ~ 85°C)	18-Dip	PIC16CE624-04I/P-ND★	3.68	2.28	2.17
1K x14	96 x 8	OTP‡✦	13	Xtal/RC	DC-4MHz	-40° ~ 185°F (-40° ~ 85°C)	18-Soic	PIC16CE624-04I/SO-ND★	3.73	2.31	2.19
2K x 14	128 x 8	EPROM‡✦	13	Xtal/RC	DC-20MHz	32° ~ 158°F (0° ~ 70°C)	18-CDip	PIC16CE625/JW-ND	9.46	—	8.28
2K x 14	128 x 8	OTP‡✦	13	Xtal/RC	DC-4MHz	32° ~ 158°F (0° ~ 70°C)	18-Dip	PIC16CE625-04/P-ND★	3.79	2.35	2.22
2K x 14	128 x 8	OTP‡✦	13	Xtal/RC	DC-4MHz	32° ~ 158°F (0° ~ 70°C)	18-Soic	PIC16CE625-04/SO-ND★	3.85	2.38	2.25
2K x 14	128 x 8	OTP‡✦	13	Xtal/RC	DC-20MHz	32° ~ 158°F (0° ~ 70°C)	18-Dip	PIC16CE625-20/P-ND★	4.06	2.51	2.38
2K x 14	128 x 8	OTP‡✦	13	Xtal/RC	DC-20MHz	32° ~ 158°F (0° ~ 70°C)	18-Soic	PIC16CE625-20/SO-ND★	4.13	2.55	2.42
2K x 14	128 x 8	OTP‡✦	13	Xtal/RC	DC-4MHz	-40° ~ 185°F (-40° ~ 85°C)	18-Dip	PIC16CE625-04I/P-ND★	4.15	2.57	2.44
2K x 14	128 x 8	OTP‡✦	13	Xtal/RC	DC-4MHz	-40° ~ 185°F (-40° ~ 85°C)	18-Soic	PIC16CE625-04I/SO-ND★	4.26	2.63	2.50

✦ 2 Analogkomparatoren, programmierbare integrierte V-Ref.
† NL-Oszillation max. 200 kHz
‡ 128 Byte EEPROM
★ ***Dieses Teil kann von Digi-Key programmiert werden. Sollten Sie weitere Informationen und Preisangaben benötigen, rufen Sie bei Digi-Key an und fragen nach dem Programmierzentrum.***

Alle Preisangaben in Euro und inklusive Zollgebühren.

8-Bit RISC-Mikrocontroller
Serie PIC16C5X und PIC16HV540

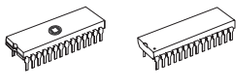

Allgemeine Beschreibung: Die lange Geschichte der Innovationen bei Microchip hat das Engagement des Unternehmens in der Entwicklung und Marketing führender Produkte bewiesen. Mit dem PIC hat Microchip *die modernste 8-Bit Mikrocontroller-Gruppe für den unteren bis mittleren Bereich auf dem heutigen Markt entwickelt.* Die Flexibilität der CMOS OTP EPROM-Technologie, die hervorragende Leistung der RISC-Architektur und das kleinste Paket kombiniert mit günstigen Preisen sind die Hauptgründe, weshalb Systemdesigner bevorzugt einen PIC als Mikrocontroller wählen. Mit PIC verkürzt sich die 8-12-wöchige Einführzeit, die für ROM MCUs normal ist, auf nur wenige Tage. Außerdem führt der Code-Verdichtungsfaktor des PIC zu weiteren eingesparten Wochen bei der Designzeit. Die kleine Einsatzgröße und die moderne CMOS-Technologie von Microchip unterstützen *eine Vielzahl von Leistungen* und Bereitschaftsströmen. Niedrige Ströme sind ideal für lang haltbare, Batterie-abhängige Anwendungen. Einer der größten Vorteile des PIC ist seine E/A-Funktion.

PIC16C5X (verwenden Sie den Programmierer PICSTART Plus)

Merkmale: • Nur 33 Einzelwortbefehle zu lernen • Alles Einzelzyklusbefehle (200 ns), mit Ausnahme von Programmzweigen, die zwei Zyklen haben • 12-Bit breite Befehle • 8-Bit breiter Datenpfad • 512 - 2K x 12 On-Chip EPROM-Programmspeicher • 25 bis 73 x 8 Allzweckregister (SRAM) • 7 Sonderfunktions-Hardware-Register • Hardware-Stack mit zwei Ebenen • Direkte, indirekte und relative Adressiermodi für Daten und Befehle • 8-Bit Echtzeit Timer/Zähler (RTCC) mit programmierbarem 8-Bit Prescaler • Oszillator-Startup Timer • Watchdog Timer (WDT) mit eigenem On-Chip RC-Oszillator

PIC16C54C (verwenden Sie den Programmierer PICSTART Plus)

Merkmale: Der PIC16C54C erweitert die gundlegende Gruppe mit einem preiswerten Baustein, der niedrigeren Stromverbrauch und verbesserte elektrische Merkmale aufweist. Der PIC16C54C bietet eine Möglichkeit zur Kostenreduzierung für Benutzer von PIC16C57 und PIC16C58B, die weniger Programmspeicher oder Datenspeicher für eine neue Anwendung benötigen. Manche aktuellen Benutzer von PIC16C54, 54A und 54B können zum PIC16C54C migrieren, um die Vorteile des geringeren Stromverbrauchs und der verbesserten elektrischen Merkmale zu einem niedrigeren Preis zu nutzen. Die Software wird vom PIC16C54 direkt zum PIC16C54C unterstützt, ohne dass Änderungen am Software-Code erforderlich sind. Der PIC16C54C ist mit besonderen Mikrocontroller-ähnlichen Funktionen ausgestattet, die die Systemkosten und Stromaufnahmeanforderungen reduzieren. Zur Auswahl stehen vier Oszillatorkonfigurationen, einschließlich eines NL-Oszillators (stromsparend) und eines kostensparenden Oszillators.

PIC16HV540 (erweiterter PIC16C54 EPROM-basierter 8-Bit CMOS-Mikrocontroller mit integriertem Spannungsregler)

Beschreibung: Der PIC16HV540 ist ein preiswerter, voll statischer, EPROM-basierter 8-Bit Hochleistungs-CMOS-Mikrocontroller. Er ist Pin- und Software-kompatibel mit der PIC16C5X-Bausteingruppe. Er verwendet eine RISC-Architektur mit nur 33 Einzelwort/Einzelzyklus-Befehlen. Der PIC16HV540 ist der erste One-Time-Programmable (OTP) Mikrocontroller mit einem integrierten 3 V und 5 V Regler. Dadurch ist in vielen Anwendungen, die von 9 V oder 12 V Batterien gespeist werden bzw. ungeregelte 6 V, 9 V oder 12 V Hauptadapter verwenden, kein externer Regler erforderlich. Der PIC16HV540 eignet sich ideal für Anwendungen, die einen sehr niedrigen Bereitschaftsstrom bei hohen Spannungen verlangen. Diese setzen gewöhnlich Niedrigstromregler voraus.

Der PIC16HV540 ist mit besonderen Funktionen ausgestattet, die Systemkosten und Stromaufnahmeanforderungen reduzieren. Die Funktionen „Power-On Reset (POR)" und „Device Reset Timer (DRT)" beseitigen die Notwendigkeit eines externen Rückstellschaltkreises. Es stehen vier Oszillatorkonfigurationen zur Auswahl, z.B. der stromsparende NL-Oszillator, der kostensparende RC-Oszillator und die Kristalloszillatorversionen XT und HS. Der stromsparende SLEEP-Modus, Watchdog Timer und Code-Schutzfunktionen senken die Systemkosten, verbessern die Leistung und Zuverlässigkeit.

Anwendungen: Der PIC16HV540 ist selbst in Bereichen verwendbar, in denen bisher keine Mikrocontroller verwendet wurden (z.B. Timer-Funktionen, Ersatz für „Glue"-Logik in größeren Systemen, Koprozessor-Anwendungen). Der PIC16HV540 eignet sich perfekt für Anwendungen mit kleineren Batterien, wie z.B. CO- und Rauchdetektoren, Spielzeugen, Spielen, Sicherheitsanlagen und Automobilmodulen.

Merkmale: • Hochleistungs-RISC-CPU • 18 Pins • 12 E/A • 512 EPROM • 25 RAM • Nur 33 Einzelwortbefehle zu lernen • Alle Befehle sind Einzelzyklusbefehle (200 ns) mit Ausnahme von Programmzweigen, die zwei Zyklen haben • Betriebsgeschwindigkeit: DC – 20 MHz Takteingang; 200 - ns Befehlszyklus • 12-Bit breite Befehle • 8-Bit breiter Datenpfad • Sieben Sonderfunktions-Hardware-Register • ***Hardware-Stack mit vier Ebenen*** • Direkter, indirekter und relativer Adressiermodus für Daten und Befehle **Peripheriegeräte umfassen:** • 8-Bit Echtzeit Timer/Zähler (TMR0) mit programmierbarem Prescaler • Power-on Reset (POR - Rückstellen beim Einschalten) • „Brown-out"-Schutz • Device Reset Timer (DRT) mit kurzer Startup-Zeit des RC-Oszillators • Watchdog Timer (WDT) mit eigenem integrierten RC-Oszillator zur Gewährleistung eines zuverlässigen Betriebs • Schlaf Timer • ***8 E/A für hohe Spannungen*** • ***4 geregelte E/A*** • Wechsel Wake-up von SLEEP auf Pin • Programmierbarer Codeschutz • Stromsparender SLEEP-Modus • Wählbare Oszillatoroptionen: RC - preiswerter RC-Oszillator; XT - Standardkristall/Resonator; HS -Kristall/Resonator; NL - stromsparend, Niedrigfrequenzkristall • Störimpulsfilterung auf Master-Lösch- und Pin-Wechsel-Eingängen. **CMOS-Technologie:** • ***Wählbarer integrierter 3 V/5 V-Regler*** • NL, HS-CMOS-EPROM-Technologie • Voll statisches Design • ***Breiter Betriebsspannungsbereich: 3,5 V ~ 15 V*** • Temperaturbereich: Kommerziell: 0 °C bis 70 °C; Industriell: -40 °C bis 85 °C • Niedriger Stromverbrauch: <2 mA typ. @ 5 V, 4 MHz; 15 µA typ. @ 3 A, 32 kHz; <4,5 µA typ. Bereitschaftsstrom @ 15 V (mit deaktivertem WDT), 0 °C ~ 70 °C.

PIC16C58B (verwenden Sie den Programmierer PICSTART Plus)

Merkmale: Der PIC16C58B erweitert die grundlegende Gruppe mit einem größeren Speicher und stellt einen Baustein mit geringerer Pin-Anzahl dar. Der PIC16C58B bietet Migration nach oben zum PIC16C54 und PIC16C56 für Kunden, die mehr Programm- oder Datenspeicher benötigen. Außerdem können Benutzer von PIC16C57, die keine so große E/A-Kapazität benötigen, abwärts auf 18 Pins migrieren, um Kosten und Platinenplatz zu sparen. Der PIC16C58B ist Teil der anspruchsvollen Basisgruppe und liegt zwischen dem PIC16C56 und dem PIC16C57, wobei er dieselben Speicherkapazität wie der PIC16C57 in dem kleineren 18-Pin Paket bietet. Zum Anschluss an die E/A-Pins sind nur kleine Code-Anpassungen erforderlich. Der PIC16C58B ist mit besonderen Mikrocontroller-ähnlichen Funktionen ausgestattet, die die Systemkosten und Stromaufnahmeanforderungen reduzieren. Zur Auswahl stehen vier Oszillatorkonfigurationen, einschließlich eines NL-Oszillators (stromsparend) und eines kostensparenden Oszillators.
Maximaler Ausgangsstrom durch einen E/A-Senk-Pin = 25 mA; durch einen E/A-Quell-Pin = 20 mA. Nicht mehr als 800 mW der gesamten Leistungsdissipation überschreiten. EPROM = Löschbarer PROM; nur OTP= One Time Programmable (einmaliges Programmieren)

PIC16C505 14-Pin PIC. Siehe die Spezifikationen in der Tabelle.

DS00092D-ND	Handbuch für eingebettete Steuerungen, Band	**8.42**
DS00711-ND	Handbuch für eingebettete Steuerungen, Neuauflage 2000	**4.23**
DS00161-ND	CD-ROM - Technische Bibliothek von Microchip	**2.54**

Speichergröße										
EPROM	RAM	Konfiguration	E/A-Leitungen	Oszillatortyp extern	Frequenzbereich min./max.	Betriebstemperaturbereich	Paket	Digi-Key Teilenr.	Stückpreis 1	25	100
1K x 12	72 x 8	EPROM	11	Xtal/RC	DC-20MHz	32° ~ 158°F (0° ~ 70°C)	14-CDip	PIC16C505/JW-ND	5.77	—	5.56
1K x 12	72 x 8	OTP	11	Xtal/RC	DC-4MHz	32° ~ 158°F (0° ~ 70°C)	14-Dip	PIC16C505-04/P-ND★	1.90	1.19	1.13
1K x 12	72 x 8	OTP	11	Xtal/RC	DC-4MHz	32° ~ 158°F (0° ~ 70°C)	14-Soic	PIC16C505-04/SL-ND	1.90	1.19	1.13
1K x 12	72 x 8	OTP	11	Xtal/RC	DC-4MHz	-40° ~ 185°F (-40° ~ 85°C)	14-Dip	PIC16C505-04I/P-ND★	1.90	1.19	1.13
1K x 12	72 x 8	OTP	11	Xtal/RC	DC-4MHz	-40° ~ 185°F (-40° ~ 85°C)	14-Soic	PIC16C505-04I/SL-ND	1.90	1.19	1.13
1K x 12	72 x 8	OTP	11	Xtal/RC	DC-20MHz	32° ~ 158°F (0° ~ 70°C)	14-Dip	PIC16C505-20/P-ND★	1.95	1.21	1.15
1K x 12	72 x 8	OTP	11	Xtal/RC	DC-20MHz	32° ~ 158°F (0° ~ 70°C)	14-Soic	PIC16C505-20/SL-ND	1.95	1.21	1.15
1K x 12	72 x 8	OTP	11	Xtal/RC	DC-20MHz	-40° ~ 185°F (-40° ~ 85°C)	14-Dip	PIC16C505-20I/P-ND★	1.95	1.21	1.15
1K x 12	72 x 8	OTP	11	Xtal/RC	DC-20MHz	-40° ~ 185°F (-40° ~ 85°C)	14-Soic	PIC16C505-20I/SL-ND	1.95	1.21	1.15
512 x 12	25 x 8	OTP	12	RC	DC-4MHz	32° ~ 158°F (0° ~ 70°C)	18-Dip	PIC16C54-RC/P-ND★	3.41	2.39	2.20
512 x 12	25 x 8	OTP	12	RC	DC-4MHz	32° ~ 158°F (0° ~ 70°C)	18-Soic	PIC16C54-RC/SO-ND★	3.50	2.44	2.26
512 x 12	25 x 8	OTP	12	Xtal	DC-4MHz	32° ~ 158°F (0° ~ 70°C)	18-Soic	PIC16C54-XT/SO-ND★	3.50	2.44	2.26
512 x 12	25 x 8	OTP	12	Xtal	DC-20MHz	32° ~ 158°F (0° ~ 70°C)	18-Dip	PIC16C54-HS/P-ND★	3.67	2.57	2.37
512 x 12	25 x 8	OTP	12	Xtal	DC-20MHz	32° ~ 158°F (0° ~ 70°C)	18-Soic	PIC16C54-HS/SO-ND★	3.73	2.61	2.42
512 x 12	25 x 8	OTP	12	Xtal	DC-40KHz	32° ~ 158°F (0° ~ 70°C)	18-Dip	PIC16C54-LP/P-ND★	3.58	2.50	2.32
512 x 12	25 x 8	OTP	12	Xtal	DC-40KHz	32° ~ 158°F (0° ~ 70°C)	18-Soic	PIC16C54-LP/SO-ND★	3.68	2.58	2.39
512 x 12	25 x 8	OTP	12	RC	DC-4MHz	-40° ~ 185°F (-40° ~ 85°C)	18-Dip	PIC16C54-RCI/P-ND★	3.77	2.64	2.45
512 x 12	25 x 8	OTP	12	Xtal	DC-4MHz	-40° ~ 185°F (-40° ~ 85°C)	18-Dip	PIC16C54-XTI/P-ND★	3.77	2.64	2.45
512 x 12	25 x 8	OTP	12	Xtal	DC-4MHz	-40° ~ 185°F (-40° ~ 85°C)	18-Soic	PIC16C54-XTI/SO-ND★	3.84	2.67	2.48
512 x 12	25 x 8	OTP	12	Xtal/RC	DC-4MHz	32° ~ 158°F (0° ~ 70°C)	18-Dip	PIC16C54A-04/P-ND★	3.41	2.39	2.20
512 x 12	25 x 8	OTP	12	Xtal/RC	DC-4MHz	32° ~ 158°F (0° ~ 70°C)	18-Soic	PIC16C54A-04/SO-ND★	3.50	2.44	2.26
512 x 12	25 x 8	OTP	12	Xtal/RC	DC-4MHz	32° ~ 158°F (0° ~ 70°C)	20-SSOP	PIC16C54A-04/SS-ND★	3.77	2.64	2.45
512 x 12	25 x 8	OTP	12	Xtal/RC	DC-4MHz	32° ~ 158°F (0° ~ 70°C)	18-Soic	PIC16LC54A-04/SO-ND★	3.67	2.57	2.37
512 x 12	25 x 8	OTP	12	Xtal/RC	DC-10MHz	32° ~ 158°F (0° ~ 70°C)	18-Dip	PIC16C54A-10/P-ND★	3.67	2.57	2.37
512 x 12	25 x 8	OTP	12	Xtal/RC	DC-20MHz	32° ~ 158°F (0° ~ 70°C)	18-Dip	PIC16C54A-20/P-ND★	3.92	2.74	2.53
512 x 12	25 x 8	OTP	12	Xtal/RC	DC-20MHz	32° ~ 158°F (0° ~ 70°C)	18-Soic	PIC16C54A-20/SO-ND★	3.98	2.78	2.57
512 x 12	25 x 8	OTP	12	Xtal/RC	DC-20MHz	32° ~ 158°F (0° ~ 70°C)	20-SSOP	PIC16C54A-20/SS-ND★	4.32	3.02	2.80
512 x 12	25 x 8	OTP	12	Xtal/RC	DC-4MHz	-40° ~ 185°F (-40° ~ 85°C)	18-Soic	PIC16C54A-04I/SO-ND★	3.84	2.67	2.48
512 x 12	25 x 8	OTP	12	Xtal/RC	DC-4MHz	-40° ~ 185°F (-40° ~ 85°C)	18-Soic	PIC16LC54A-04I/SO-ND★	4.05	2.83	2.61
512 x 12	25 x 8	OTP	12	Xtal/RC	DC-10MHz	-40° ~ 185°F (-40° ~ 85°C)	18-Dip	PIC16C54A-10I/P-ND★	4.05	2.83	2.61
512 x 12	25 x 8	OTP	12	Xtal/RC	DC-20MHz	-40° ~ 185°F (-40° ~ 85°C)	18-Dip	PIC16C54A-20I/P-ND★	4.30	3.01	2.78
512 x 12	25 x 8	OTP	12	Xtal/RC	DC-20MHz	-40° ~ 185°F (-40° ~ 85°C)	18-Soic	PIC16C54A-20I/SO-ND★	4.39	3.06	2.83
512 x 12	25 x 8	EPROM	12	Xtal/RC	DC-20MHz	32° ~ 158°F (0° ~ 70°C)	18-CDip	PIC16C54C/JW-ND	5.86	—	4.81
512 x 12	25 x 8	OTP	12	Xtal/RC	DC-4MHz	32° ~ 158°F (0° ~ 70°C)	18-Dip	PIC16C54C-04/P-ND★	2.14	1.32	1.25
512 x 12	25 x 8	OTP	12	Xtal/RC	DC-4MHz	32° ~ 158°F (0° ~ 70°C)	18-Soic	PIC16C54C-04/SO-ND★	2.16	1.34	1.27
512 x 12	25 x 8	OTP	12	Xtal/RC	DC-4MHz	32° ~ 158°F (0° ~ 70°C)	20-SSOP	PIC16C54C-04/SS-ND★	2.33	1.44	1.37
512 x 12	25 x 8	OTP	12	Xtal/RC	DC-20MHz	32° ~ 158°F (0° ~ 70°C)	18-Dip	PIC16C54C-20/P-ND★	2.29	1.42	1.34
512 x 12	25 x 8	OTP	12	Xtal/RC	DC-20MHz	32° ~ 158°F (0° ~ 70°C)	18-Soic	PIC16C54C-20/SO-ND★	2.33	1.44	1.37
512 x 12	25 x 8	OTP	12	Xtal/RC	DC-20MHz	32° ~ 158°F (0° ~ 70°C)	20-SSOP	PIC16C54C-20/SS-ND★	2.50	1.55	1.47
512 x 12	25 x 8	OTP	12	Xtal/RC	DC-4MHz	-40° ~ 185°F (-40° ~ 85°C)	18-Dip	PIC16C54C-04I/P-ND★	2.14	1.32	1.25
512 x 12	25 x 8	OTP	12	Xtal/RC	DC-4MHz	-40° ~ 185°F (-40° ~ 85°C)	18-Soic	PIC16C54C-04I/SO-ND★	2.16	1.34	1.27
512 x 12	25 x 8	OTP	12	Xtal/RC	DC-4MHz	-40° ~ 185°F (-40° ~ 85°C)	20-SSOP	PIC16C54C-04I/SS-ND★	2.33	1.44	1.37
512 x 12	25 x 8	OTP	12	Xtal/RC	DC-20MHz	-40° ~ 185°F (-40° ~ 85°C)	18-Dip	PIC16C54C-20I/P-ND★	2.29	1.42	1.34
512 x 12	25 x 8	OTP	12	Xtal/RC	DC-20MHz	-40° ~ 185°F (-40° ~ 85°C)	18-Soic	PIC16C54C-20I/SO-ND★	2.33	1.44	1.37
512 x 12	25 x 8	OTP	12	Xtal/RC	DC-20MHz	-40° ~ 185°F (-40° ~ 85°C)	20-SSOP	PIC16C54C-20I/SS-ND★	2.50	1.55	1.47
512 x 12	25 x 8	OTP	12	Xtal/RC	DC-4MHz	32° ~ 158°F (0° ~ 70°C)	18-Dip	PIC16HV540-04/P-ND	2.14	1.32	1.25
512 x 12	25 x 8	OTP	12	Xtal/RC	DC-4MHz	32° ~ 158°F (0° ~ 70°C)	18-Soic	PIC16HV540-04/SO-ND	2.16	1.34	1.27
512 x 12	25 x 8	OTP	12	Xtal/RC	DC-20MHz	32° ~ 158°F (0° ~ 70°C)	18-Dip	PIC16HV540-20/P-ND	2.29	1.41	1.34
512 x 12	25 x 8	OTP	12	Xtal/RC	DC-20MHz	32° ~ 158°F (0° ~ 70°C)	18-Soic	PIC16HV540-20/SO-ND	2.31	1.43	1.35
512 x 12	25 x 8	OTP	12	Xtal/RC	DC-4MHz	-40° ~ 185°F (-40° ~ 85°C)	18-Dip	PIC16HV540-04I/P-ND	2.14	1.32	1.25
512 x 12	25 x 8	OTP	12	Xtal/RC	DC-4MHz	-40° ~ 185°F (-40° ~ 85°C)	18-Soic	PIC16HV540-04I/SO-ND	2.16	1.34	1.27
512 x 12	24 x 8	OTP	20	RC	DC-4MHz	32° ~ 158°F (0° ~ 70°C)	28-Dip	PIC16C55-RC/P-ND★	4.22	2.95	2.72
512 x 12	24 x 8	OTP	20	RC	DC-4MHz	32° ~ 158°F (0° ~ 70°C)	28-Soic	PIC16C55-RC/SO-ND★	4.39	3.07	2.84
512 x 12	24 x 8	OTP	20	RC	DC-4MHz	32° ~ 158°F (0° ~ 70°C)	28-Dip .3"	PIC16C55-RC/SP-ND★	4.22	2.95	2.72
512 x 12	24 x 8	OTP	20	Xtal	DC-4MHz	32° ~ 158°F (0° ~ 70°C)	28-Dip	PIC16C55-XT/P-ND★	4.49	3.13	2.90

★ *Digi-Key bietet jetzt einen Programmierservice unter Verwendung eines vom Kunden bereitgestellten Master-IC sowie Software-Diskette für die PIC-Gruppe von Microchip. Es werden folgende Formate von unserem Programmierzentrum unterstützt: BIN16 — binäres 16-Bit Format (Standard für PGM16/TASM16), INHXM8 — Merged 8-Bit Intel™ Hex (Parallax) -Format, INHXS8 — Split 8-Bit Intel™ Hex-Format, INHX16 — 16-Bit Intel™ Hex-Format. Sollten Sie weitere Informationen und Preisangaben benötigen, rufen Sie bei Digi-Key an und fragen nach dem Programmierzentrum.*

(Forts.)

B

Speichergröße EPROM	Speichergröße RAM	Konfiguration	E/A-Leitungen	Oszillatortyp extern	Frequenzbereich min./max.	Betriebstemperaturbereich	Paket	Digi-Key Teilenr.	Stückpreis 1	25	100
512 x 12	24 x 8	OTP	20	Xtal	DC-4MHz	32° ~ 158°F (0° ~ 70°C)	28-Soic	PIC16C55-XT/SO-ND★	4.66	3.26	3.01
512 x 12	24 x 8	OTP	20	Xtal	DC-4MHz	32° ~ 158°F (0° ~ 70°C)	28-Dip .3"	PIC16C55-XT/SP-ND★	4.49	3.13	2.90
512 x 12	24 x 8	OTP	20	Xtal	DC-20MHz	32° ~ 158°F (0° ~ 70°C)	28-Dip	PIC16C55-HS/P-ND★	5.15	3.59	3.33
512 x 12	24 x 8	OTP	20	Xtal	DC-20MHz	32° ~ 158°F (0° ~ 70°C)	28-Soic	PIC16C55-HS/SO-ND★	5.33	3.73	3.45
512 x 12	24 x 8	OTP	20	Xtal	DC-20MHz	32° ~ 158°F (0° ~ 70°C)	28-Dip .3"	PIC16C55-HS/SP-ND★	5.15	3.59	3.33
512 x 12	24 x 8	OTP	20	Xtal	DC-40KHz	32° ~ 158°F (0° ~ 70°C)	28-Dip	PIC16C55-LP/P-ND★	4.40	3.08	2.85
512 x 12	24 x 8	OTP	20	Xtal	DC-40KHz	32° ~ 158°F (0° ~ 70°C)	28-Soic	PIC16C55-LP/SO-ND★	4.60	3.21	2.97
512 x 12	24 x 8	OTP	20	Xtal	DC-40KHz	32° ~ 158°F (0° ~ 70°C)	28-Dip .3"	PIC16C55-LP/SP-ND★	4.40	3.08	2.85
512 x 12	24 x 8	OTP	20	Xtal	DC-20MHz	-40° ~ 185°F (-40° ~ 85°C)	28-Dip	PIC16C55-HSI/P-ND★	5.67	3.96	3.66
512 x 12	24 x 8	OTP	20	Xtal	DC-20MHz	-40° ~ 185°F (-40° ~ 85°C)	28-Soic	PIC16C55-HSI/SO-ND★	5.87	4.10	3.79
512 x 12	24 x 8	OTP	20	RC	DC-4MHz	-40° ~ 185°F (-40° ~ 85°C)	28-Dip	PIC16C55-RCI/P-ND★	4.61	3.23	2.99
512 x 12	24 x 8	OTP	20	Xtal	DC-4MHz	-40° ~ 185°F (-40° ~ 85°C)	28-Dip	PIC16C55-XTI/P-ND★	4.95	3.47	3.21
512 x 12	24 x 8	OTP	20	Xtal	DC-4MHz	-40° ~ 185°F (-40° ~ 85°C)	28-Soic	PIC16C55-XTI/SO-ND★	5.15	3.59	3.33
512 x 12	25 x 8	EPROM	20	Xtal/RC	DC-20MHz	32° ~ 158°F (0° ~ 70°C)	28-CDip	PIC16C55A/JW-ND	6.54	—	5.71
512 x 12	25 x 8	OTP	20	Xtal/RC	DC-4MHz	32° ~ 158°F (0° ~ 70°C)	28-Dip	PIC16C55A-04/P-ND★	2.61	1.62	1.54
512 x 12	25 x 8	OTP	20	Xtal/RC	DC-4MHz	32° ~ 158°F (0° ~ 70°C)	28-Soic	PIC16C55A-04/SO-ND★	2.71	1.67	1.59
512 x 12	25 x 8	OTP	20	Xtal/RC	DC-4MHz	32° ~ 158°F (0° ~ 70°C)	28-Dip .3"	PIC16C55A-04/SP-ND★	2.61	1.62	1.54
512 x 12	25 x 8	OTP	20	Xtal/RC	DC-4MHz	32° ~ 158°F (0° ~ 70°C)	28-Dip	PIC16LC55A-04/P-ND★	2.73	1.68	1.59
512 x 12	25 x 8	OTP	20	Xtal/RC	DC-4MHz	32° ~ 158°F (0° ~ 70°C)	28-Soic	PIC16LC55A-04/SO-ND★	2.84	1.75	1.66
512 x 12	25 x 8	OTP	20	Xtal/RC	DC-20MHz	32° ~ 158°F (0° ~ 70°C)	28-Dip	PIC16C55A-20/P-ND★	2.90	1.79	1.70
512 x 12	25 x 8	OTP	20	Xtal/RC	DC-20MHz	32° ~ 158°F (0° ~ 70°C)	28-Soic	PIC16C55A-20/SO-ND★	3.03	1.87	1.78
512 x 12	25 x 8	OTP	20	Xtal/RC	DC-20MHz	32° ~ 158°F (0° ~ 70°C)	28-Dip .3"	PIC16C55A-20/SP-ND★	2.90	1.79	1.70
512 x 12	25 x 8	OTP	20	Xtal/RC	DC-4MHz	-40° ~ 185°F (-40° ~ 85°C)	28-Dip	PIC16C55A-04I/P-ND★	2.86	1.77	1.67
512 x 12	25 x 8	OTP	20	Xtal/RC	DC-4MHz	-40° ~ 185°F (-40° ~ 85°C)	28-Soic	PIC16C55A-04I/SO-ND★	2.99	1.85	1.75
1K x 12	25 x 8	OTP	12	RC	DC-4MHz	32° ~ 158°F (0° ~ 70°C)	18-Dip	PIC16C56-RC/P-ND★	4.39	3.07	2.84
1K x 12	25 x 8	OTP	12	RC	DC-4MHz	32° ~ 158°F (0° ~ 70°C)	18-Soic	PIC16C56-RC/SO-ND★	4.49	3.13	2.90
1K x 12	25 x 8	OTP	12	Xtal	DC-4MHz	32° ~ 158°F (0° ~ 70°C)	18-Dip	PIC16C56-XT/P-ND★	4.68	3.27	3.03
1K x 12	25 x 8	OTP	12	Xtal	DC-4MHz	32° ~ 158°F (0° ~ 70°C)	18-Soic	PIC16C56-XT/SO-ND★	4.81	3.37	3.11
1K x 12	25 x 8	OTP	12	Xtal	DC-20MHz	32° ~ 158°F (0° ~ 70°C)	18-Dip	PIC16C56-HS/P-ND★	5.36	3.75	3.46
1K x 12	25 x 8	OTP	12	Xtal	DC-20MHz	32° ~ 158°F (0° ~ 70°C)	18-Soic	PIC16C56-HS/SO-ND★	5.50	3.85	3.56
1K x 12	25 x 8	OTP	12	Xtal	DC-40KHz	32° ~ 158°F (0° ~ 70°C)	18-Dip	PIC16C56-LP/P-ND★	4.61	3.22	2.98
1K x 12	25 x 8	OTP	12	RC	DC-4MHz	-40° ~ 185°F (-40° ~ 85°C)	18-Dip	PIC16C56-RCI/P-ND★	4.81	3.37	3.11
1K x 12	25 x 8	OTP	12	Xtal	DC-4MHz	-40° ~ 185°F (-40° ~ 85°C)	18-Dip	PIC16C56-XTI/P-ND★	5.16	3.61	3.34
1K x 12	25 x 8	OTP	12	Xtal	DC-20MHz	-40° ~ 185°F (-40° ~ 85°C)	18-Dip	PIC16C56-HSI/P-ND★	5.88	4.12	3.81
1K x 12	25 x 8	EPROM	12	Xtal/RC	DC-20MHz	32° ~ 158°F (0° ~ 70°C)	18-CDip	PIC16C56A/JW-ND	8.42	—	8.10
1K x 12	25 x 8	OTP	12	Xtal/RC	DC-4MHz	32° ~ 158°F (0° ~ 70°C)	18-Dip	PIC16C56A-04/P-ND★	2.41	1.50	1.42
1K x 12	25 x 8	OTP	12	Xtal/RC	DC-4MHz	32° ~ 158°F (0° ~ 70°C)	18-Soic	PIC16C56A-04/SO-ND★	2.46	1.52	1.44
1K x 12	25 x 8	OTP	12	Xtal/RC	DC-20MHz	32° ~ 158°F (0° ~ 70°C)	18-Dip	PIC16C56A-20/P-ND★	2.57	1.59	1.51
1K x 12	25 x 8	OTP	12	Xtal/RC	DC-20MHz	32° ~ 158°F (0° ~ 70°C)	18-Soic	PIC16C56A-20/SO-ND★	2.61	1.62	1.54
1K x 12	25 x 8	OTP	12	Xtal/RC	DC-4MHz	32° ~ 158°F (0° ~ 70°C)	18-Dip	PIC16LC56A-04/P-ND★	2.50	1.55	1.47
1K x 12	25 x 8	OTP	12	Xtal/RC	DC-4MHz	32° ~ 158°F (0° ~ 70°C)	18-Soic	PIC16LC56A-04/SO-ND★	2.57	1.59	1.51
1K x 12	25 x 8	OTP	12	Xtal/RC	DC-4MHz	-40° ~ 185°F (-40° ~ 85°C)	18-Dip	PIC16C56A-04I/P-ND★	2.62	1.62	1.53
1K x 12	25 x 8	OTP	12	Xtal/RC	DC-4MHz	-40° ~ 185°F (-40° ~ 85°C)	18-Soic	PIC16C56A-04I/SO-ND★	2.69	1.66	1.57
1K x 12	25 x 8	OTP	12	Xtal/RC	DC-20MHz	-40° ~ 185°F (-40° ~ 85°C)	18-Dip	PIC16C56A-20I/P-ND★	2.84	1.76	1.66
1K x 12	25 x 8	OTP	12	Xtal/RC	DC-20MHz	-40° ~ 185°F (-40° ~ 85°C)	18-Soic	PIC16C56A-20I/SO-ND★	2.88	1.79	1.69
1K x 12	25 x 8	OTP	12	Xtal/RC	DC-4MHz	-40° ~ 185°F (-40° ~ 85°C)	18-Dip	PIC16LC56A-04I/P-ND★	2.78	1.72	1.62
1K x 12	25 x 8	OTP	12	Xtal/RC	DC-4MHz	-40° ~ 185°F (-40° ~ 85°C)	18-Soic	PIC16LC56A-04I/SO-ND★	2.84	1.76	1.66
2K x 12	72 x 8	OTP	20	RC	DC-4MHz	32° ~ 158°F (0° ~ 70°C)	28-Dip	PIC16C57-RC/P-ND★	5.33	3.73	3.45
2K x 12	72 x 8	OTP	20	RC	DC-4MHz	32° ~ 158°F (0° ~ 70°C)	28-Soic	PIC16C57-RC/SO-ND★	5.55	3.87	3.58
2K x 12	72 x 8	OTP	20	Xtal	DC-4MHz	32° ~ 158°F (0° ~ 70°C)	28-Dip	PIC16C57-XT/P-ND★	5.71	3.99	3.70
2K x 12	72 x 8	OTP	20	Xtal	DC-4MHz	32° ~ 158°F (0° ~ 70°C)	28-Soic	PIC16C57-XT/SO-ND★	5.95	4.16	3.85
2K x 12	72 x 8	OTP	20	Xtal	DC-4MHz	32° ~ 158°F (0° ~ 70°C)	28-Dip .3"	PIC16C57-XT/SP-ND★	5.71	3.99	3.70
2K x 12	72 x 8	OTP	20	Xtal	DC-20MHz	32° ~ 158°F (0° ~ 70°C)	28-Dip	PIC16C57-HS/P-ND★	6.54	4.58	4.23
2K x 12	72 x 8	OTP	20	Xtal	DC-20MHz	32° ~ 158°F (0° ~ 70°C)	28-Soic	PIC16C57-HS/SO-ND★	6.80	4.75	4.38
2K x 12	72 x 8	OTP	20	Xtal	DC-20MHz	32° ~ 158°F (0° ~ 70°C)	28-Dip .3"	PIC16C57-HS/SP-ND★	6.54	4.58	4.23
2K x 12	72 x 8	OTP	20	Xtal	DC-40KHz	32° ~ 158°F (0° ~ 70°C)	28-Dip	PIC16C57-LP/P-ND★	5.59	3.90	3.61
2K x 12	72 x 8	OTP	20	Xtal	DC-40KHz	32° ~ 158°F (0° ~ 70°C)	28-Soic	PIC16C57-LP/SO-ND★	5.84	4.08	3.78
2K x 12	72 x 8	OTP	20	Xtal	DC-40KHz	32° ~ 158°F (0° ~ 70°C)	28-Dip .3"	PIC16C57-LP/SP-ND★	5.59	3.90	3.61
2K x 12	72 x 8	OTP	20	Xtal	DC-20MHz	-40° ~ 185°F (-40° ~ 85°C)	28-Dip	PIC16C57-HSI/P-ND★	7.18	5.02	4.64
2K x 12	72 x 8	OTP	20	Xtal	DC-20MHz	-40° ~ 185°F (-40° ~ 85°C)	28-Soic	PIC16C57-HSI/SO-ND★	7.49	5.23	4.84
2K x 12	72 x 8	OTP	20	RC	DC-4MHz	-40° ~ 185°F (-40° ~ 85°C)	28-Dip	PIC16C57-RCI/P-ND★	5.87	4.10	3.79
2K x 12	72 x 8	OTP	20	Xtal	DC-4MHz	-40° ~ 185°F (-40° ~ 85°C)	28-Dip	PIC16C57-XTI/P-ND★	6.29	4.39	4.07
2K x 12	72 x 8	OTP	20	Xtal	DC-4MHz	-40° ~ 185°F (-40° ~ 85°C)	28-Soic	PIC16C57-XTI/SO-ND★	6.54	4.58	4.23
2K x 12	72 x 8	EPROM	20	Xtal/RC	DC-20MHz	32° ~ 158°F (0° ~ 70°C)	28-CDip	PIC16C57C/JW-ND	9.31	—	8.15
2K x 12	72 x 8	OTP	20	Xtal/RC	DC-4MHz	32° ~ 158°F (0° ~ 70°C)	28-Dip	PIC16C57C-04/P-ND★	3.03	1.87	1.78
2K x 12	72 x 8	OTP	20	Xtal/RC	DC-4MHz	32° ~ 158°F (0° ~ 70°C)	28-Soic	PIC16C57C-04/SO-ND★	3.17	1.97	1.87
2K x 12	72 x 8	OTP	20	Xtal/RC	DC-4MHz	32° ~ 158°F (0° ~ 70°C)	28-Dip .3"	PIC16C57C-04/SP-ND★	3.03	1.87	1.78
2K x 12	72 x 8	OTP	20	Xtal/RC	DC-4MHz	32° ~ 158°F (0° ~ 70°C)	28-Dip	PIC16LC57C-04/P-ND★	3.17	1.97	1.87
2K x 12	72 x 8	OTP	20	Xtal/RC	DC-4MHz	32° ~ 158°F (0° ~ 70°C)	28-Soic	PIC16LC57C-04/SO-ND★	3.30	2.04	1.93
2K x 12	72 x 8	OTP	20	Xtal/RC	DC-20MHz	32° ~ 158°F (0° ~ 70°C)	28-Dip	PIC16C57C-20/P-ND★	3.39	2.09	1.98
2K x 12	72 x 8	OTP	20	Xtal/RC	DC-20MHz	32° ~ 158°F (0° ~ 70°C)	28-Soic	PIC16C57C-20/SO-ND★	3.54	2.19	2.08
2K x 12	72 x 8	OTP	20	Xtal/RC	DC-20MHz	32° ~ 158°F (0° ~ 70°C)	28-Dip .3"	PIC16C57C-20/SP-ND★	3.39	2.09	1.98
2K x 12	72 x 8	OTP	20	Xtal/RC	DC-4MHz	-40° ~ 185°F (-40° ~ 85°C)	28-Dip	PIC16C57C-04I/P-ND★	3.33	2.05	1.95
2K x 12	72 x 8	OTP	20	Xtal/RC	DC-4MHz	-40° ~ 185°F (-40° ~ 85°C)	28-Soic	PIC16C57C-04I/SO-ND★	3.50	2.16	2.05
2K x 12	73 x 8	EPROM	12	Xtal/RC	DC-20MHz	32° ~ 158°F (0° ~ 70°C)	18-CDip	PIC16C58B/JW-ND	9.52	—	9.15
2K x 12	73 x 8	OTP	12	Xtal/RC	DC-4MHz	32° ~ 158°F (0° ~ 70°C)	18-Dip	PIC16C58B-04/P-ND★	2.54	1.58	1.49
2K x 12	73 x 8	OTP	12	Xtal/RC	DC-4MHz	32° ~ 158°F (0° ~ 70°C)	18-Soic	PIC16C58B-04/SO-ND★	2.61	1.62	1.53
2K x 12	73 x 8	OTP	12	Xtal/RC	DC-4MHz	32° ~ 158°F (0° ~ 70°C)	20-SSOP	PIC16C58B-04/SS-ND★	2.82	1.74	1.65
2K x 12	73 x 8	OTP	12	Xtal/RC	DC-20MHz	32° ~ 158°F (0° ~ 70°C)	18-Dip	PIC16C58B-20/P-ND★	2.73	1.68	1.59
2K x 12	73 x 8	OTP	12	Xtal/RC	DC-20MHz	32° ~ 158°F (0° ~ 70°C)	18-Soic	PIC16C58B-20/SO-ND★	2.78	1.72	1.62
2K x 12	73 x 8	OTP	12	Xtal/RC	DC-20MHz	32° ~ 158°F (0° ~ 70°C)	20-SSOP	PIC16C58B-20/SS-ND★	3.01	1.87	1.77
2K x 12	73 x 8	OTP	12	Xtal/RC	DC-20MHz	-40° ~ 185°F (-40° ~ 85°C)	18-Dip	PIC16C58B-20I/P-ND★	3.01	1.87	1.77
2K x 12	73 x 8	OTP	12	Xtal/RC	DC-20MHz	-40° ~ 185°F (-40° ~ 85°C)	18-Soic	PIC16C58B-20I/SO-ND★	3.05	1.89	1.79
2K x 12	73 x 8	OTP	12	Xtal/RC	DC-20MHz	-40° ~ 185°F (-40° ~ 85°C)	20-SSOP	PIC16C58B-20I/SS-ND★	3.28	2.03	1.92
2K x 12	73 x 8	OTP	12	Xtal/RC	DC-4MHz	32° ~ 158°F (0° ~ 70°C)	18-Dip	PIC16LC58B-04/P-ND★	2.69	1.66	1.57

★ *Digi-Key bietet jetzt einen Programmierservice unter Verwendung eines vom Kunden bereitgestellten Master-IC sowie Software-Diskette für die PIC-Gruppe von Microchip. Es werden folgende Formate von unserem Programmierzentrum unterstützt: BIN16 — binäres 16-Bit Format (Standard für PGM16/TASM16), INHXM8 — Merged 8-Bit Intel™ Hex (Parallax) -Format, INHXS8 — Split 8-Bit Intel™ Hex-Format, INHX16 — 16-Bit Intel™ Hex-Format. Sollten Sie weitere Informationen und Preisangaben benötigen, rufen Sie bei Digi-Key an und fragen nach dem Programmierzentrum.*

Alle Preisangaben in Euro und inklusive Zollgebühren.

8-Bit CMOS-Mikrocontroller mit A/D-Wandler

Serie PIC16C7X und PIC16C77X

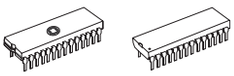

PIC16C71X: Kernmerkmale der Mikrocontroller: • Hochleistungs-RISC-CPU • Nur 35 Einzelwortbefehle zu lernen • Alles Einzelzyklusbefehle mit Ausnahme von Programmzweigen, die zwei Zyklen haben. • Betriebsgeschwindigkeit: DC - 20 MHz Takteingang; DC – 200 ns Befehlszyklus • Bis zu 2K x 14 Wörter Programmspeicher; bis zu 128 x 8 Byte Datenspeicher (RAM) • Unterbrechungsfunktion • Hardware-Stack mit acht Ebenen • Direkter, indirekter und relativer Adressiermodus • Power-on Reset (POR) • Power-up Timer (PWRT) und Oszillator Start-up Timer (OST) • Watchdog Timer (WDT) mit eigenem On-Chip RC-Oszillator zur Gewährleistung eines zuverlässigen Betriebs • Programmierbarer Codeschutz • Stromsparender SLEEP-Modus • Wählbare Oszillatoroptionen • NL, HS-CMOS-EPROM-Technologie • Voll statisches Design • Hoher Senken/Quellen-Strom 25/25 mA • Kommerzielle, industrielle und erweiterte Temperaturbereiche • Programmspeicherparitäts-Fehlerprüfschaltkreis mit Paritätsfehler-Rückstellung (PER) (PIC16C715) • Niedriger Stromverbrauch: <2 mA @ 5 V, 4 MHz; 15 µA typisch @ 3 V, 32 kHz; <1 µA typischer Standby-Strom

Peripheriegeräte umfassen: • Timer0: 8-Bit Timer/Zähler mit 8-Bit Prescaler • 8-Bit Mehrkanal-Analog/Digital-Wandler • Spannungsabfallerkennungsschaltung für Brown-out Reset (BOR) • 13 E/A-Pins mit individueller Richtungssteuerung

PIC16C7X/77X: Kernmerkmale der Mikrocontroller: • Hochleistungs-RISC-CPU • Nur 35 Einzelwortbefehle zu lernen • Alles Einzelzyklusbefehle mit Ausnahme von Programmzweigen, die zwei Zyklen haben. • Betriebsgeschwindigkeit: DC - 20 MHz Takteingang; DC – 200 ns Befehlszyklus • Bis zu 8K x 14 Wörter Programmspeicher; bis zu 368 x 8 Bytes Datenspeicher (RAM) • Unterbrechungsfunktion • Hardware-Stack mit acht Ebenen • Direkter, indirekter und relativer Adressiermodus • Power-on Reset (POR) • Power-up Timer (PWRT) und Oszillator Start-up Timer (OST) • Watchdog Timer (WDT) mit eigenem On-Chip RC-Oszillator zur Gewährleistung eines zuverlässigen Betriebs • Programmierbarer Codeschutz • Stromsparender SLEEP-Modus • Wählbare Oszillatoroptionen • NL, HS-CMOS-EPROM-Technologie • Voll statisches Design • Breiter Betriebsspannungsbereich: 2,5 V ~ 5,5 V • Hoher Senken/Quellen-Strom 25/25 mA • Kommerzielle, industrielle und erweiterte Temperaturbereiche • Programmspeicherparitäts-Fehlerprüfschaltkreis mit Paritätsfehler-Rückstellung (PER) (PIC16C715)

PIC16C7X/77X: Peripheriefunktionen: • Timer0: 8-Bit Timer/Zähler mit 8-Bit Prescaler • Timer1: 16-Bit Timer/Zähler mit Prescaler, kann während des Sleep-Modus über externes Kristall/externe Uhr hochgezählt werden • Timer2: 8-Bit Timer/Zähler mit 8-Bit Periodenregister, Prescaler und Postscaler • Erfassungs-/Compare-/PWM-Modul(e) • Erfassung ist 16-Bit, max. Auflösung ist 12,5 ns; Compare ist 16-Bit, max. Auflösung ist 200 ns; PWM max. Auflösung ist 10-Bit • 8-Bit (PIC16C77X = 12-Bit) Mehrkanal-Analog/Digital-Wandler • Synchroner serieller Port (SSP) mit SPI™ und I2C™ • Universal Synchronous Asynchronous Receiver Transmitter (USART/SCI) • Paralleler Slave-Port (PSP), 8-Bit breit, mit externer Lese-, Schreib- und Chipauswahlsteuerung • Spannungsabfallerkennungsschaltung für Brown-out Reset (BOR)

PIC16C745, 765: Kernmerkmale der Mikrocontroller: • Hochleistungs-RISC-CPU • Nur 35 Einzelwortbefehle • Alles Einzelzyklusbefehle mit Ausnahme von Programmzweigen, die zwei Zyklen sind • Interrupt-Funktion (bis zu 12 interne/externe Interrupt-Quellen) • Hardware-Stack mit acht Ebenen • Direkter, indirekter und relativer Adressiermodus • Power-on Reset (POR) • Power-up Timer (PWRT) und Oszillator Start-up Timer (OST) • Watchdog Timer (WDT) mit eigenem On-Chip RC-Oszillator zur Gewährleistung eines zuverlässigen Betriebs • Spannungsabfallerkennungsschaltung für Brown-out Reset (BOR) • Programmierbarer Codeschutz • Stromsparender SLEEP-Modus • Wählbare Oszillatoroptionen • EC: Externer Takt (24 MHz) • E4: Externer Takt mit PLL (6 MHz) • HS: Kristall/Resonator (24 MHz) • H4: Kristall/Resonator mit PLL (6 MHz) • Prozessortakt von 24 MHz, von 6 MHz Kristall oder Resonator abgeleitet • Voll statisch, NL, HS-CMOS • In-Circuit Serial Programming (ICSP) (Serielle integrierte Programmierung) • Betriebss-pannungsbereich: 4,35 V bis 5,25 V • Hoher Senken/Quellen-Strom 25/25 mA • Breiter Temperaturbereich: Industriell (-40 °C ~ 85 °C) • Geringer Stromverbrauch <16 mA @ 5 V, 24 MHz - 100 A typischer Bereitschaftsstrom

PIC16C745/765: Peripheriegeräte umfassen: • Universal Serial Bus (USB 1.1) - Soft-Befestigung/-Entfernung

• 64 Bytes USB Dual-Port-RAM

• 22 (PIC16C745) oder 33 (PIC16C765) E/A-Pins; individuelle Richtungssteuerung; 1 Hochspann. Open-Drain (RA4); 8 PORTB Pins mit: Interrupt-On-Change Steuerung (RB<7:4> ausschließlich), Pull-up-Steuerung bei Schwäche, 3 Pins speziell für USB • Timer0: 8-Bit Timer/Zähler mit 8-Bit Prescaler • Timer1: 16-Bit Timer/Zähler mit Prescaler, kann während des Sleep-Modus über externes Kristall/externe Uhr hochgezählt werden • Timer2: 8-Bit Timer/Zähler mit 8-Bit Periodenregister, Prescaler und Postscaler • Zwei Erfassungs-, Compare- und PWM-Module: Erfassung ist 16-Bit, max. Auflösung ist 10,4 ns; Compare ist 16-Bit, max. Auflösung ist 200 ns; PWM max. Auflösung ist 10-Bit • 8-Bit Mehrkanal-Analog/Digital-Wandler • Universal Synchronous Asynchronous Receiver Transmitter (USART/SCI) • Paralleler Slave-Port (PSP), 8-Bit breit, mit externer Lese-, Schreib- und Chipauswahlsteuerung (nur PIC16C765)

Key Features		PIC16C710	PIC16C71	PIC16C711	PIC16C712	PIC16C715	PIC16C716	PIC16C72A	PIC16C73B
Clock	Maximum Frequency of Operation (MHz)	20	20	20	20	20	20	20	20
Memory	EPROM Program Memory (x14 words)	512	1K	1K	1K	2K	2K	2K	4K
	Data Memory (bytes)	36	36	68	128	128	128	128	192
Peripherals	Timer Modules(s)	TMRO	TMRO	TMRO	TMRO,1,2	TMRO	TMRO,1,2	TMRO,1,2	TMRO,1, 2
	Capture/Compare/ PWM Module(s)	— —	— —	— —	1 —	— —	1 —	1 —	2 —
	Serial Port(s) SPI/I 2C,USART)	— —	— —	— —	— —	— —	— —	SPI/I 2C —	SPI/I 2C USART
	A/D Converter (8-bit) Ch.	4	4	4	4	4	4	5	5
Features	Interrupt Sources	4	4	4	7	4	7	8	11
	I/O Pins	13	13	13	13	13	13	22	22
	Voltage Range (Volts)	2.5-6.0	3.0-6.0	2.5-6.0	2.5-5.5	2.5-5.5	2.5-5.5	2.5-5.5	2.5-5.5
	In-Circuit Serial Prog.	Yes	Yes	Yes	Yes	Yes	Yes	Yes	Yes
	Brown-out Reset	Yes	—	Yes	Yes	Yes	Yes	Yes	Yes
	Packages	18-pin DIP, SOIC 20-pin SSOP	18-pin DIP SOIC	18-pin DIP, SOIC 20-pin SSOP	18-pin DIP, SOIC 20-pin SSOP	18-pin DIP, SOIC 20-pin SSOP	18-pin DIP, SOIC 20-pin SSOP	28-pin SDIP SOIC, SSOP	28-pin SDIP Soic

PIC16C77X Key Features	PIC16C773	PIC16C774
Operating Frequency	DC - 20MHz	
Resets (and Delays)	POR, BOR, MCLR, WDT (PWRT, OST)	
Program Memory (14-bit words)	4K	
Data Memory (bytes)	256	
Interrupts	1 3	14
I/O Ports	Ports A,B,C	Ports A,B,C,D,E
Timers	3	
Capture/Compare/ PWM Modules	2	
Serial Communications	MSSP, USART	
Parallel Communications	—	PSP
12-bit Analog-to-Digital Module	6 Input Channels	10 Input Channels
Instruction Set	35 Instructions	

Speichergröße EPROM	Speichergröße RAM	Konfi-guration	E/A-Leitungen	Oszillatortyp extern	Min./max. Frequenzbereich	Betriebstemperaturbereich	Paket	Digi-Key Teilenr.	Stückpreis 1	25	100
512 x 14	36	OTP	13 (4-Kan., 8-Bit A/D)	Xtal/RC	DC-4MHz	32° ~ 158°F (0° ~ 70°C)	18-Dip	PIC16C710-04/P-ND★	3.56	1.95	1.81
512 x 14	36	OTP	13 (4-Kan., 8-Bit A/D)	Xtal/RC	DC-4MHz	32° ~ 158°F (0° ~ 70°C)	18-Soic	PIC16C710-04/SO-ND★	3.62	1.99	1.84
512 x 14	36	OTP	13 (4-Kan., 8-Bit A/D)	Xtal/RC	DC-20MHz	32° ~ 158°F (0° ~ 70°C)	18-Dip	PIC16C710-20/P-ND★	3.81	2.08	1.94
512 x 14	36	OTP	13 (4-Kan., 8-Bit A/D)	Xtal/RC	DC-20MHz	32° ~ 158°F (0° ~ 70°C)	18-Soic	PIC16C710-20/SO-ND★	3.88	2.12	1.97
512 x 14	36	OTP	13 (4-Kan., 8-Bit A/D)	Xtal/RC	DC-4MHz	-40° ~ 185°F (-40° ~ 85°C)	18-Soic	PIC16C710-04I/SO-ND★	3.98	2.18	2.02
1K x 14	36 x 8	EPROM	13 (4-Kan., 8-Bit A/D)	Xtal/RC	DC-20MHz	32° ~ 158°F (0° ~ 70°C)	18-CDip	PIC16C71/JW-ND	8.27	—	7.23
1K x 14	36 x 8	OTP	13 (4-Kan., 8-Bit A/D)	Xtal/RC	DC-4MHz	32° ~ 158°F (0° ~ 70°C)	18-Dip	PIC16C71-04/P-ND★	5.63	3.48	3.29
1K x 14	36 x 8	OTP	13 (4-Kan., 8-Bit A/D)	Xtal/RC	DC-4MHz	32° ~ 158°F (0° ~ 70°C)	18-Soic	PIC16C71-04/SO-ND★	5.74	3.55	3.35
1K x 14	36 x 8	OTP	13 (4-Kan., 8-Bit A/D)	Xtal/RC	DC-20MHz	32° ~ 158°F (0° ~ 70°C)	18-Dip	PIC16C71-20/P-ND★	6.04	3.74	3.54
1K x 14	36 x 8	OTP	13 (4-Kan., 8-Bit A/D)	Xtal/RC	DC-20MHz	32° ~ 158°F (0° ~ 70°C)	18-Soic	PIC16C71-20/SO-ND★	6.16	3.80	3.60
1K x 14	36 x 8	OTP	13 (4-Kan., 8-Bit A/D)	Xtal/RC	DC-4MHz	-40° ~ 185°F (-40° ~ 85°C)	18-Dip	PIC16C71-04I/P-ND★	6.22	3.84	3.64
1K x 14	36 x 8	OTP	13 (4-Kan., 8-Bit A/D)	Xtal/RC	DC-20MHz	-40° ~ 185°F (-40° ~ 85°C)	18-Dip	PIC16C71-20I/P-ND★	6.63	4.10	3.88
1K x 14	36 x 8	OTP	13 (4-Kan., 8-Bit A/D)	Xtal/RC	DC-20MHz	-40° ~ 185°F (-40° ~ 85°C)	18-Soic	PIC16C71-20I/SO-ND★	6.77	4.18	3.96
1K x 14	68 x 8	EPROM	13 (4-Kan., 8-Bit A/D)	Xtal/RC	DC-20MHz	32° ~ 158°F (0° ~ 70°C)	18-CDip	PIC16C711/JW-ND★	8.91	—	7.80
1K x 14	68 x 8	OTP	13 (4-Kan., 8-Bit A/D)	Xtal/RC	DC-4MHz	32° ~ 158°F (0° ~ 70°C)	18-Dip	PIC16C711-04/P-ND★	3.88	2.12	1.97
1K x 14	68 x 8	OTP	13 (4-Kan., 8-Bit A/D)	Xtal/RC	DC-4MHz	32° ~ 158°F (0° ~ 70°C)	18-Soic	PIC16C711-04/SO-ND★	3.94	2.15	2.00
1K x 14	68 x 8	OTP	13 (4-Kan., 8-Bit A/D)	Xtal/RC	DC-4MHz	32° ~ 158°F (0° ~ 70°C)	20-SSOP	PIC16C711-04/SS-ND	4.34	2.38	2.21
1K x 14	68 x 8	OTP	13 (4-Kan., 8-Bit A/D)	Xtal/RC	DC-20MHz	32° ~ 158°F (0° ~ 70°C)	18-Dip	PIC16C711-20/P-ND★	4.15	2.28	2.11
1K x 14	68 x 8	OTP	13 (4-Kan., 8-Bit A/D)	Xtal/RC	DC-20MHz	32° ~ 158°F (0° ~ 70°C)	18-Soic	PIC16C711-20/SO-ND★	4.23	2.32	2.15
1K x 14	68 x 8	OTP	13 (4-Kan., 8-Bit A/D)	Xtal/RC	DC-20MHz	32° ~ 158°F (0° ~ 70°C)	20-SSOP	PIC16C711-20/SS-ND	4.66	2.55	2.36
1K x 14	68 x 8	OTP	13 (4-Kan., 8-Bit A/D)	Xtal/RC	DC-4MHz	-40° ~ 185°F (-40° ~ 85°C)	18-Dip	PIC16C711-04I/P-ND★	4.28	2.35	2.18
1K x 14	68 x 8	OTP	13 (4-Kan., 8-Bit A/D)	Xtal/RC	DC-4MHz	-40° ~ 185°F (-40° ~ 85°C)	18-Soic	PIC16C711-04I/SO-ND★	4.34	2.38	2.21
1K x 14	68 x 8	OTP	13 (4-Kan., 8-Bit A/D)	Xtal/RC	DC-20MHz	-40° ~ 185°F (-40° ~ 85°C)	18-Dip	PIC16C711-20I/P-ND★	4.60	2.51	2.33
1K x 14	68 x 8	OTP	13 (4-Kan., 8-Bit A/D)	Xtal/RC	DC-20MHz	-40° ~ 185°F (-40° ~ 85°C)	18-Soic	PIC16C711-20I/SO-ND★	4.66	2.55	2.36
2K x 14	128	EPROM	13 (4-Kan., 8-Bit A/D)	Xtal/RC	DC-20MHz	32° ~ 158°F (0° ~ 70°C)	18-CDip	PIC16C715/JW-ND	11.04	—	10.60
2K x 14	128	OTP	13 (4-Kan., 8-Bit A/D)	Xtal/RC	DC-4MHz	32° ~ 158°F (0° ~ 70°C)	18-Dip	PIC16C715-04/P-ND★	4.39	2.40	2.23
2K x 14	128	OTP	13 (4-Kan., 8-Bit A/D)	Xtal/RC	DC-4MHz	32° ~ 158°F (0° ~ 70°C)	18-Soic	PIC16C715-04/SO-ND★	4.47	2.44	2.27
2K x 14	128	OTP	13 (4-Kan., 8-Bit A/D)	Xtal/RC	DC-20MHz	32° ~ 158°F (0° ~ 70°C)	18-Dip	PIC16C715-20/P-ND★	4.66	2.55	2.36
2K x 14	128	OTP	13 (4-Kan., 8-Bit A/D)	Xtal/RC	DC-20MHz	32° ~ 158°F (0° ~ 70°C)	18-Soic	PIC16C715-20/SO-ND★	4.77	2.61	2.43
2K x 14	128	OTP	13 (4-Kan., 8-Bit A/D)	Xtal/RC	DC-20MHz	32° ~ 158°F (0° ~ 70°C)	20-SSOP	PIC16C715-20/SS-ND	5.21	2.85	2.65
2K x 14	128	OTP	13 (4-Kan., 8-Bit A/D)	Xtal/RC	DC-4MHz	32° ~ 158°F (0° ~ 70°C)	18-Dip	PIC16LC715-04/P-ND★	4.60	2.51	2.33
2K x 14	128	OTP	13 (4-Kan., 8-Bit A/D)	Xtal/RC	DC-4MHz	32° ~ 158°F (0° ~ 70°C)	18-Soic	PIC16LC715-04/SO-ND★	4.66	2.55	2.36
2K x 14	128	OTP	13 (4-Kan., 8-Bit A/D)	Xtal/RC	DC-4MHz	32° ~ 158°F (0° ~ 70°C)	20-SSOP	PIC16LC715-04/SS-ND	5.15	2.81	2.61
2K x 14	128	OTP	13 (4-Kan., 8-Bit A/D)	Xtal/RC	DC-4MHz	-40° ~ 185°F (-40° ~ 85°C)	18-Dip	PIC16C715-04I/P-ND★	4.91	2.69	2.50
2K x 14	128	OTP	13 (4-Kan., 8-Bit A/D)	Xtal/RC	DC-20MHz	-40° ~ 185°F (-40° ~ 85°C)	18-Dip	PIC16C715-20I/P-ND★	5.27	2.88	2.68
2K x 14	128	OTP	13 (4-Kan., 8-Bit A/D)	Xtal/RC	DC-4MHz	-40° ~ 185°F (-40° ~ 85°C)	18-Dip	PIC16LC715-04I/P-ND★	5.15	2.81	2.61
2K x 14	128	OTP	13 (4-Kan., 8-Bit A/D)	Xtal/RC	DC-4MHz	-40° ~ 185°F (-40° ~ 85°C)	18-Soic	PIC16LC715-04I/SO-ND★	5.27	2.88	2.68
2K x 14	128 x 8	EPROM	13 (4-Kan., 8-Bit A/D)	Xtal/RC	DC-20MHz	32° ~ 158°F (0° ~ 70°C)	18-CDip	PIC16C716/JW-ND	8.18	—	7.14
2K x 14	128 x 8	OTP	13 (4-Kan., 8-Bit A/D)	Xtal/RC	DC-4MHz	32° ~ 158°F (0° ~ 70°C)	18-Dip	PIC16C716-04/P-ND★	3.51	1.93	1.78
2K x 14	128 x 8	OTP	13 (4-Kan., 8-Bit A/D)	Xtal/RC	DC-4MHz	32° ~ 158°F (0° ~ 70°C)	18-Soic	PIC16C716-04/SO-ND★	3.58	1.96	1.82
2K x 14	128 x 8	OTP	13 (4-Kan., 8-Bit A/D)	Xtal/RC	DC-20MHz	32° ~ 158°F (0° ~ 70°C)	18-Dip	PIC16C716-20/P-ND★	3.73	2.04	1.90
2K x 14	128 x 8	OTP	13 (4-Kan., 8-Bit A/D)	Xtal/RC	DC-20MHz	32° ~ 158°F (0° ~ 70°C)	18-Soic	PIC16C716-20/SO-ND★	3.81	2.08	1.94
2K x 14	128 x 8	OTP	13 (4-Kan., 8-Bit A/D)	Xtal/RC	DC-4MHz	-40° ~ 185°F (-40° ~ 85°C)	18-Dip	PIC16C716-04I/P-ND★	3.85	2.10	1.95
2K x 14	128 x 8	OTP	13 (4-Kan., 8-Bit A/D)	Xtal/RC	DC-4MHz	-40° ~ 185°F (-40° ~ 85°C)	18-Soic	PIC16C716-04I/SO-ND★	3.94	2.15	2.00
2K x 14	128 x 8	OTP	13 (4-Kan., 8-Bit A/D)	Xtal/RC	DC-20MHz	-40° ~ 185°F (-40° ~ 85°C)	18-Dip	PIC16C716-20I/P-ND★	4.11	2.25	2.09
2K x 14	128 x 8	OTP	13 (4-Kan., 8-Bit A/D)	Xtal/RC	DC-20MHz	-40° ~ 185°F (-40° ~ 85°C)	18-Soic	PIC16C716-20I/SO-ND★	4.19	2.30	2.14

(Forts.)

B

Speichergröße EPROM	Speichergröße RAM	Konfiguration	E/A-Leitungen	Oszillatortyp extern	Min./max. Frequenzbereich	Betriebstemperaturbereich	Paket	Digi-Key Teilenr.	Stückpreis 1	Stückpreis 25	Stückpreis 100
2K x 14	128 x 8	EPROM	22 (5-Kan., 8-Bit A/D)	Xtal/RC	DC-20MHz	32° ~ 158°F (0° ~ 70°C)	28-CDip .3"	PIC16C72/JW-ND	12.99	—	12.50
2K x 14	128 x 8	OTP	22 (5-Kan., 8-Bit A/D)	Xtal/RC	DC-4MHz	32° ~ 158°F (0° ~ 70°C)	28-Soic	PIC16C72-04/SO-ND★	7.09	4.39	4.16
2K x 14	128 x 8	OTP	22 (5-Kan., 8-Bit A/D)	Xtal/RC	DC-4MHz	32° ~ 158°F (0° ~ 70°C)	28-SSOP	PIC16C72-04/SS-ND★	7.62	4.71	4.47
2K x 14	128 x 8	OTP	22 (5-Kan., 8-Bit A/D)	Xtal/RC	DC-10MHz	32° ~ 158°F (0° ~ 70°C)	28-Dip .3"	PIC16C72-10/SP-ND★	7.48	4.61	4.37
2K x 14	128 x 8	OTP	22 (5-Kan., 8-Bit A/D)	Xtal/RC	DC-10MHz	32° ~ 158°F (0° ~ 70°C)	28-Soic	PIC16C72-10/SO-ND★	7.60	4.69	4.45
2K x 14	128 x 8	OTP	22 (5-Kan., 8-Bit A/D)	Xtal/RC	DC-20MHz	32° ~ 158°F (0° ~ 70°C)	28-Soic	PIC16C72-20/SO-ND★	7.60	4.69	4.45
2K x 14	128 x 8	OTP	22 (5-Kan., 8-Bit A/D)	Xtal/RC	DC-4MHz	32° ~ 158°F (0° ~ 70°C)	28-Dip .3"	PIC16LC72-04/SP-ND★	7.32	4.52	4.28
2K x 14	128 x 8	OTP	22 (5-Kan., 8-Bit A/D)	Xtal/RC	DC-4MHz	32° ~ 158°F (0° ~ 70°C)	28-Soic	PIC16LC72-04/SO-ND★	7.45	4.60	4.35
2K x 14	128 x 8	OTP	22 (5-Kan., 8-Bit A/D)	Xtal/RC	DC-4MHz	32° ~ 158°F (0° ~ 70°C)	28-SSOP	PIC16LC72-04/SS-ND★	7.96	4.92	4.65
2K x 14	128 x 8	OTP	22 (5-Kan., 8-Bit A/D)	Xtal/RC	DC-4MHz	-40° ~ 185°F (-40° ~ 85°C)	28-Dip .3"	PIC16C72-04I/SP-ND★	7.66	4.74	4.49
2K x 14	128 x 8	OTP	22 (5-Kan., 8-Bit A/D)	Xtal/RC	DC-4MHz	-40° ~ 185°F (-40° ~ 85°C)	28-Soic	PIC16C72-04I/SO-ND★	7.79	4.82	4.56
2K x 14	128 x 8	OTP	22 (5-Kan., 8-Bit A/D)	Xtal/RC	DC-20MHz	-40° ~ 185°F (-40° ~ 85°C)	28-Dip .3"	PIC16C72-20I/SP-ND★	8.20	5.07	4.80
2K x 14	128 x 8	OTP	22 (5-Kan., 8-Bit A/D)	Xtal/RC	DC-20MHz	-40° ~ 185°F (-40° ~ 85°C)	28-Soic	PIC16C72-20I/SO-ND★	8.34	5.15	4.89
2K x 14	128 x 8	OTP	22 (5-Kan., 8-Bit A/D)	Xtal/RC	DC-4MHz	-40° ~ 185°F (-40° ~ 85°C)	28-Dip .3"	PIC16LC72-04I/SP-ND★	8.04	4.97	4.71
2K x 14	128 x 8	OTP	22 (5-Kan., 8-Bit A/D)	Xtal/RC	DC-4MHz	-40° ~ 185°F (-40° ~ 85°C)	28-Soic	PIC16LC72-04I/SO-ND★	8.17	5.05	4.79
2K x 14	128 x 8	EPROM	22 (5-Kan., 8-Bit A/D)	Xtal/RC	DC-20MHz	32° ~ 158°F (0° ~ 70°C)	28-CDip .3"	PIC16C72A/JW-ND	9.41	—	—
2K x 14	128 x 8	OTP	22 (5-Kan., 8-Bit A/D)	Xtal/RC	DC-4MHz	32° ~ 158°F (0° ~ 70°C)	28-Dip .3"	PIC16C72A-04/SP-ND★	4.83	2.98	2.83
2K x 14	128 x 8	OTP	22 (5-Kan., 8-Bit A/D)	Xtal/RC	DC-4MHz	32° ~ 158°F (0° ~ 70°C)	28-Soic	PIC16C72A-04/SO-ND★	4.83	2.98	2.83
2K x 14	128 x 8	OTP	22 (5-Kan., 8-Bit A/D)	Xtal/RC	DC-20MHz	32° ~ 158°F (0° ~ 70°C)	28-Dip .3"	PIC16C72A-20/SP-ND★	5.16	3.19	3.02
2K x 14	128 x 8	OTP	22 (5-Kan., 8-Bit A/D)	Xtal/RC	DC-20MHz	32° ~ 158°F (0° ~ 70°C)	28-Soic	PIC16C72A-20/SO-ND★	5.16	3.19	3.02
2K x 14	128 x 8	OTP	22 (5-Kan., 8-Bit A/D)	Xtal/RC	DC-4MHz	-40° ~ 185°F (-40° ~ 85°C)	28-Dip .3"	PIC16C72A-04I/SP-ND★	5.33	3.30	3.13
2K x 14	128 x 8	OTP	22 (5-Kan., 8-Bit A/D)	Xtal/RC	DC-4MHz	-40° ~ 185°F (-40° ~ 85°C)	28-Soic	PIC16C72A-04I/SO-ND★	5.33	3.30	3.13
2K x 14	128 x 8	OTP	22 (5-Kan., 8-Bit A/D)	Xtal/RC	DC-20MHz	-40° ~ 185°F (-40° ~ 85°C)	28-Dip .3"	PIC16C72A-20I/SP-ND★	5.70	3.52	3.33
4K x 14	192 x 8	EPROM	22 (5-Kan., 8-Bit A/D)	Xtal/RC	DC-20MHz	32° ~ 158°F (0° ~ 70°C)	28-CDip .3"	PIC16C73A/JW-ND	12.33	—	11.97
4K x 14	192 x 8	OTP	22 (5-Kan., 8-Bit A/D)	Xtal/RC	DC-4MHz	32° ~ 158°F (0° ~ 70°C)	28-Dip .3"	PIC16C73A-04/SP-ND★	8.59	5.31	5.02
4K x 14	192 x 8	OTP	22 (5-Kan., 8-Bit A/D)	Xtal/RC	DC-4MHz	32° ~ 158°F (0° ~ 70°C)	28-Soic	PIC16C73A-04/SO-ND★	8.59	5.31	5.02
4K x 14	192 x 8	OTP	22 (5-Kan., 8-Bit A/D)	Xtal/RC	DC-10MHz	32° ~ 158°F (0° ~ 70°C)	28-Dip .3"	PIC16C73A-10/SP-ND★	9.21	5.69	5.39
4K x 14	192 x 8	OTP	22 (5-Kan., 8-Bit A/D)	Xtal/RC	DC-10MHz	32° ~ 158°F (0° ~ 70°C)	28-Soic	PIC16C73A-10/SO-ND★	9.21	5.69	5.39
4K x 14	192 x 8	OTP	22 (5-Kan., 8-Bit A/D)	Xtal/RC	DC-20MHz	32° ~ 158°F (0° ~ 70°C)	28-Dip .3"	PIC16C73A-20/SP-ND★	9.21	5.69	5.39
4K x 14	192 x 8	OTP	22 (5-Kan., 8-Bit A/D)	Xtal/RC	DC-20MHz	32° ~ 158°F (0° ~ 70°C)	28-Soic	PIC16C73A-20/SO-ND★	9.21	5.69	5.39
4K x 14	192 x 8	OTP	22 (5-Kan., 8-Bit A/D)	Xtal/RC	DC-4MHz	32° ~ 158°F (0° ~ 70°C)	28-Dip .3"	PIC16LC73A-04/SP-ND★	9.00	5.56	5.27
4K x 14	192 x 8	OTP	22 (5-Kan., 8-Bit A/D)	Xtal/RC	DC-4MHz	32° ~ 158°F (0° ~ 70°C)	28-Soic	PIC16LC73A-04/SO-ND★	9.00	5.56	5.27
4K x 14	192 x 8	OTP	22 (5-Kan., 8-Bit A/D)	Xtal/RC	DC-4MHz	-40° ~ 185°F (-40° ~ 85°C)	28-Dip .3"	PIC16C73A-04I/SP-ND★	9.44	5.83	5.53
4K x 14	192 x 8	OTP	22 (5-Kan., 8-Bit A/D)	Xtal/RC	DC-4MHz	-40° ~ 185°F (-40° ~ 85°C)	28-Soic	PIC16C73A-04I/SO-ND★	9.44	5.83	5.53
4K x 14	192 x 8	OTP	22 (5-Kan., 8-Bit A/D)	Xtal/RC	DC-10MHz	-40° ~ 185°F (-40° ~ 85°C)	28-Dip .3"	PIC16C73A-10I/SP-ND★	10.12	6.26	5.93
4K x 14	192 x 8	OTP	22 (5-Kan., 8-Bit A/D)	Xtal/RC	DC-10MHz	-40° ~ 185°F (-40° ~ 85°C)	28-Soic	PIC16C73A-10I/SO-ND★	10.12	6.26	5.93
4K x 14	192 x 8	OTP	22 (5-Kan., 8-Bit A/D)	Xtal/RC	DC-20MHz	-40° ~ 185°F (-40° ~ 85°C)	28-Dip .3"	PIC16C73A-20I/SP-ND★	10.12	6.26	5.93
4K x 14	192 x 8	OTP	22 (5-Kan., 8-Bit A/D)	Xtal/RC	DC-20MHz	-40° ~ 185°F (-40° ~ 85°C)	28-Soic	PIC16C73A-20I/SO-ND★	10.12	6.26	5.93
4K x 14	192 x 8	OTP	22 (5-Kan., 8-Bit A/D)	Xtal/RC	DC-4MHz	-40° ~ 185°F (-40° ~ 85°C)	28-Dip .3"	PIC16LC73A-04I/SP-ND★	9.85	6.08	5.75
4K x 14	192 x 8	OTP	22 (5-Kan., 8-Bit A/D)	Xtal/RC	DC-4MHz	-40° ~ 185°F (-40° ~ 85°C)	28-Soic	PIC16LC73A-04I/SO-ND★	9.85	6.08	5.75
4K x 14	192 x 8	EPROM	22 (5-Kan., 8-Bit A/D)	Xtal/RC	DC-20MHz	32° ~ 158°F (0° ~ 70°C)	28-CDip .3"	PIC16C73B/JW-ND	8.78	—	—
4K x 14	192 x 8	OTP	22 (5-Kan., 8-Bit A/D)	Xtal/RC	DC-4MHz	32° ~ 158°F (0° ~ 70°C)	28-Dip .3"	PIC16C73B-04/SP-ND★	6.25	3.85	3.65
4K x 14	192 x 8	OTP	22 (5-Kan., 8-Bit A/D)	Xtal/RC	DC-4MHz	32° ~ 158°F (0° ~ 70°C)	28-Soic	PIC16C73B-04/SO-ND★	6.25	3.85	3.65
4K x 14	192 x 8	OTP	22 (5-Kan., 8-Bit A/D)	Xtal/RC	DC-4MHz	32° ~ 158°F (0° ~ 70°C)	28-SSOP	PIC16C73B-04/SS-ND★	6.46	3.99	3.79
4K x 14	192 x 8	OTP	22 (5-Kan., 8-Bit A/D)	Xtal/RC	DC-20MHz	32° ~ 158°F (0° ~ 70°C)	28-Dip .3"	PIC16C73B-20/SP-ND★	6.69	4.14	3.92
4K x 14	192 x 8	OTP	22 (5-Kan., 8-Bit A/D)	Xtal/RC	DC-20MHz	32° ~ 158°F (0° ~ 70°C)	28-Soic	PIC16C73B-20/SO-ND★	6.69	4.14	3.92
4K x 14	192 x 8	OTP	22 (5-Kan., 8-Bit A/D)	Xtal/RC	DC-20MHz	32° ~ 158°F (0° ~ 70°C)	28-SSOP	PIC16C73B-20/SS-ND★	6.94	4.29	4.06
4K x 14	192 x 8	OTP	22 (5-Kan., 8-Bit A/D)	Xtal/RC	DC-4MHz	-40° ~ 185°F (-40° ~ 85°C)	28-Dip .3"	PIC16C73B-04I/SP-ND★	6.86	4.24	4.01
4K x 14	192 x 8	OTP	22 (5-Kan., 8-Bit A/D)	Xtal/RC	DC-4MHz	-40° ~ 185°F (-40° ~ 85°C)	28-Soic	PIC16C73B-04I/SO-ND★	6.86	4.24	4.01
4K x 14	192 x 8	OTP	22 (5-Kan., 8-Bit A/D)	Xtal/RC	DC-4MHz	-40° ~ 185°F (-40° ~ 85°C)	28-SSOP	PIC16C73B-04I/SS-ND	7.11	4.40	4.17
4K x 14	192 x 8	OTP	22 (5-Kan., 8-Bit A/D)	Xtal/RC	DC-20MHz	-40° ~ 185°F (-40° ~ 85°C)	28-Dip .3"	PIC16C73B-20I/SP-ND★	7.35	4.53	4.29
4K x 14	192 x 8	OTP	22 (5-Kan., 8-Bit A/D)	Xtal/RC	DC-20MHz	-40° ~ 185°F (-40° ~ 85°C)	28-Soic	PIC16C73B-20I/SO-ND★	7.35	4.53	4.29
4K x 14	192 x 8	OTP	22 (5-Kan., 8-Bit A/D)	Xtal/RC	DC-20MHz	-40° ~ 185°F (-40° ~ 85°C)	28-SSOP	PIC16C73B-20I/SS-ND★	7.60	4.69	4.45
4K x 14	192 x 8	EPROM	33 (8-Kan., 8-Bit A/D)	Xtal/RC	DC-20MHz	32° ~ 158°F (0° ~ 70°C)	40-CDip	PIC16C74A/JW-ND	12.97	—	12.58
4K x 14	192 x 8	OTP	33 (8-Kan., 8-Bit A/D)	Xtal/RC	DC-4MHz	32° ~ 158°F (0° ~ 70°C)	40-Dip	PIC16C74A-04/P-ND★	10.40	6.42	6.08
4K x 14	192 x 8	OTP	33 (8-Kan., 8-Bit A/D)	Xtal/RC	DC-4MHz	32° ~ 158°F (0° ~ 70°C)	44-PLCC	PIC16C74A-04/L-ND★	11.03	7.71	7.13
4K x 14	192 x 8	OTP	33 (8-Kan., 8-Bit A/D)	Xtal/RC	DC-10MHz	32° ~ 158°F (0° ~ 70°C)	40-Dip	PIC16C74A-10/P-ND★	11.16	6.90	6.53
4K x 14	192 x 8	OTP	33 (8-Kan., 8-Bit A/D)	Xtal/RC	DC-10MHz	32° ~ 158°F (0° ~ 70°C)	44-PLCC	PIC16C74A-10/L-ND★	11.75	8.21	7.59
4K x 14	192 x 8	OTP	33 (8-Kan., 8-Bit A/D)	Xtal/RC	DC-20MHz	32° ~ 158°F (0° ~ 70°C)	40-Dip	PIC16C74A-20/P-ND★	11.16	6.90	6.53
4K x 14	192 x 8	OTP	33 (8-Kan., 8-Bit A/D)	Xtal/RC	DC-20MHz	32° ~ 158°F (0° ~ 70°C)	44-PLCC	PIC16C74A-20/L-ND★	11.75	8.21	7.59
4K x 14	192 x 8	OTP	33 (8-Kan., 8-Bit A/D)	Xtal/RC	DC-4MHz	32° ~ 158°F (0° ~ 70°C)	40-Dip	PIC16LC74A-04/P-ND★	10.92	6.74	6.39
4K x 14	192 x 8	OTP	33 (8-Kan., 8-Bit A/D)	Xtal/RC	DC-4MHz	32° ~ 158°F (0° ~ 70°C)	44-PLCC	PIC16LC74A-04/L-ND★	11.56	8.08	7.46
4K x 14	192 x 8	OTP	33 (8-Kan., 8-Bit A/D)	Xtal/RC	DC-4MHz	-40° ~ 185°F (-40° ~ 85°C)	40-Dip	PIC16C74A-04I/P-ND★	11.43	7.05	6.68
4K x 14	192 x 8	OTP	33 (8-Kan., 8-Bit A/D)	Xtal/RC	DC-4MHz	-40° ~ 185°F (-40° ~ 85°C)	44-PLCC	PIC16C74A-04I/L-ND★	12.05	8.41	7.79
4K x 14	192 x 8	OTP	33 (8-Kan., 8-Bit A/D)	Xtal/RC	DC-10MHz	-40° ~ 185°F (-40° ~ 85°C)	44-PLCC	PIC16C74A-10I/L-ND★	12.83	8.16	7.89
4K x 14	192 x 8	OTP	33 (8-Kan., 8-Bit A/D)	Xtal/RC	DC-20MHz	-40° ~ 185°F (-40° ~ 85°C)	44-PLCC	PIC16C74A-20I/L-ND★	12.83	8.16	7.89
4K x 14	192 x 8	OTP	33 (8-Kan., 8-Bit A/D)	Xtal/RC	DC-4MHz	-40° ~ 185°F (-40° ~ 85°C)	44-PLCC	PIC16LC74A-04I/L-ND★	12.60	8.79	8.13
4K x 14	192 x 8	EPROM	33 (8-Kan., 8-Bit A/D)	Xtal/RC	DC-20MHz	32° ~ 158°F (0° ~ 70°C)	40-CDip	PIC16C74B/JW-ND	10.77	—	—
4K x 14	192 x 8	OTP	33 (8-Kan., 8-Bit A/D)	Xtal/RC	DC-4MHz	32° ~ 158°F (0° ~ 70°C)	40-Dip	PIC16C74B-04/P-ND★	7.60	4.69	4.45
4K x 14	192 x 8	OTP	33 (8-Kan., 8-Bit A/D)	Xtal/RC	DC-4MHz	32° ~ 158°F (0° ~ 70°C)	44-PLCC	PIC16C74B-04/L-ND★	8.49	6.60	5.75
4K x 14	192 x 8	OTP	33 (8-Kan., 8-Bit A/D)	Xtal/RC	DC-4MHz	32° ~ 158°F (0° ~ 70°C)	40-Dip	PIC16C74B-04I/P-ND★	8.34	5.15	4.89
4K x 14	192 x 8	OTP	33 (8-Kan., 8-Bit A/D)	Xtal/RC	DC-4MHz	32° ~ 158°F (0° ~ 70°C)	44-PLCC	PIC16C74B-04I/L-ND★	9.25	7.20	6.27
4K x 14	192 x 8	OTP	33 (8-Kan., 8-Bit A/D)	Xtal/RC	DC-20MHz	-40° ~ 185°F (-40° ~ 85°C)	40-Dip	PIC16C74B-20/P-ND★	8.13	5.02	4.76
4K x 14	192 x 8	OTP	33 (8-Kan., 8-Bit A/D)	Xtal/RC	DC-20MHz	-40° ~ 185°F (-40° ~ 85°C)	44-PLCC	PIC16C74B-20/L-ND★	9.02	7.02	6.11
4K x 14	192 x 8	OTP	33 (8-Kan., 8-Bit A/D)	Xtal/RC	DC-20MHz	-40° ~ 185°F (-40° ~ 85°C)	40-Dip	PIC16C74B-20I/P-ND★	8.89	5.50	5.21
4K x 14	192 x 8	OTP	33 (8-Kan., 8-Bit A/D)	Xtal/RC	DC-20MHz	-40° ~ 185°F (-40° ~ 85°C)	44-PLCC	PIC16C74B-20I/L-ND★	9.80	7.62	6.64
8K x 14	368	EPROM	22 (5-Kan., 8-Bit A/D)	Xtal/RC	DC-20MHz	32° ~ 158°F (0° ~ 70°C)	28-CDip .3"	PIC16C76/JW-ND	12.75	—	12.43
8K x 14	368	OTP	22 (5-Kan., 8-Bit A/D)	Xtal/RC	DC-4MHz	32° ~ 158°F (0° ~ 70°C)	28-Dip .3"	PIC16C76-04/SP-ND★	7.90	4.87	4.62
8K x 14	368	OTP	22 (5-Kan., 8-Bit A/D)	Xtal/RC	DC-4MHz	32° ~ 158°F (0° ~ 70°C)	28-Soic	PIC16C76-04/SO-ND★	7.90	4.87	4.62
8K x 14	368	OTP	22 (5-Kan., 8-Bit A/D)	Xtal/RC	DC-10MHz	32° ~ 158°F (0° ~ 70°C)	28-Dip .3"	PIC16C76-10/SP-ND★	8.47	5.24	4.96
8K x 14	368	OTP	22 (5-Kan., 8-Bit A/D)	Xtal/RC	DC-20MHz	32° ~ 158°F (0° ~ 70°C)	28-Dip .3"	PIC16C76-20/SP-ND★	8.47	5.24	4.96
8K x 14	368	OTP	22 (5-Kan., 8-Bit A/D)	Xtal/RC	DC-20MHz	32° ~ 158°F (0° ~ 70°C)	28-Soic	PIC16C76-20/SO-ND★	8.47	5.24	4.96
8K x 14	368	OTP	22 (5-Kan., 8-Bit A/D)	Xtal/RC	DC-4MHz	-40° ~ 185°F (-40° ~ 85°C)	28-Dip .3"	PIC16C76-04I/SP-ND★	8.70	5.37	5.10
8K x 14	368	OTP	22 (5-Kan., 8-Bit A/D)	Xtal/RC	DC-4MHz	-40° ~ 185°F (-40° ~ 85°C)	28-Soic	PIC16C76-04I/SO-ND★	8.70	5.37	5.10
8K x 14	368	OTP	22 (5-Kan., 8-Bit A/D)	Xtal/RC	DC-10MHz	-40° ~ 185°F (-40° ~ 85°C)	28-Dip .3"	PIC16C76-10I/SP-ND★	9.27	5.73	5.43
8K x 14	368	OTP	22 (5-Kan., 8-Bit A/D)	Xtal/RC	DC-10MHz	-40° ~ 185°F (-40° ~ 85°C)	28-Soic	PIC16C76-10I/SO-ND★	9.27	5.73	5.43
8K x 14	368	OTP	22 (5-Kan., 8-Bit A/D)	Xtal/RC	DC-20MHz	-40° ~ 185°F (-40° ~ 85°C)	28-Dip .3"	PIC16C76-20I/SP-ND★	9.27	5.73	5.43
8K x 14	368	OTP	22 (5-Kan., 8-Bit A/D)	Xtal/RC	DC-20MHz	-40° ~ 185°F (-40° ~ 85°C)	28-Soic	PIC16C76-20I/SO-ND★	9.27	5.73	5.43
8K x 14	368	EPROM	33 (8-Kan., 8-Bit A/D)	Xtal/RC	DC-20MHz	32° ~ 158°F (0° ~ 70°C)	40-CDip	PIC16C77/JW-ND	12.66	—	12.32
8K x 14	368	OTP	33 (8-Kan., 8-Bit A/D)	Xtal/RC	DC-4MHz	32° ~ 158°F (0° ~ 70°C)	40-Dip	PIC16C77-04/P-ND★	8.49	5.24	4.96
8K x 14	368	OTP	33 (8-Kan., 8-Bit A/D)	Xtal/RC	DC-4MHz	32° ~ 158°F (0° ~ 70°C)	44-PLCC	PIC16C77-04/L-ND★	8.91	6.24	5.76
8K x 14	368	OTP	33 (8-Kan., 8-Bit A/D)	Xtal/RC	DC-10MHz	32° ~ 158°F (0° ~ 70°C)	40-Dip	PIC16C77-10/P-ND★	9.08	5.61	5.31
8K x 14	368	OTP	33 (8-Kan., 8-Bit A/D)	Xtal/RC	DC-10MHz	32° ~ 158°F (0° ~ 70°C)	44-PLCC	PIC16C77-10/L-ND★	9.55	6.68	6.17
8K x 14	368	OTP	33 (8-Kan., 8-Bit A/D)	Xtal/RC	DC-20MHz	32° ~ 158°F (0° ~ 70°C)	40-Dip	PIC16C77-20/P-ND★	9.08	5.61	5.31

(Forts.)

Alle Preisangaben in Euro und inklusive Zollgebühren.

Speichergröße EPROM	Speichergröße RAM	Konfiguration	E/A-Leitungen	Oszillatortyp extern	Min./max. Frequenzbereich	Betriebstemperaturbereich	Paket	Digi-Key Teilenr.	Stückpreis 1	25	100
8K x 14	368	OTP	33 (8-Kan., 8-Bit A/D)	Xtal/RC	DC-20MHz	32° ~ 158°F (0° ~ 70°C)	44-PLCC	PIC16C77-20/L-ND★	9.55	6.68	6.17
8K x 14	368	OTP	33 (8-Kan., 8-Bit A/D)	Xtal/RC	DC-4MHz	-40° ~ 185°F (-40° ~ 85°C)	40-Dip	PIC16C77-04I/P-ND★	9.35	5.78	5.48
8K x 14	368	OTP	33 (8-Kan., 8-Bit A/D)	Xtal/RC	DC-4MHz	-40° ~ 185°F (-40° ~ 85°C)	44-PLCC	PIC16C77-04I/L-ND★	9.80	6.85	6.33
8K x 14	368	OTP	33 (8-Kan., 8-Bit A/D)	Xtal/RC	DC-10MHz	-40° ~ 185°F (-40° ~ 85°C)	40-Dip	PIC16C77-10I/P-ND★	9.97	6.16	5.84
8K x 14	368	OTP	33 (8-Kan., 8-Bit A/D)	Xtal/RC	DC-10MHz	-40° ~ 185°F (-40° ~ 85°C)	44-PLCC	PIC16C77-10I/L-ND★	10.50	6.69	6.45
8K x 14	368	OTP	33 (8-Kan., 8-Bit A/D)	Xtal/RC	DC-20MHz	-40° ~ 185°F (-40° ~ 85°C)	40-Dip	PIC16C77-20I/P-ND★	9.97	6.16	5.84
8K x 14	368	OTP	33 (8-Kan., 8-Bit A/D)	Xtal/RC	DC-20MHz	-40° ~ 185°F (-40° ~ 85°C)	44-PLCC	PIC16C77-20I/L-ND★	10.50	6.69	6.45
8K x 14	256	EPROM	22 (5-Kan., 8-Bit A/D)	Xtal/RC	DC-20MHz	-40° ~ 185°F (-40° ~ 85°C)	28-CDip	PIC16C745/JW-ND	10.44	—	10.17
8K x 14	256	OTP	22 (5-Kan., 8-Bit A/D)	Xtal/RC	DC-20MHz	-40° ~ 185°F (-40° ~ 85°C)	28-Dip .3"	PIC16C745-I/SP-ND★	5.02	2.74	2.54
8K x 14	256	OTP	22 (5-Kan., 8-Bit A/D)	Xtal/RC	DC-20MHz	-40° ~ 185°F (-40° ~ 85°C)	28-Soic	PIC16C745-I/SO-ND★	5.02	2.74	2.54
8K x 14	256	EPROM	33 (8-Kan., 8-Bit A/D)	Xtal/RC	DC-20MHz	-40° ~ 185°F (-40° ~ 85°C)	40-CDip	PIC16C765/JW-ND	10.96	—	10.68
8K x 14	256	OTP	33 (8-Kan., 8-Bit A/D)	Xtal/RC	DC-20MHz	-40° ~ 185°F (-40° ~ 85°C)	44-PLCC	PIC16C765-I/L-ND	6.29	3.89	3.67
8K x 14	256 x 8	OTP	33 (8-Kan., 8-Bit A/D)	Xtal/RC	DC-20MHz	-40° ~ 185°F (-40° ~ 85°C)	40-Dip	PIC16C765-I/P-ND	5.99	3.28	—
8K x 14	256 x 8	OTP	33 (8-Kan., 8-Bit A/D)	Xtal/RC	DC-20MHz	-40° ~ 185°F (-40° ~ 85°C)	44-TQFP	PIC16C765-I/PT-ND	6.90	3.77	—
PIC16C77 mit 12-Bit A/D-Wandler											
4K x 14	256	EPROM	15 (6-Kan., 12-Bit A/D)	Xtal/RC	DC-20MHz	32° ~ 158°F (0° ~ 70°C)	20-CDip	PIC16C771/JW-ND	9.46	—	8.26
4K x 14	256 x 8	EPROM	22 (6-Kan., 12-Bit A/D)	Xtal/RC	DC-20MHz	32° ~ 158°F (0° ~ 70°C)	28-CDip	PIC16C773/JW-ND	11.12	—	10.69
4K x 14	256 x 8	OTP	22 (6-Kan., 12-Bit A/D)	Xtal/RC	DC-20MHz	32° ~ 158°F (0° ~ 70°C)	28-Dip .3"	PIC16C773/SP-ND★	6.25	3.85	3.65
4K x 14	256 x 8	OTP	22 (6-Kan., 12-Bit A/D)	Xtal/RC	DC-20MHz	32° ~ 158°F (0° ~ 70°C)	28-Soic	PIC16C773/SO-ND★	6.25	3.85	3.65
4K x 14	256 x 8	OTP	22 (6-Kan., 12-Bit A/D)	Xtal/RC	DC-20MHz	32° ~ 158°F (0° ~ 70°C)	28-Dip .3"	PIC16LC773/SP-ND★	6.56	4.06	3.85
4K x 14	256 x 8	OTP	22 (6-Kan., 12-Bit A/D)	Xtal/RC	DC-20MHz	32° ~ 158°F (0° ~ 70°C)	28-Soic	PIC16LC773/SO-ND★	6.56	4.06	3.85
4K x 14	256 x 8	OTP	22 (6-Kan., 12-Bit A/D)	Xtal/RC	DC-20MHz	-40° ~ 185°F (-40° ~ 85°C)	28-Dip .3"	PIC16C773-I/SP-ND★	6.86	4.24	4.01
4K x 14	256 x 8	OTP	22 (6-Kan., 12-Bit A/D)	Xtal/RC	DC-20MHz	-40° ~ 185°F (-40° ~ 85°C)	28-Soic	PIC16C773-I/SO-ND★	6.86	4.24	4.01
4K x 14	256 x 8	EPROM	33 (10-Kan., 12-Bit A/D)	Xtal/RC	DC-20MHz	32° ~ 158°F (0° ~ 70°C)	40-CDip	PIC16C774/JW-ND	13.76	—	13.22
4K x 14	256 x 8	OTP	33 (10-Kan., 12-Bit A/D)	Xtal/RC	DC-20MHz	32° ~ 158°F (0° ~ 70°C)	40-Dip	PIC16C774/P-ND★	7.58	4.68	4.44
4K x 14	256 x 8	OTP	33 (10-Kan., 12-Bit A/D)	Xtal/RC	DC-20MHz	32° ~ 158°F (0° ~ 70°C)	44-PLCC	PIC16C774/L-ND★	8.17	5.71	5.28
4K x 14	256 x 8	OTP	33 (10-Kan., 12-Bit A/D)	Xtal/RC	DC-20MHz	32° ~ 158°F (0° ~ 70°C)	40-Dip	PIC16LC774/P-ND★	7.94	4.90	4.64
4K x 14	256 x 8	OTP	33 (10-Kan., 12-Bit A/D)	Xtal/RC	DC-20MHz	32° ~ 158°F (0° ~ 70°C)	44-PLCC	PIC16LC774/L-ND★	8.58	5.98	5.54
4K x 14	256 x 8	OTP	33 (10-Kan., 12-Bit A/D)	Xtal/RC	DC-20MHz	-40° ~ 185°F (-40° ~ 85°C)	40-Dip	PIC16C774-I/P-ND★	8.34	5.15	4.89
4K x 14	256 x 8	OTP	33 (10-Kan., 12-Bit A/D)	Xtal/RC	DC-20MHz	-40° ~ 185°F (-40° ~ 85°C)	44-PLCC	PIC16C774-I/L-ND★	8.91	6.24	5.76

Die Spezifikationen können sich je nach Bausteineigenschaften ändern.

★ Digi-Key bietet jetzt einen Programmierservice unter Verwendung eines vom Kunden bereitgestellten Master-IC sowie Software-Diskette für die PIC-Gruppe von Microchip. Es werden folgende Formate von unserem Programmierzentrum unterstützt: BIN16 — binäres 16-Bit Format (Standard für PGM16/TASM16), INHXM8 — Merged 8-Bit Intel™ Hex (Parallax) -Format, INHXS8 — Split 8-Bit Intel™ Hex-Format, INHX16 — 16-Bit Intel™ Hex-Format. Sollten Sie weitere Informationen und Preisangaben benötigen, rufen Sie bei Digi-Key an und fragen nach dem Programmierzentrum.

EPROM-basierte 8-Bit CMOS-Mikrocontroller

Serie PIC16C55X

Hochleistungs-RISC-CPU:

• Nur 35 Einzelwortbefehle zu lernen • Alles Einzelzyklusbefehle mit Ausnahme von Programmzweigen, die zwei Zyklen haben • Betriebsgeschwindigkeit: DC – 20 MHz Takteingang; DC – 200 ns Befehlszyklus • Unterbrechungsfunktion • 16 Sonderfunktions-Hardware-Register • Hardware-Stack mit acht Ebenen • Direkter, indirekter und relativer Adressiermodus

Peripheriegeräte umfassen:

• 13 E/A-Pins mit individueller Richtungssteuerung • Hochstrom-Senke/Quelle für direkten LED-Antrieb • Timer0: 8-Bit Timer/Zähler mit programmierbarem 8-Bit Prescaler

DS00161-ND CD-ROM - Technische Bibliothek von Microchip **2.54**

Speichergröße EPROM	Speichergröße RAM	Konfiguration	E/A-Leitungen	Oszillatortyp extern	Frequenzbereich min./max.	Betriebstemperaturbereich	Paket	Digi-Key Teilenr.	Stückpreis 1	25	100
512 x 14	80 x 8	OTP OTP	13	Xtal/RC	DC - 4MHz DC - 4MHz	32° - 158°F (0° - 70°C)	18-Dip 18-SOIC	PIC16C554-04/P-ND PIC16C554-04/SO-ND	3.43 3.51	2.39 2.46	2.22 2.27
2K x 14	128 x 8	EPROM OTP OTP	13	Xtal/RC	DC - 20 MHz DC - 4MHz DC - 4MHz	32° - 158°F (0° - 70°C)	18-CDip 18-DIP 18-SOIC	PIC16C558/JW-ND PIC16C558-04/P-ND PIC16C558-04/SO-ND	9.02 4.51 4.61	— 3.15 3.22	7.88 2.91 2.98

Mikrocontroller

RFPIC12

Programmspeichertyp	Speichergröße Programm-Bytes	RAM-Bytes	EEPROM-Bytes	E/A-Pins	Timer/Zähler 8/16-Bit	UART	I^2C	SPI	CAN	PWM	A/D	Analog-Comp.	Int. OSC	Clock Speed* (MHz)	VCC (V)	Betriebstemp.	Paket	Digi-Key Teilenr.	Stückpreis 1	25	100
EPROM PROM	1K x 12	41	—	6	1/—	—	—	—	—	—	—	—	Ja (4MHz)	4	2.5 ~ 5.5	Komm. Ind.	20-CDIP 20-SOIC	RFPIC12C509AF/JW-ND RFPIC12C509AFI/SS-ND	10.29 3.37	— 2.08	9.01 2.06
EPROM PROM	1K x 12	41	—	6	1/—	—	—	—	—	—	—	—	Ja (4MHz)	4	2.5 ~ 5.5	Komm. Ind.	18-CDIP 18-SOIC	RFPIC12C509AG/JW-ND RFPIC12C509AGI/SO-ND	10.70 3.23	— 1.99	10.30 1.97
Flash	1K x 14	64	128	6	1/1	—	—	—	—	—	4-Kan., 10-Bit	1	Ja (4MHz)	20	2.0 ~ 5.5	Ind.	20-SSOP 20-SSOP 20-SSOP	RFPIC12F675F-I/SS-ND RFPIC12F675H-I/SS-ND RFPIC12F675K-I/SS-ND	3.51 3.51 3.51	2.06 2.06 1.98	1.91 1.91 1.91

PIC16C mit LCD

Programmspeichertyp	Speichergröße Programm-Bytes	RAM-Bytes	EEPROM-Bytes	E/A-Pins	Timer/Zähler 8/16-bit	UART	I^2C	SPI	CAN	PWM	A/D	Analog-Comp.	Int. Osc	Clock Speed* (MHz)	VCC (V)	Betriebstemp.	Paket	Digi-Key Teilenr.	Stückpreis 1	25	100
PROM	4K x 14	176	—	52	2/1	—	1	1	—	1	5-Kan. 8-Bit	—	—	4	4.5 ~ 5.5 4.5 ~ 5.5 2.5 ~ 6.0	Komm.	68-CLCC 68-PLCC 68-PLCC	PIC16C924/CL-ND PIC16C924-04/L-ND PIC16LC924-04/L-ND	39.22 6.54 6.86	24.23 4.58 4.79	22.94 4.23 4.43
PROM	4K x 14	176	—	52	2/1	—	1	1	—	1	—	—	—	4	4.5 ~ 5.5 2.5 ~ 6.0	Komm.	68-PLCC 68-PLCC	PIC16C923-04/L-ND PIC16LC923-04/L-ND	5.84 6.12	4.08 4.28	3.78 3.96

PIC18C

Programmspeichertyp	Speichergröße Programm-Bytes	RAM-Bytes	EEPROM-Bytes	E/A-Pins	Timer/Zähler 8/16-bit	UART	I^2C	SPI	CAN	PWM	A/D	Analog-Comp.	Int. Osc	Clock Speed* (MHz)	VCC (V)	Betriebstemp.	Paket	Digi-Key Teilenr.	Stückpreis 1	25	100
Ohne ROM	—	1536	—	26	1/3	1 (USART)	1 (Master/Slave)	1	—	2	8-Kan. 10-Bit	—	—	25	4.2 ~ 5.5	Ind.	68-PLCC 64-TQFP	PIC18C601-I/L-ND PIC18C601-I/PT-ND	5.61 5.15	3.92 3.59	3.62 3.33
Ohne ROM	—	1536	—	37	1/3	1 (USART)	1 (Master/Slave)	1	—	2	12-Kan. 10-Bit	—	—	25	4.2 ~ 5.5	Ind.	84-PLCC 80-TQFP	PIC18C801-I/L-ND PIC18C801-I/PT-ND	6.90 6.22	4.82 4.34	4.46 4.01
PROM	16K x 16	1536	—	52	1/3	1 (USART)	1 (Master/Slave)	1	Ja (CAN 2.0B)	2	12-Kan. 10-Bit	2	—	40	4.2 ~ 5.5	Ind.	68-PLCC 64-TQFP	PIC18C658-I/L-ND PIC18C658-I/PT-ND	13.40 12.83	8.28 7.92	7.84 7.51
PROM	16K x 16	1536	—	68	1/3	1 (USART)	1 (Master/Slave)	1	Ja (CAN 2.0B)	2	16-Kan. 10-Bit	2	—	40	4.2 ~ 5.5	Ind.	84-PLCC 80-TQFP	PIC18C858-I/L-ND PIC18C858-I/PT-ND	14.88 14.16	9.19 8.75	8.70 8.29

Hinweis: **Betriebstemperaturbereich:** • Industriell: -40 ° ~ 185 °F (-40 ° ~ 85 °C) • Kommerziell: 32 ° ~ 158 °F (0 ° ~ 70 °C) *Taktgeschwindigkeit

DS00092D-ND	Handbuch für eingebettete Steuerungen, Band 1 ..... **8.42**
DS00711-ND	Handbuch für eingebettete Steuerungen, Update 2000 ..... **4.23**

PIC10F-Bausteine

Speichergröße															Preisangaben
Programm (Wörter)	RAM-Bytes	EEPROM-Bytes	E/A-Pins	Timer/ Zähler 8-Bit	UART	I^2C™	SPI™	A/D	Analog-Comp.	Int. OSC	Clock Speed† (MHz)	VCC (V)	Betriebstemp.	Paket	Digi-Key Teilenr.	Stückpreis 1	25	100	Gegurtet auf Rolle * 3.000
256 x 12	16	—	4	1	—	—	—	—	—	Ja (4MHz)	4	2.0 ~ 5.5	Ind.	8-DIP	PIC10F200-I/P-ND	.91	.56	.53	—
														SOT23-6	PIC10F200T-I/OTCT-ND	.92	.83	.75	490.80/M
256 x 12	16	—	4	1	—	—	—	—	1	Ja (4MHz)	4	2.0 ~ 5.5	Ind.	8-DIP	PIC10F204-I/P-ND	1.06	.65	.62	—
														SOT-23-6	PIC10F204T-I/OTCT-ND	1.12	1.00	.90	574.75/M
512 x 12	24	—	4	1	—	—	—	—	1	Ja (4MHz)	4	2.0 ~ 5.5	Ind.	8-DIP	PIC10F202-I/P-ND	1.06	.65	.62	—
														SOT23-6	PIC10F202T-I/OTCT-ND	1.12	1.00	.90	574.75/M
512 x 12	24	—	4	1	—	—	—	—	1	Ja (4MHz)	4	2.0 ~ 5.5	Ind.	8-DIP	PIC10F206-I/P-ND	1.19	.74	.70	—
														SOT23-6	PIC10F206T-I/OTCT-ND	1.25	1.13	1.01	651.06/M

* Für Gegurtet auf Rolle die Teilenummer CT-ND in TR-ND ändern. †Taktgeschwindigkeit

PIC12F-Bausteine

Speichergröße																	Stückpreis		
Programm (Wörter)	RAM-Bytes	EEPROM-Bytes	E/A-Pins	Timer/ Zähler 8/16-Bit	UART	I^2C™	SPI™	CAN/ USB	PWM	A/D	Analog-Comp.	Int. OSC	Clock Speed† (MHz)	VCC (V)	Betriebs-temp.	Paket	Digi-Key Teilenr.	1	25	100
512 x 12	25	—	6	1/—	—	—	—	—	—	—	—	Ja (4MHz)	4	2.0 ~ 5.5	Ind.	8-DIP	PIC12F508-I/P-ND	1.27	.79	.75
																8-SOIC	PIC12F508-I/SN-ND	1.27	.79	.75
																8-MSOP	PIC12F508-I/MS-ND	1.40	.87	.83
1K x 12	41	—	6	1/—	—	—	—	—	—	—	—	Ja (4MHz)	4	2.0 ~ 5.5	Ind.	8-DIP	PIC12F509-I/P-ND	1.35	.84	.80
																8-SOIC	PIC12F509-I/SN-ND	1.31	.81	.78
																8-MSOP	PIC12F509-I/MS-ND	1.46	.91	.87
1K x 14	64	128	6	1/1	—	—	—	—	—	—	1	Ja (4MHz)	20	2.0 ~ 5.5	Ind.	8-DIP	PIC12F629-I/P-ND	1.55	.96	.91
																8-SOIC	PIC12F629-I/SN-ND	1.55	.96	.91
																8-DFN	PIC12F629-I/MF-ND	1.76	1.09	1.04
1K x 14	64	128	6	1/1	—	—	—	—	—	—	1	Ja (4MHz)	20	2.0 ~ 5.5	Vorst.	8-DIP	PIC12F629-E/P-ND	1.68	1.03	.98
																8-SOIC	PIC12F629-E/SN-ND	1.68	1.03	.98
																8-DFN	PIC12F629-E/MF-ND	1.95	1.21	1.15
1K x 14	64	128	6	1/1	—	—	—	—	—	—	1	Ja (8MHz)	20	2.0 ~ 5.5	Ind.	8-DFN	PIC12F635-I/MF-ND	1.95	1.21	1.15
																8-DIP	PIC12F635-I/P-ND	1.82	1.13	1.07
																8-SOIC	PIC12F635-I/SN-ND	1.82	1.13	1.07
1K x 14	64	128	6	1/1	—	—	—	—	—	4-Kan. 10-Bit	1	Ja (4MHz)	20	2.0 ~ 5.5	Ind.	8-DIP	PIC12F675-I/P-ND	1.93	1.20	1.13
																8-SOIC	PIC12F675-I/SN-ND	1.93	1.20	1.13
																8-DFN	PIC12F675-I/MF-ND	2.16	1.33	1.26
1K x 14	64	128	6	1/1	—	—	—	—	—	4-Kan. 10-Bit	1	Ja (4MHz)	20	2.0 ~ 5.5	Vorst.	8-DIP	PIC12F675-E/P-ND	2.14	1.32	1.25
																8-SOIC	PIC12F675-E/SN-ND	2.14	1.32	1.25
																8-DFN	PIC12F675-E/MF-ND	2.35	1.46	1.38
2K x 14	128	256	6	2/1	—	—	—	—	1	4-Kan. 10-Bit	1	Ja (8MHz)	20	2.0 ~ 5.5	Ind.	8-DFN	PIC12F683-I/MF-ND	2.41	1.50	1.42
																8-DIP	PIC12F683-I/P-ND	2.24	1.39	1.31
																8-SOIC	PIC12F683-I/SN-ND	2.24	1.39	1.31

†Taktgeschwindigkeit

PIC16F-Bausteine

Speichergröße																	Stückpreis		
Programm (Wörter)	RAM-Bytes	EEPROM-Bytes	E/A-Pins	Timer/ Zähler 8/16-Bit	UART	I^2C™	SPI™	CAN/ USB	PWM	A/D	Analog-Comp.	Int. OSC	Clock Speed† (MHz)	VCC (V)	Betriebs-temp.	Paket	Digi-Key Teilenr.	1	25	100
512 x 12	25	—	12	1/—	—	—	—	—	—	—	—	—	20	2.0 ~ 5.5	Ind.	18-DIP	PIC16F54-I/P-ND	1.90	1.19	1.13
																18-SOIC	PIC16F54-I/SO-ND	1.90	1.19	1.13
																18-SSOP	PIC16F54-I/SS-ND	1.90	1.19	1.13
512 x 14	36	64	13	1/—	—	—	—	—	—	—	—	—	4	2.0 ~ 6.0	Komm.	18-DIP	PIC16LF83-04/P-ND	5.74	3.65	3.53
															Ind.	18-DIP	PIC16LF83-04I/P-ND	6.29	4.00	3.87
															Komm.	18-SOIC	PIC16LF83-04/SO-ND	5.84	3.72	3.59
															Ind.	18-SOIC	PIC16LF83-04I/SO-ND	6.42	4.09	3.95
1K x 12	72	—	12	1/—	—	—	—	—	—	—	—	Ja (4MHz)	20	2.0 ~ 5.5	Ind.	14-DIP	PIC16F505-I/P-ND	1.52	.94	.89
																14-SOIC	PIC16F505-I/SL-ND	1.51	.92	.88
																14-TSSOP	PIC16F505-I/ST-ND	1.78	1.11	1.04
1K x 14	224	128	16	2/1	1 (AUSART)	—	—	—	1	—	2	Ja (4MHz)	4	3.0 ~ 5.5	Komm.	18-DIP	PIC16F627-04/P-ND	2.96	1.83	1.74
															Ind.	18-DIP	PIC16F627-04I/P-ND	3.24	2.00	1.89
															Komm.	18-SOIC	PIC16F627-04/SO-ND	3.01	1.87	1.77
															Ind.	18-SOIC	PIC16F627-04I/SO-ND	3.30	2.04	1.93
															Komm.	20-SSOP	PIC16F627-04/SS-ND	3.24	2.00	1.89
															Ind.	20-SSOP	PIC16F627-04I/SS-ND	3.56	2.20	2.09
1K x 14	224	128	16	2/1	1 (AUSART)	—	—	—	1	—	2	Ja (4MHz)	4	2.0 ~ 5.5	Komm.	18-DIP	PIC16LF627-04/P-ND	3.09	1.92	1.82
															Ind.	18-DIP	PIC16LF627-04I/P-ND	3.39	2.09	1.98
															Komm.	18-SOIC	PIC16LF627-04/SO-ND	3.17	1.97	1.87
															Ind.	18-SOIC	PIC16LF627-04I/SO-ND	3.50	2.16	2.05
															Komm.	20-SSOP	PIC16LF627-04/SS-ND	3.39	2.09	1.98
															Ind.	20-SSOP	PIC16LF627-04I/SS-ND	3.73	2.31	2.19
1K x 14	224	128	16	2/1	1 (AUSART)	—	—	—	1	—	2	Ja (4MHz)	20	3.0 ~ 5.5	Komm.	18-DIP	PIC16F627-20/P-ND	3.17	1.97	1.87
															Ind.	18-DIP	PIC16F627-20I/P-ND	3.50	2.16	2.05
															Komm.	18-SOIC	PIC16F627-20/SO-ND	3.22	1.98	1.88
															Ind.	18-SOIC	PIC16F627-20I/SO-ND	3.54	2.19	2.08
															Komm.	20-SSOP	PIC16F627-20/SS-ND	3.50	2.16	2.05
															Ind.	20-SSOP	PIC16F627-20I/SS-ND	3.81	2.35	2.23
1K x 14	224	128	16	2/1	1 (AUSART)	—	—	—	1	—	2	Ja (4MHz)	20	3.0 ~ 5.5	Ind.	28-QFN	PIC16F627A-I/ML-ND	2.99	1.64	1.52
																18-DIP	PIC16F627A-I/P-ND	2.50	1.37	1.27
																18-SOIC	PIC16F627A-I/SO-ND	2.54	1.39	1.30
																20-SSOP	PIC16F627A-I/SS-ND	2.73	1.49	1.39
1K x 14	224	128	16	2/1	1 (AUSART)	—	—	—	1	—	2	Ja (4MHz)	20	2.0 ~ 5.5	Ind.	28-QFN	PIC16LF627A-I/ML-ND	3.05	1.67	1.55
																18-DIP	PIC16LF627A-I/P-ND	2.61	1.44	1.33
																18-SOIC	PIC16LF627A-I/SO-ND	2.69	1.47	1.36
																20-SSOP	PIC16LF627A-I/SS-ND	2.88	1.58	1.47
1K x 14	64	128	12	1/1	—	—	—	—	—	—	1	Ja (4MHz)	20	4.5 ~ 5.5	Ind.	14-DIP	PIC16F630-I/P-ND	1.82	1.13	1.07
																14-SOIC	PIC16F630-I/SL-ND	1.82	1.13	1.07
																14-TSSOP	PIC16F630-I/ST-ND	2.03	1.26	1.20
1K x 14	64	128	12	1/1	—	—	—	—	—	8-Kan. 10-Bit	1	Ja (4MHz)	20	2.0 ~ 5.5	Ind.	14-DIP	PIC16F676-I/P-ND	2.10	1.29	1.22
																14-SOIC	PIC16F676-I/SL-ND	2.10	1.29	1.22
																14-TSSOP	PIC16F676-I/ST-ND	2.31	1.43	1.35
1K x 14	128	128	16	2/1	—	1	1	—	1	5-Kan. 10-Bit	—	Ja (8MHz)	20	4.0 ~ 5.5	Ind.	28-QFN	PIC16F818-I/ML-ND	3.60	1.98	1.84
																18-DIP	PIC16F818-I/P-ND	3.01	1.65	1.53
																18-SOIC	PIC16F818-I/SO-ND	3.05	1.67	1.55
																20-SSOP	PIC16F818-I/SS-ND	3.30	1.80	1.68

Hinweis: Betriebstemperaturbereich: • Industriell: -40 ° ~ 185 °F (-40 ° ~ 85 °C) • Kommerziell: 32 ° ~ 158 °F (0 ° ~ 70 °C) • Erweitert: -40 ° ~ 257 °F (-40 ° ~ 125 °C) †Taktgeschwindigkeit *(Forts.)*

PIC16F-Bausteine *(Forts.)*

Speichergröße																		
Programm (Wörter)	RAM-Bytes	EEPROM-Bytes	E/A-Pins	Timer/ Zähler 8/16-Bit	UART	I^2C™	SPI™	CAN/ USB	PWM	A/D	Analog-Comp.	Int. OSC	Clock Speed† (MHz)	VCC (V)	Betriebs-temp.	Paket	Digi-Key Teilenr.	Stückpreis 1	25	100
1K x 14	128	128	16	2/1	—	1	1	—	1	5-Kan. 10-Bit	—	Ja (8MHz)	20	2.0 ~ 5.5	Ind.	28-QFN	PIC16LF818-I/ML-ND	3.62	1.99	1.84
																18-DIP	PIC16LF818-I/P-ND	3.16	1.73	1.61
																18-SOIC	PIC16LF818-I/SO-ND	3.22	1.75	1.63
																20-SSOP	PIC16LF818-I/SS-ND	3.50	1.91	1.78
1K x 14	68	64	13	1/1	—	—	—	—	—	—	—	—	4	2.0 ~ 6.0	Komm.	18-DIP	PIC16F84-04/P-ND	6.37	4.06	3.92
															Ind.	18-DIP	PIC16F84-04I/P-ND	6.98	4.45	4.30
															Komm.	18-SOIC	PIC16F84-04/SO-ND	6.46	4.11	3.97
															Ind.	18-SOIC	PIC16F84-04I/SO-ND	7.14	4.55	4.39
1K x 14	68	64	13	1/1	—	—	—	—	—	—	—	—	4	2.0 ~ 6.0	Komm.	18-DIP	PIC16LF84-04/P-ND	6.65	4.24	4.09
															Ind.	18-DIP	PIC16LF84-04I/P-ND	7.32	4.66	4.50
															Komm.	18-SOIC	PIC16LF84-04/SO-ND	6.77	4.30	4.16
1K x 14	68	64	13	1/1	—	—	—	—	—	—	—	—	10	2.0 ~ 6.0	Ind.	18-SOIC	PIC16LF84-04I/SO-ND	7.45	4.74	4.58
															Komm.	18-DIP	PIC16F84-10/P-ND	6.82	4.34	4.19
															Ind.	18-DIP	PIC16F84-10I/P-ND	7.49	4.77	4.61
															Komm.	18-SOIC	PIC16F84-10/SO-ND	6.94	4.42	4.27
															Ind.	18-SOIC	PIC16F84-10I/SO-ND	7.64	4.86	4.70
1K x 14	68	64	13	1/1	—	—	—	—	—	—	—	—	4	2.0 ~ 5.5	Komm.	18-DIP	PIC16F84A-04/P-ND	5.19	3.20	3.04
															Ind.	18-DIP	PIC16F84A-04I/P-ND	5.71	3.53	3.34
															Komm.	18-SOIC	PIC16F84A-04/SO-ND	5.29	3.28	3.10
															Ind.	18-SOIC	PIC16F84A-04I/SO-ND	5.82	3.60	3.41
															Komm.	20-SSOP	PIC16F84A-04/SS-ND	5.63	3.48	3.29
															Ind.	20-SSOP	PIC16F84A-04I/SS-ND	6.16	3.81	3.60
1K x 14	68	64	13	1/1	—	—	—	—	—	—	—	—	4	2.0 ~ 5.5	Komm.	18-DIP	PIC16LF84A-04/P-ND	5.46	3.38	3.21
															Ind.	18-DIP	PIC16LF84A-04I/P-ND	5.97	3.69	3.50
															Komm.	18-SOIC	PIC16LF84A-04/SO-ND	5.55	3.42	3.24
															Ind.	18-SOIC	PIC16LF84A-04I/SO-ND	6.08	3.76	3.56
															Komm.	20-SSOP	PIC16LF84A-04/SS-ND	5.91	3.65	3.46
															Ind.	20-SSOP	PIC16LF84A-04I/SS-ND	6.42	3.96	3.76
1K x 14	68	64	13	1/1	—	—	—	—	—	—	—	—	20	2.0 ~ 5.5	Komm.	18-DIP	PIC16F84A-20/P-ND	5.55	3.42	3.24
															Ind.	18-DIP	PIC16F84A-20I/P-ND	6.10	3.78	3.57
															Komm.	18-SOIC	PIC16F84A-20/SO-ND	5.63	3.48	3.29
															Ind.	18-SOIC	PIC16F84A-20I/SO-ND	6.18	3.81	3.61
															Komm.	20-SSOP	PIC16F84A-20/SS-ND	6.01	3.72	3.52
															Ind.	20-SSOP	PIC16F84A-20I/SS-ND	6.54	4.04	3.83
2K x 12	72	—	20	1/—	—	—	—	—	—	—	—	—	20	2.0 ~ 5.5	Ind.	28-DIP	PIC16F57-I/P-ND	2.50	1.55	1.47
																28-SOIC	PIC16F57-I/SO-ND	2.44	1.51	1.43
																28-DIP .3"	PIC16F57-I/SP-ND	2.50	1.55	1.47
																28-SSOP	PIC16F57-I/SS-ND	2.61	1.62	1.53
2K x 12	134	—	32	1/—	—	—	—	—	—	—	—	—	20	2.0 ~ 5.5	Ind.	40-Dip	PIC16F59-I/P-ND	2.50	1.55	1.46
																44-TQFP	PIC16F59-I/PT-ND	2.61	1.61	1.53
2K x 14	224	128	16	2/1	1 (AUSART)	—	—	—	1	—	2	Ja (4MHz)	4	3.0 ~ 5.5	Komm.	18-DIP	PIC16F628-04/P-ND	3.37	2.08	1.97
															Ind.	18-DIP	PIC16F628-04I/P-ND	3.68	2.28	2.17
															Komm.	18-SOIC	PIC16F628-04/SO-ND	3.41	2.11	2.00
															Ind.	18-SOIC	PIC16F628-04I/SO-ND	3.77	2.34	2.22
															Komm.	20-SSOP	PIC16F628-04/SS-ND	3.68	2.28	2.17
															Ind.	20-SSOP	PIC16F628-04I/SS-ND	4.06	2.51	2.38
2K x 14	224	128	16	2/1	1 (AUSART)	—	—	—	1	—	2	Ja (4MHz)	4	2.0 ~ 5.5	Komm.	18-DIP	PIC16LF628-04/P-ND	3.51	2.18	2.06
															Ind.	18-DIP	PIC16LF628-04I/P-ND	3.85	2.38	2.25
															Komm.	18-SOIC	PIC16LF628-04/SO-ND	3.58	2.22	2.10
															Ind.	18-SOIC	PIC16LF628-04I/SO-ND	3.94	2.43	2.30
															Komm.	20-SSOP	PIC16LF628-04/SS-ND	3.85	2.38	2.25
															Ind.	20-SSOP	PIC16LF628-04I/SS-ND	4.26	2.63	2.50
2K x 14	224	128	16	2/1	1 (AUSART)	—	—	—	1	—	2	Ja (4MHz)	20	3.0 ~ 5.5	Komm.	18-DIP	PIC16F628-20/P-ND	3.58	2.22	2.10
															Ind.	18-DIP	PIC16F628-20I/P-ND	3.94	2.43	2.30
															Komm.	18-SOIC	PIC16F628-20/SO-ND	3.67	2.27	2.15
															Ind.	18-SOIC	PIC16F628-20I/SO-ND	4.05	2.50	2.36
															Komm.	20-SSOP	PIC16F628-20/SS-ND	3.94	2.43	2.30
															Ind.	20-SSOP	PIC16F628-20I/SS-ND	4.34	2.69	2.55
2K x 14	224	128	16	2/1	1 (AUSART)	—	—	—	1	—	2	Ja (4MHz)	20	3.0 ~ 5.5	Ind.	28-QFN	PIC16F628A-I/ML-ND	3.28	1.84	1.78
																18-DIP	PIC16F628A-I/P-ND	2.84	1.55	1.44
																18-SOIC	PIC16F628A-I/SO-ND	2.88	1.58	1.47
																20-SSOP	PIC16F628A-I/SS-ND	3.13	1.72	1.60
2K x 14	224	128	16	2/1	1 (AUSART)	—	—	—	1	—	2	Ja (4MHz)	20	2.0 ~ 5.5	Ind.	28-QFN	PIC16LF628A-I/ML-ND	3.43	1.92	1.86
																18-DIP	PIC16LF628A-I/P-ND	2.99	1.64	1.52
																18-SOIC	PIC16LF628A-I/SO-ND	3.03	1.66	1.54
																20-SSOP	PIC16LF628A-I/SS-ND	3.26	1.78	1.65
2K x 14	128	256	12	1/1	—	—	—	—	—	—	2	Ja (8MHz)	20	2.0 ~ 5.5	Ind.	14-DIP	PIC16F636-I/P-ND	2.10	1.29	1.22
																14-SOIC	PIC16F636-I/SL-ND	2.10	1.29	1.22
																14-TSSOP	PIC16F636-I/ST-ND	2.24	1.39	1.31
2K x 14	128	256	12	2/1	—	—	—	—	4	8-Kan. 10-Bit	2	Ja (8MHz)	20	4.0 ~ 5.5	Ind.	14-DIP	PIC16F684-I/P-ND	2.37	1.47	1.40
																14-SOIC	PIC16F684-I/SL-ND	2.37	1.47	1.40
																14-TSSOP	PIC16F684-I/ST-ND	2.61	1.62	1.54
2K x 14	128	—	13	2/1	—	—	—	—	1	4-Kan. 8-Bit	—	—	20	2.0 ~ 5.5	Ind.	18-DIP	PIC16F716-I/P-ND	2.37	1.47	1.40
																18-SOIC	PIC16F716-I/SO-ND	2.37	1.47	1.40
																20-SSOP	PIC16F716-I/SS-ND	2.37	1.47	1.40
2K x 14	128	—	22	2/1	—	1	1	—	1	5-Kan. 8-Bit	—	—	20	4.0 ~ 5.5	Ind.	28-DIP .3"	PIC16F72-I/SP-ND	3.17	1.97	1.87
																28-SOIC	PIC16F72-I/SO-ND	3.17	1.97	1.87
																28-SSOP	PIC16F72-I/SS-ND	3.33	2.05	1.95
																28-QFN	PIC16F72-I/ML-ND	3.17	1.97	1.87
2K x 14	128	—	22	2/1	—	1	1	—	1	5-Kan. 8-Bit	—	—	20	2.0 ~ 5.5	Ind.	28-QFN	PIC16LF72-I/ML-ND	3.37	2.08	1.97
																28-SOIC	PIC16LF72-I/SO-ND	3.37	2.08	1.97
																28-DIP .3"	PIC16LF72-I/SP-ND	3.37	2.08	1.97
																28-SSOP	PIC16LF72-I/SS-ND	3.50	2.16	2.05
2K x 14	128	128	16	2/1	—	1	1	—	1	5-Kan. 10-Bit	—	Ja (8MHz)	20	4.0 ~ 5.5	Ind.	28-QFN	PIC16F819-I/ML-ND	4.06	2.23	2.07
																18-DIP	PIC16F819-I/P-ND	3.41	1.86	1.73
																18-SOIC	PIC16F819-I/SO-ND	3.50	1.91	1.78
																20-SSOP	PIC16F819-I/SS-ND	3.73	2.04	1.90
2K x 14	128	128	16	2/1	—	1	1	—	1	5-Kan. 10-Bit	—	Ja (8MHz)	20	2.0 ~ 5.5	Ind.	28-QFN	PIC16LF819-I/ML-ND	4.06	2.23	2.07
																18-DIP	PIC16LF819-I/P-ND	3.58	1.96	1.82
																18-SOIC	PIC16LF819-I/SO-ND	3.67	2.01	1.86
																20-SSOP	PIC16LF819-I/SS-ND	3.94	2.15	2.00
2K x 14	128	64	22	2/1	1 (AUSART)	—	—	—	1	5-Kan. 10-Bit	—	—	20	4.0 ~ 5.5	Ind.	28-SOIC	PIC16F870-I/SO-ND	4.28	2.65	2.51
																28-DIP .3"	PIC16F870-I/SP-ND	4.28	2.65	2.51
																28-SSOP	PIC16F870-I/SS-ND	4.40	2.72	2.57

Hinweis: Betriebstemperaturbereich: • Industriell: -40 ° ~ 185 °F (-40 ° ~ 85 °C) • Kommerziell: 32 ° ~ 158 °F (0 ° ~ 70 °C) • Erweitert: -40 ° ~ 257 °F (-40 ° ~ 125 °C) †Taktgeschwindigkeit *(Forts.)*

B

PIC16F-Bausteine *(Forts.)*

Speichergröße			E/A-	Timer/												Stückpreis		
Programm (Wörter)	RAM-Bytes	EEPROM-Bytes	Pins	Zähler 8/16-Bit	UART	I^2C™	SPI™	CAN/ USB	PWM	A/D	Analog-Comp.	Int. OSC	Clock Speed† (MHz)	VCC (V)	Betriebs-temp.	Paket	Digi-Key Teilenr.	1	25	100
2K x 14	128	64	22	2/1	1 (AUSART)	—	—	—	1	5-Kan. 10-Bit	—	—	20	2.0 ~ 5.5	Ind.	28-SOIC	PIC16LF870-I/SO-ND	4.51	2.79	2.63
																28-DIP .3"	PIC16LF870-I/SP-ND	4.51	2.79	2.63
																28-SSOP	PIC16LF870-I/SS-ND	4.61	2.85	2.70
2K x 14	128	64	33	2/1	1 (AUSART)	—	—	—	1	8-Kan. 10-Bit	—	—	20	4.0 ~ 5.5	Ind.	44-PLCC	PIC16F871-I/L-ND	5.67	3.96	3.66
																40-DIP	PIC16F871-I/P-ND	5.06	2.84	2.74
2K x 14	128	64	33	2/1	1 (AUSART)	—	—	—	1	8-Kan. 10-Bit	—	—	20	2.0 ~ 5.5	Ind.	44-PLCC	PIC16LF871-I/L-ND	5.97	4.17	3.86
																40-DIP	PIC16LF871-I/P-ND	5.32	2.98	2.88
																44-TQFP	PIC16LF871-I/PT-ND	7.15	4.01	3.88
2K x 14	128	64	22	2/1	—	1 (Master/ Slave)	1	—	1	5-Kan. 10-Bit	—	—	20	4.0 ~ 5.5	Ind.	28-SOIC	PIC16F872-I/SO-ND	4.28	2.65	2.51
																28-DIP .3"	PIC16F872-I/SP-ND	4.28	2.65	2.51
																28-SSOP	PIC16F872-I/SS-ND	4.40	2.72	2.57
2K x 14	128	64	22	2/1	—	1 (Master/ Slave)	1	—	1	5-Kan. 10-Bit	—	—	20	2.0 ~ 5.5	Ind.	28-SOIC	PIC16LF872-I/SO-ND	4.51	2.79	2.63
																28-DIP .3"	PIC16LF872-I/SP-ND	4.51	2.79	2.63
																28-SSOP	PIC16LF872-I/SS-ND	4.61	2.85	2.70
4K x 14	256	256	16	2/1	1 (AUSART)	—	—	—	1	—	2	Ja (4MHz)	20	3.0 ~ 5.5	Ind.	28-QFN	PIC16F648A-I/ML-ND	3.68	2.02	1.88
																18-DIP	PIC16F648A-I/P-ND	3.22	1.75	1.63
																18-SOIC	PIC16F648A-I/SO-ND	3.28	1.80	1.66
																20-SSOP	PIC16F648A-I/SS-ND	3.54	1.93	1.80
4K x 14	256	256	12	1/1	1 (EUSART)	—	—	—	—	8-Kan. 10-Bit	2	Ja (8MHz)	20	4.5 ~ 5.5	Ind.	14-DIP	PIC16F688-I/P-ND	2.84	1.75	1.66
																14-SOIC	PIC16F688-I/SL-ND	2.84	1.75	1.66
																14-TSSOP	PIC16F688-I/ST-ND	3.05	1.89	1.79
4K x 14	192	—	22	2/1	1 (USART)	1	1	—	2	5-Kan. 8-Bit	—	—	20	4.0 ~ 5.5	Ind.	28-QFN	PIC16F73-I/ML-ND	4.95	3.06	2.90
																28-SOIC	PIC16F73-I/SO-ND	4.95	3.06	2.90
																28-DIP .3"	PIC16F73-I/SP-ND	4.95	3.06	2.90
																28-SSOP	PIC16F73-I/SS-ND	5.12	3.17	3.00
4K x 14	192	—	22	2/1	1 (USART)	1	1	—	2	5-Kan. 8-Bit	—	—	20	2.0 ~ 5.5	Ind.	28-QFN	PIC16LF73-I/ML-ND	5.21	3.22	3.05
																28-SOIC	PIC16LF73-I/SO-ND	5.21	3.22	3.05
																28-DIP .3"	PIC16LF73-I/SP-ND	5.21	3.22	3.05
																28-SSOP	PIC16LF73-I/SS-ND	5.36	3.31	3.14
4K x 14	368	—	25	2/1	1 (AUSART)	1 (Master/ Slave)	1	—	2	11-Kan. 10-Bit	2	—	20	4.0 ~ 5.5	Ind.	28-QFN	PIC16F737-I/ML-ND	6.08	3.41	3.30
																28-SOIC	PIC16F737-I/SO-ND	5.61	3.14	3.04
																28-DIP .3"	PIC16F737-I/SP-ND	5.50	3.10	2.99
																28-SSOP	PIC16F737-I/SS-ND	5.78	3.24	3.13
4K x 14	368	—	25	2/1	1 (AUSART)	1 (Master/ Slave)	1	—	2	11-Kan. 10-Bit	2	—	20	2.0 ~ 5.5	Ind.	28-QFN	PIC16LF737-I/ML-ND	6.37	3.58	3.45
																28-SOIC	PIC16LF737-I/SO-ND	6.16	3.45	3.33
																28-DIP .3"	PIC16LF737-I/SP-ND	6.05	3.41	3.28
																28-SSOP	PIC16LF737-I/SS-ND	6.25	3.50	3.38
4K x 14	192	—	33	2/1	1 (USART)	1	1	—	2	8-Kan. 8-Bit	—	—	20	4.0 ~ 5.5	Ind.	44-PLCC	PIC16F74-I/L-ND	6.76	4.30	4.14
																44-QFN	PIC16F74-I/ML-ND	7.52	4.64	4.40
																40-DIP	PIC16F74-I/P-ND	6.04	3.74	3.54
																44-TQFP	PIC16F74-I/PT-ND	7.24	4.48	4.25
4K x 14	192	—	33	2/1	1 (USART)	1	1	—	2	8-Kan. 8-Bit	—	—	20	2.0 ~ 5.5	Ind.	44-PLCC	PIC16LF74-I/L-ND	7.09	4.52	4.36
																44-QFN	PIC16LF74-I/ML-ND	7.87	4.86	4.60
																40-DIP	PIC16LF74-I/P-ND	6.33	3.91	3.70
																44-TQFP	PIC16LF74-I/PT-ND	7.62	4.71	4.46
4K x 14	368	—	36	2/1	1 (AUSART)	1 (Master/ Slave)	1	—	2	14-Kan. 10-Bit	2	—	20	4.0 ~ 5.5	Ind.	40-QFN	PIC16F747-I/ML-ND	6.77	3.80	3.66
																40-DIP	PIC16F747-I/P-ND	6.33	3.55	3.42
																44-TQFP	PIC16F747-I/PT-ND	6.43	3.61	3.48
4K x 14	368	—	36	2/1	1 (AUSART)	1 (Master/ Slave)	1	—	2	14-Kan. 10-Bit	2	—	20	2.0 ~ 5.5	Ind.	40-QFN	PIC16LF747-I/ML-ND	7.45	4.18	4.03
																40-DIP	PIC16LF747-I/P-ND	6.94	3.89	3.76
																44-TQFP	PIC16LF747-I/PT-ND	7.09	3.98	3.85
4K x 14	368	256	16	2/1	1 (AUSART)	—	—	—	1	—	2	Ja (8MHz)	20	3.0 ~ 5.5	Ind.	28-QFN	PIC16F87-I/ML-ND	4.44	2.43	2.25
																18-DIP	PIC16F87-I/P-ND	3.94	2.15	2.00
																18-SOIC	PIC16F87-I/SO-ND	4.06	2.23	2.07
																20-SSOP	PIC16F87-I/SS-ND	4.34	2.38	2.21
4K x 14	368	256	16	2/1	1 (AUSART)	—	—	—	1	—	2	Ja (8MHz)	20	2.0 ~ 5.5	Ind.	28-QFN	PIC16LF87-I/ML-ND	4.64	2.54	2.36
																18-DIP	PIC16LF87-I/P-ND	4.15	2.28	2.11
																18-SOIC	PIC16LF87-I/SO-ND	4.23	2.32	2.15
																20-SSOP	PIC16LF87-I/SS-ND	4.60	2.51	2.33
4K x 14	192	128	22	2/1	1 (AUSART)	1 (Master/ Slave)	1	—	2	5-Kan. 10-Bit	—	—	4	4.0 ~ 5.5	Komm.	28-SOIC	PIC16F873-04/SO-ND	6.59	4.07	3.86
															Ind.	28-SOIC	PIC16F873-04I/SO-ND	7.24	5.07	4.68
															Komm.	28-DIP .3"	PIC16F873-04/SP-ND	6.59	4.07	3.86
															Ind.	28-DIP .3"	PIC16F873-04I/SP-ND	7.24	4.62	4.46
4K x 14	192	128	22	2/1	1 (AUSART)	1 (Master/ Slave)	1	—	2	5-Kan. 10-Bit	—	—	4	2.0 ~ 5.5	Komm.	28-SOIC	PIC16LF873-04/SO-ND	6.93	4.84	4.47
															Ind.	28-SOIC	PIC16LF873-04I/SO-ND	7.62	5.32	4.92
															Komm.	28-DIP .3"	PIC16LF873-04/SP-ND	6.93	4.40	4.25
															Ind.	28-DIP .3"	PIC16LF873-04I/SP-ND	7.62	4.71	4.46
4K x 14	192	128	22	2/1	1 (AUSART)	1 (Master/ Slave)	1	—	2	5-Kan. 10-Bit	—	—	20	4.0 ~ 5.5	Komm.	28-SOIC	PIC16F873-20/SO-ND	7.05	4.93	4.56
															Ind.	28-SOIC	PIC16F873-20I/SO-ND	7.75	5.42	5.01
															Komm.	28-DIP .3"	PIC16F873-20/SP-ND	7.05	4.49	4.34
															Ind.	28-DIP .3"	PIC16F873-20I/SP-ND	7.75	4.94	4.77
4K x 14	192	128	22	2/1	1 (AUSART)	1	1	—	2	5-Kan. 10-Bit	2	—	20	4.0 ~ 5.5	Ind.	28-QFN	PIC16F873A-I/ML-ND	6.43	3.98	3.77
																28-SOIC	PIC16F873A-I/SO-ND	6.05	3.75	3.55
																28-DIP .3"	PIC16F873A-I/SP-ND	6.05	3.75	3.55
																28-SSOP	PIC16F873A-I/SS-ND	6.18	3.81	3.61
4K x 14	192	128	22	2/1	1 (AUSART)	1 (Master/ Slave)	1	—	2	5-Kan. 10-Bit	2	—	20	2.0 ~ 5.5	Ind.	28-QFN	PIC16LF873A-I/ML-ND	6.76	4.17	3.95
																28-SOIC	PIC16LF873A-I/SO-ND	6.37	3.93	3.73
																28-DIP .3"	PIC16LF873A-I/SP-ND	6.37	3.93	3.73
																28-SSOP	PIC16LF873A-I/SS-ND	6.69	4.14	3.92
4K x 14	192	128	33	2/1	1 (AUSART)	1 (Master/ Slave)	1	—	2	8-Kan. 10-Bit	—	—	4	4.0 ~ 5.5	Komm.	44-PLCC	PIC16F874-04/L-ND	8.04	6.26	5.44
															Ind.	44-PLCC	PIC16F874-04I/L-ND	8.85	6.89	6.00
															Komm.	40-DIP	PIC16F874-04/P-ND	7.18	4.57	4.42
															Ind.	40-DIP	PIC16F874-04I/P-ND	7.90	5.02	4.85
4K x 14	192	128	33	2/1	1 (AUSART)	1 (Master/ Slave)	1	—	2	8-Kan. 10-Bit	—	—	4	2.0 ~ 5.5	Komm.	44-PLCC	PIC16LF874-04/L-ND	8.42	6.57	5.71
															Ind.	44-PLCC	PIC16LF874-04I/L-ND	9.27	7.22	6.28
															Komm.	40-DIP	PIC16LF874-04/P-ND	7.52	4.78	4.62
															Ind.	40-DIP	PIC16LF874-04I/P-ND	8.30	5.29	5.10
															Komm.	44-PQFP	PIC16LF874-04/PQ-ND	9.57	6.10	5.89
															Ind.	44-PQFP	PIC16LF874-04I/PQ-ND	10.52	6.70	6.47
															Komm.	44-TQFP	PIC16LF874-04/PT-ND	10.16	6.48	6.25
															Ind.	44-TQFP	PIC16LF874-04I/PT-ND	11.20	7.13	6.88
4K x 14	192	128	33	2/1	1 (AUSART)	1 (Master/ Slave)	1	—	2	8-Kan. 10-Bit	—	—	20	4.0 ~ 5.5	Komm.	40-DIP	PIC16F874-20/P-ND	7.69	4.90	4.73
															Ind.	40-DIP	PIC16F874-20I/P-ND	8.47	5.40	5.21
															Komm.	44-PLCC	PIC16F874-20/L-ND	8.59	6.68	5.82
															Ind.	44-PLCC	PIC16F874-20I/L-ND	9.46	7.37	6.41

Hinweis: Betriebstemperaturbereich: • Industriell: -40 ° ~ 185 °F (-40 ° ~ 85 °C) • Kommerziell: 32 ° ~ 158 °F (0 ° ~ 70 °C) • Erweitert: -40 ° ~ 257 °F (-40 ° ~ 125 °C) †Taktgeschwindigkeit *(Forts.)*

Alle Preisangaben in Euro und inklusive Zollgebühren.

PIC16F-Bausteine *(Forts.)*

Speichergröße			E/A-Pins	Timer/ Zähler 8/16-Bit	UART	I^2C™	SPI™	CAN/ USB	PWM	A/D	Analog-Comp.	Int. OSC	Clock Speed† (MHz)	VCC (V)	Betriebs-temp.	Paket	Digi-Key Teilenr.	Stückpreis 1	25	100
Programm (Wörter)	RAM-Bytes	EEPROM-Bytes																		
4K x 14	192	128	33	2/1	1 (AUSART)	1 (Master/ Slave)	1	—	2	8-Kan. 10-Bit	2	—	20	4.0 ~ 5.5	Ind.	44-PLCC	PIC16F874A-I/L-ND	7.41	4.72	4.55
																44-QFN	PIC16F874A-I/ML-ND	7.62	4.71	4.46
																40-DIP	PIC16F874A-I/P-ND	6.60	4.09	3.87
																44-TQFP	PIC16F874A-I/PT-ND	7.62	4.71	4.46
4K x 14	192	128	33	2/1	1 (AUSART)	1 (Master/ Slave)	1	—	2	8-Kan. 10-Bit	2	—	20	2.0 ~ 5.5	Ind.	44-PLCC	PIC16LF874A-I/L-ND	7.79	4.96	4.79
																44-QFN	PIC16LF874A-I/ML-ND	8.00	4.94	4.68
																40-DIP	PIC16LF874A-I/P-ND	6.94	4.29	4.07
																44-TQFP	PIC16LF874A-I/PT-ND	8.00	4.94	4.68
4K x 14	368	256	16	2/1	1 (AUSART)	—	1	—	1	7-Kan. 10-Bit	2	Ja (8MHz)	20	3.0 ~ 5.5	Ind.	28-QFN	PIC16F88-I/ML-ND	4.72	2.92	2.77
																18-DIP	PIC16F88-I/P-ND	4.23	2.32	2.15
																18-SOIC	PIC16F88-I/SO-ND	4.32	2.37	2.20
																20-SSOP	PIC16F88-I/SS-ND	4.64	2.54	2.36
4K x 14	368	256	16	2/1	1 (AUSART)	—	1	—	1	7-Kan. 10-Bit	2	Ja (8MHz)	20	2.0 ~ 5.5	Ind.	28-QFN	PIC16LF88-I/ML-ND	4.95	3.07	2.91
																18-DIP	PIC16LF88-I/P-ND	4.44	2.43	2.25
																18-SOIC	PIC16LF88-I/SO-ND	4.51	2.46	2.29
																20-SSOP	PIC16LF88-I/SS-ND	4.87	2.67	2.48
8K x 14	368	—	22	2/1	1 (USART)	1	1	—	2	5-Kan. 8-Bit	—	—	20	4.0 ~ 5.5	Ind.	28-QFN	PIC16F76-I/ML-ND	6.25	3.85	3.65
																28-SOIC	PIC16F76-I/SO-ND	6.25	3.85	3.65
																28-DIP .3"	PIC16F76-I/SP-ND	6.25	3.85	3.65
																28-SSOP	PIC16F76-I/SS-ND	6.39	3.95	3.75
8K x 14	368	—	22	2/1	1 (USART)	1	1	—	2	5-Kan. 8-Bit	—	—	20	2.0 ~ 5.5	Ind.	28-QFN	PIC16LF76-I/ML-ND	6.54	4.04	3.83
																28-SOIC	PIC16LF76-I/SO-ND	6.54	4.04	3.83
																28-DIP .3"	PIC16LF76-I/SP-ND	6.54	4.04	3.83
																28-SSOP	PIC16LF76-I/SS-ND	6.71	4.15	3.94
8K x 14	368	—	25	2/1	1 (AUSART)	1 (Master/ Slave)	1	—	2	11-Kan. 10-Bit	2	Ja (8MHz)	20	4.0 ~ 5.5	Ind.	28-QFN	PIC16F767-I/ML-ND	7.05	3.95	3.82
																28-SOIC	PIC16F767-I/SO-ND	6.52	3.66	3.54
																28-DIP .3"	PIC16F767-I/SP-ND	6.39	3.58	3.46
																28-SSOP	PIC16F767-I/SS-ND	6.73	3.77	3.64
8K x 14	368	—	25	2/1	1 (AUSART)	1 (Master/ Slave)	1	—	2	11-Kan. 10-Bit	2	Ja (4MHz)	20	2.0 ~ 5.5	Ind.	28-QFN	PIC16LF767-I/ML-ND	7.69	4.31	4.16
																28-SOIC	PIC16LF767-I/SO-ND	7.09	3.98	3.85
																28-DIP .3"	PIC16LF767-I/SP-ND	7.05	3.96	3.81
																28-SSOP	PIC16LF767-I/SS-ND	7.32	4.11	3.96
8K x 14	368	—	33	2/1	1 (USART)	1	1	—	2	8-Kan. 8-Bit	—	—	20	4.0 ~ 5.5	Ind.	44-PLCC	PIC16F77-I/L-ND	7.73	4.92	4.75
																44-QFN	PIC16F77-I/ML-ND	8.58	5.29	5.01
																40-DIP	PIC16F77-I/P-ND	6.90	4.26	4.04
8K x 14	368	—	33	2/1	1 (USART)	1	1	—	2	8-Kan. 8-Bit	—	—	20	2.0 ~ 5.5	Ind.	44-PLCC	PIC16LF77-I/L-ND	8.13	5.17	4.99
																44-QFN	PIC16LF77-I/ML-ND	8.96	5.54	5.25
																40-DIP	PIC16LF77-I/P-ND	7.24	4.48	4.25
																44-TQFP	PIC16LF77-I/PT-ND	8.70	5.37	5.10
8K x 14	368	—	36	2/1	1 (AUSART)	1 (Master/ Slave)	1	—	2	14-Kan. 10-Bit	2	—	20	4.0 ~ 5.5	Ind.	44-QFN	PIC16F777-I/ML-ND	7.49	4.20	4.06
																40-DIP	PIC16F777-I/P-ND	7.05	3.96	3.81
																44-TQFP	PIC16F777-I/PT-ND	7.15	4.01	3.88
8K x 14	36	—	36	2/1	1 (AUSART)	1 (Master/ Slave)	1	—	2	14-Kan. 10-Bit	2	—	20	2.0 ~ 5.5	Ind.	44-QFN	PIC16LF777-I/ML-ND	8.28	4.64	4.48
																40-DIP	PIC16LF777-I/P-ND	7.73	4.33	4.19
																44-TQFP	PIC16LF777-I/PT-ND	7.87	4.41	4.25
8K x 14	368	256	22	2/1	1 (AUSART)	1 (Master/ Slave)	1	—	2	5-Kan. 8-Bit	—	—	20	4.0 ~ 5.5	Komm.	28-SOIC	PIC16F876-20/SO-ND	7.62	4.85	4.68
															Ind.	28-SOIC	PIC16F876-20I/SO-ND	8.36	5.33	5.15
															Komm.	28-DIP .3"	PIC16F876-20/SP-ND	7.62	4.85	4.68
															Ind.	28-DIP .3"	PIC16F876-20I/SP-ND	8.36	5.33	5.15
8K x 14	368	256	22	2/1	1 (AUSART)	1 (Master/ Slave)	1	—	2	5-Kan. 8-Bit	—	—	4	4.0 ~ 5.5	Komm.	28-SOIC	PIC16F876-04/SO-ND	7.09	4.52	4.36
															Ind.	28-SOIC	PIC16F876-04I/SO-ND	7.81	4.98	4.81
															Komm.	28-DIP .3"	PIC16F876-04/SP-ND	7.09	4.52	4.36
															Ind.	28-DIP .3"	PIC16F876-04I/SP-ND	7.81	4.98	4.81
8K x 14	368	256	22	2/1	1 (AUSART)	1 (Master/ Slave)	1	—	2	5-Kan. 8-Bit	—	—	4	2.0 ~ 5.5	Komm.	28-SOIC	PIC16LF876-04/SO-ND	7.48	4.75	4.59
															Ind.	28-SOIC	PIC16LF876-04I/SO-ND	8.20	5.22	5.04
															Komm.	28-DIP .3"	PIC16LF876-04/SP-ND	7.48	4.75	4.59
															Ind.	28-DIP .3"	PIC16LF876-04I/SP-ND	8.20	5.22	5.04
8K x 14	368	256	22	2/1	1 (AUSART)	1 (Master/ Slave)	1	—	2	5-Kan. 8-Bit	2	—	20	4.0 ~ 5.5	Ind.	28-QFN	PIC16F876A-I/ML-ND	6.52	4.04	3.82
																28-SOIC	PIC16F876A-I/SO-ND	6.52	4.04	3.82
																28-DIP .3"	PIC16F876A-I/SP-ND	6.52	4.04	3.82
																28-SSOP	PIC16F876A-I/SS-ND	6.65	4.11	3.90
8K x 14	368	256	22	2/1	1 (AUSART)	1 (Master/ Slave)	1	—	2	5-Kan. 8-Bit	2	—	20	2.0 ~ 5.5	Ind.	28-QFN	PIC16LF876A-I/ML-ND	6.84	4.22	4.00
																28-SOIC	PIC16LF876A-I/SO-ND	6.84	4.22	4.00
																28-DIP .3"	PIC16LF876A-I/SP-ND	6.84	4.22	4.00
																28-SSOP	PIC16LF876A-I/SS-ND	6.97	4.31	4.08
8K x 14	368	256	33	2/1	1 (AUSART)	1 (Master/ Slave)	1	—	2	8-Kan. 10-Bit	—	—	4	4.0 ~ 5.5	Komm.	44-PLCC	PIC16F877-04/L-ND	8.70	6.77	5.90
															Ind.	44-PLCC	PIC16F877-04I/L-ND	9.55	7.44	6.48
															Komm.	40-DIP	PIC16F877-04/P-ND	7.77	4.80	4.55
															Ind.	40-DIP	PIC16F877-04I/P-ND	8.53	5.26	4.99
8K x 14	368	256	33	2/1	1 (AUSART)	1 (Master/ Slave)	1	—	2	8-Kan. 10-Bit	—	—	20	4.0 ~ 5.5	Komm.	44-PLCC	PIC16F877-20/L-ND	9.27	7.22	6.28
															Ind.	44-PLCC	PIC16F877-20I/L-ND	10.20	7.94	6.91
															Komm.	40-DIP	PIC16F877-20/P-ND	8.30	5.13	4.86
															Ind.	40-DIP	PIC16F877-20I/P-ND	9.13	5.63	5.33
8K x 14	368	256	33	2/1	1 (AUSART)	1 (Master/ Slave)	1	—	2	8-Kan. 10-Bit	—	—	4	2.0 ~ 5.5	Komm.	44-PLCC	PIC16LF877-04/L-ND	9.13	7.10	6.18
															Ind.	44-PLCC	PIC16LF877-04I/L-ND	10.03	7.81	6.80
															Komm.	40-DIP	PIC16LF877-04/P-ND	8.15	5.04	4.77
															Ind.	40-DIP	PIC16LF877-04I/P-ND	8.96	5.54	5.25
															Komm.	44-PQFP	PIC16LF877-04/PQ-ND	10.35	6.39	6.05
															Ind.	44-PQFP	PIC16LF877-04I/PQ-ND	11.37	7.03	6.66
															Komm.	44-TQFP	PIC16LF877-04/PT-ND	11.01	6.80	6.44
															Ind.	44-TQFP	PIC16LF877-04I/PT-ND	12.09	7.46	7.07
8K x 14	368	256	33	2/1	1 (AUSART)	1 (Master/ Slave)	1	—	2	8-Kan. 10-Bit	2	—	20	4.0 ~ 5.5	Ind.	44-PLCC	PIC16F877A-I/L-ND	7.96	5.06	4.89
																44-QFN	PIC16F877A-I/ML-ND	8.20	5.07	4.80
																40-DIP	PIC16F877A-I/P-ND	7.11	4.40	4.17
																44-TQFP	PIC16F877A-I/PT-ND	8.20	5.07	4.80
8K x 14	368	256	33	2/1	1 (AUSART)	1 (Master/ Slave)	1	—	2	8-Kan. 10-Bit	2	—	20	2.0 ~ 5.5	Ind.	44-PLCC	PIC16LF877A-I/L-ND	8.38	5.34	5.16
																44-QFN	PIC16LF877A-I/ML-ND	8.59	5.31	5.02
																40-DIP	PIC16LF877A-I/P-ND	7.49	4.63	4.38
																44-TQFP	PIC16LF877A-I/PT-ND	8.59	5.31	5.02

Hinweis: Betriebstemperaturbereich: • Industriell: -40 ° ~ 185 °F (-40 ° ~ 85 °C) • Kommerziell: 32 ° ~ 158 °F (0 ° ~ 70 °C) • Erweitert: -40 ° ~ 257 °F (-40 ° ~ 125 °C) †Taktgeschwindigkeit *(Forts.)*

PIC18F-Bausteine

Speichergröße																		
Programm (Wörter)	RAM-Bytes	EEPROM-Bytes	E/A-Pins	Timer/ Zähler 8/16-Bit	UART	I^2C™	SPI™	CAN/ USB	PWM	A/D	Analog-Comp.	Int. OSC	Clock Speed† (MHz)	VCC (V)	Betriebs-temp.	Paket	Digi-Key Teilenr.	Stückpreis 1	25	100
2K x 16	256	256	16	1/3	1 (EUSART)	—	—	—	1	7-Kan. 10-Bit	—	Ja (8MHz)	40	4.2 ~ 5.5	Ind.	28-QFN	PIC18F1220-I/ML-ND	4.51	2.79	2.63
																18-DIP	PIC18F1220-I/P-ND	4.23	2.62	2.48
																18-SOIC	PIC18F1220-I/SO-ND	4.23	2.62	2.48
																20-SSOP	PIC18F1220-I/SS-ND	4.51	2.79	2.63
2K x 16	256	256	16	1/3	1 (EUSART)	—	—	—	1	7-Kan. 10-Bit	—	Ja (8MHz)	40	2.5 ~ 5.5	Ind.	28-QFN	PIC18LF1220-I/ML-ND	5.16	3.20	3.02
																18-DIP	PIC18LF1220-I/P-ND	4.87	3.02	2.86
																18-SOIC	PIC18LF1220-I/SO-ND	4.87	3.02	2.86
																20-SSOP	PIC18LF1220-I/SS-ND	5.16	3.20	3.02
2K x 16	512	256	25	1/3	1 (AUSART)	1 (Master/ Slave)	1	—	2	10-Kan. 10-Bit	2	Ja (8MHz)	40	4.2 ~ 5.5	Ind.	28-SOIC	PIC18F2220-I/SO-ND	6.77	4.18	3.96
																8-DIP .3"	PIC18F2220-I/SP-ND	6.77	4.18	3.96
2K x 16	512	256	25	1/3	1 (AUSART)	1 (Master/ Slave)	1	—	2	10-Kan. 10-Bit	2	Ja (8MHz)	40	2.0 ~ 5.5	Ind.	28-SOIC	PIC18LF2220-I/SO-ND	7.09	4.39	4.16
																28-DIP .3"	PIC18LF2220-I/SP-ND	7.09	4.39	4.16
2K x 16	512	256	36	1/3	1 (AUSART)	1 (Master/ Slave)	1	—	2	10-Kan. 10-Bit	2	Ja (8MHz)	40	4.2 ~ 5.5	Ind.	44-QFN	PIC18F4220-I/ML-ND	8.89	5.50	5.21
																40-DIP	PIC18F4220-I/P-ND	7.48	4.61	4.37
																44-TQFP	PIC18F4220-I/PT-ND	8.62	5.32	5.04
2K x 16	512	256	36	1/3	1 (AUSART)	1 (Master/ Slave)	1	—	2	13-Kan. 10-Bit	2	Ja (8MHz)	40	2.0 ~ 5.5	Ind.	44-QFN	PIC18LF4220-I/ML-ND	9.35	5.78	5.48
																40-DIP	PIC18LF4220-I/P-ND	7.83	4.85	4.59
																44-TQFP	PIC18LF4220-I/PT-ND	9.06	5.59	5.30
4K x 16	256	256	16	1/3	1(EUSART)	—	—	—	1	7-Kan. 10-Bit	—	Ja (8MHz)	40	4.2 ~ 5.5	Ind.	28-QFN	PIC18F1320-I/ML-ND	5.08	3.14	2.97
																18-DIP	PIC18F1320-I/P-ND	4.78	2.96	2.81
																18-SOIC	PIC18F1320-I/SO-ND	4.78	2.96	2.81
																20-SSOP	PIC18F1320-I/SS-ND	5.08	3.14	2.97
4K x 16	256	256	16	1/3	1(EUSART)	—	—	—	1	7-Kan. 10-Bit	—	Ja (8MHz)	40	2.5 ~ 5.5	Ind.	28-QFN	PIC18LF1320-I/ML-ND	5.74	3.55	3.35
																18-DIP	PIC18LF1320-I/P-ND	5.49	3.39	3.21
																18-SOIC	PIC18LF1320-I/SO-ND	5.49	3.39	3.21
																20-SSOP	PIC18LF1320-I/SS-ND	5.74	3.55	3.35
4K x 16	512	256	25	1/3	1 (AUSART)	1 (Master/ Slave)	1	—	2	10-Kan. 10-Bit	2	Ja (8MHz)	40	4.2 ~ 5.5	Ind.	28-SOIC	PIC18F2320-I/SO-ND	7.32	4.52	4.28
																28-DIP .3"	PIC18F2320-I/SP-ND	7.32	4.52	4.28
4K x 16	512	256	25	1/3	1 (AUSART)	1 (Master/ Slave)	1	—	2	10-Kan. 10-Bit	2	Ja (8MHz)	40	2.0 ~ 5.5	Ind.	28-SOIC	PIC18LF2320-I/SO-ND	7.69	4.75	4.50
																28-DIP .3"	PIC18LF2320-I/SP-ND	7.69	4.75	4.50
4K x 16	768	256	22	1/3	1 (EUSART)	1	1	—	8	5-Kan. 10-Bit	—	Ja (8MHz)	40	4.2 ~ 5.5	Ind.	28-SOIC	PIC18F2331-I/SO-ND	7.90	4.87	4.62
																28-DIP .3"	PIC18F2331-I/SP-ND	7.94	4.90	4.64
4K x 16	768	256	24	1/3	1 (EUSART)	1	1	—	6	5-Kan. 10-Bit	—	Ja (8MHz)	40	2.0 ~ 5.5	Ind.	28-SOIC	PIC18LF2331-I/SO-ND	8.70	5.37	5.10
																28-DIP .3"	PIC18LF2331-I/SP-ND	8.72	5.39	5.11
4K x 16	512	256	36	1/3	1 (AUSART)	1 (Master/ Slave)	1	—	2	13-Kan. 10-Bit	2	Ja (8MHz)	40	4.2 ~ 5.5	Ind.	44-QFN	PIC18F4320-I/ML-ND	9.46	5.85	5.54
																40-DIP	PIC18F4320-I/P-ND	8.04	4.97	4.71
																44-TQFP	PIC18F4320-I/PT-ND	9.17	5.66	5.36
4K x 16	512	256	36	1/3	1 (AUSART)	1 (Master/ Slave)	1	—	2	13-Kan. 10-Bit	2	Ja (8MHz)	40	2.0 ~ 5.5	Ind.	44-QFN	PIC18LF4320-I/ML-ND	9.95	6.15	5.83
																40-DIP	PIC18LF4320-I/P-ND	8.42	5.21	4.94
																44-TQFP	PIC18LF4320-I/PT-ND	9.65	5.96	5.64
4K x 16	768	256	34	1/3	1 (EUSART)	1	1	—	8	9-Kan. 10-Bit	—	Ja (8MHz)	40	4.2 ~ 5.5	Ind.	44-QFN	PIC18F4331-I/ML-ND	9.00	5.56	5.27
																40-DIP	PIC18F4331-I/P-ND	8.68	5.36	5.08
																44-TQFP	PIC18F4331-I/PT-ND	8.72	5.39	5.11
4K x 16	768	256	34	1/3	1 (EUSART)	1	1	—	8	9-Kan. 10-Bit	—	Ja (8MHz)	40	2.0 ~ 5.5	Ind.	44-QFN	PIC18LF4331-I/ML-ND	9.91	6.12	5.80
																40-DIP	PIC18LF4331-I/P-ND	9.55	5.91	5.59
																44-TQFP	PIC18LF4331-I/PT-ND	9.61	5.95	5.63
4K x 16	768	—	54	1/3	1(AUSART) & 1 (EUSART)	1 (Master/ Slave)	1	—	3	12-Kan. 10-Bit	2	Ja (8MHz)	40	4.2 ~ 5.5 2.0 ~ 5.5	Ind.	64-TQFP	PIC18F6310-I/PT-ND	7.37	4.55	4.31
																64-TQFP	PIC18LF6310-I/PT-ND	8.85	5.46	5.18
4K x 16	768	—	50	1/3	1(AUSART) & 1 (EUSART)	1 (Master/ Slave)	1	—	2	12-Kan. 10-Bit	2	Ja (8MHz)	40	4.2 ~ 5.5 2.0 ~ 5.5	Ind.	64-TQFP	PIC18F6390-I/PT-ND	6.22	3.84	3.84
																64-TQFP	PIC18LF6390-I/PT-ND	7.48	4.61	4.37
4K x 16	768	—	70	1/3	1(AUSART) & 1(EUSART)	1 (Master/ Slave)	1	—	3	12-Kan. 10-Bit	2	Ja (8MHz)	40	4.2 ~ 5.5 2.0 ~ 5.5	Ind.	80-TQFP	PIC18F8310-I/PT-ND	8.21	5.07	4.81
																80-TQFP	PIC18LF8310-I/PT-ND	9.86	6.10	5.77
4K x 16	768	—	66	1/3	1(AUSART) & 1 (EUSART)	1 (Master/ Slave)	1	—	2	12-Kan. 10-Bit	2	Ja (8MHz)	40	4.2 ~ 5.5 2.0 ~ 5.5	Ind.	80-TQFP	PIC18F8390-I/PT-ND	7.07	4.37	4.14
																80-TQFP	PIC18LF8390-I/PT-ND	8.49	5.24	4.96
6K x 16	640	256	21	—/3	1 (AUSART)	1 (Master/ Slave)	1	—	2	5-Kan. 10-Bit	—	—	40	4.0 ~ 5.5	Ind.	28-SOIC	PIC18F2439-I/SO-ND	7.18	4.44	4.21
																28-DIP .3"	PIC18F2439-I/SP-ND	7.18	4.44	4.21
6K x 16	640	256	21	—/3	1 (AUSART)	1 (Master/ Slave)	1	—	2	5-Kan. 10-Bit	—	—	40	2.0 ~ 5.5	Ind.	28-SOIC	PIC18LF2439-I/SO-ND	7.58	4.68	4.44
																28-DIP .3"	PIC18LF2439-I/SP-ND	7.58	4.68	4.44
6K x 16	640	256	32	—/3	1 (AUSART)	1 (Master/ Slave)	1	—	2	8-Kan. 10-Bit	—	—	40	4.0 ~ 5.5	Ind.	44-QFN	PIC18F4439-I/ML-ND	11.18	6.91	6.55
																40-DIP	PIC18F4439-I/P-ND	8.00	4.94	4.68
																44-TQFP	PIC18F4439-I/PT-ND	9.25	5.71	5.41
6K x 16	640	256	32	—/3	1 (AUSART)	1 (Master/ Slave)	1	—	2	8-Kan. 10-Bit	—	—	40	2.0 ~ 5.5	Ind.	44-QFN	PIC18LF4439-I/ML-ND	11.73	7.25	6.87
																40-DIP	PIC18LF4439-I/P-ND	8.41	5.20	4.92
																44-TQFP	PIC18LF4439-I/PT-ND	9.72	6.00	5.68
8K x 16	768	—	25	1/3	1 (EUSART)	1 (Master/ Slave)	1	—	2	10-Kan. 10-Bit	2	—	40	4.2 ~ 5.5	Ind.	28-QFN	PIC18F2410-I/ML-ND	6.54	4.05	3.83
																28-SOIC	PIC18F2410-I/SO-ND	5.87	3.63	3.43
																28-DIP .3"	PIC18F2410-I/SP-ND	6.10	3.78	3.57
8K x 16	768	—	25	1/3	1 (EUSART)	1 (Master/ Slave)	1	—	2	10-Kan. 10-Bit	2	—	40	2.0 ~ 5.5	Ind.	28-QFN	PIC18LF2410-I/ML-ND	7.86	4.85	4.61
																28-SOIC	PIC18LF2410-I/SO-ND	6.18	3.81	3.61
																28-DIP .3"	PIC18LF2410-I/SP-ND	6.42	3.96	3.76
8K x 16	768	256	23	1/3	1 (AUSART)	1 (Master/ Slave)	1	—	2	5-Kan. 10-Bit	—	—	40	4.2 ~ 5.5	Ind.	28-SOIC	PIC18F242-I/SO-ND	7.18	4.44	4.21
																28-DIP .3"	PIC18F242-I/SP-ND	7.18	4.44	4.21
8K x 16	768	256	23	1/3	1 (AUSART)	1 (Master/ Slave)	1	—	2	5-Kan. 10-Bit	—	—	40	2.0 ~ 5.5	Ind.	28-SOIC	PIC18LF242-I/SO-ND	7.58	4.68	4.44
																28-DIP .3"	PIC18LF242-I/SP-ND	7.58	4.68	4.44
8K x 16	768	256	25	1/3	1 (EUSART)	1 (Master/ Slave)	1	—	2	10-Kan. 10-Bit	2	—	40	4.2 ~ 5.5	Ind.	28-QFN	PIC18F2420-I/ML-ND	7.64	4.72	4.47
																28-SOIC	PIC18F2420-I/SO-ND	6.94	4.29	4.07
																28-DIP .3"	PIC18F2420-I/SP-ND	7.18	4.44	4.21
8K x 16	768	256	25	1/3	1 (EUSART)	1 (Master/ Slave)	1	—	2	10-Kan. 10-Bit	2	—	40	2.0 ~ 5.5	Ind.	28-QFN	PIC18LF2420-I/ML-ND	9.17	5.66	5.36
																28-SOIC	PIC18LF2420-I/SO-ND	7.35	4.53	4.29
																28-DIP .3"	PIC18LF2420-I/SP-ND	7.58	4.68	4.44

Hinweis: Betriebstemperaturbereich: • Industriell: -40 ° ~ 185 °F (-40 ° ~ 85 °C) • Kommerziell: 32 ° ~ 158 °F (0 ° ~ 70 °C) • Erweitert: -40 ° ~ 257 °F (-40 ° ~ 125 °C) †Taktgeschwindigkeit *(Forts.)*

PIC18F-Bausteine *(Forts.)*

Speichergröße			E/A-Pins	Timer/ Zähler 8/16-Bit	UART	I^2C™	SPI™	CAN/ USB	PWM	A/D	Analog-Comp.	Int. OSC	Clock Speed† (MHz)	VCC (V)	Betriebs-temp.	Paket	Digi-Key Teilenr.	Stückpreis 1	25	100
Programm (Wörter)	RAM-Bytes	EEPROM-Bytes																		
8K x 16	768	256	22	1/3	1 (EUSART)	1	1	—	8	5-Kan. 10-Bit	—	Ja (8MHz)	40	4.2 ~ 5.5	Ind.	28-SOIC 28-DIP .3"	PIC18F2431-I/SO-ND PIC18F2431-I/SP-ND	8.17 8.21	5.05 5.07	4.78 4.81
8K x 16	768	256	24	1/3	1 (EUSART)	1	1	—	6	5-Kan. 10-Bit	—	Ja (8MHz)	40	2.0 ~ 5.5	Ind.	28-SOIC 28-DIP .3"	PIC18LF2431-I/SO-ND PIC18LF2431-I/SP-ND	9.00 9.06	5.56 5.59	5.27 5.30
8K x 16	768	256	23	1/3	1 (AUSART)	1 (Master/ Slave)	1	CAN 2.0B	1	5-Kan. 10-Bit	—	—	40	4.2 ~ 5.5	Ind.	28-SOIC 28-DIP .3"	PIC18F248-I/SO-ND PIC18F248-I/SP-ND	8.62 8.62	5.32 5.32	5.04 5.04
8K x 16	768	256	23	1/3	1 (AUSART)	1 (Master/ Slave)	1	CAN 2.0B	1	5-Kan. 10-Bit	—	—	40	2.0 ~ 5.5	Ind.	28-SOIC 28-DIP .3"	PIC18LF248-I/SO-ND PIC18LF248-I/SP-ND	9.06 9.06	5.59 5.59	5.30 5.30
8K x 16	768	256	25	1/3	1 (EUSART)	1 (Master/ Slave)	1	CAN 2.0B	1	8-Kan. 10-Bit	—	Ja (8MHz)	40	4.2 ~ 5.5	Ind.	28-QFN 28-SOIC 28-DIP .3"	PIC18F2480-I/ML-ND PIC18F2480-I/SO-ND PIC18F2480-I/SP-ND	8.68 8.24 8.30	5.35 5.09 5.13	5.07 4.82 4.86
8K x 16	768	—	34	1/3	1 (EUSART)	1 (Master/ Slave)	1	—	2	13-Kan. 10-Bit	2	—	40	4.2 ~ 5.5	Ind.	44-QFN 40-DIP 44-TQFP	PIC18F4410-I/ML-ND PIC18F4410-I/P-ND PIC18F4410-I/PT-ND	7.24 6.59 6.97	4.48 4.25 4.30	4.25 3.85 4.08
8K x 16	768	—	34	1/3	1 (EUSART)	1 (Master/ Slave)	1	—	2	13-Kan. 10-Bit	2	—	40	2.0 ~ 5.5	Ind.	44-QFN 40-DIP 44-TQFP	PIC18LF4410-I/ML-ND PIC18LF4410-I/P-ND PIC18LF4410-I/PT-ND	8.62 8.28 8.36	5.33 5.12 5.16	5.04 4.84 4.90
8K x 16	768	256	23	1/3	1 (AUSART)	1 (Master/ Slave)	1	—	2	8-Kan. 10-Bit	—	—	40	4.2 ~ 5.5	Ind.	44-PLCC 44-QFN 40-DIP 44-TQFP	PIC18F442-I/L-ND PIC18F442-I/ML-ND PIC18F442-I/P-ND PIC18F442-I/PT-ND	8.96 9.06 8.00 9.25	5.71 5.59 4.94 5.71	5.51 5.30 4.68 5.41
8K x 16	768	256	23	1/3	1 (AUSART)	1 (Master/ Slave)	1	—	2	8-Kan. 10-Bit	—	—	40	2.0 ~ 5.5	Ind.	44-PLCC 44-QFN 40-DIP 44-TQFP	PIC18LF442-I/L-ND PIC18LF442-I/ML-ND PIC18LF442-I/P-ND PIC18LF442-I/PT-ND	9.40 9.72 8.41 9.72	5.98 6.00 5.20 6.00	5.78 5.68 4.92 5.68
8K x 16	768	256	34	1/3	1 (EUSART)	1 (Master/ Slave)	1	—	2	13-Kan. 10-Bit	2	—	40	4.2 ~ 5.5	Ind.	44-QFN 40-DIP 44-TQFP	PIC18F4420-I/ML-ND PIC18F4420-I/P-ND PIC18F4420-I/PT-ND	8.32 7.62 8.07	5.15 4.88 4.98	4.87 4.46 4.71
8K x 16	768	256	34	1/3	1 (EUSART)	1 (Master/ Slave)	1	—	2	13-Kan. 10-Bit	2	—	40	2.0 ~ 5.5	Ind.	44-QFN 40-DIP 44-TQFP	PIC18LF4420-I/ML-ND PIC18LF4420-I/P-ND PIC18LF4420-I/PT-ND	9.93 9.14 9.65	6.14 5.64 5.96	5.81 5.35 5.64
8K x 16	768	256	34	1/3	1 (EUSART)	1	1	—	8	9-Kan. 10-Bit	—	Ja (8MHz)	40	4.2 ~ 5.5	Ind.	44-QFN 40-DIP 44-TQFP	PIC18F4431-I/ML-ND PIC18F4431-I/P-ND PIC18F4431-I/PT-ND	9.27 8.96 9.02	5.73 5.54 5.58	5.42 5.25 5.29
8K x 16	768	256	34	1/3	1 (EUSART)	1	1	—	8	9-Kan. 10-Bit	—	Ja (8MHz)	40	2.0 ~ 5.5	Ind.	44-QFN 40-DIP 44-TQFP	PIC18LF4431-I/ML-ND PIC18LF4431-I/P-ND PIC18LF4431-I/PT-ND	10.20 9.85 9.93	6.29 6.08 6.14	5.97 5.75 5.81
8K x 16	768	256	34	1/3	1 (AUSART)	1 (Master/ Slave)	1	CAN 2.0B	5	8-Kan. 10-Bit	2	—	40	4.2 ~ 5.5	Ind.	44-PLCC 40-DIP 44-TQFP	PIC18F448-I/L-ND PIC18F448-I/P-ND PIC18F448-I/PT-ND	9.68 8.83 9.95	6.15 5.46 6.15	5.94 5.17 5.82
8K x 16	768	256	34	1/3	1 (AUSART)	1 (Master/ Slave)	1	CAN 2.0B	5	8-Kan. 10-Bit	2	—	40	4.2 ~ 5.5	Ind.	44-PLCC 40-Dip 44-TQFP	PIC18LF448-I/L-ND PIC18LF448-I/P-ND PIC18LF448-I/PT-ND	9.68 9.27 10.46	6.40 5.73 6.46	5.95 5.42 6.12
8K x 16	768	256	36	1/3	1 (EUSART)	1 (Master/ Slave)	1	CAN 2.0B	2	11-Kan. 10-Bit	2	Ja (8MHz)	40	4.2 ~ 5.5	Ind.	44-QFN 40-DIP 44-TQFP	PIC18F4480-I/ML-ND PIC18F4480-I/P-ND PIC18F4480-I/PT-ND	9.38 9.10 9.14	5.80 5.62 5.65	5.49 5.32 5.35
8K x 16	768	—	54	1/3	1(AUSART) & 1 (EUSART)	1 (Master/ Slave)	1	—	3	12-Kan., 10-Bit	2	Ja (8MHz)	40	4.2 ~ 5.5 2.0 ~ 5.5	Ind.	64-TQFP 64-TQFP	PIC18F6410-I/PT-ND PIC18LF6410-I/PT-ND	8.09 9.72	5.00 6.00	4.73 5.68
8K x 16	768	—	50	1/3	1(AUSART) & 1 (EUSART)	1 (Master/ Slave)	1	—	2	12-Kan., 10-Bit	2	Ja (8MHz)	40	4.2 ~ 5.5 2.0 ~ 5.5	Ind.	64-TQFP 64-TQFP	PIC18F6490-I/PT-ND PIC18LF6490-I/PT-ND	6.80 8.17	4.20 5.04	4.19 4.78
8K x 16	768	—	70	2/3	1(AUSART) & 1 (EUSART)	1 (Master/ Slave)	1	—	3	12-Kan., 10-Bit	2	Ja (8MHz)	40	4.2 ~ 5.5 2.0 ~ 5.5	Ind.	80-TQFP 80-TQFP	PIC18F8410-I/PT-ND PIC18LF8410-I/PT-ND	8.96 10.75	5.54 6.64	5.25 6.30
8K x 16	768	—	66	2/3	1(AUSART) & 1 (EUSART)	1 (Master/ Slave)	1	—	2	12-Kan., 10-Bit	2	Ja (8MHz)	40	4.2 ~ 5.5 2.0 ~ 5.5	Ind.	80-TQFP 80-TQFP	PIC18F8490-I/PT-ND PIC18LF8490-I/PT-ND	7.81 9.38	4.83 5.79	4.58 5.48
12K x 16	2048	256	25	1/3	1 (EUSART)	1 (Master/ Slave)	1	USB V2.0	2	10-Kan. 10-Bit	2	Ja (8MHz)	48	4.2 ~ 5.5	Ind.	28-SOIC 28-DIP .3"	PIC18F2455-I/SO-ND PIC18F2455-I/SP-ND	7.94 8.00	4.90 4.94	4.55 4.59
12K x 16	2048	256	25	1/3	1 (EUSART)	1 (Master/ Slave)	1	USB V2.0	2	10-Kan. 10-Bit	2	Ja (8MHz)	48	2.0 ~ 5.5	Ind.	28-SOIC 28-DIP .3"	PIC18LF2455-I/SO-ND PIC18LF2455-I/SP-ND	9.55 9.59	5.91 5.92	5.59 5.61
12K x 16	1408	256	21	—/3	1 (AUSART)	1 (Master/ Slave)	1	—	2	5-Kan. 10-Bit	—	—	40	4.2 ~ 5.5	Ind.	28-SOIC 28-DIP .3"	PIC18F2539-I/SO-ND PIC18F2539-I/SP-ND	7.83 7.83	4.85 4.85	4.59 4.59
12K x 16	1408	256	21	—/3	1 (AUSART)	1 (Master/ /Slave)	1	—	2	5-Kan. 10-Bit	—	—	4	2.0 ~ 5.5	Ind.	28-SOIC 28-DIP .3"	PIC18LF2539-I/SO-ND PIC18LF2539-I/SP-ND	8.21 8.21	5.07 5.07	4.81 4.81
12K x 16	2048	256	35	1/3	1 (EUSART)	1 (Master/ /Slave)	1	USB V2.0	2	13-Kan. 10-Bit	2	Ja (8MHz)	48	4.2 ~ 5.5	Ind.	44-QFN 40-DIP 44-TQFP	PIC18F4455-I/ML-ND PIC18F4455-I/P-ND PIC18F4455-I/PT-ND	9.13 8.83 8.87	5.63 5.46 5.48	5.33 5.07 5.20
12K x 16	2048	256	35	1/3	1 (EUSART)	1 (Master/ /Slave)	1	USB V2.0	2	13-Kan. 10-Bit	2	Ja (8MHz)	48	2.0 ~ 5.5	Ind.	44-QFN 40-DIP 44-TQFP	PIC18LF4455-I/ML-ND PIC18LF4455-I/P-ND PIC18LF4455-I/PT-ND	10.88 10.58 10.62	6.72 6.55 6.57	6.36 6.20 6.22
12K x 16	1408	256	32	—/3	1 (AUSART)	1 (Master/ Slave)	1	—	2	8-Kan. 10-Bit	—	—	40	4.2 ~ 5.5	Ind.	44-QFN 40-DIP 44-TQFP	PIC18F4539-I/ML-ND PIC18F4539-I/P-ND PIC18F4539-I/PT-ND	11.77 8.68 9.91	7.28 5.36 6.12	6.89 5.08 5.80
12K x 16	1408	256	32	—/3	1 (AUSART)	1 (Master/ Slave)	1	—	2	8-Kan. 10-Bit	—	—	40	2.0 ~ 5.5	Ind.	44-QFN 40-DIP 44-TQFP	PIC18LF4539-I/ML-ND PIC18LF4539-I/P-ND PIC18LF4539-I/PT-ND	12.39 9.08 10.40	7.66 5.61 6.42	7.25 5.31 6.08
16K x 16	1536	—	25	1/3	1 (EUSART)	1 (Master/ Slave)	1	—	2	10-Kan. 10-Bit	2	—	40	4.2 ~ 5.5	Ind.	28-QFN 28-SOIC 28-DIP .3"	PIC18F2510-I/ML-ND PIC18F2510-I/SO-ND PIC18F2510-I/SP-ND	7.35 6.69 6.93	4.54 4.14 4.28	4.30 3.92 4.05
16K x 16	1536	—	25	1/3	1 (EUSART)	1 (Master/ Slave)	1	—	2	10-Kan. 10-Bit	2	—	40	2.0 ~ 5.5	Ind.	28-QFN 28-SOIC 28-DIP .3"	PIC18LF2510-I/ML-ND PIC18LF2510-I/SO-ND PIC18LF2510-I/SP-ND	8.83 7.05 7.26	5.46 4.36 4.49	5.16 4.13 4.25

Hinweis: Betriebstemperaturbereich: • Industriell: -40 ° ~ 185 °F (-40 ° ~ 85 °C) • Kommerziell: 32 ° ~ 158 °F (0 ° ~ 70 °C) • Erweitert: -40 ° ~ 257 °F (-40 ° ~ 125 °C) †Taktgeschwindigkeit *(Forts.)*

PIC18F-Bausteine *(Forts.)*

Speichergröße																	Stückpreis		
Programm (Wörter)	RAM-Bytes	EEPROM-Bytes	E/A-Pins	Timer/ Zähler 8/16-Bit	UART	I^2C™	SPI™	CAN/ USB	PWM	A/D	Analog-Comp.	Int. OSC	Clock Speed† (MHz)	VCC (V)	Betriebs-temp.	Paket	Digi-Key Teilenr.	1	25	100
16K x 16	1536	256	25	1/3	1 (EUSART)	1 (Master/ Slave)	1	—	2	10-Kan. 10-Bit	2	—	40	4.2 ~ 5.5	Ind.	28-QFN 28-SOIC 28-DIP .3"	PIC18F2520-I/ML-ND PIC18F2520-I/SO-ND PIC18F2520-I/SP-ND	8.47 7.77 8.00	5.24 4.80 4.94	4.96 4.55 4.68
16K x 16	1536	256	25	1/3	1 (EUSART)	1 (Master/ Slave)	1	—	2	10-Kan. 10-Bit	2	—	40	2.0 ~ 5.5	Ind.	28-QFN 28-SOIC 28-DIP .3"	PIC18LF2520-I/ML-ND PIC18LF2520-I/SO-ND PIC18LF2520-I/SP-ND	10.14 8.17 8.38	6.27 5.05 5.19	5.94 4.78 4.91
16K x 16	1536	256	23	1/3	1 (AUSART)	1 (Master/ Slave)	1	—	2	5-Kan. 10-Bit	—	—	40	4.2 ~ 5.5	Ind.	28-SOIC 28-DIP .3"	PIC18F252-I/SO-ND PIC18F252-I/SP-ND	7.83 7.83	4.85 5.02	4.59 4.59
16K x 16	1536	256	23	1/3	1 (AUSART)	1 (Master/ Slave)	1	—	2	5-Kan. 10-Bit	—	—	4	2.0 ~ 5.5	Ind.	28-SOIC 28-DIP .3"	PIC18LF252-I/SO-ND PIC18LF252-I/SP-ND	8.21 8.21	5.07 5.07	4.81 4.81
16K x 16	2048	256	24	1/3	1 (EUSART)	1 (Master/ Slave)	1	USB V2.0	2	10-Kan. 10-Bit	2	Ja (8MHz)	48	4.2 ~ 5.5	Ind.	28-SOIC 28-DIP .3"	PIC18F2550-I/SO-ND PIC18F2550-I/SP-ND	8.49 8.53	5.24 5.26	4.87 4.89
16K x 16	2048	256	24	1/3	1 (EUSART)	1 (Master/ Slave)	1	USB V2.0	2	10-Kan. 10-Bit	2	Ja (8MHz)	48	2.0 ~ 5.5	Ind.	28-SOIC 28-DIP .3"	PIC18LF2550-I/SO-ND PIC18LF2550-I/SP-ND	10.18 10.23	6.29 6.33	5.96 5.99
16K x 16	1536	256	23	1/3	1 (AUSART)	1 (Master/ Slave)	1	CAN 2.0B	1	5-Kan. 10-Bit	—	—	40	4.2 ~ 5.5	Ind.	28-SOIC 28-DIP .3"	PIC18F258-I/SO-ND PIC18F258-I/SP-ND	9.40 9.40	5.81 5.81	5.50 5.50
16K x 16	1536	256	23	1/3	1 (USART)	1 (Master/ Slave)	1	CAN 2.0B	1	5-Kan. 10-Bit	—	—	40	2.0 ~ 5.5	Ind.	28-SOIC 28-DIP .3"	PIC18LF258-I/SO-ND PIC18LF258-I/SP-ND	9.86 9.86	6.09 6.09	5.77 5.77
16K x 16	1536	256	25	1/3	1 (EUSART)	1 (Master/ Slave	1	CAN 2.0B	1	8-Kan. 10-Bit	—	—	40	4.2 ~ 5.5	Ind.	28-QFN 28-SOIC 28-DIP .3"	PIC18F2580-I/ML-ND PIC18F2580-I/SO-ND PIC18F2580-I/SP-ND	9.46 9.06 9.10	5.84 5.59 5.62	5.54 5.30 5.32
16K x 16	1536	—	34	1/3	1 (EUSART)	1 (Master/ Slave)	1	—	2	13-Kan. 10-Bit	2	—	40	4.2 ~ 5.5	Ind.	44-QFN 40-DIP 44-TQFP	PIC18F4510-I/ML-ND PIC18F4510-I/P-ND PIC18F4510-I/PT-ND	8.04 7.73 7.79	4.97 4.55 4.82	4.71 4.30 4.56
16K x 16	1536	—	34	1/3	1 (EUSART)	1 (Master/ Slave)	1	—	2	13-Kan. 10-Bit	2	—	40	2.0 ~ 5.5	Ind.	44-QFN 40-DIP 44-TQFP	PIC18LF4510-I/ML-ND PIC18LF4510-I/P-ND PIC18LF4510-I/PT-ND	9.59 9.27 9.31	5.93 5.72 5.75	5.61 5.42 5.44
16K x 16	1536	256	34	1/3	1 (AUSART)	1 (Master/ Slave)	1	—	2	8-Kan. 10-Bit	—	—	40	4.2 ~ 5.5	Ind.	44-QFN 40-DIP 44-PLCC 44-TQFP	PIC18F452-I/ML-ND PIC18F452-I/P-ND PIC18F452-I/L-ND PIC18F452-I/PT-ND	9.91 8.68 9.59 9.91	6.12 5.36 6.11 6.12	5.80 5.08 5.90 5.80
16K x 16	1536	256	34	1/3	1 (AUSART)	1 (Master/ Slave)	1	—	2	8-Kan. 10-Bit	—	—	4	2.0 ~ 5.5	Ind.	44-QFN 40-DIP 44-PLCC 44-TQFP	PIC18LF452-I/ML-ND PIC18LF452-I/P-ND PIC18LF452-I/L-ND PIC18LF452-I/PT-ND	10.40 9.08 10.07 10.40	6.42 5.61 6.42 6.42	6.08 5.31 6.20 6.08
16K x 16	1536	256	34	1/3	1 (EUSART)	1 (Master/ Slave)	1	—	2	13-Kan. 10-Bit	2	—	40	4.2 ~ 5.5	Ind.	44-QFN 40-DIP 44-TQFP	PIC18F4520-I/ML-ND PIC18F4520-I/P-ND PIC18F4520-I/PT-ND	9.13 8.83 8.87	5.63 5.45 5.48	5.33 5.17 5.19
16K x 16	1536	256	34	1/3	1 (EUSART)	1 (Master/ Slave)	1	—	2	13-Kan. 10-Bit	2	—	40	2.0 ~ 5.5	Ind.	44-QFN 40-DIP 44-TQFP	PIC18LF4520-I/ML-ND PIC18LF4520-I/P-ND PIC18LF4520-I/PT-ND	10.88 10.58 10.62	6.72 6.55 6.57	6.36 6.20 6.22
16K x 16	2048	256	35	1/3	1 (EUSART)	1 (Master/ Slave)	1	USB V2.0	2	13-Kan. 10-Bit	2	Ja (8MHz)	48	4.2 ~ 5.5	Ind.	44-QFN 40-DIP 44-TQFP	PIC18F4550-I/ML-ND PIC18F4550-I/P-ND PIC18F4550-I/PT-ND	9.99 9.68 9.76	6.18 5.97 6.02	5.85 5.66 5.70
16K x 16	2048	256	35	1/3	1 (EUSART)	1 (Master/ Slave)	1	USB V2.0	2	13-Kan. 10-Bit	2	Ja (8MHz)	48	2.0 ~ 5.5	Ind.	44-QFN 40-DIP 44-TQFP	PIC18LF4550-I/ML-ND PIC18LF4550-I/P-ND PIC18LF4550-I/PT-ND	11.94 11.62 11.68	7.38 7.18 7.21	6.98 6.79 6.83
16K x 16	1536	256	34	1/3	1 (AUSART)	1 (Master/ Slave)	1	CAN 2.0B	5	8-Kan. 10-Bit	—	—	40	4.2 ~ 5.5	Ind.	44-PLCC 40-DIP 44-TQFP	PIC18F458-I/L-ND PIC18F458-I/P-ND PIC18F458-I/PT-ND	10.37 9.52 10.65	6.60 5.89 6.58	6.37 5.58 6.24
16K x 16	1536	256	34	1/3	1 (AUSART)	1 (Master/ Slave)	1	CAN 2.0B	5	8-Kan. 10-Bit	—	—	4	2.0 ~ 5.5	Ind.	44-PLCC 40-DIP 44-TQFP	PIC18LF458-I/L-ND PIC18LF458-I/P-ND PIC18LF458-I/PT-ND	10.90 9.99 11.20	6.93 6.18 6.92	6.70 5.85 6.55
16K x 16	1536	256	36	1/3	1 (EUSART)	1 (Master/ Slave	1	CAN 2.0B	2	11-Kan. 10-Bit	2	Ja (8MHz)	40	4.2 ~ 5.5	Ind.	44-QFN 40-DIP 44-TQFP	PIC18F4580-I/ML-ND PIC18F4580-I/P-ND PIC18F4580-I/PT-ND	10.16 9.93 9.95	6.28 6.14 6.15	5.95 5.81 5.82
16K x 16	2048	1024	52	2/3	2 (AUSART)	1 (Master/ Slave)	1	—	5	12-Kan. 10-Bit	2	—	40	4.2 ~ 5.5 2.0 ~ 5.5	Ind.	64-TQFP 64-TQFP	PIC18F6520-I/PT-ND PIC18LF6520-I/PT-ND	9.93 10.40	6.14 6.42	5.81 6.08
16K x 16	2048	1024	68	2/3	2 (AUSART)	1 (Master/ Slave)	1	—	5	16-Kan. 10-Bit	2	—	40	4.2 ~ 5.5 2.0 ~ 5.5	Ind.	80-TQFP 80-TQFP	PIC18F8520-I/PT-ND PIC18LF8520-I/PT-ND	10.41 10.95	6.43 6.76	6.09 6.40
24K x 16	3968	—	25	1/3	1 (EUSART)	1 (Master/ Slave)	1	—	2	10-Kan. 10-Bit	2	Ja (8MHz)	40	4.2 ~ 5.5	Ind.	28-SOIC 28-DIP .3"	PIC18F2515-I/SO-ND PIC18F2515-I/SP-ND	7.49 7.73	4.63 4.78	4.39 4.53
24K x 16	3968	—	25	1/3	1 (EUSART)	1 (Master/ Slave)	1	—	2	10-Kan. 10-Bit	2	Ja (8MHz)	40	2.0 ~ 5.5	Ind.	28-SOIC 28-DIP .3"	PIC18LF2515-I/SO-ND PIC18LF2515-I/SP-ND	7.90 8.13	4.87 5.02	4.62 4.76
24K x 16	3968	1024	25	1/3	1 (EUSART)	1 (Master/ Slave)	1	—	2	10-Kan. 10-Bit	2	Ja (8MHz)	40	4.2 ~ 5.5	Ind.	28-SOIC 28-DIP .3"	PIC18F2525-I/SO-ND PIC18F2525-I/SP-ND	8.51 8.83	5.26 5.45	4.97 5.17
24K x 16	3968	1024	25	1/3	1 (EUSART)	1 (Master/ Slave)	1	—	2	10-Kan. 10-Bit	2	Ja (8MHz)	40	2.0 ~ 5.5	Ind.	28-SOIC 28-DIP .3"	PIC18LF2525-I/SO-ND PIC18LF2525-I/SP-ND	8.96 9.27	5.54 5.73	5.25 5.42
24K x 16	3328	1024	25	1/3	1 (EUSART)	1 (Master/ Slave)	1	CAN 2.0B	1	8-Kan. 10-Bit	—	Ja (8MHz)	40	4.2 ~ 5.5	Ind.	28-SOIC 28-DIP .3"	PIC18F2585-I/SO-ND PIC18F2585-I/SP-ND	9.80 9.99	6.06 6.18	5.73 5.85
24K x 16	3328	1024	25	1/3	1 (EUSART)	1 (Master/ Slave)	1	CAN 2.0B	1	8-Kan. 10-Bit	—	Ja (8MHz)	40	2.0 ~ 5.5	Ind.	28-SOIC 28-DIP .3"	PIC18LF2585-I/SO-ND PIC18LF2585-I/SP-ND	10.31 10.52	6.37 6.50	6.03 6.16
24K x 16	3968	—	36	1/3	1 (EUSART)	1 (Master/ Slave)	1	—	5	13-Kan. 10-Bit	2	Ja (8MHz)	40	4.2 ~ 5.5	Ind.	44-QFN 40-DIP 44-TQFP	PIC18F4515-I/ML-ND PIC18F4515-I/P-ND PIC18F4515-I/PT-ND	8.85 8.53 8.59	5.47 5.26 5.31	5.18 4.99 5.02
24K x 16	3968	—	36	1/3	1 (EUSART)	1 (Master/ Slave)	1	—	5	13-Kan. 10-Bit	2	Ja (8MHz)	40	2.0 ~ 5.5	Ind.	44-QFN 40-DIP 44-TQFP	PIC18LF4515-I/ML-ND PIC18LF4515-I/P-ND PIC18LF4515-I/PT-ND	10.54 10.23 10.31	6.51 6.33 6.37	6.16 5.99 6.03
24K x 16	3968	1024	36	1/3	1 (EUSART)	1 (Master/ Slave)	1	—	5	13-Kan. 10-Bit	2	Ja (8MHz)	40	4.2 ~ 5.5	Ind.	44-QFN 40-DIP 44-TQFP	PIC18F4525-I/ML-ND PIC18F4525-I/P-ND PIC18F4525-I/PT-ND	9.95 9.61 9.68	6.15 5.95 5.98	5.83 5.63 5.67

Hinweis: Betriebstemperaturbereich: • Industriell: -40 ° ~ 185 °F (-40 ° ~ 85 °C) • Kommerziell: 32 ° ~ 158 °F (0 ° ~ 70 °C) • Erweitert: -40 ° ~ 257 °F (-40 ° ~ 125 °C) †Taktgeschwindigkeit *(Forts.)*

PIC18F-Bausteine *(Forts.)*

Speichergröße																	Stückpreis		
Programm (Wörter)	RAM-Bytes	EEPROM-Bytes	E/A-Pins	Timer/ Zähler 8/16-Bit	UART	I^2C™	SPI™	CAN/ USB	PWM	A/D	Analog-Comp.	Int. OSC	Clock Speed† (MHz)	VCC (V)	Betriebs-temp.	Paket	Digi-Key Teilenr.	1	25	100
24K x 16	3968	1024	36	1/3	1 (EUSART)	1 (Master/ Slave)	1	—	5	13-Kan. 10-Bit	2	Ja (8MHz)	40	2.0 ~ 5.5	Ind.	44-QFN	PIC18LF4525-I/ML-ND	11.85	7.33	6.94
																40-DIP	PIC18LF4525-I/P-ND	11.54	7.13	6.75
																44-TQFP	PIC18LF4525-I/PT-ND	11.60	7.17	6.79
24K x 16	3328	1024	36	1/3	1 (EUSART)	1 (Master/ Slave)	1	ECAN	5	11-Kan. 10-Bit	2	Ja (8MHz)	40	4.2 ~ 5.5	Ind.	44-QFN	PIC18F4585-I/ML-ND	11.16	6.89	6.52
																40-DIP	PIC18F4585-I/P-ND	10.82	6.68	6.32
																44-TQFP	PIC18F4585-I/PT-ND	10.88	6.73	6.38
24K x 16	3328	1024	36	1/3	1 (EUSART)	1 (Master/ Slave)	1	ECAN	5	11-Kan. 10-Bit	2	Ja (8MHz)	40	2.0 ~ 5.5	Ind.	44-QFN	PIC18LF4585-I/ML-ND	13.29	8.22	7.78
																40-DIP	PIC18LF4585-I/P-ND	12.98	8.01	7.59
																44-TQFP	PIC18LF4585-I/PT-ND	13.06	8.07	7.64
24K x 16	3840	1024	53	2/3	2 (EUSART)	1 (Master/ Slave)	1	—	14	12-Kan. 10-Bit	2	—	40	4.2 ~ 5.5	Ind.	64-TQFP	PIC18F6525-I/PT-ND	11.16	6.90	6.53
														2.0 ~ 5.5		64-TQFP	PIC18LF6525-I/PT-ND	11.71	7.23	6.85
24K x 16	3328	1024	53	2/3	1 (AUSART)	1 (Master/ Slave)	1	ECAN	5	12-Kan. 10-Bit	2	—	40	4.2 ~ 5.5	Ind.	68-PLCC	PIC18F6585-I/L-ND	12.11	7.48	7.08
																64-TQFP	PIC18F6585-I/PT-ND	11.96	7.38	6.99
24K x 16	3328	1024	52	2/3	1 (AUSART)	1 (Master/ Slave)	1	ECAN	5	12-Kan. 10-Bit	2	—	40	2.0 ~ 5.5	Ind.	68-PLCC	PIC18LF6585-I/L-ND	12.94	10.07	8.77
																64-TQFP	PIC18LF6585-I/PT-ND	12.57	7.76	7.35
24K x 16	3840	1024	69	2/3	2 (EUSART)	1 (Master/ Slave)	1	—	14	16-Kan. 10-Bit	2	—	40	4.2 ~ 5.5	Ind.	80-TQFP	PIC18F8525-I/PT-ND	11.92	7.37	6.98
														2.0 ~ 5.5		80-TQFP	PIC18LF8525-I/PT-ND	12.51	7.74	7.33
24K x 16	3328	1024	68	2/3	1 (AUSART)	1 (Master/ Slave)	1	ECAN	5	16-Kan. 10-Bit	2	—	40	4.2 ~ 5.5	Ind.	80-TQFP	PIC18F8585-I/PT-ND	12.56	7.74	7.34
														2.0 ~ 5.5		80-TQFP	PIC18LF8585-I/PT-ND	13.16	8.13	7.70
32K x 16	3968	—	25	1/3	1 (EUSART)	1 (Master/ Slave)	1	—	2	10-Kan. 10-Bit	2	Ja (8MHz)	40	4.2 ~ 5.5	Ind.	28-SOIC	PIC18F2610-I/SO-ND	8.32	5.15	4.87
																28-DIP .3"	PIC18F2610-I/SP-ND	8.53	5.26	4.99
32K x 16	3968	—	25	1/3	1 (EUSART)	1 (Master/ Slave)	1	—	2	10-Kan. 10-Bit	2	Ja (8MHz)	40	2.0 ~ 5.5	Ind.	28-SOIC	PIC18LF2610-I/SO-ND	8.72	5.39	5.11
																28-DIP .3"	PIC18LF2610-I/SP-ND	8.96	5.54	5.25
32K x 16	3968	1024	25	1/3	1 (EUSART)	1 (Master/ Slave)	1	—	2	10-Kan. 10-Bit	2	Ja (8MHz)	40	4.2 ~ 5.5	Ind.	28-SOIC	PIC18F2620-I/SO-ND	9.30	5.74	5.44
																28-DIP .3"	PIC18F2620-I/SP-ND	9.61	5.95	5.63
32K x 16	3968	1024	25	1/3	1 (EUSART)	1 (Master/ Slave)	1	—	2	10-Kan. 10-Bit	2	Ja (8MHz)	40	2.0 ~ 5.5	Ind.	28-SOIC	PIC18LF2620-I/SO-ND	11.85	6.05	5.72
																28-DIP .3"	PIC18LF2620-I/SP-ND	11.85	6.23	5.90
32K x 16	3328	1024	25	1/3	1 (EUSART)	1 (Master/ Slave)	1	ECAN	1	8-Kan. 10-Bit	—	Ja (8MHz)	40	4.2 ~ 5.5	Ind.	28-SOIC	PIC18F2680-I/SO-ND	10.61	6.56	6.21
																28-DIP .3"	PIC18F2680-I/SP-ND	10.82	6.68	6.32
32K x 16	3328	1024	25	1/3	1 (EUSART)	1 (Master/ Slave)	1	ECAN	1	8-Kan. 10-Bit	—	Ja (8MHz)	40	2.0 ~ 5.5	Ind.	28-SOIC	PIC18LF2680-I/SO-ND	11.18	6.91	6.54
																28-DIP .3"	PIC18LF2680-I/SP-ND	11.37	7.03	6.66
32K x 16	3968	—	36	1/3	1 (EUSART)	1 (Master/ Slave)	1	—	5	13-Kan. 10-Bit	2	Ja (8MHz)	40	4.2 ~ 5.5	Ind.	44-QFN	PIC18F4610-I/ML-ND	9.65	5.96	5.64
																40-DIP	PIC18F4610-I/P-ND	9.35	5.78	5.48
																44-TQFP	PIC18F4610-I/PT-ND	9.40	5.81	5.50
32K x 16	3968	—	36	1/3	1 (EUSART)	1 (Master/ Slave)	1	—	5	13-Kan. 10-Bit	2	Ja (8MHz)	40	2.0 ~ 5.5	Ind.	44-QFN	PIC18LF4610-I/ML-ND	11.54	7.13	6.76
																40-DIP	PIC18LF4610-I/P-ND	11.20	6.92	6.55
																44-TQFP	PIC18LF4610-I/PT-ND	11.29	6.97	6.60
32K x 16	3968	1024	36	1/3	1 (EUSART)	1 (Master/ Slave)	1	—	5	13-Kan. 10-Bit	2	Ja (8MHz)	40	4.2 ~ 5.5	Ind.	44-QFN	PIC18F4620-I/ML-ND	10.73	6.63	6.29
																40-DIP	PIC18F4620-I/P-ND	10.41	6.43	6.09
																44-TQFP	PIC18F4620-I/PT-ND	10.50	6.48	6.14
32K x 16	3968	1024	36	1/3	1 (EUSART)	1 (Master/ Slave)	1	—	5	13-Kan. 10-Bit	2	Ja (8MHz)	40	2.0 ~ 5.5	Ind.	44-QFN	PIC18LF4620-I/ML-ND	12.83	7.93	7.51
																40-DIP	PIC18LF4620-I/P-ND	12.51	7.73	7.32
																44-TQFP	PIC18LF4620-I/PT-ND	12.57	7.76	7.35
32K x 16	3328	1024	36	1/3	1 (EUSART)	1 (Master/ Slave)	1	ECAN	5	11-Kan. 10-Bit	2	Ja (8MHz)	40	4.2 ~ 5.5	Ind.	44-QFN	PIC18F4680-I/ML-ND	11.96	7.38	6.99
																40-DIP	PIC18F4680-I/P-ND	11.67	7.21	6.82
																44-TQFP	PIC18F4680-I/PT-ND	11.73	6.71	6.52
32K x 16	3328	1024	36	1/3	1 (EUSART)	1 (Master/ Slave)	1	ECAN	5	11-Kan. 10-Bit	2	Ja (8MHz)	40	2.0 ~ 5.5	Ind.	44-QFN	PIC18LF4680-I/ML-ND	14.29	8.83	8.36
																40-DIP	PIC18LF4680-I/P-ND	13.95	8.62	8.16
																44-TQFP	PIC18LF4680-I/PT-ND	14.05	8.68	8.21
32K x 16	3840	1024	52	2/3	2 (AUSART)	1 (Master/ Slave)	1	—	5	12-Kan. 10-Bit	2	—	25	4.2 ~ 5.5	Ind.	64-TQFP	PIC18F6620-I/PT-ND	14.69	9.08	8.60
														2.0 ~ 5.5		64-TQFP	PIC18LF6620-I/PT-ND	15.39	9.51	9.01
32K x 16	3840	1024	53	2/3	2 (EUSART)	1 (Master/ Slave)	1	—	14	12-Kan. 10-Bit	2	—	40	4.2 ~ 5.5	Ind.	64-TQFP	PIC18F6621-I/PT-ND	11.96	7.38	6.99
														2.0 ~ 5.5		64-TQFP	PIC18LF6621-I/PT-ND	12.57	7.76	7.35
32K x 16	3328	1024	52	2/3	1 (AUSART)	1 (Master/ Slave)	1	ECAN	5	12-Kan. 10-Bit	2	—	40	4.2 ~ 5.5	Ind.	64-TQFP	PIC18F6680-I/PT-ND	12.83	7.93	7.51
																68-PLCC	PIC18F6680-I/L-ND	13.16	8.13	7.70
32K x 16	3328	1024	52	2/3	1 (AUSART)	1 (Master/ Slave)	1	ECAN	5	12-Kan. 10-Bit	2	—	40	2.0 ~ 5.5	Ind.	68-PLCC	PIC18LF6680-I/L-ND	13.61	8.41	7.97
																64-TQFP	PIC18LF6680-I/PT-ND	13.49	8.33	7.89
32K x 16	3840	1024	68	2/3	2 (AUSART)	1 (Master/ Slave)	1	—	5	16-Kan. 10-Bit	2	—	25	4.2 ~ 5.5	Ind.	80-TQFP	PIC18F8620-I/PT-ND	14.88	9.19	8.70
														2.0 ~ 5.5		80-TQFP	PIC18LF8620-I/PT-ND	15.62	9.65	9.13
32K x 16	3840	1024	69	2/3	2 (EUSART)	1 (Master/ Slave)	1	—	14	16-Kan. 10-Bit	2	—	40	4.2 ~ 5.5	Ind.	80-TQFP	PIC18F8621-I/PT-ND	12.56	7.74	7.34
														2.0 ~ 5.5		80-TQFP	PIC18LF8621-I/PT-ND	13.16	8.13	7.70
32K x 16	3328	1024	68	2/3	1 (AUSART)	1 (Master/ Slave)	1	ECAN	5	16-Kan. 10-Bit	2	—	40	4.2 ~ 5.5	Ind.	80-TQFP	PIC18F8680-I/PT-ND	13.38	8.26	7.83
														2.0 ~ 5.5		80-TQFP	PIC18LF8680-I/PT-ND	14.05	8.69	8.22
48K x 16	3938	1024	54	2/3	2 (EUSART)	1 (Master/ Slave)	1	—	5	12-Kan. 10-Bit	2	Ja (8MHz)	48	4.2 ~ 5.5	Ind.	64-TQFP	PIC18F6627-I/PT-ND	12.43	6.97	6.73
														2.0 ~ 5.5		64-TQFP	PIC18LF6627-I/PT-ND	13.06	7.33	7.07
48K x 16	3938	1024	70	2/3	2 (EUASART)	1 (Master/ Slave)	1	—	5	16-Kan. 10-Bit	2	Ja (8MHz)	40	4.2 ~ 5.5	Ind.	80-TQFP	PIC18F8627-I/PT-ND	13.29	7.45	7.19
														2.0 ~ 5.5		80-TQFP	PIC18LF8627-I/PT-ND	13.95	7.81	7.55
64K x 16	3840	1024	52	2/3	2 (AUSART)	1 (Master/ Slave)	1	—	5	12-Kan. 10-Bit	2	—	25	4.2 ~ 5.5	Ind.	64-TQFP	PIC18F6720-I/PT-ND	16.32	10.08	9.55
														2.0 ~ 5.5		64-TQFP	PIC18LF6720-I/PT-ND	15.41	10.58	10.02
64K x 16	3938	1024	54	2/3	2 (EUSART)	1 (Master/ Slave)	1	—	5	12-Kan. 10-Bit	2	Ja (8MHz)	40	4.2 ~ 5.5	Ind.	64-TQFP	PIC18F6722-I/PT-ND	14.16	7.94	7.67
														2.0 ~ 5.5		64-TQFP	PIC18LF6722-I/PT-ND	14.88	8.33	8.04
64K x 16	3840	1024	68	2/3	2 (AUSART)	1 (Master/ Slave)	1	—	5	16-Kan. 10-Bit	2	—	25	4.2 ~ 5.5	Ind.	80-TQFP	PIC18F8720-I/PT-ND	16.58	10.25	9.70
														2.0 ~ 5.5		80-TQFP	PIC18LF8720-I/PT-ND	15.66	10.75	10.18
64K x 16	3938	1024	70	2/3	2 (EUSART)	1 (Master/ Slave)	1	—	5	16-Kan. 10-Bit	2	Ja (8MHz)	40	4.2 ~ 5.5	Ind.	80-TQFP	PIC18F8722-I/PT-ND	15.03	8.43	8.13
														2.0 ~ 5.5		80-TQFP	PIC18LF8722-I/PT-ND	15.79	8.85	8.54

Hinweis: Betriebstemperaturbereich: • Industriell: -40 ° ~ 185 °F (-40 ° ~ 85 °C) • Kommerziell: 32 ° ~ 158 °F (0 ° ~ 70 °C) • Erweitert: -40 ° ~ 257 °F (-40 ° ~ 125 °C) †Taktgeschwindigkeit *(Forts.)*

dsPICF30F DSCs

Speichergröße																			
Programm (Wörter)	RAM-Bytes	EEPROM-Bytes	E/A-Pins	Timer/ Zähler 16-Bit	UART	I^2C™	SPI™	CAN/ USB	Ausgang Vergl./ Std PWM	Motor-steuerung PWM	A/D	Analog-Comp.	Int. OSC	Clock Speed† (MHz)	VCC (V)	Betriebs-temp.	Paket	Digi-Key Teilenr.	Stückpreis 1	25	100
12K	512	1024	20	3	1	1	1	—	6	6	6-Kan. 10-Bit	—	—	20 20 20 30 30 30	2.5 ~ 5.5	Ind.	28-QFN 28-SOIC 28-DIP 28-QFN 28-SOIC 28-DIP .3"	DSPIC30F201020IMM-ND DSPIC30F201020IS-ND DSPIC30F201020ISG-ND DSPIC30F201030IMM-ND DSPIC30F201030ISO-ND DSPIC30F201030ISP-ND	8.32 7.94 8.28 9.57 9.21 9.25	5.26 5.11 5.14 6.02 5.86 5.88	5.01 4.86 4.86 5.73 5.58 5.59
12K	1024	—	12	3	1	1	1	—	2	—	8-Kan. 12-Bit	—	Ja (7.37MHz)	20 20 20 30 30 30	2.5 ~ 5.5	Ind.	28-QFN 18-DIP 18-SOIC 28-QFN 18-DIP 18-SOIC	DSPIC30F201120IML-ND DSPIC30F2011-20IP-ND DSPIC30F201120ISO-ND DSPIC30F201130IML-ND DSPIC30F2011-30IP-ND DSPIC30F201130ISO-ND	6.71 6.39 6.39 7.53 7.22 7.22	3.81 3.62 3.62 4.28 4.10 4.10	3.70 3.53 3.53 4.17 3.99 3.99
12K	1024	—	20	3	1	1	1	—	2	—	10-Kan. 12-Bit	—	Ja (7.37MHz)	20 20 20 30 30 30	2.5 ~ 5.5	Ind.	28-QFN 28-SOIC 28-DIP .3" 28-QFN 28-SOIC 28-DIP .3"	DSPIC30F201220IML-ND DSPIC30F201220ISO-ND DSPIC30F201220ISP-ND DSPIC30F201230IML-ND DSPIC30F201230ISO-ND DSPIC30F201230ISP-ND	7.37 6.98 7.05 8.30 7.94 7.96	4.18 3.97 3.99 4.71 4.51 4.53	4.07 3.87 3.89 4.59 4.38 4.41
24K	1024	1024	20	5	1	1	1	—	2	6	6-Kan. 10-Bit	—	Ja (8MHz)	20 20 20 30 30 30	2.5 ~ 5.5	Ind.	44-QFN 28-SOIC 28-DIP .3" 44-QFN 28-SOIC 28-DIP .3"	DSPIC30F301020IML-ND DSPIC30F301020ISO-ND DSPIC30F301020ISP-ND DSPIC30F301030IML-ND DSPIC30F301030ISO-ND DSPIC30F301030ISP-ND	8.55 8.28 8.32 9.68 9.40 9.44	4.86 4.70 4.73 5.49 5.34 5.36	4.72 4.58 4.60 5.35 5.19 5.22
24K	1024	1024	30	5	2	1	1	—	4	6	9-Kan. 10-Bit	—	Ja (8MHz)	20 20 20 30 30 30	2.5 ~ 5.5	Ind.	44-QFN 40-DIP 44-TQFP 44-QFN 40-DIP 44-TQFP	DSPIC30F301120IML-ND DSPIC30F3011-20IP-ND DSPIC30F301120IPT-ND DSPIC30F301130IML-ND DSPIC30F3011-30IP-ND DSPIC30F301130IPT-ND	9.76 9.52 9.57 11.07 10.86 10.90	5.53 5.41 5.43 6.29 6.16 6.18	5.39 5.26 5.29 6.13 6.00 6.02
24K	2048	1024	12	3	1	1	1	—	2	—	8-Kan. 12-Bit	—	Ja (7.37MHz)	20 20 20 30 30 30	2.5 ~ 5.5	Ind.	44-QFN 18-DIP 18-SOIC 44-QFN 18-DIP 18-SOIC	DSPIC30F301220IML-ND DSPIC30F3012-20IP-ND DSPIC30F301220ISO-ND DSPIC30F301230IML-ND DSPIC30F3012-30IP-ND DSPIC30F301230ISO-ND	6.93 6.69 6.69 7.81 7.60 7.60	3.92 3.80 3.80 4.43 4.31 4.31	3.82 3.70 3.70 4.31 4.20 4.20
24K	2048	1024	20	3	2	1	1	—	2	—	10-Kan. 12-Bit	—	Ja (7.37MHz)	20 20 20 30 30 30	2.5 ~ 5.5	Ind.	44-QFN 28-SOIC 28-DIP .3" 44-QFN 28-SOIC 28-DIP .3"	DSPIC30F301320IML-ND DSPIC30F301320ISO-ND DSPIC30F301320ISP-ND DSPIC30F301330IML-ND DSPIC30F301330ISO-ND DSPIC30F301330ISP-ND	8.03 7.75 7.79 9.06 8.79 8.83	4.55 4.40 4.42 5.14 4.99 5.02	4.43 4.28 4.31 5.01 4.86 4.88
24K	2048	1024	30	3	2	1	1	—	2	—	13-Kan. 12-Bit	—	Ja (8MHz)	20 20 20 30 30 30	2.5 ~ 5.5	Ind.	44-QFN 40-DIP 44-TQFP 44-QFN 40-DIP 44-TQFP	DSPIC30F301420IML-ND DSPIC30F3014-20IP-ND DSPIC30F301420IPT-ND DSPIC30F301430IML-ND DSPIC30F301430/P-ND DSPIC30F301430IPT-ND	8.83 8.59 8.62 9.97 9.76 9.80	5.85 5.69 5.72 6.62 6.46 6.49	5.55 5.41 5.43 6.29 6.14 6.17
48K	2048	1024	30	5	2	1	1	1	4	6	9-Kan. 10-Bit	—	Ja (8MHz)	20 20 20 30 30 30	2.5 ~ 5.5	Ind.	44-QFN 40-DIP 44-TQFP 44-QFN 40-DIP 44-TQFP	DSPIC30F401120/ML-ND DSPIC30F4011-20IP-ND DSPIC30F401120IPT-ND DSPIC30F401130IML-ND DSPIC30F4011-30IP-ND DSPIC30F401130IPT-ND	12.06 11.84 11.88 13.93 13.70 13.74	7.64 7.55 7.56 8.77 8.67 8.69	7.27 7.18 7.19 8.34 8.24 8.26
48K	2048	1024	20	5	1	1	1	1	2	6	6-Kan. 10-Bit	—	Ja (8MHz)	20 20 20 30 30 30	2.5 ~ 5.5	Ind.	44-QFN 28-SOIC 28-DIP .3" 44-QFN 28-SOIC 28-DIP .3"	DSPIC30F401220IML-ND DSPIC30F401220ISO-ND DSPIC30F401220ISP-ND DSPIC30F401230IML-ND DSPIC30F401230ISO-ND DSPIC30F401230ISP-ND	10.84 10.58 10.61 12.51 12.26 12.28	6.79 6.68 6.69 7.79 7.68 7.70	6.46 6.35 6.36 7.40 7.29 7.31
48K	2048	1024	30	5	2	1	1	1	4	—	13-Kan. 12-Bit	—	Ja (8MHz)	20 20 20 30 30 30	2.5 ~ 5.5	Ind.	44-QFN 40-DIP 44-TQFP 44-QFN 40-DIP 44-TQFP	DSPIC30F401320IML-ND DSPIC30F4013-20IP-ND DSPIC30F401320IPT-ND DSPIC30F401330IML-ND DSPIC30F4013-30IP-ND DSPIC30F401330IPT-ND	11.29 11.05 11.09 12.83 12.60 12.64	7.48 7.34 7.36 8.50 8.35 8.38	7.11 6.96 6.99 8.07 7.93 7.95
66K	4096	1024	52	5	2	1	2	2	8	—	16-Kan. 12-Bit	—	—	20 30	2.5 ~ 5.5	Ind.	64-TQFP 64-TQFP	DSPIC30F501120IPT-ND DSPIC30F501130IP-ND	14.82 17.14	9.33 10.73	8.87 10.20
66K	4096	1024	68	5	2	1	2	2	8	—	16-Kan. 12-Bit	—	—	20 30	2.5 ~ 5.5	Ind.	80-TQFP 80-TQFP	DSPIC30F501320IPT-ND DSPIC30F501330IPT-ND	15.94 18.46	10.07 11.59	9.56 11.01
66K	2048	1024	52	5	1	1	2	1	4	8	16-Kan. 10-Bit	—	Ja (8MHz)	20 30	2.5 ~ 5.5	Ind.	64-TQFP 64-TQFP	DSPIC30F501520IPT-ND DSPIC30F501530IPT-ND	14.88 17.00	8.45 9.64	8.23 9.39
66K	2048	1024	68	5	1	1	2	1	4	8	16-Kan. 10-Bit	—	Ja (8MHz)	20 30	2.5 ~ 5.5	Ind.	80-TQFP 80-TQFP	DSPIC30F501620IPT-ND DSPIC30F501630IPT-ND	15.94 18.23	9.05 10.34	8.81 10.06
132K	6144	2048	52	5	2	1	2	2	8	—	16-Kan. 12-Bit	—	—	20 20 30 30	2.5 ~ 5.5	Ind.	64-TQFP 64-TQFP 64-TQFP 64-TQFP	DSPIC30F601120IPF-ND DSPIC30F6011A20IP-ND DSPIC30F601130IPF-ND DSPIC30F6011A30IP-ND	21.23 17.00 25.47 19.41	12.17 9.64 14.00 11.02	11.56 9.39 13.30 10.73
132K	6144	2048	68	5	2	1	2	2	8	—	16-Kan. 12-Bit	—	—	20 20 30 30	2.5 ~ 5.5	Ind.	80-TQFP 80-TQFP 80-TQFP 80-TQFP	DSPIC30F601320IPF-ND DSPIC30F6013A20IP-ND DSPIC30F601330IPF-ND DSPIC30F6013A30IP-ND	21.61 17.99 25.95 20.57	12.92 10.21 14.85 11.67	12.28 9.94 14.11 11.36
144K	8192	4096	68	5	2	1	2	2	8	8	16-Kan. 10-Bit	—	—	20 20 30 30	2.5 ~ 5.5	Ind.	80-TQFP 80-TQFP 80-TQFP 80-TQFP	DSPIC30F601020IPF-ND DSPIC30F6010A20IP-ND DSPIC30F601030IPF-ND DSPIC30F6010A30IP-ND	23.77 20.39 27.56 23.32	14.72 11.57 16.92 13.24	13.98 11.26 16.07 12.88
144K	8192	4096	52	5	2	1	2	2	8	—	16-Kan. 12-Bit	—	—	20 20 30 30	2.5 ~ 5.5	Ind.	64-TQFP 64-TQFP 64-TQFP 64-TQFP	DSPIC30F601220IPF-ND DSPIC30F6012A20IP-ND DSPIC30F601230IPF-ND DSPIC30F6012A30IP-ND	22.21 18.86 25.72 21.59	13.58 10.71 15.61 12.26	12.90 10.43 14.83 11.93
144K	8192	4096	68	5	2	1	2	2	8	—	16-Kan. 12-Bit	—	—	20 20 30 30	2.5 ~ 5.5	Ind.	80-TQFP 80-TQFP 80-TQFP 80-TQFP	DSPIC30F601420IPF-ND DSPIC30F6014A20IP-ND DSPIC30F601430IPF-ND DSPIC30F6014A30IP-ND	23.28 19.88 26.96 22.76	14.34 11.28 16.49 12.92	13.62 10.98 15.67 12.57
144K	8192	4096	52	5	2	1	2	1	6	8	16-Kan. 10-Bit	—	—	20 30	2.5 ~ 5.5	Ind.	64-TQFP 64-TQFP	DSPIC30F601520IPT-ND DSPIC30F601530IPT-ND	20.43 23.39	11.59 13.27	11.28 12.92

Hinweis: Betriebstemperaturbereich: • Industriell: -40 ° ~ 185 °F (-40 ° ~ 85 °C) • Kommerziell: 32 ° ~ 158 °F (0 ° ~ 70 °C) • Erweitert: -40 ° ~ 257 °F (-40 ° ~ 125 °C) †Taktgeschwindigkeit

Alle Preisangaben in Euro und inklusive Zollgebühren.

MPLAB® ICE 2000

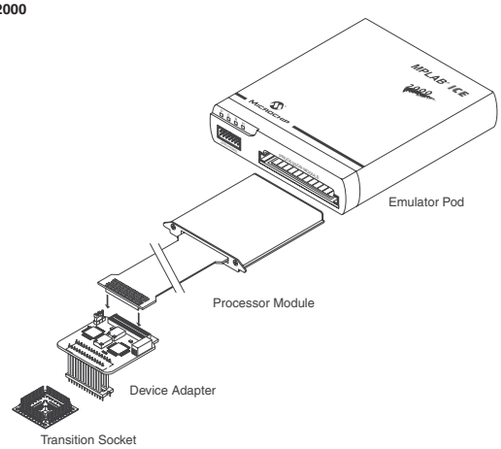

MPLAB® ICE 4000

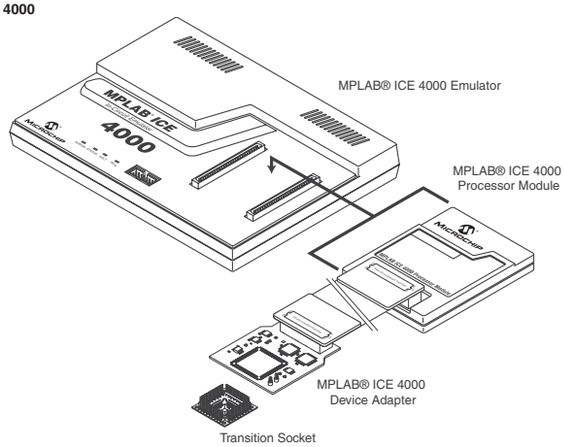

MPLAB® PM3

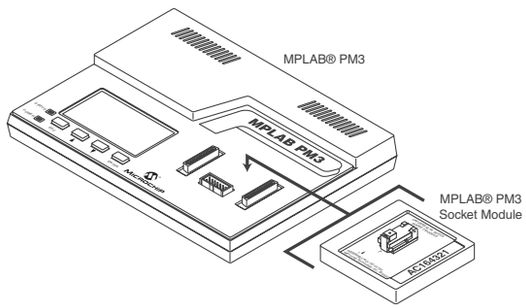

MPLAB ICD2

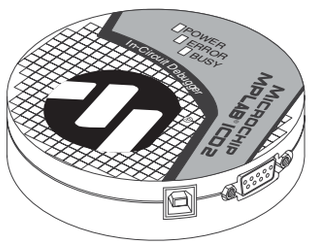

Teilenr.	Pin-Zahl/ Paket Typ	MPLAB®ICE 2000 System			MPLAB® ICE 4000 System			PRO MATE® II (◊)	MPLAB® PM3* (†)	PICSTART® Plus	MPLAB® ICD 2	MPLAB® CXX Compiler	Demo-Karten Evaluierungskits
		Prozessor-Modul	Geräteadapter	Übergangssockel	Prozessor-Modul	Geräteadapter	Übergangssockel	Sockelmodul	Sockelmodul				
PIC10F Mikrocontroller-Produkte													
PIC10F200	6OT							AC164037	AC164321	AC163020			
PIC10F200	8P							AC164037	AC164301	AC163020			
PIC10F202	6OT							AC164037	AC164321	AC163020			
PIC10F202	8P							AC164037	AC164301	AC163020			
PIC10F204	6OT							AC164037	AC164321	AC163020			
PIC10F204	8P							AC164037	AC164301	AC163020			
PIC10F206	6OT							AC164037	AC164321	AC163020			
PIC10F206	8P							AC164037	AC164301	AC163020			
PIC12F Mikrocontroller-Produkte													
PIC12F508	8P	PCM16XA0	DVA12XP080					AC124001	AC164301*	√			DM163014, DV164101*
PIC12F508	8SO	PCM16XA0	DVA12XP080	XLT08SO				AC164026	AC164302*		XLT08SO		
PIC12F508	8MS	PCM16XA0	DVA12XP080										
PIC12F509	8P	PCM16XA0	DVA12XP080					AC124001	AC164301*	√			DM163014, DV164101*
PIC12F509	8SO	PCM16XA0	DVA12XP080	XLT08SO				AC164026	AC164302*		XLT08SO		
PIC12F509	8MS	PCM16XA0	DVA12XP080						AC164306*				
PIC12F629	8P	PCM12XB0	DVA12XP081					AC124001	AC164301	√	AC162050		DM163014, DV164101*
PIC12F629	8SN	PCM12XB0	DVA12XP081	XLT08SO				AC164026	AC164302		AC162050 & XLT08SO		
PIC12F629	8MF	PCM12XB0	DVA12XP081	XLT08DFN				AC124001 & AC164032	AC164301 & AC164032	AC164032	AC162050 & XLT08DFN		
PIC12F635	8P	PCM16YM0*						AC124001	AC164301	√	AC162057		DM163014, DV164101*
PIC12F635	8SO	PCM16YM0*		XLT08SO				AC164026	AC164302		AC162057 & XLT08SO		
PIC12F635	8MF												
PIC12F675	8P	PCM12XB0	DVA12XP081					AC124001	AC164301*	√	AC162050		DM163014, DV164101*
PIC12F675	8SN	PCM12XB0	DVA12XP081	XLT08SO				AC164026	AC164302*		AC162050 & XLT08SO		
PIC12F675	8MF	PCM12XB0	DVA12XP081	XLT08DFN				AC124001 & AC164032	AC164301* & AC164032*	AC164032	AC162050 & XLT08DFN		
PIC12F683	8P	PCM12XC0*						AC124001	AC164301	√	AC162058		DM163014, DV164101*
PIC12F683	8SO	PCM12XC0*		XLT08SO				AC164026	AC164302		AC162058 & XLT08SO		
PIC12F683	8MF	PCM12XC0*		XLT08DFN				AC124001 & AC164032	AC164301 & 164032		AC162058 & XLT08DFN		
PIC16F Mikrocontroller-Produkte													
PIC16F505	14P	PCM16XA0	DVA16XP140					AC124001	AC164301	√			DM163014, DV164101
PIC16F505	14SO	PCM16XA0	DVA16XP140	XLT14SO				AC164026	AC164302		XLT14SO		
PIC16F505	14ST	PCM16XA0	DVA16XP140						AC164306				
PIC16F54	18P	PCM16XA0	DVA16XP180					AC164001	AC164301	√	√*		DM163001
PIC16F54	18SO	PCM16XA0	DVA16XP180	XLT18SO				AC164002	AC164302	√	√*		
PIC16F54	20SS	PCM16XA0	DVA16XP180	XLT20SS				AC164015	AC164307	√	√*		
PIC16F57	28P												
PIC16F57	28SP	PCM16XA0	DVA16XP280					AC164001	AC164301	√	√*		DM163001
PIC16F57	28SO	PCM16XA0	DVA16XP280	XLT28SO				AC164002	AC164302	√	√*		
PIC16F57	28SS	PCM16XA0	DVA16XP280	XLT28SS2				AC164015	AC164307	√	√*		

† MPLAB® PM3 Programmierer separat erhältlich. ICSP™ Funktion ist mit MPLAB® PM3 Programmierer integriert. †† Kundenspezifischer Adapter erforderlich; nicht von Microchip erhältlich. Siehe „Lies mich" für PICSTART® Plus
* Neues Produkt oder zukünftige Unterstützung. √ Wird durch Grundkonfiguration unterstützt. Ist eine Teilenr. in der Spalte aufgeführt, ist dieses Teil erforderlich und separat erhältlich. ◊ Optional ICSP® In-Circuit Serial Programming™ Sockel für PRO MATE ® II separat erhältlich. (AC004004)

(Forts.)

Entwicklungssystem-Matrix *(Forts.)*

Preisangaben nach diesen Matrix-Seiten.

Teilenr.	Pin-Zahl/ Paket Typ	MPLAB® ICE 2000 System			MPLAB® ICE 4000 System			PRO MATE® II (◊)	MPLAB® PM3* (†)	PICSTART® Plus	MPLAB® ICD 2	MPLAB® CXX Compiler	Demo-Karten Evaluierungskits
		Prozessor-Modul	Geräteadapter	Übergangssockel	Prozessor-Modul	Geräteadapter	Übergangssockel	Sockelmodul	Sockelmodul				
PIC16F59	40P												
PIC16F59	44PT												
PIC16F627	18P	PCM16XP0	DVA16XP183					AC164010	AC164301	√			DM163001
PIC16F627	18SO	PCM16XP0	DVA16XP183	XLT18SO				AC164010	AC164302				
PIC16F627	20SS	PCM16XP0	DVA16XP183	XLT20SS				AC164018	AC164307				
PIC16F627A	18P	PCM16YF0	DVA16XP186					AC164010	AC164301	√	AC162053		DM163014
PIC16F627A	18SO	PCM16YF0	DVA16XP186	XLT18SO				AC164010	AC164302		AC162053 & XLT18SO		
PIC16F627A	20SS	PCM16YF0	DVA16XP186	XLT20SS				AC164018	AC164307		AC162053 & XLT20SS		
PIC16F627A	28ML	PCM16YF0	DVA16XP186					AC164010 & AC164033	AC164301 & AC164031	AC164033	AC162053		
PIC16F628	18P	PCM16XP0	DVA16XP183					AC164010	AC164301	√			DM163001
PIC16F628	18SO	PCM16XP0	DVA16XP183	XLT18SO				AC164010	AC164302				
PIC16F628	20SS	PCM16XP0	DVA16XP183	XLT20SS				AC164018	AC164307				
PIC16F628A	18P	PCM16YF0	DVA16XP186					AC164010	AC164301	√	AC162053		DM163014
PIC16F628A	18SO	PCM16YF0	DVA16XP186	XLT18SO				AC164010	AC164302		AC162053		
PIC16F628A	20SS	PCM16YF0	DVA16XP186	XLT20SS				AC164018	AC164307		AC162053		
PIC16F628A	28ML	PCM16YF0	DVA16XP186					AC164010 & AC164033	AC164301 & AC164031	AC164033	AC162053		
PIC16F630	14P	PCM16YD0	DVA16XP141					AC124001	AC164301	√	AC162052		DM163014, DV164101
PIC16F630	14SO	PCM16YD0	DVA16XP141	XLT14SO				AC164026	AC164302		AC162052 & XLT14SO		
PIC16F630	14ST	PCM16YD0	DVA16XP141	XLT14SS				AC164026	AC164306		AC162052 & XLT14SS		
PIC16F636	14P	PCM16YM0						AC124001	AC164301	√	AC162057		
PIC16F636	14SO	PCM16YM0		XLT14SO				AC164026	AC164302		AC162057 & XLT14SO		
PIC16F636	14ST	PCM16YM0		XLT14SS				AC164026	AC164306		AC162057 & XLT14SS		
PIC16F648A	18P	PCM16YF0	DVA16XP186					AC164010	AC164301	√	AC162053		DM163014
PIC16F648A	18SO	PCM16YF0	DVA16XP186	XLT18SO				AC164010	AC164302		AC162053 & XLT18SO		
PIC16F648A	20SS	PCM16YF0	DVA16XP186	XLT20SS				AC164018	AC164307		AC162053 XLT20SS		
PIC16F648A	28ML	PCM16YF0	DVA16XP186					AC164010 & AC164033	AC164301 & AC164031	AC164033	AC162053		
PIC16F676	14P	PCM16YD0	DVA16XP141					AC124001	AC164301	√	AC162052		DM163014, DV164101*
PIC16F676	14SO	PCM16YD0	DVA16XP141	XLT14SO				AC164026	AC164302		AC162052 & XLT14SO		
PIC16F676	14ST	PCM16YD0	DVA16XP141	XLT14SS				AC164026	AC164306		AC162052 & XLT14SS		
PIC16F684	14P	PCM16YK0						AC124001	AC164301	√	AC162055		DV164101*
PIC16F684	14SO	PCM16YK0		XLT14SO				AC164026	AC164302		AC162055 & XLT14SO		
PIC16F684	14ST	PCM16YK0		XLT14SS				AC164026	AC164306		AC162055 & XLT14SS		
PIC16F688	14P	PCM16YL0						AC124001	AC164301	√	AC162056		DV164101*
PIC16F688	14SO	PCM16YL0		XLT14SO				AC164026	AC164302		AC162056 & XLT14SO		
PIC16F688	14ST	PCM16YL0		XLT14SS				AC164026	AC164306		AC162056 & XLT14SS		
PIC16F716	18P	PCM16YJ0	DVA16XP187					AC164010	AC164301	√	AC162054		DM163001
PIC16F716	18SO	PCM16YJ0	DVA16XP187	XLT18SO				AC164010	AC164302		AC162054 & XLT18SO		
PIC16F716	20SS	PCM16YJ0	DVA16XP187	XLT20SS				AC164018	AC164307		AC162054 & XLT20SS		
PIC16F72	28SP	PCM16XS2	DVA16XP282					AC164012	AC164301	√			DM163022
PIC16F72	28SO	PCM16XS2	DVA16XP282	XLT28SO				AC164017	AC164302				
PIC16F72	28SS	PCM16XS2	DVA16XP282	XLT28SS				AC164021	AC164307				
PIC16F72	28ML												
PIC16F73	28SP	PCM16XS2	DVA16XP282					AC164012	AC164301	√	√*		DM163022
PIC16F73	28ML	PCM16XS2	DVA16XP282					AC164012 & AC164031	AC164301 & AC164031	AC164031	√*		
PIC16F73	28SO	PCM16XS2	DVA16XP282	XLT28SO				AC164017	AC164302		√*		
PIC16F73	28SS	PCM16XS2	DVA16XP282	XLT28SS				AC164021	AC164307		√*		
PIC16F737	28P	PCM16YH0	DVA18XP280					AC164012	AC164301	√	√		
PIC16F737	28SO	PCM16YH0	DVA18XP280	XLT28SO				AC164017	AC164302		√		
PIC16F737	28SS	PCM16YH0	DVA18XP280	XLT28SS				AC164021	AC164307		√		
PIC16F737	28ML	PCM16YH0	DVA18XP280					AC164012 & AC164031	AC164301 & AC164031		√		
PIC16F74	40P	PCM16XS2	DVA16XP401					AC164012	AC164301	√	√*		DM163022
PIC16F74	44L	PCM16XS2	DVA16XL441					AC164013	AC164309		√*		
PIC16F74	44PT	PCM16XS2	DVA16PQ441	XLT44PT				AC164020	AC164305		√*		
PIC16F74	44ML												
PIC16F747	40P	PCM16YH0	DVA18XP400					AC164012	AC164301	√	√		
PIC16F747	44PT	PCM16YH0	DVA18PQ440	XLT44PT				AC164020	AC164305		√		
PIC16F747	44ML	PCM16YH0	DVA18XP400					AC164012 & AC164034	AC164301 & AC164034		√		
PIC16F76	28SP	PCM16XS2	DVA16XP282					AC164012	AC164301	√	√*		DM163022
PIC16F76	28ML	PCM16XS2	DVA16XP282					AC164012 & AC164031	AC164301 & AC164031	AC164031	√*		
PIC16F76	28SO	PCM16XS2	DVA16XP282	XLT28SO				AC164017	AC164302		√*		
PIC16F76	28SS												
PIC16F767	28P	PCM16YH0	DVA18XP280					AC164012	AC164301	√	√		
PIC16F767	28SO	PCM16YH0	DVA18XP280	XLT28SO				AC164017	AC164302		√		
PIC16F767	28SS	PCM16YH0	DVA18XP280	XLT28SS				AC164021	AC164307		√		
PIC16F767	28ML	PCM16YH0	DVA18XP280					AC164012 & AC164031	AC164301 & AC164031		√		
PIC16F77	40P	PCM16XS2	DVA16XP401					AC164012	AC164301	√	√*		DM163022
PIC16F77	44L	PCM16XS2	DVA16XL441					AC164013	AC164309		√*		
PIC16F77	44PQ	PCM16XS2	DVA16PQ441	XLT44PT				AC164014	AC164311		√*		
PIC16F77	44PT	PCM16XS2	DVA16PQ441	XLT44PT				AC164020	AC164305		√*		

† MPLAB® PM3 Programmierer separat erhältlich. ICSP™ Funktion ist mit MPLAB® PM3 Programmierer integriert. †† Kundenspezifischer Adapter erforderlich; nicht von Microchip erhältlich. Siehe „Lies mich" für PICSTART® Plus *Neues Produkt oder zukünftige Unterstützung. √ Wird durch Grundkonfiguration unterstützt. Ist eine Teilenr. in der Spalte aufgeführt, ist dieses Teil erforderlich und separat erhältlich. ◊ Optional ICSP® In-Circuit Serial Programming™ Sockel für PRO MATE ® II separat erhältlich. (AC004004)

(Forts.)

Alle Preisangaben in Euro und inklusive Zollgebühren.

Entwicklungssystem-Matrix *(Forts.)*

Preisangaben nach diesen Matrix-Seiten.

Teilenr.	Pin-Zahl/ Paket Typ	MPLAB® ICE 2000 System			MPLAB® ICE 4000 System			PRO MATE® II (◊)	MPLAB® PM3* (†)	PICSTART® Plus	MPLAB® ICD 2	MPLAB® CXX Compiler	Demo-Karten Evaluierungskits
		Prozessor-Modul	Geräteadapter	Übergangssockel	Prozessor-Modul	Geräteadapter	Übergangssockel	Sockelmodul	Sockelmodul				
PIC16F777	40P	PCM16YH0	DVA18XP400					AC164012	AC164301	√	√		
PIC16F777	44PT	PCM16YH0	DVA18PQ440	XLT44PT				AC164020	AC164305		√		
PIC16F777	44ML	PCM16YH0	DVA18XP400					AC164012 & AC164034	AC164301 & AC164034		√		
PIC16F818	18P	PCM16YE0	DVA16XP186					AC164010	AC164301	√	√		DM163014
PIC16F818	18SO	PCM16YE0	DVA16XP186	XLT18SO				AC164010	AC164302		√		
PIC16F818	20SS	PCM16YE0	DVA16XP186	XLT20SS				AC164018	AC164307		√		
PIC16F818	28ML	PCM16YE0	DVA16XP186					AC164010 & AC164033	AC164301 & AC164031	AC164033	√		
PIC16F819	18P	PCM16YE0	DVA16XP186					AC164010	AC164301	√	√		DM163014
PIC16F819	18SO	PCM16YE0	DVA16XP186	XLT18SO				AC164010	AC164302		√		
PIC16F819	20SS	PCM16YE0	DVA16XP186	XLT20SS				AC164018	AC164307		√		
PIC16F819	28ML	PCM16YE0	DVA16XP186					AC164010 & AC164033	AC164301 & AC164031	AC164033	√		
PIC16F83	18P	PCM16XH1	DVA16XP180					AC164010	AC164301	√			DM163001
PIC16F83	18SO	PCM16XH1	DVA16XP180	XLT18SO				AC164010	AC164302				
PIC16F84	18P	PCM16XH1	DVA16XP180					AC164010	AC164301	√			DM163001
PIC16F84	18SO	PCM16XH1	DVA16XP180	XLT18SO				AC164010	AC164302				
PIC16F84A	18P	PCM16XH1	DVA16XP180					AC164010	AC164301	√			DM163001
PIC16F84A	18SO	PCM16XH1	DVA16XP180	XLT18SO				AC164010	AC164302				
PIC16F84A	20SS	PCM16XH1	DVA16XP180	XLT20SS				AC164018	AC164307				
PIC16F87	18P	PCM16YG0	DVA16XP186					AC164010	AC164301	√	√		DM163014
PIC16F87	18SO	PCM16YG0	DVA16XP186	XLT18SO				AC164010	AC164302		√		
PIC16F87	20SS	PCM16YG0	DVA16XP186	XLT20SS				AC164018	AC164307		√		
PIC16F87	28ML	PCM16YG0	DVA16XP186					AC164010 & AC164033	AC164301 & AC164031	AC164033	√		
PIC16F870	28SP	PCM16XR1	DVA16XP282					AC164012	AC164301	√	√		DM163022
PIC16F870	28SO	PCM16XR1	DVA16XP282	XLT28SO				AC164017	AC164302		√		
PIC16F870	28SS	PCM16XR1	DVA16XP282	XLT28SS				AC164021	AC164307		√		
PIC16F871	40P	PCM16XR1	DVA16XP401					AC164012	AC164301	√	√		DM163022
PIC16F871	44L	PCM16XR1	DVA16XL441					AC164013	AC164309		√		
PIC16F871	44PT	PCM16XR1	DVA16PQ441	XLT44PT				AC164020	AC164305		√		
PIC16F872	28SP	PCM16XK1	DVA16XP282					AC164012	AC164301	√	√		DM163022
PIC16F872	28SO	PCM16XK1	DVA16XP282	XLT28SO				AC164017	AC164302		√		
PIC16F872	28SS	PCM16XK1	DVA16XP282	XLT28SS				AC164021	AC164307		√		
PIC16F873	28SP	PCM16XK1	DVA16XP282					AC164012	AC164301	√	√		DM163022
PIC16F873	28SO	PCM16XK1	DVA16XP282	XLT28SO				AC164017	AC164302		√		
PIC16F873A	28SP	PCM16XV0	DVA16XP282					AC164012	AC164301	√	√		DM163022
PIC16F873A	28SO	PCM16XV0	DVA16XP282	XLT28SO				AC164017	AC164302		√		
PIC16F873A	28SS	PCM16XV0	DVA16XP282	XLT28SS				AC164021	AC164307		√		
PIC16F873A	28ML	PCM16XV0	DVA16XP282					AC164012 & AC164031	AC164301 & AC164031	AC164031	√		
PIC16F874	40P	PCM16XK1	DVA16XP401					AC164012	AC164301	√	√		DM163022
PIC16F874	44L	PCM16XK1	DVA16XL441					AC164013	AC164309		√		
PIC16F874	44PQ	PCM16XK1	DVA16PQ441	XLT44PT				AC164014	AC164311		√		
PIC16F874	44PT	PCM16XK1	DVA16PQ441	XLT44PT				AC164020	AC164305		√		
PIC16F874A	40P	PCM16XV0	DVA16XP401					AC164012	AC164301	√	√		DM163022
PIC16F874A	44L	PCM16XV0	DVA16XL441					AC164013	AC164309		√		
PIC16F874A	44PT	PCM16XV0	DVA16PQ441	XLT44PT				AC164020	AC164305		√		
PIC16F874A	44ML												
PIC16F876	28SP	PCM16XK1	DVA16XP282					AC164012	AC164301	√	√		DM163022
PIC16F876	28SO	PCM16XK1	DVA16XP282	XLT28SO				AC164017	AC164302		√		
PIC16F876A	28SP	PCM16XV0	DVA16XP282					AC164012	AC164301	√	√		DM163022
PIC16F876A	28SO	PCM16XV0	DVA16XP282	XLT28SO				AC164017	AC164302		√		
PIC16F876A	28SS	PCM16XV0	DVA16XP282	XLT28SS				AC164021	AC164307		√		
PIC16F876A	28ML	PCM16XV0	DVA16XP282					AC164012 & AC164031	AC164301 & AC164031	AC164031	√		
PIC16F877	40P	PCM16XK1	DVA16XP401					AC164012	AC164301	√	√		DM163022
PIC16F877	44L	PCM16XK1	DVA16XL441					AC164013	AC164309		√		
PIC16F877	44PQ	PCM16XK1	DVA16PQ441	XLT44PT				AC164014	AC164311		√		
PIC16F877	44PT	PCM16XK1	DVA16PQ441	XLT44PT				AC164020	AC164305		√		
PIC16F877A	40P	PCM16XV0	DVA16XP401					AC164012	AC164301	√	√		DM163022
PIC16F877A	44L	PCM16XV0	DVA16XL441					AC164013	AC164309		√		
PIC16F877A	44PT	PCM16XV0	DVA16PQ441	XLT44PT				AC164020	AC164305		√		
PIC16F877A	44ML	PCM16XV0	DVA16XP401					AC164012 & AC164034	AC164301 & AC164034	AC164034	√		
PIC16F88	18P	PCM16YG0	DVA16XP186					AC164010	AC164301	√	√		DM163014
PIC16F88	18SO	PCM16YG0	DVA16XP186	XLT18SO				AC164010	AC164302		√		
PIC16F88	20SS	PCM16YG0	DVA16XP186	XLT20SS				AC164018	AC164307		√		
PIC16F88	28ML	PCM16YG0	DVA16XP186					AC164010 & AC164033	AC164301 & AC164031	AC164033	√		
PIC18F Mikrocontroller-Produkte													
PIC18F1220	18P	PCM18XJ0	DVA18XP180		PMF18WD0	DAF18-2	ACICE0202	AC164010	AC164301	√*	√	SW006011	DM163014
PIC18F1220	18SO	PCM18XJ0	DVA18XP180	XLT18SO	PMF18WD0	DAF18-2	XLT18SO	AC164010	AC164302		√	SW006011	
PIC18F1220	20SS	PCM18XJ0	DVA18XP180	XLT20SS	PMF18WD0	DAF18-2	XLT20SS	AC164018	AC164307		√	SW006011	
PIC18F1220	28ML	PCM18XJ0	DVA18XP180		PMF18WD0	DAF18-2		AC164010 & AC164033	AC164301 & AC164031	AC164033*	√	SW006011	
PIC18F1320	18P	PCM18XJ0	DVA18XP180		PMF18WD0	DAF18-2	ACICE0202	AC164010	AC164301	√*	√	SW006011	DM163014
PIC18F1320	18SO	PCM18XJ0	DVA18XP180	XLT18SO	PMF18WD0	DAF18-2	XLT18SO	AC164010	AC164302		√	SW006011	
PIC18F1320	20SS	PCM18XJ0	DVA18XP180	XLT20SS	PMF18WD0	DAF18-2	XLT20SS	AC164018	AC164307		√	SW006011	
PIC18F1320	28ML	PCM18XJ0	DVA18XP180		PMF18WD0	DAF18-2		AC164010 & AC164033	AC164301 & AC164031	AC164033*	√	SW006011	
PIC18F2220	28SP	PCM18XH0	DVA18XP280		PMF18WC0	DAF18-2	ACICE0204	AC164012	AC164301	√*	√	SW006011	
PIC18F2220	28SO	PCM18XH0	DVA18XP280	XLT28SO	PMF18WC0	DAF18-2	XLT28SO	AC164017	AC164302		√	SW006011	
PIC18F2320	28SP	PCM18XH0	DVA18XP280		PMF18WC0	DAF18-2	ACICE0204	AC164012	AC164301	√*	√	SW006011	
PIC18F2320	28SO	PCM18XH0	DVA18XP280	XLT28SO	PMF18WC0	DAF18-2	XLT28SO	AC164017	AC164302		√	SW006011	
PIC18F2331	28SP	PCM18XL0	DVA18XP280		PMF18WF0*		ACICE0204	AC164035	AC164301	√*	√	SW006011	DM183011
PIC18F2331	28SO	PCM18XL0	DVA18XP280	XLT28SO	PMF18WF0*		XLT28SO	AC164036	AC164302		√	SW006011	
PIC18F2410	28P	PCM18XN0*	DVA18XP280*				ACICE0204	AC164035*	AC164301*	√	√*	SW006011	
PIC18F2410	28SO	PCM18XN0*	DVA18XP280*	XLT28SO			XLT28SO	AC164036*	AC164302*		√*	SW006011	
PIC18F2410	28ML	PCM18XN0*	DVA18XP280*					AC164035* & AC164031			√*	SW006011	
PIC18F242	28SP	PCM18XH0	DVA16XP282 or DVA18XP280		PMF18WC0	DAF18-2	ACICE0204	AC164012	AC164301	√	√	SW006011	DM163022
PIC18F242	28SO	PCM18XH0	DVA16XP282 or DVA18XP280	XLT28SO	PMF18WC0	DAF18-2	XLT28SO	AC164017	AC164302		√	SW006011	

† MPLAB® PM3 Programmierer separat erhältlich. ICSP™ Funktion ist mit MPLAB® PM3 Programmierer integriert. †† Kundenspezifischer Adapter erforderlich; nicht von Microchip erhältlich. Siehe „Lies mich" für PICSTART® Plus
*Neues Produkt oder zukünftige Unterstützung. √ Wird durch Grundkonfiguration unterstützt. Ist eine Teilenr. in der Spalte aufgeführt, ist dieses Teil erforderlich und separat erhältlich. ◊ Optional ICSP® In-Circuit Serial Programming™ Sockel für PRO MATE ® II separat erhältlich. (AC004004)

(Forts.)

B

Entwicklungssystem-Matrix *(Forts.)*

Preisangaben nach diesen Matrix-Seiten.

Teilenr.	Pin-Zahl/ Paket Typ	MPLAB® ICE 2000 System			MPLAB® ICE 4000 System			PRO MATE® II (◊)	MPLAB® PM3* (†)	PICSTART® Plus	MPLAB® ICD 2	MPLAB® CXX Compiler	Demo-Karten Evaluierungskits
		Prozessor-Modul	Geräteadapter	Übergangssockel	Prozessor-Modul	Geräteadapter	Übergangssockel	Sockelmodul	Sockelmodul				
PIC18F2420	8P	PCM18XN0*	DVA18XP280*				ACICE0204	AC164035*	AC164301*	√	√*	SW006011	
PIC18F2420	28SO	PCM18XN0*	DVA18XP280*	XLT28SO			XLT28SO	AC164036*	AC164302*		√*	SW006011	
PIC18F2420	28ML	PCM18XN0*	DVA18XP280*					AC164035* & AC164031			√*	SW006011	
PIC18F2431	28P	PCM18XL0	DVA18XP280		PMF18WF0*		ACICE0204	AC164035	AC164301	√*	√	SW006011	DM183011
PIC18F2431	28SO	PCM18XL0	DVA18XP280	XLT28SO	PMF18WF0*		XLT28SO	AC164036	AC164302		√	SW006011	
PIC18F2439	28P							AC164012	AC164301*	√*	√	SW006011	
PIC18F2439	28SO							AC164017	AC164302*		√	SW006011	
PIC18F2455	28SP	PCM18XR0*	DVA18XP280*		PMF18WL0*		ACICE0204	AC164012*	AC164301*	√*	√*	SW006011	
PIC18F2455	28SO	PCM18XR0*	DVA18XP280*	XLT28SO	PMF18WL0*		XLT28SO	AC164036*	AC164302*		√*	SW006011	
PIC18F248	28SP	PCM18XD1	DVA16XP282					AC164012	AC164301	√	√	SW006011	DM163022
PIC18F248	28SO	PCM18XD1	DVA16XP282	XLT28SO				AC164017	AC164302		√	SW006011	
PIC18F2480	28SP	PCM18XP0*	DVA18XP280*		PMF18WJ0*		ACICE0204	AC164012*	AC164301*	√*	√	SW006011	
PIC18F2480	28SO	PCM18XP0*	DVA18XP280*	XLT28SO	PMF18WJ0*		XLT28SO	AC164017*	AC164302*		√	SW006011	
PIC18F2480	28MM	PCM18XP0*	DVA18XP280*		PMF18WJ0*			AC164012* & AC164031			√	SW006011	
PIC18F2510	28SP	PCM18XN0*	DVA18XP280		PMF18WH0*		ACICE0204	AC164012*	AC164301*	√*	√*	SW006011	DM163022
PIC18F2510	28SO	PCM18XN0*	DVA18XP280	XLT28SO	PMF18WH0*		XLT28SO	AC164017*	AC164302*		√*	SW006011	
PIC18F2510	28ML	PCM18XN0*	DVA18XP280		PMF18WH0*			AC164012* & AC164031			√*	SW006011	
PIC18F2515	28SP	PCM18XN0*	DVA18XP280		PMF18WH0*		ACICE0204	AC164012*	AC164301*	√*	√*	SW006011	
PIC18F2515	28SO	PCM18XN0*	DVA18XP280	XLT28SO	PMF18WH0*		XLT28SO	AC164017*	AC164302*		√*		
PIC18F2520	28SP	PCM18XN0*	DVA18XP280		PMF18WH0*		ACICE0204	AC164012*	AC164301*	√*	√*	SW006011	DM163022
PIC18F2520	28SO	PCM18XN0*	DVA18XP280	XLT28SO	PMF18WH0*		XLT28SO	AC164017*	AC164302*		√*	SW006011	
PIC18F2520	28ML	PCM18XN0*	DVA18XP280		PMF18WH0*			AC164012* & AC164031			√*	SW006011	
PIC18F252	28SP	PCM18XH0	DVA16XP282 or DVA18XP280		PMF18WC0	DAF18-2	ACICE0204	AC164012	AC164301	√	√	SW006011	DM163022
PIC18F252	28SO	PCM18XH0	DVA16XP282 or DVA18XP280	XLT28SO	PMF18WC0	DAF18-2	XLT28SO	AC164017	AC164302		√	SW006011	
PIC18F2525	28SP	PCM18XN0*	DVA18XP280		PMF18WH0*		ACICE0204	AC164012	AC164301*	√*	√*	SW006011	
PIC18F2525	28SO	PCM18XN0*	DVA18XP280	XLT28SO	PMF18WH0*		XLT28SO	AC164017	AC164302*		√*		
PIC18F2539	28P							AC164012	AC164301*	√*	√	SW006011	
PIC18F2539	28SO							AC164017	AC164302*		√	SW006011	
PIC18F2550	28SP	PCM18XR0*	DVA18XP280*		PMF18WL0*		ACICE0204	AC164012*	AC164301*	√*	√*	SW006011	
PIC18F2550	28SO	PCM18XR0*	DVA18XP280*	XLT28SO	PMF18WL0*		XLT28SO	AC164036*	AC164302*		√*	SW006011	
PIC18F258	28SP	PCM18XD1	DVA16XP282					AC164012	AC164301	√	√	SW006011	DM163022, DM163011
PIC18F258	28SO	PCM18XD1	DVA16XP282	XLT28SO				AC164017	AC164302		√	SW006011	
PIC18F2580	28SP	PCM18XP0*	DVA18XP280*		PMF18WJ0*		ACICE0204	AC164012*	AC164301*	√*	√*	SW006011	
PIC18F2580	28SO	PCM18XP0*	DVA18XP280*	XLT28SO	PMF18WJ0*		XLT28SO	AC164017*	AC164302*		√*	SW006011	
PIC18F2580	28MM	PCM18XP0*	DVA18XP280*		PMF18WJ0*			AC164012* & AC164031			√*	SW006011	
PIC18F2585	28SP	PCM18XP0*	DVA18XP280		PMF18WJ0*		ACICE0204	AC164012*	AC164301*	√*	√*	SW006011	
PIC18F2585	28SO	PCM18XP0*	DVA18XP280	XLT28SO	PMF18WJ0*		XLT28SO	AC164017*	AC164302*		√*	SW006011	
PIC18F2610	28SP	PCM18XN0*	DVA18XP280		PMF18WH0*		ACICE0204	AC164012*	AC164301*	√*	√*	SW006011	
PIC18F2610	28SO	PCM18XN0*	DVA18XP280	XLT28SO	PMF18WH0*		XLT28SO	AC164017*	AC164302*		√*	SW006011	
PIC18F2620	28SP	PCM18XN0*	DVA18XP280		PMF18WH0*		ACICE0204	AC164012*	AC164301*	√*	√*	SW006011	
PIC18F2620	28SO	PCM18XN0*	DVA18XP280	XLT28S0	PMF18WH0*		XLT28SO	AC164017*	AC164302*		√*	SW006011	
PIC18F2680	28SP	PCM18XP0*	DVA18XP280		PMF18WJ0*		ACICE0204	AC164012*	AC164301*	√*	√*	SW006011	
PIC18F2680	28SO	PCM18XP0*	DVA18XP280	XLT28S0	PMF18WJ0*		XLT28SO	AC164017*	AC164302*		√*	SW006011	
PIC18F4220	40P	PCM18XH0	DVA18XP400		PMF18WC0	DAF18-2	ACICE0206	AC164012	AC164301	√*	√	SW006011	
PIC18F4220	44ML	PCM18XH0	DVA18XP400		PMF18WC0	DAF18-3*		AC164012 & AC164034	AC164301 & AC164034	AC164034*	√	SW006011	
PIC18F4220	44PT	PCM18XH0	DVA18PQ440	XLT44PT	PMF18WC0	DAF18-3*	XLT44PT	AC164020	AC164305		√	SW006011	
PIC18F4320	40P	PCM18XH0	DVA18XP400		PMF18WC0*	DAF18-2	ACICE0206	AC164012	AC164301	√*	√	SW006011	
PIC18F4320	44ML	PCM18XH0	DVA18XP400		PMF18WC0*	DAF18-3*		AC164012 & AC164034	AC164301 & AC164034	AC164034*	√	SW006011	
PIC18F4320	44PT	PCM18XH0	DVA18PQ440	XLT44PT	PMF18WC0*	DAF18-3*	XLT44PT	AC164020	AC164305		√	SW006011	
PIC18F4331	40P	PCM18XL0	DVA18XP400		PMF18WF0*		ACICE0206	AC164012	AC164301	√	√	SW006011	DM183011
PIC18F4331	44PT	PCM18XL0	DVA18PQ440	XLT44PT	PMF18WF0*		XLT44PT	AC164020	AC164305		√	SW006011	
PIC18F4331	44ML	PCM18XL0	DVA18XP400		PMF18WF0*			AC164012 & AC164034	AC164301 & AC164034		√	SW006011	
PIC18F4410	40P	PCM18XN0*	DVA18XP400*				ACICE0206	AC164012*	AC164301*	√	√*	SW006011	
PIC18F4410	44PT	PCM18XN0*	DVA18PQ440*	XLT44PT			XLT44PT	AC164020*	AC164305*		√*	SW006011	
PIC18F4410	44ML	PCM18XN0*	DVA18XP400*					AC164012* & AC164034			√*	SW006011	
PIC18F4420	40P	PCM18XN0*	DVA18XP400*				ACICE0206	AC164012*	AC164301*	√	√*	SW006011	
PIC18F4420	44PT	PCM18XN0*	DVA18PQ440*	XLT44PT			XLT44PT	AC164020*	AC164305*		√*	SW006011	
PIC18F4420	44ML	PCM18XN0*	DVA18XP400*					AC164012* & AC164034			√*	SW006011	
PIC18F442	40P	PCM18XH0	DVA16XP401 or DVA18XP400		PMF18WC0	DAF18-2	ACICE0206	AC164012	AC164301	√	√	SW006011	DM163022
PIC18F442	44L	PCM18XH0	DVA16XL441		PMF18WC0	DAF18-3*	XLT44L2	AC164013	AC164309		√	SW006011	
PIC18F442	44PT	PCM18XH0	DVA16PQ441 or DVA18PQ440	XLT44PT	PMF18WC0	DAF18-3*	XLT44PT	AC164020	AC164305		√	SW006011	
PIC18F442	44ML												
PIC18F4431	40P	PCM18XL0	DVA18XP400		PMF18WF0*		ACICE0206	AC164012	AC164301	√	√	SW006011	DM183011
PIC18F4431	44PT	PCM18XL0	DVA18PQ440	XLT44PT	PMF18WF0*		XLT44PT	AC164020	AC164305		√	SW006011	
PIC18F4431	44ML	PCM18XL0	DVA18XP400		PMF18WF0*			AC164012 & AC164034	AC164301 & AC164034		√	SW006011	
PIC18F4439	40P							AC164012	AC164301*	√*	√	SW006011	
PIC18F4439	44ML							AC164012 & AC164034	AC164301* & AC164034	AC164034*	√	SW006011	
PIC18F4439	44PT							AC164020	AC164305*		√	SW006011	
PIC18F4455	40P	PCM18XR0*	DVA18XP400*		PMF18WL0*		ACICE0206	AC164012*	AC164301*	√*	√*	SW006011	
PIC18F4455	44ML	PCM18XR0*	DVA18XP400*		PMF18WL0*			AC164012* & AC164034			√*	SW006011	
PIC18F4455	44PT	PCM18XR0*	DVA18PQ440*	XLT44PT	PMF18WL0*		XLT44PT	AC164020*	AC164305*		√*	SW006011	
PIC18F448	40P	PCM18XD1	DVA16XP401					AC164012	AC164301	√	√	SW006011	DM163022
PIC18F448	44L	PCM18XD1	DVA16XL441					AC164013	AC164309		√	SW006011	
PIC18F448	44PT	PCM18XD1	DVA16PQ441	XLT44PT				AC164020	AC164305		√	SW006011	

† MPLAB® PM3 Programmierer separat erhältlich. ICSP™ Funktion ist mit MPLAB® PM3 Programmierer integriert. †† Kundenspezifischer Adapter erforderlich; nicht von Microchip erhältlich. Siehe „Lies mich" für PICSTART® Plus
*Neues Produkt oder zukünftige Unterstützung. √ Wird durch Grundkonfiguration unterstützt. Ist eine Teilenr. in der Spalte aufgeführt, ist dieses Teil erforderlich und separat erhältlich. ◊ Optional ICSP® In-Circuit Serial Programming™ Sockel für PRO MATE ® II separat erhältlich. (AC004004)

(Forts.)

Alle Preisangaben in Euro und inklusive Zollgebühren.

Entwicklungssystem-Matrix *(Forts.)*

Preisangaben nach diesen Matrix-Seiten.

Teilenr.	Pin-Zahl/ Paket Typ	MPLAB® ICE 2000 System			MPLAB® ICE 4000 System			PRO MATE® II (◊)	MPLAB® PM3* (†)	PICSTART® Plus	MPLAB® ICD 2	MPLAB® CXX Compiler	Demo-Karten Evaluierungskits
		Prozessor-Modul	Geräteadapter	Übergangssockel	Prozessor-Modul	Geräteadapter	Übergangssockel	Sockelmodul	Sockelmodul				
PIC18F4480	40P	PCM18XP0*	DVA18XP400*		PMF18WJ0*		ACICE0206	AC164012*	AC164301*	√*	√*	SW006011	
PIC18F4480	44PT	PCM18XP0*	DVA18PQ440*	XLT44PT	PMF18WJ0*		XLT44PT	AC164020*	AC164305*		√*	SW006011	
PIC18F4480	44ML	PCM18XP0*	DVA18XP400*		PMF18WJ0*			AC164012* & AC164034			√*	SW006011	
PIC18F4510	40P	PCM18XP0*	DVA18XP400*		PMF18WH0*		ACICE0206	AC164012*	AC164301*	√*	√*	SW006011	
PIC18F4510	44PT	PCM18XP0*	DVA18PQ440*	XLT44PT	PMF18WH0*		XLT44PT	AC164020*	AC164305*		√*	SW006011	
PIC18F4510	44ML	PCM18XP0*	DVA18XP400*		PMF18WH0*			AC164012* & AC164034	AC164301* & AC164034		√*	SW006011	
PIC18F4515	40P	PCM18XN0*	DVA18XP400		PMF18WH0*		ACICE0206	AC164012*	AC164301*	√*	√*	SW006011	
PIC18F4515	44PT	PCM18XN0*	DVA18PQ440	XLT44PT	PMF18WH0*		XLT44PT	AC164020*	AC164305*		√*	SW006011	
PIC18F4515	44ML	PCM18XN0*	DVA18XP400		PMF18WH0*			AC164012* & AC164034	AC164301* & AC164034		√*	SW006011	
PIC18F452	40P	PCM18XH0	DVA16XP401		PMF18WC0	DAF18-2	ACICE0206	AC164012	AC164301	√	√	SW006011	DM163022
PIC18F452	44L	PCM18XH0	DVA16XL441		PMF18WC0	DAF18-3*	XLT44L2	AC164013	AC164309		√	SW006011	
PIC18F452	44PT	PCM18XH0	DVA16PQ441	XLT44PT	PMF18WC0	DAF18-3*	XLT44PT	AC164020	AC164305		√	SW006011	
PIC18F4520	40P	PCM18XN0*	DVA18XP400		PMF18WH0*		ACICE0206	AC164012*	AC164301*	√*	√*	SW006011	
PIC18F4520	44PT	PCM18XN0*	DVA18PQ440	XLT44PT	PMF18WH0*		XLT44PT	AC164020*	AC164305*		√*	SW006011	
PIC18F4520	44ML	PCM18XN0*	DVA18XP400		PMF18WH0*			AC164012* & AC164034	AC164301* & AC164034		√*	SW006011	
PIC18F4525	40P	PCM18XN0*	DVA18XP400		PMF18WH0*		ACICE0206	AC164012*	AC164301*	√*	√*	SW006011	
PIC18F4525	44PT	PCM18XN0*	DVA18PQ440	XLT44PT	PMF18WH0*		XLT44PT	AC164020*	AC164305*		√*	SW006011	
PIC18F4525	44ML	PCM18XN0*	DVA18XP400		PMF18WH0*			AC164012* & AC164034	AC164301* & AC164034		√*	SW006011	
PIC18F4539	40P							AC164012	AC164301*	√	√	SW006011	
PIC18F4539	44PT							AC164020	AC164305*		√	SW006011	
PIC18F4539	44ML							AC164012 & AC164034	AC164301* & AC164034	AC164034	√	SW006011	
PIC18F4550	40P	PCM18XR0*	DVA18XP400		PMF18WL0*		ACICE0206	AC164012*	AC164301*	√*	√*	SW006011	
PIC18F4550	44ML	PCM18XR0*	DVA18XP400		PMF18WL0*			AC164012* & AC164034			√*	SW006011	
PIC18F4550	44PT	PCM18XR0*	DVA18PQ440	XLT44PT	PMF18WL0*		XLT44PT	AC164020*	AC164305*		√*	SW006011	DM163025
PIC18F458	40P	PCM18XD1	DVA16XP401					AC164012	AC164301	√	√	SW006011	DM163022, DM163011
PIC18F458	44L	PCM18XD1	DVA16XL441					AC164013	AC164309		√	SW006011	
PIC18F458	44PT	PCM18XD1	DVA16PQ441	XLT44PT				AC164020	AC164305		√	SW006011	
PIC18F4580	40P	PCM18XP0*	DVA18XP400*		PMF18WJ0*		ACICE0206	AC164012*	AC164301*	√*	√*	SW006011	
PIC18F4580	44PT	PCM18XP0*	DVA18PQ440*	XLT44PT	PMF18WJ0*		XLT44PT	AC164020*	AC164305*		√*	SW006011	
PIC18F4580	44ML	PCM18XP0*	DVA18XP400*		PMF18WJ0*			AC164012* & AC164034			√*	SW006011	
PIC18F4585	40P		DVA18XP400				ACICE0206	AC164012	AC164301*	√*	√*	SW006011	
PIC18F4585	44PT		DVA18PQ440	XLT44PT			XLT44PT	AC164020	AC164305*		√*	SW006011	
PIC18F4585	44ML		DVA18XP400	XLT44QFN			XLT44QFN	AC164012 & AC164034	AC164301* & AC164034		√*	SW006011	
PIC18F4610	40P	PCM18XP0*	DVA18XP400*		PMF18WJ0*		ACICE0206	AC164012*	AC164301*	√*	√*	SW006011	
PIC18F4610	44PT	PCM18XP0*	DVA18PQ440*	XLT44PT	PMF18WJ0*		XLT44PT	AC164020*	AC164305*		√*	SW006011	
PIC18F4610	44ML	PCM18XP0*	DVA18XP400*		PMF18WJ0*			AC164012* & AC164034	AC164301* & AC164034		√*	SW006011	
PIC18F4620	40P	PCM18XN0*	DVA18XP400		PMF18WH0*		ACICE0206	AC164012*	AC164301*	√*	√*	SW006011	DM163026, DM163027-2
PIC18F4620	44PT	PCM18XN0*	DVA18PQ440	XLT44PT	PMF18WH0*		XLT44PT	AC164020*	AC164305*		√*	SW006011	
PIC18F4620	44ML	PCM18XN0*	DVA18XP400		PMF18WH0*			AC164012* & AC164034	AC164301* & AC164034		√*	SW006011	
PIC18F4680	40P	PCM18XP0*	DVA18XP400		PMF18WJ0*		ACICE0206	AC164012*	AC164301*	√*	√*	SW006011	
PIC18F4680	44PT	PCM18XP0*	DVA18PQ440	XLT44PT	PMF18WJ0*		XLT44PT	AC164020*	AC164305*		√*	SW006011	
PIC18F4680	44ML	PCM18XP0*	DVA18XP400		PMF18WJ0*			AC164012* & AC164034	AC164301* & AC164034		√*	SW006011	
PIC18F6310	64PT	PCM18XQ0*		XLT64PT2	PMF18WK0*		XLT64PT2		AC164303*		√*	SW006011	
PIC18F6390	64PT	PCM18XQ0*		XLT64PT2	PMF18WK0*		XLT64PT2		AC164303*		√*	SW006011	
PIC18F6410	64PT	PCM18XQ0*		XLT64PT2	PMF18WK0*		XLT64PT2	AC174008*	AC164303*		√*	SW006011	
PIC18F6490	64PT	PCM18XQ0*		XLT64PT2	PMF18WK0*		XLT64PT2	AC174008*	AC164303*		√*	SW006011	
PIC18F6520	64PT	PCM18XE1	DVA18PQ640	XLT64PT2	PMF18WA1	DAF18-1	XLT64PT2	AC174008	AC164303	√(††)*	√	SW006011	DM183020
PIC18F6525	64PT	PCM18XK0	DVA18PQ802	XLT64PT2	PMF18WE0	DAF18-1	XLT64PT2	AC174008	AC164303	√(††)*	√	SW006011	
PIC18F6585	68L	PCM18XK0	DVA18PQ802	XLT68L1	PMF18WE0	DAF18-1	XLT68L1	AC174007	AC164308	√(††)*	√	SW006011	
PIC18F6585	64PT	PCM18XK0	DVA18PQ802	XLT64PT2	PMF18WE0	DAF18-1	XLT64PT2	AC174008	AC164303	√(††)*	√	SW006011	
PIC18F6620	64PT	PCM18XE1	DVA18PQ640	XLT64PT2	PMF18WA1	DAF18-1	XLT64PT2	AC174008	AC164303	√(††)*	√	SW006011	DM183020
PIC18F6621	64PT	PCM18XK0	DVA18PQ802	XLT64PT2	PMF18WE0	DAF18-1	XLT64PT2	AC174008	AC164303	√(††)*	√	SW006011	
PIC18F6680	68L	PCM18XK0	DVA18PQ802	XLT68L1	PMF18WE0	DAF18-1	XLT68L1	AC174007	AC164308	√(††)*	√	SW006011	
PIC18F6680	64PT	PCM18XK0	DVA18PQ802	XLT64PT2	PMF18WE0	DAF18-1	XLT64PT2	AC174008	AC164303	√(††)*	√	SW006011	
PIC18F6720	64PT	PCM18XE1	DVA18PQ640	XLT64PT2	PMF18WA1	DAF18-1	XLT64PT2	AC174008	AC164303	√(††)*	√	SW006011	DM183020
PIC18F6722	64PT			XLT64PT2			XLT64PT2	AC174008*	AC164303*	√(††)*	√*	SW006011	
PIC18F8310	80PT	PCM18XQ0*		XLT80PT	PMF18WK0*		XLT80PT		AC164304*		√*	SW006011	
PIC18F8390	80PT	PCM18XQ0*		XLT80PT	PMF18WK0*		XLT80PT		AC164304*		√*	SW006011	
PIC18F8410	80PT	PCM18XQ0*		XLT80PT	PMF18WK0*		XLT80PT	AC174011*	AC164304*		√*	SW006011	
PIC18F8490	80PT	PCM18XQ0*		XLT80PT	PMF18WK0*		XLT80PT	AC174011*	AC164304*		√*	SW006011	DM163028
PIC18F8520	80PT	PCM18XE1	DVA18PQ800	XLT80PT	PMF18WA1	DAF18-1	XLT80PT	AC174011	AC164304	√(††)*	√	SW006011	DM183020
PIC18F8525	80PT	PCM18XK0	DVA18PQ802	XLT80PT	PMF18WE0	DAF18-1	XLT80PT	AC174011	AC164304	√(††)*	√	SW006011	
PIC18F8585	80PT	PCM18XK0	DVA18PQ802	XLT80PT	PMF18WE0	DAF18-1	XLT80PT	AC174011	AC164304	√(††)*	√	SW006011	
PIC18F8620	80PT	PCM18XE1	DVA18PQ800	XLT80PT	PMF18WA1	DAF18-1	XLT80PT	AC174011	AC164304	√(††)*	√	SW006011	DM183020
PIC18F8621	80PT	PCM18XK0	DVA18PQ802	XLT80PT	PMF18WE0	DAF18-1	XLT80PT	AC174011	AC164304	√(††)*	√	SW006011	
PIC18F8627	80PT			XLT80PT			XLT80PT	AC174011*	AC164304*	√(††)*	√*	SW006011	
PIC18F8680	80PT	PCM18XK0	DVA18PQ802	XLT80PT	PMF18WE0	DAF18-1	XLT80PT	AC174011	AC164304	√(††)*	√	SW006011	
PIC18F8720	80PT	PCM18XE1	DVA18PQ800	XLT80PT	PMF18WA1	DAF18-1	XLT80PT	AC174011	AC164304	√(††)*	√	SW006011	DM183020
PIC18F8722	80PT			XLT80PT			XLT80PT	AC174011*	AC164304*	√(††)*	√*	SW006011	
rfPIC ® Mikrocontroller-Produkte													
rfPIC12C509AF	18SO	PCM16XA0	DVA12XP080	XLT18SO				AC124002	AC164302	√			
rfPIC12C509AF	20SS	PCM16XA0	DVA12XP080	XLT20SS				AC124002	AC164307				
rfPIC12C509AG	18SO	PCM16XA0	DVA12XP080	XLT18SO				AC124002	AC164302	√			
rfPIC12C509AG	20SS	PCM16XA0	DVA12XP080	XLT20SS				AC124002	AC164307				
rfPIC12F675F	20SS	PCM12XB0	DVA12XP081	XLT20SS				AC124002	AC164307	√*			DV164102, AC164101, AC164103
rfPIC12F675H	20SS	PCM12XB0	DVA12XP081	XLT20SS				AC124002	AC164307	√*			
rfPIC12F675K	20SS	PCM12XB0	DVA12XP081	XLT20SS				AC124002	AC164307	√*			DV164102, AC164102, AC164104
dsPIC ® Mikrocontroller-Produkte													
dsPIC30F2010	28SO				PMF30XA1	DAF30-4*	XLT28SO	AC30F004*	AC164302*		√	SW006012	DM300017
dsPIC30F2010	28SP				PMF30XA1	DAF30-4*	ACICE0204	AC30F004*	AC164301*		√	SW006012	DM300017

† MPLAB® PM3 Programmierer separat erhältlich. ICSP™ Funktion ist mit MPLAB® PM3 Programmierer integriert. †† Kundenspezifischer Adapter erforderlich; nicht von Microchip erhältlich. Siehe „Lies mich" für PICSTART® Plus *Neues Produkt oder zukünftige Unterstützung. √ Wird durch Grundkonfiguration unterstützt. Ist eine Teilenr. in der Spalte aufgeführt, ist dieses Teil erforderlich und separat erhältlich. ◊ Optional ICSP® In-Circuit Serial Programming™ Sockel für PRO MATE ® II separat erhältlich. (AC004004)

(Forts.)

Entwicklungssystem-Matrix *(Forts.)*

Preisangaben nach diesen Matrix-Seiten.

Teilenr.	Pin-Zahl/ Paket Typ	MPLAB® ICE 2000 System			MPLAB® ICE 4000 System			PRO MATE® II (◊)	MPLAB® PM3* (†)	PICSTART® Plus	MPLAB® ICD 2	MPLAB® CXX Compiler	Demo-Karten Evaluierungskits
		Prozessor-Modul	Geräteadapter	Übergangssockel	Prozessor-Modul	Geräteadapter	Übergangssockel	Sockelmodul	Sockelmodul				
dsPIC30F2011	28ML												
dsPIC30F2011	18SO				PMF30XA1	DAF30-4*	XLT18SO	AC30F005*	AC164302*		√*	SW006012	
dsPIC30F2011	18P				PMF30XA1	DAF30-4*	ACICE0202	AC30F005*	AC164301*		√*	SW006012	
dsPIC30F2012	44ML												
dsPIC30F2012	28SO				PMF30XA1	DAF30-4*	XLT28SO	AC30F004*	AC164302*		√*	SW006012	
dsPIC30F2012	28SP				PMF30XA1	DAF30-4*	ACICE0204	AC30F004*	AC164301*		√*	SW006012	
dsPIC30F3010	44ML												
dsPIC30F3010	28SO				PMF30XA1	DAF30-4*	XLT28SO	AC30F004*	AC164302*		√*	SW006012	
dsPIC30F3010	28SP				PMF30XA1	DAF30-4*	ACICE0204	AC30F004*	AC164301*		√*	SW006012	
dsPIC30F3011	40P				PMF30XA1	DAF30-4*	ACICE0206	AC30F003*	AC164301*		√*	SW006012	
dsPIC30F3011	44PT				PMF30XA1	DAF30-3*	XLT44PT	AC30F006*	AC164305*		√*	SW006012	
dsPIC30F3011	44ML				PMF30XA1	DAF30-4*					√*	SW006012	
dsPIC30F3012	44ML												
dsPIC30F3012	18SO				PMF30XA1	DAF30-4*	XLT18SO	AC30F005*	AC164302*		√*	SW006012	
dsPIC30F3012	18P				PMF30XA1	DAF30-4*	ACICE0202	AC30F005*	AC164301*		√*	SW006012	
dsPIC30F3013	28SO				PMF30XA1	DAF30-4*	XLT28SO	AC30F004*	AC164302*		√*	SW006012	
dsPIC30F3013	28SP				PMF30XA1	DAF30-4*	ACICE0204	AC30F004*	AC164301*		√*	SW006012	
dsPIC30F3013	44ML				PMF30XA1	DAF30-4*					√*	SW006012	
dsPIC30F3014	40P				PMF30XA1	DAF30-4*	ACICE0206	AC30F003*	AC164301*		√*	SW006012	
dsPIC30F3014	44PT				PMF30XA1	DAF30-3*	XLT44PT	AC30F006*	AC164305*		√*	SW006012	
dsPIC30F3014	44ML				PMF30XA1	DAF30-4*					√*	SW006012	
dsPIC30F4011	40P				PMF30XA1	DAF30-4*	ACICE0206	AC30F003*	AC164301*		√*	SW006012	
dsPIC30F4011	44PT				PMF30XA1	DAF30-3*	XLT44PT	AC30F006*	AC164305*		√*	SW006012	
dsPIC30F4011	44ML				PMF30XA1	DAF30-4*					√*	SW006012	
dsPIC30F4012	44ML												
dsPIC30F4012	28SO				PMF30XA1	DAF30-4*	XLT28SO	AC30F004*	AC164302*		√*	SW006012	
dsPIC30F4012	28SP				PMF30XA1	DAF30-4*	ACICE0204	AC30F004*	AC164301*		√*	SW006012	
dsPIC30F4013	40P				PMF30XA1	DAF30-4*	ACICE0206	AC30F003*	AC164301*		√*	SW006012	
dsPIC30F4013	44PT				PMF30XA1	DAF30-3*	XLT44PT	AC30F006*	AC164305*		√*	SW006012	
dsPIC30F4013	44ML				PMF30XA1	DAF30-4*					√*	SW006012	
dsPIC30F5011	64PT				PMF30XA1	DAF30-2	XLT64PT2	AC30F008	AC164303*		√	SW006012	DM300016
dsPIC30F5013	80PT				PMF30XA1*	DAF30-2	XLT80PT	AC30F007*	AC164304*		√	SW006012	DM300014* DM3000014-1* DM3000014-2*
dsPIC18F5015	64PT				PMF30XA1	DAF30-2	XLT64PT2	AC30F008*	AC164303*		√*	SW006012	
dsPIC30F5016	80PT												
dsPIC30F6010	80PF				PMF30XA1	DAF30-2	XLT80PT2		AC164314*		√	SW006012	DM300020
dsPIC30F6011	64PF				PMF30XA1	DAF30-2	XLT64PT2		AC164313*		√	SW006012	DM300016
dsPIC30F6012	64PF				PMF30XA1	DAF30-2			AC164313*		√	SW006012	DM300016
dsPIC30F6013	80PF				PMF30XA1	DAF30-2	XLT80PT2		AC164314*		√	SW006012	DM300014
dsPIC30F6014	80PF				PMF30XA1	DAF30-2	XLT80PT2		AC164314*		√	SW006012	DM300014 DM300004-1* DM300004-2*
dsPIC30F6015	64PT												

† MPLAB® PM3 Programmierer separat erhältlich. ICSP™ Funktion ist mit MPLAB® PM3 Programmierer integriert. †† Kundenspezifischer Adapter erforderlich; nicht von Microchip erhältlich. Siehe „Lies mich" für PICSTART® Plus * Neues Produkt oder zukünftige Unterstützung. √ Wird durch Grundkonfiguration unterstützt. Ist eine Teilenr. in der Spalte aufgeführt, ist dieses Teil erforderlich und separat erhältlich. ◊ Optional ICSP® In-Circuit Serial Programming™ Sockel für PRO MATE ® II separat erhältlich. (AC004004)

Entwicklungssystem-Preise

Demo-Kits

Beschreibung	Digi-Key Teilenr.	Stückpreis
PICDEM™ 1	DM163001-ND	50.79
PICDEM™ 3	DM163003-ND	59.25
PICDEM.net™ TCP/IP Demo-Karte	DM163004-LT-ND	194.71
PICDEM™ LIN	DM163005-ND	376.74
PICDEM™ CAN-LIN 1	DM163007-ND	169.31
PICDEM™ USB	DM163010-ND	105.83
PICDEM™ CAN-LIN 2	DM163011-ND	169.31
PICDEM™ MSC1	DM163012-ND	84.65
PICDEM™ 4	DM163014-ND	110.05
PICDEM™ CAN-LIN 3	DM163015-ND	169.31
PICDEM™ 2 Plus	DM163022-ND	84.65
PICDEM™ FS USB-Demokarte	DM163025-ND	50.79
NL-Player-Demokarte	DM163026-ND	110.05
PICDEM™ LCD-Demokarte	DM163028-ND	105.83
PICDEM™ 17	DM173001-ND	84.65
PICDEM™ MC	DM183011-ND	253.97
PIC18FXX22 64/80 - PIN TQFP-Demokarte	DM183022-ND	50.79
dsPICDEM.net™ 1	DM300004-1-ND	330.17
dsPICDEM.net™ 2	DM300004-2-ND	330.17
dsPICDEM™ 1.1	DM300014-ND	253.97
dsPICDEM™ Starter	DM300016-ND	67.72
dsPICDEM™ 28P Starter	DM300017-ND	67.72
dsPICDEM™ MC1	DM300020-ND	253.98
dsPICDEM™ MC1H-Modul	DM300021-ND	677.28
dsPICDEM™ MC1L-Modul	DM300022-ND	592.62
KeeLoq Evaluierungskit II	DM303006-ND	211.64
PICkit™ 1	DV164101-ND	30.48
rfPIC™ Kit 1	DV164102-ND	114.29
dsPIC30F 80L QFP Plug In	MA300011-ND	21.17
dsPIC30F 64L QFP Plug In	MA300012-ND	21.17
dsPIC30F 80L QFP Plug In	MA300013-ND	21.17
PICDEM™ 2,4 GHz	DM163027-2-ND	169.31

Software

Beschreibung	Digi-Key Teilenr.	Stückpreis
C18 C-Compiler	SW006011-ND	419.07
C30 C-Compiler	SW006012-ND	757.71
Visual FilterLab®	SW300001-ND	211.64
Soft Modem Lib 5K Units	SW300003-ND	2116.50

Software *(Forts.)*

Beschreibung	Digi-Key Teilenr.	Stückpreis
Digital Filter Design Lite	SW300001-LT-ND	25.39
Soft Modem Lib „EVAL"	SW300003-EVAL-ND	4.23
Spracherk. Lib „EVAL"	SW300010-EVAL-ND	4.23
Rauschunterdrückung Lib „EVAL"	SW300040-EVAL-ND	4.23
Symmetrische Verschlüsselung Lib „EVAL"	SW300050-EVAL-ND	4.23
Asymmetrische Verschlüsselung Lib „EVAL"	SW300055-EVAL-ND	4.23
Acoustic Echo Cancellation Lib „EVAL"	SW300060-EVAL-ND	4.23

Programmerier, In-Circuit-Debugger und In-Circuit-Emulatoren

Beschreibung	Digi-Key Teilenr.	Stückpreis
ICD2 u. USB-Kabel	DV164005-ND	135.45
ICD2 DV164007 mit PICDEM™ 2 PLUS	DV164006-ND	194.71
ICD2 DV164005 mit Netzteil	DV164007-ND	160.85
ICD2 mit dsPICDEM™ Starter	DV164030-ND	177.78
ICD2 mit dsPICDEM™ 1.1	DV164032-ND	338.63
PICSTART® Plus	DV003001-ND	169.31
PM3	DV007004-ND	757.71
Baseline Flash MCU-Programmierer	PG164101-ND	21.17
ICE 2000 Prüfspitze	ICE2000-ND	846.60
ICE 4000 Prüfspitze	ICE4000-ND	2167.30
Zubehör		
PIC10F Hobby-Kit	AC163021-ND	10.16
SOT23-6 Adapter	AC163020-ND	30.48
PICDEM™ Z Mutterplatine	AC163027-1-ND	76.19
PICDEM™ Karte RF 2,4 GHz	AC163027-2-ND	33.86
ICSP-Kabel für MPLAB PM3	AC002021-ND	17.78
Akustikzubehörkit	AC300030-ND	74.49
Spracherk. Zubehörkit	AC300031-ND	33.86
Netzteil	AC162039-ND	20.32
Stromversorgung mit Kabel	AC162048-ND	25.39
MPLAB® ICD2 Zubehör		
Universal-Programmiermodul	AC162049-ND	33.86
ICD2 Steckleiste für PIC12F629/675	AC162050-ND	21.17
28/40-Pin MPLAB® ICD2 Steckleiste	AC162051-ND	16.92
ICD2 Steckleiste für PIC12F629/676	AC162052-ND	21.17
ICD2 Steckleiste für PIC16F627A/628A/648A	AC162053-ND	29.63

Programmerier, In-Circuit-Debugger und In-Circuit-Emulatoren *(Forts.)*

Beschreibung	Digi-Key Teilenr.	Stückpreis
ICD2 Steckleiste für PIC16F716	AC162054-ND	29.63
ICD2 Steckleiste für PIC16F684	AC162055-ND	21.17
ICD2 Steckleiste für PIC16F688	AC162056-ND	21.17
ICD2-Steckleiste für PIC12F635, PIC16F636	AC162057-ND	21.17
ICD2 Steckleiste für PIC12F683	AC162058-ND	21.17
MPLAB® ICE 2000 Zubehör		
ICE 2000 Stromversorgung	ACICE0103-ND	42.33
ICE 2000 Logiksonden	ACICE0104-ND	50.80
ICE 2000 Parallelkabel	ACICE0105-ND	33.86
ICE 2000 Stativ	ACICE0106-ND	25.40
ICE 2000 Flexkabel	ACICE0107-ND	46.56
MPLAB® ICE 4000 Zubehör		
Adapterstecker, 18P, 300 mil.	ACICE0202-ND	16.93
Adapterstecker, 20P, 300 mil.	ACICE0203-ND	16.93
Adapterstecker, 28P, 300 mil.	ACICE0204-ND	25.40
Adapterstecker, 28P, 600 mil.	ACICE0205-ND	25.40
Adapterstecker, 40P, 600 mil.	ACICE0206-ND	33.86
ICE 4000 Netzteil	ACICE0401-ND	42.33
ICE 4000 Logiksonden	ACICE0402-ND	50.80
ICE 4000 Parallelkabel	ACICE0403-ND	33.86
ICE 4000 Stativ	ACICE0407-ND	46.56
Übergangssteckleisten		
8P SOIC Steckleiste	ACICE0301-ND	16.93
14P SOIC Steckleiste	ACICE0302-ND	33.86
18P SOIC Steckleiste	ACICE0303-ND	33.86
20P SSOP Steckleiste	ACICE0304-ND	46.56
20P SOIC Steckleiste	ACICE0305-ND	46.56
28P SOIC Steckleiste	ACICE0306-ND	46.56
28P SSOP Steckleiste	ACICE0307-ND	46.56
PICSTART® Zubehör		
64-PLCC Adapter	AC164024-ND	110.05
84-PLCC Adapter	AC164027-ND	135.45
28-QFN Adapter	AC164031-ND	135.45
8-DFN Adapter	AC164032-ND	135.45
28-QFN Adapter	AC164033-ND	135.45
44-QFN Adapter	AC164034-ND	135.45
PICSTART® Firmware-Modul	UK003010-ND	25.39
PICkit™ Zubehör		
PICkit 1 Firmware-Upgradekit	UK164101-ND	4.23
PICtail™ Tochterplatine	AC164120-ND	21.17
rfPIC™ TX Modul (433,92 MHz)	AC164101-ND	25.40
rfPIC™ TX Modul (315 MHz)	AC164102-ND	25.40
rfRXD RCVR Modul (433,92 MHz)	AC164103-ND	21.17
rfRXD RCVR Modul (315 MHz)	AC164104-ND	21.17

(Forts.)

Alle Preisangaben in Euro und inklusive Zollgebühren.

Entwicklungssystem-Preise *(Forts.)*

Prozessormodule

Digi-Key Teilenr.	Stückpreis
PCM12XA0-ND	376.74
PCM12XB0-ND	376.74
PCM12XC0-ND	376.74
PCM16XA0-ND	376.74
PCM16XB1-ND	376.74
PCM16XC0-ND	376.74
PCM16XD0-ND	376.74
PCM16XE1-ND	376.74
PCM16XF0-ND	376.74
PCM16XG0-ND	376.74
PCM16XH1-ND	376.74
PCM16XJ0-ND	376.74
PCM16XK1-ND	376.74
PCM16XL0-ND	376.74
PCM16XN0-ND	376.74
PCM16XN1-ND	376.74
PCM16XP0-ND	376.74
PCM16XQ1-ND	376.74
PCM16XR0-ND	376.74
PCM16XR1-ND	376.74
PCM16XS2-ND	376.74
PCM16XT0-ND	376.74
PCM16XV0-ND	376.74
PCM16XW0-ND	376.74
PCM16YB0-ND	376.74
PCM16YC0-ND	376.74
PCM16YD0-ND	376.74
PCM16YE0-ND	376.74
PCM16YF0-ND	376.74
PCM16YG0-ND	376.74
PCM16YH0-ND	376.74
PCM16YJ0-ND	376.74
PCM16YK0-ND	376.74
PCM16YL0-ND	376.74
PCM16YM0-ND	376.74
PCM17XA0-ND	376.74
PCM18XA0-ND	376.74
PCM18XB0-ND	376.74
PCM18XD1-ND	376.74
PCM18XE1-ND	376.74
PCM18XH2-ND	376.74
PCM18XJ0-ND	376.74
PCM18XK0-ND	376.74
PCM18XL0-ND	376.74
PCM18XN0-ND	376.74
PCM18XP0-ND	376.74
PCM18XQ0-ND	376.74
PCM18XR0-ND	376.74
PMF18WA2-ND	503.73
PMF18WC0-ND	503.73
PMF18WC1-ND	503.73
PMF18WD0-ND	503.73
PMF18WE0-ND	503.73
PMF18WF0-ND	503.73
PMF18WH0-ND	503.73
PMF18WJ0-ND	503.73
PMF18WK0-ND	503.73
PMF18WL0-ND	503.73
PMF30XA1-ND	503.73

Geräteadapter

Digi-Key Teilenr.	Stückpreis
DAF18-1-ND	190.49
DAF18-2-ND	190.49
DAF18-3-ND	190.49
DAF30-2-ND	249.75
DAF30-3-ND	190.49
DAF30-4-ND	190.49
DVA12XP080-ND	105.83
DVA12XP081-ND	105.83
DVA16PQ441-ND	190.49
DVA16PQ640-ND	190.49
DVA16XL441-ND	139.69
DVA16XL680-ND	190.49
DVA16XP140-ND	105.83
DVA16XP141-ND	105.83
DVA16XP180-ND	105.83
DVA16XP182-ND	139.69
DVA16XP183-ND	139.69
DVA16XP185-ND	139.69
DVA16XP186-ND	139.69
DVA16XP187-ND	139.69
DVA16XP200-ND	139.69
DVA16XP201-ND	139.69
DVA16XP202-ND	139.69
DVA16XP280-ND	105.83
DVA16XP282-ND	139.69
DVA16XP401-ND	139.69
DVA16XP640-ND	190.49
DVA17PQ441-ND	190.49
DVA17PQ641-ND	190.49
DVA17PQ801-ND	190.49
DVA17XL441-ND	139.69
DVA17XL681-ND	190.49
DVA17XL841-ND	139.69
DVA17XP401-ND	105.83
DVA18PQ440-ND	190.49
DVA18PQ640-ND	190.49
DVA18PQ800-ND	190.49
DVA18PQ802-ND	190.49
DVA18XL680-ND	190.49
DVA18XL840-ND	190.49
DVA18XP180-ND	139.69
DVA18XP280-ND	139.69
DVA18XP400-ND	139.69

Übergangssockel

Digi-Key Teilenr.	Stückpreis
XLT06SOT-ND	15.24
XLT08DFN-ND	63.50
XLT08SO-ND	29.63
XLT14SO-ND	29.63
XLT14SS-ND	63.50
XLT18SO-ND	63.50
XLT20SO1-ND	63.50
XLT20SS-ND	63.50
XLT20SS1-ND	63.50
XLT28SO-ND	63.50
XLT28SS-ND	63.50
XLT28SS2-ND	63.50
XLT28XP-ND	63.50
XLT44L2-ND	148.16
XLT44PT-ND	105.83
XLT44PT3-ND	190.49
XLT64PT1-ND	105.83
XLT64PT2-ND	105.83
XLT64PT4-ND	190.49
XLT64PT5-ND	190.49
XLT68L1-ND	148.16
XLT80PT-ND	105.83
XLT80PT3-ND	211.65
XLT84L1-ND	148.16

Sockelmodul

Digi-Key Teilenr.	Stückpreis
AC002012-ND	27.94
AC004004-ND	296.30
AC124001-ND	110.05
AC124002-ND	135.45
AC164001-ND	135.45
AC164002-ND	135.45
AC164010-ND	160.85
AC164012-ND	135.45
AC164013-ND	135.45
AC164014-ND	135.45
AC164015-ND	177.78
AC164017-ND	135.45
AC164018-ND	135.45
AC164020-ND	135.45
AC164021-ND	160.85
AC164022-ND	135.45

Sockelmodul *(Forts.)*

Digi-Key Teilenr.	Stückpreis
AC164023-ND	135.45
AC164025-ND	135.45
AC164026-ND	135.45
AC164027-ND	135.45
AC164028-ND	135.45
AC164029-ND	135.45
AC164030-ND	135.45
AC164035-ND	135.45
AC164036-ND	135.45
AC164037-ND	135.45
AC164301-ND	160.85
AC164302-ND	160.85
AC164303-ND	160.85
AC164304-ND	160.85
AC164305-ND	160.85
AC164306-ND	160.85
AC164307-ND	160.85
AC164308-ND	160.85
AC164309-ND	160.85
AC164310-ND	160.85
AC164311-ND	160.85
AC164312-ND	160.85
AC164313-ND	160.85
AC164314-ND	160.85
AC164315-ND	160.85
AC164316-ND	160.85
AC164317-ND	160.85
AC164318-ND	160.85
AC164319-ND	160.85
AC164320-ND	160.85
AC164321-ND	160.85
AC164350-ND	110.05
AC174001-ND	135.45
AC174002-ND	135.45
AC174005-ND	135.45
AC174007-ND	135.45
AC174008-ND	135.45
AC174009-ND	135.45
AC174011-ND	135.45
AC174012-ND	135.45
AC254001-ND	135.45
AC30F003-ND	135.45
AC30F004-ND	160.85
AC30F005-ND	160.85
AC30F006-ND	135.45
AC30F007-ND	135.45
AC30F008-ND	135.45

B

C-Compiler und Debugger

C-Compiler für PICmicro® MCUs

C-Compiler für 12-Bit , 14-Bit und PIC18 PICmicro-MCUs. Mit dieser integrierten C-Entwicklungsumgebung können Entwickler schnell äußerst effizienten Code von einer leicht zu erhaltenden Sprache von hohem Niveau erstellen. Mit allen Funktionen ausgerüstete Windows IDE mit integrierten Funktionen und Beispielsprogrammen und mit voller Standard-C-Kompatibilität ermöglicht die Entwicklung von eingebetteten Lösungen für die gesamte PICmicro® MCU-Gruppe.

ICD-S40

Diese ICD-Einheit kommuniziert mit dem PC und der Debugging-Software über eine RS232-Verbindung und betreibt eine 40 MHz Taktfrequenz, was das Debugging beschleunigt (serielles RS232-Kabel inbegriffen). Der ICD-S40 wird von der Zielkarte betrieben. Die Zielkarte muss dem ICD 5 V liefern.

ICD-U40

Diese ICD-Einheit wird über USB mit dem PC und der Debugging-Software verbunden. Sie wird mit einer Taktfrequenz von 40 MHz betrieben und bietet kurze Debugging-Zeiten (USB-Kabel inbegriffen). Die ICD-U40 wird vom USB-Bus betrieben und kann optional Zielkarten betreiben (nur mit 5 V).

429-1000-ND C-Compiler (PCWH) **359.81**
429-1001-ND C-Compiler für 12-Bit PICs **105.83**
429-1002-ND C-Compiler für 14-Bit PICs **105.83**
429-1003-ND C-Compiler für PIC18 ..... **148.16**
429-1004-ND C-Compiler für 12-14-Bit PICs **296.31**
429-1005-ND In-Circuit Debugger, ICD-S40 (seriell) **63.50**
429-1006-ND In-Circuit Debugger, ICD-U40 (USB) **63.50**

Funktionsvergleich	PCB	PCM	PCH	PCW	PCWH
Befehlszeilen-Compiler	√	√	√	√	√
Integrierte Funktionen	√	√	√	√	√
Beispielprogramme	√	√	√	√	√
Bausteintreiber	√	√	√	√	√
MPLAB-Schnittstelle	√	√	√	√	√
Windows IDE				√	√
C Aware Editor				√	√
New Project Wizard				√	√
Debugger				√	√
Baustein-Selector/Editor				√	√
Anrufdiagramm und Speicher-Map	√	√	√	√	√
Statistik				√	√
Besondere Ansichten				√	√
Dienstprogramm für seriellen Port				√	√
12-Bit Support	√			√	√
14-Bit Support		√		√	√
PIC18 Support			√		√

microEngineering Labs, Inc. PicBasic Pro Compiler

PicBasic Pro wandelt BASIC-Programme in Dateien um, die direkt in eine PICmicro® MCU programmiert werden können. Volle Unterstützung für 14-Bit und 16-Bit MCUs. Begrenzte Unterstützung für 12-Bit MCUs. Der PicBasic Pro Compiler bietet: BASIC-Befehle, direkten und Bibliotheksroutinen-Zugriff auf Pins mit PORTA, C, D, E sowie PORTB, Arrays, real IF..THEN..ELSE und Unterbrechungsverarbeitung in BASIC.

Enthält: Code Designer Lite, eine in Windows integrierte Entwicklungsumgebung (IDE), die mit unserem PicBasic Pro Compiler kompatibel ist. Wird mit Software, Handbuch mit Befehlssatz und Erklärungen und Anleitungen geliefert. Funktioniert auf jeder Version von DOS oder Windows mit CodeDesigner Lite. Kompatibel mit Windows 95, 98, 2000, XP und ME.

Die unabhängige Hardware-Plattform LAB-X1A ähnelt den Microchip PICDEM™-Produkten. Sie kann Programme in allen Sprachen, einschließlich C, Assembly und PicBasic verarbeiten. Enthält 40-Pin Zif-Sockel, LCD-Display, Speicher, RS232-Port, Potentiometer für ADU und viele Extras.

444-1000-ND PicBasic Pro Compiler **211.61**
444-1001-ND LAB-X1 Experimenter-Karte **169.28**

QuickWriter™ - Programmer

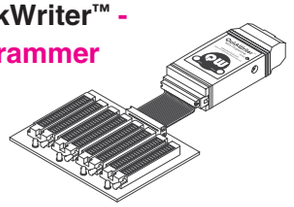

***Mit 4-Gang-Adapter abgebildet (nicht im Lieferumfang enthalten). Programmieradapter müssen separat erworben werden.**

QuickWriter™ wird mit einem Netzteil, einem seriellen Kabel und In-Circuit-Programmierkabel geliefert. Der Adapter ist erforderlich, wenn kein ICSP-Kabel verwendet wird.

Ein Programmierer für alle Ihre PIC® MCU-Entwicklungsanforderungen: • Serielle Schaltkreis-Programmierung • Serielle 4-Gang-Bausteinprogrammierung • Einzelbausteinprogrammierung (seriell und parallel)

QuickWriter™ ist ein preisgünstiger Programmierer mit den folgenden erweiterten Funktionen: • Treiber und Netzteil in Übergröße zur korrekten Unterstützung der Programmierung mehrerer Bausteine und In-Circuit-Programmierung • Misst Programmierspannungen und Strom zur Verifizierung von Zielanschlüssen oder der korrekten Bausteinmontage • Flash-Firmware-Updates • Datentabellengesteuert • Neue Bausteine werden mit kostenlosen Datentabellen-Downloads von der TechTools-Website unterstützt (www.tech-tools.com) • Programmiert ALLE 12-Bit, 14-Bit und 18-Bit Microchip-PIC-Prozessoren. Dazu zählen alle 12C-, 14000-, 16C-, 16F-, 18C- und 18F-Gruppen. • Enthält TechTools Development Environment (TDE™), eine von Windows gehostete IDE mit umfangreicher Funktionalität. TDE™ unterstützt die Entwicklung mit allen gängigen PIC®MCU-Compilern und Assemblern. TDE™ enthält einen Mehrdateieneditor, eine integrierte MAKE-Funktion und Cross Referencing von Compilerfehlern mit einem Mausklick. TDE™ lässt sich auch an TechTools ClearView™ Mathias (nicht im Lieferumfang enthalten) anschließen und bietet umfassende Funktionalität, In-Circuit-Emulation in Echtzeit und Source-Level-Debugging. • Umfasst TechTools PIC® MCU-Assembler, CVASM16™. CVASM16™ unterstützt ALLE 12-Bit und 14-Bit PIC® MCU-Prozessoren. CVASM16™ assembliert Parallax-Quelldateien (SPASM-Format) und akzeptiert Microchip-Mnemonik. • Kompatibel mit vorhandenen TechTools- und Parallax-Programmieradaptern • Akzeptiert HEX-Dateien, die von allen gängigen PIC®MCU-Compilern und Assemblern erzeugt wurden • Unterstützt automatisch hochzählende Serialisierung • Läuft unter Win95 bis XP sowie NT bis XP Pro • Enthält serielles Kabel, In-Circuit-Programmierkabel und Netzteil

Beschreibung	Digi-Key Teilenr.	Stückpreis	TechTools Teilenr.
Programmiergerät			
PICmicro® MCU	QW1-ND	168.47	QW1
Adapter			
40-Pin ZIFX	MP-ZIF40-ND*	41.48	MP-ZIF40
18/28-Pin ZIF	MP-ZIF18/28-ND	58.42	MP-ZIF18/28
14-Pin ZIF	MP-ZIF14-ND	49.95	MP-ZIF14
44-Pin PLCC	MP-PLCC44-ND	109.21	MP-PLCC44
28-Pin SOIC	MP-SOIC28-ND	109.21	MP-SOIC28
18-Pin SOIC	MP-SOIC18-ND	66.88	MP-SOIC18
8/14-Pin SOIC	MP-SOIC8/14-ND	75.35	MP-SOIC814
PIC14000	MP-14000-ND	49.95	MP-14000
28-Pin SSOP	MP-SSOP28-ND	83.81	MP-SSOP28
18-Pin SSOPX	MP-SSOP18-ND	66.88	MP-SSOP18
4-Gang-Adapter für QuickWriter			
40-Pin ZIF	QW-4ZIF40/28-ND*	168.47	QW-4ZIF40/28
44-Pin PLCC	QW-4PLCC44-ND	168.47	QW-4PLCC44
28-SOIC	QW-4SOIC28-ND	210.80	QW-4SOIC28
18-Pin ZIF	QW-4ZIF18-ND	168.47	QW-4ZIF18
18-Pin SOIC	QW-4SOIC18-ND	210.80	QW-4SOIC18
Schmaler 8/14-Pin SOIC	QW-4SO8/14N-ND	210.80	QW-4SO8/14N
Breiter 8/14-Pin SOIC	QW-4SO8/14W-ND	210.80	QW-4SO8/14W

***** Zur Verwendung mit 28- und 40-Pin 14-Bit Dip-Teilen.

PIC Emulatoren ClearView™ Mathias

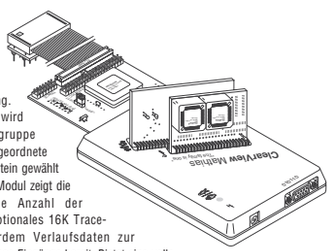

CVM1 unterstützt Emulation für 16C5X- und 16CXX-Bausteine unter Verwendung von Microsoft Windows™ für eine komplette, integrierte Designumgebung. Für übergeordnete Module wird die 5X- oder XX-Bausteingruppe gewählt, während für untergeordnete Module ein spezifischer Baustein gewählt wird. Ein optionales Timing-Modul zeigt die Ausführungszeit und die Anzahl der Prozessorzyklen an. Ein optionales 16K Trace-Puffermodul stellt außerdem Verlaufsdaten zur Ausführung und 8 externe Trace-Eingänge bereit. Bietet eine volle Emulation des Programm- und Registerspeichers und E/A-Aktivität mit unbegrenzten Hardware-Breakpoints. Integrierter PLL-Oszillator erzeugt beliebige Frequenzen von 32 KHz bis 33 MHz.

Systemvoraussetzungen: IBM PC oder kompatibel, VGA-Monitor, serieller Port, 3,5 Zoll Diskettenlaufwerk und Windows™ 3.1, Win95 Win98 oder NT

Beschreibung	Digi-Key Teilenr.	Stückpreis	TechTools Teilenr.
Emulator			
ClearView Mathias 16C5x/16CXX	CVM1-ND	419.07	CVM1
Übergeordnetes Modul			
Erweitertes übergeordnetes 14-Bit Modul mit Daten-Breakpoints	CVM04F-ND	169.32	CVM04F
Modul, PIC16C5X-Gruppe	CVM5XF-ND	126.99	CVM5XF
Untergeordnetes Modul			
PIC16C55X/62X/CE62X	CVM001M-ND	169.32	CVM001M
PIC12C508/509	CVM50XM-ND	63.50	CVM50XM
PIC16C50X/CE51X/16C505	CVM5XXM-ND	84.66	CVM5XXM
PIC12C671/672	CVM67XM-ND†	84.66	CVM67XM
PIC16C5X	CVM5XM-ND	42.33	CVM5XM
PIC16C554/556/558	CVM55XM-ND	84.66	CVM55XM
PIC16C61	CVM61M-ND	84.66	CVM61M
PIC16C62X	CVM62XM-ND	84.66	CVM62XM
PIC16C62X/61/71/84	CVM6/8M-ND	169.32	CVM6/8M
PIC16C641/642/661/662	CVM66XM-ND	169.32	CVM66XM
PIC16C715	CVM715M-ND	84.66	CVM715M
PIC16C70,71,710,711	CVM711M-ND	84.66	CVM711M
PIC16C62-65/72-74	CVM7XM-ND	169.32	CVM7XM
PIC16C66/67/76/77	CVM77M-ND	169.32	CVM77M
PIC16C773,774	CVM77XM-ND	169.32	CVM77XM
PIC16F627/628	CVMF628M-ND	169.32	CVMF628M
PIC16F83,F84,C83,C84	CVMF84M-ND	84.66	CVMF84M
PIC16F873,874,876,877	CVM87XM-ND	169.32	CVM87XM
PIC16F73/F74/F76/F77	CVMF77M-ND	169.32	CVMF77M
PIC16F870/F871	CVM871M-ND	169.32	CVM871M
Trace-Puffer und Timing-Modul			
Mathias Timing-Modul	CVMT1-ND	110.06	CVMT1
Mathias Trace-Puffer und Zeitregelungsmodul	CVMT2-ND	228.58	CVMT2
Kit-Modul			
Feld-Upgradekit der Firmware/Logik	CVM1-FWL-ND*	46.56	CVM1-FWL
Adapter			
PIC16C712C716	ADP716-ND§	29.63	ADP716

† Erfordert das übergeordnete CVM03F-Modul **§** Erfordert das untergeordnete CVM77M-Modul

***** Zur Verwendung mit TDE 4.0-Softwarefunktionen: Stack-Betrachtung, Variable Trace-Größe, schnellere Step-out-Funktion und schnellere Registerfenster-Updates. Enthält Firmware V2.2 und UC13 Ver C.

DigiView™ Logic Analyzer

DigiView™ ist ein 18-Kanal, 100 MHz Logic Analyzer von höchster Qualität und hoher Tragbarkeit zu einem günstigen Preis. Er verwendet einen Deep-Capture-Puffer und Echtzeit-Hardware-Kompression, um Langzeiterfassungen ohne eine Verringerung der Auflösung zu erzielen. Je nach Datenaufkommen kann der DigiView bis zu 5 Min. Daten mit 10 ns Auflösung erfassen. **Merkmale:** • 18 Kanäle • USB-Schnittstelle und Stromqueelle zwecks Mobilität • Echtzeit-Hardware-Komprimierung • Erübrigt das Abwägen zwischen Auflösung und Tiefe • Kompressionsverhältnis bis zu 256.000:1, je nach Aktivität • Trigger bei Anstieg, Abfall oder Übergang eines Kanals • Multi-Kanal „zu hoch", „zu niedrig" und „unwichtig" Trigger-Unterscheider • Prätrigger- und Posttrigger-Datenerfassung

DV1-100-ND DV1-100 ..... **422.45**

ER3 EconoROM III wirtschaftlicher EPROM-Emulator

EconoROM III wurde für schnelle In-Circuit-Firmware-Testzyklen entwickelt. Erübrigt den „brennen/einfügen/testen/herausnehmen/löschen"-Zyklus. Der ER3 beschleunigt Ihre Firmware-Entwicklung, indem EEPROMs beim Testen einer Code-Änderung nicht jedes Mal herausgenommen, gelöscht, programmiert und wieder eingebaut werden müssen. Diese Bausteine lassen sich in den EPROM-Sockel auf Ihrer Zielkarte einstecken und emulieren den EPROM während des gesamten Entwicklungsprozesses. **Merkmale:** • Integrierter Niederspannungs-Support • Zielspannungsabtastung und Messung • Externe Stromversorgungsoption • Brückenlose Adresskonfiguration • Bis zu 8 Mbit Emulation in einem einzigen Baustein • Schnelle Downloads (bis zu 2,5 Mbit pro Sekunde) • Ersetzt den Standard EPROM-Baustein während der Entwicklung • Lässt sich an jeden Parallelport anschließen • Autom./Manuelles Target-Reset beim Download • Read-Back, Verifizieren und Eigentestfunktionen • Daisy-Chain-Kabel inbegriffen • LPT-Kabel (8-adriges modulares Kabel und DB25-Adapter) inbegriffen • Target-Kabel (standardmäßiges IDC-zu-DIP-Bandkabel) inbegriffen • Enthält 2 Softwareversionen: DOS-Version mit 16 Bit u. Win9X/NT/2000-Version mit 32 Bit • QuickLoader mit Fullscreen-Editor inbegriffen • Stapelbarer Loader u. Dienstprogramme inbegriffen • Akzeptiert Intel HEX, Tektronix HEX, Motorola S-Records und Binärdateien • Kostenlose Software-Updates über WEB-Downloads

Kapazität	Kabel im Lieferumfang enthalten	Geschwindigkeit	Digi-Key Teilenr.	Stückpreis
256Kbit/ 32K x 8	28-Pin Dip	45ns	ER3-256-ND	151.54
512Kbit/ 64K x 8	28-Pin Dip	45ns	ER3-512-ND	202.34
1Mbit/ 128K x 8	28 & 32-Pin Dip	45ns	ER3-1M-ND	253.13
4Mbit/ 512K x 8	28 & 32-Pin Dip	45ns	ER3-4M-ND	337.79
8Mbit/ 1M x 8	28 & 32-Pin Dip	45ns	ER3-8M-ND	422.45

FR3 FlexROM III FLASH-, EPROM- und SRAM-Emulator

FlexROM III-Emulatoren stellen Ingenieuren ein schnelles flexibles Entwicklungstool für jedes Embedded-Projekt zur Verfügung, das einen externen FLASH-, EPROM- oder SRAM-Baustein verwendet. Der FR3 steigert die Produktivität, indem der Zyklus „Brennen/Einführen/Testen/Löschen" beseitigt wird und Firmwarecode oder Daten bei einer schnellen Geschwindigkeit von 2,5 Mbit pro Sekunde in den Emulator heruntergeladen werden. **Merkmale:** • Active Cable Modules (ACM™) enthalten Zielschnittstellen- und Steuerlogik • Bietet Anpassungsfähigkeit an neue Target-Technologien • Hardware-Instrumentierung: Zielspannungsmessung, Adress-Snapshot-Schaltung, Adress-Match u. Auslöseschaltung • Rückflussspannungsschutz • Einstellbare Timing-Parameter • Read-Back, Verifizieren und Eigentestfunktionen • Lässt sich an jeden Parallelport anschließen • Alle Größen und Geschwindigkeiten können per Daisy-Chain miteinander verknüpft werden • Daisy-Chain-Kabel inbegriffen • Miniclip-Kabel für Reset-Verbindung inbegriffen • LPT-Kabel inbegriffen • Target-Kabel inbegriffen • Enthält 2 Softwareversionen: DOS-Version mit 16 Bit u. Win9X/NT/2000-Version mit 32 Bit • QuickLoader mit Fullscreen-Editor inbegriffen • Stapelbarer Loader u. Dienstprogramme inbegriffen • Akzeptiert Intel HEX, Tektronix HEX, Motorola S-Records und Binärdateien • Kostenlose Software-Updates über WEB-Downloads

Größe	Organisation	Geschwindigkeit	Digi-Key Teilenr.	Stückpreis
Grundeinheit*				
1 Mbit	128Kx8/64Kx16	45ns	FR3-1M-ND	236.20
4 Mbit	512Kx8/256Kx16	45ns	FR3-4M-ND	320.86
8 Mbit	1Mx8/512Kx16	45ns	FR3-8M-ND	447.85
16 Mbit	2Mx8/1Mx16	45ns	FR3-16M-ND	574.84

***** Grundgerät erfordert mindestens eine ACM™ Zielschnittstelle

Beschreibung	Digi-Key Teilenr.	Stückpreis
Aktives Kabelmodul (ACM™)		
8-Bit Schnittstelle mit DIP28- und DIP32-Kabel	ACM-8-ND	101.59
16-Bit Schnittstelle mit DIP40-Kabel	ACM-16-ND	101.59

ICEPIC, ICEPIC2 und ICEPIC3 PIC-Emulatoren

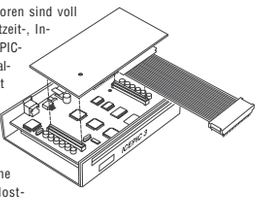

ICEPIC, ICEPIC2 und ICEPIC3 Emulatoren sind voll modulare Vollgeschwindigkeits-, Echtzeit-, In-Circuit-Emulatorsysteme für Microchip PIC-Prozessoren, die austauschbare „Merkmal-Tochterplatinen" verwenden, die direkt mit der Zielkarte des Benutzers verbunden werden. Separat erhältlich. Der ICEPIC3-Emulator ist kompakt, tragbar, leicht und bietet hervorragende Leistung und Wert. Er verwendet eine schnelle „heiße" Verbindung zum Host-Computer über einen USB-Port, wobei die System-Firmware jederzeit vom Internet aktualisiert werden kann, was insgesamte Aktualisierungmöglichkeiten liefert. Der ICEPIC3 bietet zusätzliche Echtzeit-Analyse, wenn die separat erhältliche Plug-In-Spuren-Karte verwendet wird.

Alle ICEPIC-Emulatoren funktionieren innerhalb von Microchips MPLAB 32bit IDE, wodurch es dem Benutzer leicht möglich ist, effiziente und schnelle Emulation auszuführen. ICEPIC-Emulatoren werden als komplettes System mit Netzteil, Kabeln, einem Handbuch und einer Kopie des MPASM-Assembler von Microchip geliefert.

Merkmale	ICEPIC	ICEPIC2	ICEPIC3
Echtzeit-Emulation	32KHz ~ 20MHz	32KHz ~ 33MHz	1KHz ~ 50MHz
Gerätemulierend	12C, 16C	12C, 16C, 17C	PIC12, 16, 18
Kann unter MPLAB ausgeführt werden	Ja	Ja	Ja
Debugging auf Quellebene	Ja	Ja	Ja
Debugging auf „C"-Quellebene	Ja	Ja	Ja
Echtzeitverfolgung	Nein	Ja	Ja*
Zeitstempel	Ja	Ja	Ja*
Einfriermodus	Ja	Ja	Ja
Unterbrechungsstellen	Unbegrenzt	Unbegrenzt	Unbegrenzt
Stapelunterbrechungen	Ja	Ja	Ja
WDT-Unterbrechungen	Ja	Ja	Ja
Stapelansicht	Ja	Ja	Ja
Benutzer-Wächter	Ja	Ja	Ja
Assembler-Support	MPASM	MPASM	MPASM
Kommunikationen	RS-232"C"	RS-232"C"	USB

***** Bei Verwendung der optionalen modularen Trace-Karte I3-TRACER1-ND

Beschreibung	Digi-Key Teilenr.	Stückpreis
ICSP-Adapter		
In-Circuit Serial Programming (ISSP) -Adapter	ISPICR1-ND	29.63
ICEPIC-Emulatoren		
ICEPIC-Emulatorsystem	ICEPIC-ND	459.51
ICEPIC2-Emulatorsystem	ICEPIC2-ND	694.21
ICEPIC3-Emulatorsystem	ICEPIC3-US-ND	761.94
ICEPIC-Tochterplatinen		
12C671, 16C672	DB12C67X-ND	317.48
12C508/509, 16C54/55/56/57/58, 16C505	DB5XA-ND	270.91
16C554, 16C556, 16C558	DB55X-ND	317.48
16C620, 16C621, 16C622	DB62X-ND	317.48
16C641/642/661/662	DB66X-ND	380.97
16C61, 16C71, 16C710, 16C711	DB711-ND	317.48
16C715	DB715-ND	317.48
16C62/63/64/65/72/73/74	DB74A-ND	380.97
16C66, 16C67, 16C76, 16C77	DB77-ND	380.97
16C772, 16C773, 16C774	DB77X-ND	317.48
16C84, 16F83, 16F84	DB84A-ND	317.48
16F872/873/874/876/877	DB877-ND	317.48
17C42/43/44, 17C752/756 (nur ICEPIC2)	DB756-ND	317.48
16F628	DBF628-ND	317.48
16F73, 16F74, 16F76, 16F77	DBF77-ND	380.97
16F870/71	DBF871-ND	283.61
Zubehör		
44-Pin PLCC-Adapter (nur zur Emulation von 16Cxx in PLCC)	PLCC44-RF-ND	105.83
ICEPIC3-Tochterplatinen		
12F675, 12F629	I3DB12F675-ND	317.48
12F683	I3DB12F683-ND	317.48
16F684A	I3DB16F684A-ND	317.48
16F716	I3DB16F716-ND	317.48
16F871, 16F870	I3DB16F871-ND	317.48
18C452/442/252/242	I3DB18C452-ND	317.48
18F2220/2320/4220/4320	I3DB18F4320-ND	317.48
18F452/442/252/242	I3DB18F452-ND	317.48
18F248/258/448/458	I3DB18F458-ND	317.48
18F1320, 18F1220	I3DB18F1320-ND	317.48
18F4431/4331/2431/2331	I3DB18F4431-ND	317.48
18F4550/2455/2550/4445	I3DB18F4550-ND	317.48
18F4620/4525/2620/2525	I3DB18F4620-ND	317.48
18F4680/2680/2585/4685	I3DB18F4680-ND	317.48
18F8720/8620/6720/6620	I3DB18F8620-ND	317.48
18F6525/8525/6585/8585/8620A/ 6680/8680/6620A	I3DB18F8680-ND	317.48
18F8722/6722/8627/6627	I3DB18F8722-ND	317.48
16F872A/873A/874A/876A/877A	I3DB877A-ND	317.48
12F508/509, 16F52/54/55/56/57/58/505	I3DBF5XA-ND	317.48
16F627A, 16F628A, 16F648A	I3DBF648-ND	317.48
16F676, 16F630	I3DBF676-ND	317.48
16F72, 16F73, 16F74, 16F76, 16F77	I3DBF77-ND	317.48
16F737, 16F767, 16F747, 16F777	I3DBF777-ND	317.48
16F818, 16F819	I3DBF819-ND	317.48
16F87, 16F88	I3DBF88-ND	317.48
Trace-Karten		
ICEPIC3 Trace-Karte	I3-TRACER1-ND	656.12

Alle Preisangaben in Euro und inklusive Zollgebühren.

ZiLOG
Embedded in life
www.zilog.com

SILIKON

Die eingebetteten Steuerungslösungen von ZiLOG wurden als die **flexibelste und benutzerfreundlichste Architektur** gewählt und bauen auf über 30 Jahre Design-Erfahrung und aktuellster Innovation auf.innovative.

ENTWICKLUNGSWERKZEUGE

ZiLOG bietet die **komplettesten Entwicklungstools zum niedrigsten Preis und** stellt sicher, dass Sie über alle Hardware und Software verfügen, die zur Fertigstellung Ihres Designs erforderlich ist - ohne versteckte Kosten.

Z8 Encore!® und Z8 Encore! XP®
Flash Mikrocontroller

Ob es sich bei Ihrer Anwendung um Motorsteuerung,Sicherheitssysteme, Systemüberwachung, persönliche elektronische Geräte, Haushaltsgeräte, Hausautomation oder eingebettete Steuersysteme handelt, wählen Sie Z8 Encore!® oder Z8 Encore! XP® Entwicklungskit bietet eine komplette Entwicklungsplattform mit sämtlicher Hardware und Software, die zum sofortigen Beginn eines Designs benötigt wird. Jedes Kit umfasst eine vollständige Version eines ANSI C-Compilers ohne Extrakosten. Evaluieren, Entwickeln, Bauen — so einfach ist das. Es muss nichts weiter gekauft werden.

Inhalt des Entwicklungskits:

Hardware
- ZiLOG Entwicklungskarte
- Smart Cable (Seriell oder USB)
- 5 V DC Universal-Netzteil

Software
- ZDS II Integrated Development Environment (IDE)
- ANSI C-Compiler
- Beispielscode

Dokumentation auf CD-ROM
- Schnellstart-Anleitung
- Benutzerhandbuch für das Entwicklungskit
- ZDS II-Benutzerhandbuch
- eZ8 CPU-Benutzerhandbuch
- Produktspezifikation
- Produktnotizen
- Anwendungsnotizen

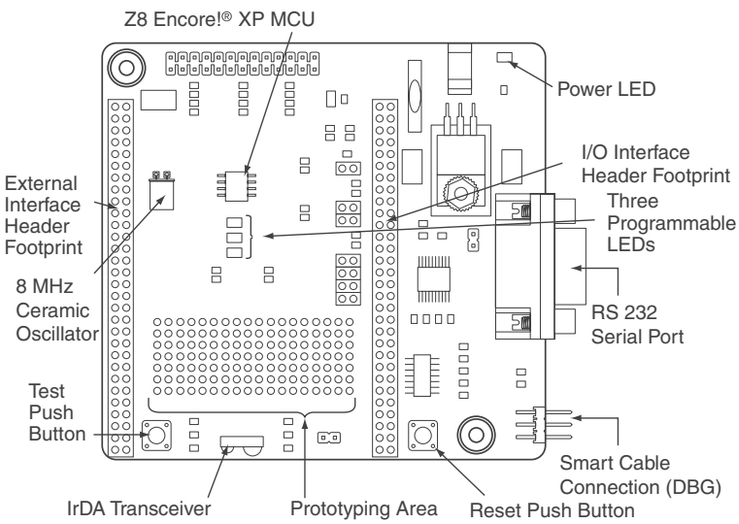

Z8 Encore!® und Z8 Encore! XP® Kartenmerkmale

B

Z8 Encore!® und Z8 Encore! XP® Flash Mikrocontroller-unterstützte Tools und Silikon

Z8 Encore® Entwicklungskits

269-3249-ND	Z8 Encore® F642 Serien-Entwicklungskit	**33.82**
269-3183-ND	Z8 Encore!® 8K Serien-Entwicklungskit	**33.82**
269-3386-ND	Modulares Entwicklungssystem, Allzweckkit	**126.95**
269-3248-ND	Smart-Kabel-Zubehörkit	**16.89**

Z8 Encore! XP® Entwicklungskit

269-3307-ND	Z8 Encore! XP® 20- und 28-Pin Entwicklungskit	**33.82**

HINWEIS: Eine komplette Liste mit allen ZiLOG-Teilenummern finden Sie unter **www.digikey.com** (Suche anhand der 6-stelligen Gerätefamilie — z. B. Z8F642)

Z8 Encore!® Silikon

Bauteile	Speicher Flash (Bytes)	Speicher RAM (Bytes)	Core Speed** (MHz)	E/A-Leitungen	Unterbrecher	16-Bit Timers mit PWMs	10-Bit A/D-Kan.	DMA-Controller	SPI und I²C	UARTs	Betriebsspannung	Erweiterte Temperaturen	Pin-Zählung	Entwicklungskit
Serie 64K														
Z8F642	64K	4K	20	60	24	4	12	Ja	Ja	2	3.0V ~ 3.6V	-40° ~ 105°	40, 44, 64, 68, 80	Z8F64200100KIT
Z8F482	48K	4K	20	60	24	4	12	Ja	Ja	2	3.0V ~ 3.6V	-40° ~ 105°	40, 44, 64, 68, 80	Z8F64200100KIT
Z8F322	32K	2K	20	46	24	4	12	Ja	Ja	2	3.0V ~ 3.6V	-40° ~ 105°	40, 44, 64, 68	Z8F64200100KIT
Z8F242	24K	2K	20	46	24	4	12	Ja	Ja	2	3.0V ~ 3.6V	-40° ~ 105°	40, 44, 64, 68	Z8F64200100KIT
Z8F162	16K	2K	20	46	24	4	12	Ja	Ja	2	3.0V ~ 3.6V	-40° ~ 105°	40, 44, 64, 68	Z8F64200100KIT
Serie 8K														
Z8F081/82	8K	1K	20	19	19	2	12	Ja	Ja	1	2.7V ~ 3.6V	-40° ~ 105°	20, 28	Z8F08200100KIT
Z8F041/42	4K	1K	20	19	19	2	12	Ja	Ja	1	2.7V ~ 3.6V	-40° ~ 105°	20, 28	Z8F08200100KIT

MCU-Merkmale
- 20 MHz Prozessor
- Bis zu 12-Kanal, 10-Bit A/D-Umsetzer
- Bis zu 64 KB Flash
- Bis zu 4 KB SRAM
- SPI und I²C-Ports
- Bis zu zwei UARTs
- Bis zu 24 Unterbrecher
- Bis zu vier 16-Bit Timer mit PWMs
- Einzel-Pin, On-Chip Debugger
- 3-Kanal DMA (nur 16-16 KB Teile)

Z8 Encore! XP® Silikon

Bauteile	Speicher Flash (Bytes)	Speicher RAM (Bytes)	Core Speed** (MHz)	E/A-Leitungen	Unterbrecher	16-Bit Timers mit PWMs	10-Bit A/D-Kan.	DMA-Controller	SPI und I²C	UARTs	Betriebsspannung	Erweiterte Temperaturen	Pin-Zählung	Entwicklungskit
Serie 4K														
Z8F042A	4K	1K	20	23	18	2	8	Nein	Nein	1	2.7V ~ 3.6V	-40° ~ 105°	8, 20, 28	Z8F04A28100KIT Z8F04A08100KIT
Z8F041A	4K	1K	20	25	17	2	—	Nein	Nein	1	2.7V ~ 3.6V	-40° ~ 105°	8, 20, 28	Z8F04A28100KIT Z8F04A08100KIT
Z8F022A	2K	512B	20	23	18	2	8	Nein	Nein	1	2.7V ~ 3.6V	-40° ~ 105°	8, 20, 28	Z8F04A28100KIT Z8F04A08100KIT
Z8F021A	2K	512B	20	25	17	2	—	Nein	Nein	1	2.7V ~ 3.6V	-40° ~ 105°	8, 20, 28	Z8F04A28100KIT Z8F04A08100KIT
Z8F012A	1K	256B	20	23	18	2	8	Nein	Nein	1	2.7V ~ 3.6V	-40° ~ 105°	8, 20, 28	Z8F04A28100KIT Z8F04A08100KIT
Z8F011A	1K	256B	20	25	17	2	—	Nein	Nein	1	2.7V ~ 3.6V	-40° ~ 105°	8, 20, 28	Z8F04A28100KIT Z8F04A08100KIT

** Kerngeschwindigkeit

MCU-Merkmale
- 20 MHz Prozessor
- Bis zu 8-Kanal, 10-Bit A/D-Wandler
- Bis zu 4 KB Flash
- Bis zu 1 KB SRAM
- Eine UART
- Bis zu 18 Unterbrecher
- Bis zu zwei 16-Bit Timer mit PWMs
- Einzel-Pin, On-Chip Debugger
- On-Chip-Temperatursensor
- On-Chip-Analogkomparator

Alle Preisangaben in Euro und inklusive Zollgebühren.

Crimzon™ Z8 OTP-Mikrocontroller

Merkmale: • WDT • LV-Erkennung • POR • 2 Komparatoren • HVD

OTP KB	RAM-Bytes	Geschwindigkeit (MHz)	E/A-Leitungen	Timer 8/16-Bit	Betriebsspannung	Temperaturbereich	Paket	Digi-Key Teilenr.	Stückpreis 1	Stückpreis 25	Stückpreis 100	Zilog Teilenr.	Entwicklungswerkzeuge
8	237	8	16	1/1	2.0 ~ 3.6V	0° ~ 70°C	20-DIP	269-3422-ND	4.17	3.13	2.11	ZLP32300P2008C	269-3398-ND
							20-SOIC	269-3423-ND	3.86	2.90	1.77	ZLP32300S2008C	
							20-SSOP	269-3424-ND	3.86	2.90	1.77	ZLP32300H2008C	
			24	1/1	2.0 ~ 3.6V	0° ~ 70°C	28-DIP	269-3425-ND	4.50	3.38	2.05	ZLP32300P2808C	269-3398-ND
							28-SOIC	269-3426-ND	3.96	2.98	1.83	ZLP32300S2808C	
							28-SSOP	269-3427-ND	3.96	2.98	1.83	ZLP32300H2808C	
			32	1/1	2.0 ~ 3.6V	0° ~ 70°C	40-DIP	269-3428-ND	4.85	3.64	2.24	ZLP32300P4008C	269-3398-ND
							48-SSOP	269-3429-ND	3.99	3.00	1.83	ZLP32300H4808C	
16	237	8	16	1/1	2.0 ~ 3.6V	0° ~ 70°C	20-DIP	269-3406-ND	4.67	3.51	2.11	ZLP32300P2016C	269-3398-ND
							20-SOIC	269-3407-ND	4.11	3.09	1.86	ZLP32300S2016C	
							20-SSOP	269-3408-ND	4.37	3.28	1.86	ZLP32300H2016C	
			24	1/1	2.0 ~ 3.6V	0° ~ 70°C	28-DIP	269-3409-ND	4.75	3.57	2.15	ZLP32300P2816C	269-3398-ND
							28-SOIC	269-3410-ND	4.22	3.17	1.91	ZLP32300S2816C	
							28-SSOP	269-3411-ND	4.22	3.17	1.91	ZLP32300H2816C	
			32	1/1	2.0 ~ 3.6V	0° ~ 70°C	40-DIP	269-3412-ND	5.11	3.83	2.32	ZLP32300P4016C	269-3398-ND
							48-SSOP	269-3413-ND	4.24	3.19	1.92	ZLP32300H4816C	
32	237	8	16	1/1	2.0 ~ 3.6V	0° ~ 70°C	20-DIP	269-3414-ND	4.93	3.70	2.20	ZLP32300P2032C	269-3398-ND
							20-SOIC	269-3415-ND	4.37	3.28	1.94	ZLP32300S2032C	
							20-SSOP	269-3416-ND	4.37	3.28	1.94	ZLP32300H2032C	
			24	1/1	2.0 ~ 3.6V	0° ~ 70°C	28-DIP	269-3417-ND	5.00	3.76	2.23	ZLP32300P2832C	269-3398-ND
							28-SOIC	269-3418-ND	4.47	3.36	1.99	ZLP32300S2832C	
							28-SSOP	269-3419-ND	4.47	3.36	1.99	ZLP32300H2832C	
			32	1/1	2.0 ~ 3.6V	0° ~ 70°C	40-DIP	269-3420-ND	5.41	4.06	2.41	ZLP32300P4032C	269-3398-ND
							48-SSOP	269-3421-ND	4.50	3.38	2.00	ZLP32300H4832C	

Z8 GP™ OTP Mikrocontroller

Merkmale: • WDT • LV-Erkennung • POR • 2 Komparatoren • HVD

Programmbytes in Speichergröße	RAM (Bytes)	E/A-Pins	Betriebsspannung	Speed* (MHz)	Zähler (8/16-Bit)	Timer/ Betriebstemperatur	Paket	Digi-Key Teilenr.	Stückpreis 1	Stückpreis 25	Stückpreis 100	Zilog Teilenr.	Entwicklungswerkzeuge
4K	237	16	2.0 ~ 5.5V	8	1/1	Erweitert	20-SSOP	269-3502-ND	3.02	2.27	1.49	ZGP323HEH2004C	269-3399-ND, 269-3390-ND
						Erweitert	20-DIP	269-3514-ND	3.48	2.61	1.71	ZGP323HEP2004C	
						Erweitert	20-SOIC	269-3526-ND	3.00	2.25	1.49	ZGP323HES2004C	
						Kommerziell	20-SSOP	269-3534-ND	2.92	2.20	1.45	ZGP323HSH2004C	
						Kommerziell	20-DIP	269-3549-ND	3.38	2.54	1.66	ZGP323HSP2004C	
						Kommerziell	20-SOIC	269-3561-ND	2.90	2.18	1.45	ZGP323HSS2004C	
		16	2.0 ~ 3.6V	8	1/1	Erweitert	20-SSOP	269-3569-ND	2.77	2.08	1.40	ZGP323LEH2004C	269-3399-ND, 269-3390-ND
						Erweitert	20-DIP	269-3581-ND	3.23	2.42	1.61	ZGP323LEP2004C	
						Erweitert	20-SOIC	269-3593-ND	2.74	2.06	1.40	ZGP323LES2004C	
						Kommerziell	20-SSOP	269-3601-ND	2.67	2.00	1.37	ZGP323LSH2004C	
						Kommerziell	20-DIP	269-3616-ND	3.10	2.33	1.58	ZGP323LSP2004C	
						Kommerziell	20-SOIC	269-3628-ND	2.64	1.99	1.37	ZGP323LSS2004C	
		24	2.0 ~ 5.5V	8	1/1	Erweitert	28-SSOP	269-3506-ND	3.10	2.33	1.53	ZGP323HEH2804C	269-3399-ND, 269-3390-ND
						Erweitert	28-DIP	269-3518-ND	3.53	2.65	1.73	ZGP323HEP2804C	
						Erweitert	28-SOIC	269-3530-ND	3.10	2.33	1.53	ZGP323HES2804C	
						Kommerziell	28-SSOP	269-3538-ND	2.97	2.23	1.49	ZGP323HSH2804C	
						Kommerziell	28-DIP	269-3553-ND	3.43	2.58	1.70	ZGP323HSP2804C	
						Kommerziell	28-SOIC	269-3565-ND	2.97	2.23	1.49	ZGP323HSS2804C	
		24	2.0 ~ 3.6V	8	1/1	Erweitert	28-SSOP	269-3573-ND	2.82	2.12	1.44	ZGP323LEH2804C	269-3399-ND, 269-3390-ND
						Erweitert	28-DIP	269-3585-ND	3.28	2.46	1.65	ZGP323LEP2804C	
						Erweitert	28-SOIC	269-3597-ND	2.82	2.12	1.44	ZGP323LES2804C	
						Kommerziell	28-SSOP	269-3605-ND	2.72	2.04	1.41	ZGP323LSH2804C	
						Kommerziell	28-DIP	269-3620-ND	3.17	2.39	1.61	ZGP323LSP2804C	
						Kommerziell	28-SOIC	269-3632-ND	2.72	2.04	1.41	ZGP323LSS2804C	
		32	2.0 ~ 5.5V	8	1/1	Erweitert	40-DIP	269-3522-ND	3.89	2.92	1.88	ZGP323HEP4004C	269-3399-ND, 269-3390-ND
						Kommerziell	40-DIP	269-3557-ND	3.78	2.84	1.85	ZGP323HSP4004C	
		32	2.0 ~ 3.6V	8	1/1	Erweitert	40-DIP	269-3589-ND	3.63	2.73	1.80	ZGP323LEP4004C	269-3399-ND, 269-3390-ND
						Kommerziell	40-DIP	269-3624-ND	3.53	2.65	1.76	ZGP323LSP4004C	
		32	2.0 ~ 5.5V	8	1/1	Erweitert	48-SSOP	269-3510-ND	3.10	2.33	1.54	ZGP323HEH4804C	269-3399-ND, 269-3390-ND
						Kommerziell	48-SSOP	269-3542-ND	3.00	2.25	1.50	ZGP323HSH4804C	
		32	2.0 ~ 3.6V	8	1/1	Erweitert	48-SSOP	269-3577-ND	2.84	2.14	1.45	ZGP323LEH4804C	269-3399-ND, 269-3390-ND
						Kommerziell	48-SSOP	269-3609-ND	2.74	2.06	1.42	ZGP323LSH4804C	
8K	237	16	2.0 ~ 5.5V	8	1/1	Erweitert	20-SSOP	269-3503-ND	3.12	2.35	1.52	ZGP323HEH2008C	269-3399-ND, 269-3390-ND
						Erweitert	20-DIP	269-3515-ND	3.58	2.69	1.74	ZGP323HEP2008C	
						Erweitert	20-SOIC	269-3527-ND	3.10	2.33	1.52	ZGP323HES2008C	
						Kommerziell	20-SSOP	269-3535-ND	3.02	2.27	1.49	ZGP323HSH2008C	
						Kommerziell	20-DIP	269-3550-ND	3.48	2.61	1.71	ZGP323HSP2008C	
						Kommerziell	20-SOIC	269-3562-ND	3.00	2.25	1.49	ZGP323HSS2008C	
		16	2.0 ~ 3.6V	8	1/1	Erweitert	20-SSOP	269-3570-ND	2.87	2.16	1.44	ZGP323LEH2008C	269-3399-ND, 269-3390-ND
						Erweitert	20-DIP	269-3582-ND	3.33	2.50	1.66	ZGP323LEP2008C	
						Erweitert	20-SOIC	269-3594-ND	2.84	2.14	1.44	ZGP323LES2008C	
						Kommerziell	20-SSOP	269-3602-ND	2.77	2.08	1.40	ZGP323LSH2008C	
						Kommerziell	20-DIP	269-3617-ND	3.23	2.42	1.61	ZGP323LSP2008C	
						Kommerziell	20-SOIC	269-3629-ND	2.74	2.06	1.40	ZGP323LSS2008C	
		24	2.0 ~ 5.5V	8	1/1	Erweitert	28-DIP	269-3519-ND	3.66	2.75	1.77	ZGP323HEP2808C	269-3399-ND, 269-3390-ND
						Erweitert	28-SSOP	269-3507-ND	3.20	2.41	1.56	ZGP323HEH2808C	
						Erweitert	28-SOIC	269-3531-ND	3.20	2.41	1.56	ZGP323HES2808C	
						Kommerziell	28-SSOP	269-3539-ND	3.10	2.33	1.53	ZGP323HSH2808C	
						Kommerziell	28-DIP	269-3554-ND	3.53	2.65	1.73	ZGP323HSP2808C	
						Kommerziell	28-SOIC	269-3566-ND	3.10	2.33	1.53	ZGP323HSS2808C	

*Geschwindigkeit

(Forts.)

Alle Preisangaben in Euro und inklusive Zollgebühren.

Programmbytes in Speichergröße	RAM (Bytes)	E/A-Pins	Betriebs-spannung	Speed* (MHz)	Zähler (8/16-Bit)	Timer/ Betriebs-temperatur	Paket	Digi-Key Teilenr.	Stückpreis 1	25	100	Zilog Teilenr.	Entwicklungs-werkzeuge
8K	237	24	2.0 ~ 3.6V	8	1/1	Erweitert	28-SSOP	269-3574-ND	2.95	2.21	1.48	ZGP323LEH2808C	269-3399-ND, 269-3390-ND
						Erweitert	28-DIP	269-3586-ND	3.38	2.54	1.68	ZGP323LEP2808C	
						Erweitert	28-SOIC	269-3598-ND	2.95	2.21	1.48	ZGP323LES2808C	
						Kommerziell	28-SSOP	269-3606-ND	2.82	2.12	1.44	ZGP323LSH2808C	
						Kommerziell	28-DIP	269-3621-ND	3.28	2.46	1.65	ZGP323LSP2808C	
						Kommerziell	28-SOIC	269-3633-ND	2.82	2.12	1.44	ZGP323LSS2808C	
		32	2.0 ~ 5.5V	8	1/1	Erweitert	40-DIP	269-3523-ND	3.99	3.00	1.92	ZGP323HEP4008C	269-3399-ND, 269-3390-ND
						Kommerziell	40-DIP	269-3558-ND	3.89	2.92	1.88	ZGP323HSP4008C	
		32	2.0 ~ 3.6V	8	1/1	Erweitert	40-DIP	269-3590-ND	3.73	2.81	1.83	ZGP323LEP4008C	269-3399-ND, 269-3390-ND
						Kommerziell	40-DIP	269-3625-ND	3.63	2.73	1.80	ZGP323LSP4008C	
		32	2.0 ~ 5.5V	8	1/1	Erweitert	48-SSOP	269-3511-ND	3.23	2.42	1.57	ZGP323HEH4808C	269-3399-ND, 269-3390-ND
						Kommerziell	48-SSOP	269-3543-ND	3.10	2.33	1.54	ZGP323HSH4808C	
		32	2.0 ~ 3.6V	8	1/1	Erweitert	48-SSOP	269-3578-ND	2.95	2.21	1.49	ZGP323LEH4808C	269-3399-ND, 269-3390-ND
						Kommerziell	48-SSOP	269-3610-ND	2.84	2.14	1.45	ZGP323LSH4808C	
16K	237	16	2.0 ~ 5.5V	8	1/1	Erweitert	20-SSOP	269-3504-ND	3.25	2.44	1.56	ZGP323HEH2016C	269-3399-ND, 269-3390-ND
						Erweitert	20-DIP	269-3516-ND	3.68	2.77	1.77	ZGP323HEP2016C	
						Erweitert	20-SOIC	269-3528-ND	3.23	2.42	1.56	ZGP323HES2016C	
						Kommerziell	20-SSOP	269-3536-ND	3.12	2.35	1.52	ZGP323HSH2016C	
						Kommerziell	20-DIP	269-3551-ND	3.58	2.69	1.74	ZGP323HSP2016C	
						Kommerziell	20-SOIC	269-3563-ND	3.10	2.33	1.52	ZGP323HSS2016C	
		16	2.0 ~ 3.6V	8	1/1	Erweitert	20-SSOP	269-3571-ND	2.97	2.23	1.47	ZGP323LEH2016C	269-3399-ND, 269-3390-ND
						Erweitert	20-DIP	269-3583-ND	3.43	2.58	1.69	ZGP323LEP2016C	
						Erweitert	20-SOIC	269-3595-ND	2.95	2.21	1.47	ZGP323LES2016C	
						Kommerziell	20-SSOP	269-3603-ND	2.87	2.16	1.44	ZGP323LSH2016C	
						Kommerziell	20-DIP	269-3618-ND	3.33	2.50	1.66	ZGP323LSP2016C	
						Kommerziell	20-SOIC	269-3630-ND	2.84	2.14	1.44	ZGP323LSS2016C	
		16-32	2.0 ~ 5.5V	8	1/1	Erweitert	28-SSOP	269-3508-ND	3.30	2.48	1.61	ZGP323HEH2816C	269-3399-ND, 269-3390-ND
						Erweitert	28-DIP	269-3520-ND	3.76	2.82	1.81	ZGP323HEP2816C	
						Erweitert	28-SOIC	269-3532-ND	3.30	2.48	1.61	ZGP323HES2816C	
						Kommerziell	28-SSOP	269-3540-ND	3.20	2.41	1.56	ZGP323HSH2816C	
						Kommerziell	28-DIP	269-3555-ND	3.66	2.75	1.77	ZGP323HSP2816C	
						Kommerziell	28-SOIC	269-3567-ND	3.20	2.41	1.56	ZGP323HSS2816C	
		16-32	2.0 ~ 3.6V	8	1/1	Erweitert	28-SSOP	269-3575-ND	3.05	2.29	1.52	ZGP323LEH2816C	269-3399-ND, 269-3390-ND
						Erweitert	28-DIP	269-3587-ND	3.50	2.63	1.72	ZGP323LEP2816C	
						Erweitert	28-SOIC	269-3599-ND	3.05	2.29	1.52	ZGP323LES2816C	
						Kommerziell	28-SSOP	269-3607-ND	2.95	2.21	1.48	ZGP323LSH2816C	
						Kommerziell	28-DIP	269-3622-ND	3.38	2.54	1.68	ZGP323LSP2816C	
						Kommerziell	28-SOIC	269-3634-ND	2.95	2.21	1.48	ZGP323LSS2816C	
		16-32	2.0 ~ 5.5V	8	1/1	Erweitert	40-DIP	269-3524-ND	4.11	3.09	1.95	ZGP323HEP4016C	269-3399-ND, 269-3390-ND
						Kommerziell	40-DIP	269-3559-ND	3.99	3.00	1.92	ZGP323HSP4016C	
		16-32	2.0 ~ 3.6V	8	1/1	Erweitert	40-DIP	269-3591-ND	3.84	2.88	1.87	ZGP323LEP4016C	269-3399-ND, 269-3390-ND
						Kommerziell	40-DIP	269-3626-ND	3.73	2.81	1.83	ZGP323LSP4016C	
		16-32	2.0 ~ 5.5V	8	1/1	Erweitert	48-SSOP	269-3512-ND	3.33	2.50	1.61	ZGP323HEH4816C	269-3399-ND, 269-3390-ND
						Kommerziell	48-SSOP	269-3544-ND	3.23	2.42	1.57	ZGP323HSH4816C	
		16-32	2.0 ~ 3.6V	8	1/1	Erweitert	48-SSOP	269-3579-ND	3.07	2.31	1.52	ZGP323LEH4816C	269-3399-ND, 269-3390-ND
						Kommerziell	48-SSOP	269-3611-ND	2.95	2.21	1.49	ZGP323LSH4816C	
32K	237	16-32	2.0 ~ 5.5V	8	1/1	Erweitert	20-SSOP	269-3505-ND	3.33	2.50	1.60	ZGP323HEH2032C	269-3399-ND, 269-3390-ND
						Erweitert	20-DIP	269-3517-ND	3.81	2.86	1.81	ZGP323HEP2032C	
						Erweitert	20-SOIC	269-3529-ND	3.33	2.50	1.60	ZGP323HES2032C	
						Kommerziell	20-SSOP	269-3537-ND	3.23	2.42	1.56	ZGP323HSH2032C	
						Kommerziell	20-CDIP	269-3546-ND	21.59	16.20	9.36	ZGP323HSK2032E	
						Kommerziell	20-DIP	269-3552-ND	3.68	2.77	1.77	ZGP323HSP2032C	
						Kommerziell	20-SOIC	269-3564-ND	3.23	2.42	1.56	ZGP323HSS2032C	
		16-32	2.0 ~ 3.6V	8	1/1	Erweitert	20-SSOP	269-3572-ND	3.07	2.31	1.51	ZGP323LEH2032C	269-3399-ND, 269-3390-ND
						Erweitert	20-DIP	269-3584-ND	3.53	2.65	1.72	ZGP323LEP2032C	
						Erweitert	20-SOIC	269-3596-ND	3.07	2.31	1.51	ZGP323LES2032C	
						Kommerziell	20-SSOP	269-3604-ND	2.95	2.21	1.47	ZGP323LSH2032C	
						Kommerziell	20-CDIP	269-3613-ND	21.59	16.20	9.36	ZGP323LSK2032E	
						Kommerziell	20-DIP	269-3619-ND	3.43	2.58	1.69	ZGP323LSP2032C	
						Kommerziell	20-SOIC	269-3631-ND	2.95	2.21	1.47	ZGP323LSS2032C	
		16-32	2.0 ~ 5.5V	8	1/1	Erweitert	28-SSOP	269-3509-ND	3.40	2.56	1.64	ZGP323HEH2832C	269-3399-ND, 269-3390-ND
						Erweitert	28-DIP	269-3521-ND	3.86	2.90	1.84	ZGP323HEP2832C	
						Erweitert	28-SOIC	269-3533-ND	3.40	2.56	1.64	ZGP323HES2832C	
						Kommerziell	28-SSOP	269-3541-ND	3.30	2.48	1.61	ZGP323HSH2832C	
						Kommerziell	28-CDIP	269-3547-ND	21.59	16.20	9.36	ZGP323HSK2832E	
						Kommerziell	28-DIP	269-3556-ND	3.76	2.82	1.81	ZGP323HSP2832C	
						Kommerziell	28-SOIC	269-3568-ND	3.30	2.48	1.61	ZGP323HSS2832C	
		16-32	2.0 ~ 3.6V	8	1/1	Erweitert	28-SSOP	269-3576-ND	3.15	2.37	1.55	ZGP323LEH2832C	269-3399-ND, 269-3390-ND
						Erweitert	28-DIP	269-3588-ND	3.61	2.71	1.76	ZGP323LEP2832C	
						Erweitert	28-SOIC	269-3600-ND	3.15	2.37	1.55	ZGP323LES2832C	
						Kommerziell	28-SSOP	269-3608-ND	3.05	2.29	1.52	ZGP323LSH2832C	
						Kommerziell	28-CDIP	269-3614-ND	21.59	16.20	9.36	ZGP323LSK2832E	
						Kommerziell	28-DIP	269-3623-ND	3.50	2.63	1.72	ZGP323LSP2832C	
						Kommerziell	28-SOIC	269-3635-ND	3.05	2.29	1.52	ZGP323LSS2832C	
		16-32	2.0 ~ 5.5V	8	1/1	Erweitert	40-DIP	269-3525-ND	4.22	3.17	1.99	ZGP323HEP4032C	269-3399-ND, 269-3390-ND
						Kommerziell	40-CDIP	269-3548-ND	21.59	16.20	9.36	ZGP323HSK4032E	
						Kommerziell	40-DIP	269-3560-ND	4.11	3.09	1.95	ZGP323HSP4032C	
		16-32	2.0 ~ 3.6V	8	1/1	Erweitert	40-DIP	269-3592-ND	3.96	2.98	1.90	ZGP323LEP4032C	269-3399-ND, 269-3390-ND
						Kommerziell	40-CDIP	269-3615-ND	21.59	16.20	9.36	ZGP323LSK4032E	
						Kommerziell	40-DIP	269-3627-ND	3.84	2.88	1.87	ZGP323LSP4032C	
		16-32	2.0 ~ 5.5V	8	1/1	Erweitert	48-SSOP	269-3513-ND	3.43	2.58	1.65	ZGP323HEH4832C	269-3399-ND, 269-3390-ND
						Kommerziell	48-SSOP	269-3545-ND	3.33	2.50	1.61	ZGP323HSH4832C	
		16-32	2.0 ~ 3.6V	8	1/1	Erweitert	48-SSOP	269-3580-ND	3.17	2.39	1.56	ZGP323LEH4832C	269-3399-ND, 269-3390-ND
						Kommerziell	48-SSOP	269-3612-ND	3.07	2.31	1.52	ZGP323LSH4832C	

*Geschwindigkeit

Z8 Encore!® Flash MCU

Zilog 8-Bit Neubelegung mit dem neuen Z8 Encore! Flash-Mikrocontroller-Gruppe. Mit Flash-Speicher und hochleistungsfähiger Register-an-Register-Architektur, Z8 Encore! MCU beschleunigt die Designentwicklung und reduziert gleichzeitig die Gesamtkosten für das System. Die gleichen CPU-Kern- und peripheren Schnittstellen garantieren Codekompatibilität in der ganzen Gruppe. Integrieren Sie Z8 Encore! Zum Einbau in neue Designs oder zur Aufrüstung von der bestehenden Z8-Architektur! **Merkmale:** • Programmspeicherart: Flash • On-Chip-Sonderfunktionen: POR, VBO • WDT • COMM-Schnittstellen: I2C, 2 UART, OCD • Geschwindigkeit (20 MHz) • Betriebstemp.: Erweitert: -40 °C ~ 105 °C Kommerziell: 0 °C ~ 70 °C

B

Programmbytes in Speichergröße	RAM (Bytes)	E/A-Pins	Serielle Kommunikation	ADU	VCC	Takt-geschw.	Timer/ Zähler (16-Bit)	Betriebstemp.	Paket	Digi-Key Teilenr.	Stückpreis 1	25	100	Zilog Teilenr.	Entwicklungs-werkzeuge
1K	256	16	1 UART, IrDA	—	2.7 ~ 3.6V	5MHz	2	Erweitert	20-SSOP	269-3430-ND	2.54	1.91	1.22	Z8F0113HH005EC	269-3389-ND
								Kommerziell	20-SSOP	269-3431-ND	2.41	1.81	1.16	Z8F0113HH005SC	
								Erweitert	20-DIP	269-3434-ND	2.84	2.14	1.36	Z8F0113PH005EC	
								Kommerziell	20-DIP	269-3435-ND	2.69	2.02	1.29	Z8F0113PH005SC	
								Erweitert	20-SOIC	269-3438-ND	2.54	1.91	1.22	Z8F0113SH005EC	
								Kommerziell	20-SOIC	269-3439-ND	2.41	1.81	1.16	Z8F0113SH005SC	
		24	1 UART, IrDA	—	2.7 ~ 3.6V	5MHz	2	Erweitert	28-SSOP	269-3432-ND	2.64	1.99	1.26	Z8F0113HJ005EC	269-3389-ND
								Kommerziell	28-SSOP	269-3433-ND	2.51	1.89	1.20	Z8F0113HJ005SC	
								Erweitert	28-DIP	269-3436-ND	3.02	2.27	1.44	Z8F0113PJ005EC	
								Kommerziell	28-DIP	269-3437-ND	2.87	2.16	1.37	Z8F0113PJ005SC	
								Erweitert	28-SOIC	269-3440-ND	2.64	1.99	1.26	Z8F0113SJ005EC	
								Kommerziell	28-SOIC	269-3441-ND	2.51	1.89	1.20	Z8F0113SJ005SC	
		16	1 UART, IrDA	7-Kan. 10-Bit	2.7 ~ 3.6V	5MHz	2	Erweitert	20-SSOP	269-3442-ND	2.64	1.99	1.27	Z8F0123HH005EC	269-3389-ND
								Kommerziell	20-SSOP	269-3443-ND	2.54	1.91	1.22	Z8F0123HH005SC	
								Erweitert	20-DIP	269-3446-ND	2.97	2.23	1.42	Z8F0123PH005EC	
								Kommerziell	20-DIP	269-3447-ND	2.82	2.12	1.35	Z8F0123PH005SC	
								Erweitert	20-SOIC	269-3450-ND	2.67	2.00	1.27	Z8F0123SH005EC	
								Kommerziell	20-SOIC	269-3451-ND	2.54	1.91	1.22	Z8F0123SH005SC	
		22	1 UART, IrDA	8-Kan. 10-Bit	2.7 ~ 3.6V	5MHz	2	Erweitert	28-SSOP	269-3444-ND	2.77	2.08	1.32	Z8F0123HJ005EC	269-3389-ND
								Kommerziell	28-SSOP	269-3445-ND	2.64	1.99	1.26	Z8F0123HJ005SC	
								Erweitert	28-DIP	269-3448-ND	3.12	2.35	1.50	Z8F0123PJ005EC	
								Kommerziell	28-DIP	269-3449-ND	3.00	2.25	1.43	Z8F0123PJ005SC	
								Erweitert	28-SOIC	269-3452-ND	2.77	2.08	1.32	Z8F0123SJ005EC	
								Kommerziell	28-SOIC	269-3453-ND	2.64	1.99	1.26	Z8F0123SJ005SC	
2K	512	16	1 UART, IrDA	—	2.7 ~ 3.6V	5MHz	2	Erweitert	20-SSOP	269-3454-ND	2.69	2.02	1.28	Z8F0213HH005EC	269-3389-ND
								Kommerziell	20-SSOP	269-3455-ND	2.54	1.91	1.22	Z8F0213HH005SC	
								Erweitert	20-DIP	269-3458-ND	3.00	2.25	1.43	Z8F0213PH005EC	
								Kommerziell	20-DIP	269-3459-ND	2.84	2.14	1.36	Z8F0213PH005SC	
								Erweitert	20-SOIC	269-3462-ND	2.69	2.02	1.28	Z8F0213SH005EC	
								Kommerziell	20-SOIC	269-3463-ND	2.54	1.91	1.22	Z8F0213SH005SC	
		24	1 UART, IrDA	—	2.7 ~ 3.6V	5MHz	2	Erweitert	28-SSOP	269-3456-ND	2.77	2.08	1.33	Z8F0213HJ005EC	269-3389-ND
								Kommerziell	28-SSOP	269-3457-ND	2.64	1.99	1.26	Z8F0213HJ005SC	
								Erweitert	28-DIP	269-3460-ND	3.17	2.39	1.51	Z8F0213PJ005EC	
								Kommerziell	28-DIP	269-3461-ND	3.02	2.27	1.44	Z8F0213PJ005SC	
								Erweitert	28-SOIC	269-3464-ND	2.77	2.08	1.33	Z8F0213SJ005EC	
								Kommerziell	28-SOIC	269-3465-ND	2.64	1.99	1.26	Z8F0213SJ005SC	
		16	1 UART, IrDA	7-Kan. 10-Bit	2.7 ~ 3.6V	5MHz	2	Erweitert	20-SSOP	269-3466-ND	2.82	2.12	1.34	Z8F0223HH005EC	269-3389-ND
								Kommerziell	20-SSOP	269-3467-ND	2.69	2.02	1.28	Z8F0223HH005SC	
								Erweitert	20-DIP	269-3470-ND	3.12	2.35	1.49	Z8F0223PH005EC	
								Kommerziell	20-DIP	269-3471-ND	2.97	2.23	1.42	Z8F0223PH005SC	
								Erweitert	20-SOIC	269-3474-ND	2.82	2.12	1.34	Z8F0223SH005EC	
								Kommerziell	20-SOIC	269-3475-ND	2.69	2.02	1.28	Z8F0223SH005SC	
		22	1 UART, IrDA	8-Kan. 10-Bit	2.7 ~ 3.6V	5MHz	2	Erweitert	28-SSOP	269-3468-ND	2.90	2.18	1.38	Z8F0223HJ005EC	269-3389-ND
								Kommerziell	28-SSOP	269-3469-ND	2.77	2.08	1.33	Z8F0223HJ005SC	
								Erweitert	28-DIP	269-3472-ND	3.30	2.48	1.58	Z8F0223PJ005EC	
								Kommerziell	28-DIP	269-3473-ND	3.15	2.37	1.50	Z8F0223PJ005SC	
								Erweitert	28-SOIC	269-3476-ND	2.90	2.18	1.38	Z8F0223SJ005EC	
								Kommerziell	28-SOIC	269-3477-ND	2.77	2.08	1.33	Z8F0223SJ005SC	
4K	1K	11	UART, I2C, IrDA	—	2.7 ~ 3.6V	20MHz	2	Erweitert	20-DIP	269-3208-ND	3.05	2.29	1.46	Z8F0411PH020EC	269-3183-ND
								Kommerziell	20-DIP	269-3209-ND	2.90	2.18	1.39	Z8F0411PH020SC	
								Erweitert	20-SSOP	269-3206-ND	2.72	2.04	1.30	Z8F0411HH020EC	
								Kommerziell	20-SSOP	269-3207-ND	2.59	1.95	1.23	Z8F0411HH020SC	
		19	UART, I2C, SPI, IrDA	—	2.7 ~ 3.6V	20MHz	2	Erweitert	28-DIP	269-3210-ND	3.25	2.44	1.55	Z8F0412PJ020EC	269-3183-ND
								Kommerziell	28-DIP	269-3211-ND	3.10	2.33	1.48	Z8F0412PJ020SC	
								Erweitert	28-SOIC	269-3212-ND	2.82	2.12	1.34	Z8F0412SJ020EC	
								Kommerziell	28-SOIC	269-3213-ND	2.69	2.02	1.28	Z8F0412SJ020SC	
		16	1 UART, IrDA	—	2.7 ~ 3.6V	5MHz	2	Erweitert	20-SSOP	269-3478-ND	2.82	2.12	1.35	Z8F0413HH005EC	269-3389-ND
								Kommerziell	20-SSOP	269-3479-ND	2.69	2.02	1.28	Z8F0413HH005SC	
								Erweitert	20-DIP	269-3482-ND	3.15	2.37	1.50	Z8F0413PH005EC	
								Kommerziell	20-DIP	269-3483-ND	3.00	2.25	1.43	Z8F0413PH005SC	
								Erweitert	20-SOIC	269-3486-ND	2.82	2.12	1.35	Z8F0413SH005EC	
								Kommerziell	20-SOIC	269-3487-ND	2.69	2.02	1.28	Z8F0413SH005SC	
		24	1 UART, IrDA	—	2.7 ~ 3.6V	5MHz	2	Erweitert	28-SSOP	269-3480-ND	2.92	2.20	1.39	Z8F0413HJ005EC	269-3389-ND
								Kommerziell	28-SSOP	269-3481-ND	2.77	2.08	1.33	Z8F0413HJ005SC	
								Erweitert	28-DIP	269-3484-ND	3.33	2.50	1.60	Z8F0413PJ005EC	
								Kommerziell	28-DIP	269-3485-ND	3.17	2.39	1.52	Z8F0413PJ005SC	
								Erweitert	28-SOIC	269-3488-ND	2.92	2.20	1.39	Z8F0413SJ005EC	
								Kommerziell	28-SOIC	269-3489-ND	2.77	2.08	1.33	Z8F0413SJ005SC	
		11	UART, I2C, IrDA	2-Kan., 10-Bit	2.7 ~ 3.6V	20MHz	2	Erweitert	20-DIP	269-3216-ND	3.20	2.41	1.52	Z8F0421PH020EC	269-3183-ND
								Kommerziell	20-DIP	269-3217-ND	3.05	2.29	1.45	Z8F0421PH020SC	
								Erweitert	20-SSOP	269-3214-ND	2.84	2.14	1.36	Z8F0421HH020EC	
								Kommerziell	20-SSOP	269-3215-ND	2.72	2.04	1.30	Z8F0421HH020SC	
		19	UART, I2C, SPI, IrDA	5-Kan., 10-Bit	2.7 ~ 3.6V	20MHz	2	Erweitert	28-DIP	269-3218-ND	3.40	2.56	1.62	Z8F0422PJ020EC	269-3183-ND
								Kommerziell	28-DIP	269-3219-ND	3.23	2.42	1.55	Z8F0422PJ020SC	
								Erweitert	28-SOIC	269-3220-ND	2.95	2.21	1.41	Z8F0422SJ020EC	
								Kommerziell	28-SOIC	269-3221-ND	2.82	2.12	1.34	Z8F0422SJ020SC	

(Forts.)

Alle Preisangaben in Euro und inklusive Zollgebühren.

Programmbytes in Speichergröße	RAM (Bytes)	E/A-Pins	Serielle Kommunikation	ADU	VCC	Takt-geschw.	Timer/ Zähler (16-Bit)	Betriebstemp.	Paket	Digi-Key Teilenr.	Stückpreis 1	25	100	Zilog Teilenr.	Entwicklungs-werkzeuge
4K	1K	16	1 UART, IrDA	7-Kan. 10-Bit	2.7 ~ 3.6V	5MHz	2	Erweitert	20-SSOP	269-3490-ND	2.97	2.23	1.42	Z8F0423HH005EC	269-3389-ND
								Kommerziell	20-SSOP	269-3491-ND	2.82	2.12	1.35	Z8F0423HH005SC	
								Erweitert	20-DIP	269-3494-ND	3.28	2.46	1.57	Z8F0423PH005EC	
								Kommerziell	20-DIP	269-3495-ND	3.12	2.35	1.49	Z8F0423PH005SC	
								Erweitert	20-SOIC	269-3498-ND	2.97	2.23	1.42	Z8F0423SH005EC	
								Kommerziell	20-SOIC	269-3499-ND	2.82	2.12	1.35	Z8F0423SH005SC	
		22	1 UART, IrDA	8-Kan. 10-Bit	2.7 ~ 3.6V	5MHz	2	Erweitert	28-SSOP	269-3492-ND	3.05	2.29	1.46	Z8F0423HJ005EC	269-3389-ND
								Kommerziell	28-SSOP	269-3493-ND	2.92	2.20	1.39	Z8F0423HJ005SC	
								Erweitert	28-DIP	269-3496-ND	3.48	2.61	1.66	Z8F0423PJ005EC	
								Kommerziell	28-DIP	269-3497-ND	3.30	2.48	1.58	Z8F0423PJ005SC	
								Erweitert	28-SOIC	269-3500-ND	3.05	2.29	1.46	Z8F0423SJ005EC	
								Kommerziell	28-SOIC	269-3501-ND	2.92	2.20	1.39	Z8F0423SJ005SC	
8K	1K	11	UART, I2C, IrDA	—	2.7 ~ 3.6V	20MHz	2	Erweitert	20-DIP	269-3224-ND	3.71	2.79	1.77	Z8F0811PH020EC	269-3183-ND
								Kommerziell	20-DIP	269-3225-ND	3.53	2.65	1.68	Z8F0811PH020SC	
								Erweitert	20-SSOP	269-3222-ND	3.35	2.52	1.61	Z8F0811HH020EC	
								Kommerziell	20-SSOP	269-3223-ND	3.20	2.41	1.53	Z8F0811HH020SC	
		19	UART, I2C, SPI, IrDA	—	2.7 ~ 3.6V	20MHz	2	Erweitert	28-DIP	269-3226-ND	3.91	2.94	1.86	Z8F0812PJ020EC	269-3183-ND
								Kommerziell	28-DIP	269-3227-ND	3.71	2.79	1.77	Z8F0812PJ020SC	
								Erweitert	28-SOIC	269-3228-ND	3.45	2.60	1.65	Z8F0812SJ020EC	
								Kommerziell	28-SOIC	269-3229-ND	3.30	2.48	1.57	Z8F0812SJ020SC	
		11	UART, I2C, IrDA	2-Kan.,10-Bit	2.7 ~ 3.6V	20MHz	2	Erweitert	20-DIP	269-3232-ND	3.86	2.90	1.84	Z8F0821PH020EC	269-3183-ND
								Kommerziell	20-DIP	269-3233-ND	3.68	2.77	1.76	Z8F0821PH020SC	
								Erweitert	20-SSOP	269-3230-ND	3.53	2.65	1.68	Z8F0821HH020EC	
								Kommerziell	20-SSOP	269-3231-ND	3.35	2.52	1.61	Z8F0821HH020SC	
		19	UART, I2C, SPI, IrDA	5-Kan., 10-Bit	2.7 ~ 3.6V	20MHz	2	Erweitert	28-DIP	269-3234-ND	4.06	3.05	1.94	Z8F0822PJ020EC	269-3183-ND
								Kommerziell	28-DIP	269-3235-ND	3.89	2.92	1.85	Z8F0822PJ020SC	
								Erweitert	28-SOIC	269-3236-ND	3.63	2.73	1.73	Z8F0822SJ020EC	
								Kommerziell	28-SOIC	269-3237-ND	3.45	2.60	1.65	Z8F0822SJ020SC	
16K	2K	31	2 UARTS, I2C, SPI, IrDA	8-Kan. 10-Bit	3.0 ~ 3.6V	20MHz	3	Erweitert	40-DIP	269-3194-ND	10.74	8.06	5.97	Z8F1601PM020EC	—
								Kommerziell	40-DIP	269-3128-ND	9.78	7.34	5.43	Z8F1601PM020SC	
								Erweitert	44-PLCC	269-3195-ND	10.74	8.06	5.97	Z8F1601VN020EC	
								Erweitert	44-LQFP	269-3192-ND	10.69	8.02	5.94	Z8F1601AN020EC	
								Kommerziell	44-LQFP	269-3127-ND	9.73	7.30	5.41	Z8F1601AN020SC	
		46	2 UARTS, I2C, SPI, IrDA	12-Kan. 10-Bit	3.0 ~ 3.6V	20MHz	4	Erweitert	64-LQFP	269-3193-ND	11.18	8.39	6.21	Z8F1602AR020EC	—
								Erweitert	68-PLCC	269-3190-ND	11.28	8.46	6.27	Z8F1602VS020EC	
		31	2 UARTS, I2C, SPI, IrDA	8-Kan. 10-Bit	3.0 ~ 3.6V	20MHz	3	Erweitert	40-DIP	269-3255-ND	5.67	4.25	2.71	Z8F1621PM020EC	269-3249-ND
								Kommerziell	40-DIP	269-3256-ND	5.41	4.06	2.71	Z8F1621PM020SC	
								Erweitert	44-LQFP	269-3253-ND	5.79	4.35	2.91	Z8F1621AN020EC	
								Kommerziell	44-LQFP	269-3254-ND	5.23	3.93	2.61	Z8F1621AN020SC	
								Erweitert	44-PLCC	269-3257-ND	5.64	4.23	2.82	Z8F1621VN020EC	
								Kommerziell	44-PLCC	269-3258-ND	5.21	3.92	2.49	Z8F1621VN020SC	
		46	2 UARTS, I2C, SPI, IrDA	12-Kan. 10-Bit	3.0 ~ 3.6V	20MHz	4	Erweitert	64-LQFP	269-3259-ND	6.48	4.86	3.24	Z8F1622AR020EC	269-3249-ND
								Kommerziell	64-LQFP	269-3260-ND	5.82	4.37	2.92	Z8F1622AR020SC	
								Kommerziell	64-LQFP	269-3640-ND	5.82	4.37	2.92	Z8F1622AR020SC2104	
								Erweitert	68-PLCC	269-3261-ND	6.05	4.54	2.88	Z8F1622VS020EC	
								Kommerziell	68-PLCC	269-3262-ND	5.77	4.33	2.75	Z8F1622VS020SC	
24K	2K	31	2 UARTS, I2C SPI, IrDA	8-Kan. 10-Bit	3.0 ~ 3.6V	20MHz	3	Erweitert	40-DIP	269-3189-ND	12.39	9.30	6.90	Z8F2401PM020EC	—
								Erweitert	44-PLCC	269-3180-ND	12.39	9.30	6.90	Z8F2401VN020EC	
								Erweitert	44-LQFP	269-3196-ND	12.32	9.24	6.85	Z8F2401AN020EC	
		46	2 UARTS, I2C SPI, IrDA	12-Kan. 10-Bit	3.0 ~ 3.6V	20MHz	4	Erweitert	64-LQFP	269-3179-ND	12.83	9.62	7.12	Z8F2402AR020EC	—
								Erweitert	68-PLCC	269-3171-ND	12.93	9.70	7.18	Z8F2402VS020EC	
		31	2 UARTS, I2C, SPI, IrDA	8-Kan. 10-Bit	3.0 ~ 3.6V	20MHz	3	Erweitert	40-DIP	269-3265-ND	6.48	4.86	3.10	Z8F2421PM020EC	269-3249-ND
								Kommerziell	40-DIP	269-3266-ND	6.27	4.71	3.15	Z8F2421PM020SC	
								Erweitert	44-LQFP	269-3263-ND	6.46	4.85	3.08	Z8F2421AN020EC	
								Kommerziell	44-LQFP	269-3264-ND	6.10	4.58	3.05	Z8F2421AN020SC	
								Erweitert	44-PLCC	269-3267-ND	6.28	4.71	2.99	Z8F2421VN020EC	
								Kommerziell	44-PLCC	269-3268-ND	5.97	4.48	2.85	Z8F2421VN020SC	
		46	2 UARTS, I2C, SPI, IrDA	12-Kan. 10-Bit	3.0 ~ 3.6V	20MHz	4	Erweitert	64-LQFP	269-3269-ND	6.89	5.17	3.29	Z8F2422AR020EC	269-3249-ND
								Kommerziell	64-LQFP	269-3270-ND	6.56	4.92	3.13	Z8F2422AR020SC	
								Erweitert	68-PLCC	269-3271-ND	6.86	5.15	3.27	Z8F2422VS020EC	
								Kommerziell	68-PLCC	269-3272-ND	6.53	4.91	3.11	Z8F2422VS020SC	
32K	2K	31	2 UARTS, I2C, SPI, IrDA	8-Kan. 10-Bit	3.0 ~ 3.6V	20MHz	3	Erweitert	40-DIP	269-3173-ND	13.23	9.93	7.35	Z8F3201PM020EC	—
								Erweitert	44-LQFP	269-3175-ND	13.16	9.87	7.31	Z8F3201AN020EC	
								Erweitert	44-PLCC	269-3186-ND	13.23	9.93	7.35	Z8F3201VN020EC	
		46	2 UARTS, I2C, SPI, IrDA	12-Kan. 10-Bit	3.0 ~ 3.6V	20MHz	4	Erweitert	64-LQFP	269-3184-ND	13.64	10.23	7.58	Z8F3202AR020EC	—
								Kommerziell	64-LQFP	269-3140-ND	12.39	9.30	6.90	Z8F3202AR020SC	
								Erweitert	68-PLCC	269-3177-ND	13.74	10.31	7.64	Z8F3202VS020EC	
		31	2 UARTS, I2C, SPI, IrDA	8-Kan. 10-Bit	3.0 ~ 3.6V	20MHz	3	Erweitert	40-DIP	269-3275-ND	7.42	5.57	3.54	Z8F3221PM020EC	269-3249-ND
								Kommerziell	40-DIP	269-3276-ND	7.07	5.30	3.37	Z8F3221PM020SC	
								Erweitert	44-LQFP	269-3273-ND	7.40	5.55	3.52	Z8F3221AN020EC	
								Kommerziell	44-LQFP	269-3274-ND	7.04	5.29	3.36	Z8F3221AN020SC	
								Erweitert	44-PLCC	269-3277-ND	7.22	5.41	3.44	Z8F3221VN020EC	
								Kommerziell	44-PLCC	269-3278-ND	6.89	5.17	3.28	Z8F3221VN020SC	
		46	2 UARTS, I2C, SPI, IrDA	12-Kan. 10-Bit	3.0 ~ 3.6V	20MHz	4	Erweitert	64-LQFP	269-3279-ND	8.64	6.48	4.31	Z8F3222AR020EC	269-3249-ND
								Kommerziell	64-LQFP	269-3280-ND	7.77	5.83	3.88	Z8F3222AR020SC	
								Erweitert	68-PLCC	269-3281-ND	7.80	5.86	3.71	Z8F3222VS020EC	
								Kommerziell	68-PLCC	269-3282-ND	7.42	5.57	3.54	Z8F3222VS020SC	

(Forts.)

B

Programmbytes in Speichergröße	RAM (Bytes)	E/A-Pins	Serielle Kommunikation	ADU	VCC	Takt-geschw.	Timer/ Zähler (16-Bit)	Betriebstemp.	Paket	Digi-Key Teilenr.	Stückpreis 1	25	100	Zilog Teilenr.	Entwicklungs-werkzeuge
48K	4K	31	2 UARTS, I2C, SPI, IrDA	8-Kan. 10-Bit	3.0 ~ 3.6V	20MHz	3	Erweitert	40-DIP	269-3172-ND	14.88	11.17	8.27	Z8F4801PM020EC	—
								Kommerziell	40-DIP	269-3143-ND	13.54	10.16	7.52	Z8F4801PM020SC	
								Erweitert	44-PLCC	269-3176-ND	14.88	11.17	8.27	Z8F4801VN020EC	
								Erweitert	44-LQFP	269-3197-ND	14.81	11.11	8.23	Z8F4801AN020EC	
		46	2 UARTS, I2C, SPI, IrDA	12-Kan. 10-Bit	3.0 ~ 3.6V	20MHz	4	Erweitert	64-LQFP	269-3187-ND	15.29	11.47	8.50	Z8F4802AR020EC	—
								Kommerziell	64-LQFP	269-3145-ND	15.29	11.47	8.50	Z8F4802AR020SC	
								Erweitert	68-PLCC	269-3191-ND	15.39	11.55	8.56	Z8F4802VS020EC	
		60	2 UARTS, I2C, SPI, IrDA	12-Kan. 10-Bit	3.0 ~ 3.6V	20MHz	4	Erweitert	80-QFP	269-3185-ND	15.75	11.81	8.76	Z8F4803FT020EC	—
		31	2 UARTS, I2C, SPI, IrDA	8-Kan. 10-Bit	3.0 ~ 3.6V	20MHz	3	Erweitert	40-DIP	269-3285-ND	8.48	6.37	4.04	Z8F4821PM020EC	269-3249-ND
								Kommerziell	40-DIP	269-3286-ND	8.08	6.07	3.85	Z8F4821PM020SC	
								Erweitert	44-PLCC	269-3287-ND	8.28	6.22	3.94	Z8F4821VN020EC	
								Kommerziell	44-PLCC	269-3288-ND	7.88	5.91	3.76	Z8F4821VN020SC	
								Erweitert	44-LQFP	269-3283-ND	8.84	6.63	4.42	Z8F4821AN020EC	
								Kommerziell	44-LQFP	269-3284-ND	8.03	6.02	3.83	Z8F4821AN020SC	
		46	2 UARTS, I2C, SPI, IrDA	12-Kan. 10-Bit	3.0 ~ 3.6V	20MHz	4	Erweitert	64-LQFP	269-3289-ND	8.89	6.68	4.24	Z8F4822AR020EC	269-3249-ND
								Kommerziell	64-LQFP	269-3290-ND	8.53	6.41	4.28	Z8F4822AR020SC	
								Erweitert	68-PLCC	269-3291-ND	8.84	6.63	4.22	Z8F4822VS020EC	
								Kommerziell	68-PLCC	269-3192-ND	10.69	8.02	5.94	Z8F4822VS020SC	
		60	2 UARTS, I2C, SPI, IrDA	12-Kan. 10-Bit	3.0 ~ 3.6V	20MHz	4	Erweitert	80-QFP	269-3293-ND	8.95	6.71	4.26	Z8F4823FT020EC	269-3249-ND
								Kommerziell	80-QFP	269-3294-ND	8.79	6.60	4.39	Z8F4823FT020SC	
64K	4K	31	2 UARTS, I2C, SPI, IrDA	8-Kan. 10-Bit	3.0 ~ 3.6V	20MHz	3	Erweitert	40-DIP	269-3174-ND	16.53	12.41	9.19	Z8F6401PM020EC	—
								Kommerziell	40-DIP	269-3149-ND	15.04	11.28	8.35	Z8F6401PM020SC	
								Erweitert	44-PLCC	269-3178-ND	16.53	12.41	9.19	Z8F6401VN020EC	
								Kommerziell	44-PLCC	269-3150-ND	15.04	11.28	8.35	Z8F6401VN020SC	
								Erweitert	44-LQFP	269-3181-ND	16.46	12.35	9.15	Z8F6401AN020EC	
		46	2 UARTS, I2C, SPI, IrDA	12-Kan. 10-Bit	3.0 ~ 3.6V	20MHz	4	Erweitert	64-LQFP	269-3203-ND	16.94	12.71	9.42	Z8F6402AR020EC	—
								Kommerziell	64-LQFP	269-3151-ND	15.42	11.57	8.56	Z8F6402AR020SC	
								Erweitert	68-PLCC	269-3188-ND	17.07	12.81	9.48	Z8F6402VS020EC	
								Kommerziell	68-PLCC	269-3152-ND	15.52	11.64	8.62	Z8F6402VS020SC	
		60	2 UARTS, I2C, SPI, IrDA	12-Kan. 10-Bit	3.0 ~ 3.6V	20MHz	4	Erweitert	80-QFP	269-3182-ND	17.40	13.05	9.67	Z8F6403FT020EC	—
								Kommerziell	80-QFP	269-3153-ND	15.82	11.87	8.79	Z8F6403FT020SC	
		31	2 UARTS, I2C, SPI, IrDA	8-Kan. 10-Bit	3.0 ~ 3.6V	20MHz	3	Erweitert	40-DIP	269-3297-ND	9.22	6.92	4.39	Z8F6421PM020EC	269-3249-ND
								Kommerziell	40-DIP	269-3298-ND	8.79	6.60	4.19	Z8F6421PM020SC	
								Erweitert	44-PLCC	269-3299-ND	9.02	6.77	4.30	Z8F6421VN020EC	
								Kommerziell	44-PLCC	269-3300-ND	8.69	6.52	4.34	Z8F6421VN020SC	
								Erweitert	44-LQFP	269-3295-ND	9.80	7.36	4.91	Z8F6421AN020EC	
								Kommerziell	44-LQFP	269-3296-ND	8.81	6.61	4.42	Z8F6421AN020SC	
		46	2 UARTS, I2C, SPI, IrDA	12-Kan. 10-Bit	3.0 ~ 3.6V	20MHz	4	Erweitert	64-LQFP	269-3301-ND	10.46	7.85	5.24	Z8F6422AR020EC	269-3249-ND
								Kommerziell	64-LQFP	269-3302-ND	9.42	7.07	4.72	Z8F6422AR020SC	
								Kommerziell	64-LQFP	269-3641-ND	9.42	7.07	4.72	Z8F6422AR020SC2104	
								Erweitert	68-PLCC	269-3303-ND	10.57	7.93	5.29	Z8F6422VS020EC	
								Kommerziell	68-PLCC	269-3304-ND	9.50	7.13	4.76	Z8F6422VS020SC	
		60	2 UARTS, I2C, SPI, IrDA	12-Kan 1-Bit	3.0 ~ 3.6V	20MHz	4	Erweitert	80-QFP	269-3305-ND	10.72	8.04	5.36	Z8F6423FT020EC	269-3249-ND
								Kommerziell	80-QFP	269-3306-ND	9.65	7.24	4.83	Z8F6423FT020SC	

Z8 Encore! XP® Flash Mikrocontroller Serie 4K

Die Z8 Encore!® MCU-Produktgruppe ist die erste einer Reihe von ZiLOG-Mikrocontroller-Produkten, die auf der 8-Bit eZ8 CPU basieren. Das Z8 Encore! Die Serie XP 4K erweitert die bereits umfassende ZiLOG-Palette von 8-Bit Mikrocontrollern. Die Flash-In-Circuit-Programmierfunktion verkürzt die Entwicklungszeit und erleichtert Programmänderungen im Feld. Die neue eZ8 CPU ist mit bestehenden Z8-Befehlen nach oben kompatibel. Der umfassende Peripherie-Satz der Z8 Encore!- Gruppe eignet sich für eine Vielzahl von Anwendungen, einschließlich Motorsteuerung, Sicherheitssystemen, Haushaltsgeräten, persönlichen elektronischen Geräten und Sensoren.

Merkmale:

• Programmspeicherart: Flash • On-Chip-Sonderfunktionen: POR, VBO, Temperatursensor, Analog-Komparator, Stromfühlverstärker, bis zu 18 Vektor-Unterbrecher • WDT • COMM-Schnittstellen: UART, OCD • Betriebstemp.: Erweitert: -40 °C ~ 105 °C Kommerziell: 0 °C ~ 70 °C

Programmbytes in Speichergröße	RAM (Bytes)	E/A-Pins	NVDS (Bytes)	Serielle Kommunikation	ADU	VCC	Takt-geschw.	Timer/ Zähler (16-Bit)	Betriebstemp.	Paket	Digi-Key Teilenr.	Stückpreis 1	25	100	Zilog Teilenr.	Entwicklungs-werkzeuge
1K	256	6	16	UART	—	2.7 ~ 3.6	20MHz	2	Erweitert	8-DIP	269-3642-ND	2.18	2.01	1.11	Z8F011APB020EC	269-3307-ND, 269-3638-ND
									Kommerziell	8-DIP	269-3643-ND	1.98	1.82	1.00	Z8F011APB020SC	
									Erweitert	8-MLF	269-3644-ND	3.00	2.76	1.50	Z8F011AQB020EC	
									Kommerziell	8-MLF	269-3645-ND	2.90	2.66	1.45	Z8F011AQB020SC	
									Erweitert	8-SOIC	269-3646-ND	2.11	1.94	1.06	Z8F011ASB020EC	
									Kommerziell	8-SOIC	269-3647-ND	1.90	1.75	.95	Z8F011ASB020SC	
		17	16	UART	—	2.7 ~ 3.6	20MHz	2	Erweitert	20-SSOP	269-3308-ND	2.69	2.25	1.28	Z8F011AHH020EC	269-3307-ND, 269-3638-ND
									Kommerziell	20-SSOP	269-3309-ND	2.57	2.14	1.22	Z8F011AHH020SC	
									Erweitert	20-DIP	269-3312-ND	3.00	2.50	1.44	Z8F011APH020EC	
									Kommerziell	20-DIP	269-3313-ND	2.84	2.38	1.37	Z8F011APH020SC	
									Erweitert	20-SOIC	269-3316-ND	2.69	2.25	1.28	Z8F011ASH020EC	
									Kommerziell	20-SOIC	269-3317-ND	2.57	2.14	1.22	Z8F011ASH020SC	
		25	16	UART	—	2.7 ~ 3.6	20MHz	2	Erweitert	28-SSOP	269-3310-ND	2.79	2.33	1.33	Z8F011AHJ020EC	269-3307-ND, 269-3638-ND
									Kommerziell	28-SSOP	269-3311-ND	2.64	2.21	1.27	Z8F011AHJ020SC	
									Erweitert	28-DIP	269-3314-ND	3.17	2.65	1.52	Z8F011APJ020EC	
									Kommerziell	28-DIP	269-3315-ND	3.02	2.52	1.45	Z8F011APJ020SC	
									Erweitert	28-SOIC	269-3318-ND	2.79	2.33	1.33	Z8F011ASJ020EC	
									Kommerziell	28-SOIC	269-3319-ND	2.64	2.21	1.27	Z8F011ASJ020SC	
		6	16	UART	7-Kan. 10-Bit	2.7 ~ 3.6	20MHz	2	Erweitert	8-DIP	269-3648-ND	2.31	2.12	1.16	Z8F012APB020EC	269-3307-ND, 269-3638-ND
									Kommerziell	8-DIP	269-3649-ND	2.08	1.91	1.04	Z8F012APB020SC	
									Erweitert	8-MLF	269-3650-ND	3.15	2.89	1.58	Z8F012AQB020EC	
									Kommerziell	8-MLF	269-3651-ND	3.08	2.82	1.55	Z8F012AQB020SC	
									Erweitert	8-SOIC	269-3652-ND	2.21	2.03	1.11	Z8F012ASB020EC	
									Kommerziell	8-SOIC	269-3653-ND	2.01	1.84	1.00	Z8F012ASB020SC	

(Forts.)

Alle Preisangaben in Euro und inklusive Zollgebühren.

Programmbytes in Speichergröße	RAM (Bytes)	E/A-Pins	NVDS (Bytes)	Serielle Kommunikation	ADU	VCC	Takt-geschw.	Timer/ Zähler (16-Bit)	Betriebstemp.	Paket	Digi-Key Teilenr.	Stückpreis 1	Stückpreis 25	Stückpreis 100	Zilog Teilenr.	Entwicklungs-werkzeuge
1K	256	17	16	UART	7-Kan. 10-Bit	2.7 ~ 3.6	20MHz	2	Erweitert	20-SSOP	269-3320-ND	2.79	2.33	1.35	Z8F012AHH020EC	269-3307-ND, 269-3638-ND
									Kommerziell	20-SSOP	269-3321-ND	2.69	2.25	1.28	Z8F012AHH020SC	
									Erweitert	20-DIP	269-3324-ND	3.12	2.61	1.49	Z8F012APH020EC	
									Kommerziell	20-DIP	269-3325-ND	3.00	2.50	1.43	Z8F012APH020SC	
									Erweitert	20-SOIC	269-3328-ND	2.82	2.35	1.35	Z8F012ASH020EC	
									Kommerziell	20-SOIC	269-3329-ND	2.69	2.25	1.28	Z8F012ASH020SC	
		23	16	UART	8-Kan. 10-Bit	2.7 ~ 3.6	20MHz	2	Erweitert	28-SSOP	269-3322-ND	2.92	2.44	1.39	Z8F012AHJ020EC	
									Kommerziell	28-SSOP	269-3323-ND	2.77	2.31	1.33	Z8F012AHJ020SC	
									Erweitert	28-DIP	269-3326-ND	3.30	2.76	1.59	Z8F012APJ020EC	
									Kommerziell	28-DIP	269-3327-ND	3.15	2.63	1.51	Z8F012APJ020SC	
									Erweitert	28-SOIC	269-3330-ND	2.92	2.44	1.39	Z8F012ASJ020EC	
									Kommerziell	28-SOIC	269-3331-ND	2.77	2.31	1.33	Z8F012ASJ020SC	
2K	512	6	64	UART	—	2.7 ~ 3.6	20MHz	2	Erweitert	8-DIP	269-3654-ND	2.31	2.12	1.16	Z8F021APB020EC	269-3307-ND, 269-3638-ND
									Kommerziell	8-DIP	269-3655-ND	2.08	1.91	1.05	Z8F021APB020SC	
									Erweitert	8-MLF	269-3656-ND	3.48	3.20	1.75	Z8F021AQB020EC	
									Kommerziell	8-MLF	269-3657-ND	3.41	3.13	1.71	Z8F021AQB020SC	
									Erweitert	8-SOIC	269-3658-ND	2.24	2.05	1.12	Z8F021ASB020EC	
									Kommerziell	8-SOIC	269-3659-ND	2.01	1.84	1.00	Z8F021ASB020SC	
		17	64	UART	—	2.7 ~ 3.6	20MHz	2	Erweitert	20-SSOP	269-3332-ND	2.84	2.38	1.35	Z8F021AHH020EC	
									Kommerziell	20-SSOP	269-3333-ND	2.69	2.25	1.29	Z8F021AHH020SC	
									Erweitert	20-DIP	269-3336-ND	3.15	2.63	1.51	Z8F021APH020EC	
									Kommerziell	20-DIP	269-3337-ND	3.00	2.50	1.44	Z8F021APH020SC	
									Erweitert	20-SOIC	269-3340-ND	2.84	2.38	1.35	Z8F021ASH020EC	
									Kommerziell	20-SOIC	269-3341-ND	2.69	2.25	1.29	Z8F021ASH020SC	
		25	64	UART	—	2.7 ~ 3.6	20MHz	2	Erweitert	28-SSOP	269-3334-ND	2.92	2.44	1.40	Z8F021AHJ020EC	
									Kommerziell	28-SSOP	269-3335-ND	2.79	2.33	1.33	Z8F021AHJ020SC	
									Erweitert	28-DIP	269-3338-ND	3.35	2.80	1.61	Z8F021APJ020EC	
									Kommerziell	28-DIP	269-3339-ND	3.20	2.67	1.53	Z8F021APJ020SC	
									Erweitert	28-SOIC	269-3342-ND	2.92	2.44	1.40	Z8F021ASJ020EC	
									Kommerziell	28-SOIC	269-3343-ND	2.79	2.33	1.33	Z8F021ASJ020SC	
		6	64	UART	7-Kan. 10-Bit	2.7 ~ 3.6	20MHz	2	Erweitert	8-DIP	269-3660-ND	2.41	2.22	1.22	Z8F022APB020EC	269-3307-ND, 269-3638-ND
									Kommerziell	8-DIP	269-3661-ND	2.18	2.01	1.10	Z8F022APB020SC	
									Erweitert	8-MLF	269-3662-ND	3.66	3.36	1.83	Z8F022AQB020EC	
									Kommerziell	8-MLF	269-3663-ND	3.59	3.29	1.80	Z8F022AQB020SC	
									Erweitert	8-SOIC	269-3664-ND	2.34	2.15	1.17	Z8F022ASB020EC	
									Kommerziell	8-SOIC	269-3665-ND	2.11	1.94	1.05	Z8F022ASB020SC	
		17	64	UART	7-Kan. 10-Bit	2.7 ~ 3.6	20MHz	2	Erweitert	20-SSOP	269-3344-ND	2.97	2.48	1.42	Z8F022AHH020EC	
									Kommerziell	20-SSOP	269-3345-ND	2.84	2.38	1.35	Z8F022AHH020SC	
									Erweitert	20-DIP	269-3348-ND	3.30	2.76	1.58	Z8F022APH020EC	
									Kommerziell	20-DIP	269-3349-ND	3.15	2.63	1.50	Z8F022APH020SC	
									Erweitert	20-SOIC	269-3352-ND	2.97	2.48	1.42	Z8F022ASH020EC	
									Kommerziell	20-SOIC	269-3353-ND	2.84	2.38	1.35	Z8F022ASH020SC	
		23	64	UART	8-Kan. 10-Bit	2.7 ~ 3.6	20MHz	2	Erweitert	28-SSOP	269-3346-ND	3.07	2.57	1.47	Z8F022AHJ020EC	
									Kommerziell	28-SSOP	269-3347-ND	2.92	2.44	1.40	Z8F022AHJ020SC	
									Erweitert	28-DIP	269-3350-ND	3.50	2.93	1.67	Z8F022APJ020EC	
									Kommerziell	28-DIP	269-3351-ND	3.33	2.78	1.59	Z8F022APJ020SC	
									Erweitert	28-SOIC	269-3354-ND	3.07	2.57	1.47	Z8F022ASJ020EC	
									Kommerziell	28-SOIC	269-3355-ND	2.92	2.44	1.40	Z8F022ASJ020SC	
4K	1K	6	128	UART	—	2.7 ~ 3.6	20MHz	2	Erweitert	8-DIP	269-3666-ND	2.44	2.24	1.22	Z8F041APB020EC	269-3307-ND, 269-3638-ND
									Kommerziell	8-DIP	269-3667-ND	2.18	2.01	1.10	Z8F041APB020SC	
									Erweitert	8-MLF	269-3668-ND	3.99	3.66	2.00	Z8F041AQB020EC	
									Kommerziell	8-MLF	269-3669-ND	3.92	3.59	1.96	Z8F041AQB020SC	
									Erweitert	8-SOIC	269-3670-ND	2.34	2.15	1.17	Z8F041ASB020EC	
									Kommerziell	8-SOIC	269-3671-ND	2.11	1.94	1.06	Z8F041ASB020SC	
		17	128	UART	—	2.7 ~ 3.6	20MHz	2	Erweitert	20-SSOP	269-3356-ND	2.97	2.48	1.43	Z8F041AHH020EC	
									Kommerziell	20-SSOP	269-3357-ND	2.84	2.38	1.36	Z8F041AHH020SC	
									Erweitert	20-DIP	269-3360-ND	3.33	2.78	1.59	Z8F041APH020EC	
									Kommerziell	20-DIP	269-3361-ND	3.17	2.65	1.51	Z8F041APH020SC	
									Erweitert	20-SOIC	269-3364-ND	2.97	2.48	1.43	Z8F041ASH020EC	
									Kommerziell	20-SOIC	269-3365-ND	2.84	2.38	1.36	Z8F041ASH020SC	
		25	128	UART	—	2.7 ~ 3.6	20MHz	2	Erweitert	28-SSOP	269-3358-ND	3.07	2.57	1.48	Z8F041AHJ020EC	
									Kommerziell	28-SSOP	269-3359-ND	2.95	2.46	1.40	Z8F041AHJ020SC	
									Erweitert	28-DIP	269-3362-ND	3.53	2.95	1.68	Z8F041APJ020EC	
									Kommerziell	28-DIP	269-3363-ND	3.35	2.80	1.61	Z8F041APJ020SC	
									Erweitert	28-SOIC	269-3366-ND	3.07	2.57	1.48	Z8F041ASJ020EC	
									Kommerziell	28-SOIC	269-3367-ND	2.95	2.46	1.40	Z8F041ASJ020SC	
		6	128	UART	7-Kan. 10-Bit	2.7 ~ 3.6	20MHz	2	Erweitert	8-DIP	269-3672-ND	2.54	2.33	1.28	Z8F042APB020EC	269-3307-ND, 269-3638-ND
									Kommerziell	8-DIP	269-3673-ND	2.29	2.10	1.16	Z8F042APB020SC	
									Erweitert	8-MLF	269-3674-ND	4.17	3.82	2.09	Z8F042AQB020EC	
									Kommerziell	8-MLF	269-3675-ND	4.09	2.76	2.05	Z8F042AQB020SC	
									Erweitert	8-SOIC	269-3676-ND	2.46	2.26	1.23	Z8F042ASB020EC	
									Kommerziell	8-SOIC	269-3677-ND	2.21	2.03	1.11	Z8F042ASB020SC	
		17	128	UART	7-Kan. 10-Bit	2.7 ~ 3.6	20MHz	2	Erweitert	20-SSOP	269-3368-ND	3.12	2.61	1.49	Z8F042AHH020EC	
									Kommerziell	20-SSOP	269-3369-ND	2.97	2.48	1.43	Z8F042AHH020SC	
									Erweitert	20-DIP	269-3372-ND	3.48	2.90	1.66	Z8F042APH020EC	
									Kommerziell	20-DIP	269-3373-ND	3.30	2.76	1.58	Z8F042APH020SC	
									Erweitert	20-SOIC	269-3376-ND	3.12	2.61	1.49	Z8F042ASH020EC	
									Kommerziell	20-SOIC	269-3377-ND	2.97	2.48	1.43	Z8F042ASH020SC	

(Forts.)

B

Programmbytes in Speichergröße	RAM (Bytes)	E/A-Pins	NVDS (Bytes)	Serielle Kommunikation	ADU	VCC	Takt-geschw.	Timer/ Zähler (16-Bit)	Betriebstemp.	Paket	Digi-Key Teilenr.	Stückpreis 1	25	100	Zilog Teilenr.	Entwicklungs-werkzeuge
4K	1K	23	128	UART	8-Kan. 10-Bit	2.7 ~ 3.6	20MHz	2	Erweitert	28-SSOP	269-3370-ND	3.23	2.69	1.55	Z8F042AHJ020EC	269-3307-ND, 269-3638-ND
									Kommerziell	28-SSOP	269-3371-ND	3.07	2.57	1.47	Z8F042AHJ020SC	
									Erweitert	28-DIP	269-3374-ND	3.68	3.07	1.76	Z8F042APJ020EC	
									Kommerziell	28-DIP	269-3375-ND	3.50	2.93	1.67	Z8F042APJ020SC	
									Erweitert	28-SOIC	269-3378-ND	3.23	2.69	1.55	Z8F042ASJ020EC	
									Kommerziell	28-SOIC	269-3379-ND	3.07	2.57	1.47	Z8F042ASJ020SC	
8K	1K	17	—	UART	7-Kan. 10-Bit	2.7 ~ 3.6	20MHz	2	Kommerziell	20-SSOP	269-3680-ND	3.15	2.89	1.58	Z8F082AHH020SC	269-3307-ND, 269-3638-ND
										20-DIP	269-3682-ND	3.58	3.29	1.79	Z8F082APH020SC	
										20-SOIC	269-3684-ND	3.15	2.89	1.57	Z8F082ASH020SC	
		23	—	UART	8-Kan. 10-Bit	2.7 ~ 3.6	20MHz	2	Kommerziell	28-SSOP	269-3681-ND	3.25	2.98	1.64	Z8F082AHJ020SC	269-3307-ND, 269-3638-ND
										28-DIP	269-3683-ND	3.68	3.38	1.85	Z8F082APJ020SC	
										28-SOIC	269-3685-ND	3.20	2.94	1.61	Z8F082ASJ020SC	

eZ80 Acclaim!™ Flash-Mikrocontroller

Flash (KB)	SRAM (KB)	E/A-Leitungen	DMA-Controller	Geschwindigkeit (MHz)	16-Bit Timers	EMAC	Andere Merkmale	IrDA	Betriebs-spannung	Temperaturbereich	Paket	Digi-Key Teilenr.	Stückpreis 1	25	100	Zilog Teilenr.
256K	16K	32	Y	50	4	Y	2 UARTS, SPI, I^2C, PLL, RTC	Y	3.0-3.6V	-40° ~ 105°C	144-LQFP	269-3161-ND	22.73	17.05	10.10	EZ80F91AZ050SC
											144-LQFP	269-3199-ND	24.99	18.75	11.11	EZ80F91AZ050EC
											144-BGA	269-3251-ND	23.87	17.91	10.61	EZ80F91NA050SC
											144-BGA	269-3250-ND	26.13	19.61	11.62	EZ80F91NA050EC
128K	8K	24	—	20	6	—	2 UARTS, SPI, I^2C, RTC	Y	3.0-3.6V	-40° ~ 105°C	100-LQFP	269-3159-ND	15.87	11.91	7.06	EZ80F92AZ020SC
												269-3200-ND	17.47	13.11	7.77	EZ80F92AZ020EC
64K	4K	24	—	20	6	—	2 UARTS, SPI, I^2C, RTC	Y	3.0-3.6V	-40° ~ 105°C	100-LQFP	269-3164-ND	14.76	11.07	6.57	EZ80F93AZ020SC
												269-3201-ND	16.23	12.18	7.22	EZ80F93AZ020EC
—	—	24	—	20	6	—	2 UARTS, SPI, I2C	Y	3.0-3.6V	-40° ~ 105°C	100-LQFP	269-3167-ND	14.05	10.54	6.24	EZ80L92AZ020EC
												269-3168-ND	12.22	9.17	5.43	EZ80L92AZ020SC
—	—	24	—	50	6	—	2 UARTS, SPI, I2C	Y	3.0-3.6V	-40° ~ 105°C	100-LQFP	269-3169-ND	15.44	11.59	6.87	EZ80L92AZ050EC
												269-3170-ND	13.44	10.08	5.97	EZ80L92AZ050SC

Entwicklungskits

Beschreibung	Digi-Key Teilenr.	Stückpreis
eZ80Acclaim!™		
Entwicklungskit für eZ80F91	269-3388-ND	84.62
Entwicklungskit für eZ80F91	269-3154-ND	236.20
Entwicklungskit für eZ80F92	269-3162-ND	338.60
Z8 Encore! XP®		
Z8 Encore! Serie XP® 4K, 8-Pin Entwicklungskit	269-3638-ND	42.32
Z8 Encore! Serie XP® 4K, 28-Pin Entwicklungskit	269-3307-ND	33.82
Z8 Encore! Serie XP® F08xA, 28-Pin Entwicklungskit	269-3686-ND	33.82
Z8 Encore!®		
Z8 Encore!® Entwicklungskit (8K/4K)	269-3183-ND	33.82
Z8 Encore!® Z8F642 MCU-Entwicklungskit	269-3249-ND	33.82
Z8 Encore!® Serie 4K Entwicklungskit (28-Pin)	269-3389-ND	33.82
eZ80®		
eZ80L92 Entwicklungskit	269-3165-ND	338.60
Crimzon™		
Crimzon™ RC Entwicklungsplattform	269-3398-ND	210.80

Zubehörkits

Beschreibung	Digi-Key Teilenr.	Stückpreis
eZ80Acclaim!™		
eZ80Acclaim!™ Serielles Smart-Kabel-Zubehörkit	269-3391-ND	29.63
USB Smart-Kabel-Zubehörkit	269-3678-ND	43.98
Z8 Encore!®		
Z8 Encore!® Smart-Kabel-Zubehörkit	269-3248-ND	16.89
Modulares Entwicklungssystem, Allzweckkit	269-3386-ND	126.95

Programmiergerät

Beschreibung	Digi-Key Teilenr.	Stückpreis
Z8 GP™		
Z8™ GP ZGP323 Ethernet-Programmiersystem	269-3390-ND	83.81

Emulatoren

Beschreibung	Digi-Key Teilenr.	Stückpreis
Z8 Encore!®		
Serie Z8 Encore!™ 64K, 44-Pin LQFP Emulatorkit	269-3392-ND	2535.57
Serie Z8 Encore!™ 64K, 40-Pin PDIP Emulatorkit	269-3393-ND	2535.57
Serie Z8 Encore!™ 64K, 44-Pin PLCC Emulatorkit	269-3394-ND	2535.57
Serie Z8 Encore!™ 64K, 64-Pin LQFP Emulatorkit	269-3395-ND	2535.57
Serie Z8 Encore!™ 64K, 68-Pin PLCC Emulatorkit	269-3396-ND	2535.57
Serie Z8 Encore!™ 64K, 80-Pin QFP Emulatorkit	269-3397-ND	2535.57
Z8 GP™		
Z8 GP™ ZGP323 In-Circuit-Emulator und Entwicklungsplattform	269-3399-ND	2115.65

Adapter

Beschreibung	Digi-Key Teilenr.	Stückpreis
Z8 Encore!®		
Serie Z8 Encore!® 64K, 44-Pin LQFP ICE-Adapter	269-3400-ND	253.13
Serie Z8 Encore!® 64K, 40-Pin PDIP ICE-Adapter	269-3401-ND	253.13
Serie Z8 Encore!® 64K, 44-Pin PLCC ICE-Adapter	269-3402-ND	253.13
Serie Z8 Encore!® 64K, 64-Pin LQFP ICE-Adapter	269-3403-ND	253.13
Serie Z8 Encore!® 64K, 68-Pin PLCC ICE-Adapter	269-3404-ND	253.13
Serie Z8 Encore!® 64K, 80-Pin QFP ICE-Adapter	269-3405-ND	253.13

Module

Beschreibung	Digi-Key Teilenr.	Stückpreis
eZ80Acclaim!™		
Mehrzweck-MCU-Modul	269-3155-ND	63.50
Flash-Modul für eZ80F92	269-3156-ND	71.20
Ethernet-Modul für eZ80F92	269-3157-ND	91.43
eZ80®		
Webserver-i Ethernet-Modul	269-3166-ND	48.58

Alle Preisangaben in Euro und inklusive Zollgebühren.

Echtzeit-Schaltkreisemulation und Programmierung für nur 42.29

Z86CCP01ZEM Emulator / Programmierer für Z8® von Zilog

Mikrocontroller mit max. 32K Programmspeicher

Digi-Key-Teilenr. **269-2002-ND**
(Siehe Z8-Tabelle für die betreffenden Geräte.)

BESCHREIBUNG: Bei dem In-Circuit-Emulator/Programmierer von Zilog handelt es sich um ein interaktives, auf Windows™ basierendes Entwicklungstool, das eine Echtzeit-Umgebung für Emulation und Debugging liefert und einen kompletten Macro-Cross-Assembler zur Steigerung der Programmiererproduktivität einschließt. Der Z86CCP01ZEM gehört zur ICEBOX™ Produktreihe der Schaltkreisemulatoren von Zilog, die die Z8-Mikrocontroller unterstützen. Der Emulator liefert wichtiges Timing und E/A-Schaltkreise, um die Benutzeremulation der Prototyp-Hardware und des Software-Produkts zu erleichtern. Der Z8 CCP-Emulator bietet Benutzern eine Hardware-Plattform zur Entwicklung und zum Debugging von Software in einer Echtzeit-Umgebung. Software-Simulatoren hingegen arbeiten wesentlich langsamer, was sie zur Code-Entwicklung weniger geeignet macht. Der Z8 CCP-Emulator kann an einen seriellen Port (COM1, COM2, COM3 und COM4) des Host-Computers angeschlossen werden und verwendet Zilog Developer Studio (ZDS). **Inhalt des Z8 CCP Emulatorkits:** Leiterplatte: CMOS Z86C9320VSC, 20 MHZ CMOS Z86C5020FSE ICE Chip, 32K x 8 Static RAM (für Code-Speicher) 18-Pin DIP ZIF Programmiersteckleiste, verfügbare Löcher für 28/40-Pin ZIF Programmiersockel, Sockel für 28/40-Pin Zielkabel, 25-Pin RS232C-Schnittstellen-Steckverbinder: 18-Pin DIP-Zielkabel, Netzkabel **Dokumentation:** Emulator-Gebrauchsanleitung **HINWEIS:** *Netzteil RS232C ist nicht im Z86CCP01ZEM inbegriffen (empfohlener Wandtrafo T404-ND)*
MERKMALE: • Schaltkreis-Debug-Emulation • Echtzeit-Emulation • Z8 GUI ZDS Emulator-Software • Auf Windows basierende Benutzerschnittstelle • Online-Hilfe • Einmal programmierbarer (One-Time Programmable - OTP) -Support • Baudraten-Auswahl: 9.600 ~ 57,6 Kbps • Bisynch. Fehlerbehebungs-Kommunikationsprotokoll • Debugging auf Quellenebene • Symbolisches Disassemblieren im Debug-Fenster • Zilog Developer Studio (ZDS): – ZMASM, – Strukturierter Assembly- und Datencode, – Debug-Support auf Quellenebene, – Eingebaute Registeräquivalente, – Linker, – in Windows 95TM integrierter Editor **SPEZIFIKATIONEN: Betriebstemperatur:** 20 °C ±10 °C **Versorgungsspannung:** +7,5 V DC ~ 10,0 V DC **Mindestemulationsgeschwindigkeit:** 1 MHz intern SCLK **Höchstemulationsgeschwindigkeit:** 6 MHz intern SCLK12 MHz externes Kristall (mit 8 MHz Kristall geliefert) **Betriebsluftfeuchtigkeit:** 10-90 % RH (nicht-kondensierend) **Strombedarf:** +8,0 V DC @ 0,5 A typisch, max. 0,8 A **Abmessungen Breite:** 7,0" (17,7 cm) **Länge:** 9,0" (22,9 cm) **Höhe:** 0,9" (2,3 cm) **Serielle Schnittstelle :**RS232C @ 9.600, 19.200 (Vorgabe), 28.800 oder 57.600 Baud

Mikrocontroller-Serie Z8®

B

MCU-Gruppe Z8

Überblick: Zilog MCU-Produkte zielen auf kostensensitive, hochvolumige Anwendungen ab, einschließlich der Bereiche Verbraucher, Automobilindustrie, Sicherheit und HVAC. Einmal programmierbar (one-time programmable - OTP) für die Prototypenerstellung und Mengenproduktion, wo schneller Marktzugang und Code-Flexibilität wichtig sind. Es wird eine Vielzahl von Paketoptionen angeboten. Dieselben On-Chip-Peripherien werden in der MCU-Produktreihe verwendet, wobei der Hauptunterschied in der Größe des ROM/RAM, der Zahl der vorhandenen E/A-Leitungen und den Paket-/Temperaturbereichen liegt. Dadurch kann der für eine MCU geschriebene Code leicht auf ein anderes Produkt der Gruppe übertragen werden.

MERKMALE: • **General-Purpose Register (GPR)-Dateiarchitektur:** Jedes RAM-Register funktioniert als Akkumulator, was die Ausführung des Befehls beschleunigt und die Codiereffizienz optimiert. Arbeitsregistergruppen ermöglichen schnelle Kontextumschaltung. • **Flexibler E/A:** E/A Byte-, Nibble- und/oder als Eingangs- oder Ausgangs-Bit programmierbar. Die Ausgänge können via Software als Open-Drain oder Push-Pull auf Port-Basis programmiert werden. Eingänge sind Schmitt-getriggert mit autom. Verriegelungen, um unbenutzte Eingänge auf einem bekannten Spannungsniveau zu halten. • **Analogeingänge:** Drei Eingangspins können mit Software als digitale oder analoge Eingänge programmiert werden. Im Analogmodus stehen zwei Komparatoreingänge mit einem gemeinsamen Referenzeingang zur Verfügung. • **Timer/Zähler (T/C):** Der T/C besteht aus einem programmierbaren 6-Bit Prescaler und 8-Bit Abwärtszähler mit maskierbarem Unterbrecher bei Ende der Zählung. • **Unterbrecher:** Es gibt sechs Vektor-Unterbrecherquellen mit Software-programmierbarer Aktivierung und Priorität für jede der sechs Quellen. • **Watch-Dog Timer (WDT):** Ein interner WDT-Schaltkreis ist als ausfallsicherer Mechanismus inbegriffen, damit dann, falls die Software die Grenzen des Normalbetriebs überschreitet, der WDT zeitbedingt abschaltet und die MCU rücksetzt. • **Automatisches Rücksetzen:** Alle Geräte der Produktgruppe verfügen über interne Einschalt-Rücksetzung. • **Niedrig-EMI-Betrieb:** Der Modus kann mit Software oder als eine Maskenoption programmiert werden. Diese neue Option liefert eine reduzierte Strahlemission mit Hilfe von Takt- und Ausgangsantriebs-Schaltkreisänderungen. • **Niedrigleistung:** CMOS mit zwei Bereitschaftsmodi: STOPP und HALT. • **Kompletter Z8-Befehlssatz:** 48 grundlegende Befehle, unterstützt durch 6 Adressiermodi mit möglichem Bit-, Nibbles-, Byte- und Wörterbetrieb.

ZUBEHÖRKIT

Das Z86CCP00ZAC ist das Zubehörkit für den Z86CCP01ZEM. Das Kit enthält alles Zubehör zur kompletten Bestückung und zum Betrieb aller Funktionen des Z86CCP01ZEM.

KIT-INHALT: • 28-Pin DIP-ZIF-Buchse • 28-Pin Ziel-Steckverbinderkabel • 40-Pin DIP-ZIF-Sockel • 40-Pin Ziel-Steckverbinderkabel • RS232-Kabel • Stromkabel

Speichergröße EPROM	Speichergröße RAM	E/A-Leitungen	Oszillatorartig extern	Frequenzbereich min./max.	Versorgungs-spannungsbereich	Betriebstemp. (°C)	Paket	Erf. Emulator-Werkzeuge	Erf. OTP-Prog. Werkzeuge	Digi-Key Teilenr.	Stückpreis 1	Stückpreis 25	Stückpreis 100	Zilog Teilenr.
0.5K	61	14	XTAL/RC	DC-8MHz	3.5-5.5	0-70	18-DIP	A	A	269-1012-ND	1.93	1.45	.89	Z86E0208PSC1925
			XTAL/RC	DC-8MHz	3.5-5.5	0-70	18-SOIC	*	A, 2	269-1014-ND	1.93	1.45	.89	Z86E0208SSC1925
			XTAL	DC-8MHz	3.5-5.5	0-70	20-SSOP	—	—	269-3069-ND	2.11	1.59	.95	Z86E0208HSC1925
			XTAL/RC	DC-8MHz	4.5-5.5	-40-105	18-DIP	A	A	269-1011-ND	2.11	1.59	.97	Z86E0208PEC1925
			XTAL/RC	DC-8MHz	4.5-5.5	-40-105	18-SOIC	*	A, 2	269-1013-ND	2.11	1.59	.97	Z86E0208SEC1925
			XTAL	DC-8MHz	4.5-5.5	-40-105	20-SSOP	—	—	269-3068-ND	2.31	1.74	1.05	Z86E0208HEC1925
1K	125	14	XTAL	DC-12MHz	4.5-5.5	0-70	18-DIP	A	A	269-1095-ND	3.00	2.25	1.33	Z86E0412PSC1866
			RC	DC-12MHz	4.5-5.5	0-70	18-DIP	A	A	269-1096-ND	3.00	2.25	1.33	Z86E0412PSC1903
			XTAL	DC-12MHz	4.5-5.5	0-70	18-SOIC	*	A, 2	269-1099-ND	3.00	2.25	1.33	Z86E0412SSC1866
			XTAL	DC-12MHz	4.5-5.5	0-70	20-SSOP	—	—	269-3076-ND	3.17	2.39	1.42	Z86E0412HSC1866
			RC	DC-12MHz	4.5-5.5	0-70	20-SSOP	—	—	269-3077-ND	3.17	2.39	1.42	Z86E0412HSC1903
			XTAL	DC-12MHz	4.5-5.5	-40-105	18-DIP	A	A	269-1093-ND	3.30	2.48	1.47	Z86E0412PEC
			XTAL	DC-12MHz	4.5-5.5	-40-105	18-SOIC	*	A, 2	269-1097-ND	3.30	2.48	1.47	Z86E0412SEC
			XTAL	DC-12MHz	4.5-5.5	-40-105	20-SSOP	—	—	269-3074-ND	3.50	2.63	1.56	Z86E0412HEC1866
			RC	DC-12MHz	4.5-5.5	-40-105	20-SSOP	—	—	269-3075-ND	3.50	2.63	1.56	Z86E0412HEC1903
2K	125	14	XTAL	DC-12MHz	4.5-5.5	0-70	18-DIP	A	A	269-1025-ND	3.68	2.77	1.64	Z86E0812PSC1866
			RC	DC-12MHz	4.5-5.5	0-70	18-DIP	A	A	269-1026-ND	3.68	2.77	1.64	Z86E0812PSC1903
			XTAL	DC-12MHz	4.5-5.5	0-70	18-SOIC	*	A, 2	269-1029-ND	3.68	2.77	1.64	Z86E0812SSC1866
			RC	DC-12MHz	4.5-5.5	0-70	20-SSOP	—	—	269-3089-ND	3.84	2.88	1.71	Z86E0812HSC1903
			XTAL/RC	DC-16MHz	3.5-5.5	0-70	28-DIP	A	A, 3	269-1053-ND	5.41	4.06	2.73	Z86E3116PSC
			XTAL/RC	DC-16MHz	3.5-5.5	0-70	28-SOIC	*	A, 3, 4	269-1055-ND	5.41	4.06	2.73	Z86E3116SSC
			XTAL	DC-12MHz	4.5-5.5	-40-105	18-DIP	A	A	269-1023-ND	4.04	3.03	1.80	Z86E0812PEC
			XTAL	DC-12MHz	4.5-5.5	-40-105	18-SOIC	*	A, 2	269-1027-ND	4.04	3.03	1.80	Z86E0812SEC
			RC	DC-12MHz	4.5-5.5	-40-105	18-SOIC	*	A, 2	269-1028-ND	4.04	3.03	1.80	Z86E0812SEC1903
			XTAL	DC-12MHz	4.5-5.5	-40-105	20-SSOP	—	—	269-3086-ND	4.24	3.19	1.89	Z86E0812HEC1866
			RC	DC-12MHz	4.5-5.5	-40-105	20-SSOP	—	—	269-3087-ND	4.24	3.19	1.89	Z86E0812HEC1903
			XTAL/RC	DC-16MHz	4.5-5.5	-40-105	28-DIP	A	A, 3	269-1052-ND	5.97	4.48	2.84	Z86E3116PEC
			XTAL/RC	DC-16MHz	4.5-5.5	-40-105	28-SOIC	*	A, 3, 4	269-1054-ND	5.97	4.48	2.84	Z86E3116SEC
4K	237	24	XTAL/RC	DC-16MHz	3.5-5.5	0-70	28-DIP	A	A, 4	269-1041-ND	6.53	4.90	2.91	Z86E3016PSC
			XTAL/RC	DC-16MHz	3.5-5.5	0-70	28-SOIC	*	A, 3, 4	269-1043-ND	6.53	4.90	2.91	Z86E3016SSC
			XTAL/RC	DC-16MHz	3.5-5.5	0-70	28-PLCC	A	A, 3, 4	269-1045-ND	6.53	4.90	2.91	Z86E3016VSC
			XTAL/RC	DC-12MHz	3.5-5.5	0-70	28-DIP	A	A, 7	269-1036-ND	6.76	5.07	3.62	Z86E3312PSC
			XTAL/RC	DC-12MHz	3.5-5.5	0-70	28-SOIC	*	A, 8	269-1103-ND	6.76	5.07	3.55	Z86E3312SSC
			XTAL/RC	DC-12MHz	3.5-5.5	0-70	28-PLCC	*	A, 9	269-1104-ND	6.76	5.07	3.53	Z86E3312VSC
	236	32	XTAL/RC	DC-16MHz	3.5-5.5	0-70	40-DIP	A	A, 3	269-1072-ND	7.77	5.83	3.75	Z86E4016PSC
			XTAL/RC	DC-16MHz	3.5-5.5	0-70	44-PLCC	*	A, 3, 6	269-1074-ND	7.77	5.83	3.75	Z86E4016VSC
			XTAL/RC	DC-12MHz	3.5-5.5	0-70	40-DIP	A	A, 10	269-1037-ND	8.25	6.20	3.87	Z86E4312PSC
			XTAL/RC	DC-12MHz	3.5-5.5	0-70	44-PLCC	*	A, 11	269-1038-ND	8.25	6.20	3.66	Z86E4312VSC
			XTAL/RC	DC-12MHz	3.5-5.5	0-70	44-PQFP	*	A, 3, 16	269-1108-ND	8.61	6.46	4.20	Z86E4312FSC
			XTAL/RC	DC-16MHz	4.5-5.5	0-70	44-PQFP	*	A, 3, 15	269-1107-ND	8.10	6.08	3.75	Z86E4016FSC
	237	24	XTAL/RC	DC-16MHz	4.5-5.5	-40-105	28-DIP	A	A, 4	269-1040-ND	7.19	5.40	3.20	Z86E3016PEC
	236	32	XTAL/RC	DC-16MHz	4.5-5.5	-40-105	40-DIP	A	A, 3	269-1071-ND	8.53	6.41	4.13	Z86E4016PEC
8K	237	24	XTAL/RC	DC-12MHz	3.5-5.5	0-70	28-SOIC	*	A, 8	269-1047-ND	8.23	6.18	3.92	Z8673312SSC
	237	24	XTAL/RC	DC-12MHz	3.5-5.5	0-70	28-DIP	A	A, 7	269-1112-ND	8.23	6.18	3.92	Z8673312PSC
	236	32	XTAL/RC	DC-12MHz	3.5-5.5	0-70	44-PLCC	*	A, 11	269-1048-ND	9.55	7.17	4.55	Z8674312VSC
	236	32	XTAL	DC-12MHz	4.5-5.5	0-70	40-DIP	B	B	269-1033-ND	16.03	12.02	7.12	Z86E2116PSC
	236	32	XTAL/RC	DC-12MHz	3.5-5.5	0-70	40-DIP	A	A, 10	269-1115-ND	9.55	7.17	4.55	Z8674312PSC
	236	32	XTAL	DC-16MHz	4.5-5.5	0-70	44-PLCC	*	B, 12	269-1102-ND	16.03	12.02	7.12	Z86E2116VSC
16K	237	24	XTAL/RC	DC-12MHz	3.5-5.5	0-70	28-DIP	C	C, 7	269-1105-ND	10.87	8.16	5.11	Z86E3412PSC
	236	32	XTAL/RC	DC-12MHz	3.5-5.5	0-70	40-DIP	C	C, 10	269-1034-ND	12.22	9.17	5.43	Z86E4412PSC
	236	32	XTAL/RC	DC-12MHz	3.5-5.5	0-70	44-PLCC	*	C, 11	269-1046-ND	12.22	9.17	5.43	Z86E4412VSC
	236	32	XTAL/RC	DC-12MHz	3.5-5.5	0-70	44-PQFP	*	C, 16	269-1109-ND	12.55	9.41	5.58	Z86E4412FSC
	236	32	XTAL	DC-16MHz	4.5-5.5	0-70	44-PQFP	*	B, 14	269-1110-ND	19.48	14.62	8.67	Z86E6116FSC
32K	236	32	XTAL	DC-16MHz	4.5-5.5	0-70	44-PQFP	*	B, 14	269-1111-ND	24.74	18.56	11.00	Z86E6316FSC

Schlüssel	Beschreibung	Digi-Key Teilenr.	Stückpreis	Zilog Teilenr.
	Emulatoren/Programmierer			
A	Z8-Emulator/Programmiererkarte	269-2002-ND	42.29	Z86CCP01ZEM
	OTP-Programmieradapter			
2	18-Pin SOIC-Adapterr	269-2006-ND	80.43	Z86E0700ZDP
3	Z8-Zubehörkit (28-DIP, 40-DIP) für Z86CCP01ZEM.	269-2001-ND	39.31	Z86CCP00ZAC
6	44-Pin PLCC-Adapter	269-2008-ND	63.35	Z86E4001ZDV
7	28-Pin Dip-Adapter	269-2009-ND	29.72	Z86E3400ZDP
8	28-Pin SOIC-Adapter	269-2010-ND	44.57	Z86E3400ZDS
14	44-Pin PQFP an 40-Dip-Adapter	269-2021-ND	167.63	Z86E2101ZDF
15	44-Pin PQFP an 40-Dip-Adapter	269-2022-ND	100.60	Z86E4001ZDF

* Die Emulatoren von Zilog unterstützen dieses Teil, aber das Schaltkreis-Zielkabel ist nur für DIP ausgelegt. Für Designs, die eine Oberflächenmontage verlangen, siehe die Logiksystemadapter im Herstellerindex.

eZ80 - Die nächste Generation

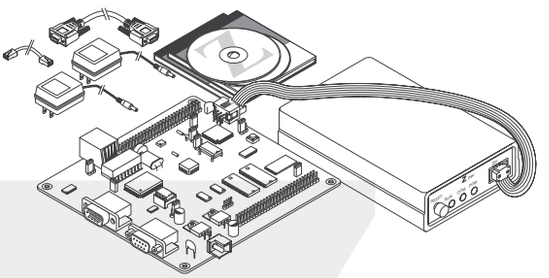

EZ80190AZ050EC UND EZ80190AZ050SC

So wie der Z80 die Halbleiterindustrie revolutioniert hat, wird die nächste Generation eZ80 die Kommunikation von heute revolutionieren. Dieses elegante System-on-a-Chip kann Webseiten über ein TCP/IP-Netz liefern, wodurch das System leicht zu überwachen und zu steuern ist, Prozessorcodes mühelos aktualisiert werden und Systemkompatibilität erzielt wird. Mit dieser Lösung kann jeder Browser mit Zugriff auf Ihr Netz eine Netzwerkanwendung steuern und überwachen. Der eZ80 führt Z80-Code viermal so schnell wie der herkömmliche Z80 bei gleicher Taktgeschwindigkeit aus und kann mit Geschwindigkeiten bis zu 50 MHz betrieben werden. Im Gegensatz zu den meisten 8-Bit Mikroprozessoren, die nur 64 KB verarbeiten können, kann der eZ80 ohne ein Speicherverwaltungsgerät 16 MB verarbeiten. Der eZ80-Webserver bietet auch eine eingebettete Internet Software-Suite, mit der Daten im HTML-Format übertragen und empfangen werden können und eine dynamische Erstellung von Webseiten möglich ist.

MERKMALE:• 50 MHz Prozessor • Multiplizier- und Akkumulationsmaschine • 16 MB lineare Verarbeitung • 3,3 V Betrieb • 2 DMA-Kanäle • Universelle ZiLOG-Schnittstelle (auswählbar: UART, IIC, SPI) • 6 PRTs mit Prescaler • 8 KB SRAM • 32-Bit GPIO mit Unterbrecher-Support • On-Chip-Oszillator • Optimierte Pipeline-Architektur • ZiLOG Debug-Schnittstelle

EZ801900200ZCO

Enthält eine eZ80®-Entwicklungsplattform, ein eZ80190-Modul, ein Netzteil, das ZPAKII Debug Interface Tool und Dokumentation auf CDROM. Eine produktspezifische Aufstellung des Kitinhalts ist auf dem Inhaltsblatt in diesem Kit enthalten.

Beschreibung	Paket	Digi-Key Teilenr.	Stückpreis 1	25	100	Zilog Teilenr.
Webserver IC, Ext. Temperatur	100-VQFP	269-3123-ND	20.90	15.68	9.29	EZ80190AZ050EC
Webserver IC	100-VQFP	269-3124-ND	18.18	13.64	8.09	EZ80190AZ050SC
Entwicklungskit	—	269-3202-ND	338.60	—	—	EZ801900200ZCO

Z8Plus™ Mikrocontroller

Basierend auf der aus den Industriestandards Z80- und Z8-Kernen gewonnenen Erfahrung bietet der Z8Plus erhöhte Funktionalität, wesentlich bessere Leistung bei niedrigerem Stromverbrauch und größere Kostenersparnisse im Vergleich zu anderen 8-Bit Mikrocontrollern. Der Z8Plus ist benutzerfreundlich, selbst für Designer, die nie zuvor einen Mikrocontroller verwendet haben.

Mit Einzelzyklus-Ausführung, leistungsstarken E/A-Funktionen und Register-an-Register-Architektur bietet der Z8Plus modernste Flexibilität und Freiheit für jeden Designer, der eine preiswerte Lösung für eine Vielzahl von Mikrocontroller-Anwendungen sucht.

Der Z8Plus-Kern bietet verschiedene wichtige Vorteile gegenüber dem aktuellen Z8-Kern. An erster Stelle steht eine Leistungsverbesserung aufgrund einer reduzierten Systemtaktteilung und einer festen Befehlszykluszeit. Die Verbesserung beträgt nahezu 50 %, je nach Befehlsmischung. Beispiel: ein auf Z8 Plus basierendes 10-MHz-Teil hat eine Leistung, die mit einem heute produzierten 16-MHz-Teil vergleichbar ist. Dies führt zusammen mit bedeutenden Designverbesserungen zu einem Betrieb mit geringerem Stromverbrauch und weniger Geräusch.

Die Z8PE002- und Z8PE003-Mikrocontroller sind die neuesten Mitglieder der gängigen Z8E001 Z8 Plus 8-Bit Mikrocontroller-Gruppe. Zu den neuen Funktionen gehören Spannungsmangelschutz und Einschalt-Rücksetzung. Ferner wurde der „RÜCKSETZ"-Pin durch einen Allzweck-E/A-Pin und Oszillatorschaltkreis zur Unterstützung von RC-Konfigurationen ersetzt. Diese neuen Teile sind für Kunden bestimmt, die einen leistungsstarken, aber dennoch kleinen OTP-Mikrocontroller für Allzweckanwendungen benötigen..

EMULATOR/PROGRAMMIERER

MERKMALE:

• Schaltkreis-Programm-Debug-Emulation • Echtzeit-Emulation • ZDS Emulator-Software • Auf Windows basierende Benutzerschnittstelle • Online-Hilfe • Einmal programmierbarer (One-Time Programmable - OTP) -Support • Baudraten-Auswahl: 9.600 ~ 57,6 Kbps • Bisynch. Fehlerbehebungs-Kommunikationsprotokoll

SPEZIFIKATIONEN:BETRIEBSTEMPERATUR: 20 °C ±10 °C STROM-ANFORDERUNGEN: +9,0 V DC @ 0,5 A minimum (typisch) ABMESSUNGEN: **• Breite:** 6,75" (17,15 cm) **• Länge:** 7,50" (19,05 cm) **• Höhe:** 0,90" (2,30 cm) **SERIELLE SCHNITTSTELLE :** RS232C @ 9.600, 19.200 (Vorgabe), 28.800 oder 57.600 Baud

HOST COMPUTER:

Mindestanforderungen: IBM PC (oder 100 % kompatibler) Computer auf 386-Basis: • 33 MHz • 4 MB RAM • VGA Video-Adapter • Festplattenlaufwerk (2,5 MB freier Speicher) • 3,5-Zoll High-Density (HD) Floppy Disk-Laufwerk • RS232C COM-Port • Maus oder Zeigegerät • Microsoft Windows 3.1

KITINHALT (je ein Stück): Z8M001 Emulator-Karte; **• Kabel /Pods:** 18-Pin Emulations-Pod-Kabel; 9-Pin M-F serielles Kabel (6 ft.) **• Host-Software:** Z8 Graphical User Interface (GUI); ZiLOG Macro Cross Assembler (ZMASM)/ZiLOG Developer Studio (ZDS) **• Dokumentation:** ZiLOG 1999 Technical Library CD ROM mit Z8 Gerätedatenblättern, Gebrauchsanweisungen, Anwendungsnotizen; Z8M001 Emulator-Benutzerhandbuch

Speicher-größe EPROM	RAM	E/A-Leitungen	Oszillatorartig extern	Frequenzbereich min./max.	Versorgungs-spannungs-bereich	Betriebstemp. (°C)	Paket	Erforderliche Emulator-Werkzeuge	Erforderliche OTP-Programmierungs-Werkzeuge	Digi-Key Teilenr.	Stückpreis 1	25	100	Zilog Teilenr.
512	32	13	XTAL/LC	DC - 10MHz	3.5 ~ 5.5	0 ~ 70	18-DIP	D	D	269-1117-ND	1.78	1.63	.94	Z8E00010PSC
1K	64	13	XTAL/LC	DC - 10MHz	3.5 ~ 5.5	0 ~ 70	18-DIP	D	D	269-1121-ND	2.24	2.05	1.06	Z8E00110PSC
							18-SOIC	*	D, 2	269-1123-ND	2.24	2.05	1.06	Z8E00110SSC
					4.5 ~ 5.5	-40 ~ 105	18-DIP	D	D	269-1120-ND	2.46	2.26	1.16	Z8E00110PEC
Serie Z8PE002 / Z8PE003														
512	64	14	XTAL/LC	DC - 10MHz	3.0 ~ 5.5	0 ~ 70	18-DIP	D	D	269-1130-ND	1.90	1.75	1.00	Z8PE002PZ010SC
							20-SSOP	*	D, 17	269-1132-ND	2.06	1.89	1.08	Z8PE002HZ010SC
					4.5 ~ 5.5	-40 ~ 105	20-SSOP	*	D, 17	269-1135-ND	2.26	2.08	1.27	Z8PE002HZ010EC
1K	64	14	XTAL/LC	DC - 10MHz	3.0 ~ 5.5	0 ~ 70	18-DIP	D	D	269-1136-ND	2.64	2.43	1.33	Z8PE003PZ010SC
							18-SOIC	*	D, 2	269-1137-ND	2.64	2.43	1.33	Z8PE003SZ010SC
							20-SSOP	*	D, 17	269-1138-ND	2.79	2.57	1.47	Z8PE003HZ010SC
					4.5 ~ 5.5	-40 ~ 105	18-DIP	D	D	269-1139-ND	2.90	2.66	1.47	Z8PE003PZ010EC
							18-SOIC	*	D, 2	269-1140-ND	2.90	2.66	1.47	Z8PE003SZ010EC

Schlüssel	Beschreibung	Digi-Key Teilenr.	Stückpreis	Zilog Teilenr.
	Emulator/Programmierer †			
D	Z8 Plus Emulator/Programmierer (Netzteil separat erhältlich; T405-P5P-ND wird empfohlen)	269-2033-ND	142.04	Z8ICE001ZEM

† Für OTP-Programmieradapter verweisen wir auf Serie Z8.

*Die Emulatoren von Zilog unterstützen dieses Teil, aber das Schaltkreis-Zielkabel ist nur für DIP ausgelegt. Für Designs, die oberflächenmontierte Gehäuse verlangen, müssen Anpassungen vorgenommen werden, damit der Emulator zur Schaltkreis-DIP-Emulation verwendet werden kann.

Thermostat-Anwendungsmodulkit

Das Thermostat-Anwendungsmodul bietet eine flexible Plattform zur Schulung und für Experimente auf einer Reihe von Mikrocontrollern und Mikroprozessorgeräten. Das Modul enthält keinen Prozessor. Es wurde zur Befestigung an eZ80 Entwicklungsplattformen entwickelt, die sowohl die Prozessoren als auch die Steuerprogramme enthalten, die die Entwicklung ausführen. **MERKMALE:** • Simple-Bit E/A (LEDs, Schalter, Lampe und Ventilator) • Alphanumerische LCD-Anzeige über die GPIO-Schnittstelle • Temperatursensor über die I²C-Schnittstelle • EEPROM-Datenspeicherung über die I²C-Schnittstelle • Flash-Programmspeicherung für Geräte der eZ80-Gruppe

269-3198-ND **71.96**

Schlüsselfertiges Universal-Fernbedienungskit

Die Crimzon RC Bullet™ Referenz-Designkits eignen sich ideal für Universal-Fernsteueranwendungen. Diese Kits enthalten entweder Lern- oder Nichtlern-Modelle mit entweder 3-in-1 (Kabel/Satellit, DVD/VCR und TV) oder 6-in-1 Funktionssätzen (Kabel, Satellit, Audio, TV, DVD, VCR) für den nordamerikanischen und europäischen Markt. Diese Kits bauen auf den Z8-basierten ZLx16300 oder ZLx32300 IR-Mikrocontrollern auf und werden zu wettbewerbsfähigen Preisen angeboten; sie enthalten alles, was zum Einstieg in die Herstellung der heutigen Marken-Universal-Fernbedienungen erforderlich ist.

269-3380-ND USA, 3 Funktionen, Nichtlern-Version **109.21**
269-3381-ND Europa, 3 Funktionen, Nichtlern-Version **109.21**
269-3382-ND USA, 6 Funktionen, Nichtlern-Version **109.21**
269-3383-ND Europa, 6 Funktionen, Nichtlern-Version **109.21**
269-3384-ND USA, 6 Funktionen, Lern-Version **134.61**
269-3385-ND Europa, 6 Funktionen, Lern-Version **134.61**

Z86L99 mit IR-Lösungen

Z86L99 EVALUIERUNGSKARTE Eine Evaluierungskarte für die Z86L99 Mikrocontroller-Gruppe.

MERKMALE: • Unterstützt 28-Pin Z86L991 und 40-Pin Z86L990 PDIP-Pakete • Volle Mausfunktion mit Varapoint-Modulen und Schaltern von Varatouch • Wahlweise Vcc für 5,3 V, 3 V und gespeist vom PC für PS2-Verbindung • ADU-Abtastung (Z86L990 40-Pin -Version) • PS2 Mauskommunikation (PS2-Tastatur kann auch entwickelt werden) • IR-Demodulator zum Erlernen von IR-und Zweiweg-IR-Kommunikationen • 100 mA hohe Laufwerk-IR-LED • Konfigurierbare Schlüsselmatrix, 11 Reihen und 12 Spalten • 132 Tasten für Tastatur und universelle Fernsteuerungsevaluierung • Zwei variable Widerstände zum Komparatoranschluss • Verstellbare VRef+ und VRef- für ADU • Breitbandbereich für Benutzer zum Ergänzen weiterer Komponenten

Z86L99 IN-CIRCUIT-EMULATOR In-Circuit-Emulatoren sind interaktive, Windows®-orientierte Entwicklungstools, die eine Echtzeit-Umgebung zur Evaluierung und zum Debugging bieten. Liefert wichtiges Timing und E/A-Schaltkreise, um die Benutzeremulation der Prototyp-Hardware und Software zu erleichtern.

MERKMALE: • Unterstützt bis zu 32K ROM • Variiert die Betriebsspannung zwischen 3,0 und 4,0 V • Unterstützt Schaltkreisemulation auf Zielsystemen, die mit 3 V - 4 V arbeiten. • Betreibt den Schaltkreis-Emulator(ICE)-Chip entweder vom Emulator oder von der Zielkarte • Unterstützt IR-Geräte, die mit maximal 8 MHz arbeiten • Emuliert 28-Pin DIP und 40-Pin DIP • Liefert OTP-Programmierung für 28-Pin DIP und SOIC-Pakete, 40-Pin PDIP, 48-Pin SSOP • Arbeitet mit anderen Windows-Anwendungen zusammen, während ZiLOG Developer Studio (ZDS) läuft

269-3240-ND Evaluierungskarte **164.03**
269-3241-ND Emulator **719.61**
269-3238-ND Z86D990; 48-SSOP **15.21**
269-3239-ND Z86D990; 40-DIP **14.43**

Alle Preisangaben in Euro und inklusive Zollgebühren.

PSoC™ (Programmierbares System-on-Chip) Flash-Mikrocontroller

Die programmierbaren System-on-Chip (PSoC™) Mikrocontroller integrieren einen Mikrocontroller und die analogen und digitalen Komponenten, die ihn gewöhnlich in einem eingebettetem System umgeben. Mit den leicht zu verwendenden Entwicklungs-Tools können Designer die speziellen gewünschten Peripheriefunktionen auswählen, einschließlich analoger Funktionen, wie z. B. Verstärker, ADU, DAC, Filter und Komparatoren sowie digitale Funktionen, wie z. B. Timer, Zähler, PWM, SPI und UART. Zu den analogen Funktionen der PSoC-Gruppe gehören Rail-to-Rail-Eingaben, programmierbare Verstärker und bis zu 14-Bit ADU mit besonders geringem Rauschen, niedrigem Eingangsleckstrom und Spannungsausgleich. PSoC-Bausteine umfassen bis zu 32 KB Flash-Speicher, 2 KB SRAM, einen 8x8 Multiplizierer mit 32-Bit Beschleuniger, Leistungs- und Ruheüberwachungsschaltkreise und Hardware-I2C-Kommunikation. Betriebsspannung zwischen 3 V ~ 5,25 V. Betriebstemperaturbereich: -40 °C ~ 85 °C

Speicher-größen-PROM	RAM	Number I^2C	Pin-Zahl-E/A	Paket	Digi-Key Teilenr.	Stückpreis 1	25	100	Cypress Teilenr.
8K	512	Ja	12	16-SOIC	428-1611-ND*	3.39	2.04	1.70	CY8C21234-24SXI
			16	20-SSOP	428-1612-ND*	3.50	2.10	1.75	CY8C21334-24PVXI
			28	32-MLF	428-1613-ND*	4.22	2.53	2.11	CY8C21434-24LFXI
			24	28-SSOP	428-1614-ND*	3.77	2.27	1.89	CY8C21534-24PVXI
			26	32-MLF	428-1615-ND*	3.98	2.39	1.99	CY8C21634-24LFXI
2K	256	Ja	6	8-DIP	428-1544-5-ND	2.12	1.31	1.06	CY8C22113-24PI
			6	8-SOIC	428-1545-5-ND	1.85	1.14	.93	CY8C22113-24SI
			16	32-MLF	428-1546-ND	2.95	1.82	1.48	CY8C22213-24LFI
			16	20-DIP	428-1547-5-ND	2.52	1.55	1.26	CY8C22213-24PI
			16	20-SSOP	428-1548-5-ND	2.44	1.50	1.22	CY8C22213-24PVI
			16	20-SOIC	428-1549-5-ND	2.52	1.55	1.26	CY8C22213-24SI
4K	256	Ja	6	8-SOIC	428-1551-5-ND	2.27	1.40	1.14	CY8C24123-24SI
			16	20-DIP	428-1552-5-ND	3.12	1.95	1.56	CY8C24223-24PI
			16	20-SOIC	428-1554-5-ND	3.10	1.91	1.55	CY8C24223-24SI
			24	32-MLF	428-1555-ND	3.98	2.46	1.99	CY8C24423-24LFI
			24	28-DIP	428-1556-5-ND	3.79	2.33	1.90	CY8C24423-24PI
			24	28-SSOP	428-1557-5-ND	3.26	2.04	1.64	CY8C24423-24PVI
4K	256	Ja	6	8-DIP	428-1602-ND*	2.50	1.50	1.25	CY8C24123A-24PXI
			6	8-SOIC	428-1603-ND*	2.19	1.32	1.10	CY8C24123A-24SXI
			16	20-DIP	428-1604-ND*	3.12	1.87	1.56	CY8C24223A-24PXI
			16	20-SSOP	428-1605-ND*	2.84	1.71	1.42	CY8C24223A-24PVXI
			16	20-SOIC	428-1606-ND*	3.09	1.86	1.55	CY8C24223A-24SXI
			24	28-DIP	428-1607-ND*	3.79	2.28	1.90	CY8C24423A-24PXI
			24	28-SSOP	428-1608-ND*	3.26	1.96	1.63	CY8C24423A-24PVXI
			24	28-SOIC	428-1609-ND*	3.26	1.96	1.63	CY8C24423A-24SXI
			24	32-MLF	428-1610-ND*	3.84	2.30	1.92	CY8C24423A-24LFXI
8K	256	Nein	16	20-DIP	428-1425-5-ND	5.04	3.14	2.53	CY8C26233-24PI
			16	20-SSOP	428-1426-5-ND	5.04	3.14	2.53	CY8C26233-24PVI
			16	20-SOIC	428-1427-5-ND	5.04	3.14	2.53	CY8C26233-24SI
8K	256	Nein	16	20-DIP	428-1639-ND*	5.04	3.49	3.13	CY8C26233-24PXI
			16	20-SSOP	428-1640-ND*	5.04	3.49	3.13	CY8C26233-24PVXI
			16	20-SOIC	428-1641-ND*	5.04	3.49	3.13	CY8C26233-24SXI
16K	256	Nein	24	28-SSOP	428-1429-5-ND	5.21	3.26	2.61	CY8C26443-24PVI
			40	44-TQFP	428-1431-5-ND	5.96	3.73	2.99	CY8C26643-24AI
			44	48-SSOP	428-1433-5-ND	5.70	3.52	2.86	CY8C26643-24PVI
16K	256	Ja	6	8-DIP	428-1513-5-ND	4.39	2.76	2.20	CY8C27143-24PI
			44	48-MLF	428-1520-ND	6.34	3.94	3.17	CY8C27643-24LFI
			44	48-SSOP	428-1521-5-ND	5.30	3.26	2.65	CY8C27643-24PVI
16K	256	Ja	6	8-DIP	428-1593-ND*	4.23	2.54	2.12	CY8C27143-24PXI
			16	20-SSOP	428-1594-ND*	4.57	2.75	2.29	CY8C27243-24PVXI
			16	20-SOIC	428-1595-ND*	4.57	2.75	2.29	CY8C27243-24SXI
			24	28-DIP	428-1596-ND*	4.99	3.00	2.50	CY8C27443-24PXI
			24	28-SSOP	428-1597-ND*	4.81	2.89	2.41	CY8C27443-24PVXI
			24	28-SOIC	428-1598-ND*	4.81	2.89	2.41	CY8C27443-24SXI
			40	44-TQFP	428-1599-ND*	5.87	3.52	2.94	CY8C27543-24AXI
			44	48-SSOP	428-1600-ND*	5.11	3.07	2.56	CY8C27643-24PVXI
			44	48-MLF	428-1601-ND*	5.91	3.55	2.96	CY8C27643-24LFXI
16K	256	Nein	24	28-DIP	428-1642-ND*	5.50	3.81	3.37	CY8C26443-24PXI
			24	28-SSOP	428-1643-ND*	5.21	3.61	3.23	CY8C26443-24PVXI
			24	28-SOIC	428-1644-ND*	5.23	3.62	3.25	CY8C26443-24SXI
			40	44-TQFP	428-1645-ND*	5.95	4.05	3.64	CY8C26643-24AXI
			44	48-SSOP	428-1646-ND*	5.70	3.94	3.49	CY8C26643-24PVXI
32K	2K	Ja	24	28-DIP	428-1586-ND*	7.43	4.46	3.72	CY8C29466-24PXI
			24	28-SSOP	428-1587-ND*	6.48	3.89	3.24	CY8C29466-24PVXI
			24	28-SOIC	428-1588-ND*	6.48	3.89	3.24	CY8C29466-24SXI
			40	44-TQFP	428-1589-ND*	7.22	4.34	3.61	CY8C29566-24AXI
			44	48-SSOP	428-1590-ND*	6.80	4.08	3.40	CY8C29666-24PVXI
			44	48-MLF	428-1591-ND*	7.75	4.65	3.88	CY8C29666-24LFXI
			64	100-TQFP	428-1592-ND*	8.28	4.97	4.14	CY8C29866-24AXI

* Bleifrei/RoHS-konform

PSoC™ ISSP (In-System Serial Programming) Programmierer

Der **ISSP-Programmierer** programmiert PSoC-Schaltkreise mit .hex-Dateien, die mit Cypress MicroSystems' PSoC Designer™-Software erstellt wurden. Der Programmierer programmiert auf Ihrer Leiterplatte einen PSoC-Chip nach dem anderen. Er ist mit einem 5-adrigen Kabel mit Ihrer Leiterplatte und mit einem USB-Kabel mit Ihrem PC verbunden. Der Programmierbetrieb kann durch Einschluss des Programmierers in ein PC-basiertes Testsystem automatisiert werden. Die Testsoftware kommuniziert mit der Programmierer-Steuerungssoftware über eine Befehlszeilen-Schnittstelle. Der ISSP-Programmierer kann auch manuell mithilfe der mitgelieferten Windows® GUI-Software betrieben werden. **Funktionen:** • Programm • Verifizieren • Lesen • Flexible Anschlüsse zum Ziel-PSoC-Baustein: Bausteine können unter Verwendung eines On-Board 48-ZIF-Sockels direkt in ISSP eingesetzt und mit einer Testvorrichtung oder mit systemeigener Programmierung auf einer Produkt-Leiterplatine verbunden werden. **Systemvoraussetzungen:** • Windows® 98, ME, NT, 2000 oder XP • CD-ROM • USB-Port • 128 MB RAM
Kit-inhalt: • ISSP-Programmierer • CD-ROM mit ISSP-Software • USB-Kabel (6 ft.) • Programmierkabel (2 ft.) • 9-V Stromversorgung • In-System Serial Programming (ISSP™) CY3207ISSP Benutzerhandbuch

428-1495-ND Systemeigener PSoC USB-Programmierer **222.66**

PSoC™ -Evaluierungskit

CY3210-PSoCEval1: Das PSoC™ Evaluierungskit umfasst eine Evaluierungskarte und eine MiniProg-Programmiereinheit. Die Evaluierungskarte schließt ein LCD-Modul, Potentiometer, LEDs und genug Steckkartenplatz ein, um allen Evaluierungsanforderungen zu genügen. Die MiniProg-Programmiereinheit programmiert PSoC-Bausteine direkt auf der Evaluierungskarte oder auf anderen Karten über eine 5-Pin Steckleiste. Der MiniProg ist klein und kompakt und wird über das mitgelieferte USB 2.0 Kabel mit dem PC des Benutzers verbunden
Das Kit enthält: • Evaluierungskarte mit LCD-Modul • MiniProg Programmiereinheit • CD mit PSoC Designer Software • CY8C29466-24PXI Muster • USB 2.0 Kabel • „Getting Started" - Einführungshandbuch

428-1584-ND Evaluierungkit für PSoC mit MiniProg1 ..... **56.13**

CY3205-DK BASIC PSoC™ Entwicklungskit für alle PSoC-Mikrocontroller

Das **PSoC™-Entwicklungskit** umfasst einen aus Grundeinheit, Kabel und Netzteil bestehenden Schaltkreis-Emulator (ICE) Die Grundeinheit ist über den Parallelport an den Host-PC angeschlossen und ist (samt Kabel und Netzteil) im Entwicklungskit enthalten.
Der PSoC Designer ICE dient auch als Einzel-Site-Geräteprogrammierer. Programmierkarten sind Geräte, die an den ICE angeschlossen werden und das Programmieren der von ihnen unterstützten Geräte zulässt. Jedes Programmierkarten-Pod hat einen 5-Pin Programmier-Header. Dieser kann zum seriellen Schaltkreisprogrammieren verwendet werden.
Pods sind Geräte, die an dem vom ICE ausgehenden Modulkabel angeschlossen werden und zur Emulation eines bestimmten PSoC-Gerätes notwendig sind. Inklusive PUP, einer Demo-Karte, mit der Sie kleine Projekte emulieren können, und Füßchen, mit denen der Benutzer eine Verbindung vom Pod zur Anwendung zwecks Debugging herstellen kann. Extra-Füßchen und Pods können separat gekauft werden.

Das Entwicklungskit enthält: • Schaltkreis-Emulator (ICE), Grundeinheit • ICE-Anschlusskabel und Netzteil • Demonstrations-Pup mit LED-Balkengrafik für einfache Demonstrationen • Programmiermodul für Dip-Teile • Füßchen zur Verbindung des ICE mit der Zielkarte • 28-Pin Dip-Emulator-Pod • Zufallsmuster • CD-ROM mit PSoC Designer (MCU-Entwicklungstool, Projektbeispielen, Dokumentation) • PSoC Designer: Integrated Development Environment (IDE) Handbuch • Kostenloser Support

Systemvoraussetzungen: • Pentium 166 MHz oder höher (AMD Athlon oder höher) • CD-ROM-Treiber, 128 MB RAM, 100 MB freier Festplattenspeicher • Parallelport, Windows 98 oder höher, MSN Explorer 5.0 • Adobe Acrobat Reader

Der **CY3202-C ImageCraft C Compiler** ist vollständig in den PSoC Designer IDE integriert. Der PSoC Designer unterstützt Debugging auf C-Quellenebene. Zum Aktivieren des Compilers müssen Sie einschalten und aktualisieren. **Merkmale:** ANSI C Compiler, unterstützt Inline-Assembly und kann mit Assembly-Modulen verbunden werden, auf Stapelbasis, 7 grundlegende Datentypen, Assembler und Linker, Mathematik- und String-Bibliotheken, C-Interrupt-Serviceroutinen, Bibliothekar.

Beschreibung	Digi-Key Teilenr.	Stückpreis	Cypress Teilenr.
PSoC-Entwicklungskit	428-1434-ND	336.95	CY3205-DK
ImageCraft C-Compiler	428-1413-ND	122.76	CY3202-C

Programmierkarten

Zur Verwendung mit dem CY3205-DK-Entwicklungskit

Beschreibung	Passend für Teile	Digi-Key Teilenr.	Stückpreis	Cypress Teilenr.
PSoC MCU 48-Pin DIP	Alle PSoC Dip-Teile	428-1435-ND	41.44	CY3205-S1
PSoC MCU 20- und 28-Pin SOIC	CY8C26233(443)-24SI CY8C27243(443)-24SI	428-1436-ND	41.44	CY3205-S2
PSoC MCU 20- und 28-Pin SSOP	CY8C26233(443)-24PVI CY8C27243(443)-24PVI	428-1437-ND	51.73	CY3205-S3
PSoC MCU 48-Pin SSOP	48-Pin SSOP-Teile	428-1438-ND	65.02	CY3205-S4
PSoC MCU 44-Pin TQFP	CY8C26643-24AI CY8C27543-24AI	428-1439-ND	51.73	CY3205-S5

PSoC™ -Entwicklungskit

CY3215-DK: Das PSoC™-Entwicklungskit umfasst einen In-Circuit-Emulator (ICE), der aus einer Grundeinheit, USB-2.0-Kabel und einem Netzteil besteht. Die Grundeinheit ist über den USB-Port mit dem Host-PC verbunden. Der ICE wird vom Debugger-Subsystem des PSoC Designer getrieben. Mit dieser Software-Schnittstelle kann der Prozessor ablaufen, anhalten und im Einzelschrittmodus verwendet werden. Sie lässt den Benutzer auch komplexe Event-Punkte einstellen. Event-Punkte können den Ablaufverfolgungsspeicher auf dem ICE starten und stoppen bzw. die Ausführung des Programms unterbrechen. Außer dem Entwicklungskit stehen noch verschiedene Emulations-Pods zur Unterstützung der vielen Geräte in der PSoC-Mikrocontroller-Gruppe zur Verfügung..
Der ICE-Cube dient auch als Einzel-Site-Bausteinprogrammierer über ein im Kit inbegriffenes ISSP (In-System Serial Programming) Kabel und eine MiniEval-Karte. Die MiniEval-Karte ist eine Programmierungs- und Evaluierungskarte, die über ein ISSP-Kabel mit dem ICE-Cube verbunden ist und das Programmieren von DIP-Bausteinen ermöglicht. Es gibt auch andere Programmierkarten zum Programmieren anderer Pakete.

Systemvoraussetzungen: • 500 MHz Prozessor • 256 MB RAM • 150 MB freier Speicher • USB-Port • Windows® 98, NT4.0, 2000, Me, XP • Internet Explorer 6.0 • Adobe Acrobat Reader

Das Entwicklungskit enthält: • ICE-Cube-Einheit • Emulations-Pod für CY8C29466-24PXI • CY8C29466-24PXI Muster • PSoC Designer Software CD • ISSP-Kabel • MiniEval-Steckplatzprogrammier- und Evaluierungskarte • Rückwärtskompatibles Kabel (zum Anschluss an ältere Pods) • Stromversorgung, europäischer Steckeradapter • USB 2.0 Kabel • „Getting Started" - Einführungshandbuch • Registrierformular für Entwicklungskit • iMAGEcraft C-Compiler Lizenz

428-1583-ND PSoC-Entwicklungskit **516.39**

PSoC™ MiniProg

CY3210-MiniProg1: Dieses grundlegende Evaluierungskit gestattet dem Benutzer die Programmierung von PSoC-Bausteinen mithilfe der MiniProg-Programmiereinheit. Eine MiniEval-Karte ist ebenfalls in dem Kit enthalten. Die MiniEval-Karte ist eine Programmierungs- und Evaluierungskarte, die das Programmieren von DIP-Bausteinen ermöglicht. Die MiniEval-Karte schließt auch LEDs und ein POT zur einfachen Evaluierung und Demonstration ein, enthält aber keinen Prototyperstellungsbereich. Der MiniProg verwendet eine 5-Pin ISSP (In-System Serial Programming) Steckleiste zum Programmieren von PSoC-Bausteinen auf der MiniEval-Karte oder direkt auf einer Zielkarte des Benutzers. Der MiniProg ist klein und kompakt und wird über das mitgelieferte USB 2.0 Kabel mit dem PC des Benutzers verbunden
Das Kit enthält: • MiniProg Programmiereinheit • MiniEval-Steckplatzprogrammier- und Evaluierungskarte • CY8C29466-24PXI Muster • PSoC Designer Software CD • „Getting Started" - Einführungshandbuch • USB 2.0 Kabel

428-1585-ND MiniProg1 Demo-Karte **30.22**

Entwicklerkit: SL11R-DK

Der SL11R von Cypress ist ein preisgünstiger Vollgeschwindigkeits-Controller auf Universal-Serial Bus (USB) RISC-Basis. Der SL11R enthält einen 16-Bit RISC-Prozessor mit eingebautem BIOS ROM, der die Firmware-Entwicklungszeit drastisch reduziert. Diese einzigartige Architektur erlaubt die Aufrüstung von Produkten im Feld, ohne die Peripherie-Hardware ändern zu müssen. Der Prozessor kann Code entweder vom internen ROM/RAM oder externen DRAM, SRAM und ROM ausführen. • Email-Unterstützung
Das Kit enthält: HW-Referenzdesign für SL11R-Evaluierungskarte, Assembler/Debugger und integrierten Emulator, Anwendungsnotizen, BIOS ROM-Information, Quellcode für Systemsoftware-Demoprogramm, allgemeinen WDM Miniport-Treiber für WIN98/2000-Objektcode und 2 Beispiels-Chips.
Unterstützte Geräte: SL11R-IDE

428-1344-ND SL11-Entwicklungstools **419.07**

PSoC™ Express-Entwicklungskit

CY3210-ExpressDK: Das PSoC Express-Entwicklungskit enthält eine funktionsreiche Hardware-Plattform zur Entwicklung und zum Testen von Designs, die mit PSoC Express erstellt wurden. Dieses Kit umfasste eine komplette PSoC Express Entwicklungsumgebung einschließlich einer großen Entwicklungkarte mit vielen Funktionen, Lüftermodule, Proto-Module, 28-DIP Muster und einen MiniProg- Programmierer.

Das Kit enthält: • Entwicklungsplatine • Vier Lüftermodule • Zwei Proto-Module • MiniProg Insystem-Programmierer • Mini Eval Leiterplatten-Evaluierungskarte • Netzteil • PSoC Emulator und CD-ROM • Brückendrahtkit • Kabel • PSoC DIP-Muster

428-1636-ND PSoC Express-Entwicklungskit **431.76**
428-1637-ND Lüfter-Modulkit **102.76**
428-1638-ND Proto-Modulkit **56.99**

"Connecting from Last Mile To First Mile."

PSoC™ Emulator Pods

Zur Verwendung mit dem CY3205-DK-Entwicklungskit

Beschreibung	Anzahl der Füßchen	Passend für Teile	Digi-Key Teilenr.	Stückpreis	Cypress Teilenr.
Pod für 8-, 20-, 28- und 48-Pin DIP	je 1 Stück	CY8C25/26xxx-24PI	428-1489-ND	124.45	CY3206-PI
Pod für 20- und 28-Pin SOIC	je 1 Stück	CY8C26xxx-24SI	428-1490-ND	96.51	CY3206-SI
Pod für 20-, 28- und 48-Pin SSOP	je 1 Stück	CY8C26xxx-24PVI	428-1491-ND	167.63	CY3206-PVI
Pod für 44-Pin TQFP	1	CY8C26643-24AI	428-1492-ND	88.05	CY3206-AI
Pod für 28-Pin DIP	1	Gruppe CY8C25/26xxx	428-1562-ND	41.44	CY3206-POD
Pod für 44-Pin TQFP	—	CY8C27543-24AI	428-1523-ND	88.05	CY3207-AI
Pod für 8-, 28-Pin DIP	je 1 Stück	CY8C27xxx-24PI	428-1524-ND	124.45	CY3207-PI
Pod für 20-, 28- und 48-Pin SSOP	je 1 Stück	CY8C27xxx-24PVI	428-1525-ND	167.63	CY3207-PVI
Pod für 20- und 28-Pin SOIC	je 1 Stück	CY8C27xxx-24SI	428-1526-ND	96.51	CY3207-SI
Pod für 28-Pin DIP	1	Gruppe CY8C27xxx	428-1522-ND	41.44	CY3207-POD
Pod für 28-Pin DIP	1	Gruppe CY8C24xxx	428-1559-ND	41.44	CY3208-POD
Pod für 20-Pin DIP	1	Gruppe CY8C22xxx	428-1560-ND	41.44	CY3209-POD

Emulator-Prüfspitzenfüße Zur Anpassung der Prüfspitze an die Platinen

Beschreibung	Passend für Teile	Digi-Key Teilenr.	Stückpreis	Cypress Teilenr.
2 Ersatz-Pod-Füßchen für 8-Pin DIP mit 1 Maske	CY8C25122	428-1414-ND	42.33	CY3203-012
2 Ersatz-Pod-Füßchen für 20-Pin DIP mit 1 Maske	CY8C26233	428-1415-ND	42.33	CY3203-022
2 Ersatz-Pod-Füßchen für 28-Pin DIP mit 1 Maske	CY8C26443	428-1416-ND	42.33	CY3203-032
2 Ersatz-Pod-Füßchen für 48-Pin DIP	CY8C26643	428-1417-ND	55.03	CY3203-042
10 Ersatz-Pod-Füßchen für 20-SOIC mit 3 Masken	CY8C26233	428-1418-ND	84.66	CY3203-050
10 Ersatz-Pod-Füßchen für 20-SOIC mit 3 Masken	CY8C26233	428-1419-ND	84.66	CY3203-060
10 Ersatz-Pod-Füßchen für 28-SOIC mit 3 Masken	CY8C26443	428-1420-ND	84.66	CY3203-070
10 Ersatz-Pod-Füßchen für 28-SSOP mit 3 Masken	CY8C26443	428-1421-ND	84.66	CY3203-080
5 Ersatz-Pod-Füßchen für 48-Pin SSOP	CY8C26643	428-1422-ND	84.66	CY3203-095
5 Ersatz-Pod-Füßchen für 44-Pin TQFP	CY8C26643	428-1423-ND	67.73	CY3203-105
2 Ersatz-Pod-Füßchen für 8-Pin DIP mit 1 Maske	CY8C27143-24PI	428-1527-ND	42.33	CY3207-012
2 Ersatz-Pod-Füßchen für 28-Pin DIP mit 1 Maske	CY8C27443-24PI	428-1528-ND	42.33	CY3207-032
10 Ersatz-Pod-Füßchen für 20-SOIC mit 3 Masken	CY8C27243-24SI	428-1529-ND	84.66	CY3207-050
10 Ersatz-Pod-Füßchen für 20-SOIC mit 3 Masken	CY8C27243-24PVI	428-1530-ND	84.66	CY3207-060
10 Ersatz-Pod-Füßchen für 28-SOIC mit 3 Masken	CY8C27443-24SI	428-1531-ND	84.66	CY3207-070
10 Ersatz-Pod-Füßchen für 28-SSOP mit 3 Masken	CY8C27443-24PVI	428-1532-ND	84.66	CY3207-080
5 Ersatz-Pod-Füßchen für 48-Pin SSOP	CY8C27643-24PVI	428-1533-ND	84.66	CY3207-095
5 Ersatz-Pod-Füßchen für 44-Pin TQFP	CY8C27543-24AI	428-1534-ND	67.73	CY3207-105
2 Ersatz-Pod-Füßchen für 8-Pin DIP mit 1 Maske	CY8C24143-24PI	428-1563-ND	57.57	CY3208-012
2 Ersatz-Pod-Füßchen für 8-Pin SOIC mit 1 Maske	CY8C24123-24SI	428-1561-ND	57.57	CY3208-040

B

USB-Mikrocontroller der Serie CY7C6XXX

Cypress verfügt über die größte USB-Mikrocontroller-Palette der Branche, sowie über einen kompletten Satz von Entwicklungstools zur Unterstützung von kostengetriebenen Anwendungen, wie z.B. Tastaturen und Mäuse, sowie Hochleistungsanwendungen wie z.B. Drucker, Scanner, xDSL-Modems und Digitalkameras. Cypress bietet eine Vielzahl von Lösungen für Niedriggeschwindigkeits-USB-Anwendungen, Vollgeschwindigkeits-USB-Anwendungen und USB-Hub-Anwendungen. Temperaturbereich, kommerziell (0 °F ~ 70 °F). Die **CY7C63xxx** ist ein Gruppe von einmal programmierbaren (OTP) 8-Bit RISC-Mikrocontrollern. Der Mikrocontroller bietet auch 96 bis 256 Bytes internen RAM, je nach Baustein. Der Cypress USB-Controller akzeptiert einen 6-MHz Keramikresonator als Taktgeber. Dieses Taktsignal wird innerhalb des Chips verdoppelt und gibt an den Mikroprozessor einen 12-MHz-Takt ab. Der **CY7C64013** und der **CY7C64113** sind einmal programmierbare 8-Bit Mikrocontroller für Vollgeschwindigkeits-USB-Anwendungen. Der Befehlssatz wurde speziell für USB-Betrieb optimiert, obwohl die Mikrocontroller für eine Vielzahl von nicht-USB-eingebetteten Anwendungen benutzt werden können. **CY7C646xx (EZ-USB FX)** ist die zweite Generation der Vollgeschwindigkeits-USB-Gruppe von Cypress Semiconductor. FX-Produkte bieten höhere Leistung und einen höheren Integrationsgrad als die erste Generation der EZ-US-Produkte. Der FX baut auf dem EZ-USB-Funktionssatz auf und schließt einen intelligenten USB-Kern, erweiterten 8051, 8-Kbyte RAM, und Hochleistungs-E/A ein. Der CY7C646xx verbessert die EZ-USB-Gruppe durch schnelleren Betrieb und mehr Möglichkeiten zur Datenübertragung mit sehr hoher Geschwindigkeit zum und vom Chip. Die **Serie CY7C65** bietet Universal Serial Bus (USB) Hochleistungs-Hub-Geräte mit Fest-Funktion, die die Revision 1.1 der USB-Spezifikation erfüllen. Bis zu vier nachgeschaltete USB-Ports stehen zur Erweiterung der USB-Befestigungspunkte in Ihrem PC zur Verfügung. Diese in sich geschlossenen Geräte benötigen keine Firmware-Entwicklung für Ihr Design, wodurch das mit einigen Mikrocontroller-Lösungen verbundene Designrisiko reduziert wird. Diese anwendungsspezifischen Standardprodukte (ASSP) können die Markteinführung für viele USB-Designs beschleunigen, z. B. auch für selbständige Hubs, Hauptplatinen-Hubs und Monitor-Hubs. Der **CY7C68013-56PVC (EZ-USB FX2)** ist ein Einzel-Chip integrierter USB 2.0 Transceiver, Serial Interface Engine (SIE) und erweiterter 8051 Mikroprozessor, Hochgeschwindigkeit 480 Mbits/Sek. Erweiterter 8051 Mikrocontroller und eine programmierbare Peripherie-Schnittstelle in einem einzelnen Chip. Integrierter I²C-kompatibler Controller, läuft mit 100 oder 400 kHz, 48 MHz, 24 MHz oder 12 MHz 8051. Vier integrierte FIFOs, bringt Klebstoff und FIFO ins Innere für niedrigere Systemkosten. Automatische Umwandlung in und von 16-Bit Bussen, Master- oder Slave-Betrieb. FIFOs können extern bereitgestellten Takt oder asynchrone Strobeimpulse verwenden. Einfache Schnittstelle zu ASIC und DSP ICs, bis zu 40 Allzweck-E/As.

Der **SL81HS** ist ein USB-eingebetteter Doppelgeschwindigkeits-Host Controller mit Einzel-Chip, der entweder als USB-Host oder USB-Peripheriegerät betrieben werden kann. Der SL811HS kann mit Bauteilen wie Mikroprozessoren, Mikrocontrollern und DSPs bzw.direkt mit einer Vielzahl von Bussen wie ISA, PCMCIA und anderen verbunden werden.

Speichergrößen-PROM	RAM	Speed EXT Oszillator	Konfiguration	USB-Anwendungsgeschwindigkeit	Nummer E/A	Kernar-chitektur	Temperatur-bereich	Spannung	Pin-Zählerpaket	Digi-Key Teilenr.	Stückpreis 1	25	100	Cypress Teilenr.
Niedriggeschwindigkeits-USB-Mikrocontroller														
4K	128	6-MHz Resonator	OTP	1.5-Mbps	12	M-8	0°C ~ 70°C	4.0 ~ 5.25	20-DIP	428-1616-ND *	2.79	1.74	1.40	CY7C63001A-PXC
4K	128	6-MHz Resonator	OTP	1.5-Mbps	12	M-8	0°C ~ 70°C	4.0 ~ 5.25	20-SOIC	428-1313-ND	2.79	1.74	1.40	CY7C63001A-SC
4K	128	6-MHz Resonator	OTP	1.5-Mbps	12	M-8	0°C ~ 70°C	4.0 ~ 5.25	20-SOIC	428-1617-ND *	2.79	1.74	1.40	CY7C63001A-SXC
4K	128	6-MHz Resonator	OTP	1.5-Mbps	16	M-8	0°C ~ 70°C	4.0 ~ 5.25	24-QSOP	428-1314-ND	3.30	2.04	1.66	CY7C63101A-QC
4K	128	6-MHz Resonator	OTP	1.5-Mbps	16	M-8	0°C ~ 70°C	4.0 ~ 5.25	24-QSOP	428-1618-ND *	3.30	2.04	1.66	CY7C63101A-QXC
3K	96	6-MHz Resonator	OTP	1.5-Mbps	10	M-8	0°C ~ 70°C	4.0 ~ 5.25	16-DIP	428-1316-ND	2.73	1.68	1.37	CY7C63221A-PC
3K	96	6-MHz Resonator	OTP	1.5-Mbps	12	M-8	0°C ~ 70°C	4.0 ~ 5.25	18-SOIC	428-1317-ND	2.79	1.74	1.40	CY7C63231A-SC
8K	256	6-MHz Resonator	OTP	1.5-Mbps	32	M-8	0°C ~ 70°C	4.0 ~ 5.25	40-DIP	428-1619-ND *	3.62	2.25	1.81	CY7C63413-PXC
8K	256	6-MHz Resonator	OTP	1.5-Mbps	32	M-8	0°C ~ 70°C	4.0 ~ 5.25	48-SSOP	428-1319-ND	3.62	2.25	1.81	CY7C63413-PVC
8K	256	6-MHz Resonator	OTP	1.5-Mbps	11	M-8	0°C ~ 70°C	4.0 ~ 5.25	18-DIP	428-1322-ND	3.05	1.91	1.53	CY7C63723-PC
8K	256	6-MHz Resonator	OTP	1.5-Mbps	11	M-8	0°C ~ 70°C	4.0 ~ 5.25	18-DIP	428-1620-ND *	3.05	1.91	1.53	CY7C63723-PXC
8K	256	6-MHz Resonator	OTP	1.5-Mbps	11	M-8	0°C ~ 70°C	4.0 ~ 5.25	18-SOIC	428-1323-ND	3.05	1.91	1.53	CY7C63723-SC
8K	256	6-MHz Resonator	OTP	1.5-Mbps	17	M-8	0°C ~ 70°C	4.0 ~ 5.25	24-DIP	428-1324-ND	3.28	2.04	1.65	CY7C63743-PC
8K	256	6-MHz Resonator	OTP	1.5-Mbps	17	M-8	0°C ~ 70°C	4.0 ~ 5.25	24-DIP	428-1621-ND *	3.28	2.04	1.65	CY7C63743-PXC
8K	256	6-MHz Resonator	OTP	1.5-Mbps	17	M-8	0°C ~ 70°C	4.0 ~ 5.25	24-SOIC	428-1325-ND	3.28	2.04	1.65	CY7C63743-SC
8K	256	6-MHz Resonator	OTP	1.5-Mbps	17	M-8	0°C ~ 70°C	4.0 ~ 5.25	24-SOIC	428-1622-ND *	3.28	2.04	1.65	CY7C63743-SXC
Vollgeschwindigkeits-Mikrocontroller, mittlere Leistung														
8K	256	6-MHz Xtal	OTP	12-Mbps	19	M-8	0°C ~ 70°C	4.0 ~ 5.25	28-SOIC	428-1634-ND	4.25	3.40	2.87	CY7C64013A-SXC
8K	256	6-MHz Xtal	OTP	12-Mbps	19	M-8	0°C ~ 70°C	4.0 ~ 5.25	28-DIP	428-1635-ND	4.27	3.42	2.89	CY7C64013A-PXC
EZ-USB FX Vollgeschwindigkeits-USB-Mikrocontroller														
—	8K	12-MHz Xtal	RAM	12-Mbps	40	8051	0°C ~ 70°C	3.3	128-PQFP	428-1310-ND	12.36	7.62	6.19	CY7C64613-128NC
—	8K	12-MHz Xtal	RAM	12-Mbps	16	8051	0°C ~ 70°C	3.3	52-PQFP	428-1311-ND	12.36	7.62	6.19	CY7C64613-52NC
—	8K	12-MHz Xtal	RAM	12-Mbps	32	8051	0°C ~ 70°C	3.3	80-PQFP	428-1312-ND	12.36	7.62	6.19	CY7C64613-80NC
USB 2.0 (hohe Geschwindigkeit)														
—	8K	24-MHz Xtal	RAM	12/480-Mbps	24	8051	0°C ~ 70°C	3.3	56-TSSOP	428-1332-ND	12.19	7.58	6.10	CY7C68013-56PVC
—	8K	24-MHz Xtal	RAM	12/480-Mbps	24	8051	0°C ~ 70°C	3.3	56-SSOP	428-1623-ND *	12.19	7.58	6.10	CY7C68013-56PVXC
USB HUB- und integrierte HUB-Lösungen														
8K	256	6-MHz Xtal	OTP	12-Mbps Hub	11 (7-port)	M-8	0°C ~ 70°C	3.3	28-SOIC	428-1331-ND	4.74	2.97	2.38	CY7C65113-SC
8K	256	6-MHz Xtal	OTP	12-Mbps Hub	11 (7-port)	M-8	0°C ~ 70°C	3.3	28-SOIC	428-1647-ND *	4.74	3.29	2.94	CY7C65113A-SXC
USB Host/Slave-Controller														
—	256	12-48 MHz Xtal	RAM	1.5-12 Mbps	8	Keine CPU	0°C ~ 65°C	3.3	28-PLCC	428-1463-ND	7.25	5.80	4.90	SL811HST-AC
—	256	12-48 MHz Xtal	RAM	1.5-12 Mbps	8	Keine CPU	0°C ~ 65°C	3.3	48-TQFP	428-1464-ND	7.08	5.67	4.78	SL811HST-AC

* Bleifrei/RoHS-konform

EZ-USB-Mikrocontroller

Der **EZ-USB**-Chip enthält die von der USB-Peripherie-Schnittstelle benötigte Intelligenz in einem kompakten integrierten Schaltkreis. Eine Serial Interface Engine (SIE) dekodiert und kodiert die seriellen Daten, führt Fehlerkorrektur, Bit-Stuffing und andere von USB verlangte Details auf Signalebene aus und überträgt dann die Daten-Bytes zur und von der USB-Schnittstelle. Der interne Mikroprozessor ist ein erweiterter 8051 mit schneller Ausführzeit und zusätzlichen Funktionen. Er verwendet internen RAM als Programm- und Datenspeicher, sodass die EZ-USB-Gruppe eine "Soft"-Lösung darstellt. Der USB-Host lädt 8051 Programmcodes und Gerätemerkmale über den USB-Bus in den RAM, und der EZ-USB-Chip wird gemäß Definition des geladenen Codes wieder als benutzerspezifisches Gerät angeschlossen.Die EZ-USB-Gruppe verwendet eine erweiterte SIE/USB-Schnittstelle (USB-Kern genannt), die die Intelligenz beinhaltet, selbst vor dem 8051 als vollständiges USB-Gerät zu funktionieren. Der erweiterte Kern vereinfacht den 8051-Code, indem er einen Großteil des USB-Protokolls selbst implementiert. EZ-USB-Chips verwenden 3,3 V. Dies vereinfacht das Design von Bus-getriebenen USB-Geräten, da der 5 V Strom im USB-Steckverbinder (welcher laut USB-Spezifikation einen Tiefstwert von 4,4 V erreichen darf) einen 3,3 V Regler zur Lieferung von reiner isolierter Spannung an den EZ-USB-Chip treiben kann.

AN2131-DK001 Das Entwicklungskit für die EZ-USB-Gruppe enthält die kompletten Hardware- und Softwarelösungen zur Beschleunigung der Firmware und Gerätetreiberentwicklung für alle Teile der Produktgruppe. Die Entwicklungskits verwenden das tatsächliche Silizium für die gesamte Entwicklung. Mit den Dienstprogrammen von Cypress und der Beispiels-Firmware kann der Benutzer in Stunden, und nicht erst in Wochen, USB-Traffic erstellen! Eine Evaluierungsversion der 8051 Keil Software Tools ist in den EZ-USB-Entwicklungskits enthalten. Die Evaluierungsversion des C-Compilers lässt den Designer 8051 Mikrocontroller-Anwendungen in C schreiben und trotzdem die Effizienz und Geschwindigkeit der Assembly-Sprache erzielen. Zu den erweiterten Funktionen der Keil-Tools gehört die Möglichkeit, den Code im Einzelschrittverfahren zu bearbeiten. Die bereitgestellten Keil-Tools sind voll funktionsfähig, die Objektgröße ist aber auf 4 KB beschränkt.

Das Kit umfasst: EZ-USB-Entwicklungskarte mit AN2131QC, Peripheriekarte für Prototypen, ein USB-Kabel und ein RS232-Kabel (9-Pin an 9-Pin). **Nicht inbegriffene, erforderliche Tools:** Microsoft Visual C++, WDM DDK und Windows 98 PC

Speichergröße RAM	Speed EXT Oszillator	Konfiguration	USB-Anwendungs-geschwindigkeit	Nummer E/A	Kernarchitektur	Temperaturbereich	Pin-Zählerpaket	Digi-Key Teilenr.	Stückpreis 1	25	100	Cypress Teilenr.
8-KB	12 MHz Xtal	RAM	12-Mbps	24	8051	-40°C ~ 85°C	80-PQFP	428-1307-ND	8.91	5.55	4.46	AN2131QC
8-KB	12 MHz Xtal	RAM	12-Mbps	18	8051	-40°C ~ 85°C	44-PQFP	428-1306-ND	8.91	5.55	4.46	AN2131SC
8-KB	12 MHz Xtal	RAM	12-Mbps	8	8051	-40°C ~ 85°C	44-PQFP	428-1308-ND	8.91	5.55	4.46	AN2135SC
EZ-USB Xcelerator-Entwicklungskit							44-PQFP	428-1333-ND	419.07	—	—	AN2131-DK001

Drahtloses USB

Der **CYWUSB6935** Transceiver ist ein 2,4 GHz Direct Sequence Spread Spectrum (DSSS) Gaussian Frequency Shift Keying (GFSK) Einzelchip-Baseband-Modem-Radio, das direkt an einen Mikrocontroller angeschlossen wird.

Die **CYWUSB6932/CYWUSB6934** integrierten Schaltkreise sind hoch integrierte 2,4 GHz Direct Sequence Spread Spectrum (DSSS) Radio System-on-Chip (SoC) ICs. Von der seriellen Peripherie-Schnittstelle (SPI) bis zur Antenne werden diese 2,4 GHz DSSS Gaussian Frequency Shift Keying (GFSK) Einzelchip-Baseband-Modems direkt mit einem USB-Controller oder einem Standard-Mikrocontroller verbunden.

Funktion	Bereich (m)	Durchsatz (Kbps)	Paket	Temperaturbereich	Digi-Key Teilenr.	Stückpreis 1	25	100	Cypress Teilenr.
Transmitter	10	62.5	28-SOIC	0°C ~ 70°C	428-1579-5-ND	6.46	3.98	3.23	CYWUSB6932-28SEC
Transceiver	10	62.5	28-SOIC	0°C ~ 70°C	428-1580-5-ND	9.30	5.83	4.65	CYWUSB6934-28SEC
Transceiver	10	62.5	48-QFN	0°C ~ 70°C	428-1581-ND	7.43	4.66	3.72	CYWUSB6934-48LFC
Transceiver	10	62.5	48-QFN	0°C ~ 70°C	428-1624-ND *	7.41	4.58	3.71	CYWUSB6934-48LFXC
Transceiver	50	62.5	28-SOIC	-40°C ~ 85°C	428-1576-5-ND	13.59	8.43	6.80	CYWUSB6935-28SEI
Transceiver	50	62.5	48-QFN	0°C ~ 70°C	428-1625-ND *	9.30	5.76	4.65	CYWUSB6935-48LFXC
Transceiver	50	62.5	48-QFN	-40°C ~ 85°C	428-1626-ND *	10.69	6.61	5.35	CYWUSB6935-48LFXI

* Bleifrei/RoHS-konform

Alle Preisangaben in Euro und inklusive Zollgebühren.

"Connecting from Last Mile To First Mile."

CY7B923 HOTLink

Der **CY7B923 HOTLink Transmitter und CY7B933 HOTLink-Empfänger** sind Punkt-zu-Punkt-Kommunikationsbausteine, die Daten über serielle Hochgeschwindigkeits-Links (Faser, koax. und verdrillte Doppelleitung) übertragen. Die Standard-HOTLink-Datenbereiche liegen zwischen 160 und 330 Mbits/Sekunde. Für Hochgeschwindigkeitsanwendungen (160-400 Mbits/Sekunde) sind auch schnellere HOTLink-Verbindungen möglich und für preiswertere Anwendungen gibt es HOTLink-155 (150-160 Mbits/Sekunde). **Merkmale:** • Für Fibre-Channel geeignet • Für IBM ESCON geeignet • Für DVB-ASI geeignet • Für ATM geeignet • 8B/10B codiert oder 10-Bit nicht-kodiert • Standard-HOTLink: 160–330 Mbps • Hochgeschwindigkeits-HOTLink 160–400 Mbps für Hochgeschwindigkeitsanwendungen • Niedriggeschwindigkeits-HOTLink: 150–160 Mbps für preiswerte Faser **Anwendungen:** • TTL-synchrone E/A • Keine externen Phase-locked-loop (PLL) -Komponenten • Dreifache PECL 100K serielle Ausgänge • Zweifache PECL 100K serielle Eingänge • Niedrigleistung: 350 mW (Tx), 650 mW (Rx) • Kompatibel mit Faseroptikmodulen, Koaxialkabel und Medien mit verdrillten Doppelleitungen • Integrierter Selbsttest • Einzelversorgung +5 V • 28-Pin SOIC/PLCC/LCC • 0,8 BiCMOS

Beschreibung	Paket	Digi-Key Teilenr.	Stückpreis 1	25	100	Cypress Teilenr.
Transmitter, Standardgeschwindigkeit	28-PLCC	428-1298-ND	35.68	33.31	30.93	CY7B923-JC
Transmitter, Standardgeschwindigkeit	28-SOIC	428-1299-ND	35.68	33.31	30.93	CY7B923-SC
Empfänger, Standardgeschwindigkeit	28-PLCC	428-1300-ND	35.68	33.31	30.93	CY7B933-JC
Empfänger, Standardgeschwindigkeit	28-SOIC	428-1301-ND	35.68	33.31	30.93	CY7B933-SC

Entwicklerkits

CY3650

Das USB-Entwicklerkit von Cypress ist ein leistungsstarkes Tool, mit dem die Kunden USB-Hardware und Firmware mit emulierten Cypress USB ICs entwickeln können. Das Entwicklungssystem kann in zwei Modi ausgeführt werden. In der typischen Entwicklungssystem-Umgebung wird die Karte durch eine PC-basierte Schnittstelle gesteuert. Software, die auf dem PC läuft, erleichtert das Debugging durch Unterbrechungspunkte, Einzelschrittverfahren sowie Anzeige und Modifizierung von Registern und Daten-RAM. In diesem Modus kann Firmware im On-Board-EPROM implementiert oder zum Programmieren von RAM heruntergeladen werden. Die RAM-Option stellt eine schnelle und einfache Methode zum Testen von Firmwarerevisionen dar.
Unterstützte Geräte: CY7C63101A-SC **Kit-Inhalt:** CY3650 USB-Entwicklungskarte, Netzteil, USB-Kabel, RS232-Kabel (9-Pin an-9-Pin) und 9-Pin an-25-Pin Adapter

428-1342-ND USB-Entwicklungskit-LO Speed, Niedrig-E/A.....**419.07**

CY3671

Das Entwicklungskit für die **EZ-USB-FX**-Gruppe enthält die kompletten Hardware- und Softwarelösungen zur Beschleunigung der Firmware- und Gerätetreiberentwicklung für alle Teile der Produktgruppe. Die Entwicklungskits verwenden das tatsächliche Silizium für die gesamte Entwicklung. Mit den Dienstprogrammen von Cypress und der Beispiels-Firmware kann der Benutzer in Stunden, und nicht erst in Wochen, USB-Traffic erstellen! Eine Evaluierungsversion der 8051 Keil Software Tools ist in dem CY3671-Entwicklungskit von Cypress enthalten. Die Evaluierungsversion des C-Compilers lässt den Designer 8051 Mikrocontroller-Anwendungen in C schreiben und trotzdem die Effizienz und Geschwindigkeit der Assembly-Sprache erzielen. Zu den erweiterten Funktionen der Keil-Tools gehört die Möglichkeit, den Code im Einzelschrittverfahren zu bearbeiten. Dies erleichtert Fehlererkennung, Debugging auf Quellenebene und Einstellung von Unterbrechungspunkten. Aufgrund der Möglichkeit, Code Zeile für Zeile austesten zu können und neuen Code schnell kompilieren und im Einzelschrittverfahren herunterladen zu können, bietet sich den Entwicklern ein effizienterer Weg zur Schaffung von Firmware als die Verwendung von Emulatoren. Die bereitgestellten Keil-Tools sind voll funktionsfähig, die Objektgröße ist aber auf 4 Kb beschränkt.
Unterstützte Geräte: CY7C64603-128NC, CY7C64603-52NC, CY7C64603-80NC, CY7C64613-128NC, CY7C64613-52NC, CY7C64613-80NC **Das Kit umfasst:** EZ-USB-Entwicklungskarte mit CY7C64613-128NC, Peripheriekarte für Prototypen, USB-Kabel und RS232-Kabel (9-Pin an 9-Pin).

428-1334-ND EZ-USB FX Entwicklungskarte.....**419.07**

CY3681

Das Entwicklungskit für die EZ-USB-FX2-Gruppe enthält komplette Hardware- und Softwarelösungen zur Beschleunigung der Firmware- und Gerätetreiberentwicklung für alle Teile der Produktgruppe. Die Entwicklungskits verwenden das tatsächliche Silizium für die gesamte Entwicklung. Mit den Dienstprogrammen von Cypress und der Beispiels-Firmware kann der Benutzer in Stunden, und nicht erst in Wochen, USB-Traffic erstellen! Eine Evaluierungsversion der 8051 Keil Software Tools ist in dem USB 2.0 Entwicklungskit von Cypress enthalten. Die Evaluierungsversion des C-Compilers lässt den Designer 8051 Mikrocontroller-Anwendungen in C schreiben und trotzdem die Effizienz und Geschwindigkeit der Assembly-Sprache erzielen. Zu den erweiterten Funktionen der Keil-Tools gehört die Möglichkeit, den Code im Einzelschrittverfahren zu bearbeiten. Dies erleichtert Fehlererkennung, Debugging auf Quellenebene und Einstellung von Unterbrechungspunkten. Aufgrund der Möglichkeit, Code Zeile für Zeile austesten zu können und neuen Code schnell kompilieren und im Einzelschrittverfahren herunterladen zu können, bietet sich den Entwicklern ein effizienterer Weg zur Schaffung von Firmware als die Verwendung von Emulatoren. Die bereitgestellten Keil-Tools sind voll funktionsfähig, die Objektgröße ist aber auf 4 Kb beschränkt.
Unterstützte Geräte: CY7C68013-100AC, CY7C68013-128AC, CY7C68013-56PVC **Das Kit umfasst:** EZ-USB-Entwicklungskarte mit CY7C68013-128AC, Peripheriekarte für Prototypen, USB-Kabel und RS232-Kabel (9-Pin an 9-Pin).

428-1335-ND USB 2.0 Entwicklungskit.....**419.07**

SL811S-DK

Das SL811S-DK Entwicklerkit von Cypress hilft beim Aufbau Ihrer USB-eingebetteten Hostanwendung in nur 2-3 Wochen. Unterstützte Geräte: SL811S

Das Kit enthält: • SL811S/ISA Peripherie-Evaluierungskarte • HW-Referenzdesign für SL811S/ISA-Karte • Firmware-Quellcodebeispiel in „C" und/oder 8051 Assembler (anderer Prozessor-Firmwarecode ist ebenfalls erhältlich) • Anwendungsnotizen • Quellcode des Systemsoftware-Demoprogramms in „C" unter Win98/2000 • Allgemeiner WDM-Miniport-Treiber für WIN98/2000-Objektcode • Beispiel-Chips

428-1466-ND SL811-Entwicklungstools.....**329.33**

CY3654

CY3654 Grundkarte: Herkömmliche Grundkarte für verschiedene Produkte unserer M8-Serie. Zum Emulieren eines spezifischen USB-Geräts in einer Produktgruppe muss die entsprechende Merkmalkarte gekauft werden (CY3654-Pxx). Jede USB-Gruppe hat eine einzigartige Merkmalkarte. Die Grundkarte funktioniert nur, wenn sie durch eine der gruppenspezifischen Merkmalkarten ergänzt wird. Das CY3654-Entwicklungkit umfasst eine CY3654-Grundkarte, ein RS232-Kabel und ein Netzteil. **Merkmal-Karten:** Cypress bietet eine Vielzahl von Merkmalkarten, die die CY3654 Grundkarte zur Verwendung in spezifischen Anwendungen begleiten. **Die Kits enthalten:** • CY3654Px00 Merkmalkarte • CY3654Dx00 Anwendungskarte • Ziel-µC-Adapter • Ziel-Flexkabel • Anwendungskabel. Es folgt eine Liste des derzeitigen Angebots: **CY3654 und CY3654-P02:** Grundkarte und Merkmalkarte zusammen stellen eine Entwicklungsumgebung zur Unterstützung einer Vielzahl von Anwendungen dar, so z.B. für Tastaturen und andere Niedriggeschwindigkeitsgeräte, die mehr E/A voraussetzen. Die CY3654 und CY3654-P02 ist zur Verwendung mit den auf CY7C634XX, CY7C635XX und CY7C636XX M8 basierenden Teilen von Cypress gedacht. **CY3654 und CY3654-P03:** Grundkarte und Merkmalkarte zusammen stellen eine Entwicklungsumgebung zur Unterstützung einer Vielzahl von Anwendungen dar, so z.B. für Vollgeschwindigkeits-Peripheriegeräte, Hubs und Hubs plus integrierte Peripherianwendungen. Die CY3654 und CY3654-P03 ist zur Verwendung mit den auf CY7C634x13 (Vollgeschwindigkeit), CY7C65x13 und CY7C66x13 (Hubs) M8 basierenden Teilen von Cypress gedacht. **CY3654 und CY3654-P05:** Grundkarte und Merkmalkarte zusammen stellen eine Entwicklungsumgebung zur Unterstützung einer Vielzahl von Anwendungen dar, so z.B. für Mäuse oder andere Niedriggeschwindigkeits-USB-Peripheriegeräte. Die CY3654 und CY3654-P05 ist zur Verwendung mit den auf CY7C632XXA und CY7C637XX M8 basierenden Teilen von Cypress gedacht.
Hinweis: Ein komplettes Entwicklungskit besteht aus der Grundkarte und einer Merkmalkarte. Es können auch andere Merkmalkarten mit derselben CY3654-Grundkarte verwendet werden. Spezifizieren Sie bitte sowohl die Grundkarte CY3654 und die Merkmalkarte CY3654-P02, wenn Sie dieses spezielle Kit bestellen.

Beschreibung	Unterstützte Geräte	Digi-Key Teilenr.	Stückpreis	Cypress Teilenr.
Grundkarte	Alle USB-Merkmalkarten, Serie CY	428-1337-ND	735.48	CY3654
Merkmalkarte	CY7C634XX, CY7C635XX und CY7C636XX	428-1338-ND	338.64	CY3654-P02
	CY7C64X13 (Vollgeschwindigkeit), CY7C65X13 und CY7C66X13	428-1339-ND	609.55	CY3654-P03
	CY7C632XXA und CY7C637XX	428-1340-ND	338.64	CY3654-P05

CY3632

Das CY3632 WirelessUSB™ LS Entwicklungskit unterstützt die CYWUSB6932/CYWUSB6934 WirelessUSB-Bausteingruppe. Das Entwicklungskit liefert alle Materialien und Dokumente, die zum „Trennen der Schnur" bei verdrahteten Anwendungen erforderlich sind. Das Kit ist vorkonfiguriert als ein WirelessUSB LS Maus-Pointer. Innerhalb von Minuten erleben Sie echte „Plug and Play"- Qualität von WirelessUSB und sehen WirelessUSB-Pakete „over the air". **Merkmale:** • Mit dem „WirelessUSB Listener Tool" kann der Entwickler drahtlose Daten zwischen Host und Peripheriebausteinen analysieren **Das Kit enthält:** • 2 Grundplattform-Prototyping-Karten mit einem vorprogrammierten Cypress enCoRe™ USB-Niedriggeschwindigkeits-Controller und einem Cypress PSoC™ Mikrocontroller auf jeder der beiden Karten • 2 vertikale WirelessUSB LS RF Funkmodule, die direkt in jede Prototypkarte gesteckt werden können • Netzkabel, Kabel, Steckverbinder, Batterien und Chipkit mit vorprogrammierten und leeren enCoRe- und PSoC-Bausteinen zur Entwicklung.

428-1582-ND WirelessUSB Entwicklungskit.....**629.02**

Referenzdesign

CY4611

USB 2.0 USB-an-ATA-Design

Mit dem EZ-USB FX2 können Massenspeicheranwendungen nun die Vorteile von hohen Bandbreitenkapazitäten von USB 2.0 nutzen. Dieses Design unterstützt ATA-Spezifikationsmodi durch UDMA 100 für die beste verfügbare USB-Massenspeicherlösung. Die allgemein programmierbare Schnittstelle des FX2 erlaubt Glueless-Verbindung zum angeschlossenen Laufwerk. Dieses Design liefert alle erforderlichen Materialien, um gleich zur Produktion schreiten zu können, indem es die flexibelsten und leistungsstärksten verfügbaren Lösungen bietet. Unterstützte Schnittstelle: USB an ATA.

Unterstützte Bausteine: CY7C68013-100AC, CY7C68013-128AC, CY7C68013-56PVC
IDE: Festplattenlaufwerke, CompactFlash, ATAPI: CD-ROM/R/RW, DVD-ROM/RAM/RW, ZIP, LS-120 und andere ATAPI-Geräte.

Funktionen: Einzelchip-Schnittstelle zu allen Massenspeichergeräten, unterstützt PIO- und UDMA-Modi durch UDMA Mode 5 (UDMA-100), Übertragungsrate ist nur durch die Bandbreite von USB 2.0 beschränkt, im Feld programmierbare Firmware, großer, interner RAM für Datenpuffer und Quad-Puffer-Massenendpunkte. Unterstützt von Treibern der Windows- und Mac OS-Klasse, Treiber für Windows 98 erhältlich, kürzere Entwicklungszeit mit komplettem Referenzdesignkit.

Das Kit enthält: • USB-an-ATA-Demokarte • „Y" Stromadapterkabel-Designnotizen • Firmware-Quell- und Objekt-Code-Hardware-Dateien, einschließlich: Schaltbilder, Gerber-Dateien und Materiallisten

428-1468-ND Referenzdesignkit.....**168.47**

CY4601

USB an Seriell

Das USB-an-Seriell-Referenzdesign ist eine Einzelchip-Lösung für nahtloses Aufrüsten einer seriellen Schnittstelle auf USB. Auf der Hostseite bieten wir einen benutzerspezifischen Windows-Treiber zur Emulation eines seriellen Ports. Auf der Peripherieseite bieten wir Firmware für verschiedene USB-Mikrocontroller zur Unterstützung einer Reihe von Durchsatzanforderungen der Anwendungen. Die Designarchitektur ermöglicht leichte Migration auf ein echtes USB-Gerät in der Zukunft. **Hauptmerkmale:** • Es werden 3 Chip-Gruppen unterstützt - Encore: 600-56K Baud (800 Bytes/s) - CY7C64013: 600-56K Baud (4 Kbytes/s) • Einschließlich COM-Port-Emulationstreiber • Unterstützt RI, CD, RTS, CTS, DTR und DSR-Steuerung und Überwachung • Volle Steuerung der Baudrate, Datenbytes, Stoppbits und Paritätsbits. **Unterstützte Geräte** • CY7C63722-PC, CY7C63722-SC, CY7C63723-PC, CY7C63723-SC, CY7C63742-PC, CY7C63742-SC, CY7C63743-PC, CY7C63743-SC, CY7C64013-PC, CY7C64013-SC **Das Kit enthält:** • Dokumentation-Designnotizen für Encore und CY7C64013 Kurzüberblick/Benutzerhandbuch • Serieller Port-Emulationstreiber • Windows-basierte Support-Anwendungen • Firmware-Quellcode **Hinweise:** (1) Mit dem Referenzdesignkit wird keine Karte geliefert. Zur Verwendung in Verbindung mit dem Entwicklungskit für das entsprechende Teil: Encore – CY3654 plus CY3654-P05, CY7C64013 – CY4654 plus CY3654-P03 (2) Beispiel, ungetesteter Quellcode für den EZ-USB-Mikrocontroller ist ebenfalls inbegriffen

428-1343-ND Referenzdesignkit.....**168.47**

CY4612

Hochgeschwindigkeit USB an ATA

Der ISD300A1 ist der schnellste und einfachste Weg, eine USB-an-ATA/ATAPI-Brücke zu implementieren. Dieses Festfunktionsgerät minimiert das Risiko und verkürzt die Designzykluszeit, bietet aber dennoch Flexibilität aufgrund von EEPROM-Konfigurationsoptionen. Es sind mehrere komplette Hardware-Designoptionen inbegriffen. Unterstützte Geräte: ISD-300A1 **Merkmale:** Einzelchip-Lösung, unterstützt PIO-Modi 0-4 und UDMA-Modi 0-4, kompatibel mit Treibern der Windows- und MAC OS-Klasse, Treiber für Windows 98 inbegriffen, EEPROM, Tristate-Ausgangsleitungen **Das Kit enthält:** • ISD301A Entwicklungskarte, ISD310 Produktionsbeispielkarte • 80-Pin ATA-Kabel • „Y"-Netzadapterkabel, USB-Kabel, ISD-300A1 Datasheet CD-ROM mit Hardware-Designdatenbanken für 4 verschiedene Kartenlayouts, Schaltschema, Materialliste, Gerber-Dateien, Orcad-Dateien, Treiber für Windows 98, Beispiel für EEPROM-Programmierdienstprogramm und andere technische Supportdokumente.

428-1465-ND Referenzdesignkit.....**168.47**

CY4632

Drahtlose USB-Verbindung Tastatur an Maus

Der CY4632 bietet die notwendige Dokumentation, den Firmware-Quellcode und die Hardware-Dateien, um die Drahtverbindung für PC-Schnittstellen-Anwendungen (HID), einschließlich optischer Maus, Tastatur, Präsentier-Tool und PC-Fernbedienungen zu beseitigen. **Hauptmerkmale:** • 2,4-GHz nicht-lizensiertes ISM-Band für weltweiten Einsatz • Über 10 m drahtloser Betrieb • 62,5 Kbps bidirektionale drahtlose Konnektivität • Über 4 Monate Batteriehaltbarkeit unter normalen Gebrauchsbedingungen • Störungsvermeidende Technologie für robusten Betrieb in der Nähe von 2,4-GHz Drahtlos-Technologien, wie z.B. Wi-Fi® und Bluetooth® • USB Plug'n Play, keine neue Softwaretreiber erforderlich **Das Kit enthält:** • CYWUSB6934, WirelessUSB, LS Transceiver • ADNS-2030 optische Sensormaus CYWUSB6934 Wireless USB LS 101 Multimedia-Tastatur • Kleiner CYWUSB6934 Transceiver plus CY7C63723 enCoRe-Brücke • Batterien • CD mit Design-Anmerkungen und Hardwaredateien: Schaltschemata, Gerber-Dateien und Materialliste

428-1649-ND Referenzdesignkit.....**193.19**

FTG-Programmierkit

CY3670

Das CY3670 FTG-Programmierkit bietet PC-Benutzern die Möglichkeit, im Feld programmierbare EPROM-Taktgeneratoren von Cypress schnell und einfach zu programmieren. Die zwei Setup-Voraussetzungen sind ein Netzanschluss und ein serieller Port zum Anschluss an den PC. **Merkmale:** • Unterstützt mehrere im Feld programmierbare EPROM-Taktgeneratoren von Cypress: CY2071AF, CY2291F, CY2292F, CY2292FZ, CY2907F8 und CY2907F14 • Separate gerätespezifische Buchsenadapter • Ermöglicht schnelle und einfache Prototyperstellung • Kompaktes Design für bequeme Mobilität • Benutzerfreundliche Schnittstelle: Kompatibel mit Windows 95, Windows 98 und Windows NT 4.0 • Benutzerfreundliche CYClocks™ Software für JEDEC-Dateientwicklung **Das Kit enthält:** • Programmiereinheit • Kabel für seriellen Port • AC/DC-Adapter • CD mit • CyClocks™ Software • CY FTG V2 Programmier-Software • Datenblätter von unterstützten Geräten • Gerätespezifische Buchsenadapter für den CY2071AF und CY2292F (Buchsenadapter für die anderen Geräte sind separat zu bestellen)

428-1457-ND FTG-Programmierkit.....**367.21**

CY3672

Das CY3672 FTG-Programmierkit bietet PC-Benutzern die Möglichkeit, im Feld programmierbare EPROM-Taktgeneratoren schnell und einfach zu programmieren. Die zwei Setup-Voraussetzungen sind ein Netzanschluss und ein paralleler Port zum Anschluss an den PC. **Merkmale:** • Unterstützt im Feld programmierbare Taktgeneratoren: CY2077FS, CY2077FZ, CY22050F, CY22150F, CY22381F, CY22392F, CY22393F, CY22394F und CY22395F • Ermöglicht schnelle und einfache Prototyperstellung • Kompaktes Design für bequeme Mobilität • Benutzerfreundliche Schnittstelle, kompatibel mit Windows 95, Windows 98, NT, 2K, ME, XP • Benutzerfreundliche CYClocksRT™-Software für JEDEC-Dateientwicklung **Das Kit enthält:** • Drei Buchsen: CY3695, CY3698, CY3699 • Kabel für parallelen Port • AC/DC-Adapter • CD mit: CyClocksRT™ Software, CY3672 Programmierschnittstellen-Software und Datenblättern.

428-1458-ND FTG-Programmierkit.....**462.46**

CPLDs

Cypress bietet eine breite Palette von programmierbaren Logikgeräten an, von PALs mit 10 Makrozellen und 200 Gates bis zu CPLDs mit 3072 Makrozellen und 200.000 Gates.

Cypress liefert auch Spannungen von 2,5 V bis zu den typischen 5 V-Werten.

Die **Cypress PAL SPLDs** gehören zur weiter entwickelten zweiten Generation der PAL-Architektur. Sie sind CMOS Flash-löschbare, programmierbare Array-Logik-Geräte. Die Implementierung erfolgt mit der vertrauten Summe-der-Produkte (UND-ODER) Logikstruktur und der programmierbaren Makrozelle.

Die **Ultra37000™**-Gruppe der CMOS-CPLDs liefert eine Reihe von hochdichten, programmierbaren Logiklösungen mit unvergleichlicher Systemleistung. Die Ultra37000-Gruppe soll die Flexibilität, den einfachen Gebrauch und die Leistung des 22V10 auf hochdichte CPLDs übertragen. Die Architektur beruht auf einer Reihe von Logikbausteinen, die durch eine programmierbare Inter-connect Matrix (PIM) verbunden sind. Jeder Logikbaustein enthält sein eigenes Produkt-Term-Array, seinen eigenen Produkt-Term-Zuteiler und 16 Makrozellen. Die PIM verteilt Signale von den Logikbausteinausgängen und allen Eingangs-Pins an die Logikbausteineingänge. Alle Ultra37000-Geräte sind elektrisch löschbar und In-System Reprogrammable (ISR).

Die **Delta39K™ ISR™ CPLD**-Gruppe beruht auf einem 0,18 µm sechsschichtigen Metall-CMOS-Logikprozess und bietet eine Vielzahl von hochdichten Lösungen bei unvergleichlicher Systemleistung. Die Delta39K-Gruppe kombiniert hohe Geschwindigkeit, vorhersehbares Timing und leichten Gebrauch der CPLDs mit den hohen Dichten und dem niedrigen Stromverbrauch von FPGAs. Bei Geräten mit brauchbaren Gates im Bereich von 15.000 bis 200.000 arbeitet die Produktgruppe mit Geräten, die zehnmal so groß sind wie die bisher erhältlichen CPLDs. Selbst bei diesen großen Dichten ist die Delta39K-Gruppe schnell genug, um einen voll synthetisierbaren 64-Bit, 66-MHz PCI-Kern zu implementieren.

Spannung	Speichertyp	Tpd (ns)	Makrozellen	Gates	Option Strom	E/A	Paket	Digi-Key Teilenr.	Stückpreis 1	25	100	Cypress Teilenr.
PAL SPLDs												
3.3	Flash	25	10	300	Std.	22	28-PLCC	428-1274-ND	3.11	2.49	1.94	PALC22V10D-25JC
ULTRA 37000 CPLDs												
5.0	Flash	10	32	960	Std.	37	44-TQFP	428-1285-ND	4.66	3.73	3.15	CY37032P44-125AC
3.3	Flash	12	32	960	Std.	37	44-TQFP	428-1286-ND	4.40	3.53	2.98	CY37032VP44-100AC
5.0	Flash	10	64	2000	Std.	69	100-TQFP	428-1287-ND	7.87	7.09	6.29	CY37064P100-125AC
5.0	Flash	10	64	2000	Std.	37	44-TQFP	428-1288-ND	6.43	5.15	4.35	CY37064P44-125AC
5.0	Flash	10	64	2000	Std.	69	84-TQFP	428-1289-ND	6.77	5.42	4.58	CY37064P84-125JC
5.0	Flash	10	128	3800	Std.	133	160-TQFP	428-1290-ND	13.33	12.44	11.55	CY37128P160-125AC
5.0	Flash	10	192	5700	Std.	125	160-TQFP	428-1291-ND	19.15	17.88	16.60	CY37192P160-125AC
3.3	Flash	12	192	5700	Std.	125	160-TQFP	428-1292-ND	19.15	17.88	16.60	CY37192VP160-100AC
5.0	Flash	10	256	7700	Std.	133	160-TQFP	428-1293-ND	27.38	25.56	23.73	CY37256P160-125AC
DELTA 39K ISR CPLDs												
2.5-3.3	Flash	10	1536	100K	Lp	136	208-PQFP	428-1294-ND	57.53	53.70	49.86	CY39100V208B-125NTC
2.5-3.3	Flash	10	3072	200K	Lp	136	208-PQFP	428-1296-ND	107.58	100.41	93.24	CY39200V208-125NTC
2.5-3.3	Flash	10	3072	200K	Lp	294	388-BGA	428-1297-ND	161.35	150.60	139.84	CY39200V388-125MGC

Delta39K™/Ultra37000™ ISR™- Programmierkit

Funktionsbeschreibung: Das Delta39K/Ultra37000 ISR-Programmierkit ermöglicht dem Benutzer das Programmieren von Ultra37000, Ultra37000V, Quantum38K, Delta39K und PSI CPLDs auf der Karte mit unserer ISR-Programmiersoftware, dem UltraISR-Programmierkabel und einem PC. Das UltraISR-Programmierkabel wird am Parallelport eines PCs in eine Standard 10-Pin Steckleiste auf der Benutzerkarte angeschlossen. Die ISR-Software liefert eine benutzerfreundliche Graphical User Interface, die JEDEC oder .hex-Dateien als Eingabe akzeptiert. Die JEDEC/.hex-Dateien werden zur Erstellung von plattformunabhängigen STAPL-Dateien verwendet. STAPL-Dateien enthalten alle Informationen.

Merkmale:

• Unterstützt die Produktgruppen Cypress' Ultra37000™, Ultra37000V™, Quantum38K, Delta39K™ und PSI™ • STAPL-Programmiersprachen-Support • Standard-JTAG-Programmierschnittstelle • Mehrgerätprogrammierung • Leicht zu benutzende Schnittstelle, kompatibel mit Windows 98™, Windows 2000™, Windows ME™ und Windows NT™ • Beseitigt Programmiereinfügung zum Verbessern der Herstellungseffizienz • Zum Programmieren im Labor, im Herstellungsbereich oder an entfernt gelegenen Orten • ATE-Support via STAPL auf industrieweit führenden ATE-Plattformen

Kitinhalt:

• UltraISR™ Programmierkabel zur Verwendung mit Ultra37000, Delta39K und PSI CPLD-Gruppen • ISR-Programmiersoftware Version 3.0 • ISR-Anwendungsnotizen • Delta39K™/Ultra37000™ Prototypkarte

PC-Systemvoraussetzungen:

• IBM PC oder kompatibles Gerät mit Windows 98, Windows 98 Second Edition, Windows ME, Windows NT 4.0 Service Pack 5 oder neuer, oder Windows 2000 Service Pack 1 oder neuerr

• Ein freier Parallelport
• Mindestens 32 MB RAM
• Ca. 30 MB freien Festplattenspeicher

428-1305-ND Delta39K/Ultra37000 ISR-Programmierkit..... **83.81**

Warp® CPLD Entwicklungs-Tool für UNIX

Warp ist ein hochmoderner HDL-Compiler für das Design mit Complex Programmable Logic Devices (CPLDs) von Cypress. Warp verwendet einen Subsatz von IEEE 1076/1164 VHDL und IEEE 1364 Verilog als Hardware Description Languages (HDL) für die Design-Eingabe. Es synthetisiert und optimiert dann das eingegebene Design und gibt eine JEDEC- oder Intel hex-Datei für das gewünschte PLD oder CPLD aus. Warp akzeptiert auch VHDL oder Verilog, produziert vom Active-HDL FSM grafischen Finit-Zustand-Maschineneditor. Zur Simulation liefert Warp einen Timing-Simulator, sowie VHDL- und Verilog-Timing-Modelle zur Verwendung mit Drittpartei-Simulatoren.

Unterstützt die folgenden programmierbaren Logikgeräte:

• PSI™ (Programmable Serial Interface™) • Cypress 39K™ CPLDs • Quantum38K™ CPLDs • Ultra37000™ CPLDs • FLASH370i™ CPLDs • MAX340™ CPLDs • Industriestandard-PLDs (16V8, 20V8, 22V10)

Systemanforderungen

• 32 Mb RAM (64 Mb empfehlenswert) • 110 Mb Festplattenspeicher • CD-ROM-Laufwerk • Solaris 2.5 oder neuer

Warp umfasst:

• CD-ROM mit Warp und Online-Dokumentation („Erste Schritte" - Einführungshandbuch, Benutzerhandbuch, HDL-Referenzhandbuch) • VHDL für Programmable Logic Textbook • Registrierkarte

Produktcodebeschreibung:

CY3125R62 Warp Entwicklungssystem für UNIX

428-1302-ND Warp CPLD Entwicklungstoolkit..... **83.81**

TOSHIBA

8-Bit Mikrocontroller

8-Bit Mikrocontroller von Toshiba; geringer Stromverbrauch und Niederspannungsbetrieb. Zu den On-Chip-Peripherieoptionen gehören LCD, VFT und LED-Anzeigetreiber. Die Serie 870/C bietet eine Einzelregisterbank für erhöhte C-Compiler-Effizienz.

Merkmale:

• Min. Instruktionszykluszeit: 0,25 µs @ 16 MHz • Niedrigleistungsmodi: HALT, LEERLAUF und Taktgetriebe und Doppeltaktgeber • Umfassender Befehlssatz mit 731 Instruktionen einschließlich Multiplikation, Division, 16-Bit-Betrieb, Bit-Manipulation usw. • Zu den On-Chip-Peripherien gehören A/D, PWM, UARTS und LCD • Betriebstemperatur: -40 °C ~ 85 °C

Die Kits enthalten:

Evaluierungskarte, C-Compiler (3.000 Zeilen pro Modul), Assembler, Linker, RS232-Kabel, Batterien, Schnellstart-Anleitung, Datenblatt, Handbücher, CD mit Tools

Speichergröße EPROM	RAM	E/A	Versorgungs-spannung	Paket	Digi-Key Teilenr.	Stückpreis 1	25	100	Toshiba Teilenr.
16K	512	35	2.7 ~ 5.5	44-LQFP	TMP86FH47UG-ND	5.18	4.15	3.50	TMP86FH47UG
32K	2K	39	1.8 ~ 3.6	64-QFP	TMP86FM29FG-ND	4.74	3.80	2.95	TMP86FM29FG
32K	2K	39	1.8 ~ 3.6	64-LQFP	TMP86FM29UG-ND	4.74	3.80	2.95	TMP86FM29UG
32K	2K	56	1.8 ~ 3.6	64-QFP	TMP86FM48FG-ND	6.77	5.42	4.58	TMP86FM48FG
32K	2K	56	1.8 ~ 3.6	64-LQFP	TMP86FM48UG-ND	6.69	5.36	4.52	TMP86FM48UG
48K	2K	48	1.8 ~ 3.6	80-LQFP	TMP86FP24F-ND	5.32	4.26	3.59	TMP86FP24F
8K	256	22	2.7 ~ 5.5	30-SSOP	TMP86F807MGEY-ND	4.57	3.66	2.85	TMP86F807MG (EY)
8K	256	24	2.7 ~ 5.5	30-SSOP	TMP86F808DMGEY-ND	4.57	3.66	2.85	TMP86F808DMG (EY)
60K	1K	55	2.7 ~ 5.5	80-LQFP	TMP86FS27FG-ND	8.03	6.42	5.42	TMP86FS27FG
60K	2K	56	2.7 ~ 5.5	64-QFP	TMP86FS49FG-ND	6.77	5.42	4.58	TMP86FS49FG
86FH47 Starterkit					BMUSKTOPASFH47AND-ND	87.62	81.79	75.94	BMUSKTOPASFH47(AND)
86FM29 Starterkit					BMUSKTOPASFM29AND-ND	87.62	81.79	75.94	BMUSKTOPASFM29(AND)
86FM29 Starterkit					BMUSKTOPASFM48AND-ND	88.83	82.91	76.99	BMUSKTOPASFM48(AND)

Alle Preisangaben in Euro und inklusive Zollgebühren.

DALLAS SEMICONDUCTOR — Mikrocontroller 8-Bit 8051-kompatibel

Die 8051-Mikrocontroller-Gruppe schließt nach wie vor die beliebtesten Prozessoren weltweit ein. Aufgrund ihres leichten Gebrauchs und ihrer relativ hohen Leistung eignen sie sich ideal für viele Anwendungen, so auch für mobile und tragbare Produkte. Die Einführung einer neuen Linie von Hochleistungsableitungen hat viele positive Wirkungen auf die Verbesserung der Leistungseffizienz von 8051-basierten Designs.
Erstens kann die Verwendung eines 8051-Hochgeschwindigkeits-Mikrocontrollers die Stromeffizienz bedeutend verbessern. Eine Hochleistungs-CPU erlaubt ein Verlangsamen des Prozessortakts, was zum gleichen Leistungsniveau bei geringerem Stromverbrauch führt. Alternativ kann die Leistung eines vorhandenen Systems ohne erhöhten Stromverbrauch verbessert werden.
Zweitens sollte nach Möglichkeit ein Gerät gewählt werden, das alle benötigten Peripheriegeräte einschließt. Dazu zählt auch Programmspeicher, der gewöhnlich nicht als Peripheriegerät angesehen wird. Wenn zusätzlicher Datenspeicher erforderlich ist, sollte ein Gerät wie der DS87C520 verwendet werden, da er 1 Kb internen MOVX SRAM enthält. Einer der Hauptvorteile der 8051-Produktgruppe ist die breite Auswahl an On-Chip-Peripheriegeräten. Funktionen, wie z.B. Watchdog Timer, zusätzliche UARTs und Präzisionsrücksetzschaltungen sind auf Hochgeschwindigkeits-Mikrocontrollern erhältlich.
Die Einführung von zwei Niedrigleistungsmodi stellt eine Alternative zum Leerlaufmodus dar. Zusätzlich zur Senkung des Stromverbrauchs sorgen Power Management Modi, wie z.B. jene im DS87C520-Hochgeschwindigkeits-Mikrocontroller, dafür, dass der Prozessor Aufgaben wie Abfragen in einem niedrigen Stromverbrauchsstatus ausführt. Herkömmliche 8051-Architekturen setzen voraus, dass der Prozessor mit maximaler Taktrate betrieben wird, selbst wenn nur minimale Verarbeitung erforderlich ist.

Interner Programmspeicher	Interner MOVX SRAM	Serielle Ports	16-Bit Timer	Datenzeiger	Watchdog	Stromausfalls-rückstellung und Unterbrecher	Stromver-waltung Modus	Ring-Osz.	Versorgungs-spannung (V)	Funktion	Geschwin-digkeit (MHz)	Paket	Digi-Key Teilenr.	Stückpreis 1	Stückpreis 25
16kB EPROM	1kB	2	3	2	Ja	Ja	Ja	Ja	4.5 ~ 5.5	80C52.kompatibel	33	40-CDIP	DS87C520-WCL-ND	59.68	45.04
16kB EPROM	1kB	2	3	2	Ja	Ja	Ja	Ja	4.5 ~ 5.5	80C52.kompatibel	33	44-PLCC	DS87C520-QNL-ND	41.35	31.21
16kB EPROM	1kB	2	3	2	Ja	Ja	Ja	Ja	4.5 ~ 5.5	80C52.kompatibel	33	44-PLCC	DS87C520-QCL-ND	35.80	27.03
16kB EPROM	1kB	2	3	2	Ja	Ja	Ja	Ja	4.5 ~ 5.5	80C52.kompatibel	33	40-DIP	DS87C520-MNL-ND	40.49	30.57
16kB EPROM	1kB	2	3	2	Ja	Ja	Ja	Ja	4.5 ~ 5.5	80C52.kompatibel	33	40-DIP	DS87C520-MCL-ND	35.18	26.55
16kB EPROM	1kB	2	3	2	Ja	Ja	Ja	Ja	4.5 ~ 5.5	80C52.kompatibel	33	40-TQFP	DS87C520-ECL-ND	37.51	28.32
16kB EPROM	1kB	2	3	2	Ja	Ja	Ja	Ja	4.5 ~ 5.5	80C52.kompatibel	33	52-PLCC	DS87C530-QNL-ND	46.04	34.75
16kB EPROM	1kB	2	3	2	Ja	Ja	Ja	Ja	4.5 ~ 5.5	80C52.kompatibel	33	52-PLCC	DS87C530-QCL-ND	40.07	30.25
8kB EPROM	1kB	2	3	2	Ja	Ja	Ja	Ja	4.5 ~ 5.5	87C52-kompatibel	33	68-PLCC	DS87C550-QCL-ND	34.96	26.38
Ohne ROM	—	1	3	2	Nein	Nein	Nein	Nein	4.5 ~ 5.5	80C32.kompatibel	25	40-DIP	DS80C310-MCG-ND	11.94	9.01
Ohne ROM	—	1	3	2	Nein	Nein	Nein	Nein	4.5 ~ 5.5	80C32.kompatibel	25	44-PLCC	DS80C310-QCG-ND	10.77	8.13
Ohne ROM	—	2	3	2	Ja	Ja	Nein	Ja	4.5 ~ 5.5	80C32.kompatibel	25	44-TQFP	DS80C320-ECG-ND	18.75	14.16
Ohne ROM	—	2	3	2	Ja	Ja	Nein	Ja	4.5 ~ 5.5	80C32.kompatibel	25	40-DIP	DS80C320-MCG-ND	12.56	9.49
Ohne ROM	—	2	3	2	Ja	Ja	Nein	Ja	4.5 ~ 5.6	80C32.kompatibel	33	40-DIP	DS80C320-MCL-ND	17.05	12.87
Ohne ROM	—	2	3	2	Ja	Ja	Nein	Ja	4.5 ~ 5.6	80C32.kompatibel	25	40-DIP	DS80C320-MNG-ND	17.05	12.87
Ohne ROM	—	2	3	2	Ja	Ja	Nein	Ja	4.5 ~ 5.6	80C32.kompatibel	25	44-PLCC	DS80C320-QCG-ND	16.20	12.23
Ohne ROM	—	2	3	2	Ja	Ja	Nein	Ja	4.5 ~ 5.6	80C32.kompatibel	33	44-PLCC	DS80C320-QCL-ND	18.75	14.16
Ohne ROM	—	2	3	2	Ja	Ja	Nein	Ja	4.5 ~ 5.5	80C32.kompatibel	33	44-PLCC	DS80C320-QNG-ND	18.75	14.16

B

Soft-Mikrocontroller-Modul

Das **DS5000(T)** Soft-Mikrocontroller-Modul ist ein voll 8051-kompatibler 8-Bit CMOS-Mikrocontroller, der „Softness" in allen Aspekten seiner Anwendung aufweist. Dies erfolgt durch umfangreiche Verwendung von nicht-flüchtiger Technologie, um alle Informationen in Abwesenheit von System-Vcc zu erhalten. Der interne Programm-/Datenspeicherplatz wird entweder mit 8 Kb oder 32 Kb nicht-flüchtigem CMOS SRAM implementiert. Interne Datenregister und wichtige Konfigurationsregister sind ebenfalls nicht-flüchtig. Eine optionale Echtzeituhr sorgt für permanent betriebene Zeitmessung. Die Uhr verwendet einen auf der Karte befindlichen Kristall und ist auf die Hundertstelsekunde genau.

Der **DS2250-32** hat dieselben Merkmale wie der DS500, plus eine zusätzliche Funktion. Der interne Programm-/Datenspeicherplatz wird entweder mit 8-, 32- oder 64-Kb nicht-flüchtigem CMOS SRAM implementiert. Eine optionale Echtzeituhr sorgt für permanent betriebene Zeitmessung. Die Uhr verwendet einen auf der Karte befindlichen Kristall und ist auf die Hundertstelsekunde genau.

Hinweis: Alle nicht-flüchtigen Speicher und Ressourcen bleiben bei Zimmertemperatur ohne Strom über 10 Jahre erhalten.

Modul mit interner Batterie	NV RAM	Echtzeit-Speicherverschlüsselung	Echtzeituhr	Paket	Geschwindigkeit	Digi-Key Teilenr.	Stückpreis 1	Stückpreis 25
Ja	32K x 8 Int.	40-Bit Benutzerdefiniert	Nein	40-EDIP	16MHz	DS5000-32-16-ND	106.57	80.43
Ja	32K x 8 Int.		Ja	40-EDIP	16MHz	DS5000T-32-16-ND	117.22	88.47
Ja	64K x 8 Int.		Ja	40-SIMM	16MHz	DS2250-32-16-ND	80.99	61.13

IMAGEcraft — C-Compiler für TI MSP430

Merkmale: • ANSI C eingebettete Systementwicklungs-Tools mit umfangreicher Zielunterstützung für TI MSP430 Mikrocontroller • Write Interrupt Handler in C • Unterstützt Inline-Assembly und kann mit Assembly-Modulen verbunden werden. • ANSI C Compiler: Moderner, schneller C-Compiler mit VOLLEM Support der ANSI-C-Sprache, NICHT micro-C oder erweiterte K&R C • 32-Bit Längen, 32-Bit IEEE-Gleitkommazahl mit einfacher Genauigkeit

Ziel-CPUs	Code-Speichergröße	Code-Browser	Code-Komprimierer	Debugger	Application Builder	Optimierungen	Digi-Key Teilenr.	Stückpreis	Imagecraft Teilenr.
Texas Instruments TI MSP430	Bis zu 64 KB	Ja	Nein	ICC430 eingebaut	Ja	Registerzuordnung, Peephole	ICC430 STD-ND	168.47	ICC430 STD

Texas Instruments — Flash-Emulation-Tools

Ein leistungsstarkes Tool, das die Hardware und Software enthält, die zur Fertigstellung eines Großteils der Anwendungsentwicklung erforderlich sind. Der Flash-Speicher kann in Sekundenschnelle mit nur wenigen Tastenbetätigungen gelöscht und programmiert werden, und da der MSP430 Flash mit extrem niedriger Leistung betrieben wird, ist keine externe Stromversorgung notwendig. Das Tool verfügt über eine integrierte Software-Umgebung und wird direkt mit dem PC verbunden, was die Einrichtung und Verwendung des Tools enorm vereinfacht.

MSP-FET430P120

Anwendungen: MSP430F11x1, MSP430F12x, MSP430F11x2, and MSP430F12x2 Produktgruppen **Inhalt:** • MSP430F12x FET-Entwicklungskarte mit 28 SOIC ZIF-Steckleiste, LED-Anzeige, FET-an-PC-Kabel und Header-Pinouts für Prototypen • Zwei F1232 Flash-Bausteine • Zwei MSP430F123 Flash-Bausteine • Integrierte Benutzerschnittstelle für IAR Kickstart, die Assembler, Linker, Simulator, Quellebenen-Debugging und funktionsbeschränkten C-Compiler umfasst. • Volle Dokumentation auf CD-ROM

MSP-FET430P140

Anwendungen: MSP430F13x, MSP430F14x, MSP430F15x und MSP430F16x Produktgruppen **Inhalt:** • MSP430F13x/14x FET-Entwicklungskarte mit 64 QFP ZIF-Steckleiste, LED-Anzeige, FET-an-PC-Kabel und Header-Pinouts für Prototypen • Zwei MSP430F149 Flash-Bausteine • Integrierte Benutzerschnittstelle für IAR Kickstart, die Assembler, Linker, Simulator, Quellebenen-Debugging und funktionsbeschränkten C-Compiler umfasst. • Volle Dokumentation auf CD-ROM

MSP-FET430X110

Das Flash Emulation Tool (FET) unterstützt die komplette Systementwicklung und ist für alle MSP430Fxx Flash-Geräte erhältlich. Programmieren, Debugging auf Assembler/C-Quellebene, Einzelschrittverfahren, Multi-Hardware-Unterbrechungspunkte, Vollgeschwindigkeitsbetrieb und peripherer Zugriff werden durch JTAG im System voll unterstützt. Das FET umfasst alles, was zur Fertigstellung eines ganzen Projekts notwendig ist. **Merkmale:** • JTAG-basierte Echtzeit-Emulation im System • CD-Rom enthält IAR Kickstart IDE, Assembler, Linker, Simulator und 2-kB C-Compiler **Inhalt:** • MSP430F11x(1) FET-Entwicklungskarte mit 20-SOIC ZIF-Steckleiste, LED-Anzeige, FET-an-PC-Kabel und Header-Pinouts für Prototypen • Zwei MSP430F1121 Flash-Geräte • Integrierte Benutzerschnittstelle für IAR Kickstart, die Assembler, Linker, Simulator, Quellebenen-Debugging und funktionsbeschränkten C-Compiler umfasst. • Volle Dokumentation auf CD-ROM

MSP-TRF6903-DEMO

Dieses Kit dient zum Vorführen eines bidirektionalen RF-Daten-Links, ohne dass ein externer Computer benötigt wird; es eignet sich auch für die Prototyperstellung durch Herunterladen eines neuen Softwarecodes über den JTAG-Steckverbinder auf den MSP430F449. Das Schema und Layout der Karte kann ggf. als Referenzdesign verwendet werden. **Merkmale:** • RF-Transceiver, TRF6903 • MSP430F449 Mikrocontroller • JTAG-Steckverbinder • RS232C Steckverbinder • On-Board-Leiterplattenantenne

296-16696-ND	MSP-FET430P120	**107.38**
296-16697-ND	MSP-FET430P140	**95.21**
296-13850-ND	MSP-FET430X110	**47.12**
296-17300-ND	MSP-TRF6903-DEMO	**161.61**

MSP-EVK430S320-Evaluierungskit

Das MSP-EVK430S320-Evaluierungskit unterstützt die MSP430x32x-Gerätegruppe und wird mit dem PMS430-E325FZ (UV EPROM) in einer Buchse geliefert.

Das Kit enthält:

• MSP430 EVK-Karte mit UV-löschbarem EPROM, LCD, PC-Steckverbinder • MSP-PRGS430-Adapter für serielles Programmieren • IAR Kickstart IDE, Assembler, Linker und beschränkter C-Compiler • CD-ROM mit Software-Tools und Online-Dokumentation

296-13849-ND	MSP-EVK430S320	**432.77**

MSP-PRGS430 Serieller Programmierer

Dieser serielle Programmieradapter ist ein Programmierwerkzeugl der zweiten Generation und kann zum Programmieren aller MSP430 Flash-, OTP- oder UV-EPROM-Bausteine verwendet werden Diese Bausteine können im Schaltkreis oder in unabhängigen Sockeln programmiert werden; die Software zur Erleichterung der Baust-einprogrammierung ist inbegriffen.

• *Netzteil nicht inbegriffen Empfehlung: T924-P5P-ND*

Anwendungen: MSP430 Flash-, OTP- oder UV-EPROM-Gerät

Inhalt: • MSP-PRGS430 Programmierer • Serielles Kabel • Zielkabel • CD-ROM • Dokumentation

296-16698-ND	MSP-PRGS430	**215.85**

TMS370C756A 8-Bit Mikrocontroller

Die TMS370Cx5x-Gruppe der 8-Bit Einzelchip-Mikrocontroller bietet kostensparende Echtzeitsystem-steuerung durch die Integration von fortschrittlichen Peripheriefunktionsmodulen und verschiedenen On-Chip-Speicherkonfigurationen. Dieses Gerät wird unter Verwendung der leistungsstarken Silizium-Gate-CMOS EPROM- und EEPROM-Technologien implementiert. Die niedrige Betriebsleistung, der breite Betriebstemperaturbereich und die Lärmimmunität der CMOS-Technologie, verbunden mit der hohen Leistung und den umfangreichen On-Chip-Peripheriefunktionen, machen die TMS370Cx5x-Bausteine attraktiv für System-Designs für die Automobilelektronik, industrielle Motorsteuerung, Computer-Peripherie-Steuerung, Telekommunikations- und Verbraucheranwendungen.

• **Maximale Taktfrequenz:** 20 MHz
• **Betriebstemperatur:** -40 °C ~ 85 °C

Speichergröße Programm-EPROM	Speichergröße Daten-RAM/EEPROM	E/A	Timer (16-Bit)	ADU	V_{CC}	Paket	Digi-Key Teilenr.	Stückpreis 1	Stückpreis 25	Stückpreis 100	Texas Instruments Teilenr.
TMS370-Gruppe											
16K	512/512	46	2	8-Kan., 8-Bit	5V±10%	68-PLCC	296-10770-5-ND	13.91	12.98	12.06	TMS370C756AFNT

LPC2000 ARM 7 Mikrocontroller

Die LPC2000-Architektur beruht auf einer 16/32-Bit ARM7TDMI-S™ CPU Echtzeit-Emulation und eingebettetem Trace-Support. Eine 128 Bit breite Speicherschnittstelle und eine einzigartige Beschleuniger-Architektur ermöglichen 32-Bit Code-Ausführung mit höchster Taktrate. Für Anwendungen mit kritischen Code-Größen reduziert der alternative 16-Bit Thumb™ Modus den Code um über 30 % bei nur minimalem Leistungsverlust. Aufgrund ihrer kleinen Größe und des geringen Stromverbrauchs sind diese Mikrocontroller ideal für Anwendungen, bei denen Miniaturisierung eine wichtige Voraussetzung ist. **Merkmale:** • 16/32-Bit ARM7TDMI-S Prozessor • Bis zu 16/32/64 kB On-Chip statischer RAM • In-System Programming (ISP) und In-Application Programming (IAP) über On-Chip Bootloader-Software • Vektor-Unterbrecher-Controller mit konfigurierbaren Prioritäten und Vektoradressen • Die eingebettete ICE-RT Schnittstelle bietet Breakpoints und Watchpoints. Unterbrecher-Service-Routinen können ausgeführt werden, während das Debugging der Aufgabe im Vordergrund mit der On-Chip RealMonitor™-Software läuft.. • Mit der eingebetteten Trace Macrocell ist nicht-intrusives Echtzeit-Tracing der Befehlsausführung mit hoher Geschwindigkeit möglich. • Mehrere serielle Schnittstellen

Speicher				Anz. der							Max. Frequ.	Max. Frequ.	CPU-			Digi-Key	Stückpreis			Philips
RAM	Flash	PWM	Timer	ADC	DAU	E/A	UART	I^2C	CAN	SPI	(MHz)	Temperatur	Spannung	Spannung	Paket	Teilenr.	1	25	100	Teilenr.
16K				—		32			—	—		0°C ~ 70°C			48-LQFP	568-1220-ND	7.96	6.37	5.38	LPC2104BBD48-S
64K				—		32			—	Y		0°C ~ 70°C			48-LQFP	568-1221-ND	10.06	9.06	8.03	LPC2106BBD48-S
64K	128K	Y	4	—	—	32	Y(2)	Y	—	Y	60	-40°C ~ 85°C	3.3V	1.8V	48-HVQFN	568-1324-ND	10.18	9.17	8.13	LPC2106FHN48-S
16K				8-Kan., 10-Bit		112			Y(2)	Y(2)		-40°C ~ 85°C			64-LQFP	568-1222-ND	8.45	6.76	5.71	LPC2114FBD64-S
16K				4-Kan., 10-Bit		46			Y(2)	Y(2)		-40°C ~ 85°C			64-LQFP	568-1223-ND	8.04	7.24	6.42	LPC2119FBD64-S
16K	256K			4-Kan., 10-Bit	—	46		Y	—						64-LQFP	568-1224-5-ND	8.04	7.24	6.42	LPC2124FBD64-S
16K	256K			4-Kan., 10-Bit	—	46		Y	Y(2)						64-LQFP	568-1225-ND	9.04	8.15	7.22	LPC2129FBD64-S
32K	512K	Y	4	8-Kan., 10-Bit (2)	1-Kan., 10-Bit	46	Y(2)	Y(2)	—	Y(2)	60	-40°C ~ 85°C	3.3V	1.8V	64-LQFP	568-1226-ND	9.38	8.45	7.49	LPC2138FBD64-S
16K	—			8-Kan., 10-Bit	—	76		Y	—						144-LQFP	568-1227-ND	5.23	4.19	3.54	LPC2210FBD144-S
16K	128K			8-Kan., 10-Bit	—	112		Y	—						144-LQFP	568-1228-ND	9.38	8.45	7.49	LPC2212FBD144-S
16K	256K	Y	4	8-Kan., 10-Bit	—	112	Y(2)	Y	—	Y(2)	60	-40°C ~ 85°C	3.3V	1.8V	144-LQFP	568-1229-ND	10.38	9.35	8.29	LPC2214FBD144-S
									Y(2)							568-1230-ND	11.40	10.27	9.10	LPC2292FBD144-S

8051 Mikrocontroller

Speicher					Anz. der					ADC	DAU	Analog-		Max. Frequ.			Digi-Key	Stückpreis			Philips
RAM	EEPROM	OTP	Flash	Timer	PWM	UART	I^2C	CAN	SPI	Kan./Bits	Kan./Bits	vergleich	E/A	MHz @ 5 V	Temperaturbereich	Paket	Teilenr.	1	25	100	Teilenr.
128B					—		—			—			32	16	0°C ~ 70°C	44-PLCC	568-1232-5-ND	1.80	1.44	1.08	P80C31SBAA
256B					—		—			—			32	16	0°C ~ 70°C	44-PLCC	568-1233-5-ND	1.86	1.49	1.12	P80C32SBAA
256B	—	—	—	3	—	Y	—	—		—	—	—	32	33	0°C ~ 70°C	44-PLCC	568-1234-5-ND	1.86	1.49	1.12	P80C32UBAA
256B					Y		Y		—	8/10			48	24	0°C ~ 70°C	68-PLCC	568-1235-5-ND	7.58	6.82	6.05	P80C552EBA
256B					Y		Y		—	8/10			48	24	0°C ~ 70°C	80-QFP	568-1236-ND	7.58	6.82	6.05	P80C552EBB
256B				3	Y		Y	—		8/10			48	24	-40°C ~ 85°C	68-PLCC	568-1237-5-ND	8.34	7.51	6.66	P80C552EFA
256B				3	Y		Y	—		8/10			48	24	0°C ~ 70°C	68-PLCC	568-1238-5-ND	7.88	7.10	6.30	P80C552IBA
256B	—	—	—	3	Y	Y	Y	—	—	8/10	—	—	48	24	-40°C ~ 85°C	68-PLCC	568-1239-5-ND	8.64	7.79	6.91	P80C552IFA
512B				3	Y		Y	—		7/10			48	16	0°C ~ 70°C	64-LQFP	568-1240-ND	8.38	6.71	5.66	P80C554SBBD
512B				2	Y(2)		—	Y		8/10			40	16	-40°C ~ 85°C	68-PLCC	568-1241-5-ND	13.11	11.81	10.48	P80C592FFAA
128B	—	—	—	3	—	Y	—	—	—	—	—	—	32	33	0°C ~ 70°C	40-DIP	568-1004-5-ND	1.97	1.58	1.19	P80C31SBPN
256B															0°C ~ 70°C	40-DIP	568-1005-5-ND	1.97	1.58	1.19	P80C32SBPN
256B		8K		3		Y			—				32	16	-40°C ~ 85°C	44-PLCC	568-1242-5-ND	5.18	4.15	3.50	P87C51FA-4A
2K		64K		4		Y(2)			Y				34	24	0°C ~ 70°C	44-PLCC	568-1243-5-ND	6.82	5.46	4.61	P87C51MB2BA/02-S
3K	—	96K	—	4	—	Y(2)	—	—	Y	—	—	—	34	24	0°C ~ 70°C	44-PLCC	568-1244-5-ND	7.52	6.02	5.08	P87C51MC2BA/02-S
512B		16K		3		Y			—				32	16	0°C ~ 70°C	44-PLCC	568-1245-5-ND	4.72	3.78	2.94	P87C51RB+4A
128B		4K		3		Y			—				32	16	0°C ~ 70°C	44-PLCC	568-1246-5-ND	2.33	1.86	1.45	P87C51SBAA
														16	0°C ~ 70°C	44-PLCC	568-1247-5-ND	2.79	2.23	1.74	P87C52SBAA
														16	0°C ~ 70°C	44-PQFP	568-1248-ND	2.73	2.18	1.70	P87C52SBBB
256B	—	8K	—	3	—	Y	—	—	—	—	—	—	32	16	-40°C ~ 85°C	44-PLCC	568-1249-5-ND	3.05	2.44	1.90	P87C52SFAA
														33	0°C ~ 70°C	44-PLCC	568-1250-5-ND	2.79	2.23	1.74	P87C52UBAA
														33	0°C ~ 70°C	44-PLCC	568-1251-5-ND	2.10	1.68	1.26	P87C52X2BA
256B		16K		3	—	—	—		—				32	33	0°C ~ 70°C	44-PLCC	568-1252-5-ND	4.33	3.46	2.70	P87C54SBAA
256B		8K		2	Y(2)		Y	—		8/10			40	16	0°C ~ 70°C	68-PLCC	568-1253-5-ND	8.72	7.85	6.96	P87C552SBAA
512B	—	16K	—	2	Y(2)	Y	Y	—	—	8/10	—	—	40	16	0°C ~ 70°C	64-LQFP	568-1254-5-ND	9.86	8.88	7.88	P87C554SBAA
512B		16K		2	Y(2)		Y	—		8/10			40	16	-40°C ~ 85°C	64-LQFP	568-1255-5-ND	11.37	10.24	9.08	P87C554SFAA
512B		16K		3	Y(2)		Y	Y		6/10			32	12	-40°C ~ 85°C	44-PLCC	568-1256-5-ND	8.38	6.71	5.66	P87C591VFAA
256B		16K		4													568-1010-5-ND	6.60	5.29	4.46	P87C51FB-4N
128B		4K		3													568-1011-5-ND	2.48	1.99	1.55	P87C51SBPN
256B	—	8K	—	3	—	Y	—	—	—	—	—	—	32	33	0°C ~ 70°C	40-DIP	568-1012-5-ND	2.88	2.31	1.79	P87C52SBPN
256B		8K		3													568-1013-5-ND	2.02	1.62	1.26	P87C52X2BN
256B		16K		3													568-1014-5-ND	4.54	3.63	2.83	P87C54SBPN
		2K								—	—				0°C ~ 70°C	20-SOIC	568-1257-5-ND	2.06	1.65	1.24	P87LPC762BD
		4K								—	—				0°C ~ 70°C	20-SOIC	568-1258-5-ND	2.02	1.62	1.26	P87LPC764BD
128B	—	4K	—	2	—	Y	Y	—	—	—	Y(2)	—	18	20	0°C ~ 70°C	20-TSSOP	568-1259-5-ND	1.98	1.59	1.24	P87LPC764BDH
		4K								8/4	8/4				0°C ~ 70°C	20-SOIC	568-1260-5-ND	2.42	1.94	1.51	P87LPC767BD
		4K								8/4	2/8				-40°C ~ 125°C	20-SOIC	568-1261-5-ND	4.28	3.43	2.90	P87LPC769HD
		1K								—		—	12			14-TSSOP	568-1015-5-ND	1.68	1.34	1.01	P87LPC760BDH
		2K								—		Y(2)	18			20-DIP	568-1016-5-ND	1.95	1.56	1.21	P87LPC762BN
128B	—	4K	—	2	—	Y	Y	—	—	—	—	Y(2)	18	20	0°C ~ 70°C	20-DIP	568-1017-5-ND	2.12	1.70	1.32	P87LPC764BN
		4K								4/8		Y(2)	18			20-DIP	568-1018-5-ND	2.57	2.06	1.61	P87LPC767BN
512B			16K												0°C ~ 75°C	44-PLCC	568-1262-5-ND	5.05	4.04	3.41	P89C51RB2BA/01
512B			32K												0°C ~ 70°C	44-PLCC	568-1263-5-ND	5.30	4.24	3.58	P89C51RC2BA/01
512B	—	—	32K	4	Y	Y	—	—	—	—	—	—	32	33	-40°C ~ 85°C	44-PLCC	568-1264-5-ND	6.25	5.00	4.22	P89C51RC2FA/01-S
512B			32K												-40°C ~ 85°C	44-LQFP	568-1265-ND	6.08	4.87	4.11	P89C51RC2FBD/01
1K			64K												0°C ~ 70°C	44-PLCC	568-1266-5-ND	6.48	5.19	4.38	P89C51RD2BA/01
512B			16K												0°C ~ 70°C		568-1267-5-ND	6.64	5.31	4.49	P89C660HBA
512B			16K												-40°C ~ 85°C		568-1268-5-ND	7.99	6.40	5.40	P89C660HFA
1K	—	—	32K	4	Y	Y	Y	—	—	—	—	—	32	33	0°C ~ 70°C	44-PLCC	568-1269-5-ND	7.74	6.20	5.23	P89C662HBA
1K			32K												-40°C ~ 85°C		568-1270-5-ND	7.54	6.80	6.03	P89C662HFA
2K			64K												0°C ~ 70°C		568-1271-5-ND	7.11	6.41	5.68	P89C664HBA
2K															0°C ~ 70°C	44-LQFP	568-1272-ND	8.38	6.71	5.66	P89C664HBBD
2K															-40°C ~ 85°C	44-PLCC	568-1273-5-ND	8.24	7.42	6.58	P89C664HFA
2K	—	—	64K	4	Y	Y	Y	—	—	—	—	—	32	33	-40°C ~ 85°C	44-LQFP	568-1274-ND	8.18	7.37	6.54	P89C664HFBD
8K															0°C ~ 70°C	44-PLCC	568-1275-5-ND	7.97	7.18	6.37	P89C668HBA
8K															0°C ~ 70°C	44-LQFP	568-1276-ND	7.87	7.09	6.29	P89C668HBBD
8K	—	—	64K	4	Y	Y	Y	—	—	—	—	—	32	33	-40°C ~ 85°C	44-PLCC	568-1277-5-ND	9.06	8.16	7.23	P89C668HFA
2K			96K			Y(2)								24			568-1278-5-ND	8.94	8.06	7.14	P89C669FA-S
			2K						—				18			20-TSSOP	568-1279-5-ND	1.69	1.36	1.02	P89LPC920FDH-S
			4K						—				18			20-TSSOP	568-1280-5-ND	2.00	1.60	1.25	P89LPC921FDH-S
256B	—	—	8K	4	2-Kan.	Y	Y	—	—	—	—	Y(2)	18	18	-40°C ~ 85°C	20-TSSOP	568-1281-5-ND	2.18	1.74	1.36	P89LPC922FDH-S
			8K						—				18			20-DIP	568-1282-5-ND	2.44	1.96	1.52	P89LPC922FN-S
			4K						Y				26			28-TSSOP	568-1283-5-ND	1.95	1.56	1.17	P89LPC930FDH-S
256B	—			4	2-Kan.					—	—			18		28-TSSOP	568-1284-5-ND	2.27	1.82	1.42	P89LPC931FDH-S
768B	512B			5	CCU*					—	—			12		28-PLCC	568-1285-5-ND	2.56	2.05	1.59	P89LPC932A1FA-S
768B	512B	—	8K	5	CCU*	Y	Y	—	Y	—	—	Y(2)	26	12	-40°C ~ 85°C	28-TSSOP	568-1286-5-ND	2.40	1.92	1.50	P89LPC932A1FDH-S
768B	512B			5	CCU*					4/8 x2	1/8 x2			18		28-PLCC	568-1287-5-ND	2.59	2.08	1.62	P89LPC935FA-S
768B	512B			5	CCU*					4/8 x2	1/8 x2			18		28-TSSOP	568-1288-5-ND	2.44	1.96	1.52	P89LPC935FDH-S
1K	—	—	64K	3	Y	Y	—	—	Y	—	—	—	32	40	0°C ~ 70°C	44-TQFP	568-1289-ND	5.35	4.29	3.62	P89LV51RD2BBC
					Y										-40°C ~ 85°C	44-PLCC	568-1290-5-ND	5.52	4.42	3.73	P89V51RD2FA
1K	—	—	64K	3	Y	Y	—	—	Y	—	—	—	32	40	-40°C ~ 85°C	44-TQFP	568-1291-ND	5.35	4.29	3.62	P89V51RD2FBC
					—										0°C ~ 70°C	40-DIP	568-1019-5-ND	5.94	4.76	4.02	P89V51RD2BN
512B			—		—		Y			—			32		0°C ~ 70°C	44-PLCC	568-1299-5-ND	7.70	6.17	5.21	PXAG30KBA-S
512B			—		—		Y			—			32		0°C ~ 70°C	44-LQFP	568-1300-ND	7.62	6.10	5.15	PXAG30KBBD
512B	—	—	—	3	—	Y(2)	Y	—	—	—	—	—	32	30	-40°C ~ 85°C	44-PLCC	568-1301-5-ND	7.59	6.84	6.06	PXAG30KFA-S
2K			64K		—		—			—			32		0°C ~ 70°C	44-LQFP	568-1302-ND	7.43	6.70	5.94	PXAG49KBBD
1K			—		Y		Y			8/8			50		0°C ~ 70°C	80-LQFP	568-1303-ND	8.47	7.62	6.76	PXAS30KBBE
512B		32K	—				—			—			32		0°C ~ 70°C	44-PLCC	568-1095-5-ND	10.25	9.24	8.19	PXAG37KBA
512B		32K	—				—			—			32		-40°C ~ 85°C	44-PLCC	568-1096-5-ND	10.74	9.68	8.58	PXAG37KFA
2K	—	—	64K	3	—	Y(2)	—	—	—	—	—	—	32	30	0°C ~ 70°C	44-PLCC	568-1097-5-ND	7.92	7.14	6.33	PXAG49KBA
2K		—	64K				—			—			32		-40°C ~ 85°C	44-PLCC	568-1098-5-ND	9.97	8.98	7.97	PXAG49KFA
1K		32K	—				Y			8/8			50		0°C ~ 70°C	68-PLCC	568-1099-5-ND	9.40	8.46	7.50	PXAS30KBA

* CCU: Capture Compare Unit

Alle Preisangaben in Euro und inklusive Zollgebühren.

MSP430 Mikrocontroller, Ultra-Niedrigleistung

Die MSP430-Gruppe der 16-Bit RISC-Mischsignalprozessoren mit Ultra-Niedrigleistung bietet die beste Lösung für batteriebetriebene Messanwendungen. **Merkmale:** • Die ultra-niedrige Leistungsarchitektur verlängert die Haltbarkeit der Batterie 0,1 uA RAM Ladungserhaltung, 0,8 uA Echtzeit-Taktmodus, 250 uA/MIPS aktiv • Hochleistungs-Analog, ideal für präzise Messungen • Moderne 16-Bit RISC CPU aktiviert neue Anwendungen mit einem Bruchteil des üblichen Code-Umfangs • Im System programmierbares Flash erlaubt Codeänderungen, Feldupgrades und automatische Datenerfassung • Eine 16-Bit MSP430-Architektur, eine 16-Bit RISC CPU, Peripheriegeräte und ein flexibles Taktsystem sind kombiniert, indem ein gemeinsamer von-Neumann Memory Address Bus (MAB) und Memory Data Bus (MDB) verwendet wird. **Speicheroptionen:** • Flash, ROM, OTP-Versionen (von 1 KB – 60 KB) • DMA-Controller **Moderne 16-Bit RISC CPU:** • Für Programmierung mit C und Assembler optimiert • Bis zu 8 MIPS der Leistung verfügbar **Betriebstemperatur:** -40 °C ~ 85 °C

Speichergröße, Flash (Programm)	SRAM (Byte)	E/A	LCD Seg.	Timer (8-Bit)	Timer (16-Bit)	ADU	UART	Frequenzbereich min./max.	Vcc	Paket	Digi-Key Teilenr.	Stückpreis 1	25	100	Gegurtet auf Rolle* Größe	Preisangaben	Texas Instruments Teilenr.
Flash-basierte F1xx-Gruppe																	
1K	128	14	—	—	1	Slope	—	DC-8MHz	1.8-3.6 V	20-TVSOP	296-15781-5-ND	2.10	1.68	1.26	—	—	MSP430F1101AIDGV
1K	128	14	—	—	1	Slope	—	DC-8MHz	1.8-3.6 V	20-SOIC	296-13768-5-ND	2.10	1.68	1.26	—	—	MSP430F1101AIDW
1K	128	14	—	—	1	Slope	—	DC-8MHz	1.8-3.6 V	20-TSSOP	296-13720-5-ND	2.10	1.68	1.26	—	—	MSP430F1101AIPW
1K	128	14	—	—	1	Slope	—	DC-8MHz	1.8-3.6 V	24-QFN	296-16765-1-ND	2.10	1.68	1.26	250	293.35	MSP430F1101AIRGET
1K	128	14	—	—	1	Slope	—	DC-8MHz	1.8-3.6 V	20-SOIC	296-6505-5-ND	2.38	1.91	1.49	—	—	MSP430F1101IDW
1K	128	14	—	—	1	Slope	—	DC-8MHz	1.8-3.6 V	20-TSSOP	296-9608-5-ND	2.38	1.91	1.49	—	—	MSP430F1101IPW
2K	128	14	—	—	1	Slope	—	DC-8MHz	1.8-3.6 V	20-TVSOP	296-15782-5-ND	2.57	2.06	1.61	—	—	MSP430F1111AIDGV
2K	128	14	—	—	1	Slope	—	DC-8MHz	1.8-3.6 V	20-SOIC	296-12633-5-ND	2.57	2.06	1.61	—	—	MSP430F1111AIDW
2K	128	14	—	—	1	Slope	—	DC-8MHz	1.8-3.6 V	20-TSSOP	296-12634-5-ND	2.57	2.06	1.61	—	—	MSP430F1111AIPW
2K	128	14	—	—	1	Slope	—	DC-8MHz	1.8-3.6 V	24-QFN	296-16762-1-ND	2.57	2.06	1.61	250	380.12	MSP430F1111AIRGET
4K	256	14	—	—	1	Slope	—	DC-8MHz	1.8-3.6 V	20-TVSOP	296-12703-5-ND	3.24	2.60	2.02	—	—	MSP430F1121AIDGV
4K	256	14	—	—	1	Slope	—	DC-8MHz	1.8-3.6 V	20-SOIC	296-13457-5-ND	3.24	2.60	2.02	—	—	MSP430F1121AIDW
4K	256	14	—	—	1	Slope	—	DC-8MHz	1.8-3.6 V	20-TSSOP	296-13458-5-ND	3.24	2.60	2.02	—	—	MSP430F1121AIPW
4K	256	14	—	—	1	Slope	—	DC-8MHz	1.8-3.6 V	24-QFN	296-15891-1-ND	3.24	2.60	2.02	3,000	1835.43/M	MSP430F1121AIRGER
4K	256	14	—	—	1	Slope	—	DC-8MHz	1.8-3.6 V	20-SOIC	296-6507-5-ND	4.10	3.28	2.55	—	—	MSP430F1121IDW
4K	256	14	—	—	1	Slope	—	DC-8MHz	1.8-3.6 V	20-TSSOP	296-6508-5-ND	4.10	3.28	2.55	—	—	MSP430F1121IPW
4K	256	14	—	—	1	Slope	—	DC-8MHz	1.8-3.6 V	20-SOIC	296-6509-5-ND	4.00	3.20	2.49	—	—	MSP430F112IDW
4K	256	14	—	—	1	Slope	—	DC-8MHz	1.8-3.6 V	20-TSSOP	296-9610-5-ND	4.00	3.20	2.49	—	—	MSP430F112IPW
4K	256	14	—	—	1	Slope	—	DC-5.35MHz	2.5-5.5 V	20-SOIC	296-6510-5-ND	4.57	3.66	2.85	—	—	MSP430P112IDW
4K	256	14	—	—	1	8-Kan., 10-Bit	—	DC-8MHz	1.8-3.6 V	20-SOIC	296-13776-5-ND	3.81	3.05	2.38	—	—	MSP430F1122IDW
4K	256	14	—	—	1	8-Kan., 10-Bit	—	DC-8MHz	1.8-3.6 V	20-TSSOP	296-13777-5-ND	3.81	3.05	2.38	—	—	MSP430F1122IPW
4K	256	14	—	—	1	8-Kan., 10-Bit	—	DC-8MHz	1.8-3.6 V	32-QFN	296-17137-1-ND	3.81	3.05	2.38	250	562.99	MSP430F1122IRHBT
4K	256	22	—	—	1	Slope	1	DC-8MHz	1.8-3.6 V	28-TSSOP	296-12082-5-ND	4.10	3.28	2.55	—	—	MSP430F122IPW
4K	256	22	—	—	1	Slope	1	DC-8MHz	1.8-3.6 V	32-QFN	296-15851-1-ND	4.10	3.28	2.55	3,000	2293.44/M	MSP430F122IRHBR
4K	256	22	—	—	1	8-Kan., 10-Bit	1	DC-8MHz	1.8-3.6 V	28-SOIC	296-13780-5-ND	4.57	3.66	2.85	—	—	MSP430F1222IDW
4K	256	22	—	—	1	8-Kan., 10-Bit	1	DC-8MHz	1.8-3.6 V	28-TSSOP	296-13781-5-ND	4.57	3.66	2.85	—	—	MSP430F1222IPW
4K	256	22	—	—	1	8-Kan., 10-Bit	1	DC-8MHz	1.8-3.6 V	32-QFN	296-16794-1-ND	4.57	3.66	2.85	250	675.59	MSP430F1222IRHBT
8K	256	14	—	—	1	8-Kan., 10-Bit	—	DC-8MHz	1.8-3.6 V	20-SOIC	296-13778-5-ND	4.28	3.43	2.67	—	—	MSP430F1132IDW
8K	256	14	—	—	1	8-Kan., 10-Bit	—	DC-8MHz	1.8-3.6 V	20-TSSOP	296-13779-5-ND	4.28	3.43	2.67	—	—	MSP430F1132IPW
8K	256	14	—	—	1	8-Kan., 10-Bit	—	DC-8MHz	1.8-3.6 V	32-QFN	296-17133-1-ND	4.28	3.43	2.67	250	633.47	MSP430F1132IRHBT
8K	256	22	—	—	1	Slope	1	DC-8MHz	1.8-3.6 V	28-SOIC	296-13101-5-ND	4.39	3.51	2.73	—	—	MSP430F123IDW
8K	256	22	—	—	1	Slope	1	DC-8MHz	1.8-3.6 V	28-TSSOP	296-12083-5-ND	4.39	3.51	2.73	—	—	MSP430F123IPW
8K	256	22	—	—	1	Slope	1	DC-8MHz	1.8-3.6 V	32-QFN	296-15852-1-ND	4.39	3.51	2.73	3,000	2453.45/M	MSP430F123IRHBR
8K	256	22	—	—	1	8-Kan., 10-Bit	1	DC-8MHz	1.8-3.6 V	28-SOIC	296-13782-5-ND	4.23	3.39	2.86	—	—	MSP430F1232IDW
8K	256	22	—	—	1	8-Kan., 10-Bit	1	DC-8MHz	1.8-3.6 V	28-TSSOP	296-13783-5-ND	4.23	3.39	2.86	—	—	MSP430F1232IPW
8K	256	22	—	—	1	8-Kan., 10-Bit	1	DC-8MHz	1.8-3.6 V	32-QFN	296-16795-1-ND	4.23	3.39	2.86	3,000	2624.46/M	MSP430F1232IRHBR
8K	256	48	—	—	2	8-Kan., 12-Bit	1	DC-8MHz	1.8-3.6 V	64-TQFP	296-15894-ND	5.08	4.07	3.43	—	—	MSP430F133IPAG
8K	256	48	—	—	2	8-Kan., 12-Bit	1	DC-8MHz	1.8-3.6 V	64-LQFP	296-9611-ND	5.08	4.07	3.43	—	—	MSP430F133IPM
8K	256	48	—	—	2	8-Kan., 12-Bit	1	DC-8MHz	1.8-3.6 V	64-QFN	296-17141-1-ND	5.08	4.07	3.43	250	825.44	MSP430F133IRTDT
8K	256	48	96	—	2	Slope	—	DC-8MHz	1.8-3.6 V	64-LQFP	296-15857-1-ND	6.35	5.08	4.29	1,000	3968.86	MSP430FW423IPMR
16K	256	48	—	—	2	8-Kan., 12-Bit	1	DC-8MHz	1.8-3.6 V	64-TQFP	296-15892-ND	6.10	4.88	4.12	—	—	MSP430F135IPAG
16K	256	48	96	—	2	Slope	—	DC-8MHz	1.8-3.6 V	64-LQFP	296-15858-1-ND	6.86	5.49	4.63	1,000	4286.34	MSP430FW425IPMR
16K	512	48	—	—	2	8-Kan., 12-Bit	1	DC-8MHz	1.8-3.6 V	64-LQFP	296-9612-ND	6.10	4.88	4.12	—	—	MSP430F135IPM
16K	512	48	—	—	2	8-Kan., 12-Bit	1	DC-8MHz	1.8-3.6 V	64-QFN	296-17142-1-ND	6.10	4.88	4.12	250	990.52	MSP430F135IRTDT
16K	512	48	—	—	2	8-Kan., 12-Bit	1	DC-8MHz	1.8-3.6 V	64-LQFP	296-16837-ND	8.38	6.71	5.66	—	—	MSP430F155IPM
24K	1K	48	—	—	2	8-Kan., 12-Bit	1	DC-8MHz	1.8-3.6 V	64-LQFP	296-16838-ND	7.83	7.05	6.25	—	—	MSP430F156IPM
32K	256	48	—	—	2	Slope	2	DC-8MHz	1.8-3.6 V	64-TQFP	296-15893-ND	7.12	6.42	5.69	—	—	MSP430F147IPAG
32K	256	48	96	—	2	Slope	—	DC-8MHz	1.8-3.6 V	64-LQFP	296-15859-1-ND	7.53	6.03	5.09	1,000	4709.64	MSP430FW427IPMR
32K	1K	48	—	—	2	8-Kan., 12-Bit	2	DC-8MHz	1.8-3.6 V	64-LQFP	296-9613-ND	7.12	6.42	5.69	—	—	MSP430F147IPM
32K	1K	48	—	—	2	Slope	2	DC-8MHz	1.8-3.6 V	64-LQFP	296-15701-ND	7.79	6.24	5.26	—	—	MSP430F1471IPM
32K	1K	48	—	—	2	8-Kan., 12-Bit	2	DC-8MHz	1.8-3.6 V	64-QFN	296-17143-1-ND	7.79	6.24	5.26	250	1265.67	MSP430F147IRTDT
32K	1K	48	—	—	2	Slope	2	DC-8MHz	1.8-3.6 V	64-QFN	296-17144-1-ND	7.12	6.42	5.69	250	1362.81	MSP430F1471IRTDT
32K	1K	48	—	—	2	8-Kan., 12-Bit	1	DC-8MHz	1.8-3.6 V	64-LQFP	296-16839-ND	8.25	7.43	6.59	—	—	MSP430F157IPM
32K	1K	48	—	—	2	8-Kan., 12-Bit	1	DC-8MHz	1.8-3.6 V	64-LQFP	296-16840-ND	9.52	8.58	7.61	—	—	MSP430F167IPM
48K	2K	48	—	—	2	Slope	2	DC-8MHz	1.8-3.6 V	64-TQFP	296-15856-ND	8.11	7.31	6.48	—	—	MSP430F148IPAG
48K	2K	48	—	—	2	Slope	2	DC-8MHz	1.8-3.6 V	64-LQFP	296-15702-ND	7.48	6.74	5.97	—	—	MSP430F1481IPM
48K	2K	48	—	—	2	8-Kan., 12-Bit	2	DC-8MHz	1.8-3.6 V	64-LQFP	296-9614-ND	8.11	7.31	6.48	—	—	MSP430F148IPM
48K	2K	48	—	—	2	Slope	2	DC-8MHz	1.8-3.6 V	64-QFN	296-17145-1-ND	7.48	6.74	5.97	250	1430.33	MSP430F1481IRTDT
48K	2K	48	—	—	2	8-Kan., 12-Bit	2	DC-8MHz	1.8-3.6 V	64-QFN	296-17146-1-ND	8.11	7.31	6.48	250	1551.61	MSP430F148IRTDT
48K	2K	48	—	—	2	8-Kan., 12-Bit	1	DC-8MHz	1.8-3.6 V	64-LQFP	296-16841-ND	10.51	9.47	8.39	—	—	MSP430F168IPM
48K	10K	48	—	—	2	8-Kan., 12-Bit	1	DC-8MHz	1.8-3.6 V	64-LQFP	296-17205-ND	12.20	10.99	9.74	—	—	MSP430F1611IPM
60K	2K	48	—	—	2	Slope	—	DC-8MHz	1.8-3.6 V	64-LQFP	296-15703-ND	7.90	7.12	6.31	—	—	MSP430F1491IPM
60K	2K	48	—	—	2	8-Kan., 12-Bit	2	DC-8MHz	1.8-3.6 V	64-TQFP	296-13102-ND	8.53	7.69	6.82	—	—	MSP430F149IPAG
60K	2K	48	—	—	2	8-Kan., 12-Bit	2	DC-8MHz	1.8-3.6 V	64-LQFP	296-9615-ND	8.53	7.69	6.82	—	—	MSP430F149IPM
60K	2K	48	—	—	2	Slope	2	DC-8MHz	1.8-3.6 V	64-QFN	296-17147-1-ND	7.90	7.12	6.31	250	1511.18	MSP430F1491IRTDT
60K	2K	48	—	—	2	8-Kan., 12-Bit	1	DC-8MHz	1.8-3.6 V	64-LQFP	296-16842-ND	11.21	10.10	8.96	—	—	MSP430F169IPM
60K	2K	48	—	—	3	8-Kan., 12-Bit	2	DC-8MHz	1.8-3.6 V	64-LQFP	296-17009-1-ND	11.21	10.10	8.96	1,000	8311.92	MSP430F169IPMR
60K	2K	48	—	—	3	8-Kan., 12-Bit	2	DC-8MHz	1.8-3.6V	64-QFN	296-17556-1-ND	8.53	7.69	6.82	250	1632.67	MSP430F149IRTDT
Flash-basierte F4xx-Gruppe mit LCD-Treiber																	
4K	256	48	96	2	1	Slope	1	DC-8MHz	1.8-3.6 V	64-LQFP	296-12084-ND	4.40	3.53	2.98	—	—	MSP430F412IPM
4K	256	48	96	2	1	Slope	1	DC-8MHz	1.8-3.6 V	64-QFN	296-17323-1-ND	4.40	3.53	2.98	250	715.38	MSP430F412IRTDT
8K	256	48	96	2	1	Slope	—	DC-8MHz	1.8-3.6 V	64-LQFP	296-12085-ND	4.99	4.00	3.38	—	—	MSP430F413IPM
8K	256	48	96	2	1	Slope	1	DC-8MHz	1.8-3.6 V	64-QFN	296-17324-1-ND	4.99	4.00	3.38	250	811.68	MSP430F413IRTDT
8K	256	48	96	2	1	Slope	1	DC-8MHz	1.8-3.6 V	64-QFN	296-17412-1-ND	4.99	4.00	3.38	2,500	3096.87/M	MSP430F413IRTDR
8K	256	14	128	2	1	3-Kan., 16-Bit**	1	DC-8MHz	1.8-3.6 V	64-LQFP	296-17108-ND	7.62	6.10	5.15	—	—	MSP430F423IPM
8K	256	14	128	2	1	3-Kan., 16-Bit**	1	DC-8.4MHz	2.7-3.6 V	64-LQFP	296-16991-ND	8.21	6.57	5.55	—	—	MSP430FE423IPM
16K	512	48	96	2	2	Slope	—	DC-8MHz	1.8-3.6 V	64-LQFP	296-16766-ND	5.76	4.61	3.89	—	—	MSP430F415IPM
16K	512	48	128/160	2	2	8-Kan., 12-Bit	1	DC-8MHz	1.8-3.6 V	80-LQFP	296-13721-ND	7.53	6.03	5.09	—	—	MSP430F435IPN
16K	512	48	128/160	2	2	8-Kan., 12-Bit	1	DC-8MHz	1.8-3.6 V	100-LQFP	296-12635-ND	7.53	6.03	5.09	—	—	MSP430F435IPZ
16K	512	14	128	2	1	3-Kan., 16-Bit**	1	DC-8MHz	1.8-3.6 V	64-LQFP	296-17109-ND	8.38	6.71	5.66	—	—	MSP430F425IPM
16K	512	14	128	2	1	3-Kan., 16-Bit**	1	DC-8.4MHz	2.7-3.6 V	64-LQFP	296-16992-ND	7.69	6.93	6.14	—	—	MSP430FE425IPM
24K	1K	48	128/160	2	2	8-Kan., 12-Bit	1	DC-8MHz	1.8-3.6 V	80-LQFP	296-13722-ND	7.96	6.37	5.38	—	—	MSP430F436IPN
24K	1K	48	128/160	2	2	8-Kan., 12-Bit	1	DC-8MHz	1.8-3.6 V	100-LQFP	296-12636-ND	7.96	6.37	5.38	—	—	MSP430F436IPZ
32K	1K	48	96	2	2	Slope	—	DC-8MHz	1.8-3.6 V	64-LQFP	296-16767-ND	6.60	5.29	4.46	—	—	MSP430F417IPM
32K	1K	48	128/160	2	2	8-Kan., 12-Bit	1	DC-8MHz	1.8-3.6 V	80-LQFP	296-13723-ND	8.30	6.64	5.61	—	—	MSP430F437IPN
32K	1K	48	128/160	2	2	8-Kan., 12-Bit	1	DC-8MHz	1.8-3.6 V	100-LQFP	296-12637-ND	8.30	6.64	5.61	—	—	MSP430F437IPZ
32K	1K	48	128	2	2	3-Kan., 16-Bit**	1	DC-8Mhz	1.8-3.6 V	80-LQFP	296-17011-ND	9.17	8.26	7.32	—	—	MSP430FG437IPN
32K	1K	48	160	2	2	8-Kan., 12-Bit	2	DC-8MHz	1.8-3.6 V	100-LQFP	296-12638-ND	8.11	7.31	6.48	—	—	MSP430F447IPZ
32K	1K	14	128	2	1	3-Kan., 16-Bit**	1	DC-8MHz	1.8-3.6 V	64-LQFP	296-17110-ND	7.62	6.86	6.09	—	—	MSP430F427IPM
32K	1K	14	128	2	1	3-Kan., 16-Bit**	1	DC-8.4MHz	2.7-3.6 V	64-LQFP	296-16993-ND	8.39	7.56	6.70	—	—	MSP430FE427IPM
48K	2K	48	160	2	2	8-Kan., 12-Bit	2	DC-8MHz	1.8-3.6 V	100-LQFP	296-12639-ND	9.17	8.26	7.32	—	—	MSP430F448IPZ
48K	2K	48	128	2	2	8-Kan., 12-Bit	1	DC-8MHz	1.8-3.6 V	80-LQFP	296-17012-ND	10.37	9.34	8.28	—	—	MSP430FG438IPN
60K	2K	48	160	2	2	8-Kan., 12-Bit	2	DC-8MHz	1.8-3.6 V	100-LQFP	296-12640-ND	9.95	8.96	7.94	—	—	MSP430F449IPZ
60K	2K	48	128	2	2	8-Kan., 12-Bit	1	DC-8MHz	1.8-3.6 V	80-LQFP	296-17013-ND	11.21	10.10	8.96	—	—	MSP430FG439IPN
ROM/OTP-basierte X3xx-Gruppe mit LCD-Treiber - EPROM/OTP (Programm) Speicher																	
16K	512	14	64/92	2	—	Slope	—	DC-3.3MHz	2.5-5.5 V	56-SSOP	296-2382-5-ND	7.41	6.67	5.92	—	—	MSP430P315IDL
16K	512	14	64/92	2	—	Slope	—	DC-3.3MHz	2.5-5.5 V	48-SSOP	296-6512-5-ND	7.41	6.67	5.92	—	—	MSP430P315SIDL
16K	512	14	84	2	—	6-Kan., 14-Bit	—	DC-3.3MHz	2.5-5.5 V	68-PLCC	296-6513-5-ND	9.80	8.83	7.83	—	—	MSP430P325AIFN
16K	512	14	84	2	—	6-Kan., 14-Bit	—	DC-3.3MHz	2.5-5.5 V	64-QFP	296-6514-ND	9.66	8.70	7.72	—	—	MSP430P325AIPG

* Für Gegurtet auf Rolle die Teilenr. von 1-ND in 2-ND ändern. ** Sigma Delta

(Forts.)

Speichergröße, Flash (Programm)	SRAM (Byte)	E/A	LCD-Seg.	Timer (8-Bit)	Timer (16-Bit)	ADU	UART	Frequenzbereich min./max.	Vcc	Paket	Digi-Key Teilenr.	Stückpreis 1	25	100	Gegurtet auf Rolle* Größe	Preisangaben	Texas Instruments Teilenr.
16K	512	14	84	2	—	6-Kan., 14-Bit	—	DC-3.3MHz	2.5-5.5 V	64-LQFP	296-6515-ND	9.66	8.70	7.72	—	—	MSP430P325AIPM
16K	512	14	84	2	—	6-Kan., 14-Bit	—	DC-3.3MHz	2.7-5.5 V	68-PLCC	296-1409-5-ND	9.80	8.83	7.83	—	—	MSP430P325IFN
16K	512	14	84	2	—	6-Kan., 14-Bit	—	DC-3.3MHz	2.7-5.5 V	64-QFP	296-2383-ND	9.74	8.77	7.77	—	—	MSP430P325IPG
16K	512	14	84	2	—	6-Kan., 14-Bit	—	DC-3.3MHz	2.7-5.5 V	64-LQFP	296-6516-ND	9.66	8.70	7.72	—	—	MSP430P325IPM
32K	1K	40	120	2	1	Slope	1	DC-3.8MHz	2.5-5.5 V	100-QFP	296-2384-ND	10.79	9.72	8.62	—	—	MSP430P337AIPJM
32K	1K	40	120	2	1	Slope	1	DC-3.8MHz	2.5-5.5 V	100-QFP	296-6517-ND	10.79	9.72	8.62	—	—	MSP430P337IPJM

***** Für Gegurtet auf Rolle die Teilenr. von 1-ND in 2-ND ändern. ****** Sigma Delta

Digitale Signalprozessoren — TMS320C6000™-Gruppe

TMS320C6000™ DSP-Plattform — Die C6000™ DSP-Plattform von TI, eine Kombination aus äußerst leistungsfähiger Hardware mit enormen Entwicklungsressourcen, bietet Kosteneffizienz und geringe Leistungsdissipation. Die C6000 DSP-Plattform bietet erhöhte Leistung und die schnellsten DSPs der Industrie mit Taktgeschwindigkeiten von bis zu 720 MHz auf 1 GHz skalierbar. Die Plattform, die eine Reihe von vollständig Code-kompatiblen Bausteinen umfasst, besteht aus den TMS320C64x™, TMS320DM64x™ und TMS320C62x™ DSP-Festpunkt-Generationen und der TMS320C67x™ DSP Gleitpunkt-Generation. Optimal für Designer, die an gezielten Breitband-Infrastruktur-, Leistungs-Audio- und Bildwiedergabe-Anwendungen arbeiten.

B

RAM (Bytes) L1 Program Cache/ L1 Data Cache/ L2 Unified RAM/Cache	McBSP**	Erweiterte DMA-Unterstützung (Kanäle)	COM	Timer	Betriebsspannung (V) Kern	E/A	MIPS	Frequenz (MHz)	Interne Gesamtleistung (W) (Volllleistung des Bausteins)	Paket	Digi-Key Teilenr.	Stückpreis 1	25	100	Texas Instruments Teilenr.
TMS320C64X (Festpunkt)															
16K / 16K / 1M	3+UTOPIA	64	PCI / HPI 32/16	3	1.4	3.3	4800	600	1.06	532-BGA	296-14387-ND	145.34	135.66	125.97	TMS32C6416DGLZ6E3
					1.2		4000	500	0.64		296-14386-ND	121.11	113.04	104.97	TMS32C6416DGLZ5E0
16K / 16K / 1M	3+UTOPIA	64	PCI / HPI 32/16	3	1.4	3.3	5760	720	1.27	532-BGA	296-15129-ND	171.77	160.32	148.87	TMS32C6415DGLZ7E3
					1.4		4800	600	1.06		296-14385-ND	132.14	123.33	114.52	TMS32C6415DGLZ6E3
					1.2		4000	500	0.64		296-14384-ND	110.10	102.77	95.43	TMS32C6415DGLZ5E0
16K / 16K / 1M	2+UTOPIA	64	PCI / HPI 32/16	3	1.2	3.3	5760	720	1.7	532-BGA	296-17756-ND	136.33	127.24	118.15	TMS320C6415TGLZ7
16K / 16K / 1M	3	64	HPI 32/16	3	1.4	3.3	4800*****	600	1.06	532-BGA	296-14383-ND	125.52	117.15	108.79	TMS32C6414DGLZ6E3
					1.2		4000*****	500	0.64		296-14382-ND	104.61	97.63	90.66	TMS32C6414DGLZ5E0
16K / 16K / 1M	3	64	HPI 32/16	3	1.2	3.3	5760	720	1.7	532-BGA	296-17757-ND	148.32	138.44	128.55	TMS320C6414TGLZ7
			PCI / HPI 32/16		1.2		2400*****	300	0.64	532-BGA	296-15114-ND	50.49	47.13	43.76	TMS320C6411GLZ
16K / 16K / 256K	2	64	PCI / HPI 32/16	3	1.4	3.3	4800	600	1.5	548-BGA	296-17477-ND	61.28	57.19	53.11	TMS320C6412GDK600
			PCI / HPI 32/16		1.4		4800	600	1.5	548-BGA	296-17478-ND	61.28	57.19	53.11	TMS320C6412GNZ600
			HPI 32/16		1.2		4000	500	1.0	288-BGA	296-17479-ND	34.29	32.01	29.72	TMS320C6413GTS500
16K / 16K / 512K	2	64	HPI 32/16	3	1.4	3.3	4800	600	1.5	288-BGA	296-17480-ND	63.88	59.62	55.36	TMS320C6418GTS600
16K / 16K / 1024K	3	64	HPI 32/16	3	1.2	3.3	5760	720	1.7	532-BGA	296-17487-ND	163.12	152.25	141.37	TMS32C6414EGLZ7E3
										532-BGA	296-17488-ND	183.14	160.25	148.80	TMS32C6415EGLZ7E3
										532-BGA	296-17489-ND	226.60	176.25	163.66	TMS32C6416EGLZ7E3
TMS320DM64x (Festpunkt)															
16K / 16K / 128K	2	64	HPI 16	3	1.2	3.3	1600	400	1.15	548-BGA	296-17481-ND	28.63	26.72	24.82	TMS320DM640GDK400
					1.2		1600	400	1.15	548-BGA	296-17482-ND	28.63	26.72	24.82	TMS320DM640GNZ400
					1.4		4800	600	1.9	548-BGA	296-17483-ND	48.53	45.30	42.06	TMS320DM641GDK600
					1.4		4800	600	1.9	548-BGA	296-17484-ND	48.53	45.30	42.06	TMS320DM641GNZ600
16K / 16K / 256K	2	64	PCI / HPI 32/16	3	1.4	3.3	4800	600	1.9	548-BGA	296-17485-ND	61.28	57.19	53.11	TMS320DM642GDK600
										548-BGA	296-17486-ND	61.28	57.19	53.11	TMS320DM642GNZ600

RAM (Bytes) Programm	Daten	McBSP**	DMA (Kanäle)	COM	Timer	Betriebsspannung (V) Kern	E/A	MIPS	Frequenz (MHz)	Interne Gesamtleistung (W) (Volllleistung des Bausteins)	Paket	Digi-Key Teilenr.	Stückpreis 1	25	100	Texas Instruments Teilenr.
TMS320C62X (Festpunkt)																
4K / 4K / 64K†		2	16◊	HPI / 16	2	1.8	3.3	1336	167	1.0	256-BGA	296-12560-ND	35.81	33.43	31.04	TMS320C6211BGFN167
								1200	150	0.9		296-10747-ND	28.62	26.72	24.81	TMS320C6211GFN150
								1200	150	0.9		296-12559-ND	28.64	26.73	24.82	TMS320C6211BGFN150
64K	64K	2	4	PCI / 32 Erw. Bus / 32 Erw. Bus / 32	2	1.5	3.3	1600	200	0.8	288-BGA	296-12673-ND	13.27	12.39	11.51	TMS320C6205GHK200
												296-13381-5-ND	27.88	26.02	24.16	TMS320C6204GLW200
												296-12672-ND	13.68	12.32	10.93	TMS320C6204GHK200
384K	512K	3	4	Erw. Bus / 32	2	1.5	3.3	2400	300	1.3	384-BGA	296-13801-ND	94.80	88.48	82.16	TMS320C6203BGNY300
								2400	300	1.3	352-BGA	296-14756-5-ND	94.80	88.48	82.16	TMS320C6203BGNZ300
								2000	250	1.1	384-BGA	296-13800-ND	80.38	75.03	69.67	TMS320C6203BGNY173
								2000	250	1.1	352-BGA	296-15124-5-ND	80.38	75.03	69.67	TMS320C6203BGNZ173
256K	128K	3	4	Erw. Bus / 32	2	1.5	3.3	2400	300	1.0	384-BGA	296-14380-ND	89.21	83.27	77.32	TMS320C6202BGNY300
								2400	300	1.0	352-BGA	296-14381-ND	89.21	83.27	77.32	TMS320C6202BGNZ300
								2000	250	0.9	384-BGA	296-15122-5-ND	74.74	69.76	64.77	TMS320C6202BGNY250
								2000	250	0.9	352-BGA	296-15123-5-ND	74.74	69.76	64.77	TMS320C6202BGNZ250
256K	128K	3	4	Erw. Bus / 32	2	1.8	3.3	2000	250	2.1	352-BGA	296-10745-ND	146.36	136.60	126.85	TMS320C6202GJL250
256K	128K	3		Erw. Bus / 32				2000	250	2.1	384-BGA	296-10746-ND	146.36	136.60	126.85	TMS320C6202GLS250
64K	64K	2		HPI / 16				1600	200	1.3	352-BGA	296-10744-ND	109.97	102.65	95.32	TMS320C6201GJL200
64K	64K	2		HPI / 16				1600	200	1.3	384-BGA	296-10743-ND	109.97	102.65	95.32	TMS320C6201GJC200

RAM (Bytes) Programm	Daten	McBSP**	DMA (Kanäle)	COM	Timer	Betriebsspannung (V) Kern	E/A	MFLOPS	Frequenz (MHz)	Interne Gesamtleistung (W) (Volllleistung des Bausteins)	Paket	Digi-Key Teilenr.	Stückpreis 1	25	100	Texas Instruments Teilenr.
TMS320C67x (Gleitpunkt)																
4K / 4K / 64K†		2	16 ◊	—	2	1.8	3.3	600	100	0.8	256-BGA	296-13509-ND	22.81	21.29	19.77	TMS320C6712GFN100
32K / 32K / 512K†		2	16 ◊	HPI / 16	2	1.2	3.3	1200	200	0.8	272-BGA	296-17149-ND	21.72	20.27	18.82	TMS320C6711DGDP200
4K / 4K / 64K†						1.4	3.3	1500	250	0.9	272-BGA	296-17464-ND	23.37	21.81	20.26	TMS320C6711DGDP250
4K / 4K / 64K†						1.9	3.3	900	150	1.1	256-BGA	296-12562-ND	40.91	38.18	35.45	TMS320C6711BGFN150
32K / 32K / 512K†						1.8	3.3	600	100	0.8	256-BGA	296-12561-ND	28.62	26.72	24.81	TMS320C6711BGFN100
4K / 64K / 192K†		2	16 ◊	HPI / 16	2	1.4	3.3	1800	300	—	272-BGA	296-17377-ND	44.39	41.43	38.47	TMS320C6713BGDP300
			16 ◊			1.2	3.3	1200	200	1.0	208-HLQFP	296-17378-ND	25.40	23.71	22.02	TMS320C6713BPYP200
64K	64K	2	4	HPI / 16		1.8	3.3	900	150	1.3	352-BGA	296-10748-ND	104.45	97.49	90.53	TMS320C6701GJC150

***** Einschließlich integrierte Turbo-(TCP) und Viterbi- (VCP) Koprozessoren ****** Mehrkanal-gepufferter serieller Port
† Format stellt Cache-Speicher-Architektur dar: [Programm-Cache] / [Daten-Cache] / [vereinter Cache] ◊ Erweiterte DMA

TMS320C5000™- Gruppe

TMS320C5000™ DSP-Plattform — Die C5000™ DSP-Plattform bietet ein breites Portfolio, einschließlich des OMAP5910 Prozessors, der einen TMS320C55x™ DSP-Kern mit einem TI-erweiterten ARM® auf einem einzigen Chip integriert. Diese Plattform bietet die effizienteste Leistung der Industrie, Peripherieoptionen und kleine Paket. Mit ihr können Designer Fortschritte im Bereich der heutigen tragbaren Internet- und drahtlosen Kommunikation erzielen. Die C5000 DSP-Plattform ist optimal für das Design von leistungsempfindlichen Systemen geeignet und bietet einen niedrigen Stromverbrauch von nur 0,33 mA/MHz und Leistung bis zu 600 MIPS.

RAM (Bytes)	ROM (Bytes)	USB	ADU	I2C	RTC	McBSP**	MMC/SD	Timer	MIPS	Betriebsspannung (V) Kern	E/A	Frequenz (MHz)	Paket	Digi-Key Teilenr.	Stückpreis 1	25	100	Texas Instruments Teilenr.
TMS320C55X (Festpunkt)																		
320K	32K	—	—	—	—	3	—	2	400				240-BGA	296-13826-ND	27.27	25.45	23.63	TMS320VC5510GGW2
320K	32K	—	—	—	—	3	—	2	400	1.6	3.3	200	240-BGA	296-14199-5-ND	26.03	24.30	22.57	TMS320VC5510AGGW2
256K	64K	Y	Y	Y	Y	3	Y	2	288				179-BGA	296-16701-ND	21.97	20.51	19.04	TMS320VC5509AGHH
256K	64K	Y	Y	Y	Y	3	Y	2	288				144-LQFP	296-17351-ND	21.97	20.51	19.04	TMS320VC5509APGE

****** Mehrkanal-gepufferter serieller Port *(Forts.)*

Alle Preisangaben in Euro und inklusive Zollgebühren.

RAM (Bytes)	ROM (Bytes)	USB	ADU	I2C	RTC	McBSP**	MMC/SD	Timer	MIPS	Betriebsspannung (V) Kern	Betriebsspannung (V) E/A	Frequenz (MHz)	Paket	Digi-Key Teilenr.	Stückpreis 1	Stückpreis 25	Stückpreis 100	Texas Instruments Teilenr.
TMS320C55X (Festpunkt) (Forts.)																		
64K	64K	Y	Y	Y	Y	3	Y	2	400	1.6	2.7		144-LQFP	296-17287-ND	14.35	13.40	12.44	TMS320VC5507PGE
64K	64K	Y	Y	Y	Y	3	Y	2	400	1.6	2.7		179-BGA	296-17286-ND	14.35	13.40	12.44	TMS320VC5507GHH
64K	64K	—	—	Y	Y	3	—	2	400	1.6	2.7	200	179-BGA	296-17383-ND	11.07	9.97	8.84	TMS320VC5503GHH
64K	64K	—	—	Y	Y	3	—	2	400	1.6	2.7		144-LQFP	296-17384-ND	11.07	9.97	8.84	TMS320VC5503PGE
64K	32K	—	—	Y	—	3	—	3	400	1.26	3.3		201-BGA	296-17381-ND	10.65	9.59	8.51	TMS320VC5502GZZ200
64K	32K	—	—	Y	—	3	—	3	600				201-BGA	296-17405-ND	13.68	12.32	10.93	TMS320VC5502GZZ300
64K	32K	—	—	Y	—	3	—	3	600	1.26	3.3		176-LQFP	296-17382-ND	12.98	11.69	10.36	TMS320VC5502PGF300
32K	32K	—	—	Y	—	2	—	3	600			300	201-BGA	296-17379-ND	7.05	6.35	5.63	TMS320VC5501GZZ300
32K	32K	—	—	Y	—	2	—	3	600				176-LQFP	296-17380-ND	7.62	6.10	5.15	TMS320VC5501PGF300

RAM (Bytes)	ROM (Bytes)	McBSP**	Timer	MIPS	Betriebsspannung (V) Kern	Betriebsspannung (V) E/A	Frequenz (MHz)	Paket	Digi-Key Teilenr.	Stückpreis 1	Stückpreis 25	Stückpreis 100	Texas Instruments Teilenr.
TMS320C54X (Festpunkt)													
256K	32K	3	1	160	1.6	3.3	160	144-LQFP	296-12170-ND	34.10	31.83	29.56	TMS320VC5416PGE160
				160	1.6	3.3	160	144-BGA	296-11660-ND	34.10	31.83	29.56	TMS320VC5416GGU160
				120	1.5	3.3	120	144-LQFP	296-12169-ND	30.73	28.69	26.64	TMS320VC5416PGE120
				120	1.5	3.3	120	144-BGA	296-12168-ND	30.73	28.69	26.64	TMS320VC5416GGU120
128K	32K	3	1	160	1.6	3.3	160	144-LQFP	296-12080-ND	20.45	19.09	17.72	TMS320VC5410APGE16
				160	1.6	3.3	160	144-BGA	296-12078-ND	20.45	19.09	17.72	TMS320VC5410AGGU16
				120	1.5	3.3	120	144-LQFP	296-12079-ND	18.41	17.19	15.96	TMS320VC5410APGE12
				120	1.5	3.3	120	144-BGA	296-12077-ND	18.41	17.19	15.96	TMS320VC5410AGGU12
64K	32K	3	1	160	1.6	3.3	160	144-LQFP	296-12076-ND	17.08	15.95	14.81	TMS320VC5409APGE16
				160	1.6	3.3	160	144-BGA	296-12074-ND	17.08	15.95	14.81	TMS320VC5409AGGU16
				120	1.5	3.3	120	144-LQFP	296-12075-ND	14.60	13.64	12.66	TMS320VC5409APGE12
				120	1.5	3.3	120	144-BGA	296-12073-ND	14.60	13.64	12.66	TMS320VC5409AGGU12
				100	1.8	3.3	100	144-LQFP	296-10764-ND	13.02	12.15	11.29	TMS320VC5409PGE100
				100	1.8	3.3	100	144-BGA	296-10763-ND	13.02	12.15	11.29	TMS320VC5409GGU100
				80	1.8	1.8-3.6	100	144-LQFP	296-12146-5-ND	11.78	10.61	9.41	TMS320UC5409PGE-80
				80	1.8	1.8-3.6	100	144-BGA	296-12112-ND	11.78	10.61	9.41	TMS320UC5409GGU-80
32K	128K	3	2	120	1.5	3.3	120	144-LQFP	296-15712-ND	11.00	9.91	8.79	TMS320VC5404PGE
								144-BGA	296-17150-ND	11.00	9.91	8.79	TMS320VC5404GGU
32K	32K	3	1	160	1.6	3.3	160	144-LQFP	296-12677-ND	13.53	12.63	11.73	TMS320VC5402APGE16
	32K	3	1	160	1.6	3.3	160	144-BGA	296-12676-ND	13.53	12.63	11.73	TMS320VC5402AGGU16
	8K	2	2	100	1.8	3.3	100	144-LQFP	296-10762-ND	7.62	6.86	6.09	TMS320VC5402PGE100
	8K	2	2	100	1.8	3.3	100	144-BGA	296-10761-ND	7.62	6.86	6.09	TMS320VC5402GGU100
	8K	2	2	80	1.8	1.8-3.6	80	144-LQFP	296-10760-ND	7.62	6.86	6.09	TMS320UC5402PGE-80
	8K	2	2	80	1.8	1.8-3.6	80	144-BGA	296-10759-ND	7.62	6.86	6.09	TMS320UC5402GGU-80
16K	8K	2	2	50	1.8	3.3	50	144-LQFP	296-12148-5-ND	6.94	5.56	4.69	TMS320VC5401PGE50
								144-BGA	296-12147-5-ND	6.94	5.56	4.69	TMS320VC5401GGU50
64K	32K	3 ◊	1	100			100	144-BGA	296-2016-5-ND	37.28	34.79	32.31	TMS320VC549GGU-100
				80	2.5	3.3	80	144-LQFP	296-1935-5-ND	33.85	31.59	29.34	TMS320VC549PGE-80
				80			80	144-BGA	296-1933-5-ND	33.85	31.59	29.34	TMS320VC549GGU-80
6K	48K		1	50	3.3	3.3	50	128-LQFP	296-2014-5-ND	19.83	18.51	17.19	TMS320LC545APBK-50
10K	56K		1	66	3.3	3.3	66	100-LQFP	296-1930-5-ND	12.97	12.11	11.24	TMS320LC541BPZ-66
80K	256K		2	118	1.5	3.3	118	144-LQFP	296-15034-ND	12.95	12.09	11.23	TMS320C54V90APGE
80K	256K	2	2	118	1.5	3.3	118	144-BGA	296-15033-ND	12.95	12.09	11.23	TMS320C54V90AGGU
80K	256K		2	118	1.5	3.3	118	144-BGA	296-16933-ND	12.95	12.09	11.23	TMS320C54V90BGGU
80K	256K		2	118	1.5	3.3	118	144-LQFP	296-16934-ND	12.95	12.09	11.23	TMS320C54V90BPGE
80K	256K		2	120	1.5	3.3	120	144-BGA	296-15637-ND	11.14	10.04	8.90	TMS320C54CSTGGU
1280K	—	12	4	532	1.6	3.3	133	169-BGA	296-15127-5-ND	142.36	132.87	123.38	TMS320VC5441GGU
512K	8K	6	2	200	1.8	3.3	100	144-LQFP	296-10769-ND	77.08	71.95	66.81	TMS320VC5421PGE200
512K	8K	6	2	200	1.8	3.3	100	144-BGA	296-10768-ND	77.08	71.95	66.81	TMS320VC5421GGU200
384K	—	6	2	200	1.8	3.3	100	144-LQFP	296-12191-ND	75.25	70.23	65.21	TMS320VC5420PGE200
384K	—	6	2	200	1.8	3.3	100	144-BGA	296-10767-ND	75.25	70.23	65.21	TMS320VC5420GGU200

** Mehrkanal-gepufferter serieller Port ◊ 1TDM Port

OMAP — ARM9 + C55x

OMAP-Prozessoren, die die Befehls- und Steuerfunktionen von ARM integrieren, gekoppelt mit der Niedrigleistung und Echtzeit-Signalverarbeitungsfunktionen eines DSP. Die OMAP59xx-Plattform ist ideal für tragbare Daten-Terminal-Anwendungen, wie z.B. tragbare medizinische Bausteine (tragbare Defibrillatoren, medizinische Heimtest- und Analysegeräte), Güter- und Inventarmanagement (Paketverfolgung und Lokalisierung, Aktieninventar und Auffüllung, Echtzeit-Datenerfassung mit Analyse und Interpretation) und Point-of-Sale (Verkauf und Mitgliedschaftsverwaltung, Merchandising, Preismanagement-Verifizierung und Authentisierung). Mit ihr können eingebettete Entwickler in vertrauter Entwicklungsumgebung programmieren, indem sie führende Betriebssysteme, wie z.B. Microsoft® Windows® CE.NET, Linux® und TI's DSP/BIOS Real-time Scalable Kernel unterstützt. Diese offene Entwicklungsumgebung ermöglicht es den Designern, innovative Produkte schneller auf den Markt zu bringen, indem sie vertraute Tools, eine Standardanwendungs-Programmierschnittstelle (API) und eine nahtlose Schnittstelle zur DSP über einen optimierten Interprozessor-Kommunikationsmechanismus verwenden. Mit dem integrierten Interprozessor-Kommunikationsmechanismus müssen die Entwickler nicht länger RISC und DSP unabhängig voneinander programmieren, was die Programmierung insgesamt erleichtert.

CPU	RAM (Bytes)	ROM (Bytes)	Serielle Ports	Timer	Versch.	Ethernet	Betriebsspannung (V) Kern	Betriebsspannung (V) E/A	Frequenz (MHz)	Paket	Digi-Key Teilenr.	Stückpreis 1	Stückpreis 25	Stückpreis 100	Texas Instruments Teilenr.
Festpunkt															
C55x ARM9DMI	160K 192K†	32K —	2 McBSP, 2 MCSI 1 McBSP, USB 1.1, I2C, uwire, IRDA, 3 UARTS	3 GP, 1 WDT 3 GP, 1 WDT, 1 OS	3 Video Accel., MMU LCD, Kamera, RTC, MMU	— —	1.6	1.8/2.75/ 3.3*	150	289-BGA	296-16744-ND	31.75	29.64	27.52	OMAP5910JGZG2
C55x ARM9DMI	160K 192K†	32K —	2 McBSP, 2 MCSI 1 McBSP, USB 1.1, I2C, uwire, IRDA, 3 UARTS	3 GP, 1 WDT 3 GP, 1 WDT, 1 OS	3 Video Accel., MMU LCD, Kamera, RTC, MMU	— —	1.6	1.8/2.75/ 3.3*	150	289-BGA	296-17462-ND	32.89	30.70	28.51	OMAP5910JGDY2

† Mit C55x CPU geteilt * Externe Speicherschnittstellen können nominal 1,8, 2,75, oder 3,3 V verwenden

TMS320C54x-Gruppe — ARM7 + C54x

CPU	RAM (Bytes)	ROM (Bytes)	Serielle Ports	Timer	Versch.	Ethernet	Betriebsspannung (V) Kern	Betriebsspannung (V) E/A	Frequenz (MHz)	Paket	Digi-Key Teilenr.	Stückpreis 1	Stückpreis 25	Stückpreis 100	Texas Instruments Teilenr.
DSP + RISC (Festpunkt)															
C54x ARM7TDMI	144K 16K	N/A	2 McBSP I2C, SPI, 2 UARTs (1 IRDA)	1 2	PLL, API PLL, WD	— —	1.8	3.3	100 47.5	257-BGA	296-12751-ND	15.11	14.11	13.10	TMS320VC5470GHK
C54x ARM7TDMI	144K 16K	N/A	2 McBSP I2C, SPI, 2 UARTs (1 IRDA)	1 2	PLL, API PLL, WD	— 10/100, MAC	1.8	3.3	100 47.5	257-BGA	296-12752-ND	16.45	15.35	14.26	TMS320VC5471GHK

TMS320C3x-Gruppe

RAM (32-Bit Word)	ROM (32-Bit Word)	DMA	Timer	MIPS	Betriebsspannung (V)	Frequenz (MHz)	Temperatur (°C)	Paket	Digi-Key Teilenr.	Stückpreis 1	Stückpreis 25	Stückpreis 100	Texas Instruments Teilenr.
TMS320C3x (Gleitpunkt)													
512	Unterstützt Bootloader	2	2	20	5	40	0–85	144-PQFP	296-1928-5-ND	13.60	12.25	10.86	TMS320C32PCM40

Texas Instruments Digitale Signalprozessoren

TMS320C2000™- Gruppe

Die C2000™ DSP-Plattform bietet das umfassendste Sortiment an DSP-Lösungen, die die Revolution der Digitalsteuerungen vorantreiben; die C2000™ DSP-Plattform-Produkte stellen die DSPs mit der höchsten Leistung und höchsten Code-Effizienz in der Branche dar. Mit einer einzigartigen Kombination aus On-Chip-Peripheriegeräten, wie z.B. Flash-Speichern, ultraschnellen A/D-Wandlern und robusten CAN-Modulen setzt die C2000 DSP-Plattform den Standard für Leistung und periphere Integration.

Flash (16-Bit Wort)	RAM (16-Bit Wort)	Boot ROM (16-Bit Wort)	EMIF	Timer	PWM Kan.	SPI	SCI	CAN	MIPS	Betriebsspannung (V)	Frequenz (MHz)	Temperatur (°C)	Paket	Digi-Key Teilenr.	Stückpreis 1	25	100	Texas Instruments Teilenr.
TMS320C24x (Festpunkt)																		
32K	2.5K		Y	4	16							-40 ~ 125	144-LQFP	296-12549-ND	13.75	12.39	10.98	TMS320LF2407APGES
32K	2.5K		Y	4	16							-40 ~ 85	144-LQFP	296-12548-ND	12.48	11.24	9.97	TMS320LF2407APGEA
32K	2.5K	256	—	4	16	Y	Y	Y	40	3.3	40	-40 ~ 125	100-LQFP	296-12547-ND	12.98	11.69	10.36	TMS320LF2406APZS
32K	2.5K		—	4	16							-40 ~ 85	100-LQFP	296-12546-ND	11.78	10.61	9.41	TMS320LF2406APZA
16K	1K		—	2	8							-40 ~ 125	64-LQFP	296-12675-ND	12.77	11.50	10.20	TMS320LF2403APAGS
16K	1K	256	—		8	Y		Y	40	3.3	40	-40 ~ 85	64-LQFP	296-12674-ND	11.63	10.48	9.29	TMS320LF2403APAGA
8K	1K	256	—		8	—		—	40	3.3	40	-40 ~ 125	64-PQFP	296-12545-ND	11.00	9.91	8.79	TMS320LF2402APGS
8K	1K	256	—	2	8	—	Y	—	40	3.3	40	-40 ~ 85	64-LQFP	296-12544-ND	10.02	9.02	8.00	TMS320LF2402APGA
8K	1K	256	—		7	—		—	40	3.3	40	-40 ~ 85	32-LQFP	296-14411-ND	5.33	4.75	4.01	TMS320LF2401AVFA
8K	544	—	—		8	Y		Y	20	5	20	0 ~ 70	144-LQFP	296-10755-ND	15.65	14.61	13.56	TMS320F243PGE
8K	544	—	—	2	8	Y	Y	—	20	5	20	-40 ~ 85	64-QFP	296-10754-ND	13.84	12.92	11.99	TMS320F241PGA
												0 ~ 70	64-QFP	296-10753-ND	13.86	12.94	12.01	TMS320F241PG
												-40 ~ 125	38-PLCC	296-10752-5-ND	16.43	15.34	14.24	TMS320F241FNS
												-40 ~ 85	38-PLCC	296-10751-5-ND	14.94	13.95	12.95	TMS320F241FNA
												0 ~ 70	38-PLCC	296-10750-5-ND	14.98	13.98	12.98	TMS320F241FN
16K	544	—	Y	3	12	Y	Y	—	20	5	20	-40 ~ 125	132-PQFP	296-2011-5-ND	19.95	18.62	17.30	TMS320F240PQS
												-40 ~ 85	132-PQFP	296-2010-5-ND	18.11	16.91	15.70	TMS320F240PQA
												0 ~ 70	132-PQFP	296-2009-5-ND	18.16	16.95	15.74	TMS320F240PQ

Flash (16-Bit Wort)	RAM (16-Bit Wort)	ROM (16-Bit Wort)	Boot ROM (16-Bit Wort)	McBSP	EMIF	Timer	PWM Kan.	SPI	SCI	CAN	MIPS	Betriebsspannung (V) Kern	E/A	Frequenz (MHz)	Temperatur (°C)	Paket	Digi-Key Teilenr.	Stückpreis 1	25	100	Texas Instruments Teilenr.
TMS320C28x-Gruppe (Festpunkt)																					
64K	18K	1K	4K	Y	—	4	16	Y	2	Y	150	1.8	3.3	150	-40 ~ 85	128-LQFP	296-15987-5-ND	17.59	16.42	15.25	TMS320F2810PBKA
															-40 ~ 125	128-LQFP	296-17277-ND	22.29	20.81	19.32	TMS320F2810PBKQ
128K	18K	1K	4K	Y	—	4	16	Y	2	Y	150	1.8	3.3	150	-40 ~ 85	128-LQFP	296-15988-5-ND	18.74	17.49	16.24	TMS320F2811PBKA
					—										-40 ~ 125	128-LQFP	296-17278-ND	23.75	22.17	20.59	TMS320F2811PBKQ
					Y										-40 ~ 85	179-BGA	296-15989-5-ND	19.88	18.55	17.23	TMS320F2812GHHA
					Y										-40 ~ 125	179-BGA	296-17279-ND	25.27	23.59	21.91	TMS320F2812GHHQ
					Y										-40 ~ 85	176-LQFP	296-15990-5-ND	19.88	18.55	17.23	TMS320F2812PGFA
					Y										-40 ~ 125	176-LQFP	296-17280-ND	25.27	23.59	21.91	TMS320F2812PGFQ

Flash (16-Bit Wort)	RAM (16-Bit Wort)	ROM (16-Bit Wort)	Timer	Seriell	MIPS	Betriebsspannung (V) Kern	E/A	Frequenz (MHz)	Temperatur (°C)	Paket	Digi-Key Teilenr.	Stückpreis 1	25	100	Texas Instruments Teilenr.
TMS320C20X (Festpunkt)															
32K		—			20	3.3	5	40	0 ~ 70	100-LQFP	296-2007-5-ND	20.51	19.15	17.78	TMS320F206PZ
—		32K			40	3.3	5	80	0 ~ 70	100-TQFP	296-2001-5-ND	13.41	12.52	11.63	TMS320C206PZ80
—	4.5K	32K	1	2	40	3.3	5	80	-40 ~ 85	100-TQFP	296-2002-5-ND	14.76	13.78	12.79	TMS320C206PZA80
—		32K			40	3.3	3.3	80	0 ~ 70	100-LQFP	296-2012-5-ND	14.81	13.82	12.84	TMS320LC206PZ80
—		32K			40	3.3	3.3	80	-40 ~ 85	100-LQFP	296-2013-5-ND	16.25	15.18	14.09	TMS320LC206PZA80

Flash/ROM (16-Bit Wort)	RAM (16-Bit Wort)	Boot ROM (16-Bit Wort)	Timer	ADU	SPI	SCI	CAN	MIPS	Betriebsspannung (V) Kern	E/A	Paket	Digi-Key Teilenr.	Stückpreis 1	25	100	Texas Instruments Teilenr.
TMX320C28x																
16K	6K	4K	9	16 Kan./160	2	1	1	100	1.8	32	100-BGA	296-17602-ND	8.17	—	—	TMX320F2801GGMA
16K	6K	4K	9	16 Kan./160	2	1	1	100	1.8	32	100-LQFP	296-17603-ND	8.17	—	—	TMX320F2801PZA
32K	10K	4K	15	16 Kan./160	4	2	1	100	1.8	32	100-BGA	296-17604-ND	12.26	—	—	TMX320F2806GGMA
32K	10K	4K	15	16 Kan./160	4	2	1	100	1.8	32	100-LQFP	296-17605-ND	12.26	—	—	TMX320F2806PZA
64K	18K	4K	15	16 Kan./160	4	2	2	100	1.8	32	100-BGA	296-17606-ND	14.63	13.66	12.68	TMX320F2808GGMA
64K	18K	4K	15	16 Kan./160	4	2	2	100	1.8	32	100-LQFP	296-17607-ND	14.63	—	—	TMX320F2808PZA

TMS470-Gruppe

Die TMS470-Gruppe baut auf dem 32-bit ARM7TDMI®-Kern auf. Diese branchenübliche Architektur schließt zwei Befehlssätze ein: einen 32-Bit Befehlssatz für schnelle Ausführung und einen 16-Bit Befehlssatz für hohe Code-Dichte. Sie gestattet unbegrenztes Umschalten zwischen Befehlssätzen und bietet Laufzeit-Dekompression. Zu den typischen Anwendungen gehören industrielle Systeme, medizinische Geräte, Verbraucherelektronik, Datenverarbeitung und viele andere eingebettete Allzweckanwendungen.

Flash (KB)	RAM (KB)	Timer-Kanäle	ADU	SPI	SCI	CAN2	E/A 3,3 V	Frequenz (MHz)	Paket	Digi-Key Teilenr.	Stückpreis 1	25	100	Texas Instruments Teilenr.
TMS470R1x														
128	8	16	16-Kan., 10-Bit	2	2	SCC	50	48	100-LQFP	296-17627-ND	7.18	6.47	5.74	TMS470R1A128PZ
256	12	16	16-Kan., 10-Bit	2	2	SCC	50	48	100-LQFP	296-17754-ND	8.26	7.45	6.60	TMS470R1A256PZ

DSP-Starterkits

Eine Vielzahl von DSP-Karten und Entwicklungskits stehen von TI und TI-Drittpartei-Netzwerken zur Verfügung. Zu den Produkten gehören Entwicklungskarten, Evaluierungsmodule, Hardware/Software-Bündel und DSP-Starterkits (DSKs), die zur Beschleunigung des Anwendungsdesigns vom Konzept bis zur Produktion entwickelt wurden. DSP-Starterkits sind mit einer DSK-Version der Code Composer Studio Development Tools von TI gebündelt. Diese stellen eine hervorragende Plattform zur Evaluierung von TI DSP- und Entwicklungs-Tools dar; sie dienen zur schnellen Erstellung von Prototypen, Demos und konzeptbestätigenden Anwendungen zu einem günstigen Einstiegspreis.

Kit-inhalt: • Entwicklungsplatine • Paralleles PC-Kabel • US-Netzteil • CD-ROM mit Dokumentation und DSK-Version von Code Composer Studio (TMDSEZD2407: EzDSP Version von Code Composer Studio)

Digi-Key Teilenr.	Stückpreis	Texas Instruments Teilenr.
296-15828-ND	385.54	TMDSEZD2407
296-15827-ND	441.42	TMDSDSK5510
296-15829-ND	441.42	TMDSDSK5416
296-15830-ND	426.37	TMDSDSK6416
296-15831-ND	441.42	TMDSDSK6713

eXpressDSP™ Code Composer Studio

Die umfassende integrierte Entwicklungsumgebung von CCStudio bietet komplette Aufbau- und Debugging Tools, erstklassige Compiler und für die Industrie einzigartige Analyse- und visuelle Funktionen über JTAG Real-time Data Exchange (RDTX), was das Finden und Beheben von Problemen beschleunigt. Das Realtime-Fundament von DSP/BIOS™ Kernel von TI, RTDX™ und die neuen Simulierfunktionen von TI bieten wichtige Funktionen, wie z.B. Realtime-Analyse und modernste Daten- und Systemvisualisierung. Dadurch wird das höchste Niveau an Host/Ziel-Integration in der DSP-Industrie erzielt. Außerdem ist CCStudio um eine offene Plug-In-Architektur konstruiert, was den Entwicklern die Möglichkeit zur Integration von Drittpartei-Plug-In-Tools zwecks benutzerspezifischer Optimierung ihrer Entwicklungsumgebung für spezielle Projektanforderungen gestattet.

Inhalt: • C/C++ Compiler, Assembler und Linker (Code-Erzeugungs-Tools) mit C++, UML, MATLAB und VAB Support im Compiler

Hauptmerkmale von CCStudio: • Integrierte Entwicklungsumgebung mit eng integriertem Editor, Debugger, visuellem Projektmanagementsystem, Profilierer und Probe Points™ • Erweiterte Beobachtungsfenster, lokale und globale variable Fenster und Profilierungsfähigkeiten • Update Advisor bietet Live-Update-Funktion für die neuesten Tools, Treiber und Software-Versionen • Echtzeit-Data Exchange (RTDX) zwischen Host und Ziel • Echtzeit-Analyse und Datenvisualisierungstools • Datei-E/A-Sondenstellen und graphische Algorithmus-Bereichssonden • Interaktives Profilieren und fortschrittliche graphische Signalanalyse • GEL-Funktionsunterstützung für automatische Aktivitäten, wie z.B. Regressionstests • Automatisches Testen und benutzerspezifische Definition durch Scripting • Multiprozessor-Debugging

Systemmindestvoraussetzungen: • 233 MHz oder höhere Pentium®-kompatible CPU • 600 MB freier Festplattenspeicher • 64 MB RAM • SVGA (800 x 600) Bildschirm • Internet Explorer (4.0 oder neuer) oder Netscape Navigator (4.7 oder neuer) • Lokales CD-ROM-Laufwerk

Unterstützte Betriebssysteme für Code Composer Studio: • Microsoft Windows 98 (SP1 und SE) • Microsoft Windows NT (SP6) • Microsoft Windows 2000 (SP1 und SP2) • Microsoft Windows XP

Beschreibung	Digi-Key Teilenr.	Stückpreis	Texas Instruments Teilenr.
C6000 Code Composer Studio™ Software für 320C6711	296-16699-ND	426.37	TMDS320006711
C6000 Code Composer Studio™ Software für 320C6X	296-16633-ND	3423.97	TMDSCCS6000-1
C5000 Code Composer Studio™ Software für 320C5X	296-16631-ND	3423.97	TMDSCCS5000-1
C2000 Code Composer Studio™ Software für 320C2X	296-16632-ND	471.45	TMDSCCS2000-1

Alle Preisangaben in Euro und inklusive Zollgebühren.

Flash-programmierbare Systembausteine mit 8032 Mikrocontroller-Kern

Die UPSD32xx-Bauelemente verbinden eine Flash PSD-Architektur mit einem 8032 Mikrocontroller-Kern. Die UPSD32xx-Bauelemente für Flash PSDs bieten doppelreihigen Flash-Speicher, SRAM, Allzweck-E/A und programmierbare Logik, Wächterfunktionen und Zugriff über 1^2C-, ADU- und PWM-Kanäle und einen On-Board 8032 Mikrocontroller-Kern mit zwei UARTs, drei 16-Bit Timern/Zählern und zwei externen Unterbrechern. Wie die anderen Flash-PSD-Gruppen lassen sich auch die UPSD32xx-Bauelemente über eine JTAG-ISP-Schnittstelle im System programmieren (ISP). **Merkmale:** • Inhaltssicherheit: Zugriff auf Flash-Speicher blockieren • Programmierbares Decode PLD zur flexiblen Adressendarstellung aller Speicher innerhalb 8032. • 1^2C-Schnittstelle für Peripherieverbindungen • Modulator-Kanäle (PWM) mit 5-Impuls-Breite • ADU • 3000 Gate PLD mit 16 Makrozellen • In-System-Programmierung (ISP) über JTAG **Betriebstemperaturbereich:** -40 °C ~ 85 °C

Flash-Größe (Kbit)	Haupt-Flash (Bytes)	SRAM (Bytes)	Baustein-geschwindigkeit (MHz)	Anzahl der E/A-Pins	Timer/ Zähler	Betriebs-spannung	Paket	Digi-Key Teilenr.	Stückpreis 1	10	100	STMicroelectronics Teilenr.
512	64K	2K	40	37	3	5.0	52-TQFP	497-2363-ND	7.97	7.28	5.75	UPSD3212C-40T6
	64K	2K	40	46	3	5.0	80-TQFP	497-2364-ND	8.45	7.72	6.10	UPSD3212C-40U6
	64K	2K	24	37	3	3.0	52-TQFP	497-2365-ND	7.97	7.28	5.75	UPSD3212CV-24T6
	64K	2K	24	46	3	3.0	80-TQFP	497-2366-ND	8.45	7.72	6.10	UPSD3212CV-24U6
1K	128K	8K	40	37	3	5.0	52-TQFP	497-2367-ND	8.69	8.04	6.09	UPSD3233B-40T6
	128K	8K	40	46	3	5.0	80-TQFP	497-2368-ND	9.31	8.62	6.52	UPSD3233B-40U6
	128K	8K	24	37	3	3.0	52-TQFP	497-2369-ND	8.69	8.04	6.09	UPSD3233BV-24T6
	128K	8K	24	46	3	3.0	80-TQFP	497-2370-ND	9.31	8.62	6.52	UPSD3233BV-24U6
	128K	32K	40	37	3	5.0	52-TQFP	497-2374-ND	10.46	9.68	7.33	UPSD3253B-40T6
	128K	32K	24	37	3	3.0	52-TQFP	497-2375-ND	10.46	9.68	7.33	UPSD3253BV-24T6
2K	256K	8K	40	37	3	5.0	52-TQFP	497-2371-ND	9.75	9.03	6.83	UPSD3234A-40T6
	256K	8K	40	46	3	5.0	80-TQFP	497-2372-ND	10.38	9.61	7.27	UPSD3234A-40U6
	256K	8K	24	46	3	3.0	80-TQFP	497-2373-ND	9.79	9.06	6.86	UPSD3234BV-24U6
	256K	32K	40	37	3	5.0	52-TQFP	497-2376-ND	11.53	10.67	8.08	UPSD3254A-40T6
	256K	32K	40	46	3	5.0	80-TQFP	497-2377-ND	12.17	11.27	8.53	UPSD3254A-40U6
	256K	32K	24	46	3	3.0	80-TQFP	497-2378-ND	11.56	10.70	8.10	UPSD3254BV-24U6

B

Mikrocontroller und andere programmierbare Bausteine

Für den Massenmarkt bestimmt; ST bietet mehrere Mikrocontroller-Gruppen, z.B. ST62, ST7 und ST9, sodass es einen ST-Mikrocontroller für jede Anwendung gibt, angefangen bei kostengünstigen Lösungen bis zu jenen, die effektive Echtzeit-Leistung und hochgradige Sprachenunterstützung erfordern. Die unlängst eingeführte ST5-Gruppe vereint alle Vorteile von Mikrocontrollern mit einer dedizierten Architektur, dem „Decision Processor", der auf Algorithmen höchsten Niveaus und visuelle Programmierverfahren ausgerichtet ist. ST bietet auch die innovativen „Programmable System Memory" (FlashPSD, DSM) -Produkte, die Speicherfunktionen wie Flash, EEPROM und SRAM mit programmierbarer Logik auf einem Chip verbinden. Die programmierbaren Systemspeicher eignen sich zur Verwendung mit allen Standard-Mikrocontrollern und bieten komplette Systemimplementierung. Sie lassen sich schnell und einfach programmieren, ohne dass spezielle Geräte erforderlich sind, nicht einmal im Außendienst.

Bit-Größe	Flash (Bytes)	RAM (Bytes)	Timer	Anzahl der E/A-Pins	A/D	Betriebs-spannung	Taktfrequenz (MHz)	Betriebs-temperaturbereich	Paket	Digi-Key Teilenr.	Stückpreis 1	10	100	STMicroelectronics Teilenr.
8	256K	8K	Ja	80	16-Kan., 10-Bit	4.5 ~ 5.5	24	-40°C ~ 105°C	100-TQFP	497-2140-ND	13.39	12.39	9.38	ST92F250CV2TB
	256K	8K	Ja	80	16-Kan., 10-Bit	4.5 ~ 5.5	24	-40°C ~ 105°C	100-PQFP	497-2139-ND	13.80	12.77	9.66	ST92F250CV2QB
	128K	6K	Ja	77	16-Kan., 10-Bit	4.5 ~ 5.5	24	-40°C ~ 125°C	100-TQFP	497-2138-ND	13.39	12.39	9.38	ST92F150JDV1TC
	128K	6K	Ja	77	16-Kan., 10-Bit	4.5 ~ 5.5	24	-40°C ~ 125°C	100-PQFP	497-2137-ND	13.87	12.83	9.71	ST92F150JDV1QC
	128K	4K	Ja	48	8-Kan., 10-Bit	4.5 ~ 5.5	24	-40°C ~ 125°C	64-TQFP	497-2136-ND	11.12	10.29	7.79	ST92F150CR1TC
	8K	384	Ja	15	7-Kan., 10-Bit	2.4 ~ 5.5	8	-40°C ~ 85°C	20-SOIC	497-2135-5-ND	3.93	3.43	2.55	ST7FLITE29F2M6
	8K	384	Ja	15	7-Kan., 10-Bit	2.4 ~ 5.5	8	-40°C ~ 85°C	20-DIP	497-2134-5-ND	3.93	3.43	2.55	ST7FLITE29F2B6
	4K	256	Ja	15	7-Kan., 10-Bit	2.4 ~ 5.5	8	-40°C ~ 85°C	20-SOIC	497-2133-5-ND	3.56	3.11	2.32	ST7FLITE19F1M6
	4K	256	Ja	15	7-Kan., 10-Bit	2.4 ~ 5.5	8	-40°C ~ 85°C	20-DIP	497-2132-5-ND	3.56	3.11	2.32	ST7FLITE19F1B6
	8K	384	Ja	15	7-Kan., 10-Bit	2.4 ~ 5.5	16	-40°C ~ 85°C	20-SOIC	497-2131-5-ND	4.46	3.88	2.89	ST7FDALIF2M6
	8K / OTP	256	Ja	14	8-Kan., 8-Bit	4.0 ~ 5.5	8	-40°C ~ 85°C	34-SOIC	497-2117-5-ND	6.33	5.78	4.57	ST72T141K2M6
	8K / OTP	256	Ja	14	8-Kan., 8-Bit	4.0 ~ 5.5	8	-40°C ~ 85°C	32-DIP	497-2116-5-ND	6.80	6.21	4.91	ST72T141K2B6
	16K	512	Ja	19	8-Kan., 8-Bit	4.0 ~ 5.5	8	0°C ~ 70°C	34-SOIC	497-2115-5-ND	5.38	4.68	3.49	ST72F63BK4M1
	8K	384	Ja	11	3-Kan., 10-Bit	4.0 ~ 5.5	8	0°C ~ 70°C	20-SOIC	497-2114-5-ND	5.60	4.88	3.63	ST72F623F2M1
	8K	384	Ja	23	8-Kan., 10-Bit	4.0 ~ 5.5	8	0°C ~ 70°C	34-SOIC	497-2113-5-ND	4.64	4.04	3.01	ST72F622L2M1
	16K	768	Ja	23	8-Kan., 10-Bit	4.0 ~ 5.5	8	0°C ~ 70°C	34-SOIC	497-2112-5-ND	5.86	5.36	4.24	ST72F621L4M1
	16K	768	Ja	31	8-Kan., 10-Bit	4.0 ~ 5.5	8	0°C ~ 70°C	44-TQFP	497-2111-ND	7.20	6.58	5.20	ST72F621J4T1
	16K	768	Ja	31	8-Kan., 10-Bit	4.0 ~ 5.5	8	0°C ~ 70°C	42-DIP	497-2110-5-ND	7.20	6.58	5.20	ST72F621J4B1
	32K	1K	Ja	32	8-Kan., 10-Bit	3.8 ~ 5.5	8	-40°C ~ 85°C	32-TQFP	497-2109-ND	5.39	4.70	3.50	ST72F324K6T6
	32K	1K	Ja	32	12-Kan., 10-Bit	3.8 ~ 5.5	8	-40°C ~ 85°C	44-TQFP	497-2108-ND	4.91	4.48	3.55	ST72F324J6T6
	32K	1K	Ja	32	12-Kan., 10-Bit	3.8 ~ 5.5	8	-40°C ~ 85°C	42-DIP	497-2107-5-ND	5.03	4.38	3.26	ST72F324J6B6
	8K	256	Ja	22	6-Kan., 10-Bit	2.4 ~ 5.5	8	-40°C ~ 85°C	28-SOIC	497-2106-5-ND	4.80	4.18	3.12	ST72F264G2M6
	4K	256	Ja	22	6-Kan., 10-Bit	2.4 ~ 5.5	8	-40°C ~ 85°C	28-SOIC	497-2105-5-ND	3.32	2.89	2.15	ST72F264G1M6

Bit-Größe	Programmspeicher/ Typ (Bytes)	RAM (Bytes)	Timer	Anzahl der E/A-Pins	A/D	Betriebsspannung	Taktfrequenz (MHz)	Betriebs-temperaturbereich	Paket	Digi-Key Teilenr.	Stückpreis 1	10	100	STMicroelectronics Teilenr.
8	3K / OTP	128	Ja	21	13-Kan., 8-Bit	3.0 ~ 6.0	8	-40°C ~ 85°C	28-SOIC	497-2103-5-ND	4.09	3.57	2.66	ST62T65CM6
	3K / OTP	128	Ja	13	7-Kan., 8-Bit	3.0 ~ 6.0	8	-40°C ~ 85°C	20-SOIC	497-2102-5-ND	3.95	3.45	2.57	ST62T60CM6
	4K / OTP	64	Ja	20	16-Kan., 8-Bit	3.0 ~ 6.0	8	-40°C ~ 85°C	28-SOIC	497-2101-5-ND	4.77	4.16	3.10	ST62T25CM6
	4K / OTP	64	Ja	20	16-Kan., 8-Bit	3.0 ~ 6.0	8	-40°C ~ 85°C	28-DIP	497-2100-5-ND	4.77	4.16	3.10	ST62T25CB6
	4K / OTP	64	Ja	12	8-Kan., 8-Bit	3.0 ~ 6.0	8	-40°C ~ 85°C	20-SOIC	497-2099-5-ND	2.61	2.27	1.69	ST62T20CM6
	4K / OTP	64	Ja	12	8-Kan., 8-Bit	3.0 ~ 6.0	8	-40°C ~ 85°C	20-DIP	497-2098-5-ND	2.61	2.27	1.69	ST62T20CB6
	2K / OTP	64	Ja	12	8-Kan., 8-Bit	3.0 ~ 6.0	8	-40°C ~ 85°C	20-SOIC	497-2097-5-ND	2.51	2.10	1.77	ST62T10CM6
	2K / OTP	64	Ja	12	8-Kan., 8-Bit	3.0 ~ 6.0	8	-40°C ~ 85°C	20-DIP	497-2096-5-ND	2.51	2.10	1.77	ST62T10CB6
	2K / OTP	64	Ja	9	4-Kan., 8-Bit	3.0 ~ 6.0	8	-40°C ~ 85°C	16-SOIC	497-2095-5-ND	2.31	1.93	1.62	ST62T01CM6
	2K / OTP	64	Ja	9	4-Kan., 8-Bit	3.0 ~ 6.0	8	-40°C ~ 85°C	16-DIP	497-2094-5-ND	2.31	1.93	1.62	ST62T01CB6
	1K / OTP	64	Ja	9	4-Kan., 8-Bit	3.0 ~ 6.0	8	-40°C ~ 85°C	16-DIP	497-2093-5-ND	1.88	1.57	1.32	ST62T00CB6
16	Ohne ROM	1K	Ja	77	—	3.3	50	-40°C ~ 85°C	100-TQFP	497-2045-ND	7.31	6.67	5.28	ST10R272LT6
	Ohne ROM	1K	Ja	77	—	3.3	50	-40°C ~ 85°C	100-TQFP	497-2044-ND	6.95	6.35	5.02	ST10R172LT6
	Ohne ROM	2K	Ja	111	16-Kan., 10-Bit	5.0	25	-40°C ~ 125°C	144-PQFP	497-2043-ND	16.67	14.29	12.67	ST10R167-Q3
	Ohne ROM	12K	Ja	111	16-Kan., 10-Bit	5.0	40	-40°C ~ 125°C	144-PQFP	497-2042-ND	26.67	22.86	20.27	ST10F269Z2Q3

Preiswerte programmierbare Mikrocontroller-Peripheriegeräte

Die preiswerte PSD3XX-Gruppe integriert Hochleistung und benutzerkonfigurierbare EPROM-Blöcke, programmierbare Logik und optionalen SRAM in einem Teil. Die PSD3XX-Produkte bieten auch leistungsstarke Mikrocontroller-Schnittstellen, die externe „Glue Logic“ unnötig machen. Die Teileintegration, der kleine Formfaktor, der niedrigere Stromverbrauch und der einfache Gebrauch machen sie ideal für Verbindungen mit praktisch jedem Mikrocontroller.

Hauptfunktionsblöcke des PSD3XX: • Zwei programmierbare Logik-Arrays • 256 KB ~ 1MB EPROM • Optionaler 16 KB SRAM • Eingangsverriegelungen • Programmierbare E/A-Ports • Seitenlogik • Programmierbare Sicherheit

Der ZPSD3XX verfügt über verbesserte Technologie, die durch Verwendung von Turbo-Bit weniger Strom verbraucht. Hervorragend, wenn Sie eine 5-V-Version des PSD3XX benötigen, die weniger Strom verbraucht.
Geschwindigkeit: -70 = 70 ns, -90 = 90 ns

Anz. PLD-Eingänge	EPROM-Größe	SRAM-Größe	Seitenreg.	Spannung	Turbo-Bit	Bus-Breite	Typischer Standby-Strom	Digi-Key Teilenr.	Stückpreis 1	10	100	STMicroelectronics Teilenr.
14	256Kb	16Kb	—	5V	—	x8	50µA	497-3691-ND	9.06	8.38	6.35	PSD311B-70J
14	256Kb	16Kb	—	5V	—	x8	50µA	497-3692-ND	9.23	8.54	6.46	PSD311B-90JI
18	512Kb	16Kb	Ja	5V	—	x8	50µA	497-3693-ND	10.57	9.78	7.40	PSD312B-70J
18	512Kb	16Kb	Ja	5V	—	x8	50µA	497-3694-ND	10.77	9.97	7.54	PSD312B-90JI
18	1Mb	16Kb	Ja	5V	—	x8	50µA	497-3695-ND	12.17	11.27	8.53	PSD313B-70J
18	1Mb	16Kb	Ja	5V	—	x8	50µA	497-3696-ND	12.39	11.47	8.68	PSD313B-90JI
14	256Kb	16Kb	—	5V	Ja	x8 oder x16	10µA	497-3697-ND	10.73	9.93	7.52	ZPSD301B-70J
14	256Kb	16Kb	—	5V	Ja	x8 oder x16	10µA	497-3698-ND	10.94	10.12	7.66	ZPSD301B-90JI
18	512Kb	16Kb	Ja	5V	Ja	x8 oder x16	10µA	497-3699-ND	12.53	11.59	8.78	ZPSD302B-70J
18	512Kb	16Kb	Ja	5V	Ja	x8 oder x16	10µA	497-3700-ND	12.75	11.80	8.93	ZPSD302B-90JI
18	1Mb	16Kb	Ja	5V	Ja	x8 oder x16	10µA	497-3701-ND	14.68	13.58	10.28	ZPSD303B-90JI

B

ARM7

Die STR7 Mikrocontroller sind eine Reihe von innovativen 32-Bit Mikrocontrollern, die auf dem industrieüblichen ARM7 RISC-Kern aufbauen.

Die STR7-Bauteile umfassen einen hochwertigen eingebetteten Flash-Speicher und bieten leistungsstarke Peripheriefunktionen, einschließlich USB und CAN. Sie sind ideal für eingebettete Anwendungen, die eine kompakte, aber starke MCU und eine vielseitige skalierbare Lösung verlangen. STR7 Mikrocontroller werden in verschiedenen Anwendungen verwendet, z. B. Benutzerschnittstellen, Fabrikautomationssysteme, Point-of-Sale, Haushaltsgeräte und vieles mehr.

Aufgrund der führenden ARM™-Achitektur bieten die STR7 Mikrocontroller schnelle Reaktion auf neu auftretende Anforderungen, wodurch die schnelle Implementierung von Änderungen auf preiswerte Art und Weise möglich wird. Die Flexibilität der Gruppe mit ihren vielen Flash- und RAM-Optionen, den größten Peripheriesätzen und den vielseitigen Paketoptionen fördert ihre Wiederverwendung für eine ganze Reihe von Produkten und optimiert die Entwicklung. Sie helfen Ihnen, preiswerte und leistungsstarke Lösungen zu schaffen, die Ihren Markt innovieren.

ARM-Kern mit eingebettetem Flash und RAM.

Die Serie STR71xF ist eine Gruppe von ARM-betriebenen 16/32-Bit Mikrocontrollern mit eingebettetem Flash und RAM. Sie enthält die hochleistungsstarke ARM7TDMI CPU mit einem umfangreichen Angebot an Peripheriefunktionen und erweiterten E/A-Kapazitäten.

Alle Bauteile verfügen über einen On-Chip Einzelspannungs-FLASH-Hochgeschwindigkeitsspeicher und Hochgeschwindigkeits-RAM. Die STR71xF-Gruppe schließt einen eingebetteten ARM-Kern ein und ist daher mit allen ARM-Tools und der ARM-Software kompatibel.

Weitere Informationen über das ARM Realview Developer Kit für ST und Entwicklungs-Tools von Dritten finden Sie unter www.st.com/mcu

Typ des internen ROM-Speichers	Größe des internen ROM-Speichers	Größe des internen RAM-Speichers	EMI	USB	CAN	E/A-Ports	Paket	Temperaturbereich	Digi-Key Teilenr.	Stückpreis 1	10	100	STMicroelectronics Teilenr.
Mask ROM	128K	32K	Ja	Ja	Ja	48	144-TQFP	-40°C~85°C	497-4510-ND	12.28	11.36	8.60	STR710FZ1T6
Mask ROM	256K	64K	Ja	Ja	Ja	48	144-TQFP	-40°C~85°C	497-4511-ND	13.63	12.61	9.55	STR710FZ2T6
Flash	128K	32K	Nein	Ja	Nein	30	64-TQFP	-40°C~85°C	497-4512-ND	9.74	9.01	6.82	STR711FR1T6
Flash	256K	64K	Nein	Ja	Nein	30	64-TQFP	-40°C~85°C	497-4513-ND	11.09	10.26	7.77	STR711FR2T6
Flash	128K	32K	Nein	Nein	Ja	32	64-TQFP	-40°C~85°C	497-4514-ND	8.55	7.91	5.99	STR712FR1T6
Flash	256K	64K	Nein	Nein	Ja	32	64-TQFP	-40°C~85°C	497-4515-ND	9.99	9.25	7.00	STR712FR2T6

STR7-RVDK

Das ARM RealView Developer Kit für STMicroeletronics 2.1 bietet eine leistungsstarke, flexible und preiswerte Lösung für die Entwicklung auf Mikrocontrollern, die auf dem ST ARM-Kern aufbauen. Es bietet alle Software und Hardware zum Bau und Debugging der Anwendung und Programmierung von STR710 oder STR720 Mikrocontrollern.

STMicroelectronics verwendet ARM, um das ARM RealView Developer Kit für ST als eine komplette preiswerte Entwicklungslösung anzubieten.

Die neue Generation von superintegrierten Einzelchip-Bausteinen von STMicroelectronics basiert auf der ARM-Code-Technologie.

Das RealView Developer Kit für STMicroelectronics bietet eine vollständige Umgebung für die Entwicklung und das Debugging von ST ARM-Kern-basierenden Compilern, GUI Debugger und den ST-spezifischen, JTAG-betriebenen RealView ICE Micro Edition (RVICE-ME) Steuerbaustein.

Der RealView Developer bietet dieselbe Compiler-Optimierungs- und Debugging-Fähigkeiten wie die RealView Developer Suite.

Dieses Kit kann mit einer Anwendungskarte oder mit jeder beliebigen Evaluierungsplattform von STMicroelectronics für die ARM-Kern-basierten Mikrocontroller verwendet werden.

Systemvoraussetzungen: • Intel® Pentium® oder kompatibler Prozessor • Windows XP® Professional oder Windows® 2000 Service Pack 2 oder spätere Versionen.

Software-Installation und Lizensierung: Bei Installation muss eine Lizenzdatei von ARM für das ARM RealView Developer Kit für ST bezogen werden. Dies ist eine im Windows-Knoten gesperrte Lizenz für eine Einzelbenutzerumgebung auf einem Computer. Sie wird mithilfe der auf der Hülle der CD-ROM erscheinenden Seriennummer besorgt. Pro Seriennummer ist nur eine Lizenz zugelassen.

Digi-Key Teilenr.	Stückpreis	STMicroelectronics Teilenr.
497-4517-ND	1760.93	STR7-RVDK

STR710-EVAL

Die STR710-EVAL-Karte stellt eine komplette Evaluierungsplattform für die Serie STR71x dar.

Die STR710-EVAL-Karte ist ein kostensparendes, flexibles und offenes Design, um die Kapazität der Flash-Mikrocontroller der Serie STR71x zu demonstrieren und eine schnelle Evaluierung der STR71x-Bausteine und verfügbaren Peripherien zu ermöglichen.

Sie umfasst den hochleistungsstarken STR710FZ2T6 ARM7TDMITM-Baustein, der 256 KB eingebetteten Flash mit vorzüglicher RAM-Zugriffszeit, 64 KB On-Chip-SRAM mit hoher Geschwindigkeit und bis zu 10 serielle Kommunikationsschnittstellen, einschließlich USB und CAN, bietet.

Die STR710-EVAL-Karte schließt SRAM und Flash-Speicher auf dem EMI ein, um volle Freiheit bei der Entwicklung großer Programme zu ermöglichen, selbst bevor die spezifische Hardware entwickelt wurde.

Sie integriert eine 2X16 LCD, LED-Anzeigen, UART, CAN, USB-Schnittstellen, Piezo-Summer und Testschaltflächen zur Schaffung einer vielseitigen unabhängigen Testplattform.

Es steht eine große Auswahl an Entwicklungs-Tool-Support zur Verfügung, einschließlich Tools von: STMicroelectronics, ARM, Ashling, Green Hills, Hitex, IAR und PLS.

Hauptkomponenten: • STR710F-Prozessor: Ausführung bei 48 MHz • EMI SRAM 4 MB (2Mx16) • EMI Flash 4 MB (2Mx16) • SPI serieller Flash • I2C EEPROM • LCD-Anzeige

Merkmale: • Support für folgende Schnittstellen: USB, CAN, RS232, LED-Anzeigen, Summer, Testschaltflächen und JTAG-Steckverbinder

Digi-Key Teilenr.	Stückpreis	STMicroelectronics Teilenr.
497-4516-ND	659.25	STR710-EVAL

Alle Preisangaben in Euro und inklusive Zollgebühren.

ST7-Programmierer

Die Serie ST7 EPB der Programmierkarten kann, unabhängig vom Sockeltyp, alle ST7-Mikrocontroller mit OTP, EPROM, EEPROM oder FLASH-Speichern programmieren. Bestimmte Programmierkarten unterstützen auch In-Situ Programming (ISP) oder In-Circuit Programming (ICP). Diese Karten werden von ST-Programmiersoftware getrieben: ST7 Visual Programmer (STVP7), die alle nützlichen Funktionen umfasst, wie z.B. Verifizieren, Leerzeichenprüfung, Master lesen u.a.

MERKMALE:
- ISP/ICP-Programmierung
- Bearbeitbare Formate: Intel HEX
- Host-Schnittstelle: Parallelport (LPT)
- Stromversorgung: Im Paket
- Bedienungsanleitung

Software: • STVP7 (kostenlos, erhältlich auf ST CD-ROM und Website)

Unterstützte Geräte*	Digi-Key Teilenr.	Stückpreis	STMicroelectronics Teilenr.
ST7LITE0x, ST7LITE2x, ST7226x	497-2896-ND	288.35	ST7MDT10-EPB/US
ST72321(64 Pins), ST72521	497-2900-ND	299.36	ST7MDT20M-EPB/US
ST7262x	497-2901-ND	396.21	ST7MDTU2-EPB/US
ST7263B	497-2902-ND	396.21	ST7MDTU3-EPB/US

*Sockel: Alle Pakete außer TQFP64 10*10

Preiswerter Programmierer für ST7

Das ST In-Circuit Communication Kit (STICK) ist eine ideale Einführung in leicht zu verwendende ST7 Flash-MCUs. ST7 Flash STICK ist preiswert, leistungsstark und benutzerfreundlich. STICK verbindet Ihren PC mit den ST7 Flash MCUs, die auf Ihre Anwendungskarte gelötet sind. Es nutzt das fortschrittliche In-Circuit Communication (ICC) Protokoll von STMicroelectronics, mit dem es möglich ist, mit dem ST7 durch eine beschränkte Anzahl von Signalen zu kommunizieren.

MERKMALE:
- Preiswerte und leicht zu verwendende Kits
- Schaltkreis-Programmierung (ICP)
- ICP-Support für alle ST72Fxxx MCUs außer ST72F6xx (USB)
- ST7 Visueller Programmierer, GUI

Hardware:
- ICC-Schnittstelle
- Host-Schnittstelle: *Parallelport*
- HW-Kompatibilität: *ST7-Evaluierungskarte*

Unterstützte Bausteine: ST7LITE2x, ST7DALI, ST72264, ST72321, ST72324, ST7521 und ST72561

Digi-Key Teilenr.	Stückpreis	STMicroelectronics Teilenr.
497-2904-ND	79.24	ST7-STICK/US

ST9-Emulator

Der ST92F150-EMU2-Emulator ist um den ST92F150-Baustein aufgebaut und kann zum Emulieren aller Bausteine der ST92F124/F150/F250-Gruppe dienen. Beim Austesten der Anwendung reproduziert der Emulator das Verhalten und die Funktionalität des ST9 Mikrocontrollers (MCU) in Echtzeit, während er anstelle der MCU mit der Anwendungskarte verbunden ist. Er bietet Zugriff auf die internen Ressourcen der MCU (z. B. Register und Speicher) und stellt leistungsstarke Debugging-Fähigkeiten, wie z.B. Verwaltung von Breakpoints und Anwendungscodeverfolgung, bereit. Der Emulator besteht aus drei Teilen: • dem ST9 Visual Debug IDE, ausgeführt auf Ihrem Host-PC; • der ST9 HDS2V2-Hauptplatine, die über ein Parallelkabel mit dem Host verbunden ist und alle Emulationsressourcen enthält und mit dem PC über einen Master-Mikrocontroller kommuniziert; • der Sonde, die spezifisch für den Mikrocontroller ist und deren Paket, das über 3 Flachkabel mit dem HauptkartenPaket verbunden ist. Die Sonde enthält den emulierten ST9 Mikrocontroller, der das Anwendungsprogramm mithilfe seiner internen Peripheriebausteine ausführt. Die Sonde ist über den ST9 Mikrocontroller-Sockel mit der Anwendungsplatine verbunden.

MERKMALE: Hardware: • Auswählbare Taktquelle • Anwendungs-Hochfahr-Erkennung • 9 externe Eingangs-Trigger • 2 Ausgangs-Trigger (TTL Levels)

SPEZIFIKATIONEN: Systemvoraussetzungen für Host-PC : • Eines der folgenden Betriebssysteme: Microsoft Windows® 95, 98, 2000 oder NT • Intel Pentium® (oder kompatibler) Prozessor mit einer Mindestgeschwindigkeit von 133 MHz • Min. 32 MB RAM (64 MB werden empfohlen) • 50 MB freie Festplatte zur Installation aller ST9-Tools

ANWENDUNGEN: ST92F124, ST92F150, ST92F250

497-3101-ND **4769.18**

ST9-Programmierer

Das ST92F150-EPB/US ist ein Programmierkartenkit, mit dem ST9F150x1, x9 und ST92F124x1, x9 Mikrocontroller mit EEPROM- und FLASH-Speichern programmiert werden können. In-Situ-Programmierung (ISP) steht für die FLASH-Bausteine zur Verfügung. Es wurde zur Programmierung von Prototypen oder kleinen Mengen von Mikrocontrollern entwickelt. Für Massenproduktion empfiehlt sich die Verwendung des entsprechenden Reihenprogrammierers. Dieser Programmierer kann unter Windows® 95/98/NT/2000 über einen Standard-PC-Parallelport im Fernbedienungsmodus betrieben werden. Objektcode im Intel HEX- oder Motorola S19-Format wird von der Disk-Datei zum Programmieren des Zielbausteins gelesen. Die menügetriebene Software bietet auch VERIFIZIEREN, LEERZEICHENPRÜFUNG, LESEN, MASTER LÖSCHEN und andere Dienstprogrammfunktionen.

MERKMALE: Software: Ein Host-PC mit ST9 stellt die Steuerschnittstelle für die ST9 EPB dar. STVP9 ist eine graphische Windows®-Schnittstelle, die Folgendes ermöglicht: • Lesen, Einsehen, Bearbeiten und Speichern von ausführbaren Dateien im Intel HEX- und Motorola S19-Format, erzeugt durch Assembler, Linker oder C Compiler für ST-Mikrocontroller • Programmieren von ausführbaren Dateien in ST-Mikrocontroller • Einsehen und Verifizieren des Speicherinhalts eines Mikrocontrollers • Erstellen eines Projektes, das definiert, wie die Mikrocontroller zu programmieren sind oder wie Dateien geladen werden, deren Inhalt Sie programmieren und dann das Programm ausführen wollen

Das Kit enthält: • Eine ST9 EPB EPROM-Programmierkarte • Eine Stromversorgung • Ein Parallelkabel • Eine „MCU auf CD" CD-ROM mit der STVP9-Software • Ein 14-Pin HE10-Flachkabel für ISP-Modus

ANWENDUNGEN: ST92F150x1, ST92F150x9, ST92F124x1 und ST92F124x9

497-3100-ND **687.86**

ST9-Evaluierungskarte

ST92F150-EVAL: Zweck dieser Evaluierungskarte ist es, dem Benutzer eine einsatzbereite Hardware-Umgebung für ST9 Allzweck-Mikrocontroller zu bieten. Das Kit enthält die zum Testen der Hauptperipheriegeräte erforderliche Hardware, wie z.B. Timer, SPI- und SCI-Schnittstellen, A/D-Wandler und E/A-Anschlüsse. Dieses Kit deckt jedoch keine CAN- und J1850-Bausteine ab. Ein Drahtwickelbereich zum Anschluss spezifischer Komponenten ist jedoch inbegriffen und kann zum Anschluss von CAN- oder J1850 Transceivern verwendet werden. Wenn dasselbe Peripheriegerät mehrere Male auf der MCU vorkommt (z. B. der Multifunktions-Timer auf der ST92F120/F124/F150/F250) kann die Karte zum Testen von mindestens einer - nicht immer aller - Peripherien benutzt werden.

Das Kit enthält:
- Mutterplatine für ST9-Evaluierungskarte
- ST92F120 -PQFP100 Tochterplatine
- ST92F150 -TQFP64 Tochterplatine
- AC/DC-Adapter
- Serielles RS232-Kabel (Stecker / Stecker)

497-2905-ND **989.42**

ST6-Starterkits

Das Starterkit enthält alles, was zum sofortigen Starten des Designs, der Entwicklung und der Evaluierung von Anwendungen für ST62-Mikrocontroller benötigt wird. Jedes Starterkit enthält einen vorprogrammierten Baustein. Dieser zeigt die ST6-Funktionen unter Verwendung der auf der Karte vorhandenen Hardware-Ressourcen (Drucktasten, LEDs, Trimmer, Summer, RS232, etc.). Beachten Sie bitte, dass ein Starterkit nicht dasselbe wie ein Emulator ist. Befehle werden auf den PCs und E/As auf dem Starterkit ausgeführt. Daher ist das Timing der Programmausführung wesentlich langsamer als auf dem echten Baustein.

MERKMALE:

Hardware:
- Sofortige Evaluierung von ST62-Bausteinen, mit Demonstrationsbeispielen
- Simulation/Debugging innerhalb der realen Anwendungsumgebung des Benutzers
- In-Socket/On-Board-Programmieren (DIP- oder QFP-Sockel)
- Schaltkreis-Programmierung

Software:
- Assembler/Linker/Debugger/Simulator
- EPROM/OTP Programmier-Dienstprogramme
- Anwendungsbeispiele und Demos

Unterstützte Geräte	Digi-Key Teilenr.	Stückpreis	STMicroelectronics Teilenr.
ST620x, ST621x, ST622x	497-2907-ND	128.77	ST622XC-KIT/110
ST625x, ST626x	497-2908-ND	174.99	ST626XC-KIT/US

ST7-Evaluierungskarten

ST7FOPTIONS-EVAL

Die Safe ST7-Evaluierungskarte ist zum Starten mit dem ST72F64-Microcontroller und zur Evaluierung der Funktionen der ST7 Flash-Gruppe vorgesehen. Das auf der Karte installierte ST72F264-Muster wurde mit einer Muster-Softwareanwendung programmiert.

MERKMALE: Evaluierung des ST72F264:• Integrierter LVD/AVD (Niederspannungsdetektor / Zusätzlicher Spannungsdetektor) • Sicherer Reservetaktgeber (CSS: Clock Security System) • Hohe Kühl-E/A • In-Application Programming (IAP) • Schaltkreis-Programmierung • Verschachtelte Unterbrechungen

Entwickeln Sie Ihre eigenen Anwendungen unter Verwendung von:

• E/A-Port-Steckverbindern • Drahtwickelbereich • LEDs, 7-Segment-Anzeigen, Summer • EEPROMs (SPI, I²C) • Trimmer und Schaltflächen zum Rückstellen und für Unterbrechungen

Eigenständige Karte:

• 9-V-Batterie inbegriffen • Eingangssteckverbinder für externen Strom

Unterstützte Geräte: ST72F26x

Inhalt:

• Sichere ST7-Evaluierungskarte • 9-V-Batterie • Eine ST72F264 MCU, mit Muster-Software-Anwendungscode programmiert • CD-ROMs • Bedienungsanleitung • Auswahlhilfe • Dokumentation

ST7MDTULS-EVAL:

MERKMALE:

• Niedriggeschwindigkeits-USB-Evaluierungskarte • Zur Entwicklung von Anwendungen der USB-Klasse geeignet: In-Application Programming (IAP) Hardware-Support Device Firmware Upgrade (DFU) und Human Interface Device (HID) Anwendungs-Demonstator (LED-Anzeigen, Schaltflächen, Trimmer) • ST72F61/62/63B MCU-Gruppen-Support • Wickelbereich • Ein Windows® 98 Applet wird zusammen mit USB-Firmware-Bibliotheken zum Betrieb des peripheren Bausteins mitgeliefert

Unterstützte Geräte: ST72611, ST7262, ST263B

Inhalt:

• Zwei ST7 USB-Mikrocontroller-Langsam-Bausteine: ST72F62 in SDIP42-Paket und ST72F63B in SDIP32-Paket. • Eine USB-Evaluierungskarte • CD-ROMs

ST7MDT20-EVY/US und ST7MDT20-EVC/US:

Diese Karten sollen Benutzern helfen, die Arbeit mit ST7-Bausteinen zu beginnen, oder sie sollen sie beim Testen und der Evaluierung von Peripheriegeräten unterstützen (SPI, I²C, ADC, etc.). Sie können mit einem Baustein, dem Emulator oder dem Entwicklungskit verwendet werden.

MERKMALE:

• LEDs • Trimmer • ISP-Steckverbinder zur Programmierung von Flash-Bausteinen • Reset-Taste • Externes Unterbrechungsmanagement • Summer • SPI, I²C, EEPROM • CAN-Kommunikation

Unterstützte Bausteine: ST72124, ST72311, ST72311Rx, ST72314, ST72321, ST72324, ST72331, ST72334, ST7251x, ST72521 in QFP64

Inhalt:

• MDT20-Platine • Netzteil • ISP/ICP-Steckverbinder zur Programmierung von Flash-Bausteinen • Übungshandbuch (mit detaillierter Beschreibung der Karte)

Beschreibung	Digi-Key Teilenr.	Stückpreis	STMicroelectronics Teilenr.
Evaluierungsmodul für Serie ST7	497-2895-ND	278.45	ST7FOPTIONS-EVAL
Niedriggeschwindigkeits-USB-Evaluierungskarte	497-2903-ND	101.25	ST7MDTULS-EVAL
Evaluierungskarte zur Schulung	497-2898-ND	548.09	ST7MDT20-EVY/US
Evaluierungskarte zur Schulung	497-2897-ND	1073.07	ST7MDT20-EVC/US

DK3300-ELCD Entwicklungskit

Die DK3300-ELCD-Karte ist eine Demo-Karte für die uPSD3300-Gruppe, die aus einer Reihe von Mikrocontrollern der Klasse 8051 (MCUs) besteht und einen neuen schnellen Turbo 8032 Kern mit einem großen Dual Bank Flash-Speicher, einen großen SRAM, viele Peripheriebauteile, programmierbare Logik und einen JTAG Debug/In System Programming (ISP) Port enthalten.

Der DK3300-ELCD bietet alles Zubehör, das zur Erforschung der uPSD3300 MCU nötig ist. Im Kit inbegriffen sind Demo-Anwendungsmuster und eine Kopie der Evaluierungs-Tools, die zur Entwicklung und für den Kompiliercode des uPSD3300 erforderlich sind. Das Kit enthält auch die notwendigen Adapter zum Programmieren des Flash im uPSD und zum Zugriff auf den integrierten JTAG Debug-Port.

497-3750-ND **164.27**

DK900-Entwicklungskit

Das Kit enthält:

• DK900-Evaluierungskarte mit einer 8051 MCU • FlashLINK JTAG systemeigener Programmierer (ISP) • Detailliertes DK900-Handbuch für die 8051 MCU • Flash PSD-Muster in PLCC52 • UART- und JTAG-Kabel • 110 V Stromversorgung

Herunterladbare Software:

• PSDsoft Express • PSDload (Version 1.10) - Ein serielles Windows-Kommunikationsprogramm (selbst-extrahierende Datei „archive load.exe" herunterladen) • DK900 8051 Demo enthält Demos für 8051- und 8051XA- Implementierungen • PSDstep - Serielles Kommunikationsprotokoll-Handbuch (Format: MS Word doc) • PSDloadman - Serielles Kommunikationsreferenzdokument (Format: MS Word doc)

497-2380-ND **87.17**

DK3200-Entwicklungskit

Merkmale: • Flexing und Debugging • Keil ISD51 Hintergrund-Debugger läuft auf UART • Leichter Anschluss des Schaltkreis-Emulators, ohne Adapter • Direkter Anschluss von HP-Logikanalysatorkabeln an die Erweiterungssteckverbinder; zuverlässige 0,15 µm NOR Flash-Technologie

497-2379-ND **132.07**

EK3L02AQ-Evaluierungskarte

Diese Karte hilft beim Evaluieren der LIS3L02AQ MEMS Beschleunigungsmessgeräte in QFN-Paketen mit Analogausgang. Sie implementiert eine typische Anwendung, bestehend aus dem Beschleunigungsmessgerät und dem Schiene-an-Schiene-Präzisionspuffer TS924. Die Versorgungsspannung wird durch einen LE00AB/C Spannungsregler erzeugt; dieser verwaltet die richtige Stromversorgung für das LIS3L02AQ-Produkt. Alle Teile auf der Karte des EK3L02AQ Evaluierungskits sind STMicroelectronics-Komponenten.

497-3588-ND **44.02**

EK3L02AS4 Evaluierungskarte

Hilft beim Evaluieren der LIS3L02AS4 MEMS Beschleunigungsmessgeräte in SO24-Paketen mit dem Analogausgang. Sie implementiert eine typische Anwendung, bestehend aus dem Beschleunigungsmessgerät und dem Schiene-an-Schiene-Präzisionspuffer TS924. Die Versorgungsspannung wird durch einen LE00AB/C Spannungsregler erzeugt; dieser verwaltet die richtige Stromversorgung für das LIS3L02AS4-Produkt. Alle Teile auf der Karte des EK3L02AS4 Evaluierungskits sind STMicroelectronics-Komponenten.

497-3589-ND **44.02**

EK3L02DQ Evaluierungskarte

Diese Karte hilft beim Evaluieren der LIS3L02DQ MEMS Beschleunigungsmessgeräte in QFN-Paketen mit Digitalausgang. Sie implementiert eine typische Anwendung, sodass der Benutzer die vom LIS3L02DQ-Produkt ertasteten Daten erfassen und über die SPI-Schnittstelle, die in dem LIS3L02DQ-Produkt eingebettet ist, ausgeben kann.

Auf der EK3L02DQ-Karte befinden sich auch der ST72264-Mikrocontroller, der Beschleunigungsdaten bei maximaler Auflösung und einer Messrate von 280 Hz erfasst. Die Beschleunigungsdaten werden dann über eine RS232/UART-Standardschnittstellenverbindung dem externen Host mitgeteilt und vom ST3232-Controller auf der EK3L02DQ-Karte akzeptiert.

497-4126-ND **77.04**

Bschleunigungsmesser für EK3L02DQ

497-4129-ND	Inerter Sensor: 3-achsig - 2 g Digitalausgang, Linearbeschleunigungsmesser	**13.46**
497-4127-ND	Inerter Sensor: 3-achsig - 2 g/6 g Linearbeschleunigungsmesser	**9.25**
497-4128-5-ND	Inerter Sensor: 3-achsig - 2 g/6 g Linearbeschleunigungsmesser	**16.85**

SofTec MICROSYSTEMS
Development Tools for the Embedded World

ST5 und ST7 Entwicklungskits

Die benutzerfreundlichen inDART Entwicklungskits sind leistungsstarke Tools auf Anfangsebene für ST5- und ST7-basierte Systeme. Diese Kits bieten die Möglichkeit zum Schreiben, Kompilieren, Herunterladen und In-Circuit-Emulieren und Debugging Ihres Codes. Unterstützt ISP (In-System-Programming) zum Programmieren des Flash auf der Ziel-MCU.

Merkmale: • Preiswert und leicht zu verwenden • ISP/ICP-Programmierung • USB-Schnittstelle • Schaltkreis-Debugging

Das Kit enthält: • inDART-Karte, Demo-Karte, Starteranleitung, CodeWarrior, STVD7 (ST Visual Debug) und DataBlaze-Software

Beschreibung	Digi-Key Teilenr.	Stückpreis	SofTec Teilenr.
ST52F Designkit	520-1018-ND	253.13	INDART-STX/500
ST72F6 Designkit	520-1019-ND	253.13	INDART-STX/264
ST72F321, F521 Designkit	520-1020-ND	295.46	INDART-STX/521
ST7FLITE0 Designkit	520-1021-ND	253.13	INDART-STX/LITE0
ST7FLITE1x, ST7FLITE2x Designkit	520-1022-ND	253.13	INDART-STX/LITE2
ST72C1xx, 2xx Designkit	520-1024-ND	210.80	INDART-ST72C254
ST72C3xx Designkit	520-1025-ND	210.80	INDART-ST72C334

ST5-und ST7 Tools

INDART-STX/D:
• Leistungsstarkes Tool für In-Circuit-Programming/Debugging • Support für große Bausteine • USB-Schnittstelle

Das Kit enthält: • Entwicklungskarte • CodeWarrior, STVD7 und DataBlaze Software • Startanleitungen

IPL-ST7: • Diese Dynamic Link-Bibliothek enthält alle niedrigen Funktionen, mit denen Benutzer Befehle und Funktionen von der DataBlaze-Benutzerschnittstelle innerhalb ihrer eigenen Windows-Anwendung einrichten und ausführen können.

INDART-ST72C/SK: • Preiswerte Lösung zum Schreiben, Kompilieren, Herunterladen und In-Circuit-Debugging von Benutzercode • Aufgrund der Programmausführung bei voller Geschwindigkeit können Hardware und Software in Echtzeit getestet werden.

Das Kit enthält: • Evaluierungskarte • STVD7 (ST Visual Debug) und DataBlaze Software • Startanleitungen

PK-ST7FLITE2: Tool zur Einführung in die ST7FLITE2 MCU. **Merkmale:** • Echtzeit-Code-Ausführung • Schaltkreis-Debugging • System-Programmierung und -Debugging • Demobereich • Prototypbereich

Das Kit enthält: • Evaluierungskarte • USB-Kabel • STVD7, CodeWarrior und Cosmic C Software • "Quickstart"-Poster • Benutzerhandbuch

AK-ST7FMC: Zeigt, wie effizient die Mikrocontroller der Serie ST7FMC in realen Motorsteuerungsanwendungen eingesetzt werden können.

Das Kit enthält: • Motorsteuerungskarte • BLDC-Motor • In-Circuit-Debugger/Programmierer • Optoisolierkarte • Motorkabel, Netzkabel, USB-Kabel, ISP-Kabel • CD-ROM mit System-Software • "Quickstart"-Poster • Benutzerhandbuch

Beschreibung	Digi-Key Teilenr.	Stückpreis	SofTec Teilenr.
ST5/ST7 In-Circuit Debugkit	520-1017-ND	210.80	INDART-STX/D
Programmierbibliothek für ST7	520-1026-ND	304.78	IPL-ST7
ST72C Starterkit	520-1023-ND	126.14	INDART-ST72C/SK
ST7FLITE2 Starterkit	520-1030-ND	41.48	PK-ST7FLITE2
ST7MC Anwendungskit	520-1031-ND	588.39	AK-ST7FMC

Serie inDART und Starterkits

SERIE inDART: Hier handelt es sich um ein leistungsstarkes Tool der Anfangsebene für MCU-basierte Systeme von Freescale Semiconductor, Inc. (früher Motorola SPS). inDart nutzt Metrowerks CodeWarrior HC08 IDE (Integrated Development Environment) und die ISP (In-System Programming) -Funktion zum Programmieren des Flash-Speichers der Freescale-Mikrocontroller-Gruppe. InDART bietet alles, was zum Herunterladen (Programm), zur Schaltkreis-Emulation und zum Debugging von Benutzer-Code notwendig ist. Aufgrund der Programmausführung bei voller Geschwindigkeit können Hardware und Software in Echtzeit getestet werden.

Merkmale: • Preiswerte und leicht zu verwendende Kits • ISP/ICP-Programmierung • USB-Schnittstelle • Schaltkreis-Debugging **Das Kit enthält:** • inDART-Karte und Demo-Karte mit Prototyping-Bereich • USB-Kabel • Software CodeWarrior CD und Softec System CD) • „Getting Started" - Einführungshandbuch

Starterkits: Diese Starterkits sind Tools der Anfangsebene zur Einführung in die verschiedenen Mikrocontroller von Freescale Semiconductor, Inc. (früher Motorola SPS). Diese Kits und die inbegriffene CodeWarrior Software erleichtern das Schreiben, Kompilieren, Herunterladen, In-Circuit-Emulieren und Debugging von Benutzercode. Ein Prototyperstellungsbereich gestattet die Entwicklung Ihrer eigenen kleinen Anwendungen.

Merkmale: • Preiswerte und leicht zu verwendende Kits • Vollgeschwindigkeits-Programmausführung zum Testen von Hardware und Software • Schaltkreis-Debugging und -Emulation • Serielle Schnittstelle **Das Kit enthält:** • Evaluierungskarte mit Prototyping-Bereich • Startanleitungen • Serielles Kabel

ANWENDUNGSKIT: Ein integriertes System, das dem Benutzer eine komplette eingebettete Ethernet-Anwendung zur Verfügung stellt.

Merkmale: • MC9S12NE64 Mikrocontroller • 10/100 BaseT • 8 Mbit serieller Flash-Speicher • 4 Kbit serieller EEPROM • BDM-Steckverbinder für In-Circuit-Debugging • RS232-Steckverbinder mit Transceiver • 8 Benutzer-LED-Anzeigen • LAN status LED-Anzeigen • Lautsprecher • Temperatursensor • 12 V DC Motor mit MC33887 H-Brückentreiber • Prototypbereich **Das Kit enthält:** • Evaluierungskarte • Ethernet-Kernmodul • AC-Adapter • Ethernet-Übergangskabel und ein serielles Kabel • CD-ROM mit System-Software • CodeWarrior CD-ROM • Benutzerhandbuch

Unterstützte Geräte	Digi-Key Teilenr.	Stückpreis	SofTec Teilenr.
HC08			
MC68HC908xx, MC68HLC908xx	520-1000-ND	210.80	INDART-HC08/D
MC68HC908GPxx, MC68HC908GTxx	520-1001-ND	253.13	INDART-HC08/GP
MC68HC908GRxx, MC68HC908GZxx	520-1002-ND	253.13	INDART-HC08/GZ
MC68HC908GZ32, 48, 60	520-1003-ND	253.13	INDART-HC08/GZ64
MC68HC908JKxx	520-1004-ND	253.13	INDART-HC08/JK
MC68HC908JLxx	520-1005-ND	253.13	INDART-HC08/JL
MC68HC908QBxx, MC68HLC908QYxx	520-1006-ND	253.13	INDART-HC08/QY
MC68HC908APxx	520-1007-ND	253.13	INDART-HC08/AP
HCS08			
MC9S08xx	520-1008-ND	210.80	INDART-HCS08/D
MC9S08GB60	520-1009-ND	253.13	INDART-HCS08/GB
MC9S08RG60	520-1029-ND	253.13	INDART-HCS08/RG60
HCS12			
MC9S12xx	520-1010-ND	380.12	INDART-HCS12/D
MC9S12C32	520-1011-ND	422.45	INDART-HCS12/C32
MC9S12DP256	520-1012-ND	422.45	INDART-HCS12/DP256
MC9S12E128	520-1013-ND	422.45	INDART-HCS12/E128
Serie PK— Starterkits			
MC68HC908QY4	520-1028-ND	83.81	PK-HC08QY4
MC9S08GB60	520-1014-ND	83.81	PK-HCS08GB60
MC9S12C32	520-1015-ND	83.81	PK-HCS12C32
MC9S12E128	520-1016-ND	83.81	PK-HCS12E128
Anwendungskit			
MC9S12NE64	520-1027-ND	380.12	AK-S12NE64-A

Alle Preisangaben in Euro und inklusive Zollgebühren.

Mikrocontroller – 8-Bit und 16-Bit

HC705-Gruppe — 8-Bit

Merkmale: • 68HC05 CPU mit zusätzlichem EPROM-Speicher • Voll statisches Design erlaubt Betrieb bis auf DC abwärts • 8-Bit Akkumulator • 8-Bit Indexregister • 16-Bit Stapelzeiger • On-Chip Oszillator • 16-Bit Timer mit eingebautem Prescaler oder 15-Bit MFT-Timer • COP Watchdog-Schutz • Niedrigleistungs-Modi STOPP und WARTEN • SPI, SCI oder SIOP verfügbar • Acht Adressiermodi

RAM (Bytes)	EEPROM (Bytes)	EPROM/ OTP (Bytes)	E/A	A/D	Timer	Serial	PWM	COP	Betriebs-spannung (V)	Max. Bus-Frequ. (MHz)	Temp. (°C)	Paket	Digi-Key Teilenr.	Stückpreis 1	25	100	Freescale Teilenr.
64	—	1.2K	10	—	MFT, RTI	—	—	Y	3.3, 5.0	4.0	-40–85	16-SOIC	MC68HC705KJ1CDW-ND	2.26	1.38	1.19	MC68HC705KJ1CDW
64	—	1.2K	14	—	MFT, RTI	—	—	Y	3.3, 5.0	4.0	-40–85	20-Dip	MC68HC705J1ACP-ND	2.96	1.90	1.72	MC68HC705J1ACP
64	—	1.2K	14	—	MFT, RTI	—	—	Y	3.3, 5.0	4.0	-40–85	20-SOIC	MC68HC705J1ACDW-ND	2.96	1.90	1.72	MC68HC705J1ACDW
176	—	4.5K	21	4-Kan., 8-Bit	16-Bit, 1 IC, 1 OC	SIOP	—	Y	3.3, 5.0	2.1	-40–85	28-Dip	MC68HC705P6ACP-ND	4.40	2.67	2.55	MC68HC705P6ACP
176	—	4.5K	21	4-Kan., 8-Bit	16-Bit, 1 IC, 1 OC	SIOP	—	Y	3.3, 5.0	2.1	-40–85	28-SOIC	MC68HC705P6ACDW-ND	4.40	2.67	2.55	MC68HC705P6ACDW
192	—	3.75K	32	4-Kan., 8-Bit	8-Bit	—	—	—	3.3, 5.0	2.1	-40–85	40-Dip	MC68HC705SR3CP-ND	12.05	9.11	8.40	MC68HC705SR3CP
224	—	6.0K	14	4-Kan., 12-Bit	16-Bit	SIOP	—	Y	3.3, 5.0	2.1	-40–85	20-SOIC	MC68HC705JJ7CDW-ND	5.11	3.10	2.96	MC68HC705JJ7CDW
224	—	6.0K	22	4-Kan., 12-Bit	16-Bit	SIOP	—	Y	3.3, 5.0	2.1	-40–85	28-SOIC	MC68HC705JP7CDW-ND	4.53	3.24	2.94	MC68HC705JP7CDW
304	—	8.0K	31	—	16-Bit, 1 IC, 1 OC	SCI, SPI	—	Y	3.3, 5.0	4.0	-40–85	40-Dip	MC68HC705C8ACP-ND	7.82	5.34	5.08	MC68HC705C8ACP
304	—	8.0K	31	—	16-Bit, 1 IC, 1 OC	SCI, SPI	—	Y	3.3, 5.0	4.0	-40–85	44-PLCC	MC68HC705C8ACFN-ND	7.82	5.34	5.08	MC68HC705C8ACFN
304	—	8.0K	31	—	16-Bit, 1 IC, 1 OC	SCI, SPI	—	Y	3.3, 5.0	4.0	-40–85	44-QFP	MC68HC705C8ACFB-ND	7.82	5.34	5.08	MC68HC705C8ACFB
352	—	16K	31	—	16-Bit, 1 IC, 1 OC	SCI, SPI	—	Y	3.3, 5.0	2.1	-40–85	40-Dip	MC68HC705C9ACP-ND	8.84	6.69	6.16	MC68HC705C9ACP
352	—	16K	31	—	16-Bit, 1 IC, 1 OC	SCI, SPI	—	Y	3.3, 5.0	2.1	-40–85	44-PLCC	MC68HC705C9ACFN-ND	8.84	6.69	6.16	MC68HC705C9ACFN
352	—	16K	31	—	16-Bit, 1 IC, 1 OC	SCI, SPI	—	Y	3.3, 5.0	2.1	-40–85	44-QFP	MC68HC705C9ACFB-ND	8.84	6.69	6.16	MC68HC705C9ACFB
352	256	15K	32	8-Kan., 8-Bit	16-Bit, 2 IC, 2 OC	SCI	2-Kan., 8-Bit	Y	3.3, 5.0	2.1	-40–85	52-PLCC	MC68HC705B16NCFN-ND	11.51	8.71	8.03	MC68HC705B16NCFN
528	256	32K	32	8-Kan.	4-Kan.	SCI	2-Kan., 8-Bit	Y	3.3, 5.0	2.1	-40–85	56-Dip	XC68HC705B32CB-ND	17.92	14.06	13.25	XC68HC705B32CB
528	256	32K	32	8-Kan.	4-Kan.	SCI	2-Kan., 8-Bit	Y	3.3, 5.0	2.1	-40–85	52-PLCC	XC68HC705B32CFN-ND	17.92	14.06	13.25	XC68HC705B32CFN
304	—	8K + 8K	31	—	2-Kan.	SCI, SPI	—	Y	3.3, 5.0	2.1	-40–85	42-Dip	MC68HC705C8AB-ND	7.82	5.34	5.08	MC68HC705C8AB
176	—	4.6K	21	4-Kan., 8-Bit	2-Kan.	SIOP	—	Y	3.3, 5.0	2.1	-40–85	28-SOIC	MC68HC705P6AMDW-ND	4.83	2.93	2.80	MC68HC705P6AMDW
64	—	1.2K	10	—	2-Kan., 16-Bit	—	—	Y	3.3, 5.0	2.1	-40–85	16-Dip	MC68HRC705KJ1CP-ND	2.25	1.37	1.19	MC68HRC705KJ1CP

HC711-Gruppe — 8-Bit

Merkmale: • 68HC11 CPU mit zusätzlichem EPROM-Speicher • Voll statisches Design erlaubt Betrieb bis auf DC abwärts • Zwei 8-Bit Akkumulatoren • Zwei 16-Bit Indexregister • 16-Bit Stapelzeiger • 16-Bit Timer mit eingebautem Prescaler • COP Watchdog-Schutz • Niedrigleistungs-Modi STOPP und WARTEN • SPI, SCI • Sechs Adressiermodi (sofort, direkt, erweitert, indiziert, inhärent und relativ) • 16/16 Ganzzahl- und Bruchteil-Unterteilungen • 8 x 8 Multiplikation

RAM (Bytes)	EEPROM (Bytes)	EPROM/OTP (Bytes)	Timer	E/A	A/D	Betriebssp. (V)	Max. Bus-Frequ. (MHz)	Temp. (°C)	Paket	Digi-Key Teilenr.	Stückpreis 1	25	100	Freescale Teilenr.
192	—	4K	16-Bit, RTI	32	—	5.0	2.0	-40–85	44-PLCC	MC68HC711D3CFN2-ND	8.35	6.32	5.83	MC68HC711D3CFN2
786	512	20K	16-Bit, RTI	38	8-Kan., 8-Bit	5.0	3.0	-40–85	52-PLCC	MC68HC711E20CFN3-ND	19.47	15.28	14.39	MC68HC711E20CFN3
512	512	12K	8-Kan., 16-Bit	38	8-Kan., 8-Bit	5.0	2.0	-40–85	52-PLCC	MC68S711E9CFN2-ND	15.54	11.76	10.84	MC68S711E9CFN2
512	512	12K	16-Bit, RTI	38	8-Kan., 8-Bit	5.0	3.0	-40–85	52-PLCC	MC68HC711E9CFN3-ND	14.85	11.23	10.36	MC68HC711E9CFN3
768	512	20K	16-Bit, RTI	38	8-Kan., 8-Bit	5.0	2.0	-40–85	52-PLCC	MC68HC711E20CFN2-ND	18.55	14.55	13.71	MC68HC711E20CFN2
512	512	12K	16-Bit, RTI	38	8-Kan., 8-Bit	5.0	2.0	-40–85	52-PLCC	MC68HC711E9CFN2-ND	14.14	10.69	9.86	MC68HC711E9CFN2
768	640	24K	16-Bit, RTI	62	8-Kan., 8-Bit	5.0	4.0	-40–85	80-QFP	MC68HC711K4CFU4-ND	23.34	18.31	17.25	MC68HC711K4CFU4
768	512	20K	8-Kan., 16-Bit	38	8-Kan., 8-Bit	5.0	4.0	-40–85	52-PLCC	MC68HC711E20CFN4-ND	20.41	16.01	15.08	MC68HC711E20CFN4
512	512	12K	8-Kan., 16-Bit	38	8-Kan., 8-Bit	5.0	2.0	-40–85	64-QFP	MC68HC711E9CFU2-ND	14.14	10.69	9.86	MC68HC711E9CFU2
512	512	24K	8-Kan., 16-Bit	38	8-Kan., 8-Bit	5.0	2.0	-40–85	52-PLCC	MC68HC711E9VFN2-ND	14.85	11.23	10.36	MC68HC711E9VFN2
768	640	24K	8-Kan., 16-Bit	62	8-Kan., 8-Bit	5.0	4.0	-40–85	84-PLCC	MC68HC711K4CFN4-ND	23.34	18.31	17.25	MC68HC711K4CFN4
1K	640	32K	8-Kan., 16-Bit	62	8-Kan., 8-Bit	5.0	4.0	-40–85	84-PLCC	MC68HC711P2CFN4-ND	37.11	28.20	27.42	MC68HC711P2CFN4

HC11-Gruppe — 8-Bit

Merkmale: • Voll statisches Design erlaubt Betrieb bis auf DC abwärts • Zwei 8-Bit Akkumulatoren • Zwei 16-Bit Indexregister • 16-Bit Stapelzeiger • 16-Bit Timer mit eingebautem Prescaler • COP Watchdog-Schutz • Niedrigleistungs-Modi STOPP und WARTEN • SPI, SCI • Sechs Adressiermodi (sofort, direkt, erweitert, indiziert, inhärent und relativ) • 16/16 Ganzzahl- und Bruchteil-Unterteilungen • 8 x 8 Multiplikation

RAM (Bytes)	EEPROM (Bytes)	PWM	Timer	E/A	A/D	Betriebssp. (V)	Max. Bus-Frequ. (MHz)	Temp. (°C)	Paket	Digi-Key Teilenr.	Stückpreis 1	25	100	Freescale Teilenr.
512	512	—	16-Bit, RTI, PWM	38	8-Kan., 8-Bit	5.0	3.0	-40–85	52-PLCC	MC68HC11E1CFN3-ND	9.10	6.81	6.36	MC68HC11E1CFN3
	—	—	16-Bit, RTI, PWM	38	8-Kan., 8-Bit	5.0	2.0	-40–85	52-PLCC	MC68HC11E0CFN2-ND	8.43	6.38	5.88	MC68HC11E0CFN2
	512	—	16-Bit, RTI, PWM	38	8-Kan., 8-Bit	5.0	2.0	-40–85	52-PLCC	MC68HC11E1CFN2-ND	8.70	6.59	6.07	MC68HC11E1CFN2
	512	—	16-Bit, RTI, PWM	38	8-Kan., 8-Bit	5.0	2.0	-40–85	52-PLCC	MC68HC11E1CFN2TR-ND		2674.79/450		MC68HC11E1CFN2R2
768	640	4-Kan., 8-Bit oder 2-Kan., 16-Bit	16-Bit, RTI, PWM	37	8-Kan., 8-Bit	5.0	4.0	-40–85	84-PLCC	MC68HC11K1CFN4-ND	15.56	11.77	10.85	MC68HC11K1CFN4
1K	512	8-Kan., 8-Bit	16-Bit, RTI, PWM	30	—	5.0	2.0	-40–85	68-PLCC	MC68HC11F1CFN2-ND	9.60	7.26	6.70	MC68HC11F1CFN2
	512	8-Kan., 8-Bit	16-Bit, RTI, PWM	30	—	5.0	3.0	-40–85	68-PLCC	MC68HC11F1CFN3-ND	10.05	7.61	7.01	MC68HC11F1CFN3
	512	8-Kan., 8-Bit	16-Bit, RTI, PWM	30	—	5.0	3.0	-40–85	68-PLCC	MC68HC11F1CFN3TR-ND		1785.69/250		MC68HC11F1CFN3R2
	512	8-Kan., 8-Bit	16-Bit, RTI, PWM	30	—	5.0	4.0	-40–85	68-PLCC	MC68HC11F1CFN4-ND	10.54	7.97	7.35	MC68HC11F1CFN4
	512	8-Kan., 8-Bit	16-Bit, RTI, PWM	30	—	5.0	4.0	-40–85	80-LQFP	MC68HC11F1CPU4-ND	10.54	7.97	7.35	MC68HC11F1CPU4
	512	8-Kan., 8-Bit	16-Bit, RTI, PWM	30	8-Kan., 8-Bit	5.0	4.0	-40–85	68-PLCC	MC68HC11F1CFN4RCT-ND	10.03	7.59	7.00	MC68HC11F1CFN4R2
	512	8-Kan., 8-Bit	16-Bit, RTI, PWM	30	8-Kan., 8-Bit	5.0	4.0	-40–85	68-PLCC	MC68HC11F1CFN4RTR-ND		1870.77/250		MC68HC11F1CFN4R2

M68HC908QT/QY — 8-Bit

Die MC68HC08-Gruppe ist ein preiswerter, leistungsstarker, Computer mit komplexem Befehlssatz (CISC) und mit einer von-Neumann-Architektur. **Merkmale:** • Erweitertes HC05-Programmiermodell • Umfangreiche Schleifensteuerfunktionen • 16 Adressiermodi • 16-Bit Indexregister und Stapelzeiger • Datenübertragung Speicher-an-Speicher • Objektcode ist zur einfachen Migration mit der 68HC05-Architektur von Freescale kompatibel • Für effizientes modulares Kodieren in Assembly oder C entwickelt, mit vollem 16-Bit Stapelzeiger und stapelbezogener Adressierung
• Effizienter Befehlssatz mit Multiplikation und Division, der leicht zu verstehen und anzuwenden ist
Speicher: • In der Anwendung, im Schaltkreis reprogrammierbarer Flash-Speicher (1,5 KB bis 4 KB) • 128 Byte Arbeitsspeicher (RAM)
Peripheriegeräte: • Zwei-Kanal, 16-Bit Timer mit wahlweiser Eingangserfassung, Ausgangsvergleich oder Impulsbreiten-Modulation (PWM) • Interner Taktoszillator reduziert Kartenplatzanforderung und Systemkosten durch Beseitigung von externen Komponenten • Flexibler E/A gestattet die Beseitigung externer Treiber mit dem Direktlaufwerk von LED- und anderen Schaltungen und trägt so zur Senkung der Systemkosten bei • Systemschutzfunktionen, einschließlich Watchdog Timer und On-Chip-Niederspannungserkennung/Rücksetzung tragen zur Kostensenkung und erhöhten Zuverlässigkeit der **68HC908QT4 Demo-Karte (M68DEMO908QT4)** bei.

Diese Demokarte erlaubt die Verwendung der enthaltenen CodeWarrior Development Studio Special Edition zur Modifizierung von Demo-Codes oder Entwicklung neuer Codes mit ASM oder C und das anschließende Programmieren von Flash und Debugging in Echtzeit, alles ohne zusätzliche Hardware.
Merkmale: • Batteriebetriebenes 8-Pin QT4-Gerät • LEDs für Benutzer-Feedback • Potentiometer für A/D-Eingang • Drucktasten für Benutzereingabe • Zugriff auf alle E/A für vom Benutzer bereitgestellte Prototypen • Software-Demo mit Anwendungscode, unter Verwendung von A/D, Timer und E/A

RAM (Bytes)	Flash (Bytes)	Timer	E/A	A/D	Betriebs-spannung (V)	Max. Bus-Frequenz @ 5 V (MHz)	Temperatur (°C)	Paket*	Digi-Key Teilenr.	Stückpreis 1	25	100	Freescale Teilenr.
	1.5K	2-Kan., 16-Bit	5	—	3.0-5.0	8	-40–85	8-Dip	MC68HC908QT1CP-ND	1.71	1.05	.90	MC68HC908QT1CP
	1.5K	2-Kan., 16-Bit	5	—	3.0-5.0	8	-40–85	8-SOIC	MC68HC908QT1CDW-ND	1.71	1.05	.90	MC68HC908QT1CDW
	1.5K	2-Kan., 16-Bit	5	4-Kan., 8-Bit	3.0-5.0	8	-40–85	8-Dip	MC68HC908QT2CP-ND	2.06	1.25	1.08	MC68HC908QT2CP
	1.5K	2-Kan., 16-Bit	5	4-Kan., 8-Bit	3.0-5.0	8	-40–85	8-SOIC	MC68HC908QT2CDW-ND	2.06	1.25	1.08	MC68HC908QT2CDW
	4K	2-Kan., 16-Bit	5	4-Kan., 8-Bit	3.0-5.0	8	-40–85	8-Dip	MC68HC908QT4CP-ND	2.42	1.48	1.28	MC68HC908QT4CP
	4K	2-Kan., 16-Bit	5	4-Kan., 8-Bit	3.0-5.0	8	-40–85	8-SOIC	MC68HC908QT4CDW-ND	2.42	1.48	1.28	MC68HC908QT4CDW
	1.5K	2-Kan., 16-Bit	13	—	3.0-5.0	8	-40–85	16-Dip	MC68HC908QY1CP-ND	1.93	1.18	1.02	MC68HC908QY1CP
	1.5K	2-Kan., 16-Bit	13	—	3.0-5.0	8	-40–85	16-SOIC	MC68HC908QY1CDW-ND	1.93	1.18	1.02	MC68HC908QY1CDW
128K	1.5K	2-Kan., 16-Bit	13	—	3.0-5.0	8	-40–85	16-TSSOP	MC68HC908QY1CDT-ND	2.15	1.31	1.13	MC68HC908QY1CDT
	1.5K	2-Kan., 16-Bit	13	4-Kan., 8-Bit	3.0-5.0	8	-40–85	16-Dip	MC68HC908QY2CP-ND	2.28	1.39	1.20	MC68HC908QY2CP
	1.5K	2-Kan., 16-Bit	13	4-Kan., 8-Bit	3.0-5.0	8	-40–85	16-SOIC	MC68HC908QY2CDW-ND	2.28	1.39	1.20	MC68HC908QY2CDW
	1.5K	2-Kan., 16-Bit	13	4-Kan., 8-Bit	3.0-5.0	8	-40–85	16-TSSOP	MC68HC908QY2CDT-ND	2.42	1.48	1.28	MC68HC908QY2CDT
	4K	2-Kan., 16-Bit	13	4-Kan., 8-Bit	3.0-5.0	8	-40–85	16-Dip	MC68HC908QY4CP-ND	2.57	1.65	1.49	MC68HC908QY4CP
	4K	2-Kan., 16-Bit	13	4-Kan., 8-Bit	3.0-5.0	8	-40–85	16-SOIC	MC68HC908QY4CDW-ND	2.57	1.65	1.49	MC68HC908QY4CDW
	4K	2-Kan., 16-Bit	13	4-Kan., 8-Bit	3.0-5.0	8	-40–85	16-TSSOP	MC68HC908QY4CDT-ND	2.82	1.81	1.64	MC68HC908QY4CDT
	4K	2-Kan., 16-Bit	13	4-Kan., 8-Bit	2.2, 3.6	2.0	0–70	32-LQFP	MC908QF4FJ-ND	4.64	2.82	2.69	MC908QF4FJ
	4k	2-Kan., 16-Bit	13	4-Kan., 8-Bit	2.2, 3.6	2.0	-40–85	32-LQFP	MC908QF4CFJ-ND	4.85	2.94	2.81	MC908QF4CFJ
	4K	2-Kan., 16-Bit	13	6-Kan., 10-Bit	3.3-5.0	8	-40–125	16-SOIC	MC908QL4MDW-ND	4.64	2.82	2.69	MC908QL4MDW
	4K	2-Kan., 16-Bit	13	6-Kan., 10-Bit	3.3-5.0	8	-40–125	16-TSSOP	MC908QL4MDT-ND	4.87	2.96	2.82	MC908QL4MDT

* 8-Pin Paket haben 5 E/A und 16-Pin Paket haben 13 E/A

(Forts.)

M68HC908QT/QY — 8-Bit *(Forts.)*

RAM (Bytes)	Flash (Bytes)	Timer	E/A	A/D	Betriebs-spannung (V)	Max. Bus-Frequenz @ 5 V (MHz)	Temperatur (°C)	Paket*	Digi-Key Teilenr.	Stückpreis 1	25	100	Freescale Teilenr.
128K	4K	2-Kan., 16-Bit	14	4-Kan., 8-Bit	3.0-5.0	8	-40–85	16-TSSOP	MC68HC908QY4MDT-ND	3.09	1.99	1.79	MC68HC908QY4MDT
	4K	2-Kan., 16-Bit	14	4-Kan., 8-Bit	3.0-5.0	8	-40–85	16-TSSOP	MC68HC908QY4VDT-ND	2.96	1.90	1.72	MC68HC908QY4VDT
Zubehör													
Demo-Karte für Serie 908Q MCU 68HC08									M68DEMO908QT4-ND	23.92	22.49	21.59	M68DEMO908QT4
Evaluierungskarte für MC908QL4									M68EVB908QL4-ND	207.42	179.92	171.90	M68EVB908QL4
Evaluierungskarte für 908QF4									SCEB08QF4-ND	81.82	70.06	66.23	SCEB08QF4

* 8-Pin Paket haben 5 E/A und 16-Pin Paket haben 13 E/A

B

HC908-Gruppe — 8-Bit

Merkmale:

• 68HC08 CPU mit Flash-Speicher • Voll nach oben Code-kompatibel mit der 68HC05-Gruppe zur einfachen Migration • Voll statisches Design erlaubt Betrieb bis auf DC abwärts • 16-Bit Indexregister • 16-Bit Stapelzeiger • 2-, 4- oder 6-Kanal 16-Bit Timer mit eingebauten Prescalern • COP Watchdog-Schutz • Niedrigleistungs-Modi STOPP und WARTEN • USB, SPI, SCI und CAN2 verfügbar • A/D-Wandler verfügbar • 16 Adressiermodi • LVI (Niederspannungsunterdrückung) Versorgungsspannungsmonitor • 16/8 Division • 8 x 8 Multiplikation 68HC908AZ Zusatzmerkmal: MSCAN (Motorola Scalable Controller Area Network) Schnittstelle gemäß CAN 2.0B

FLASH (Bytes)	RAM (Bytes)	EEPROM (Bytes)	E/A	A/D	Timer (s) 16-Bit	SeriellI	PWM	Betriebs-spannung (V)	Max. Bus-Frequ. (MHz)	Temp. (°C)	Paket	Digi-Key Teilenr.	Stückpreis 1	25	100	Freescale Teilenr.
1.5K	128	—	15	10-Kan., 8-Bit	2-Kan.	—	Siehe Timer	3.3, 5.0	8.0	-40–85	20-SOIC	MC68HC908JK1CDW-ND	2.53	1.67	1.52	MC68HC908JK1CDW
	128	—	15	10-Kan., 8-Bit	2-Kan.	—	Siehe Timer	3.3, 5.0	8.0	-40–85	20-Dip	MC68HC908JK1CP-ND	2.53	1.67	1.52	MC68HC908JK1CP
	128	—	15	10-Kan., 8-Bit	2-Kan.	—	Siehe Timer	3.0, 5.0	8.0	-40–85	20-SOIC	MC68HC908JK1ECDW-ND	2.65	1.70	1.54	MC68HC908JK1ECDW
	128	—	15	10-Kan., 8-Bit	2-Kan.	—	Siehe Timer	3.0, 5.0	8.0	-40–85	20-SOIC	MC68HRC908JK1CDW-ND	2.65	1.70	1.54	MC68HRC908JK1CDW
	128	—	15	10-Kan., 8-Bit	2-Kan.	—	Siehe Timer	3.0, 5.0	8.0	-40–85	20-Dip	MC68HRC908JK1CP-ND	2.65	1.70	1.54	MC68HRC908JK1CP
2K	128	—	12	—	2-Kan.	—	Siehe Timer	2.0	4.0	-40–85	32-LQFP	MC68HC908RF2MFA-ND	5.82	4.16	3.78	MC68HC908RF2MFA
	192	—	13	4-Kan., 8-Bit	2-Kan.	SCI	Siehe Timer	3.0, 5.0	8.0	-40–85	16-SOIC	MC68HC908KX2CDW-ND	4.13	2.65	2.40	MC68HC908KX2CDW
4K	128	—	15	10-Kan., 8-Bit	2-Kan.	—	Siehe Timer	3.3, 5.0	8.0	-40–85	20-SOIC	MC68HC908JK3CDW-ND	3.18	2.15	1.97	MC68HC908JK3CDW
	128	—	15	10-Kan., 8-Bit	2-Kan.	—	Siehe Timer	3.3, 5.0	8.0	-40–85	20-Dip	MC68HC908JK3CP-ND	3.18	2.15	1.97	MC68HC908JK3CP
	128	—	15	10-Kan., 8-Bit	2-Kan.	—	Siehe Timer	3.0, 5.0	8.0	-40–85	20-SOIC	MC68HC908JK3ECDW-ND	3.50	2.24	2.03	MC68HC908JK3ECDW
	128	—	15	10-Kan., 8-Bit	2-Kan.	—	Siehe Timer	5.0	8.0	-40–85	20-Dip	MC68HC908JK3ECP-ND	3.50	2.24	2.03	MC68HC908JK3ECP
	128	—	15	10-Kan., 8-Bit	2-Kan.	—	Siehe Timer	3.0, 5.0	8.0	-40–85	20-SOIC	MC68HRC908JK3CDW-ND	3.18	2.15	1.97	MC68HRC908JK3CDW
	128	—	15	10-Kan., 8-Bit	2-Kan.	—	Siehe Timer	3.0, 5.0	8.0	-40–85	28-Dip	MC68HRC908JK3CP-ND	3.50	2.24	2.03	MC68HRC908JK3CP
	384	—	21	6-Kan., 8-Bit	3-Kan.	SCI, SPI	Siehe Timer	3.0, 5.0	8.2	-40–85	32-LQFP	MC68HC908GR4CFA-ND	4.77	2.89	2.76	MC68HC908GR4CFA
	128	—	23	12-Kan., 8-Bit	2-Kan.	—	Siehe Timer	3.3, 5.0	8.0	-40–85	28-SOIC	MC68HC908JL3CDW-ND	3.89	2.69	2.48	MC68HC908JL3CDW
	128	—	23	12-Kan., 8-Bit	2-Kan.	—	Siehe Timer	3.0	8.0	-40–85	28-Dip	MC68HC908JL3ECP-ND	4.44	2.85	2.58	MC68HC908JL3ECP
	128	—	23	12-Kan., 8-Bit	2-Kan.	—	Siehe Timer	3.0, 5.0	8.0	-40–85	28-Dip	MC68HC908JL3CP-ND	3.89	2.69	2.48	MC68HC908JL3CP
	128	—	23	10-Kan., 8-Bit	2-Kan.	—	Siehe Timer	3.0, 5.0	8.0	-40–85	28-SOIC	MC68HC908JL3ECDW-ND	4.44	2.70	2.58	MC68HC908JL3ECDW
	128	—	23	10-Kan., 8-Bit	2-Kan.	—	Siehe Timer	3.0, 5.0	8.0	-40–85	48-LQFP	MC68HC908JL3ECFA-ND	4.77	2.90	2.76	MC68HC908JL3ECFA
8K	192	—	13	4-Kan., 8-Bit	2-Kan.	SCI	Siehe Timer	3.0, 5.0	8.0	-40–85	16-SOIC	MC68HC908KX8CDW-ND	4.79	3.40	3.14	MC68HC908KX8CDW
	192	—	13	4-Kan., 8-Bit	2-Kan.	SCI	Siehe Timer	3.0, 5.0	8.0	-40–85	16-Dip	MC68HC908KX8CP-ND	4.79	3.40	3.14	MC68HC908KX8CP
	256	—	21	—	2-Kan.	USB1.1	Siehe Timer	5.0	3.0	-40–85	28-SOIC	MC68HC908JB8ADW-ND	2.64	1.87	1.73	MC68HC908JB8ADW
	256	—	37	—	2-Kan.	USB1.1	Siehe Timer	5.0	3.0	-40–85	44-QFP	MC68HC908JB8FB-ND	3.07	2.20	2.00	MC68HC908JB8FB
	256	—	13	—	1-Kan.	USB1.1	Siehe Timer	5.0	3.0	-40–85	20-SOIC	MC68HC908JB8JDW-ND	2.64	1.89	1.72	MC68HC908JB8JDW
	256	—	37	—	2-Kan.	USB1.1	Siehe Timer	4.0-5.5	6.0	-40–85	20-Dip	MC68HC908JB8JP-ND	2.72	1.94	1.77	MC68HC908JB8JP
	256	—	15	10-Kan., 8-Bit	2-Kan.	SCI	Siehe Timer	3.0, 5.0	8.0	-40–85	20-SOIC	MC68HC908JK8CDW-ND	4.94	3.54	3.21	MC68HC908JK8CDW
	256	—	23	10-Kan., 8-Bit	2-Kan.	—	Siehe Timer	3.0, 5.0	8.0	-40–85	28-SOIC	MC68HC908JL8CDW-ND	5.30	3.79	3.45	MC68HC908JL8CDW
	256	—	23	10-Kan., 8-Bit	2-Kan.	—	Siehe Timer	3.0, 5.0	8.0	-40–85	48-LQFP	MC68HC908JL8CFA-ND	5.81	4.15	3.77	MC68HC908JL8CFA
	256	—	12	7-Kan., 10-Bit	Zweif. 2-Kan.	SCI	6-Kan., 12-Bit	5.0	8.0	-40–85	28-SOIC	MC68HC908MR8CDW-ND	6.47	4.63	4.20	MC68HC908MR8CDW
	256	—	12	7-Kan., 10-Bit	Zweif. 2-Kan.	SCI	6-Kan., 12-Bit	5.0	8.0	-40–85	28-Dip	MC68HC908MR8CP-ND	6.47	4.63	4.20	MC68HC908MR8CP
	256	—	23	12-Kan., 8-Bit	2-Kan.	—	Siehe Timer	3.0, 5.0	8.0	-40–85	28-Dip	MC68HC908JL8CP-ND	5.30	3.79	3.45	MC68HC908JL8CP
	256	—	23	12-Kan., 8-Bit	2-Kan.	—	Siehe Timer	3.0, 5.0	8.0	-40–85	32-Dip	MC68HC908JL8CSP-ND	5.84	4.18	3.80	MC68HC908JL8CSP
	384	—	21	8-Kan., 8-Bit	2-Kan. + 1-Kan.	SCI, SPI	Siehe Timer	3.0, 5.0	8.0	-40–85	28-SOIC	MC68HC908GR8CDW-ND	5.93	4.24	3.85	MC68HC908GR8CDW
	512	—	36	8-Kan., 8-Bit	Zweif. 2-Kan.	SCI, SPI	Siehe Timer	3.0, 5.0	8.0	-40–85	44-QFP	MC68HC908GT8CFB-ND	6.29	4.50	4.09	MC68HC908GT8CFB
	512	—	34	8-Kan., 8-Bit	2-Kan.	ESCI, SPI	Siehe Timer	5.0	8.0	-40–85	42-Dip	MC68HC908GT8CB-ND	6.29	4.50	4.09	MC68HC908GT8CB
	1K	—	37	8-Kan., 10-Bit	Zweif. 2-Kan.	SCI, SPI, CAN2	Siehe Timer	5.0	8.0	-40–85	48-LQFP	MC68HC908GZ8CFA-ND	6.47	4.63	4.20	MC68HC908GZ8CFA
12K	512	—	30	11-Kan., 10-Bit	4-Kan.	IIC, SPI	Siehe Timer	3.0, 5.0	8.0	-40–85	42-Dip	MC68HC908SR12CB-ND	7.19	4.91	4.67	MC68HC908SR12CB
	512	—	20	4-Kan., 10-Bit	2-Kan.	SCI	Siehe Timer	3.0, 5.0	4.0	-40–85	52-QFP	MC68HC908LJ12CFB-ND	7.49	5.12	4.87	MC68HC908LJ12CFB
	512	—	32	6-Kan., 10-Bit	4-Kan.	SCI, SPI	Siehe Timer	3.0, 5.0	8.0	-40–85	64-QFP	MC68HC908LJ12CFU-ND	7.49	5.12	4.87	MC68HC908LJ12CFU
15K	512	—	24	8-Kan., 10-Bit	2-Kan.	ESCI, SCI, SPI	Siehe Timer	5.0	8.0	-40–85	32-LQFP	MC68HC908EY16VFA-ND	7.46	5.09	4.85	MC68HC908EY16VFA
16K	768	—	44	10-Kan., 10-Bitt	4-Kan. + 2-Kan.	SCI, SPI	Siehe Timer +6-Kan., 12-Bit	5.0	8.0	-40–85	64-QFP	MC68HC908MR16CFU-ND	7.40	5.48	5.11	MC68HC908MR16CFU
	768	—	37	9-Kan., 10-Bit	2-Kan.	SCI, SPI	Siehe Timer	5.0	8.2	-40–85	56-Dip	MC68HC908MR16CB-ND	8.09	5.52	5.25	MC68HC908MR16CB
	1K	—	21	8-Kan., 10-Bit	Zweif. 2-Kan.	SCI, SPI, CAN2	Siehe Timer	3.3, 5.0	8.0	-40–85	32-LQFP	MC68HC908GZ16CFJ-ND	7.55	5.15	4.90	MC68HC908GZ16CFJ
	1K	—	37	8-Kan., 10-Bit	Zweif. 2-Kan.	SCI, SPI, CAN2	Siehe Timer	3.3, 5.0	8.0	-40–85	48-LQFP	MC68HC908GZ16CFA-ND	7.55	5.15	4.90	MC68HC908GZ16CFA
	1K	—	21	8-Kan., 10-Bit	Zweif. 2-Kan.	SCI, SPI	Siehe Timer	3.3, 5.0	8.0	-40–85	32-LQFP	MC68HC908GR16CFJ-ND	7.19	4.91	4.67	MC68HC908GR16CFJ
	1K	—	37	8-Kan., 10-Bit	Zweif. 2-Kan.	SCI, SPI	Siehe Timer	3.3, 5.0	8.0	-40–85	48-LQFP	MC68HC908GR16CFA-ND	7.19	4.91	4.67	MC68HC908GR16CFA
32K	512	—	33	8-Kan., 10-Bit	Zweif. 2-Kan.	SCI, SPI	Siehe Timer	3.0, 5.0	8.0	-40–85	44-QFP	MC68HC908GP32CFB-ND	8.80	6.62	6.20	MC68HC908GP32CFB
	512	—	33	8-Kan., 10-Bit	Zweif. 2-Kan.	SCI, SPI	Siehe Timer	3.0, 5.0	8.0	-40–85	40-Dip	MC68HC908GP32CP-ND	8.80	6.62	6.20	MC68HC908GP32CP
	512	—	33	8-Kan., 10-Bit	4-Kan.	SCI, SPI	Siehe Timer	3.0, 5.0	8.2	-40–85	44-QFP	MC908GP32CFBR2CT-ND	9.11	6.89	6.36	MC908GP32CFBR2
	512	—	33	8-Kan., 10-Bit	4-Kan.	SCI, SPI	Siehe Timer	3.0, 5.0	8.2	-40–85	44-QFP	MC908GP32CFBR2TR-ND		4482.11/750		MC908GP32CFBR2
	512	—	31	8-Kan., 10-Bit	4-Kan.	SCI, SPI	Siehe Timer	3.0, 5.0	8.0	-40–85	42-Dip	MC68HC908GP32CB-ND	8.91	6.75	6.22	MC68HC908GP32CB
	768	—	44	10-Kan., 10-Bit	4-Kan. + 2-Kan.	SCI, SPI	Siehe Timer +6-Kan., 12-Bit	5.0	8.0	-40–85	64-QFP	MC68HC908MR32CFU-ND	9.57	7.25	6.79	MC68HC908MR32CFU
	768	—	36	9-Kan., 10-Bit	2-Kan.	SCI, SPI	Siehe Timer	5.0	8.2	-40–85	56-Dip	MC68HC908MR32CB-ND	9.81	7.42	6.84	MC68HC908MR32CB
	1K	512	51	8-Kan., 8-Bit	8-Kan.	SCI, SPI	Siehe Timer	5.0	8.0	-40–85	64-QFP	MC68HC908AB32CFU-ND	9.42	7.13	6.68	MC68HC908AB32CFU
	1K	512	51	8-Kan., 8-Bit	8-Kan.	SCI, SPI	Siehe Timer	5.0	8.0	-40–85	64-QFP	MCHC908AB32CFURCT-ND	9.89	7.48	6.90	MCHC908AB32CFUR2
	1K	512	51	8-Kan., 8-Bit	8-Kan.	SCI, SPI	Siehe Timer	5.0	8.0	-40–85	64-QFP	MCHC908AB32CFURTR-ND		4864.99/750		MCHC908AB32CFUR2
	1K	512	50	15-Kan., 8-Bit	6-Kan.	SCI, SPI	Siehe Timer	5.0	8.4	-40–85	64-QFP	MC908AZ32ACFU-ND	9.64	7.30	6.73	MC908AZ32ACFU
	2K	1K	42	15-Kan., 8-Bit	6-Kan.	SCI, SPI	Siehe Timer	5.0	8.4	-40–85	52-PLCC	MC908AS60ACFN-ND	14.19	10.73	9.89	MC908AS60ACFN
	2K	1K	50	15-Kan., 8-Bit	6-Kan. + 2-Kan.	SCI, SPI	Siehe Timer	5.0	8.4	-40–85	64-QFP	MC908AZ60ACFU-ND	14.19	10.73	9.89	MC908AZ60ACFU
60K	2K	1K	50	15-Kan., 8-Bit	6-Kan. + 2-Kan.	SCI, SPI	Siehe Timer	5.0	8.4	-40–125	64-QFP	MC908AZ60AMFU-ND	15.59	11.80	10.88	MC908AZ60AMFU
61K	2K	1K	52	15-Kan., 8-Bit	8-Kan.	MSCAN12, SCI, SPI	Siehe Timer	5.0	8.4	-40–85	64-QFP	MC908AZ60AVFUR2CT-ND	15.15	11.45	10.56	MC908AZ60AVFUR2
	2K	1K	52	15-Kan., 8-Bit	8-Kan.	MSCAN12, SCI, SPI	Siehe Timer	5.0	8.4	-40–85	64-QFP	MC908AZ60AVFUR2TR-ND		7276.53/750		MC908AZ60AVFUR2
	2K	1K	52	15-Kan., 8-Bit	8-Kan.	MSCAN12, SCI, SPI	Siehe Timer	5.0	8.4	-40–85	64-QFP	MC908AZ60AVFU-ND	14.88	11.26	10.38	MC908AZ60AVFU
7680	384	—	21	8-Kan., 8-Bit	2-Kan. + 1-Kan.	SCI, SPI	Siehe Timer	3.0, 5.0	8.0	-40–85	32-QFP	MC68HC908GR8CFA-ND	5.93	4.24	3.85	MC68HC908GR8CFA
	384	—	21	8-Kan., 8-Bit	2-Kan. + 1-Kan.	SCI, SPI	Siehe Timer	3.0, 5.0	8.0	-40–85	28-Dip	MC68HC908GR8CP-ND	5.93	4.24	3.85	MC68HC908GR8CP
HC9S08																
4K	128	—	15	10-Kan., 8-Bit	2-Kan.	—	Siehe Timer	5.0	8.0	-40–85	20-SOIC	MC68HRC98JK3ECDW-ND	3.50	2.24	2.03	MC68HRC98JK3ECDW
	128	—	23	12-Kan., 8-Bit	2-Kan.	—	Siehe Timer	3.0	8.0	-40–85	28-SOIC	MC68HRC98JL3ECDW-ND	4.44	2.70	2.58	MC68HRC98JL3ECDW
32K	2K	—	36	8-Kan., 10-Bit	Zweif. 2-Kan.	SCI, SPI	Siehe Timer	3.6	8.0	-40–85	44-QFP	MC9S08GT32CFB-ND	6.92	4.95	4.50	MC9S08GT32CFB
	2K	—	56	8-Kan., 10-Bit	3-Kan. + 5-Kan.	SCI, SPI	Siehe Timer	3.6	20	-40–85	64-LQFP	MC9S08GB32CFU-ND	7.46	5.09	4.85	MC9S08GB32CFU
60K	4K	—	36	8-Kan., 10-Bit	Zweif. 2-Kan.	SCI, SPI	Siehe Timer	3.6	8.0	-40–85	44-QFP	MC9S08GT60CFB-ND	8.90	6.07	5.78	MC9S08GT60CFB
	4K	—	56	8-Kan., 10-Bit	3-Kan. + 5-Kan.	SCI, SPI	Siehe Timer	3.6	8.0	-40–85	64-LQFP	MC9S08GB60CFU-ND	8.51	6.44	5.94	MC9S08GB60CFU
Demo-Karten																
Evaluierungskarte für MC9S08GB60												M68EVB908GB60-ND		225.11 /1		M68EVB908GB60
Demokarte für MC9S08GB60												M68DEMO908GB60-ND		46.89 /1		M68DEMO908GB60

(Forts.)

Alle Preisangaben in Euro und inklusive Zollgebühren.

HC912-Gruppe — 16-Bit

Die 68HC12-CPU ist aufwärts kompatibel mit dem 68HC11-Kern und unterstützt alle Register, Befehle, Adressiermodi und Betriebsmodi des 68HC11.

Merkmale:

• Voll statisches Design erlaubt Betrieb bis auf DC abwärts • 16-Bit Akkumulator • 20-Bit ALU • 16-Bit Timer mit eingebautem Prescaler • BDM (Background Debug Module) für schnelleres Debugging und nicht-intrusives Echtzeit-Lesen/Schreiben in den Speicher und die Register • SAE J1850 BDLC-D (Byte Data Link Control Module) für Einzeldrahtkommunikation mit anderen BDLC MCUs • COP Watchdog Timer • Niedrigleistungs-Modi STOPP und WARTEN • SPI, SCI • Hochgradige Sprachoptimierung • 32/16 Division • 16 x 16 Multiplikation

Flash (Bytes)	RAM (Bytes)	EEPROM (Bytes)	Timer	PWM	E/A	A/D	Merkmale	Betriebs-spannung (V)	Max. Bus-Frequ. (MHz)	Temp. (°C)	Paket	Digi-Key Teilenr.	Stückpreis 1	25	100	Freescale Teilenr.
32K	1K	768	8-Kan., 16-Bit	4-Kan., 8-Bit oder 2-Kan., 16-Bit	63	8-Kan., 10-Bit	—	5.0	8.0	-40–85	80-QFP	MC68HC912B32CFU8-ND	16.31	12.88	12.14	MC68HC912B32CFU8
60K	2K	1K	8-Kan., 16-Bit	4-Kan., 8-Bit	48	8-Kan., 10-Bit	CAN2.0	5.0	8.0	-40–85	80-QFP	MC912D60ACFU8-ND	14.99	11.34	10.46	MC912D60ACFU8
HC9S12																
6K	2K	1K	8-Kan., 16-Bit	4-Kan., 16-Bit	16	8-Kan., 10-Bit	CAN 2.0	5.0	8.0	-40–85	112-LQFP	MC912D60ACPV8-ND	14.99	11.34	10.46	MC912D60ACPV8
32K	2K	—	8-Kan., 16-Bit	Siehe Timer	60	8-Kan., 10-Bit	CAN 2.0	3.15-5.55	25.0	-40–125	80-QFP	MC9S12C32MFU25-ND	9.55	7.23	6.66	MC9S12C32MFU25
		—	8-Kan., 16-Bit	Siehe Timer	60	8-Kan., 10-Bit	CAN 2.0	3.15-5.55	25.0	-40–125	52-LQFP	MC9S12C32MPB25-ND	9.02	6.82	6.29	MC9S12C32MPB25
64K	4K	1K	8-Kan., 16-Bit	4-Kan., 16-Bit	59	8-Kan., 10-Bit	CAN 2.0	5.0	25.0	-40–85	80-QFP	MC9S12D64CFU-ND	12.72	9.63	8.88	MC9S12D64CFU
		1K	8-Kan., 16-Bit	4-Kan., 16-Bit	59	8-Kan., 10-Bit	CAN 2.0	5.0	25.0	-40-125	80-QFP	MC9S12D64MFU-ND	14.01	10.60	9.77	MC9S12D64MFU
		1K	8-Kan., 16-Bit	4-Kan., 16-Bit	59	8-Kan., 10-Bit	CAN 2.0	5.0	25.0	-40–125	112-LQFP	MC9S12D64MPV-ND	14.44	10.93	10.08	MC9S12D64MPV
		1K	8-Kan., 16-Bit	4-Kan., 16-Bit	59	8-Kan., 10-Bit	CAN 2.0	5.0	25.0	-40–105	80-QFP	MC9S12D64VFU-ND	13.36	10.11	9.32	MC9S12D64VFU
		—	(3) 4-Kan., 16-Bit	Siehe Timer	90	16-Kan., 10-Bit	—	3.3-5.0	25.0	-40–85	80-QFP	MC9S12E64CFU-ND	10.38	7.85	7.24	MC9S12E64CFU
	8K	—	4-Kan., 16-Bit	Siehe Timer	36	8-Kan., 10-Bit	Ethernet	3.3-5.0	25.0	-40–105	80-TQFP	MC9S12NE64VTU-ND	14.60	11.04	10.18	MC9S12NE64VTU
	8K	—	4-Kan., 16-Bit	Siehe Timer	70	8-Kan., 10-Bit	Ethernet	3.3-5.0	25.0	-40–85	112-LQFP	MC9S12NE64CPV-ND	15.08	11.41	10.52	MC9S12NE64CPV
	12K	—	(3) 4-Kan., 16-Bit	Siehe Timer	90	16-Kan., 10-Bit	—	3.3-5.0	25.0	-40–125	80-QFP	MC9S12E64MFU-ND	11.41	8.64	7.96	MC9S12E64MFU
128K	8K	2K	8-Kan., 16 Bit	8-Kan., 8-Bit	59	2, 8-Kan., 10-Bit	—	3.0	25.0	-40–85	80-QFP	MC9S12A128BCFU-ND	14.92	11.28	10.40	MC9S12A128BCFU
			8-Kan., 16 Bit	8-Kan., 8-Bit	91	2, 8-Kan., 10-Bit	—	3.0	25.0	-40–85	112-LQFP	MC9S12A128BCPV-ND	15.40	11.65	10.74	MC9S12A128BCPV
			8-Kan., 16-Bit	8-Kan., 8-Bit	91	2, 8-Kan., 10-Bit	2-CAN2.0	5.0	25.0	-40–85	112-LQFP	MC9S12DB128BCPV-ND	15.62	12.25	11.54	MC9S12DB128BCPV
			8-Kan., 16-Bit	8-Kan., 8-Bit	59	2, 8-Kan., 10-Bit	2-CAN2.0	5.0	25.0	-40–85	80-QFP	MC9S12DG128BCFU-ND	15.56	11.77	10.85	MC9S12DG128BCFU
			8-Kan., 16-Bit	8-Kan., 8-Bit	91	2, 8-Kan., 10-Bit	2-CAN2.0	5.0	25.0	-40–85	112-LQFP	MC9S12DG128BCPV-ND	16.05	12.14	11.19	MC9S12DG128BCPV
	8K	2K	8-Kan., 16-Bit	8-Kan., 8-Bit	59	2, 8-Kan., 10-Bit	2-CAN2.0	5.0	25.0	-40–85	80-QFP	MC9S12DJ128BCFU-ND	15.97	12.08	11.14	MC9S12DJ128BCFU
			8-Kan., 16-Bit	8-Kan., 8-Bit	91	2, 8-Kan., 10-Bit	2-CAN2.0	5.0	25.0	-40–85	112-LQFP	MC9S12DJ128BCPV-ND	15.09	11.85	11.16	MC9S12DJ128BCPV
			8-Kan., 16-Bit	8-Kan., 8-Bit	91	2, 8-Kan., 10-Bit	3-CAN2.0	5.0	25.0	-40–85	112-LQFP	MC9S12DT128BCPV-ND	15.17	11.90	11.21	MC9S12DT128BCPV
			8-Kan., 16-Bit	4-Kan., 16-Bit	91	(2) 8-Kan., 10-Bit	CAN 2.0	5.0	25.0	-40–85	112-LQFP	MC9S12DB128CPV-ND	15.62	12.25	11.54	MC9S12DB128CPV
			8-Kan., 16-Bit	4-Kan., 16-Bit	91	(2) 8-Kan., 10-Bit	(2) CAN 2.0	5.0	25.0	-40–85	112-LQFP	MC9S12DG128CPV-ND	16.05	12.14	11.19	MC9S12DG128CPV
	8K	2K	8-Kan., 16-Bit	4-Kan., 16-Bit	91	(2) 8-Kan., 10-Bit	(2) CAN 2.0	5.0	25.0	-40–125	112-LQFP	MC9S12DG128MPV-ND	16.20	12.71	11.97	MC9S12DG128MPV
			8-Kan., 16-Bit	4-Kan., 16-Bit	91	(2) 8-Kan., 10-Bit	(2) CAN 2.0	5.0	25.0	-40–125	112-LQFP	MC9S12DG128MPVRCT-ND	16.54	12.98	12.22	MC9S12DG128MPVR2
			8-Kan., 16-Bit	4-Kan., 16-Bit	91	(2) 8-Kan., 10-Bit	(2) CAN 2.0	5.0	25.0	-40–125	112-LQFP	MC9S12DG128MPVRTR-ND		5775.51/500		MC9S12DG128MPVR2
			8-Kan., 16-Bit	4-Kan., 16-Bit	91	(2) 8-Kan., 10-Bit	(2) CAN 2.0	5.0	25.0	-40–105	112-LQFP	MC9S12DG128VPV-ND	15.47	12.14	11.43	MC9S12DG128VPV
			8-Kan., 16-Bit	4-Kan., 16-Bit	91	(2) 8-Kan., 10-Bit	(3) CAN 2.0	5.0	25.0	-40–85	112-LQFP	MC9S12DT128CPV-ND	21.59	11.90	11.21	MC9S12DT128CPV
	8K	—	(3) 4-Kan., 16-Bit	Siehe Timer	59	16-Kan., 10-Bit	—	3.3-5.0	25.0	-40–85	80-QFP	MC9S12E128CFU-ND	12.97	9.81	9.05	MC9S12E128CFU
		—	(3) 4-Kan., 16-Bit	Siehe Timer	59	16-Kan., 10-Bit	—	3.3-5.0	25.0	-40–125	80-QFP	MC9S12E128MFU-ND	14.27	10.79	9.95	MC9S12E128MFU
		2K	8-Kan., 16-Bit	4-Kan., 16-Bit	69	8-Kan., 10-Bit	CAN 2.0	5.0	8.0	-40–85	12-LQFP	MC912DG128ACPV-ND	23.87	18.73	17.64	MC912DG128ACPV
256K	12K	4K	8-Kan., 16-Bit	8-Kan., 8-Bit	59	2, 8-Kan., 10-Bit	—	5.0	25.0	-40–85	80-QFP	MC9S12A256BCFU-ND	17.11	13.42	12.64	MC9S12A256BCFU
			8-Kan., 16-Bit	8-Kan., 8-Bit	91	2, 8-Kan., 10-Bit	—	5.0	25.0	-40–85	112-LQFP	MC9S12A256BCPV-ND	17.55	13.77	12.97	MC9S12A256BCPV
			8-Kan., 16-Bit	8-Kan., 8-Bit	59	2, 16-Kan., 10-Bit	2-CAN2.0	5.0	25.0	-40–85	80-QFP	MC9S12DG256CCFU-ND	18.04	14.16	13.33	MC9S12DG256CCFU
			8-Kan., 16-Bit	8-Kan., 8-Bit	91	2, 16-Kan., 10-Bit	2-CAN2.0	5.0	25.0	-40–85	112-LQFP	MC9S12DG256CCPV-ND	18.49	14.51	13.66	MC9S12DG256CCPV
			8-Kan., 16-Bit	8-Kan., 8-Bit	59	2, 8-Kan., 10-Bit	2-CAN2.0	5.0	25.0	-40–85	80-QFP	MC9S12DJ256CCFU-ND	19.47	15.28	14.39	MC9S12DJ256CCFU
			8-Kan., 16-Bit	8-Kan., 8-Bit	91	2, 8-Kan., 10-Bit	2-CAN2.0	5.0	25.0	-40–85	112-LQFP	MC9S12DJ256CCPV-ND	19.96	15.66	14.75	MC9S12DJ256CCPV
			8-Kan., 16-Bit	8-Kan., 8-Bit	91	2, 8-Kan., 10-Bit	2-CAN2.0	5.0	25.0	-40–85	112-LQFP	MC9S12DP256CCPV-ND	20.94	16.43	15.48	MC9S12DP256CCPV
			8-Kan., 16-Bit	8-Kan., 8-Bit	91	2, 8-Kan., 10-Bit	3-CAN2.0	5.0	25.0	-40–85	112-LQFP	MC9S12DT256CCPV-ND	19.73	15.47	14.58	MC9S12DT256CCPV
			8-Kan., 16-Bit	4-Kan., 16-Bit	59	8-Kan., 10-Bit	(2) CAN 2.0	5.0	25.0	-40–85	80-QFP	MC9S12DG256BCFU-ND	18.04	14.16	13.33	MC9S12DG256BCFU
			8-Kan., 16-Bit	4-Kan., 16-Bit	91	(2) 8-Kan., 10-Bit	(2) CAN 2.0	5.0	25.0	-40–85	112-LQFP	MC9S12DG256BCPV-ND	18.49	14.51	13.66	MC9S12DG256BCPV
	12K	4K	8-Kan., 16-Bit	4-Kan., 16-Bit	91	(2) 8-Kan., 10-Bit	(2) CAN 2.0	5.0	25.0	-40–125	112-LQFP	MC9S12DG256BMPV-ND	21.26	16.68	15.71	MC9S12DG256BMPV
			8-Kan., 16-Bit	4-Kan., 16-Bit	91	(2) 8-Kan., 10-Bit	(2) CAN 2.0	5.0	25.0	-40–105	112-LQFP	MC9S12DG256BVPV-ND	20.34	15.95	15.03	MC9S12DG256BVPV
			8-Kan., 16-Bit	4-Kan., 16-Bit	91	(2) 8-Kan., 10-Bit	(5) CAN 2.0	5.0	25.0	-40–125	112-LQFP	MC9S12DP256BMPV-ND	23.04	18.08	17.03	MC9S12DP256BMPV
			8-Kan., 16-Bit	4-Kan., 16-Bit	91	(2) 8-Kan., 10-Bit	(3) CAN 2.0	5.0	25.0	-40–125	112-LQFP	MC9S12DT256BMPV-ND	22.24	17.45	16.43	MC9S12DT256BMPV
512K	14K	4K	8-Kan., 16-Bit	8-Kan., 8-Bit	89	2, 8-Kan., 10-Bit	5-CAN2.0	5.0	25.0	-40–85	112-LQFP	MC9S12DP512CPV-ND	21.57	16.92	15.94	MC9S12DP512CPV

Demo-Karten			
Evaluierungskarte für MCS12	M68DKIT912C32-ND	57.62 /1	M68DKIT912C32
Evaluierungskarte für MC9S12C32	M68EVB912C32-ND	156.30 /1	M68EVB912C32
Evaluierungskarte für MC9S12E128/64	M68EVB912E128-ND	155.32 /1	M68EVB912E128
Evaluierungskarte für NE64	EVB9S12NE64-ND	238.37 /1	EVB9S12NE64
Demo-Kit für NE64	DEMO9S12NE64-ND	71.78 /1	DEMO9S12NE64

Freescale Semiconductor
Einzelchip-Ethernetlösung — MC9S12NE64

Planen Sie, Ihre Kommunikationsknoten zu standardisieren?
MC9S12NE64 ist eine leistungsstarke Lösung auf Ethernet-Basis.

Nicht viel Erfahrung mit Ethernet?
Der MC9S12NE64 wurde als Ersatz für viele eigentumsrechtlich geschützte Kommunikationsknoten zwecks Schaffung einer einfach zu unterhaltenden Ethernet-Umgebung entwickelt. Open Source Software, eine Auswahl an robusten Entwicklungstools und das allgemein erhältliche Online Virtual Lab machen die Entwicklung auf dem MC9S12NE64 zu einem Kinderspiel!

Ethernet ist nicht mehr nur für Büros geeignet!
Der MC9S12NE64 ist preiswert, skalierbar und flexibel - bereit für die Design-Kreationen der nächsten Generation.

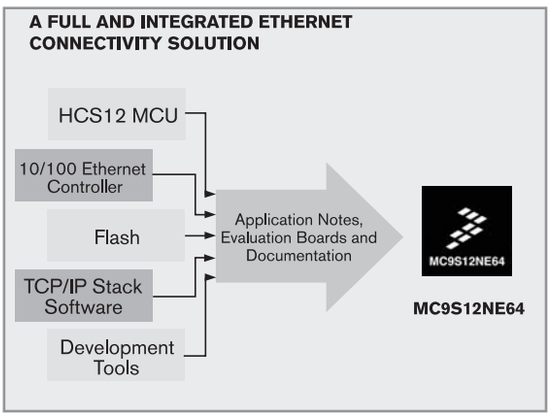

Typische Anwendungsbereiche:
- Vernetzte Haushaltsgeräte
- Sicherheitssysteme
- Industrielle Steuerung
- Ferngesteuerte Geräte
- Ethernet-Brücke
- Verkaufsautomaten
- Heim-/Büroautomatisierung

MC9S12NE64 — Ein Chip reicht für alles

Der MC9S12NE64 baut auf dem leistungsstarken HCS12-Kern mit Flash-Technologie der dritten Generation auf. Die reichhaltigen Ethernet-Konnektivitätsmerkmale machen den MC9S12NE64 einwandfrei zur ersten Wahl, wenn es darum geht, geräuschvolle Mehrchip-Lösungen durch komplette Ethernet-Konnektivität zu ersetzen.

- Objektcode-kompatibel mit den 8-Bit-Gruppen 68HC11 und 68HC12
- Kompaktcode-optimiert für C
- Bis zu 25 MHz Busrate (min. 40 ns Befehlszyklus)
- Flexible Adressiermodi für effiziente Zeigermanipulation und Schleifensteuerung

Serielle Echtzeitemulation als Standard-Betriebsverfahren über einen einzigen Debug-Pin. Das On-Chip-Modul hat eine Trace- und Triggerkapazität, die bisher nur teueren Emulatoren vorbehalten war. Die Vorteile von On-Chip-Debugging reichen aber noch weiter.

- So gibt es praktisch keine Frequenz- oder Spannungsbeschränkungen wie bei herkömmlichen Emulatoren; Echtzeit-Emulation aller MCU-Funktionen ist bei voller Betriebsspannung und innerhalb des gesamten Frequenzbereichs möglich.
- Vier Buserfassungsmodi sorgen für flexible Datenerfassung.
- Anstatt störender Emulatorkabel wird nur ein einziger dedizierter Pin für nicht-intrusives Debugging benötigt.
- Der teuere Busanalysator des Emulators wird durch neun flexible Trigger und Puffer-Hardware ersetzt.
- Interne Register und Speicher können eingesehen und während der Ausführung des Anwendungscodes geändert werden.
- Ein-Schritt-Betrieb - Anwendungscode wird auf dem Zielprozessor ausgeführt und verfolgt.

Entwicklungswerkzeuge

DEMO9S12NE64-ND
MC9S12NE64 Demokarte in einem verschlossenen Kunststoffgehäuse mit 10/100 Base-T Ethernet-Port, seriellem Port, Schaltern, LEDs, Potentiometer und Demo-Software einschließlich Anwendungscode.

EVB9S12NE64-ND
MC9S12NE64 Evaluierungskarte mit 10/100 Base-T Ethernet-Port, zweif. seriellen Port, Schaltern, LEDs, Potentiometer, LCD-Port, Tastaturanschluss und Demo-Software einschließlich Anwendungscode.

USBMULTILINKBDM-ND
Universal HC12/HCS12 schaltkreisinterner Emulator, Debugger und Flash-Programmierer über BDM-Schnittstelle.

CodeWarrior™ Development Studio
Für HCS12 mit Processor Expert™ Autocode-Generator, Voll-Chip-Simulation, Assembler, Linker und C Compiler. 16 KB code-beschränkte Version, kostenlos.

Blockdiagramm

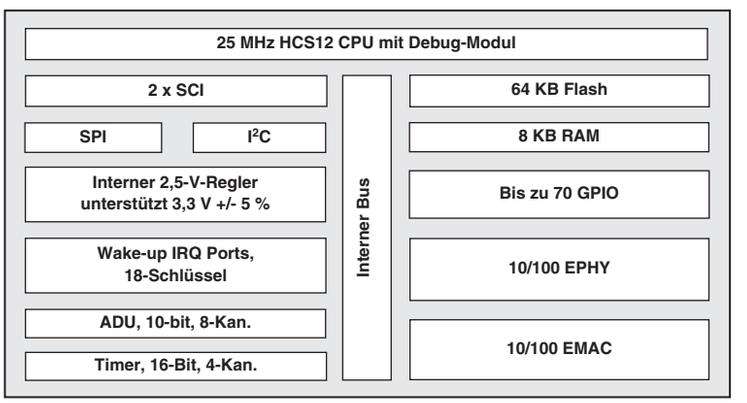

Teilenr. MC9S12NE64VTU-ND
Paket: 80 TQFP-EP
Temp.: -40 °C ~ 105 °C

Teilenr. MC9S12NE64CPV-ND
Paket: 112 LQFP
Temp.: -40 °C ~ 85 °C

TCP/IP Drittpartei-Stapelverkäufer:

Open TCP: Viola Systems, Inc.
- Open source
- Active SourceForge Community
- Kostenlos, einfache Lizenzbedingungen, keine Gebühren

Mittelbereich: CMX Systems, Inc.
- Evaluierungsversion erhältlich
- Erhältlich mit CM-RTX (RTOS)
- Optimiert für eingebettete Systeme mit wenig Ressourcen
- Lizenzgebühr pro Projekt, keine Royalties

Obere Preisklasse: Treck, Inc.
- Evaluierungsversion erhältlich
- Standard-BSD-Sockelprogrammierung
- Skalierbar, vom Benutzer wählbare Optionen, IPv6 erhältlich
- Flexible Lizenzierung

Alle TCP/IP-Stapel sind über die MC9S12NE64 Virtual Lab Umgebung erhältlich.

MC9S12NE64 Virtual Lab

Vermeiden Sie den Ärger mit Versand, Installation und Konfiguration, bis Sie die Lösung evaluiert haben, die wirklich die beste für Sie ist. Führen Sie verfügbare Demos aus, lesen Sie die Lernhilfen und probieren Sie Ihren eigenen Code aus.

Virtual Labs können bei Bedarf bzw. bei Verfügbarkeit oder mit Vorbestellung zu einer bestimmten Zeit verwendet werden.

Hier finden Sie Schnellstarthilfen,Entwicklungskarteninformationen,Handbücher, Produktinformationen, Produktzusammenfassungen,Schaltbild-Tools,Demos, Tools und Software.

Mit 4-maligen Klicken sind Sie am Ziel
Melden Sie sich an bei: **www.embeddedlearning.com**
Klicken Sie auf: Evaluation Center
Klicken Sie auf: 16-Bit
Klicken Sie auf: NE64

Alle Preisangaben in Euro und inklusive Zollgebühren.

8-16 Bit Software Development Tools

Schaltkreis-Simulator (ICS)

Preiswertes integriertes Entwickeln und Debugging: Die Schaltkreis-Simulatorkits von Freescale sind preiswerte Tools zum Entwickeln und Debugging von Zielsystemen, die die beliebten 68HC05s und 68HC08s von Freescale enthalten. Sie liefern eine innovative Schnittstelle zum Zielsystem des Benutzers für Windows-basiertes Bearbeiten, Assembly, Software-Simulation, Programmieren und Schaltkreis-Simulation. Schaltkreis-Simulation erlaubt die Verwendung aktueller Eingaben und Ausgänge des Ziels während der Simulation des Codes.

Merkmale: • Windows-basiertes Integrated Development Environment (IDE) mit Editor, Assembler, Debugger und Simulator: Unter Windows®3.x und Windows® 98 ausführen. Untersuchen und Modifizieren von Speicher, Registern und E/A. Bis zu 64 Befehls- und Register- (Akkumulator, Stapel, Index) Unterbrechungspunkte. Verschiedene Einzelschritt- und Ausführmodi. Trace-Puffer enthält bereits ausgeführte Befehle und Variablen. Datenvariables Anzeigefenster. Simuliert alle E/A, Unterbrecher, Timer und andere C-Hardware. Erkennt versuchten Gebrauch von nicht initialisierten oder nicht implementierten Standorten. Datenprotokollierung und Script-Befehle zum Aufzeichnen und zur automatischen Ausführung einer Befehlsreihe. Kontext-sensitive Windows-Hilfe auf dem Bildschirm. • Schaltkreis-Simulation: Emulationskabel zum Anschluss an Zielsystem. Schaltkreis-Emulation, nicht Echtzeit • Programmieren von EPROM, OTP, EEPROM und FLASH-Mikrocontroller

Inhalt: • EPROM oder FLASH-MCU-Beispiel, gefenstert • Umfassende Dokumentation: MCU-Spezifikationsbücher, Software-und Hardware-Bedienungsanleitungen, Anwendungshinweise/Textbuch. CD-ROM: MCU - Technische Dokumentation • Serielles Kabel für PC-an-ICS-Anschluss • Wandmontiertes Netzteil • Die 68HC08-Schaltkreis-Simulatorkits ergänzen folgende Funktionen: Echtzeit-Schaltkreis-Emulation erhältlich, außer für Uhrsteuerung und Kommunikation, Echtzeit-Schaltkreis-Debugging mit der seriellen 68HC08s MON08 Debugging/Unterbrechungspunktfunktion, läuft unter Windows NT und Windows 98.

Beschreibung	Digi-Key Teilenr.	Stückpreis
Simulator/Programmierer für 68HC705B16	M68ICS05B-ND	94.58
Simulator/Programmierer für 68HC705C8A/C9A	M68ICS05C-ND	94.58
Simulator/Programmierer für 68HC705JP7/JJ7	M68ICS05JP-ND	94.58
Simulator/Programmierer für 68HC705KJ1/J1A	M68ICS05KJ-ND	94.58
Simulator/Programmierer für 68HC705P6A	M68ICS05P-ND	94.58
Simulator/Programmierer für 68HC908JL3/JK3/JK1	M68ICS08JLJK-ND	282.62
Simulator/Programmierer für 68HC908MR16/MR32	M68ICS08MR-ND	282.62
Simulator/Programmierer für 68HC908RK2	M68ICS08RK2-ND	282.62
Simulator/Programmierer für 68HC908JB8	M68ICS08JB-ND	282.62
Simulator/Programmierer für 68HC908AB32	M68ICS08AB-ND	282.62
Simulator/Programmierer für 68HC908KX8/KX2	M68ICS08KX-ND	282.62

Modular Evaluation System (MMEVS)

Inhalt: • MMEVS-Plattformkarte: IDE (inklusive Editor, Assembler, Debugger), serielles RS232-Kabel (9 Ableitungen), Adapter für serielles 9-an-25-Pin Kabel, MMEVS-Benutzerhandbücher, Netzteil • Gerätespezifisches Emulationsmodul

Beschreibung	Digi-Key Teilenr.	Stückpreis
Evaluiersystem für 68HC705JP7/JJ7	KITMMEVS05JP-ND	895.30
Evaluiersystem für 68HC705KJ1/J1A	KITMMEVS05KJ-ND	895.30
Evaluiersystem für 68HC908JL3/JK3/JK1	KITMMEVS08JL-ND	1344.23
Evaluiersystem für 68HC908JB8	KITMMEVS08JB8-ND	1344.23
Evaluiersystem für 68HC908AB32	KITMMEVS08AB32-ND	1344.23
Evaluiersystem für 68HC908MR32/MR16	KITMMEVS08MR32-ND	1344.23
Evaluiersystem für 68HC908KX8/KX2	KITMMEVS08KX-ND	1344.23
Evaluiersystem für 68HC908QT/QY	KITMMEVS08QTQY-ND	1354.92
Evaluiersystem für 68HC05/08	M68MMPFB0508-ND	386.49

Modular Development System (MMDS)

Inhalt: • Stationsmodul mit eingebautem Netzteil: kompakt: 15,38" T x 10,19" B x 2,75" H (39 cm T x 25,9 cm B x 7 cm H). Leichtes Gewicht: 6 lbs. (2,7 kg). Eingebauter Strom: 85 bis 264 V AC. Gerätespezifisches Emulatormodul und flexibles Zielsystemkabel • Zwei Logikklemmenkabel-Baugruppen • Serielles RS232-Kabel, 9 Leitungen • Serieller 9-an-25-Pin Kabeladapter • IDE mit Editor, Assembler und Debugger • MMDS-Benutzerhandbücher • MMDS-Lernhilfe

Beschreibung	Digi-Key Teilenr.	Stückpreis
Modulares Entwicklungskit für 68HC705B16	KITMMDS05B-ND	3100.70
Modulares Entwicklungskit für 68HC705JP7/JJ7	KITMMDS05JP-ND	3100.70
Modulares Entwicklungskit für 68HC705KJ1/J1A	KITMMDS05KJ-ND	3100.70
Modulares Entwicklungskit für 68HC908JL3/JK3/JK1	KITMMDS08JL-ND	3533.78
Modulares Entwicklungskit für 68HC908JB8	KITMMDS08JB8-ND	3533.78
Modulares Entwicklungskit für 68HC908AB32	KITMMDS08AB32-ND	3533.78
Modulares Entwicklungskit für 68HC908MR32/MR16	KITMMDS08MR32-ND	3533.78
Modulares Entwicklungskit für 68HC908KX8/KX2	KITMMDS08KX-ND	3533.78
Modulares Entwicklungskit für 68HC05/08	M68MMDS0508-ND	2665.62

MultiLink und CyclonePro

Das MultiLink-Tool ist ein leicht zu benutzendes, preiswertes Entwicklungstool für HC(S)08 und HC(2)12 MCUs von Freescale. Es bietet In-Circuit-Emulation, Debugging und Programmieren über die MON08 (HC08) und BDM (HC12, HCS08) Schnittstellen.

Merkmale:

• Universal-Entwicklungs-Tool für HC(S)08 und HC(S)12 MCUs • Echtzeit-Emulation (In-circuit) und Debugging • Schnelles In-Circuit-Programmieren • Automatische Erkennung der Baudrate und Frequenz • Liefert optionale Overdrive-Uhr an Ziel • Sehr klein • Unterstützt 2 V – 5,5 V • Zykliert Strom automatisch für Sicherheitsprüfungen (bis zu 125 mA) • Universal-Netzteil (inbegriffen) Der M68CYCLONEPRO Cyclone bietet alle Funktionen des MultiLinks plus die Möglichkeit, als unabhängiger Programmierer zu fungieren, mit Drucktasten und LEDs zur Betriebssteuerung. Support für 1,8 V Betrieb.

M68MULTILINK08-ND	HC08-Bausteine, Parallel (wie gezeigt)	**152.39**
M68CYCLONEPRO-ND	HC(S)08, HC(S)12, USB	**439.72**
USBMULTILINK08-ND	HC08s, USB	**108.00**
USBMULTILINKBDM-ND	HC(S)08, HC(S)12, USB	**108.00**

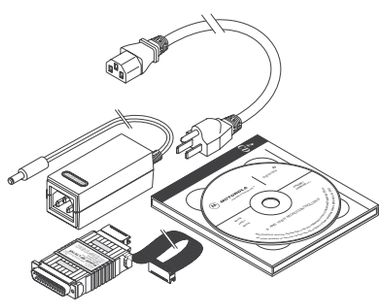

32-Bit Mikrocontroller

ColdFire™ - die hoch integrierte ColdFire-Serie von Prozessoren bietet überdurchschnittliche Leistung zu geringen Kosten. Mit ihren reichhaltigen Peripheriesätzen und Entwicklungs-Tools sind diese Prozessoren einfach zu verwenden und äußerst praktisch. Die verschiedenen Längen der RISC-Architektur führen bei Verwendung mit diesem Prozessor zu Kosten- und Speichereinsparnissen. **Die Prozessor-Serie PowerPC** von Freescale Semiconductor, Inc. ist die ideale Grundlage für RISC-eingebettete Anwendungen. Zu den verfügbaren Funktionen gehört hohe Skalierbarkeit und Code-Kompatibilität über die gesamte Linie hinweg. **M-Core -** die Prozessor-Serie M-CORE mit ihrem betont niedrigen Stromverbrauch eignet sich ideal für handgehaltene und andere Anwendungen mit geringem Stromverbrauch, die aber dennoch hohe Leistung erfordern. **Die Prozessor-Serie 68K** ist ideal für Ingenieure, die hohe Leistung zu niedrigen Kosten suchen. Das breite Angebot an 68K Prozessoren deckt so gut wie alle Anwendungen ab.

RAM (Bytes)	SRAM (Bytes)	Flash (Bytes)	Timer	Seriell	A/D	PWM	Betriebs-spannung (V)	Betriebs-frequ. (MHz)	Temp. (°C)	Paket	Digi-Key Teilenr.	Stückpreis 1	25	100	Freescale Teilenr.
ColdFire™ Prozessoren															
	64K	256K	8+4 DmA	3 Asynch., QSPI	8-Kan., 10-Bit QADC	—	3.3, 5.0	66	0–70	256-MAPBGA	MCF5214CVF66-ND	22.13	17.36	16.36	MCF5214CVF66
	64K	—	8	3 Asynch., QSPI, CAN 2.0b, IIC	8-Kan., 10-Bit QADC	Siehe Timer	3.3, 5.0	66	-40–85	256-MAPBGA	MCF5280CVF66-ND	24.38	19.13	18.02	MCF5280CVF66
2K	64K	—	8	3 Asynch., QSPI, CAN 2.0b, IIC	8-Kan., 10-Bit QADC	Siehe Timer	3.3, 5.0	80	-40–85	256-MAPBGA	MCF5280CVF80-ND	29.26	22.95	21.62	MCF5280CVF80
	64K	256K	8	3 Asynch., QSPI, CAN 2.0b, IIC	8-Kan., 10-Bit QADC	Siehe Timer	3.3, 5.0	66	-40–85	256-MAPBGA	MCF5281CVF66-ND	27.34	21.45	20.20	MCF5281CVF66
	64K	256K	8	3 Asynch., QSPI, CAN 2.0b, IIC	8-Kan., 10-Bit QADC	Siehe Timer	3.3, 5.0	80	-40–85	256-MAPBGA	MCF5281CVF80-ND	32.81	24.94	24.25	MCF5281CVF80
	64K	512K	8+4 DmA	3 Asynch., QSPI	8-Kan., 10-Bit QADC	—	3.3, 5.0	66	-40–85	256-MAPBGA	MCF5216CVF66-ND	24.76	19.43	18.30	MCF5216CVF66
4K	8K	—	2	2 Asynch.	—	—	3.3	40	0–70	160-QFP	MCF5206ECFT40-ND	16.51	12.95	12.20	MCF5206ECFT40
	8K	—	2	2 Asynch.	—	—	3.3	40	0–70	160-QFP	MCF5206EFT40-ND	14.53	10.99	10.13	MCF5206EFT40
	8K	—	2	2 Asynch.	—	—	3.3	54	0–70	160-QFP	MCF5206EFT54-ND	16.51	12.95	12.20	MCF5206EFT54
	64K	—	24	3 Asynch., QSPI, CAN 2.0b	—	—	1.5, 3.3	80	-40–85	160-QFP	MCF5232CAB80-ND	16.64	13.06	12.30	MCF5232CAB80
	64K	—	24	3 Asynch., QSPI, CAN 2.0b	—	—	1.5, 3.3	100	-40–85	196-MAPBGA	MCF5232CVM100-ND	16.64	13.06	12.30	MCF5232CVM100
	64K	—	24	3 Asynch., QSPI, CAN 2.0b	—	—	1.5, 3.3	150	-40–85	196-MAPBGA	MCF5232CVM150-ND	22.01	17.27	16.27	MCF5232CVM150
8K	64K	—	40	3 Asynch., QSPI, 2-CAN 2.0b	—	—	1.5, 3.3	100	-40–85	256-MAPBGA	MCF5233CVM100-ND	22.46	17.62	16.60	MCF5233CVM100
	64K	—	40	3 Asynch., QSPI, 2-CAN 2.0b	—	—	1.5, 3.3	150	-40–85	256-MAPBGA	MCF5233CVM150-ND	27.83	21.83	20.57	MCF5233CVM150
	64K	—	24	3 Asynch. QSPI, IIC	—	—	1.5, 3.3	100	-40–85	256-MAPBGA	MCF5234CVM100-ND	21.63	16.97	15.98	MCF5234CVM100
	64K	—	24	3 Asynch, QSPI, IIC	—	—	1.5, 3.3	150	-40–85	256-MAPBGA	MCF5234CVM150-ND	27.00	21.18	19.95	MCF5234CVM150

*4-Kanal DMA

(Forts.)

32-Bit RISC-Mikrocontroller *(Forts.)*

RAM (Bytes)	SRAM (Bytes)	Flash (Bytes)	Timer	Seriell	A/D	PWM	Betriebs-spannung (V)	Betriebs-frequ. (MHz)	Temp. (°C)	Paket	Digi-Key Teilenr.	Stückpreis 1	25	100	Freescale Teilenr.
8K	64K	—	8	3 Asynch., QSPI, IIC	—	—	1.5, 3.3	100	0–70	160-QFP	MCF5270AB100-ND	13.29	10.06	9.27	MCF5270AB100
16K	64K	—	8	3 Asynch., QSPI, IIC	—	4-Kan.	1.5, 2.5, 3.3	166	0–70	196-MAPBGA	MCF5274LVM166-ND	14.60	11.05	10.19	MCF5274LVM166
	64K	—	8	3 Asynch., QSPI, IIC, USB 2.0	—	4-Kan.	1.5, 2.5, 3.3	166	0–70	256-MAPBGA	MCF5274VM166-ND	16.66	13.07	12.31	MCF5274VM166
64K	32K	—	6	4 Asynch., SPI, IIC, USB 2.0	—	—	1.5, 2.5, 3.3	200	0–70	388-PBGA	MCF5472ZP200-ND	29.18	22.89	21.57	MCF5472ZP200
	32K	—	6	4 Asynch., SPI, IIC, USB 2.0	—	—	1.5, 2.5, 3.3	200	0–70	388-PBGA	MCF5474ZP200-ND	32.71	24.86	24.17	MCF5474ZP200
	32K	—	6	4 Asynch., SPI, IIC, USB 2.0	—	—	1.5, 2.5, 3.3	266	0–70	388-PBGA	MCF5474ZP266-ND	34.35	26.10	25.38	MCF5474ZP266
	32K	—	6	4 Asynch., SPI, IIC, 2-CAN	—	—	1.5, 2.5, 3.3	166	-40–85	388-PBGA	MCF5480CZP166-ND	34.33	26.09	25.37	MCF5480CZP166
	32K	—	6	4 Asynch., SPI, IIC, 2-CAN, USB 2.0	—	—	1.5, 2.5, 3.3	166	-40–85	388-PBGA	MCF5482CZP166-ND	34.33	26.09	25.37	MCF5482CZP166
	32K	—	6	4 Asynch., SPI, IIC, 2-CAN, USB 2.0	—	—	1.5, 2.5, 3.3	200	-40–85	388-PBGA	MCF5484CZP200-ND	36.87	30.71	28.90	MCF5484CZP200
	32K	—	6	4 Asynch., SPI, IIC	—	—	1.5, 2.5, 3.3	200	0–70	388-PBGA	MCF5470ZP200-ND	29.18	22.89	21.57	MCF5470ZP200
—	512	—	2	2 Asynch.	—	—	5.0	16	0–70	160-QFP	MCF5206FT16A-ND	18.88	14.81	13.95	MCF5206FT16A
	512	—	2	2 Asynch.	—	—	5.0	25	0–70	160-QFP	MCF5206FT25A-ND	20.65	16.20	15.26	MCF5206FT25A
	512	—	2	2 Asynch.	—	—	5.0	33	0–70	160-QFP	MCF5206FT33A-ND	23.48	18.41	17.35	MCF5206FT33A
	4K	—	2	2 Asynch.	—	—	3.3	66	0–70	208-FQFP	MCF5307FT66B-ND*	21.30	16.71	15.74	MCF5307FT66B
	4K	—	2	2 Asynch.	—	—	3.3	90	0–70	208-FQFP	MCF5307FT90B-ND*	28.06	22.01	20.73	MCF5307FT90B
PowerPC™ Prozessoren															
8K	—	—	2-16 Bit	PCMCIA, SCC, SMC, SPI	—	—	3.3	100	-40–85	256-PBGA	MPC852TVR100-ND	21.05	16.51	15.55	MPC852TVR100
	—	—	2-16 Bit	PCMCIA, SCC, SMC, SPI	—	—	3.3	100	-40–85	256-PBGA	MPC852TCVR100A-ND	22.73	17.83	16.80	MPC852TCVR100A
	—	—	2-16 Bit	PCMCIA, SCC, SMC, SPI	—	—	3.3	50	-40–85	256-PBGA	MPC852TCVR50A-ND	15.47	12.14	11.43	MPC852TCVR50A
	—	—	2-16 Bit	PCMCIA, SCC, SMC, SPI	—	—	3.3	66	-40–85	256-PBGA	MPC852TCVR66A-ND	17.49	13.72	12.93	MPC852TCVR66A
	—	—	2-16 Bit	PCMCIA, SCC, SMC, SPI	—	—	3.3	80	-40–85	256-PBGA	MPC852TCVR80A-ND	19.75	15.50	14.60	MPC852TCVR80A
	—	—	2-16 Bit	PCMCIA, SCC, SMC SPI	—	—	3.3	100	-40–85	256-PBGA	MPC852TCZT100A-ND	22.73	17.83	16.80	MPC852TCZT100A
	—	—	2-16 Bit	PCMCIA, SCC, SMC, SPI	—	—	3.3	50	-40–85	256-PBGA	MPC852TCZT50A-ND	15.47	12.14	11.43	MPC852TCZT50A
	—	—	2-16 Bit	PCMCIA, SCC, SMC, SPI	—	—	3.3	80	-40–85	256-PBGA	MPC852TCZT80A-ND	19.75	15.50	14.60	MPC852TCZT80A
	—	—	2-16 Bit	PCMCIA, SCC, SMC, SPI	—	—	3.3	100	-40–85	256-PBGA	MPC852TVR100A-ND	21.05	16.51	15.55	MPC852TVR100A
	—	—	2-16 Bit	PCMCIA, SCC, SMC, SPI	—	—	3.3	50	-40–85	256-PBGA	MPC852TVR50A-ND	15.61	11.81	10.89	MPC852TVR50A
	—	—	2-16 Bit	PCMCIA, SCC, SMC, SPI	—	—	3.3	80	-40–85	256-PBGA	MPC852TVR80A-ND	18.30	14.35	13.52	MPC852TVR80A
	—	—	2-16 Bit	PCMCIA, SCC, SMC, SPI	—	—	3.3	100	-40–85	256-PBGA	MPC852TZT100A-ND	21.05	16.51	15.55	MPC852TZT100A
	—	—	2-16 Bit	PCMCIA, SCC, SMC, SPI	—	—	3.3	50	-40–85	256-PBGA	MPC852TZT50A-ND	15.61	11.81	10.89	MPC852TZT50A
	—	—	2-16 Bit	PCMCIA, SCC, SMC, SPI	—	—	3.3	66	-40–85	256-PBGA	MPC852TZT66A-ND	16.20	12.71	11.97	MPC852TZT66A
	—	—	2-16 Bit	PCMCIA, SCC, SMC, SPI	—	—	3.3	80	-40–85	256-PBGA	MPC852TZT80A-ND	18.30	14.35	13.52	MPC852TZT80A
	—	—	4-16 Bit	PCMCIA, I2C, SPI	—	—	3.3	50	-40–85	357-PBGA	MPC855TCZQ50D4-ND	37.04	28.15	27.37	MPC855TCZQ50D4
	—	—	4-16 Bit	PCMCIA, I2C, SPI	—	—	3.3	50	-40–85	357-PBGA	MPC855TZQ50D4-ND	34.30	26.07	25.35	MPC855TZQ50D4
	—	—	4-16 Bit	PCMCIA, I2C, SPI	—	—	3.3	80	-40–85	357-PBGA	MPC855TZQ80D4-ND	39.30	32.74	30.80	MPC855TZQ80D4
	—	—	4-16 Bit	PCMCIA, I2C, SPI	—	—	3.3	50	-40–85	357-PBGA	MPC859DSLCZP50A-ND	26.02	20.41	19.22	MPC859DSLCZP50A
	—	—	4-16 Bit	PCMCIA, I2C, SPI	—	—	3.3	66	-40–85	357-PBGA	MPC859DSLCZP66A-ND	28.96	22.72	21.40	MPC859DSLCZP66A
	—	—	4-16 Bit	PCMCIA, I2C, SPI	—	—	3.3	50	-40–85	357-PBGA	MPC859DSLZP50A-ND	24.09	18.90	17.81	MPC859DSLZP50A
	—	—	4-16 Bit	PCMCIA, I2C, SPI	—	—	3.3	66	-40–85	357-PBGA	MPC859DSLZP66A-ND	26.82	21.04	19.82	MPC859DSLZP66A
	—	—	4-16 Bit	PCMCIA, I2C, SPI	—	—	3.3	50	-40–85	357-PBGA	MPC860DTZQ50D4-ND	51.38	42.79	40.26	MPC860DTZQ50D4
	—	—	4-16 Bit	PCMCIA, I2C, SPI	—	—	3.3	80	-40–85	357-PBGA	MPC860DTZQ80D4-ND	66.28	53.67	51.94	MPC860DTZQ80D4
	—	—	4-16 Bit	PCMCIA, I2C, SPI	—	—	3.3	50	-40–85	357-PBGA	MPC860ENCZQ50D4-ND	60.66	49.13	47.54	MPC860ENCZQ50D4
	—	—	4-16 Bit	PCMCIA, I2C, SPI	—	—	3.3	50	-40-85	357-PBGA	MPC860ENZQ50D4-ND	56.17	45.49	44.02	MPC860ENZQ50D4
	—	—	4-16 Bit	PCMCIA, I2C, SPI	—	—	3.3	80	-40-85	357-PBGA	MPC860ENZQ80D4-ND	67.21	57.55	54.41	MPC860ENZQ80D4
	—	—	4-16 Bit	PCMCIA, I2C, SPI	—	—	3.3	100	-40–85	357-PBGA	MPC859TCZP100A-ND	42.58	35.46	33.36	MPC859TCZP100A
	—	—	4-16 Bit	PCMCIA, I2C, SPI	—	—	3.3	100	-40–85	357-PBGA	MPC859TZP100A-ND	39.43	32.84	30.89	MPC859TZP100A
	—	—	4-16 Bit	PCMCIA, I2C, SPI	—	—	3.3	133	-40–85	357-PBGA	MPC859TZP133A-ND	43.16	35.95	33.82	MPC859TZP133A
	—	—	4-16 Bit	PCMCIA, I2C, SPI	—	—	3.3	50	-40–85	357-PBGA	MPC860DEZQ50D4-ND	46.57	38.79	36.50	MPC860DEZQ50D4
	—	—	4-16 Bit	PCMCIA, I2C, SPI	—	—	3.3	80	-40–85	357-PBGA	MPC860DEZQ80D4-ND	61.49	49.80	48.18	MPC860DEZQ80D4
	—	—	4-16 Bit	PCMCIA, I2C, SPI	—	—	3.3	50	-40–85	357-PBGA	MPC860SRCZQ50D4-ND	65.85	53.32	51.60	MPC860SRCZQ50D4
	—	—	4-16 Bit	PCMCIA, I2C, SPI	—	—	3.3	50	-40–85	357-PBGA	MPC860SRZQ50D4-ND	60.96	49.37	47.77	MPC860SRZQ50D4
	—	—	4-16 Bit	PCMCIA, I2C, SPI	—	—	3.3	80	-40–85	357-PBGA	MPC860SRZQ80D4-ND	71.76	61.44	58.08	MPC860SRZQ80D4
	—	—	4-16 Bit	PCMCIA, I2C, SPI	—	—	3.3	50	-40–85	357-PBGA	MPC860TCZQ50D4-ND	65.85	53.32	51.60	MPC860TCZQ50D4
	—	—	4-16 Bit	PCMCIA, I2C, SPI	—	—	3.3	50	-40–85	357-PBGA	MPC860TZQ50D4-ND	60.96	49.37	47.77	MPC860TZQ50D4
	—	—	4-16 Bit	PCMCIA, I2C, SPI	—	—	3.3	66	-40–85	357-PBGA	MPC860TZQ66D4-ND	65.63	53.15	51.43	MPC860TZQ66D4
	—	—	4-16 Bit	PCMCIA, I2C, SPI	—	—	3.3	80	-40–85	357-PBGA	MPC860TZQ80D4-ND	71.76	61.44	58.08	MPC860TZQ80D4
	—	—	4-16 Bit	PCMCIA, I2C, SPI	—	—	3.3	100	-40–85	357-PBGA	MPC866TCZP100A-ND	65.10	55.74	52.69	MPC866TCZP100A
	—	—	4-16 Bit	PCMCIA, I2C, SPI	—	—	3.3	100	-40–85	357-PBGA	MPC866TZP100A-ND	62.57	50.67	49.04	MPC866TZP100A
	—	—	4-16 Bit	PCMCIA, I2C, SPI	—	—	3.3	133	-40–85	357-PBGA	MPC866TZP133A-ND	66.82	54.11	52.36	MPC866TZP133A

*4-Kanal DMA

(Forts.)

Alle Preisangaben in Euro und inklusive Zollgebühren.

32-Bit RISC-Mikrocontroller *(Forts.)*

RAM (Bytes)	SRAM (Bytes)	Flash (Bytes)	Timer	Seriell	A/D	PWM	Betriebs-spannung (V)	Betriebs-frequ. (MHz)	Temp. (°C)	Paket	Digi-Key Teilenr.	Stückpreis 1	25	100	Freescale Teilenr.
	—	—	—	60X	—	—	2.5	200	-40–85	255-PBGA	MPC603RZT200LC-ND	34.82	29.01	27.29	MPC603RZT200LC
	—	—	—	60X	—	—	2.5	300	-40–85	256-CBGA	MPC603RRX300LC-ND	69.69	—	—	MPC603RRX300LC
	—	—	4-16 Bit	PCMCIA, I2C, SPI, USB	—	—	3.3	133	-40–85	256-PBGA	MPC870CZT133-ND	20.04	15.72	14.81	MPC870CZT133
	—	—	4-16 Bit	PCMCIA, I2C, SPI, USB	—	—	3.3	66	-40–85	256-PBGA	MPC870CZT66-ND	18.16	14.25	13.42	MPC870CZT66
	—	—	4-16 Bit	PCMCIA, I2C, SPI, USB	—	—	3.3	133	-40–85	256-PBGA	MPC870ZT133-ND	18.55	14.55	13.71	MPC870ZT133
	—	—	4-16 Bit	PCMCIA, I2C, SPI, USB	—	—	3.3	66	-40–85	256-PBGA	MPC870ZT66-ND	16.82	13.20	12.43	MPC870ZT66
16K	—	—	4-16 Bit	PCMCIA, I2C, SPI, USB	—	—	3.3	80	-40–85	256-PBGA	MPC870ZT80-ND	17.67	13.86	13.06	MPC870ZT80
	—	—	4-16 Bit	PCMCIA, I2C, SPI, USB	—	—	3.3	133	-40–85	357-PBGA	MPC880CZP133-ND	35.67	27.11	26.36	MPC880CZP133
	—	—	4-16 Bit	PCMCIA, I2C, SPI, USB	—	—	3.3	66	-40–85	357-PBGA	MPC880CZP66-ND	32.35	24.59	23.91	MPC880CZP66
	—	—	4-16 Bit	PCMCIA, I2C, SPI, USB	—	—	3.3	133	-40–85	357-PBGA	MPC880ZP133-ND	33.03	25.10	24.40	MPC880ZP133
	—	—	4-16 Bit	PCMCIA, I2C, SPI, USB	—	—	3.3	66	-40–85	357-PBGA	MPC880ZP66-ND	29.96	22.77	22.14	MPC880ZP66
	—	—	4-16 Bit	PCMCIA, I2C, SPI, USB	—	—	3.3	80	-40–85	357-PBGA	MPC880ZP80-ND	31.44	23.90	23.24	MPC880ZP80
	—	—	4-16 Bit	PCMCIA, I2C, SPI, USB	—	—	3.3	66	-40–85	357-PBGA	MPC885ZP66-ND	36.51	27.75	26.98	MPC885ZP66
	—	—	4-16 Bit	PCMCIA, I2C, SPI	—	—	3.3	100	-40–85	357-PBGA	MPC859PCZP100A-ND	46.95	39.11	36.80	MPC859PCZP100A
	—	—	4-16 Bit	PCMCIA, I2C, SPI	—	—	3.3	100	-40–85	357-PBGA	MPC859PZP100A-ND	43.48	36.22	34.07	MPC859PZP100A
	—	—	4-16 Bit	PCMCIA, I2C, SPI	—	—	3.3	133	-40–85	357-PBGA	MPC859PZP133A-ND	47.71	39.74	37.39	MPC859PZP133A
	—	—	4-16 Bit	PCMCIA,I2C, SPI	—	—	3.3	50	-40–85	357-PBGA	MPC860DPCZQ50D4-ND	63.26	51.22	49.57	MPC860DPCZQ50D4
	—	—	4-16 bit	PCMCIA, I2C, SPI	—	—	3.3	50	-40–85	357-PBGA	MPC860DPZQ50D4-ND	58.58	47.43	45.90	MPC860DPZQ50D4
	—	—	4-16 Bit	PCMCIA, I2C, SPI	—	—	3.3	80	-40–85	357-PBGA	MPC860DPZQ80D4-ND	69.49	59.50	56.24	MPC860DPZQ80D4
24K	—	—	4-16 Bit	PCMCIA, I2C, SPI	—	—	3.3	50	-40–85	357-PBGA	MPC860PCZQ50D4-ND	69.62	59.61	56.35	MPC860PCZQ50D4
	—	—	4-16 Bit	PCMCIA, I2C, SPI	—	—	3.3	50	-40–85	357-PBGA	MPC860PZQ50D4-ND	64.45	55.19	52.17	MPC860PZQ50D4
	—	—	4-16 Bit	PCMCIA, I2C, SPI	—	—	3.3	80	-40–85	357-PBGA	MPC860PZQ80D4-ND	78.56	67.27	63.59	MPC860PZQ80D4
	—	—	4-16 Bit	PCMCIA, I2C, SPI	—	—	3.3	100	-40–85	357-PBGA	MPC866PCZP100A-ND	69.51	59.52	56.27	MPC866PCZP100A
	—	—	4-16 Bit	PCMCIA, I2C, SPI	—	—	3.3	100	-40–85	357-PBGA	MPC866PZP100A-ND	66.82	54.11	52.36	MPC866PZP100A
	—	—	4-16 Bit	PCMCIA, 12C,SPI	—	—	3.3	133	-40–85	357-PBGA	MPC866PZP133A-ND	69.25	59.30	56.06	MPC866PZP133A
	—	448K	50-Kan.	QSMCM	2 QADC64	8	3.3	40	-40–85	272-PBGA	MPC555LFMZP40-ND	64.92	55.59	52.55	MPC555LFMZP40
	—	—	—	60X	—	—	2.6, 3.3	233	-40–85	256-CBGA	MPC740ARX233LH-ND	34.58	—	—	MPC740ARX233LH
	—	—	—	60X	—	—	2.6, 3.3	266	-40–85	256-CBGA	MPC740ARX266LH-ND	75.97	—	—	MPC740ARX266LH
	—	—	4-16 Bit	I2C, MII, SPI, TDM	—	—	3.3	300	-40–85	480-TBGA	MPC8260ACZUMHBB-ND	123.93	107.51	102.71	MPC8260ACZUMHBB
	—	—	4-16 Bit	I2C, MII, SPI, TDM	—	—	3.3	300	-40–85	480-TBGA	MPC8260AZUMHBB-ND	117.91	—	—	MPC8260AZUMHBB
	—	—	4-16 Bit	I2C, MII, SPI, TDM	—	—	3.3	300	-40–85	480-TBGA	MPC8260AZUPJDB-ND	142.45	—	—	MPC8260AZUPJDB
	—	—	4-16 Bit	I2C, MII, SPI, TDM	—	—	3.3	300	-40–85	480-TBGA	MPC8264AZUPIBB-ND	155.69	—	—	MPC8264AZUPIBB
	—	—	8-Kan.	IIC, SPI, CAN 2.0, USB 1.1	—	Siehe Timer	3.3	400	-40–85	272-PBGA	MPC5200CBV400-ND	43.63	36.34	34.19	MPC5200CBV400
	—	—	4-Kan.	DUART, IIC	—	—	3.3	166	-40–85	357-PBGA	MPC8241LZQ166D-ND	22.49	17.64	16.62	MPC8241LZQ166D
	—	—	4-Kan.	DUART, IIC	—	—	3.3	200	-40–85	357-PBGA	MPC8241LZQ200D-ND	25.35	19.88	18.73	MPC8241LZQ200D
32K	—	—	4-Kan.	DUART, IIC	—	—	3.3	400	-40–85	352-TBGA	MPC8245ARZU400D-ND	72.73	62.28	58.87	MPC8245ARZU400D
	—	—	4-Kan.	DUART, IIC	—	—	3.3	266	-40–85	352-TBGA	MPC8245LZU266D-ND	45.30	37.73	35.50	MPC8245LZU266D
	—	—	4-Kan.	DUART, IIC	—	—	3.3	300	-40–85	352-TBGA	MPC8245LZU300D-ND	53.88	44.87	42.22	MPC8245LZU300D
	—	—	4-Kan.	DUART, IIC	—	—	3.3	333	-40–85	352-TBGA	MPC8245LZU333D-ND	56.97	46.14	44.64	MPC8245LZU333D
	—	—	4-Kan.	DUART, IIC	—	—	3.3	350	-40–85	352-TBGA	MPC8245LZU350D-ND	67.08	54.32	52.57	MPC8245LZU350D
	—	—	4-Kan.	DUART, IIC	—	—	3.3	266	-40–85	352-TBGA	MPC8245TZU266D-ND	58.90	47.70	46.15	MPC8245TZU266D
	—	—	4-Kan.	IIC, MII, SPI, UART	—	—	3.3	200	0–105	480-TBGA	MPC8250AZUMHBC-ND	82.25	70.42	66.57	MPC8250AZUMHBC
	—	—	4-Kan.	IIC, MII, SPI, UART	—	—	3.3	200	0–105	480-TBGA	MPC8250AZUPIBC-ND	90.47	77.47	73.23	MPC8250AZUPIBC
	—	—	4-Kan.	IIC, MII, SPI, UTOPIA	—	—	3.3	300	0–105	480-TBGA	MPC8255AZUMHBB-ND	104.07	89.11	84.24	MPC8255AZUMHBB
	—	—	4-Kan.	IIC, MII, SPI, UTOPIA	—	—	3.3	300	-40–105	480-TBGA	MPC8260ACZUMIBB-ND	129.45	112.29	107.29	MPC8260ACZUMIBB
	—	—	54-Kan.	QSMCM	2 QADC64E	12	2.6	40	-40–85	388-PBGA	MPC561CZP40-ND	34.30	26.07	25.35	MPC561CZP40
	—	—	54-Kan.	QSMCM	2 QADC64E	12	2.6	40	-40–85	388-PBGA	MPC562CZP40-ND	35.98	29.97	28.19	MPC562CZP40
	—	512K	54-Kan.	QSMCM	2 QADC64E	12	2.6	40	-40–85	388-PBGA	MPC563CZP40-ND	51.38	42.79	40.26	MPC563CZP40
42K	—	512K	54-Kan.	QSMCM	2 QADC64E	12	2.6	40	-40–85	388-PBGA	MPC564CZP40-ND	56.52	45.77	44.29	MPC564CZP40
	—	—	54-Kan.	SCI, QSPI, TouCAN	2 QADC	12	2.6	56	-40–125	388-PBGA	MPC561MZP56-ND	34.43	28.68	26.98	MPC561MZP56
	—	—	54-Kan.	SCI, QSPI, TouCAN	2 QADC	12	2.6	56	-40–125	388-PBGA	MPC562MZP56-ND	39.59	32.97	31.02	MPC562MZP56
	—	1M	70-Kan.	QSMCM	2 QADC64E	12	2.6	40	-40–85	388-PBGA	MPC565CZP40-ND	69.44	59.45	56.20	MPC565CZP40
46K	—	1M	70-Kan.	QSMCM	2 QADC64E	12	2.6	56	-40–85	388-PBGA	MPC565CZP56-ND	72.91	62.43	59.02	MPC565CZP56
	—	1M	70-Kan.	QSMCM	2 QADC64E	12	2.6	40	-40–85	388-PBGA	MPC566CZP40-ND	76.39	65.41	61.83	MPC566CZP40
	—	—	—	60X	—	—	2.5, 3.3	500	-40–85	360-CBGA	MPC7410RX500LE-ND	134.24	116.44	111.25	MPC7410RX500LE
	—	—	—	60X	—	—	3.3	350	-40–85	255-PBGA	MPC745BPX350LE-ND	72.59	62.16	58.76	MPC745BPX350LE
	—	—	—	60X	—	—	3.3	300	-40–85	360-CBGA	MPC755BPX300LE-ND	65.37	55.97	52.91	MPC755BPX300LE
64K	—	—	—	60X	—	—	3.3	300	-40–85	360-CBGA	MPC755BRX300LE-ND	65.37	55.97	52.91	MPC755BRX300LE
	—	—	—	60X	—	—	3.3	400	-40–85	360-PBGA	MPC755CPX400LE-ND	112.11	95.99	90.74	MPC755CPX400LE
	—	—	—	60X	—	—	3.3	400	-40–85	360-CBGA	MPC755CRX400LE-ND	112.11	95.99	90.74	MPC755CRX400LE
	—	—	4-Kan.	IIC, MII, SPI, UTOPIA, USB	—	—	3.3	333	-40–105	480-FTBGA	MPC8270ZUQLD-ND	66.12	56.62	53.52	MPC8270ZUQLD

* 4-Kanal DMA

(Forts.)

32-Bit RISC-Mikrocontroller *(Forts.)*

RAM (Bytes)	SRAM (Bytes)	Flash (Bytes)	Timer	SerielI	A/D	PWM	Betriebs-spannung (V)	Betriebs-frequ. (MHz)	Temp. (°C)	Paket	Digi-Key Teilenr.	Stückpreis 1	25	100	Freescale Teilenr.
64K	—	—	4-Kan.	IIC, MII, SPI, UTOPIA, USB	—	—	3.3	450	-40~105	480-FTBGA	MPC8270ZUUPE-ND	79.34	67.94	64.22	MPC8270ZUUPE
	—	—	4-Kan.	IIC, MII, SPI, UTOPIA, USB	—	—	3.3	450	-40~105	480-FTBGA	MPC8280ZUUPE-ND	138.40	120.05	114.70	MPC8280ZUUPE
M-CORE™ Prozessoren															
8K	—	128K	Zweif. 4-Kan.	Zweif. SCI, SPI	8-Kan., 10-Bit, in Reihe	—	2.7-3.6	33	-40~85	100-LQFP	MMC2107CFCPU33-ND	19.08	14.97	14.10	MMC2107CFCPU33
—	8K	128K	4 Kan.	Zweif. SCI, SPI	8-Kan., 10-Bit, in Reihe	—	2.7-3.6	33	-40~85	144-LQFP	MMC2107CFCPV33-ND	19.08	14.97	14.10	MMC2107CFCPV33
Prozessoren der 68K-Gruppe															
1K	—	—	4 Kan.	SCP, TDM	—	—	3.3	16	-40~85	100-LQFP	M68LC302CPU16VCT-ND	24.09	18.89	17.80	M68LC302CPU16VCT
	—	—	4 Kan.	SCP, TDM	—	—	3.3	20	-40~85	100-LQFP	M68LC302CPU20VCT-ND	24.80	19.45	18.32	M68LC302CPU20VCT
	—	—	4 Kan.	SCP, TDM	—	—	5.0	16	0~70	132-PQFP	MC68302CFC16C-ND	27.93	22.81	21.63	MC68302CFC16C
	—	—	4 Kan.	SCP, TDM	—	—	3.3	16	0~70	144-LQFP	MC68302CPV16VC-ND	36.53	27.76	26.99	MC68302CPV16VC
	—	—	4 Kan.	SCP, TDM	—	—	5.0	16	0~70	132-PQFP	MC68302FC16C-ND	23.69	19.17	18.15	MC68302FC16C
	—	—	4 Kan.	SCP, TDM	—	—	5.0	20	0~70	132-PQFP	MC68302FC20C-ND	25.97	21.12	20.01	MC68302FC20C
	—	—	4 Kan.	SCP, TDM	—	—	5.0	25	0~70	132-PQFP	MC68302FC25C-ND	28.24	23.08	21.88	MC68302FC25C
	—	—	4 Kan.	SCP, TDM	—	—	5.0	16	0~70	144-LQFP	MC68302PV16C-ND	23.12	18.68	17.68	MC68302PV16C
	—	—	4 Kan.	SCP, TDM	—	—	3.3	16	0~70	144-LQFP	MC68302PV16VC-ND	28.28	23.12	21.92	MC68302PV16VC
	—	—	4 Kan.	SCP, TDM	—	—	5.0	20	0~70	144-LQFP	MC68302PV20C-ND	25.40	20.64	19.55	MC68302PV20C
	—	—	4 Kan.	SCP, TDM	—	—	5.0	25	0~70	144-LQFP	MC68302PV25C-ND	27.68	22.60	21.42	MC68302PV25C
	—	—	4 Kan.	SCP, TDM	—	—	5.0	33	0~70	144-LQFP	MC68302PV33C-ND	32.42	24.63	23.95	MC68302PV33C
	—	—	4 Kan.	SCP, TDM	—	—	5.0	16	0~70	132-PGA	MC68302RC16C-ND	65.13	—	—	MC68302RC16C
	—	—	4 Kan.	SCP, TDM	—	—	5.0	20	-40~85	144-TQFP	MC68EN302PV20BT-ND	31.10	25.55	24.25	MC68EN302PV20BT
	—	—	4 Kan.	SCP, TDM	—	—	5.0	25	-40~85	144-TQFP	MC68EN302PV25BT-ND	36.73	30.43	28.91	MC68EN302PV25BT
	—	—	4 Kan.	SCP, TDM	—	—	3.3	16	-40~85	100-LQFP	MC68LC302CPU16CT-ND	17.24	13.53	12.74	MC68LC302CPU16CT
	—	—	4 Kan.	SCP, TDM	—	—	3.3	20	-40~85	100-LQFP	MC68LC302CPU20CT-ND	20.66	16.21	15.27	MC68LC302CPU20CT
	—	—	4 Kan.	SCP, TDM	—	—	3.3	16	-40~85	100-TQFP	MC68LC302PU16CT-ND	16.66	13.18	12.43	MC68LC302PU16CT
	—	—	4 Kan.	SCP, TDM	—	—	3.3	16	-40~105	100-LQFP	MC68LC302PU16VCT-ND	23.60	18.52	17.44	MC68LC302PU16VCT
	—	—	4 Kan.	SCP, TDM	—	—	3.3	20	-40~85	100-TQFP	MC68LC302PU20CT-ND	19.57	15.65	14.79	MC68LC302PU20CT
	—	—	4 Kan.	SCP, TDM	—	—	3.3	20	-40~105	100-LQFP	MC68LC302PU20VCT-ND	24.31	19.07	17.96	MC68LC302PU20VCT
	—	—	4 Kan.	SCP, TDM	—	—	3.3	25	-40~85	100-TQFP	MC68LC302PU25CT-ND	22.47	18.12	17.15	MC68LC302PU25CT
2K	—	—	TPU	SCI, SPI, in Reihe	—	—	5.0	25	-40~85	132-PQFP	MC68332ACFC25-ND	19.84	15.57	14.66	MC68332ACFC25
	—	—	TPU	SCI, SPI, in Reihe	—	—	5.0	16	-40~85	132-PQFP	MC68332GCFC16-ND	18.02	14.14	13.32	MC68332GCFC16
	—	—	TPU	SCI, SPI, in Reihe	—	—	5.0	16	-40~85	144-LQFP	MC68332ACPV16-ND	14.99	11.76	11.08	MC68332ACPV16
	—	—	TPU	SCI, SPI, in Reihe	—	—	5.0	20	-40~85	144-LQFP	MC68332ACPV20-ND	15.74	12.35	11.63	MC68332ACPV20
	—	—	TPU	SCI, SPI, in Reihe	—	—	5.0	16	-40~85	144-LQFP	MC68332GCPV16-ND	14.99	11.76	11.08	MC68332GCPV16
	—	—	TPU	SCI, SPI, in Reihe	—	—	5.0	20	-40~85	144-LQFP	MC68332GCPV20-ND	15.74	12.35	11.63	MC68332GCPV20
	—	—	TPU	SCI, SPI, in Reihe	—	—	3-5	16	-40~85	144-LQFP	MC68LK332ACPV16-ND	16.50	12.94	12.19	MC68LK332ACPV16
	—	—	TPU	SCI, SPI, in Reihe	—	—	3-5	16	-40~85	144-LQFP	MC68LK332GCPV16-ND	16.50	12.94	12.19	MC68LK332GCPV16
	—	—	TPU	SCI, SPI, in Reihe	—	—	5.0	16	-40~85	144-LQFP	MC68332GCPV16B1-ND	14.99	11.76	11.08	MC68332GCPV16B1
	—	—	TPU	SCI, SPI, in Reihe	—	—	5.0	16	-40~85	132-PQFP	MC68332ACFC16-ND	18.02	14.14	13.32	MC68332ACFC16
	—	—	TPU	SCI, SPI, in Reihe	—	—	5.0	20	-40~85	132-PQFP	MC68332ACFC20-ND	18.94	14.86	13.99	MC68332ACFC20
2.5K	—	—	4-16 Bit	SCP, TDM	—	—	3.3 ~ 5.0	33	-40~85	240-FQFP	MC68MH360EM33L-ND	63.39	51.33	49.67	MC68MH360EM33L
	—	—	4-16 Bit	SCP, TDM	—	—	3.3 ~ 5.0	25	-40~85	357-PBGA	MC68MH360ZP25VL-ND	65.52	56.10	53.03	MC68MH360ZP25VL
7.5K	—	—	TPU, CTM4	SCI, SPI, in Reihe	16-Kan., 10-Bit, in Reihe	—	5.0	20	-40~85	160-QFP	MC68336ACFT20-ND	25.30	19.85	18.70	MC68336ACFT20
	—	—	TPU, CTM4	SCI, SPI, in Reihe	16-Kan., 10-Bit, in Reihe	—	5.0	20	-40~85	160-QFP	MC68336GCFT20-ND	25.30	19.85	18.70	MC68336GCFT20
	—	—	TPU, CTM4	TOUCAN, SCI, SPI, in Reihe	16-Kan., 10-Bit, in Reihe	—	5.0	20	-40~85	160-QFP	MC68376BGMFT20-ND	29.11	22.84	21.51	MC68376BGMFT20
8K	—	—	—	—	—	—	5.0	33	-40~85	184-CQFP	MC68EC040FE33A-ND	112.53	—	—	MC68EC040FE33A
	—	—	—	—	—	—	5.0	25	-40~85	179-PGA	MC68EC040RC25A-ND	101.06	—	—	MC68EC040RC25A
	—	—	—	—	—	—	5.0	33	-40~85	179-PGA	MC68EC040RC33A-ND	136.19	—	—	MC68EC040RC33A
	—	—	—	—	—	—	5.0	25	-40~85	179-PGA	MC68LC040RC25A-ND	147.11	—	—	MC68LC040RC25A
16K	—	—	—	—	—	—	3.3	50	-40~85	206-PGA	MC68EC060RC50-ND	126.63	—	—	MC68EC060RC50
	—	—	—	—	—	—	3.3	66	-40~85	206-PGA	MC68EC060RC66-ND	271.90	—	—	MC68EC060RC66
	—	—	—	—	—	—	3.3 ~ 5.0	66	-40~85	206-PGA	MC68LC060RC66-ND	430.83	—	—	MC68LC060RC66
—	—	—	4-Kan.	SCP, TDM	—	—	3.3 ~ 5.0	25	-40~85	240-FQFP	MC68MH360EM25L-ND	57.52	46.58	45.07	MC68MH360EM25L
	—	—	—	—	—	—	5.0	16	-40~85	64-QFP	MC68SEC000FU16-ND	10.29	7.79	7.18	MC68SEC000FU16
	—	—	GPT	SCI, SPI, in Reihe	—	—	5.0	16	-40~85	144-LQFP	MC68331CPV16-ND	14.40	10.89	10.04	MC68331CPV16
	—	—	GPT	SCI, SPI, in Reihe	—	—	5.0	16	-40~85	132-PQFP	MC68331CFC16-ND	16.25	12.74	12.00	MC68331CFC16
	—	—	2-Kan.	UART	—	—	5.0	16	-40~85	132-PQFP	MC68306FC16B-ND	17.47	13.70	12.91	MC68306FC16B
	—	—	—	—	—	—	5.0	16	-40~85	114-PGA	MC68020RC16E-ND	135.58	—	—	MC6802RC16E
	—	—	—	—	—	—	5.0	50	-40~85	206-PGA	MC68060RC50-ND	440.63	—	—	MC68060RC50
	—	—	—	—	—	—	5.0	16	-40~85	132-PQFP	MC68334GCFC16-ND	18.49	14.51	13.66	MC68334GCFC16
	—	—	—	—	—	—	5.0	16	-40~85	132-PQFP	MC68334GFC16-ND	18.49	14.51	13.66	MC68334GFC16
	—	—	2-16 Bit	DUART	—	—	3.3 ~ 5.0	16	-40~85	144-CQFP	MC68340FE16E-ND	39.45	32.86	30.92	MC68340FE16E
	—	—	2-16 Bit	DUART	—	—	3.3 ~ 5.0	25	-40~85	144-CQFP	MC68340FE25E-ND	53.25	44.35	41.73	MC68340FE25E
	—	—	2-16 Bit	DUART	—	—	3.3 ~ 5.0	16	-40~85	144-LQFP	MC68340PV16VE-ND	33.78	25.67	24.96	MC68340PV16VE
	—	—	2-16 Bit	DUART	—	—	3.3 ~ 5.0	16	-40~85	144-QFP	MC68340FT16E-ND	23.54	18.47	17.40	MC68340FT16E
	—	—	2-16 Bit	DUART	—	—	3.3 ~ 5.0	25	-40~85	144-QFP	MC68340FT25E-ND	32.87	26.84	25.45	MC68340FT25E
	—	—	2-16 Bit	DUART	—	—	3.3 ~ 5.0	16	-40~85	144-LQFP	MC68340PV16E-ND	24.13	18.93	17.83	MC68340PV16E
	—	—	2-16 Bit	DUART	—	—	3.3 ~ 5.0	25	-40~85	144-LQFP	MC68340PV25E-ND	33.78	25.67	24.96	MC68340PV25E
	—	—	4-Kan.	SCP,TDM	—	—	3.3 ~ 5.0	25	-40~85	240-FQFP	MC68360CEM25L-ND	52.51	43.73	41.15	MC68360CEM25L

* 4-Kanal DMA

(Forts.)

Alle Preisangaben in Euro und inklusive Zollgebühren.

32-Bit RISC-Mikrocontroller *(Forts.)*

RAM (Bytes)	SRAM (Bytes)	Flash (Bytes)	Timer	Seriell	A/D	PWM	Betriebs-spannung (V)	Betriebs-frequ. (MHz)	Paket	Temp. (°C)	Digi-Key Teilenr.	Stückpreis 1	25	100	Freescale Teilenr.
	—	—	4-Kan.	SCP, TDM	—	—	3.3 ~ 5.0	25	-40~85	240-PQFP	MC68360EM25K-ND	46.28	38.76	36.88	MC68360EM25K
	—	—	4-Kan.	SCP, TDM	—	—	3.3 ~ 5.0	25	-40~85	240-PQFP	MC68360EM25L-ND	46.28	38.76	36.88	MC68360EM25L
	—	—	4-Kan.	SCP, TDM	—	—	3.3 ~ 5.0	25	-40~85	240-PQFP	MC68360EM25VL-ND	54.98	46.39	44.18	MC68360EM25VL
	—	—	4-Kan.	SCP, TDM	—	—	3.3 ~ 5.0	33	-40~85	240-FQFP	MC68360EM33L-ND	52.51	43.73	41.15	MC68360EM33L
	—	—	4-Kan.	SCP, TDM	—	—	3.3 ~ 5.0	25	-40~85	357-PBGA	MC68360ZP25L-ND	47.62	39.66	37.32	MC68360ZP25L
	—	—	4-Kan.	SCP,TDM	—	—	3.3 ~ 5.0	25	-40~85	357-PBGA	MC68360ZP25VL-ND	57.41	46.49	44.98	MC68360ZP25VL
	256	—	2-Kan.	UART	—	—	5.0	25	-40~85	100-QFP	MC68EC020FG25-ND	25.36	19.90	18.74	MC68EC020FG25
—	512	—	—	—	—	—	5.0	25	-40~85	132-CQFP	MC68EC030FE25C-ND	36.53	30.43	28.63	MC68EC030FE25C
	512	—	—	—	—	—	5.0	40	0~70	132-CQFP	MC68EC030FE40C-ND	50.68	42.21	39.71	MC68EC030FE40C
	—	—	4-Kan.	SCP, TDM	—	—	3.3 ~ 5.0	25	-40~85	240-FQFP	MC68EN360CEM25L-ND	59.30	48.02	46.46	MC68EN360CEM25L
	—	—	4-Kan.	SCP, TDM	—	—	3.3 ~ 5.0	25	-40~85	240-FQFP	MC68EN360EM25L-ND	52.32	44.06	41.95	MC68EN360EM25L
	—	—	4-Kan.	SCP, TDM	—	—	3.3 ~ 5.0	25	-40~85	240-FQFP	MC68EN360EM25VL-ND	60.97	51.65	49.22	MC68EN360EM25VL
	—	—	4-Kan.	SCP, TDM	—	—	3.3 ~ 5.0	25	-40~85	240-PGA	MC68EN360RC25K-ND	113.12	—	—	MC68EN360RC25K
	—	—	4-Kan.	SCP, TDM	—	—	3.3 ~ 5.0	25	-40~85	357-PBGA	MC68EN360ZP25L-ND	53.86	44.86	42.21	MC68EN360ZP25L
	—	—	4-Kan.	SCP, TDM	—	—	3.3 ~ 5.0	25	-40~85	144-TQFP	MC68EN360ZP25VL-ND	60.49	51.23	48.82	MC68EN360ZP25VL
	—	—	—	—	—	—	5.0	16	-40~85	68-PLCC	MC68HC000FN16-ND	11.57	8.76	8.07	MC68HC000FN16
	—	—	—	—	—	—	5.0	16	-40~85	68-PLCC	MC68HC000FN16TR-ND		1961.57/250		MC68HC000FN16
I.MX™-Prozessoren															
32K	—	—	2-32 Bit	IIC, SPI, UART, USB	4-Kan., 9-Bit	4	2.7-3.3	200	-40~85	256-PBGA	MC9328MX1DVH20-ND	23.21	18.20	17.15	MC9328MX1DVH20
	—	—	2-32 Bit	IIC, SPI, UART, USB	4-Kan., 9-Bit	4	2.7-3.3	200	-40~85	256-PBGA	MC9328MX1VH20-ND	23.21	18.20	17.15	MC9328MX1VH20

* 4-Kanal DMA

32-Bit Entwicklungs-Tools

Bausteinnummern	Serie	Digi-Key Teilenr.	Stückpreis	Freescale Teilenr.
MCF5206	ColdFire™	M5206AN-ND	430.69	M5206AN
MCF5307	ColdFire	M5307C3-ND	515.93	M5307C3
MCF5280/81/82	ColdFire	M5282LITE-ND	186.58	M5282LITE
MCF5280/81/82	ColdFire	Me5282LITEKIT-ND	246.97	M5282LITEKIT
MPC555	PowerPC™	MPC555CME-ND	622.11	MPC555CME
MPC561/62/63/64	PowerPC	MPC564EVB-ND	856.64	MPC564EVB
MPC565/66	PowerPC	MPC566EVB-ND	856.64	MPC566EVB
MMC2107	M-CORE™	MMCEVB2107-ND	430.69	MMCEVB2107

Flash-Digital-Signalprozessoren

Prog. Flash (16-Bit)	Prog. RAM (16-Bit)	Flash (Bytes) (16-Bit)	RAM (Bytes) (16-Bit)	Boot Flash (16-Bit)	Timer	E/A	Seriell	A/D	PWM	Andere Betriebs-merkmale	Bus-Spannung (V)	Frequ. (MHz)	Paket	Digi-Key Teilenr.	Stückpreis 1	25	100	Freescale Teilenr.
8K	1K	2K	1K	2K	2 Quadratur-Timer-Module	11	SPI, SCI	Zweif. 4-Eingang, 12-Bit	6-Kan.	Interner Oszillator	3.3	80	48-LQFP	DSP56F801FA80-ND	9.64	7.30	6.73	DSP56F801FA80
31.5K	0.5K	4K	2K	2K	4 Quadratur-Timer-Module	16	SPI, SCI	Zweif. 4-Eingang, 12-Bit	6-Kan.	CAN, vierf. Decoder	3.3	80	100-LQFP	DSP56F803BU80-ND	15.56	11.77	10.85	DSP56F803BU80
31.5K	0.5K	4K	2K	2K	4 Quadratur-Timer-Module	32	SPI, 2 SCI	Zweif. 4-Eingang, 12-Bit	Zwei 6-Kan.	CAN, 2 vierf. Decoder-Module	3.3	80	144-LQFP	DSP56F805FV80-ND	15.04	11.80	11.11	DSP56F805FV80
31.5K	0.5K	2K	4K	2K	1 Quadratur-Timer-Modul, 1 TOD	16 dediziert, 30 geteilt	2 SPI, 2 SCI, SSI	—	—	—	Doppel-Stromversorgung, 3,3 und 2,5	80	100-LQFP	DSP56F826BU80-ND	14.48	10.95	10.10	DSP56F826BU80
60K	2K	8K	4K	2K	4 Quadratur-Timer-Module	32	SPI, 2 SCI	Vierf. 4-Eingang, 12-Bit	Zwei 6-Kan.	CAN, 2 vierf. Decoder-Module	3.3	80	160-LQFP	DSP56F807PY80-ND	17.88	14.03	13.21	DSP56F807PY80
60K	2K	8K	4K	2K	4 Quadratur-Timer-Module	32	SPI, 2 SCI	Vierf. 4-Eingang, 12-Bit	Zwei 6-Kan.	CAN, 2 vierf. Decoder-Module	3.3	80	160-BGA	DSP56F807VF80-ND	20.44	16.04	15.11	DSP56F807VF80
32K	4K	8K	8K	8K	8-Kan.	27	SCI, SPI FlexCan	8-Kan., 12-Bit	6-Kan.	PLL, OnCE	3.3	60	64-LQPF	MC56F8323VFB60-ND	15.04	11.38	10.49	MC56F8323VFB60

Digitale Signalprozessoren — DSP56300 Kern

On Chip RAM (24-Bit)	Bootstrap ROM (24-Bit)	Timer	E/A	Seriell	Andere Merkmale	Betriebsspannung (V)	Busfrequenz (MHz)	Paket	Digi-Key Teilenr.	Stückpreis 1	25	100	Freescale Teilenr.
8K	3K	3	42	2-ESSI	DMA, JTAG	3.3	80	208-TQFP	DSP56301PW80-ND	43.55	36.27	34.13	DSP56301PW80
8K	3K	3	42	2-ESSI, SCI	PCI, ISA, JTAG	3.3	100	208-LQFP	DSP56301PW100-ND	46.13	38.42	36.15	DSP56301PW100
8K	3K	3	42	2-ESSI, SCI	PCI, ISA, JTAG	3.3	100	252-BGA	DSP56301VF100-ND	46.13	38.42	36.15	DSP56301VF100
64K	192	3	34	2-ESSI, SCI	DMA, JTAG	1.8/3.3	160	196-BGA	XC56L307VF160-ND	34.62	28.84	27.13	XC56L307VF160
128K	192	3	34	2-ESSI	DMA, JTAG	3.3	100	196-BGA	DSP56303VF100-ND	25.49	20.00	18.84	DSP56303VF100
128K	192	3	42	2-ESSI, SCI	DMA, JTAG	1.8/3.3	150	196-BGA	DSP56311VF150-ND	45.23	37.67	35.45	DSP56311VF150
128K	192	3	34	2-ESSI, SCI	DMA, JTAG	3.3	100	196-BGA	XC56309VF100A-ND	35.73	29.76	28.00	XC56309VF100A

Launched by Motorola
freescale™
semiconductor

DSP Bit Entwicklungs-Tools

B

MC56F8323EVM Kit

Das MC56F8323EVM ist ein preiswertes Kit, das alles enthält, was zur Evaluierung der Funktionen und Fähigkeiten des MC56F8322 und MC56F8323 Hybrid-Controller Siliziums und der Tools notwendig ist.

Kit-inhalt:

• MC56F8323EVM Karte • Installationsanleitung • Schaltmodusstromversorgung (Switch Mode Power Supply) 12 V • Parallelkabel • CodeWarrior™ • Entwicklungsstudio für 56800/E Sonderausgabe

MC56F8323EVM-ND **286.11**

DSP56303EVM Kit

Das DSP56303-Evaluierungsmodul dient als preiswerte Plattform zur Entwicklung von Echtzeit-Software und Hardware-Produkten zur Unterstützung von Anwendungen im Bereich der drahtlosen Kommunikation, Telekommunikation und Multimedien-Produkte, die Mehrleitungs-Voice/Daten/Faxverarbeitung, Videokonferenz, Audio-Anwendungen, Steuerung und allgemeine digitale Signalverarbeitung verwenden.

PC-kompatibler Computer (90 MHz oder höher) mit Windows 95 oder NT4 und einem seriellen RS232-Port. 12 MB RAM, 3-1/2 Zoll Disketten-Laufwerk, CD-ROM-Laufwerk, Festplattenlaufwerk mit 20 MB freiem Plattenspeicher. Netzteil 7-9 V AC oder DC, 500 mA, mit 2,1 mm Koaxial-Steckverbinder (nicht inbegriffen) (Empfehlung: Digi-Key-Teilenr. T353-P5P-ND).

Kit-inhalt:

• DSP56303EVM-Karte • DSP56300-Literatur • Suite56 für Freescale DSP 563xx • Freescale The DSP56300 Family Documentation • Domain Technologies Debugger für DSP563xxEVM

DSP56303EVM-ND **239.27**

DSP56F800 DEMO-Kit

Die 56F800 Demo-Karte dient zur Demonstration der Fähigkeiten der 56F800-Gruppe und stellt ein Hardware-Tool zur Entwicklung von Anwendungen bereit, die 56F800-Geräte verwenden. Das DSP56F800 DEMO-Kit ist ein preiswertes Kit, das alles enthält, was zur Evaluierung der Funktionen und Fähigkeiten des DSP56F800 Siliziums und der Tools notwendig ist. Es stellt ferner ein hervorragend kostensparendes Vehikel für die Hardware- und Software-Entwicklung dar. Das DSP56F800 DEMO-Kit ist zur Verwendung auf einem PC-kompatiblen System mit Windows 95, Windows 98 und Windows NT 4.0 vorgesehen.

Kit-inhalt: • Demo-Karte • Parallelkabel • Kostenlose CodeWarrior™ Lizenz, Programmspeicherbeschränkung von 8.000 Worten • SDK CD • Anleitungen für das Kit • Trainings-CD • US-Netzteil

DSP56F800DEMO-ND **47.81**

DSP56F801EVM-Kit

Das DSP56F801EVM-Kit ist ein preiswertes Kit, das alles enthält, was zur schnellen Evaluierung der Funktionen und Fähigkeiten des DSP56F801-Siliziums und der Tools notwendig ist. Es kann unabhängig oder in Verbindung mit unserem breiten Angebot an modularer Bewegungssteuerungs-Entwicklungs-Hardware verwendet werden. Das DSP56F801EVM-Kit ist zur Verwendung auf einem PC-kompatiblen System mit Windows 95, Windows 98 und Windows NT 4.0 vorgesehen.

Kit-inhalt: • DSP56F801EVM-Installationsanleitung • DSP56F801-Evaluierungsmodulkarte • 12 V Universal-Schaltmodus-Netzteil • IEEE 1284 Parallelport-Kabel DB25-Stecker an DB25-Buchse • Metrowerks CodeWarrior™ für Freescale DSP-Evaluierung CD-ROM (30 Tage) • Entwicklungskit für eingebettete Software (SDK) CD-ROM

DSP56F801EVM-ND **286.23**

DSP56F803EVM-Kit

Das DSP56F803EVM-Kit ist ein preiswertes Kit, das alles enthält, was zur schnellen Evaluierung der Funktionen und Fähigkeiten des DSP56F803-Siliziums und der Tools notwendig ist. Es kann unabhängig oder in Verbindung mit unserem breiten Angebot an modularer Bewegungssteuerungs-Entwicklungs-Hardware verwendet werden. Das DSP56F803EVM-Kit ist zur Verwendung auf einem PC-kompatiblen System mit Windows 95, Windows 98 und Windows NT 4.0 vorgesehen.

Kit-inhalt: • DSP56F803EVM-Installationsanleitung • DSP56F803-Evaluierungsmodulkarte • 12 V Universal-Schaltmodus-Netzteil • IEEE 1284 Parallelport-Kabel DB25-Stecker an DB25-Buchse • Metrowerks CodeWarrior™ für Freescale DSP Evaluierung CD-ROM (30 Tage) • Entwicklungskit für eingebettete Software (SDK) CD-ROM

DSP56F803EVM-ND **286.00**

DSP56F805EVM-Kit

Das DSP56F805EVM-Kit ist ein preiswertes Kit, das alles enthält, was zur schnellen Evaluierung der Funktionen und Fähigkeiten des DSP56F805-Siliziums und der Tools notwendig ist. Es kann unabhängig oder in Verbindung mit unserem breiten Angebot an modularer Bewegungssteuerungs-Entwicklungs-Hardware verwendet werden. Das Kit ist zur Verwendung auf einem PC-kompatiblen System mit Windows 95, Windows 98 und Windows NT 4.0 vorgesehen.

Kit-inhalt: • DSP56F805EVM-Installationsanleitung und DSP56F805-Evaluierungsmodulkarte • 12 V Universal-Schaltmodus-Netzteil • IEEE 1284 Parallelport-Kabel DB25-Stecker an DB25-Buchse • Metrowerks CodeWarrior™ für Freescale DSP Evaluierung CD-ROM (30 Tage) • Entwicklungskit für eingebettete Software (SDK) CD-ROM

DSP56F805EVM-ND **286.11**

DSP56F807EVM Kit

Das DSP56F807EVM-Kit ist ein preiswertes Kit, das alles enthält, was zur schnellen Evaluierung der Funktionen und Fähigkeiten des DSP56F807-Siliziums und der Tools notwendig ist. Es kann unabhängig oder in Verbindung mit unserem breiten Angebot an modularer Bewegungssteuerungs-Entwicklungs-Hardware verwendet werden. Das Kit ist zur Verwendung auf einem PC-kompatiblen System mit Windows 95, Windows 98 und Windows NT 4.0 vorgesehen.

Kit-inhalt: • DSP56F807EVM-Installationsanleitung und DSP56F807-Evaluierungsmodulkarte • 12 V Universal-Schaltmodus-Netzteil • IEEE 1284 Parallelport-Kabel DB25-Stecker an DB25-Buchse • Metrowerks CodeWarrior™ für Freescale DSP Evaluierung CD-ROM (30 Tage) • Entwicklungskit für eingebettete Software (SDK) CD-ROM

DSP56F807EVM-ND **286.23**

DSP56309EVM Kit

Das DSP56309 Evaluierungsmodul (DSP56309EVM) ist eine preiswerte Plattform zur Entwicklung von Echtzeit-Software und Hardware-Produkten zur Unterstützung einer neuen Generation drahtloser Telekommunikationen und Multimedien-Anwendungen. Die DSP56309EVM-Zielanwendungen verlangen einen großen On-Chip-Speicher, wie z.B. drahtlose Infrastruktur-Anwendungen. PC-kompatibler Computer (Pentium 90 MHz oder höher) mit Windows 95 (oder höher) und mit einem seriellen RS232-Port. Setzt Netzteil für 7-9 V DC, 500 mA voraus (nicht inbegriffen), (Empfehlung: Digi-Key-Teilenr. T353-P5P-ND).

Kit-inhalt:

• DSP56309EVM-Karte • GUI Debugger Software Disk • Assembler Linker-Testdateien-Disk • DSP56309EVM Benutzerhandbuch und andere Dokumentation.

DSP56309EVM-ND **263.25**

DSP56311EVM-Kit

Das DSP56311-Evaluierungsmodul (EVM) dient zur Demonstration der Fähigkeiten des DSP56311-Geräts und stellt ein Hardware-Tool zur Entwicklung von Anwendungen bereit, die den DSP56311 verwenden. Das DSP56311EVM umfasst einen DSP56311-Baustein, periphere Expansionssteckverbinder, externen Speicher und einen Voice CODEC. Die Peripherie-Expansionssteckverbinder ermöglichen Signalüberwachung und Erweiterung von Benutzerfunktionen.

Kit-inhalt:

• DSP56311EVM-Karte • Verlängerungskabel für parallelen Port • Kunststoffabstandsstücke und Kunststoff-schrauben • DSP56300 Tools-Software • Geräte und Tools-Dokumentation • Lernhilfe/Beispielssoftware • DSP56311EVM Development Tools, Versionsnotizen • DSP56311EVM-Produktinstallationsanleitungen

DSP56311EVM-ND **334.98**

DSP56F826EVM-Kit

Das DSP56F826EVM-Kit ist ein preiswertes Kit, das alles enthält, was zur schnellen Evaluierung der Funktionen und Fähigkeiten des DSP56F826-Siliziums und der Tools notwendig ist. Es kann unabhängig oder in Verbindung mit unserem breiten Angebot an modularer Bewegungssteuerungs-Entwicklungs-Hardware verwendet werden. Das Kit ist zur Verwendung auf einem PC-kompatiblen System mit Windows 95, Windows 98 und Windows NT 4.0 vorgesehen.

Kit-inhalt:

• DSP56F826EVM-Installationsanleitung und DSP56F826-Evaluierungsmodulkarte • 12 V Universal-Schaltmodus-Netzteil • IEEE 1284 Parallelport-Kabel DB25-Stecker an DB25-Buchse • CODEC-Beispielsratenwähler • Der Peripheral Daughter Card Expansion Connector ermöglicht dem Benutzer den Anschluss seines eigenen SCI-, SSI-, SPI- oder GPIO-kompatiblen Peripheriegeräts am DSP • Der Memory Daughter Card Expansion Connector ermöglicht dem Benutzer den Anschluss seines eigenen Speichers oder eines Speichergeräts am DSP • 16-Bit Stereo-CODEC-Schnittstelle • Metrowerks CodeWarrior™ für Freescale DSP Evaluierung CD-ROM (30 Tage) • Entwicklungskit für eingebettete Software (SDK) CD-ROM

DSP56F826EVM-ND **262.34**

DSP56L307EVM-Kit

Das DSP56L307-Evaluierungsmodul (EVM) dient zur Demonstration der Fähigkeiten des DSP56L307-Geräts und stellt ein Hardware-Tool zur Entwicklung von Anwendungen zur Verfügung, die den DSP56L307 verwenden. Es ist eine Evaluierungsmodulkarte, die ein DSP56L307-Teil, periphere Expansionssteckverbinder, externen Speicher und Voice-CODEC einschließt. Die peripheren Expansionssteckverbinder ermöglichen Signalüberwachung und Erweiterung von Benutzerfunktionen. Das DSP56L307EVM dient zur Evaluierung verschiedener Funktionen des DSP56L307. Es kann, basierend auf dem DSP56L307, zur Entwicklung von Echtzeit-Software und Hardware-Produkten dienen. Es bietet die Funktionen, die ein Benutzer zum Schreiben und Austesten von Software, zum Demonstrieren der Funktionalität dieser Software und zur Interaktion mit dem/den kundenspezifischen Anwendungsgerät(en) benötigt. Das DSP56L307EVM ist flexibel genug, dass der Benutzer die Merkmale des DSP56L307 voll nutzen kann.

Kit-inhalt:

• DS56L307EVM-Karte • Verlängerungskabel für parallelen Port • Kunststoffabstandsstücke und Kunststoffschrauben • Netzteil, 12 V, 1,2 A • Suite56 Software Development Tools CD-ROM • Dokumentation auf CD-ROM

DSP56L307EVM-ND **382.83**

MC56F8300DSK-Kit

Das 56F8300 Entwickler-Starterkit bietet Demonstrations-, Evaluierungs- und Entwicklungsfunktionen für die Serie 56F8300 der Hybrid-Controller. Dieses umfassende Kit beinhaltet eine Demo-Karte, die den 60 MIPS 56F8323 Hybrid-Controller mit On-Chip-Oszillator verwendet, um die erweiterten Fähigkeiten der Serie 56F8300 zu zeigen. Es verfügt auch über einen integrierten JTAG-an-Parallelport Befehlswandler und wird mit CodeWarrior™ Development Studio für 56800/E mit Processor Expert-Technologie geliefert. Dieses mehrschichtige Tool gestattet Entwicklung, Kompilieren, Verknüpfen und Austesten von Anwendungen mit einer komplimentären permanenten Lizenz (beschränkt auf 16 KB).

Kit-inhalt:

• MC56F8300DSK-Karte • Parallelkabel, DB25, Stecker/Buchse • 9 V DC Universal-Stromversorgung • CodeWarrior™ CD für Freescale MC56F8300DSK • CD mit Schulung und Dokumentation • Vorprogrammierte Anwendungsbeispiele

MC56F8300DSK-ND **66.88**

CodeWarrior™ Software

Mit dieser branchenführenden integrierten Entwicklungsumgebung (Integrated Development Environment (IDE)) kann der Ingenieur hoch optimierten, ANSI-konformen C- und Assemby-Code erstellen.

Merkmale:

• Processor Expert Generator für On-Chip-Peripherien • Volle Chip-Simulierung • Umfasst: Assembler, Linker, Debugger und Flash-Programmierer

Lizenztyp	Compiler-Codegröße	Digi-Key Teilenr.	Stückpreis	Freescale Teilenr.
Knoten	Unbegrenzt	CWS-H08-STDED-CX-ND	2695.59	CWS-H08-STDED-CX
Knoten	32K	CWS-H08-C32K-CX-ND	473.81	CWS-H08-C32K-CX
Knoten	64K	CWS-H08-C64K-CX-ND	952.35	CWS-H08-C64K-CX
Knoten	Unbegrenzt	CWS-H12-STDED-CX-ND	3371.18	CWS-H12-STDED-CX

Alle Preisangaben in Euro und inklusive Zollgebühren.

C-Compiler für Freescale Mikrocontroller

Merkmale: • ANSI C eingebettete Systementwicklungstools mit umfangreicher Zielunterstützung für Freescale Mikrocontroller • Write Interrupt Handler in C • Unterstützt Inline-Assembly und kann mit Assembly-Modulen verbunden werden. • ANSI C Compiler: Moderner, schneller C-Compiler mit VOLLEM Support der ANSI-C-Sprache, NICHT micro-C oder erweiterte K&R C • 32-Bit Längen, 32-Bit IEEE-Gleitkommazahl mit einfacher Genauigkeit

Ziel-CPUs	Code-Speichergröße	Code-Browser	Code-Komprimierer	Debugger	Application Builder	Optimierungen	Digi-Key Teilenr.	Stückpreis	Imagecraft Teilenr.
Freescale HC08	Bis zu 64 KB	Ja	Nein	ICD08	Ja	Peephole, Direct-Page-Adressierung	ICC08 STD-ND	168.47	ICC08 STD
Freescale HC11	Bis zu 64 KB	Ja	Nein	HC11 Debugger	Nein	Peephole	ICC11 STD-ND	168.47	ICC11 STD
Freescale HC12 / HCS12	4 MB mit der erweiterten Speicherfunktion HC12	Ja	Nein	HC12 ICD	Nein	Peephole	ICC12 PRO-ND	295.46	ICC12 PRO
Freescale HC12 / HCS12	Bis zu 64 KB	Ja	Nein	HC12 ICD	Nein	Peephole	ICC12 STD-ND	168.47	ICC12 STD

B

Netzwerk-Entwicklungskits und -module

NetBurner SB72 wurde für Anwendungen konzipiert, die eine hohe Leistung/preiswerte 10/100 Ethernet-Schnittstellen zu seriellen Bausteinen verlangen. Das SB72 ist mit Software zum Übersetzen von seriellen und Ethernet-Daten bestückt und kann über jeden Web-Browser konfiguriert werden. Der SB72-Anwendungscode kann mit einem Netzwerk-Entwicklungskit an jede benutzerspezifische Anforderung angepasst werden. Die Kernmodule **NetBurner MOD5272** und **MOD5282** (mit Coldfire Prozessor von Freescale) sind Bausteine, die alles enthalten, was ein Designingenieur zum Ergänzen einer Netzwerksteuerung und zum Überwachen der Kommunikationseinrichtungen eines Unternehmens benötigt. Die Module lösen das Problem von Netzwerk-aktivierenden Bausteinen mit 10/100 Ethernet, einschließlich jenen, die digitale, analoge und serielle Steuerung verlangen. **Das Kit enthält:** • Entwicklungskarte • Adapterkarte • CD-ROM mit Software (Quellcode, Entwicklungstools, Handbücher) • Gerade und Kreuzkabel • 12 V Stromversorgung

Beschreibung	Digi-Key Teilenr.	Stückpreis	Netburner Teilenr.
Entwicklungskit - seriell	528-1000-ND	337.79	NNDK-SB72-KIT
Entwicklungskit - Netzwerk für MOD5272	528-1001-ND	422.45	NNDK-MOD5272-KIT
Entwicklungskit - Netzwerk für MOD5282	528-1002-ND	422.45	NNDK-MOD5282-KIT
Seriell - Ethernet-Karte	528-1003-ND	117.68	SB72-300
Prozessormodul Flash MOD5272	528-1004-ND	117.68	MOD5272-100
Prozessormodul Flash MOD5282	528-1005-ND	122.76	MOD5282-100

Panasonic®

Flash Mikrocontroller — 8-Bit

Die Serie MN101C 8-Bit-Einzelchip-Mikrocontroller integriert mehrere Arten von peripheren Funktionen. Diese Chip-Serie eignet sich für Kameras, VCR, MD, TV, CD, LD, Drucker, Telefon, Heimautomatisierungsprodukte, Pager, Klimaanlagen, PPC-Fernbedienung, Telefax, Musikinstrumente und andere Anwendungen. Die Serie MN101C ergänzt eingebettete Mikrocontroller-Anwendungen um flexible optimierte Hardware-Konfigurationen und einfache effiziente Befehlssätze.

RAM (Bytes)	Flash (Bytes)	Timer/ Zähler	E/A-Pins	Geschwindigkeit (µs)	Betriebsspannung (V)	Serielle Schnittstellen	Unterbrecher	A/D-Pins	D/A-Pins	LCD	Paket	Digi-Key Teilenr.	Stückpreis 1	25	100
1.5K	32K	8-Bit x 5 16-Bit x 2	39	0.1 0.118 0.235 62.5	3.0 ~ 3.6 2.7 ~ 3.6 1.8 ~ 3.6 1.8 ~ 3.6	Synchroner Typ / UART x 2 Synchroner Typ/ Single-Master x 1 I²C x 1 I²C Slave x 1	22	7	—	SEG 12 COM 4	48-TQFP	MN101CF78AXN-ND	7.97	7.18	6.37
6K	128K	8-Bit x 5 16-Bit x 1	53	0.1 0.2 62.5	2.5 ~ 3.6 2.1 ~ 3.6 1.8 ~ 3.6	Synchroner Typ/UART x 2 Synchroner Typ/ Single-Master I²C x 1 I²C Slave x 1	22	7	2	—	64-LQFP	MN101CF77GXN-ND	13.06	11.76	10.43
10K	224K	8-Bit x 6 16-Bit x 1	88	0.1 62.5	4.5 ~ 5.5 2.0 ~ 5.5	Synchroner Typ x 1 Synchroner Typ//UART x 2 Synchroner Typ/ Single-Master I²C x 1	23	8	4	—	100-QFP	MN101CF49KXN-ND	14.81	13.82	12.84

AM1 Starterkit

Einführungs-Starterkit für die FLASH MEMORY-Version einer 8-Bit 1-Chip-CPU von Matsushita Electric Industrial Co., Ltd.

Merkmale:

• Verfügt über Kippschalter, serielle Kommunikationsfunktion und LCD/LED-Anzeige • C-Compiler und Quellcode-Debugger • Nach dem Kauf ist eine einmalige Aufrüstung des C-Compilers über unsere Website möglich. • Einfacher Debugger, kompatibel mit der PanaX-Serie mit USB I/F • USB 1.1 für Host-PC-Schnittstelle • Wahl zwischen USB 1.1 Bus-Leistung oder einem externen Verlängerungssteckverbinder zur Stromversorgung • CPU-Karte kann getrennt vom Evaluierungssystem eingesetzt werden. • Musterprogramm und Lernhilfe inbegriffen

Kit-inhalt:

• USB-Kabel • Externes Anschlusskabel • CD • Software-Lizenz und Produktgarantie • Quickstart-Anleitung und technische Referenz • C-Quellcode-Debugger (Debug Factory Builder AM1 Starter Kit) • C-Compiler • CPU-Handbuch und Musterprogramm (MN101CF49K/70G/78A) • Online-Hilfe, Installationshandbuch

MMK01-C49-ND Evaluierungskit für MN101CF49KXN **303.51**
MMK01-C77-ND Evaluierungskit für MN101CF77GXN **303.51**
MMK01-C78-ND Evaluierungskit für MN101CF78AXN **303.51**
MMB01-001-ND Grundkarte für MN101C Evaluierungskit **250.17**
MMC01-C49-ND CPU-Karte für MN101CF49KXN **125.72**
MMC01-C77-ND CPU-Karte für MN101CF77GXN **125.72**
MMC01-C78-ND CPU-Karte für MN101CF78AXN **125.72**

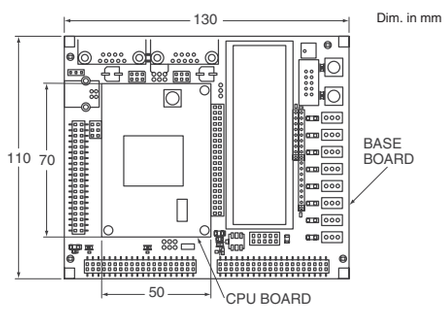

AM1Debug-Sonde

Merkmale:

• AM1 Debug-Sonde zum Onboard-Debugging; AM1 (MN101C) enthält Debug-Monitor im integrierten Speicher des Benutzerziels und verwendet den AM1 (MN101C) seriellen Port zur Kommunikation mit dem PC. • Die Hardware der AM1 Debug-Sonde ist für alle AM1 (MN101C)-Serien dieselbe. Bei der Entwicklung anderer AM1 (MN101C).-Serien können neue Typen durch Erwerb des entsprechenden DebugFactory Builder ergänzt werden. • Kann als Flash-Writer verwendet werden, wenn der Debug-Monitor im Voraus in den AM1 (MN101C) programmiert wurde. • Einfacher Start über USB-Verbindung mit PC. Keine externe Stromversorgung erforderlich, da die AM1 Debug-Sonde durch USB-Bus-Leistung getrieben wird.

Inhalt:

• AM1Debug-Sonde • Ziel-Anschlusskabel • USB-Kabel • Integriertes Programmentwicklungs-Tool „DebugFactory Builder" (unterstützt 1 Typ) • Als Debug-Monitor programmierter AM1Chip

MDP01-C49-ND Debug-Sonde für MN101CF49KXN **538.44**
MDP01-C77-ND Debug-Sonde für MN101CF77GXN **538.44**
MDP01-C78-ND Debug-Sonde für MN101CF78AXN **538.44**

DebugFactory Builder für AM1Debug-Sonde

Merkmale:

• Integriertes Entwicklungstools für das Programmieren der Serie AM1 (MN101C) • Bietet eine effiziente Debug-Umgebung, z. B. C-Quellcode mit ausgeglichener stufenweiser Ausführung, Inspektion, Wächterfunktion, Unterbrechungseinstellung usw. • Leichtes Schalten und einfacher Betrieb erhöhen Entwicklungseffizienz • In Evaluierungskits inbegriffen

Inhalt:

• Editor

• Herstellungs-Tool

• Debugger

MDS01-C49-ND Debug Factory für MN101CF49KXN **303.51**
MDS01-C77-ND Debug Factory für MN101CF77GXN **303.51**
MDS01-C78-ND Debug Factory für MN101CF78AXN **303.51**

CMOS-Bildsensoren

Spezifikationen	KAC-9618	KAC-9619	KAC-9628	KAC-9630	KAC-9637	KAC-9638	KAC-9647	KAC-9648
Array-Format, total (H x V) aktiv	664 x 504 648 x 488	664 x 504 648 x 488	664 x 504 648 x 488	128 x 101 128 x 98	672 x 488 648 x 488	1312 x 1032 1288 x 1032	672 x 488 648 x 488	1312 x 1032 1288 x 1032
Effektiver Bildbereich, total (H x V in mm) total	4.98 x 3.78 4.86 x 3.66	4.98 x 3.78 4.86 x 3.66	4.98 x 3.78 4.86 x 3.66	2.56 x 2.00 2.36 x 1.92	2.93 x 4.03 2.93 x 3.89	6.30 x 7.83 6.27 x 7.81	2.93 x 4.03 2.93 x 3.89	6.30 x 7.83 6.27 x 7.81
Optisches Format (Zoll)	1/3	1/3	1/3	1/5	1/4	1/2	1/4	1/2
Pixel-Größe (µm)	7.5 x 7.5	7.5 x 7.5	7.5 x 7.5	20 x 20	6.0 x 6.0	6.0 x 6.0	6.0 x 6.0	6.0 x 6.0
Video-Ausgänge (Bit Digital)	8, 10 und 12	8, 10 und 12	8, 10 und 12	8	8 und 10	8 und 10	8 und 10	8 und 10
Frame-Rate (Frames pro Sekunde)	30	30	30	580	68	18	68	18
Dynamischer Bereich (dB Linearmodus) (dB Nicht-Linearmodus)	62 110	62 110	62 110	48 —	57 —	57 —	57 —	57 —
Elektronische Blende	Rollende Rückstellung	Rollende Rückstellung	Rollende Rückstellung	Globale Rückstellung	Rollende Rückstellung	Rollende Rückstellung	Rollende Rückstellung	Rollende Rückstellung
FPN (%)	0.1	0.1	0.1	0.5	0.5	0.5	0.5	0.5
PRNU (%)	1.5	1.5	1.5	1.3	1.7	1.7	1.7	1.7
Sensitivität (V/lux.s)	5	5	2.7	22	2.4	2.4	2.5	2.5
Quantum-Effizienz (%)	27	27	27	—	—	—	—	—
Farbmosaik	—	—	Bayer-Muster	—	—	—	Bayer-Muster	Bayer-Muster
Füllfaktor (%)	47	47	47	47	49	49	49	49
Paket	48 CLCC	48 CLCC	48 CLCC	48 CLCC	32 CLCC	48 CLCC	32 CLCC	48 CLCC
Einzelversorgung (V ±10 %)	3.3	3.3	3.3	3.3	3.0	3.0	3.0	3.0
Stromverbrauch (mW)	120	120	120	100	130	150	130	150
Betriebstemperatur	-40°C ~ 85°C	-40°C ~ 85°C	-40°C ~ 85°C	-40°C ~ 85°C	-10°C ~ 50°C	-10°C ~ 50°C	-10°C ~ 50°C	-10°C ~ 50°C

Sensoren

Digi-Key Teilenr.	Stückpreis 1	25	100
KAC-9618-ND	21.21	19.80	18.38
KAC-9619-ND	22.22	20.75	19.27
KAC-9628-ND	22.22	20.75	19.27
KAC-9630-ND	11.81	10.13	8.98
KAC-9637-ND	12.41	11.58	10.76
KAC-9638-ND	23.37	21.81	20.26
KAC-9647-ND	17.91	16.72	15.52
KAC-9648-ND	29.84	27.86	25.87

Sensor-Kopfkarten

Eine kleine Karte mit dem Sensor und allen erforderlichen diskreten Komponenten. Auf die Kopfkarte kann entweder eine C-Mount-Linse oder eine M12-Linse montiert werden. Alle Kopfkarten sind mit dem Evaluierungskit kompatibel.

Hinweis: *Kopfkarten sind nicht im Evaluierungskit enthalten.*

KAC-9618/HDBRD-ND **228.58**
KAC-9619/HDBRD-ND **228.58**
KAC-9628/HDBRD-ND **228.58**
KAC-9630/HDBRD-ND **228.58**
KAC-9637/HDBRD-ND **228.58**
KAC-9638/HDBRD-ND **228.58**
KAC-9647/HDBRD-ND **228.58**
KAC-9648/HDBRD-ND **228.58**

Sensorlinsenkits

1/5" Linsenkit für den KAC-9630 Image-Sensor - einschließlich 2 Linsen (Einzelelement-Kunststofflinse und Einzelelementlinse mit Niedrigprofil).
3F5394-ND **88.89**

1/4" Linsenkit für den KAC-9637 und den 9647 Image-Sensor, einschließlich 4 Linsen (Einzelelementlinse mit Niedrigprofil, 3- und 4-Element-Hybridlinse, 4-Element- Niedrigprofillinse).
3F5395-ND **88.89**

1/3" Linsenkit für den KAC-9618 und den 9628 Image-Sensor, einschließlich 4 Linsen (1-, 2- und 3-Elementlinse und eine 4-Element-Glaslinse).
3F5396-ND **88.89**

1/2" Linsenkit für den KAC-9638 und den 9648 Image-Sensor, einschließlich 2 Linsen (Linse, 4 Elemente, mit Niedrigprofil und Glaslinse, 5 Elemente).
3F5397-ND **88.89**

Sensor-Evaluierungskit

Diese Software/Hardware-Lösung stellt dem Designer einen kompletten Toolsatz zur Rohdaten-Evaluierung zur Verfügung. Mit ihm kann der Designer die Leistung des Imager evaluieren und seine vielen integrierten Funktionen erforschen. Über einen direkt mit dem System verbundenen Standard-PC-Monitor kann die Anzeige auf Vollauflösungsvideo von 30 Frames pro Sekunde überwacht werden. Schnappschüsse beliebiger Szenen können erfasst und die Rohdaten des erfassten Images über einen Parallelport auf einen PC heruntergeladen werden. Mit der ebenfalls enthaltenen SNAPS-Bildverarbeitungssoftware können verschiedene Bildverarbeitungsalgorithmen eingesehen und auf die Rohdaten eines erfassten Bildes angewandt werden.

KAC-96XXEVAL-KIT-ND **Kit-inhalt:** • Zwei-Karten-Sockel • C-montierter Block • C-montierte Linse • Netzteil • Kabel **2533.45**

Bildsensorprodukte

Die Imaging Division bietet eine breite Auswahl an CMOS Imaging-Lösungen an, die sowohl die Sensoren als auch die begleitenden Prozessoren abdeckt. Unsere Kombination aus Hochleistungs-CMOS-Image-Sensoren und einem flexiblen Angebot an Imaging-Digitalsignalprozessoren führt zu Lösungen für verschiedenste Märkte, von Kommunikation über Datenerfassung und Biometrie bis zur Sicherheit.

Bildsensorprodukte sind für Farbe und Monochrom erhältlich, mit einem Auflösungsbereich von VGA bis 2 Megapixel für Anwendungen wie Digital-Standkameras, Webcam, Video und Handys, Spielwaren und Sicherheitsprodukte. Unsere Sensoren verfügen über eine 2-adrige serielle I²C- Schnittstelle zur Steuerung und Einrichtung des Bausteins. Die I²C Register-Map umfasst programmierbare Parameter wie Bausteinstatus, Konfiguration, Aussetzung, Video-Timing und Audio-Setup. Belichtungs- und Verstärkungssteuerung über einen breiten Bereich von Lichtkonditionen hinweg und Schwarzstufenkalibrierung sorgen für eine gleichmäßige Bildqualität.

Farbtyp	Paketgröße	MP	Einschließlich Linse	Digi-Key Teilenr.	Stückpreis 1	10	100	STMicroelectronics Teilenr.
VGA 640 x 480								
Mono	CLCC 36	—	Nein	497-3883-ND		742.26/150		VV6501C001
Farbe	SmOP 1.5	.33	Ja	497-3884-1-ND*	17.78	15.24	13.52	VS6502V015/T2
				497-3884-2-ND†		22583.90/1,800		VS6502V015/T2
				497-3885-1-ND*	16.30	13.97	12.39	VS6552V015/T2
				497-3885-2-ND†		20701.91/1,800		VS6552V015/T2
Farbe	7x7mm	.33	Ja	497-4131-ND	15.24	14.10	10.67	VS6524P02S
1MP/2MP								
Farbe	SmOP 2.0	1	Ja	497-3894-1-ND*	18.52	15.88	14.08	VS6650S02F/T2
Mono	LCC48	2	Nein	497-3900-ND	16.30	13.97	12.39	VC5700V048
Farbe	LCC48	2	Nein	497-3899-ND	17.78	15.24	13.52	VC6700V048

* Gurtabschnittspreise † Preis. f. G. a. R. *

Evaluierungs-/Entwicklungskits

ST-Produkte können mit Evaluierungskarten, Tochterplatinen und Referenz-Designkits evaluiert werden. Wählen Sie bitte aus folgendem Menü anderer Evaluierungskarten und Tools für Imaging-Produkte.

Inklusive Kamera oder Tochterplatine	Begleitender Prozessor	Schnittstellen	Digi-Key Teilenr.	Stückpreis	STMicroelectronics Teilenr.
Evaluierungs-/Entwicklungskits					
Tochterplatine	STV0676	Vollständiges Entwicklungskit	497-3888-ND	412.72	STV-676-E01
Kamera/VS6552V015	STV0974	Vollständiges Entwicklungskit	497-3890-ND	412.72	STV-974/552S-E01
Kamera/VS6650	STV0976	Vollständiges Entwicklungskit	497-3896-ND	412.72	MOB-976/650-E01
—	—	USB 2.0 Kamera	497-3902-ND	412.72	STV-USB2-M02
Tochterplatinen					
Kamera/VC6700	—	Für STV-USB2-M02	497-3903-ND	88.05	STV-6700-D02
Kamera/VC5700	—	Für STV-USB2-M02	497-3904-ND	88.05	STV-5700-D02
Kamera/VC6502	—	Für STV0674/0676	497-3889-ND	88.05	STV-6502V/F-D01
Demokits					
Kamera/VS6552V015	STV0974	USB 2.0 WinXP Demokit	497-3891-ND	110.06	STV-974/552S-R01
Kamera/VS6650	STV0974	Demokit	497-3897-ND	110.06	MOB-976/650-D01
Kamera/VS6524	—	Demokit	497-4130-ND	110.06	MOB-524-D01
Referenzdesign-/Demokit					
Kamera/VS6502V015	STV0676	USB Webcam-Karte	497-3892-ND	88.05	STV-676/502S-R01
Andere Kits					
Kamera/VS6650	STV0974	Sub-bausatz, Plug-in-Karte für schnelle Prototypen	497-3898-ND	82.55	MOB-976/650-P01

Imaging-Digital-Signalprozessoren

Die flexiblen skalierbaren Imaging Digital-Signalprozessoren wurden zur Verwendung mit CIF, VGA und 1,0 Megapixel CMOS Image-Sensoren von STMicroelectronics entwickelt. Für diese bieten sie volle Belichtung, Verstärkung und Modussteuerung sowie Farbverarbeitung. Die begleitenden Prozessoren sind alle mit einem Stromspar-Bereitsschaftsmodus ausgerüstet, um trotz geringen Stromverbrauchs den Speicherinhalt zu erhalten.

Für Kamera	Anwendungen	Digi-Key Teilenr.	Stückpreis 1	10	100	Digi-Key Teilenr.	Gegurtet auf Rolle Größe	Preisangaben	STMicroelectronics Teilenr.
Co-Prozessoren									
VV6501C001, VS6502V015/T2	USB PC-Kamera, eingebettete Anwendungen	497-3886-ND	6.70	5.74	5.10	—	—	—	STV0676E
VS6552V015/T2 (erforderlich)	Eingebettete Anwendungen	497-3887-1-ND	5.27	4.82	3.81	497-3887-2-ND	2,400	2925.01/M	STV0974E/TR
VS6650S02F/T2 (erforderlich)	Vollbildverbarbeitung mit parallelem Digitalausgang	497-3895-1-ND	5.36	4.89	3.87	497-3895-2-ND	2,400	2968.18/M	STV0976/TR
Zubehör									
Erforderlicher Sockel für VS6552V015/T2 und VS6650S02F/T2 Sensoren mit Linse		497-3893-1-ND	1.21	1.05	.81	497-3893-2-ND	600	320.52	XS0015/TR

Alle Preisangaben in Euro und inklusive Zollgebühren.

Serienkarte der Analogbausteine

Verstärker und Komparatoren

- Pufferverstärker
- Komparatoren
- Stromsensorverstärker
- Differenzialverstärker
- Faseroptik/Begrenzungsverstärker
- Faseroptik-Transimpedanzverstärker
- Verstärkungskontrollverstärker
- Instrumentenverstärker
- Isolierverstärker
- LCD-Treiber
- Leitungstreiber
- Operationsverstärker (OpAmp)
- Verstärker, variabler V-Faktor (VGA)

Analog-Digitalwandler

- Audio-A/D-Wandler
- Energiemessung
- Synchro/Resolver-Digitalwandler
- Temperatur-Digitalwandler
- Video-Dekodierer
- Spann.-Frequenzwmwandler

Digital-Analogwandler

- Audio-D/A-Wandler
- Digitale Potentiometer
- Video-Kodierer

Eingebettete Verarbeitung & DSP

- Blackfin®-Prozessor
- TigerSHARC®-Prozessor
- SHARC®-Prozessor
- ADSP-21xx-Prozessor
- Entwicklungswerkzeuge

Analog-Mikrocontroller

MEMS und Sensoren

- iMEMS®-Beschleunigungsmesser
- iMEMS-Gyroskope
- Analoge Temperatursensoren
- Digitale Temperatursensoren

RF/IF-Bauteile

- Baseband-Verarbeitung
- CATV Ampere/Splitter
- Takt- und Datenwiederherstellung/Retiming
- Taktverteilung
- Differenzialverstärker
- Digitale Crosspoint-Schalter
- Direkte Digitalsynthese (DDS)
- Faseroptik, EA-Modulator-Treiber
- Faseroptik-Lasertreiber
- Faseroptik/Begrenzungsverstärker
- Faseroptik-Transimpedanzverstärker
- Verstärkungsblöcke
- Logarithmische Verstärker/Detektoren
- Mixer/Multiplizierer
- Modulatoren/Demodulatoren
- PLL Synthesizer/VCOs
- RF/IF-Transceiver
- HF-Schalter
- RMS-Detektoren
- Nahbereichtransmitter
- Verstärker, variabler V-Faktor (VGA)

Schalter/Multiplexer

- Analoge Crosspoint-Schalter
- Analoge Schalter
- Digitale Crosspoint-Schalter
- Digitale Schalter
- Multiplexer (Muxes)
- HF-Schalter

Schnittstelle

- Isolatoren
- Nivellierungsübersetzer
- Leitungstreiber
- RS232
- RS485
- Transceiver

Strom- und Wärme-Management

- Analoge Temperatursensoren
- Batterieladegeräte
- Ladepumpen
- Digitale Temperatursensoren
- GSM Leitungs-Controller
- Hot Swap-Controller
- LED-Treiber
- Lineare Regler
- MOSFET-Treiber
- Stromversorgung, Controller
- Stromversorgung, Serialisierer
- Wächter
- Schalt-Controller
- Schaltregler
- Systemüberwachungsprodukte
- Temperatureinstell-Controller

Referenzen

- Spannungsreferenzen

Andere lineare

- Analog-Vervielfacher/Teiler
- Halleffektsensoren
- LVDT-Sensorverstärker
- Abgestimmte Transistoren
- RMS-DC-Wandler
- Sample/Track-and-Hold Verstärker

Audio-/Videoprodukte

- Audio-A/D-Wandler
- Audio-CODEC
- Audio-D/A-Wandler
- Audio-Signalprozessoren
- Kamera/Camcorder, analoge Front-Enden
- Anzeigeschnittstellen
- Abtastgeschwindigkeitswandler
- Video-CODECs
- Video-Kompression
- Video-Dekodierer
- Video-Kodierer

Breitbandprodukte

- Breitbandverstärker
- DSL-Chipsätze

Drahtlose Produkte

- Zellanschluss-Chipsets
- DDS-Modulatoren
- Digitale Auf-/Abwärtswandler

Andere

- Automatische Testgeräte
- IOS-Subsysteme
- Militär/Raumfahrt
- Modems

Mehr über diese und andere Produkte finden Sie auf unserer Website

ANALOG DEVICES

www.analog.com

ANALOG DEVICES

Convergent processing **like never before.**

STAMP uClinux Kernel-Karten-Supportpackung für den ADSP-BF533 Blackfin-Prozessor von Analogbausteinen

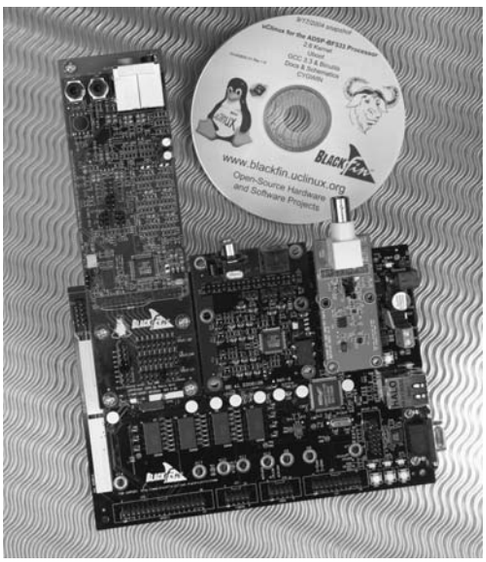

Die STAMP uClinux Kernel-Karten-Supportpackung (BSP) bietet Entwicklern eine kostensparende Umgebung zur Entwicklung von eingebetteten Systemen mit dem ADSP-BF533 Blackfin-Prozessor.

Der BSP schließt eine ADSP-BF533 STAMP Entwicklungskarte, eine aktuelle Kopie der Open Source-Entwicklungstools und den uClinux Kernel ein. Die STAMP-Karte wurde speziell zur Unterstützung der Entwicklung und Portierung von Open Source uClinux Anwendungen und umfasst den vollen Speicherbereich samt seriellen und Netzwerkschnittstellen.

Die BSP enthält auch eine CD mit Open Source Entwicklungstools, Dokumentation, Kartenschaltschemata, Gerber- und Layout-Dateien. Eine Vielzahl von Tochterplatinen stehen zum Einstecken in diese Karte zur Verfügung, um Schnittstellenfunktionen zu ergänzen, z. B. Audio-, Video- und Analog-Input oder -Output.

Die allerneuesten Versionen der Tools und Dokumentation finden Sie auf der uClinux-Website für Blackfin-Prozessoren: http://blackfin.uclinux.org.

Diese Website gilt als zentrale Ablagestelle für alle Open Source-Projekte für Blackfin-Prozessoren; sie enthält verschiedene Projekte auf der Basis von STAMP und Tochterplatinen, wie z. B. einen vernetzten Audio-Medien-Knoten und ein vernetztes Oszilloskop.

Bestellnummer: ADDS-BF533-STAMP

BLACKfin®

Der Blackfin-Prozessor wird von einer Reihe robuster und flexibler Entwicklungstools von Analog Devices unterstützt

VisualDSP++®

VisualDSP++ bietet effizientes Projektmanagement, mit dem Programmierer innerhalb einer einzigen Schnittstelle zwischen Bearbeiten, Bauen und Debugging problemlos umschalten können.

Die Hauptfunktionen umfassen:

- Optimierung von C/C++ Compilern
- Moderne Plotting-Tools
- Eingebettete OS-Unterstützung (VDK)
- Preisgekrönte statistische Profilierung
- TCP/IP- und USB-Support
- Kostenlose Software-Upgrades
- Technische Unterstützung

EZ-KIT Lite® Evaluierungsplattform

Eine kostensparende Methode für die erste Evaluierung und nützliche Informationen über ADI-Hardware- und Software-Entwicklung sowie Prototyp-Anwendungen.

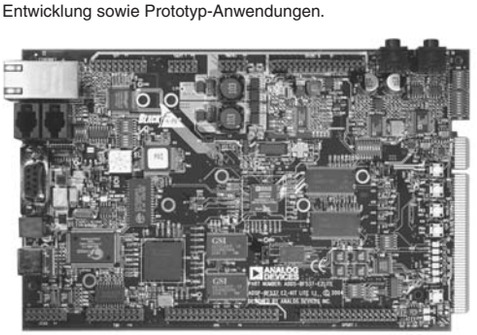

EZ-Extender™

Es gibt eine Reihe von Blackfin EZ-Extender Tochterplatinen, mit denen Entwickler verschiedene HS-Wandler-Evaluierungskarten von Analogbausteinen, Kameraevaluierungskarten und externe Anzeigen anschließen können. Manche der EZ-Extenders enthalten eine USB 2.0 Schnittstelle und 10/100 Ethernet MAC sowie moderne Audio- und Videoschaltkreise.

Emulatoren

Der Hochleistungs-Emulator auf PCI-Basis bietet einen nahtlosen Austausch von Echtzeitdaten vom Host an die Zielanwendung. Emulatoren auf USB-Basis und Hochleistungs-Emulatoren auf USB-Basis stellen einfache, tragbare, nicht-intrusive, zielbasierte Debugging-Lösungen dar.

Der Hochleistungs-Emulator auf USB-Basis unterstützt auch den Background Telemetry Channel (BTC), eine nicht-intrusive Methode des Datenaustauschs zwischen Host und Zielanwendung ohne Beeinträchtigung der erweiterten Echtzeit-Supportmerkmale des Zielsystems.

Green Hills® Software (GHS)

Neben Analog Devices hat auch Green Hills Software eine mehrjährige Produkt-Roadmap für Hardware und Software-Entwicklungstools entwickelt, die den Blackfin-Prozessor voll und ganz unterstützen.

Zu diesen zählen:

- MULTI® Integrated Development Environment (IDE)
- C, C++- und EC++-Compiler
- Green Hills® Probe and Slingshot™ Hardware-Debugging-Bausteine
- INTEGRITY® Echtzeit-Betriebssystem
- *velOSity™* Microkernel

Von der Simulierung bis zum Einsatz spart die GHS-Technologie Zeit während des gesamten Projektentwicklungszyklus. Durch ihre leistungsstarken Funktionen und das wirkungsvolle Design erübrigt sich das Erlernen verschiedener Tools und Benutzerschnittstellen.

Blackfin Test Integration Toolkit für NI LabVIEW

Das LabVIEW Toolkit von National Instruments bietet eine hochwertige Methode für den problemlosen Bau von Testsystemem und Dienstprogrammen für Blackfin Prozessorsysteme.

Durch das Integrieren der Tests können Ingenieure ihr Design im Verlauf des Entwicklungsprozesses schrittweise prüfen.

Eine frühzeitige Verwendung des Test Integration Toolkit reduziert die insgesamte Entwicklungszeit und verbessert die Qualität von Produkten, die den Blackfin-Prozessor verwenden.

ANALOG DEVICES **Weitere Informationen finden Sie unter: www.analog.com/processors**

Alle Preisangaben in Euro und inklusive Zollgebühren.

Digitale Signalprozessoren

Eingebettete Architekturen von ADI bieten einfache, aber dennoch leistungsstarke Programmiermodule und werden von hochwertigen Entwicklungstools unterstützt.

Blackfin® Prozessoren: Eine neue Art von eingebetteten Media-Prozessoren, die speziell die rechnerischen Anforderungen und Leistungseinschränkungen der heutigen eingebetteten Audio-, Video- und Kommunikationsanwendungen berücksichtigen. Die Blackfin Prozessoren verbinden einen 32-Bit RISC-ähnlichen Befehlssatz und eine zweifache 16-Bit Signalverarbeitungsfunktionalität mit den leicht zu gebrauchenden Attributen von Allzweck-Mikrocontrollern.

TigerSHARC® Prozessoren: Diese Gruppe bietet die branchenweit höchste Leistung pro Watt und pro Quadratzoll Kartenplatz für die anspruchsvollsten Signal- und Image-Verarbeitungsanwendungen. Die patententierte Link-Port-Technologie von TigerSHARC ermöglicht Glueless Interprozessor-Kommunikation mit Arrays von zwei oder mehr TigerSHARC Prozessoren.

SHARC® DSPs: Die optimierte SHARC-Gruppe ermöglicht durch Verwendung der „Super" Harvard-Architektur von ADI eine Vielzahl von Echtzeit-eingebetteten Signalverarbeitungsanwendungen; sie ist als Branchenführer für erstklassige Audio-Anwendungen bekannt.

ADSP-21xx/2199x und Mischsignal-DSPs: Die ADSP-21xx Gruppenarchitektur baut auf einer herkömmlichen Befehlssatzarchitektur auf. Alle Gruppenelemente sind Code-kompatible 16-Bit Festpunkt-DSPs. Außerdem bietet die ADSP-2199x Gruppe der Mischsignal-DSPs eine Einzelchip-Lösung mit Signalverarbeitung und 14-Bit ADU-Mischsignalintegration.

B

MMACs Max.	Speicher (kBytes)	Externer Speicher-Bus	PCI	USB-Baustein	UART Timer	Wächter-Timer/RTC	Kernspannung (V) max.	Takt-geschw. (MHz)	Paket	Digi-Key Teilenr.	Stückpreis 1	25	100	Evaluier-plattform	Entwicklungs-software
Blackfin® Prozessoren															
800	52	16-Bit	Nein	Nein	Ja	Ja	1.2	400	Mini BGA	ADSP-BF531SBBC400-ND	—	11.86	—	ADDS-BF533-EZLITE	VDSP-BLKFN-PC-FULL
800	52	16-Bit	Nein	Nein	Ja	Ja	1.2	400	169-BGA	ADSP-BF531SBBZ400-ND	14.94	13.82	11.59	ADDS-BF533-EZLITE	VDSP-BLKFN-PC-FULL
800	52	16-Bit	Nein	Nein	Ja	Ja	1.2	400	176-LQFP	ADSP-BF531SBST400-ND	11.00	10.07	8.75	ADDS-BF533-EZLITE	VDSP-BLKFN-PC-FULL
800	84	16-Bit	Nein	Nein	Ja	Ja	1.2	400	Mini BGA	ADSP-BF532SBBC400-ND	11.61	10.61	10.00	ADDS-BF533-EZLITE	VDSP-BLKFN-PC-FULL
800	84	16-Bit	Nein	Nein	Ja	Ja	1.2	400	169-BGA	ADSP-BF532SBBZ400-ND	15.40	14.07	11.88	ADDS-BF533-EZLITE	VDSP-BLKFN-PC-FULL
800	84	16-Bit	Nein	Nein	Ja	Ja	1.2	400	176-LQFP	ADSP-BF532SBST400-ND	7.78	7.11	6.00	ADDS-BF533-EZLITE	VDSP-BLKFN-PC-FULL
1000	148	16-Bit	Nein	Nein	Ja	Ja	1.4	500	Mini BGA	ADSP-BF533SBBC500-ND	13.43	12.28	10.35	ADDS-BF533-EZLITE	VDSP-BLKFN-PC-FULL
1000	148	16-Bit	Nein	Nein	Ja	Ja	1.4	500	169-BGA	ADSP-BF533SBBZ500-ND	23.13	21.15	17.84	ADDS-BF533-EZLITE	VDSP-BLKFN-PC-FULL
1200	148	16-Bit	Nein	Nein	Ja	Ja	1.4	600	160-BGA	ADSP-BF533SKBC600-ND	16.53	15.12	12.76	ADDS-BF533-EZLITE	VDSP-BLKFN-PC-FULL
1500	148	16-Bit	Nein	Nein	Ja	Ja	1.4	750	Mini BGA	ADSP-BF533SKBC750-ND	88.39	79.55	78.00	ADDS-BF535-EZLITE	VDSP-BLKFN-PC-FULL
700	308	32-Bit	Ja	Ja	Ja	Ja	1.6	300	260-BGA	ADSP-BF535PKB-300-ND	41.56	37.14	36.00	ADDS-BF535-EZLITE	VDSP-BLKFN-PC-FULL
700	308	32-Bit	Ja	Ja	Ja	Ja	1.6	350	260-BGA	ADSP-BF535PKB-350-ND	51.95	46.43	45.00	ADDS-BF535-EZLITE	VDSP-BLKFN-PC-FULL
3000	328	32-Bit	Nein	Nein	Ja	Ja/Nein	1.2	750	297-BGA	ADSP-BF561SBB600-ND	33.97	31.06	28.00	ADDS-BF561-EZLITE	VDSP-BLKFN-PC-FULL

Blackfin® DSP uClinux Kernel-Karten-Supportpackung für den ADSP-BF533 Prozessor

Der STAMP schließt eine ADSP-BF533 Entwicklungskarte und eine aktuelle Kopie der Open Source-Entwicklungstools (GCC 3.3x) und uClinux 2.6 x Kernel ein. Die CD enthält auch Dokumentation und Kartenschaltschemata, Gerbers und Layout-Dateien. Die neueste Version aller Tools finden Sie auf der Website: http://blackfin.uclinux.org.

ADDS-BF533-STAMP-ND **143.88**

MMACs	On-Chip Speicher (M-Bit)	Externer Speicher (M-Bit)	Parallel-Bus	Kernspannung / E/A (V)	Takt-geschw. (MHz)	Paket	Digi-Key Teilenr.	Stückpreis 1	25	100	Evaluier-plattform	Entwicklungs-software
TigerSHARC® Prozessoren												
2000	6	32/64	Yes	1.2/3.3	250	625-BGA	ADSP-TS101SAB1000-ND	214.88	193.66	179.51	ADDS-TS101S-EZLITE	VDSP-TS-PC-FULL
2000	6	32/64	Yes	1.2/3.3	250	484-BGA	ADSP-TS101SAB2000-ND	214.88	193.66	179.51	ADDS-TS101S-EZLITE	VDSP-TS-PC-FULL
2400	6	32/64	Yes	1.2/3.3	300	484-BGA	ADSP-TS101SAB2100-ND	243.18	230.80	214.00	ADDS-TS101S-EZLITE	VDSP-TS-PC-FULL
2400	6	32/64	Yes	1.2/3.3	300	625-BGA	ADSP-TS101SAB1100-ND	243.18	230.80	214.00	ADDS-TS101S-EZLITE	VDSP-TS-PC-FULL

MMACs	MFLOPs	On-Chip SRAM (M-Bit)	On-Chip ROM (M-Bit)	Serielle Ports	Link-ports	Kernspannung (V)	Takt-geschw. (MHz)	Paket	Digi-Key Teilenr.	Stückpreis 1	25	100	Evaluier-plattform	Entwicklungs-software
SHARC® DSPs														
33	99	4	0	2	6	5	33	240-MQFP	ADSP-21060KS-133-ND	280.00	274.98	249.99	ADDS-21262-EZLITE	VDSP-SHARC-PC-FULL
40	120	4	0	2	6	5	40	240-MQFP	ADSP-21060KS-160-ND	350.00	346.83	315.30	ADDS-21262-EZLITE	VDSP-SHARC-PC-FULL
40	120	4	0	2	6	3.3	40	240-CQFP	ADSP-21060LCW-160-ND	680.00	665.50	604.69	ADDS-21262-EZLITE	VDSP-SHARC-PC-FULL
40	120	4	0	2	6	3.3	40	240-MQFP	ADSP-21060LKS-160-ND	398.62	390.00	362.60	ADDS-21262-EZLITE	VDSP-SHARC-PC-FULL
40	120	4	0	2	6	3.3	40	225-BGA	ADSP-21060LKB-160-ND	398.62	390.00	362.60	ADDS-21262-EZLITE	VDSP-SHARC-PC-FULL
33	99	1	0	2	0	5	33	240-MQFP	ADSP-21061KS-133-ND	65.00	61.12	60.00	ADDS-21262-EZLITE	VDSP-SHARC-PC-FULL
40	120	1	0	2	0	5	40	240-MQFP	ADSP-21061KS-160-ND	83.17	77.63	72.08	ADDS-21262-EZLITE	VDSP-SHARC-PC-FULL
40	120	1	0	2	0	3.3	40	225-BGA	ADSP-21061LKB-160-ND	51.00	47.19	45.00	ADDS-21262-EZLITE	VDSP-SHARC-PC-FULL
40	120	1	0	2	0	3.3	40	240-MQFP	ADSP-21061LKS-160-ND	42.00	41.83	40.00	ADDS-21262-EZLITE	VDSP-SHARC-PC-FULL
44	132	1	0	2	0	3.3	44	240-MQFP	ADSP-21061LKS-176-ND	63.14	58.94	54.73	ADDS-21262-EZLITE	VDSP-SHARC-PC-FULL
33	99	2	0	2	0	5	33	240-MQFP	ADSP-21062KS-133-ND	144.10	134.49	124.89	ADDS-21262-EZLITE	VDSP-SHARC-PC-FULL
40	120	2	0	2	0	5	40	240-MQFP	ADSP-21062KS-160-ND	126.35	120.35	118.00	ADDS-21262-EZLITE	VDSP-SHARC-PC-FULL
40	120	2	0	2	0	3.3	40	240-MQFP	ADSP-21062LCS-160-ND	180.17	175.00	163.27	ADDS-21262-EZLITE	VDSP-SHARC-PC-FULL
40	120	2	0	2	6	3.3	40	225-BGA	ADSP-21062LKB-160-ND	160.00	157.31	143.01	ADDS-21262-EZLITE	VDSP-SHARC-PC-FULL
40	120	2	0	2	6	3.3	40	240-MQFP	ADSP-21062LKS-160-ND	144.14	140.00	130.62	ADDS-21262-EZLITE	VDSP-SHARC-PC-FULL
60	180	0.5	0	2	0	3.3	60	208-MQFP	ADSP-21065LCS-240-ND	57.15	53.34	49.53	ADDS-21065L-EZLITE	VDSP-SHARC-PC-FULL
60	180	0.5	0	2	0	3.3	66	Mini BGA	ADSP-21065LKCA240-ND	47.00	46.87	45.00	ADDS-21065L-EZLITE	VDSP-SHARC-PC-FULL
66	198	0.5	0	2	0	3.3	66	Mini BGA	ADSP-21065LKCA264-ND	56.13	52.39	48.65	ADDS-21065L-EZLITE	VDSP-SHARC-PC-FULL
60	180	0.5	0	2	0	3.3	66	208-MQFP	ADSP-21065LKS-240-ND	30.51	30.00	29.00	ADDS-21065L-EZLITE	VDSP-SHARC-PC-FULL
66	198	0.5	0	2	0	3.3	66	208-MQFP	ADSP-21065LKS-264-ND	54.61	50.97	47.33	ADDS-21065L-EZLITE	VDSP-SHARC-PC-FULL
160	480	4	0	2	6	2.5	80	400-BGA	ADSP-21160MKB-80-ND	250.05	233.38	216.71	ADDS-21160-EZLITE	VDSP-SHARC-PC-FULL
200	600	4	0	2	6	1.9	100	400-BGA	ADSP-21160NCB-100-ND	221.79	204.27	185.79	ADDS-21160-EZLITE	VDSP-SHARC-PC-FULL
200	600	4	0	2	6	1.9	100	400-BGA	ADSP-21160NKB-100-ND	207.19	190.65	174.12	ADDS-21160-EZLITE	VDSP-SHARC-PC-FULL
200	600	1	0	4	2	1.8	100	225-MBGA	ADSP-21161NCCA100-ND	43.67	34.94	32.00	ADDS-21161N-EZLITE	VDSP-SHARC-PC-FULL
200	600	1	0	4	2	1.8	100	225-MBGA	ADSP-21161NKCA100-ND	36.39	29.11	28.00	ADDS-21161N-EZLITE	VDSP-SHARC-PC-FULL
400	1200	2	4	6	0	1.2	200	144-LQF	ADSP21262SKBCZ200-ND	23.85	19.08	16.21	ADDS-21262-EZLITE	VDSP-SHARC-PC-FULL

Programm-RAM Words (KWords)	Daten-RAM Words (KWords)	Externer Speicher-Bus	Host-Port	SPORT	SPI / UART	Zeit-schalt-uhren	Kern-spannung (V)	ADU	Takt-geschw. (MHz)	Paket	Digi-Key Teilenr.	Stückpreis 1	25	100	Evaluier-plattform	Entwicklungs-software
ADSP-21xx/2199x und Mischsignal-DSPs																
2	1	24	Nein	2	Nein	1	5	—	25	68-PLCC	ADSP-2101BP-100-ND	39.54	36.91	34.27	—	VDSP-21XX-PC-FULL
2	1	24	Nein	2	Nein	1	5	—	25	80-PQFP	ADSP-2101BS-100-ND	45.00	40.50	38.00	—	VDSP-21XX-PC-FULL
1	0.5	24	Nein	1	Nein	1	5	—	20	68-PLCC	ADSP-2105BP-80-ND	20.00	16.12	15.00	—	VDSP-21XX-PC-FULL
2	1	24	Ja	2	Nein	1	5	—	20	100-PGA	ADSP-2111BG-80-ND	185.22	180.00	178.00	—	VDSP-21XX-PC-FULL
1	0.5	24	Nein	2	Nein	1	5	—	25	68-PLCC	ADSP-2115BP-100-ND	25.00	22.45	22.00	—	VDSP-21XX-PC-FULL
2	2	24	Ja	2	Nein	1	5	—	33.3	128-PQFP	ADSP-2171BS-133-ND	55.00	51.15	50.00	—	VDSP-21XX-PC-FULL
16	16	24	Nein	2	Nein	1	5	—	33.3	128-PQFP	ADSP-2181BS-133-ND	29.00	27.12	24.66	ADDS-2181-EZLITE	VDSP-21XX-PC-FULL
16	16	24	Nein	2	Nein	1	5	—	33.3	128-TQFP	ADSP-2181BST-133-ND	20.19	19.00	18.36	ADDS-2181-EZLITE	VDSP-21XX-PC-FULL
16	16	24	Nein	2	Nein	1	5	—	33.3	128-PQFP	ADSP-2181KS-133-ND	32.00	27.00	25.00	ADDS-2181-EZLITE	VDSP-21XX-PC-FULL
16	16	24	Nein	2	Nein	1	5	—	33.3	128-TQFP	ADSP-2181KST-133-ND	31.00	30.00	29.00	ADDS-2181-EZLITE	VDSP-21XX-PC-FULL
16	16	24	Nein	2	Nein	1	5	—	40	128-PQFP	ADSP-2181KS-160-ND	35.00	30.00	29.00	ADDS-2181-EZLITE	VDSP-21XX-PC-FULL
16	16	24	Nein	2	Nein	1	5	—	40	128-TQFP	ADSP-2181KST-160-ND	31.00	30.00	29.00	ADDS-2181-EZLITE	VDSP-21XX-PC-FULL
16	16	24	Nein	2	Nein	1	3.3	—	28.8	128-LQFP	ADSP-2183BST-115-ND	32.00	28.00	27.00	ADDS-2189M-EZLITE	VDSP-21XX-PC-FULL
16	16	24	Nein	2	Nein	1	3.3	—	40	128-LQFP	ADSP-2183BST-160-ND	31.25	30.00	29.00	ADDS-2189M-EZLITE	VDSP-21XX-PC-FULL
16	16	24	Nein	2	Nein	1	3.3	—	52	128-LQFP	ADSP-2183KST-210-ND	32.00	30.00	29.00	ADDS-2189M-EZLITE	VDSP-21XX-PC-FULL
4	4	24	Nein	2	Nein	1	5	—	40	100-LQFP	ADSP-2184BST-160-ND	15.00	12.77	9.73	ADDS-2189M-EZLITE	VDSP-21XX-PC-FULL
4	4	24	Nein	2	Nein	1	3.3	—	40	100-LQFP	ADSP-2184LBST-160-ND	15.00	12.77	9.73	ADDS-2189M-EZLITE	VDSP-21XX-PC-FULL
16	16	24	Ja	2	Nein	1	5	—	33	100-LQFP	ADSP-2185KSTZ-115-ND	27.00	24.00	23.00	ADDS-2189M-EZLITE	VDSP-21XX-PC-FULL
16	16	24	Nein	2	Nein	1	5	—	33.3	100-TQFP	ADSP-2185BST-133-ND	32.00	28.50	28.00	ADDS-2189M-EZLITE	VDSP-21XX-PC-FULL
16	16	24	Ja	2	Nein	1	5	—	33	100-LQFP	ADSP-2185BSTZ-133-ND	32.00	27.00	25.00	ADDS-2189M-EZLITE	VDSP-21XX-PC-FULL
16	16	24	Nein	2	Ja	1	5	—	33.3	100-TQFP	ADSP-2185KST-133-ND	32.00	27.00	25.00	ADDS-2189M-EZLITE	VDSP-21XX-PC-FULL
16	16	24	Ja	2	Nein	1	5	—	33	100-LQFP	ADSP-2185KSTZ-133-ND	32.00	27.00	25.00	ADDS-2189M-EZLITE	VDSP-21XX-PC-FULL
16	16	24	Nein	2	Nein	1	3.3	—	33.3	100-LQFP	ADSP-2185LBST-133-ND	28.41	28.00	27.00	ADDS-2189M-EZLITE	VDSP-21XX-PC-FULL
16	16	24	Nein	2	Nein	1	3.3	—	40	100-LQFP	ADSP-2185LBST-160-ND	31.25	30.00	29.00	ADDS-2189M-EZLITE	VDSP-21XX-PC-FULL
16	16	24	Ja	2	Nein	1	2.5	—	66	100-LQFP	ADSP-2185MBST-266-ND	18.00	14.60	11.19	ADDS-2189M-EZLITE	VDSP-21XX-PC-FULL
16	16	24	Ja	2	Nein	1	2.5	—	75	100-LQFP	ADSP-2185MKST-300-ND	18.00	14.60	11.19	ADDS-2189M-EZLITE	VDSP-21XX-PC-FULL
16	16	24	Ja	2	Nein	1	1.8	—	80	100-LQFP	ADSP-2185NKST-320-ND	14.00	13.13	10.95	ADDS-2189M-EZLITE	VDSP-21XX-PC-FULL
8	8	24	Ja	2	Nein	1	5	—	28.8	100-LQFP	ADSP-2186KST-115-ND	23.00	18.49	16.81	ADDS-2189M-EZLITE	VDSP-21XX-PC-FULL
8	8	24	Nein	2	Nein	1	5	—	33.3	100-LQFP	ADSP-2186KST-133-ND	21.00	20.35	18.49	ADDS-2189M-EZLITE	VDSP-21XX-PC-FULL
8	8	24	Ja	2	Nein	1	2.5	—	75	100-LQFP	ADSP-2186MKST-300-ND	12.70	10.70	8.75	ADDS-2189M-EZLITE	VDSP-21XX-PC-FULL
8	8	24	Ja	2	Nein	1	1.8	—	80	100-LQFP	ADSP-2186NBST-320-ND	10.21	9.49	8.26	ADDS-2189M-EZLITE	VDSP-21XX-PC-FULL
32	32	34	Ja	2	Nein	1	3.3	—	52	100-TQFP	ADSP-2187LBST-210-ND	48.00	45.75	44.00	ADDS-2189M-EZLITE	VDSP-21XX-PC-FULL
32	32	34	Ja	2	Nein	1	3.3	—	52	100-TQFP	ADSP-2187LKST-210-ND	45.00	41.60	40.00	ADDS-2189M-EZLITE	VDSP-21XX-PC-FULL
32	32	24	Ja	2	Nein	1	1.8	—	80	100-LQFP	ADSP-2187NKST-320-ND	25.29	22.37	19.45	ADDS-2189M-EZLITE	VDSP-21XX-PC-FULL
48	56	24	Ja	2	Nein	1	2.5	—	75	100-LQFP	ADSP-2188MKST-300-ND	40.85	35.02	33.00	ADDS-2189M-EZLITE	VDSP-21XX-PC-FULL
32	48	24	Ja	2	Nein	1	2.5	—	66	100-LQFP	ADSP-2189MBST-266-ND	34.05	30.16	28.00	ADDS-2189M-EZLITE	VDSP-21XX-PC-FULL
32	48	24	Ja	2	Nein	1	2.5	—	75	100-LQFP	ADSP-2189MKST-300-ND	34.05	30.16	28.00	ADDS-2189M-EZLITE	VDSP-21XX-PC-FULL
32	48	24	Ja	2	Nein	1	1.8	—	80	100-LQFP	ADSP-2189NKST-320-ND	30.16	30.00	29.00	ADDS-2189M-EZLITE	VDSP-21XX-PC-FULL
32	32	16	Ja	3	Ja	3	2.5	—	160	144-LQFP	ADSP-2191MKST-160-ND	20.00	19.67	18.03	ADDS-2191-EZLITE	VDSP-21XX-PC-FULL
16	16	16	Ja	3	Ja	3	2.5	—	140	144-LQFP	ADSP-2195MBST-140-ND	16.91	16.22	14.88	ADDS-2191-EZLITE	VDSP-21XX-PC-FULL
16	16	16	Ja	3	Ja	3	2.5	—	160	144-LQFP	ADSP-2195MKST-160-ND	16.91	16.22	14.88	ADDS-2191-EZLITE	VDSP-21XX-PC-FULL
8	8	16	Ja	3	Ja	3	2.5	—	140	144-LQFP	ADSP-2196MBST-140-ND	13.50	12.96	11.88	ADDS-2191-EZLITE	VDSP-21XX-PC-FULL
8	8	16	Ja	3	Ja	3	2.5	—	160	144-LQFP	ADSP-2196MKST-160-ND	13.50	12.96	11.88	ADDS-2191-EZLITE	VDSP-21XX-PC-FULL
4	4	24	Ja	1	Ja	3	2.5	2-Kan., 14-Bit, 20 Msps	160	176-LQFP	ADSP-21990BST-ND	25.54	24.69	23.00	ADDS-21992-EZLITE	VDSP-21XX-PC-FULL
32	8	24	Ja	1	Ja	3	2.5	2-Kan., 14-Bit, 20 Msps	160	176-LQFP	ADSP-21991BST-ND	29.92	28.00	27.00	ADDS-21992-EZLITE	VDSP-21XX-PC-FULL
32	16	24	Ja	1	Ja	3	2.5	2-Kan., 14-Bit, 20 Msps	160	176-LQFP	ADSP-21992BST-ND	22.00	21.26	18.33	ADDS-21992-EZLITE	VDSP-21XX-PC-FULL
32	16	24	Ja	1	Ja	3	2.5	2-Kan., 14-Bit, 20 Msps	100	176-LQFP	ADSP-21992YST-ND	32.83	30.00	29.00	ADDS-21992-EZLITE	VDSP-21XX-PC-FULL

(Forts.)

VisualDSP++™ Integrierte Entwicklungsumgebung

VisualDSP++ ist eine einfach zu installierende und zu gebrauchende integrierte Software-Entwicklungs- und Debugging-Umgebung, die ein effizientes Management von Projekten, vom Start bis zum Ende, von einer einzigen Schnittstelle aus ermöglicht. VisualDSP++ unterstützt alle Analogbaustein-Prozessorgruppen. **Inhalt:** • Assembler • Linker • Simulator • C/C++ Compiler • Debugger • PROM Splitter • Grafik-Plotting • Expert Linker • Math, DSP und C/C++ Betriebszeit-Bibliothek • Integrierte Entwicklungsumgebung • VisualDSP++ Kernel • Statistische Profile • VisualDSP++ Component Software Engineering ***(Hinweis:** ADSP-218x wird nicht von C++ unterstützt.)*

VDSP-21XX-PC-FULL-ND **3095.04**
VDSP-BLKFN-PCFULL-ND **3095.04**
VDSP-BLKFNPCFLOAT-ND **3758.26**
VDSP-SHARC-PCFULL-ND **3095.04**
VDSP-TS-PC-FULL-ND **3095.04**

Emulator-Entwicklungstools

Alle Emulatoren verlangen VisualDSP++Software für den entsprechenden Prozessor.

ADDS-218X-ICE2.5V-ND **1764.17**
ADDS-HPPCI-ICE-ND **3537.19**
ADDS-HPUSB-ICE-ND **3537.19**
ADDS-USB-ICE-ND **1061.16**

EZ-KIT Lite™ Evaluierungskit

Das EZ-KIT Lite stellt eine einfache Art und Weise der Evaluierung der Leistung von ADI-Prozessoren dar und erleichtert den Einstieg in die Anwendungsentwicklung. **Kit-inhalt:** • Unabhängige Evaluierungskarte • Die Evaluation Suite von VisualDSP++™ erleichtert Architektur-Evaluierungen über das Tool-Set eines PC-Hosts. **Benutzer des EZ-KIT Lite können:** • ADI-Prozessoren evaluieren • DSP-Anwendungen erlernen • Anwendungen simulieren und austesten • Prototypen für Anwendungen erstellen

ADDS-2181-EZLITE-ND **216.65**
ADDS-21065LEZLITE-ND **264.40**
ADDS-21161NEZLITE-ND **437.73**
ADDS-21262-EZLITE-ND **437.73**
ADDS-21992-EZLITE-ND **437.73**
ADDS-BF533-EZLITE-ND **353.72**
ADDS-BF535-EZLITE-ND **260.87**
ADDS-BF537-EZLITE-ND **309.50**
ADDS-BF561-EZLITE-ND **437.73**
ADDS-TS101SEZLITE-ND **879.88**
ADDSTS201SEZLITE-ND **879.88**
ADDS-BF-EZEXT-1-ND Tochterplatine für das Kit BF533/561 ..... **172.44**

DSP-basierte Motorsteuerungsanwendungen (kompatibel mit dem ADSP-2100 Gruppen-Code)

ADMC331ADVEVALKIT-ND **384.28**
ADMC401ADVEVALKIT-ND **384.28**

Programm-RAM	Programm-ROM	Daten-RAM	Programm FLASH	Spannungsreferenz	Takt (MHz)	Paket	Digi-Key Teilenr.	Stückpreis 1	25	100
4K x 24-Bit	2K x 24-Bit	1K x 16-Bit	—	2.5V	25	80-TQFP	ADMC300BST-ND	25.00	24.32	19.41
2K x 24-Bit	2K x 24-Bit	1K x 16-Bit	—	2.0V	26	144-LQFP	ADMC401BST-ND	20.85	19.55	16.26
512 x 24-Bit	4K x 24-Bit	512 x 16-Bit	4K x 24-Bit	2.5V	20	28-DIP	ADMCF326BN-ND	22.96	21.93	18.59
512 x 24-Bit	4K x 24-Bit	512 x 16-Bit	4K x 24-Bit	2.5V	20	28-SOIC	ADMCF326BR-ND	21.35	20.33	15.29
512 x 24-Bit	4K x 24-Bit	512 x 16-Bit	4K x 24-Bit	2.5V	20	28-SOIC	ADMCF328BR-ND	21.35	20.25	15.29
512 x 24-Bit	4K x 24-Bit	512 x 16-Bit	4K x 24-Bit	2.5V	20	64-LQFP	ADMCF340BST-ND	24.34	23.21	17.67
512 x 24-Bit	4K x 24-Bit	512 x 16-Bit	4K x 24-Bit	2.5V	20	28-SOIC	ADMCF341BR-ND	23.49	22.37	16.83

ANALOG DEVICES Präzisions-Analog-Mikrocontroller

MicroConverter™ ICs waren die ersten Mikrocontroller, die echte 12-Bit bis 24-Bit Analog-Präzisions-ADCs, In-circuit-reprogrammierbaren Flash-/EE-Speicher und einen On-Chip 8052- oder ARM-Kern verbanden. Zu den Anwendungen zählen industrielle Anwendungen, Instrumentierung, Kommunikation und Automobilsteuerungen.

Merkmale:
Präzisions-Analog: • 12-Bit bis 24-Bit ADC-Auflösung • Abtastraten bis 1Msps • Flexibles ADC-Eingangs-Multiplexing • Programmierbare Verstärkungs-differenzial-Eingänge • Selbstkalibrierung • On-Chip 2,5 V Bandspaltenreferenz • R/R DAU, einf., zweif. oder vierf. Integrierte programmierbare Peripheribausteine: • 8052 oder ARM 7 MCU-Kern (bis zu 45 MIPS) • Flash/EE Code-Speicher (bis zu 62 K) • Flash/EE Datenspeicher (bis zu 4 K) • RAM (bis zu 8 K) • Flexible serielle SPI-, I²C- und UART-Anschlüsse • Generator für Hochgeschwindigkeits-Baudraten • Mehrere PWM-Ausgänge

Programm-speicher (KBytes)	Flash-Daten (Bytes)	RAM (Bytes)	E/A	ADU	DAU	PWM (16-Bit)	Timer (16-Bit)	Betriebs-temperaturbereich	Paket	Digi-Key Teilenr.	Stückpreis 1	25	100
8	640	256	32	Zweif., 12-Bit	2-Kan., 12-Bit	—	Ja	-40°C ~ 85°C	56-LFCSP	ADUC812BCP-ND	14.01	11.26	8.34
8	640	256	32	1, 12-Bit	2-Kan., 12-Bit	—	Ja	-40°C ~ 85°C	52-MQFP	ADUC812BS-ND	12.00	11.26	8.34
8	640	256	16	1, 12-Bit	2-Kan., 12-Bit	—	Ja	-40°C ~ 125°C	28-TSSOP	ADUC814BRU-ND	5.97	4.80	3.55
8	640	256	16	1, 12-Bit	2-Kan., 12-Bit	—	Ja	-40°C ~ 125°C	28-TSSOP	ADUC814ARU-ND	7.00	6.14	4.55
8	640	256	32	Zweif., 16-Bit	1-Kan., 12-Bit	—	Ja	-40°C ~ 85°C	56-LFCSP	ADUC816BCP-ND	15.38	12.36	9.15
8	640	256	32	Zweif., 16-Bit	1-Kan., 12-Bit	—	Ja	-40°C ~ 85°C	52-MQFP	ADUC816BS-ND	13.00	12.36	9.15
8	640	256	32	16 und 24-Bit	1-Kan., 12-Bit	—	Ja	-40°C ~ 85°C	56-LFCSP	ADUC824BCP-ND	19.12	15.39	11.36
8	640	256	32	16 und 24-Bit	1-Kan., 12-Bit	—	Ja	-40°C ~ 85°C	52-MQFP	ADUC824BS-ND	19.12	15.39	11.36
62	4K	2K + 256	32	1, 12-Bit	2-Kan., 12-Bit	2	Ja	-40°C ~ 85°C	56-LFCSP	ADUC831BCP-ND	14.79	11.88	8.80
62	4K	2K + 256	32	1, 12-Bit	2-Kan., 12-Bit	2	Ja	-40°C ~ 85°C	52-MQFP	ADUC831BS-ND	12.00	11.88	8.80
62	4K	2K + 256	32	1, 12-Bit	2-Kan., 12-Bit	2	Ja	-40°C ~ 85°C	56-LFCSP	ADUC832BCP-ND	14.79	11.88	8.80
62	4K	2K + 256	32	1, 12-Bit	2-Kan., 12-Bit	2	Ja	-40°C ~ 125°C	52-MQFP	ADUC832BS-ND	14.79	11.88	8.80
62	4K	2K + 256	32	16 und 24-Bit	1-Kan., 12-Bit	2	Ja	-40°C ~ 85°C	56-LFCSP	ADUC834BCP-ND	20.80	16.71	12.38
62	4K	2K + 256	32	16 und 24-Bit	1-Kan., 12-Bit	2	Ja	-40°C ~ 125°C	52-MQFP	ADUC834BS-ND	20.80	16.71	12.38
62	4K	2K + 256	32	Zweif., 16-Bit	1-Kan., 12-Bit	2	Ja	-40°C ~ 85°C	56-LFCSP	ADUC836BCP-ND	16.58	13.26	9.95
62	4K	2K + 256	32	Zweif., 16-Bit	1-Kan., 12-Bit	2	Ja	-40°C ~ 125°C	52-MQFP	ADUC836BS-ND	14.00	13.26	9.95
62	4K	2K + 256	32	1, 12-Bit	2-Kan., 12-Bit	2	Ja	-40°C ~ 85°C	56-LFCSP	ADUC841BCP62-3-ND	16.27	13.07	9.69
62	4K	2K + 256	32	1, 12-Bit	2-Kan., 12-Bit	2	Ja	-40°C ~ 85°C	52-MQFP	ADUC841BS62-3-ND	14.00	13.07	9.69
62	4K	2K + 256	32	1, 12-Bit	2-Kan., 12-Bit	2	Ja	-40°C ~ 85°C	56-LFCSP	ADUC841BCP62-5-ND	16.27	13.07	9.69
62	4K	2K + 256	32	1, 12-Bit	2-Kan., 12-Bit	2	Ja	-40°C ~ 85°C	52-MQFP	ADUC841BS62-5-ND	14.00	13.07	9.69
62	4K	2K + 256	32	1, 12-Bit	2-Kan., 12-Bit	2	Ja	-40°C ~ 85°C	56-LFCSP	ADUC841BCP8-3-ND	11.07	8.89	6.59
62	4K	2K + 256	32	1, 12-Bit	2-Kan., 12-Bit	2	Ja	-40°C ~ 85°C	56-LFCSP	ADUC841BCP8-5-ND	11.07	8.89	6.59
62	4K	2K + 256	32	1, 12-Bit	2-Kan., 12-Bit	2	Ja	-40°C ~ 85°C	56-LFCSP	ADUC842BCP32-3-ND	12.03	9.68	7.17
62	4K	2K + 256	32	1, 12-Bit	2-Kan., 12-Bit	2	Ja	-40°C ~ 85°C	56-LFCSP	ADUC842BCP32-5-ND	12.03	9.68	7.17
62	4K	2K + 256	32	1, 12-Bit	2-Kan., 12-Bit	2	Ja	-40°C ~ 85°C	56-LFCSP	ADUC842BCP62-3-ND	16.27	13.07	9.69
62	4K	2K + 256	32	1, 12-Bit	2-Kan., 12-Bit	2	Ja	-40°C ~ 85°C	52-MQFP	ADUC842BS62-3-ND	14.00	13.07	9.69
62	4K	2K + 256	32	1, 12-Bit	2-Kan., 12-Bit	2	Ja	-40°C ~ 85°C	56-LFCSP	ADUC842BCP62-5-ND	16.27	13.07	9.69
62	4K	2K + 256	32	1, 12-Bit	2-Kan., 12-Bit	2	Ja	-40°C ~ 85°C	52-MQFP	ADUC842BS62-5-ND	14.00	13.07	9.69
62	4K	2K + 256	32	1, 12-Bit	2-Kan., 12-Bit	2	Ja	-40°C ~ 85°C	56-LFCSP	ADUC842BCP8-3-ND	11.07	8.89	6.59
62	4K	2K + 256	32	1, 12-Bit	2-Kan., 12-Bit	2	Ja	-40°C ~ 85°C	56-LFCSP	ADUC842BCP8-5-ND	11.07	8.89	6.59
62	4K	2K + 256	32	1, 12-Bit	—	2	Ja	-40°C ~ 85°C	56-LFCSP	ADUC843BCP32-3-ND	9.91	7.96	5.90
62	4K	2K + 256	32	1, 12-Bit	—	2	Ja	-40°C ~ 85°C	56-LFCSP	ADUC843BCP32-5-ND	9.91	7.96	5.90
62	4K	2K + 256	32	1, 12-Bit	—	2	Ja	-40°C ~ 85°C	56-LFCSP	ADUC843BCP62-3-ND	11.66	9.37	6.94
62	4K	2K + 256	32	1, 12-Bit	—	2	Ja	-40°C ~ 85°C	52-MQFP	ADUC843BS62-3-ND	10.00	9.37	6.94
62	4K	2K + 256	32	1, 12-Bit	—	2	Ja	-40°C ~ 85°C	56-LFCSP	ADUC843BCP62-5-ND	11.66	9.37	6.94
62	4K	2K + 256	32	1, 12-Bit	—	2	Ja	-40°C ~ 85°C	52-MQFP	ADUC843BS62-5-ND	10.00	9.37	6.94
62	4K	2K + 256	32	1, 12-Bit	—	2	Ja	-40°C ~ 85°C	56-LFCSP	ADUC843BCP8-3-ND	8.69	6.98	5.17
62	4K	2K + 256	32	1, 12-Bit	—	2	Ja	-40°C ~ 85°C	56-LFCSP	ADUC843BCP8-5-ND	8.69	6.98	5.17
62	4K	2K + 256	32	Zweif., 24-Bit	1-Kan., 12-Bit	2	Ja	-40°C ~ 85°C	56-CSP	ADUC845BCP62-3-ND	20.58	16.54	12.25
62	4K	2K + 256	32	Zweif., 24-Bit	1-Kan., 12-Bit	2	Ja	-40°C ~ 125°C	52-MQFP	ADUC845BS62-3-ND	20.58	16.54	12.25
62	4K	2K + 256	32	Zweif., 24-Bit	1-Kan., 12-Bit	2	Ja	-40°C ~ 85°C	56-CSP	ADUC845BCP62-5-ND	17.00	16.54	12.25
62	4K	2K + 256	32	Zweif., 24-Bit	1-Kan., 12-Bit	2	Ja	-40°C ~ 125°C	52-MQFP	ADUC845BS62-5-ND	20.58	16.54	12.25
8	4K	2K + 256	32	Zweif., 24-Bit	1-Kan., 12-Bit	2	Ja	-40°C ~ 85°C	56-CSP	ADUC845BCP8-3-ND	15.07	12.12	8.98
8	4K	2K + 256	32	Zweif., 24-Bit	1-Kan., 12-Bit	2	Ja	-40°C ~ 125°C	52-MQFP	ADUC845BS8-3-ND	15.07	12.12	8.98
8	4K	2K + 256	32	Zweif., 24-Bit	1-Kan., 12-Bit	2	Ja	-40°C ~ 85°C	56-CSP	ADUC845BCP8-5-ND	15.07	12.12	8.98
8	4K	2K + 256	32	Zweif., 24-Bit	1-Kan., 12-Bit	2	Ja	-40°C ~ 125°C	52-MQFP	ADUC845BS8-5-ND	15.07	12.12	8.98
62	4K	2K + 256	32	Zweif., 24-Bit	1-Kan., 12-Bit	2	Ja	-40°C ~ 85°C	56-CSP	ADUC847BCP62-3-ND	16.27	13.07	9.69
62	4K	2K + 256	32	Zweif., 24-Bit	1-Kan., 12-Bit	2	Ja	-40°C ~ 125°C	52-MQFP	ADUC847BS62-3-ND	16.27	13.07	9.69
62	4K	2K + 256	32	Zweif., 24-Bit	1-Kan., 12-Bit	2	Ja	-40°C ~ 85°C	56-CSP	ADUC847BCP62-5-ND	16.27	13.07	9.69
62	4K	2K + 256	32	Zweif., 24-Bit	1-Kan., 12-Bit	2	Ja	-40°C ~ 125°C	52-MQFP	ADUC847BS62-5-ND	14.00	13.07	9.69
32	4K	2K + 256	32	Zweif., 24-Bit	1-Kan., 12-Bit	2	Ja	-40°C ~ 125°C	52-MQFP	ADUC847BS32-3-ND	13.30	10.69	7.92
32	4K	2K + 256	32	Zweif., 24-Bit	1-Kan., 12-Bit	2	Ja	-40°C ~ 125°C	52-MQFP	ADUC847BS32-5-ND	11.00	10.69	7.92
8	4K	2K + 256	32	Zweif., 24-Bit	1-Kan., 12-Bit	2	Ja	-40°C ~ 85°C	56-CSP	ADUC847BCP8-3-ND	9.88	7.94	5.88
8	4K	2K + 256	32	Zweif., 24-Bit	1-Kan., 12-Bit	2	Ja	-40°C ~ 125°C	52-MQFP	ADUC847BS8-3-ND	9.88	7.94	5.88
8	4K	2K + 256	32	Zweif., 24-Bit	1-Kan., 12-Bit	2	Ja	-40°C ~ 85°C	56-CSP	ADUC847BCP8-5-ND	9.88	7.94	5.88
8	4K	2K + 256	32	Zweif., 24-Bit	1-Kan., 12-Bit	2	Ja	-40°C ~ 125°C	52-MQFP	ADUC847BS8-5-ND	9.88	7.94	5.88
62	4K	2K + 256	32	Zweif., 16-Bit	1-Kan., 12-Bit	2	Ja	-40°C ~ 85°C	56-CSP	ADUC848BCP62-3-ND	13.81	11.11	8.22
62	4K	2K + 256	32	Zweif., 16-Bit	1-Kan., 12-Bit	2	Ja	-40°C ~ 125°C	52-MQFP	ADUC848BS62-3-ND	13.81	11.11	8.22
62	4K	2K + 256	32	Zweif., 16-Bit	1-Kan., 12-Bit	2	Ja	-40°C ~ 85°C	56-CSP	ADUC848BCP62-5-ND	13.81	11.11	8.22
62	4K	2K + 256	32	Zweif., 16-Bit	1-Kan., 12-Bit	2	Ja	-40°C ~ 125°C	52-MQFP	ADUC848BS62-5-ND	12.00	11.11	8.22
32	4K	2K + 256	32	Zweif., 16-Bit	1-Kan., 12-Bit	2	Ja	-40°C ~ 125°C	52-MQFP	ADUC848BS32-3-ND	11.07	8.89	6.59
32	4K	2K + 256	32	Zweif., 16-Bit	1-Kan., 12-Bit	2	Ja	-40°C ~ 125°C	52-MQFP	ADUC848BS32-5-ND	11.07	8.89	6.59
8	4K	2K + 256	32	Zweif., 16-Bit	1-Kan., 12-Bit	2	Ja	-40°C ~ 85°C	56-CSP	ADUC848BCP8-3-ND	8.41	6.75	5.01
8	4K	2K + 256	32	Zweif., 16-Bit	1-Kan., 12-Bit	2	Ja	-40°C ~ 125°C	52-MQFP	ADUC848BS8-3-ND	8.41	6.75	5.01
8	4K	2K + 256	32	Zweif., 16-Bit	1-Kan., 12-Bit	2	Ja	-40°C ~ 85°C	56-CSP	ADUC848BCP8-5-ND	8.41	6.75	5.01
8	4K	2K + 256	32	Zweif., 16-Bit	1-Kan., 12-Bit	2	Ja	-40°C ~ 125°C	52-MQFP	ADUC848BS8-5-ND	8.41	6.75	5.01

QuickStart Entwicklungskit

Mit dem grundlegenden „QuickStart Development System" können Designer schnell MicroConverter-Leistung und Funktionalität evaluieren und dann mit der Entwicklung von Prototypen beginnen. Es bietet volle Unterstützung der Code-Entwicklung auf Assembly-Level über einen seriellen Port-Debugging-Pfad und bietet Designern Zugriff auf ein Demonstrationsprojekt der C-Level-Entwicklungsumgebung, das in QuickStart-Plus zur Verfügung steht.

Kit-inhalt: • Evaluierungskarte • Serielles Kabel zum Herunterladen/Debugging • Musterbaustein(e) • Internationale Stromversorgung • Software und Dokumentation

EVAL-ADUC812QS-ND **66.32**
EVAL-ADUC814QS-ND **66.32**
EVAL-ADUC816QS-ND **66.32**
EVAL-ADUC824QS-ND **66.32**
EVAL-ADUC831QS-ND **66.32**
EVAL-ADUC832QS-ND **66.32**
EVAL-ADUC834QS-ND **66.32**
EVAL-ADUC836QS-ND **66.32**
EVAL-ADUC841QS-ND **66.32**
EVAL-ADUC842QS-ND **66.32**
EVAL-ADUC845QS-ND **66.32**
EVAL-ADUC847QS-ND **66.32**

ARM7 Entwicklungskits

Kit-inhalt:
• Software-Entwicklungstools
• Netzteil
• Kabel
• Evaluierungskarte
• JTAG-Emulator

EVAL-ADUC7020QS-ND **76.76**
EVAL-ADUC7024QS-ND **76.76**
EVAL-ADUC7026QS-ND **76.76**

Alle Preisangaben in Euro und inklusive Zollgebühren.

H8S Gruppe

Speichertyp	ROM (Bytes)	RAM (Bytes)	Betriebsspannung/ Betriebsfrequenz	EX DMAC (Kan.)	DMAC (Kan.)	16-Bit Timer (Kan.)	8-Bit Timer (Kan.)	A/D-Wandler	D/A-Wandler	I²C Bus (Kan.)	HCAN (Kan.)	Schnittstelle	Paket	Digi-Key Teilenr.	Stückpreis 1	25	100
External ROM	Ohne ROM	8K	3.0 ~ 3.6V/25MHz	—	—	6	2	10-Bit x 8 Kan.	8-Bit x 2 Kan.	—	—	—	TFP-100B	HD6412312SVTEBL25-ND	5.33	4.27	3.61
External ROM	Ohne ROM	8K	2.7 ~ 3.6V/20MHz	—	4	6	2	10-Bit x 8 Kan.	8-Bit x 2 Kan.	—	—	—	FP-128B	HD6412322RVF25-ND HD6412322RVFBL25-ND	7.62 6.42	6.86 5.14	6.09 4.34
External ROM	Ohne ROM	32K	2.7 ~ 3.6V/20MHz	—	4	6	2	10-Bit x 8 Kan.	8-Bit x 2 Kan.	—	—	—	FP-128B	HD6412324SVF25-ND	9.31	8.39	7.44
External ROM	Ohne ROM	8K	3.0 ~ 3.6V/25MHz	—	4	6	2	10-Bit x 12 Kan.	8-Bit x 4 Kan.	—	—	—	FP-144G	HD6412332VFCBL25-ND	8.04	6.44	5.43
External ROM	Ohne ROM	32K	3.0 ~ 3.6V/33MHz	4	4	6	2	10-Bit x 12 Kan.	8-Bit x 4 Kan.	—	—	SDRAM I/F, IrDA	FP-144H	HD6412674RVFQ33-ND	11.29	10.16	9.01
Flash-Speicher	128K	4K	4.5 ~ 5.5V/20MHz	—	—	1	3	10-Bit x 8 Kan.	8-Bit x 2 Kan.	—	—	—	FP-100B	HD64F2134AFA20-ND	12.90	11.62	10.31
Flash-Speicher	256K	8K	4.5 ~ 5.5V/20MHz	—	—	1	4	10-Bit x 8 Kan.	8-Bit x 2 Kan.	2	—	I²C Bus I/F, LPC	TFP-100B FP-100B TFP-100B	HD64F2145BTE20-ND HD64F2145BVFA10-ND HD64F2145BVTE10-ND	13.82 12.95 13.41	12.90 12.09 12.52	11.98 11.23 11.63
Flash-Speicher	128K	4K	4.5 ~ 5.5V/20MHz	—	—	1	4	10-Bit x 8 Kan.	8-Bit x 2 Kan.	2	—	I²C Bus I/F	TFP-100B	HD64F2148ATE20-ND	15.62	14.58	13.54
Flash-Speicher	128K	4K	4.5 ~ 5.5V/20MHz	—	—	1	4	10-Bit x 8 Kan.	8-Bit x 2 Kan.	2	—	I²C Bus I/F, LPC	FP-100B TFP-100B FP-100B	HD64F2148BFA20-ND HD64F2148BTE20-ND HD64F2148BVFA10-ND	11.43 11.89 11.43	10.67 11.10 10.67	9.91 10.31 9.91
Flash-Speicher	512K	40K	3.0 ~ 3.6V/33MHz	—	—	1	4	10-Bit x 8 Kan.	8-Bit x 2 Kan.	6	—	I²C Bus I/F, LPC	TFP-144	HD64F2166VTE33-ND	25.40	23.71	22.02
Flash-Speicher	384K	40K	3.0 ~ 3.6V/33MHz	—	—	1	4	10-Bit x 8 Kan.	8-Bit x 2 Kan.	6	—	I²C Bus I/F, LPC	TFP-144	HD64F2167VTE33-ND	23.71	22.13	20.55
Flash-Speicher	256K	40K	3.0 ~ 3.6V/33MHz	—	—	1	4	10-Bit x 8 Kan.	8-Bit x 2 Kan.	6	—	I²C Bus I/F, LPC	TFP-144	HD64F2168VTE33-ND	21.17	19.76	18.35
Flash-Speicher	64K	8K	3.0 ~ 3.6V/24MHz	—	4	3	—	10-Bit x 6 Kan.	—	—	—	Hochgeschwindigkeits-UART, USB	FP64E	HD64F2211UFP24-ND	9.86	8.88	7.88
Flash-Speicher	128K	12K	3.0 ~ 3.6V/24MHz	—	4	3	—	10-Bit x 6 Kan.	—	—	—	Hochgeschwindigkeits-UART, USB	FP-64E FP-64E	HD64F2212FP24-ND HD64F2212UFP24-ND	10.57 10.57	9.52 9.52	8.44 8.44
Flash-Speicher	256K	16K	2.7 ~ 3.6V/16MHz	—	4	3	2	10-Bit x 6 Kan.	8-Bit x 2 Kan.	—	—	Hochgeschwindigkeits-UART, USB	TFP-120 TFP-120	HD64F2215TE16-ND HD64F2215UTE16-ND	17.87 17.87	16.09 16.09	14.27 14.27
Flash-Speicher	128K	12K	3.0 ~ 3.6V/24MHz	—	4	3	—	10-Bit x 6 Kan.	—	—	—	Hochgeschwindigkeits-UART, USB	TFP-100G TFP-100G	HD64F2218TF24-ND HD64F2218UTF24-ND	13.54 13.54	12.20 12.20	10.81 10.81
Flash-Speicher	256K	16K	2.7 ~ 3.6V/13.5MHz	—	—	6	4	10-Bit x 8 Kan.	8-Bit x 2 Kan.	2	—	I²C Bus I/F	BP-112 FP-100B FP-100B FP-100B	HD64F2238RBR13-ND HD64F2238RFA13-ND HD64F2238RFA6-ND HD64F2238RTE13-ND	14.48 12.95 12.95 13.41	13.52 12.09 12.09 12.52	12.55 11.23 11.23 11.63
Flash-Speicher	384K	32K	3.0 ~ 3.6V/20MHz	—	4	6	4	10-Bit x 8 Kan.	8-Bit x 2 Kan.	2	—	I²C Bus I/F High Speed UART*	FP-100B FP-100B	HD64F2239FA16-ND HD64F2239FA20-ND	15.24 15.24	14.23 14.23	13.21 13.21
Flash-Speicher	128K	8K	3.0 ~ 3.6V/25MHz	—	—	6	2	10-Bit x 8 Kan.	8-Bit x 2 Kan.	—	—	—	TFP-100B	HD64F2317VTEBL25-ND	8.45	6.76	5.71
Flash-Speicher	256K	8K	3.0 ~ 3.6V/25MHz	—	—	6	2	10-Bit x 8 Kan.	8-Bit x 2 Kan.	—	—	—	TFP-100B	HD64F2318VTE25-ND	13.41	12.52	11.63
Flash-Speicher	512K	8K	3.0 ~ 3.6V/25MHz	—	—	6	2	10-Bit x 8 Kan.	8-Bit x 2 Kan.	—	—	—	FP-100A TFP-100B	HD64F2319EVF25-ND HD64F2319EVTE25-ND	20.32 22.42	18.97 20.92	17.61 19.43
Flash-Speicher	512K	8K	3.0 ~ 3.6V/25MHz	—	—	6	2	10-Bit x 8 Kan.	8-Bit x 2 Kan.	—	—	—	FP-100A TFP-100B	HD64F2319VF25-ND HD64F2319VTE25-ND	17.58 19.51	16.41 18.21	15.24 16.91
Flash-Speicher	128K	8K	3.0 ~ 3.6V/25MHz	—	4	6	2	10-Bit x 8 Kan.	8-Bit x 2 Kan.	—	—	—	FP-128B	HD64F2327BVFBL25-ND	8.45	7.61	6.75
Flash-Speicher	256K	8K	3.0 ~ 3.6V/25MHz	—	4	6	2	10-Bit x 8 Kan.	8-Bit x 2 Kan.	—	—	—	FP-128B TFP-120	HD64F2328VF25-ND HD64F2328VTE25-ND	13.95 15.56	12.56 14.52	11.14 13.49
Flash-Speicher	384K	32K	3.0 ~ 3.6V/25MHz	—	4	6	2	10-Bit x 8 Kan.	8-Bit x 2 Kan.	—	—	—	FP-128B TFP-120	HD64F2329BVF25-ND HD64F2329BVTE25-ND	16.00 16.46	14.94 15.37	13.87 14.27
Flash-Speicher	384K	32K	3.0 ~ 3.6V/25MHz	—	4	6	2	10-Bit x 8 Kan.	8-Bit x 2 Kan.	—	—	—	FP-128B TFP-120	HD64F2329EVF25-ND HD64F2329EVTE25-ND	23.06 25.16	21.53 23.48	19.99 21.81
Flash-Speicher	384K	32K	3.0 ~ 3.6V/25MHz	—	4	6	2	10-Bit x 8 Kan.	8-Bit x 2 Kan.	—	—	—	FP-128B	HD64F2329VF25-ND	24.45	22.82	21.19
Flash-Speicher	128K	8K	3.0 ~ 3.6V/25MHz	—	4	6	2	10-Bit x 12 Kan.	8-Bit x 4 Kan.	—	—	Serieller I/F	FP-144G	HD64F2337VFCBL25-ND	10.65	9.59	8.51
Flash-Speicher	128K	8K	4.5 ~ 5.5V/20MHz	—	4	6	2	10-Bit x 8 Kan.	8-Bit x 2 Kan.	—	—	—	FP-128B	HD64F2357F20-ND	19.51	18.21	16.91
Flash-Speicher	384K	24K	3.0 ~ 3.6V/33MHz	2	4	6	2	10-Bit x 16 Kan.	8-Bit x 6 Kan.	2	—	SDRAM I/F, IrDA	FP-144H	HD64F2377RVFQ33-ND HD64F2377RVFQ33W-ND	15.15 20.72	14.14 19.35	13.13 17.97
Flash-Speicher	256K	12K	3.0 ~ 3.6/20MHz	—	—	6	—	10-Bit x 16 Kan.	—	—	1	SCI	FP-100B FP-100B	HD64F2623FA20-ND HD64F2623FA20J-ND	16.20 19.43	15.12 18.14	14.04 16.84
Flash-Speicher	256K	16K	Vcc=PVcc=5.0V/28MHz	—	4	6	4	10-Bit x 16 Kan.	8-Bit x 4 Kan.	2	—	Serieller I/F	FP-128B TFP-120 TFP-120	HD64F2633RF28-ND HD64F2633RTE28-ND HD64F2633TE25-ND	16.09 16.60 20.32	15.02 15.50 18.97	13.95 14.39 17.61
Flash-Speicher	256K	16K	4.5 ~ 5.5V/20MHz	—	—	6	—	10-Bit x 12 Kan.	8-Bit x 2 Kan.	2	2	I²C Bus I/F, CAN	FP-128B FP-128B	HD64F2638F20J-ND HD64F2638WF20J-ND	25.96 28.18	24.23 26.31	22.50 24.43
Flash-Speicher	256K	8K	3.0 ~ 3.6V/33MHz	4	4	6	2	10-Bit x 12 Kan.	8-Bit x 4 Kan.	—	—	IrDA	FP-144G	HD64F2676VFC33-ND	16.93	15.80	14.68

*Hochgeschwindigkeits-UART

H8-Gruppe

Speichertyp	ROM (Bytes)	RAM (Bytes)	Betriebsspannung/ Betriebsfrequenz	EX DMAC (Kan.)	DMAC (Kan.)	16-Bit Timer (Kan.)	8-Bit Timer (Kan.)	A/D-Wandler	D/A-Wandler	I²C Bus	HCAN (Kan.)	Schnittstelle	Paket	Digi-Key Teilenr.	Stückpreis 1	25	100
External ROM	Ohne ROM	512	4.5V ~ 5.5V/17MHz	—	4	5	—	10-Bit x 8 Kan.	—	—	—	SCI	FP-100B	HD6413002F16-ND	9.91	8.92	7.91
External ROM	Ohne ROM	512	4.5V ~ 5.5V/16MHz	—	8	5	—	10-Bit x 8 Kan.	—	—	—	SCI	QFP-112	HD6413003TF16-ND	13.82	12.90	11.98
External ROM	Ohne ROM	4K	4.5V ~ 5.5V/25MHz	—	—	3	4	10-Bit x 8 Kan.	8-Bit x 2 Kan.	—	—	SCI	FP-100B	HD6413008FBL25NF-ND HD6413008FBL25V-ND	4.32 4.32	3.46 3.46	2.92 2.92
Flash-Speicher	128K	4K	3.0V ~ 3.6V/25MHz	—	—	3	4	10-Bit x 8 Kan.	8-Bit x 2 Kan.	—	—	SCI	FP-100B	HD64F3024FBL25-ND	6.76	5.41	4.57
Flash-Speicher	128K	4K	4.5V ~ 5.5V/16MHz	—	4	5	—	10-Bit x 8 Kan.	8-Bit x 2 Kan.	—	—	SCI	TFP-100B	HD64F3048VTF8-ND	31.29	29.21	27.12
Flash-Speicher	128K	4K	4.5V ~ 5.5V/25MHz	—	—	3	4	10-Bit x 8 Kan.	8-Bit x 2 Kan.	—	—	SCI	FP-100B FP-100B	HD64F3062BF25-ND HD64F3062BFBL25L-ND	10.50 6.76	9.45 5.41	8.38 4.57
Flash-Speicher	128K	4K	4.5V ~ 5.5V/20MHz	—	4	3	4	10-Bit x 8 Kan.	8-Bit x 2 Kan.	—	—	SCI	FP-100B	HD64F3067RF20-ND	17.40	16.24	15.08
Flash-Speicher	512K	16K	4.5V ~ 5.5V/25MHz	—	4	3	4	10-Bit x 8 Kan.	8-Bit x 2 Kan.	—	—	SCI	FP-100B	HD64F3069F25-ND	15.87	14.82	13.76
Flash-Speicher	16K	2K	3.0 ~ 5.5V/1~10MHz	—	—	1	1	10-Bit x 4 Kan.	—	—	—	SCI	FP-64E FP-64E FP-64E FP-64E FP-64E	HD64F36012FP-ND HD64F36012GFP-ND HD64F36012GFPI-ND HD64F36012GFPJ-ND HD64F36012GFPJE-ND	7.09 7.31 8.04 8.21 7.41	5.68 5.86 6.44 6.57 6.67	4.79 4.94 5.43 5.55 5.92
Flash-Speicher	32K	2K	3.0 ~ 5.5V/1 ~ 10MHz	—	—	1	1	10-Bit x 4 Kan.	—	—	—	SCI	FP-64E FP-64E FP-64E FP-64E FP-64E FP-64E FP-64E FP-48B	HD64F36014FP-ND HD64F36014FPI-ND HD64F36014FPJ-ND HD64F36014FPJE-ND HD64F36014FPW-ND HD64F36014GFP-ND HD64F36014GFY-ND	7.31 7.62 8.31 7.50 7.26 7.52 7.52	5.86 6.10 6.66 6.76 6.54 6.02 6.02	4.94 5.15 5.62 6.00 5.80 5.08 5.08
Flash-Speicher	32K	2K	3.0 ~ 5.5V/1 ~ 10MHz	—	—	1	1	10-Bit x 4 Kan.	—	—	—	SCI	FP-64E	HD64F36024FP-ND	7.52	6.02	5.08
Flash-Speicher	96K	4K	3.0 ~ 5.5V/1 ~ 10MHz	—	—	3	3	10-Bit x 4 Kan.	—	1	—	I²C Bus I/F, SCI	FP-80A FP-80A	HD64F36049GH-ND HD64F36049H-ND	8.24 8.07	7.42 7.27	6.58 6.45
Flash-Speicher	32K	1K	3.0 ~ 5.5V/15MHz	—	—	1	3	8-Bit x 8 Kan.	—	—	—	Serieller I/F	FP-64A	HD64F3644H-ND	8.60	7.75	6.87
Flash-Speicher	32K	2K	3.0 ~ 5.5V/1 ~ 10MHz	—	—	1	2	10-Bit x 4 Kan. (DP-42S)	—	1	—	I²C Bus I/F, SCI	FP-64E	HD64F3664FP-ND	8.04	6.44	5.43
Flash-Speicher	32K	4K	3.0 ~ 5.5V/1 ~ 10MHz	—	—	2	3	10-Bit x 8 Kan.	—	1	—	—	FP-64A	HD64F3684GH-ND	8.60	6.89	5.81
Flash-Speicher	56K	4K	3.0 ~ 5.5V/1 ~ 10 MHz	—	—	2	3	10-Bit x 8 Kan.	—	1	—	I²C Bus I/F, SCI	FP-64E FP-64E FP-64A FP-64A	HD64F3687FP-ND HD64F3687GFP-ND HD64F3687GH-ND HD64F3687H-ND	7.33 7.52 7.52 7.33	6.61 6.77 6.77 6.61	5.86 6.01 6.01 5.86
Flash-Speicher	8K	1.5K	3.0 ~ 5.5V/1 ~ 10MHz	—	—	1	1	10-Bit x 4 Kan.	—	—	—	SCI	FP-32A	HD64F36902GFH-ND	4.59	3.68	2.86
Flash-Speicher	8K	1.5K	3.0 ~ 5.5V/2 ~ 10MHz	—	—	1	2	10-Bit x 4 Kan.	—	1	—	I²C Bus I/F, SCI	FP-32A	HD64F36912GFH-ND	4.82	3.86	3.00
Flash-Speicher	32K	2K	3.0 ~ 5.5V/1 ~ 10 MHz	—	—	1	2	10-Bit x 4 Kan.	—	1	—	I²C Bus I/F, SCI	FP-64E FP-48F FP-48B FP-64E FP-48B FP-64E	HD64F3694FP-ND HD64F3694FX-ND HD64F3694FY-ND HD64F3694GFP-ND HD64F3694GFY-ND HD64F3694GH-ND	7.94 7.94 7.94 8.18 8.18 8.18	6.36 6.36 6.36 6.55 6.55 6.55	5.37 5.37 5.37 5.53 5.53 5.53
Flash-Speicher	32K	1K	2.2 ~ 3.6V/2MHz	—	—	2	1	10-Bit x 4 Kan.	—	—	—	LCD	FP-64E FP-64E FP-64A	HD64F38004FP10-ND HD64F38004FP4-ND HD64F38004H10-ND	8.80 8.80 8.80	7.05 7.05 7.05	5.95 5.95 5.95
Flash-Speicher	32K	1K	2.7 ~ 5.5V/5MHz	—	—	2	3	10-Bit x 8 Kan.	—	—	—	LCD	FP-80A	HD64F38024H-ND	10.55	8.44	7.13
Flash-Speicher	32K	1K	2.7 ~ 3.6/5MHz	—	—	2	3	10-Bit x 8 Kan.	—	—	—	LCD	FP-80A TFP-80C	HD64F38024RH-ND HD64F38024RW-ND	9.70 9.70	7.77 7.77	6.55 6.55
Flash-Speicher	32K	1K	2.7 ~ 3.6/5Mhz	—	—	2	3	10-Bit x 8 Kan.	—	—	—	LCD	TFP-80C	HD64F38024W-ND	9.66	8.70	7.72

(Forts.)

B

R8C-Gruppe

Speichertyp	ROM (Bytes)	RAM (Bytes)	Versorgungsspannung (V)	Betriebsfrequenz (MHz)	Zeitschaltuhren	Serielle Schnittstelle	A/D-Wandler	Sonderfunktionen	Paket	Digi-Key Teilenr.	Stückpreis 1	25	100
Flash-Speicher	8K	512	3.0 ~ 5.5 (@16MHz)	16	16-Bit x 1, 8-bit x 3	Taktsynchr./UART x 1, UART x 1	10-Bit x 8 Kan.	On-Chip-Oszillator	32P6U-A	R5F21102FP-ND	3.81	3.05	2.38
Flash-Speicher	12K	768	3.0 ~ 5.5 (@16MHz)	16	16-Bit x 1, 8-bit x 3	Taktsynchr./UART x 1, UART x 1	10-Bit x 8 Kan.	On-Chip-Oszillator	32P6U-A	R5F21103FP-ND	4.06	3.25	2.53
Flash-Speicher	16K	1K	3.0 ~ 5.5 (@16MHz)	16	16-Bit x 1, 8-bit x 3	Taktsynchr./UART x 1, UART x 1	10-Bit x 8 Kan.	On-Chip-Oszillator	32P6U-A	R5F21104FP-ND	4.33	3.46	2.70
Flash-Speicher	8K	512	3.0 ~ 5.5 (@20MHz)	20	16-Bit x 1, 8-bit x 3	Taktsynchr./UART x 1, UART x 1	10-Bit x 12 Kan.	POR, LVD, On-Chip-Oszillator (hoch/niedrig)	32P6U-A	R5F21112FP-ND	3.95	3.16	2.46
Flash-Speicher	12K	768	3.0 ~ 5.5 (@20MHz)	20	16-Bit x 1, 8-bit x 3	Taktsynchr./UART x 1, UART x 1	10-Bit x 12 Kan.	POR, LVD, On-Chip-Oszillator (hoch/niedrig)	32P6U-A	R5F21113FP-ND	4.19	3.36	2.61
Flash-Speicher	16K	1K	3.0 ~ 5.5 (@20MHz)	20	16-Bit x 1, 8-bit x 3	Taktsynchr./UART x 1, UART x 1	10-Bit x 12 Kan.	POR, LVD, On-Chip-Oszillator (hoch/niedrig)	32P6U-A	R5F21114FP-ND	4.44	3.56	2.77
Flash-Speicher	8K + 4K	512	3.0 ~ 5.5 (@16MHz)	16	16-Bit x 1, 8-bit x 3	Taktsynchr./UART x 1, UART x 1	10-Bit x 8 Kan.	On-Chip-Oszillator	32P6U-A	R5F21122FP-ND	4.19	3.36	2.61
Flash-Speicher	12K + 4K	768	3.0 ~ 5.5 (@16MHz)	16	16-Bit x 1, 8-bit x 3	Taktsynchr./UART x 1, UART x 1	10-Bit x 8 Kan.	On-Chip-Oszillator	32P6U-A	R5F21123FP-ND	4.44	3.56	2.77
Flash-Speicher	16K + 4K	1K	3.0 ~ 5.5 (@16MHz)	16	16-Bit x 1, 8-bit x 3	Taktsynchr./UART x 1, UART x 1	10-Bit x 8 Kan.	On-Chip-Oszillator	32P6U-A	R5F21124FP-ND	4.71	3.77	2.93
Flash-Speicher	8K + 4K	512	3.0 ~ 5.5 (@16MHz)	20	16-Bit x 1, 8-bit x 3	Taktsynchr./UART x 1, UART x 1	10-Bit x 12 Kan.	POR, LVD, On-Chip-Oszillator (hoch/niedrig)	32P6U-A	R5F21132FP-ND	4.33	3.46	2.70
Flash-Speicher	12K + 4K	768	3.0 ~ 5.5 (@16MHz)	20	16-Bit x 1, 8-bit x 3	Taktsynchr./UART x 1, UART x 1	10-Bit x 12 Kan.	POR, LVD, On-Chip-Oszillator (hoch/niedrig)	32P6U-A	R5F21133FP-ND	4.57	3.66	2.85
Flash-Speicher	16K + 4K	1K	3.0 ~ 5.5 (@20MHz)	20	16-Bit x 1, 8-bit x 3	Taktsynchr./UART x 1, UART x 1	10-Bit x 12 Kan.	POR, LVD, On-Chip-Oszillator (hoch/niedrig)	32P6U-A	R5F21134FP-ND	4.82	3.86	3.00
Flash-Speicher	8K	512	3.0 ~ 5.5 (@20MHz)	20	16-Bit x 1, 8-bit x 2	Taktsynchr./UART x 1	10-Bit x 4 Kan.	SSU, POR, LVD, On-Chip-Oszillator (hoch/niedrig)	20P2F-A	R5F21142SP#U0-ND	3.29	2.64	2.06
Flash-Speicher	12K	768	3.0 ~ 5.5 (@20MHz)	20	16-Bit x 1, 8-bit x 2	Taktsynchr./UART x 1	10-Bit x 4 Kan.	SSU, POR, LVD, On-Chip-Oszillator (hoch/niedrig)	20P2F-A	R5F21143SP#U0-ND	3.56	2.85	2.22
Flash-Speicher	16K	1K	3.0 ~ 5.5 (@20MHz)	20	16-Bit x 1, 8-bit x 2	Taktsynchr./UART x 1	10-Bit x 4 Kan.	SSU, POR, LVD, On-Chip-Oszillator (hoch/niedrig)	20P2F-A	R5F21144SP#U0-ND	3.81	3.05	2.38
Flash-Speicher	8K + 2K	512	3.0 ~ 5.5 (@20MHz)	20	16-Bit x 1, 8-bit x 2	Taktsynchr./UART x 1	10-Bit x 4 Kan.	SSU, POR, LVD, On-Chip-Oszillator (hoch/niedrig)	20P2F-A	R5F21152SP#U0-ND	3.67	2.95	2.29
Flash-Speicher	12K + 2K	768	3.0 ~ 5.5 (@20MHz)	20	16-Bit x 1, 8-bit x 2	Taktsynchr./UART x 1	10-Bit x 4 Kan.	SSU, POR, LVD, On-Chip-Oszillator (hoch/niedrig)	20P2F-A	R5F21153SP#U0-ND	3.95	3.16	2.46
Flash-Speicher	16K + 2K	1K	3.0 ~ 5.5 (@20MHz)	20	16-Bit x 1, 8-bit x 2	Taktsynchr./UART x 1	10-Bit x 4 Kan.	SSU, POR, LVD, On-Chip-Oszillator (hoch/niedrig)	20P2F-A	R5F21154SP#U0-ND	4.19	3.36	2.61
Flash-Speicher	8K	512	3.0 ~ 5.5 (@20MHz)	20	16-Bit x 1, 8-bit x 2	Taktsynchr./UART x 1	10-Bit x 4 Kan.	I^2C BUS, POR, LVD, On-Chip-Oszillator (hoch/niedrig)	20P2F-A	R5F21162SP#U0-ND	3.43	2.75	2.14
Flash-Speicher	12K	768	3.0 ~ 5.5 (@20MHz)	20	16-Bit x 1, 8-bit x 2	Taktsynchr./UART x 1	10-Bit x 4 Kan.	I^2C BUS, POR, LVD, On-Chip-Oszillator (hoch/niedrig)	20P2F-A	R5F21163SP#U0-ND	3.67	2.95	2.29
Flash-Speicher	16K	1K	3.0 ~ 5.5 (@20MHz)	20	16-Bit x 1, 8-bit x 2	Taktsynchr./UART x 1	10-Bit x 4 Kan.	I^2C BUS, POR, LVD, On-Chip-Oszillator (hoch/niedrig)	20P2F-A	R5F21164SP#U0-ND	3.95	3.16	2.46
Flash-Speicher	8K + 2K	512	3.0 ~ 5.5 (@20MHz)	20	16-Bit x 1, 8-bit x 2	Taktsynchr./UART x 1	10-Bit x 4 Kan.	I^2C BUS, POR, LVD, On-Chip-Oszillator (hoch/niedrig)	20P2F-A	R5F21172SP#U0-ND	3.81	3.05	2.38
Flash-Speicher	12K + 2K	768	3.0 ~ 5.5 (@20MHz)	20	16-Bit x 1, 8-bit x 2	Taktsynchr./UART x 1	10-Bit x 4 Kan.	I^2C BUS, POR, LVD, On-Chip-Oszillator (hoch/niedrig)	20P2F-A	R5F21173SP#U0-ND	4.06	3.25	2.53
Flash-Speicher	16K + 2K	1K	3.0 ~ 5.5 (@20MHz)	20	16-Bit x 1, 8-bit x 2	Taktsynchr./UART x 1	10-Bit x 4 Kan.	I^2C BUS, POR, LVD, On-Chip-Oszillator (hoch/niedrig)	20P2F-A	R5F21174SP#U0-ND	4.33	3.46	2.70

SuperH™-Gruppe

Speichertyp	ROM (Bytes)	RAM (Bytes)	Betriebsspannung/ Frequenz	Externer Daten-Bus (Bit)	Multiplikator, Multiplizieren und Akkumulieren	Unterbrecher	BSC	Timer (Kan.)	AD-Wandler	Schnittstelle	Paket	Digi-Key Teilenr.	Stückpreis 1	25	100
External ROM	Ohne ROM	8K	3.3V/62.5MHz	8/16/32	32x32=>64/32x 32+64=>64	5 (16 Stufen)	SRAM/DRAM/ SDRAM	4	—	SDRAM I/F/EtherMAC	FP-208C	HD6417616SF-ND	17.17	16.03	14.88
External ROM	Ohne ROM	—	Intern: 1,4 ~ 1,6 V/133 MHz	8/16/32	32x32=>64/32x 32+64=>64	27 intern	SRAM/SDRAM	3+4	10-Bit x 4 Kan.	SDRAM I/F /USB_F	FP-176C	HD6417705F133-ND	14.22	13.28	12.33
External ROM	Ohne ROM	—	3.3V/80MHz	8/16/32	32x32=>64/32x 32+64=>64	27 intern	SRAM/DRAM/ SDRAM	3	10-Bit x 8 Kan.	—	FP-208C	HD6417709AF133B-ND	25.59	23.89	22.18
External ROM	Ohne ROM	—	Intern: 1,85 ~ 2,15 V/200 MHz	8/16/32	32x32=>64/32x 32+64=>64	27 intern	SRAM/SDRAM	3	10-Bit x 8 Kan.	SDRAM I/F	FP-208C	HD6417709SHF200B-ND	26.52	24.75	22.99
External ROM	Ohne ROM	16K	Intern: 1,75 ~ 2,05 V/160 MHz	8/16/32	32x32=>64/32x 32+64=>64	39 intern	SRAM/SDRAM	3	10-Bit x 6 Kan. (D/A 2-Kan.)	SDRAM I/F/LCDC/ USB_H,USB_F	FP-240B	HD6417727F160C-ND	26.41	24.66	22.90
External ROM	Ohne ROM	16K	Intern: 1,85 ~ 2,15 V/200 MHz	8/16/32	32x32=>64/32x32+64=>64/ 16x16=>40/16x16+40=>40	27 intern	SRAM/SDRAM	3	10-Bit x 8 Kan.	SDRAM I/F	FP-208C	HD6417729RF133B-ND	22.71	21.20	19.68
External ROM	Ohne ROM	—	3.3V/133MHz	8/16/32	32x32=>64 32+64=>64	24 intern	SRAM/DRAM/ SDRAM	3	—	—	FP-208E	HD6417750F167-ND	38.35	35.80	33.24
External ROM	Ohne ROM	—	Intern: 1,4 ~ 1,6 V/240 MHz	8/16/ 32/64	32x32=>64/32x 32+64=>64	31 intern	SRAM/DRAM/ SDRAM/MPX/ BurstROM/ Byte Control SRAM/PCMCIA	5	—	—	BP-256 FP-208E	HD6417750RBP240-ND HD6417750RF240-ND	32.70 29.51	30.52 27.55	28.34 25.58
External ROM	Ohne ROM	—	Intern: 1,4 ~ 1,6 V/240 MHz	8/16/32	32x32=>64/32x 32+64=>64	35 intern	SRAM/DRAM/ SDRAM/MPX/ BurstROM/ Byte Control SRAM/PCMCIA	5	—	PCI	BP-256 BP-256	HD6417751RBP200-ND HD6417751RBP240-ND	34.77 39.47	32.46 36.84	30.14 34.21
Flash-Speicher	256K	4K/ (2K)*	5.0V/28.7MHz	8/16/32	32x32=>64/32x 32+64=>64	43 intern	SRAM/DRAM	7	10-Bit x 8 Kan.	SCI	FP-144	HD64F7045F28-ND	35.15	32.81	30.47
Flash-Speicher	256K	8K	3.3V/50MHz	8/16	32x32=>64/32x32+64=>64	51 intern	SRAM	7	10-Bit x 8 Kan.	I^2C†	FP-112B	HD64F7144F50-ND	15.33	14.31	13.29
Mask ROM	256K	8K	3.3V/50MHz	8/16/32	32x32=>64/32x32+64=>64	51 intern	SRAM	7	10-Bit x 8 Kan.	I^2C†	FP-144F	HD64F7145F50-ND	15.80	14.75	13.70

* Bei Verwendung von Cache † Optional

M16C-Gruppe

Speicher-typ	ROM (Bytes)	RAM (Bytes)	Versorgungsspannung (V)	Betriebsfrequenz (MHz)	Zeit-schalt-uhren	DMA-Controller	Serielle Schnittstelle	A/D-Wandler	D/A-Wandler	CAN	Sonderfunktionen	Paket	Digi-Key Teilenr.	Stückpreis 1	25	100
Flash-Speicher	24K + 4K	1K	3.0 ~ 5.5 (@20 MHz)	20	16-Bit x (5 + 3)	2	Taktsynchr./ UART x 3	10-Bit x 12 Kan.	—	—	I^2C-Bus, IE-Bus, SIO Subtakt, UART	48P6Q-A	M30260F3AGP#D5-ND	7.52	6.02	5.08
Flash-Speicher	48K + 4K	2K	3.0 ~ 5.5 (@20 MHz)	20	16-Bit x (5 + 3)	2	Taktsynchr./ UART x 3	10-Bit x 12 Kan.	—	—	I^2C-Bus, IE-Bus, SIO Subtakt, UART	48P6Q-A	M30260F6AGP#D5-ND	8.18	6.55	5.53
Flash-Speicher	64K + 4K	2K	3.0 ~ 5.5 (@20 MHz)	20	16-Bit x (5 + 3)	2	Taktsynchr./ UART x 3	10-Bit x 12 Kan.	—	—	I^2C-Bus, IE-Bus, SIO Subtakt, UART	48P6Q-A	M30260F8AGP#D5-ND	8.60	6.89	5.81
Flash-Speicher	32K x 4K	1K	3.0 ~ 5.5 (@20 MHz)	20	16-Bit x 8	2	Taktsynchr./ UART x 3	10-Bit x 6 Kan.	—	—	I^2C-Bus, IE-Bus, SIO Subtakt, UART	48P6Q-A	M30262F4GP#D3-ND	8.18	6.55	5.53
Flash-Speicher	48K + 4K	2K	3.0 ~ 5.5 (@20 MHz)	20	16-Bit x (5 + 3)	2	Taktsynchr./ UART x 3	10-Bit x 8 Kan.	—	—	I^2C-Bus, IE-Bus, SIO Subtakt, UART	48P6Q-A	M30262F6GP#D3-ND M30262F6GP#D5-ND	8.60 8.18	6.89 6.55	5.81 5.53
Flash-Speicher	64K + 4K	2K	3.0 ~ 5.5 (@20 MHz)	20	16-Bit x (5 + 3)	2	Taktsynchr./ UART x 3	10-Bit x 8 Kan.	—	—	I^2C-Bus, IE-Bus, SIO Subtakt, UART	48P6Q-A	M30262F8GP#D3-ND	7.52	6.77	6.01
Flash-Speicher	48K + 4K	4K	3.0 ~ 5.5 (@20 MHz)	20	16-Bit x (5 + 3)	2	Taktsynchr./UART x 3, Farbsynchr. x 2	10-Bit x 24 Kan.	—	—	I^2C-Bus, IE-Bus, SIO Subtakt, UART	80P6Q-A	M30280F6HP#D5-ND	9.69	7.75	6.54
Flash-Speicher	64K + 4K	4K	3.0 ~ 5.5 (@20 MHz)	20	16-Bit x (5 + 3)	2	Taktsynchr./UART x 3, Farbsynchr. x 2	10-Bit x 24 Kan.	—	—	I^2C-Bus, IE-Bus, SIO Subtakt, UART	80P6Q-A	M30280F8HP#D5-ND	10.11	8.09	6.83
Flash-Speicher	96K + 4K	8K	3.0 ~ 5.5 (@20 MHz)	20	16-Bit x (5 + 3)	2	Taktsynchr./UART x 3, Farbsynchr. x 2	10-Bit x 24 Kan.	—	—	I^2C-Bus, IE-Bus, SIO Subtakt, UART	80P6Q-A	M30280FAHP#D5-ND	10.97	8.78	7.41
Flash-Speicher	48K + 4K	4K	3.0 ~ 5.5 (@20 MHz)	20	16-Bit x (5 + 3)	2	Taktsynchr./UART x 3, Farbsynchr. x 1	10-bit x 13 Kan.	—	—	I^2C-Bus, IE-Bus, SIO Subtakt, UART	64P6Q-A	M30281F6HP#D5-ND	9.26	7.41	6.26

(Forts.)

Alle Preisangaben in Euro und inklusive Zollgebühren.

M16C-Gruppe *(Forts.)*

Speicher-typ	ROM (Bytes)	RAM (Bytes)	Versorgungsspannung (V)	Betriebsfrequenz (MHz)	Zeit-schalt-uhren	DMA-Controller	Serielle Schnittstelle	A/D-Wandler	D/A-Wandler	CAN	Sonderfunktionen	Paket	Digi-Key Teilenr.	Stückpreis 1	25	100
Flash-Speicher	64K + 4K	4K	3.0 ~ 5.5 (@20 MHz)	20	16-Bit x (5 + 3)	2	Taktsynchr./UART x 3, Farbsynchr. x 1	10-Bit x 13 Kan.	—	—	I²C-Bus, IE-Bus, SIO Subtakt, UART	64P6Q-A	M30281F8HP#D5-ND	9.69	7.75	6.54
Flash-Speicher	96K + 4K	8K	3.0 ~ 5.5 (@20 MHz)	20	16-Bit x (5 + 3)	2	Taktsynchr./UART x 3, Farbsynchr. x 1	10-Bit x 13 Kan.	—	—	I²C-Bus, IE-Bus, SIO Subtakt, UART	64P6Q-A	M30281FAHP#D5-ND	10.55	8.44	7.13
Flash-Speicher	128K + 4K	10K	3.0 ~ 5.5 (@24 MHz)	24	16-Bit x (5 + 6)	2	Taktsynchr./UART x 3, Farbsynchr. x 2	10-Bit x (8 x 3 + 2)Kan.	8-Bit x 2	—	I²C-Bus, IE-Bus, SIO Subtakt, UART	100P6S-A	M30620FCPFP#D5C-ND	13.26	11.94	10.59
Flash-Speicher	128K + 4K	10K	3.0 ~ 5.5 (@24 MHz)	24	16-Bit x (5 + 6)	2	Taktsynchr./UART x 3, Farbsynchr. x 2	10-Bit x (8 x 3 + 2)Kan.	8-Bit x 2	—	I²C-Bus, IE-Bus, SIO Subtakt, UART	100P6Q-A	M30620FCPGP#D3C-ND M30620FCPGP#D5C-ND	13.33 12.69	12.01 11.43	10.65 10.14
Flash-Speicher	64K + 4K	4K	3.0 ~ 5.5 (@24 MHz)	24	16-Bit x (5 + 6)	2	Taktsynchr./UART x 3, Farbsynchr. x 2	10-Bitx (8 x 3 + 2)Kan.	8-Bit x 2	—	I²C-Bus, IE-Bus, SIO Subtakt, UART	100P6S-A	M30622F8PFP#D5C-ND	12.31	11.09	9.83
Flash-Speicher	64K + 4K	4K	3.0 ~ 5.5 (@24 MHz)	24	16-Bit x (5 + 6)	2	Taktsynchr./UART x 3, Farbsynchr. x 2	10-Bitx (8 x 3 + 2)Kan.	8-Bit x 2	—	I²C-Bus, IE-Bus, SIO Subtakt, UART	100P6Q-A	M30622F8PGP#D5C-ND	11.75	10.58	9.38
Flash-Speicher	256K	20K	4.2 ~ 5.5 (@16MHz)	16	16-Bit x (5 + 6)	2	Taktsynchr./UART x 3, Farbsynchr. x 2	10-Bit x (8 + 2)Kan.	8-Bit x 2	—	I²C-Bus, IE-Bus, SIO Subtakt, UART	100P6S-A	M30624FGAFP#D3-ND M30624FGAFP#D5-ND	31.90 30.37	29.78 28.34	27.65 26.32
Flash-Speicher	256K	20K	2.7 ~ 3.6 (@10MHz)	10	16-Bit x 11	2	Taktsynchr./UART x 3, Farbsynchr. x 2	10-Bit x (8 + 2)Kan.	8-Bit x 2	—	I²C-Bus, IE-Bus, SIO Subtakt, UART	100P6S-A	M30624FGMFP#D3-ND	16.70	15.59	14.48
Flash-Speicher	256K + 4K	20K	3.0 ~ 5.5 (@24 MHz)	24	16-Bit x (5 + 6)	2	Taktsynchr./UART x 3, Farbsynchr. x 2	10-Bit x (8 x 3 + 2)Kan.	8-Bit x 2	—	I²C-Bus, IE-Bus, SIO Subtakt, UART	100P6S-A	M30624FGPFP#D5C-ND	14.67	13.21	11.72
Flash-Speicher	256K + 4K	20K	3.0 ~ 5.5 (@24 MHz)	24	16-Bit x (5 + 6)	2	Taktsynchr./UART x 3, Farbsynchr. x 2	10-Bit x (8 x 3 + 2)Kan.	8-Bit x 2	—	I²C-Bus, IE-Bus, SIO Subtakt, UART	100P6Q-A	M30624FGPGP#D3C-ND M30624FGPGP#D5C-ND	14.80 14.10	13.33 12.70	11.82 11.26
Flash-Speicher	256K + 4K	20K	3.0 ~ 5.5 (@24 MHz)	24	16-Bit x (5 + 6)	2	Taktsynchr./UART x 3, Farbsynchr. x 2	10-Bit x (8 x 3 + 2)Kan.	8-Bit x 2	—	I²C-Bus, IE-Bus, SIO Subtakt, UART	100P6Q-A	M30625FGPGP#D5C-ND	15.05	13.55	12.02
Flash-Speicher	384K + 4K	31K	3.0 ~ 5.5 (@24 MHz)	24	16-Bit x (5 + 6)	2	Taktsynchr./UART x 3, Farbsynchr. x 2	10-Bit x (8 x 3 + 2)Kan.	8-Bit x 2	—	I²C-Bus, IE-Bus, SIO Subtakt, UART	100P6S-A	M30626FHPFP#D3C-ND M30626FHPFP#D5C-ND	15.65 14.90	14.61 13.91	13.56 12.91
Flash-Speicher	384K + 4K	31K	3.0 ~ 5.5 (@24 MHz)	24	16-Bit x (5 + 6)	2	Taktsynchr./UART x 3, Farbsynchr. x 2	10-Bit x (8 x 3 + 2)Kan.	8-Bit x 2	—	I²C-Bus, IE-Bus, SIO Subtakt, UART	100P6Q-A	M30626FHPGP#D3C-ND M30626FHPGP#D5C-ND	15.10 14.39	14.10 13.43	13.09 12.47
Flash-Speicher	384K + 4K	31K	3.0 ~ 5.5 (@24 MHz)	24	16-Bit x (5 + 6)	2	Taktsynchr./UART x 3, Farbsynchr. x 2	10-Bit x (8 x 3 + 2)Kan.	8-Bit x 2	—	I²C-Bus, IE Bus, SIO Subtakt, UART	100P6Q-A	M30627FHPGP#D5C-ND	15.24	14.23	13.21
Flash-Speicher	384K + 4K	31K	3.0 ~ 5.5 (@24 MHz)	24	16-Bit x (5 + 6)	2	Taktsynchr./UART x 3, Farbsynchr. x 2	10-Bit x (8 x 3 + 2)Kan.	8-Bit x 2	—	I²C-Bus, IE Bus, SIO Subtakt, UART	100P6Q-A	M30843FHGP#D5-ND	18.63	17.39	16.15
Flash-Speicher	512K + 4K	24K	3.0 ~ 5.5 (@24 MHz)	24	16-Bit x 11	4	Taktsynchr./ UART x 5	10-Bit x 26Kan. (1 Schaltkreis)	8-Bit x 2	1	I²C-Bus, IE Bus, SIO Subtakt, UART	100P6Q-A	M30843FJFP#D5-ND	20.83	19.44	18.05
Flash-Speicher	512K + 4K	24K	3.0 ~ 5.5 (@24 MHz)	24	16-Bit x 11	4	Taktsynchr./ UART x 5	10-Bit x 26Kan. (1 Schaltkreis)	8-Bit x 2	1	I²C-Bus, IE Bus, SIO Subtakt, UART	100P6Q-A	M30843FJGP#D5-ND	20.32	18.97	17.61
Flash-Speicher	384K + 4K	24K	3.0 ~ 5.5 (@24 MHz)	24	16-Bit x 11	4	Taktsynchr./ UART x 5	10-Bit x 26Kan. (1 Schaltkreis)	8-Bit x 2	2	I²C-Bus, IE Bus, SIO Subtakt, UART	100P6S-A	M30853FHFP#D5-ND	19.98	18.65	17.32
Flash-Speicher	512K + 4K	24K	3.0 ~ 5.5 (@24 MHz)	24	16-Bit x 11	4	Taktsynchr./ UART x 5	10-Bit x 26Kan. (1 Schaltkreis)	8-Bit x 2	2	I²C-Bus, IE Bus, SIO Subtakt, UART	100P6Q-A	M30853FJGP#D5-ND	21.17	19.76	18.35
Flash-Speicher	320K + 4K	24K	3.0 ~ 5.5 (@24 MHz)	24	16-Bit x 11	4	Taktsynchr./ UART x 5	10-Bit x 26Kan. (1 Schaltkreis)	8-Bit x 2	2	I²C-Bus, IE Bus, SIO, CAN, Subtakt, UART	100P6S-A	M30853FWGP#D5-ND	26.53	24.76	23.00
Flash-Speicher	384K + 4K	24K	3.0 ~ 5.5 (@24 MHz)	24	16-Bit x 11	4	Taktsynchr./ UART x 5	10-Bit x 34Kan. (1 Schaltkreis)	8-Bit x 2	2	I²C-Bus, IE Bus, SIO, CAN, Subtakt, UART	100P6S-A	M30855FHGP#D5-ND	22.01	20.55	19.08
Flash-Speicher	512K + 4K	24K	3.0 ~ 5.5 (@24 MHz)	24	16-Bit x 11	4	Taktsynchr./ UART x 5	10-Bit x 34Kan. (1 Schaltkreis)	8-Bit x 2	2	I²C-Bus, IE Bus, SIO, CAN, Subtakt, UART Stufenmotor (Forts.)	100P6Q-A	M30865FJGP#D5-ND	24.55	22.92	21.28

740-Gruppe

Speichertyp	ROM (Bytes)	RAM (Bytes)	Versorgungs-spannung (V)	Temperatur d. Betriebumgebung	Zeitschaltuhren	DMA-Controller	Serielle Schnittstelle	A/D-Wandler	CAN	Paket	Digi-Key Teilenr.	Stückpreis 1	25	100
One time PROM*	8K	256	4.0 ~ 5.5	-20° ~ 85°C	16-Bit x 1, 8-Bit x 2	—	Taktsynchr./UART x 1	8-Bit x 6	SIO	32P6U-A	M37544G2GP-ND	2.59	2.08	1.62
One time PROM*	8K	256	4.0 ~ 5.5	-20° ~ 85°C	16-Bit x 1, 8-Bit x 2	—	Taktsynchr./UART x 1	8-Bit x 6	SIO	32P4B	M37544G2SP-ND	2.88	2.31	1.79

*Einmal programmierbarer PROM

Werkzeuge

Beschreibung	Digi-Key Teilenr.	Stückpreis
3DK Evaluierungskartenkit für H8S/2166	3DK2166-ND	201.49
3DK Evaluierungskartenkit für J8S/2218U	3DK2218-ND	354.09
Erweiterungskarte für E6000 Emulatoren	E6EIOEXT-ND	312.90
Evaluierungsentwicklungskit für H8S/2215	EDK2215-ND	310.06
Evaluierungsentwicklungskit für H8S/2239	EDK2239-ND	310.06
Evaluierungsentwicklungskit für H8S/2268	EDK2268-ND	310.06
Evaluierungsentwicklungskit für H8S/2282	EDK2282-ND	310.06
Evaluierungsentwicklungskit für H8S/2329	EDK2329-ND	206.23
Evaluierungsentwicklungskit für H8S/2377	EDK2377-ND	310.06
Evaluierungsentwicklungskit für H8S/2398	EDK2398-ND	376.91
Evaluierungsentwicklungskit für H8S/2638	EDK2638-ND	426.69
Evaluierungsentwicklungskit für H8/3069	EDK3069-ND	497.80
Evaluierungsentwicklungskit für H8/3687	EDK3687-ND	288.72
Evaluierungsentwicklungskit für SH7047	EDK7047-ND	365.53
Evaluierungsentwicklungskit für SH7145	EDK7145-ND	206.23
Evaluierungsentwicklungs-OS-Kit für H8S/2674R	EDOSK2674-ND	221.64
Steckleistenkartenbausatz H8S/214x, QFP-100B	EHB2148Q100B-ND	496.38
Steckleistenkartenbausatz H8S/2238, TQFP-100B	EHB2238Q100B-ND	496.38
Steckleistenkartenbausatz H8S/2218, TQFP-100B	EHB2318Q100B-ND	496.38
Steckleistenkartenbausatz H8S/2328, FP-128	EHB2328Q128-ND	716.83
Steckleistenkartenbausatz H8S/2633, QFP-128	EHB2633Q128-ND	716.83
Steckleistenkartenbausatz H8S/2678, QFP-144	EHB2678RQ144-ND	826.35
Steckleistenkartenbausatz H8S/3064, QFP-100B	EHB3064BQ100B-ND	440.91
E7 Emulator für die Serie Tiny, H8/300H Super-Niedrigleistung, H8/300L, R8C/Tiny	HS0007TCU01H-ND	205.10
E6000H Benutzerschnittstellenkabel für die H8Sx-Gruppe	HS1650ECN61H-ND	1038.27
E6000 Expansions-E/A-Karte für H8/300H, Serie Tiny	HS36024EI061H-ND	734.85
Wandlerkarte für M16C/26 Gruppe M30262	M30262T-PTC-ND	383.59
IC-Sockelkarte	M3A-0286G01-ND	249.92
Wandler zum Anschluss von 100-Pin 0,65 mm-Pitch LCC an M3T-DUMMY100S	M3T-100LCC-DMS-ND	90.26
Direct Dummy IC für 100-Pin 0,65 mm Pitch QFP	M3T-DIRECT100S-ND	63.18
Dummy IC für 100-Pin 0,65 mm Pitch QFP (100P6S-A, 100P6S-E)	M3T-DUMMY100S-ND	162.46
Wandler zum Anschluss von 160-Kern Flex-Karte FLX160 an 100-Pin 0,5 mm Pitch LQFP	M3T-F160-100NSD-ND	315.90
Wandler zum Anschluss von 160-Kern Flex-Karte FLX160 an 128-Pin 0,5 mm Pitch LQFP	M3T-F160-128NRD-ND	341.73
Wandler zum Anschluss von 100-Kern Flex-Karte FLX100 an 100-Pin 0,65 mm Pitch QFP	M3T-FLX-100NRB-ND	472.91
Wandler zum Anschluss von 100-Kern Flex-Karte FLX100 an 100-Pin 0,5 mm Pitch LQFP	M3T-FLX-100NSD-ND	478.68
Wandler zum Anschluss von 160-Kern Flex-Karte FLX160 an 144-Pin 0,5 mm Pitch LQFP	M3T-FLX-144NSD-ND	353.16
Karte für Richtungsänderung um 180°	M3T-FLX100-R-ND	130.38
Karte für Richtungsänderung um 90°	M3T-FLX100-T-ND	130.38
USB Flash Writer für die M16C-Gruppe	RTA-FOUSB-MON-ND	51.52
Starterkit für M16C/26A	SKP16C26A-ND	42.33
Starterkit für M16C/28	SKP16C28-ND	42.33
Starterkit für M16C/62P	SKP16C62P-ND	42.33
Starterkit für M32C/83	SKP32C83-ND	130.58
Starterkit für H8/36912G	SKP36912-ND	253.98
Starterkit für R8C/11	SKP8CMINI-ND	42.33
Add-On-Karte zur Entwicklung	US2148AEDK1-ND	472.91
Add-On-Karte zur Entwicklung	US2612EDK1-ND	310.06
Add-On-Karte zur Entwicklung	US2623EDK1-ND	587.40
Evaluierungsentwicklungskit für H8/3068 NRS	US3068EDK1-ND	519.14
Evaluierungsentwicklungskit für H8/3664 NRS	US3664N-BAG1-ND	29.63
Evaluierungsentwicklungskit für H8/38024 NRS	US38024-BAG1-ND	53.34
Evaluierungs-Entwicklungs-PSU und serielles CA NRS	USBAG-PSU1-ND	19.68

CPU / System-Überwachungseinrichtungen

Nominale Rückstellspannung (V)	Rückstelltyp	Ausgang	Watchdog-Timer	Manuelle Rückstellung	Paket	Vcc-Bereich (V)	Digi-Key Teilenr.	Stückpreis 1	25	100	Gegurtet auf Rolle* Größe	Preisangaben
2.625	Aktiv, niedrig	CMOS Push-Pull	Nein	Nein	TO-92	1.0-5.5	MCP100-270DI/TO-ND	.28	.22	.21	—	—
2.925	Aktiv, niedrig	CMOS Push-Pull	Nein	Nein	TO-92	1.0-5.5	MCP100-300DI/TO-ND	.28	.22	.21	—	—
3.075	Aktiv, niedrig	CMOS Push-Pull	Nein	Nein	TO-92	1.0-5.5	MCP100-315DI/TO-ND	.28	.22	.21	—	—
4.375	Aktiv, niedrig	CMOS Push-Pull	Nein	Nein	TO-92	1.0-5.5	MCP100-450DI/TO-ND	.28	.22	.21	—	—
4.475	Aktiv, niedrig	CMOS Push-Pull	Nein	Nein	TO-92	1.0-5.5	MCP100-460DI/TO-ND	.28	.22	.21	—	—
4.725	Aktiv, niedrig	CMOS Push-Pull	Nein	Nein	TO-92	1.0-5.5	MCP100-485DI/TO-ND	.28	.22	.21	—	—
2.625	Aktiv, niedrig	CMOS Push-Pull	Nein	Nein	TO-92	1.0-5.5	MCP100-270HI/TO-ND	.28	.22	.21	—	—
2.925	Aktiv, niedrig	CMOS Push-Pull	Nein	Nein	TO-92	1.0-5.5	MCP100-300HI/TO-ND	.28	.22	.21	—	—
3.075	Aktiv, niedrig	CMOS Push-Pull	Nein	Nein	TO-92	1.0-5.5	MCP100-315HI/TO-ND	.28	.22	.21	—	—
4.375	Aktiv, niedrig	CMOS Push-Pull	Nein	Nein	TO-92	1.0-5.5	MCP100-450HI/TO-ND	.28	.22	.21	—	—
4.475	Aktiv, niedrig	CMOS Push-Pull	Nein	Nein	TO-92	1.0-5.5	MCP100-460HI/TO-ND	.28	.22	.21	—	—
4.625	Aktiv, niedrig	CMOS Push-Pull	Nein	Nein	TO-92	1.0-5.5	MCP100-475HI/TO-ND	.28	.22	.21	—	—
4.725	Aktiv, niedrig	CMOS Push-Pull	Nein	Nein	TO-92	1.0-5.5	MCP100-485HI/TO-ND	.28	.22	.21	—	—
2.625	Aktiv, niedrig	CMOS Push-Pull	Nein	Nein	SOT23-5	1.0-5.5	MCP100T-270I/TTCT-ND	.30	.28	.25	3,000	203.19/M
2.925	Aktiv, niedrig	CMOS Push-Pull	Nein	Nein	SOT23-5	1.0-5.5	MCP100T-300I/TTCT-ND	.30	.28	.25	3,000	203.19/M
3.075	Aktiv, niedrig	CMOS Push-Pull	Nein	Nein	SOT23-5	1.0-5.5	MCP100T-315I/TTCT-ND	.30	.28	.25	3,000	203.19/M
4.375	Aktiv, niedrig	CMOS Push-Pull	Nein	Nein	SOT23-5	1.0-5.5	MCP100T-450I/TTCT-ND	.30	.28	.25	3,000	203.19/M
4.475	Aktiv, niedrig	CMOS Push-Pull	Nein	Nein	SOT23-5	1.0-5.5	MCP100T-460I/TTCT-ND	.30	.28	.25	3,000	203.19/M
4.625	Aktiv, niedrig	CMOS Push-Pull	Nein	Nein	SOT23-5	1.0-5.5	MCP100T-475I/TTCT-ND	.30	.28	.25	3,000	203.19/M
4.725	Aktiv, niedrig	CMOS Push-Pull	Nein	Nein	SOT23-5	1.0-5.5	MCP100T-485I/TTCT-ND	.30	.28	.25	3,000	203.19/M
2.625	Aktiv, hoch	CMOS Push-Pull	Nein	Nein	TO-92	1.0-5.5	MCP101-270DI/TO-ND	.28	.22	.21	—	—
2.925	Aktiv, hoch	CMOS Push-Pull	Nein	Nein	TO-92	1.0-5.5	MCP101-300DI/TO-ND	.28	.22	.21	—	—
3.075	Aktiv, hoch	CMOS Push-Pull	Nein	Nein	TO-92	1.0-5.5	MCP101-315DI/TO-ND	.28	.22	.21	—	—
4.375	Aktiv, hoch	CMOS Push-Pull	Nein	Nein	TO-92	1.0-5.5	MCP101-450DI/TO-ND	.28	.22	.21	—	—
4.475	Aktiv, hoch	CMOS Push-Pull	Nein	Nein	TO-92	1.0-5.5	MCP101-460DI/TO-ND	.28	.22	.21	—	—
4.625	Aktiv, hoch	CMOS Push-Pull	Nein	Nein	TO-92	1.0-5.5	MCP101-475DI/TO-ND	.28	.22	.21	—	—
4.725	Aktiv, hoch	CMOS Push-Pull	Nein	Nein	TO-92	1.0-5.5	MCP101-485DI/TO-ND	.28	.22	.21	—	—
2.625	Aktiv, hoch	CMOS Push-Pull	Nein	Nein	TO-92	1.0-5.5	MCP101-270HI/TO-ND	.28	.22	.21	—	—
2.925	Aktiv, hoch	CMOS Push-Pull	Nein	Nein	TO-92	1.0-5.5	MCP101-300HI/TO-ND	.28	.22	.21	—	—
3.075	Aktiv, hoch	CMOS Push-Pull	Nein	Nein	TO-92	1.0-5.5	MCP101-315HI/TO-ND	.28	.22	.21	—	—
4.375	Aktiv, hoch	CMOS Push-Pull	Nein	Nein	TO-92	1.0-5.5	MCP101-450HI/TO-ND	.28	.22	.21	—	—
4.475	Aktiv, hoch	CMOS Push-Pull	Nein	Nein	TO-92	1.0-5.5	MCP101-460HI/TO-ND	.28	.22	.21	—	—
4.625	Aktiv, hoch	CMOS Push-Pull	Nein	Nein	TO-92	1.0-5.5	MCP101-475HI/TO-ND	.28	.22	.21	—	—
4.725	Aktiv, hoch	CMOS Push-Pull	Nein	Nein	TO-92	1.0-5.5	MCP101-485HI/TO-ND	.28	.22	.21	—	—
1.900	Aktiv, niedrig	Push-Pull	Nein	Nein	TO-92	1.0-5.5	MCP102-195I/TO-ND	.41	.33	.30	—	—
1.900	Aktiv, niedrig	Push-Pull	Nein	Nein	SC-70	1.0-5.5	MCP102T-195I/LBCT-ND	.45	.41	.37	3,000	262.45/M
1.900	Aktiv, niedrig	Push-Pull	Nein	Nein	SOT-23B	1.0-5.5	MCP102T-195I/TTCT-ND	.45	.41	.37	3,000	262.45/M
1.900	Aktiv, niedrig	Push-Pull	Nein	Nein	SC-70	1.0-5.5	MCP103T-195I/LBCT-ND	.45	.41	.37	3,000	262.45/M
1.900	Aktiv, niedrig	Push-Pull	Nein	Nein	SOT-23B	1.0-5.5	MCP103T-195I/TTCT-ND	.45	.41	.37	3,000	262.45/M
2.625	Aktiv, niedrig	Open Drain	Nein	Nein	TO-92	1.0-5.5	MCP120-270DI/TO-ND	.36	.30	.28	—	—
2.925	Aktiv, niedrig	Open Drain	Nein	Nein	TO-92	1.0-5.5	MCP120-300DI/TO-ND	.36	.30	.28	—	—
4.375	Aktiv, niedrig	Open Drain	Nein	Nein	TO-92	1.0-5.5	MCP120-450DI/TO-ND	.36	.30	.28	—	—
4.475	Aktiv, niedrig	Open Drain	Nein	Nein	TO-92	1.0-5.5	MCP120-460DI/TO-ND	.36	.30	.28	—	—
4.625	Aktiv, niedrig	Open Drain	Nein	Nein	TO-92	1.0-5.5	MCP120-475DI/TO-ND	.36	.30	.28	—	—
4.725	Aktiv, niedrig	Open Drain	Nein	Nein	TO-92	1.0-5.5	MCP120-485DI/TO-ND	.36	.30	.28	—	—
2.625	Aktiv, niedrig	Open Drain	Nein	Nein	SOT-23	1.0-5.5	MCP120T-270I/TTCT-ND	.41	.36	.33	3,000	270.92/M
2.925	Aktiv, niedrig	Open Drain	Nein	Nein	SOT-23	1.0-5.5	MCP120T-300I/TTCT-ND	.41	.36	.33	3,000	270.92/M
3.075	Aktiv, niedrig	Open Drain	Nein	Nein	SOT-23	1.0-5.5	MCP120T-315I/TTCT-ND	.41	.36	.33	3,000	270.92/M
4.375	Aktiv, niedrig	Open Drain	Nein	Nein	SOT-23	1.0-5.5	MCP120T-450I/TTCT-ND	.41	.36	.33	3,000	270.92/M
4.475	Aktiv, niedrig	Open Drain	Nein	Nein	SOT-23	1.0-5.5	MCP120T-460I/TTCT-ND	.41	.36	.33	3,000	270.92/M
4.625	Aktiv, niedrig	Open Drain	Nein	Nein	SOT-23	1.0-5.5	MCP120T-475I/TTCT-ND	.41	.36	.33	3,000	270.92/M
4.725	Aktiv, niedrig	Open Drain	Nein	Nein	SOT-23	1.0-5.5	MCP120T-485I/TTCT-ND	.41	.36	.33	3,000	270.92/M
1.900	Aktiv, niedrig	Open Drain	Nein	Nein	TO-92	1.0-5.5	MCP121-195I/TO-ND	.41	.29	.27	—	—
1.900	Aktiv, niedrig	Open Drain	Nein	Nein	SC-70	1.0-5.5	MCP121T-195I/LBCT-ND	.45	.41	.37	3,000	262.45/M
1.900	Aktiv, niedrig	Open Drain	Nein	Nein	SOT-23B	1.0-5.5	MCP121T-195I/TTCT-ND	.45	.41	.37	3,000	262.45/M
2.625	Aktiv, niedrig	Open Drain †	Nein	Nein	TO-92	1.0-5.5	MCP130-270DI/TO-ND	.36	.28	.26	—	—
2.925	Aktiv, niedrig	Open Drain †	Nein	Nein	TO-92	1.0-5.5	MCP130-300DI/TO-ND	.36	.28	.26	—	—
3.075	Aktiv, niedrig	Open Drain †	Nein	Nein	TO-92	1.0-5.5	MCP130-315DI/TO-ND	.36	.28	.26	—	—
4.375	Aktiv, niedrig	Open Drain †	Nein	Nein	TO-92	1.0-5.5	MCP130-450DI/TO-ND	.36	.28	.26	—	—
4.475	Aktiv, niedrig	Open Drain †	Nein	Nein	TO-92	1.0-5.5	MCP130-460DI/TO-ND	.36	.28	.26	—	—
4.625	Aktiv, niedrig	Open Drain †	Nein	Nein	TO-92	1.0-5.5	MCP130-475DI/TO-ND	.36	.28	.26	—	—
4.725	Aktiv, niedrig	Open Drain †	Nein	Nein	TO-92	1.0-5.5	MCP130-485DI/TO-ND	.36	.28	.26	—	—
2.625	Aktiv, niedrig	Open Drain †	Nein	Nein	SOT-23	1.0-5.5	MCP130T-270I/TTCT-ND	.41	.36	.33	3,000	253.98/M
2.925	Aktiv, niedrig	Open Drain †	Nein	Nein	SOT-23	1.0-5.5	MCP130T-300I/TTCT-ND	.41	.36	.33	3,000	253.98/M
3.075	Aktiv, niedrig	Open Drain †	Nein	Nein	SOT-23	1.0-5.5	MCP130T-315I/TTCT-ND	.41	.36	.33	3,000	253.98/M
4.375	Aktiv, niedrig	Open Drain †	Nein	Nein	SOT-23	1.0-5.5	MCP130T-450I/TTCT-ND	.41	.36	.33	3,000	253.98/M
4.475	Aktiv, niedrig	Open Drain †	Nein	Nein	SOT-23	1.0-5.5	MCP130T-460I/TTCT-ND	.41	.36	.33	3,000	253.98/M
4.625	Aktiv, niedrig	Open Drain †	Nein	Nein	SOT-23	1.0-5.5	MCP130T-475I/TTCT-ND	.41	.36	.33	3,000	253.98/M
4.725	Aktiv, niedrig	Open Drain †	Nein	Nein	SOT-23	1.0-5.5	MCP130T-485I/TTCT-ND	.41	.36	.33	3,000	253.98/M
1.900	Aktiv, niedrig	Open Drain †	Nein	Nein	TO-92	1.0-5.5	MCP131-195I/TO-ND	.41	.29	.27	—	—
1.900	Aktiv, niedrig	Open Drain †	Nein	Nein	SC-70	1.0-5.5	MCP131T-195I/LBCT-ND	.45	.41	.37	3,000	262.45/M
1.900	Aktiv, niedrig	Open Drain †	Nein	Nein	SOT-23B	1.0-5.5	MCP131T-195I/TTCT-ND	.45	.41	.37	3,000	262.45/M
2.625	Aktiv, niedrig	CMOS Push-Pull	Nein	Nein	SOT-23	1.0-5.5	MCP809T-270I/TTCT-ND	.41	.36	.33	3,000	270.92/M
2.925	Aktiv, niedrig	CMOS Push-Pull	Nein	Nein	SOT-23	1.0-5.5	MCP809T-300I/TTCT-ND	.41	.36	.33	3,000	270.92/M
3.075	Aktiv, niedrig	CMOS Push-Pull	Nein	Nein	SOT-23	1.0-5.5	MCP809T-315I/TTCT-ND	.41	.36	.33	3,000	270.92/M
4.375	Aktiv, niedrig	CMOS Push-Pull	Nein	Nein	SOT-23	1.0-5.5	MCP809T-450I/TTCT-ND	.41	.36	.33	3,000	270.92/M
4.475	Aktiv, niedrig	CMOS Push-Pull	Nein	Nein	SOT-23	1.0-5.5	MCP809T-460I/TTCT-ND	.41	.36	.33	3,000	270.92/M
4.625	Aktiv, niedrig	CMOS Push-Pull	Nein	Nein	SOT-23	1.0-5.5	MCP809T-475I/TTCT-ND	.41	.36	.33	3,000	270.92/M
4.725	Aktiv, niedrig	CMOS Push-Pull	Nein	Nein	SOT-23	1.0-5.5	MCP809T-485I/TTCT-ND	.41	.36	.33	3,000	270.92/M
2.625	Aktiv, hoch	CMOS Push-Pull	Nein	Nein	SOT-23	1.0-5.5	MCP810T-270I/TTCT-ND	.41	.36	.33	3,000	270.92/M
2.925	Aktiv, hoch	CMOS Push-Pull	Nein	Nein	SOT-23	1.0-5.5	MCP810T-300I/TTCT-ND	.41	.36	.33	3,000	270.92/M
3.075	Aktiv, hoch	CMOS Push-Pull	Nein	Nein	SOT-23	1.0-5.5	MCP810T-315I/TTCT-ND	.41	.36	.33	3,000	270.92/M
4.375	Aktiv, hoch	CMOS Push-Pull	Nein	Nein	SOT-23	1.0-5.5	MCP810T-450I/TTCT-ND	.41	.36	.33	3,000	270.92/M
4.475	Aktiv, hoch	CMOS Push-Pull	Nein	Nein	SOT-23	1.0-5.5	MCP810T-460I/TTCT-ND	.41	.36	.33	3,000	270.92/M
4.625	Aktiv, hoch	CMOS Push-Pull	Nein	Nein	SOT-23	1.0-5.5	MCP810T-475I/TTCT-ND	.41	.36	.33	3,000	270.92/M
4.725	Aktiv, hoch	CMOS Push-Pull	Nein	Nein	SOT-23	1.0-5.5	MCP810T-485I/TTCT-ND	.41	.36	.33	3,000	270.92/M
4.5	Aktiv, niedrig	Open Drain	Ja	Nein	SOT-223	4.5-5.5	TC32MEDB713CT-ND	1.58	1.37	1.23	4,000	1007.45/M
4.5	Aktiv, niedrig	Open Drain	Ja	Nein	TO-92	4.5-5.5	TC32MCZB-ND	1.34	.94	.85	—	—
4.62 und 4.37	Aktiv, niedrig/hoch	Open Drain	Ja	Nein	8-SOIC	4.5-5.5	TC1232COA-ND	.97	.67	.61	—	—
4.62 und 4.37	Aktiv, niedrig/hoch	Open Drain	Ja	Nein	16-SOIC	4.5-5.5	TC1232COE-ND	1.68	1.10	1.05	—	—
4.62 und 4.37	Aktiv, niedrig/hoch	Open Drain	Ja	Nein	8-DIP	4.5-5.5	TC1232CPA-ND	.97	.67	.61	—	—
4.62 und 4.37	Aktiv, niedrig/hoch	Open Drain	Ja	Nein	8-SOIC	4.5-5.5	TC1232EOA-ND	.88	.62	.61	—	—
4.62 und 4.37	Aktiv, niedrig/hoch	Open Drain	Ja	Nein	8-DIP	4.5-5.5	TC1232EPA-ND	.97	.62	.61	—	—
1.75	Aktiv, niedrig	CMOS Push-Pull	Nein	Nein	SOT-143-4	1.2-5.5	TC1270FERCCT-ND	.54	.49	.44	3,000	304.78/M
2.93	Aktiv, niedrig	CMOS Push-Pull	Nein	Nein	SOT-143	1.2-5.5	TC1270SERCCT-ND	.54	.49	.44	3,000	304.78/M
3.08	Aktiv, niedrig	CMOS Push-Pull	Nein	Nein	SOT-143-4	1.2-5.5	TC1270TERCTRCT-ND	.49	.39	.35	3,000	304.78/M
4.38	Aktiv, hoch	CMOS Push-Pull	Nein	Nein	SOT-143-4	1.2-5.5	TC1271MERCCT-ND	.54	.49	.44	3,000	304.78/M
4.62	Aktiv, niedrig	Open Drain	Nein	Nein	SOT-23B-3	1.2-5.5	TC1273-5ENBCT-ND	.54	.49	.44	3,000	304.78/M
4.12	Aktiv, hoch	CMOS Push-Pull	Nein	Nein	SOT-23B-3	1.8-5.5	TC1274-15ENBCT-ND	.54	.49	.44	3,000	304.78/M
4.62	Aktiv, hoch	CMOS Push-Pull	Nein	Nein	STO-23B-3	1.8-5.5	TC1274-5ENBCT-ND	.54	.49	.44	3,000	304.78/M
2.88	Aktiv, niedrig	CMOS Push-Pull	Nein	Nein	SOT-23B	1.2-5.5	TC1275-10ENBCT-ND	.54	.49	.44	3,000	304.78/M

*Für Gegurtet auf Rolle die Teilenummer CT-ND in TR-ND ändern. † mit 5 kΩ Pull-up

(Forts.)

Alle Preisangaben in Euro und inklusive Zollgebühren.

CPU / System-Überwachungseinrichtungen *(Forts.)*

Nominale Rückstellspannung (V)	Rückstelltyp	Ausgang	Watchdog-Timer	Manuelle Rückstellung	Paket	Vcc-Bereich (V)	Digi-Key Teilenr.	Stückpreis 1	25	100	Gegurtet auf Rolle* Größe	Preisangaben
2.55	Aktiv, niedrig	Open Drain	Nein	Nein	SOT-23B	1.2-5.5	TC1276-20ENBCT-ND	.54	.49	.44	3,000	304.78/M
4.00	Aktiv, niedrig	CMOS Push-Pull	Nein	Nein	SOT-23B-3	1.2-5.5	TCM809JVNB713CT-ND	.30	.28	.25	3,000	211.65/M
4.63	Aktiv, niedrig	CMOS Push-Pull	Nein	Nein	SOT-23B	1.2-5.5	TCM809LENB713CT-ND	.39	.33	.28	3,000	211.65/M
4.63	Aktiv, niedrig	CMOS Push-Pull	Nein	Nein	SC70-3	1.2-5.5	TCM809LVLB713CT-ND	.30	.28	.25	3,000	211.65/M
4.63	Aktiv, niedrig	CMOS Push-Pull	Nein	Nein	SOT-23B-3	1.2-5.5	TCM809LVNB713CT-ND	.30	.28	.25	3,000	211.65/M
4.38	Aktiv, niedrig	CMOS Push-Pull	Nein	Nein	SOT-23B	1.2-5.5	TCM809MENB713CT-ND	.39	.33	.28	3,000	211.65/M
4.38	Aktiv, niedrig	CMOS Push-Pull	Nein	Nein	SC70-3	1.2-5.5	TCM809MVLB713CT-ND	.30	.28	.25	3,000	211.65/M
4.38	Aktiv, niedrig	CMOS Push-Pull	Nein	Nein	SOT23B-3	1.2-5.5	TCM809MVNB713CT-ND	.30	.28	.25	3,000	211.65/M
2.63	Aktiv, niedrig	CMOS Push-Pull	Nein	Nein	SOT-23B	1.2-5.5	TCM809RENB713CT-ND	.39	.33	.28	3,000	211.65/M
2.63	Aktiv, niedrig	CMOS Push-Pull	Nein	Nein	SC70-3	1.2-5.5	TCM809RVLB713CT-ND	.30	.28	.25	3,000	211.65/M
2.63	Aktiv, niedrig	CMOS Push-Pull	Nein	Nein	SOT-23B-3	1.2-5.5	TCM809RVNB713CT-ND	.30	.28	.25	3,000	211.65/M
2.93	Aktiv, niedrig	CMOS Push-Pull	Nein	Nein	SC70-3	1.2-5.5	TCM809SVLB713CT-ND	.30	.28	.25	3,000	211.65/M
2.93	Aktiv, niedrig	CMOS Push-Pull	Nein	Nein	SOT-23B	1.2-5.5	TCM809SVNB713CT-ND	.30	.28	.25	3,000	211.65/M
3.08	Aktiv, niedrig	CMOS Push-Pull	Nein	Nein	SOT-23B	1.2-5.5	TCM809TVNB713CT-ND	.30	.28	.25	3,000	211.65/M
4.63	Aktiv, hoch	CMOS Push-Pull	Nein	Nein	SOT-23B	1.2-5.5	TCM810LENB713CT-ND	.39	.33	.28	3,000	211.65/M
2.63	Aktiv, hoch	CMOS Push-Pull	Nein	Nein	SOT-23B	1.2-5.5	TCM810RENB713CT-ND	.39	.33	.28	3,000	211.65/M
2.63	Aktiv, hoch	CMOS Push-Pull	Nein	Nein	SOT-23B	1.2-5.5	TCM810RVNB713CT-ND	.30	.28	.25	3,000	211.65/M
3.08	Aktiv, hoch	CMOS Push-Pull	Nein	Nein	SOT-23B	1.2-5.5	TCM810TENB713CT-ND	.52	.45	.40	—	—
1.75	Aktiv, niedrig	CMOS Push-Pull	Nein	Nein	SOT-143-4	1.0-5.5	TCM811FERCCT-ND	.47	.43	.39	3,000	279.38/M

*Für Gegurtet auf Rolle die Teilenummer CT-ND in TR-ND ändern.

Spannungsdetektoren

Nominale Rückstellspannung (V)	Rückstelltyp	Ausgang	Watchdog-Timer	Manuelle Rückstellung	Paket	Vcc-Bereich (V)	Digi-Key Teilenr.	Stückpreis 1	25	100	Gegurtet auf Rolle* Größe	Preisangaben
2.70	Aktiv, niedrig	CMOS Push-Pull	Nein	Nein	SOT-23A	0.7-10	TC54VC2702ECB71CT-ND	.53	.46	.39	3,000	262.45/M
2.90	Aktiv, niedrig	CMOS Push-Pull	Nein	Nein	SOT-23A	0.7-10	TC54VC2902ECB71CT-ND	.46	.43	.39	3,000	262.45/M
4.30	Aktiv, niedrig	CMOS Push-Pull	Nein	Nein	SOT-23A	0.7-10	TC54VC4302ECB71CT-ND	.51	.43	.39	3,000	270.92/M
4.30	Aktiv, niedrig	CMOS Push-Pull	Nein	Nein	SOT-89	0.7-10	TC54VC4302EMB71CT-ND	.51	.43	.39	1,000	270.91
4.50	Aktiv, niedrig	CMOS Push-Pull	Nein	Nein	SOT-23A	0.7-10	TC54VC4502ECB71CT-ND	.70	.62	.55	3,000	407.22/M
2.70	Aktiv, niedrig	Open Drain	Nein	Nein	SOT-23A	0.7-10	TC54VN2702ECB71CT-ND	.53	.46	.39	3,000	262.45/M
2.90	Aktiv, niedrig	Open Drain	Nein	Nein	SOT-23A	0.7-10	TC54VN2902ECB71CT-ND	.46	.39	.35	—	—
3.00	Aktiv, niedrig	Open Drain	Nein	Nein	SOT-23A	0.7-10	TC54VN3002ECB71CT-ND	.46	.43	.39	3,000	262.45/M
4.30	Aktiv, niedrig	Open Drain	Nein	Nein	SOT-23A	0.7-10	TC54VN4302ECB71CT-ND	.51	.43	.39	3,000	270.92/M
4.50	Aktiv, niedrig	Open Drain	Nein	Nein	SOT-23A	0.7-10	TC54VN4502ECB71CT-ND	.70	.62	.55	3,000	407.22/M
4.50	Aktiv, niedrig	Open Drain	Nein	Nein	SOT-89	0.7-10	TC54VN4502EMB71CT-ND	.70	.62	.55	1,000	407.21

*Für Gegurtet auf Rolle die Teilenummer CT-ND in TR-ND ändern.

DC/DC-Wandler

Beschreibung	Eingangsspannung (V)	Ausgangsspannung (V)	Max.Eingangs-strom (µA)	Typ. aktiver Ausgangsstrom (mA)	Betriebstemperatur (°C)	Paket	Digi-Key Teilenr.	Stückpreis 1	25	100	Gegurtet auf Rolle* Größe	Preisangaben
Reguliert	2.0 - 5.5	3.3 or 5.0	120	120 mA für Vin>, 3,0 V	-45°C ~ 85°C	8-MSOP	MCP1252-33X50I/MS-ND	1.86	1.34	1.22	—	—
Reguliert	2.0 - 5.5	3.3 or 5.0	120	120 mA für Vin>, 3,0 V	-45°C ~ 85°C	8-MSOP	MCP1252-ADJI/MS-ND	1.86	1.34	1.22	—	—
Reguliert	2.0 - 5.5	3.3 or 5.0	120	120 mA für Vin>, 3,0 V	-45°C ~ 85°C	8-MSOP	MCP1253-33X50I/MS-ND	1.86	1.34	1.22	—	—
Reguliert	2.0 - 5.5	3.3 or 5.0	120	120 mA für Vin>, 3,0 V	-45°C ~ 85°C	8-MSOP	MCP1253-ADJI/MS-ND	1.86	1.34	1.22	—	—
Invertierend oder Doppler	2.4 - 5.5	-Vin oder 2Vin	100	100	-45°C ~ 85°C	8-SOIC	TC1121COA-ND	1.55	1.06	.96	—	—
Invertierend oder Doppler	2.4 - 5.5	-Vin oder 2Vin	100	100	-45°C ~ 85°C	8-DIP	TC1121CPA-ND	1.59	1.09	.99	—	—
Invertierend oder Doppler	1.5 - 5.5	-Vin oder 2Vin	115	25	-45°C ~ 85°C	SOT-23A-6	TC1219ECHCT-ND	1.04	.94	.84	3,000	575.69/M
Invertierend oder Doppler	1.5 - 5.5	-Vin oder 2Vin	325	25	-45°C ~ 85°C	SOT-23A-6	TC1220ECHCT-ND	1.04	.94	.84	3,000	575.69/M
Invertierend oder Doppler	1.5 - 10	-Vin oder 2Vin	180	20	-45°C ~ 85°C	8-SOIC	TC7660COA-ND	.59	.41	.37	—	—
Invertierend oder Doppler	1.5 - 10	-Vin oder 2Vin	180	20	-45°C ~ 85°C	8-DIP	TC7660CPA-ND	.59	.41	.37	—	—
Invertierend oder Doppler	1.5 - 10	-Vin oder 2Vin	180	20	-45°C ~ 85°C	8-SOIC	TC7660EOA-ND	.53	.39	.37	—	—
Invertierend oder Doppler	1.5 - 10	-Vin oder 2Vin	1000	20	-45°C ~ 85°C	8-DIP	TC7660HCPA-ND	.67	.50	.47	—	—
Invertierend oder Doppler	1.5 - 10	-Vin oder 2Vin	160	20	-45°C ~ 85°C	8-SOIC	TC7660SCOA-ND	.68	.46	.42	—	—
Invertierend oder Doppler	1.5 - 10	-Vin oder 2Vin	160	20	-45°C ~ 85°C	8-DIP	TC7660SCPA-ND	.61	.45	.42	—	—
Invertierend oder Doppler	1.5 - 10	-Vin oder 2Vin	160	20	-45°C ~ 85°C	8-SOIC	TC7660SEOA713CT-ND	.88	.80	.74	3,300	414.84/M
Invertierend oder Doppler	1.5 - 10	-Vin oder 2Vin	160	20	-45°C ~ 85°C	8-DIP	TC7660SEPA-ND	.61	.45	.42	—	—
Invertierend oder Doppler	3.0 - 18	-Vin oder 2Vin	200	40	-45°C ~ 85°C	8-DIP	TC7662ACPA-ND	1.95	1.34	1.22	—	—
Invertierend oder Doppler	3.0 - 18	-Vin oder 2Vin	200	40	-45°C ~ 85°C	8-DIP	TC7662AEPA-ND	2.40	1.75	1.66	—	—
Invertierend oder Doppler	3.0 - 18	-Vin oder 2Vin	200	40	-45°C ~ 85°C	8-CDIP	TC7662AIJA-ND	6.17	4.49	4.27	—	—
Invertierend oder Doppler	1.5 - 15	-Vin oder 2Vin	180	20	-45°C ~ 85°C	8-SOIC	TC7662BCOA-ND	1.40	.96	.88	—	—
Invertierend oder Doppler	1.5 - 15	-Vin oder 2Vin	180	20	-45°C ~ 85°C	8-DIP	TC7662BCPA-ND	1.26	.92	.88	—	—
Invertierend oder Doppler	1.5 - 15	-Vin oder 2Vin	180	20	-45°C ~ 85°C	8-SOIC	TC7662BEOA-ND	1.63	1.13	1.02	—	—
Invertierend oder Doppler	1.5 - 15	-Vin oder 2Vin	180	20	-45°C ~ 85°C	8-SOIC	TC7662BEOA713CT-ND	1.46	1.28	1.15	3,300	1015.93/M
Invertierend oder Doppler	1.5 - 15	-Vin oder 2Vin	180	20	-45°C ~ 85°C	8-DIP	TC7662BEPA-ND	1.46	1.07	1.02	—	—
Invertierend oder Doppler	3.0 - 18	-Vin oder 2Vin	200	80	-45°C ~ 85°C	16-SOIC (breit)	TC962COE-ND	1.92	1.41	1.33	—	—
Invertierend oder Doppler	3.0 - 18	-Vin oder 2Vin	200	80	-45°C ~ 85°C	8-DIP	TC962CPA-ND	2.14	1.48	1.33	—	—
Invertierend oder Doppler	1.5 - 5.5	-Vin oder 2Vin	260	25	-45°C ~ 85°C	SOT-23A-5	TCM829ECT713CT-ND	.75	.64	.53	3,000	355.58/M
Evaluierungskarte für MCP1601							MCP1601EV-ND	25.40/1				

*Für Gegurtet auf Rolle die Teilenummer CT-ND in TR-ND ändern.

Linearregler

Max.Eingangs-spannung (V)	Ausgangsspannung (V)	Ausgangsstrom (mA)	Typ. aktiver Strom (mA)	Typ. Abfallspannung @ max. I aus (mV)	Typ. Ausgangsspannung Genauigkeit %	Paket	Digi-Key Teilenr.	Stückpreis 1	25	100	Gegurtet auf Rolle* Größe	Preisangaben
6	1.8	250	1	300	0.4	SOT-23	MCP1700T1802ETTCT-ND	.53	.49	.47	3,000	253.98/M
6	1.8	250	1	300	0.4	SOT-89	MCP1700T1802EMBCT-ND	.53	.49	.47	1,000	253.98
6	1.8	250	1	300	0.4	TO-92	MCP1700-1802E/TO-ND	.53	.30	.26	—	—
6	3.3	250	1	300	0.4	SOT-23	MCP1700T3302ETTCT-ND	.53	.49	.47	3,000	253.98/M
6	3.3	250	1	300	0.4	SOT-89	MCP1700T3302EMBCT-ND	.53	.49	.47	1,000	253.98
6	3.3	250	1	300	0.4	TO-92	MCP1700-3302E/TO-ND	.53	.30	.26	—	—
6	5.0	250	1	300	0.4	SOT-23	MCP1700T5002ETTCT-ND	.53	.49	.47	3,000	253.98/M
6	5.0	250	1	300	0.4	SOT-89	MCP1700T5002EMBCT-ND	.53	.49	.47	1,000	253.98
6	5.0	250	1	300	0.4	TO-92	MCP1700-5002E/TO-ND	.53	.30	.26	—	—
6	1.8	250	1.1	380	0.5	SOT-23A	MCP1701T1802ICBCT-ND	.62	.50	.43	3,000	389.44/M
6	1.8	250	1.1	380	0.5	SOT-89	MCP1701T1802IMBCT-ND	.62	.50	.43	1,000	389.44
6	3.3	250	1.1	380	0.5	SOT-23A	MCP1701T3302ICBCT-ND	.62	.50	.43	3,000	389.44/M
6	3.3	250	1.1	380	0.5	SOT-89	MCP1701T3302IMBCT-ND	.62	.50	.43	1,000	389.44
6	5.0	250	1.1	380	0.5	SOT-23A	MCP1701T5002ICBCT-ND	.62	.50	.43	3,000	389.44/M
6	5.0	250	1.1	380	0.5	SOT-89	MCP1701T5002IMBCT-ND	.62	.50	.43	1,000	389.44
6	1.8	50	50	85	0.5	SOT-23A-5	TC10141.8VCT713CT-ND	.47	.43	.39	3,000	253.98/M
6	2.7	50	50	85	0.5	SOT-23A-5	TC10142.7VCT713CT-ND	.47	.43	.39	3,000	253.98/M
6	5.0	50	50	85	0.5	SOT-23A-5	TC10145.0VCT713CT-ND	.47	.43	.39	3,000	253.98/M
6	2.5	100	50	180	0.5	SOT-23A-5	TC10152.5VCT713CT-ND	.45	.40	.36	3,000	270.92/M
6	2.8	100	50	180	0.5	SOT-23A-5	TC10152.8VCT713CT-ND	.45	.36	.32	3,000	270.92/M

*Für Gegurtet auf Rolle die Teilenummer CT-ND in TR-ND ändern.

(Forts.)

Linearregler *(Forts.)*

Max.Eingangs-spannung (V)	Ausgangsspannung (V)	Ausgangsstrom (mA)	Typ. aktiver Strom (mA)	Typ. Abfallspannung @ max. I aus (mV)	Typ. Ausgangsspannung Genauigkeit %	Paket	Digi-Key Teilenr.	Stückpreis 1	25	100	Gegurtet auf Rolle* Größe	Preisangaben
6	3.0	100	50	180	0.5	SOT-23A-5	TC10153.0VCT713CT-ND	.45	.40	.36	3,000	270.92/M
6	4.0	100	50	180	0.5	SOT-23A-5	TC10154.0VCT713CT-ND	.45	.36	.32	3,000	270.92/M
6	1.8	80	50	150	0.5	SC-70-5	TC1016-1.8VLTCT-ND	.54	.49	.44	3,000	279.38/M
6	2.7	80	50	150	0.5	SC-70-5	TC1016-2.7VLTCT-ND	.54	.49	.44	3,000	279.38/M
6	3.0	80	50	150	0.5	SC-70-5	TC1016-3.0VLTCT-ND	.54	.49	.44	3,000	279.38/M
6	2.5	100	50	180	0.5	SOT-23A-5	TC10552.5VCT713CT-ND	.70	.56	.49	3,000	270.92/M
6	2.7	100	50	180	0.5	SOT-23A-5	TC10552.7VCT713CT-ND	.70	.56	.49	3,000	270.92/M
6	3.0	100	50	180	0.5	SOT-23A-5	TC10553.0VCT713CT-ND	.70	.56	.49	3,000	270.92/M
6	3.3	100	50	180	0.5	SOT-23A-5	TC10553.3VCT713CT-ND	.45	.40	.36	3,000	270.92/M
6	1.8	100	50	180	0.5	SOT-23A-5	TC10551.8VCT713CT-ND	.50	.45	.40	3,000	270.92/M
6	5.0	100	50	180	0.5	SOT-23A-5	TC10555.0VCT713CT-ND	.70	.56	.49	3,000	270.92/M
6	1.23-5.5	100	50	180	—	SOT-23A-5	TC1071VCT713CT-ND	.61	.57	.51	3,000	321.71/M
6	2.5	100	50	180	0.5	SOT-23A-6	TC10732.5VCH713CT-ND	.76	.67	.60	3,000	406.37/M
6	1.8	100	50	180	0.5	SOT-23A-6	TC10731.8VCH713CT-ND	.74	.66	.60	3,000	406.37/M
6	3.0	100	50	180	0.5	SOT-23A-6	TC10733.0VCH713CT-ND	.76	.67	.60	3,000	406.37/M
6	3.3	100	50	180	0.5	SOT-23A-6	TC10733.3VCH713CT-ND	.76	.67	.60	3,000	406.37/M
6	5.0	100	50	180	0.5	SOT-23A-6	TC10735.0VCH713CT-ND	.59	.52	.46	3,000	406.37/M
6	2.5	300	50	240	0.5	8-SOIC	TC1107-2.5VOA-ND	.66	.43	.41	—	—
6	2.5	300	50	240	0.5	8-MSOP	TC1107-2.5VUA-ND	.66	.43	.41	—	—
6	2.5	300	50	240	0.5	8-MSOP	TC1107-2.5VUACT-ND	.74	.66	.60	2,500	406.37/M
6	2.7	300	50	240	0.5	8-MSOP	TC1107-2.7VUA-ND	.66	.43	.41	—	—
6	2.7	300	50	240	0.5	8-SOIC	TC1107-2.7VOA-ND	.66	.43	.41	—	—
6	3.0	300	50	240	0.5	8-MSOP	TC1107-3.0VUACT-ND	.74	.66	.60	2,500	406.37/M
6	3.0	300	50	240	0.5	8-MSOP	TC1107-3.0VUA-ND	.66	.43	.41	—	—
6	3.0	300	50	240	0.5	8-SOIC	TC1107-3.0VOA-ND	.66	.43	.41	—	—
6	3.3	300	50	240	0.5	8-SOIC	TC1107-3.3VOA-ND	.66	.43	.41	—	—
6	3.3	300	50	240	0.5	8-MSOP	TC1107-3.3VUA-ND	.66	.43	.41	—	—
6	5.0	300	50	240	0.5	8-SOIC	TC1107-5.0VOA-ND	.66	.43	.41	—	—
6	5.0	300	50	240	0.5	8-MSOP	TC1107-5.0VUA-ND	.66	.43	.41	—	—
6	2.5	300	50	240	0.5	SOT223-3	TC1108-2.5VDBCT-ND	.74	.66	.60	4,000	406.37/M
6	1.8	150	50	270	0.5	SOT-23A-5	TC11851.8VCT713CT-ND	.52	.47	.42	3,000	287.85/M
6	2.5	150	50	270	0.5	SOT-23A-5	TC11852.5VCT713CT-ND	.47	.38	.33	3,000	279.38/M
6	2.7	150	50	270	0.5	SOT-23A-5	TC11852.7VCT713CT-ND	.47	.38	.33	3,000	287.85/M
6	2.8	150	50	270	0.5	SOT-23A-5	TC11852.8VCT713CT-ND	.47	.38	.33	3,000	279.38/M
6	2.85	150	50	270	0.5	SOT-23A-5	TC11852.85VCT71CT-ND	.42	.37	.33	3,000	287.85/M
6	3.0	150	50	270	0.5	SOT-23A-5	TC11853.0VCT713CT-ND	.47	.38	.33	3,000	287.85/M
6	3.3	150	50	270	0.5	SOT-23A-5	TC11853.3VCT713CT-ND	.47	.38	.33	3,000	287.85/M
6	4.0	150	50	270	0.5	SOT-23A-5	TC11854.0VCT713CT-ND	.47	.38	.33	3,000	287.85/M
6	5.0	150	50	270	0.5	SOT-23A-5	TC11855.0VCT713CT-ND	.47	.38	.33	3,000	287.85/M
6	2.5	500	80	350	0.5	SOT-223-3	TC1262-2.5VDBCT-ND	1.16	1.04	.94	4,000	643.42/M
6	2.5	500	80	350	0.5	TO-220-3	TC1262-2.5VAB-ND	1.78	1.17	1.11	—	—
6	3.3	500	80	350	0.5	SOT-223-3	TC1262-3.3VDBCT-ND	1.16	1.04	.94	4,000	643.42/M
6	3.3	500	80	350	0.5	TO-220-3	TC1262-3.3VAB-ND	1.78	1.17	1.11	—	—
6	5.0	500	80	350	0.5	TO-220-3	TC1262-5.0VAB-ND	1.78	1.17	1.11	—	—
6	2.5	500	80	350	0.5	TO-220-5	TC1263-2.5VAT-ND	1.85	1.21	1.15	—	—
6	2.5	500	80	350	0.5	8-SOIC	TC1263-2.5VOA-ND	1.06	.68	.67	—	—
6	1.8	800	80	450	0.5	DDPAK-3	TC1264-1.8VEBCT-ND	1.92	1.72	1.55	750	793.69
6	1.8	800	80	450	0.5	SOT-223-3	TC1264-1.8VDBCT-ND	1.25	1.13	1.01	4,000	694.22/M
6	1.8	800	80	450	0.5	TO-220-5	TC1265-1.8VAT-ND	1.81	1.33	1.26	—	—
6	1.8	800	80	450	0.5	8-SOIC	TC1265-1.8VOA-ND	1.03	.75	.72	—	—
6	2.5	800	80	450	0.5	TO-220-5	TC1265-2.5VAT-ND	1.81	1.33	1.26	—	—
6	2.5	800	80	450	0.5	8-SOIC	TC1265-2.5VOA-ND	1.03	.75	.72	—	—
6	3.0	800	80	450	0.5	TO-220-5	TC1265-3.0VAT-ND	1.81	1.33	1.26	—	—
6	3.0	800	80	450	0.5	8-SOIC	TC1265-3.0VOA-ND	1.03	.75	.72	—	—
6	3.3	800	80	450	0.5	TO-220-5	TC1265-3.3VAT-ND	1.81	1.33	1.26	—	—
6	3.3	800	80	450	0.5	8-SOIC	TC1265-3.3VOA-ND	1.03	.75	.72	—	—
6	3.3	200	230	200	1.0	8-MSOP	TC1266VUA-ND	.97	.63	.61	—	—
6	3.3	200	230	200	1.0	8-SOIC	TC1266VOA-ND	.91	.60	.57	—	—
6	3.3	300	50	240	0.5	8-MSOP	TC1269-3.3VUA-ND	1.06	.68	.67	—	—
6	5.0	300	50	240	0.5	8-MSOP	TC1269-5.0VUA-ND	1.06	.68	.67	—	—
6	1.8	150	55	140	0.4	SOT-23A-5	TC2185-1.8VCCT-ND	.69	.62	.56	3,000	355.58/M
6	2.8	150	55	140	0.4	SOT-23A-5	TC2185-2.8VCCT-ND	.69	.62	.56	3,000	355.58/M
6	3.0	150	55	140	0.4	SOT-23A-5	TC2185-3.0VCCT-ND	.69	.62	.56	3,000	355.58/M
6	3.3	150	55	140	0.4	SOT-23A-5	TC2185-3.3VCCT-ND	.69	.62	.56	3,000	355.58/M

*Für Gegurtet auf Rolle die Teilenummer CT-ND in TR-ND ändern.

PWM-Controller

Beschreibung	Digi-Key Teilenr.	Stückpreis
Demokarte für MCP1630	MCP1630DM-NMC1-ND	38.10

Schaltregler

Beschreibung	Eingangs-spannungs-bereich (V)	Ausgangs-spannung (V)	Betriebs-temperatur-bereich	Ausgang	Steuerplan	Schaltfrequenz (kHz)	Typ. aktive Versorgung (µA)	Ausgangsstrom (mA)	Pakete	Digi-Key Teilenr.	Stückpreis 1	25	100
Step-Down-DC/DC-Controller	2.7 ~ 5.5	0.8 ~ 5.0	-40° ~ 85°C	Einstellbar	PWM	1,400	5,000	1,000	8-MSOP	MCP1612-ADJI/MS-ND	2.27	1.72	1.30
Demokarte für MCP165X										MCP1650DM-LED1-ND		46.56/1	
Evaluierungskarte für MCP165X										MCP1650EV-ND		38.10/1	

Batterie-Management

Batterie-Chemie	Programm-speichergrösse (Bytes)	Genauigkeit	Zellenanzahl	Schnittstelle	Datensatz	Programmierfunktionen E/A	Pakete	Digi-Key Teilenr.	Stückpreis 1	25	100	Gegurtet auf Rolle* Größe	Preisangaben
Li-Ion, Li-Poly NiHM, NiCd	—	Kapazität u. Laufzeit Vorhersagen <1 % Fehler	Serien-Zellen - Li: 2-4, Ni: 6-12	SMBus 1.1	SBData 1.1	12: 10 GPIO und 2 Hochspannungen für FETs	28-SSOP	PS501-I/SS-ND	7.07	4.77	4.48	—	—
								PS501T-I/SSCT-ND	8.03	7.18	6.46	2,100	4161.47/M
Li-Ion	—	—	1-2	SMBus I2C	—	512 Byte EEPROM	8-TSSOP	PS700-I/ST-ND	2.82	1.70	1.61	—	—
								PS700T-I/STCT-ND	3.27	2.93	2.63	2,500	1694.05/M

*Für Gegurtet auf Rolle die Teilenummer CT-ND in TR-ND ändern.

(Forts.)

Alle Preisangaben in Euro und inklusive Zollgebühren.

Batteriemanagement *(Forts.)*

Linearer Modus	Anz. der Li-Ion-Zellen	Vcc-Bereich (V)	Typ. Umkehr-Leckstrom (µA)	Temperaturbereich	Integrierte FET	Paket	Digi-Key Teilenr.	Stückpreis 1	25	100	Gegurtet auf Rolle* Größe	Preisangaben
Ja	1	4.5 ~ 5.5	8	-20°C ~ 85°C	Extern	8-MSOP	MCP73827-4.1VUA-ND	1.08	.67	.62	—	—
Ja	1	4.5 ~ 5.5	1	-20°C ~ 85°C	Extern	8-MSOP	MCP73828-4.2VUA-ND	1.08	.67	.62	—	—
Ja	1	4.5 ~ 5.5	0.24	-40°C ~ 85°C	Intern.	16-QFN	MCP73853-I/ML-ND	1.99	1.22	1.15	—	—
							MCP73853T-I/MLCT-ND	2.23	1.99	1.80	3,300	1142.91/M
Ja	1	4.5 ~ 5.5	0.24	-40°C ~ 85°C	Intern.	10-DFN	MCP73855-I/MF-ND	1.74	1.07	1.00	—	—
							MCP73855T-I/MFCT-ND	1.95	1.74	1.57	3,300	998.99/M
Ja	1	4.5 ~ 12	0.23	-40°C ~ 85°C	Intern.	16-QFN	MCP73861-I/MLG-ND	2.14	1.32	1.24	—	—
						16-QFN	MCP73861T-I/MLGCT-ND	2.40	2.14	1.93	3,300	1236.04/M
						16-SOIC	MCP73861-I/SLG-ND	2.07	1.28	1.24	—	—
Ja	2	8.7 ~ 12	0.23	-40°C ~ 85°C	Intern.	16-QFN	MCP73862-I/MLG-ND	2.41	1.48	1.40	—	—
						16-QFN	MCP73862T-I/MLGCT-ND	2.70	2.42	2.18	3,300	1396.90/M
Evaluierungskit für MCP7382X							MCP7382XEV-ND			38.10/1		
Evaluierungskit für MCP7384X							MCP7384XEV-ND			38.10/1		
Evaluierungskit für MCP7386X							MCP7386XEV-ND			25.40/1		
PowerInfo™ 2 Konfigurationsschnittstellenkarte für PS70X und PS50X							PS051-ND			126.99/1		
PowerCal™ 2 Konfigurationsschnittstellenkarte für PS70X und PS50X							PS052-ND			317.48/1		
Einzelchip-Batterie-Manager, 28-SSOP							PS402-I/SS042-ND			3.17/1		
PS501 Batterie-Manager-Modul mit LED SOC-Anzeige, Nickelchemie							PS5100-ND			25.40/1		
PowerSmart® Batterie-Manager-Evaluierungskit für NiMH/LiPoly-Chemie (6-12 Zellen)							PS5100EV-ND			143.92/1		
PS501 Batterie-Manager-Modul mit LED SOC-Anzeige für Lithiumchemie (2 Zellen)							PS5162-ND			25.40/1		
PowerSmart® Batterie-Manager-Evaluierungskit für Lithium-Ionen/Polymerchemie (2 Zellen)							PS5162EV-ND			143.92/1		
PS501 Batterie-Manager-Modul mit LED SOC-Anzeigen für Lithiumchemie (3 Zellen)							PS5163-ND			25.40/1		
PowerSmart® Batterie-Manager-Evaluierungskit für Lithium-Ionen/Polymerchemie (3 Zellen)							PS5163EV-ND			143.92/1		
PS501 Batterie-Manager-Modul mit LED SOC-Anzeigen für Lithiumchemie (4 Zellen)							PS5164-ND			25.40/1		
PowerSmart® Batterie-Manager-Evaluierungskit für Lithium-Ionen/Polymerchemie (4 Zellen)							PS5164EV-ND			143.92/1		
PS700 Batterie-Überwachungs/Evaluierungskarte							PS7070-ND			59.26/1		
PS700 Batterie-Überwachungs/Evaluierungskarte mit PowerInfo™ 2							PS7070EV-ND			135.46/1		
Batteriemonitor für einzellige Lithium-Konfigurationen							PS7051-ND			18.63/1		
Batteriemonitor für zweizellige Lithium-Konfigurationen							PS7052-ND			18.63/1		
PowerCal™-Karte							PS042-ND			423.30/1		

*Für Gegurtet auf Rolle die Teilenummer CT-ND in TR-ND ändern.

Leistungs-MOSFET-Treiber

Beschreibung	Leistung	Konfiguration	Spitzen-Ausgangsstrom (A)	Ausgangswiderstand (Rh/Rl) (max. O @ 25 °C)	Max. Versorgungs-spannung (V)	Eingangs-/Ausgangs-verzögerung (td1, td2) 1(ns)	Paket	Digi-Key Teilenr.	Stückpreis 1	25	100	Gegurtet auf Rolle* Größe	Preisangaben
Low-Side MOSFET-Treiber 1,5 A Spitzenausgangsstrom	Zweif.	Invertierend	1.5	15/10	18	50/75	8-SOIC	TC426COA-ND	.91	.70	.64	—	—
							8-Dip	TC426CPA-ND	.91	.70	.64	—	—
							8-SOIC	TC426EOA-ND	.91	.70	.64	—	—
							8-CDip	TC426MJA-ND	7.22	5.25	4.99	—	—
Low-Side MOSFET-Treiber 1,5 A Spitzenausgangsstrom	Zweif.	Nicht-invertierend	1.5	15/10	18	50/75	8-SOIC	TC427COA-ND	.91	.70	.64	—	—
							8-Dip	TC427CPA-ND	.91	.70	.64	—	—
							8-SOIC	TC427EOA-ND	.91	.70	.64	—	—
							8-Dip	TC427EPA-ND	.91	.70	.64	—	—
							8-CDip	TC427MJA-ND	7.22	5.25	4.99	—	—
Low-Side MOSFET-Treiber 1,5 A Spitzenausgangsstrom	Zweif.	Nicht-invertierend	1.5	15/10	18	50/75	8-SOIC	TC428COA-ND	.91	.70	.64	—	—
							8-Dip	TC428CPA-ND	.91	.70	.64	—	—
Low-Side MOSFET-Treiber 2,0 A bis 9 A Spitzenausgangsstrom	Einf.	Invertierend	6	2.5/2.5	18	53/60	8-Dip	TC429CPA-ND	1.27	.70	.64	—	—
Low-Side MOSFET-Treiber 0,5A bis 1,2 A Spitzenausgangsstrom	Einf.	Invertierend	1	11/11	16	30/30	8-Dip	TC1411CPA-ND	.76	.54	.52	—	—
Low-Side MOSFET-Treiber 0,5 A bis 1,2 A Spitzenausgangsstrom	Einf.	Invertierend	1	11/11	16	30/30	8-Dip	TC1411NCPA-ND	.76	.54	.52	—	—
Low-Side MOSFET-Treiber 2 A bis 9 A Spitzenausgangsstrom	Zweif.	Nicht-invertierend	3	4/4	16	35/35	8-Dip	TC1413NCPA-ND	.96	.68	.67	—	—
Low-Side MOSFET-Treiber 0,5A bis 1,2 A Spitzenausgangsstrom	Zweif.	Invertierend	1.2	18/18	16	75/75	8-SOIC	TC1426COA-ND	.83	.64	.58	—	—
							8-SOIC	TC1426COA713CT-ND	1.08	.98	.90	3,300	575.69/M
							8-Dip	TC1426CPA-ND	.83	.64	.58	—	—
Low-Side MOSFET-Treiber 0,5A bis 1,2 A Spitzenausgangsstrom	Zweif.	Nicht-invertierend	1.2	18/18	16	75/75	8-SOIC	TC1427COA-ND	.83	.64	.58	—	—
							8-SOIC	TC1427COA713CT-ND	1.08	.98	.90	3,300	575.69/M
							8-Dip	TC1427CPA-ND	.83	.64	.58	—	—
Low-Side MOSFET-Treiber 0,5A bis 1,2 A Spitzenausgangsstrom	Zweif.	Nicht-invertierend	1.2	18/18	16	75/75	8-SOIC	TC1428COA-ND	.83	.64	.58	—	—
Low-Side MOSFET-Treiber 1,5 A Spitzenausgangsstrom	Zweif.	Invertierend	1.5	10/10	18	15/32	8-SOIC	TC4404COA-ND	1.75	1.27	1.22	—	—
							8-Dip	TC4404CPA-ND	1.75	1.27	1.22	—	—
Low-Side MOSFET-Treiber 1,5 A Spitzenausgangsstrom	Zweif.	Nicht-invertierend	1.5	10/10	18	15/32	8-SOIC	TC4405COA-ND	1.75	1.27	1.22	—	—
							8-Dip	TC4405CPA-ND	1.75	1.27	1.22	—	—
Low-Side MOSFET-Treiber 2 A bis 9 A Spitzenausgangsstrom	Einf.	Nicht-invertierend	6	2.8/2.5	18	55/55	8-SOIC	TC4420COA-ND	1.14	.88	.79	—	—
							8-SOIC	TC4420COA713CT-ND	1.49	1.35	1.24	3,300	787.34/M
							8-Dip	TC4420CPA-ND	1.14	.88	.79	—	—
							8-Dip	TC4420EPA-ND	1.17	.89	.81	—	—
							8-CDip	TC4420MJA-ND	10.13	7.37	7.01	—	—
Low-Side MOSFET-Treiber 2 A bis 9 A Spitzenausgangsstrom	Einf.	Invertierend	9	1,4 (typ.) (1,7)	18	30/33	TO-220-5	TC4421CAT-ND	2.30	1.68	1.60	—	—
							8-Dip	TC4421CPA-ND	2.06	1.41	1.27	—	—
Low-Side MOSFET-Treiber 2 A bis 9 A Spitzenausgangsstrom	Einf.	Nicht-invertierend	9	1,4 (typ.) (1,7)	18	30/33	8-Dip	TC4422CPA-ND	2.06	1.41	1.27	—	—
							8-Dip	TC4422EPA-ND	2.16	1.41	1.34	—	—
Low-Side MOSFET-Treiber 2 A bis 9 A Spitzenausgangsstrom	Zweif.	Invertierend	3	5/5	18	33/38	16-SOIC	TC4423COE-ND	1.86	1.22	1.16	—	—
							8-Dip	TC4423CPA-ND	1.69	1.16	1.05	—	—
Low-Side MOSFET-Treiber 2 A bis 9 A Spitzenausgangsstrom	Zweif.	Nicht-invertierend	3	5/5	18	33/38	8-Dip	TC4424CPA-ND	1.69	1.16	1.05	—	—
							16-SOIC (breit)	TC4424COE-ND	1.68	1.22	1.16	—	—
Low-Side MOSFET-Treiber 2 A bis 9 A Spitzenausgangsstrom	Zweif.	Nicht-invertierend	3	5/5	18	33/38	8-Dip	TC4425CPA-ND	1.69	1.11	1.05	—	—
Low-Side MOSFET-Treiber 1,5 A Spitzenausgangsstrom	Zweif.	Invertierend	1.5	10/10	18	20/40	8-SOIC	TC4426COA-ND	.89	.68	.61	—	—
							8-Dip	TC4426CPA-ND	.91	.70	.63	—	—
							8-SOIC	TC4426EOA-ND	.91	.70	.63	—	—
							8-Dip	TC4426EPA-ND	.91	.70	.63	—	—
Low-Side MOSFET-Treiber 1,5 A Spitzenausgangsstrom	Zweif.	Nicht-invertierend	1.5	9/9	18	30/30	8-SOIC	TC4427ACOA-ND	.91	.70	.63	—	—
							8-Dip	TC4427ACPA-ND	.91	.70	.63	—	—
							8-SOIC	TC4427AEOA-ND	.91	.58	.52	—	—
Low-Side MOSFET-Treiber 1,5 A Spitzenausgangsstrom	Zweif.	Nicht-invertierend	1.5	10/10	18	20/40	8-SOIC	TC4427COA-ND	.89	.68	.61	—	—
							8-SOIC	TC4427COA713CT-ND	1.16	1.05	.96	3,300	609.56/M
							8-Dip	TC4427CPA-ND	.89	.68	.61	—	—

*Für Gegurtet auf Rolle die Teilenummer CT-ND in TR-ND ändern.

(Forts.)

Leistungs-MOSFET-Treiber *(Forts.)*

Beschreibung	Leistung	Konfiguration	Spitzen-Ausgangsstrom (A)	Ausgangswiderstand (Rh/Rl) (max. O @ 25 °C)	Max. Versorgungs-spannung (V)	Eingangs-/Ausgangs-verzögerung (td1, td2) 1(ns)	Paket	Digi-Key Teilenr.	Stückpreis 1	25	100	Gegurtet auf Rolle* Größe	Preisangaben
Low-Side MOSFET-Treiber 1,5 A Spitzenausgangsstrom	Zweif.	Nicht-invertierend	1.5	10/10	18	20/40	8-Dip 8-SOIC	TC4427EPA-ND TC4427EOA-ND	.91 .91	.70 .70	.64 .64	— —	— —
Low-Side MOSFET-Treiber 1,5 A Spitzenausgangsstrom	Zweif.	Nicht-invertierend	1.5	10/10	18	20/40	8-SOIC 8-Dip 8-SOIC	TC4428COA-ND TC4428CPA-ND TC4428EOA-ND	.89 .89 .91	.68 .68 .70	.61 .61 .64	— — —	— — —
Low-Side MOSFET-Treiber 2 A bis 9 A Spitzenausgangsstrom	Einf.	Invertierend	6	2.8/2.5	18	55/55	8-SOIC 8-Dip	TC4429COA-ND TC4429CPA-ND	1.03 1.03	.88 .88	.79 .79	— —	— —
High-Side/Low-Side / MOSFET-Treiber	Einf.	Nicht-invertierend	1.5	10/10	30	62/78	8-SOIC 8-Dip	TC4432COA-ND TC4432CPA-ND	1.75 1.75	1.27 1.27	1.22 1.22	— —	— —
Low-Side MOSFET-Treiber 0,5 A bis 1,2 A Spitzenausgangsstrom	Vierf.	Invertierend	1.2	15/15	18	40/40	16-SOIC 14-Dip	TC4467COE-ND TC4467CPD-ND	3.12 2.29	2.04 1.57	1.94 1.42	— —	— —
Low-Side MOSFET-Treiber 0,5 A bis 1,2 A Spitzenausgangsstrom	Vierf.	Nicht-invertierend	1.2	15/15	18	40/40	14-Dip 16-SOIC	TC4468CPD-ND TC4468COE-ND	2.06 1.89	1.57 1.60	1.42 1.45	— —	— —
Low-Side MOSFET-Treiber 0,5 A bis 1,2 A Spitzenausgangsstrom	Vierf.	Nicht-invertierend	1.2	15/15	18	40/40	14-Dip 16-SOIC (breit) 16-SOIC (breit)	TC4469CPD-ND TC4469COE-ND TC4469COE713CT-ND	2.06 1.89 2.73	1.57 1.60 2.48	1.42 1.45 2.27	— — 1,000	— — 1447.69

*Für Gegurtet auf Rolle die Teilenummer CT-ND in TR-ND ändern.

Mischsignal

Successive Approximation Register (SAR) A/D-Wandler

Auflösung (Bits)	Max. Abtastrate (ksamples/s)	Anzahl der Eingangskanäle	Schnittstelle	Eingangsspannungs-bereich (V)	Paket	Digi-Key Teilenr.	Stückpreis 1	25	100	Gegurtet auf Rolle* Größe	Preisangaben
10	200	1	SPI™	2.7-5.5	8-MSOP 8-DIP 8-SOIC 8-TSSOP 8-SOIC	MCP3001-I/MS-ND MCP3001-I/P-ND MCP3001-I/SN-ND MCP3001-I/ST-ND MCP3001T-I/SNCT-ND	1.85 1.85 1.85 1.85 2.07	1.40 1.40 1.40 1.40 1.85	1.07 1.07 1.07 1.07 1.66	— — — — 3,300	— — — — 1066.72/M
10	200	2	SPI™	2.7-5.5	8-MSOP 8-DIP 8-SOIC 8-TSSOP	MCP3002-I/MS-ND MCP3002-I/P-ND MCP3002-I/SN-ND MCP3002-I/ST-ND	1.99 1.99 1.99 1.99	1.52 1.52 1.52 1.52	1.15 1.15 1.15 1.15	— — — —	— — — —
10	200	4	SPI™	2.7-5.5	8-MSOP 14-TSSOP	MCP3004-I/SL-ND MCP3004-I/ST-ND	2.33 2.33	1.76 1.76	1.34 1.34	— —	— —
10	200	8	SPI™	2.7-5.5	16-DIP 16-SOIC	MCP3008-I/P-ND MCP3008-I/SL-ND	2.46 2.46	1.87 1.87	1.41 1.41	— —	— —
12	100	1	SPI™	2.7-5.5	8-Dip 8-SOIC 8-DIP 8-SOIC 8-SOIC 8-TSSOP	MCP3201-CI/P-ND MCP3201-CI/SN-ND MCP3201-BI/P-ND MCP3201-BI/SN-ND MCP3201T-CI/SNCT-ND MCP3201-CI/ST-ND	2.54 2.54 2.95 2.95 2.84 2.54	1.93 1.93 2.23 2.23 2.54 1.93	1.47 1.47 1.71 1.71 2.29 1.47	— — — — 3,300 —	— — — — 1464.63/M —
12	100	2	SPI™	2.7-5.5	8-SOIC 8-DIP 8-MSOP 8-TSSOP 8-DIP 8-SOIC	MCP3202-BI/SN-ND MCP3202-BI/P-ND MCP3202-CI/MS-ND MCP3202-CI/ST-ND MCP3202-CI/P-ND MCP3202-CI/SN-ND	3.22 3.22 2.82 2.82 2.82 2.82	2.44 2.44 2.14 2.14 2.14 2.14	1.86 1.86 1.63 1.63 1.63 1.63	— — — — — —	— — — — — —
12	100	4	SPI™	2.7-5.5	14-DIP 14-SOIC 14-DIP 14-SOIC 14-SOIC 14-TSSOP	MCP3204-BI/P-ND MCP3204-BI/SL-ND MCP3204-CI/P-ND MCP3204-CI/SL-ND MCP3204T-CI/SLCT-ND MCP3204-CI/ST-ND	4.40 4.40 3.54 3.54 3.96 3.54	3.34 3.34 2.68 2.68 3.54 2.68	2.54 2.54 2.04 2.04 3.19 2.04	— — — — 2,600 —	— — — — 2031.85/M —
12	100	8	SPI™	2.7-5.5	16-DIP 16-DIP 16-SOIC	MCP3208-BI/P-ND MCP3208-CI/P-ND MCP3208-CI/SL-ND	4.85 3.88 3.88	3.68 2.93 2.93	2.80 2.24 2.24	— — —	— — —
12	22	1	I²C™ kompatibel/SPI™	2.7-5.5	SOT-23-5	MCP3221A5T-I/OTCT-ND	1.97	1.58	1.38	3,000	1125.98/M
13	100	1	SPI™	2.7-5.5	8-MSOP 8-DIP	MCP3301-CI/MS-ND MCP3301-CI/P-ND	2.71 2.54	2.07 1.93	1.57 1.46	— —	— —
13	100	2	SPI™	2.7-5.5	14-DIP 14-SOIC 14-TSSOP 14-DIP 14-SOIC 14-TSSOP	MCP3302-BI/P-ND MCP3302-BI/SL-ND MCP3302-BI/ST-ND MCP3302-CI/P-ND MCP3302-CI/SL-ND MCP3302-CI/ST-ND	4.36 4.36 4.66 3.50 3.50 3.73	3.31 3.31 3.53 2.66 2.66 2.83	2.52 2.52 2.69 2.01 2.01 2.15	— — — — — —	— — — — — —
13	100	4	SPI™	2.7-5.5	16-DIP 16-SOIC	MCP3304-CI/P-ND MCP3304-CI/SL-ND	3.85 3.85	2.93 2.93	2.22 2.22	— —	— —
MCP3201/02-Tochterplatine MCP3204/08-Tochterplatine Analoge Evaluierungstreiberkarte						DV3201A-ND DV3204A-ND DVMCPA-ND		76.19/1 76.19/1 143.91/1			

*Für Gegurtet auf Rolle die Teilenummer CT-ND in TR-ND ändern.

Zweif. A/D-Wandler, Slope

Versorgungs-spannungsbereich (V)	Eingangs-spannungsbereich (V)	Auflösung	Abtastrate (Konv/s)	Eingangskanäle	Schnittstelle	Differenzial-eingangsbereich	Programmierbare Auflösung/ Wandlungszeit	Ladepumpe(-V) Ausgangs-Pin	Paket	Digi-Key Teilenr.	Stückpreis 1	25	100	Gegurtet auf Rolle* Größe	Preisangaben
±4.5 ~ ±7.5	Vss +1.5V ~ Vdd -1.5V	Bis zu 17 Bits	4 ~ 10	1	3-adrig	Ja	Ja	Nein	16-SOIC 16-SOIC 16-Dip	TC500ACOE-ND TC500ACOE713CT-ND TC500ACPE-ND	4.40 3.96 3.89	3.03 3.44 2.46	2.74 3.09 2.42	— 1,000 —	— 2734.51 —
±4.5 ~ ±7.5	Vss +1.5V ~ Vdd -1.5V	Bis zu 16 Bits	4 ~ 10	1	3-adrig	Ja	Ja	Nein	16-SOIC 16-Dip	TC500COE-ND TC500CPE-ND	3.89 2.86	2.54 1.87	2.42 1.77	— —	— —
±4.5 ~ ±5.5	—	—	—	—	Serieller Port	Nein	Nein	Nein	14-Dip	TC520ACPD-ND	4.21	3.06	2.91	—	—
±4.5 ~ ±5.5	Vss +1.5V ~ Vdd -1.5V	12 Bits plus Zeichen-Bit	2 ~ 10	1	Serieller Port	Ja	Nein	Nein	40-Dip 44-PQFP	TC7109ACPL-ND TC7109ACKW-ND	6.33 8.06	4.35 5.86	3.93 5.57	— —	— —
±4.5 ~ ±5.5	Vss +1.5V ~ Vdd -1.5V	12 Bits plus Zeichen-Bit	2 ~ 10	1	Serieller Port	Ja	Nein	Nein	40-Dip	TC7109CPL-ND	5.36	3.51	3.33	—	—

*Für Gegurtet auf Rolle die Teilenummer CT-ND in TR-ND ändern.

(Forts.)

Alle Preisangaben in Euro und inklusive Zollgebühren.

Anzeige A/D-Wandler

Anzeigetyp	Versorgungsspannung (V)	Auflösung (Stellen)	Auflösung (Zähler)	Leistung (mW)	Für DMM, DPM, Data Logger	Haltefunktion	Paket	Digi-Key Teilenr.	Stückpreis 1	25	100
LCD	9	3.75	4,000	10	Nein	Nein	40-Dip	TC820CPL-ND	8.20	5.36	5.09
LCD	9	3.5	2,000	10	Nein	Ja	40-Dip	TC7106ACPL-ND	3.81	2.62	2.37
LCD	9	3.5	2,000	10	Ja	Nein	40-Dip	TC7106CPL-ND	3.33	2.28	2.06
LED	5	3.5	2,000	10	Nein	Ja	40-Dip	TC7107ACPL-ND	3.60	2.48	2.24
LED	5	3.5	2,000	10	Nein	Ja	44-PQFP 40-Dip	TC7107CKW-ND TC7107CPL-ND	2.80 3.12	2.05 2.15	1.94 1.94
LCD	9	3.5	2,000	10	Nein	Ja	40-Dip	TC7116ACPL-ND	4.85	3.33	3.02
LCD	9	3.5	2,000	10	Nein	Ja	40-Dip	TC7116CPL-ND	3.50	2.55	2.43
LED	5	3	2,000	10	Nein	Ja	40-Dip	TC7117ACPL-ND	5.06	3.48	3.15
LED	5	3	2,000	10	Nein	Ja	44-PQFP 40-Dip	TC7117CKW-ND TC7117CPL-ND	3.17 3.51	2.30 2.42	2.18 2.18
LCD	9	3.5	2,000	0.5	Nein	Nein	40-Dip	TC7126CPL-ND	4.39	3.19	3.03
LCD	9	4.5	20,000	4.5	Nein	Nein	40-Dip	TC7129CPL-ND	9.31	6.78	6.44

Binäre und BCD A/D-Wandler

Beschreibung	Versorgungs-spannung (V)	Eingangsspannung-sbereich (V)	Auflösung (Stellen)	Auflösung (Zähler)	Max. Leistung (mW)	Schnittstelle	Für DMM, DPM, Data Logger	Paket	Digi-Key Teilenr.	Stückpreis 1	25	100
BCD A/D	5	Vss +1.0 ~ Vdd -0.5	4	20,000	30	MUX-BCD	Nein	44-PQFP	TC835CKW-ND	8.93	6.50	6.18
BCD A/D	5	Vss +1.0 ~ Vdd -1.0	4	20,000	30	MUX-BCD	Ja	28-Dip	TC7135CPI-ND	5.67	3.89	3.53
BCD A/D	±4.5 ~ ±8	±199.9mV ~ 1.999	3	2,000	20	MUX-BCD	Ja	24-Dip	TC14433AEPG-ND	4.39	3.19	3.03
BCD A/D	±4.5 ~ ±8	±199.9mV ~ 1.999	3	2,000	20	MUX-BCD	Ja	24-Dip	TC14433EPG-ND	4.39	3.19	3.03

D/A-Wandler

Auflösung (Bits)	DAC-Zahl pro Packung	Schnittstelle	Vref	Ausgangs-Einstellzeit (s)	DNL (LSB)	Typischer Standby-Strom	Typischer Betriebsstrom	Paket	Digi-Key Teilenr.	Stückpreis 1	25	100	Gegurtet auf Rolle* Größe	Preisangaben
12	1	SPI™	Extern	4.5	0.25	0.5	125	8-MSOP	MCP4921-E/MS-ND	2.20	1.40	1.27	—	—
								8-MSOP	MCP4921T-E/MSCT-ND	2.46	2.21	1.99	2,500	1269.91/M
								8-DIP	MCP4921-E/P-ND	2.20	1.40	1.27	—	—
								8-SOIC	MCP4921-E/SN-ND	2.20	1.40	1.27	—	—
								8-SOIC	MCP4921T-E/SNCT-ND	2.46	2.21	1.99	3,300	1269.91/M
12	2	SPI™	Extern	4.5	0.25	0.5	250	14-DIP	MCP4922-E/P-ND	2.92	1.85	1.69	—	—
								14-SOIC	MCP4922-E/SL-ND	2.92	1.85	1.69	—	—
								14-SOIC	MCP4922T-E/SLCT-ND	3.27	2.93	2.63	2,600	1684.74/M
								14-TSSOP	MCP4922-E/ST-ND	2.92	1.85	1.69	—	—
								14-TSSOP	MCP4922T-E/STCT-ND	3.27	2.93	2.63	2,500	1684.74/M

*Für Gegurtet auf Rolle die Teilenummer CT-ND in TR-ND ändern.

Digitale Potentiometer

Anzahl der Ösen	Anzahl pro Packung	Schnittstelle	Widerstand (Ω)	Max. INL ± (LSB)	Max. DNL ± (LSB)	Temperaturbereich	Paket	Digi-Key Teilenr.	Stückpreis 1	25	100
256	1	SPI™	10,000	1	1	-40°C ~ 85°C	8-Dip	MCP41010-I/P-ND	1.51	1.14	.87
							8-SOIC	MCP41010-I/SN-ND	1.51	1.14	.87
256	1	SPI™	50,000	1	1	-40°C ~ 85°C	8-Dip	MCP41050-I/P-ND	1.51	1.14	.89
							8-SOIC	MCP41050-I/SN-ND	1.51	1.14	.87
256	1	SPI™	100,000	1	1	-40°C ~ 85°C	8-Dip	MCP41100-I/P-ND	1.51	1.14	.87
							8-SOIC	MCP41100-I/SN-ND	1.51	1.14	.87
256	2	SPI™	10,000	1	1	-40°C ~ 85°C	14-Dip	MCP42010-I/P-ND	2.24	1.70	1.29
							14-SOIC	MCP42010-I/SL-ND	2.24	1.70	1.29
							14-TSSOP	MCP42010-I/ST-ND	2.24	1.70	1.29
256	2	SPI™	50,000	1	1	-40°C ~ 85°C	14-Dip	MCP42050-I/P-ND	2.24	1.70	1.29
							14-SOIC	MCP42050-I/SL-ND	2.24	1.70	1.29
							14-TSSOP	MCP42050-I/ST-ND	2.24	1.70	1.29
256	2	SPI™	100,000	1	1	-40°C ~ 85°C	14-Dip	MCP42100-I/P-ND	2.24	1.70	1.29
							14-SOIC	MCP42100-I/SL-ND	2.24	1.70	1.29
							14-TSSOP	MCP42100-I/ST-ND	2.24	1.70	1.29
Digitale Potentiometer-Evaluierungskarte für MCP42XXX								DV42XXX-ND	76.19	—	—

Frequenz-an-Spannung / Spannung-an-Frequenz

Frequenzbereich (kHz)	Vollskala (ppm FS/°C)	Nicht-Linearität (% FS)	Paket	Digi-Key Teilenr.	Stückpreis 1	25	100
100	40	±0.02	14-SOIC	TC9400COD-ND	5.43	3.95	3.76
			14-Dip	TC9400CPD-ND	5.36	3.68	3.33
			14-CDIP	TC9400EJD-ND	9.74	7.07	6.72
100	100	±0.25	14-Dip	TC9402CPD-ND	2.54	1.74	1.58

Lineare

OpAmp-Verstärker

Anzahl pro Packung	GBWP	Iq typ. (µA)	Iq max (mA)	Vos max. (mV)	Betriebsspannungsbereich (V)	Temp.-Bereich (°C)	Paket	Digi-Key Teilenr.	Stückpreis 1	25	100	Gegurtet auf Rolle* Größe	Preisangaben
1	2.8 MHz	230	.325	2	2.7 - 5.5	-40°C ~ 85°C	8-DIP	MCP601-I/P-ND	.55	.35	.33	—	—
							8-SOIC	MCP601-I/SN-ND	.55	.35	.33	—	—
							SOT-23-5	MCP601RT-I/OTCT-ND	.57	.51	.46	3,000	287.85/M
1	2.8 MHz	230	.325	2	2.7 - 5.5	-40°C ~ 85°C	8-SOT-23-5	MCP601T-I/OTCT-ND	.46	.40	.36	3,000	287.85/M
1	2.8 MHz	230	.325	2	2.7 - 5.5	-40°C ~ 85°C	8-DIP	MCP602-I/P-ND	.72	.46	.42	—	—
							8-SOIC	MCP602-I/SN-ND	.72	.46	.42	—	—
							8-TSSOP	MCP602-I/ST-ND	.85	.54	.49	—	—
1	2.8 MHz	230	.325	2	2.7 - 5.5	-40°C ~ 85°C	8-DIP	MCP603-I/P-ND	.59	.38	.34	—	—
							8-SOIC	MCP603-I/SN-ND	.59	.38	.34	—	—

*Für Gegurtet auf Rolle die Teilenummer CT-ND in TR-ND ändern.

(Forts.)

B

Anzahl pro Packung	GBWP	Iq typ. (µA)	Iq Max. (mA)	Vos max. (mV)	Betriebsspannungsbereich (V)	Temp.-Bereich (°C)	Paket	Digi-Key Teilenr.	Stückpreis 1	25	100	Gegurtet auf Rolle* Größe	Preisangaben
4	2.8 MHz	230	.325	2	2.7 - 5.5	-40°C ~ 85°C	14-DIP	MCP604-I/P-ND	1.34	.85	.78	—	—
							14-SOIC	MCP604-I/SL-ND	1.34	.85	.78	—	—
1	155 MHz	18.70	.025	.25	2.5 - 5.5	-40°C ~ 85°C	8-DIP	MCP606-I/P-ND	.85	.54	.49	—	—
							8-SOIC	MCP606-I/SN-ND	.85	.54	.49	—	—
2	155 MHz	18.70	.025	.25	2.5 - 5.5	-40°C ~ 85°C	8-DIP	MCP607-I/P-ND	1.13	.72	.65	—	—
							8-SOIC	MCP607-I/SN-ND	1.13	.72	.65	—	—
1	155 MHz	18.70	.025	.25	2.5 - 5.5	-40°C ~ 85°C	8-DIP	MCP608-I/P-ND	.89	.56	.52	—	—
							8-SOIC	MCP608-I/SN-ND	.89	.56	.52	—	—
4	155 MHz	18.70	.025	.25	2.5 - 5.5	-40°C ~ 85°C	14-DIP	MCP609-I/P-ND	1.68	1.06	.97	—	—
							14-SOIC	MCP609-I/SL-ND	1.68	1.06	.97	—	—
40							14-DIP	MCP619-I/P-ND	1.76	1.11	1.02	—	—
4	190kHz	19	.025	0.15	2.3 - 5.5	-40°C ~ 85°C	14-SOIC	MCP619T-I/SLCT-ND	1.96	1.76	1.59	2,600	1015.92/M
4							14-SOIC	MCP619-I/SL-ND	1.76	1.11	1.02	—	—
1	1,000kHz	140	.170	4.5	1.8 - 5.5	-40°C ~ 125°C	SC-70-5	MCP6001T-I/LTCT-ND	.38	.34	.31	3,000	194.72/M
							SOT-23-5	MCP6001RT-I/OTCT-ND	.36	.32	.29	3,000	177.79/M
							SOT-23-5	MCP6001T-I/OTCT-ND	.36	.32	.29	3,000	177.79/M
							SOT-23-5	MCP6001UT-I/OTCT-ND	.36	.32	.29	3,000	177.79/M
2	1,000kHz	140	.170	4.5	1.8 - 5.5	-25°C ~ 85°C	8-MSOP	MCP6002T-I/MSCT-ND	.52	.47	.42	2,500	270.92/M
							8-DIP	MCP6002-I/P-ND	.42	.28	.24	—	—
							8-SOIC	MCP6002-I/SN-ND	.42	.28	.24	—	—
4	1,000kHz	140	.170	7	1.8 - 5.5	-40°C ~ 125°C	14-DIP	MCP6004-I/P-ND	.55	.35	.33	—	—
							14-SOIC	MCP6004-I/SL-ND	.55	.35	.33	—	—
							14-TSSOP	MCP6004-I/ST-ND	.59	.38	.34	—	—
1	1,000kHz	1,000	1.35	0.5	2.5 - 5.5	-40°C ~ 125°C	8-DIP	MCP6021-I/P-ND	1.17	.74	.68	—	—
							8-SOIC	MCP6021-I/SN-ND	1.17	.74	.68	—	—
							8-TSSOP	MCP6021-I/ST-ND	1.25	.80	.72	—	—
2	10 MHz	1,000	1.35	0.5	2.5 - 5.5	-40°C ~ 125°C	8-DIP	MCP6022-I/P-ND	1.51	.95	.87	—	—
							8-SOIC	MCP6022-I/SN-ND	1.51	.95	.87	—	—
							8-TSSOP	MCP6022-I/ST-ND	1.63	1.04	.94	—	—
1	10 MHz	1,000	1.35	0.5	2.5 - 5.5	-40°C ~ 125°C	8-DIP	MCP6023-I/P-ND	1.23	.77	.71	—	—
							8-SOIC	MCP6023-I/SN-ND	1.23	.81	.71	—	—
							8-TSSOP	MCP6023-I/ST-ND	1.34	.85	.78	—	—
4	10 MHz	10,000	1.35	0.5	2.5 - 5.5	-40°C ~ 125°C	14-DIP	MCP6024-I/P-ND	2.20	1.40	1.27	—	—
							14-SOIC	MCP6024-I/SL-ND	2.20	1.40	1.27	—	—
							14-TSSOP	MCP6024-I/ST-ND	2.35	1.48	1.35	—	—
1	14 kHz	0.6	.001	3	1.4 - 5.5	-40°C ~ 85°C	8-MSOP	MCP6041-I/MS-ND	.79	.50	.45	—	—
							8-DIP	MCP6041-I/P-ND	.70	.45	.40	—	—
							8-SOIC	MCP6041-I/SN-ND	.70	.45	.40	—	—
							SOT-23-5	MCP6041T-I/OTCT-ND	.63	.51	.45	3,000	372.51/M
							8-SOIC	MCP6041T-I/SNCT-ND	.70	.56	.49	3,300	397.91/M
2	14 kHz	0.6	.001	3	1.4 - 5.5	-40°C ~ 85°C	8-MSOP	MCP6042-I/MS-ND	.97	.62	.56	—	—
							8-DIP	MCP6042-I/P-ND	.93	.59	.54	—	—
							8-SOIC	MCP6042-I/SN-ND	.93	.59	.54	—	—
1	14 kHz	0.6	.001	3	1.4 - 5.5	-40°C ~ 85°C	8-MSOP	MCP6043-I/MS-ND	.80	.51	.47	—	—
							8-DIP	MCP6043-I/P-ND	.72	.46	.42	—	—
							8-SOIC	MCP6043-I/SN-ND	.72	.46	.42	—	—
4	14 kHz	0.6	.001	3	1.4 - 5.5	-40°C ~ 85°C	14-DIP	MCP6044-I/P-ND	1.63	1.04	.94	—	—
							14-SOIC	MCP6044-I/SL-ND	1.63	1.04	.94	—	—
							14-TSSOP	MCP6044-I/ST-ND	1.68	1.06	.97	—	—
							14-SOIC	MCP6044T-I/SLCT-ND	1.63	1.31	1.15	2,600	931.27/M
							14-TSSOP	MCP6044T-I/STCT-ND	1.68	1.34	1.18	2,500	965.13/M
1	200 kHz	20	.03	7	1.8 - 5.5	-40°C ~ 125°C	8-MSOP	MCP6231-E/MS-ND	.41	.25	.23	—	—
							8-DIP	MCP6231-E/P-ND	.36	.23	.22	—	—
							8-SOIC	MCP6231-E/SN-ND	.36	.23	.22	—	—
							SOT23-5	MCP6231RT-E/OTCT-ND	.38	.34	.31	3,000	194.72/M
							SC70-5	MCP6231UT-E/LTCT-ND	.41	.36	.33	3,000	211.65/M
							SOT23-5	MCP6231UT-E/OTCT-ND	.38	.34	.31	3,000	194.72/M
1	2 MHz	170	.24	3	2.0 - 5.5	-40°C ~ 125°C	8-MSOP	MCP6271-E/MS-ND	.76	.49	.45	—	—
							8-DIP	MCP6271-E/P-ND	.62	.39	.36	—	—
							8-SOIC	MCP6271-E/SN-ND	.62	.39	.36	—	—
2	2 MHz	170	.24	3	2.0 - 5.5	-40°C ~ 125°C	8-DIP	MCP6272-E/P-ND	.83	.52	.48	—	—
							8-MSOP	MCP6272-E/MS-ND	.93	.59	.55	—	—
							8-SOIC	MCP6272-E/SN-ND	.83	.52	.48	—	—
1	2 MHz	170	.24	3	2.0 - 5.5	-40°C ~ 125°C	8-MSOP	MCP6273-E/MS-ND	.83	.52	.48	—	—
							8-DIP	MCP6273-E/P-ND	.66	.41	.38	—	—
							8-SOIC	MCP6273-E/SN-ND	.66	.41	.38	—	—
4	2 MHz	170	.24	3	2.0 - 5.5	-40°C ~ 125°C	14-DIP	MCP6274-E/P-ND	1.51	.96	.87	—	—
							14-SOIC	MCP6274-E/SL-ND	1.51	.96	.87	—	—
							14-TSSOP	MCP6274-E/ST-ND	1.69	1.07	.99	—	—
2	2,000 kHz	170	.24	3	2.0 - 5.5	-40°C ~ 125°C	8-MSOP	MCP6275-E/MS-ND	.93	.59	.55	—	—
							8-DIP	MCP6275-E/P-ND	.83	.52	.48	—	—
							8-SOIC	MCP6275-E/SN-ND	.83	.52	.48	—	—
1	5 MHz	445	.57	3	2.2 - 5.5	-40°C ~ 125°C	8-MSOP	MCP6281-E/MS-ND	.83	.52	.48	—	—
							8-DIP	MCP6281-E/P-ND	.75	.47	.43	—	—
							8-SOIC	MCP6281-E/SN-ND	.75	.47	.43	—	—
2	5 MHz	445	.57	3	2.2 - 5.5	-40°C ~ 125°C	8-MSOP	MCP6282-E/MS-ND	1.06	.68	.61	—	—
							8-DIP	MCP6282-E/P-ND	1.00	.64	.57	—	—
							8-SOIC	MCP6282-E/SN-ND	1.00	.64	.57	—	—
1	5 MHz	445	.57	3	2.2 - 5.5	-40°C ~ 125°C	8-MSOP	MCP6283-E/MS-ND	.87	.56	.50	—	—
							8-DIP	MCP6283-E/P-ND	.79	.50	.45	—	—
							8-SOIC	MCP6283-E/SN-ND	.79	.50	.45	—	
4	5 MHz	445	.57	3	2.2 - 5.5	-40°C ~ 125°C	14-DIP	MCP6284-E/P-ND	1.72	1.09	1.00	—	—
							14-SOIC	MCP6284-E/SL-ND	1.72	1.09	1.00	—	—
							14-TSSOP	MCP6284-E/ST-ND	1.80	1.14	1.04	—	—
2	5,000 kHz	450	.57	3	2.2 - 5.5	-40°C ~ 125°C	8-MSOP	MCP6285-E/MS-ND	1.06	.68	.61	—	—
							8-DIP	MCP6285-E/P-ND	1.00	.64	.57	—	—
							8-SOIC	MCP6285-E/SN-ND	1.00	.64	.57	—	—
1	10 MHz	1,000	1.3	3	2.4 - 5.5	-40°C ~ 125°C	8-DIP	MCP6291-E/P-ND	.80	.51	.47	—	—
							8-SOIC	MCP6291-E/SN-ND	.80	.51	.47	—	—
							8-MSOP	MCP6291-E/MS-ND	.91	.57	.53	—	—
2	10 MHz	1,000	1.3	3	2.4 - 5.5	-40°C ~ 125°C	8-MSOP	MCP6292-E/MS-ND	1.17	.75	.67	—	—
							8-DIP	MCP6292-E/P-ND	1.08	.68	.63	—	—
							8-SOIC	MCP6292-E/SN-ND	1.08	.68	.63	—	—
1	10 MHz	1,000	1.3	3	2.4 - 5.5	-40°C ~ 125°C	8-DIP	MCP6293-E/P-ND	.87	.56	.50	—	—
							8-MSOP	MCP6293-E/MS-ND	.96	.61	.56	—	—
							8-SOIC	MCP6293-E/SN-ND	.87	.56	.50	—	—
4	10 MHz	1,000	1.3	3	2.4 - 5.5	-40°C ~ 125°C	14-DIP	MCP6294-E/P-ND	1.90	1.20	1.10	—	—
							14-SOIC	MCP6294-E/SL-ND	1.90	1.20	1.10	—	—
							14-TSSOP	MCP6294-E/ST-ND	1.97	1.25	1.14	—	—
2	10,000 kHz	1,000	1.3	3	2.4 - 5.5	-40°C ~ 125°C	8-MSOP	MCP6295-E/MS-ND	1.17	.75	.67	—	—
							8-DIP	MCP6295-E/P-ND	1.08	.68	.63	—	—
							8-SOIC	MCP6295-E/SN-ND	1.08	.68	.63	—	—
1	12 MHz	1mA	1.3	.275	2.5 - 5.5	-40°C ~ 85°C	8-MSOP	MCP6S21-I/MS-ND	1.59	1.01	.92	—	—

*Für Gegurtet auf Rolle die Teilenummer CT-ND in TR-ND ändern.

(Forts.)

OpAmp *(Forts.)*

Anzahl pro Packung	GBWP	Iq typ. (µA)	Iq Max. (mA)	Vos Max. (mV)	Betriebsspannungsbereich (V)	Temp.-Bereich (°C)	Paket	Digi-Key Teilenr.	Stückpreis 1	25	100	Gegurtet auf Rolle* Größe	Preisangaben
1	2,000	2,000	3.5	0.05	4.5 ~ 16	0°C ~ 70°C	8-Dip	TC7650CPA-ND	2.52	1.73	1.56	—	—
							14-Dip	TC7650CPD-ND	2.48	1.80	1.71	—	—
1	400	1,000	3	0.05	5 ~ 16	0°C ~ 70°C	8-Dip	TC7652CPA-ND	3.41	2.34	2.12	—	—
2	1,500	650	1.1	0.15	6.5 ~ 16	0°C ~ 70°C	8-Dip	TC913BCPA-ND	3.62	2.49	2.26	—	—
2	90kHz	6	0	1.5	1.8 ~ 5.5	-40°C ~ 85°C	8-SOIC	TC1029EOA-ND	2.03	1.33	1.27	—	—
							8-MSOP	TC1029EUA-ND	2.24	1.55	1.39	—	—
							8-DIP	TC1029EPA-ND	2.03	1.33	1.27	—	—
1	90kHz	6	0	1.5	1.8 - 5.5	-40°C ~ 85°C	SOT-23A-5	TC1034ECTTRCT-ND	.67	.58	.52	3,000	465.63/M

*Für Gegurtet auf Rolle die Teilenummer CT-ND in TR-ND ändern.

Programmierbarer Verstärker

Schaltkanäle	-3 dB BW (MHz)	Iq typ. (mA)	Vos (µV)	Betriebsspannungs-bereich (V)	Temp.-Bereich (°C)	Schnittstelle	Verstärkungs-stufen	Rauschen	VREF	Paket	Digi-Key Teilenr.	Stückpreis 1	25	100	Gegurtet auf Rolle* Größe	Preisangaben
1	2 ~ 12	1.1	275	2.5 - 5.5	-40°C ~ 85°C	SPI™	8	10	Ja	8-DIP	MCP6S21-I/P-ND	1.55	.99	.89	—	—
										8-SOIC	MCP6S21-I/SN-ND	1.55	.99	.89	—	—
2	2 ~ 12	1.1	275	2.5 - 5.5	-40°C ~ 85°C	SPI™	8	10	Ja	8-MSOP	MCP6S22-I/MS-ND	1.86	1.18	1.08	—	—
										8-DIP	MCP6S22-I/P-ND	1.82	1.16	1.05	—	—
										8-SOIC	MCP6S22-I/SN-ND	1.82	1.16	1.05	—	—
6	2 ~ 12	1.1	275	2.5 - 5.5	-40°C ~ 85°C	SPI™	8	10	Ja	14-DIP	MCP6S26-I/P-ND	2.79	1.77	1.61	—	—
										14-SOIC	MCP6S26-I/SL-ND	2.79	1.77	1.61	—	—
										14-TSSOP	MCP6S26-I/ST-ND	2.90	1.84	1.67	—	—
8	2 ~ 12	1.1	275	2.5 - 5.5	-40°C ~ 85°C	SPI™	8	10	Ja	16-DIP	MCP6S28-I/P-ND	3.22	2.04	1.85	—	—
										16-SOIC	MCP6S28-I/SL-ND	3.22	2.04	1.85	—	—
1	1 ~ 18	1	4,000	2.5 ~ 5.5	-40° ~ 125°	SPI™	8	10	Nein	8-MSOP	MCP6S91-E/MS-ND	1.25	.80	.72	—	—
										8-DIP	MCP6S91-E/P-ND	1.21	.77	.70	—	—
										8-SOIC	MCP6S91-E/SN-ND	1.21	.77	.70	—	—
2	1 ~ 18	1	4,000	2.5 ~ 5.5	-40° ~ 125°	SPI™	8	10	Nein	8-MSOP	MCP6S92-E/MS-ND	1.48	.94	.86	—	—
										8-DIP	MCP6S92-E/P-ND	1.42	.90	.83	—	—
										8-SOIC	MCP6S92-E/SN-ND	1.42	.90	.83	—	—
2	1 ~ 18	1	4,000	2.5 ~ 5.5	-40° ~ 125°	SPI™	8	10	Nein	10-MSOP	MCP6S93-E/UN-ND	1.69	1.08	.99	—	—
										10-MSOP	MCP6S93T-E/UNCT-ND	1.90	1.70	1.53	2,500	982.06/M
Demokarte für MCP6S22											MCP6S22DM-PICTL-ND					33.86/1
Evaluierungskarte für MCP6S2X											MCP6S2XEV-ND					25.40/1
PICtail™ Tochterplatine MCP6SX2											MCP6SX2DM-PCTLPD-ND					21.17/1
PICtail™ Demokarte MCP6SX2											MCP6SX2DM-PCTLTH-ND					29.63/1

*Für Gegurtet auf Rolle die Teilenummer CT-ND in TR-ND ändern.

Komparatoren

Anzahl pro Packung	Typ. Ausbreitungsverzögerung (µA)	Iq typ. (µA)	Vos max. (mV)	Betriebsspannungs-bereich (V)	Temperaturbereich	Paket	Digi-Key Teilenr.	Stückpreis 1	25	100
1	4	1	5	1.8 ~ 5.5	-40°C ~ 85°C	8-MSOP	MCP6546-I/MS-ND	.62	.39	.36
						8-SOIC	MCP6546-I/SN-ND	.51	.33	.29
1	4	1	5	1.8 ~ 5.5	-40°C ~ 85°C	8-MSOP	MCP6548-I/MS-ND	.66	.41	.38
						8-SOIC	MCP6548-I/SN-ND	.53	.34	.31
4	4	1	5	1.8 ~ 5.5	-40°C ~ 85°C	14-Dip	MCP6549-I/P-ND	1.35	.86	.78
						14-SOIC	MCP6549-I/SL-ND	1.35	.86	.78
						14-TSSOP	MCP6549-I/ST-ND	1.52	.96	.88

Thermal-Management

Hochtemperatursensoren

Typ. Genauigkeit (°)	Temperaturbereich (°C)	Vcc-Bereich (V)	Max. Versorgungsstrom (mA)	Paket	Digi-Key Teilenr.	Stückpreis 1	25	100	Gegurtet auf Rolle* Größe	Preisangaben
Logikausgang										
±1	-40°C ~ 85°C	4.5-18	400	8-Dip	TC620CCPA-ND	1.51	1.04	.94	—	—
±1	-40°C ~ 85°C	4.5-18	400	8-SOIC	TC621CCOA-ND	1.28	.94	.89	—	—
±1	-40°C ~ 125°C	4.5-18	600	8-Dip	TC622EPA-ND	1.26	.92	.88	—	—
±1	-40°C ~ 125°C	4.5-18	600	TO-220	TC622VAT-ND	1.98	1.44	1.37	—	—
±1	-40°C ~ 125°C	4.5-18	600	8-SOIC	TC622VOA-ND	1.43	1.05	1.00	—	—
±0.5	-55°C ~ 125°C	2.7-5.5	40	SOT-23A-5	TC6502P045VCCT-ND	1.02	.92	.82	3,000	567.23/M
±0.5	-55°C ~ 125°C	2.7-5.5	40	SOT-23A-5	TC6502P055VCCT-ND	1.02	.92	.82	3,000	567.23/M
±0.5	-55°C ~ 125°C	2.7-5.5	40	SOT-23A-5	TC6502P065VCCT-ND	1.02	.92	.82	3,000	567.23/M
±0.5	-55°C ~ 125°C	2.7-5.5	40	SOT-23A-5	TC6502P075VCCT-ND	1.02	.92	.82	3,000	567.23/M
±0.5	-55°C ~ 125°C	2.7-5.5	40	SOT-23A-5	TC6502P085VCCT-ND	1.02	.92	.82	3,000	567.23/M
±0.5	-55°C ~ 125°C	2.7-5.5	40	SOT-23A-5	TC6502P095VCCT-ND	1.02	.92	.82	3,000	567.23/M
±0.5	-55°C ~ 125°C	2.7-5.5	40	SOT-23A-5	TC6502P105VCCT-ND	1.02	.92	.82	3,000	567.23/M
±0.5	-55°C ~ 125°C	2.7-5.5	40	SOT-23A-5	TC6502P115VCCT-ND	1.02	.92	.82	3,000	567.23/M
±0.5	-55°C ~ 125°C	2.7-5.5	40	SOT-23-5	TC6501P120VCT-ND	1.13	1.02	.92	3,000	626.49/M
Serieller Ausgang										
±0.5	-40°C ~ 125°C	2.7-5.5	350	SOT-23A-5	TC74A0-5.0VCTCT-ND	1.10	.89	.78	3,000	728.08/M
±0.5	-40°C ~ 125°C	2.7-5.5	350	SOT-23A-5	TC74A5-3.3VCTCT-ND	1.10	.89	.78	3,000	728.08/M
±0.5	-40°C ~ 125°C	2.7-5.5	350	SOT-23A-5	TC74A5-5.0VCTCT-ND	1.10	.89	.78	3,000	728.08/M
±0.5	-55°C ~ 125°C	2.7-5.5	400	SOT-23-5	TC77-3.3MCTTRCT-ND	1.30	1.04	.91	3,000	761.94/M
±0.5	-55°C ~ 125°C	2.7-5.5	400	8-SOIC	TC77-3.3MOA-ND	1.25	.74	.71	—	—
±0.5	-55°C ~ 125°C	2.7-5.5	400	SOT-23-5	TC77-5.0MCTTRCT-ND	1.30	1.04	.91	3,000	761.94/M
±0.5	-55°C ~ 125°C	2.7-5.5	400	8-SOIC	TC77-5.0MOA-ND	1.19	.70	.67	—	—
±0.5	-40°C ~ 125°C	2.7-5.5	500	8-SOIC	TCN75AVOA-ND	.79	.54	.45	—	—
±0.5	-40°C ~ 125°C	2.7-5.5	500	8-MSOP	TCN75AVUA-ND	.79	.54	.45	—	—
±0.5	-55°C ~ 125°C	2.7-5.5	1,000	8-SOIC	TCN75-3.3MOA-ND	1.23	.82	.78	—	—
±0.5	-55°C ~ 125°C	2.7-5.5	1,000	8-MSOP	TCN75-3.3MUA-ND	1.40	.94	.81	—	—
±0.5	-55°C ~ 125°C	2.7-5.5	1,000	8-SOIC	TCN75-5.0MOA-ND	1.55	1.03	.99	—	—
±0.5	-55°C ~ 125°C	2.7-5.5	1,000	8-MSOP	TCN75-5.0MUA-ND	1.40	.94	.81	—	—
Spannungsausgang										
±0.5	-40°C ~ 125°C	2.7-4.4	60	SOT-23B	TC1046VNBTRCT-ND	.76	.61	.54	3,000	380.97/M
±0.5	-40°C ~ 125°C	2.7-5.5	60	SOT-23B	TC1047AVNBCT-ND	.70	.56	.49	3,000	397.91/M
±0.5	-40°C ~ 125°C	2.3-5.5	12	SC70-5	MCP9700T-E/LTCT-ND	.30	.28	.25	3,000	160.86/M
±0.5	-10°C ~ 125°C	3.1-5.5	12	SC70-5	MCP9701T-E/LTCT-ND	.30	.28	.25	3,000	160.86/M
±0.5	-55°C ~ 125°C	2.7-5.5	400	SOT23-5	MCP9800A0T-MOTGCT-ND	1.49	1.34	1.21	3,000	761.94/M
±0.5	-55°C ~ 125°C	2.7-5.5	400	SOT23-5	MCP9800A5T-MOTGCT-ND	1.49	1.34	1.21	3,000	761.94/M

*Für Gegurtet auf Rolle die Teilenummer CT-ND in TR-ND ändern.

(Forts.)

Temperatursensoren *(Forts.)*

Typ. Genauigkeit (°)	Temperaturbereich (°C)	Vcc- Bereich (V)	Max. Versorgungsstrom (A)	Paket	Digi-Key Teilenr.	Stückpreis 1	25	100	Gegurtet auf Rolle* Größe	Preisangaben
±0.5	-55°C ~ 125°C	2.7-5.5	400	8-MSOP	MCP9801-M/MSG-ND	1.25	.84	.72	—	—
±0.5	-55°C ~ 125°C	2.7-5.5	400	8-SOIC	MCP9801-M/SNG-ND	1.25	.84	.72	—	—
±0.5	-55°C ~ 125°C	2.7-5.5	400	SOT23-5	MCP9802A0T-MOTGCT-ND	1.57	1.40	1.26	3,000	812.74/M
±0.5	-55°C ~ 125°C	2.7-5.5	400	SOT23-5	MCP9802A5T-MOTGCT-ND	1.57	1.40	1.26	3,000	812.74/M
±0.5	-55°C ~ 125°C	2.7-5.5	400	8-MSOP	MCP9803-M/MSG-ND	1.34	.88	.77	—	—
±0.5	-55°C ~ 125°C	2.7-5.5	400	8-SOIC	MCP9803-M/SNG-ND	1.34	.88	.77	—	—
Mischsignal, PICtail™ Demokarte					MXSIGDM-ND		55.03/1			
Temperatur.an-Spannung TQFP-Demokarte für TC1047A					TC1047ADM-PICTL-ND		8.47/1			
PICtail™ Demokarte für digitalen Temperatursensor					TC72DM-PICTL-ND		8.47/1			
PICtail™ Demokarte für Wärmesensor					TC77DM-PICTL-ND		8.47/1			
Spannungswächter SOT23 Evaluierungskarte					VSUPEV-ND		4.23/1			

*Für Gegurtet auf Rolle die Teilenummer CT-ND in TR-ND ändern.

B

Lüfter

Typ. Genauigkeit (°)	Temperaturbereich (°C)	Vcc- Bereich (V)	Max. Versorgungsstrom	Paket	Digi-Key Teilenr.	Stückpreis 1	25	100	Gegurtet auf Rolle* Größe	Preisangaben
Hängt vom externen Thermistor ab	-40°C ~ 85°C	3.0 - 5.5	1.0mA	8-SOIC	TC642COA-ND	1.55	.99	.89	—	—
				8-Dip	TC642CPA-ND	1.59	1.01	.92	—	—
				8-Dip	TC642VPA-ND	1.74	1.11	1.00	—	—
				8-SOIC	TC646VOA-ND	1.65	1.05	.95	—	—
				8-Dip	TC646VPA-ND	1.74	1.11	1.00	—	—
				8-SOIC	TC648VOA713CT-ND	1.38	1.11	.97	3,300	787.34/M
				8-Dip	TC648VPA-ND	1.46	.93	.84	—	—
				8-MSOP	TC648VUA-ND	1.31	.83	.76	—	—
±1	-40°C ~ 125°C	2.8 - 5.5	.040mA	8-MSOP	TC652AGVUA-ND	2.01	1.27	1.16	—	—

*Für Gegurtet auf Rolle die Teilenummer CT-ND in TR-ND ändern.

Schnittstelle

Serielle Peripheriegeräte

Beschreibung	Betriebsspannung (V)	Schnittstelle	Max. Bus-Frequenz (kBits/s)	Temperaturbereich	Paket	Digi-Key Teilenr.	Stückpreis 1	25	100
8-Bit E/A Port-Expander	1.8 ~ 5.5	I^2C™	1700	-40°C ~ 125°C	18-DIP	MCP23008-E/P-ND	1.14	.76	.67
					18-SOIC	MCP23008-E/SO-ND	1.14	.76	.67
					20-SSOP	MCP23008-E/SS-ND	1.23	.81	.71
8-Bit E/A Port-Expander	1.8 ~ 5.5	SPI™	10,000	-40°C ~ 125°C	18-DIP	MCP23S08-E/P-ND	1.21	.80	.70
					18-SOIC	MCP23S08-E/SO-ND	1.21	.81	.69
					20-SSOP	MCP23S08-E/SS-ND	1.27	.84	.74

Infrarot-Produkte

Beschreibung	Betriebsspannungs-bereich (V)	Temperaturbereich (°C)	Max. Baudrate (kBaud)	Xmit/Rec Formatunterstützung (µS)	Paket	Digi-Key Teilenr.	Stückpreis 1	25	100
Infrarot Encoder/Decoder	2.7 ~ 5.5	-40°C ~ 85°C	325	1.63	14-Dip	MCP2120-I/P-ND	1.95	1.21	1.12
					14-SOIC	MCP2120-I/SL-ND	1.95	1.21	1.12
Festgeschwindigkeit 9600 Baud IrDA Protokoll Stapel-Controller	2.7 ~ 5.5	-40°C ~ 85°C	9.6	1.63	18-Dip	MCP2140-I/P-ND	2.29	1.53	1.32
					18-SOIC	MCP2140-I/SO-ND	2.29	1.53	1.32
					20-SSOP	MCP2140-I/SS-ND	2.41	1.62	1.38
IrDA Protokollstapel-Handler plus Bit-Codierung/Decodierung für DTE-Anwendungen	3.0 ~ 5.5	-40°C ~ 85°C	115.2	1.63	18-Dip	MCP2150-I/P-ND	7.15	4.78	4.13
					18-SOIC	MCP2150-I/SO-ND	7.15	4.78	4.13
IrDA-Kommunikations-Entwicklungskit für MCP2120/2150						DM163008-ND		237.04/1	
Demokarte für MCP2140						MCP2140DM-TMPSNS-ND		38.10/1	
Demokarte für MCP215X						MCP215XDM-ND		50.80/1	

LCD-Treiber

Treibt mehrere Segmente	Steuerleitungen erforderlich	Anzahl der Zeichen	Kaskadierbar	On-Chip-Oszillator	CMOS- und TTL-kompatible Eingänge	ESE-Schutz an allen Pins	Paket	Digi-Key Teilenr.	Stückpreis 1	25	100
32	3	16	Ja	Ja	Ja	Ja	44-PLCC	AY0438/L-ND	5.06	4.19	3.49
							40-Dip	AY0438/P-ND	3.71	2.98	2.49
							44-PLCC	AY0438-I/L-ND	5.32	4.41	3.68
							40-Dip	AY0438-I/P-ND	3.88	3.10	2.59

LIN-Transceiver

Beschreibung	Vreg Ausgangsspannung (V)	Vreg Ausgangsstromstärke (mA)	Vcc- Bereich (V)	Max. Baudrate (kBaud)	LIN-Spezifikation wird unterstützt	Paket	Digi-Key Teilenr.	Stückpreis 1	25	100
LIN-Transceiver mit integrierter Vreg	4.75 ~ 5.25	50	6.0 ~ 18	20	Revision 1.2	8-Dip	MCP201-I/P-ND	1.72	1.14	1.00
						8-SOIC	MCP201-I/SN-ND	1.72	1.14	1.00

Controller Area Network (CAN)

Unterstützte Version	Betriebsspannung (V)	Temperaturbereich	Tx-Puffer	Rx-Puffer	Filter	Masken	Unterbrecherausgang	Paket	Digi-Key Teilenr.	Stückpreis 1	25	100
2,0 B Aktiv	2.7 ~ 5.5	-40°C ~ 125°C	3	2	6	2	1	18-Dip	MCP2510-E/P-ND	4.40	2.54	2.54
								18-SOIC	MCP2510-E/SO-ND	4.40	2.54	2.54
								18-Dip	MCP2510-I/P-ND	3.47	2.00	1.99
								18-SOIC	MCP2510-I/SO-ND	3.47	2.00	1.99
2,0 B Aktiv	2.7 ~ 5.5	-40°C ~ 125°C	3	2	6	2	1	18-Dip	MCP2515-I/P-ND	2.52	1.68	1.45
								18-SOIC	MCP2515-I/SO-ND	2.52	1.68	1.45
								20-TSSOP	MCP2515-I/ST-ND	2.78	1.86	1.61
—	4.5 ~ 5.5	-40°C ~ 125°C	—	—	—	—	—	8-Dip	MCP2551-I/P-ND	1.23	.72	.71
								8-SOIC	MCP2551-I/SN-ND	1.23	.72	.71
MCP250XX CAN E/A Expander-Entwicklungskit									DV250501-ND		139.69/1	
MCP2510CAN-Entwicklungskit									DV251001-ND		203.18/1	

HF-Kommunikation

Empfänger

Modulation	Datenrate (kbps)	Frequenzbereich MHz	Empfindlichkeit (dBm)	IF-Frequenzbereich (MHz)	Betriebs-spannung	RSSI	Wählbare LNA-Verstärkung	Pakete	Digi-Key Teilenr.	Stückpreis 1	25	100
ASK/FSK/FM	80	300 - 450	-111	0.455 - 21.4	2.5 - 5.5	Ja	Ja	32-LQFP	RFRXD0420-I/LQ-ND	4.43	2.55	2.37
ASK/FSK/FM	80	800 - 930	-109	0.455 - 21.4	2.5 - 5.5	Ja	Ja	32-LQFP	RFRXD0920-I/LQ-ND	4.26	2.45	2.37

Alle Preisangaben in Euro und inklusive Zollgebühren.

STATIKSCHUTZ

Der Schutz von Teilen, die statischer Aufladung gegenüber empfindlich sind, ist im heutigen Halbleitermarkt ein MUSS.
Um die Qualität zu gewährleisten, an die Kunden von Digi-Key gewöhnt sind und die sie erwarten, umfasst DAS, Statikkontrollprogramm von Digi-Key die entsprechenden Statikschutzfunktionen in folgenden Bereichen:

- *Empfang, Eingangsprüfung und Qalitätskontrolle*
- *Endinspektion*
- *Bestellungsfüllung*
- *Verpackung und Versand*

Geschirmte Metallbeutel werden bei der Bestellungsfüllung verwendet, während 100 % recyclingfähige Beutel für Verpackung und Versand verwendet werden.

Da unser Programm ständig auf den neuesten Stand der Statikkontrolltechnologie gebracht wird, können Sie sicher sein, dass die Qualität aller statikempfindlichen Teile von Digi-Key *bis zur Ihrer Haustür* gesichert ist!

• Anmerkung: SO-x-Packungen entsprechen x-SOIC-Packungen •

ANALOG DEVICES — VERSTÄRKER

Analog Devices Teilenr.	Digi-Key Teilenr.	Beschreibung		Paket	Stückpreis★ 1	25	100
AD8015AR	AD8015AR-ND	Transimpedanzverstärker	Transimpedance Amp	8-SOIC	6.97	4.21	3.41
			Audio/Video				
AD813AR-14	AD813AR-14-ND	Dreif. Videoverst., Einzel-Niederspann.	Triple Video Amp Single LP	14-SOIC	6.00	5.61	4.28
AD830AN	AD830AN-ND	HS-Video-Differenzialverstärker	Video Differential Amp HS	8-Dip	4.35	3.64	2.78
AD830AR	AD830AR-ND	HS-Video-Differenzialverstärker	Video Differential Amp HS	8-SOIC	4.35	3.64	2.78
AD830JR	AD830JR-ND	HS-Video-Differenzialverstärker	Video Differential Amp HS	8-SOIC	4.35	3.64	2.78
AD1991ASV	AD1991ASV-ND	Audio Powerstage Klasse D	Audio Powerstage Class-D	52-TQFP	12.13	10.15	7.74
AD8013ARZ-14	AD8013ARZ-14-ND	Dreif. Videoverst.	Triple Video Amp	14-SOIC	6.72	5.63	4.29
AD8075ARU	AD8075ARU-ND	Dreif. Videopuffer, HS	Triple Video Buffer HS	16-TSSOP	2.90	2.49	2.07
OP275GP	OP275GP-ND	Bipolarer OpAmp/JFET Audio	Op Amp Bipolar/JFET Audio	8-Dip	2.00	1.12	1.00
OP275GS	OP275GS-ND	Bipolarer OpAmp/JFET Audio	Op Amp Bipolar/JFET Audio	8-SOIC	1.72	1.38	1.04
OP279GS	OP279GS-ND	Zweif. OpAmp, einzelversorgt, R-R 60 mA	Op Amp Dual Single Supply R-R 60mA	8-SOIC	1.88	1.60	1.33
SSM2210S	SSM2210S-ND	Transistor Audio Match	Transistor Audio Match	8-SOIC	3.43	2.88	2.50
SSM2211CP-REEL7	SSM2211CP-REEL7CT-ND	Audioverst., geringe Verzerrung, 1,5 W	Audio Amp Low Distortion 1.5W	8-LFCSP	.81	.68	.55
SSM2211CP-REEL7	SSM2211CP-REEL7TR-ND	Audioverst., geringe Verzerrung, 1,5 W	Audio Amp Low Distortion 1.5W	8-LFCSP		540.00/1,500	
SSM2211S	SSM2211S-ND	Audioverst., geringe Verzerrung, 1,5 W	Audio Amp Low Distortion 1.5W	8-SOIC	.49	.41	.37
			Puffer				
AD8570ARU	AD8570ARU-ND	Pufferverst. 16 V R-R E/A	Buffer Amp 16V R-R I/O	20-TSSOP	2.75	2.58	2.45
			Komparator				
AD790AQ	AD790AQ-ND	Präzisionskomparator HS	Precision Comparator HS	8-Dip	10.97	9.18	6.99
AD790JN	AD790JN-ND	Präzisionskomparator HS	Precision Comparator HS	8-Dip	5.65	4.73	3.61
AD790JNZ	AD790JNZ-ND	Präzisionskomparator HS*	Precision Comparator HS*	8-Dip	5.65	4.73	3.61
AD790JR	AD790JR-ND	Präzisionskomparator HS	Precision Comparator HS	8-SOIC	5.65	4.73	3.61
AD8561AN	AD8561AN-ND	Einf. Komparator, 7 nS	Comparator Single 7nS	8-Dip	2.60	2.07	2.00
AD8561ANZ	AD8561ANZ-ND	Einf. Komparator, 7 nS*	Comparator SIngle 7nS*	8-Dip	2.60	2.07	2.00
AD8561AR	AD8561AR-ND	Einf. Komparator, 7 nS	Comparator Single 7nS	8-SOIC	2.60	2.07	2.00
AD8561AR-REEL7	AD8561AR-REEL7CT-ND	Einf. Komparator, 7 nS	Comparator Single 7nS	8-SOIC	3.52	2.82	2.20
AD8561AR-REEL7	AD8561AR-REEL7TR-ND	Einf. Komparator, 7 nS	Comparator Single 7nS	8-SOIC		1550.00/1,000	
AD8564AR	AD8564AR-ND	Vierf. Komparator, 7 nS	Comparator Quad 7nS	16-SOIC	5.44	4.35	3.63
AD8564ARZ	AD8564ARZ-ND	Vierf. Komparator, 7 nS	Comparator Quad 7nS	16-SOIC	5.44	4.35	3.63
AD8564ARU-REEL	AD8564ARU-REELCT-ND	Vierf. Komparator, 7 nS	Comparator Quad 7nS	16-TSSOP	6.25	5.00	4.22
AD8564ARU-REEL	AD8564ARU-REELTR-ND	Vierf. Komparator, 7 nS	Comparator Quad 7nS	16-TSSOP		8150.00/2,500	
AD8564ARUZ-REEL	AD8564ARUZ-REELCT-ND	Vierf. Komparator, 7 nS*	Comparator Quad 7nS*	16-TSSOP	6.25	5.00	4.22
AD8564ARUZ-REEL	AD8564ARUZ-REELTR-ND	Vierf. Komparator, 7 nS*	Comparator Quad 7nS*	16-TSSOP		8150.00/2,500	
AD8611AR	AD8611AR-ND	Einf. Komparator, 4 nS HS	Comparator Single 4nS HS	8-SOIC	3.16	2.53	2.30
AD8611ARZ	AD8611ARZ-ND	Einf. Komparator, 4 nS HS*	Comparator Single 4nS HS*	8-SOIC	3.16	2.53	2.30
AD8612ARU	AD8612ARU-ND	Zweif. Komparator, 4 nS, schnell	Comparator Dual 4nS Fast	14-TSSOP	5.00	4.25	4.00
AD96685BR	AD96685BR-ND	Einf. Komparator, ultraschnell	Comparator Single Ultra-Fast	16-SOIC	5.75	4.30	3.00
AD96687BP	AD96687BP-ND	Zweif. Komparator, 2,5 nS	Comparator Dual 2.5nS	20-PLCC	6.32	4.74	3.29
AD96687BQ	AD96687BQ-ND	Zweif. Komparator, 2,5 nS	Comparator Dual 2.5nS	16-Dip	10.78	8.08	6.07
AD96687BR	AD96687BR-ND	Zweif. Komparator, 2,5 nS	Comparator Dual 2.5nS	16-SOIC	5.75	4.31	3.00
AD96687BRZ	AD96687BRZ-ND	Zweif. Komparator, 2,5 nS*	Comparator Dual 2.5nS*	16-SOIC	5.75	4.31	3.00
ADCMP561BRQ	ADCMP561BRQ-ND	Zweif. Komparator, HS, PECL	Comparator Dual HS PECL	16-QSOP	4.42	3.98	2.39
ADCMP565BP	ADCMP565BP-ND	Zweif. Komparator, ultraschnell	Comparator Dual Ultra-Fast	20-PLCC	5.88	4.87	4.64
CMP04FS	CMP04FS-ND	Vierf. Niedrigstrom.-Komparator	Comparator Quad Low Power	14-SOIC	8.00	7.17	5.26
CMP401GS	CMP401GS-ND	Niederspann.-Komparator, 23 nS	Comparator Low Voltage 23nS	16-SOIC	4.00	3.74	3.12
CMP402GS	CMP402GS-ND	Niederspann.-Komparator, 65 nS	Comparator Low Voltage 65nS	16-SOIC	5.00	4.32	3.30
			Differenzial				
AD8129AR	AD8129AR-ND	Differenzial-Empfängerverst., HS	Differential Receiver Amp HS	8-SOIC	2.26	1.93	1.80
AD8129ARZ	AD8129ARZ-ND	Differenzial-Empfängerverst., HS*	Differential Receiver Amp HS*	8-SOIC	2.26	1.93	1.80
AD8130AR	AD8130AR-ND	Differenzial-Empfängerverst., 270 MHz, HS	Diff. Receiver Amp 270MHz HS	8-SOIC	2.26	1.93	1.80
AD8130ARZ	AD8130ARZ-ND	Differenzial-Empfängerverst., 270 MHz, HS*	Diff. Receiver Amp 270MHz HS*	8-SOIC	2.26	1.93	1.80
AD8130AR-REEL7	AD8130AR-REEL7CT-ND	Differenzial-Empfängerverst., 270 MHz, HS	Diff. Receiver Amp 270MHz HS	8-SOIC	3.49	2.79	2.17
AD8130AR-REEL7	AD8130AR-REEL7TR-ND	Differenzial-Empfängerverst., 270 MHz, HS	Diff. Receiver Amp 270MHz HS	8-SOIC		1370.00/1,000	
AD8130ARM	AD8130ARM-ND	Differenzial-Empfängerverst., 270 MHz, HS	Diff. Receiver Amp 270MHz HS	8-MSOP	2.26	1.93	1.80
AD8130ARMZ	AD8130ARMZ-ND	Differenzial-Empfängerverst., 270 MHz, HS*	Diff. Receiver Amp 270MHz HS*	8-MSOP	2.26	1.93	1.80
AD8131AR	AD8131AR-ND	Differenzialtreiber, 400 MHz, HS	Differential Driver 400MHz HS	8-SOIC	2.63	2.25	1.88
AD8131ARZ	AD8131ARZ-ND	Differenzialtreiber, 400 MHz, HS*	Differential Driver 400MHz HS*	8-SOIC	2.63	2.25	1.88
AD8131ARM	AD8131ARM-ND	Differenzialtreiber, 400 MHz, HS	Differential Driver 400MHz HS	8-MSOP	2.63	2.25	1.88
AD8131ARM-REEL7	AD8131ARM-REEL7CT-ND	Differenzialtreiber, 400 MHz, HS	Differential Driver 400MHz HS	8-MSOP	4.04	3.24	2.52
AD8131ARM-REEL7	AD8131ARM-REEL7TR-ND	Differenzialtreiber, 400 MHz, HS	Differential Driver 400MHz HS	8-MSOP		1600.00/1,000	
AD8202YR	AD8202YR-ND	Diff.verst. mit hoher Gleichtaktmodus-Spannung, einzelversorgt	High Common-Mode Volt., Single-Supply Differential Amp	8-SOIC	1.33	1.28	1.26
AD8202YRZ	AD8202YRZ-ND	Diff.verst. mit hoher Gleichtaktmodus-Spannung, einzelversorgt*	High Common-Mode Volt., Single-Supply Differential Amp*	8-SOIC	1.33	1.28	1.25
AD8205YR	AD8205YR-ND	42 V System-Differenzialverst.	42V System Differential Amp	8-SOIC	1.33	1.28	1.26
AD8205YRZ	AD8205YRZ-ND	42 V System-Differenzialverst.*	42V System Differential Amp*	8-SOIC	1.33	1.28	1.26
AD8205YR-REEL7	AD8205YR-REEL7TR-ND	42 V System-Differenzialverst.	42V System Differential Amp	8-SOIC		1190.00/1,000	
AD8324JRQ	AD8324JRQ-ND	3,3 V Kabelleitungstreiber	3.3V Cable Line Driver	20-QSOP	1.80	1.78	1.75
AD8328ACP	AD8328ACP-ND	5 V Kabelleitungstreiber	5V Cable Line Driver	20-LFCSP	4.00	3.00	2.50
AD8328ACPZ	AD8328ACPZ-ND	5 V Kabelleitungstreiber	5V Cable Line Driver	20-LFCSP	4.00	3.00	2.50
AD8328ARQ	AD8328ARQ-ND	5 V Kabelleitungstreiber	5V Cable Line Driver	20-QSOP	4.00	3.00	2.50
AD8328ARQZ	AD8328ARQZ-ND	5 V Kabelleitungstreiber	5V Cable Line Driver	20-QSOP	4.00	3.00	2.50
AD8390ACP-R2	AD8390ACP-R2CT-ND	Spannungs-Feedback-Verst., ADSL, NL	Voltage Feedback Amp ADSL, LP	16-LFCSP	4.72	3.78	3.19
AD8390ACP-R2	AD8390ACP-R2TR-ND	Spannungs-Feedback-Verst., ADSL, NL	Voltage Feedback Amp ADSL, LP	16-LFCSP		617.50/250	
AD8390ARC	AD8390ARC-ND	Spannungs-Feedback-Verst., ADSL, NL	Voltage Feedback Amp ADSL, LP	16-QSOP	3.50	2.67	2.55
			Mehrzweck				
AD582KD	AD582KD-ND	Sample-/Hold-Verstärker	Sample/Hold Amp	14-Dip	35.71	29.88	28.00
AD684AQ	AD684AQ-ND	Vierf. Sample-/Hold-Verstärker	Sample/Hold Amp Quad	16-CDip	60.88	50.94	48.00
AD684JQ	AD684JQ-ND	Vierf. Sample-/Hold-Verstärker	Sample/Hold Amp Quad	16-Dip	50.75	42.46	40.00
AD684SQ	AD684SQ-ND	Vierf. Sample-/Hold-Verstärker	Sample/Hold Amp Quad	16-CDip	272.27	173.26	127.07
AD708AQ	AD708AQ-ND	Zweif. OpAmp, geringe Offset-Spannung	Op Amp Dual Low Offset Voltage	8-Dip	8.05	5.04	4.02
AD708JN	AD708JN-ND	Zweif. OpAmp, geringe Offset-Spannung	Op Amp Dual Low Offset Voltage	8-Dip	5.43	3.40	2.71
AD712AQ	AD712AQ-ND	Zweif. Präzisions-OpAmp, BIFET	Precision Op Amp Dual BiFET	8-Dip	5.75	5.17	4.81
AD712JN	AD712JN-ND	Zweif. Präzisions-OpAmp, BIFET	Precision Op Amp Dual BiFET	8-Dip	2.07	1.65	1.60
AD712JNZ	AD712JNZ-ND	Zweif. Präzisions-OpAmp, BIFET*	Precision Op Amp Dual BiFET*	8-Dip	2.07	1.65	1.60
AD712JR	AD712JR-ND	Zweif. Präzisions-OpAmp, BIFET	Precision Op Amp Dual BiFET	8-SOIC	2.02	2.00	1.80
AD712JR-REEL7	AD712JR-REEL7TR-ND	Zweif. Präzisions-OpAmp, BIFET	Precision Op Amp Dual BiFET	8-SOIC		1125.00/750	
AD712KN	AD712KN-ND	Zweif. Präzisions-OpAmp, BIFET	Precision Op Amp Dual BiFET	8-Dip	4.64	3.71	3.10
AD712KNZ	AD712KNZ-ND	Zweif. Präzisions-OpAmp, BIFET*	Precision Op Amp Dual BiFET*	8-Dip	4.64	3.71	3.10
AD712KR	AD712KR-ND	Zweif. Präzisions-OpAmp, BIFET	Precision Op Amp Dual BiFET	8-SOIC	4.45	3.55	2.96
AD712KRZ	AD712KRZ-ND	Zweif. Präzisions-OpAmp, BIFET	Precision Op Amp Dual BiFET	8-SOIC	4.45	3.55	2.96

* Bleifrei/RoHS-konform

(Forts.)

★ RUFEN SIE BITTE AN FÜR NIEDRIGERE PREISE BEI GRÖSSEREN MENGEN! ★

B

Analog Devices Teilenr.	Digi-Key Teilenr.	Beschreibung		Paket	Stückpreis★ 1	25	100
AD712KR-REEL7	AD712KR-REEL7CT-ND	Zweif. Präzisions-OpAmp, BIFET	Precision Op Amp Dual BiFET	8-SOIC	4.88	3.91	3.30
AD712KR-REEL7	AD712KR-REEL7TR-ND	Zweif. Präzisions-OpAmp, BIFET	Precision Op Amp Dual BiFET	8-SOIC		2220.00/750	
AD713AQ	AD713AQ-ND	Vierf. BIFET-Präszisions-OpAmp	Prec. Op Amp Quad BiFET	14-Dip	12.36	7.72	6.19
AD713BQ	AD713BQ-ND	Vierf. BIFET-Präszisions-OpAmp	Prec. Op Amp Quad BiFET	14-CDip	29.54	28.14	28.00
AD713JN	AD713JN-ND	Vierf. BIFET-Präszisions-OpAmp	Prec. Op Amp Quad BiFET	14-Dip	6.51	4.88	4.07
AD713JNZ	AD713JNZ-ND	Vierf. BIFET-Präszisions-OpAmp*	Prec. Op Amp Quad BiFET*	14-Dip	6.51	4.88	4.07
AD713JR-16-REEL7	AD713JR-16REEL7CT-ND	Vierf. BIFET-Präszisions-OpAmp	Prec. Op Amp Quad BiFET	16-SOIC	6.32	5.06	4.27
AD713JR-16-REEL7	AD713JR-16REEL7TR-ND	Vierf. BIFET-Präszisions-OpAmp	Prec. Op Amp Quad BiFET	16-SOIC		2800.00/400	
AD713JR-16	AD713JR-16-ND	Vierf. BIFET-Präszisions-OpAmp	Prec. Op Amp Quad BiFET	16-SOIC	6.51	4.88	4.07
AD713JRZ-16	AD713JRZ-16-ND	Vierf. BIFET-Präszisions-OpAmp*	Prec. Op Amp Quad BiFET*	16-SOIC	6.51	4.88	4.07
AD713KN	AD713KN-ND	Vierf. BIFET-Präszisions-OpAmp	Prec. Op Amp Quad BiFET	14-Dip	10.52	7.87	6.28
AD713KNZ	AD713KNZ-ND	Vierf. BIFET-Präszisions-OpAmp*	Prec. Op Amp Quad BiFET*	14-Dip	10.52	7.87	6.28
AD743JN	AD743JN-ND	Rauscharmer BIFET-OpAmp	Op Amp BiFET Low Noise	8-Dip	6.72	5.64	4.50
AD743JNZ	AD743JNZ-ND	Rauscharmer BIFET-OpAmp*	Op Amp BiFET Low Noise*	8-Dip	6.72	5.64	4.50
AD744JN	AD744JN-ND	Präzisions-OpAmp, BIFET, Mono	Precision Op Amp BiFET Mono	8-Dip	4.14	3.13	2.60
AD744JNZ	AD744JNZ-ND	Präzisions-OpAmp, BIFET, Mono	Precision Op Amp BiFET Mono	8-Dip	4.14	3.13	2.60
AD744JR	AD744JR-ND	Präzisions-OpAmp, BIFET, Mono	Prec. Op Amp BiFET Mono	8-SOIC	4.55	3.44	2.28
AD744JRZ	AD744JRZ-ND	Präzisions-OpAmp, BIFET, Mono*	Prec. Op Amp BiFET Mono*	8-SOIC	4.55	3.44	2.28
AD744KNZ	AD744KNZ-ND	Präzisions-OpAmp, BIFET, Mono	Prec. Op Amp BiFET Mono	8-Dip	5.89	4.41	2.94
AD744KR	AD744KR-ND	Präzisions-OpAmp, BIFET, Mono	Prec. Op Amp BiFET Mono	8-SOIC	6.47	4.85	3.24
AD744KRZ	AD744KRZ-ND	Präzisions-OpAmp, BIFET, Mono*	Prec. Op Amp BiFET Mono*	8-SOIC	6.47	4.85	3.24
AD746JN	AD746JN-ND	Zweif. Präzisions-OpAmp, BIFET	Prec. Op Amp BiFET Dual	8-Dip	7.52	4.69	3.76
AD746JNZ	AD746JNZ-ND	Zweif. Präzisions-OpAmp, BIFET*	Prec. Op Amp BiFET Dual*	8-Dip	7.52	4.69	3.76
AD746JR	AD746JR-ND	Zweif. Präzisions-OpAmp, BIFET	Prec. Op Amp BiFET Dual	8-SOIC	7.52	4.69	3.76
AD746JRZ	AD746JRZ-ND	Zweif. Präzisions-OpAmp, BIFET*	Prec. Op Amp BiFET Dual*	8-SOIC	7.52	4.69	3.76
AD781JN	AD781JN-ND	Sample-And-Hold-Verstärker, 700 nS	Sample and Hold Amp 700nS	8-Dip	9.00	8.43	6.42
AD817AN	AD817AN-ND	Einf./zweif. HS-OpAmp, NL	Op Amp Single/Dual HS LP	8-Dip	2.31	1.98	1.80
AD817ANZ	AD817ANZ-ND	Einf./zweif. HS-OpAmp, NL*	Op Amp Single/Dual HS LP*	8-Dip	2.31	1.98	1.80
AD817AR	AD817AR-ND	Einf./zweif. HS-OpAmp, NL	Op Amp Single/Dual HS LP	8-SOIC	2.31	1.98	1.80
AD825AR	AD825AR-ND	JFET-OpAmp, HS	Op Amp JFET High Speed	8-SOIC	2.40	2.06	1.75
AD825ARZ	AD825ARZ-ND	JFET-OpAmp, HS*	Op Amp JFET High Speed*	8-SOIC	2.40	2.06	1.75
AD827JN	AD827JN-ND	Zweif. HS-OpAmp, NL	Op Amp Dual High Speed LP	8-Dip	7.00	6.79	5.17
AD827JR-16	AD827JR-16-ND	Zweif. HS-OpAmp, NL	Op Amp Dual HS LP	16-SOIC	7.00	6.79	5.17
AD828AN	AD828AN-ND	Zweif. Video-OpAmp, NL	Video Op Amp Dual LP	8-Dip	3.18	2.70	2.50
AD828AR	AD828AR-ND	Zweif. Video-OpAmp, NL	Video Op Amp Dual LP	8-SOIC	3.18	2.70	2.50
AD843JN	AD843JN-ND	Schnell einstellender HS-OpAmp	Op Amp Fast Settling HS	8-Dip	8.80	5.28	4.40
AD843JR-16	AD843JR-16-ND	Schnell einstellender HS-OpAmp	Op Amp Fast Settling HS	16-SOIC	6.78	5.80	4.84
AD843SQ	AD843SQ-ND	Schnell einstellender HS-OpAmp	Op Amp Fast Settling HS	8-Dip	44.00	27.51	23.00
AD845JN	AD845JN-ND	Präzisions-OpAmp, 16 MHz	Precision Op Amp 16MHz	8-Dip	4.60	3.94	3.29
AD845JR-16	AD845JR-16-ND	Präzisions-OpAmp, 16 MHz	Precision Op Amp 16MHz	16-SOIC	5.07	4.34	3.63
AD845JRZ-16	AD845JRZ-16-ND	Präzisions-OpAmp, 16 MHz*	Precision Op Amp 16MHz*	16-SOIC	5.07	4.34	3.63
AD845KN	AD845KN-ND	Präzisions-OpAmp, 16 MHz	Precision Op Amp 16MHz	8-Dip	5.31	4.55	3.80
AD8044AN	AD8044AN-ND	Vierf. OpAmp, Spannungs-Feedback, R-R	Op Amp Voltage-Feedback R-R Quad	14-Dip	5.76	4.93	4.12
AD8048AR	AD8048AR-ND	OpAmp, Spannungs-Feedback, GP	Op Amp Voltage-Feedback GP	8-SOIC	3.49	2.92	2.22
AD8067ARTZ-R2	AD8067ARTZ-R2CT-ND	FastFET™ Eingangsverst.	FastFET™ Input Amp	SOT-23-5	5.47	4.38	3.70
AD8067ARTZ-R2	AD8067ARTZ-R2TR-ND	FastFET™ Eingangsverst.	FastFET™ Input Amp	SOT-23-5		715.00/250	
AD8515AKS-R2	AD8515AKS-R2CT-ND	OpAmp, 1,8 V R/R-Ein-/Ausgang, NL	Op Amp 1.8V R-R In/Out LP	SC70-5	.78	.65	.52
AD8515AKS-R2	AD8515AKS-R2TR-ND	OpAmp, 1,8 V R/R-Ein-/Ausgang, NL	Op Amp 1.8V R-R In/Out LP	SC70-5		95.00/250	
AD8515ART-R2	AD8515ART-R2CT-ND	OpAmp, 1,8 V R/R-Ein-/Ausgang, NL	Op Amp 1.8V R-R In/Out LP	SOT-23-5	1.07	.89	.72
AD8515ART-R2	AD8515ART-R2TR-ND	OpAmp, 1,8 V R/R-Ein-/Ausgang, NL	Op Amp 1.8V R-R In/Out LP	SOT-23-5		133.34/250	
AD8515ARTZ-REEL7	AD8515ARTZREEL7CT-ND	OpAmp, 1,8 V R/R-Ein-/Ausgang, NL*	Op Amp 1.8V R-R In/Out LP*	SOT-23-5	.95	.72	.54
AD8515ARTZ-REEL7	AD8515ARTZREEL7TR-ND	OpAmp, 1,8 V R/R-Ein-/Ausgang, NL*	Op Amp 1.8V R-R In/Out LP*	SOT-23-5		750.00/3,000	
AD8519ART-REEL7	AD8519ART-REEL7CT-ND	OpAmp, R/R, 8 MHz	Op Amp R-R 8MHz	SOT-23-5	1.76	1.41	1.06
AD8519ART-REEL7	AD8519ART-REEL7TR-ND	OpAmp, R/R, 8 MHz	Op Amp R-R 8MHz	SOT-23-5		1830.00/3,000	
AD8529AR	AD8529AR-ND	Zweif. OpAmp, R/R-Ausgang	Op Amp Dual R-R Out	8-SOIC	1.62	1.29	1.20
AD8529ARZ	AD8529ARZ-ND	Zweif. OpAmp, R/R-Ausgang*	Op Amp Dual R-R Out*	8-SOIC	1.62	1.29	1.20
AD8531AR	AD8531AR-ND	Einf. OpAmp, R/R-Ein-/Ausgang	Op Amp Single R-R In/Out	8-SOIC	.39	.32	.27
AD8531ARZ	AD8531ARZ-ND	Einf. OpAmp, R/R-Ein-/Ausgang	Op Amp Single R-R In/Out	8-SOIC	.39	.32	.27
AD8532AR	AD8532AR-ND	Zweif. OpAmp, R/R-Ein-/Ausgang	Op Amp Dual R-R In/Out	8-SOIC	.50	.43	.36
AD8532ARZ	AD8532ARZ-ND	Zweif. OpAmp, R/R-Ein-/Ausgang	Op Amp Dual R-R In/Out	8-SOIC	.50	.43	.36
AD8534AR	AD8534AR-ND	Einf. OpAmp, R/R-Ein-/Ausgang	Op Amp Single R-R In/Out	14-SOIC	.72	.62	.52
AD8541AR	AD8541AR-ND	Einf. OpAmp, R/R-Ein-/Ausgang	Op Amp Single R-R In/Out	8-SOIC	.39	.32	.27
AD8541ARZ	AD8541ARZ-ND	Einf. OpAmp, R/R-Ein-/Ausgang*	Op Amp Single R-R In/Out*	8-SOIC	.39	.32	.27
AD8541ART-REEL7	AD8541ART-REEL7CT-ND	Einf. OpAmp, R/R-Ein-/Ausgang*	Op Amp Single R-R In/Out*	SOT-23-5	.78	.59	.44
AD8541ART-REEL7	AD8541ART-REEL7TR-ND	Einf. OpAmp, R/R-Ein-/Ausgang*	Op Amp Single R-R In/Out*	SOT-23-5		720.00/3,000	
AD8542AR	AD8542AR-ND	Zweif. OpAmp, R/R-Ein-/Ausgang	Op Amp Dual R-R In/Out	8-SOIC	.50	.43	.36
AD8542AR-REEL7	AD8542AR-REEL7CT-ND	Zweif. OpAmp, R/R-Ein-/Ausgang	Op Amp Dual R-R In/Out	8-SOIC	1.04	.87	.70
AD8542AR-REEL7	AD8542AR-REEL7TR-ND	Zweif. OpAmp, R/R-Ein-/Ausgang	Op Amp Dual R-R In/Out	8-SOIC		340.00/1,000	
AD8542ARUZ	AD8542ARUZ-ND	Zweif. OpAmp, R/R-Ein-/Ausgang	Op Amp Dual R-R In/Out	8-TSSOP	.43	.29	.24
AD8542ARZ	AD8542ARZ-ND	Zweif. OpAmp, R/R-Ein-/Ausgang	Op Amp Dual R-R In/Out	8-SOIC	.50	.43	.36
AD8544AR	AD8544AR-ND	Vierf. OpAmp, R/R-Ein-/Ausgang	Op Amp Quad R-R In/Out	14-SOIC	.72	.62	.52
AD8544ARUZ	AD8544ARUZ-ND	Vierf. OpAmp, R/R-Ein-/Ausgang	Op Amp Quad R-R In/Out	14-TSSOP	.62	.52	.42
AD8544ARZ	AD8544ARZ-ND	Vierf. OpAmp, R/R-Ein-/Ausgang	Op Amp Quad R-R In/Out	14-SOIC	.72	.62	.52
AD8551AR	AD8551AR-ND	Einf. OpAmp, R/R, 0-Drift	Op Amp Single R-R 0-Drift	8-SOIC	1.60	1.27	1.25
AD8552AR	AD8552AR-ND	Zweif. OpAmp, R/R, 0-Drift	Op Amp Dual R-R 0-Drift	8-SOIC	2.52	2.02	1.80
AD8552ARU	AD8552ARU-ND	Zweif. OpAmp, R/R, 0-Drift	Op Amp Dual R-R 0-Drift	8-TSSOP	3.11	2.49	1.94
AD8552ARZ	AD8552ARZ-ND	Zweif. OpAmp, R/R, 0-Drift	Op Amp Dual R-R 0-Drift	8-SOIC	2.52	2.02	1.80
AD8554AR	AD8554AR-ND	Vierf. OpAmp, R/R, 0-Drift	Op Amp Quad R-R 0-Drift	14-SOIC	5.33	4.00	2.96
AD8571ARZ	AD8571ARZ-ND	OpAmp, R/R-Ein-/Ausgang, 0-Drift	Op Amp R-R In/Out 0-Drift	8-SOIC	1.55	1.23	1.10
AD8572AR	AD8572AR-ND	Zweif. OpAmp, R/R-Ein-/Ausgang	Op Amp Dual R-R In/Out	8-SOIC	2.48	1.98	1.80
AD8572ARZ	AD8572ARZ-ND	Zweif. OpAmp, R/R-Ein-/Ausgang*	Op Amp Dual R-R In/Out*	8-SOIC	2.48	1.98	1.80
AD8572ARU	AD8572ARU-ND	Zweif. OpAmp, R/R-Ein-/Ausgang	Op Amp Dual R-R In/Out	8-TSSOP	2.48	1.98	1.80
AD8574AR	AD8574AR-ND	Zweif. OpAmp, R/R, 0-Drift	Op Amp Dual R-R 0-Drift	14-SOIC	5.29	3.95	2.92
AD8574ARZ	AD8574ARZ-ND	Zweif. OpAmp, R/R, 0-Drift*	Op Amp Dual R-R 0-Drift*	14-SOIC	5.29	3.95	2.92
AD8574ARU	AD8574ARU-ND	Zweif. OpAmp, R/R, 0-Drift	Op Amp Dual R-R 0-Drift	14-TSSOP	5.29	3.95	2.92
AD8592ARM-REEL	AD8592ARM-REELCT-ND	Zweif. OpAmp, R/R, mit Abschaltfunktion	Op Amp Dual R-R with Shutdown	10-MSOP	.99	.83	.67
AD8592ARM-REEL	AD8592ARM-REELTR-ND	Zweif. OpAmp, R/R, mit Abschaltfunktion	Op Amp Dual R-R with Shutdown	10-MSOP		1050.00/3,000	
AD8594AR	AD8594AR-ND	Zweif. OpAmp, R/R, mit Abschaltfunktion	Op Amp Dual R-R with Shutdown	16-SOIC	1.50	.64	.55
AD8602AR	AD8602AR-ND	Zweif. OpAmp, R/R-Ein-/Ausgang	Op Amp Dual R-R In/Out	8-SOIC	1.16	.92	.78
AD8602ARZ	AD8602ARZ-ND	Zweif. OpAmp, R/R-Ein-/Ausgang*	Op Amp Dual R-R In/Out*	8-SOIC	1.16	.92	.78
AD8602AR-REEL7	AD8602AR-REEL7CT-ND	Zweif. OpAmp, R/R-Ein-/Ausgang	Op Amp Dual R-R In/Out	8-SOIC	1.59	1.27	.96
AD8602AR-REEL7	AD8602AR-REEL7TR-ND	Zweif. OpAmp, R/R-Ein-/Ausgang	Op Amp Dual R-R In/Out	8-SOIC		730.00/1,000	
AD8602ARM-REEL	AD8602ARM-REELCT-ND	Zweif. OpAmp, R/R-Ein-/Ausgang	Op Amp Dual R-R In/Out	8-MSOP	1.51	1.21	.91
AD8602ARM-REEL	AD8602ARM-REELTR-ND	Zweif. OpAmp, R/R-Ein-/Ausgang	Op Amp Dual R-R In/Out	8-MSOP		2190.00/3,000	
AD8602ARMZ-R2	AD8602ARMZ-R2CT-ND	Zweif. OpAmp, R/R-Ein-/Ausgang*	Op Amp Dual R-R In/Out*	8-MSOP	1.89	1.51	1.14
AD8602ARMZ-R2	AD8602ARMZ-R2TR-ND	Zweif. OpAmp, R/R-Ein-/Ausgang*	Op Amp Dual R-R In/Out*	8-MSOP		230.00/250	
AD8603AUJ-R2	AD8603AUJ-R2CT-ND	OpAmp, CMOS, R/R-Ein-/Ausgang	Op Amp CMOS R-R In/Out	TSOT-23-5	1.38	1.10	.86
AD8603AUJ-R2	AD8603AUJ-R2TR-ND	OpAmp, CMOS, R/R-Ein-/Ausgang	Op Amp CMOS R-R In/Out	TSOT-23-5		205.00/250	
AD8603AUJZ-REEL7	AD8603AUJZREEL7CT-ND	OpAmp, CMOS, R/R-Ein-/Ausgang*	Op Amp CMOS R-R In/Out*	TSOT-23-5	1.42	1.14	.86
AD8603AUJZ-REEL7	AD8603AUJZREEL7TR-ND	OpAmp, CMOS, R/R-Ein-/Ausgang*	Op Amp CMOS R-R In/Out*	TSOT-23-5		1800.00/3,000	
AD8604AR	AD8604AR-ND	Vierf. OpAmp, R/R-Ein-/Ausgang	Op Amp Quad R-R In/Out	14-SOIC	1.56	1.26	1.15
AD8604ARZ	AD8604ARZ-ND	Vierf. OpAmp, R/R-Ein-/Ausgang*	Op Amp Quad R-R In/Out*	14-SOIC	1.56	1.26	1.15
AD8604ARU	AD8604ARU-ND	Vierf. OpAmp, R/R-Ein-/Ausgang	Op Amp Quad R-R In/Out	14-TSSOP	2.00	1.26	1.04
AD8604ARUZ	AD8604ARUZ-ND	Vierf. OpAmp, R/R-Ein-/Ausgang*	Op Amp Quad R-R In/Out*	14-TSSOP	2.00	1.26	1.04
AD8605ART-R2	AD8605ART-R2CT-ND	Einf. OpAmp, R/R-Ein-/Ausgang	Op Amp Single R-R In/Out	SOT-23-5	2.03	1.63	1.22

* Bleifrei/RoHS-konform

(Forts.)

★ ***RUFEN SIE BITTE AN FÜR NIEDRIGERE PREISE BEI GRÖSSEREN MENGEN!*** ★

Analog Devices Teilenr.	Digi-Key Teilenr.	Beschreibung		Paket	Stückpreis★ 1	25	100
AD8605ART-R2	AD8605ART-R2TR-ND	Einf. OpAmp, R/R-Ein-/Ausgang	Op Amp Single R-R In/Out	SOT-23-5		284.46/250	
AD8605ART-REEL7	AD8605ART-REEL7CT-ND	Einf. OpAmp, R/R-Ein-/Ausgang	Op Amp Single R-R In/Out	SOT-23-5	1.42	1.14	.86
AD8605ART-REEL7	AD8605ART-REEL7TR-ND	Einf. OpAmp, R/R-Ein-/Ausgang	Op Amp Single R-R In/Out	SOT-23-5		1800.00/3,000	
AD8605ARTZ-REEL7	AD8605ARTZREEL7CT-ND	Einf. OpAmp, R/R-Ein-/Ausgang*	Op Amp Single R-R In/Out*	SOT-23-5	1.42	1.14	.86
AD8605ARTZ-REEL7	AD8605ARTZREEL7TR-ND	Einf. OpAmp, R/R-Ein-/Ausgang*	Op Amp Single R-R In/Out*	SOT-23-5		1800.00/3,000	
AD8606AR	AD8606AR-ND	Zweif. OpAmp, R/R-Ein-/Ausgang	Op Amp Dual R-R In/Out	8-SOIC	1.86	1.60	1.33
AD8606ARZ	AD8606ARZ-ND	Zweif. OpAmp, R/R-Ein-/Ausgang*	Op Amp Dual R-R In/Out*	8-SOIC	1.86	1.60	1.33
AD8606ARM-R2	AD8606ARM-R2CT-ND	Zweif. OpAmp, R/R-Ein-/Ausgang	Op Amp Dual R-R In/Out	8-MSOP	2.19	1.75	1.36
AD8606ARM-R2	AD8606ARM-R2TR-ND	Zweif. OpAmp, R/R-Ein-/Ausgang	Op Amp Dual R-R In/Out	8-MSOP		322.50/250	
AD8606ARM-REEL	AD8606ARM-REELCT-ND	Zweif. OpAmp, R/R-Ein-/Ausgang	Op Amp Dual R-R In/Out	8-MSOP	2.25	1.80	1.40
AD8606ARM-REEL	AD8606ARM-REELTR-ND	Zweif. OpAmp, R/R-Ein-/Ausgang	Op Amp Dual R-R In/Out	8-MSOP		3120.00/3,000	
AD8606ARMZ-REEL	AD8606ARMZREELCT-ND	Zweif. OpAmp, R/R-Ein-/Ausgang*	Op Amp Dual R-R In/Out*	8-MSOP	2.25	1.80	1.40
AD8606ARMZ-REEL	AD8606ARMZREELTR-ND	Zweif. OpAmp, R/R-Ein-/Ausgang*	Op Amp Dual R-R In/Out*	8-MSOP		3120.00/3,000	
AD8607AR	AD8607AR-ND	Zweif. OpAmp, R/R, CMOS, NL	Op Amp Dual R-R CMOS LN	8-SOIC	1.60	1.27	1.20
AD8607ARZ	AD8607ARZ-ND	Zweif. OpAmp, R/R, CMOS, NL*	Op Amp Dual R-R CMOS LN*	8-SOIC	1.60	1.27	1.20
AD8607ARM-R2	AD8607ARM-R2CT-ND	Zweif. OpAmp, R/R, CMOS, NL	Op Amp Dual R-R CMOS LN	8-MSOP	3.22	2.58	2.01
AD8607ARM-R2	AD8607ARM-R2TR-ND	Zweif. OpAmp, R/R, CMOS, NL	Op Amp Dual R-R CMOS LN	8-MSOP		375.00/250	
AD8607ARMZ-R2	AD8607ARMZ-R2-ND	Zweif. OpAmp, R/R, CMOS, NL*	Op Amp Dual R-R CMOS LN*	8-MSOP	4.25	3.00	1.55
AD8608AR	AD8608AR-ND	Vierf. OpAmp, R/R-Ein-/Ausgang	Op Amp Quad R-R In/Out	14-SOIC	2.45	1.97	1.80
AD8608ARZ	AD8608ARZ-ND	Vierf. OpAmp, R/R-Ein-/Ausgang*	Op Amp Quad R-R In/Out*	14-SOIC	2.45	1.97	1.80
AD8608ARU	AD8608ARU-ND	Vierf. OpAmp, R/R-Ein-/Ausgang	Op Amp Quad R-R In/Out	14-TSSOP	2.45	1.97	1.80
AD8608ARUZ	AD8608ARUZ-ND	Vierf. OpAmp, R/R-Ein-/Ausgang*	Op Amp Quad R-R In/Out*	14-TSSOP	2.45	1.97	1.80
AD8609AR	AD8609AR-ND	Vierf. OpAmp, R/R, CMOS	Op Amp Quad R-R CMOS	14-SOIC	2.88	2.30	1.92
AD8609ARZ	AD8609ARZ-ND	Vierf. OpAmp, R/R, CMOS*	Op Amp Quad R-R CMOS*	14-SOIC	2.88	2.30	1.92
AD8609ARU	AD8609ARU-ND	Vierf. OpAmp, R/R, CMOS	Op Amp Quad R-R CMOS	14-TSSOP	4.00	3.00	2.50
AD8609ARUZ	AD8609ARUZ-ND	Vierf. OpAmp, R/R, CMOS*	Op Amp Quad R-R CMOS*	14-TSSOP	2.88	2.30	1.92
AD8614ART-REEL7	AD8614ART-REEL7CT-ND	Einf. OpAmp, R/R für LCD	Op Amp Single R-R for LCD	SOT-23-5	2.10	1.68	1.26
AD8614ART-REEL7	AD8614ART-REEL7TR-ND	Einf. OpAmp, R/R für LCD	Op Amp Single R-R for LCD	SOT-23-5		3060.00/3,000	
AD9631AN	AD9631AN-ND	OpAmp Spannungs-Feedback	Op Amp Voltage-Feedback	8-Dip	6.24	5.35	4.45
AD9632AR	AD9632AR-ND	OpAmp Spannungs-Feedback	Op Amp Voltage-Feedback	8-SOIC	6.01	5.15	4.29
ADA4851-1YRJZ-R2	ADA4851-1YRJZR2CT-ND	HS-OpAmp, R/R*	Op Amp High Speed, R-R*	SOT-23-6	1.46	1.17	.88
ADA4851-1YRJZ-R2	ADA4851-1YRJZR2TR-ND	HS-OpAmp, R/R*	Op Amp High Speed, R-R*	SOT-23-6		152.50/250	
ADA4851-4YRUZ	ADA4851-4YRUZ-ND	HS-OpAmp, R/R*	Op Amp High Speed, R-R*	14-TSSOP	1.60	1.36	1.30
OP11EP	OP11EP-ND	Vierf. OpAmp, Typ 741	Op Amp Quad 741-Type	14-Dip	—	6.90	—
OP11GP	OP11GP-ND	Vierf. OpAmp, Typ 741	Op Amp Quad 741-Type	14-Dip	—	3.62	—
OP15EZ	OP15EZ-ND	Präszisions-OpAmp, JFET-Eingang	Prec. Op Amp JFET Input	8-CDip	10.10	9.10	8.07
OP177GS-REEL7	OP177GS-REEL7CT-ND	Präzisions-OpAmp, geringe Offset-Spannung	Prec. Op Amp Low Offset Voltage	8-SOIC	1.35	1.09	.82
OP177GS-REEL7	OP177GS-REEL7TR-ND	Präzisions-OpAmp, geringe Offset-Spannung	Prec. Op Amp Low Offset Voltage	8-SOIC		640.00/1,000	
OP179GRT-REEL7	OP179GRT-REEL7CT-ND	OpAmp, R/R-Ein-/Ausgang	Op Amp R-R In/Out	SOT-23-5	1.10	.89	.67
OP179GRT-REEL7	OP179GRT-REEL7TR-ND	OpAmp, R/R-Ein-/Ausgang	Op Amp R-R In/Out	SOT-23-5		1691.51/3,000	
OP183GS	OP183GS-ND	OpAmp, 5 MHz, rauscharm	Op Amp 5MHz Low Noise	8-SOIC	2.40	2.02	1.70
OP200EZ	OP200EZ-ND	Zweif. OpAmp, niedriges Offset	Op Amp Dual Low Offset	8-CDip	10.17	8.13	6.79
OP275GS-REEL7	OP275GS-REEL7CT-ND	Zweif. bibolarer OpAmp	Op Amp Dual Bipolar	8-SOIC	1.72	1.38	1.03
OP275GS-REEL7	OP275GS-REEL7TR-ND	Zweif. bibolarer OpAmp	Op Amp Dual Bipolar	8-SOIC		790.00/1,000	
OP291GS	OP291GS-ND	Zweif. OpAmp, einzelversorgt, R/R	Op Amp Dual Single Supply R-R	8-SOIC	3.05	2.55	1.94
OP292GS	OP292GS-ND	Zweif. OpAmp, einzelversorgt	Op Amp Dual Single Supply	8-SOIC	2.17	1.81	1.38
OP293ES	OP293ES-ND	Zweif. OpAmp, Micropower, R/R	Op Amp Dual Micropower R-R	8-SOIC	7.00	6.32	4.82
OP293FS	OP293FS-ND	Zweif. OpAmp, Micropower, R/R	Op Amp Dual Micropower R-R	8-SOIC	3.50	2.88	2.19
OP293FS-REEL7	OP293FS-REEL7CT-ND	Zweif. OpAmp, Micropower, R/R	Op Amp Dual Micropower R-R	8-SOIC	3.83	3.07	2.39
OP293FS-REEL7	OP293FS-REEL7TR-ND	Zweif. OpAmp, Micropower, R/R	Op Amp Dual Micropower R-R	8-SOIC		2169.84/1,000	
OP295GP	OP295GP-ND	Zweif. OpAmp, R/R	Op Amp Dual R-R	8-Dip	2.79	2.23	1.86
OP295GS	OP295GS-ND	Zweif. OpAmp, R/R	Op Amp Dual R-R	8-SOIC	2.73	2.17	1.81
OP295GS-REEL7	OP295GS-REEL7TR-ND	Zweif. OpAmp, R/R	Op Amp Dual R-R	8-SOIC		1899.77/1,000	
OP296GS	OP296GS-ND	Zweif. OpAmp, R/R, NL	Op Amp Dual R-R Low Power	8-SOIC	2.50	2.13	1.63
OP400AY	OP400AY-ND	Vierf. OpAmp, niedriges Offset	Op Amp Quad Low Offset	14-CDip	30.86	24.70	22.00
OP400EY	OP400EY-ND	Vierf. OpAmp, niedriges Offset	Op Amp Quad Low Offset	14-CDip	14.66	11.73	9.77
OP400FY	OP400FY-ND	Vierf. OpAmp, niedriges Offset	Op Amp Quad Low Offset	14-CDip	9.93	7.94	6.61
OP400GP	OP400GP-ND	Vierf. OpAmp, niedriges Offset	Op Amp Quad Low Offset	14-Dip	—	5.95	—
OP400GS	OP400GS-ND	Vierf. OpAmp, niedriges Offset	Op Amp Quad Low Offset	16-SOIC	6.77	5.41	4.51
OP400HP	OP400HP-ND	Vierf. OpAmp, niedriges Offset	Op Amp Quad Low Offset	14-Dip	6.00	5.91	4.92
OP400HS	OP400HS-ND	Vierf. OpAmp, niedriges Offset	Op Amp Quad Low Offset	16-SOIC	7.38	5.91	4.92
OP492GS	OP492GS-ND	Vierf. OpAmp, einzelversorgt	Op Amp Quad Single Supply	14-SOIC	3.76	3.15	2.40
OP495GS	OP495GS-ND	Vierf. OpAmp, R/R	Op Amp Quad R-R	16-SOIC	6.27	5.26	4.00
SMP04EP	SMP04EP-ND	Vierf. Verst., Sample-Hold	Amp Quad Sample-Hold	16-Dip	—	6.03	—
SMP04ES	SMP04ES-ND	Vierf. Verst., Sample-Hold	Amp Quad Sample-Hold	16-SOIC	7.00	6.10	4.65
SMP08FS	SMP08FS-ND	Achtf. Verst., Sample-Hold	Amp Octal Sample-Hold	16-SOIC	9.00	8.77	6.69
		Hochgeschwindigkeits-					
AD585AQ	AD585AQ-ND	Präzisions-Verstärker, Sample-And-Hold, Mono, HS	Prec. Sample and Hold Amp Mono HS	14-Dip	25.35	21.21	16.17
AD711JN	AD711JN-ND	Präzisions-OpAmp, HS, BIFET	Precision Op Amp BiFET HS	8-Dip	1.62	1.29	1.20
AD711JR	AD711JR-ND	Präzisions-OpAmp, HS, BIFET	Precision Op Amp BiFET HS	8-SOIC	2.00	1.27	1.06
AD810AN	AD810AN-ND	Strom-Feedback-Verst., Video, NL	Current-Feedback Amp Video LP	8-Dip	3.16	2.70	2.26
AD810ANZ	AD810ANZ-ND	Strom-Feedback-Verst., Video, NL*	Current-Feedback Amp Video LP*	8-Dip	3.16	2.70	2.26
AD810AR	AD810AR-ND	Strom-Feedback-Verst., Video, NL	Current-Feedback Amp Video LP	8-SOIC	3.16	2.70	2.26
AD810ARZ	AD810ARZ-ND	Strom-Feedback-Verst., Video, NL*	Current-Feedback Amp Video LP*	8-SOIC	3.16	2.70	2.26
AD811AN	AD811AN-ND	Strom-Feedback-Verst., Video, HS	Current-Feedback Amp Video HS	8-Dip	5.31	4.45	3.40
AD811AR-16	AD811AR-16-ND	Strom-Feedback-Verst., Video, HS	Current-Feedback Amp Video HS	16-SOIC	5.85	4.90	3.74
AD811ARZ-16	AD811ARZ-16-ND	Strom-Feedback-Verst., Video, HS*	Current-Feedback Amp Video HS*	16-SOIC	5.85	4.90	3.74
AD811JR	AD811JR-ND	Strom-Feedback-Verst., Video, HS	Current-Feedback Amp Video HS	8-SOIC	5.31	4.45	3.40
AD812AN	AD812AN-ND	Zweif. Strom-Feedback-Verst., NL	Current-Feedback Amp Dual LP	8-Dip	3.62	3.10	2.58
AD812AR	AD812AR-ND	Zweif. Strom-Feedback-Verst., NL	Current-Feedback Amp Dual LP	8-SOIC	3.62	3.10	2.58
AD826AN	AD826AN-ND	Zweif. Spann.-Feedback-Verst., HS	Volt.-Feedback Amp Dual HS	8-Dip	3.18	2.70	2.50
AD826AR	AD826AR-ND	Zweif. Spann.-Feedback-Verst., HS	Volt.-Feedback Amp Dual HS	8-SOIC	3.18	2.70	2.50
AD827SQ	AD827SQ-ND	Zweif. HS-OpAmp, NL	Op Amp HS Dual LP	8-CDip	32.39	27.11	22.00
AD829AR	AD829AR-ND	Rauscharmer Video-HS-OpAmp	Video Op Amp Low Noise HS	8-SOIC	3.83	3.20	3.00
AD829JN	AD829JN-ND	Rauscharmer Video-HS-OpAmp	Video Op Amp Low Noise HS	8-Dip	4.51	3.77	2.88
AD829JNZ	AD829JNZ-ND	Rauscharmer Video-HS-OpAmp	Video Op Amp Low Noise HS	8-Dip	4.51	3.77	2.88
AD829JR	AD829JR-ND	Rauscharmer Video-HS-OpAmp	Video Op Amp Low Noise HS	8-SOIC	4.51	3.77	2.88
AD829JR-REEL7	AD829JR-REEL7TR-ND	Rauscharmer Video-HS-OpAmp	Video Op Amp Low Noise HS	8-SOIC		2160.00/750	
AD829JRZ	AD829JRZ-ND	Rauscharmer Video-HS-OpAmp	Video Op Amp Low Noise HS	8-SOIC	4.51	3.77	2.88
AD843JRZ-16	AD843JRZ-16-ND	Schnell einstellender CBFET-OpAmp, 34 MHz	34MHz, CBFET Fast Settling Op Amp	16-SOIC	6.78	5.80	4.84
AD844AN	AD844AN-ND	OpAmp, Mono, 60 MHz	Op Amp Mono 60MHz	8-Dip	4.17	3.58	2.99
AD844JR-16	AD844JR-16-ND	OpAmp, Mono, 60 MHz	Op Amp Mono 60MHz	16-SOIC	4.81	4.12	3.43
AD844JRZ-16	AD844JRZ-16-ND	OpAmp, Mono, 60 MHz	Op Amp Mono 60MHz	16-SOIC	4.81	4.12	3.43
AD847AQ	AD847AQ-ND	OpAmp, Mono, HS, 50 MHz	Op Amp Mono 50MHz HS	8-CDip	7.82	4.88	3.91
AD847AR	AD847AR-ND	OpAmp, Mono, HS, 50 MHz	Op Amp Mono 50MHz HS	8-SOIC	5.97	3.74	2.99
AD847JN	AD847JN-ND	OpAmp, Mono, HS, 50 MHz	Op Amp Mono 50MHz HS	8-Dip	5.43	3.40	2.71
AD847JNZ	AD847JNZ-ND	OpAmp, Mono, HS, 50 MHz	Op Amp Mono 50MHz HS	8-Dip	5.43	3.40	2.71
AD847JR	AD847JR-ND	OpAmp, Mono, HS, 50 MHz	Op Amp Mono 50MHz HS	8-SOIC	5.43	3.40	2.71
AD848JN	AD848JN-ND	OpAmp, Mono, HS, 175 MHz	Op Amp Mono 175MHz HS	8-Dip	4.00	3.42	2.74
AD848JR	AD848JR-ND	OpAmp, Mono, HS, 175 MHz	Op Amp Mono 175MHz HS	8-SOIC	5.48	3.42	2.74
AD8001AN	AD8001AN-ND	Strom-Feedback-Verst., 800 MHz	Current-Feedback Amp, 800MHz	8-Dip	4.01	3.43	2.88

* Bleifrei/RoHS-konform

(Forts.)

★ ***RUFEN SIE BITTE AN FÜR NIEDRIGERE PREISE BEI GRÖSSEREN MENGEN!*** ★

B

Analog Devices Teilenr.	Digi-Key Teilenr.	Beschreibung		Paket	Stückpreis★ 1	25	100
AD8001ANZ	AD8001ANZ-ND	Strom-Feedback-Verst., 800 MHz*	Current-Feedback Amp, 800MHz*	8-Dip	4.01	3.43	2.88
AD8001AR	AD8001AR-ND	Strom-Feedback-Verst., 800 MHz	Current-Feedback Amp, 800MHz	8-SOIC	4.01	3.43	2.88
AD8001ART-REEL7	AD8001ART-REEL7CT-ND	Strom-Feedback-Verst., 800 MHz	Current-Feedback Amp, 800MHz	SOT-23-5	2.57	2.06	1.61
AD8001ART-REEL7	AD8001ART-REEL7TR-ND	Strom-Feedback-Verst., 800 MHz	Current-Feedback Amp, 800MHz	SOT-23-5		4320.20/3,000	
AD8001ARTZ-REEL7	AD8001ARTZREEL7CT-ND	Strom-Feedback-Verst., 800 MHz*	Current-Feedback Amp, 800MHz*	SOT-23-5	2.57	2.06	1.61
AD8001ARTZ-REEL7	AD8001ARTZREEL7TR-ND	Strom-Feedback-Verst., 800 MHz*	Current-Feedback Amp, 800MHz*	SOT-23-5		3570.00/3,000	
AD8002AR	AD8002AR-ND	Zweif. Strom-Feedback-Verst., 600 MHz	Current-Feedback Amp Dual, 600MHz	8-SOIC	4.50	3.76	2.87
AD8002ARZ	AD8002ARZ-ND	Zweif. Strom-Feedback-Verst., 600 MHz	Current-Feedback Amp Dual, 600MHz	8-SOIC	4.50	3.76	2.87
AD8002ARMZ	AD8002ARMZ-ND	Zweif. Strom-Feedback-Verst., 600 MHz*	Current-Feedback Amp Dual, 600MHz*	8-MSOP	3.93	3.29	2.51
AD8004AN	AD8004AN-ND	Vierf. Strom-Feedback-Verst.	Current-Feedback Amp Quad	14-Dip	—	6.30	—
AD8004AR-14	AD8004AR-14-ND	Vierf. Strom-Feedback-Verst.	Current-Feedback Amp Quad	14-SOIC	5.76	4.93	4.12
AD8004ARZ-14	AD8004ARZ-14-ND	Vierf. Strom-Feedback-Verst.*	Current-Feedback Amp Quad*	14-SOIC	5.76	4.93	4.12
AD8007AKS-REEL7	AD8007AKS-REEL7CT-ND	Strom-Feedback-Verst., 650 MHz	Current-Feedback Amp, 650MHz	SC70-5	2.27	1.82	1.42
AD8007AKS-REEL7	AD8007AKS-REEL7TR-ND	Strom-Feedback-Verst., 650 MHz	Current-Feedback Amp, 650MHz	SC70-5		3150.00/3,000	
AD8007AR	AD8007AR-ND	Strom-Feedback-Verst., 650 MHz	Current-Feedback Amp, 650MHz	8-SOIC	1.74	1.49	1.35
AD8007ARZ	AD8007ARZ-ND	Strom-Feedback-Verst., 650 MHz	Current-Feedback Amp, 650MHz	8-SOIC	1.74	1.49	1.45
AD8008AR	AD8008AR-ND	Zweif. Strom-Feedback-Verst.	Current-Feedback Amp Dual	8-SOIC	2.90	2.49	2.07
AD8008ARM	AD8008ARM-ND	Zweif. Strom-Feedback-Verst.	Current-Feedback Amp Dual	8-MSOP	2.90	2.49	2.07
AD8008ARMZ	AD8008ARMZ-ND	Zweif. Strom-Feedback-Verst.*	Current-Feedback Amp Dual*	8-MSOP	2.90	2.49	2.07
AD8009AR	AD8009AR-ND	Strom-Feedback-Verst., 1 GHz	Current-Feedback Amp 1GHz	8-SOIC	2.31	1.98	1.80
AD8009ARZ	AD8009ARZ-ND	Strom-Feedback-Verst., 1 GHz*	Current-Feedback Amp 1GHz*	8-SOIC	2.31	1.98	1.80
AD8009AR-REEL7	AD8009AR-REEL7CT-ND	Strom-Feedback-Verst., 1 GHz	Current-Feedback Amp 1GHz	8-SOIC	3.56	2.85	2.22
AD8009AR-REEL7	AD8009AR-REEL7TR-ND	Strom-Feedback-Verst., 1 GHz	Current-Feedback Amp 1GHz	8-SOIC		1125.00/750	
AD8009JRT-REEL7	AD8009JRT-REEL7CT-ND	Strom-Feedback-Verst., 1 GHz	Current-Feedback Amp 1GHz	SOT-23-5	3.03	2.43	1.89
AD8009JRT-REEL7	AD8009JRT-REEL7TR-ND	Strom-Feedback-Verst., 1 GHz	Current-Feedback Amp 1GHz	SOT-23-5		4200.00/3,000	
AD8009JRTZ-R2	AD8009JRTZ-R2CT-ND	Strom-Feedback-Verst., 1 GHz*	Current-Feedback Amp 1GHz*	SOT-23-5	4.27	3.42	2.66
AD8009JRTZ-R2	AD8009JRTZ-R2TR-ND	Strom-Feedback-Verst., 1 GHz*	Current-Feedback Amp 1GHz*	SOT-23-5		495.00/250	
AD8010AN	AD8010AN-ND	HS-OpAmp, NL	Op Amp Low Power HS	8-Dip	4.94	4.13	3.15
AD8010AR	AD8010AR-ND	HS-OpAmp, NL	Op Amp Low Power HS	8-SOIC	4.94	4.13	3.15
AD8011AN	AD8011AN-ND	Strom-Feedback-Verst., 300 MHz	Current-Feedback Amp, 300MHz	8-Dip	3.49	2.92	2.22
AD8011ANZ	AD8011ANZ-ND	Strom-Feedback-Verst., 300 MHz*	Current-Feedback Amp, 300MHz*	8-Dip	3.49	2.92	2.22
AD8011AR	AD8011AR-ND	Strom-Feedback-Verst., 300 MHz	Current-Feedback Amp, 300MHz	8-SOIC	3.49	2.92	2.22
AD8011ARZ	AD8011ARZ-ND	Strom-Feedback-Verst., 300 MHz	Current-Feedback Amp, 300MHz	8-SOIC	3.49	2.92	2.22
AD8011AR-REEL7	AD8011AR-REEL7CT-ND	Strom-Feedback-Verst., 300 MHz	Current-Feedback Amp, 300MHz	8-SOIC	4.11	3.30	2.57
AD8011AR-REEL7	AD8011AR-REEL7TR-ND	Strom-Feedback-Verst., 300 MHz	Current-Feedback Amp, 300MHz	8-SOIC		1665.00/750	
AD8012AR	AD8012AR-ND	Zweif. Strom-Feedback-Verst., 350 MHz	Current-Feedback Dual Amp, 350MHz	8-SOIC	2.92	2.86	2.17
AD8012ARZ	AD8012ARZ-ND	Zweif. Strom-Feedback-Verst., 350 MHz*	Current-Feedback Dual Amp, 350MHz*	8-SOIC	2.92	2.86	2.17
AD8013AR-14	AD8013AR-14-ND	OpAmp, einzelversorgt	Op Amp Single Supply	14-SOIC	6.72	5.63	4.29
AD8021AR	AD8021AR-ND	Spann.-Feedback-Verst., HS, 200 MHz	Volt.-Feedback Amp, 200MHz HS	8-SOIC	1.88	1.60	1.33
AD8021ARM	AD8021ARM-ND	Spann.-Feedback-Verst., HS, 200 MHz	Volt.-Feedback Amp, 200MHz HS	8-MSOP	1.88	1.60	1.33
AD8021ARMZ	AD8021ARMZ-ND	Spann.-Feedback-Verst., HS, 200 MHz	Volt.-Feedback Amp, 200MHz HS	8-MSOP	1.88	1.60	1.33
AD8022AR	AD8022AR-ND	Zweif. HS-OpAmp, rauscharm	Op Amp Dual HS Low Noise	8-SOIC	2.50	2.39	2.30
AD8024AR	AD8024AR-ND	Vierf. Verst., 24 V 350 MHz	Amp Quad 24V 350MHz	16-SOIC	4.00	3.93	3.57
AD8024ARZ	AD8024ARZ-ND	Vierf. Verst., 24 V 350 MHz	Amp Quad 24V 350MHz	16-SOIC	4.00	3.93	3.57
AD8027AR	AD8027AR-ND	OpAmp, R/R-Ein-/Ausgang, HS	Op Amp R-R In/Out HS	8-SOIC	1.74	1.49	1.45
AD8027ARZ	AD8027ARZ-ND	OpAmp, R/R-Ein-/Ausgang, HS*	Op Amp R-R In/Out HS*	8-SOIC	1.74	1.49	1.45
AD8027ART-R2	AD8027ART-R2CT-ND	OpAmp, R/R-Ein-/Ausgang, HS	Op Amp R-R In/Out HS	SOT-23-6	2.29	1.83	1.43
AD8027ART-R2	AD8027ART-R2TR-ND	OpAmp, R/R-Ein-/Ausgang, HS	Op Amp R-R In/Out HS	SOT-23-6		265.00/250	
AD8027ART-REEL7	AD8027ART-REEL7CT-ND	OpAmp, R/R-Ein-/Ausgang, HS	Op Amp R-R In/Out HS	SOT-23-6	2.27	1.82	1.42
AD8027ART-REEL7	AD8027ART-REEL7TR-ND	OpAmp, R/R-Ein-/Ausgang, HS	Op Amp R-R In/Out HS	SOT-23-6		3150.00/3,000	
AD8028ARM	AD8028ARM-ND	OpAmp, R/R-Ein-/Ausgang, HS	Op Amp R-R In/Out HS	10-MSOP	2.75	2.36	2.00
AD8028ARMZ	AD8028ARMZ-ND	OpAmp, R/R-Ein-/Ausgang, HS*	Op Amp R-R In/Out HS*	10-MSOP	2.75	2.36	2.00
AD8028ARZ	AD8028ARZ-ND	OpAmp, R/R-Ein-/Ausgang, HS*	Op Amp R-R In/Out HS*	8-SOIC	2.75	2.36	2.00
AD8029AKS-R2	AD8029AKS-R2CT-ND	OpAmp, R/R-Ein-/Ausgang, HS, NL	Op Amp R-R In/Out HS LP	SC70-6	2.29	1.83	1.43
AD8029AKS-R2	AD8029AKS-R2TR-ND	OpAmp, R/R-Ein-/Ausgang, HS, NL	Op Amp R-R In/Out HS LP	SC70-6		265.00/250	
AD8029AKSZ-R2	AD8029AKSZ-R2CT-ND	OpAmp, R/R-Ein-/Ausgang, HS, NL*	Op Amp R-R In/Out HS LP*	SC70-6	2.29	1.83	1.43
AD8029AKSZ-R2	AD8029AKSZ-R2TR-ND	OpAmp, R/R-Ein-/Ausgang, HS, NL*	Op Amp R-R In/Out HS LP*	SC70-6		265.00/250	
AD8030AR	AD8030AR-ND	OpAmp, R/R-Ein-/Ausgang, HS, NL	Op Amp R-R In/Out HS LP	8-SOIC	2.00	1.50	1.25
AD8030ARJ-R2	AD8030ARJ-R2CT-ND	Zweif. OpAmp, R/R-Ein-/Ausgang, HS, NL	Op Amp Dual R-R In/Out HS LP	SOT-23-8	2.68	2.15	1.68
AD8030ARJ-R2	AD8030ARJ-R2TR-ND	Zweif. OpAmp, R/R-Ein-/Ausgang, HS, NL	Op Amp Dual R-R In/Out HS LP	SOT-23-8		396.91/250	
AD8031AR	AD8031AR-ND	Einf. Spann.-Feedback-Verst., R/R	Volt.-Feedback Amp Single R-R	8-SOIC	1.89	1.82	1.52
AD8031ART-REEL7	AD8031ART-REEL7CT-ND	Einf. Spann.-Feedback-Verst., R/R	Volt.-Feedback Amp Single R-R	SOT-23-5	2.13	1.71	1.33
AD8031ART-REEL7	AD8031ART-REEL7TR-ND	Einf. Spann.-Feedback-Verst., R/R	Volt.-Feedback Amp Single R-R	SOT-23-5		3450.00/3,000	
AD8031BN	AD8031BN-ND	Einf. Spann.-Feedback-Verst., R/R	Volt.-Feedback Amp Single R-R	8-Dip	3.50	2.71	2.19
AD8031BR	AD8031BR-ND	Einf. Spann.-Feedback-Verst., R/R	Volt.-Feedback Amp Single R-R	8-SOIC	3.17	2.71	2.50
AD8031BRZ	AD8031BRZ-ND	Einf. Spann.-Feedback-Verst., R/R	Volt.-Feedback Amp Single R-R	8-SOIC	3.17	2.71	2.50
AD8032ANZ	AD8032ANZ-ND	Zweif. Spann.-Feedback-Verst., R/R*	Volt.-Feedback Amp Dual R-R*	8-Dip	2.83	2.43	2.02
AD8032AR	AD8032AR-ND	Zweif. Spann.-Feedback-Verst., R/R	Volt.-Feedback Amp Dual R-R	8-SOIC	2.83	2.43	2.02
AD8032ARM	AD8032ARM-ND	Zweif. Spann.-Feedback-Verst., R/R	Volt.-Feedback Amp Dual R-R	8-MSOP	2.83	2.43	2.02
AD8032ARZ	AD8032ARZ-ND	Zweif. Spann.-Feedback-Verst., R/R	Volt.-Feedback Amp Dual R-R	8-SOIC	2.83	2.43	2.02
AD8032BR	AD8032BR-ND	Zweif. Spann.-Feedback-Verst., R/R	Volt.-Feedback Amp Dual R-R	8-SOIC	4.00	3.93	3.17
AD8033AKS-R2	AD8033AKS-R2CT-ND	Einf. Spann.-Feedback-Verst.	Volt.-Feedback Amp Single	SC-70	3.20	2.56	2.00
AD8033AKS-R2	AD8033AKS-R2TR-ND	Einf. Spann.-Feedback-Verst.	Volt.-Feedback Amp Single	SC-70		372.50/250	
AD8033AR	AD8033AR-ND	Einf. Spann.-Feedback-Verst.	Volt.-Feedback Amp Single	8-SOIC	1.74	1.49	1.45
AD8033ARZ	AD8033ARZ-ND	Einf. Spann.-Feedback-Verst.*	Volt.-Feedback Amp Single*	8-SOIC	1.74	1.49	1.45
AD8034AR	AD8034AR-ND	Zweif. Spann.-Feedback-Verst.	Volt.-Feedback Amp Dual	8-SOIC	2.00	1.90	1.65
AD8036AR	AD8036AR-ND	Spann-Feedback-Klemmverstärker	Volt.-Feedback Clamp Amp	8-SOIC	6.24	5.35	4.45
AD8037AN	AD8037AN-ND	Spann.-Feedback-Verst., Ausgangsklemme	Volt.-Feedback Amp Output Clamping	8-Dip	6.01	5.15	4.29
AD8037AR	AD8037AR-ND	Spann.-Feedback-Verst., Ausgangsklemme	Volt.-Feedback Amp Output Clamping	8-SOIC	6.01	5.15	4.29
AD8038AR	AD8038AR-ND	Spann.-Feedback-Verst., NL, 350 MHz	Volt.-Feedback Amp 350MHz LP	8-SOIC	2.00	1.06	.88
AD8039AR	AD8039AR-ND	Spann.-Feedback-Verst., NL, 350 MHz	Volt.-Feedback Amp 350MHz LP	8-SOIC	1.75	1.50	1.40
AD8039ARZ	AD8039ARZ-ND	Spann.-Feedback-Verst., NL, 350 MHz*	Volt.-Feedback Amp 350MHz LP*	8-SOIC	1.75	1.50	1.40
AD8039ART-REEL7	AD8039ART-REEL7CT-ND	Spann.-Feedback-Verst., NL, 350 MHz	Volt.-Feedback Amp 350MHz LP	SOT-23-8	2.29	1.83	1.43
AD8039ART-REEL7	AD8039ART-REEL7TR-ND	Spann.-Feedback-Verst., NL, 350 MHz	Volt.-Feedback Amp 350MHz LP	SOT-23-8		3180.00/3,000	
AD8039ARTZ-REEL7	AD8039ARTZREEL7CT-ND	Spann.-Feedback-Verst., NL, 350 MHz*	Volt.-Feedback Amp 350MHz LP*	SOT-23-8	2.29	1.83	1.43
AD8039ARTZ-REEL7	AD8039ARTZREEL7TR-ND	Spann.-Feedback-Verst., NL, 350 MHz*	Volt.-Feedback Amp 350MHz LP*	SOT-23-8		3180.00/3,000	
AD8040AR	AD8040AR-ND	R/R-Ein-/Ausgangsverst., NL, HS	LP, HS, R-R In/Out Amp	14-SOIC	2.33	2.00	1.66
AD8040ARZ	AD8040ARZ-ND	R/R-Ein-/Ausgangsverst., NL, HS*	LP, HS, R-R In/Out Amp*	14-SOIC	2.33	2.00	1.80
AD8041AN	AD8041AN-ND	Spann.-Feedback-Verst. mit Deaktivierung	Volt.-Feedback Amp with Disable	8-Dip	2.69	2.25	2.00
AD8041AR	AD8041AR-ND	Spann.-Feedback-Verst. mit Deaktivierung	Volt.-Feedback Amp with Disable	8-SOIC	3.49	2.25	1.72
AD8042AR	AD8042AR-ND	Zweif. Spann.-Feedback-Verst., R/R	Volt.-Feedback Amp Dual R-R	8-SOIC	3.28	2.81	2.50
AD8044AR-14	AD8044AR-14-ND	Vierf. Spann.-Feedback-Verst., R/R	Volt.-Feedback Amp Quad R-R	14-SOIC	5.76	4.93	4.12
AD8047AR	AD8047AR-ND	Spann.-Feedback-Verst., R/R	Volt.-Feedback Amp R-R	8-SOIC	3.49	2.92	2.22
AD8051AR	AD8051AR-ND	Einf. Spann.-Feedback-Verst., HS	Volt.-Feedback Amp Single HS	8-SOIC	1.24	1.06	.90
AD8051ART-REEL7	AD8051ART-REEL7CT-ND	Einf. Spann.-Feedback-Verst., HS	Volt.-Feedback Amp Single HS	SOT-23-5	1.80	1.44	1.08
AD8051ART-REEL7	AD8051ART-REEL7TR-ND	Einf. Spann.-Feedback-Verst., HS	Volt.-Feedback Amp Single HS	SOT-23-5		2250.00/3,000	
AD8052AR	AD8052AR-ND	Zweif. Spann.-Feedback-Verst., HS	Volt.-Feedback Amp Dual HS	8-SOIC	2.33	2.00	1.66
AD8052ARM	AD8052ARM-ND	Zweif. Spann.-Feedback-Verst., HS	Volt.-Feedback Amp Dual HS	8-MSOP	2.33	2.00	1.80
AD8054AR	AD8054AR-ND	Vierf. Spann.-Feedback-Verst., HS	Volt.-Feedback Amp Quad HS	14-SOIC	4.15	3.55	2.96
AD8054AR-REEL7	AD8054AR-REEL7CT-ND	Vierf. Spann.-Feedback-Verst., HS	Volt.-Feedback Amp Quad HS	14-SOIC	4.88	3.91	3.30

* Bleifrei/RoHS-konform

(Forts.)

★ ***RUFEN SIE BITTE AN FÜR NIEDRIGERE PREISE BEI GRÖSSEREN MENGEN!*** ★

Analog Devices Teilenr.	Digi-Key Teilenr.	Beschreibung		Paket	Stückpreis★ 1	25	100
AD8054AR-REEL7	AD8054AR-REEL7TR-ND	Vierf. Spann.-Feedback-Verst., HS	Volt.-Feedback Amp Quad HS	14-SOIC		2220.00/750	
AD8054ARU	AD8054ARU-ND	Vierf. Spann.-Feedback-Verst., HS	Volt.-Feedback Amp Quad HS	14-TSSOP	4.35	3.74	3.12
AD8055AN	AD8055AN-ND	Einf. Spann.-Feedback-Verst.	Volt.-Feedback Amp Single	8-Dip	1.24	1.06	.90
AD8055AR	AD8055AR-ND	Einf. Spann.-Feedback-Verst.	Volt.-Feedback Amp Single	8-SOIC	1.24	1.06	.88
AD8055ARZ	AD8055ARZ-ND	Einf. Spann.-Feedback-Verst.*	Volt.-Feedback Amp Single*	8-SOIC	1.24	1.06	.90
AD8055ART-REEL7	AD8055ART-REEL7CT-ND	Einf. Spann.-Feedback-Verst.	Volt.-Feedback Amp Single	SOT-23-5	1.55	1.24	.93
AD8055ART-REEL7	AD8055ART-REEL7TR-ND	Einf. Spann.-Feedback-Verst.	Volt.-Feedback Amp Single	8-SOIC		2250.00/3,000	
AD8056AR	AD8056AR-ND	Zweif. Spann.-Feedback-Verst.	Volt.-Feedback Amp Dual	8-SOIC	2.33	2.00	1.66
AD8056AR-REEL7	AD8056AR-REEL7TR-ND	Zweif. Spann.-Feedback-Verst.	Volt.-Feedback Amp Dual	8-SOIC		1245.00/750	
AD8056ARM	AD8056ARM-ND	Zweif. Spann.-Feedback-Verst.	Volt.-Feedback Amp Dual	8-MSOP	2.33	2.00	1.80
AD8057AR	AD8057AR-ND	Einf. Spann.-Feedback-Verst.	Volt.-Feedback Amp Single	8-SOIC	1.24	1.06	.88
AD8058AR	AD8058AR-ND	Zweif. Spann.-Feedback-Verst.	Volt.-Feedback Amp Dual	8-SOIC	2.33	2.00	1.80
AD8061ART-REEL7	AD8061ART-REEL7CT-ND	Spann.-Feedback-Verst., R/R	Volt.-Feedback Amp R-R	SOT-23-5	1.55	1.24	.93
AD8061ART-REEL7	AD8061ART-REEL7TR-ND	Spann.-Feedback-Verst., R/R	Volt.-Feedback Amp R-R	SOT-23-5		2250.00/3,000	
AD8062AR	AD8062AR-ND	Spann.-Feedback-Verst., R/R-Ausgang	Volt.-Feedback Amp R-R Out	8-SOIC	2.33	2.00	1.66
AD8062ARM	AD8062ARM-ND	Spann.-Feedback-Verst., R/R-Ausgang	Volt.-Feedback Amp R-R Out	8-MSOP	2.33	2.00	1.66
AD8065AR	AD8065AR-ND	Einf. Spann.-Feedback-Verst., HS	Volt.-Feedback Amp Single HS	8-SOIC	2.31	1.98	1.80
AD8065ART-REEL7	AD8065ART-REEL7CT-ND	Einf. Spann.-Feedback-Verst., HS	Volt.-Feedback Amp Single HS	SOT-23-8	2.07	1.66	1.29
AD8065ART-REEL7	AD8065ART-REEL7TR-ND	Einf. Spann.-Feedback-Verst., HS	Volt.-Feedback Amp Single HS	SOT-23-8		3480.00/3,000	
AD8066AR	AD8066AR-ND	Zweif. Spann.-Feedback-Verst., HS	Volt.-Feedback Amp Dual HS	8-SOIC	3.33	2.86	2.38
AD8066ARM	AD8066ARM-ND	Zweif. Spann.-Feedback-Verst., HS	Volt.-Feedback Amp Dual HS	8-MSOP	3.33	2.86	2.38
AD8067ART-R2	AD8067ART-R2CT-ND	Hochleistungsverst., FET-Eingang	Amp FET-In High Performance	SOT-23-5	5.47	4.38	3.70
AD8067ART-R2	AD8067ART-R2TR-ND	Hochleistungsverst., FET-Eingang	Amp FET-In High Performance	SOT-23-5		715.00/250	
AD8067ART-REEL7	AD8067ART-REEL7CT-ND	Hochleistungsverst., FET-Eingang	Amp FET-In High Performance	SOT-23-5	4.36	3.49	2.72
AD8067ART-REEL7	AD8067ART-REEL7TR-ND	Hochleistungsverst., FET-Eingang	Amp FET-In High Performance	SOT-23-5		6060.00/3,000	
AD8091AR	AD8091AR-ND	Einf. Spann.-Feedback-Verst., R/R	Volt.-Feedback Amp Single R-R	8-SOIC	1.01	.86	.72
AD8092AR	AD8092AR-ND	Zweif. Spann.-Feedback-Verst., R/R	Volt.-Feedback Amp Dual R-R	8-SOIC	1.30	1.12	.95
AD8092ARM	AD8092ARM-ND	Zweif. Spann.-Feedback-Verst., R/R	Volt.-Feedback Amp Dual R-R	8-MSOP	1.30	1.12	.93
AD8092ARZ	AD8092ARZ-ND	Zweif. Spann.-Feedback-Verst., R/R	Volt.-Feedback Amp Dual R-R	8-SOIC	1.30	1.12	.95
AD8099ACP-R2	AD8099ACP-R2CT-ND	Spannungs-Feedback-HS-OpAmp	Volt.-Feedback HS Op Amp	8-LFCSP	4.74	3.80	3.21
AD8099ACP-R2	AD8099ACP-R2TR-ND	Spannungs-Feedback-HS-OpAmp	Volt.-Feedback HS Op Amp	8-LFCSP		637.50/250	
AD8099ACPZ-R2	AD8099ACPZ-R2-ND	Spannungs-Feedback-HS-OpAmp*	Volt.-Feedback HS Op Amp*	8-LFCSP	4.00	3.00	2.48
AD8099ARD	AD8099ARD-ND	Spannungs-Feedback-HS-OpAmp	Volt.-Feedback HS Op Amp	8-SOIC	2.88	2.48	2.06
AD8099ARDZ	AD8099ARDZ-ND	Spannungs-Feedback-HS-OpAmp	Volt.-Feedback HS Op Amp	8-SOIC	2.88	2.48	2.06
AD8132AR	AD8132AR-ND	Differenzialverst., 350 MHz, HS	Differential Amp 350MHz HS	8-SOIC	2.43	2.06	1.80
AD8132ARM	AD8132ARM-ND	Differenzialverst., 350 MHz, HS	Differential Amp 350MHz HS	8-MSOP	2.43	2.06	1.80
AD8132ARZ	AD8132ARZ-ND	Differenzialverst., 350 MHz, HS	Differential Amp 350MHz HS	8-SOIC	2.43	2.06	1.80
AD8137YR	AD8137YR-ND	12-Bit Differenzial-ADU-Treiber	Differential 12-Bit ADC Driver	8-SOIC	1.60	1.36	1.25
AD8137YRZ	AD8137YRZ-ND	12-Bit Differenzial-ADU-Treiber	Differential 12-Bit ADC Driver	8-SOIC	1.60	1.36	1.28
AD8138AR	AD8138AR-ND	Diff.-ADU-Treiber, geringe Verzerrung	Diff. ADC Driver Low Distortion	8-SOIC	4.64	4.20	3.76
AD8138ARM	AD8138ARM-ND	Diff.-ADU-Treiber, geringe Verzerrung	Diff. ADC Driver Low Distortion	8-MSOP	4.64	4.20	3.76
AD8139ARD	AD8139ARD-ND	Differenzial-ADU-Treiber, NL, R/R	Differential LN R-R ADC Driver	8-SOIC	5.22	4.48	3.74
AD8139ARDZ	AD8139ARDZ-ND	Differenzial-ADU-Treiber, NL, R/R	Differential LN R-R ADC Driver	8-SOIC	5.22	4.48	3.74
AD8351ARM	AD8351ARM-ND	Differenzialverst., RF/IF geringe Verzerrung	Diff. RF/IF Amp Low Distribution	10-MSOP	4.82	4.20	3.50
AD8351ARMZ	AD8351ARMZ-ND	Differenzialverst., RF/IF geringe Verzerrung*	Diff. RF/IF Amp Low Distribution*	10-MSOP	4.82	4.20	3.50
AD8351-EVAL	AD8351-EVAL-ND	Evaluierungskarte für AD8351	Evaluation Board for AD8351	—	87.55	—	—
AD8644AR	AD8644AR-ND	Vierf. OpAmp, 18 V, 5,5 MHz	Op Amp 18V Quad 5.5MHz	14-SOIC	3.50	2.60	2.17
AD9631AR	AD9631AR-ND	Spannungs-Feedback-OpAmp, WB	Volt.-Feedback Op Amp WB	8-SOIC	6.24	5.35	4.45
OP42FZ	OP42FZ-ND	Präzisions-OpAmp, schnell einstellend, HS	Op Amp Precision HS Fast Set	8-CDip	4.98	3.98	3.31
OP42GP	OP42GP-ND	Präzisions-OpAmp, schnell einstellend, HS	Op Amp Precision HS Fast Set	8-Dip	2.99	2.39	1.99
OP42GS	OP42GS-ND	Präzisions-OpAmp, schnell einstellend, HS	Op Amp Precision HS Fast Set	8-SOIC	2.99	2.39	1.99
OP42GSZ	OP42GSZ-ND	Präzisions-OpAmp, schnell einstellend, HS	Op Amp Precision HS Fast Set	8-SOIC	2.99	2.39	1.99
OP162GS	OP162GS-ND	OpAmp, 15 MHz, R/R	Op Amp 15MHz R-R	8-SOIC	2.00	1.75	1.46
OP249AZ	OP249AZ-ND	Zweif. Präzisions-OpAmp, JFET, HS	Op Amp Dual JFET Precision HS	8-CDip	15.11	12.07	10.07
OP249FZ	OP249FZ-ND	Zweif. Präzisions-OpAmp, JFET, HS	Op Amp Dual JFET Precision HS	8-CDip	6.82	5.45	4.55
OP249GP	OP249GP-ND	Zweif. Präzisions-OpAmp, JFET, HS	Op Amp Dual JFET Precision HS	8-Dip	2.50	1.93	1.61
OP249GS	OP249GS-ND	Zweif. Präzisions-OpAmp, JFET, HS	Op Amp Dual JFET Precision HS	8-SOIC	2.42	1.93	1.80
OP249GSZ	OP249GSZ-ND	Zweif. Präzisions-OpAmp, JFET, HS	Op Amp Dual JFET Precision HS	8-SOIC	2.42	1.93	1.80
OP271GP	OP271GP-ND	Zweif. OpAmp, HS	Op Amp Dual HS	8-Dip	4.02	3.10	2.80
OP462GS	OP462GS-ND	Vierf. OpAmp, R/R, HS	Op Amp Quad R-R HS	14-SOIC	5.00	4.27	3.55
OP467GP	OP467GP-ND	Vierf. Präzisions-OpAmp, HS	Op Amp Quad Precision HS	14-Dip	9.00	8.63	6.58
OP467GS	OP467GS-ND	Vierf. Präzisions-OpAmp, HS	Op Amp Quad Precision HS	16-SOIC	10.00	9.29	7.08
OP482GP	OP482GP-ND	Vierf. JFET-OpAmp, HS, NL	Op Amp Quad JFET HS Low Power	14-Dip	2.50	2.30	1.92
OP482GS	OP482GS-ND	Vierf. JFET-OpAmp, HS, NL	Op Amp Quad JFET HS Low Power	14-SOIC	2.79	2.07	1.73
		Instrumentierung					
AD521JD	AD521JD-ND	Instrumentierungsverst., progr. Verstärkung	Instrumentation Amp Prog. Gain	14-Dip	31.87	26.67	25.00
AD524AD	AD524AD-ND	Präzisions-Instrumentierungsverst.	Instrumentation Amp Precision	16-Dip	17.27	14.45	11.02
AD524AR-16	AD524AR-16-ND	Präzisions-Instrumentierungsverst.	Instrumentation Amp Precision	16-SOIC	16.18	10.31	9.00
AD524BD	AD524BD-ND	Präzisions-Instrumentierungsverst.	Instrumentation Amp Precision	16-Dip	27.13	22.70	17.30
AD524CD	AD524CD-ND	Präzisions-Instrumentierungsverst.	Instrumentation Amp Precision	16-Dip	43.62	36.50	35.00
AD526BD	AD526BD-ND	Verst. mit progr. Verstärkungssoftware	Gain Amp Software Prog.	16-Dip	17.35	14.52	11.07
AD526JN	AD526JN-ND	Verst. mit progr. Verstärkungssoftware	Gain Amp Software Prog.	16-Dip	8.81	7.36	5.61
AD526JNZ	AD526JNZ-ND	Verst. mit progr. Verstärkungssoftware*	Gain Amp Software Prog.*	16-Dip	8.81	7.36	5.61
AD595AD	AD595AD-ND	Thermoelement-Instrumentierungsverst.	Thermocouple Instrumentation Amp	14-CDip	22.23	16.68	12.23
AD595CD	AD595CD-ND	Thermoelement-Instrumentierungsverst.	Thermocouple Instrumentation Amp	14-CDip	33.93	25.45	18.67
AD620AN	AD620AN-ND	Instrumentierungsverst., NL	Instrumentation Amp LP	8-Dip	4.77	4.08	3.40
AD620ANZ	AD620ANZ-ND	Instrumentierungsverst., NL*	Instrumentation Amp LP*	8-Dip	4.77	4.08	3.40
AD620AR	AD620AR-ND	Instrumentierungsverst., NL	Instrumentation Amp LP	8-SOIC	4.77	4.08	3.40
AD620AR-REEL7	AD620AR-REEL7TR-ND	Instrumentierungsverst., NL	Instrumentation Amp LP	8-SOIC		2550.00/750	
AD620BN	AD620BN-ND	Instrumentierungsverst., NL	Instrumentation Amp LP	8-Dip	7.16	6.13	5.11
AD620BNZ	AD620BNZ-ND	Instrumentierungsverst., NL	Instrumentation Amp LP	8-Dip	7.16	6.13	5.11
AD620BR	AD620BR-ND	Instrumentierungsverst., NL	Instrumentation Amp LP	8-SOIC	7.16	6.13	5.11
AD620BR-REEL7	AD620BR-REEL7CT-ND	Instrumentierungsverst., NL	Instrumentation Amp LP	8-SOIC	8.42	6.74	5.69
AD620BR-REEL7	AD620BR-REEL7TR-ND	Instrumentierungsverst., NL	Instrumentation Amp LP	8-SOIC		3832.50/750	
AD621AN	AD621AN-ND	Instrumentierungsverst., NL, driftarm	Instrumentation Amp LP Low Drift	8-Dip	5.57	4.78	3.98
AD621ANZ	AD621ANZ-ND	Instrumentierungsverst., NL, driftarm*	Instrumentation Amp LP Low Drift*	8-Dip	5.57	4.78	3.98
AD621AR	AD621AR-ND	Instrumentierungsverst., NL, driftarm	Instrumentation Amp LP Low Drift	8-SOIC	5.57	4.78	3.98
AD621ARZ	AD621ARZ-ND	Instrumentierungsverst., NL, driftarm*	Instrumentation Amp LP Low Drift*	8-SOIC	5.57	4.78	3.98
AD621BN	AD621BN-ND	Instrumentierungsverst., NL, driftarm	Instrumentation Amp LP Low Drift	8-Dip	8.36	7.17	5.97
AD621BNZ	AD621BNZ-ND	Instrumentierungsverst., NL, driftarm*	Instrumentation Amp LP Low Drift*	8-Dip	8.36	7.17	5.97
AD621BR	AD621BR-ND	Instrumentierungsverst., NL, driftarm	Instrumentation Amp LP Low Drift	8-SOIC	8.36	7.17	5.97
AD621BRZ	AD621BRZ-ND	Instrumentierungsverst., NL, driftarm*	Instrumentation Amp LP Low Drift*	8-SOIC	8.36	7.17	5.97
AD622AN	AD622AN-ND	Instrumentierungsverst.	Instrumentation Amp	8-Dip	3.28	2.81	2.50
AD622ANZ	AD622ANZ-ND	Instrumentierungsverst.*	Instrumentation Amp*	8-Dip	3.28	2.81	2.35
AD622AR	AD622AR-ND	Instrumentierungsverst.	Instrumentation Amp	8-SOIC	3.28	2.81	2.50
AD622ARZ	AD622ARZ-ND	Instrumentierungsverst.*	Instrumentation Amp*	8-SOIC	3.28	2.81	2.50
AD622AR-REEL7	AD622AR-REEL7CT-ND	Instrumentierungsverst.	Instrumentation Amp	8-SOIC	4.34	3.48	2.71
AD622AR-REEL7	AD622AR-REEL7TR-ND	Instrumentierungsverst.	Instrumentation Amp	8-SOIC		1762.50/750	
AD623AN	AD623AN-ND	Instrumentierungsverst., R/R-Ausgang	Instrumentation Amp R-R Out	8-Dip	2.26	1.93	1.80
AD623ANZ	AD623ANZ-ND	Instrumentierungsverst., R/R-Ausgang*	Instrumentation Amp R-R Out*	8-Dip	2.26	1.93	1.80

* Bleifrei/RoHS-konform

(Forts.)

★ ***RUFEN SIE BITTE AN FÜR NIEDRIGERE PREISE BEI GRÖSSEREN MENGEN!*** ★

B

Analog Devices Teilenr.	Digi-Key Teilenr.	Beschreibung		Paket	Stückpreis★ 1	25	100
AD623AR	AD623AR-ND	Instrumentierungsverst., R/R-Ausgang	Instrumentation Amp R-R Out	8-SOIC	1.93	1.61	1.50
AD623ARZ	AD623ARZ-ND	Instrumentierungsverst., R/R-Ausgang	Instrumentation Amp R-R Out	8-SOIC	1.93	1.61	1.50
AD623AR-REEL7	AD623AR-REEL7TR-ND	Instrumentierungsverst., R/R-Ausgang	Instrumentation Amp R-R Out	8-SOIC		1110.00/1,000	
AD623ARM	AD623ARM-ND	Instrumentierungsverst., R/R-Ausgang	Instrumentation Amp R-R Out	8-MSOP	1.93	1.61	1.50
AD623BR	AD623BR-ND	Instrumentierungsverst., R/R-Ausgang	Instrumentation Amp R-R Out	8-SOIC	3.50	3.00	2.50
AD623BRZ	AD623BRZ-ND	Instrumentierungsverst., R/R-Ausgang*	Instrumentation Amp R-R Out*	8-SOIC	3.50	3.00	2.50
AD624AD	AD624AD-ND	Präzisions-Instrumentierungsverst., NL	Instrumentation Amp Precision LN	16-Dip	20.76	17.38	13.25
AD624BD	AD624BD-ND	Präzisions-Instrumentierungsverst., NL	Instrumentation Amp Precision LN	16-Dip	34.02	28.47	25.00
AD624CD	AD624CD-ND	Präzisions-Instrumentierungsverst., NL	Instrumentation Amp Precision LN	16-Dip	50.96	42.63	40.00
AD625AD	AD625AD-ND	Instrumentierungsverst., progr. Verstärkung	Instrumentation Amp Prog. Gain	16-Dip	17.45	14.61	11.12
AD625BD	AD625BD-ND	Instrumentierungsverst., progr. Verstärkung	Instrumentation Amp Prog. Gain	16-Dip	29.49	24.67	18.81
AD625JN	AD625JN-ND	Instrumentierungsverst., progr. Verstärkung	Instrumentation Amp Prog. Gain	16-Dip	12.12	10.13	7.73
AD625JNZ	AD625JNZ-ND	Instrumentierungsverst., progr. Verstärkung*	Instrumentation Amp Prog. Gain*	16-Dip	12.12	10.13	7.73
AD625KN	AD625KN-ND	Instrumentierungsverst., progr. Verstärkung	Instrumentation Amp Prog. Gain	16-Dip	17.18	14.38	10.96
AD625KNZ	AD625KNZ-ND	Instrumentierungsverst., progr. Verstärkung*	Instrumentation Amp Prog. Gain*	16-Dip	17.18	14.38	10.96
AD626AN	AD626AN-ND	Diff.-Verst., echt einzelversorgt	Diff. Amp True Single Supply	8-Dip	5.11	4.28	3.26
AD626ANZ	AD626ANZ-ND	Diff.-Verst., echt einzelversorgt*	Diff. Amp True Single Supply*	8-Dip	5.11	4.28	3.26
AD626AR	AD626AR-ND	Diff.-Verst., echt einzelversorgt	Diff. Amp True Single Supply	8-SOIC	5.11	4.28	3.26
AD626BNZ	AD626BNZ-ND	Diff.-Verst., echt einzelversorgt*	Diff. Amp True Single Supply*	8-Dip	6.98	5.84	4.45
AD627AN	AD627AN-ND	Instrumentierungsverst., Einzel-/Doppel-R/R	Instrumentation Amp Single/Dual R-R	8-Dip	3.36	2.88	2.40
AD627ANZ	AD627ANZ-ND	Instrumentierungsverst., Einzel-/Doppel-R/R*	Instrumentation Amp Single/Dual R-R*	8-Dip	3.36	2.88	2.40
AD627AR	AD627AR-ND	Instrumentierungsverst., Einzel-/Doppel-R/R	Instrumentation Amp Single/Dual R-R	8-SOIC	3.50	2.88	2.40
AD627ARZ-R7	AD627ARZ-R7CT-ND	Instrumentierungsverst., Einzel-/Doppel-R/R*	Instrumentation Amp Single/Dual R-R*	8-SOIC	4.59	3.68	3.10
AD627ARZ-R7	AD627ARZ-R7TR-ND	Instrumentierungsverst., Einzel-/Doppel-R/R*	Instrumentation Amp Single/Dual R-R*	8-SOIC		2030.00/1,000	
AD627BR	AD627BR-ND	Instrumentierungsverst., Einzel-/Doppel-R/R	Instrumentation Amp Single/Dual R-R	8-SOIC	4.69	4.02	3.36
AD628AR	AD628AR-ND	Diff-Verst., progr. hohe Gleichtaktmodus-Spann.	Diff. Amp High-Common Mode Voltage Programmable	8-SOIC	2.48	2.10	1.90
AD628ARZ	AD628ARZ-ND	Diff-Verst., progr. hohe Gleichtaktmodus-Spann.*	Diff. Amp High-Common Mode Voltage Programmable*	8-SOIC	2.48	2.10	1.90
AD628ARM	AD628ARM-ND	Diff-Verst., progr. hohe Gleichtaktmodus-Spann.	Diff. Amp High-Common Mode Voltage Programmable	8-MSOP	2.48	2.10	1.90
AD628ARMZ	AD628ARMZ-ND	Diff-Verst., progr. hohe Gleichtaktmodus-Spann.*	Diff. Amp High-Common Mode Voltage Programmable*	8-MSOP	2.48	2.10	2.00
AD629AN	AD629AN-ND	Diff-Verst., hohe Gleichtaktmodus-Spann.	Diff. Amp High-Common Mode Volt.	8-Dip	3.72	3.19	2.66
AD629ANZ	AD629ANZ-ND	Diff-Verst., hohe Gleichtaktmodus-Spann.*	Diff. Amp High-Common Mode Volt.*	8-Dip	3.72	3.19	2.66
AD629AR	AD629AR-ND	Diff-Verst., hohe Gleichtaktmodus-Spann.	Diff. Amp High-Common Mode Volt.	8-SOIC	3.72	3.19	2.66
AD629ARZ	AD629ARZ-ND	Diff-Verst., hohe Gleichtaktmodus-Spann.	Diff. Amp High-Common Mode Volt.	8-SOIC	3.72	3.19	2.66
AD629BN	AD629BN-ND	Diff-Verst., hohe Gleichtaktmodus-Spann.	Diff. Amp High-Common Mode Volt.	8-Dip	5.76	4.93	4.12
AD629BNZ	AD629BNZ-ND	Diff-Verst., hohe Gleichtaktmodus-Spann.*	Diff. Amp High-Common Mode Volt.*	8-Dip	5.76	4.93	4.12
AD629BR	AD629BR-ND	Diff-Verst., hohe Gleichtaktmodus-Spann.	Diff. Amp High-Common Mode Volt.	8-SOIC	5.76	4.93	4.12
AD629BRZ	AD629BRZ-ND	Diff-Verst., hohe Gleichtaktmodus-Spann.*	Diff. Amp High-Common Mode Volt.*	8-SOIC	5.76	4.93	4.12
AD8225AR	AD8225AR-ND	Präzisions-Instrumentierungsverst., Verstärkungsfaktor 5	Instrument Amp Precision Gain of 5	8-SOIC	4.31	3.69	3.07
AD8225ARZ	AD8225ARZ-ND	Präzisions-Instrumentierungsverst., Verstärkungsfaktor 5*	Instrument Amp Precision Gain of 5*	8-SOIC	4.31	3.69	3.07
AD8555ACPZ-R2	AD8555ACPZ-R2CT-ND	Digital programmierbarer Sensorsignalverst., 0-Drift	0-Drift, Digitally Programmable Sensor Signal Amp	16-LFCSP	7.38	5.91	4.99
AD8555ACPZ-R2	AD8555ACPZ-R2TR-ND	Digital programmierbarer Sensorsignalverst., 0-Drift	0-Drift, Digitally Programmable Sensor Signal Amp	16-LFCSP		965.00/250	
AD8555AR	AD8555AR-ND	Digital programmierbarer Sensorsignalverst., 0-Drift	0-Drift, Digitally Programmable Sensor Signal Amp	8-SOIC	4.64	3.71	3.10
AD8555ARZ	AD8555ARZ-ND	Digital programmierbarer Sensorsignalverst., 0-Drift	0-Drift, Digitally Programmable Sensor Signal Amp	8-SOIC	4.64	3.71	3.10
AMP01EX	AMP01EX-ND	Präzisions-Instrumentierungsverst., NL	Amp Instrument Precision LN	18-CDip	26.81	22.44	17.09
AMP01FX	AMP01FX-ND	Präzisions-Instrumentierungsverst., NL	Amp Instrument Precision LN	18-CDip	15.69	13.13	10.02
AMP01GS	AMP01GS-ND	Präzisions-Instrumentierungsverst., NL	Amp Instrument Precision LN	20-SOIC	14.12	11.80	9.00
AMP02EP	AMP02EP-ND	Präzisions-Instrumentierungsverst.	Amp Instrument Precision	8-Dip	12.00	11.62	8.86
AMP02FP	AMP02FP-ND	Präzisions-Instrumentierungsverst.	Amp Instrument Precision	8-Dip	7.00	6.97	5.31
AMP02FS	AMP02FS-ND	Präzisions-Instrumentierungsverst.	Amp Instrument Precision	16-SOIC	7.00	6.97	5.31
AMP04EP	AMP04EP-ND	Präzisions-Instrumentierungsverst., einzelversorgt	Amp Instrument Precision Single	8-Dip	9.00	8.88	6.77
AMP04ES	AMP04ES-ND	Präzisions-Instrumentierungsverst., einzelversorgt	Amp Instrument Precision Single	8-SOIC	9.00	8.88	6.77
AMP04FP	AMP04FP-ND	Präzisions-Instrumentierungsverst., einzelversorgt	Amp Instrument Precision Single	8-Dip	7.00	6.32	4.82
AMP04FS	AMP04FS-ND	Präzisions-Instrumentierungsverst., einzelversorgt	Amp Instrument Precision Single	8-SOIC	7.00	6.32	4.82
OP227EY	OP227EY-ND	Zweif. Instrumentierungs-OpAmp, NL	Op Amp Dual Instrument LN	14-CDip	16.53	15.42	14.32
OP227GY	OP227GY-ND	Zweif. Instrumentierungs-OpAmp, NL	Op Amp Dual Instrument LN	14-CDip	9.74	8.78	7.78
		Isolierung					
AD202JN	AD202JN-ND	Isolierter Verst., 2-Port, 2 KHz	Isolated Amp 2-Port 2KHz	38-Dip	39.79	34.49	24.76
AD202JY	AD202JY-ND	Isolierter Verst., 2-Port, 2 KHz	Isolated Amp 2-Port 2KHz	38-Sip	39.79	34.49	24.76
AD202KN	AD202KN-ND	Isolierter Verst., 2-Port, 2 KHz	Isolated Amp 2-Port 2KHz	38-Dip	45.98	39.79	28.30
AD202KY	AD202KY-ND	Isolierter Verst., 2-Port, 2 KHz	Isolated Amp 2-Port 2KHz	38-Sip	45.98	39.79	28.30
AD203SN	AD203SN-ND	Isolierter Verst., 10 KHz	Isolated Amp 10KHz	38-Dip	114.49	98.44	77.04
AD204JN	AD204JN-ND	Isolierter Verst., 4-Kanal	Isolated Amp 4-Channel	10-Dip	34.49	30.07	22.11
AD204JY	AD204JY-ND	Isolierter Verst., 2-Port, 5 KHz	Isolated Amp 2-Port 5KHz	38-Sip	34.49	30.07	22.11
AD210AN	AD210AN-ND	Isolierter Verst., 3-Port, 20 KHz	Isolated Amp 3-Port 20KHz	12-Dip	63.67	55.71	43.33
AD210BN	AD210BN-ND	Isolierter Verst., 3-Port, 20 KHz	Isolated Amp 3-Port 20KHz	12-Dip	78.70	67.21	52.17
AD210JN	AD210JN-ND	Isolierter Verst., 3-Port, 20 KHz	Isolated Amp 3-Port 20KHz	12-Dip	58.36	50.40	38.91
AD215BY	AD215BY-ND	Isolierter Verst., 120 KHz	Isolated Amp 120KHz	12-Sip	67.12	58.36	44.21
		Leitungstreiber					
AD815ARB-24	AD815ARB-24-ND	Diff.-Treiber, hoher Ausgangsstrom	High Output Current Diff. Driver	24-SOIC	8.11	6.79	5.17
AD8016ARE	AD8016ARE-ND	XDSL-Leitungstreiberverst.	Amp XDSL Line Driver	28-TSSOP	4.00	3.76	3.67
AD8018AR-REEL7	AD8018AR-REEL7CT-ND	XDSL-Leitungstreiber, R/R	XDSL Line Driver R-R	8-SOIC	4.99	4.00	3.38
AD8018AR-REEL7	AD8018AR-REEL7TR-ND	XDSL-Leitungstreiber, R/R	XDSL Line Driver R-R	8-SOIC		2450.00/1,000	
AD45048AR	AD45048AR-ND	ADSL-Leitungstreiber, R/R	ADSL Line Driver R-R	8-SOIC	2.64	2.55	2.40
		Log					
AD606JN	AD606JN-ND	Logarithmischer Verstärker, demodulierend, 50 MHz, 5 V	Demod Log Amp 50MHz 5V	16-Dip	38.06	31.84	30.00
AD606JR	AD606JR-ND	Logarithmischer Verstärker, demodulierend, 50 MHz, 5 V	Demod Log Amp 50MHz 5V	16-SOIC	38.06	31.84	30.00
AD640BP	AD640BP-ND	Logarithmischer Verstärker, demodulierend	Logarithmic Amp Demod	20-PLCC	101.67	85.07	64.84
AD640JN	AD640JN-ND	Logarithmischer Verstärker, demodulierend	Logarithmic Amp Demod	20-Dip	45.69	38.23	35.00
AD641AP	AD641AP-ND	Logarithmischer Verstärker, demodulierend	Logarithmic Amp Demod	20-PLCC	41.11	40.00	36.00
AD8304ARU	AD8304ARU-ND	Logarithmischer Wandler, 160 dB	Logarithmic Converter 160dB	14-TSSOP	14.71	13.38	12.16
AD8304ARUZ	AD8304ARUZ-ND	Logarithmischer Wandler, 160 dB*	Logarithmic Converter 160dB*	14-TSSOP	14.71	13.38	12.16
AD8305ACP-R2	AD8305ACP-R2CT-ND	Logarithmischer Wandler, 100 dB	Logarithmic Converter 100dB	16-LFCSP	12.11	10.91	9.68
AD8305ACP-R2	AD8305ACP-R2TR-ND	Logarithmischer Wandler, 100 dB	Logarithmic Converter 100dB	16-LFCSP		1900.00/250	
AD8306AR	AD8306AR-ND	Logarithmischer Verstärker, 5-400 MHz	Logarithmic Amp 5-400MHz	16-SOIC	21.12	20.12	16.36
AD8307AN	AD8307AN-ND	Logarithmischer Verstärker, 92 dB	Logarithmic Amp 92dB	8-Dip	8.62	7.30	6.28
AD8307AR	AD8307AR-ND	Logarithmischer Verstärker, 92 dB	Logarithmic Amp 92dB	8-SOIC	8.62	7.30	6.28
AD8307AR-REEL7	AD8307AR-REEL7CT-ND	Logarithmischer Verstärker, 92 dB	Logarithmic Amp 92dB	8-SOIC	10.02	9.02	8.00
AD8307AR-REEL7	AD8307AR-REEL7TR-ND	Logarithmischer Verstärker, 92 dB	Logarithmic Amp 92dB	8-SOIC		4710.00/750	
AD8309ARU	AD8309ARU-ND	Logarithmischer Verstärker, 100 dB	Logarithmic Amp 100dB	16-TSSOP	11.50	11.06	8.62
AD8309-EVAL	AD8309-EVAL-ND	Evaluierungskarte für AD8309	Evaluation Board for AD8309	—	87.55	—	—
AD8310ARM	AD8310ARM-ND	Logarithmischer Verstärker, 95 dB	Logarithmic Amp 95dB	8-MSOP	6.06	5.08	4.38
AD8310-EVAL	AD8310-EVAL-ND	Evaluierungskarte für AD8310	Evaluation Board for AD8310	—	87.55	—	—
AD8313ARM	AD8313ARM-ND	Logarithmischer Verstärker, 70 dB	Logarithmic Amp 70dB	8-MSOP	16.14	13.49	10.83
AD8313ARM-REEL7	AD8313ARM-REEL7CT-ND	Logarithmischer Verstärker, 70 dB	Logarithmic Amp 70dB	8-MSOP	15.56	14.52	13.49
AD8313ARM-REEL7	AD8313ARM-REEL7TR-ND	Logarithmischer Verstärker, 70 dB	Logarithmic Amp 70dB	8-MSOP		6980.00/1,000	
AD8313-EVAL	AD8313-EVAL-ND	Evaluierungskarte für AD8313	Evaluation Board for AD8313	—	87.55	—	—
ADL5310ACP-R2	ADL5310ACP-R2CT-ND	Zweif. logarithmischer Wandler, 120 dB	Dual Logarithmic Converter, 120dB	24-LFCSP	15.82	14.77	13.72
ADL5310ACP-R2	ADL5310ACP-R2TR-ND	Zweif. logarithmischer Wandler, 120 dB	Dual Logarithmic Converter, 120dB	24-LFCSP		2755.00/250	
		Rauscharm					
AD795JR	AD795JR-ND	Präzisions-OpAmp, FET, NL, rauscharm	Precision Op Amp FET LP LN	8-SOIC	4.57	3.83	2.92
AD795JRZ	AD795JRZ-ND	Präzisions-OpAmp, FET, NL, rauscharm*	Precision Op Amp FET LP LN*	8-SOIC	4.57	3.83	2.92
AD797AN	AD797AN-ND	OpAmp, geringe Verzerrung, rauscharm	Op Amp Low Distortion LN	8-Dip	6.64	5.55	4.24
AD797ANZ	AD797ANZ-ND	OpAmp, geringe Verzerrung, rauscharm*	Op Amp Low Distortion LN*	8-Dip	6.64	5.55	4.24
AD797AR	AD797AR-ND	OpAmp, geringe Verzerrung, rauscharm	Op Amp Low Distortion LN	8-SOIC	6.64	5.55	4.24

* Bleifrei/RoHS-konform

(Forts.)

★ RUFEN SIE BITTE AN FÜR NIEDRIGERE PREISE BEI GRÖSSEREN MENGEN! ★

Analog Devices Teilenr.	Digi-Key Teilenr.	Beschreibung		Paket	Stückpreis★ 1	25	100
AD797BR	AD797BR-ND	OpAmp, geringe Verzerrung, rauscharm	Op Amp Low Distortion LN	8-SOIC	9.02	7.55	5.76
AD8350AR20	AD8350AR20-ND	Verst., Diff., geringe Verzerrung	Amp Diff Low-Distortion	8-SOIC	3.49	3.17	2.88
AD8350ARM15	AD8350ARM15-ND	Verst., Diff., geringe Verzerrung	Amp Diff Low-Distortion	8-MSOP	3.49	3.17	2.88
AD8510AR	AD8510AR-ND	Einf. Präzisions-OpAmp, JFET, rauscharm	Prec. Op Amp JFET Single LN	8-SOIC	1.55	1.23	1.10
AD8510BR	AD8510BR-ND	Einf. Präzisions-OpAmp, JFET, rauscharm	Prec. Op Amp JFET Single LN	8-SOIC	3.24	2.60	2.16
AD8510BRZ	AD8510BRZ-ND	Einf. Präzisions-OpAmp, JFET, rauscharm*	Prec. Op Amp JFET Single LN*	8-SOIC	3.24	2.60	2.16
AD8512AR	AD8512AR-ND	Zweif. Präzisions-OpAmp, JFET, rauscharm	Prec. Op Amp JFET Dual LN	8-SOIC	2.65	2.12	1.80
AD8512ARZ	AD8512ARZ-ND	Zweif. Präzisions-OpAmp, JFET, rauscharm*	Prec. Op Amp JFET Dual LN*	8-SOIC	2.65	2.12	2.00
AD8512BR	AD8512BR-ND	Zweif. Präzisions-OpAmp, JFET, rauscharm	Prec. Op Amp JFET Dual LN	8-SOIC	6.62	5.30	4.41
AD8512BRZ	AD8512BRZ-ND	Zweif. Präzisions-OpAmp, JFET, rauscharm*	Prec. Op Amp JFET Dual LN*	8-SOIC	6.62	5.30	4.41
AD8610AR	AD8610AR-ND	Präzisions-OpAmp, JFET, rauscharm	Op Amp Precision JFET LN	8-SOIC	5.31	4.25	3.54
AD8610BR	AD8610BR-ND	Präzisions-OpAmp, JFET, rauscharm	Op Amp Precision JFET LN	8-SOIC	13.93	11.14	9.29
AD8651AR	AD8651AR-ND	OpAmp, 50 MHz, geringe Verzerrung, rauscharm	Op Amp 50MHz Low Distortion LN	8-SOIC	1.66	1.33	1.28
AD8651ARZ	AD8651ARZ-ND	OpAmp, 50 MHz, geringe Verzerrung, rauscharm*	Op Amp 50MHz Low Distortion LN*	8-SOIC	1.66	1.33	1.28
AD8651ARM-R2	AD8651ARM-R2CT-ND	OpAmp, 50 MHz, geringe Verzerrung, rauscharm	Op Amp 50MHz Low Distortion LN	8-MSOP	3.18	2.55	1.98
AD8651ARM-R2	AD8651ARM-R2TR-ND	OpAmp, 50 MHz, geringe Verzerrung, rauscharm	Op Amp 50MHz Low Distortion LN	8-MSOP		370.00/250	
AD8651ARMZ-R2	AD8651ARMZ-R2CT-ND	OpAmp, 50 MHz, geringe Verzerrung, rauscharm*	Op Amp 50MHz Low Distortion LN*	8-MSOP	3.18	2.55	1.98
AD8651ARMZ-R2	AD8651ARMZ-R2TR-ND	OpAmp, 50 MHz, geringe Verzerrung, rauscharm*	Op Amp 50MHz Low Distortion LN*	8-MSOP		370.00/250	
AD8671AR	AD8671AR-ND	Einf. Präzisions-OpAmp, rauscharm	Op Amp Precision Single LN	8-SOIC	1.64	1.31	1.30
AD8671ARZ	AD8671ARZ-ND	Einf. Präzisions-OpAmp, rauscharm*	Op Amp Precision Single LN*	8-SOIC	1.64	1.31	1.30
AD8671ARM-R2	AD8671ARM-R2CT-ND	Einf. Präzisions-OpAmp, rauscharm	Op Amp Precision Single LN	8-MSOP	2.84	2.28	1.77
AD8671ARM-R2	AD8671ARM-R2TR-ND	Einf. Präzisions-OpAmp, rauscharm	Op Amp Precision Single LN	8-MSOP		327.50/250	
AD8671ARMZ-R2	AD8671ARMZ-R2CT-ND	Einf. Präzisions-OpAmp, rauscharm*	Op Amp Precision Single LN*	8-MSOP	2.84	2.28	1.77
AD8671ARMZ-R2	AD8671ARMZ-R2TR-ND	Einf. Präzisions-OpAmp, rauscharm*	Op Amp Precision Single LN*	8-MSOP		327.50/250	
AD8672AR	AD8672AR-ND	Zweif. Präzisions-OpAmp, rauscharm	Op Amp Precision Dual LN	8-SOIC	2.68	2.14	2.00
AD8672ARZ	AD8672ARZ-ND	Zweif. Präzisions-OpAmp, rauscharm*	Op Amp Precision Dual LN*	8-SOIC	2.68	2.14	2.00
AD8672ARM-R2	AD8672ARM-R2CT-ND	Zweif. Präzisions-OpAmp, rauscharm	Op Amp Precision Dual LN	8-MSOP	4.61	3.69	2.87
AD8672ARM-R2	AD8672ARM-R2TR-ND	Zweif. Präzisions-OpAmp, rauscharm	Op Amp Precision Dual LN	8-MSOP		535.00/250	
AD8672ARMZ-R2	AD8672ARMZ-R2CT-ND	Zweif. Präzisions-OpAmp, rauscharm	Op Amp Precision Dual LN	8-MSOP	4.61	3.69	2.87
AD8672ARMZ-R2	AD8672ARMZ-R2TR-ND	Zweif. Präzisions-OpAmp, rauscharm	Op Amp Precision Dual LN	8-MSOP		535.00/250	
AD8674AR	AD8674AR-ND	Vierf. Präzisions-OpAmp, rauscharm	Op Amp Prec. Quad LN	14-SOIC	5.04	4.03	3.36
AD8674ARZ	AD8674ARZ-ND	Vierf. Präzisions-OpAmp, rauscharm*	Op Amp Prec. Quad LN*	14-SOIC	5.04	4.03	3.36
AD8674ARU	AD8674ARU-ND	Vierf. Präzisions-OpAmp, rauscharm	Op Amp Prec. Quad LN	14-TSSOP	5.04	4.03	3.36
AD8674ARUZ	AD8674ARUZ-ND	Vierf. Präzisions-OpAmp, rauscharm*	Op Amp Prec. Quad LN*	14-TSSOP	5.04	4.03	3.36
OP27AZ	OP27AZ-ND	Präzisions-OpAmp, rauscharm	Op Amp Precision Low Noise	8-CDip	31.04	24.83	22.00
OP27EP	OP27EP-ND	Präzisions-OpAmp, rauscharm	Op Amp Precision Low Noise	8-Dip	3.50	3.21	2.57
OP27EZ	OP27EZ-ND	Präzisions-OpAmp, rauscharm	Op Amp Precision Low Noise	8-CDip	13.28	10.63	8.85
OP27GP	OP27GP-ND	Präzisions-OpAmp, rauscharm	Op Amp Precision Low Noise	8-Dip	1.46	1.39	1.30
OP27GS	OP27GS-ND	Präzisions-OpAmp, rauscharm	Op Amp Precision Low Noise	8-SOIC	1.46	1.39	1.30
OP27GSZ	OP27GSZ-ND	Präzisions-OpAmp, rauscharm	Op Amp Precision Low Noise	8-SOIC	1.46	1.39	1.30
OP113ES	OP113ES-ND	OpAmp, einzelversorgt, rauscharm	Op Amp Single Supply LN	8-SOIC	4.00	3.96	3.02
OP113FS	OP113FS-ND	OpAmp, einzelversorgt, rauscharm	Op Amp Single Supply LN	8-SOIC	2.44	2.04	1.55
OP213ES	OP213ES-ND	Zweif. OpAmp, einzelversorgt, rauscharm	Op Amp Dual Single Supply LN	8-SOIC	8.00	7.53	5.74
OP213FP	OP213FP-ND	Zweif. OpAmp, einzelversorgt, rauscharm	Op Amp Dual Single Supply LN	8-Dip	2.50	2.42	1.85
OP213FS	OP213FS-ND	Zweif. OpAmp, einzelversorgt, rauscharm	Op Amp Dual Single Supply LN	8-SOIC	2.89	2.42	2.00
OP270EZ	OP270EZ-ND	Zweif. Präzisions-OpAmp, rauscharm	Op Amp Dual Precision LN	8-CDip	10.35	8.28	6.90
OP270FZ	OP270FZ-ND	Zweif. Präzisions-OpAmp, rauscharm	Op Amp Dual Precision LN	8-CDip	7.76	6.21	5.17
OP270GP	OP270GP-ND	Zweif. Präzisions-OpAmp, rauscharm	Op Amp Dual Precision LN	8-Dip	3.50	3.10	2.48
OP270GS	OP270GS-ND	Zweif. Präzisions-OpAmp, rauscharm	Op Amp Dual Precision LN	16-SOIC	3.50	3.10	2.48
OP413ES	OP413ES-ND	Vierf. OpAmp, driftarm	Op Amp Quad Low Drift	16-SOIC	11.00	10.85	8.26
OP413FS	OP413FS-ND	Vierf. OpAmp, driftarm	Op Amp Quad Low Drift	16-SOIC	6.26	5.23	3.99
OP470EY	OP470EY-ND	Vierf. Präzisions-OpAmp, sehr rauscharm	Op Amp Quad Very LN	14-Dip	15.11	12.07	10.07
OP470GP	OP470GP-ND	Vierf. Präzisions-OpAmp, sehr rauscharm	Op Amp Quad Very LN	14-Dip	—	4.85	—
OP470GS	OP470GS-ND	Vierf. Präzisions-OpAmp, sehr rauscharm	Op Amp Quad Very LN	16-SOIC	6.13	4.68	3.91
OP471EY	OP471EY-ND	Vierf. HS-OpAmp, rauscharm	Op Amp Quad High Speed LN	14-Dip	18.12	15.16	11.55
OP471GP	OP471GP-ND	Vierf. HS-OpAmp, rauscharm	Op Amp Quad High Speed LN	14-Dip	6.00	5.13	4.36
OP471GS	OP471GS-ND	Vierf. HS-OpAmp, rauscharm	Op Amp Quad High Speed LN	16-SOIC	6.00	5.13	4.36
OP490GS-REEL	OP490GS-REELCT-ND	Vierf. OpAmp, Micropower	Op Amp Quad Micropower	16-SOIC	7.04	5.64	4.76
OP490GS-REEL	OP490GS-REELTR-ND	Vierf. OpAmp, Micropower	Op Amp Quad Micropower	16-SOIC		3310.00/1,000	
OP495GP	OP495GP-ND	Vierf. OpAmp, R/R	Op Amp Quad R-R	14-Dip	6.27	5.26	4.00
OP1177AR	OP1177AR-ND	Präzisions-OpAmp, rauscharm	Op Amp Precision LN	8-SOIC	1.31	1.05	.86
OP2177AR	OP2177AR-ND	Zweif. Präzisions-OpAmp, rauscharm	Op Amp Dual Precision LN	8-SOIC	1.31	1.05	.86
OP2177AR-REEL7	OP2177AR-REEL7TR-ND	Zweif. Präzisions-OpAmp, rauscharm	Op Amp Dual Precision LN	8-SOIC		1340.00/1,000	
OP2177ARM-R2	OP2177ARM-R2CT-ND	Zweif. Präzisions-OpAmp, rauscharm	Op Amp Dual Precision LN	8-MSOP	3.85	3.08	2.40
OP2177ARM-R2	OP2177ARM-R2TR-ND	Zweif. Präzisions-OpAmp, rauscharm	Op Amp Dual Precision LN	8-MSOP		568.70/250	
OP2177ARM-REEL	OP2177ARM-REELCT-ND	Zweif. Präzisions-OpAmp, rauscharm	Op Amp Dual Precision LN	8-MSOP	2.88	2.31	1.79
OP2177ARM-REEL	OP2177ARM-REELTR-ND	Zweif. Präzisions-OpAmp, rauscharm	Op Amp Dual Precision LN	8-MSOP		4020.00/3,000	
		Niedrigleistung					
AD818AN	AD818AN-ND	Video-OpAmp, 130 MHz, NL	Video Op Amp 130MHz LP	8-Dip	2.56	2.20	2.00
AD818ANZ	AD818ANZ-ND	Video-OpAmp, 130 MHz, NL*	Video Op Amp 130MHz LP*	8-Dip	2.56	2.20	2.00
AD818AR	AD818AR-ND	Video-OpAmp, 130 MHz, NL	Video Op Amp 130MHz LP	8-SOIC	2.56	2.20	2.00
AD820AN	AD820AN-ND	OpAmp, FET, R/R, NL	Op Amp FET R-R Low Power	8-Dip	2.47	2.35	1.80
AD820ANZ	AD820ANZ-ND	OpAmp, FET, R/R, NL*	Op Amp FET R-R Low Power*	8-Dip	2.47	2.35	1.80
AD820AR	AD820AR-ND	OpAmp, FET, R/R, NL	Op Amp FET R-R Low Power	8-SOIC	2.41	1.93	1.80
AD820AR-REEL7	AD820AR-REEL7TR-ND	OpAmp, FET, R/R, NL	Op Amp FET R-R Low Power	8-SOIC		1125.00/750	
AD820BR	AD820BR-ND	OpAmp, FET, R/R, NL	Op Amp FET R-R Low Power	8-SOIC	3.52	2.81	2.35
AD820BRZ	AD820BRZ-ND	OpAmp, FET, R/R, NL	Op Amp FET R-R Low Power	8-SOIC	3.52	2.81	2.35
AD824AR-14	AD824AR-14-ND	OpAmp, FET, R/R, NL	Op Amp FET R-R Low Power	14-SOIC	6.30	5.26	4.02
AD826AR-REEL7	AD826AR-REEL7CT-ND	Zweif. HS-OpAmp, NL	Op Amp Dual HS Low Power	8-SOIC	4.21	3.37	2.62
AD826AR-REEL7	AD826AR-REEL7TR-ND	Zweif. HS-OpAmp, NL	Op Amp Dual HS Low Power	8-SOIC		1702.50/750	
AD827AQ	AD827AQ-ND	Zweif. HS-OpAmp, NL	Op Amp Dual HS Low Power	8-CDip	11.66	9.76	7.44
AD8002ARM	AD8002ARM-ND	Zweif. OpAmp, Strom-Feedback	Op Amp Current-Feedback Dual	8-MSOP	3.93	3.29	2.51
AD8005ART-REEL7	AD8005ART-REEL7CT-ND	OpAmp, Strom-Feedback, NL	Op Amp Current-Feedback LP	SOT-23-5	2.40	1.92	1.50
AD8005ART-REEL7	AD8005ART-REEL7TR-ND	OpAmp, Strom-Feedback, NL	Op Amp Current-Feedback LP	SOT-23-5		3900.00/3,000	
AD8014AR	AD8014AR-ND	OpAmp, Strom-Feedback, NL	Op Amp Current-Feedback LP	8-SOIC	2.09	1.59	1.28
AD8014ART-REEL7	AD8014ART-REEL7CT-ND	OpAmp, Strom-Feedback, NL	Op Amp Current-Feedback LP	SOT-23-5	2.27	1.82	1.42
AD8014ART-REEL7	AD8014ART-REEL7TR-ND	OpAmp, Strom-Feedback, NL	Op Amp Current-Feedback LP	SOT-23-5		3150.00/3,000	
AD8625AR	AD8625AR-ND	Vierf. OpAmp, JFET, R/R	Op Amp Quad JFET R-R	14-SOIC	6.06	4.79	3.95
AD8625ARU	AD8625ARU-ND	Vierf. OpAmp, JFET, R/R	Op Amp Quad JFET R-R	14-TSSOP	6.06	4.79	3.95
AD8625ARUZ	AD8625ARUZ-ND	Vierf. OpAmp, JFET, R/R	Op Amp Quad JFET R-R	14-TSSOP	6.06	4.79	3.95
AD8625ARZ	AD8625ARZ-ND	Vierf. OpAmp, JFET, R/R	Op Amp Quad JFET R-R	14-SOIC	6.06	4.79	3.95
AD8626AR	AD8626AR-ND	Präzisions-OpAmp, JFET, NL	Op Amp Precision JFET LP	8-SOIC	3.69	2.90	2.37
AD8626ARM-R2	AD8626ARM-R2CT-ND	Präzisions-OpAmp, JFET, NL	Op Amp Precision JFET LP	8-MSOP	5.45	4.37	3.69
AD8626ARM-R2	AD8626ARM-R2TR-ND	Präzisions-OpAmp, JFET, NL	Op Amp Precision JFET LP	8-MSOP		712.50/250	
AD8626ARMZ-R2	AD8626ARMZ-R2CT-ND	Präzisions-OpAmp, JFET, NL*	Op Amp Precision JFET LP*	8-MSOP	5.45	4.37	3.69
AD8626ARMZ-R2	AD8626ARMZ-R2TR-ND	Präzisions-OpAmp, JFET, NL*	Op Amp Precision JFET LP*	8-MSOP		712.50/250	
AD8626ARZ	AD8626ARZ-ND	Präzisions-OpAmp, JFET, NL	Op Amp Precision JFET LP	8-SOIC	3.69	2.90	2.37
AD8627AKS-R2	AD8627AKS-R2CT-ND	Präzisions-OpAmp, JFET, NL	Op Amp Precision JFET LP	SC70-5	4.00	3.20	2.49
AD8627AKS-R2	AD8627AKS-R2TR-ND	Präzisions-OpAmp, JFET, NL	Op Amp Precision JFET LP	SC70-5		465.00/250	
AD8627AKSZ-R2	AD8627AKSZ-R2CT-ND	Präzisions-OpAmp, JFET, NL*	Op Amp Precision JFET LP*	SC70-5	4.00	3.20	2.49
AD8627AKSZ-R2	AD8627AKSZ-R2TR-ND	Präzisions-OpAmp, JFET, NL*	Op Amp Precision JFET LP*	SC70-5		465.00/250	
AD8627AR	AD8627AR-ND	Präzisions-OpAmp, JFET, NL	Op Amp Precision JFET LP	8-SOIC	2.38	1.90	1.60
AD8627ARZ	AD8627ARZ-ND	Präzisions-OpAmp, JFET, NL*	Op Amp Precision JFET LP*	8-SOIC	2.38	1.90	1.60

* Bleifrei/RoHS-konform

(Forts.)

★ ***RUFEN SIE BITTE AN FÜR NIEDRIGERE PREISE BEI GRÖSSEREN MENGEN!*** ★

B

Analog Devices Teilenr.	Digi-Key Teilenr.	Beschreibung		Paket	Stückpreis★ 1	25	100
OP90GP	OP90GP-ND	Präzisions-OpAmp, NL	Op Amp Precision LP	8-Dip	2.50	2.01	1.67
OP90GS	OP90GSADI-ND	Präzisions-OpAmp, NL	Op Amp Precision LP	8-SOIC	2.51	2.01	1.67
OP97EP	OP97EP-ND	OpAmp, NL, OP07	Op Amp LP OP07	8-Dip	4.98	3.98	3.31
OP97FP	OP97FP-ND	OpAmp, NL, OP07	Op Amp LP OP07	8-Dip	2.00	1.33	1.11
OP97FS	OP97FS-ND	OpAmp, NL, OP07	Op Amp LP OP07	8-SOIC	1.61	1.28	1.11
OP193FS	OP193FS-ND	OpAmp, Micropower, R/R	Op Amp Micropower R-R	8-SOIC	2.27	1.90	1.45
OP220GS	OP220GS-ND	Zweif. OpAmp, NL	Op Amp Dual LP	8-SOIC	3.25	2.71	2.07
OP221GS	OP221GS-ND	Zweif. OpAmp, einzelversorgt, NL	Op Amp Dual Single Supply LP	8-SOIC	2.50	2.26	1.88
OP490GP	OP490GP-ND	Vierf. OpAmp, Niederspann., NL	Op Amp Quad Low Voltage LP	14-Dip	—	4.82	—
OP490GS	OP490GS-ND	Vierf. OpAmp, Niederspann., NL	Op Amp Quad Low Voltage LP	16-SOIC	5.75	4.82	3.68
OP496GS	OP496GS-ND	Vierf. OpAmp, R/R, NL	Op Amp Quad R-R LP	14-SOIC	3.50	2.81	2.35
OP497FS	OP497FS-ND	Vierf. Präzisions-Spannungs-OpAmp, NL	Op Amp Quad Precision Volt. LP	16-SOIC	8.17	6.53	5.44
OP497GP	OP497GP-ND	Vierf. Präzisions-Spannungs-OpAmp, NL	Op Amp Quad Precision Volt. LP	14-Dip	—	4.51	—
OP497GS	OP497GS-ND	Vierf. Präzisions-Spannungs-OpAmp, NL	Op Amp Quad Precision Volt. LP	16-SOIC	5.38	4.30	3.58
OP497GSZ	OP497GSZ-ND	Vierf. Präzisions-Spannungs-OpAmp, NL	Op Amp Quad Precision Volt. LP	16-SOIC	5.38	4.30	3.58
		Präzision					
AD548JR	AD548JR-ND	Präzisions-BiFET-OpAmp, NL	Precision BiFET Op Amp Low Power	8-SOIC	1.62	1.29	1.20
AD548JRZ	AD548JRZ-ND	Präzisions-BiFET-OpAmp, NL*	Precision BiFET Op Amp Low Power*	8-SOIC	1.62	1.29	1.20
AD548KN	AD548KN-ND	Präzisions-BiFET-OpAmp, NL	Precision BiFET Op Amp Low Power	8-Dip	5.31	3.98	2.65
AD548KNZ	AD548KNZ-ND	Präzisions-BiFET-OpAmp, NL*	Precision BiFET Op Amp Low Power*	8-Dip	5.31	3.98	2.65
AD548TH	AD548TH-ND	Präzisions-BiFET-OpAmp, NL	Precision BiFET Op Amp Low Power	TO-99	11.80	10.63	9.43
AD549JH	AD549JH-ND	OpAmp mit geringem Vorstrom	Low Bias Current Op Amp	TO-99	21.73	16.33	10.87
AD549KH	AD549KH-ND	OpAmp mit geringem Vorstrom	Low Bias Current Op Amp	TO-99	30.35	22.76	15.17
AD549LH	AD549LH-ND	OpAmp mit geringem Vorstrom	Low Bias Current Op Amp	TO-99	37.51	28.17	23.00
AD585SQ	AD585SQ-ND	Präzisions-Verst., Sample/Hold	Prec. Sample/Hold Amp	14-Dip	70.10	58.65	56.00
AD648JN	AD648JN-ND	Zweif. Präzisions-OpAmp, NL, BiFET	Op Amp Dual Prec. LP BiFET	8-Dip	2.56	2.05	2.00
AD648JNZ	AD648JNZ-ND	Zweif. Präzisions-OpAmp, NL, BiFET*	Op Amp Dual Prec. LP BiFET*	8-Dip	2.56	2.05	2.00
AD648JR	AD648JR-ND	Zweif. Präzisions-OpAmp, NL, BiFET	Op Amp Dual Prec. LP BiFET	8-SOIC	2.56	2.05	2.00
AD648JRZ	AD648JRZ-ND	Zweif. Präzisions-OpAmp, NL, BiFET*	Op Amp Dual Prec. LP BiFET*	8-SOIC	2.56	2.05	2.00
AD648KN	AD648KN-ND	Zweif. Präzisions-OpAmp, NL, BiFET	Op Amp Dual Prec. LP BiFET	8-Dip	7.88	5.92	4.33
AD648KNZ	AD648KNZ-ND	Zweif. Präzisions-OpAmp, NL, BiFET*	Op Amp Dual Prec. LP BiFET*	8-Dip	7.88	5.92	4.33
AD704AR-16	AD704AR-16-ND	Vierf. bipolarer OpAmp	Bipolar Op Amp Quad	16-SOIC	6.98	5.36	4.47
AD704ARZ-16	AD704ARZ-16-ND	Vierf. bipolarer OpAmp*	Bipolar Op Amp Quad*	16-SOIC	6.98	5.36	4.47
AD704JN	AD704JN-ND	Vierf. bipolarer OpAmp	Bipolar Op Amp Quad	14-Dip	6.48	4.98	4.16
AD704JNZ	AD704JNZ-ND	Vierf. bipolarer OpAmp*	Bipolar Op Amp Quad*	14-Dip	6.48	4.98	4.16
AD704JR-16	AD704JR-16-ND	Vierf. bipolarer OpAmp	Bipolar Op Amp Quad	16-SOIC	6.45	5.17	4.36
AD706AR	AD706AR-ND	Zweif. bipolarer OpAmp	Bipolar Op Amp Dual	8-SOIC	3.36	2.69	2.31
AD706JN	AD706JN-ND	Zweif. bipolarer OpAmp	Bipolar Op Amp Dual	8-Dip	3.15	2.55	2.15
AD706JNZ	AD706JNZ-ND	Zweif. bipolarer OpAmp	Bipolar Op Amp Dual	8-Dip	3.15	2.55	2.40
AD706JR	AD706JR-ND	Zweif. bipolarer OpAmp	Bipolar Op Amp Dual	8-SOIC	3.02	2.42	2.03
AD708BQ	AD708BQ-ND	Zweif. Präzisions-OpAmp	Precision Op Amp Dual	8-CDip	13.56	8.49	6.79
AD711AQ	AD711AQ-ND	Präzisions-OpAmp, HS, BIFET	Precision Op Amp BiFET HS	8-CDip	4.98	3.79	2.50
AD711KN	AD711KN-ND	Präzisions-OpAmp, HS, BIFET	Precision Op Amp BiFET HS	8-Dip	2.92	2.33	1.94
AD711KR	AD711KR-ND	Präzisions-OpAmp, HS, BIFET	Precision Op Amp BiFET HS	8-SOIC	2.79	2.23	2.20
AD711KRZ	AD711KRZ-ND	Präzisions-OpAmp, HS, BIFET*	Precision Op Amp BiFET HS*	8-SOIC	2.79	2.23	1.86
AD745KR-16	AD745KR-16-ND	OpAmp, rauscharm, BiFET	Op Amp Low Noise BiFET	16-SOIC	9.02	7.55	5.76
AD745KRZ-16	AD745KRZ-16-ND	OpAmp, rauscharm, BiFET*	Op Amp Low Noise BiFET*	16-SOIC	9.02	7.55	5.76
AD746AQ	AD746AQ-ND	Zweif. Präzisions-OpAmp, BIFET	Precision Op Amp Dual BiFET	8-CDip	11.80	7.50	5.52
AD783JR	AD783JR-ND	Verstärker, Sample-And-Hold, Mono	Amp Mono Sample and Hold	8-SOIC	16.54	14.11	11.67
AD822AN	AD822AN-ND	Zweif. Präzisions-Eingangsverst., FET, NL	Dual Precision, Low Power FET Input Op Amp	8-Dip	3.71	2.98	2.48
AD822AR	AD822AR-ND	Zweif. Präzisions-Eingangsverst., FET, NL	Dual Precision, Low Power FET Input Op Amp	8-SOIC	3.65	2.92	2.43
AD822AR-REEL7	AD822AR-REEL7CT-ND	Zweif. Präzisions-Eingangsverst., FET, NL	Dual Precision, Low Power FET Input Op Amp	8-SOIC	5.24	4.20	3.26
AD822AR-REEL7	AD822AR-REEL7TR-ND	Zweif. Präzisions-Eingangsverst., FET, NL	Dual Precision, Low Power FET Input Op Amp	8-SOIC		1822.50/750	
AD822ARM-REEL	AD822ARM-REELCT-ND	Zweif. Präzisions-Eingangsverst., FET, NL	Dual Precision, Low Power FET Input Op Amp	8-MSOP	4.72	3.78	2.94
AD822ARM-REEL	AD822ARM-REELTR-ND	Zweif. Präzisions-Eingangsverst., FET, NL	Dual Precision, Low Power FET Input Op Amp	8-MSOP		6570.00/3,000	
AD822ARMZ-R2	AD822ARMZ-R2CT-ND	Zweif. Präzisions-Eingangsverst., FET, NL*	Dual Precision, Low Power FET Input Op Amp*	8-MSOP	5.59	4.47	3.78
AD822ARMZ-R2	AD822ARMZ-R2TR-ND	Zweif. Präzisions-Eingangsverst., FET, NL*	Dual Precision, Low Power FET Input Op Amp*	8-MSOP		730.00/250	
AD822BR	AD822BR-ND	Zweif. Präzisions-Eingangsverst., FET, NL	Dual Precision, Low Power FET Input Op Amp	8-SOIC	5.00	4.35	3.63
AD823AN	AD823AN-ND	Zweif. Präzisions-Eingangs-OpAmp, JFET, 16 MHz	Dual Prec., 16MHz JFET Input Op Amp	8-Dip	4.04	3.38	2.57
AD823ANZ	AD823ANZ-ND	Zweif. Präzisions-Eingangs-OpAmp, JFET, 16 MHz*	Dual Prec., 16MHz JFET Input Op Amp*	8-Dip	4.20	3.38	2.57
AD823AR	AD823AR-ND	Zweif. Präzisions-Eingangs-OpAmp, JFET, 16 MHz	Dual Prec., 16MHz JFET Input Op Amp	8-SOIC	4.04	3.38	2.57
AD823AR-REEL7	AD823AR-REEL7TR-ND	Zweif. Präzisions-Eingangs-OpAmp, JFET, 16 MHz	Dual Prec., 16MHz JFET Input Op Amp	8-SOIC		1927.50/750	
AD843KN	AD843KN-ND	OpAmp, schnell einstellend	Op Amp Fast-Settling	8-Dip	10.02	6.01	5.02
AD845BQ	AD845BQ-ND	Präzisions-OpAmp, JFET, 16 MHz	Op Amp JFET Precision 16MHz	8-CDip	9.13	7.83	6.53
AD8221AR	AD8221AR-ND	Präzisionsinstrumentenverst.	Precision Instrumentation Amp	8-SOIC	3.39	2.91	2.42
AD8221ARZ	AD8221ARZ-ND	Präzisionsinstrumentenverst.*	Precision Instrumentation Amp*	8-SOIC	3.39	2.91	2.42
AD8221ARM	AD8221ARM-ND	Präzisionsinstrumentenverst.	Precision Instrumentation Amp	8-MSOP	2.91	2.50	2.40
AD8221ARMZ	AD8221ARMZ-ND	Präzisionsinstrumentenverst.*	Precision Instrumentation Amp*	8-MSOP	2.91	2.50	2.40
AD8221BR	AD8221BR-ND	Präzisionsinstrumentenverst.	Precision Instrumentation Amp	8-SOIC	5.93	5.08	4.24
AD8221BRZ	AD8221BRZ-ND	Präzisionsinstrumentenverst.*	Precision Instrumentation Amp*	8-SOIC	5.93	5.08	4.24
AD8221-EVAL	AD8221-EVAL-ND	Evaluierungskarte für AD8221	Evaluation Board for AD8221	—	46.87	—	—
AD8510ARM-R2	AD8510ARM-R2CT-ND	Breitband-OpAmp, JFET	Wide-Bandwidth JFET Op Amp	8-MSOP	2.63	2.10	1.64
AD8510ARM-R2	AD8510ARM-R2TR-ND	Breitband-OpAmp, JFET	Wide-Bandwidth JFET Op Amp	8-MSOP		4710.22/3,000	
AD8510ARZ	AD8510ARZ-ND	Breitband-OpAmp, JFET	Wide-Bandwidth JFET Op Amp	8-SOIC	1.55	1.23	1.10
AD8512ARM-REEL	AD8512ARM-REELCT-ND	Zweif. Präzisions-OpAmp, JFET	Dual JFET Precision Op Amp	8-MSOP	2.80	2.24	1.75
AD8512ARM-REEL	AD8512ARM-REELTR-ND	Zweif. Präzisions-OpAmp, JFET	Dual JFET Precision Op Amp	8-MSOP		4704.22/3,000	
AD8513AR	AD8513AR-ND	Vierf. Breitband-OpAmp, JFET	Wide-Bandwidth Quad JFET Op Amp	14-SOIC	5.17	4.14	3.45
AD8513ARZ	AD8513ARZ-ND	Vierf. Breitband-OpAmp, JFET	Wide-Bandwidth Quad JFET Op Amp	14-SOIC	5.17	4.14	3.45
AD8513ARU	AD8513ARU-ND	Vierf. Breitband-OpAmp, JFET	Wide-Bandwidth Quad JFET Op Amp	14-TSSOP	5.00	4.14	4.00
AD8513ARUZ	AD8513ARUZ-ND	Vierf. Breitband-OpAmp, JFET*	Wide-Bandwidth Quad JFET Op Amp*	14-TSSOP	5.00	4.14	4.00
AD8572ARUZ	AD8572ARUZ-ND	OpAmp, 0-Drift, R/R-E/A	0-Drift R-R I/O Op Amp	8-TSSOP	2.48	1.98	1.80
AD8601ART-REEL7	AD8601ART-REEL7CT-ND	Einf. Präzisions-CMOS-OpAmp, R/R-E/A, Breitband	Precision CMOS Single R-R In/Out Wideband Op Amp	SOT-23-5	1.13	.90	.68
AD8601ART-REEL7	AD8601ART-REEL7TR-ND	Einf. Präzisions-CMOS-OpAmp, R/R-E/A, Breitband	Precision CMOS Single R-R In/Out Wideband Op Amp	SOT-23-5		1650.00/3,000	
AD8601ARTZ-REEL7	AD8601ARTZREEL7CT-ND	Einf. Präzisions-CMOS-OpAmp, R/R-E/A, Breitband*	Precision CMOS Single R-R In/Out Wideband Op Amp*	SOT-23-5	1.13	.90	.68
AD8601ARTZ-REEL7	AD8601ARTZREEL7TR-ND	Einf. Präzisions-CMOS-OpAmp, R/R-E/A, Breitband*	Precision CMOS Single R-R In/Out Wideband Op Amp*	SOT-23-5		1650.00/3,000	
AD8610ARZ	AD8610ARZ-ND	Präzisions-Eingangs-OpAmp, JFET	Precision JFET Input Op Amp	8-SOIC	5.31	4.25	3.54
AD8610BRZ	AD8610BRZ-ND	Präzisions-Eingangs-OpAmp, JFET	Precision JFET Input Op Amp	8-SOIC	13.93	11.14	9.29
AD8616AR	AD8616AR-ND	Zweif. OpAmp, 20 MHz, R/R	20MHz, R-R, Op Amp Dual	8-SOIC	1.86	1.60	1.33
AD8616ARZ	AD8616ARZ-ND	Zweif. OpAmp, 20 MHz, R/R*	20MHz, R-R, Op Amp Dual*	8-SOIC	1.86	1.60	1.33
AD8616ARM-R2	AD8616ARM-R2CT-ND	Zweif. OpAmp, 20 MHz, R/R	20MHz, R-R, Op Amp Dual	8-MSOP	3.52	2.82	2.20
AD8616ARM-R2	AD8616ARM-R2TR-ND	Zweif. OpAmp, 20 MHz, R/R	20MHz, R-R, Op Amp Dual	8-MSOP		520.87/250	
AD8618AR	AD8618AR-ND	Präzisions-OpAmp, CMOS, R/R-E/A, 20 MHz	Prec. 20MHz CMOS R-R I/O Op Amp	14-SOIC	3.31	2.65	2.21
AD8618ARZ	AD8618ARZ-ND	Präzisions-OpAmp, CMOS, R/R-E/A, 20 MHz	Prec. 20MHz CMOS R-R I/O Op Amp*	14-SOIC	3.31	2.65	2.21
AD8620AR	AD8620AR-ND	Präzisions-OpAmp, JFET, rauscharm	Op Amp Precision JFET LN	8-SOIC	10.61	8.49	7.07
AD8620ARZ	AD8620ARZ-ND	Präzisions-OpAmp, JFET	Precision JFET Op Amp	8-SOIC	10.61	8.49	7.07
AD8620BR	AD8620BR-ND	Präzisions-OpAmp, JFET, rauscharm	Op Amp Precision JFET LN	8-SOIC	23.61	18.89	15.74
AD8620BRZ	AD8620BRZ-ND	Präzisions-OpAmp, JFET, NL*	Op Amp Precision JFET LN*	8-SOIC	23.61	18.89	15.74
AD8628AR	AD8628AR-ND	OpAmp, R/R, 0-Drift	Op Amp R-R 0-Drift	8-SOIC	1.46	1.17	1.10
AD8628ART-R2	AD8628ART-R2CT-ND	OpAmp, R/R, 0-Drift	Op Amp R-R 0-Drift	SOT-23-5	2.51	2.02	1.57
AD8628ART-R2	AD8628ART-R2TR-ND	OpAmp, R/R, 0-Drift	Op Amp R-R 0-Drift	SOT-23-5		292.50/250	
AD8628ARTZ-R2	AD8628ARTZ-R2CT-ND	OpAmp, R/R, 0-Drift	Op Amp R-R 0-Drift	SOT-23-5	2.51	2.02	1.57

* Bleifrei/RoHS-konform

(Forts.)

★ RUFEN SIE BITTE AN FÜR NIEDRIGERE PREISE BEI GRÖSSEREN MENGEN! ★

Analog Devices Teilenr.	Digi-Key Teilenr.	Beschreibung		Paket	Stückpreis★ 1	25	100
AD8628ARTZ-R2	AD8628ARTZ-R2TR-ND	OpAmp, R/R, 0-Drift	Op Amp R-R 0-Drift	SOT-23-5		292.50/250	
AD8628ARZ	AD8628ARZ-ND	OpAmp, R/R, 0-Drift	Op Amp R-R 0-Drift	8-SOIC	1.46	1.17	1.10
AD8698AR	AD8698AR-ND	Zweif. Präzisions-Ausgangs-OpAmp, R/R	Precision Dual R-R Output Op Amp	8-SOIC	3.50	2.83	2.36
AMP03GP	AMP03GP-ND	Präzisionsdifferenzialverstärker mit Verstärkungsfaktor	Amp Diff. Precision Unity Gain	8-Dip	4.19	3.51	2.68
AMP03GS	AMP03GS-ND	Präzisionsdifferenzialverstärker mit Verstärkungsfaktor	Amp Diff. Precision Unity Gain	8-SOIC	4.19	3.51	2.68
OP07CP	OP07CPADI-ND	OpAmp, ultraniedriges Offset	Op Amp Ultra Low Offset	8-Dip	.87	.69	.56
OP07CS	OP07CS-ND	OpAmp, ultraniedriges Offset	Op Amp Ultra Low Offset	8-SOIC	.87	.69	.56
OP07EP	OP07EPADI-ND	OpAmp, ultraniedriges Offset	Op Amp Ultra Low Offset	8-Dip	2.39	1.91	1.60
OP27GS-REEL7	OP27GS-REEL7TR-ND	Präzisions-OpAmp, rauscharm	Op Amp Precision Low Noise	8-SOIC		1101.43/1,000	
OP27GZ	OP27GZ-ND	Präzisions-OpAmp, rauscharm	Op Amp Precision Low Noise	8-Dip	7.21	5.77	4.80
OP37EP	OP37EP-ND	Präzisions-OpAmp, rauscharm, 63 MHz, HS	Op Amp Precision LN 63MHz HS	8-Dip	4.36	3.21	2.57
OP37GP	OP37GP-ND	Präzisions-OpAmp, rauscharm, 63 MHz, HS	Op Amp Precision LN 63MHz HS	8-Dip	1.55	1.19	1.00
OP37GS	OP37GS-ND	Präzisions-OpAmp, rauscharm, 63 MHz, HS	Op Amp Precision LN 63MHz HS	8-SOIC	1.47	1.45	1.25
OP37GSZ	OP37GSZ-ND	Präzisions-OpAmp, rauscharm, 63 MHz, HS	Op Amp Precision LN 63MHz HS	8-SOIC	1.47	1.45	1.25
OP42AZ	OP42AZ-ND	Präzisions-OpAmp, HS	Op Amp Precision High Speed	8-CDip	21.22	16.98	14.15
OP42EJ	OP42EJ-ND	Präzisions-OpAmp, HS	Op Amp Precision High Speed	TO-99	20.44	13.01	12.00
OP42EZ	OP42EZ-ND	Präzisions-OpAmp, HS	Op Amp Precision High Speed	8-CDip	12.60	10.08	8.40
OP77EZ	OP77EZ-ND	Super-Präzisions-OpAmp, OP07	Op Amp Super Precision OP07	8-CDip	7.12	5.69	4.75
OP77FJ	OP77FJ-ND	Super-Präzisions-OpAmp, OP07	Op Amp Super Precision OP07	TO-99	6.69	5.34	4.45
OP77FZ	OP77FZ-ND	Super-Präzisions-OpAmp, OP07	Op Amp Super Precision OP07	8-CDip	4.17	3.33	2.78
OP90GS-REEL7	OP90GS-REEL7CT-ND	Präzisions-OpAmp, Micropower	Op Amp Precision Micropower	8-SOIC	3.11	2.49	1.94
OP90GS-REEL7	OP90GS-REEL7TR-ND	Präzisions-OpAmp, Micropower	Op Amp Precision Micropower	8-SOIC		1500.00/1,000	
OP97FS-REEL7	OP97FS-REEL7CT-ND	Präzisions-OpAmp, NL	Op Amp Precision Low Power	8-SOIC	1.92	1.54	1.20
OP97FS-REEL7	OP97FS-REEL7TR-ND	Präzisions-OpAmp, NL	Op Amp Precision Low Power	8-SOIC		1000.00/1,000	
OP177FP	OP177FP-ND	Ultra-Präzisions-OpAmp, hohe Verstärkung	Op Amp Ultra-Precision High Gain	8-Dip	3.65	2.87	2.50
OP177FS	OP177FS-ND	Ultra-Präzisions-OpAmp, hohe Verstärkung	Op Amp Ultra-Precision High Gain	8-SOIC	3.65	2.87	2.36
OP177GP	OP177GP-ND	Ultra-Präzisions-OpAmp	Op Amp Ultra-Precision	8-Dip	1.19	1.13	.75
OP177GS	OP177GS-ND	Ultra-Präzisions-OpAmp	Op Amp Ultra-Precision	8-SOIC	1.13	.90	.75
OP184ES	OP184ES-ND	Präzisions-OpAmp, einzelversorgt, R/R	Op Amp Precision Single Supply R-R	8-SOIC	3.50	2.63	2.20
OP184FS	OP184FS-ND	Präzisions-OpAmp, einzelversorgt, R/R	Op Amp Precision Single Supply R-R	8-SOIC	2.20	1.88	1.60
OP191GS	OP191GS-ND	Präzisions-OpAmp, einzelversorgt, R/R, NL	Op Amp Single Supply R-R LP	8-SOIC	2.50	1.95	1.50
OP196GS	OP196GS-ND	Präzisions-OpAmp, einzelversorgt, R/R, NL	Op Amp Single Supply R-R LP	8-SOIC	1.90	1.52	1.24
OP200AZ	OP200AZ-ND	Zweif. Ultra-Präzisions-OpAmp	Op Amp Dual Ultra-Precision	8-CDip	16.90	13.52	11.26
OP200GP	OP200GP-ND	Zweif. Ultra-Präzisions-OpAmp	Op Amp Dual Ultra-Precision	8-Dip	4.07	3.26	2.71
OP200GS	OP200GS-ND	Zweif. Ultra-Präzisions-OpAmp	Op Amp Dual Ultra-Precision	16-SOIC	3.50	3.26	2.71
OP262GS	OP262GS-ND	Zweif. OpAmp, 15 MHz, R/R	Op Amp Dual 15MHz R-R	8-SOIC	3.16	2.53	1.87
OP282GS	OP282GS-ND	Zweif. OpAmp, JFET-Eingang	Op Amp Dual JFET Input	8-SOIC	1.69	1.31	1.20
OP282GS-REEL7	OP282GS-REEL7TR-ND	Zweif. OpAmp, JFET-Eingang	Op Amp Dual JFET Input	8-SOIC		1030.00/1,000	
OP282GS-REEL	OP282GS-REELTR-ND	Zweif. OpAmp, JFET-Eingang	Op Amp Dual JFET Input	8-SOIC		2575.00/2,500	
OP282GSZ	OP282GSZ-ND	Zweif. OpAmp, JFET-Eingang	Op Amp Dual JFET Input	8-SOIC	1.69	1.31	1.20
OP284EP	OP284EP-ND	Zweif. Präzisions-OpAmp, R/R	Op Amp Dual Precision R-R	8-Dip	5.00	4.75	3.96
OP284ES	OP284ES-ND	Zweif. Präzisions-OpAmp, R/R	Op Amp Dual Precision R-R	8-SOIC	5.00	4.67	3.89
OP284FS	OP284FS-ND	Zweif. Präzisions-OpAmp, R/R	Op Amp Dual Precision R-R	8-SOIC	3.50	3.18	2.65
OP284FS-REEL7	OP284FS-REEL7CT-ND	Zweif. Präzisions-OpAmp, R/R	Op Amp Dual Precision R-R	8-SOIC	5.08	4.07	3.43
OP284FS-REEL7	OP284FS-REEL7TR-ND	Zweif. Präzisions-OpAmp, R/R	Op Amp Dual Precision R-R	8-SOIC		2390.00/1,000	
OP285GS	OP285GS-ND	Zweif. Präzisions-OpAmp, 9 MHz	Op Amp Dual Precision 9MHz	8-SOIC	3.90	3.13	2.43
OP290GP	OP290GP-ND	Zweif. Präzisions-OpAmp, einzelversorgt	Op Amp Dual Precision Single Supply	8-Dip	4.19	3.51	2.68
OP290GPZ	OP290GPZ-ND	Zweif. Präzisions-OpAmp, einzelversorgt	Op Amp Dual Precision Single Supply	8-Dip	4.19	3.51	2.68
OP297EZ	OP297EZ-ND	Zweif. OpAmp, niedriges Offset/Bias	Op Amp Dual Low Off/Bias	8-Dip	9.14	7.31	6.09
OP297FP	OP297FP-ND	Zweif. OpAmp, niedriges Offset/Bias	Op Amp Dual Low Off/Bias	8-Dip	4.12	3.29	2.74
OP297FPZ	OP297FPZ-ND	Zweif. OpAmp, niedriges Offset/Bias	Op Amp Dual Low Off/Bias	8-Dip	4.12	3.29	2.74
OP297FS	OP297FS-ND	Zweif. OpAmp, niedriges Offset/Bias	Op Amp Dual Low Off/Bias	8-SOIC	3.98	3.18	2.65
OP297GP	OP297GP-ND	Zweif. OpAmp, niedriges Offset/Bias	Op Amp Dual Low Off/Bias	8-Dip	3.12	2.55	2.50
OP297GPZ	OP297GPZ-ND	Zweif. OpAmp, niedriges Offset/Bias	Op Amp Dual Low Off/Bias	8-Dip	3.12	2.55	2.40
OP297GS	OP297GS-ND	Zweif. OpAmp, niedriges Offset/Bias	Op Amp Dual Low Off/Bias	8-SOIC	3.02	2.42	2.03
OP297GS-REEL7	OP297GS-REEL7CT-ND	Zweif. OpAmp, niedriges Offset/Bias	Op Amp Dual Low Off/Bias	8-SOIC	3.55	2.84	2.21
OP297GS-REEL7	OP297GS-REEL7TR-ND	Zweif. OpAmp, niedriges Offset/Bias	Op Amp Dual Low Off/Bias	8-SOIC		1880.00/1,000	
OP484ES	OP484ES-ND	Vierf. Präzisions-OpAmp, R/R	Op Amp Quad Precision R-R	14-SOIC	11.38	8.75	6.94
OP484FP	OP484FP-ND	Vierf. Präzisions-OpAmp, R/R	Op Amp Quad Precision R-R	14-Dip	6.00	5.83	4.64
OP484FS	OP484FS-ND	Vierf. Präzisions-OpAmp, R/R	Op Amp Quad Precision R-R	14-SOIC	7.47	5.75	4.42
OP484FS-REEL7	OP484FS-REEL7CT-ND	Vierf. Präzisions-OpAmp, R/R	Op Amp Quad Precision R-R	14-SOIC	7.05	6.35	5.63
OP484FS-REEL7	OP484FS-REEL7TR-ND	Vierf. Präzisions-OpAmp, R/R	Op Amp Quad Precision R-R	14-SOIC		3980.00/1,000	
OP491GP	OP491GP-ND	Vierf. OpAmp, einzelversorgt, R/R	Op Amp Quad Single Supply R-R	14-Dip	—	4.20	—
OP491GS	OP491GS-ND	Vierf. OpAmp, einzelversorgt, R/R	Op Amp Quad Single Supply R-R	14-SOIC	4.98	4.17	3.18
OP497FP	OP497FP-ND	Vierf. Präzisions-OpAmp, Niedrigstrom	Op Amp Quad Precision Low Current	14-Dip	7.00	6.58	5.48
OP727AR	OP727AR-ND	Zweif. Präzisions-OpAmp, R/R-Ausgang	Op Amp Dual Prec. R-R Out	8-SOIC	2.39	1.91	1.80
OP727ARU	OP727ARU-ND	Zweif. Präzisions-OpAmp, R/R-Ausgang	Op Amp Dual Prec. R-R Out	8-TSSOP	2.39	1.91	1.80
OP727ARUZ	OP727ARUZ-ND	Zweif. Präzisions-OpAmp, R/R-Ausgang	Op Amp Dual Prec. R-R Out	8-TSSOP	2.39	1.91	1.80
OP727ARZ	OP727ARZ-ND	Zweif. Präzisions-OpAmp, R/R-Ausgang	Op Amp Dual Prec. R-R Out	8-SOIC	2.39	1.91	1.80
OP747AR	OP747AR-ND	Vierf. Präzisions-OpAmp, R/R-Ausgang	Op Amp Quad Precision R-R Out	14-SOIC	4.00	3.50	2.92
OP747ARU	OP747ARU-ND	Vierf. Präzisions-OpAmp, R/R	Op Amp Quad Precision R-R	14-TSSOP	4.38	3.50	2.92
OP777AR	OP777AR-ND	Präzisions-OpAmp, einzelversorgt, R/R	Op Amp Precision Single Supply R-R	8-SOIC	1.60	1.27	1.20
OP777ARZ	OP777ARZ-ND	Präzisions-OpAmp, einzelversorgt, R/R	Op Amp Precision Single Supply R-R	8-SOIC	1.60	1.27	1.20
OP1177ARM-REEL	OP1177ARM-REELCT-ND	Präzisions-OpAmp, rauscharm, Bias-Strom	Op Amp Precision LN Bias Current	8-MSOP	1.69	1.36	1.02
OP1177ARM-REEL	OP1177ARM-REELTR-ND	Präzisions-OpAmp, rauscharm, Bias-Strom	Op Amp Precision LN Bias Current	8-MSOP		2600.76/3,000	
OP4177AR	OP4177AR-ND	Vierf. Präzisions-OpAmp, rauscharm	Op Amp Quad Precision LN	14-SOIC	5.00	4.20	3.50
OP4177ARU	OP4177ARU-ND	Vierf. Präzisions-OpAmp, rauscharm	Op Amp Quad Precision LN	14-TSSOP	5.00	4.20	3.50
		Transleitungstreiber					
AD8323ARU	AD8323ARU-ND	Rauscharmer Treiber CATV Fine-Step	Low Noise Driver CATV Fine-Step	28-TSSOP	4.67	3.79	3.36
		Verstärker, variabler V-Faktor (VGA)					
AD600AQ	AD600AQ-ND	Zweif. VGA, einst. Verstärkung	VGA Dual, Adj. Gain	16-Dip	35.69	29.86	28.00
AD600AR	AD600AR-ND	Zweif. VGA, einst. Verstärkung	VGA Dual, Adj. Gain	16-SOIC	29.74	24.88	18.97
AD600ARZ	AD600ARZ-ND	Zweif. VGA, einst. Verstärkung	VGA Dual, Adj. Gain	16-SOIC	29.74	24.88	18.97
AD600JN	AD600JN-ND	Zweif. VGA, einst. Verstärkung	VGA Dual, Adj. Gain	16-DIp	22.88	19.15	14.60
AD600JR	AD600JR-ND	Zweif. VGA, einst. Verstärkung	VGA Dual, Adj. Gain	16-SOIC	22.88	19.15	14.60
AD600JRZ	AD600JRZ-ND	Zweif. VGA, einst. Verstärkung	VGA Dual, Adj. Gain	16-SOIC	22.88	19.15	14.60
AD602AR	AD602AR-ND	Zweif. VGA, rauscharm, 35 MHz	VGA Dual 35MHz Low Noise	16-SOIC	29.74	24.88	18.97
AD602ARZ	AD602ARZ-ND	Zweif. VGA, rauscharm, 35 MHz*	VGA Dual 35MHz Low Noise*	16-SOIC	29.74	24.88	18.97
AD602JR	AD602JR-ND	Zweif. VGA, rauscharm, 35 MHz	VGA Dual 35MHz Low Noise	16-SOIC	22.88	19.15	14.60
AD602JRZ	AD602JRZ-ND	Zweif. VGA, rauscharm, 35 MHz*	VGA Dual 35MHz Low Noise*	16-SOIC	22.88	19.15	14.60
AD603AQ	AD603AQ-ND	VGA, rauscharm, 90 MHz	VGA 90MHz Low Noise	8-Dip	8.26	6.92	5.27
AD603AR	AD603AR-ND	VGA, rauscharm, 90 MHz	VGA 90MHz Low Noise	8-SOIC	7.55	6.31	4.81
AD603AR-REEL7	AD603AR-REEL7CT-ND	VGA, rauscharm, 90 MHz	VGA 90MHz Low Noise	8-SOIC	7.92	6.34	5.35
AD603AR-REEL7	AD603AR-REEL7TR-ND	VGA, rauscharm, 90 MHz	VGA 90MHz Low Noise	8-SOIC		3607.50/750	
AD603ARZ	AD603ARZ-ND	VGA, rauscharm, 90 MHz	VGA 90MHz Low Noise	8-SOIC	7.55	6.31	4.81
AD604AN	AD604AN-ND	Zweif. Verst., einst. lineare Verstärkung	Amp Dual Adj. Gain Linear	24-Dip	22.65	18.95	14.45
AD604AR	AD604AR-ND	Zweif. Verst., einst. lineare Verstärkung	Amp Dual Adj. Gain Linear	24-SOIC	22.65	18.95	14.45
AD604ARS	AD604ARS-ND	Zweif. Verst., einst. lineare Verstärkung	Amp Dual Adj. Gain Linear	24-SSOP	27.19	22.75	17.34
AD605AR	AD605AR-ND	Zweif. VGA, rauscharm, 40 MHz	VGA Dual 40MHz Low Noise	16-SOIC	15.74	11.80	9.84
AD605ARZ	AD605ARZ-ND	Zweif. VGA, rauscharm, 40 MHz*	VGA Dual 40MHz Low Noise*	16-SOIC	15.74	11.80	9.84

* Bleifrei/RoHS-konform

(Forts.)

★ ***RUFEN SIE BITTE AN FÜR NIEDRIGERE PREISE BEI GRÖSSEREN MENGEN!*** ★

ANALOG DEVICES — VERSTÄRKER *(Forts.)*

Analog Devices Teilenr.	Digi-Key Teilenr.	Beschreibung		Paket	Stückpreis★ 1	25	100
AD8330ACP-R2	AD8330ACP-R2CT-ND	Einf. VGA	VGA Single	16-LFCSP	7.91	6.33	5.34
AD8330ACP-R2	AD8330ACP-R2TR-ND	Einf. VGA	VGA Single	16-LFCSP		1284.93/250	
AD8330ARQ	AD8330ARQ-ND	Einf. VGA	VGA Single	16-QSOP	4.50	4.33	4.13
AD8330-EVAL	AD8330-EVAL-ND	Evaluierungskarte für AD8330	Evaluation Board for AD8330	—	100.81	—	—
AD8331ARQ	AD8331ARQ-ND	Einf. VGA mit Vorverstärker	VGA Single with Preamp	20-QSOP	7.50	7.07	4.81
AD8331ARQZ	AD8331ARQZ-ND	Einf. VGA mit Vorverstärker*	VGA Single with Preamp*	20-QSOP	7.50	7.07	4.81
AD8332ACP-R2	AD8332ACP-R2CT-ND	Zweif. VGA mit Vorverstärker, rauscharm	VGA Dual with Preamp LN	32-LFCSP	14.17	13.23	12.29
AD8332ACP-R2	AD8332ACP-R2TR-ND	Zweif. VGA mit Vorverstärker, rauscharm	VGA Dual with Preamp LN	32-LFCSP		2467.50/250	
AD8332ARU	AD8332ARU-ND	Zweif. VGA mit Vorverstärker, rauscharm	VGA Dual with Preamp LN	28-TSSOP	13.71	10.97	9.87
AD8332ARUZ	AD8332ARUZ-ND	Zweif. VGA mit Vorverstärker, rauscharm*	VGA Dual with Preamp LN*	28-TSSOP	13.71	10.97	9.87
AD8370ARE	AD8370ARE-ND	Digitaler VGA LF bis 750 MHz	Digital VGA LF to 750MHz	16-TSSOP	5.33	4.84	4.40
AD8370-EVAL	AD8370-EVAL-ND	Evaluierungskarte für AD8370	Evaluation Board for AD8370	—	87.55	—	—

B

ANALOG DEVICES — ANALOG-RECHNERSCHALTKREISE

Analog Devices Teilenr.	Digi-Key Teilenr.	Beschreibung		Paket	Stückpreis★ 1	25	100
AD630AD	AD630AD-ND	Ausgeglichener Mod/Demod, 2 MHz	Balanced Mod/Demod 2MHz	20-Dip	17.45	14.61	11.12
AD630AR	AD630AR-ND	Ausgeglichener Mod/Demod, 2 MHz	Balanced Mod/Demod 2MHz	20-SOIC	16.57	13.88	10.57
AD630ARZ	AD630ARZ-ND	Ausgeglichener Mod/Demod, 2 MHz*	Balanced Mod/Demod 2MHz*	20-SOIC	16.57	13.88	10.57
AD630JNZ	AD630JNZ-ND	Ausgeglichener Mod/Demod, 2 MHz*	Balanced Mod/Demod 2MHz*	20-Dip	15.63	13.08	9.97
AD630KN	AD630KN-ND	Ausgeglichener Mod/Demod, 2 MHz	Balanced Mod/Demod 2MHz	20-Dip	24.91	20.84	15.89
AD630KNZ	AD630KNZ-ND	Ausgeglichener Mod/Demod, 2 MHz*	Balanced Mod/Demod 2MHz*	20-Dip	24.91	20.84	15.89
AD632AH	AD632AH-ND	Präzisions-Multiplizierer, Mono	Precision Multiplier Mono	TO-100	21.43	16.09	10.72
AD632BD	AD632BD-ND	Präzisions-Multiplizierer, Mono	Precision Multiplier Mono	14-CDip	56.56	49.02	44.00
AD633AN	AD633AN-ND	Multiplizierer, analog	Multiplier Analog	8-Dip	5.72	4.79	3.65
AD633ANZ	AD633ANZ-ND	Multiplizierer, analog*	Multiplier Analog*	8-Dip	5.72	4.79	3.65
AD633AR	AD633AR-ND	Multiplizierer, analog	Multiplier Analog	8-SOIC	5.72	4.79	3.65
AD633JN	AD633JN-ND	Multiplizierer, analog	Multiplier Analog	8-Dip	5.72	4.79	3.65
AD633JNZ	AD633JNZ-ND	Multiplizierer, analog*	Multiplier Analog*	8-Dip	5.72	4.79	3.65
AD633JR	AD633JR-ND	Multiplizierer, analog	Multiplier Analog	8-SOIC	6.01	4.81	4.07
AD7502KN	AD7502KN-ND	Analog-Multiplexer 4-Kanal	Analog Multiplexer 4-Channel	16-Dip	13.64	8.69	8.00
AD7569JP	AD7569JP-ND	E/A-Port, 8-Bit, analog	In/Out Port 8-Bit Analog	28-PLCC	12.74	10.65	8.12

ANALOG DEVICES — AUDIO ANALOG/DIGITAL

Analog Devices Teilenr.	Digi-Key Teilenr.	Beschreibung		Paket	Stückpreis★ 1	25	100
AD1893JST	AD1893JST-ND	16-Bit, Sample-Raten-Wandler	Sample-Rate Converter 16-Bit	44-LQFP	14.86	12.74	10.61
AD1940YST	AD1940YST-ND	28-Bit, SigmaDSP™ Multikanal Audio-Prozessor	SigmaDSP™ Multichannel 28-Bit Audio Processor	48-LQFP	11.26	9.43	7.19
AD1940YSTZ	AD1940YSTZ-ND	28-Bit, SigmaDSP™ Multikanal Audio-Prozessor	SigmaDSP™ Multichannel 28-Bit Audio Processor	48-LQFP	11.26	9.43	7.19
EVAL-AD1940EB	EVAL-AD1940EB-ND	Evaluierungskarte für AD1940	Evaluation Board for AD1940	—	618.12	—	—
AD1954YS	AD1954YS-ND	DSP DAC Audio, 3-Kan./26-Bit	DSP DAC Audio 3-Ch./26-Bit	44-MQFP	11.92	9.98	7.60
SSM2018P	SSM2018P-ND	Spannungssteuerung, Audioverstärker	Amp Voltage Control Audio	16-Dip	—	3.83	—
SSM2018TP	SSM2018TP-ND	Spannungssteuerung, Audioverstärker, ohne Trimmfunktion	Amp Voltage Control Audio/Trimless	16-Dip	5.72	4.79	3.65
SSM2019BN	SSM2019BN-ND	Audioverst., in sich geschlossener Vorverstärker	Amp Audio Self-Contained Preamp	8-Dip	2.83	2.38	1.81
SSM2019BRN	SSM2019BRN-ND	Audioverst., in sich geschlossener Vorverstärker	Amp Audio Self-Contained Preamp	8-SOIC	2.83	2.38	1.81
SSM2019BRW	SSM2019BRW-ND	Audioverst., in sich geschlossener Vorverstärker	Amp Audio Self-Contained Preamp	16-SOIC	2.83	2.38	1.81
SSM2019BRWZ	SSM2019BRWZ-ND	Audioverst., in sich geschlossener Vorverstärker	Amp Audio Self-Contained Preamp	16-SOIC	2.83	2.38	1.81
SSM2135S	SSM2135S-ND	Zweif. Audioverstärker, einzelversorgt	Amp Dual Audio Single Supply	8-SOIC	3.59	3.00	2.29
SSM2141P	SSM2141P-ND	Diff.-Leitungsempfängerverst., hoher Gleichtaktmodus	Amp Diff. Line Receiver High Common-Mode	8-Dip	2.51	2.11	2.00
SSM2141S	SSM2141S-ND	Diff.-Leitungsempfängerverst., hoher Gleichtaktmodus	Amp Diff. Line Receiver High Common-Mode	8-SOIC	2.51	2.11	2.00
SSM2142P	SSM2142P-ND	Verst., Ausgleichsleitungstreiber	Amp Balance-Line Driver	8-Dip	3.81	3.19	2.43
SSM2142S	SSM2142S-ND	Verst., Ausgleichsleitungstreiber	Amp Balance-Line Driver	16-SOIC	4.51	3.62	2.82
SSM2143P	SSM2143P-ND	Diff.-Leitungsempfängerverst., hoher Gleichtaktmodus	Amp Diff. Line Receiver High Common-Mode	8-Dip	2.39	2.00	1.80
SSM2143S	SSM2143S-ND	Diff.-Leitungsempfängerverst., hoher Gleichtaktmodus	Amp Diff. Line Receiver High Common-Mode	8-SOIC	2.39	2.00	1.80
SSM2160S	SSM2160S-ND	Balance/Spannungssteuerung, digital	Balance/Voltage Control Digital	24-SOIC	10.45	8.74	6.67
SSM2164P	SSM2164P-ND	Vierf. Verst., Spannungssteuerung	Amp Quad Voltage Controller	16-Dip	4.73	3.96	3.02
SSM2164S	SSM2164S-ND	Vierf. Verst., Spannungssteuerung	Amp Quad Voltage Controller	16-SOIC	4.73	3.96	3.02
SSM2165-1S	SSM2165-1S-ND	Vorverstärker-Mikrofon, 5 V	Preamp Microphone 5V	8-SOIC	2.86	2.28	1.77
SSM2165-1SZ	SSM2165-1SZ-ND	Vorverstärker-Mikrofon, 5 V	Preamp Microphone 5V	8-SOIC	2.86	2.28	1.77
SSM2165-2S	SSM2165-2S-ND	Vorverstärker-Mikrofon, 5 V	Preamp Microphone 5V	8-SOIC	2.86	2.28	1.77
SSM2166S	SSM2166S-ND	Vorverstärker-Mikrofon, 5 V	Preamp Microphone 5V	14-SOIC	3.98	3.18	2.65
SSM2210P	SSM2210P-ND	Zweif. NPN Trans-Audio	Trans Audio Dual NPN	8-Dip	3.43	2.88	2.19

ANALOG DEVICES — ATE- UND ZEIT-DOMAIN

Analog Devices Teilenr.	Digi-Key Teilenr.	Beschreibung		Paket	Stückpreis★ 1	25	100
AD53033JSTP	AD53033JSTP-ND	Treiber/Komparator mit Kühlkörper	Driver/Comparator with Heatsink	52-LQFP	38.49	34.49	32.72
AD53040KRP	AD53040KRP-ND	Pin-Treiber mit Unterdrückung	Pin Driver with Inhibit	20-PSOP	35.95	30.95	24.76
AD53041KRP	AD53041KRP-ND	Stromschaltlast	Current Switch Load	20-PSOP	35.95	30.95	24.76
AD53500JRP	AD53500JRP-ND	Pin-Treiber, Hochstrom, HS	Pin Driver High Current, HS	20-SOIC	35.95	30.95	24.76
AD5520JST	AD5520JST-ND	Einf. parametrisches Maß	Single Parametric Measure	64-LQFP	28.02	22.40	18.68

ANALOG DEVICES — CCD

Analog Devices Teilenr.	Digi-Key Teilenr.	Beschreibung		Paket	Stückpreis★ 1	25	100
AD9824KCP	AD9824KCP-ND	CCD-Signalprozessor, 14-Bit	CCD Signal Processor 14-Bit	48-LFCSP	27.00	20.03	15.95
AD9840AJST	AD9840AJST-ND	CCD-Signalprozessor, 10-Bit	CCD Signal Processor 10-Bit	48-LQFP	8.09	7.28	6.46
AD9840AJSTZ	AD9840AJSTZ-ND	CCD-Signalprozessor, 10-Bit*	CCD Signal Processor 10-Bit*	48-LQFP	8.26	7.07	5.89
AD9845AJST	AD9845AJST-ND	CCD-Signalprozessor, 12-Bit	CCD Signal Processor 12-Bit	48-TQFP	12.79	11.94	11.09
AD9929BBCZ	AD9929BBCZ-ND	CCD-Signalprozessor	CCD Signal Processor	64-BGA	21.70	14.77	12.50
AD9943KCPZ	AD9943KCPZ-ND	CCD-Signalprozessor, 10-Bit, 25 MHz	CCD Signal Processor 10-Bit, 25MHz	32-LFCSP	6.47	4.40	3.74
AD9945KCP	AD9945KCP-ND	CCD-Signalprozessor	CCD Signal Processor	32-LFCSP	9.24	6.29	5.32

ANALOG DEVICES — DATENKOMMUNIKATION

Analog Devices Teilenr.	Digi-Key Teilenr.	Beschreibung		Paket	Stückpreis★ 1	25	100
		ASRC					
AD1890JP	AD1890JP-ND	Wandler-Abtastrate, asynch.	Converter Sample Rate Async.	28-PLCC	26.53	23.88	22.00
AD1895AYRS	AD1895AYRS-ND	Wandler-Abtastrate, asynch.	Converter Sample Rate Async.	28-SSOP	7.00	6.15	4.69
AD1896AYRS	AD1896AYRS-ND	Wandler-Abtastrate, asynch.	Converter Sample Rate Async.	28-SSOP	15.00	14.50	11.06

* Bleifrei/RoHS-konform

(Forts.)

★ RUFEN SIE BITTE AN FÜR NIEDRIGERE PREISE BEI GRÖSSEREN MENGEN! ★

Alle Preisangaben in Euro und inklusive Zollgebühren.

Analog Devices Teilenr.	Digi-Key Teilenr.	Beschreibung		Paket	Stückpreis★ 1	25	100
			CODEC				
AD1835AAS	AD1835AAS-ND	CODEC, 2ADU/8DAU, 24-Bit	Codec 2ADC/8DAC 24-Bit	52-MQFP	13.87	11.60	8.84
AD1835AASZ	AD1835AASZ-ND	CODEC, 2ADU/8DAU, 24-Bit	Codec 2ADC/8DAC 24-Bit	52-MQFP	13.87	11.60	8.84
AD1836AAS	AD1836AAS-ND	CODEC, Stereo, 2ADU/3DAU	Codec Stereo 2ADC/3DAC	52-MQFP	14.55	12.18	9.29
AD1836AASZ	AD1836AASZ-ND	CODEC, Stereo, 2ADU/3DAU*	Codec Stereo 2ADC/3DAC*	52-MQFP	14.55	12.18	9.29
AD1837AAS	AD1837AAS-ND	CODEC, 2ADU/8DAU, 24-Bit	Codec 2ADC/8DAC 24-Bit	52-MQFP	13.52	11.31	8.62
AD1838AAS	AD1838AAS-ND	CODEC, 2ADU/6DAU, 24-Bit	Codec 2ADC/6DAC 24-Bit	52-MQFP	13.35	11.17	8.51
AD1839AAS	AD1839AAS-ND	CODEC, 2ADU/8DAU, 24-Bit	Codec 2ADC/8DAC 24-Bit	52-MQFP	13.00	10.88	8.30
AD1881AJST	AD1881AJST-ND	Audio-CODEC, AC´97	Audio Codec AC´97	48-LQFP	6.76	5.41	4.57
AD1885JST	AD1885JST-ND	Audio-CODEC, AC´97	Audio Codec AC´97	48-LQFP	4.77	4.27	3.88
AD1980JST	AD1980JST-ND	CODEC, Stereo, 6DAU, 20-Bit	Codec Stereo 6DAC 20-Bit	48-LQFP	4.00	3.69	3.50
AD1980JSTZ	AD1980JSTZ-ND	CODEC, Stereo, 6DAU, 20-Bit*	Codec Stereo 6DAC 20-Bit*	48-LQFP	4.00	3.69	3.50
AD1981BJST	AD1981BJST-ND	CODEC, Stereo, Mikrovorverst.	Codec Stereo Micropreamp	48-LQFP	4.25	3.87	3.51
AD1981BJSTZ	AD1981BJSTZ-ND	CODEC, Stereo, Mikrovorverst.*	Codec Stereo Micropreamp*	48-LQFP	4.25	3.87	3.51
AD1981BJST-REEL	AD1981BJST-REELCT-ND	CODEC, Stereo, Mikrovorverst.	Codec Stereo Micropreamp	48-LQFP	6.98	5.59	4.71
AD1981BJST-REEL	AD1981BJST-REELTR-ND	CODEC, Stereo, Mikrovorverst.	Codec Stereo Micropreamp	48-LQFP		6600.00/2,000	
AD1985JST	AD1985JST-ND	CODEC, Stereo, 6DAU, 20-Bit	Codec Stereo 6DAC 20-Bit	48-LQFP	4.00	3.69	3.36
AD74111YRU	AD74111YRU-ND	CODEC, Mono Audio, NL	Codec Mono Audio LP	16-TSSOP	4.07	3.40	2.60
ADAV801ASTZ	ADAV801ASTZ-ND	CODEC, Audio, für beschreibbare DVD	Audio Codec for Recordable DVD	64-LQFP	14.15	11.32	9.06
ADAV803ASTZ	ADAV803ASTZ-ND	CODEC, Audio, für beschreibbare DVD	Audio Codec for Recordable DVD	64-LQFP	14.15	11.32	9.06
ADV601JS12	ADV601JS12-ND	CODEC, Video, 32-Bit	Codec Video 32-Bit	160-MQFP	55.48	49.48	45.00
ADV611JST	ADV611JST-ND	CODEC, Digital-CCTV	Codec Digital CCTV	120-LQFP	48.17	44.17	40.64
ADV7202KST	ADV7202KST-ND	CODEC, Video, 10-Bit	Codec Video 10-Bit	64-LQFP	10.61	8.49	6.79
			DAS				
AD974BR	AD974BR-ND	DAS, 16-Bit, 4-Kan., 200 KSPS	DAS 16-Bit, 4-Ch. 200KSPS	28-SOIC	48.02	41.26	40.00
AD974BRS	AD974BRS-ND	DAS, 16-Bit, 4-Kan., 200 KSPS	DAS 16-Bit, 4-Ch. 200KSPS	28-SSOP	42.00	41.26	38.00
AD7581KN	AD7581KN-ND	DAS, 8-Bit, 8-Kan.	DAS 8-Bit, 8-Ch.	28-Dip	26.79	20.12	16.76
AD7581LN	AD7581LN-ND	DAS, 8-Bit, 8-Kan.	DAS 8-Bit, 8-Ch.	28-Dip	41.69	26.53	23.00
AD7716BS	AD7716BS-ND	DAS, 22-Bit, LC2MOS	DAS 22-Bit LC2MOS	44-PQFP	61.02	49.58	38.14
AD7874AN	AD7874AN-ND	DAS, 12-Bit, 4-Kan., LC2MOS	DAS 12-Bit, 4-Ch. LC2MOS	28-Dip	44.00	43.23	40.00
AD7874AR	AD7874AR-ND	DAS, 12-Bit, 4-Kan., LC2MOS	DAS 12-Bit, 4-Ch. LC2MOS	28-SOIC	51.67	43.23	40.00
AD7874SQ	AD7874SQ-ND	DAS, 12-Bit, 4-Kan., LC2MOS	DAS 12-Bit, 4-Ch. LC2MOS	28-CDip	266.33	169.49	124.30
AD7890AR-10	AD7890AR-10-ND	DAS, 12-Bit	DAS 12-Bit	24-SOIC	14.86	12.74	10.61
AD7890BR-10	AD7890BR-10-ND	DAS, 12-Bit	DAS 12-Bit	24-SOIC	17.00	16.77	13.98
AD7891AP-1	AD7891AP-1-ND	DAS, 12-Bit, 8-Kan., HS	DAS 12-Bit, 8-Ch. High Speed	44-PLCC	21.00	20.87	15.48
AD7891AS-1	AD7891AS-1-ND	DAS, 12-Bit, 8-Kan., HS	DAS 12-Bit, 8-Ch. High Speed	44-MQFP	24.76	20.87	15.48
AD7891AS-2	AD7891AS-2-ND	DAS, 12-Bit, 8-Kan., HS	DAS 12-Bit, 8-Ch. High Speed	44-MQFP	24.76	20.87	15.48
AD7891ASZ-1	AD7891ASZ-1-ND	DAS, 12-Bit, 8-Kan., HS	DAS 12-Bit, 8-Ch. High Speed	44-MQFP	24.76	20.87	15.48
AD7891YP-1	AD7891YP-1-ND	DAS, 12-Bit, 8-Kan., HS	DAS 12-Bit, 8-Ch. High Speed	44-PLCC	50.40	43.16	40.00
			Modemanwendungen				
AD9860BST	AD9860BST-ND	Front-Ende, Mischsignal	Front-End Mixed-Signal	128-LQFP	20.02	17.16	14.30
AD9861BCP-50	AD9861BCP-50-ND	Front-Ende, Mischsignal	Front-End Mixed-Signal	64-LFCSP	14.00	13.37	11.14
AD9861BCP-80	AD9861BCP-80-ND	Front-Ende, Mischsignal	Front-End Mixed-Signal	64-LFCSP	19.72	16.91	14.09
AD9862BST	AD9862BST-ND	Front-Ende, Mischsignal	Front-End Mixed-Signal	128-LQFP	43.33	37.14	35.00
AD9862BSTZ	AD9862BSTZ-ND	Front-Ende, Mischsignal*	Front-End Mixed-Signal*	128-LQFP	43.33	37.14	35.00
AD9863BCP-50	AD9863BCP-50-ND	Front-Ende, Mischsignal	Front-End Mixed-Signal	64-LFCSP	31.20	26.74	26.00
AD9863BCPZ-50	AD9863BCPZ-50-ND	Front-Ende, Mischsignal*	Front-End Mixed-Signal*	64-LFCSP	31.20	26.74	26.00
AD9865BCP	AD9865BCP-ND	Front-Ende, Mischsignal	Front-End Mixed-Signal	64-LFCSP	14.50	12.42	10.36
AD9866BCP	AD9866BCP-ND	Front-Ende, Mischsignal	Front-End Mixed-Signal	64-LFCSP	27.02	23.16	19.31
AD9878BST	AD9878BST-ND	Front-Ende, Mischsignal	Front-End Mixed-Signal	100-LQFP	19.69	16.88	14.07
AD9879BS	AD9879BS-ND	Front-Ende, Mischsignal	Front-End Mixed-Signal	100-MQFP	17.45	14.95	12.46
AD9975BST	AD9975BST-ND	Front-Ende, Mischsignal	Front-End Mixed-Signal	48-LQFP	13.47	11.54	9.62

Analog Devices Teilenr.	Digi-Key Teilenr.	Beschreibung		Paket	Stückpreis★ 1	25	100
			Analog-in-Digital				
AD570JD	AD570JD-ND	ADU, 8-Bit, Mono, mit Uhr	ADC 8-Bit Mono with Clock	18-Dip	59.49	49.77	45.00
AD573JN	AD573JN-ND	ADU, 10-Bit, SAR-Register	ADC 10-Bit SAR Register	20-Dip	35.69	29.86	28.00
AD573JP	AD573JP-ND	ADU, 10-Bit, SAR-Register	ADC 10-Bit SAR Register	20-PLCC	35.69	29.86	28.00
AD574AJD	AD574AJD-ND	ADU, 12-Bit, mit Referenz	ADC 12-Bit with Reference	28-Dip	44.42	35.73	32.00
AD574AJN	AD574AJN-ND	ADU, 12-Bit, mit Referenz	ADC 12-Bit with Reference	28-Dip	33.38	28.32	20.79
AD574AJP	AD574AJP-ND	ADU, 12-Bit, mit Referenz	ADC 12-Bit with Reference	28-PLCC	35.03	29.70	21.80
AD574AKD	AD574AKD-ND	ADU, 12-Bit, mit Referenz	ADC 12-Bit with Reference	28-Dip	57.94	45.38	45.00
AD574AKN	AD574AKN-ND	ADU, 12-Bit, mit Referenz	ADC 12-Bit with Reference	28-Dip	43.69	36.88	35.00
AD574AKP	AD574AKP-ND	ADU, 12-Bit, mit Referenz	ADC 12-Bit with Reference	28-PLCC	50.49	42.59	40.00
AD574ASD	AD574ASD-ND	ADU, 12-Bit, mit Referenz	ADC 12-Bit with Reference	28-Dip	121.67	98.36	82.12
AD574AUD	AD574AUD-ND	ADU, 12-Bit, mit Referenz	ADC 12-Bit with Reference	28-Dip	248.40	200.76	167.30
AD670JN	AD670JN-ND	ADU, 8-Bit, Signalkondition	ADC 8-Bit Signal Condition	20-Dip	15.00	14.05	10.71
AD673JD	AD673JD-ND	ADU, 8-Bit, mit Ref./Uhr/Komparator	ADC 8-Bit with Ref./Clock/Comparator	20-Dip	34.11	28.55	25.00
AD673JN	AD673JN-ND	ADU, 8-Bit, mit Ref./Uhr/Komparator	ADC 8-Bit with Ref./Clock/Comparator	20-Dip	16.79	14.05	10.71
AD674BAD	AD674BAD-ND	ADU, 12-Bit, Mono, mit 3 Ausgängen	ADC 12-Bit Mono 3 Output	28-Dip	52.58	41.40	40.00
AD674BBR	AD674BBR-ND	ADU, 12-Bit, Mono, mit 3 Ausgängen	ADC 12-Bit Mono 3 Output	28-SOIC	59.00	58.11	55.00
AD676BD	AD676BD-ND	ADU, 16-Bit, 100 KSPS	ADC 16-Bit, 100KSPS	28-Dip	86.40	73.18	70.00
AD676JN	AD676JN-ND	ADU, 16-Bit, 100 KSPS	ADC 16-Bit, 100KSPS	28-Dip	43.03	36.99	35.00
AD676KD	AD676KD-ND	ADU, 16-Bit, 100 KSPS	ADC 16-Bit, 100KSPS	28-Dip	69.12	58.96	56.00
AD677AD	AD677AD-ND	ADU, 16-Bit, 100 KSPS	ADC 16-Bit, 100KSPS	16-Dip	67.09	57.95	50.00
AD677JN	AD677JN-ND	ADU, 16-Bit, 100 KSPS	ADC 16-Bit, 100KSPS	16-Dip	35.00	32.00	30.00
AD677JR	AD677JR-ND	ADU, 16-Bit, 100 KSPS	ADC 16-Bit, 100KSPS	28-SOIC	40.17	34.44	32.00
AD677JRZ	AD677JRZ-ND	ADU, 16-Bit, 100 KSPS	ADC 16-Bit, 100KSPS	28-SOIC	40.17	34.44	32.00
AD677KN	AD677KN-ND	ADU, 16-Bit, 100 KSPS	ADC 16-Bit, 100KSPS	16-Dip	47.27	40.52	38.00
AD677KR	AD677KR-ND	ADU, 16-Bit, 100 KSPS	ADC 16-Bit, 100KSPS	28-SOIC	47.27	40.52	38.00
AD677KRZ	AD677KRZ-ND	ADU, 16-Bit, 100 KSPS*	ADC 16-Bit, 100KSPS*	28-SOIC	47.27	40.52	38.00
AD678AJ	AD678AJ-ND	ADU, 12-Bit, 200 KSPS	ADC 12-Bit, 200KSPS	44-JLCC	111.47	93.27	85.00
AD678BD	AD678BD-ND	ADU, 12-Bit, 200 KSPS	ADC 12-Bit, 200KSPS	28-Dip	113.06	94.60	90.00
AD678JN	AD678JN-ND	ADU, 12-Bit, 200 KSPS	ADC 12-Bit, 200KSPS	28-Dip	51.82	43.36	40.00
AD679JN	AD679JN-ND	ADU, 14-Bit, 128 KSPS	ADC 14-Bit, 128KSPS	28-Dip	57.01	55.00	50.00
AD779KD	AD779KD-ND	ADU, 14-Bit, Abtastung	ADC 14-Bit Sampling	28-CDip	95.34	79.77	75.00
AD872AJD	AD872AJD-ND	ADU, 12-Bit, 10 MSPS	ADC 12-Bit, 10MSPS	28-CDip	228.60	192.60	160.50
AD876JR	AD876JR-ND	ADU, CMOS, 10-Bit, 20 MSPS	ADC CMOS 10-Bit, 20MSPS	28-SOIC	5.73	5.31	4.09
AD976AN	AD976AN-ND	ADU, 16-Bit, 100 KSPS	ADC 16-Bit, 100KSPS	28-Dip	30.52	26.18	21.64
AD976AAN	AD976AAN-ND	ADU, 16-Bit, 200 KSPS	ADC 16-Bit, 200KSPS	28-Dip	38.14	32.73	30.00
AD976AAR	AD976AAR-ND	ADU, 16-Bit, 200 KSPS	ADC 16-Bit, 200KSPS	28-SOIC	33.00	32.73	30.00
AD976ABN	AD976ABN-ND	ADU, 16-Bit, 200 KSPS	ADC 16-Bit, 200KSPS	28-Dip	47.67	40.91	33.82
AD976ABR	AD976ABR-ND	ADU, 16-Bit, 200 KSPS	ADC 16-Bit, 200KSPS	28-SOIC	47.67	40.91	33.82
AD976ABRS	AD976ABRS-ND	ADU, 16-Bit, 200 KSPS	ADC 16-Bit, 200KSPS	28-SSOP	47.67	40.91	33.82
AD976AR	AD976AR-ND	ADU, 16-Bit, 100 KSPS	ADC 16-Bit, 100KSPS	28-SOIC	30.52	26.18	23.00

* Bleifrei/RoHS-konform

(Forts.)

★ ***RUFEN SIE BITTE AN FÜR NIEDRIGERE PREISE BEI GRÖSSEREN MENGEN!*** ★

B

Analog Devices Teilenr.	Digi-Key Teilenr.	Beschreibung		Paket	Stückpreis★ 1	25	100
AD976ARZ	AD976ARZ-ND	ADU, 16-Bit, 100 KSPS*	ADC 16-Bit, 100KSPS*	28-SOIC	30.52	26.18	23.00
AD976ARS	AD976ARS-ND	ADU, 16-Bit, 200 KSPS	ADC 16-Bit, 200KSPS	28-SSOP	27.00	26.18	21.64
AD976BR	AD976BR-ND	ADU, 16-Bit, 100 KSPS	ADC 16-Bit, 100KSPS	28-SOIC	33.00	32.73	30.00
AD976CN	AD976CN-ND	ADU, 16-Bit, 100 KSPS	ADC 16-Bit, 100KSPS	28-Dip	22.07	18.44	16.62
AD977AAR	AD977AAR-ND	ADU, 16-Bit, 200 KSPS	ADC 16-Bit, 200KSPS	20-SOIC	38.14	32.73	30.00
AD977AARS	AD977AARS-ND	ADU, 16-Bit, 200 KSPS	ADC 16-Bit, 200KSPS	28-SSOP	33.00	32.73	30.00
AD977ABN	AD977ABN-ND	ADU, 16-Bit, 200 KSPS	ADC 16-Bit, 200KSPS	20-Dip	47.67	40.91	40.00
AD977ABR	AD977ABR-ND	ADU, 16-Bit, 200 KSPS	ADC 16-Bit, 200KSPS	20-SOIC	47.67	40.91	40.00
AD977ABRZ	AD977ABRZ-ND	ADU, 16-Bit, 200 KSPS*	ADC 16-Bit, 200KSPS*	20-SOIC	47.67	40.91	40.00
AD977AN	AD977AN-ND	ADU, 16-Bit, 100 KSPS	ADC 16-Bit, 100KSPS	20-Dip	30.52	26.18	23.00
AD977AR	AD977AR-ND	ADU, 16-Bit, 100 KSPS	ADC 16-Bit, 100KSPS	20-SOIC	30.52	26.18	23.00
AD977ARZ	AD977ARZ-ND	ADU, 16-Bit, 100 KSPS*	ADC 16-Bit, 100KSPS*	20-SOIC	30.52	26.18	23.00
AD977BR	AD977BR-ND	ADU, 16-Bit, 100 KSPS	ADC 16-Bit, 100KSPS	20-SOIC	38.14	32.73	30.00
AD977CN	AD977CN-ND	ADU, 16-Bit, 100 KSPS	ADC 16-Bit, 100KSPS	20-Dip	22.07	18.44	16.62
AD1376KD	AD1376KD-ND	Einf. ADU, 16-Bit	ADC Single 16-Bit	32-Dip	346.14	290.63	258.66
AD1377JD	AD1377JD-ND	Einf. ADU, 16-Bit	ADC Single 16-Bit	32-Dip	345.02	315.74	297.61
AD1377KD	AD1377KD-ND	Einf. ADU, 16-Bit	ADC Single 16-Bit	32-Dip	431.27	394.67	372.02
AD1671JP	AD1671JP-ND	Einf. ADU, 12-Bit	ADC Single 12-Bit	28-PLCC	51.07	43.78	40.00
AD1674AR	AD1674AR-ND	ADU, 12-Bit, 100 KSPS	ADC 12-Bit, 100KSPS	28-SOIC	26.55	21.48	17.45
AD1674ARZ	AD1674ARZ-ND	ADU, 12-Bit, 100 KSPS	ADC 12-Bit, 100KSPS	28-SOIC	26.55	21.48	17.45
AD1674BD	AD1674BD-ND	ADU, 12-Bit, 100 KSPS	ADC 12-Bit, 100KSPS	28-Dip	53.74	46.41	42.00
AD1674BR	AD1674BR-ND	ADU, 12-Bit, 100 KSPS	ADC 12-Bit, 100KSPS	28-SOIC	36.80	29.83	28.00
AD1674BRZ	AD1674BRZ-ND	ADU, 12-Bit, 100 KSPS	ADC 12-Bit, 100KSPS	28-SOIC	36.80	29.83	28.00
AD1674JN	AD1674JN-ND	ADU, 12-Bit, 100 KSPS	ADC 12-Bit, 100KSPS	28-Dip	19.00	18.72	14.96
AD1674JR	AD1674JR-ND	ADU, 12-Bit, 100 KSPS	ADC 12-Bit, 100KSPS	28-SOIC	23.96	18.72	14.96
AD1674JRZ	AD1674JRZ-ND	ADU, 12-Bit, 100 KSPS*	ADC 12-Bit, 100KSPS*	28-SOIC	23.96	18.72	14.96
AD1674KN	AD1674KN-ND	ADU, 12-Bit, 100 KSPS	ADC 12-Bit, 100KSPS	28-Dip	27.00	26.23	20.94
AD1674KR	AD1674KR-ND	ADU, 12-Bit, 100 KSPS	ADC 12-Bit, 100KSPS	28-SOIC	33.53	26.23	20.94
AD1674KRZ	AD1674KRZ-ND	ADU, 12-Bit, 100 KSPS*	ADC 12-Bit, 100KSPS*	28-SOIC	33.53	26.23	20.94
AD1674TD	AD1674TD-ND	ADU, 12-Bit, 100 KSPS	ADC 12-Bit, 100KSPS	28-Dip	117.26	91.61	80.00
AD1871YRS	AD1871YRS-ND	ADU, Stereo, Audio, 24-Bit	ADC Stereo Audio 24-Bit	28-SSOP	7.80	6.53	4.98
AD1877JR	AD1877JR-ND	ADU, Stereo, 16-Bit	ADC Stereo 16-Bit	28-SOIC	11.27	9.29	7.43
AD6640AST	AD6640AST-ND	ADU, 12-Bit, 65 MSPS	ADC 12-Bit, 65MSPS	44-LQFP	44.17	40.94	40.00
AD6644AST-40	AD6644AST-40-ND	ADU, 14-Bit, 40 MSPS	ADC 14-Bit, 40MSPS	52-LQFP	42.36	36.26	34.00
AD6644AST-65	AD6644AST-65-ND	ADU, 14-Bit, 65 MSPS	ADC 14-Bit, 65MSPS	52-LQFP	56.86	48.73	46.00
AD6645ASQ-80	AD6645ASQ-80-ND	ADU, 14-Bit, 80 MSPS	ADC 14-Bit, 80MSPS	52-LQFP-PQ4	63.67	54.56	50.00
AD6645-80/PCB	AD6645-80/PCB-ND	Evaluierungskarte ADU, 80 MSPS, AD6645	Evaluation Board ADC 80MSPS AD6645	—	176.86	—	—
AD6645ASQ-105	AD6645ASQ-105-ND	ADU, 14-Bit, 105 MSPS	ADC 14-Bit, 105MSPS	52-LQFP-PQ4	81.53	69.86	60.00
AD6645-105/PCB	AD6645-105/PCB-ND	Evaluierungskarte ADU, 105 MSPS, AD6645	Evaluation Board ADC 105MSPS AD6645	—	176.86	—	—
AD7417AR	AD7417AR-ND	ADU, 10-Bit, 2,7 V, 4-Kan.	ADC 10-Bit, 2.7V, 4-Ch.	16-SOIC	4.29	3.76	2.79
AD7417ARU	AD7417ARU-ND	ADU, 10-Bit, 2,7 V, 4-Kan.	ADC 10-Bit, 2.7V, 4-Ch.	16-TSSOP	4.29	3.76	2.79
AD7417ARUZ	AD7417ARUZ-ND	ADU, 10-Bit, 2,7 V, 4-Kan.*	ADC 10-Bit, 2.7V, 4-Ch.*	16-TSSOP	4.29	3.76	2.79
AD7440BRM	AD7440BRM-ND	ADU, 10-Bit, Diff.-Eing., 1 MSPS	ADC 10-Bit Diff.-In 1MSPS	8-MSOP	3.67	3.15	2.60
AD7440BRT-R2	AD7440BRT-R2CT-ND	ADU, 10-Bit, Diff.-Eing., 1 MSPS	ADC 10-Bit Diff.-In 1MSPS	SOT-23-8	4.98	3.99	3.37
AD7440BRT-R2	AD7440BRT-R2TR-ND	ADU, 10-Bit, Diff.-Eing., 1 MSPS	ADC 10-Bit Diff.-In 1MSPS	SOT-23-8		808.93/250	
AD7441BRM	AD7441BRM-ND	ADU, 10-Bit, PSDO-Eing., 1 MSPS	ADC 10-Bit PSDO-In 1MSPS	8-MSOP	3.67	3.15	2.60
AD7441BRT-R2	AD7441BRT-R2TR-ND	ADU, 10-Bit, PSDO-Eing., 1 MSPS	ADC 10-Bit PSDO-In 1MSPS	SOT-23-8		650.00/250	
AD7450ABRM	AD7450ABRM-ND	ADU, 12-Bit, Diff.-Eing., 1 MSPS	ADC 12-Bit Diff.-In 1MSPS	8-MSOP	6.39	5.47	4.53
AD7450ABRT-R2	AD7450ABRT-R2CT-ND	ADU, 12-Bit, Diff.-Eing., 1 MSPS	ADC 12-Bit Diff.-In 1MSPS	SOT-23-8	7.22	6.51	5.77
AD7450ABRT-R2	AD7450ABRT-R2TR-ND	ADU, 12-Bit, Diff.-Eing., 1 MSPS	ADC 12-Bit Diff.-In 1MSPS	SOT-23-8		1132.50/250	
AD7450AR	AD7450AR-ND	ADU, 12-Bit, Diff.-Eing., 1 MSPS	ADC 12-Bit Diff.-In 1MSPS	8-SOIC	6.00	5.03	4.17
AD7450ARM	AD7450ARM-ND	ADU, 12-Bit, Diff.-Eing., 1 MSPS	ADC 12-Bit Diff.-In 1MSPS	8-MSOP	5.87	5.03	4.17
AD7450BRM	AD7450BRM-ND	ADU, 12-Bit, Diff.-Eing., 1 MSPS	ADC 12-Bit Diff.-In 1MSPS	8-MSOP	6.39	5.47	4.53
AD7450BR	AD7450BR-ND	ADU, 12-Bit, Diff.-Eing., 1 MSPS	ADC 12-Bit Diff.-In 1MSPS	8-SOIC	6.39	5.47	4.53
AD7451ARM	AD7451ARM-ND	ADU, 12-Bit, PSDO-Eing., 1 MSPS	ADC 12-Bit PSDO-In 1MSPS	8-MSOP	6.23	5.35	4.42
AD7451ART-R2	AD7451ART-R2CT-ND	ADU, 12-Bit, PSDO-Eing., 1 MSPS	ADC 12-Bit PSDO-In 1MSPS	SOT-23-8	7.05	6.35	5.63
AD7451ART-R2	AD7451ART-R2TR-ND	ADU, 12-Bit, PSDO-Eing., 1 MSPS	ADC 12-Bit PSDO-In 1MSPS	SOT-23-8		1105.00/250	
AD7451BRM	AD7451BRM-ND	ADU, 12-Bit, PSDO-Eing., 1 MSPS	ADC 12-Bit PSDO-In 1MSPS	8-MSOP	6.68	5.73	4.73
AD7451BRT-R2	AD7451BRT-R2CT-ND	ADU, 12-Bit, PSDO-Eing., 1 MSPS	ADC 12-Bit PSDO-In 1MSPS	SOT-23-8	7.54	6.80	6.03
AD7451BRT-R2	AD7451BRT-R2TR-ND	ADU, 12-Bit, PSDO-Eing., 1 MSPS	ADC 12-Bit PSDO-In 1MSPS	SOT-23-8		1182.50/250	
AD7452BRT-R2	AD7452BRT-R2CT-ND	ADU, 12-Bit, 555 KSPS	ADC 12-Bit, 555KSPS	SOT-23-8	5.88	4.71	3.97
AD7452BRT-R2	AD7452BRT-R2TR-ND	ADU, 12-Bit, 555 KSPS	ADC 12-Bit, 555KSPS	SOT-23-8		767.50/250	
AD7453BRT-R2	AD7453BRT-R2CT-ND	ADU, 12-Bit, 555 KSPS	ADC 12-Bit, 555KSPS	SOT-23-8	5.88	4.71	3.97
AD7453BRT-R2	AD7453BRT-R2TR-ND	ADU, 12-Bit, 555 KSPS	ADC 12-Bit, 555KSPS	SOT-23-8		954.75/250	
AD7457BRT-REEL7	AD7457BRT-REEL7TR-ND	ADU, 12-Bit, 100 KSPS	ADC 12-Bit, 100KSPS	SOT-23-8		6560.30/3,000	
AD7466BRM	AD7466BRM-ND	ADU, 12-Bit, Micropower, 1,6 V	ADC 12-Bit Micropower 1.6V	8-MSOP	3.45	2.96	2.44
AD7466BRMZ	AD7466BRMZ-ND	ADU, 12-Bit, Micropower, 1,6 V*	ADC 12-Bit Micropower 1.6V*	8-MSOP	3.45	2.96	2.44
AD7466BRT-R2	AD7466BRT-R2CT-ND	ADU, 12-Bit, Micropower, 1,6 V	ADC 12-Bit Micropower 1.6V	SOT-23-6	4.67	3.74	3.16
AD7466BRT-R2	AD7466BRT-R2TR-ND	ADU, 12-Bit, Micropower, 1,6 V	ADC 12-Bit Micropower 1.6V	SOT-23-6		610.00/250	
AD7466BRTZ-REEL7	AD7466BRTZREEL7CT-ND	ADU, 12-Bit, Micropower, 1,6 V*	ADC 12-Bit Micropower 1.6V*	SOT-23-6	4.48	3.59	2.79
AD7466BRTZ-REEL7	AD7466BRTZREEL7TR-ND	ADU, 12-Bit, Micropower, 1,6 V*	ADC 12-Bit Micropower 1.6V*	SOT-23-6		6210.00/3,000	
AD7467BRM	AD7467BRM-ND	ADU, 10-Bit, Micropower, 1,6 V	ADC 10-Bit Micropower 1.6V	8-MSOP	2.79	2.39	1.98
AD7467BRT-R2	AD7467BRT-R2CT-ND	ADU, 10-Bit, Micropower, 1,6 V	ADC 10-Bit Micropower 1.6V	SOT-23-6	4.27	3.42	2.66
AD7467BRT-R2	AD7467BRT-R2TR-ND	ADU, 10-Bit, Micropower, 1,6 V	ADC 10-Bit Micropower 1.6V	SOT-23-6		495.00/250	
AD7468BRM	AD7468BRM-ND	ADU, 8-Bit, Micropower, 1,6 V	ADC 8-Bit Micropower 1.6V	8-MSOP	1.69	1.45	1.30
AD7468BRMZ	AD7468BRMZ-ND	ADU, 8-Bit, Micropower, 1,6 V*	ADC 8-Bit Micropower 1.6V*	8-MSOP	1.69	1.45	1.30
AD7468BRT-R2	AD7468BRT-R2CT-ND	ADU, 8-Bit, Micropower, 1,6 V	ADC 8-Bit Micropower 1.6V	SOT-23-6	2.57	2.06	1.61
AD7468BRT-R2	AD7468BRT-R2TR-ND	ADU, 8-Bit, Micropower, 1,6 V	ADC 8-Bit Micropower 1.6V	SOT-23-6		297.50/250	
AD7468BRTZ-REEL7	AD7468BRTZREEL7CT-ND	ADU, 8-Bit, Micropower, 1,6 V*	ADC 8-Bit Micropower 1.6V*	SOT-23-6	2.19	1.76	1.37
AD7468BRTZ-REEL7	AD7468BRTZREEL7TR-ND	ADU, 8-Bit, Micropower, 1,6 V*	ADC 8-Bit Micropower 1.6V*	SOT-23-6		3060.00/3,000	
AD7470ARU	AD7470ARU-ND	ADU, 10-Bit, 1,75 MSPS	ADC 10-Bit, 1.75MSPS	24-TSSOP	5.61	3.59	3.12
AD7470ARUZ	AD7470ARUZ-ND	ADU, 10-Bit, 1,75 MSPS	ADC 10-Bit, 1.75MSPS	24-TSSOP	5.61	3.59	3.12
AD7475BR	AD7475BR-ND	ADU, 12-Bit, 1 MSPS	ADC 12-Bit, 1MSPS	8-SOIC	8.14	6.61	5.09
AD7475BRM	AD7475BRM-ND	ADU, 12-Bit, 1 MSPS	ADC 12-Bit, 1MSPS	8-MSOP	8.31	6.75	5.20
AD7476ABKSZ-REEL7	AD7476ABKSZREELCT-ND	ADU, 12-Bit, 2,35 V, 1 MSPS	ADC 12-Bit, 2.35V, 1MSPS	SC70-6	7.05	6.35	5.63
AD7476ABKSZ-REEL7	AD7476ABKSZREELTR-ND	ADU, 12-Bit, 2,35 V, 1 MSPS	ADC 12-Bit, 2.35V, 1MSPS	SC70-6		13260.00/3,000	
AD7476ABRM	AD7476ABRM-ND	ADU, 12-Bit, 2,35 V, 1 MSPS	ADC 12-Bit, 2.35V, 1MSPS	8-MSOP	6.60	5.67	4.68
AD7476ABRMZ	AD7476ABRMZ-ND	ADU, 12-Bit, 2,35 V, 1 MSPS*	ADC 12-Bit, 2.35V, 1MSPS*	8-MSOP	6.60	5.67	4.68
AD7476ART-500RL7	AD7476ART500RL7CT-ND	ADU, 12-Bit, 2,35 V, 1 MSPS	ADC 12-Bit, 2.35V, 1MSPS	SOT-23-6	7.13	5.71	4.82
AD7476ART-500RL7	AD7476ART500RL7TR-ND	ADU, 12-Bit, 2,35 V, 1 MSPS	ADC 12-Bit, 2.35V, 1MSPS	SOT-23-6		1860.00/500	
AD7476AYRM	AD7476AYRM-ND	ADU, 12-Bit, 2,35 V, 1 MSPS	ADC 12-Bit, 2.35V, 1MSPS	8-MSOP	8.00	7.55	6.24
AD7477AARM	AD7477AARM-ND	ADU, 10-Bit, 2,35 V, 1 MSPS	ADC 10-Bit, 2.35V, 1MSPS	8-MSOP	3.67	3.15	2.60
AD7477AARMZ	AD7477AARMZ-ND	ADU, 10-Bit, 2,35 V, 1 MSPS*	ADC 10-Bit, 2.35V, 1MSPS*	8-MSOP	3.67	3.15	2.60
AD7477ARTZ-500RL7	AD7477ARTZ500RLCT-ND	ADU, 10-Bit, 2,35 V, 1 MSPS*	ADC 10-Bit, 2.35V, 1MSPS*	SOT-23-6	4.66	3.73	3.15
AD7477ARTZ-500RL7	AD7477ARTZ500RLTR-ND	ADU, 10-Bit, 2,35 V, 1 MSPS*	ADC 10-Bit, 2.35V, 1MSPS*	SOT-23-6		1215.00/500	
AD7478AARM	AD7478AARM-ND	ADU, 8-Bit, 2,35 V, 1 MSPS	ADC 8-Bit, 2.35V, 1MSPS	8-MSOP	1.40	1.19	1.00
AD7478AARMZ	AD7478AARMZ-ND	ADU, 8-Bit, 2,35 V, 1 MSPS*	ADC 8-Bit, 2.35V, 1MSPS*	8-MSOP	1.40	1.19	1.00
AD7478ART-500RL7	AD7478ART500RL7CT-ND	ADU, 8-Bit, 2,35 V, 1 MSPS	ADC 8-Bit, 2.35V, 1MSPS	SOT-23-6	2.29	1.83	1.43
AD7478ART-500RL7	AD7478ART500RL7TR-ND	ADU, 8-Bit, 2,35 V, 1 MSPS	ADC 8-Bit, 2.35V, 1MSPS	SOT-23-6		530.00/500	
AD7478ARTZ-REEL7	AD7478ARTZREEL7CT-ND	ADU, 8-Bit, 2,35 V, 1 MSPS*	ADC 8-Bit, 2.35V, 1MSPS*	SOT-23-6	2.01	1.61	1.21
AD7478ARTZ-REEL7	AD7478ARTZREEL7TR-ND	ADU, 8-Bit, 2,35 V, 1 MSPS*	ADC 8-Bit, 2.35V, 1MSPS*	SOT-23-6		2520.00/3,000	
AD7482AST	AD7482AST-ND	ADU, 12-Bit, SAR, 3 MSPS	ADC 12-Bit SAR 3MSPS	48-LQFP	8.67	7.44	7.23
AD7482BST	AD7482BST-ND	ADU, 12-Bit, SAR, 3 MSPS	ADC 12-Bit SAR 3MSPS	48-LQFP	9.00	8.93	8.68
AD7484BST	AD7484BST-ND	ADU, 14-Bit, SAR, 3 MSPS	ADC 14-Bit SAR 3MSPS	48-LQFP	13.00	12.84	12.49
AD7485BST	AD7485BST-ND	ADU, 14-Bit, SAR, 1 MSPS	ADC 14-Bit SAR 1MSPS	48-LQFP	11.22	9.63	9.36

* Bleifrei/RoHS-konform

(Forts.)

★ ***RUFEN SIE BITTE AN FÜR NIEDRIGERE PREISE BEI GRÖSSEREN MENGEN!*** ★

Analog Devices Teilenr.	Digi-Key Teilenr.	Beschreibung		Paket	Stückpreis★ 1	25	100
AD7490BCP	AD7490BCP-ND	ADU, 12-Bit, 16-Kan. 1 MSPS	ADC 12-Bit, 16-Ch., 1MSPS	32-LFCSP	8.73	7.49	6.19
AD7490BRU	AD7490BRU-ND	ADU, 12-Bit, 16-Kan. 1 MSPS	ADC 12-Bit, 16-Ch., 1MSPS	28-TSSOP	8.73	7.49	6.19
AD7572AJN10	AD7572AJN10-ND	ADU, 12-Bit, HS, LC2MOS	ADC 12-Bit HS LC2MOS	24-Dip	20.43	16.71	12.38
AD7572AQ05	AD7572AQ05-ND	ADU, 12-Bit, HS, LC2MOS	ADC 12-Bit HS LC2MOS	24-CDip	106.32	67.66	60.00
AD7574JN	AD7574JN-ND	ADU, 8-Bit, CMOS, 5 V	ADC 8-Bit CMOS 5V	18-Dip	10.00	9.73	7.30
AD7575JP	AD7575JP-ND	ADU, 8-Bit, LC2MOS, mit „Hold“	ADC 8-Bit LC2MOS with Hold	20-PLCC	9.55	7.34	5.57
AD7578KN	AD7578KN-ND	ADU, 12-Bit, Niedrigleistung	ADC 12-Bit Low Power	24-Dip	27.00	26.22	19.41
AD7582KN	AD7582KN-ND	ADU, 12-Bit	ADC 12-Bit	28-Dip	32.00	30.00	29.00
AD7650AST	AD7650AST-ND	ADU, 16-Bit, 570 KSPS	ADC 16-Bit, 570KSPS	48-LQFP	11.50	9.63	7.34
AD7651ACP	AD7651ACP-ND	ADU, 16-Bit, 100 KSPS	ADC 16-Bit, 100KSPS	48-LFCSP	11.42	9.56	7.29
AD7651AST	AD7651AST-ND	ADU, 16-Bit, 100 KSPS	ADC 16-Bit, 100KSPS	48-LQFP	11.42	9.56	7.29
AD7652ACP	AD7652ACP-ND	ADU, 16-Bit, 500 KSPS mit Referenz	ADC 16-Bit, 500KSPS w/Reference	48-LFCSP	14.44	12.08	9.21
AD7652AST	AD7652AST-ND	ADU, 16-Bit, 500 KSPS mit Referenz	ADC 16-Bit, 500KSPS w/Reference	48-LQFP	14.44	12.08	9.21
AD7653ACP	AD7653ACP-ND	ADU, 16-Bit, 1 MSPS mit Referenz	ADC 16-Bit, 1MSPS w/Reference	48-LFCSP	17.64	14.76	11.25
AD7653AST	AD7653AST-ND	ADU, 16-Bit, 1 MSPS mit Referenz	ADC 16-Bit, 1MSPS w/Reference	48-LQFP	15.00	14.76	11.25
AD7654ACP	AD7654ACP-ND	Zweif. ADU, 16-Bit, 500 KSPS	ADC 16-Bit, 500KSPS Dual	48-LFCSP	23.65	19.80	15.08
AD7654AST	AD7654AST-ND	Zweif. ADU, 16-Bit, 500 KSPS	ADC 16-Bit, 500KSPS Dual	48-LQFP	23.65	19.80	15.08
AD7655ACP	AD7655ACP-ND	Vierf. ADU, 16-Bit, 1 MSPS	ADC 16-Bit, 1MSPS Quad	48-LFCSP	14.50	12.12	9.24
AD7655AST	AD7655AST-ND	Vierf. ADU, 16-Bit, 1 MSPS	ADC 16-Bit, 1MSPS Quad	48-LQFP	14.50	12.12	9.24
AD7660AST	AD7660AST-ND	ADU, 16-Bit, unipolar	ADC 16-Bit Unipolar	48-LQFP	13.03	10.90	8.31
AD7661ACP	AD7661ACP-ND	ADU, 16-Bit, mit Referenz	ADC 16-Bit with Reference	48-LFCSP	13.71	11.47	8.74
AD7661AST	AD7661AST-ND	ADU, 16-Bit, mit Referenz	ADC 16-Bit with Reference	48-LQFP	13.71	11.47	8.74
AD7663AST	AD7663AST-ND	ADU, 16-Bit, 250 KSPS	ADC 16-Bit, 250KSPS	48-LQFP	18.41	15.40	11.74
AD7664AST	AD7664AST-ND	ADU, 16-Bit, unipolar	ADC 16-Bit Unipolar	48-LQFP	24.00	23.93	18.24
AD7665AST	AD7665AST-ND	ADU, 16-Bit, CMOS, 5 V	ADC 16-Bit CMOS 5V	48-LQFP	29.14	24.38	18.58
AD7666ACP	AD7666ACP-ND	ADU, 16-Bit, 500 KSPS, unipolar	ADC 16-Bit, 500KSPS Unipolar	48-LFCSP	27.61	23.11	17.60
AD7666AST	AD7666AST-ND	ADU, 16-Bit, 500 KSPS, unipolar	ADC 16-Bit, 500KSPS Unipolar	48-LQFP	27.61	23.11	17.60
AD7667ACP	AD7667ACP-ND	ADU, 16-Bit, 1 MSPS, unipolar	ADC 16-Bit, 1MSPS Unipolar	48-LFCSP	36.05	35.00	34.00
AD7667AST	AD7667AST-ND	ADU, 16-Bit, 1 MSPS, unipolar	ADC 16-Bit, 1MSPS Unipolar	48-LQFP	36.05	35.00	34.00
AD7671AST	AD7671AST-ND	ADU, 16-Bit, CMOS, 1 MSPS	ADC 16-Bit CMOS 1MSPS	48-LQFP	42.87	35.87	27.34
AD7674ACP	AD7674ACP-ND	ADU, 18-Bit, 800 KSPS	ADC 18-Bit, 800KSPS	48-LFCSP	42.87	35.87	32.00
AD7674AST	AD7674AST-ND	ADU, 18-Bit, 800 KSPS	ADC 18-Bit, 800KSPS	48-LQFP	42.87	35.87	32.00
AD7674ASTZ	AD7674ASTZ-ND	ADU, 18-Bit, 800 KSPS	ADC 18-Bit, 800KSPS	48-LQFP	42.87	35.87	32.00
AD7676AST	AD7676AST-ND	ADU, 16-Bit, 500 KSPS, Diff.	ADC 16-Bit, 500KSPS Diff.	48-LQFP	33.00	32.02	30.00
AD7677AST	AD7677AST-ND	ADU, 16-Bit, 1 MSPS, Diff.	ADC 16-Bit, 1MSPS Diff.	48-LQFP	50.54	42.29	40.00
AD7677ASTZ	AD7677ASTZ-ND	ADU, 16-Bit, 1 MSPS, Diff.*	ADC 16-Bit, 1MSPS Diff.*	48-LQFP	50.54	42.29	40.00
AD7678ACP	AD7678ACP-ND	ADU, 18-Bit, 100 KSPS	ADC 18-Bit, 100KSPS	48-LFCSP	29.45	24.64	18.79
AD7678AST	AD7678AST-ND	ADU, 18-Bit, 100 KSPS	ADC 18-Bit, 100KSPS	48-LQFP	29.45	24.64	18.79
AD7679ACP	AD7679ACP-ND	ADU, 18-Bit, 570 KSPS	ADC 18-Bit, 570KSPS	48-LFCSP	39.26	32.85	30.00
AD7679AST	AD7679AST-ND	ADU, 18-Bit, 570 KSPS	ADC 18-Bit, 570KSPS	48-LQFP	39.26	32.85	25.04
EVAL-AD7679CB	EVAL-AD7679CB-ND	Evaluierungskarte für AD7679	Evaluation Board for AD7679	—	294.47	—	—
AD7680BRM	AD7680BRM-ND	ADU, 16-Bit, 100 KSPS	ADC 16-Bit, 100KSPS	8-MSOP	8.00	7.70	5.87
AD7683ARM	AD7683ARM-ND	ADU, 16-Bit, 100 KSPS	ADC 16-Bit, 100KSPS	8-MSOP	8.83	7.38	5.63
AD7683BRM	AD7683BRM-ND	ADU, 16-Bit, 100 KSPS	ADC 16-Bit, 100KSPS	8-MSOP	9.00	8.34	6.36
AD7684BRM	AD7684BRM-ND	ADU, 16-Bit, 100 KSPS	ADC 16-Bit, 100KSPS	8-MSOP	9.97	8.34	6.36
AD7685ARM	AD7685ARM-ND	ADU, 16-Bit, 250 KSPS	ADC 16-Bit, 250KSPS	10-MSOP	9.97	8.34	6.36
AD7685BRM	AD7685BRM-ND	ADU, 16-Bit, 250 KSPS	ADC 16-Bit, 250KSPS	10-MSOP	12.27	10.26	7.83
AD7685BRMZ	AD7685BRMZ-ND	ADU, 16-Bit, 250 KSPS*	ADC 16-Bit, 250KSPS*	10-MSOP	12.27	10.26	7.83
AD7685BRMRL7	AD7685BRMRL7TR-ND	ADU, 16-Bit, 250 KSPS	ADC 16-Bit, 250KSPS	10-MSOP		7070.00/1,000	
AD7701AN	AD7701AN-ND	ADU, 16-Bit, LC2MOS	ADC 16-Bit LC2MOS	20-Dip	17.00	16.55	13.79
AD7701AR	AD7701AR-ND	ADU, 16-Bit, LC2MOS	ADC 16-Bit LC2MOS	20-SOIC	19.31	16.55	13.79
AD7701BN	AD7701BN-ND	ADU, 16-Bit, LC2MOS	ADC 16-Bit LC2MOS	20-Dip	25.75	22.07	18.40
AD7703AN	AD7703AN-ND	ADU, 20-Bit, LC2MOS	ADC 20-Bit LC2MOS	20-Dip	22.90	19.63	16.36
AD7703AR	AD7703AR-ND	ADU, 20-Bit, LC2MOS	ADC 20-Bit LC2MOS	20-SOIC	22.90	19.63	16.36
AD7703BN	AD7703BN-ND	ADU, 20-Bit, LC2MOS	ADC 20-Bit LC2MOS	20-Dip	27.24	23.35	19.45
AD7703BR	AD7703BR-ND	ADU, 20-Bit, LC2MOS	ADC 20-Bit LC2MOS	20-SOIC	27.24	23.35	19.45
AD7703CN	AD7703CN-ND	ADU, 20-Bit, LC2MOS	ADC 20-Bit LC2MOS	20-Dip	33.43	28.65	25.00
AD7703CR	AD7703CR-ND	ADU, 20-Bit, LC2MOS	ADC 20-Bit LC2MOS	20-SOIC	33.43	28.65	25.00
AD7705BN	AD7705BN-ND	ADU, 16-Bit, 2-Kan.	ADC 16-Bit, 2-Ch.	16-Dip	—	6.57	—
AD7705BR	AD7705BR-ND	ADU, 16-Bit, 2-Kan.	ADC 16-Bit, 2-Ch.	16-SOIC	7.00	6.01	4.29
AD7705BRU	AD7705BRU-ND	ADU, 16-Bit, 2-Kan.	ADC 16-Bit, 2-Ch.	16-TSSOP	7.00	6.01	4.29
AD7706BN	AD7706BN-ND	ADU, 16-Bit, 3-Kan.	ADC 16-Bit, 3-Ch.	16-Dip	6.86	6.01	4.29
AD7706BR	AD7706BR-ND	ADU, 16-Bit, 3-Kan.	ADC 16-Bit, 3-Ch.	16-SOIC	7.00	6.01	4.29
AD7708BRU	AD7708BRU-ND	ADU, 16-Bit, R/R, 8/10-Kan.	ADC 16-Bit R-R 8/10-Ch.	28-TSSOP	6.00	5.79	4.14
AD7709BRU	AD7709BRU-ND	ADU, 16-Bit, Sigma-Delta	ADC 16-Bit Sigma-Delta	24-TSSOP	7.00	6.50	4.64
AD7710AN	AD7710AN-ND	ADU, Signalkonditionierung	ADC Signal Conditioning	24-Dip	20.00	19.84	16.54
AD7710AR	AD7710AR-ND	ADU, Signalkonditionierung	ADC Signal Conditioning	24-SOIC	23.15	19.84	16.54
AD7711AN	AD7711AN-ND	ADU, 24-Bit, RTD-Stromquelle	ADC 24-Bit RTD Current Source	24-Dip	25.14	23.47	21.80
AD7712AN	AD7712AN-ND	ADU, Signalkonditionierung, LC2MOS	ADC Signal Conditioning LC2MOS	24-Dip	19.00	18.09	15.07
AD7712AR	AD7712AR-ND	ADU, Signalkonditionierung, LC2MOS	ADC Signal Conditioning LC2MOS	24-SOIC	19.00	18.09	15.07
AD7713AR	AD7713AR-ND	ADU, Signalkonditionierung, LC2MOS	ADC Signal Conditioning LC2MOS	24-SOIC	25.88	22.18	18.48
AD7714AN-5	AD7714AN-5-ND	ADU, Signalkonditionierung, 5 V	ADC Signal Conditioning 5V	24-Dip	13.67	11.72	9.76
AD7714AR-5	AD7714AR-5-ND	ADU, Signalkonditionierung, 5 V	ADC Signal Conditioning 5V	24-SOIC	13.67	11.72	9.76
AD7714ARS-5	AD7714ARS-5-ND	ADU, Signalkonditionierung, 5 V	ADC Signal Conditioning 5V	28-SSOP	13.67	11.72	9.76
AD7714YN	AD7714YN-ND	ADU, Signalkonditionierung	ADC Signal Conditioning	24-Dip	13.00	12.06	8.61
AD7714YRU	AD7714YRU-ND	ADU, Signalkonditionierung, 3 V/5 V	ADC Signal Conditioning 3V/5V	24-TSSOP	13.78	12.06	8.61
AD7715AN-5	AD7715AN-5-ND	ADU, 16-Bit, 5 V	ADC 16-Bit, 5V	16-Dip	8.00	7.06	5.88
AD7715AR-3	AD7715AR-3-ND	ADU, 16-Bit, 3 V	ADC 16-Bit, 3V	16-SOIC	8.00	7.06	5.88
AD7715AR-5	AD7715AR-5-ND	ADU, 16-Bit, 5 V	ADC 16-Bit, 5V	16-SOIC	8.23	7.06	5.88
AD7715ARZ-5	AD7715ARZ-5-ND	ADU, 16-Bit, 5 V*	ADC 16-Bit, 5V*	16-SOIC	8.23	7.06	5.88
AD7715AR-5REEL	AD7715AR-5REELCT-ND	ADU, 16-Bit, 5 V	ADC 16-Bit, 5V	16-SOIC	9.38	8.45	7.49
AD7715AR-5REEL	AD7715AR-5REELTR-ND	ADU, 16-Bit, 5 V	ADC 16-Bit, 5V	16-SOIC		5000.00/1,000	
AD7716BP	AD7716BP-ND	ADU, 22-Bit, Sigma-Delta	ADC 22-Bit Sigma-Delta	44-PLCC	61.02	49.58	45.00
AD7719BR	AD7719BR-ND	Zweif. ADU, 16/24-Bit	ADC 16/24-Bit Dual	28-SOIC	14.57	12.75	9.11
AD7722AS	AD7722AS-ND	ADU, 16-Bit, 195 KSPS	ADC 16-Bit, 195KSPS	44-MQFP	24.93	21.40	17.69
AD7723BS	AD7723BS-ND	ADU, 16-Bit, Sigma-Delta	ADC 16-Bit Sigma-Delta	44-MQFP	33.74	28.95	23.93
AD7725BS	AD7725BS-ND	ADU, 16-Bit, programmierbar	ADC 16-Bit Programmable	44-MQFP	24.93	21.40	17.69
AD7729ARU	AD7729ARU-ND	Zweif. ADU, 15-Bit, mit DAU	ADC 15-Bit Dual with DAC	28-TSSOP	12.38	10.74	8.09
AD7730BN	AD7730BN-ND	ADU, Brücken-Transducer	ADC Bridge Transducer	24-Dip	15.23	12.31	10.26
AD7730BNZ	AD7730BNZ-ND	ADU, Brücken-Transducer*	ADC Bridge Transducer*	24-Dip	15.23	12.31	10.26
AD7730BR	AD7730BR-ND	ADU, Brücken-Transducer	ADC Bridge Transducer	24-SOIC	15.23	12.31	10.26
AD7730BRU	AD7730BRU-ND	ADU, Brücken-Transducer	ADC Bridge Transducer	24-TSSOP	15.23	12.31	10.26
AD7730BRUZ	AD7730BRUZ-ND	ADU, Brücken-Transducer*	ADC Bridge Transducer*	24-TSSOP	15.23	12.31	10.26
AD7730BRZ	AD7730BRZ-ND	ADU, Brücken-Transducer	ADC Bridge Transducer	24-SOIC	15.23	12.31	10.26
EVAL-AD7730EB	EVAL-AD7730EB-ND	Evaluierungskarte für AD7730	Evaluation Board for AD7730	—	132.64	—	—
AD7731BR	AD7731BR-ND	ADU, 24-Bit	ADC 24-Bit	24-SOIC	16.41	14.36	10.26
AD7731BRZ	AD7731BRZ-ND	ADU, 24-Bit*	ADC 24-Bit*	24-SOIC	16.41	14.36	10.26
AD7731BRU	AD7731BRU-ND	ADU, 24-Bit	ADC 24-Bit	24-TSSOP	16.41	14.36	10.26
AD7732BRU	AD7732BRU-ND	ADU, 24-Bit, 2-Kan.	ADC 24-Bit, 2-Ch.	28-TSSOP	14.15	12.38	8.84
AD7734BRU	AD7734BRU-ND	ADU, 24-Bit, 4-Kan.	ADC 24-Bit, 4-Ch.	28-TSSOP	14.15	12.38	8.84
AD7738BRU	AD7738BRU-ND	ADU, 24-Bit, 8-Kan.	ADC 24-Bit, 8-Ch.	28-TSSOP	12.00	11.32	8.08
AD7739BRU	AD7739BRU-ND	ADU, 24-Bit, 8-Kan.	ADC 24-Bit, 8-Ch.	24-TSSOP	12.74	11.14	7.96
AD7783BRU	AD7783BRU-ND	ADU, 24-Bit, 2-Kan., R/R	ADC 24-Bit 2-Ch. R-R	16-TSSOP	7.07	6.19	4.42
AD7788ARM	AD7788ARM-ND	ADU, 16-Bit, NL	ADC 16-Bit Low Power	10-MSOP	2.90	2.49	2.07
AD7788BRM	AD7788BRM-ND	ADU, 16-Bit, NL	ADC 16-Bit Low Power	10-MSOP	3.71	3.18	2.65

* Bleifrei/RoHS-konform

(Forts.)

★ ***RUFEN SIE BITTE AN FÜR NIEDRIGERE PREISE BEI GRÖSSEREN MENGEN!*** ★

B

Analog Devices Teilenr.	Digi-Key Teilenr.	Beschreibung		Paket	Stückpreis★ 1	25	100
AD7789BRM	AD7789BRM-ND	ADU, 24-Bit, NL	ADC 24-Bit Low Power	10-MSOP	4.30	3.68	3.07
AD7790BRM	AD7790BRM-ND	ADU, 16-Bit, NL, gepuffert	ADC 16-Bit Buffered LP	10-MSOP	4.30	3.68	3.07
AD7790BRMZ	AD7790BRMZ-ND	ADU, 16-Bit, NL, gepuffert*	ADC 16-Bit Buffered LP*	10-MSOP	4.30	3.68	3.07
AD7791BRM	AD7791BRM-ND	ADU, 24-Bit, NL, gepuffert	ADC 24-Bit Buffered LP	10-MSOP	5.57	4.78	3.98
AD7792BRUZ	AD7792BRUZ-ND	ADU, 16-Bit, 3-Kan.*	ADC 16-Bit, 3-Ch.*	16-TSSOP	5.81	4.98	4.15
AD7793BRUZ	AD7793BRUZ-ND	ADU, 24-Bit, 3-Kan.*	ADC 24-Bit, 3-Ch.*	16-TSSOP	7.43	6.36	5.31
AD7794BRUZ	AD7794BRUZ-ND	ADU, 24-Bit, 6-Kan.*	ADC 24-Bit, 6-Ch.*	24-TSSOP	8.45	7.23	6.03
AD7798BRUZ	AD7798BRUZ-ND	ADU, 16-Bit, 3-Kan.*	ADC 16-Bit, 3-Ch.*	16-TSSOP	5.54	4.74	3.95
AD7799BRUZ	AD7799BRUZ-ND	ADU, 24-Bit, 3-Kan.*	ADC 24-Bit, 3-Ch.*	16-TSSOP	6.34	5.43	4.53
AD7810YR	AD7810YR-ND	ADU, 10-Bit, 2,7 V	ADC 10-Bit, 2.7V	8-SOIC	4.43	3.74	2.77
AD7811YR	AD7811YR-ND	ADU, 10-Bit, 4-Kan., 2,7 V	ADC 10-Bit, 4-Ch., 2.7V	16-SOIC	5.00	4.43	3.28
AD7811YRU	AD7811YRU-ND	ADU, 10-Bit, 4-Kan., 2,7 V	ADC 10-Bit, 4-Ch., 2.7V	16-TSSOP	5.26	4.43	3.28
AD7812YR	AD7812YR-ND	ADU, 10-Bit, 8-Kan., 2,7 V	ADC 10-Bit, 8-Ch., 2.7V	20-SOIC	5.97	5.04	3.74
AD7812YRU	AD7812YRU-ND	ADU, 10-Bit, 8-Kan., 2,7 V	ADC 10-Bit, 8-Ch., 2.7V	20-TSSOP	5.97	5.04	3.74
AD7813YN	AD7813YN-ND	ADU, 10-Bit, parallel	ADC 10-Bit Parallel	16-Dip	4.60	3.89	2.88
AD7817AR	AD7817AR-ND	ADU, 10-Bit, 4-Kan., Temp-Sensor	ADC 10-Bit, 4-Ch., Temp. Sensor	16-SOIC	5.33	4.50	3.33
AD7817ARZ	AD7817ARZ-ND	ADU, 10-Bit, 4-Kan., Temp-Sensor*	ADC 10-Bit, 4-Ch., Temp. Sensor*	16-SOIC	5.33	4.50	3.33
AD7817ARU	AD7817ARU-ND	ADU, 10-Bit, 4-Kan., Temp-Sensor	ADC 10-Bit, 4-Ch., Temp. Sensor	16-TSSOP	5.33	4.50	3.33
AD7819YR	AD7819YR-ND	ADU, 8-Bit, Abtastung, parallel	ADC 8-Bit Sampling Parallel	16-SOIC	3.50	2.98	2.21
AD7821KN	AD7821KN-ND	ADU, 8-Bit, LC2MOS, Track/Hold, HS	ADC 8-Bit LC2MOS Track/Hold HS	20-Dip	14.00	13.15	9.15
AD7821KR	AD7821KR-ND	ADU, 8-Bit, LC2MOS, Track/Hold, HS	ADC 8-Bit LC2MOS Track/Hold HS	20-SOIC	17.93	15.55	10.49
AD7822BR	AD7822BR-ND	ADU, 8-Bit, 1-Kan., 2 MSPS	ADC 8-Bit 1-Ch., 2MSPS	20-SOIC	5.33	4.50	3.33
AD7823YN	AD7823YN-ND	ADU, 8-Bit, seriell 2,7 V/5,5 V	ADC 8-Bit Serial 2.7/5.5V	8-Dip	3.53	2.98	2.21
AD7823YR	AD7823YR-ND	ADU, 8-Bit, seriell 2,7 V/5,5 V	ADC 8-Bit Serial 2.7/5.5V	8-SOIC	3.50	2.98	2.21
AD7824BQ	AD7824BQ-ND	ADU, 8-Bit, LC2MOS, 4-Kan.	ADC 8-Bit LC2MOS 4-Ch.	24-CDip	28.28	23.17	17.16
AD7824KN	AD7824KN-ND	ADU, 8-Bit, LC2MOS, 4-Kan.	ADC 8-Bit LC2MOS 4-Ch.	24-Dip	15.87	12.97	9.61
AD7824KR	AD7824KR-ND	ADU, 8-Bit, LC2MOS, 4-Kan.	ADC 8-Bit LC2MOS 4-Ch.	24-SOIC	15.87	12.97	9.61
AD7825BR	AD7825BR-ND	ADU, 8-Bit, 4-Kan., 2 MSPS	ADC 8-Bit, 4-Ch., 2MSPS	24-SOIC	6.16	5.19	3.84
AD7828KN	AD7828KN-ND	ADU, 8-Bit, LC2MOS, 8-Kan.	ADC 8-Bit LC2MOS 8-Ch.	28-Dip	15.96	13.07	9.69
AD7828KP	AD7828KP-ND	ADU, 8-Bit, LC2MOS, 8-Kan.	ADC 8-Bit LC2MOS 8-Ch.	28-PLCC	19.02	15.21	11.06
AD7828LP	AD7828LP-ND	ADU, 8-Bit, LC2MOS, 8-Kan.	ADC 8-Bit LC2MOS 8-Ch.	28-PLCC	25.64	21.22	15.03
AD7829BR	AD7829BR-ND	ADU, 8-Bit, 8-Kan. 2 MSPS	ADC 8-Bit, 8-Ch., 2MSPS	28-SOIC	6.69	5.65	4.18
AD7829BRU	AD7829BRU-ND	ADU, 8-Bit, 8-Kan. 2 MSPS	ADC 8-Bit, 8-Ch., 2MSPS	28-TSSOP	6.00	5.65	4.18
AD7843ARU	AD7843ARU-ND	ADU, 12-Bit, Touch-Screen-Digitalisierer	ADC 12-Bit, Touch Screen Digitizer	16-TSSOP	4.02	3.18	2.35
AD7854LAR	AD7854LAR-ND	ADU, 12-Bit, parallel, NL	ADC 12-Bit Parallel LP	28-SOIC	9.00	8.05	6.19
AD7856AN	AD7856AN-ND	ADU, 14-Bit, 8-Kan., 285 KSPS	ADC 14-Bit, 8-Ch., 285KSPS	24-Dip	15.92	13.26	10.31
AD7858AN	AD7858AN-ND	ADU, 12-Bit, 8-Kan., seriell	ADC 12-Bit, 8-Ch. Serial	24-Dip	16.56	13.55	10.03
AD7858AR	AD7858AR-ND	ADU, 12-Bit, 8-Kan., seriell	ADC 12-Bit, 8-Ch. Serial	24-SOIC	16.56	13.55	10.03
AD7858BN	AD7858BN-ND	ADU, 12-Bit, 8-Kan., seriell	ADC 12-Bit, 8-Ch. Serial	24-Dip	21.17	17.31	12.83
AD7858LAR	AD7858LAR-ND	ADU, 12-Bit, 8-Kan., seriell	ADC 12-Bit, 8-Ch. Serial	24-SOIC	11.89	9.73	7.21
AD7859AP	AD7859AP-ND	ADU, 12-Bit, 8-Kan., 200 KSPS	ADC 12-Bit, 8-Ch., 200KSPS	44-PLCC	10.00	9.85	7.30
AD7859AS	AD7859AS-ND	ADU, 12-Bit, 8-Kan., 200 KSPS	ADC 12-Bit, 8-Ch., 200KSPS	44-MQFP	11.67	9.85	7.30
AD7859LAS	AD7859LAS-ND	ADU, 12-Bit, 8-Kan., 200 KSPS	ADC 12-Bit, 8-Ch., 200KSPS	44-PQFP	11.14	10.04	8.90
AD7862AR-10	AD7862AR-10-ND	Zweif. ADU, 12-Bit, 250 KSPS	ADC 12-Bit Dual 250KSPS	28-SOIC	17.46	14.90	11.45
AD7862ARS-3	AD7862ARS-3-ND	Zweif. ADU, 12-Bit, 250 KSPS	ADC 12-Bit Dual 250KSPS	28-SSOP	17.46	14.90	11.45
AD7862ARS-10	AD7862ARS-10-ND	Zweif. ADU, 12-Bit, 250 KSPS	ADC 12-Bit Dual 250KSPS	28-SSOP	17.46	14.90	11.45
AD7864AS-1	AD7864AS-1-ND	Zweif. ADU, 12-Bit, 4-Kan.	ADC 12-Bit Dual 4-Ch.	44-MQFP	22.11	18.57	14.15
AD7864ASZ-1	AD7864ASZ-1-ND	Zweif. ADU, 12-Bit, 4-Kan.*	ADC 12-Bit Dual 4-Ch.*	44-MQFP	22.11	18.57	14.15
AD7865AS-1	AD7865AS-1-ND	Zweif. ADU, 14-Bit, 4-Kan.	ADC 14-Bit Dual 4-Ch.	44-MQFP	20.00	19.90	14.94
AD7866ARU	AD7866ARU-ND	Zweif. ADU, 12-Bit, 2-Kan.	ADC 12-Bit, 2-Ch. Dual	20-TSSOP	8.00	7.82	6.15
AD7866BRU	AD7866BRU-ND	Zweif. ADU, 12-Bit, 2-Kan.	ADC 12-Bit, 2-Ch. Dual	20-TSSOP	11.39	9.22	7.18
AD7870JN	AD7870JN-ND	ADU, 12-Bit, LC2MOS, 100 kHz	ADC 12-Bit LC2MOS 100KHz	24-Dip	31.40	26.27	20.03
AD7870JP	AD7870JP-ND	ADU, 12-Bit, LC2MOS, 100 kHz	ADC 12-Bit LC2MOS 100KHz	28-PLCC	31.40	26.27	23.00
AD7871JN	AD7871JN-ND	ADU, 14-Bit, Abtastung	ADC 14-Bit Sampling	28-Dip	54.82	45.87	44.00
AD7871JP	AD7871JP-ND	ADU, 14-Bit, Abtastung	ADC 14-Bit Sampling	28-PLCC	54.82	45.87	44.00
AD7871KN	AD7871KN-ND	ADU, 14-Bit, Abtastung	ADC 14-Bit Sampling	28-Dip	64.60	54.05	50.00
AD7872JR	AD7872JR-ND	ADU, 14-Bit, LC2MOS	ADC 14-Bit LC2MOS	16-SOIC	36.00	35.96	33.00
AD7872KN	AD7872KN-ND	ADU, 14-Bit, LC2MOS	ADC 14-Bit LC2MOS	16-Dip	43.00	42.37	40.00
AD7873ACP	AD7873ACP-ND	ADU, 12-Bit, Touch-Screen	ADC 12-Bit Touch Screen	16-LFCSP	3.98	3.18	2.21
AD7875KN	AD7875KN-ND	ADU, 12-Bit, LC2MOS, 100 kHz	ADC 12-Bit LC2MOS 100KHz	24-Dip	42.23	35.35	33.00
AD7876BN	AD7876BN-ND	ADU, 12-Bit, Abtastung, 10 V	ADC 12-Bit Sampling 10V	24-Dip	33.21	27.79	25.00
AD7880BN	AD7880BN-ND	ADU, 12-Bit, LC2MOS, 5 V, NL	ADC 12-Bit LC2MOS 5V LP	24-Dip	24.72	20.22	14.98
AD7880BR	AD7880BR-ND	ADU, 12-Bit, LC2MOS, 5 V, NL	ADC 12-Bit LC2MOS 5V LP	24-SOIC	24.72	20.22	14.98
AD7880CN	AD7880CN-ND	ADU, 12-Bit, LC2MOS, 5 V, NL	ADC 12-Bit LC2MOS 5V LP	24-Dip	28.25	23.12	17.12
AD7884AQ	AD7884AQ-ND	ADU, 16-Bit, Abtastung, HS	ADC 16-Bit Sampling HS	40-CDip	83.05	69.50	65.00
AD7885AQ	AD7885AQ-ND	ADU, 16-Bit, Abtastung, HS	ADC 16-Bit Sampling HS	28-CDip	83.05	69.50	65.00
AD7888AR	AD7888AR-ND	ADU, 12-Bit, 8-Kan. 125 KSPS	ADC 12-Bit, 8-Ch., 125KSPS	16-SOIC	6.36	5.48	4.07
AD7888ARU	AD7888ARU-ND	ADU, 12-Bit, 8-Kan. 125 KSPS	ADC 12-Bit, 8-Ch., 125KSPS	16-TSSOP	6.36	5.48	4.07
AD7892AR-1	AD7892AR-1-ND	ADU, 12-Bit, 5 V, 600 KSPS	ADC 12-Bit, 5V, 600KSPS	24-SOIC	18.57	15.92	13.26
AD7892ARZ-1	AD7892ARZ-1-ND	ADU, 12-Bit, 5 V, 500 KSPS	ADC 12-Bit, 5V, 500KSPS	24-SOIC	18.57	15.92	13.26
AD7892BR-1	AD7892BR-1-ND	ADU, 12-Bit, 5 V, 600 KSPS	ADC 12-Bit, 5V, 600KSPS	24-SOIC	22.28	19.10	15.92
AD7892BR-3	AD7892BR-3-ND	ADU, 12-Bit, 2,5 V, 600 KSPS	ADC 12-Bit, 2.5V, 600KSPS	24-SOIC	22.28	19.10	15.92
AD7892BRZ-1	AD7892BRZ-1-ND	ADU, 12-Bit, 5 V, 500 KSPS	ADC 12-Bit, 5V, 500KSPS	24-SOIC	22.28	19.10	15.92
AD7893AR-5	AD7893AR-5-ND	ADU, 12-Bit, LC2MOS	ADC 12-Bit LC2MOS	8-SOIC	13.62	11.67	9.73
AD7893AR-10	AD7893AR-10-ND	ADU, 12-Bit, LC2MOS	ADC 12-Bit LC2MOS	8-SOIC	12.00	11.67	9.73
AD7893BR-5	AD7893BR-5-ND	ADU, 12-Bit, LC2MOS	ADC 12-Bit LC2MOS	8-SOIC	17.64	15.12	12.60
AD7893BR-10	AD7893BR-10-ND	ADU, 12-Bit, LC2MOS	ADC 12-Bit LC2MOS	8-SOIC	17.64	15.12	12.60
AD7894AR-2	AD7894AR-2-ND	ADU, 14-Bit, seriell, Track/Hold, NL	ADC 14-Bit Serial Track Hold LP	8-SOIC	12.38	10.74	8.26
AD7894AR-3	AD7894AR-3-ND	ADU, 14-Bit, seriell, Track/Hold, NL	ADC 14-Bit Serial Track Hold LP	8-SOIC	11.00	10.74	8.26
AD7895AR-2	AD7895AR-2-ND	ADU, 12-Bit, seriell, 5 V	ADC 12-Bit Serial 5V	8-SOIC	8.31	6.85	5.17
AD7895AR-3	AD7895AR-3-ND	ADU, 12-Bit, seriell, 5 V	ADC 12-Bit Serial 5V	8-SOIC	7.00	6.85	5.17
AD7895AR-10	AD7895AR-10-ND	ADU, 12-Bit, seriell, 5 V	ADC 12-Bit Serial 5V	8-SOIC	8.31	6.85	5.17
AD7896BR	AD7896BR-ND	ADU, 12-Bit, seriell, Track/Hold, HS	ADC 12-Bit Serial Track Hold HS	8-SOIC	13.00	12.34	9.15
AD7899ARS-1	AD7899ARS-1-ND	ADU, 14-Bit, 400 KSPS, 5 V	ADC 14-Bit, 400KSPS, 5V	28-SSOP	16.48	13.39	10.31
AD7904BRU	AD7904BRU-ND	ADU, 8-Bit, 4-Kan., 1 MSPS	ADC 8-Bit, 4-Ch., 1MSPS	16-TSSOP	2.27	1.95	1.80
AD7904BRUZ	AD7904BRUZ-ND	ADU, 8-Bit, 4-Kan., 1 MSPS*	ADC 8-Bit, 4-Ch., 1MSPS*	16-TSSOP	2.27	1.95	1.80
AD7908BRU	AD7908BRU-ND	ADU, 8-Bit, 8-Kan., 1 MSPS	ADC 8-Bit, 8-Ch., 1MSPS	20-TSSOP	2.71	2.32	1.93
AD7910ARM	AD7910ARM-ND	ADU, 10-Bit, 250 KSPS	ADC 10-Bit, 250KSPS	8-MSOP	2.56	2.20	2.00
AD7911ARMZ	AD7911ARMZ-ND	ADU, 10-Bit, 2-Kan., 250 KSPS	ADC 10-Bit, 2-Ch., 250KSPS	8-MSOP	2.93	2.52	2.40
AD7911ARMZ-REEL7	AD7911ARMZREEL7TR-ND	ADU, 10-Bit, 2-Kan., 250 KSPS	ADC 10-Bit, 2-Ch., 250KSPS	8-MSOP		1770.00/1,000	
AD7912AUJ-R2	AD7912AUJ-R2TR-ND	ADU, 10-Bit, 2-Kan., 1 MSPS	ADC 10-Bit, 2-Ch., 1MSPS	8-TSOT		717.50/250	
EVAL-AD7912CB	EVAL-AD7912CB-ND	Evaluierungskarte für AD7912	Evaluation Board for AD7912	—	132.64	—	—
AD7914BRU	AD7914BRU-ND	ADU, 10-Bit, 4-Kan., 1 MSPS	ADC 10-Bit, 4-Ch., 1MSPS	16-TSSOP	4.40	3.78	3.12
AD7918BRU	AD7918BRU-ND	ADU, 10-Bit, 8-Kan. 1 MSPS	ADC 10-Bit, 8-Ch., 1MSPS	20-TSSOP	4.77	4.09	3.38
AD7920BRM	AD7920BRM-ND	ADU, 12-Bit, 250 KSPS	ADC 12-Bit, 250KSPS	8-MSOP	3.76	3.23	2.66
AD7921ARM	AD7921ARM-ND	ADU, 12-Bit, 250 KSPS, 2-Kan.	ADC 12-Bit, 250KSPS, 2-Ch.	8-MSOP	3.38	2.89	2.40
AD7921ARM-REEL7	AD7921ARM-REEL7TR-ND	ADU, 12-Bit, 250 KSPS, 2-Kan.	ADC 12-Bit, 250KSPS, 2-Ch.	8-MSOP		2030.00/1,000	
AD7921ARMZ	AD7921ARMZ-ND	ADU, 12-Bit, 250 KSPS, 2-Kan.	ADC 12-Bit, 250KSPS, 2-Ch.	8-MSOP	3.38	2.89	2.40
AD7922ARM	AD7922ARM-ND	ADU, 12-Bit, 1 MSPS, 2-Kan.	ADC 12-Bit, 1MSPS, 2-Ch.	8-MSOP	6.00	5.35	4.42
EVAL-AD7922CB	EVAL-AD7922CB-ND	Evaluierungskarte für AD7922	Evaluation Board for AD7922	—	132.64	—	—

* Bleifrei/RoHS-konform

(Forts.)

★ ***RUFEN SIE BITTE AN FÜR NIEDRIGERE PREISE BEI GRÖSSEREN MENGEN!*** ★

Analog Devices Teilenr.	Digi-Key Teilenr.	Beschreibung		Paket	Stückpreis★ 1	25	100
AD7923BRU	AD7923BRU-ND	ADU, 12-Bit, 4-Kan., 200 KSPS	ADC 12-Bit, 4-Ch., 200KSPS	16-TSSOP	3.74	3.21	2.65
AD7924BRU	AD7924BRU-ND	ADU, 12-Bit, 4-Kan., 1 MSPS	ADC 12-Bit, 4-Ch., 1MSPS	16-TSSOP	6.60	5.67	4.68
AD7927BRU	AD7927BRU-ND	ADU, 12-Bit, 8-Kan., 200 KSPS	ADC 12-Bit, 8-Ch., 200KSPS	20-TSSOP	4.10	3.53	2.91
AD7928BRU	AD7928BRU-ND	ADU, 12-Bit, 8-Kan., 1 MSPS	ADC 12-Bit, 8-Ch., 1MSPS	20-TSSOP	6.97	5.98	4.94
AD7933BRUZ	AD7933BRUZ-ND	ADU, 10-Bit, 4-Kan., 1,5 MSPS*	ADC 10-Bit, 4-Ch., 1.5MSPS*	28-TSSOP	5.14	4.40	3.64
AD7940BRM	AD7940BRM-ND	ADU, 14-Bit, 100 KSPS, unipolar	ADC 14-Bit, 100KSPS, Unipolar	8-MSOP	6.02	5.17	4.26
AD7940BRM-REEL7	AD7940BRM-REEL7TR-ND	ADU, 14-Bit, 100 KSPS, unipolar	ADC 14-Bit, 100KSPS, Unipolar	8-MSOP		3630.00/1,000	
AD7993BRU-0	AD7993BRU-0-ND	ADU, 10-Bit, 4-Kan.,I²C	ADC 10-Bit, 4-Ch., I²C	16-TSSOP	2.50	2.38	1.97
AD7998BRU-1	AD7998BRU-1-ND	ADU, 12-Bit, 8-Kan., I²C	ADC 12-Bit, 8-Ch., I²C	20-TSSOP	7.47	5.98	5.05
AD9012AJ	AD9012AJ-ND	ADU, 8-Bit, 100 MSPS	ADC 8-Bit, 100MSPS	28-CLCC	118.97	89.22	85.00
AD9042AST	AD9042AST-ND	ADU, 12-Bit, 41 MSPS	ADC 12-Bit, 41MSPS	44-TQFP	29.80	28.00	27.00
AD9048JQ	AD9048JQ-ND	Video-ADU, 8-Bit	Video ADC 8-Bit	28-CDip	41.71	31.29	30.00
AD9050BR	AD9050BR-ND	ADU, 10-Bit, 40 MSPS	ADC 10-Bit, 40MSPS	28-SOIC	12.83	10.61	8.84
AD9051BRS	AD9051BRS-ND	ADU, 10-Bit, 60 MSPS	ADC 10-Bit, 60MSPS	28-SSOP	9.11	7.80	6.50
AD9051BRS-2V	AD9051BRS-2V-ND	ADU, 10-Bit, 60 MSPS	ADC 10-Bit, 60MSPS	28-SSOP	9.11	7.80	6.50
AD9054ABST-200	AD9054ABST-200-ND	ADU, 8-Bit, 200 MSPS	ADC 8-Bit, 200MSPS	44-LQFP	32.07	24.05	19.24
AD9058AJJ	AD9058AJJ-ND	Zweif. ADU, 8-Bit, 50 MSPS	ADC 8-Bit Dual 50MSPS	44-JLCC	36.97	33.88	32.00
AD9058AKJ	AD9058AKJ-ND	Zweif. ADU, 8-Bit, 50 MSPS	ADC 8-Bit Dual 50MSPS	44-JLCC	72.65	66.60	64.00
AD9200ARS	AD9200ARS-ND	ADU, CMOS, 10-Bit, 20 MSPS	ADC CMOS 10-Bit, 20MSPS	28-SSOP	3.64	3.12	2.60
AD9201ARS	AD9201ARS-ND	Zweif. ADU, CMOS, 10-Bit	ADC CMOS 10-Bit Dual	28-SSOP	7.21	6.69	5.16
AD9203ARU	AD9203ARU-ND	ADU, 10-Bit, 40 MSPS, 3 V	ADC 10-Bit, 40MSPS, 3V	28-TSSOP	8.31	6.23	4.98
AD9214BRS-105	AD9214BRS-105-ND	ADU, 10-Bit, 105 MSPS, 3 V	ADC 10-Bit, 105MSPS, 3V	28-SSOP	14.73	12.62	10.51
AD9215BCP-65	AD9215BCP-65-ND	ADU, 10-Bit, 65 MSPS	ADC 10-Bit, 65MSPS	32-LFCSP	10.83	8.80	6.50
AD9215BCP-80	AD9215BCP-80-ND	ADU, 10-Bit, 80 MSPS	ADC 10-Bit, 80MSPS	32-LFCSP	13.37	11.45	9.55
AD9215BCP-105	AD9215BCP-105-ND	ADU, 10-Bit, 105 MSPS	ADC 10-Bit, 105MSPS	32-LFCSP	17.14	14.68	12.23
AD9215BRU-65	AD9215BRU-65-ND	ADU, 10-Bit, 65 MSPS, 3V	ADC 10-Bit, 65MSPS, 3V	28-TSSOP	10.83	8.12	6.50
AD9215BRU-80	AD9215BRU-80-ND	ADU, 10-Bit, 80 MSPS, 3V	ADC 10-Bit, 80MSPS, 3V	28-TSSOP	13.37	11.45	9.55
AD9215BRU-105	AD9215BRU-105-ND	ADU, 10-Bit, 105 MSPS, 3 V	ADC 10-Bit, 105MSPS, 3V	28-TSSOP	17.14	14.68	12.23
AD9218BST-40	AD9218BST-40-ND	Zweif. ADU, 10-Bit, 40 MSPS	ADC 10-Bit, 40MSPS Dual	48-LQFP	15.59	11.70	9.36
AD9218BST-65	AD9218BST-65-ND	Zweif. ADU, 10-Bit, 65 MSPS	ADC 10-Bit, 65MSPS Dual	48-LQFP	16.18	13.88	11.55
AD9218BST-80	AD9218BST-80-ND	Zweif. ADU, 10-Bit, 80 MSPS	ADC 10-Bit, 80MSPS Dual	48-LQFP	18.39	15.76	13.13
AD9218BST-105	AD9218BST-105-ND	Zweif. ADU, 10-Bit, 105 MSPS	ADC 10-Bit, 105MSPS Dual	48-LQFP	23.55	20.19	16.82
AD9218BSTZ-RL65	AD9218BSTZ-RL65CT-ND	Zweif. ADU, 10-Bit, 65 MSPS	ADC 10-Bit, 65MSPS Dual	48-LQFP	16.60	15.50	14.39
AD9218BSTZ-RL65	AD9218BSTZ-RL65TR-ND	Zweif. ADU, 10-Bit, 65 MSPS	ADC 10-Bit, 65MSPS Dual	48-LQFP		20800.00/2,000	
AD9220AR	AD9220AR-ND	ADU, 12-Bit, 10 MSPS	ADC 12-Bit, 10MSPS	28-SOIC	8.01	6.86	5.72
AD9220ARS	AD9220ARS-ND	ADU, 12-Bit, 10 MSPS	ADC 12-Bit, 10MSPS	28-SSOP	8.01	6.86	5.72
AD9223ARS	AD9223ARS-ND	ADU, 12-Bit, 3,0 MSPS	ADC 12-Bit, 3.0MSPS	28-SSOP	9.00	8.69	7.23
AD9224ARS	AD9224ARS-ND	ADU, 12-Bit, 40 MSPS	ADC 12-Bit, 40MSPS	28-SSOP	15.94	13.67	11.39
AD9225AR	AD9225AR-ND	ADU, 12-Bit, 25 MSPS	ADC 12-Bit, 25MSPS	28-SOIC	19.42	18.13	16.84
AD9225ARS	AD9225ARS-ND	ADU, 12-Bit, 25 MSPS	ADC 12-Bit, 25MSPS	28-SSOP	22.53	16.90	13.52
AD9226ARS	AD9226ARS-ND	ADU, 12-Bit, 65 MSPS	ADC 12-Bit, 65MSPS	28-SSOP	27.65	20.74	16.59
AD9226AST	AD9226AST-ND	ADU, 12-Bit, 65 MSPS	ADC 12-Bit, 65MSPS	48-LQFP	27.65	20.74	16.59
AD9235BCP-65	AD9235BCP-65-ND	ADU, 12-Bit, 65 MSPS	ADC 12-Bit, 65MSPS	32-LFCSP	23.81	22.23	20.64
AD9235-65PCB	AD9235-65PCB-ND	Evaluierungskarte für AD9235-65	Evaluation Board for AD9235-65	—	176.86	—	—
AD9235BRU-20	AD9235BRU-20-ND	ADU, 12-Bit, 20 MSPS	ADC 12-Bit, 20MSPS	28-TSSOP	10.20	8.74	7.29
AD9235BRU-40	AD9235BRU-40-ND	ADU, 12-Bit, 40 MSPS	ADC 12-Bit, 40MSPS	28-TSSOP	11.50	9.86	8.22
AD9235BRU-65	AD9235BRU-65-ND	ADU, 12-Bit, 65 MSPS	ADC 12-Bit, 65MSPS	28-TSSOP	17.47	14.98	12.49
AD9236BCP-80	AD9236BCP-80-ND	ADU, 12-Bit, 80 MSPS, 3 V	ADC 12-Bit, 80MSPS, 3V	32-LFCSP	24.03	20.60	17.17
AD9236BCP-80EB	AD9236BCP-80EB-ND	Evaluierungskarte für AD9236-80	Evaluation Board for AD9236-80	—	176.86	—	—
AD9236BRU-80	AD9236BRU-80-ND	ADU, 12-Bit, 80 MSPS, 3 V	ADC 12-Bit, 80MSPS, 3V	28-TSSOP	24.03	20.60	17.17
AD9238BST-20	AD9238BST-20-ND	Zweif. ADU, 12-Bit, 20 MSPS	ADC 12-Bit Dual 20MSPS	64-LQFP	16.02	13.74	11.45
AD9238BST-40	AD9238BST-40-ND	Zweif. ADU, 12-Bit, 40 MSPS	ADC 12-Bit Dual 40MSPS	64-LQFP	17.47	14.98	12.49
AD9238BST-65	AD9238BST-65-ND	Zweif. ADU, 12-Bit, 65 MSPS	ADC 12-Bit Dual 65MSPS	64-LQFP	26.22	22.48	18.73
AD9240AS	AD9240AS-ND	ADU, 14-Bit, 10 MSPS	ADC 14-Bit, 10MSPS	44-MQFP	24.02	20.60	17.17
AD9241AS	AD9241AS-ND	ADU, 14-Bit, 1,25 MSPS	ADC 14-Bit, 1.25MSPS	44-MQFP	11.00	10.61	8.84
AD9243AS	AD9243AS-ND	ADU, 14-Bit, 3 MSPS	ADC 14-Bit, 3MSPS	44-MQFP	14.00	13.11	10.92
AD9244BST-40	AD9244BST-40-ND	ADU, 14-Bit, 40 MSPS	ADC 14-Bit, 40MSPS	48-LQFP	27.17	23.28	19.40
AD9244BSTZ-40	AD9244BSTZ-40-ND	ADU, 14-Bit, 40 MSPS*	ADC 14-Bit, 40MSPS*	48-LQFP	27.17	23.28	19.40
AD9244BST-65	AD9244BST-65-ND	ADU, 14-Bit, 65 MSPS	ADC 14-Bit, 65MSPS	48-LQFP	36.22	31.03	28.00
AD9244BSTZ-65	AD9244BSTZ-65-ND	ADU, 14-Bit, 65 MSPS*	ADC 14-Bit, 65MSPS*	48-LQFP	36.22	31.03	28.00
AD9245BCP-80	AD9245BCP-80-ND	ADU, 14-Bit, 80 MSPS, 3 V	ADC 14-Bit, 80MSPS, 3V	32-LFCSP	48.11	41.19	40.00
AD9245BCP-80EB	AD9245BCP-80EB-ND	Evaluierungskarte für AD9245BCP+C757-80	Evaluation Board for AD9245BCP+C757-80	—	176.86	—	—
AD9260AS	AD9260AS-ND	ADU, 16-Bit, CMOS, überhöht abgetastet	ADC CMOS 16-Bit Oversampled	44-MQFP	54.00	53.98	50.00
AD9280ARS	AD9280ARS-ND	ADU, CMOS, 8-Bit, 32 MSPS	ADC CMOS 8-Bit, 32MSPS	28-SSOP	2.50	2.40	2.00
AD9281ARS	AD9281ARS-ND	Zweif. ADU, 8-Bit, CMOS	ADC 8-Bit Dual CMOS	28-SSOP	5.00	4.31	3.60
AD9283BRS-50	AD9283BRS-50-ND	ADU, 8-Bit, 50 MSPS, 3 V	ADC 8-Bit, 50MSPS, 3V	20-SSOP	4.33	3.26	2.60
AD9283BRS-80	AD9283BRS-80-ND	ADU, 8-Bit, 80 MSPS, 3 V	ADC 8-Bit, 80MSPS, 3V	20-SSOP	5.19	3.89	3.12
AD9283BRS-100	AD9283BRS-100-ND	ADU, 8-Bit, 100 MSPS 3 V	ADC 8-Bit, 100MSPS, 3V	20-SSOP	9.53	7.16	5.72
AD9288BST-40	AD9288BST-40-ND	Zweif. ADU, 8-Bit, 40 MSPS	ADC 8-Bit Dual 40MSPS	48-LQFP	5.90	4.42	3.54
AD9288BST-100	AD9288BST-100-ND	Zweif. ADU, 8-Bit, 100 MSPS	ADC 8-Bit Dual 100MSPS	48-LQFP	18.20	13.65	10.92
AD9410BSQ	AD9410BSQ-ND	ADU, 10-Bit, 210 MSPS	ADC 10-Bit, 210MSPS	80-LQFP	63.00	62.61	60.00
AD9411BSV-170	AD9411BSV-170-ND	ADU, 10-Bit, 170 MSPS, 3,3 V	ADC 10-Bit, 170MSPS, 3.3V	100-TQFP	52.42	44.93	40.00
AD9411BSV-200	AD9411BSV-200-ND	ADU, 10-Bit, 200 MSPS, 3,3 V	ADC 10-Bit, 200MSPS, 3.3V	100-TQFP	61.21	52.45	50.00
AD9430BSV-170	AD9430BSV-170-ND	ADU, 12-Bit, 170 MSPS, 3,3 V	ADC 12-Bit, 170MSPS, 3.3V	100-TQFP	57.53	49.31	45.00
AD9430BSVZ-170	AD9430BSVZ-170-ND	ADU, 12-Bit, 170 MSPS, 3,3 V*	ADC 12-Bit, 170MSPS, 3.3V*	100-TQFP	57.53	49.31	45.00
AD9430BSV-210	AD9430BSV-210-ND	ADU, 12-Bit, 210 MSPS, 3,3 V	ADC 12-Bit, 210MSPS, 3.3V	100-TQFP	80.11	68.68	57.24
AD9432BSQ-105	AD9432BSQ-105-ND	ADU, 12-Bit, 105 MSPS	ADC 12-Bit, 105MSPS	52-LQFP	42.97	36.83	32.00
AD9432BST-80	AD9432BST-80-ND	ADU, 12-Bit, 80 MSPS	ADC 12-Bit, 80MSPS	52-LQFP	31.00	30.00	29.00
AD9432BST-105	AD9432BST-105-ND	ADU, 12-Bit, 105 MSPS	ADC 12-Bit, 105MSPS	52-LQFP	42.97	36.83	30.70
AD9432/PCB	AD9432/PCB-ND	Evaluierungskarte für AD9432	Evaluation Board for AD9432	—	176.86	—	—
AD9433BSQ-125	AD9433BSQ-125-ND	ADU, 12-Bit, 125 MSPS, IF-Abtastung	ADC 12-Bit, 125MSPS IF Sampling	52-LQFP	45.15	38.70	35.00
AD9433/PCB	AD9433/PCB-ND	Evaluierungskarte für AD9433	Evaluation Board for AD9433	—	265.29	—	—
AD10678BWS	AD10678BWS-ND	ADU, 16-Bit, 80 MSPS	ADC 16-Bit, 80MSPS	60-SMD	772.12	—	—
AD10678/PCB	AD10678/PCB-ND	Evaluierungskit für AD10678	Evaluation Kit for AD10678	—	795.87	—	—
ADADC71JD	ADADC71JD-ND	ADU, 16-Bit, hohe Auflösung	ADC 16-Bit High Resolution	32-CDip	283.48	258.73	243.44
ADADC80-12	ADADC80-12-ND	ADU, 12-Bit, 5 V, Mono, NL	ADC 12-Bit, 5V, Mono Low Power	32-Dip	122.15	111.47	104.88
ADADC85-12	ADADC85-12-ND	ADU, 12-Bit	ADC 12-Bit	32-CDip	211.39	192.93	181.53
ADADC85SZ-12	ADADC85SZ-12-ND	ADU, 12-Bit	ADC 12-Bit	32-CDip	249.93	228.82	215.74
ADC912AFP	ADC912AFP-ND	ADU, 12-Bit, CMOS, MPU-kompatibel	ADC 12-Bit CMOS MPU Compatible	24-Dip	20.14	16.85	12.85
ADC912AFS	ADC912AFS-ND	ADU, 12-Bit, CMOS, MPU-kompatibel	ADC 12-Bit CMOS MPU Compatible	24-SOIC	27.51	17.51	15.00
HSC-ADC-EVALA-DC	HSC-ADC-EVALA-DC-ND	HS-ADU, USB FIFO Evaluierungskit	HS ADC USB FIFO Evaluation Kit	—	707.44	—	—
HSC-ADC-EVALA-SC	HSC-ADC-EVALA-SC-ND	HS-ADU, USB FIFO Evaluierungskit	HS ADC USB FIFO Evaluation Kit	—	442.15	—	—
		Digital-in-Analog					
AD390SD	AD390SD-ND	Vierf. DAU, 12-Bit	DAC Quad 12-Bit	28-Dip	531.83	486.70	458.75
AD390TD	AD390TD-ND	Vierf. DAU, 12-Bit	DAC Quad 12-Bit	28-Dip	623.45	570.55	537.79
AD420AN-32	AD420AN-32-ND	DAU, seriell 16-Bit	DAC Serial 16-Bit	24-Dip	15.00	14.68	11.19
AD420AR-32	AD420AR-32-ND	DAU, seriell 16-Bit	DAC Serial 16-Bit	24-SOIC	17.55	14.68	11.19
AD421BN	AD421BN-ND	DAU, seriell 16-Bit	DAC Serial 16-Bit	16-Dip	9.85	8.44	7.03
AD421BR	AD421BR-ND	DAU, seriell 16-Bit	DAC Serial 16-Bit	16-SOIC	9.00	8.44	7.03
AD557JN	AD557JN-ND	DAU, 8-Bit, Spannungsausgang	DAC 8-Bit Voltage Out	16-Dip	6.72	5.63	4.29
AD557JNZ	AD557JNZ-ND	DAU, 8-Bit, Spannungsausgang*	DAC 8-Bit Voltage Out*	16-Dip	6.72	5.63	4.29
AD557JP	AD557JP-ND	DAU, 8-Bit, Spannungsausgang	DAC 8-Bit Voltage Out	20-PLCC	6.72	5.63	4.29
AD558JN	AD558JN-ND	DAU, 8-Bit, Spannungsausgang	DAC 8-Bit Voltage Out	16-Dip	—	8.53	—

* Bleifrei/RoHS-konform

(Forts.)

★ ***RUFEN SIE BITTE AN FÜR NIEDRIGERE PREISE BEI GRÖSSEREN MENGEN!*** ★

B

Analog Devices Teilenr.	Digi-Key Teilenr.	Beschreibung		Paket	Stückpreis★ 1	25	100
AD558JP	AD558JP-ND	DAU, 8-Bit, Spannungsausg.	DAC 8-Bit Voltage Out	20-PLCC	13.92	10.45	6.90
AD558KN	AD558KN-ND	DAU, 8-Bit, Spannungsausg.	DAC 8-Bit Voltage Out	16-Dip	—	15.69	—
AD558KP	AD558KP-ND	DAU, 8-Bit, Spannungsausg.	DAC 8-Bit Voltage Out	20-PLCC	16.00	15.69	10.45
AD558SD	AD558SD-ND	DAU, 8-Bit, Spannungsausg.	DAC 8-Bit Voltage Out	16-Dip	40.50	30.34	28.00
AD561KD	AD561KD-ND	DAU, 10-Bit, 5-15 V, Eingang, Mono	DAC 10-Bit, 5-15V Input Mono	16-Dip	115.28	73.36	70.00
AD565AJD	AD565AJD-ND	DAU, 12-Bit, Mono, HS	DAC 12-Bit Mono HS	24-Dip	37.79	28.30	18.90
AD565AJR	AD565AJR-ND	DAU, 12-Bit, Mono, HS	DAC 12-Bit Mono HS	28-SOIC	21.22	18.57	15.03
AD567JD	AD567JD-ND	DAU, 12-Bit, Mono,	DAC 12-Bit Mono	28-Dip	45.57	38.13	35.00
AD568JQ	AD568JQ-ND	DAU, 12-Bit, Mono, HS, 35 ns	DAC 12-Bit HS Mono 35nS	24-Dip	46.74	40.06	38.00
AD569AD	AD569AD-ND	DAU, 16-Bit, Mono,	DAC 16-Bit Mono	28-Dip	65.20	54.55	50.00
AD569JN	AD569JN-ND	DAU, 16-Bit, Mono,	DAC 16-Bit Mono	28-Dip	38.40	32.12	30.00
AD569JP	AD569JP-ND	DAU, 16-Bit, Mono,	DAC 16-Bit Mono	28-PLCC	42.04	35.17	33.00
AD569KN	AD569KN-ND	DAU, 16-Bit, Mono,	DAC 16-Bit Mono	28-Dip	48.36	40.46	40.00
AD660AN	AD660AN-ND	DAU, 16-Bit, Mono, mit Spann.-Ref.	DAC 16-Bit Mono with Volt. Ref.	24-Dip	24.40	20.42	15.56
AD660AR	AD660AR-ND	DAU, 16-Bit, Mono, mit Spann.-Ref.	DAC 16-Bit Mono with Volt. Ref.	24-SOIC	24.40	20.42	15.56
AD660BN	AD660BN-ND	DAU, 16-Bit, Mono, mit Spann.-Ref.	DAC 16-Bit Mono with Volt. Ref.	24-Dip	36.61	30.63	26.00
AD660BR	AD660BR-ND	DAU, 16-Bit, Mono, mit Spann.-Ref.	DAC 16-Bit Mono with Volt. Ref.	24-SOIC	36.61	30.63	26.00
AD664BD-BIP	AD664BD-BIP-ND	Vierf. DAU, 12-Bit, Mono	DAC 12-Bit Quad Mono	28-Dip	126.46	105.82	100.00
AD664BD-UNI	AD664BD-UNI-ND	Vierf. DAU, 12-Bit, Mono	DAC 12-Bit Quad Mono	28-CDip	126.46	105.82	100.00
AD664BJ	AD664BJ-ND	Vierf. DAU, 12-Bit, Mono	DAC 12-Bit Quad Mono	44-JLCC	133.36	111.58	100.00
AD664JN-BIP	AD664JN-BIP-ND	Vierf. DAU, 12-Bit, bipolar	DAC 12-Bit Quad Bipolar	28-Dip	61.00	60.94	50.00
AD664JP	AD664JP-ND	Vierf. DAU, 12-Bit, Mono	DAC 12-Bit Quad Mono	44-PLCC	84.38	70.60	65.00
AD664KP	AD664KP-ND	Vierf. DAU, 12-Bit, Mono	DAC 12-Bit Quad Mono	44-PLCC	114.97	96.19	90.00
AD667JN	AD667JN-ND	DAU, 12-Bit, Spannungsausg.	DAC 12-Bit Voltage Out	28-Dip	20.88	13.06	10.49
AD667JNZ	AD667JNZ-ND	DAU, 12-Bit, Spannungsausg.*	DAC 12-Bit Voltage Out*	28-Dip	20.88	13.06	10.49
AD667JP	AD667JP-ND	DAU, 12-Bit, Spannungsausg.	DAC 12-Bit Voltage Out	28-PLCC	20.88	13.06	10.49
AD667SD	AD667SD-ND	DAU, 12-Bit, Spannungsausg.	DAC 12-Bit Voltage Out	28-Dip	145.68	140.00	130.00
AD669AN	AD669AN-ND	DAU, 16-Bit, Mono, mit Spann.-Ref.	DAC 16-Bit Mono w/Volt. Ref.	28-Dip	24.40	20.42	15.56
AD669ANZ	AD669ANZ-ND	DAU, 16-Bit, Mono, mit Spann.-Ref.*	DAC 16-Bit Mono w/Volt. Ref.*	28-Dip	24.40	20.42	15.56
AD669AR	AD669AR-ND	DAU, 16-Bit, Mono, mit Spann.-Ref.	DAC 16-Bit Mono w/Volt. Ref.	28-SOIC	24.40	20.42	15.56
AD669BN	AD669BN-ND	DAU, 16-Bit, Mono, mit Spann.-Ref.	DAC 16-Bit Mono w/Volt. Ref.	28-Dip	36.61	30.63	26.00
AD669BNZ	AD669BNZ-ND	DAU, 16-Bit, Mono, mit Spann.-Ref.*	DAC 16-Bit Mono w/Volt. Ref.*	28-Dip	36.61	30.63	26.00
AD669BR	AD669BR-ND	DAU, 16-Bit, Mono, mit Spann.-Ref.	DAC 16-Bit Mono w/Volt. Ref.	28-SOIC	36.61	30.63	26.00
AD760AQ	AD760AQ-ND	DAU, 16-Bit, Mono, mit seriellem Verst.	DAC 16-Bit with Amp Serial	28-CDip	100.67	84.23	75.00
AD766JN	AD766JN-ND	DAU, 16-Bit, Mono, mit Spann.-Ref.	DAC 16-Bit with Volt. Ref.	16-Dip	19.19	16.07	12.24
AD766JNZ	AD766JNZ-ND	DAU, 16-Bit, Mono, mit Spann.-Ref.*	DAC 16-Bit with Volt. Ref.*	16-Dip	19.19	16.07	12.24
AD767AD	AD767AD-ND	DAU, 12-Bit	DAC 12-Bit	24-CDip	26.21	21.93	16.72
AD767JN	AD767JN-ND	DAU, 12-Bit	DAC 12-Bit	24-Dip	17.20	14.40	10.98
AD767JNZ	AD767JNZ-ND	DAU, 12-Bit*	DAC 12-Bit*	24-Dip	17.20	14.40	10.98
AD767JP	AD767JP-ND	DAU, 12-Bit	DAC 12-Bit	28-PLCC	17.20	14.40	10.98
AD767KN	AD767KN-ND	DAU, 12-Bit	DAC 12-Bit	24-Dip	22.69	18.98	14.47
AD767KNZ	AD767KNZ-ND	DAU, 12-Bit*	DAC 12-Bit*	24-Dip	22.69	18.98	14.47
AD768AR	AD768AR-ND	DAU, 16-Bit, 30 MSPS	DAC 16-Bit, 30MSPS	28-SOIC	35.33	30.95	22.07
AD1139J	AD1139J-ND	Einf. DAU, 18-Bit	DAC Single 18-Bit	32-Dip	743.78	680.65	641.59
AD1139K	AD1139K-ND	Einf. DAU, 18-Bit	DAC Single 18-Bit	32-Dip	929.72	850.82	801.98
AD1833AAST	AD1833AAST-ND	DAU, Audio, 24-Bit, Mono, 6-Kan.	DAC Audio 24-Bit, 6-Ch.	48-LQFP	10.40	8.70	6.64
AD1833ACST	AD1833ACST-ND	DAU, Audio, 24-Bit, Mono, 6-Kan.	DAC Audio 24-Bit, 6-Ch.	48-LQFP	6.03	5.05	3.84
AD1851N	AD1851N-ND	DAU, Audio, 16-Bit, PCM	DAC Audio 16-Bit PCM	16-Dip	—	7.40	—
AD1851R	AD1851R-ND	DAU, Audio, 16-Bit, PCM	DAC Audio 16-Bit PCM	16-SOIC	8.22	7.40	6.17
AD1851R-REEL7	AD1851R-REEL7CT-ND	DAU, Audio, 16-Bit, PCM	DAC Audio 16-Bit PCM	16-SOIC	8.47	7.62	6.76
AD1851R-REEL7	AD1851R-REEL7TR-ND	DAU, Audio, 16-Bit, PCM	DAC Audio 16-Bit PCM	16-SOIC		1750.00/250	
AD1852JRS	AD1852JRS-ND	DAU, Stereo, 24-Bit	DAC Stereo 24-Bit	28-SSOP	8.84	8.40	7.07
AD1852JRSZ	AD1852JRSZ-ND	DAU, Stereo, 24-Bit*	DAC Stereo 24-Bit*	28-SSOP	8.84	8.40	7.07
AD1853JRS	AD1853JRS-ND	DAU, Stereo, 24-Bit	DAC Stereo 24-Bit	28-SSOP	9.73	8.84	7.96
AD1861R-J	AD1861R-J-ND	DAU, Audio, schnell einstellend, 18-Bit	DAC Audio Fastset 18-Bit	16-SOIC	9.73	8.75	7.30
AD1865N	AD1865N-ND	Zweif. DAU, Audio, 18-Bit	DAC Audio Dual 18-Bit	24-Dip	22.65	18.95	14.45
AD1865R-J	AD1865R-J-ND	Zweif. DAU, Audio, 18-Bit	DAC Audio Dual 18-Bit	28-SOIC	27.19	22.75	17.34
AD1866N	AD1866N-ND	Zweif. DAU, Audio, 16-Bit	DAC Audio 16-Bit Dual	16-Dip	16.02	13.40	10.21
AD1866R	AD1866R-ND	Zweif. DAU, Audio, 16-Bit	DAC Audio 16-Bit Dual	16-SOIC	16.02	13.40	10.21
AD1868N	AD1868N-ND	Zweif. DAU, Audio, 18-Bit	DAC Audio 18-Bit Dual	16-Dip	17.85	14.93	11.39
AD1868R	AD1868R-ND	Zweif. DAU, Audio, 18-Bit	DAC Audio 18-Bit Dual	16-SOIC	17.85	14.93	11.39
AD1953YST	AD1953YST-ND	DAU, Audio, 3-Kan. 26-Bit	DAC Audio 3-Ch., 26-Bit	48-LQFP	10.83	9.07	6.91
AD1954YST	AD1954YST-ND	DAU, Audio, 3-Kan. 26-Bit	DAC Audio 3-Ch., 26-Bit	48-LQFP	10.83	9.07	6.91
AD1955ARS	AD1955ARS-ND	DAU, Audio, Multi-Bit	DAC Audio Multi-Bit	28-SSOP	10.40	8.70	6.64
EVAL-AD1955EB	EVAL-AD1955EB-ND	Evaluierungskarte für AD1955	Evaluation Board for AD1955	—	147.39	—	—
AD5300BRM	AD5300BRM-ND	DAU, 8-Bit, R/R, 2,7-5,5 V	DAC 8-Bit R-R 2.7-5.5V	8-MSOP	2.00	1.55	1.35
AD5300BRTZ-REEL7	AD5300BRTZREEL7CT-ND	DAU, 8-Bit, R/R, 2,7-5,5 V*	DAC 8-Bit R-R 2.7-5.5V*	SOT-23-6	2.38	1.91	1.49
AD5300BRTZ-REEL7	AD5300BRTZREEL7TR-ND	DAU, 8-Bit, R/R, 2,7-5,5 V*	DAC 8-Bit R-R 2.7-5.5V*	SOT-23-6		3330.00/3,000	
AD5301BRM	AD5301BRM-ND	DAU, 8-Bit, 2,5 V, zweiadrig	DAC 8-Bit, 2.5V, 2-Wire	8-MSOP	2.73	1.74	1.51
AD5301BRMZ	AD5301BRMZ-ND	DAU, 8-Bit, 2,5 V, zweiadrig*	DAC 8-Bit, 2.5V, 2-Wire*	8-MSOP	2.73	2.17	2.00
AD5301BRT-500RL7	AD5301BRT500RL7CT-ND	DAU, 8-Bit, 2,5 V, zweiadrig	DAC 8-Bit, 2.5V, 2-Wire	SOT-23-6	2.67	2.14	1.66
AD5301BRT-500RL7	AD5301BRT500RL7TR-ND	DAU, 8-Bit, 2,5 V, zweiadrig	DAC 8-Bit, 2.5V, 2-Wire	SOT-23-6		650.00/500	
AD5301BRTZ-500RL7	AD5301BRTZ500RLCT-ND	DAU, 8-Bit, 2,5 V, zweiadrig*	DAC 8-Bit, 2.5V, 2-Wire*	SOT-23-6	2.67	2.14	1.66
AD5301BRTZ-500RL7	AD5301BRTZ500RLTR-ND	DAU, 8-Bit, 2,5 V, zweiadrig*	DAC 8-Bit, 2.5V, 2-Wire*	SOT-23-6		750.00/500	
AD5302BRM-REEL7	AD5302BRM-REEL7CT-ND	Zweif. DAU, 8-Bit, R/R	DAC 8-Bit Dual R-R	10-MSOP	4.54	3.63	2.83
AD5302BRM-REEL7	AD5302BRM-REEL7TR-ND	Zweif. DAU, 8-Bit, R/R	DAC 8-Bit Dual R-R	10-MSOP		1730.00/1,000	
AD5302BRMZ	AD5302BRMZ-ND	Zweif. DAU, 8-Bit, R/R*	DAC 8-Bit Dual R-R*	10-MSOP	3.79	2.42	2.30
AD5304BRM	AD5304BRM-ND	Vierf. DAU, 8-Bit, Spann.-Ausg.	DAC 8-Bit Quad Volt. Output	10-MSOP	5.73	3.66	3.18
AD5308ARU	AD5308ARU-ND	Achtf. DAU, 8-Bit, 2,5 V	DAC 8-Bit, 2.5V Octal	16-TSSOP	4.80	3.07	2.67
AD5308BRU	AD5308BRU-ND	Achtf. DAU, 8-Bit, 2,5 V	DAC 8-Bit, 2.5V Octal	16-TSSOP	7.84	5.02	4.36
AD5308BRUZ	AD5308BRUZ-ND	Achtf. DAU, 8-Bit, 2,5 V*	DAC 8-Bit, 2.5V Octal*	16-TSSOP	7.84	5.02	4.36
AD5310BRM	AD5310BRM-ND	DAU, 10-Bit, R/R, mit Puffer	DAC 10-Bit R-R with Buffer	8-MSOP	2.93	2.11	2.00
AD5310BRMZ	AD5310BRMZ-ND	DAU, 10-Bit, R/R, mit Puffer*	DAC 10-Bit R-R with Buffer*	8-MSOP	2.93	2.11	2.00
AD5310BRT-REEL	AD5310BRT-REELCT-ND	DAU, 10-Bit, R/R, mit Puffer	DAC 10-Bit R-R with Buffer	SOT-23-6	3.24	2.60	2.02
AD5310BRT-REEL	AD5310BRT-REELTR-ND	DAU, 10-Bit, R/R, mit Puffer	DAC 10-Bit R-R with Buffer	SOT-23-6		13100.00/10,000	
AD5311BRM	AD5311BRM-ND	DAU, 10-Bit, zweiadrig, mit Puffer	DAC 10-Bit, 2 Wire w/Buffer	8-MSOP	3.79	2.42	2.30
AD5311BRMZ	AD5311BRMZ-ND	DAU, 10-Bit, zweiadrig, mit Puffer*	DAC 10-Bit, 2 Wire w/Buffer*	8-MSOP	3.79	2.42	2.30
AD5312BRM	AD5312BRM-ND	Zweif. DAU, 10-Bit, R/R-Ausg.	DAC 10-Bit Dual R-R Out	10-MSOP	4.15	2.98	2.60
AD5314BRM	AD5314BRM-ND	Vierf. DAU, 10-Bit, Spann.-Ausg.	DAC 10-Bit Quad Volt. Output	10-MSOP	6.89	4.40	3.83
AD5315BRM	AD5315BRM-ND	DAU, 10-Bit, zweiadrig, I²C	DAC 10-Bit, 2 Wire I²C	10-MSOP	5.00	4.40	3.83
AD5316BRU	AD5316BRU-ND	Vierf. DAU, 10-Bit, mit Puffer	DAC 10-Bit Quad w/Buffer	16-TSSOP	7.28	4.65	4.04
AD5317BRU	AD5317BRU-ND	Vierf. DAU, 10-Bit, mit Puffer	DAC 10-Bit Quad w/Buffer	16-TSSOP	7.28	4.65	4.04
AD5317BRUZ-REEL7	AD5317BRUZREEL7CT-ND	Vierf. DAU, 10-Bit, mit Puffer*	DAC 10-Bit Quad w/Buffer*	16-TSSOP	7.74	6.20	5.23
AD5317BRUZ-REEL7	AD5317BRUZREEL7TR-ND	Vierf. DAU, 10-Bit, mit Puffer*	DAC 10-Bit Quad w/Buffer*	16-TSSOP		3310.00/1,000	
AD5318ARU	AD5318ARU-ND	Achtf. DAU, 10-Bit, 2,5 V	DAC 10-Bit, 2.5V Octal	16-TSSOP	7.57	4.83	4.21
AD5318BRU	AD5318BRU-ND	Achtf. DAU, 10-Bit, 2,5 V	DAC 10-Bit, 2.5V Octal	16-TSSOP	9.23	5.90	5.13
AD5320BRM	AD5320BRM-ND	DAU, 12-Bit, 2,7 V, R/R-Ausg.	DAC 12-Bit, 2.7V R-R Out	8-MSOP	4.31	3.11	2.69
AD5320BRMZ	AD5320BRMZ-ND	DAU, 12-Bit, 2,7 V, R/R-Ausg.*	DAC 12-Bit, 2.7V R-R Out*	8-MSOP	4.31	3.11	2.69
AD5320BRT-500RL7	AD5320BRT500RL7CT-ND	DAU, 12-Bit, 2,7 V, R/R-Ausg.	DAC 12-Bit, 2.7V R-R Out	SOT-23-6	4.57	3.66	3.09
AD5320BRT-500RL7	AD5320BRT500RL7TR-ND	DAU, 12-Bit, 2,7 V, R/R-Ausg.	DAC 12-Bit, 2.7V R-R Out	SOT-23-6		1195.00/500	
AD5320BRT-REEL7	AD5320BRT-REEL7CT-ND	DAU, 12-Bit, 2,7 V, R/R-Ausg.	DAC 12-Bit, 2.7V R-R Out	SOT-23-6	4.23	3.39	2.86
AD5320BRT-REEL7	AD5320BRT-REEL7TR-ND	DAU, 12-Bit, 2,7 V, R/R-Ausg.	DAC 12-Bit, 2.7V R-R Out	SOT-23-6		6630.00/3,000	
AD5320BRTZ-REEL7	AD5320BRTZREEL7CT-ND	DAU, 12-Bit, 2,7 V, R/R-Ausg.*	DAC 12-Bit, 2.7V R-R Out*	SOT-23-6	4.23	3.39	2.86
AD5320BRTZ-REEL7	AD5320BRTZREEL7TR-ND	DAU, 12-Bit, 2,7 V, R/R-Ausg.*	DAC 12-Bit, 2.7V R-R Out*	SOT-23-6		6630.00/3,000	
AD5321BRM	AD5321BRM-ND	DAU, 12-Bit, 2,5 V, zweiadrig	DAC 12-Bit, 2.5V 2-Wire	8-MSOP	5.73	3.66	3.18

* Bleifrei/RoHS-konform

(Forts.)

★ ***RUFEN SIE BITTE AN FÜR NIEDRIGERE PREISE BEI GRÖSSEREN MENGEN!*** ★

Analog Devices Teilenr.	Digi-Key Teilenr.	Beschreibung		Paket	Stückpreis★ 1	25	100
AD5321BRMZ	AD5321BRMZ-ND	DAU, 12-Bit, 2,5 V, zweiadrig*	DAC 12-Bit, 2.5V 2-Wire*	8-MSOP	5.73	3.66	3.18
AD5322BRM	AD5322BRM-ND	Zweif. DAU, 12-Bit, R/R-Ausg.	DAC 12-Bit Dual R-R Out	10-MSOP	7.33	5.27	4.58
AD5323BRU	AD5323BRU-ND	Zweif. DAU, 12-Bit, R/R	DAC 12-Bit Dual R-R	16-TSSOP	8.74	5.58	4.85
AD5323BRUZ	AD5323BRUZ-ND	Zweif. DAU, 12-Bit, R/R*	DAC 12-Bit Dual R-R*	16-TSSOP	8.74	5.58	4.85
AD5324BRM	AD5324BRM-ND	Vierf. DAU, 12-Bit, 2,5 V	DAC 12-Bit Quad 2.5V	10-MSOP	13.50	8.62	7.50
AD5325BRM	AD5325BRM-ND	DAU, 12-Bit, zweiadrig, I2C	DAC 12-Bit, 2 Wire I2C	10-MSOP	13.50	8.62	7.50
AD5326BRU	AD5326BRU-ND	Vierf. DAU, 12-Bit, mit Puffer	DAC 12-Bit Quad w/Buffer	16-TSSOP	14.07	9.47	7.82
AD5326BRUZ	AD5326BRUZ-ND	Vierf. DAU, 12-Bit, mit Puffer*	DAC 12-Bit Quad w/Buffer*	16-TSSOP	14.07	9.47	7.82
AD5327BRU	AD5327BRU-ND	Vierf. DAU, 12-Bit, 2,5 V	DAC 12-Bit Quad 2.5V	16-TSSOP	9.00	8.99	7.82
AD5328ARU	AD5328ARU-ND	Achtf. DAU, 12-Bit, 2,5 V	DAC 12-Bit, 2.5V Octal	16-TSSOP	13.50	8.62	7.50
AD5328ARUZ	AD5328ARUZ-ND	Achtf. DAU, 12-Bit, 2,5 V*	DAC 12-Bit, 2.5V Octal*	16-TSSOP	13.50	8.62	7.50
AD5328BRU	AD5328BRU-ND	Achtf. DAU, 12-Bit, 2,5 V	DAC 12-Bit, 2.5V Octal	16-TSSOP	15.84	10.12	8.81
AD5330BRU	AD5330BRU-ND	Einf. DAU, 8-Bit, Spann.-Ausg.	DAC 8-Bit Single Volt. Out	20-TSSOP	3.79	2.42	2.30
AD5330BRUZ	AD5330BRUZ-ND	Einf. DAU, 8-Bit, Spann.-Ausg.*	DAC 8-Bit Single Volt. Out*	20-TSSOP	3.79	2.42	2.30
AD5331BRUZ	AD5331BRUZ-ND	Einf. DAU, 10-Bit, Spann.-Ausg.*	DAC 10-Bit Single Volt. Out*	20-TSSOP	4.07	2.60	2.26
AD5334BRU	AD5334BRU-ND	Vierf. DAU, 8-Bit, Spann.-Ausg.	DAC 8-Bit Quad Volt. Out	24-TSSOP	6.51	4.16	3.62
AD5334BRUZ	AD5334BRUZ-ND	Vierf. DAU, 8-Bit, Spann.-Ausg.*	DAC 8-Bit Quad Volt. Out*	24-TSSOP	6.51	4.16	3.62
AD5336BRU	AD5336BRU-ND	Vierf. DAU, 10-Bit, Spann.-Ausg.	DAC 10-Bit Quad Volt. Out	28-TSSOP	7.76	4.96	4.31
AD5336BRUZ	AD5336BRUZ-ND	Vierf. DAU, 10-Bit, Spann.-Ausg.*	DAC 10-Bit Quad Volt. Out*	28-TSSOP	7.76	4.96	4.31
AD5337ARM	AD5337ARM-ND	Zweif. DAU, 8-Bit, zweiadrig	DAC 8-Bit Dual 2-Wire	8-MSOP	2.15	1.37	1.25
AD5337ARMZ	AD5337ARMZ-ND	Zweif. DAU, 8-Bit, zweiadrig*	DAC 8-Bit Dual 2-Wire*	8-MSOP	2.15	1.37	1.30
AD5337BRM	AD5337BRM-ND	Zweif. DAU, 8-Bit, zweiadrig	DAC 8-Bit Dual 2-Wire	8-MSOP	3.02	1.93	1.68
AD5338ARM	AD5338ARM-ND	Zweif. DAU, 10-Bit, zweiadrig	DAC 10-Bit Dual 2-Wire	8-MSOP	3.69	2.36	2.05
AD5338BRM	AD5338BRM-ND	Zweif. DAU, 10-Bit, zweiadrig	DAC 10-Bit Dual 2-Wire	8-MSOP	5.05	3.23	2.80
AD5339ARM	AD5339ARM-ND	Zweif. DAU, 12-Bit, zweiadrig	DAC 12-Bit Dual 2-Wire	8-MSOP	6.21	3.97	3.45
AD5339BRM	AD5339BRM-ND	Zweif. DAU, 12-Bit, zweiadrig	DAC 12-Bit Dual 2-Wire	8-MSOP	9.31	5.95	5.17
AD5341BRU	AD5341BRU-ND	Einf. DAU, 12-Bit, Spann.-Ausg.	DAC 12-Bit Single Volt. Out	20-TSSOP	5.83	3.72	3.24
AD5341BRUZ	AD5341BRUZ-ND	Einf. DAU, 12-Bit, Spann.-Ausg.*	DAC 12-Bit Single Volt. Out*	20-TSSOP	5.83	3.72	3.24
AD5344BRU	AD5344BRU-ND	Vierf. DAU, 12-Bit, Spann.-Ausg.	DAC 12-Bit Quad Volt. Out	28-TSSOP	15.44	9.87	8.58
AD5344BRUZ	AD5344BRUZ-ND	Vierf. DAU, 12-Bit, Spann.-Ausg.*	DAC 12-Bit Quad Volt. Out*	28-TSSOP	15.44	9.87	8.58
AD5346BCP	AD5346BCP-ND	Achtf. DAU, 8-Bit, Spannungsausg.	DAC 8-Bit Octal Voltage Out	40-LFCSP	5.81	3.71	3.23
AD5346BRU	AD5346BRU-ND	Achtf. DAU, 8-Bit, Spannungsausg.	DAC 8-Bit Octal Voltage Out	38-TSSOP	5.73	3.66	3.18
AD5347BCP	AD5347BCP-ND	Achtf. DAU, 10-Bit, Spannungsausg.	DAC 10-Bit Octal Voltage Out	40-LFCSP	9.61	6.15	5.34
AD5347BRU	AD5347BRU-ND	Achtf. DAU, 10-Bit, Spannungsausg.	DAC 10-Bit Octal Voltage Out	38-TSSOP	9.55	6.10	5.31
AD5348BCP	AD5348BCP-ND	Achtf. DAU, 12-Bit, Spannungsausg.	DAC 12-Bit Octal Voltage Out	40-LFCSP	16.40	10.48	9.11
AD5348BRU	AD5348BRU-ND	Achtf. DAU, 12-Bit, Spannungsausg.	DAC 12-Bit Octal Voltage Out	38-TSSOP	—	10.43	—
AD5379ABC	AD5379ABC-ND	DAU, 14-Bit, 40-Kan., serieller Eingang, bipolarer Spannungsausg.	DAC 14-Bit, 40-Ch., Serial Input, Bipolar Voltage Output	108-CSPBGA	93.24	74.59	70.00
AD5380BST-5	AD5380BST-5-ND	DAU, 14-Bit, 40-Kan.	DAC 14-Bit, 40-Ch.	100-LQFP	77.24	61.79	60.00
EVAL-AD5380EB	EVAL-AD5380EB-ND	Evaluierungskarte für AD5380	Evaluation Board for AD5380	—	175.98	—	—
AD5381BST-5	AD5381BST-5-ND	DAU, 12-Bit, 40-Kan., Spannungsausg.	DAC 12-Bit, 40-Ch. Voltage Out	100-LQFP	61.64	—	—
EVAL-AD5381EB	EVAL-AD5381EB-ND	Evaluierungskarte für AD5381	Evaluation Board for AD5381	—	175.98	—	—
AD5382BST-5	AD5382BST-5-ND	DAU, 14-Bit, 32-Kan., Spannungsausg.	DAC 14-Bit, 32-Ch. Voltage Out	100-LQFP	66.32	53.06	50.00
EVAL-AD5382EB	EVAL-AD5382EB-ND	Evaluierungskarte für AD5382	Evaluation Board for AD5382	—	175.98	—	—
AD5383BST-5	AD5383BST-5-ND	DAU, 12-Bit, 32-Kan., Spannungsausg.	DAC 12-Bit, 32-Ch. Voltage Out	100-LQFP	53.83	—	—
EVAL-AD5383EB	EVAL-AD5383EB-ND	Evaluierungskarte für AD5383	Evaluation Board for AD5383	—	175.98	—	—
AD5384BBC-5	AD5384BBC-5-ND	DAU, 14-Bit, 40-Kan., Spannungsausg.	DAC 14-Bit, 40-Ch., Voltage Out	100-CSPBGA	77.24	61.79	60.00
AD5390BCP-3	AD5390BCP-3-ND	DAU, 14-Bit, 16-Kan.	DAC 14-Bit, 16-Ch.	64-LFCSP	37.30	29.83	28.00
AD5390BST-3	AD5390BST-3-ND	DAU, 14-Bit, 16-Kan.	DAC 14-Bit, 16-Ch.	52-LQFP	37.30	29.83	28.00
AD5390BST-5	AD5390BST-5-ND	DAU, 14-Bit, 16-Kan.	DAC 14-Bit, 16-Ch.	52-LQFP	35.71	33.32	30.96
EVAL-AD5390EB	EVAL-AD5390EB-ND	Evaluierungskarte für AD5390	Evaluation Board for AD5390	—	175.98	—	—
AD5391BCP-3	AD5391BCP-3-ND	DAU, 12-Bit, 16-Kan., Spannungsausg.	DAC 12-Bit, 16-Ch. Voltage Out	64-LFCSP	31.06	24.84	20.70
AD5391BCP-5	AD5391BCP-5-ND	DAU, 12-Bit, 16-Kan., Spannungsausg.	DAC 12-Bit, 16-Ch. Voltage Out	64-LFCSP	31.06	24.84	20.70
EVAL-AD5391EB	EVAL-AD5391EB-ND	Evaluierungskarte für AD5391	Evaluation Board for AD5391	—	175.98	—	—
AD5392BCP-3	AD5392BCP-3-ND	DAU, 14-Bit, 8-Kan., Spannungsausg.	DAC 14-Bit, 8-Ch. Voltage Out	64-LFCSP	23.25	18.60	15.50
AD5392BCP-5	AD5392BCP-5-ND	DAU, 14-Bit, 8-Kan., Spannungsausg.	DAC 14-Bit, 8-Ch. Voltage Out	64-LFCSP	23.25	18.60	15.50
EVAL-AD5392EB	EVAL-AD5392EB-ND	Evaluierungskarte für AD5392	Evaluation Board for AD5392	—	175.98	—	—
AD5399YRM	AD5399YRM-ND	Zweif. DAU, 12-Bit, mit Referenz	DAC 12-Bit Dual with Reference	10-MSOP	6.90	5.78	4.40
AD5405YCP	AD5405YCP-ND	Zweif. DAU, 12-Bit, multiplikativ	DAC 12-Bit Dual, Multiply	40-LFCSP	8.04	5.14	4.46
EVAL-AD5405EB	EVAL-AD5405EB-ND	Evaluierungskarte für AD5405	Evaluation Board for AD5405	—	87.55	—	—
AD5415YRU	AD5415YRU-ND	DAU, 12-Bit, multiplikativ, hohe Bandbreite	DAC 12-Bit Multiplying, High Bandwidth	24-TSSOP	8.71	5.54	4.83
AD5415YRUZ	AD5415YRUZ-ND	DAU, 12-Bit, multiplikativ, hohe Bandbreite*	DAC 12-Bit Multiplying, High Bandwidth*	24-TSSOP	8.71	5.54	4.83
AD5415YRU-REEL7	AD5415YRU-REEL7TR-ND	DAU, 12-Bit, multiplikativ, hohe Bandbreite	DAC 12-Bit Multiplying, High Bandwidth	24-TSSOP		4120.00/1,000	
EVAL-AD5415EB	EVAL-AD5415EB-ND	Evaluierungskarte für AD5415	Evaluation Board for AD5415	—	87.55	—	—
AD5424YRU	AD5424YRU-ND	DAU, 8-Bit, multiplikativ	DAC 8-Bit Multiplying	16-TSSOP	4.21	2.69	2.35
AD5424YRUZ	AD5424YRUZ-ND	DAU, 8-Bit, multiplikativ*	DAC 8-Bit Multiplying*	16-TSSOP	4.21	2.69	2.35
AD5425YRM	AD5425YRM-ND	DAU, 8-Bit, multiplikativ, hohe Bandbreite	DAC 8-Bit Multiply, High Bandwidth	10-MSOP	3.79	2.42	2.30
EVAL-AD5425EB	EVAL-AD5425EB-ND	Evaluierungskarte für AD5425	Evaluation Board for AD5425	—	87.55	—	—
AD5426YRM	AD5426YRM-ND	DAU, 8-Bit, multiplikativ, hohe Bandbreite	DAC 8-Bit Multiply, High Bandwidth	10-MSOP	4.64	2.96	2.57
AD5428YRU	AD5428YRU-ND	DAU, 8-Bit, multiplikativ, hohe Bandbreite	DAC 8-Bit Multiply, High Bandwidth	20-TSSOP	5.60	3.58	3.12
AD5429YRU	AD5429YRU-ND	DAU, 8-Bit, multiplikativ, hohe Bandbreite	DAC 8-Bit Multiply, High Bandwidth	16-TSSOP	5.09	3.26	2.83
AD5429YRU-REEL7	AD5429YRU-REEL7TR-ND	DAU, 8-Bit, multiplikativ, hohe Bandbreite	DAC 8-Bit Multiply, High Bandwidth	16-TSSOP		2400.00/1,000	
EVAL-AD5429EB	EVAL-AD5429EB-ND	Evaluierungskarte für AD5429	Evaluation Board for AD5429	—	87.55	—	—
AD5432YRM	AD5432YRM-ND	DAU, 10-Bit, multiplikativ, hohe Bandbreite	DAC 10-Bit Multiply, High Bandwidth	10-MSOP	5.10	3.26	2.83
AD5433YRU	AD5433YRU-ND	DAU, 10-Bit, multiplikativ	DAC 10-Bit Multiply	20-TSSOP	4.64	2.96	2.57
AD5439YRU	AD5439YRU-ND	DAU, 10-Bit, multiplikativ, hohe Bandbreite	DAC 10-Bit Multiply, High Bandwidth	16-TSSOP	6.78	4.33	3.77
AD5439YRU-REEL7	AD5439YRU-REEL7TR-ND	DAU, 10-Bit, multiplikativ, hohe Bandbreite	DAC 10-Bit Multiply, High Bandwidth	16-TSSOP		3200.00/1,000	
EVAL-AD5439EB	EVAL-AD5439EB-ND	Evaluierungskarte für AD5439	Evaluation Board for AD5439	—	87.55	—	—
AD5440YRU	AD5440YRU-ND	DAU, 10-Bit, multiplikativ, hohe Bandbreite	DAC 10-Bit Multiply, High Bandwidth	24-TSSOP	7.45	4.76	4.14
AD5443YRM	AD5443YRM-ND	DAU, 12-Bit, multiplikativ, hohe Bandbreite	DAC 12-Bit Multiply, High Bandwidth	10-MSOP	5.00	4.44	3.87
EVAL-AD5443EB	EVAL-AD5443EB-ND	Evaluierungskarte für AD5443	Evaluation Board for AD5443	—	87.55	—	—
AD5445YCP	AD5445YCP-ND	DAU, 12-Bit, multiplikativ, hohe Bandbreite	DAC 12-Bit Multiply, High Bandwidth	20-LFCSP	6.32	4.04	3.51
AD5445YRU	AD5445YRU-ND	DAU, 12-Bit, multiplikativ, hohe Bandbreite	DAC 12-Bit Multiply, High Bandwidth	20-TSSOP	6.32	4.04	3.51
EVAL-AD5445EB	EVAL-AD5445EB-ND	Evaluierungskarte für AD5445	Evaluation Board for AD5445	—	87.55	—	—
AD5447YRU	AD5447YRU-ND	DAU, 12-Bit, multiplikativ, hohe Bandbreite	DAC 12-Bit Multiply, High Bandwidth	24-TSSOP	7.45	4.76	4.14
AD5449YRU	AD5449YRU-ND	DAU, 12-Bit, multiplikativ, hohe Bandbreite	DAC 12-Bit Multiply, High Bandwidth	16-TSSOP	9.52	6.08	5.30
AD5449YRU-REEL7	AD5449YRU-REEL7TR-ND	DAU, 12-Bit, multiplikativ, hohe Bandbreite	DAC 12-Bit Multiply, High Bandwidth	16-TSSOP		4500.00/1,000	
EVAL-AD5449EB	EVAL-AD5449EB-ND	Evaluierungskarte für AD5449	Evaluation Board for AD5449	—	87.55	—	—
AD5516ABC-1	AD5516ABC-1-ND	DAU, 12-Bit, 16-Kan.	DAC 12-Bit, 16-Ch.	74-CSPBGA	38.91	33.60	30.00
AD5516ABC-2	AD5516ABC-2-ND	DAU, 12-Bit, 16-Kan.	DAC 12-Bit, 16-Ch.	74-CSPBGA	38.91	33.60	30.00
AD5516ABC-3	AD5516ABC-3-ND	DAU, 12-Bit, 16-Kan.	DAC 12-Bit, 16-Ch.	74-CSPBGA	38.91	33.60	30.00
AD5530BRU	AD5530BRU-ND	DAU, 12-Bit, serieller Eing./Spann.-Ausg.	DAC 12-Bit Serial-In/Voltage Out	16-TSSOP	6.00	5.27	4.58
AD5531BRU	AD5531BRU-ND	DAU, 14-Bit, serieller Eing./Spann.-Ausg.	DAC 14-Bit Serial-In/Voltage Out	16-TSSOP	13.49	8.61	7.49
AD5531BRUZ	AD5531BRUZ-ND	DAU, 14-Bit, serieller Eing./Spann.-Ausg.*	DAC 14-Bit Serial-In/Voltage Out*	16-TSSOP	13.49	8.61	7.49
AD5532ABC-1	AD5532ABC-1-ND	DAU, 14-Bit, 32-Kan., Sample/Hold	DAC 14-Bit, 32-Ch. Sample/Hold	74-LFBGA	61.02	54.83	50.00
AD5532ABC-2	AD5532ABC-2-ND	DAU, 14-Bit, 32-Kan., Sample/Hold	DAC 14-Bit, 32-Ch. Sample/Hold	74-LFBGA	61.02	54.83	50.00
AD5532BBC-1	AD5532BBC-1-ND	DAU, 14-Bit, 32-Kan., Sample/Hold	DAC 14-Bit, 32-Ch. Sample/Hold	74-CSPBGA	66.32	60.13	58.00
AD5533ABC-1	AD5533ABC-1-ND	DAU, 14-Bit, 32-Kan.	DAC 14-Bit, 32-Ch.	74-LFBGA	56.60	50.98	48.00
AD5541AR	AD5541AR-ND	DAU, 16-Bit, serieller Eing./Spann.-Ausg.	DAC 16-Bit Serial-In/Volt. Out	8-SOIC	15.26	12.76	9.73
AD5541ARZ	AD5541ARZ-ND	DAU, 16-Bit, serieller Eing./Spann.-Ausg.*	DAC 16-Bit Serial-In/Volt. Out*	8-SOIC	15.26	12.76	9.73
AD5541CR	AD5541CR-ND	DAU, 16-Bit, serieller Eing./Spann.-Ausg.	DAC 16-Bit Serial-In/Volt. Out	8-SOIC	27.74	23.21	17.69

* Bleifrei/RoHS-konform

(Forts.)

★ RUFEN SIE BITTE AN FÜR NIEDRIGERE PREISE BEI GRÖSSEREN MENGEN! ★

B

Analog Devices Teilenr.	Digi-Key Teilenr.	Beschreibung		Paket	Stückpreis★ 1	25	100
AD5541CRZ	AD5541CRZ-ND	DAU, 16-Bit, serieller Eing./Spann.-Ausg.*	DAC 16-Bit Serial-In/Volt. Out*	8-SOIC	27.74	23.21	17.69
AD5541JR	AD5541JR-ND	DAU, 16-Bit, serieller Eing./Spann.-Ausg.	DAC 16-Bit Serial-In/Volt. Out	8-SOIC	13.87	11.60	8.84
AD5541JRZ	AD5541JRZ-ND	DAU, 16-Bit, serieller Eing./Spann.-Ausg.*	DAC 16-Bit Serial-In/Volt. Out*	8-SOIC	13.87	11.60	8.84
AD5541LR	AD5541LR-ND	DAU, 16-Bit, serieller Eing./Spann.-Ausg.	DAC 16-Bit Serial-In/Volt. Out	8-SOIC	20.80	17.40	13.26
AD5541LRZ	AD5541LRZ-ND	DAU, 16-Bit, serieller Eing./Spann.-Ausg.*	DAC 16-Bit Serial-In/Volt. Out*	8-SOIC	20.80	17.40	13.26
AD5542AR	AD5542AR-ND	DAU, 16-Bit, serieller Eing.	DAC 16-Bit Serial-In	14-SOIC	15.26	12.76	9.73
AD5542ARZ	AD5542ARZ-ND	DAU, 16-Bit, serieller Eing.*	DAC 16-Bit Serial-In*	14-SOIC	15.26	12.76	9.73
AD5542CR	AD5542CR-ND	DAU, 16-Bit, serieller Eing.	DAC 16-Bit Serial-In	14-SOIC	27.74	23.21	17.69
AD5542LR	AD5542LR-ND	DAU, 16-Bit, serieller Eing.	DAC 16-Bit Serial-In	14-SOIC	20.80	17.40	13.26
AD5543BRM	AD5543BRM-ND	DAU, 16-Bit, serieller Eing./Stromausg.	DAC 16-Bit Serial-In/Current Out	8-MSOP	15.26	12.76	9.73
AD5543BR	AD5543BR-ND	DAU, 16-Bit, serieller Eing./Stromausg.	DAC 16-Bit Serial-In/Current Out	8-SOIC	15.26	12.76	9.73
AD5544ARS	AD5544ARS-ND	Vierf. DAU, 16-Bit, serieller Eing.	DAC 16-Bit Quad Serial-In	28-SSOP	42.95	35.93	32.00
AD5545BRU	AD5545BRU-ND	Zweif. DAU, 16-Bit, serieller Eing.	DAC 16-Bit Dual Serial-In	16-TSSOP	18.32	15.32	11.68
AD5546BRU	AD5546BRU-ND	DAU, 16-Bit, multiplikativ	DAC 16-Bit Multiplying	28-TSSOP	27.69	17.69	15.39
AD5547BRU	AD5547BRU-ND	DAU, 16-Bit, multiplikativ	DAC 16-Bit Multiplying	38-TSSOP	25.72	16.43	14.28
AD5551BR	AD5551BR-ND	DAU, 14-Bit, serieller Eing.	DAC 14-Bit Serial-In	8-SOIC	10.84	9.77	8.67
AD5553CRM	AD5553CRM-ND	DAU, 14-Bit, serieller Eing./Stromausg.	DAC 14-Bit Serial-In/Current Out	8-MSOP	9.97	8.34	6.36
AD5553CRMZ	AD5553CRMZ-ND	DAU, 14-Bit, serieller Eing./Stromausg.*	DAC 14-Bit Serial-In/Current Out*	8-MSOP	9.97	8.34	6.36
AD5555CRU	AD5555CRU-ND	Zweif. DAU, 14-Bit, serieller Eing.	DAC 14-Bit Dual Serial-In	16-TSSOP	13.03	10.90	8.31
AD5555CRUZ	AD5555CRUZ-ND	Zweif. DAU, 14-Bit, serieller Eing.*	DAC 14-Bit Dual Serial-In*	16-TSSOP	13.03	10.90	8.31
AD5556CRU	AD5556CRU-ND	DAU, 14-Bit, multiplikativ	DAC 14-Bit Multiplying	28-TSSOP	15.75	10.07	8.74
AD5570ARS	AD5570ARS-ND	DAU, 16-Bit, serieller Eing./Spann.-Ausg.	DAC 16-Bit Serial-In/Volt. Out	16-SSOP	27.97	17.87	15.54
AD5570WRS	AD5570WRS-ND	DAU, 16-Bit, serieller Eing./Spann.-Ausg.	DAC 16-Bit Serial-In/Volt. Out	16-SSOP	33.56	21.45	18.64
AD5582YRV	AD5582YRV-ND	Vierf. DAU, 12-Bit, Spannungsausg.	DAC 12-Bit Quad Voltage Out	48-TSSOP	12.99	—	—
AD5583YRV	AD5583YRV-ND	Vierf. DAU, 10-Bit, Spannungsausg.	DAC 10-Bit Quad Voltage Out	48-TSSOP	8.50	7.98	7.00
AD5621AKSZ-500RL7	AD5621AKSZ500RLCT-ND	DAU, 12-Bit, Spannungsausg.*	DAC 12-Bit Voltage Out*	SC70-6	2.99	2.40	1.87
AD5621AKSZ-500RL7	AD5621AKSZ500RLTR-ND	DAU, 12-Bit, Spannungsausg.*	DAC 12-Bit Voltage Out*	SC70-6		695.00/500	
AD5641AKSZ-500RL7	AD5641AKSZ500RLCT-ND	DAU, 14-Bit, Spannungsausg.*	DAC 14-Bit Voltage Out*	SC70-6	5.79	4.64	3.91
AD5641AKSZ-500RL7	AD5641AKSZ500RLTR-ND	DAU, 14-Bit, Spannungsausg.*	DAC 14-Bit Voltage Out*	SC70-6		1510.00/500	
AD7111ABN	AD7111ABN-ND	DAU Logarithmus	DAC Logarithm	16-Dip	13.05	8.31	8.00
AD7224KN	AD7224KN-ND	DAU, 8-Bit, LC2MOS	DAC 8-Bit LC2MOS	18-Dip	7.52	6.15	4.55
AD7224KNZ	AD7224KNZ-ND	DAU, 8-Bit, LC2MOS*	DAC 8-Bit LC2MOS*	18-Dip	7.52	6.15	4.55
AD7224KR-18	AD7224KR-18-ND	DAU, 8-Bit, LC2MOS	DAC 8-Bit LC2MOS	18-SOIC	6.23	4.98	4.16
AD7224LR-18	AD7224LR-18-ND	DAU, 8-Bit, LC2MOS	DAC 8-Bit LC2MOS	18-SOIC	7.66	6.57	5.47
AD7225KN	AD7225KN-ND	Vierf. DAU, 8-Bit, LC2MOS	DAC 8-Bit LC2MOS Quad	24-Dip	28.05	22.95	17.02
AD7225LN	AD7225LN-ND	Vierf. DAU, 8-Bit, LC2MOS	DAC 8-Bit LC2MOS Quad	24-Dip	32.25	26.39	19.56
AD7226KN	AD7226KN-ND	Vierf. DAU, 8-Bit, LC2MOS	DAC 8-Bit LC2MOS Quad	20-Dip	23.00	22.95	17.02
AD7226KP	AD7226KP-ND	Vierf. DAU, 8-Bit, LC2MOS	DAC 8-Bit LC2MOS Quad	20-PLCC	27.00	26.67	19.31
AD7226KR	AD7226KR-ND	Vierf. DAU, 8-Bit, LC2MOS	DAC 8-Bit LC2MOS Quad	20-SOIC	27.00	26.67	17.02
AD7228ABN	AD7228ABN-ND	Achtf. DAU, 8-Bit, LC2MOS	DAC 8-Bit LC2MOS Octal	24-Dip	19.60	18.30	16.99
AD7228ABR	AD7228ABR-ND	Achtf. DAU, 8-Bit, LC2MOS	DAC 8-Bit LC2MOS Octal	24-SOIC	20.00	19.04	15.87
AD7228ACP	AD7228ACP-ND	Achtf. DAU, 8-Bit, LC2MOS	DAC 8-Bit LC2MOS Octal	28-PLCC	26.07	22.35	18.62
AD7228ACR	AD7228ACR-ND	Achtf. DAU, 8-Bit, LC2MOS	DAC 8-Bit LC2MOS Octal	24-SOIC	23.00	22.35	18.62
AD7228KN	AD7228KN-ND	Achtf. DAU, 8-Bit, LC2MOS	DAC 8-Bit LC2MOS Octal	24-Dip	48.55	39.74	29.43
AD7228KP	AD7228KP-ND	Achtf. DAU, 8-Bit, LC2MOS	DAC 8-Bit LC2MOS Octal	28-PLCC	58.26	55.00	50.00
AD7228LN	AD7228LN-ND	Achtf. DAU, 8-Bit, LC2MOS	DAC 8-Bit LC2MOS Octal	24-Dip	47.00	46.57	45.00
AD7233AN	AD7233AN-ND	DAU, 12-Bit, LC2MOS, seriell	DAC 12-Bit LC2MOS Serial	8-Dip	11.75	9.83	7.50
AD7237AAN	AD7237AAN-ND	Zweif. DAU, 12-Bit, LC2MOS	DAC 12-Bit LC2MOS Dual	24-Dip	33.35	21.22	20.00
AD7237ABN	AD7237ABN-ND	Zweif. DAU, 12-Bit, LC2MOS	DAC 12-Bit LC2MOS Dual	24-Dip	39.14	24.90	20.00
AD7237ABR	AD7237ABR-ND	Zweif. DAU, 12-Bit, LC2MOS	DAC 12-Bit LC2MOS Dual	24-SOIC	28.26	23.11	17.12
AD7237ABRZ	AD7237ABRZ-ND	Zweif. DAU, 12-Bit, LC2MOS*	DAC 12-Bit LC2MOS Dual*	24-SOIC	28.26	23.11	17.12
AD7237JN	AD7237JN-ND	Zweif. DAU, 12-Bit, LC2MOS	DAC 12-Bit LC2MOS Dual	24-Dip	24.08	19.70	14.60
AD7237JNZ	AD7237JNZ-ND	Zweif. DAU, 12-Bit, LC2MOS*	DAC 12-Bit LC2MOS Dual*	24-Dip	24.08	19.70	14.60
AD7237JR	AD7237JR-ND	Zweif. DAU, 12-Bit, LC2MOS	DAC 12-Bit LC2MOS Dual	24-SOIC	24.08	19.70	14.60
AD7237KN	AD7237KN-ND	Zweif. DAU, 12-Bit, LC2MOS	DAC 12-Bit LC2MOS Dual	24-Dip	28.26	23.11	17.12
AD7243AN	AD7243AN-ND	DAU, 12-Bit, LC2MOS, seriell	Serial DAC 12-Bit LC2MOS	16-Dip	9.00	8.93	6.81
AD7243AR	AD7243AR-ND	DAU, 12-Bit, LC2MOS, seriell	Serial DAC 12-Bit LC2MOS	16-SOIC	10.67	8.93	6.81
AD7243ARZ	AD7243ARZ-ND	DAU, 12-Bit, LC2MOS, seriell*	Serial DAC 12-Bit LC2MOS*	16-SOIC	10.67	8.93	6.81
AD7243BR	AD7243BR-ND	DAU, 12-Bit, mit Verst./Ref.	DAC 12-Bit with Amp/Reference	16-SOIC	12.97	10.85	8.26
AD7244JR	AD7244JR-ND	Zweif. DAU, 14-Bit, LC2MOS	DAC 14-Bit LC2MOS Dual	28-SOIC	33.14	27.74	25.00
AD7244JRZ	AD7244JRZ-ND	Zweif. DAU, 14-Bit, LC2MOS*	DAC 14-Bit LC2MOS Dual*	28-SOIC	33.14	27.74	25.00
AD7245AAN	AD7245AAN-ND	DAU, 12-Bit, LC2MOS	DAC 12-Bit LC2MOS	24-Dip	13.88	10.95	8.19
AD7245AAR	AD7245AAR-ND	DAU, 12-Bit, mit Referenz	DAC 12-Bit with Reference	24-SOIC	13.88	10.95	8.19
AD7245AARZ	AD7245AARZ-ND	DAU, 12-Bit, mit Referenz*	DAC 12-Bit with Reference*	24-SOIC	13.88	10.95	8.19
AD7245JN	AD7245JN-ND	DAU, 12-Bit, mit Referenz	DAC 12-Bit with Reference	24-Dip	18.12	10.89	9.06
AD7247AAN	AD7247AAN-ND	DAU, 12-Bit, mit Verst./Puffer	DAC 12-Bit with Amp/Buffer	24-Dip	24.08	19.70	14.60
AD7247AANZ	AD7247AANZ-ND	DAU, 12-Bit, mit Verst./Puffer*	DAC 12-Bit with Amp/Buffer*	24-Dip	24.08	19.70	14.60
AD7247AAR	AD7247AAR-ND	DAU, 12-Bit, mit Verst./C573 Puffer	DAC 12-Bit with Amp/C573 Buffer	24-SOIC	24.08	19.70	14.60
AD7247ABR	AD7247ABR-ND	Zweif. DAU, 12-Bit, LC2MOS	DAC 12-Bit LC2MOS Dual	24-SOIC	24.00	23.11	17.12
AD7247JN	AD7247JN-ND	Zweif. DAU, 12-Bit, LC2MOS	DAC 12-Bit LC2MOS Dual	24-Dip	24.08	19.70	14.60
AD7247JNZ	AD7247JNZ-ND	Zweif. DAU, 12-Bit, LC2MOS*	DAC 12-Bit LC2MOS Dual*	24-Dip	24.08	19.70	14.60
AD7248AAN	AD7248AAN-ND	DAU, 12-Bit, LC2MOS	DAC 12-Bit LC2MOS	24-Dip	13.88	10.95	8.19
AD7248AAR	AD7248AAR-ND	DAU, 12-Bit, mit Referenz	DAC 12-Bit with Reference	20-SOIC	13.88	10.95	8.19
AD7248AARZ	AD7248AARZ-ND	DAU, 12-Bit, mit Referenz*	DAC 12-Bit with Reference*	20-SOIC	13.88	10.95	8.19
AD7248JN	AD7248JN-ND	DAU, 12-Bit, mit Referenz	DAC 12-Bit with Reference	20-Dip	18.12	10.89	9.06
AD7249AN	AD7249AN-ND	DAU, 12-Bit, seriell mit Referenz	DAC 12-Bit Serial with Reference	16-Dip	15.83	12.91	9.60
AD7249AR	AD7249AR-ND	DAU, 12-Bit, seriell mit Referenz	DAC 12-Bit Serial with Reference	16-SOIC	15.83	12.91	9.60
AD7302BN	AD7302BN-ND	Zweif. DAU, 8-Bit, 2,7 V	DAC 8-Bit Dual 2.7V	20-Dip	3.64	3.07	3.00
AD7302BR	AD7302BR-ND	Zweif. DAU, 8-Bit, 2,7 V	DAC 8-Bit Dual 2.7V	20-SOIC	3.64	3.07	3.00
AD7302BRZ	AD7302BRZ-ND	Zweif. DAU, 8-Bit, 2,7 V*	DAC 8-Bit Dual 2.7V*	20-SOIC	3.64	3.07	3.00
AD7302BR-REEL7	AD7302BR-REEL7CT-ND	Zweif. DAU, 8-Bit, 2,7 V	DAC 8-Bit Dual 2.7V	20-SOIC	4.35	3.49	2.94
AD7302BR-REEL7	AD7302BR-REEL7TR-ND	Zweif. DAU, 8-Bit, 2,7 V	DAC 8-Bit Dual 2.7V	20-SOIC		908.00/400	
AD7302BRUZ	AD7302BRUZ-ND	Zweif. DAU, 8-Bit, 2,7 V*	DAC 8-Bit Dual 2.7V*	20-TSSOP	3.64	3.07	3.00
AD7303BN	AD7303BN-ND	Zweif. DAU, 8-Bit, 2,7 V	DAC 8-Bit Dual 2.7V	8-Dip	4.26	3.59	2.66
AD7303BR	AD7303BR-ND	Zweif. DAU, 8-Bit, 2,7 V	DAC 8-Bit Dual 2.7V	8-SOIC	4.26	3.59	2.66
AD7303BRZ	AD7303BRZ-ND	Zweif. DAU, 8-Bit, 2,7 V*	DAC 8-Bit Dual 2.7V*	8-SOIC	4.26	3.59	2.66
AD7303BRM	AD7303BRM-ND	Zweif. DAU, 8-Bit, 2,7 V	DAC 8-Bit Dual 2.7V	8-MSOP	4.53	3.82	2.83
AD7303BRMZ	AD7303BRMZ-ND	Zweif. DAU, 8-Bit, 2,7 V*	DAC 8-Bit Dual 2.7V*	8-MSOP	4.53	3.82	2.83
AD7304BRU	AD7304BRU-ND	Vierf. DAU, 8-Bit, 3 V/5 V, R/R	DAC 8-Bit Quad 3V/5V R-R	16-TSSOP	5.87	4.95	3.67
AD7304BRZ	AD7304BRZ-ND	Vierf. DAU, 8-Bit, 3 V/5 V, R/R	DAC 8-Bit Quad 3V/5V R-R	16-SOIC	5.87	4.95	3.67
AD7304YRZ	AD7304YRZ-ND	Vierf. DAU, 8-Bit, 3 V/5 V, R/R	DAC 8-Bit Quad 3V/5V R-R	16-SOIC	7.72	6.47	5.40
AD7305BR	AD7305BR-ND	Vierf. DAU, 8-Bit, 5 V, R/R	DAC 8-Bit Quad 5V R-R	20-SOIC	6.00	5.73	4.25
AD7305BRU	AD7305BRU-ND	Vierf. DAU, 8-Bit, 5 V, R/R	DAC 8-Bit Quad 5V R-R	20-TSSOP	6.79	5.73	4.25
AD7305BRUZ	AD7305BRUZ-ND	Vierf. DAU, 8-Bit, 5 V, R/R*	DAC 8-Bit Quad 5V R-R*	20-TSSOP	6.79	5.73	4.25
AD7390AR	AD7390AR-ND	DAU, 12-Bit, 3 V, serieller Eing.	DAC 12-Bit, 3V Serial-In	8-SOIC	7.43	5.94	4.95
AD7390ARZ	AD7390ARZ-ND	DAU, 12-Bit, 3 V, serieller Eing.*	DAC 12-Bit, 3V Serial-In*	8-SOIC	7.43	5.94	4.95
AD7391AN	AD7391AN-ND	DAU, 10-Bit, 3 V, serieller Eing.	DAC 10-Bit, 3V Serial-In	8-Dip	5.01	4.19	3.19
AD7391AR	AD7391AR-ND	DAU, 10-Bit, 3 V, serieller Eing.	DAC 10-Bit, 3V Serial-In	8-SOIC	5.01	4.19	3.19
AD7391ARZ	AD7391ARZ-ND	DAU, 10-Bit, 3 V, serieller Eing.*	DAC 10-Bit, 3V Serial-In*	8-SOIC	5.01	4.19	3.19
AD7392AR	AD7392AR-ND	DAU, 12-Bit, 3 V, parallel	DAC 12-Bit, 3V Parallel	20-SOIC	7.90	6.31	5.26
AD7392ARZ	AD7392ARZ-ND	DAU, 12-Bit, 3 V, parallel*	DAC 12-Bit, 3V Parallel*	20-SOIC	7.90	6.31	5.26

* Bleifrei/RoHS-konform

(Forts.)

★ ***RUFEN SIE BITTE AN FÜR NIEDRIGERE PREISE BEI GRÖSSEREN MENGEN!*** ★

Alle Preisangaben in Euro und inklusive Zollgebühren.

Analog Devices Teilenr.	Digi-Key Teilenr.	Beschreibung		Paket	Stückpreis★ 1	25	100
AD7393AR	AD7393AR-ND	DAU, 10-Bit, 3 V, parallel	DAC 10-Bit, 3V Parallel	20-SOIC	5.31	4.44	3.39
AD7396ARZ	AD7396ARZ-ND	DAU, 12-Bit, 3 V, parallel*	DAC 12-Bit, 3V Parallel*	24-SOIC	9.29	7.43	6.19
AD7397ARU	AD7397ARU-ND	DAU, 10-Bit, 3 V, parallel	DAC 10-Bit, 3V Parallel	24-TSSOP	5.46	4.37	3.64
AD7398BR	AD7398BR-ND	Vierf. DAU, 12-Bit, serieller Eing.	DAC 12-Bit Quad Serial-In	16-SOIC	14.91	12.47	9.50
AD7398BRU	AD7398BRU-ND	Vierf. DAU, 12-Bit, serieller Eing.	DAC 12-Bit Quad Serial-In	16-TSSOP	14.91	12.47	9.50
AD7524JN	AD7524JN-ND	DAU, 8-Bit, multiplikativ	DAC 8-Bit Multiplying	16-Dip	6.00	5.52	4.14
AD7524JR	AD7524JR-ND	DAU, 8-Bit, multiplikativ	DAC 8-Bit Multiplying	16-SOIC	8.19	6.53	4.51
AD7524JRZ	AD7524JRZ-ND	DAU, 8-Bit, multiplikativ*	DAC 8-Bit Multiplying*	16-SOIC	8.19	6.53	4.51
AD7528JN	AD7528JN-ND	Zweif. DAU, 8-Bit, multiplikativ	DAC 8-Bit Dual Multiplying	20-Dip	9.01	7.40	5.47
AD7528JNZ	AD7528JNZ-ND	Zweif. DAU, 8-Bit, multiplikativ*	DAC 8-Bit Dual Multiplying*	20-Dip	9.01	7.40	5.47
AD7528JP	AD7528JP-ND	Zweif. DAU, 8-Bit, multiplikativ	DAC 8-Bit Dual Multiplying	20-PLCC	10.58	8.83	6.25
AD7528JR	AD7528JR-ND	Zweif. DAU, 8-Bit, multiplikativ	DAC 8-Bit Dual Multiplying	20-SOIC	10.58	8.83	6.25
AD7528KN	AD7528KN-ND	Zweif. DAU, 8-Bit, multiplikativ	DAC 8-Bit Dual Multiplying	20-Dip	9.38	7.53	5.66
AD7528KNZ	AD7528KNZ-ND	Zweif. DAU, 8-Bit, multiplikativ*	DAC 8-Bit Dual Multiplying*	20-Dip	9.38	7.53	5.66
AD7528LNZ	AD7528LNZ-ND	Zweif. DAU, 8-Bit, multiplikativ*	DAC 8-Bit Dual Multiplying*	20-Dip	15.08	12.37	9.15
AD7528LR	AD7528LR-ND	Zweif. DAU, 8-Bit, multiplikativ	DAC 8-Bit Dual Multiplying	20-SOIC	17.93	14.71	10.44
AD7533JN	AD7533JN-ND	DAU, 10-Bit, multiplikativ	DAC 10-Bit Multiplying	16-Dip	5.00	4.07	3.54
AD7533KN	AD7533KN-ND	DAU, 10-Bit, multiplikativ	DAC 10-Bit Multiplying	16-Dip	5.00	4.50	3.98
AD7533LN	AD7533LN-ND	DAU, 10-Bit, multiplikativ	DAC 10-Bit Multiplying	16-Dip	6.00	5.40	4.78
AD7533UQ	AD7533UQ-ND	DAU, 10-Bit, multiplikativ	DAC 10-Bit Multiplying	16-CDip	41.16	26.19	21.00
AD7534JN	AD7534JN-ND	DAU, 14-Bit, multiplikativ, mit Puffer	DAC 14-Bit Multiplying with Buffer	20-Dip	25.73	21.05	15.59
AD7537JN	AD7537JN-ND	Zweif. DAU, 12-Bit, LC2MOS	DAC 12-Bit LC2MOS Dual	24-Dip	22.01	18.01	13.34
AD7537KN	AD7537KN-ND	Zweif. DAU, 12-Bit, LC2MOS	DAC 12-Bit LC2MOS Dual	24-Dip	25.79	21.11	15.64
AD7537KP	AD7537KP-ND	Zweif. DAU, 12-Bit, LC2MOS	DAC 12-Bit LC2MOS Dual	28-PLCC	26.00	25.34	17.98
AD7537LN	AD7537LN-ND	Zweif. DAU, 12-Bit, LC2MOS	DAC 12-Bit LC2MOS Dual	24-Dip	34.90	28.55	25.00
AD7541AJN	AD7541AJN-ND	DAU, 12-Bit, multiplikativ	DAC 12-Bit Multiplying	18-Dip	11.36	9.50	7.92
AD7541AJNZ	AD7541AJNZ-ND	DAU, 12-Bit, multiplikativ*	DAC 12-Bit Multiplying*	18-Dip	11.36	9.50	7.92
AD7541AKN	AD7541AKN-ND	DAU, 12-Bit, multiplikativ	DAC 12-Bit Multiplying	18-Dip	12.64	10.57	8.80
AD7541AKNZ	AD7541AKNZ-ND	DAU, 12-Bit, multiplikativ*	DAC 12-Bit Multiplying*	18-Dip	12.64	10.57	8.80
AD7542JN	AD7542JN-ND	DAU, 12-Bit, multiplikativ	DAC 12-Bit Multiplying	16-Dip	—	14.54	—
AD7542KN	AD7542KN-ND	DAU, 12-Bit, multiplikativ	DAC 12-Bit Multiplying	16-Dip	—	18.57	—
AD7542KR	AD7542KR-ND	DAU, 12-Bit, multiplikativ	DAC 12-Bit Multiplying	16-SOIC	29.86	19.00	16.00
AD7543GKR	AD7543GKR-ND	DAU, 12-Bit, multiplikativ, serieller Eingang	DAC 12-Bit Serial Input Multiplying	16-SOIC	28.65	23.54	19.08
AD7543JN	AD7543JN-ND	DAU, 12-Bit, multiplikativ, serieller Eingang	DAC 12-Bit Serial Input Multiplying	16-Dip	19.69	17.47	13.11
AD7543KN	AD7543KN-ND	DAU, 12-Bit, multiplikativ, serieller Eingang	DAC 12-Bit Serial Input Multiplying	16-Dip	21.70	19.31	14.49
AD7545AKN	AD7545AKN-ND	DAU, 12-Bit, multiplikativ	DAC 12-Bit Multiplying	20-Dip	10.44	8.32	6.94
AD7545AKNZ	AD7545AKNZ-ND	DAU, 12-Bit, multiplikativ*	DAC 12-Bit Multiplying*	20-Dip	10.44	8.32	6.94
AD7545AKP	AD7545AKP-ND	DAU, 12-Bit, multiplikativ	DAC 12-Bit Multiplying	20-PLCC	12.55	9.98	8.00
AD7545GLN	AD7545GLN-ND	DAU, 12-Bit, multiplikativ	DAC 12-Bit Multiplying	20-Dip	25.43	20.79	15.40
AD7545JN	AD7545JN-ND	DAU, 12-Bit, multiplikativ	DAC 12-Bit Multiplying	20-Dip	10.00	9.93	7.36
AD7547JN	AD7547JN-ND	Zweif. DAU, 12-Bit, LC2MOS	DAC 12-Bit LC2MOS Dual	24-Dip	22.02	18.02	13.34
AD7547JNZ	AD7547JNZ-ND	Zweif. DAU, 12-Bit, LC2MOS*	DAC 12-Bit LC2MOS Dual*	24-Dip	22.02	18.02	13.34
AD7547JR	AD7547JR-ND	Zweif. DAU, 12-Bit, LC2MOS	DAC 12-Bit LC2MOS Dual	24-SOIC	22.02	18.02	13.34
AD7547JRZ	AD7547JRZ-ND	Zweif. DAU, 12-Bit, LC2MOS*	DAC 12-Bit LC2MOS Dual*	24-SOIC	22.02	18.02	13.34
AD7547KN	AD7547KN-ND	Zweif. DAU, 12-Bit, LC2MOS	DAC 12-Bit LC2MOS Dual	24-Dip	25.79	21.11	15.64
AD7547KNZ	AD7547KNZ-ND	Zweif. DAU, 12-Bit, LC2MOS*	DAC 12-Bit LC2MOS Dual*	24-Dip	25.79	21.11	15.64
AD7548BQ	AD7548BQ-ND	DAU, 12-Bit, LC2MOS	DAC 12-Bit LC2MOS	20-CDip	28.60	18.21	16.00
AD7548JN	AD7548JN-ND	DAU, 12-Bit, LC2MOS	DAC 12-Bit LC2MOS	20-Dip	12.00	11.76	8.72
AD7548KN	AD7548KN-ND	DAU, 12-Bit, LC2MOS	DAC 12-Bit LC2MOS	20-Dip	15.00	14.27	10.58
AD7548KP	AD7548KP-ND	DAU, 12-Bit, LC2MOS	DAC 12-Bit LC2MOS	20-PLCC	20.69	16.97	12.04
AD7549BQ	AD7549BQ-ND	Zweif. DAU, 12-Bit, LC2MOS	DAC 12-Bit LC2MOS Dual	20-CDip	39.26	32.07	26.00
AD7549JN	AD7549JN-ND	Zweif. DAU, 12-Bit, LC2MOS	DAC 12-Bit LC2MOS Dual	20-Dip	25.70	21.07	15.59
AD7564BR	AD7564BR-ND	Vierf. DAU, 12-Bit, LC2MOS	DAC 12-Bit LC2MOS Quad	28-SOIC	15.00	14.86	12.38
AD7564BRS	AD7564BRS-ND	Vierf. DAU, 12-Bit, LC2MOS	DAC 12-Bit LC2MOS Quad	28-SSOP	17.33	14.86	12.38
AD7564BRSZ	AD7564BRSZ-ND	Vierf. DAU, 12-Bit, LC2MOS	DAC 12-Bit LC2MOS Quad	28-SSOP	17.33	14.86	12.38
AD7568BP	AD7568BP-ND	Achtf. DAU, 12-Bit, LC2MOS	DAC 12-Bit LC2MOS Octal	44-PLCC	44.74	36.97	32.00
AD7568BS	AD7568BS-ND	Achtf. DAU, 12-Bit, LC2MOS	DAC 12-Bit LC2MOS Octal	44-PQFP	44.74	36.97	32.00
AD7568BSZ	AD7568BSZ-ND	Achtf. DAU, 12-Bit, LC2MOS*	DAC 12-Bit LC2MOS Octal*	44-PQFP	44.74	36.97	32.00
AD7628KN	AD7628KN-ND	Zweif. DAU, 8-Bit, multiplikativ	DAC 8-Bit Dual Multiplying	20-Dip	3.58	2.92	2.17
AD7628KR	AD7628KR-ND	Zweif. DAU, 8-Bit, multiplikativ	DAC 8-Bit Dual Multiplying	20-SOIC	4.65	2.96	2.17
AD7801BR	AD7801BR-ND	DAU, 8-Bit, 2,7 V	DAC 8-Bit, 2.7V	20-SOIC	3.27	2.76	2.40
AD7801BRU	AD7801BRU-ND	DAU, 8-Bit, 2,7 V	DAC 8-Bit, 2.7V	20-TSSOP	3.27	2.76	2.40
AD7801BRUZ	AD7801BRUZ-ND	DAU, 8-Bit, 2,7 V	DAC 8-Bit, 2.7V	20-TSSOP	3.27	2.76	2.40
AD7801BRZ	AD7801BRZ-ND	DAU, 8-Bit, 2,7 V	DAC 8-Bit, 2.7V	20-SOIC	3.27	2.76	2.40
AD7804BR	AD7804BR-ND	Vierf. DAU, 10-Bit, 3,3 V	DAC 10-Bit, 3.3V Quad	16-SOIC	10.31	8.63	6.58
AD7805BRS	AD7805BRS-ND	Vierf. DAU, 10-Bit, 3,3 V	DAC 10-Bit, 3.3V Quad	28-SSOP	9.11	7.81	6.50
AD7805BRSZ	AD7805BRSZ-ND	Vierf. DAU, 10-Bit, 3,3 V*	DAC 10-Bit, 3.3V Quad*	28-SOIC	9.11	7.81	6.50
AD7808BR	AD7808BR-ND	Achtf. DAU, 10-Bit, 3,3 V	DAC 10-Bit, 3.3V Octal	24-SOIC	13.55	11.62	9.69
AD7809BST	AD7809BST-ND	Achtf. DAU, 10-Bit	DAC 10-Bit Octal	44-TQFP	17.26	14.79	12.33
AD7809BSTZ	AD7809BSTZ-ND	Achtf. DAU, 10-Bit*	DAC 10-Bit Octal*	44-TQFP	17.26	14.79	12.33
AD7834AN	AD7834AN-ND	Vierf. DAU, 14-Bit	DAC 14-Bit Quad	28-Dip	36.48	29.84	25.00
AD7834AR	AD7834AR-ND	Vierf. DAU, 14-Bit	DAC 14-Bit Quad	28-SOIC	31.00	30.00	29.00
AD7834BN	AD7834BN-ND	Vierf. DAU, 14-Bit	DAC 14-Bit Quad	28-Dip	46.11	37.73	35.00
AD7834BR	AD7834BR-ND	Vierf. DAU, 14-Bit	DAC 14-Bit Quad	28-SOIC	38.00	37.73	35.00
AD7835AS	AD7835AS-ND	Vierf. DAU, 14-Bit	DAC 14-Bit Quad	44-MQFP	38.38	31.40	30.00
AD7835ASZ	AD7835ASZ-ND	Vierf. DAU, 14-Bit*	DAC 14-Bit Quad*	44-MQFP	38.38	31.40	30.00
AD7836AS	AD7836AS-ND	Vierf. DAU, 14-Bit, LC2MOS	DAC 14-Bit Quad LC2MOS	44-MQFP	38.38	31.40	30.00
AD7837AN	AD7837AN-ND	Zweif. DAU, 12-Bit, multiplikativ	DAC 12-Bit Multiplying Dual	24-Dip	24.08	19.70	14.60
AD7837AR	AD7837AR-ND	Zweif. DAU, 12-Bit, multiplikativ	DAC 12-Bit Multiplying Dual	24-SOIC	24.08	19.70	14.60
AD7837BR	AD7837BR-ND	Zweif. DAU, 12-Bit, multiplikativ	DAC 12-Bit Multiplying Dual	24-SOIC	24.00	23.11	17.12
AD7839AS	AD7839AS-ND	Achtf. DAU, 13-Bit, Spannungsausg.	DAC 13-Bit Octal Voltage Out	44-MQFP	38.69	33.60	30.00
AD7840ARS	AD7840ARS-ND	DAU, 14-Bit, NL, 5 V	DAC 14-Bit Low Power 5V	24-SSOP	20.22	16.55	11.75
AD7840JN	AD7840JN-ND	DAU, 14-Bit, LC2MOS, Spann.-Ausg.	DAC 14-Bit LC2MOS Volt. Out	24-Dip	16.85	13.79	10.21
AD7840JNZ	AD7840JNZ-ND	DAU, 14-Bit, LC2MOS, Spann.-Ausg.*	DAC 14-Bit LC2MOS Volt. Out*	24-Dip	16.85	13.79	10.21
AD7840JP	AD7840JP-ND	DAU, 14-Bit, LC2MOS, Spann.-Ausg.	DAC 14-Bit LC2MOS Volt. Out	28-PLCC	20.22	16.55	11.75
AD7840KP	AD7840KP-ND	DAU, 14-Bit, LC2MOS, Spann.-Ausg.	DAC 14-Bit LC2MOS Volt. Out	28-PLCC	23.12	18.91	13.42
AD7841AS	AD7841AS-ND	Achtf. DAU, 14-Bit, Spann.-Ausg.	DAC 14-Bit Octal Volt. Out	44-MQFP	40.45	35.37	32.00
AD7841ASZ	AD7841ASZ-ND	Achtf. DAU, 14-Bit, Spann.-Ausg.*	DAC 14-Bit Octal Volt. Out*	44-MQFP	40.45	35.37	32.00
AD7841BS	AD7841BS-ND	Achtf. DAU, 14-Bit, Spann.-Ausg.	DAC 14-Bit Octal Volt. Out	44-MQFP	47.53	43.33	40.00
AD7841BSZ	AD7841BSZ-ND	Achtf. DAU, 14-Bit, Spann.-Ausg.*	DAC 14-Bit Octal Volt. Out*	44-MQFP	47.53	43.33	40.00
AD7845JN	AD7845JN-ND	DAU, 12-Bit, multiplikativ	DAC 12-Bit Multiplying	24-Dip	10.79	8.84	6.55
AD7845JNZ	AD7845JNZ-ND	DAU, 12-Bit, multiplikativ*	DAC 12-Bit Multiplying*	24-Dip	10.79	8.84	6.55
AD7845JP	AD7845JP-ND	DAU, 12-Bit, multiplikativ	DAC 12-Bit Multiplying	28-PLCC	16.12	10.26	9.00
AD7845JR	AD7845JR-ND	DAU, 12-Bit, multiplikativ	DAC 12-Bit Multiplying	24-SOIC	14.02	8.93	6.55
AD7845JRZ	AD7845JRZ-ND	DAU, 12-Bit, multiplikativ*	DAC 12-Bit Multiplying*	24-SOIC	14.02	8.93	6.55
AD7846JN	AD7846JN-ND	DAU, 16-Bit, LC2MOS, Spann.-Ausg.	DAC 16-Bit LC2MOS Voltage Out	28-Dip	33.14	27.74	21.14
AD7846JP	AD7846JP-ND	DAU, 16-Bit, LC2MOS, Spann.-Ausg.	DAC 16-Bit LC2MOS Voltage Out	28-PLCC	36.47	30.52	26.00
AD7846KN	AD7846KN-ND	DAU, 16-Bit, LC2MOS, Spann.-Ausg.	DAC 16-Bit LC2MOS Voltage Out	28-Dip	36.00	35.03	30.00
AD7846KP	AD7846KP-ND	DAU, 16-Bit, LC2MOS, Spann.-Ausg.	DAC 16-Bit LC2MOS Voltage Out	28-PLCC	41.87	40.00	36.00
AD7847AN	AD7847AN-ND	Zweif. DAU, 12-Bit, multiplikativ	DAC 12-Bit Multiply Dual	24-Dip	25.04	20.49	15.17

* Bleifrei/RoHS-konform

(Forts.)

★ RUFEN SIE BITTE AN FÜR NIEDRIGERE PREISE BEI GRÖSSEREN MENGEN! ★

B

Analog Devices Teilenr.	Digi-Key Teilenr.	Beschreibung		Paket	Stückpreis★ 1	25	100
AD7847ANZ	AD7847ANZ-ND	Zweif. DAU, 12-Bit, multiplikativ*	DAC 12-Bit Multiply Dual*	24-Dip	25.04	20.49	15.17
AD7847AR	AD7847AR-ND	Zweif. DAU, 12-Bit, multiplikativ	DAC 12-Bit Multiply Dual	24-SOIC	25.04	20.49	15.17
AD7847ARZ	AD7847ARZ-ND	Zweif. DAU, 12-Bit, multiplikativ*	DAC 12-Bit Multiply Dual*	24-SOIC	25.04	20.49	15.17
AD7847BR	AD7847BR-ND	Zweif. DAU, 12-Bit, multiplikativ	DAC 12-Bit Multiply Dual	24-SOIC	29.40	24.03	17.80
AD7849BR	AD7849BR-ND	DAU, 14/16-Bit, serieller Eing.	DAC 14/16-Bit Serial-In	20-SOIC	18.93	15.48	11.50
AD7943ARS-B	AD7943ARS-B-ND	DAU, 12-Bit, multiplikativ	DAC 12-Bit Multiplying	20-SSOP	6.55	5.31	4.12
AD7943BR	AD7943BR-ND	DAU, 12-Bit, multiplikativ	DAC 12-Bit Multiplying	16-SOIC	6.00	5.31	4.12
AD7945BR	AD7945BR-ND	DAU, 12-Bit, multiplikativ	DAC 12-Bit Multiplying	20-SOIC	6.55	5.31	4.12
AD7945BRZ	AD7945BRZ-ND	DAU, 12-Bit, multiplikativ*	DAC 12-Bit Multiplying*	20-SOIC	6.55	5.31	4.12
AD7945BRS	AD7945BRS-ND	DAU, 12-Bit, multiplikativ	DAC 12-Bit Multiplying	20-SSOP	6.55	5.31	4.12
AD7945BRSZ	AD7945BRSZ-ND	DAU, 12-Bit, multiplikativ*	DAC 12-Bit Multiplying*	20-SSOP	6.55	5.31	4.12
AD7948BR	AD7948BR-ND	DAU, 12-Bit, multiplikativ	DAC 12-Bit Multiplying	20-SOIC	6.55	5.31	4.12
AD8300AR	AD8300AR-ND	DAU, 12-Bit, 3 V, serieller Eing.	DAC 12-Bit 3V Serial-In	8-SOIC	8.01	6.70	5.11
AD8300ARZ	AD8300ARZ-ND	DAU, 12-Bit, 3 V, serieller Eing.*	DAC 12-Bit 3V Serial-In*	8-SOIC	8.01	6.70	5.11
AD8522AR	AD8522AR-ND	Zweif. DAU, 12-Bit, 5 V	DAC 12-Bit Dual 5V	14-SOIC	13.21	10.56	8.80
AD8522ARZ	AD8522ARZ-ND	Zweif. DAU, 12-Bit, 5 V*	DAC 12-Bit Dual 5V*	14-SOIC	13.21	10.56	8.80
AD8582AN	AD8582AN-ND	Zweif. DAU, 12-Bit, 5 V	DAC 12-Bit Dual 5V	24-Dip	18.23	15.26	11.63
AD8582AR	AD8582AR-ND	Zweif. DAU, 12-Bit, 5 V	DAC 12-Bit Dual 5V	24-SOIC	18.23	15.26	11.63
AD8582ARZ	AD8582ARZ-ND	Zweif. DAU, 12-Bit, 5 V*	DAC 12-Bit Dual 5V*	24-SOIC	18.23	15.26	11.63
AD8801AR	AD8801AR-ND	Achtf. DAU, 8-Bit, mit Abschaltfunktion	DAC 8-Bit Octal w/Shutdown	16-SOIC	5.31	4.44	3.39
AD8801ARZ	AD8801ARZ-ND	Achtf. DAU, 8-Bit, mit Abschaltfunktion*	DAC 8-Bit Octal w/Shutdown*	16-SOIC	5.31	4.44	3.39
AD8803AR	AD8803AR-ND	Achtf. DAU, 8-Bit, mit Abschaltfunktion	DAC 8-Bit Octal with Shutdown	16-SOIC	5.31	4.44	3.39
AD8842AR	AD8842AR-ND	Achtf. DAU, 8-Bit, multiplikativ	DAC 8-Bit Octal Multiplying	24-SOIC	12.08	10.11	7.70
AD8842ARZ	AD8842ARZ-ND	Achtf. DAU, 8-Bit, multiplikativ*	DAC 8-Bit Octal Multiplying*	24-SOIC	12.08	10.11	7.70
AD9708AR	AD9708AR-ND	DAU, 8-Bit, 100 MSPS	DAC 8-Bit, 100MSPS	28-SOIC	4.59	3.93	3.28
AD9708ARU	AD9708ARU-ND	DAU, 8-Bit, 100 MSPS	DAC 8-Bit, 100MSPS	28-TSSOP	4.95	3.93	3.28
AD9709AST	AD9709AST-ND	DAU, 8-Bit, 125 MSPS	DAC 8-Bit, 125MSPS	48-LQFP	6.55	5.61	4.68
AD9709ASTZ	AD9709ASTZ-ND	DAU, 8-Bit, 125 MSPS*	DAC 8-Bit, 125MSPS*	48-LQFP	6.55	5.61	4.68
AD9713BAP	AD9713BAP-ND	DAU, 12-Bit, 100 MSPS, TTL	DAC 12-Bit, 100MSPS TTL	28-PLCC	46.95	43.82	40.69
AD9731BR	AD9731BR-ND	DAU, 10-Bit, 170 MSPS	DAC 10-Bit, 170MSPS	28-SOIC	11.76	9.80	8.99
AD9731BRS	AD9731BRS-ND	DAU, 10-Bit, 170 MSPS	DAC 10-Bit, 170MSPS	28-SSOP	11.76	9.80	8.99
AD9740AR	AD9740AR-ND	DAU, 10-Bit, 165 MSPS	DAC 10-Bit, 165MSPS	28-SOIC	6.12	5.25	4.37
AD9740ARU	AD9740ARU-ND	DAU, 10-Bit, 165 MSPS	DAC 10-Bit, 165MSPS	28-TSSOP	6.12	5.25	4.37
AD9742ACP	AD9742ACP-ND	DAU, 12-Bit, 165 MSPS	DAC 12-Bit, 165MSPS	32-LFCSP	8.67	7.43	6.19
AD9742AR	AD9742AR-ND	DAU, 12-Bit, 165 MSPS	DAC 12-Bit, 165MSPS	28-SOIC	8.67	7.43	6.19
AD9742ARU	AD9742ARU-ND	DAU, 12-Bit, 165 MSPS	DAC 12-Bit, 165MSPS	28-TSSOP	8.67	7.43	6.19
AD9744ACP	AD9744ACP-ND	DAU, 14-Bit, 165 MSPS	DAC 14-Bit, 165MSPS	32-LFCSP	10.71	9.18	7.65
AD9744AR	AD9744AR-ND	DAU, 14-Bit, 165 MSPS	DAC 14-Bit, 165MSPS	28-SOIC	10.71	9.18	7.65
AD9744ARU	AD9744ARU-ND	DAU, 14-Bit, 165 MSPS	DAC 14-Bit, 165MSPS	28-TSSOP	10.71	9.18	7.65
AD9748ACP	AD9748ACP-ND	DAU, 8-Bit, 165 MSPS	DAC 8-Bit, 165MSPS	32-LFCSP	4.30	3.68	3.07
AD9751AST	AD9751AST-ND	DAU, 10-Bit, 300 MSPS	DAC 10-Bit, 300MSPS	48-LQFP	23.00	22.28	18.57
AD9752AR	AD9752AR-ND	DAU, 12-Bit, 125 MSPS	DAC 12-Bit, 125MSPS	28-SOIC	8.00	7.49	6.24
AD9752ARU	AD9752ARU-ND	DAU, 12-Bit, 125 MSPS Hochleist.	DAC 12-Bit, 125MSPS High Perf.	28-TSSOP	8.00	7.49	6.24
AD9754AR	AD9754AR-ND	DAU, 14-Bit, 125 MSPS Hochleist.	DAC 14-Bit, 125MSPS High Perf.	28-SOIC	10.85	9.31	7.75
AD9754ARU	AD9754ARU-ND	DAU, 14-Bit, 125 MSPS	DAC 14-Bit, 125MSPS	28-TSSOP	10.85	9.31	7.75
AD9755AST	AD9755AST-ND	DAU, 14-Bit, 300 MSPS	DAC 14-Bit, 300MSPS	48-LQFP	51.69	44.31	36.92
AD9755-EB	AD9755-EB-ND	Evaluierungskarte für AD9755	Evaluation Board for AD9755	—	265.29	—	—
AD9760AR	AD9760AR-ND	DAU, 10-Bit, 125 MSPS	DAC 10-Bit, 125MSPS	28-SOIC	7.21	6.18	5.15
AD9760AR50	AD9760AR50-ND	DAU, 10-Bit, 125 MSPS	DAC 10-Bit, 125MSPS	28-SOIC	7.12	6.10	5.08
AD9760ARU	AD9760ARU-ND	DAU, 10-Bit, 125 MSPS	DAC 10-Bit, 125MSPS	28-TSSOP	7.21	6.18	5.15
AD9760ARUZ	AD9760ARUZ-ND	DAU, 10-Bit, 125 MSPS*	DAC 10-Bit, 125MSPS*	28-TSSOP	7.21	6.18	5.15
AD9760ARU50	AD9760ARU50-ND	DAU, 10-Bit, 50 MSPS	DAC 10-Bit, 50MSPS	28-TSSOP	7.12	6.10	5.08
AD9761ARS	AD9761ARS-ND	Zweif. DAU, 10-Bit, 40 MSPS	DAC 10-Bit Dual 40MSPS	28-SSOP	12.68	10.87	9.06
AD9762AR	AD9762AR-ND	DAU, 12-Bit, 125 MSPS	DAC 12-Bit, 125MSPS	28-SOIC	8.88	7.61	6.35
AD9762ARU	AD9762ARU-ND	DAU, 12-Bit, 125 MSPS	DAC 12-Bit, 125MSPS	28-TSSOP	8.88	7.61	6.35
AD9763AST	AD9763AST-ND	Zweif. DAU, 10-Bit, 125 MSPS	DAC 10-Bit, Dual 125MSPS	48-LQFP	8.74	7.49	6.24
AD9764AR	AD9764AR-ND	DAU, 14-Bit, 125 MSPS	DAC 14-Bit, 125MSPS	28-SOIC	11.44	9.80	8.17
AD9764ARU	AD9764ARU-ND	DAU, 14-Bit, 125 MSPS	DAC 14-Bit, 125MSPS	28-TSSOP	11.44	9.80	8.17
AD9765AST	AD9765AST-ND	Zweif. DAU, 12-Bit, 125 MSPS	DAC 12-Bit, Dual 125MSPS	48-LQFP	15.29	13.11	10.92
AD9765ASTZ	AD9765ASTZ-ND	Zweif. DAU, 12-Bit, 125 MSPS*	DAC 12-Bit, Dual 125MSPS*	48-LQFP	15.29	13.11	10.92
AD9767AST	AD9767AST-ND	Zweif. DAU, 14-Bit, 125 MSPS	DAC 14-Bit, Dual 125MSPS	48-LQFP	17.48	14.98	12.49
AD9772AAST	AD9772AAST-ND	DAU, 14-Bit, 160 MSPS	DAC 14-Bit, 160MSPS	48-LQFP	21.77	18.67	15.55
AD9773BSV	AD9773BSV-ND	Zweif. DAU, 12-Bit, 160 MSPS	DAC 12-Bit, Dual 160MSPS	80-TQFP	32.98	30.00	29.00
AD9774AS	AD9774AS-ND	DAU, 14-Bit, 32 MSPS	DAC 14-Bit, 32MSPS	44-MQFP	36.30	29.04	28.00
AD9775BSV	AD9775BSV-ND	Zweif. DAU, 14-Bit, 160 MSPS	DAC 14-Bit, Dual 160MSPS	80-TQFP	45.02	38.58	35.00
AD9777BSV	AD9777BSV-ND	Zweif. DAU, 16-Bit, 160 MSPS	DAC 16-Bit, Dual 160MSPS	80-TQFP	49.52	42.45	40.00
AD9777-EB	AD9777-EB-ND	Evaluierungskarte für AD9777	Evaluation Board for AD9777	—	176.86	—	—
AD75004KP	AD75004KP-ND	Vierf. DAU, 12-Bit, mit Puffer	DAC 12-Bit, Quad with Buffer	28-PLCC	57.88	48.44	45.00
AD9786BSV	AD9786BSV-ND	DAU, 16-Bit, Interpolation und Signalverarbeitung	DAC 16-Bit, Interpolation and Signal Processing	80-TQFP	43.62	37.40	35.00
ADDAC80-CCD-V	ADDAC80-CCD-V-ND	DAU, 12-Bit, preiswert	DAC 12-Bit, Low Cost	24-CDip	68.13	62.18	58.51
ADDAC80D-CBI-V	ADDAC80D-CBI-V-ND	DAU, 12-Bit, preiswert	DAC 12-Bit, Low Cost	24-CDip	25.14	21.56	17.96
ADDAC80N-CBI-V	ADDAC80N-CBI-V-ND	DAU, 12-Bit, binär, Mono	DAC 12-Bit, Binary Mono	24-Dip	16.55	14.18	11.82
ADV7120KST30	ADV7120KST30-ND	DAU, Video, 3-Kan., 30 MHz	DAC Video 3-Ch. 30MHz	48-TQFP	7.81	7.04	6.24
ADV7122KST50	ADV7122KST50-ND	DAU, Video, 3-Kan., 50 MHz	DAC Video 3-Ch. 50MHz	48-TQFP	11.92	9.98	7.60
ADV7123KST50	ADV7123KST50-ND	DAU, Video, 3-Kan., 50 MHz	DAC Video 3-Ch. 50MHz	48-LQFP	8.67	6.93	6.19
ADV7125JST240	ADV7125JST240-ND	DAU, Video, 3-Kan., 240 MHz	DAC Video 3-Ch. 240MHz	48-LQFP	14.36	11.49	10.26
ADV7125JST330	ADV7125JST330-ND	DAU, Video, 3-Kan., 330 MHz	DAC Video 3-Ch. 330MHz	48-LQFP	18.67	14.93	13.34
ADV7125KST50	ADV7125KST50-ND	DAU, Video, 3-Kan., 50 MHz	DAC Video 3-Ch. 50MHz	48-LQFP	6.93	5.55	4.95
ADV7125KST140	ADV7125KST140-ND	DAU, Video, 3-Kan., 140 MHz	DAC Video 3-Ch. 140MHz	48-LQFP	8.76	7.02	6.26
ADV7127KRU140	ADV7127KRU140-ND	DAU, Video, 140 MHz, 3,3/5 V	DAC Video 140MHz 3.3/5V	24-TSSOP	10.94	8.74	7.81
ADV7129KS	ADV7129KS-ND	DAU, Video Color, 192-Bit	DAC Video Color 192-Bit	304-PQFP	1166.80	976.31	744.14
ADV7171KS	ADV7171KS-ND	DAU, Video-Kodierer, NTSC	DAC Video Encoder NTSC	44-PQFP	8.67	7.39	6.19
ADV7171KSU	ADV7171KSU-ND	DAU, Video-Kodierer, NTSC	DAC Video Encoder NTSC	44-TQFP	8.71	7.43	5.31
ADV7173KST	ADV7173KST-ND	DAU, Video, NTSC, 6-Kan.	DAC Video NTSC 6-Ch.	48-LQFP	8.48	7.17	5.97
ADV7177KS	ADV7177KS-ND	DAU, Video, NTSC, 3-Kan.	DAC Video NTSC 3-Ch.	44-MQFP	7.35	6.21	5.17
ADV7179BCP	ADV7179BCP-ND	DAU, Video, NTSC, 3-Kan.	DAC Video NTSC 3-Ch.	40-LFCSP	12.00	11.59	6.96
ADV7179KCP	ADV7179KCP-ND	DAU, Video, NTSC, 3-Kan.	DAC Video NTSC 3-Ch.	40-LFCSP	9.55	8.28	5.80
ADV7301AKST	ADV7301AKST-ND	DAU, Video, HDTV, 6-12-Bit	DAC Video HDTV 6-12-Bit	64-LQFP	31.12	26.30	25.00
DAC08AQ	DAC08AQ-ND	DAU, 8-Bit, multiplikativ, HS	DAC 8-Bit Multiply High Speed	16-CDip	8.03	6.42	5.35
DAC08CP	DAC08CP-ND	DAU, 8-Bit, multiplikativ, HS	DAC 8-Bit Multiply High Speed	16-Dip	2.00	1.27	1.06
DAC08CS	DAC08CS-ND	DAU, 8-Bit, multiplikativ, HS	DAC 8-Bit Multiply High Speed	16-SOIC	2.00	1.27	1.06
DAC08EP	DAC08EP-ND	DAU, 8-Bit, multiplikativ, HS	DAC 8-Bit Multiply High Speed	16-Dip	2.00	1.60	1.33
DAC08EQ	DAC08EQ-ND	DAU, 8-Bit, multiplikativ, HS	DAC 8-Bit Multiply High Speed	16-CDip	2.49	1.98	1.85
DAC08HP	DAC08HP-ND	DAU, 8-Bit, multiplikativ, HS	DAC 8-Bit Multiply High Speed	16-Dip	—	2.75	—
DAC10GP	DAC10GP-ND	DAU, 10-Bit, multiplikativ, HS	DAC 10-Bit Multiply High Speed	18-Dip	4.31	3.44	2.88
DAC16FS	DAC16FS-ND	DAU, 16-Bit, Stromausg.	DAC 16-Bit Current Out	24-SOIC	41.94	40.00	36.00
DAC16GS	DAC16GS-ND	DAU, 16-Bit, Stromausg.	DAC 16-Bit Current Out	24-SOIC	53.69	44.93	38.00
DAC312HP	DAC312HP-ND	DAU, 12-Bit, multiplikativ, HS	DAC 12-Bit Multiply High Speed	20-Dip	5.97	4.78	3.98
DAC312HS	DAC312HS-ND	DAU, 12-Bit, multiplikativ, HS	DAC 12-Bit Multiply High Speed	20-SOIC	5.00	4.78	3.98
DAC8043AFP	DAC8043AFP-ND	DAU, 12-Bit, serieller Eing.	DAC 12-Bit Multiply Serial In.	8-Dip	6.62	5.30	4.41

* Bleifrei/RoHS-konform

(Forts.)

★ ***RUFEN SIE BITTE AN FÜR NIEDRIGERE PREISE BEI GRÖSSEREN MENGEN!*** ★

Analog Devices Teilenr.	Digi-Key Teilenr.	Beschreibung		Paket	Stückpreis★ 1	25	100
DAC8043AFS	DAC8043AFS-ND	DAU, 12-Bit, serieller Eing.	DAC 12-Bit Multiply Serial In.	8-SOIC	6.62	5.30	4.41
DAC8043FP	DAC8043FP-ND	DAU, 12-Bit, multiplikativ, CMOS	DAC 12-Bit Multiply CMOS	8-Dip	10.00	9.88	8.23
DAC8043GP	DAC8043GP-ND	DAU, 12-Bit, multiplikativ, CMOS	DAC 12-Bit Multiply CMOS	8-Dip	18.35	14.68	12.23
DAC8143FP	DAC8143FP-ND	DAU, 12-Bit, Daisy-Chain	DAC 12-Bit Daisy-Chain	16-Dip	8.67	6.93	5.78
DAC8143FS	DAC8143FS-ND	DAU, 12-Bit, Daisy-Chain	DAC 12-Bit Daisy-Chain	16-SOIC	7.00	6.93	5.78
DAC8221FP	DAC8221FP-ND	Zweif. DAU, 12-Bit, gepuffert	DAC 12-Bit Dual Buffered	24-Dip	28.53	18.17	16.00
DAC8222FS	DAC8222FS-ND	Zweif. DAU, 12-Bit, gepuffert	DAC 12-Bit Dual Buffered	24-SOIC	25.00	24.15	18.40
DAC8222GP	DAC8222GP-ND	Zweif. DAU, 12-Bit, gepuffert	DAC 12-Bit Dual Buffered	24-Dip	33.96	28.41	25.00
DAC8248FP	DAC8248FP-ND	Zweif. DAU, 12-Bit, gepuffert	DAC 12-Bit Dual Buffered	24-Dip	20.00	19.71	15.02
DAC8408FPC	DAC8408FPC-ND	Vierf. DAU, 8-Bit, mit Speicher	DAC 8-Bit Quad with Memory	28-PLCC	12.89	10.31	8.59
DAC8408FS	DAC8408FS-ND	Vierf. DAU, 8-Bit, mit Speicher	DAC 8-Bit Quad with Memory	28-SOIC	11.00	10.31	8.59
DAC8412EP	DAC8412EP-ND	Vierf. DAU, 12-Bit, Wiedergabe	DAC 12-Bit Quad Readback	28-Dip	64.56	51.65	48.00
DAC8412FPC	DAC8412FPC-ND	Vierf. DAU, 12-Bit, Wiedergabe	DAC 12-Bit Quad Readback	28-PLCC	53.80	43.04	40.00
DAC8412FP	DAC8412FP-ND	Vierf. DAU, 12-Bit, Wiedergabe	DAC 12-Bit Quad Readback	28-Dip	47.60	38.07	35.00
DAC8413EP	DAC8413EP-ND	Vierf. DAU, 12-Bit, Wiedergabe	DAC 12-Bit Quad Readback	28-Dip	64.56	51.65	48.00
DAC8413FPC	DAC8413FPC-ND	Vierf. DAU, 12-Bit, Wiedergabe	DAC 12-Bit Quad Readback	28-PLCC	44.00	43.04	40.00
DAC8420EP	DAC8420EP-ND	Vierf. DAU, 12-Bit, serieller Ausg.	DAC 12-Bit Quad Serial-Out	16-Dip	46.36	37.09	35.00
DAC8420ES	DAC8420ES-ND	Vierf. DAU, 12-Bit, serieller Ausg.	DAC 12-Bit Quad Serial-Out	16-SOIC	38.00	37.09	30.91
DAC8420FP	DAC8420FP-ND	Vierf. DAU, 12-Bit, serieller Ausg.	DAC 12-Bit Quad Serial-Out	16-Dip	39.74	31.79	30.00
DAC8420FS	DAC8420FS-ND	Vierf. DAU, 12-Bit, serieller Ausg.	DAC 12-Bit Quad Serial-Out	16-SOIC	39.74	31.79	26.49
DAC8426FS	DAC8426FS-ND	Vierf. DAU, 8-Bit, mit Spann.-Ref.	DAC 8-Bit Quad with Volt. Ref.	20-SOIC	26.76	22.39	17.07
DAC8512FP	DAC8512FP-ND	DAU, 12-Bit, 5 V, komplett	DAC 12-Bit, 5V Complete	8-Dip	8.00	7.67	4.92
DAC8512FS	DAC8512FS-ND	DAU, 12-Bit, 5 V, komplett	DAC 12-Bit, 5V Complete	8-SOIC	9.50	7.60	4.88
DAC8562FS	DAC8562FS-ND	DAU, 12-Bit, 5 V, parallel	DAC 12-Bit, 5V Parallel	20-SOIC	13.65	11.42	8.71
DAC8800FP	DAC8800FP-ND	Achtf. DAU, 8-Bit, CMOS	DAC 8-Bit Octal CMOS	20-Dip	12.00	11.59	8.83
DAC8800FS	DAC8800FS-ND	Achtf. DAU, 8-Bit, CMOS	DAC 8-Bit Octal CMOS	20-SOIC	13.85	11.59	8.83
DAC8800FS-REEL	DAC8800FS-REELCT-ND	Achtf. DAU, 8-Bit, CMOS	DAC 8-Bit Octal CMOS	20-SOIC	12.11	10.91	9.68
DAC8800FS-REEL	DAC8800FS-REELTR-ND	Achtf. DAU, 8-Bit, CMOS	DAC 8-Bit Octal CMOS	20-SOIC		7980.00/1,000	
DAC8840FP	DAC8840FP-ND	Achtf. DAU, 8-Bit, multiplikativ	DAC 8-Bit Octal Multiplying	24-Dip	16.70	13.98	10.65
DAC8840FS	DAC8840FS-ND	Achtf. DAU, 8-Bit, multiplikativ	DAC 8-Bit Octal Multiplying	24-SOIC	14.00	13.98	10.65
DAC8841FS	DAC8841FS-ND	Achtf. DAU, 8-Bit, 2-Quad	DAC 8-Bit Octal 2-Quad	24-SOIC	16.70	13.98	10.65
PM7226HP	PM7226HP-ND	Vierf. DAU, 8-Bit, CMOS	DAC 8-Bit Quad CMOS	20-Dip	19.63	15.70	13.09
PM7226HS	PM7226HS-ND	Vierf. DAU, 8-Bit, CMOS	DAC 8-Bit Quad CMOS	20-SOP	22.28	17.83	14.86
PM7545FP	PM7545FP-ND	DAU, 12-Bit, multiplikativ	DAC 12-Bit Multiplying	20-Dip	8.49	6.79	5.66
PM7545HP	PM7545HP-ND	DAU, 12-Bit, multiplikativ	DAC 12-Bit Multiplying	20-Dip	8.49	6.79	5.66
PM7528HP	PM7528HP-ND	Zweif. DAU, 8-Bit, multiplikativ	DAC 8-Bit Dual Multiply	20-PLCC	4.64	3.71	3.10
PM7548FS	PM7548FS-ND	DAU, 12-Bit, LC2MOS	DAC 12-Bit LC2MOS	20-SOIC	9.19	8.28	7.35
PM7628FP	PM7628FP-ND	Zweif. DAU, 8-Bit, multiplikativ	DAC 8-Bit Dual Multiply	20-PLCC	4.64	3.71	3.10
		Logarithmischer Wandler					
ADL5306ACP-R2	ADL5306ACP-R2CT-ND	Logarithmischer Wandler, 60 dB	Logarithmic Converter 60dB	16-LFCSP	7.28	6.56	5.81
ADL5306ACP-R2	ADL5306ACP-R2TR-ND	Logarithmischer Wandler, 60 dB	Logarithmic Converter 60dB	16-LFCSP		1140.00/250	
		RMS-an-DC					
AD536AJD	AD536AJD-ND	Echter RMS/DC-Wandler	True RMS/DC Converter	14-Dip	22.99	16.80	13.00
AD536AJH	AD536AJH-ND	Echter RMS/DC-Wandler	True RMS/DC Converter	TO-100	13.88	10.44	6.94
AD536AJQ	AD536AJQ-ND	Echter RMS/DC-Wandler	True RMS/DC Converter	14-Dip	13.88	10.41	6.94
AD536AKD	AD536AKD-ND	Echter RMS/DC-Wandler	True RMS/DC Converter	14-CDip	43.22	32.19	30.00
AD536AKH	AD536AKH-ND	Echter RMS/DC-Wandler	True RMS/DC Converter	TO-100	24.14	18.12	12.10
AD536ASD	AD536ASD-ND	Echter RMS/DC-Wandler	True RMS/DC Converter	TO-116	80.01	69.35	60.00
AD536ASH	AD536ASH-ND	Echter RMS/DC-Wandler	True RMS/DC Converter	TO-100	52.15	39.13	35.00
AD636JD	AD636JD-ND	Echter RMS/DC-Wandler, Mono	True RMS/DC Converter Mono	14-Dip	18.40	13.79	9.20
AD636JH	AD636JH-ND	Echter RMS/DC-Wandler, Mono	True RMS/DC Converter Mono	TO-100	11.50	8.64	5.75
AD637AQ	AD637AQ-ND	Echter RMS/DC-Wandler, WB	True RMS/DC Converter WB	14-Dip	31.07	26.01	23.00
AD637AR	AD637AR-ND	Echter RMS/DC-Wandler, WB	True RMS/DC Converter WB	16-SOIC	28.60	23.93	18.24
AD637BR	AD637BR-ND	Echter RMS/DC-Wandler, WB	True RMS/DC Converter WB	16-SOIC	46.36	29.50	25.00
AD637JD	AD637JD-ND	Echter RMS/DC-Wandler, WB	True RMS/DC Converter WB	14-Dip	39.65	33.18	30.00
AD637JQ	AD637JQ-ND	Echter RMS/DC-Wandler, WB	True RMS/DC Converter WB	14-Dip	17.28	14.45	11.02
AD637JR	AD637JR-ND	Echter RMS/DC-Wandler, WB	True RMS/DC Converter WB	16-SOIC	13.91	12.53	11.11
AD637KQ	AD637KQ-ND	Echter RMS/DC-Wandler, WB	True RMS/DC Converter WB	14-Dip	29.52	24.70	18.83
AD637SD	AD637SD-ND	Echter RMS/DC-Wandler, WB	True RMS/DC Converter WB	14-Dip	102.19	85.50	80.00
AD736ARZ	AD736ARZ-ND	Echter RMS/DC-Wandler, NL*	True RMS/DC Converter LP*	8-SOIC	6.07	5.07	3.88
AD736AQ	AD736AQ-ND	Echter RMS/DC-Wandler, NL	True RMS/DC Converter LP	8-Dip	11.80	9.88	7.53
AD736JN	AD736JN-ND	Echter RMS/DC-Wandler, NL	True RMS/DC Converter LP	8-Dip	6.07	5.07	3.88
AD736JNZ	AD736JNZ-ND	Echter RMS/DC-Wandler, NL*	True RMS/DC Converter LP*	8-Dip	6.07	5.07	3.88
AD736JR	AD736JR-ND	Echter RMS/DC-Wandler, NL	True RMS/DC Converter LP	8-SOIC	6.07	5.07	3.88
AD736KR	AD736KR-ND	Echter RMS/DC-Wandler, NL	True RMS/DC Converter LP	8-SOIC	11.40	9.55	7.28
AD737JN	AD737JN-ND	Echter RMS/DC-Wandler, NL	True RMS/DC Converter LP	8-Dip	4.83	4.05	3.08
AD737JNZ	AD737JNZ-ND	Echter RMS/DC-Wandler, NL*	True RMS/DC Converter LP*	8-Dip	4.83	4.05	3.08
AD737JR	AD737JR-ND	Echter RMS/DC-Wandler, NL	True RMS/DC Converter LP	8-SOIC	6.60	4.19	4.00
AD737JRZ	AD737JRZ-ND	Echter RMS/DC-Wandler, NL*	True RMS/DC Converter LP*	8-SOIC	6.60	4.19	4.00
		Spannung-an-Frequenz					
AD537JD	AD537JD-ND	Spann./Frequenz-Wandler	Voltage/Frequency Converter	14-CDip	49.69	41.58	40.00
AD537JH	AD537JH-ND	Spann./Frequenz-Wandler	Voltage/Frequency Converter	TO-100	13.29	11.12	8.48
AD650BD	AD650BD-ND	Spann.-Frequ./Frequ.-Spann.-Wander	Volt. Freq./Freq. Volt. Converter	14-Dip	26.88	22.21	18.69
AD650JN	AD650JN-ND	Spann.-Frequ./Frequ.-Spann.-Wander	Volt. Freq./Freq. Volt. Converter	14-Dip	—	10.00	—
AD650KN	AD650KN-ND	Spann.-Frequ./Frequ.-Spann.-Wander	Volt. Freq./Freq. Volt. Converter	14-Dip	21.24	13.15	10.12
AD652AQ	AD652AQ-ND	Spann./Frequenz-Wandler, synch.	Voltage/Frequency Converter Sync.	16-Dip	13.97	11.64	9.31
AD652BQ	AD652BQ-ND	Spann./Frequenz-Wandler, synch.	Voltage/Frequency Converter Sync.	16-Dip	22.11	18.61	13.97
AD652JP	AD652JP-ND	Spann./Frequenz-Wandler, synch.	Voltage/Frequency Converter Sync.	20-PLCC	13.00	12.00	9.25
AD652KP	AD652KP-ND	Spann./Frequenz-Wandler, synch.	Voltage/Frequency Converter Sync.	20-PLCC	15.00	14.54	12.05
AD654JN	AD654JN-ND	Spann./Frequ.-Wandler, Mono	Voltage/Frequency Converter Mono	8-Dip	7.35	4.56	3.67
AD654JR	AD654JR-ND	Spann./Frequ.-Wandler, Mono	Voltage/Frequency Converter Mono	8-SOIC	7.35	4.56	3.67
AD654JR-REEL7	AD654JR-REEL7TR-ND	Spann./Frequ.-Wandler, Mono	Voltage/Frequency Converter Mono	8-SOIC		2752.50/750	
AD654JRZ	AD654JRZ-ND	Spann./Frequ.-Wandler, Mono	Voltage/Frequency Converter Mono	8-SOIC	7.35	4.56	3.67
AD7741BN	AD7741BN-ND	Spann./Frequenz-Wandler	Voltage/Frequency Converter	8-Dip	2.90	2.54	1.81

Analog Devices Teilenr.	Digi-Key Teilenr.	Beschreibung		Paket	Stückpreis★ 1	25	100
AD5160BRJ5-R2	AD5160BRJ5-R2CT-ND	Pot., digital, 5 K, 256 Pos.	Pot. Digital 5K, 256 Pos.	SOT-23-8	2.30	1.84	1.38
AD5160BRJ5-R2	AD5160BRJ5-R2TR-ND	Pot., digital, 5 K, 256 Pos.	Pot. Digital 5K, 256 Pos.	SOT-23-8		320.00/250	
AD5160BRJ10-R2	AD5160BRJ10-R2CT-ND	Pot., digital, 10 K, 256 Pos.	Pot. Digital 10K, 256 Pos.	SOT-23-8	1.95	1.56	1.17
AD5160BRJ10-R2	AD5160BRJ10-R2TR-ND	Pot., digital, 10 K, 256 Pos.	Pot. Digital 10K, 256 Pos.	SOT-23-8		202.50/250	
AD5160BRJ50-R2	AD5160BRJ50-R2CT-ND	Pot., digital, 50 K, 256 Pos.	Pot. Digital 50K, 256 Pos.	SOT-23-8	1.95	1.56	1.17
AD5160BRJ50-R2	AD5160BRJ50-R2TR-ND	Pot., digital, 50 K, 256 Pos.	Pot. Digital 50K, 256 Pos.	SOT-23-8		202.50/250	
AD5160BRJ100-R2	AD5160BRJ100-R2CT-ND	Pot., digital, 100 K, 256 Pos.	Pot. Digital 100K, 256 Pos.	SOT-23-8	1.95	1.56	1.17
AD5160BRJ100-R2	AD5160BRJ100-R2TR-ND	Pot., digital, 100 K, 256 Pos.	Pot. Digital 100K, 256 Pos.	SOT-23-8		202.50/250	
AD5160BRJZ100-R2	AD5160BRJZ100R2CT-ND	Pot., digital, 100 K, 256 Pos.*	Pot. Digital 100K, 256 Pos.*	SOT-23-8	1.95	1.56	1.17
AD5160BRJZ100-R2	AD5160BRJZ100R2TR-ND	Pot., digital, 100 K, 256 Pos.*	Pot. Digital 100K, 256 Pos.*	SOT-23-8		202.50/250	

* Bleifrei/RoHS-konform

(Forts.)

★ ***RUFEN SIE BITTE AN FÜR NIEDRIGERE PREISE BEI GRÖSSEREN MENGEN!*** ★

B

Analog Devices Teilenr.	Digi-Key Teilenr.	Beschreibung		Paket	Stückpreis★ 1	25	100
AD5161BRM5	AD5161BRM5-ND	Pot., digital, 5 K, 256 Pos.	Pot. Digital 5K, 256 Pos.	10-MSOP	.99	.83	.63
AD5161BRM10	AD5161BRM10-ND	Pot., digital, 10 K, 256 Pos.	Pot. Digital 10K, 256 Pos.	10-MSOP	.99	.83	.63
AD5161BRMZ10	AD5161BRMZ10-ND	Pot., digital, 10 K, 256 Pos.	Pot. Digital 10K, 256 Pos.	10-MSOP	.99	.83	.63
AD5161BRM50	AD5161BRM50-ND	Pot., digital, 50 K, 256 Pos.	Pot. Digital 50K, 256 Pos.	10-MSOP	.99	.83	.63
AD5161BRMZ50	AD5161BRMZ50-ND	Pot., digital, 50 K, 256 Pos.	Pot. Digital 50K, 256 Pos.	10-MSOP	.99	.83	.63
AD5161BRM100	AD5161BRM100-ND	Pot., digital, 100 K, 256 Pos.	Pot. Digital 100K, 256 Pos.	10-MSOP	.99	.83	.63
AD5161BRMZ100	AD5161BRMZ100-ND	Pot., digital, 100 K, 256 Pos.	Pot. Digital 100K, 256 Pos.	10-MSOP	.99	.83	.63
AD5162BRM2.5	AD5162BRM2.5-ND	Zweif. Pot., 2,5 K, 256 Pos.	Pot. Dual 2.5K, 256 Pos.	10-MSOP	1.52	1.27	1.25
AD5162BRM10	AD5162BRM10-ND	Zweif. Pot., 10 K, 256 Pos.	Pot. Dual 10K, 256 Pos.	10-MSOP	1.52	1.27	1.25
AD5162BRM50	AD5162BRM50-ND	Zweif. Pot., 50 K, 256 Pos.	Pot. Dual 50K, 256 Pos.	10-MSOP	1.52	1.27	1.25
AD5162BRM100	AD5162BRM100-ND	Zweif. Pot., 100 K, 256 Pos.	Pot. Dual 100K, 256 Pos.	10-MSOP	1.52	1.27	1.25
AD5162BRMZ100	AD5162BRMZ100-ND	Zweif. Pot., 100 K, 256 Pos.*	Pot. Dual 100K, 256 Pos.*	10-MSOP	1.52	1.27	1.25
AD5170BRM2.5	AD5170BRM2.5-ND	Pot., digital, 2,5 K, 256 Pos.	Pot. Digital 2.5K, 256 Pos.	10-MSOP	1.52	1.27	1.25
AD5170BRM10	AD5170BRM10-ND	Pot., digital, 10 K, 256 Pos.	Pot. Digital 10K, 256 Pos.	10-MSOP	1.52	1.27	1.25
AD5170BRM50	AD5170BRM50-ND	Pot., digital, 50 K, 256 Pos.	Pot. Digital 50K, 256 Pos.	10-MSOP	1.52	1.27	1.25
AD5170BRM100	AD5170BRM100-ND	Pot., digital, 100 K, 256 Pos.	Pot. Digital 100K, 256 Pos.	10-MSOP	1.52	1.27	1.25
AD5171BRJZ5-R2	AD5171BRJZ5-R2CT-ND	Pot., digital, 5 K, OTP*	Pot. Digital 5K, OTP*	SOT-23-8	2.06	1.65	1.29
AD5171BRJZ5-R2	AD5171BRJZ5-R2TR-ND	Pot., digital, 5 K, OTP*	Pot. Digital 5K, OTP*	SOT-23-8		240.00/250	
AD5171BRJZ10-R2	AD5171BRJZ10-R2CT-ND	Pot., digital, 10 K, OTP*	Pot. Digital 10K, OTP*	SOT-23-8	2.06	1.65	1.29
AD5171BRJZ10-R2	AD5171BRJZ10-R2TR-ND	Pot., digital, 10 K, OTP*	Pot. Digital 10K, OTP*	SOT-23-8		240.00/250	
AD5171BRJZ50-R2	AD5171BRJZ50-R2CT-ND	Pot., digital, 50 K, OTP*	Pot. Digital 50K, OTP*	SOT-23-8	2.06	1.65	1.29
AD5171BRJZ50-R2	AD5171BRJZ50-R2TR-ND	Pot., digital, 50 K, OTP*	Pot. Digital 50K, OTP*	SOT-23-8		240.00/250	
AD5171BRJZ100-R2	AD5171BRJZ100R2CT-ND	Pot., digital, 100 K, OTP*	Pot. Digital 100K, OTP*	SOT-23-8	2.06	1.65	1.29
AD5171BRJZ100-R2	AD5171BRJZ100R2TR-ND	Pot., digital, 100 K, OTP*	Pot. Digital 100K, OTP*	SOT-23-8		240.00/250	
AD5171EVAL	AD5171EVAL-ND	Evaluierungskarte für AD5171	Evaluation Board for AD5171	—	30.95	—	—
AD5172BRM2.5	AD5172BRM2.5-ND	Zweif. Pot., 2,5 K, 256 Pos.	Pot. Dual 2.5K, 256 Pos.	10-MSOP	1.99	1.67	1.27
AD5172BRM10	AD5172BRM10-ND	Zweif. Pot., 10 K, 256 Pos.	Pot. Dual 10K, 256 Pos.	10-MSOP	1.99	1.67	1.50
AD5172BRM50	AD5172BRM50-ND	Zweif. Pot., 50 K, 256 Pos.	Pot. Dual 50K, 256 Pos.	10-MSOP	1.99	1.67	1.50
AD5172BRMZ50	AD5172BRMZ50-ND	Zweif. Pot., 50 K, 256 Pos.	Pot. Dual 50K, 256 Pos.	10-MSOP	1.99	1.67	1.50
AD5172BRM100	AD5172BRM100-ND	Zweif. Pot., 100 K, 256 Pos.	Pot. Dual 100K, 256 Pos.	10-MSOP	1.99	1.67	1.50
AD5172BRMZ100	AD5172BRMZ100-ND	Zweif. Pot., 100 K, 256 Pos.*	Pot. Dual 100K, 256 Pos.*	10-MSOP	1.99	1.67	1.27
AD5172BRMZ100-RL7	AD5172BRMZ100RLCT-ND	Zweif. Pot., 100 K, 256 Pos.*	Pot. Dual 100K, 256 Pos.*	10-MSOP	2.74	2.20	1.71
AD5172BRMZ100-RL7	AD5172BRMZ100RLTR-ND	Zweif. Pot., 100 K, 256 Pos.*	Pot. Dual 100K, 256 Pos.*	10-MSOP		1150.00/1,000	
AD5173BRM2.5	AD5173BRM2.5-ND	Zweif. Pot., digital, 2,5 K, OTP	Pot. Digital Dual 2.5K OTP	10-MSOP	1.99	1.67	1.50
AD5173BRM10	AD5173BRM10-ND	Zweif. Pot., digital, 10 K, OTP	Pot. Digital Dual 10K OTP	10-MSOP	1.99	1.67	1.50
AD5173BRM50	AD5173BRM50-ND	Zweif. Pot., digital, 50 K, OTP	Pot. Digital Dual 50K OTP	10-MSOP	1.99	1.67	1.50
AD5173BRM100	AD5173BRM100-ND	Zweif. Pot., digital, 100 K, OTP	Pot. Digital Dual 100K OTP	10-MSOP	1.99	1.67	1.50
AD5200BRM10	AD5200BRM10-ND	Pot., digital, 10 K, 256 Pos.	Pot. Digital 10K, 256 Pos.	10-SOIC	1.36	1.13	1.00
AD5204BR10	AD5204BR10-ND	Vierf. Pot., digital, 10 K, 256 Pos.	Pot. Digital 10K, Quad 256 Pos.	24-SOIC	2.96	2.37	2.20
AD5204BRZ10	AD5204BRZ10-ND	Vierf. Pot., digital, 10 K, 256 Pos.	Pot. Digital 10K, Quad 256 Pos.	24-SOIC	2.96	2.37	2.20
AD5204BRU50	AD5204BRU50-ND	Vierf. Pot., digital, 50 K, 256 Pos.	Pot. Digital 50K, Quad 256 Pos.	24-TSSOP	2.96	2.37	1.98
AD5206BN10	AD5206BN10-ND	Pot., digital, 6-Kan., 256 Pos.	Pot. Digital 6-Ch. 256 Pos.	24-Dip	3.84	3.07	2.56
AD5206BRU10	AD5206BRU10-ND	Pot., digital, 6-Kan., 256 Pos.	Pot. Digital 6-Ch. 256 Pos.	24-TSSOP	3.84	3.07	2.56
AD5207BRU100-REEL7	AD5207BRU100RL7CT-ND	Zweif. Pot., digital, 256 Pos.	Pot. Digital Dual 256 Pos.	14-TSSOP	2.21	1.77	1.38
AD5207BRU100-REEL7	AD5207BRU100RL7TR-ND	Zweif. Pot., digital, 256 Pos.	Pot. Digital Dual 256 Pos.	14-TSSOP		930.00/1,000	
AD5220BN10	AD5220BN10-ND	Pot., digital, 10 K, 128 Pos.	Pot. Digital 10K, 128 Pos.	8-Dip	2.00	1.15	.88
AD5220BR10	AD5220BR10-ND	Pot., digital, 10 K, 128 Pos.	Pot. Digital 10K, 128 Pos.	8-SOIC	1.37	1.15	1.00
AD5220BRZ10	AD5220BRZ10-ND	Pot., digital, 10 K, 128 Pos.	Pot. Digital 10K, 128 Pos.	8-SOIC	1.37	1.15	1.00
AD5222BR1M	AD5222BR1M-ND	Zweif. Pot., digital, 128 Pos.	Pot. Digital Dual 128 Pos.	14-SOIC	1.89	1.82	1.52
AD5227BUJZ10-RL7	AD5227BUJZ10RL7CT-ND	Pot., digital, Auf/Ab, 10 K*	Pot. Digital Up/Down 10K*	TSOT-23-8	1.24	1.04	.83
AD5227BUJZ10-RL7	AD5227BUJZ10RL7TR-ND	Pot., digital, Auf/Ab, 10 K*	Pot. Digital Up/Down 10K*	TSOT-23-8		1200.00/3,000	
AD5227BUJZ100-RL7	AD5227BUJZ100RLCT-ND	Pot., digital, Auf/Ab, 100 K*	Pot. Digital Up/Down 100K*	TSOT-23-8	1.24	1.04	.83
AD5227BUJZ100-RL7	AD5227BUJZ100RLTR-ND	Pot., digital, Auf/Ab, 100 K*	Pot. Digital Up/Down 100K*	TSOT-23-8		1200.00/3,000	
AD5228BUJZ10-RL7	AD5228BUJZ10RL7CT-ND	Pot., digital, Auf/Ab, 10 K*	Pot. Digital Up/Down 10K*	TSOT-23-8	1.09	.92	.73
AD5228BUJZ10-RL7	AD5228BUJZ10RL7TR-ND	Pot., digital, Auf/Ab, 10 K*	Pot. Digital Up/Down 10K*	TSOT-23-8		1050.00/3,000	
AD5228BUJZ100-RL7	AD5228BUJZ100RLCT-ND	Pot., digital, Auf/Ab, 100 K*	Pot. Digital Up/Down 100K*	TSOT-23-8	1.09	.92	.73
AD5228BUJZ100-RL7	AD5228BUJZ100RLTR-ND	Pot., digital, Auf/Ab, 100 K*	Pot. Digital Up/Down 100K*	TSOT-23-8		1050.00/3,000	
AD5231BRU10	AD5231BRU10-ND	Pot., digital, 10 K, 1024 Pos.	Pot. Digital 10K, 1024 Pos.	16-TSSOP	3.05	2.55	1.94
AD5231BRUZ100	AD5231BRUZ100-ND	Pot., digital, 100 K, 1024 Pos.*	Pot. Digital 100K, 1024 Pos.*	16-TSSOP	3.05	2.55	1.94
AD5232BRU10	AD5232BRU10-ND	Zweif. Pot., digital, 256 Pos.	Pot. Digital Dual 256 Pos.	16-TSSOP	4.09	3.42	2.61
AD5232EVAL10	AD5232EVAL10-ND	Evaluierungskarte 10 für AD5232	Evaluation Board 10 for AD5232	—	39.79	—	—
AD5233BRU10	AD5233BRU10-ND	Vierf. Pot. 10 K, 64 Pos.	Pot. Quad 10K, 64 Pos.	24-TSSOP	3.79	3.17	2.42
AD5233BRU50	AD5233BRU50-ND	Vierf. Pot. 50 K, 64 Pos.	Pot. Quad 50K, 64 Pos.	24-TSSOP	3.79	3.17	2.42
AD5233BRU100	AD5233BRU100-ND	Vierf. Pot. 100 K, 64 Pos.	Pot. Quad 100K, 64 Pos.	24-TSSOP	3.79	3.17	2.42
AD5235BRU25	AD5235BRU25-ND	Zweif. Pot. 25 K, 1024 Pos.	Pot. Dual 25K, 1024 Pos.	16-TSSOP	7.80	6.53	4.98
AD5235BRU250	AD5235BRU250-ND	Zweif. Pot. 250 K, 1024 Pos.	Pot. Dual 250K, 1024 Pos.	16-TSSOP	7.80	6.53	4.98
AD5241BR1M	AD5241BR1M-ND	Pot., digital, 256 Pos.	Pot. Digital 256 Pos.	14-SOIC	1.40	1.17	1.00
AD5242BR1M	AD5242BR1M-ND	Pot., digital, 256 Pos.	Pot. Digital 256 Pos.	16-SOIC	1.93	1.61	1.50
AD5242BRU10	AD5242BRU10-ND	Pot., digital, 10 K, 256 Pos.	Pot. Digital 10K, 256 Pos.	16-TSSOP	1.93	1.61	1.50
AD5242BRU100-REEL7	AD5242BRU100RL7CT-ND	Pot., digital, 100 K, 256 Pos.	Pot. Digital 100K, 256 Pos.	16-TSSOP	2.65	2.12	1.65
AD5242BRU100-REEL7	AD5242BRU100RL7TR-ND	Pot., digital, 100 K, 256 Pos.	Pot. Digital 100K, 256 Pos.	16-TSSOP		1110.00/1,000	
AD5242BRZ10	AD5242BRZ10-ND	Pot., digital, 10 K, 256 Pos.*	Pot. Digital 10K, 256 Pos.*	16-SOIC	1.93	1.61	1.50
AD5243BRM2.5	AD5243BRM2.5-ND	Zweif. Pot., digital, 2,5 K I2C	Pot. Digital Dual 2.5K I2C	10-MSOP	1.93	1.61	1.23
AD5243BRM10	AD5243BRM10-ND	Zweif. Pot., digital, 10 K, I2C	Pot. Digital Dual 10K I2C	10-MSOP	1.52	1.27	1.25
AD5243BRMZ10	AD5243BRMZ10-ND	Zweif. Pot., digital, 10 K, I2C*	Pot. Digital Dual 10K I2C*	10-MSOP	1.52	1.27	1.25
AD5243BRM50	AD5243BRM50-ND	Zweif. Pot., digital, 50 K, I2C	Pot. Digital Dual 50K I2C	10-MSOP	1.52	1.27	1.25
AD5243BRM100	AD5243BRM100-ND	Zweif. Pot., digital, 100 K, I2C	Pot. Digital Dual 100K I2C	10-MSOP	1.52	1.27	1.25
AD5243BRMZ100	AD5243BRMZ100-ND	Zweif. Pot., digital, 100 K, I2C*	Pot. Digital Dual 100K I2C*	10-MSOP	1.52	1.27	1.25
AD5245BRJ5-R2	AD5245BRJ5-R2CT-ND	Pot., digital, 5 K, 256 Pos.	Pot. Digital 5K, 256 Pos.	SOT-23-8	1.95	1.56	1.17
AD5245BRJ5-R2	AD5245BRJ5-R2TR-ND	Pot., digital, 5 K, 256 Pos.	Pot. Digital 5K, 256 Pos.	SOT-23-8		202.50/250	
AD5245BRJ10-R2	AD5245BRJ10-R2CT-ND	Pot., digital, 10 K, 256 Pos.	Pot. Digital 10K, 256 Pos.	SOT-23-8	1.95	1.56	1.17
AD5245BRJ10-R2	AD5245BRJ10-R2TR-ND	Pot., digital, 10 K, 256 Pos.	Pot. Digital 10K, 256 Pos.	SOT-23-8		202.50/250	
AD5245BRJ50-R2	AD5245BRJ50-R2CT-ND	Pot., digital, 50 K, 256 Pos.	Pot. Digital 50K, 256 Pos.	SOT-23-8	1.95	1.56	1.17
AD5245BRJ50-R2	AD5245BRJ50-R2TR-ND	Pot., digital, 50 K, 256 Pos.	Pot. Digital 50K, 256 Pos.	SOT-23-8		202.50/250	
AD5245BRJ100-R2	AD5245BRJ100-R2CT-ND	Pot., digital, 100 K, 256 Pos.	Pot. Digital 100K, 256 Pos.	SOT-23-8	1.95	1.56	1.17
AD5245BRJ100-R2	AD5245BRJ100-R2TR-ND	Pot., digital, 100 K, 256 Pos.	Pot. Digital 100K, 256 Pos.	SOT-23-8		202.50/250	
AD5246BKS5-R2	AD5246BKS5-R2CT-ND	Pot., digital, 5 K, 128 Pos.	Pot. Digital 5K, 128 Pos.	SC70-6	1.59	1.27	.96
AD5246BKS5-R2	AD5246BKS5-R2TR-ND	Pot., digital, 5 K, 128 Pos.	Pot. Digital 5K, 128 Pos.	SC70-6		165.00/250	
AD5246BKS10-R2	AD5246BKS10-R2CT-ND	Pot., digital, 10 K, 128 Pos.	Pot. Digital 10K, 128 Pos.	SC70-6	1.59	1.27	.96
AD5246BKS10-R2	AD5246BKS10-R2TR-ND	Pot., digital, 10 K, 128 Pos.	Pot. Digital 10K, 128 Pos.	SC70-6		165.00/250	
AD5246BKS50-R2	AD5246BKS50-R2CT-ND	Pot., digital, 50 K, 128 Pos.	Pot. Digital 50K, 128 Pos.	SC70-6	1.59	1.27	.96
AD5246BKS50-R2	AD5246BKS50-R2TR-ND	Pot., digital, 50 K, 128 Pos.	Pot. Digital 50K, 128 Pos.	SC70-6		165.00/250	
AD5246BKS100-R2	AD5246BKS100-R2CT-ND	Pot., digital, 100 K, 128 Pos.	Pot. Digital 100K, 128 Pos.	SC70-6	1.59	1.27	.96
AD5246BKS100-R2	AD5246BKS100-R2TR-ND	Pot., digital, 100 K, 128 Pos.	Pot. Digital 100K, 128 Pos.	SC70-6		165.00/250	
AD5246BKSZ100-R2	AD5246BKSZ100R2CT-ND	Pot., digital, 100 K, 128 Pos.*	Pot. Digital 100K, 128 Pos.*	SC70-6	1.59	1.27	.96
AD5246BKSZ100-R2	AD5246BKSZ100R2TR-ND	Pot., digital, 100 K, 128 Pos.*	Pot. Digital 100K, 128 Pos.*	SC70-6		165.00/250	
AD5246BKSZ100-RL7	AD5246BKSZ100RLCT-ND	Pot., digital, 100 K, 128 Pos.*	Pot. Digital 100K, 128 Pos.*	SC70-6	1.23	.99	.74
AD5246BKSZ100-RL7	AD5246BKSZ100RLTR-ND	Pot., digital, 100 K, 128 Pos.*	Pot. Digital 100K, 128 Pos.*	SC70-6		1380.00/3,000	
AD5247BKS5-R2	AD5247BKS5-R2CT-ND	Pot., digital, 5 K, 128 Pos.	Pot. Digital 5K, 128 Pos.	SC70-6	1.59	1.27	.96
AD5247BKS5-R2	AD5247BKS5-R2TR-ND	Pot., digital, 5 K, 128 Pos.	Pot. Digital 5K, 128 Pos.	SC70-6		165.00/250	

* Bleifrei/RoHS-konform

(Forts.)

★ *RUFEN SIE BITTE AN FÜR NIEDRIGERE PREISE BEI GRÖSSEREN MENGEN!* ★

Analog Devices Teilenr.	Digi-Key Teilenr.	Beschreibung		Paket	Stückpreis★ 1	25	100
AD5247BKS10-R2	AD5247BKS10-R2CT-ND	Pot., digital, 10 K, 128 Pos.	Pot. Digital 10K, 128 Pos.	SC70-6	1.59	1.27	.96
AD5247BKS10-R2	AD5247BKS10-R2TR-ND	Pot., digital, 10 K, 128 Pos.	Pot. Digital 10K, 128 Pos.	SC70-6		165.00/250	
AD5247BKS50-R2	AD5247BKS50-R2CT-ND	Pot., digital, 50 K, 128 Pos.	Pot. Digital 50K, 128 Pos.	SC70-6	1.59	1.27	.96
AD5247BKS50-R2	AD5247BKS50-R2TR-ND	Pot., digital, 50 K, 128 Pos.	Pot. Digital 50K, 128 Pos.	SC70-6		165.00/250	
AD5247BKS100-R2	AD5247BKS100-R2CT-ND	Pot., digital, 100 K, 128 Pos.	Pot. Digital 100K, 128 Pos.	SC70-6	1.59	1.27	.96
AD5247BKS100-R2	AD5247BKS100-R2TR-ND	Pot., digital, 100 K, 128 Pos.	Pot. Digital 100K, 128 Pos.	SC70-6		165.00/250	
AD5248BRM2.5	AD5248BRM2.5-ND	Zweif. Pot., digital, 2,5 K I2C	Pot. Digital Dual 2.5K I2C	10-MSOP	1.52	1.27	1.25
AD5248BRMZ2.5	AD5248BRMZ2.5-ND	Zweif. Pot., digital, 2,5 K I2C*	Pot. Digital Dual 2.5K I2C*	10-MSOP	1.52	1.27	1.25
AD5248BRM10	AD5248BRM10-ND	Zweif. Pot., digital, 10 K, I2C	Pot. Digital Dual 10K I2C	10-MSOP	1.52	1.27	1.25
AD5248BRM50	AD5248BRM50-ND	Zweif. Pot., digital, 50 K, I2C	Pot. Digital Dual 50K I2C	10-MSOP	1.52	1.27	1.25
AD5248BRM100	AD5248BRM100-ND	Zweif. Pot., digital, 100 K, I2C	Pot. Digital Dual 100K I2C	10-MSOP	1.52	1.27	1.25
AD5252BRU1	AD5252BRU1-ND	Zweif. Pot., digital, 1 K, 256 Pos.	Pot. Digital Dual 1K, 256 Pos.	14-TSSOP	3.64	3.04	2.32
AD5252BRUZ1	AD5252BRUZ1-ND	Zweif. Pot., digital, 1 K, 256 Pos.*	Pot. Digital Dual 1K, 256 Pos.*	14-TSSOP	3.64	3.04	2.32
AD5252BRU10	AD5252BRU10-ND	Zweif. Pot., digital, 10 K, 256 Pos.	Pot. Digital Dual 10K, 256 Pos.	14-TSSOP	3.64	3.04	2.32
AD5252BRU100	AD5252BRU100-ND	Zweif. Pot., digital, 100 K, 256 Pos.	Pot. Digital Dual 100K, 256 Pos.	14-TSSOP	3.64	3.04	2.32
AD5253BRU1	AD5253BRU1-ND	Vierf Pot., digital, 1 K, 64 Pos.	Pot. Digital Quad 1K, 64 Pos.	20-TSSOP	3.78	3.17	2.41
AD5253BRU10	AD5253BRU10-ND	Vierf. Pot., digital, 10 K, 64 Pos.	Pot. Digital Quad 10K, 64 Pos.	20-TSSOP	3.78	3.17	2.41
AD5253BRU100	AD5253BRU100-ND	Vierf. Pot., digital, 100 K, 64 Pos.	Pot. Digital Quad 100K, 64 Pos.	20-TSSOP	3.78	3.17	2.41
AD5254BRU10	AD5254BRU10-ND	Vierf. Pot., digital, 10 K, 256 Pos.	Pot. Digital Quad 10K, 256 Pos.	20-TSSOP	4.59	3.84	2.93
AD5254BRU100	AD5254BRU100-ND	Vierf. Pot., digital, 100 K, 256 Pos.	Pot. Digital Quad 100K, 256 Pos.	20-TSSOP	4.59	3.84	2.93
AD5254BRUZ1	AD5254BRUZ1-ND	Vierf. Pot., digital, 1 K, 256 Pos.*	Pot. Digital Quad 1K, 256 Pos.*	20-TSSOP	4.59	3.84	2.93
AD5255BRU25	AD5255BRU25-ND	Pot., digital, 25 K, 3-Kan.	Pot. Digital 25K, 3-Ch.	24-TSSOP	7.80	6.53	4.98
AD5255BRU250	AD5255BRU250-ND	Pot., digital, 250 K, 3-Kan.	Pot. Digital 250K, 3-Ch.	24-TSSOP	7.80	6.53	4.98
AD5260BRU20	AD5260BRU20-ND	Pot., digital, 20 K, 256 Pos.	Pot. Digital 20K, 256 Pos.	14-TSSOP	2.74	2.28	2.00
AD5260BRU50	AD5260BRU50-ND	Pot., digital, 50 K, 256 Pos.	Pot. Digital 50K, 256 Pos.	14-TSSOP	2.74	2.28	2.00
AD5260BRUZ50	AD5260BRUZ50-ND	Pot., digital, 50 K, 256 Pos.*	Pot. Digital 50K, 256 Pos.*	14-TSSOP	2.74	2.28	2.00
AD5260BRU200	AD5260BRU200-ND	Pot., digital, 200 K, 256 Pos.	Pot. Digital 200K, 256 Pos.	14-TSSOP	2.74	2.28	2.00
AD5262BRU20	AD5262BRU20-ND	Zweif. Pot. 20 K, 256 Pos.	Pot. Dual 20K, 256 Pos.	16-TSSOP	3.00	2.51	1.91
AD5262BRUZ20	AD5262BRUZ20-ND	Zweif. Pot. 20 K, 256 Pos.*	Pot. Dual 20K, 256 Pos.*	16-TSSOP	3.00	2.51	2.00
AD5262BRU50	AD5262BRU50-ND	Zweif. Pot., 50 K, 256 Pos.	Pot. Dual 50K, 256 Pos.	16-TSSOP	3.00	2.51	2.40
AD5262BRUZ50	AD5262BRUZ50-ND	Zweif. Pot. 50 K, 256 Pos.*	Pot. Dual 50K, 256 Pos.*	16-TSSOP	3.00	2.51	1.91
AD5262BRU200	AD5262BRU200-ND	Zweif. Pot. 200 K, 256 Pos.	Pot. Dual 200K, 256 Pos.	16-TSSOP	3.00	2.51	1.91
AD5262BRUZ200	AD5262BRUZ200-ND	Zweif. Pot. 200 K, 256 Pos.*	Pot. Dual 200K, 256 Pos.*	16-TSSOP	3.00	2.51	1.91
AD5263BRU20	AD5263BRU20-ND	Vierf. Pot. 20 K, 256 Pos.	Pot. Quad 20K, 256 Pos.	24-TSSOP	4.85	4.06	3.10
AD5263BRUZ20	AD5263BRUZ20-ND	Vierf. Pot. 20 K, 256 Pos.	Pot. Quad 20K, 256 Pos.	24-TSSOP	4.85	4.06	3.10
AD5263BRU50	AD5263BRU50-ND	Vierf. Pot. 50 K, 256 Pos.	Pot. Quad 50K, 256 Pos.	24-TSSOP	4.85	4.06	3.10
AD5263BRU200	AD5263BRU200-ND	Vierf. Pot. 200 K, 256 Pos.	Pot. Quad 200K, 256 Pos.	24-TSSOP	4.85	4.06	3.10
AD5263EVAL	AD5263EVAL-ND	Evaluierungskarte für AD5263	Evaluation Board for AD5263	—	39.79	—	—
AD5273BRJ1-R2	AD5273BRJ1-R2CT-ND	Pot., digital, 1 K, 64 Pos.	Pot. Digital 1K, 64 Pos.	SOT-23-8	1.59	1.27	.96
AD5273BRJ1-R2	AD5273BRJ1-R2TR-ND	Pot., digital, 1 K, 64 Pos.	Pot. Digital 1K, 64 Pos.	SOT-23-8		165.00/250	
AD5273BRJ10-R2	AD5273BRJ10-R2CT-ND	Pot., digital, 10 K, 64 Pos.	Pot. Digital 10K, 64 Pos.	SOT-23-8	1.59	1.27	.96
AD5273BRJ10-R2	AD5273BRJ10-R2TR-ND	Pot., digital, 10 K, 64 Pos.	Pot. Digital 10K, 64 Pos.	SOT-23-8		165.00/250	
AD5273BRJ50-R2	AD5273BRJ50-R2CT-ND	Pot., digital, 50 K, 64 Pos.	Pot. Digital 50K, 64 Pos.	SOT-23-8	1.59	1.27	.96
AD5273BRJ50-R2	AD5273BRJ50-R2TR-ND	Pot., digital, 50 K, 64 Pos.	Pot. Digital 50K, 64 Pos.	SOT-23-8		165.00/250	
AD5273BRJ100-R2	AD5273BRJ100-R2CT-ND	Pot., digital, 100 K, 64 Pos.	Pot. Digital 100K, 64 Pos.	SOT-23-8	1.59	1.27	.96
AD5273BRJ100-R2	AD5273BRJ100-R2TR-ND	Pot., digital, 100 K, 64 Pos.	Pot. Digital 100K, 64 Pos.	SOT-23-8		165.00/250	
AD5273BRJZ10-R7	AD5273BRJZ10-R7CT-ND	Pot., digital, 10 K, 64 Pos.*	Pot. Digital 10K, 64 Pos.*	SOT-23-8	1.59	1.27	.96
AD5273BRJZ10-R7	AD5273BRJZ10-R7TR-ND	Pot., digital, 10 K, 64 Pos.*	Pot. Digital 10K, 64 Pos.*	SOT-23-8		1800.00/3,000	
AD5280BRU20	AD5280BRU20-ND	Pot., digital, 20 K, 256 Pos.	Pot. Digital 20K, 256 Pos.	14-TSSOP	2.74	2.28	2.00
AD5280BRUZ20	AD5280BRUZ20-ND	Pot., digital, 20 K, 256 Pos.*	Pot. Digital 20K, 256 Pos.*	14-TSSOP	2.74	2.28	2.00
AD5280BRU50	AD5280BRU50-ND	Pot., digital, 50 K, 256 Pos.	Pot. Digital 50K, 256 Pos.	14-TSSOP	2.74	2.28	2.00
AD5280BRUZ50	AD5280BRUZ50-ND	Pot., digital, 50 K, 256 Pos.*	Pot. Digital 50K, 256 Pos.*	14-TSSOP	2.74	2.28	2.00
AD5280BRU200	AD5280BRU200-ND	Pot., digital, 200 K, 256 Pos.	Pot. Digital 200K, 256 Pos.	14-TSSOP	2.74	2.28	2.00
AD5282BRU20	AD5282BRU20-ND	Zweif. Pot. 20 K, 256 Pos.	Dual Pot. 20K, 256 Pos.	16-TSSOP	3.00	2.51	2.40
AD5282BRU50	AD5282BRU50-ND	Zweif. Pot. 50 K, 256 Pos.	Dual Pot. 50K, 256 Pos.	16-TSSOP	3.00	2.51	1.91
AD5282BRU200	AD5282BRU200-ND	Zweif. Pot. 200 K, 256 Pos.	Dual Pot. 200K, 256 Pos.	16-TSSOP	3.00	2.51	1.91
AD7376AN10	AD7376AN10-ND	Pot., digital, 10 K, 128 Pos.	Pot. Digital 10K, 128 Pos.	14-Dip	4.30	3.45	2.91
AD7376AR10	AD7376AR10-ND	Pot., digital, 10 K, 128 Pos.	Pot. Digital 10K, 128 Pos.	16-SOIC	3.92	3.13	2.80
AD7376AR1M	AD7376AR1M-ND	Pot., digital, 10 K, 128 Pos.	Pot. Digital 10K, 128 Pos.	16-SOIC	3.92	3.13	2.80
AD7376ARU10	AD7376ARU10-ND	Pot., digital, 10 K, 128 Pos.	Pot. Digital 10K, 128 Pos.	14-TSSOP	3.50	3.13	2.61
AD7376ARU50	AD7376ARU50-ND	Pot., digital, 10 K, 128 Pos.	Pot. Digital 10K, 128 Pos.	14-TSSOP	3.92	3.13	2.80
AD8400AR1	AD8400AR1-ND	Pot., digital, 8-Bit, 1 K, 1-Kan.	Pot. Digital 8-Bit, 1K, 1-Ch.	8-SOIC	1.72	1.37	1.25
AD8400ARZ1	AD8400ARZ1-ND	Pot., digital, 8-Bit, 1 K, 1-Kan.*	Pot. Digital 8-Bit, 1K, 1-Ch.*	8-SOIC	1.72	1.37	1.25
AD8400AR10	AD8400AR10-ND	Pot., digital, 8-Bit, 10 K, 1-Kan.	Pot. Digital 8-Bit, 10K, 1-Ch.	8-SOIC	1.72	1.37	1.25
AD8400ARZ10	AD8400ARZ10-ND	Pot., digital, 8-Bit, 10 K, 1-Kan.*	Pot. Digital 8-Bit, 10K, 1-Ch.*	8-SOIC	1.72	1.37	1.25
AD8400AR50	AD8400AR50-ND	Pot., digital, 8-Bit, 50 K, 1-Kan.	Pot. Digital 8-Bit, 50K, 1-Ch.	8-SOIC	1.72	1.37	1.25
AD8400AR100	AD8400AR100-ND	Pot., digital, 8-Bit, 100 K, 1-Kan.	Pot. Digital 8-Bit, 100K, 1-Ch.	8-SOIC	1.72	1.37	1.25
AD8400ARZ100	AD8400ARZ100-ND	Pot., digital, 8-Bit, 100 K, 1-Kan.*	Pot. Digital 8-Bit, 100K, 1-Ch.*	8-SOIC	1.72	1.37	1.25
AD8402AN10	AD8402AN10-ND	Pot., digital, 8-Bit, 10 K, 2-Kan.	Pot. Digital 8-Bit, 10K, 2-Ch.	14-Dip	2.60	2.07	2.00
AD8402AR1	AD8402AR1-ND	Pot., digital, 8-Bit, 1 K, 2-Kan.	Pot. Digital 8-Bit, 1K, 2-Ch.	14-SOIC	2.60	2.07	2.00
AD8402AR10	AD8402AR10-ND	Pot., digital, 8-Bit, 10 K, 2-Kan.	Pot. Digital 8-Bit, 10K, 2-Ch.	14-SOIC	2.60	2.07	2.00
AD8402AR50	AD8402AR50-ND	Pot., digital, 8-Bit, 50 K, 2-Kan.	Pot. Digital 8-Bit, 50K, 2-Ch.	14-SOIC	2.60	2.07	2.00
AD8402AR100	AD8402AR100-ND	Pot., digital, 8-Bit, 100 K, 2-Kan.	Pot. Digital 8-Bit, 100K, 2-Ch.	14-SOIC	2.60	2.07	2.00
AD8402ARU10	AD8402ARU10-ND	Pot., digital, 8-Bit, 1 K, 2-Kan.	Pot. Digital 8-Bit, 1K, 2-Ch.	14-TSSOP	2.60	2.07	2.00
AD8403ARUZ1	AD8403ARUZ1-ND	Pot., digital, 8-Bit, 1 K, 4-Kan.	Pot. Digital 8-Bit, 1K, 4-Ch.	24-TSSOP	3.92	3.13	2.80
AD8403AR10	AD8403AR10-ND	Pot., digital, 8-Bit, 10 K, 4-Kan.	Pot. Digital 8-Bit, 10K, 4-Ch.	24-SOIC	3.92	3.13	2.61
AD8403AR10-REEL	AD8403AR10-REELCT-ND	Pot., digital, 8-Bit, 10 K, 4-Kan.	Pot. Digital 8-Bit, 10K, 4-Ch.	24-SOIC	4.30	3.45	2.91
AD8403AR10-REEL	AD8403AR10-REELTR-ND	Pot., digital, 8-Bit, 10 K, 4-Kan.	Pot. Digital 8-Bit, 10K, 4-Ch.	24-SOIC		2220.00/1,000	
AD8403ARU10	AD8403ARU10-ND	Pot., digital, 8-Bit, 10 K, 4-Kan.	Pot. Digital 8-Bit, 10K, 4-Ch.	24-TSSOP	3.50	3.13	2.61
AD8403ARU10-REEL	AD8403ARU10-RLCT-ND	Pot., digital, 8-Bit, 10 K, 4-Kan.	Pot. Digital 8-Bit, 10K, 4-Ch.	24-TSSOP	4.30	3.45	2.91
AD8403ARU10-REEL	AD8403ARU10-RLTR-ND	Pot., digital, 8-Bit, 10 K, 4-Kan.	Pot. Digital 8-Bit, 10K, 4-Ch.	24-TSSOP		5625.00/2,500	
AD8403AR50	AD8403AR50-ND	Pot., digital, 8-Bit, 50 K, 4-Kan.	Pot. Digital 8-Bit, 50K, 4-Ch.	24-SOIC	3.92	3.13	2.80
AD8403AR100	AD8403AR100-ND	Pot., digital, 8-Bit, 100 K, 4-Kan.	Pot. Digital 8-Bit, 100K, 4-Ch.	24-SOIC	3.92	3.13	2.80
AD8403ARU100	AD8403ARU100-ND	Pot., digital, 8-Bit, 100 K, 4-Kan.	Pot. Digital 8-Bit, 100K, 4-Ch.	24-TSSOP	3.92	3.13	2.64
AD8403ARUZ100	AD8403ARUZ100-ND	Pot., digital, 8-Bit, 100 K, 4-Kan.	Pot. Digital 8-Bit, 100K, 4-Ch.	24-TSSOP	3.92	3.13	2.64
		Regelwiderstand					
ADN2850BCP25	ADN2850BCP25-ND	Zweif. Pot., digital, 25 K, 10-Bit	Pot. Digital Dual 25K 10-Bit	16-LFCSP	7.47	6.50	5.75
ADN2850BCP250	ADN2850BCP250-ND	Zweif. progr. Widerstand, 1024 Pos.	Dual 1024 Position Prog. Resistor	16-LFCSP	7.47	6.50	5.75
ADN2860ACPZ25-RL7	ADN2860ACPZ25RLCT-ND	Pot., digital, 25 K, 3-Kan.	Pot. Digital 25K, 3-Ch.	24-LFCSP	8.32	7.50	6.65
ADN2860ACPZ25-RL7	ADN2860ACPZ25RLTR-ND	Pot., digital, 25 K, 3-Kan.	Pot. Digital 25K, 3-Ch.	24-LFCSP		7815.00/1,500	
ADN2860ACPZ250-RL7	ADN2860ACPZ250RCT-ND	Pot., digital, 250 K, 3-Kan.	Pot. Digital 250K, 3-Ch.	24-LFCSP	8.32	7.50	6.65
ADN2860ACPZ250-RL7	ADN2860ACPZ250RTR-ND	Pot., digital, 250 K, 3-Kan.	Pot. Digital 250K, 3-Ch.	24-LFCSP		7815.00/1,500	

Analog Devices Teilenr.	Digi-Key Teilenr.	Beschreibung		Paket	Stückpreis★ 1	25	100
AD723ARU	AD723ARU-ND	RGB-NTSC/Pal-Kodierer	RGB to NTSC/Pal Encoder	28-TSSOP	5.09	4.37	3.64
AD725AR	AD725AR-ND	RGB-NTSC-Kodierer	Encoder RGB to NTSC	16-SOIC	7.15	5.64	4.69
AD725ARZ	AD725ARZ-ND	RGB-NTSC7PAL-Kodierer	Encoder RGB to NTSC/PAL	16-SOIC	7.15	5.64	4.69
AD725-EB	AD725-EB-ND	Evaluierungskarte für AD725	Evaluation Board for AD725	—	216.65	—	—
AD9883ABST-110	AD9883ABST-110-ND	Flachbildschirmschnittstelle	Flat Panel Interface	80-LQFP	—	9.17	—

* Bleifrei/RoHS-konform

(Forts.)

★ ***RUFEN SIE BITTE AN FÜR NIEDRIGERE PREISE BEI GRÖSSEREN MENGEN!*** ★

Analog Devices Teilenr.	Digi-Key Teilenr.	Beschreibung		Paket	Stückpreis★ 1	25	100
AD9883AKST-140	AD9883AKST-140-ND	Flachbildschirmschnittstelle	Flat Panel Interface	80-LQFP	6.69	5.73	4.78
AD9888KS-140	AD9888KS-140-ND	Flachbildschirmschnittstelle	Flat Panel Interface	128-MQFP	13.37	11.46	9.55
ADV202BBC-115	ADV202BBC-115-ND	JPEG2000 Video CODEC	JPEG2000 Video Codec	121-BGA	43.55	37.34	35.00
ADV202BBC-150	ADV202BBC-150-ND	JPEG2000 Video CODEC	JPEG2000 Video Codec	144-CSBGA	58.26	55.00	50.00
ADV202BBCZ-150	ADV202BBCZ-150-ND	JPEG2000 Video CODEC	JPEG2000 Video Codec	144-CSBGA	58.26	55.00	50.00
ADV601LCJST	ADV601LCJST-ND	Video-Kodierer/-Dekodierer	Video Encoder/Decoder	120-LQFP	40.64	38.00	35.33
ADV7123JST240	ADV7123JST240-ND	Dreif. DAU, Video, HS	DAC Video Triple High Speed	48-LQFP	17.95	14.36	12.83
ADV7123KST140	ADV7123KST140-ND	Dreif. DAU, Video, HS	DAC Video Triple High Speed	48-LQFP	10.96	8.76	7.83
ADV7127KRU50	ADV7127KRU50-ND	Einf. DAU, Video, HS	DAC Video Single High Speed	24-TSSOP	7.07	5.66	5.01
ADV7181BCP	ADV7181BCP-ND	Multiformat-SDTV- Video-Dekodierer	Multiformat SDTV Video Decoder	64-LFCSP	10.17	8.03	7.07
ADV7181BST	ADV7181BST-ND	Multiformat-SDTV- Video-Dekodierer	Multiformat SDTV Video Decoder	64-LQFP	10.17	8.03	7.07
ADV7183ABST	ADV7183ABST-ND	Multiformat-SDTV- Video-Dekodierer	Multiformat SDTV Video Decoder	80-LQFP	11.40	9.74	8.45
ADV7183AKST	ADV7183AKST-ND	Multiformat-SDTV- Video-Dekodierer	Multiformat SDTV Video Decoder	80-LQFP	10.88	9.12	7.97
ADV7183KST	ADV7183KST-ND	Multiformat-SDTV- Video-Dekodierer	Multiformat SDTV Video Decoder	80-LQFP	14.23	13.00	11.38
ADV7185KST	ADV7185KST-ND	Multiformat-SDTV- Video-Dekodierer	Multiformat SDTV Video Decoder	80-LQFP	43.95	37.14	35.00
ADV7189KST	ADV7189KST-ND	Multiformat-SDTV- Video-Dekodierer	Multiformat SDTV Video Decoder	80-LQFP	40.59	27.06	20.30
ADVFC32BH	ADVFC32BH-ND	Spann./Frequ. und Frequ./Spann.-Wandler, -25-85 °C	Volt./Freq. and Freq./Volt. Converter -25-85°C	TO-100	11.64	9.51	7.45
ADVFC32KN	ADVFC32KN-ND	Spann./Frequ. und Frequ./Spann.-Wandler, 0-70 °C	Volt./Freq. and Freq./Volt. Converter 0-70°C	14-Dip	8.74	7.12	5.56
ADVFC32SH	ADVFC32SH-ND	Spann.-Frequ./Spann.-Wandler, -55-125 °C	Volt.Freq./Volt. Converter -55-125°C	TO-100	17.84	14.35	11.12
		Analog					
AD9882KST-100	AD9882KST-100-ND	Zweif. Analogschnittstelle	Analog Interface Dual	100-LQFP	8.38	7.64	6.90
AD9882KST-140	AD9882KST-140-ND	Zweif. Analogschnittstelle	Analog Interface Dual	100-LQFP	9.87	8.92	7.96
AD9884AKS-100	AD9884AKS-100-ND	Analogschnittstelle, 100 MSPS	Analog Interface, 100MSPS	128-MQFP	10.77	9.23	7.69
AD9884AKS-140	AD9884AKS-140-ND	Analogschnittstelle, 140 MSPS	Analog Interface, 140MSPS	128-MQFP	16.34	14.01	11.67
AD9884AKSZ-140	AD9884AKSZ-140-ND	Analogschnittstelle, 140 MSPS*	Analog Interface, 140MSPS*	128-MQFP	16.34	14.01	11.67
AD9887AKS-100	AD9887AKS-100-ND	Zweif. Analogschnittstelle	Analog Interface Dual	160-MQFP	16.67	14.28	11.90
AD9887AKS-140	AD9887AKS-140-ND	Zweif. Analogschnittstelle	Analog Interface Dual	160-MQFP	19.05	16.32	13.60
AD9887AKS-170	AD9887AKS-170-ND	Zweif. Analogschnittstelle	Analog Interface Dual	160-MQFP	23.13	20.59	18.04
AD9887KS-140	AD9887KS-140-ND	Zweif. Analogschnittstelle	Analog Interface Dual	160-MQFP	19.05	16.32	13.60
AD9888KS-170	AD9888KS-170-ND	Analogschnittstelle, 170 MSPS	Analog Interface, 170MSPS	128-MQFP	17.83	15.28	12.74
AD9888KS-205	AD9888KS-205-ND	Analogschnittstelle, 205 MSPS	Analog Interface, 205MSPS	128-MQFP	22.00	21.64	18.04

Analog Devices Teilenr.	Digi-Key Teilenr.	Beschreibung		Paket	Stückpreis★ 1	25	100
AD6624S/PCB	AD6624S/PCB-ND	Evaluierungskarte für Signalverarbeiter AD6624	Evaluation Board Signal Processor AD6624	—	476.21	—	—
EVAL-AD5379EB	EVAL-AD5379EB-ND	Evaluierungskarte für AD5379	Evaluation Board for AD5379	—	175.98	—	—
EVAL-ADUSB1	EVAL-ADUSB1-ND	Evaluierungskarte für ADUSB1	Evaluation Board for ADUSB1	—	87.55	—	—
EVAL-CONTROL BRD3	EVAL-CONTROL BRD3-ND	Evaluierungskarten-Steuerung	Evaluation Board Control	—	238.11	—	—
SSM2167-EVAL	SSM2167-EVAL-ND	Evaluierungskarte für SSM2167	Evaluation Board for SSM2167	—	44.21	—	—

Analog Devices Teilenr.	Digi-Key Teilenr.	Beschreibung		Paket	Stückpreis★ 1	25	100
AD809BR	AD809BR-ND	Synth. Frequenz: 155,52 MHz	Synth. Frequency 155.52MHz	16-SOIC	4.95	4.60	4.25
ADN2807ACP	ADN2807ACP-ND	Takt-/Datenwiederherstellung mit Verst.	Clock/Data Recovery with Amp	48-LFCSP	11.83	11.50	11.17
ADN2811ACP-CML	ADN2811ACP-CML-ND	Takt/Datenwiederherstellung	Recover Clock/Data	48-LFCSP	41.03	40.50	38.02
ADN2812ACP	ADN2812ACP-ND	Takt-/Datenwiederherstellung mit Verst.	Clock/Data Recovery w/Amp	32-LFCSP	58.36	55.00	53.00
ADN2819ACP-CML	ADN2819ACP-CML-ND	Takt/Datenwiederherstellung	Recover Clock/Data	48-LFCSP	51.29	50.63	50.00
ADN2830ACP32	ADN2830ACP32-ND	Controller-Leistungswellen-Laser	Controller Power Wave Laser	32-LFCSP	13.84	12.03	10.97
ADN2841ACP-32	ADN2841ACP-32-ND	Treiber-Laserdiode 5 V	Driver Laser Diode 5V	32-LFCSP	17.47	16.98	16.50
ADN2847ACP-32	ADN2847ACP-32-ND	Treiber-Laserdiode 3,3 V	Driver Laser Diode 3.3V	32-LFCSP	11.47	10.61	9.86
ADN2847ACP-48	ADN2847ACP-48-ND	Treiber-Laserdiode 3,3 V	Driver Laser Diode 3.3V	48-LFCSP	11.47	10.61	9.86
ADN2848ACP-32	ADN2848ACP-32-ND	Treiber-Laserdiode 3,3 V	Driver Laser Diode 3.3V	32-LFCSP	7.07	6.18	5.64
ADN2870ACPZ	ADN2870ACPZ-ND	Treiber-Laserdiode 3,3 V	Driver Laser Diode 3.3V	24-LFCSP	5.91	5.31	4.87
ADN2890ACP-RL7	ADN2890ACP-RL7CT-ND	Begrenzverst., 3,3 V, 2,7 Gb/s	3.3V, 2.7Gb/s Limiting Amp	16-LFCSP	6.77	5.42	4.58
ADN2890ACP-RL7	ADN2890ACP-RL7TR-ND	Begrenzverst., 3,3 V, 2,7 Gb/s	3.3V, 2.7Gb/s Limiting Amp	16-LFCSP		5310.00/1,500	
ADN8830ACP-REEL7	ADN8830ACPREEL7CT-ND	Controller-Thermal-Kühler	Controller Thermal Cooler	32-LFCSP	7.88	7.10	6.29
ADN8830ACP-REEL7	ADN8830ACPREEL7TR-ND	Controller-Thermal-Kühler	Controller Thermal Cooler	32-LFCSP		8760.00/1,500	
ADN8830ACP-WP	ADN8830ACP-WP-ND	Controller-Thermal-Kühler	Controller Thermal Cooler	32-LFCSP	7.88	7.10	6.29
ADN8830-EVAL	ADN8830-EVAL-ND	Evaluierungskarte für Thermo-Cooler ADN8830	Evaluation Board Thermo Cooler ADN8830	—	88.43	—	—

Analog Devices Teilenr.	Digi-Key Teilenr.	Beschreibung		Paket	Stückpreis★ 1	25	100
ADM1027ARQ	ADM1027ARQ-ND	Thermal-Controller, Spann./Überwachung	Thermal Controller Volt/Monitor	24-QSOP	5.00	4.38	3.98
ADM1031ARQ	ADM1031ARQ-ND	Sensor, 2-Temperaturen/Lüftersteuerung	Sensor 2-Temp./Fan Control	16-QSOP	5.00	3.98	3.89
ADM1032AR	ADM1032AR-ND	Temp.-Überwachung, Vorgabe: 85 °C	Temp. Monitor Default Set at 85°C	8-SOIC	3.50	3.10	2.61
ADM1032AR-1	ADM1032AR-1-ND	Temp.-Überwachung, Vorgabe: 108 °C	Temp. Monitor Default Set at 108°C	8-SOIC	3.50	3.10	2.61
ADM1032ARM	ADM1032ARM-ND	Temp.-Überwachung, Vorgabe: 85 °C	Temp. Monitor Default Set at 85°C	8-MSOP	3.50	3.10	2.61
ADM1032ARM-1	ADM1032ARM-1-ND	Temp.-Überwachung, Vorgabe: 108 °C	Temp. Monitor Default Set at 108°C	8-MSOP	3.50	3.10	2.61
ADM1033ARQ	ADM1033ARQ-ND	Thermal-Überwachung/Lüftergeschwindigkeits-Controller	Thermal Monitor/Fan Speed Controller	16-QSOP	3.56	3.46	3.38
ADM1033ARQZ	ADM1033ARQZ-ND	Thermal-Überwachung/Lüftergeschwindigkeits-Controller	Thermal Monitor/Fan Speed Controller	16-QSOP	3.56	3.46	3.38
ADM1034ARQ	ADM1034ARQ-ND	Thermal-Überwachung/Lüftergeschwindigkeits-Controller	Thermal Monitor/Fan Speed Controller	16-QSOP	3.65	3.58	3.51
ADM1034ARQZ	ADM1034ARQZ-ND	Thermal-Überwachung/Lüftergeschwindigkeits-Controller	Thermal Monitor/Fan Speed Controller	16-QSOP	3.65	3.58	3.51
ADM1060ARU	ADM1060ARU-ND	Wächter/Sequenzer 7-Kan.	Supervisor/Sequencer 7-Ch.	28-TSSOP	6.00	5.31	5.08
ADM1085AKS-REEL7	ADM1085AKSREEL7CT-ND	Simple Sequencer™	Simple Sequencer™	SC70-6	.86	.72	.58
ADM1085AKS-REEL7	ADM1085AKSREEL7TR-ND	Simple Sequencer™	Simple Sequencer™	SC70-6		1110.00/3,000	
ADM1086AKS-REEL7	ADM1086AKSREEL7CT-ND	Simple Sequencer™	Simple Sequencer™	SC70-6	.86	.72	.58
ADM1086AKS-REEL7	ADM1086AKSREEL7TR-ND	Simple Sequencer™	Simple Sequencer™	SC70-6		900.00/3,000	
ADM1087AKS-REEL7	ADM1087AKSREEL7CT-ND	Simple Sequencer™	Simple Sequencer™	SC70-6	.86	.72	.58
ADM1087AKS-REEL7	ADM1087AKSREEL7TR-ND	Simple Sequencer™	Simple Sequencer™	SC70-6		900.00/3,000	
ADM1088AKS-REEL7	ADM1088AKSREEL7CT-ND	Simple Sequencer™	Simple Sequencer™	SC70-6	.86	.72	.58
ADM1088AKS-REEL7	ADM1088AKSREEL7TR-ND	Simple Sequencer™	Simple Sequencer™	SC70-6		900.00/3,000	
ADT70GR	ADT70GR-ND	PRTD Konditionierschaltkreis/Temp. Controller	PRTD Conditioning Circuit/Temp. Controller	20-SOIC	6.31	5.04	4.20
ADT7316ARQ	ADT7316ARQ-ND	Vierf. Digitaltemperatursensor-DAU	Digital Temp. Sensor Quad DAC	16-QSOP	8.61	7.40	5.92
ADT7317ARQ	ADT7317ARQ-ND	Vierf. Digitaltemperatursensor-DAU	Digital Temp. Sensor Quad DAC	16-QSOP	4.68	4.02	3.21
ADT7318ARQ	ADT7318ARQ-ND	Vierf. Digitaltemperatursensor-DAU	Digital Temp. Sensor Quad DAC	16-QSOP	2.98	2.55	2.40
ADT7411ARQ	ADT7411ARQ-ND	Digitaltemperatursensor-ADU, 8-Kan.	Digital Temp. Sensor 8-Ch. ADC	16-QSOP	2.95	2.54	2.02
ADT7460ARQ	ADT7460ARQ-ND	Fernbedienung für Thermal/Lüfter-Controller	Remote Thermal/Fan Controller	16-QSOP	3.50	2.88	2.61
ADT7461AR	ADT7461AR-ND	Zweif. Temp.-Überwachung +/-1C	Temp. Monitor +/-1C Dual	8-SOIC	2.50	2.43	2.21
ADT7461ARM	ADT7461ARM-ND	Zweif. Temp.-Überwachung +/-1C	Temp. Monitor +/-1C Dual	8-MSOP	2.61	2.43	2.21
ADT7463ARQ	ADT7463ARQ-ND	Fernbedienung für Thermo-Controller	Remote Thermal Controller	24-QSOP	3.71	3.50	3.10
ADT7467ARQ	ADT7467ARQ-ND	dBCool™ Fernbedienung für Temp.-Überw. und Lüfter-Controller	dBCool™ Remote Thermal Monitor and Fan Controller	16-QSOP	3.50	2.88	2.61
ADT7516ARQ	ADT7516ARQ-ND	Vierf. Temperatursensor-DAU	Temperature Sensor Quad DAC	16-QSOP	9.00	8.86	7.08
ADT7517ARQ	ADT7517ARQ-ND	Vierf. Temperatursensor-DAU	Temperature Sensor Quad DAC	16-QSOP	6.45	5.55	4.44
ADT7518ARQ	ADT7518ARQ-ND	Vierf. Temperatursensor-DAU	Temperature Sensor Quad DAC	16-QSOP	4.75	4.07	3.26

* Bleifrei/RoHS-konform

★ ***RUFEN SIE BITTE AN FÜR NIEDRIGERE PREISE BEI GRÖSSEREN MENGEN!*** ★

Analog Devices Teilenr.	Digi-Key Teilenr.	Beschreibung		Paket	Stückpreis★ 1	25	100
			Analog				
MAT01AH	MAT01AH-ND	Zweif. TX, abgestimmt, Mono	TX Matched Mono Dual	TO-78	12.92	10.81	8.24
MAT01GH	MAT01GH-ND	Zweif. TX, abgestimmt, Mono	TX Matched Mono Dual	TO-78	7.84	6.55	5.02
MAT02EH	MAT02EH-ND	Zweif. TX, abgestimmt, Mono, rauscharm	TX Matched Mono Dual Low Noise	TO-78	16.15	13.51	10.31
MAT02FH	MAT02FH-ND	Zweif. TX, abgestimmt, Mono, rauscharm	TX Matched Mono Dual Low Noise	TO-78	8.31	6.94	5.31
MAT04FP	MAT04FP-ND	Vierf. TX, abgestimmt, Mono	TX Matched Mono Quad	14-Dip	5.00	4.56	3.49
MAT04FS	MAT04FS-ND	Vierf. TX, abgestimmt, Mono	TX Matched Mono Quad	14-SOIC	5.45	4.56	3.49
			Audio/Video				
PKD01FP	PKD01FP-ND	Mono, Spitzendetektor-Rückstellung und Halte-Modus	Mono Peak Detector Reset and Hold Mode	14-Dip	9.00	8.74	6.67
			Digitale Isolatoren				
AD260BND-1	AD260BND-1-ND	Logikisolator 3,5 kV, 1:4 E/A	Logic Isolator 3.5kV, 1:4 I/O	22-Dip	57.07	55.00	50.00
AD260BND-2	AD260BND-2-ND	Logikisolator 3,5 kV, 2:3 E/A	Logic Isolator 3.5kV, 2:3 I/O	22-Dip	57.07	55.00	50.00
			Multiplexer				
7705201EX	7705201EX-ND	Mux, analog, 8-Kan.	Mux Analog 8-Ch.	16-CDip	19.12	15.45	11.55
AD7501JN	AD7501JN-ND	Mux, analog, 8-Kan.	Mux Analog 8-Ch.	16-Dip	9.49	7.59	6.08
AD7501KN	AD7501KN-ND	Mux, analog, 8-Kan.	Mux Analog 8-Ch.	16-Dip	9.83	7.88	6.37
AD7502JN	AD7502JN-ND	Zweif. Mux analog, 4-Kan.	Mux Analog Dual 4-Ch.	16-Dip	9.49	7.59	6.08
AD7503JN	AD7503JN-ND	Mux, analog, 8-Kan.	Mux Analog 8-Ch.	16-Dip	9.49	7.59	6.08
AD7503JNZ	AD7503JNZ-ND	Mux, analog, 8-Kan.*	Mux Analog 8-Ch.*	16-Dip	9.49	7.59	6.08
AD7503KN	AD7503KN-ND	Mux, analog, 8-Kan.	Mux Analog 8-Ch.	16-Dip	13.64	8.69	8.00
AD7503KNZ	AD7503KNZ-ND	Mux, analog, 8-Kan.*	Mux Analog 8-Ch.*	16-Dip	13.64	8.69	8.00
AD7506JN	AD7506JN-ND	Mux, analog, 16-Kan.	Mux Analog 16-Ch.	28-Dip	13.62	12.64	11.19
AD7506KN	AD7506KN-ND	Mux, analog, 16-Kan.	Mux Analog 16-Ch.	28-Dip	25.01	15.92	13.00
AD7506KNZ	AD7506KNZ-ND	Mux, analog, 16-Kan.*	Mux Analog 16-Ch.*	28-Dip	25.01	15.92	13.00
AD8170AR	AD8170AR-ND	Mux mit Verst., gepuffert	Mux with Amp Buffered	8-SOIC	3.19	2.70	2.50
AD8174AN	AD8174AN-ND	Mux mit Verst., gepuffert	Mux with Amp Buffered	14-Dip	4.93	4.24	3.53
AD8174AR	AD8174AR-ND	Mux mit Verst., gepuffert	Mux with Amp Buffered	14-SOIC	4.93	4.24	3.53
AD8180AR	AD8180AR-ND	Mux-Schaltung, 2:1	Mux Switching 2:1	8-SOIC	2.75	2.36	1.97
AD8182AR	AD8182AR-ND	Zweif. Mux-Schaltung, 2:1	Mux Switching Dual 2:1	14-SOIC	3.92	3.36	2.79
AD8182ARZ	AD8182ARZ-ND	Zweif. Mux-Schaltung, 2:1	Mux Switching Dual 2:1	14-SOIC	3.92	3.36	2.79
AD8183ARU	AD8183ARU-ND	Dreif. Mux-Schaltung	Mux Switching Triple	24-TSSOP	3.92	3.36	2.79
AD8184AR	AD8184AR-ND	Video-Mux, 4:1, 700 MHz	Video Mux 4:1, 700MHz	14-SOIC	3.20	2.75	2.29
AD8184AR-REEL7	AD8184AR-REEL7CT-ND	Video-Mux, 4:1, 700 MHz	Video Mux 4:1, 700MHz	14-SOIC	4.25	3.40	2.65
AD8184AR-REEL7	AD8184AR-REEL7TR-ND	Video-Mux, 4:1, 700 MHz	Video Mux 4:1, 700MHz	14-SOIC		1940.00/1,000	
AD8185ARU	AD8185ARU-ND	Dreif. Mux-Schaltung	Triple Switching Mux	24-TSSOP	3.92	3.36	2.79
AD8186ARU	AD8186ARU-ND	Dreif. Mux, 2:1, 480 MHz	Triple Mux 2:1, 480MHz	24-TSSOP	3.50	3.24	2.69
AD8187ARU	AD8187ARU-ND	Dreif. Mux, 2:1, 480 MHz	Triple Mux 2:1, 480MHz	24-TSSOP	3.78	3.24	2.69
ADG406BN	ADG406BN-ND	Mux, 16-Kan., hohe Leistung	Mux 16-Ch. High Performance	28-Dip	7.00	6.72	5.60
ADG406BP	ADG406BP-ND	Mux, 16-Kan., hohe Leistung	Mux 16-Ch. High Performance	28-PLCC	8.00	7.17	5.97
ADG406BP-REEL	ADG406BP-REELCT-ND	Mux, 16-Kan., hohe Leistung	Mux 16-Ch. High Performance	28-PLCC	7.62	6.86	6.09
ADG406BP-REEL	ADG406BP-REELTR-ND	Mux, 16-Kan., hohe Leistung	Mux 16-Ch. High Performance	28-PLCC		4500.00/750	
ADG407BN	ADG407BN-ND	Mux, analog, 8-Kan., hohe Leistung	Mux Analog 8-Ch. High Performance	28-Dip	7.84	6.72	5.60
ADG407BP	ADG407BP-ND	Mux, analog, 8-Kan., hohe Leistung	Mux Analog 8-Ch. High Performance	28-PLCC	8.36	7.17	5.97
ADG408BN	ADG408BN-ND	Mux, analog, 8-Kan., hohe Leistung	Mux Analog 8-Ch. High Performance	16-Dip	3.50	3.11	2.58
ADG408BR	ADG408BR-ND	Mux, analog, 8-Kan., hohe Leistung	Mux Analog 8-Ch. High Performance	16-SOIC	3.62	3.11	3.00
ADG408BRU	ADG408BRU-ND	Mux 8-Kan., hohe Leistung	Mux 8-Ch. High Performance	16-TSSOP	3.62	3.11	2.58
ADG409BN	ADG409BN-ND	Zweif. Mux, 4-Kan., hohe Leistung	Mux Dual 4-Ch. High Performance	16-Dip	3.62	3.11	2.58
ADG409BR	ADG409BR-ND	Zweif. Mux, 4-Kan., hohe Leistung	Mux Dual 4-Ch. High Performance	16-SOIC	3.50	3.11	2.58
ADG426BRS	ADG426BRS-ND	Mux, analog, 16-Kan., hohe Leistung	Mux Analog 16-Ch. High Perf.	28-SSOP	7.00	6.69	5.58
ADG428BP	ADG428BP-ND	Mux, analog, 8-Kan., Latch, hohe Leistung	Mux Analog 8-Ch. Latch High Perf.	20-PLCC	4.76	4.08	3.40
ADG438FBN	ADG438FBN-ND	Mux, analog, 8-Kan., hohe Leistung	Mux Analog 8-Ch. High Performance	16-Dip	5.31	4.55	3.79
ADG438FBR	ADG438FBR-ND	Mux, analog, 8-Kan., hohe Leistung	Mux Analog 8-Ch. High Perf.	16-SOIC	5.31	4.55	3.79
ADG439FBR	ADG439FBR-ND	Mux, analog, 4-Kan., hohe Leistung	Mux Analog 4-Ch. High Perf.	16-SOIC	5.00	4.55	3.79
ADG467BR	ADG467BR-ND	Achtf. Kanalprotektor	Channel Protector Octal	18-SOIC	3.89	3.28	2.43
ADG467BRS	ADG467BRS-ND	Achtf. Kanalprotektor	Channel Protector Octal	20-SSOP	3.50	3.28	2.43
ADG506AKN	ADG506AKN-ND	Einf. Mux, analog, 16-Kan.	Mux Analog Single 16-Ch.	28-Dip	7.00	6.74	5.63
ADG506AKP	ADG506AKP-ND	Einf. Mux, analog, 16-Kan.	Mux Analog Single 16-Ch.	28-PLCC	9.12	7.82	6.51
ADG506AKR	ADG506AKR-ND	Einf. Mux, analog, 16-Kan.	Mux Analog Single 16-Ch.	28-SOIC	7.00	6.74	5.63
ADG507AKN	ADG507AKN-ND	Zweif. Mux, analog, 8-Kan.	Mux Analog Dual 8-Ch.	28-Dip	7.00	6.74	5.61
ADG507AKP	ADG507AKP-ND	Zweif. Mux, analog, 8-Kan.	Mux Analog Dual 8-Ch.	28-PLCC	9.12	7.82	6.51
ADG507AKR	ADG507AKR-ND	Zweif. Mux, analog, 8-Kan.	Mux Analog Dual 8-Ch.	28-SOIC	7.87	6.74	5.63
ADG507ATQ	ADG507ATQ-ND	Zweif. Mux, analog, 8-Kan.	Mux Analog Dual 8-Ch.	28-CDip	32.74	20.83	18.00
ADG508AKN	ADG508AKN-ND	Einf. Mux, analog, 8-Kan.	Mux Analog Single 8-Ch.	16-Dip	—	3.62	—
ADG508AKP	ADG508AKP-ND	Einf. Mux, analog, 8-Kan.	Mux Analog Single 8-Ch.	20-PLCC	4.56	3.91	3.26
ADG508AKR	ADG508AKR-ND	Einf. Mux, analog, 8-Kan.	Mux Analog Single 8-Ch.	16-SOIC	4.21	3.62	3.01
ADG508AKR-REEL7	ADG508AKR-REEL7CT-ND	Einf. Mux, analog, 8-Kan.	Mux Analog Single 8-Ch.	16-SOIC	4.32	3.46	2.92
ADG508AKR-REEL7	ADG508AKR-REEL7TR-ND	Einf. Mux, analog, 8-Kan.	Mux Analog Single 8-Ch.	16-SOIC		2550.00/1,000	
ADG508AKRZ	ADG508AKRZ-ND	Einf. Mux, analog, 8-Kan.	Mux Analog Single 8-Ch.	16-SOIC	4.21	3.62	3.01
ADG508ATQ	ADG508ATQ-ND	Einf. Mux, analog, 8-Kan.	Mux Analog Single 8-Ch.	16-CDip	13.69	11.21	8.30
ADG508FBN	ADG508FBN-ND	Mux einf. 8-Kan., Ausfallschutz	Mux Single 8-Ch. Fault-Protected	16-Dip	4.76	4.08	3.40
ADG508FBRN	ADG508FBRN-ND	Mux einf. 8-Kan., Ausfallschutz	Mux Single 8-Ch. Fault-Protected	16-SOIC	4.76	4.08	3.40
ADG509AKN	ADG509AKN-ND	Zweif. Mux analog, 4-Kan.	Mux Analog Dual 4-Ch.	16-Dip	3.50	3.05	2.55
ADG509AKP	ADG509AKP-ND	Zweif. Mux analog, 4-Kan.	Mux Analog Dual 4-Ch.	20-PLCC	3.87	3.31	3.00
ADG509AKR	ADG509AKR-ND	Zweif. Mux analog, 4-Kan.	Mux Analog Dual 4-Ch.	16-SOIC	3.57	3.05	2.80
ADG509FBN	ADG509FBN-ND	Zweif. Mux analog, 4-Kan.	Mux Analog Dual 4-Ch.	16-Dip	4.76	4.08	3.40
ADG509FBRN	ADG509FBRN-ND	Zweif. Mux, analog, 4-Kan., Ausfallschutz	Mux Analog Dual 4-Ch. Fault-Protected	16-SOIC	4.76	4.08	3.40
ADG526AKN	ADG526AKN-ND	Einf. Mux, analog, 16-Kan.	Mux Analog Single 16-Ch.	28-Dip	7.83	6.70	5.59
ADG526AKP	ADG526AKP-ND	Einf. Mux, analog, 16-Kan.	Mux Analog Single 16-Ch.	28-PLCC	8.22	7.05	5.87
ADG526AKR	ADG526AKR-ND	Einf. Mux, analog, 16-Kan.	Mux Analog Single 16-Ch.	28-SOIC	7.83	6.70	5.59
ADG527AKN	ADG527AKN-ND	Zweif. Mux, analog, 8-Kan.	Mux Analog Dual 8-Ch.	28-Dip	7.53	6.45	5.38
ADG527AKR	ADG527AKR-ND	Zweif. Mux, analog, 8-Kan.	Mux Analog Dual 8-Ch.	28-SOIC	7.53	6.45	5.38
ADG528AKN	ADG528AKN-ND	Mux, analog, 8-Kan.	Mux Analog 8-Ch.	28-Dip	4.75	4.07	3.39
ADG528AKP	ADG528AKP-ND	Mux, analog, 8-Kan.	Mux Analog 8-Ch.	20-PLCC	4.95	4.25	3.54
ADG528FBP	ADG528FBP-ND	Mux, analog, 8-Kan., Ausfallschutz	Mux Analog 8-Ch. Fault-Protected	20-PLCC	5.61	4.82	4.02
ADG529AKN	ADG529AKN-ND	Zweif. Mux analog, 4-Kan.	Mux Analog Dual 4-Ch.	18-Dip	4.75	4.07	3.39
ADG604YRU	ADG604YRU-ND	Mux 4-Kan., 2,7/5,5 V	Mux 4-Ch., 2.7/5.5V	14-TSSOP	2.50	1.85	1.61
ADG608BN	ADG608BN-ND	Mux 8-Kan., 5/3 V, hohe Leistung	Mux 8-Ch., 5/3V High Perf.	16-Dip	2.85	2.44	2.03
ADG608BR	ADG608BR-ND	Mux 8-Kan., 5/3 V, hohe Leistung	Mux 8-Ch., 5/3V High Perf.	16-SOIC	2.50	2.44	2.03
ADG608BRU	ADG608BRU-ND	Mux 8-Kan., 5/3 V, hohe Leistung	Mux 8-Ch., 5/3V High Perf.	16-TSSOP	2.85	2.44	2.03
ADG609BN	ADG609BN-ND	Mux, Diff., 4-Kan., 5/3 V Präzision	Mux Diff. 4-Ch., 5/3V Precision	16-Dip	2.85	2.44	2.03
ADG609BR	ADG609BR-ND	Mux, Diff., 4-Kan., 5/3 V Präzision	Mux Diff. 4-Ch., 5/3V Precision	16-SOIC	2.50	2.44	2.03
ADG609BRU	ADG609BRU-ND	Mux, Diff., 4-Kan., 5/3 V Präzision	Mux Diff. 4-Ch., 5/3V Precision	16-TSSOP	2.50	2.44	2.03
ADG658YRU	ADG658YRU-ND	Einf. Mux, 8-Kan., 3/5 V	Mux Single 8-Ch., 3/5V	16-TSSOP	2.00	1.02	.88
ADG659YRU	ADG659YRU-ND	Zweif. Mux, 8-Kan., 3/5 V	Mux Dual 8-Ch., 3/5V	16-TSSOP	1.60	1.02	.92
ADG704BRM	ADG704BRM-ND	Mux, 4-Kan., 1,8/5,5 V	Mux 4-Ch., 1.8/5.5V	10-MSOP	2.06	1.66	1.29
ADG704BRM-REEL7	ADG704BRM-REEL7CT-ND	Mux, 4-Kan., 1,8/5,5 V	Mux 4-Ch., 1.8/5.5V	10-MSOP	2.06	1.65	1.29
ADG704BRM-REEL7	ADG704BRM-REEL7TR-ND	Mux, 4-Kan., 1,8/5,5 V	Mux 4-Ch., 1.8/5.5V	10-MSOP		840.00/1,000	
ADG706BRU	ADG706BRU-ND	Mux, 16-Kan., 1,8/5,5 V	Mux 16-Ch., 1.8/5.5V	28-TSSOP	3.50	3.17	2.75
ADG706BRU-REEL7	ADG706BRU-REEL7CT-ND	Mux, 16-Kan., 1,8/5,5 V	Mux 16-Ch., 1.8/5.5V	28-TSSOP	5.27	4.22	3.56
ADG706BRU-REEL7	ADG706BRU-REEL7TR-ND	Mux, 16-Kan., 1,8/5,5 V	Mux 16-Ch., 1.8/5.5V	28-TSSOP		2260.00/1,000	
ADG708BRU	ADG708BRU-ND	Einf. Mux, 8-Kan., 1,8/5,5 V	Mux Single 8-Ch., 1.8/5.5V	16-TSSOP	2.42	1.55	1.35
ADG709BRU	ADG709BRU-ND	Zweif. Mux, 4-Kan., 1,8/5,5 V	Mux Dual 4-Ch., 1.8/5.5V	16-TSSOP	2.50	1.55	1.35
ADG709BRU-REEL7	ADG709BRU-REEL7CT-ND	Zweif. Mux, 4-Kan., 1,8/5,5 V	Mux Dual 4-Ch., 1.8/5.5V	16-TSSOP	2.90	2.32	1.81

* Bleifrei/RoHS-konform

(Forts.)

★ ***RUFEN SIE BITTE AN FÜR NIEDRIGERE PREISE BEI GRÖSSEREN MENGEN!*** ★

Analog Devices Teilenr.	Digi-Key Teilenr.	Beschreibung		Paket	Stückpreis★ 1	25	100
ADG709BRU-REEL7	ADG709BRU-REEL7TR-ND	Zweif. Mux, 4-Kan., 1,8/5,5 V	Mux Dual 4-Ch., 1.8/5.5V	16-TSSOP		1110.00/1,000	
ADG725BSU	ADG725BSU-ND	Mux, SPI, 16-Kan., 1,8/5,5 V	Mux SPI 16-Ch., 1.8/5.5V	48-TQFP	8.92	5.69	4.95
ADG726BSU	ADG726BSU-ND	Mux, Diff., 16-Kan., 1,8/5,5 V	Mux Differential 16-Ch., 1.8/5.5V	48-TQFP	7.75	6.99	6.20
ADG731BSU	ADG731BSU-ND	Mux, SPI, 32-Kan., 1,8/5,5 V	Mux SPI 32-Ch., 1.8/5.5V	48-TQFP	8.92	5.69	4.95
ADG732BSU	ADG732BSU-ND	Einf. Mux, 32-Kan., 1,8/5,5 V	Mux Single 32-Ch., 1.8/5.5V	48-TQFP	8.75	5.60	4.87
ADG738BRU	ADG738BRU-ND	Mux, SPI, 8-Kan., 2,7/5,5 V	Mux SPI 8-Ch., 2.7/5.5V	16-TSSOP	3.11	1.98	1.73
ADG759BCP	ADG759BCP-ND	Zweif. Mux, 4-Kan., 1,8/5,5 V	Mux Dual 4-Ch., 1.8/5.5V	20-LFCSP	2.42	1.55	1.35
ADG774BR	ADG774BR-ND	Vierf. Mux, 200 MHz, Niederspann.	Mux Quad 200MHz Low Volt.	16-SOIC	2.64	2.22	1.64
MUX08EP	MUX08EP-ND	Mux, analog, JFET 8-Kan.	Mux Analog JFET 8-Ch.	16-Dip	8.75	7.00	5.83
MUX24FP	MUX24FP-ND	Zweif. Mux, analog, JFET, 4-Kan.	Mux Analog Dual JFET 4-Ch.	16-Dip	7.52	6.02	5.02
SMP08FP	SMP08FP-ND	Achtf. Mux, Sample-Hold	Mux Octal Sample-Hold	16-Dip	10.49	8.77	6.69
		Multiplikator/Teiler					
AD532JD	AD532JD-ND	Getrimmter Multiplikator/Teiler	Trimmed Multiplier/Divider	14-Dip	30.35	26.30	23.00
AD532JH	AD532JH-ND	Getrimmter Multiplikator/Teiler	Trimmed Multiplier/Divider	TO-100	23.45	20.32	15.64
AD532KD	AD532KD-ND	Getrimmter Multiplikator/Teiler	Trimmed Multiplier/Divider	14-Dip	55.18	47.83	44.00
AD532SD	AD532SD-ND	Getrimmter Multiplikator/Teiler	Trimmed Multiplier/Divider	14-Dip	82.77	71.74	60.00
AD532SH	AD532SH-ND	Getrimmter Multiplikator/Teiler	Trimmed Multiplier/Divider	TO-100	66.91	57.98	50.00
AD534JD	AD534JD-ND	Getrimmter Multiplikator/Teiler	Trimmed Multiplier/Divider	14-Dip	34.02	27.59	23.00
AD534JH	AD534JH-ND	Getrimmter Multiplikator/Teiler	Trimmed Multiplier/Divider	TO-100	27.55	22.21	15.59
AD534KD	AD534KD-ND	Getrimmter Multiplikator/Teiler	Trimmed Multiplier/Divider	14-CDip	45.07	38.63	35.00
AD534KH	AD534KH-ND	Getrimmter Multiplikator/Teiler	Trimmed Multiplier/Divider	TO-100	72.42	46.02	44.00
AD534LD	AD534LD-ND	Getrimmter Multiplikator/Teiler	Trimmed Multiplier/Divider	14-CDip	91.05	78.91	75.00
AD534LH	AD534LH-ND	Getrimmter Multiplikator/Teiler	Trimmed Multiplier/Divider	TO-100	75.04	65.04	60.00
AD534SH	AD534SH-ND	Getrimmter Multiplikator/Teiler	Trimmed Multiplier/Divider	TO-100	96.15	83.33	75.00
AD534TD	AD534TD-ND	Getrimmter Multiplikator/Teiler	Trimmed Multiplier/Divider	14-Dip	146.23	140.00	130.00
AD538AD	AD538AD-ND	Multiplikator/Teiler, Echtzeit-ACU	Multiplier/Divider Real-Time ACU	18-CDip	42.50	35.55	34.00
AD538BD	AD538BD-ND	Multiplikator/Teiler, Echtzeit-ACU	Multiplier/Divider Real-Time ACU	18-CDip	53.95	45.14	42.00
AD538SD	AD538SD-ND	Multiplikator/Teiler, Echtzeit-ACU	Multiplier/Divider Real-Time ACU	18-CDip	132.42	100.00	80.00
AD632AD	AD632AD-ND	Prätrimmbarer Präzisions-Multiplikator	Precision Multiplier Pretrimmable	TO-116	34.49	29.89	28.00
AD734AN	AD734AN-ND	Multiplikator/Teiler, 4-Quadrant	Multiplier/Divider 4-Quadrant	14-Dip	19.31	16.16	12.32
AD734ANZ	AD734ANZ-ND	Multiplikator/Teiler, 4-Quadrant*	Multiplier/Divider 4-Quadrant*	14-Dip	19.31	16.16	12.32
AD734AQ	AD734AQ-ND	Multiplikator/Teiler, 4-Quadrant	Multiplier/Divider 4-Quadrant	14-Dip	22.22	18.59	14.17
AD734BN	AD734BN-ND	Multiplikator/Teiler, 4-Quadrant	Multiplier/Divider 4-Quadrant	14-Dip	32.68	27.33	22.00
AD734BNZ	AD734BNZ-ND	Multiplikator/Teiler, 4-Quadrant*	Multiplier/Divider 4-Quadrant*	14-Dip	32.68	27.33	22.00
AD834AQ	AD834AQ-ND	Multiplikator, 4-Quadrant	Multiplier 4-Quadrant	8-CDip	45.69	38.22	35.00
AD834AR	AD834AR-ND	Multiplikator, 4-Quadrant	Multiplier 4-Quadrant	8-SOIC	26.01	21.77	16.59
AD834ARZ	AD834ARZ-ND	Multiplikator, 4-Quadrant*	Multiplier 4-Quadrant*	8-SOIC	26.01	21.77	16.59
AD834JN	AD834JN-ND	Multiplikator, 4-Quadrant	Multiplier 4-Quadrant	8-Dip	25.38	21.23	16.18
AD834JR	AD834JR-ND	Multiplikator, 4-Quadrant	Multiplier 4-Quadrant	8-SOIC	24.40	20.42	15.56
AD835AN	AD835AN-ND	Multiplikator, 4-Quadrant	Multiplier 4-Quadrant	8-Dip	13.65	11.42	8.71
AD835AR	AD835AR-ND	Multiplikator, 4-Quadrant	Multiplier 4-Quadrant	8-SOIC	13.65	11.42	8.71
AD835AR-REEL7	AD835AR-REEL7CT-ND	Multiplikator, 4-Quadrant	Multiplier 4-Quadrant	8-SOIC	11.95	10.76	9.54
AD835AR-REEL7	AD835AR-REEL7TR-ND	Multiplikator, 4-Quadrant	Multiplier 4-Quadrant	8-SOIC		6532.50/750	
MLT04GP	MLT04GP-ND	Multiplikator, 4-Quadrant	Multiplier 4-Quadrant	18-Dip	16.00	15.26	11.63
MLT04GS	MLT04GS-ND	Multiplikator, 4-Quadrant	Multiplier 4-Quadrant	18-SOIC	18.23	15.26	11.63
		Transmitter/Empfänger					
AD7306AR	AD7306AR-ND	TX/RX RS232/RS-422, 5 V	TX/RX RS-232/RS-422, 5V	24-SOIC	11.09	10.49	7.07
AD7306JN	AD7306JN-ND	TX/RX RS232/RS-422, 5 V	TX/RX RS-232/RS-422, 5V	24-Dip	7.52	7.12	6.98
ADM101EARM	ADM101EARM-ND	Einf. TX/RX RS232, 5 V	TX/RX RS-232 Single 5V	10-MSOP	2.01	1.61	1.22
ADM202EAN	ADM202EAN-ND	TX/RX RS232, 5 V, 15 kV	TX/RX RS-232, 5V, 15kV	16-Dip	2.00	1.47	1.38
ADM202EARN	ADM202EARN-ND	TX/RX RS232, 5 V, 15 kV	TX/RX RS-232, 5V, 15kV	16-SOIC	2.00	1.47	1.38
ADM202EARN-REEL7	ADM202EARNREEL7TR-ND	TX/RX RS232, 5 V, 15 kV	TX/RX RS-232, 5V, 15kV	16-SOIC		1290.00/1,000	
ADM202EARN-REEL	ADM202EARN-REELTR-ND	TX/RX RS232, 5 V, 15 kV	TX/RX RS-232, 5V, 15kV	16-SOIC		3225.00/2,500	
ADM202EARU	ADM202EARU-ND	TX/RX RS232, 5 V, 15 kV	TX/RX RS-232, 5V, 15kV	16-TSSOP	2.00	1.47	1.38
ADM202EARU-REEL7	ADM202EARUREEL7TR-ND	TX/RX RS232, 5 V, 15 kV	TX/RX RS-232, 5V, 15kV	16-TSSOP		1290.00/1,000	
ADM202EARW	ADM202EARW-ND	TX/RX RS232, 5 V, 15 kV	TX/RX RS-232, 5V, 15kV	16-SOIC	2.00	1.47	1.38
ADM202EARW-REEL	ADM202EARW-REELTR-ND	TX/RX RS232, 5 V, 15 kV	TX/RX RS-232, 5V, 15kV	16-SOIC		1290.00/1,000	
ADM202JN	ADM202JN-ND	TX/RX RS232, 5 V, 15 kV	TX/RX RS-232, 5V, 15kV	16-Dip	2.00	1.69	1.41
ADM202JRN	ADM202JRN-ND	TX/RX RS232, 5 V, 15 kV	TX/RX RS-232, 5V, 15kV	16-SOIC	2.00	1.69	1.41
ADM202JRN-REEL7	ADM202JRN-REEL7TR-ND	TX/RX RS232, 5 V, 15 kV	TX/RX RS-232, 5V, 15kV	16-SOIC		1110.00/1,000	
ADM202JRW	ADM202JRW-ND	TX/RX RS232, 5 V, 15 kV	TX/RX RS-232, 5V, 15kV	16-SOIC	2.00	1.69	1.41
ADM202JRW-REEL	ADM202JRW-REELCT-ND	TX/RX RS232, 5 V, 15 kV	TX/RX RS-232, 5V, 15kV	16-SOIC	.87	.70	.53
ADM202JRW-REEL	ADM202JRW-REELTR-ND	TX/RX RS232, 5 V, 15 kV	TX/RX RS-232, 5V, 15kV	16-SOIC		1110.00/1,000	
ADM206EAR	ADM206EAR-ND	TX/RX RS232, 5 V, Abschalten/Aktivieren	TX/RX RS-232, 5V Shutdown/Enable	24-SOIC	2.50	2.12	2.03
ADM207EAR	ADM207EAR-ND	TX/RX RS232, 5 V, 15 kV	TX/RX RS-232, 5V, 15kV	24-SOIC	2.39	2.21	2.12
ADM208AR	ADM208AR-ND	TX/RX RS232, 5 V, 0,1 uF	TX/RX RS-232, 5V, 0.1uF	24-SOIC	2.67	2.42	2.31
ADM208EAN	ADM208EAN-ND	TX/RX RS232, 5 V, 0,1 uF	TX/RX RS-232, 5V, 0.1uF	24-Dip	2.39	2.21	2.12
ADM208EAR	ADM208EAR-ND	TX/RX RS232, 5 V, 0,1 uF	TX/RX RS-232, 5V, 0.1uF	24-SOIC	2.39	2.21	2.15
ADM208EAR-REEL	ADM208EAR-REELCT-ND	TX/RX RS232, 5 V, 0,1 uF	TX/RX RS-232, 5V, 0.1uF	24-SOIC	2.79	2.23	1.74
ADM208EAR-REEL	ADM208EAR-REELTR-ND	TX/RX RS232, 5 V, 0,1 uF	TX/RX RS-232, 5V, 0.1uF	24-SOIC		2020.00/1,000	
ADM208EARS	ADM208EARS-ND	TX/RX RS232, 5 V, 0,1 uF	TX/RX RS-232, 5V, 0.1uF	24-SSOP	2.39	2.21	2.12
ADM211ARS	ADM211ARS-ND	TX/RX RS232, 5 V, 0,1 uF	TX/RX RS-232, 5V, 0.1uF	28-SSOP	2.45	2.24	2.12
ADM211ARS-REEL	ADM211ARS-REELCT-ND	TX/RX RS232, 5 V, 0,1 uF	TX/RX RS-232, 5V, 0.1uF	28-SSOP	2.79	2.23	1.74
ADM211ARS-REEL	ADM211ARS-REELTR-ND	TX/RX RS232, 5 V, 0,1 uF	TX/RX RS-232, 5V, 0.1uF	28-SSOP		2895.00/1,500	
ADM211EAR	ADM211EAR-ND	TX/RX RS232, 5 V, 0,1 uF	TX/RX RS-232, 5V, 0.1uF	28-SOIC	2.39	2.21	2.15
ADM211EAR-REEL	ADM211EAR-REELCT-ND	TX/RX RS232, 5 V, 0,1 uF	TX/RX RS-232, 5V, 0.1uF	28-SOIC	2.79	2.23	1.74
ADM211EAR-REEL	ADM211EAR-REELTR-ND	TX/RX RS232, 5 V, 0,1 uF	TX/RX RS-232, 5V, 0.1uF	28-SOIC		2020.00/1,000	
ADM211EARS	ADM211EARS-ND	TX/RX RS232, 5 V, 0,1 uF	TX/RX RS-232, 5V, 0.1uF	28-SSOP	2.39	2.21	2.12
ADM211EARS-REEL	ADM211EARS-REELCT-ND	TX/RX RS232, 5 V, 0,1 uF	TX/RX RS-232, 5V, 0.1uF	28-SSOP	2.79	2.23	1.74
ADM211EARS-REEL	ADM211EARS-REELTR-ND	TX/RX RS232, 5 V, 0,1 uF	TX/RX RS-232, 5V, 0.1uF	28-SSOP		3030.00/1,500	
ADM213EAR	ADM213EAR-ND	TX/RX RS232, 5 V, 0,1 uF	TX/RX RS-232, 5V, 0.1uF	28-SOIC	2.39	2.21	2.12
ADM213EARS	ADM213EARS-ND	TX/RX RS232, 5 V, 0,1 uF	TX/RX RS-232, 5V, 0.1uF	28-SSOP	2.39	2.21	2.12
ADM213EARS-REEL	ADM213EARS-REELCT-ND	TX/RX RS232, 5 V, 0,1 uF	TX/RX RS-232, 5V, 0.1uF	28-SSOP	2.79	2.23	1.74
ADM213EARS-REEL	ADM213EARS-REELTR-ND	TX/RX RS232, 5 V, 0,1 uF	TX/RX RS-232, 5V, 0.1uF	28-SSOP		3030.00/1,500	
ADM213EARU	ADM213EARU-ND	TX/RX RS232, 5 V, 0,1 uF	TX/RX RS-232, 5V, 0.1uF	28-TSSOP	4.00	3.68	2.76
ADM222AN	ADM222AN-ND	TX/RX RS232, 5 V, Abschaltfunktion	TX/RX RS-232, 5V with Shutdown	18-Dip	2.50	2.12	1.77
ADM222AR	ADM222AR-ND	TX/RX RS232, 5 V, Abschaltfunktion	TX/RX RS-232, 5V with Shutdown	18-SOIC	2.65	2.12	1.77
ADM231LJN	ADM231LJN-ND	Zweif. TX/RX RS232, 5 V	TX/RX RS-232, Dual 5V	14-Dip	2.03	2.00	1.80
ADM232AAN	ADM232AAN-ND	Zweif. TX/RX RS232, 5 V	TX/RX RS-232, Dual 5V	16-Dip	2.50	2.12	1.77
ADM232AARN	ADM232AARN-ND	Zweif. TX/RX RS232, 5 V	TX/RX RS-232, Dual 5V	16-SOIC	2.50	2.12	1.77
ADM232AARN-REEL	ADM232AARN-REELCT-ND	Zweif. TX/RX RS232, 5 V	TX/RX RS-232, Dual 5V	16-SOIC	1.90	1.53	1.19
ADM232AARN-REEL	ADM232AARN-REELTR-ND	Zweif. TX/RX RS232, 5 V	TX/RX RS-232, Dual 5V	16-SOIC		3450.00/2,500	
ADM232AARW	ADM232AARW-ND	Zweif. TX/RX RS232, 5 V	TX/RX RS-232, Dual 5V	16-SOIC	2.65	2.12	1.77
ADM232AARW-REEL	ADM232AARW-REELCT-ND	Zweif. TXRX RS232, 5 V	TXRX RS-232, Dual 5V	16-SOIC	1.90	1.53	1.19
ADM232AARW-REEL	ADM232AARW-REELTR-ND	Zweif. TXRX RS232, 5 V	TXRX RS-232, Dual 5V	16-SOIC		1380.00/1,000	
ADM232LAN	ADM232LAN-ND	Zweif. TX/RX RS232, 5 V, NL	TX/RX Dual RS-232, 5V LP	16-Dip	2.61	2.09	2.00
ADM232LAR	ADM232LAR-ND	Zweif. TX/RX RS232, 5 V, NL	TX/RX Dual RS-232, 5V LP	16-SOIC	1.07	.89	.72
ADM232LAR-REEL	ADM232LAR-REELCT-ND	Zweif. TXRX RS232, 5 V	TXRX RS-232, Dual 5V	16-SOIC	1.07	.89	.72
ADM232LAR-REEL	ADM232LAR-REELTR-ND	Zweif. TXRX RS232, 5 V	TXRX RS-232, Dual 5V	16-SOIC		1360.00/1,000	
ADM232LJN	ADM232LJN-ND	Zweif. TX/RX RS232, 5 V, NL	TX/RX Dual RS-232, 5V LP	16-Dip	—	1.69	—
ADM232LJR	ADM232LJR-ND	Zweif. TX/RX RS232, 5 V, NL	TX/RX Dual RS-232, 5V LP	16-SOIC	2.00	1.69	1.41

* Bleifrei/RoHS-konform

(Forts.)

★ ***RUFEN SIE BITTE AN FÜR NIEDRIGERE PREISE BEI GRÖSSEREN MENGEN!*** ★

Analog Devices Teilenr.	Digi-Key Teilenr.	Beschreibung		Paket	Stückpreis★ 1	25	100
ADM233LAN	ADM233LAN-ND	Zweif. TX/RX RS232, 5 V, NL	TX/RX Dual RS-232, 5V LP	20-Dip	6.83	5.45	5.00
ADM233LJN	ADM233LJN-ND	Zweif. TX/RX RS232, 5 V, NL	TX/RX Dual RS-232, 5V LP	20-Dip	4.00	3.75	3.12
ADM238LJN	ADM238LJN-ND	Vierf. TX/RX RS232, 5 V, NL	TX/RX Quad RS-232, 5V LP	24-Dip	3.50	3.21	2.69
ADM238LJR	ADM238LJR-ND	Vierf. TX/RX RS232, 5 V, NL	TX/RX Quad RS-232, 5V LP	24-SOIC	3.50	3.21	2.69
ADM242AN	ADM242AN-ND	TX/RX RS232, mit Aktivieren und Abschalten	TX/RX RS-232 with Enable and SD	18-Dip	2.65	2.12	2.00
ADM242AR	ADM242AR-ND	TX/RX RS232, mit Aktivieren und Abschalten	TX/RX RS-232 with Enable and SD	18-SOIC	1.46	1.17	.89
ADM242AR-REEL	ADM242AR-REELTR-ND	TX/RX RS232, mit Aktivieren und Abschalten	TX/RX RS-232 with Enable and SD	18-SOIC		1380.00/1,000	
ADM483EAN	ADM483EAN-ND	TX/RX RS485, Low-Slew, 5 V	TX/RX RS-485 Low-Slew 5V	8-Dip	2.00	1.47	1.19
ADM483EAR	ADM483EAR-ND	TX/RX RS485, Low-Slew, 5 V	TX/RX RS-485 Low-Slew 5V	8-SOIC	2.00	1.47	1.19
ADM483EAR-REEL	ADM483EAR-REELTR-ND	TX/RX RS485, Low-Slew, 5 V	TX/RX RS-485 Low-Slew 5V	8-SOIC		2775.00/2,500	
ADM485AN	ADM485AN-ND	Einf. TX/RX RS485, 5 V	TX/RX Single RS-485, 5V	8-Dip	2.16	2.00	1.80
ADM485AR	ADM485AR-ND	Einf. TX/RX RS485, 5 V	TX/RX Single RS-485, 5V	8-SOIC	2.16	2.00	1.80
ADM485AR-REEL	ADM485AR-REELTR-ND	Einf. TX/RX RS485, 5 V	TX/RX Single RS-485, 5V	8-SOIC		3800.00/2,500	
ADM485JN	ADM485JN-ND	Einf. TX/RX RS485, 5 V	TX/RX Single RS-485, 5V	8-Dip	2.00	1.63	1.50
ADM485JR	ADM485JR-ND	Einf. TX/RX RS485, 5 V	TX/RX Single RS-485, 5V	8-SOIC	2.00	1.63	1.50
ADM485JR-REEL	ADM485JR-REELTR-ND	Einf. TX/RX RS485, 5 V	TX/RX Single RS-485, 5V	8-SOIC		2850.00/2,500	
ADM488AN	ADM488AN-ND	TX/RX RS485, Low-Slew	TX/RX RS-485 Low-Slew	8-Dip	2.00	1.33	1.25
ADM488AR	ADM488AR-ND	TX/RX RS485, Low-Slew	TX/RX RS-485 Low-Slew	8-SOIC	2.00	1.33	1.11
ADM489AN	ADM489AN-ND	TX/RX RS485, Low-Slew/Aktivieren	TX/RX RS-485 Low-Slew/Enable	14-Dip	2.20	1.77	1.70
ADM489AR	ADM489AR-ND	TX/RX RS485, Low-Slew/Aktivieren	TX/RX RS-485 Low-Slew/Enable	14-SOIC	2.20	1.77	1.70
ADM1385ARS	ADM1385ARS-ND	TX/RX RS232, HS 3,3 V	TX/RX RS-232 High Speed 3.3V	20-SSOP	2.50	1.84	1.38
ADM1485AR	ADM1485AR-ND	TX/RX RS485, HS 5 V	TX/RX RS-485 High Speed 5V	8-SOIC	3.50	2.70	2.12
ADM1485JN	ADM1485JN-ND	TX/RX RS485, HS 5 V	TX/RX RS-485 High Speed 5V	8-Dip	2.03	2.00	1.80
ADM1485JR	ADM1485JR-ND	TX/RX RS485, HS 5 V	TX/RX RS-485 High Speed 5V	8-SOIC	1.80	1.44	1.09
ADM1486AR	ADM1486AR-ND	TX/RX RS485 PROFIBUS 5 V	TX/RX RS-485 PROFIBUS 5V	8-SOIC	2.50	2.30	2.00
ADM2209EARU	ADM2209EARU-ND	TX/RX 6/10, RS232, 12 V	TX/RX 6/10 RS-232, 12V	38-TSSOP	4.00	3.49	2.61
ADM2486BRW	ADM2486BRW-ND	TX/RX RS485, HS	TX/RX RS-485 High Speed	16-SOIC	5.70	5.40	4.87
ADM3202AN	ADM3202AN-ND	Zweif. TX/RX RS232, HS 3,3 V	TX/RX Dual RS-232, 3.3V	16-Dip	2.65	1.77	1.50
ADM3202ARN	ADM3202ARN-ND	Zweif. TX/RX RS232, HS 3,3 V	TX/RX Dual RS-232, 3.3V	16-SOIC	2.65	1.77	1.33
ADM3202ARN-REEL7	ADM3202ARNREEL7CT-ND	Zweif. TX/RX RS232, HS 3,3 V	TX/RX Dual RS-232, 3.3V	16-SOIC	2.15	1.73	1.34
ADM3202ARN-REEL7	ADM3202ARNREEL7TR-ND	Zweif. TX/RX RS232, HS 3,3 V	TX/RX Dual RS-232, 3.3V	16-SOIC		1190.00/1,000	
ADM3202ARU	ADM3202ARU-ND	Zweif. TX/RX RS232, HS 3,3 V	TX/RX Dual RS-232, 3.3V	16-TSSOP	2.50	1.77	1.33
ADM3202ARU-REEL	ADM3202ARU-REELCT-ND	Zweif. TX/RX RS232, HS 3,3 V	TX/RX Dual RS-232, 3.3V	16-TSSOP	2.15	1.73	1.34
ADM3202ARU-REEL	ADM3202ARU-REELTR-ND	Zweif. TX/RX RS232, HS 3,3 V	TX/RX Dual RS-232, 3.3V	16-TSSOP		2975.00/2,500	
ADM3202ARW	ADM3202ARW-ND	Zweif. TX/RX RS232, HS 3,3 V	TX/RX Dual RS-232, 3.3V	16-SOIC	2.65	1.77	1.50
ADM3222ARS	ADM3222ARS-ND	TX/RX RS232, 3,3 V, mit Abschaltfunktion	TX/RX RS-232, 3.3V w/Shutdown	20-SSOP	2.65	1.77	1.33
ADM3222ARU	ADM3222ARU-ND	TX/RX RS232, 3,3 V, mit Abschaltfunktion	TX/RX RS-232, 3.3V w/Shutdown	20-TSSOP	4.00	1.77	1.33
ADM3222ARW	ADM3222ARW-ND	TX/RX RS232, 3,3 V, mit Abschaltfunktion	TX/RX RS-232, 3.3V w/Shutdown	18-SOIC	2.65	1.77	1.60
ADM3310EARU	ADM3310EARU-ND	TX/RX RS232, 3:5, 2,7 V	TX/RX RS-232, 3:5, 2.7V	28-TSSOP	1.80	1.60	1.50
ADM3311EARS	ADM3311EARS-ND	TX/RX RS232, 3:5, 2,7 V	TX/RX RS-232, 3:5, 2.7V	28-SSOP	1.59	1.27	.96
ADM3311EARS-REEL	ADM3311EARSREELCT-ND	TX/RX RS232, 3:5, 2,7 V	TX/RX RS-232, 3:5, 2.7V	28-SSOP	2.67	2.14	1.66
ADM3311EARS-REEL	ADM3311EARSREELTR-ND	TX/RX RS232, 3:5, 2,7 V	TX/RX RS-232, 3:5, 2.7V	28-SSOP		1500.00/1,000	
ADM3311EARU	ADM3311EARU-ND	TX/RX RS232, 2,7/3,6 V	TX/RX RS-232, 2.7/3.6V	28-TSSOP	2.65	—	—
ADM3311EARU-REEL7	ADM3311EARU-RL7CT-ND	TX/RX RS232, 3:5, 2,7 V	TX/RX RS-232, 3:5, 2.7V	28-TSSOP	2.67	2.14	1.66
ADM3311EARU-REEL7	ADM3311EARU-RL7TR-ND	TX/RX RS232, 3:5, 2,7 V	TX/RX RS-232, 3:5, 2.7V	28-TSSOP		1500.00/1,000	
ADM3315EARU	ADM3315EARU-ND	TX/RX RS232, 3:5, 2,7 V	TX/RX RS-232, 3:5, 2.7V	24-TSSOP	2.00	1.60	1.46
ADM3485EAR	ADM3485EAR-ND	TX/RX RS485 HS 3,3 V	TX/RX RS-485 HS 3.3V	8-SOIC	2.65	—	—
ADM3485EAR-REEL7	ADM3485EARREEL7CT-ND	TX/RX RS485 HS 3,3 V	TX/RX RS-485 HS 3.3V	8-SOIC	2.33	1.86	1.45
ADM3485EAR-REEL7	ADM3485EARREEL7TR-ND	TX/RX RS485 HS 3,3 V	TX/RX RS-485 HS 3.3V	8-SOIC		1150.00/1,000	
ADM3491AR	ADM3491AR-ND	TX/RX RS485 HS Vollduplex, 3,3 V	TX/RX RS-485 HS Full Duplex 3.3V	14-SOIC	3.23	1.64	1.33
ADM3491ARU	ADM3491ARU-ND	TX/RX RS485 HS Vollduplex, 3,3 V	TX/RX RS-485 HS Full Duplex 3.3V	16-TSSOP	3.23	1.64	1.33
ADM5170JP	ADM5170JP-ND	Achtf. TX/RX, RS232/423	TX/RX RS232/423 Octal	28-PLCC	3.19	2.90	2.64
ADM5180JP	ADM5180JP-ND	Achtf. TX/RX, RS232/423	TX/RX RS232/423 Octal	28-PLCC	3.19	2.90	2.64

Analog Devices Teilenr.	Digi-Key Teilenr.	Beschreibung		Paket	Stückpreis★ 1	25	100
1B31AN	1B31AN-ND	Dehnungsmesser, Signalzustand	Signal Condition Strain Gage	28-Dip	172.28	157.66	148.60
AC1059	AC1059-ND	Sockel für Modell AD210, IC	Socket for Model AD210 IC	—	19.66	18.00	15.95
AC2626L4	AC2626L4-ND	Temperatursonde 4", Allzweck	Probe Temp 4" General Purpose	—	114.17	100.00	85.00
AD2S80ABD	AD2S80ABD-ND	R/D-Wandler-Tracking	R/D Converter Tracking	40-CDip	169.36	150.00	120.98
AD2S80AJD	AD2S80AJD-ND	R/D-Wandler-Tracking	R/D Converter Tracking	40-CDip	110.31	97.69	90.00
AD2S80ALD	AD2S80ALD-ND	R/D-Wandler-Tracking	R/D Converter Tracking	40-CDip	220.61	195.40	175.00
AD2S80ASD	AD2S80ASD-ND	R/D-Wandler-Tracking	R/D Converter Tracking	40-CDip	260.53	238.82	217.12
AD2S81AJD	AD2S81AJD-ND	R/D-Wandler-Tracking	R/D Converter Tracking	28-CDip	111.42	100.81	88.00
AD2S82AHP	AD2S82AHP-ND	R/D-Wandler-Tracking	R/D Converter Tracking	44-PLCC	48.00	47.75	46.00
AD2S82AJP	AD2S82AJP-ND	R/D-Wandler-Tracking	R/D Converter Tracking	44-PLCC	113.00	112.55	100.00
AD2S82AKP	AD2S82AKP-ND	R/D-Wandler-Tracking	R/D Converter Tracking	44-PLCC	140.00	137.17	100.00
AD2S83AP	AD2S83AP-ND	R/D-Wandler-Tracking	R/D Converter Tracking	44-PLCC	102.19	92.21	80.00
AD2S90AP	AD2S90AP-ND	R/D Wandler, 12-Bit	R/D Converter 12-Bit	20-PLCC	28.30	27.64	27.00
AD2S90-EB	AD2S90-EB-ND	Evaluierungskarte für AD2S90	Evaluation Board for AD2S90	—	79.64	—	—
AD2S99AP	AD2S99AP-ND	Programmierbarer Oszillator	Programmable Oscillator	20-PLCC	9.00	8.16	7.41
AD2S1200WST	AD2S1200WST-ND	R/D-Wandler, einzelversorgt, mit Oszillator	R/D Conv. Single-Supply w/Oscillator	44-LQFP	14.86	14.36	12.38
AD2S1200WSTZ	AD2S1200WSTZ-ND	R/D-Wandler, einzelversorgt, mit Oszillator*	R/D Conv. Single-Supply w/Oscillator*	44-LQFP	14.86	14.36	12.38
EVAL-AD2S1200CB	EVAL-AD2S1200CB-ND	Evaluierungskarte für AD2S1200	Evaluation Board for AD2S1200	—	132.64	—	—
AD598AD	AD598AD-ND	LVDT Signalkonditionierung	LVDT Signal Conditioning	20-Dip	53.06	52.62	50.00
AD598JR	AD598JR-ND	LVDT Signalkonditionierung	LVDT Signal Conditioning	20-SOIC	37.00	36.70	34.00
AD698AP	AD698AP-ND	LVDT Signalkonditionierung	LVDT Signal Conditioning	28-PLCC	19.10	18.67	15.87
AD698SQ	AD698SQ-ND	LVDT Signalkonditionierung	LVDT Signal Conditioning	24-Dip	51.56	50.55	47.17

Analog Devices Teilenr.	Digi-Key Teilenr.	Beschreibung		Paket	Stückpreis★ 1	25	100
		DC/DC-Wandler					
AD8240YRM	AD8240YRM-ND	LED-Treiber/Monitor	LED Driver/Monitor	8-MSOP	2.00	1.19	1.10
ADM660AN	ADM660AN-ND	Wandler-Schaltkondensator	Converter Switch Capacitor	8-Dip	2.00	1.75	1.70
ADM660AR	ADM660AR-ND	Wandler-Schaltkondensator	Converter Switch Capacitor	8-SOIC	1.13	.90	.68
ADP3041ARU-REEL	ADP3041ARU-REELCT-ND	TFT LCD-Feld-Timing-Controller	TFT LCD Panel Power Module	20-TSSOP	3.93	3.14	2.45
ADP3041ARU-REEL	ADP3041ARU-REELTR-ND	TFT LCD-Feld-Timing-Controller	TFT LCD Panel Power Module	20-TSSOP		5300.00/2,500	
ADP3162JRZ-REEL7	ADP3162JRZREEL7CT-ND	5-Bit, programmierbarer, 2-phasiger, synch. Buck-Controller	5-Bit Prog. 2-Phase Sync. Buck Controller	16-SOIC	3.41	2.73	2.13
ADP3162JRZ-REEL7	ADP3162JRZREEL7TR-ND	5-Bit, programmierbarer, 2-phasiger, synch. Buck-Controller	5-Bit Prog. 2-Phase Sync. Buck Controller	16-SOIC		1470.00/1,000	
ADP3163JRUZ-REEL	ADP3163JRUZREELCT-ND	5-Bit, programmierbarer, 2/3-phasiger, synch. Buck-Controller	5-Bit Prog. 2/3-Phase Sync. Buck Controller	20-TSSOP	3.43	2.75	2.14
ADP3163JRUZ-REEL	ADP3163JRUZREELTR-ND	5-Bit, programmierbarer, 2/3-phasiger, synch. Buck-Controller	5-Bit Prog. 2/3-Phase Sync. Buck Controller	20-TSSOP		4000.00/2,500	
ADP3164JRUZ-REEL7	ADP3164JRUZREELCT-ND	5-Bit, programmierbarer, 4-phasiger, synch. Buck-Controller	5-Bit Prog. 4-Phase Sync. Buck Controller	20-TSSOP	3.09	2.47	1.93
ADP3164JRUZ-REEL7	ADP3164JRUZREELTR-ND	5-Bit, programmierbarer, 4-phasiger, synch. Buck-Controller	5-Bit Prog. 4-Phase Sync. Buck Controller	20-TSSOP		1660.00/1,000	
ADP3171JR	ADP3171JR-ND	Buck-Controller, Doppelregler	Controller Buck Dual Regulator	14-SOIC	1.38	1.29	1.25
ADP3178JRZ-REEL7	ADP3178JRZREEL7CT-ND	4-Bit prog. synch. Buck-Controller	4-Bit Prog. Sync. Buck Controller	16-SOIC	2.65	2.12	1.65
ADP3178JRZ-REEL7	ADP3178JRZREEL7TR-ND	4-Bit prog. synch. Buck-Controller	4-Bit Prog. Sync. Buck Controller	16-SOIC		1130.00/1,000	
ADP3605AR	ADP3605AR-ND	Invertierte Spann.120 mA Schalterkappe	Inverted Volt 120mA Switch Cap.	8-SOIC	3.18	1.80	1.43
ADP3820ARTZ-4.2RL7	ADP3820ARTZ4.2RCT-ND	4,2 V Lithium-Ionen-Batterieladegerät	4.2V, Lithium-Ion Battery Charger	SOT-23-6	1.65	1.33	1.00
ADP3820ARTZ-4.2RL7	ADP3820ARTZ4.2RTR-ND	4,2 V Lithium-Ionen-Batterieladegerät	4.2V, Lithium-Ion Battery Charger	SOT-23-6		2070.00/3,000	

* Bleifrei/RoHS-konform

(Forts.)

★ RUFEN SIE BITTE AN FÜR NIEDRIGERE PREISE BEI GRÖSSEREN MENGEN! ★

B

Analog Devices Teilenr.	Digi-Key Teilenr.	Beschreibung		Paket	Stückpreis★ 1	25	100
			MOSFET-Treiber				
ADP3414JRZ	ADP3414JRZ-ND	Zweif. bootstrapped MOSFET-Treiber	Dual Bootstrapped MOSFET Driver	8-SOIC	1.41	1.27	1.20
ADP3415LRMZ-REEL	ADP3415LRMZREELCT-ND	Zweif. bootstrapped MOSFET-Treiber	Dual Bootstrapped MOSFET Driver	10-MSOP	2.10	1.68	1.31
ADP3415LRMZ-REEL	ADP3415LRMZREELTR-ND	Zweif. bootstrapped MOSFET-Treiber	Dual Bootstrapped MOSFET Driver	10-MSOP		2940.00/3,000	
ADP3418KRZ	ADP3418KRZ-ND	Zweif. bootstrapped 12 V MOSFET-Treiber	Dual Bootstrapped 12V MOSFET Driver	8-SOIC	1.27	1.02	.76
ADP3419JRM-REEL	ADP3419JRM-REELCT-ND	Zweif. bootstrapped MOSFET-Treiber, hohe Spann.	Dual Bootstrapped, High Voltage MOSFET Driver	10-MSOP	1.52	1.22	.92
ADP3419JRM-REEL	ADP3419JRM-REELTR-ND	Zweif. bootstrapped MOSFET-Treiber, hohe Spann.	Dual Bootstrapped, High Voltage MOSFET Driver	10-MSOP		1920.00/3,000	
			Regler				
ADP667AN	ADP667AN-ND	Regler LDO, 5 V, oder einstellbar	Regulator LDO 5V or Adjustable	8-Dip	2.00	1.79	1.75
ADP667AR	ADP667AR-ND	Regler LDO, 5 V, oder einstellbar	Regulator LDO 5V or Adjustable	8-SOIC	1.73	1.69	1.68
ADP1111AN	ADP1111AN-ND	Schaltregler, einstell. Spann.	Regulator Switching Adj. Volt.	8-Dip	3.06	3.00	2.60
ADP3088ARM-REEL7	ADP3088ARMREEL7CT-ND	Buck-Regler, 1MHz, 750 mA	Buck Regulator 1MHz, 750mA	8-MSOP	3.85	3.08	2.40
ADP3088ARM-REEL7	ADP3088ARMREEL7TR-ND	Buck-Regler, 1MHz, 750 mA	Buck Regulator 1MHz, 750mA	8-MSOP		210.00/1,000	
ADP3181JRUZ-REEL	ADP3181JRUZREELCT-ND	Buck Reg., synch., mehrphasig	Buck Reg. Multiphase Sync.	28-TSSOP	1.96	1.57	1.23
ADP3181JRUZ-REEL	ADP3181JRUZREELTR-ND	Buck Reg., synch., mehrphasig	Buck Reg. Multiphase Sync.	28-TSSOP		2275.00/2,500	
ADP3300ARTZ-2.7RL7	ADP3300ARTZ2.7RCT-ND	Regler LDO, 2,7 V, 50 mA	Regulator LDO 2.7V, 50mA	SOT-23-6	1.34	1.07	.80
ADP3300ARTZ-2.7RL7	ADP3300ARTZ2.7RTR-ND	Regler LDO, 2,7 V, 50 mA	Regulator LDO 2.7V, 50mA	SOT-23-6		1920.00/3,000	
ADP3300ARTZ-3.3RL7	ADP3300ARTZ3.3RCT-ND	Regler LDO, 3,3 V, 50 mA	Regulator LDO 3.3V, 50mA	SOT-23-6	1.34	1.07	.80
ADP3300ARTZ-3.3RL7	ADP3300ARTZ3.3RTR-ND	Regler LDO, 3,3 V, 50 mA	Regulator LDO 3.3V, 50mA	SOT-23-6		1920.00/3,000	
ADP3301AR-3.3	ADP3301AR-3.3-ND	Regler LDO, 3,3 V, 100 mA	Regulator LDO 3.3V, 100mA	8-SOIC	1.33	1.19	1.10
ADP3303AR-3.3	ADP3303AR-3.3-ND	Regler LDO, 3,3 V, 200 mA	Regulator LDO 3.3V, 200mA	8-SOIC	2.00	1.43	1.27
ADP3303AR-5	ADP3303AR-5-ND	Regler LDO, 5 V, 200 mA	Regulator LDO 5V, 200mA	8-SOIC	1.60	1.43	1.30
ADP3330ART3.3-RL7	ADP3330ART3.3R7CT-ND	Regler LDO, 3,3 V, 200 mA	Regulator LDO 3.3V, 200mA	SOT-23-6	1.86	1.49	1.12
ADP3330ART3.3-RL7	ADP3330ART3.3R7TR-ND	Regler LDO, 3,3 V, 200 mA	Regulator LDO 3.3V, 200mA	SOT-23-6		2340.00/3,000	
ADP3331ART-REEL7	ADP3331ART-RL7CT-ND	Regler LDO, einstellb., 200 mA	Regulator LDO Adj. 200mA	SOT-23-6	1.86	1.49	1.12
ADP3331ART-REEL7	ADP3331ART-RL7TR-ND	Regler LDO, einstellb., 200 mA	Regulator LDO Adj. 200mA	SOT-23-6		2859.81/3,000	
ADP3334ARZ	ADP3334ARZ-ND	Regler LDO, einstellb., 500 mA	Regulator LDO Adj. 500mA	8-SOIC	1.41	1.24	1.20
ADP3335ARM-3.3-RL7	ADP3335ARM3.3R7CT-ND	Regler LDO, 3,3 V, 500 mA	Regulator LDO 3.3V, 500mA	8-MSOP	2.79	2.23	1.74
ADP3335ARM-3.3-RL7	ADP3335ARM3.3R7TR-ND	Regler LDO, 3,3 V, 500 mA	Regulator LDO 3.3V, 500mA	8-MSOP		1290.00/1,000	
ADP3336ARM-REEL7	ADP3336ARMREEL7CT-ND	Regler LDO, einstellb., 500 mA	Regulator LDO 500mA, Adj.	8-MSOP	2.79	2.23	1.74
ADP3336ARM-REEL7	ADP3336ARMREEL7TR-ND	Regler LDO, einstellb., 500 mA	Regulator LDO 500mA, Adj.	8-MSOP		1545.05/1,000	
ADP3338AKC-2.5-RL7	ADP3338AKC2.5R7CT-ND	Regler LDO, 1A, Präz., 2,5 V	Regulator LDO 1A Prec. 2.5V	SOT-223	2.82	2.26	1.76
ADP3338AKC-2.5-RL7	ADP3338AKC2.5R7TR-ND	Regler LDO, 1A, Präz., 2,5 V	Regulator LDO 1A Prec. 2.5V	SOT-223		655.00/500	
ADP3338AKC-3.3-RL7	ADP3338AKC3.3R7CT-ND	Regler LDO, 1A, Präz., 3,3 V	Regulator LDO 1A Prec. 3.3V	SOT-223	2.82	2.26	1.75
ADP3338AKC-3.3-RL7	ADP3338AKC3.3R7TR-ND	Regler LDO, 1A, Präz., 3,3 V	Regulator LDO 1A Prec. 3.3V	SOT-223		815.00/500	
ADP3338AKC-5-REEL7	ADP3338AKC-5RL7CT-ND	Regler LDO, 1A, Präz., 5 V	Regulator LDO 1A Prec. 5V	SOT-223	2.82	2.26	1.76
ADP3338AKC-5-REEL7	ADP3338AKC-5RL7TR-ND	Regler LDO, 1A, Präz., 5 V	Regulator LDO 1A Prec. 5V	SOT-223		655.00/500	
ADP3339AKC-1.5-RL7	ADP3339AKC1.5RLCT-ND	Regler LDO, 1,5 A, 1,5 V	Regulator LDO 1.5A, 1.5V	SOT-223	3.34	2.67	2.08
ADP3339AKC-1.5-RL7	ADP3339AKC1.5RLTR-ND	Regler LDO, 1,5 A, 1,5 V	Regulator LDO 1.5A, 1.5V	SOT-223		775.00/500	
ADP3339AKC-3-RL7	ADP3339AKC-3RL7CT-ND	Regler LDO, 1,5 A, 3 V	Regulator LDO 1.5A, 3V	SOT-223	3.34	2.67	2.08
ADP3339AKC-3-RL7	ADP3339AKC-3RL7TR-ND	Regler LDO, 1,5 A, 3 V	Regulator LDO 1.5A, 3V	SOT-223		775.00/500	
ADP3339AKC-5-REEL7	ADP3339AKC-5RL7CT-ND	Regler LDO, 1,5 A, 5 V	Regulator LDO 1.5A, 5V	SOT-223	3.34	2.67	2.08
ADP3339AKC-5-REEL7	ADP3339AKC-5RL7TR-ND	Regler LDO, 1,5 A, 5 V	Regulator LDO 1.5A, 5V	SOT-223		775.00/500	
ADP3367AR	ADP3367AR-ND	Regler LDO, einstellb., 5 V	Regulator LDO Adj. 5V	8-SOIC	1.77	1.74	1.73
ADP3367ARZ	ADP3367ARZ-ND	Regler LDO, einstellb., 5 V	Regulator LDO Adj. 5V	8-SOIC	1.77	1.74	1.73
			Spannungsreferenz				
AD580JH	AD580JH-ND	Präzisionsspann.-Ref., 2,5 V	Precision Volt. Ref. 2.5V	TO-52	3.51	3.02	2.50
AD580LH	AD580LH-ND	Präzisionsspann.-Ref., 2,5 V	Precision Volt. Ref. 2.5V	TO-52	9.75	8.36	6.96
AD580TH	AD580TH-ND	Präzisionsspann.-Ref., 2,5 V	Precision Volt. Ref. 2.5V	TO-52	18.67	15.99	13.31
AD581JH	AD581JH-ND	Präzisionsspann.-Ref., 10 V	Precision Volt. Ref. 10V	TO-5	5.40	4.63	3.83
AD581KH	AD581KH-ND	Präzisionsspann.-Ref., 10 V	Precision Volt. Ref. 10V	TO-5	8.42	7.25	6.02
AD581LH	AD581LH-ND	Präzisionsspann.-Ref., 10 V	Precision Volt. Ref. 10V	TO-5	17.16	14.70	12.26
AD581UH	AD581UH-ND	Präzisionsspann.-Ref., 10 V	Precision Volt. Ref. 10V	TO-5	38.22	32.75	30.00
AD584JH	AD584JH-ND	Präzisionsspann.-Ref., programmierbar	Precision Volt. Ref. Programmable	TO-99	6.31	5.45	4.53
AD584JN	AD584JN-ND	Präzisionsspann.-Ref., programmierbar	Precision Volt. Ref. Programmable	8-Dip	4.00	3.43	2.85
AD584KH	AD584KH-ND	Präzisionsspann.-Ref., programmierbar	Precision Volt. Ref. Programmable	TO-99	12.51	10.72	8.93
AD584KN	AD584KN-ND	Präzisionsspann.-Ref., programmierbar	Precision Volt. Ref. Programmable	8-Dip	7.83	6.71	5.60
AD584LH	AD584LH-ND	Präzisionsspann.-Ref., programmierbar	Precision Volt. Ref. Programmable	TO-99	21.09	18.08	15.07
AD584TH	AD584TH-ND	Präzisionsspann.-Ref., programmierbar	Precision Volt. Ref. Programmable	TO-99	25.95	22.25	18.55
AD586AR	AD586AR-ND	Präzisionsspann.-Ref., 5 V	Precision Volt. Ref. 5V	8-SOIC	6.30	5.43	4.51
AD586ARZ-REEL	AD586ARZ-REELCT-ND	Präzisionsspann.-Ref., 5 V	Precision Volt. Ref. 5V	8-SOIC	7.20	6.48	5.75
AD586ARZ-REEL	AD586ARZ-REELTR-ND	Präzisionsspann.-Ref., 5 V	Precision Volt. Ref. 5V	8-SOIC		9675.00/2,500	
AD586BR	AD586BR-ND	Präzisionsspann.-Ref., 5 V	Precision Volt. Ref. 5V	8-SOIC	8.79	7.54	6.28
AD586BRZ-REEL	AD586BRZ-REELCT-ND	Präzisionsspann.-Ref., 5 V	Precision Volt. Ref. 5V	8-SOIC	10.02	9.02	8.00
AD586BRZ-REEL	AD586BRZ-REELTR-ND	Präzisionsspann.-Ref., 5 V	Precision Volt. Ref. 5V	8-SOIC		13275.00/2,500	
AD586JN	AD586JN-ND	Präzisionsspann.-Ref., 5 V	Precision Volt. Ref. 5V	8-Dip	3.59	3.07	2.57
AD586JNZ	AD586JNZ-ND	Präzisionsspann.-Ref., 5 V*	Precision Volt. Ref. 5V*	8-Dip	3.59	3.07	2.57
AD586JR	AD586JR-ND	Präzisionsspann.-Ref., 5 V	Precision Volt. Ref. 5V	8-SOIC	3.82	3.26	2.71
AD586KN	AD586KN-ND	Präzisionsspann.-Ref., 5 V	Precision Volt. Ref. 5V	8-Dip	4.64	3.95	3.31
AD586KNZ	AD586KNZ-ND	Präzisionsspann.-Ref., 5 V*	Precision Volt. Ref. 5V*	8-Dip	4.64	3.95	3.31
AD586KR	AD586KR-ND	Präzisionsspann.-Ref., 5 V	Precision Volt. Ref. 5V	8-SOIC	5.02	4.32	3.59
AD586KR-REEL7	AD586KR-REEL7CT-ND	Präzisionsspann.-Ref., 5 V	Precision Volt. Ref. 5V	8-SOIC	6.87	5.50	4.65
AD586KR-REEL7	AD586KR-REEL7TR-ND	Präzisionsspann.-Ref., 5 V	Precision Volt. Ref. 5V	8-SOIC		2437.50/750	
AD586LN	AD586LN-ND	Präzisionsspann.-Ref., 5 V	Precision Volt. Ref. 5V	8-Dip	6.47	5.55	4.64
AD586LNZ	AD586LNZ-ND	Präzisionsspann.-Ref., 5 V*	Precision Volt. Ref. 5V*	8-Dip	6.47	5.55	4.64
AD586LQ	AD586LQ-ND	Präzisionsspann.-Ref., 5 V	Precision Volt. Ref. 5V	8-Dip	8.79	7.54	6.28
AD586LR	AD586LR-ND	Präzisionsspann.-Ref., 5 V	Precision Volt. Ref. 5V	8-SOIC	6.86	5.94	4.93
AD586LRZ	AD586LRZ-ND	Präzisionsspann.-Ref., 5 V*	Precision Volt. Ref. 5V*	8-SOIC	6.86	5.94	4.93
AD586LR-REEL7	AD586LR-REEL7CT-ND	Präzisionsspann.-Ref., 5 V	Precision Volt. Ref. 5V	8-SOIC	7.86	7.08	6.28
AD586LR-REEL7	AD586LR-REEL7TR-ND	Präzisionsspann.-Ref., 5 V	Precision Volt. Ref. 5V	8-SOIC		3187.50/750	
AD586MN	AD586MN-ND	Präzisionsspann.-Ref., 5 V	Precision Volt. Ref. 5V	8-Dip	7.44	6.37	5.31
AD586MNZ	AD586MNZ-ND	Präzisionsspann.-Ref., 5 V*	Precision Volt. Ref. 5V*	8-Dip	7.44	6.37	5.31
AD587JN	AD587JN-ND	Präzisionsspann.-Ref., 10 V	Precision Volt. Ref. 10V	8-Dip	3.36	2.85	2.39
AD587JR	AD587JR-ND	Präzisionsspann.-Ref., 10 V	Precision Volt. Ref. 10V	8-SOIC	3.82	3.26	2.71
AD587KN	AD587KN-ND	Präzisionsspann.-Ref., 10 V	Precision Volt. Ref. 10V	8-Dip	3.82	3.26	2.71
AD587KR	AD587KR-ND	Präzisionsspann.-Ref., 10 V	Precision Volt. Ref. 10V	8-SOIC	4.32	3.72	3.07
AD587LN	AD587LN-ND	Präzisionsspann.-Ref., 10 V	Precision Volt. Ref. 10V	8-Dip	4.88	4.20	3.48
AD587LNZ	AD587LNZ-ND	Präzisionsspann.-Ref., 10 V*	Precision Volt. Ref. 10V*	8-Dip	4.88	4.20	3.48
AD587UQ	AD587UQ-ND	Präzisionsspann.-Ref., 10 V	Precision Volt. Ref. 10V	8-Dip	15.55	13.32	11.11
AD588AQ	AD588AQ-ND	Präzisionsspann.-Ref., programmierbar	Precision Volt. Ref. Programmable	16-Dip	24.42	20.44	15.58
AD588BQ	AD588BQ-ND	Präzisionsspann.-Ref., programmierbar	Precision Volt. Ref. Programmable	16-Dip	44.98	37.64	32.00
AD588JQ	AD588JQ-ND	Präzisionsspann.-Ref., programmierbar	Precision Volt. Ref. Programmable	16-Dip	20.95	17.53	13.36
AD588KQ	AD588KQ-ND	Präzisionsspann.-Ref., programmierbar	Precision Volt. Ref. Programmable	16-Dip	36.64	30.66	28.00
AD589JH	AD589JH-ND	Spann.-Ref., 1,2 V, 2-Anschl.	Voltage Ref. 1.2V, 2-Term.	H-02A	4.41	4.25	3.55
AD589JR	AD589JR-ND	Spann.-Ref., 1,2 V, 2-Anschl.	Voltage Ref. 1.2V, 2-Term.	8-SOIC	1.89	1.82	1.52
AD589JRZ	AD589JRZ-ND	Spann.-Ref., 1,2 V, 2-Anschl.*	Voltage Ref. 1.2V, 2-Term.*	8-SOIC	1.89	1.82	1.52
AD589KH	AD589KH-ND	Spann.-Ref., 1,2 V, 2-Anschl.	Voltage Ref. 1.2V, 2-Term.	H-02A	4.78	4.59	3.84
AD589LH	AD589LH-ND	Spann.-Ref., 1,2 V, 2-Anschl.	Voltage Ref. 1.2V, 2-Term.	H-02A	9.77	9.39	7.86
AD589MH	AD589MH-ND	Spann.-Ref., 1,2 V, 2-Anschl.	Voltage Ref. 1.2V, 2-Term.	H-02A	21.23	20.42	17.08
AD680AR	AD680AR-ND	Spann.-Ref., 2,5 V, NL	Voltage Reference 2.5V LP	8-SOIC	4.59	3.84	2.93
AD680JN	AD680JN-ND	Spann.-Ref., 2,5 V, NL	Voltage Reference 2.5V LP	8-Dip	2.53	2.12	1.80

* Bleifrei/RoHS-konform

(Forts.)

★ RUFEN SIE BITTE AN FÜR NIEDRIGERE PREISE BEI GRÖSSEREN MENGEN! ★

Analog Devices Teilenr.	Digi-Key Teilenr.	Beschreibung		Paket	Stückpreis★ 1	25	100
AD680JNZ	AD680JNZ-ND	Spann.-Ref., 2,5 V, NL*	Voltage Reference 2.5V LP*	8-Dip	2.53	2.12	1.80
AD680JR	AD680JR-ND	Spann.-Ref., 2,5 V, NL	Voltage Reference 2.5V LP	8-SOIC	2.53	2.12	1.80
AD680JR-REEL7	AD680JR-REEL7CT-ND	Spann.-Ref., 2,5 V, NL	Voltage Reference 2.5V LP	8-SOIC	3.49	2.79	2.17
AD680JR-REEL7	AD680JR-REEL7TR-ND	Spann.-Ref., 2,5 V, NL	Voltage Reference 2.5V LP	8-SOIC		1125.00/750	
AD680JT	AD680JT-ND	Spann.-Ref., 2,5 V, NL	Voltage Reference 2.5V LP	TO-92	2.53	2.12	1.80
AD680JTZ	AD680JTZ-ND	Spann.-Ref., 2,5 V, NL*	Voltage Reference 2.5V LP*	TO-92	2.53	2.12	1.80
AD688AQ	AD688AQ-ND	Präzisionsspannungsref., +/-10 V	Precision Voltage Ref. +/-10V	16-Dip	22.36	18.71	14.26
AD688BQ	AD688BQ-ND	Präzisionsspannungsref., +/-10 V	Precision Voltage Ref. +/-10V	16-CDip	37.72	31.56	30.00
AD780AN	AD780AN-ND	Präzisionsspann.-Ref., 2,5 V/3 V	Precision Volt. Ref. 2.5V/3.0V	8-Dip	5.94	4.98	3.79
AD780ANZ	AD780ANZ-ND	Präzisionsspann.-Ref., 2,5 V/3 V*	Precision Volt. Ref. 2.5V/3.0V*	8-Dip	5.94	4.98	3.79
AD780AR	AD780AR-ND	Präzisionsspann.-Ref., 2,5 V/3 V	Precision Volt. Ref. 2.5V/3.0V	8-SOIC	5.94	4.98	3.79
AD780AR-REEL7	AD780AR-REEL7TR-ND	Präzisionsspann.-Ref., 2,5 V/3 V	Precision Volt. Ref. 2.5V/3.0V	8-SOIC		3000.00/750	
AD780BN	AD780BN-ND	Präzisionsspann.-Ref., 2,5 V/3 V	Precision Volt. Ref. 2.5V/3.0V	8-Dip	9.91	8.30	6.32
AD780BNZ	AD780BNZ-ND	Präzisionsspann.-Ref., 2,5 V/3 V*	Precision Volt. Ref. 2.5V/3.0V*	8-Dip	9.91	8.30	6.32
AD780BR	AD780BR-ND	Präzisionsspann.-Ref., 2,5 V/3 V	Precision Volt. Ref. 2.5V/3.0V	8-SOIC	9.91	8.30	6.32
AD1580ART-REEL7	AD1580ART-REEL7CT-ND	Spann.-Ref., 1,225 V	Voltage Reference 1.225V	SOT-23	1.25	1.00	.75
AD1580ART-REEL7	AD1580ART-REEL7TR-ND	Spann.-Ref., 1,225 V	Voltage Reference 1.225V	SOT-23		1800.00/3,000	
AD1580BRT-REEL7	AD1580BRT-REEL7CT-ND	Spann.-Ref., 1,225 V	Voltage Reference 1.225V	SOT-23	1.85	1.48	1.11
AD1580BRT-REEL7	AD1580BRT-REEL7TR-ND	Spann.-Ref., 1,225 V	Voltage Reference 1.225V	SOT-23		2940.00/3,000	
AD1582ART-REEL7	AD1582ART-REEL7CT-ND	Spann.-Ref., 2,5 V	Voltage Reference 2.5V	SOT-23	1.25	1.00	.75
AD1582ART-REEL7	AD1582ART-REEL7TR-ND	Spann.-Ref., 2,5 V	Voltage Reference 2.5V	SOT-23		1830.00/3,000	
AD1582ARTZ-REEL7	AD1582ARTZREEL7CT-ND	Spann.-Ref., 2,5 V*	Voltage Reference 2.5V*	SOT-23	1.25	1.00	.75
AD1582ARTZ-REEL7	AD1582ARTZREEL7TR-ND	Spann.-Ref., 2,5 V*	Voltage Reference 2.5V*	SOT-23		1830.00/3,000	
AD1582BRT-REEL7	AD1582BRT-REEL7CT-ND	Spann.-Ref., 2,5 V	Voltage Reference 2.5V	SOT-23	2.51	2.02	1.57
AD1582BRT-REEL7	AD1582BRT-REEL7TR-ND	Spann.-Ref., 2,5 V	Voltage Reference 2.5V	SOT-23		4080.00/3,000	
AD1582BRTZ-REEL7	AD1582BRTZREEL7CT-ND	Spann.-Ref., 2,5 V*	Voltage Reference 2.5V*	SOT-23	2.51	2.02	1.57
AD1582BRTZ-REEL7	AD1582BRTZREEL7TR-ND	Spann.-Ref., 2,5 V*	Voltage Reference 2.5V*	SOT-23		4080.00/3,000	
AD1584ART-REEL7	AD1584ART-REEL7CT-ND	Spann.-Ref., 4,096 V	Voltage Reference 4.096V	SOT-23	1.21	.97	.73
AD1584ART-REEL7	AD1584ART-REEL7TR-ND	Spann.-Ref., 4,096 V	Voltage Reference 4.096V	SOT-23		1854.05/3,000	
AD1584BRT-REEL7	AD1584BRT-REEL7CT-ND	Spann.-Ref., 4,096 V	Voltage Reference 4.096V	SOT-23	2.30	1.85	1.44
AD1584BRT-REEL7	AD1584BRT-REEL7TR-ND	Spann.-Ref., 4,096 V	Voltage Reference 4.096V	SOT-23		3750.00/3,000	
ADR01AR	ADR01AR-ND	Präzisionsspann.-Ref., 10 V, 10 PPM	Precision Volt. Ref. 10V, 10PPM	8-SOIC	1.33	1.24	1.20
ADR01AUJ-R2	ADR01AUJ-R2CT-ND	Präzisionsspann.-Ref., 10 V, 25 PPM	Precision Volt. Ref. 10V, 25PPM	TSOT-23-5	2.00	1.60	1.25
ADR01AUJ-R2	ADR01AUJ-R2TR-ND	Präzisionsspann.-Ref., 10 V, 25 PPM	Precision Volt. Ref. 10V, 25PPM	TSOT-23-5		232.50/250	
ADR01BR	ADR01BR-ND	Präzisionsspann.-Ref., 10 V, 3 PPM	Precision Volt. Ref. 10V, 3PPM	8-SOIC	4.00	3.63	3.54
ADR02AKS-R2	ADR02AKS-R2CT-ND	Präzisionsspann.-Ref., 5 V, 10 mA Ausgang	Precision Volt. Ref. 5V, 10mA Out	SC70-5	3.58	2.87	2.23
ADR02AKS-R2	ADR02AKS-R2TR-ND	Präzisionsspann.-Ref., 5 V, 10 mA Ausgang	Precision Volt. Ref. 5V, 10mA Out	SC70-5		232.50/250	
ADR02AUJZ-REEL7	ADR02AUJZ-REEL7CT-ND	Präzisionsspann.-Ref., 5 V, 10 mA Ausgang	Precision Volt. Ref. 5V, 10mA Out	TSOT-23-5	2.00	1.60	1.25
ADR02AUJZ-REEL7	ADR02AUJZ-REEL7TR-ND	Präzisionsspann.-Ref., 5 V, 10 mA Ausgang	Precision Volt. Ref. 5V, 10mA Out	TSOT-23-5		2790.00/3,000	
ADR02BKS-R2	ADR02BKS-R2CT-ND	Präzisionsspann.-Ref., 5 V, 10 mA Ausgang	Precision Volt. Ref. 5V, 10mA Out	SC70-5	2.01	1.62	1.37
ADR02BKS-R2	ADR02BKS-R2TR-ND	Präzisionsspann.-Ref., 5 V, 10 mA Ausgang	Precision Volt. Ref. 5V, 10mA Out	SC70-5		262.50/250	
ADR02AR	ADR02AR-ND	Präzisionsspann.-Ref., 5 V, 10 PPM	Precision Volt. Ref. 5V, 10PPM	8-SOIC	2.00	1.56	1.18
ADR02AUJ-R2	ADR02AUJ-R2CT-ND	Präzisionsspann.-Ref., 5 V, 25 PPM	Precision Volt. Ref. 5V, 25PPM	TSOT-23-5	2.00	1.60	1.25
ADR02AUJ-R2	ADR02AUJ-R2TR-ND	Präzisionsspann.-Ref., 5 V, 25 PPM	Precision Volt. Ref. 5V, 25PPM	TSOT-23-5		232.50/250	
ADR02BR	ADR02BR-ND	Präzisionsspann.-Ref., 5 V, 3 PPM	Precision Volt. Ref. 5V, 3PPM	8-SOIC	3.63	3.58	3.54
ADR02BUJ-R2	ADR02BUJ-R2CT-ND	Präzisionsspann.-Ref., 5 V, 9 PPM	Precision Volt. Ref. 5V, 9PPM	TSOT-23-5	2.27	1.82	1.42
ADR02BUJ-R2	ADR02BUJ-R2TR-ND	Präzisionsspann.-Ref., 5 V, 9 PPM	Precision Volt. Ref. 5V, 9PPM	TSOT-23-5		262.50/250	
ADR03AKS-R2	ADR03AKS-R2CT-ND	Präzisionsspann.-Ref., 2,5 V, 10 mA	Precision Volt. Ref. 2.5V, 10mA	SC70-5	3.58	2.87	2.23
ADR03AKS-R2	ADR03AKS-R2TR-ND	Präzisionsspann.-Ref., 2,5 V, 10 mA	Precision Volt. Ref. 2.5V, 10mA	SC70-5		232.50/250	
ADR03AR	ADR03AR-ND	Präzisionsspann.-Ref., 2,5 V, 10 PPM	Precision Volt. Ref. 2.5V, 10PPM	8-SOIC	3.71	3.63	3.54
ADR03AUJ-R2	ADR03AUJ-R2CT-ND	Präzisionsspann.-Ref., 2,5 V, 10 mA	Precision Volt. Ref. 2.5V, 10mA	TSOT-23-5	3.58	2.87	2.23
ADR03AUJ-R2	ADR03AUJ-R2TR-ND	Präzisionsspann.-Ref., 2,5 V, 10 mA	Precision Volt. Ref. 2.5V, 10mA	TSOT-23-5		232.50/250	
ADR03BKS-R2	ADR03BKS-R2CT-ND	Präzisionsspann.-Ref., 2,5 V, 10 mA	Precision Volt. Ref. 2.5V, 10mA	SC70-5	7.67	6.14	5.18
ADR03BKS-R2	ADR03BKS-R2TR-ND	Präzisionsspann.-Ref., 2,5 V, 10 mA	Precision Volt. Ref. 2.5V, 10mA	SC70-5		262.50/250	
ADR03BR	ADR03BR-ND	Präzisionsspann.-Ref., 2,5 V, 3 PPM	Precision Volt. Ref. 2.5V, 3PPM	8-SOIC	3.71	3.63	3.54
ADR03BUJ-R2	ADR03BUJ-R2CT-ND	Präzisionsspann.-Ref., 2,5 V, 9 PPM	Precision Volt. Ref. 2.5V, 9PPM	TSOT-23-5	2.27	1.82	1.42
ADR03BUJ-R2	ADR03BUJ-R2TR-ND	Präzisionsspann.-Ref., 2,5 V, 9 PPM	Precision Volt. Ref. 2.5V, 9PPM	TSOT-23-5		262.50/250	
ADR06AKS-R2	ADR06AKS-R2CT-ND	Präzisionsspann.-Ref., 3 V, 10 mA Ausgang	Precision Volt. Ref. 3V, 10mA Out	SC70-5	2.00	1.60	1.25
ADR06AKS-R2	ADR06AKS-R2TR-ND	Präzisionsspann.-Ref., 3 V, 10 mA Ausgang	Precision Volt. Ref. 3V, 10mA Out	SC70-5		232.50/250	
ADR06AR	ADR06AR-ND	Präzisionsspann.-Ref., 3 V, 10 PPM	Precision Volt. Ref. 3V, 10PPM	8-SOIC	1.24	1.19	1.18
ADR06AUJ-R2	ADR06AUJ-R2CT-ND	Präzisionsspann.-Ref., 3 V, 10 mA	Precision Volt. Ref. 3V, 10mA	TSOT-23-5	3.58	2.87	2.23
ADR06AUJ-R2	ADR06AUJ-R2TR-ND	Präzisionsspann.-Ref., 3 V, 10 mA	Precision Volt. Ref. 3V, 10mA	TSOT-23-5		232.50/250	
ADR06BKS-R2	ADR06BKS-R2CT-ND	Präzisionsspann.-Ref., 3 V, 10 mA Ausgang	Precision Volt. Ref. 3V, 10mA Out	SC70-5	2.27	1.82	1.42
ADR06BKS-R2	ADR06BKS-R2TR-ND	Präzisionsspann.-Ref., 3 V, 10 mA Ausgang	Precision Volt. Ref. 3V, 10mA Out	SC70-5		262.50/250	
ADR06BR	ADR06BR-ND	Präzisionsspann.-Ref., 3 V, 3 PPM	Precision Volt. Ref. 3V, 3PPM	8-SOIC	4.00	3.63	3.54
ADR06BUJ-R2	ADR06BUJ-R2CT-ND	Präzisionsspann.-Ref., 3 V, 10 mA	Precision Volt. Ref. 3V, 10mA	TSOT-23-5	2.01	1.62	1.37
ADR06BUJ-R2	ADR06BUJ-R2TR-ND	Präzisionsspann.-Ref., 3 V, 10 mA	Precision Volt. Ref. 3V, 10mA	TSOT-23-5		262.50/250	
ADR280AKS-R2	ADR280AKS-R2CT-ND	Spann.-Ref., ultraniedrige Leistung, 1,2 V	Volt. Ref. Ultralow Power 1.2V	SC70-3	1.97	1.58	1.19
ADR280AKS-R2	ADR280AKS-R2TR-ND	Spann.-Ref., ultraniedrige Leistung, 1,2 V	Volt. Ref. Ultralow Power 1.2V	SC70-3		207.50/250	
ADR280ART-R2	ADR280ART-R2CT-ND	Ref., Spann., hoher PSRR, 1,2 V	Ref. Volt. High PSRR 1.2V	SOT-23	1.97	1.58	1.19
ADR280ART-R2	ADR280ART-R2TR-ND	Ref., Spann., hoher PSRR, 1,2 V	Ref. Volt. High PSRR 1.2V	SOT-23		207.50/250	
ADR291ER	ADR291ER-ND	Präzisionsspann.-Ref., 2,5 V, 5 mA Ausgang	Precision Volt. Ref. 2.5V, 5mA Out	8-SOIC	10.00	9.05	7.57
ADR291FR	ADR291FR-ND	Präzisionsspann.-Ref., 2,5 V, 5 mA Ausgang	Precision Volt. Ref. 2.5V, 5mA Out	8-SOIC	5.00	4.55	3.80
ADR291GR	ADR291GR-ND	Präzisionsspann.-Ref., 2,5 V, 5 mA Ausgang	Precision Volt. Ref. 2.5V, 5mA Out	8-SOIC	3.50	3.05	2.55
ADR292ER	ADR292ER-ND	Präzisionsspann.-Ref., 4,096 V, 5 mA	Precision Volt. Ref. 4.096V, 5mA	8-SOIC	10.00	9.05	7.57
ADR292GR	ADR292GR-ND	Präzisionsspann.-Ref., 4,096 V, 5 mA	Precision Volt. Ref. 4.096V, 5mA	8-SOIC	3.50	3.05	2.55
ADR292GRU	ADR292GRU-ND	Präzisionsspann.-Ref., 4,096 V, 5 mA	Precision Volt. Ref. 4.096V, 5mA	8-TSSOP	2.32	2.24	2.15
ADR318ARJ-R2	ADR318ARJ-R2CT-ND	Präzisions-Ref., Low Drift	Precision Ref. Low Drift	SOT-23-5	2.38	1.91	1.49
ADR318ARJ-R2	ADR318ARJ-R2TR-ND	Präzisions-Ref., Low Drift	Precision Ref. Low Drift	SOT-23-5		277.50/250	
ADR370ART-R2	ADR370ART-R2CT-ND	Präzisions-Ref., NL, 2,048 V	Precision Ref. Low Power 2.048V	SOT-23	2.38	1.91	1.49
ADR370ART-R2	ADR370ART-R2TR-ND	Präzisions-Ref., NL, 2,048 V	Precision Ref. Low Power 2.048V	SOT-23		277.50/250	
ADR370BRT-R2	ADR370BRT-R2CT-ND	Präzisions-Ref., NL, 2,048 V	Precision Ref. Low Power 2.048V	SOT-23	3.14	2.52	1.96
ADR370BRT-R2	ADR370BRT-R2TR-ND	Präzisions-Ref., NL, 2,048 V	Precision Ref. Low Power 2.048V	SOT-23		365.00/250	
ADR381ART-REEL7	ADR381ART-REEL7CT-ND	Präzisionsspann.-Ref., 2,5 V, Low Drift	Precision Volt. Ref. 2.5V Low Drift	SOT-23	1.63	1.31	.98
ADR381ART-REEL7	ADR381ART-REEL7TR-ND	Präzisionsspann.-Ref., 2,5 V, Low Drift	Precision Volt. Ref. 2.5V Low Drift	SOT-23		2504.24/3,000	
ADR390AUJZ-REEL7	ADR390AUJZREEL7CT-ND	Micropower, rauscharme Präz.-Spann.-Ref., 2,048 V	Micropower, LN Precision Voltage Reference 2.048V	TSOT-23-5	1.40	1.12	.84
ADR390AUJZ-REEL7	ADR390AUJZREEL7TR-ND	Micropower, rauscharme Präz.-Spann.-Ref., 2,048 V	Micropower, LN Precision Voltage Reference 2.048V	TSOT-23-5		2040.00/3,000	
ADR390BUJZ-REEL7	ADR390BUJZREEL7CT-ND	Micropower, rauscharme Präz.-Spann.-Ref., 2,048 V	Micropower, LN Precision Voltage Reference 2.048V	TSOT-23-5	4.74	3.80	3.21
ADR390BUJZ-REEL7	ADR390BUJZREEL7TR-ND	Micropower, rauscharme Präz.-Spann.-Ref., 2,048 V	Micropower, LN Precision Voltage Reference 2.048V	TSOT-23-5		3180.00/3,000	
ADR391AUJZ-REEL7	ADR391AUJZREEL7CT-ND	Micropower, rauscharme Präz.-Spann.-Ref., 2,5 V	Micropower, LN Precision Voltage Reference 2.5V	TSOT-23-5	1.63	1.31	.98
ADR391AUJZ-REEL7	ADR391AUJZREEL7TR-ND	Micropower, rauscharme Präz.-Spann.-Ref., 2,5 V	Micropower, LN Precision Voltage Reference 2.5V	TSOT-23-5		2040.00/3,000	
ADR391BUJZ-REEL7	ADR391BUJZREEL7CT-ND	Micropower, rauscharme Präz.-Spann.-Ref., 2,5 V	Micropower, LN Precision Voltage Reference 2.5V	TSOT-23-5	2.29	1.83	1.38
ADR391BUJZ-REEL7	ADR391BUJZREEL7TR-ND	Micropower, rauscharme Präz.-Spann.-Ref., 2,5 V	Micropower, LN Precision Voltage Reference 2.5V	TSOT-23-5		3180.00/3,000	
ADR392ART-R2	ADR392ART-R2CT-ND	Präzisions-Ref., Low Drift, 4,096 V	Precision Ref. Low Drift 4.096V	SOT-23-5	2.57	2.06	1.60
ADR392AUJZ-REEL7	ADR392AUJZREEL7CT-ND	Micropower, rauscharme Präz.-Spann.-Ref., 4,096 V	Micropower, LN Precision Voltage Reference 4.096V	TSOT-23-5	1.40	1.12	.84
ADR392AUJZ-REEL7	ADR392AUJZREEL7TR-ND	Micropower, rauscharme Präz.-Spann.-Ref., 4,096 V	Micropower, LN Precision Voltage Reference 4.096V	TSOT-23-5		2040.00/3,000	
ADR392BUJZ-REEL7	ADR392BUJZREEL7CT-ND	Micropower, rauscharme Präz.-Spann.-Ref., 4,096 V	Micropower, LN Precision Voltage Reference 4.096V	TSOT-23-5	4.74	3.80	3.21
ADR392BUJZ-REEL7	ADR392BUJZREEL7TR-ND	Micropower, rauscharme Präz.-Spann.-Ref., 4,096 V	Micropower, LN Precision Voltage Reference 4.096V	TSOT-23-5		3180.00/3,000	
ADR395AUJZ-REEL7	ADR395AUJZREEL7CT-ND	Micropower, rauscharme Präz.-Spann.-Ref., 5 V	Micropower, LN Precision Voltage Reference 5V	TSOT-23-5	1.40	1.12	.84
ADR395AUJZ-REEL7	ADR395AUJZREEL7TR-ND	Micropower, rauscharme Präz.-Spann.-Ref., 5 V	Micropower, LN Precision Voltage Reference 5V	TSOT-23-5		2040.00/3,000	
ADR395BUJZ-REEL7	ADR395BUJZREEL7CT-ND	Micropower, rauscharme Präz.-Spann.-Ref., 5 V	Micropower, LN Precision Voltage Reference 5V	TSOT-23-5	2.29	1.83	1.43
ADR395BUJZ-REEL7	ADR395BUJZREEL7TR-ND	Micropower, rauscharme Präz.-Spann.-Ref., 5 V	Micropower, LN Precision Voltage Reference 5V	TSOT-23-5		3180.00/3,000	
ADR420BR	ADR420BR-ND	Präzisionsspann.-Ref., 2,048 V, 10 mA	Precision Volt. Ref. 2.048V, 10mA	8-SOIC	6.93	5.80	4.42
ADR421AR	ADR421AR-ND	Präzisions-Ref., rauscharm, 2,50 V	Precision Ref. Low Noise 2.50V	8-SOIC	3.90	3.26	2.49
ADR421BR	ADR421BR-ND	Präzisions-Ref., rauscharm, 2,50 V	Precision Ref. Low Noise 2.50V	8-SOIC	6.93	5.80	4.42

* Bleifrei/RoHS-konform

(Forts.)

★ ***RUFEN SIE BITTE AN FÜR NIEDRIGERE PREISE BEI GRÖSSEREN MENGEN!*** ★

Analog Devices Teilenr.	Digi-Key Teilenr.	Beschreibung		Paket	Stückpreis★ 1	25	100
ADR423AR	ADR423AR-ND	Präzisionsspann.-Ref., 3 V, 10 mA Ausgang	Precision Volt. Ref. 3V, 10mA Out	8-SOIC	3.90	3.26	2.49
ADR423ARZ	ADR423ARZ-ND	Präzisionsspann.-Ref., 3 V, 10 mA Ausgang	Precision Volt. Ref. 3V, 10mA Out	8-SOIC	3.90	3.26	2.49
ADR425BR	ADR425BR-ND	Präzisionsspann.-Ref., 5 V, 10 mA Ausgang	Precision Volt. Ref. 5V, 10mA Out	8-SOIC	6.93	5.80	4.42
ADR430ARM	ADR430ARM-ND	XFET-Spannungsreferenz, 2 V	2V, XFET Voltage Reference	8-MSOP	3.50	2.61	2.52
ADR434AR	ADR434AR-ND	XFET-Spann.-Ref., 4,096 V, 30 mA	4.096V, 30mA XFET Volt. Ref.	8-SOIC	4.00	3.00	2.48
ADR434ARM	ADR434ARM-ND	XFET-Spann.-Ref., 4,096 V, 30 mA	4.096V, 30mA XFET Volt. Ref.	8-MSOP	4.00	3.00	2.48
ADR435AR	ADR435AR-ND	XFET-Spann.-Ref., 5 V, 30 mA	5V, 30mA XFET Volt. Ref.	8-SOIC	4.00	3.00	2.48
ADR435ARM	ADR435ARM-ND	XFET-Spann.-Ref., 5 V, 30 mA	5V, 30mA XFET Volt. Ref.	8-MSOP	4.00	3.00	2.52
ADR435ARMZ	ADR435ARMZ-ND	XFET-Spann.-Ref., 5 V, 30 mA	5V, 30mA XFET Volt. Ref.	8-MSOP	4.00	3.00	2.48
ADR439AR	ADR439AR-ND	XFET-Spann.-Ref., 4,5 V, 30 mA	4.5V, 30mA XFET Volt. Ref.	8-SOIC	4.00	3.00	2.48
ADR439ARM	ADR439ARM-ND	XFET-Spann.-Ref., 4,5 V, 30 mA	4.5V, 30mA XFET Volt. Ref.	8-MSOP	4.00	3.00	2.48
ADR510ART-R2	ADR510ART-R2CT-ND	Präz.-Ref., Shuntspann., 1 V	Precision Ref. Shunt Volt. 1V	SOT-23	2.38	1.91	1.49
ADR510ART-R2	ADR510ART-R2TR-ND	Präz.-Ref., Shuntspann., 1 V	Precision Ref. Shunt Volt. 1V	SOT-23		351.97/250	
ADR512ART-R2	ADR512ART-R2CT-ND	Präz.-Ref., Shunt, 1,2 V	Precision Ref. Shunt 1.2V	SOT-23	2.06	1.65	1.29
ADR512ART-R2	ADR512ART-R2TR-ND	Präz.-Ref., Shunt, 1,2 V	Precision Ref. Shunt 1.2V	SOT-23		277.50/250	
ADR520ART-R2	ADR520ART-R2CT-ND	Spann.-Ref., Shunt, 2,048 V	Volt. Ref. Shunt 2.048V	SOT-23	1.22	1.02	.82
ADR520ART-R2	ADR520ART-R2TR-ND	Spann.-Ref., Shunt, 2,048 V	Volt. Ref. Shunt 2.048V	SOT-23		152.39/250	
ADR520BKS-R2	ADR520BKS-R2CT-ND	Spann.-Ref., Shunt, 2,048 V	Volt. Ref. Shunt 2.048V	SC-70	2.06	1.65	1.24
ADR520BKS-R2	ADR520BKS-R2TR-ND	Spann.-Ref., Shunt, 2,048 V	Volt. Ref. Shunt 2.048V	SC-70		215.00/250	
ADR520BRT-R2	ADR520BRT-R2CT-ND	Spann.-Ref., Shunt, 2,048 V	Volt. Ref. Shunt 2.048V	SOT-23	1.89	1.51	1.14
ADR520BRT-R2	ADR520BRT-R2TR-ND	Spann.-Ref., Shunt, 2,048 V	Volt. Ref. Shunt 2.048V	SOT-23		197.50/250	
ADR525ART-R2	ADR525ART-R2CT-ND	Spann.-Ref., Shunt, 2,5 V	Volt. Ref. Shunt 2.5V	SOT-23	1.22	1.02	.82
ADR525ART-R2	ADR525ART-R2TR-ND	Spann.-Ref., Shunt, 2,5 V	Volt. Ref. Shunt 2.5V	SOT-23		105.00/250	
ADR525BKS-R2	ADR525BKS-R2CT-ND	Spann.-Ref., Shunt, 2,5 V	Volt. Ref. Shunt 2.5V	SC-70	2.06	1.65	1.24
ADR525BKS-R2	ADR525BKS-R2TR-ND	Spann.-Ref., Shunt, 2,5 V	Volt. Ref. Shunt 2.5V	SC-70		215.00/250	
ADR525BRT-R2	ADR525BRT-R2CT-ND	Spann.-Ref., Shunt, 2,5 V	Volt. Ref. Shunt 2.5V	SOT-23	1.89	1.51	1.14
ADR525BRT-R2	ADR525BRT-R2TR-ND	Spann.-Ref., Shunt, 2,5 V	Volt. Ref. Shunt 2.5V	SOT-23		197.50/250	
ADR530ART-R2	ADR530ART-R2CT-ND	Spann.-Ref., Shunt, 3,0 V	Volt. Ref. Shunt 3.0V	SOT-23	1.22	1.02	.82
ADR530ART-R2	ADR530ART-R2TR-ND	Spann.-Ref., Shunt, 3,0 V	Volt. Ref. Shunt 3.0V	SOT-23		105.00/250	
ADR530BKS-R2	ADR530BKS-R2CT-ND	Spann.-Ref., Shunt, 3,0 V	Volt. Ref. Shunt 3.0V	SC-70	2.06	1.65	1.24
ADR530BKS-R2	ADR530BKS-R2TR-ND	Spann.-Ref., Shunt, 3,0 V	Volt. Ref. Shunt 3.0V	SC-70		215.00/250	
ADR530BRT-R2	ADR530BRT-R2CT-ND	Spann.-Ref., Shunt, 3,0 V	Volt. Ref. Shunt 3.0V	SOT-23	1.89	1.51	1.14
ADR530BRT-R2	ADR530BRT-R2TR-ND	Spann.-Ref., Shunt, 3,0 V	Volt. Ref. Shunt 3.0V	SOT-23		197.50/250	
ADR540ART-R2	ADR540ART-R2CT-ND	Spann.-Ref., Shunt, 4,096 V	Volt. Ref. Shunt 4.096V	SOT-23	1.22	1.02	.82
ADR540ART-R2	ADR540ART-R2TR-ND	Spann.-Ref., Shunt, 4,096 V	Volt. Ref. Shunt 4.096V	SOT-23		105.00/250	
ADR540BKS-R2	ADR540BKS-R2CT-ND	Spann.-Ref., Shunt, 4,096 V	Volt. Ref. Shunt 4.096V	SC-70	2.06	1.65	1.24
ADR540BKS-R2	ADR540BKS-R2TR-ND	Spann.-Ref., Shunt, 4,096 V	Volt. Ref. Shunt 4.096V	SC-70		215.00/250	
ADR540BRT-R2	ADR540BRT-R2CT-ND	Spann.-Ref., Shunt, 4,096 V	Volt. Ref. Shunt 4.096V	SOT-23	1.89	1.51	1.14
ADR540BRT-R2	ADR540BRT-R2TR-ND	Spann.-Ref., Shunt, 4,096 V	Volt. Ref. Shunt 4.096V	SOT-23		197.50/250	
ADR550ART-R2	ADR550ART-R2CT-ND	Spann.-Ref., Shunt, 5,0 V	Volt. Ref. Shunt 5.0V	SOT-23	1.22	1.02	.82
ADR550ART-R2	ADR550ART-R2TR-ND	Spann.-Ref., Shunt, 5,0 V	Volt. Ref. Shunt 5.0V	SOT-23		105.00/250	
ADR550BKS-R2	ADR550BKS-R2CT-ND	Spann.-Ref., Shunt, 5,0 V	Volt. Ref. Shunt 5.0V	SC-70	2.06	1.65	1.24
ADR550BKS-R2	ADR550BKS-R2TR-ND	Spann.-Ref., Shunt, 5,0 V	Volt. Ref. Shunt 5.0V	SC-70		215.00/250	
ADR550BRT-R2	ADR550BRT-R2CT-ND	Spann.-Ref., Shunt, 5,0 V	Volt. Ref. Shunt 5.0V	SOT-23	1.89	1.51	1.14
ADR550BRT-R2	ADR550BRT-R2TR-ND	Spann.-Ref., Shunt, 5,0 V	Volt. Ref. Shunt 5.0V	SOT-23		197.50/250	
REF01CP	REF01CP-ND	Präzisionsspann.-Ref., 10 V	Precision Volt. Reference 10V	8-Dip	2.50	1.80	1.02
REF01CPZ	REF01CPZ-ND	Präzisionsspann.-Ref., 10 V	Precision Volt. Reference 10V	8-Dip	2.50	1.80	1.02
REF01CS	REF01CS-ND	Präzisionsspann.-Ref., 10 V	Precision Volt. Reference 10V	8-SOIC	2.50	1.50	.98
REF01EJ	REF01EJ-ND	Präzisionsspann.-Ref., 10 V	Precision Volt. Reference 10V	TO-99	24.00	20.00	18.57
REF01EZ	REF01EZ-ND	Präzisionsspann.-Ref., 10 V	Precision Volt. Reference 10V	8-CDip	6.00	5.50	5.30
REF01HP	REF01HP-ND	Präzisionsspann.-Ref., 10 V	Precision Volt. Reference 10V	8-Dip	4.25	3.00	1.55
REF01HPZ	REF01HPZ-ND	Präzisionsspann.-Ref., 10 V	Precision Volt. Reference 10V	8-Dip	4.25	3.00	1.55
REF02AZ	REF02AZ-ND	Präz.-Spann.-Ref.//Temp. 5 V Transducer	Prec. Volt. Ref./Temp. 5V Transducer	8-CDip	24.00	20.00	18.57
REF02CP	REF02CP-ND	Präzisionsspann.-Ref., 5 V	Precision Volt. Reference 5V	8-Dip	2.50	1.80	1.02
REF02CS	REF02CS-ND	Präzisionsspann.-Ref., 5 V	Precision Volt. Reference 5V	8-SOIC	1.15	1.06	.99
REF02CS-REEL7	REF02CS-REEL7CT-ND	Präzisionsspann.-Ref., 5 V	Precision Volt. Reference 5V	8-SOIC	2.13	1.71	1.33
REF02CS-REEL7	REF02CS-REEL7TR-ND	Präzisionsspann.-Ref., 5 V	Precision Volt. Reference 5V	8-SOIC		980.00/1,000	
REF02CSZ	REF02CSZ-ND	Präzisionsspann.-Ref., 5 V	Precision Volt. Reference 5V	8-SOIC	2.50	1.50	.98
REF02EZ	REF02EZADI-ND	Präzisionsspann.-Ref., 5 V	Precision Volt. Reference 5V	8-CDip	6.00	5.50	5.30
REF02HP	REF02HP-ND	Präzisionsspann.-Ref., 5 V	Precision Volt. Reference 5V	8-Dip	2.50	2.00	1.55
REF03GP	REF03GP-ND	Präzisionsspann.-Ref., 2,5 V	Precision Volt. Reference 2.5V	8-Dip	2.50	1.80	1.02
REF03GS	REF03GS-ND	Präzisionsspann.-Ref., 2,5 V	Precision Volt. Reference 2.5V	8-SOIC	1.15	1.06	.98
REF43FZ	REF43FZ-ND	Präzisionsspann.-Ref., 2,5 V, NL	Precision Volt. Ref. LP 2.5V	8-CDip	12.32	9.85	8.21
REF43GP	REF43GP-ND	Präzisionsspann.-Ref., 2,5 V, NL	Precision Volt. Reference LP 2.5V	8-Dip	5.18	4.14	3.45
REF43GS	REF43GS-ND	Präzisionsspann.-Ref., 2,5 V, NL	Precision Volt. Reference LP 2.5V	8-SOIC	5.18	4.14	3.45
REF43GSZ	REF43GSZ-ND	Präzisionsspann.-Ref., 2,5 V, NL	Precision Volt. Reference LP 2.5V	8-SOIC	5.18	4.14	3.45
REF43GZ	REF43GZ-ND	Präzisionsspann.-Ref., 2,5 V, NL	Precision Volt. Ref. LP 2.5V	8-CDip	6.96	4.43	4.00
REF191ES	REF191ES-ND	Spann.-Ref., LDO, 2,048 V	Volt. Reference LDO 2.048V	8-SOIC	2.30	2.00	1.99
REF191GS	REF191GS-ND	Spann.-Ref., LDO, 2,048 V	Volt. Reference LDO 2.048V	8-SOIC	1.28	1.19	1.11
REF192ES	REF192ES-ND	Spann.-Ref., LDO, 2,5 V	Volt. Reference LDO 2.5V	8-SOIC	2.50	2.00	1.99
REF192FS	REF192FS-ND	Spann.-Ref., LDO, 2,5 V	Volt. Reference LDO 2.5V	8-SOIC	2.50	2.00	1.55
REF192GRUZ-REEL7	REF192GRUZREEL7CT-ND	Spann.-Ref., LDO, 2,5 V	Volt. Reference LDO 2.5V	8-TSSOP	3.24	2.60	2.02
REF192GRUZ-REEL7	REF192GRUZREEL7TR-ND	Spann.-Ref., LDO, 2,5 V	Volt. Reference LDO 2.5V	8-TSSOP		1590.00/1,000	
REF192GS	REF192GS-ND	Spann.-Ref., LDO, 2,5 V	Volt. Reference LDO 2.5V	8-SOIC	2.00	1.15	1.11
REF193GS	REF193GS-ND	Spann.-Ref., LDO, 3 V	Volt. Reference LDO 3V	8-SOIC	2.00	1.15	1.11
REF194ES	REF194ES-ND	Spann.-Ref., LDO, 4,5 V	Volt. Reference LDO 4.5V	8-SOIC	4.00	3.00	2.50
REF194GP	REF194GP-ND	Spann.-Ref., LDO, 4,5 V	Volt. Reference LDO 4.5V	8-Dip	4.25	2.80	2.50
REF194GS	REF194GS-ND	Spann.-Ref., LDO, 4,5 V	Volt. Reference LDO 4.5V	8-SOIC	3.25	2.80	1.11
REF195ES	REF195ES-ND	Spann.-Ref., LDO, 5 V	Volt. Reference LDO 5V	8-SOIC	2.17	2.07	1.99
REF195FS	REF195FS-ND	Spann.-Ref., LDO, 5 V	Volt. Reference LDO 5V	8-SOIC	1.73	1.64	1.55
REF195FS-REEL	REF195FS-REELCT-ND	Spann.-Ref., LDO, 5 V	Volt. Reference LDO 5V	8-SOIC	3.85	3.08	2.40
REF195FS-REEL	REF195FS-REELTR-ND	Spann.-Ref., LDO, 5 V	Volt. Reference LDO 5V	8-SOIC		3850.00/2,500	
REF195GP	REF195GP-ND	Spann.-Ref., LDO, 5 V	Volt. Reference LDO 5V	8-Dip	4.25	2.80	2.50
REF195GPZ	REF195GPZ-ND	Spann.-Ref., LDO, 5 V	Volt. Reference LDO 5V	8-Dip	3.25	2.80	1.11
REF195GS	REF195GS-ND	Spann.-Ref., LDO, 5 V	Volt. Reference LDO 5V	8-SOIC	2.50	2.00	1.11
REF196GS	REF196GS-ND	Spann.-Ref., LDO, 3,3 V	Volt. Reference LDO 3.3V	8-SOIC	2.50	2.00	1.11
REF198ES	REF198ES-ND	Spann.-Ref., LDO, 4,096 V	Volt. Reference LDO 4.096V	8-SOIC	2.30	2.00	1.99
REF198FS	REF198FS-ND	Spann.-Ref., LDO, 4,096 V	Volt. Reference LDO 4.096V	8-SOIC	4.25	3.00	1.55
REF198FSZ	REF198FSZ-ND	Spann.-Ref., LDO, 4,096 V	Volt. Reference LDO 4.096V	8-SOIC	4.25	3.00	1.55
REF198GP	REF198GP-ND	Spann.-Ref., LDO, 4,096 V	Volt. Reference LDO 4.096V	8-Dip	3.25	2.80	1.11
REF198GS	REF198GS-ND	Spann.-Ref., LDO, 4,096 V	Volt. Reference LDO 4.096V	8-SOIC	2.50	2.00	1.11

Analog Devices Teilenr.	Digi-Key Teilenr.	Beschreibung		Paket	Stückpreis★ 1	25	100
AD6620AS	AD6620AS-ND	Digitalempfänger-Signalprozessor	Digital Receiver Signal Processor	80-PQFP	19.90	19.15	17.69
AD6634BBC	AD6634BBC-ND	Zweif. RSP 80 MSPS	RSP 80MSPS Dual	196-CSPBGA	47.08	40.34	38.00
AD6635BB	AD6635BB-ND	Vierf. RSP 80 MSPS	RSP 80MSPS Quad	324-PBGA	54.52	46.72	44.00
AD6636BBCZ	AD6636BBCZ-ND	6-Kan., 150 MSPS Breitband-Digital-Abwärtswandler	6-Ch., 150MSPS Wideband Digital Down Converter	256-CSPBGA	64.12	54.94	50.00
AD6636BC/PCB	AD6636BC/PCB-ND	Evaluierungskarte für AD6636	Evaluation Board for AD6636	—	574.79	—	—

* Bleifrei/RoHS-konform

(Forts.)

★ ***RUFEN SIE BITTE AN FÜR NIEDRIGERE PREISE BEI GRÖSSEREN MENGEN!*** ★

Analog Devices Teilenr.	Digi-Key Teilenr.	Beschreibung		Paket	Stückpreis★ 1	25	100
AD6636CBCZ	AD6636CBCZ-ND	4-Kan., 150 MSPS Breitband-Digital-Abwärtswandler	4-Ch., 150MSPS Wideband Digital Down Converter	256-CSPBGA	42.74	36.63	34.00
AD8302ARU	AD8302ARU-ND	Detektor RF/IF	Detector RF/IF	14-TSSOP	17.69	15.48	13.26
AD8314ARM	AD8314ARM-ND	RF Detektor/Controller 45 dB	RF Detector/Controller 45dB	8-MSOP	6.04	5.03	4.19
AD8314ARM-REEL7	AD8314ARM-REEL7CT-ND	RF Detektor/Controller 45 dB	RF Detector/Controller 45dB	8-MSOP	8.03	6.43	5.42
AD8314ARM-REEL7	AD8314ARM-REEL7TR-ND	RF Detektor/Controller 45 dB	RF Detector/Controller 45dB	8-MSOP		3500.00/1,000	
AD8314-EVAL	AD8314-EVAL-ND	Evaluierungskarte für AD8314	Evaluation Board for AD8314	—	87.55	—	—
AD8347ARU	AD8347ARU-ND	Vierf. Demodulator	Quad Demodulator	28-TSSOP	8.81	7.95	7.05
AD8349ARE	AD8349ARE-ND	Vierf Modulator, 800 MHz	Quad Modulator 800MHz	16-TSSOP	5.63	5.07	4.60
AD8349-EVAL	AD8349-EVAL-ND	Evaluierungskarte für AD8349	Evaluation Board for AD8349	—	87.55	—	—
AD8353ACP-R2	AD8353ACP-R2CT-ND	RF-Verstärkungsblock	RF Gain Block	8-LFCSP	1.23	.99	.74
AD8353ACP-R2	AD8353ACP-R2TR-ND	RF-Verstärkungsblock	RF Gain Block	8-LFCSP		127.50/250	
AD8354ACP-R2	AD8354ACP-R2CT-ND	RF-Verstärkungsblock	RF Gain Block	8-LFCSP	1.23	.99	.74
AD8354ACP-R2	AD8354ACP-R2TR-ND	RF-Verstärkungsblock	RF Gain Block	8-LFCSP		127.50/250	
AD8361ARM	AD8361ARM-ND	Stromdetektor, 2,5 GHz	Power Detector 2.5GHz	8-MSOP	4.62	4.02	3.50
AD8361ART-REEL7	AD8361ART-REEL7CT-ND	Stromdetektor, 2,5 GHz	Power Detector 2.5GHz	SOT-23-6	6.35	5.08	4.29
AD8361ART-REEL7	AD8361ART-REEL7TR-ND	Stromdetektor, 2,5 GHz	Power Detector 2.5GHz	SOT-23-6		9930.00/3,000	
AD8361-EVAL	AD8361-EVAL-ND	Evaluierungskarte für AD8361	Evaluation Board for AD8361	—	88.43	—	—
AD8362ARU	AD8362ARU-ND	Stromdetektor, 2,7 GHz	Power Detector 2.7GHz	16-TSSOP	8.40	7.30	6.64
AD8362-EVAL	AD8362-EVAL-ND	Evaluierungskarte für AD8362	Evaluation Board for AD8362	—	87.55	—	—
AD8367ARU	AD8367ARU-ND	VGA mit AGC-Detektor	VGA with AGC Detector	14-TSSOP	8.43	6.75	5.70
AD8367-EVAL	AD8367-EVAL-ND	Evaluierungskarte für AD8367	Evaluation Board for AD8367	—	87.55	—	—
AD8369ARU	AD8369ARU-ND	VGA Digital-Controller	VGA Digital Controller	16-TSSOP	5.33	4.84	4.40
AD8369ARUZ	AD8369ARUZ-ND	VGA Digital-Controller*	VGA Digital Controller*	16-TSSOP	5.33	4.84	4.40
AD9864BCPZ	AD9864BCPZ-ND	IF-Subsystem, Allzweck	IF Subsystem GP	48-LFCSP	14.51	12.43	10.36
AD9901KP	AD9901KP-ND	Phasen-/Frequenz-Diskriminator	Phase/Frequency Discriminator	20-PLCC	6.52	5.22	4.41
ADF4001BCP	ADF4001BCP-ND	200 MHz Taktgenerator, PLL	200MHz Clock Generator PLL	20-LFCSP	3.18	2.03	1.85
ADF4001BRU	ADF4001BRU-ND	200 MHz Taktgenerator, PLL	200MHz Clock Generator PLL	16-TSSOP	2.50	2.03	1.77
		DDS					
AD7008AP20	AD7008AP20-ND	CMOS DDS Modulator	CMOS DDS Modulator	44-PLCC	24.58	22.93	21.29
AD7008JP50	AD7008JP50-ND	CMOS DDS Modulator	CMOS DDS Modulator	44-PLCC	29.49	27.52	25.56
AD9830AST	AD9830AST-ND	DDS DAU, 10-Bit, 50 MHz	DDS DAC 10-Bit, 50MHz	48-TQFP	14.49	12.41	10.35
AD9830ASTZ	AD9830ASTZ-ND	DDS DAU, 10-Bit, 50 MHz*	DDS DAC 10-Bit, 50MHz*	48-TQFP	14.49	12.41	10.35
AD9831AST	AD9831AST-ND	DDS DAU, 10-Bit, 25 MHz*	DDS DAC 10-Bit, 25MHz	48-LQFP	9.10	7.80	6.50
AD9832BRU	AD9832BRU-ND	DDS DAU, 10-Bit, 25 MHz*	DDS DAC 10-Bit, 25MHz	16-TSSOP	7.28	6.23	5.20
AD9832BRUZ	AD9832BRUZ-ND	DDS DAU, 10-Bit, 25 MHz*	DDS DAC 10-Bit, 25MHz*	16-TSSOP	7.28	6.23	5.20
AD9833BRM	AD9833BRM-ND	Progr. Wellenformgeber	Prog. Waveform Generator	10-MSOP	6.99	4.73	4.12
AD9833BRMZ	AD9833BRMZ-ND	Progr. Wellenformgeber*	Prog. Waveform Generator*	10-MSOP	6.99	4.73	4.12
AD9834BRU	AD9834BRU-ND	Komplettes DDS, 2,3 V, 50 MHz	Complete DDS 2.3V, 50MHz	20-TSSOP	8.74	5.92	5.15
AD9834BRUZ	AD9834BRUZ-ND	Komplettes DDS, 2,3 V, 50 MHz*	Complete DDS 2.3V, 50MHz*	20-TSSOP	8.74	5.92	5.15
AD9835BRU	AD9835BRU-ND	DDS DAU, 10-Bit, 50 MHz	DDS DAC 10-Bit, 50MHz	16-TSSOP	8.38	7.18	5.98
AD9835BRUZ	AD9835BRUZ-ND	DDS DAU, 10-Bit, 50 MHz*	DDS DAC 10-Bit, 50MHz*	16-TSSOP	8.38	7.18	5.98
AD9850BRS	AD9850BRS-ND	Komplettes DDS mit DAU, 125 MHz	Complete DDS with DAC 125MHz	28-SSOP	18.57	16.36	12.87
AD9850/FSPCB	AD9850/FSPCB-ND	Evaluierungskarte für AD9850/FS	Evaluation Board for AD9850/FS	—	221.07	—	—
AD9851BRS	AD9851BRS-ND	Komplettes DDS mit DAU, 180 MHz	Complete DDS with DAC 180MHz	28-SSOP	19.81	17.60	14.11
AD9851BRSZ	AD9851BRSZ-ND	Komplettes DDS mit DAU, 180 MHz	Complete DDS with DAC 180MHz	28-SSOP	19.81	17.60	14.11
AD9852ASQ	AD9852ASQ-ND	Komplettes DDS mit zweif. DAU	Complete DDS with Dual DAC	80-LQFP	27.41	24.32	24.00
AD9852AST	AD9852AST-ND	DDS Synthesizer, CMOS	DDS Synthesizer CMOS	80-LQFP	21.58	19.36	15.88
AD9854ASQ	AD9854ASQ-ND	Vierf. DDS CMOS	DDS Quad CMOS	80-LQFP	29.18	28.00	27.00
AD9854AST	AD9854AST-ND	Vierf. DDS CMOS	DDS Quad CMOS	80-LQFP	22.90	20.69	17.20
AD9858BSV	AD9858BSV-ND	DDS DAU, 10-Bit, 1 GSPS	DDS DAC 10-Bit, 1GSPS	100-TQFP	52.02	50.12	46.95
AD9858/PCB	AD9858/PCB-ND	Evaluierungskarte für AD9858	Evaluation Board for AD9858	—	309.50	—	—
AD9859YSV	AD9859YSV-ND	DDS DAU, 10-Bit, 400 MSPS	DDS DAC 10-Bit, 400MSPS	48-TQFP	14.23	12.07	10.14
AD9952YSV	AD9952YSV-ND	DDS DAU, 14-Bit, 400 MSPS	DDS DAC 14-Bit, 400MSPS	48-TQFP	22.62	19.19	16.12
AD9953YSV	AD9953YSV-ND	DDS DAU, 14-Bit, 400 MSPS	DDS DAC 14-Bit, 400MSPS	48-TQFP	19.00	18.26	15.34
AD9956/PCB	AD9956/PCB-ND	Evaluierungskarte für AD9956	Evaluation Board for AD9956	—	221.07	—	—
		Frequenz-Synthesizer					
ADF4106BRU	ADF4106BRU-ND	PLL Frequenz-Synthesizer, 6 GHz	PLL Frequency Synthesizer 6GHz	16-TSSOP	3.98	2.55	2.21
ADF4107BRU	ADF4107BRU-ND	PLL Frequenz-Synthesizer, 7 GHz	PLL Frequency Synthesizer 7GHz	16-TSSOP	5.13	3.36	2.74
ADF4110BCP	ADF4110BCP-ND	PLL Synthesizer, 550 MHz	PLL Synthesizer 550MHz	20-LFCSP	4.21	2.69	2.50
ADF4110BRU	ADF4110BRU-ND	PLL Synthesizer, 550 MHz	PLL Synthesizer 550MHz	16-TSSOP	4.21	2.69	2.50
ADF4110BRU-REEL7	ADF4110BRUREEL7CT-ND	PLL Synthesizer, 550 MHz	PLL Synthesizer 550MHz	16-TSSOP	4.30	3.45	2.91
ADF4110BRU-REEL7	ADF4110BRUREEL7TR-ND	PLL Synthesizer, 550 MHz	PLL Synthesizer 550MHz	16-TSSOP		1990.00/1,000	
ADF4111BRU	ADF4111BRU-ND	PLL Synthesizer	PLL Synthesizer	16-TSSOP	4.21	2.69	2.35
ADF4112BRU	ADF4112BRU-ND	PLL Synthesizer, 3,0 GHz	PLL Synthesizer 3.0GHz	16-TSSOP	4.21	2.69	2.50
ADF4113BCP	ADF4113BCP-ND	PLL Synthesizer, 4,0 GHz	PLL Synthesizer 4.0GHz	20-LFCSP	4.21	2.69	2.35
ADF4113BRU	ADF4113BRU-ND	PLL Synthesizer, 4,0 GHz	PLL Synthesizer 4.0GHz	16-TSSOP	3.50	2.69	2.35
ADF4113BRU-REEL7	ADF4113BRUREEL7CT-ND	PLL Synthesizer, 4,0 GHz	PLL Synthesizer 4.0GHz	16-TSSOP	5.42	4.34	3.66
ADF4113BRU-REEL7	ADF4113BRUREEL7TR-ND	PLL Synthesizer, 4,0 GHz	PLL Synthesizer 4.0GHz	16-TSSOP		1990.00/1,000	
EVAL-ADF4113EB1	EVAL-ADF4113EB1-ND	Evaluierungskarte für ADF4113	Evaluation Board for ADF4113	—	132.64	—	—
ADF4116BRU	ADF4116BRU-ND	PLL Synthesizer, 550 MHz	PLL Synthesizer 550MHz	16-TSSOP	3.50	2.69	2.35
ADF4118BRU	ADF4118BRU-ND	PLL Synthesizer, 3,0 GHz	PLL Synthesizer 3.0GHz	16-TSSOP	4.21	2.69	2.50
ADF4118BRUZ	ADF4118BRUZ-ND	RF PLL Frequ.-Synthesizer	RF PLL Freq. Synthesizer	16-TSSOP	4.21	2.69	2.50
ADF4153BCP	ADF4153BCP-ND	PLL Synthesizer, Fractional-N Frequ.	PLL Synthesizer Fractional-N Freq.	20-LFCSP	4.21	2.69	2.35
ADF4153BRU	ADF4153BRU-ND	PLL Synthesizer, Fractional-N Frequ.	PLL Synthesizer Fractional-N Freq.	16-TSSOP	3.50	2.69	2.35
ADF4154BRU	ADF4154BRU-ND	Fractional-N Frequ.-Synthesizer	Fractional-N Freq. Synthesizer	16-TSSOP	4.21	2.69	2.35
ADF4212LBRU	ADF4212LBRU-ND	Zweif. PLL Frequenz-Synthesizer	PLL Synthesizer Dual Freq.	20-TSSOP	4.54	2.90	2.52
ADF4213BRU	ADF4213BRU-ND	PLL Frequenz-Synthesizer	PLL Frequency Synthesizer	20-TSSOP	4.54	2.90	2.52
ADF4217LBRU	ADF4217LBRU-ND	Zweif. Frequenz-Synthesizer, NL	Frequency Synthesizer Dual LP	20-TSSOP	2.38	1.90	1.48
ADF4218LBRU	ADF4218LBRU-ND	Zweif. Frequenz-Synthesizer, NL	Frequency Synthesizer Dual LP	20-TSSOP	4.69	3.00	2.80
ADF4219LBRU	ADF4219LBRU-ND	Zweif. Frequenz-Synthesizer, NL	Frequency Synthesizer Dual LP	20-TSSOP	2.79	2.22	1.73
ADF4252BCP	ADF4252BCP-ND	PLL Frequenz-Synthesizer	PLL Frequency Synthesizer	24-LFCSP	4.93	3.16	2.74
ADF4360-0BCP	ADF4360-0BCP-ND	Integrierter Synthesizer/VCO	Integrated Synthesizer/VCO	24-LFCSP	5.73	3.66	3.18
EVAL-ADF4360-0EB1	EVAL-ADF4360-0EB1-ND	Evaluierungskarte für ADF4360-0	Evaluation Board for ADF4360-0	—	106.12	—	—
EVAL-ADF4360-1EB1	EVAL-ADF4360-1EB1-ND	Evaluierungskarte für ADF4360-1	Evaluation Board for ADF4360-1	—	106.12	—	—
ADF4360-2BCP	ADF4360-2BCP-ND	Integrierter Synthesizer/VCO	Integrated Synthesizer/VCO	24-LFCSP	4.00	3.66	3.18
ADF4360-4BCP	ADF4360-4BCP-ND	Integrierter Synthesizer/VCO	Integrated Synthesizer/VCO	24-LFCSP	4.00	3.66	3.18
EVAL-ADF4360-4EB1	EVAL-ADF4360-4EB1-ND	Evaluierungskarte für ADF4360-4	Evaluation Board for ADF4360-4	—	106.12	—	—
EVAL-ADF4360-5EB1	EVAL-ADF4360-5EB1-ND	Evaluierungskarte für ADF4360-5	Evaluation Board for ADF4360-5	—	106.12	—	—
ADF4360-7BCP	ADF4360-7BCP-ND	Integrierter Synthesizer/VCO	Integrated Synthesizer/VCO	24-LFCSP	5.73	3.66	3.18
EVAL-ADF4360-7EB1	EVAL-ADF4360-7EB1-ND	Evaluierungskarte für ADF4360-7	Evaluation Board for ADF4360-7	—	106.12	—	—
		Mixer					
AD831AP	AD831AP-ND	Mixer, Abwärtswandlung, geringe Verzerrung	Mixer Down Conversion Low Dist.	20-PLCC	9.09	8.60	7.17
AD831AP-REEL7	AD831AP-REEL7TR-ND	Mixer, Abwärtswandlung, geringe Verzerrung	Mixer Down Conversion Low Dist.	20-PLCC		1880.93/250	
AD8343ARU	AD8343ARU-ND	Mixer, Active-High IP3	Mixer Active High IP3	14-TSSOP	5.55	4.63	3.86
		Empfänger					
AD607ARS	AD607ARS-ND	LIN-Empfänger, IF Subsystem, NL	LIN Receiver IF Subsystem LP	20-SSOP	2.89	2.60	2.43
AD608AR	AD608AR-ND	Mixer/Limiter, 3 V, IF	Mixer/Limiter 3V IF	16-SOIC	2.89	2.60	2.43
AD6650BBC	AD6650BBC-ND	Diversity IF an Baseband GSM/EDGE Schmalbandempfänger	Diversity IF to Baseband GSM/EDGE Narrowband Receiver	121-BGA	29.74	25.48	23.00
AD6650/PCB	AD6650/PCB-ND	Evaluierungskarte für AD6650 mit Software	Evaluation Board for AD6650 with Software	—	574.79	—	—
		Transmitter/Empfänger					
ADF7010BRU	ADF7010BRU-ND	TX, ASK/FSK/GFSK, HP	TX ASK/FSK/GFSK HP	24-TSSOP	2.48	1.94	1.80
ADF7011BRU	ADF7011BRU-ND	TX, ASK/FSK/GFSK, HP	TX ASK/FSK/GFSK HP	24-TSSOP	2.48	1.94	1.80

* Bleifrei/RoHS-konform

★ RUFEN SIE BITTE AN FÜR NIEDRIGERE PREISE BEI GRÖSSEREN MENGEN! ★

Analog Devices Teilenr.	Digi-Key Teilenr.	Beschreibung		Paket	Stückpreis★ 1	25	100
			Energiemessung				
ADE7752AR	ADE7752AR-ND	Energiemessungsdetektor	Energy Metering Detector	24-SOIC	7.42	5.94	5.02
ADE7753ARS	ADE7753ARS-ND	Energiemessungsdetektor	Energy Metering Detector	20-SSOP	3.87	3.24	2.47
ADE7754AR	ADE7754AR-ND	Energiemessgerät mit serieller	Energy Meter with Serial	24-SOIC	6.79	5.55	4.93
ADE7757ARN	ADE7757ARN-ND	Energiemessung	Energy Metering	16-SOIC	2.00	1.28	1.26
ADE7758ARW	ADE7758ARW-ND	Energiemessung	Energy Metering	24-SOIC	10.58	9.53	8.45
ADE7759ARS	ADE7759ARS-ND	Energiemessgerät mit Sensorschnittstelle	Energy Meter with Sensor Interface	20-SSOP	4.77	3.99	3.04
ADE7760ARS	ADE7760ARS-ND	Energiemessgerät mit On-Chip-Fehlererkennung	Energy Meter with On-Chip Fault Detection	20-SSOP	3.51	3.00	2.79
ADE7761ARS	ADE7761ARS-ND	Energiemessgerät mit On-Chip-Fehlererkennung	Energy Meter with On-Chip Fault Detection	20-SSOP	3.65	3.13	2.93
EVAL-ADE7763EB	EVAL-ADE7763EB-ND	Evaluierungskarte für ADE7763	Evaluation Board for ADE7763	—	147.39	—	—
			Temperatur				
AD590JF	AD590JF-ND	Temp.-Transducer, 2-Anschl.	Temp. Transducer 2-Term.	Flatpack	13.65	10.07	8.88
AD590JH	AD590JH-ND	Temp.-Transducer, 2-Anschl.	Temp. Transducer 2-Term.	TO-52	5.47	4.38	3.65
AD590KF	AD590KF-ND	Temp.-Transducer, 2-Anschl.	Temp. Transducer 2-Term.	Flatpack	17.58	13.06	9.70
AD590KH	AD590KH-ND	Temp.-Transducer, 2-Anschl.	Temp. Transducer 2-Term.	TO-52	10.05	7.45	5.52
AD590LF	AD590LF-ND	Temp.-Transducer, 2-Anschl.	Temp. Transducer 2-Term.	Flatpack	43.86	38.02	30.00
AD590LH	AD590LH-ND	Temp.-Transducer, 2-Anschl.	Temp. Transducer 2-Term.	TO-52	22.34	16.55	12.28
AD590MF	AD590MF-ND	Temp.-Transducer, 2-Anschl.	Temp. Transducer 2-Term.	Flatpack	80.58	60.45	58.00
AD590MH	AD590MH-ND	Temp.-Transducer, 2-Anschl.	Temp. Transducer 2-Term.	TO-52	53.17	39.88	36.00
AD592AN	AD592AN-ND	Temp.-Transducer, 2-Anschl.	Temp. Transducer 2-Term.	TO-92	2.93	2.35	1.95
AD592ANZ	AD592ANZ-ND	Temp.-Transducer, 2-Anschl.*	Temp. Transducer 2-Term.*	TO-92	2.93	2.35	1.95
AD592BN	AD592BN-ND	Temp.-Transducer, 2-Anschl.	Temp. Transducer 2-Term.	TO-92	11.06	8.20	6.07
AD592BNZ	AD592BNZ-ND	Temp.-Transducer, 2-Anschl.*	Temp. Transducer 2-Term.*	TO-92	11.06	8.20	6.07
AD592CN	AD592CN-ND	Temp.-Transducer, 2-Anschl.	Temp. Transducer 2-Term.	TO-92	14.74	10.93	8.10
AD592CNZ	AD592CNZ-ND	Temp.-Transducer, 2-Anschl.*	Temp. Transducer 2-Term.*	TO-92	14.74	10.93	8.10
AD594AQ	AD594AQ-ND	Thermoelementverst. mit Komp.	Thermocouple Amp with Comp.	14-Dip	11.70	8.77	6.44
AD594CQ	AD594CQ-ND	Thermoelementverst. mit Komp.	Thermocouple Amp with Comp.	14-Dip	21.17	15.90	11.64
AD595AQ	AD595AQ-ND	Thermoelementverst. mit Komp.	Thermocouple Amp with Comp.	14-Dip	11.70	8.77	6.44
AD595CQ	AD595CQ-ND	Thermoelementverst. mit Komp.	Thermocouple Amp with Comp.	14-Dip	21.17	15.66	11.64
AD596AH	AD596AH-ND	Thermoelement-Konditionierung	Thermocouple Conditioning	TO-100	13.00	9.75	7.16
AD597AH	AD597AH-ND	Thermoelement-Konditionierung	Thermocouple Conditioning	TO-100	13.00	9.75	7.16
AD597AR	AD597AR-ND	Thermoelement-Konditionierung	Thermocouple Conditioning	8-SOIC	5.21	3.67	2.65
AD597ARZ	AD597ARZ-ND	Thermoelement-Konditionierung*	Thermocouple Conditioning*	8-SOIC	5.21	3.67	2.65
AD22100AR	AD22100AR-ND	Temp.-Sensor, Spannungsausgang	Temp. Sensor Voltage Out	8-SOIC	4.87	2.92	2.55
AD22100ARZ	AD22100ARZ-ND	Temp.-Sensor, Spannungsausgang*	Temp. Sensor Voltage Out*	8-SOIC	4.87	2.92	2.55
AD22100AT	AD22100AT-ND	Temp.-Sensor, Spannungsausgang	Temp. Sensor Voltage Out	TO-92	4.42	2.65	2.32
AD22100ATZ	AD22100ATZ-ND	Temp.-Sensor, Spannungsausgang*	Temp. Sensor Voltage Out*	TO-92	4.42	2.65	2.32
AD22100KR	AD22100KR-ND	Temp.-Sensor, Spannungsausgang	Temp. Sensor Voltage Out	8-SOIC	2.24	1.99	1.60
AD22100KT	AD22100KT-ND	Temp.-Sensor, Spannungsausgang	Temp. Sensor Voltage Out	TO-92	2.00	1.60	1.37
AD22100SR	AD22100SR-ND	Temp.-Sensor, Spannungsausgang	Temp. Sensor Voltage Out	8-SOIC	5.35	3.21	2.81
AD22100ST	AD22100ST-ND	Temp.-Sensor, Spannungsausgang	Temp. Sensor Voltage Out	TO-92	4.87	2.92	2.55
AD22105AR	AD22105AR-ND	Thermostatik-Schalter, Festkörper	Thermostatic Switch Solid State	8-SOIC	1.64	1.36	1.30
AD7414ARM-0REEL7	AD7414ARM0REEL7CT-ND	Temp.-Sensor, 10-Bit Digital	Temp. Sensor 10-Bit Digital	8-MSOP	2.19	1.76	1.37
AD7414ARM-0REEL7	AD7414ARM0REEL7TR-ND	Temp.-Sensor, 10-Bit Digital	Temp. Sensor 10-Bit Digital	8-MSOP		830.00/1,000	
AD7414ARM-1REEL7	AD7414ARM1REEL7CT-ND	Temp.-Sensor, 10-Bit Digital	Temp. Sensor 10-Bit Digital	8-MSOP	2.19	1.76	1.37
AD7414ARM-1REEL7	AD7414ARM1REEL7TR-ND	Temp.-Sensor, 10-Bit Digital	Temp. Sensor 10-Bit Digital	8-MSOP		830.00/1,000	
AD7414ART-0REEL7	AD7414ART0REEL7CT-ND	Temp.-Sensor, 10-Bit	Temp. Sensor 10-Bit	SOT-23-6	1.99	1.60	1.20
AD7414ART-0REEL7	AD7414ART0REEL7TR-ND	Temp.-Sensor, 10-Bit	Temp. Sensor 10-Bit	SOT-23-6		2490.00/3,000	
AD7414ART-1REEL7	AD7414ART1REEL7CT-ND	Temp.-Sensor, 10-Bit	Temp. Sensor 10-Bit	SOT-23-6	1.99	1.60	1.20
AD7414ART-1REEL7	AD7414ART1REEL7TR-ND	Temp.-Sensor, 10-Bit	Temp. Sensor 10-Bit	SOT-23-6		2490.00/3,000	
AD7414ARTZ-0500RL7	AD7414ARTZ0500RCT-ND	Temp.-Sensor, 10-Bit*	Temp. Sensor 10-Bit*	SOT-23-6	1.95	1.56	1.21
AD7414ARTZ-0500RL7	AD7414ARTZ0500RTR-ND	Temp.-Sensor, 10-Bit*	Temp. Sensor 10-Bit*	SOT-23-6		450.00/500	
AD7415ART-0500RL7	AD7415ART0500R7CT-ND	Temp.-Sensor, 10-Bit	Temp. Sensor 10-Bit	SOT-23-5	1.95	1.56	1.21
AD7415ART-0500RL7	AD7415ART0500R7TR-ND	Temp.-Sensor, 10-Bit	Temp. Sensor 10-Bit	SOT-23-5		450.00/500	
AD7416AR	AD7416AR-ND	Temp.-Sensor, 10-Bit	Temp. Sensor 10-Bit	8-SOIC	1.34	1.15	1.00
AD7416ARZ	AD7416ARZ-ND	Temp.-Sensor, 10-Bit*	Temp. Sensor 10-Bit*	8-SOIC	1.34	1.15	1.00
AD7416ARM	AD7416ARM-ND	Temp.-Sensor, 10-Bit	Temp. Sensor 10-Bit	8-MSOP	1.34	1.15	1.00
AD7416ARMZ	AD7416ARMZ-ND	Temp.-Sensor, 10-Bit*	Temp. Sensor 10-Bit*	8-MSOP	1.34	1.15	1.00
AD7814ARM	AD7814ARM-ND	Digital-Temp.-Sensor, 10-Bit	Digital Temp. Sensor 10-Bit	8-MSOP	1.55	1.24	1.15
AD7814ARMZ	AD7814ARMZ-ND	Digital-Temp.-Sensor, 10-Bit *	Digital Temp. Sensor 10-Bit*	8-MSOP	1.55	1.24	1.20
AD7814ART-REEL7	AD7814ART-REEL7CT-ND	Digital-Temp.-Sensor, 10-Bit	Digital Temp. Sensor 10-Bit	SOT-23-6	1.90	1.53	1.15
AD7814ART-REEL7	AD7814ART-REEL7TR-ND	Digital-Temp.-Sensor, 10-Bit	Digital Temp. Sensor 10-Bit	SOT-23-6		2370.00/3,000	
AD7814ARTZ-500RL7	AD7814ARTZ500RLCT-ND	Digital-Temp.-Sensor, 10-Bit *	Digital Temp. Sensor 10-Bit*	SOT-23-6	1.90	1.53	1.19
AD7814ARTZ-500RL7	AD7814ARTZ500RLTR-ND	Digital-Temp.-Sensor, 10-Bit *	Digital Temp. Sensor 10-Bit*	SOT-23-6		440.00/500	
AD22103KT	AD22103KT-ND	Temp.-Sensor 3,3 V, Signalkonditionierung	Temp. Sensor 3.3V Signal Conditioning	TO-92	1.77	1.46	1.40
AD22151YR	AD22151YR-ND	Magnetfeldsensor, linear	Magnetic Field Sensor Linear	8-SOIC	2.79	2.54	2.19
ADM1021AARQZ	ADM1021AARQZ-ND	Digital-Themometer, 2-Kan.	Digital Thermometer 2-Ch.	16-QSOP	4.38	3.98	3.50
ADM1022ARQ	ADM1022ARQ-ND	Sensortemp./Detektor, 3/5,5 V	Sensor Temp./Detector 3/5.5V	16-QSOP	4.21	3.76	3.31
ADM1024ARU	ADM1024ARU-ND	Monitorsystem, Temp./Spann.	Monitor System Temp./Volt.	24-TSSOP	5.00	3.98	3.31
TMP01ES	TMP01ES-ND	Temp.-Sensor/Controller	Temp. Sensor/Controller	8-SOIC	6.74	5.64	4.31
TMP01FP	TMP01FP-ND	Temp.-Sensor/Controller	Temp. Sensor/Controller	8-Dip	4.13	3.45	2.63
TMP01FS	TMP01FS-ND	Temp.-Sensor/Controller	Temp. Sensor/Controller	8-SOIC	3.68	3.07	2.50
TMP04FS	TMP04FS-ND	Temp.-Sensor/seriell	Temp. Sensor/Serial	8-SOIC	4.51	3.77	2.88
TMP04FS-REEL	TMP04FS-REELCT-ND	Temp.-Sensor/seriell	Temp. Sensor/Serial	8-SOIC	4.74	3.80	3.21
TMP04FS-REEL	TMP04FS-REELTR-ND	Temp.-Sensor/seriell	Temp. Sensor/Serial	8-SOIC		6500.00/2,500	
TMP04FT9	TMP04FT9-ND	Temp.-Sensor/seriell	Temp. Sensor/Serial	TO-92	4.51	3.77	2.88
TMP12FS	TMP12FS-ND	Temp.-Sensor/Luftstrom	Temp. Sensor/Airflow	8-SOIC	3.07	2.45	2.04
TMP35GRT-REEL7	TMP35GRT-REEL7CT-ND	Temp.-Sensor, 2,7/5,5 V	Temp. Sensor 2.7/5.5V	SOT-23-5	1.02	.85	.68
TMP35GRT-REEL7	TMP35GRT-REEL7TR-ND	Temp.-Sensor, 2,7/5,5 V	Temp. Sensor 2.7/5.5V	SOT-23-5		1080.00/3,000	
TMP35GT9	TMP35GT9-ND	Temp.-Sensor, 2,7/5,5 V	Temp. Sensor 2.7/5.5V	TO-92	.60	.51	.40
TMP36FS	TMP36FS-ND	Temp.-Sensor, 2,7/5,5 V	Temp. Sensor 2.7/5.5V	8-SOIC	.88	.75	.60
TMP36FS-REEL	TMP36FS-REELCT-ND	Temp.-Sensor, 2,7/5,5 V	Temp. Sensor 2.7/5.5V	8-SOIC	1.23	.99	.74
TMP36FS-REEL	TMP36FS-REELTR-ND	Temp.-Sensor, 2,7/5,5 V	Temp. Sensor 2.7/5.5V	8-SOIC		1300.00/2,500	
TMP36GS	TMP36GS-ND	Temp.-Sensor, 2,7/5,5 V	Temp. Sensor 2.7/5.5V	8-SOIC	.60	.51	.40
TMP36GT9	TMP36GT9-ND	Temp.-Sensor, 2,7/5,5 V	Temp. Sensor 2.7/5.5V	TO-92	.60	.51	.40
			Transmitter				
AD693AD	AD693AD-ND	Signalkonditionierung, 4-20 mA, Transmitter	Signal Conditioning 4-20mA Transmitter	20-Dip	25.75	19.13	14.17
AD693AQ	AD693AQ-ND	Signalkonditionierung, 4-20 mA, Transmitter	Signal Conditioning 4-20mA Transmitter	20-Dip	15.21	11.29	8.37
AD694AQ	AD694AQ-ND	Signalkonditionierung, 4-20 mA, Transmitter	Signal Conditioning 4-20mA Transmitter	16-CDip	14.24	10.56	7.84
AD694AR	AD694AR-ND	Transmitter, 4-20 mA	Transmitter 4-20mA	16-SOIC	9.60	7.10	5.27
AD694ARZ	AD694ARZ-ND	Transmitter, 4-20 mA*	Transmitter 4-20mA*	16-SOIC	9.60	7.10	5.27
AD694JN	AD694JN-ND	Transmitter, 4-20 mA	Transmitter 4-20mA	16-Dip	10.40	7.70	5.72
AD694JNZ	AD694JNZ-ND	Transmitter, 4-20 mA*	Transmitter 4-20mA*	16-Dip	10.40	7.70	5.72

Analog Devices Teilenr.	Digi-Key Teilenr.	Beschreibung		Paket	Stückpreis★ 1	25	100
AD9814JR	AD9814JR-ND	14-Bit, 10 MHz CCD/CIS-Signalprozessor	14-Bit CCD/CIS Signal Processor	28-SOIC	13.80	11.83	9.86
AD9821KST	AD9821KST-ND	12-Bit Image-Signalprozessor	12-Bit Image Signal Processor	48-LQFP	19.98	13.59	11.51
AD9822JR	AD9822JR-ND	14-Bit, 10 MHz CCD/CIS-Signalprozessor	14-Bit CCD/CIS Signal Processor	28-SOIC	4.98	4.28	3.56
AD9826KRS	AD9826KRS-ND	16-Bit Image-Signalprozessor	16-Bit Image Signal Processor	28-SSOP	7.93	6.80	5.66
AD9826KRSZ	AD9826KRSZ-ND	16-Bit Image-Signalprozessor	16-Bit Image Signal Processor	28-SSOP	7.93	6.80	5.66

* Bleifrei/RoHS-konform

★ RUFEN SIE BITTE AN FÜR NIEDRIGERE PREISE BEI GRÖSSEREN MENGEN! ★

Analog Devices Teilenr.	Digi-Key Teilenr.	Beschreibung		Paket	Stückpreis★ 1	25	100
AD246JY	AD246JY-ND	Taktsignaltreiber	Clock Driver	4-Dip	108.60	92.51	80.00
AD630JN	AD630JN-ND	Mod/Demod ausgeglichen	Mod/Demod Balanced	20-Dip	15.63	13.08	9.97
AD5533BBC-1	AD5533BBC-1-ND	Unendliches Abtasten und Halten, 32-Kan.	Infinite Sample and Hold 32-Ch.	74-CSPBGA	58.36	55.00	53.00
AD73311AR	AD73311AR-ND	Analog-Front-Ende, NL	Analog Front End Low Power	20-SOIC	6.32	5.30	4.03
AD73360ASU	AD73360ASU-ND	Analog Front-Ende, 6-Kan.	Analog Front End 6-Ch.	44-TQFP	10.26	8.81	7.29
AD73360LAR	AD73360LAR-ND	Analog Front-Ende, 6-Kan.	Analog Front End 6-Ch.	28-SOIC	6.64	5.43	4.83
AD73422BB-80	AD73422BB-80-ND	Zweif. Front-Ende mit DSP	Front End Dual with DSP	119-BGA	29.27	25.12	20.75
AD7720BRU	AD7720BRU-ND	Modulator, Sigma-Delta	Modulator Sigma-Delta	28-TSSOP	12.18	10.07	8.32
AD8345ARE	AD8345ARE-ND	Quatratur-Modulator, 250 MHz	Quadrature Modulator 250MHz	16-TSSOP	5.07	4.83	4.60
AD8346ARU	AD8346ARU-ND	Quadratur-Modulator, 0,8 GHz	Quadrature Modulator .8GHz	16-TSSOP	4.87	4.29	4.08
AD8348ARU	AD8348ARU-ND	Quadratur-Demodulator, 50 MHz	Quadrature Demodulator 50MHz	28-TSSOP	5.71	5.21	4.85
AD8348-EVAL	AD8348-EVAL-ND	Evaluierungskarte für AD8348	Evaluation Board for AD8348	—	87.55	—	—
AD8383ACPZ	AD8383ACPZ-ND	10-Bit, 6-Kan., Ausgang, Dezimier-LCD-DecDriver®	10-Bit, 6-Ch. Output, Decimating LCD DecDriver®	48-LFCSP	3.74	3.65	3.63
AD8384ASVZ	AD8384ASVZ-ND	10-Bit, 6-Kan., Dezimier-LCD-DecDriver®	10-Bit, 6-Ch. Decimating LCD DecDriver®	80-TQFP	4.74	4.64	4.60
AD8389ACPZ	AD8389ACPZ-ND	Dreif., 6-Kan., LCD-Timing-Verzögerung, gesperrte Schleife	Triple, 6-Ch. LCD Timing Delay Locked Loop	48-LFCSP	4.25	3.00	1.55
AD9856AST	AD9856AST-ND	Quadratur-Digital-Aufwärtswandler	Quadrature Digital Up Converter	48-TQFP	23.88	19.81	15.92
AD9857AST	AD9857AST-ND	Quadratur-Digital-Aufwärtswandler	Quadrature Digital Up Converter	80-QFP	25.21	20.87	16.89
AD9662ARQZ	AD9662ARQZ-ND	Laser-Diodentreiber, 3-Kan.	Laser Diode Driver 3-Ch.	16-QSOP	3.54	2.88	2.37
AD96685BRZ	AD96685BRZ-ND	Ultraschneller Komparator	Ultrafast Comparator	16-SOIC	5.75	4.30	3.00
ADM1041ARQ	ADM1041ARQ-ND	Sekundärseiten-Controller mit Stromteilung/„Housekeeping“	Secondary-Side Controller with Current Share/Housekeeping	24-QSOP	6.24	5.75	5.26
PKD01EP	PKD01EP-ND	Mono-Spitzendetektor, Reset-/Halte-Modus	Mono Peak Detector Reset/Hold	14-Dip	—	9.88	—
PKD01EY	PKD01EY-ND	Mono-Spitzendetektor, Reset-/Halte-Modus	Mono Peak Detector Reset/Hold	14-CDip	15.69	13.12	10.00

Analog Devices Teilenr.	Digi-Key Teilenr.	Beschreibung		Paket	Stückpreis★ 1	25	100
ADM690AARN	ADM690AARN-ND	Wächter-MPU, 4,65 V, Watchdog	Supervisor MPU 4.65V Watchdog	8-SOIC	3.50	2.76	1.84
ADM690AN	ADM690AN-ND	Wächter-MPU, 4,65 V, Watchdog	Supervisor MPU 4.65V Watchdog	8-Dip	3.68	2.94	2.49
ADM691AAN	ADM691AAN-ND	Wächter-MPU, 4,65 V, 250 mA	Supervisor MPU 4.65V, 250mA	16-Dip	3.50	3.03	2.02
ADM691AARN	ADM691AARN-ND	Wächter-MPU, 4,65 V, 250 mA	Supervisor MPU 4.65V, 250mA	16-SOIC	3.50	3.03	2.02
ADM691AARW	ADM691AARW-ND	Wächter-MPU, 4,65 V, 250 mA	Supervisor MPU 4.65V, 250mA	16-SOIC	3.50	3.03	2.02
ADM691AARW-REEL	ADM691AARW-REELCT-ND	Wächter-MPU, 4,65 V, 250 mA	Supervisor MPU 4.65V, 250mA	16-SOIC	3.28	2.63	2.04
ADM691AARW-REEL	ADM691AARW-REELTR-ND	Wächter-MPU, 4,65 V, 250 mA	Supervisor MPU 4.65V, 250mA	16-SOIC		1620.00/1,000	
ADM691AN	ADM691AN-ND	Wächter-MPU, 4,65 V, 100 mA	Supervisor MPU 4.65V, 100mA	16-Dip	4.18	3.31	2.76
ADM691AR	ADM691AR-ND	Wächter-MPU, 4,65 V, 250 mA	Supervisor MPU 4.65V, 250mA	16-SOIC	4.37	3.50	2.94
ADM691AR-REEL	ADM691AR-REELTR-ND	Wächter-MPU, 4,65 V, 250 mA	Supervisor MPU 4.65V, 250mA	16-SOIC		2490.00/1,000	
ADM692AN	ADM692AN-ND	Wächter-MPU, 4,4 V, Watchdog	Supervisor MPU 4.4V Watchdog	8-Dip	3.68	2.94	2.50
ADM693AN	ADM693AN-ND	Wächter-MPU, 4,4 V, Watchdog	Supervisor MPU 4.4V Watchdog	16-Dip	3.50	3.31	2.76
ADM693AR	ADM693AR-ND	Wächter-MPU, 4,4 V, Watchdog	Supervisor MPU 4.4V Watchdog	16-SOIC	4.00	3.68	3.07
ADM694AN	ADM694AN-ND	Wächter-MPU, 4,65 V, 100 mA	Supervisor MPU 4.65V, 100mA	8-Dip	3.87	3.07	2.57
ADM695AN	ADM695AN-ND	Wächter-MPU, 4,65 V, 100 mA	Supervisor MPU 4.65V, 100mA	16-Dip	4.18	3.31	2.76
ADM695AR	ADM695AR-ND	Wächter-MPU, 4,65 V, 100 mA	Supervisor MPU 4.65V, 100mA	16-SOIC	4.00	3.68	3.07
ADM696AR	ADM696AR-ND	Wächter-MPU, 4,65 V, 100 mA	Supervisor MPU 4.65V, 100mA	16-SOIC	4.42	3.54	2.96
ADM699AN	ADM699AN-ND	Wächter-MPU, 4,65 V, Watchdog	Supervisor MPU 4.65V Watchdog	8-Dip	2.50	2.12	1.75
ADM699AR	ADM699AR-ND	Wächter-MPU, 4,65 V, Watchdog	Supervisor MPU 4.65V Watchdog	16-SOIC	2.50	2.26	1.88
ADM699AR-REEL	ADM699AR-REELCT-ND	Wächter-MPU, 4,65 V, Watchdog	Supervisor MPU 4.65V Watchdog	16-SOIC	1.24	1.04	.83
ADM699AR-REEL	ADM699AR-REELTR-ND	Wächter-MPU, 4,65 V, Watchdog	Supervisor MPU 4.65V Watchdog	16-SOIC		1610.00/1,000	
ADM705AN	ADM705AN-ND	Wächter-MPU, 4,65 V, Watchdog	Supervisor MPU 4.65V Watchdog	8-Dip	1.58	1.39	1.20
ADM705AR	ADM705AR-ND	Wächter-MPU, 4,65 V, Watchdog	Supervisor MPU 4.65V Watchdog	8-SOIC	2.00	1.56	1.21
ADM705AR-REEL7	ADM705AR-REEL7TR-ND	Wächter-MPU, 4,65 V, Watchdog	Supervisor MPU 4.65V Watchdog	8-SOIC		518.12/1,000	
ADM706AN	ADM706AN-ND	Wächter-MPU, 4,4 V, Watchdog	Supervisor MPU 4.4V Watchdog	8-Dip	2.50	2.33	1.87
ADM706AR	ADM706AR-ND	Wächter-MPU, 4,4 V, Watchdog	Supervisor MPU 4.4V Watchdog	8-SOIC	2.50	2.33	1.87
ADM706RAR	ADM706RAR-ND	Wächter-MPU, 2,63 V, Watchdog	Supervisor MPU 2.63V Watchdog	8-SOIC	2.50	2.33	1.87
ADM706SAR	ADM706SAR-ND	Wächter-MPU, 2,93 V, Watchdog	Supervisor MPU 2.93V Watchdog	8-SOIC	2.33	—	—
ADM706TAR	ADM706TAR-ND	Wächter-MPU, 3,08 V, Watchdog	Supervisor MPU 3.08V Watchdog	8-SOIC	2.33	—	—
ADM707AN	ADM707AN-ND	Wächter-MPU, 4,65 V, Watchdog	Supervisor MPU 4.65V Watchdog	8-Dip	2.03	1.33	1.25
ADM707AR	ADM707AR-ND	Wächter-MPU, 4,65 V, Watchdog	Supervisor MPU 4.65V Watchdog	8-SOIC	1.38	—	—
ADM707AR-REEL	ADM707AR-REELCT-ND	Wächter-MPU, 4,65 V, Watchdog	Supervisor MPU 4.65V Watchdog	8-SOIC	1.90	1.53	1.19
ADM707AR-REEL	ADM707AR-REELTR-ND	Wächter-MPU, 4,65 V, Watchdog	Supervisor MPU 4.65V Watchdog	8-SOIC		2200.00/2,500	
ADM708AN	ADM708AN-ND	Wächter-MPU, 4,4 V, Watchdog	Supervisor MPU 4.4V Watchdog	8-Dip	1.37	1.16	.95
ADM708AR	ADM708AR-ND	Wächter-MPU, 4,4 V, Watchdog	Supervisor MPU 4.4V Watchdog	8-SOIC	2.00	1.33	1.11
ADM708RAR	ADM708RAR-ND	Wächter-MPU, 2,63 V, Watchdog	Supervisor MPU 2.63V Watchdog	8-SOIC	1.09	.92	.73
ADM708SAR	ADM708SAR-ND	Wächter-MPU, 2,93 V, Watchdog	Supervisor MPU 2.93V Watchdog	8-SOIC	1.16	—	—
ADM708TAR	ADM708TAR-ND	Wächter-MPU, 3,08 V, Watchdog	Supervisor MPU 3.08V Watchdog	8-SOIC	2.00	1.16	.93
ADM709LAN	ADM709LAN-ND	Wächter-MPU, 4,65 V	Supervisor MPU 4.65V	8-Dip	1.16	.97	.78
ADM709LAR	ADM709LAR-ND	Wächter-MPU, 4,65 V	Supervisor MPU 4.65V	8-SOIC	1.50	.97	.78
ADM809LART-REEL7	ADM809LARTREEL7TR-ND	Wächter-MPU, 4,63 V	Supervisor MPU 4.63V	SOT-23		528.28/3,000	
ADM1232AN	ADM1232AN-ND	Wächter/CPU	Supervisor/CPU	8-Dip	1.51	1.38	1.25
ADM1232ARN	ADM1232ARN-ND	Wächter/CPU	Supervisor/CPU	8-SOIC	2.00	1.38	.92
ADM6713LAKS-REEL7	ADM6713LAKS-RL7CT-ND	Wächter, Open Drain, 4,63 V	Supervisor Open Drain 4.63V	SC70-4	.66	.56	.45
ADM6713LAKS-REEL7	ADM6713LAKS-RL7TR-ND	Wächter, Open Drain, 4,63 V	Supervisor Open Drain 4.63V	SC70-4		750.00/3,000	
ADM6713MAKS-REEL7	ADM6713MAKS-RL7CT-ND	Wächter, Open Drain, 4,38 V	Supervisor Open Drain 4.38V	SC70-4	.66	.56	.45
ADM6713MAKS-REEL7	ADM6713MAKS-RL7TR-ND	Wächter, Open Drain, 4,38 V	Supervisor Open Drain 4.38V	SC70-4		750.00/3,000	
ADM6713RAKS-REEL7	ADM6713RAKS-RL7CT-ND	Wächter, Open Drain, 2,63 V	Supervisor Open Drain 2.63V	SC70-4	.66	.56	.45
ADM6713RAKS-REEL7	ADM6713RAKS-RL7TR-ND	Wächter, Open Drain, 2,63 V	Supervisor Open Drain 2.63V	SC70-4		750.00/3,000	
ADM6713SAKS-REEL7	ADM6713SAKS-RL7CT-ND	Wächter, Open Drain, 2,93 V	Supervisor Open Drain 2.93V	SC70-4	.66	.56	.45
ADM6713SAKS-REEL7	ADM6713SAKS-RL7TR-ND	Wächter, Open Drain, 2,93 V	Supervisor Open Drain 2.93V	SC70-4		750.00/3,000	
ADM6713TAKS-REEL7	ADM6713TAKS-RL7CT-ND	Wächter, Open Drain, 3,08 V	Supervisor Open Drain 3.08V	SC70-4	.66	.56	.45
ADM6713TAKS-REEL7	ADM6713TAKS-RL7TR-ND	Wächter, Open Drain, 3,08 V	Supervisor Open Drain 3.08V	SC70-4		750.00/3,000	
ADM6713ZAKS-REEL7	ADM6713ZAKS-RL7CT-ND	Wächter, Open Drain, 2,32 V	Supervisor Open Drain 2.32V	SC70-4	.66	.56	.45
ADM6713ZAKS-REEL7	ADM6713ZAKS-RL7TR-ND	Wächter, Open Drain, 2,32 V	Supervisor Open Drain 2.32V	SC70-4		750.00/3,000	
ADM809SART-REEL7	ADM809SART-RL7CT-ND	Wächter, Pushpull, 2,93 V	Supervisor Pushpull 2.93V	SOT-23	.34	.28	.21
ADM809SART-REEL7	ADM809SART-RL7TR-ND	Wächter, Pushpull, 2,93 V	Supervisor Pushpull 2.93V	SOT-23		510.00/3,000	
ADM809TART-REEL7	ADM809TART-RL7CT-ND	Wächter, Pushpull, 3,08 V	Supervisor Pushpull 3.08V	SOT-23	.54	.41	.31
ADM809TART-REEL7	ADM809TART-RL7TR-ND	Wächter, Pushpull, 3,08 V	Supervisor Pushpull 3.08V	SOT-23		510.00/3,000	
ADM810JAKS-REEL7	ADM810JAKS-RL7CT-ND	Wächter, Pushpull, 4,0 V	Supervisor Pushpull 4.0V	SC-70	1.27	1.02	.77
ADM810JAKS-REEL7	ADM810JAKS-RL7TR-ND	Wächter, Pushpull, 4,0 V	Supervisor Pushpull 4.0V	SC-70		1590.00/3,000	
ADM810LART-REEL7	ADM810LART-RL7CT-ND	Wächter, Pushpull, 4,63 V	Supervisor Pushpull 4.63V	SOT-23	.58	.44	.33
ADM810LART-REEL7	ADM810LART-RL7TR-ND	Wächter, Pushpull, 4,63 V	Supervisor Pushpull 4.63V	SOT-23		561.30/3,000	
ADM811LART-REEL7	ADM811LART-RL7CT-ND	Wächter mit Rückstellung, 4,63 V	Supervisor with Reset 4.63V	SOT-143-4	1.14	.96	.77
ADM811LART-REEL7	ADM811LART-RL7TR-ND	Wächter mit Rückstellung, 4,63 V	Supervisor with Reset 4.63V	SOT-143-4		594.31/3,000	

* Bleifrei/RoHS-konform

(Forts.)

Analog Devices Teilenr.	Digi-Key Teilenr.	Beschreibung		Paket	Stückpreis★ 1	25	100
ADM811RART-REEL7	ADM811RART-RL7CT-ND	Wächter mit Rückstellung, 2,63 V	Supervisor with Reset 2.63V	SOT-143-4	1.14	.96	.77
ADM811RART-REEL7	ADM811RART-RL7TR-ND	Wächter mit Rückstellung, 2,63 V	Supervisor with Reset 2.63V	SOT-143-4		1200.00/3,000	
ADM811SART-REEL7	ADM811SART-RL7CT-ND	Wächter mit Rückstellung, 2,93 V	Supervisor with Reset 2.93V	SOT-143-4	.61	.46	.34
ADM811SART-REEL7	ADM811SART-RL7TR-ND	Wächter mit Rückstellung, 2,93 V	Supervisor with Reset 2.93V	SOT-143-4		570.00/3,000	
ADM809-5SART-REEL7	ADM809-5SARTRL7CT-ND	Wächter, Pushpull, 2,93 V	Supervisor Pushpull 2.93V	SOT-23	1.31	1.05	.79
ADM1026JST-REEL7	ADM1026JSTREEL7CT-ND	Steuersystemreferenz/EEPROM	Control System Reference/EEPROM	48-LQFP	8.39	7.56	6.70
ADM1026JST-REEL7	ADM1026JSTREEL7TR-ND	Steuersystemreferenz/EEPROM	Control System Reference/EEPROM	48-LQFP		2630.00/500	
ADM1070ART-REEL7	ADM1070ARTREEL7CT-ND	Hotswap Controller 48 V	Hotswap Controller 48V	SOT-23-6	2.95	2.37	1.84
ADM1070ART-REEL7	ADM1070ARTREEL7TR-ND	Hotswap Controller 48 V	Hotswap Controller 48V	SOT-23-6		4110.00/3,000	
ADM1232ARN-REEL7	ADM1232ARNREEL7TR-ND	Wächter/CPU	Supervisor for CPU	8-SOIC		561.30/1,000	
ADM1815-20ART-RL7	ADM181520ARTRL7CT-ND	Monitor-Rückstellung, 2,55 V	Monitor Reset 2.55V	SOT-23	.99	.83	.67
ADM1815-20ART-RL7	ADM181520ARTRL7TR-ND	Monitor-Rückstellung, 2,55 V	Monitor Reset 2.55V	SOT-23		1050.00/3,000	
ADM1818-10ART-RL7	ADM181810ARTRL7CT-ND	Monitor-Rückstellung, 2,88 V	Monitor Reset 2.88V	SOT-23	1.02	.85	.68
ADM1818-10ART-RL7	ADM181810ARTRL7TR-ND	Monitor-Rückstellung, 2,88 V	Monitor Reset 2.88V	SOT-23		1200.00/3,000	
ADM1818-20ART-RL7	ADM181820ARTRL7CT-ND	Monitor-Rückstellung, 2,55 V	Monitor Reset 2.55V	SOT-23	1.02	.85	.68
ADM1818-20ART-RL7	ADM181820ARTRL7TR-ND	Monitor-Rückstellung, 2,55 V	Monitor Reset 2.55V	SOT-23		1200.00/3,000	
ADM8695ARW	ADM8695ARW-ND	Wächter-MPU, 4,65 V, einstellb.	Supervisor MPU 4.65V Adj.	16-SOIC	3.35	2.87	2.39
ADM9240ARU	ADM9240ARU-ND	MPU-System, Hardware-Monitor	MPU System Hardware Monitor	24-TSSOP	7.01	5.31	3.76
ADMC201AP	ADMC201AP-ND	Bewegungs-Koprozessor, 25 MHz	Motion Co-Processor 25MHz	68-PLCC	19.23	17.94	16.66

Analog Devices Teilenr.	Digi-Key Teilenr.	Beschreibung		Paket	Stückpreis★ 1	25	100
		Analog					
AD7510DIJN	AD7510DIJN-ND	Schalter, analog, CMOS, vierf. Schutz	Switch Analog CMOS Quad Protection	16-Dip	8.90	7.44	6.47
AD7510DIKN	AD7510DIKN-ND	Schalter, analog, CMOS, vierf. Schutz	Switch Analog CMOS Quad Protection	16-Dip	10.02	8.35	7.13
AD7510DIKP	AD7510DIKP-ND	Schalter, analog, CMOS, vierf. Schutz	Switch Analog CMOS Quad Protection	20-PLCC	17.57	11.19	8.21
AD7511DIJN	AD7511DIJN-ND	Schalter, analog, CMOS, vierf. Schutz	Switch Analog CMOS Quad Protection	16-Dip	8.90	7.44	6.47
AD7511DIKN	AD7511DIKN-ND	Schalter, analog, CMOS, vierf. Schutz	Switch Analog CMOS Quad Protection	16-Dip	10.02	8.35	7.13
AD7512DIJN	AD7512DIJN-ND	Zweif. Schalter, analog, CMOS	Switch Analog CMOS Dual	14-Dip	8.90	7.44	6.47
AD7512DIKN	AD7512DIKN-ND	Zweif. Schalter, analog, CMOS	Switch Analog CMOS Dual	14-Dip	10.02	8.35	7.13
AD7512DIKNZ	AD7512DIKNZ-ND	Zweif. Schalter, analog, CMOS*	Switch Analog CMOS Dual*	14-Dip	10.02	8.35	7.13
AD7512DIKQ	AD7512DIKQ-ND	Zweif. Schalter, analog, CMOS	Switch Analog CMOS Dual	16-CDip	20.47	17.92	15.36
ADG201ABQ	ADG201ABQ-ND	Vierf. Schalter, analog, SPST	Switch Analog Quad SPST	16-CDip	5.41	4.43	3.28
ADG201AKN	ADG201AKN-ND	Vierf. Schalter, analog, SPST	Switch Analog Quad SPST	16-Dip	2.50	2.02	1.69
ADG201AKR	ADG201AKR-ND	Vierf. Schalter, analog, SPST	Switch Analog Quad SPST	16-SOIC	2.50	2.02	1.69
ADG201HSJN	ADG201HSJN-ND	Vierf. Schalter, analog, HS, SPST	Switch Analog HS Quad SPST	16-Dip	3.83	3.29	2.74
ADG201HSKR	ADG201HSKR-ND	Vierf. Schalter, analog, HS, SPST	Switch Analog HS Quad SPST	16-SOIC	6.00	5.39	4.50
ADG202AKN	ADG202AKN-ND	Vierf. Schalter, analog, SPST	Switch Analog Quad SPST	16-Dip	2.36	2.02	2.00
ADG202AKR	ADG202AKR-ND	Vierf. Schalter, analog, SPST	Switch Analog Quad SPST	16-SOIC	2.50	2.02	1.69
ADG211AKN	ADG211AKN-ND	Vierf. Schalter, analog, SPST	Switch Analog Quad SPST	16-Dip	2.00	1.74	1.45
ADG211AKR	ADG211AKR-ND	Vierf. Schalter, analog, SPST	Switch Analog Quad SPST	16-SOIC	2.00	1.74	1.45
ADG212AKN	ADG212AKN-ND	Vierf. Schalter, analog, SPST	Switch Analog Quad SPST	16-Dip	—	1.74	—
ADG212AKR	ADG212AKR-ND	Vierf. Schalter, analog, SPST	Switch Analog Quad SPST	16-SOIC	2.00	1.74	1.45
ADG221KN	ADG221KN-ND	Vierf. Schalter, analog, SPST	Switch Analog Quad SPST	16-Dip	2.16	2.00	1.80
ADG221KR	ADG221KR-ND	Vierf. Schalter, analog, SPST	Switch Analog Quad SPST	16-SOIC	2.00	1.85	1.54
ADG222KN	ADG222KN-ND	Vierf. Schalter, analog, Latches, SPST	Switch Analog Quad Latches SPST	16-Dip	2.16	1.85	1.80
ADG333ABN	ADG333ABN-ND	Vierf. Schalter, analog, SPDT	Switch Analog Quad SPDT	20-Dip	3.97	3.40	2.83
ADG333ABR	ADG333ABR-ND	Vierf. Schalter, analog, SPDT	Switch Analog Quad SPDT	20-SOIC	4.00	3.40	2.83
ADG333ABRS	ADG333ABRS-ND	Vierf. Schalter, analog, SPDT	Switch Analog Quad SPDT	20-SSOP	4.00	3.40	2.83
ADG411BN	ADG411BN-ND	Vierf. Schalter, analog, Präzision, SPST	Switch Analog Quad Precision SPST	16-Dip	2.83	2.43	2.02
ADG411BR	ADG411BR-ND	Vierf. Schalter, analog, Präzision, SPST	Switch Analog Quad Precision SPST	16-SOIC	2.83	2.43	2.02
ADG412BN	ADG412BN-ND	Vierf. Schalter, analog, Präzision, SPST	Switch Analog Quad Precision SPST	16-Dip	2.83	2.43	2.02
ADG412BR	ADG412BR-ND	Vierf. Schalter, analog, Präzision, SPST	Switch Analog Quad Precision SPST	16-SOIC	2.50	2.43	2.02
ADG413BR	ADG413BR-ND	Vierf. Schalter, analog, SPST	Switch Analog Quad SPST	16-SOIC	2.83	2.43	2.02
ADG417BR	ADG417BR-ND	Einf. Schalter, analog	Switch Analog Single	8-SOIC	2.00	1.27	1.06
ADG419BN	ADG419BN-ND	Einf. Schalter, analog, Präzision	Switch Analog Single Precision	8-Dip	2.00	1.60	1.33
ADG419BR	ADG419BR-ND	Einf. Schalter, analog, Präzision	Switch Analog Single Precision	8-SOIC	1.86	1.60	1.33
ADG419BRM	ADG419BRM-ND	Einf. Schalter, analog, Präzision	Switch Analog Single Precision	8-MSOP	1.86	1.60	1.33
ADG419BRMZ	ADG419BRMZ-ND	Einf. Schalter, analog, Präzision	Switch Analog Single Precision	8-MSOP	1.86	1.60	1.33
ADG419BRZ	ADG419BRZ-ND	Einf. Schalter, analog, Präzision	Switch Analog Single Precision	8-SOIC	1.86	1.60	1.33
ADG431ABR	ADG431ABR-ND	Vierf. Schalter, analog, Präzision, SPST	Switch Analog Quad Precision SPST	16-SOIC	5.14	4.33	3.21
ADG431ABR-REEL7	ADG431ABR-REEL7CT-ND	Vierf. Schalter, analog, Präzision, SPST	Switch Analog Quad Precision SPST	16-SOIC	5.30	4.24	3.58
ADG431ABR-REEL7	ADG431ABR-REEL7TR-ND	Vierf. Schalter, analog, Präzision, SPST	Switch Analog Quad Precision SPST	16-SOIC		2830.00/1,000	
ADG431BR	ADG431BR-ND	Vierf. Schalter, analog, Präzision, SPST	Switch Analog Quad Precision SPST	16-SOIC	2.50	2.43	2.02
ADG432ABR	ADG432ABR-ND	Vierf. Schalter, analog, Präzision, SPST	Switch Analog Quad Precision SPST	16-SOIC	5.14	4.33	3.21
ADG432BN	ADG432BN-ND	Vierf. Schalter, analog, Präzision, SPST	Switch Analog Quad Precision SPST	16-Dip	2.83	2.43	2.02
ADG432BR	ADG432BR-ND	Vierf. Schalter, analog, Präzision, SPST	Switch Analog Quad Precision SPST	16-SOIC	2.50	2.43	2.02
ADG433ABR	ADG433ABR-ND	Vierf. Schalter, analog, Präzision, SPST	Switch Analog Quad Precision SPST	16-SOIC	5.14	4.33	3.21
ADG433BN	ADG433BN-ND	Vierf. Schalter, analog, Präzision, SPST	Switch Analog Quad Precision SPST	16-Dip	2.83	2.43	2.02
ADG433BR	ADG433BR-ND	Vierf. Schalter, analog, Präzision, SPST	Switch Analog Quad Precision SPST	16-SOIC	2.83	2.43	2.02
ADG436BN	ADG436BN-ND	Zweif. Schalter, analog, SPDT	Switch Analog Dual SPDT	16-Dip	—	2.89	—
ADG436BR	ADG436BR-ND	Zweif. Schalter, analog, SPDT	Switch Analog Dual SPDT	16-SOIC	3.50	2.89	2.40
ADG441BN	ADG441BN-ND	Vierf. Schalter, analog, SPST	Switch Analog Quad SPST	16-Dip	2.28	1.97	1.80
ADG441BR	ADG441BR-ND	Vierf. Schalter, analog, SPST	Switch Analog Quad SPST	16-SOIC	2.00	1.97	1.64
ADG442BN	ADG442BN-ND	Vierf. Schalter, analog, SPST	Switch Analog Quad SPST	16-Dip	2.28	1.97	1.80
ADG442BR	ADG442BR-ND	Vierf. Schalter, analog, SPST	Switch Analog Quad SPST	16-SOIC	2.00	1.97	1.64
ADG444BN	ADG444BN-ND	Vierf. Schalter, analog, SPST, 5 V	Switch Analog Quad SPST 5V	16-Dip	1.64	1.41	1.30
ADG444BR	ADG444BR-ND	Vierf. Schalter, analog, SPST, 5 V	Switch Analog Quad SPST 5V	16-SOIC	2.00	1.41	1.17
ADG451BR	ADG451BR-ND	Vierf. Schalter, analog, 4-Ohm	Switch Analog Quad 4-Ohm	16-SOIC	2.76	2.32	2.21
ADG451BRUZ	ADG451BRUZ-ND	Vierf. Schalter, analog, 4-Ohm	Switch Analog Quad 4-Ohm	16-SOIC	2.76	2.32	2.30
ADG452BN	ADG452BN-ND	Vierf. Schalter, analog, 4-Ohm	Switch Analog Quad 4-Ohm	16-Dip	2.76	2.32	2.21
ADG452BR	ADG452BR-ND	Vierf. Schalter, analog, 4-Ohm	Switch Analog Quad 4-Ohm	16-SOIC	2.76	2.32	2.30
ADG452BRZ	ADG452BRZ-ND	Vierf. Schalter, analog, 4-Ohm	Switch Analog Quad 4-Ohm	16-SOIC	2.76	2.32	2.30
ADG452BRUZ	ADG452BRUZ-ND	Vierf. Schalter, analog, 4-Ohm	Switch Analog Quad 4-Ohm	16-SOIC	2.76	2.32	2.21
ADG453BR	ADG453BR-ND	Vierf. Schalter, analog, 4-Ohm	Switch Analog Quad 4-Ohm	16-SOIC	2.50	2.32	2.21
ADG453BRUZ	ADG453BRUZ-ND	Vierf. Schalter, analog, 4-Ohm	Switch Analog Quad 4-Ohm	16-SOIC	2.76	2.32	2.30
ADG511ABR	ADG511ABR-ND	Vierf. Schalter, L2CMOS, 5/3 V	Switch L2CMOS Quad 5/3V	16-SOIC	4.02	3.39	2.51
ADG511BR	ADG511BR-ND	Vierf. Schalter, L2CMOS, 5/3 V	Switch L2CMOS Quad 5/3V	16-SOIC	3.50	2.55	2.12
ADG512BR	ADG512BR-ND	Vierf. Schalter, L2CMOS, 5/3 V	Switch L2CMOS Quad 5/3V	16-SOIC	2.98	2.55	2.12
ADG702BRJ-500RL7	ADG702BRJ500RL7CT-ND	Schalter, CMOS, 2-Ohm, SPST	Switch CMOS 2-Ohm SPST	SOT-23-5	1.40	1.12	.84
ADG702BRJ-500RL7	ADG702BRJ500RL7TR-ND	Schalter, CMOS, 2-Ohm, SPST	Switch CMOS 2-Ohm SPST	SOT-23-5		295.00/500	
ADG811YRU	ADG811YRU-ND	Vierf. Schalter, CMOS, SPST	Switch CMOS Quad SPST	16-TSSOP	2.37	1.80	1.50
ADG812YRU	ADG812YRU-ND	Vierf. Schalter, CMOS, SPST	Switch CMOS Quad SPST	16-TSSOP	2.37	1.51	1.40

* Bleifrei/RoHS-konform

(Forts.)

★ RUFEN SIE BITTE AN FÜR NIEDRIGERE PREISE BEI GRÖSSEREN MENGEN! ★

Analog Devices Teilenr.	Digi-Key Teilenr.	Beschreibung		Paket	Stückpreis★ 1	25	100
ADG813YRU	ADG813YRU-ND	Vierf. Schalter, CMOS, SPST	Switch CMOS Quad SPST	16-TSSOP	2.37	1.80	1.50
ADG849YKSZ-500RL7	ADG849YKSZ500RLCT-ND	SPDT/2:1 Mux-Schalter,3 V/5 V, CMOS, 0,5-Ohm	3V/5V CMOS 0.5-Ohm SPDT/2:1 Mux Switch	SC70-6	1.65	1.33	1.00
ADG849YKSZ-500RL7	ADG849YKSZ500RLTR-ND	SPDT/2:1 Mux-Schalter,3 V/5 V, CMOS, 0,5-Ohm	3V/5V CMOS 0.5-Ohm SPDT/2:1 Mux Switch	SC70-6		345.00/500	
ADG904BRU	ADG904BRU-ND	4:1 Mux/SP4T, Breitband, CMOS, 1,65 V-2,75 V	Wideband, CMOS 1.65V-2.75V, 4:1 Mux/SP4T	20-TSSOP	2.94	1.88	1.64
ADG936BRU-R	ADG936BRU-R-ND	Zweif. SPDT-Schalter, 1,65 V-2,75 V	1.65V-2.75V, SPDT Dual Switch	20-TSSOP	2.94	1.88	1.64
SW06GP	SW06GP-ND	Vierf. Schalter, JFET, analog, SPST	Switch Quad JFET Analog SPST	16-Dip	2.79	2.23	1.86
SW06GS	SW06GS-ND	Vierf. Schalter, JFET, analog, SPST	Switch Quad JFET Analog SPST	16-SOIC	3.72	2.37	1.74
		Audio/Video					
AD7592DIKN	AD7592DIKN-ND	Schalter, analog, mit Daten-Latch	Switch Analog w/Data Latch	14-Dip	11.80	9.88	7.53
AD7592DIKNZ	AD7592DIKNZ-ND	Schalter, analog, mit Daten-Latch*	Switch Analog w/Data Latch*	14-Dip	11.80	9.88	7.53
AD8108AST	AD8108AST-ND	Video-Schalter, 8x8, mit Puffer	Video Switch 8x8 with Buffer	80-LQFP	26.94	23.10	19.24
AD8108ASTZ	AD8108ASTZ-ND	Video-Schalter, 8x8, mit Puffer	Video Switch 8x8 with Buffer	80-LQFP	26.94	23.10	19.24
AD8109AST	AD8109AST-ND	Video-Schalter, 8x8, mit Puffer	Video Switch 8x8 with Buffer	80-LQFP	24.00	23.10	19.24
AD8110AST	AD8110AST-ND	Video-Schalter,16x8, mit Puffer	Video Switch 16x8 with Buffer	80-LQFP	42.00	40.57	38.00
AD8111AST	AD8111AST-ND	Video-Koordinatenschalter	Video Crosspoint Switch	80-LQFP	47.34	40.57	38.00
AD8111ASTZ	AD8111ASTZ-ND	Video-Koordinatenschalter*	Video Crosspoint Switch*	80-LQFP	47.34	40.57	38.00
AD8113JST	AD8113JST-ND	Audio/Video-Schalter, 16x16, mit Puffer	Audio/Video Switch 16x16 w/Buff.	100-LQFP	37.51	31.99	30.00
AD8114AST	AD8114AST-ND	Video-Koordinatenschalter, 16x16	Video Crosspoint Switch 16x16	100-LQFP	84.00	83.55	80.00
AD8115AST	AD8115AST-ND	Video-Koordinatenschalter, 16x16	Video Crosspoint Switch 16x16	100-LQFP	84.00	83.55	80.00
AD8116JST	AD8116JST-ND	Video-Schalter, 16x16, mit Puffer	Video Switch 16x16 w/Buff.	128-LQFP	115.07	98.63	90.00
AD8152JBP	AD8152JBP-ND	Asynch. Digital-X-Point-Schalter	Async. Digital X-Point Switch	256-BGA	208.96	178.23	147.50
AD75019JP	AD75019JP-ND	Koordinatenschalter-Array, 16x16	Crosspoint Switch Array 16x16	44-PLCC	18.57	15.92	15.48
ADG836LYRM	ADG836LYRM-ND	Zweif. SPDT 2:1 Mux, 0,5 Ohm, CMOS, 1,65 V-3,6 V	0.5-Ohm CMOS 1.65V-3.6V Dual SPDT 2:1 Mux	10-MSOP	1.91	1.82	1.52
SSM2402S	SSM2402S-ND	Zweif. Schalter, Audio, analog	Switch Dual Audio Analog	16-SOIC	5.38	4.50	3.43
SSM2404P	SSM2404P-ND	Vierf. Schalter, Audio, analog	Switch Quad Audio Analog	20-Dip	5.27	4.41	3.36
SSM2404S	SSM2404S-ND	Vierf. Schalter, Audio, analog	Switch Quad Audio Analog	20-SOIC	5.00	4.41	3.36
		Bus					
ADG3233BRJ-REEL7	ADG3233BRJREEL7CT-ND	Schalterlogik-Level-Übersetzung 1,65/3,6 V, Bypass	Switch Logic Level Translation 1.65/3.6V Bypass	SOT-23-8	1.21	.97	.73
ADG3233BRJ-REEL7	ADG3233BRJREEL7TR-ND	Schalterlogik-Level-Übersetzung 1,65/3,6 V, Bypass	Switch Logic Level Translation 1.65/3.6V Bypass	SOT-23-8		1500.00/3,000	
ADG3233BRM	ADG3233BRM-ND	Schalter 1,65/3,6 V, Bypass	Switch 1.65/3.6V Bypass	8-MSOP	1.10	.70	.62
ADG3233BRM-REEL7	ADG3233BRMREEL7CT-ND	Schalter 1,65/3,6 V, Bypass	Switch 1.65/3.6V Bypass	8-MSOP	1.46	1.17	.88
ADG3233BRM-REEL7	ADG3233BRMREEL7TR-ND	Schalter 1,65/3,6 V, Bypass	Switch 1.65/3.6V Bypass	8-MSOP		500.00/1,000	
ADG3242BRJ-R2	ADG3242BRJ-R2CT-ND	Schalter-Bus-Controller, 2,5/3,3 V	Switch Bus Controller 2.5/3.3V	SOT-23-8	1.44	1.16	.87
ADG3242BRJ-R2	ADG3242BRJ-R2TR-ND	Schalter-Bus-Controller, 2,5/3,3 V	Switch Bus Controller 2.5/3.3V	SOT-23-8		150.00/250	
ADG3243BRJ-R2	ADG3243BRJ-R2CT-ND	Schalter-Bus-Steuerung, 2,5/3,3 V	Switch Bus Control 2.5/3.3V	SOT-23-8	1.44	1.16	.87
ADG3243BRJ-R2	ADG3243BRJ-R2TR-ND	Schalter-Bus-Steuerung, 2,5/3,3 V	Switch Bus Control 2.5/3.3V	SOT-23-8		150.00/250	
ADG3245BRU	ADG3245BRU-ND	Schalter-Bus, 2,5/3,3 V, 8-Bit	Switch Bus 2.5/3.3V, 8-Bit	20-TSSOP	1.39	.88	.80
ADG3246BRU	ADG3246BRU-ND	Schalter-Bus, 2,5/3,3 V, 10-Bit	Switch Bus 2.5/3.3V, 10-Bit	24-TSSOP	1.43	.92	.85
ADG3247BCP	ADG3247BCP-ND	Schalter-Bus, 2,5/3,3 V, 16-Bit	Switch Bus 2.5/3.3V, 16-Bit	40-LFCSP	1.89	1.82	1.52
ADG3247BRU	ADG3247BRU-ND	Schalter-Bus, 2,5/3,3 V, 16-Bit	Switch Bus 2.5/3.3V, 16-Bit	38-TSSOP	2.29	1.47	1.27
ADG3248BKS-R2	ADG3248BKS-R2CT-ND	2:1-Mux/Demux-Busschalter	Mux/Demux Bus Switch 2:1	SC70-6	1.44	1.16	.87
ADG3248BKS-R2	ADG3248BKS-R2TR-ND	2:2-Mux/Demux-Busschalter	Mux/Demux Bus Switch 2:2	SC70-6		150.00/250	
ADG3249BRJ-R2	ADG3249BRJ-R2CT-ND	2:3-Mux/Demux-Busschalter	Mux/Demux Bus Switch 2:3	SOT-23-8	1.44	1.16	.87
ADG3249BRJ-R2	ADG3249BRJ-R2TR-ND	2:4-Mux/Demux-Busschalter	Mux/Demux Bus Switch 2:4	SOT-23-8		150.00/250	
ADG3257BRQ	ADG3257BRQ-ND	Vierf. Mux/Demux, 3,3 V/5 V, HS	Mux/Demux Quad 3.3/5V HS	16-QSOP	1.50	.72	.62
		Koordinate					
AD8150AST	AD8150AST-ND	Digital-Koordinatenschalter, 33x17	Digital Crosspoint Switch 33x17	184-LQFP	157.18	—	—
AD8150ASTZ	AD8150ASTZ-ND	Digital-Koordinatenschalter, 33x17*	Digital Crosspoint Switch 33x17*	184-LQFP	157.18	—	—
AD8152JBPZ	AD8152JBPZ-ND	Digital-Koordinatenschalter, 34x34	Digital Crosspoint Switch 34x34	256-BGA	208.96	—	—
		RF/Video					
ADG511BN	ADG511BN-ND	Vierf. Schalter, CMOS, 5/3 V	Switch CMOS Quad 5/3V	16-Dip	2.98	2.55	2.12
ADG513BR	ADG513BR-ND	Vierf. Schalter, CMOS, 5/3 V	Switch CMOS Quad 5/3V	16-SOIC	2.89	2.55	2.12
ADG601BRT-REEL7	ADG601BRT-REEL7CT-ND	Kleinstschalter, 2-Ohm, SPST	Switch Tiny 2-Ohm SPST	SOT-23-6	1.89	1.51	1.14
ADG601BRT-REEL7	ADG601BRT-REEL7TR-ND	Kleinstschalter, 2-Ohm, SPST	Switch Tiny 2-Ohm SPST	SOT-23-6		2892.83/3,000	
ADG611YRU	ADG611YRU-ND	Vierf. Schalter, 3/5 V, SPST	Switch Quad 3/5V SPST	16-TSSOP	2.70	1.74	1.50
ADG612YRU	ADG612YRU-ND	Vierf. Schalter, 3/5 V, SPST	Switch Quad 3/5V SPST	16-TSSOP	2.70	1.74	1.50
ADG613YRU	ADG613YRU-ND	Vierf. Schalter, 3/5 V, SPST	Switch Quad 3/5V SPST	16-TSSOP	2.00	1.74	1.50
ADG619BRM	ADG619BRM-ND	Schalter, 2,7/5,5 SPDT, BBM	Switch 2.7/5.5 SPDT BBM	8-MSOP	2.00	1.12	.98
ADG633YRU	ADG633YRU-ND	Dreif. Schalter, 3/5 V, SPDT	Tri-Switch 3/5V SPDT	16-TSSOP	1.60	1.02	.92
ADG636YRU	ADG636YRU-ND	Zweif. Schalter, 3/5 V SPDT	Switch Dual 3/5V SPDT	14-TSSOP	2.90	1.85	1.61
ADG711BR	ADG711BR-ND	Vierf. Schalter, SPST, 1,8/5,5 V	Switch Quad SPST 1.8/5.5V	16-SOIC	1.75	1.12	1.00
ADG711BRU	ADG711BRU-ND	Vierf. Schalter, SPST, 1,8/5,5 V	Switch Quad SPST 1.8/5.5V	16-TSSOP	1.75	1.12	1.00
ADG712BR	ADG712BR-ND	Vierf. Schalter, SPST, 1,8/5,5 V	Switch Quad SPST 1.8/5.5V	16-SOIC	1.75	1.12	1.00
ADG712BRU	ADG712BRU-ND	Vierf. Schalter, SPST, 1,8/5,5 V	Switch Quad SPST 1.8/5.5V	16-TSSOP	2.00	1.12	.98
ADG713BRU	ADG713BRU-ND	Vierf. Schalter, SPST, 1,8/5,5 V	Switch Quad SPST 1.8/5.5V	16-TSSOP	2.00	1.12	.98
ADG714BRU	ADG714BRU-ND	Achtf. Schalter, seriell, 2,7/5,5 V	Switch Octal Serial 2.7/5.5V	24-TSSOP	2.50	2.17	1.89
ADG715BRU	ADG715BRU-ND	Achtf. Schalter, seriell, 2,7/5,5 V	Switch Octal Serial 2.7/5.5V	24-TSSOP	3.40	2.17	1.89
ADG719BRM	ADG719BRM-ND	Einf. Schalter, SPDT, 1,8/5,5 V	Switch Single SPDT 1.8/5.5V	8-MSOP	2.00	.79	.68
ADG719BRT-REEL7	ADG719BRT-REEL7CT-ND	Schalter, SPDT, 1,8/5,5 V	Switch SPDT 1.8/5.5V	SOT-23-6	1.48	1.19	.89
ADG719BRT-REEL7	ADG719BRT-REEL7TR-ND	Schalter, SPDT, 1,8/5,5 V	Switch SPDT 1.8/5.5V	SOT-23-6		2275.66/3,000	
ADG721BRM	ADG721BRM-ND	Zweif. Schalter, SPST, 1,8/5,5 V	Switch Dual SPST 1.8/5.5V	8-MSOP	2.00	.79	.68
ADG723BRM	ADG723BRM-ND	Zweif. Schalter, SPST, 1,8/5,5 V	Switch Dual SPST 1.8/5.5V	8-MSOP	2.00	.79	.68
ADG734BRU	ADG734BRU-ND	Vierf. Schalter, 1,8/5,5 V, SPDT	Switch Quad 1.8/5.5V SPDT	20-TSSOP	2.50	1.68	1.46
ADG734BRU-REEL7	ADG734BRU-REEL7CT-ND	Vierf. Schalter, 1,8/5,5 V, SPDT	Switch Quad 1.8/5.5V SPDT	20-TSSOP	3.14	2.52	1.96
ADG734BRU-REEL7	ADG734BRU-REEL7TR-ND	Vierf. Schalter, 1,8/5,5 V, SPDT	Switch Quad 1.8/5.5V SPDT	20-TSSOP		1190.00/1,000	
ADG736BRM	ADG736BRM-ND	Zweif. Schalter, SPDT, 1,8/5,5 V	Switch Dual SPDT 1.8/5.5V	10-MSOP	2.00	1.22	.90
ADG736BRM-REEL7	ADG736BRM-REEL7CT-ND	Zweif. Schalter, SPDT, 1,8/5,5 V	Switch Dual SPDT 1.8/5.5V	10-MSOP	1.95	1.56	1.21
ADG736BRM-REEL7	ADG736BRM-REEL7TR-ND	Zweif. Schalter, SPDT, 1,8/5,5 V	Switch Dual SPDT 1.8/5.5V	10-MSOP		790.00/1,000	
ADG779BKS-REEL7	ADG779BKS-REEL7CT-ND	Schalter, SPDT, 1,8/5,5 V	Switch SPDT 1.8/5.5V	SC70-6	1.35	1.09	.82
ADG779BKS-REEL7	ADG779BKS-REEL7TR-ND	Schalter, SPDT, 1,8/5,5 V	Switch SPDT 1.8/5.5V	SC70-6		2100.00/3,000	
ADG788BCP	ADG788BCP-ND	Vierf. Schalter, 1,8/5,5 V, SPDT	Switch Quad 1.8/5.5V SPDT	20-LFCSP	2.63	1.68	1.50
ADG801BRM	ADG801BRM-ND	Einf. Schalter, SPST, 1,8/5,5 V	Switch Single SPST 1.8/5.5V	8-MSOP	1.71	1.09	1.00
ADG802BRM	ADG802BRM-ND	Einf. Schalter, SPST, 1,8/5,5 V	Switch Single SPST 1.8/5.5V	8-MSOP	1.71	1.09	1.00
ADG819BRM	ADG819BRM-ND	Schalter, schnell, SPDT, 1,8/5,5 V	Switch Fast SPDT 1.8/5.5V	8-MSOP	1.79	1.15	1.10
ADG820BRM	ADG820BRM-ND	Schalter, schnell, SPDT, 1,8/5,5 V	Switch Fast SPDT 1.8/5.5V	8-MSOP	1.79	1.15	1.10
ADG821BRM	ADG821BRM-ND	Zweif. Schalter, SPST, 1,8/5,5 V	Switch Dual SPST 1.8/5.5V	8-MSOP	1.91	1.22	1.06
ADG822BRM	ADG822BRM-ND	Zweif. Schalter, SPST, 1,8/5,5 V	Switch Dual SPST 1.8/5.5V	8-MSOP	1.91	1.82	1.52
ADG823BRM	ADG823BRM-ND	Zweif. Schalter, SPST, 1,8/5,5 V	Switch Dual SPST 1.8/5.5V	8-MSOP	1.91	1.82	1.52
ADG836YRM	ADG836YRM-ND	Zweif. Schalter, SPDT, 1,6/3,6 V	Switch Dual SPDT 1.6/3.6V	10-MSOP	2.00	1.22	1.06
ADG901BRM	ADG901BRM-ND	Einf. Schalter, HS, SPST, 1,6/2,7 V	Switch Single HS SPST 1.6/2.7V	8-MSOP	1.99	1.67	1.27
ADG902BRM	ADG902BRM-ND	Einf. Schalter, HS, SPST, 1,6/2,7 V	Switch Single HS SPST 1.6/2.7V	8-MSOP	1.99	1.67	1.27
ADG918BRM	ADG918BRM-ND	Einf. Schalter, HS, SPST, 1,6/2,7 V	Switch Single HS SPDT 1.6/2.7V	8-MSOP	2.00	1.33	1.15
ADG919BRM	ADG919BRM-ND	Einf. Schalter, HS, SPST, 1,6/2,7 V	Switch Single HS SPDT 1.6/2.7V	8-MSOP	2.07	1.33	1.20

* Bleifrei/RoHS-konform

★ RUFEN SIE BITTE AN FÜR NIEDRIGERE PREISE BEI GRÖSSEREN MENGEN! ★

B

Digi-Key Teilenr.	Beschreibung		Paket	Stückpreis ★ 1	25	100
		Puffer				
MC100ES6011D-ND	2,5 V / 3,3 V ECL 1:2 Differenzial-Fanout-Puffer	2.5V/3.3V ECL 1:2 Differential Fanout Buffer	8-SOIC	6.51	4.65	4.23
MC100ES6111AC-ND	Differenzial-Fanout-Puffer, Niederspannung	Low Voltage Differential Fanout Buffer	32-LQFP	8.91	6.75	6.22
MC100ES6111FA-ND	Differenzial-Fanout-Puffer, Niederspannung	Low Voltage Differential Fanout Buffer	32-LQFP	8.91	6.75	6.22
MC100ES6111FAR2CT-ND	Differenzial-Fanout-Puffer, Niederspannung	Low Voltage Differential Fanout Buffer	32-LQFP	8.91	6.75	6.22
MC100ES6111FAR2TR-ND	Differenzial-Fanout-Puffer, Niederspannung	Low Voltage Differential Fanout Buffer	32-LQFP		11175.12/2,000	
MC100ES6210AC-ND	Differenzial-Fanout-Puffer, Niederspannung	Low Voltage Differential Fanout Buffer	32-LQFP	8.91	6.75	6.22
MC100ES6210FA-ND	Differenzial-Fanout-Puffer, Niederspannung	Low Voltage Differential Fanout Buffer	32-LQFP	8.91	6.75	6.22
MC100ES6220TB-ND	Zweif.1:10 Differenzial-Fanout-Puffer, Niederspannung	Low Voltage Dual 1:10 Differential Fanout Buffer	52-LQFP	11.12	8.41	7.76
MC100ES6221TB-ND	1:20 Differenzial-Fanout-Puffer, Niederspannung	Low Voltage 1:20 Differential Fanout Buffer	52-LQFP	10.07	7.62	7.02
MC100ES6222TB-ND	1:15 Differenzial-Fanout-Puffer, Niederspannung	Low Voltage 1:15 Differential Fanout Buffer	52-LQFP	9.42	7.13	6.57
MC100ES6226AC-ND	1:9 Differenzial-Takttreiber, Niederspannung	Low Voltage 1:9 Differential Clock Driver	32-LQFP	9.13	6.91	6.37
MC100ES6226FA-ND	1:9 Differenzial-Takttreiber, Niederspannung	Low Voltage 1:9 Differential Clock Driver	32-LQFP	9.13	6.91	6.37
MC100ES6254AC-ND	Differenzial-Fanout-Puffer, Niederspannung	Low Voltage Differential Fanout Buffer	32-LQFP	9.57	7.24	6.67
MC100ES6254FA-ND	Differenzial-Fanout-Puffer, Niederspannung	Low Voltage Differential Fanout Buffer	32-LQFP	9.57	7.24	6.67
MC100ES6535DT-ND	3,3 V LVCMOS an LVPECL 1:4 Fanout-Puffer	3.3V LVCMOS to LVPECL 1:4 Fanout Buffer	20-TSSOP	11.14	8.43	7.77
MC100ES8111FA-ND	1:10 Differenzial-Takt-Fanout-Puffer, HSTL, Niederspannung	Low Voltage 1:10 Diff. HSTL Clock Fanout Buffer	32-LQFP	11.34	8.57	7.91
MPC961CFA-ND	Nullverzögerungspuffer, Niederspannung	Low Voltage Zero Delay Buffer	32-LQFP	8.63	5.89	5.60
MPC961PFA-ND	Nullverzögerungspuffer, Niederspannung	Low Voltage Zero Delay Buffer	32-LQFP	8.80	6.01	5.72
MPC9443AE-ND	1:16 LVCMOS Takt-Fanout-Puffer	1:16 LVCMOS Clock Fanout Buffer	48-LQFP	7.60	5.19	4.94
MPC9443FA-ND	1:16 LVCMOS Takt-Fanout-Puffer	1:16 LVCMOS Clock Fanout Buffer	48-LQFP	7.60	5.19	4.94
MPC9446AC-ND	1:10 LVCMOS Takt-Distributions-Puffer	1:10 LVCMOS Clock Distribution Buffer	32-LQFP	5.44	3.89	3.54
MPC9446FA-ND	1:10 LVCMOS Takt-Distributions-Puffer	1:10 LVCMOS Clock Distribution Buffer	32-LQFP	5.44	3.89	3.54
MPC9446FAR2CT-ND	1:10 LVCMOS Takt-Distributions-Puffer	1:10 LVCMOS Clock Distribution Buffer	32-LQFP	5.44	3.89	3.54
MPC9446FAR2TR-ND	1:10 LVCMOS Takt-Distributions-Puffer	1:10 LVCMOS Clock Distribution Buffer	32-LQFP		6295.32/2,000	
MPC9447AC-ND	1:9 LVCMOS Takt-Fanout-Puffer	1:9 LVCMOS Clock Fanout Buffer	32-LQFP	5.44	3.89	3.54
MPC9447FA-ND	1:9 LVCMOS Takt-Fanout-Puffer	1:9 LVCMOS Clock Fanout Buffer	32-LQFP	5.44	3.89	3.54
MPC9448AC-ND	1:12 LVCMOS Takt-Fanout-Puffer	1:12 LVCMOS Clock Fanout Buffer	32-LQFP	5.44	3.89	3.54
MPC9448FA-ND	1:12 LVCMOS Takt-Fanout-Puffer	1:12 LVCMOS Clock Fanout Buffer	32-LQFP	5.44	3.89	3.54
MPC9448FAR2CT-ND	1:12 LVCMOS Takt-Fanout-Puffer	1:12 LVCMOS Clock Fanout Buffer	32-LQFP	5.44	3.89	3.54
MPC9448FAR2TR-ND	1:12 LVCMOS Takt-Fanout-Puffer	1:12 LVCMOS Clock Fanout Buffer	32-LQFP		6295.32/2,000	
MPC9449AE-ND	1:15 PECL/LVCMOS Takt-Fanout-Puffer	1:15 PECL/LVCMOS Clock Fanout Buffer	52-LQFP	7.01	5.01	4.55
MPC9449FA-ND	1:15 PECL/LVCMOS Takt-Fanout-Puffer	1:15 PECL/LVCMOS Clock Fanout Buffer	52-LQFP	7.01	5.01	4.55
MPC9449FAR2CT-ND	1:15 PECL/LVCMOS Takt-Fanout-Puffer	1:15 PECL/LVCMOS Clock Fanout Buffer	52-LQFP	7.01	5.01	4.55
MPC9449FAR2TR-ND	1:15 PECL/LVCMOS Takt-Fanout-Puffer	1:15 PECL/LVCMOS Clock Fanout Buffer	52-LQFP		6076.47/1,500	
MPC9456AC-ND	1:10 LVCMOS Takt-Distributions-Puffer	1:10 LVCMOS Clock Distribution Buffer	32-LQFP	6.99	5.00	4.54
MPC9456FA-ND	1:10 LVCMOS Takt-Distributions-Puffer	1:10 LVCMOS Clock Distribution Buffer	32-LQFP	6.99	5.00	4.54
MPC9608AC-ND	1:10 LVCMOS Nullverzögerungstaktpuffer	1:10 LVCMOS Zero Delay Clock Buffer	32-LQFP	5.44	3.89	3.54
MPC9608FA-ND	1:10 LVCMOS Nullverzögerungstaktpuffer	1:10 LVCMOS Zero Delay Clock Buffer	32-LQFP	5.44	3.89	3.54
MPC962305D-1-ND	Preiswerter 3,3 V Nullverzögerungspuffer	Low-Cost 3.3V Zero Delay Buffer	8-SOIC	1.49	.91	.79
MPC962305D-1H-ND	Preiswerter 3,3 V Nullverzögerungspuffer	Low-Cost 3.3V Zero Delay Buffer	8-SOIC	1.59	.97	.84
MPC962305DT-1H-ND	Preiswerter 3,3 V Nullverzögerungspuffer	Low-Cost 3.3V Zero Delay Buffer	8-TSSOP	1.59	.97	.84
MPC962308D-1-ND	3,3 V Nullverzögerungspuffer	3.3V Zero Delay Buffer	16-SOIC	2.73	1.76	1.59
MPC962308D-1H-ND	3,3 V Nullverzögerungspuffer	3.3V Zero Delay Buffer	16-SOIC	1.80	1.16	1.05
MPC962308DT-1H-ND	3,3 V Nullverzögerungspuffer	3.3V Zero Delay Buffer	16-TSSOP	1.80	1.16	1.05
MPC962309D-1-ND	Preiswerter 3,3 V Nullverzögerungspuffer	Low-Cost 3.3V Zero Delay Buffer	16-SOIC	2.37	1.45	1.25
MPC962309D-1H-ND	Preiswerter 3,3 V Nullverzögerungspuffer	Low-Cost 3.3V Zero Delay Buffer	16-SOIC	2.12	1.36	1.23
MPC962309DT-1H-ND	Preiswerter 3,3 V Nullverzögerungspuffer	Low-Cost 3.3V Zero Delay Buffer	16-TSSOP	2.12	1.36	1.23
		Taktgeber				
MC100ES60T22D-ND	Zweif. 3,3 V LVTTL/LVCMOS an Diff.-LVPECL-Übersetzer	3.3V Dual LVTTL/LVCMOS to Diff. LVPECL Translator	8-SOIC	4.51	2.74	2.62
MC100ES6014DT-ND	2,5 V/3,3 V 1:5 Differenzial-ECL/PECL/HSTL/LVDS-Takttreiber	2.5V/3.3V 1:5 Differential ECL/PECL/HSTL/LVDS Clock Driver	20-TSSOP	8.25	6.24	5.76
MC100ES6039DW-ND	3,3 V ECL/PECL/HSTL/LVDS Taktgeber-Chip	3.3V ECL/PECL/HSTL/LVDS Clock Generation Chip	20-SOIC	10.51	7.95	7.33
MC100ES6056DT-ND	2,5 V/3,3 V ECL/PECL/LVDS Diff.-Mux 2:1, zweif.	2.5V/3.3V ECL/PECL/LVDS Dual Diff. 2:1 Mux	20-TSSOP	9.44	7.14	6.58
MC100ES6130DT-ND	2,5 V/3,3 V 1:4 PECL/HSTL/LVDS-Takttreiber mit 2:1 Eingangs-Mux	2.5V/3.3V, 1:4 PECL Clock Driver with 2:1 Input Mux	16-TSSOP	10.81	8.18	7.54
MC100ES6139DT-ND	3,3 V ECL/PECL/HSTL/LVDS Taktgeber-Chip	3.3V ECL/PECL/HSTL/LVDS Clock Generation Chip	20-TSSOP	11.06	8.37	7.71
MC88LV915TEI-ND	Tri-State, 100 MHz PLL-Takttreiber, Niederspann.	Tri-State, 100MHz, Low Volt., PLL Clock Driver	28-PLCC	7.37	5.03	4.79
MC88LV915TFN-ND	Tri-State, 100 MHz PLL-Takttreiber, Niederspann.	Tri-State, 100MHz, Low Volt. PLL Clock Driver	28-PLCC	7.37	5.03	4.79
MC88LV915TFNR2CT-ND	Tri-State, 100 MHz PLL-Takttreiber, Niederspann.	Tri-State, 100MHz, Low Volt. PLL Clock Driver	28-PLCC	7.37	5.03	4.79
MC88LV915TFNR2TR-ND	Tri-State, 100 MHz PLL-Takttreiber, Niederspann.	Tri-State, 100MHz, Low Volt. PLL Clock Driver	28-PLCC		4359.99/1,000	
MC88LV926DWR2CT-ND	Low-Skew CMOS PLL 68060 Takttreiber	Low Skew CMOS PLL 68060 Clock Driver	20-SOIC	7.68	5.24	4.99
MC88LV926DWR2TR-ND	Low-Skew CMOS PLL 68060 Takttreiber	Low Skew CMOS PLL 68060 Clock Driver	20-SOIC		4540.32/1,000	
MC14489BDWR2CT-ND	Mehrzeichen-LED-Anzeigen-/Lampentreiber	Multi-Character LED Display/Lamp Driver	20-SOG	3.81	2.45	2.21
MC14489BDWR2TR-ND	Mehrzeichen-LED-Anzeigen-/Lampentreiber	Multi-Character LED Display/Lamp Driver	20-SOG		1977.66/1,000	
MC88915EI55-ND	55 MHz, Low-Skew CMOS PLL-Takttreiber	55MHz, Low Skew CMOS PLL Clock Driver	28-PLCC	6.88	4.92	4.47
MC88915EI70-ND	70 MHz, Low-Skew CMOS PLL-Takttreiber	70MHz, Low Skew CMOS PLL Clock Driver	28-PLCC	7.14	5.10	4.64
MC88915FN55-ND	55 MHz, Low-Skew PLL-Takttreiber	55MHz, Low Skew PLL Clock Driver	28-PLCC	6.45	4.71	4.38
MC88915FN55R2CT-ND	55 MHz, Low-Skew PLL-Takttreiber	55MHz, Low Skew PLL Clock Driver	28-PLCC	6.88	4.92	4.47
MC88915FN55R2TR-ND	55 MHz, Low-Skew PLL-Takttreiber	55MHz, Low Skew PLL Clock Driver	28-PLCC		2104.22/500	
MC88915FN70-ND	70 MHz, Low-Skew PLL-Takttreiber	70MHz, Low Skew PLL Clock Driver	28-PLCC	7.14	4.87	4.64
MC88915FN70R2CT-ND	70 MHz, Low-Skew PLL-Takttreiber	70MHz, Low Skew PLL Clock Driver	28-PLCC	7.14	5.10	4.64
MC88915FN70R2TR-ND	70 MHz, Low-Skew PLL-Takttreiber	70MHz, Low Skew PLL Clock Driver	28-PLCC		2181.26/500	
MC88915TFN55-ND	Tri-State, 55 MHz, Low-Skew PLL-Takttreiber	Tri-State, 55MHz, Low Skew PLL Clock Driver	28-PLCC	7.14	5.27	4.91
MC88915TFN70-ND	Tri-State, 70 MHz, Low-Skew PLL-Takttreiber	Tri-State, 70MHz, Low Skew PLL Clock Driver	28-PLCC	7.14	4.87	4.64
MC88915TFN70R2CT-ND	Tri-State, 70 MHz, Low-Skew PLL-Takttreiber	Tri-State, 70MHz, Low Skew PLL Clock Driver	28-PLCC	7.14	5.10	4.64
MC88915TFN70R2TR-ND	Tri-State, 70 MHz, Low-Skew PLL-Takttreiber	Tri-State, 70MHz, Low Skew PLL Clock Driver	28-PLCC		2181.26/500	
MC88915TFN100-ND	Tri-State, 100 MHz, Low-Skew PLL-Takttreiber	Tri-State, 100MHz, Low Skew PLL Clock Driver	28-PLCC	7.59	5.18	4.93
MC88915TFN100CT-ND	Tri-State, 100 MHz, Low-Skew PLL-Takttreiber	Tri-State, 100MHz, Low Skew PLL Clock Driver	28-PLCC	7.80	5.80	5.42
MC88915TFN100TR-ND	Tri-State, 100 MHz, Low-Skew PLL-Takttreiber	Tri-State, 100MHz, Low Skew PLL Clock Driver	28-PLCC		2318.65/500	
MC88915TFN133R2CT-ND	Tri-State, 133 MHz, Low-Skew PLL-Takttreiber	Tri-State, 133MHz, Low Skew PLL Clock Driver	28-PLCC	7.96	5.44	5.17
MC88915TFN133R2TR-ND	Tri-State, 133 MHz, Low-Skew PLL-Takttreiber	Tri-State, 133MHz, Low Skew PLL Clock Driver	28-PLCC		2433.98/500	
MC88915TFN160-ND	Tri-State, 160 MHz, Low-Skew PLL-Takttreiber	Tri-State, 160MHz, Low Skew PLL Clock Driver	28-PLCC	8.20	5.59	5.32
MC88916DW70-ND	70 MHz, Low-Skew PLL-Takttreiber mit Rücksetzung	70MHz, Low Skew PLL Clock Driver with Reset	20-SOIC	10.46	7.98	7.48
MC88916DW80-ND	80 MHz, Low-Skew PLL-Takttreiber mit Rücksetzung	80MHz, Low Skew PLL Clock Driver with Reset	20-SOIC	11.18	8.46	7.80
MC88920DW-ND	50 MHz, Low-Skew PLL-Takttreiber mit Leistungssteuerung	50MHz, Low Skew PLL Clock Driver with Power Control	20-SOIC	7.81	5.89	5.51
MPC93H51FA-ND	3,3 V Niederspannung, PLL-Taktgeber	3.3V Low Voltage PLL Clock Generator	32-LQFP	5.65	4.03	3.67
MPC93H52FA-ND	3,3 V, 1:11 LVCMOS Nullverzögerungs-Taktgeber	3.3V, 1:11 LVCMOS Zero Delay Clock Generator	32-LQFP	4.96	3.55	3.22
MPC93R51AC-ND	3,3 V Niederspannung, PLL-Taktgeber	3.3V Low Voltage PLL Clock Generator	32-LQFP	5.65	4.03	3.67
MPC93R51FA-ND	3,3 V Niederspannung, PLL-Taktgeber	3.3V Low Voltage PLL Clock Generator	32-LQFP	5.65	4.03	3.67
MPC93R52FA-ND	3,3 V, 1:11 LVCMOS Nullverzögerungs-Taktgeber	3.3V, 1:11 LVCMOS Zero Delay Clock Generator	32-LQFP	5.65	4.03	3.67
MPC97H73FA-ND	3,3 V, 1:12 LVCMOS PLL-Taktgeber	3.3V, 1:12 LVCMOS PLL Clock Generator	52-LQFP	6.65	4.75	4.32
MPC97H74FA-ND	3,3 V, 1:14 LVCMOS PLL-Taktgeber	3.3V, 1:14 LVCMOS PLL Clock Generator	52-LQFP	6.65	4.75	4.32
MPC99J93FA-ND	Intelligent Dynamic Clock Switch (IDCS) PLL-Takttreiber	Intelligent Dynamic Clock Switch (IDCS) PLL Clock Driver	32-LQFP	5.65	4.03	3.67
MPC905DR2CT-ND	1:6 PCI Taktgeber/Fanout-Puffer	1:6 PCI Clock Generator/Fanout Buffer	16-SOIC	3.13	2.01	1.82
MPC905DR2TR-ND	1:6 PCI Taktgeber/Fanout-Puffer	1:6 PCI Clock Generator/Fanout Buffer	16-SOIC		3934.57/2,500	

(Forts.)

★ RUFEN SIE BITTE AN FÜR NIEDRIGERE PREISE BEI GRÖSSEREN MENGEN! ★

Digi-Key Teilenr.	Beschreibung		Paket	Stückpreis ★ 1	25	100
MPC940LAC-ND	Niederspannung, 1:18 Takt-Distributionschip	Low Voltage 1:18 Clock Distribution Chip	32-LQFP	4.67	3.34	3.04
MPC940LFA-ND	Niederspannung, 1:18 Takt-Distributionschip	Low Voltage 1:18 Clock Distribution Chip	32-LQFP	4.67	3.34	3.04
MPC940LFACT-ND	Niederspannung, 1:18 Takt-Distributionschip	Low Voltage 1:18 Clock Distribution Chip	32-LQFP	4.67	3.34	3.04
MPC940LFATR-ND	Niederspannung, 1:18 Takt-Distributionschip	Low Voltage 1:18 Clock Distribution Chip	32-LQFP		5612.96/2,000	
MPC941AE-ND	Niederspannung, 1:27 Takt-Distributionschip	Low Voltage 1:27 Clock Distribution Chip	48-LQFP	9.85	7.46	6.88
MPC941FA-ND	Niederspannung, 1:27 Takt-Distributionschip	Low Voltage 1:27 Clock Distribution Chip	48-LQFP	9.85	7.46	6.88
MPC942CAC-ND	Niederspannung, 1:18 Takt-Distributionschip	Low Voltage 1:18 Clock Distribution Chip	32-TQFP	5.86	4.19	3.81
MPC942CFA-ND	Niederspannung, 1:18 Takt-Distributionschip	Low Voltage 1:18 Clock Distribution Chip	32-TQFP	5.86	4.19	3.81
MPC942PAC-ND	Niederspannung, 1:18 Takt-Distributionschip	Low Voltage 1:18 Clock Distribution Chip	32-LQFP	6.92	4.95	4.50
MPC942PFA-ND	Niederspannung, 1:18 Takt-Distributionschip	Low Volatge 1:18 Clock Distribution Chip	32-LQFP	6.92	4.95	4.50
MPC9109AC-ND	Niederspannung, 1:18 Takt-Distributionschip	Low Voltage 1:18 Clock Distribution Chip	32-QFP	4.09	2.62	2.37
MPC9109FA-ND	Niederspannung, 1:18 Takt-Distributionschip	Low Voltage 1:18 Clock Distribution Chip	32-LQFP	4.09	2.62	2.37
MPC9229AC-ND	400 MHz Niederspannungs-Taktsignal-Synthesizer	400MHz Low Voltage Clock Synthesizer	32-LQFP	7.22	4.93	4.69
MPC9229FA-ND	400 MHz Niederspannungs-Taktsignal-Synthesizer	400MHz Low Voltage Clock Synthesizer	32-LQFP	7.22	4.93	4.69
MPC9229FN-ND	400 MHz Niederspannungs-Taktsignal-Synthesizer	400MHz Low Voltage Clock Synthesizer	28-PLCC	7.22	4.93	4.69
MPC9230AC-ND	800 MHz Niederspannungs-Taktsignal-Synthesizer	800MHz Low Voltage Clock Synthesizer	32-LQFP	7.60	5.19	4.94
MPC9230FA-ND	800 MHz Niederspannungs-Taktsignal-Synthesizer	800MHz Low Voltage Clock Synthesizer	32-LQFP	7.60	5.19	4.94
MPC9230FN-ND	800 MHz Niederspannungs-Taktsignal-Synthesizer	800MHz Low Voltage Clock Synthesizer	28-PLCC	7.60	5.19	4.94
MPC9239FA-ND	900 MHz Niederspannungs-Taktsignal-Synthesizer	900MHz Low Voltage Clock Synthesizer	32-LQFP	7.86	5.36	5.10
MPC9239FN-ND	900 MHz Niederspannungs-Taktsignal-Synthesizer	900MHz Low Voltage Clock Synthesizer	28-PLCC	7.86	5.36	5.10
MPC9315AC-ND	Niederspannung, CMOS PLL-Taktgeber/-treiber	Low Voltage CMOS PLL Clock Generator/Driver	32-LQFP	6.83	4.88	4.44
MPC9315FA-ND	Niederspannung, CMOS PLL-Taktgeber/-treiber	Low Voltage CMOS PLL Clock Generator/Driver	32-LQFP	6.83	4.88	4.44
MPC9330AC-ND	1:6 Niederspannung, PLL-Taktsignal-Synthesizer	1:6 Low Voltage PLL Clock Synthesizer	32-LQFP	8.79	6.00	5.71
MPC9330FA-ND	1:6 Niederspannung, PLL-Taktsignal-Synthesizer	1:6 Low Voltage PLL Clock Synthesizer	32-LQFP	8.79	6.00	5.71
MPC9331AC-ND	3,3 V, 1:6 LVCMOS PLL-Taktgeber	3.3V, 1:6 LVCMOS PLL Clock Generator	32-LQFP	8.79	6.00	5.71
MPC9331FA-ND	3,3 V, 1:6 LVCMOS PLL-Taktgeber	3.3V, 1:6 LVCMOS PLL Clock Generator	32-LQFP	8.79	6.00	5.71
MPC9331FAR2CT-ND	3,3 V, 1:6 LVCMOS PLL-Taktgeber	3.3V, 1:6 LVCMOS PLL Clock Generator	32-LQFP		6.00	
MPC9331FAR2TR-ND	3,3 V, 1:6 LVCMOS PLL-Taktgeber	3.3V, 1:6 LVCMOS PLL Clock Generator	32-LQFP		10159.20/2,000	
MPC9350AC-ND	Niederspannung, CMOS PLL-Taktgeber	Low Voltage CMOS PLL Clock Generator	32-LQFP	6.45	4.61	4.19
MPC9350FA-ND	Niederspannung, CMOS PLL-Taktgeber	Low Voltage CMOS PLL Clock Generator	32-LQFP	6.45	4.61	4.19
MPC9351AC-ND	2,5 V/3,3 V CMOS PLL-Taktgeber	2.5V/3.3V, CMOS PLL CLock Generator	32-LQFP	5.65	4.03	3.67
MPC9351FA-ND	2,5 V/3,3 V CMOS PLL-Taktgeber	2.5V/3.3V, CMOS PLL Clock Generator	32-LQFP	5.65	4.03	3.67
MPC9352AC-ND	LVCMOS 1:11 Takttreiber	LVCMOS 1:11 Clock Driver	32-LQFP	5.65	4.03	3.67
MPC9352FA-ND	LVCMOS 1:11 Takttreiber	LVCMOS 1:11 Clock Driver	32-LQFP	5.65	4.03	3.67
MPC9600AE-ND	Niederspannung, CMOS PLL-Takttreiber	Low Voltage CMOS PLL Clock Driver	48-LQFP	6.69	4.78	4.34
MPC9600FA-ND	Niederspannung, CMOS PLL-Takttreiber	Low Voltage CMOS PLL Clock Driver	48-LQFP	6.69	4.78	4.34
MPC9653AAC-ND	1:8 LVCMOS PLL-Taktgeber	1:8 LVCMOS PLL Clock Generator	32-LQFP	5.16	3.69	3.35
MPC9653AFA-ND	1:8 LVCMOS PLL-Taktgeber	1:8 LVCMOS PLL Clock Generator	32-LQFP	5.16	3.69	3.35
MPC9653AFAR2CT-ND	1:8 LVCMOS PLL-Taktgeber	1:8 LVCMOS PLL Clock Generator	32-LQFP	5.16	3.69	3.35
MPC9653AFAR2TR-ND	1:8 LVCMOS PLL-Taktgeber	1:8 LVCMOS PLL Clock Generator	32-LQFP		5961.76/2,000	
MPC9653FA-ND	1:8 LVCMOS PLL-Taktgeber	1:8 LVCMOS PLL Clock Generator	32-LQFP	5.16	3.69	3.35
MPC9658AC-ND	3,3 V, 1:10 LVCMOS PLL-Taktgeber	3.3V, 1:10 LVCMOS PLL Clock Generator	32-LQFP	6.77	4.84	4.40
MPC9658FA-ND	3,3 V, 1:10 LVCMOS PLL-Taktgeber	3.3V, 1:10 LVCMOS PLL Clock Generator	32-LQFP	6.77	4.84	4.40
MPC9772AE-ND	3,3 V, 1:12 LVCMOS PLL-Taktgeber	3.3V, 1:12 LVCMOS PLL Clock Generator	52-LQFP	6.65	4.75	4.32
MPC9772FA-ND	3,3 V, 1:12 LVCMOS PLL-Taktgeber	3.3V, 1:12 LVCMOS PLL Clock Generator	52-LQFP	6.65	4.75	4.32
MPC9772FAR2CT-ND	3,3 V, 1:12 LVCMOS PLL-Taktgeber	3.3V, 1:12 LVCMOS PLL CLock Generator	52-LQFP	6.65	4.75	4.32
MPC9772FAR2TR-ND	3,3 V, 1:12 LVCMOS PLL-Taktgeber	3.3V, 1:12 LVCMOS PLL CLock Generator	52-LQFP		5765.35/1,500	
MPC9773AE-ND	3,3 V, 1:12 LVCMOS PLL-Taktgeber	3.3V, 1:12 LVCMOS PLL Clock Generator	52-LQFP	6.65	4.75	4.32
MPC9773FA-ND	3,3 V, 1:12 LVCMOS PLL-Taktgeber	3.3V, 1:12 LVCMOS PLL Clock Generator	52-LQFP	6.65	4.75	4.32
MPC9774AE-ND	3,3 V, 1:14 LVCMOS PLL-Taktgeber	3.3V, 1:14 LVCMOS PLL Clock Generator	52-LQFP	6.65	4.75	4.32
MPC9774FA-ND	3,3 V, 1:14 LVCMOS PLL-Taktgeber	3.3V, 1:14 LVCMOS PLL Clock Generator	52-LQFP	6.65	4.75	4.32
MPC9893AE-ND	Niederspannung, PLL Intelligent Dynamic-Taktschalter	Low Voltage PLL Intelligent Dynamic Clock Switch	48-LQFP	12.97	9.81	9.05
MPC9893FA-ND	Niederspannung, PLL Intelligent Dynamic-Taktschalter	Low Voltage PLL Intelligent Dynamic Clock Switch	48-LQFP	12.97	9.81	9.05
MPC9992AC-ND	3,3 V Diff. ECL/PECL PLL-Taktgeber	3.3V Diff. ECL/PECL PLL Clock Generator	32-LQFP	13.29	10.06	9.27
MPC9992FA-ND	3,3 V Diff. ECL/PECL PLL-Taktgeber	3.3V Diff. ECL/PECL PLL Clock Generator	32-LQFP	13.29	10.06	9.27
MPC9993FA-ND	Intelligent Dynamic-Taktschalter, PLL-Takttreiber	Intelligent Dynamic Clock Switch PLL Clock Driver	32-LQFP	12.35	9.35	8.62
MPC926508SD-ND	Netzwerk-Taktquelle	Networking Clock Source	20-SSOP	3.68	2.37	2.14

Digi-Key Teilenr.	Beschreibung		Paket	Stückpreis ★ 1	25	100
MC3PHACVDW-ND	Konfigurierbare Hochleistungs- Mono Intelligent Motor-Controller	High Perf. Mono Intelligent Motor Controller	28-SOIC	8.90	6.07	5.78
MC33099DW-ND	Spannungsregler der Wechselstromversorgung	Alternator Voltage Regulator	16-SOIC	4.49	2.73	2.60
MC33143DW-ND	Zweif. High-Side-Schalter für induktive Lasten	Dual High Side Switch for Inductive Loads	24-SOIC	4.56	3.26	2.97
MC33186DH1-ND	Automobil-H-Brückentreiber, 20 KHz	20KHz Automotive H-Bridge Driver	20-HSOP	4.85	3.47	3.15
MC33285D-ND	Zweif. High-Side TMOS-Treiber, 40 V	40V Dual High Side TMOS Driver	8-SOIC	2.03	1.24	1.07
MC33286DW-ND	Zweif. Gemini High-Side-Schalter, 40 V	40V Gemini Dual High Side Switch	20-SOIC	3.98	2.56	2.31
MC33287DW-ND	Kontaktüberwachungs- und zweif. Low-Side-Schalter	Contact Monitoring and Dual Low Side Switch	20-SOIC	2.42	1.48	1.28
MC33287DWR2CT-ND	Kontaktüberwachungs- und zweif. Low-Side-Schalter	Contact Monitoring and Dual Low Side Switch	20-SOIC	2.42	1.48	1.28
MC33287DWR2TR-ND	Kontaktüberwachungs- und zweif. Low-Side-Schalter	Contact Monitoring and Dual Low Side Switch	20-SOIC		1119.21/1,000	
MC33288DH-ND	Zweif. High-Side SSR für Automobil-Blinker-Anwendung	Dual High Side SSR for Automotive Flasher Application	20-HSOP	7.84	5.35	5.09
MC33289DW-ND	Zweif. High-Side-Schalter für induktive Lasten	Dual High Side Switch for Inductive Loads	20-SOIC	3.84	2.46	2.22
MC33289DWR2CT-ND	Zweif. High-Side-Schalter für induktive Lasten	Dual High Side Switch for Inductive Loads	20-SOIC	3.84	2.46	2.22
MC33289DWR2TR-ND	Zweif. High-Side-Schalter für induktive Lasten	Dual High Side Switch for Inductive Loads	20-SOIC		1988.66/1,000	
MC33290D-ND	ISO K Leitung, serielles Link-SCHNITTSTELLE	ISO K Line Serial Link Interface	8-SOIC	1.41	.73	.67
MC33290DR2CT-ND	ISO K Leitung, serielles Link-SCHNITTSTELLE	ISO K Line Serial Link Interface	8-SOIC	.88	.73	.67
MC33290DR2TR-ND	ISO K Leitung, serielles Link-SCHNITTSTELLE	ISO K Line Serial Link Interface	8-SOIC		1346.09/2,500	
MC33291DW-ND	1,2 Ω RDS (ein) Smart 8-Ausgangsschalter mit SPI	1.2Ω RDS (on) Smart 8-Output Switch with SPI	24-SOIC	4.09	2.62	2.37
MC33291DWR2CT-ND	1,2 Ω RDS (ein) Smart 8-Ausgangsschalter mit SPI	1.2Ω RDS (on) Smart 8-Output Switch with SPI	24-SOIC	4.09	2.62	2.37
MC33291DWR2TR-ND	1,2 Ω RDS (ein) Smart 8-Ausgangsschalter mit SPI	1.2Ω RDS (on) Smart 8-Output Switch with SPI	24-SOIC		2120.73/1,000	
MC33291LDW-ND	1,4 Ω RDS (ein) Smart 8-Ausgangsschalter mit SPI	1.4Ω RDS (on) Smart 8-Output Switch with SPI	24-SOIC	3.28	2.11	1.91
MC33298DW-ND	Oktalschalter, seriell, mit 8-Bit SPI E/A	Octal Serial Switch with 8-Bit SPI I/O	24-SOIC	4.65	3.28	3.03
MC33298DWCT-ND	Oktalschalter, seriell, mit 8-Bit SPI E/A	Octal Serial Switch with 8-Bit SPI I/O	24-SOP	4.77	3.32	3.06
MC33298DWTR-ND	Oktalschalter, seriell, mit 8-Bit SPI E/A	Octal Serial Switch with 8-Bit SPI I/O	24-SOP		2759.92/1,000	
MC33298P-ND	Oktalschalter, seriell, mit 8-Bit SPI E/A	Octal Serial Switch with 8-Bit SPI I/O	20-Dip	4.77	3.38	3.12
MC33385DH-ND	Vierf. Low-Side-Treiber, Automobil	Automotive Quad Low Side Driver	20-HSOP	5.54	3.96	3.60
MC33388D-ND	Fehlertolerante CAN-Schnittstelle	Fault Tolerant CAN Interface	14-SOIC	2.71	1.74	1.57
MC33389CDH-ND	System-Basis-Chip mit fehlertolerantem Niedriggeschwindigkeits-CAN	System Base Chip w/Low Speed Fault Tolerant CAN	20-HSOP	8.07	5.51	5.24
MC33389CDW-ND	System-Basis-Chip mit CAN	System Base Chip with CAN	28-SOIC	6.99	5.00	4.54
MC33389CDWR2CT-ND	System-Basis-Chip mit CAN	System Base Chip with CAN	28-SOIC	6.99	5.00	4.54
MC33389CDWR2TR-ND	System-Basis-Chip mit CAN	System Base Chip with CAN	28-SOIC		4136.49/1,000	
MC33389DDWR2CT-ND	System-Basis-Chip mit CAN	System Base Chip with CAN	28-SOIC	6.42	4.59	4.17
MC33389DDWR2TR-ND	System-Basis-Chip mit CAN	System Base Chip with CAN	28-SOIC		3796.15/1,000	
MC33390DR2CT-ND	Serieller Transceiver der Klasse B	Class-B Serial Transceiver	8-SOIC	2.12	1.36	1.23
MC33390DR2TR-ND	Serieller Transceiver der Klasse B	Class-B Serial Transceiver	8-SOIC		2658.32/2,500	
MC33399D-ND	Local Interconnect Network Physical Schnittstelle (LIN)	Local Interconnect Network Physical Interface (LIN)	8-SOIC	1.30	.79	.69
MC33399DR2CT-ND	Local Interconnect Network Physical Schnittstelle (LIN)	Local Interconnect Network Physical Interface (LIN)	8-SOIC	1.30	.79	.69
MC33399DR2TR-ND	Local Interconnect Network Physical Schnittstelle (LIN)	Local Interconnect Network Physical Interface (LIN)	8-SOIC		1456.15/2,500	
MC33486ADH-ND	Zweif. High-Side-Schalter für H-Bridge-Automobilanwendungen	Dual High Side Switch for H-Bridge Automotive Applications	20-HSOP	6.29	4.50	4.09
MC33486ADHR2CT-ND	Zweif. High-Side-Schalter für H-Bridge-Automobilanwendungen	Dual High Side Switch for H-Bridge Automotive Applications	20-HSOP	6.29	4.50	4.09
MC33486ADHR2TR-ND	Zweif. High-Side-Schalter für H-Bridge-Automobilanwendungen	Dual High Side Switch for H-Bridge Automotive Applications	20-HSOP		2791.24/750	

(Forts.)

★ *RUFEN SIE BITTE AN FÜR NIEDRIGERE PREISE BEI GRÖSSEREN MENGEN!* ★

ANALOG (Forts.)

Digi-Key Teilenr.	Beschreibung		Paket	Stückpreis ★ 1	25	100
MC33790DW-ND	2-Kan. physische DSI-Schnittstelle für Bus Master	2-Ch. DSI Physical Interface for Bus Master	16-SOIC	4.06	2.61	2.36
MC33793D-ND	DSI-Sklave für Fernabtastung	DSI Slave for Remote Sensing	16-SOIC	3.20	2.05	1.86
MC33793DR2CT-ND	DSI-Sklave für Fernabtastung	DSI Slave for Remote Sensing	16-SOIC	3.20	2.05	1.86
MC33793DR2TR-ND	DSI-Sklave für Fernabtastung	DSI Slave for Remote Sensing	16-SOIC		4015.00/2,500	
MC33794DH-ND	E-Feld-Sensor für MCU-Unterstützung	E-Field Sensor for MCU Support	44-HSOP	6.40	4.57	4.16
MC33880DWB-ND	Mit Hardware konfigurierbarer High-Side-/Low-Side-Schalter mit SPI, 8 Ausgänge	8-Output Hardware Configurable High-Side/Low-Side Switch with SPI	32-SOIC	4.60	2.79	2.67
MC33882DH-ND	6 Ausgangsschalter, Low-Side	6-Output Low Side Switch	30-HSOP	6.93	4.96	4.51
MC33883DW-ND	Vollbrücken-Vortreiber für Leistungsanwendungen	Full Bridge Pre-Driver for Power Application	20-SOIC	3.07	1.97	1.78
MC33883DWR2CT-ND	Vollbrücken-Vortreiber für Leistungsanwendungen	Full Bridge Pre-Driver for Power Application	20-SOIC	3.07	1.97	1.78
MC33883DWR2TR-ND	Vollbrücken-Vortreiber für Leistungsanwendungen	Full Bridge Pre-Driver for Power Application	20-SOIC		1593.30/1,000	
MC33884DW-ND	SDI-Überwachungsschalter	SDI Monitoring Switch	24-SOIC	3.12	2.00	1.81
MC33886DH-ND	5,2 A Ausgangs-H-Brücke	5.2A Output H-Bridge	20-HSOP	5.30	3.79	3.45
MC33887DH-ND	5,2 A Integrierte H-Brücke mit Schlafmodus	5.2A Integrated H-Bridge with Sleep Mode	20-HSOP	5.73	4.10	3.73
MC33887DWB-ND	5,2 A Integrierte H-Brücke mit Schlafmodus	5.2A Integrated H-Bridge with Sleep Mode	54-SOIC	4.28	2.60	2.48
MC33888FB-ND	Vierf. High-Side- und achtf. Low-Side-Schalter	Quad High Side and Octal Low Side Switch	64-QFP	9.71	7.35	6.77
MC33889DW-ND	System-Basis-Chip Lite mit Niedriggeschwindigkeits-CAN	System Base Chip Lite with Low Speed CAN	28-SOIC	4.91	3.51	3.19
MC33897D-ND	CAN-Transceiver, einadrig	Single-Wire CAN Transceiver	14-SOIC	2.37	1.32	1.25
MC33972DWBR2CT-ND	Multi-Schalterkennungsschnittstelle mit unterdrückter Aufwachfunktion.	Multiple Switch Detection Interface with Suppressed Wake-Up	32-SOIC	4.06	2.61	2.36
MC33972DWBR2TR-ND	Multi-Schalterkennungsschnittstelle mit unterdrückter Aufwachfunktion.	Multiple Switch Detection Interface with Suppressed Wake-Up	32-SOIC		2109.73/1,000	
MC33989DW-ND	System-Basis-Chip mit Hochgeschwindigkeits-CAN	System Base Chip with High Speed CAN	28-SOIC	5.25	3.19	3.05
MC33989DWR2CT-ND	System-Basis-Chip mit Hochgeschwindigkeits-CAN	System Base Chip with High Speed CAN	28-SOIC	4.02	2.58	2.33
MC33989DWR2TR-ND	System-Basis-Chip mit Hochgeschwindigkeits-CAN	System Base Chip with High Speed CAN	28-SOIC		2725.21/1,000	
MC33990D-ND	J1850 Serieller Transceiver	J1850 Serial Transceiver	8-SOIC	2.23	1.43	1.29
MC33990DR2CT-ND	J1850 Serieller Transceiver	J1850 Serial Transceiver	8-SOIC	2.23	1.43	1.29
MC33990DR2TR-ND	J1850 Serieller Transceiver	J1850 Serial Transceiver	8-SOIC		2791.66/2,500	
MC33993DWB-ND	Multi-Erkennungs-Schnittstelle, 22 Schalter	22-Switch Multiple Detection Interface	32-SOIC	4.05	2.60	2.35
MC33997DW-ND	Schaltstromversorgung mit linearem Regler	Switching Power Supply with Linear Regulator	24-SOIC	5.19	3.15	3.01
MC34119DTBR2CT-ND	NL-Audioverstärker	Low Power Audio Amp	8-TSSOP	1.35	.82	.71
MC34119DTBR2TR-ND	NL-Audioverstärker	Low Power Audio Amp	8-TSSOP		1511.18/2,500	
MC34119P-ND	NL-Audioverstärker	Low Power Audio Amp	8-Dip	1.30	.67	.62
MC34129DR2CT-ND	Hochleistungs-Controller, Strom-Modus	High Performance Current Mode Controller	14-SOIC	3.30	2.12	1.92
MC34129DR2TR-ND	Hochleistungs-Controller, Strom-Modus	High Performance Current Mode Controller	14-SOIC		4146.22/2,500	
MPC17511AEPR2CT-ND	1,0 A, 6,8 V H-Brücken-Motortreiber	1.0A, 6.8V H-Bridge Motor Driver	24-QFN	1.68	1.03	.89
MPC17511AEPR2TR-ND	1,0 A, 6,8 V H-Brücken-Motortreiber	1.0A, 6.8V H-Bridge Motor Driver	24-QFN		1896.38/2,500	
MPC17529EVELCT-ND	0,7 A zweif. H-Brücken-Motortreiber mit 3 V/5 V kompatibler LogikE/A	0.7A Dual H-Bridge Motor Driver with 3V/5V Compatible Logic I/O	20-MFP	2.10	1.28	1.11
MPC17529EVELTR-ND	0,7 A zweif. H-Brücken-Motortreiber mit 3 V/5 V kompatibler LogikE/A	0.7A Dual H-Bridge Motor Driver with 3V/5V Compatible Logic I/O	20-MFP		1889.61/2,000	
MPC17531AEVELCT-ND	2-Kan. H-Brücken-Motortreiber	2-Ch. H-Bridge Motor Driver	20-MFP	2.32	1.42	1.22
MPC17531AEVELTR-ND	2-Kan. H-Brücken-Motortreiber	2-Ch. H-Bridge Motor Driver	20-MFP		2087.72/2,000	
MPC17550EVELCT-ND	Vierf.H-Brücken-Mikromotortreiber mit DC/DC Boost-Wandler	Quad H-Bridge Micromotor Driver with DC/DC Boost Converter	36-MFP	4.74	2.88	2.75
MPC17550EVELTR-ND	Vierf.H-Brücken-Mikromotortreiber mit DC/DC Boost-Wandler	Quad H-Bridge Micromotor Driver with DC/DC Boost Converter	36-MFP		4762.97/2,000	
KIT33291DWEVB-ND	Evaluierungskit für MC33291	Evaluation Kit for MC33291	—	67.56	—	—
KIT33298DWEVB-ND	Evaluierungskit für MC33298	Evaluation Kit for MC33298	—	67.56	—	—
KIT33794DWBEVM-ND	Evaluierungskit für MC33794	Evaluation Kit for MC33794	—	67.56	—	—
KIT33880DWBEVB-ND	Evaluierungskit für MC33880	Evaluation Kit for MC33880	—	90.08	—	—
KIT33883DWEVB-ND	Evaluierungskit für MC33883	Evaluation Kit for MC33883	—	73.19	—	—
KIT33886DHEVB-ND	Evaluierungskit für MC33886	Evaluation Kit for MC33886	—	50.67	—	—
KIT33993DWBEVB-ND	Evaluierungskit für MC33993	Evaluation Kit for MC33993	—	106.97	—	—

ANZEIGENTREIBER

Digi-Key Teilenr.	Beschreibung		Paket	Stückpreis ★ 1	25	100
MC14489BDW-ND	5-Kanal LED-Anzeige/25 Lampentreiber	5-Channel LED Display/25 Lamp Driver	20-SOG	3.42	2.33	2.14
MC14489BP-ND	5-Kanal LED-Anzeige/25 Lampentreiber	5-Channel LED Display/25 Lamp Driver	20-Dip	3.42	2.33	2.14

MATHEMATIK-KOPROZESSOREN

Digi-Key Teilenr.	Beschreibung		Paket	Stückpreis ★ 1	25	100
MC68882FN25A-ND	Math.-Koprozessor der Serie M68000	M68000 Family Math CoProcessor	68-PLCC	47.26	39.36	37.03

MIKROPROZESSOREN

Digi-Key Teilenr.	Beschreibung		Paket	Stückpreis ★ 1	25	100
MC68MH360ZP25L-ND	32-Bit QUICC™ Mikroprozessor	32-Bit QUICC™ Microprocessor	357-PBGA	57.52	46.58	45.07
MC68MH360ZP33L-ND	32-Bit QUICC™ Mikroprozessor	32-Bit QUICC™ Microprocessor	357-PBGA	63.39	51.33	49.67
MC68SEC000FU20-ND	Preiswerter 32-Bit Mikroprozessor	Low Cost 32-Bit Microprocessor	64-QFP	12.89	9.75	8.99

SCHNITTSTELLE

Digi-Key Teilenr.	Beschreibung		Paket	Stückpreis ★ 1	25	100
MC33199DCT-ND	ISO9141 Serieller Tintentreiber	ISO9141 Serial Ink Driver	14-SOIC	2.15	1.31	1.13
MC33199DTR-ND	ISO9141 Serieller Tintentreiber	ISO9141 Serial Ink Driver	14-SOIC		2417.55/2,500	

RF/IF PRODUKTE

Digi-Key Teilenr.	Beschreibung		Paket	Stückpreis ★ 1	25	100
	Verstärker					
13192DSK-A00-ND	Starterkit für MC13191 und MC13192 für Entwickler	Developer's Starter Kit for MC13191 and MC13192	—	207.42	—	—
13192RFC-A00-ND	Tochterplatine für MC13192	Daughter Card for MC13192	—	156.30	—	—
13193EVK-A00-ND	Entwicklungskit mit ZigBee-Karten	Development Kit; Contains ZigBee Boards	—	1399.98	—	—
MBC13720CT-ND	SiGe:C rauscharmer Verst. mit Bypass-Schalter	SiGe:C Low Noise Amp with Bypass Switch	SOT-363	1.26	.66	.60
MBC13900CT-ND	RF NPN, Silizium, rauscharmer Transistor	RF NPN Silicon Low Noise Transistor	SC-70	.65	.33	.27
MBC13916CT-ND	Allzweck-SiGe:C RF-Kaskadenverst.	General Purpose SiGe:C RF Cascode Amp	SOT-343R	.84	.38	.35
MBC13916TR-ND	Allzweck-SiGe:C RF-Kaskadenverst.	General Purpose SiGe:C RF Cascode Amp	SOT-343R		779.85/3,000	
MC13190FCCT-ND	2,4 GHz Nahbereich, Niedrigleistungs-Transceiver	2.4GHz Short-Range, Low-Power Transceiver	32-QFN	4.28	2.60	2.48
MC13190FCTR-ND	2,4 GHz Nahbereich, Niedrigleistungs-Transceiver	2.4GHz Short-Range, Low-Power Transceiver	32-QFN		5246.80/2,500	
MC13191FC-ND	2,4 GHz HF-Transceiver	2.4GHz RF Transceiver	32-QFN	4.66	3.33	3.03
MC13191FCR2CT-ND	2,4 GHz HF-Transceiver	2.4GHz RF Transceiver	32-QFN	4.66	3.33	3.03
MC13191FCR2TR-ND	2,4 GHz HF-Transceiver	2.4GHz RF Transceiver	32-QFN		6726.24/2,500	
MC13192FC-ND	2,4 GHz HF-Transceiver	2.4GHz RF Transceiver	32-QFN	5.39	3.86	3.50
MC13192FCR2CT-ND	2,4 GHz HF-Transceiver	2.4GHz RF Transceiver	32-QFN	5.39	3.86	3.50

(Forts.)

★ RUFEN SIE BITTE AN FÜR NIEDRIGERE PREISE BEI GRÖSSEREN MENGEN! ★

Digi-Key Teilenr.	Beschreibung		Paket	Stückpreis ★ 1	25	100
MC13192FCR2TR-ND	2,4 GHz HF-Transceiver	2.4GHz RF Transceiver	32-QFN		7790.84/2,500	
MC13193FC-ND	2,4 GHz Niedrigleistungs-Transceiver	2.4GHz Low Power Transceiver	32-QFN	6.65	4.75	4.32
MC13193FCR2CT-ND	2,4 GHz Niedrigleistungs-Transceiver	2.4GHz Low Power Transceiver	32-QFN	6.65	4.75	4.32
MC13193FCR2TR-ND	2,4 GHz Niedrigleistungs-Transceiver	2.4GHz Low Power Transceiver	32-QFN		9608.91/2,500	
MC13751FCCT-ND	Zweifach-Band Upmixer und Treiberverst.	Dual-Band Upmixer and Driver Amp	24-QFN	3.39	2.18	1.97
MC13751FCTR-ND	Zweifach-Band Upmixer und Treiberverst.	Dual-Band Upmixer and Driver Amp	24-QFN		4254.17/2,500	
MC92600JUB-ND	Vierf. SERDES Transceiver, 1,25 Gbaud	Quad 1.25 Gbaud SERDES Transceiver	217-PBGA	35.51	29.58	27.83
MMM5063CT-ND	Tri-Band GSM GPRS 3,5 V Leistungsverst.	Tri-Band GSM GPRS 3.5V Power Amp	—	6.82	4.87	4.43
MMM5063TR-ND	Tri-Band GSM GPRS 3,5 V Leistungsverst.	Tri-Band GSM GPRS 3.5V Power Amp	—		7873.38/2,000	
MRFIC1870CT-ND	3,2 V DCS/PCS GaAs integrierter Leistungsverst.	3.2V DCS/PCS GaAs Integrated Power Amp	20-QFN	4.93	3.52	3.20
		D/A-Wandler				
MC144110DWTR-ND	6-Bit Hex D/A-Umwandler, serielle Schnittstelle	6-Bit Hex Serial Interface D/A Converter	20-SOIC		2028.45/1,000	
MC144111DW-ND	Vierf. 6-Bit D/A-Umwandler, serielle Schnittstelle	6-Bit Quad Serial Interface D/A Converter	16-SOIC	3.37	2.30	2.11
MC144111DWTR-ND	Vierf. 6-Bit D/A-Umwandler, serielle Schnittstelle	6-Bit Quad Serial Interface D/A Converter	16-SOIC		1997.98/1,000	
		Kodierer / Dekodierer				
MC145026D-ND	Serieller Datenausgang, 9-Leitungs-Trinärkodierer	Serial Data Output 9-Line Trinary Encoder	16-SOIC	1.85	1.18	1.06
MC145026DTR-ND	Serieller Datenausgang, 9-Leitungs-Trinärkodierer	Serial Data Output 9-Line Trinary Encoder	16-SOIC		2271.00/2,500	
MC145026P-ND	9-Leitungs-Simplex-Kodierer	9-Line Simplex Encoder	16-Dip	1.85	1.18	1.06
MC145027DW-ND	Serieller Dateneingang, 9-Leitungs-Trinärdekodierer (5 Adressen, 4 Daten)	Serial Data Input 9-Line (5 Address, 4 Data) Trinary Decoder	16-SOIC	2.20	1.42	1.29
MC145027DWTR-ND	Serieller Dateneingang, 9-Leitungs-Trinärdekodierer (5 Adressen, 4 Daten)	Serial Data Input 9-Line (5 Address, 4 Data) Trinary Decoder	16-SOIC		1151.38/1,000	
MC145027P-ND	Serieller Dateneingang, 9-Leitungs-Trinärdekodierer (5 Adressen, 4 Daten)	Serial Data Input 9-Line (5 Address, 4 Data) Trinary Decoder	16-Dip	2.20	1.42	1.29
MC145028DWTR-ND	Serieller Dateneingang, 9-Leitungs-Trinärdekodierer	Serial Data Input 9-Line Trinary Decoder	16-SOIC		1383.34/1,000	
		Frequenzumwandlung				
MC13770FCCT-ND	RF LNA Abwärtswandler	RF LNA Down Converter	12-QFN	4.87	2.96	2.82
MC13770FCTR-ND	RF LNA Abwärtswandler	RF LNA Down Converter	12-QFN		4625.48/2,500	
		Frequenzsynthese				
MC145151DW2TR-ND	Paralleleingang PLL Frequ.-Synthesizer (Einzelmodul)	Parallel-Input PLL Freq. Synthesizer (Single-Modulu)	28-SOIC		3189.14/1,000	
MC145152DW2TR-ND	Paralleleingang PLL Frequ.-Synthesizer (zweif. Modul)	Parallel-Input PLL Freq. Synthesizer (Dual-Modulus)	28-SOIC		4104.32/1,000	
MC145170D2-ND	Serieller Eingang CMOS PLL Frequenz-Synthesizer	Serial-Input CMOS PLL Frequency Synthesizer	16-SOIC	4.19	2.93	2.70
MC145170D2TR-ND	Serieller Eingang CMOS PLL Frequenz-Synthesizer	Serial-Input CMOS PLL Frequency Synthesizer	16-SOIC		5945.25/2,500	
		Empfänger/Transmitter				
MC33493DTB-ND	PLL-eingestellte UHF-Transmitter, 315-434 MHz und 868-928 MHz	PLL Tuned UHF Transmitter, 315-434MHz and 868-928MHz	14-TSSOP	2.20	1.34	1.16
MC33493DTBR2CT-ND	PLL-eingestellte UHF-Transmitter, 315-434 MHz und 868-928 MHz	PLL Tuned UHF Transmitter, 315-434MHz and 868-928MHz	14-TSSOP	2.20	1.34	1.16
MC33493DTBR2TR-ND	PLL-eingestellte UHF-Transmitter, 315-434 MHz und 868-928 MHz	PLL Tuned UHF Transmitter, 315-434MHz and 868-928MHz	14-TSSOP		2719.70/2,500	
MC33591FTA-ND	PLL-eingestellte UHF-Empfänger, 315, 434 MHz	PLL Tuned UHF Receiver, 315, 434MHz	24-LQFP	4.00	2.43	2.32
MC33591FTAR2CT-ND	PLL-eingestellte UHF-Empfänger, 315, 434 MHz	PLL Tuned UHF Receiver, 315, 434MHz	24-LQFP	4.22	2.56	2.44
MC33591FTAR2TR-ND	PLL-eingestellte UHF-Empfänger, 315, 434 MHz	PLL Tuned UHF Receiver, 315, 434MHz	24-LQFP		4231.31/2,000	
MC33592FTA-ND	PLL-eingestellte UHF-Empfänger, 315, 434 MHz	PLL Tuned UHF Receiver, 315, 434MHz	24-LQFP	4.00	2.43	2.32
MC33592FTAR2CT-ND	PLL-eingestellte UHF-Empfänger, 315, 434 MHz	PLL Tuned UHF Receiver, 315, 434MHz	24-LQFP	4.22	2.56	2.44
MC33592FTAR2TR-ND	PLL-eingestellte UHF-Empfänger, 315, 434 MHz	PLL Tuned UHF Receiver, 315, 434MHz	24-LQFP		4231.31/2,000	
MC33594FTA-ND	PLL-eingestellte UHF-Empfänger, 315, 434 MHz	PLL Tuned UHF Receiver, 315, 434MHz	24-LQFP	4.87	2.96	2.82
MC33594FTAR2CT-ND	PLL-eingestellte UHF-Empfänger, 315, 434 MHz	PLL Tuned UHF Receiver, 315, 434MHz	24-LQFP	5.08	3.09	2.95
MC33594FTAR2TR-ND	PLL-eingestellte UHF-Empfänger, 315, 434 MHz	PLL Tuned UHF Receiver, 315, 434MHz	24-LQFP		5103.30/2,000	

Digi-Key Teilenr.	Beschreibung		Paket	Stückpreis ★ 1	25	100
MC14467P1-ND	Ionisationsrauchmelder	Ionization Smoke Detector	16-Dip	1.24	.76	.66
MC145010DW-ND	Fotoelektrischer Rauchmelder-Schaltkreis-IC mit E/A	Photoelectric Smoke Detector IC with I/O	16-SOIC	2.14	1.38	1.24
MC145012DW-ND	Fotoelektrischer Rauchmelder-Schaltkreis-IC mit E/A	Photoelectric Smoke Detector IC with I/O	16-SOIC	2.18	1.40	1.27
MC145012P-ND	Fotoelektrischer Rauchmelder-Schaltkreis-IC mit E/A	Photoelectric Smoke Detector IC with I/O	16-Dip	2.16	1.39	1.26

Digi-Key Teilenr.	Beschreibung		Paket	Stückpreis ★ 1	25	100
MC145423DT-ND	Universal-Digitalkreis-Transceiver	Universal Digital Loop Transceiver	28-TSSOP	5.23	3.74	3.40
MC145481DT-ND	3 V PCM Codec-Filter	3V PCM Codec-Filter	20-TSSOP	2.92	1.88	1.70
MC145481DW-ND	3 V PCM Codec-Filter	3V PCM Codec-Filter	20-SOG	2.79	1.80	1.62
MC145481SD-ND	3 V PCM Codec-Filter	3V PCM Codec-Filter	20-SSOP	3.16	2.03	1.83
MC145481SDR2CT-ND	3 V PCM Codec-Filter	3V PCM Codec-Filter	20-SSOP	3.26	2.09	1.89
MC145481SDR2TR-ND	3 V PCM Codec-Filter	3V PCM Codec-Filter	20-SSOP		2538.53/1,500	
MC145483DT-ND	3 V 13-Bit linearer PCM Codec-Filter	3V, 13-Bit Linear PCM Codec-Filter	20-TSSOP	3.16	2.03	1.83
MC145483DW-ND	3 V 13-Bit linearer PCM Codec-Filter	3V, 13-Bit Linear PCM Codec-Filter	20-SOIC	2.86	1.84	1.66
MC145483DWR2CT-ND	3 V 13-Bit linearer PCM Codec-Filter	3V, 13-Bit Linear PCM Codec-Filter	20-SOIC	2.86	1.84	1.66
MC145483DWR2TR-ND	3 V 13-Bit linearer PCM Codec-Filter	3V, 13-Bit Linear PCM Codec-Filter	20-SOIC		1538.27/1,000	
MC145483FC-ND	3 V 13-Bit linearer PCM Codec-Filter	3V, 13-Bit Linear PCM Codec-Filter	32-QFN	3.03	1.95	1.76
MC145483SD-ND	3 V 13-Bit linearer PCM Codec-Filter	3V, 13-Bit Linear PCM Codec-Filter	20-SSOP	3.16	2.03	1.83
MC145483SDR2CT-ND	3 V 13-Bit linearer PCM Codec-Filter	3V, 13-Bit Linear PCM Codec-Filter	20-SSOP	3.26	2.09	1.89
MC145483SDR2TR-ND	3 V 13-Bit linearer PCM Codec-Filter	3V, 13-Bit Linear PCM Codec-Filter	20-SSOP		2538.53/1,500	
MC145484DT-ND	5 V PCM Codec-Filter	5V PCM Codec-Filter	20-TSSOP	2.86	1.84	1.66
MC145484DW-ND	5 V PCM Codec-Filter	5V PCM Codec-Filter	20-SOG	2.50	1.61	1.45
MC145484SDCT-ND	5 V PCM Codec-Filter	5V PCM Codec-Filter	20-SSOP	2.96	1.90	1.72
MC145484SDTR-ND	5 V PCM Codec-Filter	5V PCM Codec-Filter	20-SSOP		2307.66/1,500	
MC145572AFN-ND	Universalschnittstellen-ISDN-Transceiver	Universal Interface ISDN Transceiver	44-PLCC	18.10	14.40	13.59
MC145572APB-ND	ISDN Schnittstellen-Transceiver	ISDN Interface Transceiver	44-TQFP	14.99	11.77	11.09
MC145574ADWR2CT-ND	S/T Schnittstellen-ISDN-Transceiver	S/T Interface ISDN Transceiver	28-SOIC	5.43	3.88	3.53
MC145574ADWR2TR-ND	S/T Schnittstellen-ISDN-Transceiver	S/T Interface ISDN Transceiver	28-SOIC		3211.15/1,000	
MC145574APB-ND	S/T Schnittstellen-ISDN-Transceiver	S/T Interface ISDN Transceiver	32-TQFP	4.72	2.87	2.74
MC14LC5480DT-ND	5 V PCM Codec-Filter	5V PCM Codec-Filter	20-TSSOP	2.92	1.88	1.70
MC14LC5480DW-ND	5 V PCM Codec-Filter	5V PCM Codec-Filter	20-SOG	2.50	1.61	1.45
MC14LC5480DWCT-ND	5 V PCM Codec-Filter	5V PCM Codec-Filter	20-SOG	3.03	1.95	1.76
MC14LC5480DWTR-ND	5 V PCM Codec-Filter	5V PCM Codec-Filter	20-SOG		1351.63/1,000	
MC14LC5480SDCT-ND	5 V PCM Codec-Filter	5V PCM Codec-Filter	20-SSOP	3.03	1.95	1.76
MC14LC5480SDTR-ND	5 V PCM Codec-Filter	5V PCM Codec-Filter	20-SSOP		2357.11/1,500	
MC33390D-ND	Transceiver, Klasse B, serieller Link	Class B Serial Link Transceiver	8-SOIC	2.12	1.36	1.23
MC34018P-ND	Stimmenumschaltungkreis, Freisprechanlage	Voice Switched Speakerphone Circuit	28-Dip	2.33	1.50	1.35
MC34118DW-ND	Stimmenumschaltung, Freisprechanlage	Voice Switch Speakerphone	28-SOIC	2.44	1.57	1.41
MC34118DW3CT-ND	Stimmenumschaltung, Freisprechanlage	Voice Switch Speakerphone	28-SOIC	2.44	1.57	1.41
MC34118DW3TR-ND	Stimmenumschaltung, Freisprechanlage	Voice Switch Speakerphone	28-SOIC		1263.97/1,000	

★ RUFEN SIE BITTE AN FÜR NIEDRIGERE PREISE BEI GRÖSSEREN MENGEN! ★

B

Intel Teilenr.	Digi-Key Teilenr.	Beschreibung		Paket	Stückpreis ★ 1	10	100
KU80C186EC20	802933-ND	20 MHz, 16-Bit, erweitert 80C186 MPU, 5 V	20MHz, 16-Bit, Enhanced 80C186 MPU, 5V	100-QFP	17.91	14.10	10.67
KU80C186EC20	802933-ND	20 MHz, 16-Bit, erweitert 80C186 MPU, 5 V	20MHz, 16-Bit, Enhanced 80C186 MPU, 5V	100-QFP	17.91	14.10	10.67
KU80C186EC25	802951-ND	25 MHz, 16-Bit, erweitert 80C186 MPU, 5 V	25MHz, 16-Bit, Enhanced 80C186 MPU, 5V	100-QFP	17.91	14.10	10.67
TN80C186EB20	802875-ND	20 MHz, 16-Bit, erweitert 80C186 MPU, 5 V	20MHz, 16-Bit, Enhanced 80C186 MPU, 5V	84-PLCC	13.73	10.81	8.18
N80C186EA25	802825-ND	25 MHz, 16-Bit, 80C186EA MPU, 5 V, erweiterte Temperatur	25MHz, 16-Bit, 80C186EA MPU, 5V, Extended Temperature	68-PLCC	12.54	9.87	7.47
TN80C186EA13	802768-ND	13 MHz, 16-Bit, 80C186EA MPU, 5 V, erweiterte Temperatur	13MHz, 16-Bit, 80C186EA MPU, 5V, Extended Temperature	68-PLCC	12.54	9.87	7.47
TN80C186EA20	802799-ND	20 MHz, 16-Bit, 80C186EA MPU, 5 V, erweiterte Temperatur	20MHz, 16-Bit, 80C186EA MPU, 5V, Extended Temperature	68-PLCC	12.54	9.87	7.47
N80C186EB25	802891-ND	25 MHz, 16-Bit, 80C186EB MPU, 5 V, erweiterte Temperatur	25MHz, 16-Bit, 80C186EB MPU, 5V, Extended Temperature	84-PLCC	13.73	10.81	8.18
S80C186EB25	802897-ND	25 MHz, 16-Bit, 80C186EB MPU, 5 V, erweiterte Temperatur	25MHz, 16-Bit, 80C186EB MPU, 5V, Extended Temperature	80-MQFP	15.42	12.14	9.19
SB80C186EB13	808818-ND	13 MHz, 16-Bit, 80C186EB MPU, 5 V, erweiterte Temperatur	13MHz, 16-Bit, 80C186EB MPU, 5V, Extended Temperature	80-SQFP	10.05	7.91	5.99
SB80C186EB20	802869-ND	20 MHz, 16-Bit, 80C186EB MPU, 5 V, erweiterte Temperatur	20MHz, 16-Bit, 80C186EB MPU, 5V, Extended Temperature	80-SQFP	10.05	7.91	5.99
SB80C186EB25	802905-ND	25 MHz, 16-Bit, 80C186EB MPU, 5 V, erweiterte Temperatur	25MHz, 16-Bit, 80C186EB MPU, 5V, Extended Temperature	80-SQFP	10.05	7.91	5.99
TN80C186EB13	802851-ND	13 MHz, 16-Bit, 80C186EB MPU, 5 V, erweiterte Temperatur	13MHz, 16-Bit, 80C186EB MPU, 5V, Extended Temperature	84-PLCC	13.73	10.81	8.18
TS80C186EB13	802853-ND	13 MHz, 16-Bit, 80C186EB MPU, 5 V, erweiterte Temperatur	13MHz, 16-Bit, 80C186EB MPU, 5V, Extended Temperature	80-MQFP	14.62	11.52	8.72
TS80C186EB20	802885-ND	20 MHz, 16-Bit, 80C186EB MPU, 5 V, erweiterte Temperatur	20MHz, 16-Bit, 80C186EB MPU, 5V, Extended Temperature	80-MQFP	14.62	11.52	8.72
A80C186ECI	802919-ND	25 MHz, 16-Bit, 80C186EC MPU, 5 V, erweiterte Temperatur	25MHz, 16-Bit, 80C186EC MPU, 5V, Extended Temperature	132-CPGA	52.76	41.66	36.10
S80C186EC25	802957-ND	25 MHz, 16-Bit, 80C186EC MPU, 5 V, erweiterte Temperatur	25MHz, 16-Bit, 80C186EC MPU, 5V, Extended Temperature	100-MQFP	17.52	13.80	10.45
SB80C186EC13	808819-ND	13 MHz, 16-Bit, 80C186EC MPU, 5 V, erweiterte Temperatur	13MHz, 16-Bit, 80C186EC MPU, 5V, Extended Temperature	100-SQFP	17.78	14.06	11.43
SB80C186EC20	802939-ND	20 MHz, 16-Bit, 80C186EC MPU, 5 V, erweiterte Temperatur	20MHz, 16-Bit, 80C186EC MPU, 5V, Extended Temperature	100-SQFP	17.78	14.06	11.43
SB80C186EC25	802965-ND	25 MHz, 16-Bit, 80C186EC MPU, 5 V, erweiterte Temperatur	25MHz, 16-Bit, 80C186EC MPU, 5V, Extended Temperature	100-SQFP	17.78	14.06	11.43
TS80C186EC20	802945-ND	20 MHz, 16-Bit, 80C186EC MPU, 5 V, erweiterte Temperatur	20MHz, 16-Bit, 80C186EC MPU, 5V, Extended Temperature	100-MQFP	17.52	13.80	10.45
A80C186XL12	803000-ND	12 MHz, 16-Bit, 80C186XL Mikroprozessor, 5 V	12MHz, 16-Bit, 80C186XL Microprocessor, 5V	68-PGA	34.31	27.13	22.06
A80C186XL20	803128-ND	20 MHz, 16-Bit, 80C186XL Mikroprozessor, 5 V	20MHz, 16-Bit, 80C186XL Microprocessor, 5V	68-PGA	37.34	29.52	24.01
A80C186XL25	803250-ND	25 MHz, 16-Bit, 80C186XL Mikroprozessor, 5 V	25MHz, 16-Bit, 80C186XL Microprocessor, 5V	68-PGA	37.34	29.52	24.01
N80C186XL12	803020-ND	12 MHz, 16-Bit, 80C186XL Mikroprozessor, 5 V	12MHz, 16-Bit, 80C186XL Microprocessor, 5V	68-PLCC	7.92	6.34	4.18
N80C186XL20	803140-ND	20 MHz, 16-Bit, 80C186XL Mikroprozessor, 5 V	20MHz, 16-Bit, 80C186XL Microprocessor, 5V	68-PLCC	7.92	6.34	4.18
N80C186XL25	803256-ND	25 MHz, 16-Bit, 80C186XL Mikroprozessor, 5 V	25MHz, 16-Bit, 80C186XL Microprocessor, 5V	68-PLCC	7.92	6.34	4.18
N80C188XL12	803698-ND	12 MHz, 16-Bit, 80C188XL Mikroprozessor, 5 V	12MHz, 16-Bit, 80C188XL Microprocessor, 5V	68-PLCC	7.69	6.15	4.06
N80C188XL20	803820-ND	20 MHz, 16-Bit, 80C188XL Mikroprozessor, 5 V	20MHz, 16-Bit, 80C188XL Microprocessor, 5V	68-PLCC	7.69	—	—
R80C186XL20	803196-ND	20 MHz, 16-Bit, 80C188XL Mikroprozessor, 5 V	20MHz, 16-Bit, 80C186XL Microprocessor, 5V	68-LCC	28.01	22.14	18.01
R80C186XL25	803262-ND	25 MHz, 16-Bit, 80C186XL Mikroprozessor, 5 V	25MHz, 16-Bit, 80C186XL Microprocessor, 5V	68-LCC	28.01	22.14	18.01
S80C186XL20	803199-ND	20 MHz, 16-Bit, 80C186XL Mikroprozessor, 5 V	20MHz, 16-Bit, 80C186XL Microprocessor, 5V	80-MQFP	11.06	8.85	5.84
S80C186XL25	803269-ND	25 MHz, 16-Bit, 80C186XL Mikroprozessor, 5 V	25MHz, 16-Bit, 80C186XL Microprocessor, 5V	80-MQFP	11.06	8.85	5.84
SB80C186XL12	808823-ND	12 MHz, 16-Bit, 80C186XL Mikroprozessor, 5 V	12MHz, 16-Bit, 80C186XL Microprocessor, 5V	80-SQFP	10.05	7.91	5.99
SB80C186XL20	808824-ND	20 MHz, 16-Bit, 80C186XL Mikroprozessor, 5 V	20MHz, 16-Bit, 80C186XL Microprocessor, 5V	80-SQFP	10.05	7.91	5.99
SB80C186XL25	808825-ND	25 MHz, 16-Bit, 80C186XL Mikroprozessor, 5 V	25MHz, 16-Bit, 80C186XL Microprocessor, 5V	80-SQFP	10.05	7.91	5.99
TA80C186XL20	803206-ND	20 MHz, 16-Bit, 80C186XL MPU, 5 V, erweiterte Temperatur	20MHz, 16-Bit, 80C186XL MPU, 5V, Extended Temperature	68-PGA	37.34	29.52	24.01
TN80C186XL12	803077-ND	12 MHz, 16-Bit, 80C186XL MPU, 5 V, erweiterte Temperatur	12MHz, 16-Bit, 80C186XL MPU, 5V, Extended Temperature	68-PLCC	7.92	6.34	4.18
TN80C186XL20	803212-ND	20 MHz, 16-Bit, 80C186XL Mikroprozessor, 5 V, erw. Temp.	20MHz, 16-Bit, 80C186XL Microprocessor, 5V, Ext. Temp.	68-PLCC	7.92	6.34	4.18
TR80C186XL12	803091-ND	12 MHz, 16-Bit, 80C186XL MPU, 5 V, erweiterte Temperatur	12MHz, 16-Bit, 80C186XL MPU, 5V, Extended Temperature	68-LCC	29.87	23.61	19.21
TR80C186XL20	803233-ND	20 MHz, 16-Bit, 80C186XL MPU, 5 V, erweiterte Temperatur	20MHz, 16-Bit, 80C186XL MPU, 5V, Extended Temperature	68-LCC	29.87	23.61	19.21
TS80C186XL20	803242-ND	20 MHz, 16-Bit, 80C186XL MPU, 5 V, erweiterte Temperatur	20MHz, 16-Bit, 80C186XL MPU, 5V, Extended Temperature	80-MQFP	11.06	8.85	5.84
TN80L186EA13	806072-ND	13 MHz, 16-Bit, 80L186EA erweiterte MPU, 3 V, erweiterte Temp.	13MHz, 16-Bit, 80L186EA Enhanced MPU, 3V, Extended Temp.	68-PLCC	12.54	9.87	7.47
N80L186EB16	806093-ND	16 MHz, 16-Bit, 80L186EB erweiterte MPU, 3 V, erweiterte Temp.	16MHz, 16-Bit, 80L186EB Enhanced MPU, 3V, Extended Temp.	84-PLCC	13.73	10.81	8.18
S80L186EB16	806099-ND	16 MHz, 16-Bit, 80L186EB erweiterte MPU, 3 V, erweiterte Temp.	16MHz, 16-Bit, 80L186EB Enhanced MPU, 3V, Extended Temp.	80-MQFP	15.42	12.14	9.19
SB80L186EB13	808880-ND	13 MHz, 16-Bit, 80L186EB erweiterte MPU, 3 V, erweiterte Temp.	13MHz, 16-Bit, 80L186EB Enhanced MPU, 3V, Extended Temp.	80-SQFP	10.05	7.91	5.99
SB80L186EB16	806105-ND	16 MHz, 16-Bit, 80L186EB erweiterte MPU, 3 V, erweiterte Temp.	16MHz, 16-Bit, 80L186EB Enhanced MPU, 3V, Extended Temp.	80-SQFP	10.05	7.91	5.99
TN80L186EB13	806081-ND	13 MHz, 16-Bit, 80L186EB erweiterte MPU, 3 V, erweiterte Temp.	13MHz, 16-Bit, 80L186EB Enhanced MPU, 3V, Extended Temp.	84-PLCC	13.73	10.81	8.18
TS80L186EB13	806087-ND	13 MHz, 16-Bit, 80L186EB erweiterte MPU, 3 V, erweiterte Temp.	13MHz, 16-Bit, 80L186EB Enhanced MPU, 3V, Extended Temp.	80-MQFP	14.62	11.52	8.72
KU80L186EC13	806111-ND	13 MHz, 16-Bit, 80L186EC erweiterte MPU, 3 V, erweiterte Temp.	13MHz, 16-Bit, 80L186EC Enhanced MPU, 3V, Extended Temp.	100-QFP	17.91	14.10	10.67
KU80L186EC16	806116-ND	16 MHz, 16-Bit, 80L186EC erweiterte MPU, 3 V, erweiterte Temp.	16MHz, 16-Bit, 80L186EC Enhanced MPU, 3V, Extended Temp.	100-QFP	17.91	—	—
S80L186EC16	808881-ND	16 MHz, 16-Bit, 80L186EC erweiterte MPU, 3 V, erweiterte Temp.	16MHz, 16-Bit, 80L186EC Enhanced MPU, 3V, Extended Temp.	100-MQFP	17.52	13.80	10.45
SB80L186EC13	809626-ND	13 MHz, 16-Bit, 80L186EC erweiterte MPU, 3 V, erweiterte Temp.	13MHz, 16-Bit, 80L186EC Enhanced MPU, 3V, Extended Temp.	100-SQFP	17.78	14.06	11.43
TN80C188EB13	803537-ND	13 MHz, 16-Bit, 80C188 erweiterte MPU, 5 V, erweiterte Temp.	13MHz, 16-Bit, 80C188 Enhanced MPU, 5V, Extended Temp.	84-PLCC	13.73	—	—
TN80C188EB20	803562-ND	20 MHz, 16-Bit, 80C188 erweiterte MPU, 5 V, erweiterte Temp.	20MHz, 16-Bit, 80C188 Enhanced MPU, 5V, Extended Temp.	84-PLCC	13.73	—	—
TS80C188EB20	803586-ND	20 MHz, 16-Bit, 80C188 erweiterte MPU, 5 V, erweiterte Temp.	20MHz, 16-Bit, 80C188 Enhanced MPU, 5V, Extended Temp.	80-QFP	14.62	11.52	8.72
N80C188EA25	808826-ND	25 MHz, 16-Bit, 80C188EA MPU, 5 V, erweiterte Temperatur	25MHz, 16-Bit, 80C188EA MPU, 5V, Extended Temperature	68-PLCC	12.54	9.87	7.47
TN80C188EA13	803477-ND	13 MHz, 16-Bit, 80C188EA MPU, 5 V, erweiterte Temperatur	13MHz, 16-Bit, 80C188EA MPU, 5V, Extended Temperature	68-PLCC	12.54	9.87	7.47
TN80C188EA20	803497-ND	20 MHz, 16-Bit, 80C188EA MPU, 5 V, erweiterte Temperatur	20MHz, 16-Bit, 80C188EA MPU, 5V, Extended Temperature	68-PLCC	12.54	9.87	7.47
N80C188EB25	803592-ND	25 MHz, 16-Bit, 80C188EB MPU, 5 V, erweiterte Temperatur	25MHz, 16-Bit, 80C188EB MPU, 5V, Extended Temperature	84-PLCC	13.73	—	—
S80C188EB25	803598-ND	25 MHz, 16-Bit, 80C188EB MPU, 5 V, erweiterte Temperatur	25MHz, 16-Bit, 80C188EB MPU, 5V, Extended Temperature	80-MQFP	14.62	11.52	8.72
SB80C188EB13	803520-ND	13 MHz, 16-Bit, 80C188EB MPU, 5 V, erweiterte Temperatur	13MHz, 16-Bit, 80C188EB MPU, 5V, Extended Temperature	80-SQFP	14.62	11.52	8.72
SB80C188EB20	803555-ND	20 MHz, 16-Bit, 80C188EB MPU, 5 V, erweiterte Temperatur	20MHz, 16-Bit, 80C188EB MPU, 5V, Extended Temperature	80-SQFP	14.62	—	—
SB80C188EB25	803604-ND	25 MHz, 16-Bit, 80C188EB MPU, 5 V, erweiterte Temperatur	25MHz, 16-Bit, 80C188EB MPU, 5V, Extended Temperature	80-SQFP	14.62	11.52	8.72
KU80C188EC13	803612-ND	13 MHz, 16-Bit, 80C188EC MPU, 5 V, erweiterte Temperatur	13MHz, 16-Bit, 80C188EC MPU, 5V, Extended Temperature	100-QFP	17.91	14.10	10.67
KU80C188EC20	803638-ND	20 MHz, 16-Bit, 80C188EC MPU, 5 V, erweiterte Temperatur	20MHz, 16-Bit, 80C188EC MPU, 5V, Extended Temperature	100-QFP	14.53	11.44	8.66
KU80C188EC25	803656-ND	25 MHz, 16-Bit, 80C188EC MPU, 5 V, erweiterte Temperatur	25MHz, 16-Bit, 80C188EC MPU, 5V, Extended Temperature	100-QFP	14.53	11.44	8.66
S80C188EC25	803664-ND	25 MHz, 16-Bit, 80C188EC MPU, 5 V, erweiterte Temperatur	25MHz, 16-Bit, 80C188EC MPU, 5V, Extended Temperature	100-MQFP	17.52	13.80	10.45
SB80C188EC13	803618-ND	13 MHz, 16-Bit, 80C188EC MPU, 5 V, erweiterte Temperatur	13MHz, 16-Bit, 80C188EC MPU, 5V, Extended Temperature	100-SQFP	17.78	14.06	11.43
SB80C188EC20	803644-ND	20 MHz, 16-Bit, 80C188EC MPU, 5 V, erweiterte Temperatur	20MHz, 16-Bit, 80C188EC MPU, 5V, Extended Temperature	100-SQFP	17.78	14.06	11.43
SB80C188EC25	808828-ND	25 MHz, 16-Bit, 80C188EC MPU, 5 V, erweiterte Temperatur	25MHz, 16-Bit, 80C188EC MPU, 5V, Extended Temperature	100-SQFP	17.78	14.06	11.43
TS80C188EC13	803632-ND	13 MHz, 16-Bit, 80C188EC MPU, 5 V, erweiterte Temperatur	13MHz, 16-Bit, 80C188EC MPU, 5V, Extended Temperature	100-QFP	17.52	13.80	10.45
TS80C188EC20	803650-ND	20 MHz, 16-Bit, 80C188EC MPU, 5 V, erweiterte Temperatur	20MHz, 16-Bit, 80C188EC MPU, 5V, Extended Temperature	100-MQFP	17.52	13.80	10.45
A80C188XL25	803884-ND	25 MHz, 16-Bit, 80C188XL MPU, 5 V	25MHz, 16-Bit, 80C188XL MPU, 5V	68-PGA	35.56	28.11	22.86
N80C188XL25	803895-ND	25 MHz, 16-Bit, 80C188XL MPU, 5 V	25MHz, 16-Bit, 80C188XL MPU, 5V	68-PLCC	7.69	6.15	4.06
R80C188XL20	803844-ND	20 MHz, 16-Bit, 80C188XL MPU, 5 V	20MHz, 16-Bit, 80C188XL MPU, 5V	68-LCC	26.23	20.73	16.86
R80C188XL25	803902-ND	25 MHz, 16-Bit, 80C188XL MPU, 5 V	25MHz, 16-Bit, 80C188XL MPU, 5V	68-LCC	26.23	20.73	16.86
S80C188XL12	803759-ND	12 MHz, 16-Bit, 80C188XL MPU, 5 V	12MHz, 16-Bit, 80C188XL MPU, 5V	80-MQFP	9.90	7.92	5.22
S80C188XL20	803850-ND	20 MHz, 16-Bit, 80C188XL MPU, 5 V	20MHz, 16-Bit, 80C188XL MPU, 5V	80-MQFP	9.90	7.92	5.22
S80C188XL25	808831-ND	25 MHz, 16-Bit, 80C188XL MPU, 5 V	25MHz, 16-Bit, 80C188XL MPU, 5V	80-MQFP	9.90	7.92	5.22
SB80C188XL12	803769-ND	12 MHz, 16-Bit, 80C188XL MPU, 5 V	12MHz, 16-Bit, 80C188XL MPU, 5V	80-SQFP	11.04	8.70	6.58
SB80C188XL20	803856-ND	20 MHz, 16-Bit, 80C188XL MPU, 5 V	20MHz, 16-Bit, 80C188XL MPU, 5V	80-SQFP	11.04	8.70	6.58
SB80C188XL25	803908-ND	25 MHz, 16-Bit, 80C188XL MPU, 5 V	25MHz, 16-Bit, 80C188XL MPU, 5V	80-SQFP	11.04	8.70	6.58
TA80C188XL20	803862-ND	20 MHz, 16-Bit, 80C188XL MPU, 5 V, erweiterte Temperatur	20MHz, 16-Bit, 80C188XL MPU, 5V, Extended Temperature	68-PGA	35.56	28.11	22.86
TN80C188XL12	803787-ND	12 MHz, 16-Bit, 80C188XL MPU, 5 V, erweiterte Temperatur	12MHz, 16-Bit, 80C188XL MPU, 5V, Extended Temperature	68-PLCC	7.69	6.15	4.06
TN80C188XL20	803867-ND	20 MHz, 16-Bit, 80C188XL MPU, 5 V, erweiterte Temperatur	20MHz, 16-Bit, 80C188XL MPU, 5V, Extended Temperature	68-PLCC	7.69	6.15	4.06
TR80C188XL20	803873-ND	20 MHz, 16-Bit, 80C188XL MPU, 5 V, erweiterte Temperatur	20MHz, 16-Bit, 80C188XL MPU, 5V, Extended Temperature	68-LCC	28.01	22.14	18.01
TS80C188XL20	803878-ND	20 MHz, 16-Bit, 80C188XL MPU, 5 V, erweiterte Temperatur	20MHz, 16-Bit, 80C188XL MPU, 5V, Extended Temperature	80-MQFP	9.90	7.92	5.22
TN80L188EA13	806131-ND	13 MHz, 16-Bit, 80L188EA erweiterte MPU, 3 V, erweiterte Temp.	13MHz, 16-Bit, 80L188EA Enhanced MPU, 3V, Extended Temp.	68-PLCC	12.54	9.87	7.47
N80L188EB16	806163-ND	16 MHz, 16-Bit, 80L188EB erweiterte MPU, 3 V, erweiterte Temp.	16MHz, 16-Bit, 80L188EB Enhanced MPU, 3V, Extended Temp.	84-PLCC	13.73	10.81	8.18
SB80L188EB16	806175-ND	16 MHz, 16-Bit, 80L188EB erweiterte MPU, 3 V, erweiterte Temp.	16MHz, 16-Bit, 80L188EB Enhanced MPU, 3V, Extended Temp.	80-SQFP	14.62	11.52	8.72
TN80L188EB13	806149-ND	13 MHz, 16-Bit, 80L188EB erweiterte MPU, 3 V, erweiterte Temp.	13MHz, 16-Bit, 80L188EB Enhanced MPU, 3V, Extended Temp.	84-PLCC	13.73	10.81	8.18
TS80L188EB13	806156-ND	13 MHz, 16-Bit, 80L188EB erweiterte MPU, 3 V, erweiterte Temp.	13MHz, 16-Bit, 80L188EB Enhanced MPU, 3V, Extended Temp.	80-MQFP	14.62	11.52	8.72
KU80L188EC13	806192-ND	13 MHz, 16-Bit, 80L188EC erweiterte MPU, 3 V, erweiterte Temp.	13MHz, 16-Bit, 80L188EC Enhanced MPU, 3V, Extended Temp.	100-QFP	14.53	11.44	8.66
SB80L188EC13	806197-ND	13 MHz, 16-Bit, 80L188EC erweiterte MPU, 3 V, erweiterte Temp.	13MHz, 16-Bit, 80L188EC Enhanced MPU, 3V, Extended Temp.	100-SQFP	17.78	14.06	11.43
SB80L188EC16	809627-ND	16 MHz, 16-Bit, 80L188EC erweiterte MPU, 3 V, erweiterte Temp.	16MHz, 16-Bit, 80L188EC Enhanced MPU, 3V, Extended Temp.	100-SQFP	17.78	14.06	11.43
TS80L188EC13	808882-ND	13 MHz, 16-Bit, 80L188EC erweiterte MPU, 3 V, erweiterte Temp.	13MHz, 16-Bit, 80L188EC Enhanced MPU, 3V, Extended Temp.	100-MQFP	17.52	13.80	10.45
NG88CO196EC40	859794-ND	40 MHz, 16-Bit MCU mit 256 KB auf Chip Flash Memory	40MHz, 16-Bit MCU with 256Kb on Chip Flash Memory	132-QFP	19.56	15.46	12.58
TG88CO196EC40	859797-ND	40 MHz, 16-Bit MCU mit 256 KB auf Chip Flash Memory, erw. Temp.	40MHz, 16-Bit MCU with 256Kb on Chip Flash Memory Ext. Temp.	132-QFP	20.54	16.24	13.21
A80386DX16	807050-ND	16 MHz, 32-Bit, 386DX Prozessor, 5,0 V	16MHz, 32-Bit, 386DX Processor, 5.0V	132-PGA	44.45	35.14	28.58
A80386DX20	807066-ND	20 MHz, 32-Bit, 386DX Prozessor, 5,0 V	20MHz, 32-Bit, 386DX Processor, 5.0V	132-PGA	44.45	35.14	28.58
A80386DX25	807094-ND	25 MHz, 32-Bit, 386DX Prozessor, 5,0 V	25MHz, 32-Bit, 386DX Processor, 5.0V	132-PGA	44.45	35.14	28.58
A80386DX33	807129-ND	33 MHz, 32-Bit, 386DX Prozessor, 5,0 V	33MHz, 32-Bit, 386DX Processor, 5.0V	132-PGA	44.45	35.14	28.58
NG80386DX20	807082-ND	20 MHz, 32-Bit, 386DX Prozessor, 5,0 V	20MHz, 32-Bit, 386DX Processor, 5.0V	132-QFP	11.74	9.25	7.00

(Forts.)

★ RUFEN SIE BITTE AN FÜR NIEDRIGERE PREISE BEI GRÖSSEREN MENGEN! ★

Intel Teilenr.	Digi-Key Teilenr.	Beschreibung		Paket	Stückpreis ★ 1	10	100
NG80386DX25	807111-ND	25 MHz, 32-Bit, 386DX Prozessor, 5,0 V	25MHz, 32-Bit, 386DX Processor, 5.0V	132-QFP	11.74	9.25	7.00
NG80386DX33	807141-ND	33 MHz, 32-Bit, 386DX Prozessor, 5,0 V	33MHz, 32-Bit, 386DX Processor, 5.0V	132-QFP	11.74	9.25	7.00
A80386EXI	807153-ND	33 MHz, 32-Bit, 386EX Prozessor, 5,0 V	33MHz, 32-Bit, 386EX Processor, 5.0V	168-CPGA	57.91	45.72	39.63
FA80386EXTB25	807257-ND	25 MHz, 32-Bit, 386EX integrierter Prozessor, 3,3 V, erw. Temp.	25MHz, 32-Bit, 386EX Integrated Processor, 3.3V, Ext. Temp.	144-TQFP	22.22	17.57	14.29
FA80386EXTC25	807267-ND	25 MHz, 32-Bit, 386EX integrierter Prozessor, 5,0 V, erw. Temp.	25MHz, 32-Bit, 386EX Integrated Processor, 5.0V, Ext. Temp.	144-TQFP	17.78	—	—
FA80386EXTC33	807274-ND	33 MHz, 32-Bit, 386EX integrierter Prozessor, 5,0 V, erw. Temp.	33MHz, 32-Bit, 386EX Integrated Processor, 5.0V, Ext. Temp.	144-TQFP	18.67	14.76	12.01
KU80386EXTB25	807262-ND	25 MHz, 386EX integrierter Prozessor, 3,3 V	25MHz, 386EX Integrated Processor, 3.3V	132-QFP	20.45	16.17	13.15
KU80386EXTC25	807271-ND	25 MHz, 386EX integrierter Prozessor, 5,0 V	25MHz, 386EX Integrated Processor, 5.0V	132-QFP	18.23	14.41	11.72
KU80386EXTC33	807277-ND	33 MHz, 386EX integrierter Prozessor, 5,0 V	33MHz, 386EX Integrated Processor, 5.0V	132-QFP	18.23	14.41	11.72
KU80386SXTA25	800169-ND	25 MHz, 32-Bit, 386SX Prozessor, 5,0 V, erweiterte Temperatur	25MHz, 32-Bit, 386SX Processor, 5.0V, Extended Temperature	100-QFP	12.73	10.03	7.59
KU80386SXTA33	800175-ND	33 MHz, 32-Bit, 386SX Prozessor, 5,0 V, erweiterte Temperatur	33MHz, 32-Bit, 386SX Processor, 5.0V, Extended Temperature	100-QFP	12.73	10.03	7.59
KU80386SXTA40	800183-ND	40 MHz, 32-Bit, 386SX Prozessor, 5,0 V, erweiterte Temperatur	40MHz, 32-Bit, 386SX Processor, 5.0V, Extended Temperature	100-QFP	12.73	10.03	7.59
NG80386SX25	800310-ND	25 MHz, 32-Bit, 386SX Prozessor, 5,0 V	25MHz, 32-Bit, 386SX Processor, 5.0V	100-QFP	10.35	8.15	6.17
NG80386SX33	800353-ND	33 MHz, 32-Bit, 386SX Prozessor, 5,0 V	33MHz, 32-Bit, 386SX Processor, 5.0V	100-QFP	10.35	8.15	6.17
NG80386SXLP20	800112-ND	20 MHz, 32-Bit, 386SX Prozessor, 5,0 V	20MHz, 32-Bit, 386SX Processor, 5.0V	100-QFP	12.94	10.18	7.71
NG80386SXLP25	800134-ND	25 MHz, 32-Bit, 386SX Prozessor, 5,0 V	25MHz, 32-Bit, 386SX Processor, 5.0V	100-QFP	10.35	8.15	6.17
NG80386SXLP33	800149-ND	33 MHz, 32-Bit, 386SX Prozessor, 5,0 V	33MHz, 32-Bit, 386SX Processor, 5.0V	100-QFP	10.35	8.15	6.17
A80486DX2SA50SX912	800940-ND	50 MHz, 32-Bit, 486DX2 MPU, 5,0 V	50MHz, 32-Bit, 486DX2 MPU, 5.0V	168-PGA	45.84	36.20	31.37
A80486DX2SA66SX911	800948-ND	66 MHz, 32-Bit, 486DX2 MPU, 5,0 V	66MHz, 32-Bit, 486DX2 MPU, 5.0V	168-PGA	52.28	41.28	35.77
SB80486DX2SC50SX920	800952-ND	50 MHz, 32-Bit, 486DX2 MPU, 3,3 V	50MHz, 32-Bit, 486DX2 MPU, 3.3V	208-SQFP	32.21	25.47	20.71
A80486DX4WB100SK096	801069-ND	100 MHz, 32-Bit, 486DX4 MPU, 3,3 V	100MHz, 32-Bit, 486DX4 MPU, 3.3V	168-PGA	61.12	48.26	41.83
A80486DX4WB100SK101	808894-ND	100 MHz, 32-Bit, 486DX4 MPU, 3,3 V	100MHz, 32-Bit, 486DX4 MPU, 3.3V	168-PGA	61.12	48.26	41.83
FC80486DX4WB100SL2M9	816435-ND	100 MHz, 32-Bit, 486DX4 MPU, 3,3 V	100MHz, 32-Bit, 486DX4 MPU, 3.3V	208-SQFP	35.68	28.21	22.94
FA80486GXSF33	801241-ND	33 MHz, 32-Bit, 486GX MPU, 3,3 V	33MHz, 32-Bit 486GX MPU, 3.3V	176-TQFP	28.01	22.14	18.01
A80486SXSA25SX930	801266-ND	25 MHz, 32-Bit, 486SX MPU, 5,0 V	25MHz, 32-Bit, 486SX MPU, 5.0V	168-PGA	52.68	41.59	36.05
A80486SXSA33SX931	801301-ND	33 MHz, 32-Bit, 486SX MPU, 5,0 V	33MHz, 32-Bit, 486SX MPU, 5.0V	168-PGA	56.30	44.45	38.53
KU80486SXSA25SX934	801281-ND	25 MHz, 32-Bit, 486SX MPU, 5,0 V	25MHz, 32-Bit, 486SX MPU, 5.0V	196-QFP	42.63	33.66	29.17
KU80486SXSA33SX935	801318-ND	33 MHz, 32-Bit, 486SX MPU, 5,0 V	33MHz, 32-Bit, 486SX MPU, 5.0V	196-QFP	42.63	33.66	29.17
FV80524RX300128SL36A	820704-ND	300 MHz, Celeron, 66 MHz Bus, 128K L2 Cache, 2,0 V	300MHz, Celeron, 66MHz Bus, 128K L2 Cache, 2.0V	370-PGA	73.99	58.42	50.63
FV80524RX433128SL3BA	821636-ND	433 MHz, Celeron, 66 MHz Bus, 128K L2 Cache, 2,0 V	433MHz, Celeron, 66MHz Bus, 128K L2 Cache, 2.0V	370-PGA	64.26	56.47	49.66
KC80524KX366128SL3C7	822451-ND	366 MHz, LP Celeron, 66 MHz Bus, 128K L2 Cache, 1,6 V	366MHz, LP Celeron, 66MHz Bus, 128K L2 Cache, 1.6V	615-BGA	92.19	81.02	71.25
KC80526LL300128SL5LG	835679-ND	300 MHz, LP Celeron, 100 MHz Bus, 128K L2 Cache, 1,1 V	300MHz, LP Celeron, 100MHz Bus, 128K L2 Cache, 1.1V	495-BGA	69.84	61.38	53.98
KC80526LY400128SL4J8	830981-ND	400 MHz, LP Celeron, 100 MHz Bus, 128K L2 Cache, 1,3 V	400MHz, LP Celeron, 100MHz Bus, 128K L2 Cache, 1.3V	495-BGA	77.21	60.96	52.83
KC80526LY400128SL544	833480-ND	400 MHz, Celeron, 100 MHz Bus, 128K L2 Cache, 1,35 V	400MHz, Celeron, 100MHz Bus, 128K L2 Cache, 1.35V	495-BGA	72.38	57.15	49.53
RB80526RX733128SL52Y	833440-ND	733 MHz, Celeron, 66 MHz Bus, 128K L2 Cache, 1,7 V	733MHz, Celeron, 66MHz Bus, 128K L2 Cache, 1.7V	370-FC-PGA	56.30	44.45	38.53
RB80526RY850128SL54Q	833470-ND	850 MHz, Celeron, 100 MHz Bus, 128K L2 Cache, 1,75 V	850MHz, Celeron, 100MHz Bus, 128K L2 Cache, 1.75V	370-PGA	56.30	44.45	38.53
RK80532RC041128S L6RV	851346-ND	2,0 GHz, Celeron, 400 MHz Bus, 128K L2 Cache, 1,525 V	2.0GHz Celeron, 400MHz Bus, 128K L2 Cache, 1.525V	478-FC-PGA2	83.81	73.66	64.77
RJ80530VY400256S L6SE	850928-ND	400 MHz Celeron LP, 400 MHz Bus, 256K L2 Cache, 0,95 V	400MHz Celeron LP, 400MHz Bus, 256K L2 Cache, .95V	479-uFc-BGA	56.30	44.45	38.53
RJ80530VY650256S L6B8	846835-ND	650 MHz Celeron LP, 400 MHz Bus, 256K L2 Cache, 0,95 V	650MHz Celeron LP, 400MHz Bus, 256K L2 Cache, .95V	479-uFc-BGA	50.67	47.63	45.72
RK80532RC041128SL6VR	852181-ND	2 GHz Celeron Proz.	2GHz Celeron Proc.	478-FC-PGA2	83.81	73.66	64.77
RK80532RC060128SL72B	854328-ND	2,5 GHz Celeron Proz.	2.5GHz Celeron Proc.	478-FC-PGA2	104.77	92.07	80.96
A80502661005L2TU	818463-ND	100 MHz, Pentium I, 66 MHz, 3,3 V	100MHz, Pentium I, 66MHz, 3.3V	296-CPGA	56.33	44.48	38.55
A80502661665Y016	801878-ND	166 MHz, Pentium I, 66 MHz Bus, 3,3 V	166MHz, Pentium I, 66MHz Bus, 3.3V	296-CPGA	70.78	55.88	48.43
FV80503CSM66166SL2ZX	819416-ND	166 MHz, Pentium I mit MMX, 66 MHz Bus, 1,9 V	166MHz, Pentium I with MMX, 66MHz Bus, 1.9V	296-PGA	69.17	54.61	47.33
FV80503CSM66266SL2Z4	819033-ND	266 MHz, Pentium I mit MMX, 66 MHz Bus, 1,9 V	266MHz, Pentium I with MMX, 66MHz Bus, 1.9V	296-PGA	71.24	62.61	55.06
GC80503CS166EXTSL3B8	822631-ND	166 MHz, Pentium I mit MMX, 66 MHz Bus, 1,8 V, Niedrigleist.	166MHz, Pentium I with MMX, 66MHz Bus, 1.8V, Low Power	352-BGA	62.73	49.53	42.93
GC80503CSM66166SL388	821225-ND	166 MHz, Pentium I mit MMX, 66 MHz Bus, 1,9 V	166MHz, Pentium I with MMX, 66MHz Bus, 1.9V	352-BGA	67.56	53.34	46.23
KC80526LY400256SL546	833482-ND	400 MHz, LP Pentium III, 100 MHz Bus, 256K L2 Cache, 1,35 V	400MHz, LP Pentium III, 100MHz Bus, 256K L2 Cache, 1.35V	495-BGA	104.77	92.07	80.96
KC80526LY500256SL545	833481-ND	500 MHz, Pentium III, 100 MHz Bus, 256K L2 Cache, 1,35 V	500MHz, Pentium III, 100MHz Bus, 256K L2 Cache, 1.35V	495-BGA	118.74	104.35	91.76
RB80526PY600256S L5BT	834318-ND	600 MHz, Pentium III, 100 MHz Bus, 256K L2 Cache, 1,75 V	600MHz, Pentium III, 100MHz Bus, 256K L2 Cache, 1.75V	370-FC-PGA	104.77	92.07	80.96
RB80526PY700256S L4ZM	833747-ND	700 MHz, Pentium III, 100 MHz Bus, 256K L2 Cache, 1,75 V	700MHz, Pentium III, 100MHz Bus, 256K L2 Cache, 1.75V	370-FC-PGA	104.77	92.07	80.96
KC80526GY850256SL547	833483-ND	850 MHz, LP Pentium III, 100 MHz Bus, 256K L2 Cache, 1,6 V	850MHz, LP Pentium III, 100MHz Bus, 256K L2 Cache, 1.6V	495-BGA	95.71	89.96	86.36
RB80526PY850256S L4Z2	833400-ND	850 MHz, Pentium III, 100 MHz Bus, 256K L2 Cache, 1,75 V	850MHz, Pentium III, 100MHz Bus, 256K L2 Cache, 1.75V	370-FC-PGA	104.77	92.07	80.96
RB80526PZ001256SL52R	833416-ND	1,0 GHz, Pentium III, 100 MHz Bus, 256K L2 Cache, 1,75 V	1.0GHz, Pentium III, 100MHz Bus, 256K L2 Cache, 1.75V	370-PGA	111.75	98.21	86.36
RB80526PY001256S L5QV	836655-ND	1,0 GHz, Pentium III, 100 MHz Bus, 256K L2 Cache, 1,75 V	1.0GHz, Pentium III, 100MHz Bus, 256K L2 Cache, 1.75V	370-FC-PGA	90.08	84.66	81.28
RJ80530KZ933512S L69K	849162-ND	933 MHz, Pentium III, 133 MHz Bus, 512K L2 Cache, 1,15 V	933MHz, Pentium III, 133MHz Bus, 512K L2 Cache, 1.15V	470-uFC-BGA	228.57	214.83	206.24
RH80532GC029512SL6V6	852229-ND	1,7 GHz, Pentium 4	1.7GHz, Pentium 4	478-MFC-PGA	186.91	175.67	168.65
RK80532PC041512SL6GQ	848653-ND	2,0 GHz, Pentium 4, 400 MHz Bus, 512K L2 Cache, 1,5 V	2.0GHz, Pentium 4, 400MHz Bus, 512K L2 Cache, 1.5V	478-PGA	212.81	200.01	192.01
RH80532GC049512SL6VB	852256-ND	2,2 GHz, Pentium 4	2.2GHz, Pentium 4	478-MFC-PGA	216.19	203.19	195.06
RK80532PE056512S L6PC	850158-ND	2,4 GHz, Pentium 4, 400 MHz Bus, 512K L2 Cache, 1,5 V	2.4GHz, Pentium 4, 400MHz Bus, 512K L2 Cache, 1.5V	478-uFC-BGA	156.51	147.10	141.22
RK80532PE056512SL79B	857396-ND	2,4 GHz, Pentium 4, Vorderseiten-Bus, 400 MHz	2.4GHz, Pentium 4, Front Side Bus, 400MHz	478-FC-PGA2	156.51	147.10	141.22
RK80532PC064512SL6PP	850365-ND	2,6 GHz, Pentium 4, Vorderseiten-Bus, 533 MHz	2.6GHz, Pentium 4, Front Side Bus, 533MHz	478-FC-PGA2	156.51	147.10	141.22
RJ80535LC0051MSL6NC	851287-ND	1,1 GHz, Pentium M	1.1GHz, Pentium M	478-MFC-PGA	286.00	268.80	258.05
RH80532GC029512S L6FG	848089-ND	1,7 GHz, Pentium 4 Mobile, 400 MHz, 512K L2 Cache, 1,3 V	1.7GHz, Pentium 4 Mobile, 400MHz Bus, 512K L2 Cache, 1.3V	478-uFC-BGA	186.91	175.67	168.65
RK80532EC025512S L6GV	849205-ND	1,6 GHz, Xeon, 400 MHz Bus, 512K L2 Cache, 1,3 V	1.6GHz, Xeon, 400MHz Bus, 512K L2 Cache 1.3V	604-FC-mPGA-2P	225.20	211.65	203.19
RK80532EC025512SL6XK	852509-ND	1,6 GHz, Xeon LV	1.6GHz, Xeon LV	604-FC-mPGA-2P	225.20	211.65	203.19
RK80532EC041512SL6XL	852510-ND	2 GHz, Xeon LV	2GHz, Xeon LV	604-FC-mPGA-2P	230.83	216.95	208.27
RK80532EE056512SL74T	854517-ND	2,4 GHz, Xeon LV	2.4GHz, Xeon LV	604-FC-mPGA-2P	242.09	227.53	218.43
RK80532KE056512S L6GD	848396-ND	2,4 GHz, Xeon, 533 MHz Bus, 512K L2 Cache, 1,5 V	2.4GHz, Xeon, 533MHz Bus, 512K L2 Cache 1.5V	604-FC-mPGA-2P	218.44	205.31	197.09
RK80532KE056512SL73L	854163-ND	2,4 GHz, Xeon	2.4GHz, Xeon	604-FC-mPGA-2P	218.44	205.31	197.09
RK80532KE072512SL73N	854168-ND	2,8 GHz, Xeon	2.8GHz, Xeon	604-FC-mPGA-2P	279.24	262.45	251.95
FW82443BXSL2VH	818428CT-ND	82443BX Controller	82443BX Controller	492-PBGA	21.96	17.36	14.12
FW82443BXSL2VH	818428TR-ND	82443BX Controller	82443BX Controller	492-PBGA		4358.30/360	

PROZESSORMODUL

Intel Teilenr.	Digi-Key Teilenr.	Beschreibung		Paket	Stückpreis ★ 1	10	100
LPM25P2F266A	833449-ND	Pentium II, 266 MHz, Niedrigleistungsmodul	Pentium II, 266MHz, Low Power Module	—	271.36	255.04	244.84

STRONG ARM® PROZESSOREN

Intel Teilenr.	Digi-Key Teilenr.	Beschreibung		Paket	Stückpreis ★ 1	10	100
21281DB	821351-ND	166 MHz, Strong Arm SA-110 Mikroprozessor	166MHz, Strong Arm SA-110 Microprocessor	144-TQFP	26.23	20.73	16.86

NETZWERKPROZESSOREN

Intel Teilenr.	Digi-Key Teilenr.	Beschreibung		Paket	Stückpreis ★ 1	10	100
GCIXP1200EA	829314-ND	2 V, 166 MHz, Netzwerkprozessor	2V, 166MHz, Network Processor	432-BGA	162.82	153.03	146.91
GCIXP1200EB	829764-ND	2 V, 200 MHz, Netzwerkprozessor	2V, 200MHz, Network Processor	432-BGA	213.26	200.44	192.42
GCIXP1200FB	833954-ND	2 V, 200 MHz, Netzwerkprozessor	2V, 200MHz, Network Processor	432-BGA	213.26	200.44	192.42
GCIXP1200FC	833956-ND	2 V, 232 MHz, Netzwerkprozessor	2V, 232MHz, Network Processor	432-BGA	286.23	269.01	258.25
GCIXP1200GA	839427-ND	2 V, 166 MHz, Netzwerkprozessor	2V, 166MHz, Network Processor	432-BGA	162.82	153.03	146.91

(Forts.)

★ RUFEN SIE BITTE AN FÜR NIEDRIGERE PREISE BEI GRÖSSEREN MENGEN! ★

intel — NETZWERKPROZESSOREN *(Forts.)*

Intel Teilenr.	Digi-Key Teilenr.	Beschreibung		Paket	Stückpreis ★ 1	10	100
GCIXP1200GB	839428-ND	2 V, 200 MHz, Netzwerkprozessor	2V, 200MHz, Network Processor	432-BGA	213.26	200.44	192.42
GCIXP1200GC	839429-ND	2 V, 232 MHz, Netzwerkprozessor	2V, 232MHz, Network Processor	432-BGA	286.23	269.01	258.25
GCIXP1240AA	837150-ND	2 V, 166 MHz, Netzwerkprozessor mit CRC-Unterstützung	2V, 166MHz, Network Processor with CRC Support	432-BGA	218.89	205.73	197.50
GCIXP1240AB	837151-ND	2 V, 200 MHz, Netzwerkprozessor mit CRC-Unterstützung	2V, 200MHz, Network Processor with CRC Support	432-BGA	269.45	253.24	243.11
GCIXP1240AC	837152-ND	2 V, 232 MHz, Netzwerkprozessor mit CRC-Unterstützung	2V, 232MHz, Network Processor with CRC Support	432-BGA	342.41	321.82	308.95
GCIXP1250BA	837411-ND	2 V, 166 MHz, Netzwerkprozessor mit CRC- und ECC-Unterstützung	2V, 166MHz, Network Processor with CRC and ECC Support	520-BGA	230.15	216.31	207.66
GCIXP1250BB	837412-ND	2 V, 200 MHz, Netzwerkprozessor mit CRC- und ECC-Unterstützung	2V, 200MHz, Network Processor with CRC and ECC Support	520-BGA	280.60	263.72	253.17
GCIXP1250BC	837414-ND	2 V, 232 MHz, Netzwerkprozessor mit CRC- und ECC-Unterstützung	2V, 232MHz, Network Processor with CRC and ECC Support	520-BGA	353.56	332.30	319.00

intel — E/A-PROZESSOREN

Intel Teilenr.	Digi-Key Teilenr.	Beschreibung		Paket	Stückpreis ★ 1	10	100
GC80303 S L57T	833962-ND	100 MHz, 3,3 V, E/A-Prozessor, 64-Bit PCI-PCI Brücke	100MHz, 3.3V, I/O Processor, 64-Bit PCI-PCI Bridge	540-BGA	106.72	93.79	82.47
GC80960RM100SL3YZ	827794-ND	100 MHz, 3,3 V, E/A-Prozessor, 32-Bit PCI-PCI Brücke	100MHz, 3.3V, I/O Processor, 32-Bit PCI-PCI Bridge	540-BGA	86.35	75.89	66.73
GC80960RN100SL3YW	827744-ND	100 MHz, i960RN 32-Bit E/A-Prozessor, 64-Bit PCI-PCI Brücke	100MHz, i960RN 32-Bit I/O Processor, 64-Bit PCI-PCI Bridge	540-BGA	104.67	91.99	80.89

intel — MCS® 51 MIKROCONTROLLER

Intel Teilenr.	Digi-Key Teilenr.	Beschreibung		Paket	Stückpreis ★ 1	10	100
LN80C31BH1SF88	809475-ND	5 V, 16 MHz, 8-Bit MPU, erw. Temp.	5V, 16MHz, 8-Bit MPU, Ext. Temp.	44-PLCC	4.23	3.39	2.02
LP80C31BH1SF88	809476-ND	5 V, 16 MHz, 8-Bit MPU, erw. Temp.	5V, 16MHz, 8-Bit MPU, Ext. Temp.	40-Dip	4.23	3.39	2.02
N80C31BH1SF88	809480-ND	5 V, 16 MHz, 8-Bit MPU	5V, 16MHz, 8-Bit MPU	44-PLCC	3.05	2.44	1.45
N80C31BH24SF88	809494-ND	5 V, 24 MHz, 8-Bit MPU	5V, 24MHz, 8-Bit MPU	44-PLCC	3.05	2.44	1.45
P80C31BH1SF88	809484-ND	5 V, 16 MHz, 8-Bit MPU	5V, 16MHz, 8-Bit MPU	40-Dip	3.05	2.44	1.45
P80C31BH24SF88	809495-ND	5 V, 24 MHz, 8-Bit MPU	5V, 24MHz, 8-Bit MPU	40-Dip	3.05	2.44	1.45
S80C31BH1SF88	809486-ND	5 V, 16 MHz, 8-Bit MPU	5V, 16MHz, 8-Bit MPU	44-MQFP	3.05	2.44	1.45
S80C31BH24SF88	811520-ND	5 V, 24 MHz, 8-Bit MPU	5V, 24MHz, 8-Bit MPU	44-QFP	3.05	2.44	1.45
TN80C31BH1SF88	810026-ND	5 V, 16 MHz, 8-Bit MPU, erw. Temp.	5V, 16MHz, 8-Bit MPU, Ext. Temp.	44-PLCC	3.56	2.85	1.69
TP80C31BH1SF88	809488-ND	5 V, 16 MHz, 8-Bit MPU, erw. Temp.	5V, 16MHz, 8-Bit MPU, Ext. Temp.	40-Dip	3.56	2.85	1.69
TS80C31BH1SF88	809489-ND	5 V, 16 MHz, 8-Bit MPU, erw. Temp.	5V, 16MHz, 8-Bit MPU, Ext. Temp.	44-QFP	3.56	2.85	1.69
N80C321SF88	809512-ND	5 V, 16 MHz, 8-Bit MPU	5V, 16MHz, 8-Bit MPU	44-PLCC	3.73	2.98	1.77
N80C3224SF88	809521-ND	5 V, 24 MHz, 8-Bit MPU	5V, 24MHz, 8-Bit MPU	44-PLCC	3.73	2.98	1.77
P80C321SF88	809515-ND	5 V, 16 MHz, 8-Bit MPU	5V, 16MHz, 8-Bit MPU	40-Dip	3.73	2.98	1.77
P80C3224SF88	809523-ND	5 V, 24 MHz, 8-Bit MPU	5V, 24MHz, 8-Bit MPU	40-Dip	3.73	2.98	1.77
S80C321SF88	809516-ND	5 V, 16 MHz, 8-Bit MPU	5V, 16MHz, 8-Bit MPU	44-MQFP	3.73	2.98	1.77
S80C3224SF88	810024-ND	5 V, 24 MHz, 8-Bit MPU	5V, 24MHz, 8-Bit MPU	44-MQFP	3.73	2.98	1.77
TN80C321SF88	809517-ND	5 V, 16 MHz, 8-Bit MPU, erw. Temp.	5V, 16MHz, 8-Bit MPU, Ext. Temp.	44-PLCC	4.23	3.39	2.02
TN80C3224SF88	809524-ND	5 V, 24 MHz, 8-Bit MPU, erw. Temp.	5V, 24MHz, 8-Bit MPU, Ext. Temp.	44-PLCC	4.23	3.39	2.02
TP80C321SF88	809518-ND	5 V, 16 MHz, 8-Bit MPU, erw. Temp.	5V, 16MHz, 8-Bit MPU, Ext. Temp.	40-Dip	4.23	3.39	2.02
TS80C321SF88	809519-ND	5 V, 16 MHz, 8-Bit MPU, erw. Temp.	5V, 16MHz, 8-Bit MPU, Ext. Temp.	44-MQFP	4.23	3.39	2.02
LN80C51FA1SF88	811045-ND	5 V, 16 MHz, 8-Bit MPU, erw. Temp.	5V, 16MHz, 8-Bit MPU, Ext. Temp.	44-PLCC	6.43	5.15	3.06
LP80C51FA1SF88	810037-ND	5 V, 16 MHz, 8-Bit MPU, erw. Temp.	5V, 16MHz, 8-Bit MPU, Ext. Temp.	40-Dip	6.43	5.15	3.06
N80C51FA1SF88	809568-ND	5 V, 16 MHz, 8-Bit MPU	5V, 16MHz, 8-Bit MPU	44-PLCC	5.25	4.20	2.50
N80C51FA24SF88	809581-ND	5 V, 24 MHz, 8-Bit MPU	5V, 24MHz, 8-Bit MPU	44-PLCC	5.25	4.20	2.50
N80C51FA33SF88	810981-ND	5 V, 33 MHz, 8-Bit MPU	5V, 33MHz, 8-Bit MPU	44-PLCC	5.79	4.64	2.76
N80C51RA1	804496-ND	5 V, 16 MHz, 8-Bit MPU	5V, 16MHz, 8-Bit MPU	44-PLCC	7.79	6.24	3.70
N80C51RA24	804579-ND	5 V, 24 MHz, 8-Bit MPU	5V, 24MHz, 8-Bit MPU	44-PLCC	5.36	4.29	2.83
N87C511SF76	810977-ND	5 V, 16 MHz, 8-Bit, 4K OTP EPROM	5V, 16MHz, 8-Bit, 4K OTP EPROM	44-PLCC	4.19	3.36	2.21
N87C51FA1SF76	810760-ND	5 V, 16 MHz, 8-Bit, 8K OTP EPROM	5V, 16MHz, 8-Bit, 8K OTP EPROM	44-PLCC	6.52	5.22	3.44
N87C51FA24SF76	810758-ND	5 V, 24 MHz, 8-Bit, 8K OTP EPROM	5V, 24MHz, 8-Bit, 8K OTP EPROM	44-PLCC	6.52	5.22	3.44
N87C51FC1	811087-ND	5 V, 16 MHz, 8-Bit, 32K OTP EPROM	5V, 16MHz, 8-Bit, 32K OTP EPROM	44-PLCC	6.76	5.33	4.03
N87C51RB1	807251-ND	5 V, 16 MHz, 8-Bit, 16K OTP EPROM	5V, 16MHz, 8-Bit, 16K OTP EPROM	44-PLCC	6.76	5.33	4.03
N87C51RC1	800186-ND	5 V, 16 MHz, 8-Bit, 32K OTP EPROM	5V, 16MHz, 8-Bit, 32K OTP EPROM	44-PLCC	7.56	5.96	4.51
P80C51FA1SF88	810046-ND	5 V, 16 MHz, 8-Bit MPU	5V, 16MHz, 8-Bit MPU	40-Dip	5.25	4.20	2.50
P80C51FA24SF88	810039-ND	5 V, 24 MHz, 8-Bit MPU	5V, 24MHz, 8-Bit MPU	40-Dip	5.25	4.20	2.50
P80C51RA1	804514-ND	5 V, 16 MHz, 8-Bit MPU	5V, 16MHz, 8-Bit MPU	40-Dip	7.79	6.24	3.70
P80C51RA24	804586-ND	5 V, 24 MHz, 8-Bit MPU	5V, 24MHz, 8-Bit MPU	40-Dip	5.36	4.29	2.83
P87C511SF76	810992-ND	5 V, 16 MHz, 8-Bit, 4K OTP EPROM	5V, 16MHz, 8-Bit, 4K OTP EPROM	40-Dip	4.19	3.36	2.21
P87C51FB1SF76	811013-ND	5 V, 16 MHz, 8-Bit, 16K OTP EPROM	5V, 16MHz, 8-Bit, 16K OTP EPROM	40-Dip	5.97	4.70	3.56
S80C51FA1SF88	809572-ND	5 V, 16 MHz, 8-Bit MPU	5V, 16MHz, 8-Bit MPU	44-MQFP	5.25	4.20	2.50
S80C51RA1	804523-ND	5 V, 16 MHz, 8-Bit MPU	5V, 16MHz, 8-Bit MPU	44-MQFP	7.79	6.24	3.70
S80C51RA24	804592-ND	5 V, 24 MHz, 8-Bit MPU	5V, 24MHz, 8-Bit MPU	44-MQFP	5.36	4.29	2.83
TN80C51FA1SF88	809574-ND	5 V, 16 MHz, 8-Bit MPU, erw. Temp.	5V, 16MHz, 8-Bit MPU, Ext. Temp.	44-PLCC	5.76	4.61	2.74
TN80C51FA24SF88	809583-ND	5 V, 24 MHz, 8-Bit MPU, erw. Temp.	5V, 24MHz, 8-Bit MPU, Ext. Temp.	44-PLCC	5.76	4.61	2.74
TP80C51FA1SF88	810034-ND	5 V, 16 MHz, 8-Bit MPU, erw. Temp.	5V, 16MHz, 8-Bit MPU, Ext. Temp.	40-Dip	5.76	4.61	2.74
TS80C51FA1SF88	810998-ND	5 V, 16 MHz, 8-Bit MPU, erweiterte Temperatur	5V, 16MHz, 8-Bit MPU, Extended Temperature	44-MQFP	5.76	4.61	2.74
TS80C51RA1	804534-ND	5 V, 16 MHz, 8-Bit MPU, erweiterte Temperatur	5V, 16MHz, 8-Bit MPU, Extended Temperature	44-MQFP	5.71	4.57	3.01
TS80C51RA24	804603-ND	5 V, 24 MHz, 8-Bit MPU, erweiterte Temperatur	5V, 24MHz, 8-Bit MPU, Extended Temperature	44-MQFP	5.71	4.57	3.01
TS87C51FA1SF76	811518-ND	5 V, 16 MHz, 8-Bit, 8K OTP EPROM MCU, erweiterte Temp.	5V, 16MHz, 8-Bit, 8K OTP EPROM MCU, Extended Temp.	44-QFP	6.87	5.50	3.63
AN87C51FA20F8	821038-ND	5 V, 20 MHz, 8-Bit, 8K OTP MCU, Automobil	5V, 20MHz, 8-Bit, 8K OTP MCU, Automotive	44-PLCC	11.72	9.23	6.99
AN87C51FC20F8	821044-ND	5 V, 20 MHz, 8-Bit, 32K OTP MCU, Automobil	5V, 20MHz, 8-Bit, 32K OTP MCU, Automotive	44-PLCC	17.80	14.07	11.45
D87C51FC20SF76	811050-ND	5 V, 20 MHz, 8-Bit, 32K UV EPROM MCU	5V, 20MHz, 8-Bit, 32K UV EPROM MCU	40-CDip	32.89	26.00	21.15
LN87C511SF76	823401-ND	5 V, 16 MHz, 8-Bit, 4K OTP MCU, erweiterte Temperatur	5V, 16MHz, 8-Bit, 4K OTP MCU, Extended Temperature	44-PLCC	5.00	4.01	2.64
LN87C51FA1SF76	823334-ND	5 V, 16 MHz, 8-Bit, 8K OTP MCU, erweiterte Temperatur	5V, 16MHz, 8-Bit, 8K OTP MCU, Extended Temperature	44-PLCC	7.33	5.87	3.87
LN87C51FC20SF76	811064-ND	5 V, 20 MHz, 8-Bit, 32K OTP MCU, erweiterte Temperatur	5V, 20MHz, 8-Bit, 32K OTP MCU, Extended Temperature	44-PLCC	7.46	5.88	4.45
LN87C51FC24SF76	812078-ND	5 V, 24 MHz, 8-Bit, 32K OTP MCU, erweiterte Temperatur	5V, 24MHz, 8-Bit, 32K OTP MCU, Extended Temperature	44-PLCC	7.46	5.88	4.45
LP87C51FC1SF76	823340-ND	5 V, 16 MHz, 8-Bit, 32K OTP MCU, erweiterte Temperatur	5V, 16MHz, 8-Bit, 32K OTP MCU, Extended Temperature	40-Dip	7.46	5.88	4.45
N87C5124SF76	810976-ND	5 V, 24 MHz, 8-Bit, 4K OTP MCU	5V, 24MHz, 8-Bit, 4K OTP MCU	44-PLCC	4.19	3.36	2.21
N87C51FA33SF76	810753-ND	5 V, 33 MHz, 8-Bit, 8K OTP MCU	5V, 33MHz, 8-Bit, 8K OTP MCU	44-PLCC	7.17	5.74	3.79
N87C51FB1SF76	812060-ND	5 V, 16 MHz, 8-Bit, 16K OTP MCU	5V, 16MHz, 8-Bit, 16K OTP MCU	44-PLCC	5.97	4.70	3.56
N87C51FB20SF76	810972-ND	5 V, 20 MHz, 8-Bit, 16K OTP MCU	5V, 20MHz, 8-Bit, 16K OTP MCU	44-PLCC	7.46	5.88	4.45
N87C51FB24SF76	811012-ND	5 V, 24 MHz, 8-Bit, 16K OTP MCU	5V, 24MHz, 8-Bit, 16K OTP MCU	44-PLCC	5.97	4.70	3.56
N87C51FB33SF76	811022-ND	5 V, 33 MHz, 8-Bit, 16K OTP MCU	5V, 33MHz, 8-Bit, 16K OTP MCU	44-PLCC	6.57	5.17	3.92
N87C51FC24SF76	811089-ND	5 V, 24 MHz, 8-Bit, 32K OTP MCU	5V, 24MHz, 8-Bit, 32K OTP MCU	44-PLCC	6.76	5.33	4.03
N87C51FC33SF76	811090-ND	5 V, 33 MHz, 8-Bit, 32K OTP MCU	5V, 33MHz, 8-Bit, 32K OTP MCU	44-PLCC	7.44	5.86	4.44
N87C51RA1	806959-ND	5 V, 16 MHz, 8-Bit, 8K OTP MCU	5V, 16MHz, 8-Bit, 8K OTP MCU	44-PLCC	3.38	—	—
N87C51RA24	807119-ND	5 V, 24 MHz, 8-Bit, 8K OTP MCU	5V, 24MHz, 8-Bit, 8K OTP MCU	44-PLCC	5.97	4.70	3.56
N87C51RB24	807306-ND	5 V, 24 MHz, 8-Bit, 16K OTP MCU	5V, 24MHz, 8-Bit, 16K OTP MCU	44-PLCC	6.76	5.33	4.03
N87C51RC24	800338-ND	5 V, 24 MHz, 8-Bit, 32K OTP MCU	5V, 24MHz, 8-Bit, 32K OTP MCU	44-PLCC	7.56	5.96	4.51
P87C5124SF76	811003-ND	5 V, 24 MHz, 8-Bit, 4K OTP MCU	5V, 24MHz, 8-Bit, 4K OTP MCU	40-Dip	4.19	3.36	2.21
P87C51FA1SF76	810744-ND	5 V, 16 MHz, 8-Bit, 8K OTP MCU	5V, 16MHz, 8-Bit, 8K OTP MCU	40-Dip	6.52	5.22	3.44
P87C51FA24SF76	810748-ND	5 V, 24 MHz, 8-Bit, 8K OTP MCU	5V, 24MHz, 8-Bit, 8K OTP MCU	40-Dip	6.52	5.22	3.44
P87C51FA33SF76	810756-ND	5 V, 33 MHz, 8-Bit, 8K OTP MCU	5V, 33MHz, 8-Bit, 8K OTP MCU	40-Dip	7.17	5.74	3.79
P87C51FB24SF76	811020-ND	5 V, 24 MHz, 8-Bit, 16K OTP MCU	5V, 24MHz, 8-Bit, 16K OTP MCU	40-Dip	5.97	4.70	3.56
P87C51FB33SF76	810366-ND	5 V, 33 MHz, 8-Bit, 16K OTP MCU	5V, 33MHz, 8-Bit, 16K OTP MCU	40-Dip	6.57	5.17	3.92
P87C51FC1SF76	811076-ND	5 V, 16 MHz, 8-Bit, 32K OTP MCU	5V, 16MHz, 8-Bit, 32K OTP MCU	40-Dip	6.76	5.33	4.03
P87C51FC24SF76	811077-ND	5 V, 24 MHz, 8-Bit, 32K OTP MCU	5V, 24MHz, 8-Bit, 32K OTP MCU	40-Dip	6.76	5.33	4.03
P87C51FC33SF76	811074-ND	5 V, 33 MHz, 8-Bit, 32K OTP MCU	5V, 33MHz, 8-Bit, 32K OTP MCU	40-Dip	7.44	5.86	4.44
P87C51RA1	806971-ND	5 V, 16 MHz, 8-Bit, 8K OTP MCU	5V, 16MHz, 8-Bit, 8K OTP MCU	40-Dip	5.97	4.70	3.56

(Forts.)

★ RUFEN SIE BITTE AN FÜR NIEDRIGERE PREISE BEI GRÖSSEREN MENGEN! ★

Alle Preisangaben in Euro und inklusive Zollgebühren.

Intel Teilenr.	Digi-Key Teilenr.	Beschreibung		Paket	Stückpreis ★ 1	10	100
P87C51RA24	807140-ND	5 V, 24 MHz, 8-Bit, 8K OTP MCU	5V, 24MHz, 8-Bit, 8K OTP MCU	40-Dip	5.97	4.70	3.56
P87C51RB1	807273-ND	5 V, 16 MHz, 8-Bit, 16K OTP MCU	5V, 16MHz, 8-Bit, 16K OTP MCU	40-Dip	6.76	5.33	4.03
P87C51RB24	807310-ND	5 V, 24 MHz, 8-Bit, 16K OTP MCU	5V, 24MHz, 8-Bit, 16K OTP MCU	40-Dip	6.76	5.33	4.03
P87C51RC1	800209-ND	5 V, 16 MHz, 8-Bit, 32K OTP MCU	5V, 16MHz, 8-Bit, 32K OTP MCU	40-Dip	7.56	5.96	4.51
P87C51RC24	800354-ND	5 V, 24 MHz, 8-Bit, 32K OTP MCU	5V, 24MHz, 8-Bit, 32K OTP MCU	40-Dip	7.56	5.96	4.51
S87C511SF76	823331-ND	5 V, 16 MHz, 8-Bit, 4K OTP MCU	5V, 16MHz, 8-Bit, 4K OTP MCU	44-MQFP	4.19	3.36	2.21
S87C51FA1SF76	804439-ND	5 V, 16 MHz, 8-Bit, 8K OTP MCU	5V, 16MHz, 8-Bit, 8K OTP MCU	44-MQFP	6.52	5.22	3.44
S87C51FA24SF76	810749-ND	5 V, 24 MHz, 8-Bit, 8K OTP MCU	5V, 24MHz, 8-Bit, 8K OTP MCU	44-MQFP	6.52	5.22	3.44
S87C51FB1SF76	805377-ND	5 V, 16 MHz, 8-Bit, 16K OTP MCU	5V, 16MHz, 8-Bit, 16K OTP MCU	44-MQFP	5.97	4.70	3.56
S87C51FB24SF76	811017-ND	5 V, 24 MHz, 8-Bit, 16K OTP MCU	5V, 24MHz, 8-Bit, 16K OTP MCU	44-MQFP	5.97	4.70	3.56
S87C51FB33SF76	811019-ND	5 V, 33 MHz, 8-Bit, 16K OTP MCU	5V, 33MHz, 8-Bit, 16K OTP MCU	44-MQFP	6.57	5.17	3.92
S87C51FC1SF76	806104-ND	5 V, 16 MHz, 8-Bit, 32K OTP MCU	5V, 16MHz, 8-Bit, 32K OTP MCU	44-MQFP	6.76	5.33	4.03
S87C51FC24SF76	811081-ND	5 V, 24 MHz, 8-Bit, 32K OTP MCU	5V, 24MHz, 8-Bit, 32K OTP MCU	44-MQFP	6.76	5.33	4.03
S87C51RA1	806989-ND	5 V, 16 MHz, 8-Bit, 8K OTP MCU	5V, 16MHz, 8-Bit, 8K OTP MCU	44-MQFP	5.97	4.70	3.56
S87C51RA24	807154-ND	5 V, 24 MHz, 8-Bit, 8K OTP MCU	5V, 24MHz, 8-Bit, 8K OTP MCU	44-MQFP	5.97	4.70	3.56
S87C51RB1	807279-ND	5 V, 16 MHz, 8-Bit, 16K OTP MCU	5V, 16MHz, 8-Bit, 16K OTP MCU	44-MQFP	6.76	5.33	4.03
S87C51RB24	807314-ND	5 V, 24 MHz, 8-Bit, 16K OTP MCU	5V, 24MHz, 8-Bit, 16K OTP MCU	44-MQFP	6.76	5.33	4.03
S87C51RC1	800221-ND	5 V, 16 MHz, 8-Bit, 32K OTP MCU	5V, 16MHz, 8-Bit, 32K OTP MCU	44-MQFP	7.56	5.96	4.51
S87C51RC24	800375-ND	5 V, 24 MHz, 8-Bit, 32K OTP MCU	5V, 24MHz, 8-Bit, 32K OTP MCU	44-MQFP	7.56	5.96	4.51
TN87C511SF76	811004-ND	5 V, 16 MHz, 8-Bit, 4K OTP MCU, erweiterte Temperatur	5V, 16MHz, 8-Bit, 4K OTP MCU, Extended Temperature	44-PLCC	4.54	3.64	2.40
TN87C5124SF76	810989-ND	5 V, 24 MHz, 8-Bit, 4K OTP MCU, erweiterte Temperatur	5V, 24MHz, 8-Bit, 4K OTP MCU, Extended Temperature	44-PLCC	4.54	3.64	2.40
TN87C51FA1SF76	810774-ND	5 V, 16 MHz, 8-Bit, 8K OTP MCU, erweiterte Temperatur	5V, 16MHz, 8-Bit, 8K OTP MCU, Extended Temperature	44-PLCC	6.87	5.50	3.63
TN87C51FA24SF76	810975-ND	5 V, 24 MHz, 8-Bit, 8K OTP MCU, erweiterte Temperatur	5V, 24MHz, 8-Bit, 8K OTP MCU, Extended Temperature	44-PLCC	6.87	5.50	3.63
TN87C51FB1SF76	812042-ND	5 V, 16 MHz, 8-Bit, 16K OTP MCU, erweiterte Temperatur	5V, 16MHz, 8-Bit, 16K OTP MCU, Extended Temperature	44-PLCC	6.26	4.94	3.74
TN87C51FB24SF76	812495-ND	5 V, 24 MHz, 8-Bit, 16K OTP MCU, erweiterte Temperatur	5V, 24MHz, 8-Bit, 16K OTP MCU, Extended Temperature	44-PLCC	6.26	4.94	3.74
TN87C51FC1SF76	812059-ND	5 V, 16 MHz, 8-Bit, 32K OTP MCU, erweiterte Temperatur	5V, 16MHz, 8-Bit, 32K OTP MCU, Extended Temperature	44-PLCC	7.06	5.56	4.21
TN87C51FC24SF76	811071-ND	5 V, 24 MHz, 8-Bit, 32K OTP MCU, erweiterte Temperatur	5V, 24MHz, 8-Bit, 32K OTP MCU, Extended Temperature	44-PLCC	7.06	5.56	4.21
TN87C51RA1	807001-ND	5 V, 16 MHz, 8-Bit, 8K OTP MCU, erweiterte Temperatur	5V, 16MHz, 8-Bit, 8K OTP MCU, Extended Temperature	44-PLCC	6.26	4.94	3.74
TN87C51RB24	807318-ND	5 V, 24 MHz, 8-Bit, 16K OTP MCU, erweiterte Temperatur	5V, 24MHz, 8-Bit, 16K OTP MCU, Extended Temperature	44-PLCC	7.06	5.56	4.21
TN87C51RC24	800391-ND	5 V, 24 MHz, 8-Bit, 32K OTP MCU, erweiterte Temperatur	5V, 24MHz, 8-Bit, 32K OTP MCU, Extended Temperature	44-PLCC	7.86	6.19	4.69
TP87C511SF76	811000-ND	5 V, 16 MHz, 8-Bit, 4K OTP MCU, erweiterte Temperatur	5V, 16MHz, 8-Bit, 4K OTP MCU, Extended Temperature	40-Dip	4.54	3.64	2.40
TP87C51FA1SF76	810986-ND	5 V, 16 MHz, 8-Bit, 8K OTP MCU, erweiterte Temperatur	5V, 16MHz, 8-Bit, 8K OTP MCU, Extended Temperature	40-Dip	6.87	5.50	3.63
TP87C51FA24SF76	810990-ND	5 V, 24 MHz, 8-Bit, 8K OTP MCU, erweiterte Temperatur	5V, 24MHz, 8-Bit, 8K OTP MCU, Extended Temperature	40-Dip	6.87	5.50	3.63
TP87C51FB1SF76	811023-ND	5 V, 16 MHz, 8-Bit, 16K OTP MCU, erweiterte Temperatur	5V, 16MHz, 8-Bit, 16K OTP MCU, Extended Temperature	40-Dip	6.26	4.94	3.74
TP87C51FB24SF76	811015-ND	5 V, 24 MHz, 8-Bit, 16K OTP MCU, erweiterte Temperatur	5V, 24MHz, 8-Bit, 16K OTP MCU, Extended Temperature	40-Dip	6.26	4.94	3.74
TP87C51FC1SF76	814033-ND	5 V, 16 MHz, 8-Bit, 32K OTP MCU, erweiterte Temperatur	5V, 16MHz, 8-Bit, 32K OTP MCU, Extended Temperature	40-Dip	7.06	5.56	4.21
TP87C51RB24	807320-ND	5 V, 24 MHz, 8-Bit, 16K OTP MCU, erweiterte Temperatur	5V, 24MHz, 8-Bit, 16K OTP MCU, Extended Temperature	40-Dip	7.06	5.56	4.21
TP87C51RC24	800408-ND	5 V, 24 MHz, 8-Bit, 32K OTP MCU, erweiterte Temperatur	5V, 24MHz, 8-Bit, 32K OTP MCU, Extended Temperature	40-Dip	7.86	6.19	4.69
TS87C51FA24SF76	810982-ND	5 V, 24 MHz, 8-Bit, 8K OTP MCU, erweiterte Temperatur	5V, 24MHz, 8-Bit, 8K OTP MCU, Extended Temperature	44-MQFP	6.87	5.50	3.63
TS87C51FB1SF76	812058-ND	5 V, 16 MHz, 8-Bit, 16K OTP MCU, erweiterte Temperatur	5V, 16MHz, 8-Bit, 16K OTP MCU, Extended Temperature	44-MQFP	6.26	4.94	3.74
TS87C51RA1	807033-ND	5 V, 16 MHz, 8-Bit, 8K OTP MCU, erweiterte Temperatur	5V, 16MHz, 8-Bit, 8K OTP MCU, Extended Temperature	44-MQFP	6.26	4.94	3.74
TS87C51RA24	807166-ND	5 V, 24 MHz, 8-Bit, 8K OTP MCU, erweiterte Temperatur	5V, 24MHz, 8-Bit, 8K OTP MCU, Extended Temperature	44-MQFP	6.26	4.94	3.74
TS87C51RB1	807285-ND	5 V, 16 MHz, 8-Bit, 16K OTP MCU, erweiterte Temperatur	5V, 16MHz, 8-Bit, 16K OTP MCU, Extended Temperature	44-MQFP	7.06	5.56	4.21
TS87C51RB24	807322-ND	5 V, 24 MHz, 8-Bit, 16K OTP MCU, erweiterte Temperatur	5V, 24MHz, 8-Bit, 16K OTP MCU, Extended Temperature	44-MQFP	7.06	5.56	4.21
TS87C51RC24	800417-ND	5 V, 24 MHz, 8-Bit, 32K OTP MCU, erweiterte Temperatur	5V, 24MHz, 8-Bit, 32K OTP MCU, Extended Temperature	44-MQFP	7.86	6.19	4.69
N87C521SF76	810755-ND	5 V, 16 MHz, 8-Bit, 8K OTP EPROM	5V, 16MHz, 8-Bit, 8K OTP EPROM	44-PLCC	4.89	3.92	2.58
N87C5224SF76	810752-ND	5 V, 24 MHz, 8-Bit, 8K OTP MCU	5V, 24MHz, 8-Bit, 8K OTP MCU	44-PLCC	4.89	3.92	2.58
N87C5233SF76	810763-ND	5 V, 33 MHz, 8-Bit, 8K OTP MCU	5V, 33MHz, 8-Bit, 8K OTP MCU	44-PLCC	5.38	4.31	2.84
P87C521SF76	810765-ND	5 V, 16 MHz, 8-Bit, 8K OTP EPROM	5V, 16MHz, 8-Bit, 8K OTP EPROM	40-Dip	4.89	3.92	2.58
P87C5224SF76	810767-ND	5 V, 24 MHz, 8-Bit, 8K OTP MCU	5V, 24MHz, 8-Bit, 8K OTP MCU	40-Dip	4.89	3.92	2.58
P87C5233SF76	810768-ND	5 V, 33 MHz, 8-Bit, 8K OTP MCU	5V, 33MHz, 8-Bit, 8K OTP MCU	40-Dip	5.38	4.31	2.84
S87C521SF76	810770-ND	5 V, 16 MHz, 8-Bit, 8K OTP MCU	5V, 16MHz, 8-Bit, 8K OTP MCU	44-MQFP	4.89	3.92	2.58
TN87C521SF76	810688-ND	5 V, 16 MHz, 8-Bit, 8K OTP MCU, erweiterte Temperatur	5V, 16MHz, 8-Bit, 8K OTP MCU, Extended Temperature	44-PLCC	5.24	4.20	2.77
TN87C5224SF76	819853-ND	5 V, 24 MHz, 8-Bit, 8K OTP MCU, erweiterte Temperatur	5V, 24MHz, 8-Bit, 8K OTP MCU, Extended Temperature	44-PLCC	5.24	4.20	2.77
AN87C54F8	821116-ND	5 V, 16 MHz, 8-Bit, 16K OTP MCU, Automobil	5V, 16MHz, 8-Bit, 16K OTP MCU, Automotive	44-PLCC	12.29	9.68	7.33
D87C541SF76	810730-ND	5 V, 16 MHz, 8-Bit, 16K UV EPROM	5V, 16MHz, 8-Bit, 16K UV EPROM	40-CDip	22.22	17.57	14.29
D87C5433SF76	810732-ND	5 V, 33 MHz, 8-Bit, 16K UV EPROM	5V, 33MHz, 8-Bit, 16K UV EPROM	40-CDip	24.45	19.33	15.72
N87C541SF76	810719-ND	5 V, 16 MHz, 8-Bit, 16K OTP MCU	5V, 16MHz, 8-Bit, 16K OTP MCU	44-PLCC	6.52	5.22	3.44
N87C5424SF76	810720-ND	5 V, 24 MHz, 8-Bit, 16K OTP MCU	5V, 24MHz, 8-Bit, 16K OTP MCU	44-PLCC	6.52	5.22	3.44
N87C5433SF76	810721-ND	5 V, 33 MHz, 8-Bit, 16K OTP MCU	5V, 33MHz, 8-Bit, 16K OTP MCU	44-PLCC	6.13	4.83	3.66
S87C541SF76	810369-ND	5 V, 16 MHz, 8-Bit, 16K OTP MCU	5V, 16MHz, 8-Bit, 16K OTP MCU	44-MQFP	6.52	5.22	3.44
S87C5424SF76	810712-ND	5 V, 24 MHz, 8-Bit, 16K OTP MCU	5V, 24MHz, 8-Bit, 16K OTP MCU	44-MQFP	6.52	5.22	3.44
TD87C541SF76	823347-ND	5 V, 16 MHz, 8-Bit, 16K UV EPROM MCU, erweiterte Temp.	5V, 16MHz, 8-Bit, 16K UV EPROM MCU, Extended Temp.	40-CDip	22.49	17.78	14.46
N87C581SF76	810724-ND	5 V, 16 MHz, 8-Bit, 32K OTP MCU	5V, 16MHz, 8-Bit, 32K OTP MCU	44-PLCC	5.17	4.08	3.09
N87C5833SF76	810725-ND	5 V, 33 MHz, 8-Bit, 32K OTP MCU	5V, 33MHz, 8-Bit, 32K OTP MCU	44-PLCC	5.69	4.48	3.39
P87C581SF76	823402-ND	5 V, 16 MHz, 8-Bit, 32K OTP MCU	5V, 16MHz, 8-Bit, 32K OTP MCU	40-Dip	5.17	4.08	3.09
P87C5820SF76	810728-ND	5 V, 20 MHz, 8-Bit, 32K OTP MCU	5V, 20MHz, 8-Bit, 32K OTP MCU	40-Dip	5.17	4.08	3.09
P87C5833SF76	810729-ND	5 V, 33 MHz, 8-Bit, 32K OTP MCU	5V, 33MHz, 8-Bit, 32K OTP MCU	40-Dip	5.69	4.48	3.39
S87C581SF76	810734-ND	5 V, 16 MHz, 8-Bit, 32K OTP MCU	5V, 16MHz, 8-Bit, 32K OTP MCU	44-MQFP	5.17	4.08	3.09

Intel Teilenr.	Digi-Key Teilenr.	Beschreibung		Paket	Stückpreis ★ 1	10	100
N80C196KB16	804072-ND	5 V, 16 MHz, 16-Bit MPU	5V, 16MHz, 16-Bit MPU	68-PLCC	9.19	7.36	4.85
N80C196KC20	804097-ND	5 V, 20 MHz, 16-Bit MPU	5V, 20MHz, 16-Bit MPU	68-PLCC	12.14	9.56	7.23
N80C196MC	804195-ND	5 V, 16 MHz, 16-Bit Industriemotorensteuerungs-MPU	5V, 16MHz, 16-Bit Industrial Motor Control MPU	84-PLCC	13.93	10.97	8.30
N80C196MD	804212-ND	5 V, 16 MHz, 16-Bit Industriemotorensteuerungs-MPU	5V, 16MHz, 16-Bit Industrial Motor Control MPU	84-PLCC	14.53	11.44	8.66
N80C196MH	804221-ND	5 V, 16 MHz, 16-Bit Industriemotorensteuerungs-MPU	5V, 16MHz, 16-Bit Industrial Motor Control MPU	84-PLCC	16.31	12.85	9.72
N80C196NT	804261-ND	5 V, 20 MHz, 16-Bit Vorfallsprozessor-Array-MPU	5V, 20MHz, 16-Bit Event Processor Array MPU	68-PLCC	17.51	13.79	10.44
S80C196EA	816572-ND	5 V, 40 MHz, 16-Bit Vorfallsprozessor-Array-MPU	5V, 40MHz, 16-Bit Event Processor Array MPU	160-QFP	16.00	12.65	10.29
S80C196KB16	804079-ND	5 V, 16 MHz, 16-Bit HS E/A-MPU	5V, 16MHz, 16-Bit HS I/O MPU	80-QFP	9.19	—	—
S80C196KC20	804117-ND	5 V, 20 MHz, 16-Bit HS E/A-MPU	5V, 20MHz, 16-Bit HS I/O MPU	80-MQFP	12.14	9.56	7.23
S80C196MC	804203-ND	5 V, 16 MHz, 16-Bit Industriemotorensteuerungs-MPU	5V, 16MHz, 16-Bit Industrial Motor Control MPU	80-MQFP	13.93	10.97	8.30
S80C196MH	804227-ND	5 V, 16 MHz, 16-Bit Industriemotorensteuerungs-MPU	5V, 16MHz, 16-Bit Industrial Motor Control MPU	80-MQFP	16.31	12.85	9.72
S80C196NP25	804249-ND	5 V, 25 MHz, 16-Bit Vorfallsprozessor-Array-MPU	5V, 25MHz, 16-Bit Event Processor Array MPU	100-QFP	14.93	11.75	8.89
S80C196NU40	804302-ND	5 V, 40 MHz, 16-Bit Vorfallsprozessor-Array-MPU	5V, 40MHz, 16-Bit Event Processor Array MPU	100-QFP	15.92	12.53	9.49
S80C196NU50	804314-ND	5 V, 50 MHz, 16-Bit Vorfallsprozessor-Array-MPU	5V, 50MHz, 16-Bit Event Processor Array MPU	100-QFP	17.51	13.79	10.44
SB80C196KC20	811735-ND	5 V, 20 MHz, 16-Bit HS E/A-MPU	5V, 20MHz, 16-Bit HS I/O MPU	80-SQFP	12.14	9.56	7.23
SB80C196NP	804243-ND	5 V, 25 MHz, 16-Bit Vorfallsprozessor-Array-MPU	5V, 25MHz, 16-Bit Event Processor Array MPU	100-SQFP	14.93	11.75	8.89
SB80C196NP25	804256-ND	5 V, 25 MHz, 16-Bit Vorfallsprozessor-Array-MPU	5V, 25MHz, 16-Bit Event Processor Array MPU	100-SQFP	14.93	11.75	8.89
SB80C196NU40	804308-ND	5 V, 40 MHz, 16-Bit Vorfallsprozessor-Array-MPU	5V, 40MHz, 16-Bit Event Processor Array MPU	100-SQFP	15.92	12.53	9.49
SB80C196NU50	804321-ND	5 V, 50 MHz, 16-Bit Vorfallsprozessor-Array-MPU	5V, 50MHz, 16-Bit Event Processor Array MPU	100-SQFP	15.65	12.37	10.06
TN80C196KB16	808448-ND	5 V, 16 MHz, 16-Bit MPU, erweiterte Temperatur	5V, 16MHz, 16-Bit MPU, Extended Temperature	68-PLCC	9.55	7.64	5.04
TN80C196KC20	804155-ND	5 V, 20 MHz, 16-Bit HS E/A-MPU, erweiterte Temperatur	5V, 20MHz, 16-Bit High Speed I/O MPU, Extended Temperature	68-PLCC	12.44	9.79	7.41
TN80C196NT	804267-ND	5 V, 20 MHz, 16-Bit Vorfallsprozessor-Array-MPU erweiterte Temp.	5V, 20MHz, 16-Bit Event Processor Array MPU, Extended Temp.	68-PLCC	15.92	—	—
AN87C196CAF8	820748-ND	5 V, 16 MHz, 16-Bit, 32K OTP MCU, Automobil	5V, 16MHz, 16-Bit, 32K OTP MCU, Automotive	68-PLCC	33.55	26.52	21.57
AN87C196JRF8	821035-ND	5 V, 16 MHz, 16-Bit, 16K OTP MCU, Automobil	5V, 16MHz, 16-Bit, 16K OTP MCU, Automotive	52-PLCC	16.92	13.32	10.08
AN87C196JTWB20	828470-ND	5 V, 20 MHz, 16-Bit, 32K OTP MCU, Automobil	5V, 20MHz, 16-Bit, 32K OTP MCU, Automotive	52-PLCC	17.91	14.10	10.67
AN87C196JV20F8	821068-ND	5 V, 20 MHz, 16-Bit, 48K OTP MCU, Automobil	5V, 20MHz, 16-Bit, 48K OTP MCU, Automotive	52-PLCC	21.33	16.87	13.72
AN87C196KC16F8	820746-ND	5 V, 16 MHz, 16-Bit, 16K OTP MCU, Automobil	5V, 16MHz, 16-Bit, 16K OTP MCU, Automotive	68-PLCC	16.00	12.65	10.29
AN87C196KDF8	820752-ND	5 V, 16 MHz, 16-Bit, 32K OTP MCU, Automobil	5V, 16MHz, 16-Bit, 32K OTP MCU, Automotive	68-PLCC	21.33	—	—
AN87C196KRF8	820754-ND	5 V, 16 MHz, 16-Bit, 32K OTP MCU, Automobil	5V, 16MHz, 16-Bit, 32K OTP MCU, Automotive	68-PLCC	25.00	19.76	16.07

(Forts.)

★ RUFEN SIE BITTE AN FÜR NIEDRIGERE PREISE BEI GRÖSSEREN MENGEN! ★

MCS® 96 MIKROCONTROLLER *(Forts.)*

Intel Teilenr.	Digi-Key Teilenr.	Beschreibung		Paket	Stückpreis ★ 1	10	100
AN87C196KTF8	820756-ND	5 V, 16 MHz, 16-Bit, 16K OTP MCU, Automobil	5V, 16MHz, 16-Bit, 16K OTP MCU, Automotive	68-PLCC	37.82	29.90	24.31
AN87C196LA20F8	821030-ND	5 V, 20 MHz, 16-Bit, 24K OTP MCU, Automobil	5V, 20MHz, 16-Bit, 24K OTP MCU, Automotive	52-PLCC	28.46	22.50	18.30
AS87C196CB20F8	821067-ND	5 V, 20 MHz, 16-Bit, 56K OTP MCU, Automobil	5V, 20MHz, 16-Bit, 56K OTP MCU, Automotive	100-QFP	33.42	26.43	21.49
N87C196KB16	802532-ND	5 V, 16 MHz, 16-Bit, 8K OTP MCU	5V, 16MHz, 16-Bit, 8K OTP MCU	68-PLCC	16.02	12.61	9.55
N87C196KC20	802695-ND	5 V, 20 MHz, 16-Bit, 16K OTP MCU	5V, 20MHz, 16-Bit, 16K OTP MCU	68-PLCC	19.65	15.53	12.63
N87C196KD	802848-ND	5 V, 16 MHz, 16-Bit, 32K OTP MCU	5V, 16MHz, 16-Bit, 32K OTP MCU	68-PLCC	21.43	16.94	13.78
N87C196KD20	802914-ND	5 V, 20 MHz, 16-Bit, 32K OTP MCU	5V, 20MHz, 16-Bit, 32K OTP MCU	68-PLCC	21.43	16.94	13.78
N87C196MC	803344-ND	5 V, 16 MHz, 16-Bit, 16K OTP Industriemotorensteuerungs-MCU	5V, 16MHz, 16-Bit, 16K OTP Industrial Motor Control MCU	84-PLCC	15.11	11.95	9.72
N87C196MD	803624-ND	5 V, 16 MHz, 16-Bit, 16K OTP MCU	5V, 16MHz, 16-Bit, 16K OTP MCU	84-PLCC	15.65	12.37	10.06
N87C196MH	803661-ND	5 V, 16 MHz, 16-Bit, 32K OTP MCU	5V, 16MHz, 16-Bit, 32K OTP MCU	84-PLCC	16.89	13.36	10.86
N87C196NT	803728-ND	5 V, 20 MHz, 16-Bit, 32K OTP MCU	5V, 20MHz, 16-Bit, 32K OTP MCU	68-PLCC	23.11	18.27	14.86
S87C196KB16	802539-ND	5 V, 16 MHz, 16-Bit, 8K OTP MCU	5V, 16MHz, 16-Bit, 8K OTP MCU	80-QFP	16.02	12.61	9.55
S87C196KC20	802755-ND	5 V, 20 MHz, 16-Bit, 16K OTP MCU	5V, 20MHz, 16-Bit, 16K OTP MCU	80-MQFP	19.65	15.53	12.63
S87C196KD	802861-ND	5 V, 16 MHz, 16-Bit, 32K OTP MCU	5V, 16MHz, 16-Bit, 32K OTP MCU	80-MQFP	21.43	16.94	13.78
S87C196MC	803364-ND	5 V, 16 MHz, 16-Bit, 16K OTP MCU	5V, 16MHz, 16-Bit, 16K OTP MCU	80-MQFP	15.11	11.95	9.72
S87C196MD	803636-ND	5 V, 16 MHz, 16-Bit, 16K OTP MCU	5V, 16MHz, 16-Bit, 16K OTP MCU	80-MQFP	15.65	12.37	10.06
S87C196MH	803677-ND	5 V, 16 MHz, 16-Bit, 32K OTP Industriemotorensteuerungs-MCU	5V, 16MHz, 16-Bit, 32K OTP Industrial Motor Control MCU	80-QFP	16.89	13.36	10.86
SB87C196KC20	802774-ND	5 V, 20 MHz, 16-Bit, 16K OTP MCU	5V, 20MHz, 16-Bit, 16K OTP MCU	80-SQFP	19.65	15.53	12.63
SB87C196KD20	802938-ND	5 V, 20 MHz, 16-Bit, 32K OTP MCU	5V, 20MHz, 16-Bit, 32K OTP MCU	80-SQFP	21.43	16.94	13.78
TN87C196CA	817074-ND	5 V, 16 MHz, 16-Bit, 32K OTP MCU, erweiterte Temp.	5V, 16MHz, 16-Bit, 32K OTP MCU, Extended Temp.	68-PLCC	15.11	11.95	9.72
TN87C196CB	817075-ND	5 V, 16 MHz, 16-Bit, 56K OTP MCU, erweiterte Temp.	5V, 16MHz, 16-Bit, 56K OTP MCU, Extended Temp.	84-PLCC	16.89	13.36	10.86
TN87C196KB16	802547-ND	5 V, 16 MHz, 16-Bit, 8K OTP MCU, erweiterte Temp.	5V, 16MHz, 16-Bit, 8K OTP MCU, Extended Temp.	68-PLCC	16.31	12.85	9.72
TN87C196KC20	802788-ND	5 V, 20 MHz, 16-Bit, 16K OTP MCU, erweiterte Temp.	5V, 20MHz, 16-Bit, 16K OTP MCU, Extended Temp.	68-PLCC	19.91	15.74	12.81
TN87C196NT	803734-ND	5 V, 20 MHz, 16-Bit, 32K OTP MCU, erweiterte Temp.	5V, 20MHz, 16-Bit, 32K OTP MCU, Extended Temp.	68-PLCC	23.38	18.48	15.03
U87C196MC	803558-ND	5 V, 16 MHz, 16-Bit, 16K OTP MCU	5V, 16MHz, 16-Bit, 16K OTP MCU	64-SDip	16.00	12.65	10.29

MCS® 251 MIKROPROZESSOREN

Intel Teilenr.	Digi-Key Teilenr.	Beschreibung		Paket	Stückpreis ★ 1	10	100
N80C251SB16SF87	804421-ND	5 V, 16 MHz, 8-Bit MPU, 1K Register RAM	5V, 16MHz, 8-Bit MPU, 1K Register RAM	44-PLCC	7.92	6.34	4.18
N80C251SQ16	804459-ND	5 V, 16 MHz, 8-Bit MPU, 512 Byte Register RAM	5V, 16MHz, 8-Bit MPU, 512 Byte Register RAM	44-PLCC	7.45	5.96	3.93
N80C251TB24	816721-ND	5 V, 24 MHz, 8-Bit MPU, 1K Register RAM	5V, 24MHz, 8-Bit MPU, 1K Register RAM	44-PLCC	6.98	5.59	3.69
N80C251TQ24	816722-ND	5 V, 24 MHz, 8-Bit MPU, 512K Register RAM	5V, 24MHz, 8-Bit MPU, 512K Register RAM	44-PLCC	6.52	5.22	3.44
P80C251SB16	804434-ND	5 V, 16 MHz, 8-Bit MPU, 1K Register RAM	5V, 16MHz, 8-Bit MPU, 1K Register RAM	40-Dip	7.92	6.34	4.18
P80C251SQ16	804477-ND	5 V, 16 MHz, 8-Bit MPU, 512 Byte Register RAM	5V, 16MHz, 8-Bit MPU, 512 Byte Register RAM	40-Dip	7.45	5.96	3.93
P80C251TB24	816703-ND	5 V, 24 MHz, 8-Bit MPU, 1K Register RAM	5V, 24MHz, 8-Bit MPU, 1K Register RAM	40-Dip	6.98	5.59	3.69
P80C251TQ24	816704-ND	5 V, 24 MHz, 8-Bit MPU, 512K Register RAM	5V, 24MHz, 8-Bit MPU, 512K Register RAM	40-Dip	6.52	5.22	3.44
TN80C251SB16	804441-ND	5 V, 16 MHz, 8-Bit MPU, 1K Register RAM, erw. Temp.	5V, 16MHz, 8-Bit MPU, 1K Register RAM, Ext. Temp.	44-PLCC	8.26	6.62	4.36
TN80C251SQ16	804487-ND	5 V, 16 MHz, 8-Bit MPU, 512 Byte Register RAM, erw. Temp.	5V, 16MHz, 8-Bit MPU, 512 Byte Register RAM, Ext. Temp.	44-PLCC	7.80	6.24	4.12
TN80C251TB24	816729-ND	5 V, 24 MHz, 8-Bit MPU, 1K Register RAM, erw. Temp.	5V, 24MHz, 8-Bit MPU, 1K Register RAM, Ext. Temp.	44-PLCC	—	5.87	—
TN80C251TQ24	816720-ND	5 V, 24 MHz, 8-Bit MPU, 512K Register RAM, erw. Temp.	5V, 24MHz, 8-Bit MPU, 512K Register RAM, Ext. Temp.	44-PLCC	6.87	5.50	3.63
TP80C251SB16	804453-ND	5 V, 16 MHz, 8-Bit MPU, 1K Register RAM, erweiterte Temp.	5V, 16MHz, 8-Bit MPU,1K Register RAM, Extended Temp.	40-Dip	8.26	6.62	4.36
TP80C251SQ16	804495-ND	5 V, 16 MHz, 8-Bit MPU, 512 Byte Register RAM, erweiterte Temp.	5V, 16MHz, 8-Bit MPU, 512 Byte Register RAM, Extended Temp.	40-Dip	7.80	6.24	4.12
TP80C251TB24	816714-ND	5 V, 24 MHz, 8-Bit MPU, 1K Register RAM, erweiterte Temp.	5V, 24MHz, 8-Bit MPU, 1K Register RAM, Extended Temp.	40-Dip	7.33	5.87	3.87
TP80C251TQ24	816718-ND	5 V, 24 MHz, 8-Bit MPU, 512K Register RAM, erw. Temp.	5V, 24MHz, 8-Bit MPU, 512K Register RAM, Ext. Temp.	40-Dip	6.87	5.50	3.63
N87C251SA16	803771-ND	5 V, 16 MHz, 8-Bit, 8K OTP MCU	5V, 16MHz, 8-Bit, 8K OTP MCU	44-PLCC	6.97	5.49	4.15
N87C251SB16SF87	803916-ND	5 V, 16 MHz, 8-Bit, 16K OTP MCU	5V, 16MHz, 8-Bit, 16K OTP MCU	44-PLCC	7.76	6.11	4.63
N87C251SP16	803998-ND	5 V, 16 MHz, 8-Bit, 8K OTP MCU	5V, 16MHz, 8-Bit, 8K OTP MCU	44-PLCC	6.82	5.38	4.07
N87C251SQ16	804054-ND	5 V, 16 MHz, 8-Bit, 16K OTP MCU	5V, 16MHz, 8-Bit, 16K OTP MCU	44-PLCC	7.38	5.82	4.40
P87C251SA16	803788-ND	5 V, 16 MHz, 8-Bit, 8K OTP MCU	5V, 16MHz, 8-Bit, 8K OTP MCU	40-Dip	6.97	5.49	4.15
P87C251SB16	803923-ND	5 V, 16 MHz, 8-Bit, 16K OTP MCU	5V, 16MHz, 8-Bit, 16K OTP MCU	40-Dip	7.76	6.11	4.63
P87C251SP16	804007-ND	5 V, 16 MHz, 8-Bit, 8K OTP MCU	5V, 16MHz, 8-Bit, 8K OTP MCU	40-Dip	6.82	5.38	4.07
P87C251SQ16	804066-ND	5 V, 16 MHz, 8-Bit, 16K OTP MCU	5V, 16MHz, 8-Bit, 16K OTP MCU	40-Dip	7.38	5.82	4.40
TN87C251SA16	803800-ND	5 V, 16 MHz, 8-Bit, 8K OTP MCU, erweiterte Temp.	5V, 16MHz, 8-Bit, 8K OTP MCU, Extended Temp.	44-PLCC	7.26	5.72	4.33
TN87C251SB16	803953-ND	5 V, 16 MHz, 8-Bit, 16K OTP MCU, erweiterte Temp.	5V, 16MHz, 8-Bit, 16K OTP MCU, Extended Temp.	44-PLCC	8.06	6.35	4.81
TN87C251SP16	804021-ND	5 V, 16 MHz, 8-Bit, 8K OTP MCU, erweiterte Temp.	5V, 16MHz, 8-Bit, 8K OTP MCU, Extended Temp.	44-PLCC	7.12	5.61	4.25
TN87C251SQ16	804087-ND	5 V, 16 MHz, 8-Bit, 16K OTP MCU, erweiterte Temp.	5V, 16MHz, 8-Bit, 16K OTP MCU, Extended Temp.	44-PLCC	7.68	6.05	4.58
TP87C251SA16	803809-ND	5 V, 16 MHz, 8-Bit, 8K OTP MCU, erweiterte Temp.	5V, 16MHz, 8-Bit, 8K OTP MCU, Extended Temp.	40-Dip	7.26	5.72	4.33
TP87C251SB16	803973-ND	5 V, 16 MHz, 8-Bit, 16K OTP MCU, erweiterte Temp.	5V, 16MHz, 8-Bit, 16K OTP MCU, Extended Temp.	40-Dip	8.06	6.35	4.81
TP87C251SP16	804036-ND	5 V, 16 MHz, 8-Bit, 8K OTP MCU, erweiterte Temp.	5V, 16MHz, 8-Bit, 8K OTP MCU, Extended Temp.	40-Dip	7.12	5.61	4.25
TP87C251SQ16	804103-ND	5 V, 16 MHz, 8-Bit, 16K OTP MCU, erweiterte Temp.	5V, 16MHz, 8-Bit, 16KOTP MCU, Extended Temp.	40-Dip	7.68	6.05	4.58

MCS® 296 MIKROPROZESSOREN

Intel Teilenr.	Digi-Key Teilenr.	Beschreibung		Paket	Stückpreis ★ 1	10	100
S80296SA40	806832-ND	5 V, 40 MHz, 16-Bit MPU	5V, 40MHz, 16-Bit MPU	100-QFP	18.67	14.76	12.01
S80296SA50	806844-ND	5 V, 50 MHz, 16-Bit MPU	5V, 50MHz, 16-Bit MPU	100-QFP	20.54	16.24	13.21

i960 MIKROPROZESSOREN

Intel Teilenr.	Digi-Key Teilenr.	Beschreibung		Paket	Stückpreis ★ 1	10	100
A80960CA16	802846-ND	16 MHz, i960CA, 32-Bit MPU mit DMA, 1K Cache	16MHz, i960CA, 32-Bit MPU with DMA, 1K Cache	168-PGA	54.90	43.35	37.57
A80960CA25	802884-ND	25 MHz, i960CA, 32-Bit MPU mit DMA, 1K Cache	25MHz, i960CA, 32-Bit MPU with DMA, 1K Cache	168-PGA	59.23	46.76	40.53
A80960CA33	802946-ND	33 MHz, i960CA, 32-Bit MPU mit DMA, 1K Cache	33MHz, i960CA, 32-Bit MPU with DMA, 1K Cache	168-PGA	70.74	55.85	48.41
A80960CF25	803021-ND	25 MHz, i960CF, 32-Bit MPU mit DMA, 4K Cache	25MHz, i960CF, 32-Bit MPU with DMA, 4K Cache	168-PGA	73.32	57.89	50.17
A80960CF33	803084-ND	33 MHz, i960CF, 32-Bit MPU mit DMA, 4K Cache	33MHz, i960CF, 32-Bit MPU with DMA, 4K Cache	168-PGA	76.01	66.80	58.74
A80960CF40	803133-ND	40 MHz, i960CF, 32-Bit MPU mit DMA, 4K Cache	40MHz, i960CF, 32-Bit MPU with DMA, 4K Cache	168-PGA	94.37	82.94	72.93
A80960HA33SL2GY	813629-ND	33 MHz, i960HA, 32-Bit MPU, 3,3 V, 16K Cache	33MHz, i960HA, 32-Bit MPU, 3.3V, 16K Cache	168-PGA	73.71	58.19	50.43
A80960HA40SL2GZ	813628-ND	40 MHz, i960HA, 32-Bit MPU, 3,3 V, 16K Cache	40MHz, i960HA, 32-Bit MPU, 3.3V, 16K Cache	168-PGA	76.82	60.65	52.57
A80960HD50SL2GH	815231-ND	50 MHz, i960HD, 32-Bit MPU, 3,3 V, 16K Cache	50MHz, i960HD, 32-Bit MPU, 3.3V, 16K Cache	168-CPGA	72.12	63.38	55.74
A80960HD66SL2GJ	815230-ND	66 MHz, i960HD, 32-Bit MPU, 33 MHz Bus, 3,3 V	66MHz, i960HD, 32-Bit MPU, 33MHz Bus, 3.3V	168-CPGA	77.60	68.20	59.97
A80960HT75SL2GP	814114-ND	75 MHz, i960HT, 32-Bit MPU, 3,3 V, 16K Cache	75MHz, i960HT, 32-Bit MPU, 3.3V, 16K Cache	168-PGA	86.15	75.71	66.57
A80960JA3V25	819528-ND	25 MHz, i960JA, 32-Bit MPU, 3,3 V, 2K Cache	25MHz, i960JA, 32-Bit MPU, 3.3V, 2K Cache	132-PGA	40.71	32.15	27.86
A80960JA3V33	819529-ND	33 MHz, i960JA, 32-Bit MPU, 3,3 V, 2K Cache	33MHz, i960JA, 32-Bit MPU, 3.3V, 2K Cache	132-PGA	48.26	38.10	33.02
A80960JD3V33	819533-ND	33 MHz, i960JD, 32-Bit MPU, 16 MHz Bus, 3,3 V, 4K Cache	33MHz, i960JD, 32-Bit MPU, 16MHz Bus, 3.3V, 4K Cache	132-PGA	56.30	44.45	38.53
A80960JD3V50	819536-ND	50 MHz, i960JD, 32-Bit MPU, 3,3 V, 4K Cache	50MHz, i960JD, 32-Bit MPU, 3.3V, 4K Cache	132-PGA	62.80	49.58	42.97
A80960JD3V66	819538-ND	66 MHz, i960JD, 32-Bit MPU, 3,3 V, 4K Cache	66MHz, i960JD, 32-Bit MPU, 3.3V, 4K Cache	132-QFP	70.78	55.88	48.43
A80960JF3V25	819540-ND	25 MHz, i960JF, 32-Bit MPU, 3,3 V, 4K Cache	25MHz, i960JF, 32-Bit MPU, 3.3V, 4K Cache	132-PGA	56.30	44.45	38.53
A80960JF3V33	819542-ND	33 MHz, i960JF, 32-Bit MPU, 3,3 V, 4K Cache	33MHz, i960JF, 32-Bit MPU, 3.3V, 4K Cache	132-PGA	64.34	50.80	44.03
A80960KA16	803435-ND	16 MHz, i960KA, 32-Bit MPU, 512 Byte Cache	16MHz, i960KA, 32-Bit MPU, 512 Byte Cache	132-PGA	40.89	32.33	26.29
A80960KA25	803490-ND	25 MHz, i960KA, 32-Bit MPU, 512 Byte Cache	25MHz, i960KA, 32-Bit MPU, 512 Byte Cache	132-PGA	43.56	34.44	28.01
A80960KB16	803496-ND	16 MHz, i960KB, 32-Bit MPU, 512 Byte Cache	16MHz, i960KB, 32-Bit MPU, 512 Byte Cache	132-PGA	36.14	28.58	23.24
A80960KB20	803516-ND	20 MHz, i960KB, 32-Bit MPU, 512 Byte Cache	20MHz, i960KB, 32-Bit MPU, 512 Byte Cache	132-PGA	45.69	36.12	29.38
A80960KB25	803535-ND	25 MHz, i960KB, 32-Bit MPU, 512 Byte Cache	25MHz, i960KB, 32-Bit MPU, 512 Byte Cache	132-PGA	48.00	37.95	30.86
A80960MC25	816319-ND	25 MHz, i960MC, 32-Bit MPU, 512 Byte Cache	25MHz, i960MC, 32-Bit MPU, 512 Byte Cache	132-CPGA	162.59	152.82	146.70
FC80960HA25SL2GU	813626-ND	25 MHz, i960HA, 32-Bit MPU, 3,3 V, 16K Cache	25MHz, i960HA, 32-Bit MPU, 3.3V, 16K Cache	208-QFP	55.66	43.94	38.09

(Forts.)

★ RUFEN SIE BITTE AN FÜR NIEDRIGERE PREISE BEI GRÖSSEREN MENGEN! ★

Alle Preisangaben in Euro und inklusive Zollgebühren.

i960 MIKROPROZESSOREN *(Forts.)*

Intel Teilenr.	Digi-Key Teilenr.	Beschreibung		Paket	Stückpreis ★ 1	10	100
FC80960HA33SL2GV	813627-ND	33 MHz, i960HA, 32-Bit MPU, 3,3 V, 16K Cache	33MHz, i960HA, 32-Bit MPU, 3.3V, 16K Cache	208-QFP	62.36	49.24	42.67
FC80960HA40SL2GW	813625-ND	40 MHz, i960HA, 32-Bit MPU, 3,3 V, 16K Cache	40MHz, i960HA, 32-Bit MPU, 3.3V, 16K Cache	208-QFP	65.29	51.55	44.68
FC80960HD32SL2GL	815243-ND	32 MHz, i960HD, 32-Bit MPU, 3,3 V, 16K Cache	32MHz, i960HD, 32-Bit MPU, 3.3V, 16K Cache	208-QFP	66.34	52.38	45.39
FC80960HD50SL2GM	815241-ND	50 MHz, i960HD, 32-Bit MPU, 3,3 V, 16K Cache	50MHz, i960HD, 32-Bit MPU, 3.3V, 16K Cache	208-QFP	71.02	56.07	48.60
FC80960HD66SL2GN	815238-ND	66 MHz, i960HD, 32-Bit MPU, 3,3 V, 16K Cache	66MHz, i960HD, 32-Bit MPU,3.3V, 16K Cache	208-SQFP	71.84	63.14	55.52
FC80960HT75SL2GT	815234-ND	75 MHz, i960HT, 32-Bit MPU, 3,3 V, 16K Cache	75MHz, i960HT, 32-Bit MPU, 3.3V, 16K Cache	208-QFP	75.73	66.55	58.52
FW80960VH100	820682-ND	100 MHz, i960VH, 32-Bit MPU, 3,3 V, 16K Cache	100MHz, i960VH, 32-Bit MPU, 3.3V, 16K Cache	324-BGA	63.86	50.42	43.70
GD80960JA25	820061-ND	25 MHz, i960JA, 32-Bit MPU, 3,3 V, 2K Cache	25MHz, i960JA, 32-Bit MPU, 3.3V, 2K Cache	196-BGA	24.05	19.02	15.47
GD80960JA33	820063-ND	33 MHz, i960JA, 32-Bit MPU, 3,3 V, 2K Cache	33MHz, i960JA, 32-Bit MPU, 3.3V, 2K Cache	196-BGA	30.03	23.74	19.31
GD80960JF33	819771-ND	33 MHz, i960JF, 32-Bit MPU, 3,3 V, 4K Cache	33MHz, i960JF, 32-Bit MPU, 3.3V, 4K Cache	196-BGA	37.89	29.95	24.36
KU80960CA16	802858-ND	16 MHz, i960CA, 32-Bit MPU mit DMA, 1K Cache	16MHz, i960CA, 32-Bit MPU with DMA, 1K Cache	196-QFP	60.69	47.98	39.02
KU80960CF25	803044-ND	25 MHz, i960CF, 32-Bit MPU mit DMA, 4K Cache	25MHz, i960CF, 32-Bit MPU with DMA, 4K Cache	196-QFP	59.92	47.31	41.00
KU80960CF33	803114-ND	33 MHz, i960CF, 32-Bit MPU mit DMA, 4K Cache	33MHz, i960CF, 32-Bit MPU with DMA, 4K Cache	196-QFP	72.27	57.06	49.45
N80960SA10	803819-ND	10 MHz, i960SA, 32-Bit MPU, 512 Byte Cache	10MHz, i960SA, 32-Bit MPU, 512 Byte Cache	84-PLCC	16.92	13.32	10.08
N80960SA16	803825-ND	16 MHz, i960SA, 32-Bit MPU, 512 Byte Cache	16MHz, i960SA, 32-Bit MPU, 512 Byte Cache	84-PLCC	17.91	14.16	11.51
N80960SA20	803859-ND	20 MHz, i960SA, 32-Bit MPU, 5 V	20MHz, i960SA, 32-Bit MPU, 5V	84-PLCC	19.25	15.22	12.38
N80960SA20SW227	803859TR-ND	20 MHz, i960SA, 32-Bit MPU, 512 Byte Cache	20MHz, i960SA, 32-Bit MPU, 512 Byte Cache	84-PLCC		2979.82/250	
N80960SB10	803870-ND	10 MHz, i960SB, 32-Bit MPU, 512 Byte Cache	10MHz, i960SB, 32-Bit MPU, 512 Byte Cache	84-PLCC	15.87	12.50	9.46
N80960SB16	803883-ND	16 MHz, i960SB, 32-Bit MPU, 512 Byte Cache	16MHz, i960SB, 32-Bit MPU, 512 Byte Cache	84-PLCC	17.58	13.85	10.48
NG80960JA3V16819544	819544-ND	16 MHz, i960JA, 32-Bit MPU, 2K Cache, 3,3 V	16MHz, i960JA, 32-Bit MPU, 2K Cache, 3.3V	132-QFP	19.85	15.64	11.83
NG80960JA3V25	819545-ND	25 MHz, i960JA, 32-Bit MPU, 3,3 V, 2K Cache	25MHz, i960JA, 32-Bit MPU, 3.3V, 2K Cache	132-QFP	24.05	19.02	15.47
NG80960JA3V33	819546-ND	33 MHz, i960JA, 32-Bit MPU, 3,3 V, 2K Cache	33MHz, i960JA, 32-Bit MPU, 3.3V, 2K Cache	132-QFP	30.03	23.74	19.31
NG80960JC33	820340-ND	33 MHz, i960JC, 32-Bit MPU, 16 MHz Bus, 16K Cache	33MHz, i960JC, 32-Bit MPU, 16MHz Bus, 16K Cache	132-PQFP	46.76	36.97	30.06
NG80960JC66	820343-ND	66 MHz, i960JC, 32-Bit MPU, 33 MHz Bus, 16K Cache	66MHz, i960JC, 32-Bit MPU, 33MHz Bus, 16K Cache	132-PQFP	27.35	21.59	18.71
NG80960JC50	820342-ND	50 MHz, i960JC, 32-Bit MPU, 3,3 V, 16K Cache	50MHz, i960JC, 32-Bit MPU, 3.3V, 16K Cache	132-QFP	25.74	20.32	17.61
NG80960JD3V40	819550-ND	40 MHz, i960JD, 32-Bit MPU, 3,3 V, 4K Cache	40MHz, i960JD, 32-Bit MPU, 3.3V, 4K Cache	132-QFP	41.20	32.53	28.19
NG80960JD3V50	819551-ND	50 MHz, i960JD, 32-Bit MPU, 3,3 V, 4K Cache	50MHz, i960JD, 32-Bit MPU, 3.3V, 4K Cache	132-PGA	45.65	36.04	31.24
NG80960JD3V66	819553-ND	66 MHz, i960JD, 32-Bit MPU, 3,3 V, 4K Cache	66MHz, i960JD, 32-Bit MPU, 3.3V, 4K Cache	132-QFP	50.59	39.94	34.62
NG80960JF3V25	819556-ND	25 MHz, i960JF, 32-Bit MPU, 3,3 V, 4K Cache	25MHz, i960JF, 32-Bit MPU, 3.3V, 4K Cache	132-QFP	31.68	25.05	20.37
NG80960JF3V33	819557-ND	33 MHz, i960JF, 32-Bit MPU, 3,3 V, 4K Cache	33MHz, i960JF, 32-Bit MPU, 3.3V, 4K Cache	132-QFP	37.89	29.95	24.36
NG80960JS25	820348-ND	25 MHz, i960JS, 32-Bit MPU, 3,3 V, 16K Cache	25MHz, i960JS, 32-Bit MPU, 3.3V, 16K Cache	132-QFP	20.45	16.17	13.15
NG80960JS33	820349-ND	33 MHz, i960JS, 32-Bit MPU, 3,3 V, 16K Cache	33MHz, i960JS, 32-Bit MPU, 3.3V, 16K Cache	132-QFP	26.67	21.08	17.15
NG80960JT100	818018-ND	100 MHz, i960JT, 32-Bit MPU, 3,3 V, 16K Cache	100MHz, i960JT, 32-Bit MPU, 3.3V, 16K Cache	132-QFP	30.56	24.13	20.92
NG80960KA16	803445-ND	16 MHz, i960KA, 32-Bit MPU, 512 Byte Cache	16MHz, i960KA, 32-Bit MPU, 512 Byte Cache	132-QFP	18.91	14.96	12.17
NG80960KA20	803464-ND	20 MHz, i960KA, 32-Bit MPU, 512 Byte Cache	20MHz, i960KA, 32-Bit MPU, 512 Byte Cache	132-QFP	22.11	17.49	14.22
NG80960KB16	803504-ND	16 MHz, i960KB, 32-Bit MPU, 512 Byte Cache	16MHz, i960KB, 32-Bit MPU, 512 Byte Cache	132-QFP	20.78	16.43	13.37
NG80960KB20	803523-ND	20 MHz, i960KB, 32-Bit MPU, 512 Byte Cache	20MHz, i960KB, 32-Bit MPU, 512 Byte Cache	132-QFP	23.22	18.36	14.93
NG80960KB25	803540-ND	25 MHz, i960KB, 32-Bit MPU, 512 Byte Cache	25MHz, i960KB, 32-Bit MPU, 512 Byte Cache	132-QFP	25.85	20.44	16.62
S80960SA16	803843-ND	16 MHz, i960SA, 32-Bit MPU, 512 Byte Cache	16MHz, i960SA, 32-Bit MPU, 512 Byte Cache	80-MQFP	18.83	14.89	12.11
TA80960KA20	803470-ND	20 MHz, i960KA, 32-Bit MPU, 512 Byte Cache, erweiterte Temp.	20MHz, i960KA, 32-Bit MPU, 512 Byte Cache, Extended Temp.	132-PGA	39.10	30.91	25.14
TA80960KB16	803510-ND	16 MHz, i960KB, 32-Bit MPU, 512 Byte Cache, erweiterte Temp.	16MHz, i960KB, 32-Bit MPU, 512 Byte Cache, Extended Temp.	132-PGA	40.11	31.71	25.79
TA80960KB20	803529-ND	20 MHz, i960KB, 32-Bit MPU, 512 Byte Cache, erweiterte Temp.	20MHz, i960KB, 32-Bit MPU, 512 Byte Cache, Extended Temp.	132-PGA	42.47	33.58	27.31
TA80960KB25	803546-ND	25 MHz, i960KB, 32-Bit MPU, 512 Byte Cache, erweiterte Temp.	25MHz, i960KB, 32-Bit MPU, 512 Byte Cache, Extended Temp.	132-PGA	40.81	32.22	27.93
TG80960JA3V25	819558-ND	25 MHz, i960JA, 32-Bit MPU, 3,3 V, 2K Cache, erweiterte Temp.	25MHz, i960JA, 32-Bit MPU, 3.3V, 2K Cache, Extended Temp.	132-QFP	26.12	20.65	16.79
TG80960JC66	826102-ND	66 MHz, i960JC, 32-Bit MPU, 16K Cache	66MHz, i960JC, 32-Bit MPU, 16K Cache	132-PQFP	30.56	24.13	20.92
TG80960JS25	824382-ND	25 MHz, i960JS, 32-Bit MPU, 3,3 V, 16K Cache, erweiterte Temp.	25MHz, i960JS, 32-Bit MPU, 3.3V, 16K Cache, Extended Temp.	132-QFP	22.05	17.43	14.18
TG80960JS33	825153-ND	33 MHz, i960JS, 32-Bit MPU, 3,3 V, 16K Cache, erweiterte Temp.	33MHz, i960JS, 32-Bit MPU, 3.3V, 16K Cache, Extended Temp.	132-QFP	28.45	22.49	18.29
TG80960JT100	824389-ND	100 MHz, i960JT, 32-Bit MPU, 3,3 V, 16K Cache, erweiterte Temp.	100MHz, i960JT, 32-Bit MPU, 3.3V, 16K Cache, Extended Temp.	132-QFP	37.34	—	—
TG80960KA20	803479-ND	20 MHz, i960KA, 32-Bit MPU, 512 Byte Cache, erweiterte Temp.	20MHz, i960KA, 32-Bit MPU, 512 Byte Cache, Extended Temp.	132-QFP	23.22	18.36	14.93
TG80960KB25	803553-ND	25 MHz, i960KB, 32-Bit MPU, 512 Byte Cache, erweiterte Temp.	25MHz, i960KB, 32-Bit MPU, 512 Byte Cache, Extended Temp.	132-QFP	28.28	22.36	18.19
TN80960SA16	803846-ND	16 MHz, i960SA, 32-Bit MPU, 512 Byte Cache, erweiterte Temp.	16MHz, i960SA, 32-Bit MPU, 512 Byte Cache, Extended Temp.	84-PLCC	21.12	16.70	13.58
TN80960SB16	803896-ND	16 MHz, i960SB, 32-Bit MPU, 512 Byte Cache, erweiterte Temp.	16MHz, i960SB, 32-Bit MPU, 512 Byte Cache, Extended Temp.	84-PLCC	23.64	18.61	14.09

CONTROLLER (PCI / LAN / WAN / CAN)

Intel Teilenr.	Digi-Key Teilenr.	Beschreibung		Paket	Stückpreis ★ 1	10	100
21143TD	821339-ND	PCI/CardBus 10/100 Ethernet LAN Controller	PCI/CardBus 10/100 Ethernet LAN Controller	144-TQFP	15.92	12.53	9.49
AN82527F8	820732-ND	CAN-Protokoll serielle Kommunikations-Controller, Automobil	CAN Protocol Serial Communications Controller, Automotive	44-PLCC	6.47	5.10	3.86
AS82527F8	820722-ND	CAN-Protokoll serielle Kommunikations-Controller, Automobil	CAN Protocol Serial Communications Controller, Automotive	44-QFP	6.76	—	—
DA82562ET	829706-ND	Plattform-LAN-verbundener Controller (PLC)	Platform LAN Connect (PLC) Controller	48-SSOP	6.98	5.50	4.17
FW82439HXSU115	807787CT-ND	82439HX System Controller (MHXC)	82439HX System Controller (MHXC)	324-BGA	22.01	18.27	14.86
FW82439TXSL28T	813149TR-ND	82439TX System Controller (MTXC)	82439TX System Controller (MTXC)	324-BGA		4053.52/360	
FW82439TXSL28T	813149CT-ND	82439TX System Controller (MTXC)	82439TX System Controller (MTXC)	324-BGA	17.41	13.71	10.38
GCIXF440AC	831001-ND	Multiport 10/100 MBps Ethernet-Controller	Multiport 10/100 Mbps Ethernet Controller	352-BGA	51.31	40.51	35.11
GD82550EYSL4MJ	830751-ND	Fast Ethernet Multifunktions-PCI/Cardbus-Controller	Fast Ethernet Multifunction PCI/Cardbus Controller	196-BGA	28.30	22.38	18.20
GD82559ERSL3DG	825111-ND	Fast Ethernet Multifunktions-PCI/Cardbus-Controller	Fast Ethernet Multifunction PCI/Cardbus Controller	196-BGA	15.50	12.21	9.24
GD82559SL3HD	822772-ND	Fast Ethernet Multifunktions-PCI/Cardbus-Controller	Fast Ethernet Multifunction PCI/Cardbus Controller	196-BGA	30.24	23.91	19.45
KU82596CA25SZ716	806726-ND	25 MHz, 5 V, LAN-Koprozessor	25MHz, 5V, LAN Coprocessor	132-QFP	28.45	22.49	18.29
KU82596CA33SZ717	806764-ND	33 MHz, 5 V, LAN-Koprozessor	33MHz, 5V, LAN Coprocessor	132-QFP	33.78	26.71	21.72
KU82596DX25SZ714	806807-ND	25 MHz, 5 V, LAN-Koprozessor	25MHz, 5V, LAN Coprocessor	132-QFP	33.78	26.71	21.72
KU82596DX33SZ715	806835-ND	33 MHz, 5 V, LAN-Koprozessor	33MHz, 5V, LAN Coprocessor	132-QFP	37.34	29.52	24.01
KU82596SX20SZ713	806867-ND	20 MHz, 5 V, LAN Koprozessor	20MHz, 5V, LAN Coprocessor	132-QFP	27.56	21.79	17.72
SB82371SBSU093	805436-ND	PCI ISA IDE Xcelerator (PIIX3)	PCI ISA IDE Xcelerator (PIIX3)	208-QFP	19.90	15.67	11.86
SCD223110QCD	832550-ND	2-Kan. serieller WAN-Controller	2-Ch. Serial WAN Controller	100-MQFP	17.78	14.06	11.43
SCD240210QCM	832517-ND	Intelligenter Multiprotokoll- WAN-Kommunikations-Controller	Intelligent Multiprotocol WAN Communications Controller	160-QFP	17.91	14.10	10.67
SCD243110QCD	832518-ND	Moderner 4-Kan. serieller WAN-Kommunikations-Controller	Advanced 4-Channel Serial WAN Communications Controller	100-MQFP	32.00	25.30	20.58
SCD248110QCD	832519-ND	Programmierbarer 4-Kan. WAN-Kommunikations-Controller	Programmable 4-Channel WAN Communications Controller	100-QFP	34.23	27.06	22.01
TN82527	817073-ND	Serieller CAN-Protokoll Kommunikations-Controller	CAN Protocol Serial Communications Controller	44-PLCC	8.59	6.88	4.53

ETHERNET-CONTROLLER

Intel Teilenr.	Digi-Key Teilenr.	Beschreibung		Paket	Stückpreis ★ 1	10	100
DA82562EM	829707-ND	10/100 Ethernet-Plattform, LAN Connect Bus Controller	10/100 Ethernet Platform LAN Connect Bus Controller	48-SSOP	15.54	12.24	9.26
FW82546GB	855352-ND	Zweif. Port, Gigabit, Mac/Phy Ethernet-Controller	Dual Port Gigabit, Mac/Phy Ethernet Controller	364-BGA	82.46	72.47	63.72
GCIXF1002ED	832414-ND	Zweif. Port, Gigabit Ethernet Media-Access-Controller	Dual Port Gigabit Ethernet Media Access Controller	304-BGA	77.95	68.50	60.24
GD82541ER	858265-ND	Einf. Port, Gigabit, Mac/Phy Ethernet-Controller	Single Port Gigabit, Mac/Phy Ethernet Controller	196-BGA	26.56	21.00	17.08
GD82541PI	857520-ND	Einf. Port, Gigabit, Mac/Phy Ethernet-Controller	Single Port Gigabit, Mac/Phy Ethernet Controller	196-BGA	31.36	—	—
GD82547GI	855106-ND	Einf. Port, 1 Gigabit, Mac/Phy Ethernet-Controller mit CSA	Single Port, 1 Gigabit, Mac/Phy Ethernet Controller using CSA	196-BGA	45.34	35.80	31.03
GD82550ELSL4MK	830748-ND	Fast Ethernet PCI/Cardbus-Controller	Fast Ethernet PCI/CardBus Cont.	196-BGA	28.89	22.84	18.58
GD82550GMSL4ML	831172-ND	Ethernet PCI/Cardbus-Controller	Ethernet PCI/CardBus Controller	196-BGA	28.30	22.38	18.20
GD82550GYSL4Y5	833858-ND	Fast Ethernet PCI/Cardbus-Controller	Fast Ethernet PCI/CardBus Cont.	196-BGA	28.30	22.38	18.20
GD82550PMSL4Y7	834051-ND	Ethernet PCI/Cardbus-Controller	Ethernet PCI/CardBus Controller	196-BGA	28.30	22.38	18.20
GD82551ER	844687-ND	Ethernet PCI/Cardbus-Controller	Ethernet PCI/CardBus Controller	196-BGA	9.43	7.43	5.62
GD82551QM	844662-ND	10/100 Fast Ethernet-Controller mit Advanced IP Protocol	10/100 Fast Ethernet Controller with Advanced IP Protocol	196-BGA	18.54	14.66	11.93
GD82559CSL3DF	825112-ND	10/100 PCI Bus Mac/PHY Ethernet-Controller	10/100 PCI Bus Mac/PHY Ethernet Controller	196-BGA	30.24	23.91	19.45
GD82559ERSL3TU	826238-ND	10/100 PCI Bus Mac/PHY Ethernet-Controller	10/100 PCI Bus Mac/PHY Ethernet Controller	196-BGA	13.85	10.95	8.91
GD82562EZ	845000-ND	10/100 Integrierte Ethernet-Plattform, LAN Connect Bus	10/100 Integrated Ethernet Platform LAN Connect Device	196-LBGA	8.17	6.54	4.31
RC82545GM	855561-ND	Einf. Port, Gigabit, Mac/Phy Ethernet-Controller mit SerDes	Single Port Gigabit Mac/Phy Ethernet Controller with SerDes	364-TBGA	72.16	56.97	49.38
RC82562EP	832361-ND	10/100 Ethernet-Plattform, LAN Connect Bus Controller	10/100 Ethernet Platform LAN Connect Bus Controller	64-BGA	7.72	6.08	4.60
S82562EH	829047-ND	10/100 Ethernet-Plattform, LAN Connect Bus Controller	10/100 Ethernet Platform LAN Connect Bus Controller	64-QFP	9.95	7.84	5.93
S82595FX	806680-ND	ISA/PCMCIA High Integration Ethernet-Controller	ISA/PCMCIA High Integration Ethernet Controller	160-MQFP	24.89	19.68	16.01
SB82558BSL2P4	816075-ND	32-Bit Fast Ethernet PCI Bus Controller mit integriertem PHY	32-Bit Fast Ethernet PCI Bus Controller with Integrated PHY	208-SQFP	30.22	23.90	19.43
TL82543GCSL4AC	829160-ND	10/100/100 PCI Bus Mac Gigabit Ethernet-Controller	10/100/100 PCI Bus Mac Gigabit Ethernet Controller	352-BGA	79.93	70.25	61.77

★ RUFEN SIE BITTE AN FÜR NIEDRIGERE PREISE BEI GRÖSSEREN MENGEN! ★

intel — ETHERNET-TRANSCEIVER/EMPFÄNGER

Intel Teilenr.	Digi-Key Teilenr.	Beschreibung		Paket	Stückpreis ★ 1	10	100
DJLXT360LE.A2	832029-ND	1-Port Long-Haul T1/E1 serieller Transceiver	1-Port Long-Haul T1/E1 Serial Transceiver	44-LQFP	18.90	14.88	11.26
DJLXT361LE.A2	832034-ND	1-Port Long-Haul T1/E1 paralleler Transceiver	1-Port Long-Haul T1/E1 Parallel Transceiver	44-LQFP	18.90	14.88	11.26
DJLXT380LE.B4	832251-ND	8-Port Short-Haul E1 Transceiver, 3,3 V	3.3V, 8-Port Short-Haul E1 Transceiver	144-LQFP	37.16	29.38	23.89
DJLXT381LE.B4	832255-ND	8-Port Short-Haul E1 Transceiver, 3,3 V	3.3V, 8-Port Short-Haul E1 Transceiver	144-LQFP	30.22	23.90	19.43
DJLXT384LE.B1	835827-ND	8-Port Short-Haul T1/E1/J1 Transceiver, 3,3 V	3.3V, 8-Port, T1/E1/J1 Short-Haul Transceiver	144-LQFP	30.49	24.07	20.86
DJLXT386LEB2834195	834195-ND	Vierf. T1/E1/J1 Short-Haul Transceiver	Quad T1/E1/J1 Short-Haul Xcvr.	100-LQFP	28.16	22.27	18.11
DJLXT388LEB2834197	834197-ND	Zweif. T1/E1/J1 Short-Haul Transceiver	Dual T1/E1/J1 Short-Haul Xcvr.	100-LQFP	14.98	11.85	9.64
DJLXT901ALC.A4	831684-ND	Univ. 10BASE-T/AUI Sender-Empfänger, 5 V	5V, Univ. 10BASE-T/AUI Xcvr.	64-LQFP	10.31	8.26	5.44
DJLXT901LC.E2	831686-ND	Univ. 10BASE-T/AUI Sender-Empfänger, 5 V	5V, Univ. 10BASE-T/AUI Xcvr.	64-LQFP	9.41	7.53	4.96
DJLXT905LC.C2	831645-ND	Univ. 10BASE-T Sender-Empfänger, 3,3 V/5 V	3.3V/5V, Univ. 10BASE-T Xcvr.	32-LQFP	6.71	5.37	3.54
DJLXT905LE.C2	831646-ND	Univ. 10BASE-T Sender-Empfänger, 3,3 V/5 V	3.3V/5V, Univ. 10BASE-T Xcvr.	32-LQFP	8.99	7.19	4.74
DJLXT907ALC.A4	831647-ND	Univ. 10BASE-T/AUI Sender-Empfänger, 3,3 V	3.3V, Univ. 10BASE-T/AUI Xcvr.	64-LQFP	10.31	8.26	5.44
DJLXT908LC.A4	831651-ND	Univ. 10BASE-T/AUI Sender-Empfänger, 3,3 V	3.3V, Univ. 10BASE-T/AUI Xcvr.	64-LQFP	10.39	8.31	5.48
DJLXT908LE.A4	831652-ND	Univ. 10BASE-T/AUI Sender-Empfänger, 3,3 V	3.3V, Univ. 10BASE-T/AUI Xcvr.	64-LQFP	10.90	8.72	5.75
DJLXT971ALCA4834105	834105-ND	Fast Ethernet Transceiver, 3,3 V	3.3V, Fast Ethernet Transceiver	64-LQFP	6.61	5.29	3.49
DJLXT971ALE.A4	835676-ND	10/100 MBps Ethernet Transceiver, 3,3 V	3.3V, 10/100Mbps Ethernet Xcvr.	64-LQFP	8.31	6.65	4.39
DJLXT972ALCA4834109	834109-ND	Fast Ethernet Transceiver, 3,3 V	3.3V, Fast Ethernet Transceiver	64-LQFP	5.27	4.21	2.78
FALXT970ATCB11	833825-ND	10/100 MBps Ethernet Transceiver	10/100Mbps Ethernet Transceiver	64-TQFP	11.56	9.10	6.89
FLLXT386BEB2834206	834206-ND	Vierf. T1/E1/J1 Short-Haul Transceiver	Quad T1/E1/J1 Short-Haul Xcvr.	160-BGA	33.60	26.57	21.61
FLLXT971ABCA4834103	834103-ND	Fast Ethernet Transceiver, 3,3 V	3.3V, Fast Ethernet Transceiver	64-BGA	6.94	5.47	4.14
FLLXT971ABEA4834104	834104-ND	Fast Ethernet Transceiver, 3,3 V	3.3V, Fast Ethernet Transceiver	64-BGA	7.97	6.29	4.76
FWLXT9781BCA9831679	831679-ND	8-Port Fast Ethernet Transceiver (RMII)	8-Port Fast Ethernet Xcvr. (RMII)	272-BGA	18.49	14.62	11.89
FWLXT9782BCA9831681	831681-ND	8-Port Fast Ethernet Transceiver (SMII)	8-Port Fast Ethernet Xcvr. (SMII)	272-BGA	18.49	14.62	11.89
FWLXT9782BC.C4	834115-ND	8-Port Fast Ethernet Transceiver (SMII)	8-Port Fast Ethernet Xcvr. (SMII)	272-BGA	28.45	22.49	18.29
FWLXT9784BCA3834928	834928-ND	8-Port Fast Ethernet Transceiver (SMII, RMII)	8-Port Fast Ethernet Transceiver (SMII, RMII)	324-BGA	62.23	49.19	40.01
FWLXT9784BE.A3	833561-ND	8-Port 10/100 MBps Transceiver (RMII, SMII) 3,3 V	3.3V, 8-Port 10/100Mbps Transceiver (RMII, SMII)	324-BGA	62.23	49.19	40.01
FWLXT9785BC.D0	853308-ND	Niedrigleistung, 8-Port Ethernet Transceiver 2,5 V	2.5V, Low Power, 8-Port, Ethernet Transceiver	208-HQFP	15.34	12.08	9.14
FWLXT9785EBC.D0	853300-ND	Niedrigleistung, 8-Port Advanced IP Telephony, Ethernet Transceiver 2,5 V	2.5V, Low Power, 8-Port, Advanced IP Telephony, Ethernet Xcvr.	208-HQFP	15.76	12.46	10.13
HBLXT970AHCB11	831600-ND	10/100 MBps Ethernet Transceiver	10/100Mbps Ethernet Xcvr.	64-HQFP	13.81	10.87	8.23
HBLXT974BHC.A8	831627-ND	4-Port 10/100 Ethernet Transceiver, 5 V	5V, 4-Port 10/100 Ethernet Xcvr.	160-HQFP	17.94	14.18	11.54
HBLXT975BHC.A8	831630-ND	4-Port 10/100 Ethernet Transceiver, 5 V	5V, 4-Port 10/100 Ethernet Xcvr.	160-HQFP	17.94	14.18	11.54
HBLXT9761HCB2835066	835066-ND	6-Port Fast Ethernet Transceiver (RMII)	6-Port Fast Ethernet Xcvr. (RMII)	208-HQFP	15.93	12.60	10.25
HBLXT9761HC.C4	837202-ND	6-Port Fast Ethernet Transceiver (RMII)	6-Port Fast Ethernet Xcvr. (RMII)	208-HQFP	28.45	22.49	18.29
HBLXT9762HCB2835376	835376-ND	6-Port Fast Ethernet Transceiver (SMII)	6-Port Fast Ethernet Xcvr. (SMII)	208-HQFP	15.93	12.60	10.25
HBLXT9763HCA9831634	831634-ND	6-Port Fast Ethernet Transceiver (MII)	6-Port Fast Ethernet Xcvr. (MII)	208-HQFP	15.93	12.60	10.25
HBLXT9785EHC.D0	853334-ND	Niedrigleistung, Advanced IP Telephony, Ethernet Transceiver, 2,5 V	2.5V, Low Power, Advanced IP Telephony, Ethernet Xcvr.	208-HQFP	15.76	12.46	10.13
HBLXT9785HC.D0	853353-ND	Niedrigleistung, 8-Port Ethernet Transceiver 2,5 V	2.5V, Low Power, 8-Port, Ethernet Transceiver	208-HQFP	15.34	12.08	9.14
N82503	806119-ND	Zweif. Ethernet Transceiver, seriell (802,3 10BASE-T/AUI)	Dual Serial Ethernet Transceiver (802.3 10BASE-T/AUI)	44-PLCC	9.95	7.84	5.93
NLXT307PE.F4	832110-ND	E1 Short-Haul Transceiver, 5 V	5V, E1 Short-Haul Xcvr.	28-PLCC	11.51	9.21	6.07
NLXT317PE.A2	832059-ND	Long-Haul DECT LIU Transceiver, 5 V	5V, Long-Haul DECT LIU Xcvr.	28-PLCC	18.67	14.76	12.01
NLXT332PE.G2	832128-ND	Short-Haul 2-Kan. LIU T1/E1 Transceiver, 5 V	5V, Short-Haul 2-Ch. LIU T1/E1 Transceiver	44-PLCC	21.33	16.87	13.72
NLXT350PE.A2	832138-ND	1-Port Long-Haul T1/E1/J1 serieller Transceiver	1-Port Short-Haul T1/E1/J1 Serial Transceiver	28-PLCC	13.93	10.97	8.30
NLXT351PE.A2	832141-ND	1-Port Long-Haul T1/E1/J1 paralleler Transceiver	1-Port Short-Haul T1/E1/J1 Parallel Transceiver	28-PLCC	13.93	10.97	8.30
NLXT360PE.A2	832100-ND	1-Port Long-Haul T1/E1 serieller Transceiver	1-Port Long-Haul T1/E1 Serial Transceiver	28-PLCC	17.91	14.10	10.67
NLXT361PE.A2	832102-ND	1-Port Long-Haul T1/E1 paralleler Transceiver	1-Port Long-Haul T1/E1 Parallel Transceiver	28-PLCC	17.91	14.10	10.67
NLXT362PE.A3	832121-ND	1-Port Long-Haul T1 serieller Transceiver	1-Port Long-Haul T1 Serial Transceiver	28-PLCC	14.05	11.06	8.37
NLXT901APC.A4	831653-ND	Universal 10BASE-T/AUI Transceiver, 5 V	5V, Universal 10BASE-T/AUI Transceiver	44-PLCC	9.03	7.23	4.77
NLXT905PC.C2	831661-ND	Universal 10BASE-T Transceiver, 3,3 V/5 V	3.3V/5V, Universal 10BASE-T Transceiver	28-PLCC	5.87	4.70	3.10
NLXT905PE.C2	831662-ND	Universal 10BASE-T Transceiver, 3,3 V/5 V	3.3V/5V, Universal 10BASE-T Transceiver	28-PLCC	8.53	6.82	4.50
NLXT907APC.A4	831664-ND	Universal 10BASE-T/AUI Transceiver, 3,3 V	3.3V, Universal 10BASE-T/AUI Transceiver	44-PLCC	10.03	8.03	5.30
NLXT908PC.A4	831668-ND	Universal 10BASE-T/AUI Transceiver, 3,3 V	3.3V, Universal 10BASE-T/AUI Transceiver	44-PLCC	10.11	8.09	5.33
NLXT908PE.A4	831669-ND	Universal 10BASE-T/AUI Transceiver, 3,3 V	3.3V, Universal 10BASE-T/AUI Transceiver	44-PLCC	10.64	8.52	5.61
PDLXT305ANE.F4	832171-ND	T1/E1 Short-Haul Transceiver, 5 V	5V, T1/E1 Short-Haul Xcvr.	28-Dip	13.93	10.97	8.30
PDLXT312ANE.A2	832288-ND	Zweif. T1 PCM Niedrigleistungs-Rückmelder/Transceiver, 5 V	5V, Low Power, Dual T1 PCM Repeater/Transceiver	16-Dip	13.33	10.54	8.58
PDLXT315ANE.A2	832291-ND	T1 PCM Niedrigleistungs-Rückmelder/Transceiver, 5 V	5V, Low Power T1 PCM Repeater/Transceiver	16-Dip	13.93	10.97	8.30
S82503	806140-ND	Zweif. Ethernet Transceiver, seriell (802,3 10BASE-T/AUI)	Dual Serial Ethernet Transceiver (802.3, 10BASE-T/AUI)	44-MQFP	9.95	7.84	5.93
SLXT332AQE.A1	832209-ND	Short-Haul 2-Kan. LIU T1/E1 Transceiver, 5 V	5V, Short-Haul 2-Channel LIU T1/E1 Transceiver	44-QFP	17.78	14.06	11.43
SLXT350QE.A2	832244-ND	1-Port Long-Haul T1/E1/J1 serieller Transceiver	1-Port Short-Haul T1/E1/J1 Serial Transceiver	44-QFP	14.93	11.75	8.89
SLXT351QE.A2	832246-ND	1-Port Long-Haul T1/E1/J1 paralleler Transceiver	1-Port Short-Haul T1/E1/J1 Parallel Transceiver	44-QFP	15.92	12.53	9.49
SLXT360QE.A2	832197-ND	1-Port Long-Haul T1/E1 serieller Transceiver	1-Port Long-Haul T1/E1 Serial Transceiver	44-QFP	18.90	14.88	11.26
SLXT361QE.A2	832199-ND	1-Port Long-Haul T1/E1 paralleler Transceiver	1-Port Long-Haul T1/E1 Parallel Transceiver	44-QFP	18.90	14.88	11.26
SLXT970AQC.B11	831643-ND	10/100 MBps Ethernet Transceiver	10/100Mbps Ethernet Transceiver	64-QFP	11.04	8.70	6.58
SLXT973QCA3V	856775-ND	Zweif. 10/100 MBps Ethernet-Transceiver, 2,5 V	2.5V, 10/100Mbps, Dual Port Ethernet Transceiver	100-MQFP	7.80	6.14	4.65

intel — ETHERNET-RÜCKMELDER

Intel Teilenr.	Digi-Key Teilenr.	Beschreibung		Paket	Stückpreis ★ 1	10	100
HBLXT983QC.A8	831540-ND	4-Port 10/100 MBps Ethernet-Rückmelder, 5 V	5V, 4-Port 10/100Mbps Ethernet Repeater	208-HQFP	28.45	22.49	18.29
HBLXT9860HCB3831549	831549-ND	6-Port 10/100 Fast Ethernet-Rückmelder, zweif. Geschw.	6-Port Dual Speed 10/100 Fast Ethernet Repeater	208-HQFP	24.53	19.40	15.78
HBLXT9863HCB3834131	834131-ND	6-Port 10/100 Fast Ethernet-Rückmelder, zweif. Geschw.	6-Port Dual Speed 10/100 Fast Ethernet Repeater	208-HQFP	18.51	14.63	11.90
HBLXT9863AHC.B4	837734-ND	6-Port 10/100 Fast Ethernet-Rückmelder, zweif. Geschw.	6-Port Dual Speed 10/100 Fast Ethernet Repeater	208-HQFP	15.24	12.05	9.80
HBLXT9880AHC.B4	837736-ND	8-Port 10/100 Fast Ethernet-Rückmelder, zweif. Geschw.	8-Port Dual Speed 10/100 Fast Ethernet Repeater	208-HQFP	36.20	28.62	23.27
HBLXT9883HCB3834133	834133-ND	8-Port 10/100 Fast Ethernet-Rückmelder, zweif. Geschw.	8-Port Dual Speed 10/100 Fast Ethernet Repeater	208-HQFP	23.13	18.29	14.87
HBLXT9883AHC.B4	837738-ND	8-Port 10/100 Fast Ethernet-Rückmelder, zweif. Geschw.	8-Port Dual Speed 10/100 Fast Ethernet Repeater	208-HQFP	15.56	12.30	10.01
NLXT914PC.B3	831504-ND	4-Port 10 MBps Ethernet-Rückmelder (IRB, SMI, AUI), 5 V	5V, 4-Port 10Mbps Ethernet Repeater (IRB, SMI, AUI)	68-PLCC	13.51	10.64	8.05
NLXT914PC.C4	831509-ND	4-Port 10 MBps Ethernet-Rückmelder (IRB, SMI, AUI), 5 V	5V, 4-Port 10Mbps Ethernet Repeater (IRB, SMI, AUI)	68-PLCC	13.51	10.64	8.05
NLXT914PE.B3	831518-ND	4-Port 10 MBps Ethernet-Rückmelder (IRB, SMI, AUI), 5 V	5V, 4-Port 10Mbps Ethernet Repeater (IRB, SMI, AUI)	68-PLCC	15.80	12.44	9.42
SLXT914QC.B3	831521-ND	4-Port 10 MBps Ethernet-Rückmelder (IRB, AUI), 5 V	5V, 4-Port 10Mbps Ethernet Repeater (IRB, AUI)	100-QFP	12.16	9.57	7.25
SLXT914QC.C4	831524-ND	4-Port 10 MBps Ethernet-Rückmelder (IRB, AUI), 5 V	5V, 4-Port 10Mbps Ethernet Repeater (IRB, AUI)	100-QFP	12.16	9.57	7.25
SLXT915QC.B3	831529-ND	4-Port 10 MBps Ethernet-Rückmelder (IRB, AUI), 5 V	5V, 4-Port 10Mbps Ethernet Repeater (IRB, AUI)	64-QFP	10.40	8.20	6.20

intel — ETHERNET PHYS

Intel Teilenr.	Digi-Key Teilenr.	Beschreibung		Paket	Stückpreis ★ 1	10	100
GDLXT9785MBC.D0	854705-ND	8-Port, 10/100 achtf. Phy	8-Port, 10/100 Octal Phy	196-PBGA	15.77	12.47	10.14

intel — TELECOM BREITBAND

Intel Teilenr.	Digi-Key Teilenr.	Beschreibung		Paket	Stückpreis ★ 1	10	100
DJLXT6282LEA3831836	831836-ND	Oktal E1 Transceiver, digitale Schnittstelle	Octal E1 Digital Interface Xcvr.	144-LQFP	37.34	29.52	24.01
FLIXF6151BEA2834984	834984-ND	28 T1/E1 Mapper	28 T1/E1 Mapper	352-BGA	67.00	62.97	60.45
IXF6401BEC7A1835148	835148-ND	Breitbandzugriffs-Prozessor	Broadband Access Processor	352-BGA	232.52	218.53	209.79
SLXT6051QEA1831841	831841-ND	SDH/SONET Overhead-Abschluss	SDH/SONET Overhead Terminator	208-QFP	109.62	96.33	84.71

★ RUFEN SIE BITTE AN FÜR NIEDRIGERE PREISE BEI GRÖSSEREN MENGEN! ★

Alle Preisangaben in Euro und inklusive Zollgebühren.

BRÜCKEN-CONTROLLER

Intel Teilenr.	Digi-Key Teilenr.	Beschreibung		Paket	Stückpreis ★ 1	10	100
GD31244SL786	856145-ND	4-Port PCI-X SATA Controller-Brücke	4-Port PCI-X SATA Controller Bridge	256-LPBGA	30.40	24.04	19.55
BW31154SL7AB	857352-ND	64-Bit, 33 MHz transparente PCI-an-PCI-X Brücke	64-Bit Transparent, PCI-X to PCI-X Bridge, 33MHz	421-BGA	40.21	31.75	27.52
NQ41210SL7JE	860909-ND	64-Bit, 133 MH transparente PCI Express an PCI X Brücke, seriell-an-parallel	Serial to Parallel, 64-Bit Transparent, PCI Express to PCI X Bridge, 133MHz	567-FCBGA	44.70	35.30	30.59

PCI-an-PCI-BRÜCKEN

Intel Teilenr.	Digi-Key Teilenr.	Beschreibung		Paket	Stückpreis ★ 1	10	100
21050AB	821286-ND	PCI-an-PCI Brücke	PCI-to-PCI Bridge	208-QFP	25.69	20.31	16.52
S21152BB	837092-ND	32-Bit, 33 MHz transparente PCI-an-PCI Brücke	32-Bit, 33MHz Transparent PCI-to-PCI Bridge	160-QFP	16.08	12.66	9.58
FW21555ABSL6G8	848191-ND	64-Bit, 33 MHz PCI-an-PCI Brücke	64-Bit, 33MHz, PCI-to-PCI Bridge	304-BGA	42.03	33.19	28.76
FW21154AE	834404-ND	64-Bit, 33 MHz transparente PCI-an-PCI Brücke	64-Bit, 33MHz Transparent PCI-to-PCI Bridge	304-BGA	40.47	31.99	26.02
FW21154BE	834405-ND	64-Bit, 66 MHz transparente PCI-an-PCI Brücke	64-Bit, 66MHz Transparent PCI-to-PCI Bridge	304-BGA	39.28	31.02	26.88
FW21555BB	848192-ND	64-Bit, 66 MHz nicht-transparente PCI-an-PCI Brücke	64-Bit, 66MHz Non-Transparent PCI-to-PCI Bridge	304-PBGA	53.49	42.23	36.60
GD21150BC	828154-ND	32-Bit, 66 MHz transparente PCI-an-PCI Brücke	32-Bit, 66MHz Transparent PCI-to-PCI Bridge	256-LPBGA	36.25	28.66	23.31
SB21150AC	823168-ND	32-Bit, 33 MHz transparente PCI-an-PCI Brücke	32-Bit, 33MHz Transparent PCI-to-PCI Bridge	208-QFP	33.07	26.14	21.26
SB21150BC	822894-ND	32-Bit, 66 MHz transparente PCI-an-PCI Brücke	32-Bit, 66MHz Transparent PCI-to-PCI Bridge	208-QFP	36.25	28.66	23.31

SCHNITTSTELLEN-ADAPTER/KARTEN

Intel Teilenr.	Digi-Key Teilenr.	Beschreibung		Paket	Stückpreis ★ 1	10	100
A8238910	808498-ND	Multibus II Bus Schnittschnellen-Controller	Multibus II Bus Interface Cont.	149-CPGA	111.75	98.21	86.36
DZPD6729VCE	832535-ND	PCI-an-PC Karten-Controller	PCI-to-PC Card Controller	208-LQFP	20.09	15.89	12.92
SPD6729QCE	832534-ND	PCI-an-PC Karten-Controller	PCI-to-PC Card Controller	208-MQFP	21.27	16.81	13.67
SPD6729QCC	832533-ND	PCI-an-PCMCIA Host-Adapter	PCI-to-PCMCIA Host Adapter	208-QFP	18.90	14.88	11.26
CNLA6000PK5	830447-ND	PRO/100 VE Desktop-Adapter	PRO/100 VE Desktop Adapter	—	151.50	142.39	136.70
MBLA3400C3	829954-ND	PRO/100 SR Mobil-Adapter	PRO/100 SR Mobile Adapter	—	77.69	73.02	70.10
MBLA3456C3	829957-ND	PRO/100 SR Combo-Mobil-Adapter	PRO/100 SR Combo Mobile Adapter	—	167.77	157.68	151.38
PILA8460C3	832696-ND	PRO/100 S Desktop-Adapter	PRO/100 S Desktop Adapter	—	62.86	55.25	48.58
PILA8470C3	832702-ND	PRO/100 S Server-Adapter	PRO/100 S Server Adapter	—	74.04	65.07	57.21

FLASH-SPEICHER

Intel Teilenr.	Digi-Key Teilenr.	Beschreibung		Paket	Stückpreis ★ 1	10	100
E28F008S5120	808704-ND	8 MB, 5 V, FLASH-Speicher (1M x 8)	8Mb, 5V, FLASH Memory (1Mx8)	40-TSOP	13.93	10.97	8.30
TB28F008SA100	816471-ND	8 MB, 5 V, FLASH-Speicher (1M x 8)	8Mb, 5V, FLASH Memory (1Mx8)	44-PSOP	13.93	10.97	8.30
TE28F008SA100	811350-ND	8 MB, 5 V, FLASH-Speicher (1M x 8)	8Mb, 5V, FLASH Memory (1Mx8)	40-TSOP	13.93	10.97	8.30
TE28F800C3BD70	868489-ND	8 MB, 3 V, FLASH-Speicher (1M x 8)	8Mb, 3V, FLASH Memory (1Mx8)	48-TSOP	3.56	2.85	1.78
JS28F800C3BD70	868492-ND	8 MB, 3 V, FLASH-Speicher (1M x 8)	8Mb, 3V, FLASH Memory (1Mx8)	48-TSOP	3.56	2.85	1.78
RC28F800C3BD70	867943-ND	8 MB, 3 V, FLASH-Speicher (1M x 8)	8Mb, 3V, FLASH Memory (1Mx8)	64-BGA	3.12	2.50	1.56
PC28F800C3BD70	868493-ND	8 MB, 3 V, FLASH-Speicher (1M x 8)	8Mb, 3V, FLASH Memory (1Mx8)	64-BGA	3.12	2.50	1.56
GT28F160B3BA90SB93	823475-ND	16 MB, 3 V, FLASH-Speicher (1M x 16)	16Mb, 3V, FLASH Memory (1Mx16)	46-MBGA	2.65	2.09	1.58
GT28F160C3BA110	819287-ND	16 MB, 3 V, FLASH-Speicher (1M x 16)	16Mb, 3V, FLASH Memory (1Mx16)	46-MBGA	4.60	3.62	2.74
GT28F160C3BA90SB93	823477-ND	16 MB, 3 V, FLASH-Speicher (1M x 16)	16Mb, 3V, FLASH Memory (1Mx16)	46-MBGA	7.92	6.24	4.72
GT28F160C3TA110	819293-ND	16 MB, 3 V, FLASH-Speicher (1M x 16)	16Mb, 3V, FLASH Memory (1Mx16)	46-MBGA	4.60	3.62	2.74
GT28F160C3TA90SB93	823478-ND	16 MB, 3 V, FLASH-Speicher (1M x 16)	16Mb, 3V, FLASH Memory (1Mx16)	46-MBGA	7.92	6.24	4.72
GE28F160C3TD70	853978-ND	16 MB, 3 V, FLASH-Speicher (1M x 16)	16Mb, 3V, FLASH Memory (1Mx16)	46-BGA	4.28	3.43	2.19
RC28F160C3BA110	830116-ND	16 MB, 3 V, FLASH-Speicher (1M x 16)	16Mb, 3V, FLASH Memory (1Mx16)	64-BGA	3.80	3.00	2.27
RC28F160C3BD70	853981-ND	16 MB, 3 V, FLASH-Speicher (1M x 16)	16Mb, 3V, FLASH Memory (1Mx16)	64-BGA	2.86	2.30	1.51
RC28F160C3TA90SB93	827673-ND	16 MB, 3 V, FLASH-Speicher (1M x 16)	16Mb, 3V, FLASH Memory (1Mx16)	64-BGA	3.94	3.11	2.35
RC28F160C3TC70	843612-ND	16 MB, 3 V, FLASH-Speicher (1M x 16)	16Mb, 3V, FLASH Memory (1Mx16)	64-BGA	3.10	2.48	1.64
RC28F160C3TD70	853933-ND	16 MB, 3 V, FLASH-Speicher (1M x 16)	16Mb, 3V, FLASH Memory (1Mx16)	64-BGA	3.10	2.48	1.64
RD28F1604C3BD70SB93	855156-ND	16 MB, 3 V, Stapel-FLASH-Speicher mit 4 MB SRAM	16Mb, 3V, Stacked FLASH Memory with 4Mb SRAM	66-EBGA	5.22	4.18	2.75
RD28F1604C3TD70SB93	855158-ND	16 MB, 3 V, Stapel-FLASH-Speicher mit 4 MB SRAM	16Mb, 3V, Stacked FLASH Memory with 4Mb SRAM	66-EBGA	5.22	4.18	2.75
TE28F160B3BA90SB93	823471-ND	16 MB, 3 V, FLASH-Speicher (1M x 16)	16Mb, 3V, FLASH Memory (1Mx16)	48-TSOP	5.17	4.08	3.09
TE28F160B3BD70	853987-ND	16 MB, 3 V, FLASH-Speicher (1M x 16)	16Mb, 3V, FLASH Memory (1Mx16)	48-TSOP	4.17	3.34	2.09
TE28F160B3TD70	853991-ND	16 MB, 3 V, FLASH-Speicher (1M x 16)	16Mb, 3V, FLASH Memory (1Mx16)	48-TSOP	4.50	3.61	2.26
TE28F160C3BD70	853988-ND	16 MB, 3 V, FLASH-Speicher (1M x 16)	16Mb, 3V, FLASH Memory (1Mx16)	48-TSOP	2.86	2.30	1.51
TE28F160C3BD90	853990-ND	16 MB, 3 V, FLASH-Speicher (1M x 16)	16Mb, 3V, FLASH Memory (1Mx16)	48-TSOP	4.17	3.34	2.09
TE28F160C3TD70	853932-ND	16 MB, 3 V, FLASH-Speicher (1M x 16)	16Mb, 3V, FLASH Memory (1Mx16)	48-TSOP	2.86	2.30	1.51
GE28F320B3BC70SB93	831112-ND	32 MB, 3 V, FLASH-Speicher (2 M x 16)	32Mb, 3V, FLASH Memory (2Mx16)	47-BGA	5.11	4.04	3.29
GE28F320C3BC70SB93	831113-ND	32 MB, 3 V, FLASH-Speicher (2 M x 16)	32Mb, 3V, FLASH Memory (2Mx16)	47-BGA	5.11	4.04	3.29
GE28F320C3BC90	830946-ND	32 MB, 3 V, FLASH-Speicher (2 M x 16)	32Mb, 3V, FLASH Memory (2Mx16)	47-BGA	5.11	4.04	3.29
GE28F320C3TC70SB93	831095-ND	32 MB, 3 V, FLASH-Speicher (2 M x 16)	32Mb, 3V, FLASH Memory (2Mx16)	47-BGA	4.54	3.59	2.92
GE28F320C3TC90	830950-ND	32 MB, 3 V, FLASH-Speicher (2 M x 16)	32Mb, 3V, FLASH Memory (2Mx16)	47-BGA	8.00	6.33	5.15
GT28F320B3BA100	823191-ND	32 MB, 3 V, FLASH-Speicher (2 M x 16)	32Mb, 3V, FLASH Memory (2Mx16)	47-MBGA	6.67	5.27	4.29
GT28F320B3BA100SB93	823193-ND	32 MB, 3 V, FLASH-Speicher (2 M x 16)	32Mb, 3V, FLASH Memory (2Mx16)	47-MBGA	19.23	15.15	11.47
GT28F320B3TA100	823197-ND	32 MB, 3 V, FLASH-Speicher (2 M x 16)	32Mb, 3V, FLASH Memory (2Mx16)	47-MBGA	6.67	5.27	4.29
GT28F320B3TA100SB93	823211-ND	32 MB, 3 V, FLASH-Speicher (2 M x 16)	32Mb, 3V, FLASH Memory (2Mx16)	47-MBGA	15.47	12.23	9.95
GT28F320B3TA110	820972-ND	32 MB, 3 V, FLASH-Speicher (2 M x 16)	32Mb, 3V, FLASH Memory (2Mx16)	47-MBGA	6.67	5.27	4.29
GT28F320C3BA100	823205-ND	32 MB, 3 V, FLASH-Speicher (2 M x 16)	32Mb, 3V, FLASH Memory (2Mx16)	47-MBGA	6.67	5.27	4.29
GT28F320C3BA100SB93	823207-ND	32 MB, 3 V, FLASH-Speicher (2 M x 16)	32Mb, 3V, FLASH Memory (2Mx16)	47-MBGA	6.67	5.27	4.29
GT28F320C3BA110	820975-ND	32 MB, 3 V, FLASH-Speicher (2 M x 16)	32Mb, 3V, FLASH Memory (2Mx16)	47-MBGA	13.85	10.95	8.91
GT28F320C3TA100SB93	823213-ND	32 MB, 3 V, FLASH-Speicher (2 M x 16)	32Mb, 3V, FLASH Memory (2Mx16)	47-MBGA	6.67	5.27	4.29
GT28F320C3TA110	820978-ND	32 MB, 3 V, FLASH-Speicher (2 M x 16)	32Mb, 3V, FLASH Memory (2Mx16)	47-MBGA	6.67	5.27	4.29
RC28F320C3BA100	828107-ND	32 MB, 3 V, FLASH-Speicher (2 M x 16)	32Mb, 3V, FLASH Memory (2Mx16)	64-BGA	6.85	5.42	4.41
RC28F320C3BA100SB93	828102-ND	32 MB, 3 V, FLASH-Speicher (2 M x 16)	32Mb, 3V, FLASH Memory (2Mx16)	64-BGA	6.85	5.42	4.41
RC28F320C3BA110	828110-ND	32 MB, 3 V, FLASH-Speicher (2 M x 16)	32Mb, 3V, FLASH Memory (2Mx16)	64-BGA	6.85	5.42	4.41
RC28F320C3BD70	851192-ND	32 MB, 3 V, FLASH-Speicher (2 M x 16)	32Mb, 3V, FLASH Memory (2Mx16)	64-BGA	5.07	4.00	3.03
RC28F320C3TA110	828112-ND	32 MB, 3 V, FLASH-Speicher (2 M x 16)	32Mb, 3V, FLASH Memory (2Mx16)	64-BGA	6.85	5.42	4.41
RC28F320C3TD70	851145-ND	32 MB, 3 V, FLASH-Speicher (2 M x 16)	32Mb, 3V, FLASH Memory (2Mx16)	64-BGA	5.07	4.00	3.03
RC28F320J3A110SL5FU	835071-ND	32 MB, 3 V, FLASH-Speicher (4 M x 8, 2 M x 16)	32Mb, 3V, FLASH Memory (4Mx8, 2Mx16)	64-BGA	5.95	4.69	3.55
RC28F320J3C110SL7H7	860791-ND	32 MB, 3 V, FLASH-Speicher (4 M x 8, 2 M x 16)	32Mb, 3V, FLASH Memory (4Mx8, 2Mx16)	64-EBGA	6.80	5.44	3.59
RD38F1020C0ZBL0SB93	849856-ND	32 MB, 3 V, Stapel-FLASH-Speicher mit 8 MB SRAM	32Mb, 3V, Stacked FLASH Memory with 8Mb SRAM	66-EBGA	9.13	7.19	5.45
RD38F1020C0ZTL0SB93	849853-ND	32 MB, 3 V, Stapel-FLASH-Speicher mit 8 MB SRAM	32Mb, 3V, Stacked FLASH Memory with 8Mb SRAM	66-EBGA	9.13	7.19	5.45
RD38F1020W0YBQ0SB93	858994-ND	32 MB, 3 V, Stapel-FLASH-Speicher mit 8 MB SRAM	32Mb, 3V, Stacked FLASH Memory with 8Mb SRAM	66-EBGA	16.61	13.08	9.90
RD38F1020W0YTQ0SB93	858995-ND	32 MB, 3 V, Stapel-FLASH-Speicher mit 8 MB SRAM	32Mb, 3V, Stacked FLASH Memory with 8Mb SRAM	66-EBGA	16.61	13.08	9.90
TE28F320C3BA100	823220-ND	32 MB, 3 V, FLASH-Speicher (2 M x 16)	32Mb, 3V, FLASH Memory (2Mx16)	48-TSOP	7.47	5.91	4.81
TE28F320C3BA110	820967-ND	32 MB, 3 V, FLASH-Speicher (2 M x 16)	32Mb, 3V, FLASH Memory (2Mx16)	48-TSOP	7.47	5.91	4.81
TE28F320C3BD70	855810-ND	32 MB, 3 V, FLASH-Speicher (2 M x 16)	32Mb, 3V, FLASH Memory (2Mx16)	48-TSOP	5.93	4.75	3.14
TE28F320C3TD70	855788-ND	32 MB, 3 V, FLASH-Speicher (2 M x 16)	32Mb, 3V, FLASH Memory (2Mx16)	48-TSOP	5.93	4.75	3.14
TE28F320J3C110SL7H8	860792-ND	32 MB, 3 V, FLASH-Speicher (2 M x 16)	32Mb, 3V, FLASH Memory (2Mx16)	56-TSOP	6.80	5.44	3.59
DA28F320J5120SB93	821279-ND	32 MB, 5 V, FLASH-Speicher (4 M x 8, 2 M x 16)	32Mb, 5V, FLASH Memory (4Mx8, 2Mx16)	56-SSOP	13.38	10.59	8.61
DA28F320J5120SL39R	821278-ND	32 MB, 5 V, FLASH-Speicher (4 M x 8, 2 M x 16)	32Mb, 5V, FLASH Memory (4Mx8, 2Mx16)	56-SSOP	14.82	11.72	9.54

(Forts.)

★ RUFEN SIE BITTE AN FÜR NIEDRIGERE PREISE BEI GRÖSSEREN MENGEN! ★

FLASH-SPEICHER *(Forts.)*

Intel Teilenr.	Digi-Key Teilenr.	Beschreibung		Paket	Stückpreis ★ 1	10	100
E28F320J5120SL2XB	818759-ND	32 MB, 5 V, FLASH-Speicher (4 M x 8, 2 M x 16)	32Mb, 5V, FLASH Memory (4Mx8, 2Mx16)	56-TSOP	16.31	12.89	10.49
E28F640J3A120SL4AX	829867-ND	64 MB, 3 V, FLASH-Speicher (8 M x 8, 4 M x 16)	64Mb, 3V, FLASH Memory (8Mx8, 4Mx16)	56-TSOP	20.62	16.31	13.26
RC28F640J3C115SL7H9	860793-ND	64 MB, 3 V, FLASH-Speicher (8 M x 8, 4 M x 16)	64Mb, 3V, FLASH Memory (8Mx8, 4Mx16)	64-EBGA	8.81	6.94	5.26
RC28F640K3C110	853458-ND	64 MB, 3 V, FLASH-Speicher (8 M x 8, 4 M x 16)	64Mb, 3V, FLASH Memory (8Mx8, 4Mx16)	64-BGA	8.09	6.40	5.21
RD38F2020W0YBQOSB93	854798-ND	64 MB, 3 V, Stapel-FLASH-Speicher mit 8 MB SRAM	64Mb, 3V, Stacked FLASH Memory with 8Mb SRAM	88-EBGA	12.57	9.94	8.09
RD38F2020W0YTQOSB93	854813-ND	64 MB, 3 V, Stapel-FLASH-Speicher mit 8 MB SRAM	64Mb, 3V, Stacked FLASH Memory with 8Mb SRAM	88-EBGA	12.57	9.94	8.09
TE28F640J3C115SL7HA	860794-ND	64 MB, 3 V, FLASH-Speicher (8 M x 8, 4 M x 16)	64Mb, 3V, FLASH Memory (8Mx8, 4Mx16)	56-TSOP	8.81	6.94	5.26
RC28F128J3C150SL756	854762-ND	128 MB, 3 V, FLASH-Speicher (16 M x 8, 8 M x 16)	128Mb, 3V, FLASH Memory (16Mx8, 8Mx16)	64-EBGA	14.10	11.15	9.07
RC28F128K3C115	848521-ND	128 MB, 3 V, FLASH-Speicher (16 M x 8, 8 M x 16)	128Mb, 3V, FLASH Memory (16Mx8, 8Mx16)	64-BGA	14.90	11.78	9.58
RD38F3350WWZDQ1SB93	861440-ND	128 MB, 3 V, Stapel-FLASH-Speicher mit 64 MB PSRAM	128Mb, 3V, Stacked FLASH Memory with 64Mb PSRAM	88-EBGA	40.78	32.20	27.90
TE28F128J3C150SL758	854767-ND	128 MB, 3 V, FLASH-Speicher (16 M x 8, 8 M x 16)	128Mb, 3V, FLASH Memory (16Mx8, 8Mx16)	56-TSOP	14.10	11.15	9.07
TE28F128J3C150SL759	854768-ND	128 MB, 3 V, FLASH-Speicher (16 M x 8, 8 M x 16)	128Mb, 3V, FLASH Memory (16Mx8, 8Mx16)	56-TSOP	14.10	11.15	9.07
RC28F256J3C125SL7HE	860798-ND	256 MB, 3 V, FLASH-Speicher (32 M x 8, 16 M x 16)	256Mb, 3V, FLASH Memory (32Mx8, 16Mx16)	64-EBGA	23.08	18.25	14.84
RC28F256K3C120	853157-ND	256 MB, 3 V, FLASH-Speicher (32 M x 8, 16 M x 16)	256Mb, 3V, FLASH Memory (32Mx8, 16Mx16)	64-BGA	22.09	17.44	15.12
TE28F256J3C125SL7HD	860797-ND	256 MB, 3 V, FLASH-Speicher (32 M x 8, 16 M x 16)	256Mb, 3V, FLASH Memory (32Mx8, 16Mx16)	56-TSOP	23.08	18.25	14.84

DIREKTE DIGITAL-SYNTHESEPRODUKTE

Intel Teilenr.	Digi-Key Teilenr.	Beschreibung		Paket	Stückpreis ★ 1	10	100
1375A80CE	828902-ND	25 MHz Mini-Digital-Frequenz-Synthesizer	Mini 25MHz Digital Freq. Synthesizer	35-DIL	542.88	534.20	521.17

DEMODULATIONS- UND KODIERPRODUKTE

Intel Teilenr.	Digi-Key Teilenr.	Beschreibung		Paket	Stückpreis ★ 1	10	100
N2105CM	828541-ND	Digitaler CMOS QPSK Kabeldemodulator	Digital CMOS QPSK Cable Demod.	68-PLCC	19.56	15.46	12.58

PERIPHERIE-SCHNITTSTELLENPRODUKTE

Intel Teilenr.	Digi-Key Teilenr.	Beschreibung		Paket	Stückpreis ★ 1	10	100
GCIXB3208AA	831425-ND	8-Port, 32-Bit, IX Bus Peripherie-Controller	8-Port, 32-Bit, IX Bus Peripheral Controller	352-BGA	90.52	79.55	69.95
N87C42	804115-ND	8-Bit, Universal Peripherie-Schnittstelle, Slave-Mikrocontroller	8-Bit, Universal Peripheral Interface Slave Microcontroller	44-PLCC	13.93	10.97	8.30
P87C42	804121-ND	8-Bit, Universal Peripherie-Schnittstelle, Slave-Mikrocontroller	8-Bit, Universal Peripheral Interface Slave Microcontroller	40-Dip	13.93	10.97	8.30
SCD128310QCE	832512-ND	IEEE 1284 kompatibler Parallel-Schnittstellen-Controller	IEEE 1284 Compatible Parallel Interface Controller	100-MQFP	16.92	13.32	10.08

MODEM CHIPSÄTZE, CONTROLLER, DSP, AFE

Intel Teilenr.	Digi-Key Teilenr.	Beschreibung		Paket	Stückpreis ★ 1	10	100
MD5660AMS101	830882-ND	ISA/serieller Modem-Chipsatz (MD4450CSCB, MD5660DTMA, MD1724T11VCB)	ISA/Serial Modem Chipset (MD4450CSCB, MD5660DTMA, MD1724T11VCB)	—	13.93	10.97	8.30
MD5661AMV101	830883-ND	PCMCIA Modem-Chipsatz (MD4451CVCB, MD5661DTLA, MD1724T11VCB)	PCMCIA Modem Chipset (MD4451CVCB, MD5661DTLA, MD1724T11VCB)	—	12.45	9.84	8.01
MD5662AMS101	830884-ND	ISA/serieller Modem-Chipsatz (MD4450CSCB, MD5660DTMA, MD1724T11VCB, 2 Teile)	ISA/Serial Modem Chipset (MD4450CSCB, MD5660DTMA, (MD1724T11VCB, 2pcs)	—	18.31	14.48	11.78
MD5675TS101	830885-ND	USB MODEM CHIPSATZ (MD4470CSCB, MD5660DTMA, MD1724T11VCB)	USB MODEM CHIPSET(MD4470CSCB, MD5660DTMA, MD1724T11VCB)	—	16.00	12.65	10.29
DQMD4451CVCB	830839-ND	5 V, 4451CV Controller	5V, 4451CV Controller	128-LQFP	5.97	4.70	3.56
FYMD4450CSCB	830837-ND	5 V, 4450CS Controller	5V, 4450CS Controller	128-SQFP	5.97	4.70	3.56
FYMD4450CVCB	830890-ND	5 V, 4450CV Controller	5V, 4450CV Controller	128-SQFP	14.05	11.06	8.37
FYMD4470CSCB	830849-ND	5 V, 4470CS Controller	5V, 4470CS Controller	128-SQFP	13.69	10.78	8.16
DJMD5628DLB	830836-ND	3,3 V, 5628 Digital-Signalprozessor	3.3V, 5628 Digital Signal Proc.	100-LQFP	6.97	5.49	4.15
DQMD5661DTLA	830848-ND	3,3 V, 5661 Digital-Signalprozessor	3.3V, 5661 Digital Signal Proc.	128-LQFP	5.97	4.70	3.56
FYMD5660DTMA	830842-ND	3,3 V, 5660 Digital-Signalprozessor	3.3V, 5660 Digital Signal Proc.	128-SQFP	5.97	4.70	3.56
FYMD8820	830850-ND	3,3 V, 8820 Digital-Signalprozessor	3.3V, 8820 Digital Signal Proc.	128-SQFP	40.44	31.93	27.67
DYMD1724T11VCB	830851-ND	5 V, Sigma-Delta Analog-Frontende	5V, Sigma-Delta Analog Front End	44-LQFP	3.39	2.71	1.61

XSCALE™ SPEICHERPROZESSOREN

Intel Teilenr.	Digi-Key Teilenr.	Beschreibung		Paket	Stückpreis ★ 1	10	100
FW80219M400SL7CL	858184-ND	32-Bit, GP, Hochleistung PCI-Prozessor mit Xscale™ Mikroarchitektur mit 64-Bit PCI-X Schnittstelle, 400 MHz	32-Bit, GP, High Perf. PCI Processor with Xscale™ Microarchitecture with 64-Bit PCI-X Interface, 400MHz	544-BGA	45.89	36.23	31.40
FW80219M600SL7CM	858207-ND	32-Bit, GP, Hochleistung PCI-Prozessor mit Xscale™ Mikroarchitektur mit 64-Bit PCI-X Schnittstelle, 600 MHz	32-Bit, GP, High Perf. PCI Processor with Xscale™ Microarchitecture with 64-Bit PCI-X Interface, 600MHz	544-BGA	52.28	41.28	35.77
FW80321M600SL6R3	850667-ND	32-Bit, Hochleistung PCI-Prozessor mit Xscale™ Mikroarchitektur mit 64-Bit PCI-X Schnittstelle, 600 MHz	32-Bit, High Perf. PCI Processor with Xscale™ Microarchitecture with 64-Bit PCI-X Interface, 600MHz	544-BGA	115.09	101.14	88.94

XSCALE™ NETZWERKPROZESSOREN

Intel Teilenr.	Digi-Key Teilenr.	Beschreibung		Paket	Stückpreis ★ 1	10	100
FWIXP420BB	852278-ND	266 MHz, Netzwerkprozessor mit Xscale™ Core	266MHz Network Processor with Xscale™ Core	492-BGA	21.37	16.90	13.74
FWIXP420BC	860131-ND	400 MHz, Netzwerkprozessor mit Xscale™ Core	400MHz Network Processor with Xscale™ Core	492-BGA	32.05	25.34	20.61
FWIXP420BD	860130-ND	533 MHz, Netzwerkprozessor mit Xscale™ Core	533MHz Network Processor with Xscale™ Core	492-BGA	37.11	29.30	25.40
FWIXP421BB	852277-ND	266 MHz, Netzwerkprozessor mit Xscale™ Core, 2 HSS seriellen Ports	266MHz Network Processor with Xscale™ Core, 2 HSS Serial Ports	492-BGA	25.58	20.23	16.45
FWIXP422BB	852276-ND	266 MHz, Netzwerkprozessor mit Xscale™ Core,Crypto Processor Support	266MHz Network Processor with Xscale™ Core, Crypto Processor Support	492-BGA	24.75	19.57	15.91
FWIXP425BB	852264-ND	266 MHz, 2 HSS Ports, Crypto Processor Support,2 integrierte 10/100 Ethernet MAC, Utupia 2 Schnittstelle	266MHz, 2 HSS Ports, Crypto Processor Support, 2 Integrated 10/100 Ethernet MAC, Utupia 2 Interface	492-BGA	30.65	24.23	19.71
FWIXP425BC	852266-ND	400 MHz, 2 HSS Ports, Crypto Processor Support,2 integrierte 10/100 Ethernet MAC, Utupia 2 Schnittstelle	400MHz, 2 HSS Ports, Crypto Processor Support, 2 Integrated 10/100 Ethernet MAC, Utupia 2 Interface	492-BGA	41.59	32.84	28.47
FWIXP425BD	852279-ND	533 MHz, 2 HSS Ports, Crypto Processor Support,2 integrierte 10/100 Ethernet MAC, Utupia 2 Schnittstelle	533MHz, 2 HSS Ports, Crypto Processor Support, 2 Integrated 10/100 Ethernet MAC, Utupia 2 Interface	492-BGA	53.26	42.05	36.45

XSCALE™ HANDGEHALTENE ANWENDUNGSPROZESSOREN

Intel Teilenr.	Digi-Key Teilenr.	Beschreibung		Paket	Stückpreis ★ 1	10	100
GDPXA255A0C200	852064-ND	200 MHz, PXA255 Prozessor mit Xscale™ Technologie	200MHz, PXA255 Processor with Xscale™ Technology	25-BGA	23.11	18.27	14.86
GDPXA255A0E200	852055-ND	200 MHz, PXA255 Prozessor mit Xscale™ Technologie, erw. Temp.	200MHz, PXA255 Processor with Xscale™ Technology, Ext. Temp	25-BGA	24.82	19.62	15.96
GDPXA255A0C300	852054-ND	300 MHz, PXA255 Prozessor mit Xscale™ Technologie	300MHz, PXA255 Processor with Xscale™ Technology	25-BGA	28.14	22.25	18.10
GDPXA255A0C400	852053-ND	400 MHz, PXA255 Prozessor mit Xscale™ Technologie	400MHz, PXA255 Processor with Xscale™ Technology	256-PBGA	36.40	28.74	24.91
GDPXA255A0E300	852056-ND	300 MHz, PXA255 Prozessor mit Xscale™ Technologie, erw. Temp.	300MHz, PXA255 Processor with Xscale™ Technology, Ext. Temp.	25-BGA	30.97	24.49	19.91
GDPXA255A0E400	852106-ND	400 MHz, PXA255 Prozessor mit Xscale™ Technologie, erw. Temp.	400MHz, PXA255 Processor with Xscale™ Technology, Ext. Temp.	25-BGA	39.18	30.94	26.82

★ RUFEN SIE BITTE AN FÜR NIEDRIGERE PREISE BEI GRÖSSEREN MENGEN! ★

Alle Preisangaben in Euro und inklusive Zollgebühren.

Infineon Tech. Teilenr.	Digi-Key Teilenr.	Beschreibung		Paket	Stückpreis ★ 1	25	100
			Leistungsmanagement				
BSP76-E6327	BSP76-E6327INCT-ND	Smart Lowside Leistungsschalter	Smart Lowside Power Switch	SOT-223	1.46	1.27	.98
BSP76-E6327	BSP76-E6327INTR-ND	Smart Lowside Leistungsschalter	Smart Lowside Power Switch	SOT-223		585.00/1,000	
BSP742T	BSP742TINCT-ND	Smart Highside Leistungsschalter	Smart Power Highside Switch	P-DSO-8	1.34	1.16	.90
BSP742T	BSP742TINTR-ND	Smart Highside Leistungsschalter	Smart Power Highside Switch	P-DSO-8		1303.76/2,500	
BSP752R	BSP752RINCT-ND	Smart Highside Leistungsschalter	Smart Power Highside Switch	8-SOIC	1.68	1.46	1.12
BSP752R	BSP752RINTR-ND	Smart Highside Leistungsschalter	Smart Power Highside Switch	8-SOIC		1574.68/2,500	
BTS282Z-E3180A	BTS282ZE3180AINCT-ND	Enhancement Mode N-Channel Speed TEMPFET®	Enhancement Mode N-Channel Speed TEMPFET®	P-TO220-7-3	3.44	2.99	2.23
BTS282Z-E3180A	BTS282ZE3180AINTR-ND	Enhancement Mode N-Channel Speed TEMPFET®	Enhancement Mode N-Channel Speed TEMPFET®	P-TO220-7-3		1789.71/1,000	
BTS117	BTS117IN-ND	Smart Lowside Leistungsschalter	Smart Lowside Power Switch	P-TO-220-3-1	2.14	1.29	1.13
BTS133	BTS133IN-ND	Smart Lowside Leistungsschalter	Smart Lowside Power Switch	P-TO-220-3-1	2.79	1.72	1.52
BTS141	BTS141IN-ND	Smart Lowside Leistungsschalter	Smart Lowside Power Switch	P-TO-220-3-1	3.77	2.43	2.16
BTS409L1	BTS409L1IN-ND	Smart Highside Leistungsschalter	Smart Highside Power Switch	TO-220AB/5	1.46	1.32	1.20
BTS410F2-E3062A	BTS410F2E3062INCT-ND	Smart Highside Leistungsschalter	Smart Highside Power Switch	D2-PAK	2.78	2.42	1.80
BTS410F2-E3062A	BTS410F2E3062INTR-ND	Smart Highside Leistungsschalter	Smart Highside Power Switch	D2-PAK		1450.23/2,500	
BTS428L2	BTS428L2INCT-ND	1-Kan., 60 mΩ, smart Highside-Netzschalter	1-Ch., 60m Ohm, Smart Highside Power Switch	TO-252-5-1	1.93	1.68	1.25
BTS428L2	BTS428L2INTR-ND	1-Kan., 60 mΩ, smart Highside-Netzschalter	1-Ch., 60m Ohm, Smart Highside Power Switch	TO-252-5-1		2510.17/2,500	
BTS432E2	BTS432E2IN-ND	Smart Highside Leistungsschalter	Smart Highside Power Switch	TO-220AB/5	4.21	3.67	2.73
BTS442E2	BTS442E2IN-ND	Smart Highside Leistungsschalter	Smart Highside Power Switch	TO-220AB/5	5.65	3.87	3.43
BTS443P	BTS443PINCT-ND	Smart Highside Leistungsschalter	Smart Highside Power Switch	TO-252-5-1	2.60	2.27	1.69
BTS443P	BTS443PINTR-ND	Smart Highside Leistungsschalter	Smart Highside Power Switch	TO-252-5-1		3227.66/2,500	
BTS611L1	BTS611L1IN-ND	2-Kan., Smart Highside Netzschalter	2-Ch. Smart Highside Power Switch	TO-220AB/7	2.60	1.61	1.42
BTS621L1	BTS621L1IN-ND	2-Kan., Smart Highside Netzschalter	2-Ch. Smart Highside Power Switch	TO-220AB/7	3.54	2.13	1.93
BTS640S2-G	BTS640S2-GINCT-ND	Smart Sense Highside Leistungsschalter	Smart Sense Highside Power Switch	TO-263-7	3.02	2.64	1.96
BTS640S2-G	BTS640S2-GINTR-ND	Smart Sense Highside Leistungsschalter	Smart Sense Highside Power Switch	TO-263-7		1578.06/1,000	
BTS650P	BTS650PIN-ND	Smart Highside-Hochspannungs-Leistungsschalter	Smart Highside High Current Power Switch	TO-220AB/7	4.66	4.26	3.37
BTS660P	BTS660PIN-ND	Smart Highside-Hochspannungs-Leistungsschalter	Smart Highside High Current Power Switch	TO-220-7-3	5.63	3.86	3.42
BTS711L1	BTS711L1INCT-ND	4-Kan., Smart Highside-Netzschalter	4-Ch. Smart Highside Power Switch	P-DSO-20-9	3.73	3.25	2.42
BTS711L1	BTS711L1INTR-ND	4-Kan., Smart Highside-Netzschalter	4-Ch. Smart Highside Power Switch	P-DSO-20-9		1940.41/1,000	
BTS716G	BTS716GINCT-ND	4-Kan., Smart Highside-Netzschalter	4-Ch. Smart Highside Power Switch	P-DSO-20	3.23	2.82	2.10
BTS716G	BTS716GINTR-ND	4-Kan., Smart Highside-Netzschalter	4-Ch. Smart Highside Power Switch	P-DSO-20		1683.89/1,000	
TLE4267S	TLE4267SIN-ND	Low-Drop-Spannungsregler, 5V	5V, Low-Drop Voltage Regulator	P-TO-220-7	2.77	1.62	1.51
TLE4270G	TLE4270GINCT-ND	Low-Drop-Festspannungsregler, 5V	5V, Low-Drop Fixed Volt. Reg.	P-TO263-5-1	2.68	2.47	2.20
TLE4270G	TLE4270GINTR-ND	Low-Drop-Festspannungsregler, 5V	5V, Low-Drop Fixed Volt. Reg.	P-TO263-5-1		1258.89/1,000	
TLE4271-2G	TLE4271-2GINCT-ND	Low-Drop-Festspannungsregler, 5V	5V, Low-Drop Fixed Volt. Reg.	P-TO263-7-1	2.88	2.64	2.36
TLE4271-2G	TLE4271-2GINTR-ND	Low-Drop-Festspannungsregler, 5V	5V, Low-Drop Fixed Volt. Reg.	P-TO263-7-1		1353.71/1,000	
TLE4274V50	TLE4274V50IN-ND	Low-Drop-Spannungsregler	Low-Drop Voltage Regulator	P-TO220-3-1	1.78	1.00	.89
			Sensoren				
KT210	KT210IN-ND	Silizium-Temperatursensor	Silicon Temperature Sensor	TO-92 Mini	.65	.36	.29
KT230	KT230INCT-ND	Silizium-Temperatursensor	Silicon Temperature Sensor	SOT-23	.46	.40	.31
KT230	KT230INTR-ND	Silizium-Temperatursensor	Silicon Temperature Sensor	SOT-23		609.56/3,000	
KTY135	KTY135INCT-ND	Silizium-Temperatursensor	Silicon Temperature Sensor	SOT-23	.67	.59	.45
KTY135	KTY135INTR-ND	Silizium-Temperatursensor	Silicon Temperature Sensor	SOT-23		764.38/3,000	
KTY136	KTY136INCT-ND	Silizium-Temperatursensor	Silicon Temperature Sensor	SOT-23	.64	.57	.44
KTY136	KTY136INTR-ND	Silizium-Temperatursensor	Silicon Temperature Sensor	SOT-23		736.54/3,000	
KTY216	KTY216IN-ND	Silizium-Temperatursensor	Silicon Temperature Sensor	TO-92 Mini	.93	.81	.63
KTY236	KTY236INCT-ND	Silizium-Temperatursensor	Silicon Temperature Sensor	SOT-23	.91	.79	.61
KTY236	KTY236INTR-ND	Silizium-Temperatursensor	Silicon Temperature Sensor	SOT-23		1031.16/3,000	
TLE4913	TLE4913INCT-ND	Niedrigleistungs-Hall-Schalter	Low Power Hall Switch	SC-59-3-1	.72	.66	.59
TLE4913	TLE4913INTR-ND	Niedrigleistungs-Hall-Schalter	Low Power Hall Switch	SC-59-3-1		1026.08/3,000	
TLE4935G	TLE4935GINCT-ND	Hall-IC-Schalter für Magnetfeldanwendungen	Hall IC Switch for Magnetic Field Applications	SOT-89	.92	.85	.76
TLE4935G	TLE4935GINTR-ND	Hall-IC-Schalter für Magnetfeldanwendungen	Hall IC Switch for Magnetic Field Applications	SOT-89		460.55/1,000	
TLE4945-2L	TLE4945-2LINTB-ND	Bipolarer Hall-IC-Schalter für Magnetfeldanwendungen	Bipolar Hall IC Switch for Magnetic Field Applications	P-SSO-3-2		948.42/2,000	
TLE4945-2L	TLE4945-2LINCT-ND	Bipolarer Hall-IC-Schalter für Magnetfeldanwendungen	Bipolar Hall IC Switch for Magnetic Field Applications	P-SSO-3-2	.98	.90	.81
			Spezielle integrierte Schaltkreise				
ICE2A165	ICE2A165IN-ND	Offline-SMPS-Strommodus-Cont.	Off-Line SMPS Current Mode Cont.	P-Dip-8-6	1.51	.87	.75
ICE2A180Z	ICE2A180ZIN-ND	Offline-SMPS-Strommodus-Cont.	Off-Line SMPS Current Mode Cont.	P-Dip-7-1	1.77	1.02	.91
ICE2A265	ICE2A265IN-ND	Offline-SMPS-Strommodus-Cont.	Off-Line SMPS Current Mode Cont.	P-Dip-8-6	1.84	1.09	.97
ICE2A280Z	ICE2A280ZIN-ND	Offline-SMPS-Strommodus-Cont.	Off-Line SMPS Current Mode Cont.	P-Dip-7-1	2.48	1.53	1.33
ICE2A365	ICE2A365IN-ND	Offline-SMPS-Strommodus-Cont.	Off-Line SMPS Current Mode Cont.	P-Dip-8-6	2.35	1.45	1.30
ICE2A765P	ICE2A765PIN-ND	Offline SMPS Strommodus-Controller	Off-Line SMPS Current Mode Controller	P-TO-220-6-3	3.84	2.40	2.20
ICE2A0565	ICE2A0565IN-ND	Offline-SMPS-Strommodus-Cont.	Off-Line SMPS Current Mode Cont.	P-Dip-8-6	1.48	.92	.67
ICE2B265	ICE2B265IN-ND	Offline-SMPS-Strommodus-Cont.	Off-Line SMPS Current Mode Cont.	P-Dip-8-6	1.84	1.09	.97
ICE2B765P	ICE2B765PIN-ND	Offline SMPS Strommodus-Controller	Off-Line SMPS Current Mode Controller	P-TO-220-6-3	3.98	2.47	2.24
PEB2045N-VA3TR	PEB2045N-VA3INTR-ND	Speicher-Zeitschalter CMOS (MTSC)	Memory Time Switch CMOS (MTSC)	P-LCC-44		7132.61/500	
PEB2075N-V13TR	PEB2075N-V13INCT-ND	ISDN D-Channel Exchange Controller (IDEC®)	ISDN D-Channel Exchange Controller (IDEC®)	P-LCC-44	20.67	18.46	12.92
PEB2075N-V13TR	PEB2075N-V13INTR-ND	ISDN D-Channel Exchange Controller (IDEC®)	ISDN D-Channel Exchange Controller (IDEC®)	P-LCC-44		4923.00/500	
PEB2255H-V13	PEB2255H-V13IN-ND	E1/T1/J1 Framer und Leitungsschnittstellen-Komponente für Weit- und Nahübertragungsanwendungen FALC®-LH	E1/T1/J1 Framer and Line Interface Component for Long and Short Haul Applications FALC®-LH	P-MQFP-80-1	40.48	31.74	30.10
PEB2256H-V12	PEB2256H-V12IN-ND	E1/T1/J1 Framer und Leitungsschnittstellen-Komponente für Weit- und Nahübertragungsanwendungen FALC56	E1/T1/J1 Framer and Line Interface Component for Long and Short Haul Applications FALC56	P-MQFP-80-1	29.30	21.41	20.09
PEB3265H-V13	PEB3265H-V13IN-ND	Doppelkanal-Teilnehmerleitungsschnittstellen-Codec Filter SLICOFI-2x	Dual Channel Subscriber Line Interface Codec Filter SLICOFI-2x	P-MQFP-64-1	11.50	8.15	7.46
PEB20256E-V21	PEB20256E-V21IN-ND	Multikanal-Netzwerk-Schnittstellen-Controller für HDLC/PPP	Multichannel Network Interface Controller for HDLC/PPP	P-BGA-388	187.53	153.89	143.55
PEB20320H-V34	PEB20320H-V34IN-ND	Multikanal-Netzwerk-Schnittstellen-Controller für HDLC	Multichannel Network Interface Controller for HDLC	P-MQFP-160-1	71.47	62.83	54.46
PEB20321H-V22	PEB20321H-V22IN-ND	Multikanal-Netzwerk-Schnittstellen-Controller für HDLC mit Verlängerungen	Multichannel Network Interface Controller for HDLC with Extensions	P-MQFP-160-1	78.49	69.00	59.80
PEB20534H10-V21	PEB20534H10-V21IN-ND	DMA-unterstützter serieller Kommunikations-Controller mit 4 Kanälen	DMA Supported Serial Communication Controller with 4 Channels	P-FQFP-208-7	70.10	61.63	53.41
PEB20534H52-V21	PEB20534H52-V21IN-ND	DMA-unterstützter serieller Kommunikations-Controller mit 4 Kanälen	DMA Supported Serial Communication Controller with 4 Channels	P-FQFP-208-7	89.05	78.29	67.85
PEB22504HT-V11	PEB22504HT-V11IN-ND	Vierf. Leitungsschnittstelleneinheit für E1/T1/J1, vierf. LIU™	Quad Line Interface Unit for E1/T1/J1 QuadLIU™	P-TQFP-100-3	37.02	26.15	25.38
PEF3452H-V13	PEF3452H-V13IN-ND	Leitungsschnittstelleneinheit für DS3, STS1 und E3 TE3-LIU™	Line Interface Unit for DS3, STS1 and E3 TE3-LIU™	P-MQFP-44-2	40.92	28.90	28.05
PEF22810T-V21TR	PEF22810T-V21INCT-ND	Standard, sehr hohe Bit-Rate, DSL-Chipsatz, Leitungstreiber	Standard, Very High Bit-Rate, DSL Chipset, Line Driver	P-DSO-8	1.37	1.12	1.04
PEF22810T-V21TR	PEF22810T-V21INTR-ND	Standard, sehr hohe Bit-Rate, DSL-Chipsatz, Leitungstreiber	Standard, Very High Bit-Rate, DSL Chipset, Line Driver	P-DSO-8		2768.38/2,500	
PMB2201R-V12TR	PMB2201RV12TRINCT-ND	2,5 GHz Mixer DC und 0,8-1,5 GHz Vector Modulator	2.5GHz Mixer DC and 0.8-1.5GHz Vector Modulator	P-TSSOP-24	4.06	3.73	3.32
PMB2313T-V15TR	PMB2313TV15TRINCT-ND	1,1 GHz vorgeschalteter Frequenzteilschaltkreis	1.1GHz Prescaler Circuit	P-DSO-8	2.16	1.98	1.77
PMB2313T-V15TR	PMB2313TV15TRINTR-ND	1,1 GHz vorgeschalteter Frequenzteilschaltkreis	1.1GHz Prescaler Circuit	P-DSO-8		3314.44/2,500	
PMB2314T-V15TR	PMB2314TV15TRINCT-ND	2,1 GHz vorgeschalteter Frequenzteilschaltkreis	2.1GHz Prescaler Circuit	P-DSO-8	2.54	2.33	2.08
PMB2314T-V15TR	PMB2314TV15TRINTR-ND	2,1 GHz vorgeschalteter Frequenzteilschaltkreis	2.1GHz Prescaler Circuit	P-DSO-8		3314.44/2,500	
PSB2186N-V11TR	PSB2186N-V11INCT-ND	ISDN Subscriber Access Controller für Terminals (ISAC®-S TE)	ISDN Subscriber Access Controller for Terminals (ISAC®-S TE)	P-LCC-44	13.37	11.94	8.36
PSB2186N-V11TR	PSB2186N-V11INTR-ND	ISDN Subscriber Access Controller für Terminals (ISAC®-S TE)	ISDN Subscriber Access Controller for Terminals (ISAC®-S TE)	P-LCC-44		3184.06/500	
PXB4220E-V32	PXB4220E-V32IN-ND	Verbindungselement für 8 E1/T1 Leitungen IWE8	Interworking Element for 8 E1/T1 Lines IWE8	P-BGA-256	93.79	89.41	71.46
PXB4220E-V33	PXB4220E-V33IN-ND	Verbindungselement für 8 E1/T1 Leitungen IWE8	Interworking Element for 8 E1/T1 Lines IWE8	P-BGA-256	98.54	79.74	76.89
SAB82525H-V21	SAB82525H-V21IN-ND	2-Kan. serieller Komm.- Controller erweitert, hohes Level (HSCX)	2-Ch. High Level Serial Comm. Controller Extended (HSCX)	P-MQFP-44-2	18.12	13.51	12.42
SAB82525N-V21TR	SAB82525N-V21INCT-ND	2-Kan. serieller Komm.- Controller erweitert, hohes Level (HSCX)	2-Ch. High Level Serial Comm. Controller Extended (HSCX)	P-LCC-44-1	24.71	22.07	17.21
SAB82525N-V21TR	SAB82525N-V21INTR-ND	2-Kan. serieller Komm.- Controller erweitert, hohes Level (HSCX)	2-Ch. High Level Serial Comm. Controller Extended (HSCX)	P-LCC-44-1		6788.46/500	
SAB82526N-V21	SAB82526N-V21IN-ND	1-Kan. serieller Komm.- Controller erweitert, hohes Level (HSCX)	1-Ch. High Level Serial Comm. Controller Extended (HSCX)	P-LCC-44-1	11.35	9.99	8.66
SAB82532H10V32A	SAB82532H10V32AIN-ND	2-Kan. erweiterter serieller Komm.- Controller ESCC2	2-Ch. Enhanced Serial Comm. Controller ESCC2	P-MQFP-80-1	18.33	16.12	13.97
SAE800	SAE800IN-ND	Programmierbarer Gong mit Einzel/Doppel/Dreifach-Ton	Prog. Single/Dual/Triple Tone Gong	P-DIP-8-4	4.83	3.14	2.87
SAF82525N-V21	SAF82525N-V21IN-ND	2-Kan. serieller Komm.- Controller erweitert, hohes Level	2-Ch. High Level Serial Comm. Controller Extended	P-LCC-44-1	19.02	14.18	13.04
SAF82532N10V32A	SAF82532N10V32AIN-ND	2-Kan. erweiterter serieller Kommunikations-Controller ESCC2	2-Ch. Enhanced Serial Communication Controller ESCC2	P-LCC-68	19.26	16.94	14.68
TCA505BGGEG	TCA505BGGEGINCT-ND	IC für induktive Näherungsschalter mit Kurzschlussschutz	IC for Inductive Proximity Switches with Short Circuit Protection	P-DSO-16-1	4.71	3.52	2.83
TCA505BGGEG	TCA505BGGEGINTR-ND	IC für induktive Näherungsschalter mit Kurzschlussschutz	IC for Inductive Proximity Switches with Short Circuit Protection	P-DSO-16-1		5708.20/2,500	
TCA785	TCA785IN-ND	LSL-kompatible Phasensteuerungs-IC	LSL Compatible Phase Control IC	P-DIP-16-1	5.74	3.82	3.42

(Forts.)

★ RUFEN SIE BITTE AN FÜR NIEDRIGERE PREISE BEI GRÖSSEREN MENGEN! ★

B

Infineon Tech. Teilenr.	Digi-Key Teilenr.	Beschreibung		Paket	Stückpreis ★ 1	25	100
TDA5100	TDA5100INCT-ND	868-870 MHz ASK/FSK-Transmitter	868-870MHz ASK/FSK Transmitter	P-TSSOP-16	2.18	2.00	1.92
TDA5100	TDA5100INTR-ND	868-870 MHz ASK/FSK-Transmitter	868-870MHz ASK/FSK Transmitter	P-TSSOP-16		2986.80/3,000	
TDA5101	TDA5101INCT-ND	311-317 MHz ASK/FSK-Transmitter	311-317MHz ASK/FSK Transmitter	P-TSSOP-16	2.18	2.00	1.92
TDA5101	TDA5101INTR-ND	311-317 MHz ASK/FSK-Transmitter	311-317MHz ASK/FSK Transmitter	P-TSSOP-16		2910.61/3,000	
TDA5103A	TDA5103AINCT-ND	344-347 MHz ASK-Transmitter	344-347MHz ASK Transmitter	P-TSSOP-10	2.27	2.08	2.01
TDA5103A	TDA5103AINTR-ND	344-347 MHz ASK-Transmitter	344-347MHz ASK Transmitter	P-TSSOP-10		9469.22/5,000	
TDA5200	TDA5200INCT-ND	868-870 MHz und 433-435 MHz Niedrigleistungs-ASK-Empfänger	868-870MHz and 433-435MHz Low Power ASK Receiver	P-TSSOP-28-1	3.28	3.01	2.90
TDA5200	TDA5200INTR-ND	868-870 MHz und 433-435 MHz Niedrigleistungs-ASK-Empfänger	868-870MHz and 433-435MHz Low Power ASK Receiver	P-TSSOP-28-1		8188.32/3,000	
TDA5201	TDA5201INCT-ND	310 und 345 MHz Niedrigleistungs-ASK-Einzelempfänger	310 and 345MHz Low Power ASK Single Receiver	P-TSSOP-28-1	3.28	3.01	2.90
TDA5201	TDA5201INTR-ND	310 und 345 MHz Niedrigleistungs-ASK-Einzelempfänger	310 and 345MHz Low Power ASK Single Receiver	P-TSSOP-28-1		8188.32/3,000	
TDA5210	TDA5210INCT-ND	810-870 MHz und 400-440 MHz FSK/ASK Superheterodyn-Empfänger	810-870MHz and 400-440MHz FSK/ASK Superheterodyne Receiver	P-TSSOP-28-1	3.34	3.07	2.96
TDA5211	TDA5211INCT-ND	310-350 MHz FSK/ASK Superheterodyn-Empfänger	310-350MHz FSK/ASK Superheterodyne Receiver	P-TSSOP-28-1	3.34	3.07	2.96
TDA5211	TDA5211INTR-ND	310-350 MHz FSK/ASK Superheterodyn-Empfänger	310-350MHz FSK/ASK Superheterodyne Receiver	P-TSSOP-28-1		8343.24/3,000	
TDA5212	TDA5212INCT-ND	910-920 MHz Niedrigleistungs-FSK/ASK Superheterodyn-Empfänger	910-920MHz Low Power FSK/ASK Superheterodyne Receiver	P-TSSOP-28-1	3.34	3.07	2.96
TDA5212	TDA5212INTR-ND	910-920 MHz Niedrigleistungs-FSK/ASK Superheterodyn-Empfänger	910-920MHz Low Power FSK/ASK Superheterodyne Receiver	P-TSSOP-28-1		8343.24/3,000	
TDA21201-B7	TDA21201-B7INCT-ND	Integrierter Schalter-MOSFET-Treiber und MOSFET	Integrated Switch MOSFET Driver and MOSFET	TO-263-7-2	4.00	3.48	2.60
TDA21201-B7	TDA21201-B7INTR-ND	Integrierter Schalter-MOSFET-Treiber und MOSFET	Integrated Switch MOSFET Driver and MOSFET	TO-263-7-2		2211.32/1,000	
TDA21201-P7	TDA21201-P7IN-ND	Integrierter Schalter-MOSFET-Treiber und MOSFET	Integrated Switch MOSFET Driver and MOSFET	TO-220-7-3	4.72	2.76	2.57
TDA21201-S7	TDA21201-S7IN-ND	Integrierter Schalter-MOSFET-Treiber und MOSFET	Integrated Switch MOSFET Driver and MOSFET	TO-220-7-230	4.72	2.76	2.57

ZÄHLER/ TIMER

Zilog Teilenr.	Digi-Key Teilenr.	Beschreibung		Paket	Stückpreis ★ 1	25	100
Z84C3006FEC	269-3036-ND	6 MHz, Z80 CMOS Zähler-/Timer-Schaltkreis	6MHz, Z80 CMOS Counter/Timer Circuit	44-QFP	4.75	3.57	2.38
Z84C3006PEC	269-3037-ND	6 MHz, Z80 CMOS Zähler-/Timer-Schaltkreis	6MHz, Z80 CMOS Counter/Timer Circuit	28-Dip	4.75	3.57	2.38
Z84C3008PEC	269-3039-ND	8 MHz, Z80 CMOS Zähler-/Timer-Schaltkreis	8MHz, Z80 CMOS Counter/Timer Circuit	28-Dip	4.75	3.57	2.38
Z84C3008VEC	269-3040-ND	8 MHz, Z80 CMOS Zähler-/Timer-Schaltkreis	8MHz, Z80 CMOS Counter/Timer Circuit	44-PLCC	4.75	3.57	2.38
Z84C3010FEC	269-3041-ND	10 MHz, Z80 CMOS Zähler-/Timer-Schaltkreis	10MHz, Z80 CMOS Counter/Timer Circuit	44-QFP	4.75	3.57	2.38
Z84C3010PEC	269-3042-ND	10 MHz, Z80 CMOS Zähler-/Timer-Schaltkreis	10MHz, Z80 CMOS Counter/Timer Circuit	28-Dip	4.75	3.57	2.38
Z84C3010VEC	269-3043-ND	10 MHz, Z80 CMOS Zähler-/Timer-Schaltkreis	10MHz, Z80 CMOS Counter/Timer Circuit	44-PLCC	4.75	3.57	2.38

MIKROPROZESSOREN

Zilog Teilenr.	Digi-Key Teilenr.	Beschreibung		Paket	Stückpreis ★ 1	25	100
Z8018006FSC	269-3004-ND	6 MHz, Z180 CMOS erweiterter Mikroprozessor	6MHz, Z180 CMOS Enhanced Microprocessor	80-QFP	9.04	6.79	4.64
Z8018006PEC	269-3005-ND	6 MHz, Z180 CMOS erweiterter Mikroprozessor	6MHz, Z180 CMOS Enhanced Microprocessor	64-Dip	10.18	7.64	5.23
Z8018006PSC	269-3006-ND	6 MHz, Z180 CMOS erweiterter Mikroprozessor	6MHz, Z180 CMOS Enhanced Microprocessor	64-Dip	8.56	6.42	4.39
Z8018006VEC	269-3007-ND	6 MHz, Z180 CMOS erweiterter Mikroprozessor	6MHz, Z180 CMOS Enhanced Microprocessor	68-PLCC	10.18	7.64	5.23
Z8018006VSC	269-3008-ND	6 MHz, Z180 CMOS erweiterter Mikroprozessor	6MHz, Z180 CMOS Enhanced Microprocessor	68-PLCC	8.56	6.42	4.39
Z8018008FSC	269-3009-ND	8 MHz, Z180 CMOS erweiterter Mikroprozessor	8MHz, Z180 CMOS Enhanced Microprocessor	80-QFP	9.58	7.19	4.92
Z8018008PEC	269-3010-ND	8 MHz, Z180 CMOS erweiterter Mikroprozessor	8MHz, Z180 CMOS Enhanced Microprocessor	64-Dip	10.79	8.10	5.54
Z8018008PSC	269-3011-ND	8 MHz, Z180 CMOS erweiterter Mikroprozessor	8MHz, Z180 CMOS Enhanced Microprocessor	64-Dip	8.91	6.69	4.57
Z8018008VEC	269-3012-ND	8 MHz, Z180 CMOS erweiterter Mikroprozessor	8MHz, Z180 CMOS Enhanced Microprocessor	68-PLCC	12.32	9.24	6.33
Z8018008VSC	269-3013-ND	8 MHz, Z180 CMOS erweiterter Mikroprozessor	8MHz, Z180 CMOS Enhanced Microprocessor	68-PLCC	8.91	6.69	4.57
Z8018010FSC	269-3014-ND	10 MHz, Z180 CMOS erweiterter Mikroprozessor	10MHz, Z180 CMOS Enhanced Microprocessor	80-QFP	10.92	8.20	5.54
Z8018010PEC	269-3015-ND	10 MHz, Z180 CMOS erweiterter Mikroprozessor	10MHz, Z180 CMOS Enhanced Microprocessor	64-Dip	12.65	9.49	6.49
Z8018010PSC	269-3016-ND	10 MHz, Z180 CMOS erweiterter Mikroprozessor	10MHz, Z180 CMOS Enhanced Microprocessor	64-Dip	10.92	8.20	5.42
Z8018010VEC	269-3017-ND	10 MHz, Z180 CMOS Mikroprozessor	10MHz, Z180 CMOS Microprocessor	68-PLCC	12.65	9.49	6.49
Z8018010VSC	269-3018-ND	10 MHz, Z180 CMOS Mikroprozessor	10MHz, Z180 CMOS Microprocessor	68-PLCC	10.92	8.20	5.42
Z84C0006FEC	269-3019-ND	6 MHz, Z80 CMOS Mikroprozessor	6MHz, Z80 CMOS Microprocessor	44-QFP	4.75	3.57	2.38
Z84C0006PEC	269-3020-ND	6 MHz, Z80 CMOS Mikroprozessor	6MHz, Z80 CMOS Microprocessor	40-Dip	4.75	3.57	2.38
Z84C0006VEC	269-3021-ND	6 MHz, Z80 CMOS Mikroprozessor	6MHz, Z80 CMOS Microprocessor	44-PLCC	4.75	3.57	2.38
Z84C0008FEC	269-3022-ND	8 MHz, Z80 CMOS Mikroprozessor	8MHz, Z80 CMOS Microprocessor	44-QFP	4.75	3.57	2.38
Z84C0008PEC	269-3023-ND	8 MHz, Z80 CMOS Mikroprozessor	8MHz, Z80 CMOS Microprocessor	40-Dip	4.75	3.57	2.38
Z84C0008VEC	269-3024-ND	8 MHz, Z80 CMOS Mikroprozessor	8MHz, Z80 CMOS Microprocessor	44-PLCC	4.75	3.57	2.38
Z84C0010FEC	269-3025-ND	10 MHz, Z80 CMOS Mikroprozessor	10MHz, Z80 CMOS Microprocessor	44-QFP	4.75	3.57	2.38
Z84C0010PEC	269-3026-ND	10 MHz, Z80 CMOS Mikroprozessor	10MHz, Z80 CMOS Microprocessor	40-Dip	4.75	3.57	2.38
Z84C0010VEC	269-3027-ND	10 MHz, Z80 CMOS Mikroprozessor	10MHz, Z80 CMOS Microprocessor	44-PLCC	4.75	3.57	2.38
Z84C0020FEC	269-3028-ND	20 MHz, Z80 CMOS Mikroprozessor	20MHz, Z80 CMOS Microprocessor	44-QFP	11.25	8.44	5.78
Z84C0020PEC	269-3029-ND	20 MHz, Z80 CMOS Mikroprozessor	20MHz, Z80 CMOS Microprocessor	40-Dip	11.25	8.44	5.78
Z84C0020VEC	269-3030-ND	20 MHz, Z80 CMOS Mikroprozessor	20MHz, Z80 CMOS Microprocessor	44-PLCC	11.25	8.44	5.78
Z8S18010FSC	269-3098-ND	10 MHz, Statik Z180 Mikroprozessor	10MHz, Static Z180 Microprocessor	80-QFP	9.04	6.79	4.64
Z8S18010PSC	269-3100-ND	10 MHz, Statik Z180 Mikroprozessor	10MHz, Static Z180 Microprocessor	64-Dip	8.56	6.42	4.39
Z8S18010VSC	269-3102-ND	10 MHz, Statik Z180 Mikroprozessor	10MHz, Static Z180 Microprocessor	68-PLCC	8.56	6.42	4.39
Z8S18020FEC	269-3103-ND	20 MHz, Statik Z180 Mikroprozessor, X-Temp.	20MHz, Static Z180 Microprocessor, X-Temp.	80-QFP	14.40	10.81	7.40
Z8S18020FEC1960	269-3104-ND	20 MHz, Statik Z180 Mikroprozessor, X-Temp.	20MHz, Static Z180 Microprocessor, X-Temp.	80-QFP	14.40	10.81	7.40
Z8S18020FSC	269-3105-ND	20 MHz, Statik Z180 Mikroprozessor	20MHz, Static Z180 Microprocessor	80-QFP	11.89	8.92	6.11
Z8S18020PSC	269-3107-ND	20 MHz, Statik Z180 Mikroprozessor	20MHz, Static Z180 Microprocessor	64-Dip	11.89	8.92	6.11
Z8S18020PSC1960	269-3108-ND	20 MHz, Statik Z180 Mikroprozessor	20MHz, Static Z180 Microprocessor	64-Dip	11.89	8.92	6.11
Z8S18020VEC	269-3109-ND	20 MHz, Statik Z180 Mikroprozessor, X-Temp.	20MHz, Static Z180 Microprocessor, X-Temp.	68-PLCC	14.40	10.81	7.40
Z8S18020VEC1960	269-3110-ND	20 MHz, Statik Z180 Mikroprozessor, X-Temp.	20MHz, Static Z180 Microprocessor, X-Temp.	68-PLCC	14.40	10.81	7.40
Z8S18020VSC	269-3111-ND	20 MHz, Statik Z180 Mikroprozessor	20MHz, Static Z180 Microprocessor	68-PLCC	11.89	8.92	6.11
Z8S18020VSC1960	269-3112-ND	20 MHz, Statik Z180 Mikroprozessor	20MHz, Static Z180 Microprocessor	68-PLCC	11.89	8.92	6.11
Z8S18033VEC	269-3115-ND	33 MHz, Statik Z180 Mikroprozessor, X-Temp.	33MHz, Static Z180 Microprocessor, X-Temp.	68-PLCC	15.80	11.85	8.11
Z8S18033VSC	269-3116-ND	33 MHz, Statik Z180 Mikroprozessor	33MHz, Static Z180 Microprocessor	68-PLCC	13.13	9.85	6.74

PERIPHERE CONTROLLER

Zilog Teilenr.	Digi-Key Teilenr.	Beschreibung		Paket	Stückpreis ★ 1	25	100
Z84C1506FEC	269-3031-ND	6 MHz, Z80 intelligenter Peripherie-Controller	6MHz, Z80 Intelligent Peripheral Controller	100-QFP	13.69	10.27	7.02
Z84C1510AEC	269-3032-ND	10 MHz, Z80 intelligenter Peripherie-Controller	10MHz, Z80 Intelligent Peripheral Controller	100-VQFP	13.69	10.27	7.02
Z84C1510FEC	269-3033-ND	10 MHz, Z80 intelligenter Peripherie-Controller	10MHz, Z80 Intelligent Peripheral Controller	100-QFP	13.69	10.27	7.02
Z84C1516ASC	269-3034-ND	16 MHz, Z80 intelligenter Peripherie-Controller	16MHz, Z80 Intelligent Peripheral Controller	100-VQFP	18.16	13.62	9.32
Z84C1516FSC	269-3035-ND	16 MHz, Z80 intelligenter Peripherie-Controller	16MHz, Z80 Intelligent Peripheral Controller	100-QFP	17.80	13.36	9.14

SERIELLE KOMMUNIKATIONS-CONTROLLER

Zilog Teilenr.	Digi-Key Teilenr.	Beschreibung		Paket	Stückpreis ★ 1	25	100
Z8523008PEC	269-3044-ND	8 MHz, erweiterter serieller Komm. Controller, erw. Temp.	8MHz, Enhanced Serial Comm. Controller, Ext. Temp	40-Dip	21.89	16.42	11.23
Z8523008PSC	269-3045-ND	8 MHz, erweiterter serieller Komm. Controller	8MHz, Enhanced Serial Comm. Controller	40-Dip	13.38	10.04	6.87
Z8523008VEC	269-3046-ND	8 MHz, erweiterter serieller Komm. Controller, erw. Temp.	8MHz, Enhanced Serial Comm. Controller, Ext. Temp	44-PLCC	19.33	14.50	9.92
Z8523008VSC	269-3047-ND	8 MHz, erweiterter serieller Komm. Controller	8MHz, Enhanced Serial Comm. Controller	44-PLCC	13.38	10.04	6.87
Z8523010PEC	269-3048-ND	10 MHz, erweiterter serieller Komm. Controller XTemp	10MHz, Enhanced Serial Comm. Controller XTemp	40-Dip	27.43	20.58	14.07

(Forts.)

★ RUFEN SIE BITTE AN FÜR NIEDRIGERE PREISE BEI GRÖSSEREN MENGEN! ★

Zilog Teilenr.	Digi-Key Teilenr.	Beschreibung		Paket	Stückpreis ★ 1	25	100
Z8523010PSC	269-3049-ND	10 MHz, erweiterter serieller Komm. Controller	10MHz, Enhanced Serial Comm. Controller	40-Dip	16.92	12.69	8.68
Z8523010VEC	269-3050-ND	10 MHz, erweiterter serieller Komm. Controller XTemp	10MHz, Enhanced Serial Comm. Controller XTemp	44-PLCC	27.43	20.58	14.07
Z8523010VSC	269-3051-ND	10 MHz, erweiterter serieller Komm. Controller	10MHz, Enhanced Serial Comm. Controller	44-PLCC	16.92	12.69	8.68
Z8523016PEC	269-3052-ND	16 MHz, erweiterter serieller Komm. Controller XTemp	16MHz, Enhanced Serial Comm. Controller XTemp	40-Dip	33.83	25.38	17.36
Z8523016PSC	269-3053-ND	16 MHz, erweiterter serieller Komm. Controller	16MHz, Enhanced Serial Comm. Controller	40-Dip	21.72	16.29	11.14
Z8523016VEC	269-3054-ND	16 MHz, erweiterter serieller Komm. Controller XTemp	16MHz, Enhanced Serial Comm. Controller XTemp	44-PLCC	33.83	25.38	17.36
Z8523016VSC	269-3055-ND	16 MHz, erweiterter serieller Komm. Controller	16MHz, Enhanced Serial Comm. Controller	44-PLCC	21.72	16.29	11.14
Z8523020VSC	269-3057-ND	20 MHz, erweiterter serieller Komm. Controller	20MHz, Enhanced Serial Comm. Controller	44-PLCC	28.65	21.49	14.70
Z85C3008PEC	269-3058-ND	8 MHz, Z8500 CMOS serieller Komm. Controller	8MHz, Z8500 CMOS Serial Comm. Controller	40-Dip	11.40	8.56	5.85
Z85C3008PSC	269-3059-ND	8 MHz, Z8500 CMOS serieller Komm. Controller	8MHz, Z8500 CMOS Serial Comm. Controller	40-Dip	7.62	5.72	3.92
Z85C3008VEC	269-3060-ND	8 MHz, Z8500 CMOS serieller Komm. Controller	8MHz, Z8500 CMOS Serial Comm. Controller	44-PLCC	11.40	8.56	5.85
Z85C3008VSC	269-3061-ND	8 MHz, Z8500 CMOS serieller Komm. Controller	8MHz, Z8500 CMOS Serial Comm. Controller	44-PLCC	7.62	5.72	3.92
Z85C3010PEC	269-3062-ND	10 MHz, Z8500 CMOS serieller Komm. Controller	10MHz, Z8500 CMOS Serial Comm. Controller	40-Dip	12.98	9.74	6.65
Z85C3010PSC	269-3063-ND	10 MHz, Z8500 CMOS serieller Komm. Controller	10MHz, Z8500 CMOS Serial Comm. Controller	40-Dip	8.69	6.52	4.46
Z85C3010VEC	269-3064-ND	10 MHz, Z8500 CMOS serieller Komm. Controller	10MHz, Z8500 CMOS Serial Comm. Controller	44-PLCC	12.98	9.74	6.65
Z85C3010VSC	269-3065-ND	10 MHz, Z8500 CMOS serieller Komm. Controller	10MHz, Z8500 CMOS Serial Comm. Controller	44-PLCC	8.69	6.52	4.46
Z85C3016PSC	269-3066-ND	16 MHz, Z8500 CMOS serieller Komm. Controller	16MHz, Z8500 CMOS Serial Comm. Controller	40-Dip	12.70	9.53	6.52
Z85C3016VSC	269-3067-ND	16 MHz, Z8500 CMOS serieller Komm. Controller	16MHz, Z8500 CMOS Serial Comm. Controller	44-PLCC	12.70	9.53	6.52

B

PHILIPS — VERSTÄRKER

Philips Teilenr.	Digi-Key Teilenr.	Beschreibung		Paket	Stückpreis★ 1	25	100
SA5209D	568-1196-5-ND	850 MHz Breitband-VGA	850MHz Wideband VGA	16-SOIC	10.72	9.66	8.56
SA5211D	568-1197-5-ND	180 MHz Transimpedanz-Amp	180MHz Transimpedance Amp	14-SOIC	6.77	5.42	4.58
SA5212AD	568-1198-5-ND	140 MHz Transimpedanz-Amp	140MHz Transimpedance Amp	8-SOIC	5.08	4.07	3.43
SA5219D	568-1199-5-ND	700 MHz Breitband-VGA	700MHz Wideband VGA	16-SOIC	7.28	5.83	4.92
TDA1013BU	568-1125-5-ND	4 W Audio-Leistungsverstärker	4W Audio Power Amp	9-SIL	1.24	1.04	.83
TDA1308TD	568-1126-5-ND	Stereo-Kopfhörertreiber, Klasse AB	Class AB Stereo Headphone Driver	8-SOIC	1.09	.92	.73
TDA1516BQU	568-1127-5-ND	24 W BTL oder 2x12 W Stereo Autoradioleistungsverstärker	24W BTL or 2x12W Stereo Car Radio Power Amp	13-SIL	3.04	2.43	1.89
TDA1517PN	568-1128-5-ND	2x6 W Stereo-Leistungsverst.	2x6W Stereo Power Amp	18-HDip	1.37	1.10	.83
TDA1519BU	568-1129-5-ND	12 W BTL oder 2x6 W Stereo Autoradioleistungsverstärker	12W BTL or 2x6W Stereo Car Radio Power Amp	9-SIL	2.16	1.73	1.35
TDA1519CU	568-1130-5-ND	22 W BTL oder 2x11 W Stereoleistungsverstärker	22W BTL or 2x11W Stereo Power Amp	9-SIL	3.04	2.43	1.89
TDA1524AN	568-1131-5-ND	Stereo-Ton-/Lautstärkensteuerschaltkreis	Stereo-Tone/Volume Control Circuit	18-DIL	2.61	2.09	1.63
TDA1554QU	568-1132-5-ND	4x11 W mit einem Ende oder 2x22 W Leistungsverst.	4x11W Single Ended or 2x22W Power Amp	17-SIL	3.04	2.44	1.90
TDA1560QU	568-1133-5-ND	40 W Autoradio-Hochleistungsverst.	40W Car Radio High Power Amp	17-DIL	6.70	5.36	4.53
TDA1562QU	568-1134-5-ND	70 W Leistungsverstärker, hoher Wirkungsgrad	70W High Efficiency Power Amp	17-DIL	7.27	6.55	5.81
TDA2611AU	568-1135-5-ND	5 W Audio-Leistungsverstärker	5W Audio Power Amp	9-SIL	1.08	.90	.72
TDA5051ATD	568-1136-5-ND	Heimautomatisierungsmodem	Home Automation Modem	16-SOIC	3.72	2.98	2.32
TDA7050TD	568-1137-5-ND	Niederspannungs-Mono/Stereo-Leistungsverstärker	Low Voltage Mono/Stereo Power Amp	8-SOIC	.80	.68	.54
TDA7052AN	568-1138-5-ND	1 W BLT Mono-Audioverstärker	1W BTL Mono Audio Amp	8-Dip	.93	.78	.62
TDA7052ATD-T	568-1139-1-ND	1 W BLT Mono-Audioverstärker	1W BTL Mono Audio Amp	8-SOIC	.93	.78	.62
TDA7052ATD-T	568-1139-2-ND	1 W BLT Mono-Audioverstärker	1W BTL Mono Audio Amp	8-SOIC		1007.03/2,500	
TDA7052N	568-1140-5-ND	1 W BLT Mono-Audioverstärker	1W BTL Mono Audio Amp	8-Dip	.97	.81	.65
TDA7056AU	568-1141-5-ND	5 W BLT Mono-Audio-Ausgangsverstärker	5W BTL Mono Audio Output Amp	9-SIL	1.23	.99	.74
TDA7056BU	568-1142-5-ND	5 W BLT Mono-Audio-Verstärker	5W BTL Mono Audio Amp	9-SIL	1.27	1.02	.77
TDA7057AQU	568-1143-5-ND	2x8 W Stereo-BLT-Audio-Ausgangsverstärker	2x8W Stereo BTL Audio Output Amp	13-DIL	1.99	1.60	1.20
TDA8425N	568-1144-5-ND	Hi-Fi Stereo-Audio-Prozessor	Hi-Fi Stereo Audio Processor	20-Dip	6.77	5.42	4.58
TDA8563Q10U	568-1145-5-ND	2x40 W/2Ω Stereo-BTL-Autoradioleistungsverstärker	2x40W/2-Ohm Stereo BTL Car Radio Power Amp	13-DIL	4.57	3.66	3.09
TDA8567QU	568-1146-5-ND	Vierf. 4x25 W BTL-Autoradio-Hochleistungsverst.	4x25W BTL Quad Car Radio Power Amp	23-DIL	7.37	5.90	4.98
TDA8943SFU	568-1147-5-ND	6 W BLT Mono-Audio-Verstärker	6W Mono BTL Audio Amp	9-SIL	1.22	.98	.74

PHILIPS — DATENKOMMUNIKATION

Philips Teilenr.	Digi-Key Teilenr.	Beschreibung		Paket	Stückpreis★ 1	25	100
		USB					
ISP1161A1BD	568-1162-ND	USB Einzelchip-Host/Baustein-Controller	USB Single-Chip Host/Device Controller	64-LQFP	5.93	4.75	4.01
ISP1161A1BM-S	568-1164-ND	USB Einzelchip-Host/Baustein-Controller	USB Single-Chip Host/Device Controller	64-LQFP	5.93	4.75	4.01
ISP1161ABD	568-1165-ND	USB Einzelchip-Host/Baustein-Controller, Vollgeschwindigkeit	Full Speed USB Single-Chip Host/Device Controller	64-LQFP	5.93	4.75	4.01
ISP1181ADGG	568-1001-5-ND	USB-Controller, Vollgeschwindigkeit	Full Speed USB Controller	48-TSSOP	3.49	2.79	2.17
ISP1181BDGG	568-1002-5-ND	USB-Controller, Vollgeschwindigkeit	Full Speed USB Controller	48-TSSOP	3.49	2.79	2.17
ISP1301BS	568-1166-ND	USB-Transceiver, On-the-Go	USB On-the-Go Transceiver	24-HVQFN	2.01	1.61	1.21
ISP1362BD	568-1167-ND	Einzelchip-USB-Controller, On-the-Go	Single-Chip USB On-the-Go Controller	64-LQFP	6.01	4.81	4.06
ISP1362BD-S	568-1219-ND	Einzelchip-USB-Controller, On-the-Go	Single-Chip USB On-the-Go Controller	64-LQFP	6.01	4.81	4.06
ISP1520BD-S	568-1169-ND	HS-USB Hub-Controller	High-Speed USB Hub Controller	64-LQFP	4.48	3.59	2.79
ISP1521BE	568-1170-ND	HS-USB Hub-Controller	High-Speed USB Hub Controller	80-LQFP	4.57	3.66	2.85
ISP1561BM	568-1171-ND	HS-USB PCI Host-Controller	High-Speed USB PCI Host Controller	128-LQFP	5.50	4.41	3.72
ISP1581BD	568-1172-ND	HS-USB-Peripherie-Controller	High-Speed USB Peripheral Controller	64-LQFP	6.52	5.22	4.41
PDIUSBD12D	568-1091-5-ND	USB-Schnittstellenbaustein mit Parallel-Bus	USB Interface Device w/Parallel Bus	28-SOIC	2.67	2.14	1.66
PDIUSBD12PWDH-T	568-1092-1-ND	USB-Schnittstellenbaustein mit Parallel-Bus	USB Interface Device w/Parallel Bus	28-TSSOP	2.67	2.14	1.66
PDIUSBD12PWDH-T	568-1092-2-ND	USB-Schnittstellenbaustein mit Parallel-Bus	USB Interface Device w/Parallel Bus	28-TSSOP		3733.51/2,500	

PHILIPS — DATENUMWANDLUNG

Philips Teilenr.	Digi-Key Teilenr.	Beschreibung		Paket	Stückpreis★ 1	25	100
		A/D- und D/A-Wandler					
PCF8591PN	568-1087-5-ND	8-Bit A/D und D/A-Wandler	8-Bit A/D and D/A Converter	16-Dip	3.14	2.52	1.96
PCF8591TD-T	568-1088-1-ND	8-Bit A/D und D/A-Wandler	8-Bit A/D and D/A Converter	16-SOIC	2.62	2.10	1.63
PCF8591TD-T	568-1088-2-ND	8-Bit A/D und D/A-Wandler	8-Bit A/D and D/A Converter	16-SOIC		1484.20/1,000	
		Digital-Analog-Umsetzer (DAU)					
TDA8771AB	568-1217-ND	Dreif. 8-Bit Video-D/A-Wandler	Triple 8-Bit Video D/A Converter	44-QFP	6.43	5.15	4.35
		Video-Kodierer/ -Dekodierer					
SAA6752HS04BF	568-1305-ND	MPEG-2 Video/MPEG Audio-Kodierer	MPEG-2 Video/MPEG Audio Encoder	208-SQFP	25.40	23.71	22.02
SAA7103HB	568-1306-ND	Digital-Video-Kodierer	Digital Video Encoder	44-QFP	13.59	12.69	11.78
SAA7105HBG	568-1307-ND	Digital-Video-Kodierer	Digital Video Encoder	64-QFP	15.24	14.23	13.21
SAA7111AHBG	568-1308-ND	Erweiterter Video-Eingangsprozessor	Enhanced Video Input Processor	64-QFP	13.40	12.07	10.70
SAA7111AHZBD	568-1309-ND	Erweiterter Video-Eingangsprozessor	Enhanced Video Input Processor	64-LQFP	13.40	12.07	10.70
SAA7113HB	568-1310-ND	9-Bit Video-Eingangsprozessor	9-Bit Video Input Processor	44-QFP	12.41	11.18	9.91
SAA7114HBE	568-1311-ND	PAL/NTSC/SECAM Video-Dekodierer	PAL/NTSC/SECAM Video Decoder	100-LQFP	15.24	14.23	13.21
SAA7115HLBE	568-1312-ND	PAL/NTSC/SECAM Video-Dekodierer	PAL/NTSC/SECAM Video Decoder	100-LQFP	19.05	17.78	16.51
SAA7118EEB	568-1313-ND	Multistandard-Video-Dekodierer	Multistandard Video Decoder	156-BGA	22.44	20.95	19.45
SAA7118HBB	568-1314-ND	Multistandard-Video-Dekodierer	Multistandard Video Decoder	160-QFP	22.44	20.95	19.45
SAA7121HB	568-1315-ND	Digital-Video-Kodierer	Digital Video Encoder	44-QFP	6.42	5.14	4.34
SAA7121HB-5	568-1185-1-ND	Digital-Video-Kodierer	Digital Video Encoder	44-QFN	6.42	5.14	4.34
SAA7121HB-5	568-1185-2-ND	Digital-Video-Kodierer	Digital Video Encoder	44-QFN		6016.15/1,500	
SAA7129AHB	568-1316-ND	Digital-Video-Kodierer	Digital Video Encoder	44-QFP	11.99	10.80	9.58
SAA7129HB	568-1317-ND	Digital-Video-Kodierer	Digital Video Encoder	44-QFP	11.99	10.80	9.58
SAA7146AHBB	568-1318-ND	Video-SPCI-Brücke	Video SPCI Bridge	160-QFP	25.09	23.43	21.75

★ RUFEN SIE BITTE AN FÜR NIEDRIGERE PREISE BEI GRÖSSEREN MENGEN! ★

B

Philips Teilenr.	Digi-Key Teilenr.	Beschreibung		Paket	Stückpreis★ 1	25	100
			CAN				
PCA82C250N	568-1020-5-ND	CAN-Controller-Schnittstelle	CAN Controller Interface	8-Dip	1.65	1.33	1.00
PCA82C250TD-T	568-1021-1-ND	CAN-Controller-Schnittstelle	CAN Controller Interface	8-SOIC	1.65	1.33	1.00
PCA82C250TD-T	568-1021-2-ND	CAN-Controller-Schnittstelle	CAN Controller Interface	8-SOIC		2113.11/2,500	
PCA82C251N	568-1022-5-ND	CAN-Transceiver für 24-V-System	CAN Transceiver for 24V System	8-Dip	1.65	1.33	1.00
PCA82C251TD-T	568-1023-1-ND	CAN-Transceiver für 24-V-System	CAN Transceiver for 24V System	8-SOIC	1.65	1.33	1.00
PCA82C251TD-T	568-1023-2-ND	CAN-Transceiver für 24-V-System	CAN Transceiver for 24V System	8-SOIC		2113.11/2,500	
SJA1000N	568-1122-5-ND	CAN-Controller (CAN), Stand-Alone	Stand-Alone CAN Controller	28-Dip	4.23	3.39	2.86
SJA1000TD-T	568-1123-1-ND	CAN-Controller (CAN), Stand-Alone	Stand-Alone CAN Controller	28-SOIC	4.23	3.39	2.86
SJA1000TD-T	568-1123-2-ND	CAN-Controller (CAN), Stand-Alone	Stand-Alone CAN Controller	28-SOIC		2645.63/1,000	
TJA1040TD-T	568-1149-1-ND	Hochgeschwindigkeits-CAN-Transceiver	High Speed CAN Transceiver	8-SOIC	1.52	1.21	.91
TJA1040TD-T	568-1149-2-ND	Hochgeschwindigkeits-CAN-Transceiver	High Speed CAN Transceiver	8-SOIC		1934.85/2,500	
TJA1041TD	568-1150-5-ND	Hochgeschwindigkeits-CAN-Transceiver	High Speed CAN Transceiver	14-SOIC	1.83	1.47	1.10
TJA1050TD-T	568-1151-1-ND	Hochgeschwindigkeits-CAN-Transceiver	High Speed CAN Transceiver	8-SOIC	1.12	.90	.68
TJA1050TD-T	568-1151-2-ND	Hochgeschwindigkeits-CAN-Transceiver	High Speed CAN Transceiver	8-SOIC		1435.56/2,500	
TJA1054ATD-T	568-1152-1-ND	CAN-Transceiver, fehlertolerant	Fault-Tolerant CAN Transceiver	14-SOIC	1.69	1.36	1.02
TJA1054ATD-T	568-1152-2-ND	CAN-Transceiver, fehlertolerant	Fault-Tolerant CAN Transceiver	14-SOIC		2167.30/2,500	
TJA1054TD	568-1153-5-ND	CAN-Transceiver, fehlertolerant	Fault-Tolerant CAN Transceiver	14-SOIC	1.69	1.36	1.02
			I²C				
P82B715PN	568-1006-5-ND	I²C Bus Extender	I²C Bus Extender	8-Dip	2.86	2.29	1.78
P82B715TD-T	568-1007-1-ND	I²C Bus Extender	I²C Bus Extender	8-SOIC	2.86	2.29	1.78
P82B715TD-T	568-1007-2-ND	I²C Bus Extender	I²C Bus Extender	8-SOIC		4000.19/2,500	
P82B96PN	568-1008-5-ND	Zweif. Bi-Direktionaler Bus-Puffer	Dual Bi-Directional Bus Buffer	8-Dip	2.67	2.14	1.66
P82B96TD-T	568-1009-1-ND	Zweif. Bi-Direktionaler Bus-Puffer	Dual Bi-Directional Bus Buffer	8-SOIC	2.67	2.14	1.66
P82B96TD-T	568-1009-2-ND	Zweif. Bi-Direktionaler Bus-Puffer	Dual Bi-Directional Bus Buffer	8-SOIC		3733.51/2,500	
PCA9500D	568-1024-5-ND	8-Bit I²C/SMBus E/A-Port mit 2K-Bit EEPROM	8-Bit I²C/SMBus I/O Port with 2K-Bit EEPROM	16-SOIC	1.69	1.36	1.02
PCA9500PW	568-1025-5-ND	8-Bit I²C/SMBus E/A-Port mit 2K-Bit EEPROM	8-Bit I²C/SMBus I/O Port with 2K-Bit EEPROM	16-TSSOP	1.69	1.36	1.02
PCA9501PW	568-1026-5-ND	8-Bit I²C/SMBus E/A-Port mit 2K-Bit EEPROM	8-Bit I²C/SMBus I/O Port with 2K-Bit EEPROM	20-TSSOP	1.80	1.44	1.08
PCA9511D	568-1027-5-ND	Hot-Swap-fähiger I²C/SM-Bus Bus-Puffer	Hot Swappable I²C/SMBus Bus Buffer	8-SOIC	1.90	1.53	1.19
PCA9511DP-T	568-1028-1-ND	Hot-Swap-fähiger I²C/SM-Bus Bus-Puffer	Hot Swappable I²C/SMBus Bus Buffer	8-TSSOP	1.90	1.53	1.19
PCA9511DP-T	568-1028-2-ND	Hot-Swap-fähiger I²C/SM-Bus Bus-Puffer	Hot Swappable I²C/SMBus Bus Buffer	8-TSSOP		2666.79/2,500	
PCA9513D	568-1029-5-ND	Hot-Swap-fähiger I²C/SM-Bus Bus-Puffer	Hot Swappable I²C/SMBus Bus Buffer	8-SOIC	1.90	1.53	1.19
PCA9514D	568-1030-5-ND	Hot-Swap-fähiger I²C/SM-Bus Bus-Puffer	Hot Swappable I²C/SMBus Bus Buffer	8-SOIC	1.90	1.53	1.19
PCA9515AD-T	568-1031-1-ND	I²C Bus Rückmelder	I²C Bus Repeater	8-SOIC	1.27	1.02	.77
PCA9515AD-T	568-1031-2-ND	I²C Bus Rückmelder	I²C Bus Repeater	8-SOIC		1625.47/2,500	
PCA9515ADP-T	568-1032-1-ND	I²C Bus Rückmelder	I²C Bus Repeater	8-TSSOP	1.27	1.02	.77
PCA9515ADP-T	568-1032-2-ND	I²C Bus Rückmelder	I²C Bus Repeater	8-TSSOP		1625.47/2,500	
PCA9515DP-T	568-1034-1-ND	I²C Bus Rückmelder	I²C Bus Repeater	8-TSSOP	1.27	1.02	.77
PCA9515DP-T	568-1034-2-ND	I²C Bus Rückmelder	I²C Bus Repeater	8-TSSOP		1625.47/2,500	
PCA9516AD	568-1035-5-ND	5-Kanal I²C Hub	5-Channel I²C Hub	16-SOIC	1.48	1.19	.89
PCA9516APW	568-1036-5-ND	5-Kanal I²C Hub	5-Channel I²C Hub	16-TSSOP	1.48	1.19	.89
PCA9516PW	568-1037-5-ND	5-Kanal I²C Hub	5-Channel I²C Hub	16-TSSOP	1.48	1.19	.89
PCA9518PW	568-1038-5-ND	5-Kanal I²C Hub, erweiterbar	Expandable 5-Channel I²C Hub	20-TSSOP	1.90	1.53	1.15
PCA9535PW	568-1041-5-ND	16-Bit I²C/SMBus, NL E/A-Port mit Unterbrecher	16-Bit I²C/SMBus, Low Power I/O Port with Interrupt	24-TSSOP	1.80	1.44	1.08
PCA9540BD	568-1042-5-ND	2-Kanal I²C-Multiplexer	2-Channel I²C Multiplexer	8-SOIC	1.19	1.00	.80
PCA9541PW/01	568-1043-5-ND	2-an-1 I²C, Master-Selektor mit Unterbrecherlogik und Rückstellung	2-to-1 I²C Master Selector with Interrupt Logic and Reset	16-TSSOP	1.59	1.27	.96
PCA9541PW/03	568-1044-5-ND	2-an-1 I²C, Master-Selektor mit Unterbrecherlogik und Rückstellung	2-to-1 I²C Master Selector with Interrupt Logic and Reset	16-TSSOP	1.59	1.27	.96
PCA9544APW	568-1045-5-ND	4-Kan. I²C Mux mit Unterbrecherlogik	4-Ch. I²C Mux with Interrupt Logic	20-TSSOP	1.57	1.26	.95
PCA9564D	568-1062-5-ND	Parallel-Bus an I²C Bus Controller	Parallel Bus to I²C Bus Controller	20-SOIC	2.38	1.91	1.49
PCA9564PW	568-1063-5-ND	Parallel-Bus an I²C Bus Controller	Parallel Bus to I²C Bus Controller	20-TSSOP	2.38	1.91	1.49
PCF8584TD-T	568-1086-1-ND	I²C Bus Controller	I²C Bus Controller	20-SOIC	2.83	2.27	1.77
PCF8584TD-T	568-1086-2-ND	I²C Bus Controller	I²C Bus Controller	20-SOIC		3205.86/2,000	
			IEEE 1394				
PDI1394L40BE-S	568-1176-ND	1394 AV Link Layer Controller, erweitert	1394 Enhanced AV Link Layer Controller	144-LQFP	6.26	5.02	4.23
			LVDS				
PTN3310D	568-1093-5-ND	LVDS-PECL, HS-Logikübersetzer, seriell	LVDS-PECL High Speed Serial Logic Translator	8-SOIC	2.12	1.70	1.33
PTN3311D	568-1094-5-ND	PECL-LVDS, HS-Logikübersetzer, seriell	PECL-LVDS High Speed Serial Logic Translator	8-SOIC	2.12	1.70	1.33
			RS232/422/485				
MC145406D-T	568-1193-1-ND	EIA-232-D/.28 Treiber/Empfänger	EIA-232-D/.28 Driver/Receiver	8-SOIC	.89	.75	.60
MC145406D-T	568-1193-2-ND	EIA-232-D/.28 Treiber/Empfänger	EIA-232-D/.28 Driver/Receiver	8-SOIC		394.09/1,000	
MC145406N	568-1194-5-ND	EIA-232-D/.28 Treiber/Empfänger	EIA-232-D/.28 Driver/Receiver	8-Dip	.89	.75	.60
			Schalter				
SA630D/01	568-1206-5-ND	SPDT-Schalter	SPDT Switch	8-SOIC	4.48	3.59	2.79
			UARTs				
SC16C554DIA68	568-1110-5-ND	Vierf. UART mit 16-Byte FIFO/Infrarot Kodierer/Dekodierer	Quad UART with 16-Byte FIFO/Infrared Encoder/Decoder	68-PLCC	8.16	6.53	5.51
SC16C554IB64	568-1321-ND	Vierf. UART mit 16-Byte FIFO/Infrarot Kodierer/Dekodierer	Quad UART with 16-Byte FIFO/Infrared Encoder/Decoder	64-LQFP	8.16	6.53	5.51
SC16C752BIB48	568-1322-ND	Zweif. UART mit 64-Byte FIFO	Dual UART with 64-Byte FIFO	48-LQFP	4.99	4.00	3.38
SC16C754BIB80	568-1207-ND	Vierf. UART mit 64-Byte FIFO	Quad UART with 64-Byte FIFO	80-LQFP	9.30	8.37	7.43
SC16C2552IA44-S	568-1186-5-ND	Zweif. UART mit 16-Byte Sende- und Empfang-FIFOs	Dual UART with 16-Byte Transmit and Receive FIFOs	44-PLCC	5.57	4.46	3.77
SC26C92A1A	568-1112-5-ND	Zweif. asynchroner Universal-Empfänger/Sender	Dual Universal Async. Receiver/Transmitter	44-PLCC	4.74	4.27	3.79
SC26C92C1A	568-1113-5-ND	Zweif. asynchroner Universal-Empfänger/Sender	Dual Universal Async. Receiver/Transmitter	44-PLCC	4.44	4.01	3.55
SC26C92C1N	568-1208-5-ND	Zweif. asynchroner Universal-Empfänger/Sender	Dual Universal Async. Receiver/Transmitter	40-Dip	5.33	4.27	3.61
SC26C562C1A	568-1111-5-ND	Zweif. serieller CMOS Universal-Kommunikations-Controller	CMOS Dual Universal Serial Communications Controller	52-PLCC	26.67	24.89	23.12
SC28C94A1A-T	568-1114-1-ND	Vierf. asynchroner Universal-Empfänger/Sender	Quad Universal Async. Receiver/Transmitter	52-PLCC	19.68	18.38	17.06
SC28C94A1A-T	568-1114-2-ND	Vierf. asynchroner Universal-Empfänger/Sender	Quad Universal Async. Receiver/Transmitter	52-PLCC		8201.44/500	
SC28C94A1N	568-1115-5-ND	Vierf. asynchroner Universal-Empfänger/Sender	Quad Universal Async. Receiver/Transmitter	48-Dip	21.28	19.86	18.44
SC28L91A1B-S	568-1187-ND	3,3 V oder 5,0 V UART	3.3V or 5.0V UART	44-PQFP	8.38	6.71	5.66
SC28L92A1A-S	568-1188-5-ND	Zweif. 3,3 V oder 5,0 V UART	3.3V or 5.0V Dual UART	44-PLCC	8.11	7.31	6.48
SC28L92A1B	568-1211-ND	Zweif. 3,3/5 V asynchroner Universal-Empfänger/Sender	3.3/5V Dual Universal Async. Receiver/Transmitter	44-PQFP	8.11	7.31	6.48
SC28L194A1A	568-1116-5-ND	Vierf. UART für 3,3V/5 V Versorgungsspannung	Quad UART for 3.3V/5V Supply Voltage	68-PLCC	15.87	14.82	13.76
SC28L194A1BE	568-1209-ND	Vierf. UART für 3,3V/5 V Versorgungsspannung	Quad UART for 3.3V/5V Supply Voltage	80-LQFP	15.87	14.82	13.76
SC28L198A1A	568-1117-5-ND	Achtf. UART für 3,3V/5 V Versorgungsspannung	Octal UART for 3.3V/5V Supply Voltage	84-PLCC	26.67	24.89	23.12
SC28L198A1BE	568-1210-ND	Achtf. UART für 3,3V/5 V Versorgungsspannung	Octal UART for 3.3V/5V Supply Voltage	100-LQFP	26.67	24.89	23.12
SCC2691AC1A28	568-1212-5-ND	Asynchroner Universal-Empfänger/Sender	Universal Async. Receiver/Transmitter	28-PLCC	4.66	3.73	3.15
SCC2691AC1D24	568-1118-5-ND	Asynchroner Universal-Empfänger/Sender	Universal Async. Receiver/Transmitter	24-SOL	4.66	3.73	3.15
SCC2691AC1N24	568-1213-5-ND	Asynchroner Universal-Empfänger/Sender	Universal Async. Receiver/Transmitter	24-Dip	4.32	3.46	2.92
SCC2691AE1A28	568-1214-5-ND	Asynchroner Universal-Empfänger/Sender	Universal Async. Receiver/Transmitter	28-PLCC	5.59	4.47	3.78
SCC2691AE1N24	568-1215-5-ND	Asynchroner Universal-Empfänger/Sender	Universal Async. Receiver/Transmitter	24-Dip	5.59	4.47	3.78
SCC2692AC1A44	568-1119-5-ND	Zweif. asynchroner Universal-Empfänger/Sender	Dual Universal Async. Receiver/Transmitter	44-PLCC	4.98	3.99	3.37
SCC2692AC1N40	568-1216-5-ND	Zweif. asynchroner Universal-Empfänger/Sender	Dual Universal Async. Receiver/Transmitter	40-Dip	4.98	3.99	3.37
SCC2698BC1A84	568-1120-5-ND	Erweiterter achtf. asynchroner Universal-Empfänger/Sender	Enhanced Octal Universal Async. Receiver/Transmitter	84-PLCC	22.86	21.34	19.82
SCC68692C1A44	568-1121-5-ND	Zweif. asynchroner Empfänger/Sender	Dual Async. Receiver/Transmitter	44-PLCC	5.16	4.13	3.49

★ RUFEN SIE BITTE AN FÜR NIEDRIGERE PREISE BEI GRÖSSEREN MENGEN! ★

Alle Preisangaben in Euro und inklusive Zollgebühren.

PHILIPS — E/A-EXPANDER

Philips Teilenr.	Digi-Key Teilenr.	Beschreibung		Paket	Stückpreis★ 1	25	100
PCA9554AD	568-1051-5-ND	8-Bit I²C/SMBus, E/A-Port mit Unterbrecher	8-Bit I²C/SMBus I/O Port with Interrupt	16-SOIC	1.40	1.12	.84
PCA9554APW	568-1052-5-ND	8-Bit I²C/SMBus, E/A-Port mit Unterbrecher	8-Bit I²C/SMBus I/O Port with Interrupt	16-TSSOP	1.40	1.12	.84
PCA9554D	568-1053-5-ND	8-Bit I²C/SMBus, E/A-Port mit Unterbrecher	8-Bit I²C/SMBus I/O Port with Interrupt	16-SOIC	1.40	1.12	.84
PCA9554DB	568-1054-5-ND	8-Bit I²C/SMBus, E/A-Port mit Unterbrecher	8-Bit I²C/SMBus I/O Port with Interrupt	16-SSOP	1.40	1.12	.84
PCA9554PW-T	568-1055-1-ND	8-Bit I²C/SMBus, E/A-Port mit Unterbrecher	8-Bit I²C/SMBus I/O Port with Interrupt	16-TSSOP	1.40	1.12	.84
PCA9554PW-T	568-1055-2-ND	8-Bit I²C/SMBus, E/A-Port mit Unterbrecher	8-Bit I²C/SMBus I/O Port with Interrupt	16-TSSOP		1788.02/2,500	
PCA9555D	568-1056-5-ND	16-Bit I²C/SMBus, E/A-Port mit Unterbrecher	16-Bit I²C/SMBus I/O Port with Interrupt	24-SOIC	1.80	1.44	1.08
PCA9555DB-T	568-1057-1-ND	16-Bit I²C/SMBus, E/A-Port mit Unterbrecher	16-Bit I²C/SMBus I/O Port with Interrupt	24-SSOP	1.80	1.44	1.08
PCA9555DB-T	568-1057-2-ND	16-Bit I²C/SMBus, E/A-Port mit Unterbrecher	16-Bit I²C/SMBus I/O Port with Interrupt	24-SSOP		935.49/1,000	
PCA9555PW-T	568-1058-1-ND	16-Bit I²C/SMBus, E/A-Port mit Unterbrecher	16-Bit I²C/SMBus I/O Port with Interrupt	24-TSSOP	1.80	1.44	1.08
PCA9555PW-T	568-1058-2-ND	16-Bit I²C/SMBus, E/A-Port mit Unterbrecher	16-Bit I²C/SMBus I/O Port with Interrupt	24-TSSOP		2302.75/2,500	
PCA9556PW	568-1059-5-ND	Achtf. SMBus/I²C registrierte Schnittstelle	Octal SMBus/I²C Registered Interface	16-TSSOP	1.74	1.39	1.05
PCA9557D	568-1060-5-ND	8-Bit I²C/SMBus, E/A-Port mit Rückstellung	8-Bit I²C/SMBus I/O Port with Reset	16-SOIC	1.38	1.11	.83
PCA9557PW-T	568-1061-1-ND	8-Bit I²C/SMBus, E/A-Port mit Rückstellung	8-Bit I²C/SMBus I/O Port with Reset	16-TSSOP	1.38	1.11	.83
PCA9557PW-T	568-1061-2-ND	8-Bit I²C/SMBus, E/A-Port mit Rückstellung	8-Bit I²C/SMBus I/O Port with Reset	16-TSSOP		1760.93/2,500	
PCF8574APN	568-1073-5-ND	Fernbedienter 8-Bit E/A Expander	Remote 8-Bit I/O Expander	16-Dip	1.86	1.49	1.12
PCF8574ATD-T	568-1074-1-ND	Fernbedienter 8-Bit E/A Expander	Remote 8-Bit I/O Expander	16-SOIC	1.74	1.40	1.05
PCF8574ATD-T	568-1074-2-ND	Fernbedienter 8-Bit E/A Expander	Remote 8-Bit I/O Expander	16-SOIC		907.98/1,000	
PCF8574PN	568-1075-5-ND	Fernbedienter 8-Bit E/A Expander	Remote 8-Bit I/O Expander	16-Dip	1.86	1.49	1.12
PCF8574TD	568-1076-5-ND	Fernbedienter 8-Bit E/A Expander	Remote 8-Bit I/O Expander	20-SSOP	1.74	1.40	1.05
PCF8574TD-T	568-1077-1-ND	Fernbedienter 8-Bit E/A Expander	Remote 8-Bit I/O Expander	20-SSOP	1.74	1.40	1.05
PCF8574TD-T	568-1077-2-ND	Fernbedienter 8-Bit E/A Expander	Remote 8-Bit I/O Expander	20-SSOP		907.98/1,000	
PCF8574TDK-T	568-1078-1-ND	Fernbedienter 8-Bit E/A Expander	Remote 8-Bit I/O Expander	20-SSOP	1.74	1.40	1.05
PCF8574TDK-T	568-1078-2-ND	Fernbedienter 8-Bit E/A Expander	Remote 8-Bit I/O Expander	20-SSOP		2235.02/2,500	
PCF8575TSDB-T	568-1079-1-ND	Fernbedienter 16-Bit E/A Expander	Remote 16-Bit I/O Expander	24-SSOP	2.10	1.68	1.26
PCF8575TSDB-T	568-1079-2-ND	Fernbedienter 16-Bit E/A Expander	Remote 16-Bit I/O Expander	24-SSOP		1089.57/1,000	

PHILIPS — LOGIGÜBERSETZUNG

Philips Teilenr.	Digi-Key Teilenr.	Beschreibung		Paket	Stückpreis★ 1	25	100
GTL2005PW-T	568-1000-1-ND	Vierf. Übersetzer-Transceiver	Quad Translating Transceiver	14-TSSOP	1.40	1.12	.84
GTL2005PW-T	568-1000-2-ND	Vierf. Übersetzer-Transceiver	Quad Translating Transceiver	14-TSSOP		1788.02/2,500	

PHILIPS — SPEICHER

Philips Teilenr.	Digi-Key Teilenr.	Beschreibung		Paket	Stückpreis★ 1	25	100
		EEPROM					
PCF8582C2D	568-1083-5-ND	256x8-Bit CMOS-EEPROM	256x8-Bit CMOS EEPROM	8-SOIC	.89	.75	.60
		SRAM					
PCF8570PN	568-1071-5-ND	256x8-Bit SRAM, Niederspannung	256x8-Bit Low Voltage SRAM	8-Dip	2.07	1.66	1.30
PCF8570TD-T	568-1072-1-ND	256x8-Bit SRAM, Niederspannung	256x8-Bit Low Voltage SRAM	8-SOIC	1.93	1.55	1.20
PCF8570TD-T	568-1072-2-ND	256x8-Bit SRAM, Niederspannung	256x8-Bit Low Voltage SRAM	8-SOIC		1092.37/1,000	

PHILIPS — LEISTUNGSSTEUERUNG/-MANAGEMENT

Philips Teilenr.	Digi-Key Teilenr.	Beschreibung		Paket	Stückpreis★ 1	25	100
		Anzeige					
PCA9532D	568-1039-5-ND	16-Bit I²C LED-Dimmer	16-Bit I²C LED Dimmer	24-SOIC	1.90	1.53	1.15
PCA9532PW	568-1040-5-ND	16-Bit I²C LED-Dimmer	16-Bit I²C LED Dimmer	24-TSSOP	1.90	1.53	1.15
PCF2100CTD	568-1064-5-ND	40-Segment LCD-Treiber	40-Segment LCD Driver	28-SOIC	1.31	1.05	.79
PCF2111CTD-T	568-1065-1-ND	64-Segment LCD-Treiber	64-Segment LCD Driver	40-VSOP	1.69	1.36	1.02
PCF2111CTD-T	568-1065-2-ND	64-Segment LCD-Treiber	64-Segment LCD Driver	40-VSOP		457.16/500	
PCF2112CTD-T	568-1066-1-ND	32-Segment LCD-Treiber	32-Segment LCD Driver	40-VSOP	1.76	1.41	1.06
PCF2112CTD-T	568-1066-2-ND	32-Segment LCD-Treiber	32-Segment LCD Driver	40-VSOP		474.31/500	
PCF8566PN	568-1069-5-ND	Universal-LCD-Treiber für niedrige Multiplex-Raten	Universal LCD Driver for Low Multiplex Rates	40-Dip	1.80	1.44	1.08
PCF8566TD-T	568-1070-1-ND	Universal-LCD-Treiber für niedrige Multiplex-Raten	Universal LCD Driver for Low Multiplex Rates	40-VSOP	1.80	1.44	1.08
PCF8566TD-T	568-1070-2-ND	Universal-LCD-Treiber für niedrige Multiplex-Raten	Universal LCD Driver for Low Multiplex Rates	40-VSOP		485.74/500	
PCF8576CTD-T	568-1080-1-ND	Universal-LCD-Treiber für Multiplex-Raten	Universal LCD Driver for Multiplex Rates	56-VSOP	1.89	1.51	1.14
PCF8576CTD-T	568-1080-2-ND	Universal-LCD-Treiber für Multiplex-Raten	Universal LCD Driver for Multiplex Rates	56-VSOP		508.59/500	
PCF8577CPN	568-1081-5-ND	Direkter/Duplex-LCD-Treiber	LCD Direct/Duplex Driver	40-Dip	2.10	1.68	1.26
PCF8577CTD-T	568-1082-1-ND	Direkter/Duplex-LCD-Treiber	LCD Direct/Duplex Driver	40-VSOP	1.97	1.58	1.19
PCF8577CTD-T	568-1082-2-ND	Direkter/Duplex-LCD-Treiber	LCD Direct/Duplex Driver	40-VSOP		531.45/500	
SAA1064PN	568-1107-5-ND	Treiber f. 4-stellige LED m. I²C-Bus-Schnittstelle	4-Digit LED Driver w/I²C Bus Interface	24-Dip	2.95	2.37	1.84
SAA1064TD	568-1108-5-ND	Treiber f. 4-stellige LED m. I²C-Bus-Schnittstelle	4-Digit LED Driver w/I²C Bus Interface	24-SOIC	2.95	2.37	1.84
		LED-Treiber					
PCA9550D	568-1046-5-ND	2-Bit I²D LED-Treiber m. Blinker	2-Bit I²C LED Driver with Blinker	8-SOIC	1.17	.94	.70
PCA9551D	568-1047-5-ND	8-Bit I²D LED-Treiber m. Blinker	8-Bit I²C LED Driver with Blinker	16-SOIC	1.48	1.19	.89
PCA9551PW	568-1048-5-ND	8-Bit I²D LED-Treiber m. Blinker	8-Bit I²C LED Driver with Blinker	16-TSSOP	1.48	1.19	.89
PCA9552D	568-1049-5-ND	16-Bit I²D LED-Treiber m. Blinker	16-Bit I²C LED Driver with Blinker	24-SOIC	1.90	1.53	1.15
PCA9552PW	568-1050-5-ND	16-Bit I²D LED-Treiber m. Blinker	16-Bit I²C LED Driver with Blinker	24-TSSOP	1.90	1.53	1.15

PHILIPS — NETZTEIL-PRODUKTE

Philips Teilenr.	Digi-Key Teilenr.	Beschreibung		Paket	Stückpreis★ 1	25	100
		Low Dropout-Spannungsregler					
SA57000-33D-G	568-1184-1-ND	CapFREE™ 150 mA rauscharmer LDO-Linearregler	CapFREE™ 150mA Low Noise LDO Regulator	SOT-23-5	.75	.56	.42
SA57000-33D-G	568-1184-2-ND	CapFREE™ 150 mA rauscharmer LDO-Linearregler	CapFREE™ 150mA Low Noise LDO Regulator	SOT-23-5		726.38/3,000	

PHILIPS — RADIOFREQUENZSCHALTKREISE

Philips Teilenr.	Digi-Key Teilenr.	Beschreibung		Paket	Stückpreis★ 1	25	100
SA8028W	568-1304-ND	2,5 GHz Sigma Delta Fractional-N/760 MHz IF Integer Frequ.-Synthesizer	2.5GHz Sigma Delta Fractional-N/760MHz IF Integer Freq. Synthesizer	24-HBCC	4.23	3.39	2.86
SAA6588TD	568-1109-5-ND	Vor-Prozessor, RDS/RBDS	RDS/RBDS Pre-Processor	20-SOIC	4.79	3.84	3.24
TEA5757HB	568-1218-ND	Radio mit Selbsteinstellung	Self Tuned Radio	48-PQFP	4.02	3.22	2.51

(Forts.)

★ RUFEN SIE BITTE AN FÜR NIEDRIGERE PREISE BEI GRÖSSEREN MENGEN! ★

PHILIPS

RADIOFREQUENZSCHALTKREISE *(Forts.)*

Philips Teilenr.	Digi-Key Teilenr.	Beschreibung		Paket	Stückpreis ★ 1	25	100
		FM-Schaltkreise					
SA602AD/01-T	568-1200-1-ND	Doppelt ausgeglichene Mixer/Oscillator	Double Balanced Mixer/Oscillator	8-SOIC	1.90	1.53	1.15
SA602AD/01-T	568-1200-2-ND	Doppelt ausgeglichene Mixer/Oscillator	Double Balanced Mixer/Oscillator	8-SOIC		2438.21/2,500	
SA602AN/01	568-1201-5-ND	Doppelt ausgeglichene Mixer/Oscillator	Double Balanced Mixer/Oscillator	8-Dip	1.90	1.53	1.15
SA604AD/01	568-1202-5-ND	Hochleistungs- FM-IF-System, Niedrigleistung	High Perf. Low Power FM IF System	16-SOIC	4.19	3.36	2.61
SA605D/01	568-1203-5-ND	Hochleistungs- FM-IF-System, Niedrigleistungsmixer	High Perf. Low Power Mixer FM IF System	20-SOIC	4.10	3.28	2.55
SA605DK	568-1101-5-ND	Hochleistungs- FM-IF-System, Niedrigleistungsmixer	High Perf. Low Power Mixer FM IF System	20-SSOP	4.10	3.28	2.55
SA606DK-T	568-1102-1-ND	Niederspannungs-Hochleistungs- Mixer FM-IF-System	Low Voltage High Perf. Mixer FM IF System	20-SSOP	4.28	3.43	2.67
SA606DK-T	568-1102-2-ND	Niederspannungs-Hochleistungs- Mixer FM-IF-System	Low Voltage High Perf. Mixer FM IF System	20-SSOP		6000.28/2,500	
SA612AD/01	568-1204-5-ND	Doppelt ausgeglichene Mixer/Oscillator	Double Balanced Mixer/Oscillator	8-SOIC	1.69	1.36	1.02
SA612AN	568-1103-5-ND	Doppelt ausgeglichene Mixer/Oscillator	Double Balanced Mixer/Oscillator	8-Dip	1.69	1.36	1.02
SA614AD-T	568-1104-1-ND	FM-IF-System, Niedrigleistung	Low Power FM IF System	16-SOIC	2.95	2.37	1.84
SA614AD-T	568-1104-2-ND	FM-IF-System, Niedrigleistung	Low Power FM IF System	16-SOIC		4133.52/2,500	
SA615D/01	568-1205-5-ND	Hochleistungs- FM-IF-System, Niedrigleistungsmixer	High Perf. Low Power Mixer FM IF System	20-SOIC	3.90	3.13	2.43
SA636DK-T	568-1105-1-ND	Niederspannungs-Hochleistungs- Mixer FM-IF-System mit RSSI	Low Voltage High Perf. Mixer FM IF System with RSSI	20-SSOP	4.10	3.28	2.55
SA636DK-T	568-1105-2-ND	Niederspannungs-Hochleistungs- Mixer FM-IF-System mit RSSI	Low Voltage High Perf. Mixer FM IF System with RSSI	20-SSOP		5733.60/2,500	
SA639DH/01-T	568-1106-1-ND	Niederspannungs-Mixer FM-IF-System mit Filter Amp/Datenschalter	Low Voltage Mixer FM IF System withFilter Amp/Data Switch	24-TSSOP	4.28	3.43	2.67
SA639DH/01-T	568-1106-2-ND	Niederspannungs-Mixer FM-IF-System mit Filter Amp/Datenschalter	Low Voltage Mixer FM IF System with Filter Amp/Data Switch	24-TSSOP		6000.28/2,500	
		RFID					
PCF7936ASM	568-1195-5-ND	Sicherheits-Transponder, HITAG 2	Security Transponder, HITAG 2	Stock	3.34	2.67	2.08
SLRC41TOFED	568-1124-5-ND	I-CODE-Leserschaltkreis	I-CODE Reader IC	32-SOIC	5.94	4.76	4.02

PHILIPS

ECHTZEITUHREN

Philips Teilenr.	Digi-Key Teilenr.	Beschreibung		Paket	Stückpreis★ 1	25	100
PCF8563PN	568-1067-5-ND	Echtzeit-Takt/Kalender	Real Time Clock/Calendar	8-Dip	1.28	1.03	.77
PCF8563TD-T	568-1068-1-ND	Echtzeit-Takt/Kalender	Real Time Clock/Calendar	8-SOIC	1.17	.94	.70
PCF8563TD-T	568-1068-2-ND	Echtzeit-Takt/Kalender	Real Time Clock/Calendar	8-SOIC		1490.02/2,500	
PCF8583PN	568-1084-5-ND	Takt/Kalender mit 240x8-Bit RAM	Clock/Calendar with 240x8-Bit RAM	8-Dip	2.62	2.10	1.63
PCF8583TD-T	568-1085-1-ND	Takt/Kalender mit 240x8-Bit RAM	Clock/Calendar with 240x8-Bit RAM	8-SOIC	2.30	1.85	1.44
PCF8583TD-T	568-1085-2-ND	Takt/Kalender mit 240x8-Bit RAM	Clock/Calendar with 240x8-Bit RAM	8-SOIC		1306.09/1,000	
PCF8593N	568-1089-5-ND	Takt/Kalender, NL	Low Power Clock/Calendar	8-Dip	2.51	2.02	1.57
PCF8593TD-T	568-1090-1-ND	Takt/Kalender, NL	Low Power Clock/Calendar	8-SOIC	1.99	1.60	1.24
PCF8593TD-T	568-1090-2-ND	Takt/Kalender, NL	Low Power Clock/Calendar	8-SOIC		2786.80/2,500	

PHILIPS

SIGNALREGLER

Philips Teilenr.	Digi-Key Teilenr.	Beschreibung		Paket	Stückpreis★ 1	25	100
		Audio-Prozessoren/CODECS					
SAF7113HB	568-1319-ND	9-Bit Video-Eingangsprozessor	9-Bit Video Input Processor	44-QFP	16.51	15.41	14.31
TEA6320TD	568-1148-5-ND	Sound Fader Steuerschaltkreis	Sound Fader Control Circuit	32-SOIC	3.30	2.65	2.06
UCB1400BE-T	568-1323-1-ND	Audio-CODEC mit Touch-Screen-Controller	Audio CODEC with Touch Screen Controller	48-LQFP	4.57	3.66	3.09
UCB1400BE-T	568-1323-2-ND	Audio-CODEC mit Touch-Screen-Controller	Audio CODEC with Touch Screen Controller	48-LQFP		5714.55/2,000	
UDA1341TSDB	568-1154-5-ND	Wirtschaftlicher Audio-CODEC für MiniDisc Home Stereo	Economy Audio CODEC for MiniDisc Home Stereo	28-SSOP	5.26	4.21	3.55
UDA1342TSDB	568-1155-5-ND	Audio-CODEC	Audio CODEC	28-SSOP	6.03	4.83	4.07
UDA1344TSDB	568-1156-5-ND	Niederspannung, NL Stereo Audio CODEC mit DSP	Low-Volt., Low-Power Stereo Audio CODEC with DSP	28-SSOP	4.44	3.56	3.00
UDA1345TSDB	568-1157-5-ND	Wirtschaftlicher Audio-CODEC	Economy Audio CODEC	28-SSOP	3.25	2.60	2.03
UDA1361TSDK	568-1158-5-ND	96 kHz Tastung, 24-Bit Stereo-Audio-ADU	96KHz Sampling 24-Bit Stereo Audio ADC	16-SSOP	3.02	2.42	1.89

PHILIPS

SPEZIAL-ICs

Philips Teilenr.	Digi-Key Teilenr.	Beschreibung		Paket	Stückpreis★ 1	25	100
SA5775AN	568-1100-5-ND	Diffenzial-Luftkern-Messgerättreiber	Differential Air Core Meter Driver	16-Dip	3.34	2.67	2.08
TZA3047BVHW-S	568-1189-ND	30 MBits bis 1,25 Gbits Lasertreiber	30Mbits to 1.25Gbits Laser Driver	32-HBCC	8.06	6.45	5.45

PHILIPS

TEMPERATURSENSOREN

Philips Teilenr.	Digi-Key Teilenr.	Beschreibung		Paket	Stückpreis★ 1	25	100
KTY81/110	568-1003-ND	Silizium-Temperatursensor	Silicon Temperature Sensor	SOD-70	1.15	.93	.70

PHILIPS

TIMER

Philips Teilenr.	Digi-Key Teilenr.	Beschreibung		Paket	Stückpreis★ 1	25	100
ICM7555CD-T	568-1190-1-ND	Mehrzweck-CMOS-Treiber	General Purpose CMOS Timer	8-SOIC	.42	.34	.26
ICM7555CD-T	568-1190-2-ND	Mehrzweck-CMOS-Treiber	General Purpose CMOS Timer	8-SOIC		285.16/2,500	
ICM7555CN	568-1191-5-ND	Mehrzweck-CMOS-Treiber	General Purpose CMOS Timer	8-Dip	.42	.34	.26
ICM7555ID-T	568-1192-1-ND	Mehrzweck-CMOS-Treiber	General Purpose CMOS Timer	8-SOIC	.42	.32	.24
ICM7555ID-T	568-1192-2-ND	Mehrzweck-CMOS-Treiber	General Purpose CMOS Timer	8-SOIC		346.68/2,500	

TEXAS INSTRUMENTS

VERSTÄRKER

T. I. Teilenr.	Digi-Key Teilenr.	Beschreibung		Paket	Stückpreis★ 1	25	100
3584JM	3584JM-ND	Hochspannungs-OpAmp	High-Voltage Op Amp	TO-3-8	217.56	203.06	188.56
BUF634FKTTT	296-15904-1-ND	Hochgeschwindigkeitspuffer, 250 mA Ausgang	High-Speed Buffer, 250mA Output	5-DDPAK	6.86	5.49	—
BUF634FKTTT	296-15904-2-ND	Hochgeschwindigkeitspuffer, 250 mA Ausgang	High-Speed Buffer, 250mA Output	5-DDPAK		231.46/50	
BUF634P	BUF634P-ND	Hochgeschwindigkeitspuffer, 250 mA Ausgang	High-Speed Buffer, 250mA Output	8-Dip	5.16	4.14	3.49
BUF634T	BUF634T-ND	Hochgeschwindigkeitspuffer, 250 mA Ausgang	High-Speed Buffer, 250mA Output	T0-220-5	6.86	5.49	4.63
BUF634U	BUF634U-ND	Hochgeschwindigkeitspuffer, 250 mA Ausgang	High-Speed Buffer, 250mA Output	8-SOIC	5.16	4.14	3.49
BUF04701AIDGSR	296-12161-1-ND	4-Kan. R/R Ein/Aus CMOS-Pufferverst.	4-Ch. R/R In/Out CMOS Buffer Amp	10-MSOP	2.36	1.89	1.47
BUF04701AIDGSR	296-12161-2-ND	4-Kan. R/R Ein/Aus CMOS-Pufferverst.	4-Ch. R/R In/Out CMOS Buffer Amp	10-MSOP		3600.17/2,500	
BUF04701AIPWR	296-12162-1-ND	4-Kan. R/R Ein/Aus CMOS-Pufferverst.	4-Ch. R/R In/Out CMOS Buffer Amp	14-TSSOP	2.36	1.89	1.47
BUF04701AIPWR	296-12162-2-ND	4-Kan. R/R Ein/Aus CMOS-Pufferverst.	4-Ch. R/R In/Out CMOS Buffer Amp	14-TSSOP		2914.00/2,000	
BUF05703PWR	296-15206-1-ND	4-Kan. LCD-Gamma-Korrekturpuffer	4-Ch. LCD Gamma Correction Buffer	14-TSSOP	1.80	1.44	1.08
BUF05703PWR	296-15206-2-ND	4-Kan. LCD-Gamma-Korrekturpuffer	4-Ch. LCD Gamma Correction Buffer	14-TSSOP		1870.99/2,000	
BUF05704AIPWP	296-17458-ND	4-Kan. 18 V, Gamma-Korrekturpuffer	4-Ch., 18V, Gamma Correction Buffer	14-TSSOP	1.80	1.44	1.08
BUF06703PWR	296-15207-1-ND	6-Kan. LCD-Gamma-Korrekturpuffer	6-Ch. LCD Gamma Correction Buffer	16-TSSOP	2.01	1.61	1.21
BUF06703PWR	296-15207-2-ND	6-Kan. LCD-Gamma-Korrekturpuffer	6-Ch. LCD Gamma Correction Buffer	16-TSSOP		2091.10/2,000	

(Forts.)

★ RUFEN SIE BITTE AN FÜR NIEDRIGERE PREISE BEI GRÖSSEREN MENGEN! ★

Alle Preisangaben in Euro und inklusive Zollgebühren.

T. I. Teilenr.	Digi-Key Teilenr.	Beschreibung		Paket	Stückpreis ★ 1	25	100
BUF06704AIPWP	296-17457-ND	6-Kan., 18 V Gamma-Korrekturpuffer	6-Ch., 18V, Gamma Correction Buffer	16-TSSOP	2.01	1.61	1.21
BUF11702PWP	BUF11702PWP-ND	10+1 Kanal Hochstrompuffer	10+1 Channel High Current Buffer	28-HTSSOP	2.95	2.37	1.84
BUF11704AIPWP	296-17140-5-ND	18 V Versorgungsstrom Multi-Kan., Gamma-Korrekturpuffer.	18V Supply Multi-Ch. Gamma Correction Buffer.	28-TSSOP	2.95	2.37	1.84
BUF12800AIPWP	296-17589-5-ND	Ref. Spannungsgenerator	Ref. Voltage Generator	24-TSSOP	3.72	2.98	2.32
INA101AG	INA101AG-ND	Instrumentenverst. mit sehr hoher Genauigkeit	Very High Accuracy Instr. Amp	14-Dip	27.90	26.04	24.18
INA101AM	INA101AM-ND	Instrumentenverst. mit sehr hoher Genauigkeit	Very High Accuracy Instr. Amp	TO-100-10	21.00	19.60	18.20
INA101CM	INA101CM-ND	Instrumentenverst. mit sehr hoher Genauigkeit	Very High Accuracy Instr. Amp	TO-100-10	30.99	28.92	26.86
INA101HP	INA101HP-ND	Instrumentenverst. mit sehr hoher Genauigkeit	Very High Accuracy Instr. Amp	14-Dip	11.14	10.04	8.90
INA101KU	INA101KU-ND	Instrumentenverst. mit sehr hoher Genauigkeit	Very High Accuracy Instr. Amp	16-SOIC	11.21	10.10	8.96
INA101SM	INA101SM-ND	Instrumentenverst. mit sehr hoher Genauigkeit	Very High Accuracy Instr. Amp	TO-100-10	35.73	33.36	30.98
INA103KP	INA103KP-ND	Rauscharmer, verzerrungsarmer Instr.verstärker	Low Noise, Low Distortion Instr. Amp	16-Dip	7.05	6.35	5.63
INA103KU	INA103KU-ND	Rauscharmer, verzerrungsarmer Instr.verstärker	Low Noise, Low Distortion Instr. Amp	16-SOIC	7.05	6.35	5.63
INA105BM	INA105BM-ND	Verlustloser Präzisionsdifferenzialverstärker	Precision Unity Gain Diff. Amp	TO-99	15.98	14.92	13.85
INA105KP	INA105KP-ND	Verlustloser Präzisionsdifferenzialverstärker	Precision Unity Gain Diff. Amp	8-Dip	4.74	3.80	3.21
INA105KU	INA105KU-ND	Verlustloser Präzisionsdifferenzialverstärker	Precision Unity Gain Diff. Amp	8-SOIC	4.74	3.80	3.21
INA106KP	INA106KP-ND	PräzisionsDifferenzialverstärker mit festem V-Faktor	Precision Fixed-Gain Differential Amp	8-Dip	7.05	6.35	5.63
INA106U	INA106U-ND	PräzisionsDifferenzialverstärker mit festem V-Faktor	Precision Fixed-Gain Differential Amp	8-SOIC	7.05	6.35	5.63
INA110KP	INA110KP-ND	Schnell einstellender FET-Eingang-Instr.verstärker	Fast-Settling, FET-Input Instr. Amp	16-Dip	9.87	8.89	7.89
INA110KU	INA110KU-ND	Schnell einstellender FET-Eingang-Instr.verstärker	Fast-Settling, FET-Input Instr. Amp	16-SOIC	9.87	8.89	7.89
INA111AP	INA111AP-ND	Hochschneller FET-Eingang-Instr.verstärker	High Speed FET-Input Instr. Amp	8-Dip	7.11	5.69	4.81
INA111AU	INA111AU-ND	Hochschneller FET-Eingang-Instr.verstärker	High Speed FET-Input Instr. Amp	16-SOIC	7.11	5.69	4.81
INA111BP	INA111BP-ND	Hochschneller FET-Eingang-Instr.verstärker	High Speed FET-Input Instr. Amp	8-Dip	9.45	8.51	7.55
INA111BU	INA111BU-ND	Hochschneller FET-Eingang-Instr.verstärker	High Speed FET-Input Instr. Amp	16-SOIC	9.45	8.51	7.55
INA114AP	INA114AP-ND	Präzisionsinstrumentenverstärker	Precision Instrumentation Amp	8-Dip	7.11	5.69	4.81
INA114AU	INA114AU-ND	Präzisionsinstrumentenverstärker	Precision Instrumentation Amp	16-SOIC	7.11	5.69	4.81
INA114BP	INA114BP-ND	Präzisionsinstrumentenverstärker	Precision Instrumentation Amp	8-Dip	8.04	7.24	6.42
INA114BU	INA114BU-ND	Präzisionsinstrumentenverstärker	Precision Instrumentation Amp	16-SOIC	8.04	7.24	6.42
INA115AU	INA115AU-ND	Präzisionsinstrumentenverstärker	Precision Instrumentation Amp	16-SOIC	7.11	5.69	4.81
INA115BU	INA115BU-ND	Präzisionsinstrumentenverstärker	Precision Instrumentation Amp	16-SOIC	8.75	7.88	6.99
INA116PA	INA116PA-ND	Instrumentenverstärker mit ultraniedrigem Eingangsvormagnetisierungsstrom	Ultra Low In Bias Current Instr. Amp	16-Dip	7.11	5.69	4.81
INA116UA	INA116UA-ND	Instrumentenverstärker mit ultraniedrigem Eingangsvormagnetisierungsstrom	Ultra Low In Bias Current Instr. Amp	16-SOIC	7.11	5.69	4.81
INA117KU	INA117KU-ND	Diff.verst. mit hoher Gleichtakt-Spannung	High Common-Mode Volt., Diff. Amp	8-SOIC	4.57	3.66	3.09
INA117P	INA117P-ND	Diff.verst. mit hoher Gleichtakt-Spannung	High Common-Mode Volt., Diff. Amp	8-Dip	4.57	3.66	3.09
INA118P	INA118P-ND	Niedrigleistungs-Präzisionsinstr.verstärker	Precision Low Power Instr. Amp	8-Dip	7.03	5.63	4.75
INA118PB	INA118PB-ND	Niedrigleistungs-Präzisionsinstr.verstärker	Precision Low Power Instr. Amp	8-Dip	9.10	8.20	7.27
INA118U	INA118U-ND	Niedrigleistungs-Präzisionsinstr.verstärker	Precision Low Power Instr. Amp	8-SOIC	7.03	5.63	4.75
INA118UB	INA118UB-ND	Niedrigleistungs-Präzisionsinstr.verstärker	Precision Low Power Instr. Amp	8-SOIC	9.10	8.20	7.27
INA121P	INA121P-ND	NL-FET-Instrumentenverstärker	Low Power FET Instrumentation Amp	8-Dip	6.01	4.81	4.06
INA121PA	INA121PA-ND	NL-FET-Instrumentenverstärker	Low Power FET Instrumentation Amp	8-Dip	4.23	3.39	2.86
INA121U	INA121U-ND	NL-FET-Instrumentenverstärker	Low Power FET Instrumentation Amp	8-SOIC	6.01	4.81	4.06
INA121UA	INA121UA-ND	NL-FET-Instrumentenverstärker	Low Power FET Instrumentation Amp	8-SOIC	4.23	3.39	2.86
INA121UA/2K5	INA121UATR-ND	NL-FET-Instrumentenverstärker	Low Power FET Instrumentation Amp	8-SOIC		6561.15/2,500	
INA121U/2K5	INA121UTR-ND	NL-FET-Instrumentenverstärker	Low Power FET Instrumentation Amp	8-SOIC		9316.83/2,500	
INA122P	INA122P-ND	Einzelversorgter Micropower-Instr.verstärker	Single Supply, Micropower Instr. Amp	8-Dip	4.66	3.73	3.15
INA122PA	INA122PA-ND	Einzelversorgter Micropower-Instr.verstärker	Single Supply, Micropower Instr. Amp	8-Dip	4.00	3.20	2.49
INA122U	INA122U-ND	Einzelversorgter Micropower-Instr.verstärker	Single Supply, Micropower Instr. Amp	8-SOIC	4.66	3.73	3.15
INA122UA	INA122UA-ND	Einzelversorgter Micropower-Instr.verstärker	Single Supply, Micropower Instr. Amp	8-SOIC	4.00	3.20	2.49
INA125P	INA125P-ND	Instr.verstärker mit Präzisionsspannungsref.	Instr. Amp with Precision Voltage Ref	16-Dip	4.32	3.46	2.92
INA125PA	INA125PA-ND	Instr.verstärker mit Präzisionsspannungsref.	Instr. Amp with Precision Voltage Ref	16-Dip	3.90	3.13	2.43
INA125U	INA125U-ND	Instr.verstärker mit Präzisionsspannungsref.	Instr. Amp with Precision Voltage Ref	16-SOIC	4.32	3.46	2.92
INA125UA	INA125UA-ND	Instr.verstärker mit Präzisionsspannungsref.	Instr. Amp with Precision Voltage Ref	16-SOIC	3.90	3.13	2.43
INA126ECT	INA126ECT-ND	Micropower-Instrumentenverstärker	Micropower Instrumentation Amp	8-MSOP	2.86	2.29	1.78
INA126E/250	INA126ETR-ND	Micropower-Instrumentenverstärker	Micropower Instrumentation Amp	8-MSOP		422.24/250	
INA126EA/250	INA126EACT-ND	Micropower-Instrumentenverstärker	Micropower Instrumentation Amp	8-MSOP	2.04	1.64	1.27
INA126EA/250	INA126EATR-ND	Micropower-Instrumentenverstärker	Micropower Instrumentation Amp	8-MSOP		306.89/250	
INA126P	INA126P-ND	Micropower-Instrumentenverstärker	Micropower Instrumentation Amp	8-Dip	2.53	2.03	1.58
INA126PA	INA126PA-ND	Micropower-Instrumentenverstärker	Micropower Instrumentation Amp	8-Dip	1.90	1.53	1.19
INA126U	INA126U-ND	Micropower-Instrumentenverstärker	Micropower Instrumentation Amp	8-SOIC	2.53	2.03	1.58
INA126UA	INA126UA-ND	Micropower-Instrumentenverstärker	Micropower Instrumentation Amp	8-SOIC	1.90	1.53	1.19
INA128P	INA128P-ND	Niedrigleistungs-Präzisionsinstr.verstärker	Precision Low Power Instr. Amp	8-Dip	7.96	6.37	5.38
INA128PA	INA128PA-ND	Niedrigleistungs-Präzisionsinstr.verstärker	Precision Low Power Instr. Amp	8-Dip	4.91	3.93	3.32
INA128U	INA128U-ND	Niedrigleistungs-Präzisionsinstr.verstärker	Precision Low Power Instr. Amp	8-SOIC	7.96	6.37	5.38
INA128UA	INA128UA-ND	Niedrigleistungs-Präzisionsinstr.verstärker	Precision Low Power Instr. Amp	8-SOIC	4.91	3.93	3.32
INA129P	INA129P-ND	Niedrigleistungs-Präzisionsinstr.verstärker	Precision Low Power Instr. Amp	8-Dip	7.96	6.37	5.38
INA129PA	INA129PA-ND	Niedrigleistungs-Präzisionsinstr.verstärker	Precision Low Power Instr. Amp	8-Dip	4.91	3.93	3.32
INA129U	INA129U-ND	Niedrigleistungs-Präzisionsinstr.verstärker	Precision Low Power Instr. Amp	8-SOIC	7.96	6.37	5.38
INA129UA	INA129UA-ND	Niedrigleistungs-Präzisionsinstr.verstärker	Precision Low Power Instr. Amp	8-SOIC	4.91	3.93	3.32
INA131AP	INA131AP-ND	Präzisionsinstr.verstärker, V-Faktor = 100	Precision, Gain=100, Instr. Amp	8-Dip	6.43	5.15	4.35
INA131BP	INA131BP-ND	Präzisionsinstr.verstärker, V-Faktor = 100	Precision, Gain=100, Instr. Amp	8-Dip	8.04	7.24	6.42
INA132U	INA132U-ND	Einzelversorgter NL-Instrumentenverstärker	Low Power, Single-Supply Instr. Amp	8-SOIC	2.67	2.14	1.66
INA132UA	INA132UA-ND	Einzelversorgter NL-Instrumentenverstärker	Low Power, Single-Supply Instr. Amp	8-SOIC	2.00	1.60	1.25
INA133UA	INA133UA-ND	HS-Präzisionseingangsdifferenzverstärker	High Speed Precision Difference Amp	8-SOIC	2.00	1.60	1.25
INA133U	INA133U-ND	HS-Präzisionseingangsdifferenzverstärker	High Speed Precision Difference Amp	8-SOIC	2.67	2.14	1.66
INA134PA	INA134PA-ND	Differenzial-Leitungsempfänger/Audio	Audio Differential Line Receiver	8-Dip	2.00	1.60	1.25
INA134UA	INA134UA-ND	Differenzial-Leitungsempfänger/Audio	Audio Differential Line Receiver	8-SOIC	2.00	1.60	1.25
INA137PA	INA137PA-ND	Differenzial-Leitungsempfänger/Audio	Audio Differential Line Receiver	8-Dip	2.00	1.60	1.25
INA137UA	INA137UA-ND	Differenzial-Leitungsempfänger/Audio	Audio Differential Line Receiver	8-SOIC	2.00	1.60	1.25
INA138NA/250	INA138NACT-ND	Strom-Shunt-Monitor	Current Shunt Monitor	SOT-23-5	2.10	1.68	1.26
INA138NA/250	INA138NATR-ND	Strom-Shunt-Monitor	Current Shunt Monitor	SOT-23-5		293.35/250	
INA139NA/250	INA139NA/250CT-ND	2,7 - 40 V Strom-Shunt-Monitor	2.7-40V Current Shunt Monitor	SOT-23-5	2.10	1.68	1.26
INA139NA/250	INA139NA/250TR-ND	2,7 - 40 V Strom-Shunt-Monitor	2.7-40V Current Shunt Monitor	SOT-23-5		293.35/250	
INA139QPWRQ1	296-17088-1-ND	Einpoliger High-Side Strom-Shunt-Monitor	High-Side, Unipolar, Current Shunt Monitor	8-TSSOP	2.29	1.83	1.43
INA139QPWRQ1	296-17088-2-ND	Einpoliger High-Side Strom-Shunt-Monitor	High-Side, Unipolar, Current Shunt Monitor	8-TSSOP		2590.60/2,000	
INA141U	INA141U-ND	Präzisionsinstrumentenverstärker, Niedrigleistung, V-Faktor = 10.100	Precision Low Power, Gain=10,100 Instrumentation Amp	8-SOIC	7.64	6.89	6.11
INA141UA	INA141UA-ND	Präzisionsinstrumentenverstärker, Niedrigleistung, V-Faktor = 10.100	Precision Low Power, Gain=10,100 Instrumentation Amp	8-SOIC	5.71	4.57	3.86
INA143U	INA143U-ND	HS Diff.-Instr.verstärker, V-Faktor = 10	High Speed Diff. Gain=10 Instr. Amp	8-SOIC	2.67	2.14	1.66
INA143UA	INA143UA-ND	HS Diff.-Instr.verstärker, V-Faktor = 10	High Speed Diff. Gain=10 Instr. Amp	8-SOIC	2.00	1.60	1.25
INA145UA	INA145UA-ND	Programmierbarer Eingangsdifferenzverstärker	Programmable Difference Amp	8-SOIC	2.86	2.29	1.78
INA146UA	INA146UA-ND	Hochspannungs-Eingangsdifferenzverstärker	High-Voltage Differential Amp	8-SOIC	3.24	2.60	2.02
INA148UA	INA148UA-ND	Gleichtakt-Instrumentenverstärker	Common-Mode Instrumentation Amp	8-SOIC	4.00	3.20	2.49
INA152EA/2K5	INA152EA/2K5CT-ND	Einzelversorgter NL-Eingangsdiff.verstärker	Low Power, Single Supply Diff. Amp	8-MSOP	2.29	1.83	1.43
INA152EA/2K5	INA152EA/2K5TR-ND	Einzelversorgter NL-Eingangsdiff.verstärker	Low Power, Single Supply Diff. Amp	8-MSOP		3200.15/2,500	
INA154U	INA154U-ND	HS, Präzisions-Eingangsdiff.verstärker, V-Faktor = 1	High-Speed Precision G=1 Diff. Amp	8-SOIC	2.67	2.14	1.66
INA154UA	INA154UA-ND	HS, Präzisions-Eingangsdiff.verstärker, V-Faktor = 1	High-Speed Precision G=1 Diff. Amp	8-SOIC	2.00	1.60	1.25
INA155EA/250	INA155EACT-ND	R/R CMOS Instrumentenverstärker	R/R CMOS Instrumentation Amp	8-MSOP	2.10	1.68	1.31
INA155EA/250	INA155EATR-ND	R/R CMOS Instrumentenverstärker	R/R CMOS Instrumentation Amp	8-MSOP		309.64/250	
INA155E/250	INA155ECT-ND	R/R CMOS Instrumentenverstärker	R/R CMOS Instrumentation Amp	8-MSOP	2.86	2.29	1.78
INA155E/250	INA155ETR-ND	R/R CMOS Instrumentenverstärker	R/R CMOS Instrumentation Amp	8-MSOP		422.24/250	
INA155U	INA155U-ND	R/R CMOS Instrumentenverstärker	R/R CMOS Instrumentation Amp	8-SOIC	2.76	2.21	1.72
INA155UA	INA155UA-ND	R/R CMOS Instrumentenverstärker	R/R CMOS Instrumentation Amp	8-SOIC	2.10	1.68	1.31
INA156EA/250	INA156EACT-ND	CMOS Instrumentenverstärker	CMOS Instrumentation Amp	8-MSOP	2.01	1.61	1.21
INA156EA/250	INA156EATR-ND	CMOS Instrumentenverstärker	CMOS Instrumentation Amp	8-MSOP		281.49/250	
INA157U	INA157U-ND	HS-Präzisionseingangsdiff.verstärker, V-Faktor = 1/2 oder V-Faktor = 2	HS Precision G=1/2 or G=2 Diff. Amp	8-SOIC	2.67	2.14	1.66
INA157UA	INA157UA-ND	HS-Präzisionseingangsdiff.verstärker, V-Faktor = 1/2 oder V-Faktor = 2	HS Precision G=1/2 or G=2 Diff. Amp	8-SOIC	2.00	1.60	1.25
INA163UA	INA163UA-ND	Rauscharmer, verzerrungsarmer Instr.-Verst.	Low-Noise, Low Distort. Instr. Amp	SO-14-50	4.23	3.39	2.86

(Forts.)

★ RUFEN SIE BITTE AN FÜR NIEDRIGERE PREISE BEI GRÖSSEREN MENGEN! ★

B

T. I. Teilenr.	Digi-Key Teilenr.	Beschreibung		Paket	Stückpreis★ 1	25	100
INA163UA/2K5	INA163UATR-ND	Rauscharmer, verzerrungsarmer Instr.-Verst.	Low-Noise, Low Distort. Instr. Amp	SO-14-50		6666.98/2,500	
INA166UA	INA166UA-ND	Rauscharmer Instrumentenverstärker	Low-Noise Instrumentation Amp	14-SOIC	8.39	7.56	6.70
INA166UA/2K5	INA166UATR-ND	Rauscharmer Instrumentenverstärker	Low-Noise Instrumentation Amp	14-SOIC		15300.18/2,500	
INA168NA/250	INA168NACT-ND	High-Side Strom-Shunt-Monitor	High-Side Current Shunt Monitor	SOT-23-5	2.38	1.91	1.49
INA168NA/250	INA168NATR-ND	High-Side Strom-Shunt-Monitor	High-Side Current Shunt Monitor	SOT-23-5		351.97/250	
INA168QPWRQ1	296-17201-1-ND	High-Side Strom-Shunt-Monitor	High-Side Current Shunt Monitor	8-TSSOP	2.76	2.21	1.72
INA168QPWRQ1	296-17201-2-ND	High-Side Strom-Shunt-Monitor	High-Side Current Shunt Monitor	8-TSSOP		3130.73/2,000	
INA169NA/250	INA169NA/250CT-ND	2,7 - 60 V Strom-Shunt-Monitor	2.7-60V Current Shunt Monitor	SOT-23-5	2.38	1.91	1.49
INA169NA/250	INA169NA/250TR-ND	2,7 - 60 V Strom-Shunt-Monitor	2.7-60V Current Shunt Monitor	SOT-23-5		351.97/250	
INA169QPWRQ1	296-17202-1-ND	2,7 - 60 V Strom-Shunt-Monitor	2.7-60V Current Shunt Monitor	8-TSSOP	2.76	2.21	1.72
INA169QPWRQ1	296-17202-2-ND	2,7 - 60 V Strom-Shunt-Monitor	2.7-60V Current Shunt Monitor	8-TSSOP		3130.73/2,000	
INA170EA/2K5	INA170EA/2K5CT-ND	Bidirektionaler Strom-Shunt-Monitor	Bi-Directional Current Shunt Monitor	8-MSOP	2.38	1.91	1.70
INA170EA/2K5	INA170EA/2K5TR-ND	Bidirektionaler Strom-Shunt-Monitor	Bi-Directional Current Shunt Monitor	8-MSOP		3333.49/2,500	
INA193AIDBVT	296-17163-1-ND	-16 V - 36 V Strom-Shunt-Monitor	-16V to 36V Current Shunt Monitor	SOT-23-5	1.69	1.36	1.02
INA193AIDBVT	296-17163-2-ND	-16 V - 36 V Strom-Shunt-Monitor	-16V to 36V Current Shunt Monitor	SOT-23-5		237.05/250	
INA194AIDBVT	296-17164-1-ND	-16 V - 36 V Strom-Shunt-Monitor	-16V to 36V Current Shunt Monitor	SOT-23-5	1.69	1.36	1.02
INA194AIDBVT	296-17164-2-ND	-16 V - 36 V Strom-Shunt-Monitor	-16V to 36V Current Shunt Monitor	SOT-23-5		237.05/250	
INA195AIDBVT	296-17165-1-ND	-16 V - 36 V Strom-Shunt-Monitor	-16V to 36V Current Shunt Monitor	SOT-23-5	1.69	1.36	1.02
INA195AIDBVT	296-17165-2-ND	-16 V - 36 V Strom-Shunt-Monitor	-16V to 36V Current Shunt Monitor	SOT-23-5		237.05/250	
INA196AIDBVT	296-17166-1-ND	-16 V - 36 V Strom-Shunt-Monitor	-16V to 36V Current Shunt Monitor	SOT-23-5	1.69	1.36	1.02
INA196AIDBVT	296-17166-2-ND	-16 V - 36 V Strom-Shunt-Monitor	-16V to 36V Current Shunt Monitor	SOT-23-5		237.05/250	
INA197AIDBVT	296-17167-1-ND	-16 V - 36 V Strom-Shunt-Monitor	-16V to 36V Current Shunt Monitor	SOT-23-5	1.69	1.36	1.02
INA197AIDBVT	296-17167-2-ND	-16 V - 36 V Strom-Shunt-Monitor	-16V to 36V Current Shunt Monitor	SOT-23-5		237.05/250	
INA198AIDBVT	296-17168-1-ND	-16 V - 36 V Strom-Shunt-Monitor	-16V to 36V Current Shunt Monitor	SOT-23-5	1.69	1.36	1.02
INA198AIDBVT	296-17168-2-ND	-16 V - 36 V Strom-Shunt-Monitor	-16V to 36V Current Shunt Monitor	SOT-23-5		237.05/250	
INA217AIDWT	296-13645-1-ND	Rauscharmer, verzerrungsarmer Instr.verstärker	LN, Low Distortion Instr. Amp	16-SOIC	4.77	3.81	2.97
INA217AIDWT	296-13645-2-ND	Rauscharmer, verzerrungsarmer Instr.verstärker	LN, Low Distortion Instr. Amp.	16-SOIC		703.74/250	
INA217AIP	296-13452-5-ND	Rauscharmer, verzerrungsarmer Instr.verstärker	LN, Low Distortion Instr. Amp.	8-Dip	4.23	3.39	2.86
INA321EA/250	INA321EACT-ND	Micropower CMOS R/R Instr.verstärker	Micropower CMOS R/R Instr. Amp	8-MSOP	2.10	1.68	1.31
INA321EA/250	INA321EATR-ND	Micropower CMOS R/R Instr.verstärker	Micropower CMOS R/R Instr. Amp	8-MSOP		309.64/250	
INA321E/250	INA321ECT-ND	Micropower CMOS R/R Instr.verstärker	Micropower CMOS R/R Instr. Amp	8-MSOP	2.86	2.29	1.78
INA321E/250	INA321ETR-ND	Micropower CMOS R/R Instr.verstärker	Micropower CMOS R/R Instr. Amp	8-MSOP		422.24/250	
INA321E/2K5	296-14586-1-ND	Micropower CMOS R/R Instr.verstärker	Micropower CMOS R/R Instr. Amp	8-MSOP	2.86	2.29	1.78
INA321E/2K5	296-14586-2-ND	Micropower CMOS R/R Instr.verstärker	Micropower CMOS R/R Instr. Amp	8-MSOP		4000.19/2,500	
INA322EA/250	INA322EACT-ND	Micropower CMOS R/R Instr.verstärker	Micropower CMOS R/R Instr. Amp	8-MSOP	1.89	1.51	1.14
INA322EA/250	INA322EATR-ND	Micropower CMOS R/R Instr.verstärker	Micropower CMOS R/R Instr. Amp	8-MSOP		281.49/250	
INA326EA/2K5	INA326EA/2K5CT-ND	R/R E/A Präz.-Instr.verstärker	Prec., R/R I/O Instr. Amp	8-MSOP	3.43	2.75	2.14
INA326EA/2K5	INA326EA/2K5TR-ND	R/R E/A Präz.-Instr.verstärker	Prec., R/R I/O Instr. Amp	8-MSOP		4800.22/2,500	
INA326EA/250	296-15312-1-ND	R/R E/A Präz.-Instr.verstärker	Prec., R/R I/O Instr. Amp	8-MSOP	3.43	2.75	2.14
INA326EA/250	296-15312-2-ND	R/R E/A Präz.-Instr.verstärker	Prec., R/R I/O Instr. Amp	8-MSOP		506.69/250	
INA327EA/2K5	INA327EA/2K5CT-ND	R/R E/A Präz.-Instr.verstärker mit Abschaltf.	Prec., R/R I/O Instr. Amp with SD	10-MSOP	3.72	2.98	2.32
INA327EA/2K5	INA327EA/2K5TR-ND	R/R E/A Präz.-Instr.verstärker mit Abschaltf.	Prec., R/R I/O Instr. Amp with SD	10-MSOP		5200.24/2,500	
INA327EA/250	296-15953-1-ND	R/R E/A Präz.-Instr.verstärker mit Abschaltf.	Prec., R/R, I/O Instr. Amp with SD	10-MSOP	3.72	2.98	2.32
INA327EA/250	296-15953-2-ND	R/R E/A Präz.-Instr.verstärker mit Abschaltf.	Prec., R/R, I/O Instr. Amp with SD	10-MSOP		549.02/250	
INA330AIDGST	296-13861-1-ND	Thermistor Signalverst. für Temp. Steuerung	Thermistor Signal Amp for Temp. Control	10-MSOP	2.95	2.37	1.84
INA330AIDGST	296-13861-2-ND	Thermistor Signalverst. für Temp. Steuerung	Thermistor Signal Amp for Temp. Control	10-MSOP		436.32/250	
INA331AIDGKT	296-12202-1-ND	CMOS-Instr.verstärker, Niedrigleistung	Low Power, CMOS Instr. Amp	8-MSOP	2.10	1.68	1.31
INA331AIDGKT	296-12202-2-ND	CMOS-Instr.verstärker, Niedrigleistung	Low Power, CMOS Instr. Amp	8-MSOP		309.64/250	
INA331IDGKT	296-12203-1-ND	CMOS-Instr.verstärker, Niedrigleistung	Low Power, CMOS Instr. Amp	8-MSOP	2.86	2.29	1.78
INA331IDGKT	296-12203-2-ND	CMOS-Instr.verstärker, Niedrigleistung	Low Power, CMOS Instr. Amp	8-MSOP		422.24/250	
INA332AIDGKT	296-12204-1-ND	CMOS-Instr.verstärker, Niedrigleistung	Low Power, CMOS Instr. Amp	8-MSOP	1.80	1.44	1.08
INA332AIDGKT	296-12204-2-ND	CMOS-Instr.verstärker, Niedrigleistung	Low Power, CMOS Instr. Amp	8-MSOP		251.86/250	
INA337AIDGKT	296-13453-1-ND	Präzisionsinstrumentenverstärker, breiter Temperaturbereich	Wide Temperature, Precision Instrumentation Amplifier	8-MSOP	3.43	2.75	2.14
INA337AIDGKT	296-13453-2-ND	Präzisionsinstrumentenverstärker, breiter Temperaturbereich	Wide Temperature, Precision Instrumentation Amplifier	8-MSOP		506.69/250	
INA338AIDGST	296-13454-1-ND	Präzisionsinstrumentenverstärker, breiter Temperaturbereich, mit Abschaltung	Wide Temperature, Precision Instr. Amp. with Shutdown	10-MSOP	3.72	2.98	2.32
INA338AIDGST	296-13454-2-ND	Präzisionsinstrumentenverstärker, breiter Temperaturbereich, mit Abschaltung	Wide Temperature, Precision Instr. Amp. with Shutdown	10-MSOP		549.02/250	
INA2126EA/250	INA2126EACT-ND	Zweif. Micropower Instr.verstärk.	Dual, Micropower Instr. Amp	16-SSOP	3.35	2.69	2.09
INA2126EA/250	INA2126EATR-ND	Zweif. Micropower Instr.verstärk.	Dual, Micropower Instr. Amp	16-SSOP		495.47/250	
INA2126E/250	INA2126ECT-ND	Zweif. Micropower Instr.verstärk.	Dual, Micropower Instr. Amp	16-SSOP	4.25	3.40	2.65
INA2126E/250	INA2126ETR-ND	Zweif. Micropower Instr.verstärk.	Dual, Micropower Instr. Amp	16-SSOP		627.75/250	
INA2126P	INA2126P-ND	Zweif. Micropower Instr.verstärk.	Dual, Micropower Instr. Amp	16-Dip	4.08	3.27	2.54
INA2126PA	INA2126PA-ND	Zweif. Micropower Instr.verstärk.	Dual, Micropower Instr. Amp	16-Dip	3.09	2.47	1.93
INA2126U	INA2126U-ND	Zweif. Micropower Instr.verstärk.	Dual, Micropower Instr. Amp	16-SOIC	4.08	3.27	2.54
INA2126UA	INA2126UA-ND	Zweif. Micropower Instr.verstärk.	Dual, Micropower Instr. Amp	16-SOIC	3.09	2.47	1.93
INA2128UA	INA2128UA-ND	Zweif. Niedrigleistungsinstr.verstärk.	Dual, Low Power Instr. Amp	16-SOIC	7.89	6.32	5.33
INA2132U	INA2132U-ND	Zweif. einzelversorgter NL-Eingangsdiff.verstärk.	Dual, LP, Single-Supply Diff. Amp	14-SOIC	4.48	3.59	2.79
INA2132UA	INA2132UA-ND	Zweif. einzelversorgter NL-Eingangsdiff.verstärk.	Dual, LP, Single-Supply Diff. Amp	14-SOIC	3.43	2.75	2.14
INA2133U	INA2133U-ND	Zweif. Hochgeschwindigkeits-Eingangsdiff.verstärk.	Dual, High-Speed, Diff. Amp	14-SOIC	4.48	3.59	2.79
INA2133UA	INA2133UA-ND	Zweif. Hochgeschwindigkeits-Eingangsdiff.verstärk.	Dual, High-Speed, Diff. Amp	14-SOIC	3.43	2.75	2.14
INA2134PA	INA2134PA-ND	Zweif. Differenzial-Leitungsempfänger / Audio	Dual, Audio Differential Line Receiver	14-Dip	3.24	2.60	2.02
INA2134UA	INA2134UA-ND	Zweif. Differenzial-Leitungsempfänger / Audio	Dual, Audio Differential Line Receiver	14-SOIC	3.24	2.60	2.02
INA2137PA	INA2137PA-ND	Zweif. Differenzial-Leitungsempfänger / Audio	Dual, Audio Differential Line Receiver	14-Dip	3.24	2.60	2.02
INA2137UA	INA2137UA-ND	Zweif. Differenzial-Leitungsempfänger / Audio	Dual, Audio Differential Line Receiver	14-SOIC	3.24	2.60	2.02
INA2141U	INA2141U-ND	Zweif. Instr.verstärker, V-Faktor = 10.100	Dual, Gain=10,100 Instr. Amp	16-SOIC	12.20	10.99	9.74
INA2141UA	INA2141UA-ND	Zweif. Instr.verstärker, V-Faktor = 10.100	Dual, Gain=10,100 Instr. Amp	16-SOIC	7.58	6.82	6.05
INA2143U	INA2143U-ND	Zweif. Hochgeschwindigkeits-Präzisions-Eingangsdiff. Verstärker, V-Faktor = 10	Dual, High Speed Precision Gain=10 Difference Amp	14-SOIC	4.28	3.43	2.67
INA2143UA	INA2143UA-ND	Zweif. Hochgeschwindigkeits-Präzisions-Eingangsdiff. Verstärker, V-Faktor = 10	Dual, High Speed Precision Gain=10 Difference Amp	14-SOIC	3.24	2.60	2.02
INA2321EA/250	INA2321EACT-ND	Micropower CMOS R/R Instr.verstärker	Micropower CMOS R/R Instr. Amp	14-TSSOP	3.34	2.67	2.08
INA2321EA/250	INA2321EATR-ND	Micropower CMOS R/R Instr.verstärker	Micropower CMOS R/R Instr. Amp	14-TSSOP		492.72/250	
INA2322EA/250	INA2322EACT-ND	Micropower CMOS R/R Instr.verstärker	Micropower CMOS R/R Instr. Amp	14-TSSOP	2.86	2.29	1.78
INA2322EA/250	INA2322EATR-ND	Micropower CMOS R/R Instr.verstärker	Micropower CMOS R/R Instr. Amp	14-TSSOP		422.24/250	
INA2331AIPWR	INA2331AIPWRCT-ND	NL, R/R CMOS Instr.verstärker	LP R/R CMOS Instr. Amp	14-TSSOP	3.43	2.75	2.14
INA2331AIPWR	INA2331AIPWRTR-ND	NL, R/R CMOS Instr.verstärker	LP R/R CMOS Instr. Amp	14-TSSOP		4800.22/2,500	
INA2331AIPWT	296-17647-1-ND	NL, R/R CMOS Instr.verstärker	LP R/R CMOS Instr. Amp	14-TSSOP	3.43	2.75	2.14
INA2331AIPWT	296-17647-2-ND	NL, R/R CMOS Instr.verstärker	LP R/R CMOS Instr. Amp	14-TSSOP		506.69/250	
INA2332AIPWR	INA2332AIPWRCT-ND	NL, R/R CMOS Instr.verstärker	LP R/R CMOS Instr. Amp	14-TSSOP	2.57	2.06	1.61
INA2332AIPWR	INA2332AIPWRTR-ND	NL, R/R CMOS Instr.verstärker	LP R/R CMOS Instr. Amp	14-TSSOP		3600.17/2,500	
ISO100AP	ISO100AP-ND	Isolationsverst., geringer Leckstrom	Low Leakage Isolation Amp	18-Dip	106.21	99.14	92.06
ISO121BG	296-12577-5-ND	Präzisions-Isolationsverst., 2500 VRMS	2500 VRMS Precision Isolation Amp	40-Dip	93.21	87.00	80.79
ISO122JP	ISO122JP-ND	Preiswerter Präzisions-Isolationsverst.	Low-Cost Precision Isolation Amp	16-Dip	13.26	11.94	10.59
ISO122JU	ISO122JU-ND	Preiswerter Präzisions-Isolationsverst.	Low-Cost Precision Isolation Amp	28-SOIC	13.26	11.94	10.59
ISO122P	ISO122P-ND	Preiswerter Präzisions-Isolationsverst.	Low-Cost Precision Isolation Amp	16-Dip	14.86	13.87	12.88
ISO122U	ISO122U-ND	Preiswerter Präzisions-Isolationsverst.	Low-Cost Precision Isolation Amp	28-SOIC	14.86	13.87	12.88
ISO124P	ISO124P-ND	Preiswerter Präzisions-Isolationsverst.	Low-Cost Precision Isolation Amp	16-Dip	10.16	9.15	8.11
ISO124U	ISO124U-ND	Preiswerter Präzisions-Isolationsverst.	Low-Cost Precision Isolation Amp	28-SOIC	10.16	9.15	8.11
ISO150AU	ISO150AU-ND	Zweif., isolierter, bidirektionaler Digitalkoppler	Dual, Isolated, Bi-Dir. Digital Coupler	28-SOIC	11.42	10.29	9.13
ISO508P	ISO508P-ND	Unidirektionaler, isolierter Digitalkoppler	Uni-Directional Isolated Digital Coupler	24-Dip	10.74	9.68	8.58
LF347BD	296-7136-5-ND	Vierf. BB JFET-OpAmp	Quad WB JFET Op Amp	14-SOIC	1.27	1.02	.77
LF347D	296-7137-5-ND	Vierf. BB JFET-OpAmp	Quad WB JFET Op Amp	14-SOIC	.58	.44	.33
LF347DR	296-7137-1-ND	Vierf. BB JFET-OpAmp	Quad WB JFET Op Amp	14-SOIC	.58	.44	.33
LF347DR	296-7137-2-ND	Vierf. BB JFET-OpAmp	Quad WB JFET Op Amp	14-SOIC		467.75/2,500	
LF347N	296-7138-5-ND	Vierf. BB JFET-OpAmp	Quad WB JFET Op Amp	14-Dip	.58	.44	.33
LF353D	296-1384-5-ND	Zweif. JFET-OpAmp	Dual JFET Op Amp	8-SOIC	.41	.31	.23
LF353DR	296-14587-1-ND	Zweif. JFET-OpAmp	Dual JFET Op Amp	8-SOIC	.41	.31	.23
LF353DR	296-14587-2-ND	Zweif. JFET-OpAmp	Dual JFET Op Amp	8-SOIC		330.17/2,500	

(Forts.)

★ *RUFEN SIE BITTE AN FÜR NIEDRIGERE PREISE BEI GRÖSSEREN MENGEN!* ★

Alle Preisangaben in Euro und inklusive Zollgebühren.

T. I. Teilenr.	Digi-Key Teilenr.	Beschreibung		Paket	Stückpreis ★ 1	25	100
LF353P	296-7139-5-ND	Zweif. JFET-OpAmp	Dual JFET Op Amp	8-Dip	.45	.34	.26
LF411CD	296-12846-5-ND	HS-JFET-OpAmp	High Speed JFET Op Amp	8-SOIC	.89	.75	.60
LF412CD	296-7140-5-ND	Zweif. JFET-OpAmp	Dual JFET Op Amp	8-SOIC	.97	.81	.65
LF412CDR	296-14588-1-ND	Zweif. JFET-OpAmp	Dual JFET Op Amp	8-SOIC	.97	.81	.65
LF412CDR	296-14588-2-ND	Zweif. JFET-OpAmp	Dual JFET Op Amp	8-SOIC		1045.55/2,500	
LF412CP	296-7141-5-ND	Zweif. JFET-OpAmp	Dual JFET Op Amp	8-Dip	.97	.81	.65
LM124DR	296-16907-1-ND	Vierf. OpAmp	Quad Op Amp	14-SOIC	.78	.59	.44
LM124DR	296-16907-2-ND	Vierf. OpAmp	Quad Op Amp	14-SOIC		632.83/2,500	
LM224AD	296-7029-5-ND	Vierf. OpAmp	Quad Op Amp	14-SOIC	.51	.39	.29
LM224ADR	296-7029-1-ND	Vierf. OpAmp	Quad Op Amp	14-SOIC	.51	.39	.29
LM224ADR	296-7029-2-ND	Vierf. OpAmp	Quad Op Amp	14-SOIC		412.72/2,500	
LM224DR	296-12847-1-ND	Vierf. OpAmp	Quad Op Amp	14-SOIC	.47	.38	.28
LM224DR	296-12847-2-ND	Vierf. OpAmp	Quad Op Amp	14-SOIC		315.36/2,500	
LM224N	296-7030-5-ND	Vierf. OpAmp	Quad Op Amp	14-Dip	.47	.38	.28
LM236D-2-5	296-7031-5-ND	2,5 V integrierter Bezugsschaltkreis	2.5V Integrated Reference Circuit	8-SOIC	1.06	.85	.64
LM237KC	296-7032-5-ND	Einstellb. Spannungsregler, 3 Anschlüsse	3-Terminal Adj. Voltage Regulator	TO-220AB	1.06	.85	.64
LM248D	296-6622-5-ND	Vierf. OpAmp	Quad Op Amp	14-SOIC	.76	.64	.51
LM248N	296-6623-5-ND	Vierf. OpAmp	Quad Op Amp	14-Dip	.76	.64	.51
LM258ADGKR	296-17216-1-ND	Zweif. OpAmp	Dual Op Amp	8-VSSOP	.49	.39	.30
LM258ADGKR	296-17216-2-ND	Zweif. OpAmp	Dual Op Amp	8-VSSOP		328.06/2,500	
LM258ADR	296-15169-1-ND	Zweif. OpAmp	Dual Op Amp	8-SOIC	.63	.53	.43
LM258ADR	296-15169-2-ND	Zweif. OpAmp	Dual Op Amp	8-SOIC		687.86/2,500	
LM258D	296-6624-5-ND	Zweif. OpAmp	Dual Op Amp	8-SOIC	.47	.38	.28
LM258DGKR	296-17217-1-ND	Zweif. OpAmp	Dual Op Amp	8-VSSOP	.47	.38	.28
LM258DGKR	296-17217-2-ND	Zweif. OpAmp	Dual Op Amp	8-VSSOP		315.36/2,500	
LM258DR	296-14591-1-ND	Zweif. OpAmp	Dual Op Amp	8-SOIC	.47	.38	.28
LM258DR	296-14591-2-ND	Zweif. OpAmp	Dual Op Amp	8-SOIC		315.36/2,500	
LM258P	296-6625-5-ND	Zweif. OpAmp	Dual Op Amp	8-Dip	.47	.38	.28
LM293ADGKR	296-17218-1-ND	Zweif. Differenzialkomparator	Dual Differential Comparator	8-VSSOP	.49	.39	.30
LM293ADGKR	296-17218-2-ND	Zweif. Differenzialkomparator	Dual Differential Comparator	8-VSSOP		328.06/2,500	
LM293DGKR	296-17219-1-ND	Zweif. Differenzialkomparator	Dual Differential Comparator	8-VSSOP	.47	.38	.28
LM293DGKR	296-17219-2-ND	Zweif. Differenzialkomparator	Dual Differential Comparator	8-VSSOP		315.36/2,500	
LM318D	296-9538-5-ND	Einzelversorgter HS-OpAmp	Single High Speed Op Amp	8-SOIC	1.02	.85	.68
LM318P	296-9539-5-ND	Einzelversorgter HS-OpAmp	Single High Speed Op Amp	8-Dip	1.02	.85	.68
LM324AD	296-9540-5-ND	Vierf. Allzweck-OpAmp	Quad General Purpose Op Amp	14-SOIC	.42	.34	.26
LM324ADR	296-9540-1-ND	Vierf. Allzweck-OpAmp	Quad General Purpose Op Amp	14-SOIC	.42	.34	.26
LM324ADR	296-9540-2-ND	Vierf. Allzweck-OpAmp	Quad General Purpose Op Amp	14-SOIC		285.73/2,500	
LM324ADBR	296-9541-1-ND	Vierf. Allzweck-OpAmp	Quad General Purpose Op Amp	14-SSOP	.41	.31	.23
LM324ADBR	296-9541-2-ND	Vierf. Allzweck-OpAmp	Quad General Purpose Op Amp	14-SSOP		270.91/2,000	
LM324AN	296-9542-5-ND	Vierf. Allzweck-OpAmp	Quad General Purpose Op Amp	14-Dip	.42	.34	.26
LM324ANSR	296-9543-1-ND	Vierf. Allzweck-OpAmp	Quad General Purpose Op Amp	14-SOP	.42	.34	.26
LM324ANSR	296-9543-2-ND	Vierf. Allzweck-OpAmp	Quad General Purpose Op Amp	14-SOP		237.05/2,000	
LM324APWR	296-9544-1-ND	Vierf. Allzweck-OpAmp	Quad General Purpose Op Amp	14-TSSOP	.42	.34	.26
LM324APWR	296-9544-2-ND	Vierf. Allzweck-OpAmp	Quad General Purpose Op Amp	14-TSSOP		237.05/2,000	
LM324D	296-1390-5-ND	Vierf. Allzweck-OpAmp	Quad General Purpose Op Amp	14-SOIC	.38	.31	.23
LM324DR	296-14597-1-ND	Vierf. Allzweck-OpAmp	Quad General Purpose Op Amp	14-SOIC	.38	.31	.23
LM324DR	296-14597-2-ND	Vierf. Allzweck-OpAmp	Quad General Purpose Op Amp	14-SOIC		258.21/2,500	
LM324N	296-1391-5-ND	Vierf. Allzweck-OpAmp	Quad General Purpose Op Amp	14-Dip	.38	.31	.23
LM324PWR	296-9545-1-ND	Vierf. Allzweck-OpAmp	Quad General Purpose Op Amp	14-TSSOP	.38	.31	.23
LM324PWR	296-9545-2-ND	Vierf. Allzweck-OpAmp	Quad General Purpose Op Amp	14-TSSOP		213.34/2,000	
LM348D	296-9552-5-ND	Vierf. Allzweck-OpAmp	Quad General Purpose Op Amp	14-SOIC	.38	.31	.23
LM348DR	296-14600-1-ND	Vierf. Allzweck-OpAmp	Quad General Purpose Op Amp	14-SOIC	.38	.31	.23
LM348DR	296-14600-2-ND	Vierf. Allzweck-OpAmp	Quad General Purpose Op Amp	14-SOIC		258.21/2,500	
LM348N	296-12849-5-ND	Vierf. Allzweck-OpAmp	Quad General Purpose Op Amp	14-Dip	.38	.31	.23
LM358AD	296-9553-5-ND	Zweif. OpAmp	Dual Op Amp	8-SOIC	.42	.34	.26
LM358ADR	296-14601-1-ND	Zweif. OpAmp	Dual Op Amp	8-SOIC	.42	.34	.26
LM358ADR	296-14601-2-ND	Zweif. OpAmp	Dual Op Amp	8-SOIC		285.73/2,500	
LM358AP	296-9554-5-ND	Zweif. OpAmp	Dual Op Amp	8-Dip	.42	.34	.26
LM358D	296-1014-5-ND	Zweif. OpAmp	Dual Op Amp	8-SOIC	.38	.31	.23
LM358DR	296-1014-1-ND	Zweif. OpAmp	Dual Op Amp	8-SOIC	.38	.31	.23
LM358DR	296-1014-2-ND	Zweif. OpAmp	Dual Op Amp	8-SOIC		258.21/2,500	
LM358P	296-1395-5-ND	Zweif. OpAmp	Dual Op Amp	8-Dip	.38	.31	.23
LM358PSR	296-1396-1-ND	Zweif. OpAmp	Dual Op Amp	8-SOP	.38	.31	.23
LM358PSR	296-1396-2-ND	Zweif. OpAmp	Dual Op Amp	8-SOP		213.34/2,000	
LM358PWR	296-9555-1-ND	Zweif. OpAmp	Dual Op Amp	8-TSSOP	.38	.31	.23
LM358PWR	296-9555-2-ND	Zweif. OpAmp	Dual Op Amp	8-TSSOP		213.34/2,000	
LM2900DR	296-9525-1-ND	Vierf. OpAmp	Quad Op Amp	14-SOIC	.42	.34	.26
LM2900DR	296-9525-2-ND	Vierf. OpAmp	Quad Op Amp	14-SOIC		285.73/2,500	
LM2900N	296-9526-5-ND	Vierf. OpAmp	Quad Op Amp	14-Dip	.42	.34	.26
LM2902DR	296-14594-1-ND	Vierf. OpAmp	Quad Op Amp	14-SOIC	.42	.34	.26
LM2902DR	296-14594-2-ND	Vierf. OpAmp	Quad Op Amp	14-SOIC		285.73/2,500	
LM2902KAVQDR	296-17253-1-ND	Vierf. OpAmp	Quad Op Amp	14-SOIC	.44	.33	.25
LM2902KAVQDR	296-17253-2-ND	Vierf. OpAmp	Quad Op Amp	14-SOIC		357.69/2,500	
LM2902KVQDR	296-17396-1-ND	Vierf. OpAmp	Quad Op Amp	14-SOIC	.41	.31	.23
LM2902KVQDR	296-17396-2-ND	Vierf. OpAmp	Quad Op Amp	14-SOIC		330.17/2,500	
LM2902KVQPWRQ1	296-17714-1-ND	Vierf. OpAmp	Quad Op Amp	14-TSSOP	.47	.36	.27
LM2902KVQPWRQ1	296-17714-2-ND	Vierf. OpAmp	Quad Op Amp	14-TSSOP		314.94/2,000	
LM2902QPWRQ1	296-16908-1-ND	Vierf. OpAmp	Quad Op Amp	14-TSSOP	.64	.52	.36
LM2902QPWRQ1	296-16908-2-ND	Vierf. OpAmp	Quad Op Amp	14-TSSOP		357.27/2,000	
LM2903AVQPWRQ1	296-17790-1-ND	Zweif. Diff.-Komparator	Dual Diff. Comparator	8-TSSOP	.51	.39	.29
LM2903AVQPWRQ1	296-17790-2-ND	Zweif. Diff.-Komparator	Dual Diff. Comparator	8-TSSOP		338.64/2,000	
LM2904AVQPWRQ1	296-17791-1-ND	Zweif. Allzweck-OpAmp	Dual GP Op Amp	8-TSSOP	.51	.39	.29
LM2904AVQPWRQ1	296-17791-2-ND	Zweif. Allzweck-OpAmp	Dual GP Op Amp	8-TSSOP		338.64/2,000	
LM2904D	296-9527-5-ND	Zweif. Allzweck-OpAmp	Dual GP Op Amp	8-SOIC	.42	.34	.26
LM2904DR	296-14596-1-ND	Zweif. Allzweck-OpAmp	Dual GP Op Amp	8-SOIC	.42	.34	.26
LM2904DR	296-14596-2-ND	Zweif. Allzweck-OpAmp	Dual GP Op Amp	8-SOIC		285.73/2,500	
LM2904P	296-9528-5-ND	Zweif. Allzweck-OpAmp	Dual GP Op Amp	8-Dip	.42	.34	.26
LM2904PWR	296-9529-1-ND	Zweif. Allzweck-OpAmp	Dual GP Op Amp	8-TSSOP	.42	.34	.26
LM2904PWR	296-9529-2-ND	Zweif. Allzweck-OpAmp	Dual GP Op Amp	8-TSSOP		237.05/2,000	
LM2904VQDRQ1	296-17099-1-ND	Zweif. Allzweck-OpAmp	Dual GP Op Amp	8-SOIC	.47	.36	.27
LM2904VQDRQ1	296-17099-2-ND	Zweif. Allzweck-OpAmp	Dual GP Op Amp	8-SOIC		385.20/2,500	
LM3900D	296-9564-5-ND	Vierf. OpAmp	Quad Op Amp	14-SOIC	.81	.68	.55
LM3900DR	296-14604-1-ND	Vierf. OpAmp	Quad Op Amp	14-SOIC	.81	.68	.55
LM3900DR	296-14604-2-ND	Vierf. OpAmp	Quad Op Amp	14-SOIC		880.46/2,500	
LM3900N	296-9565-5-ND	Vierf. OpAmp	Quad Op Amp	14-Dip	.81	.68	.55
LMV324ID	296-9569-5-ND	Vierf. Niederspannungs-R/R-OpAmp	Quad Low Voltage R/R Op Amp	14-SOIC	.68	.51	.39
LMV324IDR	296-9569-1-ND	Vierf. Niederspannungs-R/R-OpAmp	Quad Low Voltage R/R Op Amp	14-SOIC	.68	.51	.39
LMV324IDR	296-9569-2-ND	Vierf. Niederspannungs-R/R-OpAmp	Quad Low Voltage R/R Op Amp	14-SOIC		550.29/2,500	
LMV321IDBVR	296-9567-1-ND	Niederspannungs-R/R-OpAmp	Low Voltage R/R Op Amp	SOT-23-5	.66	.56	.45
LMV321IDBVR	296-9567-2-ND	Niederspannungs-R/R-OpAmp	Low Voltage R/R Op Amp	SOT-23-5		858.45/3,000	

(Forts.)

★ ***RUFEN SIE BITTE AN FÜR NIEDRIGERE PREISE BEI GRÖSSEREN MENGEN!*** ★

B

T. I. Teilenr.	Digi-Key Teilenr.	Beschreibung		Paket	Stückpreis ★ 1	25	100
LMV321IDCKR	296-9568-1-ND	Niederspannungs-R/R-OpAmp	Low Voltage R/R Op Amp	SC-70-5	.58	.44	.33
LMV321IDCKR	296-9568-2-ND	Niederspannungs-R/R-OpAmp	Low Voltage R/R Op Amp	SC-70-5		561.30/3,000	
LMV324IPWR	296-9570-1-ND	Vierf. Niederspannungs-R/R-OpAmp	Quad Low Voltage R/R Op Amp	14-TSSOP	.75	.56	.42
LMV324IPWR	296-9570-2-ND	Vierf. Niederspannungs-R/R-OpAmp	Quad Low Voltage R/R Op Amp	14-TSSOP		496.11/2,000	
LMV324QDR	296-17467-1-ND	Vierf. Niederspannungs-R/R-OpAmp	Quad Low Voltage R/R Op Amp	14-SOIC	.81	.61	.46
LMV324QDR	296-17467-2-ND	Vierf. Niederspannungs-R/R-OpAmp	Quad Low Voltage R/R Op Amp	14-SOIC		660.35/2,500	
LMV324QPWR	296-17468-1-ND	Vierf. Niederspannungs-R/R-OpAmp	Quad Low Voltage R/R Op Amp	14-TSSOP	.81	.61	.46
LMV324QPWR	296-17468-2-ND	Vierf. Niederspannungs-R/R-OpAmp	Quad Low Voltage R/R Op Amp	14-TSSOP		540.13/2,000	
LMV324SIDR	296-15361-1-ND	Vierf. Niederspannungs-R/R-OpAmp	Quad Low Voltage R/R Op Amp	16-SOIC	.81	.61	.46
LMV324SIDR	296-15361-2-ND	Vierf. Niederspannungs-R/R-OpAmp	Quad Low Voltage R/R Op Amp	16-SOIC		660.35/2,500	
LMV324SIPWR	296-15362-1-ND	Vierf. Niederspannungs-R/R-OpAmp	Quad Low Voltage R/R Op Amp	16-TSSOP	.81	.61	.46
LMV324SIPWR	296-15362-2-ND	Vierf. Niederspannungs-R/R-OpAmp	Quad Low Voltage R/R Op Amp	16-TSSOP		540.13/2,000	
LMV341IDCKR	296-17359-1-ND	Einf. OpAmp mit Abschaltfunktion	Single Op Amp with Shutdown	6-SOP	.68	.51	.39
LMV341IDCKR	296-17359-2-ND	Einf. OpAmp mit Abschaltfunktion	Single Op Amp with Shutdown	6-SOP		660.35/3,000	
LMV358IDDUR	296-16705-1-ND	Zweif. Niederspann.-R/R-OpAmp	Dual Low Voltage R/R Op Amp	8-VSSOP	.68	.51	.39
LMV358IDDUR	296-16705-2-ND	Zweif. Niederspann.-R/R-OpAmp	Dual Low Voltage R/R Op Amp	8-VSSOP		660.35/3,000	
LMV358IDGKR	296-13455-1-ND	Zweif. Niederspann.-R/R-OpAmp	Dual Low Voltage R/R Op Amp	8-VSSOP	.75	.56	.42
LMV358IDGKR	296-13455-2-ND	Zweif. Niederspann.-R/R-OpAmp	Dual Low Voltage R/R Op Amp	8-VSSOP		605.32/2,500	
LMV358IDR	296-9571-1-ND	Zweif. Niederspann.-R/R-OpAmp	Dual Low Voltage R/R Op Amp	8-SOIC	.68	.51	.39
LMV358IDR	296-9571-2-ND	Zweif. Niederspann.-R/R-OpAmp	Dual Low Voltage R/R Op Amp	8-SOIC		550.29/2,500	
LMV358IDRQ1	296-17648-1-ND	Zweif. Niederspann.-R/R-OpAmp	Dual Low Voltage R/R Op Amp	8-SOIC	.75	.56	.42
LMV358IDRQ1	296-17648-2-ND	Zweif. Niederspann.-R/R-OpAmp	Dual Low Voltage R/R Op Amp	8-SOIC		605.32/2,500	
LMV358IPWR	296-9572-1-ND	Zweif. Niederspann.-R/R-OpAmp	Dual Low Voltage R/R Op Amp	8-TSSOP	.75	.56	.42
LMV358IPWR	296-9572-2-ND	Zweif. Niederspann.-R/R-OpAmp	Dual Low Voltage R/R Op Amp	8-TSSOP		496.11/2,000	
LMV358QDDUR	296-17469-1-ND	Zweif. Niederspann.-R/R-OpAmp	Dual Low Voltage R/R Op Amp	8-VSSOP	.66	.56	.45
LMV358QDDUR	296-17469-2-ND	Zweif. Niederspann.-R/R-OpAmp	Dual Low Voltage R/R Op Amp	8-VSSOP		858.45/3,000	
LMV358QDGKR	296-17470-1-ND	Zweif. Niederspann.-R/R-OpAmp	Dual Low Voltage R/R Op Amp	8-MSOP	.66	.56	.45
LMV358QDGKR	296-17470-2-ND	Zweif. Niederspann.-R/R-OpAmp	Dual Low Voltage R/R Op Amp	8-MSOP		715.38/2,500	
LMV358QDR	296-17471-1-ND	Zweif. Niederspann.-R/R-OpAmp	Dual Low Voltage R/R Op Amp	8-SOIC	.81	.61	.46
LMV358QDR	296-17471-2-ND	Zweif. Niederspann.-R/R-OpAmp	Dual Low Voltage R/R Op Amp	8-SOIC		660.35/2,500	
LMV358QPWR	296-17472-1-ND	Zweif. Niederspann.-R/R-OpAmp	Dual Low Voltage R/R Op Amp	8-TSSOP	.81	.61	.46
LMV358QPWR	296-17472-2-ND	Zweif. Niederspann.-R/R-OpAmp	Dual Low Voltage R/R Op Amp	8-TSSOP		540.13/2,000	
LMV710IDBVR	296-17853-1-ND	NL, R/R E/A-OpAmp	Low Power R/R I/O Op Amp	SOT-23-5	.79	.66	.53
LMV710IDBVR	296-17853-2-ND	NL, R/R E/A-OpAmp	Low Power R/R I/O Op Amp	SOT-23-5		1023.54/3,000	
LMV710IDCKR	296-17854-1-ND	NL, R/R E/A-OpAmp	Low Power R/R I/O Op Amp	SC70-5	.79	.66	.53
LMV710IDCKR	296-17854-2-ND	NL, R/R E/A-OpAmp	Low Power R/R I/O Op Amp	SC70-5		1023.54/3,000	
LMV822DGKR	296-17406-1-ND	Zweif. Niederspann.-R/R-OpAmp	Dual Low Voltage R/R Op Amp	8-MSOP	.66	.56	.45
LMV822DGKR	296-17406-2-ND	Zweif. Niederspann.-R/R-OpAmp	Dual Low Voltage R/R Op Amp	8-MSOP		715.38/2,500	
LMV822IDGKR	296-17407-1-ND	Zweif. Niederspann.-R/R-OpAmp	Dual Low Voltage R/R Op Amp	8-MSOP	.81	.68	.55
LMV822IDGKR	296-17407-2-ND	Zweif. Niederspann.-R/R-OpAmp	Dual Low Voltage R/R Op Amp	8-MSOP		880.46/2,500	
LMV824DGVR	296-17522-1-ND	Vierf. R/R-OpAmp, Niederspann.	Quad, Low Voltage, R/R, Op Amp	14-TVSOP	.86	.72	.58
LMV824DGVR	296-17522-2-ND	Vierf. R/R-OpAmp, Niederspann.	Quad, Low Voltage, R/R, Op Amp	14-TVSOP		765.33/2,000	
LMV824IDGVR	296-17523-1-ND	Vierf. R/R-OpAmp, Niederspann.	Quad, Low Voltage, R/R, Op Amp	14-TVSOP	1.09	.92	.73
LMV824IDGVR	296-17523-2-ND	Vierf. R/R-OpAmp, Niederspann.	Quad, Low Voltage, R/R, Op Amp	14-TVSOP		968.51/2,000	
LMV932IDGKR	296-17910-1-ND	Zweif. 1,8 V OpAmp	1.8V Dual Op Amp	8-MSOP	.81	.68	.55
LMV932IDGKR	296-17910-2-ND	Zweif. 1,8 V OpAmp	1.8V Dual Op Amp	8-MSOP		880.46/2,500	
LMV932IDR	296-17911-1-ND	Zweif. 1,8 V OpAmp	1.8V Dual Op Amp	8-SOIC	.71	.60	.48
LMV932IDR	296-17911-2-ND	Zweif. 1,8 V OpAmp	1.8V Dual Op Amp	8-SOIC		770.41/2,500	
LOG100JP	LOG100JP-ND	Präz.verstärker, logarithmisch und Log.-Verhältnis	Prec. Logarithmic & Log Ratio Amp	14-Dip	120.15	112.14	104.13
LOG101AID	296-12850-5-ND	Präz.verstärker, logarithmisch und Log.-Verhältnis	Prec. Logarithmic & Log Ratio Amp	8-SOIC	9.80	8.83	7.83
LOG102AID	LOG102AID-ND	Präz.verstärker, logarithmisch und Log.-Verhältnis	Prec. Logarithmic & Log Ratio Amp	14-SOIC	10.23	9.21	8.17
LOG104AID	296-12851-5-ND	Präz.verstärker, logarithmisch und Log.-Verhältnis	Prec. Logarithmic & Log Ratio Amp	8-SOIC	9.80	8.83	7.83
LOG112AID	296-13456-5-ND	Präz.verstärker, logarithmisch und Log.-Verhältnis. mit On-Chip 2,5 V Referenz	Precision Logarithmic and Log Ratio Amp w/On Chip 2.5 Volt. Reference	14-SOIC	11.14	10.04	8.90
LOG2112AIDW	296-13815-5-ND	Logarithmischer Präzisionsverstärker	Precision Logarithmic Amp	16-SOIC	14.42	13.46	12.50
LPV321DBVR	296-17715-1-ND	R/R-OpAmp, NL, Niederspannung	Low Volt., Low Power, R/R Op Amp	SOT-23-5	.78	.59	.44
LPV321DBVR	296-17715-2-ND	R/R-OpAmp, NL, Niederspannung	Low Volt., Low Power, R/R Op Amp	SOT-23-5		759.40/3,000	
LPV321DCKR	296-17716-1-ND	R/R-OpAmp, NL, Niederspannung	Low Volt., Low Power, R/R Op Amp	SC70-5	.78	.59	.44
LPV321DCKR	296-17716-2-ND	R/R-OpAmp, NL, Niederspannung	Low Volt., Low Power, R/R Op Amp	SC70-5		759.40/3,000	
LPV321IDBVR	296-17717-1-ND	R/R-OpAmp, NL, Niederspannung	Low Volt., Low Power, R/R Op Amp	SOT-23-5	.66	.56	.45
LPV321IDBVR	296-17717-2-ND	R/R-OpAmp, NL, Niederspannung	Low Volt., Low Power, R/R Op Amp	SOT-23-5		858.45/3,000	
LPV321IDCKR	296-17718-1-ND	R/R-OpAmp, NL, Niederspannung	Low Volt., Low Power, R/R Op Amp	SC70-5	.66	.56	.45
LPV321IDCKR	296-17718-2-ND	R/R-OpAmp, NL, Niederspannung	Low Volt., Low Power, R/R Op Amp	SC70-5		858.45/3,000	
LPV324DR	296-16815-1-ND	Vierf. Niederspannungs-R/R-OpAmp	Quad, Low Voltage, R/R Op Amp	14-SOIC	.76	.64	.51
LPV324DR	296-16815-2-ND	Vierf. Niederspannungs-R/R-OpAmp	Quad, Low Voltage, R/R Op Amp	14-SOIC		825.44/2,500	
LPV324IDR	296-16732-1-ND	Vierf. Niederspannungs-R/R-OpAmp	Quad, Low Voltage, R/R Op Amp	14-SOIC	.75	.56	.42
LPV324IDR	296-16732-2-ND	Vierf. Niederspannungs-R/R-OpAmp	Quad, Low Voltage, R/R Op Amp	14-SOIC		935.49/2,500	
LPV324IPWR	296-16731-1-ND	Vierf. Niederspannungs-R/R-OpAmp	Quad, Low Voltage, R/R Op Amp	14-TSSOP	.86	.72	.58
LPV324IPWR	296-16731-2-ND	Vierf. Niederspannungs-R/R-OpAmp	Quad, Low Voltage, R/R Op Amp	14-TSSOP		765.33/2,000	
LPV324PWR	296-16816-1-ND	Vierf. Niederspannungs-R/R-OpAmp	Quad, Low Voltage, R/R Op Amp	14-TSSOP	.76	.64	.51
LPV324PWR	296-16816-2-ND	Vierf. Niederspannungs-R/R-OpAmp	Quad, Low Voltage, R/R Op Amp	14-TSSOP		675.59/2,000	
LPV358DDUR	296-17719-1-ND	Zweif. Niederspannungs-R/R-OpAmp, NL	Dual, Low Volt., Low Power, R/R Op Amp	8-VSSOP	.63	.53	.43
LPV358DDUR	296-17719-2-ND	Zweif. Niederspannungs-R/R-OpAmp, NL	Dual, Low Volt., Low Power, R/R Op Amp	8-VSSOP		825.44/3,000	
LPV358DGKR	296-17761-1-ND	Zweif. Niederspannungs-R/R-OpAmp, NL	Dual, Low Volt., Low Power R/R Op Amp	8-VSSOP	.63	.53	.43
LPV358DGKR	296-17761-2-ND	Zweif. Niederspannungs-R/R-OpAmp, NL	Dual, Low Volt., Low Power R/R Op Amp	8-VSSOP		687.86/2,500	
LPV358DR	296-17720-1-ND	Zweif. Niederspannungs-R/R-OpAmp, NL	Dual, Low Volt., Low Power, R/R Op Amp	8-SOIC	.63	.53	.43
LPV358DR	296-17720-2-ND	Zweif. Niederspannungs-R/R-OpAmp, NL	Dual, Low Volt., Low Power, R/R Op Amp	8-SOIC		687.86/2,500	
LPV358IDDUR	296-17721-1-ND	Zweif. Niederspannungs-R/R-OpAmp, NL	Dual, Low Volt., Low Power, R/R Op Amp	8-VSSOP	.71	.60	.48
LPV358IDDUR	296-17721-2-ND	Zweif. Niederspannungs-R/R-OpAmp, NL	Dual, Low Volt., Low Power, R/R Op Amp	8-VSSOP		924.49/3,000	
LPV358IDGKR	296-17762-1-ND	Zweif. Niederspannungs-R/R-OpAmp, NL	Dual, Low Volt., Low Power R/R Op Amp	8-VSSOP	.66	.56	.45
LPV358IDGKR	296-17762-2-ND	Zweif. Niederspannungs-R/R-OpAmp, NL	Dual, Low Volt., Low Power R/R Op Amp	8-VSSOP		715.38/2,500	
LPV358IDR	296-17722-1-ND	Zweif. Niederspannungs-R/R-OpAmp, NL	Dual, Low Volt., Low Power, R/R Op Amp	8-SOIC	.66	.56	.45
LPV358IDR	296-17722-2-ND	Zweif. Niederspannungs-R/R-OpAmp, NL	Dual, Low Volt., Low Power, R/R Op Amp	8-SOIC		715.38/2,500	
LT1013CP	296-1399-5-ND	Zweif. Präzisions-OpAmp	Dual Precision Op Amp	8-Dip	1.19	.95	.72
LT1013DD	296-1400-5-ND	Zweif. Präzisions-OpAmp	Dual Precision Op Amp	8-SOIC	1.31	1.05	.79
LT1013DDR	296-14615-1-ND	Zweif. Präzisions-OpAmp	Dual Precision Op Amp	8-SOIC	1.31	1.05	.79
LT1013DDR	296-14615-2-ND	Zweif. Präzisions-OpAmp	Dual Precision Op Amp	8-SOIC		1680.50/2,500	
LT1013DIDR	296-12982-1-ND	Zweif. Präzisions-OpAmp	Dual Precision Op Amp	8-SOIC	1.38	1.11	.83
LT1013DIDR	296-12982-2-ND	Zweif. Präzisions-OpAmp	Dual Precision Op Amp	8-SOIC		1760.93/2,500	
LT1013DIP	296-7044-5-ND	Zweif. Präzisions-OpAmp	Dual Precision Op Amp	8-Dip	1.38	1.11	.83
LT1013DP	296-7045-5-ND	Zweif. Präzisions-OpAmp	Dual Precision Op Amp	8-Dip	1.31	1.05	.79
LT1014CN	296-14616-5-ND	Vierf. Präzisions-OpAmp	Quad Precision Op Amp	14-Dip	3.62	2.90	2.26
LT1014DIDW	296-7046-5-ND	Vierf. Präzisions-OpAmp	Quad Precision Op Amp	16-SOIC	4.19	3.36	2.61
LT1014DIN	296-15322-5-ND	Vierf. Präzisions-OpAmp	Quad Precision Op Amp	14-Dip	4.19	3.36	2.61
LT1014DN	296-7047-5-ND	Vierf. Präzisions-OpAmp	Quad Precision Op Amp	14-Dip	3.62	2.90	2.26
LT1030CDR	296-14617-1-ND	Vierf. NL-Leitungstreiber	Quad LP Line Driver	14-SOIC	1.69	1.36	1.02
LT1030CDR	296-14617-2-ND	Vierf. NL-Leitungstreiber	Quad LP Line Driver	14-SOIC		2167.30/2,500	
MC1458D	296-9601-5-ND	Zweif. Allzweck-OpAmp	Dual General Purpose Op Amp	8-SOIC	.47	.38	.28
MC1458DR	296-14622-1-ND	Zweif. Allzweck-OpAmp	Dual General Purpose Op Amp	8-SOIC	.47	.38	.28
MC1458DR	296-14622-2-ND	Zweif. Allzweck-OpAmp	Dual General Purpose Op Amp	8-SOIC		315.36/2,500	

(Forts.)

★ RUFEN SIE BITTE AN FÜR NIEDRIGERE PREISE BEI GRÖSSEREN MENGEN! ★

T. I. Teilenr.	Digi-Key Teilenr.	Beschreibung		Paket	Stückpreis ★ 1	25	100
MC1458P	296-1403-5-ND	Zweif. Allzweck-OpAmp	Dual General Purpose Op Amp	8-Dip	.47	.38	.28
MC3303D	296-7033-5-ND	Vierf. NL-OpAmp, -40 °C bis 85 °C	Quad LP Op Amp, -40°C to 85°C	14-SOIC	.64	.49	.37
MC3303N	296-7034-5-ND	Vierf. NL-OpAmp, -40 °C bis 85 °C	Quad LP Op Amp, -40°C to 85°C	14-Dip	.64	.49	.37
MC3303PWR	296-11661-1-ND	Vierf. NL-OpAmp, -40 °C bis 85 °C	Quad LP Op Amp, -40°C to 85°C	14-TSSOP	.64	.49	.37
MC3303PWR	296-11661-2-ND	Vierf. NL-OpAmp, -40 °C bis 85 °C	Quad LP Op Amp, -40°C to 85°C	14-TSSOP		428.38/2,000	
MC3403D	296-7035-5-ND	Vierf. NL-Allzweck-OpAmp	Quad Low Power GP Op Amp	14-SOIC	.64	.49	.37
MC3403DR	296-14623-1-ND	Vierf. NL-Allzweck-OpAmp	Quad Low Power GP Op Amp	14-SOIC	.64	.49	.37
MC3403DR	296-14623-2-ND	Vierf. NL-Allzweck-OpAmp	Quad Low Power GP Op Amp	14-SOIC		522.78/2,500	
MC3403N	296-1406-5-ND	Vierf. NL-Allzweck-OpAmp	Quad Low Power GP Op Amp	14-Dip	.64	.49	.37
MC3403NSR	296-1407-1-ND	Vierf. NL-Allzweck-OpAmp	Quad Low Power GP Op Amp	14-SOP	.64	.49	.37
MC3403NSR	296-1407-2-ND	Vierf. NL-Allzweck-OpAmp	Quad Low Power GP Op Amp	14-SOP		428.38/2,000	
MC3403PWR	296-7036-1-ND	Vierf. NL-Allzweck-OpAmp	Quad Low Power GP Op Amp	14-TSSOP	.64	.49	.37
MC3403PWR	296-7036-2-ND	Vierf. NL-Allzweck-OpAmp	Quad Low Power GP Op Amp	14-TSSOP		428.38/2,000	
MC3487D	296-7039-5-ND	Vierf. Differenzial-Leitungstreiber	Quad Differential Line Driver	16-SOIC	.63	.53	.43
MC33078DGKR	296-17855-1-ND	Zweif. HS-OpAmp, rauscharm	Dual High Speed Low Noise Op Amp	8-MSOP	.66	.56	.45
MC33078DGKR	296-17855-2-ND	Zweif. HS-OpAmp, rauscharm	Dual High Speed Low Noise Op Amp	8-MSOP		715.38/2,500	
MC33078DR	296-17723-1-ND	Zweif. HS-OpAmp, rauscharm	Dual High Speed Low Noise Op Amp	8-SOIC	.68	.51	.39
MC33078DR	296-17723-2-ND	Zweif. HS-OpAmp, rauscharm	Dual High Speed Low Noise Op Amp	8-SOIC		550.29/2,500	
MC33078P	296-17724-5-ND	Zweif. HS-OpAmp, rauscharm	Dual High Speed Low Noise Op Amp	8-Dip	.81	.61	.46
MPA4609IPFBT	296-16678-1-ND	Vierf. gemultiplexter Diff.-Vorverstärker mit hoher Verstärkungsleistung, E/A 2 x 1	Quad, Diff. I/O 2x1 Multiplexed High Gain Preamp	48-TQFP	7.03	5.63	4.75
MPA4609IPFBT	296-16678-2-ND	Vierf. gemultiplexter Diff.-Vorverstärker mit hoher Verstärkungsleistung, E/A 2 x 1	Quad, Diff. I/O 2x1 Multiplexed High Gain Preamp	48-TQFP		1141.85/250	
NE5532ADR	296-13621-1-ND	Zweif. rauscharmer OpAmp	Dual Low Noise Op Amp	8-SOIC	.71	.60	.48
NE5532ADR	296-13621-2-ND	Zweif. rauscharmer OpAmp	Dual Low Noise Op Amp	8-SOIC		770.41/2,500	
NE5532AP	296-7040-5-ND	Zweif. rauscharmer OpAmp	Dual Low Noise Op Amp	8-Dip	.71	.60	.48
NE5532APSR	296-13103-1-ND	Zweif. rauscharmer OpAmp	Dual Low Noise Op Amp	8-SOP	.71	.60	.48
NE5532APSR	296-13103-2-ND	Zweif. rauscharmer OpAmp	Dual Low Noise Op Amp	8-SOP		629.87/2,000	
NE5532DR	296-13622-1-ND	Zweif. rauscharmer OpAmp	Dual Low Noise Op Amp	8-SOIC	.68	.51	.39
NE5532DR	296-13622-2-ND	Zweif. rauscharmer OpAmp	Dual Low Noise Op Amp	8-SOIC		550.29/2,500	
NE5532P	296-1410-5-ND	Zweif. rauscharmer OpAmp	Dual Low Noise Op Amp	8-Dip	.68	.51	.39
NE5532PSR	296-12641-1-ND	Zweif. rauscharmer OpAmp	Dual Low Noise Op Amp	8-SOP	.68	.51	.39
NE5532PSR	296-12641-2-ND	Zweif. rauscharmer OpAmp	Dual Low Noise Op Amp	8-SOP		450.39/2,000	
NE5534ADR	296-16943-1-ND	Rauscharmer HS-OpAmp, Audio	Low Noise HS Audio Op Amp	8-SOIC	.97	.81	.65
NE5534ADR	296-16943-2-ND	Rauscharmer HS-OpAmp, Audio	Low Noise HS Audio Op Amp	8-SOIC		1045.55/2,500	
NE5534AP	296-7042-5-ND	Rauscharmer HS-OpAmp, Audio	Low Noise HS Audio Op Amp	8-Dip	.97	.81	.65
NE5534D	296-14346-5-ND	Rauscharmer HS-OpAmp, Audio	Low Noise HS Audio Op Amp	8-SOIC	.81	.68	.55
NE5534P	296-7043-5-ND	Rauscharmer HS-OpAmp, Audio	Low Noise HS Audio Op Amp	8-Dip	.81	.68	.55
ONET2501PARGT	296-16974-ND	Spannungsbegrenzender Verstärker, 155 MBPS an 2,5 GBPS	155MBPS to 2.5GBPS Limiting Amp	16-QFN	7.81	6.25	5.27
ONET2511PARGT	296-16975-ND	Transimpedanz-Verst., Bare-Die, 2,5 GBPS	2.5GBPS Transimpedance Amp, Bare-Die	16-QFN	7.08	5.67	4.79
ONET2511TAY	296-17427-ND	Transimpedanz-Verst., Bare-Die, 2,5 GBPS	2.5GBPS Transimpedance Amp, Bare-Die	—	5.50	4.41	3.72
ONET3301PARGT	296-16976-ND	Spannungsbegrenzender Verstärker, 155 MBPS an 3,3 GBPS	155MBPS to 3.3GBPS Limiting Amp	16-QFN	9.39	8.45	7.50
ONET9901PARGP	296-17055-5-ND	Spannungsbegrenzender Verstärker, 10,7 GBPS	10.7GBPS Limiting Amp	20-QFN	128.68	96.52	72.39
OP-07DPSR	296-14171-1-ND	Rauscharmer Präzisions-OpAmp	Low Noise Precision Op Amp	8-SOIC	.63	.53	.43
OP-07DPSR	296-14171-2-ND	Rauscharmer Präzisions-OpAmp	Low Noise Precision Op Amp	8-SOIC		563.84/2,000	
OP07CD	296-12852-5-ND	Low-Offset-Spannungs-Präzisions-OpAmp	Low Offset Voltage Precision Op Amp	8-SOIC	.81	.68	.55
OP07CDR	296-14626-1-ND	Low-Offset-Spannungs-Präzisions-OpAmp	Low Offset Voltage Precision Op Amp	8-SOIC	.81	.68	.55
OP07CDR	296-14626-2-ND	Low-Offset-Spannungs-Präzisions-OpAmp	Low Offset Voltage Precision Op Amp	8-SOIC		880.46/2,500	
OP07CP	296-12853-5-ND	Low-Offset-Spannungs-Präzisions-OpAmp	Low Offset Voltage Precision Op Amp	8-Dip	.81	.68	.55
OP07DD	296-9621-5-ND	Low-Offset-Spannungs-Präzisions-OpAmp	Low Offset Voltage Precision Op Amp	8-SOIC	.76	.64	.51
OP07DDR	296-14627-1-ND	Low-Offset-Spannungs-Präzisions-OpAmp	Low Offset Voltage Precision Op Amp	8-SOIC	.76	.64	.51
OP07DDR	296-14627-2-ND	Low-Offset-Spannungs-Präzisions-OpAmp	Low Offset Voltage Precision Op Amp	8-SOIC		825.44/2,500	
OP07DP	296-9622-5-ND	Low-Offset-Spannungs-Präzisions-OpAmp	Low Offset Voltage Precision Op Amp	8-Dip	.76	.64	.51
OPA27GP	OPA27GP-ND	Ausgeglichener Präzisions-OpAmp, rauscharm	Compensated, LN, Precision Op Amp	8-Dip	2.07	1.67	1.30
OPA27GU	OPA27GU-ND	Ausgeglichener Präzisions-OpAmp, rauscharm	Compensated, LN, Precision Op Amp	8-SOIC	2.07	1.67	1.30
OPA37GP	OPA37GP-ND	Nicht ausgeglichener Präzisions-OpAmp, rauscharm	Uncompensated, LN, Precision Op Amp	8-Dip	2.18	1.74	1.36
OPA37GU	OPA37GU-ND	Nicht ausgeglichener Präzisions-OpAmp, rauscharm	Uncompensated, LN, Prec. Op Amp	8-SOIC	2.18	1.74	1.36
OPA111AM	OPA111AM-ND	Rauscharmer Präzisions-OpAmp (500 µV Ausg.)	LN, Precision Op Amp (500µV Out)	TO-99	20.67	19.30	17.92
OPA111BM	OPA111BM-ND	Rauscharmer Präzisions-OpAmp (250 µV Ausg.)	LN, Precision Op Amp (250µV Out)	TO-99	33.63	31.39	29.15
OPA121KU	OPA121KU-ND	Preiswerter Präzisions-DIFET-OpAmp	Low Cost, Precision DiFET Op Amp	8-SOIC	7.20	6.48	5.75
OPA124U	OPA124U-ND	Rauscharmer Präzisions-DIFET-OpAmp	Low Noise, Precision DiFET Op Amp	8-SOIC	6.69	5.36	4.52
OPA124UA	OPA124UA-ND	Rauscharmer Präzisions-DIFET-OpAmp	Low Noise, Precision DiFET Op Amp	8-SOIC	7.96	6.37	5.38
OPA128JM	OPA128JM-ND	DiFET-OpAmp von Elektrometer-Qualität	DiFET Electrometer-Grade Op Amp	TO-99-8	42.43	39.60	36.78
OPA128KM	OPA128KM-ND	DiFET-OpAmp von Elektrometer-Qualität	DiFET Electrometer-Grade Op Amp	TO-99-8	47.28	44.13	40.98
OPA128LM	OPA128LM-ND	DiFET-OpAmp von Elektrometer-Qualität	DiFET Electrometer-Grade Op Amp	TO-99-8	51.93	48.47	45.01
OPA128SM	OPA128SM-ND	DiFET-OpAmp von Elektrometer-Qualität	DiFET Electrometer-Grade Op Amp	TO-99-8	60.93	56.87	52.81
OPA129U	OPA129U-ND	DiFET-OpAmp, ultraniedriger Vormagnetisierungsstrom	Ultra-Low Bias Current DiFET Op Amp	8-SOIC	5.42	4.34	3.66
OPA129UB	OPA129UB-ND	DiFET-OpAmp, ultraniedriger Vormagnetisierungsstrom	Ultra-Low Bias Current DiFET Op Amp	8-SOIC	7.69	6.93	6.14
OPA130UA	OPA130UA-ND	NL-Präzisions-FET-Eing.-OpAmp	Low Power, Precision, FET-In Op Amp	8-SOIC	2.67	2.14	1.66
OPA131U	OPA131U-ND	Allzweck-FET-Eingang-OpAmp	General Purpose FET-Input Op Amp	8-SOIC	4.00	3.20	2.49
OPA131UA	OPA131UA-ND	Allzweck-FET-Eingang-OpAmp	General Purpose FET-Input Op Amp	8-SOIC	2.19	1.76	1.37
OPA131UJ	OPA131UJ-ND	Allzweck-FET-Eingang-OpAmp	General Purpose FET-Input Op Amp	8-SOIC	1.59	1.27	.96
OPA132U	OPA132U-ND	HS-FET-Eingang-OpAmp	High Speed FET-Input Op Amp	8-SOIC	4.83	3.87	3.26
OPA132UA	OPA132UA-ND	HS-FET-Eingang-OpAmp	High Speed FET-Input Op Amp	8-SOIC	2.76	2.21	1.72
OPA134PA	OPA134PA-ND	Hochleistungs-Audio-OpAmp	High Performance Audio Op Amp	8-Dip	1.90	1.53	1.15
OPA134UA	OPA134UA-ND	Hochleistungs-Audio-OpAmp	High Performance Audio Op Amp	8-SOIC	1.90	1.53	1.15
OPA137N/250	OPA137NCT-ND	Preiswerter FET-Eingang-OpAmp	Low Cost FET-Input Op Amp	SOT-23-5	2.01	1.61	1.21
OPA137N/250	OPA137NTR-ND	Preiswerter FET-Eingang-OpAmp	Low Cost FET-Input Op Amp	SOT-23-5		281.49/250	
OPA137NA/250	OPA137NACT-ND	Preiswerter FET-Eingang-OpAmp	Low Cost FET-Input Op Amp	SOT-23-5	1.27	1.02	.77
OPA137NA/250	OPA137NATR-ND	Preiswerter FET-Eingang-OpAmp	Low Cost FET-Input Op Amp	SOT-23-5		177.79/250	
OPA137P	OPA137P-ND	Preiswerter FET-Eingang-OpAmp	Low Cost FET-Input Op Amp	8-Dip	2.01	1.61	1.21
OPA137PA	OPA137PA-ND	Preiswerter FET-Eingang-OpAmp	Low Cost FET-Input Op Amp	8-Dip	1.27	1.02	.77
OPA137U	OPA137U-ND	Preiswerter FET-Eingang-OpAmp	Low Cost FET-Input Op Amp	8-SOIC	2.01	1.61	1.21
OPA137UA	OPA137UA-ND	Preiswerter FET-Eingang-OpAmp	Low Cost FET-Input Op Amp	8-SOIC	1.27	1.02	.77
OPA177FP	OPA177FP-ND	Präzisions-OpAmp	Precision Op Amp	8-Dip	4.61	3.69	2.87
OPA177GP	OPA177GP-ND	Präzisions-OpAmp	Precision Op Amp	8-Dip	1.61	1.29	.97
OPA177GS	OPA177GS-ND	Präzisions-OpAmp	Precision Op Amp	8-SOIC	1.61	1.29	.97
OPA227P	OPA227P-ND	Hochpräziser, rauscharmer OpAmp	High Precision, Low Noise Op Amp	8-Dip	4.25	3.40	2.65
OPA227PA	OPA227PA-ND	Hochpräziser, rauscharmer OpAmp	High Precision, Low Noise Op Amp	8-Dip	2.00	1.60	1.25
OPA227U	OPA227U-ND	Hochpräziser, rauscharmer OpAmp	High Precision, Low Noise Op Amp	8-SOIC	4.25	3.40	2.65
OPA227UA	OPA227UA-ND	Hochpräziser, rauscharmer OpAmp	High Precision, Low Noise Op Amp	8-SOIC	2.00	1.60	1.25
OPA228P	OPA228P-ND	Rauscharmer Präzisions-OpAmp	Low Noise Precision Op Amp	8-Dip	4.25	3.40	2.65
OPA228PA	OPA228PA-ND	Rauscharmer Präzisions-OpAmp	Low Noise Precision Op Amp	8-Dip	2.00	1.60	1.25
OPA228U	OPA228U-ND	Rauscharmer Präzisions-OpAmp	Low Noise Precision Op Amp	8-SOIC	4.25	3.40	2.65
OPA228UA	OPA228UA-ND	Rauscharmer Präzisions-OpAmp	Low Noise Precision Op Amp	8-SOIC	2.00	1.60	1.25
OPA234E/250	OPA234ECT-ND	Einzelversorgter NL-OpAmp	Low Power Single-Supply Op Amp	8-MSOP	2.73	2.18	1.70
OPA234E/250	OPA234ETR-ND	Einzelversorgter NL-OpAmp	Low Power Single-Supply Op Amp	8-MSOP		402.56/250	
OPA234EA/250	OPA234EACT-ND	Einzelversorgter NL-OpAmp	Low Power Single-Supply Op Amp	8-MSOP	1.90	1.53	1.19
OPA234EA/250	OPA234EATR-ND	Einzelversorgter NL-OpAmp	Low Power Single-Supply Op Amp	8-MSOP		281.49/250	
OPA234U	OPA234U-ND	Einzelversorgter NL-OpAmp	Low Power Single-Supply Op Amp	8-SOIC	2.73	2.18	1.70
OPA234UA	OPA234UA-ND	Einzelversorgter NL-OpAmp	Low Power Single-Supply Op Amp	8-SOIC	1.90	1.53	1.19
OPA237NA/250	OPA237NACT-ND	Einzelversorgter OpAmp	Single-Supply Op Amp	SOT-23-5	1.17	.94	.70

(Forts.)

★ ***RUFEN SIE BITTE AN FÜR NIEDRIGERE PREISE BEI GRÖSSEREN MENGEN!*** ★

B

T. I. Teilenr.	Digi-Key Teilenr.	Beschreibung		Paket	Stückpreis ★ 1	25	100
OPA237NA/250	OPA237NATR-ND	Einzelversorgter OpAmp	Single-Supply Op Amp	SOT-23-5		162.97/250	
OPA237UA	OPA237UA-ND	Einzelversorgter OpAmp	Single-Supply Op Amp	8-SOIC	1.17	.94	.70
OPA241PA	OPA241PA-ND	Einzelversorgter Micropower-OpAmp, Niederspannung	Single-Supply, Micropower, Low Voltage Op Amp	8-Dip	2.19	1.76	1.37
OPA241UA	OPA241UA-ND	Einzelversorgter Micropower-OpAmp, Niederspannung	Single-Supply, Micropower, Low Voltage Op Amp	8-SOIC	2.19	1.76	1.37
OPA244NA/250	OPA244NACT-ND	Einzelversorgter Micropower-OpAmp	Single-Supply, Micropower Op Amp	SOT-23-5	1.10	.89	.67
OPA244NA/250	OPA244NATR-ND	Einzelversorgter Micropower-OpAmp	Single-Supply, Micropower Op Amp	SOT-23-5		154.08/250	
OPA244PA	OPA244PA-ND	Einzelversorgter Micropower-OpAmp	Single-Supply, Micropower Op Amp	8-Dip	1.10	.89	.67
OPA244UA	OPA244UA-ND	Einzelversorgter Micropower-OpAmp	Single-Supply, Micropower Op Amp	8-SOIC	1.10	.89	.67
OPA251PA	OPA251PA-ND	Einzelversorgter Micropower-OpAmp	Single-Supply, Micropower Op Amp	8-Dip	2.19	1.76	1.37
OPA251UA	OPA251UA-ND	Einzelversorgter Micropower-OpAmp	Single-Supply, Micropower Op Amp	8-SOIC	2.19	1.76	1.37
OPA277P	OPA277P-ND	Hochpräziser OpAmp	High Precision Op Amp	8-Dip	3.81	3.05	2.38
OPA277PA	OPA277PA-ND	Hochpräziser OpAmp	High Precision Op Amp	8-Dip	1.72	1.38	1.03
OPA277U	OPA277U-ND	Hochpräziser OpAmp	High Precision Op Amp	8-SOIC	3.81	3.05	2.38
OPA277UA	OPA277UA-ND	Hochpräziser OpAmp	High Precision Op Amp	8-SOIC	1.72	1.38	1.03
OPA300AID	296-15087-5-ND	Rauscharmer 16-Bit HS -CMOS-OpAmp	Low Noise, HS, 16-Bit CMOS Op Amp	8-SOIC	2.38	1.91	1.49
OPA301AID	296-17236-5-ND	Rauscharmer HS-CMOS-OpAmp	Low Noise, High Speed CMOS Op Amp	8-SOIC	2.38	1.91	1.49
OPA301AIDBVT	296-16905-1-ND	Rauscharmer HS-CMOS-OpAmp	Low Noise, High Speed CMOS Op Amp	8-SOIC	2.38	1.91	1.49
OPA301AIDBVT	296-16905-2-ND	Rauscharmer HS-CMOS-OpAmp	Low Noise, High Speed CMOS Op Amp	8-SOIC		351.97/250	
OPA334AIDBVT	296-13466-1-ND	Einzelversorgter CMOS-Nullabweichungs-OpAmp	Single-Supply CMOS Zero Drift Op Amp	SOT-23-6	2.12	1.70	1.27
OPA334AIDBVT	296-13466-2-ND	Einzelversorgter CMOS-Nullabweichungs-OpAmp	Single-Supply CMOS Zero Drift Op Amp	SOT-23-6		281.49/250	
OPA335AID	296-13467-5-ND	Einzelversorgter CMOS-Nullabweichungs-OpAmp	Single-Supply CMOS Zero Drift Op Amp	8-SOIC	1.90	1.53	1.19
OPA335AIDBVT	296-13468-1-ND	Einzelversorgter CMOS-Nullabweichungs-OpAmp	Single-Supply CMOS Zero Drift Op Amp	SOT-23-5	2.12	1.70	1.27
OPA335AIDBVT	296-13468-2-ND	Einzelversorgter CMOS-Nullabweichungs-OpAmp	Single-Supply CMOS Zero Drift Op Amp	SOT-23-5		281.49/250	
OPA336U	OPA336U-ND	Einzelversorgter Micropower-OpAmp	Single-Supply, Micropower Op Amp	8-SOIC	2.01	1.61	1.21
OPA336N/250	OPA336NCT-ND	Einzelversorgter Micropower-OpAmp	Single-Supply, Micropower Op Amp	SOT-23-5	2.01	1.61	1.21
OPA336N/250	OPA336NTR-ND	Einzelversorgter Micropower-OpAmp	Single-Supply, Micropower Op Amp	SOT-23-5		281.49/250	
OPA336NA/250	OPA336NACT-ND	Einzelversorgter Micropower-OpAmp	Single-Supply, Micropower Op Amp	SOT-23-5	1.38	1.11	.83
OPA336NA/250	OPA336NATR-ND	Einzelversorgter Micropower-OpAmp	Single-Supply, Micropower Op Amp	SOT-23-5		192.60/250	
OPA336UA	OPA336UA-ND	Einzelversorgter Micropower-OpAmp	Single-Supply, Micropower Op Amp	8-SOIC	1.38	1.11	.83
OPA337EA/250	OPA337EACT-ND	Einzelversorgter CMOS-OpAmp	Single-Supply, CMOS Op Amp	8-MSOP	1.09	.92	.73
OPA337EA/250	OPA337EATR-ND	Einzelversorgter CMOS-OpAmp	Single-Supply, CMOS Op Amp	8-MSOP		136.51/250	
OPA337NA/250	OPA337NACT-ND	Einzelversorgter CMOS-OpAmp	Single-Supply, CMOS Op Amp	SOT-23-5	1.09	.92	.73
OPA337NA/250	OPA337NATR-ND	Einzelversorgter CMOS-OpAmp	Single-Supply, CMOS Op Amp	SOT-23-5		136.51/250	
OPA337PA	OPA337PA-ND	Einzelversorgter CMOS-OpAmp	Single-Supply, CMOS Op Amp	8-Dip	1.09	.92	.73
OPA337UA/2K5	OPA337UACT-ND	Einzelversorgter CMOS-OpAmp	Single-Supply, CMOS Op Amp	8-SOIC	1.09	.92	.73
OPA337UA	OPA337UA-ND	Einzelversorgter CMOS-OpAmp	Single-Supply, CMOS Op Amp	8-SOIC	1.09	.92	.73
OPA337UA/2K5	OPA337UATR-ND	Einzelversorgter CMOS-OpAmp	Single-Supply, CMOS Op Amp	8-SOIC		1183.12/2,500	
OPA338NA/250	OPA338NACT-ND	Nicht ausgeglichener, einzelversorgter CMOS-OpAmp	Decompensated Single-Supply CMOS Op Amp	SOT-23-5	1.09	.92	.73
OPA338NA/250	OPA338NATR-ND	Nicht ausgeglichener, einzelversorgter CMOS-OpAmp	Decompensated Single-Supply CMOS Op Amp	SOT-23-5		136.51/250	
OPA338UA	OPA338UA-ND	Nicht ausgeglichener, einzelversorgter CMOS-OpAmp	Decompensated Single-Supply CMOS Op Amp	8-SOIC	1.09	.92	.73
OPA340NA/250	OPA340NACT-ND	Einzelversorgter R/R-OpAmp	Single-Supply, R/R Op Amp	SOT-23-5	1.61	1.29	.97
OPA340NA/250	OPA340NATR-ND	Einzelversorgter R/R-OpAmp	Single-Supply, R/R Op Amp	SOT-23-5		225.20/250	
OPA340PA	OPA340PA-ND	Einzelversorgter R/R-OpAmp	Single-Supply, R/R Op Amp	8-Dip	1.61	1.29	.97
OPA340UA	OPA340UA-ND	Einzelversorgter R/R-OpAmp	Single-Supply, R/R Op Amp	8-SOIC	1.61	1.29	.97
OPA341NA/3K	OPA341NA/3KCT-ND	Einzelversorgter R/R E/A NL-OpAmp mit Abschaltfunktion	Single-Supply R/R In/Out, LP Op Amp with Shutdown	SOT-23-6	1.51	1.21	.91
OPA341NA/3K	OPA341NA/3KTR-ND	Einzelversorgter R/R E/A NL-OpAmp mit Abschaltfunktion	Single-Supply R/R In/Out, LP Op Amp with Shutdown	SOT-23-6		2308.68/3,000	
OPA341UA	OPA341UA-ND	Einzelversorgter R/R E/A NL-OpAmp mit Abschaltfunktion	Single-Supply R/R In/Out, LP Op Amp with Shutdown	8-SOIC	1.51	1.21	.91
OPA342NA/250	OPA342NACT-ND	Preiswerter Micropower R/R-OpAmp	Low Cost Micropower R/R Op Amp	SOT-23-5	1.21	.97	.73
OPA342NA/250	OPA342NATR-ND	Preiswerter Micropower R/R-OpAmp	Low Cost Micropower R/R Op Amp	SOT-23-5		168.90/250	
OPA342UA	OPA342UA-ND	Preiswerter Micropower R/R-OpAmp	Low Cost Micropower R/R Op Amp	8-SOIC	1.21	.97	.73
OPA343NA/250	OPA343NACT-ND	Einzelversorgter OpAmp	Single Supply Op Amp	SOT-23-5	1.21	.97	.73
OPA343NA/250	OPA343NATR-ND	Einzelversorgter OpAmp	Single Supply Op Amp	SOT-23-5		168.90/250	
OPA343UA	OPA343UA-ND	Einzelversorgter OpAmp	Single Supply Op Amp	8-SOIC	1.21	.97	.73
OPA344NA/250	OPA344NACT-ND	Einzelversorgter OpAmp	Single Supply Op Amp	SOT-23-5	1.10	.89	.67
OPA344NA/250	OPA344NATR-ND	Einzelversorgter OpAmp	Single Supply Op Amp	SOT-23-5		154.08/250	
OPA344PA	OPA344PA-ND	Einzelversorgter OpAmp	Single Supply Op Amp	8-Dip	1.10	.89	.67
OPA344UA	OPA344UA-ND	Einzelversorgter OpAmp	Single Supply Op Amp	8-SOIC	1.10	.89	.67
OPA345NA/250	OPA345NACT-ND	Einzelversorgter OpAmp	Single Supply Op Amp	SOT-23-5	1.10	.89	.67
OPA345NA/250	OPA345NATR-ND	Einzelversorgter OpAmp	Single Supply Op Amp	SOT-23-5		154.08/250	
OPA345UA	OPA345UA-ND	Einzelversorgter OpAmp	Single Supply Op Amp	8-SOIC	1.10	.89	.67
OPA347NA/250	OPA347NACT-ND	Micropower, R/R E/A OpAmp	Micropower R/R, I/O Op Amp	SOT-23-5	.97	.78	.59
OPA347NA/250	OPA347NATR-ND	Micropower, R/R E/A OpAmp	Micropower R/R, I/O Op Amp	SOT-23-5		146.04/250	
OPA347PA	OPA347PA-ND	Micropower, R/R E/A OpAmp	Micropower R/R, I/O Op Amp	8-Dip	1.17	.98	.78
OPA347SA/3K	296-13469-1-ND	Micropower, R/R E/A OpAmp	Micropower R/R, I/O Op Amp	SC-70	1.22	1.02	.82
OPA347SA/3K	296-13469-2-ND	Micropower, R/R E/A OpAmp	Micropower R/R, I/O Op Amp	SC-70		1584.84/3,000	
OPA347UA	OPA347UA-ND	Micropower, R/R E/A OpAmp	Micropower R/R, I/O Op Amp	8-SOIC	1.17	.98	.78
OPA347UA/2K5	OPA347UATR-ND	Micropower, R/R E/A OpAmp	Micropower R/R, I/O Op Amp	8-SOIC		1265.67/2,500	
OPA348AID	296-12275-5-ND	1 MHz, 45 µA, R/R E/A CMOS-OpAmp	1MHz, 45µA, R/R, I/O CMOS Op Amp	8-SOIC	1.09	.92	.73
OPA348AIDBVT	296-12276-1-ND	1 MHz, 45 µA, R/R E/A CMOS-OpAmp	1MHz, 45µA, R/R, I/O CMOS Op Amp	SOT-23-5	1.09	.92	.73
OPA348AIDBVT	296-12276-2-ND	1 MHz, 45 µA, R/R E/A CMOS-OpAmp	1MHz, 45µA, R/R, I/O CMOS Op Amp	SOT-23-5		136.51/250	
OPA348AIDCKT	296-12728-1-ND	1 MHz, 45 µA, R/R E/A CMOS-OpAmp	1MHz, 45µA, R/R, I/O CMOS Op Amp	SC70-5	1.09	.92	.73
OPA348AIDCKT	296-12728-2-ND	1 MHz, 45 µA, R/R E/A CMOS-OpAmp	1MHz, 45µA, R/R, I/O CMOS Op Amp	SC70-5		136.51/250	
OPA350EA/250	OPA350EACT-ND	Einzelversorgter HS CMOS-OpAmp (35 MHz)	HS, Single-Supply CMOS Op Amp (35MHz)	8-MSOP	2.36	1.89	1.47
OPA350EA/250	OPA350EATR-ND	Einzelversorgter HS CMOS-OpAmp (35 MHz)	HS, Single-Supply CMOS Op Amp (35MHz)	8-MSOP		349.01/250	
OPA350PA	OPA350PA-ND	Einzelversorgter HS CMOS-OpAmp (35 MHz)	HS, Single-Supply CMOS Op Amp (35MHz)	8-Dip	2.36	1.89	1.47
OPA350UA	OPA350UA-ND	Einzelversorgter HS CMOS-OpAmp (35 MHz)	HS, Single-Supply CMOS Op Amp (35MHz)	8-SOIC	2.36	1.89	1.47
OPA353NA/250	OPA353NACT-ND	Einzelversorgter HS R/R CMOS-OpAmp	HS, Single-Supply, R/R CMOS Op Amp	SOT-23-5	1.81	1.45	1.21
OPA353NA/250	OPA353NATR-ND	Einzelversorgter HS R/R CMOS-OpAmp	HS, Single-Supply, R/R CMOS Op Amp	SOT-23-5		281.49/250	
OPA353UA	OPA353UA-ND	Einzelversorgter HS R/R CMOS-OpAmp (35 MHz)	HS, Single-Supply, R/R CMOS Op Amp (35MHz)	8-SOIC	2.01	1.61	1.21
OPA354AIDBVT	296-13033-1-ND	R/R E/A CMOS-OpAmp, 250 MHz	250MHz, R/R, In/Out, CMOS Op Amp	SOT-23-5	1.51	1.21	.91
OPA354AIDBVT	296-13033-2-ND	R/R E/A CMOS-OpAmp, 250 MHz	250MHz, R/R, In/Out, CMOS Op Amp	SOT-23-5		210.38/250	
OPA354AIDDA	296-13785-5-ND	R/R E/A CMOS-OpAmp, 250 MHz	250MHz, R/R, In/Out, CMOS Op Amp	8-SOIC	1.51	1.21	.91
OPA355NA/250	296-11641-1-ND	HS Video-OpAmp	High Speed, Video Op Amp	SOT-23-6	1.82	1.46	1.10
OPA355NA/250	296-11641-2-ND	HS Video-OpAmp	High Speed, Video Op Amp	SOT-23-6		254.83/250	
OPA355NA/3K	296-14628-1-ND	OpAmp mit Abschaltung, 200 MHz	200MHz, Op Amp with Shutdown	SOT23-6	1.82	1.46	1.10
OPA355NA/3K	296-14628-2-ND	OpAmp mit Abschaltung, 200 MHz	200MHz, Op Amp with Shutdown	SOT23-6		2796.32/3,000	
OPA355UA	296-11647-5-ND	HS Video-OpAmp	High Speed, Video Op Amp	8-SOIC	1.82	1.46	1.10
OPA356AID	296-12407-5-ND	Einzel-CMOS-OpAmp, 2,5 V	2.5V, Single CMOS Op Amp	8-SOIC	1.82	1.46	1.10
OPA357AIDBVT	296-13009-1-ND	HS R/R E/A CMOS-OpAmp mit Abschaltfunktion	High Speed, R/R, In/Out, CMOS Op Amp with Shutdown	SOT-23-6	1.51	1.21	.91
OPA357AIDBVT	296-13009-2-ND	HS R/R E/A CMOS-OpAmp mit Abschaltfunktion	High Speed, R/R, In/Out, CMOS Op Amp with Shutdown	SOT-23-6		210.38/250	
OPA357AIDDA	296-13786-5-ND	HS R/R E/A CMOS-OpAmp mit Abschaltfunktion	High Speed, R/R, In/Out, CMOS Op Amp with Shutdown	8-SOIC	1.51	1.21	.91
OPA358AIDCKT	296-17414-1-ND	HS-OpAmp, 3V-Einzelversorgung, 80 MHz	3V Single-Supply 80MHz, High Speed Op Amp	SC70-6	1.14	.96	.77
OPA358AIDCKT	296-17414-2-ND	HS-OpAmp, 3V-Einzelversorgung, 80 MHz	3V Single-Supply 80MHz, High Speed Op Amp	SC70-6		142.86/250	
OPA360AIDCKT	296-17129-1-ND	3 V Videoverst.	3V Video Amp	SC70-6	1.24	1.04	.83
OPA360AIDCKT	296-17129-2-ND	3 V Videoverst.	3V Video Amp	SC70-6		155.56/250	
OPA363AID	296-13880-5-ND	Einzelversorgter R/R-OpAmp, 7 MHz	7MHz, Single-Supply R/R Op Amp	8-SOIC	1.27	1.02	.77
OPA363AIDBVT	296-13881-1-ND	Einzelversorgter R/R-OpAmp, 7 MHz	7MHz, Single-Supply R/R Op Amp	SOT-23-6	1.27	1.02	.77
OPA363AIDBVT	296-13881-2-ND	Einzelversorgter R/R-OpAmp, 7 MHz	7MHz, Single-Supply R/R Op Amp	SOT-23-6		177.79/250	
OPA363ID	296-13882-5-ND	Einzelversorgter R/R-OpAmp, 7 MHz	7MHz, Single-Supply R/R Op Amp	8-SOIC	1.80	1.44	1.08
OPA363IDBVR	296-16727-1-ND	Einzelversorgter R/R-OpAmp, 7 MHz	7MHz, Single-Supply R/R Op Amp	SOT-23-6	1.80	1.44	1.08
OPA363IDBVR	296-16727-2-ND	Einzelversorgter R/R-OpAmp, 7 MHz	7MHz, Single-Supply R/R Op Amp	SOT-23-6		2763.30/3,000	
OPA363IDBVT	296-13883-1-ND	Einzelversorgter R/R-OpAmp, 7 MHz	7MHz, Single-Supply R/R Op Amp	SOT-23-6	1.80	1.44	1.08
OPA363IDBVT	296-13883-2-ND	Einzelversorgter R/R-OpAmp, 7 MHz	7MHz, Single-Supply R/R Op Amp	SOT-23-6		251.86/250	
OPA364AID	296-13884-5-ND	Einzelversorgter R/R-OpAmp, 7 MHz	7MHz, Single-Supply R/R Op Amp	8-SOIC	1.27	1.02	.77
OPA364AIDBVT	296-13885-1-ND	Einzelversorgter R/R-OpAmp, 7 MHz	7MHz, Single-Supply R/R Op Amp	SOT-23-5	1.27	1.02	.77

(Forts.)

★ ***RUFEN SIE BITTE AN FÜR NIEDRIGERE PREISE BEI GRÖSSEREN MENGEN!*** ★

T. I. Teilenr.	Digi-Key Teilenr.	Beschreibung		Paket	Stückpreis ★ 1	25	100
OPA364AIDBVT	296-13885-2-ND	Einzelversorgter R/R-OpAmp, 7 MHz	7MHz, Single-Supply R/R Op Amp	SOT-23-5		177.79/250	
OPA364ID	296-13886-5-ND	Einzelversorgter R/R-OpAmp, 7 MHz	7MHz, Single-Supply R/R Op Amp	8-SOIC	1.80	1.44	1.08
OPA364IDBVT	296-13887-1-ND	Einzelversorgter R/R-OpAmp, 7 MHz	7MHz, Single-Supply R/R Op Amp	SOT-23-5	1.80	1.44	1.08
OPA364IDBVT	296-13887-2-ND	Einzelversorgter R/R-OpAmp, 7 MHz	7MHz, Single-Supply R/R Op Amp	SOT-23-5		251.86/250	
OPA373AID	296-15762-5-ND	R/R E/A CMOS-OpAmp, 6,5 MHz	6.5MHz, R/R, In/Out, CMOS Op Amp	8-SOIC	.91	.77	.61
OPA373AIDBVT	296-15763-1-ND	R/R E/A CMOS-OpAmp, 6,5 MHz	6.5MHz, R/R, In/Out, CMOS Op Amp	SOT-23-6	.91	.77	.61
OPA373AIDBVT	296-15763-2-ND	R/R E/A CMOS-OpAmp, 6,5 MHz	6.5MHz, R/R, In/Out, CMOS Op Amp	SOT-23-6		114.29/250	
OPA374AID	296-15764-5-ND	R/R E/A CMOS-OpAmp, 6,5 MHz	6.5MHz, R/R, In/Out, CMOS Op Amp	8-SOIC	.91	.77	.61
OPA374AIDBVT	296-15765-1-ND	R/R E/A CMOS-OpAmp, 6,5 MHz	6.5MHz, R/R, In/Out, CMOS Op Amp	SOT-23-5	.91	.77	.61
OPA374AIDBVT	296-15765-2-ND	R/R E/A CMOS-OpAmp, 6,5 MHz	6.5MHz, R/R, In/Out, CMOS Op Amp	SOT-23-5		114.29/250	
OPA380AID	296-16859-5-ND	HS Transimpedanz-Präz.verst.	Prec., HS, Transimpedance Amp	8-SOIC	3.72	2.98	2.32
OPA380AIDGKT	296-16860-1-ND	HS Transimpedanz-Präz.verst.	Prec., HS, Transimpedance Amp	8-MSOP	3.72	2.98	2.32
OPA380AIDGKT	296-16860-2-ND	HS Transimpedanz-Präz.verst.	Prec., HS, Transimpedance Amp	8-MSOP		549.02/250	
OPA381AIDGKT	296-17362-1-ND	NL Transimpedanz-Präz.verst., 18 MHz	Precision, Low Power, 18MHz, Transimpedance Amp	8-MSOP	2.76	2.21	1.72
OPA381AIDGKT	296-17362-2-ND	NL Transimpedanz-Präz.verst., 18 MHz	Precision, Low Power, 18MHz, Transimpedance Amp	8-MSOP		408.27/250	
OPA381AIDRBT	296-17363-1-ND	NL Transimpedanz-Präz.verst., 18 MHz	Precision, Low Power, 18MHz, Transimpedance Amp	8-DFN	2.76	2.21	1.72
OPA381AIDRBT	296-17363-2-ND	NL Transimpedanz-Präz.verst., 18 MHz	Precision, Low Power, 18MHz, Transimpedance Amp	8-DFN		408.27/250	
OPA404KP	OPA404KP-ND	Vierf. Hochgeschw., Präz. DiFET-OpAmp	Quad High Spd., Prec. DiFET Op Amp	14-Dip	10.65	9.59	8.51
OPA404KU	OPA404KU-ND	Vierf. Hochgeschw., Präz. DiFET-OpAmp	Quad High Spd., Prec. DiFET Op Amp	16-SOIC	10.08	9.08	8.06
OPA445AP	OPA445AP-ND	Hochspannungs-OpAmp	High Voltage Op Amp	8-Dip	8.04	6.44	5.43
OPA445AU	OPA445AU-ND	Hochspannungs-OpAmp	High Voltage Op Amp	8-SOIC	8.04	6.44	5.43
OPA452FAKTWT	296-15965-1-ND	80 V, 50 mA OpAmp	80V, 50mA Op Amp	7-DDPAK	4.32	3.46	—
OPA452FAKTWT	296-15965-2-ND	80 V, 50 mA OpAmp	80V, 50mA Op Amp	7-DDPAK		145.73/50	
OPA452TA-1	OPA452TA-1-ND	80 V, 50 mA OpAmp	80V, 50mA Op Amp	TO-220-7	4.32	3.46	2.92
OPA452TA	OPA452TA-ND	80 V, 50 mA OpAmp	80V, 50mA Op Amp	TO-220-7	4.32	3.46	2.92
OPA453FAKTWT	296-15966-1-ND	80 V, 50 mA OpAmp	80V, 50mA Op Amp	7-DDPAK	4.32	3.46	—
OPA453FAKTWT	296-15966-2-ND	80 V, 50 mA OpAmp	80V, 50mA Op Amp	7-DDPAK		145.74/50	
OPA453TA-1	OPA453TA-1-ND	80 V, 50 mA OpAmp	80V, 50mA Op Amp	TO-220-7	4.32	3.46	2.92
OPA453TA	OPA453TA-ND	80 V, 50 mA OpAmp	80V, 50mA Op Amp	TO-220-7	4.32	3.46	2.92
OPA501AM	OPA501AM-ND	Hochspannungs-Hochstrom-OpAmp	High Voltage, High Current Op Amp	TO-3-8	145.78	136.06	126.34
OPA512BM	OPA512BM-ND	Hochleistungs-OpAmp für sehr hohe Spannung	Very-High Current, High Power Op Amp	TO-3-8	130.44	121.75	113.06
OPA541AM	OPA541AM-ND	Monolithischer Hochleistungs-OpAmp	High Power Monolithic Op Amp	TO-3-8	103.84	96.92	90.00
OPA541AP	OPA541AP-ND	Monolithischer Hochleistungs-OpAmp	High Power Monolithic Op Amp	TO-220-11	14.10	13.16	12.22
OPA544FKTTT	296-15905-1-ND	Hochspannungs-Hochstrom-OpAmp	High Voltage, High Current Op Amp	5-DDPAK	9.66	8.70	—
OPA544FKTTT	296-15905-2-ND	Hochspannungs-Hochstrom-OpAmp	High Voltage, High Current Op Amp	5-DDPAK		385.67/50	
OPA544T	OPA544T-ND	Hochspannungs-Hochstrom-OpAmp	High Voltage, High Current Op Amp	TO-220-5	9.66	8.70	7.72
OPA547FKTWT	296-15967-1-ND	Hochspannungs (60 V) -Hochstrom (0,5 A) -OpAmp	High Voltage, 60V, High Current (.5A) Op Amp	7-DDPAK	7.37	5.90	—
OPA547FKTWT	296-15967-2-ND	Hochspannungs (60 V) -Hochstrom (0,5 A) -OpAmp	High Voltage, 60V, High Current (.5A) Op Amp	7-DDPAK		248.60/50	
OPA547T	OPA547T-ND	Hochspannungs (60 V) -Hochstrom (0,5 A) -OpAmp	High Voltage, 60V, High Current (.5A) Op Amp	TO-220-7	7.37	5.90	4.98
OPA548FKTWT	296-15968-1-ND	Hochspannungs (60 V) -Hochstrom (3 A) -OpAmp	High Voltage, 60V, High Current (3A) Op Amp	7-DDPAK	8.47	7.62	—
OPA548FKTWT	296-15968-2-ND	Hochspannungs (60 V) -Hochstrom (3 A) -OpAmp	High Voltage, 60V, High Current (3A) Op Amp	7-DDPAK		337.79/50	
OPA548T	OPA548T-ND	Hochspannungs (60 V) -Hochstrom (3 A) -OpAmp	High Voltage, 60V, High Current (3A) Op Amp	TO-220-7	8.47	7.62	6.76
OPA549S	OPA549S-ND	Hochspannungs-Hochstrom-OpAmp	High Volt., High Current Op Amp	11-PFM	15.24	14.23	13.21
OPA549T	OPA549T-ND	Hochspannungs-Hochstrom-OpAmp	High Volt., High Current Op Amp	TO-220-11	15.24	14.23	13.21
OPA551FAKTWT	296-15969-1-ND	200 mA Hochstrom-OpAmp, Strom (60 V)	High Current/Power 60V, 200mA Op Amp	7-DDPAK	4.57	3.66	—
OPA551FAKTWT	296-15969-2-ND	200 mA Hochstrom-OpAmp, Strom (60 V)	High Current/Power 60V, 200mA Op Amp	7-DDPAK		142.23/50	
OPA551PA	OPA551PA-ND	200 mA Hochstrom-OpAmp, Strom (60 V)	High Current/Power 60V, 200mA Op Amp	8-Dip	3.34	2.67	2.08
OPA551UA	OPA551UA-ND	200 mA Hochstrom-OpAmp, Strom (60 V)	High Current/Power 60V, 200mA Op Amp	8-SOIC	3.34	2.67	2.08
OPA552FAKTWT	296-15970-1-ND	200 mA Hochstrom-OpAmp, Strom (60 V)	High Current/Power 60V, 200mA Op Amp	7-DDPAK	4.57	3.66	—
OPA552FAKTWT	296-15970-2-ND	200 mA Hochstrom-OpAmp, Strom (60 V)	High Current/Power 60V, 200mA Op Amp	7-DDPAK		142.23/50	
OPA552PA	OPA552PA-ND	200 mA Hochstrom-OpAmp, Strom (60 V)	High Current/Power 60V, 200mA Op Amp	8-Dip	3.34	2.67	2.08
OPA552UA	OPA552UA-ND	200 mA Hochstrom-OpAmp, Strom (60 V)	High Current/Power 60V, 200mA Op Amp	8-SOIC	3.34	2.67	2.08
OPA561PWP	OPA561PWP-ND	Hochstrom-OpAmp, HS	High Current, HS, Op Amp	20-HTSSOP	4.49	3.59	3.03
OPA569AIDWP	296-14174-5-ND	R/R, 2 A Stromverst.	Rail-to-Rail, 2A Power Amp	20-HSOP	5.25	4.20	3.55
OPA602AP	OPA602AP-ND	Präzisions-DIFET-OpAmp, HS	High-Speed, Precision DiFET Op Amp	8-Dip	6.43	5.15	4.35
OPA602AU	OPA602AU-ND	Präzisions-DIFET-OpAmp, HS	High-Speed, Precision DiFET Op Amp	8-SOIC	7.03	5.63	4.75
OPA602BP	OPA602BP-ND	Präzisions-DIFET-OpAmp, HS	High-Speed, Precision DiFET Op Amp	8-Dip	8.60	7.75	6.87
OPA604AP	OPA604AP-ND	Verzerrungsarmer OpAmp, FET-Eingang	FET-Input, Low Distortion Op Amp	8-Dip	2.00	1.60	1.25
OPA604AU	OPA604AU-ND	Verzerrungsarmer OpAmp, FET-Eingang	FET-Input, Low Distortion Op Amp	8-SOIC	2.00	1.60	1.25
OPA606KP	OPA606KP-ND	DIFET-Breitband-OpAmp	Wide Bandwidth DiFET Op Amp	8-Dip	5.67	4.54	3.83
OPA627AP	OPA627AP-ND	Präzisions-DIFET-OpAmp, HS	Precision High-Speed DiFET Op Amp	8-Dip	15.56	14.52	13.49
OPA627AU	OPA627AU-ND	Präzisions-DIFET-OpAmp, HS	Precision High-Speed DiFET Op Amp	8-SOIC	15.56	14.52	13.49
OPA627BP	OPA627BP-ND	Präzisions-DIFET-OpAmp, HS	Precision High-Speed DiFET Op Amp	8-Dip	22.54	21.04	19.54
OPA627AM	OPA627AM-ND	Präzisions-DIFET-OpAmp, HS	Precision High-Speed DiFET Op Amp	TO-99-8	29.53	27.56	25.59
OPA633KP	OPA633KP-ND	HS-Pufferverst.	High-Speed Buffer-Amp	8-Dip	7.69	6.93	6.14
OPA635N/250	OPA635NCT-ND	R/R Breitband-OpAmp mit Deaktivierung	Wideband, R/R Op Amp w/Disable	SOT-23-6	2.63	2.11	1.64
OPA637AP	OPA637AP-ND	Präzisions-DIFET-OpAmp, HS	Precision High-Speed DiFET Op Amp	8-Dip	15.56	14.52	13.49
OPA637AU	OPA637AU-ND	Präzisions-DIFET-OpAmp, HS	Precision High-Speed DiFET Op Amp	8-SOIC	15.56	14.52	13.49
OPA637BP	OPA637BP-ND	Präzisions-DIFET-OpAmp, HS	Precision High-Speed DiFET Op Amp	8-Dip	22.54	21.04	19.54
OPA643N/250	OPA643NCT-ND	Verzerrungsarmer Breitband-OpAmp mit hohem V-Faktor	Wideband, Low Distortion, High Gain Op Amp	SOT-23-5	7.67	6.91	6.13
OPA643NB/250	OPA643NBCT-ND	Verzerrungsarmer Breitband-OpAmp mit hohem V-Faktor	Wideband, Low Distortion, High Gain Op Amp	SOT-23-5	7.67	6.91	6.13
OPA656N/250	OPA656N/250CT-ND	Breitband-OpAmp, Spannungs-Feedback, FET-Eingang	Wideband Voltage-Feedback FET-Input Op Amp	SOT-23-5	6.01	4.81	4.06
OPA656N/250	OPA656N/250TR-ND	Breitband-OpAmp, Spannungs-Feedback, FET-Eingang	Wideband Voltage-Feedback FET-Input Op Amp	SOT-23-5		976.76/250	
OPA656NB/250	OPA656NB/250CT-ND	Breitband-OpAmp, Spannungs-Feedback, FET-Eingang	Wideband Voltage-Feedback FET-Input Op Amp	SOT-23-5	7.96	6.37	5.38
OPA656NB/250	OPA656NB/250TR-ND	Breitband-OpAmp, Spannungs-Feedback, FET-Eingang	Wideband Voltage-Feedback FET-Input Op Amp	SOT-23-5		1293.18/250	
OPA656U	OPA656U-ND	Breitband-OpAmp, Spannungs-Feedback, FET-Eingang	Wideband Voltage-Feedback FET-Input Op Amp	8-SOIC	5.67	4.54	3.83
OPA656UB	OPA656UB-ND	Breitband-OpAmp, Spannungs-Feedback, FET-Eingang	Wideband Voltage-Feedback FET-Input Op Amp	8-SOIC	7.62	6.10	5.15
OPA657N/250	OPA657N/250CT-ND	Rauscharmer Breitband-OpAm, Spannungs-Feedback, FET-Eingang	Low Noise Wideband Volt-Feedback FET-Input Op Amp	SOT-23-5	6.69	5.36	4.52
OPA657N/250	OPA657N/250TR-ND	Rauscharmer Breitband-OpAm, Spannungs-Feedback, FET-Eingang	Low Noise Wideband Volt-Feedback FET-Input Op Amp	SOT-23-5		1086.82/250	
OPA657NB/250	OPA657NB/250CT-ND	Rauscharmer Breitband-OpAm, Spannungs-Feedback, FET-Eingang	Low Noise Wideband Volt-Feedback FET-Input Op Amp	SOT-23-5	7.20	6.48	5.75
OPA657NB/250	OPA657NB/250TR-ND	Rauscharmer Breitband-OpAm, Spannungs-Feedback, FET-Eingang	Low Noise Wideband Volt-Feedback FET-Input Op Amp	SOT-23-5		1376.36/250	
OPA657U	OPA657U-ND	Rauscharmer Breitband-OpAm, Spannungs-Feedback, FET-Eingang	Low Noise Wideband Volt-Feedback FET-Input Op Amp	8-SOIC	6.43	5.15	4.35
OPA657UB	OPA657UB-ND	Rauscharmer Breitband-OpAm, Spannungs-Feedback, FET-Eingang	Low Noise Wideband Volt-Feedback FET-Input Op Amp	8-SOIC	8.38	6.71	5.66
OPA658UB	OPA658UB-ND	NL, Spann.-Feedbk, Breitband- OpAmp	Wideband, LP, Current-Fdbk. Op Amp	8-SOIC	4.57	3.66	2.85
OPA683ID	296-12854-5-ND	Strom-Feedback-OpAmp, sehr niedrige Leistung	Very Low-Power, Current-Feedback Op Amp	8-SOIC	2.18	1.74	1.36
OPA683IDBVT	296-12855-1-ND	Strom-Feedback-OpAmp, sehr niedrige Leistung	Very Low-Power, Current-Feedback Op Amp	SOT-23-6	2.36	1.89	1.47
OPA683IDBVT	296-12855-2-ND	Strom-Feedback-OpAmp, sehr niedrige Leistung	Very Low-Power, Current-Feedback Op Amp	SOT-23-6		349.01/250	
OPA684ID	OPA684ID-ND	NL, Strom-Feedback-OpAmp	Low Power, Current-Feedback Op Amp	8-SOIC	2.44	1.96	1.52
OPA684IDBVT	OPA684IDBVTCT-ND	NL, Strom-Feedback-OpAmp mit Deaktivierung	Low Power, Current-Feedback Op Amp with Disable	SOT-23-6	2.63	2.11	1.64
OPA684IDBVT	OPA684IDBVTTR-ND	NL, Strom-Feedback-OpAmp mit Deaktivierung	Low Power, Current-Feedback Op Amp with Disable	SOT-23-6		388.38/250	
OPA689P	OPA689P-ND	Spannungsbegrenzender Breitbandverst. mit hohem V-Faktor	Wideband, High Gain Voltage Limiting Amp	8-Dip	6.60	5.29	4.46
OPA690ID	OPA690ID-ND	Breitband-OpAmp, Spann.-Feedback, mit Deaktivierung	Wideband Voltage-Feedback Op Amp with Disable	8-SOIC	2.44	1.96	1.52
OPA690IDBVT	OPA690IDBVTCT-ND	Breitband-OpAmp, Spann.-Feedback, mit Deaktivierung	Wideband Voltage-Feedback Op Amp with Disable	SOT-23-6	2.63	2.11	1.64
OPA690IDBVT	OPA690IDBVTTR-ND	Breitband-OpAmp, Spann.-Feedback, mit Deaktivierung	Wideband Voltage-Feedback Op Amp with Disable	SOT-23-6		388.38/250	
OPA691ID	OPA691ID-ND	Breitband-OpAmp, Strom-Feedback, mit Deaktivierung	Wideband Current-Feedback Op Amp with Disable	8-SOIC	2.63	2.11	1.64
OPA691IDBVT	OPA691IDBVTCT-ND	Breitband-OpAmp, Strom-Feedback, mit Deaktivierung	Wideband Current-Feedback Op Amp with Disable	SOT-23-6	2.80	2.24	1.75
OPA691IDBVT	OPA691IDBVTTR-ND	Breitband-OpAmp, Strom-Feedback, mit Deaktivierung	Wideband Current-Feedback Op Amp with Disable	SOT-23-6		413.78/250	
OPA692ID	OPA692ID-ND	Breitband-Verst., Video-Puffer, mit Deaktivierung	Wideband Video Buffer Amp with Disable	8-SOIC	2.07	1.67	1.30
OPA692IDBVT	296-15364-1-ND	Breitband-Verst., Video-Puffer, mit Deaktivierung	Wideband Video Buffer Amp with Disable	SOT-23-6	2.27	1.82	1.42
OPA692IDBVT	296-15364-2-ND	Breitband-Verst., Video-Puffer, mit Deaktivierung	Wideband Video Buffer Amp with Disable	SOT-23-6		335.04/250	

(Forts.)

★ ***RUFEN SIE BITTE AN FÜR NIEDRIGERE PREISE BEI GRÖSSEREN MENGEN!*** ★

B

T. I. Teilenr.	Digi-Key Teilenr.	Beschreibung		Paket	Stückpreis ★ 1	25	100
OPA693ID	296-16638-5-ND	Ultra-Breitband-Verst., Video-Puffer, mit fester V-Faktor	Ultra-Wideband, Fixed Gain Video Buffer Amp	8-SOIC	2.36	1.89	1.47
OPA693IDBVT	296-16639-1-ND	Ultra-Breitband-Verst., Video-Puffer, mit fester V-Faktor	Ultra-Wideband, Fixed Gain Video Buffer Amp	SOT-23-6	2.53	2.03	1.58
OPA693IDBVT	296-16639-2-ND	Ultra-Breitband-Verst., Video-Puffer, mit fester V-Faktor	Ultra-Wideband, Fixed Gain Video Buffer Amp	SOT-23-6		374.41/250	
OPA694ID	296-17507-5-ND	Strom-Feedback Breitband-OpAmp, NL	Wideband, Low Power, Current Feedback Op Amp	8-SOIC	2.27	1.82	1.42
OPA694IDBVT	296-17503-1-ND	Strom-Feedback Breitband-OpAmp, NL	Wideband, Low Power, Current Feedback Op Amp	SOT-23-5	2.44	1.96	1.52
OPA694IDBVT	296-17503-2-ND	Strom-Feedback Breitband-OpAmp, NL	Wideband, Low Power, Current Feedback Op Amp	SOT-23-5		360.23/250	
OPA695ID	296-16756-5-ND	Strom-Feedback Ultra-Breitband-OpAmp	Ultra-Wideband, Current-Feedback Op Amp	8-SOIC	2.44	1.96	1.52
OPA695IDBVT	296-16854-1-ND	Strom-Feedback Ultra-Breitband-OpAmp	Ultra-Wideband, Current-Feedback Op Amp	SOT-23-6	2.63	2.11	1.64
OPA695IDBVT	296-16854-2-ND	Strom-Feedback Ultra-Breitband-OpAmp	Ultra-Wideband, Current-Feedback Op Amp	SOT-23-6		388.38/250	
OPA698ID	296-15860-5-ND	Spannungsbegrenzender Breitband-Verst., V-Faktor = 1 stabil	Wideband, Unity-Gain Stable Voltage Limiting Amp	8-SOIC	3.62	2.90	2.26
OPA699ID	296-15876-5-ND	Spannungsbegrenzender Breitband-Verst. mit hohem V-Faktor	Wideband, High-Gain Voltage Limiting Amp	8-SOIC	3.72	2.98	2.32
OPA703NA/250	296-9624-1-ND	CMOS R/R, E/A-OpAmp	CMOS R/R I/O Op Amp	SOT-23-5	2.48	1.99	1.55
OPA703NA/250	296-9624-2-ND	CMOS R/R, E/A-OpAmp	CMOS R/R I/O Op Amp	SOT-23-5		365.94/250	
OPA703PA	OPA703PA-ND	1 MHz, CMOS R/R, E/A-OpAmp	1MHz, CMOS R/R I/O Op Amp	8-Dip	2.48	1.99	1.55
OPA703UA	OPA703UA-ND	1 MHz, CMOS R/R, E/A-OpAmp	1MHz, CMOS R/R I/O Op Amp	8-SOIC	2.48	1.99	1.55
OPA704NA/3K	OPA704NA/3KCT-ND	3 MHz, CMOS R/R, E/A-OpAmp	3MHz, CMOS R/R I/O Op Amp	5-SOP	2.48	1.99	1.55
OPA704NA/3K	OPA704NA/3KTR-ND	3 MHz, CMOS R/R, E/A-OpAmp	3MHz, CMOS R/R I/O Op Amp	5-SOP		4160.19/3,000	
OPA704PA	OPA704PA-ND	3 MHz, CMOS R/R, E/A-OpAmp	3MHz, CMOS R/R I/O Op Amp	8-Dip	2.48	1.99	1.55
OPA704UA	OPA704UA-ND	3 MHz, CMOS R/R, E/A-OpAmp	3MHz, CMOS R/R I/O Op Amp	8-SOIC	2.48	1.99	1.55
OPA705NA/3K	OPA705NA/3KCT-ND	1 MHz, CMOS R/R, Ein/Aus-OpAmp	1MHz, CMOS R/R In/Out Op Amp	SOT-23-5	1.27	1.02	.77
OPA705NA/3K	OPA705NA/3KTR-ND	1 MHz, CMOS R/R, Ein/Aus-OpAmp	1MHz, CMOS R/R In/Out Op Amp	SOT-23-5		1950.57/3,000	
OPA705PA	OPA705PA-ND	1 MHz, CMOS R/R, Ein/Aus-OpAmp	1MHz, CMOS R/R In/Out Op Amp	8-Dip	1.27	1.02	.77
OPA705UA	OPA705UA-ND	1 MHz, CMOS R/R, Ein/Aus-OpAmp	1MHz, CMOS R/R In/Out Op Amp	8-SOIC	1.27	1.02	.77
OPA725AID	296-15766-5-ND	20 MHz, 12 V, rauscharmer HS-CMOS-OpAmp	20MHz, 12V, Low-Noise, High Speed, CMOS Op Amp	8-SOIC	1.90	1.53	1.15
OPA725AIDBVT	296-15767-1-ND	20 MHz, 12 V, rauscharmer HS-CMOS-OpAmp	20MHz, 12V, Low-Noise, High Speed, CMOS Op Amp	SOT-23-5	1.90	1.53	1.15
OPA725AIDBVT	296-15767-2-ND	20 MHz, 12 V, rauscharmer HS-CMOS-OpAmp	20MHz, 12V, Low-Noise, High Speed, CMOS Op Amp	SOT-23-5		266.68/250	
OPA726AIDGKT	296-15861-1-ND	CMOS-OpAmp, 12 V	12V, CMOS Op Amp	8-MSOP	1.90	1.53	1.15
OPA726AIDGKT	296-15861-2-ND	CMOS-OpAmp, 12 V	12V, CMOS Op Amp	8-MSOP		266.68/250	
OPA727AIDGKT	296-17415-1-ND	e-trim™ 20 MHz, High Precision CMOS-OpAmp	e-trim™ 20MHz, High Precision CMOS Op Amp	8-MSOP	2.01	1.61	1.21
OPA727AIDGKT	296-17415-2-ND	e-trim™ 20 MHz, High Precision CMOS-OpAmp	e-trim™ 20MHz, High Precision CMOS Op Amp	8-MSOP		281.49/250	
OPA727AIDRBT	296-17416-1-ND	e-trim™ 20 MHz, High Precision CMOS-OpAmp	e-trim™ 20MHz, High Precision CMOS Op Amp	8-DFN	2.01	1.61	1.21
OPA727AIDRBT	296-17416-2-ND	e-trim™ 20 MHz, High Precision CMOS-OpAmp	e-trim™ 20MHz, High Precision CMOS Op Amp	8-DFN		281.49/250	
OPA728AIDGKT	296-17657-1-ND	e-trim™ 20 MHz, High Precision CMOS-OpAmp	e-trim™ 20MHz, High Precision CMOS Op Amp	8-MSOP	2.01	1.61	1.21
OPA728AIDGKT	296-17657-2-ND	e-trim™ 20 MHz, High Precision CMOS-OpAmp	e-trim™ 20MHz, High Precision CMOS Op Amp	8-MSOP		281.49/250	
OPA728AIDRBT	296-17417-1-ND	e-trim™ 20 MHz, High Precision CMOS-OpAmp	e-trim™ 20MHz, High Precision CMOS Op Amp	8-DFN	2.01	1.61	1.21
OPA728AIDRBT	296-17417-2-ND	e-trim™ 20 MHz, High Precision CMOS-OpAmp	e-trim™ 20MHz, High Precision CMOS Op Amp	8-DFN		281.49/250	
OPA735AIDBVT	296-17229-1-ND	Einzelversorgter CMOS-OpAmp, Nullabweichung	Single-Supply, Zero-Drift, CMOS Op Amp	SOT-23-5	2.38	1.91	1.49
OPA735AIDBVT	296-17229-2-ND	Einzelversorgter CMOS-OpAmp, Nullabweichung	Single-Supply, Zero-Drift, CMOS Op Amp	SOT-23-5		351.97/250	
OPA743NA/3K	OPA743NA/3KCT-ND	R/R, E/A CMOS-OpAmp, 7 MHz	7MHz, CMOS R/R I/O Op Amp	5-SOP	2.01	1.61	1.21
OPA743NA/3K	OPA743NA/3KTR-ND	R/R, E/A CMOS-OpAmp, 7 MHz	7MHz, CMOS R/R I/O Op Amp	5-SOP		3088.40/3,000	
OPA743PA	OPA743PA-ND	R/R, E/A CMOS-OpAmp, 7 MHz	7MHz, CMOS R/R I/O Op Amp	8-Dip	2.01	1.61	1.21
OPA743UA	OPA743UA-ND	R/R, E/A CMOS-OpAmp, 7 MHz	7MHz, CMOS R/R I/O Op Amp	8-SOIC	2.01	1.61	1.21
OPA820ID	296-17130-5-ND	Rauscharmer Spann.-Feedback-OpAmp, V-Faktor = 1 stabil	Unity-Gain, Low-Noise, Volt.-Feedback Op Amp	8-SOIC	1.90	1.53	1.15
OPA820IDBVT	296-17131-1-ND	Rauscharmer Spann.-Feedback-OpAmp, V-Faktor = 1 stabil	Unity-Gain, Low-Noise, Volt.-Feedback Op Amp	SOT-23-5	1.90	1.53	1.19
OPA820IDBVT	296-17131-2-ND	Rauscharmer Spann.-Feedback-OpAmp, V-Faktor = 1 stabil	Unity-Gain, Low-Noise, Volt.-Feedback Op Amp	SOT-23-5		281.49/250	
OPA830ID	296-17400-5-ND	Einzelversorgter Breitband-Spannungsrückkopplungs-OpAmp, Niedrigstrom	Low Power, Single-Supply, Wideband Voltage-Feedback Amp	8-SOIC	1.51	1.21	.91
OPA830IDBVT	296-17401-1-ND	Einzelversorgter Breitband-Spannungsrückkopplungs-OpAmp, Niedrigstrom	Low Power, Single-Supply, Wideband Voltage-Feedback Amp	SOT-23-5	1.72	1.38	1.03
OPA830IDBVT	296-17401-2-ND	Einzelversorgter Breitband-Spannungsrückkopplungs-OpAmp, Niedrigstrom	Low Power, Single-Supply, Wideband Voltage-Feedback Amp	SOT-23-5		240.01/250	
OPA832ID	296-17325-5-ND	Video-Pufferverst., Festverstärkung	Fixed-Gain Video Buffer Amp	8-SOIC	1.42	1.14	.86
OPA832IDBVT	296-17326-1-ND	Video-Pufferverst., Festverstärkung	Fixed-Gain Video Buffer Amp	SOT-23-5	1.61	1.29	.97
OPA832IDBVT	296-17326-2-ND	Video-Pufferverst., Festverstärkung	Fixed-Gain Video Buffer Amp	SOT-23-5		225.20/250	
OPA842ID	296-14175-5-ND	Verzerrungsarmer Breitband-OpAmp, Spannungs-Feedback	Wideband, Low Dist. Voltage Feedback Op Amp	8-SOIC	2.95	2.37	1.84
OPA842IDBVT	296-14176-1-ND	Verzerrungsarmer Breitband-OpAmp, Spannungs-Feedback	Wideband, Low Dist. Voltage Feedback Op Amp	SOT-23-5	3.14	2.52	1.96
OPA842IDBVT	296-14176-2-ND	Verzerrungsarmer Breitband-OpAmp, Spannungs-Feedback	Wideband, Low Dist. Voltage Feedback Op Amp	SOT-23-5		464.57/250	
OPA843ID	296-14177-5-ND	Verzerrungsarmer Breitband-OpAmp, Spannungs-Feedback	Wideband, Low Dist. Voltage Feedback Op Amp	8-SOIC	3.05	2.44	1.90
OPA843IDBVT	296-14178-1-ND	Verzerrungsarmer Breitband-OpAmp, Spannungs-Feedback	Wideband, Low Dist. Voltage Feedback Op Amp	SOT-23-5	3.05	2.44	1.90
OPA843IDBVT	296-14178-2-ND	Verzerrungsarmer Breitband-OpAmp, Spannungs-Feedback	Wideband, Low Dist. Voltage Feedback Op Amp	SOT-23-5		478.54/250	
OPA846ID	296-14775-5-ND	Rauscharmer Breitband-OpAmp, Spann.-Feedback	Wideband, Low-Noise, Volt.-Feedback Op Amp	8-SOIC	3.24	2.60	2.02
OPA846IDBVT	296-14776-1-ND	Rauscharmer Breitband-OpAmp, Spann.-Feedback	Wideband, Low-Noise, Volt.-Feedback Op Amp	SOT23-5	3.43	2.75	2.14
OPA846IDBVT	296-14776-2-ND	Rauscharmer Breitband-OpAmp, Spann.-Feedback	Wideband, Low-Noise, Volt.-Feedback Op Amp	SOT23-5		506.69/250	
OPA847ID	296-15171-5-ND	Ultrarauscharmer Breitband-OpAmp, Spann.-Feedback	Wideband, Ultra-Low Noise, Volt.-Feedback Op Amp	8-SOIC	3.81	3.05	2.38
OPA847IDBVT	296-15172-1-ND	Ultrarauscharmer Breitband-OpAmp, Spann.-Feedback	Wideband, Ultra-Low Noise, Volt.-Feedback Op Amp	SOT-23-6	4.00	3.20	2.49
OPA847IDBVT	296-15172-2-ND	Ultrarauscharmer Breitband-OpAmp, Spann.-Feedback	Wideband, Ultra-Low Noise, Volt.-Feedback Op Amp	SOT-23-6		591.14/250	
OPA1013CN8	OPA1013CN8-ND	Zweif. einzelversorgter Präzisions-OpAmp	Precision Single-Supply, Dual Op Amp	8-Dip	4.66	3.74	2.91
OPA1013DN8	OPA1013DN8-ND	Zweif. einzelversorgter Präzisions-OpAmp	Precision Single-Supply, Dual Op Amp	8-Dip	3.81	3.05	2.38
OPA1632D	296-16679-5-ND	Hochleistungs-Volldiff.-Audio-OpAmp	High-Perf., Fully-Diff. Audio Op Amp	8-SOIC	3.34	2.67	2.08
OPA1632DGN	296-17008-ND	Hochleistungs-Volldiff.-Audio-OpAmp	High Perf., Fully-Diff. Audio Op Amp	8-MSOP	3.34	2.67	2.08
OPA2107AU	OPA2107AU-ND	Zweif. Difet®-OpAmp	Dual, Difet® Op Amp	8-SOIC	10.37	9.34	8.28
OPA2111KP	296-12983-5-ND	Zweif. rauscharmer Präzisions-Difet®-OpAmp	Dual LN Precision Difet® Op Amp	8-Dip	10.86	9.78	8.67
OPA2130UA	OPA2130UA-ND	Zweif. Präzisions-OpAmp, NL, FET-Eingang	Dual, LP, Precision, FET-Input Op Amp	8-SOIC	4.28	3.43	2.67
OPA2131UA	OPA2131UA-ND	Zweif. Allzweck-OpAmp, FET-Eingang	Dual, GP, FET-Input Op Amp	8-SOIC	3.43	2.75	2.14
OPA2131UJ	OPA2131UJ-ND	Zweif. Allzweck-OpAmp, FET-Eingang	Dual, GP, FET-Input Op Amp	8-SOIC	2.57	2.06	1.61
OPA2132P	OPA2132P-ND	HS-OpAmp, FET-Eingang	High Speed, FET Input Op Amp	8-Dip	7.12	6.42	5.69
OPA2132PA	OPA2132PA-ND	HS-OpAmp, FET-Eingang	High Speed, FET Input Op Amp	8-Dip	4.57	3.66	2.85
OPA2132U	OPA2132U-ND	HS-OpAmp, FET-Eingang	High Speed, FET Input Op Amp	8-SOIC	7.12	6.42	5.69
OPA2132UA	OPA2132UA-ND	HS-OpAmp, FET-Eingang	High Speed, FET Input Op Amp	8-SOIC	4.57	3.66	2.85
OPA2134PA	OPA2134PA-ND	Zweif. Hochleistungs-Audio-OpAmp	Dual, High Performance Audio Op Amp	8-Dip	2.23	1.78	1.34
OPA2134UA	OPA2134UA-ND	Zweif. Hochleistungs-Audio-OpAmp	Dual, High Performance Audio Op Amp	8-SOIC	2.00	1.60	1.25
OPA2137E/250	OPA2137ECT-ND	Zweif. preiswerter OpAmp, FET-Eingang	Dual, Low Cost FET-Input Op Amp	8-MSOP	2.00	1.60	1.25
OPA2137E/250	OPA2137ETR-ND	Zweif. preiswerter OpAmp, FET-Eingang	Dual, Low Cost FET-Input Op Amp	8-MSOP		295.68/250	
OPA2137EA/250	OPA2137EACT-ND	Zweif. preiswerter OpAmp, FET-Eingang	Dual, Low Cost FET-Input Op Amp	8-MSOP	1.48	1.19	.89
OPA2137EA/250	OPA2137EATR-ND	Zweif. preiswerter OpAmp, FET-Eingang	Dual, Low Cost FET-Input Op Amp	8-MSOP		207.42/250	
OPA2137P	OPA2137P-ND	Zweif. preiswerter OpAmp, FET-Eingang	Dual, Low Cost FET-Input Op Amp	8-Dip	2.00	1.60	1.25
OPA2137PA	OPA2137PA-ND	Zweif. preiswerter OpAmp, FET-Eingang	Dual, Low Cost FET-Input Op Amp	8-Dip	1.48	1.19	.89
OPA2137U	OPA2137U-ND	Zweif. preiswerter OpAmp, FET-Eingang	Dual, Low Cost FET-Input Op Amp	8-SOIC	2.00	1.60	1.25
OPA2137UA	OPA2137UA-ND	Zweif. preiswerter OpAmp, FET-Eingang	Dual, Low Cost FET-Input Op Amp	8-SOIC	1.48	1.19	.89
OPA2227P	OPA2227P-ND	Zweif. Hochpräzisions-OpAmp	Dual, High Precision Op Amp	8-Dip	6.43	5.15	4.35
OPA2227PA	OPA2227PA-ND	Zweif. Hochpräzisions-OpAmp	Dual, High Precision Op Amp	8-Dip	3.35	2.69	2.09
OPA2227U	OPA2227U-ND	Zweif. Hochpräzisions-OpAmp	Dual, High Precision Op Amp	8-SOIC	6.43	5.15	4.35
OPA2227UA	OPA2227UA-ND	Zweif. Hochpräzisions-OpAmp	Dual, High Precision Op Amp	8-SOIC	3.35	2.69	2.09
OPA2228P	OPA2228P-ND	Zweif. Hochpräzisions-OpAmp	Dual, High Precision Op Amp	8-Dip	6.43	5.15	4.35
OPA2228PA	OPA2228PA-ND	Zweif. Hochpräzisions-OpAmp	Dual, High Precision Op Amp	8-Dip	3.35	2.69	2.09
OPA2228U	OPA2228U-ND	Zweif. Hochpräzisions-OpAmp	Dual, High Precision Op Amp	8-SOIC	6.43	5.15	4.35
OPA2228UA	OPA2228UA-ND	Zweif. Hochpräzisions-OpAmp	Dual, High Precision Op Amp	8-SOIC	3.35	2.69	2.09
OPA2234U	OPA2234U-ND	Zweif. einzelversorgter Präzisions-Niederspannungs-OpAmp	Dual, Low Power, Precision, Single-Supply Op Amp	8-SOIC	4.17	3.34	2.60
OPA2234UA	OPA2234UA-ND	Zweif. einzelversorgter Präzisions-Niederspannungs-OpAmp	Dual, Low Power, Precision, Single-Supply Op Amp	8-SOIC	3.45	2.76	2.15
OPA2237EA/250	OPA2237EACT-ND	Zweif. einzelversorgter OpAmp	Dual, Single-Supply Op Amp	8-MSOP	1.90	1.53	1.15
OPA2237EA/250	OPA2237EATR-ND	Zweif. einzelversorgter OpAmp	Dual, Single-Supply Op Amp	8-MSOP		266.68/250	
OPA2237UA	OPA2237UA-ND	Zweif. einzelversorgter OpAmp	Dual, Single-Supply Op Amp	8-SOIC	1.90	1.53	1.15
OPA2241PA	OPA2241PA-ND	Zweif. einzelversorgter Micropower-OpAmp	Dual Single-Supply Micropower Op Amp	8-Dip	3.62	2.90	2.26

(Forts.)

★ ***RUFEN SIE BITTE AN FÜR NIEDRIGERE PREISE BEI GRÖSSEREN MENGEN!*** ★

T. I. Teilenr.	Digi-Key Teilenr.	Beschreibung		Paket	Stückpreis ★ 1	25	100
OPA2241UA	OPA2241UA-ND	Zweif. einzelversorgter Micropower-OpAmp	Dual Single-Supply Micropower Op Amp	8-SOIC	3.62	2.90	2.26
OPA2244EA/250	OPA2244EACT-ND	Einzelversorgter OpAmp	Single-Supply Op Amp	8-MSOP	1.82	1.46	1.10
OPA2244EA/250	OPA2244EATR-ND	Einzelversorgter OpAmp	Single-Supply Op Amp	8-MSOP		254.83/250	
OPA2244PA	OPA2244PA-ND	Einzelversorgter OpAmp	Single-Supply Op Amp	8-Dip	1.82	1.46	1.10
OPA2244UA	OPA2244UA-ND	Einzelversorgter OpAmp	Single-Supply Op Amp	8-SOIC	1.82	1.46	1.10
OPA2251PA	OPA2251PA-ND	Zweif. einzelversorgter Micropower-OpAmp	Dual Single-Supply Micropower Op Amp	8-Dip	3.72	2.98	2.32
OPA2251UA	OPA2251UA-ND	Zweif. einzelversorgter Micropower-OpAmp	Dual Single-Supply Micropower Op Amp	8-SOIC	3.72	2.98	2.32
OPA2277P	OPA2277P-ND	Zweif. Hochpräzisions-OpAmp	Dual, High Precision Op Amp	8-Dip	5.79	4.64	3.91
OPA2277PA	OPA2277PA-ND	Zweif. Hochpräzisions-OpAmp	Dual, High Precision Op Amp	8-Dip	2.99	2.40	1.87
OPA2277U	OPA2277U-ND	Zweif. Hochpräzisions-OpAmp	Dual, High Precision Op Amp	8-SOIC	5.79	4.64	3.91
OPA2277UA	OPA2277UA-ND	Zweif. Hochpräzisions-OpAmp	Dual, High Precision Op Amp	8-SOIC	2.99	2.40	1.87
OPA2334AIDGST	296-13459-1-ND	Zweif. einzelversorgter CMOS-Nullabweichungs-OpAmp mit Abschaltfunktion	Dual, Single Supply CMOS Zero Drift Op Amp with SD	10-MSOP	3.05	2.44	1.90
OPA2334AIDGST	296-13459-2-ND	Zweif. einzelversorgter CMOS-Nullabweichungs-OpAmp mit Abschaltfunktion	Dual, Single Supply CMOS Zero Drift Op Amp with SD	10-MSOP		450.39/250	
OPA2335AIDGKT	296-13461-1-ND	Zweif. einzelversorgter CMOS-Nullabweichungs-OpAmp	Dual, Single Supply CMOS Zero Drift Op Amp	8-MSOP	3.05	2.44	1.90
OPA2335AIDGKT	296-13461-2-ND	Zweif. einzelversorgter CMOS-Nullabweichungs-OpAmp	Dual, Single Supply CMOS Zero Drift Op Amp	8-MSOP		450.39/250	
OPA2335AIDR	296-13462-1-ND	Zweif. einzelversorgter CMOS-Nullabweichungs-OpAmp	Dual, Single Supply CMOS Zero Drift Op Amp	8-SOIC	3.05	2.44	1.90
OPA2335AIDR	296-13462-2-ND	Zweif. einzelversorgter CMOS-Nullabweichungs-OpAmp	Dual, Single Supply CMOS Zero Drift Op Amp	8-SOIC		4266.86/2,500	
OPA2336E/250	OPA2336ECT-ND	Zweif. Micropower-OpAmp	Dual, Micropower Op Amp	8-MSOP	3.14	2.52	1.96
OPA2336E/250	OPA2336ETR-ND	Zweif. Micropower-OpAmp	Dual, Micropower Op Amp	8-MSOP		464.57/250	
OPA2336EA/250	OPA2336EACT-ND	Zweif. Micropower-OpAmp	Dual, Micropower Op Amp	8-MSOP	2.10	1.68	1.31
OPA2336EA/250	OPA2336EATR-ND	Zweif. Micropower-OpAmp	Dual, Micropower Op Amp	8-MSOP		309.64/250	
OPA2336P	OPA2336P-ND	Zweif. Micropower-OpAmp	Dual, Micropower Op Amp	8-Dip	3.14	2.52	1.96
OPA2336PA	OPA2336PA-ND	Zweif. Micropower-OpAmp	Dual, Micropower Op Amp	8-Dip	2.10	1.68	1.31
OPA2336U	OPA2336U-ND	Zweif. Micropower-OpAmp	Dual, Micropower Op Amp	8-SOIC	3.14	2.52	1.96
OPA2336UA	OPA2336UA-ND	Zweif. Micropower-OpAmp	Dual, Micropower Op Amp	8-SOIC	2.10	1.68	1.31
OPA2337EA/250	OPA2337EACT-ND	Zweif. einzelversorgter MicroSize-OpAmp	Dual, Single-Supply, MicroSize Op Amp	SOT-23-8	1.27	1.02	.77
OPA2337EA/250	OPA2337EATR-ND	Zweif. einzelversorgter MicroSize-OpAmp	Dual, Single-Supply, MicroSize Op Amp	SOT-23-8		177.79/250	
OPA2337PA	OPA2337PA-ND	Zweif. einzelversorgter MicroSize-OpAmp	Dual, Single-Supply, MicroSize Op Amp	8-Dip	1.27	1.02	.77
OPA2337UA	OPA2337UA-ND	Zweif. einzelversorgter MicroSize-OpAmp	Dual, Single-Supply, MicroSize Op Amp	8-SOIC	1.27	1.02	.77
OPA2338EA/250	OPA2338EACT-ND	Zweif. OPA338-OpAmp	Dual, OPA338 Op Amp	SOT-23-8	1.27	1.02	.77
OPA2338EA/250	OPA2338EATR-ND	Zweif. OPA338-OpAmp	Dual, OPA338 Op Amp	SOT-23-8		177.79/250	
OPA2338UA	OPA2338UA-ND	Zweif. OPA338-OpAmp	Dual, OPA338 Op Amp	8-SOIC	1.27	1.02	.77
OPA2340EA/250	OPA2340EACT-ND	Zweif. einzelversorgter R/R-OpAmp	Dual, Single-Supply, R/R Op Amp	8-MSOP	2.36	1.89	1.47
OPA2340EA/250	OPA2340EATR-ND	Zweif. einzelversorgter R/R-OpAmp	Dual, Single-Supply, R/R Op Amp	8-MSOP		349.01/250	
OPA2340PA	OPA2340PA-ND	Zweif. einzelversorgter R/R-OpAmp	Dual, Single-Supply, R/R Op Amp	8-Dip	2.36	1.89	1.47
OPA2340UA	OPA2340UA-ND	Zweif. einzelversorgter R/R-OpAmp	Dual, Single-Supply, R/R Op Amp	8-SOIC	2.36	1.89	1.47
OPA2341DGSA/250	OPA2341DGSACT-ND	Zweif. einzelversorgter R/R-OpAmp mit Abschaltf.	Dual, Single-Supply, R/R Op Amp with Shutdown	10-MSOP	2.18	1.74	1.36
OPA2341DGSA/250	OPA2341DGSATR-ND	Zweif. einzelversorgter R/R-OpAmp mit Abschaltf.	Dual, Single-Supply, R/R Op Amp with Shutdown	10-MSOP		320.86/250	
OPA2342EA/250	OPA2342EACT-ND	Zweif. Micropower-R/R-OpAmp	Dual, Micropower R/R Op Amp	8-MSOP	2.01	1.61	1.21
OPA2342EA/250	OPA2342EATR-ND	Zweif. Micropower-R/R-OpAmp	Dual, Micropower R/R Op Amp	8-MSOP		281.49/250	
OPA2342UA	OPA2342UA-ND	Zweif. Micropower-R/R-OpAmp	Dual, Micropower R/R Op Amp	8-SOIC	2.01	1.61	1.21
OPA2343EA/250	OPA2343EACT-ND	R/R-OpAmp	Rail-to-Rail Op Amp	8-MSOP	1.82	1.46	1.10
OPA2343EA/250	OPA2343EATR-ND	R/R-OpAmp	Rail-to-Rail Op Amp	8-MSOP		254.83/250	
OPA2343UA	OPA2343UA-ND	R/R-OpAmp	Rail-to-Rail Op Amp	8-SOIC	1.82	1.46	1.10
OPA2344EA/250	OPA2344EACT-ND	R/R-OpAmp	Rail-to-Rail Op Amp	8-MSOP	2.18	1.74	1.36
OPA2344EA/250	OPA2344EATR-ND	R/R-OpAmp	Rail-to-Rail Op Amp	8-MSOP		320.86/250	
OPA2344PA	OPA2344PA-ND	R/R-OpAmp	Rail-to-Rail Op Amp	8-Dip	2.18	1.74	1.36
OPA2344UA	OPA2344UA-ND	R/R-OpAmp	Rail-to-Rail Op Amp	8-SOIC	2.18	1.74	1.36
OPA2345EA/250	OPA2345EACT-ND	R/R-OpAmp	Rail-to-Rail Op Amp	8-MSOP	2.18	1.74	1.36
OPA2345EA/250	OPA2345EATR-ND	R/R-OpAmp	Rail-to-Rail Op Amp	8-MSOP		320.86/250	
OPA2345UA	OPA2345UA-ND	R/R-OpAmp	Rail-to-Rail Op Amp	8-SOIC	2.18	1.74	1.36
OPA2347EA/250	OPA2347EACT-ND	R/R-OpAmp	Rail-to-Rail Op Amp	SOT-23-8	1.31	1.05	.79
OPA2347EA/250	OPA2347EATR-ND	R/R-OpAmp	Rail-to-Rail Op Amp	SOT-23-8		183.71/250	
OPA2347UA	OPA2347UA-ND	R/R-OpAmp	Rail-to-Rail Op Amp	8-SOIC	1.31	1.05	.79
OPA2347UA/2K5	OPA2347UATR-ND	R/R-OpAmp	Rail-to-Rail Op Amp	8-SOIC		1680.50/2,500	
OPA2347YEDT	296-15210-1-ND	R/R-OpAmp	Rail-to-Rail Op Amp	8-WCSP	1.61	1.29	.97
OPA2347YEDT	296-15210-2-ND	R/R-OpAmp	Rail-to-Rail Op Amp	8-WCSP		225.20/250	
OPA2348AID	296-15363-5-ND	Zweif. HS CMOS-OpAmp, R/R, E/A	Dual, High Speed, CMOS, R/R, In/Out Op Amp	8-SOIC	1.42	1.14	.86
OPA2348AIDCNT	296-13008-1-ND	Zweif. HS CMOS-OpAmp, R/R, E/A	Dual, High Speed, CMOS, R/R, In/Out Op Amp	SOT-23-8	1.42	1.14	.86
OPA2348AIDCNT	296-13008-2-ND	Zweif. HS CMOS-OpAmp, R/R, E/A	Dual, High Speed, CMOS, R/R, In/Out Op Amp	SOT-23-8		198.53/250	
OPA2349EA/250	OPA2349EACT-ND	Micropower-OpAmp	Micropower Op Amp	SOT-23-8	2.01	1.61	1.21
OPA2349EA/250	OPA2349EATR-ND	Micropower-OpAmp	Micropower Op Amp	SOT-23-8		281.49/250	
OPA2349UA	OPA2349UA-ND	Micropower-OpAmp	Micropower Op Amp	8-SOIC	2.01	1.61	1.21
OPA2350EA/250	OPA2350EACT-ND	Zweif. HS CMOS-OpAmp, 35 MHz	Dual, HS CMOS Op Amp, 35MHz	8-MSOP	3.89	3.11	2.42
OPA2350EA/250	OPA2350EATR-ND	Zweif. HS CMOS-OpAmp, 35 MHz	Dual, HS CMOS Op Amp, 35MHz	8-MSOP		574.21/250	
OPA2350PA	OPA2350PA-ND	Zweif. HS CMOS-OpAmp, 35 MHz	Dual, HS CMOS Op Amp, 35MHz	8-Dip	3.89	3.11	2.42
OPA2350UA	OPA2350UA-ND	Zweif. HS CMOS-OpAmp, 35 MHz	Dual, HS CMOS Op Amp, 35MHz	8-SOIC	3.89	3.11	2.42
OPA2353EA/250	OPA2353EACT-ND	Preiswerter zweif. HS CMOS-OpAmp, 35 MHz	Low Cost, Dual, High-Speed CMOS Op Amp, 35MHz	8-MSOP	3.09	2.47	1.93
OPA2353EA/250	OPA2353EATR-ND	Preiswerter zweif. HS CMOS-OpAmp, 35 MHz	Low Cost, Dual, High-Speed CMOS Op Amp, 35MHz	8-MSOP		456.11/250	
OPA2353UA	OPA2353UA-ND	Preiswerter zweif. HS CMOS-OpAmp, 35 MHz	Low Cost, Dual, High-Speed CMOS Op Amp, 35MHz	8-SOIC	3.09	2.47	1.93
OPA2354AIDDA	296-13784-5-ND	HS, R/R, E/A, CMOS-OpAmp, 250 MHz	High Speed 250MHz, R/R, I/O, CMOS Op Amp	8-SOIC	2.18	1.74	1.36
OPA2354AIDGKR	296-12642-1-ND	HS, R/R, E/A, CMOS-OpAmp, 250 MHz	High Speed 250MHz, R/R, I/O, CMOS Op Amp	8-MSOP	2.18	1.74	1.36
OPA2354AIDGKR	296-12642-2-ND	HS, R/R, E/A, CMOS-OpAmp, 250 MHz	High Speed 250MHz, R/R, I/O, CMOS Op Amp	8-MSOP		3039.29/2,500	
OPA2355DGSA/250	296-12132-1-ND	HS, Video-OpAmp	High Speed Video Op Amp	10-MSOP	3.60	2.88	2.25
OPA2355DGSA/250	296-12132-2-ND	HS, Video-OpAmp	High Speed Video Op Amp	10-MSOP		402.56/250	
OPA2356AID	296-12406-5-ND	Zweif. HS CMOS-OpAmp	Dual, HS CMOS Op Amp	8-SOIC	2.73	2.18	1.70
OPA2357AIDGST	OPA2357AIDGSTCT-ND	R/R, E/A, CMOS-OpAmp mit Abschaltf.	R/R, I/O, CMOS Op Amp with SD	10-MSOP	2.18	1.74	1.36
OPA2357AIDGST	OPA2357AIDGSTTR-ND	R/R, E/A, CMOS-OpAmp mit Abschaltf.	R/R, I/O, CMOS Op Amp with SD	10-MSOP		320.86/250	
OPA2363AIDGST	296-13874-1-ND	Einzelversorgter R/R-OpAmp, 7 MHz	7MHz, Single Supply R/R Op Amp	10-MSOP	2.01	1.61	1.21
OPA2363AIDGST	296-13874-2-ND	Einzelversorgter R/R-OpAmp, 7 MHz	7MHz, Single Supply R/R Op Amp	10-MSOP		281.49/250	
OPA2363IDGST	296-13875-1-ND	Einzelversorgter R/R-OpAmp, 7 MHz	7MHz, Single Supply R/R Op Amp	10-MSOP	2.57	2.06	1.61
OPA2363IDGST	296-13875-2-ND	Einzelversorgter R/R-OpAmp, 7 MHz	7MHz, Single Supply R/R Op Amp	10-MSOP		380.12/250	
OPA2364AIDGKT	296-13876-1-ND	Einzelversorgter R/R-OpAmp, 7 MHz	7MHz, Single Supply R/R Op Amp	8-MSOP	2.01	1.61	1.21
OPA2364AIDGKT	296-13876-2-ND	Einzelversorgter R/R-OpAmp, 7 MHz	7MHz, Single Supply R/R Op Amp	8-MSOP		281.49/250	
OPA2364AIDR	296-13877-1-ND	Einzelversorgter R/R-OpAmp, 7 MHz	7MHz, Single Supply R/R Op Amp	8-SOIC	2.01	1.61	1.21
OPA2364AIDR	296-13877-2-ND	Einzelversorgter R/R-OpAmp, 7 MHz	7MHz, Single Supply R/R Op Amp	8-SOIC		2573.66/2,500	
OPA2364ID	296-13878-5-ND	Einzelversorgter R/R-OpAmp, 7 MHz	7MHz, Single Supply R/R Op Amp	8-SOIC	2.57	2.06	1.61
OPA2364IDGKT	296-13879-1-ND	Einzelversorgter R/R-OpAmp, 7 MHz	7MHz, Single Supply R/R Op Amp	8-MSOP	2.57	2.06	1.61
OPA2364IDGKT	296-13879-2-ND	Einzelversorgter R/R-OpAmp, 7 MHz	7MHz, Single Supply R/R Op Amp	8-MSOP		380.12/250	
OPA2380AIDGKT	296-17046-1-ND	Präz., HS Transimpedanz-Verst.	Precision, HS, Transimpedance Amp	8-MSOP	9.99	7.50	5.62
OPA2380AIDGKT	296-17046-2-ND	Präz., HS Transimpedanz-Verst.	Precision, HS, Transimpedance Amp	8-MSOP		811.68/250	
OPA2381AIDGKT	296-17413-1-ND	Präz., NL Transimpedanzverstärker, 18 MHz	Precision, Low Power, 18MHz Transimpedance Amp	8-MSOP	4.28	3.43	2.67
OPA2381AIDGKT	296-17413-2-ND	Präz., NL Transimpedanzverstärker, 18 MHz	Precision, Low Power, 18MHz Transimpedance Amp	8-MSOP		633.47/250	
OPA2381AIDRBT	296-17559-1-ND	Präz., NL Transimpedanzverstärker, 18 MHz	Precision, Low Power 18MHz Transimpedance Amp	8-DFN	4.28	3.43	2.67
OPA2381AIDRBT	296-17559-2-ND	Präz., NL Transimpedanzverstärker, 18 MHz	Precision, Low Power 18MHz Transimpedance Amp	8-DFN		633.47/250	
OPA2541AM	OPA2541AM-ND	Zweif. Hochleistungs-OpAmp, 5-A-Ausgang	Dual, High Power Op Amp, 5A Out	TO-3	162.61	151.77	140.93
OPA2541BM	OPA2541BM-ND	Zweif. Hochleistungs-OpAmp, 5-A-Ausgang	Dual, High Power Op Amp, 5A Out	TO-3	167.96	156.76	145.57
OPA2544T	OPA2544T-ND	Zweif. Hochspannungs-/Strom-OpAmp	Dual, High-Volt./Current Op Amp	TO-220-11	15.24	14.23	13.21
OPA2604AP	OPA2604AP-ND	Zweif. verzerrungsarmer OpAmp, FET-Eingang	Dual, FET-Input, Low Distortion Op Amp	8-Dip	3.62	2.90	2.26
OPA2604AU	OPA2604AU-ND	Zweif. verzerrungsarmer OpAmp, FET-Eingang	Dual, FET-Input, Low Distortion Op Amp	8-SOIC	3.62	2.90	2.26

(Forts.)

★ ***RUFEN SIE BITTE AN FÜR NIEDRIGERE PREISE BEI GRÖSSEREN MENGEN!*** ★

B

T. I. Teilenr.	Digi-Key Teilenr.	Beschreibung		Paket	Stückpreis ★ 1	25	100
OPA2613ID	296-16916-5-ND	Zweif. Breitband-OpAmp für hohe Ausgangsströme	Dual, Wideband, High Output Current Op Amp	8-SOIC	2.80	2.24	1.75
OPA2613IDTJ	296-16917-5-ND	Zweif. Breitband-OpAmp für hohe Ausgangsströme	Dual, Wideband, High Output Current Op Amp	8-HSOP	3.17	2.53	1.97
OPA2614ID	296-17127-5-ND	Zweif. OpAmp, hohe Verstärkungsbandbreite, hoher Ausgang	Dual, High Gain Bandwidth, High Output Op Amp	8-SOIC	2.95	2.37	1.84
OPA2614IDTJ	296-17128-5-ND	Zweif. OpAmp, hohe Verstärkungsbandbreite, hoher Ausgang	Dual, High Gain Bandwidth, High Output Op Amp	8-HSOP	3.34	2.67	2.08
OPA2650E/250	OPA2650ECT-ND	Zweif. Breitband-OpAmp, Spann.-Feedback, NL	Dual, Wideband, LP, Voltage Feedback Op Amp	8-MSOP	4.92	4.22	3.87
OPA2652E/250	OPA2652ECT-ND	Zweif. OpAmp, Spann.-Feedback	Dual, Voltage Feedback Op Amp	SOT-23-8	2.36	1.89	1.47
OPA2652E/250	OPA2652ETR-ND	Zweif. OpAmp, Spann.-Feedback	Dual, Voltage Feedback Op Amp	SOT-23-8		349.01/250	
OPA2652U	OPA2652U-ND	Zweif. OpAmp, Spann.-Feedback	Dual, Voltage Feedback Op Amp	8-SOIC	2.18	1.74	1.36
OPA2674I-14D	296-15211-5-ND	Zweif. Breitband-OpAmp mit Strombegrenzung für hohe Ausgangsströme	Dual, Wideband, High Output Current Op Amp with Current Limit	14-SOIC	3.26	2.61	2.03
OPA2674ID	296-15212-5-ND	Zweif. Breitband-OpAmp mit Strombegrenzung für hohe Ausgangsströme	Dual, Wideband, High Output Current Op Amp with Current Limit	8-SOIC	3.26	2.61	2.03
OPA2677H	OPA2677H-ND	Zweif. Breitband-OpAmp für hohe Ausgangsströme	Dual, Wideband, High Output Current Op Amp	8-HSOP	3.52	2.82	2.20
OPA2677T	OPA2677T-ND	Zweif. Breitband-OpAmp für hohe Ausgangsströme	Dual, Wideband, High Output Current Op Amp	16-SOIC	3.17	2.53	1.97
OPA2677U	OPA2677U-ND	Zweif. Breitband-OpAmp für hohe Ausgangsströme	Dual, Wideband, High Output Current Op Amp	8-SOIC	3.17	2.53	1.97
OPA2683ID	296-14172-5-ND	Zweif. OpAmp, Strom-Feedback, für sehr niedrige Leistung	Dual, Very Low Power, Current Feedback Op Amp	8-SOIC	3.35	2.69	2.09
OPA2683IDCNT	296-14173-1-ND	Zweif. OpAmp, Strom-Feedback, für sehr niedrige Leistung	Dual, Very Low Power, Current Feedback Op Amp	SOT-23-8	3.52	2.82	2.20
OPA2683IDCNT	296-14173-2-ND	Zweif. OpAmp, Strom-Feedback, für sehr niedrige Leistung	Dual, Very Low Power, Current Feedback Op Amp	SOT-23-8		520.87/250	
OPA2684ID	296-13463-5-ND	Zweif. OpAmp, Strom-Feedback, für niedrige Leistung	Dual, Low Power, Current Feedback Op Amp	8-SOIC	3.81	3.05	2.38
OPA2684IDCNT	296-13994-1-ND	Zweif. OpAmp für niedrige Leistung	Dual, Low Power Op Amp	SOT-23-8	3.98	3.19	2.48
OPA2684IDCNT	296-13994-2-ND	Zweif. OpAmp für niedrige Leistung	Dual, Low Power Op Amp	SOT-23-8		588.39/250	
OPA2686U	OPA2686U-ND	Rauscharmer OpAmp, Spannungs-Feedback	Low Noise Voltage Feedback Op Amp	8-SOIC	7.90	7.12	6.31
OPA2690I-14D	296-13464-5-ND	Zweif. Breitband-OpAmp, Spannungs-Feedback, mit Deaktivierung	Dual, Wideband, Voltage Feedback Op Amp with Disable	14-SOIC	3.89	3.11	2.42
OPA2690ID	296-13465-5-ND	Zweif. Breitband-OpAmp, Spannungs-Feedback, mit Deaktivierung	Dual, Wideband, Voltage Feedback Op Amp with Disable	8-SOIC	3.89	3.11	2.42
OPA2691I-14D	OPA2691I-14D-ND	Zweif. Breitband-OpAmp, Strom-Feedback	Dual Wideband, Current Feedback Op Amp	14-SOIC	4.17	3.34	2.60
OPA2691ID	OPA2691ID-ND	Zweif. Breitband-OpAmp, Strom-Feedback	Dual Wideband, Current Feedback Op Amp	8-SOIC	2.55	3.34	2.60
OPA2703EA/250	OPA2703EA/250CT-ND	Zweif. CMOS-OpAmp, R/R, E/A, 1 MHz	1MHz, Dual CMOS R/R I/O Op Amp	8-VSSOP	4.10	3.28	2.55
OPA2703EA/250	OPA2703EA/250TR-ND	Zweif. CMOS-OpAmp, R/R, E/A, 1 MHz	1MHz, Dual CMOS R/R I/O Op Amp	8-VSSOP		605.32/250	
OPA2703PA	OPA2703PA-ND	Zweif. CMOS-OpAmp, R/R, E/A, 1 MHz	1MHz, Dual CMOS R/R I/O Op Amp	8-Dip	4.10	3.28	2.55
OPA2703UA	OPA2703UA-ND	Zweif. CMOS-OpAmp, R/R, E/A, 1 MHz	1MHz, Dual CMOS R/R I/O Op Amp	8-SOIC	4.10	3.28	2.55
OPA2704EA/250	OPA2704EA/250CT-ND	Zweif. CMOS-OpAmp, R/R, E/A, 3 MHz	3MHz, Dual CMOS R/R I/O Op Amp	8-VSSOP	4.10	3.28	2.55
OPA2704EA/250	OPA2704EA/250TR-ND	Zweif. CMOS-OpAmp, R/R, E/A, 3 MHz	3MHz, Dual CMOS R/R I/O Op Amp	8-VSSOP		605.32/250	
OPA2704PA	OPA2704PA-ND	Zweif. CMOS-OpAmp, R/R, E/A, 3 MHz	3MHz, Dual CMOS R/R I/O Op Amp	8-Dip	4.10	3.28	2.55
OPA2704UA	OPA2704UA-ND	Zweif. CMOS-OpAmp, R/R, E/A, 3 MHz	3MHz, Dual CMOS R/R I/O Op Amp	8-SOIC	4.10	3.28	2.55
OPA2705EA/250	OPA2705EA/250CT-ND	Zweif. CMOS-OpAmp, R/R, E/A, 1 MHz	1MHz, Dual CMOS R/R I/O Op Amp	8-VSSOP	2.01	1.61	1.21
OPA2705EA/250	OPA2705EA/250TR-ND	Zweif. CMOS-OpAmp, R/R, E/A, 1 MHz	1MHz, Dual CMOS R/R I/O Op Amp	8-VSSOP		281.49/250	
OPA2705PA	OPA2705PA-ND	Zweif. CMOS-OpAmp, R/R, E/A, 1 MHz	1MHz, Dual CMOS R/R I/O Op Amp	8-Dip	2.01	1.61	1.21
OPA2705UA	OPA2705UA-ND	Zweif. CMOS-OpAmp, R/R, E/A, 1 MHz	1MHz, Dual CMOS R/R I/O Op Amp	8-SOIC	2.01	1.61	1.21
OPA2725AID	296-17228-5-ND	HS CMOS-OpAmp, 12 V	12V, High Speed CMOS Op Amp	8-SOIC	2.57	2.06	1.61
OPA2725AIDGKT	296-16768-1-ND	HS CMOS-OpAmp, 12 V	12V, High Speed CMOS Op Amp	8-MSOP	2.57	2.06	1.61
OPA2725AIDGKT	296-16768-2-ND	HS CMOS-OpAmp, 12 V	12V, High Speed CMOS Op Amp	8-MSOP		380.12/250	
OPA2734AIDGST	296-16769-1-ND	Einzelversorgter CMOS OpAmp, Nulldrift	Zero-Drift, Single-Supply, CMOS Op Amp	10-MSOP	3.81	3.05	2.38
OPA2734AIDGST	296-16769-2-ND	Einzelversorgter CMOS OpAmp, Nulldrift	Zero-Drift, Single-Supply, CMOS Op Amp	10-MSOP		562.99/250	
OPA2735AID	296-16770-5-ND	Einzelversorgter CMOS OpAmp, Nulldrift	Zero-Drift, Single-Supply, CMOS Op Amp	8-SOIC	3.81	3.05	2.38
OPA2735AIDGKT	296-16771-1-ND	Einzelversorgter CMOS OpAmp, Nulldrift	Zero-Drift, Single-Supply, CMOS Op Amp	8-MSOP	3.81	3.05	2.38
OPA2735AIDGKT	296-16771-2-ND	Einzelversorgter CMOS OpAmp, Nulldrift	Zero-Drift, Single-Supply, CMOS Op Amp	8-MSOP		562.99/250	
OPA2743EA/2K5	OPA2743EA/2K5CT-ND	Zweif. CMOS-OpAmp, R/R, E/A, 7 MHz	7MHz, Dual CMOS R/R I/O Op Amp	8-VSSOP	2.95	2.37	1.84
OPA2743EA/2K5	OPA2743EA/2K5TR-ND	Zweif. CMOS-OpAmp, R/R, E/A, 7 MHz	7MHz, Dual CMOS R/R I/O Op Amp	8-VSSOP		4133.52/2,500	
OPA2743EA/250	296-17017-1-ND	Zweif. CMOS-OpAmp, R/R, E/A, 7 MHz	7MHz, Dual CMOS R/R I/O Op Amp	8-MSOP	2.95	2.37	1.84
OPA2743EA/250	296-17017-2-ND	Zweif. CMOS-OpAmp, R/R, E/A, 7 MHz	7MHz, Dual CMOS R/R I/O Op Amp	8-MSOP		436.42/250	
OPA2743PA	296-12726-5-ND	Zweif. CMOS-OpAmp, R/R, E/A, 7 MHz	7MHz, Dual CMOS R/R I/O Op Amp	8-Dip	2.95	2.37	1.84
OPA2743UA	296-12727-5-ND	Zweif. CMOS-OpAmp, R/R, E/A, 7 MHz	7MHz, Dual CMOS R/R I/O Op Amp	8-SOIC	2.95	2.37	1.84
OPA2822E/250	296-12984-1-ND	Zweif. rauscharmer Breitband-OpAmp	Dual, Wideband, Low Noise Op Amp	8-MSOP	2.80	2.24	1.75
OPA2822E/250	296-12984-2-ND	Zweif. rauscharmer Breitband-OpAmp	Dual, Wideband, Low Noise Op Amp	8-MSOP		413.78/250	
OPA2822U	296-9623-5-ND	Zweif. rauscharmer Breitband-OpAmp	Dual, Wideband, Low Noise Op Amp	8-SOIC	2.63	2.11	1.64
OPA2846ID	296-16853-5-ND	Zweif. rauscharmer Breitband-OpAmp, Spannungs-Feedback	Dual, Wideband, Low-Noise, Voltage Feedback Op Amp	8-SOIC	4.32	3.46	2.92
OPA3355EA/250	OPA3355EA/250CT-ND	Dreif. HS CMOS-OpAmp mit Abschaltf.	Triple, CMOS High Speed Op Amp with Shutdown	14-TSSOP	3.62	2.90	2.26
OPA3355EA/250	OPA3355EA/250TR-ND	Dreif. HS CMOS-OpAmp mit Abschaltf.	Triple, CMOS High Speed Op Amp with Shutdown	14-TSSOP		534.84/250	
OPA3355UA	OPA3355UA-ND	Dreif. HS CMOS-OpAmp mit Abschaltf.	Triple, CMOS High Speed Op Amp with Shutdown	14-SOIC	3.62	2.90	2.26
OPA3355UA/2K5	OPA3355UA/2K5CT-ND	Dreif. HS CMOS-OpAmp mit Abschaltf.	Triple, CMOS High Speed Op Amp with Shutdown	14-SOIC	4.02	3.22	2.42
OPA3355UA/2K5	OPA3355UA/2K5TR-ND	Dreif. HS CMOS-OpAmp mit Abschaltf.	Triple, CMOS High Speed Op Amp with Shutdown	14-SOIC		5066.90/2,500	
OPA3684ID	296-13646-5-ND	Dreif. OpAmp, Strom-Feedback, NL, mit Deaktivierung	Low Power, Triple Current Feedback Op Amp with Disable	14-SOIC	4.66	3.73	3.15
OPA3684IDBQT	296-13647-1-ND	Dreif. OpAmp, Strom-Feedback, NL, mit Deaktivierung	Low Power, Triple Current Feedback Op Amp with Disable	16-SSOP	4.83	3.87	3.26
OPA3684IDBQT	296-13647-2-ND	Dreif. OpAmp, Strom-Feedback, NL, mit Deaktivierung	Low Power, Triple Current Feedback Op Amp with Disable	16-SSOP		784.16/250	
OPA3690ID	OPA3690ID-ND	Dreif. Breitband-OpAmp, Spannungs-Feedback	Triple, Wideband, Voltage Feedback Op Amp	16-SOIC	4.91	3.93	3.32
OPA3690IDBQT	OPA3690IDBQTCT-ND	Dreif. Breitband-OpAmp, Spannungs-Feedback	Triple, Wideband, Voltage Feedback Op Amp	16-SSOP	5.08	4.07	3.43
OPA3690IDBQT	OPA3690IDBQTTR-ND	Dreif. Breitband-OpAmp, Spannungs-Feedback	Triple, Wideband, Voltage Feedback Op Amp	16-SSOP		825.44/250	
OPA3691ID	OPA3691ID-ND	Dreif. Breitband-OpAmp, Strom-Feedback	Triple, Wideband, Current Feedback Op Amp	16-SOIC	5.25	4.20	3.55
OPA3691IDBQT	OPA3691IDBQT-ND	Dreif. Breitband-OpAmp, Strom-Feedback	Triple, Wideband, Current Feedback Op Amp	16-SSOP	5.42	4.34	3.66
OPA3692ID	296-12603-5-ND	Dreif. Breitband-OpAmp, Strom-Feedback, mit Deaktivierung	Triple Wideband, Current Feedback Op Amp with Disable	16-SOIC	4.66	3.73	3.15
OPA3692IDBQT	296-12604-1-ND	Dreif. Breitband-OpAmp, Strom-Feedback, mit Deaktivierung	Triple Wideband, Current Feedback Op Amp with Disable	16-SSOP	4.83	3.87	3.26
OPA3692IDBQT	296-12604-2-ND	Dreif. Breitband-OpAmp, Strom-Feedback, mit Deaktivierung	Triple Wideband, Current Feedback Op Amp with Disable	16-SSOP		784.16/250	
OPA4130UA	OPA4130UA-ND	Vierf. NL Präzisions-OpAmp, FET-Eingang	Quad, LP, Precision, FET-In Op Amp	14-SOIC	5.84	4.68	3.95
OPA4131NA	OPA4131NA-ND	Vierf. Allzweck-OpAmp, FET-Eingang	Quad, General Purpose FET-Input Op Amp	14-SOIC	6.18	4.95	4.18
OPA4131NJ	OPA4131NJ-ND	Vierf. Allzweck-OpAmp, FET-Eingang	Quad, General Purpose FET-Input Op Amp	14-SOIC	5.16	4.14	3.49
OPA4131PA	OPA4131PA-ND	Vierf. Allzweck-OpAmp, FET-Eingang	Quad, General Purpose FET-Input Op Amp	14-Dip	6.18	4.95	4.18
OPA4131PJ	OPA4131PJ-ND	Vierf. Allzweck-OpAmp, FET-Eingang	Quad, General Purpose, FET-Input Op Amp	14-Dip	5.16	4.14	3.49
OPA4131UA	OPA4131UA-ND	Vierf. Allzweck-OpAmp, FET-Eingang	Quad, General Purpose FET-Input Op Amp	16-SOIC	6.18	4.95	4.18
OPA4132UA	OPA4132UA-ND	Vierf. HS-OpAmp, FET-Eingang	Quad, HS, FET-Input Op Amp	14-SOIC	7.70	6.17	5.21
OPA4134UA	OPA4134UA-ND	Vierf. Hochleistungs-OpAmp	Quad, High Performance Op Amp	14-SOIC	3.17	2.53	1.97
OPA4137P	OPA4137P-ND	Vierf. OpAmp, FET-Eingang	Quad, FET-Input Op Amp	14-Dip	2.76	2.21	1.72
OPA4137PA	OPA4137PA-ND	Vierf. OpAmp, FET-Eingang	Quad, FET-Input Op Amp	14-Dip	2.10	1.68	1.31
OPA4137U	OPA4137U-ND	Vierf. OpAmp, FET-Eingang	Quad, FET-Input Op Amp	14-SOIC	2.76	2.21	1.72
OPA4137UA	OPA4137UA-ND	Vierf. OpAmp, FET-Eingang	Quad, FET-Input Op Amp	14-SOIC	2.10	1.68	1.31
OPA4227PA	OPA4227PA-ND	Vierf. Hochpräzisions-OpAmp	Quad, High Precision Op Amp	14-Dip	6.52	5.22	4.41
OPA4227UA	OPA4227UA-ND	Vierf. Hochpräzisions-OpAmp	Quad, High Precision Op Amp	14-SOIC	6.52	5.22	4.41
OPA4228PA	OPA4228PA-ND	Vierf. Hochpräzisions-OpAmp	Quad, High Precision Op Amp	14-Dip	6.52	5.22	4.41
OPA4228UA	OPA4228UA-ND	Vierf. Hochpräzisions-OpAmp	Quad, High Precision Op Amp	14-SOIC	6.52	5.22	4.41
OPA4241PA	OPA4241PA-ND	Vierf. einzelversorgter Micropower-OpAmp	Quad, Single-Supply µpower Op Amp	14-Dip	7.11	5.69	4.81
OPA4241UA	OPA4241UA-ND	Vierf. einzelversorgter Micropower-OpAmp	Quad, Single-Supply µpower Op Amp	14-SOIC	7.11	5.69	4.81
OPA4243EA/250	OPA4243EACT-ND	Vierf. einzelversorgter OpAmp	Quad, Single-Supply Op Amp	14-TSSOP	3.05	2.44	1.90
OPA4243EA/250	OPA4243EATR-ND	Vierf. einzelversorgter OpAmp	Quad, Single-Supply Op Amp	14-TSSOP		450.39/250	
OPA4244EA/250	OPA4244EACT-ND	Einzelversorgter Micropower-OpAmp	Single-Supply µpower Op Amp	14-TSSOP	2.73	2.18	1.70
OPA4244EA/250	OPA4244EATR-ND	Einzelversorgter Micropower-OpAmp	Single-Supply µpower Op Amp	14-TSSOP		402.56/250	
OPA4251PA	OPA4251PA-ND	Vierf. einzelversorgter Micropower-OpAmp	Quad, Single-Supply µpower Op Amp	14-Dip	7.11	5.69	4.81
OPA4251UA	OPA4251UA-ND	Vierf. einzelversorgter Micropower-OpAmp	Quad, Single-Supply µpower Op Amp	14-SOIC	7.11	5.69	4.81
OPA4277PA	OPA4277PA-ND	Vierf. Hochpräzisions-OpAmp	Quad, High Precision Op Amp	14-Dip	6.20	4.96	4.19
OPA4277UA	OPA4277UA-ND	Vierf. Hochpräzisions-OpAmp	Quad, High Precision Op Amp	14-SOIC	6.20	4.96	4.19
OPA4234U	OPA4234U-ND	Vierf. einzelversorgter Präzisions-OpAmp, NL	Quad, Low Power, Precision, Single-Supply Op Amp	14-SOIC	6.35	5.08	4.29
OPA4234UA	OPA4234UA-ND	Vierf. einzelversorgter Präzisions-OpAmp, NL	Quad, Low Power, Precision, Single-Supply Op Amp	14-SOIC	5.55	4.45	3.75
OPA4336EA/250	OPA4336EACT-ND	Vierf. einzelversorgter Micropower-OpAmp	Quad, Single-Supply, Micropower Op Amp	16-SSOP	3.14	2.52	1.96
OPA4336EA/250	OPA4336EATR-ND	Vierf. einzelversorgter Micropower-OpAmp	Quad, Single-Supply, Micropower Op Amp	16-SSOP		492.72/250	

(Forts.)

★ ***RUFEN SIE BITTE AN FÜR NIEDRIGERE PREISE BEI GRÖSSEREN MENGEN!*** ★

T. I. Teilenr.	Digi-Key Teilenr.	Beschreibung		Paket	Stückpreis ★ 1	25	100
OPA4340EA/250	OPA4340EACT-ND	Vierf. einzelversorgter R/R-OpAmp	Quad, Single-Supply, R/R Op Amp	16-SSOP	4.44	3.56	2.77
OPA4340EA/250	OPA4340EATR-ND	Vierf. einzelversorgter R/R-OpAmp	Quad, Single-Supply, R/R Op Amp	16-SSOP		655.90/250	
OPA4340UA	OPA4340UA-ND	Vierf. einzelversorgter R/R-OpAmp	Quad, Single-Supply, R/R Op Amp	14-SOIC	4.44	3.56	2.77
OPA4342EA/250	OPA4342EACT-ND	Vierf. Micropower-R/R-OpAmp	Quad, Micropower R/R Op Amp	14-TSSOP	3.09	2.47	1.93
OPA4342EA/250	OPA4342EATR-ND	Vierf. Micropower-R/R-OpAmp	Quad, Micropower R/R Op Amp	14-TSSOP		456.11/250	
OPA4342PA	OPA4342PA-ND	Vierf. Micropower-R/R-OpAmp	Quad, Micropower R/R Op Amp	14-Dip	3.09	2.47	1.93
OPA4342UA	OPA4342UA-ND	Vierf. Micropower-R/R-OpAmp	Quad, Micropower R/R Op Amp	14-SOIC	3.09	2.47	1.93
OPA4343EA/250	OPA4343EACT-ND	Vierf. einzelversorgter OpAmp	Quad, Single-Supply Op Amp	16-SSOP	2.90	2.32	1.81
OPA4343EA/250	OPA4343EATR-ND	Vierf. einzelversorgter OpAmp	Quad, Single-Supply Op Amp	16-SSOP		427.96/250	
OPA4343NA/250	OPA4343NACT-ND	Vierf. einzelversorgter OpAmp	Quad, Single-Supply Op Amp	14-TSSOP	2.90	2.32	1.81
OPA4343NA/250	OPA4343NATR-ND	Vierf. einzelversorgter OpAmp	Quad, Single-Supply Op Amp	14-TSSOP		427.96/250	
OPA4343UA	OPA4343UA-ND	Vierf. einzelversorgter OpAmp	Quad, Single-Supply Op Amp	14-SOIC	2.90	2.32	1.81
OPA4344EA/250	OPA4344EACT-ND	Vierf. einzelversorgter OpAmp	Quad, Single-Supply Op Amp	14-TSSOP	3.62	2.90	2.26
OPA4344EA/250	OPA4344EATR-ND	Vierf. einzelversorgter OpAmp	Quad, Single-Supply Op Amp	14-TSSOP		534.84/250	
OPA4344PA	OPA4344PA-ND	Vierf. einzelversorgter OpAmp	Quad, Single-Supply Op Amp	14-Dip	3.62	2.90	2.26
OPA4344UA	OPA4344UA-ND	Vierf. einzelversorgter OpAmp	Quad, Single-Supply Op Amp	14-SOIC	3.62	2.90	2.26
OPA4345EA/250	OPA4345EACT-ND	Vierf. einzelversorgter OpAmp	Quad, Single-Supply Op Amp	14-TSSOP	3.62	2.90	2.26
OPA4345EA/250	OPA4345EATR-ND	Vierf. einzelversorgter OpAmp	Quad, Single-Supply Op Amp	14-TSSOP		534.84/250	
OPA4345UA	OPA4345UA-ND	Vierf. einzelversorgter OpAmp	Quad, Single-Supply Op Amp	14-SOIC	3.62	2.90	2.26
OPA4347EA/250	OPA4347EACT-ND	Vierf. R/R-OpAmp	Quad, Rail-to-Rail Op Amp	14-TSSOP	2.06	1.65	1.47
OPA4347EA/250	OPA4347EATR-ND	Vierf. R/R-OpAmp	Quad, Rail-to-Rail Op Amp	14-TSSOP		295.68/250	
OPA4347UA	OPA4347UA-ND	Vierf. R/R-OpAmp	Quad, Rail-to-Rail Op Amp	14-SOIC	2.00	1.60	1.25
OPA4347UA/2K5	OPA4347UATR-ND	Vierf. R/R-OpAmp	Quad, Rail-to-Rail Op Amp	14-SOIC		2800.13/2,500	
OPA4348AID	296-12277-5-ND	Vierf. R/R E/A-OpAmp, 1 MHz	1MHz, Quad, R/R, I/O Op Amp	14-SOIC	2.00	1.60	1.25
OPA4348AIPWT	296-12278-1-ND	Vierf. R/R E/A-OpAmp, 1 MHz	1MHz, Quad, R/R, I/O Op Amp	14-TSSOP	2.00	1.60	1.25
OPA4348AIPWT	296-12278-2-ND	Vierf. R/R E/A-OpAmp, 1 MHz	1MHz, Quad, R/R, I/O Op Amp	14-TSSOP		295.68/250	
OPA4350EA/250	OPA4350EACT-ND	HS CMOS-OpAmp, 35 MHz	High Speed CMOS Op Amp, 35MHz	16-SSOP	6.60	5.29	4.46
OPA4350EA/250	OPA4350EATR-ND	HS CMOS-OpAmp, 35 MHz	High Speed CMOS Op Amp, 35MHz	16-SSOP		1073.07/250	
OPA4350UA	OPA4350UA-ND	HS CMOS-OpAmp, 35 MHz	High Speed CMOS Op Amp, 35MHz	14-SOIC	6.60	5.29	4.46
OPA4353EA/250	OPA4353EACT-ND	Preiswerter HS CMOS-OpAmp	Low Cost, HS CMOS Op Amp	16-SSOP	4.03	3.23	2.73
OPA4353EA/250	OPA4353EATR-ND	Preiswerter HS CMOS-OpAmp	Low Cost, HS CMOS Op Amp	16-SSOP		669.87/250	
OPA4353UA	OPA4353UA-ND	Preiswerter HS CMOS-OpAmp	Low Cost, HS CMOS Op Amp	14-SOIC	4.54	3.63	2.83
OPA4354AIDR	296-12643-1-ND	Vierf. HS, R/R, E/A, CMOS-OpAmp, 250 MHz	Quad, High Speed, 250MHz, R/R, I/O,CMOS Op Amp	14-SOIC	3.26	2.61	2.03
OPA4354AIDR	296-12643-2-ND	Vierf. HS, R/R, E/A, CMOS-OpAmp, 250 MHz	Quad, High Speed, 250MHz, R/R, I/O,CMOS Op Amp	14-SOIC		4561.06/2,500	
OPA4354AIPWR	296-12644-1-ND	Vierf. HS, R/R, E/A, CMOS-OpAmp, 250 MHz	Quad, High Speed, 250MHz, R/R, I/O, CMOS Op Amp	14-TSSOP	3.26	2.61	2.03
OPA4354AIPWR	296-12644-2-ND	Vierf. HS, R/R, E/A, CMOS-OpAmp, 250 MHz	Quad, High Speed, 250MHz, R/R, I/O, CMOS Op Amp	14-TSSOP		4561.06/2,500	
OPA4364AID	296-14629-5-ND	Einzelversorgter R/R-OpAmp, 7 MHz, 1,8 V	1.8V, 7MHz, Single-Supply R/R Op Amp	14-SOIC	2.67	2.14	1.66
OPA4364AIPWT	296-14630-1-ND	Einzelversorgter R/R-OpAmp, 7 MHz, 1,8 V	1.8V, 7MHz, Single-Supply R/R Op Amp	14-TSSOP	2.67	2.14	1.66
OPA4364AIPWT	296-14630-2-ND	Einzelversorgter R/R-OpAmp, 7 MHz, 1,8 V	1.8V, 7MHz, Single-Supply R/R Op Amp	14-TSSOP		394.09/250	
OPA4374AIPWT	296-16811-1-ND	E/A R/R-OpAmp, 6,5 MHz	6.5MHz, R/R I/O Op Amp	14-TSSOP	2.01	1.61	1.21
OPA4374AIPWT	296-16811-2-ND	E/A R/R-OpAmp, 6,5 MHz	6.5MHz, R/R I/O Op Amp	14-TSSOP		281.49/250	
OPA4684ID	296-13648-5-ND	Vierf. NL-OpAmp, Strom-Feedback	Quad, Low Power, Current-Feedback Op Amp	14-SOIC	5.32	4.26	3.59
OPA4684IPWT	296-13649-1-ND	Vierf. NL-OpAmp, Strom-Feedback	Quad, Low Power, Current-Feedback Op Amp	14-TSSOP	5.47	4.38	3.70
OPA4684IPWT	296-13649-2-ND	Vierf. NL-OpAmp, Strom-Feedback	Quad, Low Power, Current-Feedback Op Amp	14-TSSOP		854.64/250	
OPA4703EA/2K5	OPA4703EA/2K5CT-ND	Vierf. CMOS-OpAmp, R/R, E/A, 1 MHz	1MHz, Quad CMOS R/R, I/O Op Amp	14-TSSOP	6.86	5.49	4.63
OPA4703EA/2K5	OPA4703EA/2K5TR-ND	Vierf. CMOS-OpAmp, R/R, E/A, 1 MHz	1MHz, Quad CMOS R/R, I/O Op Amp	14-TSSOP		10629.06/2,500	
OPA4703EA/250	296-17093-1-ND	Vierf. CMOS-OpAmp, R/R, E/A, 1 MHz	1MHz, Quad CMOS R/R, I/O Op Amp	14-TSSOP	6.86	5.49	4.63
OPA4703EA/250	296-17093-2-ND	Vierf. CMOS-OpAmp, R/R, E/A, 1 MHz	1MHz, Quad CMOS R/R, I/O Op Amp	14-TSSOP		1114.34/250	
OPA4703UA	OPA4703UA-ND	Vierf. CMOS-OpAmp, R/R, E/A, 1 MHz	1MHz, Quad CMOS R/R, I/O Op Amp	14-SOIC	6.86	5.49	4.63
OPA4704EA/2K5	OPA4704EA/2K5CT-ND	Vierf. CMOS-OpAmp, R/R, E/A, 5 MHz	5MHz, Quad CMOS R/R, I/O Op Amp	14-TSSOP	6.86	5.49	4.63
OPA4704EA/2K5	OPA4704EA/2K5TR-ND	Vierf. CMOS-OpAmp, R/R, E/A, 5 MHz	5MHz, Quad CMOS R/R, I/O Op Amp	14-TSSOP		10629.06/2,500	
OPA4704EA/250	296-17094-1-ND	Vierf. CMOS-OpAmp, R/R, E/A, 5 MHz	5MHz, Quad CMOS R/R, I/O Op Amp	14-TSSOP	6.86	5.49	4.63
OPA4704EA/250	296-17094-2-ND	Vierf. CMOS-OpAmp, R/R, E/A, 5 MHz	5MHz, Quad CMOS R/R, I/O Op Amp	14-TSSOP		1114.34/250	
OPA4704UA	OPA4704UA-ND	Vierf. CMOS-OpAmp, R/R, E/A, 5 MHz	5MHz, Quad CMOS R/R, I/O Op Amp	14-SOIC	6.86	5.49	4.63
OPA4705EA/2K5	OPA4705EA/2K5CT-ND	Vierf. CMOS-OpAmp, R/R, E/A, 1 MHz	1MHz, Quad CMOS R/R, I/O Op Amp	14-TSSOP	3.05	2.44	1.90
OPA4705EA/2K5	OPA4705EA/2K5TR-ND	Vierf. CMOS-OpAmp, R/R, E/A, 1 MHz	1MHz, Quad CMOS R/R, I/O Op Amp	14-TSSOP		4266.86/2,500	
OPA4705EA/250	296-17095-1-ND	Vierf. CMOS-OpAmp, R/R, E/A, 1 MHz	1MHz, Quad CMOS R/R, I/O Op Amp	14-TSSOP	3.05	2.44	1.90
OPA4705EA/250	296-17095-2-ND	Vierf. CMOS-OpAmp, R/R, E/A, 1 MHz	1MHz, Quad CMOS R/R, I/O Op Amp	14-TSSOP		450.39/250	
OPA4705UA	OPA4705UA-ND	Vierf. CMOS-OpAmp, R/R, E/A, 1 MHz	1MHz, Quad CMOS R/R, I/O Op Amp	14-SOIC	3.05	2.44	1.90
OPA4743EA/250	OPA4743EA/250CT-ND	Vierf. CMOS-OpAmp, R/R, E/A, 7 MHz	7MHz, Quad CMOS R/R, I/O Op Amp	14-TSSOP	4.48	3.59	2.79
OPA4743EA/250	OPA4743EA/250TR-ND	Vierf. CMOS-OpAmp, R/R, E/A, 7 MHz	7MHz, Quad CMOS R/R, I/O Op Amp	14-TSSOP		661.62/250	
OPA4743UA	296-12205-5-ND	Vierf. CMOS-OpAmp, HS, R/R, E/A, 12 V	12V, Quad, High Speed, R/R, I/O Op Amp	14-SOIC	4.48	3.59	2.79
OPA4820IPWT	296-17560-1-ND	Vierf. rauscharmer OpAmp, Spann.-Feedback, V-Faktor = 1 stabil	Quad, Unity-Gain Stable, Low-Noise, Volt.-Feedback Op Amp	14-TSSOP	4.57	3.66	2.85
OPA4820IPWT	296-17560-2-ND	Vierf. rauscharmer OpAmp, Spann.-Feedback, V-Faktor = 1 stabil	Quad, Unity-Gain Stable, Low-Noise, Volt.-Feedback Op Amp	14-TSSOP		675.59/250	
OPA4820ID	296-17590-5-ND	Vierf. rauscharmer OpAmp, Spann.-Feedback, V-Faktor = 1 stabil	Quad, Unity-Gain Stable, Low-Noise, Volt.-Feedback Op Amp	14-SOIC	4.39	3.51	2.73
PGA103U	PGA103U-ND	Verst. m. programmierbarem V-Faktor	Programmable Gain Amp	8-SOIC	7.37	5.90	4.98
PGA202KP	PGA202KP-ND	Digital gesteuerter OpAmp m. programmierb. V-Faktor	Digitally Controlled Programmable Gain Op Amp	14-Dip	10.93	9.85	8.73
PGA203KP	PGA203KP-ND	Digital gesteuerter OpAmp m. programmierb. V-Faktor	Digitally Controlled Programmable Gain Op Amp	14-Dip	10.93	9.85	8.73
PGA204AP	PGA204AP-ND	Instrumentierungsverstärker m. programmierb. V-Faktor	Prog. Gain Instrumentation Amp	16-Dip	10.23	9.21	8.17
PGA204AU	PGA204AU-ND	Instrumentierungsverstärker m. programmierb. V-Faktor	Prog. Gain Instrumentation Amp	16-SOIC	10.23	9.21	8.17
PGA204BP	PGA204BP-ND	Instrumentierungsverstärker m. programmierb. V-Faktor	Prog. Gain Instrumentation Amp	16-Dip	12.83	11.98	11.12
PGA204BU	PGA204BU-ND	Instrumentierungsverstärker m. programmierb. V-Faktor	Prog. Gain Instrumentation Amp	16-SOIC	12.83	11.98	11.12
PGA205AP	PGA205AP-ND	Instrumentierungsverstärker m. programmierb. V-Faktor	Prog. Gain Instrumentation Amp	16-Dip	10.23	9.21	8.17
PGA205AU	PGA205AU-ND	Instrumentierungsverstärker m. programmierb. V-Faktor	Prog. Gain Instrumentation Amp	16-SOIC	10.23	9.21	8.17
PGA205BP	PGA205BP-ND	Instrumentierungsverstärker m. programmierb. V-Faktor	Prog. Gain Instrumentation Amp	16-Dip	12.83	11.98	11.12
PGA205BU	PGA205BU-ND	Instrumentierungsverstärker m. programmierb. V-Faktor	Prog. Gain Instrumentation Amp	16-SOIC	12.83	11.98	11.12
PGA206UA	PGA206UA-ND	HS Instrumentenverst. m. programmierb. V-Faktor	High Speed Programmable Gain Instrumentation Amp	16-SOIC	13.71	12.81	11.89
PGA207UA	296-15093-5-ND	HS Instrumentenverst. m. programmierb. V-Faktor	High Speed Programmable Gain Instrumentation Amp	16-SOIC	15.05	14.05	13.05
PGA309AIPWT	296-16726-1-ND	Smarter programmierbarer Sensor	Smart Programmable Sensor	16-TSSOP	4.99	4.00	3.38
PGA2310UA	296-12255-5-ND	Hochleistungs-Stereo-Audio-Lautstärkensteuerung	High Performance Stereo Audio Volume Control	16-SOIC	14.04	12.64	11.21
PGA2311P	PGA2311P-ND	Hochleistungs-Stereo-Audio-Lautstärkensteuerung, 5 V	5V, High Performance Stereo Audio Volume Control	16-Dip	8.36	6.70	5.65
PGA2311PA	PGA2311PA-ND	Hochleistungs-Stereo-Audio-Lautstärkensteuerung, 5 V	5V, High Performance Stereo Audio Volume Control	16-Dip	8.38	7.55	6.69
PGA2311U	PGA2311U-ND	Hochleistungs-Stereo-Audio-Lautstärkensteuerung, 5 V	5V, High Performance Stereo Audio Volume Control	16-SOIC	8.36	6.70	5.65
PGA2311UA	PGA2311UA-ND	Hochleistungs-Stereo-Audio-Lautstärkensteuerung, 5 V	5V, High Performance Stereo Audio Volume Control	16-SOIC	8.38	7.55	6.69
PGA2500IDB	296-16674-5-ND	Digital gesteuerter Mikrofon-Vorverst.	Digital Controlled Microphone Preamp	28-SSOP	14.04	12.64	11.21
RC4136N	296-9649-5-ND	Vierf. Allzweck-OpAmp	Quad General Purpose Op Amp	14-Dip	1.02	.85	.68
RC4558D	296-9650-5-ND	Zweif. Allzweck-OpAmp	Dual General Purpose Op Amp	8-SOIC	.39	.32	.22
RC4558DGKR	296-16946-1-ND	Zweif. Allzweck-OpAmp	Dual General Purpose Op Amp	8-VSSOP	.42	.34	.26
RC4558DGKR	296-16946-2-ND	Zweif. Allzweck-OpAmp	Dual General Purpose Op Amp	8-VSSOP		285.73/2,500	
RC4558DR	296-14634-1-ND	Zweif. Allzweck-OpAmp	Dual General Purpose Op Amp	8-SOIC	.39	.32	.22
RC4558DR	296-14634-2-ND	Zweif. Allzweck-OpAmp	Dual General Purpose Op Amp	8-SOIC		251.86/2,500	
RC4558IDGKR	296-17418-1-ND	Zweif. Allzweck-OpAmp	Dual General Purpose Op Amp	8-MSOP	.47	.36	.27
RC4558IDGKR	296-17418-2-ND	Zweif. Allzweck-OpAmp	Dual General Purpose Op Amp	8-MSOP		385.20/2,500	
RC4558IDR	296-17440-1-ND	Zweif. Allzweck-OpAmp	Dual General Purpose Op Amp	8-SOIC	.41	.31	.23
RC4558IDR	296-17440-2-ND	Zweif. Allzweck-OpAmp	Dual General Purpose Op Amp	8-SOIC		330.17/2,500	
RC4558IP	296-17460-5-ND	Zweif. Allzweck-OpAmp	Dual General Purpose Op Amp	8-Dip	.41	.31	.23
RC4558IPWR	296-17419-1-ND	Zweif. Allzweck-OpAmp	Dual General Purpose Op Amp	8-TSSOP	.41	.31	.23
RC4558IPWR	296-17419-2-ND	Zweif. Allzweck-OpAmp	Dual General Purpose Op Amp	8-TSSOP		270.91/2,000	
RC4558P	296-1414-5-ND	Zweif. Allzweck-OpAmp	Dual General Purpose Op Amp	8-Dip	.39	.32	.22
RC4558PSR	296-9651-1-ND	Zweif. Allzweck-OpAmp	Dual General Purpose Op Amp	8-SOP	.39	.32	.22

(Forts.)

★ RUFEN SIE BITTE AN FÜR NIEDRIGERE PREISE BEI GRÖSSEREN MENGEN! ★

B

T. I. Teilenr.	Digi-Key Teilenr.	Beschreibung		Paket	Stückpreis ★ 1	25	100
RC4558PSR	296-9651-2-ND	Zweif. Allzweck-OpAmp	Dual General Purpose Op Amp	8-SOP		213.34/2,000	
RC4558PWR	296-13789-1-ND	Zweif. Allzweck-OpAmp	Dual General Purpose Op Amp	8-TSSOP	.39	.32	.22
RC4558PWR	296-13789-2-ND	Zweif. Allzweck-OpAmp	Dual General Purpose Op Amp	8-TSSOP		213.34/2,000	
RC4559P	296-9652-5-ND	Zweif. Hochleistungs-OpAmp	Dual High Performance Op Amp	8-Dip	.78	.59	.44
RC4560IDR	296-17547-1-ND	Zweif. Audio-OpAmp	Dual Audio Op Amp	8-SOIC	.78	.59	.44
RC4560IDR	296-17547-2-ND	Zweif. Audio-OpAmp	Dual Audio Op Amp	8-SOIC		632.83/2,500	
RC4560IP	296-17554-5-ND	Zweif. Audio-OpAmp	Dual Audio Op Amp	8-Dip	.78	.59	.44
RC4560IPWR	296-17544-1-ND	Zweif. Audio-OpAmp	Dual Audio Op Amp	8-TSSOP	.78	.59	.44
RC4560IPWR	296-17544-2-ND	Zweif. Audio-OpAmp	Dual Audio Op Amp	8-TSSOP		518.12/2,000	
RC4580IDR	296-15367-1-ND	Zweif. Audio-OpAmp	Dual Audio Op Amp	8-SOIC	.63	.53	.43
RC4580IDR	296-15367-2-ND	Zweif. Audio-OpAmp	Dual Audio Op Amp	8-SOIC		687.86/2,500	
RC4580IP	296-15368-5-ND	Zweif. Audio-OpAmp	Dual Audio Op Amp	8-Dip	.78	.59	.44
RC4580IPWR	296-15369-1-ND	Zweif. Audio-OpAmp	Dual Audio Op Amp	8-TSSOP	.78	.59	.44
RC4580IPWR	296-15369-2-ND	Zweif. Audio-OpAmp	Dual Audio Op Amp	8-TSSOP		518.12/2,000	
SA5532ADR	296-16994-1-ND	Zweif. HS-Audio-OpAmp	Dual, High Speed Audio Op Amp	8-SOIC	.84	.70	.56
SA5532ADR	296-16994-2-ND	Zweif. HS-Audio-OpAmp	Dual, High Speed Audio Op Amp	8-SOIC		907.98/2,500	
SA5532AP	296-16995-5-ND	Zweif. HS-Audio-OpAmp	Dual, High Speed Audio Op Amp	8-Dip	.84	.70	.56
SA5532DR	296-16996-1-ND	Zweif. HS-Audio-OpAmp	Dual, High Speed Audio Op Amp	8-SOIC	.63	.53	.43
SA5532DR	296-16996-2-ND	Zweif. HS-Audio-OpAmp	Dual, High Speed Audio Op Amp	8-SOIC		687.86/2,500	
SA5532P	296-16996-5-ND	Zweif. HS-Audio-OpAmp	Dual, High Speed Audio Op Amp	8-Dip	.63	.53	.43
SA5534ADR	296-17271-1-ND	Rauscharmer OpAmp	Low Noise Op Amp	8-SOIC	1.02	.85	.68
SA5534ADR	296-17271-2-ND	Rauscharmer OpAmp	Low Noise Op Amp	8-SOIC		1100.58/2,500	
SA5534AP	296-17272-5-ND	Rauscharmer OpAmp	Low Noise Op Amp	8-Dip	1.02	.85	.68
SA5534DR	296-17273-1-ND	Rauscharmer OpAmp	Low Noise Op Amp	8-SOIC	.94	.79	.63
SA5534DR	296-17273-2-ND	Rauscharmer OpAmp	Low Noise Op Amp	8-SOIC		1018.04/2,500	
SA5534P	296-17274-5-ND	Rauscharmer OpAmp	Low Noise Op Amp	8-Dip	.94	.79	.63
SA5534PSR	296-17275-1-ND	Rauscharmer OpAmp	Low Noise Op Amp	8-SOP	.94	.79	.63
SA5534PSR	296-17275-2-ND	Rauscharmer OpAmp	Low Noise Op Amp	8-SOP		833.05/2,000	
SN10501D	296-14777-5-ND	HS Video-OpAmp, R/R	High Speed, R/R, Video Op Amp	8-SOIC	1.42	1.14	.86
SN10501DBVT	296-15094-1-ND	HS Video-OpAmp, R/R	High Speed, R/R, Video Op Amp	SOT-23-5	1.42	1.14	.86
SN10501DBVT	296-15094-2-ND	HS Video-OpAmp, R/R	High Speed, R/R, Video Op Amp	SOT-23-5		198.53/250	
SN10501DGK	296-16654-5-ND	HS Video-OpAmp, R/R	High Speed, R/R, Video Op Amp	8-MSOP	1.42	1.14	.86
SN10502D	296-15329-5-ND	HS Video-OpAmp, R/R	High Speed, R/R, Video Op Amp	8-SOIC	1.90	1.53	1.15
SN10502DGK	296-16655-5-ND	HS Video-OpAmp, R/R	High Speed, R/R, Video Op Amp	8-MSOP	1.90	1.53	1.15
SN10502DGN	296-16656-5-ND	HS Video-OpAmp, R/R	High Speed, R/R, Video Op Amp	8-MSOP	1.90	1.53	1.15
SN10503D	296-14778-5-ND	HS Video-OpAmp, R/R	High Speed, R/R, Video Op Amp	8-SOIC	2.36	1.89	1.47
SN10503PWP	296-16829-5-ND	HS Video-OpAmp, R/R	High Speed, R/R, Video Op Amp	14-TSSOP	2.36	1.89	1.47
SN75207BN	296-9910-5-ND	Zweif. Leitungsempfänger mit hoher Sensitivität	Dual High Sensitivity Line Receiver	14-Dip	2.38	1.91	1.49
TAS5015PFB	296-12995-5-ND	Echter digitaler Audioverst. TAS5015 Digitaler Audio-PWM-Prozessor	True Digital Audio Amp TAS5015 Digital Audio PWM Processor	48-TQFP	28.50	26.60	24.70
TAS5100ADAP	296-12744-5-ND	Digitaler Audio-PWM-Verstärker	Digital Audio PWM Amp	32-HTSSOP	15.11	14.11	13.10
TAS5110DAP	296-12997-5-ND	Echter digitaler Audioverst. TAS5110 PWM Leistungsausgangsstufe	True Digital Audio Amp TAS5110 PWM Power Output Stage	32-HTSSOP	15.11	14.11	13.10
TAS5111DAD	296-15277-5-ND	Digitaler Verstärker, Leistungsstufe	Digital Amp Power Stage	32-TSSOP	5.62	4.50	3.80
TAS5112ADCA	296-17673-5-ND	Digitaler Verst., Stereo-Leistungsstufe	Digital Amp Stereo Power Stage	56-TSSOP	6.77	5.42	4.58
TAS5112ADFD	296-15944-5-ND	Digitaler Verst., Stereo-Leistungsstufe	Digital Amp Stereo Power Stage	56-TSSOP	6.77	5.42	4.58
TAS5112DFD	296-15330-5-ND	Digitaler Verst., Stereo-Leistungsstufe	Digital Amp Stereo Power Stage	56-HTSSOP	7.06	5.65	4.77
TAS5121DKD	296-16644-5-ND	Digitaler Verst., Stereo-Leistungsstufe	Digital Amp Stereo Power Stage	36-PSOP3	5.08	4.07	3.43
TAS5121IDKD	296-17474-5-ND	Digitaler Verst., Stereo-Leistungsstufe	Digital Amp Stereo Power Stage	36-PSOP3	5.76	4.61	3.89
TAS5142DKD	296-17861-5-ND	Digitaler Verst., Stereo-Leistungsstufe	Stereo Digital Amp Power Stage	36-PSOP3	6.60	5.29	4.46
TAS5152DKD	296-17901-5-ND	Digitaler Verst., Stereo-Leistungsstufe	Stereo Digital Amp Power Stage	36-PSOP3	7.28	5.83	4.92
TAS5182DCA	296-15249-5-ND	Digitaler Stereo-Verst., Leistungsstufen-Controller, 100 W	100W Stereo Digital Amp Power Stage Controller	56-TSSOP	7.48	6.74	5.97
TAS5182IDCA	296-16663-5-ND	Digitaler Stereo-Verst., Leistungsstufen-Controller, 100 W	100W Stereo Digital Amp Power Stage Controller	56-TSSOP	7.97	7.18	6.37
THS3001CD	296-1762-5-ND	Strom-Feedback-OpAmp, 420 MHz	420MHz Current-Feedback Op Amp	8-SOIC	5.16	4.14	3.49
THS3001ID	296-7507-5-ND	Strom-Feedback-OpAmp, 420 MHz	420MHz Current-Feedback Op Amp	8-SOIC	5.33	4.27	3.61
THS3001IDGNR	296-12006-1-ND	Strom-Feedback-OpAmp, 420 MHz	420MHz Current-Feedback Op Amp	8-MSOP	5.33	4.27	3.61
THS3001IDGNR	296-12006-2-ND	Strom-Feedback-OpAmp, 420 MHz	420MHz Current-Feedback Op Amp	8-MSOP		8267.05/2,500	
THS3061D	296-13502-5-ND	Einf. verzerrungsarmer Strom-Feedback-Verstärker mit High-Slew-Rate	Single, Low Distortion, High Slew-Rate Current-Feedback Amp	8-SOIC	4.99	4.00	3.38
THS3061DGN	296-13613-5-ND	Einf. verzerrungsarmer Strom-Feedback-Verstärker mit High-Slew-Rate	Single, Low Distortion, High Slew-Rate, Current-Feedback Amp	8-MSOP	4.99	4.00	3.38
THS3062D	296-13821-5-ND	Zweif. verzerrungsarmer Strom-Feedback-Verstärker mit High-Slew-Rate	Dual, Low Distortion, High Slew-Rate Current-Feedback Amp	8-SOIC	7.20	5.76	4.86
THS3062DDA	296-13503-5-ND	Zweif. verzerrungsarmer Strom-Feedback-Verstärker mit High-Slew-Rate	Dual, Low Distortion, High Slew-Rate Current-Feedback Amp	8-SOIC	7.20	5.76	4.86
THS3062DGN	296-13614-5-ND	Zweif. verzerrungsarmer Strom-Feedback-Verstärker mit High-Slew-Rate	Dual, Low Distortion, High Slew-Rate, Current-Feedback Amp	8-MSOP	7.20	5.76	4.86
THS3091D	296-16671-5-ND	Verzerrungsarmer Strom-Feedback-OpAmp, hohe Spannung	High Volt, Low Distortion, Current- Feedback Op Amp	8-SOIC	6.10	4.88	4.12
THS3091DDA	296-15789-5-ND	Verzerrungsarmer Strom-Feedback-OpAmp, hohe Spannung	High Volt, Low Distortion, Current- Feedback Op Amp	8-SOIC	6.10	4.88	4.12
THS3091EVM	296-16738-ND	Evaluierungsmodul für THS3091	Evaluation Module For THS3091	—	53.15	—	—
THS3095D	296-16672-5-ND	Verzerrungsarmer Strom-Feedback-OpAmp, hohe Spannung	High Volt, Low Distortion, Current- Feedback Op Amp	8-SOIC	6.10	4.88	4.12
THS3095DDA	296-15790-5-ND	Verzerrungsarmer Strom-Feedback-OpAmp, hohe Spannung	High Volt, Low Distortion, Current- Feedback Op Amp	8-SOIC	6.10	4.88	4.12
THS3095EVM	296-16739-ND	Evaluierungsmodul für THS3095	Evaluation Module For THS3095	—	53.15	—	—
THS3110ID	296-15768-5-ND	Rauscharmer Strom-Feedback-OpAmp, Hochspann.	Low Noise, High Volt., Current-Feedback Op Amp	8-SOIC	3.52	2.82	2.20
THS3110IDGN	296-15769-5-ND	Rauscharmer Strom-Feedback-OpAmp, Hochspann.	Low Noise, High Volt., Current-Feedback Op Amp	8-MSOP	3.52	2.82	2.20
THS3111ID	296-15770-5-ND	Rauscharmer Strom-Feedback-OpAmp, Hochspann.	Low Noise, High Volt., Current-Feedback Op Amp	8-SOIC	3.52	2.82	2.20
THS3111IDGN	296-15771-5-ND	Rauscharmer Strom-Feedback-OpAmp, Hochspann.	Low Noise, High Volt., Current-Feedback Op Amp	8-MSOP	3.52	2.82	2.20
THS3112ID	296-13333-5-ND	Rauscharmer Strom-Feedback-Verst., HS	Low Noise, High Speed Current-Feedback Amp	8-SOIC	5.33	4.27	3.61
THS3112IDDAR	296-13334-1-ND	Rauscharmer Strom-Feedback-Verst., HS	Low Noise, High Speed Current-Feedback Amp	8-SOIC	5.33	4.27	3.61
THS3112IDDAR	296-13334-2-ND	Rauscharmer Strom-Feedback-Verst., HS	Low Noise, High Speed Current-Feedback Amp	8-SOIC		8267.05/2,500	
THS3115ID	296-13335-5-ND	Rauscharmer Strom-Feedback-Verst., HS	Low Noise, High Speed Current-Feedback Amp	14-SOIC	5.33	4.27	3.61
THS3115IPWP	296-13336-5-ND	Rauscharmer Strom-Feedback-Verst., HS	Low Noise, High Speed Current-Feedback Amp	14-TSSOP	5.33	4.27	3.61
THS3120ID	296-15772-5-ND	Rauscharmer Strom-Feedback-OpAmp, hoher Ausgangstreiber	Low Noise, High Output Drive, Current-Feedback Op Amp	8-SOIC	4.08	3.27	2.54
THS3120IDGN	296-15773-5-ND	Rauscharmer Strom-Feedback-OpAmp, hoher Ausgangstreiber	Low Noise, High Output Drive, Current-Feedback Op Amp	8-MSOP	4.08	3.27	2.54
THS3121ID	296-15774-5-ND	Rauscharmer Strom-Feedback-OpAmp, hoher Ausgangstreiber	Low Noise, High Output Drive, Current-Feedback Op Amp	8-SOIC	4.08	3.27	2.54
THS3121IDGN	296-15775-5-ND	Rauscharmer Strom-Feedback-OpAmp, hoher Ausgangstreiber	Low Noise, High Output Drive, Current-Feedback Op Amp	8-MSOP	4.08	3.27	2.54
THS3122ID	296-13337-5-ND	Rauscharmer Strom-Feedback-Verst., HS, 450 mA	Low Noise, High Speed, 450mA Current-Feedback Amp	8-SOIC	6.20	4.96	4.19
THS3122IDDAR	296-13338-1-ND	Rauscharmer Strom-Feedback-Verst., HS, 450 mA	Low Noise, High Speed, 450mA Current-Feedback Amp	8-SOIC	6.20	4.96	4.19
THS3122IDDAR	296-13338-2-ND	Rauscharmer Strom-Feedback-Verst., HS, 450 mA	Low Noise, High Speed, 450mA Current-Feedback Amp	8-SOIC		9604.68/2,500	
THS3125ID	296-13339-5-ND	Rauscharmer Strom-Feedback-Verst., HS, 450 mA	Low Noise, High Speed, 450mA Current-Feedback Amp	14-SOIC	6.20	4.96	4.19
THS3125IPWP	296-13340-5-ND	Rauscharmer Strom-Feedback-Verst., HS, 450 mA	Low Noise, High Speed, 450mA Current-Feedback Amp	14-TSSOP	6.20	4.96	4.19
THS3201D	296-15216-5-ND	Verzerrungsarmer Strom-Feedback-Verst., 1,8 GHz	1.8GHz Low Dist., Current-Feedback Amp	8-SOIC	4.00	3.20	2.49
THS3201DBVT	296-15217-1-ND	Verzerrungsarmer Strom-Feedback-Verst., 1,8 GHz	1.8GHz Low Dist., Current-Feedback Amp	SOT-23-6	4.00	3.20	2.49
THS3201DBVT	296-15217-2-ND	Verzerrungsarmer Strom-Feedback-Verst., 1,8 GHz	1.8GHz Low Dist., Current-Feedback Amp	SOT-23-6		591.14/250	
THS3201DGK	296-16776-5-ND	Verzerrungsarmer Strom-Feedback-Verst., 1,8 GHz	1.8GHz Low Dist., Current-Feedback Amp	8-MSOP	4.00	3.20	2.49
THS3201DGN	296-15218-5-ND	Verzerrungsarmer Strom-Feedback-Verst., 1,8 GHz	1.8GHz Low Dist., Current-Feedback Amp	8-MSOP	4.00	3.20	2.49
THS3202D	296-13655-5-ND	Strom-Feedback-Verst., 2 GHz	2GHz Current-Feedback Amp	8-SOIC	4.91	3.93	3.32
THS3202DGK	296-16777-5-ND	Strom-Feedback-Verst., 2 GHz	2GHz Current-Feedback Amp	8-MSOP	4.91	3.93	3.32
THS3202DGN	296-13656-5-ND	Strom-Feedback-Verst., 2 GHz	2GHz Current-Feedback Amp	8-MSOP	4.91	3.93	3.32
THS4001CD	296-1763-5-ND	HS-OpAmp, Niedrigstrom	High Speed, Low Power Op Amp	8-SOIC	3.81	3.05	2.38
THS4001ID	296-1764-5-ND	HS-OpAmp, Niedrigstrom	High Speed, Low Power Op Amp	8-SOIC	4.00	3.20	2.49
THS4011CD	296-2404-5-ND	HS-Verst., 290 MHz	290MHz High Speed Amp	8-SOIC	4.39	3.51	2.73
THS4011CDGNR	296-7508-1-ND	Verzerrungsarmer Spann.-Feedback-OpAmp, 290 MHz	290MHz Low-Distortion Voltage-Feedback Op Amp	8-MSOP	4.39	3.51	2.73
THS4011CDGNR	296-7508-2-ND	Verzerrungsarmer Spann.-Feedback-OpAmp, 290 MHz	290MHz Low-Distortion Voltage-Feedback Op Amp	8-MSOP		6133.62/2,500	
THS4011ID	296-7509-5-ND	Verzerrungsarmer Spann.-Feedback-OpAmp, 290 MHz	290MHz Low-Distortion Voltage-Feedback Op Amp	8-SOIC	4.57	3.66	2.85
THS4011IDGNR	296-7510-1-ND	Verzerrungsarmer Spann.-Feedback-OpAmp, 290 MHz	290MHz Low-Distortion V-Feedback Op Amp	8-MSOP	4.57	3.66	2.85
THS4011IDGNR	296-7510-2-ND	Verzerrungsarmer Spann.-Feedback-OpAmp, 290 MHz	290MHz Low-Distortion Voltage-Feedback Op Amp	8-MSOP		6400.30/2,500	

(Forts.)

★ ***RUFEN SIE BITTE AN FÜR NIEDRIGERE PREISE BEI GRÖSSEREN MENGEN!*** ★

T. I. Teilenr.	Digi-Key Teilenr.	Beschreibung		Paket	Stückpreis ★ 1	25	100
THS4012CD	296-7511-5-ND	Zweif. verzerrungsarmer Spann.-Feedback-OpAmp, 290 MHz	Dual 290MHz Low-Distortion Voltage-Feedback Op Amp	8-SOIC	6.43	5.15	4.35
THS4012CDGN	296-10023-5-ND	Zweif. verzerrungsarmer Spann.-Feedback-OpAmp, 290 MHz	Dual 290MHz Low-Distortion Voltage-Feedback Op Amp	8-MSOP	6.43	5.15	4.35
THS4012CDGNR	296-10023-1-ND	Zweif. verzerrungsarmer Spann.-Feedback-OpAmp, 290 MHz	Dual 290MHz Low-Distortion Voltage-Feedback Op Amp	8-MSOP	6.43	5.15	4.35
THS4012CDGNR	296-10023-2-ND	Zweif. verzerrungsarmer Spann.-Feedback-OpAmp, 290 MHz	Dual 290MHz Low-Distortion Voltage-Feedback Op Amp	8-MSOP		9972.95/2,500	
THS4012ID	296-7513-5-ND	Zweif. verzerrungsarmer Spann.-Feedback-OpAmp, 290 MHz	Dual 290MHz Low-Distortion Voltage-Feedback Op Amp	8-SOIC	6.60	5.29	4.46
THS4012IDGN	296-10025-5-ND	Zweif. verzerrungsarmer Spann.-Feedback-OpAmp, 290 MHz	Dual 290MHz Low-Distortion Voltage-Feedback Op Amp	8-MSOP	6.60	5.29	4.46
THS4012IDGNR	296-10025-1-ND	Zweif. verzerrungsarmer Spann.-Feedback-OpAmp, 290 MHz	Dual 290MHz Low-Distortion Voltage-Feedback Op Amp	8-MSOP	6.60	5.29	4.46
THS4012IDGNR	296-10025-2-ND	Zweif. verzerrungsarmer Spann.-Feedback-OpAmp, 290 MHz	Dual 290MHz Low-Distortion Voltage-Feedback Op Amp	8-MSOP		10235.39/2,500	
THS4021CD	296-2405-5-ND	Ultra-rauscharmer Spannungs-Feedback-OpAmp, 350 MHz	350MHz Ultra-Low Noise Voltage-Feedback Op Amp	8-SOIC	4.40	3.53	2.98
THS4021CDGNR	296-10026-1-ND	Ultra-rauscharmer Spannungs-Feedback-OpAmp, 350 MHz	350MHz Ultra-Low Noise Voltage-Feedback Op Amp	8-MSOP	4.40	3.53	2.98
THS4021CDGNR	296-10026-2-ND	Ultra-rauscharmer Spannungs-Feedback-OpAmp, 350 MHz	350MHz Ultra-Low Noise Voltage-Feedback Op Amp	8-MSOP		6823.60/2,500	
THS4021ID	296-7516-5-ND	Ultra-rauscharmer Spannungs-Feedback-OpAmp, 350 MHz	350MHz Ultra-Low Noise Voltage-Feedback Op Amp	8-SOIC	4.57	3.66	3.09
THS4021IDGNR	296-7517-1-ND	Ultra-rauscharmer Spannungs-Feedback-OpAmp, 350 MHz	350MHz Ultra-Low Noise Voltage-Feedback Op Amp	8-MSOP	4.57	3.66	3.09
THS4021IDGNR	296-7517-2-ND	Ultra-rauscharmer Spannungs-Feedback-OpAmp, 350 MHz	350MHz Ultra-Low Noise Voltage-Feedback Op Amp	8-MSOP		7086.04/2,500	
THS4022CDGNR	296-7518-1-ND	Zweif. rauscharmer Spannungs-Feedback-OpAmp, 350 MHz	Dual 350MHz Low-Noise Voltage-Feedback Op Amp	8-MSOP	6.18	4.95	4.18
THS4022CDGNR	296-7518-2-ND	Zweif. rauscharmer Spannungs-Feedback-OpAmp, 350 MHz	Dual 350MHz Low-Noise Voltage-Feedback Op Amp	8-MSOP		9579.28/2,500	
THS4022ID	296-7519-5-ND	Zweif. rauscharmer Spannungs-Feedback-OpAmp, 350 MHz	Dual 350MHz Low Noise Voltage-Feedback Op Amp	8-SOIC	6.35	5.08	4.29
THS4022IDGNR	296-7520-1-ND	Zweif. rauscharmer Spannungs-Feedback-OpAmp, 350 MHz	Dual 350MHz Low-Noise Voltage-Feedback Op Amp	8-MSOP	6.35	5.08	4.29
THS4022IDGNR	296-7520-2-ND	Zweif. rauscharmer Spannungs-Feedback-OpAmp, 350 MHz	Dual 350MHz Low-Noise Voltage-Feedback Op Amp	8-MSOP		9841.73/2,500	
THS4031CD	296-2406-5-ND	Rauscharmer Spannungs-Feedback-OpAmp, 100 MHz	100MHz Low Noise Voltage-Feedback Op Amp	8-SOIC	3.81	3.05	2.38
THS4031CDGNR	296-7521-1-ND	Rauscharmer Spannungs-Feedback-OpAmp, 100 MHz	100MHz Low Noise Voltage-Feedback Op Amp	8-MSOP	3.81	3.05	2.38
THS4031CDGNR	296-7521-2-ND	Rauscharmer Spannungs-Feedback-OpAmp, 100 MHz	100MHz Low Noise Voltage-Feedback Op Amp	8-MSOP		5333.58/2,500	
THS4031ID	296-7522-5-ND	Rauscharmer Spannungs-Feedback-OpAmp, 100 MHz	100MHz Low Noise Voltage-Feedback Op Amp	8-SOIC	4.00	3.20	2.49
THS4031IDGN	296-10030-5-ND	Rauscharmer Spannungs-Feedback-OpAmp, 100 MHz	100MHz Low Noise Voltage-Feedback Op Amp	8-MSOP	4.00	3.20	2.49
THS4031IDGNR	296-10030-1-ND	Rauscharmer Spannungs-Feedback-OpAmp, 100 MHz	100MHz Low Noise Voltage-Feedback Op Amp	8-MSOP	4.00	3.20	2.49
THS4031IDGNR	296-10030-2-ND	Rauscharmer Spannungs-Feedback-OpAmp, 100 MHz	100MHz Low Noise Voltage-Feedback Op Amp	8-MSOP		5600.26/2,500	
THS4032CD	296-7524-5-ND	Zweif. rauscharmer Spannungs-Feedback-OpAmp, 100 MHz	Dual 100MHz Low Noise Voltage-Feedback Op Amp	8-SOIC	5.67	4.54	3.83
THS4032ID	296-7525-5-ND	Zweif. rauscharmer Spannungs-Feedback-OpAmp, 100 MHz	Dual 100MHz Low Noise Voltage-Feedback Op Amp	8-SOIC	5.84	4.68	3.95
THS4032IDGNR	296-7526-1-ND	Zweif. rauscharmer Spannungs-Feedback-OpAmp, 100 MHz	Dual 100MHz Low Noise Voltage-Feedback Op Amp	8-MSOP	5.84	4.68	3.95
THS4032IDGNR	296-7526-2-ND	Zweif. rauscharmer Spannungs-Feedback-OpAmp, 100 MHz	Dual 100MHz Low Noise Voltage-Feedback Op Amp	8-MSOP		9054.39/2,500	
THS4041CD	296-2407-5-ND	Kapazitiv-stabiler Spannungs-Feedback-OpAmp, 165 MHz	165MHz Capacitive-Stable Voltage-Feedback Op Amp	8-SOIC	3.14	2.52	1.96
THS4041CDGNR	296-7527-1-ND	Kapazitiv-stabiler Spannungs-Feedback-OpAmp, 165 MHz	165MHz Capacitive-Stable Voltage-Feedback Op Amp	8-MSOP	3.14	2.52	1.96
THS4041CDGNR	296-7527-2-ND	Kapazitiv-stabiler Spannungs-Feedback-OpAmp, 165 MHz	165MHz Capacitive-Stable Voltage-Feedback Op Amp	8-MSOP		4400.20/2,500	
THS4041ID	296-7528-5-ND	Kapazitiv-stabiler Spannungs-Feedback-OpAmp, 165 MHz	165MHz Capacitive-Stable Voltage-Feedback Op Amp	8-SOIC	3.34	2.67	2.08
THS4041IDGN	296-10033-5-ND	Kapazitiv-stabiler Spannungs-Feedback-OpAmp, 165 MHz	165MHz Capacitive-Stable Voltage-Feedback Op Amp	8-MSOP	3.34	2.67	2.08
THS4041IDGNR	296-10033-1-ND	Kapazitiv-stabiler Spannungs-Feedback-OpAmp, 165 MHz	165MHz Capacitive-Stable Voltage-Feedback Op Amp	8-MSOP	3.34	2.67	2.08
THS4041IDGNR	296-10033-2-ND	Kapazitiv-stabiler Spannungs-Feedback-OpAmp, 165 MHz	165MHz Capacitive-Stable Voltage-Feedback Op Amp	8-MSOP		4666.88/2,500	
THS4042CD	296-7530-5-ND	Zweif. kapazitiv-stabiler Spannungs-Feedback-OpAmp, 165 MHz	Dual 165MHz Capacitive-Stable Voltage-Feedback Op Amp	8-SOIC	5.50	4.41	3.72
THS4042CDGNR	296-7531-1-ND	Zweif. kapazitiv-stabiler Spannungs-Feedback-OpAmp, 165 MHz	Dual 165MHz Capacitive-Stable Voltage-Feedback Op Amp	8-MSOP	5.50	4.41	3.72
THS4042CDGNR	296-7531-2-ND	Zweif. kapazitiv-stabiler Spannungs-Feedback-OpAmp, 165 MHz	Dual 165MHz Capacitive-Stable Voltage-Feedback Op Amp	8-MSOP		8529.50/2,500	
THS4042ID	296-7532-5-ND	Zweif. kapazitiv-stabiler Spannungs-Feedback-OpAmp, 165 MHz	Dual 165MHz Capacitive-Stable Voltage-Feedback Op Amp	8-SOIC	5.67	4.54	3.83
THS4042IDGNR	296-7533-1-ND	Zweif. kapazitiv-stabiler Spannungs-Feedback-OpAmp, 165 MHz	Dual 165MHz Capacitive-Stable Voltage-Feedback Op Amp	8-MSOP	5.67	4.54	3.83
THS4042IDGNR	296-7533-2-ND	Zweif. kapazitiv-stabiler Spannungs-Feedback-OpAmp, 165 MHz	Dual 165MHz Capacitive-Stable Voltage-Feedback Op Amp	8-MSOP		8791.94/2,500	
THS4051CD	296-2408-5-ND	HS-Verst., 70 MHz	70MHz High Speed Amp	8-SOIC	2.00	1.60	1.25
THS4051CDGNR	296-7534-1-ND	Spannungs-Feedback-OpAmp, 70 MHz	70MHz Voltage-Feedback Op Amp	8-MSOP	2.00	1.60	1.25
THS4051CDGNR	296-7534-2-ND	Spannungs-Feedback-OpAmp, 70 MHz	70MHz Voltage-Feedback Op Amp	8-MSOP		2800.13/2,500	
THS4051ID	296-7535-5-ND	Spannungs-Feedback-OpAmp, 70 MHz	70MHz Voltage-Feedback Op Amp	8-SOIC	2.18	1.74	1.36
THS4051IDGNR	296-7536-1-ND	Spannungs-Feedback-OpAmp, 70 MHz	70MHz Voltage-Feedback Op Amp	8-MSOP	2.18	1.74	1.36
THS4051IDGNR	296-7536-2-ND	Spannungs-Feedback-OpAmp, 70 MHz	70MHz Voltage-Feedback Op Amp	8-MSOP		3039.29/2,500	
THS4052CD	296-7537-5-ND	Zweif. Spannungs-Feedback-OpAmp, 70 MHz	Dual 70MHz Volt.-Feedback Op Amp	8-SOIC	2.63	2.11	1.64
THS4052CDGNR	296-7538-1-ND	Zweif. Spannungs-Feedback-OpAmp, 70 MHz	Dual 70MHz Volt.-Feedback Op Amp	8-MSOP	2.63	2.11	1.64
THS4052CDGNR	296-7538-2-ND	Zweif. Spannungs-Feedback-OpAmp, 70 MHz	Dual 70MHz Volt.-Feedback Op Amp	8-MSOP		3680.59/2,500	
THS4052ID	296-7539-5-ND	Zweif. Spannungs-Feedback-OpAmp, 70 MHz	Dual 70MHz Volt.-Feedback Op Amp	8-SOIC	2.80	2.24	1.75
THS4052IDGNR	296-7540-1-ND	Zweif. Spannungs-Feedback-OpAmp, 70 MHz	Dual 70MHz Volt.-Feedback Op Amp	8-MSOP	2.80	2.24	1.75
THS4052IDGNR	296-7540-2-ND	Zweif. Spannungs-Feedback-OpAmp, 70 MHz	Dual 70MHz Volt.-Feedback Op Amp	8-MSOP		3919.76/2,500	
THS4061CD	296-2409-5-ND	Spannungs-Feedback-OpAmp, HS, 180 MHz	180MHz HS, Voltage-Feedback Amp	8-SOIC	2.67	2.14	1.66
THS4061CDGNR	296-13341-1-ND	Spannungs-Feedback-OpAmp, HS, 180 MHz	180MHz HS, Voltage-Feedback Amp	8-MSOP	2.67	2.14	1.66
THS4061CDGNR	296-13341-2-ND	Spannungs-Feedback-OpAmp, HS, 180 MHz	180MHz HS, Voltage-Feedback Amp	8-MSOP		3733.51/2,500	
THS4061ID	296-7541-5-ND	Spannungs-Feedback-OpAmp, HS, 180 MHz	180MHz HS, Voltage Feedback Amp	8-SOIC	2.86	2.29	1.78
THS4061IDGNR	296-13342-1-ND	Spannungs-Feedback-OpAmp, HS, 180 MHz	180MHz HS, Voltage-Feedback Amp	8-MSOP	2.86	2.29	1.78
THS4061IDGNR	296-13342-2-ND	Spannungs-Feedback-OpAmp, HS, 180 MHz	180MHz HS, Voltage Feedback Amp	8-MSOP		4000.19/2,500	
THS4062CD	296-7542-5-ND	Zweif. Spannungs-Feedback-OpAmp, 180 MHz	Dual 180MHz V-Feedback Op Amp	8-SOIC	3.72	2.98	2.32
THS4062CDGN	296-7543-5-ND	Zweif. Spannungs-Feedback-OpAmp, 180 MHz	Dual 180MHz V-Feedback Op Amp	8-MSOP	3.72	2.98	2.32
THS4062ID	296-7544-5-ND	Zweif. Spannungs-Feedback-OpAmp, 180 MHz	Dual 180MHz V-Feedback Op Amp	8-SOIC	3.90	3.13	2.43
THS4062IDGN	296-7545-5-ND	Zweif. Spannungs-Feedback-OpAmp, 180 MHz	Dual 180MHz V-Feedback Op Amp	8-MSOP	3.90	3.13	2.43
THS4062IDGNR	296-7546-1-ND	Zweif. Spannungs-Feedback-OpAmp, 180 MHz	Dual 180MHz V-Feedback Op Amp	8-MSOP	3.90	3.13	2.43
THS4062IDGNR	296-7546-2-ND	Zweif. Spannungs-Feedback-OpAmp, 180 MHz	Dual 180MHz V-Feedback Op Amp	8-MSOP		5466.92/2,500	
THS4081CD	296-2410-5-ND	Spannungs-Feedback-OpAmp, NL, 175 MHz	175MHz LP V-Feedback Op Amp	8-SOIC	3.43	2.75	2.14
THS4081CDGNR	296-7547-1-ND	Spannungs-Feedback-OpAmp, NL, 175 MHz	175MHz LP V-Feedback Op Amp	8-MSOP	3.43	2.75	2.14
THS4081CDGNR	296-7547-2-ND	Spannungs-Feedback-OpAmp, NL, 175 MHz	175MHz LP V-Feedback Op Amp	8-MSOP		4800.22/2,500	
THS4081ID	296-7548-5-ND	Spannungs-Feedback-OpAmp, NL, 175 MHz	175MHz LP V-Feedback Op Amp	8-SOIC	3.62	2.90	2.26
THS4081IDGN	296-10039-5-ND	Spannungs-Feedback-OpAmp, NL, 175 MHz	175MHz LP V-Feedback Op Amp	8-MSOP	3.62	2.90	2.26
THS4081IDGNR	296-10039-1-ND	Spannungs-Feedback-OpAmp, NL, 175 MHz	175MHz LP V-Feedback Op Amp	8-MSOP	3.62	2.90	2.26
THS4081IDGNR	296-10039-2-ND	Spannungs-Feedback-OpAmp, NL, 175 MHz	175MHz LP V-Feedback Op Amp	8-MSOP		5066.90/2,500	
THS4082CD	296-7550-5-ND	Zweif. Spannungs-Feedback-OpAmp, NL, 175 MHz	Dual 175MHz LP V-Feedback Op Amp	8-SOIC	4.99	4.00	3.38
THS4082CDGNR	296-7551-1-ND	Zweif. Spannungs-Feedback-OpAmp, NL, 175 MHz	Dual 175MHz LP V-Feedback Op Amp	8-MSOP	4.99	4.00	3.38
THS4082CDGNR	296-7551-2-ND	Zweif. Spannungs-Feedback-OpAmp, NL, 175 MHz	Dual 175MHz LP V-Feedback Op Amp	8-MSOP		7742.16/2,500	
THS4082ID	296-7552-5-ND	Zweif. Spannungs-Feedback-OpAmp, NL, 175 MHz	Dual 175MHz LP V-Feedback Op Amp	8-SOIC	5.16	4.14	3.49
THS4082IDGNR	296-7553-1-ND	Zweif. Spannungs-Feedback-OpAmp, NL, 175 MHz	Dual 175MHz LP V-Feedback Op Amp	8-MSOP	5.16	4.14	3.49
THS4082IDGNR	296-7553-2-ND	Zweif. Spannungs-Feedback-OpAmp, NL, 175 MHz	Dual 175MHz LP V-Feedback Op Amp	8-MSOP		8004.60/2,500	
THS4120ID	296-11983-5-ND	Volldifferenzial-E/A-Ausg., CMOS-Verst. mit Abschaltf.	Fully Differential I/O Out CMOS Amp with Shutdown	8-SOIC	3.81	3.05	2.38
THS4120IDGNR	296-12493-5-ND	Volldifferenzial-E/A-CMOS-Amp, HS	HS, Fully Differential I/O CMOS Amp	8-MSOP	3.81	3.05	2.38
THS4120IDR	296-11983-1-ND	Volldifferenzial-E/A-Ausg., CMOS-Verst. mit Abschaltf.	Fully Differential I/O Out CMOS Amp with Shutdown	8-SOIC	3.81	3.05	2.38
THS4120IDR	296-11983-2-ND	Volldifferenzial-E/A-Ausg., CMOS-Verst. mit Abschaltf.	Fully Differential I/O Out CMOS Amp with Shutdown	8-SOIC		5333.58/2,500	
THS4121CD	296-10041-5-ND	Volldifferenzial-E/A-CMOS-Verst., HS, 100 MHz	100MHz, High Speed, Fully Differential I/O CMOS Amp	8-SOIC	3.62	2.90	2.26
THS4121ID	296-10042-5-ND	Volldifferenzial-E/A-CMOS-Verst., HS, 100 MHz	100MHz, High Speed, Fully Differential I/O CMOS Amp	8-SOIC	3.81	3.05	2.38
THS4121IDGK	296-17555-5-ND	Volldifferenzial-E/A-CMOS-Verst., HS, 100 MHz	100MHz, High Speed, Fully Differential I/O CMOS Amp	8-MSOP	3.81	3.05	2.38
THS4121IDGNR	296-13343-1-ND	Volldifferenzial-E/A-CMOS-Verst., HS, 100 MHz	100MHz, High Speed, Fully Differential I/O CMOS Amp	8-MSOP	3.81	3.05	2.38
THS4121IDGNR	296-13343-2-ND	Volldifferenzial-E/A-CMOS-Verst., HS, 100 MHz	100MHz, High Speed, Fully Differential I/O CMOS Amp	8-MSOP		5333.58/2,500	
THS4130ID	296-7554-5-ND	Rauscharmer Differenzial-E/A-Verst., HS	HS, Low Noise Differential I/O Amp	8-SOIC	6.10	4.88	4.12
THS4130IDGNR	296-10044-1-ND	Rauscharmer Differenzial-E/A-Verst., HS	HS, Low Noise Differential I/O Amp	8-MSOP	6.10	4.88	4.12
THS4130IDGNR	296-10044-2-ND	Rauscharmer Differenzial-E/A-Verst., HS	HS, Low Noise Differential I/O Amp	8-MSOP		9448.06/2,500	
THS4131ID	296-10046-5-ND	Volldifferenzial-E/A-Verst., 150 MHz	150MHz Fully Differential I/O Amp	8-SOIC	6.10	4.88	4.12
THS4131IDGNR	296-10047-1-ND	Volldifferenzial-E/A-Verst., 150 MHz	150MHz Fully Differential I/O Amp	8-MSOP	6.10	4.88	4.12
THS4131IDGNR	296-10047-2-ND	Volldifferenzial-E/A-Verst., 150 MHz	150MHz Fully Differential I/O Amp	8-MSOP		9448.06/2,500	
THS4140ID	296-7555-5-ND	Diff.-I/O-OpAmp mit Abschaltfunktion	Diff. In/Out Op Amp with Shutdown	8-SOIC	5.93	4.75	4.01
THS4140IDGK	296-16778-5-ND	Diff.-I/O-OpAmp mit Abschaltfunktion	Diff. In/Out Op Amp with Shutdown	8-MSOP	5.93	4.75	4.01
THS4140IDGNR	296-10049-1-ND	Diff.-I/O-OpAmp mit Abschaltfunktion	Diff. In/Out Op Amp with Shutdown	8-MSOP	5.93	4.75	4.01
THS4140IDGNR	296-10049-2-ND	Diff.-I/O-OpAmp mit Abschaltfunktion	Diff. In/Out Op Amp with Shutdown	8-MSOP		9185.61/2,500	
THS4141ID	296-7556-5-ND	Volldifferenzial-E/A-Verst, HS	HS Fully Differential I/O Amp	8-SOIC	5.93	4.75	4.01

(Forts.)

★ ***RUFEN SIE BITTE AN FÜR NIEDRIGERE PREISE BEI GRÖSSEREN MENGEN!*** ★

B

T. I. Teilenr.	Digi-Key Teilenr.	Beschreibung		Paket	Stückpreis ★ 1	25	100
THS4141IDGK	296-16779-5-ND	Volldifferenzial-E/A-Verst, HS	HS Fully Differential I/O Amp	8-MSOP	5.93	4.75	4.01
THS4141IDGNR	296-12302-1-ND	Volldifferenzial-E/A-Verst, HS	HS Fully Differential I/O Amp	8-MSOP	5.93	4.75	4.01
THS4141IDGNR	296-12302-2-ND	Volldifferenzial-E/A-Verst, HS	HS Fully Differential I/O Amp	8-MSOP		9185.61/2,500	
THS4150ID	296-10052-5-ND	Volldifferenzial-E/A-Verst., HS, mit Abschaltf.	High Speed, Fully Differential I/O Amp with Shutdown	8-SOIC	8.13	6.51	5.49
THS4150IDGK	296-16780-5-ND	Volldifferenzial-E/A-Verst., HS, mit Abschaltf.	High Speed, Fully Differential I/O Amp with Shutdown	8-MSOP	8.13	6.51	5.49
THS4150IDGNR	296-13344-1-ND	Volldifferenzial-E/A-Verst., HS, mit Abschaltf.	High Speed, Fully Differential I/O Amp with Shutdown	8-MSOP	8.13	6.51	5.49
THS4150IDGNR	296-13344-2-ND	Volldifferenzial-E/A-Verst., HS, mit Abschaltf.	High Speed, Fully Differential I/O Amp with Shutdown	8-MSOP		12597.41/2,500	
THS4151ID	296-10054-5-ND	Volldifferenzial-E/A-OpAmp, HS	High Speed Fully Diff. I/O Op Amp	8-SOIC	8.13	6.51	5.49
THS4151IDGK	296-16781-5-ND	Volldifferenzial-E/A-OpAmp, HS	High Speed Fully Diff. I/O Op Amp	8-MSOP	8.13	6.51	5.49
THS4151IDGNR	296-12303-1-ND	Volldifferenzial-E/A-OpAmp, HS	High Speed Fully Diff. I/O Op Amp	8-MSOP	8.13	6.51	5.49
THS4151IDGNR	296-12303-2-ND	Volldifferenzial-E/A-OpAmp, HS	High Speed Fully Diff. I/O Op Amp	8-MSOP		12597.41/2,500	
THS4211D	296-13790-5-ND	Verzerrungsarmer Spannungs-Feedback-Verst., HS	Low Distortion, High Speed, Voltage Feedback Amp	8-SOIC	3.62	2.90	2.26
THS4211DGK	296-16709-5-ND	Verzerrungsarmer Spannungs-Feedback-Verst., HS	Low Distortion, High Speed, Voltage Feedback Amp	8-MSOP	3.62	2.90	2.26
THS4211DGN	296-13657-5-ND	Verzerrungsarmer Spannungs-Feedback-Verst., HS	Low Distortion, High Speed, Voltage Feedback Amp	8-MSOP	3.62	2.90	2.26
THS4211DRBT	296-16710-1-ND	Verzerrungsarmer Spannungs-Feedback-Verst., HS	Low Distortion, High Speed, Voltage Feedback Amp	8-MSOP	3.43	2.75	2.14
THS4211DRBT	296-16710-2-ND	Verzerrungsarmer Spannungs-Feedback-Verst., HS	Low Distortion, High Speed, Voltage Feedback Amp	8-MSOP		506.69/250	
THS4215D	296-13791-5-ND	Verzerrungsarmer Spannungs-Feedback-Verst., HS	Low Distortion, High Speed, Voltage Feedback Amp	8-SOIC	3.62	2.90	2.26
THS4215DGK	296-16711-5-ND	Verzerrungsarmer Spannungs-Feedback-Verst., HS	Low Distortion, High Speed, Voltage Feedback Amp	8-MSOP	3.62	2.90	2.26
THS4215DGN	296-13658-5-ND	Verzerrungsarmer Spannungs-Feedback-Verst., HS	Low Distortion, High Speed, Voltage Feedback Amp	8-MSOP	3.62	2.90	2.26
THS4215DRBR	296-16712-1-ND	Verzerrungsarmer Spannungs-Feedback-Verst., HS	Low Distortion, High Speed, Voltage Feedback Amp	8-MSOP	3.62	2.90	2.26
THS4215DRBR	296-16712-2-ND	Verzerrungsarmer Spannungs-Feedback-Verst., HS	Low Distortion, High Speed, Voltage Feedback Amp	8-MSOP		6080.28/3,000	
THS4221D	296-14194-5-ND	Verzerrungsarmer Output OpAmp, HS, R/R	Low Distortion, High Speed, R/R, Output Op Amp	8-SOIC	2.76	2.21	1.72
THS4221DBVR	296-15112-1-ND	Verzerrungsarmer Output OpAmp, HS, R/R	Low Distortion, High Speed, R/R, Output Op Amp	SOT-23-5	2.76	2.21	1.72
THS4221DBVR	296-15112-2-ND	Verzerrungsarmer Output OpAmp, HS, R/R	Low Distortion, High Speed, R/R, Output Op Amp	SOT-23-5		4640.21/3,000	
THS4221DGK	296-16782-5-ND	Verzerrungsarmer Output OpAmp, HS, R/R	Low Distortion, High Speed, R/R, Output Op Amp	8-MSOP	2.76	2.21	1.72
THS4221DGN	296-14402-5-ND	Verzerrungsarmer Output OpAmp, HS, R/R	Low Distortion, High Speed, R/R, Output Op Amp	8-HTSSOP	2.76	2.21	1.72
THS4222D	296-13822-5-ND	Verzerrungsarmer Output OpAmp, HS, R/R	Low Distortion, High Speed, R/R, Output Op Amp	8-SOIC	3.62	2.90	2.26
THS4222DGK	296-16783-5-ND	Verzerrungsarmer Output OpAmp, HS, R/R	Low Distortion, High Speed, R/R, Output Op Amp	8-MSOP	3.62	2.90	2.26
THS4222DGN	296-13638-5-ND	Verzerrungsarmer Output OpAmp, HS, R/R	Low Distortion, High Speed, R/R, Output Op Amp	8-MSOP	3.62	2.90	2.26
THS4225D	296-14195-5-ND	Verzerrungsarmer Output OpAmp, HS, R/R	Low Distortion, High Speed, R/R, Output Op Amp	8-SOIC	2.76	2.21	1.72
THS4225DGK	296-16784-5-ND	Verzerrungsarmer Output OpAmp, HS, R/R	Low Distortion, High Speed, R/R, Output Op Amp	8-MSOP	2.76	2.21	1.72
THS4225DGN	296-14403-5-ND	Verzerrungsarmer Output OpAmp, HS, R/R	Low Distortion, High Speed, R/R, Output Op Amp	8-HTSSOP	2.76	2.21	1.72
THS4226DGQ	296-13639-5-ND	Verzerrungsarmer Output OpAmp, HS, R/R	Low Distortion, High Speed, R/R, Output Op Amp	8-MSOP	3.62	2.90	2.26
THS4271D	296-13823-5-ND	Rauscharmer Spannungs-Feedback-Verst., High Slew Rate, Verstärkungsfaktor Eins Stabil	Low Noise, High Slew Rate, Unity Gain Stable Volt. Feedback Amp	8-SOIC	5.33	4.27	3.61
THS4271DGK	296-16785-5-ND	Rauscharmer Spannungs-Feedback-Verst., High Slew Rate, Verstärkungsfaktor Eins Stabil	Low Noise, High Slew Rate, Unity Gain Stable Volt. Feedback Amp	8-MSOP	5.33	4.27	3.61
THS4271DGN	296-13659-5-ND	Rauscharmer Spannungs-Feedback-Verst., High Slew Rate, Verstärkungsfaktor Eins Stabil	Low Noise, High Slew Rate, Unity Gain Stable Volt. Feedback Amp	8-MSOP	5.33	4.27	3.61
THS4271DRBR	296-15262-1-ND	Rauscharmer Spannungs-Feedback-Verst., High Slew Rate, Verstärkungsfaktor Eins Stabil	Low Noise, High Slew Rate, Unity Gain Stable Volt. Feedback Amp	8-MSOP	5.33	4.27	3.61
THS4271DRBR	296-15262-2-ND	Rauscharmer Spannungs-Feedback-Verst., High Slew Rate, Verstärkungsfaktor Eins Stabil	Low Noise, High Slew Rate, Unity Gain Stable Volt. Feedback Amp	8-MSOP		9920.46/3,000	
THS4271DRBT	296-15405-1-ND	Rauscharmer Spannungs-Feedback-Verst., High Slew Rate, Verstärkungsfaktor Eins Stabil	Low Noise, High Slew Rate, Unity Gain Stable Volt. Feedback Amp	8-MSOP	5.33	4.27	3.61
THS4271DRBT	296-15405-2-ND	Rauscharmer Spannungs-Feedback-Verst., High Slew Rate, Verstärkungsfaktor Eins Stabil	Low Noise, High Slew Rate, Unity Gain Stable Volt. Feedback Amp	8-MSOP		866.71/250	
THS4275D	296-13824-5-ND	Rauscharmer Spannungs-Feedback-Verst., High Slew Rate, Verstärkungsfaktor Eins Stabil	Low Noise, High Slew Rate, Unity Gain Stable Volt. Feedback Amp	8-SOIC	5.33	4.27	3.61
THS4275DGK	296-16786-5-ND	Rauscharmer Spannungs-Feedback-Verst., High Slew Rate, Verstärkungsfaktor Eins Stabil	Low Noise, High Slew Rate, Unity Gain Stable Volt. Feedback Amp	8-MSOP	5.33	4.27	3.61
THS4275DGN	296-13660-5-ND	Rauscharmer Spannungs-Feedback-Verst., High Slew Rate, Verstärkungsfaktor Eins Stabil	Low Noise, High Slew Rate, Unity Gain Stable Volt. Feedback Amp	8-MSOP	5.33	4.27	3.61
THS4275DRBR	296-15263-1-ND	Rauscharmer Spannungs-Feedback-Verst., High Slew Rate, Verstärkungsfaktor Eins Stabil	Low Noise, High Slew Rate, Unity Gain Stable Volt. Feedback Amp	8-MSOP	5.33	4.27	3.61
THS4275DRBR	296-15263-2-ND	Rauscharmer Spannungs-Feedback-Verst., High Slew Rate, Verstärkungsfaktor Eins Stabil	Low Noise, High Slew Rate, Unity Gain Stable Volt. Feedback Amp	8-MSOP		9920.46/3,000	
THS4275DRBT	296-15406-1-ND	Rauscharmer Spannungs-Feedback-Verst., High Slew Rate, Verstärkungsfaktor Eins Stabil	Low Noise, High Slew Rate, Unity Gain Stable Volt. Feedback Amp	8-MSOP	5.33	4.27	3.61
THS4275DRBT	296-15406-2-ND	Rauscharmer Spannungs-Feedback-Verst., High Slew Rate, Verstärkungsfaktor Eins Stabil	Low Noise, High Slew Rate, Unity Gain Stable Volt. Feedback Amp	8-MSOP		866.71/250	
THS4281D	296-16999-5-ND	E/A Spannungs-Feedback-OpAmp, NL, HS, R/R	LP, HS, R/R I/O Volt. Feedback Op Amp	8-SOIC	1.90	1.53	1.15
THS4281DBVT	296-17000-1-ND	E/A Spannungs-Feedback-OpAmp, NL, HS, R/R	LP, HS, R/R I/O Volt. Feedback Op Amp	SOT-23-5	1.90	1.53	1.15
THS4281DBVT	296-17000-2-ND	E/A Spannungs-Feedback-OpAmp, NL, HS, R/R	LP, HS, R/R I/O Volt. Feedback Op Amp	SOT-23-5		266.68/250	
THS4281DGK	296-17001-5-ND	E/A Spannungs-Feedback-OpAmp, NL, HS, R/R	LP, HS, R/R I/O Volt. Feedback Op Amp	8-MSOP	1.90	1.53	1.15
THS4302RGTR	296-14048-1-ND	Breitband-Verst., fester V-Faktor	Wideband Fixed-Gain Amp	16-RGT	4.39	3.51	2.73
THS4302RGTR	296-14048-2-ND	Breitband-Verst., fester V-Faktor	Wideband Fixed-Gain Amp	16-RGT		7360.34/3,000	
THS4303RGTT	296-16658-1-ND	Breitband-Verst., fester V-Faktor	Wideband Fixed-Gain Amp	16-RGT	4.00	3.20	2.49
THS4303RGTT	296-16658-2-ND	Breitband-Verst., fester V-Faktor	Wideband Fixed-Gain Amp	16-RGT		591.14/250	
THS4304D	296-17250-5-ND	Breitband-OpAmp	Wideband Op Amp	8-SOIC	3.34	2.67	2.08
THS4304DBVT	296-17251-1-ND	Breitband-OpAmp	Wideband Op Amp	SOT-23-5	3.34	2.67	2.08
THS4304DBVT	296-17251-2-ND	Breitband-OpAmp	Wideband Op Amp	SOT-23-5		492.72/250	
THS4304DGK	296-17252-5-ND	Breitband-OpAmp	Wideband Op Amp	8-MSOP	3.34	2.67	2.08
THS4500ID	296-12935-5-ND	Verzerrungsarmer Breitband-Volldifferenzial-Verst.	Wideband Low Distortion Fully Differential Amp	8-SOIC	6.35	5.08	4.29
THS4500IDGK	296-16787-5-ND	Verzerrungsarmer Breitband-Volldifferenzial-Verst.	Wideband Low Distortion Fully Differential Amp	8-MSOP	6.35	5.08	4.29
THS4500IDGN	296-13045-5-ND	Verzerrungsarmer Breitband-Volldifferenzial-Verst.	Wideband Low Distortion Fully Differential Amp	8-MSOP	6.35	5.08	4.29
THS4501ID	296-12936-5-ND	Verzerrungsarmer Breitband-Volldifferenzial-Verst.	Wideband Low Distortion Fully Differential Amp	8-SOIC	6.35	5.08	4.29
THS4501IDGK	296-16788-5-ND	Verzerrungsarmer Breitband-Volldifferenzial-Verst.	Wideband Low Distortion Fully Differential Amp	8-MSOP	6.35	5.08	4.29
THS4501IDGN	296-13046-5-ND	Verzerrungsarmer Breitband-Volldifferenzial-Verst.	Wideband Low Distortion Fully Differential Amp	8-MSOP	6.35	5.08	4.29
THS4502ID	296-12937-5-ND	Verzerrungsarmer Breitband-Volldifferenzial-Verst.	Wideband Low Distortion Fully Differential Amp	8-SOIC	6.94	5.56	4.69
THS4502IDGK	296-16789-5-ND	Verzerrungsarmer Breitband-Volldifferenzial-Verst.	Wideband Low Distortion Fully Differential Amp	8-MSOP	6.94	5.56	4.69
THS4502IDGN	296-13047-5-ND	Verzerrungsarmer Breitband-Volldifferenzial-Verst.	Wideband Low Distortion Fully Differential Amp	8-MSOP	6.94	5.56	4.69
THS4503ID	296-12938-5-ND	Verzerrungsarmer Breitband-Volldifferenzial-Verst.	Wideband Low Distortion Fully Differential Amp	8-SOIC	6.94	5.56	4.69
THS4503IDGK	296-16790-5-ND	Verzerrungsarmer Breitband-Volldifferenzial-Verst.	Wideband Low Distortion Fully Differential Amp	8-MSOP	6.94	5.56	4.69
THS4503IDGN	296-13048-5-ND	Verzerrungsarmer Breitband-Volldifferenzial-Verst.	Wideband Low Distortion Fully Differential Amp	8-MSOP	6.94	5.56	4.69
THS4504D	296-15618-5-ND	Verzerrungsarmer Breitband-Volldifferenzial-Verst.	Wideband Low Distortion Fully Differential Amp	8-SOIC	3.17	2.53	1.97
THS4504DGK	296-16796-5-ND	Verzerrungsarmer Breitband-Volldifferenzial-Verst.	Wideband Low Distortion Fully Differential Amp	8-MSOP	3.17	2.53	1.97
THS4504DGN	296-15619-5-ND	Verzerrungsarmer Breitband-Volldifferenzial-Verst.	Wideband Low Distortion Fully Differential Amp	8-MSOP	3.17	2.53	1.97
THS4505D	296-15620-5-ND	Verzerrungsarmer Breitband-Volldifferenzial-Verst.	Wideband Low Distortion Fully Differential Amp	8-SOIC	3.17	2.53	1.97
THS4505DGK	296-16791-5-ND	Verzerrungsarmer Breitband-Volldifferenzial-Verst.	Wideband Low Distortion Fully Differential Amp	8-MSOP	3.17	2.53	1.97
THS4505DGN	296-15621-5-ND	Verzerrungsarmer Breitband-Volldifferenzial-Verst.	Wideband Low Distortion Fully Differential Amp	8-MSOP	3.17	2.53	1.97
THS4509RGTT	296-17730-1-ND	Verzerrungsarmer Breitband-Volldifferenzial-Verst.	Wideband Low Distortion Fully Differential Amp	16-QFN	6.52	5.22	4.41
THS4509RGTT	296-17730-2-ND	Verzerrungsarmer Breitband-Volldifferenzial-Verst.	Wideband Low Distortion Fully Differential Amp	16-QFN		1059.31/250	
THS4601D	296-12495-5-ND	Breitband-OpAmp, FET-Eingang, HS	Wideband, FET-Input High Speed Op Amp	8-SOIC	12.77	11.92	11.07
THS4601IDDA	296-16691-ND	Breitband-OpAmp, FET-Eingang, HS	Wideband, FET-Input High Speed Op Amp	8-SOIC	12.77	11.92	11.07
THS4631D	296-17626-5-ND	Breitband-OpAmp, FET-Eingang, hohe Spann., High Slew Rate	High Volt. High Slew Rate, Wideband FET-Input Op Amp	8-SOIC	7.05	6.35	5.63
THS4631DDA	296-17674-5-ND	Breitband-OpAmp, FET-Eingang, hohe Spann., High Slew Rate	High Volt. High Slew Rate, Wideband FET-Input Op Amp	8-SOIC	7.05	6.35	5.63
THS4631DGN	296-17675-5-ND	Breitband-OpAmp, FET-Eingang, hohe Spann., High Slew Rate	High Volt. High Slew Rate, Wideband FET-Input Op Amp	8-MSOP	7.05	6.35	5.63
THS6062CDGN	296-10068-5-ND	Zweif. rauscharmer HS ADSL-Differenzial-Empfänger	High Speed, Low Noise ADSL Dual Differential Receiver	8-MSOP	4.48	3.59	2.79
THS6062CDGNR	296-10068-1-ND	Zweif. rauscharmer HS ADSL-Differenzial-Empfänger	High Speed, Low Noise ADSL Dual Differential Receiver	8-MSOP	4.48	3.59	2.79
THS6062CDGNR	296-10068-2-ND	Zweif. rauscharmer HS ADSL-Differenzial-Empfänger	High Speed, Low Noise ADSL Dual Differential Receiver	8-MSOP		6266.96/2,500	
THS6062ID	296-10070-5-ND	Zweif. rauscharmer HS ADSL-Differenzial-Empfänger	High Speed, Low Noise ADSL Dual Differential Receiver	8-SOIC	4.48	3.59	2.79
THS6062IDGN	296-10072-5-ND	Zweif. rauscharmer HS ADSL-Differenzial-Empfänger	High Speed, Low Noise ADSL Dual Differential Receiver	8-MSOP	4.48	3.59	2.79
THS6062IDGNR	296-10072-1-ND	Zweif. rauscharmer HS ADSL-Differenzial-Empfänger	High Speed, Low Noise ADSL Dual Differential Receiver	8-MSOP	4.48	3.59	2.79
THS6062IDGNR	296-10072-2-ND	Zweif. rauscharmer HS ADSL-Differenzial-Empfänger	High Speed, Low Noise ADSL Dual Differential Receiver	8-MSOP		6266.96/2,500	
THS6072CDGNR	296-10073-1-ND	HS ADSL-Differenzial-Empfänger, NL	High Speed, Low Power ADSL Differential Receiver	8-MSOP	4.25	3.40	2.65
THS6072CDGNR	296-10073-2-ND	HS ADSL-Differenzial-Empfänger, NL	High Speed, Low Power ADSL Differential Receiver	8-MSOP		5947.37/2,500	
THS6072ID	296-10075-5-ND	HS ADSL-Differenzial-Empfänger, NL	High Speed, Low Power ADSL Differential Receiver	8-SOIC	4.25	3.40	2.65
THS6072IDGNR	296-10076-1-ND	HS ADSL-Differenzial-Empfänger, NL	High Speed, Low Power ADSL Differential Receiver	8-MSOP	4.25	3.40	2.65
THS6072IDGNR	296-10076-2-ND	HS ADSL-Differenzial-Empfänger, NL	High Speed, Low Power ADSL Differential Receiver	8-MSOP		5947.37/2,500	
THS7001CPWP	296-2411-5-ND	HS-Verstärker m. programmierb. V-Faktor, 70 MHz	70MHz, HS Prog. Gain Amp	20-HTSSOP	7.96	6.37	5.38
THS7001IPWP	296-7048-5-ND	HS-Verstärker m. programmierb. V-Faktor, 70 MHz	70MHz, HS Prog. Gain Amp	20-HTSSOP	7.96	6.37	5.38
THS7002CPWP	296-2412-5-ND	Zweif. HS-Verst. m. programmierbarem V-Faktor, 70 MHz	Dual, 70MHz, HS Prog. Gain Amp	28-HTSSOP	9.45	8.51	7.55
THS7002IPWP	296-7049-5-ND	Zweif. HS-Verst. m. programmierbarem V-Faktor, 70 MHz	Dual, 70MHz, HS Prog. Gain Amp	28-HTSSOP	9.45	8.51	7.55

(Forts.)

★ RUFEN SIE BITTE AN FÜR NIEDRIGERE PREISE BEI GRÖSSEREN MENGEN! ★

T. I. Teilenr.	Digi-Key Teilenr.	Beschreibung		Paket	Stückpreis ★ 1	25	100
THS7530PWP	296-15181-5-ND	HS-Differenzialverst., kontinuierlich, variabler V-Faktor	High Speed, Differential, Continously Variable Gain Amp	14-HTSSOP	6.52	5.22	4.41
THS8200PFP	296-15622-ND	Überhöht abgetastete Komponente, Video/PC Grafik D/A System, alle Formate	All-Format Oversampled Component Video/PC Graphics D/A System	80-TQFP	8.47	7.62	6.76
THS9000DRDT	296-16692-1-ND	Kaskadierbarer Verst., 50 bis 400 MHz	50 to 400MHz Cascadeable Amp	6-SON	2.23	1.78	1.34
THS9000DRDT	296-16692-2-ND	Kaskadierbarer Verst., 50 bis 400 MHz	50 to 400MHz Cascadeable Amp	6-SON		295.68/250	
THS9001DBVT	296-16645-1-ND	Kaskadierbarer Verst., 50 bis 350 MHz	50 to 350MHz Cascadeable Amp	SOT-23-6	2.23	1.78	1.34
THS9001DBVT	296-16645-2-ND	Kaskadierbarer Verst., 50 bis 350 MHz	50 to 350MHz Cascadeable Amp	SOT-23-6		295.68/250	
TL022CP	296-7142-5-ND	Zweif. OpAmp für niedrige Leistung	Dual, Low Power Op Amp	8-Dip	1.06	.85	.64
TL026CD	296-11818-5-ND	Differenzial-OpAmp mit AGC, Hochfrequenz	Diff. High Frequency Amp with AGC	8-SOIC	1.06	.85	.64
TL026CP	296-11819-5-ND	Differenzial-OpAmp mit AGC, Hochfrequenz	Diff. High Frequency Amp with AGC	8-Dip	1.06	.85	.64
TL031CD	296-7143-5-ND	JFET-Präzisions-OpAmp, NL	Precision LP JFET Op Amp	8-SOIC	.74	.62	.50
TL031CP	296-7144-5-ND	JFET-Präzisions-OpAmp, NL	Precision LP JFET Op Amp	8-Dip	.74	.62	.50
TL032ACD	296-7145-5-ND	Zweif. erweiterter JFET-OpAmp, NL	Dual LP Enhanced JFET Op Amp	8-SOIC	1.80	1.44	1.08
TL032ACDR	296-14979-1-ND	Zweif. erweiterter JFET-OpAmp, NL	Dual LP Enhanced JFET Op Amp	8-SOIC	1.80	1.44	1.08
TL032ACDR	296-14979-2-ND	Zweif. erweiterter JFET-OpAmp, NL	Dual LP Enhanced JFET Op Amp	8-SOIC		2302.75/2,500	
TL032ACP	296-7146-5-ND	Zweif. erweiterter JFET-OpAmp, NL	Dual LP Enhanced JFET Op Amp	8-Dip	1.80	1.44	1.08
TL032AID	296-12939-5-ND	Zweif. erweiterter JFET-OpAmp, NL	Dual LP Enhanced JFET Op Amp	8-SOIC	1.59	1.27	.96
TL032AIP	296-7147-5-ND	Zweif. erweiterter JFET-OpAmp, NL	Dual LP Enhanced JFET Op Amp	8-Dip	1.80	1.44	1.08
TL032CD	296-7148-5-ND	Zweif. erweiterter Präzisions-JFET-OpAmp, NL	Dual Prec. LP Enhanced JFET Op Amp	8-SOIC	1.14	.96	.77
TL032CDR	296-7148-1-ND	Zweif. erweiterter Präzisions-JFET-OpAmp, NL	Dual Prec. LP Enhanced JFET Op Amp	8-SOIC	1.14	.96	.77
TL032CDR	296-7148-2-ND	Zweif. erweiterter Präzisions-JFET-OpAmp, NL	Dual Prec. LP Enhanced JFET Op Amp	8-SOIC		1238.15/2,500	
TL032CP	296-7149-5-ND	Zweif. erweiterter Präzisions-JFET-OpAmp, NL	Dual Prec. LP Enhanced JFET Op Amp	8-Dip	1.14	.96	.77
TL032ID	296-7150-5-ND	Zweif. erweiterter Präzisions-JFET-OpAmp, NL	Dual Prec. LP Enhanced JFET Op Amp	8-SOIC	1.06	.85	.64
TL032IDR	296-14980-1-ND	Zweif. erweiterter Präzisions-JFET-OpAmp, NL	Dual Prec. LP Enhanced JFET Op Amp	8-SOIC	1.06	.85	.64
TL032IDR	296-14980-2-ND	Zweif. erweiterter Präzisions-JFET-OpAmp, NL	Dual Prec. LP Enhanced JFET Op Amp	8-SOIC		1354.56/2,500	
TL032IP	296-7151-5-ND	Zweif. erweiterter Präzisions-JFET-OpAmp, NL	Dual Prec. LP Enhanced JFET Op Amp	8-Dip	1.06	.85	.64
TL034ACD	296-7152-5-ND	Vierf. erweiterter Niedrig-Offset-JFET-OpAmp, NL	Quad Enhanced JFET Low Power Low Offset Op Amp	14-SOIC	3.14	2.52	1.96
TL034ACDR	296-14981-1-ND	Vierf. erweiterter Niedrig-Offset-JFET-OpAmp, NL	Quad Enhanced JFET Low Power Low Offset Op Amp	14-SOIC	3.14	2.52	1.96
TL034ACDR	296-14981-2-ND	Vierf. erweiterter Niedrig-Offset-JFET-OpAmp, NL	Quad Enhanced JFET Low Power Low Offset Op Amp	14-SOIC		4400.20/2,500	
TL034AID	296-7153-5-ND	Vierf. erweiterter Niedrig-Offset-JFET-OpAmp, NL	Quad Enhanced JFET Low Power Low Offset Op Amp	14-SOIC	3.43	2.75	2.14
TL034AIDR	296-7153-1-ND	Vierf. erweiterter Niedrig-Offset-JFET-OpAmp, NL	Quad Enhanced JFET Low Power Low Offset Op Amp	14-SOIC	3.43	2.75	2.14
TL034AIDR	296-7153-2-ND	Vierf. erweiterter Niedrig-Offset-JFET-OpAmp, NL	Quad Enhanced JFET Low Power Low Offset Op Amp	14-SOIC		4800.22/2,500	
TL034CD	296-7154-5-ND	Vierf. erweiterter Niedrig-Offset-JFET-OpAmp, NL	Quad Enhanced JFET Low Power Low Offset Op Amp	14-SOIC	1.06	.85	.64
TL034CDR	296-14982-1-ND	Vierf. erweiterter Niedrig-Offset-JFET-OpAmp, NL	Quad Enhanced JFET Low Power Low Offset Op Amp	14-SOIC	1.06	.85	.64
TL034CDR	296-14982-2-ND	Vierf. erweiterter Niedrig-Offset-JFET-OpAmp, NL	Quad Enhanced JFET Low Power Low Offset Op Amp	14-SOIC		1354.56/2,500	
TL034CN	296-7155-5-ND	Vierf. erweiterter Niedrig-Offset-JFET-OpAmp, NL	Quad Enhanced JFET Low Power Low Offset Op Amp	14-Dip	1.06	.85	.64
TL034CNSR	296-13346-1-ND	Vierf. erweiterter Niedrig-Offset-JFET-OpAmp, NL	Quad Enhanced JFET Low Power Low Offset Op Amp	14-SOP	1.06	.85	.64
TL034CNSR	296-13346-2-ND	Vierf. erweiterter Niedrig-Offset-JFET-OpAmp, NL	Quad Enhanced JFET Low Power Low Offset Op Amp	14-SOP		1100.58/2,000	
TL034ID	296-7157-5-ND	Vierf. erweiterter Niedrig-Offset-JFET-OpAmp, NL	Quad Enhanced JFET Low Power Low Offset Op Amp	14-SOIC	1.06	.85	.64
TL051CD	296-7159-5-ND	Erweiterter Präzisions-JFET-OpAmp	Precision Enhanced JFET Op Amp	8-SOIC	1.07	.89	.72
TL052ACD	296-7160-5-ND	Zweif. erweiterter Niedrig-Offset-JFET-OpAmp	Dual Enhanced JFET Low Offset Op Amp	8-SOIC	1.38	1.11	.83
TL052ACDR	296-14983-1-ND	Zweif. erweiterter Niedrig-Offset-JFET-OpAmp	Dual Enhanced JFET Low Offset Op Amp	8-SOIC	1.38	1.11	.83
TL052ACDR	296-14983-2-ND	Zweif. erweiterter Niedrig-Offset-JFET-OpAmp	Dual Enhanced JFET Low Offset Op Amp	8-SOIC		1760.93/2,500	
TL052ACP	296-7161-5-ND	Zweif. erweiterter Niedrig-Offset-JFET-OpAmp	Dual Enhanced JFET Low Offset Op Amp	8-Dip	1.38	1.11	.83
TL052CD	296-7162-5-ND	Zweif. erweiterter Niedrig-Offset-JFET-OpAmp	Dual Enhanced JFET Low Offset Op Amp	8-SOIC	1.48	1.19	.89
TL052CP	296-7163-5-ND	Zweif. erweiterter Niedrig-Offset-JFET-OpAmp	Dual Enhanced JFET Low Offset Op Amp	8-Dip	1.48	1.19	.89
TL052CPSR	296-13347-1-ND	Zweif. erweiterter Niedrig-Offset-JFET-OpAmp	Dual Enhanced JFET Low Offset Op Amp	8-SOP	1.48	1.19	.89
TL052CPSR	296-13347-2-ND	Zweif. erweiterter Niedrig-Offset-JFET-OpAmp	Dual Enhanced JFET Low Offset Op Amp	8-SOP		1540.81/2,000	
TL052ID	296-7164-5-ND	Zweif. erweiterter Niedrig-Offset-JFET-OpAmp	Dual Enhanced JFET Low Offset Op Amp	8-SOIC	1.59	1.27	.96
TL052IDR	296-14984-1-ND	Zweif. erweiterter Niedrig-Offset-JFET-OpAmp	Dual Enhanced JFET Low Offset Op Amp	8-SOIC	1.59	1.27	.96
TL052IDR	296-14984-2-ND	Zweif. erweiterter Niedrig-Offset-JFET-OpAmp	Dual Enhanced JFET Low Offset Op Amp	8-SOIC		2031.84/2,500	
TL052IP	296-17224-5-ND	Zweif. erweiterter Niedrig-Offset-JFET-OpAmp	Dual Enhanced JFET Low Offset Op Amp	8-Dip	1.48	1.19	.89
TL054ACD	296-7165-5-ND	Vierf. erweiterter Niedrig-Offset-JFET-OpAmp	Quad Enhanced JFET Low Offset Op Amp	14-SOIC	4.66	3.74	2.91
TL054ACN	296-7166-5-ND	Vierf. erweiterter Niedrig-Offset-JFET-OpAmp	Quad Enhanced JFET Low Offset Op Amp	14-Dip	4.66	3.74	2.91
TL054AIDR	296-7167-1-ND	Vierf. erweiterter Niedrig-Offset-JFET-OpAmp	Quad Enhanced JFET Low Offset Op Amp	14-SOIC	4.23	3.39	2.86
TL054AIDR	296-7167-2-ND	Vierf. erweiterter Niedrig-Offset-JFET-OpAmp	Quad Enhanced JFET Low Offset Op Amp	14-SOIC		6561.15/2,500	
TL054CD	296-7168-5-ND	Vierf. erweiterter Niedrig-Offset-JFET-OpAmp	Quad Enhanced JFET Low Offset Op Amp	14-SOIC	1.52	1.22	.92
TL054CN	296-7169-5-ND	Vierf. erweiterter Niedrig-Offset-JFET-OpAmp	Quad Enhanced JFET Low Offset Op Amp	14-Dip	1.52	1.22	.92
TL054CNSR	296-13348-1-ND	Vierf. erweiterter Niedrig-Offset-JFET-OpAmp	Quad Enhanced JFET Low Offset Op Amp	14-SOP	1.52	1.22	.92
TL054CNSR	296-13348-2-ND	Vierf. erweiterter Niedrig-Offset-JFET-OpAmp	Quad Enhanced JFET Low Offset Op Amp	14-SOP		1584.84/2,000	
TL054IN	296-12940-5-ND	Vierf. erweiterter Niedrig-Offset-JFET-OpAmp	Quad Enhanced JFET Low Offset Op Amp	14-Dip	1.72	1.38	1.03
TL061ACD	296-7171-5-ND	JFET-OpAmp, NL	Low Power JFET Op Amp	8-SOIC	.63	.53	.43
TL061ACDR	296-14985-1-ND	JFET-OpAmp, NL	Low Power JFET Op Amp	8-SOIC	.63	.53	.43
TL061ACDR	296-14985-2-ND	JFET-OpAmp, NL	Low Power JFET Op Amp	8-SOIC		687.86/2,500	
TL061ACP	296-7172-5-ND	JFET-OpAmp, NL	Low Power JFET Op Amp	8-Dip	.63	.53	.43
TL061CD	296-12941-5-ND	JFET-OpAmp, NL	Low Power JFET Op Amp	8-SOIC	.47	.36	.27
TL061CP	296-12942-5-ND	JFET-OpAmp, NL	Low Power JFET Op Amp	8-Dip	.47	.36	.27
TL061ID	296-7173-5-ND	JFET-OpAmp, NL	Low Power JFET Op Amp	8-SOIC	.81	.61	.46
TL061IDR	296-14986-1-ND	JFET-OpAmp, NL	Low Power JFET Op Amp	8-SOIC	.81	.61	.46
TL061IDR	296-14986-2-ND	JFET-OpAmp, NL	Low Power JFET Op Amp	8-SOIC		660.35/2,500	
TL061IP	296-7174-5-ND	JFET-OpAmp, NL	Low Power JFET Op Amp	8-Dip	.81	.61	.46
TL062ACD	296-7175-5-ND	Zweif. JFET-OpAmp, NL	Dual Low Power JFET Op Amp	8-SOIC	.68	.51	.39
TL062ACDR	296-14987-1-ND	Zweif. JFET-OpAmp, NL	Dual Low Power JFET Op Amp	8-SOIC	.68	.51	.39
TL062ACDR	296-14987-2-ND	Zweif. JFET-OpAmp, NL	Dual Low Power JFET Op Amp	8-SOIC		550.29/2,500	
TL062ACP	296-12943-5-ND	Zweif. JFET-OpAmp, NL	Dual Low Power JFET Op Amp	8-Dip	.68	.51	.39
TL062BCD	296-12944-5-ND	Zweif. JFET-OpAmp, NL	Dual Low Power JFET Op Amp	8-SOIC	.97	.81	.65
TL062BCDR	296-14988-1-ND	Zweif. JFET-OpAmp, NL	Dual Low Power JFET Op Amp	8-SOIC	.97	.81	.65
TL062BCDR	296-14988-2-ND	Zweif. JFET-OpAmp, NL	Dual Low Power JFET Op Amp	8-SOIC		1045.55/2,500	
TL062BCP	296-7176-5-ND	Zweif. JFET-OpAmp, NL	Dual Low Power JFET Op Amp	8-Dip	.97	.81	.65
TL062CD	296-1281-5-ND	Zweif. JFET-OpAmp, NL	Dual Low Power JFET Op Amp	8-SOIC	.54	.41	.31
TL062CDR	296-1281-1-ND	Zweif. JFET-OpAmp, NL	Dual Low Power JFET Op Amp	8-SOIC	.54	.41	.31
TL062CDR	296-1281-2-ND	Zweif. JFET-OpAmp, NL	Dual Low Power JFET Op Amp	8-SOIC		440.23/2,500	
TL062CP	296-1771-5-ND	Zweif. JFET-OpAmp, NL	Dual Low Power JFET Op Amp	8-Dip	.54	.41	.31
TL062CPWR	296-7178-1-ND	Zweif. JFET-OpAmp, NL	Dual Low Power JFET Op Amp	8-TSSOP	.54	.41	.31
TL062CPWR	296-7178-2-ND	Zweif. JFET-OpAmp, NL	Dual Low Power JFET Op Amp	8-TSSOP		360.65/2,000	
TL062ID	296-7179-5-ND	Zweif. JFET-OpAmp, NL	Dual Low Power JFET Op Amp	8-SOIC	.54	.41	.31
TL062IDR	296-15072-1-ND	Zweif. JFET-OpAmp, NL	Dual Low Power JFET Op Amp	8-SOIC	.54	.41	.31
TL062IDR	296-15072-2-ND	Zweif. JFET-OpAmp, NL	Dual Low Power JFET Op Amp	8-SOIC		440.23/2,500	
TL062IP	296-12945-5-ND	Zweif. JFET-OpAmp, NL	Dual Low Power JFET Op Amp	8-Dip	.54	.41	.31
TL062IPWR	296-17449-1-ND	Zweif. JFET-OpAmp, NL	Dual Low Power JFET Op Amp	8-TSSOP	.54	.41	.31
TL062IPWR	296-17449-2-ND	Zweif. JFET-OpAmp, NL	Dual Low Power JFET Op Amp	8-TSSOP		360.65/2,000	
TL064ACD	296-7180-5-ND	Vierf. JFET-OpAmp, NL	Quad Low Power JFET Op Amp	14-SOIC	.63	.53	.43
TL064ACDR	296-14989-1-ND	Vierf. JFET-OpAmp, NL	Quad Low Power JFET Op Amp	14-SOIC	.63	.53	.43
TL064ACDR	296-14989-2-ND	Vierf. JFET-OpAmp, NL	Quad Low Power JFET Op Amp	14-SOIC		687.86/2,500	
TL064ACN	296-13014-5-ND	Vierf. JFET-OpAmp, NL	Quad Low Power JFET Op Amp	14-Dip	.63	.53	.43
TL064BCD	296-7181-5-ND	Vierf. JFET-OpAmp, NL	Quad Low Power JFET Op Amp	14-SOIC	.71	.60	.48
TL064BCDR	296-14990-1-ND	Vierf. JFET-OpAmp, NL	Quad Low Power JFET Op Amp	8-SOIC	.71	.60	.48
TL064BCDR	296-14990-2-ND	Vierf. JFET-OpAmp, NL	Quad Low Power JFET Op Amp	8-SOIC		770.41/2,500	
TL064BCN	296-12946-5-ND	Vierf. JFET-OpAmp, NL	Quad Low Power JFET Op Amp	14-Dip	.71	.60	.48
TL064CD	296-1772-5-ND	Vierf. JFET-OpAmp, NL	Quad Low Power JFET Op Amp	14-SOIC	.68	.51	.39
TL064CDR	296-14991-1-ND	Vierf. JFET-OpAmp, NL	Quad Low Power JFET Op Amp	14-SOIC	.68	.51	.39

(Forts.)

★ RUFEN SIE BITTE AN FÜR NIEDRIGERE PREISE BEI GRÖSSEREN MENGEN! ★

B

T. I. Teilenr.	Digi-Key Teilenr.	Beschreibung		Paket	Stückpreis ★ 1	25	100
TL064CDR	296-14991-2-ND	Vierf. JFET-OpAmp, NL	Quad Low Power JFET Op Amp	14-SOIC		550.29/2,500	
TL064CN	296-1773-5-ND	Vierf. JFET-OpAmp, NL	Quad Low Power JFET Op Amp	14-Dip	.68	.51	.39
TL064CPWR	296-7182-1-ND	Vierf. JFET-OpAmp, NL	Quad Low Power JFET Op Amp	14-TSSOP	.68	.51	.39
TL064CPWR	296-7182-2-ND	Vierf. JFET-OpAmp, NL	Quad Low Power JFET Op Amp	14-TSSOP		450.39/2,000	
TL064ID	296-7183-5-ND	Vierf. JFET-OpAmp, NL	Quad Low Power JFET Op Amp	14-SOIC	.68	.51	.39
TL064IDR	296-14992-1-ND	Vierf. JFET-OpAmp, NL	Quad Low Power JFET Op Amp	14-SOIC	.68	.51	.39
TL064IDR	296-14992-2-ND	Vierf. JFET-OpAmp, NL	Quad Low Power JFET Op Amp	14-SOIC		550.29/2,500	
TL064IN	296-7184-5-ND	Vierf. JFET-OpAmp, NL	Quad Low Power JFET Op Amp	14-Dip	.68	.51	.39
TL071ACDR	296-14993-1-ND	Rauscharmer JFET-OpAmp	Low Noise JFET Op Amp	8-SOIC	.61	.46	.35
TL071ACDR	296-14993-2-ND	Rauscharmer JFET-OpAmp	Low Noise JFET Op Amp	8-SOIC		495.26/2,500	
TL071ACP	296-7185-5-ND	Rauscharmer JFET-OpAmp	Low Noise JFET Op Amp	8-Dip	.61	.46	.35
TL071CD	296-12947-5-ND	Rauscharmer JFET-OpAmp	Low Noise JFET Op Amp	8-SOIC	.41	.31	.23
TL071CDR	296-14994-1-ND	Rauscharmer JFET-OpAmp	Low Noise JFET Op Amp	8-SOIC	.41	.31	.23
TL071CDR	296-14994-2-ND	Rauscharmer JFET-OpAmp	Low Noise JFET Op Amp	8-SOIC		330.17/2,500	
TL071CP	296-7186-5-ND	Rauscharmer JFET-OpAmp	Low Noise JFET Op Amp	8-Dip	.41	.31	.23
TL071ID	296-7187-5-ND	Rauscharmer JFET-OpAmp	Low Noise JFET Op Amp	8-SOIC	.68	.51	.39
TL071IP	296-7188-5-ND	Rauscharmer JFET-OpAmp	Low Noise JFET Op Amp	8-Dip	.68	.51	.39
TL072ACD	296-7189-5-ND	Zweif. rauscharmer JFET-OpAmp	Dual Low Noise JFET Op Amp	8-SOIC	.68	.51	.39
TL072ACDR	296-14995-1-ND	Zweif. rauscharmer JFET-OpAmp	Dual Low Noise JFET Op Amp	8-SOIC	.68	.51	.39
TL072ACDR	296-14995-2-ND	Zweif. rauscharmer JFET-OpAmp	Dual Low Noise JFET Op Amp	8-SOIC		550.29/2,500	
TL072ACP	296-7190-5-ND	Rauscharmer JFET-OpAmp	Low Noise JFET Op Amp	8-Dip	.68	.51	.39
TL072BCD	296-7191-5-ND	Zweif. rauscharmer JFET-OpAmp	Dual Low Noise JFET Op Amp	8-SOIC	.71	.60	.48
TL072BCDR	296-14996-1-ND	Zweif. rauscharmer JFET-OpAmp	Dual Low Noise JFET Op Amp	8-SOIC	.71	.60	.48
TL072BCDR	296-14996-2-ND	Zweif. rauscharmer JFET-OpAmp	Dual Low Noise JFET Op Amp	8-SOIC		770.41/2,500	
TL072BCP	296-7192-5-ND	Rauscharmer JFET-OpAmp	Low Noise JFET Op Amp	8-Dip	.71	.60	.48
TL072CD	296-1282-5-ND	Zweif. JFET-Eingangs-OpAmp	Dual JFET-Input Op Amp	8-SOIC	.54	.41	.31
TL072CDR	296-1282-1-ND	Zweif. JFET-Eingangs-OpAmp	Dual JFET-Input Op Amp	8-SOIC	.54	.41	.31
TL072CDR	296-1282-2-ND	Zweif. JFET-Eingangs-OpAmp	Dual JFET-Input Op Amp	8-SOIC		440.23/2,500	
TL072CP	296-1775-5-ND	Zweif. JFET-Eingangs-OpAmp	Dual JFET-Input Op Amp	8-Dip	.54	.41	.31
TL072CPWR	296-7193-1-ND	Zweif. rauscharmer JFET-OpAmp	Dual Low Noise JFET Op Amp	8-TSSOP	.61	.46	.35
TL072CPWR	296-7193-2-ND	Zweif. rauscharmer JFET-OpAmp	Dual Low Noise JFET Op Amp	8-TSSOP		404.67/2,000	
TL072ID	296-7194-5-ND	Zweif. rauscharmer JFET-OpAmp	Dual Low Noise JFET Op Amp	8-SOIC	.54	.41	.31
TL072IDR	296-7194-1-ND	Zweif. rauscharmer JFET-OpAmp	Dual Low Noise JFET Op Amp	8-SOIC	.54	.41	.31
TL072IDR	296-7194-2-ND	Zweif. rauscharmer JFET-OpAmp	Dual Low Noise JFET Op Amp	8-SOIC		440.23/2,500	
TL072IP	296-14997-5-ND	Zweif. rauscharmer JFET-OpAmp	Dual Low Noise JFET Op Amp	8-Dip	.54	.41	.31
TL074ACD	296-7195-5-ND	Vierf. rauscharmer JFET-OpAmp	Quad Low Noise JFET Op Amp	14-SOIC	.81	.61	.46
TL074ACDR	296-14998-1-ND	Vierf. rauscharmer JFET-OpAmp	Quad Low Noise JFET Op Amp	14-SOIC	.81	.61	.46
TL074ACDR	296-14998-2-ND	Vierf. rauscharmer JFET-OpAmp	Quad Low Noise JFET Op Amp	14-SOIC		660.35/2,500	
TL074ACN	296-12948-5-ND	Vierf. rauscharmer JFET-OpAmp	Quad Low Noise JFET Op Amp	14-Dip	.81	.61	.46
TL074BCD	296-7196-5-ND	Vierf. rauscharmer JFET-OpAmp	Quad Low Noise JFET Op Amp	14-SOIC	.71	.60	.48
TL074BCDR	296-14999-1-ND	Vierf. rauscharmer JFET-OpAmp	Quad Low Noise JFET Op Amp	14-SOIC	.71	.60	.48
TL074BCDR	296-14999-2-ND	Vierf. rauscharmer JFET-OpAmp	Quad Low Noise JFET Op Amp	14-SOIC		770.41/2,500	
TL074BCN	296-7197-5-ND	Vierf. rauscharmer JFET-OpAmp	Quad Low Noise JFET Op Amp	14-Dip	.71	.60	.48
TL074CD	296-1283-5-ND	Vierf. rauscharmer JFET-OpAmp	Quad Low Noise JFET Op Amp	14-SOIC	.64	.49	.37
TL074CDR	296-1283-1-ND	Vierf. rauscharmer JFET-OpAmp	Quad Low Noise JFET Op Amp	14-SOIC	.64	.49	.37
TL074CDR	296-1283-2-ND	Vierf. rauscharmer JFET-OpAmp	Quad Low Noise JFET Op Amp	14-SOIC		522.78/2,500	
TL074CN	296-1777-5-ND	Vierf. rauscharmer JFET-OpAmp	Quad Low Noise JFET Op Amp	14-Dip	.64	.49	.37
TL074CPWR	296-7198-1-ND	Vierf. rauscharmer JFET-OpAmp	Quad Low Noise JFET Op Amp	14-TSSOP	.64	.49	.37
TL074CPWR	296-7198-2-ND	Vierf. rauscharmer JFET-OpAmp	Quad Low Noise JFET Op Amp	14-TSSOP		428.38/2,000	
TL074ID	296-7199-5-ND	Vierf. rauscharmer JFET-OpAmp	Quad Low Noise JFET Op Amp	14-SOIC	.68	.51	.39
TL074IDR	296-15000-1-ND	Vierf. rauscharmer JFET-OpAmp	Quad Low Noise JFET Op Amp	14-SOIC	.68	.51	.39
TL074IDR	296-15000-2-ND	Vierf. rauscharmer JFET-OpAmp	Quad Low Noise JFET Op Amp	14-SOIC		550.29/2,500	
TL074IN	296-7200-5-ND	Vierf. rauscharmer JFET-OpAmp	Quad Low Noise JFET Op Amp	14-Dip	.68	.51	.39
TL080CP	296-10127-5-ND	JFET-OpAmp	JFET Op Amp	8-Dip	.63	.53	.43
TL081ACD	296-7201-5-ND	JFET-OpAmp	JFET Op Amp	8-SOIC	.68	.51	.39
TL081ACP	296-7202-5-ND	JFET-OpAmp	JFET Op Amp	8-Dip	.68	.51	.39
TL081CD	296-12949-5-ND	JFET-OpAmp	JFET Op Amp	8-SOIC	.41	.31	.23
TL081CDR	296-15001-1-ND	JFET-OpAmp	JFET Op Amp	8-SOIC	.41	.31	.23
TL081CDR	296-15001-2-ND	JFET-OpAmp	JFET Op Amp	8-SOIC		330.17/2,500	
TL081CP	296-7203-5-ND	JFET-OpAmp	JFET Op Amp	8-Dip	.41	.31	.23
TL081ID	296-7204-5-ND	JFET-OpAmp	JFET Op Amp	8-SOIC	.68	.51	.39
TL081IDR	296-15002-1-ND	JFET-OpAmp	JFET Op Amp	8-SOIC	.68	.51	.39
TL081IDR	296-15002-2-ND	JFET-OpAmp	JFET Op Amp	8-SOIC		550.29/2,500	
TL082ACD	296-7205-5-ND	Zweif. JFET-Eingangs-OpAmp	Dual JFET-Input Op Amp	8-SOIC	.68	.51	.39
TL082ACDR	296-15003-1-ND	Zweif. JFET-Eingangs-OpAmp	Dual JFET-Input Op Amp	8-SOIC	.68	.51	.39
TL082ACDR	296-15003-2-ND	Zweif. JFET-Eingangs-OpAmp	Dual JFET-Input Op Amp	8-SOIC		550.29/2,500	
TL082ACP	296-1778-5-ND	Zweif. JFET-Eingangs-OpAmp	Dual JFET-Input Op Amp	8-Dip	.68	.51	.39
TL082BCD	296-7206-5-ND	Zweif. JFET-Eingangs-OpAmp	Dual JFET-Input Op Amp	8-SOIC	.71	.60	.48
TL082BCDR	296-15004-1-ND	Zweif. JFET-Eingangs-OpAmp	Dual JFET-Input Op Amp	8-SOIC	.71	.60	.48
TL082BCDR	296-15004-2-ND	Zweif. JFET-Eingangs-OpAmp	Dual JFET-Input Op Amp	8-SOIC		770.41/2,500	
TL082BCP	296-7207-5-ND	Zweif. JFET-Eingangs-OpAmp	Dual JFET-Input Op Amp	8-Dip	.71	.60	.48
TL082CD	296-1284-5-ND	Zweif. JFET-Eingangs-OpAmp	Dual JFET-Input Op Amp	8-SOIC	.54	.41	.31
TL082CDR	296-1284-1-ND	Zweif. JFET-Eingangs-OpAmp	Dual JFET-Input Op Amp	8-SOIC	.54	.41	.31
TL082CDR	296-1284-2-ND	Zweif. JFET-Eingangs-OpAmp	Dual JFET-Input Op Amp	8-SOIC		440.23/2,500	
TL082CP	296-1780-5-ND	Zweif. JFET-Eingangs-OpAmp	Dual JFET-Input Op Amp	8-Dip	.54	.41	.31
TL082CPWR	296-7208-1-ND	Zweif. JFET-Eingangs-OpAmp	Dual JFET-Input Op Amp	8-TSSOP	.61	.46	.35
TL082CPWR	296-7208-2-ND	Zweif. JFET-Eingangs-OpAmp	Dual JFET-Input Op Amp	8-TSSOP		404.67/2,000	
TL082ID	296-7209-5-ND	Zweif. JFET-Eingangs-OpAmp	Dual JFET-Input Op Amp	8-SOIC	.54	.41	.31
TL082IDR	296-15005-1-ND	Zweif. JFET-Eingangs-OpAmp	Dual JFET-Input Op Amp	8-SOIC	.54	.41	.31
TL082IDR	296-15005-2-ND	Zweif. JFET-Eingangs-OpAmp	Dual JFET-Input Op Amp	8-SOIC		440.23/2,500	
TL082IP	296-1781-5-ND	Zweif. JFET-Eingangs-OpAmp	Dual JFET-Input Op Amp	8-Dip	.54	.41	.31
TL082IPWR	296-17450-1-ND	Zweif. JFET-Eingangs-OpAmp	Dual JFET-Input Op Amp	8-TSSOP	.54	.41	.31
TL082IPWR	296-17450-2-ND	Zweif. JFET-Eingangs-OpAmp	Dual JFET-Input Op Amp	8-TSSOP		360.65/2,000	
TL084ACD	296-7210-5-ND	Vierf. JFET-Eingangs-OpAmp	Quad JFET-Input Op Amp	14-SOIC	.75	.56	.42
TL084ACDR	296-15006-1-ND	Vierf. JFET-Eingangs-OpAmp	Quad JFET-Input Op Amp	8-SOIC	.75	.56	.42
TL084ACDR	296-15006-2-ND	Vierf. JFET-Eingangs-OpAmp	Quad JFET-Input Op Amp	8-SOIC		605.32/2,500	
TL084ACN	296-1782-5-ND	Vierf. JFET-Eingangs-OpAmp	Quad JFET-Input Op Amp	14-Dip	.75	.56	.42
TL084BCD	296-12950-5-ND	Vierf. JFET-Eingangs-OpAmp	Quad JFET-Input Op Amp	14-SOIC	.81	.68	.55
TL084BCDR	296-15007-1-ND	Vierf. JFET-Eingangs-OpAmp	Quad JFET-Input Op Amp	8-SOIC	.81	.68	.55
TL084BCDR	296-15007-2-ND	Vierf. JFET-Eingangs-OpAmp	Quad JFET-Input Op Amp	8-SOIC		880.46/2,500	
TL084BCN	296-12951-5-ND	Vierf. JFET-Eingangs-OpAmp	Quad JFET-Input Op Amp	14-Dip	.81	.68	.55
TL084CD	296-1285-5-ND	Vierf. JFET-Eingangs-OpAmp	Quad JFET-Input Op Amp	14-SOIC	.68	.51	.39
TL084CDR	296-1285-1-ND	Vierf. JFET-Eingangs-OpAmp	Quad JFET-Input Op Amp	14-SOIC	.64	.49	.37
TL084CDR	296-1285-2-ND	Vierf. JFET-Eingangs-OpAmp	Quad JFET-Input Op Amp	14-SOIC		522.78/2,500	
TL084CN	296-1784-5-ND	Vierf. JFET-Eingangs-OpAmp	Quad JFET-Input Op Amp	14-Dip	.64	.49	.37
TL084ACNSR	296-13349-1-ND	Vierf. JFET-Eingangs-OpAmp	Quad JFET-Input Op Amp	14-SOP	.75	.56	.42
TL084ACNSR	296-13349-2-ND	Vierf. JFET-Eingangs-OpAmp	Quad JFET-Input Op Amp	14-SOP		496.11/2,000	
TL084CNSR	296-7211-1-ND	Vierf. JFET-Eingangs-OpAmp	Quad JFET-Input Op Amp	14-SOP	.68	.51	.39
TL084CNSR	296-7211-2-ND	Vierf. JFET-Eingangs-OpAmp	Quad JFET-Input Op Amp	14-SOP		450.39/2,000	
TL084CPWR	296-7212-1-ND	Vierf. JFET-Eingangs-OpAmp	Quad JFET-Input Op Amp	14-TSSOP	.68	.51	.39

(Forts.)

★ *RUFEN SIE BITTE AN FÜR NIEDRIGERE PREISE BEI GRÖSSEREN MENGEN!* ★

T. I. Teilenr.	Digi-Key Teilenr.	Beschreibung		Paket	Stückpreis ★ 1	25	100
TL084CPWR	296-7212-2-ND	Vierf. JFET-Eingangs-OpAmp	Quad JFET-Input Op Amp	14-TSSOP		450.39/2,000	
TL084ID	296-1785-5-ND	Vierf. JFET-Eingangs-OpAmp	Quad JFET-Input Op Amp	14-SOIC	.75	.56	.42
TL084IDR	296-1785-1-ND	Vierf. JFET-Eingangs-OpAmp	Quad JFET-Input Op Amp	14-SOIC	.75	.56	.42
TL084IDR	296-1785-2-ND	Vierf. JFET-Eingangs-OpAmp	Quad JFET-Input Op Amp	14-SOIC		605.32/2,500	
TL084IN	296-7213-5-ND	Vierf. JFET-Eingangs-OpAmp	Quad JFET-Input Op Amp	14-Dip	.75	.56	.42
TL084QD	296-7214-5-ND	Vierf. JFET-Eingangs-OpAmp	Quad JFET-Input Op Amp	14-SOIC	1.07	.89	.72
TL343IDBVR	296-12496-1-ND	Einzelversorgter NL-OpAmp	Single, Low Power Op Amp	SOT-23-5	.68	.51	.39
TL343IDBVR	296-12496-2-ND	Einzelversorgter NL-OpAmp	Single, Low Power Op Amp	SOT-23-5		660.35/3,000	
TL592B-8D	296-10218-5-ND	Differenzial-Video-Verstärker	Differential Video Amplifier	8-SOIC	1.07	.89	.72
TL592BP	296-10219-5-ND	Differenzial-Video-Verstärker	Differential Video Amplifier	8-Dip	1.07	.89	.72
TL592BPSR	296-13354-1-ND	Differenzial-Video-Verstärker	Differential Video Amplifier	8-SOP	1.07	.89	.72
TL592BPSR	296-13354-2-ND	Differenzial-Video-Verstärker	Differential Video Amplifier	8-SOP		946.50/2,000	
TL783CKTER	296-15630-1-ND	Hochspannungsregler, verstellbar	High Voltage Adj. Regulator	3-PFM	1.35	1.09	.82
TL783CKTER	296-15630-2-ND	Hochspannungsregler, verstellbar	High Voltage Adj. Regulator	3-PFM		1408.74/2,000	
TL3414AIDR	296-17539-1-ND	Zweif. OpAmp für hohe Ausgangsströme	Dual High Output Current Op Amp	8-SOIC	.66	.56	.45
TL3414AIDR	296-17539-2-ND	Zweif. OpAmp für hohe Ausgangsströme	Dual High Output Current Op Amp	8-SOIC		715.38/2,500	
TL3414AIP	296-17553-5-ND	Zweif. OpAmp für hohe Ausgangsströme	Dual High Output Current Op Amp	8-Dip	.66	.56	.45
TL3414AIPWR	296-17543-1-ND	Zweif. OpAmp für hohe Ausgangsströme	Dual High Output Current Op Amp	8-TSSOP	.66	.56	.45
TL3414AIPWR	296-17543-2-ND	Zweif. OpAmp für hohe Ausgangsströme	Dual High Output Current Op Amp	8-TSSOP		585.85/2,000	
TL3472CD	296-10169-5-ND	Einzelversorgter OpAmp, hohe Slew-Rate	High Slew Rate, Single Supply Op Amp	8-SOIC	.51	.39	.29
TL3472CDR	296-10169-1-ND	Einzelversorgter OpAmp, hohe Slew-Rate	High Slew Rate, Single Supply Op Amp	8-SOIC	.51	.39	.29
TL3472CDR	296-10169-2-ND	Einzelversorgter OpAmp, hohe Slew-Rate	High Slew Rate, Single Supply Op Amp	8-SOIC		412.72/2,500	
TL3472CP	296-10170-5-ND	Einzelversorgter OpAmp, hohe Slew-Rate	High Slew Rate, Single Supply Op Amp	8-Dip	.51	.39	.29
TL3472IDR	296-17678-1-ND	Einzelversorgter OpAmp, hohe Slew-Rate	High Slew Rate, Single Supply Op Amp	8-SOIC	.78	.59	.44
TL3472IDR	296-17678-2-ND	Einzelversorgter OpAmp, hohe Slew-Rate	High Slew Rate, Single Supply Op Amp	8-SOIC		632.83/2,500	
TL3472IP	296-17679-5-ND	Einzelversorgter OpAmp, hohe Slew-Rate	High Slew Rate, Single Supply Op Amp	8-Dip	.78	.59	.44
TL3474ACDR	296-15623-1-ND	Einzelversorgter OpAmp, hohe Slew-Rate	High Slew Rate, Single Supply Op Amp	14-SOIC	1.14	.96	.77
TL3474ACDR	296-15623-2-ND	Einzelversorgter OpAmp, hohe Slew-Rate	High Slew Rate, Single Supply Op Amp	14-SOIC		1238.15/2,500	
TL3474ACN	296-15624-5-ND	Einzelversorgter OpAmp, hohe Slew-Rate	High Slew Rate, Single Supply Op Amp	14-Dip	1.14	.96	.77
TL3474ACPWR	296-15116-1-ND	Einzelversorgter OpAmp, hohe Slew-Rate	High Slew Rate, Single Supply Op Amp	14-TSSOP	1.14	.96	.77
TL3474ACPWR	296-15116-2-ND	Einzelversorgter OpAmp, hohe Slew-Rate	High Slew Rate, Single Supply Op Amp	14-TSSOP		1014.23/2,000	
TL3474AIDR	296-15625-1-ND	Einzelversorgter OpAmp, hohe Slew-Rate	High Slew Rate, Single Supply Op Amp	14-SOIC	1.19	1.00	.80
TL3474AIDR	296-15625-2-ND	Einzelversorgter OpAmp, hohe Slew-Rate	High Slew Rate, Single Supply Op Amp	14-SOIC		1293.18/2,500	
TL3474AIN	296-15626-5-ND	Einzelversorgter OpAmp, hohe Slew-Rate	High Slew Rate, Single Supply Op Amp	14-Dip	1.19	1.00	.80
TL3474AIPWR	296-15117-1-ND	Einzelversorgter OpAmp, hohe Slew-Rate	High Slew Rate, Single Supply Op Amp	14-TSSOP	1.19	1.00	.80
TL3474AIPWR	296-15117-2-ND	Einzelversorgter OpAmp, hohe Slew-Rate	High Slew Rate, Single Supply Op Amp	14-TSSOP		1058.25/2,000	
TL3474CD	296-14405-5-ND	Vierf. einzelversorgter OpAmp, hohe Slew-Rate	Quad, High Slew Rate, Single Supply Op Amp	14-SOIC	.94	.79	.63
TL3474CN	296-14406-5-ND	Vierf. einzelversorgter OpAmp, hohe Slew-Rate	Quad, High Slew Rate, Single Supply Op Amp	14-Dip	.94	.79	.63
TL3474CPWR	296-15118-1-ND	Vierf. versorgter OpAmp, hohe Slew-Rate	High Slew Rate, Quad Supply Op Amp	14-TSSOP	.94	.79	.63
TL3474CPWR	296-15118-2-ND	Vierf. versorgter OpAmp, hohe Slew-Rate	High Slew Rate, Quad Supply Op Amp	14-TSSOP		833.05/2,000	
TL3474ID	296-14407-5-ND	Vierf. einzelversorgter OpAmp, hohe Slew-Rate	Quad, High Slew Rate, Single Supply Op Amp	14-SOIC	.99	.83	.67
TL3474IN	296-14408-5-ND	Vierf. einzelversorgter OpAmp, hohe Slew-Rate	Quad, High Slew Rate, Single Supply Op Amp	14-Dip	.99	.83	.67
TL3474IPWR	296-15119-1-ND	Vierf. versorgter OpAmp, hohe Slew-Rate	High Slew Rate, Quad Supply Op Amp	14-TSSOP	.99	.83	.67
TL3474IPWR	296-15119-2-ND	Vierf. versorgter OpAmp, hohe Slew-Rate	High Slew Rate, Quad Supply Op Amp	14-TSSOP		878.77/2,000	
TL4581DR	296-15627-1-ND	Zweif. rauscharmer High-Drive-OpAmp	Dual Low Noise High Drive Op Amp	8-SOIC	.63	.53	.43
TL4581DR	296-15627-2-ND	Zweif. rauscharmer High-Drive-OpAmp	Dual Low Noise High Drive Op Amp	8-SOIC		687.86/2,500	
TL4581P	296-15628-5-ND	Zweif. rauscharmer High-Drive-OpAmp	Dual Low Noise High Drive Op Amp	8-Dip	.63	.53	.43
TL4581PSR	296-15629-1-ND	Zweif. rauscharmer High-Drive-OpAmp	Dual Low Noise High Drive Op Amp	8-SOP	.63	.53	.43
TL4581PSR	296-15629-2-ND	Zweif. rauscharmer High-Drive-OpAmp	Dual Low Noise High Drive Op Amp	8-SOP		563.84/2,000	
TLC25L2ACD	296-7297-5-ND	Zweif. OpAmp	Dual Op Amp	8-SOIC	2.27	1.82	1.42
TLC25L2BCD	296-7298-5-ND	Zweif. OpAmp	Dual Op Amp	8-SOIC	2.44	1.96	1.52
TLC25L2BCP	296-7299-5-ND	Zweif. OpAmp	Dual Op Amp	8-Dip	2.44	1.96	1.52
TLC25L2CD	296-7300-5-ND	Zweif. Micropower-Operationsverst., Niederspann.	Dual Low Volt. Micropower Op Amp	8-SOIC	2.18	1.74	1.36
TLC25L2CP	296-7301-5-ND	Zweif. Micropower-Operationsverst., Niederspann.	Dual Low Volt. Micropower Op Amp	8-Dip	2.18	1.74	1.36
TLC25L4ACD	296-7302-5-ND	Vierf. OpAmp	Quad Op Amp	14-SOIC	3.17	2.53	1.97
TLC25L4ACN	296-7303-5-ND	Vierf. OpAmp	Quad Op Amp	14-Dip	3.17	2.53	1.97
TLC25L4BCD	296-7304-5-ND	Vierf. OpAmp	Quad Op Amp	14-SOIC	3.35	2.69	2.09
TLC25L4BCN	296-7305-5-ND	Vierf. OpAmp	Quad Op Amp	14-Dip	3.35	2.69	2.09
TLC25L4CD	296-7306-5-ND	Vierf. Micropower-Operationsverst., Niederspann.	Quad Low Volt. Micropower Op Amp	14-SOIC	2.99	2.40	1.87
TLC25L4CN	296-7307-5-ND	Vierf. Micropower-Operationsverst., Niederspann.	Quad Low Volt. Micropower Op Amp	14-Dip	2.99	2.40	1.87
TLC25M2ACD	296-7308-5-ND	Zweif. OpAmp	Dual Op Amp	8-SOIC	2.27	1.82	1.42
TLC25M2ACP	296-7309-5-ND	Zweif. OpAmp	Dual Op Amp	8-Dip	2.27	1.82	1.42
TLC25M2CP	296-7310-5-ND	Zweif. OpAmp, Niederspann., NL	Dual Low Power Low Volt. Op Amp	8-Dip	2.18	1.74	1.36
TLC25M4ACD	296-7311-5-ND	Vierf. OpAmp	Quad Op Amp	14-SOIC	3.17	2.53	1.97
TLC25M4BCN	296-7312-5-ND	Vierf. OpAmp	Quad Op Amp	14-Dip	3.35	2.69	2.09
TLC25M4CD	296-7313-5-ND	Vierf. OpAmp, Niederspann., NL	Quad Low Power Low Volt. Op Amp	14-SOIC	2.99	2.40	1.87
TLC25M4CN	296-7314-5-ND	Vierf. OpAmp, Niederspann., NL	Quad Low Power Low Volt. Op Amp	14-Dip	2.99	2.40	1.87
TLC27L1ACP	296-10259-5-ND	OpAmp, Niedrigstrom	Low Power Op Amp	8-Dip	.81	.61	.46
TLC27L1CP	296-15120-5-ND	OpAmp, Niedrigstrom	Low Power Op Amp	8-Dip	.78	.59	.44
TLC27L1ID	296-10260-5-ND	OpAmp, Niedrigstrom	Low Power Op Amp	8-SOIC	.81	.61	.46
TLC27L2ACD	296-7369-5-ND	Zweif. Präzisions-OpAmp	Dual Precision Op Amp	8-SOIC	.69	.58	.46
TLC27L2ACP	296-7370-5-ND	Zweif. Präzisions-OpAmp	Dual Precision Op Amp	8-Dip	.69	.58	.46
TLC27L2AID	296-7371-5-ND	Zweif. Präzisions-OpAmp	Dual Precision Op Amp	8-SOIC	.71	.60	.48
TLC27L2AIP	296-7372-5-ND	Zweif. Präzisions-OpAmp	Dual Precision Op Amp	8-Dip	.71	.60	.48
TLC27L2BCD	296-7373-5-ND	Zweif. Präzisions-OpAmp	Dual Precision Op Amp	8-SOIC	.71	.60	.48
TLC27L2BCP	296-7374-5-ND	Zweif. Präzisions-OpAmp	Dual Precision Op Amp	8-Dip	.71	.60	.48
TLC27L2BID	296-7375-5-ND	Zweif. Präzisions-OpAmp	Dual Precision Op Amp	8-SOIC	.74	.62	.50
TLC27L2BIP	296-7376-5-ND	Zweif. Präzisions-OpAmp	Dual Precision Op Amp	8-Dip	.74	.62	.50
TLC27L2CD	296-1316-5-ND	Zweif. Präzisions-OpAmp	Dual Precision Op Amp	8-SOIC	.63	.53	.43
TLC27L2CDR	296-1316-1-ND	Zweif. Präzisions-OpAmp	Dual Precision Op Amp	8-SOIC	.63	.53	.43
TLC27L2CDR	296-1316-2-ND	Zweif. Präzisions-OpAmp	Dual Precision Op Amp	8-SOIC		687.86/2,500	
TLC27L2CP	296-7377-5-ND	Zweif. einzelversorgter Micropower-Präzisions-OpAmp	Dual Precision Single-Supply Micropower Op Amp	8-Dip	.63	.53	.43
TLC27L2CPSR	296-7378-1-ND	Zweif. einzelversorgter Micropower-Präzisions-OpAmp	Dual Precision Single-Supply Micropower Op Amp	8-SOP	.63	.53	.43
TLC27L2CPSR	296-7378-2-ND	Zweif. einzelversorgter Micropower-Präzisions-OpAmp	Dual Precision Single-Supply Micropower Op Amp	8-SOP		563.84/2,000	
TLC27L2ID	296-1317-5-ND	Zweif. einzelversorgter Micropower-Präzisions-OpAmp	Dual Precision Single-Supply Micropower Op Amp	8-SOIC	.69	.58	.46
TLC27L2IDR	296-1317-1-ND	Zweif. einzelversorgter Micropower-Präzisions-OpAmp	Dual Precision Single-Supply Micropower Op Amp	8-SOIC	.69	.58	.46
TLC27L2IDR	296-1317-2-ND	Zweif. einzelversorgter Micropower-Präzisions-OpAmp	Dual Precision Single-Supply Micropower Op Amp	8-SOIC		742.89/2,500	
TLC27L2IP	296-7379-5-ND	Zweif. einzelversorgter Micropower-Präzisions-OpAmp	Dual Precision Single-Supply Micropower Op Amp	8-Dip	.69	.58	.46
TLC27L2IPW	296-7380-5-ND	Zweif. einzelversorgter Micropower-Präzisions-OpAmp	Dual Precision Single-Supply Micropower Op Amp	8-TSSOP	.69	.58	.46
TLC27L2MD	296-7381-5-ND	Zweif. einzelversorgter Micropower-Präzisions-OpAmp	Dual Precision Single-Supply Micropower Op Amp	8-SOIC	.81	.68	.55
TLC27L4ACD	296-1831-5-ND	Vierf. Präzisions-OpAmp	Quad Precision Op Amp	14-SOIC	.81	.68	.55
TLC27L4ACN	296-7382-5-ND	Vierf. Präzisions-OpAmp	Quad Precision Op Amp	14-Dip	.81	.68	.55
TLC27L4AID	296-7383-5-ND	Vierf. Präzisions-OpAmp	Quad Precision Op Amp	14-SOIC	.86	.72	.58
TLC27L4AIN	296-7384-5-ND	Vierf. Präzisions-OpAmp	Quad Precision Op Amp	14-Dip	.86	.72	.58
TLC27L4BCD	296-7385-5-ND	Vierf. Präzisions-OpAmp	Quad Precision Op Amp	14-SOIC	.86	.72	.58
TLC27L4BCN	296-7386-5-ND	Vierf. Präzisions-OpAmp	Quad Precision Op Amp	14-Dip	.86	.72	.58
TLC27L4BID	296-7387-5-ND	Vierf. Präzisions-OpAmp	Quad Precision Op Amp	14-SOIC	.86	.72	.58
TLC27L4BIN	296-7388-5-ND	Vierf. Präzisions-OpAmp	Quad Precision Op Amp	14-Dip	.86	.72	.58
TLC27L4CD	296-1318-5-ND	Vierf. einzelversorgter Micropower-Präzisions-OpAmp	Quad Precision Single-Supply Micropower Op Amp	14-SOIC	.76	.64	.51
TLC27L4CDR	296-1318-1-ND	Vierf. einzelversorgter Micropower-Präzisions-OpAmp	Quad Precision Single-Supply Micropower Op Amp	14-SOIC	.76	.64	.51

(Forts.)

★ ***RUFEN SIE BITTE AN FÜR NIEDRIGERE PREISE BEI GRÖSSEREN MENGEN!*** ★

B

T. I. Teilenr.	Digi-Key Teilenr.	Beschreibung		Paket	Stückpreis ★ 1	25	100
TLC27L4CN	296-7389-5-ND	Vierf. einzelversorgter Micropower-Präzisions-OpAmp	Quad Precision Single-Supply Micropower Op Amp	14-Dip	.76	.64	.51
TLC27L4CPWR	296-7390-1-ND	Vierf. einzelversorgter Micropower-Präzisions-OpAmp	Quad Precision Single-Supply Micropower Op Amp	14-TSSOP	.76	.64	.51
TLC27L4CPWR	296-7390-2-ND	Vierf. einzelversorgter Micropower-Präzisions-OpAmp	Quad Precision Single-Supply Micropower Op Amp	14-TSSOP		675.59/2,000	
TLC27L4ID	296-1319-5-ND	Vierf. einzelversorgter Micropower-Präzisions-OpAmp	Quad Precision Single-Supply Micropower Op Amp	14-SOIC	.81	.68	.55
TLC27L4IDR	296-1319-1-ND	Vierf. einzelversorgter Micropower-Präzisions-OpAmp	Quad Precision Single-Supply Micropower Op Amp	14-SOIC	.81	.68	.55
TLC27L4IDR	296-1319-2-ND	Vierf. einzelversorgter Micropower-Präzisions-OpAmp	Quad Precision Single-Supply Micropower Op Amp	14-SOIC		880.46/2,500	
TLC27L4IN	296-7391-5-ND	Vierf. einzelversorgter Micropower-Präzisions-OpAmp	Quad Precision Single-Supply Micropower Op Amp	14-Dip	.81	.68	.55
TLC27L4IPW	296-7392-5-ND	Vierf. einzelversorgter Micropower-Präzisions-OpAmp	Quad Precision Single-Supply Micropower Op Amp	14-TSSOP	.81	.68	.55
TLC27L7CD	296-1832-5-ND	Zweif. Präzisions-OpAmp	Dual Precision Op Amp	8-SOIC	1.51	1.21	.91
TLC27L7CP	296-7393-5-ND	Zweif. einzelversorgter Micropower-Präzisions-OpAmp	Dual Precision Single-Supply Micropower Op Amp	8-Dip	1.51	1.21	.91
TLC27L7ID	296-1320-5-ND	Zweif. einzelversorgter Micropower-Präzisions-OpAmp	Dual Precision Single-Supply Micropower Op Amp	8-SOIC	1.61	1.29	.97
TLC27L7IDR	296-1320-1-ND	Zweif. Präzisions-OpAmp	Dual Precision Op Amp	8-SOIC	1.61	1.29	.97
TLC27L7IDR	296-1320-2-ND	Zweif. Präzisions-OpAmp	Dual Precision Op Amp	8-SOIC		2059.35/2,500	
TLC27L7IP	296-7394-5-ND	Zweif. einzelversorgter Micropower-Präzisions-OpAmp	Dual Precision Single-Supply Micropower Op Amp	8-Dip	1.61	1.29	.97
TLC27L9CD	296-7395-5-ND	Vierf. einzelversorgter Micropower-Präzisions-OpAmp	Quad Precision Single-Supply Micropower Op Amp	14-SOIC	1.90	1.53	1.19
TLC27L9CN	296-7396-5-ND	Vierf. einzelversorgter Micropower-Präzisions-OpAmp	Quad Precision Single-Supply Micropower Op Amp	14-Dip	1.90	1.53	1.19
TLC27L9CNSR	296-7397-1-ND	Vierf. einzelversorgter Micropower-Präzisions-OpAmp	Quad Precision Single-Supply Micropower Op Amp	14-SOP	2.12	1.70	1.27
TLC27L9CNSR	296-7397-2-ND	Vierf. einzelversorgter Micropower-Präzisions-OpAmp	Quad Precision Single-Supply Micropower Op Amp	14-SOP		2158.83/2,000	
TLC27L9ID	296-1834-5-ND	Vierf. Präzisions-OpAmp	Quad Precision Op Amp	14-SOIC	2.00	1.60	1.25
TLC27L9IN	296-7398-5-ND	Vierf. einzelversorgter Micropower-Präzisions-OpAmp	Quad Precision Single-Supply Micropower Op Amp	14-Dip	2.00	1.60	1.25
TLC27M2ACD	296-7399-5-ND	Zweif. Präzisions-OpAmp	Dual Precision Op Amp	8-SOIC	.69	.58	.46
TLC27M2ACP	296-7400-5-ND	Zweif. Präzisions-OpAmp	Dual Precision Op Amp	8-Dip	.69	.58	.46
TLC27M2AID	296-7401-5-ND	Zweif. Präzisions-OpAmp	Dual Precision Op Amp	8-SOIC	.71	.60	.48
TLC27M2AIP	296-7402-5-ND	Zweif. Präzisions-OpAmp	Dual Precision Op Amp	8-Dip	.71	.60	.48
TLC27M2BCD	296-7403-5-ND	Zweif. Präzisions-OpAmp	Dual Precision Op Amp	8-SOIC	.71	.60	.48
TLC27M2BCP	296-7404-5-ND	Zweif. Präzisions-OpAmp	Dual Precision Op Amp	8-Dip	.71	.60	.48
TLC27M2BID	296-7405-5-ND	Zweif. Präzisions-OpAmp	Dual Precision Op Amp	8-SOIC	.74	.62	.50
TLC27M2BIP	296-7406-5-ND	Zweif. Präzisions-OpAmp	Dual Precision Op Amp	8-Dip	.74	.62	.50
TLC27M2CD	296-1321-5-ND	Zweif. Präzisions-OpAmp	Dual Precision Op Amp	8-SOIC	.63	.53	.43
TLC27M2CDR	296-1321-1-ND	Zweif. Präzisions-OpAmp	Dual Precision Op Amp	8-SOIC	.63	.53	.43
TLC27M2CDR	296-1321-2-ND	Zweif. Präzisions-OpAmp	Dual Precision Op Amp	8-SOIC		687.86/2,500	
TLC27M2CP	296-1836-5-ND	Zweif. Präzisions-OpAmp	Dual Precision Op Amp	8-Dip	.63	.53	.43
TLC27M2CPWR	296-7407-1-ND	Zweif. einzelversorgter Präzisions-OpAmp, NL	Dual LP Prec. Single-Supply Op Amp	8-TSSOP	.63	.53	.43
TLC27M2CPWR	296-7407-2-ND	Zweif. einzelversorgter Präzisions-OpAmp, NL	Dual LP Prec. Single-Supply Op Amp	8-TSSOP		563.84/2,000	
TLC27M2ID	296-1322-5-ND	Zweif. einzelversorgter Präzisions-OpAmp, NL	Dual LP Prec. Single-Supply Op Amp	8-SOIC	.69	.58	.46
TLC27M2IDR	296-1322-1-ND	Zweif. einzelversorgter Präzisions-OpAmp, NL	Dual LP Prec. Single-Supply Op Amp	8-SOIC	.69	.58	.46
TLC27M2IDR	296-1322-2-ND	Zweif. einzelversorgter Präzisions-OpAmp, NL	Dual LP Prec. Single-Supply Op Amp	8-SOIC		742.89/2,500	
TLC27M2IP	296-7408-5-ND	Zweif. einzelversorgter Präzisions-OpAmp, NL	Dual LP Prec. Single-Supply Op Amp	8-Dip	.69	.58	.46
TLC27M2IPW	296-7409-5-ND	Zweif. einzelversorgter Präzisions-OpAmp, NL	Dual LP Prec. Single-Supply Op Amp	8-TSSOP	.69	.58	.46
TLC27M2MD	296-7410-5-ND	Zweif. einzelversorgter Präzisions-OpAmp, NL	Dual LP Prec. Single-Supply Op Amp	8-SOIC	.81	.68	.55
TLC27M4ACD	296-7411-5-ND	Vierf. Präzisions-OpAmp	Quad Precision Op Amp	14-SOIC	.81	.68	.55
TLC27M4ACN	296-7412-5-ND	Vierf. Präzisions-OpAmp	Quad Precision Op Amp	14-Dip	.81	.68	.55
TLC27M4AID	296-7413-5-ND	Vierf. Präzisions-OpAmp	Quad Precision Op Amp	14-SOIC	.86	.72	.58
TLC27M4AIN	296-7414-5-ND	Vierf. Präzisions-OpAmp	Quad Precision Op Amp	14-Dip	.86	.72	.58
TLC27M4BCD	296-7415-5-ND	Vierf. Präzisions-OpAmp	Quad Precision Op Amp	14-SOIC	.99	.83	.67
TLC27M4BCN	296-7416-5-ND	Vierf. Präzisions-OpAmp	Quad Precision Op Amp	14-Dip	.99	.83	.67
TLC27M4BID	296-7417-5-ND	Vierf. Präzisions-OpAmp	Quad Precision Op Amp	14-SOIC	1.04	.87	.70
TLC27M4BIN	296-7418-5-ND	Vierf. Präzisions-OpAmp	Quad Precision Op Amp	14-Dip	1.04	.87	.70
TLC27M4CD	296-1837-5-ND	Vierf. Präzisions-OpAmp	Quad Precision Op Amp	14-SOIC	.76	.64	.51
TLC27M4CN	296-7419-5-ND	Vierf. einzelversorgter Präzisions-OpAmp, NL	Quad LP Prec. Single-Supply Op Amp	14-Dip	.76	.64	.51
TLC27M4CPWR	296-7420-1-ND	Vierf. einzelversorgter Präzisions-OpAmp, NL	Quad LP Prec. Single-Supply Op Amp	14-TSSOP	.76	.64	.51
TLC27M4CPWR	296-7420-2-ND	Vierf. einzelversorgter Präzisions-OpAmp, NL	Quad LP Prec. Single-Supply Op Amp	14-TSSOP		675.59/2,000	
TLC27M4ID	296-7421-5-ND	Vierf. einzelversorgter Präzisions-OpAmp, NL	Quad LP Prec. Single-Supply Op Amp	14-SOIC	.81	.68	.55
TLC27M4IN	296-7422-5-ND	Vierf. einzelversorgter Präzisions-OpAmp, NL	Quad LP Prec. Single-Supply Op Amp	14-Dip	.81	.68	.55
TLC27M4IPWR	296-7423-1-ND	Vierf. einzelversorgter Präzisions-OpAmp, NL	Quad LP Prec. Single-Supply Op Amp	14-TSSOP	.81	.68	.55
TLC27M4IPWR	296-7423-2-ND	Vierf. einzelversorgter Präzisions-OpAmp, NL	Quad LP Prec. Single-Supply Op Amp	14-TSSOP		721.30/2,000	
TLC27M7CDR	296-1323-1-ND	Zweif. einzelversorgter Präzisions-OpAmp, NL	Dual LP Prec. Single-Supply Op Amp	8-SOIC	1.51	1.21	.91
TLC27M7CDR	296-1323-2-ND	Zweif. einzelversorgter Präzisions-OpAmp, NL	Dual LP Prec. Single-Supply Op Amp	8-SOIC		1923.90/2,500	
TLC27M7CP	296-1838-5-ND	Zweif. Präzisions-OpAmp	Dual Precision Op Amp	8-Dip	1.51	1.21	.91
TLC27M7ID	296-7424-5-ND	Zweif. einzelversorgter Präzisions-OpAmp, NL	Dual LP Prec. Single-Supply Op Amp	8-SOIC	1.61	1.29	.97
TLC27M7IP	296-7425-5-ND	Zweif. einzelversorgter Präzisions-OpAmp, NL	Dual LP Prec. Single-Supply Op Amp	8-Dip	1.61	1.29	.97
TLC27M9CD	296-7426-5-ND	Vierf. einzelversorgter Präzisions-OpAmp, NL	Quad LP Prec. Single-Supply Op Amp	14-SOIC	1.90	1.53	1.19
TLC27M9CN	296-7427-5-ND	Vierf. einzelversorgter Präzisions-OpAmp, NL	Quad LP Prec. Single-Supply Op Amp	14-Dip	1.90	1.53	1.19
TLC27M9ID	296-7428-5-ND	Vierf. einzelversorgter Präzisions-OpAmp, NL	Quad LP Prec. Single-Supply Op Amp	14-SOIC	2.00	1.60	1.25
TLC27M9IN	296-7429-5-ND	Vierf. einzelversorgter Präzisions-OpAmp, NL	Quad LP Prec. Single-Supply Op Amp	14-Dip	2.00	1.60	1.25
TLC070AIP	296-7216-5-ND	BB-OpAmp mit hoher Ausgabe	High-Output WB Op Amp	8-Dip	1.10	.89	.67
TLC070CD	296-2413-5-ND	BB-OpAmp mit hoher Ausgabe	High-Output WB Op Amp	8-SOIC	1.22	1.02	.82
TLC070CDR	296-2413-1-ND	BB-OpAmp mit hoher Ausgabe	High-Output WB Op Amp	8-SOIC	1.22	1.02	.82
TLC070CDR	296-2413-2-ND	BB-OpAmp mit hoher Ausgabe	High-Output WB Op Amp	8-SOIC		1320.70/2,500	
TLC070CDGNR	296-7217-1-ND	BB-OpAmp mit hoher Ausgabe	High-Output WB Op Amp	8-MSOP	1.22	1.02	.82
TLC070CDGNR	296-7217-2-ND	BB-OpAmp mit hoher Ausgabe	High-Output WB Op Amp	8-MSOP		1320.70/2,500	
TLC070IDGNR	296-7218-1-ND	BB-OpAmp mit hoher Ausgabe	High-Output WB Op Amp	8-MSOP	1.32	1.11	.89
TLC070IDGNR	296-7218-2-ND	BB-OpAmp mit hoher Ausgabe	High-Output WB Op Amp	8-MSOP		1409.59/2,500	
TLC070IDR	296-7219-1-ND	BB-OpAmp mit hoher Ausgabe	High-Output WB Op Amp	8-SOIC	1.32	1.11	.89
TLC070IDR	296-7219-2-ND	BB-OpAmp mit hoher Ausgabe	High-Output WB Op Amp	8-SOIC		1409.59/2,500	
TLC070IP	296-7220-5-ND	BB-OpAmp mit hoher Ausgabe	High-Output WB Op Amp	8-Dip	1.10	.89	.67
TLC071AIP	296-7221-5-ND	BB-OpAmp mit hoher Ausgabe	High-Output WB Op Amp	8-Dip	1.22	1.02	.82
TLC071CD	296-2414-5-ND	Einzelversorgter OpAmp	Single-Supply Op Amp	8-SOIC	1.09	.92	.73
TLC071CDGNR	296-7222-1-ND	BB-OpAmp mit hoher Ausgabe	High-Output WB Op Amp	8-MSOP	1.22	1.02	.82
TLC071CDGNR	296-7222-2-ND	BB-OpAmp mit hoher Ausgabe	High-Output WB Op Amp	8-MSOP		1320.70/2,500	
TLC071IDGNR	296-7223-1-ND	BB-OpAmp mit hoher Ausgabe	High-Output WB Op Amp	8-MSOP	1.32	1.11	.89
TLC071IDGNR	296-7223-2-ND	BB-OpAmp mit hoher Ausgabe	High-Output WB Op Amp	8-MSOP		1409.59/2,500	
TLC071IDR	296-7224-1-ND	BB-OpAmp mit hoher Ausgabe	High-Output WB Op Amp	8-SOIC	1.14	.96	.77
TLC071IDR	296-7224-2-ND	BB-OpAmp mit hoher Ausgabe	High-Output WB Op Amp	8-SOIC		1238.15/2,500	
TLC071IP	296-7225-5-ND	BB-OpAmp mit hoher Ausgabe	High-Output WB Op Amp	8-Dip	1.14	.96	.77
TLC072AID	296-7226-5-ND	Zweif. BB-OpAmp mit hoher Ausgabe	Dual High-Output WB Op Amp	8-SOIC	1.51	1.21	.91
TLC072AIP	296-7227-5-ND	Zweif. BB-OpAmp mit hoher Ausgabe	Dual High-Output WB Op Amp	8-Dip	1.51	1.21	.91
TLC072CD	296-2415-5-ND	Zweif. BB-OpAmp mit hoher Ausgabe	Dual High-Output WB Op Amp	8-SOIC	1.42	1.14	.86
TLC072CDR	296-2415-1-ND	Zweif. BB-OpAmp mit hoher Ausgabe	Dual High-Output WB Op Amp	8-SOIC	1.42	1.14	.86
TLC072CDR	296-2415-2-ND	Zweif. BB-OpAmp mit hoher Ausgabe	Dual High-Output WB Op Amp	8-SOIC		1815.96/2,500	
TLC072CDGNR	296-7228-1-ND	Zweif. BB-OpAmp mit hoher Ausgabe	Dual High-Output WB Op Amp	8-MSOP	1.42	1.14	.86
TLC072CDGNR	296-7228-2-ND	Zweif. BB-OpAmp mit hoher Ausgabe	Dual High-Output WB Op Amp	8-MSOP		1815.96/2,500	
TLC072CP	296-7229-5-ND	Zweif. BB-OpAmp mit hoher Ausgabe	Dual High-Output WB Op Amp	8-Dip	1.42	1.14	.86
TLC072IDGNR	296-7230-1-ND	Zweif. BB-OpAmp mit hoher Ausgabe	Dual High-Output WB Op Amp	8-MSOP	1.42	1.14	.86
TLC072IDGNR	296-7230-2-ND	Zweif. BB-OpAmp mit hoher Ausgabe	Dual High-Output WB Op Amp	8-MSOP		1815.96/2,500	
TLC072IDR	296-7231-1-ND	Zweif. BB-OpAmp mit hoher Ausgabe	Dual High-Output WB Op Amp	8-SOIC	1.42	1.14	.86
TLC072IDR	296-7231-2-ND	Zweif. BB-OpAmp mit hoher Ausgabe	Dual High-Output WB Op Amp	8-SOIC		1815.96/2,500	
TLC072IP	296-7232-5-ND	Zweif. BB-OpAmp mit hoher Ausgabe	Dual High-Output WB Op Amp	8-Dip	1.42	1.14	.86
TLC073AID	296-7233-5-ND	Zweif. BB-OpAmp mit hoher Ausgabe	Dual High-Output WB Op Amp	14-SOIC	1.61	1.29	.97
TLC073CD	296-2416-5-ND	Zweif. BB-OpAmp mit hoher Ausgabe	Dual High-Output WB Op Amp	14-SOIC	1.51	1.21	.91

(Forts.)

★ RUFEN SIE BITTE AN FÜR NIEDRIGERE PREISE BEI GRÖSSEREN MENGEN! ★

T. I. Teilenr.	Digi-Key Teilenr.	Beschreibung		Paket	Stückpreis ★ 1	25	100
TLC073CDR	296-2416-1-ND	Zweif. BB-OpAmp mit hoher Ausgabe	Dual High-Output WB Op Amp	14-SOIC	1.51	1.21	.91
TLC073CDR	296-2416-2-ND	Zweif. BB-OpAmp mit hoher Ausgabe	Dual High-Output WB Op Amp	14-SOIC		1923.90/2,500	
TLC073CDGQ	296-7234-5-ND	Zweif. BB-OpAmp mit hoher Ausgabe	Dual High-Output WB Op Amp	10-MSOP	1.51	1.21	.91
TLC073CN	296-7235-5-ND	Zweif. BB-OpAmp mit hoher Ausgabe	Dual High-Output WB Op Amp	14-Dip	1.51	1.21	.91
TLC073ID	296-7236-5-ND	Zweif. BB-OpAmp mit hoher Ausgabe	Dual High-Output WB Op Amp	14-SOIC	1.61	1.29	.97
TLC073IDR	296-7236-1-ND	Zweif. BB-OpAmp mit hoher Ausgabe	Dual High-Output WB Op Amp	14-SOIC	1.61	1.29	.97
TLC073IDR	296-7236-2-ND	Zweif. BB-OpAmp mit hoher Ausgabe	Dual High-Output WB Op Amp	14-SOIC		2059.35/2,500	
TLC073IDGQR	296-7237-1-ND	Zweif. BB-OpAmp mit hoher Ausgabe	Dual High-Output WB Op Amp	10-MSOP	1.61	1.29	.97
TLC073IDGQR	296-7237-2-ND	Zweif. BB-OpAmp mit hoher Ausgabe	Dual High-Output WB Op Amp	10-MSOP		2059.35/2,500	
TLC073IN	296-7238-5-ND	Zweif. BB-OpAmp mit hoher Ausgabe	Dual High-Output WB Op Amp	14-Dip	1.61	1.29	.97
TLC074AID	296-7239-5-ND	Vierf. BB-OpAmp mit hoher Ausgabe	Quad High-Output WB Op Amp	14-SOIC	1.90	1.53	1.19
TLC074AIN	296-7240-5-ND	Vierf. BB-OpAmp mit hoher Ausgabe	Quad High-Output WB Op Amp	14-Dip	1.90	1.53	1.19
TLC074AIPWP	296-7241-5-ND	Vierf. BB-OpAmp mit hoher Ausgabe	Quad High-Output WB Op Amp	20-HTSSOP	2.00	1.60	1.25
TLC074CD	296-2417-5-ND	Vierf. OpAmp mit hoher Ausgabe	Quad High-Output Op Amp	14-SOIC	1.90	1.53	1.15
TLC074CDR	296-2417-1-ND	Vierf. BB-OpAmp mit hoher Ausgabe	Quad High-Output WB Op Amp	14-SOIC	1.90	1.53	1.15
TLC074CDR	296-2417-2-ND	Vierf. BB-OpAmp mit hoher Ausgabe	Quad High-Output WB Op Amp	14-SOIC		2438.21/2,500	
TLC074CN	296-7242-5-ND	Vierf. BB-OpAmp mit hoher Ausgabe	Quad High-Output WB Op Amp	14-Dip	1.90	1.53	1.15
TLC074CPWPR	296-7243-1-ND	Vierf. BB-OpAmp mit hoher Ausgabe	Quad High-Output WB Op Amp	20-HTSSOP	2.01	1.61	1.21
TLC074CPWPR	296-7243-2-ND	Vierf. BB-OpAmp mit hoher Ausgabe	Quad High-Output WB Op Amp	20-HTSSOP		2091.10/2,000	
TLC074IDR	296-7244-1-ND	Vierf. BB-OpAmp mit hoher Ausgabe	Quad High-Output WB Op Amp	14-SOIC	2.01	1.61	1.21
TLC074IDR	296-7244-2-ND	Vierf. BB-OpAmp mit hoher Ausgabe	Quad High-Output WB Op Amp	14-SOIC		2573.66/2,500	
TLC074IN	296-7245-5-ND	Vierf. BB-OpAmp mit hoher Ausgabe	Quad High-Output WB Op Amp	14-Dip	2.01	1.61	1.21
TLC074IPWP	296-7246-5-ND	Vierf. BB-OpAmp mit hoher Ausgabe	Quad High-Output WB Op Amp	20-HTSSOP	1.90	1.53	1.19
TLC075AID	296-7247-5-ND	Vierf. BB-OpAmp mit hoher Ausgabe	Quad High-Output WB Op Amp	16-SOIC	2.07	1.67	1.30
TLC075AIN	296-7248-5-ND	Vierf. BB-OpAmp mit hoher Ausgabe	Quad High-Output WB Op Amp	16-Dip	2.07	1.67	1.30
TLC075AIPWP	296-7249-5-ND	Vierf. BB-OpAmp mit hoher Ausgabe	Quad High-Output WB Op Amp	20-HTSSOP	2.18	1.74	1.36
TLC075CD	296-2418-5-ND	Vierf. BB-OpAmp mit hoher Ausgabe	Quad High-Output WB Op Amp	16-SOIC	1.90	1.53	1.19
TLC075CDR	296-2418-1-ND	Vierf. BB-OpAmp mit hoher Ausgabe	Quad High-Output WB Op Amp	16-SOIC	2.12	1.70	1.27
TLC075CDR	296-2418-2-ND	Vierf. BB-OpAmp mit hoher Ausgabe	Quad High-Output WB Op Amp	16-SOIC		2666.79/2,500	
TLC075CN	296-7250-5-ND	Vierf. BB-OpAmp mit hoher Ausgabe	Quad High-Output WB Op Amp	16-Dip	1.90	1.53	1.19
TLC075CPWP	296-7251-5-ND	Vierf. BB-OpAmp mit hoher Ausgabe	Quad High-Output WB Op Amp	20-HTSSOP	2.00	1.60	1.25
TLC075IDR	296-7252-1-ND	Vierf. BB-OpAmp mit hoher Ausgabe	Quad High-Output WB Op Amp	16-SOIC	2.23	1.78	1.34
TLC075IDR	296-7252-2-ND	Vierf. BB-OpAmp mit hoher Ausgabe	Quad High-Output WB Op Amp	16-SOIC		2800.13/2,500	
TLC075IN	296-7253-5-ND	Vierf. BB-OpAmp mit hoher Ausgabe	Quad High-Output WB Op Amp	16-Dip	2.00	1.60	1.25
TLC075IPWP	296-7254-5-ND	Vierf. BB-OpAmp mit hoher Ausgabe	Quad High-Output WB Op Amp	20-HTSSOP	2.07	1.67	1.30
TLC080AIDR	296-7255-1-ND	BB-OpAmp mit hoher Ausgabe	High-Output WB Op Amp	8-SOIC	1.32	1.11	.89
TLC080AIDR	296-7255-2-ND	BB-OpAmp mit hoher Ausgabe	High-Output WB Op Amp	8-SOIC		1409.59/2,500	
TLC080AIP	296-7256-5-ND	BB-OpAmp mit hoher Ausgabe	High-Output WB Op Amp	8-Dip	1.10	.89	.67
TLC080CD	296-2419-5-ND	BB-OpAmp mit hoher Ausgabe	High-Output WB Op Amp	8-SOIC	1.22	1.02	.82
TLC080CDR	296-2419-1-ND	BB-OpAmp mit hoher Ausgabe	High-Output WB Op Amp	8-SOIC	1.22	1.02	.82
TLC080CDR	296-2419-2-ND	BB-OpAmp mit hoher Ausgabe	High-Output WB Op Amp	8-SOIC		1320.70/2,500	
TLC080CDGNR	296-7257-1-ND	BB-OpAmp mit hoher Ausgabe	High-Output WB Op Amp	8-MSOP	1.22	1.02	.82
TLC080CDGNR	296-7257-2-ND	BB-OpAmp mit hoher Ausgabe	High-Output WB Op Amp	8-MSOP		1320.70/2,500	
TLC080IDGNR	296-7258-1-ND	BB-OpAmp mit hoher Ausgabe	High-Output WB Op Amp	8-MSOP	1.32	1.11	.89
TLC080IDGNR	296-7258-2-ND	BB-OpAmp mit hoher Ausgabe	High-Output WB Op Amp	8-MSOP		1409.59/2,500	
TLC080IDR	296-7259-1-ND	BB-OpAmp mit hoher Ausgabe	High-Output WB Op Amp	8-SOIC	1.32	1.11	.89
TLC080IDR	296-7259-2-ND	BB-OpAmp mit hoher Ausgabe	High-Output WB Op Amp	8-SOIC		1409.59/2,500	
TLC080IP	296-7260-5-ND	BB-OpAmp mit hoher Ausgabe	High-Output WB Op Amp	8-Dip	1.10	.89	.67
TLC081AIP	296-7261-5-ND	BB-OpAmp mit hoher Ausgabe	High-Output WB Op Amp	8-Dip	1.22	1.02	.82
TLC081CD	296-2420-5-ND	Einzelversorgter OpAmp	Single-Supply Op Amp	8-SOIC	1.09	.92	.73
TLC081CDGN	296-7262-5-ND	BB-OpAmp mit hoher Ausgabe	High-Output WB Op Amp	8-MSOP	1.22	1.02	.82
TLC081CDGNR	296-7262-1-ND	BB-OpAmp mit hoher Ausgabe	High-Output WB Op Amp	8-MSOP	1.22	1.02	.82
TLC081CDGNR	296-7262-2-ND	BB-OpAmp mit hoher Ausgabe	High-Output WB Op Amp	8-MSOP		1320.70/2,500	
TLC081IDGNR	296-7263-1-ND	BB-OpAmp mit hoher Ausgabe	High-Output WB Op Amp	8-MSOP	1.32	1.11	.89
TLC081IDGNR	296-7263-2-ND	BB-OpAmp mit hoher Ausgabe	High-Output WB Op Amp	8-MSOP		1409.59/2,500	
TLC081IDR	296-7264-1-ND	BB-OpAmp mit hoher Ausgabe	High-Output WB Op Amp	8-SOIC	1.14	.96	.77
TLC081IDR	296-7264-2-ND	BB-OpAmp mit hoher Ausgabe	High-Output WB Op Amp	8-SOIC		1238.15/2,500	
TLC081IP	296-7265-5-ND	BB-OpAmp mit hoher Ausgabe	High-Output WB Op Amp	8-Dip	1.14	.96	.77
TLC082AIDR	296-7266-1-ND	Zweif. BB-OpAmp mit hoher Ausgabe	Dual High-Output WB Op Amp	8-SOIC	1.51	1.21	.91
TLC082AIDR	296-7266-2-ND	Zweif. BB-OpAmp mit hoher Ausgabe	Dual High-Output WB Op Amp	8-SOIC		1923.90/2,500	
TLC082AIP	296-7267-5-ND	Zweif. BB-OpAmp mit hoher Ausgabe	Dual High-Output WB Op Amp	8-Dip	1.51	1.21	.91
TLC082CD	296-2421-5-ND	Zweif. BB-OpAmp mit hoher Ausgabe	Dual High-Output WB Op Amp	8-SOIC	1.42	1.14	.86
TLC082CDR	296-2421-1-ND	Zweif. BB-OpAmp mit hoher Ausgabe	Dual High-Output WB Op Amp	8-SOIC	1.42	1.14	.86
TLC082CDR	296-2421-2-ND	Zweif. BB-OpAmp mit hoher Ausgabe	Dual High-Output WB Op Amp	8-SOIC		1815.96/2,500	
TLC082CDGNR	296-7268-1-ND	Zweif. BB-OpAmp mit hoher Ausgabe	Dual High-Output WB Op Amp	8-MSOP	1.42	1.14	.86
TLC082CDGNR	296-7268-2-ND	Zweif. BB-OpAmp mit hoher Ausgabe	Dual High-Output WB Op Amp	8-MSOP		1815.96/2,500	
TLC082CP	296-7269-5-ND	Zweif. BB-OpAmp mit hoher Ausgabe	Dual High-Output WB Op Amp	8-Dip	1.42	1.14	.86
TLC082IDGNR	296-7270-1-ND	Zweif. BB-OpAmp mit hoher Ausgabe	Dual High-Output WB Op Amp	8-MSOP	1.42	1.14	.86
TLC082IDGNR	296-7270-2-ND	Zweif. BB-OpAmp mit hoher Ausgabe	Dual High-Output WB Op Amp	8-MSOP		1815.96/2,500	
TLC082IDR	296-7271-1-ND	Zweif. BB-OpAmp mit hoher Ausgabe	Dual High-Output WB Op Amp	8-SOIC	1.42	1.14	.86
TLC082IDR	296-7271-2-ND	Zweif. BB-OpAmp mit hoher Ausgabe	Dual High-Output WB Op Amp	8-SOIC		1815.96/2,500	
TLC082IP	296-7272-5-ND	Zweif. BB-OpAmp mit hoher Ausgabe	Dual High-Output WB Op Amp	8-Dip	1.42	1.14	.86
TLC083AID	296-7273-5-ND	Zweif. BB-OpAmp mit hoher Ausgabe	Dual High-Output WB Op Amp	14-SOIC	1.61	1.29	.97
TLC083AIN	296-7274-5-ND	Zweif. BB-OpAmp mit hoher Ausgabe	Dual High-Output WB Op Amp	14-Dip	1.61	1.29	.97
TLC083CD	296-2422-5-ND	Zweif. BB-OpAmp mit hoher Ausgabe	Dual High-Output WB Op Amp	14-SOIC	1.51	1.21	.91
TLC083CDR	296-2422-1-ND	Zweif. BB-OpAmp mit hoher Ausgabe	Dual High-Output WB Op Amp	14-SOIC	1.51	1.21	.91
TLC083CDR	296-2422-2-ND	Zweif. BB-OpAmp mit hoher Ausgabe	Dual High-Output WB Op Amp	14-SOIC		1923.90/2,500	
TLC083CDGQR	296-7275-1-ND	Zweif. BB-OpAmp mit hoher Ausgabe	Dual High-Output WB Op Amp	10-MSOP	1.51	1.21	.91
TLC083CDGQR	296-7275-2-ND	Zweif. BB-OpAmp mit hoher Ausgabe	Dual High-Output WB Op Amp	10-MSOP		1923.90/2,500	
TLC083CN	296-7276-5-ND	Zweif. BB-OpAmp mit hoher Ausgabe	Dual High-Output WB Op Amp	14-Dip	1.51	1.21	.91
TLC083ID	296-7277-5-ND	Zweif. BB-OpAmp mit hoher Ausgabe	Dual High-Output WB Op Amp	14-SOIC	1.61	1.29	.97
TLC083IDGQ	296-7278-5-ND	Zweif. BB-OpAmp mit hoher Ausgabe	Dual High-Output WB Op Amp	10-MSOP	1.61	1.29	.97
TLC083IN	296-7279-5-ND	Zweif. BB-OpAmp mit hoher Ausgabe	Dual High-Output WB Op Amp	14-Dip	1.61	1.29	.97
TLC084AID	296-7280-5-ND	Vierf. BB-OpAmp mit hoher Ausgabe	Quad High-Output WB Op Amp	14-SOIC	1.90	1.53	1.19
TLC084AIN	296-7281-5-ND	Vierf. BB-OpAmp mit hoher Ausgabe	Quad High-Output WB Op Amp	14-Dip	1.90	1.53	1.19
TLC084AIPWP	296-7282-5-ND	Vierf. BB-OpAmp mit hoher Ausgabe	Quad High-Output WB Op Amp	20-HTSSOP	2.00	1.60	1.25
TLC084CD	296-2423-5-ND	Vierf. BB-OpAmp mit hoher Ausgabe	Quad High-Output WB Op Amp	14-SOIC	1.90	1.53	1.15
TLC084CDR	296-2423-1-ND	Vierf. BB-OpAmp mit hoher Ausgabe	Quad High-Output WB Op Amp	14-SOIC	1.90	1.53	1.15
TLC084CDR	296-2423-2-ND	Vierf. BB-OpAmp mit hoher Ausgabe	Quad High-Output WB Op Amp	14-SOIC		2438.21/2,500	
TLC084CN	296-7283-5-ND	Vierf. BB-OpAmp mit hoher Ausgabe	Quad High-Output WB Op Amp	14-Dip	1.90	1.53	1.15
TLC084CPWP	296-7285-5-ND	Vierf. BB-OpAmp mit hoher Ausgabe	Quad High-Output WB Op Amp	20-HTSSOP	2.01	1.61	1.21
TLC084CPWPR	296-7285-1-ND	Vierf. BB-OpAmp mit hoher Ausgabe	Quad High-Output WB Op Amp	20-HTSSOP	2.01	1.61	1.21
TLC084CPWPR	296-7285-2-ND	Vierf. BB-OpAmp mit hoher Ausgabe	Quad High-Output WB Op Amp	20-HTSSOP		2573.66/2,500	
TLC084ID	296-7287-5-ND	Vierf. BB-OpAmp mit hoher Ausgabe	Quad High-Output WB Op Amp	14-SOIC	2.01	1.61	1.21
TLC084IDR	296-7287-1-ND	Vierf. BB-OpAmp mit hoher Ausgabe	Quad High-Output WB Op Amp	14-SOIC	2.01	1.61	1.21
TLC084IDR	296-7287-2-ND	Vierf. BB-OpAmp mit hoher Ausgabe	Quad High-Output WB Op Amp	14-SOIC		2573.66/2,500	
TLC084IPWP	296-7288-5-ND	Vierf. BB-OpAmp mit hoher Ausgabe	Quad High-Output WB Op Amp	20-HTSSOP	1.90	1.53	1.19
TLC085AID	296-7289-5-ND	Vierf. BB-OpAmp mit hoher Ausgabe	Quad High-Output WB Op Amp	16-SOIC	2.07	1.67	1.30
TLC085AIN	296-7290-5-ND	Vierf. BB-OpAmp mit hoher Ausgabe	Quad High-Output WB Op Amp	16-Dip	2.07	1.67	1.30
TLC085AIPWP	296-7291-5-ND	Vierf. BB-OpAmp mit hoher Ausgabe	Quad High-Output WB Op Amp	20-HTSSOP	2.18	1.74	1.36

(Forts.)

★ *RUFEN SIE BITTE AN FÜR NIEDRIGERE PREISE BEI GRÖSSEREN MENGEN!* ★

B

T. I. Teilenr.	Digi-Key Teilenr.	Beschreibung		Paket	Stückpreis ★ 1	25	100
TLC085CD	296-2424-5-ND	Vierf. BB-OpAmp mit hoher Ausgabe	Quad High-Output WB Op Amp	16-SOIC	1.90	1.53	1.19
TLC085CDR	296-2424-1-ND	Vierf. BB-OpAmp mit hoher Ausgabe	Quad High-Output WB Op Amp	16-SOIC	2.12	1.70	1.27
TLC085CDR	296-2424-2-ND	Vierf. BB-OpAmp mit hoher Ausgabe	Quad High-Output WB Op Amp	16-SOIC		2666.79/2,500	
TLC085CN	296-7292-5-ND	Vierf. BB-OpAmp mit hoher Ausgabe	Quad High-Output WB Op Amp	16-Dip	1.90	1.53	1.19
TLC085CPWP	296-7293-5-ND	Vierf. BB-OpAmp mit hoher Ausgabe	Quad High-Output WB Op Amp	20-HTSSOP	2.00	1.60	1.25
TLC085IDR	296-7294-1-ND	Vierf. BB-OpAmp mit hoher Ausgabe	Quad High-Output WB Op Amp	16-SOIC	2.23	1.78	1.34
TLC085IDR	296-7294-2-ND	Vierf. BB-OpAmp mit hoher Ausgabe	Quad High-Output WB Op Amp	16-SOIC		2800.13/2,500	
TLC085IN	296-7295-5-ND	Vierf. BB-OpAmp mit hoher Ausgabe	Quad High-Output WB Op Amp	16-Dip	2.00	1.60	1.25
TLC085IPWP	296-7296-5-ND	Vierf. BB-OpAmp mit hoher Ausgabe	Quad High-Output WB Op Amp	20-HTSSOP	2.07	1.67	1.30
TLC251ACD	296-10243-5-ND	Programmierbarer NL-OpAmp	Programmable Low Power Op Amp	8-SOIC	1.82	1.46	1.10
TLC251ACP	296-10244-5-ND	Programmierbarer NL-OpAmp	Programmable Low Power Op Amp	8-Dip	1.82	1.46	1.10
TLC251BCP	296-10245-5-ND	Programmierbarer NL-OpAmp	Programmable Low Power Op Amp	8-Dip	1.82	1.46	1.10
TLC251CD	296-10246-5-ND	Programmierbarer NL-OpAmp	Programmable Low Power Op Amp	8-SOIC	1.72	1.38	1.03
TLC251CP	296-10247-5-ND	Programmierbarer NL-OpAmp	Programmable Low Power Op Amp	8-Dip	1.72	1.38	1.03
TLC252ACD	296-10248-5-ND	Zweif. NL-OpAmp	Dual Low Power Op Amp	8-SOIC	2.27	1.82	1.42
TLC252BCD	296-10249-5-ND	Zweif. NL-OpAmp	Dual Low Power Op Amp	8-SOIC	2.36	1.89	1.47
TLC252BCP	296-10250-5-ND	Zweif. NL-OpAmp	Dual Low Power Op Amp	8-Dip	2.36	1.89	1.47
TLC252CD	296-10251-5-ND	Zweif. NL-OpAmp	Dual Low Power Op Amp	8-SOIC	2.18	1.74	1.36
TLC252CP	296-10252-5-ND	Zweif. NL-OpAmp	Dual Low Power Op Amp	8-Dip	2.18	1.74	1.36
TLC252CPWR	296-10253-1-ND	Zweif. NL-OpAmp	Dual Low Power Op Amp	8-TSSOP	2.41	1.94	1.45
TLC252CPWR	296-10253-2-ND	Zweif. NL-OpAmp	Dual Low Power Op Amp	8-TSSOP		2461.91/2,000	
TLC254ACD	296-2902-5-ND	Vierf. LincMOS-OpAmp	LinCMOS Quad Op Amp	14-SOIC	3.17	2.53	1.97
TLC254ACN	296-2903-5-ND	Vierf. LincMOS-OpAmp	LinCMOS Quad Op Amp	14-Dip	3.17	2.53	1.97
TLC254BCD	296-2904-5-ND	Vierf. LincMOS-OpAmp	LinCMOS Quad Op Amp	14-SOIC	3.35	2.69	2.09
TLC254BCN	296-2905-5-ND	Vierf. LincMOS-OpAmp	LinCMOS Quad Op Amp	14-Dip	3.35	2.69	2.09
TLC254CD	296-2906-5-ND	Vierf. LincMOS-OpAmp	LinCMOS Quad Op Amp	14-SOIC	2.99	2.40	1.87
TLC254CN	296-2907-5-ND	Vierf. LincMOS-OpAmp	LinCMOS Quad Op Amp	14-Dip	2.99	2.40	1.87
TLC254ID	296-2908-5-ND	Vierf. LincMOS-OpAmp	LinCMOS Quad Op Amp	14-SOIC	3.17	2.53	1.97
TLC271ACD	296-7338-5-ND	Programmierbarer NL-OpAmp	LP Programmable Op Amp	8-SOIC	.81	.61	.46
TLC271ACP	296-7339-5-ND	Programmierbarer NL-OpAmp	LP Programmable Op Amp	8-Dip	.81	.61	.46
TLC271AID	296-7340-5-ND	Programmierbarer NL-OpAmp	LP Programmable Op Amp	8-SOIC	.63	.53	.43
TLC271AIP	296-7341-5-ND	Programmierbarer NL-OpAmp	LP Programmable Op Amp	8-Dip	.63	.53	.43
TLC271BCD	296-7342-5-ND	Programmierbarer NL-OpAmp	LP Programmable Op Amp	8-SOIC	.63	.53	.43
TLC271BID	296-7344-5-ND	Programmierbarer NL-OpAmp	LP Programmable Op Amp	8-SOIC	.66	.56	.45
TLC271BIP	296-7345-5-ND	Programmierbarer NL-OpAmp	LP Programmable Op Amp	8-Dip	.66	.56	.45
TLC271CD	296-1308-5-ND	Programmierbarer NL-OpAmp	LP Programmable Op Amp	8-SOIC	.78	.59	.44
TLC271CDR	296-1308-1-ND	Programmierbarer NL-OpAmp	LP Programmable Op Amp	8-SOIC	.78	.59	.44
TLC271CDR	296-1308-2-ND	Programmierbarer NL-OpAmp	LP Programmable Op Amp	8-SOIC		632.83/2,500	
TLC271BCP	296-7343-5-ND	Programmierbarer NL-OpAmp	LP Programmable Op Amp	8-Dip	.63	.53	.43
TLC271CP	296-1820-5-ND	Programmierbarer NL-OpAmp	LP Programmable Op Amp	8-Dip	.78	.59	.44
TLC271ID	296-1821-5-ND	Programmierbarer NL-OpAmp	LP Programmable Op Amp	8-SOIC	.81	.61	.46
TLC271IDR	296-1821-1-ND	Programmierbarer NL-OpAmp	LP Programmable Op Amp	8-SOIC	.61	.51	.41
TLC271IDR	296-1821-2-ND	Programmierbarer NL-OpAmp	LP Programmable Op Amp	8-SOIC		660.35/2,500	
TLC271IP	296-1822-5-ND	Programmierbarer NL-OpAmp	LP Programmable Op Amp	8-Dip	.81	.61	.46
TLC272ACD	296-1309-5-ND	Zweif. Präzisions-OpAmp	Dual Precision Op Amp	8-SOIC	.78	.59	.44
TLC272ACDR	296-1309-1-ND	Zweif. Präzisions-OpAmp	Dual Precision Op Amp	8-SOIC	.78	.59	.44
TLC272ACDR	296-1309-2-ND	Zweif. Präzisions-OpAmp	Dual Precision Op Amp	8-SOIC		632.83/2,500	
TLC272ACP	296-7346-5-ND	Zweif. Präzisions-OpAmp	Dual Precision Op Amp	8-Dip	.78	.59	.44
TLC272AID	296-7347-5-ND	Zweif. Präzisions-OpAmp	Dual Precision Op Amp	8-SOIC	.81	.61	.46
TLC272AIP	296-7348-5-ND	Zweif. Präzisions-OpAmp	Dual Precision Op Amp	8-Dip	.81	.61	.46
TLC272BCD	296-7349-5-ND	Zweif. Präzisions-OpAmp	Dual Precision Op Amp	8-SOIC	.81	.61	.46
TLC272BCP	296-7350-5-ND	Zweif. Präzisions-OpAmp	Dual Precision Op Amp	8-Dip	.81	.61	.46
TLC272BID	296-7351-5-ND	Zweif. Präzisions-OpAmp	Dual Precision Op Amp	8-SOIC	.63	.53	.43
TLC272BIP	296-7352-5-ND	Zweif. Präzisions-OpAmp	Dual Precision Op Amp	8-Dip	.63	.53	.43
TLC272CD	296-1310-5-ND	Zweif. Präzisions-OpAmp	Dual Precision Op Amp	8-SOIC	.75	.56	.42
TLC272CDR	296-1310-1-ND	Zweif. Präzisions-OpAmp	Dual Precision Op Amp	8-SOIC	.78	.59	.44
TLC272CDR	296-1310-2-ND	Zweif. Präzisions-OpAmp	Dual Precision Op Amp	8-SOIC		605.32/2,500	
TLC272CP	296-1824-5-ND	Zweif. Präzisions-OpAmp	Dual Precision Op Amp	8-Dip	.75	.56	.42
TLC272CPSR	296-7353-1-ND	Zweif. einzelversorgter OpAmp	Dual Single-Supply Op Amp	8-SOP	.75	.56	.42
TLC272CPSR	296-7353-2-ND	Zweif. einzelversorgter OpAmp	Dual Single-Supply Op Amp	8-SOP		496.11/2,000	
TLC272CPW	296-7354-5-ND	Zweif. einzelversorgter OpAmp	Dual Single-Supply Op Amp	8-TSSOP	.75	.56	.42
TLC272CPWR	296-7354-1-ND	Zweif. einzelversorgter OpAmp	Dual Single-Supply Op Amp	8-TSSOP	.75	.56	.42
TLC272CPWR	296-7354-2-ND	Zweif. einzelversorgter OpAmp	Dual Single-Supply Op Amp	8-TSSOP		496.11/2,000	
TLC272ID	296-1311-5-ND	Zweif. einzelversorgter Präzisions-OpAmp	Dual Precision Single-Supply Op Amp	8-SOIC	.78	.59	.44
TLC272IDR	296-1311-1-ND	Zweif. einzelversorgter Präzisions-OpAmp	Dual Precision Single-Supply Op Amp	8-SOIC	.78	.59	.44
TLC272IDR	296-1311-2-ND	Zweif. einzelversorgter Präzisions-OpAmp	Dual Precision Single-Supply Op Amp	8-SOIC		632.83/2,500	
TLC272IP	296-7355-5-ND	Zweif. einzelversorgter OpAmp	Dual Single-Supply Op Amp	8-Dip	.78	.59	.44
TLC274ACD	296-1825-5-ND	Vierf. Präzisions-OpAmp	Quad Precision Op Amp	14-SOIC	.74	.62	.50
TLC274ACN	296-7356-5-ND	Vierf. Präzisions-OpAmp	Quad Precision Op Amp	14-Dip	.74	.62	.50
TLC274AID	296-7357-5-ND	Vierf. Präzisions-OpAmp	Quad Precision Op Amp	14-SOIC	.74	.62	.50
TLC274AIN	296-7358-5-ND	Vierf. Präzisions-OpAmp	Quad Precision Op Amp	14-Dip	.74	.62	.50
TLC274BCD	296-7359-5-ND	Vierf. Präzisions-OpAmp	Quad Precision Op Amp	14-SOIC	.74	.62	.50
TLC274BCN	296-7360-5-ND	Vierf. Präzisions-OpAmp	Quad Precision Op Amp	14-Dip	.74	.62	.50
TLC274BID	296-1312-5-ND	Vierf. Präzisions-OpAmp	Quad Precision Op Amp	14-SOIC	.79	.66	.53
TLC274BIDR	296-1312-1-ND	Vierf. Präzisions-OpAmp	Quad Precision Op Amp	14-SOIC	.79	.66	.53
TLC274BIDR	296-1312-2-ND	Vierf. Präzisions-OpAmp	Quad Precision Op Amp	14-SOIC		852.95/2,500	
TLC274BIN	296-7361-5-ND	Vierf. Präzisions-OpAmp	Quad Precision Op Amp	14-Dip	.79	.66	.53
TLC274CD	296-1313-5-ND	Vierf. einzelversorgter OpAmp	Quad Single-Supply Op Amp	14-SOIC	.69	.58	.46
TLC274CDR	296-1313-1-ND	Vierf. Präzisions-OpAmp	Quad Precision Op Amp	14-SOIC	.69	.58	.46
TLC274CDR	296-1313-2-ND	Vierf. Präzisions-OpAmp	Quad Precision Op Amp	14-SOIC		742.89/2,500	
TLC274CN	296-1826-5-ND	Vierf. Präzisions-OpAmp	Quad Precision Op Amp	14-Dip	.69	.58	.46
TLC274ID	296-1314-5-ND	Vierf. Präzisions-OpAmp	Quad Precision Op Amp	14-SOIC	.74	.62	.50
TLC274IDR	296-1314-1-ND	Vierf. Präzisions-OpAmp	Quad Precision Op Amp	14-SOIC	.74	.62	.50
TLC274IDR	296-1314-2-ND	Vierf. Präzisions-OpAmp	Quad Precision Op Amp	14-SOIC		797.92/2,500	
TLC274IN	296-7362-5-ND	Vierf. einzelversorgter OpAmp	Quad Single-Supply Op Amp	14-Dip	.74	.62	.50
TLC274IPW	296-14197-5-ND	Vierf. einzelversorgter OpAmp	Quad Single-Supply Op Amp	14-TSSOP	.74	.62	.50
TLC274MD	296-7363-5-ND	Vierf. einzelversorgter OpAmp	Quad Single-Supply Op Amp	14-SOIC	.86	.72	.58
TLC277CD	296-7364-5-ND	Zweif. einzelversorgter Präzisions-OpAmp	Dual Precision Single-Supply Op Amp	8-SOIC	1.51	1.21	.91
TLC277CP	296-1828-5-ND	Zweif. Präzisions-OpAmp	Dual Precision Op Amp	8-Dip	1.51	1.21	.91
TLC277ID	296-1829-5-ND	Zweif. Präzisions-OpAmp	Dual Precision Op Amp	8-SOIC	1.61	1.29	.97
TLC277IP	296-7365-5-ND	Zweif. einzelversorgter Präzisions-OpAmp	Dual Precision Single-Supply Op Amp	8-Dip	1.61	1.29	.97
TLC279CD	296-7366-5-ND	Vierf. einzelversorgter Präzisions-OpAmp	Quad Prec. Single-Supply Op Amp	14-SOIC	1.90	1.53	1.19
TLC279CN	296-7367-5-ND	Vierf. einzelversorgter Präzisions-OpAmp	Quad Prec. Single-Supply Op Amp	14-Dip	1.90	1.53	1.19
TLC279ID	296-1315-5-ND	Vierf. einzelversorgter Präzisions-OpAmp	Quad Prec. Single-Supply Op Amp	14-SOIC	2.00	1.60	1.25
TLC279IDR	296-1315-1-ND	Vierf. einzelversorgter Präzisions-OpAmp	Quad Prec. Single-Supply Op Amp	14-SOIC	2.23	1.78	1.34
TLC279IDR	296-1315-2-ND	Vierf. einzelversorgter Präzisions-OpAmp	Quad Prec. Single-Supply Op Amp	14-SOIC		2800.13/2,500	
TLC279IN	296-7368-5-ND	Vierf. einzelversorgter Präzisions-OpAmp	Quad Prec. Single-Supply Op Amp	14-Dip	2.00	1.60	1.25
TLC393QDR	296-15027-1-ND	Zweif. Micropower LinCMOS™ Spannungsvergleicher	Dual Micropower LinCMOS™ Voltage Comparator	8-SOIC	.91	.77	.61
TLC393QDR	296-15027-2-ND	Zweif. Micropower LinCMOS™ Spannungsvergleicher	Dual Micropower LinCMOS™ Voltage Comparator	8-SOIC		990.52/2,500	
TLC555CPSR	296-15028-1-ND	LinCMOS™ Timer	LinCMOS™ Timer	8-SOP	.75	.56	.42

(Forts.)

★ ***RUFEN SIE BITTE AN FÜR NIEDRIGERE PREISE BEI GRÖSSEREN MENGEN!*** ★

T. I. Teilenr.	Digi-Key Teilenr.	Beschreibung		Paket	Stückpreis ★ 1	25	100
TLC555CPSR	296-15028-2-ND	LinCMOS™ Timer	LinCMOS™ Timer	8-SOP		496.11/2,000	
TLC1078CD	296-10231-5-ND	Zweif. Micropower-OpAmp, Niederspann.	Dual Micropower Low Voltage Op Amp	8-SOIC	4.17	3.34	2.60
TLC1078CP	296-10232-5-ND	Zweif. Micropower-OpAmp, Niederspann.	Dual Micropower Low Voltage Op Amp	8-Dip	4.17	3.34	2.60
TLC1078ID	296-10233-5-ND	Zweif. Micropower-OpAmp, Niederspann.	Dual Micropower Low Voltage Op Amp	8-SOIC	4.34	3.48	2.71
TLC1078IP	296-10234-5-ND	Zweif. Micropower-OpAmp, Niederspann.	Dual Micropower Low Voltage Op Amp	8-Dip	4.34	3.48	2.71
TLC1079CD	296-10235-5-ND	Vierf. Micropower-OpAmp, Niederspann.	Quad Micropower Low Volt. Op Amp	14-SOIC	5.15	4.12	3.48
TLC1079CN	296-10236-5-ND	Vierf. Micropower-OpAmp, Niederspann.	Quad Micropower Low Volt. Op Amp	14-Dip	5.15	4.12	3.48
TLC1079ID	296-10237-5-ND	Vierf. Micropower-OpAmp, Niederspann.	Quad Micropower Low Volt. Op Amp	14-SOIC	5.38	4.31	3.64
TLC1079IN	296-10238-5-ND	Vierf. Micropower-OpAmp, Niederspann.	Quad Micropower Low Volt. Op Amp	14-Dip	5.38	4.31	3.64
TLC2201ACD	296-7050-5-ND	Rauscharmer Präzisions-OpAmp	Low Noise Precision Op Amp	8-SOIC	3.17	2.53	1.97
TLC2201AID	296-7052-5-ND	Rauscharmer Präzisions-OpAmp	Low Noise Precision Op Amp	8-SOIC	3.26	2.61	2.03
TLC2201AMD	296-7054-5-ND	Rauscharmer Präzisions-OpAmp	Low Noise Precision Op Amp	8-SOIC	3.98	3.19	2.48
TLC2201CD	296-2425-5-ND	Rauscharmer Präzisions-OpAmp, R/R	Low Noise Precision R/R Op Amp	8-SOIC	2.99	2.40	1.87
TLC2201CP	296-10241-5-ND	Rauscharmer Präzisions-OpAmp, R/R	Low Noise Precision R/R Op Amp	8-Dip	2.99	2.40	1.87
TLC2201IDR	296-7061-1-ND	Rauscharmer Präzisions-OpAmp, R/R	Low Noise Precision R/R Op Amp	8-SOIC	3.17	2.53	1.97
TLC2201IDR	296-7061-2-ND	Rauscharmer Präzisions-OpAmp, R/R	Low Noise Precision R/R Op Amp	8-SOIC		4427.72/2,500	
TLC2201ID	296-10242-5-ND	Rauscharmer Präzisions-OpAmp, R/R	Low Noise Precision R/R Op Amp	8-SOIC	3.17	2.53	1.97
TLC2201IP	296-7062-5-ND	Rauscharmer Präzisions-OpAmp, R/R	Low Noise Precision R/R Op Amp	8-Dip	3.17	2.53	1.97
TLC2202ACD	296-7063-5-ND	Zweif. rauscharmer Präzisions-OpAmp	Dual Low Noise Precision Op Amp	14-SOIC	4.44	3.56	2.77
TLC2202AID	296-7065-5-ND	Zweif. rauscharmer Präzisions-OpAmp	Dual Low Noise Precision Op Amp	14-SOIC	4.61	3.69	2.87
TLC2202CD	296-1807-5-ND	Zweif. rauscharmer Präzisions-OpAmp	Dual Low Noise Precision Op Amp	14-SOIC	4.25	3.40	2.65
TLC2202IP	296-7073-5-ND	Zweif. rauscharmer Präzisions-R/R-OpAmp	Dual Low Noise Precision R/R Op Amp	8-Dip	4.44	3.56	2.77
TLC2252AID	296-7074-5-ND	Zweif. R/R-OpAmp	Dual R/R Op Amp	8-SOIC	1.31	1.05	.79
TLC2252AIP	296-7075-5-ND	Zweif. R/R-OpAmp	Dual R/R Op Amp	8-Dip	1.31	1.05	.79
TLC2252AIPWR	296-7076-1-ND	Zweif. R/R-OpAmp	Dual R/R Op Amp	8-TSSOP	1.31	1.05	.79
TLC2252AIPWR	296-7076-2-ND	Zweif. R/R-OpAmp	Dual R/R Op Amp	8-TSSOP		1364.72/2,000	
TLC2252AQD	296-7077-5-ND	Zweif. R/R-OpAmp	Dual R/R Op Amp	8-SOIC	1.42	1.14	.86
TLC2252CD	296-7078-5-ND	Zweif. Micropower-R/R-OpAmp	Dual R/R Micropower Op Amp	8-SOIC	1.21	.97	.73
TLC2252CP	296-7079-5-ND	Zweif. Micropower-R/R-OpAmp	Dual R/R Micropower Op Amp	8-Dip	1.21	.97	.73
TLC2252CPWR	296-12745-1-ND	Zweif. Micropower-R/R-OpAmp	Dual R/R Micropower Op Amp	8-TSSOP	1.45	1.21	.97
TLC2252CPWR	296-12745-2-ND	Zweif. Micropower-R/R-OpAmp	Dual R/R Micropower Op Amp	8-TSSOP		1254.66/2,000	
TLC2252ID	296-7080-5-ND	Zweif. Micropower-R/R-OpAmp	Dual R/R Micropower Op Amp	8-SOIC	1.31	1.05	.79
TLC2252IP	296-7081-5-ND	Zweif. Micropower-R/R-OpAmp	Dual R/R Micropower Op Amp	8-Dip	1.31	1.05	.79
TLC2252QD	296-7082-5-ND	Zweif. Micropower-R/R-OpAmp	Dual R/R Micropower Op Amp	8-SOIC	1.31	1.05	.79
TLC2254AID	296-7083-5-ND	Vierf. R/R-OpAmp	Quad R/R Op Amp	14-SOIC	1.61	1.29	.97
TLC2254AIN	296-7084-5-ND	Vierf. R/R-OpAmp	Quad R/R Op Amp	14-Dip	1.61	1.29	.97
TLC2254AIPWR	296-7085-1-ND	Vierf. R/R-OpAmp	Quad R/R Op Amp	14-TSSOP	1.61	1.29	.97
TLC2254AIPWR	296-7085-2-ND	Vierf. R/R-OpAmp	Quad R/R Op Amp	14-TSSOP		1672.88/2,000	
TLC2254AQD	296-7086-5-ND	Vierf. R/R-OpAmp	Quad R/R Op Amp	14-SOIC	1.72	1.38	1.03
TLC2254CD	296-1300-5-ND	Vierf. Micropower-R/R-OpAmp	Quad R/R Micropower Op Amp	14-SOIC	1.51	1.21	.91
TLC2254CDR	296-1300-1-ND	Vierf. Micropower-R/R-OpAmp	Quad R/R Micropower Op Amp	14-SOIC	1.51	1.21	.91
TLC2254CDR	296-1300-2-ND	Vierf. Micropower-R/R-OpAmp	Quad R/R Micropower Op Amp	14-SOIC		1923.90/2,500	
TLC2254CN	296-7088-5-ND	Vierf. Micropower-R/R-OpAmp	Quad R/R Micropower Op Amp	14-Dip	1.51	1.21	.91
TLC2254CPWR	296-7089-1-ND	Vierf. Micropower-R/R-OpAmp	Quad R/R Micropower Op Amp	14-TSSOP	1.51	1.21	.91
TLC2254CPWR	296-7089-2-ND	Vierf. Micropower-R/R-OpAmp	Quad R/R Micropower Op Amp	14-TSSOP		1562.82/2,000	
TLC2254ID	296-1301-5-ND	Vierf. NL-OpAmp	Quad Low Power Op Amp	14-SOIC	1.51	1.21	.91
TLC2254IDR	296-1301-1-ND	Vierf. NL-OpAmp	Quad Low Power Op Amp	14-SOIC	1.51	1.21	.91
TLC2254IDR	296-1301-2-ND	Vierf. NL-OpAmp	Quad Low Power Op Amp	14-SOIC		1923.90/2,500	
TLC2254IN	296-7090-5-ND	Vierf. Micropower-R/R-OpAmp	Quad R/R Micropower Op Amp	14-Dip	1.51	1.21	.91
TLC2254QD	296-7091-5-ND	Vierf. Micropower-R/R-OpAmp	Quad R/R Micropower Op Amp	14-SOIC	1.61	1.29	.97
TLC2262AID	296-7092-5-ND	Zweif. R/R-OpAmp	Dual R/R Op Amp	8-SOIC	1.31	1.05	.79
TLC2262AIP	296-7093-5-ND	Zweif. R/R-OpAmp	Dual R/R Op Amp	8-Dip	1.31	1.05	.79
TLC2262AQD	296-7094-5-ND	Zweif. R/R-OpAmp	Dual R/R Op Amp	8-SOIC	1.42	1.14	.86
TLC2262CD	296-1302-5-ND	Zweif. R/R-OpAmp	Dual R/R Op Amp	8-SOIC	1.21	.97	.73
TLC2262CDR	296-1302-1-ND	Zweif. R/R-OpAmp	Dual R/R Op Amp	8-SOIC	1.45	1.21	.97
TLC2262CDR	296-1302-2-ND	Zweif. R/R-OpAmp	Dual R/R Op Amp	8-SOIC		1545.05/2,500	
TLC2262CP	296-7095-5-ND	Zweif. R/R-OpAmp	Dual R/R Op Amp	8-Dip	1.21	.97	.73
TLC2262CPWR	296-7096-1-ND	Zweif. R/R-OpAmp	Dual R/R Op Amp	8-TSSOP	1.45	1.21	.97
TLC2262CPWR	296-7096-2-ND	Zweif. R/R-OpAmp	Dual R/R Op Amp	8-TSSOP		1254.66/2,000	
TLC2262ID	296-7097-5-ND	Zweif. R/R-OpAmp	Dual R/R Op Amp	8-SOIC	1.31	1.05	.79
TLC2262IP	296-7098-5-ND	Zweif. R/R-OpAmp	Dual R/R Op Amp	8-Dip	1.31	1.05	.79
TLC2262QD	296-7099-5-ND	Zweif. R/R-OpAmp	Dual R/R Op Amp	8-SOIC	1.31	1.05	.79
TLC2264AID	296-7100-5-ND	Vierf. R/R-OpAmp	Quad R/R Op Amp	14-SOIC	1.61	1.29	.97
TLC2264AIN	296-7101-5-ND	Vierf. R/R-OpAmp	Quad R/R Op Amp	14-Dip	1.61	1.29	.97
TLC2264AIPWR	296-13504-1-ND	Vierf. R/R-OpAmp	Quad R/R Op Amp	14-TSSOP	1.61	1.29	.97
TLC2264AIPWR	296-13504-2-ND	Vierf. R/R-OpAmp	Quad R/R Op Amp	14-TSSOP		1672.88/2,000	
TLC2264AQD	296-7102-5-ND	Vierf. R/R-OpAmp	Quad R/R Op Amp	14-SOIC	1.72	1.38	1.03
TLC2264CD	296-7103-5-ND	Vierf. R/R-OpAmp	Quad R/R Op Amp	14-SOIC	1.51	1.21	.91
TLC2264CN	296-7104-5-ND	Vierf. R/R-OpAmp	Quad R/R Op Amp	14-Dip	1.51	1.21	.91
TLC2264CPWR	296-7105-1-ND	Vierf. R/R-OpAmp	Quad R/R Op Amp	14-TSSOP	1.51	1.21	.91
TLC2264CPWR	296-7105-2-ND	Vierf. R/R-OpAmp	Quad R/R Op Amp	14-TSSOP		1562.82/2,000	
TLC2264ID	296-7106-5-ND	Vierf. R/R-OpAmp	Quad R/R Op Amp	14-SOIC	1.51	1.21	.91
TLC2264IN	296-7107-5-ND	Vierf. R/R-OpAmp	Quad R/R Op Amp	14-Dip	1.51	1.21	.91
TLC2264QD	296-7108-5-ND	Vierf. R/R-OpAmp	Quad R/R Op Amp	14-SOIC	1.61	1.29	.97
TLC2272ACD	296-1303-5-ND	Zweif. R/R-OpAmp	Dual R/R Op Amp	8-SOIC	1.31	1.05	.79
TLC2272ACDR	296-1303-1-ND	Zweif. R/R-OpAmp	Dual R/R Op Amp	8-SOIC	1.31	1.05	.79
TLC2272ACDR	296-1303-2-ND	Zweif. R/R-OpAmp	Dual R/R Op Amp	8-SOIC		1680.50/2,500	
TLC2272ACP	296-7109-5-ND	Zweif. R/R-OpAmp	Dual R/R Op Amp	8-Dip	1.31	1.05	.79
TLC2272ACPWR	296-7110-1-ND	Zweif. R/R-OpAmp	Dual R/R Op Amp	8-TSSOP	1.31	1.05	.79
TLC2272ACPWR	296-7110-2-ND	Zweif. R/R-OpAmp	Dual R/R Op Amp	8-TSSOP		1364.72/2,000	
TLC2272AID	296-1304-5-ND	Zweif. R/R-OpAmp	Dual R/R Op Amp	8-SOIC	1.42	1.14	.86
TLC2272AIDR	296-1304-1-ND	Zweif. R/R-OpAmp	Dual R/R Op Amp	8-SOIC	1.42	1.14	.86
TLC2272AIDR	296-1304-2-ND	Zweif. R/R-OpAmp	Dual R/R Op Amp	8-SOIC		1815.96/2,500	
TLC2272AIP	296-7112-5-ND	Zweif. R/R-OpAmp	Dual R/R Op Amp	8-Dip	1.42	1.14	.86
TLC2272AMD	296-7113-5-ND	Zweif. R/R-OpAmp	Dual R/R Op Amp	8-SOIC	1.61	1.29	.97
TLC2272AQD	296-7114-5-ND	Zweif. R/R-OpAmp	Dual R/R Op Amp	8-SOIC	1.42	1.14	.86
TLC2272AQDRQ1	296-15025-1-ND	Zweif. R/R-OpAmp	Dual R/R Op Amp	8-SOIC	1.51	1.21	.91
TLC2272AQDRQ1	296-15025-2-ND	Zweif. R/R-OpAmp	Dual R/R Op Amp	8-SOIC		1923.90/2,500	
TLC2272AQPWRQ1	296-15839-5-ND	Zweif. R/R-OpAmp	Dual R/R Op Amp	8-TSSOP	1.51	1.21	.91
TLC2272CD	296-1305-5-ND	Zweif. R/R-OpAmp	Dual R/R Op Amp	8-SOIC	1.21	.97	.73
TLC2272CDR	296-1305-1-ND	Zweif. R/R-OpAmp	Dual R/R Op Amp	8-SOIC	1.21	.97	.73
TLC2272CDR	296-1305-2-ND	Zweif. R/R-OpAmp	Dual R/R Op Amp	8-SOIC		1545.05/2,500	
TLC2272CP	296-1812-5-ND	Zweif. R/R-OpAmp	Dual R/R Op Amp	8-Dip	1.21	.97	.73
TLC2272CPWR	296-7115-1-ND	Zweif. rauscharmer R/R-OpAmp	Dual Low Noise R/R Op Amp	8-TSSOP	1.21	.97	.73
TLC2272CPWR	296-7115-2-ND	Zweif. rauscharmer R/R-OpAmp	Dual Low Noise R/R Op Amp	8-TSSOP		1254.66/2,000	
TLC2272ID	296-7116-5-ND	Zweif. rauscharmer R/R-OpAmp	Dual Low Noise R/R Op Amp	8-SOIC	1.31	1.05	.79
TLC2272IP	296-7117-5-ND	Zweif. rauscharmer R/R-OpAmp	Dual Low Noise R/R Op Amp	8-Dip	1.31	1.05	.79
TLC2272IPWR	296-7118-1-ND	Zweif. rauscharmer R/R-OpAmp	Dual Low Noise R/R Op Amp	8-TSSOP	1.31	1.05	.79
TLC2272IPWR	296-7118-2-ND	Zweif. rauscharmer R/R-OpAmp	Dual Low Noise R/R Op Amp	8-TSSOP		1364.72/2,000	
TLC2272MD	296-7119-5-ND	Zweif. rauscharmer R/R-OpAmp	Dual Low Noise R/R Op Amp	8-SOIC	1.61	1.29	.97

(Forts.)

★ ***RUFEN SIE BITTE AN FÜR NIEDRIGERE PREISE BEI GRÖSSEREN MENGEN!*** ★

B

T. I. Teilenr.	Digi-Key Teilenr.	Beschreibung		Paket	Stückpreis ★ 1	25	100
TLC2272QD	296-7120-5-ND	Zweif. rauscharmer R/R-OpAmp	Dual Low Noise R/R Op Amp	8-SOIC	1.42	1.14	.86
TLC2272QDRQ1	296-15026-1-ND	Zweif. rauscharmer R/R-OpAmp	Dual Low Noise R/R Op Amp	8-SOIC	1.42	1.14	.86
TLC2272QDRQ1	296-15026-2-ND	Zweif. rauscharmer R/R-OpAmp	Dual Low Noise R/R Op Amp	8-SOIC		1815.96/2,500	
TLC2272QPWRQ1	296-16951-1-ND	Zweif. rauscharmer R/R-OpAmp	Dual Low Noise R/R Op Amp	8-TSSOP	1.42	1.14	.86
TLC2272QPWRQ1	296-16951-2-ND	Zweif. rauscharmer R/R-OpAmp	Dual Low Noise R/R Op Amp	8-TSSOP		1474.78/2,000	
TLC2274ACD	296-1813-5-ND	Vierf. rauscharmer R/R-OpAmp	Quad Low Noise R/R Op Amp	14-SOIC	1.51	1.21	.91
TLC2274ACDR	296-1813-1-ND	Vierf. rauscharmer R/R-OpAmp	Quad Low Noise R/R Op Amp	14-SOIC	1.51	1.21	.91
TLC2274ACDR	296-1813-2-ND	Vierf. rauscharmer R/R-OpAmp	Quad Low Noise R/R Op Amp	14-SOIC		1923.90/2,500	
TLC2274ACN	296-7121-5-ND	Vierf. rauscharmer R/R-OpAmp	Quad Low Noise R/R Op Amp	14-Dip	1.51	1.21	.91
TLC2274ACPWR	296-7122-1-ND	Vierf. rauscharmer R/R-OpAmp	Quad Low Noise R/R Op Amp	14-TSSOP	1.51	1.21	.91
TLC2274ACPWR	296-7122-2-ND	Vierf. rauscharmer R/R-OpAmp	Quad Low Noise R/R Op Amp	14-TSSOP		1562.82/2,000	
TLC2274AID	296-1814-5-ND	Vierf. rauscharmer R/R-OpAmp	Quad Low Noise R/R Op Amp	14-SOIC	1.61	1.29	.97
TLC2274AIN	296-7123-5-ND	Vierf. rauscharmer R/R-OpAmp	Quad Low Noise R/R Op Amp	14-Dip	1.61	1.29	.97
TLC2274AIPW	296-7125-5-ND	Vierf. rauscharmer R/R-OpAmp	Quad Low Noise R/R Op Amp	14-TSSOP	1.61	1.29	.97
TLC2274AIPWR	296-7125-1-ND	Vierf. rauscharmer R/R-OpAmp	Quad Low Noise R/R Op Amp	14-TSSOP	1.61	1.29	.97
TLC2274AIPWR	296-7125-2-ND	Vierf. rauscharmer R/R-OpAmp	Quad Low Noise R/R Op Amp	14-TSSOP		1672.88/2,000	
TLC2274AMD	296-7126-5-ND	Vierf. rauscharmer R/R-OpAmp	Quad Low Noise R/R Op Amp	14-SOIC	1.90	1.53	1.15
TLC2274AQD	296-7127-5-ND	Vierf. rauscharmer R/R-OpAmp	Quad Low Noise R/R Op Amp	14-SOIC	1.72	1.38	1.03
TLC2274AQDRQ1	296-16952-1-ND	Vierf. rauscharmer R/R-OpAmp	Quad Low Noise R/R Op Amp	14-SOIC	1.72	1.38	1.03
TLC2274AQDRQ1	296-16952-2-ND	Vierf. rauscharmer R/R-OpAmp	Quad Low Noise R/R Op Amp	14-SOIC		2194.81/2,500	
TLC2274AQPWRQ1	296-16953-1-ND	Vierf. rauscharmer R/R-OpAmp	Quad Low Noise R/R Op Amp	14-TSSOP	1.72	1.38	1.03
TLC2274AQPWRQ1	296-16953-2-ND	Vierf. rauscharmer R/R-OpAmp	Quad Low Noise R/R Op Amp	14-TSSOP		1782.94/2,000	
TLC2274CD	296-1306-5-ND	Vierf. rauscharmer R/R-OpAmp	Quad Low Noise R/R Op Amp	14-SOIC	1.51	1.21	.91
TLC2274CDR	296-1306-1-ND	Vierf. rauscharmer R/R-OpAmp	Quad Low Noise R/R Op Amp	14-SOIC	1.51	1.21	.91
TLC2274CDR	296-1306-2-ND	Vierf. rauscharmer R/R-OpAmp	Quad Low Noise R/R Op Amp	14-SOIC		1923.90/2,500	
TLC2274CN	296-7129-5-ND	Vierf. rauscharmer R/R-OpAmp	Quad Low Noise R/R Op Amp	14-Dip	1.51	1.21	.91
TLC2274CPWR	296-7130-1-ND	Vierf. rauscharmer R/R-OpAmp	Quad Low Noise R/R Op Amp	14-TSSOP	1.51	1.21	.91
TLC2274CPWR	296-7130-2-ND	Vierf. rauscharmer R/R-OpAmp	Quad Low Noise R/R Op Amp	14-TSSOP		1562.82/2,000	
TLC2274ID	296-7131-5-ND	Vierf. rauscharmer R/R-OpAmp	Quad Low Noise R/R Op Amp	14-SOIC	1.51	1.21	.91
TLC2274IN	296-7132-5-ND	Vierf. rauscharmer R/R-OpAmp	Quad Low Noise R/R Op Amp	14-Dip	1.51	1.21	.91
TLC2274IPWR	296-7133-1-ND	Vierf. rauscharmer R/R-OpAmp	Quad Low Noise R/R Op Amp	14-TSSOP	1.51	1.21	.91
TLC2274IPWR	296-7133-2-ND	Vierf. rauscharmer R/R-OpAmp	Quad Low Noise R/R Op Amp	14-TSSOP		1562.82/2,000	
TLC2274MD	296-7134-5-ND	Vierf. rauscharmer R/R-OpAmp	Quad Low Noise R/R Op Amp	14-SOIC	1.90	1.53	1.15
TLC2274QD	296-7135-5-ND	Vierf. rauscharmer R/R-OpAmp	Quad Low Noise R/R Op Amp	14-SOIC	1.61	1.29	.97
TLC2274QDRQ1	296-16954-1-ND	LinCMOS R/R-OpAmp	LinCMOS R/R Op Amp	14-SOIC	1.72	1.38	1.03
TLC2274QDRQ1	296-16954-2-ND	LinCMOS R/R-OpAmp	LinCMOS R/R Op Amp	14-SOIC		2194.81/2,500	
TLC2274QPWRQ1	296-16955-1-ND	LinCMOS R/R-OpAmp	LinCMOS R/R Op Amp	14-TSSOP	1.72	1.38	1.03
TLC2274QPWRQ1	296-16955-2-ND	LinCMOS R/R-OpAmp	LinCMOS R/R Op Amp	14-TSSOP		1782.94/2,000	
TLC2652AIP	296-1818-5-ND	Chopper-OpAmp	Chopper Op Amp	8-Dip	4.34	3.48	2.71
TLC2652AC-8D	296-7316-5-ND	Fortschr. chopper-stabilisierter Präz.-OpAmp	Adv Prec. Chopper-Stabilized Op Amp	8-SOIC	4.17	3.34	2.60
TLC2652AC-14D	296-7315-5-ND	Fortschr. chopper-stabilisierter Präz.-OpAmp	Adv Prec. Chopper-Stabilized Op Amp	14-SOIC	4.17	3.34	2.60
TLC2652ACN	296-7317-5-ND	Fortschr. chopper-stabilisierter Präz.-OpAmp	Adv Prec. Chopper-Stabilized Op Amp	14-Dip	4.17	3.34	2.60
TLC2652ACP	296-7318-5-ND	Fortschr. chopper-stabilisierter Präz.-OpAmp	Adv Prec. Chopper-Stabilized Op Amp	8-Dip	4.17	3.34	2.60
TLC2652AI-8D	296-7319-5-ND	Fortschr. chopper-stabilisierter Präz.-OpAmp	Adv Prec. Chopper-Stabilized Op Amp	8-SOIC	4.34	3.48	2.71
TLC2652AIN	296-7320-5-ND	Fortschr. chopper-stabilisierter Präz.-OpAmp	Adv Prec. Chopper-Stabilized Op Amp	14-Dip	4.34	3.48	2.71
TLC2652C-8D	296-7321-5-ND	Chopper-stabilisierter Präzisions-OpAmp	Precision Chopper-Stabilized Op Amp	8-SOIC	3.98	3.19	2.48
TLC2652CN	296-7322-5-ND	Chopper-stabilisierter Präzisions-OpAmp	Precision Chopper-Stabilized Op Amp	14-Dip	3.98	3.19	2.48
TLC2652CP	296-7323-5-ND	Chopper-stabilisierter Präzisions-OpAmp	Precision Chopper-Stabilized Op Amp	8-Dip	3.98	3.19	2.48
TLC2652I-8D	296-7324-5-ND	Chopper-stabilisierter Präzisions-OpAmp	Precision Chopper-Stabilized Op Amp	8-SOIC	4.17	3.34	2.60
TLC2652M-8D	296-7325-5-ND	Chopper-stabilisierter Präzisions-OpAmp	Precision Chopper-Stabilized Op Amp	8-SOIC	4.50	3.61	3.05
TLC2652Q-8D	296-7326-5-ND	Chopper-stabilisierter Präzisions-OpAmp	Precision Chopper-Stabilized Op Amp	8-SOIC	4.34	3.48	2.71
TLC2654AC-8D	296-7327-5-ND	Erw. Chopper-stabilisierter LN-OpAmp	Adv. LN Chopper-Stabilized Op Amp	8-SOIC	2.90	2.32	1.81
TLC2654ACP	296-7328-5-ND	Erw. Chopper-stabilisierter LN-OpAmp	Adv. LN Chopper-Stabilized Op Amp	8-Dip	2.90	2.32	1.81
TLC2654AI-8D	296-7329-5-ND	Erw. Chopper-stabilisierter LN-OpAmp	Adv. LN Chopper-Stabilized Op Amp	8-SOIC	3.09	2.47	1.93
TLC2654AIP	296-7330-5-ND	Erw. Chopper-stabilisierter LN-OpAmp	Adv. LN Chopper-Stabilized Op Amp	8-Dip	3.09	2.47	1.93
TLC2654AQ-8D	296-7331-5-ND	Erw. Chopper-stabilisierter LN-OpAmp	Adv. LN Chopper-Stabilized Op Amp	8-SOIC	3.17	2.53	1.97
TLC2654C-8D	296-7332-5-ND	Chopper-stabilisierter LN-OpAmp	LN Chopper-Stabilized Op Amp	8-SOIC	2.80	2.24	1.75
TLC2654CN	296-7333-5-ND	Chopper-stabilisierter LN-OpAmp	LN Chopper-Stabilized Op Amp	14-Dip	2.80	2.24	1.75
TLC2654CP	296-7334-5-ND	Chopper-stabilisierter LN-OpAmp	LN Chopper-Stabilized Op Amp	8-Dip	2.80	2.24	1.75
TLC2654I-8D	296-7335-5-ND	Chopper-stabilisierter LN-OpAmp	LN Chopper-Stabilized Op Amp	8-SOIC	2.90	2.32	1.81
TLC2654IP	296-7336-5-ND	Chopper-stabilisierter LN-OpAmp	LN Chopper-Stabilized Op Amp	8-Dip	2.90	2.32	1.81
TLC2654Q-8D	296-7337-5-ND	Chopper-stabilisierter LN-OpAmp	LN Chopper-Stabilized Op Amp	8-SOIC	3.09	2.47	1.93
TLC4501ACD	296-2426-5-ND	R/R Präzisions-OpAmp	Precision, Rail-to-Rail Op Amp	8-SOIC	2.44	1.96	1.52
TLC4501AID	296-10322-5-ND	Hochpräziser R/R-OpAmp	High Precision R/R Op Amp	8-SOIC	2.53	2.03	1.58
TLC4501CD	296-10323-5-ND	Hochpräziser R/R-OpAmp	High Precision R/R Op Amp	8-SOIC	2.36	1.89	1.47
TLC4501IDR	296-10324-1-ND	Hochpräziser R/R-OpAmp	High Precision R/R Op Amp	8-SOIC	2.44	1.96	1.52
TLC4501IDR	296-10324-2-ND	Hochpräziser R/R-OpAmp	High Precision R/R Op Amp	8-SOIC		3413.91/2,500	
TLC4502ACD	296-10325-5-ND	Selbstkalibierender Präzisions-CMOS R/R, Ausgangs-OpAmp	Self Calibrating Precision CMOS R/R, Output Op Amp	8-SOIC	3.52	2.82	2.20
TLC4502AID	296-10326-5-ND	Selbstkalibierender Präzisions-CMOS R/R, Ausgangs-OpAmp	Self Calibrating Precision CMOS R/R, Output Op Amp	8-SOIC	3.62	2.90	2.26
TLC4502AMD	296-10327-5-ND	Selbstkalibierender Präzisions-CMOS R/R, Ausgangs-OpAmp	Self Calibrating Precision CMOS R/R, Output Op Amp	8-SOIC	4.44	3.56	2.77
TLC4502AQD	296-10328-5-ND	Selbstkalibierender Präzisions-CMOS R/R, Ausgangs-OpAmp	Self Calibrating Precision CMOS R/R, Output Op Amp	8-SOIC	3.81	3.05	2.38
TLC4502CD	296-10329-5-ND	Selbstkalibierender Präzisions-CMOS R/R, Ausgangs-OpAmp	Self Calibrating Precision CMOS R/R, Output Op Amp	8-SOIC	3.35	2.69	2.09
TLC4502ID	296-10330-5-ND	Selbstkalibierender Präzisions-CMOS R/R, Ausgangs-OpAmp	Self Calibrating Precision CMOS R/R, Output Op Amp	8-SOIC	3.52	2.82	2.20
TLC4502IDR	296-10330-1-ND	Selbstkalibierender Präzisions-CMOS R/R, Ausgangs-OpAmp	Self Calibrating Precision CMOS R/R, Output Op Amp	8-SOIC	3.52	2.82	2.20
TLC4502IDR	296-10330-2-ND	Selbstkalibierender Präzisions-CMOS R/R, Ausgangs-OpAmp	Self Calibrating Precision CMOS R/R, Output Op Amp	8-SOIC		4933.56/2,500	
TLC4502MD	296-10331-5-ND	Selbstkalibierender Präzisions-CMOS R/R, Ausgangs-OpAmp	Self Calibrating Precision CMOS R/R, Output Op Amp	8-SOIC	4.25	3.40	2.65
TLC4502QD	296-13358-5-ND	Selbstkalibierender Präzisions-CMOS R/R, Ausgangs-OpAmp	Self Calibrating Precision CMOS R/R, Output Op Amp	8-SOIC	3.62	2.90	2.26
TLE2021ACD	296-10353-5-ND	Präzisions-OpAmp, HS, NL	HS, Low Power Precision Op Amp	8-SOIC	1.17	.94	.70
TLE2021ACP	296-10354-5-ND	Präzisions-OpAmp, HS, NL	HS, Low Power Precision Op Amp	8-Dip	1.17	.94	.70
TLE2021AID	296-10355-5-ND	Präzisions-OpAmp, HS, NL	HS, Low Power Precision Op Amp	8-SOIC	1.27	1.02	.77
TLE2021AIP	296-10356-5-ND	Präzisions-OpAmp, HS, NL	HS, Low Power Precision Op Amp	8-Dip	1.27	1.02	.77
TLE2021CD	296-10357-5-ND	Präzisions-OpAmp, HS, NL	HS, Low Power Precision Op Amp	8-SOIC	1.14	.96	.77
TLE2021CP	296-10358-5-ND	Präzisions-OpAmp, HS, NL	HS, Low Power Precision Op Amp	8-Dip	1.14	.96	.77
TLE2021ID	296-10359-5-ND	Präzisions-OpAmp, HS, NL	HS, Low Power Precision Op Amp	8-SOIC	1.06	.85	.64
TLE2021IP	296-10360-5-ND	Präzisions-OpAmp, HS, NL	HS, Low Power Precision Op Amp	8-Dip	1.06	.85	.64
TLE2021MD	296-10361-5-ND	Präzisions-OpAmp, HS, NL	HS, Low Power Precision Op Amp	8-SOIC	1.27	1.02	.77
TLE2022ACD	296-12304-5-ND	Zweif. Präzisions-OpAmp, HS, NL	Dual HS, LP Precision Op Amp	8-SOIC	2.00	1.60	1.25
TLE2022ACP	296-10362-5-ND	Zweif. Präzisions-OpAmp, HS, NL	Dual High Speed, LP Precision Op Amp	8-Dip	2.00	1.60	1.25
TLE2022AID	296-10363-5-ND	Zweif. Präzisions-OpAmp, HS, NL	Dual High Speed, LP Precision Op Amp	8-SOIC	2.19	1.76	1.37
TLE2022AIP	296-10364-5-ND	Zweif. Präzisions-OpAmp, HS, NL	Dual High Speed, LP Precision Op Amp	8-Dip	2.19	1.76	1.37
TLE2022AMD	296-10365-5-ND	Zweif. Präzisions-OpAmp, HS, NL	Dual High Speed, LP Precision Op Amp	8-SOIC	2.48	1.99	1.55
TLE2022CD	296-1873-5-ND	Zweif. JFET-Eingangs-OpAmp	Dual JFET-Input Op Amp	8-SOIC	1.59	1.27	.96
TLE2022CP	296-10366-5-ND	Zweif. Präzisions-OpAmp, HS, NL	Dual High Speed, LP Precision Op Amp	8-Dip	1.59	1.27	.96
TLE2022ID	296-10367-5-ND	Zweif. Präzisions-OpAmp, HS, NL	Dual High Speed, LP Precision Op Amp	8-SOIC	1.69	1.36	1.02
TLE2022IP	296-10368-5-ND	Zweif. Präzisions-OpAmp, HS, NL	Dual High Speed, LP Precision Op Amp	8-Dip	1.69	1.36	1.02
TLE2022MD	296-10369-5-ND	Zweif. Präzisions-OpAmp, HS, NL	Dual High Speed, LP Precision Op Amp	8-SOIC	2.01	1.61	1.21
TLE2024ACDW	296-10370-5-ND	Vierf. OpAmp, HS, NL	Quad High Speed, LP Op Amp	16-SOIC	3.14	2.52	1.96
TLE2024ACN	296-10371-5-ND	Vierf. OpAmp, HS, NL	Quad High Speed, LP Op Amp	14-Dip	3.14	2.52	1.96
TLE2024AIDW	296-10372-5-ND	Vierf. OpAmp, HS, NL	Quad High Speed, LP Op Amp	16-SOIC	3.43	2.75	2.14
TLE2024AIN	296-10373-5-ND	Vierf. OpAmp, HS, NL	Quad High Speed, LP Op Amp	14-Dip	3.43	2.75	2.14

(Forts.)

★ ***RUFEN SIE BITTE AN FÜR NIEDRIGERE PREISE BEI GRÖSSEREN MENGEN!*** ★

T. I. Teilenr.	Digi-Key Teilenr.	Beschreibung		Paket	Stückpreis ★ 1	25	100
TLE2024BMDW	296-10374-5-ND	Vierf. HS-OpAmp, NL	Quad High Speed, LP Op Amp	16-SOIC	3.90	3.13	2.43
TLE2024CDW	296-10375-5-ND	Vierf. HS-OpAmp, NL	Quad High Speed, LP Op Amp	16-SOIC	2.76	2.21	1.72
TLE2024CN	296-10376-5-ND	Vierf. HS-OpAmp, NL	Quad High Speed, LP Op Amp	14-Dip	2.76	2.21	1.72
TLE2024IDW	296-10377-5-ND	Vierf. HS-OpAmp, NL	Quad High Speed, LP Op Amp	16-SOIC	2.95	2.37	1.84
TLE2024IN	296-10378-5-ND	Vierf. HS-OpAmp, NL	Quad High Speed, LP Op Amp	14-Dip	2.95	2.37	1.84
TLE2024MDW	296-10379-5-ND	Vierf. HS-OpAmp, NL	Quad High Speed, LP Op Amp	16-SOIC	3.52	2.82	2.20
TLE2027AMD	296-10380-5-ND	Rauscharmer HS-OpAmp	Low Noise, High Speed Op Amp	8-SOIC	2.38	1.91	1.49
TLE2027CD	296-10381-5-ND	Rauscharmer HS-OpAmp	Low Noise, High Speed Op Amp	8-SOIC	1.90	1.53	1.15
TLE2027CDR	296-10381-1-ND	Rauscharmer HS-OpAmp	Low Noise, High Speed Op Amp	8-SOIC	1.90	1.53	1.15
TLE2027CDR	296-10381-2-ND	Rauscharmer HS-OpAmp	Low Noise, High Speed Op Amp	8-SOIC		2438.21/2,500	
TLE2027ID	296-10383-5-ND	Rauscharmer HS-OpAmp	Low Noise, High Speed Op Amp	8-SOIC	2.01	1.61	1.21
TLE2027MD	296-10385-5-ND	Rauscharmer HS-OpAmp	Low Noise, High Speed Op Amp	8-SOIC	2.19	1.76	1.37
TLE2037CD	296-10386-5-ND	Rauscharmer HS-OpAmp	Low Noise, High Speed Op Amp	8-SOIC	1.90	1.53	1.15
TLE2037ID	296-10388-5-ND	Rauscharmer HS-OpAmp	Low Noise, High Speed Op Amp	8-SOIC	2.01	1.61	1.21
TLE2037MD	296-10389-5-ND	Rauscharmer HS-OpAmp	Low Noise, High Speed Op Amp	8-SOIC	2.19	1.76	1.37
TLE2061ACD	296-10390-5-ND	JFET-OpAmp, NL	Low Power JFET Op Amp	8-SOIC	1.59	1.27	.96
TLE2061AID	296-10391-5-ND	JFET-OpAmp, NL	Low Power JFET Op Amp	8-SOIC	1.69	1.36	1.02
TLE2061AIP	296-10392-5-ND	JFET-OpAmp, NL	Low Power JFET Op Amp	8-Dip	1.69	1.36	1.02
TLE2061CD	296-10393-5-ND	JFET-OpAmp, NL	Low Power JFET Op Amp	8-SOIC	1.38	1.11	.83
TLE2061CP	296-10394-5-ND	JFET-OpAmp, NL	Low Power JFET Op Amp	8-Dip	1.38	1.11	.83
TLE2061MD	296-10395-5-ND	JFET-OpAmp, NL	Low Power JFET Op Amp	8-SOIC	1.80	1.44	1.08
TLE2062ACD	296-10396-5-ND	Zweif. JFET-OpAmp, NL	Dual Low Power JFET Op Amp	8-SOIC	2.76	2.21	1.72
TLE2062AID	296-10397-5-ND	Zweif. JFET-OpAmp, NL	Dual Low Power JFET Op Amp	8-SOIC	2.95	2.37	1.84
TLE2062AMD	296-10399-5-ND	Zweif. JFET-OpAmp, NL	Dual Low Power JFET Op Amp	8-SOIC	3.34	2.67	2.08
TLE2062CD	296-1341-5-ND	Zweif. JFET-OpAmp, NL	Dual Low Power JFET Op Amp	8-SOIC	1.90	1.53	1.19
TLE2062CDR	296-1341-1-ND	Zweif. JFET-Eingangs-OpAmp	Dual JFET-Input Op Amp	8-SOIC	2.54	2.12	1.70
TLE2062CDR	296-1341-2-ND	Zweif. JFET-Eingangs-OpAmp	Dual JFET-Input Op Amp	8-SOIC		2666.79/2,500	
TLE2062CP	296-10401-5-ND	Zweif. JFET-OpAmp, NL	Dual Low Power JFET Op Amp	8-Dip	1.90	1.53	1.19
TLE2062ID	296-10402-5-ND	Zweif. JFET-OpAmp, NL	Dual Low Power JFET Op Amp	8-SOIC	2.10	1.68	1.31
TLE2062IP	296-10403-5-ND	Zweif. JFET-OpAmp, NL	Dual Low Power JFET Op Amp	8-Dip	2.10	1.68	1.31
TLE2062MD	296-10404-5-ND	Zweif. JFET-OpAmp, NL	Dual Low Power JFET Op Amp	8-SOIC	2.48	1.99	1.55
TLE2064ACD	296-10405-5-ND	Vierf. JFET-OpAmp, NL	Quad Low Power JFET Op Amp	14-SOIC	4.48	3.59	2.79
TLE2064ACN	296-10406-5-ND	Vierf. JFET-OpAmp, NL	Quad Low Power JFET Op Amp	14-Dip	4.48	3.59	2.79
TLE2064AID	296-10407-5-ND	Vierf. JFET-OpAmp, NL	Quad Low Power JFET Op Amp	14-SOIC	4.23	3.39	2.86
TLE2064AMD	296-10408-5-ND	Vierf. JFET-OpAmp, NL	Quad Low Power JFET Op Amp	14-SOIC	4.83	3.87	3.26
TLE2064CD	296-10409-5-ND	Vierf. JFET-OpAmp, NL	Quad Low Power JFET Op Amp	14-SOIC	3.14	2.52	1.96
TLE2064CN	296-10410-5-ND	Vierf. JFET-OpAmp, NL	Quad Low Power JFET Op Amp	14-Dip	3.14	2.52	1.96
TLE2064ID	296-10411-5-ND	Vierf. JFET-OpAmp, NL	Quad Low Power JFET Op Amp	14-SOIC	3.43	2.75	2.14
TLE2064IN	296-10412-5-ND	Vierf. JFET-OpAmp, NL	Quad Low Power JFET Op Amp	14-Dip	3.43	2.75	2.14
TLE2064MD	296-10413-5-ND	Vierf. JFET-OpAmp, NL	Quad Low Power JFET Op Amp	14-SOIC	4.00	3.20	2.49
TLE2071ACD	296-10414-5-ND	Rauscharmer HS-JFET-OpAmp	Low Noise, High Speed JFET Op Amp	8-SOIC	1.48	1.19	.89
TLE2071ACP	296-10415-5-ND	Rauscharmer HS-JFET-OpAmp	Low Noise, High Speed JFET Op Amp	8-Dip	1.48	1.19	.89
TLE2071AID	296-10416-5-ND	Rauscharmer HS-JFET-OpAmp	Low Noise, High Speed JFET Op Amp	8-SOIC	1.59	1.27	.96
TLE2071AIP	296-10417-5-ND	Rauscharmer HS-JFET-OpAmp	Low Noise, High Speed JFET Op Amp	8-Dip	1.59	1.27	.96
TLE2071AQDRQ1	296-17920-1-ND	Rauscharmer HS-JFET-OpAmp	Low Noise, High Speed JFET Op Amp	8-SOIC	1.69	1.36	1.02
TLE2071AQDRQ1	296-17920-2-ND	Rauscharmer HS-JFET-OpAmp	Low Noise, High Speed JFET Op Amp	8-SOIC		2167.30/2,500	
TLE2071CD	296-10418-5-ND	Rauscharmer HS-JFET-OpAmp	Low Noise, High Speed JFET Op Amp	8-SOIC	1.27	1.02	.77
TLE2071CP	296-10419-5-ND	Rauscharmer HS-JFET-OpAmp	Low Noise, High Speed JFET Op Amp	8-Dip	1.27	1.02	.77
TLE2071ID	296-10420-5-ND	Rauscharmer HS-JFET-OpAmp	Low Noise, High Speed JFET Op Amp	8-SOIC	1.48	1.19	.89
TLE2071IP	296-10421-5-ND	Rauscharmer HS-JFET-OpAmp	Low Noise, High Speed JFET Op Amp	8-Dip	1.48	1.19	.89
TLE2072ACD	296-10422-5-ND	Zweif. rauscharmer HS-JFET-OpAmp	Dual LN, High Speed JFET Op Amp	8-SOIC	2.29	1.83	1.43
TLE2072ACP	296-10423-5-ND	Zweif. rauscharmer HS-JFET-OpAmp	Dual LN, High Speed JFET Op Amp	8-Dip	2.29	1.83	1.43
TLE2072AID	296-10424-5-ND	Zweif. rauscharmer HS-JFET-OpAmp	Dual LN, High Speed JFET Op Amp	8-SOIC	2.48	1.99	1.55
TLE2072CD	296-1342-5-ND	Zweif. rauscharmer HS-JFET-OpAmp	Dual LN, High Speed JFET Op Amp	8-SOIC	1.90	1.53	1.19
TLE2072CDR	296-1342-1-ND	Zweif. rauscharmer HS-JFET-OpAmp	Dual LN, High Speed JFET Op Amp	8-SOIC	1.90	1.53	1.19
TLE2072CDR	296-1342-2-ND	Zweif. rauscharmer HS-JFET-OpAmp	Dual LN, High Speed JFET Op Amp	8-SOIC		2666.79/2,500	
TLE2072CP	296-10426-5-ND	Zweif. rauscharmer HS-JFET-OpAmp	Dual LN, High Speed JFET Op Amp	8-Dip	1.90	1.53	1.19
TLE2072ID	296-10427-5-ND	Zweif. rauscharmer HS-JFET-OpAmp	Dual LN, High Speed JFET Op Amp	8-SOIC	2.10	1.68	1.31
TLE2074ACDW	296-10428-5-ND	Vierf. rauscharmer HS-JFET-OpAmp	Quad LN, High Speed JFET Op Amp	16-SOIC	4.19	3.36	2.61
TLE2074ACN	296-10429-5-ND	Vierf. rauscharmer HS-JFET-OpAmp	Quad LN, High Speed JFET Op Amp	14-Dip	4.19	3.36	2.61
TLE2074AIDW	296-10430-5-ND	Vierf. rauscharmer HS-JFET-OpAmp	Quad LN, High Speed JFET Op Amp	16-SOIC	4.57	3.66	2.85
TLE2074CDWR	296-10431-1-ND	Vierf. rauscharmer HS-JFET-OpAmp	Quad LN, High Speed JFET Op Amp	16-SOIC	3.62	2.90	2.26
TLE2074CDWR	296-10431-2-ND	Vierf. rauscharmer HS-JFET-OpAmp	Quad LN, High Speed JFET Op Amp	16-SOIC		4102.62/2,000	
TLE2074CN	296-10432-5-ND	Vierf. rauscharmer HS-JFET-OpAmp	Quad LN, High Speed JFET Op Amp	14-Dip	3.62	2.90	2.26
TLE2074IDW	296-10433-5-ND	Vierf. rauscharmer HS-JFET-OpAmp	Quad LN, High Speed JFET Op Amp	16-SOIC	4.00	3.20	2.49
TLE2074IN	296-10434-5-ND	Vierf. rauscharmer HS-JFET-OpAmp	Quad LN, High Speed JFET Op Amp	14-Dip	4.00	3.20	2.49
TLE2081ACD	296-10435-5-ND	HS-OpAmp, JFET-Eingang	High Speed JFET-In Op Amp	8-SOIC	1.38	1.11	.83
TLE2081ACP	296-10436-5-ND	HS-OpAmp, JFET-Eingang	High Speed JFET-In Op Amp	8-Dip	1.38	1.11	.83
TLE2081CD	296-10437-5-ND	HS-OpAmp, JFET-Eingang	High Speed JFET-In Op Amp	8-SOIC	1.17	.94	.70
TLE2081CP	296-10438-5-ND	HS-OpAmp, JFET-Eingang	High Speed JFET-In Op Amp	8-Dip	1.17	.94	.70
TLE2081ID	296-10439-5-ND	HS-OpAmp, JFET-Eingang	High Speed JFET-In Op Amp	8-SOIC	1.38	1.11	.83
TLE2082ACD	296-10440-5-ND	Zweif. HS-OpAmp, JFET-Eingang	Dual High Speed JFET-In Op Amp	8-SOIC	2.00	1.60	1.25
TLE2082ACP	296-10441-5-ND	Zweif. HS-OpAmp, JFET-Eingang	Dual High Speed JFET-In Op Amp	8-Dip	1.90	1.53	1.15
TLE2082AID	296-10442-5-ND	Zweif. HS-OpAmp, JFET-Eingang	Dual High Speed JFET-In Op Amp	8-SOIC	2.10	1.68	1.31
TLE2082AIP	296-10443-5-ND	Zweif. HS-OpAmp, JFET-Eingang	Dual High Speed JFET-In Op Amp	8-Dip	2.10	1.68	1.31
TLE2082CD	296-10444-5-ND	Zweif. HS-OpAmp, JFET-Eingang	Dual High Speed JFET-In Op Amp	8-SOIC	1.90	1.53	1.15
TLE2082CP	296-1874-5-ND	Zweif. HS-OpAmp, JFET-Eingang	Dual High Speed JFET-In Op Amp	8-Dip	1.90	1.53	1.15
TLE2082ID	296-1343-5-ND	Zweif. HS-OpAmp, JFET-Eingang	Dual High Speed JFET-In Op Amp	8-SOIC	1.90	1.53	1.19
TLE2082IDR	296-1343-1-ND	Zweif. HS-OpAmp, JFET-Eingang	Dual High Speed JFET-In Op Amp	8-SOIC	1.90	1.53	1.19
TLE2082IDR	296-1343-2-ND	Zweif. HS-OpAmp, JFET-Eingang	Dual High Speed JFET-In Op Amp	8-SOIC		2666.79/2,500	
TLE2082IP	296-10446-5-ND	Zweif. HS-OpAmp, JFET-Eingang	Dual High Speed JFET-In Op Amp	8-Dip	1.90	1.53	1.19
TLE2084ACDW	296-10447-5-ND	Vierf. HS-JFET-OpAmp	Quad High Speed JFET Op Amp	16-SOIC	3.81	3.05	2.38
TLE2084ACN	296-10448-5-ND	Vierf. HS-JFET-OpAmp	Quad High Speed JFET Op Amp	14-Dip	3.81	3.05	2.38
TLE2084CDW	296-10449-5-ND	Vierf. HS-JFET-OpAmp	Quad High Speed JFET Op Amp	16-SOIC	3.34	2.67	2.08
TLE2084CN	296-10450-5-ND	Vierf. HS-JFET-OpAmp	Quad High Speed JFET Op Amp	14-Dip	3.34	2.67	2.08
TLE2084IDW	296-10451-5-ND	Vierf. HS-JFET-OpAmp	Quad High Speed JFET Op Amp	16-SOIC	3.62	2.90	2.26
TLE2141ACD	296-10452-5-ND	Rauscharmer Excalibur HS-Präzisions-OpAmp	Excalibur Low Noise High Speed Precision Op Amp	8-SOIC	1.38	1.11	.83
TLE2141ACP	296-10453-5-ND	Rauscharmer Excalibur HS-Präzisions-OpAmp	Excalibur Low Noise High Speed Precision Op Amp	8-Dip	1.38	1.11	.83
TLE2141AID	296-10454-5-ND	Rauscharmer Excalibur HS-Präzisions-OpAmp	Excalibur Low Noise High Speed Precision Op Amp	8-SOIC	1.48	1.19	.89
TLE2141AIP	296-13361-5-ND	Rauscharmer Excalibur HS-Präzisions-OpAmp	Excalibur Low Noise High Speed Precision Op Amp	8-Dip	1.48	1.19	.89
TLE2141CD	296-10455-5-ND	Rauscharmer Excalibur HS-Präzisions-OpAmp	Excalibur Low Noise High Speed Precision Op Amp	8-SOIC	1.17	.94	.70
TLE2141CP	296-10456-5-ND	Rauscharmer Excalibur HS-Präzisions-OpAmp	Excalibur Low Noise High Speed Precision Op Amp	8-Dip	1.17	.94	.70
TLE2141ID	296-10457-5-ND	Rauscharmer Excalibur HS-Präzisions-OpAmp	Excalibur Low Noise High Speed Precision Op Amp	8-SOIC	1.27	1.02	.77
TLE2141IP	296-10458-5-ND	Rauscharmer Excalibur HS-Präzisions-OpAmp	Excalibur Low Noise High Speed Precision Op Amp	8-Dip	1.27	1.02	.77
TLE2142ACD	296-10459-5-ND	Zweif. HS-Präzisions-OpAmp	Dual High Speed Precision Op Amp	8-SOIC	2.76	2.21	1.72
TLE2142AID	296-10461-5-ND	Zweif. HS-Präzisions-OpAmp	Dual High Speed Precision Op Amp	8-SOIC	2.95	2.37	1.84
TLE2142AMD	296-1875-5-ND	Zweif. HS-Präzisions-OpAmp	Dual High Speed Precision Op Amp	8-SOIC	3.24	2.60	2.02
TLE2142CD	296-10463-5-ND	Zweif. HS-Präzisions-OpAmp	Dual High Speed Precision Op Amp	8-SOIC	1.80	1.44	1.08
TLE2142CP	296-10464-5-ND	Zweif. HS-Präzisions-OpAmp	Dual High Speed Precision Op Amp	8-Dip	1.80	1.44	1.08
TLE2142CPWR	296-10465-1-ND	Zweif. HS-Präzisions-OpAmp	Dual High Speed Precision Op Amp	16-TSSOP	1.80	1.44	1.08

(Forts.)

★ ***RUFEN SIE BITTE AN FÜR NIEDRIGERE PREISE BEI GRÖSSEREN MENGEN!*** ★

B

T. I. Teilenr.	Digi-Key Teilenr.	Beschreibung		Paket	Stückpreis ★ 1	25	100
TLE2142CPWR	296-10465-2-ND	Zweif. HS-Präzisions-OpAmp	Dual High Speed Precision Op Amp	16-TSSOP		1870.99/2,000	
TLE2142ID	296-10466-5-ND	Zweif. HS-Präzisions-OpAmp	Dual High Speed Precision Op Amp	8-SOIC	2.01	1.61	1.21
TLE2142IP	296-10467-5-ND	Zweif. HS-Präzisions-OpAmp	Dual High Speed Precision Op Amp	8-Dip	2.01	1.61	1.21
TLE2142MD	296-10468-5-ND	Zweif. HS-Präzisions-OpAmp	Dual High Speed Precision Op Amp	8-SOIC	2.19	1.76	1.37
TLE2144ACN	296-10469-5-ND	Vierf. HS-Präzisions-OpAmp	Quad High Speed Precision Op Amp	14-Dip	3.81	3.05	2.38
TLE2144AIN	296-10470-5-ND	Vierf. HS-Präzisions-OpAmp	Quad High Speed Precision Op Amp	14-Dip	4.10	3.28	2.55
TLE2144CDW	296-10471-5-ND	Vierf. HS-Präzisions-OpAmp	Quad High Speed Precision Op Amp	16-SOIC	3.34	2.67	2.08
TLE2144CN	296-10472-5-ND	Vierf. HS-Präzisions-OpAmp	Quad High Speed Precision Op Amp	14-Dip	3.34	2.67	2.08
TLE2144IDW	296-10473-5-ND	Vierf. HS-Präzisions-OpAmp	Quad High Speed Precision Op Amp	16-SOIC	3.62	2.90	2.26
TLE2144IN	296-10474-5-ND	Vierf. HS-Präzisions-OpAmp	Quad High Speed Precision Op Amp	14-Dip	3.62	2.90	2.26
TLE2144MDW	296-10475-5-ND	Vierf. HS-Präzisions-OpAmp	Quad High Speed Precision Op Amp	16-SOIC	4.28	3.43	2.67
TLE2161ACD	296-10476-5-ND	JFET-OpAmp, NL	Low Power JFET Op Amp	8-SOIC	1.38	1.11	.83
TLE2161AID	296-10478-5-ND	JFET-OpAmp, NL	Low Power JFET Op Amp	8-SOIC	1.48	1.19	.89
TLE2161CD	296-10480-5-ND	JFET-OpAmp, NL	Low Power JFET Op Amp	8-SOIC	1.17	.94	.70
TLE2161ID	296-10482-5-ND	JFET-OpAmp, NL	Low Power JFET Op Amp	8-SOIC	1.38	1.11	.83
TLS1233N	296-10491-5-ND	Breitband-Video-Vorverstärkersystem	Wide Band Video Preamp System	20-Dip	1.51	1.21	.91
TLV27L1IDBVR	296-12228-1-ND	1-Kan. Ausgangs-OpAmp, R/R	1-Ch., R/R, Output Op Amp	SOT-23-5	.91	.77	.61
TLV27L1IDBVR	296-12228-2-ND	1-Kan. Ausgangs-OpAmp, R/R	1-Ch., R/R, Output Op Amp	SOT-23-5		1188.63/3,000	
TLV27L1IDR	296-12229-1-ND	1-Kan. Ausgangs-OpAmp, R/R	1-Ch., R/R, Output Op Amp	8-SOIC	.91	.77	.61
TLV27L1IDR	296-12229-2-ND	1-Kan. Ausgangs-OpAmp, R/R	1-Ch., R/R, Output Op Amp	8-SOIC		990.52/2,500	
TLV27L2CDGKR	296-17057-1-ND	2-Kan. Ausgangs-OpAmp, R/R	2-Ch., R/R, Output Op Amp	8-VSSOP	1.69	1.27	.96
TLV27L2CDGKR	296-17057-2-ND	2-Kan. Ausgangs-OpAmp, R/R	2-Ch., R/R, Output Op Amp	8-VSSOP		1354.56/2,500	
TLV27L2IDR	296-12230-1-ND	2-Kan. Ausgangs-OpAmp, R/R	2-Ch., R/R, Output Op Amp	8-SOIC	1.06	.85	.64
TLV27L2IDR	296-12230-2-ND	2-Kan. Ausgangs-OpAmp, R/R	2-Ch., R/R, Output Op Amp	8-SOIC		1354.56/2,500	
TLV271ID	296-12300-5-ND	Ausgangs-OpAmp, 550 µA/Kan., 3 MHz, R/R	550µA/Ch., 3MHz, R/R, Output Op Amp	8-SOIC	.74	.62	.50
TLV271IDBVR	296-13371-1-ND	Ausgangs-OpAmp, 550 µA/Kan., 3 MHz, R/R	550µA/Ch., 3MHz, R/R, Output Op Amp	SOT-23-5	.74	.62	.50
TLV271IDBVR	296-13371-2-ND	Ausgangs-OpAmp, 550 µA/Kan., 3 MHz, R/R	550µA/Ch., 3MHz, R/R, Output Op Amp	SOT-23-5		957.50/3,000	
TLV272IDGKR	296-11946-1-ND	Zweif. Ausgangs-OpAmp, R/R	Dual R/R Output Op Amp	8-MSOP	.81	.68	.55
TLV272IDGKR	296-11946-2-ND	Zweif. Ausgangs-OpAmp, R/R	Dual R/R Output Op Amp	8-MSOP		880.46/2,500	
TLV272IDR	296-10655-1-ND	Zweif. Ausgangs-OpAmp, R/R	Dual R/R Output Op Amp	8-SOIC	.81	.68	.55
TLV272IDR	296-10655-2-ND	Zweif. Ausgangs-OpAmp, R/R	Dual R/R Output Op Amp	8-SOIC		880.46/2,500	
TLV272IP	296-12671-5-ND	Zweif. Ausgangs-OpAmp, R/R	Dual R/R Output Op Amp	8-Dip	.81	.68	.55
TLV272QDRQ1	296-17870-1-ND	Zweif. Ausgangs-OpAmp, R/R	Dual R/R Output Op Amp	8-SOIC	.86	.72	.58
TLV272QDRQ1	296-17870-2-ND	Zweif. Ausgangs-OpAmp, R/R	Dual R/R Output Op Amp	8-SOIC		935.49/2,500	
TLV274CPWR	296-12286-1-ND	Ausgangs-OpAmp, 3 MHz, R/R	3MHz R/R Out Op Amp	14-TSSOP	.91	.77	.61
TLV274CPWR	296-12286-2-ND	Ausgangs-OpAmp, 3 MHz, R/R	3MHz R/R Out Op Amp	14-TSSOP		811.04/2,000	
TLV274IDR	296-11981-1-ND	Vierf. Ausgangs-OpAmp, 3 MHz, R/R	Quad 3MHz R/R Output Op Amp	14-SOIC	.97	.81	.65
TLV274IDR	296-11981-2-ND	Vierf. Ausgangs-OpAmp, 3 MHz, R/R	Quad 3MHz R/R Output Op Amp	14-SOIC		1045.55/2,500	
TLV274IN	296-14379-5-ND	Vierf. Ausgangs-OpAmp, 3 MHz, R/R	Quad 3MHz R/R Output Op Amp	14-Dip	.97	.81	.65
TLV274IPWR	296-11982-1-ND	Vierf. Ausgangs-OpAmp, 3 MHz, R/R	Quad 3MHz R/R Output Op Amp	14-TSSOP	.97	.81	.65
TLV274IPWR	296-11982-2-ND	Vierf. Ausgangs-OpAmp, 3 MHz, R/R	Quad 3MHz R/R Output Op Amp	14-TSSOP		855.07/2,000	
TLV341AIDBVR	296-17680-1-ND	Einf. OpAmp 1,5 V	1.5V Single Op Amp	SOT-23-6	.81	.68	.55
TLV341AIDBVR	296-17680-2-ND	Einf. OpAmp 1,5 V	1.5V Single Op Amp	SOT-23-6		1056.56/3,000	
TLV341AIDCKR	296-17681-1-ND	Einf. OpAmp 1,5 V	1.5V Single Op Amp	SC70-6	.81	.68	.55
TLV341AIDCKR	296-17681-2-ND	Einf. OpAmp 1,5 V	1.5V Single Op Amp	SC70-6		1056.56/3,000	
TLV341IDBVR	296-17682-1-ND	Einf. OpAmp 1,5 V	1.5V Single Op Amp	SOT-23-6	.69	.58	.46
TLV341IDBVR	296-17682-2-ND	Einf. OpAmp 1,5 V	1.5V Single Op Amp	SOT-23-6		891.47/3,000	
TLV341IDCKR	296-17683-1-ND	Einf. OpAmp 1,5 V	1.5V Single Op Amp	SC70-6	.69	.58	.46
TLV341IDCKR	296-17683-2-ND	Einf. OpAmp 1,5 V	1.5V Single Op Amp	SC70-6		891.47/3,000	
TLV1391IDBVR	296-17618-1-ND	Einf. Diff.-Komparator	Single Diff. Comparator	SOT-23-5	.63	.53	.43
TLV1391IDBVR	296-17618-2-ND	Einf. Diff.-Komparator	Single Diff. Comparator	SOT-23-5		825.44/3,000	
TLV2211CDBVR	296-10500-1-ND	Rauscharmer R/R-OpAmp, NL	Low Noise, LP, Rail-to-Rail Op Amp	SOT-23-5	1.02	.85	.68
TLV2211CDBVR	296-10500-2-ND	Rauscharmer R/R-OpAmp, NL	Low Noise, LP, Rail-to-Rail Op Amp	SOT-23-5		1320.70/3,000	
TLV2211IDBVR	296-10501-1-ND	Rauscharmer R/R-OpAmp, NL	Low Noise, LP, Rail-to-Rail Op Amp	SOT-23-5	1.07	.89	.72
TLV2211IDBVR	296-10501-2-ND	Rauscharmer R/R-OpAmp, NL	Low Noise, LP, Rail-to-Rail Op Amp	SOT-23-5		1386.73/3,000	
TLV2221CDBVR	296-10504-1-ND	R/R-OpAmp	Rail-to-Rail Op Amp	SOT-23-5	1.02	.85	.68
TLV2221CDBVR	296-10504-2-ND	R/R-OpAmp	Rail-to-Rail Op Amp	SOT-23-5		1320.70/3,000	
TLV2231CDBVR	296-12189-1-ND	R/R-OpAmp, NL	Low Power R/R Op Amp	SOT-23-5	1.02	.85	.68
TLV2231CDBVR	296-12189-2-ND	R/R-OpAmp, NL	Low Power R/R Op Amp	SOT-23-5		1320.70/3,000	
TLV2231IDBVR	296-10505-1-ND	R/R-OpAmp	Rail-to-Rail Op Amp	SOT-23-5	1.07	.89	.72
TLV2231IDBVR	296-10505-2-ND	R/R-OpAmp	Rail-to-Rail Op Amp	SOT-23-5		1386.73/3,000	
TLV2231IDBVT	296-17096-1-ND	R/R-OpAmp	Rail-to-Rail Op Amp	SOT-23-5	1.07	.89	.72
TLV2231IDBVT	296-17096-2-ND	R/R-OpAmp	Rail-to-Rail Op Amp	SOT-23-5		133.34/250	
TLV2241IDBVT	296-10506-1-ND	Micropower-R/R-OpAmp	Micropower R/R Op Amp	SOT-23-5	1.31	1.05	.79
TLV2241IDBVT	296-10506-2-ND	Micropower-R/R-OpAmp	Micropower R/R Op Amp	SOT-23-5		183.71/250	
TLV2241IDR	296-10507-1-ND	Micropower-R/R-OpAmp	Micropower R/R Op Amp	8-SOIC	1.31	1.05	.79
TLV2241IDR	296-10507-2-ND	Micropower-R/R-OpAmp	Micropower R/R Op Amp	8-SOIC		1680.50/2,500	
TLV2241IP	296-10508-5-ND	Micropower-R/R-OpAmp	Micropower R/R Op Amp	8-Dip	1.31	1.05	.79
TLV2242IDGKR	296-10509-1-ND	Zweif. Micropower R/R-OpAmp	Dual Micropower R/R Op Amp	8-MSOP	1.82	1.46	1.10
TLV2242IDGKR	296-10509-2-ND	Zweif. Micropower R/R-OpAmp	Dual Micropower R/R Op Amp	8-MSOP		2330.27/2,500	
TLV2242IDR	296-10510-1-ND	Zweif. Micropower R/R-OpAmp	Dual Micropower R/R Op Amp	8-SOIC	1.82	1.46	1.10
TLV2242IDR	296-10510-2-ND	Zweif. Micropower R/R-OpAmp	Dual Micropower R/R Op Amp	8-SOIC		2330.27/2,500	
TLV2244IDR	296-10511-1-ND	Vierf. Micropower-R/R-OpAmp	Quad Micropower R/R Op Amp	14-SOIC	2.07	1.67	1.30
TLV2244IDR	296-10511-2-ND	Vierf. Micropower-R/R-OpAmp	Quad Micropower R/R Op Amp	14-SOIC		2905.95/2,500	
TLV2244IPW	296-10512-5-ND	Vierf. Micropower-R/R-OpAmp	Quad Micropower R/R Op Amp	14-TSSOP	2.07	1.67	1.30
TLV2252AID	296-7430-5-ND	Zweif. R/R-OpAmp, Niederspann.	Dual Low Voltage R/R Op Amp	8-SOIC	1.42	1.14	.86
TLV2252AIP	296-7431-5-ND	Zweif. R/R-OpAmp, Niederspann.	Dual Low Voltage R/R Op Amp	8-Dip	1.42	1.14	.86
TLV2252AIPW	296-7432-5-ND	Zweif. R/R-OpAmp, Niederspann.	Dual Low Voltage R/R Op Amp	8-TSSOP	1.42	1.14	.86
TLV2252AQD	296-7433-5-ND	Zweif. R/R-OpAmp, Niederspann.	Dual Low Voltage R/R Op Amp	8-SOIC	1.42	1.14	.86
TLV2252ID	296-7434-5-ND	Zweif. R/R-OpAmp, NL, Niederspann.	Dual LP Low Volt. R/R Op Amp	8-SOIC	1.31	1.05	.79
TLV2252IP	296-7435-5-ND	Zweif. R/R-OpAmp, NL, Niederspann.	Dual LP Low Volt. R/R Op Amp	8-Dip	1.31	1.05	.79
TLV2252QD	296-7436-5-ND	Zweif. R/R-OpAmp, NL, Niederspann.	Dual LP Low Volt. R/R Op Amp	8-SOIC	1.42	1.14	.86
TLV2254AID	296-7437-5-ND	Vierf. R/R-OpAmp, Niederspann.	Quad Low Volt. R/R Op Amp	14-SOIC	2.00	1.60	1.25
TLV2254AIN	296-7438-5-ND	Vierf. R/R-OpAmp, Niederspann.	Quad Low Volt. R/R Op Amp	14-Dip	2.00	1.60	1.25
TLV2254AIPWR	296-7439-1-ND	Vierf. R/R-OpAmp, Niederspann.	Quad Low Volt. R/R Op Amp	14-TSSOP	2.00	1.60	1.25
TLV2254AIPWR	296-7439-2-ND	Vierf. R/R-OpAmp, Niederspann.	Quad Low Volt. R/R Op Amp	14-TSSOP		2267.19/2,000	
TLV2254AQD	296-7440-5-ND	Vierf. R/R-OpAmp, Niederspann.	Quad Low Volt. R/R Op Amp	14-SOIC	2.07	1.67	1.30
TLV2254ID	296-7441-5-ND	Vierf. R/R-OpAmp, NL, Niederspann.	Quad LP Low Volt. R/R Op Amp	14-SOIC	1.90	1.53	1.19
TLV2254IN	296-7442-5-ND	Vierf. R/R-OpAmp, NL, Niederspann.	Quad LP Low Volt. R/R Op Amp	14-Dip	1.90	1.53	1.19
TLV2262AID	296-7443-5-ND	Zweif. fortg. R/R-OpAmp	Dual Adv. R/R Op Amp	8-SOIC	1.72	1.38	1.03
TLV2262AIP	296-7444-5-ND	Zweif. fortg. R/R-OpAmp	Dual Adv. R/R Op Amp	8-Dip	1.72	1.38	1.03
TLV2262AIPWR	296-14378-1-ND	Zweif. fortg. R/R-OpAmp	Dual Adv. R/R Op Amp	8-TSSOP	1.72	1.38	1.03
TLV2262AIPWR	296-14378-2-ND	Zweif. fortg. R/R-OpAmp	Dual Adv. R/R Op Amp	8-TSSOP		1782.94/2,000	
TLV2262AQD	296-7445-5-ND	Zweif. fortg. R/R-OpAmp	Dual Adv. R/R Op Amp	8-SOIC	1.82	1.46	1.10
TLV2262ID	296-7446-5-ND	Zweif. R/R-OpAmp, NL, Niederspann.	Dual LP Low Volt. R/R Op Amp	8-SOIC	1.31	1.05	.79
TLV2262IP	296-7447-5-ND	Zweif. R/R-OpAmp, NL, Niederspann.	Dual LP Low Volt. R/R Op Amp	8-Dip	1.31	1.05	.79
TLV2262IPWR	296-7448-1-ND	Zweif. R/R-OpAmp, NL, Niederspann.	Dual LP Low Volt. R/R Op Amp	8-TSSOP	1.31	1.05	.79
TLV2262IPWR	296-7448-2-ND	Zweif. R/R-OpAmp, NL, Niederspann.	Dual LP Low Volt. R/R Op Amp	8-TSSOP		1364.72/2,000	
TLV2262QD	296-7449-5-ND	Zweif. R/R-OpAmp, NL, Niederspann.	Dual LP Low Volt. R/R Op Amp	8-SOIC	1.42	1.14	.86
TLV2264AID	296-7450-5-ND	Vierf. fortg. R/R-OpAmp	Quad Adv. Rail-to-Rail Op Amp	14-SOIC	2.18	1.74	1.36

(Forts.)

★ ***RUFEN SIE BITTE AN FÜR NIEDRIGERE PREISE BEI GRÖSSEREN MENGEN!*** ★

T. I. Teilenr.	Digi-Key Teilenr.	Beschreibung		Paket	Stückpreis ★ 1	25	100
TLV2264AIN	296-7451-5-ND	Vierf. fortg. R/R-OpAmp	Quad Adv. Rail-to-Rail Op Amp	14-Dip	2.18	1.74	1.36
TLV2264AIPWR	296-7452-1-ND	Vierf. fortg. R/R-OpAmp	Quad Adv. Rail-to-Rail Op Amp	14-TSSOP	2.18	1.74	1.36
TLV2264AIPWR	296-7452-2-ND	Vierf. fortg. R/R-OpAmp	Quad Adv. Rail-to-Rail Op Amp	14-TSSOP		2461.91/2,000	
TLV2264ID	296-7453-5-ND	Vierf. R/R-OpAmp, NL, Niederspann.	Quad LP Low Voltage R/R Op Amp	14-SOIC	2.00	1.60	1.25
TLV2264IDR	296-7454-1-ND	Vierf. R/R-OpAmp, NL, Niederspann.	Quad LP Low Voltage R/R Op Amp	14-SOIC	2.00	1.60	1.25
TLV2264IDR	296-7454-2-ND	Vierf. R/R-OpAmp, NL, Niederspann.	Quad LP Low Voltage R/R Op Amp	14-SOIC		2800.13/2,500	
TLV2264IN	296-7455-5-ND	Vierf. R/R-OpAmp, NL, Niederspann.	Quad LP Low Voltage R/R Op Amp	14-Dip	2.00	1.60	1.25
TLV2264IPWR	296-7456-1-ND	Vierf. R/R-OpAmp, NL, Niederspann.	Quad LP Low Voltage R/R Op Amp	14-TSSOP	2.00	1.60	1.25
TLV2264IPWR	296-7456-2-ND	Vierf. R/R-OpAmp, NL, Niederspann.	Quad LP Low Voltage R/R Op Amp	14-TSSOP		2267.19/2,000	
TLV2264QD	296-7457-5-ND	Vierf. R/R-OpAmp, NL, Niederspann.	Quad LP Low Voltage R/R Op Amp	14-SOIC	2.18	1.74	1.36
TLV2302IDGKR	296-12307-1-ND	OpAmp mit O/C-Komparator	Op Amp with O/C Comparator	8-MSOP	1.42	1.14	.86
TLV2302IDGKR	296-12307-2-ND	OpAmp mit O/C-Komparator	Op Amp with O/C Comparator	8-MSOP		1815.96/2,500	
TLV2302IDR	296-10513-1-ND	OpAmp mit O/C-Komparator	Op Amp with O/C Comparator	8-SOIC	1.42	1.14	.86
TLV2302IDR	296-10513-2-ND	OpAmp mit O/C-Komparator	Op Amp with O/C Comparator	8-SOIC		1815.96/2,500	
TLV2302IP	296-10514-5-ND	OpAmp mit O/C-Komparator	Op Amp with O/C Comparator	8-Dip	1.42	1.14	.86
TLV2304IDR	296-10515-1-ND	Zweif. OpAmp mit O/C-Komparator	Dual Op Amp with Dual O/C Comparator	14-SOIC	2.07	1.67	1.30
TLV2304IDR	296-10515-2-ND	Zweif. OpAmp mit O/C-Komparator	Dual Op Amp with Dual O/C Comparator	14-SOIC		2905.95/2,500	
TLV2304IN	296-12041-5-ND	Zweif. OpAmp mit O/C-Komparator	Dual Op Amp with Dual O/C Comparator	14-Dip	2.07	1.67	1.30
TLV2304IPWR	296-10516-1-ND	Zweif. OpAmp mit O/C-Komparator	Dual Op Amp with Dual O/C Comparator	14-TSSOP	2.07	1.67	1.30
TLV2304IPWR	296-10516-2-ND	Zweif. OpAmp mit O/C-Komparator	Dual Op Amp with Dual O/C Comparator	14-TSSOP		2353.55/2,000	
TLV2322ID	296-7458-5-ND	Zweif. Micropower-OpAmp, Niederspann.	Dual Low Volt. Micropower Op Amp	8-SOIC	1.42	1.14	.86
TLV2322IP	296-7459-5-ND	Zweif. Micropower-OpAmp, Niederspann.	Dual Low Volt. Micropower Op Amp	8-Dip	1.42	1.14	.86
TLV2322IPWR	296-7460-1-ND	Zweif. Micropower-OpAmp, Niederspann.	Dual Low Volt. Micropower Op Amp	8-TSSOP	1.42	1.14	.86
TLV2322IPWR	296-7460-2-ND	Zweif. Micropower-OpAmp, Niederspann.	Dual Low Volt. Micropower Op Amp	8-TSSOP		1474.78/2,000	
TLV2324ID	296-7461-5-ND	Vierf. Micropower-OpAmp, Niederspann.	Quad Low Volt. Micropower Op Amp	14-SOIC	2.00	1.60	1.25
TLV2324IN	296-7462-5-ND	Vierf. Micropower-OpAmp, Niederspann.	Quad Low Volt. Micropower Op Amp	14-Dip	2.00	1.60	1.25
TLV2324IPWR	296-7464-1-ND	Vierf. Micropower-OpAmp, Niederspann.	Quad Low Volt. Micropower Op Amp	14-TSSOP	2.00	1.60	1.25
TLV2324IPWR	296-7464-2-ND	Vierf. Micropower-OpAmp, Niederspann.	Quad Low Volt. Micropower Op Amp	14-TSSOP		2267.19/2,000	
TLV2332ID	296-7465-5-ND	Zweif. NL-OpAmp, Niederspann.	Dual LP Low Voltage Op Amp	8-SOIC	1.22	1.02	.82
TLV2332IP	296-7466-5-ND	Zweif. NL-OpAmp, Niederspann.	Dual LP Low Voltage Op Amp	8-Dip	1.22	1.02	.82
TLV2332IPWR	296-7467-1-ND	Zweif. NL-OpAmp, Niederspann.	Dual LP Low Voltage Op Amp	8-TSSOP	1.22	1.02	.82
TLV2332IPWR	296-7467-2-ND	Zweif. NL-OpAmp, Niederspann.	Dual LP Low Voltage Op Amp	8-TSSOP		1080.26/2,000	
TLV2334ID	296-7468-5-ND	Vierf. NL-OpAmp, Niederspann.	Quad LP Low Voltage Op Amp	14-SOIC	2.07	1.67	1.30
TLV2334IN	296-7469-5-ND	Vierf. NL-OpAmp, Niederspann.	Quad LP Low Voltage Op Amp	14-Dip	2.07	1.67	1.30
TLV2334IPWR	296-7470-1-ND	Vierf. NL-OpAmp, Niederspann.	Quad LP Low Voltage Op Amp	14-TSSOP	2.07	1.67	1.30
TLV2334IPWR	296-7470-2-ND	Vierf. NL-OpAmp, Niederspann.	Quad LP Low Voltage Op Amp	14-TSSOP		2353.55/2,000	
TLV2341ID	296-7471-5-ND	Programmierbarer OpAmp, Niederspann.	Low Voltage Programmable Op Amp	8-SOIC	1.31	1.05	.79
TLV2341IP	296-7472-5-ND	Programmierbarer OpAmp, Niederspann.	Low Voltage Programmable Op Amp	8-Dip	1.31	1.05	.79
TLV2342ID	296-7473-5-ND	Zweif. HS-OpAmp, Niederspann.	Dual Low Volt. High-Speed Op Amp	8-SOIC	2.01	1.61	1.21
TLV2342IP	296-7474-5-ND	Zweif. HS-OpAmp, Niederspann.	Dual Low Volt. High-Speed Op Amp	8-Dip	2.01	1.61	1.21
TLV2344ID	296-7475-5-ND	Vierf. HS-OpAmp, Niederspann.	Quad Low Volt. HS Op Amp	14-SOIC	2.44	1.96	1.52
TLV2344IN	296-7476-5-ND	Vierf. HS-OpAmp, Niederspann.	Quad Low Volt. HS Op Amp	14-Dip	2.44	1.96	1.52
TLV2344IPW	296-12999-5-ND	Vierf. HS-OpAmp, Niederspann.	Quad Low Volt. HS Op Amp	14-TSSOP	2.44	1.96	1.52
TLV2361CDBV	296-10523-5-ND	Konfigurierbarer Hochleistungs- OpAmp, Niederspann.	High Perf. Low Volt. Op Amp	SOT-23-5	.74	.62	.50
TLV2361CDBVR	296-13798-1-ND	Konfigurierbarer Hochleistungs- OpAmp, Niederspann.	High Perf. Low Volt. Op Amp	SOT-23-5	.68	.51	.39
TLV2361CDBVR	296-13798-2-ND	Konfigurierbarer Hochleistungs- OpAmp, Niederspann.	High Perf. Low Volt. Op Amp	SOT-23-5		660.35/3,000	
TLV2361IDBVR	296-13745-1-ND	Konfigurierbarer Hochleistungs- OpAmp, Niederspann.	High Perf. Low Volt. Op Amp	SOT-23-5	.63	.53	.43
TLV2361IDBVR	296-13745-2-ND	Konfigurierbarer Hochleistungs- OpAmp, Niederspann.	High Perf. Low Volt. Op Amp	SOT-23-5		825.44/3,000	
TLV2362IDGKR	296-13995-1-ND	Konfigurierbarer Hochleistungs- OpAmp, Niederspann.	High Perf. Low Volt. Op Amp	8-MSOP	.63	.53	.43
TLV2362IDGKR	296-13995-2-ND	Konfigurierbarer Hochleistungs- OpAmp, Niederspann.	High Perf. Low Volt. Op Amp	8-MSOP		687.86/2,500	
TLV2362IDR	296-15029-1-ND	Hochleistungs-OpAmp, Niederspann.	High Performance Low Volt. Op Amp	8-SOIC	.64	.49	.37
TLV2362IDR	296-15029-2-ND	Hochleistungs-OpAmp, Niederspann.	High Performance Low Volt. Op Amp	8-SOIC		522.78/2,500	
TLV2362IP	296-10526-5-ND	Zweif. Hochleistungs-OpAmp	Dual High Performance Op Amp	8-Dip	.64	.49	.37
TLV2362IPWR	296-10527-1-ND	Zweif. Hochleistungs-OpAmp	Dual High Performance Op Amp	8-TSSOP	.64	.49	.37
TLV2362IPWR	296-10527-2-ND	Zweif. Hochleistungs-OpAmp	Dual High Performance Op Amp	8-TSSOP		428.38/2,000	
TLV2370IDBVR	296-12617-1-ND	550 µA/Kanal R/R E/A-OpAmp mit Abschaltfunktion, 3MHz	550µA/Channel 3MHz R/R In/Out Op Amp with Shutdown	SOT-23-6	1.14	.96	.77
TLV2370IDBVR	296-12617-2-ND	550 µA/Kanal R/R E/A-OpAmp mit Abschaltfunktion, 3MHz	550µA/Channel 3MHz R/R In/Out Op Amp with Shutdown	SOT-23-6		1485.78/3,000	
TLV2370IDR	296-12298-1-ND	550 µA/Kanal R/R E/A-OpAmp mit Abschaltfunktion, 3MHz	550µA/Channel 3MHz R/R In/Out Op Amp with Shutdown	8-SOIC	1.14	.96	.77
TLV2370IDR	296-12298-2-ND	550 µA/Kanal R/R E/A-OpAmp mit Abschaltfunktion, 3MHz	550µA/Channel 3MHz R/R In/Out Op Amp with Shutdown	8-SOIC		1238.15/2,500	
TLV2370IP	296-12217-5-ND	550 µA/Kanal R/R E/A-OpAmp mit Abschaltfunktion, 3MHz	550µA/Channel 3MHz R/R In/Out Op Amp with Shutdown	8-Dip	1.14	.96	.77
TLV2371IDBVR	296-13057-1-ND	550 µA/Kan., R/R E/A-OpAmp, 3 MHz	550µA/Ch., 3MHz, R/R, I/O Op Amp	SOT-23-5	1.04	.87	.70
TLV2371IDBVR	296-13057-2-ND	550 µA/Kan., R/R E/A-OpAmp, 3 MHz	550µA/Ch., 3MHz, R/R, I/O Op Amp	SOT-23-5		1353.71/3,000	
TLV2371IDR	296-12299-1-ND	550 µA/Kan., R/R E/A-OpAmp, 3 MHz	550µA/Ch., 3MHz, R/R, I/O Op Amp	8-SOIC	1.04	.87	.70
TLV2371IDR	296-12299-2-ND	550 µA/Kan., R/R E/A-OpAmp, 3 MHz	550µA/Ch., 3MHz, R/R, I/O Op Amp	8-SOIC		1128.09/2,500	
TLV2371IP	296-12218-5-ND	550 µA/Kan., R/R E/A-OpAmp mit Abschaltfunktion, 3 MHz	550µA/Ch., 3MHz, R/R, I/O Op Amp with Shutdown	8-Dip	1.04	.87	.70
TLV2372IDR	296-10528-1-ND	Zweif. R/R E/A-OpAmp, 3 MHz	Dual 3MHz R/R I/O Op Amp	8-SOIC	1.10	.89	.67
TLV2372IDR	296-10528-2-ND	Zweif. R/R E/A-OpAmp, 3 MHz	Dual 3MHz R/R I/O Op Amp	8-SOIC		1409.59/2,500	
TLV2372IP	296-12219-5-ND	Zweif. R/R E/A-OpAmp, 3 MHz	Dual 3MHz R/R I/O Op Amp	8-Dip	1.10	.89	.67
TLV2373IDR	296-10529-1-ND	Zweif. R/R E/A-OpAmp mit Abschaltfunktion, 3 MHz	Dual 3MHz R/R, I/O Op Amp with Shutdown	14-SOIC	1.21	.97	.73
TLV2373IDR	296-10529-2-ND	Zweif. R/R E/A-OpAmp mit Abschaltfunktion, 3 MHz	Dual 3MHz R/R, I/O Op Amp with Shutdown	14-SOIC		1545.05/2,500	
TLV2373IN	296-12220-5-ND	Zweif. R/R E/A-OpAmp mit Abschaltfunktion, 3 MHz	Dual 3MHz R/R, I/O Op Amp with Shutdown	14-Dip	1.21	.97	.73
TLV2374IDR	296-11967-1-ND	Vierf. R/R E/A-OpAmp, 3 MHz	Quad 3MHz R/R I/O Op Amp	14-SOIC	1.31	1.05	.79
TLV2374IDR	296-11967-2-ND	Vierf. R/R E/A-OpAmp, 3 MHz	Quad 3MHz R/R I/O Op Amp	14-SOIC		1680.50/2,500	
TLV2374IPWR	296-11968-1-ND	Vierf. R/R E/A-OpAmp, 3 MHz	Quad 3MHz R/R I/O Op Amp	14-TSSOP	1.31	1.05	.79
TLV2374IPWR	296-11968-2-ND	Vierf. R/R E/A-OpAmp, 3 MHz	Quad 3MHz R/R I/O Op Amp	14-TSSOP		1364.72/2,000	
TLV2374IN	296-12221-5-ND	Vierf. R/R E/A-OpAmp, 3 MHz	Quad 3MHz R/R I/O Op Amp	14-Dip	1.31	1.05	.79
TLV2375IDR	296-11969-1-ND	Vierf. R/R E/A-OpAmp mit Abschaltfunktion, 3 MHz	Quad 3MHz R/R I/O Op Amp with Shutdown	16-SOIC	1.42	1.14	.86
TLV2375IDR	296-11969-2-ND	Vierf. R/R E/A-OpAmp mit Abschaltfunktion, 3 MHz	Quad 3MHz R/R I/O Op Amp with Shutdown	16-SOIC		1815.96/2,500	
TLV2375IPWR	296-11970-1-ND	Vierf. R/R E/A-OpAmp mit Abschaltfunktion, 3 MHz	Quad 3MHz R/R I/O Op Amp with Shutdown	16-TSSOP	1.42	1.14	.86
TLV2375IPWR	296-11970-2-ND	Vierf. R/R E/A-OpAmp mit Abschaltfunktion, 3 MHz	Quad 3MHz R/R I/O Op Amp with Shutdown	16-TSSOP		1474.78/2,000	
TLV2375IN	296-12222-5-ND	Vierf. R/R E/A-OpAmp mit Abschaltfunktion, 3 MHz	Quad 3MHz R/R I/O Op Amp with Shutdown	16-Dip	1.42	1.14	.86
TLV2381IDBVT	296-12223-1-ND	1-Kan., R/R E/A-OpAmp	1-Channel, R/R, I/O Op Amp	SOT-23-5	1.21	.97	.73
TLV2381IDBVT	296-12223-2-ND	1-Kan., R/R E/A-OpAmp	1-Channel, R/R, I/O Op Amp	SOT-23-5		168.90/250	
TLV2381IDR	296-12224-1-ND	1-Kan., R/R E/A-OpAmp	1-Channel, R/R, I/O Op Amp	8-SOIC	1.21	.97	.73
TLV2381IDR	296-12224-2-ND	1-Kan., R/R E/A-OpAmp	1-Channel, R/R, I/O Op Amp	8-SOIC		1545.05/2,500	
TLV2382IDR	296-12226-1-ND	2-Kan., R/R E/A-OpAmp	2-Channel, R/R, I/O Op Amp	8-SOIC	1.61	1.29	.97
TLV2382IDR	296-12226-2-ND	2-Kan., R/R E/A-OpAmp	2-Channel, R/R, I/O Op Amp	8-SOIC		2059.35/2,500	
TLV2401CDR	296-10530-1-ND	Micropower-OpAmp	Micropower Op Amp	8-SOIC	1.31	1.05	.79
TLV2401CDR	296-10530-2-ND	Micropower-OpAmp	Micropower Op Amp	8-SOIC		1680.50/2,500	
TLV2401IDBVT	296-10531-1-ND	Micropower-OpAmp	Micropower Op Amp	SOT-23-5	1.42	1.14	.86
TLV2401IDBVT	296-10531-2-ND	Micropower-OpAmp	Micropower Op Amp	SOT-23-5		198.53/250	
TLV2401IDR	296-10532-1-ND	Micropower-OpAmp	Micropower Op Amp	8-SOIC	1.42	1.14	.86
TLV2401IDR	296-10532-2-ND	Micropower-OpAmp	Micropower Op Amp	8-SOIC		1815.96/2,500	
TLV2401IP	296-10533-5-ND	Micropower-OpAmp	Micropower Op Amp	8-Dip	1.42	1.14	.86
TLV2402CDR	296-10534-1-ND	Zweif. Micropower R/R-OpAmp	Dual Micropower R/R Op Amp	8-SOIC	2.01	1.61	1.21
TLV2402CDR	296-10534-2-ND	Zweif. Micropower R/R-OpAmp	Dual Micropower R/R Op Amp	8-SOIC		2573.66/2,500	
TLV2402IDGK	296-13799-5-ND	Zweif. Micropower R/R-OpAmp	Dual Micropower R/R Op Amp	8-MSOP	1.90	1.53	1.19
TLV2402IDR	296-10535-1-ND	Zweif. Micropower R/R-OpAmp	Dual Micropower R/R Op Amp	8-SOIC	1.90	1.53	1.19
TLV2402IDR	296-10535-2-ND	Zweif. Micropower R/R-OpAmp	Dual Micropower R/R Op Amp	8-SOIC		2666.79/2,500	
TLV2402IP	296-10536-5-ND	Zweif. Micropower R/R-OpAmp	Dual Micropower R/R Op Amp	8-Dip	1.90	1.53	1.19

(Forts.)

★ ***RUFEN SIE BITTE AN FÜR NIEDRIGERE PREISE BEI GRÖSSEREN MENGEN!*** ★

B

T. I. Teilenr.	Digi-Key Teilenr.	Beschreibung		Paket	Stückpreis ★ 1	25	100
TLV2404AIN	296-13363-5-ND	880 nA/Kan. R/R E/A-OpAmp mit Verpolungsschutz	880nA/Ch. R/R, I/O Op Amp with Reverse Battery Protection	14-Dip	2.80	2.24	1.75
TLV2404CD	296-2427-5-ND	880 nA/Kan. R/R E/A-OpAmp mit Verpolungsschutz	880nA/Ch. R/R, I/O Op Amp with Reverse Battery Protection	14-SOIC	2.53	2.03	1.58
TLV2404IDR	296-10537-1-ND	880 nA/Kan. R/R E/A-OpAmp mit Verpolungsschutz	880nA/Ch. R/R, I/O Op Amp with Reverse Battery Protection	14-SOIC	2.73	2.18	1.70
TLV2404IDR	296-10537-2-ND	880 nA/Kan. R/R E/A-OpAmp mit Verpolungsschutz	880nA/Ch. R/R, I/O Op Amp with Reverse Battery Protection	14-SOIC		3813.93/2,500	
TLV2404IN	296-10538-5-ND	880 nA/Kan. R/R E/A-OpAmp mit Verpolungsschutz	880nA/Ch. R/R, I/O Op Amp with Reverse Battery Protection	14-Dip	2.73	2.18	1.70
TLV2404IPWR	296-10539-1-ND	880 nA/Kan. R/R E/A-OpAmp mit Verpolungsschutz	880nA/Ch. R/R, I/O Op Amp with Reverse Battery Protection	14-TSSOP	2.73	2.18	1.70
TLV2404IPWR	296-10539-2-ND	880 nA/Kan. R/R E/A-OpAmp mit Verpolungsschutz	880nA/Ch. R/R, I/O Op Amp with Reverse Battery Protection	14-TSSOP		3086.70/2,000	
TLV2422AID	296-10540-5-ND	Zweif. Micropower R/R-OpAmp	Dual Micropower R/R Op Amp	8-SOIC	1.61	1.29	.97
TLV2422CD	296-10541-5-ND	Zweif. Micropower R/R-OpAmp	Dual Micropower R/R Op Amp	8-SOIC	1.42	1.14	.86
TLV2422CPWR	296-10542-1-ND	Zweif. Micropower R/R-OpAmp	Dual Micropower R/R Op Amp	8-TSSOP	1.42	1.14	.86
TLV2422CPWR	296-10542-2-ND	Zweif. Micropower R/R-OpAmp	Dual Micropower R/R Op Amp	8-TSSOP		1474.78/2,000	
TLV2422ID	296-10543-5-ND	Zweif. Micropower R/R-OpAmp	Dual Micropower R/R Op Amp	8-SOIC	1.51	1.21	.91
TLV2422QD	296-10544-5-ND	Zweif. Micropower R/R-OpAmp	Dual Micropower R/R Op Amp	8-SOIC	1.61	1.29	.97
TLV2432AID	296-10545-5-ND	Zweif. Micropower R/R-OpAmp	Dual Micropower R/R Op Amp	8-SOIC	1.61	1.29	.97
TLV2432AIPWR	296-10546-1-ND	Zweif. Micropower R/R-OpAmp	Dual Micropower R/R Op Amp	8-TSSOP	1.61	1.29	.97
TLV2432AIPWR	296-10546-2-ND	Zweif. Micropower R/R-OpAmp	Dual Micropower R/R Op Amp	8-TSSOP		1672.88/2,000	
TLV2432AQD	296-10547-5-ND	Zweif. Micropower R/R-OpAmp	Dual Micropower R/R Op Amp	8-SOIC	1.72	1.38	1.03
TLV2432CD	296-10548-5-ND	Zweif. Micropower R/R-OpAmp	Dual Micropower R/R Op Amp	8-SOIC	1.10	.89	.67
TLV2432ID	296-10549-5-ND	Zweif. Micropower R/R-OpAmp	Dual Micropower R/R Op Amp	8-SOIC	1.21	.97	.73
TLV2432QD	296-10550-5-ND	Zweif. Micropower R/R-OpAmp	Dual Micropower R/R Op Amp	8-SOIC	1.31	1.05	.79
TLV2434AIDR	296-14409-1-ND	Vierf. Micropower R/R-OpAmp	Quad R/R Micropower Op Amp	14-SOIC	2.00	1.60	1.25
TLV2434AIDR	296-14409-2-ND	Vierf. Micropower R/R-OpAmp	Quad R/R Micropower Op Amp	14-SOIC		2800.13/2,500	
TLV2434AIPWR	296-10551-1-ND	Vierf. Micropower R/R-OpAmp	Quad R/R Micropower Op Amp	14-TSSOP	2.00	1.60	1.25
TLV2434AIPWR	296-10551-2-ND	Vierf. Micropower R/R-OpAmp	Quad R/R Micropower Op Amp	14-TSSOP		2267.19/2,000	
TLV2434CD	296-10552-5-ND	Vierf. Micropower R/R-OpAmp	Quad R/R Micropower Op Amp	14-SOIC	2.01	1.61	1.21
TLV2434CPW	296-10553-5-ND	Vierf. Micropower R/R-OpAmp	Quad R/R Micropower Op Amp	14-TSSOP	2.01	1.61	1.21
TLV2434IDR	296-10554-1-ND	Vierf. Micropower R/R-OpAmp	Quad R/R Micropower Op Amp	14-SOIC	1.90	1.53	1.19
TLV2434IDR	296-10554-2-ND	Vierf. Micropower R/R-OpAmp	Quad R/R Micropower Op Amp	14-SOIC		2666.79/2,500	
TLV2434IPWR	296-10555-1-ND	Vierf. Micropower R/R-OpAmp	Quad R/R Micropower Op Amp	14-TSSOP	1.90	1.53	1.19
TLV2434IPWR	296-10555-2-ND	Vierf. Micropower R/R-OpAmp	Quad R/R Micropower Op Amp	14-TSSOP		2158.83/2,000	
TLV2442AIDR	296-10556-1-ND	Zweif. R/R-OpAmp	Dual, Rail-to-Rail Op Amp	8-SOIC	1.51	1.21	.91
TLV2442AIDR	296-10556-2-ND	Zweif. R/R-OpAmp	Dual, Rail-to-Rail Op Amp	8-SOIC		1923.90/2,500	
TLV2442AQD	296-10557-5-ND	Zweif. R/R-OpAmp	Dual, Rail-to-Rail Op Amp	8-SOIC	1.61	1.29	.97
TLV2442AQPW	296-10558-5-ND	Zweif. R/R-OpAmp	Dual, Rail-to-Rail Op Amp	8-SOP	1.61	1.29	.97
TLV2442CD	296-10559-5-ND	Zweif. R/R-OpAmp	Dual, Rail-to-Rail Op Amp	8-SOIC	1.10	.89	.67
TLV2442ID	296-10560-5-ND	Zweif. R/R-OpAmp	Dual, Rail-to-Rail Op Amp	8-SOIC	1.21	.97	.73
TLV2442QD	296-10561-5-ND	Zweif. R/R-OpAmp	Dual, Rail-to-Rail Op Amp	8-SOIC	1.31	1.05	.79
TLV2442QPW	296-10562-5-ND	Zweif. R/R-OpAmp	Dual, Rail-to-Rail Op Amp	8-TSSOP	1.31	1.05	.79
TLV2444AIPWR	296-10563-1-ND	Vierf. R/R-OpAmp	Quad, Rail-to-Rail Op Amp	14-TSSOP	1.90	1.53	1.19
TLV2444AIPWR	296-10563-2-ND	Vierf. R/R-OpAmp	Quad, Rail-to-Rail Op Amp	14-TSSOP		2158.83/2,000	
TLV2444CD	296-10564-5-ND	Vierf. R/R-OpAmp	Quad, Rail-to-Rail Op Amp	14-SOIC	1.90	1.53	1.15
TLV2444CPW	296-10565-5-ND	Vierf. R/R-OpAmp	Quad, Rail-to-Rail Op Amp	14-TSSOP	1.90	1.53	1.15
TLV2444IDR	296-10566-1-ND	Vierf. R/R-OpAmp	Quad, Rail-to-Rail Op Amp	14-SOIC	2.01	1.61	1.21
TLV2444IDR	296-10566-2-ND	Vierf. R/R-OpAmp	Quad, Rail-to-Rail Op Amp	14-SOIC		2573.66/2,500	
TLV2444IPWR	296-10567-1-ND	Vierf. R/R-OpAmp	Quad, Rail-to-Rail Op Amp	14-TSSOP	2.01	1.61	1.21
TLV2444IPWR	296-10567-2-ND	Vierf. R/R-OpAmp	Quad, Rail-to-Rail Op Amp	14-TSSOP		2091.10/2,000	
TLV2450AID	296-10568-5-ND	Einf. R/R-OpAmp	Single, Rail-to-Rail Op Amp	8-SOIC	1.42	1.14	.86
TLV2450AIDR	296-10568-1-ND	Einf. R/R-OpAmp	Single, Rail-to-Rail Op Amp	8-SOIC	1.42	1.14	.86
TLV2450AIDR	296-10568-2-ND	Einf. R/R-OpAmp	Single, Rail-to-Rail Op Amp	8-SOIC		1815.96/2,500	
TLV2450AIP	296-10569-5-ND	Einf. R/R-OpAmp	Single, Rail-to-Rail Op Amp	8-Dip	1.42	1.14	.86
TLV2450CD	296-1884-5-ND	R/R-OpAmp, NL	Low Power Rail-to-Rail Op Amp	8-SOIC	1.31	1.05	.79
TLV2450CDBVR	296-10570-1-ND	Einf. R/R-OpAmp	Single, Rail-to-Rail Op Amp	SOT-23-6	1.31	1.05	.79
TLV2450CDBVR	296-10570-2-ND	Einf. R/R-OpAmp	Single, Rail-to-Rail Op Amp	SOT-23-6		2016.60/3,000	
TLV2450CP	296-1885-5-ND	R/R-OpAmp, NL	Low Power Rail-to-Rail Op Amp	8-Dip	1.31	1.05	.79
TLV2450ID	296-1886-5-ND	R/R-OpAmp, NL	Low Power Rail-to-Rail Op Amp	8-SOIC	1.31	1.05	.79
TLV2450IDBVR	296-10571-1-ND	Einf. R/R-OpAmp	Single, Rail-to-Rail Op Amp	SOT-23-6	1.31	1.05	.79
TLV2450IDBVR	296-10571-2-ND	Einf. R/R-OpAmp	Single, Rail-to-Rail Op Amp	SOT-23-6		2016.60/3,000	
TLV2450IP	296-1887-5-ND	R/R-OpAmp, NL	Low Power Rail-to-Rail Op Amp	8-Dip	1.31	1.05	.79
TLV2451AID	296-10572-5-ND	Einf. R/R-OpAmp	Single, Rail-to-Rail Op Amp	8-SOIC	1.31	1.05	.79
TLV2451AIDR	296-10572-1-ND	Einf. R/R-OpAmp	Single, Rail-to-Rail Op Amp	8-SOIC	1.31	1.05	.79
TLV2451AIDR	296-10572-2-ND	Einf. R/R-OpAmp	Single, Rail-to-Rail Op Amp	8-SOIC		1680.50/2,500	
TLV2451AIP	296-10573-5-ND	Einf. R/R-OpAmp	Single, Rail-to-Rail Op Amp	8-Dip	1.31	1.05	.79
TLV2451CD	296-1888-5-ND	R/R-OpAmp, NL	Low Power Rail-to-Rail Op Amp	8-SOIC	1.21	.97	.73
TLV2451CDR	296-1888-1-ND	Einf. R/R-OpAmp	Single, Rail-to-Rail Op Amp	8-SOIC	1.21	.97	.73
TLV2451CDR	296-1888-2-ND	Einf. R/R-OpAmp	Single, Rail-to-Rail Op Amp	8-SOIC		1545.05/2,500	
TLV2451CDBVR	296-10574-1-ND	Einf. R/R-OpAmp	Single, Rail-to-Rail Op Amp	SOT-23-5	1.21	.97	.73
TLV2451CDBVR	296-10574-2-ND	Einf. R/R-OpAmp	Single, Rail-to-Rail Op Amp	SOT-23-5		1854.05/3,000	
TLV2451CP	296-1889-5-ND	R/R-OpAmp, NL	Low Power Rail-to-Rail Op Amp	8-Dip	1.21	.97	.73
TLV2451ID	296-1890-5-ND	R/R-OpAmp, NL	Low Power Rail-to-Rail Op Amp	8-SOIC	1.21	.97	.73
TLV2451IDR	296-1890-1-ND	Einf. R/R-OpAmp	Single, Rail-to-Rail Op Amp	8-SOIC	1.21	.97	.73
TLV2451IDR	296-1890-2-ND	Einf. R/R-OpAmp	Single, Rail-to-Rail Op Amp	8-SOIC		1545.05/2,500	
TLV2451IDBVR	296-10576-1-ND	Einf. R/R-OpAmp	Single, Rail-to-Rail Op Amp	SOT-23-5	1.21	.97	.73
TLV2451IDBVR	296-10576-2-ND	Einf. R/R-OpAmp	Single, Rail-to-Rail Op Amp	SOT-23-5		1854.05/3,000	
TLV2451IP	296-1891-5-ND	R/R-OpAmp, NL	Low Power Rail-to-Rail Op Amp	8-Dip	1.21	.97	.73
TLV2452AIDR	296-10578-1-ND	Zweif. R/R-OpAmp	Dual, Rail-to-Rail Op Amp	8-SOP	1.82	1.46	1.10
TLV2452AIDR	296-10578-2-ND	Zweif. R/R-OpAmp	Dual, Rail-to-Rail Op Amp	8-SOP		2330.27/2,500	
TLV2452AIP	296-10579-5-ND	Zweif. R/R-OpAmp	Dual, Rail-to-Rail Op Amp	8-Dip	1.82	1.46	1.10
TLV2452CD	296-2428-5-ND	Zweif. R/R-OpAmp	Dual, Rail-to-Rail Op Amp	8-SOIC	1.61	1.29	.97
TLV2452CDR	296-2428-1-ND	Zweif. R/R-OpAmp	Dual, Rail-to-Rail Op Amp	8-SOIC	1.61	1.29	.97
TLV2452CDR	296-2428-2-ND	Zweif. R/R-OpAmp	Dual, Rail-to-Rail Op Amp	8-SOIC		2059.35/2,500	
TLV2452CDGKR	296-10580-1-ND	Zweif. R/R-OpAmp	Dual, Rail-to-Rail Op Amp	8-MSOP	1.61	1.29	.97
TLV2452CDGKR	296-10580-2-ND	Zweif. R/R-OpAmp	Dual, Rail-to-Rail Op Amp	8-MSOP		2059.35/2,500	
TLV2452IDGKR	296-10582-1-ND	Zweif. R/R-OpAmp	Dual, Rail-to-Rail Op Amp	8-MSOP	1.72	1.38	1.03
TLV2452IDGKR	296-10582-2-ND	Zweif. R/R-OpAmp	Dual, Rail-to-Rail Op Amp	8-MSOP		2194.81/2,500	
TLV2452IDR	296-10583-1-ND	Zweif. R/R-OpAmp	Dual, Rail-to-Rail Op Amp	8-SOIC	1.72	1.38	1.03
TLV2452IDR	296-10583-2-ND	Zweif. R/R-OpAmp	Dual, Rail-to-Rail Op Amp	8-SOIC		2194.81/2,500	
TLV2452IP	296-10584-5-ND	Zweif. R/R-OpAmp	Dual, Rail-to-Rail Op Amp	8-Dip	1.72	1.38	1.03
TLV2453AIDR	296-10585-1-ND	Zweif. R/R-OpAmp	Dual, Rail-to-Rail Op Amp	14-SOIC	2.01	1.61	1.21
TLV2453AIDR	296-10585-2-ND	Zweif. R/R-OpAmp	Dual, Rail-to-Rail Op Amp	14-SOIC		2573.66/2,500	
TLV2453AIN	296-10586-5-ND	Zweif. R/R-OpAmp	Dual, Rail-to-Rail Op Amp	14-Dip	2.01	1.61	1.21
TLV2453CD	296-2429-5-ND	Zweif. R/R-OpAmp	Dual, Rail-to-Rail Op Amp	14-SOIC	1.82	1.46	1.10
TLV2453CDR	296-2429-1-ND	Zweif. R/R-OpAmp	Dual, Rail-to-Rail Op Amp	14-SOIC	1.82	1.46	1.10
TLV2453CDR	296-2429-2-ND	Zweif. R/R-OpAmp	Dual, Rail-to-Rail Op Amp	14-SOIC		2330.27/2,500	
TLV2453CDGSR	296-10587-1-ND	Zweif. R/R-OpAmp	Dual, Rail-to-Rail Op Amp	10-MSOP	1.82	1.46	1.10
TLV2453CDGSR	296-10587-2-ND	Zweif. R/R-OpAmp	Dual, Rail-to-Rail Op Amp	10-MSOP		2330.27/2,500	
TLV2453IDGSR	296-10589-1-ND	Zweif. R/R-OpAmp	Dual, Rail-to-Rail Op Amp	10-MSOP	1.90	1.53	1.15
TLV2453IDGSR	296-10589-2-ND	Zweif. R/R-OpAmp	Dual, Rail-to-Rail Op Amp	10-MSOP		2438.21/2,500	
TLV2453IDR	296-10590-1-ND	Zweif. R/R-OpAmp	Dual, Rail-to-Rail Op Amp	14-SOIC	1.90	1.53	1.15
TLV2453IDR	296-10590-2-ND	Zweif. R/R-OpAmp	Dual, Rail-to-Rail Op Amp	14-SOIC		2438.21/2,500	
TLV2453IN	296-10591-5-ND	Zweif. R/R-OpAmp	Dual, Rail-to-Rail Op Amp	14-Dip	1.90	1.53	1.15

(Forts.)

★ RUFEN SIE BITTE AN FÜR NIEDRIGERE PREISE BEI GRÖSSEREN MENGEN! ★

T. I. Teilenr.	Digi-Key Teilenr.	Beschreibung		Paket	Stückpreis ★ 1	25	100
TLV2454AID	296-10592-5-ND	Vierf. R/R-OpAmp	Quad, Rail-to-Rail Op Amp	14-SOIC	2.07	1.67	1.30
TLV2454AIDR	296-10592-1-ND	Vierf. R/R-OpAmp	Quad, Rail-to-Rail Op Amp	14-SOIC	2.07	1.67	1.30
TLV2454AIDR	296-10592-2-ND	Vierf. R/R-OpAmp	Quad, Rail-to-Rail Op Amp	14-SOIC		2905.95/2,500	
TLV2454AIN	296-10593-5-ND	Vierf. R/R-OpAmp	Quad, Rail-to-Rail Op Amp	14-Dip	2.07	1.67	1.30
TLV2454AIPWR	296-10594-1-ND	Vierf. R/R-OpAmp	Quad, Rail-to-Rail Op Amp	14-TSSOP	2.07	1.67	1.30
TLV2454AIPWR	296-10594-2-ND	Vierf. R/R-OpAmp	Quad, Rail-to-Rail Op Amp	14-TSSOP		2353.55/2,000	
TLV2454CD	296-2430-5-ND	Vierf. R/R-OpAmp	Quad, Rail-to-Rail Op Amp	14-SOIC	1.90	1.53	1.19
TLV2454CN	296-10595-5-ND	Vierf. R/R-OpAmp	Quad, Rail-to-Rail Op Amp	14-Dip	1.90	1.53	1.19
TLV2454ID	296-10596-5-ND	Vierf. R/R-OpAmp	Quad, Rail-to-Rail Op Amp	14-SOIC	2.00	1.60	1.25
TLV2454IDR	296-10597-1-ND	Vierf. R/R-OpAmp	Quad, Rail-to-Rail Op Amp	14-SOIC	2.00	1.60	1.25
TLV2454IDR	296-10597-2-ND	Vierf. R/R-OpAmp	Quad, Rail-to-Rail Op Amp	14-SOIC		2800.13/2,500	
TLV2454IN	296-10598-5-ND	Vierf. R/R-OpAmp	Quad, Rail-to-Rail Op Amp	14-Dip	2.00	1.60	1.25
TLV2454IPWR	296-10599-1-ND	Vierf. R/R-OpAmp	Quad, Rail-to-Rail Op Amp	14-TSSOP	2.00	1.60	1.25
TLV2454IPWR	296-10599-2-ND	Vierf. R/R-OpAmp	Quad, Rail-to-Rail Op Amp	14-TSSOP		2267.19/2,000	
TLV2455AID	296-10600-5-ND	Vierf. R/R-OpAmp	Quad, Rail-to-Rail Op Amp	16-SOIC	2.27	1.82	1.42
TLV2455AIDR	296-10600-1-ND	Vierf. R/R-OpAmp	Quad, Rail-to-Rail Op Amp	16-SOIC	2.27	1.82	1.42
TLV2455AIDR	296-10600-2-ND	Vierf. R/R-OpAmp	Quad, Rail-to-Rail Op Amp	16-SOIC		3172.63/2,500	
TLV2455AIN	296-10601-5-ND	Vierf. R/R-OpAmp	Quad, Rail-to-Rail Op Amp	16-Dip	2.27	1.82	1.42
TLV2455AIPWR	296-10602-1-ND	Vierf. R/R-OpAmp	Quad, Rail-to-Rail Op Amp	16-TSSOP	2.27	1.82	1.42
TLV2455AIPWR	296-10602-2-ND	Vierf. R/R-OpAmp	Quad, Rail-to-Rail Op Amp	16-TSSOP		2568.58/2,000	
TLV2455CD	296-2431-5-ND	Vierf. R/R-OpAmp	Quad, Rail-to-Rail Op Amp	16-SOIC	2.07	1.67	1.30
TLV2455CN	296-10603-5-ND	Vierf. R/R-OpAmp	Quad, Rail-to-Rail Op Amp	16-Dip	2.07	1.67	1.30
TLV2455CPWR	296-10604-1-ND	Vierf. R/R-OpAmp	Quad, Rail-to-Rail Op Amp	16-TSSOP	2.07	1.67	1.30
TLV2455CPWR	296-10604-2-ND	Vierf. R/R-OpAmp	Quad, Rail-to-Rail Op Amp	16-TSSOP		2353.55/2,000	
TLV2455ID	296-10605-5-ND	Vierf. R/R-OpAmp	Quad, Rail-to-Rail Op Amp	16-SOIC	2.18	1.74	1.36
TLV2455IDR	296-10605-1-ND	Vierf. R/R-OpAmp	Quad, Rail-to-Rail Op Amp	16-SOIC	2.18	1.74	1.36
TLV2455IDR	296-10605-2-ND	Vierf. R/R-OpAmp	Quad, Rail-to-Rail Op Amp	16-SOIC		3039.29/2,500	
TLV2455IN	296-10606-5-ND	Vierf. R/R-OpAmp	Quad, Rail-to-Rail Op Amp	16-Dip	2.18	1.74	1.36
TLV2455IPWR	296-10607-1-ND	Vierf. R/R-OpAmp	Quad, Rail-to-Rail Op Amp	16-TSSOP	2.18	1.74	1.36
TLV2455IPWR	296-10607-2-ND	Vierf. R/R-OpAmp	Quad, Rail-to-Rail Op Amp	16-TSSOP		2461.91/2,000	
TLV2460AIDR	296-7477-1-ND	R/R E/A-OpAmp, NL, mit Abschaltfunktion	LP R/R I/O Op Amp with Shutdown	8-SOIC	1.42	1.14	.86
TLV2460AIDR	296-7477-2-ND	R/R E/A-OpAmp, NL, mit Abschaltfunktion	LP R/R I/O Op Amp with Shutdown	8-SOIC		1815.96/2,500	
TLV2460AIP	296-7478-5-ND	R/R E/A-OpAmp, NL, mit Abschaltfunktion	LP R/R I/O Op Amp with Shutdown	8-Dip	1.42	1.14	.86
TLV2460CD	296-2432-5-ND	R/R E/A-OpAmp, NL, mit Abschaltfunktion	LP R/R I/O Op Amp with Shutdown	8-SOIC	1.31	1.05	.79
TLV2460CDR	296-2432-1-ND	R/R E/A-OpAmp, NL, mit Abschaltfunktion	LP R/R I/O Op Amp with Shutdown	8-SOIC	1.31	1.05	.79
TLV2460CDR	296-2432-2-ND	R/R E/A-OpAmp, NL, mit Abschaltfunktion	LP R/R I/O Op Amp with Shutdown	8-SOIC		1680.50/2,500	
TLV2460CDBVR	296-7479-1-ND	R/R E/A-OpAmp, NL, mit Abschaltfunktion	LP R/R I/O Op Amp with Shutdown	SOT-23-6	1.31	1.05	.79
TLV2460CDBVR	296-7479-2-ND	R/R E/A-OpAmp, NL, mit Abschaltfunktion	LP R/R I/O Op Amp with Shutdown	SOT-23-6		2016.60/3,000	
TLV2460CP	296-7480-5-ND	R/R E/A-OpAmp, NL, mit Abschaltfunktion	LP R/R I/O Op Amp with Shutdown	8-Dip	1.31	1.05	.79
TLV2460IDBVR	296-7481-1-ND	R/R E/A-OpAmp, NL, mit Abschaltfunktion	LP R/R I/O Op Amp with Shutdown	SOT-23-6	1.31	1.05	.79
TLV2460IDBVR	296-7481-2-ND	R/R E/A-OpAmp, NL, mit Abschaltfunktion	LP R/R I/O Op Amp with Shutdown	SOT-23-6		2016.60/3,000	
TLV2460IDR	296-7482-1-ND	R/R E/A-OpAmp, NL, mit Abschaltfunktion	LP R/R I/O Op Amp with Shutdown	8-SOIC	1.31	1.05	.79
TLV2460IDR	296-7482-2-ND	R/R E/A-OpAmp, NL, mit Abschaltfunktion	LP R/R I/O Op Amp with Shutdown	8-SOIC		1680.50/2,500	
TLV2460IP	296-7483-5-ND	R/R E/A-OpAmp, NL, mit Abschaltfunktion	LP R/R I/O Op Amp with Shutdown	8-Dip	1.31	1.05	.79
TLV2461AIDR	296-7484-1-ND	R/R E/A-OpAmp, NL, mit Abschaltfunktion	LP R/R I/O Op Amp with Shutdown	8-SOIC	1.31	1.05	.79
TLV2461AIDR	296-7484-2-ND	R/R E/A-OpAmp, NL, mit Abschaltfunktion	LP R/R I/O Op Amp with Shutdown	8-SOIC		1680.50/2,500	
TLV2461AIP	296-7485-5-ND	R/R E/A-OpAmp, NL, mit Abschaltfunktion	LP R/R I/O Op Amp with Shutdown	8-Dip	1.31	1.05	.79
TLV2461CD	296-7486-5-ND	R/R E/A-OpAmp, NL, mit Abschaltfunktion	LP R/R I/O Op Amp with Shutdown	8-SOIC	1.21	.97	.73
TLV2461CDBVR	296-7487-1-ND	R/R E/A-OpAmp, NL, mit Abschaltfunktion	LP R/R I/O Op Amp with Shutdown	SOT-23-5	1.21	.97	.73
TLV2461CDBVR	296-7487-2-ND	R/R E/A-OpAmp, NL, mit Abschaltfunktion	LP R/R I/O Op Amp with Shutdown	SOT-23-5		1854.05/3,000	
TLV2461CDBVT	296-2433-1-ND	R/R E/A-OpAmp, NL, mit Abschaltfunktion	LP R/R I/O Op Amp with Shutdown	SOT-23-5	1.21	.97	.73
TLV2461CDBVT	296-2433-2-ND	R/R E/A-OpAmp, NL, mit Abschaltfunktion	LP R/R I/O Op Amp with Shutdown	SOT-23-5		168.90/250	
TLV2461CDR	296-7488-1-ND	R/R E/A-OpAmp, NL, mit Abschaltfunktion	LP R/R I/O Op Amp with Shutdown	8-SOIC	1.21	.97	.73
TLV2461CDR	296-7488-2-ND	R/R E/A-OpAmp, NL, mit Abschaltfunktion	LP R/R I/O Op Amp with Shutdown	8-SOIC		1545.05/2,500	
TLV2461CP	296-7489-5-ND	R/R E/A-OpAmp, NL, mit Abschaltfunktion	LP R/R I/O Op Amp with Shutdown	8-Dip	1.21	.97	.73
TLV2461IDBVR	296-7490-1-ND	R/R E/A-OpAmp, NL, mit Abschaltfunktion	LP R/R I/O Op Amp with Shutdown	SOT-23-5	1.21	.97	.73
TLV2461IDBVR	296-7490-2-ND	R/R E/A-OpAmp, NL, mit Abschaltfunktion	LP R/R I/O Op Amp with Shutdown	SOT-23-5		1854.05/3,000	
TLV2461IDR	296-7491-1-ND	R/R E/A-OpAmp, NL, mit Abschaltfunktion	LP R/R I/O Op Amp with Shutdown	8-SOIC	1.21	.97	.73
TLV2461IDR	296-7491-2-ND	R/R E/A-OpAmp, NL, mit Abschaltfunktion	LP R/R I/O Op Amp with Shutdown	8-SOIC		1545.05/2,500	
TLV2461IP	296-7492-5-ND	R/R E/A-OpAmp, NL, mit Abschaltfunktion	LP R/R I/O Op Amp with Shutdown	8-Dip	1.21	.97	.73
TLV2462AIDR	296-7557-1-ND	Zweif. R/R E/A-OpAmp, NL	Dual LP Rail-to-Rail I/O Op Amp	8-SOIC	1.82	1.46	1.10
TLV2462AIDR	296-7557-2-ND	Zweif. R/R E/A-OpAmp, NL	Dual LP Rail-to-Rail I/O Op Amp	8-SOIC		2330.27/2,500	
TLV2462AIP	296-7558-5-ND	Zweif. R/R E/A-OpAmp, NL	Dual LP Rail-to-Rail I/O Op Amp	8-Dip	1.82	1.46	1.10
TLV2462AQD	296-12066-5-ND	Zweif. R/R E/A-OpAmp, NL	Dual LP Rail-to-Rail I/O Op Amp	8-SOIC	1.90	1.53	1.15
TLV2462AQDRQ1	296-17738-1-ND	Zweif. R/R E/A-OpAmp, NL	Dual LP Rail-to-Rail I/O Op Amp	8-SOIC	2.01	1.61	1.21
TLV2462AQDRQ1	296-17738-2-ND	Zweif. R/R E/A-OpAmp, NL	Dual LP Rail-to-Rail I/O Op Amp	8-SOIC		2573.66/2,500	
TLV2462AQPWR	296-12067-1-ND	Zweif. R/R E/A-OpAmp, NL	Dual LP Rail-to-Rail I/O Op Amp	8-TSSOP	1.90	1.53	1.15
TLV2462AQPWR	296-12067-2-ND	Zweif. R/R E/A-OpAmp, NL	Dual LP Rail-to-Rail I/O Op Amp	8-TSSOP		2026.76/2,000	
TLV2462CD	296-2434-5-ND	Zweif. R/R E/A-OpAmp, NL	Dual LP Rail-to-Rail I/O Op Amp	8-SOIC	1.61	1.29	.97
TLV2462CDR	296-2434-1-ND	Zweif. R/R E/A-OpAmp, NL	Dual LP Rail-to-Rail I/O Op Amp	8-SOIC	1.61	1.29	.97
TLV2462CDR	296-2434-2-ND	Zweif. R/R E/A-OpAmp, NL	Dual LP Rail-to-Rail I/O Op Amp	8-SOIC		2059.35/2,500	
TLV2462CP	296-1892-5-ND	Zweif. R/R E/A-OpAmp, NL	Dual LP Rail-to-Rail I/O Op Amp	8-Dip	1.61	1.29	.97
TLV2462ID	296-7562-5-ND	Zweif. R/R E/A-OpAmp, NL	Dual LP Rail-to-Rail I/O Op Amp	8-SOIC	1.72	1.38	1.03
TLV2462IDR	296-7562-1-ND	Zweif. R/R E/A-OpAmp, NL	Dual LP Rail-to-Rail I/O Op Amp	8-SOIC	1.72	1.38	1.03
TLV2462IDR	296-7562-2-ND	Zweif. R/R E/A-OpAmp, NL	Dual LP Rail-to-Rail I/O Op Amp	8-SOIC		2194.81/2,500	
TLV2462IDGKR	296-7561-1-ND	Zweif. R/R E/A-OpAmp, NL	Dual LP Rail-to-Rail I/O Op Amp	8-MSOP	1.72	1.38	1.03
TLV2462IDGKR	296-7561-2-ND	Zweif. R/R E/A-OpAmp, NL	Dual LP Rail-to-Rail I/O Op Amp	8-MSOP		2194.81/2,500	
TLV2462IP	296-1893-5-ND	Zweif. R/R E/A-OpAmp, NL	Dual LP Rail-to-Rail I/O Op Amp	8-Dip	1.72	1.38	1.03
TLV2462QD	296-12068-5-ND	Zweif. R/R E/A-OpAmp, NL	Dual LP Rail-to-Rail I/O Op Amp	8-SOIC	1.82	1.46	1.10
TLV2463AIDR	296-7563-1-ND	Zweif. R/R E/A-OpAmp, NL, mit Abschaltfunktion	Dual LP R/R I/O Op Amp with SD	14-SOIC	2.01	1.61	1.21
TLV2463AIDR	296-7563-2-ND	Zweif. R/R E/A-OpAmp, NL, mit Abschaltfunktion	Dual LP R/R I/O Op Amp with SD	14-SOIC		2573.66/2,500	
TLV2463AIN	296-7564-5-ND	Zweif. R/R E/A-OpAmp, NL, mit Abschaltfunktion	Dual LP R/R I/O Op Amp with SD	14-Dip	2.01	1.61	1.21
TLV2463AQD	296-12069-5-ND	Zweif. R/R E/A-OpAmp, NL, mit Abschaltfunktion	Dual LP R/R I/O Op Amp with SD	8-SOIC	2.01	1.61	1.21
TLV2463AQPWR	296-12070-1-ND	Zweif. R/R E/A-OpAmp, NL, mit Abschaltfunktion	Dual LP R/R I/O Op Amp with SD	14-TSSOP	2.01	1.61	1.21
TLV2463AQPWR	296-12070-2-ND	Zweif. R/R E/A-OpAmp, NL, mit Abschaltfunktion	Dual LP R/R I/O Op Amp with SD	14-TSSOP		2091.10/2,000	
TLV2463CD	296-2435-5-ND	Zweif. R/R E/A-OpAmp, NL, mit Abschaltfunktion	Dual LP R/R I/O Op Amp with SD	14-SOIC	1.82	1.46	1.10
TLV2463CDR	296-2435-1-ND	Zweif. R/R E/A-OpAmp, NL, mit Abschaltfunktion	Dual LP R/R I/O Op Amp with SD	14-SOIC	1.82	1.46	1.10
TLV2463CDR	296-2435-2-ND	Zweif. R/R E/A-OpAmp, NL, mit Abschaltfunktion	Dual LP R/R I/O Op Amp with SD	14-SOIC		2330.27/2,500	
TLV2463CDGS	296-7565-5-ND	Zweif. R/R E/A-OpAmp, NL, mit Abschaltfunktion	Dual LP R/R I/O Op Amp with SD	10-MSOP	1.82	1.46	1.10
TLV2463CN	296-7567-5-ND	Zweif. R/R E/A-OpAmp, NL, mit Abschaltfunktion	Dual LP R/R I/O Op Amp with SD	14-Dip	1.82	1.46	1.10
TLV2463ID	296-1894-5-ND	Zweif. R/R-OpAmp, NL	Dual LP Rail-to-Rail Op Amp	14-SOIC	1.90	1.53	1.15
TLV2463IDGSR	296-7568-1-ND	Zweif. R/R E/A-OpAmp, NL, mit Abschaltfunktion	Dual LP R/R I/O Op Amp with SD	10-MSOP	1.90	1.53	1.15
TLV2463IDGSR	296-7568-2-ND	Zweif. R/R E/A-OpAmp, NL, mit Abschaltfunktion	Dual LP R/R I/O Op Amp with SD	10-MSOP		2438.21/2,500	
TLV2463IN	296-1895-5-ND	Zweif. R/R-OpAmp, NL	Dual LP R/R Op Amp	14-Dip	1.90	1.53	1.15
TLV2463QD	296-12071-5-ND	Zweif. R/R E/A-OpAmp, NL, mit Abschaltfunktion	Dual LP R/R I/O Op Amp with SD	8-SOIC	2.01	1.61	1.21
TLV2463QPWR	296-12072-1-ND	Zweif. R/R E/A-OpAmp, NL, mit Abschaltfunktion	Dual LP R/R I/O Op Amp with SD	8-TSSOP	2.01	1.61	1.21
TLV2463QPWR	296-12072-2-ND	Zweif. R/R E/A-OpAmp, NL, mit Abschaltfunktion	Dual LP R/R I/O Op Amp with SD	8-TSSOP		2091.10/2,000	
TLV2464AIDR	296-14410-1-ND	Vierf. R/R E/A-OpAmp, NL	Quad LP R/R I/O Op Amp	14-SOIC	2.07	1.67	1.30
TLV2464AIDR	296-14410-2-ND	Vierf. R/R E/A-OpAmp, NL	Quad LP R/R I/O Op Amp	14-SOIC		2905.95/2,500	
TLV2464AIPW	296-14050-5-ND	Vierf. R/R E/A-OpAmp, NL	Quad LP R/R I/O Op Amp	14-TSSOP	2.07	1.67	1.30

(Forts.)

★ ***RUFEN SIE BITTE AN FÜR NIEDRIGERE PREISE BEI GRÖSSEREN MENGEN!*** ★

B

T. I. Teilenr.	Digi-Key Teilenr.	Beschreibung		Paket	Stückpreis ★ 1	25	100
TLV2464CD	296-2436-5-ND	Vierf. R/R E/A-OpAmp, NL	Quad LP R/R I/O Op Amp	14-SOIC	1.90	1.53	1.19
TLV2464CDR	296-2436-1-ND	Vierf. R/R E/A-OpAmp, NL	Quad LP R/R I/O Op Amp	14-SOIC	1.90	1.53	1.19
TLV2464CDR	296-2436-2-ND	Vierf. R/R E/A-OpAmp, NL	Quad LP R/R I/O Op Amp	14-SOIC		2666.79/2,500	
TLV2464CN	296-7570-5-ND	Vierf. R/R E/A-OpAmp, NL	Quad LP R/R I/O Op Amp	14-Dip	1.90	1.53	1.19
TLV2464CPWR	296-7571-1-ND	Vierf. R/R E/A-OpAmp, NL	Quad LP R/R I/O Op Amp	14-TSSOP	1.90	1.53	1.19
TLV2464CPWR	296-7571-2-ND	Vierf. R/R E/A-OpAmp, NL	Quad LP R/R I/O Op Amp	14-TSSOP		2158.83/2,000	
TLV2464ID	296-10608-5-ND	Vierf. R/R-OpAmp, NL	Quad LP R/R Op Amp	14-SOIC	2.00	1.60	1.25
TLV2464IDR	296-10608-1-ND	Vierf. R/R-OpAmp, NL	Quad LP R/R Op Amp	14-SOIC	2.00	1.60	1.25
TLV2464IDR	296-10608-2-ND	Vierf. R/R E/A-OpAmp, NL	Quad LP R/R I/O Op Amp	14-SOIC		2800.13/2,500	
TLV2464IN	296-7573-5-ND	Vierf. R/R E/A-OpAmp, NL	Quad LP R/R I/O Op Amp	14-Dip	2.00	1.60	1.25
TLV2464IPWR	296-7575-1-ND	Vierf. R/R E/A-OpAmp, NL	Quad LP R/R I/O Op Amp	14-TSSOP	2.00	1.60	1.25
TLV2464IPWR	296-7575-2-ND	Vierf. R/R E/A-OpAmp, NL	Quad LP R/R I/O Op Amp	14-TSSOP		2267.19/2,000	
TLV2465CD	296-2437-5-ND	Vierf. R/R E/A-OpAmp, NL, mit Abschaltfunktion	Quad LP R/R I/O Op Amp with SD	16-SOIC	2.07	1.67	1.30
TLV2465CDR	296-2437-1-ND	Vierf. R/R E/A-OpAmp, NL, mit Abschaltfunktion	Quad LP R/R I/O Op Amp with SD	16-SOIC	2.07	1.67	1.30
TLV2465CDR	296-2437-2-ND	Vierf. R/R E/A-OpAmp, NL, mit Abschaltfunktion	Quad LP R/R I/O Op Amp with SD	16-SOIC		2905.95/2,500	
TLV2465CN	296-7577-5-ND	Vierf. R/R E/A-OpAmp, NL, mit Abschaltfunktion	Quad LP R/R I/O Op Amp with SD	16-Dip	2.07	1.67	1.30
TLV2465CPWR	296-7578-1-ND	Vierf. R/R E/A-OpAmp, NL, mit Abschaltfunktion	Quad LP R/R I/O Op Amp with SD	16-TSSOP	2.07	1.67	1.30
TLV2465CPWR	296-7578-2-ND	Vierf. R/R E/A-OpAmp, NL, mit Abschaltfunktion	Quad LP R/R I/O Op Amp with SD	16-TSSOP		2353.55/2,000	
TLV2465ID	296-10609-5-ND	Vierf. R/R E/A-OpAmp, NL, mit Abschaltfunktion	Quad LP R/R I/O Op Amp with SD	16-SOIC	2.18	1.74	1.36
TLV2465ID	296-10609-1-ND	Vierf. R/R E/A-OpAmp, NL, mit Abschaltfunktion	Quad LP R/R I/O Op Amp with SD	16-SOIC	2.18	1.74	1.36
TLV2465IDR	296-10609-2-ND	Vierf. R/R E/A-OpAmp, NL, mit Abschaltfunktion	Quad LP R/R I/O Op Amp with SD	16-SOIC		3039.29/2,500	
TLV2465IN	296-7580-5-ND	Vierf. R/R E/A-OpAmp, NL, mit Abschaltfunktion	Quad LP R/R I/O Op Amp with SD	16-Dip	2.18	1.74	1.36
TLV2465IPWR	296-7581-1-ND	Vierf. R/R E/A-OpAmp, NL, mit Abschaltfunktion	Quad LP R/R I/O Op Amp with SD	16-TSSOP	2.18	1.74	1.36
TLV2465IPWR	296-7581-2-ND	Vierf. R/R E/A-OpAmp, NL, mit Abschaltfunktion	Quad LP R/R I/O Op Amp with SD	16-TSSOP		2461.91/2,000	
TLV2470AIDR	296-7493-1-ND	R/R E/A-OpAmp, NL, mit Abschaltfunktion	LP R/R I/O Op Amp with Shutdown	8-SOIC	1.42	1.14	.86
TLV2470AIDR	296-7493-2-ND	R/R E/A-OpAmp, NL, mit Abschaltfunktion	LP R/R I/O Op Amp with Shutdown	8-SOIC		1815.96/2,500	
TLV2470AIP	296-7494-5-ND	R/R E/A-OpAmp, NL, mit Abschaltfunktion	LP R/R I/O Op Amp with Shutdown	8-Dip	1.42	1.14	.86
TLV2470CD	296-2438-5-ND	R/R E/A-OpAmp, NL, mit Abschaltfunktion	LP R/R I/O Op Amp with Shutdown	8-SOIC	1.31	1.05	.79
TLV2470CDR	296-2438-1-ND	R/R E/A-OpAmp, NL, mit Abschaltfunktion	LP R/R I/O Op Amp with Shutdown	8-SOIC	1.31	1.05	.79
TLV2470CDR	296-2438-2-ND	R/R E/A-OpAmp, NL, mit Abschaltfunktion	LP R/R I/O Op Amp with Shutdown	8-SOIC		1680.50/2,500	
TLV2470CDBVR	296-7495-1-ND	R/R E/A-OpAmp, NL, mit Abschaltfunktion	LP R/R I/O Op Amp with Shutdown	SOT-23-6	1.31	1.05	.79
TLV2470CDBVR	296-7495-2-ND	R/R E/A-OpAmp, NL, mit Abschaltfunktion	LP R/R I/O Op Amp with Shutdown	SOT-23-6		2016.60/3,000	
TLV2470CP	296-7496-5-ND	R/R E/A-OpAmp, NL, mit Abschaltfunktion	LP R/R I/O Op Amp with Shutdown	8-Dip	1.31	1.05	.79
TLV2470IDBVR	296-7497-1-ND	R/R E/A-OpAmp, NL, mit Abschaltfunktion	LP R/R I/O Op Amp with Shutdown	SOT-23-6	1.31	1.05	.79
TLV2470IDBVR	296-7497-2-ND	R/R E/A-OpAmp, NL, mit Abschaltfunktion	LP R/R I/O Op Amp with Shutdown	SOT-23-6		2016.60/3,000	
TLV2470IDR	296-7498-1-ND	R/R E/A-OpAmp, NL, mit Abschaltfunktion	LP R/R I/O Op Amp with Shutdown	8-SOIC	1.31	1.05	.79
TLV2470IDR	296-7498-2-ND	R/R E/A-OpAmp, NL, mit Abschaltfunktion	LP R/R I/O Op Amp with Shutdown	8-SOIC		1680.50/2,500	
TLV2470IP	296-7499-5-ND	R/R E/A-OpAmp, NL, mit Abschaltfunktion	LP R/R I/O Op Amp with Shutdown	8-Dip	1.31	1.05	.79
TLV2471AIDR	296-7500-1-ND	R/R E/A-OpAmp, NL	LP Rail-to-Rail In/Out Op Amp	8-SOIC	1.31	1.05	.79
TLV2471AIDR	296-7500-2-ND	R/R E/A-OpAmp, NL	LP Rail-to-Rail In/Out Op Amp	8-SOIC		1680.50/2,500	
TLV2471AIP	296-7501-5-ND	R/R E/A-OpAmp, NL	LP Rail-to-Rail In/Out Op Amp	8-Dip	1.31	1.05	.79
TLV2471CD	296-2439-5-ND	R/R E/A-OpAmp, NL	LP Rail-to-Rail In/Out Op Amp	8-SOIC	1.21	.97	.73
TLV2471CDR	296-2439-1-ND	R/R E/A-OpAmp, NL	LP Rail-to-Rail In/Out Op Amp	8-SOIC	1.21	.97	.73
TLV2471CDR	296-2439-2-ND	R/R E/A-OpAmp, NL	LP Rail-to-Rail In/Out Op Amp	8-SOIC		1545.05/2,500	
TLV2471CDBVR	296-7502-1-ND	R/R E/A-OpAmp, NL	LP Rail-to-Rail In/Out Op Amp	SOT-23-5	1.21	.97	.73
TLV2471CDBVR	296-7502-2-ND	R/R E/A-OpAmp, NL	LP Rail-to-Rail In/Out Op Amp	SOT-23-5		1854.05/3,000	
TLV2471CP	296-7503-5-ND	R/R E/A-OpAmp, NL	LP Rail-to-Rail In/Out Op Amp	8-Dip	1.21	.97	.73
TLV2471IDBVR	296-7504-1-ND	R/R E/A-OpAmp, NL	LP Rail-to-Rail In/Out Op Amp	SOT-23-5	1.21	.97	.73
TLV2471IDBVR	296-7504-2-ND	R/R E/A-OpAmp, NL	LP Rail-to-Rail In/Out Op Amp	SOT-23-5		1854.05/3,000	
TLV2471IDR	296-7505-1-ND	R/R E/A-OpAmp, NL	LP Rail-to-Rail In/Out Op Amp	8-SOIC	1.21	.97	.73
TLV2471IDR	296-7505-2-ND	R/R E/A-OpAmp, NL	LP Rail-to-Rail In/Out Op Amp	8-SOIC		1545.05/2,500	
TLV2471IP	296-7506-5-ND	R/R E/A-OpAmp, NL	LP Rail-to-Rail In/Out Op Amp	8-Dip	1.21	.97	.73
TLV2472AID	296-10610-5-ND	Zweif. R/R-OpAmp	Dual, Rail-to-Rail Op Amp	8-SOIC	1.82	1.46	1.10
TLV2472AIDR	296-10610-1-ND	Zweif. R/R-OpAmp	Dual, Rail-to-Rail Op Amp	8-SOIC	1.82	1.46	1.10
TLV2472AIDR	296-10610-2-ND	Zweif. R/R-OpAmp	Dual, Rail-to-Rail Op Amp	8-SOIC		2330.27/2,500	
TLV2472AIP	296-10611-5-ND	Zweif. R/R-OpAmp	Dual, Rail-to-Rail Op Amp	8-Dip	1.82	1.46	1.10
TLV2472CDGNR	296-10612-1-ND	Zweif. R/R-OpAmp	Dual, Rail-to-Rail Op Amp	8-MSOP	1.61	1.29	.97
TLV2472CDGNR	296-10612-2-ND	Zweif. R/R-OpAmp	Dual, Rail-to-Rail Op Amp	8-MSOP		2059.35/2,500	
TLV2472CD	296-2440-5-ND	Zweif. R/R-OpAmp	Dual, Rail-to-Rail Op Amp	8-SOIC	1.61	1.29	.97
TLV2472CDR	296-2440-1-ND	Zweif. R/R-OpAmp	Dual, Rail-to-Rail Op Amp	8-SOIC	1.61	1.29	.97
TLV2472CDR	296-2440-2-ND	Zweif. R/R-OpAmp	Dual, Rail-to-Rail Op Amp	8-SOIC		2059.35/2,500	
TLV2472IDGNR	296-10615-1-ND	Zweif. R/R-OpAmp	Dual, Rail-to-Rail Op Amp	8-MSOP	1.72	1.38	1.03
TLV2472IDGNR	296-10615-2-ND	Zweif. R/R-OpAmp	Dual, Rail-to-Rail Op Amp	8-MSOP		2194.81/2,500	
TLV2472ID	296-10614-5-ND	Zweif. R/R-OpAmp	Dual, Rail-to-Rail Op Amp	8-SOIC	1.72	1.38	1.03
TLV2472IDR	296-10616-1-ND	Zweif. R/R-OpAmp	Dual, Rail-to-Rail Op Amp	8-SOIC	1.72	1.38	1.03
TLV2472IDR	296-10616-2-ND	Zweif. R/R-OpAmp	Dual, Rail-to-Rail Op Amp	8-SOIC		2194.81/2,500	
TLV2472IP	296-10617-5-ND	Zweif. R/R-OpAmp	Dual, Rail-to-Rail Op Amp	8-Dip	1.72	1.38	1.03
TLV2473AID	296-10618-5-ND	Zweif. R/R-OpAmp	Dual, Rail-to-Rail Op Amp	14-SOIC	2.01	1.61	1.21
TLV2473AIDR	296-10618-1-ND	Zweif. R/R-OpAmp	Dual, Rail-to-Rail Op Amp	14-SOIC	2.01	1.61	1.21
TLV2473AIDR	296-10618-2-ND	Zweif. R/R-OpAmp	Dual, Rail-to-Rail Op Amp	14-SOIC		2573.66/2,500	
TLV2473AIN	296-10619-5-ND	Zweif. R/R-OpAmp	Dual, Rail-to-Rail Op Amp	14-Dip	2.01	1.61	1.21
TLV2473CDGQR	296-10620-1-ND	Zweif. R/R-OpAmp	Dual, Rail-to-Rail Op Amp	10-MSOP	1.82	1.46	1.10
TLV2473CDGQR	296-10620-2-ND	Zweif. R/R-OpAmp	Dual, Rail-to-Rail Op Amp	10-MSOP		2330.27/2,500	
TLV2473CD	296-2441-5-ND	Zweif. R/R-OpAmp	Dual, Rail-to-Rail Op Amp	14-SOIC	1.82	1.46	1.10
TLV2473CDR	296-2441-1-ND	Zweif. R/R-OpAmp	Dual, Rail-to-Rail Op Amp	14-SOIC	1.82	1.46	1.10
TLV2473CDR	296-2441-2-ND	Zweif. R/R-OpAmp	Dual, Rail-to-Rail Op Amp	14-SOIC		2330.27/2,500	
TLV2473ID	296-10622-5-ND	Zweif. R/R-OpAmp	Dual, Rail-to-Rail Op Amp	14-SOIC	1.90	1.53	1.15
TLV2473IDGQR	296-10623-1-ND	Zweif. R/R-OpAmp	Dual, Rail-to-Rail Op Amp	10-MSOP	1.90	1.53	1.15
TLV2473IDGQR	296-10623-2-ND	Zweif. R/R-OpAmp	Dual, Rail-to-Rail Op Amp	10-MSOP		2438.21/2,500	
TLV2473IDR	296-10624-1-ND	Zweif. R/R-OpAmp	Dual, Rail-to-Rail Op Amp	14-SOIC	1.90	1.53	1.15
TLV2473IDR	296-10624-2-ND	Zweif. R/R-OpAmp	Dual, Rail-to-Rail Op Amp	14-SOIC		2438.21/2,500	
TLV2473IN	296-10625-5-ND	Zweif. R/R-OpAmp	Dual, Rail-to-Rail Op Amp	14-Dip	1.90	1.53	1.15
TLV2474AIDR	296-10626-1-ND	Vierf. 600 µ/Kan. R/R E/A-OpAmp, 2,8 MHz, mit High-Drive	Quad, 600µ/Ch. 2.8MHz R/R, I/O, High Drive Op Amp	14-SOIC	2.07	1.67	1.30
TLV2474AIDR	296-10626-2-ND	Vierf. 600 µ/Kan. R/R E/A-OpAmp, 2,8 MHz, mit High-Drive	Quad, 600µ/Ch. 2.8MHz R/R, I/O, High Drive Op Amp	14-SOIC		2905.95/2,500	
TLV2474AIN	296-10627-5-ND	Vierf. 600 µ/Kan. R/R E/A-OpAmp, 2,8 MHz, mit High-Drive	Quad, 600µ/Ch. 2.8MHz R/R, I/O, High Drive Op Amp	14-Dip	2.07	1.67	1.30
TLV2474AIPWPR	296-10628-1-ND	Vierf. 600 µ/Kan. R/R E/A-OpAmp, 2,8 MHz, mit High-Drive	Quad, 600µ/Ch. 2.8MHz R/R, I/O, High Drive Op Amp	14-HTSSOP	2.18	1.74	1.36
TLV2474AIPWPR	296-10628-2-ND	Vierf. 600 µ/Kan. R/R E/A-OpAmp, 2,8 MHz, mit High-Drive	Quad, 600µ/Ch. 2.8MHz R/R, I/O, High Drive Op Amp	14-HTSSOP		2461.91/2,000	
TLV2474AIPWR	296-13364-1-ND	Vierf. 600 µ/Kan. R/R E/A-OpAmp, 2,8 MHz, mit High-Drive	Quad, 600µ/Ch. 2.8MHz R/R, I/O, High Drive Op Amp	14-TSSOP	2.07	1.67	1.30
TLV2474AIPWR	296-13364-2-ND	Vierf. 600 µ/Kan. R/R E/A-OpAmp, 2,8 MHz, mit High-Drive	Quad, 600µ/Ch. 2.8MHz R/R, I/O, High Drive Op Amp	14-TSSOP		2353.55/2,000	
TLV2474CD	296-2442-5-ND	Vierf. 600 µ/Kan. R/R E/A-OpAmp, 2,8 MHz, mit High-Drive	Quad, 600µ/Ch. 2.8MHz R/R, I/O, High Drive Op Amp	14-SOIC	1.90	1.53	1.19
TLV2474CDR	296-2442-1-ND	Vierf. 600 µ/Kan. R/R E/A-OpAmp, 2,8 MHz, mit High-Drive	Quad, 600µ/Ch. 2.8MHz R/R, I/O, High Drive Op Amp	14-SOIC	1.90	1.53	1.19
TLV2474CDR	296-2442-2-ND	Vierf. 600 µ/Kan. R/R E/A-OpAmp, 2,8 MHz, mit High-Drive	Quad, 600µ/Ch. 2.8MHz R/R, I/O, High Drive Op Amp	14-SOIC		2666.79/2,500	
TLV2474CN	296-10630-5-ND	Vierf. 600 µ/Kan. R/R E/A-OpAmp, 2,8 MHz, mit High-Drive	Quad, 600µ/Ch. 2.8MHz R/R, I/O, High Drive Op Amp	14-Dip	1.90	1.53	1.19
TLV2474CPWPR	296-10631-1-ND	Vierf. 600 µ/Kan. R/R E/A-OpAmp, 2,8 MHz, mit High-Drive	Quad, 600µ/Ch. 2.8MHz R/R, I/O, High Drive Op Amp	14-HTSSOP	2.00	1.60	1.25
TLV2474CPWPR	296-10631-2-ND	Vierf. 600 µ/Kan. R/R E/A-OpAmp, 2,8 MHz, mit High-Drive	Quad, 600µ/Ch. 2.8MHz R/R, I/O, High Drive Op Amp	14-HTSSOP		2267.19/2,000	
TLV2474IDR	296-10632-1-ND	Vierf. 600 µ/Kan. R/R E/A-OpAmp, 2,8 MHz, mit High-Drive	Quad, 600µ/Ch. 2.8MHz R/R, I/O, High Drive Op Amp	14-SOIC	2.00	1.60	1.25
TLV2474IDR	296-10632-2-ND	Vierf. 600 µ/Kan. R/R E/A-OpAmp, 2,8 MHz, mit High-Drive	Quad, 600µ/Ch. 2.8MHz R/R, I/O, High Drive Op Amp	14-SOIC		2800.13/2,500	
TLV2474IN	296-10633-5-ND	Vierf. 600 µ/Kan. R/R E/A-OpAmp, 2,8 MHz, mit High-Drive	Quad, 600µ/Ch. 2.8MHz R/R, I/O, High Drive Op Amp	14-Dip	2.00	1.60	1.25
TLV2474IPWPR	296-12009-1-ND	Vierf. 600 µ/Kan. R/R E/A-OpAmp, 2,8 MHz, mit High-Drive	Quad, 600µ/Ch. 2.8MHz R/R, I/O, High Drive Op Amp	14-HTSSOP	2.07	1.67	1.30
TLV2474IPWPR	296-12009-2-ND	Vierf. 600 µ/Kan. R/R E/A-OpAmp, 2,8 MHz, mit High-Drive	Quad, 600µ/Ch. 2.8MHz R/R, I/O, High Drive Op Amp	14-HTSSOP		2353.55/2,000	

(Forts.)

★ ***RUFEN SIE BITTE AN FÜR NIEDRIGERE PREISE BEI GRÖSSEREN MENGEN!*** ★

T. I. Teilenr.	Digi-Key Teilenr.	Beschreibung		Paket	Stückpreis ★ 1	25	100
TLV2475AIDR	296-10634-1-ND	Vierf. R/R-OpAmp	Quad, Rail-to-Rail Op Amp	16-SOIC	2.27	1.82	1.42
TLV2475AIDR	296-10634-2-ND	Vierf. R/R-OpAmp	Quad, Rail-to-Rail Op Amp	16-SOIC		3172.63/2,500	
TLV2475AIN	296-10635-5-ND	Vierf. R/R-OpAmp	Quad, Rail-to-Rail Op Amp	16-Dip	2.27	1.82	1.42
TLV2475AIPWPR	296-10636-1-ND	Vierf. R/R-OpAmp	Quad, Rail-to-Rail Op Amp	16-HTSSOP	2.36	1.89	1.47
TLV2475AIPWPR	296-10636-2-ND	Vierf. R/R-OpAmp	Quad, Rail-to-Rail Op Amp	16-HTSSOP		2676.95/2,000	
TLV2475CD	296-2443-5-ND	Vierf. R/R-OpAmp	Quad, Rail-to-Rail Op Amp	16-SOIC	2.07	1.67	1.30
TLV2475CDR	296-2443-1-ND	Vierf. R/R-OpAmp	Quad, Rail-to-Rail Op Amp	16-SOIC	2.07	1.67	1.30
TLV2475CDR	296-2443-2-ND	Vierf. R/R-OpAmp	Quad, Rail-to-Rail Op Amp	16-SOIC		2905.95/2,500	
TLV2475CN	296-10638-5-ND	Vierf. R/R-OpAmp	Quad, Rail-to-Rail Op Amp	16-Dip	2.07	1.67	1.30
TLV2475CPWPR	296-10639-1-ND	Vierf. R/R-OpAmp	Quad, Rail-to-Rail Op Amp	16-HTSSOP	2.18	1.74	1.36
TLV2475CPWPR	296-10639-2-ND	Vierf. R/R-OpAmp	Quad, Rail-to-Rail Op Amp	16-HTSSOP		2461.91/2,000	
TLV2475IDR	296-10640-1-ND	Vierf. R/R-OpAmp	Quad, Rail-to-Rail Op Amp	16-SOIC	2.18	1.74	1.36
TLV2475IDR	296-10640-2-ND	Vierf. R/R-OpAmp	Quad, Rail-to-Rail Op Amp	16-SOIC		3039.29/2,500	
TLV2475IN	296-10641-5-ND	Vierf. R/R-OpAmp	Quad, Rail-to-Rail Op Amp	16-Dip	2.18	1.74	1.36
TLV2475IPWPR	296-10642-1-ND	Vierf. R/R-OpAmp	Quad, Rail-to-Rail Op Amp	16-HTSSOP	2.27	1.82	1.42
TLV2475IPWPR	296-10642-2-ND	Vierf. R/R-OpAmp	Quad, Rail-to-Rail Op Amp	16-HTSSOP		2568.58/2,000	
TLV2620IDBVT	296-15332-5-ND	Einzelversorgter OpAmp	Single Supply Op Amp	SOT-23-6	1.21	.97	.73
TLV2620IDR	296-11662-1-ND	Einzelversorgter OpAmp	Single Supply Op Amp	8-SOIC	1.21	.97	.73
TLV2620IDR	296-11662-2-ND	Einzelversorgter OpAmp	Single Supply Op Amp	8-SOIC		1545.05/2,500	
TLV2621IDBVT	296-15333-1-ND	Einzelversorgter OpAmp	Single Supply Op Amp	SOT-23-5	.89	.75	.60
TLV2621IDBVT	296-15333-2-ND	Einzelversorgter OpAmp	Single Supply Op Amp	SOT-23-5		111.12/250	
TLV2621IDR	296-11667-1-ND	Einzelversorgter OpAmp	Single Supply Op Amp	8-SOIC	.89	.75	.60
TLV2621IDR	296-11667-2-ND	Einzelversorgter OpAmp	Single Supply Op Amp	8-SOIC		963.01/2,500	
TLV2622IDGKR	296-10647-1-ND	Zweif. HS-OpAmp, R/R	Dual, Rail-to-Rail, HS Op Amp	8-MSOP	1.42	1.14	.86
TLV2622IDGKR	296-10647-2-ND	Zweif. HS-OpAmp, R/R	Dual, Rail-to-Rail, HS Op Amp	8-MSOP		1815.96/2,500	
TLV2622IDR	296-10648-1-ND	Zweif. HS-OpAmp, R/R	Dual, Rail-to-Rail, HS Op Amp	8-SOIC	1.42	1.14	.86
TLV2622IDR	296-10648-2-ND	Zweif. HS-OpAmp, R/R	Dual, Rail-to-Rail, HS Op Amp	8-SOIC		1815.96/2,500	
TLV2623IDGSR	296-10649-1-ND	Zweif. NL-OpAmp, R/R	Dual, Rail-to-Rail, LP Op Amp	10-MSOP	1.61	1.29	.97
TLV2623IDGSR	296-10649-2-ND	Zweif. NL-OpAmp, R/R	Dual, Rail-to-Rail, LP Op Amp	10-MSOP		2059.35/2,500	
TLV2623IDR	296-10650-1-ND	Zweif. NL-OpAmp, R/R	Dual, Rail-to-Rail, LP Op Amp	14-SOIC	1.61	1.29	.97
TLV2623IDR	296-10650-2-ND	Zweif. NL-OpAmp, R/R	Dual, Rail-to-Rail, LP Op Amp	14-SOIC		2059.35/2,500	
TLV2624IDR	296-11665-1-ND	Vierf. R/R-OpAmp	Quad, Rail-to-Rail Op Amp	14-SOIC	2.01	1.61	1.21
TLV2624IDR	296-11665-2-ND	Vierf. R/R-OpAmp	Quad, Rail-to-Rail Op Amp	14-SOIC		2573.66/2,500	
TLV2624IPWR	296-11655-1-ND	Vierf. R/R-OpAmp	Quad, Rail-to-Rail Op Amp	14-TSSOP	2.01	1.61	1.21
TLV2624IPWR	296-11655-2-ND	Vierf. R/R-OpAmp	Quad, Rail-to-Rail Op Amp	14-TSSOP		2091.10/2,000	
TLV2625IDR	296-11695-1-ND	Vierf. Niederspannungs-OpAmp	Low Voltage Quad Op Amp	16-SOIC	2.00	1.60	1.25
TLV2625IDR	296-11695-2-ND	Vierf. Niederspannungs-OpAmp	Low Voltage Quad Op Amp	16-SOIC		2800.13/2,500	
TLV2625IPWR	296-11669-1-ND	Vierf. Niederspannungs-OpAmp	Low Voltage Quad Op Amp	16-TSSOP	2.00	1.60	1.25
TLV2625IPWR	296-11669-2-ND	Vierf. Niederspannungs-OpAmp	Low Voltage Quad Op Amp	16-TSSOP		2267.19/2,000	
TLV2630IDBVR	296-11971-1-ND	Ausgangs-OpAmp mit Abschaltfunktion, R/R, 9 MHz	9MHz R/R Output Op Amp with SD	SOT-23-6	1.51	1.21	.91
TLV2630IDBVR	296-11971-2-ND	Ausgangs-OpAmp mit Abschaltfunktion, R/R, 9 MHz	9MHz R/R Output Op Amp with SD	SOT-23-6		2308.68/3,000	
TLV2630IDR	296-11972-1-ND	Ausgangs-OpAmp mit Abschaltfunktion, R/R, 9 MHz	9MHz R/R Output Op Amp with SD	8-SOIC	1.51	1.21	.91
TLV2630IDR	296-11972-2-ND	Ausgangs-OpAmp mit Abschaltfunktion, R/R, 9 MHz	9MHz R/R Output Op Amp with SD	8-SOIC		1923.90/2,500	
TLV2631IDBVR	296-11973-1-ND	Ausgangs-OpAmp, R/R, 9 MHz	9MHz Rail-to-Rail Output Op Amp	SOT-23-5	1.02	.85	.68
TLV2631IDBVR	296-11973-2-ND	Ausgangs-OpAmp, R/R, 9 MHz	9MHz Rail-to-Rail Output Op Amp	SOT-23-5		1320.70/3,000	
TLV2631IDR	296-11974-1-ND	Ausgangs-OpAmp, R/R, 9 MHz	9MHz Rail-to-Rail Output Op Amp	8-SOIC	1.02	.85	.68
TLV2631IDR	296-11974-2-ND	Ausgangs-OpAmp, R/R, 9 MHz	9MHz Rail-to-Rail Output Op Amp	8-SOIC		1100.58/2,500	
TLV2632IDGKR	296-13368-1-ND	Zweif. einzelversorgter Breitband-R/R-OpAmp, NL	Dual, Low Power, Wide Bandwidth, Single Supply R/R Op Amp	8-MSOP	1.90	1.53	1.15
TLV2632IDGKR	296-13368-2-ND	Zweif. einzelversorgter Breitband-R/R-OpAmp, NL	Dual, Low Power, Wide Bandwidth, Single Supply R/R Op Amp	8-MSOP		2438.21/2,500	
TLV2632IDR	296-11975-1-ND	Zweif. einzelversorgter Breitband-R/R-OpAmp, NL	Dual, Low Power, Wide Bandwidth, Single Supply R/R Op Amp	8-SOIC	1.90	1.53	1.15
TLV2632IDR	296-11975-2-ND	Zweif. einzelversorgter Breitband-R/R-OpAmp, NL	Dual, Low Power, Wide Bandwidth, Single Supply R/R Op Amp	8-SOIC		2438.21/2,500	
TLV2633IDGSR	296-13369-1-ND	Zweif. Breitband-Einzelversorgung, NL	Dual, LP, Wide Bandwidth, Single Supply	10-MSOP	1.90	1.53	1.19
TLV2633IDGSR	296-13369-2-ND	Zweif. Breitband-Einzelversorgung, NL	Dual, LP, Wide Bandwidth, Single Supply	10-MSOP		2666.79/2,500	
TLV2633IDR	296-11976-1-ND	Zweif. Breitband-Einzelversorgung, NL	Dual, LP, Wide Bandwidth, Single Supply	14-SOIC	1.90	1.53	1.19
TLV2633IDR	296-11976-2-ND	Zweif. Breitband-Einzelversorgung, NL	Dual, LP, Wide Bandwidth, Single Supply	14-SOIC		2666.79/2,500	
TLV2634IDR	296-11977-1-ND	Vierf. Ausgangs-Op-Amp, R/R, 9 MHz	Quad 9MHz R/R Output Op Amp	14-SOIC	2.36	1.89	1.47
TLV2634IDR	296-11977-2-ND	Vierf. Ausgangs-Op-Amp, R/R, 9 MHz	Quad 9MHz R/R Output Op Amp	14-SOIC		3305.97/2,500	
TLV2634IPWR	296-11978-1-ND	Vierf. Ausgangs-Op-Amp, R/R, 9 MHz	Quad 9MHz R/R Output Op Amp	14-TSSOP	2.36	1.89	1.47
TLV2634IPWR	296-11978-2-ND	Vierf. Ausgangs-Op-Amp, R/R, 9 MHz	Quad 9MHz R/R Output Op Amp	14-TSSOP		2676.95/2,000	
TLV2635IDR	296-11979-1-ND	Vierf. Ausgangs-OpAmp, R/R, 9 MHz, mit Abschaltfunktion	Quad 9MHz Rail-to-Rail Output Op Amp with Shutdown	16-SOIC	2.63	2.11	1.64
TLV2635IDR	296-11979-2-ND	Vierf. Ausgangs-OpAmp, R/R, 9 MHz, mit Abschaltfunktion	Quad 9MHz Rail-to-Rail Output Op Amp with Shutdown	16-SOIC		3680.59/2,500	
TLV2635IPWR	296-11980-1-ND	Vierf. Ausgangs-OpAmp, R/R, 9 MHz, mit Abschaltfunktion	Quad 9MHz Rail-to-Rail Output Op Amp with Shutdown	16-TSSOP	2.63	2.11	1.64
TLV2635IPWR	296-11980-2-ND	Vierf. Ausgangs-OpAmp, R/R, 9 MHz, mit Abschaltfunktion	Quad 9MHz Rail-to-Rail Output Op Amp with Shutdown	16-TSSOP		2980.03/2,000	
TLV2711CDBVR	296-10651-1-ND	R/R-OpAmp, NL	LP, Rail-to-Rail Op Amp	SOT-23-5	.94	.79	.63
TLV2711CDBVR	296-10651-2-ND	R/R-OpAmp, NL	LP, Rail-to-Rail Op Amp	SOT-23-5		1221.64/3,000	
TLV2711IDBVR	296-10652-1-ND	R/R-OpAmp, NL	LP, Rail-to-Rail Op Amp	SOT-23-5	.99	.83	.67
TLV2711IDBVR	296-10652-2-ND	R/R-OpAmp, NL	LP, Rail-to-Rail Op Amp	SOT-23-5		1287.68/3,000	
TLV2721CDBVR	296-10653-1-ND	R/R-OpAmp, NL	LP, Rail-to-Rail Op Amp	SOT-23-5	.94	.79	.63
TLV2721CDBVR	296-10653-2-ND	R/R-OpAmp, NL	LP, Rail-to-Rail Op Amp	SOT-23-5		1221.64/3,000	
TLV2721IDBVR	296-10654-1-ND	R/R-OpAmp, NL	LP, Rail-to-Rail Op Amp	SOT-23-5	.99	.83	.67
TLV2721IDBVR	296-10654-2-ND	R/R-OpAmp, NL	LP, Rail-to-Rail Op Amp	SOT-23-5		1287.68/3,000	
TLV2731CDBVR	296-10656-1-ND	R/R-OpAmp, NL	LP, Rail-to-Rail Op Amp	SOT-23-5	.94	.79	.63
TLV2731CDBVR	296-10656-2-ND	R/R-OpAmp, NL	LP, Rail-to-Rail Op Amp	SOT-23-5		1221.64/3,000	
TLV2731IDBVR	296-10657-1-ND	R/R-OpAmp, NL	LP, Rail-to-Rail Op Amp	SOT-23-5	.99	.83	.67
TLV2731IDBVR	296-10657-2-ND	R/R-OpAmp, NL	LP, Rail-to-Rail Op Amp	SOT-23-5		1287.68/3,000	
TLV2760ID	296-10658-5-ND	Micropower-R/R-OpAmp	Micropower R/R Op Amp	8-SOIC	1.42	1.14	.86
TLV2760IDBVT	296-10659-1-ND	Micropower-R/R-OpAmp	Micropower R/R Op Amp	SOT-23-6	1.42	1.14	.86
TLV2760IDBVT	296-10659-2-ND	Micropower-R/R-OpAmp	Micropower R/R Op Amp	SOT-23-6		198.53/250	
TLV2760IP	296-10660-5-ND	Micropower-R/R-OpAmp	Micropower R/R Op Amp	8-Dip	1.42	1.14	.86
TLV2761ID	296-10661-5-ND	Micropower-R/R-OpAmp	Micropower R/R Op Amp	8-SOIC	1.31	1.05	.79
TLV2761IDBVT	296-10662-1-ND	Micropower-R/R-OpAmp	Micropower R/R Op Amp	SOT-23-5	1.17	.94	.70
TLV2761IDBVT	296-10662-2-ND	Micropower-R/R-OpAmp	Micropower R/R Op Amp	SOT-23-5		183.71/250	
TLV2761IP	296-10663-5-ND	Einf. R/R-OpAmp, NL	Low Power, Single R/R Op Amp	8-Dip	1.31	1.05	.79
TLV2762IDGKR	296-10664-1-ND	Zweif. R/R-OpAmp, HS	HS, Dual Rail-to-Rail Op Amp	8-TSSOP	1.82	1.46	1.10
TLV2762IDGKR	296-10664-2-ND	Zweif. R/R-OpAmp, HS	HS, Dual Rail-to-Rail Op Amp	8-TSSOP		2330.27/2,500	
TLV2762IDR	296-10665-1-ND	Zweif. R/R-OpAmp, NL	Low Power, Dual R/R Op Amp	8-SOIC	1.82	1.46	1.10
TLV2762IDR	296-10665-2-ND	Zweif. R/R-OpAmp, NL	Low Power, Dual R/R Op Amp	8-SOIC		2330.27/2,500	
TLV2763CD	296-10666-5-ND	Zweif. R/R-OpAmp, NL	Low Power, Dual R/R Op Amp	14-SOIC	1.90	1.53	1.15
TLV2763CDR	296-10666-1-ND	Zweif. R/R-OpAmp, NL	Low Power, Dual R/R Op Amp	14-SOIC	1.90	1.53	1.15
TLV2763CDR	296-10666-2-ND	Zweif. R/R-OpAmp, NL	Low Power, Dual R/R Op Amp	14-SOIC		2438.21/2,500	
TLV2763IDGSR	296-10667-1-ND	Zweif. R/R-OpAmp, NL	Low Power, Dual R/R Op Amp	10-TSSOP	2.01	1.61	1.21
TLV2763IDGSR	296-10667-2-ND	Zweif. R/R-OpAmp, NL	Low Power, Dual R/R Op Amp	10-TSSOP		2573.66/2,500	
TLV2763IDR	296-10668-1-ND	Zweif. R/R-OpAmp, NL	Low Power, Dual R/R Op Amp	14-SOIC	2.01	1.61	1.21
TLV2763IDR	296-10668-2-ND	Zweif. R/R-OpAmp, NL	Low Power, Dual R/R Op Amp	14-SOIC		2573.66/2,500	
TLV2763IN	296-10669-5-ND	Zweif. R/R-OpAmp, NL	Low Power, Dual R/R Op Amp	14-Dip	2.01	1.61	1.21
TLV2764IDR	296-10670-1-ND	Einf. Micropower-R/R-OpAmp	Micropower Single R/R Op Amp	14-SOIC	2.07	1.67	1.30
TLV2764IDR	296-10670-2-ND	Einf. Micropower-R/R-OpAmp	Micropower Single R/R Op Amp	14-SOIC		2905.95/2,500	
TLV2764IN	296-14051-5-ND	Micropower-R/R-E/A-OpAmp, 1,8 V, mit Abschaltfunktion	1.8V Micropower R/R Input/Output Op Amp with Shutdown	14-Dip	2.07	1.67	1.30
TLV2764IPWR	296-10671-1-ND	Einf. Micropower-R/R-OpAmp	Micropower Single R/R Op Amp	14-TSSOP	2.07	1.67	1.30
TLV2764IPWR	296-10671-2-ND	Einf. Micropower-R/R-OpAmp	Micropower Single R/R Op Amp	14-TSSOP		2353.55/2,000	

(Forts.)

★ ***RUFEN SIE BITTE AN FÜR NIEDRIGERE PREISE BEI GRÖSSEREN MENGEN!*** ★

B

T. I. Teilenr.	Digi-Key Teilenr.	Beschreibung		Paket	Stückpreis ★ 1	25	100
TLV2765IDR	296-10672-1-ND	Einf. Micropower-R/R-OpAmp	Micropower Single R/R Op Amp	16-SOIC	2.27	1.82	1.42
TLV2765IDR	296-10672-2-ND	Einf. Micropower-R/R-OpAmp	Micropower Single R/R Op Amp	16-SOIC		3172.63/2,500	
TLV2765IPWR	296-10673-1-ND	Einf. Micropower-R/R-OpAmp	Micropower Single R/R Op Amp	16-TSSOP	2.27	1.82	1.42
TLV2765IPWR	296-10673-2-ND	Einf. Micropower-R/R-OpAmp	Micropower Single R/R Op Amp	16-TSSOP		2568.58/2,000	
TLV2770AIDR	296-7582-1-ND	Einf. R/R-OpAmp, 2,7 V, mit Abschaltfunktion	Single 2.7V R/R Op Amp w/Shutdown	8-SOIC	1.61	1.29	.97
TLV2770AIDR	296-7582-2-ND	Einf. R/R-OpAmp, 2,7 V, mit Abschaltfunktion	Single 2.7V R/R Op Amp w/Shutdown	8-SOIC		2059.35/2,500	
TLV2770AIP	296-7583-5-ND	Einf. R/R-OpAmp, 2,7 V, mit Abschaltfunktion	Single 2.7V R/R Op Amp w/Shutdown	8-Dip	1.61	1.29	.97
TLV2770CD	296-1896-5-ND	Einf. R/R-OpAmp, 2,7 V, mit Abschaltfunktion	Single 2.7V R/R Op Amp w/Shutdown	8-SOIC	1.42	1.14	.86
TLV2770CDR	296-1896-1-ND	Einf. R/R-OpAmp, 2,7 V, mit Abschaltfunktion	Single 2.7V R/R Op Amp w/Shutdown	8-SOIC	1.42	1.14	.86
TLV2770CDR	296-1896-2-ND	Einf. R/R-OpAmp, 2,7 V, mit Abschaltfunktion	Single 2.7V R/R Op Amp w/Shutdown	8-SOIC		1815.96/2,500	
TLV2770CDGKR	296-7584-1-ND	Einf. R/R-OpAmp, 2,7 V, mit Abschaltfunktion	Single 2.7V R/R Op Amp w/SD	8-MSOP	1.42	1.14	.86
TLV2770CDGKR	296-7584-2-ND	Einf. R/R-OpAmp, 2,7 V, mit Abschaltfunktion	Single 2.7V R/R Op Amp w/SD	8-MSOP		1815.96/2,500	
TLV2770CP	296-1897-5-ND	R/R-OpAmp	Rail-to-Rail Op Amp	8-Dip	1.42	1.14	.86
TLV2770ID	296-1898-5-ND	Einf. R/R E/A-OpAmp, 2,7 V, mit Abschaltfunktion	Single 2.7V R/R I/O Op Amp w/SD	8-SOIC	1.51	1.21	.91
TLV2770IDR	296-1898-1-ND	Einf. R/R E/A-OpAmp, 2,7 V, mit Abschaltfunktion	Single 2.7V R/R I/O Op Amp w/SD	8-SOIC	1.51	1.21	.91
TLV2770IDR	296-1898-2-ND	Einf. R/R E/A-OpAmp, 2,7 V, mit Abschaltfunktion	Single 2.7V R/R I/O Op Amp w/SD	8-SOIC		1923.90/2,500	
TLV2770IDGKR	296-7585-1-ND	Einf. R/R-OpAmp, 2,7 V, mit Abschaltfunktion	Single 2.7V R/R Op Amp w/SD	8-MSOP	1.51	1.21	.91
TLV2770IDGKR	296-7585-2-ND	Einf. R/R-OpAmp, 2,7 V, mit Abschaltfunktion	Single 2.7V R/R Op Amp w/SD	8-MSOP		1923.90/2,500	
TLV2770IP	296-1899-5-ND	R/R-OpAmp	Rail-to-Rail Op Amp	8-Dip	1.51	1.21	.91
TLV2771AIDR	296-7586-1-ND	Einf. R/R-OpAmp, 2,7 V	Single 2.7V Rail-to-Rail Op Amp	8-SOIC	1.42	1.14	.86
TLV2771AIDR	296-7586-2-ND	Einf. R/R-OpAmp, 2,7 V	Single 2.7V Rail-to-Rail Op Amp	8-SOIC		1815.96/2,500	
TLV2771CD	296-1900-5-ND	Einf. R/R-OpAmp, 2,7 V	Single 2.7V Rail-to-Rail Op Amp	8-SOIC	1.31	1.05	.79
TLV2771CDR	296-1900-1-ND	Einf. R/R-OpAmp, 2,7 V	Single 2.7V Rail-to-Rail Op Amp	8-SOIC	1.31	1.05	.79
TLV2771CDR	296-1900-2-ND	Einf. R/R-OpAmp, 2,7 V	Single 2.7V Rail-to-Rail Op Amp	8-SOIC		1680.50/2,500	
TLV2771CDBVR	296-1346-1-ND	R/R-OpAmp	Rail-to-Rail Op Amp	SOT-23-5	1.31	1.05	.79
TLV2771CDBVR	296-1346-2-ND	R/R-OpAmp	Rail-to-Rail Op Amp	SOT-23-5		2016.60/3,000	
TLV2771IDBVR	296-1347-1-ND	R/R-OpAmp	Rail-to-Rail Op Amp	SOT-23-5	1.42	1.14	.86
TLV2771IDBVR	296-1347-2-ND	R/R-OpAmp	Rail-to-Rail Op Amp	SOT-23-5		2179.15/3,000	
TLV2771ID	296-10674-5-ND	Einf. R/R-OpAmp, HS	HS, Single Rail-to-Rail Op Amp	8-SOIC	1.42	1.14	.86
TLV2771IDR	296-10674-1-ND	Einf. R/R-OpAmp, HS	HS, Single Rail-to-Rail Op Amp	8-SOIC	1.42	1.14	.86
TLV2771IDR	296-10674-2-ND	Einf. R/R-OpAmp, HS	HS, Single Rail-to-Rail Op Amp	8-SOIC		1815.96/2,500	
TLV2772AIDR	296-7587-1-ND	Zweif. R/R-OpAmp, 2,7 V	Dual 2.7V Rail-to-Rail Op Amp	8-SOIC	1.99	1.60	1.20
TLV2772AIDR	296-7587-2-ND	Zweif. R/R-OpAmp, 2,7 V	Dual 2.7V Rail-to-Rail Op Amp	8-SOIC		2546.15/2,500	
TLV2772AIP	296-7588-5-ND	Zweif. R/R-OpAmp, 2,7 V	Dual 2.7V Rail-to-Rail Op Amp	8-Dip	1.99	1.60	1.20
TLV2772AMD	296-7589-5-ND	Zweif. R/R-OpAmp, 2,7 V	Dual 2.7V Rail-to-Rail Op Amp	8-SOIC	2.18	1.74	1.36
TLV2772AQD	296-10675-5-ND	Zweif. R/R-OpAmp, 2,7 V	Dual 2.7V Rail-to-Rail Op Amp	8-SOIC	1.90	1.53	1.19
TLV2772AQPW	296-10676-5-ND	Zweif. R/R-OpAmp, 2,7 V	Dual 2.7V Rail-to-Rail Op Amp	8-TSSOP	1.90	1.53	1.19
TLV2772CD	296-10677-5-ND	Zweif. R/R-OpAmp, 2,7 V	Dual 2.7V Rail-to-Rail Op Amp	8-SOIC	1.82	1.46	1.10
TLV2772CDR	296-10677-2-ND	Zweif. R/R-OpAmp, 2,7 V	Dual 2.7V Rail-to-Rail Op Amp	8-SOIC		2330.27/2,500	
TLV2772CDGK	296-7591-5-ND	Zweif. R/R-OpAmp, 2,7 V	Dual 2.7V Rail-to-Rail Op Amp	8-MSOP	1.82	1.46	1.10
TLV2772CP	296-7592-5-ND	Zweif. R/R-OpAmp, 2,7 V	Dual 2.7V Rail-to-Rail Op Amp	8-Dip	1.82	1.46	1.10
TLV2772ID	296-1902-5-ND	Zweif. R/R-OpAmp	Dual Rail-to-Rail Op Amp	8-SOIC	1.90	1.53	1.15
TLV2772IDR	296-1902-1-ND	Zweif. R/R-OpAmp	Dual Rail-to-Rail Op Amp	8-SOIC	1.90	1.53	1.15
TLV2772IDR	296-1902-2-ND	Zweif. R/R-OpAmp, 2,7 V	Dual 2.7V Rail-to-Rail Op Amp	8-SOIC		2438.21/2,500	
TLV2772IDGKR	296-7593-1-ND	Zweif. R/R-OpAmp, 2,7 V	Dual 2.7V Rail-to-Rail Op Amp	8-MSOP	1.90	1.53	1.15
TLV2772IDGKR	296-7593-2-ND	Zweif. R/R-OpAmp, 2,7 V	Dual 2.7V Rail-to-Rail Op Amp	8-MSOP		2438.21/2,500	
TLV2772IP	296-1903-5-ND	Zweif. R/R-OpAmp, 2,7 V	Dual 2.7V Rail-to-Rail Op Amp	8-Dip	1.90	1.53	1.15
TLV2772MD	296-7594-5-ND	Zweif. R/R-OpAmp, 2,7 V	Dual 2.7V Rail-to-Rail Op Amp	8-SOIC	2.07	1.67	1.30
TLV2772QD	296-10678-5-ND	Zweif. R/R-OpAmp, 2,7 V	Dual 2.7V Rail-to-Rail Op Amp	8-SOIC	1.99	1.60	1.20
TLV2772QPW	296-10679-5-ND	Zweif. R/R-OpAmp, 2,7 V	Dual 2.7V Rail-to-Rail Op Amp	8-TSSOP	1.99	1.60	1.20
TLV2773AIDR	296-7595-1-ND	Zweif. R/R-OpAmp, 2,7 V, mit Abschaltfunktion	Dual 2.7V R/R Op Amp w/Shutdown	14-SOIC	2.00	1.60	1.25
TLV2773AIDR	296-7595-2-ND	Zweif. R/R-OpAmp, 2,7 V, mit Abschaltfunktion	Dual 2.7V R/R Op Amp w/Shutdown	14-SOIC		2800.13/2,500	
TLV2773AIN	296-7596-5-ND	Zweif. R/R-OpAmp, 2,7 V, mit Abschaltfunktion	Dual 2.7V R/R Op Amp w/Shutdown	14-Dip	2.00	1.60	1.25
TLV2773CD	296-2444-5-ND	Zweif. R/R-OpAmp	Dual Rail-to-Rail Op Amp	14-SOIC	1.99	1.60	1.20
TLV2773CDR	296-2444-1-ND	Zweif. R/R-OpAmp, 2,7 V, mit Abschaltfunktion	Dual 2.7V R/R Op Amp w/Shutdown	14-SOIC	1.99	1.60	1.20
TLV2773CDR	296-2444-2-ND	Zweif. R/R-OpAmp, 2,7 V, mit Abschaltfunktion	Dual 2.7V R/R Op Amp w/Shutdown	14-SOIC		2546.15/2,500	
TLV2773CDGS	296-7597-5-ND	Zweif. R/R-OpAmp, 2,7 V, mit Abschaltfunktion	Dual 2.7V R/R Op Amp w/Shutdown	10-MSOP	1.99	1.60	1.20
TLV2773IDGSR	296-7599-1-ND	Zweif. R/R-OpAmp, 2,7 V, mit Abschaltfunktion	Dual 2.7V R/R Op Amp w/Shutdown	10-MSOP	1.90	1.53	1.19
TLV2773IDGSR	296-7599-2-ND	Zweif. R/R-OpAmp, 2,7 V, mit Abschaltfunktion	Dual 2.7V R/R Op Amp w/Shutdown	10-MSOP		2666.79/2,500	
TLV2773IDR	296-7600-1-ND	Zweif. R/R-OpAmp, 2,7 V, mit Abschaltfunktion	Dual 2.7V R/R Op Amp w/Shutdown	14-SOIC	1.90	1.53	1.19
TLV2773IDR	296-7600-2-ND	Zweif. R/R-OpAmp, 2,7 V, mit Abschaltfunktion	Dual 2.7V R/R Op Amp w/Shutdown	14-SOIC		2666.79/2,500	
TLV2773IN	296-7601-5-ND	Zweif. R/R-OpAmp, 2,7 V, mit Abschaltfunktion	Dual 2.7V R/R Op Amp w/Shutdown	14-Dip	1.90	1.53	1.19
TLV2774AIDR	296-7602-1-ND	Vierf. R/R-OpAmp, 2,7 V	Quad 2.7V Rail-to-Rail Op Amp	14-SOIC	2.36	1.89	1.47
TLV2774AIDR	296-7602-2-ND	Vierf. R/R-OpAmp, 2,7 V	Quad 2.7V Rail-to-Rail Op Amp	14-SOIC		3305.97/2,500	
TLV2774AIN	296-7603-5-ND	Vierf. R/R-OpAmp, 2,7 V	Quad 2.7V Rail-to-Rail Op Amp	14-Dip	2.36	1.89	1.47
TLV2774CD	296-1904-5-ND	Vierf. R/R-OpAmp, 2,7 V	Quad 2.7V Rail-to-Rail Op Amp	14-SOIC	2.18	1.74	1.36
TLV2774CDR	296-1904-1-ND	Vierf. R/R-OpAmp, 2,7 V	Quad 2.7V Rail-to-Rail Op Amp	14-SOIC	2.18	1.74	1.36
TLV2774CDR	296-1904-2-ND	Vierf. R/R-OpAmp, 2,7 V	Quad 2.7V Rail-to-Rail Op Amp	14-SOIC		3039.29/2,500	
TLV2774CN	296-1905-5-ND	Vierf. R/R-OpAmp, 2,7 V	Quad 2.7V Rail-to-Rail Op Amp	14-Dip	2.18	1.74	1.36
TLV2774CPWR	296-7604-1-ND	Vierf. R/R-OpAmp, 2,7 V	Quad 2.7V Rail-to-Rail Op Amp	14-TSSOP	2.18	1.74	1.36
TLV2774CPWR	296-7604-2-ND	Vierf. R/R-OpAmp, 2,7 V	Quad 2.7V Rail-to-Rail Op Amp	14-TSSOP		2461.91/2,000	
TLV2774ID	296-1906-5-ND	Vierf. R/R-OpAmp, 2,7 V	Quad 2.7V Rail-to-Rail Op Amp	14-SOIC	2.27	1.82	1.42
TLV2774IN	296-1907-5-ND	Vierf. R/R-OpAmp, 2,7 V	Quad 2.7V Rail-to-Rail Op Amp	14-Dip	2.27	1.82	1.42
TLV2775AIDR	296-7605-1-ND	Vierf. R/R-OpAmp, 2,7 V, mit Abschaltfunktion	Quad 2.7V R/R Op Amp w/SD	16-SOIC	2.63	2.11	1.64
TLV2775AIDR	296-7605-2-ND	Vierf. R/R-OpAmp, 2,7 V, mit Abschaltfunktion	Quad 2.7V R/R Op Amp w/SD	16-SOIC		3680.59/2,500	
TLV2775AIN	296-7606-5-ND	Vierf. R/R-OpAmp, 2,7 V, mit Abschaltfunktion	Quad 2.7V R/R Op Amp w/SD	16-Dip	2.63	2.11	1.64
TLV2775AIPW	296-10680-5-ND	Vierf. R/R-OpAmp, 2,7 V, mit Abschaltfunktion	Quad 2.7V R/R Op Amp w/SD	16-TSSOP	2.63	2.11	1.64
TLV2775CD	296-1908-5-ND	Vierf. R/R-OpAmp, 2,7 V, mit Abschaltfunktion	Quad 2.7V R/R Op Amp w/SD	16-SOIC	2.36	1.89	1.47
TLV2775CDR	296-1908-1-ND	Vierf. R/R-OpAmp, 2,7 V, mit Abschaltfunktion	Quad 2.7V R/R Op Amp w/SD	16-SOIC	2.36	1.89	1.47
TLV2775CDR	296-1908-2-ND	Vierf. R/R-OpAmp, 2,7 V, mit Abschaltfunktion	Quad 2.7V R/R Op Amp w/SD	16-SOIC		3305.97/2,500	
TLV2775CN	296-1909-5-ND	Vierf. R/R-OpAmp, 2,7 V, mit Abschaltfunktion	Quad 2.7V R/R Op Amp w/SD	16-Dip	2.36	1.89	1.47
TLV2775ID	296-1910-5-ND	Vierf. R/R-OpAmp, 2,7 V, mit Abschaltfunktion	Quad 2.7V R/R Op Amp w/SD	16-SOIC	2.53	2.03	1.58
TLV2775IDR	296-10681-1-ND	Vierf. R/R-OpAmp, 2,7 V, mit Abschaltfunktion	Quad 2.7V R/R Op Amp w/SD	16-SOIC	2.53	2.03	1.58
TLV2775IDR	296-10681-2-ND	Vierf. R/R-OpAmp, 2,7 V, mit Abschaltfunktion	Quad 2.7V R/R Op Amp w/SD	16-SOIC		3547.25/2,500	
TLV2775IN	296-7607-5-ND	Vierf. R/R-OpAmp, 2,7 V, mit Abschaltfunktion	Quad 2.7V R/R Op Amp w/SD	14-Dip	2.53	2.03	1.58
TLV2780IDBVR	296-7608-1-ND	R/R-OpAmp, 8 MHz, 1,8 V, mit Abschaltfunktion	8MHz, 1.8V R/R Op Amp w/SD	SOT-23-6	1.51	1.21	.91
TLV2780IDBVR	296-7608-2-ND	R/R-OpAmp, 8 MHz, 1,8 V, mit Abschaltfunktion	8MHz, 1.8V R/R Op Amp w/SD	SOT-23-6		2308.68/3,000	
TLV2780IDR	296-7609-1-ND	R/R E/A-OpAmp, 8 MHz, 1,8 V, mit Abschaltfunktion	8MHz, 1.8V R/R I/O Op Amp w/SD	8-SOIC	1.51	1.21	.91
TLV2780IDR	296-7609-2-ND	R/R E/A-OpAmp, 8 MHz, 1,8 V, mit Abschaltfunktion	8MHz, 1.8V R/R I/O Op Amp w/SD	8-SOIC		1923.90/2,500	
TLV2781IDBVR	296-7610-1-ND	R/R E/A-OpAmp, 8 MHz, 1,8 V	8MHz, 1.8V R/R I/O Op Amp	SOT-23-5	1.31	1.05	.79
TLV2781IDBVR	296-7610-2-ND	R/R E/A-OpAmp, 8 MHz, 1,8 V	8MHz, 1.8V R/R I/O Op Amp	SOT-23-5		2016.60/3,000	
TLV2781IDR	296-7611-1-ND	R/R E/A-OpAmp, 8 MHz, 1,8 V	8MHz, 1.8V R/R I/O Op Amp	8-SOIC	1.31	1.05	.79
TLV2781IDR	296-7611-2-ND	R/R E/A-OpAmp, 8 MHz, 1,8 V	8MHz, 1.8V R/R I/O Op Amp	8-SOIC		1680.50/2,500	
TLV2782AID	296-7612-5-ND	Zweif. R/R E/A-OpAmp, 8 MHz, 1,8 V	Dual 8MHz, 1.8V R/R I/O Op Amp	8-SOIC	2.01	1.61	1.21
TLV2782CD	296-2445-5-ND	Zweif. R/R-OpAmp, Niederspann.	Low Voltage, Dual, R/R Op Amp	8-SOIC	1.82	1.46	1.10
TLV2782CDR	296-2445-1-ND	Zweif. R/R E/A-OpAmp, 8 MHz, 1,8 V	Dual 8MHz, 1.8V R/R I/O Op Amp	8-SOIC	1.82	1.46	1.10
TLV2782CDR	296-2445-2-ND	Zweif. R/R E/A-OpAmp, 8 MHz, 1,8 V	Dual 8MHz, 1.8V R/R I/O Op Amp	8-SOIC		2330.27/2,500	
TLV2782CDGKR	296-7613-1-ND	Zweif. R/R E/A-OpAmp, 8 MHz, 1,8 V	Dual 8MHz, 1.8V R/R I/O Op Amp	8-MSOP	1.82	1.46	1.10
TLV2782CDGKR	296-7613-2-ND	Zweif. R/R E/A-OpAmp, 8 MHz, 1,8 V	Dual 8MHz, 1.8V R/R I/O Op Amp	8-MSOP		2330.27/2,500	
TLV2782ID	296-11652-5-ND	Zweif. R/R E/A-OpAmp, 8 MHz, 1,8 V	Dual 8MHz, 1.8V R/R I/O Op Amp	8-SOIC	1.90	1.53	1.15

(Forts.)

★ RUFEN SIE BITTE AN FÜR NIEDRIGERE PREISE BEI GRÖSSEREN MENGEN! ★

T. I. Teilenr.	Digi-Key Teilenr.	Beschreibung		Paket	Stückpreis ★ 1	25	100
TLV2782IDGKR	296-7615-1-ND	Zweif. R/R E/A-OpAmp, 8 MHz, 1,8 V	Dual 8MHz, 1.8V R/R I/O Op Amp	8-MSOP	1.90	1.53	1.15
TLV2782IDGKR	296-7615-2-ND	Zweif. R/R E/A-OpAmp, 8 MHz, 1,8 V	Dual 8MHz, 1.8V R/R I/O Op Amp	8-MSOP		2438.21/2,500	
TLV2782IP	296-7616-5-ND	Zweif. R/R E/A-OpAmp, 8 MHz, 1,8 V	Dual 8MHz, 1.8V R/R I/O Op Amp	8-Dip	1.90	1.53	1.15
TLV2783AID	296-13372-5-ND	R/R E/A-OpAmp, HS, 1,8 V, 8 MHz, mit Abschaltfunktion	1.8V, 8MHz, High Speed R/R, I/O Op Amp with Shutdown	14-SOIC	2.00	1.60	1.25
TLV2783CD	296-10684-5-ND	R/R E/A-OpAmp, HS, 1,8 V, 8 MHz, mit Abschaltfunktion	1.8V, 8MHz, High Speed R/R, I/O Op Amp with Shutdown	14-SOIC	2.01	1.61	1.21
TLV2783CDR	296-10684-1-ND	R/R E/A-OpAmp, HS, 1,8 V, 8 MHz, mit Abschaltfunktion	1.8V, 8MHz, High Speed R/R, I/O Op Amp with Shutdown	14-SOIC	2.01	1.61	1.21
TLV2783CDR	296-10684-2-ND	R/R E/A-OpAmp, HS, 1,8 V, 8 MHz, mit Abschaltfunktion	1.8V, 8MHz, High Speed R/R, I/O Op Amp with Shutdown	14-SOIC		2573.66/2,500	
TLV2783CDGSR	296-10683-1-ND	R/R E/A-OpAmp, HS, 1,8 V, 8 MHz, mit Abschaltfunktion	1.8V, 8MHz, High Speed R/R, I/O Op Amp with Shutdown	10-MSOP	2.01	1.61	1.21
TLV2783CDGSR	296-10683-2-ND	R/R E/A-OpAmp, HS, 1,8 V, 8 MHz, mit Abschaltfunktion	1.8V, 8MHz, High Speed R/R, I/O Op Amp with Shutdown	10-MSOP		2573.66/2,500	
TLV2783ID	296-2446-5-ND	R/R E/A-OpAmp, HS, 1,8 V, 8 MHz, mit Abschaltfunktion	1.8V, 8MHz, High Speed R/R, I/O Op Amp with Shutdown	14-SOIC	1.90	1.53	1.19
TLV2783IDGSR	296-10685-1-ND	R/R E/A-OpAmp, HS, 1,8 V, 8 MHz, mit Abschaltfunktion	1.8V, 8MHz, High Speed R/R, I/O Op Amp with Shutdown	10-MSOP	1.90	1.53	1.19
TLV2783IDGSR	296-10685-2-ND	R/R E/A-OpAmp, HS, 1,8 V, 8 MHz, mit Abschaltfunktion	1.8V, 8MHz, High Speed R/R, I/O Op Amp with Shutdown	10-MSOP		2666.79/2,500	
TLV2783IN	296-10686-5-ND	R/R E/A-OpAmp, HS, 1,8 V, 8 MHz, mit Abschaltfunktion	1.8V, 8MHz, High Speed R/R, I/O Op Amp with Shutdown	14-Dip	1.90	1.53	1.19
TLV2784AID	296-10687-5-ND	R/R E/A-OpAmp, HS, 1,8 V, 8 MHz, mit Abschaltfunktion	1.8V, 8MHz, High Speed R/R, I/O Op Amp with Shutdown	14-SOIC	2.36	1.89	1.47
TLV2784CPWR	296-13373-1-ND	R/R E/A-OpAmp, HS, 1,8 V, 8 MHz, mit Abschaltfunktion	1.8V, 8MHz, High Speed R/R, I/O Op Amp with Shutdown	14-TSSOP	2.18	1.74	1.36
TLV2784CPWR	296-13373-2-ND	R/R E/A-OpAmp, HS, 1,8 V, 8 MHz, mit Abschaltfunktion	1.8V, 8MHz, High Speed R/R, I/O Op Amp with Shutdown	14-TSSOP		2461.91/2,000	
TLV2784IDR	296-10688-1-ND	R/R E/A-OpAmp, HS, 1,8 V, 8 MHz, mit Abschaltfunktion	1.8V, 8MHz, High Speed R/R, I/O Op Amp with Shutdown	14-SOIC	2.27	1.82	1.42
TLV2784IDR	296-10688-2-ND	R/R E/A-OpAmp, HS, 1,8 V, 8 MHz, mit Abschaltfunktion	1.8V, 8MHz, High Speed R/R, I/O Op Amp with Shutdown	14-SOIC		3172.63/2,500	
TLV2784IPW	296-10689-5-ND	R/R E/A-OpAmp, HS, 1,8 V, 8 MHz, mit Abschaltfunktion	1.8V, 8MHz, High Speed R/R, I/O Op Amp with Shutdown	14-TSSOP	2.27	1.82	1.42
TLV2785AID	296-10690-5-ND	Vierf. R/R-OpAmp, 1,8 V/8 MHz	Quad, 1.8V/8MHz, R/R Op Amp	16-SOIC	2.53	2.03	1.58
TLV2785CPWR	296-10691-1-ND	Vierf. R/R-OpAmp, 1,8 V/8 MHz	Quad, 1.8V/8MHz, R/R Op Amp	16-TSSOP	2.36	1.89	1.47
TLV2785CPWR	296-10691-2-ND	Vierf. R/R-OpAmp, 1,8 V/8 MHz	Quad, 1.8V/8MHz, R/R Op Amp	16-TSSOP		2676.95/2,000	
TLV2785IDR	296-10692-1-ND	Vierf. R/R-OpAmp, 1,8 V/8 MHz	Quad, 1.8V/8MHz, R/R Op Amp	16-SOIC	2.44	1.96	1.52
TLV2785IDR	296-10692-2-ND	Vierf. R/R-OpAmp, 1,8 V/8 MHz	Quad, 1.8V/8MHz, R/R Op Amp	16-SOIC		3413.91/2,500	
TLV3404IDR	296-10710-1-ND	Vierf R/R-OpAmp, NL	LP, Quad Rail-to-Rail Op Amp	14-SOIC	2.19	1.76	1.37
TLV3404IDR	296-10710-2-ND	Vierf R/R-OpAmp, NL	LP, Quad Rail-to-Rail Op Amp	14-SOIC		3066.81/2,500	
TLV3404IPWR	296-10711-1-ND	Vierf R/R-OpAmp, NL	LP, Quad Rail-to-Rail Op Amp	14-TSSOP	2.19	1.76	1.37
TLV3404IPWR	296-10711-2-ND	Vierf R/R-OpAmp, NL	LP, Quad Rail-to-Rail Op Amp	14-TSSOP		2482.23/2,000	
TLV3491AID	296-14052-5-ND	Einf. Push-Pull Ausgangskomparator, Nanopower	Single Nanopower Push-Pull Output Comparator	8-SOIC	1.02	.85	.68
TLV3491AIDBVT	296-14053-1-ND	Einf. Push-Pull Ausgangskomparator, Nanopower	Single Nanopower Push-Pull Output Comparator	SOT-23-5	1.02	.85	.68
TLV3491AIDBVT	296-14053-2-ND	Einf. Push-Pull Ausgangskomparator, Nanopower	Single Nanopower Push-Pull Output Comparator	SOT-23-5		126.99/250	
TLV3492AID	296-14054-5-ND	Zweif. Push-Pull Ausgangskomparator, Nanopower	Dual Nanopower Push-Pull Output Comparator	8-SOIC	1.31	1.05	.79
TLV3492AIDCNT	296-14055-1-ND	Zweif. Push-Pull Ausgangskomparator, Nanopower	Dual Nanopower Push-Pull Output Comparator	SOT-23-8	1.31	1.05	.79
TLV3492AIDCNT	296-14055-2-ND	Zweif. Push-Pull Ausgangskomparator, Nanopower	Dual Nanopower Push-Pull Output Comparator	SOT-23-8		183.71/250	
TLV3494AID	296-14056-5-ND	Vierf. Push-Pull Ausgangskomparator, Nanopower	Quad Nanopower Push-Pull Output Comparator	14-SOIC	1.90	1.53	1.15
TLV3494AIPWT	296-14057-1-ND	Vierf. Push-Pull Ausgangskomparator, Nanopower	Quad Nanopower Push-Pull Output Comparator	14-TSSOP	1.90	1.53	1.15
TLV3494AIPWT	296-14057-2-ND	Vierf. Push-Pull Ausgangskomparator, Nanopower	Quad Nanopower Push-Pull Output Comparator	14-TSSOP		266.68/250	
TLV4110IDGNR	296-10713-1-ND	Einf. R/R-OpAmp mit hohem Ausgang/Niederspann. und mit Abschaltfunktion	High Out/Low Volt Single Rail-to-Rail Op Amp with Shutdown	8-MSOP	1.61	1.29	.97
TLV4110IDGNR	296-10713-2-ND	Einf. R/R-OpAmp mit hohem Ausgang/Niederspann. und mit Abschaltfunktion	High Out/Low Volt Single Rail-to-Rail Op Amp with Shutdown	8-MSOP		2059.35/2,500	
TLV4110IDR	296-12301-1-ND	Einf. R/R-OpAmp mit hohem Ausgang/Niederspann. und mit Abschaltfunktion	High Out/Low Volt Single Rail-to-Rail Op Amp with Shutdown	8-SOIC	1.61	1.29	.97
TLV4110IDR	296-12301-2-ND	Einf. R/R-OpAmp mit hohem Ausgang/Niederspann. und mit Abschaltfunktion	High Out/Low Volt Single Rail-to-Rail Op Amp with Shutdown	8-SOIC		2059.35/2,500	
TLV4110IP	296-15719-5-ND	Einf. R/R-OpAmp mit hohem Ausgang/Niederspann. und mit Abschaltfunktion	High Out/Low Volt Single Rail-to-Rail Op Amp with Shutdown	8-Dip	1.61	1.29	.97
TLV4111IDGNR	296-10714-1-ND	Einf. R/R-OpAmp mit hohem Ausgang/Niederspann.	High Out/Low Volt Single Rail-to-Rail Op Amp	8-MSOP	1.51	1.21	.91
TLV4111IDGNR	296-10714-2-ND	Einf. R/R-OpAmp mit hohem Ausgang/Niederspann.	High Out/Low Volt Single Rail-to-Rail Op Amp	8-MSOP		1923.90/2,500	
TLV4111IDR	296-10715-1-ND	Einf. R/R-OpAmp mit hohem Ausgang/Niederspann.	High Out/Low Volt Single Rail-to-Rail Op Amp	8-SOIC	1.51	1.21	.91
TLV4111IDR	296-10715-2-ND	Einf. R/R-OpAmp mit hohem Ausgang/Niederspann.	High Out/Low Volt Single Rail-to-Rail Op Amp	8-SOIC		1923.90/2,500	
TLV4112CD	296-2447-5-ND	Zweif. High-Drive OpAmp	Dual High-Drive Op Amplifier	8-SOIC	1.82	1.46	1.10
TLV4112CP	296-10716-5-ND	Zweif. High-Out-Drive R/R-OpAmp	High-Out-Drive Dual R/R Op Amp	8-Dip	1.82	1.46	1.10
TLV4112ID	296-10717-5-ND	Zweif. High-Out-Drive R/R-OpAmp	High-Out-Drive Dual R/R Op Amp	8-SOIC	1.90	1.53	1.15
TLV4112IDGNR	296-10718-1-ND	Zweif. High-Out-Drive R/R-OpAmp	High-Out-Drive Dual R/R Op Amp	8-MSOP	1.90	1.53	1.15
TLV4112IDGNR	296-10718-2-ND	Zweif. High-Out-Drive R/R-OpAmp	High-Out-Drive Dual R/R Op Amp	8-MSOP		2438.21/2,500	
TLV4112IP	296-10719-5-ND	Zweif. High-Out-Drive R/R-OpAmp	High-Out-Drive Dual R/R Op Amp	8-Dip	1.90	1.53	1.15
TLV4113ID	296-10720-5-ND	Zweif. High-Out-Drive R/R-OpAmp mit Abschaltfunktion	High-Out-Drive Dual Rail-to-Rail Op Amp with Shutdown	14-SOIC	2.01	1.61	1.21
TLV4113IDGQR	296-10721-1-ND	Zweif. High-Out-Drive R/R-OpAmp mit Abschaltfunktion	High-Out-Drive Dual Rail-to-Rail Op Amp with Shutdown	10-HTSSOP	2.01	1.61	1.21
TLV4113IDGQR	296-10721-2-ND	Zweif. High-Out-Drive R/R-OpAmp mit Abschaltfunktion	High-Out-Drive Dual Rail-to-Rail Op Amp with Shutdown	10-HTSSOP		2573.66/2,500	
TLV4113IN	296-15720-5-ND	Zweif. High-Out-Drive R/R-OpAmp mit Abschaltfunktion	High-Out-Drive Dual Rail-to-Rail Op Amp with Shutdown	14-Dip	2.01	1.61	1.21
TLV4120IDGNR	296-10722-1-ND	High-Out-Drive-Signal R/R-OpAmp mit Abschaltfunktion	High-Out-Drive Signal Rail-to-Rail Op Amp with Shutdown	8-MSOP	2.36	1.89	1.47
TLV4120IDGNR	296-10722-2-ND	High-Out-Drive-Signal R/R-OpAmp mit Abschaltfunktion	High-Out-Drive Signal Rail-to-Rail Op Amp with Shutdown	8-MSOP		3305.97/2,500	
TPA005D12DCA	296-2448-5-ND	2 W Stereo-Leistungsverst.	2W Stereo Power Amp	48-TSSOP	8.13	6.51	5.49
TPA005D14DCA	296-2449-5-ND	2 W Stereo-Leistungsverstärker, Upgrade für TPA005D04DCA	2W Stereo Power Amp, Upgrade for TPA005D04DCA	48-TSSOP	7.54	6.80	6.03
TPA032D01DCA	296-2461-5-ND	10 W Monaural-Leistungsverst.	10W Monaural Power Amp	48-HTSSOP	8.89	8.01	7.10
TPA032D02DCA	296-2462-5-ND	10 W Stereo-Audio-Leistungsverst., Klasse D	10W Class-D Stereo Audio Power Amp	48-TSSOP	10.23	9.21	8.17
TPA032D02DCAR	296-2462-1-ND	10 W Stereo-Audio-Leistungsverst., Klasse D	10W Class-D Stereo Audio Power Amp	48-TSSOP	10.23	9.21	8.17
TPA032D02DCAR	296-2462-2-ND	10 W Stereo-Audio-Leistungsverst., Klasse D	10W Class-D Stereo Audio Power Amp	48-TSSOP		15160.91/2,000	
TPA032D03DCA	296-2463-5-ND	10 W Monaural-Leistungsverst.	10W Monaural Power Amp	48-HTSSOP	9.74	8.77	7.77
TPA032D04DCA	296-2464-5-ND	10 W Stereo-Leistungsverstärker	10W Stereo Power Amplifier	48-HTSSOP	10.72	9.66	8.56
TPA102DGN	296-1941-5-ND	150 mW Stereo-Audio-Leistungsverst.	150mW Stereo Audio Power Amp	8-MSOP	1.17	.98	.78
TPA102DGNR	296-1941-1-ND	150 mW Stereo-Audio-Leistungsverst.	150mW Stereo Audio Power Amp	8-MSOP	1.17	.98	.78
TPA102DGNR	296-1941-2-ND	150 mW Stereo-Audio-Leistungsverst.	150mW Stereo Audio Power Amp	8-MSOP		1265.67/2,500	
TPA112D	296-2465-5-ND	150 mW Stereo-Audio-Leistungsverst.	150mW Stereo Audio Power Amp	8-SOIC	.84	.70	.56
TPA112DR	296-2465-1-ND	150 mW Stereo-Audio-Leistungsverst.	150mW Stereo Audio Power Amp	8-SOIC	.84	.70	.56
TPA112DR	296-2465-2-ND	150 mW Stereo-Audio-Leistungsverst.	150mW Stereo Audio Power Amp	8-SOIC		907.98/2,500	
TPA112DGN	296-1942-5-ND	150 mW Stereo-Audio-Leistungsverst.	150mW Stereo Audio Power Amp	8-MSOP	1.09	.92	.73
TPA112DGNR	296-1942-1-ND	150 mW Stereo-Audio-Leistungsverst.	150mW Stereo Audio Power Amp	8-MSOP	1.09	.92	.73
TPA112DGNR	296-1942-2-ND	150 mW Stereo-Audio-Leistungsverst.	150mW Stereo Audio Power Amp	8-MSOP		1183.12/2,500	
TPA122D	296-2466-5-ND	150 mW Stereo-Audio-Leistungsverst.	150mW Stereo Audio Power Amp	8-SOIC	.91	.77	.61
TPA122DR	296-2466-1-ND	150 mW Stereo-Audio-Leistungsverst.	150mW Stereo Audio Power Amp	8-SOIC	.91	.77	.61
TPA122DR	296-2466-2-ND	150 mW Stereo-Audio-Leistungsverst.	150mW Stereo Audio Power Amp	8-SOIC		990.52/2,500	
TPA122DGN	296-1943-5-ND	150 mW Stereo-Audio-Leistungsverst.	150mW Stereo Audio Power Amp	8-MSOP	1.17	.98	.78
TPA122DGNR	296-1943-1-ND	150 mW Stereo-Audio-Leistungsverst.	150mW Stereo Audio Power Amp	8-MSOP	1.17	.98	.78
TPA122DGNR	296-1943-2-ND	150 mW Stereo-Audio-Leistungsverst.	150mW Stereo Audio Power Amp	8-MSOP		1265.67/2,500	
TPA152D	296-1944-5-ND	75 mW Audio-Leistungsverst., Einzelende	75mW Single-Ended Audio Power Amp	8-SOIC	1.10	.89	.67
TPA301D	296-1945-5-ND	0,35 W Mono-Audio-Leistungsverst.	0.35W Mono Audio Power Amp	8-SOIC	.74	.62	.50
TPA301DR	296-1945-1-ND	0,35 W Mono-Audio-Leistungsverst.	0.35W Mono Audio Power Amp	8-SOIC	.74	.62	.50
TPA301DR	296-1945-2-ND	0,35 W Mono-Audio-Leistungsverst.	0.35W Mono Audio Power Amp	8-SOIC		797.92/2,500	
TPA301DGN	296-1946-5-ND	0,35 W Mono-Audio-Leistungsverst.	0.35W Mono Audio Power Amp	8-MSOP	.97	.81	.65
TPA302D	296-7011-5-ND	0,3 W Stereo-Audio-Leistungsverst.	0.3W Stereo Audio Power Amp	8-SOIC	1.90	1.53	1.19
TPA311D	296-1947-5-ND	0,35 W Mono-Audio-Leistungsverst.	0.35W Mono Audio Power Amp	8-SOIC	.74	.62	.50
TPA311DR	296-1947-1-ND	0,35 W Mono-Audio-Leistungsverst.	0.35W Mono Audio Power Amp	8-SOIC	.74	.62	.50
TPA311DR	296-1947-2-ND	0,35 W Mono-Audio-Leistungsverst.	0.35W Mono Audio Power Amp	8-SOIC		797.92/2,500	
TPA311DGN	296-1948-5-ND	0,35 W Mono-Audio-Leistungsverst.	0.35W Mono Audio Power Amp	8-MSOP	.97	.81	.65
TPA321D	296-7012-5-ND	350 mW Niederspannungs-Audio-Leistungsverst. mit Differenzialeingängen	350mW Low Volt. Audio Power Amp with Differential Inputs	8-SOIC	.74	.62	.50
TPA321DGN	296-12563-5-ND	350 mW Niederspannungs-Audio-Leistungsverst. mit Differenzialeingängen	350mW Low Volt. Audio Power Amp with Differential Inputs	8-MSOP	.97	.81	.65
TPA701D	296-1949-5-ND	700 mW Niederspannungs-Audio-Leistungsverst.	700mW Low Volt. Audio Power Amp	8-SOIC	.84	.70	.56
TPA701DR	296-1949-1-ND	700 mW Niederspannungs-Audio-Leistungsverst.	700mW Low Volt. Audio Power Amp	8-SOIC	.84	.70	.56
TPA701DR	296-1949-2-ND	700 mW Niederspannungs-Audio-Leistungsverst.	700mW Low Volt. Audio Power Amp	8-SOIC		907.98/2,500	
TPA701DGN	296-7022-5-ND	700 mW Niederspannungs-Audio-Leistungsverst.	700mW Low Volt. Audio Power Amp	8-MSOP	1.09	.92	.73
TPA701DGNR	296-7022-1-ND	700 mW Niederspannungs-Audio-Leistungsverst.	700mW Low Volt. Audio Power Amp	8-MSOP	1.09	.92	.73
TPA701DGNR	296-7022-2-ND	700 mW Niederspannungs-Audio-Leistungsverst.	700mW Low Volt. Audio Power Amp	8-MSOP		1183.12/2,500	
TPA711D	296-1950-5-ND	700 mW Niederspannungs-Audio-Leistungsverst.	700mW Low Volt. Audio Power Amp	8-SOIC	.84	.70	.56

(Forts.)

★ *RUFEN SIE BITTE AN FÜR NIEDRIGERE PREISE BEI GRÖSSEREN MENGEN!* ★

B

T. I. Teilenr.	Digi-Key Teilenr.	Beschreibung		Paket	Stückpreis ★ 1	25	100
TPA711DR	296-1950-1-ND	700 mW Niederspannungs-Audio-Leistungsverst.	700mW Low Volt. Audio Power Amp	8-SOIC	.84	.70	.56
TPA711DR	296-1950-2-ND	700 mW Niederspannungs-Audio-Leistungsverst.	700mW Low Volt. Audio Power Amp	8-SOIC		907.98/2,500	
TPA711DGNR	296-7023-1-ND	700 mW Niederspannungs-Audio-Leistungsverst.	700mW Low Volt. Audio Power Amp	8-MSOP	1.09	.92	.73
TPA711DGNR	296-7023-2-ND	700 mW Niederspannungs-Audio-Leistungsverst.	700mW Low Volt. Audio Power Amp	8-MSOP		1183.12/2,500	
TPA721D	296-1951-5-ND	700 mW Niederspannungs-Audio-Leistungsverst.	700mW Low Volt. Audio Power Amp	8-SOIC	.84	.70	.56
TPA721DR	296-1951-1-ND	700 mW Niederspannungs-Audio-Leistungsverst.	700mW Low Volt. Audio Power Amp	8-SOIC	.84	.70	.56
TPA721DR	296-1951-2-ND	700 mW Niederspannungs-Audio-Leistungsverst.	700mW Low Volt. Audio Power Amp	8-SOIC		907.98/2,500	
TPA721DGNR	296-7024-1-ND	700 mW Niederspannungs-Audio-Leistungsverst.	700mW Low Volt. Audio Power Amp	8-MSOP	1.09	.92	.73
TPA721DGNR	296-7024-2-ND	700 mW Niederspannungs-Audio-Leistungsverst.	700mW Low Volt. Audio Power Amp	8-MSOP		1183.12/2,500	
TPA731D	296-7025-5-ND	700 mW Niederspannungs-Audio-Leistungsverst. mit Differenzialeingängen	700mW Low Volt. Audio Power Amp with Differential Inputs	8-SOIC	.84	.70	.56
TPA731DGNR	296-7026-1-ND	700 mW Niederspannungs-Audio-Leistungsverst. mit Differenzialeingängen	700mW Low Volt. Audio Power Amp with Differential Inputs	8-MSOP	1.09	.92	.73
TPA731DGNR	296-7026-2-ND	700 mW Niederspannungs-Audio-Leistungsverst. mit Differenzialeingängen	700mW Low Volt. Audio Power Amp with Differential Inputs	8-MSOP		1183.12/2,500	
TPA741D	296-7027-5-ND	700 mW Niederspannungs-Audio-Leistungsverst. mit Differenzialeingängen	700mW Low Volt. Audio Power Amp with Differential Inputs	8-SOIC	.84	.70	.56
TPA741DGNR	296-7028-1-ND	700 mW Niederspannungs-Audio-Leistungsverst. mit Differenzialeingängen	700mW Low Volt. Audio Power Amp with Differential Inputs	8-MSOP	1.09	.92	.73
TPA741DGNR	296-7028-2-ND	700 mW Niederspannungs-Audio-Leistungsverst. mit Differenzialeingängen	700mW Low Volt. Audio Power Amp with Differential Inputs	8-MSOP		1183.12/2,500	
TPA751D	296-10855-5-ND	Niederspannungs-Audio-Leistungsverst.	Low Volt. Audio Power Amp	8-SOIC	.84	.70	.56
TPA751DGNR	296-10856-1-ND	Niederspannungs-Audio-Leistungsverst.	Low Volt. Audio Power Amp	8-MSOP	1.09	.92	.73
TPA751DGNR	296-10856-2-ND	Niederspannungs-Audio-Leistungsverst.	Low Volt. Audio Power Amp	8-MSOP		1183.12/2,500	
TPA751GQSR	296-12691-1-ND	700 mW Niederspannungs-Audio-Leistungsverst.	700mW Low Volt. Audio Power Amp	24-BGA	1.10	.89	.67
TPA751GQSR	296-12691-2-ND	700 mW Niederspannungs-Audio-Leistungsverst.	700mW Low Volt. Audio Power Amp	24-BGA		1409.59/2,500	
TPA0102PWP	296-1938-5-ND	1,5 W Stereo-Audio-Leistungsverst.	1.5W Stereo Audio Power Amp	24-HTSSOP	1.99	1.60	1.20
TPA0102PWPR	296-1938-1-ND	1,5 W Stereo-Audio-Leistungsverst.	1.5W Stereo Audio Power Amp	24-HTSSOP	1.99	1.60	1.20
TPA0102PWPR	296-1938-2-ND	1,5 W Stereo-Audio-Leistungsverst.	1.5W Stereo Audio Power Amp	24-HTSSOP		2069.09/2,000	
TPA0103PWP	296-1939-5-ND	1,75 W 3-Kan. Stereo-Audio-Leistungsverst.	1.75W 3-Ch. Stereo Audio Power Amp	24-HTSSOP	2.10	1.68	1.26
TPA0103PWPR	296-1939-1-ND	1,75 W 3-Kan. Stereo-Audio-Leistungsverst.	1.75W 3-Ch. Stereo Audio Power Amp	24-HTSSOP	2.10	1.68	1.26
TPA0103PWPR	296-1939-2-ND	1,75 W 3-Kan. Stereo-Audio-Leistungsverst.	1.75W 3-Ch. Stereo Audio Power Amp	24-HTSSOP		2179.15/2,000	
TPA0112PWP	296-2450-5-ND	2 W Stereo-Audio-Leistungsverst. mit internen V-Faktoreinstellungen	2W Stereo Audio Power Amp with Internal Gain Settings	24-HTSSOP	2.10	1.68	1.31
TPA0112PWPR	296-2450-1-ND	2 W Stereo-Audio-Leistungsverst. mit internen V-Faktoreinstellungen	2W Stereo Audio Power Amp with Internal Gain Settings	24-HTSSOP	2.10	1.68	1.31
TPA0112PWPR	296-2450-2-ND	2 W Stereo-Audio-Leistungsverst. mit internen V-Faktoreinstellungen	2W Stereo Audio Power Amp with Internal Gain Settings	24-HTSSOP		2375.56/2,000	
TPA0122PWP	296-2451-5-ND	2 W Stereo-Audio-Leistungsverst. mit internen V-Faktoreinstellungen	2W Stereo Audio Power Amp with Internal Gain Settings	24-HTSSOP	2.10	1.68	1.31
TPA0122PWPR	296-2451-1-ND	2 W Stereo-Audio-Leistungsverst. mit internen V-Faktoreinstellungen	2W Stereo Audio Power Amp with Internal Gain Settings	24-HTSSOP	2.10	1.68	1.31
TPA0122PWPR	296-2451-2-ND	2 W Stereo-Audio-Leistungsverst. mit internen V-Faktoreinstellungen	2W Stereo Audio Power Amp with Internal Gain Settings	24-HTSSOP		2375.56/2,000	
TPA0132PWP	296-2452-5-ND	2 W Stereo-Audio-Leistungsverst. mit DC-Lautstärkeregler	2W Stereo Audio Power Amp with DC Volume Control	24-HTSSOP	2.90	2.32	1.81
TPA0132PWPR	296-2452-1-ND	2 W Stereo-Audio-Leistungsverst. mit DC-Lautstärkeregler	2W Stereo Audio Power Amp with DC Volume Control	24-HTSSOP	2.90	2.32	1.81
TPA0132PWPR	296-2452-2-ND	2 W Stereo-Audio-Leistungsverst. mit DC-Lautstärkeregler	2W Stereo Audio Power Amp with DC Volume Control	24-HTSSOP		3281.42/2,000	
TPA0142PWP	296-2453-5-ND	2 W Stereo-Audio-Leistungsverst. mit DC-Lautstärkeregler	2W Stereo Audio Power Amp with DC Volume Control	24-HTSSOP	2.90	2.32	1.81
TPA0142PWPR	296-2453-1-ND	2 W Stereo-Audio-Leistungsverst. mit DC-Lautstärkeregler	2W Stereo Audio Power Amp with DC Volume Control	24-HTSSOP	2.90	2.32	1.81
TPA0142PWPR	296-2453-2-ND	2 W Stereo-Audio-Leistungsverst. mit DC-Lautstärkeregler	2W Stereo Audio Power Amp with DC Volume Control	24-HTSSOP		3281.42/2,000	
TPA0152PWP	296-2454-5-ND	2 W Stereo-Audio-Leistungsverst. mit Digital-Lautstärkeregler	2W Stereo Audio Power Amp with Digital Volume Control	24-HTSSOP	3.43	2.75	2.14
TPA0152PWPR	296-2454-1-ND	2 W Stereo-Audio-Leistungsverst. mit Digital-Lautstärkeregler	2W Stereo Audio Power Amp with Digital Volume Control	24-HTSSOP	3.43	2.75	2.14
TPA0152PWPR	296-2454-2-ND	2 W Stereo-Audio-Leistungsverst. mit Digital-Lautstärkeregler	2W Stereo Audio Power Amp with Digital Volume Control	24-HTSSOP		3885.89/2,000	
TPA0162PWP	296-2455-5-ND	2 W Stereo-Audio-Leistungsverst. mit Digital-Lautstärkeregler	2W Stereo Audio Power Amp with Digital Volume Control	24-HTSSOP	3.43	2.75	2.14
TPA0162PWPR	296-2455-1-ND	2 W Stereo-Audio-Leistungsverst. mit Digital-Lautstärkeregler	2W Stereo Audio Power Amp with Digital Volume Control	24-HTSSOP	3.43	2.75	2.14
TPA0162PWPR	296-2455-2-ND	2 W Stereo-Audio-Leistungsverst. mit Digital-Lautstärkeregler	2W Stereo Audio Power Amp with Digital Volume Control	24-HTSSOP		3885.89/2,000	
TPA0172PWP	296-7000-5-ND	2 W Stereo-Audio-Leistungsverst.	2W Stereo Audio Power Amp	24-HTSSOP	4.66	3.74	2.91
TPA0202PWP	296-1940-5-ND	2 W Stereo-Audio-Leistungsverst.	2W Stereo Audio Power Amp	24-HTSSOP	2.73	2.18	1.70
TPA0202PWPR	296-1940-1-ND	2 W Stereo-Audio-Leistungsverst.	2W Stereo Audio Power Amp	24-HTSSOP	2.73	2.18	1.70
TPA0202PWPR	296-1940-2-ND	2 W Stereo-Audio-Leistungsverst.	2W Stereo Audio Power Amp	24-HTSSOP		3086.70/2,000	
TPA0211DGN	296-2456-5-ND	2 W Mono-Audio-Leistungsverst.	2W Mono Audio Power Amp	8-TSSOP	1.48	1.19	.89
TPA0211DGNR	296-2456-1-ND	2 W Mono-Audio-Leistungsverst.	2W Mono Audio Power Amp	8-MSOP	1.48	1.19	.89
TPA0211DGNR	296-2456-2-ND	2 W Mono-Audio-Leistungsverst.	2W Mono Audio Power Amp	8-MSOP		1896.38/2,500	
TPA0212PWP	296-2457-5-ND	2 W Stereo-Audio-Leistungsverst. mit Einstell-/Mux-Regler für 4 V-Faktoreinstellungen	2W Stereo Audio Power Amp with 4 Select Gain Set/Mux Control	24-HTSSOP	2.10	1.68	1.31
TPA0212PWPR	296-2457-1-ND	2 W Stereo-Audio-Leistungsverst. mit Einstell-/Mux-Regler für 4 V-Faktoreinstellungen	2W Stereo Audio Power Amp with 4 Select Gain Set/Mux Control	24-HTSSOP	2.10	1.68	1.31
TPA0212PWPR	296-2457-2-ND	2 W Stereo-Audio-Leistungsverst. mit Einstell-/Mux-Regler für 4 V-Faktoreinstellungen	2W Stereo Audio Power Amp with 4 Select Gain Set/Mux Control	24-HTSSOP		2375.56/2,000	
TPA0213DGQR	296-7001-1-ND	2 W Mono-Audio-Leistungsverst. mit Kopfhörer-Treiber	2W Mono Audio Power Amp with Headphone Drive	10-MSOP	2.07	1.67	1.30
TPA0213DGQR	296-7001-2-ND	2 W Mono-Audio-Leistungsverst. mit Kopfhörer-Treiber	2W Mono Audio Power Amp with Headphone Drive	10-MSOP		2905.95/2,500	
TPA0222PWP	296-2458-5-ND	2 W Stereo-Audio-Leistungsverst. mit Einstell-/Mux-Regler für 4 V-Faktoreinstellungen	2W Stereo Audio Power Amp with 4 Select Gain Set/Mux Control	24-HTSSOP	2.10	1.68	1.31
TPA0222PWPR	296-2458-1-ND	2 W Stereo-Audio-Leistungsverst. mit Einstell-/Mux-Regler für 4 V-Faktoreinstellungen	2W Stereo Audio Power Amp with 4 Select Gain Set/Mux Control	24-HTSSOP	2.10	1.68	1.31
TPA0222PWPR	296-2458-2-ND	2 W Stereo-Audio-Leistungsverst. mit Einstell-/Mux-Regler für 4 V-Faktoreinstellungen	2W Stereo Audio Power Amp with 4 Select Gain Set/Mux Control	24-HTSSOP		2375.56/2,000	
TPA0223DGQR	296-7002-1-ND	2 W Mono-Audio-Leistungsverst. mit Kopfhörer-Treiber	2W Mono Audio Power Amp with Headphone Drive	10-MSOP	2.07	1.67	1.30
TPA0223DGQR	296-7002-2-ND	2 W Mono-Audio-Leistungsverst. mit Kopfhörer-Treiber	2W Mono Audio Power Amp with Headphone Drive	10-MSOP		2905.95/2,500	
TPA0232PWP	296-2459-5-ND	2 W Stereo-Leistungsverstärker	2W Stereo Power Amplifier	24-HTSSOP	3.34	2.67	2.08
TPA0233DGQR	296-7003-1-ND	2 W Mono-Audio-Leistungsverst. mit Kopfhörer-Treiber	2W Mono Audio Power Amp with Headphone Drive	10-MSOP	2.19	1.76	1.37
TPA0233DGQR	296-7003-2-ND	2 W Mono-Audio-Leistungsverst. mit Kopfhörer-Treiber	2W Mono Audio Power Amp with Headphone Drive	10-MSOP		3066.81/2,500	
TPA0242PWP	296-2460-5-ND	2 W Stereo-Leistungsverstärker	2W Stereo Power Amplifier	24-HTSSOP	3.05	2.44	1.90
TPA0243DGQR	296-7004-1-ND	2 W Mono-Audio-Leistungsverst. mit Kopfhörer-Treiber	2W Mono Audio Power Amp with Headphone Drive	10-MSOP	2.19	1.76	1.37
TPA0243DGQR	296-7004-2-ND	2 W Mono-Audio-Leistungsverst. mit Kopfhörer-Treiber	2W Mono Audio Power Amp with Headphone Drive	10-MSOP		3066.81/2,500	
TPA0252PWP	296-7005-5-ND	2 W Stereo-Audio-Leistungsverst. mit Digital-Lautstärkeregler/Speicher	2W Stereo Audio Power Amp with Digital Volume Control/Memory	24-HTSSOP	3.43	2.75	2.14
TPA0253DGQR	296-7006-1-ND	1 W Mono-Audio-Leistungsverst. mit Kopfhörer-Treiber	1W Mono Audio Power Amp with Headphone Drive	10-MSOP	1.27	1.02	.77
TPA0253DGQR	296-7006-2-ND	1 W Mono-Audio-Leistungsverst. mit Kopfhörer-Treiber	1W Mono Audio Power Amp with Headphone Drive	10-MSOP		1625.47/2,500	
TPA0312PWP	296-10817-5-ND	2 W Stereo-Leistungsverstärker	2W Stereo Power Amplifier	24-HTSSOP	2.10	1.68	1.31
TPA1517DWP	296-7007-5-ND	6 W Stereo-Audio-Leistungsverst.	6W Stereo Audio Power Amp	20-HSOP	2.12	1.70	1.27
TPA1517DWPR	296-7007-1-ND	6 W Stereo-Audio-Leistungsverst.	6W Stereo Audio Power Amp	20-HSOP	1.90	1.53	1.19
TPA1517DWPR	296-7007-2-ND	6 W Stereo-Audio-Leistungsverst.	6W Stereo Audio Power Amp	20-HSOP		2158.83/2,000	
TPA1517NE	296-7008-5-ND	6 W Stereo-Audio-Leistungsverst.	6W Stereo Audio Power Amp	20-Dip	1.72	1.38	1.03
TPA2000D1GQCR	296-15638-1-ND	2 W filterloser Mono-Audio-Leistungsverst., Klasse D	2W Class-D Filterless Mono Audio Power Amp	48-BGA	2.19	1.76	1.37
TPA2000D1GQCR	296-15638-2-ND	2 W filterloser Mono-Audio-Leistungsverst., Klasse D	2W Class-D Filterless Mono Audio Power Amp	48-BGA		3066.81/2,500	
TPA2000D1PW	296-7009-5-ND	2 W filterloser Mono-Audio-Leistungsverst., Klasse D	2W Class-D Filterless Mono Audio Power Amp	16-TSSOP	2.00	1.60	1.25
TPA2000D2PWP	296-2467-5-ND	2 W filterloser Stereo-Audio-Leistungsverst., Klasse D	2W Filterless Stereo Class-D Audio Power Amplifier	24-HTSSOP	2.76	2.21	1.72
TPA2000D2PWPR	296-2467-1-ND	2 W filterloser Stereo-Audio-Leistungsverst., Klasse D	2W Filterless Stereo Class-D Audio Power Amplifier	24-HTSSOP	2.76	2.21	1.72
TPA2000D2PWPR	296-2467-2-ND	2 W filterloser Stereo-Audio-Leistungsverst., Klasse D	2W Filterless Stereo Class-D Audio Power Amplifier	24-HTSSOP		3130.73/2,000	
TPA2000D2PWR	296-13382-1-ND	2 W filterloser Stereo-Audio-Leistungsverst., Klasse D	2W Filterless Stereo Class-D Audio Power Amplifier	24-HTSSOP	2.76	2.21	1.72
TPA2000D2PWR	296-13382-2-ND	2 W filterloser Stereo-Audio-Leistungsverst., Klasse D	2W Filterless Stereo Class-D Audio Power Amplifier	24-HTSSOP		3130.73/2,000	
TPA2000D4DAP	296-10830-5-ND	2 W filterloser Audio-Leistungsverst., Klasse D	2W Class-D Filterless Audio Power Amp	32-HTSSOP	3.14	2.52	1.96
TPA2001D1PW	296-7010-5-ND	1 W filterloser Mono-Audio-Leistungsverst., Klasse D	1W Class-D Filterless Mono Audio Power Amp	16-TSSOP	1.59	1.27	.96
TPA2001D2PWP	296-2468-5-ND	1 W Stereo-Audio-Leistungsverst., Klasse D	1W Class-D Stereo Audio Power Amp	24-HTSSOP	2.29	1.83	1.43
TPA2001D2PWPR	296-2468-1-ND	1 W Stereo-Audio-Leistungsverst., Klasse D	1W Class-D Stereo Audio Power Amp	24-HTSSOP	2.29	1.83	1.43
TPA2001D2PWPR	296-2468-2-ND	1 W Stereo-Audio-Leistungsverst., Klasse D	1W Class-D Stereo Audio Power Amp	24-HTSSOP		2590.60/2,000	
TPA2005D1DGN	296-17691-5-ND	1,1 W Audio-Leistungsverst., Klasse D	1.1W Class-D Audio Power Amp	8-MSOP	1.24	1.04	.83
TPA2005D1DRBR	296-15131-1-ND	1,1 W Audio-Leistungsverst., Klasse D	1.1W Class-D Audio Power Amp	8-SON	1.24	1.04	.83
TPA2005D1DRBR	296-15131-2-ND	1,1 W Audio-Leistungsverst., Klasse D	1.1W Class-D Audio Power Amp	8-SON		1617.85/3,000	
TPA2005D1GQYR	296-15073-1-ND	1,1 W filterloser Mono-Audio-Leistungsverst., Klasse D	1.1W Mono Filter Free Class-D Audio Power Amp	15-VFBGA	1.24	1.04	.83
TPA2005D1GQYR	296-15073-2-ND	1,1 W filterloser Mono-Audio-Leistungsverst., Klasse D	1.1W Mono Filter Free Class-D Audio Power Amp	15-VFBGA		1348.21/2,500	
TPA2008D2PWP	296-15339-5-ND	3 W filterloser Audio-Leistungsverst., Klasse D, mit DC-Lautstärkeregler	3W Filter Free Class-D Audio Power Amp with DC Volume Control	24-HTSSOP	3.43	2.75	2.14
TPA2008D2PWPR	296-17158-1-ND	3 W filterloser Audio-Leistungsverst., Klasse D, mit DC-Lautstärkeregler	3W Filter Free Class-D Audio Power Amp with DC Volume Control	24-TSSOP	3.43	2.75	2.14
TPA2008D2PWPR	296-17158-2-ND	3 W filterloser Audio-Leistungsverst., Klasse D, mit DC-Lautstärkeregler	3W Filter Free Class-D Audio Power Amp with DC Volume Control	24-TSSOP		3885.89/2,000	
TPA2010D1YZFR	296-16648-1-ND	2,5 W Audio-Leistungsverstärker	2.5W Audio Power Amp	9-WCSP	1.10	.89	.67
TPA2010D1YZFR	296-16648-2-ND	2,5 W Audio-Leistungsverstärker	2.5W Audio Power Amp	9-WCSP		1691.51/3,000	
TPA2010D1YZFT	296-16659-1-ND	2,5 W Audio-Leistungsverstärker	2.5W Audio Power Amp	9-WCSP	1.10	.89	.67
TPA2010D1YZFT	296-16659-2-ND	2,5 W Audio-Leistungsverstärker	2.5W Audio Power Amp	9-WCSP		154.08/250	

(Forts.)

★ ***RUFEN SIE BITTE AN FÜR NIEDRIGERE PREISE BEI GRÖSSEREN MENGEN!*** ★

T. I. Teilenr.	Digi-Key Teilenr.	Beschreibung		Paket	Stückpreis ★ 1	25	100
TPA2012D2RTJR	296-17692-1-ND	2,1 W filterloser Stereo-Audio-Leistungsverst., Klasse D	2.1W Stereo, Filter Free Class-D Audio Power Amp	20-QFN	2.01	1.61	1.21
TPA2012D2RTJR	296-17692-2-ND	2,1 W filterloser Stereo-Audio-Leistungsverst., Klasse D	2.1W Stereo, Filter Free Class-D Audio Power Amp	20-QFN		3088.40/3,000	
TPA3001D1PWPR	296-14200-1-ND	20 W Mono-Audio-Verst., Klasse D	20W Mono Class-D Audio Amp	24-TSSOP	4.23	3.39	2.86
TPA3001D1PWPR	296-14200-2-ND	20 W Mono-Audio-Verst., Klasse D	20W Mono Class-D Audio Amp	24-TSSOP		5291.25/2,000	
TPA3002D2PHPR	296-14201-1-ND	9 W Audio-Verst. mit DC-Lautstärkeregler, Klasse D	9W Class-D Audio Amp with DC Volume Control	48-HTQFP	5.59	4.47	3.78
TPA3002D2PHPR	296-14201-2-ND	9 W Audio-Verst. mit DC-Lautstärkeregler, Klasse D	9W Class-D Audio Amp with DC Volume Control	48-HTQFP		3492.23/1,000	
TPA3003D2PFB	296-15037-ND	3 W Audio-Verst. mit DC-Lautstärkeregler, Klasse D	3W Class-D Audio Amp with DC Volume Control	48-TQFP	5.08	4.07	3.43
TPA3004D2PHPR	296-15038-1-ND	12 W Audio-Verst. mit DC-Lautstärkeregler, Klasse D	12W Class-D Audio Amp with DC Volume Control	48-HTQFP	5.50	4.41	3.72
TPA3004D2PHPR	296-15038-2-ND	12 W Audio-Verst. mit DC-Lautstärkeregler, Klasse D	12W Class-D Audio Amp with DC Volume Control	48-HTQFP		3439.74/1,000	
TPA3005D2PHPR	296-17058-1-ND	6 W Stereo-Audio-Leistungsverst., Klasse D	6W Class-D Stereo Audio Power Amp	48-HTQFP	9.99	7.50	5.62
TPA3005D2PHPR	296-17058-2-ND	6 W Stereo-Audio-Leistungsverst., Klasse D	6W Class-D Stereo Audio Power Amp	48-HTQFP		3122.26/1,000	
TPA3007D1PW	296-15792-5-ND	6,5 W Audio-Leistungsverstärker	6.5W Audio Power Amp	24-TSSOP	3.72	2.98	2.32
TPA3008D2PHP	296-17210-ND	10 W Stereo-Audio-Leistungsverst., Klasse D	10W Stereo Class-D Audio Power Amp	48-HTQFP	5.25	4.20	3.55
TPA4411EVM	296-17385-ND	Evaluierungsmodul für TPA4411	Evaluation Module for TPA4411	—	53.15	—	—
TPA4411RTJT	296-17312-1-ND	Stereo-Kopfhörertreiber, ohne Kappen	Capless Stereo Headphone Driver	20-TQFN	1.48	1.19	.89
TPA4411RTJT	296-17312-2-ND	Stereo-Kopfhörertreiber, ohne Kappen	Capless Stereo Headphone Driver	20-TQFN		207.42/250	
TPA4860D	296-7013-5-ND	1 W Mono-Audio-Leistungsverst.	1W Mono Audio Power Amp	16-SOIC	1.06	.85	.64
TPA4861D	296-7014-5-ND	1 W Mono-Audio-Leistungsverst.	1W Mono Audio Power Amp	8-SOIC	1.06	.85	.64
TPA4861DR	296-7014-1-ND	1 W Mono-Audio-Leistungsverst.	1W Mono Audio Power Amp	8-SOIC	1.06	.85	.64
TPA4861DR	296-7014-2-ND	1 W Mono-Audio-Leistungsverst.	1W Mono Audio Power Amp	8-SOIC		1354.56/2,500	
TPA6010A4PWPR	296-7015-1-ND	2 W Stereo-Audio-Leistungsverst. mit Bass-Boost/DC-Lautstärkeregler	2W Stereo Audio Power Amp w/Bass Boost/DC Volume Control	28-HTSSOP	4.28	3.43	2.67
TPA6010A4PWPR	296-7015-2-ND	2 W Stereo-Audio-Leistungsverst. mit Bass-Boost/DC-Lautstärkeregler	2W Stereo Audio Power Amp w/Bass Boost/DC Volume Control	28-HTSSOP		4857.79/2,000	
TPA6011A4PWP	296-16919-5-ND	2 W Stereo-Audio-Leistungsverst.	2W Stereo Audio Power Amp	24-TSSOP	2.18	1.74	1.36
TPA6011A4PWPR	296-12678-1-ND	2 W Stereo-Audio-Leistungsverst.	2W Stereo Audio Power Amp	24-HTSSOP	2.18	1.74	1.36
TPA6011A4PWPR	296-12678-2-ND	2 W Stereo-Audio-Leistungsverst.	2W Stereo Audio Power Amp	24-HTSSOP		2461.91/2,000	
TPA6017A2PWPR	296-12506-1-ND	2 W Stereo-Audio-Leistungsverst.	2W Stereo Audio Power Amp	20-HTSSOP	1.76	1.41	1.06
TPA6017A2PWPR	296-12506-2-ND	2 W Stereo-Audio-Leistungsverst.	2W Stereo Audio Power Amp	20-HTSSOP		1826.96/2,000	
TPA6030A4PWP	296-13866-5-ND	3 W Stereo-Audio-Leistungsverst.	3W Stereo Audio Power Amp	28-HTSSOP	2.67	2.14	1.66
TPA6100A2DGKR	296-7016-1-ND	50 mW Audio-Leistungsverst., Ultra-Niederspannung	50mW Ultra-LV Audio Power Amp	8-MSOP	1.14	.96	.77
TPA6100A2DGKR	296-7016-2-ND	50 mW Audio-Leistungsverst., Ultra-Niederspannung	50mW Ultra-LV Audio Power Amp	8-MSOP		1238.15/2,500	
TPA6100A2DR	296-7017-1-ND	50 mW Audio-Leistungsverst., Ultra-Niederspannung	50mW Ultra-LV Audio Power Amp	8-SOIC	.89	.75	.60
TPA6100A2DR	296-7017-2-ND	50 mW Audio-Leistungsverst., Ultra-Niederspannung	50mW Ultra-LV Audio Power Amp	8-SOIC		963.01/2,500	
TPA6101A2D	296-7018-5-ND	50 mW Audio-Leistungsverst., Ultra-Niederspannung	50mW Ultra-LV Audio Power Amp	8-SOIC	.89	.75	.60
TPA6101A2DGKR	296-7019-1-ND	50 mW Audio-Leistungsverst., Ultra-Niederspannung	50mW Ultra-LV Audio Power Amp	8-MSOP	1.14	.96	.77
TPA6101A2DGKR	296-7019-2-ND	50 mW Audio-Leistungsverst., Ultra-Niederspannung	50mW Ultra-LV Audio Power Amp	8-MSOP		1238.15/2,500	
TPA6102A2D	296-7020-5-ND	50 mW Audio-Leistungsverst., Ultra-Niederspannung	50mW Ultra-LV Audio Power Amp	8-SOIC	.89	.75	.60
TPA6102A2DGKR	296-7021-1-ND	50 mW Audio-Leistungsverst., Ultra-Niederspannung	50mW Ultra-LV Audio Power Amp	8-MSOP	1.14	.96	.77
TPA6102A2DGKR	296-7021-2-ND	50 mW Audio-Leistungsverst., Ultra-Niederspannung	50mW Ultra-LV Audio Power Amp	8-MSOP		1238.15/2,500	
TPA6110A2DGN	296-10843-5-ND	150 mW Stereo-Leistungsverst.	150mW Stereo Power Amp.	8-MSOP	.94	.79	.63
TPA6111A2DGN	296-10845-5-ND	150 mW Stereo-Leistungsverst.	150mW Stereo Power Amp.	8-MSOP	.94	.79	.63
TPA6111A2DR	296-10846-1-ND	150 mW Stereo-Leistungsverst.	150mW Stereo Power Amp.	8-SOIC	1.13	.90	.68
TPA6111A2DR	296-10846-2-ND	150 mW Stereo-Leistungsverst.	150mW Stereo Power Amp.	8-SOIC		770.41/2,500	
TPA6112A2DGQR	296-10848-1-ND	150 mW Stereo-Leistungsverst.	150mW Stereo Power Amp.	10-HTSSOP	.94	.79	.63
TPA6112A2DGQR	296-10848-2-ND	150 mW Stereo-Leistungsverst.	150mW Stereo Power Amp.	10-HTSSOP		1018.04/2,500	
TPA6120A2DWP	296-16920-5-ND	High Fidelity Kopfhörerverstärker	High Fidelity Headphone Amp	20-SOIC	3.62	2.90	2.26
TPA6203A1GQVR	296-12753-1-ND	1,25 W Mono-Diff.-Audio-Leistungsverstärker	1.25W Mono Diff. Audio Power Amp	8-BGA	1.09	.92	.73
TPA6203A1GQVR	296-12753-2-ND	1,25 W Mono-Diff.-Audio-Leistungsverstärker	1.25W Mono Diff. Audio Power Amp	8-BGA		1183.12/2,500	
TPA6203A1ZQVR	296-17902-1-ND	1,25 W Mono-Diff.-Audio-Leistungsverstärker	1.25W Mono Diff. Audio Power Amp	8-BGA	1.09	.92	.73
TPA6203A1ZQVR	296-17902-2-ND	1,25 W Mono-Diff.-Audio-Leistungsverstärker	1.25W Mono Diff. Audio Power Amp	8-BGA		1183.12/2,500	
TPA6204A1DRBR	296-17059-1-ND	1,7 W Diff.-Audio-Leistungsverst.	1.7W Diff. Audio Power Amp	8-QFN	1.63	1.22	.92
TPA6204A1DRBR	296-17059-2-ND	1,7 W Diff.-Audio-Leistungsverst.	1.7W Diff. Audio Power Amp	8-QFN		1559.44/3,000	
TPA6211A1DGN	296-15325-5-ND	3,1 W Mono-Diff.-Audio-Leistungsverstärker	3.1W Mono Diff. Audio Power Amp	8-HTSSOP	1.10	.89	.67
TPA6211A1DRBR	296-17101-1-ND	3,1 W Mono-Diff.-Audio-Leistungsverstärker	3.1W Mono Diff. Audio Power Amp	8-QFN	1.10	.89	.67
TPA6211A1DRBR	296-17101-2-ND	3,1 W Mono-Diff.-Audio-Leistungsverstärker	3.1W Mono Diff. Audio Power Amp	8-QFN		1691.51/3,000	
UA741CD	296-11106-5-ND	Mehrzweck-OpAmp	General Purpose Op Amp	8-SOIC	.34	.28	.21
UA741CDR	296-15051-1-ND	Mehrzweck-OpAmp	General Purpose Op Amp	8-SOIC	.34	.28	.21
UA741CDR	296-15051-2-ND	Mehrzweck-OpAmp	General Purpose Op Amp	8-SOIC		228.58/2,500	
UA741CP	296-11107-5-ND	Mehrzweck-OpAmp	General Purpose Op Amp	8-Dip	.34	.28	.21
UA747CN	296-12963-5-ND	Zweif. Mehrzweck-OpAmp	Dual General Purpose Op Amp	14-Dip	.81	.68	.55
UC3178QP	296-12754-5-ND	Vollbrücken-Leistungsverstärker	Full Bridge Power Amp	28-PLCC	4.99	4.00	3.38
UC3901D	296-11338-5-ND	Isolierter Feedback-Generator	Isolated Feedback Generator	14-SOIC	3.90	3.13	2.43
UC3901N	296-11339-5-ND	Isolierter Feedback-Generator	Isolated Feedback Generator	14-Dip	3.90	3.13	2.43
VCA810AID	296-17491-5-ND	Spannungsgesteuerter Verstärker, hoher Verstärkungseinstellbereich, Breitband	High Gain Adjust Range, Wideband, Voltage Controlled Amp	8-SOIC	53.15	9.53	8.45
VCA810ID	296-17317-5-ND	Spannungsgesteuerter Verstärker, hoher Verstärkungseinstellbereich, Breitband	High Gain Adjust Range, Wideband, Voltage Controlled Amp	8-SOIC	8.11	7.31	6.48
VCA2611Y/250	296-15778-1-ND	Zweif. Verstärker mit variablem V-Faktor und rauscharmem Vorverstärker	Dual Variable Gain Amp with Low Noise Preamp	48-TQFP	13.02	12.15	11.29
VCA2611Y/250	296-15778-2-ND	Zweif. Verstärker mit variablem V-Faktor und rauscharmem Vorverstärker	Dual Variable Gain Amp with Low Noise Preamp	48-TQFP		2766.05/250	
VCA2612Y/250	VCA2612YCT-ND	Zweif. rauscharmer Verstärker mit variablem V-Faktor	Dual Low Noise Variable Gain Amp	48-TQFP	15.87	14.82	13.76
VCA2612Y/250	VCA2612YTR-ND	Zweif. rauscharmer Verstärker mit variablem V-Faktor	Dual Low Noise Variable Gain Amp	48-TQFP		3373.28/250	
VCA2613Y/250	VCA2613YCT-ND	Zweif. rauscharmer Verstärker mit variablem V-Faktor	Dual Low Noise Variable Gain Amp	48-TQFP	13.02	12.15	11.29
VCA2613Y/250	VCA2613YTR-ND	Zweif. rauscharmer Verstärker mit variablem V-Faktor	Dual Low Noise Variable Gain Amp	48-TQFP		2766.05/250	
VCA2614Y/250	VCA2614Y/250CT-ND	Zweif. Verstärker mit variablem V-Faktor und Eingangspuffer	Dual Variable Gain Amp with Input Buffer	32-TQFP	11.78	10.61	9.41
VCA2614Y/250	VCA2614Y/250TR-ND	Zweif. Verstärker mit variablem V-Faktor und Eingangspuffer	Dual Variable Gain Amp with Input Buffer	32-TQFP		2253.28/250	
VCA2616YT	VCA2616YT-ND	Zweif. Verstärker mit variablem V-Faktor und rauscharmem Vorverstärker	Dual Variable Gain Amp with Low Noise Preamp	48-TQFP	13.02	12.15	11.29
VCA2618YT	296-14062-1-ND	Zweif. Verstärker mit variablem V-Faktor und Eingangspuffer	Dual Variable Gain Amp with Input Buffer	32-TQFP	11.84	10.67	9.46
VCA2618YT	296-14062-2-ND	Zweif. Verstärker mit variablem V-Faktor und Eingangspuffer	Dual Variable Gain Amp with Input Buffer	32-TQFP		2266.77/250	
VCA8613YT	296-15991-5-ND	8-Kan.-Verstärker, variabler V-Faktor	8-Ch., Variable Gain Amp	64-HVQFP	32.26	30.11	27.96
SBAT001	LI-501-ND	Datenbuch für Linear- u. Mischsignal-Produkte	Linear & Mixed Signal Products Data Book	—	4.18	—	—

T. I. Teilenr.	Digi-Key Teilenr.	Beschreibung		Paket	Stückpreis ★ 1	25	100
PGA2310PA	296-13113-5-ND	Stereo-Audio-Lautstärkeregler	Stereo Audio Volume Control	16-Dip	14.04	12.64	11.21
PGA4311U	PGA4311U-ND	4-Kanal-Audio-Lautstärkeregler	4-Channel Audio Volume Control	28-SOIC	12.56	11.31	10.03
PGA4311UA	PGA4311UA-ND	4-Kanal-Audio-Lautstärkeregler	4-Channel Audio Volume Control	28-SOIC	13.59	12.69	11.78

T. I. Teilenr.	Digi-Key Teilenr.	Beschreibung		Paket	Stückpreis ★ 1	25	100
		Taktsignaltreiber					
CDC111FN	296-6675-5-ND	3,3 V Differenzial-Taktsignaltreiber	3.3V Differential Clock Driver	28-PLCC	10.86	9.78	8.67
CDC203DW	296-6676-5-ND	3,3 V, 6-Bit Inverter/Taktsignaltreiber	3.3V, 6-Bit Inverter/Clock Driver	20-SOIC	5.84	4.68	3.95
CDC203DWR	296-6676-1-ND	3,3 V, 6-Bit Inverter/Taktsignaltreiber	3.3V, 6-Bit Inverter/Clock Driver	20-SOIC	5.84	4.68	3.95
CDC203DWR	296-6676-2-ND	3,3 V, 6-Bit Inverter/Taktsignaltreiber	3.3V, 6-Bit Inverter/Clock Driver	20-SOIC		7302.77/2,000	
CDC204DW	296-6677-5-ND	6-Bit Inverter/Taktsignaltreiber	6-Bit Inverter/Clock Driver	20-SOIC	5.08	4.07	3.43
CDC204DWR	296-6677-1-ND	6-Bit Inverter/Taktsignaltreiber	6-Bit Inverter/Clock Driver	20-SOIC	5.08	4.07	3.43
CDC204DWR	296-6677-2-ND	6-Bit Inverter/Taktsignaltreiber	6-Bit Inverter/Clock Driver	20-SOIC		6349.50/2,000	
CDC208DW	296-6678-5-ND	Zweif. 1- bis 4-Taktsignaltreiber	Dual 1-to-4 Clock Driver	20-SOIC	6.94	5.56	4.69
CDC318ADL	296-1383-5-ND	1-18 Leitungstaktsignaltreiber	1-18 Line Clock Driver	48-SSOP	2.63	2.11	1.64
CDC319DB	296-17640-5-ND	1-10 Leitungstaktsignaltreiber	1-10 Line Clock Driver	28-SSOP	2.73	2.18	1.70

(Forts.)

★ RUFEN SIE BITTE AN FÜR NIEDRIGERE PREISE BEI GRÖSSEREN MENGEN! ★

B

T. I. Teilenr.	Digi-Key Teilenr.	Beschreibung		Paket	Stückpreis ★ 1	25	100
CDC328AD	296-6693-5-ND	1-6 Taktsignaltreiber mit wählbarer Polarität	1-6 Clock Dvr. w/Selectable Polarity	16-SOIC	6.01	4.81	4.06
CDC328ADR	296-6693-1-ND	1-6 Taktsignaltreiber mit wählbarer Polarität	1-6 Clock Dvr. w/Selectable Polarity	16-SOIC	6.01	4.81	4.06
CDC328ADR	296-6693-2-ND	1-6 Taktsignaltreiber mit wählbarer Polarität	1-6 Clock Dvr. w/Selectable Polarity	16-SOIC		9316.83/2,500	
CDC328ADBR	296-6694-1-ND	1-6 Taktsignaltreiber mit wählbarer Polarität	1-6 Clock Dvr. w/Selectable Polarity	16-SSOP	6.01	4.81	4.06
CDC328ADBR	296-6694-2-ND	1-6 Taktsignaltreiber mit wählbarer Polarität	1-6 Clock Dvr. w/Selectable Polarity	16-SSOP		7514.42/2,000	
CDC329AD	296-6696-5-ND	1-6 Taktsignaltreiber mit wählbarer Polarität	1-6 Clock Dvr. w/Selectable Polarity	16-SOIC	5.25	4.20	3.55
CDC337DW	296-6697-5-ND	1-8 Taktsignaltreiber mit Löschfunktion	1-8 Clock Driver with Clear	20-SOIC	7.11	5.69	4.81
CDC339DB	296-6698-5-ND	1-8 Taktsignaltreiber mit Löschfunktion	1-8 Clock Driver with Clear	20-SSOP	5.93	4.75	4.01
CDC339DBR	296-6698-1-ND	1-8 Taktsignaltreiber mit Löschfunktion	1-8 Clock Driver with Clear	20-SSOP	5.93	4.75	4.01
CDC339DBR	296-6698-2-ND	1-8 Taktsignaltreiber mit Löschfunktion	1-8 Clock Driver with Clear	20-SSOP		7407.75/2,000	
CDC339DW	296-6699-5-ND	1-8 Taktsignaltreiber mit Löschfunktion	1-8 Clock Driver with Clear	20-SOIC	5.93	4.75	4.01
CDC340DW	296-6700-5-ND	1-8 Taktsignaltreiber mit engen AC-Spezifikationen	1-8 Clock Driver with Tight AC Spec.	20-SOIC	7.11	5.69	4.81
CDC341DW	296-6701-5-ND	1-8 Taktsignaltreiber mit engen AC-Spezifikationen	1-8 Clock Driver with Tight AC Spec.	20-SOIC	7.62	6.10	5.15
CDC351DBR	296-6702-1-ND	Tri-State, 3,3 V Taktsignaltreiber	Tri-State 3.3V Clock Driver	24-SSOP	7.97	7.18	6.37
CDC351DBR	296-6702-2-ND	Tri-State, 3,3 V Taktsignaltreiber	Tri-State 3.3V Clock Driver	24-SSOP		11815.15/2,000	
CDC351DW	296-6703-5-ND	Tri-State, 3,3 V Taktsignaltreiber	Tri-State 3.3V Clock Driver	24-SOIC	7.97	7.18	6.37
CDC351IDB	296-15849-5-ND	Tri-State, 3,3 V Taktsignaltreiber	Tri-State 3.3V Clock Driver	24-SSOP	9.17	8.26	7.32
CDC351IDW	296-15850-5-ND	Tri-State, 3,3 V Taktsignaltreiber	Tri-State 3.3V Clock Driver	24-SOIC	9.17	8.26	7.32
CDC391D	296-6704-5-ND	1-6 Taktsignaltreiber mit wählbarer Polarität	1-6 Clock Driver w/Selectable Polarity	16-SOIC	5.76	4.61	3.89
CDC509PWR	296-6705-1-ND	3,3 V PLL-Taktsignaltreiber	3.3V PLL Clock Driver	24-TSSOP	4.57	3.66	2.85
CDC509PWR	296-6705-2-ND	3,3 V PLL-Taktsignaltreiber	3.3V PLL Clock Driver	24-TSSOP		5181.19/2,000	
CDC536DB	296-6707-5-ND	3,3 V PLL-Taktsignaltreiber	3.3V PLL Clock Driver	28-SSOP	3.81	3.05	2.38
CDC536DBR	296-6707-1-ND	3,3 V PLL-Taktsignaltreiber	3.3V PLL Clock Driver	28-SSOP	3.81	3.05	2.38
CDC536DBR	296-6707-2-ND	3,3 V PLL-Taktsignaltreiber	3.3V PLL Clock Driver	28-SSOP		4317.66/2,000	
CDC582PAH	296-6708-5-ND	3,3 V PLL-Taktsignaltreiber	3.3V PLL Clock Driver	52-TQFP	7.05	6.35	5.63
CDC586PAH	296-6709-5-ND	Tri-State 3,3 V PLL-Taktsignaltreiber	Tri-State 3.3V PLL Clock Driver	52-TQFP	7.90	7.12	6.31
CDC857-2DGG	296-14163-5-ND	2,5 V PLL-Taktsignaltreiber	2.5V PLL Clock Driver	48-TSSOP	8.03	7.23	6.41
CDC924DL	296-6714-5-ND	133 MHz Taktsignal-Synthesizer/Treiber	133MHz Clock Synthesizer/Driver	56-SSOP	3.26	2.61	2.03
CDC925DL	296-6715-5-ND	133 MHz Taktsignal-Synthesizer/Treiber	133MHz Clock Synthesizer/Driver	56-SSOP	4.61	3.69	2.87
CDC930DL	296-15611-5-ND	133 MHz Diff. Takt-Syn./Treiber	133MHz Diff. Clock Syn./Driver	56-SSOP	2.27	1.82	1.42
CDC950DGG	296-9435-5-ND	133 MHz Diff. Takt-Syn./Treiber	133MHz Diff. Clock Syn./Driver	48-TSSOP	2.36	1.89	1.47
CDC960DL	296-12725-5-ND	200 MHz Taktsignal-Synthesizer/Treiber	200MHz Clock Synthesizer/Driver	48-SSOP	3.17	2.53	1.97
CDC2536DB	296-6688-5-ND	Tri-State 3,3 V PLL-Taktsignaltreiber	Tri-State 3.3V PLL Clock Driver	28-SSOP	3.81	3.05	2.38
CDC2351DB	296-12628-5-ND	Tri-St., 3,3 V, 1-10 Linientaktsignaltreiber	Tri-St. 3.3V, 1-10 Line Clock Driver	24-SSOP	7.33	6.61	5.86
CDC2351DW	296-6680-5-ND	Tri-St., 3,3 V, 1-10 Linientaktsignaltreiber	Tri-St. 3.3V, 1-10 Line Clock Driver	24-SOIC	7.33	6.61	5.86
CDC2351QDB	296-9434-5-ND	Tristate, 1-10 Puffertaktsignaltreiber	Tri-State 1-10 Buffer Clock Driver	24-SSOP	8.60	7.75	6.87
CDC2509APWR	296-6681-1-ND	Tri-State 3,3 V PLL-Taktsignaltreiber	Tri-State 3.3V PLL Clock Driver	24-TSSOP	3.89	3.11	2.42
CDC2509APWR	296-6681-2-ND	Tri-State 3,3 V PLL-Taktsignaltreiber	Tri-State 3.3V PLL Clock Driver	24-TSSOP		4404.01/2,000	
CDC2509BPWR	296-6682-1-ND	1-9 PLL-Taktsignaltreiber	1-9 PLL Clock Driver	24-TSSOP	3.89	3.11	2.42
CDC2509BPWR	296-6682-2-ND	1-9 PLL-Taktsignaltreiber	1-9 PLL Clock Driver	24-TSSOP		4404.01/2,000	
CDC2509CPW	296-15080-5-ND	3,3 V PLL-Taktsignaltreiber	3.3V PLL Clock Driver	24-TSSOP	3.89	3.11	2.42
CDC2509CPWR	296-6683-1-ND	3,3 V PLL-Taktsignaltreiber	3.3V PLL Clock Driver	24-TSSOP	3.89	3.11	2.42
CDC2509CPWR	296-6683-2-ND	3,3 V PLL-Taktsignaltreiber	3.3V PLL Clock Driver	24-TSSOP		4404.01/2,000	
CDC2510APWR	296-6684-1-ND	3,3 V PLL-Taktsignaltreiber	3.3V PLL Clock Driver	24-TSSOP	9.82	7.86	6.63
CDC2510APWR	296-6684-2-ND	3,3 V PLL-Taktsignaltreiber	3.3V PLL Clock Driver	24-TSSOP		12128.39/2,000	
CDC2510BPWR	296-6685-1-ND	3,3 V PLL-Taktsignaltreiber	3.3V PLL Clock Driver	28-TSSOP	9.82	7.86	6.63
CDC2510BPWR	296-6685-2-ND	3,3 V PLL-Taktsignaltreiber	3.3V PLL Clock Driver	28-TSSOP		12128.39/2,000	
CDC2510CPW	296-6686-5-ND	3,3 V PLL-Taktsignaltreiber	3.3V PLL Clock Driver	24-TSSOP	3.89	3.11	2.42
CDC2510CPWR	296-6686-1-ND	3,3 V PLL-Taktsignaltreiber	3.3V PLL Clock Driver	24-TSSOP	3.89	3.11	2.42
CDC2510CPWR	296-6686-2-ND	3,3 V PLL-Taktsignaltreiber	3.3V PLL Clock Driver	24-TSSOP		4404.01/2,000	
CDC2510PWR	296-13641-1-ND	3,3 V PLL-Taktsignaltreiber	3.3V PLL Clock Driver	24-TSSOP	6.11	4.89	4.13
CDC2510PWR	296-13641-2-ND	3,3 V PLL-Taktsignaltreiber	3.3V PLL Clock Driver	24-TSSOP		7641.41/2,000	
CDC2516DGGR	296-6687-1-ND	Tri-State 3,3 V PLL-Taktsignaltreiber	Tri-State 3.3V PLL Clock Driver	48-TSSOP	4.67	3.74	3.16
CDC2516DGGR	296-6687-2-ND	Tri-State 3,3 V PLL-Taktsignaltreiber	Tri-State 3.3V PLL Clock Driver	48-TSSOP		5841.54/2,000	
CDC2582PAH	296-6689-5-ND	3,3 V Taktsignaltreiber	3.3V Clock Driver	28-QFP	7.05	6.35	5.63
CDC2586PAH	296-6690-5-ND	Tri-State 3,3 V PLL-Taktsignaltreiber	Tri-State 3.3V PLL Clock Driver	52-TQFP	7.90	7.12	6.31
CDC5801DBQ	296-13774-5-ND	Zitterarmer Taktmultiplikator/Teiler	Low Jitter Clock Multiplier/Divider	24-SSOP	5.05	4.04	3.41
CDC5806PW	296-17107-5-ND	Taktgenerator auf Basis von drei PLLs	Three PLLs Based Clock Generator	20-TSSOP	4.10	3.28	2.55
CDC7005-EVM	296-17044-ND	Evaluierungsmodul für Serie CDC7005	Evaluation Module for CDC7005 Series	—	215.85	—	—
CDC7005GVAT	296-17399-1-ND	3,3 V Taktsignal-Synthesizer	3.3V Clock Synthesizer	64-BGA	12.70	11.86	11.01
CDC7005GVAT	296-17399-2-ND	3,3 V Taktsignal-Synthesizer	3.3V Clock Synthesizer	64-BGA		2698.54/250	
CDC7005ZVAT	296-15744-1-ND	3,3 V Taktsignal-Synthesizer	3.3V Clock Synthesizer	64-BGA	14.10	12.70	11.26
CDC7005ZVAT	296-15744-2-ND	3,3 V Taktsignal-Synthesizer	3.3V Clock Synthesizer	64-BGA		2698.54/250	
CDCF2509PW	296-15356-5-ND	3,3 V PLL-Taktsignaltreiber	3.3V PLL Clock Driver	24-TSSOP	6.03	4.83	4.07
CDCF2510PW	296-6718-5-ND	3,3 V PLL-Taktsignaltreiber	3.3V PLL Clock Driver	24-TSSOP	6.03	4.83	4.07
CDCF2510PWR	296-6718-1-ND	3,3 V PLL-Taktsignaltreiber	3.3V PLL Clock Driver	24-TSSOP	6.03	4.83	4.07
CDCF2510PWR	296-6718-2-ND	3,3 V PLL-Taktsignaltreiber	3.3V PLL Clock Driver	24-TSSOP		7534.74/2,000	
CDCFR83DBQ	296-12311-5-ND	533 MHz Direct Rambus™ Taktsignalgeber	533MHz Direct Rambus™Clock Generator	24-SSOP	3.23	2.92	2.27
CDCLVD110VF	296-13712-5-ND	Prog. Niederspannung, 1:10 LVDS Taktsignaltreiber	Prog. Low Voltage 1:10 LVDS Clock Driver	32-LQFP	7.92	7.13	6.32
CDCLVP110VF	296-15357-ND	LV 1:10 LVPECL/HSTL mit wählbarem Eingangstaktsignalteiber	LV 1:10 LVPECL/HSTL w/Selectable Input Clock Driver	32-LQFP	7.83	7.05	6.25
CDCM1802RGTT	296-17045-1-ND	Taktsignalpuffer mit Prog.unterteiler	Clock Buffer with Prog. Divider	16-QFN	6.35	5.08	4.29
CDCM1802RGTT	296-17045-2-ND	Taktsignalpuffer mit Prog.unterteiler	Clock Buffer with Prog. Divider	16-QFN		1031.79/250	
CDCR61APW	296-14633-5-ND	Rambus™ Taktsignalgeber	Rambus™ Clock Generator	16-TSSOP	2.56	2.05	1.59
CDCR81DBQR	296-6720-1-ND	Direct Rambus™ Taktsignalgeber	Direct Rambus™ Clock Generator	24-SSOP	3.98	3.19	2.48
CDCR81DBQR	296-6720-2-ND	Direct Rambus™ Taktsignalgeber	Direct Rambus™ Clock Generator	24-SSOP		5572.74/2,500	
CDCR83DBQ	296-12165-5-ND	400 MHz Direct Rambus™ Taktsignalgeber	400MHz Direct Rambus™ Clock Generator	24-SSOP	3.17	2.53	1.97
CDCU877AGQLT	296-16826-1-ND	1,8 V PLL-Taktsignaltreiber	1.8V PLL Clock Driver	52-BGA	4.42	3.54	2.99
CDCU877AGQLT	296-16826-2-ND	1,8 V PLL-Taktsignaltreiber	1.8V PLL Clock Driver	52-BGA		718.13/250	
CDCU877ARTBT	296-16827-1-ND	1,8 V PLL-Taktsignaltreiber	1.8V PLL Clock Driver	40-MLF	4.42	3.54	2.99
CDCU877ARTBT	296-16827-2-ND	1,8 V PLL-Taktsignaltreiber	1.8V PLL Clock Driver	40-MLF		718.13/250	
CDCU877AZQLT	296-16828-1-ND	1,8 V PLL-Taktsignaltreiber	1.8V PLL Clock Driver	52-BGA	4.42	3.54	2.99
CDCU877AZQLT	296-16828-2-ND	1,8 V PLL-Taktsignaltreiber	1.8V PLL Clock Driver	52-BGA		718.13/250	
CDCU877GQLT	296-16758-1-ND	1,8 V PLL-Taktsignaltreiber	1.8V PLL Clock Driver	52-BGA	4.42	3.54	2.99
CDCU877GQLT	296-16758-2-ND	1,8 V PLL-Taktsignaltreiber	1.8V PLL Clock Driver	52-BGA		718.13/250	
CDCU877RTBT	296-16759-1-ND	1,8 V PLL-Taktsignaltreiber	1.8V PLL Clock Driver	40-MLF	4.42	3.54	2.99
CDCU877RTBT	296-16759-2-ND	1,8 V PLL-Taktsignaltreiber	1.8V PLL Clock Driver	40-MLF		718.13/250	
CDCU877ZQLT	296-16760-1-ND	1,8 V PLL-Taktsignaltreiber	1.8V PLL Clock Driver	52-BGA	4.42	3.54	2.99
CDCU877ZQLT	296-16760-2-ND	1,8 V PLL-Taktsignaltreiber	1.8V PLL Clock Driver	52-BGA		718.13/250	
CDCV304PW	296-12420-5-ND	140 MHz Allzweck PCI-X Taktsignalpuffer	140MHz GP PCI-X Clock Buffer	8-TSSOP	2.00	1.60	1.25
CDCV850DGG	296-6721-5-ND	2,5 V PLL-Taktsignaltreiber	2.5V PLL Clock Driver	48-TSSOP	2.80	2.24	1.75
CDCV850DGGR	296-6721-1-ND	2,5 V PLL-Taktsignaltreiber	2.5V PLL Clock Driver	48-TSSOP	2.80	2.24	1.75
CDCV850DGGR	296-6721-2-ND	2,5 V PLL-Taktsignaltreiber	2.5V PLL Clock Driver	48-TSSOP		3173.06/2,000	
CDCV850IDGG	296-14164-5-ND	2,5 V PLL-Taktsignaltreiber mit serieller Schnittstelle für 2 Linien	2.5V PLL Clock Driver with 2 Line Serial Interface	48-TSSOP	3.26	2.61	2.03
CDCV855IPW	296-14305-5-ND	2,5 V, 1:4 PLL-Taktsignaltreiber	2.5V, 1:4 PLL Clock Driver	28-TSSOP	2.48	1.99	1.55
CDCV855PW	296-12200-5-ND	2,5 V, 1:4 PLL-Taktsignaltreiber	2.5V, 1:4 PLL Clock Driver	28-TSSOP	2.19	1.76	1.37
CDCV855PWR	296-12200-1-ND	2,5 V, 1:4 PLL-Taktsignaltreiber	2.5V, 1:4 PLL Clock Driver	28-TSSOP	2.19	1.76	1.37
CDCV855PWR	296-12200-2-ND	2,5 V, 1:4 PLL-Taktsignaltreiber	2.5V, 1:4 PLL Clock Driver	28-TSSOP		2482.23/2,000	
CDCV857ADGG	296-11575-5-ND	2,5 V PLL-Taktsignaltreiber	2.5V PLL Clock Driver	48-TSSOP	4.54	3.63	2.83
CDCV857ADGGR	296-11575-1-ND	2,5 V PLL-Taktsignaltreiber	2.5V PLL Clock Driver	48-TSSOP	4.54	3.63	2.83
CDCV857ADGGR	296-11575-2-ND	2,5 V PLL-Taktsignaltreiber	2.5V PLL Clock Driver	48-TSSOP		5138.86/2,000	

(Forts.)

★ RUFEN SIE BITTE AN FÜR NIEDRIGERE PREISE BEI GRÖSSEREN MENGEN! ★

Alle Preisangaben in Euro und inklusive Zollgebühren.

T. I. Teilenr.	Digi-Key Teilenr.	Beschreibung		Paket	Stückpreis ★ 1	25	100
CDCV857AGQLR	296-13775-1-ND	2,5 V PLL-Taktsignaltreiber	2.5V PLL Clock Driver	56-VFBGA	4.97	3.98	3.10
CDCV857AGQLR	296-13775-2-ND	2,5 V PLL-Taktsignaltreiber	2.5V PLL Clock Driver	56-VFBGA		2762.46/1,000	
CDCV857BDGG	296-14165-5-ND	2,5 V PLL-Taktsignaltreiber	2.5V PLL Clock Driver	48-TSSOP	5.06	4.05	3.42
CDCV857BGQLR	296-15358-1-ND	2,5 V PLL-Taktsignaltreiber	2.5V PLL Clock Driver	56-VFBGA	5.47	4.38	3.70
CDCV857BGQLR	296-15358-2-ND	2,5 V PLL-Taktsignaltreiber	2.5V PLL Clock Driver	56-VFBGA		3418.57/1,000	
CDCV857BIDGG	296-13857-5-ND	2,5 V PLL-Taktsignaltreiber	2.5V PLL Clock Driver	48-TSSOP	5.88	4.71	3.97
CDCV857DGGR	296-6722-1-ND	2,5 V PLL-Taktsignaltreiber	2.5V PLL Clock Driver	48-TSSOP	5.96	4.77	4.03
CDCV857DGGR	296-6722-2-ND	2,5 V PLL-Taktsignaltreiber	2.5V PLL Clock Driver	48-TSSOP		7450.08/2,000	
CDCVF111FN	296-12421-5-ND	1:9 Diff. LVPECL Taktsignaltreiber	1:9 Diff. LVPECL Clock Driver	28-PLCC	9.85	8.87	7.86
CDCVF310PW	296-17358-ND	2,5 V-3,3 V Hochleist. Taktsignalpuffer	2.5V-3.3V High-Perf. Clock Buffer	24-TSSOP	3.90	3.13	2.43
CDCVF857DGG	296-16634-5-ND	2,5 V PLL-Taktsignaltreiber	2.5V PLL Clock Driver	48-TSSOP	5.06	4.05	3.42
CDCVF857GQLR	296-16989-1-ND	2,5 V PLL-Taktsignaltreiber	2.5V PLL Clock Driver	56-BGA	5.47	4.38	3.70
CDCVF857GQLR	296-16989-2-ND	2,5 V PLL-Taktsignaltreiber	2.5V PLL Clock Driver	56-BGA		3418.57/1,000	
CDCVF857RTBT	296-16635-1-ND	2,5 V PLL-Taktsignaltreiber	2.5V PLL Clock Driver	40-MLF	5.47	4.38	3.70
CDCVF857RTBT	296-16635-2-ND	2,5 V PLL-Taktsignaltreiber	2.5V PLL Clock Driver	40-MLF		888.72/250	
CDCVF2310PW	296-12019-5-ND	2,5 - 3,3 V, 1:10 Allzweck-Hochleistungs-Taktsignalpuffer	2.5-3.3V, 1:10 General Purpose High Power Clock Buffer	24-TSSOP	3.90	3.13	2.43
CDCVF2310PWR	296-12019-1-ND	2,5 - 3,3 V, 1:10 Allzweck-Hochleistungs-Taktsignalpuffer	2.5-3.3V, 1:10 General Purpose High Power Clock Buffer	24-TSSOP	3.90	3.13	2.43
CDCVF2310PWR	296-12019-2-ND	2,5 - 3,3 V, 1:10 Allzweck-Hochleistungs-Taktsignalpuffer	2.5-3.3V, 1:10 General Purpose High Power Clock Buffer	24-TSSOP		4426.02/2,000	
CDCVF2505D	296-6723-5-ND	3,3 V PLL-Taktsignaltreiber	3.3V PLL Clock Driver	8-SOIC	1.51	1.21	.91
CDCVF2505PW	296-9437-5-ND	3,3 V PLL-Taktsignaltreiber	3.3V PLL Clock Driver	8-TSSOP	1.51	1.21	.91
CDCVF2509PW	296-13070-5-ND	3,3 V PLL-Taktsignaltreiber	3.3V PLL Clock Driver	24-TSSOP	4.08	3.27	2.54
CDCVF2509PWR	296-6724-1-ND	3,3 V PLL-Taktsignaltreiber	3.3V PLL Clock Driver	24-TSSOP	4.08	3.27	2.54
CDCVF2509PWR	296-6724-2-ND	3,3 V PLL-Taktsignaltreiber	3.3V PLL Clock Driver	24-TSSOP		4620.74/2,000	
CDCVF2510PW	296-6725-5-ND	3,3 V PLL-Taktsignaltreiber	3.3V PLL Clock Driver	24-TSSOP	4.08	3.27	2.54
CDCVF2510PWR	296-6725-1-ND	3,3 V PLL-Taktsignaltreiber	3.3V PLL Clock Driver	24-TSSOP	4.08	3.27	2.54
CDCVF2510PWR	296-6725-2-ND	3,3 V PLL-Taktsignaltreiber	3.3V PLL Clock Driver	24-TSSOP		4620.74/2,000	
CDCVF25081D	296-12270-5-ND	3,3 V, 1:8 PLL-Taktsignaltreiber	3.3V, 1:8 PLL Clock Driver	16-SOIC	2.27	1.82	1.42
CDCVF25081DR	296-12270-1-ND	3,3 V, 1:8 PLL-Taktsignaltreiber	3.3V, 1:8 PLL Clock Driver	16-SOIC	2.27	1.82	1.42
CDCVF25081DR	296-12270-2-ND	3,3 V, 1:8 PLL-Taktsignaltreiber	3.3V, 1:8 PLL Clock Driver	16-SOIC		3172.63/2,500	
CDCVF25081PW	296-12271-5-ND	3,3 V, 1:8 PLL-Taktsignaltreiber	3.3V, 1:8 PLL Clock Driver	16-TSSOP	2.27	1.82	1.42
CDCVF25081PWR	296-12271-1-ND	3,3 V, 1:8 PLL-Taktsignaltreiber	3.3V, 1:8 PLL Clock Driver	16-TSSOP	2.27	1.82	1.42
CDCVF25081PWR	296-12271-2-ND	3,3 V, 1:8 PLL-Taktsignaltreiber	3.3V, 1:8 PLL Clock Driver	16-TSSOP		2568.58/2,000	
CDCVF25084PW	296-15081-5-ND	3,3 V, 1:8 Nullverzögerung (PLL) x 4-Taktmultiplikator	3.3V, 1:8 Zero Delay (PLL)x4 Clock Multiplier	16-TSSOP	4.66	3.74	2.91
PLL1700E	PLL1700E-ND	Audio-System Multitaktsignalgeber (PLL)	Audio System Multiclock Generator (PLL)	20-SSOP	3.89	3.11	2.42
PLL1705DBQ	296-13605-5-ND	Zweif. PLL-Multitaktsignalgeber, 3,3 V	3.3V Dual PLL Multiclock Generator	20-SSOP	2.48	1.99	1.55
PLL1706DBQ	296-13606-5-ND	Zweif. PLL-Multitaktsignalgeber, 3,3 V	3.3V Dual PLL Multiclock Generator	20-SSOP	2.48	1.99	1.55
PLL1707DBQ	296-14182-5-ND	Zweif. PLL-Multitaktsignalgeber, 3,3 V	3.3V Dual PLL Multiclock Generator	20-SSOP	2.67	2.14	1.66
PLL1708DBQ	296-14183-5-ND	Zweif. PLL-Multitaktsignalgeber, 3,3 V	3.3V Dual PLL Multiclock Generator	20-SSOP	2.67	2.14	1.66
TB5D1MD	296-15747-5-ND	Vierf. Differenzial-PECL-Treiber	Quad Differential PECL Driver	16-SOIC	10.16	9.15	8.11
TB5D1MDW	296-15748-5-ND	Vierf. Differenzial-PECL-Treiber	Quad Differential PECL Driver	16-SOIC	10.16	9.15	8.11
TB5D2HD	296-15749-5-ND	Vierf. Differenzial-PECL-Treiber	Quad Differential PECL Driver	16-SOIC	10.16	9.15	8.11
TB5D2HDW	296-15750-5-ND	Vierf. Differenzial-PECL-Treiber	Quad Differential PECL Driver	16-SOIC	10.16	9.15	8.11
		IEEE1394					
TSB12LV01BPZT	296-11062-ND	Hochleistungs-Link Layer	High Performance Link Layer	100-TQFP	12.56	11.31	10.03
TSB12LV21BPGF	296-11063-ND	PCILynx Link Layer	PCILynx Link Layer	176-LQFP	13.54	12.20	10.82
TSB12LV26PZT	296-11065-ND	Open-Host-Controller	Open Host Controller	100-TQFP	6.69	5.36	4.52
TSB12LV32IPZ	296-11066-ND	Allzweck Link-Layer-Controller	General Purp. Link Layer Controller	100-LQFP	7.97	7.18	6.37
TSB12LV32PZ	296-11067-ND	Allzweck Link-Layer-Controller	General Purp. Link Layer Controller	100-LQFP	7.26	6.54	5.80
TSB14AA1AIPFB	296-15048-ND	3,3 V IEEE 1394-1995 Rückwandplatine PHY	3.3V IEEE 1394-1995 Backplane PHY	48-TQFP	12.06	10.86	9.63
TSB14AA1APFB	296-14214-5-ND	3,3 V IEEE 1394-1995 Rückwandplatine PHY	3.3V IEEE 1394-1995 Backplane PHY	48-TQFP	8.32	7.50	6.65
TSB14AA1PFB	296-11070-ND	3,3 V IEEE 1394-1995 Rückwandplatine PHY	3.3V IEEE 1394-1995 Backplane PHY	48-TQFP	8.32	7.50	6.65
TSB14AA1TPFB	296-13421-ND	3,3 V IEEE 1394-1995 Rückwandplatine PHY	3.3V IEEE 1394-1995 Backplane PHY	48-TQFP	9.17	8.26	7.32
TSB14C01APM	296-11072-ND	Physical-Layer Controller	Physical Layer Controller	64-LQFP	7.69	6.93	6.14
TSB15LV01IPFC	296-15678-ND	Hochleistungs-Link Layer	High Performance Link Layer	80-TQFP	7.67	6.14	5.18
TSB15LV01PFC	296-11073-ND	Hochleistungs-Link Layer	High Performance Link Layer	80-QFP	6.95	5.56	4.70
TSB41AB1GQE	296-15735-ND	Einzelport-Kabel-Transceiver/Arbiter	One-Port Cable Transceiver/Arbiter	80-VFBGA	2.86	2.29	1.78
TSB41AB1PAP	296-11074-ND	Einzelport-Kabel-Transceiver/Arbiter	One-Port Cable Transceiver/Arbiter	64-HTQFP	2.86	2.29	1.78
TSB41AB1PHP	296-11075-ND	Einzelport-Kabel-Transceiver/Arbiter	One-Port Cable Transceiver/Arbiter	48-HTQFP	2.86	2.29	1.78
TSB41AB2PAP	296-11076-ND	Doppelport-Kabel-Transceiver/Arbiter	Two-Port Cable Transceiver/Arbiter	64-HTQFP	3.52	2.82	2.20
TSB41AB3IPFP	296-13422-ND	IEEE 1394a-2000 Dreifach-Port-Kabel-Transceiver/Arbiter	IEEE 1394a-2000 Three-Port Cable Transceiver/Arbiter	80-HTQFP	5.59	4.47	3.78
TSB41AB3PFP	296-11077-ND	IEEE 1394a-2000 Dreifach-Port-Kabel-Transceiver/Arbiter	IEEE 1394a-2000 Three-Port Cable Transceiver/Arbiter	80-HTQFP	5.08	4.07	3.43
TSB41LV04APFP	296-11078-ND	Vierfach-Port-Kabel-Transceiver/Arbiter	Four-Port Cable Transceiver/Arbiter	80-HTQFP	9.17	8.26	7.32
TSB41LV06APZP	296-11079-ND	Sechsfach-Port-Kabel-Transceiver/Arbiter	Six-Port Cable Transceiver/Arbiter	100-HTQFP	9.02	8.13	7.21
TSB42AC3PZT	296-16848-ND	1394 Link Layer Controller	1394 Link Layer Controller	100-TQFP	9.17	8.26	7.32
TSB42AA9APZT	296-12568-ND	StorageLynx 1394 Link Layer Controller für ATA/ATAPI Speicherprodukte	StorageLynx 1394 Link Layer Controller for ATA/ATAPI Storage Products	100-TQFP	7.55	6.80	6.03
TSB42AA9IPZT	296-13618-5-ND	StorageLynx 1394 Link Layer Controller für ATA/ATAPI Speicherprodukte	StorageLynx 1394 Link Layer Controller for ATA/ATAPI Storage Products	100-TQFP	8.32	7.50	6.65
TSB42AB4PDT	296-11081-ND	Link Layer Controller	Link Layer Controller	128-LQFP	13.20	11.89	10.55
TSB43AA82APGE	296-13423-ND	Integrierter Zweifach-Port Phy- und Link Layer-Hochleistungschip für PC-Peripheriegeräte	2-Port High Performance Integrated Phy/ Link Layer Chipfor PC Peripherals	144-LQFP	11.71	10.55	9.35
TSB43AA82GGW	296-12243-ND	Integrierter Zweifach-Port Phy- und Link Layer-Hochleistungschip für PC-Peripheriegeräte	2-Port High Performance Integrated Phy/ Link Layer Chip for PC Peripherals	176-BGA	11.71	10.55	9.35
TSB43AA82PGE	296-11082-ND	Integrierter Zweifach-Port Phy- und Link Layer-Hochleistungschip für PC-Peripheriegeräte	2-Port High Performance Integrated Phy/ Link Layer Chip for PC Peripherals	144-LQFP	11.71	10.55	9.35
TSB43AB21APDT	296-12698-ND	Phy/Link Layer Controller	Phy/Link-Layer Controller	128-TQFP	7.37	5.90	4.98
TSB43AB22APDT	296-12569-ND	1394a Link Layer Controller	1394a Link Layer Controller	128-TQFP	7.70	6.17	5.21
TSB43AB23PGE	296-14328-ND	OHCI Phy/Link Layer Controller	OHCI Phy/Link Layer Controller	144-LQFP	8.30	6.64	5.61
TSB43CB43APGF	296-14329-ND	iceLynx-Micro™ mit Streaming Audio	iceLynx-Micro™ with Streaming Audio	176-LQFP	13.75	12.39	10.98
TSB81BA3PFP	296-14215-5-ND	1394b Dreifach-Port-Kabel-Transceiver/Arbiter	1394b Three-Port Cable Transceiver/ Arbiter	80-HTQFP	11.00	9.91	8.79
TSB82AA2PGE	296-14445-ND	Hochleistungs-Link Layer	High Performance Link Layer	144-LQFP	11.00	9.91	8.79
		PCI					
PCI950PT	296-1413-5-ND	IRQSER Deserialisierer	IRQSER Deserializer	48-LQFP	3.28	2.63	2.04
PCI1410AGGU	296-6644-5-ND	Einzelsteckplatz-CardBus-Controller	Single Slot CardBus Controller	144-BGA	5.50	4.41	3.72
PCI1410AGHK	296-6645-5-ND	Einzelsteckplatz-CardBus-Controller	Single Slot CardBus Controller	209-BGA	7.10	5.69	4.80
PCI1410APGE	296-6646-5-ND	Einzelsteckplatz-CardBus-Controller	Single Slot CardBus Controller	144-TQFP	5.50	4.41	3.72
PCI1410GGU	296-6647-5-ND	PC-Card-Controller	PC Card Controller	144-BGA	5.50	4.41	3.72
PCI1410PGE	296-6648-5-ND	PC-Card-Controller	PC Card Controller	144-LQFP	5.50	4.41	3.72
PCI1420GHK	296-6650-5-ND	PC-Card-Controller	PC Card Controller	209-BGA	6.74	5.40	4.55
PCI1420PDV	296-6651-5-ND	PC-Card-Controller	PC Card Controller	208-LQFP	6.74	5.40	4.55
PCI1510GGU	296-12730-ND	Einzelsteckplatz-CardBus-Controller	Single Slot CardBus Controller	144-BGA	5.22	4.18	3.53
PCI1510PGE	296-12731-ND	Einzelsteckplatz-CardBus-Controller	Single Slot CardBus Controller	144-LQFP	5.22	4.18	3.53
PCI1510ZGU	296-15728-ND	Einzelsteckplatz-CardBus-Controller	Single Slot CardBus Controller	144-PBGA	5.22	4.18	3.53
PCI1515GHK	296-17550-ND	PC-Card-Controller	PC Card Controller	257-BGA	6.66	5.33	4.50
PCI1515ZHK	296-17725-ND	PC-Card-Controller	PC Card Controller	257-BGA	6.66	5.33	4.50
PCI1520GHK	296-12279-5-ND	PC-Card-Controller	PC Card Controller	209-BGA	6.30	5.04	4.26
PCI1520IGHK	296-16944-ND	PC-Card-Controller	PC Card Controller	208-BGA	6.94	5.56	4.69
PCI1520IPDV	296-16945-ND	PC-Card-Controller	PC Card Controller	208-LQFP	6.94	5.56	4.69
PCI1520PDV	296-12280-5-ND	PC-Card-Controller	PC Card Controller	208-LQFP	6.30	5.04	4.26
PCI1520ZHK	296-16918-ND	PC-Card-Controller	PC Card Controller	209-BGA	6.30	5.04	4.26
PCI1620GHK	296-13787-ND	Zweif. Sockel-PC-Karte und UltraMedia-Controller	Dual Socket PC Card and UltraMedia Controller	209-BGA	8.86	7.98	7.08
PCI1620PDV	296-13788-ND	Zweif. Sockel-PC-Karte und UltraMedia-Controller	Dual Socket PC Card and UltraMedia Controller	208-LQFP	8.86	7.98	7.08

(Forts.)

★ RUFEN SIE BITTE AN FÜR NIEDRIGERE PREISE BEI GRÖSSEREN MENGEN! ★

B

T. I. Teilenr.	Digi-Key Teilenr.	Beschreibung		Paket	Stückpreis ★ 1	25	100
PCI2040GGU	296-9633-5-ND	PCI-an-DSP Brücken-Controller	PCI-to-DSP Bridge Controller	144-BGA	13.40	12.51	11.62
PCI2040PGE	296-9634-ND	PCI-an-DSP Brücken-Controller	PCI-to-DSP Bridge Controller	144-LQFP	13.40	12.51	11.62
PCI2050APDV	296-12086-ND	32-Bit, 66 MHz PCI-an-PCI Brücke	32-Bit, 66MHz PCI-to-PCI Bridge	208-LQFP	13.40	12.07	10.70
PCI2050BGHK	296-15213-ND	32-Bit, 66 MHz PCI-an-PCI Brücke	32-Bit, 66MHz PCI-to-PCI Bridge	257-BGA	13.40	12.07	10.70
PCI2050BPDV	296-14347-ND	32-Bit, 66 MHz PCI-an-PCI Brücke	32-Bit, 66MHz PCI-to-PCI Bridge	208-LQFP	13.40	12.07	10.70
PCI2050BPPM	296-15344-ND	32-Bit, 66 MHz PCI-an-PCI Brücke	32-Bit, 66MHz PCI-to-PCI Bridge	208-QFP	13.40	12.07	10.70
PCI2050GHK	296-9635-5-ND	32-Bit, 33 MHz PCI-an-PCI Brücke	32-Bit, 33MHz PCI-to-PCI Bridge	209-BGA	11.56	10.42	9.24
PCI2050IGHK	296-9636-5-ND	32-Bit, 33 MHz PCI-an-PCI Brücke	32-Bit, 33MHz PCI-to-PCI Bridge	209-BGA	13.96	12.58	11.15
PCI2050IPDV	296-9637-ND	32-Bit, 33 MHz PCI-an-PCI Brücke	32-Bit, 33MHz PCI-to-PCI Bridge	208-LQFP	13.96	12.58	11.15
PCI2050PDV	296-9638-ND	32-Bit, 33 MHz PCI-an-PCI Brücke	32-Bit, 33MHz PCI-to-PCI Bridge	208-LQFP	11.56	10.42	9.24
PCI2250PCM	296-9639-ND	32-Bit, 33 MHz PCI-an-PCI Brücke	32-Bit, 33MHz PCI-to-PCI Bridge	160-QFP	8.60	7.75	6.87
PCI2250PGF	296-9640-ND	32-Bit, 33 MHz PCI-an-PCI Brücke	32-Bit, 33MHz PCI-to-PCI Bridge	176-LQFP	8.60	7.75	6.87
PCI4410AGHK	296-6657-5-ND	Integrierte PC-Karte	Integrated PC Card	209-BGA	10.92	9.83	8.72
PCI4410APDV	296-6658-5-ND	Integrierte PC-Karte	Integrated PC Card	208-LQFP	10.92	9.83	8.72
PCI4451GJG	296-6664-5-ND	Integrierte PC-Karte	Integrated PC Card	257-BGA	12.91	11.63	10.31
PCI4510AZHK	296-17169-ND	PC-Karte und integrierter 1394a-2000 OHCI Zweifach-Port-PHY/Link Layer Controller	PC Card and Integrated 1394a-2000 OHCI 2-Port PHY/Link-Layer Controller	209-PBGA	9.65	8.69	7.71
PCI4510GHK	296-13623-ND	PC-Karte und integrierter 1394a-2000 OHCI Zweifach-Port-PHY/Link Layer Controller	PC Card and Integrated 1394a-2000 OHCI 2-Port PHY/Link Layer Controller	209-PBGA	9.65	8.69	7.71
PCI4510PDV	296-15365-ND	PC-Karte und integrierter 1394a-2000 OHCI Zweifach-Port-PHY/Link Layer Controller	PC Card and Integrated 1394a-2000 OHCI 2-Port PHY/Link Layer Controller	208-LQFP	9.65	8.69	7.71
PCI4515GHK	296-17505-ND	PC-Card-Controller	PC Card Controller	257-BGA	10.25	9.24	8.19
PCI4515ZHK	296-17726-ND	PC-Card-Controller	PC Card Controller	257-BGA	10.25	9.24	8.19
PCI4520GHK	296-15366-ND	Doppelsockel-PC-Karte und integrierter 1394a-2000 OHCI Zweifach-Port-PHY/Link Layer Controller	Dual Socket PC Card and Integrated 1394a-2000 OHCI Two-Port PHY/Link Layer Controller	257-BGA	11.03	9.94	8.81
PCI6420GHK	296-15265-ND	Doppelsockel-CardBus und Smart Card Controller	Dual Socket CardBus and Smart Card Controller	288-PBGA	11.46	10.32	9.15
PCI6420ZHK	296-15266-ND	Doppelsockel-CardBus und Smart Card Controller	Dual Socket CardBus and Smart Card Controller	288-PBGA	11.46	10.32	9.15
PCI6515GHK	296-17285-ND	Integierte 2-Steckplatz-Schnittstelle, 1für PC-Karte/1 dediziert für Smart Card	Integrated 2-Slot, 1 for PC Card/1 Dedicated Smartcard Interface	257-BGA	9.95	8.96	7.95
PCI6620GHK	296-15267-ND	Doppelsockel-CardBus und Smart Card Controller	Dual Socket CardBus and Smart Card Controller	288-PBGA	12.67	11.41	10.12
PCI6620ZHK	296-15268-ND	Doppelsockel-CardBus und Smart Card Controller	Dual Socket CardBus and Smart Card Controller	288-PBGA	12.67	11.41	10.12
PCI7410GHK	296-14179-ND	PC-Karte, Zweifach-Port-PHY/Link Layer Controller	PC Card, Two-Port PHY/Link Layer Controller	209-BGA	13.28	11.96	10.60
PCI7410PDV	296-15088-ND	PC-Karte, Zweifach-Port-PHY/Link Layer Controller	PC Card, Two-Port PHY/Link Layer Controller	208-LQFP	13.28	11.96	10.60
PCI7411GHK	296-17244-ND	PC-Card-Controller	PC Card Controller	288-PBGA	14.12	13.18	12.24
PCI7411ZHK	296-17245-ND	PC-Card-Controller	PC Card Controller	288-PBGA	14.12	13.18	12.24
PCI7420GHK	296-15269-ND	Doppelsockel-CardBus und Smart Card Controller	Dual Socket CardBus and Smart Card Controller	288-PBGA	13.03	12.17	11.30
PCI7420ZHK	296-15270-ND	Doppelsockel-CardBus und Smart Card Controller	Dual Socket CardBus and Smart Card Controller	288-PBGA	13.03	12.17	11.30
PCI7510GHK	296-14180-ND	PC-Karte, Zweifach-Port-PHY/Link Layer Controller	PC Card, Two-Port PHY/Link Layer Controller	209-BGA	13.28	11.96	10.60
PCI7510PDV	296-15089-ND	PC-Karte, Zweifach-Port-PHY/Link Layer Controller	PC Card, Two-Port PHY/Link Layer Controller	208-LQFP	13.28	11.96	10.60
PCI7515GHK	296-17548-ND	PC-Card-Controller	PC Card Controller	257-BGA	11.46	10.32	9.15
PCI7515ZHK	296-17727-ND	PC-Card-Controller	PC Card Controller	257-BGA	11.46	10.32	9.15
PCI7610GHK	296-14181-ND	PC-Karte, Zweifach-Port-PHY/Link Layer Controller	PC Card, Two-Port PHY/Link Layer Controller	209-BGA	13.03	12.17	11.30
PCI7610PDV	296-15090-ND	PC-Karte, Zweifach-Port-PHY/Link Layer Controller	PC Card, Two-Port PHY/Link Layer Controller	208-LQFP	13.03	12.17	11.30
PCI7620GHK	296-15271-ND	Doppelsockel-CardBus und Smart Card Controller	Dual Socket CardBus and Smart Card Controller	288-PBGA	14.12	13.18	12.24
PCI7620ZHK	296-15272-ND	Doppelsockel-CardBus und Smart Card Controller	Dual Socket CardBus and Smart Card Controller	288-PBGA	14.12	13.18	12.24
PCI7621GHK	296-17307-ND	PCI-Controller, sechs Funktionen	Six-Function PCI Controller	288-BGA	16.30	15.21	14.13
PCI7621ZHK	296-17308-ND	PCI-Controller, sechs Funktionen	Six-Function PCI Controller	288-PBGA	16.30	15.21	14.13
		PECL					
TB3R1D	296-15945-5-ND	Vierf. Differenzial-PECL-Treiber	Quad Differential PECL Receiver	16-SOIC	12.20	10.99	9.74
TB3R2D	296-15946-5-ND	Vierf. Differenzial-PECL-Treiber	Quad Differential PECL Receiver	16-SOIC	12.20	10.99	9.74
TB5R1D	296-15947-5-ND	Vierf. Differenzial-PECL-Treiber	Quad Differential PECL Receiver	16-SOIC	10.16	9.15	8.11
TB5R1DW	296-15948-5-ND	Vierf. Differenzial-PECL-Treiber	Quad Differential PECL Receiver	16-SOIC	10.16	9.15	8.11
TB5R1LDW	296-17535-5-ND	Vierf. Differenzial-PECL-Treiber	Quad Differential PECL Receiver	16-SOIC	10.16	9.15	8.11
TB5R2D	296-15949-5-ND	Vierf. Differenzial-PECL-Treiber	Quad Differential PECL Receiver	16-SOIC	10.16	9.15	8.11
TB5R2DW	296-15950-5-ND	Vierf. Differenzial-PECL-Treiber	Quad Differential PECL Receiver	16-SOIC	10.16	9.15	8.11
TB5T1D	296-16689-5-ND	Zweif. Diff.-PECL Treiber/Empfänger	Dual Diff. PECL Driver/Receiver	16-SOIC	10.16	9.15	8.11
TB5T1DW	296-16690-5-ND	Zweif. Diff.-PECL Treiber/Empfänger	Dual Diff. PECL Driver/Receiver	16-SOIC	10.16	9.15	8.11

T. I. Teilenr.	Digi-Key Teilenr.	Beschreibung		Paket	Stückpreis ★ 1	25	100
TLV990-13PFB	296-10737-ND	10-Bit, 13 MSPS CCD-Signalprozessor/Digitalisierer	10-Bit, 13Msps CCD Signal Processor/Digitizer	48-TQFP	4.99	4.00	3.38
TLV990-21PFB	296-10738-ND	10-Bit, 21 MSPS CCD-Analog-Front-Ende	10-Bit, 21Msps CCD Analog Front End	48-TQFP	4.28	3.43	2.67
TLV990-28PFB	296-10739-ND	10-Bit, 28 MSPS CCD-Analog-Front-Ende	10-Bit, 28Msps CCD Analog Front End	48-TQFP	5.84	4.68	3.95
TLV990-40PFB	296-10740-ND	10-Bit, 40 MSPS CCD-Analog-Front-Ende	10-Bit, 40Msps CCD Analog Front End	48-TQFP	6.43	5.15	4.35
TSC2000IPW	TSC2000IPW-ND	Touch-Screen-Controller, programmierbar	Prog. Touch Screen Controller	20-TSSOP	4.48	3.59	2.79
VSP10T21PFB	296-12701-ND	Videosignalprozessor/-Digitalisierer	Video Signal Processor/Digitizer	48-TQFP	6.10	4.88	4.12
VSP1221PFB	296-12296-ND	NL, CCD-Signalprozessor	LP CCD Signal Processor	48-TQFP	6.35	5.08	4.29
VSP1900DBT	296-15068-5-ND	CCD-Vertikaltreiber für Digitalkameras	CCD Vertical Driver for Digital Cameras	30-TSSOP	7.41	6.67	5.92
VSP2000Y	VSP2000Y-ND	CCD-Signalprozessor für Digitalkameras	CCD Signal Processor for Digital Cameras	48-LQFP	8.40	6.72	5.67
VSP2210Y	VSP2210Y-ND	10-Bit, 20 MHz CCD-Signalprozessor für Digitalkameras	10-Bit, 20MHz, Digital Camera CCD Signal Processor	48-LQFP	11.99	10.80	9.58
VSP2212Y	VSP2212Y-ND	12-Bit, 20 MHz CCD-Signalprozessor für Digitalkameras	12-Bit, 20MHz, Digital Camera CCD Signal Processor	48-LQFP	13.53	12.63	11.73
VSP2230Y	VSP2230Y-ND	10-Bit, CCD-Signalprozessor für Digitalkameras	10-Bit Digital Camera CCD Signal Processor	48-LQFP	12.89	12.03	11.18
VSP2232Y	VSP2232Y-ND	12-Bit, CCD-Signalprozessor für Digitalkameras	12-Bit Digital Camera CCD Signal Processor	48-LQFP	15.56	14.52	13.49
VSP2254GSJ	296-14396-ND	36 MHz 2-Kan. CCD-Prozessor	36MHz, 2-Ch. CCD Processor	96-BGA	16.00	14.94	13.87
VSP2260Y	VSP2260Y-ND	10-Bit, 27 MHz CCD-Signalprozessor für Digitalkameras	10-Bit, 27MHz, Digital Camera CCD Signal Processor	48-LQFP	8.13	6.51	5.49
VSP2260Y/2K	VSP2260YTR-ND	10-Bit, 27 MHz CCD-Signalprozessor für Digitalkameras	10-Bit, 27MHz, Digital Camera CCD Signal Processor	48-LQFP		10159.20/2,000	
VSP2262Y	VSP2262Y-ND	12-Bit, 20 MHz CCD-Signalprozessor für Digitalkameras	12-Bit, 20MHz, Digital Camera CCD Signal Processor	48-LQFP	13.40	12.51	11.62
VSP2262Y/2K	VSP2262YTR-ND	12-Bit, 20 MHz CCD-Signalprozessor für Digitalkameras	12-Bit, 20MHz, Digital Camera CCD Signal Processor	48-LQFP		22060.70/2,000	
VSP2264GSJ	296-15168-ND	12-Bit, CCD-Signalprozessor für Digitalkameras	12-Bit, Digital Camera CCD Signal Processor	96-BGA	12.67	11.41	10.12
VSP2270Y	296-12541-ND	28 MHz CCD-Signalprozessor	28MHz CCD Signal Processor	48-LQFP	9.87	8.89	7.89
VSP2272Y	296-12542-ND	28 MHz CCD-Signalprozessor	28MHz CCD Signal Processor	48-LQFP	12.83	11.56	10.25
VSP3010Y	VSP3010Y-ND	12-Bit, CCD/CIS Controller	12-Bit, CCD/CIS Controller	48-LQFP	8.68	7.81	6.93
VSP3100Y	VSP3100Y-ND	14-Bit, 10 MHz CCD/CIS-Signalprozessor	14-Bit, 10MHz CCD/CIS Signal Processor	48-LQFP	7.54	6.80	6.03
VSP3200Y	VSP3200Y-ND	16-Bit, CCD/CIS-Prozessor	16-Bit, CCD/CIS Processor	48-LQFP	9.02	8.13	7.21
VSP3200Y/2K	VSP3200YTR-ND	16-Bit, CCD/CIS-Prozessor	16-Bit, CCD/CIS Processor	48-LQFP		13383.05/2,000	
VSP3210Y	VSP3210Y-ND	16-Bit, CCD/CIS-Prozessor	16-Bit, CCD/CIS Processor	48-LQFP	9.02	8.13	7.21
VSP3210Y2/K	VSP3210YTR-ND	16-Bit, CCD/CIS-Prozessor	16-Bit, CCD/CIS Processor	48-LQFP		13383.05/2,000	
VSP5000PM	296-14235-5-ND	12-Bit, 30 MHz CCD-Signal, Frontende	12-Bit, 30MHz CCD Signal Front End	64-LQFP	13.33	12.45	11.56

T. I. Teilenr.	Digi-Key Teilenr.	Beschreibung		Paket	Stückpreis ★ 1	25	100
		Mehrzweck-Komparatoren					
L293DNE	296-9518-5-ND	Vierf. Halb-H-Treiber	Quad Half-H Drivers	16-Dip	2.33	1.86	1.45
L293NE	296-9519-5-ND	Vierf. Halb-H-Treiber	Quad Half-H Drivers	16-Dip	2.33	1.86	1.45
LM239DR	296-14590-1-ND	Vierf. Differenzialkomparator	Quad Differential Comparator	14-SOIC	.41	.31	.23
LM239DR	296-14590-2-ND	Vierf. Differenzialkomparator	Quad Differential Comparator	14-SOIC		330.17/2,500	
LM293AD	296-9530-5-ND	Zweif. Differenzialkomparator	Dual Differential Comparator	8-SOIC	.41	.31	.23

(Forts.)

★ RUFEN SIE BITTE AN FÜR NIEDRIGERE PREISE BEI GRÖSSEREN MENGEN! ★

Alle Preisangaben in Euro und inklusive Zollgebühren.

T. I. Teilenr.	Digi-Key Teilenr.	Beschreibung		Paket	Stückpreis ★ 1	25	100
LM293D	296-9531-5-ND	Zweif. Differenzialkomparator	Dual Differential Comparator	8-SOIC	.47	.38	.28
LM293DR	296-12848-1-ND	Zweif. Differenzialkomparator	Dual Differential Comparator	8-SOIC	.47	.38	.28
LM293DR	296-12848-2-ND	Zweif. Differenzialkomparator	Dual Differential Comparator	8-SOIC		315.36/2,500	
LM293P	296-9532-5-ND	Zweif. Differenzialkomparator	Dual Differential Comparator	8-Dip	.47	.38	.28
LM339AD	296-6604-5-ND	Vierf. Differenzialkomparator, Klasse A	Quad Diff. Comparator, A Grade	14-SOIC	.42	.34	.26
LM339ADR	296-6604-1-ND	Vierf. Differenzialkomparator, Klasse A	Quad Diff. Comparator, A Grade	14-SOIC	.42	.34	.26
LM339ADR	296-6604-2-ND	Vierf. Differenzialkomparator, Klasse A	Quad Diff. Comparator, A Grade	14-SOIC		285.73/2,500	
LM339AN	296-6605-5-ND	Vierf. Differenzialkomparator, Klasse A	Quad Diff. Comparator, A Grade	14-Dip	.42	.34	.26
LM339D	296-1013-5-ND	Vierf. Diff. Komparator	Quad Diff. Comparator	14-SOIC	.38	.31	.23
LM339DR	296-1013-1-ND	Vierf. Diff. Komparator	Quad Diff. Comparator	14-SOIC	.38	.31	.23
LM339DR	296-1013-2-ND	Vierf. Diff. Komparator	Quad Diff. Comparator	14-SOIC		258.21/2,500	
LM339DBR	296-6606-1-ND	Vierf. Diff. Komparator	Quad Diff. Comparator	14-SSOP	.38	.31	.23
LM339DBR	296-6606-2-ND	Vierf. Diff. Komparator	Quad Diff. Comparator	14-SSOP		213.34/2,000	
LM339N	296-1393-5-ND	Vierf. Diff. Komparator	Quad Diff. Comparator	14-Dip	.38	.31	.23
LM339PWR	296-6607-1-ND	Vierf. Differenzialkomparator, Klasse A	Quad Diff. Comparator, A Grade	14-TSSOP	.38	.31	.23
LM339PWR	296-6607-2-ND	Vierf. Differenzialkomparator, Klasse A	Quad Diff. Comparator, A Grade	14-TSSOP		213.34/2,000	
LM393AD	296-6608-5-ND	Zweif. Diff.-Komparator, Klasse A	Dual Diff. Comparator, A Grade	8-SOIC	.42	.34	.26
LM393ADGKR	296-16807-1-ND	Zweif. Diff.-Komparator, Klasse A	Dual Diff. Comparator, A Grade	8-MSOP	.42	.34	.26
LM393ADGKR	296-16807-2-ND	Zweif. Diff.-Komparator, Klasse A	Dual Diff. Comparator, A Grade	8-MSOP		285.73/2,500	
LM393ADR	296-14605-1-ND	Zweif. Diff.-Komparator, Klasse A	Dual Diff. Comparator, A Grade	8-SOIC	.42	.34	.26
LM393ADR	296-14605-2-ND	Zweif. Diff.-Komparator, Klasse A	Dual Diff. Comparator, A Grade	8-SOIC		285.73/2,500	
LM393AP	296-6609-5-ND	Zweif. Diff.-Komparator, Klasse A	Dual Diff. Comparator, A Grade	8-Dip	.42	.34	.26
LM393APWR	296-6610-1-ND	Zweif. Diff.-Komparator, Klasse A	Dual Diff. Comparator, A Grade	8-TSSOP	.42	.34	.26
LM393APWR	296-6610-2-ND	Zweif. Diff.-Komparator, Klasse A	Dual Diff. Comparator, A Grade	8-TSSOP		237.05/2,000	
LM393D	296-1015-5-ND	Zweif. Diff.-Komparator	Dual Diff. Comparator	8-SOIC	.38	.31	.23
LM393DGKR	296-16808-1-ND	Zweif. Diff.-Komparator	Dual Diff. Comparator	8-MSOP	.42	.34	.26
LM393DGKR	296-16808-2-ND	Zweif. Diff.-Komparator	Dual Diff. Comparator	8-MSOP		285.73/2,500	
LM393DR	296-1015-1-ND	Zweif. Diff.-Komparator	Dual Diff. Comparator	8-SOIC	.38	.31	.23
LM393DR	296-1015-2-ND	Zweif. Diff.-Komparator	Dual Diff. Comparator	8-SOIC		258.21/2,500	
LM393P	296-1398-5-ND	Zweif. Diff.-Komparator	Dual Diff. Comparator	8-Dip	.38	.31	.23
LM393PSR	296-9566-1-ND	Zweif. Diff.-Komparator	Dual Diff. Comparator	8-SOP	.38	.31	.23
LM393PSR	296-9566-2-ND	Zweif. Diff.-Komparator	Dual Diff. Comparator	8-SOP		213.34/2,000	
LM393PWR	296-14607-1-ND	Zweif. Diff.-Komparator	Dual Diff. Comparator	8-TSSOP	.38	.31	.23
LM393PWR	296-14607-2-ND	Zweif. Diff.-Komparator	Dual Diff. Comparator	8-TSSOP		213.34/2,000	
LM2901D	296-1385-5-ND	Vierf. Diff. Komparator, Ind. Temp	Quad Diff. Comparator, Ind. Temp.	14-SOIC	.42	.34	.26
LM2901DR	296-14593-1-ND	Vierf. Diff. Komparator, Ind. Temp	Quad Diff. Comparator, Ind. Temp.	14-SOIC	.42	.34	.26
LM2901DR	296-14593-2-ND	Vierf. Diff. Komparator, Ind. Temp	Quad Diff. Comparator, Ind. Temp.	14-SOIC		285.73/2,500	
LM2901N	296-1386-5-ND	Vierf. Diff. Komparator, Ind. Temp	Quad Diff. Comparator, Ind. Temp.	14-Dip	.42	.34	.26
LM2901PWR	296-6597-1-ND	Vierf. Diff. Komparator, Ind. Temp	Quad Diff. Comparator, Ind. Temp.	14-TSSOP	.42	.34	.26
LM2901PWR	296-6597-2-ND	Vierf. Diff. Komparator, Ind. Temp	Quad Diff. Comparator, Ind. Temp.	14-TSSOP		237.05/2,000	
LM2901QDRQ1	296-17157-5-ND	Vierf. Diff. Komparator, Ind. Temp	Quad Diff. Comparator, Ind. Temp	14-SOIC	.41	.31	.23
LM2902D	296-6598-5-ND	Vierf. OpAmp	Quad Op Amp	14-SOIC	.42	.34	.26
LM2902KVQDRQ1	296-17027-1-ND	Vierf. OpAmp	Quad Op Amp	14-SOIC	.47	.36	.27
LM2902KVQDRQ1	296-17027-2-ND	Vierf. OpAmp	Quad Op Amp	14-SOIC		385.20/2,500	
LM2902N	296-6599-5-ND	Vierf. OpAmp	Quad Op Amp	14-Dip	.42	.34	.26
LM2902PWR	296-6600-1-ND	Vierf. OpAmp	Quad Op Amp	14-TSSOP	.42	.34	.26
LM2902PWR	296-6600-2-ND	Vierf. OpAmp	Quad Op Amp	14-TSSOP		237.05/2,000	
LM2902QDRQ1	296-16814-1-ND	Vierf. OpAmp	Quad Op Amp	14-SOIC	.41	.31	.23
LM2902QDRQ1	296-16814-2-ND	Vierf. OpAmp	Quad Op Amp	14-SOIC		330.17/2,500	
LM2903D	296-1012-5-ND	Zweif. Diff. Komparator, Ind. Temp	Dual Diff. Comparator, Ind. Temp.	8-SOIC	.42	.34	.26
LM2903DGKR	296-16806-1-ND	Zweif. Diff. Komparator, Ind. Temp	Dual Diff. Comparator, Ind. Temp.	8-MSOP	.42	.34	.26
LM2903DGKR	296-16806-2-ND	Zweif. Diff. Komparator, Ind. Temp	Dual Diff. Comparator, Ind. Temp.	8-MSOP		285.73/2,500	
LM2903DR	296-1012-1-ND	Zweif. Diff. Komparator, Ind. Temp	Dual Diff. Comparator, Ind. Temp.	8-SOIC	.42	.34	.26
LM2903DR	296-1012-2-ND	Zweif. Diff. Komparator, Ind. Temp	Dual Diff. Comparator, Ind. Temp.	8-SOIC		285.73/2,500	
LM2903P	296-6601-5-ND	Zweif. Diff. Komparator, Ind. Temp	Dual Diff. Comparator, Ind. Temp.	8-Dip	.42	.34	.26
LM2903PSR	296-17322-1-ND	Zweif. Diff. Komparator, Ind. Temp	Dual Diff. Comparator, Ind. Temp.	8-SOP	.42	.34	.26
LM2903PSR	296-17322-2-ND	Zweif. Diff. Komparator, Ind. Temp	Dual Diff. Comparator, Ind. Temp.	8-SOP		237.05/2,000	
LM2903PWR	296-6602-1-ND	Zweif. Diff. Komparator, Ind. Temp	Dual Diff. Comparator, Ind. Temp.	8-TSSOP	.42	.34	.26
LM2903PWR	296-6602-2-ND	Zweif. Diff. Komparator, Ind. Temp	Dual Diff. Comparator, Ind. Temp.	8-TSSOP		237.05/2,000	
LM2903QDRQ1	296-15183-1-ND	Zweif. Diff. Komparator, Ind. Temp	Dual Diff. Comparator, Ind. Temp.	8-SOIC	.41	.31	.23
LM2903QDRQ1	296-15183-2-ND	Zweif. Diff. Komparator, Ind. Temp	Dual Diff. Comparator, Ind. Temp.	8-SOIC		330.17/2,500	
LM2903QPWRQ1	296-16942-1-ND	Zweif.-Diff. Komparator	Dual Diff. Comparator	8-TSSOP	.41	.31	.23
LM2903QPWRQ1	296-16942-2-ND	Zweif.-Diff. Komparator	Dual Diff. Comparator	8-TSSOP		270.91/2,000	
LM2904QDRQ1	296-15184-1-ND	OpAmp, zweifach	Dual Op Amp	8-SOIC	.41	.31	.23
LM2904QDRQ1	296-15184-2-ND	OpAmp, zweifach	Dual Op Amp	8-SOIC		330.17/2,500	
LM3302D	296-9546-5-ND	Vierf. Diff. Komparator	Quad Diff. Comparator	14-SOIC	.68	.51	.39
LM3302DR	296-14598-1-ND	Vierf. Diff. Komparator	Quad Diff. Comparator	14-SOIC	.68	.51	.39
LM3302DR	296-14598-2-ND	Vierf. Diff. Komparator	Quad Diff. Comparator	14-SOIC		550.29/2,500	
LM3302N	296-17223-5-ND	Vierf. Diff. Komparator	Quad Diff. Comparator	14-Dip	.51	.39	.29
LMV339IDR	296-6611-1-ND	Vierf. Niederspannungskomparator	Quad Low-Voltage Comparator	14-SOIC	.81	.61	.46
LMV339IDR	296-6611-2-ND	Vierf. Niederspannungskomparator	Quad Low-Voltage Comparator	14-SOIC		660.35/2,500	
LMV339IPWR	296-6612-1-ND	Vierf. Niederspannungskomparator	Quad Low-Voltage Comparator	14-TSSOP	.81	.61	.46
LMV339IPWR	296-6612-2-ND	Vierf. Niederspannungskomparator	Quad Low-Voltage Comparator	14-TSSOP		540.13/2,000	
TL331IDBVR	296-10168-1-ND	Einf./Zweif. Diff. Komparator	Single/Dual Diff. Comparator	SOT-23-5	.42	.34	.26
TL331IDBVR	296-10168-2-ND	Einf./Zweif. Diff. Komparator	Single/Dual Diff. Comparator	SOT-23-5		342.87/3,000	
TLC372CPWR	296-10309-1-ND	Zweif. Differenzialkomparator	Dual Differential Comparator	8-TSSOP	.71	.60	.48
TLC372CPWR	296-10309-2-ND	Zweif. Differenzialkomparator	Dual Differential Comparator	8-TSSOP		629.87/2,000	
TLC372ID	296-10310-5-ND	Zweif. Differenzialkomparator	Dual Differential Comparator	8-SOIC	.76	.64	.51
TLC372MD	296-10311-5-ND	Zweif. Differenzialkomparator	Dual Differential Comparator	8-SOIC	.91	.77	.61
TLC372QD	296-10312-5-ND	Zweif. Differenzialkomparator	Dual Differential Comparator	8-SOIC	.81	.68	.55
TLC374CN	296-10313-5-ND	Vierf. Differenzialkomparator	Quad Differential Comparator	14-Dip	.86	.72	.58
TLC374CPWR	296-10314-1-ND	Vierf. Differenzialkomparator	Quad Differential Comparator	14-TSSOP	.86	.72	.58
TLC374CPWR	296-10314-2-ND	Vierf. Differenzialkomparator	Quad Differential Comparator	14-TSSOP		765.33/2,000	
TLC374ID	296-10315-5-ND	Vierf. Differenzialkomparator	Quad Differential Comparator	14-SOIC	.94	.79	.63
TLC374IN	296-10316-5-ND	Vierf. Differenzialkomparator	Quad Differential Comparator	14-Dip	.94	.79	.63
TLC374MD	296-10317-5-ND	Vierf. Differenzialkomparator	Quad Differential Comparator	14-SOIC	1.17	.98	.78
		HS-Komparatoren					
LM139DR	296-6614-1-ND	Vierf. Allzweck-Differenzialkomparator	Quad GP Differential Comparator	14-SOIC	1.02	.85	.68
LM139DR	296-6614-2-ND	Vierf. Allzweck-Differenzialkomparator	Quad GP Differential Comparator	14-SOIC		1100.58/2,500	
LM193DR	296-6615-1-ND	Zweif. Allzweck-Differenzialkomparator	Dual GP Differential Comparator	8-SOIC	.71	.54	.40
LM193DR	296-6615-2-ND	Zweif. Allzweck-Differenzialkomparator	Dual GP Differential Comparator	8-SOIC		577.80/2,500	
LM211D	296-6616-5-ND	Differenzialkomparator mit Strobe	Diff. Comparator with Strobe	8-SOIC	.47	.38	.28
LM211DR	296-14589-1-ND	Differenzialkomparator mit Strobe	Diff. Comparator with Strobe	8-SOIC	.47	.38	.28
LM211DR	296-14589-2-ND	Differenzialkomparator mit Strobe	Diff. Comparator with Strobe	8-SOIC		315.36/2,500	
LM211P	296-6617-5-ND	Differenzialkomparator mit Strobe	Diff. Comparator with Strobe	8-Dip	.47	.38	.28
LM211QD	296-9520-5-ND	Differenzialkomparator mit Strobe	Diff. Comparator with Strobe	8-SOIC	.78	.59	.44
LM211QDRQ1	296-17493-1-ND	Differenzialkomparator mit Strobe	Diff. Comparator with Strobe	8-SOIC	.63	.53	.43
LM211QDRQ1	296-17493-2-ND	Differenzialkomparator mit Strobe	Diff. Comparator with Strobe	8-SOIC		687.86/2,500	
LM239ADR	296-6618-1-ND	Vierf. Allzweck-Differenzialkomparator	Quad GP Differential Comparator	14-SOIC	.51	.39	.29
LM239ADR	296-6618-2-ND	Vierf. Allzweck-Differenzialkomparator	Quad GP Differential Comparator	14-SOIC		412.72/2,500	
LM239D	296-6620-5-ND	Vierf. Allzweck-Differenzialkomparator	Quad GP Differential Comparator	14-SOIC	.47	.38	.28
LM239N	296-6621-5-ND	Vierf. Allzweck-Differenzialkomparator	Quad GP Differential Comparator	14-Dip	.47	.38	.28

(Forts.)

★ ***RUFEN SIE BITTE AN FÜR NIEDRIGERE PREISE BEI GRÖSSEREN MENGEN!*** ★

B

T. I. Teilenr.	Digi-Key Teilenr.	Beschreibung		Paket	Stückpreis ★ 1	25	100
LM239PWR	296-15084-1-ND	Vierf. Allzweck-Differenzialkomparator	Quad GP Differential Comparator	14-TSSOP	.41	.31	.23
LM239PWR	296-15084-2-ND	Vierf. Allzweck-Differenzialkomparator	Quad GP Differential Comparator	14-TSSOP		270.91/2,000	
LM306D	296-9533-5-ND	Differenzialkomparator mit Strobe	Differential Comparator with Strobe	8-SOIC	1.09	.92	.73
LM306P	296-1387-5-ND	Differenzialkomparator mit Strobe	Differential Comparator with Strobe	8-Dip	1.09	.92	.73
LM311D	296-1388-5-ND	Differenzialkomparator mit Strobe	Differential Comparator with Strobe	8-SOIC	.42	.34	.26
LM311DR	296-1388-1-ND	Differenzialkomparator mit Strobe	Differential Comparator with Strobe	8-SOIC	.42	.34	.26
LM311DR	296-1388-2-ND	Differenzialkomparator mit Strobe	Differential Comparator with Strobe	8-SOIC		285.73/2,500	
LM311P	296-1389-5-ND	Differenzialkomparator mit Strobe	Differential Comparator with Strobe	8-Dip	.42	.34	.26
LM311PWR	296-13719-1-ND	Differenzialkomparator mit Strobe	Differential Comparator with Strobe	8-TSSOP	.42	.34	.26
LM311PWR	296-13719-2-ND	Differenzialkomparator mit Strobe	Differential Comparator with Strobe	8-TSSOP		237.05/2,000	
TL712CD	296-6629-5-ND	Differenzialkomparator	Differential Comparator	8-SOIC	1.17	.98	.78
TL712CP	296-6630-5-ND	Differenzialkomparator	Differential Comparator	8-Dip	1.17	.98	.78
TL714CD	296-6631-5-ND	High-Speed-Differenzialkomparator	High Speed Differential Comparator	8-SOIC	2.29	1.83	1.43
TL714CP	296-6632-5-ND	High-Speed-Differenzialkomparator	High Speed Differential Comparator	8-Dip	2.29	1.83	1.43
TL3016CD	296-1793-5-ND	Ultraschneller NL-Präzisionskomparator	Ultra-Fast LP Precision Comparator	8-SOIC	1.69	1.36	1.02
TL3016ID	296-1794-5-ND	Ultraschneller NL-Präzisionskomparator	Ultra-Fast LP Precision Comparator	8-SOIC	1.86	1.49	1.12
TL3016IPW	296-13615-5-ND	Ultraschneller NL-Präzisionskomparator	Ultra-Fast LP Precision Comparator	8-TSSOP	1.86	1.49	1.12
TL3116CD	296-6626-5-ND	Ultraschneller NL-Präzisionskomparator	Ultra-Fast LP Precision Comparator	8-SOIC	1.69	1.36	1.02
TL3116CPWR	296-6627-1-ND	Ultraschneller NL-Präzisionskomparator	Ultra-Fast LP Precision Comparator	8-TSSOP	1.69	1.36	1.02
TL3116CPWR	296-6627-2-ND	Ultraschneller NL-Präzisionskomparator	Ultra-Fast LP Precision Comparator	8-TSSOP		1760.93/2,000	
TL3116ID	296-6628-5-ND	Ultraschneller NL-Präzisionskomparator	Ultra-Fast LP Precision Comparator	8-SOIC	1.86	1.49	1.12
		NL-Komparatoren					
LMV331IDBVR	296-6633-1-ND	Einf. Allzweck-Niederspannungskomparator	Single GP LV Comparator	SOT-23-5	.81	.61	.46
LMV331IDBVR	296-6633-2-ND	Einf. Allzweck-Niederspannungskomparator	Single GP LV Comparator	SOT-23-5		792.42/3,000	
LMV331IDCKR	296-6634-1-ND	Einf. Allzweck-Niederspannungskomparator	Single GP LV Comparator	SC70-5	.81	.61	.46
LMV331IDCKR	296-6634-2-ND	Einf. Allzweck-Niederspannungskomparator	Single GP LV Comparator	SC70-5		792.42/3,000	
LMV393IDDUR	296-17028-1-ND	Zweif. Niederspannungskomparator	Dual LV Comparator	8-VSSOP	.68	.51	.39
LMV393IDDUR	296-17028-2-ND	Zweif. Niederspannungskomparator	Dual LV Comparator	8-VSSOP		660.35/3,000	
LMV393IDGKR	296-13993-1-ND	Zweif. Allzweck-Niederspannungskomparator	Dual GP Low Voltage Comparator	8-VSSOP	.75	.56	.42
LMV393IDGKR	296-13993-2-ND	Zweif. Allzweck-Niederspannungskomparator	Dual GP Low Voltage Comparator	8-VSSOP		605.32/2,500	
LMV393IDR	296-6635-1-ND	Zweif. Allzweck-Niederspannungskomparator	Dual GP LV Comparator	8-SOIC	.68	.51	.39
LMV393IDR	296-6635-2-ND	Zweif. Allzweck-Niederspannungskomparator	Dual GP LV Comparator	8-SOIC		550.29/2,500	
LMV393IPWR	296-6636-1-ND	Zweif. Allzweck-Niederspannungskomparator	Dual GP LV Comparator	8-TSSOP	.75	.56	.42
LMV393IPWR	296-6636-2-ND	Zweif. Allzweck-Niederspannungskomparator	Dual GP LV Comparator	8-TSSOP		496.11/2,000	
LP211D	296-9573-5-ND	Differenzialkomparator	Differential Comparator	8-SOIC	.86	.72	.58
LP2901D	296-9574-5-ND	Vierf. Differenzialkomparator	Quad Differential Comparator	14-SOIC	.97	.81	.65
LP2901N	296-9575-5-ND	Vierf. Differenzialkomparator	Quad Differential Comparator	14-Dip	.97	.81	.65
LP311D	296-9576-5-ND	Differenzialkomparator	Differential Comparator	8-SOIC	.97	.81	.65
LP311DR	296-14608-1-ND	Differenzialkomparator	Differential Comparator	8-SOIC	.97	.81	.65
LP311DR	296-14608-2-ND	Differenzialkomparator	Differential Comparator	8-SOIC		1045.55/2,500	
LP311P	296-9577-5-ND	Differenzialkomparator	Differential Comparator	8-Dip	.97	.81	.65
LP339D	296-9578-5-ND	Vierf. Differenzialkomparator	Quad Differential Comparator	14-SOIC	.51	.39	.29
LP339DR	296-14609-1-ND	Vierf. Differenzialkomparator	Quad Differential Comparator	14-SOIC	.51	.39	.29
LP339DR	296-14609-2-ND	Vierf. Differenzialkomparator	Quad Differential Comparator	14-SOIC		412.72/2,500	
LP339N	296-9579-5-ND	Vierf. Differenzialkomparator	Quad Differential Comparator	14-Dip	.51	.39	.29
TLC339CD	296-10281-5-ND	Vierf. Differenzialkomparator	Quad Differential Comparator	14-SOIC	.94	.79	.63
TLC339CN	296-12312-5-ND	Vierf. Differenzialkomparator	Quad Differential Comparator	14-Dip	.94	.79	.63
TLC339CPWR	296-10282-1-ND	Vierf. Differenzialkomparator	Quad Differential Comparator	14-TSSOP	.94	.79	.63
TLC339CPWR	296-10282-2-ND	Vierf. Differenzialkomparator	Quad Differential Comparator	14-TSSOP		833.05/2,000	
TLC339ID	296-1324-5-ND	Vierf. Differenzialkomparator	Quad Differential Comparator	14-SOIC	1.02	.85	.68
TLC339IDR	296-1324-1-ND	Vierf. Differenzialkomparator	Quad Differential Comparator	14-SOIC	1.02	.85	.68
TLC339IDR	296-1324-2-ND	Vierf. Differenzialkomparator	Quad Differential Comparator	14-SOIC		1100.58/2,500	
TLC339IN	296-10283-5-ND	Vierf. Differenzialkomparator	Quad Differential Comparator	14-Dip	1.02	.85	.68
TLC339MN	296-10284-5-ND	Vierf. Differenzialkomparator	Quad Differential Comparator	14-Dip	1.06	.85	.64
TLC352IPW	296-17476-5-ND	LinCMOS™ zweif. Diff. Komparator	LinCMOS™ Dual Diff. Comparator	8-TSSOP	.94	.79	.63
TLC372CD	296-1327-5-ND	Zweif. Differenzialkomparator	Dual Differential Comparator	8-SOIC	.71	.60	.48
TLC372CDR	296-1327-1-ND	Zweif. Differenzialkomparator	Dual Differential Comparator	8-SOIC	.71	.60	.48
TLC372CDR	296-1327-2-ND	Zweif. Differenzialkomparator	Dual Differential Comparator	8-SOIC		770.41/2,500	
TLC372CP	296-1845-5-ND	Zweif. Differenzialkomparator	Dual Differential Comparator	8-Dip	.71	.60	.48
TLC372IP	296-1846-5-ND	Zweif. Differenzialkomparator	Dual Differential Comparator	8-Dip	.76	.64	.51
TLC374CD	296-1328-5-ND	Vierf. Differenzialkomparator	Quad Differential Comparator	14-SOIC	.86	.72	.58
TLC374CDR	296-1328-1-ND	Vierf. Differenzialkomparator	Quad Differential Comparator	14-SOIC	.86	.72	.58
TLC374CDR	296-1328-2-ND	Vierf. Differenzialkomparator	Quad Differential Comparator	14-SOIC		935.49/2,500	
TLC393CD	296-1329-5-ND	Zweif. Spannungskomparator	Dual Voltage Comparator	8-SOIC	.79	.66	.53
TLC393CDR	296-1329-1-ND	Zweif. Spannungskomparator	Dual Voltage Comparator	8-SOIC	.79	.66	.53
TLC393CDR	296-1329-2-ND	Zweif. Spannungskomparator	Dual Voltage Comparator	8-SOIC		852.95/2,500	
TLC393CP	296-1849-5-ND	Zweif. Spannungskomparator	Dual Voltage Comparator	8-Dip	.79	.66	.53
TLC393CPWR	296-10318-1-ND	Zweif. Spannungskomparator	Dual Voltage Comparator	8-TSSOP	.79	.66	.53
TLC393CPWR	296-10318-2-ND	Zweif. Spannungskomparator	Dual Voltage Comparator	8-TSSOP		697.60/2,000	
TLC393ID	296-1330-5-ND	Zweif. Spannungskomparator	Dual Voltage Comparator	8-SOIC	.86	.72	.58
TLC393IDR	296-1330-1-ND	Zweif. Spannungskomparator	Dual Voltage Comparator	8-SOIC	.86	.72	.58
TLC393IDR	296-1330-2-ND	Zweif. Spannungskomparator	Dual Voltage Comparator	8-SOIC		935.49/2,500	
TLC393IP	296-10320-5-ND	Zweif. Spannungskomparator	Dual Voltage Comparator	8-Dip	.86	.72	.58
TLC393IPWR	296-10321-1-ND	Zweif. Spannungskomparator	Dual Voltage Comparator	8-TSSOP	.86	.72	.58
TLC393IPWR	296-10321-2-ND	Zweif. Spannungskomparator	Dual Voltage Comparator	8-TSSOP		765.33/2,000	
TLC393QDRQ1	296-17501-1-ND	Zweif. Spannungskomparator	Dual Voltage Comparator	8-SOIC	.91	.77	.61
TLC393QDRQ1	296-17501-2-ND	Zweif. Spannungskomparator	Dual Voltage Comparator	8-SOIC		990.52/2,500	
TLC3702CD	296-1325-5-ND	Zweif. Spannungskomparator	Dual Voltage Comparator	8-SOIC	.74	.62	.50
TLC3702CDR	296-1325-1-ND	Zweif. Spannungskomparator	Dual Voltage Comparator	8-SOIC	.74	.62	.50
TLC3702CDR	296-1325-2-ND	Zweif. Spannungskomparator	Dual Voltage Comparator	8-SOIC		797.92/2,500	
TLC3702CP	296-1841-5-ND	Zweif. Spannungskomparator	Dual Voltage Comparator	8-Dip	.74	.62	.50
TLC3702MD	296-12188-5-ND	Zweif. Spannungskomparator	Dual Voltage Comparator	8-SOIC	.94	.79	.63
TLC3702ID	296-1326-5-ND	Zweif. Spannungskomparator	Dual Voltage Comparator	8-SOIC	.79	.66	.53
TLC3702IDR	296-1326-1-ND	Zweif. Spannungskomparator	Dual Voltage Comparator	8-SOIC	.79	.66	.53
TLC3702IDR	296-1326-2-ND	Zweif. Spannungskomparator	Dual Voltage Comparator	8-SOIC		852.95/2,500	
TLC3702IP	296-10300-5-ND	Zweif. Spannungskomparator	Dual Voltage Comparator	8-Dip	.79	.66	.53
TLC3702IPW	296-10301-5-ND	Zweif. Spannungskomparator	Dual Voltage Comparator	8-TSSOP	.79	.66	.53
TLC3704CD	296-10302-5-ND	Vierf. Spannungskomparator	Quad Voltage Comparator	14-SOIC	1.02	.85	.68
TLC3704CN	296-10303-5-ND	Vierf. Spannungskomparator	Quad Voltage Comparator	14-Dip	1.02	.85	.68
TLC3704CNS	296-10304-5-ND	Vierf. Spannungskomparator	Quad Voltage Comparator	14-SOP	1.02	.85	.68
TLC3704CNSR	296-10304-1-ND	Vierf. Spannungskomparator	Quad Voltage Comparator	14-SOP	1.02	.85	.68
TLC3704CNSR	296-10304-2-ND	Vierf. Spannungskomparator	Quad Voltage Comparator	14-SOP		900.78/2,000	
TLC3704CPWR	296-10305-1-ND	Vierf. Spannungskomparator	Quad Voltage Comparator	14-TSSOP	1.02	.85	.68
TLC3704CPWR	296-10305-2-ND	Vierf. Spannungskomparator	Quad Voltage Comparator	14-TSSOP		900.78/2,000	
TLC3704ID	296-1843-5-ND	Vierf. Spannungskomparator	Quad Voltage Comparator	14-SOIC	1.17	.98	.78
TLC3704IN	296-10306-5-ND	Vierf. Spannungskomparator	Quad Voltage Comparator	14-Dip	1.17	.98	.78
TLC3704IPW	296-10307-5-ND	Vierf. Spannungskomparator	Quad Voltage Comparator	14-TSSOP	1.17	.98	.78
TLC3704MD	296-10308-5-ND	Vierf. Spannungskomparator	Quad Voltage Comparator	14-SOIC	1.17	.94	.70
TLC3704QDRQ1	296-17830-1-ND	Vierf. Spannungskomparator	Quad Voltage Comparator	14-SOIC	1.06	.85	.64
TLC3704QDRQ1	296-17830-2-ND	Vierf. Spannungskomparator	Quad Voltage Comparator	14-SOIC		1354.56/2,500	
TLV2702ID	296-12503-5-ND	Nanopower-OpAmp und Push-Pull-Komparator	Nanopower Op Amp and Push-Pull Comparator	8-SOIC	1.82	1.46	1.10
TLV2702IDGK	296-13370-5-ND	Nanopower-OpAmp und Push-Pull-Komparator	Nanopower Op Amp and Push-Pull Comparator	8-VSSOP	1.82	1.46	1.10

(Forts.)

★ RUFEN SIE BITTE AN FÜR NIEDRIGERE PREISE BEI GRÖSSEREN MENGEN! ★

T. I. Teilenr.	Digi-Key Teilenr.	Beschreibung		Paket	Stückpreis ★ 1	25	100
TLV3011AIDBVT	296-16745-1-ND	1,8 V Komparator, Open Drain mit Referenz	1.8V, Open Drain Comparator with Reference	SOT-23-6	1.59	1.27	.96
TLV3011AIDBVT	296-16745-2-ND	1,8 V Komparator, Open Drain mit Referenz	1.8V, Open Drain Comparator with Reference	SOT-23-6		222.23/250	
TLV3011AIDCKT	296-17117-1-ND	1,8 V Komparator, Open Drain mit Referenz	1.8V, Open Drain Comparator with Reference	SC70-6	1.59	1.27	.96
TLV3011AIDCKT	296-17117-2-ND	1,8 V Komparator, Open Drain mit Referenz	1.8V, Open Drain Comparator with Reference	SC70-6		222.23/250	
TLV3012AIDBVT	296-16830-1-ND	1,8 V Komparator mit Spannungsref.	1.8V, Comparator with Volt. Ref.	SOT-23-6	1.59	1.27	.96
TLV3012AIDBVT	296-16830-2-ND	1,8 V Komparator mit Spannungsref.	1.8V, Comparator with Volt. Ref.	SOT-23-6		222.23/250	
TLV3012AIDCKT	296-17118-1-ND	1,8 V Komparator mit Spannungsref.	1.8V, Comparator with Volt. Ref.	SC70-6	1.59	1.27	.96
TLV3012AIDCKT	296-17118-2-ND	1,8 V Komparator mit Spannungsref.	1.8V, Comparator with Volt. Ref.	SC70-6		222.23/250	
TLV3401IDBVR	296-13376-1-ND	Nanopower Open Drain-Ausgangskomparator	Nanopower Open Drain Output Comparator	SOT-23-5	1.38	1.11	.83
TLV3401IDBVR	296-13376-2-ND	Nanopower Open Drain-Ausgangskomparator	Nanopower Open Drain Output Comparator	SOT-23-5		2113.11/3,000	
TLV3401IDR	296-10707-1-ND	Nanopower Open Drain-Ausgangskomparator	Nanopower Open Drain Output Comparator	8-SOIC	1.38	1.11	.83
TLV3401IDR	296-10707-2-ND	Nanopower Open Drain-Ausgangskomparator	Nanopower Open Drain Output Comparator	8-SOIC		1760.93/2,500	
TLV3401IP	296-12042-5-ND	Nanopower Open Drain-Ausgangskomparator	Nanopower Open Drain Output Comparator	8-Dip	1.38	1.11	.83
TLV3402IP	296-12043-5-ND	Zweif. Open Drain-Ausgangskomparator	Dual Open Drain Output Comparator	8-Dip	1.90	1.53	1.15
TLV3402IDGKR	296-10708-1-ND	Zweif. Nanopower-Komparator	Dual Nanopower Comparator	8-MSOP	1.90	1.53	1.15
TLV3402IDGKR	296-10708-2-ND	Zweif. Nanopower-Komparator	Dual Nanopower Comparator	8-MSOP		2438.21/2,500	
TLV3402IDR	296-10709-1-ND	Zweif. Nanopower-Komparator	Dual Nanopower Comparator	8-SOIC	1.90	1.53	1.15
TLV3402IDR	296-10709-2-ND	Zweif. Nanopower-Komparator	Dual Nanopower Comparator	8-SOIC		2438.21/2,500	
TLV3404IN	296-12044-5-ND	Vierf. Open Drain-Ausgangskomparator	Quad Open Drain Output Comparator	14-Dip	2.19	1.76	1.37
TLV3501AID	296-17921-5-ND	4,5 nS R/R HS Komparator	4.5nS R/R HS Comparator	8-SOIC	2.86	2.29	1.78
TLV3701CDBVT	296-13377-1-ND	Nanopower Push-Pull-Ausgangskomparator	Nanopower Push-Pull Output Comparator	SOT-23-5	1.27	1.02	.77
TLV3701CDBVT	296-13377-2-ND	Nanopower Push-Pull-Ausgangskomparator	Nanopower Push-Pull Output Comparator	SOT-23-5		177.79/250	
TLV3701ID	296-12608-5-ND	Nanopower Push-Pull-Ausgangskomparator	Nanopower Push-Pull Output Comparator	8-SOIC	1.38	1.11	.83
TLV3701IDBVT	296-13378-1-ND	Nanopower Push-Pull-Ausgangskomparator	Nanopower Push-Pull Output Comparator	SOT-23-5	1.38	1.11	.83
TLV3701IDBVT	296-13378-2-ND	Nanopower Push-Pull-Ausgangskomparator	Nanopower Push-Pull Output Comparator	SOT-23-5		192.60/250	
TLV3701IP	296-13379-5-ND	Nanopower Push-Pull-Ausgangskomparator	Nanopower Push-Pull Output Comparator	8-Dip	1.38	1.11	.83
TLV3701QDBVRQ1	296-16957-1-ND	Nanopower Push-Pull-Ausgangskomparator	Nanopower Push-Pull Output Comparator	SOT-23	1.48	1.19	.89
TLV3701QDBVRQ1	296-16957-2-ND	Nanopower Push-Pull-Ausgangskomparator	Nanopower Push-Pull Output Comparator	SOT-23		2275.66/3,000	
TLV3702ID	296-12609-5-ND	Zweif. Nanopower Push-Pull-Ausgangskomparator	Dual Nanopower Push-Pull Output Comparator	8-SOIC	1.90	1.53	1.15
TLV3702IP	296-13380-5-ND	Zweif. Nanopower Push-Pull-Ausgangskomparator	Dual Nanopower Push-Pull Output Comparator	8-Dip	1.90	1.53	1.15
TLV3702IDGK	296-12610-5-ND	Zweif. Nanopower Push-Pull-Ausgangskomparator	Dual Nanopower Push-Pull Output Comparator	8-VSSOP	1.90	1.53	1.15
TLV3702QDRQ1	296-16958-1-ND	Nanopower Push-Pull-Ausgangskomparator	Nanopower Push-Pull Output Comparator	8-SOIC	2.01	1.61	1.21
TLV3702QDRQ1	296-16958-2-ND	Nanopower Push-Pull-Ausgangskomparator	Nanopower Push-Pull Output Comparator	8-SOIC		2573.66/2,500	
TLV3704IDR	296-12287-1-ND	Vierf. Nanopower Push-Pull-Komparator	Quad Nanopower Push-Pull Comparator	14-SOIC	2.19	1.76	1.37
TLV3704IDR	296-12287-2-ND	Vierf. Nanopower Push-Pull-Komparator	Quad Nanopower Push-Pull Comparator	14-SOIC		3066.81/2,500	
TLV3704IN	296-12611-5-ND	Vierf. Nanopower Push-Pull-Komparator	Quad Nanopower Push-Pull Comparator	14-Dip	2.19	1.76	1.37
TLV3704IPW	296-12400-5-ND	Vierf. Nanopower Push-Pull-Komparator	Quad Nanopower Push-Pull Comparator	14-TSSOP	2.19	1.76	1.37
		Niederspannungs-Komparatoren					
TLC352CD	296-1839-5-ND	Zweif. Differenzialkomparator	Dual Differential Comparator	8-SOIC	.86	.72	.58
TLC352CP	296-10285-5-ND	Zweif. Differenzialkomparator	Dual Differential Comparator	8-Dip	.86	.72	.58
TLC352ID	296-10286-5-ND	Zweif. Differenzialkomparator	Dual Differential Comparator	8-SOIC	.94	.79	.63
TLC352IP	296-10287-5-ND	Zweif. Differenzialkomparator	Dual Differential Comparator	8-Dip	.94	.79	.63
TLC354CD	296-10292-5-ND	Vierf. Differenzialkomparator	Quad Differential Comparator	14-SOIC	.99	.83	.67
TLC354CN	296-10293-5-ND	Vierf. Differenzialkomparator	Quad Differential Comparator	14-Dip	.99	.83	.67
TLC354CPW	296-10294-5-ND	Vierf. Differenzialkomparator	Quad Differential Comparator	14-TSSOP	.99	.83	.67
TLC354ID	296-10295-5-ND	Vierf. Differenzialkomparator	Quad Differential Comparator	14-SOIC	1.17	.98	.78
TLV1391CDBVR	296-10492-1-ND	Differenzialkomparator	Differential Comparator	SOT-23-5	.63	.53	.43
TLV1391CDBVR	296-10492-2-ND	Differenzialkomparator	Differential Comparator	SOT-23-5		825.44/3,000	
TLV2352ID	296-10517-5-ND	Zweif. Differenzialkomparator	Dual Differential Comparator	8-SOIC	1.61	1.29	.97
TLV2352IP	296-10518-5-ND	Zweif. Differenzialkomparator	Dual Differential Comparator	8-Dip	1.61	1.29	.97
TLV2352IPWR	296-10519-1-ND	Zweif. Differenzialkomparator	Dual Differential Comparator	8-TSSOP	1.61	1.29	.97
TLV2352IPWR	296-10519-2-ND	Zweif. Differenzialkomparator	Dual Differential Comparator	8-TSSOP		1672.88/2,000	
TLV2354ID	296-10520-5-ND	Vierf. Differenzialkomparator	Quad Differential Comparator	14-SOIC	2.27	1.82	1.42
TLV2354IN	296-10521-5-ND	Vierf. Differenzialkomparator	Quad Differential Comparator	14-Dip	2.27	1.82	1.42
TLV2354IPWR	296-10522-1-ND	Vierf. Differenzialkomparator	Quad Differential Comparator	14-TSSOP	2.27	1.82	1.42
TLV2354IPWR	296-10522-2-ND	Vierf. Differenzialkomparator	Quad Differential Comparator	14-TSSOP		2568.58/2,000	

T. I. Teilenr.	Digi-Key Teilenr.	Beschreibung		Paket	Stückpreis ★ 1	25	100
		Audio-CODEC					
PCM2900E	296-13034-5-ND	Stereo-Audio-CODEC mit USB-Schnittstelle	Stereo Audio CODEC w/USB Interface	28-SSOP	7.03	5.63	4.75
PCM2901E	296-12985-5-ND	Stereo-Audio-CODEC mit USB-Schnittstelle, Einzelende-Analog-E/A und S/PDIF	Stereo Audio CODEC w/USB Interface, Single Ended Analog I/O and S/PDIF	28-SSOP	7.03	5.63	4.75
PCM2902E	296-12986-5-ND	Stereo-Audio-CODEC mit USB-Schnittstelle, Einzelende-Analog-E/A und S/PDIF	Stereo Audio CODEC w/USB Interface, Single Ended Analog I/O and S/PDIF	28-SSOP	7.62	6.10	5.15
PCM2903E	296-12987-5-ND	Stereo-Audio-CODEC mit USB-Schnittstelle, Einzelende-Analog-E/A und S/PDIF	Stereo Audio CODEC w/USB Interface, Single Ended Analog I/O and S/PDIF	28-SSOP	7.62	6.10	5.15
PCM2904DB	296-13478-5-ND	Stereo-Audio-CODEC mit USB-Schnittstelle, Einzelende-Analog-E/A und S/PDIF	Stereo Audio Codec w/USB Interface, Single Ended Analog I/O and S/PDIF	28-SSOP	7.03	5.63	4.75
PCM2906DB	296-13479-5-ND	Stereo-Audio-CODEC mit USB-Schnittstelle, Einzelende-Analog-E/A und S/PDIF	Stereo Audio Codec w/USB Interface, Single Ended Analog I/O and S/PDIF	28-SSOP	7.62	6.10	5.15
PCM3000E	PCM3000E-ND	Stereo-Audio-CODEC 18-Bit, 3-Draht-Schnittstelle	Stereo Audio CODEC 18-Bit, 3-Wire Interface	28-SSOP	5.84	4.68	3.95
PCM3001E	PCM3001E-ND	Stereo-Audio-CODEC 18-Bit, Pin-programmierbar	Stereo Audio CODEC 18-Bit, Pin Programmable	28-SSOP	5.84	4.68	3.95
PCM3002E	PCM3002E-ND	20-Bit, Stereo-CODEC, Softwaresteuerung	20-Bit, Stereo CODEC, Software Control	24-SSOP	5.84	4.68	3.95
PCM3003E	PCM3003E-ND	20-Bit, Stereo-CODEC, Hardwaresteuerung	20-Bit, Stereo CODEC, Hardware Control	24-SSOP	5.84	4.68	3.95
PCM3006T	PCM3006T-ND	16-Bit, Stereo-CODEC, Einzelende-E/A	16-Bit, Stereo CODEC, Single-Ended I/O	24-SSOP	5.84	4.68	3.95
PCM3008T	PCM3008T-ND	16-Bit, Niedrigleistungs/Niederspannungs-Stereo-CODEC	16-Bit, Low Power/Voltage Stereo CODEC	16-TSSOP	5.25	4.20	3.55
PCM3010DB	296-14398-5-ND	24-Bit, Stereo-Audio-CODEC	24-Bit, Stereo Audio Codec	24-SSOP	6.77	5.42	4.58
PCM3500E	PCM3500E-ND	Voice/Modem-CODEC	Voice/Modem CODEC	24-SSOP	4.49	3.59	3.03
PCM3501E	PCM3501E-ND	Voice/Modem-CODEC	Voice/Modem CODEC	24-SSOP	4.49	3.59	3.03
TLV320AIC22CPT	296-13661-ND	Zweif. Voice Over Internet Protocol (VoIP)-CODEC	Dual Voice Over Internet Protocol (VoIP) Codec	48-LQFP	5.96	4.77	4.03
TLV320AIC23BRHDR	296-15121-1-ND	Stereo-Audio-CODEC mit integriertem Kopfhörerverstärker	Stereo Audio CODEC with Integrated Headphone Amp	28-QFN	5.08	4.07	3.43
TLV320AIC23BRHDR	296-15121-2-ND	Stereo-Audio-CODEC mit integriertem Kopfhörerverstärker	Stereo Audio CODEC with Integrated Headphone Amp	28-QFN		9448.06/3,000	
		Central Office CODEC					
TCM38C17IDL	296-1761-5-ND	4-Kanal-PCM-Combo	4-Channel PCM Combo	48-SSOP	8.21	6.57	5.55
TP3054ADW	296-10782-5-ND	PCM CODEC/Filtersystem (u-law)	PCM CODEC/Filtering System (u-law)	16-SOIC	2.33	1.86	1.45
TP3054AN	296-10783-5-ND	PCM CODEC/Filtersystem (u-law)	PCM CODEC/Filtering System (u-law)	16-Dip	2.33	1.86	1.45
TP3054BDW	296-10784-5-ND	PCM CODEC/Filtersystem (u-law)	PCM CODEC/Filtering System (u-law)	16-SOIC	2.33	1.86	1.45
TP3054BN	296-1936-5-ND	PCM CODEC/Filtersystem (u-law)	PCM CODEC/Filtering System (u-law)	16-Dip	2.33	1.86	1.45
TP3056BDW	296-10785-5-ND	PCM CODEC und Filter (A-law und u-law)	PCM CODEC and Filter (A-law and u-law)	16-SOIC	2.42	1.94	1.51
TP3056BN	296-10786-5-ND	PCM CODEC und Filter (A-law und u-law)	PCM CODEC and Filter (A-law and u-law)	16-Dip	2.42	1.94	1.51
TP3057ADW	296-10787-5-ND	PCM CODEC und Filter (A-law)	PCM CODEC and Filter (A-law)	16-SOIC	2.33	1.86	1.45
TP3057AN	296-10788-5-ND	PCM CODEC und Filter (A-law)	PCM CODEC and Filter (A-law)	16-Dip	2.33	1.86	1.45
TP3057BDW	296-10789-5-ND	PCM CODEC und Filter (A-law)	PCM CODEC and Filter (A-law)	16-SOIC	2.33	1.86	1.45
TP3057BN	296-10790-5-ND	PCM CODEC und Filter (A-law)	PCM CODEC and Filter (A-law)	16-Dip	2.33	1.86	1.45
TP3064BDW	296-10791-5-ND	PCM CODEC/Filtersystem (u-law)	PCM CODEC/Filtering System (u-law)	20-SOIC	2.33	1.86	1.45
TP3064BN	296-10792-5-ND	PCM CODEC/Filtersystem (u-law)	PCM CODEC/Filtering System (u-law)	20-Dip	2.33	1.86	1.45
TP3067ADW	296-10793-5-ND	PCM CODEC und Filter (A-law)	PCM CODEC and Filter (A-law)	20-SOIC	2.33	1.86	1.45
TP3067AN	296-10794-5-ND	PCM CODEC und Filter (A-law)	PCM CODEC and Filter (A-law)	20-Dip	2.33	1.86	1.45

(Forts.)

★ RUFEN SIE BITTE AN FÜR NIEDRIGERE PREISE BEI GRÖSSEREN MENGEN!★

B

T. I. Teilenr.	Digi-Key Teilenr.	Beschreibung		Paket	Stückpreis ★ 1	25	100
TP3067BDW	296-10795-5-ND	PCM CODEC und Filter (A-law)	PCM CODEC and Filter (A-law)	20-SOIC	2.33	1.86	1.45
TP3067BN	296-10796-5-ND	PCM CODEC und Filter (A-law)	PCM CODEC and Filter (A-law)	20-Dip	2.33	1.86	1.45
TP13054ADW	296-10774-5-ND	PCM CODEC/Filtersystem (u-law)	PCM CODEC/Filtering System (u-law)	16-SOIC	2.61	2.09	1.63
TP13054BDW	296-10775-5-ND	PCM CODEC/Filtersystem (u-law)	PCM CODEC/Filtering System (u-law)	16-SOIC	2.61	2.09	1.63
TP13054BN	296-10776-5-ND	PCM CODEC/Filtersystem (u-law)	PCM CODEC/Filtering System (u-law)	16-Dip	2.61	2.09	1.63
TP13057BDW	296-10777-5-ND	PCM CODEC und Filter (A-law)	PCM CODEC and Filter (A-law)	16-SOIC	2.61	2.09	1.63
TP13057BN	296-10778-5-ND	PCM CODEC und Filter (A-law)	PCM CODEC and Filter (A-law)	16-Dip	2.61	2.09	1.63
TP13064BDW	296-10779-5-ND	PCM CODEC/Filtersystem (u-law)	PCM CODEC/Filtering System (u-law)	20-SOIC	2.61	2.09	1.63
TP13067BDW	296-10780-5-ND	PCM CODEC und Filter (A-law)	PCM CODEC and Filter (A-law)	20-SOIC	2.61	2.09	1.63
TP13067BN	296-10781-5-ND	PCM CODEC und Filter (A-law)	PCM CODEC and Filter (A-law)	20-Dip	2.61	2.09	1.63
		IrDA					
TIR1000IPWR	296-6574-1-ND	Unabhängiger IrDA Kodierer/Dekodierer	Standalone IrDA Encoder/Decoder	8-TSSOP	2.19	1.76	1.37
TIR1000IPWR	296-6574-2-ND	Unabhängiger IrDA Kodierer/Dekodierer	Standalone IrDA Encoder/Decoder	8-TSSOP		2482.23/2,000	
TIR1000PSR	296-6572-1-ND	Unabhängiger IrDA Kodierer/Dekodierer	Standalone IrDA Encoder/Decoder	8-SOP	2.07	1.66	1.25
TIR1000PSR	296-6572-2-ND	Unabhängiger IrDA Kodierer/Dekodierer	Standalone IrDA Encoder/Decoder	8-SOP		2157.14/2,000	
TIR1000PWR	296-6573-1-ND	Unabhängiger IrDA Kodierer/Dekodierer	Standalone IrDA Encoder/Decoder	8-TSSOP	2.07	1.66	1.25
TIR1000PWR	296-6573-2-ND	Unabhängiger IrDA Kodierer/Dekodierer	Standalone IrDA Encoder/Decoder	8-TSSOP		2157.14/2,000	
		Ring-Controller					
UCC2750DW	296-2602-5-ND	Source-Ringer-Controller	Source Ringer Controller	28-SOIC	10.51	9.47	8.39
UCC2751D	296-2603-5-ND	Rufgenerator-Controller für eine Leitung	Single Line Ring Generator Controller	16-SOIC	4.48	3.59	2.79
UCC2752D	296-2604-5-ND	Resonanzrufgenerator-Controller	Resonant Ring Generator Controller	16-SOIC	4.48	3.59	2.79
UCC3750N	296-11454-5-ND	Source-Ringer-Controller	Source Ringer Controller	28-Dip	7.75	6.99	6.20
UCC3750DW	296-2605-5-ND	Source-Ringer-Controller	Source Ringer Controller	28-SOIC	7.75	6.99	6.20
UCC3751D	296-2606-5-ND	Rufgenerator-Controller für eine Leitung	Single Line Ring Generator Controller	16-SOIC	3.72	2.98	2.32
UCC3751N	296-11455-5-ND	Rufgenerator-Controller für eine Leitung	Single Line Ring Generator Controller	16-Dip	3.72	2.98	2.32
UCC3752D	296-2607-5-ND	Resonanzrufgenerator-Controller	Resonant Ring Generator Controller	16-SOIC	3.72	2.98	2.32
UCC3752N	296-11456-5-ND	Resonanzrufgenerator-Controller	Resonant Ring Generator Controller	16-Dip	3.72	2.98	2.32
		SONET Transceiver					
SLK2501IPZP	296-12281-ND	OC-48 SONET/SDH Multiraten-Transceiver	OC-48 SONET/SDH Multirate Transceiver	100-HTQFP	46.67	43.56	40.45
SLK2511AIPZP	296-16997-ND	Sonet/SDH Multiraten-Transceiver	Sonet/SDH Multirate Transceiver	100-HTQFP	46.67	43.56	40.45
SLK2511IPZP	296-13035-5-ND	Sonet/SDH Multiraten-Transceiver	Sonet/SDH Multirate Transceiver	100-HTQFP	46.67	43.56	40.45
SLK2701IPZP	296-12543-ND	2,7 Gbps SONET/SDH Multiraten-Transceiver	2.7Gbps SONET/SDH Multirate Transceiver	100-HTQFP	46.67	43.56	40.45
SLK2721IPZP	296-13036-5-ND	Sonet/SDH Multiraten-Transceiver mit verbesserter Zittertoleranz	Sonet/SDH Multirate Transceiver with Enhanced Jitter Tolerance	100-HTQFP	46.67	43.56	40.45
		UARTs					
TL16C450FN	296-10145-5-ND	Asynch. Kommunikationselement	Async. Communication Element	44-PLCC	2.44	1.96	1.52
TL16C450N	296-15115-5-ND	Asynch. Kommunikationselement	Async. Communication Element	40-Dip	2.44	1.96	1.52
TL16C451FN	296-10146-5-ND	Asynch. Kommunikationselement	Async. Communication Element	68-PLCC	4.08	3.27	2.54
TL16C452FN	296-10147-5-ND	Zweif. asynch. Komm. Element	Dual Async. Comm. Element	68-PLCC	4.16	3.33	2.59
TL16C550BPT	296-10152-ND	Asynch. Kommunikationselement	Async. Communication Element	48-LQFP	5.06	4.05	3.42
TL16C550CFN	296-10153-5-ND	Asynch. Kommunikationselement	Async. Communication Element	44-PLCC	2.86	2.29	1.78
TL16C550CIFN	296-10154-5-ND	Asynch. Kommunikationselement	Async. Communication Element	44-PLCC	3.18	2.55	1.98
TL16C550CIPT	296-1786-5-ND	Asynch. Kommunikationselement	Async. Communication Element	48-LQFP	3.18	2.55	1.98
TL16C550CN	296-10155-5-ND	Asynch. Kommunikationselement	Async. Communication Element	40-Dip	2.86	2.29	1.78
TL16C550CPFB	296-10156-ND	Asynch. Kommunikationselement	Async. Communication Element	48-TQFP	2.86	2.29	1.78
TL16C550CPT	296-1787-ND	Asynch. Kommunikationselement	Async. Communication Element	48-LQFP	2.86	2.29	1.78
TL16C550CPTR	296-1787-1-ND	Asynch. Kommunikationselement	Async. Communication Element	48-LQFP	2.86	2.29	1.78
TL16C550CPTR	296-1787-2-ND	Asynch. Kommunikationselement	Async. Communication Element	48-LQFP		1619.55/1,000	
TL16C550DIPT	296-16981-ND	Asynch. Kommunikationselement	Async. Communication Element	48-LQFP	3.17	2.53	1.97
TL16C550DIRHB	296-17676-ND	Asynch. Kommunikationselement	Async. Communication Element	48-LQFP	3.17	2.53	1.97
TL16C550DRHB	296-17677-ND	Asynch. Kommunikationselement	Async. Communication Element	32-QFN	2.90	2.32	1.81
TL16C552AFN	296-1788-5-ND	Zweifache asynch. Kommunikation	Dual Async. Communication	68-PLCC	5.57	4.46	3.77
TL16C552AFNR	296-1788-1-ND	Zweifache asynch. Kommunikation	Dual Async. Communication	68-PLCC	5.57	4.46	3.77
TL16C552AFNR	296-1788-2-ND	Zweifache asynch. Kommunikation	Dual Async. Communication	68-PLCC		905.23/250	
TL16C552AIFN	296-10159-5-ND	Zweifache asynch. Kommunikation	Dual Async. Communication	68-PLCC	5.79	4.64	3.91
TL16C552APN	296-10160-ND	Zweifache asynch. Kommunikation	Dual Async. Communication	80-LQFP	5.57	4.46	3.77
TL16C554AFN	296-6587-5-ND	Vierf. UART mit 16-Byte FIFO	Quad UART with 16-Byte FIFO	68-PLCC	7.24	6.52	5.78
TL16C554APN	296-6588-5-ND	Vierf. UART mit 16-Byte FIFO	Quad UART with 16-Byte FIFO	80-LQFP	7.24	6.52	5.78
TL16C554FNR	296-1790-1-ND	Asynch. Kommunikationselement	Async. Communication Element	68-PLCC	7.29	6.57	5.83
TL16C750FN	296-2647-5-ND	64-Byte FIFO UART	64-Byte FIFO UART	44-PLCC	5.35	4.29	3.62
TL16C750IPM	296-6591-5-ND	Einf. UART mit 64-Byte FIFO, AFC, NL-Modi	Single UART with 64-Byte FIFO, AFC, Low Power Modes	64-LQFP	5.86	4.69	3.96
TL16C750PM	296-6592-5-ND	Einf. UART mit 64-Byte FIFO, AFC, NL-Modi	Single UART with 64-Byte FIFO, AFC, Low Power Modes.	64-LQFP	5.64	4.52	3.81
TL16C752BPT	296-2648-ND	Zweif. 3,3 V UART	Dual 3.3V UART	48-LQFP	4.50	3.61	3.05
TL16C754BFN	296-2650-5-ND	Vierf. 64-Byte FIFO UART	Quad 64-Byte FIFO UART	68-PLCC	10.06	9.06	8.03
TL16C754BPN	296-6593-5-ND	Vierf. UART mit 64-Byte FIFO	Quad UART with 64-Byte FIFO	80-LQFP	10.06	9.06	8.03
TL16PC564BGGM	296-14404-ND	PCMCIA UART mit 64-Byte FIFO	PCMCIA UART with 64-Byte FIFO	100-BGA	8.32	7.50	6.65
TL16PC564BLVPZ	296-2651-ND	PCMCIA UART	PCMCIA UART	100-LQFP	8.60	7.75	6.87
TL16PC564BPZ	296-6594-5-ND	Einf. UART mit 64-Byte FIFO, PCMCIA-Schnittstelle	Single UART with 64-Byte FIFO, PCMCIA Interface	100-LQFP	8.32	7.50	6.65
TL16PIR552PH	296-6595-5-ND	Zweif. UART mit 16-Byte FIFO, wählbarem IR und 1284 Modi	Dual UART with 16-Byte FIFO, Selectable IR and 1284 Modes	80-QFP	8.60	7.75	6.87
		USB					
TUSB2036VF	296-11086-ND	2/3-Port USB Hub	2/3-Port USB Hub	32-LQFP	2.07	1.66	1.25
TUSB2036VFG4	296-17784-ND	2/3-Port USB Hub	2/3-Port USB Hub	32-LQFP	2.07	1.66	1.25
TUSB2046BIVFR	296-11087-1-ND	4-Port USB Hub	4-Port USB Hub	32-LQFP	2.19	1.76	1.37
TUSB2046BIVFR	296-11087-2-ND	4-Port USB Hub	4-Port USB Hub	32-LQFP		1241.12/1,000	
TUSB2046BVF	296-11088-ND	4-Port USB Hub	4-Port USB Hub	32-LQFP	1.96	1.57	1.23
TUSB2077APT	296-11089-ND	7-Port USB Hub	7-Port USB Hub	48-LQFP	3.72	2.98	2.32
TUSB2136PM	296-11090-ND	2-Port USB Hub	2-Port USB Hub	64-LQFP	5.50	4.41	3.72
TUSB3200ACPAH	296-12289-5-ND	USB Streaming Controller	USB Streaming Controller	52-TQFP	7.53	6.03	5.09
TUSB3200CPAH	296-11091-ND	USB Streaming Controller	USB Streaming Controller	52-TQFP	6.43	5.15	4.35
TUSB3210PM	296-11092-ND	Universal Serial Bus Controller	Universal Serial Bus Controller	64-LQFP	4.23	3.39	2.86
TUSB3410IVF	296-16757-ND	USB an seriellen Port Controller	USB-to-Serial Port Controller	32-LQFP	4.23	3.39	2.86
TUSB5052PZ	296-12525-ND	5-Port USB Hub Controller	5-Port USB Hub Controller	100-LQFP	7.38	5.91	4.99
		USB-Flüchtigunterdrückung					
SN65220DBVR	296-9694-1-ND	Einf. USB-Port-Flüchtigunterdrücker	Single USB Port Transient Suppressor	SOT-23-6	.71	.60	.48
SN65220DBVR	296-9694-2-ND	Einf. USB-Port-Flüchtigunterdrücker	Single USB Port Transient Suppressor	SOT-23-6		924.49/3,000	
SN65220DBVT	296-2341-1-ND	Einf. USB-Port-Flüchtigunterdrücker	Single USB Port Transient Suppressor	SOT-23-6	.71	.60	.48
SN65220DBVT	296-2341-2-ND	Einf. USB-Port-Flüchtigunterdrücker	Single USB Port Transient Suppressor	SOT-23-6		88.89/250	
SN65220YZBT	296-17206-1-ND	Einf. USB-Port-Flüchtigunterdrücker	Single USB Port Transient Suppressor	4-WCSP	.71	.54	.40
SN65220YZBT	296-17206-2-ND	Einf. USB-Port-Flüchtigunterdrücker	Single USB Port Transient Suppressor	4-WCSP		73.87/250	
SN75240P	296-6596-5-ND	Zweif. USB-Port-Flüchtigunterdrücker	Dual USB Port Transient Suppressor	8-Dip	.84	.70	.56
SN75240PWR	296-6596-1-ND	Zweif. USB-Port-Flüchtigunterdrücker	Dual USB Port Transient Suppressor	8-TSSOP	.84	.70	.56
SN75240PWR	296-6596-2-ND	Zweif. USB-Port-Flüchtigunterdrücker	Dual USB Port Transient Suppressor	8-TSSOP		743.31/2,000	
SN65240P	296-9695-5-ND	Zweif. USB-Port-Flüchtigunterdrücker	Dual USB Port Transient Suppressor	8-Dip	.84	.70	.56
SN65240PW	296-9696-5-ND	Zweif. USB-Port-Flüchtigunterdrücker	Dual USB Port Transient Suppressor	8-TSSOP	.84	.70	.56
SN65240PWR	296-9696-1-ND	Zweif. USB-Port-Flüchtigunterdrücker	Dual USB Port Transient Suppressor	8-TSSOP	.84	.70	.56
SN65240PWR	296-9696-2-ND	Zweif. USB-Port-Flüchtigunterdrücker	Dual USB Port Transient Suppressor	8-TSSOP		743.31/2,000	
		Video-Dekodierer / Kodierer					
TVP5031PFP	296-11093-ND	NTSC/PAL Digital-Video-Dekodierer, 9-Bit, mit adaptiver 3-Linien-Komb.	9-Bit with 3-Line Adaptive Comb NTSC/PAL Digital Video Decoder	80-TQFP	14.54	13.58	12.61
TVP5040CPFP	296-11802-ND	NTSC-PAL Digital-Video-Dekodierer, 10-Bit, Doppelkanal	10-Bit Dual-Channel NTSC-PAL Digital Video Decoder	80-TQFP	14.54	13.58	12.61
TVP5145PFP	296-13021-5-ND	Digital-Video-Dekodierer mit Macrovision-Erkennung	Digital Video Decoder with Macrovision Detection	80-TQFP	14.04	12.64	11.21
TVP5146PFP	296-16649-ND	Digital-Video-Dekodierer	Digital Video Decoder	80-TQFP	8.81	7.94	7.04
TVP5147PFP	296-16763-ND	Digital-Video-Dekodierer	Digital Video Decoder	80-TQFP	8.47	7.62	6.76

(Forts.)

★ RUFEN SIE BITTE AN FÜR NIEDRIGERE PREISE BEI GRÖSSEREN MENGEN! ★

Alle Preisangaben in Euro und inklusive Zollgebühren.

T. I. Teilenr.	Digi-Key Teilenr.	Beschreibung		Paket	Stückpreis ★ 1	25	100
TVP5150AM1PBSR	296-17016-1-ND	NTSC/PAL/SECAM Video-Dekodierer mit Robust Sync. Detektor	NTSC/PAL/SECAM Video Decoder with Robust Sync. Detector	32-TQFP	6.77	5.42	4.58
TVP5150AM1PBSR	296-17016-2-ND	NTSC/PAL/SECAM Video-Dekodierer mit Robust Sync. Detektor	NTSC/PAL/SECAM Video Decoder with Robust Sync. Detector	32-TQFP		4233.00/1,000	
TVP5150AM1ZQC	296-17075-ND	NTSC/PAL/SECAM Video-Dekodierer mit Robust Sync. Detektor	NTSC/PAL/SECAM Video Decoder with Robust Sync. Detector	48-BGA	13.55	10.16	7.62
TVP5150APBS	296-16650-ND	NTSC/PAL/SECAM Video-Dekodierer	NTSC/PAL/SECAM Video Decoder	32-TQFP	8.93	8.04	7.13
TVP5150APBSR	296-16846-1-ND	Digital-Video-Dekodierer	Digital Video Decoder	32-TQFP	8.93	8.04	7.13
TVP5150APBSR	296-16846-2-ND	Digital-Video-Dekodierer	Digital Video Decoder	32-TQFP		6618.72/1,000	
TVP5160PNP	296-17800-ND	NTSC/PAL/SECAM Komponente, 2 x 10-Bit Digital-Video-Dekodierer	NTSC/PAL/SECAM Component 2x10-Bit Digital Video Decoder	128-HTQFP	11.29	10.16	9.01
TVP6000CPFP	296-11094-ND	NTSC/PAL Video-Dekodierer	NTSC/PAL Video Encoder	80-TQFP	10.72	9.66	8.56

B

T. I. Teilenr.	Digi-Key Teilenr.	Beschreibung		Paket	Stückpreis ★ 1	25	100
AMC7820Y/250	296-12621-1-ND	Analogüberwachungs- /Regelkreis	Analog Monitoring/Control Circuit	48-TQFP	6.35	5.08	4.29
AMC7820Y/250	296-12621-2-ND	Analogüberwachungs- /Regelkreis	Analog Monitoring/Control Circuit	48-TQFP		1031.79/250	
		Analog-an-Digital-Wandler					
ADS574JP	ADS574JP-ND	12-Bit, 40 KHz Sampling CMOS ADU	12-Bit, 40KHz Sampling CMOS ADC	28-Dip	25.52	23.83	22.13
ADS574KP	ADS574KP-ND	12-Bit, 40 KHz Sampling CMOS ADU	12-Bit, 40KHz Sampling CMOS ADC	28-Dip	29.59	27.62	25.65
ADS774JP	ADS774JP-ND	12-Bit, 117 MHz Sampling CMOS ADU	12-Bit, 117KHz Sampling CMOS ADC	28-Dip	29.02	27.09	25.15
ADS774JU	ADS774JU-ND	12-Bit, 117 MHz Sampling CMOS ADU	12-Bit, 117KHz Sampling CMOS ADC	28-Dip	23.18	21.64	20.09
ADS774KE	ADS774KE-ND	12-Bit, 117 MHz Sampling CMOS ADU	12-Bit, 117KHz Sampling CMOS ADC	28-Dip	27.81	25.96	24.11
ADS774KP	ADS774KP-ND	12-Bit, 117 MHz Sampling CMOS ADU	12-Bit, 117KHz Sampling CMOS ADC	28-Dip	33.65	31.41	29.17
ADS774KU	ADS774KU-ND	12-Bit, 117 MHz Sampling CMOS ADU	12-Bit, 117KHz Sampling CMOS ADC	28-SOIC	27.81	25.96	24.11
ADS800U	ADS800U-ND	12-Bit, 40 MHz Sampling-ADU	12-Bit, 40MHz Sampling ADC	28-SOIC	39.18	36.57	33.96
ADS801U	ADS801U-ND	12-Bit, 25 MHz Sampling-ADU	12-Bit, 25MHz Sampling ADC	28-SOIC	15.94	14.88	13.82
ADS802U	ADS802U-ND	12-Bit, 10 MHz Sampling-ADU	12-Bit, 10MHz Sampling ADC	28-SOIC	16.00	14.94	13.87
ADS803E	ADS803E-ND	12-Bit, 5 MHz Sampling-ADU	12-Bit, 5MHz Sampling ADC	28-SSOP	10.44	9.40	8.34
ADS804E	ADS804E-ND	12-Bit, 10 MHz Sampling-ADU	12-Bit, 10MHz Sampling ADC	28-SSOP	12.98	11.69	10.36
ADS805E	ADS805E-ND	12-Bit, 20 MHz Sampling-ADU	12-Bit, 20MHz Sampling ADC	28-SSOP	13.96	12.58	11.15
ADS807E	ADS807E-ND	12-Bit, 53 MHz ADU	12-Bit, 53MHz ADC	28-SSOP	14.35	13.40	12.44
ADS808Y/250	ADS808Y/250CT-ND	12-Bit, 70 MSPS Sampling-ADU	12-Bit, 70MSPS Sampling ADC	48-TQFP	24.76	23.12	21.47
ADS808Y/250	ADS808Y/250TR-ND	12-Bit, 70 MSPS Sampling-ADU	12-Bit, 70MSPS Sampling ADC	48-TQFP		5262.25/250	
ADS809Y/250	ADS809Y/250CT-ND	12-Bit, 80 MSPS Sampling-ADU	12-Bit, 80MSPS Sampling ADC	48-TQFP	31.69	29.58	27.46
ADS809Y/250	ADS809Y/250TR-ND	12-Bit, 80 MSPS Sampling-ADU	12-Bit, 80MSPS Sampling ADC	48-TQFP		6732.80/250	
ADS820U	ADS820U-ND	10-Bit, 20 MHz Sampling-ADU	10-Bit, 20MHz Sampling ADC	28-SOIC	9.52	8.58	7.61
ADS821U	ADS821U-ND	10-Bit, 40 MHz Sampling-ADU	10-Bit, 40MHz Sampling ADC	28-SOIC	16.58	15.47	14.37
ADS822E	ADS822E-ND	10-Bit, 40 MHz Sampling-ADU	10-Bit, 40MHz Sampling ADC	28-SSOP	7.41	6.67	5.92
ADS823E	ADS823E-ND	10-Bit, 60 MHz Sampling-ADU	10-Bit, 60MHz Sampling ADC	28-SSOP	11.84	10.67	9.46
ADS825E	ADS825E-ND	10-Bit, 40 MHz ADU	10-Bit, 40MHz ADC	28-SSOP	7.41	6.67	5.92
ADS826E	ADS826E-ND	10-Bit, 60 MHz ADU	10-Bit, 60MHz ADC	28-SSOP	11.84	10.67	9.46
ADS828E	ADS828E-ND	10-Bit, 75 MHz ADU	10-Bit, 75MHz ADC	28-SSOP	12.27	11.05	9.80
ADS830E	ADS830E-ND	8-Bit, 60 MHz ADU	8-Bit, 60MHz ADC	20-QSOP	4.66	3.73	3.15
ADS830E/2K5	ADS830ETR-ND	8-Bit, 60 MHz ADU	8-Bit, 60MHz ADC	20-QSOP		7217.27/2,500	
ADS831E	ADS831E-ND	8-Bit, 80 MHz ADU	8-Bit, 80MHz ADC	20-QSOP	5.33	4.27	3.61
ADS850Y/2K5	ADS850YCT-ND	14-Bit, 10 MSPS selbstkalibrierender ADU	14-Bit, 10MSPS Self-Calibrating ADC	48-TQFP	21.33	19.92	18.49
ADS850Y/2K5	ADS850YTR-ND	14-Bit, 10 MSPS selbstkalibrierender ADU	14-Bit, 10MSPS Self-Calibrating ADC	48-TQFP		4533.54/250	
ADS900E	ADS900E-ND	10-Bit, 20 MHz +3 V, Versorgungs-ADU mit interner Ref.	10-Bit, 20MHz +3V, Supply ADC with Internal Ref	28-SSOP	6.01	4.81	4.06
ADS901E	ADS901E-ND	10-Bit, 20 MHz +3 V, Versorgungs-ADU	10-Bit, 20MHz +3V, Supply ADC	28-SSOP	5.76	4.61	3.89
ADS930E	ADS930E-ND	8-Bit, 30 MHz Sampling-ADU mit interner Ref.	8-Bit, 30MHz Sampling ADC with Internal Ref	28-SSOP	4.39	3.51	2.73
ADS931E	ADS931E-ND	8-Bit, 30 MHz Sampling-ADU	8-Bit, 30MHz Sampling ADC	28-SSOP	4.19	3.36	2.61
ADS1100A0IDBVT	296-12966-1-ND	16-Bit-ADU, selbstkalibrierend	16-Bit ADC, Self-Calibrating	SOT-23-6	3.43	2.75	2.14
ADS1100A0IDBVT	296-12966-2-ND	16-Bit-ADU, selbstkalibrierend	16-Bit ADC, Self-Calibrating	SOT-23-6		506.69/250	
ADS1100A1IDBVT	296-14298-1-ND	16-Bit-ADU, selbstkalibrierend	16-Bit ADC, Self-Calibrating	SOT-23-6	3.43	2.75	2.14
ADS1100A1IDBVT	296-14298-2-ND	16-Bit-ADU, selbstkalibrierend	16-Bit ADC, Self-Calibrating	SOT-23-6		506.69/250	
ADS1100A2IDBVT	296-14299-1-ND	16-Bit-ADU, selbstkalibrierend	16-Bit ADC, Self-Calibrating	SOT-23-6	3.43	2.75	2.14
ADS1100A2IDBVT	296-14299-2-ND	16-Bit-ADU, selbstkalibrierend	16-Bit ADC, Self-Calibrating	SOT-23-6		506.69/250	
ADS1100A3IDBVT	296-14300-1-ND	16-Bit-ADU, selbstkalibrierend	16-Bit ADC, Self-Calibrating	SOT-23-6	3.43	2.75	2.14
ADS1100A3IDBVT	296-14300-2-ND	16-Bit-ADU, selbstkalibrierend	16-Bit ADC, Self-Calibrating	SOT-23-6		506.69/250	
ADS1100A4IDBVT	296-14301-1-ND	16-Bit-ADU, selbstkalibrierend	16-Bit ADC, Self-Calibrating	SOT-23-6	3.43	2.75	2.14
ADS1100A4IDBVT	296-14301-2-ND	16-Bit-ADU, selbstkalibrierend	16-Bit ADC, Self-Calibrating	SOT-23-6		506.69/250	
ADS1100A5IDBVT	296-14302-1-ND	16-Bit-ADU, selbstkalibrierend	16-Bit ADC, Self-Calibrating	SOT-23-6	3.43	2.75	2.14
ADS1100A5IDBVT	296-14302-2-ND	16-Bit-ADU, selbstkalibrierend	16-Bit ADC, Self-Calibrating	SOT-23-6		506.69/250	
ADS1100A6IDBVT	296-14303-1-ND	16-Bit-ADU, selbstkalibrierend	16-Bit ADC, Self-Calibrating	SOT-23-6	3.43	2.75	2.14
ADS1100A6IDBVT	296-14303-2-ND	16-Bit-ADU, selbstkalibrierend	16-Bit ADC, Self-Calibrating	SOT-23-6		506.69/250	
ADS1110A0IDBVT	296-14461-1-ND	16-Bit-ADU mit Onboard-Ref.	16-Bit ADC with Onboard Ref.	SOT-23-6	3.72	2.98	2.32
ADS1110A0IDBVT	296-14461-2-ND	16-Bit-ADU mit Onboard-Ref.	16-Bit ADC with Onboard Ref.	SOT-23-6		549.02/250	
ADS1110A1IDBVT	296-14462-1-ND	16-Bit-ADU mit Onboard-Ref.	16-Bit ADC with Onboard Ref.	SOT-23-6	3.72	2.98	2.32
ADS1110A1IDBVT	296-14462-2-ND	16-Bit-ADU mit Onboard-Ref.	16-Bit ADC with Onboard Ref.	SOT-23-6		549.02/250	
ADS1110A2IDBVT	296-14463-1-ND	16-Bit-ADU mit Onboard-Ref.	16-Bit ADC with Onboard Ref.	SOT-23-6	3.72	2.98	2.32
ADS1110A2IDBVT	296-14463-2-ND	16-Bit-ADU mit Onboard-Ref.	16-Bit ADC with Onboard Ref.	SOT-23-6		549.02/250	
ADS1110A3IDBVT	296-14464-1-ND	16-Bit-ADU mit Onboard-Ref.	16-Bit ADC with Onboard Ref.	SOT-23-6	3.72	2.98	2.32
ADS1110A3IDBVT	296-14464-2-ND	16-Bit-ADU mit Onboard-Ref.	16-Bit ADC with Onboard Ref.	SOT-23-6		549.02/250	
ADS1110A4IDBVT	296-14465-1-ND	16-Bit-ADU mit Onboard-Ref.	16-Bit ADC with Onboard Ref.	SOT-23-6	3.72	2.98	2.32
ADS1110A4IDBVT	296-14465-2-ND	16-Bit-ADU mit Onboard-Ref.	16-Bit ADC with Onboard Ref.	SOT-23-6		549.02/250	
ADS1110A5IDBVT	296-14466-1-ND	16-Bit-ADU mit Onboard-Ref.	16-Bit ADC with Onboard Ref.	SOT-23-6	3.72	2.98	2.32
ADS1110A5IDBVT	296-14466-2-ND	16-Bit-ADU mit Onboard-Ref.	16-Bit ADC with Onboard Ref.	SOT-23-6		549.02/250	
ADS1110A6IDBVT	296-14467-1-ND	16-Bit-ADU mit Onboard-Ref.	16-Bit ADC with Onboard Ref.	SOT-23-6	3.72	2.98	2.32
ADS1110A6IDBVT	296-14467-2-ND	16-Bit-ADU mit Onboard-Ref.	16-Bit ADC with Onboard Ref.	SOT-23-6		549.02/250	
ADS1110A7IDBVT	296-14468-1-ND	16-Bit-ADU mit Onboard-Ref.	16-Bit ADC with Onboard Ref.	SOT-23-6	3.72	2.98	2.32
ADS1110A7IDBVT	296-14468-2-ND	16-Bit-ADU mit Onboard-Ref.	16-Bit ADC with Onboard Ref.	SOT-23-6		549.02/250	
ADS1112IDGST	296-15334-1-ND	16-Bit-ADU mit Eingabe-Mux/Onboard-Ref.	16-Bit ADC with Input Mux/Onboard Reference	10-MSOP	5.05	4.04	3.15
ADS1112IDGST	296-15334-2-ND	16-Bit-ADU mit Eingabe-Mux/Onboard-Ref.	16-Bit ADC with Input Mux/Onboard Reference	10-MSOP		729.13/250	
ADS1112IDRCT	296-15761-1-ND	16-Bit-ADU mit Eingabe-Mux/Onboard-Ref.	16-Bit ADC with Input Mux/Onboard Reference	10-SON	5.05	4.04	3.15
ADS1112IDRCT	296-15761-2-ND	16-Bit-ADU mit Eingabe-Mux/Onboard-Ref.	16-Bit ADC with Input Mux/Onboard Reference	10-SON		729.13/250	
ADS1201U	ADS1201U-ND	Modulator, hoher Dynamikbereich	High Dynamic Range Modulator	16-SOIC	8.68	7.81	6.93
ADS1202IPWT	296-14064-1-ND	1-Bit, 10 MHz Delta-Sigma-Modulator	1-Bit, 10MHz Delta-Sigma Modulator	8-TSSOP	4.23	3.39	2.86
ADS1202IPWT	296-14064-2-ND	1-Bit, 10 MHz Delta-Sigma-Modulator	1-Bit, 10MHz Delta-Sigma Modulator	8-TSSOP		687.86/250	
ADS1203IPWT	296-17152-1-ND	1-Bit, 10 MHz Delta-Sigma-Modulator	1-Bit, 10MHz Delta-Sigma Modulator	8-TSSOP	4.57	3.66	3.09
ADS1203IPWT	296-17152-2-ND	1-Bit, 10 MHz Delta-Sigma-Modulator	1-Bit, 10MHz Delta-Sigma Modulator	8-TSSOP		742.89/250	
ADS1203IRGTT	296-17908-1-ND	1-Bit, 10 MHz Delta-Sigma-Modulator	1-Bit, 10MHz Delta-Sigma Modulator	16-QFN	4.57	3.66	3.09
ADS1203IRGTT	296-17908-2-ND	1-Bit, 10 MHz Delta-Sigma-Modulator	1-Bit, 10MHz Delta-Sigma Modulator	16-QFN		742.89/250	
ADS1204IRHBT	296-17187-1-ND	Vier 1-Bit, 10 MHz Delta-Sigma-Modulator	Four 1-Bit, 10MHz Delta-Sigma Modulator	32-QFN	9.52	8.58	7.61
ADS1204IRHBT	296-17187-2-ND	Vier 1-Bit, 10 MHz Delta-Sigma-Modulator	Four 1-Bit, 10MHz Delta-Sigma Modulator	32-QFN		1821.46/250	
ADS1208IPW	296-17889-5-ND	Delta-Sigma-Modulator zweiter Ordnung	2nd-Order Delta-Sigma Modulator	16-TSSOP	4.99	4.00	3.38
ADS1210P	ADS1210P-ND	24-Bit, Delta-Sigma ADU	24-Bit, Delta-Sigma ADC	18-Dip	13.71	12.81	11.89
ADS1210U	ADS1210U-ND	24-Bit, Delta-Sigma ADU	24-Bit, Delta-Sigma ADC	18-SOIC	13.02	12.15	11.29
ADS1211E	ADS1211E-ND	24-Bit, Delta-Sigma ADU mit 4-Kanal-Eingangs-Mux	24-Bit, Delta-Sigma ADC with 4-Channel Input Mux	28-SSOP	14.10	13.16	12.22
ADS1211P	ADS1211P-ND	24-Bit, Delta-Sigma ADU mit 4-Kanal-Eingangs-Mux	24-Bit, Delta-Sigma ADC with 4-Channel Input Mux	24-Dip	14.54	13.58	12.61
ADS1211U	ADS1211U-ND	24-Bit, Delta-Sigma ADU mit 4-Kanal-Eingangs-Mux	24-Bit, Delta-Sigma ADC with 4-Channel Input Mux	24-SOIC	13.84	12.92	12.00
ADS1212P	ADS1212P-ND	22-Bit, Delta-Sigma ADU	22-Bit, Delta-Sigma ADC	18-Dip	11.42	10.29	9.13
ADS1212U	ADS1212U-ND	22-Bit, Delta-Sigma ADU	22-Bit, Delta-Sigma ADC	18-SOIC	10.86	9.78	8.67

(Forts.)

★ RUFEN SIE BITTE AN FÜR NIEDRIGERE PREISE BEI GRÖSSEREN MENGEN! ★

B

T. I. Teilenr.	Digi-Key Teilenr.	Beschreibung		Paket	Stückpreis ★ 1	25	100
ADS1213E	ADS1213E-ND	22-Bit, Delta-Sigma ADU mit 4-Kanal-Eingangs-Mux	22-Bit, Delta-Sigma ADC with 4-Channel Input Mux	28-SSOP	12.69	11.43	10.14
ADS1213P	ADS1213P-ND	22-Bit, Delta-Sigma ADU mit 4-Kanal-Eingangs-Mux	22-Bit, Delta-Sigma ADC with 4-Channel Input Mux	24-Dip	12.90	11.62	10.31
ADS1213U	ADS1213U-ND	22-Bit, Delta-Sigma ADU mit 4-Kanal-Eingangs-Mux	22-Bit, Delta-Sigma ADC with 4-Channel Input Mux	24-SOIC	12.69	11.43	10.14
ADS1216Y/250	ADS1216Y/250CT-ND	24-Bit, Delta-Sigma ADU	24-Bit, Delta-Sigma ADC	48-TQFP	7.05	6.35	5.63
ADS1216Y/250	ADS1216Y/250TR-ND	24-Bit, Delta-Sigma ADU	24-Bit, Delta-Sigma ADC	48-TQFP		1349.27/250	
ADS1217IPFBT	296-12967-1-ND	24-Bit, 8-Kanal Delta-Sigma ADU	24-Bit, 8-Channel Delta-Sigma ADC	48-TQFP	7.05	6.35	5.63
ADS1217IPFBT	296-12967-2-ND	24-Bit, 8-Kanal Delta-Sigma ADU	24-Bit, 8-Channel Delta-Sigma ADC	48-TQFP		1349.27/250	
ADS1218Y/250	ADS1218Y/250CT-ND	24-Bit, Delta-Sigma ADU	24-Bit, Delta-Sigma ADC	48-TQFP	7.75	6.99	6.20
ADS1218Y/250	ADS1218Y/250TR-ND	24-Bit, Delta-Sigma ADU	24-Bit, Delta-Sigma ADC	48-TQFP		1484.30/250	
ADS1222IPWT	296-17321-1-ND	24-Bit, 2-Kanal-Mux, ADU	24-Bit ADC with 2-Channel Mux	14-TSSOP	4.99	4.00	3.38
ADS1222IPWT	296-17321-2-ND	24-Bit, 2-Kanal-Mux, ADU	24-Bit ADC with 2-Channel Mux	14-TSSOP		811.68/250	
ADS1224EVM	296-16984-ND	Evaluierungsmodul für ADS1224	Evaluation Module for ADS1224	—	53.15	49.61	46.06
ADS1224IPWT	296-16923-1-ND	24-Bit, ADU-Wandler mit 4-Kanal-Diff.-Eingangs-Mux	24-Bit ADC Converter with 4-Channel Differential Input Mux	20-TSSOP	5.50	4.41	3.72
ADS1224IPWT	296-16923-2-ND	24-Bit, ADU-Wandler mit 4-Kanal-Diff.-Eingangs-Mux	24-Bit ADC Converter with 4-Channel Differential Input Mux	20-TSSOP		894.22/250	
ADS1240E	ADS1240E-ND	24-Bit, Delta-Sigma ADU	24-Bit, Delta-Sigma ADC	24-SSOP	6.43	5.15	4.35
ADS1241E	ADS1241E-ND	24-Bit, Delta-Sigma ADU	24-Bit, Delta-Sigma ADC	28-SSOP	7.11	5.69	4.81
ADS1242IPWT	ADS1242IPWTCT-ND	24-Bit, Delta-Sigma ADU	24-Bit, Delta-Sigma ADC	16-TSSOP	6.10	4.88	4.12
ADS1242IPWT	ADS1242IPWTTR-ND	24-Bit, Delta-Sigma ADU	24-Bit, Delta-Sigma ADC	16-TSSOP		990.52/250	
ADS1243IPWT	ADS1243IPWTCT-ND	24-Bit, Delta-Sigma ADU	24-Bit, Delta-Sigma ADC	20-TSSOP	6.69	5.36	4.52
ADS1243IPWT	ADS1243IPWTTR-ND	24-Bit, Delta-Sigma ADU	24-Bit, Delta-Sigma ADC	20-TSSOP		1086.82/250	
ADS1244IDGST	296-14003-1-ND	24-Bit, Niedrigleistungs-ADU	24-Bit, Low Power ADC	10-MSOP	4.99	4.00	3.38
ADS1244IDGST	296-14003-2-ND	24-Bit, Niedrigleistungs-ADU	24-Bit, Low Power ADC	10-MSOP		811.68/250	
ADS1245IDGST	296-15742-1-ND	24-Bit, Niedrigleistungs-ADU	24-Bit, Low Power ADC	10-MSOP	5.25	4.20	3.55
ADS1245IDGST	296-15742-2-ND	24-Bit, Niedrigleistungs-ADU	24-Bit, Low Power ADC	10-MSOP		852.95/250	
ADS1250U	ADS1250U-ND	20-Bit, 25 KHz ADU, DSP-Schnittstelle	20-Bit, 25KHz ADC, DSP Interface	16-SOIC	9.80	8.83	7.83
ADS1251U	ADS1251U-ND	24-Bit, 20 MSPS Niedrigleistungs-ADU	24-Bit, 20MSPS, Low Power ADC	8-SOIC	7.90	7.12	6.31
ADS1252U	ADS1252U-ND	24-Bit, 40 KHz ADU	24-Bit, 40KHz ADC	8-SOIC	7.90	7.12	6.31
ADS1253E/2K5	296-13060-1-ND	24-Bit, 20 KHz, Niedrigleistungs-ADU	24-Bit, 20KHz, Low Power ADC	16-SSOP	9.45	8.51	7.55
ADS1253E/2K5	296-13060-2-ND	24-Bit, 20 KHz, Niedrigleistungs-ADU	24-Bit, 20KHz, Low Power ADC	16-SSOP		17230.43/2,500	
ADS1254E	ADS1254E-ND	24-Bit, 20 KHz, Niedrigleistungs-ADU	24-Bit, 20KHz, Low Power ADC	20-SSOP	9.45	8.51	7.55
ADS1254E/2K5	ADS1254E/2K5CT-ND	24-Bit, 20 KHz, Niedrigleistungs-ADU	24-Bit, 20KHz, Low Power ADC	20-SSOP	9.45	8.51	7.55
ADS1254E/2K5	ADS1254E/2K5TR-ND	24-Bit, 20 KHz, Niedrigleistungs-ADU	24-Bit, 20KHz, Low Power ADC	20-SSOP		17230.43/2,500	
ADS1255IDBT	296-15743-1-ND	24-Bit, 30 KSPS, LN ADU	24-Bit, 30KSPS, LN ADC	20-SSOP	11.63	10.48	9.29
ADS1255IDBT	296-15743-2-ND	24-Bit, 30 KSPS, LN ADU	24-Bit, 30KSPS, LN ADC	20-SSOP		2226.35/250	
ADS1256IDBT	296-15208-1-ND	24-Bit, rauscharmer ADU	24-Bit, Low Noise, ADC	28-SSOP	12.62	11.37	10.08
ADS1256IDBT	296-15208-2-ND	24-Bit, rauscharmer ADU	24-Bit, Low Noise, ADC	28-SSOP		2415.14/250	
ADS1271IPW	296-17513-5-ND	24-Bit, ADU, breite Bandbreite	24-Bit, Wide Bandwidth ADC	16-TSSOP	8.32	7.50	6.65
ADS1286P	ADS1286P-ND	12-Bit, Micropower-Sampling-ADU	12-Bit, Micropower Sampling ADC	8-Dip	5.64	4.52	3.81
ADS1286PA	ADS1286PA-ND	12-Bit, 200 KHz Unipol ADU	12-Bit, 200KHz Unipol ADC	8-Dip	6.11	4.89	4.13
ADS1286U	ADS1286U-ND	12-Bit, Micropower-Sampling-ADU	12-Bit, Micropower Sampling ADC	8-SOIC	4.50	3.61	3.05
ADS1286UA	ADS1286UA-ND	12-Bit, 200 KHz Unipol ADU	12-Bit, 200KHz Unipol ADC	8-SOIC	4.99	4.00	3.38
ADS1601EVM	296-17825-ND	Evaluierungskarte für ADS1601	Evaluation Board for ADS1601	—	215.85	—	—
ADS1601IPFBT	296-17631-1-ND	16-Bit, 1,25 MSPS ADU	16-Bit, 1.25MSPS ADC	48-TQFP	16.45	15.35	14.26
ADS1601IPFBT	296-17631-2-ND	16-Bit, 1,25 MSPS ADU	16-Bit, 1.25MSPS ADC	48-TQFP		3494.55/250	
ADS1602IPFBT	296-17890-1-ND	16-Bit, 2,5 MSPS ADU	16-Bit, 2.5MSPS ADC	48-TQFP	25.34	23.65	21.96
ADS1602IPFBT	296-17890-2-ND	16-Bit, 2,5 MSPS ADU	16-Bit, 2.5MSPS ADC	48-TQFP		5383.53/250	
ADS1605IPAPT	296-14643-1-ND	16-Bit, 5 MSPS ADU	16-Bit, 5MSPS ADC	64-HTQFP	31.69	29.58	27.46
ADS1605IPAPT	296-14643-2-ND	16-Bit, 5 MSPS ADU	16-Bit, 5MSPS ADC	64-HTQFP		6732.80/250	
ADS1606EVM	296-16735-ND	Evaluierungsmodul für ADS1606	Evaluation Module For ADS1606	—	161.61	—	—
ADS1606IPAPT	296-15759-1-ND	16-Bit, 5 MSPS ADU	16-Bit, 5MSPS ADC	64-HTQFP	32.64	30.47	28.29
ADS1606IPAPT	296-15759-2-ND	16-Bit, 5 MSPS ADU	16-Bit, 5MSPS ADC	64-HTQFP		6935.35/250	
ADS1625IPAPT	296-15209-1-ND	18-Bit, 1,25 MSPS ADU	18-Bit, 1.25MSPS ADC	64-HTQFP	31.69	29.58	27.46
ADS1625IPAPT	296-15209-2-ND	18-Bit, 1,25 MSPS ADU	18-Bit, 1.25MSPS ADC	64-HTQFP		6732.80/250	
ADS1626EVM	296-16740-ND	Evaluierungsmodul für ADS1626	Evaluation Module For ADS1626	—	161.61	—	—
ADS1626IPAPT	296-15877-5-ND	18-Bit, 1,25 MSPS ADU	18-Bit, 1.25MSPS ADC	64-HTQFP	32.64	30.47	28.29
ADS2806Y/1K5	ADS2806Y/1K5TR-ND	12-Bit, zweif. HS ADU	12-Bit, Dual, High Speed ADC	64-HTQFP		22114.04/1,500	
ADS2806Y/250	ADS2806Y/250CT-ND	12-Bit, zweif. HS ADU	12-Bit, Dual, High Speed ADC	64-HTQFP	17.91	16.72	15.52
ADS2806Y/250	ADS2806Y/250TR-ND	12-Bit, zweif. HS ADU	12-Bit, Dual, High Speed ADC	64-HTQFP		3805.04/250	
ADS2807Y/1K5	ADS2807Y/1K5CT-ND	12-Bit, zweif. HS ADU	12-Bit, Dual, High Speed ADC	64-HTQFP	22.93	21.40	19.87
ADS2807Y/1K5	ADS2807Y/1K5TR-ND	12-Bit, zweif. HS ADU	12-Bit, Dual, High Speed ADC	64-HTQFP		28308.61/1,500	
ADS5102IPFB	296-13062-ND	1,8 V Analogversorgung, 10-Bit, 65 MSPS, ADU mit interner Referenz	1.8V Analog Supply, 10-Bit, 65MSPS, ADC with Internal Reference	48-TQFP	10.79	9.72	8.62
ADS5103IPFB	296-13063-ND	1,8 V Analogversorgung, 40-Bit, 65 MSPS, ADU mit interner Referenz	1.8V Analog Supply, 10-Bit, 40MSPS, ADC with Internal Reference	48-TQFP	7.97	7.18	6.37
ADS5120CGHK	ADS5120CGHK-ND	10-Bit, CMOS ADU	10-Bit, CMOS ADC	257-BGA	45.91	42.85	39.79
ADS5121IGHK	296-15074-ND	10-Bit, 8-Kan., 40 MSPS, 1,8 V CMOS ADU	8-Channel, 10-Bit, 40MSPS, 1.8V CMOS ADC	257-BGA	49.34	46.05	42.76
ADS5122CGHK	296-15075-ND	10-Bit, 8-Kan., 65 MSPS, 1,8 V CMOS ADU	8-Channel, 10-Bit, 65MSPS, 1.8V CMOS ADC	257-BGA	54.42	50.79	47.16
ADS5203IPFB	296-13446-ND	Zweif. 40 MSPS Niedrigleistungs-ADU, 3,3 V, 10-Bit,	3.3V, 10-Bit, Dual 40MSPS Low Power ADC	48-TQFP	13.61	12.26	10.87
ADS5204IPFB	296-13447-ND	Zweif. 40 MSPS Niedrigleistungs-ADU, 3,3 V, 10-Bit, mit PGA	3.3V, 10-Bit, Dual 40MSPS Low Power ADC with PGA	48-TQFP	14.04	13.10	12.17
ADS5220PFBT	296-16927-1-ND	12-Bit, 40 MSPS, ADU	12-Bit, 40MSPS ADC	48-TQFP	13.89	12.51	11.10
ADS5220PFBT	296-16927-2-ND	12-Bit, 40 MSPS, ADU	12-Bit, 40MSPS ADC	48-TQFP		2658.11/250	
ADS5221PFBT	296-17557-1-ND	12-Bit, 65 MSPS ADU	12-Bit, 65MSPS ADC	48-TQFP	17.72	16.54	15.36
ADS5221PFBT	296-17557-2-ND	12-Bit, 65 MSPS ADU	12-Bit, 65MSPS ADC	48-TQFP		3764.41/250	
ADS5240IPAP	296-17632-ND	12-Bit, 4-Kan., 40 MSPS, ADU	12-Bit, 40MSPS, 4-Ch. ADC	64-HTQFP	31.75	29.64	27.52
ADS5270EVM	296-17408-ND	Evaluierungsmodul für ADS5270	Evaluation Module for ADS5270	—	215.85	—	—
ADS5270IPFP	296-17091-ND	12-Bit, 8-Kan., 40 MSPS, ADU	12-Bit, 40MSPS, 8-Ch. ADC	80-HTQFP	57.15	53.34	49.53
ADS5271EVM	296-17409-ND	Evaluierungsmodul für ADS5271	Evaluation Module for ADS5271	—	215.85	—	—
ADS5271IPFP	296-17153-ND	12-Bit, 8-Kan., 50 MSPS, ADU	12-Bit, 50MSPS, 8-Ch. ADC	80-HTQFP	63.50	59.27	55.03
ADS5410IPFB	296-13448-ND	12-Bit, 80 MSPS CommsADU™-ADU	12-Bit, 80MSPS CommsADC™ ADC	48-TQFP	24.13	22.52	20.92
ADS5413-11IPHP	296-16972-ND	11-Bit, 65 MSPS, High-IF-Sampling-ADU	11-Bit, 65MSPS, High IF Sampling ADC	48-TQFP	18.74	17.49	16.24
ADS5421Y/T	ADS5421Y/TCT-ND	14-Bit, 40 MHz, NL ADU	14-Bit, 40MHz, LP ADC	64-LQFP	25.59	23.89	22.18
ADS5421Y/T	ADS5421Y/TTR-ND	14-Bit, 40 MHz, NL ADU	14-Bit, 40MHz, LP ADC	64-LQFP		5437.50/250	
ADS5422Y/250	ADS5422Y/250CT-ND	14-Bit, Sampling-ADU	14-Bit, Sampling ADC	64-LQFP	38.67	36.10	33.52
ADS5422Y/250	ADS5422Y/250TR-ND	14-Bit, Sampling-ADU	14-Bit, Sampling ADC	64-LQFP		8217.10/250	
ADS5423IPJY	296-17802-ND	14-Bit, 80 MSPS ADU	14-Bit, 80MSPS ADC	52-HTQFP	50.80	47.41	44.03
ADS5424IPJY	296-17758-ND	14-Bit, 105 MSPS ADU	14-Bit, 105MSPS ADC	52-HTQFP	67.56	63.06	58.56
ADS5500IPAP	296-16924-ND	14-Bit, 125 MSPS ADU	14-Bit, 125MSPS ADC	64-HTQFP	62.23	58.08	53.93
ADS5520IPAP	296-17702-ND	12-Bit, 125 MSPS ADU	12-Bit, 125MSPS ADC	64-HTQFP	34.92	32.60	30.27
ADS5522IPAP	296-17826-ND	12-Bit, 80 MSPS ADU	12-Bit, 80MSPS ADC	64-HTQFP	21.21	19.80	18.38
ADS5542IPAP	296-17852-ND	14-Bit, 80 MSPS ADU	14-Bit, 80MSPS ADC	64-HTQFP	31.75	29.64	27.52
ADS5553IPFP	296-17827-ND	Zweif.14-Bit, 65 MSPS ADU	Dual 14-Bit, 65MSPS ADC	80-HTQFP	38.10	35.56	33.02
ADS7800JP	ADS7800JP-ND	12-Bit, 3 µS-Sampling-ADU	12-Bit, 3µS Sampling ADC	24-Dip	38.16	35.62	33.08
ADS7800JU	ADS7800JU-ND	12-Bit, 3 µS-Sampling-ADU	12-Bit, 3µS Sampling ADC	24-SOIC	38.16	35.62	33.08
ADS7800KP	ADS7800KP-ND	12-Bit, 3 µS-Sampling-ADU	12-Bit, 3µS Sampling ADC	24-Dip	45.84	42.79	39.74
ADS7800KU	ADS7800KU-ND	12-Bit, 3 µS-Sampling-ADU	12-Bit, 3µS Sampling ADC	24-SOIC	45.84	42.79	39.74
ADS7804P	ADS7804P-ND	12-Bit, 10 µS Sampling CMOS ADU	12-Bit, 10µS Sampling CMOS ADC	28-Dip	18.74	17.49	16.24
ADS7804PB	ADS7804PB-ND	12-Bit, 10 µS Sampling CMOS ADU	12-Bit, 10µS Sampling CMOS ADC	28-Dip	24.83	23.18	21.52
ADS7804U	ADS7804U-ND	12-Bit, 10 µS Sampling CMOS ADU	12-Bit, 10µS Sampling CMOS ADC	28-SOIC	17.85	16.66	15.47
ADS7804UB	ADS7804UB-ND	12-Bit, 10 µS Sampling CMOS ADU	12-Bit, 10µS Sampling CMOS ADC	28-SOIC	23.94	22.35	20.75
ADS7805P	ADS7805P-ND	16-Bit, 10 µS Sampling CMOS ADU	16-Bit, 10µS Sampling CMOS ADC	28-Dip .3	27.63	25.80	23.95
ADS7805U	ADS7805U-ND	16-Bit, 10 µS Sampling CMOS ADU	16-Bit, 10µS Sampling CMOS ADC	28-SOIC	26.30	24.55	22.80
ADS7805UB	ADS7805UB-ND	16-Bit, 10 µS Sampling CMOS ADU	16-Bit, 10µS Sampling CMOS ADC	28-SOIC	35.29	32.94	30.59

(Forts.)

★ RUFEN SIE BITTE AN FÜR NIEDRIGERE PREISE BEI GRÖSSEREN MENGEN! ★

Alle Preisangaben in Euro und inklusive Zollgebühren.

T. I. Teilenr.	Digi-Key Teilenr.	Beschreibung		Paket	Stückpreis ★ 1	25	100
ADS7806P	ADS7806P-ND	NL 12-Bit Sampling CMOS ADU	LP 12-Bit Sampling CMOS ADC	28-Dip	16.20	15.12	14.04
ADS7806U	ADS7806U-ND	NL 12-Bit Sampling CMOS ADU	LP 12-Bit Sampling CMOS ADC	28-SOIC	16.20	15.12	14.04
ADS7807P	ADS7807P-ND	NL 16-Bit Sampling CMOS ADU	LP 16-Bit Sampling CMOS ADC	28-Dip .3	36.57	34.14	31.70
ADS7807PB	ADS7807PB-ND	NL 16-Bit Sampling CMOS ADU	LP 16-Bit Sampling CMOS ADC	28-Dip	43.50	40.60	37.70
ADS7807U	ADS7807U-ND	NL 16-Bit Sampling CMOS ADU	LP 16-Bit Sampling CMOS ADC	28-SOIC	34.80	32.48	30.16
ADS7807UB	ADS7807UB-ND	NL 16-Bit Sampling CMOS ADU	LP 16-Bit Sampling CMOS ADC	28-SOIC	41.78	39.00	36.21
ADS7808U	ADS7808U-ND	12-Bit, 10 µS Sampling CMOS ADU	12-Bit, 10µS Sampling CMOS ADC	20-SOIC	13.78	12.86	11.95
ADS7808UB	ADS7808UB-ND	12-Bit, 10 µS Sampling CMOS ADU	12-Bit, 10µS Sampling CMOS ADC	20-SOIC	18.48	17.25	16.02
ADS7809EVM	296-17703-ND	Evaluierungsmodul für ADS7809	Evaluation Module for ADS7809	—	53.15	—	—
ADS7809U	ADS7809U-ND	16-Bit, 10 µS Sampling CMOS ADU	16-Bit, 10µS Sampling CMOS ADC	20-SOIC	26.30	24.55	22.80
ADS7809UB	ADS7809UB-ND	16-Bit, 10 µS Sampling CMOS ADU	16-Bit, 10µS Sampling CMOS ADC	20-SOIC	35.29	32.94	30.59
ADS7810U	ADS7810U-ND	12-Bit, 800 KHz Sampling CMOS ADU	12-Bit, 800KHz Sampling CMOS ADC	28-SOIC	35.30	32.95	30.60
ADS7811U	ADS7811U-ND	16-Bit, 250 KHz Sampling-ADU	16-Bit, 250KHz Sampling ADC	28-SOIC	45.91	42.85	39.79
ADS7812P	ADS7812P-ND	NL, serieller 12-Bit Sampling-ADU	LP Serial 12-Bit Sampling ADC	16-Dip	15.75	14.70	13.65
ADS7812U	ADS7812U-ND	NL, serieller 12-Bit Sampling-ADU	LP Serial 12-Bit Sampling ADC	16-SOIC	14.98	13.99	12.99
ADS7813P	ADS7813P-ND	NL, serieller 16-Bit Sampling-ADU	LP Serial 16-Bit Sampling ADC	16-Dip	28.45	26.55	24.66
ADS7813U	ADS7813U-ND	NL, serieller 16-Bit Sampling-ADU	LP Serial 16-Bit Sampling ADC	16-SOIC	27.05	25.25	23.45
ADS7815U	ADS7815U-ND	16-Bit, 250 KHz Sampling CMOS ADU	16-Bit, 250KHz Sampling CMOS ADC	28-SOIC	27.05	25.25	24.35
ADS7816E/250	ADS7816ECT-ND	12-Bit, HS, Micropower-Sampling-ADU	12-Bit, High Speed Micropower Sampling ADC	8-MSOP	3.52	2.82	2.20
ADS7816E/250	ADS7816ETR-ND	12-Bit, HS, Micropower-Sampling-ADU	12-Bit, High Speed Micropower Sampling ADC	8-MSOP		520.87/250	
ADS7816EB/250	ADS7816EBCT-ND	12-Bit, HS, Micropower-Sampling-ADU	12-Bit, High Speed Micropower Sampling ADC	8-MSOP	4.25	3.40	2.65
ADS7816EB/250	ADS7816EBTR-ND	12-Bit, HS, Micropower-Sampling-ADU	12-Bit, High Speed Micropower Sampling ADC	8-MSOP		627.75/250	
ADS7816EC/250	ADS7816ECCT-ND	12-Bit, 200 KHz Micropower-Sampling-ADU	12-Bit, 200KHz Micropower Sampling ADC	8-MSOP	4.27	3.42	2.89
ADS7816EC/250	ADS7816ECTR-ND	12-Bit, HS, Micropower-Sampling-ADU	12-Bit, High Speed Micropower Sampling ADC	8-MSOP		693.37/250	
ADS7816P	ADS7816P-ND	12-Bit, HS, Micropower-Sampling-ADU	12-Bit, High Speed Micropower Sampling ADC	8-Dip	3.52	2.82	2.20
ADS7816PB	ADS7816PB-ND	12-Bit, HS, Micropower-Sampling-ADU	12-Bit, High Speed Micropower Sampling ADC	8-Dip	4.25	3.40	2.65
ADS7816PC	ADS7816PC-ND	12-Bit, HS, Micropower-Sampling-ADU	12-Bit, High Speed Micropower Sampling ADC	8-Dip	4.27	3.42	2.89
ADS7816U	ADS7816U-ND	12-Bit, HS, Micropower-Sampling-ADU	12-Bit, High Speed Micropower Sampling ADC	8-SOIC	3.52	2.82	2.20
ADS7816UB	ADS7816UB-ND	12-Bit, HS, Micropower-Sampling-ADU	12-Bit, High Speed Micropower Sampling ADC	8-SOIC	4.25	3.40	2.65
ADS7816UC	ADS7816UC-ND	12-Bit, HS, Micropower-Sampling-ADU	12-Bit, High Speed Micropower Sampling ADC	8-SOIC	4.27	3.42	2.89
ADS7817ECT/250	ADS7817ECT-ND	12-Bit, Differenzial-Eingang Micropower, Sampling-ADU	12-Bit, Differential Input Micropower, Sampling ADC	8-MSOP	3.39	2.72	2.11
ADS7817ETR/250	ADS7817ETR-ND	12-Bit, Differenzial-Eingang Micropower, Sampling-ADU	12-Bit, Differential Input Micropower, Sampling ADC	8-MSOP		549.02/250	
ADS7817EB/250	ADS7817EBCT-ND	12-Bit, 200 KHz Differenzial Micropower, Sampling-ADU	12-Bit, 200KHz Differential Micropower, Sampling ADC	8-MSOP	4.48	3.59	2.79
ADS7817EB/250	ADS7817EBTR-ND	12-Bit, Differenzial-Eingang Micropower, Sampling-ADU	12-Bit, Differential Input Micropower, Sampling ADC	8-MSOP		661.62/250	
ADS7817EC/250	ADS7817ECCT-ND	12-Bit, 200 KHz Differenzial Micropower, Sampling-ADU	12-Bit, 200KHz Differential Micropower, Sampling ADC	8-MSOP	4.51	3.62	2.81
ADS7817EC/250	ADS7817ECTR-ND	12-Bit, Differenzial-Eingang Micropower, Sampling-ADU	12-Bit, Differential Input Micropower, Sampling ADC	8-MSOP		729.13/250	
ADS7817U	ADS7817U-ND	12-Bit, Differenzial-Eingang Micropower, Sampling-ADU	12-Bit, Differential Input Micropower, Sampling ADC	8-SOIC	3.72	2.98	2.32
ADS7817UB	ADS7817UB-ND	12-Bit, Differenzial-Eingang Micropower, Sampling-ADU	12-Bit, Differential Input Micropower, Sampling ADC	8-SOIC	4.10	3.28	2.55
ADS7817UC	ADS7817UC-ND	12-Bit, Differenzial-Eingang Micropower, Sampling-ADU	12-Bit, Differential Input Micropower, Sampling ADC	8-SOIC	4.49	3.59	3.03
ADS7818E/250	ADS7818ECT-ND	12-Bit, 500 KHz ADU (±2 LSB)	12-Bit, 500KHz ADC (±2 LSB)	8-MSOP	4.77	3.81	2.97
ADS7818E/250	ADS7818ETR-ND	12-Bit, 500 KHz ADU (±2 LSB)	12-Bit, 500KHz ADC (±2 LSB)	8-MSOP		687.86/250	
ADS7818EB/250	ADS7818EBCT-ND	12-Bit, 500 KHz ADU (±1 LSB)	12-Bit, 500KHz ADC (±1 LSB)	8-MSOP	5.08	4.07	3.43
ADS7818EB/250	ADS7818EBTR-ND	12-Bit, 500 KHz ADU (±1 LSB)	12-Bit, 500KHz ADC (±1 LSB)	8-MSOP		825.44/250	
ADC7818P	ADS7818P-ND	12-Bit, 500 KHz ADU (±1 LSB)	12-Bit, 500KHz ADC (±1 LSB)	8-Dip	4.23	3.39	2.86
ADS7818PB	ADS7818PB-ND	12-Bit, 500 KHz ADU (±1 LSB)	12-Bit, 500KHz ADC (±1 LSB)	8-Dip	5.08	4.07	3.43
ADS7822E/250	ADS7822ECT-ND	12-Bit, 2,7 V, Micropower-Sampling-ADU	12-Bit, 2.7V, Micropower Sampling ADC	8-MSOP	2.80	2.24	1.75
ADS7822E/250	ADS7822ETR-ND	12-Bit, 2,7 V, Micropower-Sampling-ADU	12-Bit, 2.7V, Micropower Sampling ADC	8-MSOP		413.78/250	
ADS7822EB/250	ADS7822EBCT-ND	12-Bit, 2,7 V, Micropower-Sampling-ADU	12-Bit, 2.7V, Micropower Sampling ADC	8-MSOP	3.17	2.53	1.97
ADS7822EB/250	ADS7822EBTR-ND	12-Bit, 2,7 V, Micropower-Sampling-ADU	12-Bit, 2.7V, Micropower Sampling ADC	8-MSOP		467.32/250	
ADS7822EC/250	ADS7822ECCT-ND	12-Bit, 2,7 V, Micropower-Sampling-ADU	12-Bit, 2.7V, Micropower Sampling ADC	8-MSOP	3.45	2.76	2.15
ADS7822EC/250	ADS7822ECTR-ND	12-Bit, 2,7 V, Micropower-Sampling-ADU	12-Bit, 2.7V, Micropower Sampling ADC	8-MSOP		509.44/250	
ADS7822P	ADS7822P-ND	12-Bit, 2,7 V, Micropower-Sampling-ADU	12-Bit, 2.7V, Micropower Sampling ADC	8-Dip	2.80	2.24	1.75
ADS7822U	ADS7822U-ND	12-Bit, 2,7 V, Micropower-Sampling-ADU	12-Bit, 2.7V, Micropower Sampling ADC	8-SOIC	2.80	2.24	1.75
ADS7822UB	ADS7822UB-ND	12-Bit, 2,7 V, Micropower-Sampling-ADU	12-Bit, 2.7V, Micropower Sampling ADC	8-SOIC	3.17	2.53	1.97
ADS7822UC	ADS7822UC-ND	12-Bit, 2,7 V, Micropower-Sampling-ADU	12-Bit, 2.7V, Micropower Sampling ADC	8-SOIC	3.45	2.76	2.15
ADS7823E/250	ADS7823E/250CT-ND	12-Bit, NL Sampling CMOS ADU	12-Bit, LP Sampling CMOS ADC	8-MSOP	4.83	3.87	3.26
ADS7823E/250	ADS7823E/250TR-ND	12-Bit, NL Sampling CMOS ADU	12-Bit, LP Sampling CMOS ADC	8-MSOP		784.16/250	
ADS7823EB/250	ADS7823EB/250CT-ND	12-Bit, NL Sampling CMOS ADU	12-Bit, LP Sampling CMOS ADC	8-MSOP	5.84	4.68	3.95
ADS7823EB/250	ADS7823EB/250TR-ND	12-Bit, NL Sampling CMOS ADU	12-Bit, LP Sampling CMOS ADC	8-MSOP		949.25/250	
ADS7824P	ADS7824P-ND	12-Bit, 4-Kan. Sampling CMOS ADU	12-Bit, 4-Ch. Sampling CMOS ADC	28-Dip .3	17.52	16.36	15.19
ADS7824PB	ADS7824PB-ND	12-Bit, 4-Kan. Sampling CMOS ADU	12-Bit, 4-Ch. Sampling CMOS ADC	28-Dip	19.18	17.90	16.62
ADS7824U	ADS7824U-ND	12-Bit, 4-Kan. Sampling CMOS ADU	12-Bit, 4-Ch. Sampling CMOS ADC	28-SOIC	16.64	15.53	14.42
ADS7824UB	ADS7824UB-ND	12-Bit, 4-Kan. Sampling CMOS ADU	12-Bit, 4-Ch. Sampling CMOS ADC	28-SOIC	18.35	17.13	15.91
ADS7825P	ADS7825P-ND	16-Bit, 4-Kan. Sampling CMOS ADU	16-Bit, 4-Ch. Sampling CMOS ADC	28-Dip .3	39.43	36.81	34.18
ADS7825U	ADS7825U-ND	16-Bit, 4-Kan. Sampling CMOS ADU	16-Bit, 4-Ch. Sampling CMOS ADC	28-SOIC	37.53	35.03	32.53
ADS7825UB	ADS7825UB-ND	16-Bit, 4-Kan. Sampling CMOS ADU	16-Bit, 4-Ch. Sampling CMOS ADC	28-SOIC	45.08	42.08	39.08
ADS7826IDRBT	296-15316-1-ND	10-Bit, 2,7 V, Sampling-ADU	10-Bit, 2.7V, Sampling ADC	8-SON	2.38	1.91	1.49
ADS7826IDRBT	296-15316-2-ND	10-Bit, 2,7 V, Sampling-ADU	10-Bit, 2.7V, Sampling ADC	8-SON		351.97/250	
ADS7827IDRBT	296-15317-1-ND	8-Bit, 2,7 V, Sampling-ADU	8-Bit, 2.7V, Sampling ADC	8-SON	2.12	1.70	1.27
ADS7827IDRBT	296-15317-2-ND	8-Bit, 2,7 V, Sampling-ADU	8-Bit, 2.7V, Sampling ADC	8-SON		281.49/250	
ADS7828E/250	296-12402-1-ND	12-Bit, 8-Kan. Sampling CMOS ADU	12-Bit, 8-Ch. Sampling CMOS ADC	16-TSSOP	5.67	4.54	3.83
ADS7828E/250	296-12402-2-ND	12-Bit, 8-Kan. Sampling CMOS ADU	12-Bit, 8-Ch. Sampling CMOS ADC	16-TSSOP		921.74/250	
ADS7828EB/250	296-12756-1-ND	12-Bit, 8-Kan. Sampling CMOS ADU	12-Bit, 8-Ch. Sampling CMOS ADC	16-TSSOP	6.86	5.49	4.63
ADS7828EB/250	296-12756-2-ND	12-Bit, 8-Kan. Sampling CMOS ADU	12-Bit, 8-Ch. Sampling CMOS ADC	16-TSSOP		1114.34/250	
ADS7829IBDRBT	296-15245-1-ND	12-Bit, 2,7 V, Sampling HS ADU	12-Bit, 2.7V Sampling HS ADC	8-SON	3.81	3.05	2.38
ADS7829IBDRBT	296-15245-2-ND	12-Bit, 2,7 V, Sampling HS ADU	12-Bit, 2.7V Sampling HS ADC	8-SON		562.99/250	
ADS7829IDRBT	296-15246-1-ND	12-Bit, 2,7 V, Sampling HS ADU	12-Bit, 2.7V Sampling HS ADC	8-SON	2.86	2.29	1.78
ADS7829IBDRBT	296-15246-2-ND	12-Bit, 2,7 V, Sampling HS ADU	12-Bit, 2.7V Sampling HS ADC	8-SON		422.24/250	
ADS7830IPWT	296-16680-1-ND	8-Bit, 8-Kanal ADU	8-Bit, 8-Channel ADC	16-TSSOP	2.67	2.14	1.66
ADS7830IPWT	296-16680-2-ND	8-Bit, 8-Kanal ADU	8-Bit, 8-Channel ADC	16-TSSOP		394.09/250	
ADS7834EB/250	ADS7834EBCT-ND	12-Bit, 500 KHz NL Sampling-ADU	12-Bit, 500KHz LP Sampling ADC	8-MSOP	4.50	3.61	3.05
ADS7834EB/250	ADS7834EBTR-ND	12-Bit, 500 KHz NL Sampling-ADU	12-Bit, 500KHz LP Sampling ADC	8-MSOP		811.68/250	
ADS7835E/250	ADS7835ECT-ND	12-Bit, 500 KHz Bipolar-Sampling-ADU ±2 LSB	12-Bit, 500KHz Bipolar Sampling ADC, ±2LSB	8-MSOP	4.27	3.42	2.89
ADS7835E/250	ADS7835ETR-ND	12-Bit, 500 KHz Bipolar-Sampling-ADU ±2 LSB	12-Bit, 500KHz Bipolar Sampling ADC, ±2LSB	8-MSOP		756.65/250	
ADS7835EB/250	ADS7835EBCT-ND	12-Bit, 500 KHz Bipolar-Sampling-ADU ±1 LSB	12-Bit, 500KHz Bipolar Sampling ADC, ±1LSB	8-MSOP	5.08	4.07	3.43
ADS7835EB/250	ADS7835EBTR-ND	12-Bit, 500 KHz Bipolar-Sampling-ADU ±1 LSB	12-Bit, 500KHz Bipolar Sampling ADC, ±1LSB	8-MSOP		907.98/250	
ADS7841E	ADS7841E-ND	12-Bit, 4-Kan. Serieller Ausgangs-ADU	12-Bit, 4-Ch. Serial Output ADC	16-SSOP	4.54	3.63	2.83
ADS7841EB	ADS7841EB-ND	12-Bit, 4-Kan. Serieller Ausgangs-ADU	12-Bit, 4-Ch. Serial Output ADC	16-SSOP	4.83	3.87	3.26
ADS7841P	ADS7841P-ND	12-Bit, 4-Kan. Serieller Ausgangs-ADU	12-Bit, 4-Ch. Serial Output ADC	16-Dip	4.27	3.42	2.89
ADS7841PB	ADS7841PB-ND	12-Bit, 4-Kan. Serieller Ausgangs-ADU	12-Bit, 4-Ch. Serial Output ADC	16-Dip	5.06	4.05	3.42
ADS7842E	ADS7842E-ND	12-Bit, 4-Kan. Paralleler Ausgangs-ADU	12-Bit, 4-Ch. Parallel Output ADC	28-SSOP	5.25	4.20	3.55
ADS7842EB	ADS7842EB-ND	12-Bit, 4-Kan. Paralleler Ausgangs-ADU	12-Bit, 4-Ch. Parallel Output ADC	28-SSOP	6.26	5.02	4.23
ADS7843E	ADS7843E-ND	4-Draht Touch-Screen-Controller	4-Wire Touch Screen Controller	16-SSOP	3.09	2.47	1.93
ADS7844E	ADS7844E-ND	12-Bit, 8-Kanal, 200 KHz ADU	12-Bit, 8-Channel, 200KHz ADC	20-QSOP	4.67	3.74	3.16
ADS7844E/2K5	ADS7844ETR-ND	12-Bit, 8-Kanal, 200 KHz ADU	12-Bit, 8-Channel, 200KHz ADC	20-QSOP		7242.66/2,500	
ADS7844EB	ADS7844EB-ND	12-Bit, 8-Kanal, 200 KHz ADU	12-Bit, 8-Channel, 200KHz ADC	20-QSOP	5.64	4.52	3.81
ADS7844E/2K5	ADS7844EBTR-ND	12-Bit, 8-Kanal, 200 KHz ADU	12-Bit, 8-Channel, 200KHz ADC	20-QSOP		8739.03/2,500	
ADS7844N	ADS7844N-ND	12-Bit, 8-Kanal, 200 KHz ADU	12-Bit, 8-Channel, 200KHz ADC	20-SSOP	4.67	3.74	3.16
ADS7844NB	ADS7844NB-ND	12-Bit, 8-Kanal, 200 KHz ADU	12-Bit, 8-Channel, 200KHz ADC	20-SSOP	5.64	4.52	3.81
ADS7845E	ADS7845E-ND	5-Draht Touch-Screen-Controller	5-Wire Touch Screen Controller	16-SSOP	7.11	5.69	4.81

(Forts.)

★ ***RUFEN SIE BITTE AN FÜR NIEDRIGERE PREISE BEI GRÖSSEREN MENGEN!*** ★

B

T. I. Teilenr.	Digi-Key Teilenr.	Beschreibung		Paket	Stückpreis ★ 1	25	100
ADS7846E	ADS7846E-ND	4-Draht Touch-Screen-Controller	4-Wire Touch Screen Controller	16-SSOP	3.72	2.98	2.32
ADS7846IGQCR	296-14470-1-ND	4-Draht Touch-Screen-Controller	4-Wire Touch Screen Controller	48-VFBGA	4.54	3.63	2.83
ADS7846IGQCR	296-14470-2-ND	4-Draht Touch-Screen-Controller	4-Wire Touch Screen Controller	48-VFBGA		6347.38/2,500	
ADS7846IRGVT	296-15076-1-ND	4-Draht Touch-Screen-Controller	4-Wire Touch Screen Controller	16-QFN	3.72	2.98	2.32
ADS7846IRGVT	296-15076-2-ND	4-Draht Touch-Screen-Controller	4-Wire Touch Screen Controller	16-QFN		549.02/250	
ADS7846N	ADS7846N-ND	4-Draht Touch-Screen-Controller	4-Wire Touch Screen Controller	16-TSSOP	3.72	2.98	2.32
ADS7852Y/250	ADS7852YCT-ND	12-Bit, 8-Kan., Parallelausgangs-ADU, ±2 LSB	8-Ch., 12-Bit, Parallel Output ADC, ±2LSB	32-TQFP	5.23	4.19	3.54
ADS7852Y/250	ADS7852YTR-ND	12-Bit, 8-Kan., Parallelausgangs-ADU, ±2 LSB	8-Ch., 12-Bit, Parallel Output ADC, ±2LSB	32-TQFP		935.49/250	
ADS7852YB/250	ADS7852YBCT-ND	12-Bit, 8-Kan., Parallelausgangs-ADU, ±1 LSB	8-Ch., 12-Bit, Parallel Output ADC, ±1LSB	32-TQFP	6.94	5.56	4.69
ADS7852YB/250	ADS7852YBTR-ND	12-Bit, 8-Kan., Parallelausgangs-ADU, ±1 LSB	8-Ch., 12-Bit, Parallel Output ADC, ±1LSB	32-TQFP		1128.09/250	
ADS7861E	ADS7861E-ND	Zweif. 12-Bit, 500 KHz Simult. Serieller Sampling-ADU	Dual 12-Bit, 500KHz Simult. Sampling Serial ADC	24-SSOP	6.86	5.49	4.63
ADS7861EB	ADS7861EB-ND	Zweif. 12-Bit, 500 KHz Simult. Serieller Sampling-ADU, ±1 LSB	Dual 12-Bit, 500KHz Simult. Sampling Serial ADC, ±1LSB	24-SSOP	8.30	6.64	5.61
ADS7862Y/250	ADS7862YCT-ND	Zweif. 12-Bit, 500 KHz Simult. Sampling Parallel ADU, ±2 LSB	Dual 12-Bit, 500KHz Simult. Sampling Parallel ADC, ±2LSB	32-TQFP	8.04	7.24	6.42
ADS7862Y/250	ADS7862YTR-ND	Zweif. 12-Bit, 500 KHz Simult. Sampling Parallel ADU, ±2 LSB	Dual 12-Bit, 500KHz Simult. Sampling Parallel ADC, ±2LSB	32-TQFP		1538.27/250	
ADS7862YB/250	ADS7862YBCT-ND	Zweif. 12-Bit, 500 KHz Simult. Sampling Parallel ADU, ±1 LSB	Dual 12-Bit, 500KHz Simult. Sampling Parallel ADC, ±1LSB	32-TQFP	8.76	7.89	7.00
ADS7862YB/250	ADS7862YBTR-ND	Zweif. 12-Bit, 500 KHz Simult. Sampling Parallel ADU, ±1 LSB	Dual 12-Bit, 500KHz Simult. Sampling Parallel ADC, ±1LSB	32-TQFP		1848.55/250	
ADS7864Y/250	ADS7864YCT-ND	12-Bit, 500 KHz, 6-Kanal-ADU	12-Bit, 500KHz, 6-Channel ADC	48-TQFP	9.38	8.45	7.49
ADS7864Y/250	ADS7864YTR-ND	12-Bit, 500 KHz, 6-Kanal-ADU	12-Bit, 500KHz, 6-Channel ADC	48-TQFP		1794.58/250	
ADS7864YB/250	ADS7864YBCT-ND	12-Bit, 500 KHz, 6-Kanal-ADU	12-Bit, 500KHz, 6-Channel ADC	48-TQFP	10.79	9.72	8.62
ADS7864YB/250	ADS7864YBTR-ND	12-Bit, 500 KHz, 6-Kanal-ADU	12-Bit, 500KHz, 6-Channel ADC	48-TQFP		2064.43/250	
ADS7870EA	ADS7870EA-ND	12-Bit, Datenerfassungssystem	12-Bit, Data Acquisition System	28-SSOP	7.03	5.63	4.75
ADS7871IDB	296-14757-5-ND	14-Bit, 48 KSPS DAS mit ADU	14-Bit, 48KSPS DAS with ADC	28-SSOP	7.05	6.35	5.63
ADS7881IPFBT	296-15779-1-ND	12-Bit, 4 MSPS, NL SAR ADU-Wandler	12-Bit, 4MSPS, Low Power SAR ADC Converter	48-TQFP	10.37	9.34	8.28
ADS7881IPFBT	296-15779-2-ND	12-Bit, 4 MSPS, NL SAR ADU-Wandler	12-Bit, 4MSPS, Low Power SAR ADC Converter	48-TQFP		1983.37/250	
ADS7890IPFBT	296-16681-1-ND	14-Bit, 1,25 MSPS NL SAR ADU	14-Bit, 1.25MSPS LP SAR ADC	48-TQFP	13.33	12.45	11.56
ADS7890IPFBT	296-16681-2-ND	14-Bit, 1,25 MSPS NL SAR ADU	14-Bit, 1.25MSPS LP SAR ADC	48-TQFP		2833.57/250	
ADS7891EVM	296-17713-ND	Evaluierungsmodul für ADS7891	Evaluation Module for ADS7891	—	107.38	—	—
ADS7891IPFBT	296-16682-1-ND	14-Bit, 3 MSPS NL SAR ADU	14-Bit, 3MSPS LP SAR ADC	48-TQFP	13.33	12.45	11.56
ADS7891IPFBT	296-16682-2-ND	14-Bit, 3 MSPS NL SAR ADU	14-Bit, 3MSPS LP SAR ADC	48-TQFP		2833.57/250	
ADS8320E/250	ADS8320ECT-ND	16-Bit, 2,7 V bis 5 V Micropower serieller ADU, ±2 LSB	16-Bit, 2.7V to 5V Micropower Serial ADC, ±2LSB	8-MSOP	8.28	6.63	5.59
ADS8320E/250	ADS8320ETR-ND	16-Bit, 2,7 V bis 5 V Micropower serieller ADU, ±2 LSB	16-Bit, 2.7V to 5V Micropower Serial ADC, ±2LSB	8-MSOP		1345.46/250	
ADS8320EB/250	ADS8320EBCT-ND	16-Bit, 2,7 V bis 5 V Micropower serieller ADU, ±1 LSB	16-Bit, 2.7V to 5V Micropower Serial ADC, ±1LSB	8-MSOP	7.97	7.18	6.37
ADS8320EB/250	ADS8320EBTR-ND	16-Bit, 2,7 V bis 5 V Micropower serieller ADU, ±1 LSB	16-Bit, 2.7V to 5V Micropower Serial ADC, ±1LSB	8-MSOP		1524.73/250	
ADS8321E/250	ADS8321ECT-ND	16-Bit, 100 KHz bipolarer ADU	16-Bit, 100KHz Bipolar ADC	8-MSOP	8.72	6.98	5.89
ADS8321E/250	ADS8321ETR-ND	16-Bit, 100 KHz bipolarer ADU	16-Bit, 100KHz Bipolar ADC	8-MSOP		1389.69/250	
ADS8321EB/250	ADS8321EBCT-ND	16-Bit, 100 KHz bipolarer ADU	16-Bit, 100KHz Bipolar ADC	8-MSOP	10.07	8.06	6.81
ADS8321EB/250	ADS8321EBTR-ND	16-Bit, 100 KHz bipolarer ADU	16-Bit, 100KHz Bipolar ADC	8-MSOP		1605.58/250	
ADS8322Y/250CT	ADS8322Y/250CT-ND	16-Bit, 500 KHz unipolarer ADU	16-Bit, 500KHz Unipolar ADC	32-TQFP	10.02	9.02	8.00
ADS8322Y/250TR	ADS8322Y/250TR-ND	16-Bit, 500 KHz unipolarer ADU	16-Bit, 500KHz Unipolar ADC	32-TQFP		1916.07/250	
ADS8322Y/2KCT	ADS8322Y/2KCT-ND	16-Bit, 500 KHz unipolarer ADU	16-Bit, 500KHz Unipolar ADC	32-TQFP	10.02	9.02	8.00
ADS8322Y/2KTR	ADS8322Y/2KTR-ND	16-Bit, 500 KHz unipolarer ADU	16-Bit, 500KHz Unipolar ADC	32-TQFP		14847.67/2,000	
ADS8322YB/250	296-13772-1-ND	16-Bit, 500 KHz Micropower-Sampling-ADU	16-Bit, 500KHz, Micropower Sampling ADC	32-TQFP	12.56	11.31	10.03
ADS8322YB/250	296-13772-2-ND	16-Bit, 500 KHz Micropower-Sampling-ADU	16-Bit, 500KHz, Micropower Sampling ADC	32-TQFP		2401.80/250	
ADS8323YB/250	ADS8323YB/250CT-ND	16-Bit, HS bipolarer ADU	16-Bit, HS Bipolar ADC	32-TQFP	12.56	11.31	10.03
ADS8323YB/250	ADS8323YB/250TR-ND	16-Bit, HS bipolarer ADU	16-Bit, HS Bipolar ADC	32-TQFP		2401.80/250	
ADS8323Y/250	ADS8323Y/250CT-ND	16-Bit, HS bipolarer ADU	16-Bit, HS Bipolar ADC	32-TQFP	10.02	9.02	8.00
ADS8323Y/250	ADS8323Y/250TR-ND	16-Bit, HS bipolarer ADU	16-Bit, HS Bipolar ADC	32-TQFP		1916.07/250	
ADS8324E/250	296-13064-1-ND	14-Bit, HS, 1,8 V, Micropower Sampling-ADU	14-Bit, HS, 1.8V, Micropower Sampling ADC	8-MSOP	7.03	5.63	4.75
ADS8324E/250	296-13064-2-ND	14-Bit, HS, 1,8 V, Micropower Sampling-ADU	14-Bit, HS, 1.8V, Micropower Sampling ADC	8-MSOP		1141.85/250	
ADS8325IBDGKT	ADS8325IBDGKTCT-ND	16-Bit, Micropower-Sampling-ADU	16-Bit, Micropower Sampling ADC	8-MSOP	9.11	8.21	7.28
ADS8325IBDGKT	ADS8325IBDGKTTR-ND	16-Bit, Micropower-Sampling-ADU	16-Bit, Micropower Sampling ADC	8-MSOP		1743.36/250	
ADS8325IBDRBT	296-15722-1-ND	16-Bit, Micropower-Sampling-ADU	16-Bit, Micropower Sampling ADC	8-SON	9.11	8.21	7.28
ADS8325IBDRBT	296-15722-2-ND	16-Bit, Micropower-Sampling-ADU	16-Bit, Micropower Sampling ADC	8-SON		1743.36/250	
ADS8341E	ADS8341E-ND	16-Bit, 4-Kanal, serieller ADU	16-Bit, 4-Channel, Serial ADC	16-SSOP	10.44	9.40	8.34
ADS8341EB	ADS8341EB-ND	16-Bit, 4-Kanal, serieller ADU	16-Bit, 4-Channel, Serial ADC	16-SSOP	12.06	10.86	9.63
ADS8342IBPFBT	296-15077-1-ND	16-Bit, 4-Kan. Paralleler Ausgangs-ADU	16-Bit, 4-Ch. Parallel Output ADC	48-TQFP	17.27	16.12	14.97
ADS8342IBPFBT	296-15077-2-ND	16-Bit, 4-Kan. Paralleler Ausgangs-ADU	16-Bit, 4-Ch. Parallel Output ADC	48-TQFP		3670.01/250	
ADS8342IPFBT	296-15078-1-ND	16-Bit, 4-Kan. Paralleler Ausgangs-ADU	16-Bit, 4-Ch. Parallel Output ADC	48-TQFP	14.35	13.40	12.44
ADS8342IPFBT	296-15078-2-ND	16-Bit, 4-Kan. Paralleler Ausgangs-ADU	16-Bit, 4-Ch. Parallel Output ADC	48-TQFP		3049.45/250	
ADS8343E	ADS8343E-ND	16-Bit, 4-Kanal, serieller ADU	16-Bit, 4-Channel, Serial ADC	16-SSOP	10.51	9.47	8.39
ADS8343EB	ADS8343EB-ND	16-Bit, 4-Kanal, serieller ADU	16-Bit, 4-Channel, Serial ADC	16-SSOP	12.13	10.93	9.69
ADS8344E	ADS8344E-ND	16-Bit, 8-Kan., serieller Sampling-ADU	16-Bit, 8-Ch., Serial Sampling ADC	20-QSOP	11.29	10.16	9.01
ADS8344EB	ADS8344EB-ND	16-Bit, 8-Kan., serieller Sampling-ADU	16-Bit, 8-Ch., Serial Sampling ADC	20-QSOP	13.54	12.20	10.81
ADS8344N	ADS8344N-ND	16-Bit, 8-Kan., serieller Sampling-ADU	16-Bit, 8-Ch., Serial Sampling ADC	20-SSOP	11.29	10.16	9.01
ADS8344NB	ADS8344NB-ND	16-Bit, 8-Kan., serieller Sampling-ADU	16-Bit, 8-Ch., Serial Sampling ADC	20-SSOP	13.54	12.20	10.81
ADS8361IDBQ	296-13812-5-ND	Zweif. 500 KHz, 16-Bit, simultaner Sampling-ADU	Dual, 500KHz, 16-Bit, Simultaneous Sampling ADC	24-SSOP	12.34	11.12	9.86
ADS8361IRHBT	296-17411-1-ND	Zweif. 500 KHz, 16-Bit, simultaner Sampling-ADU	Dual, 500KHz, 16-Bit, Simultaneous Sampling ADC	32-QFN	12.34	11.12	9.86
ADS8361IRHBT	296-17411-2-ND	Zweif. 500 KHz, 16-Bit, simultaner Sampling-ADU	Dual, 500KHz, 16-Bit, Simultaneous Sampling ADC	32-QFN		2361.17/250	
ADS8364Y/250	296-13449-1-ND	16-Bit, 250 KSPS, 6-Kan., simultaner Sampling ADU	16-Bit, 250KSPS, 6-Ch. Simultaneous Sampling ADC	64-HTQFP	22.99	21.46	19.93
ADS8364Y/250	296-13449-2-ND	16-Bit, 250 KSPS, 6-Kan., simultaner Sampling ADU	16-Bit, 250KSPS, 6-Ch. Simultaneous Sampling ADC	64-HTQFP		4884.36/250	
ADS8371EVM	296-17122-ND	Evaluierungsmodul für ADS8371	Evaluation Module for ADS8371	—	107.38	—	—
ADS8371IBPFBT	296-16683-1-ND	16-Bit, 750 KHz ADU	16-Bit, 750KHz ADC	48-TQFP	20.45	19.09	17.72
ADS8371IBPFBT	296-16683-2-ND	16-Bit, 750 KHz ADU	16-Bit, 750KHz ADC	48-TQFP		4344.75/250	
ADS8371IPFBT	296-16684-1-ND	16-Bit, 750 KHz ADU	16-Bit, 750KHz ADC	48-TQFP	15.24	14.23	13.21
ADS8371IPFBT	296-16684-2-ND	16-Bit, 750 KHz ADU	16-Bit, 750KHz ADC	48-TQFP		3238.25/250	
ADS8380IBRHPT	296-17633-1-ND	18-Bit, 600 KHz ADU	18-Bit, 600KHz ADC	28-QFN	26.35	24.60	22.84
ADS8380IBRHPT	296-17633-2-ND	18-Bit, 600 KHz ADU	18-Bit, 600KHz ADC	28-QFN		5599.41/250	
ADS8380IRHPT	296-17634-1-ND	18-Bit, 600 KHz ADU	18-Bit, 600KHz ADC	28-QFN	20.95	19.56	18.16
ADS8380IRHPT	296-17634-2-ND	18-Bit, 600 KHz ADU	18-Bit, 600KHz ADC	28-QFN		4452.69/250	
ADS8381EVM	296-17397-ND	Evaluierungsmodul für ADS8381	Evaluation Module for ADS8381	—	107.38	—	—
ADS8381IBPFBT	296-16685-1-ND	18-Bit, 580 KHz ADU	18-Bit, 580KHz ADC	48-TQFP	25.40	23.71	22.02
ADS8381IBPFBT	296-16685-2-ND	18-Bit, 580 KHz ADU	18-Bit, 580KHz ADC	48-TQFP		5397.08/250	
ADS8381IPFBT	296-16686-1-ND	18-Bit, 580 KHz ADU	18-Bit, 580KHz ADC	48-TQFP	21.15	19.74	18.33
ADS8381IPFBT	296-16686-2-ND	18-Bit, 580 KHz ADU	18-Bit, 580KHz ADC	48-TQFP		4493.12/250	
ADS8382EVM	296-17514-ND	Evaluierungsmodul für ADS8382	Evaluation Module for ADS8382	—	107.38	—	—
ADS8382IBRHPT	296-17519-1-ND	18-Bit, 600 KHz MPU Sampling-ADU	18-Bit, 600KHz MPU Sampling ADC	28-QFN	27.62	25.78	23.94
ADS8382IBRHPT	296-17519-2-ND	18-Bit, 600 KHz MPU Sampling-ADU	18-Bit, 600KHz MPU Sampling ADC	28-QFN		5869.27/250	
ADS8382IRHPT	296-17520-1-ND	18-Bit, 600 KHz MPU Sampling-ADU	18-Bit, 600KHz MPU Sampling ADC	28-QFN	21.53	20.09	18.66
ADS8382IRHPT	296-17520-2-ND	18-Bit, 600 KHz MPU Sampling-ADU	18-Bit, 600KHz MPU Sampling ADC	28-QFN		4573.97/250	
ADS8383IBPFBT	296-14065-1-ND	18-Bit, 500 KHz unipolarer Eingangs-ADU	18-Bit, 500KHz Unipolar Input ADC	48-TQFP	26.86	25.07	23.28
ADS8383IBPFBT	296-14065-2-ND	18-Bit, 500 KHz unipolarer Eingangs-ADU	18-Bit, 500KHz Unipolar Input ADC	48-TQFP		5707.35/250	
ADS8383IPFBT	296-14066-1-ND	18-Bit, 500 KHz unipolarer Eingangs-ADU	18-Bit, 500KHz Unipolar Input ADC	48-TQFP	20.01	18.67	17.34
ADS8383IPFBT	296-14066-2-ND	18-Bit, 500 KHz unipolarer Eingangs-ADU	18-Bit, 500KHz Unipolar Input ADC	48-TQFP		4250.14/250	
ADS8401IBPFBT	296-14067-1-ND	16-Bit, 1,25 MSPS unipolarer Eingangs-ADU	16-Bit, 1.25MSPS Unipolar Input ADC	48-TQFP	27.94	26.08	24.22
ADS8401IBPFBT	296-14067-2-ND	16-Bit, 1,25 MSPS unipolarer Eingangs-ADU	16-Bit, 1.25MSPS Unipolar Input ADC	48-TQFP		5936.78/250	
ADS8401IPFBT	296-14068-1-ND	16-Bit, 1,25 MSPS unipolarer Eingangs-ADU	16-Bit, 1.25MSPS Unipolar Input ADC	48-TQFP	15.94	14.88	13.82
ADS8401IPFBT	296-14068-2-ND	16-Bit, 1,25 MSPS unipolarer Eingangs-ADU	16-Bit, 1.25MSPS Unipolar Input ADC	48-TQFP		3386.61/250	
ADS8402IBPFBT	296-14069-1-ND	16-Bit, 1,25 MSPS unipolarer Eingangs-ADU	16-Bit, 1.25MSPS Unipolar Input ADC	48-TQFP	29.28	27.32	25.37
ADS8402IBPFBT	296-14069-2-ND	16-Bit, 1,25 MSPS unipolarer Eingangs-ADU	16-Bit, 1.25MSPS Unipolar Input ADC	48-TQFP		6220.18/250	
ADS8402IPFBT	296-14070-1-ND	16-Bit, 1,25 MSPS unipolarer Eingangs-ADU	16-Bit, 1.25MSPS Unipolar Input ADC	48-TQFP	16.70	15.59	14.48

(Forts.)

★ *RUFEN SIE BITTE AN FÜR NIEDRIGERE PREISE BEI GRÖSSEREN MENGEN!* ★

Alle Preisangaben in Euro und inklusive Zollgebühren.

T. I. Teilenr.	Digi-Key Teilenr.	Beschreibung		Paket	Stückpreis ★ 1	25	100
ADS8402IPFBT	296-14070-2-ND	16-Bit, 1,25 MSPS unipolarer Eingangs-ADU	16-Bit, 1.25MSPS Unipolar Input ADC	48-TQFP		3548.52/250	
ADS8405EVM	296-17635-ND	Evaluierungsmodul für ADS8405	Evaluation Module for ADS8405	—	107.38	—	—
ADS8405IBPFBT	296-17636-1-ND	16-Bit, 1,25 MSPS ADU	16-Bit, 1.25MSPS ADC	48-TQFP	29.84	27.86	25.87
ADS8405IBPFBT	296-17636-2-ND	16-Bit, 1,25 MSPS ADU	16-Bit, 1.25MSPS ADC	48-TQFP		6341.67/250	
ADS8405IPFBT	296-17637-1-ND	16-Bit, 1,25 MSPS ADU	16-Bit, 1.25MSPS ADC	48-TQFP	17.91	16.72	15.52
ADS8405IPFBT	296-17637-2-ND	16-Bit, 1,25 MSPS ADU	16-Bit, 1.25MSPS ADC	48-TQFP		3805.04/250	
ADS8406EVM	296-17410-ND	Evaluierungsmodul für ADS8406	Evaluation Module for ADS8406	—	107.38	—	—
ADS8406IBPFBT	296-17355-ND	16-Bit, 1,25 MSPS Sampling-ADU	16-Bit, 1.25MSPS Sampling ADC	48-TQFP	31.11	29.04	26.97
ADS8406IPFBT	296-17356-ND	16-Bit, 1,25 MSPS Sampling-ADU	16-Bit, 1.25MSPS Sampling ADC	48-TQFP	18.67	17.43	16.18
ADS8411IBPFBT	296-15252-1-ND	16-Bit, 2 MSPS unipolarer Eingangs-ADU	16-Bit, 2MSPS Unipolar Input ADC	48-TQFP	37.46	34.97	32.47
ADS8411IBPFBT	296-15252-2-ND	16-Bit, 2 MSPS unipolarer Eingangs-ADU	16-Bit, 2MSPS Unipolar Input ADC	48-TQFP		7960.79/250	
ADS8411IPFBT	296-15253-1-ND	16-Bit, 2 MSPS unipolarer Eingangs-ADU	16-Bit, 2MSPS Unipolar Input ADC	48-TQFP	27.94	26.08	24.22
ADS8411IPFBT	296-15253-2-ND	16-Bit, 2 MSPS unipolarer Eingangs-ADU	16-Bit, 2MSPS Unipolar Input ADC	48-TQFP		5936.78/250	
ADS8412IBPFBT	296-15254-1-ND	16-Bit, 2 MSPS unipolarer Differenzialeingangs-ADU	16-Bit, 2MSPS Unipolar Differential Input ADC	48-TQFP	39.24	36.63	34.01
ADS8412IBPFBT	296-15254-2-ND	16-Bit, 2 MSPS unipolarer Differenzialeingangs-ADU	16-Bit, 2MSPS Unipolar Differential Input ADC	48-TQFP		8338.59/250	
ADS8412IPFBT	296-15255-1-ND	16-Bit, 2 MSPS unipolarer Differenzialeingangs-ADU	16-Bit, 2MSPS Unipolar Differential Input ADC	48-TQFP	29.28	27.32	25.37
ADS8412IPFBT	296-15255-2-ND	16-Bit, 2 MSPS unipolarer Differenzialeingangs-ADU	16-Bit, 2MSPS Unipolar Differential Input ADC	48-TQFP		6220.18/250	
AFE1230E	AFE1230E-ND	G.SHDSL/HDSL2 analoges Front-Ende	G.SHDSL/HDSL2 Analog Front End	28-SSOP	19.43	18.14	16.84
DDC101U	DDC101U-ND	20-Bit, ADU	20-Bit, ADC	24-SOIC	29.21	27.27	25.32
DDC112U	DDC112U-ND	20-Bit, 2-Kanal, I-Eingangs-ADU	20-Bit, 2-Channel, I-Input ADC	28-SOIC	15.37	14.35	13.32
DDC112UK	DDC112UK-ND	20-Bit, 2-Kanal, I-Eingangs-ADU	20-Bit, 2-Channel, I-Input ADC	28-SOIC	19.81	18.49	17.17
DDC112Y/250	296-16747-1-ND	Zweif. 20-Bit, Stromeingangs-ADU	20-Bit, Dual Current Input ADC	32-TQFP	15.43	14.41	13.38
DDC112Y/250	296-16747-2-ND	Zweif. 20-Bit, Stromeingangs-ADU	20-Bit, Dual Current Input ADC	32-TQFP		3278.67/250	
DDC114IRTCT	296-17162-1-ND	Vierf. 20-Bit, Eingangs-ADU	20-Bit, Quad Input ADC	48-QFN	22.86	21.34	19.82
DDC114IRTCT	296-17162-2-ND	Vierf. 20-Bit, Eingangs-ADU	20-Bit, Quad Input ADC	48-QFN		4857.37/250	
MSC1200Y2PFBT	296-16792-1-ND	Präz. ADU/DAU-Wandler mit 8051 Microcontroller	Precision ADC/DAC Converter with 8051 Microcontroller	48-TQFP	8.39	7.56	6.70
MSC1200Y2PFBT	296-16792-2-ND	Präz. ADU/DAU-Wandler mit 8051 Microcontroller	Precision ADC/DAC Converter with 8051 Microcontroller	48-TQFP		1605.58/250	
MSC1200Y3PFBT	296-16793-1-ND	Präz. ADU/DAU-Wandler mit 8051 Microcontroller	Precision ADC/DAC Converter with 8051 Microcontroller	48-TQFP	9.10	8.20	7.27
MSC1200Y3PFBT	296-16793-2-ND	Präz. ADU/DAU-Wandler mit 8051 Microcontroller	Precision ADC/DAC Converter with 8051 Microcontroller	48-TQFP		1740.61/250	
MSC1202EVM	296-17805-ND	Evaluierungsmodul für MSC1201/02	Evaluation Module for MSC1201/02	—	107.38	—	—
MSC1210Y2PAGT	MSC1210Y2PAGT-ND	Präz. ADU mit 8051 Microcontroller und Flash Memory	Prec. ADC with 8051 Microcontroller and Flash Memory	64-TQFP	12.62	11.37	10.08
MSC1210Y3PAGT	MSC1210Y3PAGT-ND	Präz. ADU mit 8051 Microcontroller und Flash Memory	Prec. ADC with 8051 Microcontroller and Flash Memory	64-TQFP	13.89	12.51	11.10
MSC1210Y4PAGT	MSC1210Y4PAGT-ND	Präz. ADU mit 8051 Microcontroller und Flash Memory	Prec. ADC with 8051 Microcontroller and Flash Memory	64-TQFP	13.66	12.75	11.84
MSC1210Y5PAGT	MSC1210Y5PAGT-ND	Präz. ADU mit 8051 Microcontroller und Flash Memory	Prec. ADC with 8051 Microcontroller and Flash Memory	64-TQFP	15.24	14.23	13.21
MSC1211Y2PAGT	296-14759-1-ND	8051 CPU Präz. ADU/DAC	8051 CPU Precision ADC/DAC	64-TQFP	22.22	20.75	19.27
MSC1211Y2PAGT	296-14759-2-ND	8051 CPU Präz. ADU/DAC	8051 CPU Precision ADC/DAC	64-TQFP		4722.55/250	
MSC1211Y3PAGT	296-14760-1-ND	8051 CPU Präz. ADU/DAC	8051 CPU Precision ADC/DAC	64-TQFP	22.80	21.28	19.76
MSC1211Y3PAGT	296-14760-2-ND	8051 CPU Präz. ADU/DAC	8051 CPU Precision ADC/DAC	64-TQFP		4843.82/250	
MSC1211Y4PAGT	296-14761-1-ND	8051 CPU Präz. ADU/DAC	8051 CPU Precision ADC/DAC	64-TQFP	24.58	22.94	21.30
MSC1211Y4PAGT	296-14761-2-ND	8051 CPU Präz. ADU/DAC	8051 CPU Precision ADC/DAC	64-TQFP		5221.62/250	
MSC1211Y5PAGT	296-14762-1-ND	8051 CPU Präz. ADU/DAC	8051 CPU Precision ADC/DAC	64-TQFP	26.61	24.84	23.06
MSC1211Y5PAGT	296-14762-2-ND	8051 CPU Präz. ADU/DAC	8051 CPU Precision ADC/DAC	64-TQFP		5653.38/250	
MSC1212Y2PAGT	296-14763-1-ND	8051 CPU Präz. ADU/DAC	8051 CPU Precision ADC/DAC	64-TQFP	21.53	20.09	18.66
MSC1212Y2PAGT	296-14763-2-ND	8051 CPU Präz. ADU/DAC	8051 CPU Precision ADC/DAC	64-TQFP		4573.97/250	
MSC1212Y3PAGT	296-14764-1-ND	8051 CPU Präz. ADU/DAC	8051 CPU Precision ADC/DAC	64-TQFP	22.29	20.81	19.32
MSC1212Y3PAGT	296-14764-2-ND	8051 CPU Präz. ADU/DAC	8051 CPU Precision ADC/DAC	64-TQFP		4735.88/250	
MSC1212Y4PAGT	296-14765-1-ND	8051 CPU Präz. ADU/DAC	8051 CPU Precision ADC/DAC	64-TQFP	23.94	22.35	20.75
MSC1212Y4PAGT	296-14765-2-ND	8051 CPU Präz. ADU/DAC	8051 CPU Precision ADC/DAC	64-TQFP		5086.80/250	
MSC1212Y5PAGT	296-14766-1-ND	8051 CPU Präz. ADU/DAC	8051 CPU Precision ADC/DAC	64-TQFP	25.91	24.18	22.46
MSC1212Y5PAGT	296-14766-2-ND	8051 CPU Präz. ADU/DAC	8051 CPU Precision ADC/DAC	64-TQFP		5505.02/250	
MSC1213Y2PAGT	296-17429-1-ND	Präz. ADU/DAU-Wandler mit 8051 Microcontroller	Precision ADC/DAC with 8051 Microcontroller	64-TQFP	16.07	15.00	13.93
MSC1213Y2PAGT	296-17429-2-ND	Präz. ADU/DAU-Wandler mit 8051 Microcontroller	Precision ADC/DAC with 8051 Microcontroller	64-TQFP		3413.70/250	
MSC1213Y3PAGT	296-17430-1-ND	Präz. ADU/DAU-Wandler mit 8051 Microcontroller	Precision ADC/DAC with 8051 Microcontroller	64-TQFP	16.76	15.65	14.53
MSC1213Y3PAGT	296-17430-2-ND	Präz. ADU/DAU-Wandler mit 8051 Microcontroller	Precision ADC/DAC with 8051 Microcontroller	64-TQFP		3562.07/250	
MSC1213Y4PAGT	296-17431-1-ND	Präz. ADU/DAU-Wandler mit 8051 Microcontroller	Precision ADC/DAC with 8051 Microcontroller	64-TQFP	18.35	17.13	15.91
MSC1213Y4PAGT	296-17431-2-ND	Präz. ADU/DAU-Wandler mit 8051 Microcontroller	Precision ADC/DAC with 8051 Microcontroller	64-TQFP		3899.44/250	
MSC1213Y5PAGT	296-17432-1-ND	Präz. ADU/DAU-Wandler mit 8051 Microcontroller	Precision ADC/DAC with 8051 Microcontroller	64-TQFP	20.26	18.91	17.56
MSC1213Y5PAGT	296-17432-2-ND	Präz. ADU/DAU-Wandler mit 8051 Microcontroller	Precision ADC/DAC with 8051 Microcontroller	64-TQFP		4304.11/250	
MSC1214Y2PAGT	296-17433-1-ND	Präz. ADU/DAU-Wandler mit 8051 Microcontroller	Precision ADC/DAC with 8051 Microcontroller	64-TQFP	15.43	14.41	13.38
MSC1214Y2PAGT	296-17433-2-ND	Präz. ADU/DAU-Wandler mit 8051 Microcontroller	Precision ADC/DAC with 8051 Microcontroller	64-TQFP		3278.67/250	
MSC1214Y3PAGT	296-17434-1-ND	Präz. ADU/DAU-Wandler mit 8051 Microcontroller	Precision ADC/DAC with 8051 Microcontroller	64-TQFP	16.13	15.06	13.98
MSC1214Y3PAGT	296-17434-2-ND	Präz. ADU/DAU-Wandler mit 8051 Microcontroller	Precision ADC/DAC with 8051 Microcontroller	64-TQFP		3427.25/250	
MSC1214Y4PAGT	296-17435-1-ND	Präz. ADU/DAU-Wandler mit 8051 Microcontroller	Precision ADC/DAC with 8051 Microcontroller	64-TQFP	17.72	16.54	15.36
MSC1214Y4PAGT	296-17435-2-ND	Präz. ADU/DAU-Wandler mit 8051 Microcontroller	Precision ADC/DAC with 8051 Microcontroller	64-TQFP		3764.41/250	
MSC1214Y5PAGT	296-17436-1-ND	Präz. ADU/DAU-Wandler mit 8051 Microcontroller	Precision ADC/DAC with 8051 Microcontroller	64-TQFP	19.62	18.32	17.01
MSC1214Y5PAGT	296-17436-2-ND	Präz. ADU/DAU-Wandler mit 8051 Microcontroller	Precision ADC/DAC with 8051 Microcontroller	64-TQFP		4169.29/250	
THS14F01IPFB	296-2843-ND	14 Bit, 1 MSPS, 1-Kan. 3,3 V DSP kompatibler ADU mit FIFO	14-Bit, 1MSPS, 1-Ch. 3.3V DSP Compatible ADC with FIFO	48-TQFP	13.61	12.26	10.87
THS14F03IPFB	296-2845-ND	14 Bit, 3 MSPS, 1-Kan. 3,3 V DSP kompatibler ADU mit FIFO	14-Bit, 3MSPS, 1-Ch. 3.3V DSP Compatible ADC with FIFO	48-TQFP	16.00	14.94	13.87
THS0842IPFB	296-2171-ND	8-Bit, 40 MSPS, 2-Kan. 3,3 V Parallel-ADU	8-Bit, 40MSPS, 2-Ch. 3.3V Parallel ADC	48-TQFP	7.12	6.42	5.69
THS1007IDA	296-2823-5-ND	10-Bit, 6 MSPS, 4-Kanal 5 V Parallel-ADU	10-Bit, 6MSPS, 4-Channel 5V Parallel ADC	32-TSSOP	7.37	5.90	4.98
THS1009IDA	296-2825-5-ND	10 Bit, 8 MSPS, 2-Kan. Parallel-ADU	10-Bit, 8MSPS, 2-Ch. Parallel ADC	32-TSSOP	6.35	5.08	4.29
THS1030CDW	296-2173-5-ND	10-Bit, 30 MSPS, 3 - 5,5 V ADU	10-Bit, 30MSPS, 3-5.5V ADC	28-SOIC	6.35	5.08	4.29
THS1030IDW	296-2826-5-ND	10-Bit, 30 MSPS, 3 - 5,5 V ADU	10-Bit, 30MSPS, 3-5.5V ADC	28-SOIC	6.77	5.42	4.58
THS1030IPW	296-2827-5-ND	10-Bit, 30 MSPS, 3 - 5,5 V ADU	10-Bit, 30MSPS, 3-5.5V ADC	28-TSSOP	6.77	5.42	4.58
THS1031CDW	296-2174-5-ND	10-Bit, 30 MSPS, 3 - 5,5 V ADU	10-Bit, 30MSPS, 3-5.5V ADC	28-SOIC	6.94	5.56	4.69
THS1031IDW	296-2828-5-ND	10-Bit, 30 MSPS, 3 - 5,5 V ADU	10-Bit, 30MSPS, 3-5.5V ADC	28-SOIC	7.53	6.03	5.09
THS1031IPW	296-2829-5-ND	10-Bit, 30 MSPS, 3 - 5,5 V ADU	10-Bit, 30MSPS, 3-5.5V ADC	28-TSSOP	7.53	6.03	5.09
THS1040IDW	296-13329-5-ND	3 V, 10-Bit, 40 MSPS CMOS ADU	3V, 10-Bit, 40MSPS CMOS ADC	28-SOIC	7.75	6.99	6.20
THS1040IPW	296-13330-5-ND	3 V, 10-Bit, 40 MSPS CMOS ADU	3V, 10-Bit, 40MSPS CMOS ADC	28-TSSOP	7.75	6.99	6.20
THS1041IDW	296-13331-5-ND	10-Bit, 40 MSPS ADU mit PGA und Klemme	10-Bit, 40MSPS ADC with PGA and Clamp	28-SOIC	8.25	7.43	6.59
THS1041IPW	296-13332-5-ND	10-Bit, 40 MSPS ADU mit PGA und Klemme	10-Bit, 40MSPS ADC with PGA and Clamp	28-TSSOP	8.25	7.43	6.59
THS1060CPHP	296-2175-ND	10 Bit, 60 MSPS, 1-Kanal 5 V IF Sampling-ADU	10-Bit, 60MSPS, 1-Channel 5V IF Sampling ADC	48-TQFP	8.11	6.49	5.48
THS1206CDA	296-2176-5-ND	12 Bit, 6 MSPS, 4-Kanal 3 - 5 V IF Sampling-ADU	12-Bit, 6MSPS, 4-Channel 3-5V IF Sampling ADC	32-TSSOP	11.00	9.91	8.79
THS1206IDA	296-2833-5-ND	12 Bit, 6 MSPS, 4-Kanal 3 - 5 V IF Sampling-ADU	12-Bit, 6MSPS, 4-Channel 3-5V IF Sampling ADC	32-TSSOP	12.98	11.69	10.36
THS1206M-EVM	296-16737-ND	Evaluierungsmodul für THS1206M	Evaluation Module for THS1206M	—	53.15	—	—
THS1207IDA	296-2834-5-ND	12 Bit, 6 MSPS, 4-Kanal 5 V IF Sampling-ADU	12-Bit, 6MSPS, 4-Channel 5V IF Sampling ADC	32-TSSOP	12.13	10.93	9.69
THS1209IDA	296-2836-5-ND	12 Bit, 8 MSPS, 2-Kanal 8 V IF Sampling-ADU	12-Bit, 8MSPS, 2-Channel 8V IF Sampling ADC	32-TSSOP	13.11	11.81	10.48
THS1215IDW	296-10010-5-ND	12-Bit, 15 MSPS, NL ADU mit ENOB	12-Bit, 15MSPS, LP ADC w/ENOB	28-SOIC	13.33	12.45	11.56
THS1215IPW	296-10011-5-ND	12-Bit, 15 MSPS, NL ADU mit ENOB	12-Bit, 15MSPS, LP ADC w/ENOB	28-TSSOP	12.34	11.12	9.86
THS1230IDW	296-2837-5-ND	12 Bit, 30 MSPS, 3,3 V 1-Kan. ADU	12-Bit, 30MSPS, 3.3V 1-Ch. ADC	28-SOIC	17.21	16.06	14.92
THS1230IPW	296-2838-5-ND	12 Bit, 30 MSPS, 3,3 V 1-Kan. ADU	12-Bit, 30MSPS, 3.3V 1-Ch. ADC	28-TSSOP	14.35	13.40	12.44
THS1240IPHP	296-2839-ND	12 Bit, 40 MSPS, 5 V IF-Sampling-ADU	12-Bit, 40MSPS, 5V IF Sampling ADC	48-HTQFP	18.74	17.50	16.25
THS1401IPFB	296-2840-ND	14 Bit, 1 MSPS, 1-Kan. 3,3 V ADU mit Ref.	14-Bit, 1MSPS, 1-Ch. 3.3V ADC with Reference	48-TQFP	12.56	11.31	10.03
THS1403IPFB	296-2841-ND	14-Bit, 3 MSPS, 1-Kan. 3,3 V ADU mit Ref.	14-Bit, 3MSPS, 1-Ch. 3.3V ADC with Reference	48-TQFP	14.04	13.10	12.17
THS1408IPFB	296-2842-ND	14-Bit, 8 MSPS, 4-Kan. 3,3 V ADU mit Ref.	14-Bit, 8MSPS, 4-Ch. 3.3V ADC with Reference	48-TQFP	18.86	17.61	16.35
THS10064CDA	296-2172-5-ND	10-Bit, 6 MSPS, 4-Kan. 3 - 5 V Sampling-ADU	10-Bit, 6MSPS, 4-Channel, 3-5V Sampling ADC	32-TSSOP	7.03	5.63	4.75
THS10064IDA	296-2822-5-ND	10-Bit, 6 MSPS, 4-Kan. 3 - 5 V Sampling-ADU	10-Bit, 6MSPS, 4-Channel, 3-5V Sampling ADC	32-TSSOP	8.30	6.64	5.61
THS10082IDA	296-2824-5-ND	10 Bit, 8 MSPS, 2-Kan. Parallel-ADU	10-Bit, 8MSPS 2-Ch. Parallel ADC	32-TSSOP	7.37	5.90	4.98
THS12082IDA	296-2835-5-ND	12 Bit, 8 MSPS, 2-Kan. Parallel-ADU	12-Bit, 8MSPS 2-Ch. Parallel ADC	32-TSSOP	13.96	12.58	11.15
TLC0820ACDB	296-2846-5-ND	8-Bit, ADU modifizierter Flash-Umwandler	8-Bit, ADC Modified Flash Converter	20-SSOP	3.45	2.76	2.15

(Forts.)

★ RUFEN SIE BITTE AN FÜR NIEDRIGERE PREISE BEI GRÖSSEREN MENGEN! ★

B

T. I. Teilenr.	Digi-Key Teilenr.	Beschreibung		Paket	Stückpreis ★ 1	25	100
TLC0820ACDBR	296-2846-1-ND	8-Bit, ADU modifizierter Flash-Umwandler	8-Bit, ADC Modified Flash Converter	20-SSOP	3.45	2.76	2.15
TLC0820ACDBR	296-2846-2-ND	8-Bit, ADU modifizierter Flash-Umwandler	8-Bit, ADC Modified Flash Converter	20-SSOP		3907.91/2,000	
TLC0820ACDW	296-2847-5-ND	8-Bit, ADU modifizierter Flash-Umwandler	8-Bit, ADC Modified Flash Converter	20-SOIC	3.45	2.76	2.15
TLC0820ACFN	296-2848-5-ND	8-Bit, ADU modifizierter Flash-Umwandler	8-Bit, ADC Modified Flash Converter	20-PLCC	3.45	2.76	2.15
TLC0820ACN	296-2849-5-ND	8-Bit, ADU modifizierter Flash-Umwandler	8-Bit, ADC Modified Flash Converter	20-Dip	3.62	2.90	2.26
TLC0820AIDW	296-2850-5-ND	8-Bit, ADU modifizierter Flash-Umwandler	8-Bit, ADC Modified Flash Converter	20-SOIC	3.72	2.98	2.32
TLC0820AIFN	296-2851-5-ND	8-Bit, ADU modifizierter Flash-Umwandler	8-Bit, ADC Modified Flash Converter	20-PLCC	3.72	2.98	2.32
TLC0820AIN	296-2852-5-ND	8-Bit, ADU modifizierter Flash-Umwandler	8-Bit, ADC Modified Flash Converter	20-Dip	3.89	3.11	2.42
TLC0831CD	296-2853-5-ND	8-Bit, 31 KSPS, 1-Kan. 5 V serieller ADU	8-Bit, 31KSPS, 1-Ch. 5V Serial ADC	8-SOIC	2.53	2.03	1.58
TLC0831CP	296-2854-5-ND	8-Bit, 31 KSPS, 1-Kan. 5 V serieller ADU	8-Bit, 31KSPS, 1-Ch. 5V Serial ADC	8-Dip	2.73	2.18	1.70
TLC0831ID	296-2855-5-ND	8-Bit, 31 KSPS, 1-Kan. 5 V serieller ADU	8-Bit, 31KSPS, 1-Ch. 5V Serial ADC	8-SOIC	2.73	2.18	1.70
TLC0831IP	296-2856-5-ND	8-Bit, 31 KSPS, 1-Kan. 5 V serieller ADU	8-Bit, 31KSPS, 1-Ch. 5V Serial ADC	8-Dip	2.90	2.32	1.81
TLC0832CD	296-2857-5-ND	8-Bit, 22 KSPS, 2-Kan. 5 V serieller ADU	8-Bit, 22KSPS, 2-Ch. 5V Serial ADC	8-SOIC	2.53	2.03	1.58
TLC0832CP	296-2858-5-ND	8-Bit, 22 KSPS, 2-Kan. 5 V serieller ADU	8-Bit, 22KSPS, 2-Ch. 5V Serial ADC	8-Dip	2.53	2.03	1.58
TLC0832ID	296-2859-5-ND	8-Bit, 22 KSPS, 2-Kan. 5 V serieller ADU	8-Bit, 22KSPS, 2-Ch. 5V Serial ADC	8-SOIC	2.73	2.18	1.70
TLC0832IP	296-2860-5-ND	8-Bit, 22 KSPS, 2-Kan. 5 V serieller ADU	8-Bit, 22KSPS, 2-Ch. 5V Serial ADC	8-Dip	2.73	2.18	1.70
TLC0834CD	296-2861-5-ND	8-Bit, 20 KSPS, 4-Kan. 5 V serieller ADU	8-Bit, 20KSPS, 4-Ch. 5V Serial ADC	14-SOIC	2.63	2.11	1.64
TLC0834CN	296-2862-5-ND	8-Bit, 20 KSPS, 4-Kan. 5 V serieller ADU	8-Bit, 20KSPS, 4-Ch. 5V Serial ADC	14-Dip	2.80	2.24	1.75
TLC0834ID	296-2863-5-ND	8-Bit, 20 KSPS, 4-Kan. 5 V serieller ADU	8-Bit, 20KSPS, 4-Ch. 5V Serial ADC	14-SOIC	2.80	2.24	1.75
TLC0834IN	296-2864-5-ND	8-Bit, 20 KSPS, 4-Kan. 5 V serieller ADU	8-Bit, 20KSPS, 4-Ch. 5V Serial ADC	14-Dip	2.99	2.40	1.87
TLC0838CDW	296-2865-5-ND	8-Bit, 20 KSPS, 8-Kan. 5 V serieller ADU	8-Bit, 20KSPS, 8-Ch. 5V Serial ADC	20-SOIC	2.63	2.11	1.64
TLC0838CN	296-2866-5-ND	8-Bit, 20 KSPS, 8-Kan. 5 V serieller ADU	8-Bit, 20KSPS, 8-Ch. 5V Serial ADC	20-Dip	2.80	2.24	1.75
TLC0838IDW	296-2867-5-ND	8-Bit, 20 KSPS, 8-Kan. 5 V serieller ADU	8-Bit, 20KSPS, 8-Ch. 5V Serial ADC	20-SOIC	2.80	2.24	1.75
TLC0838IN	296-2868-5-ND	8-Bit, 20 KSPS, 8-Kan. 5 V serieller ADU	8-Bit, 20KSPS, 8-Ch. 5V Serial ADC	20-Dip	2.99	2.40	1.87
TLC0838IPW	296-2869-5-ND	8-Bit, 20 KSPS, 8-Kan. 5 V serieller ADU	8-Bit, 20KSPS, 8-Ch. 5V Serial ADC	20-TSSOP	2.80	2.24	1.75
TLC540IDW	296-2919-5-ND	8-Bit, 75 KSPS, 12-Kan. 5 V serieller ADU	8-Bit, 75KSPS, 12-Ch. 5V Serial ADC	20-SOIC	3.35	2.69	2.09
TLC540IFN	296-2920-5-ND	8-Bit, 75 KSPS, 12-Kan. 5 V serieller ADU	8-Bit, 75KSPS, 12-Ch. 5V Serial ADC	20-PLCC	3.35	2.69	2.09
TLC540IN	296-2921-5-ND	8-Bit, 75 KSPS, 12-Kan. 5 V serieller ADU	8-Bit, 75KSPS, 12-Ch. 5V Serial ADC	20-Dip	3.35	2.69	2.09
TLC541IDW	296-2922-5-ND	8-Bit, 40 KSPS, 11-Kan. 5 V serieller ADU	8-Bit, 40KSPS, 11-Ch. 5V Serial ADC	20-SOIC	2.86	2.29	1.78
TLC541IFN	296-2923-5-ND	8-Bit, 40 KSPS, 11-Kan. 5 V serieller ADU	8-Bit, 40KSPS, 11-Ch. 5V Serial ADC	20-PLCC	2.86	2.29	1.78
TLC541IFNR	296-1331-1-ND	8-Bit, 40 KSPS, 11-Kan. 5 V serieller ADU	8-Bit, 40KSPS, 11-Ch. 5V Serial ADC	20-PLCC	2.86	2.29	1.78
TLC541IFNR	296-1331-2-ND	8-Bit, 40 KSPS, 11-Kan. 5 V serieller ADU	8-Bit, 40KSPS, 11-Ch. 5V Serial ADC	20-PLCC		1619.55/1,000	
TLC541IN	296-1850-5-ND	8-Bit, 40 KSPS, 11-Kan. 5 V serieller ADU	8-Bit, 40KSPS, 11-Ch. 5V Serial ADC	20-Dip	2.86	2.29	1.78
TLC542CDW	296-1332-5-ND	8-Bit, 25 KSPS, 11-Kan. 5 V serieller ADU	8-Bit, 25KSPS, 11-Ch. 5V Serial ADC	20-SOIC	2.73	2.18	1.70
TLC542CDWR	296-1332-1-ND	8-Bit, 25 KSPS, 11-Kan. 5 V serieller ADU	8-Bit, 25KSPS, 11-Ch. 5V Serial ADC	20-SOIC	2.73	2.18	1.70
TLC542CDWR	296-1332-2-ND	8-Bit, 25 KSPS, 11-Kan. 5 V serieller ADU	8-Bit, 25KSPS, 11-Ch. 5V Serial ADC	20-SOIC		3086.70/2,000	
TLC542CN	296-2924-5-ND	8-Bit, 25 KSPS, 11-Kan. 5 V serieller ADU	8-Bit, 25KSPS, 11-Ch. 5V Serial ADC	20-Dip	2.73	2.18	1.70
TLC542IDW	296-1333-5-ND	8-Bit, 25 KSPS, 11-Kan. 5 V serieller ADU	8-Bit, 25KSPS, 11-Ch. 5V Serial ADC	20-SOIC	2.90	2.32	1.81
TLC542IDWR	296-1333-1-ND	8-Bit, 25 KSPS, 11-Kan. 5 V serieller ADU	8-Bit, 25KSPS, 11-Ch. 5V Serial ADC	20-SOIC	2.90	2.32	1.81
TLC542IDWR	296-1333-2-ND	8-Bit, 25 KSPS, 11-Kan. 5 V serieller ADU	8-Bit, 25KSPS, 11-Ch. 5V Serial ADC	20-SOIC		3281.42/2,000	
TLC542IFN	296-1334-5-ND	8-Bit, 25 KSPS, 11-Kan. 5 V serieller ADU	8-Bit, 25KSPS, 11-Ch. 5V Serial ADC	20-PLCC	2.90	2.32	1.81
TLC542IFNR	296-1334-1-ND	8-Bit, 25 KSPS, 11-Kan. 5 V serieller ADU	8-Bit, 25KSPS, 11-Ch. 5V Serial ADC	20-PLCC	2.90	2.32	1.81
TLC542IFNR	296-1334-2-ND	8-Bit, 25 KSPS, 11-Kan. 5 V serieller ADU	8-Bit, 25KSPS, 11-Ch. 5V Serial ADC	20-PLCC		1640.71/1,000	
TLC542IN	296-2927-5-ND	8-Bit, 25 KSPS, 11-Kan. 5 V serieller ADU	8-Bit, 25KSPS, 11-Ch. 5V Serial ADC	20-Dip	3.09	2.47	1.93
TLC545CFN	296-2928-5-ND	8-Bit, 76 KSPS, 19-Kan. 5 V serieller ADU	8-Bit, 76KSPS, 19-Ch. 5V Serial ADC	28-PLCC	5.25	4.20	3.55
TLC545CN	296-2929-5-ND	8-Bit, 76 KSPS, 19-Kan. 5 V serieller ADU	8-Bit, 76KSPS, 19-Ch. 5V Serial ADC	28-Dip	5.50	4.41	3.72
TLC545IFN	296-2930-5-ND	8-Bit, 76 KSPS, 19-Kan. 5 V serieller ADU	8-Bit, 76KSPS, 19-Ch. 5V Serial ADC	28-PLCC	5.59	4.47	3.78
TLC545IN	296-2931-5-ND	8-Bit, 76 KSPS, 19-Kan. 5 V serieller ADU	8-Bit, 76KSPS, 19-Ch. 5V Serial ADC	28-Dip	5.93	4.75	4.01
TLC548CD	296-2934-5-ND	8-Bit, 45,5 KSPS, 1-Kan. 3-6 V serieller ADU	8-Bit, 45.5KSPS, 1-Ch. 3-6V Serial ADC	8-SOIC	2.29	1.83	1.43
TLC548CP	296-2935-5-ND	8-Bit, 45,5 KSPS, 1-Kan. 3-6 V serieller ADU	8-Bit, 45.5KSPS, 1-Ch. 3-6V Serial ADC	8-Dip	2.48	1.99	1.55
TLC548ID	296-2936-5-ND	8-Bit, 45,5 KSPS, 1-Kan. 3-6 V serieller ADU	8-Bit, 45.5KSPS, 1-Ch. 3-6V Serial ADC	8-SOIC	2.48	1.99	1.55
TLC548IP	296-2937-5-ND	8-Bit, 45,5 KSPS, 1-Kan. 3-6 V serieller ADU	8-Bit, 45.5KSPS, 1-Ch. 3-6V Serial ADC	8-Dip	2.57	2.06	1.61
TLC549CD	296-1335-5-ND	8-Bit, 40 KSPS, 1-Kan. 3-6 V serieller ADU	8-Bit, 40KSPS, 1-Ch. 3-6V Serial ADC	8-SOIC	1.90	1.53	1.15
TLC549CDR	296-1335-1-ND	8-Bit, 40 KSPS, 1-Kan. 3-6 V serieller ADU	8-Bit, 40KSPS, 1-Ch. 3-6V Serial ADC	8-SOIC	1.90	1.53	1.15
TLC549CDR	296-1335-2-ND	8-Bit, 40 KSPS, 1-Kan. 3-6 V serieller ADU	8-Bit, 40KSPS, 1-Ch. 3-6V Serial ADC	8-SOIC		2438.21/2,500	
TLC549CP	296-1853-5-ND	8-Bit, 40 KSPS, 1-Kan. 3-6 V serieller ADU	8-Bit, 40KSPS, 1-Ch. 3-6V Serial ADC	8-Dip	2.01	1.61	1.21
TLC549ID	296-1854-5-ND	8-Bit, 40 KSPS, 1-Kan. 3-6 V serieller ADU	8-Bit, 40KSPS, 1-Ch. 3-6V Serial ADC	8-SOIC	1.90	1.53	1.19
TLC549IP	296-1855-5-ND	8-Bit, 40 KSPS, 1-Kan. 3-6 V serieller ADU	8-Bit, 40KSPS, 1-Ch. 3-6V Serial ADC	8-Dip	2.00	1.60	1.25
TLC1514ID	296-2180-5-ND	10-Bit, 400 KSPS, 4-Kan. 5 V serieller ADU	10-Bit, 400KSPS, 4-Ch. 5V Serial ADC	16-SOIC	4.91	3.93	3.32
TLC1514IPW	296-2870-5-ND	10-Bit, 400 KSPS, 4-Kan. 5 V serieller ADU	10-Bit, 400KSPS, 4-Ch. 5VSerial ADC	16-TSSOP	4.91	3.93	3.32
TLC1518IDW	296-2181-5-ND	10-Bit, 400 KSPS, 8-Kan. 5 V serieller ADU	10-Bit, 400KSPS, 8-Ch. 5V Serial ADC	20-SOIC	5.84	4.68	3.95
TLC1518IPW	296-2871-5-ND	10-Bit, 400 KSPS, 8-Kan. 5 V serieller ADU	10-Bit, 400KSPS, 8-Ch. 5V Serial ADC	20-TSSOP	5.84	4.68	3.95
TLC1541CDW	296-2872-5-ND	10-Bit, 32 KSPS, 11-Kan. 5 V serieller ADU	10-Bit, 32KSPS, 11-Ch. 5V Serial ADC	20-SOIC	5.42	4.34	3.66
TLC1541CFN	296-2873-5-ND	10-Bit, 38 KSPS, 11-Kan. 5 V serieller ADU	10-Bit, 38KSPS, 11-Ch. 5V Serial ADC	20-PLCC	5.42	4.34	3.66
TLC1541CN	296-2874-5-ND	10-Bit, 32 KSPS, 11-Kan. 5 V serieller ADU	10-Bit, 32KSPS, 11-Ch. 5V Serial ADC	20-Dip	5.76	4.61	3.89
TLC1541IDW	296-2875-5-ND	10-Bit, 32 KSPS, 11-Kan. 5 V serieller ADU	10-Bit, 32KSPS, 11-Ch. 5V Serial ADC	20-SOIC	5.84	4.68	3.95
TLC1541IN	296-2182-5-ND	10-Bit, 32 KSPS, 11-Kan. 5 V serieller ADU	10-Bit, 32KSPS, 11-Ch. 5V Serial ADC	20-Dip	6.18	4.95	4.18
TLC1541IFN	296-2876-5-ND	10-Bit, 38 KSPS, 11-Kan. 5 V serieller ADU	10-Bit, 38KSPS, 11-Ch. 5V Serial ADC	20-PLCC	5.84	4.68	3.95
TLC1542CDW	296-2877-5-ND	10-Bit, 38 KSPS, 11-Kan. 5 V serieller ADU	10-Bit, 38KSPS, 11-Ch. 5V Serial ADC	20-SOIC	4.23	3.39	2.86
TLC1542CFN	296-2878-5-ND	10-Bit, 38 KSPS, 11-Kan. 5 V serieller ADU	10-Bit, 38KSPS, 11-Ch. 5V Serial ADC	20-PLCC	4.23	3.39	2.86
TLC1542CN	296-2879-5-ND	10-Bit, 38 KSPS, 11-Kan. 5 V serieller ADU	10-Bit, 38KSPS, 11-Ch. 5V Serial ADC	20-Dip	4.23	3.39	2.86
TLC1542IDW	296-2880-5-ND	10-Bit, 38 KSPS, 11-Kan. 5 V serieller ADU	10-Bit, 38KSPS, 11-Ch. 5V Serial ADC	20-SOIC	4.57	3.66	3.09
TLC1542IN	296-2881-5-ND	10-Bit, 38 KSPS, 11-Kan. 5 V serieller ADU	10-Bit, 38KSPS, 11-Ch. 5V Serial ADC	20-Dip	4.57	3.66	3.09
TLC1542QFN	296-2882-5-ND	10-Bit, 38 KSPS, 11-Kan. 5 V serieller ADU	10-Bit, 38KSPS, 11-Ch. 5V Serial ADC	20-PLCC	5.25	4.20	3.55
TLC1543CDB	296-2883-5-ND	10-Bit, 38 KSPS, 11-Kan. 5 V serieller ADU	10-Bit, 38KSPS, 11-Ch. 5V Serial ADC	20-SSOP	3.45	2.76	2.15
TLC1543CDW	296-1804-5-ND	10-Bit, 38 KSPS, 11-Kan. 5 V serieller ADU	10-Bit, 38KSPS, 11-Ch. 5V Serial ADC	20-SOIC	3.45	2.76	2.15
TLC1543CDWR	296-1804-1-ND	10-Bit, 38 KSPS, 11-Kan. 5 V serieller ADU	10-Bit, 38KSPS, 11-Ch. 5V Serial ADC	20-SOIC	3.45	2.76	2.15
TLC1543CDWR	296-1804-2-ND	10-Bit, 38 KSPS, 11-Kan. 5 V serieller ADU	10-Bit, 38KSPS, 11-Ch. 5V Serial ADC	20-SOIC		3907.91/2,000	
TLC1543CFN	296-1805-5-ND	10-Bit, 38 KSPS, 11-Kan. 5 V serieller ADU	10-Bit, 38KSPS, 11-Ch. 5V Serial ADC	20-PLCC	3.45	2.76	2.15
TLC1543CN	296-2885-5-ND	10-Bit, 38 KSPS, 11-Kan. 5 V serieller ADU	10-Bit, 38KSPS, 11-Ch. 5V Serial ADC	20-Dip	3.62	2.90	2.26
TLC1543IDW	296-2886-5-ND	10-Bit, 38 KSPS, 11-Kan. 5 V serieller ADU	10-Bit, 38KSPS, 11-Ch. 5V Serial ADC	20-SOIC	3.62	2.90	2.26
TLC1543IFN	296-2887-5-ND	10-Bit, 38 KSPS, 11-Kan. 5 V serieller ADU	10-Bit, 38KSPS, 11-Ch. 5V Serial ADC	20-PLCC	3.62	2.90	2.26
TLC1543IN	296-2888-5-ND	10-Bit, 38 KSPS, 11-Kan. 5 V serieller ADU	10-Bit, 38KSPS, 11-Ch. 5V Serial ADC	20-Dip	3.81	3.05	2.38
TLC1543QDB	296-2889-5-ND	10-Bit, 38 KSPS, 11-Kan. 5 V serieller ADU	10-Bit, 38KSPS, 11-Ch. 5V Serial ADC	20-SSOP	4.17	3.34	2.60
TLC1543QDW	296-2890-5-ND	10-Bit, 38 KSPS, 11-Kan. 5 V serieller ADU	10-Bit, 38KSPS, 11-Ch. 5V Serial ADC	20-SOIC	4.17	3.34	2.60
TLC1543QFN	296-2891-5-ND	10-Bit, 38 KSPS, 11-Kan. 5 V serieller ADU	10-Bit, 38KSPS, 11-Ch. 5V Serial ADC	20-PLCC	4.17	3.34	2.60
TLC1549CD	296-2892-5-ND	10-Bit, 38 KSPS, 1-Kan. 5 V serieller ADU	10-Bit, 38KSPS, 1-Ch. 5V Serial ADC	8-SOIC	3.43	2.75	2.14
TLC1549CP	296-1806-5-ND	10-Bit, 38 KSPS, 1-Kan. 5 V serieller ADU	10-Bit, 38KSPS, 1-Ch. 5V Serial ADC	8-Dip	3.62	2.90	2.26
TLC1549ID	296-2893-5-ND	10-Bit, 38 KSPS, 1-Kan. 5 V serieller ADU	10-Bit, 38KSPS, 1-Ch. 5V Serial ADC	8-SOIC	3.72	2.98	2.32
TLC1549IP	296-2894-5-ND	10-Bit, 38 KSPS, 1-Kan. 5 V serieller ADU	10-Bit, 38KSPS, 1-Ch. 5V Serial ADC	8-Dip	3.90	3.13	2.43
TLC1550IDW	296-2895-5-ND	10-Bit, 164 KSPS, 10-Kanal 5 V Parallel-Ausgangs-ADU	10-Bit, 164KSPS, 10-Ch. 5V Parallel Out ADC	24-SOIC	6.60	5.29	4.46
TLC1551IDW	296-2896-5-ND	10-Bit, 164 KSPS, 10-Kanal 5 V Parallel-Ausgangs-ADU	10-Bit, 164KSPS, 10-Ch. 5V Parallel Out ADC	24-SOIC	5.67	4.54	3.83
TLC2543CDB	296-2897-5-ND	12-Bit, 66 KSPS, 11-Kan. 5 V serieller ADU	12-Bit, 66KSPS, 11-Ch. 5V Serial ADC	20-SSOP	7.16	5.73	4.84
TLC2543CDW	296-1307-5-ND	12-Bit, 66 KSPS, 11-Kan. 5 V serieller ADU	12-Bit, 66KSPS, 11-Ch. 5V Serial ADC	20-SOIC	7.16	5.73	4.84
TLC2543CDWR	296-1307-1-ND	12-Bit, 66 KSPS, 11-Kan. 5 V serieller ADU	12-Bit, 66KSPS, 11-Ch. 5V Serial ADC	20-SOIC	7.16	5.73	4.84
TLC2543CDWR	296-1307-2-ND	12-Bit, 66 KSPS, 11-Kan. 5 V serieller ADU	12-Bit, 66KSPS, 11-Ch. 5V Serial ADC	20-SOIC		8953.64/2,000	
TLC2543CFN	296-2898-5-ND	12-Bit, 66 KSPS, 11-Kan. 5 V serieller ADU	12-Bit, 66KSPS, 11-Ch. 5V Serial ADC	20-PLCC	7.16	5.73	4.84
TLC2543CN	296-1816-5-ND	12-Bit, 66 KSPS, 11-Kan. 5 V serieller ADU	12-Bit, 66KSPS, 11-Ch. 5V Serial ADC	20-Dip	7.16	5.73	4.84
TLC2543IDB	296-2899-5-ND	12-Bit, 66 KSPS, 11-Kan. 5 V serieller ADU	12-Bit, 66KSPS, 11-Ch. 5V Serial ADC	20-SSOP	7.64	6.11	5.16
TLC2543IDW	296-2900-5-ND	12-Bit, 66 KSPS, 11-Kan. 5 V serieller ADU	12-Bit, 66KSPS, 11-Ch. 5V Serial ADC	20-SOIC	7.64	6.11	5.16

(Forts.)

★ RUFEN SIE BITTE AN FÜR NIEDRIGERE PREISE BEI GRÖSSEREN MENGEN! ★

Alle Preisangaben in Euro und inklusive Zollgebühren.

T. I. Teilenr.	Digi-Key Teilenr.	Beschreibung		Paket	Stückpreis ★ 1	25	100
TLC2543IFN	296-2901-5-ND	12-Bit, 66 KSPS, 11-Kan. 5 V serieller ADU	12-Bit, 66KSPS, 11-Ch. 5V Serial ADC	20-PLCC	7.64	6.11	5.16
TLC2543IN	296-1817-5-ND	12-Bit, 66 KSPS, 11-Kan. 5 V serieller ADU	12-Bit, 66KSPS, 11-Ch. 5V Serial ADC	20-Dip	7.64	6.11	5.16
TLC2551ID	296-2909-5-ND	12-Bit, 400 KSPS, 1-Kan. 5 V serieller ADU	12-Bit, 400KSPS, 1-Ch. 5V Serial ADC	8-SOIC	7.11	5.69	4.81
TLC2551IDGK	296-2910-5-ND	12-Bit, 400 KSPS, 1-Kan. 5 V serieller ADU	12-Bit, 400KSPS, 1-Ch. 5V Serial ADC	8-MSOP	7.11	5.69	4.81
TLC2552ID	296-2911-5-ND	12-Bit, 400 KSPS, 2-Kan. 5 V serieller ADU	12-Bit, 400KSPS, 2-Ch. 5V Serial ADC	8-SOIC	7.11	5.69	4.81
TLC2552IDGK	296-2912-5-ND	12-Bit, 400 KSPS, 1-Kan. 5 V serieller ADU	12-Bit, 400KSPS, 1-Ch. 5V Serial ADC	8-MSOP	7.11	5.69	4.81
TLC2554ID	296-2913-5-ND	12-Bit, 400 KSPS, 4-Kan. 5 V serieller ADU	12-Bit, 400KSPS, 4-Ch. 5V Serial ADC	16-SOIC	8.53	7.69	6.82
TLC2554IPW	296-2914-5-ND	12-Bit, 400 KSPS, 4-Kan. 5 V serieller ADU	12-Bit, 400KSPS, 4-Ch. 5V Serial ADC	16-TSSOP	8.04	7.24	6.42
TLC2555ID	296-2915-5-ND	12-Bit, 400 KSPS, 1-Kan. 5 V serieller ADU	12-Bit, 400KSPS, 1-Ch. 5V Serial ADC	8-SOIC	7.11	5.69	4.81
TLC2555IDGK	296-2916-5-ND	12-Bit, 400 KSPS, 1-Kan. 5 V serieller ADU	12-Bit, 400KSPS, 1-Ch. 5V Serial ADC	8-MSOP	7.11	5.69	4.81
TLC2558IDW	296-2917-5-ND	12-Bit, 400 KSPS, 8-Kan. 5 V serieller ADU	12-Bit, 400KSPS, 8-Ch. 5V Serial ADC	20-SOIC	8.04	7.24	6.42
TLC2558IPW	296-2918-5-ND	12-Bit, 400 KSPS, 8-Kan. 5 V serieller ADU	12-Bit, 400KSPS, 8-Ch. 5V Serial ADC	20-TSSOP	8.04	7.24	6.42
TLC2574IDW	296-10255-5-ND	12-Bit, 200 KSPS, 4-Kan. serieller Ausgangs-ADU	12-Bit, 200KSPS, 4-Ch. Serial Out ADC	20-SOIC	7.48	6.74	5.97
TLC2574IPW	296-10256-5-ND	12-Bit, 200 KSPS, 4-Kan. serieller Ausgangs-ADU	12-Bit, 200KSPS, 4-Ch. Serial Out ADC	20-TSSOP	7.48	6.74	5.97
TLC2578IDW	296-10257-5-ND	12-Bit, 200 KSPS, 8-Kan. serieller Ausgangs-ADU	12-Bit, 200KSPS, 8-Ch. Serial Out ADC	24-SOIC	8.18	7.37	6.54
TLC2578IPW	296-10258-5-ND	12-Bit, 200 KSPS, 8-Kan. serieller Ausgangs-ADU	12-Bit, 200KSPS, 8-Ch. Serial Out ADC	24-TSSOP	8.18	7.37	6.54
TLC3541ID	296-12498-5-ND	5 V, NL, 14-Bit, 200 KSPS serieller ADU mit autom. Herabschaltfunktion	5V, Low Power, 14-Bit, 200KSPS Serial ADC w/Auto Power Down	8-SOIC	7.05	6.35	5.63
TLC3541IDGK	296-13505-5-ND	5 V, NL, 14-Bit, 200 KSPS serieller ADU mit autom. Herabschaltfunktion	5V, Low Power, 14-Bit, 200KSPS Serial ADC w/Auto Power Down	8-MSOP	7.05	6.35	5.63
TLC3545IDGK	296-13506-5-ND	5 V, NL, 14-Bit, 200 KSPS serieller ADU mit autom. Herabschaltfunktion	5V, Low Power, 14-Bit, 200KSPS Serial ADC w/Auto Power Down	8-MSOP	7.05	6.35	5.63
TLC3544IDW	296-10288-5-ND	14-Bit, 200 KSPS, 4-Kan. unipolarer ADU	14-Bit, 200KSPS, 4-Ch. Unipolar ADC	20-SOIC	8.74	8.20	7.27
TLC3544IPW	296-10289-5-ND	14-Bit, 200 KSPS, 4-Kan. unipolarer ADU	14-Bit, 200KSPS, 4-Ch. Unipolar ADC	20-TSSOP	8.74	8.20	7.27
TLC3545ID	296-12499-5-ND	14-Bit, 5 V, 200 KSPS, NL serieller ADU	14-Bit, 5V, 200KSPS, LP Serial ADC	8-SOIC	7.05	6.35	5.63
TLC3548IDW	296-10290-5-ND	14-Bit, 200 KSPS, 8-Kan. unipolarer ADU	14-Bit, 200KSPS, 8-Ch. Unipolar ADC	24-SOIC	9.66	8.70	7.72
TLC3548IPW	296-10291-5-ND	14-Bit, 200 KSPS, 8-Kan. unipolarer ADU	14-Bit, 200KSPS, 8-Ch. Unipolar ADC	20-TSSOP	9.66	8.70	7.72
TLC3574IDW	296-10296-5-ND	14-Bit, 200 KSPS, 4-Kan. NL ADU	14-Bit, 200KSPS, 4-Ch. LP ADC	20-SOP	9.66	8.70	7.72
TLC3574IPW	296-10297-5-ND	14-Bit, 200 KSPS, 4-Kan. NL ADU	14-Bit, 200KSPS, 4-Ch. LP ADC	20-TSSOP	9.66	8.70	7.72
TLC3578IDW	296-10298-5-ND	14-Bit, 200 KSPS, 8-Kan. NL ADU	14-Bit, 200KSPS, 8-Ch. LP ADC	24-SOIC	12.20	10.99	9.74
TLC3578IPW	296-10299-5-ND	14-Bit, 200 KSPS, 8-Kan. NL ADU	14-Bit, 200KSPS, 8-Ch. LP ADC	24-TSSOP	12.20	10.99	9.74
TLC4541ID	296-12500-5-ND	16-Bit, 5 V, 200 KSPS, NL serieller ADU	16-Bit, 5V, 200KSPS, LP Serial ADC	8-SOIC	9.66	8.70	7.72
TLC4541IDGK	296-13825-5-ND	16-Bit, 5 V, 200 KSPS, NL serieller ADU	16-Bit, 5V, 200KSPS, LP Serial ADC	8-SOIC	9.66	8.70	7.72
TLC4545ID	296-12501-5-ND	16-Bit, 5 V, 200 KSPS, NL serieller ADU	16-Bit, 5V, 200KSPS, LP Serial ADC	8-SOIC	9.66	8.70	7.72
TLC4545IDGK	296-12746-5-ND	16-Bit, 5 V, 200 KSPS, NL serieller ADU	16-Bit, 5V, 200KSPS, LP Serial ADC	8-MSOP	9.66	8.70	7.72
TLC5510AINS	296-2938-5-ND	8-Bit, 20 MSPS 1-Kanal 5,0 V HS serieller ADU	8-Bit, 20MSPS 1-Channel 5.0V High Speed Serial ADC	24-SOP	4.25	3.40	2.65
TLC5510INS	296-2939-5-ND	8-Bit, 20 MSPS 1-Kanal 5,0 V HS serieller ADU	8-Bit, 20MSPS 1-Channel 5.0V High Speed Serial ADC	24-SOP	4.25	3.40	2.65
TLC5510INSR	296-2939-1-ND	8-Bit, 20 MSPS 1-Kanal 5,0 V HS serieller ADU	8-Bit, 20MSPS 1-Channel 5.0V High Speed Serial ADC	24-SOP	4.25	3.40	2.65
TLC5510INSR	296-2939-2-ND	8-Bit, 20 MSPS 1-Kanal 5,0 V HS serieller ADU	8-Bit, 20MSPS 1-Channel 5.0V High Speed Serial ADC	24-SOP		4813.77/2,000	
TLC5510IPW	296-2183-5-ND	8-Bit, 20 MSPS 1-Kanal 5,0 V HS serieller ADU	8-Bit, 20MSPS 1-Channel 5.0V High Speed Serial ADC	24-TSSOP	4.25	3.40	2.65
TLC5540CNSR	296-10336-1-ND	8-Bit, 40 MSPS 1-Kanal 5,0 V HS PAR ADU	8-Bit, 40MSPS, 1-Channel 5.0V High Speed PAR ADC	24-SOP	4.34	3.48	2.71
TLC5540CNSR	296-10336-2-ND	8-Bit, 40 MSPS 1-Kanal 5,0 V HS PAR ADU	8-Bit, 40MSPS, 1-Channel 5.0V High Speed PAR ADC	24-SOP		4922.13/2,000	
TLC5540INSR	296-10338-1-ND	8-Bit, 40 MSPS 1-Kanal 5,0 V HS PAR ADU	8-Bit, 40MSPS, 1-Channel 5.0V High Speed PAR ADC	24-SOP	4.71	3.77	2.93
TLC5540INSR	296-10338-2-ND	8-Bit, 40 MSPS 1-Kanal 5,0 V HS PAR ADU	8-Bit, 40MSPS, 1-Channel 5.0V High Speed PAR ADC	24-SOP		5331.89/2,000	
TLC5540IPW	296-2184-5-ND	8-Bit, 40 MSPS 1-Kanal 5,0 V HS PAR ADU	8-Bit, 40MSPS 1-Channel 5.0V High Speed PAR ADC	24-TSSOP	4.71	3.77	2.93
TLC7135CDW	296-2185-5-ND	4,5-Stelle, 0,003 MSPS 1-Kan. Differenzialeingangs-ADU	4.5-Digit, .003KSPS, 1-Ch. Differential Input ADC	28-SOIC	3.52	2.82	2.20
TLC7135CN	296-10350-5-ND	4,5-Stelle, 0,003 MSPS 1-Kan. Differenzialeingangs-ADU	4.5-Digit, .003KSPS, 1-Ch. Differential Input ADC	28-Dip	3.52	2.82	2.20
TLV0831CD	296-2944-5-ND	8-Bit, 49 KSPS, 1-Kan. 3,3 V serieller ADU	8-Bit, 49KSPS, 1-Ch. 3.3V Serial ADC	8-SOIC	2.67	2.14	1.66
TLV0831CP	296-2187-5-ND	8-Bit, 49 KSPS, 1-Kan. 3,3 V serieller ADU	8-Bit, 49KSPS, 1-Ch. 3.3V Serial ADC	8-Dip	2.67	2.14	1.66
TLV0831ID	296-2945-5-ND	8-Bit, 49 KSPS, 1-Kan. 3,3 V serieller ADU	8-Bit, 49KSPS, 1-Ch. 3.3V Serial ADC	8-SOIC	2.86	2.29	1.78
TLV0831IP	296-2946-5-ND	8-Bit, 49 KSPS, 1-Kan. 3,3 V serieller ADU	8-Bit, 49KSPS, 1-Ch. 3.3V Serial ADC	8-Dip	2.86	2.29	1.78
TLV0832CD	296-2947-5-ND	8-Bit, 44,7 KSPS, 2-Kan. 3,3 V serieller ADU	8-Bit, 44.7KSPS, 2-Ch. 3.3V Serial ADC	8-SOIC	2.67	2.14	1.66
TLV0832CP	296-2948-5-ND	8-Bit, 44,7 KSPS, 2-Kan. 3,3 V serieller ADU	8-Bit, 44.7KSPS, 2-Ch. 3.3V Serial ADC	8-Dip	2.67	2.14	1.66
TLV0832ID	296-2188-5-ND	8-Bit, 44,7 KSPS, 2-Kan. 3,3 V serieller ADU	8-Bit, 44.7KSPS, 2-Ch. 3.3V Serial ADC	8-SOIC	2.86	2.29	1.78
TLV0832IP	296-2949-5-ND	8-Bit, 44,7 KSPS, 2-Kan. 3,3 V serieller ADU	8-Bit, 44.7KSPS, 2-Ch. 3.3V Serial ADC	8-Dip	2.86	2.29	1.78
TLV0834CD	296-2189-5-ND	8-Bit, 41 KSPS, 4-Kan. 3,3 V serieller ADU	8-Bit, 41KSPS, 4-Ch. 3.3V Serial ADC	14-SOIC	2.76	2.21	1.72
TLV0834ID	296-2950-5-ND	8-Bit, 41 KSPS, 4-Kan. 3,3 V serieller ADU	8-Bit, 41KSPS, 4-Ch. 3.3V Serial ADC	14-SOIC	2.95	2.37	1.84
TLV0834IN	296-2951-5-ND	8-Bit, 41 KSPS, 4-Kan. 3,3 V serieller ADU	8-Bit, 41KSPS, 4-Ch. 3.3V Serial ADC	14-Dip	2.95	2.37	1.84
TLV0834IPW	296-13859-5-ND	8-Bit, 41 KSPS, 4-Kan. 3,3 V serieller ADU	8-Bit, 41KSPS, 4-Ch. 3.3V Serial ADC	16-TSSOP	2.95	2.37	1.84
TLV0838CDW	296-2952-5-ND	8-Bit, 37,9 KSPS, 8-Kan. 3,3 V serieller ADU	8-Bit, 37.9KSPS, 8-Ch. 3.3V Serial ADC	20-SOIC	2.76	2.21	1.72
TLV0838IDW	296-2190-5-ND	8-Bit, 37,9 KSPS, 8-Kan. 3,3 V serieller ADU	8-Bit, 37.9KSPS, 8-Ch. 3.3V Serial ADC	20-SOIC	2.95	2.37	1.84
TLV0838IN	296-2953-5-ND	8-Bit, 37,9 KSPS, 8-Kan. 3,3 V serieller ADU	8-Bit, 37.9KSPS, 8-Ch. 3.3V Serial ADC	20-Dip	2.95	2.37	1.84
TLV0838IPW	296-2954-5-ND	8-Bit, 37,9 KSPS, 8-Kan. 3,3 V serieller ADU	8-Bit, 37.9KSPS, 8-Ch. 3.3V Serial ADC	20-TSSOP	2.95	2.37	1.84
TLV571IDW	296-2207-5-ND	8-Bit, 1,25 MSPS 1-Kanal 2,7-5,5 V Parallel-ADU	8-Bit, 1.25MSPS 1-Ch. 2.7-5.5V Parallel ADC	24-SOIC	4.48	3.59	2.79
TLV571IPW	296-2988-5-ND	8-Bit, 1,25 MSPS 1-Kanal 2,7-5,5 V Parallel-ADU	8-Bit, 1.25MSPS 1-Ch. 2.7-5.5V Parallel ADC	24-TSSOP	4.48	3.59	2.79
TLV1504ID	296-2191-5-ND	10-Bit, 200 KSPS, 4-Kanal 2,7-5,5 V serieller ADU	10-Bit, 200KSPS, 4-Ch. 2.7-5.5V Serial ADC	16-SOIC	4.49	3.59	3.03
TLV1504IPW	296-2955-5-ND	10-Bit, 200 KSPS, 4-Kanal 2,7-5,5 V serieller ADU	10-Bit, 200KSPS, 4-Ch. 2.7-5.5V Serial ADC	16-TSSOP	4.49	3.59	3.03
TLV1508IDW	296-2192-5-ND	10-Bit, 200 KSPS, 4-Kanal 2,7-5,5 V serieller ADU	10-Bit, 200KSPS, 4-Ch. 2.7-5.5V Serial ADC	20-SOIC	5.33	4.27	3.61
TLV1508IPW	296-2956-5-ND	10-Bit, 200 KSPS, 4-Kanal 2,7-5,5 V serieller ADU	10-Bit, 200KSPS, 4-Ch. 2.7-5.5V Serial ADC	20-TSSOP	5.33	4.27	3.61
TLV1543CDB	296-2958-5-ND	10-Bit, 200 KSPS, 11-Kanal 3,3 V serieller ADU	10-Bit, 200KSPS, 11-Ch. 3.3V Serial ADC	20-SSOP	3.89	3.11	2.42
TLV1543CDW	296-1878-5-ND	10-Bit, 200 KSPS, 11-Kanal 3,3 V serieller ADU	10-Bit, 200KSPS, 11-Ch. 3.3V Serial ADC	20-SOIC	3.89	3.11	2.42
TLV1543CN	296-2957-5-ND	10-Bit, 200 KSPS, 11-Kanal 3,3 V serieller ADU	10-Bit, 200KSPS, 11-Ch. 3.3V Serial ADC	20-Dip	4.08	3.27	2.54
TLV1543IDB	296-2959-5-ND	10-Bit, 200 KSPS, 11-Kanal 3,3 V serieller ADU	10-Bit, 200KSPS, 11-Ch. 3.3V Serial ADC	20-SSOP	4.17	3.34	2.60
TLV1544CD	296-2960-5-ND	10-Bit, 85 KSPS, 4-Kanal 2,7-5,5 V serieller ADU	10-Bit, 85KSPS, 4-Ch. 2.7-5.5V Serial ADC	16-SOIC	3.72	2.98	2.32
TLV1544CPW	296-2193-5-ND	10-Bit, 85 KSPS, 4-Kanal 2,7-5,5 V serieller ADU	10-Bit, 85KSPS, 4-Ch. 2.7-5.5V Serial ADC	16-TSSOP	3.72	2.98	2.32
TLV1544ID	296-2961-5-ND	10-Bit, 85 KSPS, 4-Kanal 2,7-5,5 V serieller ADU	10-Bit, 85KSPS, 4-Ch. 2.7-5.5V Serial ADC	16-SOIC	4.00	3.20	2.49
TLV1548IDB	296-2962-5-ND	10-Bit, 85 KSPS, 8-Kanal 2,7-5,5 V serieller ADU	10-Bit, 85KSPS, 8-Ch. 2.7-5.5V Serial ADC	20-SSOP	4.66	3.74	2.91
TLV1548QDBRQ1	296-16956-1-ND	10-Bit, 85 KSPS, 8-Kanal 2,7-5,5 V serieller ADU	10-Bit, 85KSPS, 8-Ch. 2.7-5.5V Serial ADC	20-SSOP	4.91	3.93	3.32
TLV1548QDBRQ1	296-16956-2-ND	10-Bit, 85 KSPS, 8-Kanal 2,7-5,5 V serieller ADU	10-Bit, 85KSPS, 8-Ch. 2.7-5.5V Serial ADC	20-SSOP		6137.85/2,000	
TLV1549CD	296-2963-5-ND	10-Bit, 38 KSPS, 1-Kan. 3,3 V serieller ADU	10-Bit, 38KSPS, 1-Ch. 3.3V Serial ADC	8-SOIC	3.52	2.82	2.20
TLV1549CP	296-2964-5-ND	10-Bit, 38 KSPS, 1-Kan. 3,3 V serieller ADU	10-Bit, 38KSPS, 1-Ch. 3.3V Serial ADC	8-Dip	3.72	2.98	2.32
TLV1549ID	296-2194-5-ND	10-Bit, 38 KSPS, 1-Kan. 3,3 V serieller ADU	10-Bit, 38KSPS, 1-Ch. 3.3V Serial ADC	8-SOIC	3.72	2.98	2.32
TLV1549IP	296-2965-5-ND	10-Bit, 38 KSPS, 1-Kan. 3,3 V serieller ADU	10-Bit, 38KSPS, 1-Ch. 3.3V Serial ADC	8-Dip	3.90	3.13	2.43
TLV1562CDW	296-2195-5-ND	10-Bit, 2 MSPS, 4-Kanal 2,7-5,5 V Parallel-ADU	10-Bit, 2MSPS 4-Ch. 2.7-5.5V Parallel ADC	28-SOIC	7.03	5.63	4.75
TLV1562CPW	296-2966-5-ND	10-Bit, 2 MSPS, 4-Kanal 2,7-5,5 V Parallel-ADU	10-Bit, 2MSPS 4-Ch. 2.7-5.5V Parallel ADC	28-TSSOP	7.03	5.63	4.75
TLV1562IDW	296-1879-5-ND	10-Bit, 2 MSPS, 4-Kanal 2,7-5,5 V Parallel-ADU	10-Bit, 2MSPS 4-Ch. 2.7-5.5V Parallel ADC	28-SOIC	7.53	6.03	5.09
TLV1562IPW	296-1880-5-ND	10-Bit, 2 MSPS, 4-Kanal 2,7-5,5 V Parallel-ADU	10-Bit, 2MSPS 4-Ch. 2.7-5.5V Parallel ADC	28-TSSOP	7.53	6.03	5.09
TLV1570CDW	296-2196-5-ND	10-Bit, 1,25 MSPS 8-Kanal 2,7-5,5 V serieller ADU	10-Bit, 1.25MSPS 8-Ch. 2.7-5.5V Serial ADC	20-SOIC	6.43	5.15	4.35
TLV1570CPW	296-2967-5-ND	10-Bit, 1,25 MSPS 8-Kanal 2,7-5,5 V serieller ADU	10-Bit, 1.25MSPS 8-Ch. 2.7-5.5V Serial ADC	20-TSSOP	6.43	5.15	4.35
TLV1570IDW	296-1881-5-ND	10-Bit, 1,25 MSPS 8-Kanal 2,7-5,5 V serieller ADU	10-Bit, 1.25MSPS 8-Ch. 2.7-5.5V Serial ADC	20-SOIC	6.86	5.49	4.63
TLV1570IPW	296-1882-5-ND	10-Bit, 1,25 MSPS 8-Kanal 2,7-5,5 V serieller ADU	10-Bit, 1.25MSPS 8-Ch. 2.7-5.5V Serial ADC	20-TSSOP	6.86	5.49	4.63
TLV1571CDW	296-2197-5-ND	10-Bit, 1,25 MSPS 1-Kanal 2,7-5,5 V Parallel-ADU	10-Bit, 1.25MSPS 1-Ch. 2.7-5.5V Parallel ADC	24-SOIC	6.26	5.02	4.23
TLV1571IDW	296-2968-5-ND	10-Bit, 1,25 MSPS 1-Kanal 2,7-5,5 V Parallel-ADU	10-Bit, 1.25MSPS 1-Ch. 2.7-5.5V Parallel ADC	24-SOIC	6.69	5.36	4.52
TLV1571IPW	296-2969-5-ND	10-Bit, 1,25 MSPS 1-Kanal 2,7-5,5 V Parallel-ADU	10-Bit, 1.25MSPS 1-Ch. 2.7-5.5V Parallel ADC	24-TSSOP	6.69	5.36	4.52
TLV1572CD	296-2970-5-ND	10-Bit, 1,25 MSPS 1-Kanal 2,7-5,5 V serieller ADU	10-Bit, 1.25MSPS 1-Ch. 2.7-5.5V Serial ADC	8-SOIC	5.59	4.47	3.78
TLV1572ID	296-1883-5-ND	10-Bit, 1,25 MSPS 1-Kanal 2,7-5,5 V serieller ADU	10-Bit, 1.25MSPS 1-Ch. 2.7-5.5V Serial ADC	8-SOIC	6.01	4.81	4.06
TLV1578CDA	296-2198-5-ND	10-Bit, 1,25 MSPS 8-Kanal 2,7-5,5 V Parallel-ADU	10-Bit, 1.25MSPS 8-Ch. 2.7-5.5V Parallel ADC	32-SOP	6.52	5.22	4.41
TLV1578IDA	296-2971-5-ND	10-Bit, 1,25 MSPS 8-Kanal 2,7-5,5 V Parallel-ADU	10-Bit, 1.25MSPS 8-Ch. 2.7-5.5V Parallel ADC	32-TSSOP	6.94	5.56	4.69
TLV2541CDGK	296-2199-5-ND	12-Bit, 140/200 KSPS 2-Kanal 2,7-5,5 V serieller ADU	12-Bit, 140/200KSPS, 2-Ch. 2.7-5.5V Serial ADC	8-MSOP	6.52	5.22	4.41
TLV2541ID	296-2972-5-ND	12-Bit, 140/200 KSPS 2-Kanal 2,7-5,5 V serieller ADU	12-Bit, 140/200KSPS, 2-Ch. 2.7-5.5V Serial ADC	8-SOIC	6.94	5.56	4.69
TLV2541IDGK	296-2973-5-ND	12-Bit, 140/200 KSPS 1-Kanal 2,7-5,5 V serieller ADU	12-Bit, 140/200KSPS, 1-Ch. 2.7-5.5V Serial ADC	8MSOP	6.94	5.56	4.69
TLV2542CDGK	296-2200-5-ND	12-Bit, 140/200 KSPS 2-Kanal 2,7-5,5 V serieller ADU	12-Bit, 140/200KSPS, 2-Ch. 2.7-5.5V Serial ADC	8-MSOP	6.52	5.22	4.41
TLV2542ID	296-2974-5-ND	12-Bit, 140/200 KSPS 2-Kanal 2,7-5,5 V serieller ADU	12-Bit, 140/200KSPS, 2-Ch. 2.7-5.5V Serial ADC	8-SOIC	6.94	5.56	4.69

(Forts.)

★ ***RUFEN SIE BITTE AN FÜR NIEDRIGERE PREISE BEI GRÖSSEREN MENGEN!*** ★

B

T. I. Teilenr.	Digi-Key Teilenr.	Beschreibung		Paket	Stückpreis ★ 1	25	100
TLV2542IDGK	296-2975-5-ND	12-Bit, 140/200 KSPS 2-Kanal 2,7-5,5 V serieller ADU	12-Bit, 140/200KSPS, 2-Ch. 2.7-5.5V Serial ADC	8-MSOP	6.94	5.56	4.69
TLV2543CDBR	296-10643-1-ND	12-Bit, 66 KSPS, 11-Kan. 3,3 V serieller Ausgangs-ADU	12-Bit, 66KSPS, 11-Ch. 3.3V Serial Out ADC	20-SSOP	7.16	5.73	4.84
TLV2543CDBR	296-10643-2-ND	12-Bit, 66 KSPS, 11-Kan. 3,3 V serieller Ausgangs-ADU	12-Bit, 66KSPS, 11-Ch. 3.3V Serial Out ADC	20-SSOP		8953.64/2,000	
TLV2543CDW	296-2977-5-ND	12-Bit, 66 KSPS, 11-Kan. 3,3 V serieller ADU	12-Bit, 66KSPS, 11-Ch. 3.3V Serial ADC	20-SOIC	7.16	5.73	4.84
TLV2543CN	296-2978-5-ND	12-Bit, 66 KSPS, 11-Kan. 3,3 V serieller ADU	12-Bit, 66KSPS, 11-Ch. 3.3V Serial ADC	20-Dip	7.16	5.73	4.84
TLV2543IDB	296-2201-5-ND	12-Bit, 66 KSPS, 11-Kan. 3,3 V serieller ADU	12-Bit, 66KSPS, 11-Ch. 3.3V Serial ADC	20-SSOP	7.64	6.11	5.16
TLV2543IDW	296-2979-5-ND	12-Bit, 66 KSPS, 11-Kan. 3,3 V serieller ADU	12-Bit, 66KSPS, 11-Ch. 3.3V Serial ADC	20-SOIC	7.64	6.11	5.16
TLV2543IN	296-2980-5-ND	12-Bit, 66 KSPS, 11-Kan. 3,3 V serieller ADU	12-Bit, 66KSPS, 11-Ch. 3.3V Serial ADC	20-Dip	7.64	6.11	5.16
TLV2544CD	296-2202-5-ND	12-Bit, 200 KSPS, 4-Kanal 2,7-5,5 V serieller ADU	12-Bit, 200KSPS, 4-Ch. 2.7-5.5V Serial ADC	16-SOIC	7.11	5.69	4.81
TLV2544ID	296-2981-5-ND	12-Bit, 200 KSPS, 4-Kanal 2,7-5,5 V serieller ADU	12-Bit, 200KSPS, 4-Ch. 2.7-5.5V Serial ADC	16-SOIC	7.62	6.10	5.15
TLV2544IPW	296-2982-5-ND	12-Bit, 200 KSPS, 4-Kanal 2,7-5,5 V serieller ADU	12-Bit, 200KSPS, 4-Ch. 2.7-5.5V Serial ADC	16-TSSOP	7.62	6.10	5.15
TLV2544QD	296-13365-5-ND	2,7 V bis 5,5 V, 12-Bit, 200 KSPS, 4-Kan. NL, serieller ADU mit autom. Ausschaltfunktion	2.7V to 5.5V, 12-Bit, 200KSPS, 4-Ch. LP, Serial ADC w/Autopower-Down	16-SOIC	7.33	6.61	5.86
TLV2545CDGK	296-2203-5-ND	12-Bit, 140/200 KSPS 2-Kanal 2,7-5,5 V serieller ADU	12-Bit, 140/200KSPS, 2-Ch. 2.7-5.5V Serial ADC	8-MSOP	6.52	5.22	4.41
TLV2545ID	296-2984-5-ND	12-Bit, 140/200 KSPS 2-Kanal 2,7-5,5 V serieller ADU	12-Bit, 140/200KSPS, 2-Ch. 2.7-5.5V Serial ADC	8-SOIC	6.94	5.56	4.69
TLV2545IDGK	296-2985-5-ND	12-Bit, 140/200 KSPS 2-Kanal 2,7-5,5 V serieller ADU	12-Bit, 140/200KSPS, 2-Ch. 2.7-5.5V Serial ADC	8-MSOP	6.94	5.56	4.69
TLV2548CDW	296-2204-5-ND	2,7 V bis 5,5 V, 12-Bit, 200 KSPS, 8-Kan. NL, serieller ADU mit autom. Ausschaltfunktion	2.7 to 5.5V, 12-Bit, 200KSPS, 8-Ch. LP, Serial ADC w/Autopower-Down	20-SOIC	8.21	6.57	5.55
TLV2548IDW	296-2986-5-ND	2,7 V bis 5,5 V, 12-Bit, 200 KSPS, 8-Kan. NL, serieller ADU mit autom. Ausschaltfunktion	2.7 to 5.5V, 12-Bit, 200KSPS, 8-Ch. LP, Serial ADC w/Autopower-Down	20-SOIC	7.33	6.61	5.86
TLV2548IPW	296-2987-5-ND	2,7 V bis 5,5 V, 12-Bit, 200 KSPS, 8-Kan. NL, serieller ADU mit autom. Ausschaltfunktion	2.7 to 5.5V, 12-Bit, 200KSPS, 8-Ch. LP, Serial ADC w/Autopower-Down	20-TSSOP	7.33	6.61	5.86
TLV2548QDW	296-13366-5-ND	2,7 V bis 5,5 V, 12-Bit, 200 KSPS, 8-Kan. NL, serieller ADU mit autom. Ausschaltfunktion	2.7 to 5.5V, 12-Bit, 200KSPS, 8-Ch. LP, Serial ADC w/Autopower-Down	20-SOIC	8.47	7.62	6.76
TLV2553IDW	296-12227-5-ND	12-Bit, 11-Kan., NL serieller ADU	12-Bit, 11-Ch., LP Serial ADC	20-SOIC	5.76	4.61	3.89
TLV2553IPW	296-15633-5-ND	12-Bit, 11-Kan., NL serieller ADU	12-Bit, 11-Ch., LP Serial ADC	20-TSSOP	5.76	4.61	3.89
TLV2556IDW	296-12502-5-ND	12-Bit, 11-Kan. NL serieller ADU mit interner Ref.	12-Bit, 11-Ch., LP Serial ADC with Internal Reference	20-SOIC	6.01	4.81	4.06
TLV2556IPW	296-13000-5-ND	12-Bit, 11-Kan. NL serieller ADU mit interner Ref.	12-Bit, 11-Ch., LP Serial ADC with Internal Reference	20-TSSOP	6.01	4.81	4.06
TLV5535IPW	296-2206-5-ND	8-Bit, 35 MSPS, 1-Kan. 3,3 V NL ADU	8-Bit, 35MSPS 1-Ch. 3.3V LP ADC	28-TSSOP	4.57	3.66	2.85
TLV5580CDW	296-1912-5-ND	8-Bit, 80 MSPS, 1-Kan. 3,3 V NL ADU	8-Bit, 80MSPS 1-Ch. 3.3V LP ADC	28-SOIC	15.16	14.16	13.15
TLV5580CPW	296-1913-5-ND	8-Bit, 80 MSPS, 1-Kan. 3,3 V NL ADU	8-Bit, 80MSPS 1-Ch. 3.3V LP ADC	28-TSSOP	15.16	14.16	13.15
TLV5580IDW	296-1914-5-ND	8-Bit, 80 MSPS, 1-Kan. 3,3 V NL ADU	8-Bit, 80MSPS 1-Ch. 3.3V LP ADC	28-SOIC	16.31	15.22	14.14
TLV5580IPW	296-1915-5-ND	8-Bit, 80 MSPS, 1-Kan. 3,3 V NL ADU	8-Bit, 80MSPS 1-Ch. 3.3V LP ADC	28-TSSOP	16.31	15.22	14.14
TLV5734PAG	296-12955-5-ND	8-Bit, 30 MSPS, 3-Kan., 3,3 V, ADU mit sehr niedriger Leistung	8-Bit, 30MSPS 3-Ch. 3.3V, Very Low Power ADC	64-TQFP	8.04	6.44	5.43
TSC2003IPW	296-14330-5-ND	I2C Touch-Screen-Controller	I2C Touch Screen Controller	16-TSSOP	4.28	3.43	2.67
TSC2046EVM	296-17516-ND	Evaluierungsmodul für TSC2046	Evaluation Module for TSC2046	—	53.15	—	—
TSC2046EVM-PDK	296-17518-ND	Evaluierungsmodul für TSC2046-PDK	Evaluation Module for TSC2046-PDK	—	161.61	—	—
TSC2046IGQCR	296-13811-1-ND	Niedersp.-E/A-Touch-Screen-Controller	Low Voltage I/O Touch Screen Controller	48-VFBGA	3.62	2.90	2.26
TSC2046IGQCR	296-13811-2-ND	Niedersp.-E/A-Touch-Screen-Controller	Low Voltage I/O Touch Screen Controller	48-VFBGA		5066.90/2,500	
TSC2046IPWR	296-15049-1-ND	Niedersp.-E/A-Touch-Screen-Controller	Low Voltage I/O Touch Screen Controller	16-TSSOP	3.26	2.61	2.03
TSC2046IPWR	296-15049-2-ND	Niedersp.-E/A-Touch-Screen-Controller	Low Voltage I/O Touch Screen Controller	16-TSSOP		4561.06/2,500	
TSC2046IRGVR	296-15050-1-ND	Niedersp.-E/A-Touch-Screen-Controller	Low Volt. I/O Touch Screen Controller	16-QFN	3.45	2.76	2.15
TSC2046IRGVR	296-15050-2-ND	Niedersp.-E/A-Touch-Screen-Controller	Low Volt. I/O Touch Screen Controller	16-QFN		4827.74/2,500	
TSC2100IDA	296-15903-5-ND	Touch-Screen-Controller, programmierbar	Prog. Touch Screen Controller	32-TSSOP	4.57	3.66	2.85
TSC2101EVM	296-16858-ND	Touch-Screen-Controller, Evaluierungsmodul	Touch Screen Controller Evaluation Module	—	107.38	100.23	93.07
TSC2101IRGZ	296-17512-ND	Audio Codec mit integr. Kopfhörerlautsprecher, Amp/Touch-Screen-Controller	Audio Codec w/Integrated Headphone Speaker, Amp/Touch Screen Controller	48-QFN	8.38	6.71	5.66
TSC2102IDA	296-15679-5-ND	Programmierbarer Touch-Screen-Controller mit Audio-DAU	Programmable Touch Screen Controller with Audio DAC	32-TSSOP	6.26	5.02	4.23
TSC2200IPW	TSC2200IPW-ND	Programmierbarer Touch-Screen-Controller mit 12-Bit, 125 KHz ADU und Tastaturschnittstelle	Programmable Touch Screen Controller with 12-Bit, 125KHz ADC and Keypad Interface	28-TSSOP	4.57	3.66	2.85
TSC2200IRHB	296-16693-5-ND	Programmierbarer Touch-Screen-Controller mit 12-Bit, 125 KHz ADU und Tastaturschnittstelle	Prog. Touch Screen Controller with 12-Bit, 125KHz ADC and Keypad Interface	32-QFN	4.57	3.66	2.85
TSC2200IRHBR	296-16694-1-ND	Programmierbarer Touch-Screen-Controller mit 12-Bit, 125 KHz ADU und Tastaturschnittstelle	Prog. Touch Screen Controller with 12-Bit, 125KHz ADC and Keypad Interface	32-QFN	4.57	3.66	2.85
TSC2200IRHBR	296-16694-2-ND	Programmierbarer Touch-Screen-Controller mit 12-Bit, 125 KHz ADU und Tastaturschnittstelle	Prog. Touch Screen Controller with 12-Bit, 125KHz ADC and Keypad Interface	32-QFN		7680.36/3,000	
TSC2300IPAG	296-14060-ND	Programmierbarer Touch-Screen-Controller mit Audio-Codec	Programmable Touch Screen Controller with Audio Codec	64-TQFP	8.04	6.44	5.43
TSC2301IGQZR	296-15713-1-ND	Programmierbarer Touch-Screen-Controller mit Audio-Codec	Programmable Touch Screen Controller with Audio Codec	120-BGA	8.38	6.71	5.66
TSC2301IGQZR	296-15713-2-ND	Programmierbarer Touch-Screen-Controller mit Audio-Codec	Programmable Touch Screen Controller with Audio Codec	120-BGA		12991.08/2,500	
TSC2301IPAG	296-15680-ND	Programmierbarer Touch-Screen-Controller mit Audio-Codec	Programmable Touch Screen Controller with Audio Codec	64-TQFP	8.38	6.71	5.66
VSP1021PFB	296-12700-ND	10-Bit, NL, Analog-Signalprozessor/Digitalisierer	10-Bit, Low Power Analog-Signal Processor/Digitizer	48-TQFP	5.33	4.27	3.61
		Audio Analog/Digital-Wandler					
DF1706E	DF1706E-ND	Digitalfilter für PCM1704	Digital Filter for PCM1704	28-SSOP	14.80	13.81	12.83
DF1760P	DF1760P-ND	Digitalfilter für PCM1760	Digital Filter for PCM1760	28-Dip	19.70	18.39	17.07
DF1760U	DF1760U-ND	Digitalfilter für PCM1760	Digital Filter for PCM1760	28-SOIC	19.70	18.39	17.07
PCM1760U-L	PCM1760U-L-ND	Zweif. 20-Bit ADU	Dual 20-Bit ADC	28-SOIC	20.46	19.10	17.74
PCM1800E	PCM1800E-ND	Einzelende 20-Bit, Stereo-ADU	Single-Ended 20-Bit, Stereo ADC	24-SSOP	4.40	3.53	2.98
PCM1801U	PCM1801U-ND	16-Bit, Stereo, Audio-ADU	16-Bit, Stereo Audio ADC	14-SOIC	4.57	3.66	2.85
PCM1802DB	PCM1802DB-ND	24-Bit, 96 KHz Delta-Sigma Stereo-ADU	24-Bit, 96KHz Delta-Sigma Stereo ADC	20-SSOP	5.67	4.54	3.83
PCM1803DB	296-17658-5-ND	24-Bit, 96 KHz Stereo-ADU	24-Bit, 96KHz Stereo ADC	20-SSOP	2.00	1.60	1.25
PCM1804DB	PCM1804DB-ND	24-Bit 192 KHz Delta-Sigma Stereo-ADU	24-Bit, 192KHz Delta-Sigma Stereo ADC	28-SSOP	7.33	6.61	5.86
PCM1850PJT	296-16929-ND	24-Bit, 96 KHz Stereo-ADU	24-Bit, 96KHz, Stereo ADC	32-TQFP	8.13	6.51	5.49
PCM1851PJT	296-16930-ND	24-Bit, 96 KHz Stereo-ADU	24-Bit, 96KHz, Stereo ADC	32-TQFP	8.13	6.51	5.49
PCM4202EVM	296-17597-ND	Evaluierungsmodul für PCM4202	Evaluation Module for PCM4202	—	215.85	—	—
PCM4202DBT	296-17438-1-ND	HL 24-Bit, 216 KHz Sampling Stereo-Audio-ADU	High-Perf. 24-Bit, 216KHz Sampling Stereo Audio ADC	28-SSOP	8.39	7.56	6.70
PCM4202DBT	296-17438-2-ND	HL 24-Bit, 216 KHz Sampling Stereo-Audio-ADU	High-Perf. 24-Bit, 216KHz Sampling Stereo Audio ADC	28-SSOP		1605.58/250	
PCM4204PAPT	296-17439-1-ND	HL 24-Bit, 216 KHz, 4-Kan., Sampling Audio-ADU	High-Perf. 24-Bit, 216KHz Sampling 4-Ch. Audio ADC	64-HTQFP	14.04	12.64	11.21
PCM4204PAPT	296-17439-2-ND	HL 24-Bit, 216 KHz, 4-Kan., Sampling Audio-ADU	High-Perf. 24-Bit, 216KHz Sampling 4-Ch. Audio ADC	64-HTQFP		2684.99/250	
		DSP-kompatibler Analog-in-Digital-Umwandler					
AFE1302Y/250	AFE1302YCT-ND	Analog ADSL Front-Ende	Analog ADSL Front End	48-TQFP	14.16	13.22	12.28
AFE1302Y/250	AFE1302YTR-ND	Analog ADSL Front-Ende	Analog ADSL Front End	48-TQFP		3008.82/250	
		Digital/Analog-Wandler					
DAC712P	DAC712P-ND	16-Bit, DAU (16-Bit Bus-Schnittstelle)	16-Bit, DAC (16-Bit Bus Interface)	28-Dip.3	18.46	17.24	16.01
DAC712PB	DAC712PB-ND	16-Bit, DAU (16-Bit Bus-Schnittstelle)	16-Bit, DAC (16-Bit Bus Interface)	28-Dip	24.13	22.52	20.92
DAC712PK	DAC712PK-ND	16-Bit, DAU (16-Bit Bus-Schnittstelle)	16-Bit, DAC (16-Bit Bus Interface)	28-Dip	22.29	20.81	19.32
DAC712U	DAC712U-ND	16-Bit, DAU (16-Bit Bus-Schnittstelle)	16-Bit, DAC (16-Bit Bus Interface)	28-SOIC	18.41	17.19	15.96
DAC712UB	296-14008-5-ND	16-Bit, DAU (16-Bit Bus-Schnittstelle)	16-Bit, DAC (16-Bit Bus Interface)	28-SOIC	21.40	19.98	18.55
DAC714P	DAC714P-ND	16-Bit, DAU (serielle Datenschnittstelle)	16-Bit, DAC (Serial Data Interface)	16-Dip	21.21	19.80	18.38
DAC714U	DAC714U-ND	16-Bit, DAU (serielle Datenschnittstelle)	16-Bit, DAC (Serial Data Interface)	16-SOIC	18.41	17.19	15.96
DAC715P	DAC715P-ND	16-Bit, DAU (16-Bit Bus-Schnittstelle)	16-Bit, DAC (16-Bit Bus Interface)	28-Dip	23.26	21.72	20.17
DAC715U	DAC715U-ND	16-Bit, DAU (16-Bit Bus-Schnittstelle)	16-Bit, DAC (16-Bit Bus Interface)	28-SOIC	20.13	18.79	17.45
DAC715UB	DAC715UB-ND	16-Bit, DAU (16-Bit Bus-Schnittstelle)	16-Bit, DAC (16-Bit Bus Interface)	28-SOIC	23.37	21.81	20.26
DAC716P	DAC716P-ND	16-Bit DAU	16-Bit, DAC	16-Dip	23.26	21.72	20.17
DAC716PB	DAC716PB-ND	16-Bit DAU	16-Bit, DAC	16-Dip	26.46	24.69	22.93
DAC716PK	DAC716PK-ND	16-Bit DAU	16-Bit, DAC	16-Dip	24.66	23.02	21.38
DAC716U	DAC716U-ND	16-Bit DAU	16-Bit, DAC	16-SOIC	20.13	18.79	17.45
DAC716UB	DAC716UB-ND	16-Bit DAU	16-Bit, DAC	16-SOIC	23.37	21.81	20.26
DAC716UK	DAC716UK-ND	16-Bit DAU	16-Bit, DAC	16-SOIC	21.59	20.15	18.71
DAC725JP	DAC725JP-ND	Zweif. 16-Bit DAU	Dual 16-Bit, DAC	28-Dip	215.88	201.50	187.10
DAC811JU	DAC811JU-ND	MPU-kompatibler 12-Bit DAU	MPU-Compatible 12-Bit, DAC	28-SOIC	13.97	13.04	12.11
DAC813AU	DAC813AU-ND	MPU-kompatibler 12-Bit DAU	MPU-Compatible 12-Bit, DAC	28-SOIC	16.00	14.94	13.87
DAC813JP	DAC813JP-ND	MPU-kompatibler 12-Bit DAU	MPU-Compatible 12-Bit, DAC	28-Dip	20.03	18.70	17.36

(Forts.)

★ RUFEN SIE BITTE AN FÜR NIEDRIGERE PREISE BEI GRÖSSEREN MENGEN! ★

T. I. Teilenr.	Digi-Key Teilenr.	Beschreibung		Paket	Stückpreis ★ 1	25	100
DAC813JU	DAC813JU-ND	MPU-kompatibler 12-Bit DAU	MPU-Compatible 12-Bit, DAC	28-SOIC	16.00	14.94	13.87
DAC900E	DAC900E-ND	10-Bit, 165 MSPS DAU	10-Bit, 165MSPS DAC	28-TSSOP	6.76	5.41	4.57
DAC900U	DAC900U-ND	10-Bit, 165 MSPS Stromausgangs-DAU	10-Bit, 165MSPS Current Out DAC	28-SOIC	6.76	5.41	4.57
DAC902E	DAC902E-ND	12-Bit, 165 MSPS DAU	12-Bit, 165MSPS DAC	28-TSSOP	7.97	7.18	6.37
DAC902U	DAC902U-ND	12-Bit, 165 MSPS Stromausgangs-DAU	12-Bit, 165MSPS Current Out DAC	28-SOIC	7.97	7.18	6.37
DAC904E	DAC904E-ND	14-Bit, 165 MSPS DAU	14-Bit, 165MSPS DAC	28-TSSOP	9.85	8.87	7.86
DAC904U	DAC904U-ND	14-Bit, 165 MSPS Stromausgangs-DAU	14-Bit, 165MSPS Current Out DAC	28-SOIC	9.85	8.87	7.86
DAC908E	DAC908E-ND	8-Bit, 165 MSPS DAU	8-Bit, 165MSPS DAC	28-TSSOP	4.67	3.74	3.16
DAC908U	DAC908U-ND	8-Bit, 165 MSPS Stromausgangs-DAU	8-Bit, 165MSPS Current Out DAC	28-SOIC	4.67	3.74	3.16
DAC1220E	DAC1220E-ND	20-Bit, Mono, NL, Delta-Sigma DAU	20-Bit, Mono, LP, Delta-Sigma DAC	16-SSOP	9.38	8.45	7.49
DAC1220EVM	296-17265-ND	Evaluierungsmodul für DAU1220	Evaluation Module for DAC1220	—	53.15	—	—
DAC1221E	DAC1221E-ND	16-Bit DAU	16-Bit, DAC	16-SSOP	7.41	6.67	5.92
DAC2900Y/250	DAC2900Y/250CT-ND	Zweif.10-Bit, 125 MSPS DAU	10-Bit, 125MSPS Dual DAC	48-TQFP	8.04	7.24	6.42
DAC2900Y/250	DAC2900Y/250TR-ND	Zweif.10-Bit, 125 MSPS DAU	10-Bit, 125MSPS Dual DAC	48-TQFP		1538.27/250	
DAC2902Y/250	DAC2902Y/250CT-ND	Zweif.12-Bit, 125 MSPS DAU	12-Bit, 125MSPS Dual DAC	48-TQFP	12.92	12.06	11.20
DAC2902Y/250	DAC2902Y/250TR-ND	Zweif.12-Bit, 125 MSPS DAU	12-Bit, 125MSPS Dual DAC	48-TQFP		2744.47/250	
DAC2904Y/250	296-13071-1-ND	Zweif.14-Bit, 125 MSPS DAU	Dual, 14-Bit, 125MSPS DAC	48-TQFP	14.48	13.52	12.55
DAC2904Y/250	296-13071-2-ND	Zweif.14-Bit, 125 MSPS DAU	Dual, 14-Bit, 125MSPS DAC	48-TQFP		3076.33/250	
DAC2932PFBT	296-15714-1-ND	Zweif.12-Bit, 40 MSPS DAU	Dual, 12-Bit, 40MSPS DAC	48-TQFP	11.78	10.61	9.41
DAC2932PFBT	296-15714-2-ND	Zweif.12-Bit, 40 MSPS DAU	Dual, 12-Bit, 40MSPS DAC	48-TQFP		2253.23/250	
DAC5571IDBVT	296-17199-1-ND	2,7 V - 5,5 V, I2C-Schnittstelle, 8-Bit Spannungsausgangs-DAU	2.7V-5.5V, I2C Interface, Volt. Output 8-Bit DAC	SOT-23-6	1.90	1.53	1.15
DAC5571IDBVT	296-17199-2-ND	2,7 V - 5,5 V, I2C-Schnittstelle, 8-Bit Spannungsausgangs-DAU	2.7V-5.5V, I2C Interface, Volt. Output 8-Bit DAC	SOT-23-6		266.68/250	
DAC5573EVM	296-16741-ND	Evaluierungsmodul für DAU5573	Evaluation Module for DAC5573	—	53.15	—	—
DAC5573IPW	296-16636-5-ND	Vierf. 8-Bit, NL, Spannungsausg.-DAU	Quad, 8-Bit, LP, Volt. Out, DAC	16-TSSOP	4.32	3.46	2.92
DAC5574IDGS	296-16665-5-ND	Vierf. 8-Bit, NL, Spannungsausg.-DAU	Quad, 8-Bit, LP, Volt. Out, DAC	10-MSOP	4.32	3.46	2.92
DAC5652EVM	296-17891-ND	Evaluierungsmodul für DAC5652	Evaluation Module for DAC5652	—	161.61	—	—
DAC5652IPFB	296-17892-ND	Zweif. 10-Bit, 200 MSPS DAU	Dual, 10-Bit, 200MSPS DAC	48-TQFP	10.72	9.66	8.56
DAC5662IPFB	296-17242-ND	Zweif. 12-Bit, 200 MSPS DAU	Dual, 12-Bit, 200MSPS DAC	48-TQFP	12.92	12.06	11.20
DAC5672IPFB	296-17549-ND	Zweif. 14-Bit, 200 MSPS DAU	Dual, 14-Bit, 200MSPS DAC	48-TQFP	16.83	15.71	14.59
DAC5674IPHP	296-15726-ND	14-Bit, 400 MSPS DAU	14-Bit, 400MSPS DAC	48-HTQFP	19.05	17.78	16.51
DAC5686EVM	296-17515-ND	Evaluierungsmodul für DAC5686	Evaluation Module for DAC5686	—	215.85	—	—
DAC5686IPZP	296-16695-5-ND	16-Bit, 500 MSPS, 2-Kan., DAU	16-Bit, 500MSPS, Dual-Ch. DAC	100-HTQFP	25.08	23.41	21.74
DAC6573EVM	296-16742-ND	Evaluierungsmodul für DAU 6573	Evaluation Module for DAC6573	—	53.15	—	—
DAC6573IPW	296-16637-5-ND	Vierf. 10-Bit, NL, Spannungsausg.-DAU	Quad, 10-Bit, LP, Volt. Out, DAC	16-TSSOP	5.16	4.14	3.49
DAC6574IDGS	296-16666-5-ND	Vierf. 10-Bit, NL, Spannungsausg.-DAU	Quad, 10-Bit, LP, Volt. Out, DAC	10-MSOP	5.16	4.14	3.49
DAC7512E/250	DAC7512ECT-ND	12-Bit, serieller Eing., NL R/R DAU	12-Bit, Serial-In, LP, R/R, DAC	8-MSOP	2.73	2.18	1.70
DAC7512E/250	DAC7512ETR-ND	12-Bit, serieller Eing., NL R/R DAU	12-Bit, Serial-In, LP, R/R, DAC	8-MSOP		402.56/250	
DAC7512N/250	DAC7512NTR-ND	12-Bit, serieller Eing., NL R/R DAU	12-Bit, Serial In, LP R/R DAC	SOT-23-6		388.38/250	
DAC7513E/250	DAC7513ECT-ND	12-Bit, serieller Eing., NL R/R DAU	12-Bit, Serial In, LP R/R DAC	8-MSOP	2.86	2.29	1.78
DAC7513E/250	DAC7513ETR-ND	12-Bit, serieller Eing., NL R/R DAU	12-Bit, Serial In, LP R/R DAC	8-MSOP		422.24/250	
DAC7513N/250	DAC7513NCT-ND	12-Bit, serieller Eing., NL R/R DAU	12-Bit, Serial In, LP R/R DAC	SOT-23-8	2.48	1.99	1.55
DAC7513N/250	DAC7513NTR-ND	12-Bit, serieller Eing., NL R/R DAU	12-Bit, Serial In, LP R/R DAC	SOT-23-8		408.27/250	
DAC7541AJP	DAC7541AJP-ND	Vierf. 12-Bit, CMOS DAU	Quad 12-Bit, CMOS DAC	18-Dip	9.91	8.93	7.92
DAC7541AJU	DAC7541AJU-ND	Vierf. 12-Bit, CMOS DAU	Quad 12-Bit, CMOS DAC	18-SOIC	8.98	8.09	7.18
DAC7541AKP	DAC7541AKP-ND	Vierf. 12-Bit, CMOS DAU	Quad 12-Bit, CMOS DAC	18-Dip	11.33	10.20	9.05
DAC7541AKU	DAC7541AKU-ND	Vierf. 12-Bit, CMOS DAU	Quad 12-Bit, CMOS DAC	18-SOIC	10.46	9.41	8.35
DAC7545GLU	DAC7545GLU-ND	12-Bit, CMOS multiplizierender DAU (MPU-kompatibel)	12-Bit, CMOS Multiplying DAC (MPU Compatible)	20-SOIC	15.26	14.25	13.23
DAC7545JU	DAC7545JU-ND	12-Bit, CMOS multiplizierender DAU (MPU-kompatibel)	12-Bit, CMOS Multiplying DAC (MPU Compatible)	20-SOIC	8.45	6.76	5.71
DAC7554EVM	296-17893-ND	Evaluierungsmodul für DAC7554	Evaluation Module for DAC7554	—	53.15	—	—
DAC7554IDGS	296-17551-5-ND	Vierf. 12-Bit, Spannungsausgangs- DAU	12-Bit, Quad, Volt. Out. DAC	10-MSOP	7.90	7.12	6.31
DAC7571IDBVT	296-14345-1-ND	12-Bit, I2C Spannungsausgangs-DAU	12-Bit, I2C Voltage Output DAC	SOT23-6	2.95	2.37	1.84
DAC7571IDBVT	296-14345-2-ND	12-Bit, I2C Spannungsausgangs-DAU	12-Bit, I2C Voltage Output DAC	SOT23-6		436.42/250	
DAC7573EVM	296-16743-ND	Evaluierungsmodul für DAU 7573	Evaluation Module For DAC7573	—	53.15	—	—
DAC7573IPW	296-15745-5-ND	Vierf. 12-Bit, NL, Spannungsausgang I2C Schnittstellen-DAU	12-Bit, Quad, Low Power, Voltage Output I2C Interface DAC	16-TSSOP	8.68	7.81	6.93
DAC7574IDGSR	296-15227-1-ND	Vierf. 12-Bit, NL, Spannungsausgang I2C Schnittstellen-DAU	12-Bit, Quad, Low Power, Voltage Output I2C Interface DAC	10-MSOP	8.68	7.81	6.93
DAC7574IDGSR	296-15227-2-ND	Vierf. 12-Bit, NL, Spannungsausgang I2C Schnittstellen-DAU	12-Bit, Quad, Low Power, Voltage Output I2C Interface DAC	10-MSOP		15814.49/2,500	
DAC7611P	DAC7611P-ND	12-Bit, serieller Allzweck-DAU	12-Bit, Serial General Purpose DAC	8-Dip	4.96	3.97	3.35
DAC7611PB	DAC7611PB-ND	12-Bit, serieller Allzweck-DAU	12-Bit, Serial General Purpose DAC	8-Dip	5.69	4.56	3.85
DAC7611U	DAC7611U-ND	12-Bit, serieller Allzweck-DAU	12-Bit, Serial General Purpose DAC	8-SOIC	4.61	3.69	2.87
DAC7611UB	DAC7611UB-ND	12-Bit, serieller Allzweck-DAU	12-Bit, Serial General Purpose DAC	8-SOIC	4.83	3.87	3.26
DAC7612U	DAC7612U-ND	12-Bit, zweif./serieller Allzweck-DAU	12-Bit, Dual/Serial GP DAC	8-SOIC	4.57	3.66	3.09
DAC7612UB	DAC7612UB-ND	12-Bit, zweif./serieller Allzweck-DAU	12-Bit, Dual/Serial GP DAC	8-SOIC	5.33	4.27	3.61
DAC7613E	DAC7613E-ND	12-Bit, Spannungsausg. Mono-Parallel-DAU ±2 LSB	12-Bit, Volt. Out Mono Parallel DAC ±2LSB	24-SSOP	4.23	3.39	2.86
DAC7613EB	DAC7613EB-ND	12-Bit, Spannungsausg. Mono-Parallel-DAU ±1 LSB	12-Bit, Volt. Out Mono Parallel DAC ±1LSB	24-SSOP	4.91	3.93	3.32
DAC7631EVM	296-17621-ND	Evaluierungsmodul für DAC7631	Evaluation Module for DAC7631	—	53.15	—	—
DAC7614E	DAC7614E-ND	Vierf. 12-Bit DAU mit seriellem Eing.	Quad Serial-In 12-Bit DAC	20-SSOP	8.98	8.09	7.18
DAC7614EB	DAC7614EB-ND	Vierf. 12-Bit DAU mit seriellem Eing.	Quad Serial-In 12-Bit DAC	20-SSOP	9.65	8.69	7.71
DAC7614P	DAC7614P-ND	Vierf. 12-Bit DAU mit seriellem Eing., ±2 LSB	Quad Serial-In 12-Bit DAC, ±2 LSB	16-Dip	13.91	12.53	11.11
DAC7614PB	DAC7614PB-ND	Vierf. 12-Bit DAU mit seriellem Eing., ±1 LSB	Quad Serial-In 12-Bit DAC, ±1 LSB	16-Dip	13.22	12.34	11.46
DAC7614U	DAC7614U-ND	Vierf. 12-Bit DAU mit seriellem Eing., ±2 LSB	Quad Serial-In 12-Bit DAC, ±2 LSB	16-SOIC	8.98	8.09	7.18
DAC7614UB	DAC7614UB-ND	Vierf. 12-Bit DAU mit seriellem Eing., ±1 LSB	Quad Serial-In 12-Bit DAC, ±1 LSB	16-SOIC	9.65	8.69	7.71
DAC7615E	DAC7615E-ND	Vierf. 12-Bit DAU mit seriellem Eing.	Quad Serial-In 12-Bit DAC	20-QSOP	9.45	8.51	7.55
DAC7615P	DAC7615P-ND	Vierf. 12-Bit Allzweck DAU mit seriellem Eing., ±2 LSB	Quad Serial-In 12-Bit, General Purpose DAC, ±2 LSB	16-Dip	13.91	12.53	11.11
DAC7615PB	DAC7615PB-ND	Vierf. 12-Bit Allzweck DAU mit seriellem Eing., ±1 LSB	Quad Serial-In 12-Bit, General Purpose DAC, ±1 LSB	16-Dip	13.22	12.34	11.46
DAC7615U	DAC7615U-ND	Vierf. 12-Bit Allzweck DAU mit seriellem Eing., ±2 LSB	Quad Serial-In 12-Bit, General Purpose DAC, ±2 LSB	16-SOIC	9.45	8.51	7.55
DAC7615UB	DAC7615UB-ND	Vierf. 12-Bit Allzweck DAU mit seriellem Eing., ±1 LSB	Quad Serial-In 12-Bit, General Purpose DAC, ±1 LSB	16-SOIC	10.16	9.15	8.11
DAC7616EB	DAC7616EB-ND	Vierf. 12-Bit DAU mit seriellem Eing., ±1 LSB	Quad Serial In 12-Bit DAC, ±1 LSB	20-SSOP	8.18	7.37	6.54
DAC7616UB	DAC7616UB-ND	Vierf. 12-Bit DAU mit seriellem Eing., ±1 LSB	Quad Serial In 12-Bit DAC, ±1 LSB	16-SOIC	8.18	7.37	6.54
DAC7617EB	DAC7617EB-ND	Vierf. 12-Bit DAU mit seriellem Eing., ±1 LSB	Quad Serial In 12-Bit DAC, ±1 LSB	20-SSOP	8.18	7.37	6.54
DAC7617UB	DAC7617UB-ND	Vierf. 12-Bit DAU mit seriellem Eing., ±1 LSB	Quad Serial In 12-Bit DAC, ±1 LSB	16-SOIC	8.18	7.37	6.54
DAC7621E	DAC7621E-ND	12-Bit DAU mit Paralleleing., ±2 LSB	12-Bit, Parallel In DAC, ±2LSB	20-SSOP	4.66	3.73	3.15
DAC7621EB	DAC7621EB-ND	12-Bit DAU mit Paralleleing., ±1 LSB	12-Bit, Parallel In DAC, ±1LSB	20-SSOP	5.42	4.34	3.66
DAC7624P	DAC7624P-ND	Vierf. 12-Bit DAU, ±2 LSB, Mittskalarücksetzung	12-Bit, Quad DAC, ±2LSB, Mid-Scale Reset	28-Dip	14.25	13.30	12.35
DAC7624PB	DAC7624PB-ND	Vierf. 12-Bit DAU, ±1 LSB, Mittskalarücksetzung	12-Bit, Quad DAC, ±1LSB, Mid-Scale Reset	28-Dip	15.11	14.11	13.10
DAC7624U	DAC7624U-ND	Vierf. 12-Bit DAU, ±2 LSB, Mittskalarücksetzung	12-Bit, Quad DAC, ±2LSB, Mid-Scale Reset	28-SOIC	13.74	12.37	10.97
DAC7624UB	DAC7624UB-ND	Vierf. 12-Bit DAU, ±1 LSB, Mittskalarücksetzung	12-Bit, Quad DAC, ±1LSB, Mid-Scale Reset	28-SOIC	13.21	12.33	11.45
DAC7625P	DAC7625P-ND	Vierf. 12-Bit DAU, ±2 LSB, Nullskalarücksetzung	12-Bit, Quad DAC, ±2LSB, Zero-Scale Reset	28-Dip	14.25	13.30	12.35
DAC7625PB	DAC7625PB-ND	Vierf. 12-Bit DAU, ±1 LSB, Nullskalarücksetzung	12-Bit, Quad DAC, ±1LSB, Zero-Scale Reset	28-Dip	15.11	14.11	13.10
DAC7625U	DAC7625U-ND	Vierf. 12-Bit DAU, ±2 LSB, Nullskalarücksetzung	12-Bit, Quad DAC, ±2LSB, Zero-Scale Reset	28-SOIC	13.74	12.37	10.97
DAC7625UB	DAC7625UB-ND	Vierf. 12-Bit DAU, ±1 LSB, Nullskalarücksetzung	12-Bit, Quad DAC, ±1LSB, Zero-Scale Reset	28-SOIC	13.21	12.33	11.45
DAC7631E	DAC7631E-ND	16-Bit, NL (2,5 mW) DAU	16-Bit, Low Power (2.5mW) DAC	20-SSOP	8.25	7.43	6.59
DAC7631EB	DAC7631EB-ND	16-Bit, NL (2,5 mW) DAU	16-Bit, Low Power (2.5mW) DAC	20-SSOP	9.74	8.77	7.77
DAC7632VFR	296-12630-1-ND	Zweif. 16-Bit, DAU	16-Bit, Dual DAC	32-LQFP	14.74	13.28	11.77
DAC7632VFR	296-12630-2-ND	Zweif. 16-Bit, DAU	16-Bit, Dual DAC	32-LQFP		10926.22/1,000	
DAC7634E	DAC7634E-ND	Vierf. 16-Bit, DAU	16-Bit, Quad DAC	48-SSOP	25.34	23.65	21.96
DAC7634EB	DAC7634EB-ND	Vierf. 16-Bit, DAU	16-Bit, Quad DAC	48-SSOP	29.40	27.44	25.48
DAC7641YB/250	DAC7641YBCT-ND	16-Bit, 5 V DAU	16-Bit, 5V, DAC	32-TQFP	9.31	8.39	7.44
DAC7641YB/250	DAC7641YBTR-ND	16-Bit, 5 V DAU	16-Bit, 5V, DAC	32-TQFP		1983.37/250	
DAC7641Y/250	DAC7641YCT-ND	16-Bit, 5 V DAU	16-Bit, 5V, DAC	32-TQFP	8.89	8.01	7.10
DAC7641Y/250	DAC7641YTR-ND	16-Bit, 5 V DAU	16-Bit, 5V, DAC	32-TQFP		1700.18/250	

(Forts.)

★ ***RUFEN SIE BITTE AN FÜR NIEDRIGERE PREISE BEI GRÖSSEREN MENGEN!*** ★

B

T. I. Teilenr.	Digi-Key Teilenr.	Beschreibung		Paket	Stückpreis ★ 1	25	100
DAC7642VFT	DAC7642VFTCT-ND	Vierf. 16-Bit NL DAU	16-Bit, Dual Low Power DAC	32-LQFP	14.88	13.40	11.88
DAC7642VFT	DAC7642VFTTR-ND	Vierf. 16-Bit NL DAU	16-Bit, Dual Low Power DAC	32-LQFP		2846.90/250	
DAC7643VFT	DAC7643VFTCT-ND	Vierf. 16-Bit NL DAU	16-Bit, Dual Low Power DAC	32-LQFP	14.88	13.40	11.88
DAC7643VFT	DAC7643VFTTR-ND	Vierf. 16-Bit NL DAU	16-Bit, Dual Low Power DAC	32-LQFP		2846.90/250	
DAC7644E	DAC7644E-ND	16-Bit, vierf-/Parallel-DAU ±5 V,	16-Bit, Quad/Parallel ±5V, DAC	48-SSOP	25.34	23.65	22.81
DAC7644EB	DAC7644EB-ND	16-Bit, vierf-/Parallel-DAU ±5 V,	16-Bit, Quad/Parallel ±5V, DAC	48-SSOP	29.40	27.44	25.48
DAC7654EVM	296-16990-ND	Evaluierungsmodul für DAU 7654	Evaluation Module for DAC7654	—	53.15	—	—
DAC7664YCT	296-16928-1-ND	Vierf. 16-Bit, Spannungsausg.-DAU	16-Bit, Quad, Volt. Out, DAC	64-LQFP	34.03	31.77	29.50
DAC7664YCT	296-16928-2-ND	Vierf. 16-Bit, Spannungsausg.-DAU	16-Bit, Quad, Volt. Out, DAC	64-LQFP		7232.08/250	
DAC7714U	DAC7714U-ND	Vierf. 12-Bit, Spannungsausg., serieller DAC	12-Bit, Quad, Volt. Out, Serial DAC	16-SOIC	13.82	12.90	11.98
DAC7714UB	DAC7714UB-ND	Vierf. 12-Bit, Spannungsausg., serieller DAC	12-Bit, Quad, Volt. Out, Serial DAC	16-SOIC	15.20	14.19	13.18
DAC7715U	DAC7715U-ND	Vierf. 12-Bit, Spannungsausg., serieller DAC	12-Bit, Quad, Volt. Out, Serial DAC	16-SOIC	14.54	13.58	12.61
DAC7715UB	DAC7715UB-ND	Vierf. 12-Bit, Spannungsausg., serieller DAC	12-Bit, Quad, Volt. Out, Serial DAC	16-SOIC	16.00	14.94	13.87
DAC7724N	DAC7724N-ND	Vierf. 12-Bit, Parallel-DAU	12-Bit, Quad Parallel DAC	28-PLCC	15.03	14.03	13.02
DAC7724NB	DAC7724NB-ND	Vierf. 12-Bit, Parallel-DAU	12-Bit, Quad Parallel DAC	28-PLCC	16.10	15.03	13.96
DAC7724U	DAC7724U-ND	Vierf. 12-Bit, Parallel-DAU	12-Bit, Quad Parallel DAC	28-SOIC	14.30	13.35	12.40
DAC7724UB	DAC7724UB-ND	Vierf. 12-Bit, Parallel-DAU	12-Bit, Quad Parallel DAC	28-SOIC	15.81	14.76	13.71
DAC7725N	DAC7725N-ND	Vierf. 12-Bit, Parallel-DAU	12-Bit, Quad Parallel DAC	28-PLCC	15.03	14.03	13.02
DAC7725NB	DAC7725NB-ND	Vierf. 12-Bit, Parallel-DAU	12-Bit, Quad Parallel DAC	28-PLCC	16.10	15.03	13.96
DAC7725UB	DAC7725UB-ND	Vierf. 12-Bit, Parallel-DAU	12-Bit, Quad Parallel DAC	28-SOIC	15.81	14.76	13.71
DAC7731EC	DAC7731EC-ND	16-Bit, NL DAU	16-Bit, Low Power DAC	24-SSOP	13.46	12.57	11.67
DAC7734E	DAC7734E-ND	Vierf. serieller 16-Bit, Spannungsausg.-DAU	Quad Serial 16-Bit, Volt. Out DAC	48-SSOP	39.94	37.28	34.62
DAC7734EB	DAC7734EB-ND	Vierf. serieller 16-Bit, Spannungsausg.-DAU	Quad Serial 16-Bit, Volt. Out DAC	48-SSOP	43.94	41.01	38.09
DAC7734EC	DAC7734EC-ND	Vierf. serieller 16-Bit, Spannungsausg.-DAU	Quad Serial 16-Bit, Volt. Out DAC	48-SSOP	51.56	48.13	44.69
DAC7741Y/250	296-14009-1-ND	16-Bit Einzelkanal-DAU	16-Bit, Single Channel DAC	48-LQFP	12.27	11.05	9.80
DAC7741Y/250	296-14009-2-ND	16-Bit Einzelkanal-DAU	16-Bit, Single Channel DAC	48-LQFP		2347.83/250	
DAC7741YB/250	296-12702-1-ND	16-Bit Einzelkanal-DAU	16-Bit, Single Channel DAC	48-LQFP	14.25	12.83	11.38
DAC7741YB/250	296-12702-2-ND	16-Bit Einzelkanal-DAU	16-Bit, Single Channel DAC	48-LQFP		2725.63/250	
DAC7741YC/250	DAC7741YC/250CT-ND	16-Bit, NL DAU	16-Bit, Low Power DAC	48-LQFP	14.29	13.34	12.39
DAC7741YC/250	DAC7741YC/250TR-ND	16-Bit, NL DAU	16-Bit, Low Power DAC	48-LQFP		3035.91/250	
DAC7742Y/250	296-14169-1-ND	16-Bit Mono-Parallel-DAU	16-Bit, Mono Parallel DAC	48-LQFP	12.27	11.05	9.80
DAC7742Y/250	296-14169-2-ND	16-Bit Mono-Parallel-DAU	16-Bit, Mono Parallel DAC	48-LQFP		2347.83/250	
DAC7742YB/250	296-14167-1-ND	16-Bit Mono-Parallel-DAU	16-Bit, Mono Parallel DAC	48-LQFP	14.25	12.83	11.38
DAC7742YB/250	296-14167-2-ND	16-Bit Mono-Parallel-DAU	16-Bit, Mono Parallel DAC	48-LQFP		2725.63/250	
DAC7742YC/250	296-14168-1-ND	16-Bit Mono-Parallel-DAU	16-Bit, Mono Parallel DAC	48-LQFP	14.29	13.34	12.39
DAC7742YC/250	296-14168-2-ND	16-Bit Mono-Parallel-DAU	16-Bit, Mono Parallel DAC	48-LQFP		3035.91/250	
DAC7744E	DAC7744E-ND	Vierf. 16-Bit Parallel-DAU	Quad Parallel 16-Bit DAC	48-SSOP	39.94	37.28	34.62
DAC7744EB	DAC7744EB-ND	Vierf. 16-Bit Parallel-DAU	Quad Parallel 16-Bit DAC	48-SSOP	43.94	41.01	38.09
DAC7744EC	DAC7744EC-ND	Vierf. 16-Bit Parallel-DAU	Quad Parallel 16-Bit DAC	48-SSOP	51.56	48.13	44.69
DAC7800LU	296-12976-5-ND	Zweif. 12-Bit monolithischer DAU	Dual 12-Bit, Monolithic DAC	16-SOIC	24.86	23.20	21.54
DAC7801KP	DAC7801KP-ND	Zweif. 12-Bit monolithischer DAU	Dual 12-Bit, Monolithic DAC	24-Dip	23.43	21.87	20.31
DAC7801LP	DAC7801LP-ND	Zweif. 12-Bit monolithischer DAU	Dual 12-Bit, Monolithic DAC	24-Dip	29.58	27.61	25.64
DAC7802KU	296-12978-5-ND	Zweif. 12-Bit monolithischer DAU	Dual 12-Bit, Monolithic DAC	24-SOIC	16.89	15.77	14.64
DAC7802LP	DAC7802LP-ND	Zweif. 12-Bit monolithischer DAU	Dual 12-Bit, Monolithic DAC	24-Dip	28.34	26.45	24.56
DAC7802LU	296-12980-5-ND	Zweif. 12-Bit monolithischer DAU	Dual 12-Bit, Monolithic DAC	24-SOIC	25.70	23.99	22.28
DAC8043UC	DAC8043UC-ND	12-Bit DAU, serieller Eing.	Serial-In 12-Bit DAC	8-SOIC	7.24	6.52	5.78
DAC8043U	DAC8043U-ND	12-Bit DAU, serieller Eing.	Serial-In 12-Bit DAC	8-SOIC	5.79	4.64	3.91
DAC8501E/250	DAC8501E/250CT-ND	16-Bit, NL DAU	16-Bit, Low Power DAC	8-MSOP	5.08	4.07	3.43
DAC8501E/250	DAC8501E/250TR-ND	16-Bit, NL DAU	16-Bit, Low Power DAC	8-MSOP		825.44/250	
DAC8531E/250	DAC8531E/250CT-ND	16-Bit, NL DAU	16-Bit, Low Power DAC	8-MSOP	4.83	3.87	3.26
DAC8531E/250	DAC8531E/250TR-ND	16-Bit, NL DAU	16-Bit, Low Power DAC	8-MSOP		784.16/250	
DAC8531IDRBT	296-15727-1-ND	16-Bit, NL, R/R Ausgangs-DAU	16-Bit, Low Power, R/R Output DAC	8-SON	4.83	3.87	3.26
DAC8531IDRBT	296-15727-2-ND	16-Bit, NL, R/R Ausgangs-DAU	16-Bit, Low Power, R/R Output DAC	8-SON		784.16/250	
DAC8532IDGK	DAC8532IDGK-ND	16-Bit, 2-Kanal, NL DAU	16-Bit, 2-Channel, Low Power DAC	8-MSOP	7.54	6.80	6.03
DAC8534EVM	296-17255-ND	Evaluierungsmodul für DAC8534	Evaluation Module for DAC8534	—	53.15	—	—
DAC8534IPW	296-13718-5-ND	Vierf.-Kanal, NL, 16-Bit serieller Eingangs-DAU	Quad Channel, Low Power, 16-Bit, Serial Input DAC	16-TSSOP	12.34	11.12	9.86
DAC8541Y/250	296-12427-1-ND	16-Bit, NL DAU	16-Bit, Low Power DAC	32-TQFP	5.08	4.07	3.43
DAC8541Y/250	296-12427-2-ND	16-Bit, NL DAU	16-Bit, Low Power DAC	32-TQFP		825.44/250	
DAC8544IPFB	296-17092-ND	Vierf.16-Bit, R/R Ausgangs-DAU	Quad, 16-Bit, R/R Volt. Output DAC	48-TQFP	13.75	12.39	10.98
DAC8571IDGKR	296-14307-1-ND	16-Bit, NL I2C DAU	16-Bit, Low Power I2C DAC	8-MSOP	4.99	4.00	3.38
DAC8571IDGKR	296-14307-2-ND	16-Bit, NL I2C DAU	16-Bit, Low Power I2C DAC	8-MSOP		7742.16/2,500	
DAC8574IPW	296-14170-5-ND	Vierf. 16-Bit R/R DAU	16-Bit, Quad Rail-to-Rail DAC	16-TSSOP	13.02	12.15	11.29
DAC8801IDGKT	296-17641-1-ND	14-Bit, multiplikativer DAU	14-Bit Multiplying DAC	8-MSOP	7.37	6.65	5.89
DAC8801IDGKT	296-17641-2-ND	14-Bit, multiplikativer DAU	14-Bit Multiplying DAC	8-MSOP		1411.28/250	
DAC8801IDRBT	296-17642-1-ND	14-Bit, multiplikativer DAU	14-Bit Multiplying DAC	8-SON	7.37	6.65	5.89
DAC8801IDRBT	296-17642-2-ND	14-Bit, multiplikativer DAU	14-Bit Multiplying DAC	8-SON		1411.28/250	
DAC8811IBDGKT	296-17643-1-ND	16-Bit, multiplikativer DAU	16-Bit Multiplying DAC	8-MSOP	11.40	10.27	9.10
DAC8811IBDGKT	296-17643-2-ND	16-Bit, multiplikativer DAU	16-Bit Multiplying DAC	8-MSOP		2180.42/250	
DAC8811IBDRBT	296-17644-1-ND	16-Bit, multiplikativer DAU	16-Bit Multiplying DAC	8-SON	11.40	10.27	9.10
DAC8811IBDRBT	296-17644-2-ND	16-Bit, multiplikativer DAU	16-Bit Multiplying DAC	8-SON		2180.42/250	
DAC8811ICDGKT	296-17645-1-ND	16-Bit, multiplikativer DAU	16-Bit Multiplying DAC	8-MSOP	13.27	11.95	10.60
DAC8811ICDGKT	296-17645-2-ND	16-Bit, multiplikativer DAU	16-Bit Multiplying DAC	8-MSOP		2539.38/250	
DAC8811ICDRBT	296-17646-1-ND	16-Bit, multiplikativer DAU	16-Bit Multiplying DAC	8-SON	13.27	11.95	10.60
DAC8811ICDRBT	296-17646-2-ND	16-Bit, multiplikativer DAU	16-Bit Multiplying DAC	8-SON		2539.38/250	
PCM54HP	PCM54HP-ND	Monolithischer 16-Bit DAU	16-Bit, Monolithic DAC	28-Dip	16.76	15.65	14.53
PCM1606E	296-13111-5-ND	Erweiterter 24-Bit, 6-Kanal Multilevel-Delta-Sigma-DAU	24-Bit, 6-Ch., Enhanced Multilevel Delta-Sigma DAC	20-SSOP	3.81	3.05	2.38
PCM1702U	PCM1702U-ND	20-Bit Advance-Sign-Magnitude-DAU	20-Bit Advance Sign Magnitude DAC	20-SOIC	15.75	14.70	13.65
PCM4104PFBT	296-16926-1-ND	24-Bit, 200 KHz, 4-Kan., Audio-DAU	24-Bit, 200KHz, 4-Ch. Audio DAC	48-TQFP	8.39	7.56	6.70
PCM4104PFBT	296-16926-2-ND	24-Bit, 200 KHz, 4-Kan., Audio-DAU	24-Bit, 200KHz, 4-Ch. Audio DAC	48-TQFP		1605.58/250	
THS5641AIDW	296-2989-5-ND	Einf. 8-Bit, 100 MSPS, 3-5 V DAU	8-Bit, 100MSPS 3-5V Single DAC	28-SOIC	4.67	3.74	3.16
THS5641AIPW	296-2990-5-ND	Einf. 8-Bit, 100 MSPS, 3-5 V DAU	8-Bit, 100MSPS 3-5V Single DAC	28-TSSOP	4.67	3.74	3.16
THS5651AIDW	296-2992-5-ND	Einf. 10-Bit, 125 MSPS, 3-5 V DAU	10-Bit, 125MSPS 3-5V Single DAC	20-SOIC	7.25	5.80	4.90
THS5651AIPW	296-2287-5-ND	Einf. 10-Bit, 125 MSPS, 3-5 V DAU	10-Bit, 125MSPS 3-5V Single DAC	28-TSSOP	7.25	5.80	4.90
THS5661AIDW	296-2995-5-ND	Einf. 12-Bit, 125 MSPS, 3-5 V DAU	12-Bit, 125MSPS 3-5V Single DAC	28-SOIC	8.85	7.97	7.06
THS5661AIPW	296-2288-5-ND	Einf. 12-Bit, 125 MSPS, 3-5 V DAU	12-Bit, 125MSPS 3-5V Single DAC	28-TSSOP	8.85	7.97	7.06
THS5671AIDW	296-2998-5-ND	Einf. 14-Bit, 125 MSPS, 3-5 V DAU	14-Bit, 125MSPS 3-5V Single DAC	28-SOIC	9.85	8.87	7.86
THS5671AIPW	296-2289-5-ND	Einf. 14-Bit, 125 MSPS, 3-5 V DAU	14-Bit, 125MSPS 3-5V Single DAC	28-TSSOP	9.85	8.87	7.86
THS8083A95PZP	296-13345-ND	8-Bit, 95 MSPS, 3,3 V Video- und Grafikdigitalisierer mit Digital PLL, Dreif.	Triple 8-Bit, 95MSPS, 3.3V Video and Graphics Digitizer w/Digital PLL	100-HTQFP	12.05	10.85	9.62
THS8133BCPHP	296-2999-ND	Dreif. 10-Bit, 80 MSPS, 3-5 V Video-DAU	10-Bit, 80MSPS 3-5V Triple Video DAC	48-HTQFP	11.00	9.91	8.79
THS8134BCPHP	296-3001-ND	Dreif. 8-Bit, 80 MSPS, 3-5 V Video-DAU	8-Bit, 80MSPS 3-5V Triple Video DAC	48-HTQFP	8.25	7.43	6.59
THS8135PHP	296-13049-5-ND	Dreif. 10-Bit Video-DAU, dreif.	Triple 10-Bit Video DAC	48-HTQFP	7.05	6.35	5.63
TLC5602CDW	296-3003-5-ND	Einf. 8-Bit, 30 MSPS 5 V Video-DAU	8-Bit, 30MSPS 5V Single Video DAC	20-SOIC	2.80	2.24	1.75
TLC5615CD	296-3004-5-ND	Einf. 10-Bit, 12,5 µs 5 V serieller DAU	10-Bit, 12.5µs, 5V Single Serial DAC	8-SOIC	3.45	2.76	2.15
TLC5615CDGK	296-3005-5-ND	Einf. 10-Bit, 12,5 µs 5 V serieller DAU	10-Bit, 12.5us, 5V Single Serial DAC	8-TSSOP	3.45	2.76	2.15
TLC5615CP	296-3006-5-ND	Einf. 10-Bit, 12,5 µs 5 V serieller DAU	10-Bit, 12.5µs, 5V Single Serial DAC	8-Dip	3.45	2.76	2.15
TLC5615ID	296-3007-5-ND	Einf. 10-Bit, 12,5 µs 5 V serieller DAU	10-Bit, 12.5µs, 5V Single Serial DAC	8-SOIC	3.62	2.90	2.26
TLC5615IP	296-2292-5-ND	Einf. 10-Bit, 12,5 µs 5 V serieller DAU	10-Bit, 12.5µs, 5V Single Serial DAC	8-Dip	3.62	2.90	2.26
TLC5618AQD	296-3011-5-ND	Zweif. 12-Bit, 2,5 µs 5 V serieller DAU	12-Bit, 2.5µs, 5V Dual Serial DAC	8-SOIC	7.47	5.98	5.05
TLC5620CD	296-1861-5-ND	Vierf. 8-Bit, 10 µs 5 V serieller DAU	8-Bit, 10µs, 5V Quad Serial DAC	14-SOIC	2.86	2.29	1.78
TLC5620CN	296-1862-5-ND	Vierf. 8-Bit, 10 µs 5 V serieller DAU	8-Bit, 10µs, 5V Quad Serial DAC	14-Dip	3.05	2.44	1.90

(Forts.)

★ RUFEN SIE BITTE AN FÜR NIEDRIGERE PREISE BEI GRÖSSEREN MENGEN! ★

Alle Preisangaben in Euro und inklusive Zollgebühren.

T. I. Teilenr.	Digi-Key Teilenr.	Beschreibung		Paket	Stückpreis ★ 1	25	100
TLC5620ID	296-1339-5-ND	Vierf. 8-Bit, 10 µs 5 V serieller DAU	8-Bit, 10µs, 5V Quad Serial DAC	14-SOIC	3.05	2.44	1.90
TLC5620IDR	296-1339-1-ND	Vierf. 8-Bit, 10 µs 5 V serieller DAU	8-Bit, 10µs, 5V Quad Serial DAC	14-SOIC	3.05	2.44	1.90
TLC5620IDR	296-1339-2-ND	Vierf. 8-Bit, 10 µs 5 V serieller DAU	8-Bit, 10µs, 5V Quad Serial DAC	14-SOIC		4266.86/2,500	
TLC5620IN	296-3012-5-ND	Vierf. 8-Bit, 10 µs 5 V serieller DAU	8-Bit, 10µs, 5V Quad Serial DAC	14-Dip	3.24	2.60	2.02
TLC5628CDW	296-1864-5-ND	Oktal 8-Bit, 10 µs 5 V serieller DAU	8-Bit, 10µs, 5V Octal Serial DAC	16-SOIC	4.66	3.74	2.91
TLC5628CN	296-1865-5-ND	Oktal 8-Bit, 10 µs 5 V serieller DAU	8-Bit, 10µs, 5V Octal Serial DAC	16-Dip	4.32	3.46	2.92
TLC5628IDW	296-3013-5-ND	Oktal 8-Bit, 10 µs 5 V serieller DAU	8-Bit, 10µs, 5V Octal Serial DAC	16-SOIC	4.40	3.53	2.98
TLC5628IN	296-3014-5-ND	Oktal 8-Bit, 10 µs 5 V serieller DAU	8-Bit, 10µs, 5V Octal Serial DAC	16-Dip	4.66	3.73	3.15
TLC7225CDW	296-3015-5-ND	Vierf. 8-Bit, 5 µs 5-15 V Parallel-DAU	8-Bit, 5µs, 5-15V Quad Parallel DAC	24-SOIC	4.25	3.40	2.65
TLC7225IDW	296-3016-5-ND	Vierf. 8-Bit, 5 µs 5-15 V Parallel-DAU	8-Bit, 5µs, 5-15V Quad Parallel DAC	24-SOIC	4.54	3.63	2.83
TLC7226CDW	296-3017-5-ND	Vierf. 8-Bit, 5 µs 5-15 V Parallel-DAU	8-Bit, 5µs, 15V Quad Parallel DAC	20-SOIC	3.89	3.11	2.42
TLC7226CN	296-3018-5-ND	Vierf. 8-Bit, 5 µs 5-15 V Parallel-DAU	8-Bit, 5µs, 15V Quad Parallel DAC	20-Dip	4.08	3.27	2.54
TLC7226IDW	296-3019-5-ND	Vierf. 8-Bit, 5 µs 5-15 V Parallel-DAU	8-Bit, 5µs, 15V Quad Parallel DAC	20-SOIC	4.17	3.34	2.60
TLC7226IN	296-2296-5-ND	Vierf. 8-Bit, 5 µs 5-15 V Parallel-DAU	8-Bit, 5µs, 15V Quad Parallel DAC	20-Dip	4.44	3.56	2.77
TLC7524CD	296-1866-5-ND	Einf. 8-Bit, 0,1 µs 5-15 V Parallel-Mult. DAU	8-Bit, 0.1µs, 5-15V Single Parallel Mult. DAC	16-SOIC	2.63	2.11	1.64
TLC7524CFN	296-1867-5-ND	Einf. 8-Bit, 0,1 µs 5-15 V Parallel-Mult. DAU	8-Bit, 0.1µs, 5-15V Single Parallel Mult. DAC	20-PLCC	2.63	2.11	1.64
TLC7524CN	296-1868-5-ND	Einf. 8-Bit, 0,1 µs 5-15 V Parallel-Mult. DAU	8-Bit, 0.1µs, 5-15V Single Parallel Mult. DAC	16-Dip	2.80	2.24	1.75
TLC7524CPW	296-3020-5-ND	Einf. 8-Bit, 0,1 µs 5-15 V Parallel-Mult. DAU	8-Bit, 0.1µs, 5-15V Single Parallel Mult. DAC	16-TSSOP	2.63	2.11	1.64
TLC7524EN	296-1869-5-ND	Einf. 8-Bit, 0,1 µs 5-15 V Parallel-Mult. DAU	8-Bit, 0.1µs, 5-15V Single Parallel Mult. DAC	16-Dip	3.17	2.53	1.97
TLC7524ID	296-3021-5-ND	Einf. 8-Bit, 0,1 µs 5-15 V Parallel-Mult. DAU	8-Bit, 0.1µs, 5-15V Single Parallel Mult. DAC	16-SOIC	2.80	2.24	1.75
TLC7524IFN	296-3022-5-ND	Einf. 8-Bit, 0,1 µs 5-15 V Parallel-Mult. DAU	8-Bit, 0.1µs, 5-15V Single Parallel Mult. DAC	16-PLCC	2.80	2.24	1.75
TLC7524IN	296-3023-5-ND	Einf. 8-Bit, 0,1 µs 5-15 V Parallel-Mult. DAU	8-Bit, 0.1µs, 5-15V Single Parallel Mult. DAC	16-Dip	2.99	2.40	1.87
TLC7528CDW	296-1340-5-ND	Zweif. 8-Bit, 0,1 µs 5-15 V Parallel-Mult. DAU	8-Bit, 0.1µs, 5-15V Dual Parallel Mult. DAC	20-SOIC	2.80	2.24	1.75
TLC7528CDWR	296-1340-1-ND	Zweif. 8-Bit, 0,1 µs 5-15 V Parallel-Mult. DAU	8-Bit, 0.1µs, 5-15V Dual Parallel Mult. DAC	20-SOIC	2.80	2.24	1.75
TLC7528CDWR	296-1340-2-ND	Zweif. 8-Bit, 0,1 µs 5-15 V Parallel-Mult. DAU	8-Bit, 0.1µs, 5-15V Dual Parallel Mult. DAC	20-SOIC		3173.06/2,000	
TLC7528CFN	296-3024-5-ND	Zweif. 8-Bit, 0,1 µs 5-15 V Parallel-Mult. DAU	8-Bit, 0.1µs, 5-15V Dual Parallel Mult. DAC	20-PLCC	2.80	2.24	1.75
TLC7528CN	296-1871-5-ND	Zweif. 8-Bit, 0,1 µs 5-15 V Parallel-Mult. DAU	8-Bit, 0.1µs, 5-15V Dual Parallel Mult. DAC	20-Dip	2.80	2.24	1.75
TLC7528EDW	296-3025-5-ND	Zweif. 8-Bit, 0,1 µs 5-15 V Parallel-Mult. DAU	8-Bit, 0.1µs, 5-15V Dual Parallel Mult. DAC	20-SOIC	3.26	2.61	2.03
TLC7528EN	296-3026-5-ND	Zweif. 8-Bit, 0,1 µs 5-15 V Parallel-Mult. DAU	8-Bit, 0.1µs, 5-15V Dual Parallel Mult. DAC	20-Dip	3.35	2.69	2.09
TLC7528IDW	296-3027-5-ND	Zweif. 8-Bit, 0,1 µs 5-15 V Parallel-Mult. DAU	8-Bit, 0.1µs, 5-15V Dual Parallel Mult. DAC	20-SOIC	2.99	2.40	1.87
TLC7528IFN	296-3028-5-ND	Zweif. 8-Bit, 0,1 µs 5-15 V Parallel-Mult. DAU	8-Bit, 0.1µs, 5-15V Dual Parallel Mult. DAC	20-PLCC	2.99	2.40	1.87
TLC7528IN	296-3029-5-ND	Zweif. 8-Bit, 0,1 µs 5-15 V Parallel-Mult. DAU	8-Bit, 0.1µs, 5-15V Dual Parallel Mult. DAC	20-Dip	2.99	2.40	1.87
TLC7528IPW	296-3030-5-ND	Zweif. 8-Bit, 0,1 µs 5-15 V Parallel-Mult. DAU	8-Bit, 0.1µs, 5-15V Dual Parallel Mult. DAC	20-TSSOP	2.99	2.40	1.87
TLC7628CDW	296-3031-5-ND	Zweif. 8-Bit, 0,1 µs 11-14 V Parallel-Mult. DAU	8-Bit, 0.1µs, 11-14V Dual Parallel Mult. DAC	20-SOIC	2.99	2.40	1.87
TLC7628CN	296-3032-5-ND	Zweif. 8-Bit, 0,1 µs 11-14 V Parallel-Mult. DAU	8-Bit, 0.1µs, 11-14V Dual Parallel Mult. DAC	20-Dip	2.73	2.18	1.70
TLV320DAC23PW	296-11658-5-ND	8 bis 96 KHz Stereo DSP-DAU	8 to 96KHz Stereo DSP DAC	28-TSSOP	3.81	3.05	2.38
TLV5604CD	296-2297-5-ND	Vierf. 10-Bit, 3 µs, 2,7-5,5 V serieller DAU	10-Bit, 3µs, 2.7-5.5V Quad Serial DAC	16-SOIC	6.26	5.02	4.23
TLV5604CPW	296-3033-5-ND	Vierf. 10-Bit, 3 µs, 2,7-5,5 V serieller DAU	10-Bit, 3µs, 2.7-5.5V Quad Serial DAC	16-TSSOP	6.26	5.02	4.23
TLV5604ID	296-1916-5-ND	Vierf. 10-Bit, 3 µs, 2,7-5,5 V Parallel-DAU.	10-Bit, 3µs, 2.7-5.5V Quad Parallel DAC	16-SOIC	6.69	5.36	4.52
TLV5604IPW	296-1917-5-ND	Vierf. 10-Bit, 3 µs, 2,7-5,5 V Parallel-DAU.	10-Bit, 3µs, 2.7-5.5V Quad Parallel DAC	16-TSSOP	6.69	5.36	4.52
TLV5606CD	296-2298-5-ND	Einf. 10-Bit, 3 oder 9 µs, 2,7-5,5 V serieller DAU	10-Bit, 3 or 9µs, 2.7-5.5V Single Serial DAC	8-SOIC	2.48	1.99	1.55
TLV5606ID	296-3034-5-ND	Einf. 10-Bit, 3 oder 9 µs, 2,7-5,5 V serieller DAU	10-Bit, 3 or 9µs, 2.7-5.5V Single Serial DAC	8-SOIC	2.67	2.14	1.66
TLV5606IDGK	296-3035-5-ND	Einf. 10-Bit, 3 oder 9 µs, 2,7-5,5 V serieller DAU	10-Bit, 3 or 9µs, 2.7-5.5V Single Serial DAC	8-MSOP	2.67	2.14	1.66
TLV5608IDW	296-3036-5-ND	Oktal 10-Bit, 1/3 µs, 2,7-5,5 V serieller DAU	10-Bit, 1/3µs, 2.7-5.5V Octal Serial DAC	20-SOIC	8.30	6.64	5.61
TLV5608IPW	296-3037-5-ND	Oktal 10-Bit, 1/3 µs, 2,7-5,5 V serieller DAU	10-Bit, 1/3µs, 2.7-5.5V Octal Serial DAC	20-TSSOP	8.30	6.64	5.61
TLV5610IDW	296-3038-5-ND	Oktal 12-Bit, 1/3 µs, 2,7-5,5 V serieller DAU	12-Bit, 1/3µs, 2.7-5.5V Octal Serial DAC	20-SOIC	11.99	10.80	9.58
TLV5610IPW	296-3039-5-ND	Oktal 12-Bit, 1/3 µs, 2,7-5,5 V serieller DAU	12-Bit, 1/3µs, 2.7-5.5V Octal Serial DAC	20-TSSOP	11.99	10.80	9.58
TLV5610IYE	296-17097-ND	Oktal 12-Bit, 1/3 µs, 2,7-5,5 V serieller DAU	12-Bit, 1/3µs, 2.7-5.5V Octal Serial DAC	20-WCSP	11.99	10.80	9.58
TLV5613CDW	296-2299-5-ND	Einf. 12-Bit, 1 µs, 2,7-5,5 V Parallel-DAU	12-Bit, 1µs, 2.7-5.5V Single Parallel DAC	20-SOIC	4.40	3.53	2.98
TLV5613CPW	296-1918-5-ND	Einf. 12-Bit, 1 µs, 2,7-5,5 V Parallel-DAU	12-Bit, 1µs, 2.7-5.5V Single Parallel DAC	20-TSSOP	4.40	3.53	2.98
TLV5613IDW	296-1919-5-ND	Einf. 12-Bit, 1 µs, 2,7-5,5 V Parallel-DAU	12-Bit, 1µs, 2.7-5.5V Single Parallel DAC	20-SOIC	4.74	3.80	3.21
TLV5613IPW	296-1920-5-ND	Einf. 12-Bit, 1 µs, 2,7-5,5 V Parallel-DAU	12-Bit, 1µs, 2.7-5.5V Single Parallel DAC	20-TSSOP	4.74	3.80	3.21
TLV5614CD	296-2300-5-ND	Vierf. 12-Bit, 3 µs, 2,7-5,5 V serieller DAU	12-Bit, 3µs 2.7-5.5V Quad Serial DAC	16-SOIC	10.51	9.47	8.39
TLV5614CPW	296-3040-5-ND	Vierf. 12-Bit, 3 µs, 2,7-5,5 V serieller DAU	12-Bit, 3µs, 2.7-5.5V Quad Serial DAC	16-TSSOP	10.51	9.47	8.39
TLV5614ID	296-1921-5-ND	Vierf. 12-Bit, 3 µs, 2,7-5,5 V serieller DAU	12-Bit, 3µs 2.7-5.5V Quad Serial DAC	16-SOIC	11.29	10.16	9.01
TLV5614IPW	296-1922-5-ND	Vierf. 12-Bit, 3 µs, 2,7-5,5 V serieller DAU	12-Bit, 3µs, 2.7-5.5V Quad Serial DAC	16-TSSOP	11.29	10.16	9.01
TLV5616CD	296-2301-5-ND	Vierf. 12-Bit, 3 µs, 2,7-5,5 V serieller DAU	12-Bit, 3µs, 2.7-5.5V Quad Serial DAC	8-SOIC	4.40	3.53	2.98
TLV5616CDR	296-2301-1-ND	Vierf. 12-Bit, 3 µs, 2,7-5,5 V serieller DAU	12-Bit, 3µs, 2.7-5.5V Quad Serial DAC	8-SOIC	4.40	3.53	2.98
TLV5616CDR	296-2301-2-ND	Vierf. 12-Bit, 3 µs, 2,7-5,5 V serieller DAU	12-Bit, 3µs, 2.7-5.5V Quad Serial DAC	8-SOIC		6823.60/2,500	
TLV5616CP	296-3041-5-ND	Vierf. 12-Bit, 3 µs, 2,7-5,5 V serieller DAU	12-Bit, 3µs, 2.7-5.5V Quad Serial DAC	8-Dip	4.40	3.53	2.98
TLV5616ID	296-1923-5-ND	Vierf. 12-Bit, 3 µs, 2,7-5,5 V serieller DAU	12-Bit, 3µs, 2.7-5.5V Quad Serial DAC	8-SOIC	4.74	3.80	3.21
TLV5616IDR	296-1923-1-ND	Vierf. 12-Bit, 3 µs, 2,7-5,5 V serieller DAU	12-Bit, 3µs, 2.7-5.5V Quad Serial DAC	8-SOIC	4.74	3.80	3.21
TLV5616IDGK	296-3042-5-ND	Vierf. 12-Bit, 3 µs, 2,7-5,5 V serieller DAU	12-Bit, 3µs, 2.7-5.5V Quad Serial DAC	8-MSOP	4.74	3.80	3.21
TLV5616IDR	296-1923-2-ND	Vierf. 12-Bit, 3 µs, 2,7-5,5 V serieller DAU	12-Bit, 3µs, 2.7-5.5V Quad Serial DAC	8-SOIC		7348.49/2,500	
TLV5617ACD	296-2302-5-ND	Zweif. 10-Bit, 2,5 µs 2,7-5,5 V serieller DAU	10-Bit, 2.5µs 2.7-5.5V Dual Serial DAC	8-SOIC	4.28	3.43	2.67
TLV5617AID	296-3043-5-ND	Zweif. 10-Bit, 2,5 µs 2,7-5,5 V serieller DAU	10-Bit, 2.5µs 2.7-5.5V Dual Serial DAC	8-SOIC	4.57	3.66	2.85
TLV5618ACD	296-2303-5-ND	Zweif. 12-Bit, 2,5 µs 2,7-5,5 V serieller DAU	12-Bit, 2.5µs 2.7-5.5V Dual Serial DAC	8-SOIC	6.86	5.49	4.63
TLV5618AID	296-3044-5-ND	Zweif. 12-Bit, 2,5 µs 2,7-5,5 V serieller DAU	12-Bit, 2.5µs 2.7-5.5V Dual Serial DAC	8-SOIC	7.37	5.90	4.98
TLV5618AIP	296-10735-5-ND	Zweif. 12-Bit, 2,5 µs, 2,7-5,5 V serieller DAU	12-Bit, 2.5µs, 2.7-5.5V Dual Serial DAC	8-Dip	7.37	5.90	4.98
TLV5618AQD	296-2304-5-ND	Zweif. 12-Bit, 2,5 µs 2,7-5,5 V serieller DAU	12-Bit, 2.5µs 2.7-5.5V Dual Serial DAC	8-SOIC	7.05	6.35	5.63
TLV5619IDW	296-3045-5-ND	Einf. 12-Bit, 1 µs, 2,7-5,5 V Parallel-DAU	12-Bit, 1µs, 2.7-5.5V Single Parallel DAC	20-SOIC	4.74	3.80	3.21
TLV5619IPW	296-2305-5-ND	Einf. 12-Bit, 1 µs, 2,7-5,5 V Parallel-DAU	12-Bit, 1µs, 2.7-5.5V Single Parallel DAC	20-TSSOP	4.74	3.80	3.21
TLV5620CD	296-3047-5-ND	Vierf. 8-Bit, 10 µs, 2,7-5,25 V serieller DAU	8-Bit, 10µs, 2.7-5.25V Quad Serial DAC	14-SOIC	1.90	1.53	1.19
TLV5620CN	296-2306-5-ND	Vierf. 8-Bit, 10 µs, 2,7-5,25 V serieller DAU	8-Bit, 10µs, 2.7-5.25V Quad Serial DAC	14-Dip	2.19	1.76	1.37
TLV5620ID	296-3048-5-ND	Vierf. 8-Bit, 10 µs, 2,7-5,25 V serieller DAU	8-Bit, 10µs, 2.7-5.25V Quad Serial DAC	14-SOIC	2.00	1.60	1.25
TLV5620IN	296-3049-5-ND	Vierf. 8-Bit, 10 µs, 2,7-5,25 V serieller DAU	8-Bit, 10µs, 2.7-5.25V Quad Serial DAC	14-Dip	2.38	1.91	1.49
TLV5621ID	296-2307-5-ND	Vierf. 8-Bit, 10 µs, 2,7-5,25 V serieller DAU	8-Bit, 10µs, 2.7-5.25V Quad Serial DAC	14-SOIC	3.14	2.52	1.96
TLV5623CD	296-2308-5-ND	Einf. 8-Bit, 3 µs, 2,7-5,5 V serieller DAU	8-Bit, 3µs, 2.7-5.5V Single Serial DAC	8-SOIC	2.10	1.68	1.26
TLV5623CDGK	296-3051-5-ND	Einf. 8-Bit, 3 µs, 2,7-5,5 V serieller DAU	8-Bit, 3µs, 2.7-5.5V Single Serial DAC	8-MSOP	2.10	1.68	1.26
TLV5623ID	296-3052-5-ND	Einf. 8-Bit, 3 µs, 2,7-5,5 V serieller DAU	8-Bit, 3µs, 2.7-5.5V Single Serial DAC	8-SOIC	2.10	1.68	1.31
TLV5623IDGK	296-3053-5-ND	Einf. 8-Bit, 3 µs, 2,7-5,5 V serieller DAU	8-Bit, 3µs, 2.7-5.5V Single Serial DAC	8-MSOP	2.10	1.68	1.31
TLV5624CD	296-2309-5-ND	Einf. 8-Bit, 1,0-3,5 µs, 2,7-5,5 V serieller DAU	8-Bit, 1.0-3.5µs, 2.7-5.5V Single Serial DAC	8-SOIC	3.05	2.44	1.90
TLV5624ID	296-3054-5-ND	Einf. 8-Bit, 1,0-3,5 µs, 2,7-5,5 V serieller DAU	8-Bit, 1.0-3.5µs, 2.7-5.5V Single Serial DAC	8-SOIC	3.24	2.60	2.02
TLV5624IDGK	296-3055-5-ND	Einf. 8-Bit, 1,0-3,5 µs, 2,7-5,5 V serieller DAU	8-Bit, 1.0-3.5µs, 2.7-5.5V Single Serial DAC	8-MSOP	3.24	2.60	2.02
TLV5625CD	296-2310-5-ND	Zweif. 8-Bit, 3 oder 10 µs, 2,7-5,5 V serieller DAU	8-Bit, 3 or 10µs, 2.7-5.5V Dual Serial DAC	8-SOIC	3.24	2.60	2.02
TLV5625ID	296-3056-5-ND	Zweif. 8-Bit, 3 oder 10 µs, 2,7-5,5 V serieller DAU	8-Bit, 3 or 10µs, 2.7-5.5V Dual Serial DAC	8-SOIC	3.43	2.75	2.14
TLV5626CD	296-2311-5-ND	Zweif. 8-Bit, 1 µs, 2,7-5,5 V serieller DAU	8-Bit, 1µs, 2.7-5.5V Dual Serial DAC	8-SOIC	3.62	2.90	2.26
TLV5626ID	296-3057-5-ND	Zweif. 8-Bit, 1 µs, 2,7-5,5 V serieller DAU	8-Bit, 1µs, 2.7-5.5V Dual Serial DAC	8-SOIC	3.81	3.05	2.38
TLV5627CD	296-2312-5-ND	Vierf. 8-Bit, 3 µs, 2,7-5,5 V serieller DAU	8-Bit, 3µs, 2.7-5.5V Quad Serial DAC	16-SOIC	3.90	3.13	2.43
TLV5627ID	296-3058-5-ND	Vierf. 8-Bit, 3 µs, 2,7-5,5 V serieller DAU	8-Bit, 3µs, 2.7-5.5V Quad Serial DAC	16-SOIC	4.19	3.36	2.61
TLV5627IPW	296-3059-5-ND	Vierf. 8-Bit, 3 µs, 2,7-5,5 V serieller DAU	8-Bit, 3µs, 2.7-5.5V Quad Serial DAC	16-TSSOP	4.19	3.36	2.61
TLV5628CDW	296-3060-5-ND	Oktal 8-Bi 10 µs, 2,7-5,5 V serieller DAU	8-Bit, 10µs, 2.7-5.5V Octal Serial DAC	16-SOIC	4.19	3.36	2.61
TLV5628CN	296-2313-5-ND	Oktal 8-Bi 10 µs, 2,7-5,5 V serieller DAU	8-Bit, 10µs, 2.7-5.5V Octal Serial DAC	16-Dip	4.39	3.51	2.73
TLV5628IDW	296-3061-5-ND	Oktal 8-Bi 10 µs, 2,7-5,5 V serieller DAU	8-Bit, 10µs, 2.7-5.5V Octal Serial DAC	16-SOIC	4.48	3.59	2.79
TLV5628IN	296-3062-5-ND	Oktal 8-Bi 10 µs, 2,7-5,5 V serieller DAU	8-Bit, 10µs, 2.7-5.5V Octal Serial DAC	16-Dip	4.23	3.39	2.86
TLV5629IDW	296-3063-5-ND	Oktal 8-Bit, 1/3 µs, 2,7-5,5 V serieller DAU	8-Bit, 1/3µs, 2.7-5.5V Octal Serial DAC	20-SOIC	5.33	4.27	3.61
TLV5629IPW	296-3064-5-ND	Oktal 8-Bit, 1/3 µs, 2,7-5,5 V serieller DAU	8-Bit, 1/3µs, 2.7-5.5V Octal Serial DAC	20-TSSOP	5.33	4.27	3.61
TLV5630IDW	296-3065-5-ND	Oktal 12-Bit, 1/3 µs, 2,7-5,5 V serieller DAU	12-Bit, 1/3µs, 2.7-5.5V Octal Serial DAC	20-SOIC	12.48	11.24	9.97
TLV5630IPW	296-3066-5-ND	Oktal 12-Bit, 1/3 µs, 2,7-5,5 V serieller DAU	12-Bit, 1/3µs, 2.7-5.5V Octal Serial DAC	20-TSSOP	12.48	11.24	9.97
TLV5631IDW	296-3067-5-ND	Oktal 10-Bit, 1/3 µs, 2,7-5,5 V serieller DAU	10-Bit, 1/3µs, 2.7-5.5V Octal Serial DAC	20-SOIC	7.90	7.12	6.31

(Forts.)

★ ***RUFEN SIE BITTE AN FÜR NIEDRIGERE PREISE BEI GRÖSSEREN MENGEN!*** ★

B

B

T. I. Teilenr.	Digi-Key Teilenr.	Beschreibung		Paket	Stückpreis ★ 1	25	100
TLV5631IPW	296-3068-5-ND	Oktal 10-Bit, 1/3 µs, 2,7-5,5 V serieller DAU	10-Bit, 1/3µs, 2.7-5.5V Octal Serial DAC	20-TSSOP	7.90	7.12	6.31
TLV5632IDW	296-3069-5-ND	Oktal 8-Bit, 1/3 µs, 2,7-5,5 V serieller DAU	8-Bit, 1/3µs, 2.7-5.5V Octal Serial DAC	20-SOIC	5.67	4.54	3.83
TLV5632IPW	296-3070-5-ND	Oktal 8-Bit, 1/3 µs, 2,7-5,5 V serieller DAU	8-Bit, 1/3µs, 2.7-5.5V Octal Serial DAC	20-TSSOP	5.67	4.54	3.83
TLV5633CDW	296-2314-5-ND	Einf. 12-Bit, 1 µs, 2,7-5,5 V Parallel-DAU	12-Bit, 1µs, 2.7-5.5V Single Parallel DAC	20-SOIC	7.96	6.37	5.38
TLV5633IDW	296-3071-5-ND	Einf. 12-Bit, 1 µs, 2,7-5,5 V Parallel-DAU	12-Bit, 1µs, 2.7-5.5V Single Parallel DAC	20-SOIC	7.12	6.42	5.69
TLV5633IPW	296-3072-5-ND	Einf. 12-Bit, 1 µs, 2,7-5,5 V Parallel-DAU	12-Bit, 1µs, 2.7-5.5V Single Parallel DAC	20-TSSOP	7.12	6.42	5.69
TLV5636CD	296-2315-5-ND	Einf. 12-Bit, 1 µs, 2,7-5,5 V Parallel-DAU	12-Bit, 1µs, 2.7-5.5V Single Parallel DAC	8-SOIC	6.18	4.95	4.18
TLV5636ID	296-3073-5-ND	Einf. 12-Bit, 1 µs, 2,7-5,5 V Parallel-DAU	12-Bit, 1µs, 2.7-5.5V Single Parallel DAC	8-SOIC	6.60	5.29	4.46
TLV5636IDGK	296-3074-5-ND	Einf. 12-Bit, 1 µs, 2,7-5,5 V Parallel-DAU	12-Bit, 1µs, 2.7-5.5V Single Parallel DAC	8-MSOP	6.60	5.29	4.46
TLV5637CD	296-2316-5-ND	Zweif. 10-Bit, 1 µs, 2,7-5,5 V serieller DAU	10-Bit, 1µs, 2.7-5.5V Dual Serial DAC	8-SOIC	5.42	4.34	3.66
TLV5637ID	296-3075-5-ND	Zweif. 10-Bit, 1 µs, 2,7-5,5 V serieller DAU	10-Bit, 1µs, 2.7-5.5V Dual Serial DAC	8-SOIC	5.76	4.61	3.89
TLV5638CD	296-2317-5-ND	Zweif. 12-Bit, 1 oder 3,5 µs, 2,7-5,5 V serieller DAU	12-Bit, 1 or 3.5µs, 2.7-5.5V Dual Serial DAC	8-SOIC	6.35	5.08	4.29
TLV5638ID	296-3076-5-ND	Zweif. 12-Bit, 1 oder 3,5 µs, 2,7-5,5 V serieller DAU	12-Bit, 1 or 3.5µs, 2.7-5.5V Dual Serial DAC	8-SOIC	6.77	5.42	4.58
TLV5638QD	296-3077-5-ND	Zweif. 12-Bit, 1 oder 3,5 µs, 2,7-5,5 V serieller DAU	12-Bit, 1 or 3.5µs, 2.7-5.5V Dual Serial DAC	8-SOIC	7.79	6.24	5.26
TLV5639CDW	296-2318-5-ND	Einf. 12-Bit, 1 µs, 2,7-5,5 V Parallel-DAU	12-Bit, 1µs, 2.7-5.5V Single Parallel DAC	20-SOIC	5.84	4.68	3.95
TLV5639IDW	296-3078-5-ND	Einf. 12-Bit, 1 µs, 2,7-5,5 V Parallel-DAU	12-Bit, 1µs, 2.7-5.5V Single Parallel DAC	20-SOIC	6.26	5.02	4.23
TLV5639IPW	296-3079-5-ND	Einf. 12-Bit, 1 µs, 2,7-5,5 V Parallel-DAU	12-Bit, 1µs, 2.7-5.5V Single Parallel DAC	20-TSSOP	6.26	5.02	4.23
		Audio, Digital/Analog-Wandler					
DF1704E	DF1704E-ND	Stereo, 24-Bit, Digital-Interpolationfilter für PCM1704	Stereo, 24-Bit, Digital Interpolation Filter for PCM1704	28-SSOP	13.46	12.57	11.67
DSD1702E	296-13072-5-ND	Erweitertes Multiformat, Delta-Sigma, Audio-DAU	Enhanced Multiformat, Delta-Sigma, Audio DAC	20-QSOP	3.72	2.98	2.32
DSD1791DB	296-15082-5-ND	24-Bit, 192 KHz Sampling, Audio-Stereo-DAU	24-Bit, 192KHz Sampling, Audio Stereo DAC	28-SSOP	5.33	4.27	3.61
DSD1792DB	296-15310-5-ND	24-Bit, 192 KHz Sampling, Audio-Stereo-DAU	24-Bit, 192KHz Sampling, Audio Stereo DAC	28-SSOP	17.34	16.18	15.03
DSD1793DB	296-15083-5-ND	24-Bit, 192 KHz Sampling, Audio-Stereo-DAU	24-Bit, 192KHz Sampling, Audio Stereo DAC	28-SSOP	5.33	4.27	3.61
DSD1794DB	296-15311-5-ND	24-Bit, 192 KHz Sampling, Audio-Stereo-DAU	24-Bit, 192KHz Sampling, Audio Stereo DAC	28-SSOP	17.34	16.18	15.03
PCM56P	PCM56P-ND	16-Bit, Mono-DAU, -80 dB, serieller Eing.	Serial In 16-Bit, Mono DAC, -80dB	16-Dip	8.81	7.94	7.04
PCM56U	PCM56U-ND	16-Bit Audio-DAU	16-Bit, Audio DAC	16-SOIC	7.33	6.61	5.86
PCM69AP	PCM69AP-ND	Zweif. 18-Bit, BICMOS Audio-ADU	Dual 18-Bit, BiCMOS Audio DAC	16-Dip	14.16	13.22	12.28
PCM69AP-J	PCM69AP-J-ND	Zweif. 18-Bit, BICMOS Audio-ADU	Dual 18-Bit, BiCMOS Audio DAC	16-Dip	16.07	15.00	13.93
PCM69AP-K	PCM69AP-K-ND	Zweif. 18-Bit, BICMOS Audio-ADU	Dual 18-Bit, BiCMOS Audio DAC	16-Dip	22.67	21.16	19.65
PCM69AU	PCM69AU-ND	Zweif. 18-Bit, BICMOS Audio-ADU	Dual 18-Bit, BiCMOS Audio DAC	20-SOIC	14.16	13.22	12.28
PCM69AU-J	PCM69AU-J-ND	Zweif. 18-Bit, BICMOS Audio-ADU	Dual 18-Bit, BiCMOS Audio DAC	20-SOIC	16.07	15.00	13.93
PCM69AU-K	PCM69AU-K-ND	Zweif. 18-Bit, BICMOS Audio-ADU	Dual 18-Bit, BiCMOS Audio DAC	20-SOIC	22.67	21.16	19.65
PCM1600Y	PCM1600Y-ND	24-Bit, 96 KHz, 6-Kanal-DAU	24-Bit, 96KHz, 6-Channel DAC	48-LQFP	7.03	5.63	4.75
PCM1601Y	PCM1601Y-ND	24-Bit, 96 KHz, 6-Kanal-DAU	24-Bit, 96KHz, 6-Channel DAC	48-MQFP	7.13	5.71	4.82
PCM1602KY	PCM1602KY-ND	24-Bit, 192 KHz, 6-Kanal-DAU	24-Bit, 192KHz, 6-Channel DAC	48-LQFP	6.01	4.81	4.06
PCM1602Y	PCM1602Y-ND	24-Bit, 192 KHz, 6-Kanal-DAU	24-Bit, 192KHz, 6-Channel DAC	48-LQFP	5.50	4.41	3.72
PCM1604Y	PCM1604Y-ND	24-Bit, 192 KHz, 6-Kanal-DAU	24-Bit, 192KHz, 6-Channel DAC	48-LQFP	7.79	6.24	5.26
PCM1605Y	PCM1605Y-ND	24-Bit, 192 KHz, 6-Kanal-DAU	24-Bit, 192KHz, 6-Channel DAC	48-MQFP	7.84	6.28	5.30
PCM1608KY	PCM1608KY-ND	24-Bit, 192 KHz, 8-Kanal-DAU	24-Bit, 192KHz, 8-Channel DAC	48-LQFP	8.04	6.44	5.43
PCM1608Y	PCM1608Y-ND	24-Bit, 192 KHz, 8-Kanal-DAU	24-Bit, 192KHz, 8-Channel DAC	48-LQFP	7.28	5.83	4.92
PCM1702P	PCM1702P-ND	BiCMOS Advanced Sign Magnitude 20-Bit DAU -88 dB THD	BiCMOS Advanced Sign Magnitude 20-Bit DAC -88dB THD	16-Dip	15.75	14.70	13.65
PCM1702P-J	PCM1702P-J-ND	20-Bit, CMOS Advanced Sign Magnitude Audio-DAU	20-Bit, CMOS Advanced Sign Magnitude Audio DAC	16-Dip	18.10	16.89	15.69
PCM1702P-K	PCM1702P-K-ND	20-Bit, CMOS Advanced Sign Magnitude Audio-DAU	20-Bit, CMOS Advanced Sign Magnitude Audio DAC	16-Dip	24.51	22.88	21.25
PCM1702U-J	PCM1702U-J-ND	20-Bit BICMOS Advance-Sign-Magnitude	20-Bit, BICMOS Advanced Sign Magnitude	20-SOIC	18.10	16.89	15.69
PCM1702U-K	PCM1702U-K-ND	BiCMOS Advanced Sign Magnitude 20-Bit D/A -96dB THD	BiCMOS Advanced Sign Magnitude 20-Bit, D/A -96dB THD	20-SOP	24.51	22.88	21.25
PCM1704U	PCM1704U-ND	24-Bit, 96 KHz Audio-DAU, 0,0030 % THD	24-Bit, 96KHz Audio DAC, 0.0030%THD	20-SOIC	17.27	16.12	14.97
PCM1704U-J	PCM1704U-J-ND	24-Bit, 96 KHz Audio-DAU, 0,0025 % THD	24-Bit, 96KHz Audio DAC, 0.0025%THD	20-SOIC	20.83	19.44	18.05
PCM1704U-K	PCM1704U-K-ND	24-Bit, 96 KHz Audio-DAU, 0,0015 % THD	24-Bit, 96KHz Audio DAC, 0.0015%THD	20-SOIC	30.60	28.57	26.53
PCM1710U	PCM1710U-ND	Zweif. Spannungsausgang CMOS Delta-Sigma-DAU mit On-Chip Digitalfilter	Dual Voltage Output CMOS Delta-Sigma DAC with On-Chip Digital Filter	28-SOIC	7.11	5.69	4.81
PCM1716E	PCM1716E-ND	24-Bit, Stereo 96 KHz, Sampling-DAU	24-Bit, Stereo 96KHz Sampling DAC	28-SSOP	4.57	3.66	2.85
PCM1717E	PCM1717E-ND	Stereo-Audio-DAU	Stereo Audio DAC	20-SSOP	5.67	4.54	3.83
PCM1718E	PCM1718E-ND	Stereo-Audio-DAU, -90 dB THD	Stereo Audio DAC, -90dB THD	20-SSOP	5.67	4.54	3.83
PCM1719E	PCM1719E-ND	Stereo-Audio-DAU, -88 dB THD	Stereo Audio DAC, -88dB THD	28-SSOP	7.55	6.05	5.10
PCM1720E	PCM1720E-ND	Stereo-Audio-DAU, MPEG2/AC-3-kompatibel	Stereo Audio DAC, MPEG2/AC-3 Compatible	20-SSOP	3.72	2.98	2.32
PCM1723E	PCM1723E-ND	Stereo-DAU mit programmierb. PLL	Stereo DAC w/Programmable PLL	24-SSOP	4.48	3.59	2.79
PCM1725U	PCM1725U-ND	16-Bit, Stereo 96 KHz, Sampling-DAU	16-Bit, Stereo 96KHz Sampling DAC	14-SOIC	2.48	1.99	1.55
PCM1727E	PCM1727E-ND	Zweif. Stereo-DAU mit programmierb. PLL	Stereo DAC with Prog. Dual PLL	24-SSOP	5.33	4.27	3.61
PCM1728E	PCM1728E-ND	24-Bit, 96 KHz Stereo-Audio-DAU	24-Bit, 96KHz Stereo Audio DAC	28-SSOP	5.33	4.27	3.61
PCM1730E	PCM1730E-ND	24-Bit, 192 KHz Stereo-Audio-DAU	24-Bit, 192KHz Stereo Audio DAC	28-SSOP	7.05	6.35	5.63
PCM1733U	PCM1733U-ND	Preiswerter 18-Bit Stereo-DAU	18-Bit, Low Cost Stereo DAC	14-SOIC	2.57	2.06	1.61
PCM1737E	PCM1737E-ND	192 KHz Stereo-Audio-DAU	192KHz Stereo Audio DAC	28-SSOP	6.26	5.02	4.23
PCM1738E	PCM1738E-ND	24-Bit, 192 KHz Stereo-Audio-DAU	24-Bit, 192KHz Stereo Audio DAC	28-SSOP	7.41	6.67	5.92
PCM1739E	PCM1739E-ND	192 KHz Stereo-Audio-DAU	192KHz Stereo Audio DAC	28-SSOP	6.26	5.02	4.23
PCM1740E	PCM1740E-ND	PLL DAU mit VCXO	PLL DAC with VCXO	24-SSOP	5.33	4.27	3.61
PCM1741E	PCM1741E-ND	24-Bit, 96 KHz Audio-DAU	24-Bit, 96KHz Audio DAC	16-SSOP	2.95	2.37	1.84
PCM1742E	PCM1742E-ND	24-Bit, 192 KHz Audio-DAU	24-Bit, 192KHz Audio DAC	16-SSOP	3.14	2.52	1.96
PCM1742KE	PCM1742KE-ND	24-Bit, 192 KHz Audio-DAU	24-Bit, 192KHz Audio DAC	16-SSOP	3.43	2.75	2.14
PCM1744U	PCM1744U-ND	Preiswerter 24-Bit Stereo-DAU	24-Bit, Low Cost Stereo DAC	14-SOIC	2.57	2.06	1.61
PCM1748E	PCM1748E-ND	24-Bit, Stereo-Audio-DAU	24-Bit, Stereo Audio DAC	16-SSOP	2.29	1.83	1.43
PCM1748E/2K	PCM1748ETR-ND	24-Bit, Stereo-Audio-DAU	24-Bit, Stereo Audio DAC	16-SSOP		2590.60/2,000	
PCM1748KE	PCM1748KE-ND	24-Bit, Stereo-Audio-DAU	24-Bit, Stereo Audio DAC	16-SSOP	2.48	1.99	1.55
PCM1748KE/2K	PCM1748KETR-ND	24-Bit, Stereo-Audio-DAU	24-Bit, Stereo Audio DAC	16-SSOP		2807.33/2,000	
PCM1750U	PCM1750U-ND	Zweif. 18-Bit, Audio-DAU	Dual 18-Bit, Audio DAC	28-SOIC	30.29	28.27	26.25
PCM1753DBQ	296-16651-5-ND	24-Bit, 192 KHz Audio-DAU	24-Bit, 192KHz Audio DAC	16-SSOP	2.00	1.60	1.25
PCM1754DBQ	296-16652-5-ND	24-Bit, 192 KHz Audio-DAU	24-Bit, 192KHz Audio DAC	16-SSOP	2.00	1.60	1.25
PCM1755DBQ	296-16653-5-ND	24-Bit, 192 KHz Audio-DAU	24-Bit, 192KHz Audio DAC	16-SSOP	2.00	1.60	1.25
PCM1770PW	296-13470-5-ND	Niederspannung, NL, Stereo-Audio-DAU mit Kopfhörerverstärker	Low Voltage, Low Power, Stereo Audio DAC w/Headphone Amplifier	16-TSSOP	2.86	2.29	1.78
PCM1770RGA	296-13471-ND	Niederspannung, NL, Stereo-Audio-DAU mit Kopfhörerverstärker	Low Voltage, Low Power, Stereo Audio DAC w/Headphone Amplifier	20-VQFN	3.14	2.52	1.96
PCM1771PW	296-13472-5-ND	Niederspannung, NL, Stereo-Audio-DAU mit Kopfhörerverstärker	Low Voltage, Low Power, Stereo Audio DAC w/Headphone Amplifier	16-TSSOP	2.86	2.29	1.78
PCM1771RGA	296-13473-ND	Niederspannung, NL, Stereo-Audio-DAU mit Kopfhörerverstärker	Low Voltage, Low Power, Stereo Audio DAC w/Headphone Amplifier	20-VQFN	3.14	2.52	1.96
PCM1772PW	296-13474-5-ND	Niederspannung, NL, Stereo-Audio-DAU mit Leitungsausgangsverstärker	Low Voltage, Low Power, Stereo Audio DAC w/Lineout Amplifier	16-TSSOP	2.86	2.29	1.78
PCM1772RGA	296-13475-ND	Niederspannung, NL, Stereo-Audio-DAU mit Leitungsausgangsverstärker	Low Voltage, Low Power, Stereo Audio DAC w/Lineout Amplifier	20-VQFN	3.14	2.52	1.96
PCM1773PW	296-13476-5-ND	Niederspannung, NL, Stereo-Audio-DAU mit Leitungsausgangsverstärker	Low Voltage, Low Power, Stereo Audio DAC w/Lineout Amplifier	16-TSSOP	2.86	2.29	1.78
PCM1773RGA	296-13477-ND	Niederspannung, NL, Stereo-Audio-DAU mit Leitungsausgangsverstärker	Low Voltage, Low Power, Stereo Audio DAC w/Lineout Amplifier	20-VQFN	3.14	2.52	1.96
PCM1791ADB	296-15091-5-ND	24-Bit, Stereo-Audio-DAU	24-Bit, Stereo Audio DAC	28-SSOP	5.33	4.27	3.61
PCM1792DB	296-15313-5-ND	24-Bit, Stereo-Audio-DAU	24-Bit, Stereo Audio DAC	28-SSOP	17.34	16.18	15.03
PCM1793DB	296-15092-5-ND	24-Bit, Stereo-Audio-DAU	24-Bit, Stereo Audio DAC	28-SSOP	5.33	4.27	3.61
PCM1794DB	296-15314-5-ND	24-Bit, Stereo-Audio-DAU	24-Bit, Stereo Audio DAC	28-SSOP	17.34	16.18	15.03
PCM2702	PCM2702E-ND	16-Bit, Stereo-Audio-DAU	16-Bit, Stereo Audio DAC	28-SSOP	8.18	7.37	6.54
PCM2704DB	296-15273-5-ND	Stereo-Audio-DAU mit USB-Schnittstelle	Stereo Audio DAC with USB Interface	28-SSOP	4.99	4.00	3.38
PCM2705DB	296-15274-5-ND	Stereo-Audio-DAU mit USB und S/PDIF-Ausgang	Stereo Audio DAC with USB and S/PDIF Output	28-SSOP	4.99	4.00	3.38
PCM2706PJT	296-15275-5-ND	Stereo-Audio-DAU mit USB und S/PDIF-Ausgang	Stereo Audio DAC with USB and S/PDIF Output	32-TQFP	5.76	4.61	3.89
PCM2707PJT	296-15276-5-ND	Stereo-Audio-DAU mit USB und S/PDIF-Ausgang	Stereo Audio DAC with USB and S/PDIF Output	32-TQFP	5.76	4.61	3.89
		Spann.-Strom-Umwandler					
XTR110AG	296-13640-5-ND	Präzisions-Spannung-Strom Umwandler/Transmitter	Precision Voltage-to-Current Converter/Transmitter	16-Dip	49.22	45.94	42.66
		Spann.-Frequenz-Umwandler					
VFC32KP	VFC32KP-ND	Spann.-Frequenz und Frequ.-Spann.-Umwandler	Voltage-to-Frequency and Frequency-to-Voltage Converter	14-Dip	8.13	6.51	5.49
VFC32KU	VFC32KU-ND	Spann.-Frequenz und Frequ.-Spann.-Umwandler	Voltage-to-Frequency and Frequency-to-Voltage Converter	14-SOIC	8.13	6.51	5.49
VFC110AP	VFC110AP-ND	Hochfrequenz, Spann.-Frequenz-Umwandler	High Frequency Voltage-to-Frequency Converter	14-Dip	16.07	15.00	13.93
VFC320BP	296-12616-5-ND	Spann.-Frequenz und Frequ.-Spann.-Umwandler	Voltage-to-Frequency and Frequency-to-Voltage Converter	14-Dip	16.76	15.65	14.53
VFC320CP	VFC320CP-ND	Spann.-Frequenz und Frequ.-Spann.-Umwandler	Voltage-to-Frequency and Frequency-to-Voltage Converter	14-Dip	18.41	17.19	15.96

★ RUFEN SIE BITTE AN FÜR NIEDRIGERE PREISE BEI GRÖSSEREN MENGEN! ★

Alle Preisangaben in Euro und inklusive Zollgebühren.

T. I. Teilenr.	Digi-Key Teilenr.	Beschreibung		Paket	Stückpreis ★ 1	25	100
			4-20 mA Sender/Empfänger				
RCV420JP	RCV420JP-ND	4-20 mA Präz. Stromschleifenempfänger	4-20mA Prec. Current Loop Receiver	16-Dip	6.01	4.81	4.06
RCV420KP	RCV420KP-ND	4-20 mA Präz. Stromschleifenempfänger	4-20mA Prec. Current Loop Receiver	16-Dip	8.53	7.69	6.82
XTR101AP	XTR101AP-ND	Präzision, Niedrig-Drift, 4-20 mA 2-Draht-Sender	Precision, Low Drift, 4-20mA 2-Wire Transmitter	14-Dip	12.27	11.05	9.80
XTR101AU	XTR101AU-ND	Präzision, Niedrig-Drift, 4-20 mA 2-Draht-Sender	Precision, Low Drift, 4-20mA 2-Wire Transmitter	16-SOIC	12.27	11.05	9.80
XTR105P	XTR105P-ND	Sender, 4-20 mA Strom, mit Sensorerregung und Linearisierung	4-20mA Current Transmitter with Sensor Excitation and Linearization	14-Dip	7.90	7.12	6.31
XTR105PA	XTR105PA-ND	Sender, 4-20 mA Strom, mit Sensorerregung und Linearisierung	4-20mA Current Transmitter with Sensor Excitation and Linearization	14-Dip	6.77	5.42	4.58
XTR105U	XTR105U-ND	Sender, 4-20 mA Strom, mit Sensorerregung und Linearisierung	4-20mA Current Transmitter with Sensor Excitation and Linearization	14-SOIC	7.90	7.12	6.31
XTR105UA	XTR105UA-ND	Sender, 4-20 mA Strom, mit Sensorerregung und Linearisierung	4-20mA Current Transmitter with Sensor Excitation and Linearization	14-SOIC	6.77	5.42	4.58
XTR106P	XTR106P-ND	Stromsender, 4-20 mA	4-20mA Current Transmitter	14-Dip	7.90	7.12	6.31
XTR106PA	XTR106PA-ND	Stromsender, 4-20 mA	4-20mA Current Transmitter	14-Dip	6.77	5.42	4.58
XTR106U	XTR106U-ND	Stromsender, 4-20 mA	4-20mA Current Transmitter	14-SOIC	7.90	7.12	6.31
XTR106UA	XTR106UA-ND	Stromsender, 4-20 mA	4-20mA Current Transmitter	14-SOIC	6.77	5.42	4.58
XTR108EA/2K5	XTR108EACT-ND	2-Draht-Sender, 4-20 mA	4-20mA 2-Wire Transmitter	24-SSOP	5.67	4.54	3.83
XTR108EA/2K5	XTR108EATR-ND	2-Draht-Sender, 4-20 mA	4-20mA 2-Wire Transmitter	24-SSOP		8791.94/2,500	
XTR110KP	XTR110KP-ND	Spann.-Strom-Umwandler/Sender, 4-20 mA Präzision,	4-20mA Precision, Voltage-to-Current Converter/Transmitter	16-Dip	10.02	9.02	8.00
XTR110KU	XTR110KU-ND	Spann.-Strom-Umwandler/Sender, 4-20 mA Präzision,	4-20mA Precision, Voltage-to-Current Converter/Transmitter	16-SOIC	10.02	9.02	8.00
XTR112U	XTR112U-ND	Stromsender mit Sensorerregung, 4-20 mA	4-20mA Current Transmitter with Sensor Excitation	14-SOIC	7.90	7.12	6.31
XTR112UA	XTR112UA-ND	Stromsender mit Sensorerregung, 4-20 mA	4-20mA Current Transmitter with Sensor Excitation	14-SOIC	6.77	5.42	4.58
XTR114U	XTR114U-ND	Stromsender mit Sensorerregung, 4-20 mA	4-20mA Current Transmitter with Sensor Excitation	14-SOIC	7.90	7.12	6.31
XTR114UA	XTR114UA-ND	Stromsender mit Sensorerregung, 4-20 mA	4-20mA Current Transmitter with Sensor Excitation	14-SOIC	6.77	5.42	4.58
XTR115U	XTR115U-ND	Stromschleifen-Sender, 4-20 mA	4-20mA Current Loop Transmitter	8-SOIC	2.48	1.99	1.55
XTR115UA	XTR115UA-ND	Stromschleifen-Sender, 4-20 mA	4-20mA Current Loop Transmitter	8-SOIC	2.00	1.60	1.25
XTR116U	XTR116U-ND	Stromschleifen-Sender, 4-20 mA	4-20mA Current Loop Transmitter	8-SOIC	2.48	1.99	1.55
XTR116UA	XTR116UA-ND	Stromschleifen-Sender, 4-20 mA	4-20mA Current Loop Transmitter	8-SOIC	2.00	1.60	1.25
			ADSL-Treiber				
TCM1050D	296-9980-5-ND	Zweif. Stoßspannungsunterdrückung	Dual Transient Voltage Suppressor	8-SOIC	1.89	1.51	1.14
THS6002CDWP	296-1765-5-ND	Zweif. Differenzial-Leitungstreiber/Empf.	Dual Differential Line Driver/Rcvr.	20-HSOP	7.48	6.74	5.97
THS6002IDWP	296-1766-5-ND	Zweif. Differenzial-Leitungstreiber/Empf.	Dual Differential Line Driver/Rcvr.	20-HSOP	7.48	6.74	5.97
THS6007IPWP	296-10060-5-ND	Zweif. Diff.-Leitungstreiber, LP-Empf.	Dual Diff. Line Driver LP Rcvr	28-HTSSOP	7.75	6.99	6.20
THS6012CDWP	296-2372-5-ND	Zweif. Differenzial-ADSL-Treiber	Dual Differential ADSL Driver	20-SOIC	7.16	5.73	4.84
THS6012IDWP	296-1767-5-ND	Zweif. Differenzial-Leitungstreiber	Dual Differential Line Driver	20-HSOP	7.16	5.73	4.84
THS6012IGQER	296-10062-1-ND	Zweif. Differenzial-Leitungstreiber	Dual Differential Line Driver	80-VFBGA	7.16	5.73	4.84
THS6012IGQER	296-10062-2-ND	Zweif. Differenzial-Leitungstreiber	Dual Differential Line Driver	80-VFBGA		11101.04/2,500	
THS6022CPWP	296-1768-5-ND	Zweif. Differenzial-Leitungstreiber	Dual Differential Line Driver	14-TSSOP	4.83	3.87	3.26
THS6022IPWP	296-1769-5-ND	Zweif. Differenzial-Leitungstreiber	Dual Differential Line Driver	14-TSSOP	4.83	3.87	3.26
THS6032CDWP	296-2373-5-ND	NL ADSL-Leitungsverstärker	Low Power ADSL Line Driver	20-SOIC	7.70	6.17	5.21
THS6032IDWP	296-10065-5-ND	NL ADSL-Leitungsverstärker	Low Power ADSL Line Driver	20-HSOP	7.70	6.17	5.21
THS6032IGQER	296-10066-1-ND	NL ADSL-Leitungsverstärker	Low Power ADSL Line Driver	80-VFBGA	7.70	6.17	5.21
THS6032IGQER	296-10066-2-ND	NL ADSL-Leitungsverstärker	Low Power ADSL Line Driver	80-VFBGA		11941.29/2,500	
THS6032IVFP	296-12689-ND	NL ADSL-Leitungsverstärker	Low Power ADSL Line Driver	32-HLQFP	7.70	6.17	5.21
THS6042ID	296-12315-5-ND	HS-ADSL-CPE-Leitungstreiber	High Speed ADSL CPE Line Driver	8-SOIC	4.74	3.80	3.21
THS6042IDDA	296-12667-5-ND	HS-ADSL-CPE-Leitungstreiber	High Speed ADSL CPE Line Driver	8-SOIC	4.74	3.80	3.21
THS6043ID	296-12316-5-ND	HS-CPE-Leitungstreiber mit Abschaltf.	High Speed CPE Line Driver w/SD	14-SOIC	4.74	3.80	3.21
THS6043IPWP	296-12317-5-ND	HS-CPE-Leitungstreiber mit Abschaltf.	HS CPE Line Driver w/SD	14-TSSOP	4.74	3.80	3.21
THS6052ID	296-11984-5-ND	Zweif. HS-ADSL-CPE-Leitungstreiber	Dual HS ADSL CPE Line Driver	8-SOIC	5.47	4.38	3.70
THS6052IDDA	296-12668-5-ND	Zweif. HS-ADSL-CPE-Leitungstreiber	Dual HS ADSL CPE Line Driver	8-SOIC	5.47	4.38	3.70
THS6052IDR	296-11984-1-ND	Zweif. HS-ADSL-Leitungstreiber	Dual HS ADSL Line Driver	8-SOIC	5.47	4.38	3.70
THS6052IDR	296-11984-2-ND	Zweif. HS-ADSL-Leitungstreiber	Dual HS ADSL Line Driver	8-SOIC		8476.58/2,500	
THS6053ID	296-12318-5-ND	Zweif. HS-ADSL-CPE-Leitungstreiber, mit Abschaltf.	Dual HS ADSL CPE Line Driver w/SD	14-SOIC	5.47	4.38	3.70
THS6053IPWP	296-11985-5-ND	Zweif. HS-ADSL-Leitungstreiber, mit Abschaltf.	Dual HS ADSL Line Driver w/SD	14-TSSOP	5.47	4.38	3.70
THS6053IPWPR	296-11985-1-ND	Zweif. HS-ADSL-Leitungstreiber, mit Abschaltf.	Dual HS ADSL Line Driver w/SD	14-TSSOP	5.47	4.38	3.70
THS6053IPWPR	296-11985-2-ND	Zweif. HS-ADSL-Leitungstreiber, mit Abschaltf.	Dual HS ADSL Line Driver w/SD	14-TSSOP		6837.14/2,000	
THS6062CD	296-2374-5-ND	Zweif. ADSL-Differenzialempfänger	Dual ADSL Differential Receiver	8-SOIC	4.48	3.59	2.79
THS6072CD	296-2375-5-ND	NL-ADSL-Differenzialempfänger	Low Power ADSL Differential Receiver	8-SOIC	4.25	3.40	2.65
THS6092ID	296-12319-5-ND	Zweif. HS-ADSL-SPE-Leitungstreiber	Dual HS ADSL SPE Line Driver	8-SOIC	3.89	3.11	2.42
THS6092IDDAR	296-12669-1-ND	Zweif. HS-ADSL-SPE-Leitungstreiber	Dual HS ADSL SPE Line Driver	8-SOIC	3.89	3.11	2.42
THS6092IDDAR	296-12669-2-ND	Zweif. HS-ADSL-SPE-Leitungstreiber	Dual HS ADSL SPE Line Driver	8-SOIC		5439.41/2,500	
THS6093ID	296-11986-5-ND	Zweif. HS-ADSL-CPE-Leitungstreiber, mit Abschaltf.	Dual HS ADSL CPE Line Driver w/SD	14-SOIC	3.89	3.11	2.42
THS6093IPWP	296-12320-5-ND	Zweif. HS-ADSL-CPE-Leitungstreiber, mit Abschaltf.	Dual HS ADSL CPE Line Driver with Shutdown	14-TSSOP	3.89	3.11	2.42
THS6132VFP	296-13744-5-ND	ADSL-Leitungstreiber, hoher Wirkungsgrad, Klasse G	High Efficiency Class-G ADSL Line Driver	32-HLQFP	6.86	5.49	4.63
THS6182D	296-14977-5-ND	ADSL-Leitungstreiber, NL-Verlust	LP Dissipation ADSL Line Driver	16-SOIC	6.20	4.96	4.19
THS6182DW	296-14978-5-ND	ADSL-Leitungstreiber, NL-Verlust	LP Dissipation ADSL Line Driver	20-SOIC	6.20	4.96	4.19
THS6182RHFR	296-15338-1-ND	ADSL-Leitungstreiber, NL-Verlust	LP Dissipation ADSL Line Driver	24-QFN	6.20	4.96	4.19
THS6182RHFR	296-15338-2-ND	ADSL-Leitungstreiber, NL-Verlust	LP Dissipation ADSL Line Driver	24-QFN		12084.37/3,000	
THS6184RHFT	296-17862-1-ND	Zweif. Port, NL Diff. XDSL Leitungstreiberverstärker	Dual Port, Low Power Diff. XDSL Line Driver Amp	24-QFN	6.03	4.83	4.07
THS6184RHFT	296-17862-2-ND	Zweif. Port, NL Diff. XDSL Leitungstreiberverstärker	Dual Port, Low Power Diff. XDSL Line Driver Amp	24-QFN		3767.37/1,000	
			Ethernet				
DLKPC192SGNT	296-13858-ND	Ethernet LAN Physical Coding Sublayer (PCS), 10 Gbps	10Gbps Ethernet Lan Physical Coding Sublayer (PCS)	289-PBGA	136.81	127.69	118.57
TLK1201ARCP	296-16797-ND	Gigabit Ethernet-Transceiver	Gigabit Ethernet Transceiver	64-HVQFP	6.86	5.49	4.63
TLK1201IRCP	296-13362-ND	Gigabit Ethernet-Transceiver	Gigabit Ethernet Transceiver	64-HVQFP	8.28	6.63	5.59
TLK1501IRCP	296-10484-ND	Transceiver, 0,6 bis 1,5 Gbps, vierf.	0.6-1.5Gbps Transceiver	64-HVQFP	11.84	10.67	9.46
TLK1521IPAP	296-15862-ND	Serialisierer/Deserialisierer, 0,5 bis 1,3 Gbps	0.5-1.3Gbps Serializer/ Deserializer	64-HTQFP	13.33	12.45	11.56
TLK2201ARCP	296-15238-ND	Ethernet-Transceiver, 1,0 bis 1,6 Gbps	1.0-1.6Gbps Ethernet Transceiver	64-HVQFP	6.86	5.49	4.63
TLK2201BRCP	296-16728-ND	Ethernet-Transceiver, 1,0 bis 1,6 Gbps	1.0-1.6Gbps Ethernet Transceiver	64-HVQFP	6.52	5.22	4.41
TLK2201IRCP	296-10485-ND	Ethernet-Transceiver, 1,0 bis 1,6 Gbps	1.0-1.6Gbps Ethernet Transceiver	64-HVQFP	8.28	6.63	5.59
TLK2201JRGQE	296-10486-ND	Ethernet-Transceiver, 1,0 bis 1,6 Gbps	1.0-1.6Gbps Ethernet Transceiver	80-BGA	6.91	5.53	4.67
TLK2201RCP	296-10487-ND	Ethernet-Transceiver, 1,0 bis 1,6 Gbps	1.0-1.6Gbps Ethernet Transceiver	64-HVQFP	6.91	5.53	4.67
TLK2208AGPV	296-15328-5-ND	Gigabit-Ethernet-Transceiver, 1,0 bis 1,3 Gbps, 8-Port	1.0-1.3Gbps 8-Port Gigabit Ethernet Transceiver	289-BGA	40.00	37.34	34.67
TLK2208BGPV	296-15724-ND	Gigabit-Ethernet-Transceiver, 1,0 bis 1,3 Gbps, 8-Port	1.0-1.3Gbps 8-Port Gigabit Ethernet Transceiver	289-BGA	40.00	37.34	34.67
TLK2501IRCP	296-10488-ND	Transceiver, 1,6 bis 2,5 Gbps	1.6-2.5Gbps Transceiver	64-HVQFP	16.00	14.94	13.87
TLK2521IPAP	296-15315-ND	Transceiver, 1,0 bis 2,5 Gbps	1.0-2.5Gbps Transceiver	64-HTQFP	16.00	14.94	13.87
TLK2701IRCP	296-10489-ND	Transceiver, 1,6 bis 2,7 Gbps	1.6-2.7Gbps Transceiver	64-HVQFP	16.00	14.94	13.87
TLK2711IRCP	296-12215-ND	Transceiver, 1,6 bis 2,7 Gbps	1.6-2.7Gbps Transceiver	64-HVQFP	16.00	14.94	13.87
TLK2711JRGQE	296-12216-ND	Transceiver, 1,6 bis 2,7 Gbps	1.6-2.7Gbps Transceiver	80-BGA	16.00	14.94	13.87
TLK3101IRCP	296-10490-ND	Transceiver, 2,5 bis 3,125 Gbps	2.5-3.125Gbps Transceiver	64-HVQFP	21.40	19.98	18.55
TLK3104SAGNT	296-12040-5-ND	Ethernet Backplane-Transceiver, 10 Gbps	10Gbps Ethernet Backplane Xcvr.	289-PBGA	88.00	82.14	76.28
TLK3104SCGNT	296-13704-ND	Vierf. serieller Backplane-Transceiver, 3,125 Gbps	3.125Gbps Quad Serial Backplane Transceiver	289-PBGA	160.01	149.35	138.68
TLK3114SAGNT	296-12747-ND	Vierf. serieller HS-Transceiver	Quad HS Serial Transceiver	289-PBGA	88.00	82.14	76.28
TLK3114SCGNT	296-15738-ND	Vierf. serieller HS-Transceiver	Quad HS Serial Transceiver	289-PBGA	73.34	68.45	63.56
TLK4015IGPV	296-14198-5-ND	Vierf. Transceiver, 0,6 bis 1,5 Gbps	0.6-1.5Gbps Quad Transceiver	289-PBGA	37.34	34.85	32.36
TLK4120IGPV	296-16729-ND	Vierf. Transceiver, 0,5 bis 1,3 Gbps	0.5-1.3Gbps Quad Transceiver	289-BGA	30.48	28.45	26.42
TLK4250IGPV	296-17047-ND	Vierf. Transceiver, 1,0-2,5 Gbps	1.0-2.5Gbps Quad Transceiver	289-BGA	108.36	81.28	60.96
TNETE2201BPHD	296-10772-ND	Ethernet-Transceiver, 1,25 Gbps	1.25Gbps Ethernet Transceiver	64-HTQFP	8.04	6.44	5.43
TNETE2201BPJD	296-10773-ND	Ethernet-Transceiver, 1,25 Gbps	1.25Gbps Ethernet Transceiver	64-HTQFP	8.04	6.44	5.43
TNETE2201BPJW	296-14388-ND	Ethernet-Transceiver, 1,25 Gbps	1.25Gbps Ethernet Transceiver	64-HTQFP	8.04	6.44	5.43
TPS2371D	296-15960-5-ND	Stromschnittstellenschalter für PoE	Power Interface Switch for PoE	8-SOIC	3.24	2.60	2.02
TPS2371PW	296-15961-5-ND	Stromschnittstellenschalter für PoE	Power Interface Switch for PoE	8-TSSOP	3.24	2.60	2.02
TPS2384PAP	296-17831-ND	Vierf. Integrierte Stromquellengeräte Leistungsmanager	Quad Integrated Power Sourcing Equip. Power Manager	64-HTQFP	6.60	5.29	4.46

(Forts.)

★ RUFEN SIE BITTE AN FÜR NIEDRIGERE PREISE BEI GRÖSSEREN MENGEN! ★

B

T. I. Teilenr.	Digi-Key Teilenr.	Beschreibung		Paket	Stückpreis★ 1	25	100
			LCD				
BUF07702PWPR	296-15354-1-ND	LCD-Gamma-Korrekturpuffer, Mehrkanal	Multi-Channel LCD Gamma Correction Buffer	20-HTSSOP	2.19	1.76	1.37
BUF07702PWPR	296-15354-2-ND	LCD-Gamma-Korrekturpuffer, Mehrkanal	Multi-Channel LCD Gamma Correction Buffer	20-HTSSOP		2482.23/2,000	
BUF07703PWP	296-14632-5-ND	LCD-Gamma-Korrekturpuffer, Mehrkanal	Multi-Channel LCD Gamma Correction Buffer	20-HTSSOP	2.10	1.68	1.31
BUF07704AIPWP	296-17357-ND	6-Kan., 18 V, Gamma-Korrekturpuffer	18V, 6-Ch., Gamma Correction Buffer	20-HTSSOP	2.19	1.76	1.37
TFP101APZP	296-9987-ND	PanelBus DVI-Empfänger, 86 MHz, mit HSYNC-Jitter-Störfestigkeit	86MHz PanelBus DVI Receiver, with HSYNC Jitter Immunity	100-HTQFP	5.08	4.07	3.43
TFP101PZP	296-9988-ND	PanelBus DVI-Empfänger, 86 MHz	86MHz PanelBus DVI Receiver	100-HTQFP	5.08	4.07	3.43
TFP201APZP	296-9989-ND	PanelBus DVI-Empfänger, 112 MHz, mit HSYNC-Jitter-Störfestigkeit	112MHz PanelBus DVI Receiver, with HSYNC Jitter Immunity	100-HTQFP	5.93	4.75	4.01
TFP201PZP	296-9990-ND	PanelBus DVI-Empfänger, 112 MHz	112MHz PanelBus DVI Receiver	100-HTQFP	5.93	4.75	4.01
TFP401APZP	296-9991-ND	PanelBus DVI-Empfänger, 165 MHz, mit HSYNC-Jitter-Störfestigkeit	165MHz PanelBus DVI Receiver, with HSYNC Jitter Immunity	100-HTQFP	6.77	5.42	4.58
TFP401PZP	296-9992-ND	PanelBus DVI-Empfänger, 165 MHz	165MHz PanelBus DVI Receiver	100-HTQFP	6.77	5.42	4.58
TFP403PZP	296-9993-ND	PanelBus DVI-Empfänger, 165 MHz	165MHz PanelBus DVI Receiver	100-HTQFP	7.69	6.93	6.14
TFP410PAP	296-12666-ND	PanelBus-Digitalsender	PanelBus Digital Transmitter	64-HTQFP	5.08	4.07	3.43
			LV				
SN65LV1021DB	296-12856-5-ND	10:1 LVDS-Serialisierer	10:1 LVDS Serializer	28-SSOP	7.08	5.67	4.78
SN65LV1023ADB	296-15176-5-ND	10:1 LVDS-Serialisierer	10:1 LVDS Serializer	28-SSOP	7.40	5.92	5.00
SN65LV1023DB	296-12857-5-ND	10:1 LVDS-Serialisierer	10:1 LVDS Serializer	28-SSOP	7.86	7.08	6.28
SN65LV1212DB	296-15383-5-ND	10:1 LVDS-Deserialisierer	10:1 LVDS Deserializer	28-SSOP	7.08	5.67	4.78
SN65LV1224BDB	296-17327-5-ND	10:1 LVDS-Deserialisierer	10:1 LVDS Deserializer	28-SSOP	7.40	5.92	5.00
			LVCP				
SN65LVCP22D	296-15190-5-ND	LVDS Crosspoint-Schalter	LVDS Crosspoint Switch	16-SOIC	4.35	3.49	2.94
SN65LVCP22PW	296-15191-5-ND	LVDS Crosspoint-Schalter	LVDS Crosspoint Switch	16-TSSOP	4.35	3.49	2.94
SN65LVCP23D	296-15192-5-ND	LVPECL-Crosspoint-Schalter	LVPECL Crosspoint Switch	16-SOIC	8.36	6.70	5.65
SN65LVCP23PW	296-15193-5-ND	LVPECL-Crosspoint-Schalter	LVPECL Crosspoint Switch	16-TSSOP	8.36	6.70	5.65
SN65LVCP40RGZ	296-17506-ND	Zweif.1:2 Mux/Repeater/Equalizer, DC an 4 GBPS	DC to 4GBPS Dual 1:2 Mux/Repeater/Equalizer	48-QFN	22.10	20.63	19.16
			LVDM				
SN65LVDM050D	296-1416-5-ND	Zweif. Diff.-Leitungstreiber/Empfänger	Dual Diff. Line Driver/Receiver	16-SOIC	3.52	2.82	2.20
SN65LVDM050PW	296-12020-5-ND	HS-Diff.-Leitungstreiber/Empfänger	HS Diff. Line Driver/Receiver	16-TSSOP	3.52	2.82	2.20
SN65LVDM050QDQ1	296-15385-5-ND	HS-Diff.-Leitungstreiber/Empfänger	HS Diff. Line Driver/Receiver	16-SOIC	3.67	2.95	2.29
SN65LVDM050QDRQ1	296-15386-1-ND	HS-Diff.-Leitungstreiber/Empfänger	HS Diff. Line Driver/Receiver	16-SOIC	3.67	2.95	2.29
SN65LVDM050QDRQ1	296-15386-2-ND	HS-Diff.-Leitungstreiber/Empfänger	HS Diff. Line Driver/Receiver	16-SOIC		5147.33/2,500	
SN65LVDM051D	296-1417-5-ND	Zweif. Diff.-Leitungstreiber/Empfänger	Dual Diff. Line Driver/Receiver	16-SOIC	3.52	2.82	2.20
SN65LVDM051PW	296-12021-5-ND	HS-Diff.-Leitungstreiber/Empfänger	HS Diff. Line Driver/Receiver	16-TSSOP	3.52	2.82	2.20
SN65LVDM051QDQ1	296-15387-5-ND	HS-Diff.-Leitungstreiber/Empfänger	HS Diff. Line Driver/Receiver	16-SOIC	3.67	2.95	2.29
SN65LVDM051QDRQ1	296-15388-1-ND	HS-Diff.-Leitungstreiber/Empfänger	HS Diff. Line Driver/Receiver	16-SOIC	3.67	2.95	2.29
SN65LVDM051QDRQ1	296-15388-2-ND	HS-Diff.-Leitungstreiber/Empfänger	HS Diff. Line Driver/Receiver	16-SOIC		5147.33/2,500	
SN65LVDM22D	296-1421-5-ND	Zweif. Mux LVDS-Rückmelder	Dual Mux LVDS Repeater	16-SOIC	4.00	3.20	2.49
SN65LVDM22PW	296-12023-5-ND	Zweif. Mux LVDS-Rückmelder	Dual Mux LVDS Repeater	16-TSSOP	4.00	3.20	2.49
SN65LVDM31D	296-6905-5-ND	HS-Diff.-Leitungstreiber	HS Diff. Line Driver	16-SOIC	2.48	1.99	1.55
SN65LVDM176D	296-1418-5-ND	HS-Diff.-Leitungs-Transceiver	HS Diff. Line Transceiver	8-SOIC	2.73	2.18	1.70
SN65LVDM176DGK	296-6903-5-ND	HS-Diff.-Mehrpunkt-Transceiver	HS Diff. Multipoint Transceiver	8-MSOP	2.73	2.18	1.70
SN65LVDM179D	296-1419-5-ND	HS-Diff.-Leitungstreiber/Empfänger	HS Diff. Line Driver/Receiver	8-SOIC	2.73	2.18	1.70
SN65LVDM179DGK	296-6904-5-ND	HS-Diff.-Leitungstreiber/Empfänger	HS Diff. Line Driver/Receiver	8-SOP	2.73	2.18	1.70
SN65LVDM180D	296-1420-5-ND	HS-Diff.-Leitungstreiber/Empfänger	HS Diff. Line Driver/Receiver	14-SOIC	2.73	2.18	1.70
SN65LVDM180PW	296-12022-5-ND	HS-Diff.-Leitungstreiber/Empfänger	HS Diff. Line Driver/Receiver	14-TSSOP	2.73	2.18	1.70
SN65LVDM320DGG	296-13125-5-ND	8-Bit, HS-Diff.-Reg.-Transceiver	8-Bit, HS Diff. Registered Transceiver	64-TSSOP	10.79	9.72	8.62
SN75LVDM976DGG	296-1760-5-ND	Transceiver, 9-Kan., Zweifach-Modus	9-Ch. Dual-Mode Transceiver	56-TSSOP	12.41	11.18	9.91
SN75LVDM976DL	296-6934-5-ND	Transceiver, 9-Kan., Zweifach-Modus	9-Ch. Dual-Mode Transceiver	56-SOP	12.41	11.18	9.91
SN75LVDM977DGG	296-2365-5-ND	Transceiver, 9-Kan., Zweifach-Modus	9-Ch. Dual-Mode Transceiver	56-TSSOP	12.41	11.18	9.91
SN75LVDM977DL	296-6935-5-ND	Transceiver, 9-Kan., Zweifach-Modus	9-Ch. Dual-Mode Transceiver	56-SSOP	12.41	11.18	9.91
SN65LVDM1676DGG	296-9734-5-ND	16-Kan.Transceiver	16-Ch. Transceiver	64-TSSOP	9.19	8.27	7.34
SN65LVDM1677DGG	296-9735-5-ND	16-Kan.Transceiver	16-Ch. Transceiver	64-TSSOP	9.53	8.59	7.62
			LVDS				
SN65CML100D	296-13870-5-ND	LVDS-Umsetzer/Rückmelder, 1,5-Gbps	1.5-Gbps LVDS Translator/Repeater	8-SOIC	4.61	3.69	2.87
SN65CML100DGK	296-13871-5-ND	LVDS-Umsetzer/Rückmelder, 1,5-Gbps	1.5-Gbps LVDS Translator/Repeater	8-MSOP	4.61	3.69	2.87
SN65LVDS047D	296-6909-5-ND	Vierf. LVDS-Differenzial-Leitungstreiber	LVDS Quad Differential Line Driver	16-SOIC	2.07	1.67	1.30
SN65LVDS047PW	296-6910-5-ND	Vierf. LVDS-Differenzial-Leitungstreiber	LVDS Quad Differential Line Driver	16-TSSOP	2.07	1.67	1.30
SN65LVDS048AD	296-6911-5-ND	Vierf. Hochgeschw.-Diff.-Leitungsempfänger	Quad High Speed Diff. Line Receiver	16-SOIC	2.07	1.67	1.30
SN65LVDS048APW	296-6912-5-ND	Vierf. Hochgeschw-Diff.-Leitungstreiber	Quad High Speed Diff. Line Driver	16-TSSOP	2.07	1.67	1.30
SN65LVDS049PW	296-15341-5-ND	Zweif. LVDS-Diff.-Treiber/Empfänger	Dual LVDS Diff. Driver/Receiver	16-TSSOP	1.78	1.43	1.07
SN65LVDS050D	296-1422-5-ND	HS-Diff.-Leitungstreiber/Empfänger	HS Diff. Line Driver/Receiver	16-SOIC	3.20	2.56	2.00
SN65LVDS050PW	296-12051-5-ND	HS-Diff.-Leitungstreiber/Empfänger	HS Diff. Line Driver/Receiver	16-TSSOP	3.20	2.56	2.00
SN65LVDS051D	296-1423-5-ND	HS-Diff.-Leitungstreiber/Empfänger	HS Diff. Line Driver/Receiver	16-SOIC	3.20	2.56	2.00
SN65LVDS051PW	296-12052-5-ND	HS-Diff.-Leitungstreiber/Empfänger	HS Diff. Line Driver/Receiver	16-TSSOP	3.20	2.56	2.00
SN65LVDS051PWRQ1	296-16948-1-ND	HS-Diff.-Leitungstreiber/Empfänger	HS Diff. Line Driver/Receiver	16-TSSOP	3.28	2.63	2.04
SN65LVDS051PWRQ1	296-16948-2-ND	HS-Diff.-Leitungstreiber/Empfänger	HS Diff. Line Driver/Receiver	16-TSSOP		3713.19/2,000	
SN65LVDS1D	296-12138-5-ND	Hochgeschw.-Diff.-Leitungstreiber	High Speed Diff. Line Driver	8-SOIC	.99	.83	.67
SN65LVDS1DBVR	296-6919-1-ND	Hochgeschw.-Diff.-Leitungstreiber	High Speed Diff. Line Driver	SOT-23-5	.99	.83	.67
SN65LVDS1DBVR	296-6919-2-ND	Hochgeschw.-Diff.-Leitungstreiber	High Speed Diff. Line Driver	SOT-23-5		1287.68/3,000	
SN65LVDS2D	296-12139-5-ND	Hochgeschw.-Diff.-Leitungsempfänger	High Speed Diff. Line Receiver	8-SOIC	1.25	1.00	.75
SN65LVDS2DBVR	296-6920-1-ND	Hochgeschw.-Diff.-Leitungsempfänger	High Speed Diff. Line Receiver	SOT-23-5	.99	.83	.67
SN65LVDS2DBVR	296-6920-2-ND	Hochgeschw.-Diff.-Leitungsempfänger	High Speed Diff. Line Receiver	SOT-23-5		1287.68/3,000	
SN65LVDS16DRFT	296-17441-1-ND	2,5 V/3,3 V Oszillator-Verstärkerstufe/Puffer	2.5V/3.3V Oscillator Gain Stage/Buffers	9-SON	4.32	3.46	2.92
SN65LVDS16DRFT	296-17441-2-ND	2,5 V/3,3 V Oszillator-Verstärkerstufe/Puffer	2.5V/3.3V Oscillator Gain Stage/Buffers	9-SON		701.62/250	
SN65LVDS16EVM	296-17857-ND	Eval. -Modul für SN65LVDS16	Eval. Module for SN65LVDS16	—	53.15	—	—
SN65LVDS17DRFT	296-17442-1-ND	2,5 V/3,3 V Oszillator-Verstärkerstufe/Puffer	2.5V/3.3V Oscillator Gain Stage/Buffers	9-SON	4.32	3.46	2.92
SN65LVDS17DRFT	296-17442-2-ND	2,5 V/3,3 V Oszillator-Verstärkerstufe/Puffer	2.5V/3.3V Oscillator Gain Stage/Buffers	9-SON		701.62/250	
SN65LVDS18DRFT	296-17443-1-ND	2,5 V/3,3 V Oszillator-Verstärkerstufe/Puffer	2.5V/3.3V Oscillator Gain Stage/Buffers	9-SON	3.72	2.98	2.32
SN65LVDS18DRFT	296-17443-2-ND	2,5 V/3,3 V Oszillator-Verstärkerstufe/Puffer	2.5V/3.3V Oscillator Gain Stage/Buffers	9-SON		549.02/250	
SN65LVDS19DRFT	296-17444-1-ND	2,5 V/3,3 V Oszillator-Verstärkerstufe/Puffer	2.5V/3.3V Oscillator Gain Stage/Buffers	9-SON	3.72	2.98	2.32
SN65LVDS19DRFT	296-17444-2-ND	2,5 V/3,3 V Oszillator-Verstärkerstufe/Puffer	2.5V/3.3V Oscillator Gain Stage/Buffers	9-SON		549.02/250	
SN65LVDS20DRFT	296-17176-1-ND	LVDS-Rückmelder/Übersetzer	LVDS Repeater/Translator	8-SON	5.59	4.47	3.78
SN65LVDS20DRFT	296-17176-2-ND	LVDS-Rückmelder/Übersetzer	LVDS Repeater/Translator	8-SON		907.98/250	
SN65LVDS22D	296-1426-5-ND	Zweif. Mux LVDS-Rückmelder	Dual Mux LVDS Repeater	16-SOIC	4.48	3.59	2.79
SN65LVDS22PW	296-12024-5-ND	Zweif. Mux LVDS-Rückmelder	Dual Mux LVDS Repeater	16-TSSOP	4.48	3.59	2.79
SN65LVDS31D	296-6922-5-ND	Vierf. Hochgeschw-Diff.-Treiber	Quad High Speed Diff. Driver	16-SOIC	2.40	1.92	1.50
SN65LVDS31NS	296-2350-5-ND	Vierf. Hochgeschw-Diff.-Treiber	Quad High Speed Diff. Driver	16-SOP	2.40	1.92	1.50
SN65LVDS31PW	296-12329-5-ND	Vierf. Hochgeschw-Diff.-Treiber	Quad High Speed Diff. Driver	16-TSSOP	2.40	1.92	1.50
SN65LVDS32BDR	296-6923-1-ND	Vierf. Hochgeschw-Diff.-Leitungstreiber	Quad High Speed Diff. Line Driver	16-SOIC	4.00	3.20	2.49
SN65LVDS32BDR	296-6923-2-ND	Vierf. Hochgeschw-Diff.-Leitungstreiber	Quad High Speed Diff. Line Driver	16-SOIC		5600.26/2,500	
SN65LVDS32D	296-6924-5-ND	Vierf. Hochgeschw-Diff.-Leitungstreiber	Quad High Speed Diff. Line Driver	16-SOIC	2.40	1.92	1.50
SN65LVDS32PW	296-12330-5-ND	Vierf. Hochgeschw-Diff.-Leitungstreiber	Quad High Speed Diff. Line Driver	16-TSSOP	2.40	1.92	1.50
SN65LVDS33D	296-9742-5-ND	Vierf. Hochgeschw-Diff.-Leitungstreiber	Quad High Speed Diff. Line Driver	16-SOIC	2.56	2.05	1.59
SN65LVDS33PW	296-9743-5-ND	Vierf. Hochgeschw-Diff.-Leitungstreiber	Quad High Speed Diff. Line Driver	16-TSSOP	2.56	2.05	1.59
SN65LVDS34D	296-9744-5-ND	Hochgeschw-Differenzial-Leitungstreiber, zweif.	Dual High Speed Diff. Line Driver	8-SOIC	2.06	1.65	1.24
SN65LVDS84AQDGG	296-9747-5-ND	Flatlink™-Sender	Flatlink™ Transmitter	48-TSSOP	4.08	3.27	2.54
SN65LVDS84AQDGGR	296-9747-1-ND	Flatlink™-Sender	Flatlink™ Transmitter	48-TSSOP	4.08	3.27	2.54
SN65LVDS84AQDGGR	296-9747-2-ND	Flatlink™-Sender	Flatlink™ Transmitter	48-TSSOP		4620.74/2,000	

(Forts.)

★ RUFEN SIE BITTE AN FÜR NIEDRIGERE PREISE BEI GRÖSSEREN MENGEN! ★

Alle Preisangaben in Euro und inklusive Zollgebühren.

T. I. Teilenr.	Digi-Key Teilenr.	Beschreibung		Paket	Stückpreis ★ 1	25	100
SN65LVDS86AQDGGR	296-9748-1-ND	Flatlink™-Empfänger	Flatlink™ Receiver	48-TSSOP	4.08	3.27	2.54
SN65LVDS86AQDGGR	296-9748-2-ND	Flatlink™-Empfänger	Flatlink™ Receiver	48-TSSOP		4620.74/2,000	
SN65LVDS93DGG	296-1429-5-ND	LVDS SERDES-Sender	LVDS SERDES Transmitter	56-TSSOP	5.55	4.45	3.75
SN65LVDS94DGG	296-1430-5-ND	LVDS SERDES-Empfänger	LVDS SERDES Receiver	56-TSSOP	5.55	4.45	3.75
SN65LVDS95DGG	296-1431-5-ND	LVDS SERDES-Sender	LVDS SERDES Transmitter	48-TSSOP	5.55	4.45	3.75
SN65LVDS95DGGRQ1	296-16950-1-ND	LVDS SERDES-Sender	LVDS SERDES Transmitter	48-TSSOP	5.55	4.45	3.75
SN65LVDS95DGGRQ1	296-16950-2-ND	LVDS SERDES-Sender	LVDS SERDES Transmitter	48-TSSOP		6942.12/2,000	
SN65LVDS96DGG	296-1434-5-ND	LVDS SERDES-Empfänger	LVDS SERDES Receiver	48-TSSOP	5.55	4.45	3.75
SN65LVDS100D	296-13624-5-ND	2 Gbps Diff.-Umsetzer/Rückmelder	2Gbps Diff. Translator/Repeater	8-SOIC	4.61	3.69	2.87
SN65LVDS100DGK	296-13625-5-ND	2 Gbps Diff.-Umsetzer/Rückmelder	2Gbps Diff. Translator/Repeater	8-MSOP	4.61	3.69	2.87
SN65LVDS101D	296-13626-5-ND	2 Gbps Diff.-Umsetzer/Rückmelder	2Gbps Diff. Translator/Repeater	8-SOIC	4.61	3.69	2.87
SN65LVDS101DGK	296-13627-5-ND	2 Gbps Diff.-Umsetzer/Rückmelder	2Gbps Diff. Translator/Repeater	8-MSOP	4.61	3.69	2.87
SN65LVDS104D	296-2344-5-ND	1:4 LVDS-Taktpuffer	1:4 LVDS Clock Buffer	16-SOIC	3.60	2.88	2.25
SN65LVDS104PW	296-6915-5-ND	1:4 LVDS-Taktpuffer	1:4 LVDS Clock Buffer	16-TSSOP	3.60	2.88	2.25
SN65LVDS105D	296-2345-5-ND	1:4 LVDS-Taktpuffer	1:4 LVDS Clock Buffer	16-SOIC	3.60	2.88	2.25
SN65LVDS105PW	296-6917-5-ND	1:4 LVDS-Taktpuffer	1:4 LVDS Clock Buffer	16-TSSOP	3.60	2.88	2.25
SN65LVDS108DBT	296-2346-5-ND	LVDS-Rückmelder, 8-Port	8-Port LVDS Repeater	38-TSSOP	5.69	4.56	3.85
SN65LVDS109DBT	296-2347-5-ND	Zweif. 1:4 LVDS-Rückmelder	Dual 1:4 LVDS Repeater	38-TSSOP	5.69	4.56	3.85
SN65LVDS116DGG	296-2348-5-ND	1:16 LVDS-Rückmelder	1:16 LVDS Repeater	64-TSSOP	7.11	6.41	5.68
SN65LVDS116DGGR	296-2348-1-ND	1:16 LVDS-Rückmelder	1:16 LVDS Repeater	64-TSSOP	7.11	6.41	5.68
SN65LVDS116DGGR	296-2348-2-ND	1:16 LVDS-Rückmelder	1:16 LVDS Repeater	64-TSSOP		10538.48/2,000	
SN65LVDS117DGG	296-2349-5-ND	Zweif. LVDS-Rückmelder, 8-Port	Dual 8-Port LVDS Repeater	64-TSSOP	7.11	6.41	5.68
SN65LVDS117DGGR	296-2349-1-ND	Zweif. LVDS-Rückmelder, 8-Port	Dual 8-Port LVDS Repeater	64-TSSOP	7.11	6.41	5.68
SN65LVDS117DGGR	296-2349-2-ND	Zweif. LVDS-Rückmelder, 8-Port	Dual 8-Port LVDS Repeater	64-TSSOP		10538.48/2,000	
SN65LVDS250EVM	296-16985-ND	Eval. -Modul für SN65LVDS250	Eval. Module for SN65LVDS250	—	53.15	49.61	46.06
SN65LVDS125DBT	296-15729-5-ND	LVDS-Crosspoint-Schalter, 1,5 Gbps 4x4	1.5Gbps 4x4 LVDS Crosspoint Switch	38-TSSOP	11.67	10.51	9.32
SN65LVDS150PW	296-9737-5-ND	MuxIt™ PLL-Freq.Vervielfacher	MuxIt™ PLL Freq. Multiplier	28-TSSOP	4.98	3.99	3.37
SN65LVDS151DA	296-9738-5-ND	MuxIt™-Serialisierer-Sender	MuxIt™ Serializer Transmitter	32-TSSOP	4.08	3.27	2.54
SN65LVDS152DA	296-9739-5-ND	MuxIt™ Empfänger/Deserialisierer	MuxIt™ Receiver/Deserializer	32-TSSOP	4.08	3.27	2.54
SN65LVDS179D	296-1424-5-ND	Einf. HS-Differenzialtreiber/Empfänger	Single HS Diff. Driver/Receiver	8-SOIC	2.15	1.73	1.34
SN65LVDS179DGK	296-6918-5-ND	Einf. HS-Differenzialtreiber/Empfänger	Single HS Diff. Driver/Receiver	8-MSOP	2.15	1.73	1.34
SN65LVDS180D	296-1425-5-ND	HS-Diff.-Leitungstreiber/Empfänger	HS Diff. Line Driver/Receiver	14-SOIC	2.15	1.73	1.34
SN65LVDS180PW	296-12053-5-ND	HS-Diff.-Leitungstreiber/Empfänger	HS Diff. Line Driver/Receiver	14-TSSOP	2.15	1.73	1.34
SN65LVDS180PWRQ1	296-16949-1-ND	HS-Diff.-Leitungstreiber/Empfänger	HS Diff. Line Driver/Receiver	16-TSSOP	2.25	1.80	1.40
SN65LVDS180PWRQ1	296-16949-2-ND	HS-Diff.-Leitungstreiber/Empfänger	HS Diff. Line Driver/Receiver	16-TSSOP		2548.27/2,000	
SN65LVDS250DBT	296-16931-ND	LVDS Crosspoint-Schalter 4x4	LVDS 4x4 Crosspoint Switch	38-TSSOP	10.93	9.85	8.73
SN65LVDS348D	296-12735-5-ND	Vierf. Hochgeschw-Diff.-Empfänger	Quad High Speed Diff. Receiver	16-SOIC	2.56	2.05	1.59
SN65LVDS348PW	296-12648-5-ND	Vierf. Hochgeschw-Diff.-Empfänger	Quad High Speed Diff. Receiver	16-TSSOP	2.56	2.05	1.59
SN65LVDS352PW	296-12649-5-ND	Vierf. Hochgeschw-Diff.-Empfänger	Quad High Speed Diff. Receiver	16-TSSOP	2.88	2.31	1.79
SN65LVDS386DGG	296-2353-5-ND	Hochgeschw.-Diff.-Empfänger, 16-Kan.	16-Ch., High Speed Diff. Receiver	64-TSSOP	7.89	6.32	5.33
SN65LVDS386DGGR	296-2353-1-ND	Hochgeschw.-Diff.-Empfänger, 16-Kan.	16-Ch., High Speed Diff. Receiver	64-TSSOP	7.89	6.32	5.33
SN65LVDS386DGGR	296-2353-2-ND	Hochgeschw.-Diff.-Empfänger, 16-Kan.	16-Ch., High Speed Diff. Receiver	64-TSSOP		9862.89/2,000	
SN65LVDS387DGG	296-2354-5-ND	Hochgeschw.-Diff.-Treiber, 16-Kan.	16-Ch., High Speed Diff. Driver	64-TSSOP	7.89	6.32	5.33
SN65LVDS388ADBT	296-6926-5-ND	Oktal LVDS-Empfänger	Octal LVDS Receiver	38-TSSOP	4.65	3.72	2.90
SN65LVDS389DBT	296-2356-5-ND	Hochgeschw.-Diff.-Treiber, 8 Kanäle	8-Channel, High Speed Diff. Driver	38-TSSOP	4.65	3.72	2.90
SN65LVDS390D	296-6927-5-ND	Hochgeschw.-Diff.-Leitungsempfänger	High Speed Diff. Line Receiver	16-SOIC	2.40	1.92	1.50
SN65LVDS390PW	296-6928-5-ND	Hochgeschw.-Diff.-Leitungsempfänger	High Speed Diff. Line Receiver	16-TSSOP	2.40	1.92	1.50
SN65LVDS391D	296-6929-5-ND	Hochgeschwindigkeits-Differenzialtreiber	High Speed Differential Driver	16-SOIC	2.40	1.92	1.50
SN65LVDS391PW	296-6930-5-ND	Hochgeschwindigkeits-Differenzialtreiber	High Speed Differential Driver	16-TSSOP	2.40	1.92	1.50
SN65LVDS1050PW	296-6916-5-ND	HS-Diff.-Leitungsempfänger	HS Differential Line Receiver	16-TSSOP	3.20	2.56	2.00
SN65LVDS3486BDR	296-6925-1-ND	Vierf. LVDS-Empfänger	Quad LVDS Receiver	16-SOIC	2.88	2.31	1.79
SN65LVDS3486BDR	296-6925-2-ND	Vierf. LVDS-Empfänger	Quad LVDS Receiver	16-SOIC		4027.70/2,500	
SN65LVDS3486D	296-1427-5-ND	Hochgeschw.-Diff.-Leitungsempfänger	High Speed Diff. Line Receiver	16-SOIC	2.40	1.92	1.50
SN65LVDS3487D	296-1428-5-ND	Vierf. Hochgeschw-Diff.-Leitungstreiber	Quad High Speed Diff. Line Driver	16-SOIC	2.40	1.92	1.50
SN65LVDS9637BDR	296-6931-1-ND	Zweif. LVDS-Empfänger	Dual LVDS Receiver	8-SOIC	2.06	1.65	1.24
SN65LVDS9637BDR	296-6931-2-ND	Zweif. LVDS-Empfänger	Dual LVDS Receiver	8-SOIC		2628.69/2,500	
SN65LVDS9637D	296-1432-5-ND	Zweif. HS-Differenzialempfänger	Dual HS Differential Receiver	8-SOIC	2.06	1.65	1.24
SN65LVDS9637DGK	296-12003-5-ND	Zweif. HS-Differenzialempfänger	Dual HS Differential Receiver	8-MSOP	2.06	1.65	1.24
SN65LVDS9637DGKR	296-12003-1-ND	Zweif. HS-Differenzialempfänger	Dual HS Differential Receiver	8-MSOP	2.06	1.65	1.24
SN65LVDS9637DGKR	296-12003-2-ND	Zweif. HS-Differenzialempfänger	Dual HS Differential Receiver	8-MSOP		2628.69/2,500	
SN65LVDS9637DGN	296-6932-5-ND	Zweif. HS-Differenzialempfänger	Dual HS Differential Receiver	8-MSOP	2.00	1.60	1.25
SN65LVDS9638D	296-1433-5-ND	Zweif. HS-Differenzialtreiber	Dual HS Differential Driver	8-SOIC	2.06	1.65	1.24
SN65LVDS9638DGKR	296-12004-1-ND	Zweif. HS-Differenzialtreiber	Dual HS Differential Driver	8-MSOP	2.06	1.65	1.24
SN65LVDS9638DGKR	296-12004-2-ND	Zweif. HS-Differenzialtreiber	Dual HS Differential Driver	8-MSOP		2628.69/2,500	
SN65LVDS9638DGN	296-6933-5-ND	Zweif. HS-Differenzialtreiber	Dual HS Differential Driver	8-MSOP	2.00	1.60	1.25
SN65MLVD080DGG	296-15783-5-ND	Mehrpunkt-LVDS-Leitungs-Transceiver, Halbduplex, 8-Kan.	8-Ch. Half-Duplex Multipoint LVDS Line Transceiver	64-TSSOP	8.04	6.44	5.43
SN65MLVD082DGG	296-15833-5-ND	Mehrpunkt-LVDS-Leitungs-Transceiver, Halbduplex, 8-Kan.	8-Ch. Half-Duplex Multipoint LVDS Line Transceiver	64-TSSOP	8.04	6.44	5.43
SN65MLVD201D	296-14187-5-ND	Mehrpunkt-LVDS-Leitungstreiber/Empfänger	Multipoint LVDS Line Driver/Receiver	8-SOIC	3.35	2.69	2.09
SN65MLVD203D	296-14188-5-ND	Mehrpunkt-LVDS-Leitungstreiber/Empfänger	Multipoint LVDS Line Driver/Receiver	14-SOIC	3.35	2.69	2.09
SN65MLVD206D	296-14189-5-ND	Mehrpunkt-LVDS-Leitungstreiber/Empfänger	Multipoint LVDS Line Driver/Receiver	8-SOIC	3.35	2.69	2.09
SN65MLVD207D	296-14190-5-ND	Mehrpunkt-LVDS-Leitungstreiber/Empfänger	Multipoint LVDS Line Driver/Receiver	14-SOIC	3.35	2.69	2.09
SN75LVDS31D	296-12325-5-ND	Vierf. HS-Differenzialtreiber	Quad HS Differential Driver	16-SOIC	2.40	1.92	1.50
SN75LVDS31PW	296-12005-5-ND	Vierf. HS-Differenzialtreiber	Quad HS Differential Driver	16-TSSOP	2.40	1.92	1.50
SN75LVDS31PWR	296-12005-1-ND	Vierf. HS-Differenzialtreiber	Quad HS Differential Driver	16-TSSOP	2.40	1.92	1.50
SN75LVDS31PWR	296-12005-2-ND	Vierf. HS-Differenzialtreiber	Quad HS Differential Driver	16-TSSOP		2720.97/2,000	
SN75LVDS32D	296-12326-5-ND	Vierf. HS-Differenzialtreiber	Quad HS Differential Driver	16-SOIC	2.40	1.92	1.50
SN75LVDS32PW	296-13328-5-ND	Vierf. HS-Differenzialtreiber	Quad HS Differential Driver	16-TSSOP	2.40	1.92	1.50
SN75LVDS82DGGR	296-6666-1-ND	Flatlink™-Empfänger	Flatlink™ Receiver	56-TSSOP	3.60	2.88	2.25
SN75LVDS82DGGR	296-6666-2-ND	Flatlink™-Empfänger	Flatlink™ Receiver	56-TSSOP		4080.61/2,000	
SN75LVDS83DGG	296-6667-5-ND	Flatlink™-Sender	Flatlink™ Transmitter	56-TSSOP	3.35	2.69	2.09
SN75LVDS84ADGGR	296-6668-1-ND	Flatlink™-Sender	Flatlink™ Transmitter	48-TSSOP	3.52	2.82	2.20
SN75LVDS84ADGGR	296-6668-2-ND	Flatlink™-Sender	Flatlink™ Transmitter	48-TSSOP		3994.26/2,000	
SN75LVDS86ADGG	296-1998-5-ND	Flatlink™-Empfänger	Flatlink™ Receiver	48-TSSOP	3.52	2.82	2.20
SN75LVDS86ADGGR	296-6671-1-ND	Flatlink™-Empfänger	Flatlink™ Receiver	48-TSSOP	3.52	2.82	2.20
SN75LVDS86ADGGR	296-6671-2-ND	Flatlink™-Empfänger	Flatlink™ Receiver	48-TSSOP		3994.26/2,000	
SN75LVDS86DGG	296-6672-5-ND	Flatlink™-Empfänger	Flatlink™ Receiver	48-TSSOP	3.28	2.63	2.04
SN75LVDS88BPFD	296-6673-5-ND	FT LCD-Feld-Timing-Controller mit LVDS-Schnittstelle	FT LCD-Panel Timing Controller with LVDS Interface	100-HTQFP	6.04	4.84	4.09
SN75LVDS050D	296-12321-5-ND	Zweif. Niederspann.-Diff.-Treiber/Empfänger	Dual Low Volt. Diff. Driver/Rcvr.	16-SOIC	2.73	2.18	1.70
SN75LVDS051D	296-12322-5-ND	Zweif. Niederspann.-Diff.-Treiber/Empfänger	Dual Low Volt. Diff. Driver/Rcvr.	16-SOIC	2.73	2.18	1.70
SN75LVDS179D	296-12323-5-ND	Niederspann.-Diff.-Treiber/Empfänger	Low Volt. Diff. Driver/Receiver	8-SOIC	1.92	1.54	1.20
SN75LVDS180D	296-12324-5-ND	Niederspann.-Diff.-Treiber/Empfänger	Low Volt. Diff. Driver/Receiver	14-SOIC	1.92	1.54	1.20
SN75LVDS386DGG	296-9975-5-ND	Hochgeschw.-Diff.-Empfänger, 16-Kan.	16-Ch., High Speed Diff. Receiver	64-TSSOP	6.89	5.52	4.66
SN75LVDS386DGGR	296-9975-1-ND	Hochgeschw.-Diff.-Empfänger, 16-Kan.	16-Ch., High Speed Diff. Receiver	64-TSSOP	6.89	5.52	4.66
SN75LVDS386DGGR	296-9975-2-ND	Hochgeschw.-Diff.-Empfänger, 16-Kan.	16-Ch., High Speed Diff. Receiver	64-TSSOP		8615.00/2,000	
SN75LVDS387DGG	296-2367-5-ND	Hochgeschw.-Diff.-Treiber, 16-Kan.	16-Ch., High Speed Diff. Driver	64-TSSOP	6.89	5.52	4.66
SN75LVDS389DBT	296-2369-5-ND	Hochgeschw.-Diff.-Treiber, 8-Kan	8-Ch., High Speed Diff. Driver	38-TSSOP	4.65	3.72	2.90
SN75LVDS9637D	296-12327-5-ND	Zweif. HS-Differenzialempfänger	Dual HS Differential Receiver	8-SOIC	2.06	1.65	1.24
SN75LVDS9638D	296-12328-5-ND	Zweif. HS-Differenzialtreiber	Dual HS Differential Driver	8-SOIC	2.06	1.65	1.24
		LVDT					
SN65LVDT2D	296-12140-5-ND	Hochgeschw.-Diff.-Leitungsempfänger	High Speed Diff. Line Receiver	8-SOIC	1.25	1.00	.75
SN65LVDT2DBVR	296-6896-1-ND	Hochgeschw.-Diff.-Leitungsempfänger	High Speed Diff. Line Receiver	SOT-23-5	.99	.83	.67
SN65LVDT2DBVR	296-6896-2-ND	Hochgeschw.-Diff.-Leitungsempfänger	High Speed Diff. Line Receiver	SOT-23-5		1287.68/3,000	
SN65LVDT14PW	296-12736-5-ND	Diff.-Treiber/Empfänger, hohe Geschw	High Speed Diff. Driver/Receiver	20-TSSOP	4.17	3.34	2.60
SN65LVDT32BDR	296-6897-1-ND	Vierf. LVDS-Empfänger	Quad LVDS Receiver	16-SOIC	4.00	3.20	2.49

(Forts.)

★ RUFEN SIE BITTE AN FÜR NIEDRIGERE PREISE BEI GRÖSSEREN MENGEN! ★

B

T. I. Teilenr.	Digi-Key Teilenr.	Beschreibung		Paket	Stückpreis ★ 1	25	100
SN65LVDT32BDR	296-6897-2-ND	Vierf. LVDS-Empfänger	Quad LVDS Receiver	16-SOIC		5600.26/2,500	
SN65LVDT33D	296-9749-5-ND	Vierf. Hochgeschw-Diff.-Empfänger	Quad, High Speed Diff. Receiver	16-SOIC	2.56	2.05	1.59
SN65LVDT33PW	296-9750-5-ND	Vierf. Hochgeschw-Diff.-Empfänger	Quad, High Speed Diff. Receiver	16-TSSOP	2.56	2.05	1.59
SN65LVDT34D	296-9751-5-ND	Zweif. Hochgeschw-Diff.-Empfänger	Dual, High Speed Diff. Receiver	8-SOIC	2.06	1.65	1.24
SN65LVDT41PW	296-12738-5-ND	Diff.-Treiber/Empfänger, hohe Geschw	High Speed Diff. Driver/Receiver	20-TSSOP	4.17	3.34	2.60
SN65LVDT100D	296-15389-5-ND	2 Gbps Diff.-Umsetzer/Rückmelder	2Gbps Diff. Translator/Repeater	8-SOIC	4.61	3.69	2.87
SN65LVDT100DGK	296-15390-5-ND	2 Gbps Diff.-Umsetzer/Rückmelder	2Gbps Diff. Translator/Repeater	8-MSOP	4.61	3.69	2.87
SN65LVDT101D	296-15391-5-ND	2 Gbps Diff.-Umsetzer/Rückmelder	2Gbps Diff. Translator/Repeater	8-SOIC	4.61	3.69	2.87
SN65LVDT101DGK	296-15392-5-ND	2 Gbps Diff.-Umsetzer/Rückmelder	2Gbps Diff. Translator/Repeater	8-MSOP	4.61	3.69	2.87
SN65LVDT125ADBT	296-16979-ND	LVDS-Crosspoint-Schalter, 1,5 Gbps 4x4	1.5Gbps 4x4 LVDS Crosspoint Switch	38-TSSOP	10.37	9.34	8.28
SN65LVDT250DBT	296-16932-ND	LVDS Crosspoint-Schalter 4x4	LVDS 4x4 Crosspoint Switch	38-TSSOP	10.93	9.85	8.73
SN65LVDT348D	296-12737-5-ND	Vierf. HS-Differenzialempfänger	Quad, HS Differential Receiver	16-SOIC	2.56	2.05	1.59
SN65LVDT348PW	296-12650-5-ND	Vierf. HS-Differenzialempfänger	Quad, HS Differential Receiver	16-TSSOP	2.56	2.05	1.59
SN65LVDT352PW	296-12651-5-ND	Vierf. HS-Differenzialempfänger	Quad, HS Differential Receiver	16-TSSOP	2.88	2.31	1.79
SN65LVDT386DGG	296-2360-5-ND	Hochgeschw.-Diff.-Empfänger, 16-Kan.	16-Ch., High Speed Diff. Receiver	64-TSSOP	7.89	6.32	5.33
SN65LVDT386DGGR	296-2360-1-ND	Hochgeschw.-Diff.-Empfänger, 16-Kan.	16-Ch., High Speed Diff. Receiver	64-TSSOP	7.89	6.32	5.33
SN65LVDT386DGGR	296-2360-2-ND	Hochgeschw.-Diff.-Empfänger, 16-Kan.	16-Ch., High Speed Diff. Receiver	64-TSSOP		9862.89/2,000	
SN65LVDT388ADBT	296-6899-5-ND	Oktal LVDS-Empfänger	Octal LVDS Receiver	38-TSSOP	4.65	3.72	2.90
SN65LVDT390D	296-6900-5-ND	Hochgeschw.-Diff.-Leitungsempfänger	High Speed Diff. Line Receiver	16-SOIC	2.40	1.92	1.50
SN65LVDT390PW	296-6901-5-ND	Hochgeschw.-Diff.-Leitungsempfänger	High Speed Diff. Line Receiver	16-TSSOP	2.40	1.92	1.50
SN65LVDT3486BDR	296-6898-1-ND	Vierf. LVDS-Empfänger	Quad LVDS Receiver	16-SOIC	2.88	2.31	1.79
SN65LVDT3486BDR	296-6898-2-ND	Vierf. LVDS-Empfänger	Quad LVDS Receiver	16-SOIC		4027.70/2,500	
SN65LVDT9637BDR	296-6902-1-ND	Zweif. LVDS-Empfänger	Dual LVDS Receiver	8-SOIC	3.60	2.88	2.25
SN65LVDT9637BDR	296-6902-2-ND	Zweif. LVDS-Empfänger	Dual LVDS Receiver	8-SOIC		5039.39/2,500	
SN75LVDT386DGG	296-2370-5-ND	Hochgeschw.-Diff.-Empfänger, 16-Kan.	16-Ch., High Speed Diff. Receiver	64-TSSOP	6.89	5.52	4.66
SN75LVDT386DGGR	296-2370-1-ND	Hochgeschw.-Diff.-Empfänger, 16-Kan.	16-Ch., High Speed Diff. Receiver	64-TSSOP	6.89	5.52	4.66
SN75LVDT386DGGR	296-2370-2-ND	Hochgeschw.-Diff.-Empfänger, 16-Kan.	16-Ch., High Speed Diff. Receiver	64-TSSOP		8615.00/2,000	
		LVP					
SN65LVP16DRFT	296-17445-1-ND	2,5 V/3,3 V Oszillator-Verstärkerstufe/Puffer	2.5V/3.3V Oscillator Gain Stage/Buffers	9-SON	4.32	3.46	2.92
SN65LVP16DRFT	296-17445-2-ND	2,5 V/3,3 V Oszillator-Verstärkerstufe/Puffer	2.5V/3.3V Oscillator Gain Stage/Buffers	9-SON		701.62/250	
SN65LVP17DRFT	296-17446-1-ND	2,5 V/3,3 V Oszillator-Verstärkerstufe/Puffer	2.5V/3.3V Oscillator Gain Stage/Buffers	9-SON	4.32	3.46	2.92
SN65LVP17DRFT	296-17446-2-ND	2,5 V/3,3 V Oszillator-Verstärkerstufe/Puffer	2.5V/3.3V Oscillator Gain Stage/Buffers	9-SON		701.62/250	
SN65LVP18DRFT	296-17447-1-ND	2,5 V/3,3 V Oszillator-Verstärkerstufe/Puffer	2.5V/3.3V Oscillator Gain Stage/Buffers	9-SON	3.72	2.98	2.32
SN65LVP18DRFT	296-17447-2-ND	2,5 V/3,3 V Oszillator-Verstärkerstufe/Puffer	2.5V/3.3V Oscillator Gain Stage/Buffers	9-SON		549.02/250	
SN65LVP19DRFT	296-17448-1-ND	2,5 V/3,3 V Oszillator-Verstärkerstufe/Puffer	2.5V/3.3V Oscillator Gain Stage/Buffers	9-SON	3.72	2.98	2.32
SN65LVP19DRFT	296-17448-2-ND	2,5 V/3,3 V Oszillator-Verstärkerstufe/Puffer	2.5V/3.3V Oscillator Gain Stage/Buffers	9-SON		549.02/250	
SN65LVP20DRFT	296-17177-1-ND	LVPECL-Rückmelder/Übersetzer	LVPECL Repeater/Translator	8-SON	7.45	5.96	5.03
SN65LVP20DRFT	296-17177-2-ND	LVPECL-Rückmelder/Übersetzer	LVPECL Repeater/Translator	8-SON		1210.64/250	
		RS422/RS423/RS485					
AM26C31CD	296-6781-5-ND	Vierf. Differenzial-Leitungstreiber	Quad Differential Line Driver	16-SOIC	1.02	.85	.68
AM26C31CDBR	296-6782-1-ND	Vierf. Differenzial-Leitungstreiber	Quad Differential Line Driver	16-SSOP	.76	.64	.51
AM26C31CDBR	296-6782-2-ND	Vierf. Differenzial-Leitungstreiber	Quad Differential Line Driver	16-SSOP		675.59/2,000	
AM26C31CN	296-6783-5-ND	Vierf. Differenzial-Leitungstreiber	Quad Differential Line Driver	16-Dip	1.02	.85	.68
AM26C31ID	296-6784-5-ND	Vierf. Differenzial-Leitungstreiber	Quad Differential Line Driver	16-SOIC	1.14	.96	.77
AM26C31IN	296-6785-5-ND	Vierf. Differenzial-Leitungstreiber	Quad Differential Line Driver	16-Dip	1.14	.96	.77
AM26C31QD	296-13867-5-ND	Vierf. Differenzial-Leitungstreiber	Quad Differential Line Driver	16-SOIC	2.50	2.00	1.56
AM26C32CD	296-6786-5-ND	Vierf. Differenzial-Leitungsempfänger	Quad Differential Line Receiver	16-SOIC	1.02	.85	.68
AM26C32CN	296-6787-5-ND	Vierf. Differenzial-Leitungsempfänger	Quad Differential Line Receiver	16-Dip	1.02	.85	.68
AM26C32ID	296-6788-5-ND	Vierf. Differenzial-Leitungsempfänger	Quad Differential Line Receiver	16-SOIC	1.14	.96	.77
AM26C32IDR	296-14471-1-ND	Vierf. Differenzial-Leitungsempfänger	Quad Differential Line Receiver	16-SOIC	1.14	.96	.77
AM26C32IDR	296-14471-2-ND	Vierf. Differenzial-Leitungsempfänger	Quad Differential Line Receiver	16-SOIC		1238.15/2,500	
AM26C32IN	296-6789-5-ND	Vierf. Differenzial-Leitungsempfänger	Quad Differential Line Receiver	16-Dip	1.14	.96	.77
AM26C32QD	296-13868-5-ND	Vierf. Differenzial-Leitungsempfänger	Quad Differential Line Receiver	16-SOIC	2.50	2.00	1.56
AM26LS31CD	296-1010-5-ND	Vierf. Differenzial-Leitungstreiber	Quad Differential Line Driver	16-SOIC	.63	.53	.43
AM26LS31CDR	296-1010-1-ND	Vierf. Differenzial-Leitungstreiber	Quad Differential Line Driver	16-SOIC	.63	.53	.43
AM26LS31CDR	296-1010-2-ND	Vierf. Differenzial-Leitungstreiber	Quad Differential Line Driver	16-SOIC		687.86/2,500	
AM26LS31CN	296-1374-5-ND	Vierf. Differenzial-Leitungstreiber	Quad Differential Line Driver	16-Dip	.63	.53	.43
AM26LS32ACD	296-1011-5-ND	Vierf. Differenzial-Leitungsempfänger	Quad Differential Line Receiver	16-SOIC	.63	.53	.43
AM26LS32ACDR	296-1011-1-ND	Vierf. Differenzial-Leitungsempfänger	Quad Differential Line Receiver	16-SOIC	.63	.53	.43
AM26LS32ACDR	296-1011-2-ND	Vierf. Differenzial-Leitungsempfänger	Quad Differential Line Receiver	16-SOIC		687.86/2,500	
AM26LS32ACN	296-1376-5-ND	Vierf. Differenzial-Leitungsempfänger	Quad Differential Line Receiver	16-Dip	.63	.53	.43
AM26LS32ACNSR	296-6790-1-ND	Vierf. Differenzial-Leitungsempfänger	Quad Differential Line Receiver	16-SOP	.63	.53	.43
AM26LS32ACNSR	296-6790-2-ND	Vierf. Differenzial-Leitungsempfänger	Quad Differential Line Receiver	16-SOP		563.84/2,000	
AM26LS32AIDR	296-13065-1-ND	Vierf. Differenzial-Leitungsempfänger	Quad Differential Line Receiver	16-SOIC	.68	.51	.39
AM26LS32AIDR	296-13065-2-ND	Vierf. Differenzial-Leitungsempfänger	Quad Differential Line Receiver	16-SOIC		550.29/2,500	
AM26LS32AIN	296-13066-5-ND	Vierf. Differenzial-Leitungsempfänger	Quad Differential Line Receiver	16-Dip	.68	.51	.39
AM26LS33ACD	296-6791-5-ND	Vierf. Differenzial-Leitungsempfänger	Quad Differential Line Receiver	16-SOIC	.68	.51	.39
AM26LS33ACDR	296-14473-1-ND	Vierf. Differenzial-Leitungsempfänger	Quad Differential Line Receiver	16-SOIC	.68	.51	.39
AM26LS33ACDR	296-14473-2-ND	Vierf. Differenzial-Leitungsempfänger	Quad Differential Line Receiver	16-SOIC		550.29/2,500	
AM26LS33ACN	296-6792-5-ND	Vierf. Differenzial-Leitungsempfänger	Quad Differential Line Receiver	16-Dip	.68	.51	.39
AM26LV31CD	296-6793-5-ND	Vierf. Differenzial-Leitungstreiber	Quad Differential Line Driver	16-SOIC	1.02	.85	.68
AM26LV32CD	296-6794-5-ND	Vierf. Differenzial-Leitungsempfänger	Quad Differential Line Receiver	16-SOIC	1.02	.85	.68
AM26LV32CDR	296-6794-1-ND	Vierf. Differenzial-Leitungsempfänger	Quad Differential Line Receiver	16-SOIC	1.02	.85	.68
AM26LV32CNSR	296-6796-1-ND	Vierf. Differenzial-Leitungsempfänger	Quad Differential Line Receiver	16-SOP	1.02	.85	.68
AM26LV32CNSR	296-6796-2-ND	Vierf. Differenzial-Leitungsempfänger	Quad Differential Line Receiver	16-SOP		900.78/2,000	
AM26S10CD	296-6797-5-ND	Vierf. Bus-Transceiver	Quad Bus Transceiver	16-SOIC	1.02	.85	.68
AM26S10CN	296-6798-5-ND	Vierf. Bus-Transceiver	Quad Bus Transceiver	16-Dip	1.12	.94	.75
M26LV32CDR	296-6794-2-ND	Vierf. Differenzial-Leitungsempfänger	Quad Differential Line Receiver	16-SOP		1100.58/2,500	
MAX232DR	296-14619-1-ND	Zweif. RS232-Treiber/Empfänger	Dual RS-232 Driver/Receiver	16-SOIC	.76	.64	.51
MAX232DR	296-14619-2-ND	Zweif. RS232-Treiber/Empfänger	Dual RS-232 Driver/Receiver	16-SOIC		825.44/2,500	
MAX232DWR	296-14620-1-ND	Zweif. RS232-Treiber/Empfänger	Dual RS-232 Driver/Receiver	16-SOIC	.76	.64	.51
MAX232DWR	296-14620-2-ND	Zweif. RS232-Treiber/Empfänger	Dual RS-232 Driver/Receiver	16-SOIC		675.59/2,000	
MAX232IDWR	296-14621-1-ND	Zweif. RS232-Treiber/Empfänger	Dual RS-232 Driver/Receiver	16-SOIC	.81	.68	.55
MAX232IDWR	296-14621-2-ND	Zweif. RS232-Treiber/Empfänger	Dual RS-232 Driver/Receiver	16-SOIC		721.30/2,000	
MC3486D	296-7037-5-ND	Vierf. Tri-State-Diff.-Leitungsempfänger	Tri-State Quad Diff. Line Receiver	16-SOIC	.63	.53	.43
MC3486DR	296-14624-1-ND	Vierf. Tri-State-Diff.-Leitungsempfänger	Tri-State Quad Diff. Line Receiver	16-SOIC	.63	.53	.43
MC3486DR	296-14624-2-ND	Vierf. Tri-State-Diff.-Leitungsempfänger	Tri-State Quad Diff. Line Receiver	16-SOIC		687.86/2,500	
MC3486N	296-7038-5-ND	Vierf. Tri-State-Diff.-Leitungsempfänger	Tri-State Quad Diff. Line Receiver	16-Dip	.63	.53	.43
MC3487DR	296-14625-1-ND	Vierf. Differenzial-Leitungstreiber	Quad Differential Line Driver	16-SOIC	.63	.53	.43
MC3487DR	296-14625-2-ND	Vierf. Differenzial-Leitungstreiber	Quad Differential Line Driver	16-SOIC		687.86/2,500	
MC3487N	296-1408-5-ND	Vierf. Differenzial-Leitungstreiber	Quad Differential Line Driver	16-Dip	.63	.53	.43
SN65176BDR	296-14636-1-ND	Differenzialbus-Transceiver	Differential Bus Transceiver	8-SOIC	.75	.56	.42
SN65176BDR	296-14636-2-ND	Differenzialbus-Transceiver	Differential Bus Transceiver	8-SOIC		605.32/2,500	
SN65C1167NSR	296-9699-1-ND	Zweif. Differenzial-Treiber/Empfänger	Dual Differential Driver/Receiver	16-SOP	2.48	1.99	1.55
SN65C1167NSR	296-9699-2-ND	Zweif. Differenzial-Treiber/Empfänger	Dual Differential Driver/Receiver	16-SOP		2807.33/2,000	
SN65C1168PWR	296-14348-1-ND	Zweif. Differenzial-Treiber/Empfänger	Dual Differential Driver/Receiver	16-TSSOP	1.59	1.27	.96
SN65C1168PWR	296-14348-2-ND	Zweif. Differenzial-Treiber/Empfänger	Dual Differential Driver/Receiver	16-TSSOP		1650.87/2,000	
SN65HVD05D	296-12988-5-ND	RS485-Transceiver mit hohem Ausgang	High Output RS-485 Transceiver	8-SOIC	2.90	2.32	1.81
SN65HVD05P	296-15215-5-ND	RS485-Transceiver mit hohem Ausgang	High Output RS-485 Transceiver	8-Dip	2.90	2.32	1.81

(Forts.)

★ RUFEN SIE BITTE AN FÜR NIEDRIGERE PREISE BEI GRÖSSEREN MENGEN! ★

Alle Preisangaben in Euro und inklusive Zollgebühren.

T. I. Teilenr.	Digi-Key Teilenr.	Beschreibung		Paket	Stückpreis★ 1	25	100
SN65HVD06D	296-12989-5-ND	RS485-Transceiver mit hohem Ausgang	High Output RS-485 Transceiver	8-SOIC	2.80	2.24	1.75
SN65HVD06P	296-15095-5-ND	RS485-Transceiver mit hohem Ausgang	High Output RS-485 Transceiver	8-Dip	2.80	2.24	1.75
SN65HVD07D	296-12990-5-ND	RS485-Transceiver mit hohem Ausgang	High Output RS-485 Transceiver	8-SOIC	2.73	2.18	1.70
SN65HVD08D	296-14010-5-ND	RS485-Transcvr, breiter Versorgungsbereich	Wide Supply Range RS-485 Transcvr	8-SOIC	3.62	2.90	2.26
SN65HVD08P	296-14011-5-ND	RS485-Transcvr, breiter Versorgungsbereich	Wide Supply Range RS-485 Transcvr	8-Dip	3.62	2.90	2.26
SN65HVD10D	296-12645-5-ND	RS485-Transceiver, 3,3 V	3.3V RS-485 Transceiver	8-SOIC	3.35	2.69	2.09
SN65HVD10QD	296-14012-5-ND	RS485-Transceiver, 3,3 V	3.3V RS-485 Transceiver	8-SOIC	4.34	3.48	2.71
SN65HVD11D	296-12646-5-ND	RS485-Transceiver, 3,3 V	3.3V RS-485 Transceiver	8-SOIC	3.26	2.61	2.03
SN65HVD11QD	296-14013-5-ND	RS485-Transceiver, 3,3 V	3.3V RS-485 Transceiver	8-SOIC	4.17	3.34	2.60
SN65HVD12D	296-12647-5-ND	RS485-Transceiver, 3,3 V	3.3V RS-485 Transceiver	8-SOIC	3.17	2.53	1.97
SN65HVD12P	296-13862-5-ND	RS485-Transceiver, 3,3 V	3.3V RS-485 Transceiver	8-Dip	3.17	2.53	1.97
SN65HVD20D	296-14184-5-ND	RS485 Transceiver, erweiterter Gleichtakt	Extended Common-Mode RS-485 Transceiver	8-SOIC	3.14	2.52	1.96
SN65HVD21D	296-14185-5-ND	RS485 Transceiver, erweiterter Gleichtakt	Extended Common-Mode RS-485 Transceiver	8-SOIC	3.14	2.52	1.96
SN65HVD21P	296-15096-5-ND	RS485 Transceiver, erweiterter Gleichtakt	Extended Common-Mode RS-485 Transceiver	8-Dip	3.14	2.52	1.96
SN65HVD22D	296-14186-5-ND	RS485 Transceiver, erweiterter Gleichtakt	Extended Common-Mode RS-485 Transceiver	8-SOIC	3.14	2.52	1.96
SN65HVD22P	296-15097-5-ND	RS485 Transceiver, erweiterter Gleichtakt	Extended Common-Mode RS-485 Transceiver	8-Dip	3.14	2.52	1.96
SN65HVD23D	296-15230-5-ND	RS485 Transceiver, erweiterter Gleichtakt	Extended Common-Mode RS-485 Transceiver	8-SOIC	3.43	2.75	2.14
SN65HVD23P	296-15231-5-ND	RS485 Transceiver, erweiterter Gleichtakt	Extended Common-Mode RS-485 Transceiver	8-Dip	3.43	2.75	2.14
SN65HVD24D	296-15232-5-ND	RS485 Transceiver, erweiterter Gleichtakt	Extended Common-Mode RS-485 Transceiver	8-SOIC	3.43	2.75	2.14
SN65HVD24P	296-15233-5-ND	RS485 Transceiver, erweiterter Gleichtakt	Extended Common-Mode RS-485 Transceiver	8-Dip	3.43	2.75	2.14
SN65HVD230DR	296-11654-1-ND	CAN-Transcvr mit Standby-Modus, 3,3 V	3.3V CAN Transcvr w/Standby Mode	8-SOIC	2.57	2.06	1.61
SN65HVD230DR	296-11654-2-ND	CAN-Transcvr mit Standby-Modus, 3,3 V	3.3V CAN Transcvr w/Standby Mode	8-SOIC		3600.17/2,500	
SN65HVD230QD	296-13123-5-ND	CAN-Transcvr mit Standby-Modus, 3,3 V	3.3V CAN Transcvr w/Standby Mode	8-SOIC	2.95	2.37	1.84
SN65HVD230QDRQ1	296-15379-1-ND	CAN-Transcvr mit Standby-Modus, 3,3 V	3.3V CAN Transcvr w/Standby Mode	8-SOIC	3.05	2.44	1.90
SN65HVD230QDRQ1	296-15379-2-ND	CAN-Transcvr mit Standby-Modus, 3,3 V	3.3V CAN Transcvr w/Standby Mode	8-SOIC		4266.86/2,500	
SN65HVD231D	296-12206-5-ND	CAN-Transcvr mit Schlafmodus, 3,3 V	3.3V CAN Transcvr w/Sleep Mode	8-SOIC	2.57	2.06	1.61
SN65HVD231QD	296-12704-5-ND	CAN-Transcvr mit Schlafmodus, 3,3 V	3.3V CAN Transcvr w/Sleep Mode	8-SOIC	2.95	2.37	1.84
SN65HVD231QDRQ1	296-15380-1-ND	CAN-Transcvr mit Schlafmodus, 3,3 V	3.3V CAN Transcvr w/Sleep Mode	8-SOIC	3.05	2.44	1.90
SN65HVD231QDRQ1	296-15380-2-ND	CAN-Transcvr mit Schlafmodus, 3,3 V	3.3V CAN Transcvr w/Sleep Mode	8-SOIC		4266.86/2,500	
SN65HVD232D	296-12282-5-ND	CAN-Transceiver, 3,3 V	3.3V CAN Transceiver	8-SOIC	2.48	1.99	1.55
SN65HVD232QD	296-12705-5-ND	CAN-Transceiver, 3,3 V, Q100-qualifiziert	3.3V CAN Transceiver Q100 Qualified	8-SOIC	2.86	2.29	1.78
SN65HVD232QDRQ1	296-15381-1-ND	CAN-Transceiver, 3,3 V, Q100-qualifiziert	3.3V CAN Transceiver Q100 Qualified	8-SOIC	2.86	2.29	1.78
SN65HVD232QDRQ1	296-15381-2-ND	CAN-Transceiver, 3,3 V, Q100-qualifiziert	3.3V CAN Transceiver Q100 Qualified	8-SOIC		4000.19/2,500	
SN65HVD233D	296-14639-5-ND	CAN-Transceiver, 3,3 V	3.3V CAN Transceiver	8-SOIC	2.86	2.29	1.78
SN65HVD234D	296-15228-5-ND	CAN-Transceiver, 3,3 V	3.3V CAN Transceiver	8-SOIC	2.76	2.21	1.72
SN65HVD235D	296-15229-5-ND	CAN-Transceiver, 3,3 V	3.3V CAN Transceiver	8-SOIC	2.86	2.29	1.78
SN65HVD251D	296-13816-5-ND	CAN-Transceiver mit Standby-Modus, 5 V	5V CAN Transceiver w/Standby Mode	8-SOIC	1.82	1.46	1.10
SN65HVD485EDGKR	296-17174-1-ND	Halbduplex RS485 Transceiver	Half-Duplex RS-485 Transceiver	8-MSOP	2.01	1.61	1.21
SN65HVD485EDGKR	296-17174-2-ND	Halbduplex RS485 Transceiver	Half-Duplex RS-485 Transceiver	8-MSOP		2573.66/2,500	
SN65HVD485EDR	296-17175-1-ND	Halbduplex RS485 Transceiver	Half-Duplex RS-485 Transceiver	8-SOIC	1.42	1.14	.86
SN65HVD485EDR	296-17175-2-ND	Halbduplex RS485 Transceiver	Half-Duplex RS-485 Transceiver	8-SOIC		1815.96/2,500	
SN65HVD485EP	296-17498-5-ND	Halbduplex RS485 Transceiver	Half-Duplex RS-485 Transceiver	8-Dip	1.42	1.14	.86
SN65HVD1176D	296-15345-5-ND	Profibus RS485 Transceiver	Profibus RS-485 Transceiver	8-SOIC	2.80	2.24	1.75
SN65HVD3082ED	296-14640-5-ND	RS485-Transceiver, NL	Low Power RS-485 Transceiver	8-SOIC	1.82	1.46	1.10
SN65HVD3082EP	296-15382-5-ND	RS485-Transceiver, NL	Low Power RS-485 Transceiver	8-Dip	1.82	1.46	1.10
SN65HVD3085ED	296-17170-5-ND	RS485-Transceiver, NL	Low Power RS-485 Transceiver	8-SOIC	1.82	1.46	1.10
SN65HVD3085EDGK	296-17171-5-ND	RS485-Transceiver, NL	Low Power RS-485 Transceiver	8-MSOP	2.18	1.74	1.36
SN65HVD3088ED	296-17172-5-ND	RS485-Transceiver, NL	Low Power RS-485 Transceiver	8-SOIC	2.01	1.61	1.21
SN65HVD3088EDGK	296-17173-5-ND	RS485-Transceiver, NL	Low Power RS-485 Transceiver	8-MSOP	2.36	1.89	1.47
SN65LBC031D	296-9700-5-ND	Hochgeschwindigkeits-CAN-Transceiver	High Speed CAN Transceiver	8-SOIC	2.86	2.29	1.78
SN65LBC031QD	296-9701-5-ND	Hochgeschwindigkeits-CAN-Transceiver	High Speed CAN Transceiver	8-SOIC	3.34	2.67	2.08
SN65LBC031QDR	296-9701-1-ND	Hochgeschwindigkeits-CAN-Transceiver	High Speed CAN Transceiver	8-SOIC	3.34	2.67	2.08
SN65LBC031QDR	296-9701-2-ND	Hochgeschwindigkeits-CAN-Transceiver	High Speed CAN Transceiver	8-SOIC		4666.88/2,500	
SN65LBC170DB	296-9702-5-ND	Dreif. Differenzial-Transceiver	Triple Differential Transceiver	16-SSOP	5.82	4.66	3.94
SN65LBC170DW	296-9703-5-ND	Dreif. Differenzial-Transceiver	Triple Differential Transceiver	20-SOIC	5.82	4.66	3.94
SN65LBC171DB	296-9704-5-ND	Dreif. Differenzial-Transceiver	Triple Differential Transceiver	16-SSOP	5.82	4.66	3.94
SN65LBC171DW	296-9705-5-ND	Dreif. Differenzial-Transceiver	Triple Differential Transceiver	20-SOIC	5.82	4.66	3.94
SN65LBC172A16DW	296-15174-5-ND	Vierf. Diff.-Leitungstreiber, NL	Quad LP Differential Line Driver	16-SOIC	3.85	3.08	2.40
SN65LBC172ADW	296-9706-5-ND	Vierf. Diff.-Leitungstreiber, NL	Quad LP Differential Line Driver	20-SOIC	3.85	3.08	2.40
SN65LBC172AN	296-12283-5-ND	Vierf. Diff.-Leitungstreiber, NL	Quad LP Differential Line Driver	16-Dip	3.85	3.08	2.40
SN65LBC172DW	296-9707-5-ND	Vierf. Diff.-Leitungstreiber, NL	Quad LP Differential Line Driver	20-SOIC	2.88	2.31	1.79
SN65LBC172N	296-9708-5-ND	Vierf. Diff.-Leitungstreiber, NL	Quad LP Differential Line Driver	16-Dip	2.88	2.31	1.79
SN65LBC173AD	296-9709-5-ND	Vierf. Diff.-Leitungsempfänger, NL	Quad LP Differential Line Receiver	16-SOIC	2.40	1.92	1.50
SN65LBC173AN	296-9710-5-ND	Vierf. Diff.-Leitungsempfänger, NL	Quad LP Differential Line Receiver	16-Dip	2.40	1.92	1.50
SN65LBC173D	296-9711-5-ND	Vierf. Diff.-Leitungsempfänger, NL	Quad LP Differential Line Receiver	16-SOIC	2.06	1.65	1.24
SN65LBC173N	296-9712-5-ND	Vierf. Diff.-Leitungsempfänger, NL	Quad LP Differential Line Receiver	16-Dip	2.06	1.65	1.24
SN65LBC174A16DW	296-15175-5-ND	Vierf. Diff.-Leitungstreiber, NL	Quad LP Differential Line Driver	16-SOIC	4.00	3.20	2.49
SN65LBC174ADW	296-9713-5-ND	Vierf. Diff.-Leitungstreiber, NL	Quad LP Differential Line Driver	20-SOIC	4.00	3.20	2.49
SN65LBC174AN	296-12284-5-ND	Vierf. Diff.-Leitungstreiber, NL	Quad LP Differential Line Driver	16-Dip	4.00	3.20	2.49
SN65LBC174DW	296-9714-5-ND	Vierf. Diff.-Leitungstreiber, NL	Quad LP Differential Line Driver	20-SOIC	3.05	2.44	1.90
SN65LBC174N	296-9715-5-ND	Vierf. Diff.-Leitungstreiber, NL	Quad LP Differential Line Driver	16-Dip	3.05	2.44	1.90
SN65LBC175AD	296-9716-5-ND	Vierf. Diff.-Leitungsempfänger, NL	Quad LP Differential Line Receiver	16-SOIC	2.25	1.80	1.40
SN65LBC175AN	296-13124-5-ND	Vierf. RS485-Diff.-Leitungsempfänger	Quad RS-485 Diff. Line Receiver	16-Dip	2.25	1.80	1.40
SN65LBC175D	296-9717-5-ND	Vierf. Diff.-Leitungsempfänger, NL	Quad LP Differential Line Receiver	16-SOIC	1.95	1.56	1.17
SN65LBC175DW	296-12460-5-ND	Vierf. Diff.-Leitungsempfänger, NL	Quad LP Differential Line Receiver	16-SOIC	1.95	1.56	1.17
SN65LBC175N	296-9718-5-ND	Vierf. Diff.-Leitungsempfänger, NL	Quad LP Differential Line Receiver	16-Dip	1.95	1.56	1.17
SN65LBC176AD	296-9719-5-ND	Vierf. Differenzialbus-Transceiver, NL	Quad LP Diff. Bus Transceiver	8-SOIC	1.92	1.54	1.20
SN65LBC176AP	296-9720-5-ND	Vierf. Differenzialbus-Transceiver, NL	Quad LP Diff. Bus Transceiver	8-Dip	1.92	1.54	1.20
SN65LBC176AQD	296-9721-5-ND	Vierf. Differenzialbus-Transceiver, NL	Quad LP Diff. Bus Transceiver	8-SOIC	2.00	1.60	1.25
SN65LBC176D	296-9722-5-ND	Vierf. Differenzialbus-Transceiver, NL	Quad LP Diff. Bus Transceiver	8-SOIC	1.61	1.29	.97
SN65LBC176P	296-9723-5-ND	Vierf. Differenzialbus-Transceiver, NL	Quad LP Diff. Bus Transceiver	8-Dip	1.61	1.29	.97
SN65LBC176QD	296-9724-5-ND	Vierf. Differenzialbus-Transceiver, NL	Quad LP Diff. Bus Transceiver	8-SOIC	1.69	1.36	1.02
SN65LBC176QDRQ1	296-16947-1-ND	Vierf. Differenzialbus-Transceiver, NL	Quad LP Diff. Bus Transceiver	8-SOIC	1.69	1.36	1.02
SN65LBC176QDRQ1	296-16947-2-ND	Vierf. Differenzialbus-Transceiver, NL	Quad LP Diff. Bus Transceiver	8-SOIC		2167.30/2,500	
SN65LBC179AD	296-9725-5-ND	Differenzial-Leitungstreiber-/Empf.paare, NL	LP Differential Line Driver/Rcvr. Pairs	8-SOIC	1.95	1.56	1.17
SN65LBC179AP	296-9726-5-ND	Differenzial-Leitungstreiber-/Empf.paare, NL	LP Differential Line Driver/Rcvr. Pairs	8-Dip	1.95	1.56	1.17
SN65LBC179D	296-9727-5-ND	Differenzial-Leitungstreiber-/Empf.paare, NL	LP Differential Line Driver/Rcvr. Pairs	8-SOIC	1.51	1.21	.91
SN65LBC179P	296-9728-5-ND	Differenzial-Leitungstreiber-/Empf.paare, NL	LP Differential Line Driver/Rcvr. Pairs	8-Dip	1.51	1.21	.91
SN65LBC180AD	296-9729-5-ND	Differenzial-Leitungstreiber-/Empf.paare, NL	LP Differential Line Driver/Rcvr. Pairs	14-SOIC	2.15	1.73	1.34
SN65LBC180AN	296-9730-5-ND	Differenzial-Leitungstreiber-/Empf.paare, NL	LP Differential Line Driver/Rcvr. Pairs	14-Dip	2.15	1.73	1.34
SN65LBC180D	296-9731-5-ND	Differenzial-Leitungstreiber-/Empf.paare, NL	LP Differential Line Driver/Rcvr. Pairs	14-SOIC	1.86	1.49	1.12
SN65LBC180N	296-9732-5-ND	Differenzial-Leitungstreiber-/Empf.paare, NL	LP Differential Line Driver/Rcvr. Pairs	14-Dip	1.86	1.49	1.12
SN65LBC180RGVT	296-17365-1-ND	Differenzial-Leitungstreiber-/Empf.paare, NL	LP Differential Line Driver/Rcvr. Pairs	16-QFN	1.95	1.56	1.17
SN65LBC180RGVT	296-17365-2-ND	Differenzial-Leitungstreiber-/Empf.paare, NL	LP Differential Line Driver/Recvr Pairs	16-QFN		272.61/250	
SN65LBC182D	296-12167-5-ND	Differenzialbus-Transceiver	Differential Bus Transceiver	8-SOIC	1.86	1.49	1.12
SN65LBC182P	296-12734-5-ND	Differenzialbus-Transceiver	Differential Bus Transceiver	8-Dip	1.86	1.49	1.12
SN65LBC184D	296-9733-5-ND	Differenzial-Transcvr mit TVS-Schutz	Differential Xcvr. with TVS Protection	8-SOIC	2.48	1.99	1.55
SN65LBC184P	296-2343-5-ND	Differenzial-Transcvr mit TVS-Schutz	Differential Xcvr. with TVS Protection	8-Dip	2.48	1.99	1.55
SN65176BD	296-9693-5-ND	Differenzialbus-Transceiver	Differential Bus Transceiver	8-SOIC	.75	.56	.42
SN65176BP	296-1415-5-ND	Differenzialbus-Transceiver	Differential Bus Transceiver	8-Dip	.75	.56	.42
SN75HVD12P	296-14047-5-ND	RS485-Transceiver, 3,3 V	3.3V RS-485 Transceiver	8-Dip	2.53	2.03	1.58
SN75HVD1176D	296-15346-5-ND	Profibus RS485 Transceiver	Profibus RS-485 Transceiver	8-SOIC	2.53	2.03	1.58
SN75LBC031D	296-6864-5-ND	Hochgeschwindigkeits-Transceiver	High Speed Transceiver	8-SOIC	2.57	2.06	1.61
SN75LBC172DW	296-6865-5-ND	Vierf. Diff.-Leitungstreiber, NL	Quad LP Differential Line Driver	20-SOIC	2.65	2.12	1.65
SN75LBC172N	296-6866-5-ND	Vierf. Diff.-Leitungstreiber, NL	Quad LP Differential Line Driver	16-Dip	2.65	2.12	1.65

(Forts.)

★ ***RUFEN SIE BITTE AN FÜR NIEDRIGERE PREISE BEI GRÖSSEREN MENGEN!*** ★

B

T. I. Teilenr.	Digi-Key Teilenr.	Beschreibung		Paket	Stückpreis★ 1	25	100
SN75LBC173D	296-6867-5-ND	Vierf. Diff.-Leitungsempfänger, NL	Quad LP Differential Line Receiver	16-SOIC	1.86	1.49	1.12
SN75LBC173N	296-6868-5-ND	Vierf. Diff.-Leitungsempfänger, NL	Quad LP Differential Line Receiver	16-Dip	1.86	1.49	1.12
SN75LBC174DW	296-6869-5-ND	Vierf. Diff.-Leitungstreiber, NL	Quad LP Differential Line Driver	20-SOIC	2.80	2.24	1.75
SN75LBC174N	296-6870-5-ND	Vierf. Diff.-Leitungstreiber, NL	Quad LP Differential Line Driver	16-Dip	2.80	2.24	1.75
SN75LBC175D	296-6871-5-ND	Vierf. Diff.-Leitungsempfänger, NL	Quad LP Differential Line Receiver	16-SOIC	1.78	1.43	1.07
SN75LBC175N	296-6872-5-ND	Vierf. Diff.-Leitungsempfänger, NL	Quad LP Differential Line Receiver	16-Dip	1.78	1.43	1.07
SN75LBC176AD	296-6873-5-ND	Vierf. Differenzialbus-Transceiver, NL	Quad LP Differential Bus Transceiver	8-SOIC	1.95	1.56	1.17
SN75LBC176AP	296-6874-5-ND	Differenzialbus-Transceiver	Differential Bus Transceiver	8-Dip	1.95	1.56	1.17
SN75LBC176D	296-1279-5-ND	Differenzialbus-Transceiver	Differential Bus Transceiver	8-SOIC	1.51	1.21	.91
SN75LBC176DR	296-1279-1-ND	Differenzialbus-Transceiver	Differential Bus Transceiver	8-SOIC	1.51	1.21	.91
SN75LBC176DR	296-1279-2-ND	Differenzialbus-Transceiver	Differential Bus Transceiver	8-SOIC		1923.90/2,500	
SN75LBC176P	296-6875-5-ND	Differenzialbus-Transceiver	Differential Bus Transceiver	8-Dip	1.51	1.21	.91
SN75LBC179AD	296-6876-5-ND	Differenzial-Leitungstreiber-/Empf.-Paare, NL	LP Differential Line Driver/Rcvr Pairs	8-SOIC	1.86	1.49	1.12
SN75LBC179AP	296-6877-5-ND	Differenzial-Leitungstreiber-/Empf.-Paare, NL	LP Differential Line Driver/Rcvr Pairs	8-Dip	1.86	1.49	1.12
SN75LBC179D	296-6878-5-ND	Differenzial-Leitungstreiber-/Empf.-Paare, NL	LP Differential Line Driver/Rcvr Pairs	8-SOIC	1.34	1.07	.80
SN75LBC179P	296-6879-5-ND	Differenzial-Leitungstreiber-/Empf.-Paare, NL	LP Differential Line Driver/Rcvr Pairs	8-Dip	1.34	1.07	.80
SN75LBC180AD	296-6880-5-ND	Differenzial-Leitungstreiber-/Empf.-Paare, NL	LP Differential Line Driver/Rcvr Pairs	14-SOIC	2.00	1.60	1.25
SN75LBC180AN	296-6881-5-ND	Differenzial-Leitungstreiber-/Empf.-Paare, NL	LP Differential Line Driver/Rcvr Pairs	14-Dip	2.00	1.60	1.25
SN75LBC180D	296-6882-5-ND	Differenzial-Leitungstreiber-/Empf.-Paare, NL	LP Differential Line Driver/Rcvr Pairs	14-SOIC	1.69	1.36	1.02
SN75LBC180N	296-6883-5-ND	Differenzial-Leitungstreiber-/Empf.-Paare, NL	LP Differential Line Driver/Rcvr Pairs	14-Dip	1.69	1.36	1.02
SN75LBC182D	296-11656-5-ND	Differenzialbus-Transceiver	Differential Bus Transceiver	8-SOIC	1.69	1.36	1.02
SN75LBC184D	296-2364-5-ND	Differenzial-Transcvr mit TVS-Schutz	Differential Xcvr. with TVS Protection	8-SOIC	2.29	1.83	1.43
SN75LBC184P	296-6884-5-ND	Differenzial-Transcvr mit TVS-Schutz	Differential Xcvr. with TVS Protection	8-Dip	2.29	1.83	1.43
SN75LBC187DBR	296-6885-1-ND	EIA-232-Treiber/Empfänger, mehrkanalig	Multichannel EIA-232 Driver/Receiver	28-SSOP	3.81	3.05	2.38
SN75LBC187DBR	296-6885-2-ND	EIA-232-Treiber/Empfänger, mehrkanalig	Multichannel EIA-232 Driver/Receiver	28-SSOP		4317.66/2,000	
SN75LBC241DW	296-6886-5-ND	LinBiCMOS-Treiber und Empfänger, mehrfach, NL	LP LinBiCMOS Multiple Drivers and Receivers	28-SOIC	2.29	1.83	1.43
SN75LBC771DW	296-6887-5-ND	GeoPort™-Transceiver	GeoPort™ Transceiver	20-SOIC	2.10	1.68	1.31
SN75LBC776DW	296-6890-5-ND	GeoPort™-Transceiver, Einzelchip	Single-Chip GeoPort™ Transceiver	20-SOIC	4.00	3.20	2.49
SN75LBC777DW	296-6891-5-ND	Geoport/AppleTalk™-Transceiver, Einzelchip	Single-Chip Geoport/AppleTalk™ Transceiver	20-SOIC	3.05	2.44	1.90
SN75LBC784DWR	296-6892-1-ND	Vierf. RS423-B-Treiber/Empfänger	Quad RS-423-B Driver/Receiver	28-SOIC	4.39	3.51	2.73
SN75LBC784DWR	296-6892-2-ND	Vierf. RS423-B-Treiber/Empfänger	Quad RS-423-B Driver/Receiver	28-SOIC		2483.08/1,000	
SN75LBC786DW	296-6893-5-ND	Vierf. RS423-B-Treiber/Empfänger mit Loopback	Quad RS-423-B Driver/Receiver with Loopback	28-SOIC	8.39	7.56	6.70
SN75LBC968DL	296-6894-5-ND	Bus-Transceiver mit aktivem Anschluss, 9-Kan	9-Channel Bus Transceiver with Active Termination	56-SSOP	13.54	12.20	10.81
SN75LBC978DLR	296-6895-1-ND	Differenzial-Transceiver, 9-Kan	9-Channel Differential Transceiver	56-SSOP	19.56	18.26	16.95
SN75LBC978DLR	296-6895-2-ND	Differenzial-Transceiver, 9-Kan	9-Channel Differential Transceiver	56-SSOP		16101.49/1,000	
SN75107AD	296-6799-5-ND	Zweif. Leitungsempfänger	Dual Line Receiver	14-SOIC	1.06	.85	.64
SN75107AN	296-6800-5-ND	Zweif. Leitungsempfänger	Dual Line Receiver	14-Dip	1.06	.85	.64
SN75107BD	296-6802-5-ND	Zweif. Leitungsempfänger	Dual Line Receiver	14-SOIC	.68	.51	.39
SN75107BDR	296-14946-1-ND	Zweif. Leitungsempfänger	Dual Line Receiver	14-SOIC	.68	.51	.39
SN75107BDR	296-14946-2-ND	Zweif. Leitungsempfänger	Dual Line Receiver	14-SOIC		550.29/2,500	
SN75107BN	296-6803-5-ND	Zweif. Leitungsempfänger	Dual Line Receiver	14-Dip	.68	.51	.39
SN75110AD	296-6804-5-ND	Zweif. Leitungstreiber	Dual Line Driver	14-SOIC	.68	.51	.39
SN75110ADR	296-14947-1-ND	Zweif. Leitungstreiber	Dual Line Driver	14-SOIC	.68	.51	.39
SN75110ADR	296-14947-2-ND	Zweif. Leitungstreiber	Dual Line Driver	14-SOIC		550.29/2,500	
SN75110AN	296-6805-5-ND	Zweif. Leitungstreiber	Dual Line Driver	14-Dip	.68	.51	.39
SN75112D	296-6806-5-ND	Zweif. Leitungstreiber	Dual Line Driver	14-SOIC	.84	.70	.56
SN75112DR	296-6806-1-ND	Zweif. Leitungstreiber	Dual Line Driver	14-SOIC	.84	.70	.56
SN75112DR	296-6806-2-ND	Zweif. Leitungstreiber	Dual Line Driver	14-SOIC		907.98/2,500	
SN75112N	296-6807-5-ND	Zweif. Leitungstreiber	Dual Line Driver	14-Dip	.84	.70	.56
SN75113N	296-6809-5-ND	Zweif. Differenzial-Leitungstreiber	Dual Differential Line Driver	16-Dip	1.90	1.53	1.19
SN75114N	296-6811-5-ND	Zweif. Differenzial-Leitungstreiber	Dual Differential Line Driver	16-Dip	2.01	1.61	1.21
SN75115D	296-6812-5-ND	Zweif. Differenzial-Leitungsempfänger	Dual Differential Line Receiver	16-SOIC	2.01	1.61	1.21
SN75115N	296-6813-5-ND	Zweif. Differenzial-Leitungsempfänger	Dual Differential Line Receiver	16-Dip	2.01	1.61	1.21
SN75116N	296-6814-5-ND	Differenzial-Leitungs-Transceiver	Differential Line Transceiver	16-Dip	2.95	2.37	1.84
SN75117P	296-6820-5-ND	Differenzial-Leitungs-Transceiver	Differential Line Transceiver	8-Dip	3.34	2.67	2.08
SN75118N	296-6821-5-ND	Differenzial-Leitungs-Transceiver	Differential Line Transceiver	16-Dip	3.43	2.75	2.14
SN75119P	296-6822-5-ND	Differenzial-Leitungs-Transceiver	Differential Line Transceiver	8-Dip	3.43	2.75	2.14
SN75121N	296-6823-5-ND	Zweif. Leitungstreiber	Dual Line Driver	16-Dip	1.90	1.53	1.15
SN75123N	296-6825-5-ND	Zweif. Leitungstreiber	Dual Line Driver	16-Dip	1.90	1.53	1.15
SN75124N	296-6826-5-ND	Dreif. Leitungsempfänger	Triple Line Receiver	16-Dip	1.90	1.53	1.15
SN75138N	296-6828-5-ND	Vierf. Bus-Transceiver	Quad Bus Transceiver	16-Dip	1.69	1.36	1.02
SN75140P	296-12184-5-ND	Zweif. Leitungsempfänger	Dual Line Receiver	8-Dip	1.27	1.02	.77
SN75150D	296-6830-5-ND	Zweif. Leitungstreiber	Dual Line Driver	8-SOIC	1.02	.85	.68
SN75150DR	296-14948-1-ND	Zweif. Leitungstreiber	Dual Line Driver	8-SOIC	1.02	.85	.68
SN75150DR	296-14948-2-ND	Zweif. Leitungstreiber	Dual Line Driver	8-SOIC		1100.58/2,500	
SN75150P	296-6831-5-ND	Zweif. Leitungstreiber	Dual Line Driver	8-Dip	1.02	.85	.68
SN75154D	296-6832-5-ND	Vierf. Differenzial-Leitungsempfänger	Quad Differential Line Receiver	16-SOIC	1.02	.85	.68
SN75154N	296-6833-5-ND	Vierf. Differenzial-Leitungsempfänger	Quad Differential Line Receiver	16-Dip	1.02	.85	.68
SN75155D	296-6835-5-ND	Leitungstreiber und Empfänger	Line Driver and Receiver	8-SOIC	1.02	.85	.68
SN75155DR	296-14949-1-ND	Leitungstreiber und Empfänger	Line Driver and Receiver	8-SOIC	1.02	.85	.68
SN75155DR	296-14949-2-ND	Leitungstreiber und Empfänger	Line Driver and Receiver	8-SOIC		1100.58/2,500	
SN75155P	296-6836-5-ND	Leitungstreiber und Empfänger	Line Driver and Receiver	8-Dip	1.02	.85	.68
SN75157D	296-6837-5-ND	Zweif. Differenzial-Leitungsempfänger	Dual Differential Line Receiver	8-SOIC	1.52	1.22	.92
SN75157P	296-6838-5-ND	Zweif. Differenzial-Leitungsempfänger	Dual Differential Line Receiver	8-Dip	1.52	1.22	.92
SN75158D	296-6839-5-ND	Zweif. Differenzial-Leitungstreiber	Dual Differential Line Driver	8-SOIC	2.67	2.14	1.66
SN75158P	296-6840-5-ND	Zweif. Differenzial-Leitungstreiber	Dual Differential Line Driver	8-Dip	2.67	2.14	1.66
SN75158PSR	296-6841-1-ND	Zweif. Differenzial-Leitungstreiber	Dual Differential Line Driver	8-SOP	2.67	2.14	1.66
SN75158PSR	296-6841-2-ND	Zweif. Differenzial-Leitungstreiber	Dual Differential Line Driver	8-SOP		3022.36/2,000	
SN75159D	296-6842-5-ND	Zweif. Differenzial-Leitungstreiber	Dual Differential Line Driver	14-SOIC	2.29	1.83	1.43
SN75159N	296-6843-5-ND	Zweif. Differenzial-Leitungstreiber	Dual Differential Line Driver	14-Dip	2.29	1.83	1.43
SN75160BDW	296-6844-5-ND	Achtf. GP-Schnittstellen-Bus-Transceiver	Octal GP Interface Bus Transceiver	20-SOIC	1.69	1.36	1.02
SN75160BDWR	296-14950-1-ND	Achtf. GP-Schnittstellen-Bus-Transceiver	Octal GP Interface Bus Transceiver	20-SOIC	1.69	1.36	1.02
SN75160BDWR	296-14950-2-ND	Achtf. GP-Schnittstellen-Bus-Transceiver	Octal GP Interface Bus Transceiver	20-SOIC		1760.93/2,000	
SN75160BN	296-6845-5-ND	Achtf. GP-Schnittstellen-Bus-Transceiver	Octal GP Interface Bus Transceiver	20-Dip	1.69	1.36	1.02
SN75161BDW	296-6846-5-ND	Achtf. GP-Schnittstellen-Bus-Transceiver	Octal GP Interface Bus Transceiver	20-SOIC	1.69	1.36	1.02
SN75161BDWR	296-14951-1-ND	Achtf. GP-Schnittstellen-Bus-Transceiver	Octal GP Interface Bus Transceiver	20-SOIC	1.69	1.36	1.02
SN75161BDWR	296-14951-2-ND	Achtf. GP-Schnittstellen-Bus-Transceiver	Octal GP Interface BusTransceiver	20-SOIC		1760.93/2,000	
SN75161BN	296-6847-5-ND	Achtf. GP-Schnittstellen-Bus-Transceiver	Octal GP Interface Bus Transceiver	20-Dip	1.69	1.36	1.02
SN75162BDW	296-6848-5-ND	Achtf. GP-Schnittstellen-Bus-Transceiver	Octal GP Interface Bus Transceiver	20-SOIC	4.00	3.20	2.49
SN75172DWR	296-14952-1-ND	Vierf. Differenzial-Leitungstreiber	Quad Differential Line Driver	20-SOIC	1.55	1.24	.93
SN75172DWR	296-14952-2-ND	Vierf. Differenzial-Leitungstreiber	Quad Differential Line Driver	20-SOIC		1606.85/2,000	
SN75172N	296-6850-5-ND	Vierf. Differenzial-Leitungstreiber	Quad Differential Line Driver	16-Dip	1.55	1.24	.93
SN751730D	296-6851-5-ND	Dreif. Leitungstreiber/Empfänger	Triple Line Driver/Receiver	16-SOIC	3.43	2.75	2.14
SN751730N	296-6852-5-ND	Dreif. Leitungstreiber/Empfänger	Triple Line Driver/Receiver	16-Dip	3.43	2.75	2.14
SN75173D	296-6853-5-ND	Vierf. Differenzial-Leitungsempfänger	Quad Differential Line Receiver	16-SOIC	1.55	1.24	.93
SN75173DR	296-14953-1-ND	Vierf. Differenzial-Leitungsempfänger	Quad Differential Line Receiver	16-SOIC	1.55	1.24	.93
SN75173DR	296-14953-2-ND	Vierf. Differenzial-Leitungsempfänger	Quad Differential Line Receiver	16-SOIC		1976.81/2,500	
SN75173N	296-6854-5-ND	Vierf. Differenzial-Leitungsempfänger	Quad Differential Line Receiver	16-Dip	1.55	1.24	.93
SN75174DWR	296-6855-1-ND	Vierf. Differenzial-Leitungstreiber	Quad Differential Line Driver	20-SOIC	1.31	1.05	.79
SN75174DWR	296-6855-2-ND	Vierf. Differenzial-Leitungstreiber	Quad Differential Line Driver	20-SOIC		1364.72/2,000	
SN75174N	296-1735-5-ND	Vierf. Differenzial-Leitungstreiber	Quad Differential Line Driver	16-Dip	1.10	.89	.67
SN75175D	296-6856-5-ND	Vierf. Differenzial-Leitungsempfänger	Quad Differential Line Receiver	16-SOIC	1.10	.89	.67
SN75175DR	296-14954-1-ND	Vierf. Differenzial-Leitungsempfänger	Quad Differential Line Receiver	16-SOIC	1.10	.89	.67
SN75175DR	296-14954-2-ND	Vierf. Differenzial-Leitungsempfänger	Quad Differential Line Receiver	16-SOIC		1409.59/2,500	
SN75175N	296-1736-5-ND	Vierf. Differenzial-Leitungsempfänger	Quad Differential Line Receiver	16-Dip	1.10	.89	.67

(Forts.)

★ ***RUFEN SIE BITTE AN FÜR NIEDRIGERE PREISE BEI GRÖSSEREN MENGEN!*** ★

T. I. Teilenr.	Digi-Key Teilenr.	Beschreibung		Paket	Stückpreis★ 1	25	100
SN75176AD	296-6857-5-ND	Differenzialbus-Transceiver	Differential Bus Transceiver	8-SOIC	.68	.51	.39
SN75176ADR	296-14955-1-ND	Differenzialbus-Transceiver	Differential Bus Transceiver	8-SOIC	.68	.51	.39
SN75176ADR	296-14955-2-ND	Differenzialbus-Transceiver	Differential Bus Transceiver	8-SOIC		550.29/2,500	
SN75176AP	296-1737-5-ND	Differenzialbus-Transceiver	Differential Bus Transceiver	8-Dip	.68	.51	.39
SN75176BD	296-1275-5-ND	Differenzialbus-Transceiver	Differential Bus Transceiver	8-SOIC	.68	.51	.39
SN75176BDR	296-1275-1-ND	Differenzialbus-Transceiver	Differential Bus Transceiver	8-SOIC	.68	.51	.39
SN75176BDR	296-1275-2-ND	Differenzialbus-Transceiver	Differential Bus Transceiver	8-SOIC		550.29/2,500	
SN75176BP	296-1739-5-ND	Differenzialbus-Transceiver	Differential Bus Transceiver	8-Dip	.68	.51	.39
SN75178BP	296-6858-5-ND	Differenzialbus-Rückmelder	Differential Bus Repeaters	8-Dip	1.90	1.53	1.15
SN75179BD	296-6860-5-ND	Differenzial-Treiber-/Empfänger-Paar	Differential Driver/Receiver Pair	8-SOIC	1.09	.92	.73
SN75179BDR	296-14956-1-ND	Differenzial-Treiber-/Empfänger-Paar	Differential Driver/Receiver Pair	8-SOIC	1.09	.92	.73
SN75179BDR	296-14956-2-ND	Differenzial-Treiber-/Empfänger-Paar	Differential Driver/Receiver Pair	8-SOIC		1183.12/2,500	
SN75179BP	296-6861-5-ND	Differenzial-Treiber-/Empfänger-Paar	Differential Driver/Receiver Pair	8-Dip	1.09	.92	.73
SN75182N	296-6862-5-ND	Zweif. Differenzial-Leitungsempfänger	Dual Differential Line Receiver	14-Dip	1.06	.85	.64
SN75183N	296-6863-5-ND	Vierf. Differenzial-Leitungstreiber	Quad Differential Line Driver	14-Dip	2.23	1.79	1.39
SN75189DR	296-14957-1-ND	Vierf. Leitungsempfänger	Quad Line Receiver	14-SOIC	.41	.31	.23
SN75189DR	296-14957-2-ND	Vierf. Leitungsempfänger	Quad Line Receiver	14-SOIC		330.17/2,500	
SN75976A1DGG	296-9925-5-ND	9-Kan., RS485 Diff.-Transceiver	9-Ch., RS-485 Diff. Transceiver	56-TSSOP	13.66	12.75	11.84
SN75976A1DL	296-9926-5-ND	9-Kan., RS485 Diff.-Transceiver	9-Ch., RS-485 Diff. Transceiver	56-SSOP	13.66	12.75	11.84
SN75976A2DGG	296-2363-5-ND	9-Kan., RS485 Diff.-Transceiver	9-Ch., RS-485 Diff. Transceiver	56-TSSOP	18.79	17.55	16.29
SN751177N	296-6816-5-ND	Zweif. Differenzial-Treiber/Empfänger	Dual Differential Driver/Receiver	16-Dip	4.10	3.28	2.55
SN751177NSR	296-6817-1-ND	Zweif. Differenzial-Treiber/Empfänger	Dual Differential Driver/Receiver	16-SOP	3.72	2.98	2.32
SN751177NSR	296-6817-2-ND	Zweif. Differenzial-Treiber/Empfänger	Dual Differential Driver/Receiver	16-SOP		4209.30/2,000	
SN751178N	296-6818-5-ND	Zweif. Differenzial-Treiber/Empfänger	Dual Differential Driver/Receiver	16-Dip	4.10	3.28	2.55
SN751178NSR	296-6819-1-ND	Zweif. Differenzial-Treiber/Empfänger	Dual Differential Driver/Receiver	16-SOP	3.72	2.98	2.32
SN751178NSR	296-6819-2-ND	Zweif. Differenzial-Treiber/Empfänger	Dual Differential Driver/Receiver	16-SOP		4209.30/2,000	
TL3695DR	296-15009-1-ND	Differenzialbus-Transceiver	Differential Bus Transceiver	8-SOIC	1.06	.85	.64
TL3695DR	296-15009-2-ND	Differenzialbus-Transceiver	Differential Bus Transceiver	8-SOIC		1354.56/2,500	
TL3695P	296-10172-5-ND	Differenzialbus-Transceiver	Differential Bus Transceiver	8-Dip	1.06	.85	.64
UA9637ACD	296-11149-5-ND	Zweif. Differenzial-Leitungsempfänger	Dual Differential Line Receiver	8-SOIC	.63	.53	.43
UA9639CP	296-11150-5-ND	Zweif. Differenzial-Leitungsempfänger	Dual Differential Line Receiver	8-Dip	.76	.64	.51
		RS232					
GD75232DBR	296-6947-1-ND	Mehrf. RS232-Treiber/Empfänger	Multiple RS-232 Driver/Receiver	20-SSOP	.51	.39	.29
GD75232DBR	296-6947-2-ND	Mehrf. RS232-Treiber/Empfänger	Multiple RS-232 Driver/Receiver	20-SSOP		338.64/2,000	
GD75232DW	296-6948-5-ND	Mehrf. RS232-Treiber/Empfänger	Multiple RS-232 Driver/Receiver	20-SOIC	.51	.39	.29
GD75232DWR	296-6948-1-ND	Mehrf. RS232-Treiber/Empfänger	Multiple RS-232 Driver/Receiver	20-SOIC	.51	.39	.29
GD75232DWR	296-6948-2-ND	Mehrf. RS232-Treiber/Empfänger	Multiple RS-232 Driver/Receiver	20-SOIC		338.64/2,000	
GD75232PWR	296-6950-1-ND	Mehrf. RS232-Treiber/Empfänger	Multiple RS-232 Driver/Receiver	20-TSSOP	.51	.39	.29
GD75232PWR	296-6950-2-ND	Mehrf. RS232-Treiber/Empfänger	Multiple RS-232 Driver/Receiver	20-TSSOP		338.64/2,000	
GD75323DW	296-6951-5-ND	Mehrf. RS232-Treiber/Empfänger	Multiple RS-232 Driver/Receiver	20-SOIC	.78	.59	.44
LT1030CD	296-9589-5-ND	Vierf. Leitungstreiber, NL	Quad Low Power Line Driver	14-SOIC	1.69	1.36	1.02
LT1030CN	296-1401-5-ND	Vierf. Leitungstreiber, NL	Quad Low Power Line Driver	14-Dip	1.69	1.36	1.02
MAX211IDBR	296-15170-1-ND	Mehrf. 5 V RS232-Leitungstreiber/Empfänger	5V, Multiple RS-232 Line Driver/Receiver	28-SSOP	1.38	1.11	.83
MAX211IDBR	296-15170-2-ND	Mehrf. 5 V RS232-Leitungstreiber/Empfänger	5V, Multiple RS-232 Line Driver/Receiver	28-SSOP		1430.75/2,000	
MAX222IDWR	296-17256-1-ND	Mehrf. 5 V RS232-Leitungstreiber/Empfänger	5V, Dual RS-232 Line Driver/Receiver	18-SOIC	1.59	1.27	.96
MAX222IDWR	296-17256-2-ND	Mehrf. 5 V RS232-Leitungstreiber/Empfänger	5V, Dual RS-232 Line Driver/Receiver	18-SOIC		1650.87/2,000	
MAX232D	296-6936-5-ND	Zweif. EIA-232-Treiber/Empfänger	Dual EIA-232 Driver/Receiver	16-SOIC	.71	.60	.48
MAX232DW	296-6937-5-ND	Zweif. EIA-232-Treiber/Empfänger	Dual EIA-232 Driver/Receiver	16-SOIC	.76	.64	.51
MAX232ID	296-6938-5-ND	Zweif. EIA-232-Treiber/Empfänger	Dual EIA-232 Driver/Receiver	16-SOIC	.81	.68	.55
MAX232IDW	296-6939-5-ND	Zweif. EIA-232-Treiber/Empfänger	Dual EIA-232 Driver/Receiver	16-SOIC	.81	.68	.55
MAX232IN	296-6940-5-ND	Zweif. EIA-232-Treiber/Empfänger	Dual EIA-232 Driver/Receiver	16-Dip	.76	.64	.51
MAX232N	296-1402-5-ND	Zweif. EIA-232-Treiber/Empfänger	Dual EIA-232 Driver/Receiver	16-Dip	.76	.64	.51
MAX232NSR	296-15895-1-ND	Zweif. EIA-232-Treiber/Empfänger	Dual EIA-232 Driver/Receiver	16-SOP	.76	.64	.51
MAX232NSR	296-15895-2-ND	Zweif. EIA-232-Treiber/Empfänger	Dual EIA-232 Driver/Receiver	16-SOP		675.59/2,000	
MAX3221CDBR	296-9593-1-ND	RS232-Treiber/Empfänger, 1-Kan.	1-Ch., RS-232 Driver/Receiver	16-SSOP	1.17	.94	.70
MAX3221CDBR	296-9593-2-ND	RS232-Treiber/Empfänger, 1-Kan.	1-Ch., RS-232 Driver/Receiver	16-SSOP		1210.64/2,000	
MAX3221CPWR	296-9594-1-ND	RS232-Treiber/Empfänger, 1-Kan.	1-Ch., RS-232 Driver/Receiver	16-TSSOP	1.06	.85	.64
MAX3221CPWR	296-9594-2-ND	RS232-Treiber/Empfänger, 1-Kan.	1-Ch., RS-232 Driver/Receiver	16-TSSOP		1100.58/2,000	
MAX3221IDBR	296-9595-1-ND	RS232-Treiber/Empfänger, 1-Kan.	1-Ch., RS-232 Driver/Receiver	16-SSOP	1.27	1.02	.77
MAX3221IDBR	296-9595-2-ND	RS232-Treiber/Empfänger, 1-Kan.	1-Ch., RS-232 Driver/Receiver	16-SSOP		1320.70/2,000	
MAX3221IPWR	296-9596-1-ND	RS232-Treiber/Empfänger, 1-Kan.	1-Ch., RS-232 Driver/Receiver	16-TSSOP	1.27	1.02	.77
MAX3221IPWR	296-9596-2-ND	RS232-Treiber/Empfänger, 1-Kan.	1-Ch., RS-232 Driver/Receiver	16-TSSOP		1320.70/2,000	
MAX3222CDBR	296-13082-1-ND	3-5,5 V, RS232-Leitungstreiber/Empfänger, mehrkanalig	3-5.5V, Multichannel RS-232 Line Driver/Receiver	20-SSOP	1.80	1.44	1.08
MAX3222CDBR	296-13082-2-ND	3-5,5 V, RS232-Leitungstreiber/Empfänger, mehrkanalig	3-5.5V, Multichannel RS-232 Line Driver/Receiver	20-SSOP		1870.99/2,000	
MAX3222CDWR	296-13083-1-ND	3-5,5 V, RS232-Leitungstreiber/Empfänger, mehrkanalig	3-5.5V, Multichannel RS-232 Line Driver/Receiver	20-SOIC	1.80	1.44	1.08
MAX3222CDWR	296-13083-2-ND	3-5,5 V, RS232-Leitungstreiber/Empfänger, mehrkanalig	3-5.5V, Multichannel RS-232 Line Driver/Receiver	20-SOIC		1870.99/2,000	
MAX3222CPWR	296-13084-1-ND	3-5,5 V, RS232-Leitungstreiber/Empfänger, mehrkanalig	3-5.5V, Multichannel RS-232 Line Driver/Receiver	20-TSSOP	1.80	1.44	1.08
MAX3222CPWR	296-13084-2-ND	3-5,5 V, RS232-Leitungstreiber/Empfänger, mehrkanalig	3-5.5V, Multichannel RS-232 Line Driver/Receiver	20-TSSOP		1870.99/2,000	
MAX3222IDBR	296-13085-1-ND	3-5,5 V, RS232-Leitungstreiber/Empfänger, mehrkanalig	3-5.5V, Multichannel RS-232 Line Driver/Receiver	20-SSOP	1.90	1.53	1.15
MAX3222IDBR	296-13085-2-ND	3-5,5 V, RS232-Leitungstreiber/Empfänger, mehrkanalig	3-5.5V, Multichannel RS-232 Line Driver/Receiver	20-SSOP		1981.04/2,000	
MAX3222IDWR	296-13086-1-ND	3-5,5 V, RS232-Leitungstreiber/Empfänger, mehrkanalig	3-5.5V, Multichannel RS-232 Line Driver/Receiver	20-SOIC	1.80	1.44	1.08
MAX3222IDWR	296-13086-2-ND	3-5,5 V, RS232-Leitungstreiber/Empfänger, mehrkanalig	3-5.5V, Multichannel RS-232 Line Driver/Receiver	20-SOIC		1981.04/2,000	
MAX3222IPWR	296-13087-1-ND	3-5,5 V, RS232-Leitungstreiber/Empfänger, mehrkanalig	3-5.5V, Multichannel RS-232 Line Driver/Receiver	20-TSSOP	1.90	1.53	1.15
MAX3222IPWR	296-13087-2-ND	3-5,5 V, RS232-Leitungstreiber/Empfänger, mehrkanalig	3-5.5V, Multichannel RS-232 Line Driver/Receiver	20-TSSOP		1981.04/2,000	
MAX3223CDBR	296-13088-1-ND	3-5,5 V, RS232-Leitungstreiber/Empfänger, mehrkanalig	3-5.5V Multichannel RS-232 Line Driver/Receiver	20-SSOP	1.48	1.19	.89
MAX3223CDBR	296-13088-2-ND	3-5,5 V, RS232-Leitungstreiber/Empfänger, mehrkanalig	3-5.5V Multichannel RS-232 Line Driver/Receiver	20-SSOP		1540.81/2,000	
MAX3223CDWR	296-13445-1-ND	3-5,5 V, RS232-Leitungstreiber/Empfänger, mehrkanalig	3-5.5V Multichannel RS-232 Line Driver/Receiver	20-SOIC	1.48	1.19	.89
MAX3223CDWR	296-13445-2-ND	3-5,5 V, RS232-Leitungstreiber/Empfänger, mehrkanalig	3-5.5V Multichannel RS-232 Line Driver/Receiver	20-SOIC		1540.81/2,000	
MAX3223CPWR	296-13089-1-ND	3-5,5 V, RS232-Leitungstreiber/Empfänger, mehrkanalig	3-5.5V Multichannel RS-232 Line Driver/Receiver	20-TSSOP	1.48	1.19	.89
MAX3223CPWR	296-13089-2-ND	3-5,5 V, RS232-Leitungstreiber/Empfänger, mehrkanalig	3-5.5V Multichannel RS-232 Line Driver/Receiver	20-TSSOP		1540.81/2,000	
MAX3223IDBR	296-13090-1-ND	3-5,5 V, RS232-Leitungstreiber/Empfänger, mehrkanalig	3-5.5V Multichannel RS-232 Line Driver/Receiver	20-SSOP	1.80	1.44	1.08
MAX3223IDBR	296-13090-2-ND	3-5,5 V, RS232-Leitungstreiber/Empfänger, mehrkanalig	3-5.5V Multichannel RS-232 Line Driver/Receiver	20-SSOP		1870.99/2,000	
MAX3223IDWR	296-13091-1-ND	3-5,5 V, RS232-Leitungstreiber/Empfänger, mehrkanalig	3-5.5V Multichannel RS-232 Line Driver/Receiver	20-SOIC	1.80	1.44	1.08
MAX3223IDWR	296-13091-2-ND	3-5,5 V, RS232-Leitungstreiber/Empfänger, mehrkanalig	3-5.5V Multichannel RS-232 Line Driver/Receiver	20-SOIC		1870.99/2,000	
MAX3223IPWR	296-13092-1-ND	3-5,5 V, RS232-Leitungstreiber/Empfänger, mehrkanalig	3-5.5V Multichannel RS-232 Line Driver/Receiver	20-TSSOP	1.80	1.44	1.08
MAX3223IPWR	296-13092-2-ND	3-5,5 V, RS232-Leitungstreiber/Empfänger, mehrkanalig	3-5.5V Multichannel RS-232 Line Driver/Receiver	20-TSSOP		1870.99/2,000	
MAX3232CDBR	296-13093-1-ND	3-5,5 V, RS232-Leitungstreiber/Empfänger, mehrkanalig	3-5.5V Multichannel RS-232 Line Driver/Receiver	16-SSOP	1.48	1.19	.89
MAX3232CDBR	296-13093-2-ND	3-5,5 V, RS232-Leitungstreiber/Empfänger, mehrkanalig	3-5.5V Multichannel RS-232 Line Driver/Receiver	16-SSOP		1320.70/2,000	
MAX3232CDR	296-13094-1-ND	3-5,5 V, RS232-Leitungstreiber/Empfänger, mehrkanalig	3-5.5V Multichannel RS-232 Line Driver/Receiver	16-SOIC	1.27	1.02	.77
MAX3232CDR	296-13094-2-ND	3-5,5 V, RS232-Leitungstreiber/Empfänger, mehrkanalig	3-5.5V Multichannel RS-232 Line Driver/Receiver	16-SOIC		1625.47/2,500	
MAX3232CDWR	296-13095-1-ND	3-5,5 V, RS232-Leitungstreiber/Empfänger, mehrkanalig	3-5.5V Multichannel RS-232 Line Driver/Receiver	16-SOIC	1.27	1.02	.77
MAX3232CDWR	296-13095-2-ND	3-5,5 V, RS232-Leitungstreiber/Empfänger, mehrkanalig	3-5.5V Multichannel RS-232 Line Driver/Receiver	16-SOIC		1320.70/2,000	
MAX3232CPWR	296-13096-1-ND	3-5,5 V, RS232-Leitungstreiber/Empfänger, mehrkanalig	3-5.5V Multichannel RS-232 Line Driver/Receiver	16-TSSOP	1.48	1.19	.89
MAX3232CPWR	296-13096-2-ND	3-5,5 V, RS232-Leitungstreiber/Empfänger, mehrkanalig	3-5.5V Multichannel RS-232 Line Driver/Receiver	16-TSSOP		1540.81/2,000	
MAX3232IDBR	296-13097-1-ND	3-5,5 V, RS232-Leitungstreiber/Empfänger, mehrkanalig	3-5.5V Multichannel RS-232 Line Driver/Receiver	16-SSOP	1.38	1.11	.83
MAX3232IDBR	296-13097-2-ND	3-5,5 V, RS232-Leitungstreiber/Empfänger, mehrkanalig	3-5.5V Multichannel RS-232 Line Driver/Receiver	16-SSOP		1430.75/2,000	
MAX3232IDR	296-13098-1-ND	3-5,5 V, RS232-Leitungstreiber/Empfänger, mehrkanalig	3-5.5V Multichannel RS-232 Line Driver/Receiver	16-SOIC	1.38	1.11	.83
MAX3232IDR	296-13098-2-ND	3-5,5 V, RS232-Leitungstreiber/Empfänger, mehrkanalig	3-5.5V Multichannel RS-232 Line Driver/Receiver	16-SOIC		2031.84/2,500	
MAX3232IDWR	296-13099-1-ND	3-5,5 V, RS232-Leitungstreiber/Empfänger, mehrkanalig	3-5.5V Multichannel RS-232 Line Driver/Receiver	16-SOIC	1.59	1.27	.96
MAX3232IDWR	296-13099-2-ND	3-5,5 V, RS232-Leitungstreiber/Empfänger, mehrkanalig	3-5.5V Multichannel RS-232 Line Driver/Receiver	16-SOIC		1650.87/2,000	
MAX3232IPWR	296-13100-1-ND	3-5,5 V, RS232-Leitungstreiber/Empfänger, mehrkanalig	3-5.5V Multichannel RS-232 Line Driver/Receiver	16-TSSOP	1.59	1.27	.96
MAX3232IPWR	296-13100-2-ND	3-5,5 V, RS232-Leitungstreiber/Empfänger, mehrkanalig	3-5.5V Multichannel RS-232 Line Driver/Receiver	16-TSSOP		1430.75/2,000	

(Forts.)

★ ***RUFEN SIE BITTE AN FÜR NIEDRIGERE PREISE BEI GRÖSSEREN MENGEN!*** ★

B

T. I. Teilenr.	Digi-Key Teilenr.	Beschreibung		Paket	Stückpreis★ 1	25	100
MAX3238CDBR	296-9597-1-ND	RS232-Treib/Empf, mehrkanalig	Multichannel RS-232 Dvr./Rcvr.	28-SSOP	1.59	1.27	.96
MAX3238CDBR	296-9597-2-ND	RS232-Treib/Empf, mehrkanalig	Multichannel RS-232 Dvr./Rcvr.	28-SSOP		1650.87/2,000	
MAX3238CPWR	296-9598-1-ND	RS232-Treib/Empf, mehrkanalig	Multichannel RS-232 Dvr./Rcvr.	28-TSSOP	1.59	1.27	.96
MAX3238CPWR	296-9598-2-ND	RS232-Treib/Empf, mehrkanalig	Multichannel RS-232 Dvr./Rcvr.	28-TSSOP		1650.87/2,000	
MAX3238IDBR	296-9599-1-ND	RS232-Treib/Empf, mehrkanalig	Multichannel RS-232 Dvr./Rcvr.	28-SSOP	1.80	1.44	1.08
MAX3238IDBR	296-9599-2-ND	RS232-Treib/Empf, mehrkanalig	Multichannel RS-232 Dvr./Rcvr.	28-SSOP		1870.99/2,000	
MAX3238IDBRQ1	296-15187-1-ND	RS232-Treib/Empf, mehrkanalig	Multichannel RS-232 Dvr./Rcvr.	28-SSOP	1.89	1.51	1.14
MAX3238IDBRQ1	296-15187-2-ND	RS232-Treib/Empf, mehrkanalig	Multichannel RS-232 Dvr./Rcvr.	28-SSOP		1959.03/2,000	
MAX3238IPWR	296-9600-1-ND	RS232-Treib/Empf, mehrkanalig	Multichannel RS-232 Dvr./Rcvr.	28-TSSOP	1.80	1.44	1.08
MAX3238IPWR	296-9600-2-ND	RS232-Treib/Empf, mehrkanalig	Multichannel RS-232 Dvr./Rcvr.	28-TSSOP		1870.99/2,000	
MAX3238IPWRQ1	296-15189-1-ND	RS232-Treib/Empf, mehrkanalig	Multichannel RS-232 Dvr./Rcvr.	28-TSSOP	1.89	1.51	1.14
MAX3238IPWRQ1	296-15189-2-ND	RS232-Treib/Empf, mehrkanalig	Multichannel RS-232 Dvr./Rcvr.	28-TSSOP		1959.03/2,000	
MAX3243CDBR	296-6941-1-ND	Mehrf. RS232-Treiber/Empfänger	Multiple RS-232 Driver/Receiver	28-SSOP	1.17	.94	.70
MAX3243CDBR	296-6941-2-ND	Mehrf. RS232-Treiber/Empfänger	Multiple RS-232 Driver/Receiver	28-SSOP		1210.64/2,000	
MAX3243CDWR	296-6942-1-ND	Mehrf. RS232-Treiber/Empfänger	Multiple RS-232 Driver/Receiver	28-SOIC	1.17	.94	.70
MAX3243CDWR	296-6942-2-ND	Mehrf. RS232-Treiber/Empfänger	Multiple RS-232 Driver/Receiver	28-SOIC		605.32/1,000	
MAX3243CPW	296-6943-5-ND	Mehrf. RS232-Treiber/Empfänger	Multiple RS-232 Driver/Receiver	28-TSSOP	1.17	.94	.70
MAX3243CPWR	296-6943-1-ND	Mehrf. RS232-Treiber/Empfänger	Multiple RS-232 Driver/Receiver	28-TSSOP	1.17	.94	.70
MAX3243CPWR	296-6943-2-ND	Mehrf. RS232-Treiber/Empfänger	Multiple RS-232 Driver/Receiver	28-TSSOP		1210.64/2,000	
MAX3243IDBR	296-6944-1-ND	Mehrf. RS232-Treiber/Empfänger	Multiple RS-232 Driver/Receiver	28-SSOP	1.27	1.02	.77
MAX3243IDBR	296-6944-2-ND	Mehrf. RS232-Treiber/Empfänger	Multiple RS-232 Driver/Receiver	28-SSOP		1320.70/2,000	
MAX3243IDWR	296-6945-1-ND	Mehrf. RS232-Treiber/Empfänger	Multiple RS-232 Driver/Receiver	28-SOIC	1.27	1.02	.77
MAX3243IDWR	296-6945-2-ND	Mehrf. RS232-Treiber/Empfänger	Multiple RS-232 Driver/Receiver	28-SOIC		660.35/1,000	
MAX3243IPWR	296-6946-1-ND	Mehrf. RS232-Treiber/Empfänger	Multiple RS-232 Driver/Receiver	28-TSSOP	1.27	1.02	.77
MAX3243IPWR	296-6946-2-ND	Mehrf. RS232-Treiber/Empfänger	Multiple RS-232 Driver/Receiver	28-TSSOP		1320.70/2,000	
MC1488N	296-1404-5-ND	Vierf. Leitungstreiber	Quad Line Driver	14-Dip	.47	.38	.28
MC1489AN	296-9602-5-ND	Vierf. Leitungsempfänger	Quad Line Receiver	14-Dip	.54	.41	.31
MC1489N	296-1405-5-ND	Vierf. Leitungsempfänger	Quad Line Receiver	14-Dip	.47	.36	.27
SN65C1154N	296-11855-5-ND	Vierf. Treiber/Empfänger, NL	Quad Low Power Driver/Receiver	20-Dip	3.62	2.90	2.26
SN65C3221DBR	296-13116-1-ND	RS232-Leitungstreiber/Empfänger, 3-5,5 V, Einkanal-kompatibel	3-5.5V, Single Channel Compatible RS-232 Line Driver/Receiver	16-SSOP	2.51	2.02	1.57
SN65C3221DBR	296-13116-2-ND	RS232-Leitungstreiber/Empfänger, 3-5,5 V, Einkanal-kompatibel	3-5.5V, Single Channel Compatible RS-232 Line Driver/Receiver	16-SSOP		2849.66/2,000	
SN65C3221PWR	296-13117-1-ND	RS232-Leitungstreiber/Empfänger, 3-5,5 V, Einkanal-kompatibel	3-5.5V, Single Channel Compatible RS-232 Line Driver/Receiver	16-TSSOP	2.51	2.02	1.57
SN65C3221PWR	296-13117-2-ND	RS232-Leitungstreiber/Empfänger, 3-5,5 V, Einkanal-kompatibel	3-5.5V, Single Channel Compatible RS-232 Line Driver/Receiver	16-TSSOP		2849.66/2,000	
SN65C3222DBR	296-15371-1-ND	RS232-Leitungstreiber/Empfänger, 3-5,5 V, Mehrkanal-kompatibel	3-5.5V Multichannel Compatible RS-232 Line Driver/Receiver	20-SSOP	3.43	2.75	2.14
SN65C3222DBR	296-15371-2-ND	RS232-Leitungstreiber/Empfänger, 3-5,5 V, Mehrkanal-kompatibel	3-5.5V Multichannel Compatible RS-232 Line Driver/Receiver	20-SSOP		3885.89/2,000	
SN65C3222DWR	296-15372-1-ND	RS232-Leitungstreiber/Empfänger, 3-5,5 V, Mehrkanal-kompatibel	3-5.5V Multichannel Compatible RS-232 Line Driver/Receiver	20-SOIC	3.43	2.75	2.14
SN65C3222DWR	296-15372-2-ND	RS232-Leitungstreiber/Empfänger, 3-5,5 V, Mehrkanal-kompatibel	3-5.5V Multichannel Compatible RS-232 Line Driver/Receiver	20-SOIC		3885.89/2,000	
SN65C3222PWR	296-15373-1-ND	RS232-Leitungstreiber/Empfänger, 3-5,5 V, Mehrkanal-kompatibel	3-5.5V Multichannel Compatible RS-232 Line Driver/Receiver	20-TSSOP	3.43	2.75	2.14
SN65C3222PWR	296-15373-2-ND	RS232-Leitungstreiber/Empfänger, 3-5,5 V, Mehrkanal-kompatibel	3-5.5V Multichannel Compatible RS-232 Line Driver/Receiver	20-TSSOP		3885.89/2,000	
SN65C3223DBR	296-13486-1-ND	RS232-Leitungstreiber/Empfänger, 3-5,5 V, Mehrkanal-kompatibel	3-5.5V Multichannel Compatible RS-232 Line Driver/Receiver	20-SSOP	2.97	2.38	1.85
SN65C3223DBR	296-13486-2-ND	RS232-Leitungstreiber/Empfänger, 3-5,5 V, Mehrkanal-kompatibel	3-5.5V Multichannel Compatible RS-232 Line Driver/Receiver	20-SSOP		3367.77/2,000	
SN65C3223DWR	296-13487-1-ND	RS232-Leitungstreiber/Empfänger, 3-5,5 V, Mehrkanal-kompatibel	3-5.5V Multichannel Compatible RS-232 Line Driver/Receiver	20-SOIC	2.97	2.38	1.85
SN65C3223DWR	296-13487-2-ND	RS232-Leitungstreiber/Empfänger, 3-5,5 V, Mehrkanal-kompatibel	3-5.5V Multichannel Compatible RS-232 Line Driver/Receiver	20-SOIC		3367.77/2,000	
SN65C3223PWR	296-13488-1-ND	RS232-Leitungstreiber/Empfänger, 3-5,5 V, Mehrkanal-kompatibel	3-5.5V Multichannel Compatible RS-232 Line Driver/Receiver	20-TSSOP	2.97	2.38	1.85
SN65C3223PWR	296-13488-2-ND	RS232-Leitungstreiber/Empfänger, 3-5,5 V, Mehrkanal-kompatibel	3-5.5V Multichannel Compatible RS-232 Line Driver/Receiver	20-TSSOP		3367.77/2,000	
SN65C3232DBR	296-15374-1-ND	RS232-Leitungstreiber/Empfänger, 3-5,5 V, Mehrkanal-kompatibel	3-5.5V Multichannel Compatible RS-232 Line Driver/Receiver	16-SSOP	3.20	2.56	2.00
SN65C3232DBR	296-15374-2-ND	RS232-Leitungstreiber/Empfänger, 3-5,5 V, Mehrkanal-kompatibel	3-5.5V Multichannel Compatible RS-232 Line Driver/Receiver	16-SSOP		3626.83/2,000	
SN65C3232DR	296-15375-1-ND	RS232-Leitungstreiber/Empfänger, 3-5,5 V, Mehrkanal-kompatibel	3-5.5V Multichannel Compatible RS-232 Line Driver/Receiver	16-SOIC	3.20	2.56	2.00
SN65C3232DR	296-15375-2-ND	RS232-Leitungstreiber/Empfänger, 3-5,5 V, Mehrkanal-kompatibel	3-5.5V Multichannel Compatible RS-232 Line Driver/Receiver	16-SOIC		4480.63/2,500	
SN65C3232DWR	296-15376-1-ND	RS232-Leitungstreiber/Empfänger, 3-5,5 V, Mehrkanal-kompatibel	3-5.5V Multichannel Compatible RS-232 Line Driver/Receiver	16-SOIC	3.20	2.56	2.00
SN65C3232DWR	296-15376-2-ND	RS232-Leitungstreiber/Empfänger, 3-5,5 V, Mehrkanal-kompatibel	3-5.5V Multichannel Compatible RS-232 Line Driver/Receiver	16-SOIC		3626.83/2,000	
SN65C3232PWR	296-15377-1-ND	RS232-Leitungstreiber/Empfänger, 3-5,5 V, Mehrkanal-kompatibel	3-5.5V Multichannel Compatible RS-232 Line Driver/Receiver	16-TSSOP	3.20	2.56	2.00
SN65C3232PWR	296-15377-2-ND	RS232-Leitungstreiber/Empfänger, 3-5,5 V, Mehrkanal-kompatibel	3-5.5V Multichannel Compatible RS-232 Line Driver/Receiver	16-TSSOP		3626.83/2,000	
SN65C3238DBR	296-12733-1-ND	RS232-Leitungstreiber/Empfänger, 3-5,5 V, Mehrkanal-kompatibel	3-5.5V, Multichannel Compatible RS-232 Line Driver/Receiver	28-SSOP	3.43	2.75	2.14
SN65C3238DBR	296-12733-2-ND	RS232-Leitungstreiber/Empfänger, 3-5,5 V, Mehrkanal-kompatibel	3-5.5V, Multichannel Compatible RS-232 Line Driver/Receiver	28-SSOP		3885.89/2,000	
SN65C3238DWR	296-13118-1-ND	RS232-Leitungstreiber/Empfänger, 3-5,5 V, Mehrkanal-kompatibel	3-5.5V, Multichannel Compatible RS-232 Line Driver/Receiver	28-SOIC	3.43	2.75	2.14
SN65C3238DWR	296-13118-2-ND	RS232-Leitungstreiber/Empfänger, 3-5,5 V, Mehrkanal-kompatibel	3-5.5V, Multichannel Compatible RS-232 Line Driver/Receiver	28-SOIC		1942.95/1,000	
SN65C3238PWR	296-13119-1-ND	RS232-Leitungstreiber/Empfänger, 3-5,5 V, Mehrkanal-kompatibel	3-5.5V, Multichannel Compatible RS-232 Line Driver/Receiver	28-TSSOP	3.43	2.75	2.14
SN65C3238PWR	296-13119-2-ND	RS232-Leitungstreiber/Empfänger, 3-5,5 V, Mehrkanal-kompatibel	3-5.5V, Multichannel Compatible RS-232 Line Driver/Receiver	28-TSSOP		3885.89/2,000	
SN65C3243DBR	296-13120-1-ND	RS232-Leitungstreiber/Empfänger, 3-5,5 V, Mehrkanal-kompatibel	3-5.5V, Multichannel Compatible RS-232 Line Driver/Receiver	28-SSOP	3.66	2.93	2.28
SN65C3243DBR	296-13120-2-ND	RS232-Leitungstreiber/Empfänger, 3-5,5 V, Mehrkanal-kompatibel	3-5.5V, Multichannel Compatible RS-232 Line Driver/Receiver	28-SSOP		4144.95/2,000	
SN65C3243DWR	296-13121-1-ND	RS232-Leitungstreiber/Empfänger, 3-5,5 V, Mehrkanal-kompatibel	3-5.5V, Multichannel Compatible RS-232 Line Driver/Receiver	28-SOIC	3.66	2.93	2.28
SN65C3243DWR	296-13121-2-ND	RS232-Leitungstreiber/Empfänger, 3-5,5 V, Mehrkanal-kompatibel	3-5.5V, Multichannel Compatible RS-232 Line Driver/Receiver	28-SOIC		2072.48/1,000	
SN65C3243PWR	296-13122-1-ND	RS232-Leitungstreiber/Empfänger, 3-5,5 V, Mehrkanal-kompatibel	3-5.5V, Multichannel Compatible RS-232 Line Driver/Receiver	28-TSSOP	3.66	2.93	2.28
SN65C3243PWR	296-13122-2-ND	RS232-Leitungstreiber/Empfänger, 3-5,5 V, Mehrkanal-kompatibel	3-5.5V, Multichannel Compatible RS-232 Line Driver/Receiver	28-TSSOP		4144.95/2,000	
SN65C23243DGGR	296-13114-1-ND	Zweif. RS232-Port, 3-5,5 V	3-5.5V, Dual RS-232 Port	48-TSSOP	4.57	3.66	2.85
SN65C23243DGGR	296-13114-2-ND	Zweif. RS232-Port, 3-5,5 V	3-5.5V, Dual RS-232 Port	48-TSSOP		5181.19/2,000	
SN65C23243DLR	296-13115-1-ND	Zweif. RS232-Port, 3-5,5 V	3-5.5V, Dual RS-232 Port	48-SSOP	4.57	3.66	2.85
SN65C23243DLR	296-13115-2-ND	Zweif. RS232-Port, 3-5,5 V	3-5.5V, Dual RS-232 Port	48-SSOP		2590.60/1,000	
SN75C185DW	296-1753-5-ND	Mehrf. Treiber/Empfänger, NL	LP Multiple Driver/Receiver	20-SOIC	1.27	1.02	.77
SN75C185DWR	296-14972-1-ND	Mehrf. Treiber/Empfänger, NL	LP Multiple Driver/Receiver	20-SOIC	1.27	1.02	.77
SN75C185DWR	296-14972-2-ND	Mehrf. Treiber/Empfänger, NL	LP Multiple Driver/Receiver	20-SOIC		1320.70/2,000	
SN75C185N	296-9974-5-ND	Mehrf. Treiber/Empfänger, NL	LP Multiple Driver/Receiver	20-Dip	1.27	1.02	.77
SN75C188D	296-6965-5-ND	Vierf. Leitungstreiber, NL	Quad Low Power Line Driver	14-SOIC	.58	.44	.33
SN75C188DBR	296-6966-1-ND	Vierf. Leitungstreiber, NL	Quad Low Power Line Driver	14-SSOP	.58	.44	.33
SN75C188DBR	296-6966-2-ND	Vierf. Leitungstreiber, NL	Quad Low Power Line Driver	14-SSOP		382.66/2,000	
SN75C188DR	296-14973-1-ND	Vierf. Leitungstreiber, NL	Quad Low Power Line Driver	14-SOIC	.58	.44	.33
SN75C188DR	296-14973-2-ND	Vierf. Leitungstreiber, NL	Quad Low Power Line Driver	14-SOIC		467.75/2,500	
SN75C188N	296-1754-5-ND	Vierf. Leitungstreiber, NL	Quad Low Power Line Driver	14-Dip	.58	.44	.33
SN75C189AD	296-1755-5-ND	Vierf. Leitungsempfänger, NL	Quad Low Power Line Receiver	14-SOIC	.58	.44	.33
SN75C189ADBR	296-6967-1-ND	Vierf. Leitungsempfänger, NL	Quad Low Power Line Receiver	14-SSOP	.58	.44	.33
SN75C189ADBR	296-6967-2-ND	Vierf. Leitungsempfänger, NL	Quad Low Power Line Receiver	14-SSOP		382.66/2,000	
SN75C189ADR	296-14974-1-ND	Vierf. Leitungsempfänger, NL	Quad Low Power Line Receiver	14-SOIC	.58	.44	.33
SN75C189ADR	296-14974-2-ND	Vierf. Leitungsempfänger, NL	Quad Low Power Line Receiver	14-SOIC		467.75/2,500	
SN75C189AN	296-1756-5-ND	Vierf. Leitungsempfänger, NL	Quad Low Power Line Receiver	14-Dip	.58	.44	.33
SN75C189D	296-6968-5-ND	Vierf. Leitungsempfänger, NL	Quad Low Power Line Receiver	14-SOIC	.58	.44	.33
SN75C189DR	296-14975-1-ND	Vierf. Leitungsempfänger, NL	Quad Low Power Line Receiver	14-SOIC	.58	.44	.33
SN75C189DR	296-14975-2-ND	Vierf. Leitungsempfänger, NL	Quad Low Power Line Receiver	14-SOIC		467.75/2,500	
SN75C189N	296-6969-5-ND	Vierf. Leitungsempfänger, NL	Quad Low Power Line Receiver	14-Dip	.58	.44	.33
SN75C198D	296-6970-5-ND	Vierf. Leitungstreiber, NL	Quad Low Power Line Drivers	14-SOP	2.38	1.91	1.49
SN75C1154DW	296-6958-5-ND	Vierf. Treiber/Empfänger, NL	Quad Low Power Driver/Receiver	20-SOIC	1.07	.89	.72
SN75C1154N	296-6959-5-ND	Vierf. Treiber/Empfänger, NL	Quad Low Power Driver/Receiver	20-Dip	1.07	.89	.72
SN75C1167DBR	296-6960-1-ND	Zweif. Differenzial-Treiber/Empfänger	Dual Differential Driver/Receiver	16-SOIC	1.06	.85	.64
SN75C1167DBR	296-6960-2-ND	Zweif. Differenzial-Treiber/Empfänger	Dual Differential Driver/Receiver	16-SOIC		1100.58/2,000	
SN75C1167N	296-6961-5-ND	Zweif. Differenzial-Treiber/Empfänger	Dual Differential Driver/Receiver	16-Dip	1.06	.85	.64
SN75C1167NSR	296-6962-1-ND	Zweif. Differenzial-Treiber/Empfänger	Dual Differential Driver/Receiver	16-SOP	1.06	.85	.64
SN75C1167NSR	296-6962-2-ND	Zweif. Differenzial-Treiber/Empfänger	Dual Differential Driver/Receiver	16-SOP		1100.58/2,000	
SN75C1168N	296-6963-5-ND	Zweif. Differenzial-Treiber/Empfänger	Dual Differential Driver/Receiver	16-Dip	1.06	.85	.64
SN75C1168NSR	296-6964-1-ND	Zweif. Differenzial-Treiber/Empfänger	Dual Differential Driver/Receiver	16-SOP	1.27	1.02	.77
SN75C1168NSR	296-6964-2-ND	Zweif. Differenzial-Treiber/Empfänger	Dual Differential Driver/Receiver	16-SOP		1320.70/2,000	

(Forts.)

★ ***RUFEN SIE BITTE AN FÜR NIEDRIGERE PREISE BEI GRÖSSEREN MENGEN!*** ★

T. I. Teilenr.	Digi-Key Teilenr.	Beschreibung		Paket	Stückpreis★ 1	25	100
SN75C1168PWR	296-14971-1-ND	Zweif. Differenzial-Treiber/Empfänger	Dual Differential Driver/Receiver	16-TSSOP	1.06	.85	.64
SN75C1168PWR	296-14971-2-ND	Zweif. Differenzial-Treiber/Empfänger	Dual Differential Driver/Receiver	16-TSSOP		1100.58/2,000	
SN75C1406D	296-12934-5-ND	Dreif. Treiber/Empfänger, NL	Triple Low Power Driver/Receiver	16-SOIC	1.22	1.02	.82
SN75C1406DW	296-1751-5-ND	Dreif. Treiber/Empfänger, NL	Triple Low Power Driver/Receiver	16-SOIC	1.22	1.02	.82
SN75C1406DWR	296-1751-1-ND	Dreif. Treiber/Empfänger, NL	Triple Low Power Driver/Receiver	16-SOIC	1.22	1.02	.82
SN75C1406DWR	296-1751-2-ND	Dreif. Treiber/Empfänger, NL	Triple Low Power Driver/Receiver	16-SOIC		1080.26/2,000	
SN75C1406N	296-1752-5-ND	Dreif. Treiber/Empfänger, NL	Triple Low Power Driver/Receiver	16-Dip	1.22	1.02	.82
SN75C3221DBR	296-13322-1-ND	RS232-kompatibler Leitungstreiber/Empfänger, 3-5,5 V, einkanalig	3-5.5V, Single Channel RS-232 Compatible Line Driver/Receiver	16-SSOP	2.06	1.65	1.29
SN75C3221DBR	296-13322-2-ND	RS232-kompatibler Leitungstreiber/Empfänger, 3-5,5 V, einkanalig	3-5.5V, Single Channel RS-232 Compatible Line Driver/Receiver	16-SSOP		2331.54/2,000	
SN75C3221PWR	296-13323-1-ND	RS232-kompatibler Leitungstreiber/Empfänger, 3-5,5 V, einkanalig	3-5.5V, Single Channel RS-232 Compatible Line Driver/Receiver	16-TSSOP	2.06	1.65	1.29
SN75C3221PWR	296-13323-2-ND	RS232-Leitungstreiber/Empfänger, 3-5,5 V, Einkanal-kompatibel	3-5.5V, Single Channel Compatible RS-232 Line Driver/Receiver	16-TSSOP		2331.54/2,000	
SN75C3222DBR	296-15613-1-ND	RS232-kompatibler Leitungstreiber/Empfänger	RS-232 Compatible Line Driver/Receiver	20-SSOP	2.97	2.38	1.85
SN75C3222DBR	296-15613-2-ND	RS232-kompatibler Leitungstreiber/Empfänger	RS-232 Compatible Line Driver/Receiver	20-SSOP		3367.77/2,000	
SN75C3222DWR	296-13040-1-ND	RS232-kompatibler Leitungstreiber/Empfänger	RS-232 Compatible Line Driver/Receiver	20-SOIC	2.97	2.38	1.85
SN75C3222DWR	296-13040-2-ND	RS232-kompatibler Leitungstreiber/Empfänger	RS-232 Compatible Line Driver/Receiver	20-SOIC		3367.77/2,000	
SN75C3223DBR	296-13499-1-ND	RS232-Leitungstreiber/Empfänger, 3-5,5 V, Mehrkanal-kompatibel	3-5.5V, Multichannel Compatible RS-232 Line Driver/Receiver	20-SSOP	2.51	2.02	1.57
SN75C3223DBR	296-13499-2-ND	RS232-Leitungstreiber/Empfänger, 3-5,5 V, Mehrkanal-kompatibel	3-5.5V, Multichannel Compatible RS-232 Line Driver/Receiver	20-SSOP		2849.66/2,000	
SN75C3223DWR	296-13500-1-ND	RS232-Leitungstreiber/Empfänger, 3-5,5 V, Mehrkanal-kompatibel	3-5.5V, Multichannel Compatible RS-232 Line Driver/Receiver	20-SOIC	2.51	2.02	1.57
SN75C3223DWR	296-13500-2-ND	RS232-Leitungstreiber/Empfänger, 3-5,5 V, Mehrkanal-kompatibel	3-5.5V, Multichannel Compatible RS-232 Line Driver/Receiver	20-SOIC		2849.66/2,000	
SN75C3223PWR	296-13501-1-ND	RS232-Leitungstreiber/Empfänger, 3-5,5 V, Mehrkanal-kompatibel	3-5.5V, Multichannel Compatible RS-232 Line Driver/Receiver	20-TSSOP	2.51	2.02	1.57
SN75C3223PWR	296-13501-2-ND	RS232-Leitungstreiber/Empfänger, 3-5,5 V, Mehrkanal-kompatibel	3-5.5V, Multichannel Compatible RS-232 Line Driver/Receiver	20-TSSOP		2849.66/2,000	
SN75C3232DBR	296-15614-1-ND	RS232-Leitungstreiber/Empfänger, 3-5,5 V, Mehrkanal-kompatibel	3-5.5V, Multichannel Compatible RS-232 Line Driver/Receiver	16-SSOP	2.95	2.37	1.84
SN75C3232DBR	296-15614-2-ND	RS232-Leitungstreiber/Empfänger, 3-5,5 V, Mehrkanal-kompatibel	3-5.5V, Multichannel Compatible RS-232 Line Driver/Receiver	16-SSOP		3345.76/2,000	
SN75C3232DR	296-15615-1-ND	RS232-Leitungstreiber/Empfänger, 3-5,5 V, Mehrkanal-kompatibel	3-5.5V, Multichannel Compatible RS-232 Line Driver/Receiver	16-SOIC	2.95	2.37	1.84
SN75C3232DR	296-15615-2-ND	RS232-Leitungstreiber/Empfänger, 3-5,5 V, Mehrkanal-kompatibel	3-5.5V, Multichannel Compatible RS-232 Line Driver/Receiver	16-SOIC		4133.52/2,500	
SN75C3232DWR	296-15616-1-ND	RS232-Leitungstreiber/Empfänger, 3-5,5 V, Mehrkanal-kompatibel	3-5.5V, Multichannel Compatible RS-232 Line Driver/Receiver	16-SOIC	2.95	2.37	1.84
SN75C3232DWR	296-15616-2-ND	RS232-Leitungstreiber/Empfänger, 3-5,5 V, Mehrkanal-kompatibel	3-5.5V, Multichannel Compatible RS-232 Line Driver/Receiver	16-SOIC		3345.76/2,000	
SN75C3232PWR	296-15617-1-ND	RS232-Leitungstreiber/Empfänger, 3-5,5 V, Mehrkanal-kompatibel	3-5.5V, Multichannel Compatible RS-232 Line Driver/Receiver	16-TSSOP	2.95	2.37	1.84
SN75C3232PWR	296-15617-2-ND	RS232-Leitungstreiber/Empfänger, 3-5,5 V, Mehrkanal-kompatibel	3-5.5V, Multichannel Compatible RS-232 Line Driver/Receiver	16-TSSOP		3345.76/2,000	
SN75C3238DBR	296-12743-1-ND	RS232-Leitungstreiber/Empfänger	RS-232 Line Driver/Receiver	28-SSOP	2.97	2.38	1.85
SN75C3238DBR	296-12743-2-ND	RS232-Leitungstreiber/Empfänger	RS-232 Line Driver/Receiver	28-SSOP		3367.77/2,000	
SN75C3238DWR	296-13324-1-ND	RS232-Leitungstreiber/Empfänger, 3-5,5 V, Mehrkanal-kompatibel	3-5.5V, Multichannel Compatible RS-232 Line Driver/Receiver	28-SOIC	2.97	2.38	1.85
SN75C3238DWR	296-13324-2-ND	RS232-Leitungstreiber/Empfänger, 3-5,5 V, Mehrkanal-kompatibel	3-5.5V, Multichannel Compatible RS-232 Line Driver/Receiver	28-SOIC		1683.89/1,000	
SN75C3238PWR	296-13325-1-ND	RS232-Leitungstreiber/Empfänger, 3-5,5 V, Mehrkanal-kompatibel	3-5.5V, Multichannel Compatible RS-232 Line Driver/Receiver	28-TSSOP	2.97	2.38	1.85
SN75C3238PWR	296-13325-2-ND	RS232-Leitungstreiber/Empfänger, 3-5,5 V, Mehrkanal-kompatibel	3-5.5V, Multichannel Compatible RS-232 Line Driver/Receiver	28-TSSOP		3367.77/2,000	
SN75C3243DBR	296-13326-1-ND	RS232-Leitungstreiber/Empfänger, 3-5,5 V, Mehrkanal-kompatibel	3-5.5V, Multichannel Compatible RS-232 Line Driver/Receiver	28-SSOP	2.74	2.20	1.71
SN75C3243DBR	296-13326-2-ND	RS232-Leitungstreiber/Empfänger, 3-5,5 V, Mehrkanal-kompatibel	3-5.5V, Multichannel Compatible RS-232 Line Driver/Receiver	28-SSOP		3108.72/2,000	
SN75C3243DWR	296-13327-1-ND	RS232-Leitungstreiber/Empfänger, 3-5,5 V, Mehrkanal-kompatibel	3-5.5V, Multichannel Compatible RS-232 Line Driver/Receiver	28-SOIC	2.74	2.20	1.71
SN75C3243DWR	296-13327-2-ND	RS232-Leitungstreiber/Empfänger, 3-5,5 V, Mehrkanal-kompatibel	3-5.5V, Multichannel Compatible RS-232 Line Driver/Receiver	28-SOIC		1554.36/1,000	
SN75C3243PWR	296-13058-1-ND	RS232-Leitungstreiber/Empfänger, 3-5,5 V, Mehrkanal-kompatibel	3-5.5V, Multichannel Compatible RS-232 Line Driver/Receiver	28-TSSOP	2.74	2.20	1.71
SN75C3243PWR	296-13058-2-ND	RS232-Leitungstreiber/Empfänger, 3-5,5 V, Mehrkanal-kompatibel	3-5.5V, Multichannel Compatible RS-232 Line Driver/Receiver	28-TSSOP		3511.70/2,000	
SN75C23243DGGR	296-13320-1-ND	Zweif. RS232-Port, 3-5,5 V	3-5.5V, Dual RS-232 Port	48-TSSOP	3.62	2.90	2.26
SN75C23243DGGR	296-13320-2-ND	Zweif. RS232-Port, 3-5,5 V	3-5.5V, Dual RS-232 Port	48-TSSOP		4102.62/2,000	
SN75C23243DLR	296-13321-1-ND	Zweif. RS232-Port, 3-5,5 V	3-5.5V, Dual RS-232 Port	48-SSOP	3.62	2.90	2.26
SN75C23243DLR	296-13321-2-ND	Zweif. RS232-Port, 3-5,5 V	3-5.5V, Dual RS-232 Port	48-SSOP		2051.31/1,000	
SN75LP196DBR	296-6974-1-ND	Mehrf. RS232-Treiber/Empfänger, NL	LP Multiple RS-232 Driver/Receiver	20-SSOP	2.10	1.68	1.26
SN75LP196DBR	296-6974-2-ND	Mehrf. RS232-Treiber/Empfänger, NL	LP Multiple RS-232 Driver/Receiver	20-SSOP		2179.15/2,000	
SN75LP196DWR	296-6975-1-ND	Mehrf. RS232-Treiber/Empfänger, NL	LP Multiple RS-232 Driver/Receiver	20-SOIC	2.10	1.68	1.26
SN75LP196DWR	296-6975-2-ND	Mehrf. RS232-Treiber/Empfänger, NL	LP Multiple RS-232 Driver/Receiver	20-SOIC		2179.15/2,000	
SN75LP1185DBR	296-6971-1-ND	Mehrf. RS232-Treiber/Empfänger, NL	LP Multiple RS-232 Driver/Receiver	20-SSOP	2.10	1.68	1.26
SN75LP1185DBR	296-6971-2-ND	Mehrf. RS232-Treiber/Empfänger, NL	LP Multiple RS-232 Driver/Receiver	20-SSOP		2179.15/2,000	
SN75LP1185DW	296-6972-5-ND	Mehrf. RS232-Treiber/Empfänger, NL	LP Multiple RS-232 Driver/Receiver	20-SOIC	2.10	1.68	1.26
SN75LP1185DWR	296-6972-1-ND	Mehrf. RS232-Treiber/Empfänger, NL	LP Multiple RS-232 Driver/Receiver	20-SOIC	2.10	1.68	1.26
SN75LP1185DWR	296-6972-2-ND	Mehrf. RS232-Treiber/Empfänger, NL	LP Multiple RS-232 Driver/Receiver	20-SOIC		2179.15/2,000	
SN75LPE185DBR	296-6976-1-ND	Mehrf. RS232-Treiber/Empfänger, NL	LP Multiple RS-232 Driver/Receiver	24-SSOP	2.00	1.60	1.25
SN75LPE185DBR	296-6976-2-ND	Mehrf. RS232-Treiber/Empfänger, NL	LP Multiple RS-232 Driver/Receiver	24-SSOP		2267.19/2,000	
SN75LPE185DW	296-1759-5-ND	Mehrf. RS232-Treiber/Empfänger, NL	LP Multiple RS-232 Driver/Receiver	24-SOIC	2.00	1.60	1.25
SN75LV4737ADBR	296-6977-1-ND	RS232-Leitungstreiber/Empfänger mit Aktivierung, mehrkanalig	Multichannel RS-232 Line Driver/Receiver with Enable	28-SSOP	2.76	2.21	1.72
SN75LV4737ADBR	296-6977-2-ND	RS232-Leitungstreiber/Empfänger mit Aktivierung, mehrkanalig	Multichannel RS-232 Line Driver/Receiver with Enable	28-SSOP		3130.73/2,000	
SN75113NSR	296-13312-1-ND	Zweif. Differenzial-Leitungstreiber	Dual Differential Line Driver	16-SOP	1.90	1.53	1.19
SN75113NSR	296-13312-2-ND	Zweif. Differenzial-Leitungstreiber	Dual Differential Line Driver	16-SOP		2158.83/2,000	
SN75116NSR	296-13313-1-ND	Tri-State-Differenzial-Leitungstransceiver	Tri-State Differential Line Transceiver	16-SOP	2.95	2.37	1.84
SN75116NSR	296-13313-2-ND	Tri-State-Differenzial-Leitungstransceiver	Tri-State Differential Line Transceiver	16-SOP		3345.76/2,000	
SN75121NSR	296-13314-1-ND	Zweif. Hochgeschw.-Leitungstreiber	High Speed Dual Line Driver	16-SOP	1.90	1.53	1.15
SN75121NSR	296-13314-2-ND	Zweif. Hochgeschw.-Leitungstreiber	High Speed Dual Line Driver	16-SOP		1981.04/2,000	
SN75154NSR	296-13315-1-ND	Vierf. Leitungsempfänger	Quad Line Receiver	16-SOP	1.02	.85	.68
SN75154NSR	296-13315-2-ND	Vierf. Leitungsempfänger	Quad Line Receiver	16-SOP		900.78/2,000	
SN75185DW	296-1740-5-ND	Mehrf. RS232-Treiber/Empfänger	Multiple RS-232 Driver/Receiver	20-SOIC	.63	.53	.43
SN75185DWR	296-1740-1-ND	Mehrf. RS232-Treiber/Empfänger	Multiple RS-232 Driver/Receiver	20-SOIC	.63	.53	.43
SN75185DWR	296-1740-2-ND	Mehrf. RS232-Treiber/Empfänger	Multiple RS-232 Driver/Receiver	20-SOIC		563.84/2,000	
SN75185N	296-6953-5-ND	Mehrf. RS232-Treiber/Empfänger	Multiple RS-232 Driver/Receiver	20-Dip	.63	.53	.43
SN75186DW	296-6954-5-ND	Vierf. Treiber/Empfänger mit Loopback	Quad Driver/Receiver with Loopback	24-SOIC	1.90	1.53	1.19
SN75188D	296-1276-5-ND	Vierf. Leitungstreiber	Quad Line Driver	14-SOIC	.41	.31	.23
SN75188DR	296-1276-1-ND	Vierf. Leitungstreiber	Quad Line Driver	14-SOIC	.41	.31	.23
SN75188DR	296-1276-2-ND	Vierf. Leitungstreiber	Quad Line Driver	14-SOIC		330.17/2,500	
SN75188N	296-1742-5-ND	Vierf. Leitungstreiber	Quad Line Driver	14-Dip	.41	.31	.23
SN75189AD	296-1277-5-ND	Vierf. Leitungsempfänger	Quad Line Receiver	14-SOIC	.41	.31	.23
SN75189ADR	296-1277-1-ND	Vierf. Leitungsempfänger	Quad Line Receiver	14-SOIC	.41	.31	.23
SN75189ADR	296-1277-2-ND	Vierf. Leitungsempfänger	Quad Line Receiver	14-SOIC		330.17/2,500	
SN75189AN	296-1744-5-ND	Vierf. Leitungsempfänger	Quad Line Receiver	14-Dip	.41	.31	.23
SN75189D	296-1745-5-ND	Vierf. Leitungsempfänger	Quad Line Receiver	14-SOIC	.41	.31	.23
SN75189N	296-6955-5-ND	Vierf. Leitungsempfänger	Quad Line Receiver	14-Dip	.41	.31	.23
SN75196DW	296-6956-5-ND	Mehrf. RS232-Treiber/Empfänger	Multiple RS-232 Driver/Receiver	20-SOIC	.97	.81	.65
SN75196DWR	296-12930-1-ND	Mehrf. RS232-Treiber/Empfänger	Multiple RS-232 Driver/Receiver	20-SOIC	.97	.81	.65
SN75196DWR	296-12930-2-ND	Mehrf. RS232-Treiber/Empfänger	Multiple RS-232 Driver/Receiver	20-SOIC		855.07/2,000	
SN75196N	296-6957-5-ND	Mehrf. RS232-Treiber/Empfänger	Multiple RS-232 Driver/Receiver	20-Dip	.97	.81	.65
SN75451BPSR	296-13316-1-ND	Zweif. Peripherietreiber	Dual Peripheral Driver	8-SOP	.68	.51	.39
SN75451BPSR	296-13316-2-ND	Zweif. Peripherietreiber	Dual Peripheral Driver	8-SOP		450.39/2,000	
SN75454BPSR	296-13317-1-ND	Zweif. Peripherietreiber	Dual Peripheral Driver	8-SOP	.68	.51	.39
SN75454BPSR	296-13317-2-ND	Zweif. Peripherietreiber	Dual Peripheral Driver	8-SOP		450.39/2,000	
SN752232DGGR	296-12331-1-ND	Zweif. RS232-Port	Dual RS-232 Port	48-TSSOP	1.06	.85	.64
SN752232DGGR	296-12331-2-ND	Zweif. RS232-Port	Dual RS-232 Port	48-TSSOP		1100.58/2,000	
SN752232DLR	296-12332-1-ND	Zweif. RS232-Port	Dual RS-232 Port	48-SSOP	1.06	.85	.64
SN752232DLR	296-12332-2-ND	Zweif. RS232-Port	Dual RS-232 Port	48-SSOP		550.29/1,000	
TL145406DWR	296-10140-1-ND	Dreif. RS232-Treiber/Empfänger	Triple RS-232 Driver/Receiver	16-SOIC	1.10	.89	.67
TL145406DWR	296-10140-2-ND	Dreif. RS232-Treiber/Empfänger	Triple RS-232 Driver/Receiver	16-SOIC		1144.60/2,000	
TL145406N	296-10141-5-ND	Dreif. RS232-Treiber/Empfänger	Triple RS-232 Driver/Receiver	16-Dip	1.10	.89	.67
UA9636ACD	296-11147-5-ND	Zweif. Leitungstreiber mit einstell. Anstiegsrate	Dual Line Driver with Adj. Slew Rate	8-SOIC	.68	.51	.39
UA9636ACDR	296-15055-1-ND	Zweif. Leitungstreiber mit einstell. Anstiegsrate	Dual Line Driver with Adj. Slew Rate	8-SOIC	.68	.51	.39
UA9636ACDR	296-15055-2-ND	Zweif. Leitungstreiber mit einstell. Anstiegsrate	Dual Line Driver with Adj. Slew Rate	8-SOIC		550.29/2,500	

(Forts.)

★ ***RUFEN SIE BITTE AN FÜR NIEDRIGERE PREISE BEI GRÖSSEREN MENGEN!*** ★

B

T. I. Teilenr.	Digi-Key Teilenr.	Beschreibung		Paket	Stückpreis★ 1	25	100
UA9636ACP	296-11148-5-ND	Zweif. Leitungstreiber mit einstell. Anstiegsrate	Dual Line Driver with Adj. Slew Rate	8-Dip	.68	.51	.39
UA9637ACDR	296-15056-1-ND	Zweif. Diff.-Leitungsempfänger	Dual Diff. Line Receiver	8-SOIC	.63	.53	.43
UA9637ACDR	296-15056-2-ND	Zweif. Diff.-Leitungsempfänger	Dual Diff. Line Receiver	8-SOIC		687.86/2,500	
UA9637ACP	296-15057-5-ND	Zweif. Diff.-Leitungsempfänger	Dual Diff. Line Receiver	8-Dip	.63	.53	.43
UA9638CDR	296-15058-1-ND	Zweif. HS-Differenzial-Leitungstreiber	Dual High Speed Diff. Line Driver	8-SOIC	.51	.39	.29
UA9638CDR	296-15058-2-ND	Zweif. HS-Differenzial-Leitungstreiber	Dual High Speed Diff. Line Driver	8-SOIC		412.72/2,500	
UA9638CP	296-15059-5-ND	Zweif. HS-Differenzial-Leitungstreiber	Dual High Speed Diff. Line Driver	8-Dip	.51	.39	.29
UC5170CQ	296-11352-5-ND	Achtf. Leitungstreiber mit wahlweisem Drahtbrückenmodus	Octal Line Driver with Strapped Mode Selection	28-PLCC	5.06	4.05	3.42
UC5180CQ	296-11354-5-ND	Achtf. asynchroner Leitungsempfänger, Niedriggeschwindigkeit	Low Speed Async. Octal Line Rcvr	28-PLCC	4.83	3.87	3.26
		SCSI					
SN75970B2DGG	296-9921-5-ND	SCSI-Diff-Wandlersteuerung	SCSI Diff. Converter Control	56-TSSOP	18.92	17.66	16.40
SN75970B2DL	296-9922-5-ND	SCSI-Diff-Wandlersteuerung	SCSI Diff. Converter Control	56-SSOP	18.92	17.66	16.40
SN75971B2DGG	296-9923-5-ND	SCSI-Diff.-Wandler - Daten	SCSI Diff. Converter - Data	56-TSSOP	17.27	16.12	14.97
SN75971B2DL	296-9924-5-ND	SCSI-Diff.-Wandler - Daten	SCSI Diff. Converter - Data	56-SSOP	17.27	16.12	14.97
SN75976A2DL	296-1278-5-ND	Differenzial-Transceiver, 9 Kan.	9-Ch. Differential Transceiver	56-SSOP	18.79	17.55	16.29
SN75976A2DLR	296-1278-1-ND	Differenzial-Transceiver, 9 Kan.	9-Ch. Differential Transceiver	56-SSOP	18.79	17.55	16.29
SN75976A2DLR	296-1278-2-ND	Differenzial-Transceiver, 9 Kan.	9-Ch. Differential Transceiver	56-SSOP		15474.15/1,000	
UCC5642MWP	296-12333-5-ND	SCSI-Terminator mit Regler, 9 Leitungen, nur LVD	9-Line LVD Only SCSI Terminator with Regulator	36-QSOP	4.71	3.77	2.93
		Schalter					
MAX4594DBVR	296-17649-1-ND	5-V-Analogschalter	5V Analog Switch	SOT-23-5	.66	.56	.45
MAX4594DBVR	296-17649-2-ND	5-V-Analogschalter	5V Analog Switch	SOT-23-5		858.45/3,000	
MAX4594DCKR	296-17650-1-ND	5-V-Analogschalter	5V Analog Switch	SC70-5	.66	.56	.45
MAX4594DCKR	296-17650-2-ND	5-V-Analogschalter	5V Analog Switch	SC70-5		858.45/3,000	
MAX4595DBVR	296-17651-1-ND	5-V-Analogschalter	5V Analog Switch	SOT-23-5	.66	.56	.45
MAX4595DBVR	296-17651-2-ND	5-V-Analogschalter	5V Analog Switch	SOT-23-5		858.45/3,000	
MAX4595DCKR	296-17652-1-ND	5-V-Analogschalter	5V Analog Switch	SC70-5	.66	.56	.45
MAX4595DCKR	296-17652-2-ND	5-V-Analogschalter	5V Analog Switch	SC70-5		858.45/3,000	
MAX4596DBVR	296-17653-1-ND	5-V-Analogschalter	5V Analog Switch	SOT-23-5	.66	.56	.45
MAX4596DBVR	296-17653-2-ND	5-V-Analogschalter	5V Analog Switch	SOT-23-5		858.45/3,000	
MAX4596DCKR	296-17654-1-ND	5-V-Analogschalter	5V Analog Switch	SC70-5	.66	.56	.45
MAX4596DCKR	296-17654-2-ND	5-V-Analogschalter	5V Analog Switch	SC70-5		858.45/3,000	
MAX4597DBVR	296-17655-1-ND	5-V-Analogschalter	5V Analog Switch	SOT-23-5	.66	.56	.45
MAX4597DBVR	296-17655-2-ND	5-V-Analogschalter	5V Analog Switch	SOT-23-5		858.45/3,000	
MAX4597DCKR	296-17656-1-ND	5-V-Analogschalter	5V Analog Switch	SC70-5	.66	.56	.45
MAX4597DCKR	296-17656-2-ND	5-V-Analogschalter	5V Analog Switch	SC70-5		858.45/3,000	
TS3A5017DBQR	296-17581-1-ND	10-Ohm-SPDT-Analogschalter	10-Ohm SPDT Analog Switch	16-SSOP	.89	.75	.60
TS3A5017DBQR	296-17581-2-ND	10-Ohm-SPDT-Analogschalter	10-Ohm SPDT Analog Switch	16-SSOP		963.01/2,500	
TS3A5017DGVR	296-17582-1-ND	10-Ohm-SPDT-Analogschalter	10-Ohm SPDT Analog Switch	16-TVSOP	.89	.75	.60
TS3A5017DGVR	296-17582-2-ND	10-Ohm-SPDT-Analogschalter	10-Ohm SPDT Analog Switch	16-TVSOP		789.03/2,000	
TS3A5017DR	296-17583-1-ND	10-Ohm-SPDT-Analogschalter	10-Ohm SPDT Analog Switch	16-SOIC	.89	.75	.60
TS3A5017DR	296-17583-2-ND	10-Ohm-SPDT-Analogschalter	10-Ohm SPDT Analog Switch	16-SOIC		963.01/2,500	
TS3A5017PWR	296-17584-1-ND	10-Ohm-SPDT-Analogschalter	10-Ohm SPDT Analog Switch	16-TSSOP	.89	.75	.60
TS3A5017PWR	296-17584-2-ND	10-Ohm-SPDT-Analogschalter	10-Ohm SPDT Analog Switch	16-TSSOP		789.03/2,000	
TS3A5018DBQR	296-17609-1-ND	10-Ohm-SPDT-Analogschalter	10-Ohm SPDT Analog Switch	16-SSOP	.89	.75	.60
TS3A5018DBQR	296-17609-2-ND	10-Ohm-SPDT-Analogschalter	10-Ohm SPDT Analog Switch	16-SSOP		963.01/2,500	
TS3A5018DGVR	296-17610-1-ND	10-Ohm-SPDT-Analogschalter	10-Ohm SPDT Analog Switch	16-TVSOP	.89	.75	.60
TS3A5018DGVR	296-17610-2-ND	10-Ohm-SPDT-Analogschalter	10-Ohm SPDT Analog Switch	16-TVSOP		789.03/2,000	
TS3A5018DR	296-17611-1-ND	10-Ohm-SPDT-Analogschalter	10-Ohm SPDT Analog Switch	16-SOIC	.89	.75	.60
TS3A5018DR	296-17611-2-ND	10-Ohm-SPDT-Analogschalter	10-Ohm SPDT Analog Switch	16-SOIC		963.01/2,500	
TS3A5018PWR	296-17612-1-ND	10-Ohm-SPDT-Analogschalter	10-Ohm SPDT Analog Switch	16-TSSOP	.89	.75	.60
TS3A5018PWR	296-17612-2-ND	10-Ohm-SPDT-Analogschalter	10-Ohm SPDT Analog Switch	16-TSSOP		789.03/2,000	
TS3L100DBQR	296-17354-1-ND	Vierf. SPDT-LAN-Schalter, breite Bandbreite	Quad SPDT Wide-Bandwidth LAN Switch	16-SSOP	1.17	.94	.71
TS3L100DBQR	296-17354-2-ND	Vierf. SPDT-LAN-Schalter, breite Bandbreite	Quad SPDT Wide-Bandwidth LAN Switch	16-SSOP		1498.48/2,500	
TS3L100RGYR	296-17302-1-ND	Vierf. SPDT-LAN-Schalter, breite Bandbreite	Quad SPDT Wide-Bandwidth LAN Switch	16-QFN	1.17	.94	.71
TS3L100RGYR	296-17302-2-ND	Vierf. SPDT-LAN-Schalter, breite Bandbreite	Quad SPDT Wide-Bandwidth LAN Switch	16-QFN		608.71/1,000	
TS3L110DBQR	296-17392-ND	Vierf. 2:1-Mux/Demux-LAN-Schalter, 3, 3 V	3.3V Quad 2:1 Mux/Demux LAN Switch	16-SSOP	1.59	1.27	.96
TS3L110DR	296-17455-1-ND	Vierf. SPDT 10/100 Base-T-LAN-Schalter, breite Bandbreite, Differenzial 8-Kan. an 4-Kan. Mux/Demux	Quad SPDT High Bandwidth 10/100 Base-T LAN Switch, Differential 8-Ch. to 4-Ch. Mux/Demux	16-SOIC	1.59	1.27	.96
TS3L110DR	296-17455-2-ND	Vierf. SPDT 10/100 Base-T-LAN-Schalter, breite Bandbreite, Differenzial 8-Kan. an 4-Kan. Mux/Demux	Quad SPDT High Bandwidth 10/100 Base-T LAN Switch, Differential 8-Ch. to 4-Ch. Mux/Demux	16-SOIC		2031.84/2,500	
TS3L110RGYR	296-17456-1-ND	Vierf. SPDT 10/100 Base-T-LAN-Schalter, breite Bandbreite, Differenzial 8-Kan. an 4-Kan. Mux/Demux	Quad SPDT High Bandwidth 10/100 Base-T LAN Switch, Differential 8-Ch. to 4-Ch. Mux/Demux	16-QFN	1.59	1.27	.96
TS3L110RGYR	296-17456-2-ND	Vierf. SPDT 10/100 Base-T-LAN-Schalter, breite Bandbreite, Differenzial 8-Kan. an 4-Kan. Mux/Demux	Quad SPDT High Bandwidth 10/100 Base-T LAN Switch, Differential 8-Ch. to 4-Ch. Mux/Demux	16-QFN		825.44/1,000	
TS3L301DGGR	296-17533-1-ND	SPDT-Mux/Demux-LAN-Schalter, 16-Bit an 8-Bit	16-Bit to 8-Bit SPDT Mux/Demux LAN Switch	48-TSSOP	2.73	2.18	1.70
TS3L301DGGR	296-17533-2-ND	SPDT-Mux/Demux-LAN-Schalter, 16-Bit an 8-Bit	16-Bit to 8-Bit SPDT Mux/Demux LAN Switch	48-TSSOP		3086.70/2,000	
TS3L301DGVR	296-17534-1-ND	SPDT-Mux/Demux-LAN-Schalter, 16-Bit an 8-Bit	16-Bit to 8-Bit SPDT Mux/Demux LAN Switch	48-TVSOP	2.73	2.18	1.70
TS3L301DGVR	296-17534-2-ND	SPDT-Mux/Demux-LAN-Schalter, 16-Bit an 8-Bit	16-Bit to 8-Bit SPDT Mux/Demux LAN Switch	48-TVSOP		3086.70/2,000	
TS3V330RGYR	296-17053-1-ND	Vierf. SPDT-Videoschalter, breite Bandbreite	Quad SPDT Wide Bandwidth Video Switch	16-QFN	.79	.66	.53
TS3V330RGYR	296-17053-2-ND	Vierf. SPDT-Videoschalter, breite Bandbreite	Quad SPDT Wide Bandwidth Video Switch	16-QFN		348.80/1,000	
TS3V340DBQR	296-17815-1-ND	Vierf. SPDT-Videoschalter, hohe Bandbreite	Quad SPDT High Bandwidth Video Switch	16-QSOP	1.55	1.24	.93
TS3V340DBQR	296-17815-2-ND	Vierf. SPDT-Videoschalter, hohe Bandbreite	Quad SPDT High Bandwidth Video Switch	16-QSOP		1976.81/2,500	
TS3V340DGVR	296-17816-1-ND	Vierf. SPDT-Videoschalter, hohe Bandbreite	Quad SPDT High Bandwidth Video Switch	16-TVSOP	1.55	1.24	.93
TS3V340DGVR	296-17816-2-ND	Vierf. SPDT-Videoschalter, hohe Bandbreite	Quad SPDT High Bandwidth Video Switch	16-TVSOP		1606.85/2,000	
TS3V340DR	296-17817-1-ND	Vierf. SPDT-Videoschalter, hohe Bandbreite	Quad SPDT High Bandwidth Video Switch	16-SOIC	1.55	1.24	.93
TS3V340DR	296-17817-2-ND	Vierf. SPDT-Videoschalter, hohe Bandbreite	Quad SPDT High Bandwidth Video Switch	16-SOIC		1976.81/2,500	
TS3V340PWR	296-17818-1-ND	Vierf. SPDT-Videoschalter, hohe Bandbreite	Quad SPDT High Bandwidth Video Switch	16-TSSOP	1.55	1.24	.93
TS3V340PWR	296-17818-2-ND	Vierf. SPDT-Videoschalter, hohe Bandbreite	Quad SPDT High Bandwidth Video Switch	16-TSSOP		1606.85/2,000	
TS5A1066DBVR	296-17585-1-ND	Einf. bilateraler Analogschalter	Bilateral Single Analog Switch	SOT-23-5	.66	.56	.45
TS5A1066DBVR	296-17585-2-ND	Einf. bilateraler Analogschalter	Bilateral Single Analog Switch	SOT-23-5		858.45/3,000	
TS5A1066DCKR	296-17586-1-ND	Einf. bilateraler Analogschalter	Bilateral Single Analog Switch	SOT-23-5	.66	.56	.45
TS5A1066DCKR	296-17586-2-ND	Einf. bilateraler Analogschalter	Bilateral Single Analog Switch	SOT-23-5		858.45/3,000	
TS5A2053DCTR	296-17750-1-ND	Einzelkanal-SPDT-Analogschalter, 10 Ohm	Single Channel 10-Ohm SPDT Analog Switch	8-SSOP	.74	.62	.50
TS5A2053DCTR	296-17750-2-ND	Einzelkanal-SPDT-Analogschalter, 10 Ohm	Single Channel 10-Ohm SPDT Analog Switch	8-SSOP		957.50/3,000	
TS5A2053DCUR	296-17751-1-ND	Einzelkanal-SPDT-Analogschalter, 10 Ohm	Single Channel 10-Ohm SPDT Analog Switch	8-VSSOP	.74	.62	.50
TS5A2053DCUR	296-17751-2-ND	Einzelkanal-SPDT-Analogschalter, 10 Ohm	Single Channel 10-Ohm SPDT Analog Switch	8-VSSOP		957.50/3,000	
TS5A2066DCUR	296-17877-1-ND	Zweikanal-SPDT-Analogschalter, 10 Ohm	Dual Channel 10-Ohm SPST Analog Switch	8-VSSOP	.74	.62	.50
TS5A2066DCUR	296-17877-2-ND	Zweikanal-SPDT-Analogschalter, 10 Ohm	Dual Channel 10-Ohm SPST Analog Switch	8-VSSOP		957.50/3,000	
TS5A3154DCUR	296-17878-1-ND	SPDT-Analogschalter	SPDT Analog Switch	8-VSSOP	.74	.62	.50
TS5A3154DCUR	296-17878-2-ND	SPDT-Analogschalter	SPDT Analog Switch	8-VSSOP		957.50/3,000	
TS5A3157DBVR	296-17587-1-ND	10-Ohm-SPDT-Analogschalter	10-Ohm SPDT Analog Switch	SOT-23-6	.42	.34	.26
TS5A3157DBVR	296-17587-2-ND	10-Ohm-SPDT-Analogschalter	10-Ohm SPDT Analog Switch	SOT-23-6		342.87/3,000	
TS5A3157DCKR	296-17588-1-ND	10-Ohm-SPDT-Analogschalter	10-Ohm SPDT Analog Switch	SOT-23-6	.42	.34	.26
TS5A3157DCKR	296-17588-2-ND	10-Ohm-SPDT-Analogschalter	10-Ohm SPDT Analog Switch	SOT-23-6		342.87/3,000	
TS5A3159DBVR	296-17319-1-ND	1-Ohm SPDT-Analogschalter	1-Ohm SPDT Analog Switch	SOT-23-6	.47	.36	.27
TS5A3159DBVR	296-17319-2-ND	1-Ohm SPDT-Analogschalter	1-Ohm SPDT Analog Switch	SOT-23-6		462.24/3,000	
TS5A3159DCKR	296-17303-1-ND	1-Ohm SPDT-Analogschalter	1-Ohm SPDT Analog Switch	SC70-6	.47	.36	.27
TS5A3159DCKR	296-17303-2-ND	1-Ohm SPDT-Analogschalter	1-Ohm SPDT Analog Switch	SC70-6		462.24/3,000	
TS5A3166DBVR	296-17740-1-ND	0,9-Ohm SPST-Analogschalter	0.9-Ohm SPST Analog Switch	SOT-23-5	.76	.64	.51
TS5A3166DBVR	296-17740-2-ND	0,9-Ohm SPST-Analogschalter	0.9-Ohm SPST Analog Switch	SOT-23-5		990.52/3,000	
TS5A3166DCKR	296-17741-1-ND	0,9-Ohm SPST-Analogschalter	0.9-Ohm SPST Analog Switch	SC70-5	.76	.64	.51
TS5A3166DCKR	296-17741-2-ND	0,9-Ohm SPST-Analogschalter	0.9-Ohm SPST Analog Switch	SC70-5		990.52/3,000	
TS5A3167DBVR	296-17752-1-ND	0,9-Ohm SPST-Analogschalter	0.9-Ohm SPST Analog Switch	SOT-23-5	.76	.64	.51
TS5A3167DBVR	296-17752-2-ND	0,9-Ohm SPST-Analogschalter	0.9-Ohm SPST Analog Switch	SOT-23-5		990.52/3,000	
TS5A3167DCKR	296-17753-1-ND	0,9-Ohm SPST-Analogschalter	0.9-Ohm SPST Analog Switch	SC70-5	.76	.64	.51

(Forts.)

★ RUFEN SIE BITTE AN FÜR NIEDRIGERE PREISE BEI GRÖSSEREN MENGEN! ★

T. I. Teilenr.	Digi-Key Teilenr.	Beschreibung		Paket	Stückpreis★ 1	25	100
TS5A3167DCKR	296-17753-2-ND	0,9-Ohm SPST-Analogschalter	0.9-Ohm SPST Analog Switch	SC70-5		990.52/3,000	
TS5A3357DCUR	296-17404-1-ND	Einf. 5 Ohm SPDT-Analogschalter	Single 5-Ohm SP3T Analog Switch	8-VSSOP	.69	.58	.46
TS5A3357DCUR	296-17404-2-ND	Einf. 5 Ohm SPDT-Analogschalter	Single 5-Ohm SP3T Analog Switch	8-VSSOP		891.47/3,000	
TS5A4594DBVR	296-17705-1-ND	5-V-Analogschalter	5V Analog Switch	SOT-23-5	.76	.64	.51
TS5A4594DBVR	296-17705-2-ND	5-V-Analogschalter	5V Analog Switch	SOT-23-5		990.52/3,000	
TS5A4594DCKR	296-17706-1-ND	5-V-Analogschalter	5V Analog Switch	SC70-5	.76	.64	.51
TS5A4594DCKR	296-17706-2-ND	5-V-Analogschalter	5V Analog Switch	SC70-5		990.52/3,000	
TS5A4595DBVR	296-17707-1-ND	5-V-Analogschalter	5V Analog Switch	SOT-23-5	.76	.64	.51
TS5A4595DBVR	296-17707-2-ND	5-V-Analogschalter	5V Analog Switch	SOT-23-5		990.52/3,000	
TS5A4595DCKR	296-17708-1-ND	5-V-Analogschalter	5V Analog Switch	SC70-5	.76	.64	.51
TS5A4595DCKR	296-17708-2-ND	5-V-Analogschalter	5V Analog Switch	SC70-5		990.52/3,000	
TS5A4596DBVR	296-17709-1-ND	5-V-Analogschalter	5V Analog Switch	SOT-23-5	.76	.64	.51
TS5A4596DBVR	296-17709-2-ND	5-V-Analogschalter	5V Analog Switch	SOT-23-5		990.52/3,000	
TS5A4596DCKR	296-17710-1-ND	5-V-Analogschalter	5V Analog Switch	SC70-5	.76	.64	.51
TS5A4596DCKR	296-17710-2-ND	5-V-Analogschalter	5V Analog Switch	SC70-5		990.52/3,000	
TS5A4597DBVR	296-17711-1-ND	5-V-Analogschalter	5V Analog Switch	SOT-23-5	.76	.64	.51
TS5A4597DBVR	296-17711-2-ND	5-V-Analogschalter	5V Analog Switch	SOT-23-5		990.52/3,000	
TS5A4597DCKR	296-17712-1-ND	5-V-Analogschalter	5V Analog Switch	SC70-5	.76	.64	.51
TS5A4597DCKR	296-17712-2-ND	5-V-Analogschalter	5V Analog Switch	SC70-5		990.52/3,000	
TS5A23166DCUR	296-17906-1-ND	Analogschalter	Analog Switch	8-VSSOP	.86	.72	.58
TS5A23166DCUR	296-17906-2-ND	Analogschalter	Analog Switch	8-VSSOP		1122.59/3,000	
TS5L100DBQR	296-17040-1-ND	Vierf. SPDT-Breitband-LAN-Schalter	Quad SPDT Wide Bandwidth LAN Switch	16-SSOP	1.17	.94	.71
TS5L100DBQR	296-17040-2-ND	Vierf. SPDT-Breitband-LAN-Schalter	Quad SPDT Wide Bandwidth LAN Switch	16-SSOP		1498.48/2,500	
TS5L100PWR	296-17041-1-ND	Vierf. SPDT-Breitband-LAN-Schalter	Quad SPDT Wide Bandwidth LAN Switch	20-TSSOP	1.17	.94	.71
TS5L100PWR	296-17041-2-ND	Vierf. SPDT-Breitband-LAN-Schalter	Quad SPDT Wide Bandwidth LAN Switch	20-TSSOP		1217.41/2,000	
TS5L100RGYR	296-17042-1-ND	Vierf. SPDT-Breitband-LAN-Schalter	Quad SPDT Wide Bandwidth LAN Switch	16-QFN	1.17	.94	.71
TS5L100RGYR	296-17042-2-ND	Vierf. SPDT-Breitband-LAN-Schalter	Quad SPDT Wide Bandwidth LAN Switch	16-QFN		1034.55/1,000	
TS5V330DBQR	296-17089-1-ND	Vierf. SPDT-Breitband-Video-Schalter	Quad SPDT Wide Bandwidth Video Switch	16-SSOP	.79	.66	.53
TS5V330DBQR	296-17089-2-ND	Vierf. SPDT-Breitband-Video-Schalter	Quad SPDT Wide Bandwidth Video Switch	16-SSOP		852.95/2,500	
TS5V330PWR	296-17043-1-ND	Vierf. SPDT-Breitband-Video-Schalter	Quad SPDT Wide Bandwidth Video Switch	16-TSSOP	.79	.66	.53
TS5V330PWR	296-17043-2-ND	Vierf. SPDT-Breitband-Video-Schalter	Quad SPDT Wide Bandwidth Video Switch	16-TSSOP		697.60/2,000	
TS5V330RGYR	296-17090-1-ND	Vierf. SPDT-Breitband-Video-Schalter	Quad SPDT Wide Bandwidth Video Switch	16-QFN	.79	.66	.53
TS5V330RGYR	296-17090-2-ND	Vierf. SPDT-Breitband-Video-Schalter	Quad SPDT Wide Bandwidth Video Switch	16-QFN		348.80/1,000	

T. I. Teilenr.	Digi-Key Teilenr.	Beschreibung		Paket	Stückpreis★ 1	25	100
		4000-Gruppe					
CD4001BE	296-2028-5-ND	Vierf. NOR-Gate, 2 Eingänge, CMOS	CMOS Quad 2-Input NOR Gate	14-Dip	.42	.34	.26
CD4001BM	296-3500-5-ND	Vierf. NOR-Gate, 2 Eingänge, CMOS	CMOS Quad 2-Input NOR Gate	14-SOIC	.42	.34	.26
CD4001BNSR	296-12627-1-ND	Vierf. NOR-Gate, 2 Eingänge, CMOS	CMOS Quad 2-Input NOR Gate	14-SOP	.42	.34	.26
CD4001BNSR	296-12627-2-ND	Vierf. NOR-Gate, 2 Eingänge, CMOS	CMOS Quad 2-Input NOR Gate	14-SOP		237.05/2,000	
CD4001BPWR	296-14076-1-ND	Vierf. NOR-Gate, 2 Eingänge, CMOS	CMOS Quad 2-Input NOR Gate	14-TSSOP	.42	.34	.26
CD4001BPWR	296-14076-2-ND	Vierf. NOR-Gate, 2 Eingänge, CMOS	CMOS Quad 2-Input NOR Gate	14-TSSOP		237.05/2,000	
CD4001UBE	296-14077-5-ND	Vierf. NOR-Gate, 2 Eingänge, CMOS	CMOS Quad 2-Input NOR Gate	14-Dip	.42	.34	.26
CD4002BE	296-2029-5-ND	Zweif. NOR-Gate, 4 Eingänge	Dual 4-Input NOR Gate	14-Dip	.42	.34	.26
CD4002BNSR	296-14078-1-ND	Zweif. NOR-Gate, 4 Eingänge	Dual 4-Input NOR Gate	14-SOP	.42	.34	.26
CD4002BNSR	296-14078-2-ND	Zweif. NOR-Gate, 4 Eingänge	Dual 4-Input NOR Gate	14-SOP		237.05/2,000	
CD4002BPWR	296-14239-1-ND	Zweif. NOR-Gate, 4 Eingänge	Dual 4-Input NOR Gate	14-TSSOP	.42	.34	.26
CD4002BPWR	296-14239-2-ND	Zweif. NOR-Gate, 4 Eingänge	Dual 4-Input NOR Gate	14-TSSOP		237.05/2,000	
CD4007UBE	296-3501-5-ND	Zweif. komplementäres Paar plus Inverter	Dual Complementary Pair Plus Inverter	14-Dip	.42	.34	.26
CD4007UBM	296-3502-5-ND	Zweif. komplementäres Paar plus Inverter	Dual Complementary Pair Plus Inverter	14-SOIC	.42	.34	.26
CD4009UBE	296-2030-5-ND	Sechsf. Inverter-Puffer	Hex Inverter Buffer	16-Dip	.42	.34	.26
CD4009UBPWR	296-14240-1-ND	Sechsf. Puffer/Wandler, CMOS	CMOS Hex Buffer/Converter	16-TSSOP	.42	.34	.26
CD4009UBPWR	296-14240-2-ND	Sechsf. Puffer/Wandler, CMOS	CMOS Hex Buffer/Converter	16-TSSOP		237.05/2,000	
CD4010BE	296-2160-5-ND	Sechsf. Puffer/Wandler	Hex Buffer/Converter	16-Dip	.41	.31	.23
CD4010BPWR	296-14084-1-ND	Sechsf. Puffer/Wandler	Hex Buffer/Converter	16-TSSOP	.42	.34	.26
CD4010BPWR	296-14084-2-ND	Sechsf. Puffer/Wandler	Hex Buffer/Converter	16-TSSOP		237.05/2,000	
CD4011BE	296-2031-5-ND	Vierf. NAND-Gate, 2 Eingänge	Quad 2-Input NAND Gate	14-Dip	.42	.34	.26
CD4011BM	296-3507-5-ND	Vierf. NAND-Gate, 2 Eingänge	Quad 2-Input NAND Gate	14-SOIC	.42	.34	.26
CD4011BM96	296-14474-1-ND	Vierf. NAND-Gate, 2 Eingänge, CMOS	Quad 2-Input CMOS NAND Gate	14-SOIC	.42	.34	.26
CD4011BM96	296-14474-2-ND	Vierf. NAND-Gate, 2 Eingänge, CMOS	Quad 2-Input CMOS NAND Gate	14-SOIC		285.73/2,500	
CD4011BNSR	296-14085-1-ND	Vierf. NAND-Gate, 2 Eingänge	Quad 2-Input NAND Gate	14-SOP	.42	.34	.26
CD4011BNSR	296-14085-2-ND	Vierf. NAND-Gate, 2 Eingänge	Quad 2-Input NAND Gate	14-SOP		237.05/2,000	
CD4011BPWR	296-12759-1-ND	Vierf. NAND-Gate, 2 Eingänge	Quad 2-Input NAND Gate	14-TSSOP	.42	.34	.26
CD4011BPWR	296-12759-2-ND	Vierf. NAND-Gate, 2 Eingänge	Quad 2-Input NAND Gate	14-TSSOP		237.05/2,000	
CD4011UBE	296-14086-5-ND	Vierf. NAND-Gate, 2 Eingänge	Quad 2-Input NAND Gate	14-Dip	.42	.34	.26
CD4011UBM	296-14245-5-ND	Vierf. NAND-Gate, 2 Eingänge	Quad 2-Input NAND Gate	14-SOIC	.42	.34	.26
CD4012BE	296-2032-5-ND	Zweif. NAND-Gate, 4 Eingänge	Dual 4-Input NAND Gate	14-Dip	.42	.34	.26
CD4012BM96	296-14246-1-ND	Zweif. NAND-Gate, 4 Eingänge	Dual 4-Input NAND Gate	14-SOIC	.42	.34	.26
CD4012BM96	296-14246-2-ND	Zweif. NAND-Gate, 4 Eingänge	Dual 4-Input NAND Gate	14-SOIC		285.73/2,500	
CD4012BNSR	296-14087-1-ND	Zweif. NAND-Gate, 4 Eingänge	Dual 4-Input NAND Gate	14-SOP	.42	.34	.26
CD4012BNSR	296-14087-2-ND	Zweif. NAND-Gate, 4 Eingänge	Dual 4-Input NAND Gate	14-SOP		237.05/2,000	
CD4013BE	296-2033-5-ND	Zweif. CMOS-D-Flip-Flop	Dual CMOS D-Type Flip-Flop	14-Dip	.42	.34	.26
CD4013BM	296-12972-5-ND	Zweif. CMOS-D-Flip-Flop	Dual CMOS D-Type Flip-Flop	14-SOIC	.42	.34	.26
CD4013BNSR	296-14088-1-ND	Zweif. CMOS-D-Flip-Flop	Dual CMOS D-Type Flip-Flop	14-SOP	.42	.34	.26
CD4013BNSR	296-14088-2-ND	Zweif. CMOS-D-Flip-Flop	Dual CMOS D-Type Flip-Flop	14-SOP		237.05/2,000	
CD4013BPWR	296-14089-1-ND	Zweif. CMOS-D-Flip-Flop	Dual CMOS D-Type Flip-Flop	14-TSSOP	.42	.34	.26
CD4013BPWR	296-14089-2-ND	Zweif. CMOS-D-Flip-Flop	Dual CMOS D-Type Flip-Flop	14-TSSOP		237.05/2,000	
CD4014BE	296-2034-5-ND	Statisches 8-Phasen-Schieberegister	8-Stage Static Shift Register	16-Dip	.47	.36	.27
CD4014BPWR	296-14248-1-ND	Statisches 8-Phasen-Schieberegister	8-Stage Static Shift Register	16-TSSOP	.41	.31	.23
CD4014BPWR	296-14248-2-ND	Statisches 8-Phasen-Schieberegister	8-Stage Static Shift Register	16-TSSOP		270.91/2,000	
CD4015BE	296-2035-5-ND	Zweif. statisches 4-Phasen-Schieberegister	Dual 4-Stage Static Shift Register	16-Dip	.51	.39	.29
CD4015BPWR	296-14090-1-ND	Zweif. statisches 4-Phasen-Schieberegister	Dual 4-Stage Static Shift Register	16-TSSOP	.51	.39	.29
CD4015BPWR	296-14090-2-ND	Zweif. statisches 4-Phasen-Schieberegister	Dual 4-Stage Static Shift Register	16-TSSOP		237.05/2,000	
CD4016BE	296-2036-5-ND	Vierf. Bilateralschalter	Quad Bilateral Switch	14-Dip	.41	.31	.23
CD4016BM	296-14250-5-ND	Vierf. Bilateralschalter	Quad Bilateral Switch	14-SOIC	.47	.38	.28
CD4016BNSR	296-14092-1-ND	Vierf. Bilateralschalter	Quad Bilateral Switch	16-SOP	.47	.38	.28
CD4016BNSR	296-14092-2-ND	Vierf. Bilateralschalter	Quad Bilateral Switch	16-SOP		260.75/2,000	
CD4017BE	296-2037-5-ND	10-dekadischer Zähler/Teiler	10 Decade Counter/Divider	16-Dip	.41	.31	.23
CD4017BNSR	296-14094-1-ND	10-dekadischer Zähler/Teiler	10 Decade Counter/Divider	16-SOP	.42	.34	.26
CD4017BNSR	296-14094-2-ND	10-dekadischer Zähler/Teiler	10 Decade Counter/Divider	16-SOP		260.75/2,000	
CD4017BPWR	296-14252-1-ND	10-dekadischer Zähler/Teiler	10 Decade Counter/Divider	16-TSSOP	.42	.34	.26
CD4017BPWR	296-14252-2-ND	10-dekadischer Zähler/Teiler	10 Decade Counter/Divider	16-TSSOP		260.75/2,000	
CD4018BE	296-14236-ND	Voreinstellbarer Division-durch-N-Zähler, CMOS	CMOS Presettable Divide-by-N Counter	16-Dip	.47	.36	.27
CD4018BNSR	296-14095-1-ND	Voreinstellbarer Division-durch-N-Zähler, CMOS	CMOS Presettable Divide-by-N Counter	16-SOP	.41	.31	.23
CD4018BNSR	296-14095-2-ND	Voreinstellbarer Division-durch-N-Zähler, CMOS	CMOS Presettable Divide-by-N Counter	16-SOP		270.91/2,000	
CD4019BE	296-2038-5-ND	Vierf. AND/OR-Select-Gate	Quad AND/OR Select Gate	16-Dip	.51	.39	.29

(Forts.)

★ ***RUFEN SIE BITTE AN FÜR NIEDRIGERE PREISE BEI GRÖSSEREN MENGEN!*** ★

B

T. I. Teilenr.	Digi-Key Teilenr.	Beschreibung		Paket	Stückpreis★ 1	25	100
CD4020BE	296-2039-5-ND	Ripple-Carry-Binärzähler/-teiler, 14 Bit	14-Bit Ripple-Carry Binary Counter/Divider	16-Dip	.47	.36	.27
CD4020BNSR	296-14097-1-ND	Ripple-Carry-Binärzähler/-teiler, 14 Bit	14-Bit Ripple-Carry Binary Counter/Divider	16-SOP	.41	.31	.23
CD4020BNSR	296-14097-2-ND	Ripple-Carry-Binärzähler/-teiler, 14 Bit	14-Bit Ripple-Carry Binary Counter/Divider	16-SOP		270.91/2,000	
CD4021BE	296-2040-5-ND	Statisches 8-Phasen-Schieberegister	8-Stage Static Shift Register	16-Dip	.41	.31	.23
CD4021BM	296-14255-5-ND	Statisches 8-Phasen-Schieberegister	8-Stage Static Shift Register	16-SOIC	.41	.31	.23
CD4021BPWR	296-14256-1-ND	Statisches 8-Phasen-Schieberegister	8-Stage Static Shift Register	16-TSSOP	.41	.31	.23
CD4021BPWR	296-14256-2-ND	Statisches 8-Phasen-Schieberegister	8-Stage Static Shift Register	16-TSSOP		270.91/2,000	
CD4022BNSR	296-14098-1-ND	Achtf. Zähler/Teiler	Octal Counter/Divider	16-SOP	.38	.31	.23
CD4022BNSR	296-14098-2-ND	Achtf. Zähler/Teiler	Octal Counter/Divider	16-SOP		292.92/2,000	
CD4022BPWR	296-14257-1-ND	Achtf. Zähler/Teiler	Octal Counter/Divider	16-TSSOP	.38	.31	.23
CD4022BPWR	296-14257-2-ND	Achtf. Zähler/Teiler	Octal Counter/Divider	16-TSSOP		292.92/2,000	
CD4023BE	296-2041-5-ND	Dreif. NAND-Gate mit 3 Eingängen	Triple 3-Input NAND Gate	14-Dip	.41	.31	.23
CD4023BNSR	296-14099-1-ND	Dreif. NAND-Gate mit 3 Eingängen	Triple 3-Input NAND Gate	14-SOP	.42	.34	.26
CD4023BNSR	296-14099-2-ND	Dreif. NAND-Gate mit 3 Eingängen	Triple 3-Input NAND Gate	14-SOP		260.75/2,000	
CD4024BE	296-2042-5-ND	Ripple-Carry-Binärzähler, 7-Phasen	7-Stage, Ripple-Carry Binary Counter	14-Dip	.41	.31	.23
CD4024BM96	296-14258-1-ND	Ripple-Carry-Binärzähler, 7-Phasen	7-Stage, Ripple-Carry Binary Counter	14-SOIC	.42	.34	.26
CD4024BM96	296-14258-2-ND	Ripple-Carry-Binärzähler, 7-Phasen	7-Stage, Ripple-Carry Binary Counter	14-SOIC		315.36/2,500	
CD4024BPWR	296-12760-1-ND	Ripple-Carry-Binärzähler, 7-Phasen	7-Stage, Ripple-Carry Binary Counter	14-TSSOP	.42	.34	.26
CD4024BPWR	296-12760-2-ND	Ripple-Carry-Binärzähler, 7-Phasen	7-Stage, Ripple-Carry Binary Counter	14-TSSOP		260.75/2,000	
CD4025BE	296-2043-5-ND	Dreif. NOR-Gate mit 3 Eingängen	Triple 3-Input NOR Gate	14-Dip	.42	.34	.26
CD4025BM96	296-14100-1-ND	Dreif. NOR-Gate mit 3 Eingängen	Triple 3-Input NOR Gate	14-SOIC	.42	.34	.26
CD4025BM96	296-14100-2-ND	Dreif. NOR-Gate mit 3 Eingängen	Triple 3-Input NOR Gate	14-SOIC		285.73/2,500	
CD4026BE	296-14260-5-ND	Dekadischer Zähler/Teiler	Decade Counter/Divider	16-Dip	.63	.53	.43
CD4026BPWR	296-14261-1-ND	Dekadischer Zähler/Teiler	Decade Counter/Divider	16-TSSOP	.86	.72	.58
CD4026BPWR	296-14261-2-ND	Dekadischer Zähler/Teiler	Decade Counter/Divider	16-TSSOP		765.33/2,000	
CD4027BE	296-2044-5-ND	Zweif. JK-Master/Slave-Flip-Flop	Dual JK Master/Slave Flip-Flop	16-Dip	.47	.38	.28
CD4027BM	296-3511-5-ND	Zweif. JK-Master/Slave-Flip-Flop	Dual JK Master/Slave Flip-Flop	16-SOIC	.47	.38	.28
CD4027BNSR	296-14101-1-ND	Zweif. JK-Master/Slave-Flip-Flop	Dual JK Master/Slave Flip-Flop	16-SOP	.42	.34	.26
CD4027BNSR	296-14101-2-ND	Zweif. JK-Master/Slave-Flip-Flop	Dual JK Master/Slave Flip-Flop	16-SOP		260.75/2,000	
CD4027BPWR	296-14262-1-ND	Zweif. JK-Master/Slave-Flip-Flop	Dual JK Master/Slave Flip-Flop	16-TSSOP	.47	.38	.28
CD4027BPWR	296-14262-2-ND	Zweif. JK-Master/Slave-Flip-Flop	Dual JK Master/Slave Flip-Flop	16-TSSOP		260.75/2,000	
CD4028BE	296-2045-5-ND	BCD-an-Dezimal-Decoder	BCD-to-Decimal Decoder	16-Dip	.44	.33	.25
CD4028BM96	296-16702-1-ND	BCD-an-Dezimal-Decoder	BCD-to-Decimal Decoder	16-SOIC	.42	.34	.26
CD4028BM96	296-16702-2-ND	BCD-an-Dezimal-Decoder	BCD-to-Decimal Decoder	16-SOIC		315.36/2,500	
CD4028BNSR	296-12724-1-ND	BCD-an-Dezimal-Decoder	BCD-to-Decimal Decoder	16-SOP	.42	.34	.26
CD4028BNSR	296-12724-2-ND	BCD-an-Dezimal-Decoder	BCD-to-Decimal Decoder	16-SOP		260.75/2,000	
CD4029BE	296-2046-5-ND	Voreingestellter Binär-Auf-/Abwärtszähler	Preset Up/Down Binary Counter	16-Dip	.44	.33	.25
CD4029BPWR	296-17105-1-ND	Voreingestellter Binär-Auf-/Abwärtszähler	Preset Up/Down Binary Counter	16-TSSOP	.47	.38	.28
CD4029BPWR	296-17105-2-ND	Voreingestellter Binär-Auf-/Abwärtszähler	Preset Up/Down Binary Counter	16-TSSOP		260.75/2,000	
CD4030BE	296-2047-5-ND	Vierf. exklusives OR-Gate	Quad Exclusive OR Gate	14-Dip	.41	.31	.23
CD4030BM	296-14263-5-ND	Vierf. exklusives OR-Gate	Quad Exclusive OR Gate	14-SOIC	.47	.38	.28
CD4030BNSR	296-14102-1-ND	Vierf. exklusives OR-Gate	Quad Exclusive OR Gate	14-SOP	.42	.34	.26
CD4030BNSR	296-14102-2-ND	Vierf. exklusives OR-Gate	Quad Exclusive OR Gate	14-SOP		260.75/2,000	
CD4030BPWR	296-14103-1-ND	Vierf. exklusives OR-Gate	Quad Exclusive OR Gate	14-TSSOP	.42	.34	.26
CD4030BPWR	296-14103-2-ND	Vierf. exklusives OR-Gate	Quad Exclusive OR Gate	14-TSSOP		260.75/2,000	
CD4033BE	296-14264-5-ND	Dekadischer Zähler/Teiler	Decade Counter/Divider	16-Dip	1.17	.94	.70
CD4034BE	296-14237-ND	Statisches, bidirektionales Busregister mit parallelem/seriellem Eingang/Ausgang, 8 Phasen, CMOS	CMOS 8-Stage Static Bidirectional Parallel/Serial Input/Output Bus Register	24-Dip	1.59	1.27	.96
CD4035BE	296-2163-5-ND	Parallel-Ein/Parallel-Aus-Schieberegister, 4 Phasen, CMOS	CMOS 4-Stage Parallel In/Parallel Out Shift Register	16-Dip	1.22	1.02	.82
CD4035BPWR	296-14267-1-ND	Parallel-Ein/Parallel-Aus-Schieberegister, 4 Phasen, CMOS	CMOS 4-Stage Parallel In/Parallel Out Shift Register	16-TSSOP	1.22	1.02	.82
CD4035BPWR	296-14267-2-ND	Parallel-Ein/Parallel-Aus-Schieberegister, 4 Phasen, CMOS	CMOS 4-Stage Parallel In/Parallel Out Shift Register	16-TSSOP		1080.26/2,000	
CD4040BE	296-2048-5-ND	Ripple-Carry-Binärzähler/-teiler, 12 Phasen, CMOS	12-Stage, CMOS Ripply-Carry Binary Counter/Divider	16-Dip	.41	.31	.23
CD4040BNSR	296-13770-1-ND	Ripple-Carry-Binärzähler/-teiler, 12 Phasen, CMOS	12-Stage, CMOS Ripply-Carry Binary Counter/Divider	16-SOP	.42	.34	.26
CD4040BNSR	296-13770-2-ND	Ripple-Carry-Binärzähler/-teiler, 12 Phasen, CMOS	12-Stage, CMOS Ripply-Carry Binary Counter/Divider	16-SOP		260.75/2,000	
CD4040BPWR	296-12761-1-ND	Ripple-Carry-Binärzähler/-teiler, 12 Phasen, CMOS	12-Stage, CMOS Ripply-Carry Binary Counter/Divider	14-TSSOP	.47	.38	.28
CD4040BPWR	296-12761-2-ND	Ripple-Carry-Binärzähler/-teiler, 12 Phasen, CMOS	12-Stage, CMOS Ripply-Carry Binary Counter/Divider	14-TSSOP		260.75/2,000	
CD4041UBE	296-2164-5-ND	Vierf. True/Complement-Puffer	Quad True/Complement Buffer	14-Dip	.81	.61	.46
CD4041UBPWR	296-14104-1-ND	Vierf. True/Complement-Puffer	Quad True/Complement Buffer	14-TSSOP	.81	.61	.46
CD4041UBPWR	296-14104-2-ND	Vierf. True/Complement-Puffer	Quad True/Complement Buffer	14-TSSOP		540.13/2,000	
CD4042BE	296-2049-5-ND	Vierf. D-Latch	Quad D-Type Latch	16-Dip	.41	.31	.23
CD4043BE	296-2050-5-ND	Vierf. NOR-R/S-Latch, Tri-State	Tri-State Quad NOR R/S Latch	16-Dip	.51	.39	.29
CD4043BDW	296-14269-5-ND	Vierf. NOR-R/S-Latch, Tri-State	Tri-State Quad NOR R/S Latch	16-SOIC	.51	.39	.29
CD4043BNSR	296-14105-1-ND	Vierf. NOR-R/S-Latch, Tri-State	Tri-State Quad NOR R/S Latch	16-SOP	.51	.39	.29
CD4043BNSR	296-14105-2-ND	Vierf. NOR-R/S-Latch, Tri-State	Tri-State Quad NOR R/S Latch	16-SOP		338.64/2,000	
CD4043BPWR	296-14106-1-ND	Vierf. NOR-R/S-Latch, Tri-State	Tri-State Quad NOR R/S Latch	16-TSSOP	.51	.39	.29
CD4043BPWR	296-14106-2-ND	Vierf. NOR-R/S-Latch, Tri-State	Tri-State Quad NOR R/S Latch	16-TSSOP		338.64/2,000	
CD4044BE	296-2051-5-ND	Vierf. NAND-R/S-Latch	Quad NAND R/S Latch	16-Dip	.51	.39	.29
CD4044BNSR	296-12762-1-ND	Vierf. NAND-R/S-Latch	Quad NAND R/S Latch	16-SOP	.44	.33	.25
CD4044BNSR	296-12762-2-ND	Vierf. NAND-R/S-Latch	Quad NAND R/S Latch	16-SOP		292.92/2,000	
CD4045BE	296-3512-5-ND	Zähler, 21 Phasen	21-Stage Counter	16-Dip	.47	.36	.27
CD4045BPWR	296-14107-1-ND	Zähler, 21 Phasen	21-Stage Counter	16-TSSOP	.47	.36	.27
CD4045BPWR	296-14107-2-ND	Zähler, 21 Phasen	21-Stage Counter	16-TSSOP		314.94/2,000	
CD4046BE	296-2052-5-ND	Micropower Phase-Lock-Loop	Micropower Phase Lock Loop	16-Dip	.47	.36	.27
CD4046BNSR	296-14108-1-ND	Micropower Phase-Lock-Loop	Micropower Phase Lock Loop	16-SOP	.61	.46	.35
CD4046BNSR	296-14108-2-ND	Micropower Phase-Lock-Loop	Micropower Phase Lock Loop	16-SOP		404.67/2,000	
CD4046BPWR	296-14109-1-ND	Micropower Phase-Lock-Loop	Micropower Phase Lock Loop	16-TSSOP	.47	.36	.27
CD4046BPWR	296-14109-2-ND	Micropower Phase-Lock-Loop	Micropower Phase Lock Loop	16-TSSOP		314.94/2,000	
CD4047BE	296-2053-5-ND	Monostabiler/astabiler NL-Multivibrator, CMOS	CMOS Low Power Monostable/Astable Multivibrator	14-Dip	.44	.33	.25
CD4047BNSR	296-14110-1-ND	Monostabiler/astabiler NL-Multivibrator, CMOS	CMOS Low Power Monostable/Astable Multivibrator	14-SOP	.42	.34	.26
CD4047BNSR	296-14110-2-ND	Monostabiler/astabiler NL-Multivibrator, CMOS	CMOS Low Power Monostable/Astable Multivibrator	14-SOP		260.75/2,000	
CD4047BPWR	296-13642-1-ND	Monostabiler/astabiler NL-Multivibrator, CMOS	CMOS Low Power Monostable/Astable Multivibrator	14-TSSOP	.42	.34	.26
CD4047BPWR	296-13642-2-ND	Monostabiler/astabiler NL-Multivibrator, CMOS	CMOS Low Power Monostable/Astable Multivibrator	14-TSSOP		260.75/2,000	
CD4048BE	296-2054-5-ND	Erweiterbares Gate, 8 Eingänge	Expandable 8-Input Gate	16-Dip	.56	.42	.32
CD4049UBE	296-2055-5-ND	Sechsf. invertierender Puffer/Wandler	Hex Inverting Buffer/Converter	16-Dip	.45	.34	.26
CD4049UBNSR	296-14112-1-ND	Sechsf. invertierender Puffer/Wandler	Hex Inverting Buffer/Converter	16-SOP	.42	.34	.26
CD4049UBNSR	296-14112-2-ND	Sechsf. invertierender Puffer/Wandler	Hex Inverting Buffer/Converter	16-SOP		260.75/2,000	
CD4050BE	296-2056-5-ND	Sechsf. nicht invertierender Puffer/Wandler	Hex Non-Inverting Buffer/Converter	16-Dip	.41	.31	.23
CD4050BDWR	296-14270-1-ND	Sechsf. nicht invertierender Puffer/Wandler	Hex Non-Inverting Buffer/Converter	16-SOIC	.42	.34	.26
CD4050BDWR	296-14270-2-ND	Sechsf. nicht invertierender Puffer/Wandler	Hex Non-Inverting Buffer/Converter	16-SOIC		260.75/2,000	
CD4050BNSR	296-14113-1-ND	Sechsf. nicht invertierender Puffer/Wandler	Hex Non-Inverting Buffer/Converter	16-SOP	.42	.34	.26
CD4050BNSR	296-14113-2-ND	Sechsf. nicht invertierender Puffer/Wandler	Hex Non-Inverting Buffer/Converter	16-SOP		260.75/2,000	
CD4051BE	296-2057-5-ND	8-Kanal-Analog-Mux/Demux	8-Channel Analog Mux/Demux	16-Dip	.44	.33	.25
CD4051BM96	296-14271-1-ND	8-Kanal-Analog-Mux/Demux	8-Channel Analog Mux/Demux	16-SOIC	.41	.31	.23
CD4051BM96	296-14271-2-ND	8-Kanal-Analog-Mux/Demux	8-Channel Analog Mux/Demux	16-SOIC		330.17/2,500	
CD4051BNSR	296-14115-1-ND	8-Kanal-Analog-Mux/Demux	8-Channel Analog Mux/Demux	16-SOP	.44	.33	.25
CD4051BNSR	296-14115-2-ND	8-Kanal-Analog-Mux/Demux	8-Channel Analog Mux/Demux	16-SOP		292.92/2,000	
CD4051BPWR	296-11993-1-ND	8-Kanal-Analog-Mux/Demux	8-Channel Analog Mux/Demux	16-TSSOP	.41	.31	.23
CD4051BPWR	296-11993-2-ND	8-Kanal-Analog-Mux/Demux	8-Channel Analog Mux/Demux	16-TSSOP		270.91/2,000	
CD4051BQPWRQ1	296-17760-1-ND	8-Kanal-Analog-Mux/Demux	8-Channel Analog Mux/Demux	16-TSSOP	.47	.36	.27
CD4051BQPWRQ1	296-17760-2-ND	8-Kanal-Analog-Mux/Demux	8-Channel Analog Mux/Demux	16-TSSOP		314.94/2,000	

(Forts.)

★ ***RUFEN SIE BITTE AN FÜR NIEDRIGERE PREISE BEI GRÖSSEREN MENGEN!*** ★

T. I. Teilenr.	Digi-Key Teilenr.	Beschreibung		Paket	Stückpreis★ 1	25	100
CD4052BE	296-2058-5-ND	4-Kanal-Analog-Mux/Demux	4-Channel Analog Mux/Demux	16-Dip	.41	.31	.23
CD4052BM96	296-14272-1-ND	4-Kanal-Analog-Mux/Demux	4-Channel Analog Mux/Demux	16-SOIC	.42	.34	.26
CD4052BM96	296-14272-2-ND	4-Kanal-Analog-Mux/Demux	4-Channel Analog Mux/Demux	16-SOIC		315.36/2,500	
CD4052BNSR	296-14116-1-ND	4-Kanal-Analog-Mux/Demux	4-Channel Analog Mux/Demux	16-SOP	.42	.34	.26
CD4052BNSR	296-14116-2-ND	4-Kanal-Analog-Mux/Demux	4-Channel Analog Mux/Demux	16-SOP		260.75/2,000	
CD4052BPWR	296-14273-1-ND	4-Kanal-Analog-Mux/Demux	4-Channel Analog Mux/Demux	16-TSSOP	.47	.38	.28
CD4052BPWR	296-14273-2-ND	4-Kanal-Analog-Mux/Demux	4-Channel Analog Mux/Demux	16-TSSOP		260.75/2,000	
CD4053BE	296-2059-5-ND	Dreif. 2-Kanal-Analog-Mux/Demux	Triple 2-Channel Analog Mux/Demux	16-Dip	.47	.38	.28
CD4053BM96	296-14274-1-ND	Dreif. 2-Kanal-Analog-Mux/Demux	Triple 2-Channel Analog Mux/Demux	16-SOIC	.42	.34	.26
CD4053BM96	296-14274-2-ND	Dreif. 2-Kanal-Analog-Mux/Demux	Triple 2-Channel Analog Mux/Demux	16-SOIC		315.36/2,500	
CD4053BPWR	296-14117-1-ND	Dreif. 2-Kanal-Analog-Mux/Demux	Triple 2-Channel Analog Mux/Demux	16-TSSOP	.47	.38	.28
CD4053BPWR	296-14117-2-ND	Dreif. 2-Kanal-Analog-Mux/Demux	Triple 2-Channel Analog Mux/Demux	16-TSSOP		260.75/2,000	
CD4054BE	296-3514-5-ND	LCD-Treiber, CMOS, 4 Segmente	CMOS 4-Segment LCD Driver	16-Dip	.44	.33	.25
CD4055BE	296-14275-5-ND	BCD zu 7-Segment Decoder/Treiber	BCD to 7-Segment Decoder/Driver	16-Dip	.68	.51	.39
CD4056BE	296-14118-5-ND	BCD zu 7-Segment Decoder/Treiber	BCD to 7-Segment Decoder/Driver	16-Dip	.52	.40	.30
CD4059AE	296-3515-5-ND	Prog. Division-durch-N-Zähler, CMOS	CMOS Prog. Divide-by-N Counter	24-Dip	2.10	1.68	1.31
CD4060BE	296-2060-5-ND	Ripple-Zähler/-Teiler und Oszillator, 14-Phasen	14-Stage Ripple Counter/Divider and Oscillator	16-Dip	.41	.31	.23
CD4060BPWR	296-14119-1-ND	Ripple-Zähler/-Teiler und Oszillator, 14-Phasen	14-Stage Ripple Counter/Divider and Oscillator	16-TSSOP	.47	.38	.28
CD4060BPWR	296-14119-2-ND	Ripple-Zähler/-Teiler und Oszillator, 14-Phasen	14-Stage Ripple Counter/Divider and Oscillator	16-TSSOP		260.75/2,000	
CD4063BE	296-14120-5-ND	4-Bit Magnitude-Comparator	4-Bit Magnitude Comparator	16-Dip	.61	.46	.35
CD4063BNSR	296-14121-1-ND	4-Bit Magnitude-Comparator	4-Bit Magnitude Comparator	16-SOP	.61	.46	.35
CD4063BNSR	296-14121-2-ND	4-Bit Magnitude-Comparator	4-Bit Magnitude Comparator	16-SOP		404.67/2,000	
CD4066BE	296-2061-5-ND	Vierf. Bilateralschalter	Quad Bilateral Switch	14-Dip	.47	.38	.28
CD4066BM	296-3516-5-ND	Vierf. Bilateralschalter	Quad Bilateral Switch	14-SOIC	.47	.38	.28
CD4066BM96	296-14475-1-ND	Vierf. Bilateralschalter	Quad Bilateral Switch	14-SOIC	.47	.38	.28
CD4066BM96	296-14475-2-ND	Vierf. Bilateralschalter	Quad Bilateral Switch	14-SOIC		315.36/2,500	
CD4066BNSR	296-14122-1-ND	Vierf. Bilateralschalter	Quad Bilateral Switch	14-SOP	.47	.38	.28
CD4066BNSR	296-14122-2-ND	Vierf. Bilateralschalter	Quad Bilateral Switch	14-SOP		260.75/2,000	
CD4066BPWR	296-14123-1-ND	Vierf. Bilateralschalter	Quad Bilateral Switch	14-TSSOP	.47	.38	.28
CD4066BPWR	296-14123-2-ND	Vierf. Bilateralschalter	Quad Bilateral Switch	14-TSSOP		260.75/2,000	
CD4067BE	296-3517-5-ND	Einf. 16-Kanal-Analog-Mux/Demux	Single 16-Channel Analog Mux/Demux	24-Dip	1.17	.98	.78
CD4068BE	296-14124-5-ND	NAND/AND-Gate, 8 Eingänge	8-Input NAND/AND Gate	14-Dip	.41	.31	.23
CD4068BM96	296-15355-1-ND	NAND/AND-Gate, 8 Eingänge	8-Input NAND/AND Gate	14-SOIC	.47	.38	.28
CD4068BM96	296-15355-2-ND	NAND/AND-Gate, 8 Eingänge	8-Input NAND/AND Gate	14-SOIC		315.36/2,500	
CD4068BNSR	296-14125-1-ND	NAND/AND-Gate, 8 Eingänge	8-Input NAND/AND Gate	14-SOP	.47	.38	.28
CD4068BNSR	296-14125-2-ND	NAND/AND-Gate, 8 Eingänge	8-Input NAND/AND Gate	14-SOP		260.75/2,000	
CD4069UBE	296-3518-5-ND	Sechsf. Inverter	Hex Inverter	14-Dip	.47	.38	.28
CD4069UBM	296-3519-5-ND	Sechsf. Inverter	Hex Inverter	14-SOIC	.47	.38	.28
CD4069UBM96	296-14476-1-ND	Sechsf. Inverter	Hex Inverter	14-SOIC	.42	.34	.26
CD4069UBM96	296-14476-2-ND	Sechsf. Inverter	Hex Inverter	14-SOIC		315.36/2,500	
CD4069UBNSR	296-14126-1-ND	Sechsf. Inverter	Hex Inverter	14-SOP	.47	.38	.28
CD4069UBNSR	296-14126-2-ND	Sechsf. Inverter	Hex Inverter	14-SOP		260.75/2,000	
CD4069UBPWR	296-14127-1-ND	Sechsf. Inverter	Hex Inverter	14-TSSOP	.47	.38	.28
CD4069UBPWR	296-14127-2-ND	Sechsf. Inverter	Hex Inverter	14-TSSOP		260.75/2,000	
CD4070BE	296-14128-5-ND	Vierf. exklusives OR-Gate	Quad Exclusive OR Gate	14-Dip	.47	.38	.28
CD4070BM	296-14276-5-ND	Vierf. exklusives OR-Gate	Quad Exclusive OR Gate	14-SOIC	.42	.34	.26
CD4070BNSR	296-14129-1-ND	Vierf. exklusives OR-Gate	Quad Exclusive OR Gate	14-SOP	.42	.34	.26
CD4070BNSR	296-14129-2-ND	Vierf. exklusives OR-Gate	Quad Exclusive OR Gate	14-SOP		237.05/2,000	
CD4070BPWR	296-14277-1-ND	Vierf. exklusives OR-Gate	Quad Exclusive OR Gate	14-TSSOP	.42	.34	.26
CD4070BPWR	296-14277-2-ND	Vierf. exklusives OR-Gate	Quad Exclusive OR Gate	14-TSSOP		237.05/2,000	
CD4071BE	296-2062-5-ND	Vierf. OR-Gate, 2 Eingänge	Quad 2-Input OR Gate	14-Dip	.47	.38	.28
CD4071BM	296-14278-5-ND	Vierf. OR-Gate, 2 Eingänge	Quad 2-Input OR Gate	14-SOIC	.42	.34	.26
CD4071BNSR	296-14130-1-ND	Vierf. OR-Gate, 2 Eingänge	Quad 2-Input OR Gate	14-SOP	.42	.34	.26
CD4071BNSR	296-14130-2-ND	Vierf. OR-Gate, 2 Eingänge	Quad 2-Input OR Gate	14-SOP		237.05/2,000	
CD4071BPW	296-14131-5-ND	Vierf. OR-Gate, 2 Eingänge	Quad 2-Input OR Gate	14-TSSOP	.42	.34	.26
CD4072BE	296-2063-5-ND	Zweif. OR-Gate, 4 Eingänge	Dual 4-Input OR Gate	14-Dip	.47	.38	.28
CD4072BNSR	296-14132-1-ND	Zweif. OR-Gate, 4 Eingänge	Dual 4-Input OR Gate	14-SOP	.42	.34	.26
CD4072BNSR	296-14132-2-ND	Zweif. OR-Gate, 4 Eingänge	Dual 4-Input OR Gate	14-SOP		237.05/2,000	
CD4073BE	296-2064-5-ND	Dreif. AND-Gate mit 3 Eingängen	Triple 3-Input AND Gate	14-Dip	.47	.38	.28
CD4073BM	296-3520-5-ND	Dreif. AND-Gate mit 3 Eingängen	Triple 3-Input AND Gate	14-SOIC	.47	.38	.28
CD4073BNSR	296-14133-1-ND	Dreif. AND-Gate mit 3 Eingängen	Triple 3-Input AND Gate	14-SOP	.47	.38	.28
CD4073BNSR	296-14133-2-ND	Dreif. AND-Gate mit 3 Eingängen	Triple 3-Input AND Gate	14-SOP		260.75/2,000	
CD4073BPWR	296-14134-1-ND	Dreif. AND-Gate mit 3 Eingängen	Triple 3-Input AND Gate	14-TSSOP	.47	.38	.28
CD4073BPWR	296-14134-2-ND	Dreif. AND-Gate mit 3 Eingängen	Triple 3-Input AND Gate	14-TSSOP		260.75/2,000	
CD4075BE	296-2065-5-ND	Dreif. OR-Gate mit 3 Eingängen	Triple 3-Input OR Gate	14-Dip	.47	.38	.28
CD4075BM	296-14279-5-ND	Dreif. OR-Gate mit 3 Eingängen	Triple 3-Input OR Gate	14-SOIC	.47	.38	.28
CD4075BNSR	296-14136-1-ND	Dreif. OR-Gate mit 3 Eingängen	Triple 3-Input OR Gate	14-SOP	.47	.38	.28
CD4075BNSR	296-14136-2-ND	Dreif. OR-Gate mit 3 Eingängen	Triple 3-Input OR Gate	14-SOP		260.75/2,000	
CD4076BE	296-14137-5-ND	4-Bit D-Register	4-Bit D-Type Register	16-Dip	.51	.39	.29
CD4077BE	296-13771-5-ND	Vierf. Exclusive-NOR-Gate, CMOS	CMOS Quad Exclusive-NOR Gate	14-Dip	.41	.31	.23
CD4077BM	296-9406-5-ND	Vierf. Exclusive-NOR-Gate, CMOS	CMOS Quad Exclusive-NOR Gate	14-SOIC	.47	.38	.28
CD4078BE	296-3521-5-ND	NOR/OR-Gate, 8 Eingänge	8-Input NOR/OR Gate	14-Dip	.47	.38	.28
CD4078BM	296-14138-5-ND	NOR/OR-Gate, 8 Eingänge	8-Input NOR/OR Gate	14-SOIC	.47	.38	.28
CD4078BNSR	296-14139-1-ND	NOR/OR-Gate, 8 Eingänge	8-Input NOR/OR Gate	14-SOP	.47	.38	.28
CD4078BNSR	296-14139-2-ND	NOR/OR-Gate, 8 Eingänge	8-Input NOR/OR Gate	14-SOP		260.75/2,000	
CD4081BE	296-2066-5-ND	Vierf. AND-Gate, 2 Eingänge	Quad 2-Input AND Gate	14-Dip	.47	.38	.28
CD4081BM	296-14280-5-ND	Vierf. AND-Gate, 2 Eingänge	Quad 2-Input AND Gate	14-SOIC	.47	.38	.28
CD4081BNSR	296-14140-1-ND	Vierf. AND-Gate, 2 Eingänge	Quad 2-Input AND Gate	14-SOP	.39	.32	.22
CD4081BNSR	296-14140-2-ND	Vierf. AND-Gate, 2 Eingänge	Quad 2-Input AND Gate	14-SOP		260.75/2,000	
CD4081BPWR	296-14141-1-ND	Vierf. AND-Gate, 2 Eingänge	Quad 2-Input AND Gate	14-TSSOP	.39	.32	.22
CD4081BPWR	296-14141-2-ND	Vierf. AND-Gate, 2 Eingänge	Quad 2-Input AND Gate	14-TSSOP		260.75/2,000	
CD4082BE	296-2067-5-ND	Zweif. AND-Gate, 4 Eingänge	Dual 4-Input AND Gate	14-Dip	.47	.38	.28
CD4085BE	296-3522-5-ND	Zweif. 2-Weit/2-Eingang-AND/OR-Invert-Gate	Dual 2-Wide/2-In AND/OR Invert Gate	14-Dip	.71	.54	.40
CD4085BPWR	296-14143-1-ND	Zweif. 2-Weit/2-Eingang-AND/OR-Invert-Gate	Dual 2-Wide/2-In AND/OR Invert Gate	14-TSSOP	.71	.54	.40
CD4085BPWR	296-14143-2-ND	Zweif. 2-Weit/2-Eingang-AND/OR-Invert-Gate	Dual 2-Wide/2-In AND/OR Invert Gate	14-TSSOP		472.40/2,000	
CD4086BE	296-14281-5-ND	4-Weit/2-Eingang-AND/OR-Invert-Gate, erweiterbar	Expandable 4-Wide/2-Input AND/OR Invert Gate	14-Dip	.78	.59	.44
CD4089BE	296-2165-5-ND	Binärer Frequenzvervielfacher	Binary Rate Multiplier	16-Dip	1.02	.85	.68
CD4089BPWR	296-3523-1-ND	Binärer Frequenzvervielfacher	Binary Rate Multiplier	16-TSSOP	1.02	.85	.68
CD4089BPWR	296-3523-2-ND	Binärer Frequenzvervielfacher	Binary Rate Multiplier	16-TSSOP		900.78/2,000	
CD4093BE	296-2068-5-ND	Vierf. NAND-Schmitt-Trigger, 2 Eingänge	Quad 2-Input NAND Schmitt Trigger	14-Dip	.47	.38	.28
CD4093BM	296-3524-5-ND	Vierf. NAND-Schmitt-Trigger, 2 Eingänge	Quad 2-Input NAND Schmitt Trigger	14-SOIC	.47	.38	.28
CD4093BNSR	296-14145-1-ND	Vierf. NAND-Schmitt-Trigger, 2 Eingänge	Quad 2-Input NAND Schmitt Trigger	14-SOP	.42	.34	.26
CD4093BNSR	296-14145-2-ND	Vierf. NAND-Schmitt-Trigger, 2 Eingänge	Quad 2-Input NAND Schmitt Trigger	14-SOP		260.75/2,000	
CD4093BPW	296-14146-5-ND	Vierf. NAND-Schmitt-Trigger, 2 Eingänge	Quad 2-Input NAND Schmitt Trigger	14-TSSOP	.47	.38	.28
CD4093BPWR	296-13873-1-ND	Vierf. NAND-Schmitt-Trigger, 2 Eingänge	Quad 2-Input NAND Schmitt Trigger	14-TSSOP	.42	.34	.26
CD4093BPWR	296-13873-2-ND	Vierf. NAND-Schmitt-Trigger, 2 Eingänge	Quad 2-Input NAND Schmitt Trigger	14-TSSOP		260.75/2,000	
CD4094BE	296-2069-5-ND	8-Bit Schieberegister mit Latch	8-Bit Shift Register with Latch	16-Dip	.44	.33	.25
CD4094BPWR	296-13860-1-ND	8-Bit Schieberegister mit Latch	8-Bit Shift Register with Latch	16-TSSOP	.47	.38	.28
CD4094BPWR	296-13860-2-ND	8-Bit Schieberegister mit Latch	8-Bit Shift Register with Latch	16-TSSOP		260.75/2,000	
CD4097BE	296-3525-5-ND	Diff. 8-Kanal-Analog-Mux/Demux	Diff. 8-Channel Analog Mux/Demux	24-Dip	1.59	1.27	.96

(Forts.)

★ ***RUFEN SIE BITTE AN FÜR NIEDRIGERE PREISE BEI GRÖSSEREN MENGEN!*** ★

B

T. I. Teilenr.	Digi-Key Teilenr.	Beschreibung		Paket	Stückpreis★ 1	25	100
CD4098BE	296-3526-5-ND	Zweif. monostabiler Multivibrator	Dual Monostable Multivibrator	16-Dip	.45	.34	.26
CD4098BM	296-16736-5-ND	Zweif. monostabiler Multivibrator	Dual Monostable Multivibrator	16-SOIC	.41	.31	.23
CD4099BE	296-2070-5-ND	Adressierbarer 8-Bit Latch	8-Bit Addressable Latch	16-Dip	.45	.34	.26
CD4099BPWR	296-9407-1-ND	Adressierbarer 8-Bit Latch	8-Bit Addressable Latch	16-TSSOP	.41	.31	.23
CD4099BPWR	296-9407-2-ND	Adressierbarer 8-Bit Latch	8-Bit Addressable Latch	16-TSSOP		270.91/2,000	
CD4502BE	296-2166-5-ND	Sechsf. eingetakteter Inverter/Puffer, CMOS	CMOS Strobed Hex Inverter/Buffer	16-Dip	.41	.31	.23
CD4502BNSR	296-14148-1-ND	Sechsf. eingetakteter Inverter/Puffer	Strobed Hex Inverter/Buffer	16-SOP	.41	.31	.23
CD4502BNSR	296-14148-2-ND	Sechsf. eingetakteter Inverter/Puffer	Strobed Hex Inverter/Buffer	16-SOP		270.91/2,000	
CD4503BE	296-2071-5-ND	Sechsf. Tri-State-Puffer	Tri-State Hex Buffer	16-Dip	.45	.34	.26
CD4504BE	296-3527-5-ND	Sechf. Spannungspegel-Shifter	Hex Voltage-Level Shifter	16-Dip	.68	.51	.39
CD4504BM96	296-14150-1-ND	Sechf. Spannungspegel-Shifter	Hex Voltage-Level Shifter	16-SOIC	.68	.51	.39
CD4504BM96	296-14150-2-ND	Sechf. Spannungspegel-Shifter	Hex Voltage-Level Shifter	16-SOIC		550.29/2,500	
CD4504BPWR	296-12010-1-ND	Sechf. Spannungspegel-Shifter	Hex Voltage-Level Shifter	16-TSSOP	.68	.51	.39
CD4504BPWR	296-12010-2-ND	Sechf. Spannungspegel-Shifter	Hex Voltage-Level Shifter	16-TSSOP		450.39/2,000	
CD4508BE	296-14151-5-ND	Zweif. 4-Bit Latch	Dual 4-Bit Latch	24-Dip	1.31	1.05	.79
CD4510BNSR	296-14152-1-ND	Voreinstellbarer Auf-/Abwärts-Zähler, BCD	BCD Presettable Up/Down Counter	16-SOP	.44	.33	.25
CD4510BNSR	296-14152-2-ND	Voreinstellbarer Auf-/Abwärts-Zähler, BCD	BCD Presettable Up/Down Counter	16-SOP		292.92/2,000	
CD4510BPWR	296-14153-1-ND	Voreinstellbarer Auf-/Abwärts-Zähler, BCD	BCD Presettable Up/Down Counter	16-TSSOP	.44	.33	.25
CD4510BPWR	296-14153-2-ND	Voreinstellbarer Auf-/Abwärts-Zähler, BCD	BCD Presettable Up/Down Counter	16-TSSOP		292.92/2,000	
CD4511BE	296-2072-5-ND	BCD-an-7-Segment-LED-Latch/Decoder/Treiber	BCD-to-7 Segment LED Latch/Decoder/Driver	16-Dip	.47	.38	.28
CD4511BNSR	296-3528-1-ND	BCD-an-7-Segment-LED-Latch/Decoder/Treiber	BCD-to-7 Segment LED Latch/Decoder/Driver	16-SOP	.41	.31	.23
CD4511BNSR	296-3528-2-ND	BCD-an-7-Segment-LED-Latch/Decoder/Treiber	BCD-to-7 Segment LED Latch/Decoder/Driver	16-SOP		270.91/2,000	
CD4511BPWR	296-3529-1-ND	BCD-an-7-Segment-LED-Latch/Decoder/Treiber	BCD-to-7 Segment LED Latch/Decoder/Driver	16-TSSOP	.41	.31	.23
CD4511BPWR	296-3529-2-ND	BCD-an-7-Segment-LED-Latch/Decoder/Treiber	BCD-to-7 Segment LED Latch/Decoder/Driver	16-TSSOP		260.75/2,000	
CD4512BE	296-2073-5-ND	8-Kanal-Datenselektor	8-Channel Data Selector	16-Dip	.44	.33	.25
CD4512BM96	296-16676-1-ND	8-Kanal-Datenselektor	8-Channel Data Selector	16-SOIC	.47	.38	.28
CD4512BM96	296-16676-2-ND	8-Kanal-Datenselektor	8-Channel Data Selector	16-SOIC		315.36/2,500	
CD4514BE	296-2074-5-ND	4-Bit Latch/Zeilen-Decoder	4-Bit Latch/Line Decoder	24-Dip	.97	.81	.65
CD4514BM	296-14282-5-ND	4-Bit Latch/Zeilen-Decoder	4-Bit Latch/Line Decoder	24-SOIC	.68	.51	.39
CD4515BE	296-2168-5-ND	4-Bit Latch/Zeilen-Decoder	4-Bit Latch/Line Decoder	24-Dip	.76	.64	.51
CD4515BM	296-14284-5-ND	4-Bit Latch/Zeilen-Decoder	4-Bit Latch/Line Decoder	24-SOIC	.68	.51	.39
CD4516BE	296-2075-5-ND	Binärer Auf-/Abwärtszahler	Binary Up/Down Counter	16-Dip	.54	.41	.31
CD4516BPWR	296-3530-1-ND	Binärer Auf-/Abwärtszahler	Binary Up/Down Counter	16-TSSOP	.54	.41	.31
CD4516BPWR	296-3530-2-ND	Binärer Auf-/Abwärtszahler	Binary Up/Down Counter	16-TSSOP		360.65/2,000	
CD4517BE	296-14285-5-ND	Zweif. statisches 64-Phasen-Schieberegister	Dual 64-Stage Static Shift Register	16-Dip	1.06	.85	.64
CD4518BE	296-2076-5-ND	Zweif. BCD-Aufwärtszähler	Dual BCD Up Counter	16-Dip	.45	.34	.26
CD4518BNSR	296-14157-1-ND	Zweif. BCD-Aufwärtszähler	Dual BCD Up Counter	16-SOP	.41	.31	.23
CD4518BNSR	296-14157-2-ND	Zweif. BCD-Aufwärtszähler	Dual BCD Up Counter	16-SOP		270.91/2,000	
CD4520BE	296-2077-5-ND	Zweif. Binär-Aufwärtszähler	Dual Binary Up Counter	16-Dip	.41	.31	.23
CD4521BE	296-14158-5-ND	Frequenzteiler, 24 Phasen	24-Stage Frequency Divider	16-Dip	.64	.49	.37
CD4522BE	296-3531-5-ND	Prog. BCD Division-durch-N-Zähler	Prog. BCD Divide-by-N Counter	16-Dip	.45	.34	.26
CD4527BE	296-3532-5-ND	BCD-Frequenzvervielfacher	BCD Rate Multiplier	16-Dip	.54	.41	.31
CD4527BNSR	296-14159-1-ND	BCD-Frequenzvervielfacher	BCD Rate Multiplier	16-SOP	.47	.36	.27
CD4527BNSR	296-14159-2-ND	BCD-Frequenzvervielfacher	BCD Rate Multiplier	16-SOP		314.94/2,000	
CD4527BPWR	296-14160-1-ND	BCD-Frequenzvervielfacher	BCD Rate Multiplier	16-TSSOP	.47	.36	.27
CD4527BPWR	296-14160-2-ND	BCD-Frequenzvervielfacher	BCD Rate Multiplier	16-TSSOP		314.94/2,000	
CD4532BE	296-3533-5-ND	8-Bit Prioritäts-Encoder	8-Bit Priority Encoder	16-Dip	.41	.31	.23
CD4532BPWR	296-14161-1-ND	8-Bit Prioritäts-Encoder	8-Bit Priority Encoder	16-TSSOP	.41	.31	.23
CD4532BPWR	296-14161-2-ND	8-Bit Prioritäts-Encoder	8-Bit Priority Encoder	16-TSSOP		270.91/2,000	
CD4536BE	296-3534-5-ND	Programmierbarer Timer, CMOS	CMOS Programmable Timer	16-Dip	.61	.46	.35
CD4536BNSR	296-14304-1-ND	Programmierbarer Timer, CMOS	CMOS Programmable Timer	16-SOP	.54	.41	.31
CD4536BNSR	296-14304-2-ND	Programmierbarer Timer, CMOS	CMOS Programmable Timer	16-SOP		360.65/2,000	
CD4541BE	296-2078-5-ND	Programmierbarer Timer	Programmable Timer	14-Dip	.47	.38	.28
CD4541BM	296-3535-5-ND	Programmierbarer Timer	Programmable Timer	14-SOIC	.47	.38	.28
CD4541BM96	296-3536-1-ND	Programmierbarer Timer	Programmable Timer	14-SOIC	.47	.38	.28
CD4541BM96	296-3536-2-ND	Programmierbarer Timer	Programmable Timer	14-SOIC		315.36/2,500	
CD4543BE	296-2079-5-ND	BCD-an-7-Segment Decoder/Treiber	BCD to 7-Segment Decoder Driver	16-Dip	.41	.31	.23
CD4543BPWR	296-17106-1-ND	BCD-an-7-Segment Decoder/Treiber	BCD to 7-Segment Decoder Driver	16-TSSOP	.41	.31	.23
CD4543BPWR	296-17106-2-ND	BCD-an-7-Segment Decoder/Treiber	BCD to 7-Segment Decoder Driver	16-TSSOP		270.91/2,000	
CD4555BE	296-14286-5-ND	Zweif. binär zu 1:4 Decoder/Demux	Dual Binary to 1-of-4 Decoder/Demux	16-Dip	.27	.36	.27
CD4556BE	296-3537-5-ND	Zweif. binär zu 1:4 Decoder/Demux	Dual Binary to 1-of-4 Decoder/Demux	16-Dip	.61	.46	.35
CD4572UBE	296-14287-5-ND	Sechsf. CMOS-Gate	CMOS Hex Gate	16-Dip	.84	.70	.56
CD4585BE	296-2080-5-ND	4-Bit Magnitude-Comparator	4-Bit Magnitude Comparator	16-Dip	.61	.46	.35
CD4724BE	296-2169-5-ND	Adressierbarer 8-Bit Latch	8-Bit Addressable Latch	16-Dip	.68	.51	.39
CD4724BPWR	296-14162-1-ND	Adressierbarer 8-Bit Latch	8-Bit Addressable Latch	16-TSSOP	.68	.51	.39
CD4724BPWR	296-14162-2-ND	Adressierbarer 8-Bit Latch	8-Bit Addressable Latch	16-TSSOP		450.39/2,000	
CD14538BE	296-14074-5-ND	Zweif. monostabiler Präzisions-Multivibrator	Dual Precision Monostable Multivibrator	16-Dip	.68	.51	.39
CD14538BNSR	296-14075-1-ND	Zweif. monostabiler Präzisions-Multivibrator	Dual Precision Monostable Multivibrator	16-SOP	.68	.51	.39
CD14538BNSR	296-14075-2-ND	Zweif. monostabiler Präzisions-Multivibrator	Dual Precision Monostable Multivibrator	16-SOP		450.39/2,000	
CD14538BPWR	296-12018-1-ND	Zweif. Monostabiler Präzisions-Multivibrator, CMOS	CMOS Dual Precision Monostable Multivibrator	16-TSSOP	.68	.51	.39
CD14538BPWR	296-12018-2-ND	Zweif. Monostabiler Präzisions-Multivibrator, CMOS	CMOS Dual Precision Monostable Multivibrator	16-TSSOP		450.39/2,000	
CD40102BE	296-14079-5-ND	2-dekadischer Synch.-Abwärtszähler, BCD, 8 Phasen	2-Decade BCD 8-Stage Sync. Down Counter	16-Dip	.81	.68	.55
CD40102BPWR	296-14241-1-ND	2-dekadischer Synch.-Abwärtszähler, BCD, 8 Phasen	2-Decade BCD 8-Stage Sync. Down Counter	16-TSSOP	.81	.68	.55
CD40102BPWR	296-14241-2-ND	2-dekadischer Synch.-Abwärtszähler, BCD, 8 Phasen	2-Decade BCD 8-Stage Sync. Down Counter	16-TSSOP		721.30/2,000	
CD40103BE	296-14080-5-ND	Binärer 8-Bit Synch.-Abwärtszähler, 8 Phasen	8-Bit Binary 8-Stage Sync. Down Counter	16-Dip	.81	.68	.55
CD40105BE	296-14242-5-ND	CMOS FIFO-Register	CMOS FIFO Register	16-Dip	1.08	.87	.65
CD40106BE	296-3503-5-ND	Sechsf. Schmitt-Trigger	Hex Schmitt Trigger	14-Dip	.42	.34	.26
CD40106BM96	296-14081-1-ND	Sechsf. Schmitt-Trigger	Hex Schmitt Trigger	14-SOIC	.42	.34	.26
CD40106BM96	296-14081-2-ND	Sechsf. Schmitt-Trigger	Hex Schmitt Trigger	14-SOIC		285.73/2,500	
CD40106BPWR	296-14082-1-ND	Sechsf. Schmitt-Trigger	Hex Schmitt Trigger	14-TSSOP	.42	.34	.26
CD40106BPWR	296-14082-2-ND	Sechsf. Schmitt-Trigger	Hex Schmitt Trigger	14-TSSOP		237.05/2,000	
CD40107BE	296-3504-5-ND	Zweif. 2-Input NAND Puffer/Treiber	Dual 2-Input NAND Buffer/Driver	8-Dip	.47	.36	.27
CD40107BPSR	296-14083-1-ND	Zweif. 2-Input NAND Puffer/Treiber	Dual 2-Input NAND Buffer/Driver	8-SOP	.47	.36	.27
CD40107BPSR	296-14083-2-ND	Zweif. 2-Input NAND Puffer/Treiber	Dual 2-Input NAND Buffer/Driver	8-SOP		314.94/2,000	
CD40109BE	296-3505-5-ND	Vierf. Low/High-Spannungspegel-Shifter	Quad Low-High Voltage Level Shifter	16-Dip	.68	.51	.39
CD40109BPWR	296-12163-1-ND	Vierf. Low/High-Spannungspegel-Shifter	Quad Low-High Voltage Level Shifter	16-TSSOP	.97	.81	.65
CD40109BPWR	296-12163-2-ND	Vierf. Low/High-Spannungspegel-Shifter	Quad Low-High Voltage Level Shifter	16-TSSOP		450.39/2,000	
CD40110BE	296-3506-5-ND	Dekadischer Auf-/Abwärtszähler/Latch-/Display-Treiber	Decade Up-Down Counter/Latch/Display Driver	16-Dip	1.27	1.02	.77
CD40117BE	296-14244-5-ND	Zweif. programmierbarer 4-Bit Terminator	Programmable Dual 4-Bit Terminator	14-Dip	.81	.61	.46
CD40147BE	296-14247-5-ND	10-4-BCD-Prioritäts-Encoder	10-4 BCD Priority Encoder	16-Dip	.97	.81	.65
CD40161BE	296-2170-5-ND	Synchroner 4-Bit Binärzähler	Synchronous 4-Bit Binary Counter	16-Dip	.47	.36	.27
CD40161BNSR	296-14091-1-ND	Synchroner 4-Bit Binärzähler	Synchronous 4-Bit Binary Counter	16-SOP	.47	.36	.27
CD40161BNSR	296-14091-2-ND	Synchroner 4-Bit Binärzähler	Synchronous 4-Bit Binary Counter	16-SOP		314.94/2,000	
CD40161BPWR	296-14249-1-ND	Synchroner 4-Bit Binärzähler	Synchronous 4-Bit Binary Counter	16-TSSOP	.47	.36	.27
CD40161BPWR	296-14249-2-ND	Synchroner 4-Bit Binärzähler	Synchronous 4-Bit Binary Counter	16-TSSOP		314.94/2,000	
CD40174BE	296-3508-5-ND	Sechsf. D-Flip-Flop	Hex D-Type Flip-Flop	16-Dip	.44	.33	.25
CD40175BE	296-14251-5-ND	Vierf. D-Flip-Flop,	Quad D-Type Flip-Flop	16-Dip	.41	.31	.23
CD40175BPWR	296-14093-1-ND	Vierf. D-Flip-Flop,	Quad D-Type Flip-Flop	16-TSSOP	.41	.31	.23
CD40175BPWR	296-14093-2-ND	Vierf. D-Flip-Flop,	Quad D-Type Flip-Flop	16-TSSOP		270.91/2,000	
CD40192BE	296-3509-5-ND	Voreinstellbarer Auf-/Abwärts-BCD-Zähler (Doppeltakt mit Reset)	Presettable Up/Down BCD Counter (Dual Clock with Reset)	16-Dip	.47	.36	.27

(Forts.)

★ RUFEN SIE BITTE AN FÜR NIEDRIGERE PREISE BEI GRÖSSEREN MENGEN! ★

T. I. Teilenr.	Digi-Key Teilenr.	Beschreibung		Paket	Stückpreis★ 1	25	100
CD40192BNSR	296-14096-1-ND	Voreinstellbarer Auf-/Abwärts-Zähler	Presettable Up/Down Counter	16-SOP	.47	.36	.27
CD40192BNSR	296-14096-2-ND	Voreinstellbarer Auf-/Abwärts-Zähler	Presettable Up/Down Counter	16-SOP		314.94/2,000	
CD40193BE	296-3510-5-ND	Voreinstellbarer Auf-/Abwärts-Binär-Zähler (Doppeltakt mit Reset)	Presettable Up/Down Binary Counter (Dual Clock with Reset)	16-Dip	.61	.46	.35
CD40193BPWR	296-14253-1-ND	Voreinstellbarer Auf-/Abwärts-Binär-Zähler (Doppeltakt mit Reset)	Presettable Up/Down Binary Counter (Dual Clock with Reset)	16-TSSOP	.54	.41	.31
CD40193BPWR	296-14253-2-ND	Voreinstellbarer Auf-/Abwärts-Binär-Zähler (Doppeltakt mit Reset)	Presettable Up/Down Binary Counter (Dual Clock with Reset)	16-TSSOP		360.65/2,000	
CD40194BE	296-14254-5-ND	Bidirektionales Univ.-Schieberegister, 4-Bit	4-Bit Bidirectional Univ. Shift Register	16-Dip	.66	.56	.45
CD40257BE	296-14259-5-ND	Vierf. 2-1-Datenselektor/Multiplexer	Quad 2-1 Data Selector/Multiplexer	16-Dip	.68	.51	.39
		ABT-Gruppe					
SN74ABT125D	296-1019-5-ND	Vierf. Bus-Puffer-Gate, Tri-State	Tri-State Quad Bus Buffer Gate	14-SOIC	.54	.41	.31
SN74ABT125DR	296-1019-1-ND	Vierf. Bus-Puffer-Gate, Tri-State	Tri-State Quad Bus Buffer Gate	14-SOIC	.54	.41	.31
SN74ABT125DR	296-1019-2-ND	Vierf. Bus-Puffer-Gate, Tri-State	Tri-State Quad Bus Buffer Gate	14-SOIC		440.23/2,500	
SN74ABT125DBR	296-3875-1-ND	Vierf. Bus-Puffer-Gate, Tri-State	Tri-State Quad Bus Buffer Gate	14-SSOP	.54	.41	.31
SN74ABT125DBR	296-3875-2-ND	Vierf. Bus-Puffer-Gate, Tri-State	Tri-State Quad Bus Buffer Gate	14-SSOP		360.65/2,000	
SN74ABT125N	296-3876-5-ND	Vierf. Bus-Puffer-Gate, Tri-State	Tri-State Quad Bus Buffer Gate	14-Dip	.54	.41	.31
SN74ABT125PWR	296-3877-1-ND	Vierf. Bus-Puffer-Gate, Tri-State	Tri-State Quad Bus Buffer Gate	14-TSSOP	.59	.45	.34
SN74ABT125PWR	296-3877-2-ND	Vierf. Bus-Puffer-Gate, Tri-State	Tri-State Quad Bus Buffer Gate	14-TSSOP		396.21/2,000	
SN74ABT125RGYR	296-13888-1-ND	Vierf. Bus-Puffer-Gate, Tri-State	Tri-State Quad Bus Buffer Gate	14-QFN	.68	.51	.39
SN74ABT125RGYR	296-13888-2-ND	Vierf. Bus-Puffer-Gate, Tri-State	Tri-State Quad Bus Buffer Gate	14-QFN		225.20/1,000	
SN74ABT126DR	296-1020-1-ND	Vierf. Bus-Puffer-Gate, Tri-State	Tri-State Quad Bus Buffer Gate	14-SOIC	.54	.41	.31
SN74ABT126DR	296-1020-2-ND	Vierf. Bus-Puffer-Gate, Tri-State	Tri-State Quad Bus Buffer Gate	14-SOIC		440.23/2,500	
SN74ABT126DBR	296-3878-1-ND	Vierf. Bus-Puffer-Gate, Tri-State	Tri-State Quad Bus Buffer Gate	14-SSOP	.54	.41	.31
SN74ABT126DBR	296-3878-2-ND	Vierf. Bus-Puffer-Gate, Tri-State	Tri-State Quad Bus Buffer Gate	14-SSOP		360.65/2,000	
SN74ABT126N	296-3879-5-ND	Vierf. Bus-Puffer-Gate, Tri-State	Tri-State Quad Bus Buffer Gate	14-Dip	.54	.41	.31
SN74ABT126PWR	296-3880-1-ND	Vierf. Bus-Puffer-Gate, Tri-State	Tri-State Quad Bus Buffer Gate	14-TSSOP	.59	.45	.34
SN74ABT126PWR	296-3880-2-ND	Vierf. Bus-Puffer-Gate, Tri-State	Tri-State Quad Bus Buffer Gate	14-TSSOP		396.21/2,000	
SN74ABT126RGYR	296-13889-1-ND	Vierf. Bus-Puffer-Gate, Tri-State	Tri-State Quad Bus Buffer Gate	14-QFN	.68	.51	.39
SN74ABT126RGYR	296-13889-2-ND	Vierf. Bus-Puffer-Gate, Tri-State	Tri-State Quad Bus Buffer Gate	14-QFN		225.20/1,000	
SN74ABT240ADBR	296-3959-1-ND	Achtf. Puffer/Treiber, Tri-State	Tri-State Octal Buffer/Driver	20-SSOP	.75	.56	.42
SN74ABT240ADBR	296-3959-2-ND	Achtf. Puffer/Treiber, Tri-State	Tri-State Octal Buffer/Driver	20-SSOP		496.11/2,000	
SN74ABT240ADW	296-3960-5-ND	Achtf. Puffer/Treiber, Tri-State	Tri-State Octal Buffer/Driver	20-SOIC	.75	.56	.42
SN74ABT240ADWR	296-14662-1-ND	Achtf. Puffer/Treiber, Tri-State	Tri-State Octal Buffer/Driver	20-SOIC	.75	.56	.42
SN74ABT240ADWR	296-14662-2-ND	Achtf. Puffer/Treiber, Tri-State	Tri-State Octal Buffer/Driver	20-SOIC		496.11/2,000	
SN74ABT240AN	296-3961-5-ND	Achtf. Puffer/Treiber, Tri-State	Tri-State Octal Buffer/Driver	20-Dip	.75	.56	.42
SN74ABT240APWR	296-3962-1-ND	Achtf. Puffer/Treiber, Tri-State	Tri-State Octal Buffer/Driver	20-TSSOP	.75	.56	.42
SN74ABT240APWR	296-3962-2-ND	Achtf. Puffer/Treiber, Tri-State	Tri-State Octal Buffer/Driver	20-TSSOP		496.11/2,000	
SN74ABT241ADBR	296-3963-1-ND	Achtf. Puffer/Treiber, Tri-State	Tri-State Octal Buffer/Driver	20-SSOP	.75	.56	.42
SN74ABT241ADBR	296-3963-2-ND	Achtf. Puffer/Treiber, Tri-State	Tri-State Octal Buffer/Driver	20-SSOP		496.11/2,000	
SN74ABT241ADW	296-3964-5-ND	Achtf. Puffer/Treiber, Tri-State	Tri-State Octal Buffer/Driver	20-SOIC	.75	.56	.42
SN74ABT241ADWR	296-14663-1-ND	Achtf. Puffer/Treiber, Tri-State	Tri-State Octal Buffer/Driver	20-SOIC	.75	.56	.42
SN74ABT241ADWR	296-14663-2-ND	Achtf. Puffer/Treiber, Tri-State	Tri-State Octal Buffer/Driver	20-SOIC		496.11/2,000	
SN74ABT241AN	296-3965-5-ND	Achtf. Puffer/Treiber, Tri-State	Tri-State Octal Buffer/Driver	20-Dip	.75	.56	.42
SN74ABT241APWR	296-3966-1-ND	Achtf. Puffer/Treiber, Tri-State	Tri-State Octal Buffer/Driver	20-TSSOP	.75	.56	.42
SN74ABT241APWR	296-3966-2-ND	Achtf. Puffer/Treiber, Tri-State	Tri-State Octal Buffer/Driver	20-TSSOP		496.11/2,000	
SN74ABT244ADBR	296-1037-1-ND	Achtf. Puffer/Treiber, Tri-State	Tri-State Octal Buffer/Driver	20-SSOP	.68	.51	.39
SN74ABT244ADBR	296-1037-2-ND	Achtf. Puffer/Treiber, Tri-State	Tri-State Octal Buffer/Driver	20-SSOP		450.39/2,000	
SN74ABT244ADW	296-1038-5-ND	Achtf. Puffer/Treiber, Tri-State	Tri-State Octal Buffer/Driver	20-SOIC	.68	.51	.39
SN74ABT244ADWR	296-1038-1-ND	Achtf. Puffer/Treiber, Tri-State	Tri-State Octal Buffer/Driver	20-SOIC	.68	.51	.39
SN74ABT244ADWR	296-1038-2-ND	Achtf. Puffer/Treiber, Tri-State	Tri-State Octal Buffer/Driver	20-SOIC		450.39/2,000	
SN74ABT244AN	296-3967-5-ND	Achtf. Puffer/Treiber, Tri-State	Tri-State Octal Buffer/Driver	20-Dip	.68	.51	.39
SN74ABT244ANSR	296-15878-1-ND	Achtf. Puffer/Treiber, Tri-State	Tri-State Octal Buffer/Driver	20-SOP	.68	.51	.39
SN74ABT244ANSR	296-15878-2-ND	Achtf. Puffer/Treiber, Tri-State	Tri-State Octal Buffer/Driver	20-SOP		450.39/2,000	
SN74ABT244APWR	296-3968-1-ND	Achtf. Puffer/Treiber, Tri-State	Tri-State Octal Buffer/Driver	20-TSSOP	.68	.51	.39
SN74ABT244APWR	296-3968-2-ND	Achtf. Puffer/Treiber, Tri-State	Tri-State Octal Buffer/Driver	20-TSSOP		450.39/2,000	
SN74ABT245BDBR	296-1039-1-ND	Achtf. Bus-Transceiver, Tri-State	Tri-State Octal Bus Transceiver	20-SSOP	.61	.46	.35
SN74ABT245BDBR	296-1039-2-ND	Achtf. Bus-Transceiver, Tri-State	Tri-State Octal Bus Transceiver	20-SSOP		404.67/2,000	
SN74ABT245BDGVR	296-3969-1-ND	Achtf. Bus-Transceiver, Tri-State	Tri-State Octal Bus Transceiver	20-TVSOP	.68	.51	.39
SN74ABT245BDGVR	296-3969-2-ND	Achtf. Bus-Transceiver, Tri-State	Tri-State Octal Bus Transceiver	20-TVSOP		450.39/2,000	
SN74ABT245BDW	296-1040-5-ND	Achtf. Bus-Transceiver, Tri-State	Tri-State Octal Bus Transceiver	20-SOIC	.61	.46	.35
SN74ABT245BDWR	296-1040-1-ND	Achtf. Bus-Transceiver, Tri-State	Tri-State Octal Bus Transceiver	20-SOIC	.61	.46	.35
SN74ABT245BDWR	296-1040-2-ND	Achtf. Bus-Transceiver, Tri-State	Tri-State Octal Bus Transceiver	20-SOIC		404.67/2,000	
SN74ABT245BGQNR	296-12461-1-ND	Achtf. Bus-Transceiver, Tri-State	Tri-State Octal Bus Transceiver	20-VFBGA	.63	.53	.43
SN74ABT245BGQNR	296-12461-2-ND	Achtf. Bus-Transceiver, Tri-State	Tri-State Octal Bus Transceiver	20-VFBGA		281.92/1,000	
SN74ABT245BN	296-3970-5-ND	Achtf. Bus-Transceiver, Tri-State	Tri-State Octal Bus Transceiver	20-Dip	.61	.46	.35
SN74ABT245BNSR	296-15879-1-ND	Achtf. Bus-Transceiver, Tri-State	Tri-State Octal Bus Transceiver	20-SOP	.61	.46	.35
SN74ABT245BNSR	296-15879-2-ND	Achtf. Bus-Transceiver, Tri-State	Tri-State Octal Bus Transceiver	20-SOP		404.67/2,000	
SN74ABT245BPWR	296-3971-1-ND	Achtf. Bus-Transceiver, Tri-State	Tri-State Octal Bus Transceiver	20-TSSOP	.61	.46	.35
SN74ABT245BPWR	296-3971-2-ND	Achtf. Bus-Transceiver, Tri-State	Tri-State Octal Bus Transceiver	20-TSSOP		404.67/2,000	
SN74ABT245BRGYR	296-13890-1-ND	Achtf. Bus-Transceiver, Tri-State	Tri-State Octal Bus Transceiver	20-QFN	.75	.56	.42
SN74ABT245BRGYR	296-13890-2-ND	Achtf. Bus-Transceiver, Tri-State	Tri-State Octal Bus Transceiver	20-QFN		248.05/1,000	
SN74ABT273DBR	296-1041-1-ND	Achtf. D-Flip-Flop	Octal D-Type Flip-Flop	20-SSOP	.68	.51	.39
SN74ABT273DBR	296-1041-2-ND	Achtf. D-Flip-Flop	Octal D-Type Flip-Flop	20-SSOP		450.39/2,000	
SN74ABT273DW	296-1042-5-ND	Achtf. D-Flip-Flop	Octal D-Type Flip-Flop	20-SOIC	.68	.51	.39
SN74ABT273DWR	296-1042-1-ND	Achtf. D-Flip-Flop	Octal D-Type Flip-Flop	20-SOIC	.68	.51	.39
SN74ABT273DWR	296-1042-2-ND	Achtf. D-Flip-Flop	Octal D-Type Flip-Flop	20-SOIC		450.39/2,000	
SN74ABT273N	296-3972-5-ND	Achtf. D-Flip-Flop	Octal D-Type Flip-Flop	20-Dip	.68	.51	.39
SN74ABT273PWR	296-3973-1-ND	Achtf. D-Flip-Flop	Octal D-Type Flip-Flop	20-TSSOP	.68	.51	.39
SN74ABT273PWR	296-3973-2-ND	Achtf. D-Flip-Flop	Octal D-Type Flip-Flop	20-TSSOP		450.39/2,000	
SN74ABT373DBR	296-4002-1-ND	Tri-St., Achtf. transparenter D-Latch	Tri-St. Octal Transparent D-Type Latch	20-SSOP	.68	.51	.39
SN74ABT373DBR	296-4002-2-ND	Tri-St., Achtf. transparenter D-Latch	Tri-St. Octal Transparent D-Type Latch	20-SSOP		450.39/2,000	
SN74ABT373DW	296-1043-5-ND	Tri-St., Achtf. transparenter D-Latch	Tri-St. Octal Transparent D-Type Latch	20-SOIC	.68	.51	.39
SN74ABT373DWR	296-1043-1-ND	Tri-St., Achtf. transparenter D-Latch	Tri-St. Octal Transparent D-Type Latch	20-SOIC	.68	.51	.39
SN74ABT373DWR	296-1043-2-ND	Tri-St., Achtf. transparenter D-Latch	Tri-St. Octal Transparent D-Type Latch	20-SOIC		450.39/2,000	
SN74ABT373N	296-4003-5-ND	Tri-St., Achtf. transparenter D-Latch	Tri-St. Octal Transparent D-Type Latch	20-Dip	.75	.56	.42
SN74ABT373NSR	296-15880-1-ND	Tri-St., Achtf. transparenter D-Latch	Tri-St. Octal Transparent D-Type Latch	20-SOP	.68	.51	.39
SN74ABT373NSR	296-15880-2-ND	Tri-St., Achtf. transparenter D-Latch	Tri-St. Octal Transparent D-Type Latch	20-SOP		450.39/2,000	
SN74ABT373PWR	296-4004-1-ND	Achtf. transparenter Tri-State D-Latch	Tri-State Octal Transp. D-Type Latch	20-TSSOP	.68	.51	.39
SN74ABT373PWR	296-4004-2-ND	Achtf. transparenter Tri-State D-Latch	Tri-State Octal Transp. D-Type Latch	20-TSSOP		450.39/2,000	
SN74ABT374ADBR	296-4005-1-ND	Achtf. D-Flip-Flop, Tri-State	Tri-State Octal D-Type Flip-Flop	20-SSOP	.68	.51	.39
SN74ABT374ADBR	296-4005-2-ND	Achtf. D-Flip-Flop, Tri-State	Tri-State Octal D-Type Flip-Flop	20-SSOP		450.39/2,000	
SN74ABT374ADW	296-1044-5-ND	Achtf. D-Flip-Flop, Tri-State	Tri-State Octal D-Type Flip-Flop	20-SOIC	.68	.51	.39
SN74ABT374ADWR	296-1044-1-ND	Achtf. D-Flip-Flop, Tri-State	Tri-State Octal D-Type Flip-Flop	20-SOIC	.68	.51	.39
SN74ABT374ADWR	296-1044-2-ND	Achtf. D-Flip-Flop, Tri-State	Tri-State Octal D-Type Flip-Flop	20-SOIC		450.39/2,000	
SN74ABT374AN	296-4006-5-ND	Achtf. D-Flip-Flop, Tri-State	Tri-State Octal D-Type Flip-Flop	20-Dip	.68	.51	.39
SN74ABT374APWR	296-4007-1-ND	Achtf. D-Flip-Flop, Tri-State	Tri-State Octal D-Type Flip-Flop	20-TSSOP	.68	.51	.39
SN74ABT374APWR	296-4007-2-ND	Achtf. D-Flip-Flop, Tri-State	Tri-State Octal D-Type Flip-Flop	20-TSSOP		450.39/2,000	
SN74ABT377ADBR	296-4008-1-ND	Achtf. D-Flip-Flop, mit Taktfreigabe	Octal D-Type Flip-Flop w/Clock Enable	20-SSOP	.68	.51	.39
SN74ABT377ADBR	296-4008-2-ND	Achtf. D-Flip-Flop, mit Taktfreigabe	Octal D-Type Flip-Flop w/Clock Enable	20-SSOP		450.39/2,000	
SN74ABT377ADWR	296-4009-1-ND	Achtf. D-Flip-Flop, mit Taktfreigabe	Octal D-Type Flip-Flop w/Clock Enable	20-SOIC	.68	.51	.39
SN74ABT377ADWR	296-4009-2-ND	Achtf. D-Flip-Flop, mit Taktfreigabe	Octal D-Type Flip-Flop w/Clock Enable	20-SOIC		450.39/2,000	
SN74ABT377AN	296-4010-5-ND	Achtf. D-Flip-Flop, mit Taktfreigabe	Octal D-Type Flip-Flop w/Clock Enable	20-Dip	.68	.51	.39
SN74ABT377APWR	296-4011-1-ND	Achtf. D-Flip-Flop, mit Taktfreigabe	Octal D-Type Flip-Flop w/Clock Enable	20-TSSOP	.68	.51	.39
SN74ABT377APWR	296-4011-2-ND	Achtf. D-Flip-Flop, mit Taktfreigabe	Octal D-Type Flip-Flop w/Clock Enable	20-TSSOP		450.39/2,000	
SN74ABT533ADBR	296-4012-1-ND	Transparenter D-Latch, Tri-State	Tri-State Transparent D-Type Latch	20-SSOP	.68	.51	.39

(Forts.)

★ ***RUFEN SIE BITTE AN FÜR NIEDRIGERE PREISE BEI GRÖSSEREN MENGEN!*** ★

B

T. I. Teilenr.	Digi-Key Teilenr.	Beschreibung		Paket	Stückpreis★ 1	25	100
SN74ABT533ADBR	296-4012-2-ND	Transparenter D-Latch, Tri-State	Tri-State Transparent D-Type Latch	20-SSOP		450.39/2,000	
SN74ABT533ADW	296-4013-5-ND	Transparenter D-Latch, Tri-State	Tri-State Transparent D-Type Latch	20-SOIC	.68	.51	.39
SN74ABT533ADWR	296-4013-1-ND	Transparenter D-Latch, Tri-State	Tri-State Transparent D-Type Latch	20-SOIC	.68	.51	.39
SN74ABT533ADWR	296-4013-2-ND	Transparenter D-Latch, Tri-State	Tri-State Transparent D-Type Latch	20-SOIC		450.39/2,000	
SN74ABT533APWR	296-4014-1-ND	Transparenter D-Latch, Tri-State	Tri-State Transparent D-Type Latch	20-TSSOP	.68	.51	.39
SN74ABT533APWR	296-4014-2-ND	Transparenter D-Latch, Tri-State	Tri-State Transparent D-Type Latch	20-TSSOP		450.39/2,000	
SN74ABT534ADBR	296-4015-1-ND	Achtf. D-Flip-Flop, Tri-State	Tri-State Octal D-Type Flip-Flop	20-SSOP	.68	.51	.39
SN74ABT534ADBR	296-4015-2-ND	Achtf. D-Flip-Flop, Tri-State	Tri-State Octal D-Type Flip-Flop	20-SSOP		450.39/2,000	
SN74ABT534ADW	296-4016-5-ND	Achtf. D-Flip-Flop, Tri-State	Tri-State Octal D-Type Flip-Flop	20-SOIC	.68	.51	.39
SN74ABT534ADWR	296-4016-1-ND	Achtf. D-Flip-Flop, Tri-State	Tri-State Octal D-Type Flip-Flop	20-SOIC	.68	.51	.39
SN74ABT534ADWR	296-4016-2-ND	Achtf. D-Flip-Flop, Tri-State	Tri-State Octal D-Type Flip-Flop	20-SOIC		450.39/2,000	
SN74ABT534APWR	296-4017-1-ND	Achtf. D-Flip-Flop, Tri-State	Tri-State Octal D-Type Flip-Flop	20-TSSOP	.68	.51	.39
SN74ABT534APWR	296-4017-2-ND	Achtf. D-Flip-Flop, Tri-State	Tri-State Octal D-Type Flip-Flop	20-TSSOP		450.39/2,000	
SN74ABT540DBR	296-4022-1-ND	Achtf. Puffer/Treiber, Tri-State	Tri-State Octal Buffer/Driver	20-SSOP	.75	.56	.42
SN74ABT540DBR	296-4022-2-ND	Achtf. Puffer/Treiber, Tri-State	Tri-State Octal Buffer/Driver	20-SSOP		496.11/2,000	
SN74ABT540DW	296-4023-5-ND	Achtf. Puffer/Treiber, Tri-State	Tri-State Octal Buffer/Driver	20-SOIC	.75	.56	.42
SN74ABT540DWR	296-14667-1-ND	Achtf. Puffer/Treiber, Tri-State	Tri-State Octal Buffer/Driver	20-SOIC	.75	.56	.42
SN74ABT540DWR	296-14667-2-ND	Achtf. Puffer/Treiber, Tri-State	Tri-State Octal Buffer/Driver	20-SOIC		496.11/2,000	
SN74ABT540N	296-4024-5-ND	Achtf. Puffer/Treiber, Tri-State	Tri-State Octal Buffer/Driver	20-Dip	.81	.61	.46
SN74ABT541BDBR	296-4025-1-ND	Achtf. Puffer/Treiber, Tri-State	Tri-State Octal Buffer/Driver	20-SSOP	.78	.59	.44
SN74ABT541BDBR	296-4025-2-ND	Achtf. Puffer/Treiber, Tri-State	Tri-State Octal Buffer/Driver	20-SSOP		518.12/2,000	
SN74ABT541BDW	296-4026-5-ND	Achtf. Puffer/Treiber, Tri-State	Tri-State Octal Buffer/Driver	20-SOIC	.78	.59	.44
SN74ABT541BDWR	296-14668-1-ND	Achtf. Puffer/Treiber, Tri-State	Tri-State Octal Buffer/Driver	20-SOIC	.78	.59	.44
SN74ABT541BDWR	296-14668-2-ND	Achtf. Puffer/Treiber, Tri-State	Tri-State Octal Buffer/Driver	20-SOIC		518.12/2,000	
SN74ABT541BN	296-4027-5-ND	Achtf. Puffer/Treiber, Tri-State	Tri-State Octal Buffer/Driver	20-Dip	.81	.61	.46
SN74ABT541BPWR	296-4028-1-ND	Achtf. Puffer/Treiber, Tri-State	Tri-State Octal Buffer/Driver	20-TSSOP	.78	.59	.44
SN74ABT541BPWR	296-4028-2-ND	Achtf. Puffer/Treiber, Tri-State	Tri-State Octal Buffer/Driver	20-TSSOP		518.12/2,000	
SN74ABT543ADBR	296-4029-1-ND	Achtf. Transceiver mit Register, Tri-State	Tri-State Octal Registered Transceiver	24-SSOP	.76	.64	.51
SN74ABT543ADBR	296-4029-2-ND	Achtf. Transceiver mit Register, Tri-State	Tri-State Octal Registered Transceiver	24-SSOP		675.59/2,000	
SN74ABT543ADW	296-4030-5-ND	Achtf. Transceiver mit Register, Tri-State	Tri-State Octal Registered Transceiver	24-SOIC	.76	.64	.51
SN74ABT543ADWR	296-14669-1-ND	Achtf. Transceiver mit Register, Tri-State	Tri-State Octal Registered Transceiver	24-SOIC	.76	.64	.51
SN74ABT543ADWR	296-14669-2-ND	Achtf. Transceiver mit Register, Tri-State	Tri-State Octal Registered Transceiver	24-SOIC		675.59/2,000	
SN74ABT543ANT	296-4031-5-ND	Achtf. Transceiver mit Register, Tri-State	Tri-State Octal Registered Transceiver	24-Dip	1.14	.96	.77
SN74ABT543APWR	296-4032-1-ND	Achtf. Transceiver mit Register, Tri-State	Tri-State Octal Registered Transceiver	24-TSSOP	.89	.75	.60
SN74ABT543APWR	296-4032-2-ND	Achtf. Transceiver mit Register, Tri-State	Tri-State Octal Registered Transceiver	24-TSSOP		789.03/2,000	
SN74ABT573ADBR	296-4033-1-ND	Tri-St., Achtf. transparenter D-Latch	Tri-St. Octal Transparent D-Type Latch	20-SSOP	.68	.51	.39
SN74ABT573ADBR	296-4033-2-ND	Tri-St., Achtf. transparenter D-Latch	Tri-St. Octal Transparent D-Type Latch	20-SSOP		450.39/2,000	
SN74ABT573ADW	296-1045-5-ND	Tri-St., Achtf. transparenter D-Latch	Tri-St. Octal Transparent D-Type Latch	20-SOIC	.68	.51	.39
SN74ABT573ADWR	296-1045-1-ND	Tri-St., Achtf. transparenter D-Latch	Tri-St. Octal Transparent D-Type Latch	20-SOIC	.68	.51	.39
SN74ABT573ADWR	296-1045-2-ND	Tri-St., Achtf. transparenter D-Latch	Tri-St. Octal Transparent D-Type Latch	20-SOIC		450.39/2,000	
SN74ABT573AGQNR	296-12087-1-ND	Tri-St., Achtf. transparenter D-Latch	Tri-St. Octal Transparent D-Type Latch	20-VFBGA	.89	.75	.60
SN74ABT573AGQNR	296-12087-2-ND	Tri-St., Achtf. transparenter D-Latch	Tri-St. Octal Transparent D-Type Latch	20-VFBGA		394.52/1,000	
SN74ABT573ARGYR	296-13891-1-ND	Achtf. D-Latch, Tri-State	Tri-State Octal D-Type Latch	20-QFN	.78	.59	.44
SN74ABT573ARGYR	296-13891-2-ND	Achtf. D-Latch, Tri-State	Tri-State Octal D-Type Latch	20-QFN		259.06/1,000	
SN74ABT573AN	296-4034-5-ND	Tri-St., Achtf. transparenter D-Latch	Tri-St. Octal Transparent D-Type Latch	20-Dip	.68	.51	.39
SN74ABT573APWR	296-4035-1-ND	Tri-St., Achtf. transparenter D-Latch	Tri-St. Octal Transparent D-Type Latch	20-TSSOP	.68	.51	.39
SN74ABT573APWR	296-4035-2-ND	Tri-St., Achtf. transparenter D-Latch	Tri-St. Octal Transparent D-Type Latch	20-TSSOP		450.39/2,000	
SN74ABT574ADBR	296-4036-1-ND	Achtf. D-Flip-Flop, Tri-State	Tri-State Octal D-Type Flip-Flop	20-SSOP	.68	.51	.39
SN74ABT574ADBR	296-4036-2-ND	Achtf. D-Flip-Flop, Tri-State	Tri-State Octal D-Type Flip-Flop	20-SSOP		450.39/2,000	
SN74ABT574ADW	296-1046-5-ND	Achtf. D-Flip-Flop, Tri-State	Tri-State Octal D-Type Flip-Flop	20-SOIC	.68	.51	.39
SN74ABT574ADWR	296-1046-1-ND	Achtf. D-Flip-Flop, Tri-State	Tri-State Octal D-Type Flip-Flop	20-SOIC	.68	.51	.39
SN74ABT574ADWR	296-1046-2-ND	Achtf. D-Flip-Flop, Tri-State	Tri-State Octal D-Type Flip-Flop	20-SOIC		450.39/2,000	
SN74ABT574AGQNR	296-12088-1-ND	Achtf. D-Flip-Flop, Tri-State	Tri-State Octal D-Type Flip-Flop	20-VFBGA	.63	.53	.43
SN74ABT574AGQNR	296-12088-2-ND	Achtf. D-Flip-Flop, Tri-State	Tri-State Octal D-Type Flip-Flop	20-VFBGA		281.92/1,000	
SN74ABT574AN	296-4038-5-ND	Achtf. D-Flip-Flop, Tri-State	Tri-State Octal D-Type Flip-Flop	20-Dip	.68	.51	.39
SN74ABT574APWR	296-4039-1-ND	Achtf. D-Flip-Flop, Tri-State	Tri-State Octal D-Type Flip-Flop	20-TSSOP	.68	.51	.39
SN74ABT574APWR	296-4039-2-ND	Achtf. D-Flip-Flop, Tri-State	Tri-State Octal D-Type Flip-Flop	20-TSSOP		450.39/2,000	
SN74ABT574ARGYR	296-13892-1-ND	Achtf. D-Flip-Flop, Tri-State	Tri-State Octal D-Type Flip-Flop	20-QFN	.78	.59	.44
SN74ABT574ARGYR	296-13892-2-ND	Achtf. D-Flip-Flop, Tri-State	Tri-State Octal D-Type Flip-Flop	20-QFN		259.06/1,000	
SN74ABT620DBR	296-4040-1-ND	Achtf. Bus-Transceiver, Tri-State	Tri-State Octal Bus Transceiver	20-SSOP	1.14	.96	.77
SN74ABT620DBR	296-4040-2-ND	Achtf. Bus-Transceiver, Tri-State	Tri-State Octal Bus Transceiver	20-SSOP		1014.23/2,000	
SN74ABT620DW	296-4041-5-ND	Achtf. Bus-Transceiver, Tri-State	Tri-State Octal Bus Transceiver	20-SOIC	1.14	.96	.77
SN74ABT620N	296-4042-5-ND	Achtf. Bus-Transceiver, Tri-State	Tri-State Octal Bus Transceiver	20-Dip	1.14	.96	.77
SN74ABT623DBR	296-4043-1-ND	Achtf. Bus-Transceiver, Tri-State	Tri-State Octal Bus Transceiver	20-SSOP	1.14	.96	.77
SN74ABT623DBR	296-4043-2-ND	Achtf. Bus-Transceiver, Tri-State	Tri-State Octal Bus Transceiver	20-SSOP		1014.23/2,000	
SN74ABT623DW	296-4044-5-ND	Achtf. Bus-Transceiver, Tri-State	Tri-State Octal Bus Transceiver	20-SOIC	1.14	.96	.77
SN74ABT623DWR	296-14672-1-ND	Achtf. Bus-Transceiver, Tri-State	Tri-State Octal Bus Transceiver	20-SOIC	1.14	.96	.77
SN74ABT623DWR	296-14672-2-ND	Achtf. Bus-Transceiver, Tri-State	Tri-State Octal Bus Transceiver	20-SOIC		1014.23/2,000	
SN74ABT623N	296-4045-5-ND	Achtf. Bus-Transceiver, Tri-State	Tri-State Octal Bus Transceiver	20-Dip	1.14	.96	.77
SN74ABT640DBR	296-4046-1-ND	Achtf. Bus-Transceiver, Tri-State	Tri-State Octal Bus Transceiver	20-SSOP	1.14	.96	.77
SN74ABT640DBR	296-4046-2-ND	Achtf. Bus-Transceiver, Tri-State	Tri-State Octal Bus Transceiver	20-SSOP		1014.23/2,000	
SN74ABT640DW	296-4047-5-ND	Achtf. Bus-Transceiver, Tri-State	Tri-State Octal Bus Transceiver	20-SOIC	1.14	.96	.77
SN74ABT640DWR	296-14673-1-ND	Achtf. Bus-Transceiver, Tri-State	Tri-State Octal Bus Transceiver	20-SOIC	1.14	.96	.77
SN74ABT640DWR	296-14673-2-ND	Achtf. Bus-Transceiver, Tri-State	Tri-State Octal Bus Transceiver	20-SOIC		1014.23/2,000	
SN74ABT640N	296-4048-5-ND	Achtf. Bus-Transceiver, Tri-State	Tri-State Octal Bus Transceiver	20-Dip	1.14	.96	.77
SN74ABT640PWR	296-4049-1-ND	Achtf. Bus-Transceiver, Tri-State	Tri-State Octal Bus Transceiver	20-TSSOP	1.14	.96	.77
SN74ABT640PWR	296-4049-2-ND	Achtf. Bus-Transceiver, Tri-State	Tri-State Octal Bus Transceiver	20-TSSOP		1014.23/2,000	
SN74ABT646ADBR	296-4050-1-ND	Tri-St., Achtf. Bus-Transceiver/Register	Tri-St. Octal Bus Transceiver/Register	24-SSOP	1.17	.98	.78
SN74ABT646ADBR	296-4050-2-ND	Tri-St., Achtf. Bus-Transceiver/Register	Tri-St. Octal Bus Transceiver/Register	24-SSOP		1036.24/2,000	
SN74ABT646ADGVR	296-4051-2-ND	Tri-St., Achtf. Bus-Transceiver/Register	Tri-St. Octal Bus Transceiver/Register	24-TVSOP		1036.24/2,000	
SN74ABT646ADW	296-4052-5-ND	Achtf. Bus-Transceiver/Register, Tri-State	Tri-State Octal Bus Transceiver/Register	24-SOIC	1.17	.98	.78
SN74ABT646ADWR	296-14674-1-ND	Achtf. Bus-Transceiver/Register, Tri-State	Tri-State Octal Bus Transceiver/Register	24-SOIC	1.17	.98	.78
SN74ABT646ADWR	296-14674-2-ND	Achtf. Bus-Transceiver/Register, Tri-State	Tri-State Octal Bus Transceiver/Register	24-SOIC		1036.24/2,000	
SN74ABT646ANT	296-4053-5-ND	Achtf. Bus-Transceiver/Register, Tri-State	Tri-State Octal Bus Transceiver/Register	24-Dip	1.17	.98	.78
SN74ABT646DBR	296-4054-1-ND	Tri-St., Achtf. Bus-Transceiver/Register	Tri-St. Octal Bus Transceiver/Register	24-SSOP	1.17	.98	.78
SN74ABT646DBR	296-4054-2-ND	Tri-St., Achtf. Bus-Transceiver/Register	Tri-St. Octal Bus Transceiver/Register	24-SSOP		1036.24/2,000	
SN74ABT646DGVR	296-4055-1-ND	Tri-St., Achtf. Bus-Transceiver/Register	Tri-St. Octal Bus Transceiver/Register	24-TVSOP	1.17	.98	.78
SN74ABT646DGVR	296-4055-2-ND	Tri-St., Achtf. Bus-Transceiver/Register	Tri-St. Octal Bus Transceiver/Register	24-TVSOP		1036.24/2,000	
SN74ABT646DW	296-4056-5-ND	Achtf. Bus-Transceiver/Register, Tri-State	Tri-State Octal Bus Transceiver/Register	24-SOIC	1.17	.98	.78
SN74ABT646NT	296-4057-5-ND	Achtf. Bus-Transceiver/Register, Tri-State	Tri-State Octal Bus Transceiver/Register	24-Dip	2.10	1.68	1.31
SN74ABT646PWR	296-4058-1-ND	Tri-St., Achtf. Bus-Transceiver/Register	Tri-St. Octal Bus Transceiver/Register	24-TSSOP	1.17	.98	.78
SN74ABT646PWR	296-4058-2-ND	Tri-St., Achtf. Bus-Transceiver/Register	Tri-St. Octal Bus Transceiver/Register	24-TSSOP		1036.24/2,000	
SN74ABT651DBR	296-4059-1-ND	Tri-St., Achtf. Bus-Transceiver/Register	Tri-St. Octal Bus Transceiver/Register	24-SSOP	2.67	2.14	1.66
SN74ABT651DBR	296-4059-2-ND	Tri-St., Achtf. Bus-Transceiver/Register	Tri-St. Octal Bus Transceiver/Register	24-SSOP		3022.36/2,000	
SN74ABT651DW	296-4060-5-ND	Achtf. Bus-Transceiver/Register, Tri-State	Tri-State Octal Bus Transceiver/Register	24-SOIC	2.67	2.14	1.66
SN74ABT651NT	296-4061-5-ND	Achtf. Bus-Transceiver/Register, Tri-State	Tri-State Octal Bus Transceiver/Register	24-Dip	2.67	2.14	1.66
SN74ABT652ADBR	296-4062-1-ND	Achtf. Transceiver mit Register, Tri-State	Tri-State Octal Registered Transceiver	24-SSOP	1.19	1.00	.80
SN74ABT652ADBR	296-4062-2-ND	Achtf. Transceiver mit Register, Tri-State	Tri-State Octal Registered Transceiver	24-SSOP		1058.25/2,000	
SN74ABT652ADW	296-1047-5-ND	Achtf. Transceiver mit Register, Tri-State	Tri-State Octal Registered Transceiver	24-SOIC	1.19	1.00	.80
SN74ABT652ADWR	296-1047-1-ND	Achtf. Transceiver mit Register, Tri-State	Tri-State Octal Registered Transceiver	24-SOIC	1.19	1.00	.80
SN74ABT652ADWR	296-1047-2-ND	Achtf. Transceiver mit Register, Tri-State	Tri-State Octal Registered Transceiver	24-SOIC		1058.25/2,000	
SN74ABT652ANT	296-4063-5-ND	Achtf. Transceiver mit Register, Tri-State	Tri-State Octal Registered Transceiver	24-Dip	1.31	1.05	.79
SN74ABT652DBR	296-4064-1-ND	Achtf. Transceiver mit Register, Tri-State	Tri-State Octal Registered Transceiver	24-SSOP	1.19	1.00	.80
SN74ABT652DBR	296-4064-2-ND	Achtf. Transceiver mit Register, Tri-State	Tri-State Octal Registered Transceiver	24-SSOP		1058.25/2,000	
SN74ABT652DW	296-4065-5-ND	Achtf. Transceiver mit Register, Tri-State	Tri-State Octal Registered Transceiver	24-SOIC	1.19	1.00	.80

(Forts.)

★ ***RUFEN SIE BITTE AN FÜR NIEDRIGERE PREISE BEI GRÖSSEREN MENGEN!*** ★

T. I. Teilenr.	Digi-Key Teilenr.	Beschreibung		Paket	Stückpreis★ 1	25	100
SN74ABT652DWR	296-4065-1-ND	Achtf. Transceiver mit Register, Tri-State	Tri-State Octal Registered Transceiver	24-SOIC	1.19	1.00	.80
SN74ABT652DWR	296-4065-2-ND	Achtf. Transceiver mit Register, Tri-State	Tri-State Octal Registered Transceiver	24-SOIC		1058.25/2,000	
SN74ABT652NT	296-4066-5-ND	Achtf. Transceiver/Register, Tri-State	Tri-State Octal Transceiver/Register	24-Dip	1.19	1.00	.80
SN74ABT657ADBR	296-4067-1-ND	Achtf. 8-Bit Transceiver mit Parity-Generator, Tri-State	Tri-State 8-Bit Octal Transceiver with Parity Generator	24-SSOP	1.74	1.39	1.05
SN74ABT657ADBR	296-4067-2-ND	Achtf. 8-Bit Transceiver mit Parity-Generator, Tri-State	Tri-State 8-Bit Octal Transceiver with Parity Generator	24-SSOP		1804.95/2,000	
SN74ABT657ADW	296-4068-5-ND	Achtf. 8-Bit Transceiver mit Parity-Generator, Tri-State	Tri-State 8-Bit Octal Transceiver with Parity Generator	24-SOIC	1.74	1.39	1.05
SN74ABT657ADWR	296-14676-1-ND	Achtf. 8-Bit Transceiver mit Parity-Generator, Tri-State	Tri-State 8-Bit Octal Transceiver with Parity Generator	24-SOIC	1.74	1.39	1.05
SN74ABT657ADWR	296-14676-2-ND	Achtf. 8-Bit Transceiver mit Parity-Generator, Tri-State	Tri-State 8-Bit Octal Transceiver with Parity Generator	24-SOIC		1804.95/2,000	
SN74ABT657ANT	296-4069-5-ND	Achtf. 8-Bit Transceiver mit Parity-Generator, Tri-State	Tri-State 8-Bit Octal Transceiver with Parity Generator	24-Dip	1.74	1.39	1.05
SN74ABT821ADBR	296-4088-1-ND	10-Bit Bus-Schnittstellen-Flip-Flop, Tri-State	Tri-State 10-Bit Bus Interface Flip-Flop	24-SSOP	1.23	.99	.74
SN74ABT821ADBR	296-4088-2-ND	10-Bit Bus-Schnittstellen-Flip-Flop, Tri-State	Tri-State 10-Bit Bus Interface Flip-Flop	24-SSOP		1276.67/2,000	
SN74ABT821ADW	296-4089-5-ND	10-Bit Bus-Schnittstellen-Flip-Flop, Tri-State	Tri-State 10-Bit Bus Interface Flip-Flop	24-SOP	1.23	.99	.74
SN74ABT821ADWR	296-14677-1-ND	10-Bit Bus-Schnittstellen-Flip-Flop, Tri-State	Tri-State 10-Bit Bus Interface Flip-Flop	24-SOIC	1.23	.99	.74
SN74ABT821ADWR	296-14677-2-ND	10-Bit Bus-Schnittstellen-Flip-Flop, Tri-State	Tri-State 10-Bit Bus Interface Flip-Flop	24-SOIC		1276.67/2,000	
SN74ABT821ANT	296-4090-5-ND	10-Bit Bus-Schnittstellen-Flip-Flop, Tri-State	Tri-State 10-Bit Bus Interface Flip-Flop	24-Dip	1.23	.99	.74
SN74ABT823DBR	296-1048-1-ND	9-Bit Bus-Schnittstellen-Flip-Flop, Tri-State	Tri-State 9-Bit Bus Interface Flip-Flop	24-SSOP	1.23	.99	.74
SN74ABT823DBR	296-1048-2-ND	9-Bit Bus-Schnittstellen-Flip-Flop, Tri-State	Tri-State 9-Bit Bus Interface Flip-Flop	24-SSOP		1276.67/2,000	
SN74ABT823DW	296-4091-5-ND	9-Bit Bus-Schnittstellen-Flip-Flop, Tri-State	Tri-State 9-Bit Bus Interface Flip-Flop	24-SOIC	1.23	.99	.74
SN74ABT823DWR	296-14678-1-ND	9-Bit Bus-Schnittstellen-Flip-Flop, Tri-State	Tri-State 9-Bit Bus Interface Flip-Flop	24-SOIC	1.23	.99	.74
SN74ABT823DWR	296-14678-2-ND	9-Bit Bus-Schnittstellen-Flip-Flop, Tri-State	Tri-State 9-Bit Bus Interface Flip-Flop	24-SOIC		1276.67/2,000	
SN74ABT823NT	296-4092-5-ND	9-Bit Bus-Schnittstellen-Flip-Flop, Tri-State	Tri-State 9-Bit Bus Interface Flip-Flop	24-Dip	1.23	.99	.74
SN74ABT827DBR	296-4094-1-ND	Puffer/Treiber, Tri-State, 10-Bit	Tri-State 10-Bit Buffer/Driver	24-SSOP	1.23	.99	.74
SN74ABT827DBR	296-4094-2-ND	Puffer/Treiber, Tri-State, 10-Bit	Tri-State 10-Bit Buffer/Driver	24-SSOP		1276.67/2,000	
SN74ABT827DW	296-4095-5-ND	Puffer/Treiber, Tri-State, 10-Bit	Tri-State 10-Bit Buffer/Driver	24-SOIC	1.23	.99	.74
SN74ABT827DWR	296-14680-1-ND	Puffer/Treiber, Tri-State, 10-Bit	Tri-State 10-Bit Buffer/Driver	24-SOIC	1.23	.99	.74
SN74ABT827DWR	296-14680-2-ND	Puffer/Treiber, Tri-State, 10-Bit	Tri-State 10-Bit Buffer/Driver	24-SOIC		1276.67/2,000	
SN74ABT827NT	296-4096-5-ND	Puffer/Treiber, Tri-State, 10-Bit	Tri-State 10-Bit Buffer/Driver	24-Dip	1.23	.99	.74
SN74ABT827PWR	296-4097-1-ND	Puffer/Treiber, Tri-State, 10-Bit	Tri-State 10-Bit Buffer/Driver	24-TSSOP	1.23	.99	.74
SN74ABT827PWR	296-4097-2-ND	Puffer/Treiber, Tri-State, 10-Bit	Tri-State 10-Bit Buffer/Driver	24-TSSOP		1276.67/2,000	
SN74ABT833DW	296-4098-5-ND	Paritäts-Bus-Transceiver, 8-9-Bit	8-9 Bit Parity Bus Transceiver	24-SOIC	1.17	.94	.70
SN74ABT833NT	296-4099-5-ND	Paritäts-Bus-Transceiver, 8-9-Bit	8-9 Bit Parity Bus Transceiver	24-Dip	1.17	.94	.70
SN74ABT841ADBR	296-1049-1-ND	Bus-D-Latch, Tri-State, 10-Bit	Tri-State 10-Bit Bus D-Type Latch	24-SSOP	1.17	.94	.70
SN74ABT841ADBR	296-1049-2-ND	Bus-D-Latch, Tri-State, 10-Bit	Tri-State 10-Bit Bus D-Type Latch	24-SSOP		1210.64/2,000	
SN74ABT841ADW	296-4100-5-ND	Bus-D-Latch, Tri-State, 10-Bit	Tri-State 10-Bit Bus D-Type Latch	24-SOIC	1.17	.94	.70
SN74ABT841ADWR	296-14681-1-ND	Bus-D-Latch, Tri-State, 10-Bit	Tri-State 10-Bit Bus D-Type Latch	24-SOIC	1.17	.94	.70
SN74ABT841ADWR	296-14681-2-ND	Bus-D-Latch, Tri-State, 10-Bit	Tri-State 10-Bit Bus D-Type Latch	24-SOIC		1210.64/2,000	
SN74ABT841ANT	296-4101-5-ND	Bus-D-Latch, Tri-State, 10-Bit	Tri-State 10-Bit Bus D-Type Latch	24-Dip	1.17	.94	.70
SN74ABT841APWR	296-4102-1-ND	Bus-D-Latch, Tri-State, 10-Bit	Tri-State 10-Bit Bus D-Type Latch	24-TSSOP	1.17	.94	.70
SN74ABT841APWR	296-4102-2-ND	Bus-D-Latch, Tri-State, 10-Bit	Tri-State 10-Bit Bus D-Type Latch	24-TSSOP		1210.64/2,000	
SN74ABT843DBR	296-4103-1-ND	Bus-D-Latch, Tri-State, 9-Bit	Tri-State 9-Bit Bus D-Type Latch	24-SSOP	1.17	.94	.70
SN74ABT843DBR	296-4103-2-ND	Bus-D-Latch, Tri-State, 9-Bit	Tri-State 9-Bit Bus D-Type Latch	24-SSOP		1210.64/2,000	
SN74ABT843NT	296-4104-5-ND	Bus-D-Latch, Tri-State, 9-Bit	Tri-State 9-Bit Bus D-Type Latch	24-Dip	1.17	.94	.70
SN74ABT853DW	296-4105-5-ND	Paritäts-Bus-Transceiver, 8-9-Bit	8-9-Bit Parity Bus Transceiver	24-SOIC	3.62	2.90	2.26
SN74ABT853NT	296-4106-5-ND	Paritäts-Bus-Transceiver, 8-9-Bit	8-9-Bit Parity Bus Transceiver	24-Dip	3.62	2.90	2.26
SN74ABT861NT	296-4109-5-ND	Transceiver, Tri-State, 10-Bit	Tri-State 10-Bit Transceiver	24-Dip	1.74	1.39	1.05
SN74ABT863DBR	296-4110-1-ND	Bus-Transceiver, Tri-State, 9-Bit	Tri-State 9-Bit Bus Transceiver	24-SSOP	1.74	1.39	1.05
SN74ABT863DBR	296-4110-2-ND	Bus-Transceiver, Tri-State, 9-Bit	Tri-State 9-Bit Bus Transceiver	24-SSOP		1804.95/2,000	
SN74ABT863DWR	296-4111-1-ND	Bus-Transceiver, Tri-State, 9-Bit	Tri-State 9-Bit Bus Transceiver	24-SOIC	1.74	1.39	1.05
SN74ABT863DWR	296-4111-2-ND	Bus-Transceiver, Tri-State, 9-Bit	Tri-State 9-Bit Bus Transceiver	24-SOIC		1804.95/2,000	
SN74ABT2240ADBR	296-3945-1-ND	Achtf. Puffer-/Leitungs-/MOS-Treiber, Tri-State	Tri-State Octal Buffer/Line/MOS Driver	20-SSOP	.75	.56	.42
SN74ABT2240ADBR	296-3945-2-ND	Achtf. Puffer-/Leitungs-/MOS-Treiber, Tri-State	Tri-State Octal Buffer/Line/MOS Driver	20-SSOP		496.11/2,000	
SN74ABT2240ADW	296-3946-5-ND	Achtf. Puffer-/Leitungs-/MOS-Treiber, Tri-State	Tri-State Octal Buffer/Line/MOS Driver	20-SOIC	.75	.56	.42
SN74ABT2240ADWR	296-3946-1-ND	Achtf. Puffer-/Leitungs-/MOS-Treiber, Tri-State	Tri-State Octal Buffer/Line/MOS Driver	20-SOIC	.75	.56	.42
SN74ABT2240ADWR	296-3946-2-ND	Achtf. Puffer-/Leitungs-/MOS-Treiber, Tri-State	Tri-State Octal Buffer/Line/MOS Driver	20-SOIC		496.11/2,000	
SN74ABT2240ANSR	296-13128-1-ND	Achtf. Puffer-/Leitungs-/MOS-Treiber, Tri-State	Tri-State Octal Buffer/Line/MOS Driver	20-SOP	.75	.56	.42
SN74ABT2240ANSR	296-13128-2-ND	Achtf. Puffer-/Leitungs-/MOS-Treiber, Tri-State	Tri-State Octal Buffer/Line/MOS Driver	20-SOP		496.11/2,000	
SN74ABT2240APWR	296-3947-1-ND	Achtf. Puffer-/Leitungs-/MOS-Treiber, Tri-State	Tri-State Octal Buffer/Line/MOS Driver	20-TSSOP	.81	.61	.46
SN74ABT2240APWR	296-3947-2-ND	Achtf. Puffer-/Leitungs-/MOS-Treiber, Tri-State	Tri-State Octal Buffer/Line/MOS Driver	20-TSSOP		540.13/2,000	
SN74ABT2241DBR	296-3948-1-ND	Achtf. Puffer-/Leitungs-/MOS-Treiber, Tri-State	Tri-State Octal Buffer/Line/MOS Driver	20-SSOP	.75	.56	.42
SN74ABT2241DBR	296-3948-2-ND	Achtf. Puffer-/Leitungs-/MOS-Treiber, Tri-State	Tri-State Octal Buffer/Line/MOS Driver	20-SSOP		496.11/2,000	
SN74ABT2241DW	296-3949-5-ND	Achtf. Puffer-/Leitungs-/MOS-Treiber, Tri-State	Tri-State Octal Buffer/Line/MOS Driver	20-SOIC	.75	.56	.42
SN74ABT2241DWR	296-14660-1-ND	Achtf. Puffer-/Leitungs-/MOS-Treiber, Tri-State	Tri-State Octal Buffer/Line/MOS Driver	20-SOIC	.75	.56	.42
SN74ABT2241DWR	296-14660-2-ND	Achtf. Puffer-/Leitungs-/MOS-Treiber, Tri-State	Tri-State Octal Buffer/Line/MOS Driver	20-SOIC		496.11/2,000	
SN74ABT2241N	296-3950-5-ND	Achtf. Puffer-/Leitungs-/MOS-Treiber, Tri-State	Tri-State Octal Buffer/Line/MOS Driver	20-Dip	.75	.56	.42
SN74ABT2241PWR	296-3951-1-ND	Achtf. Puffer-/Leitungs-/MOS-Treiber, Tri-State	Tri-State Octal Buffer/Line/MOS Driver	20-TSSOP	.81	.61	.46
SN74ABT2241PWR	296-3951-2-ND	Achtf. Puffer-/Leitungs-/MOS-Treiber, Tri-State	Tri-State Octal Buffer/Line/MOS Driver	20-TSSOP		540.13/2,000	
SN74ABT2244ADBR	296-1036-1-ND	Achtf. Puffer-/Leitungs-/MOS-Treiber, Tri-State	Tri-State Octal Buffer/Line/MOS Driver	20-SSOP	.75	.56	.42
SN74ABT2244ADBR	296-1036-2-ND	Achtf. Puffer-/Leitungs-/MOS-Treiber, Tri-State	Tri-State Octal Buffer/Line/MOS Driver	20-SSOP		496.11/2,000	
SN74ABT2244ADWR	296-3952-1-ND	Achtf. Puffer-/Leitungs-/MOS-Treiber, Tri-State	Tri-State Octal Buffer/Line/MOS Driver	20-SOIC	.75	.56	.42
SN74ABT2244ADWR	296-3952-2-ND	Achtf. Puffer-/Leitungs-/MOS-Treiber, Tri-State	Tri-State Octal Buffer/Line/MOS Driver	20-SOIC		496.11/2,000	
SN74ABT2244AN	296-3953-5-ND	Achtf. Puffer-/Leitungs-/MOS-Treiber, Tri-State	Tri-State Octal Buffer/Line/MOS Driver	20-Dip	.75	.56	.42
SN74ABT2244APWR	296-3954-1-ND	Achtf. Puffer-/Leitungs-/MOS-Treiber, Tri-State	Tri-State Octal Buffer/Line/MOS Driver	20-TSSOP	.75	.56	.42
SN74ABT2244APWR	296-3954-2-ND	Achtf. Puffer-/Leitungs-/MOS-Treiber, Tri-State	Tri-State Octal Buffer/Line/MOS Driver	20-TSSOP		496.11/2,000	
SN74ABT2245DBR	296-3955-1-ND	Achtfacher Transceiver/Leitungs-/MOS-Treiber, Tri-State	Tri-State Octal Xcvr./Line/MOS Driver	20-SSOP	.75	.56	.42
SN74ABT2245DBR	296-3955-2-ND	Achtfacher Transceiver/Leitungs-/MOS-Treiber, Tri-State	Tri-State Octal Xcvr./Line/MOS Driver	20-SSOP		496.11/2,000	
SN74ABT2245DW	296-3956-5-ND	Achtfacher Transceiver/Leitungs-/MOS-Treiber, Tri-State	Tri-State Octal Xcvr./Line/MOS Driver	20-SOIC	.75	.56	.42
SN74ABT2245DWR	296-14661-1-ND	Achtfacher Transceiver/Leitungs-/MOS-Treiber, Tri-State	Tri-State Octal Xcvr./Line/MOS Driver	20-SOIC	.75	.56	.42
SN74ABT2245DWR	296-14661-2-ND	Achtfacher Transceiver/Leitungs-/MOS-Treiber, Tri-State	Tri-State Octal Xcvr./Line/MOS Driver	20-SOIC		496.11/2,000	
SN74ABT2245N	296-3957-5-ND	Achtfacher Transceiver/Leitungs-/MOS-Treiber, Tri-State	Tri-State Octal Xcvr./Line/MOS Driver	20-Dip	.75	.56	.42
SN74ABT2245PWR	296-3958-1-ND	Achtfacher Transceiver/Leitungs-/MOS-Treiber, Tri-State	Tri-State Octal Xcvr./Line/MOS Driver	20-TSSOP	.75	.56	.42
SN74ABT2245PWR	296-3958-2-ND	Achtfacher Transceiver/Leitungs-/MOS-Treiber, Tri-State	Tri-State Octal Xcvr./Line/MOS Driver	20-TSSOP		496.11/2,000	
SN74ABT2827DWR	296-3974-1-ND	Puffer/Treiber, Tri-State, 10-Bit	Tri-State 10-Bit Buffer/Driver	24-SOIC	1.23	.99	.74
SN74ABT2827DWR	296-3974-2-ND	Puffer/Treiber, Tri-State, 10-Bit	Tri-State 10-Bit Buffer/Driver	24-SOIC		1276.67/2,000	
SN74ABT2952ADBR	296-3975-1-ND	Tri-St., Achtf. Bus-Transceiver/Register	Tri-St. Octal Bus Transceiver/Register	24-SSOP	3.81	3.05	2.38
SN74ABT2952ADBR	296-3975-2-ND	Tri-St., Achtf. Bus-Transceiver/Register	Tri-St. Octal Bus Transceiver/Register	24-SSOP		4317.66/2,000	
SN74ABT2952ADW	296-3976-5-ND	Tri-St., Achtf. Bus-Transceiver/Register	Tri-St. Octal Bus Transceiver/Register	24-SOIC	3.81	3.05	2.38
SN74ABT2952ADWR	296-14665-1-ND	Tri-St., Achtf. Bus-Transceiver/Register	Tri-St. Octal Bus Transceiver/Register	24-SOIC	3.81	3.05	2.38
SN74ABT2952ADWR	296-14665-2-ND	Tri-St., Achtf. Bus-Transceiver/Register	Tri-St. Octal Bus Transceiver/Register	24-SOIC		4317.66/2,000	
SN74ABT2952ANT	296-3977-5-ND	Tri-St., Achtf. Bus-Transceiver/Register	Tri-St. Octal Bus Transceiver/Register	24-Dip	3.81	3.05	2.38
SN74ABT5400ADWR	296-4018-1-ND	Leitungs-/Speichertreiber, Tri-State, 11-Bit	Tri-State 11-Bit Line/Memory Driver	28-SOIC	2.67	2.14	1.66
SN74ABT5400ADWR	296-4018-2-ND	Leitungs-/Speichertreiber, Tri-State, 11-Bit	Tri-State 11-Bit Line/Memory Driver	28-SOIC		1511.18/1,000	
SN74ABT5401DW	296-4019-5-ND	Leitungs-/Speichertreiber, Tri-State, 11-Bit	Tri-State 11-Bit Line/Memory Driver	28-SOIC		1727.06/1,000	
SN74ABT5402ADWR	296-4020-1-ND	Leitungs-/Speichertreiber, Tri-State, 12-Bit	Tri-State 12-Bit Line/Memory Driver	28-SOIC	2.86	2.29	1.78
SN74ABT5402ADWR	296-4020-2-ND	Leitungs-/Speichertreiber, Tri-State, 12-Bit	Tri-State 12-Bit Line/Memory Driver	28-SOIC		1619.55/1,000	
SN74ABT5403DWR	296-4021-1-ND	Leitungs-/Speichertreiber, Tri-State, 12-Bit	Tri-State 12-Bit Line/Memory Driver	28-SOIC	2.86	2.29	1.78
SN74ABT5403DWR	296-4021-2-ND	Leitungs-/Speichertreiber, Tri-State, 12-Bit	Tri-State 12-Bit Line/Memory Driver	28-SOIC		1619.55/1,000	
SN74ABT8245DW	296-4093-5-ND	Scan-Test-Gerät mit achtf. Bus-Transcvr	Scan Test Device w/Octal Bus Transcvr.	24-SOIC	3.90	3.13	2.43
SN74ABT8245DWR	296-14679-1-ND	Scan-Test-Gerät mit achtf. Bus-Transcvr	Scan Test Device w/Octal Bus Transcvr	24-SOIC	4.50	3.60	2.80
SN74ABT8245DWR	296-14679-2-ND	Scan-Test-Gerät mit achtf. Bus-Transcvr	Scan Test Device w/Octal Bus Transcvr	24-SOIC		5094.84/2,000	
SN74ABT8543DL	296-4107-5-ND	Scan-Test-Gerät mit achtf. Bus-Transcvr	Scan Test Device w/Octal Bus Transcvr	28-SSOP	8.21	6.57	5.55

(Forts.)

★ ***RUFEN SIE BITTE AN FÜR NIEDRIGERE PREISE BEI GRÖSSEREN MENGEN!*** ★

B

T. I. Teilenr.	Digi-Key Teilenr.	Beschreibung		Paket	Stückpreis★ 1	25	100
SN74ABT8543DW	296-4108-5-ND	Scan-Test-Gerät mit achtf. Bus-Transcvr	Scan Test Device w/Octal Bus Transcvr.	28-SOIC	8.21	6.57	5.55
SN74ABT8646DL	296-4112-5-ND	Scan-Test-Gerät mit achtf. Bus-Transceiver/Register	Scan Test Device with Octal Bus Transceiver/Register	28-SSOP	8.21	6.57	5.55
SN74ABT8646DW	296-4113-5-ND	Scan-Test-Gerät mit achtf. Bus-Transceiver/Register	Scan Test Device with Octal Bus Transceiver/Register	28-SOIC	8.21	6.57	5.55
SN74ABT8652DL	296-4114-5-ND	Scan-Test-Gerät mit achtf. Bus-Transceiver/Register	Scan Test Device with Octal Bus Transceiver/Register	28-SSOP	8.21	6.57	5.55
SN74ABT8952DL	296-4115-5-ND	Scan-Test-Gerät mit achtf. Bus-Transcvr	Scan Test Device w/Octal Bus Transcvr	28-SSOP	8.21	6.57	5.55
SN74ABT8952DW	296-4116-5-ND	Scan-Test-Gerät mit achtf. Bus-Transcvr	Scan Test Device w/Octal Bus Transcvr.	28-SOIC	8.21	6.57	5.55
SN74ABT8996DW	296-4117-5-ND	Addressierbarer Scan-Port, 10-Bit	10-Bit Addressable Scan Port	24-SOIC	7.05	6.35	5.63
SN74ABT8996DWR	296-4117-1-ND	Addressierbarer Scan-Port, 10-Bit	10-Bit Addressable Scan Port	24-SOIC	7.05	6.35	5.63
SN74ABT8996DWR	296-4117-2-ND	Addressierbarer Scan-Port, 10-Bit	10-Bit Addressable Scan Port	24-SOIC		10455.51/2,000	
SN74ABT8996PWR	296-4118-1-ND	Addressierbarer Scan-Port, 10-Bit	10-Bit Addressable Scan Port	24-TSSOP	7.05	6.35	5.63
SN74ABT8996PWR	296-4118-2-ND	Addressierbarer Scan-Port, 10-Bit	10-Bit Addressable Scan Port	24-TSSOP		10455.51/2,000	
SN74ABT16240ADGGR	296-3882-1-ND	Puffer/Treiber, Tri-State, 16-Bit	Tri-State 16-Bit Buffer/Driver	48-TSSOP	1.02	.85	.68
SN74ABT16240ADGGR	296-3882-2-ND	Puffer/Treiber, Tri-State, 16-Bit	Tri-State 16-Bit Buffer/Driver	48-TSSOP		900.78/2,000	
SN74ABT16240ADGVR	296-3883-1-ND	Puffer/Treiber, Tri-State, 16-Bit	Tri-State 16-Bit Buffer/Driver	48-TVSOP	1.02	.85	.68
SN74ABT16240ADGVR	296-3883-2-ND	Puffer/Treiber, Tri-State, 16-Bit	Tri-State 16-Bit Buffer/Driver	48-TVSOP		900.78/2,000	
SN74ABT16240ADLR	296-3884-1-ND	Puffer/Treiber, Tri-State, 16-Bit	Tri-State 16-Bit Buffer/Driver	48-SSOP	1.02	.85	.68
SN74ABT16240ADLR	296-3884-2-ND	Puffer/Treiber, Tri-State, 16-Bit	Tri-State 16-Bit Buffer/Driver	48-SSOP		450.39/1,000	
SN74ABT16241ADGGR	296-3885-1-ND	Puffer/Treiber, Tri-State, 16-Bit	Tri-State 16-Bit Buffer/Driver	48-TSSOP	1.02	.85	.68
SN74ABT16241ADGGR	296-3885-2-ND	Puffer/Treiber, Tri-State, 16-Bit	Tri-State 16-Bit Buffer/Driver	48-TSSOP		900.78/2,000	
SN74ABT16241ADGVR	296-3886-1-ND	Puffer/Treiber, Tri-State, 16-Bit	Tri-State 16-Bit Buffer/Driver	48-TVSOP	1.02	.85	.68
SN74ABT16241ADGVR	296-3886-2-ND	Puffer/Treiber, Tri-State, 16-Bit	Tri-State 16-Bit Buffer/Driver	48-TVSOP		900.78/2,000	
SN74ABT16241ADL	296-3887-5-ND	Puffer/Treiber, Tri-State, 16-Bit	Tri-State 16-Bit Buffer/Driver	48-SSOP	1.02	.85	.68
SN74ABT16241ADLR	296-14651-1-ND	Puffer/Treiber, Tri-State, 16-Bit	Tri-State 16-Bit Buffer/Driver	48-SSOP	1.02	.85	.68
SN74ABT16241ADLR	296-14651-2-ND	Puffer/Treiber, Tri-State, 16-Bit	Tri-State 16-Bit Buffer/Driver	48-SSOP		450.39/1,000	
SN74ABT16244ADGGR	296-1023-1-ND	Puffer/Treiber, Tri-State, 16-Bit	Tri-State 16-Bit Buffer/Driver	48-TSSOP	1.02	.85	.68
SN74ABT16244ADGGR	296-1023-2-ND	Puffer/Treiber, Tri-State, 16-Bit	Tri-State 16-Bit Buffer/Driver	48-TSSOP		900.78/2,000	
SN74ABT16244ADGVR	296-3888-1-ND	Puffer/Treiber, Tri-State, 16-Bit	Tri-State 16-Bit Buffer/Driver	48-TVSOP	1.02	.85	.68
SN74ABT16244ADGVR	296-3888-2-ND	Puffer/Treiber, Tri-State, 16-Bit	Tri-State 16-Bit Buffer/Driver	48-TVSOP		900.78/2,000	
SN74ABT16244ADL	296-1024-5-ND	Puffer/Treiber, Tri-State, 16-Bit	Tri-State 16-Bit Buffer/Driver	48-SSOP	1.02	.85	.68
SN74ABT16244ADLR	296-1024-1-ND	Puffer/Treiber, Tri-State, 16-Bit	Tri-State 16-Bit Buffer/Driver	48-SSOP	1.02	.85	.68
SN74ABT16244ADLR	296-1024-2-ND	Puffer/Treiber, Tri-State, 16-Bit	Tri-State 16-Bit Buffer/Driver	48-SSOP		450.39/1,000	
SN74ABT16245ADGGR	296-1025-1-ND	Bus-Transceiver, Tri-State, 16-Bit	Tri-State 16-Bit Bus Transceiver	48-TSSOP	1.02	.85	.68
SN74ABT16245ADGGR	296-1025-2-ND	Bus-Transceiver, Tri-State, 16-Bit	Tri-State 16-Bit Bus Transceiver	48-TSSOP		900.78/2,000	
SN74ABT16245ADGVR	296-3889-1-ND	Bus-Transceiver, Tri-State, 16-Bit	Tri-State 16-Bit Bus Transceiver	48-TVSOP	1.02	.85	.68
SN74ABT16245ADGVR	296-3889-2-ND	Bus-Transceiver, Tri-State, 16-Bit	Tri-State 16-Bit Bus Transceiver	48-TVSOP		900.78/2,000	
SN74ABT16245ADL	296-1026-5-ND	Bus-Transceiver, Tri-State, 16-Bit	Tri-State 16-Bit Bus Transceiver	48-SSOP	1.02	.85	.68
SN74ABT16245ADLR	296-1026-1-ND	Bus-Transceiver, Tri-State, 16-Bit	Tri-State 16-Bit Bus Transceiver	48-SSOP	1.02	.85	.68
SN74ABT16245ADLR	296-1026-2-ND	Bus-Transceiver, Tri-State, 16-Bit	Tri-State 16-Bit Bus Transceiver	48-SSOP		450.39/1,000	
SN74ABT16373ADGGR	296-3899-1-ND	Tri-State, 16-Bit transp. D-Latch	Tri-State 16-Bit Transp. D-Type Latch	48-TSSOP	1.12	.94	.75
SN74ABT16373ADGGR	296-3899-2-ND	Tri-State, 16-Bit transp. D-Latch	Tri-State 16-Bit Transp. D-Type Latch	48-TSSOP		990.52/2,000	
SN74ABT16373ADL	296-1029-5-ND	Tri-State, 16-Bit transp. D-Latch	Tri-State 16-Bit Transp. D-Type Latch	48-SSOP	1.12	.94	.75
SN74ABT16373ADLR	296-1029-1-ND	Tri-State, 16-Bit transp. D-Latch	Tri-State 16-Bit Transp. D-Type Latch	48-SSOP	1.12	.94	.75
SN74ABT16373ADLR	296-1029-2-ND	Tri-State, 16-Bit transp. D-Latch	Tri-State 16-Bit Transp. D-Type Latch	48-SSOP		495.26/1,000	
SN74ABT16374ADGGR	296-3900-1-ND	D-Flip-Flop, Tri-State, 16-Bit	Tri-State 16-Bit D-Type Flip-Flop	48-TSSOP	1.12	.94	.75
SN74ABT16374ADGGR	296-3900-2-ND	D-Flip-Flop, Tri-State, 16-Bit	Tri-State 16-Bit D-Type Flip-Flop	48-TSSOP		990.52/2,000	
SN74ABT16374ADL	296-1030-5-ND	D-Flip-Flop, Tri-State, 16-Bit	Tri-State 16-Bit D-Type Flip-Flop	48-SSOP	1.12	.94	.75
SN74ABT16374ADLR	296-1030-1-ND	D-Flip-Flop, Tri-State, 16-Bit	Tri-State 16-Bit D-Type Flip-Flop	48-SSOP	1.12	.94	.75
SN74ABT16374ADLR	296-1030-2-ND	D-Flip-Flop, Tri-State, 16-Bit	Tri-State 16-Bit D-Type Flip-Flop	48-SSOP		495.26/1,000	
SN74ABT16470DGGR	296-3901-1-ND	Tri-St., Transceiver mit Register, 16-Bit	Tri-St. 16-Bit Registered Transceiver	56-TSSOP	6.77	5.42	4.58
SN74ABT16470DGGR	296-3901-2-ND	Tri-St., Transceiver mit Register, 16-Bit	Tri-St. 16-Bit Registered Transceiver	56-TSSOP		8466.00/2,000	
SN74ABT16470DL	296-3902-5-ND	Transceiver mit Register, Tri-State, 16-Bit	Tri-State 16-Bit Registered Transceiver	56-SSOP	8.30	6.64	5.61
SN74ABT16500BDGGR	296-3903-1-ND	Univ.-Bus-Transceiver, Tri-State, 18-Bit	Tri-State 18-Bit Univ. Bus Transceiver	56-TSSOP	2.19	1.76	1.37
SN74ABT16500BDGGR	296-3903-2-ND	Univ.-Bus-Transceiver, Tri-State, 18-Bit	Tri-State 18-Bit Univ. Bus Transceiver	56-TSSOP		2482.23/2,000	
SN74ABT16500BDL	296-3904-5-ND	Univ.-Bus-Transceiver, Tri-State, 18-Bit	Tri-State 18-Bit Univ. Bus Transceiver	56-SSOP	2.19	1.76	1.37
SN74ABT16500BDLR	296-14654-1-ND	Univ.-Bus-Transceiver, Tri-State, 18-Bit	Tri-State 18-Bit Univ. Bus Transceiver	56-SSOP	2.19	1.76	1.37
SN74ABT16500BDLR	296-14654-2-ND	Univ.-Bus-Transceiver, Tri-State, 18-Bit	Tri-State 18-Bit Univ. Bus Transceiver	56-SSOP		1241.12/1,000	
SN74ABT16501DGGR	296-3905-1-ND	Univ.-Bus-Transceiver, Tri-State, 18-Bit	Tri-State 18-Bit Univ. Bus Transceiver	56-TSSOP	2.19	1.76	1.37
SN74ABT16501DGGR	296-3905-2-ND	Univ.-Bus-Transceiver, Tri-State, 18-Bit	Tri-State 18-Bit Univ. Bus Transceiver	56-TSSOP		2482.23/2,000	
SN74ABT16501DLR	296-1031-1-ND	Univ.-Bus-Transceiver, Tri-State, 18-Bit	Tri-State 18-Bit Univ. Bus Transceiver	56-SSOP	2.19	1.76	1.37
SN74ABT16501DLR	296-1031-2-ND	Univ.-Bus-Transceiver, Tri-State, 18-Bit	Tri-State 18-Bit Univ. Bus Transceiver	56-SSOP		1241.12/1,000	
SN74ABT16540ADGGR	296-3906-1-ND	Puffer/Treiber, Tri-State, 16-Bit	Tri-State 16-Bit Buffer/Driver	48-TSSOP	1.27	1.02	.77
SN74ABT16540ADGGR	296-3906-2-ND	Puffer/Treiber, Tri-State, 16-Bit	Tri-State 16-Bit Buffer/Driver	48-TSSOP		1320.70/2,000	
SN74ABT16540ADGVR	296-3907-1-ND	Puffer/Treiber, Tri-State, 16-Bit	Tri-State 16-Bit Buffer/Driver	48-TVSOP	1.27	1.02	.77
SN74ABT16540ADGVR	296-3907-2-ND	Puffer/Treiber, Tri-State, 16-Bit	Tri-State 16-Bit Buffer/Driver	48-TVSOP		1320.70/2,000	
SN74ABT16540ADLR	296-14655-1-ND	Puffer/Treiber, Tri-State, 16-Bit	Tri-State 16-Bit Buffer/Driver	48-SSOP	1.27	1.02	.77
SN74ABT16540ADLR	296-14655-2-ND	Puffer/Treiber, Tri-State, 16-Bit	Tri-State 16-Bit Buffer/Driver	48-SSOP		660.35/1,000	
SN74ABT16541ADGGR	296-3909-1-ND	Puffer/Treiber, Tri-State, 16-Bit	Tri-State 16-Bit Buffer/Driver	48-TSSOP	1.14	.96	.77
SN74ABT16541ADGGR	296-3909-2-ND	Puffer/Treiber, Tri-State, 16-Bit	Tri-State 16-Bit Buffer/Driver	48-TSSOP		1014.23/2,000	
SN74ABT16541ADGVR	296-3910-1-ND	Puffer/Treiber, Tri-State, 16-Bit	Tri-State 16-Bit Buffer/Driver	48-TVSOP	1.14	.96	.77
SN74ABT16541ADGVR	296-3910-2-ND	Puffer/Treiber, Tri-State, 16-Bit	Tri-State 16-Bit Buffer/Driver	48-TVSOP		1014.23/2,000	
SN74ABT16541ADL	296-1032-5-ND	Puffer/Treiber, Tri-State, 16-Bit	Tri-State 16-Bit Buffer/Driver	48-SSOP	1.14	.96	.77
SN74ABT16541ADLR	296-1032-1-ND	Puffer/Treiber, Tri-State, 16-Bit	Tri-State 16-Bit Buffer/Driver	48-SSOP	1.14	.96	.77
SN74ABT16541ADLR	296-1032-2-ND	Puffer/Treiber, Tri-State, 16-Bit	Tri-State 16-Bit Buffer/Driver	48-SSOP		507.11/1,000	
SN74ABT16543DGGR	296-3911-1-ND	Tri-St., Transceiver mit Register, 16-Bit	Tri-St. 16-Bit Registered Transceiver	56-TSSOP	1.27	1.02	.77
SN74ABT16543DGGR	296-3911-2-ND	Tri-St., Transceiver mit Register, 16-Bit	Tri-St. 16-Bit Registered Transceiver	56-TSSOP		1320.70/2,000	
SN74ABT16543DLR	296-1033-1-ND	Transceiver mit Register, Tri-State, 16-Bit	Tri-State 16-Bit Registered Transceiver	56-SSOP	1.27	1.02	.77
SN74ABT16543DLR	296-1033-2-ND	Transceiver mit Register, Tri-State, 16-Bit	Tri-State 16-Bit Registered Transceiver	56-SSOP		660.35/1,000	
SN74ABT16600DLR	296-3912-1-ND	Univ.-Bus-Transceiver, Tri-State, 18-Bit	Tri-State 18-Bit Univ. Bus Transceiver	56-SSOP	6.26	5.02	4.23
SN74ABT16600DLR	296-3912-2-ND	Univ.-Bus-Transceiver, Tri-State, 18-Bit	Tri-State 18-Bit Univ. Bus Transceiver	56-SSOP		3915.53/1,000	
SN74ABT16601DGGR	296-1034-1-ND	Univ.-Bus-Transceiver, Tri-State, 18-Bit	Tri-State 18-Bit Univ. Bus Transceiver	56-TSSOP	4.60	3.69	3.11
SN74ABT16601DGGR	296-1034-2-ND	Univ.-Bus-Transceiver, Tri-State, 18-Bit	Tri-State 18-Bit Univ. Bus Transceiver	56-TSSOP		5750.11/2,000	
SN74ABT16601DL	296-3913-5-ND	Univ.-Bus-Transceiver, Tri-State, 18-Bit	Tri-State 18-Bit Univ. Bus Transceiver	56-SSOP	4.60	3.69	3.11
SN74ABT16601DLR	296-14656-1-ND	Univ.-Bus-Transceiver, Tri-State, 18-Bit	Tri-State 18-Bit Univ. Bus Transceiver	56-SSOP	4.60	3.69	3.11
SN74ABT16601DLR	296-14656-2-ND	Univ.-Bus-Transceiver, Tri-State, 18-Bit	Tri-State 18-Bit Univ. Bus Transceiver	56-SSOP		2875.05/1,000	
SN74ABT16623DGGR	296-3914-1-ND	Bus-Transceiver, Tri-State, 16-Bit	Tri-State 16-Bit Bus Transceiver	48-TSSOP	3.72	2.98	2.32
SN74ABT16623DGGR	296-3914-2-ND	Bus-Transceiver, Tri-State, 16-Bit	Tri-State 16-Bit Bus Transceiver	48-TSSOP		4209.30/2,000	
SN74ABT16623DL	296-3915-5-ND	Bus-Transceiver, Tri-State, 16-Bit	Tri-State 16-Bit Bus Transceiver	48-SSOP	3.72	2.98	2.32
SN74ABT16623DLR	296-3915-1-ND	Bus-Transceiver, Tri-State, 16-Bit	Tri-State 16-Bit Bus Transceiver	48-SSOP	3.72	2.98	2.32
SN74ABT16623DLR	296-3915-2-ND	Bus-Transceiver, Tri-State, 16-Bit	Tri-State 16-Bit Bus Transceiver	48-SSOP		2104.65/1,000	
SN74ABT16640DGGR	296-3916-1-ND	Bus-Transceiver, Tri-State, 16-Bit	Tri-State 16-Bit Bus Transceiver	48-TSSOP	4.75	3.80	3.21
SN74ABT16640DGGR	296-3916-2-ND	Bus-Transceiver, Tri-State, 16-Bit	Tri-State 16-Bit Bus Transceiver	48-TSSOP		5936.36/2,000	
SN74ABT16640DLR	296-3917-1-ND	Bus-Transceiver, Tri-State, 16-Bit	Tri-State 16-Bit Bus Transceiver	48-SSOP	4.79	3.84	3.24
SN74ABT16640DLR	296-3917-2-ND	Bus-Transceiver, Tri-State, 16-Bit	Tri-State 16-Bit Bus Transceiver	48-SSOP		2993.58/1,000	
SN74ABT16646DGGR	296-3918-1-ND	Tri-St., Bus-Transcvr/Register, 16-Bit	Tri-St. 16-Bit Bus Transcvr/Register	56-TSSOP	1.80	1.44	1.08
SN74ABT16646DGGR	296-3918-2-ND	Tri-St., Bus-Transcvr/Register, 16-Bit	Tri-St. 16-Bit Bus Transcvr/Register	56-TSSOP		1870.99/2,000	
SN74ABT16646DLR	296-1035-1-ND	Tri-St., Bus-Transceiver/Register, 16-Bit	Tri-St. 16-Bit Bus Transceiver/Register	56-SSOP	1.80	1.44	1.08
SN74ABT16646DLR	296-1035-2-ND	Tri-St., Bus-Transceiver/Register, 16-Bit	Tri-St. 16-Bit Bus Transceiver/Register	56-SSOP		935.49/1,000	
SN74ABT16652DL	296-3919-5-ND	Tri-St., Bus-Transceiver/Register, 16-Bit	Tri-St. 16-Bit Bus Transceiver/Register	56-SSOP	2.48	1.99	1.55
SN74ABT16652DLR	296-14657-1-ND	Tri-St., Bus-Transceiver/Register, 16-Bit	Tri-St. 16-Bit Bus Transceiver/Register	56-SSOP	2.48	1.99	1.55
SN74ABT16652DLR	296-14657-2-ND	Tri-St., Bus-Transceiver/Register, 16-Bit	Tri-St. 16-Bit Bus Transceiver/Register	56-SSOP		1403.66/1,000	
SN74ABT16657DGGR	296-3920-1-ND	Transceiver mit Parity-Gen/Prüfer, Tri-State, 16-Bit	Tri-State 16-Bit Transceiver with Parity Gen/Checker	56-TSSOP	2.86	2.29	1.78
SN74ABT16657DGGR	296-3920-2-ND	Transceiver mit Parity-Gen/Prüfer, Tri-State, 16-Bit	Tri-State 16-Bit Transceiver with Parity Gen/Checker	56-TSSOP		3239.09/2,000	
SN74ABT16657DLR	296-3921-1-ND	Transceiver mit Parity-Gen/Prüfer, Tri-State, 16-Bit	Tri-State 16-Bit Transceiver with Parity Gen/Checker	56-SSOP	2.86	2.29	1.78
SN74ABT16657DLR	296-3921-2-ND	Transceiver mit Parity-Gen/Prüfer, Tri-State, 16-Bit	Tri-State 16-Bit Transceiver with Parity Gen/Checker	56-SSOP		1619.55/1,000	
SN74ABT16821DGGR	296-3922-1-ND	Tri-St., Bus-Schnittstellen-Flip-Flop, 20-Bit	Tri-St. 20-Bit Bus-Interface Flip-Flop	56-TSSOP	2.86	2.29	1.78

(Forts.)

★ ***RUFEN SIE BITTE AN FÜR NIEDRIGERE PREISE BEI GRÖSSEREN MENGEN!*** ★

T. I. Teilenr.	Digi-Key Teilenr.	Beschreibung		Paket	Stückpreis★ 1	25	100
SN74ABT16821DGGR	296-3922-2-ND	Tri-St., Bus-Schnittstellen-Flip-Flop, 20-Bit	Tri-St. 20-Bit Bus-Interface Flip-Flop	56-TSSOP		3239.09/2,000	
SN74ABT16821DLR	296-3923-1-ND	Tri-St., Bus-Schnittstellen-Flip-Flop, 20-Bit	Tri-St. 20-Bit Bus-Interface Flip-Flop	56-SSOP	2.86	2.29	1.78
SN74ABT16821DLR	296-3923-2-ND	Tri-St., Bus-Schnittstellen-Flip-Flop, 20-Bit	Tri-St. 20-Bit Bus-Interface Flip-Flop	56-SSOP		1619.55/1,000	
SN74ABT16823DGGR	296-3924-1-ND	Tri-St., Bus-Schnittstellen-Flip-Flop, 18-Bit	Tri-St. 18-Bit Bus-Interface Flip-Flop	56-TSSOP	2.00	1.60	1.25
SN74ABT16823DGGR	296-3924-2-ND	Tri-St., Bus-Schnittstellen-Flip-Flop, 18-Bit	Tri-St. 18-Bit Bus-Interface Flip-Flop	56-TSSOP		2267.19/2,000	
SN74ABT16823DLR	296-3925-1-ND	Tri-St., Bus-Schnittstellen-Flip-Flop, 18-Bit	Tri-St. 18-Bit Bus-Interface Flip-Flop	56-SSOP	2.00	1.60	1.25
SN74ABT16823DLR	296-3925-2-ND	Bus-Schnittstellen-Flip-Flop, Tri-State, 18-Bit	Tri-State 18-Bit Bus-Interface Flip-Flop	56-SSOP		1133.60/1,000	
SN74ABT16825DL	296-3926-5-ND	Puffer/Treiber, Tri-State, 18-Bit	Tri-State 18-Bit Buffer/Driver	56-SSOP	2.00	1.60	1.25
SN74ABT16825DLR	296-14658-1-ND	Puffer/Treiber, Tri-State, 18-Bit	Tri-State 18-Bit Buffer/Driver	56-SSOP	2.00	1.60	1.25
SN74ABT16825DLR	296-14658-2-ND	Puffer/Treiber, Tri-State, 18-Bit	Tri-State 18-Bit Buffer/Driver	56-SSOP		1133.60/1,000	
SN74ABT16827DLR	296-3928-1-ND	Puffer/Treiber, Tri-State, 20-Bit	Tri-State 20-Bit Buffer/Driver	56-SSOP	2.00	1.60	1.25
SN74ABT16827DLR	296-3928-2-ND	Puffer/Treiber, Tri-State, 20-Bit	Tri-State 20-Bit Buffer/Driver	56-SSOP		1133.60/1,000	
SN74ABT16833DLR	296-3929-1-ND	Zweif. Parity-Bus-Transceiver, 8-9-Bit	Dual 8-9 Bit Parity Bus Transceiver	56-SSOP	2.00	1.60	1.25
SN74ABT16833DLR	296-3929-2-ND	Zweif. Parity-Bus-Transceiver, 8-9-Bit	Dual 8-9 Bit Parity Bus Transceiver	56-SSOP		1133.60/1,000	
SN74ABT16841DL	296-3930-5-ND	Bus-Schnittstellen-D-Latch, Tri-State, 20-Bit	Tri-State 20-Bit Bus-Interface D-Type Latch	56-SSOP	2.38	1.91	1.49
SN74ABT16841DLR	296-14659-1-ND	Bus-Schnittstellen-D-Latch, Tri-State, 20-Bit	Tri-State 20-Bit Bus-Interface D-Type Latch	56-SSOP	2.38	1.91	1.49
SN74ABT16841DLR	296-14659-2-ND	Bus-Schnittstellen-D-Latch, Tri-State, 20-Bit	Tri-State 20-Bit Bus-Interface D-Type Latch	56-SSOP		1349.48/1,000	
SN74ABT16843DGGR	296-3931-1-ND	Bus-Schnittstellen-D-Latch, Tri-State, 18-Bit	Tri-State 18-Bit Bus-Interface D-Type Latch	56-TSSOP	2.29	1.83	1.43
SN74ABT16843DGGR	296-3931-2-ND	Bus-Schnittstellen-D-Latch, Tri-State, 18-Bit	Tri-State 18-Bit Bus-Interface D-Type Latch	56-TSSOP		2590.60/2,000	
SN74ABT16843DLR	296-3932-1-ND	Bus-Schnittstellen-D-Latch, Tri-State, 18-Bit	Tri-State 18-Bit Bus-Interface D-Type Latch	56-SSOP	2.29	1.83	1.43
SN74ABT16843DLR	296-3932-2-ND	Bus-Schnittstellen-D-Latch, Tri-State, 18-Bit	Tri-State 18-Bit Bus-Interface D-Type Latch	56-SSOP		1295.30/1,000	
SN74ABT16853DLR	296-3933-1-ND	Zweif. Parity-Transceiver, 8-9-Bit	Dual 8-9 Bit Parity Transceiver	56-SSOP	6.77	5.42	4.58
SN74ABT16853DLR	296-3933-2-ND	Zweif. Parity-Transceiver, 8-9-Bit	Dual 8-9 Bit Parity Transceiver	56-SSOP		4233.00/1,000	
SN74ABT16863DLR	296-3934-1-ND	Bus-Transceiver, Tri-State, 18-Bit	Tri-State 18-Bit Bus Transceiver	56-SSOP	5.25	4.20	3.55
SN74ABT16863DLR	296-3934-2-ND	Bus-Transceiver, Tri-State, 18-Bit	Tri-State 18-Bit Bus Transceiver	56-SSOP		3280.58/1,000	
SN74ABT16952DGGR	296-3935-1-ND	Tri-St., Transceiver mit Register, 16-Bit	Tri-St. 16-Bit Registered Transceiver	56-TSSOP	2.76	2.21	1.72
SN74ABT16952DGGR	296-3935-2-ND	Tri-St., Transceiver mit Register, 16-Bit	Tri-St. 16-Bit Registered Transceiver	56-TSSOP		3130.73/2,000	
SN74ABT16952DLR	296-3936-1-ND	Tri-St., Transceiver mit Register, 16-Bit	Tri-St. 16-Bit Registered Transceiver	56-SSOP	2.76	2.21	1.72
SN74ABT16952DLR	296-3936-2-ND	Tri-St., Transceiver mit Register, 16-Bit	Tri-St. 16-Bit Registered Transceiver	56-SSOP		1565.36/1,000	
SN74ABT18245ADGGR	296-3937-1-ND	Scan-Test-Gerät mit Bus-Transceiver, 18-Bit	Scan Test Device with 18-Bit Bus Transceiver	56-TSSOP	6.60	5.29	4.46
SN74ABT18245ADGGR	296-3937-2-ND	Scan-Test-Gerät mit Bus-Transceiver, 18-Bit	Scan Test Device with 18-Bit Bus Transceiver	56-TSSOP		8254.35/2,000	
SN74ABT18245ADL	296-3938-5-ND	Scan-Test-Gerät mit Bus-Transceiver, 18-Bit	Scan Test Device with 18-Bit Bus Transceiver	56-SSOP	6.60	5.29	4.46
SN74ABT18245ADLR	296-3938-1-ND	Scan-Test-Gerät mit Bus-Transceiver, 18-Bit	Scan Test Device with 18-Bit Bus Transceiver	56-SSOP	6.60	5.29	4.46
SN74ABT18245ADLR	296-3938-2-ND	Scan-Test-Gerät mit Bus-Transceiver, 18-Bit	Scan Test Device with 18-Bit Bus Transceiver	56-SSOP		4127.18/1,000	
SN74ABT18502PM	296-3939-ND	Scan-Test-Gerät mit Bus-Transceiver, mit Register, 18-Bit	Scan Test Device with 18-Bit Registered Bus Transceiver	64-LQFP	12.69	11.43	10.14
SN74ABT18504PM	296-3940-ND	Scan-Test-Gerät mit Universal-Bus-Transceiver, 20-Bit	Scan Test Device with 20-Bit Universal Bus Transceiver	64-LQFP	11.29	10.16	9.01
SN74ABT18640DGGR	296-3941-1-ND	Scan-Test-Gerät mit inv. Bus-Transceiver, 18-Bit	Scan Test Device with 18-Bit Inv. Bus Transceiver	56-TSSOP	8.60	7.75	6.87
SN74ABT18640DGGR	296-3941-2-ND	Scan-Test-Gerät mit inv. Bus-Transceiver, 18-Bit	Scan Test Device with 18-Bit Inv. Bus Transceiver	56-TSSOP		12756.57/2,000	
SN74ABT18640DL	296-3942-5-ND	Scan-Test-Gerät mit inv. Bus-Transceiver, 18-Bit	Scan Test Device with 18-Bit Inv. Bus Transceiver	56-SSOP	8.60	7.75	6.87
SN74ABT18646PM	296-3943-ND	Scan-Test-Gerät mit Transceiver, mit Register, 18-Bit	Scan Test Device with 18-Bit Registered Transceiver	64-LQFP	12.90	11.62	10.31
SN74ABT18652PM	296-3944-ND	Scan-Test-Gerät mit Transceiver, mit Register, 18-Bit	Scan Test Device with 18-Bit Registered Transceiver	64-LQFP	12.90	11.62	10.31
SN74ABT162244DGGR	296-9752-1-ND	Puffer/Treiber, Tri-State, 16-Bit	Tri-State 16-Bit Buffer/Driver	48-TSSOP	1.02	.85	.68
SN74ABT162244DGGR	296-9752-2-ND	Puffer/Treiber, Tri-State, 16-Bit	Tri-State 16-Bit Buffer/Driver	48-TSSOP		900.78/2,000	
SN74ABT162244DGVR	296-3881-1-ND	Puffer/Treiber, Tri-State, 16-Bit	Tri-State 16-Bit Buffer/Driver	48-TVSOP	1.02	.85	.68
SN74ABT162244DGVR	296-3881-2-ND	Puffer/Treiber, Tri-State, 16-Bit	Tri-State 16-Bit Buffer/Driver	48-TVSOP		900.78/2,000	
SN74ABT162244DL	296-1021-5-ND	Puffer/Treiber, Tri-State, 16-Bit	Tri-State 16-Bit Buffer/Driver	48-SSOP	1.02	.85	.68
SN74ABT162244DLR	296-1021-1-ND	Puffer/Treiber, Tri-State, 16-Bit	Tri-State 16-Bit Buffer/Driver	48-SSOP	1.02	.85	.68
SN74ABT162244DLR	296-1021-2-ND	Puffer/Treiber, Tri-State, 16-Bit	Tri-State 16-Bit Buffer/Driver	48-SSOP		450.39/1,000	
SN74ABT162245DGGR	296-9753-1-ND	Bus-Transceiver, Tri-State, 16-Bit	Tri-State 16-Bit Bus Transceiver	48-TSSOP	1.02	.85	.68
SN74ABT162245DGGR	296-9753-2-ND	Bus-Transceiver, Tri-State, 16-Bit	Tri-State 16-Bit Bus Transceiver	48-TSSOP		900.78/2,000	
SN74ABT162245DL	296-9754-5-ND	Bus-Transceiver, Tri-State, 16-Bit	Tri-State 16-Bit Bus Transceiver	48-SSOP	1.02	.85	.68
SN74ABT162245DLR	296-1022-1-ND	Bus-Transceiver, Tri-State, 16-Bit	Tri-State 16-Bit Bus Transceiver	48-SSOP	1.02	.85	.68
SN74ABT162245DLR	296-1022-2-ND	Bus-Transceiver, Tri-State, 16-Bit	Tri-State 16-Bit Bus Transceiver	48-SSOP		450.39/1,000	
SN74ABT162500DL	296-3890-5-ND	Univ.-Bus-Transceiver, Tri-State, 18-Bit	Tri-State 18-Bit Univ. Bus Transceiver	56-SSOP	3.14	2.52	1.96
SN74ABT162500DLR	296-14652-1-ND	Univ.-Bus-Transceiver, Tri-State, 18-Bit	Tri-State 18-Bit Univ. Bus Transceiver	56-SSOP	3.14	2.52	1.96
SN74ABT162500DLR	296-14652-2-ND	Univ.-Bus-Transceiver, Tri-State, 18-Bit	Tri-State 18-Bit Univ. Bus Transceiver	56-SSOP		1781.25/1,000	
SN74ABT162501DGGR	296-3891-1-ND	Univ.-Bus-Transceiver, Tri-State, 18-Bit	Tri-State 18-Bit Univ. Bus Transceiver	56-TSSOP	3.14	2.52	1.96
SN74ABT162501DGGR	296-3891-2-ND	Univ.-Bus-Transceiver, Tri-State, 18-Bit	Tri-State 18-Bit Univ. Bus Transceiver	56-TSSOP		3562.49/2,000	
SN74ABT162501DLR	296-1027-1-ND	Univ.-Bus-Transceiver, Tri-State, 18-Bit	Tri-State 18-Bit Univ. Bus Transceiver	56-SSOP	3.14	2.52	1.96
SN74ABT162501DLR	296-1027-2-ND	Univ.-Bus-Transceiver, Tri-State, 18-Bit	Tri-State 18-Bit Univ. Bus Transceiver	56-SSOP		1781.25/1,000	
SN74ABT162601DGG	296-3892-1-ND	Univ.-Bus-Transceiver, Tri-State, 18-Bit	Tri-State 18-Bit Univ. Bus Transceiver	56-TSSOP	4.08	3.27	2.54
SN74ABT162601DGGR	296-3892-2-ND	Univ.-Bus-Transceiver, Tri-State, 18-Bit	Tri-State 18-Bit Univ. Bus Transceiver	56-TSSOP		4620.74/2,000	
SN74ABT162601DLR	296-1028-1-ND	Univ.-Bus-Transceiver, Tri-State, 18-Bit	Tri-State 18-Bit Univ. Bus Transceiver	56-SSOP	4.08	3.27	2.54
SN74ABT162601DLR	296-1028-2-ND	Univ.-Bus-Transceiver, Tri-State, 18-Bit	Tri-State 18-Bit Univ. Bus Transceiver	56-SSOP		2310.37/1,000	
SN74ABT162823ADGGR	296-3893-1-ND	Tri-St., Bus-Schnittstellen-Flip-Flop, 18-Bit	Tri-St. 18-Bit Bus-Interface Flip-Flop	56-TSSOP	2.48	1.99	1.55
SN74ABT162823ADGGR	296-3893-2-ND	Tri-St., Bus-Schnittstellen-Flip-Flop, 18-Bit	Tri-St. 18-Bit Bus-Interface Flip-Flop	56-TSSOP		2807.33/2,000	
SN74ABT162823ADLR	296-3894-1-ND	Bus-Schnittstellen-Flip-Flop, Tri-State, 18-Bit	Tri-State 18-Bit Bus-Interface Flip-Flop	56-SSOP	2.48	1.99	1.55
SN74ABT162823ADLR	296-3894-2-ND	Bus-Schnittstellen-Flip-Flop, Tri-State, 18-Bit	Tri-State 18-Bit Bus-Interface Flip-Flop	56-SSOP		1403.66/1,000	
SN74ABT162827ADGGR	296-3895-1-ND	Puffer/Treiber, Tri-State, 20-Bit	Tri-State 20-Bit Buffer/Driver	56-TSSOP	4.00	3.20	2.49
SN74ABT162827ADGGR	296-3895-2-ND	Puffer/Treiber, Tri-State, 20-Bit	Tri-State 20-Bit Buffer/Driver	56-TSSOP		4534.39/2,000	
SN74ABT162827ADL	296-3896-5-ND	Puffer/Treiber, Tri-State, 20-Bit	Tri-State 20-Bit Buffer/Driver	56-SSOP	3.05	2.44	1.90
SN74ABT162841DGGR	296-3897-1-ND	Bus-Schnittstellen-D-Latch, Tri-State, 20-Bit	Tri-State 20-Bit Bus-Interface D-Type Latch	56-TSSOP	2.29	1.83	1.43
SN74ABT162841DGGR	296-3897-2-ND	Bus-Schnittstellen-D-Latch, Tri-State, 20-Bit	Tri-State 20-Bit Bus-Interface D-Type Latch	56-TSSOP		2590.60/2,000	
SN74ABT162841DL	296-3898-5-ND	Bus-Schnittstellen-D-Latch, Tri-State, 20-Bit	Tri-State 20-Bit Bus-Interface D-Type Latch	56-SSOP	2.29	1.83	1.43
		ABTE-Gruppe					
SN74ABTE16245DGGR	296-9755-1-ND	Incident-Wave Bus-Transceiver, Tri-State, 16-Bit	Tri-State 16-Bit Incident-Wave Bus Transceiver	48-TSSOP	6.86	5.49	4.63
SN74ABTE16245DGGR	296-9755-2-ND	Incident-Wave Bus-Transceiver, Tri-State, 16-Bit	Tri-State 16-Bit Incident-Wave Bus Transceiver	48-TSSOP		8572.67/2,000	
SN74ABTE16245DL	296-9756-5-ND	Incident-Wave Bus-Transceiver, Tri-State, 16-Bit	Tri-State 16-Bit Incident-Wave Bus Transceiver	48-SSOP	6.86	5.49	4.63
SN74ABTE16246DGGR	296-4119-1-ND	Incident-Wave Bus-Transceiver, Tri-State, 11-Bit	Tri-State 11-Bit Incident-Wave Bus Transceiver	48-TSSOP	8.04	6.44	5.43
SN74ABTE16246DGGR	296-4119-2-ND	Incident-Wave Bus-Transceiver, Tri-State, 11-Bit	Tri-State 11-Bit Incident-Wave Bus Transceiver	48-TSSOP		10054.22/2,000	
SN74ABTE16246DL	296-4120-5-ND	Incident-Wave Bus-Transceiver, Tri-State, 11-Bit	Tri-State 11-Bit Incident-Wave Bus Transceiver	48-SSOP	8.04	6.44	5.43
SN74ABTE16246DLR	296-4120-1-ND	Incident-Wave Bus-Transceiver, Tri-State, 11-Bit	Tri-State 11-Bit Incident-Wave Bus Transceiver	48-SSOP	8.04	6.44	5.43
SN74ABTE16246DLR	296-4120-2-ND	Incident-Wave Bus-Transceiver, Tri-State, 11-Bit	Tri-State 11-Bit Incident-Wave Bus Transceiver	48-SSOP		5027.11/1,000	
		ABTH-Gruppe					
SN74ABTH245DBR	296-4138-1-ND	Achtf. Bus-Transceiver, Tri-State	Tri-State Octal Bus Transceiver	20-SSOP	.71	.54	.40
SN74ABTH245DBR	296-4138-2-ND	Achtf. Bus-Transceiver, Tri-State	Tri-State Octal Bus Transceiver	20-SSOP		472.40/2,000	
SN74ABTH245DGVR	296-4139-1-ND	Achtf. Bus-Transceiver, Tri-State	Tri-State Octal Bus Transceiver	20-TVSOP	.63	.53	.43
SN74ABTH245DGVR	296-4139-2-ND	Achtf. Bus-Transceiver, Tri-State	Tri-State Octal Bus Transceiver	20-TVSOP		563.84/2,000	
SN74ABTH245DWR	296-4140-1-ND	Achtf. Bus-Transceiver, Tri-State	Tri-State Octal Bus Transceiver	20-SOIC	.71	.54	.40
SN74ABTH245DWR	296-4140-2-ND	Achtf. Bus-Transceiver, Tri-State	Tri-State Octal Bus Transceiver	20-SOIC		472.40/2,000	
SN74ABTH245N	296-4141-5-ND	Achtf. Bus-Transceiver, Tri-State	Tri-State Octal Bus Transceiver	20-Dip	.71	.54	.40
SN74ABTH245PWR	296-4142-1-ND	Achtf. Bus-Transceiver, Tri-State	Tri-State Octal Bus Transceiver	20-TSSOP	.71	.54	.40
SN74ABTH245PWR	296-4142-2-ND	Achtf. Bus-Transceiver, Tri-State	Tri-State Octal Bus Transceiver	20-TSSOP		472.40/2,000	
SN74ABTH25245DW	296-4143-5-ND	Achtf. Bus-Transceiver, Tri-State, 25 Ohm	Tri-State 25-Ohm Octal Bus Transceiver	24-SOIC	4.17	3.34	2.60
SN74ABTH25245NT	296-4144-5-ND	Achtf. Bus-Transceiver, Tri-State, 25 Ohm	Tri-State 25-Ohm Octal Bus Transceiver	24-Dip	4.17	3.34	2.60
SN74ABTH32245PZ	296-4145-ND	Bus-Transceiver, Tri-State, 36-Bit	Tri-State 36-Bit Bus Transceiver	100-LQFP	12.70	11.86	11.01
SN74ABTH32316PN	296-4146-ND	Univ.-Bus-Exchanger, 3-Port, 16-Bit	Tri-Port 16-Bit Univ. Bus Exchanger	80-TQFP	13.16	12.29	11.41
SN74ABTH32543PZ	296-4147-ND	Bus-Transceiver mit Register, Tri-State, 36-Bit	Tri-State 36-Bit Registered Bus Transceiver	100-LQFP	13.33	12.45	11.56
SN74ABTH16244DGGR	296-4122-1-ND	Bus-Puffer/Treiber, Tri-State, 16-Bit	Tri-State 16-Bit Bus Buffer/Driver	48-TSSOP	1.02	.85	.68
SN74ABTH16244DGGR	296-4122-2-ND	Bus-Puffer/Treiber, Tri-State, 16-Bit	Tri-State 16-Bit Bus Buffer/Driver	48-TSSOP		900.78/2,000	
SN74ABTH16244DL	296-4123-5-ND	Bus-Puffer/Treiber, Tri-State, 16-Bit	Tri-State 16-Bit Bus Buffer/Driver	48-SSOP	1.02	.85	.68
SN74ABTH16244DLR	296-4123-1-ND	Bus-Puffer/Treiber, Tri-State, 16-Bit	Tri-State 16-Bit Bus Buffer/Driver	48-SSOP	1.02	.85	.68
SN74ABTH16244DLR	296-4123-2-ND	Bus-Puffer/Treiber, Tri-State, 16-Bit	Tri-State 16-Bit Bus Buffer/Driver	48-SSOP		450.39/1,000	
SN74ABTH16245DGGR	296-4124-1-ND	Bus-Transceiver, Tri-State, 16-Bit	Tri-State 16-Bit Bus Transceiver	48-TSSOP	1.02	.85	.68

(Forts.)

★ ***RUFEN SIE BITTE AN FÜR NIEDRIGERE PREISE BEI GRÖSSEREN MENGEN!*** ★

B

T. I. Teilenr.	Digi-Key Teilenr.	Beschreibung		Paket	Stückpreis★ 1	25	100
SN74ABTH16245DGGR	296-4124-2-ND	Bus-Transceiver, Tri-State, 16-Bit	Tri-State 16-Bit Bus Transceiver	48-TSSOP		900.78/2,000	
SN74ABTH16245DGVR	296-4125-1-ND	Bus-Transceiver, Tri-State, 16-Bit	Tri-State 16-Bit Bus Transceiver	48-TVSOP	1.02	.85	.68
SN74ABTH16245DGVR	296-4125-2-ND	Bus-Transceiver, Tri-State, 16-Bit	Tri-State 16-Bit Bus Transceiver	48-TVSOP		900.78/2,000	
SN74ABTH16245DL	296-4126-5-ND	Bus-Transceiver, Tri-State, 16-Bit	Tri-State 16-Bit Bus Transceiver	48-SSOP	1.02	.85	.68
SN74ABTH16260DL	296-1446-5-ND	Mux-D-Latch, Tri-State, 12-24-Bit	Tri-State 12-24 Bit Mux D-Type Latch	56-SSOP	6.52	5.22	4.41
SN74ABTH16260DLR	296-1446-1-ND	Mux-D-Latch, Tri-State, 12-24-Bit	Tri-State 12-24 Bit Mux D-Type Latch	56-SSOP	6.52	5.22	4.41
SN74ABTH16260DLR	296-1446-2-ND	Mux-D-Latch, Tri-State, 12-24-Bit	Tri-State 12-24 Bit Mux D-Type Latch	56-SSOP		4074.69/1,000	
SN74ABTH16460DGGR	296-4127-1-ND	Mux-D-Latch, Tri-State, 12-24-Bit	Tri-State 12-24 Bit Mux D-Type Latch	56-TSSOP	6.52	5.22	4.41
SN74ABTH16460DGGR	296-4127-2-ND	Mux-D-Latch, Tri-State, 12-24-Bit	Tri-State 12-24 Bit Mux D-Type Latch	56-TSSOP		8149.37/2,000	
SN74ABTH16460DL	296-4128-5-ND	Mux-D-Latch, Tri-State, 12-24-Bit	Tri-State 12-24 Bit Mux D-Type Latch	56-SSOP	6.52	5.22	4.41
SN74ABTH16823DGGR	296-4129-1-ND	Tri-St., Bus-Schnittstellen-Flip-Flop, 18-Bit	Tri-St. 18-Bit Bus-Interface Flip-Flop	56-TSSOP	4.40	3.53	2.98
SN74ABTH16823DGGR	296-4129-2-ND	Tri-St., Bus-Schnittstellen-Flip-Flop, 18-Bit	Tri-St. 18-Bit Bus-Interface Flip-Flop	56-TSSOP		5502.90/2,000	
SN74ABTH16823DLR	296-4130-1-ND	Bus-Schnittstellen-Flip-Flop, Tri-State, 18-Bit	Tri-State 18-Bit Bus-Interface Flip-Flop	56-SSOP	4.40	3.53	2.98
SN74ABTH16823DLR	296-4130-2-ND	Bus-Schnittstellen-Flip-Flop, Tri-State, 18-Bit	Tri-State 18-Bit Bus-Interface Flip-Flop	56-SSOP		2751.45/1,000	
SN74ABTH32318PN	296-1447-5-ND	Univ.-Bus-Exchange, 18-Bit, 3-Port	18-Bit Tri-Port Univ Bus Exchange	80-TQFP	12.34	11.12	9.86
SN74ABTH32501PZ	296-1448-5-ND	Bus-Transceiver, 36-Bit	36-Bit Bus Transceiver	100-LQFP	13.97	13.04	12.11
SN74ABTH162245DGGR	296-1050-1-ND	Bus-Transceiver, Tri-State, 16-Bit	Tri-State 16-Bit Bus Transceiver	48-TSSOP	1.09	.92	.73
SN74ABTH162245DGGR	296-1050-2-ND	Bus-Transceiver, Tri-State, 16-Bit	Tri-State 16-Bit Bus Transceiver	48-TSSOP		968.51/2,000	
SN74ABTH162245DGVR	296-4121-1-ND	Bus-Transceiver, Tri-State, 16-Bit	Tri-State 16-Bit Bus Transceiver	48-TVSOP	1.09	.92	.73
SN74ABTH162245DGVR	296-4121-2-ND	Bus-Transceiver, Tri-State, 16-Bit	Tri-State 16-Bit Bus Transceiver	48-TVSOP		968.51/2,000	
SN74ABTH162245DL	296-1445-5-ND	Bus-Transceiver, Tri-State, 16-Bit	Tri-State 16-Bit Bus Transceiver	48-SSOP	1.09	.92	.73
SN74ABTH162260DLR	296-1051-1-ND	Mux-D-Latch, 12-24-Bit	12-24-Bit Mux D-Type Latch	56-SSOP	4.71	3.77	2.93
SN74ABTH162260DLR	296-1051-2-ND	Mux.-D-Latch, Tri-State, 12-24-Bit	Tri-State 12-24 Bit Mux. D-Type Latch	56-SSOP		2665.94/1,000	
SN74ABTH182502APM	296-4131-ND	Scan-Test-Gerät mit Universal-Bus-Transceiver, 18-Bit	Scan Test Device with 18-Bit Universal Bus Transceiver	64-LQFP	13.07	11.77	10.44
SN74ABTH182504APM	296-4132-ND	Scan-Test-Gerät mit Universal-Bus-Transceiver, 20-Bit	Scan Test Device with 20-Bit Universal Bus Transceiver	64-LQFP	13.07	11.77	10.44
SN74ABTH182646APM	296-4133-ND	Scan-Test-Gerät mit Transceiver/Register, 18-Bit	Scan Test Device with 18-Bit Transceiver/Register	64-LQFP	12.78	11.93	11.07
SN74ABTH18502APM	296-4134-ND	Scan-Test-Gerät mit Universal-Bus-Transceiver, 18-Bit	Scan Test Device with 18-Bit Universal Bus Transceiver	64-LQFP	13.07	11.77	10.44
SN74ABTH18502APMR	296-14683-1-ND	Scan-Test-Gerät mit Universal-Bus-Transceiver, 18-Bit	Scan Test Device with 18-Bit Universal Bus Transceiver	64-LQFP	13.07	11.77	10.44
SN74ABTH18502APMR	296-14683-2-ND	Scan-Test-Gerät mit Universal-Bus-Transceiver, 18-Bit	Scan Test Device with 18-Bit Universal Bus Transceiver	64-LQFP		9688.49/1,000	
SN74ABTH18504APM	296-4135-ND	Scan-Test-Gerät mit Universal-Bus-Transceiver, 20-Bit	Scan Test Device with 20-Bit Universal Bus Transceiver	64-LQFP	13.07	11.77	10.44
SN74ABTH18646APM	296-4136-ND	Scan-Test-Gerät mit Transceiver/Register, 18-Bit	Scan Test Device with 18-Bit Transceiver/Register	64-LQFP	11.63	10.48	9.29
SN74ABTH18652APM	296-4137-ND	Scan-Test-Gerät mit Transceiver/Register, 18-Bit	Scan Test Device with 18-Bit Transceiver/Register	64-LQFP	11.63	10.48	9.29
SN74ABTH25245DWR	296-14684-1-ND	Tri-St., Achtf. Bus-Transceiver, 25 Ohm	Tri-St. 25 Ohm Octal Bus Transceiver	24-SOIC	4.17	3.34	2.60
SN74ABTH25245DWR	296-14684-2-ND	Tri-St., Achtf. Bus-Transceiver, 25 Ohm	Tri-St. 25 Ohm Octal Bus Transceiver	24-SOIC		4727.41/2,000	
			ABTR-Gruppe				
SN74ABTR2245DBR	296-4148-1-ND	Achtf. Transceiver/Leitungs-/Speichertreiber, Tri-State	Tri-State Octal Transceiver/Line/Memory Driver	20-SSOP	.71	.54	.40
SN74ABTR2245DBR	296-4148-2-ND	Achtf. Transceiver/Leitungs-/Speichertreiber, Tri-State	Tri-State Octal Transceiver/Line/Memory Driver	20-SSOP		472.40/2,000	
SN74ABTR2245DW	296-4149-5-ND	Achtf. Transceiver/Leitungs-/Speichertreiber, Tri-State	Tri-State Octal Transceiver/Line/Memory Driver	20-SOIC	.71	.54	.40
SN74ABTR2245PWR	296-4150-1-ND	Achtf. Transceiver/Leitungs-/Speichertreiber, Tri-State	Tri-State Octal Transceiver/Line/Memory Driver	20-TSSOP	.71	.54	.40
SN74ABTR2245PWR	296-4150-2-ND	Achtf. Transceiver/Leitungs-/Speichertreiber, Tri-State	Tri-State Octal Transceiver/Line/Memory Driver	20-TSSOP		472.40/2,000	
			AC-Gruppe				
74AC11004DW	296-4152-5-ND	Sechsf. Inverter	Hex Inverter	20-SOIC	1.27	1.02	.77
74AC11004DWR	296-4152-1-ND	Sechsf. Inverter	Hex Inverter	20-SOIC	1.27	1.02	.77
74AC11004DWR	296-4152-2-ND	Sechsf. Inverter	Hex Inverter	20-SOIC		1320.70/2,000	
74AC11004N	296-4153-5-ND	Sechsf. Inverter	Hex Inverter	20-Dip	1.27	1.02	.77
74AC11008N	296-4154-5-ND	Vierf. AND-Gate mit 2 Eingängen, positiv	Quad 2-Input Pos. AND Gate	16-Dip	1.27	1.02	.77
74AC11008PWR	296-4155-1-ND	Vierf. AND-Gate mit 2 Eingängen, positiv	Quad 2-Input Pos. AND Gate	16-TSSOP	1.27	1.02	.77
74AC11008PWR	296-4155-2-ND	Vierf. AND-Gate mit 2 Eingängen, positiv	Quad 2-Input Pos. AND Gate	16-TSSOP		1320.70/2,000	
74AC11032D	296-4156-5-ND	Vierf. OR-Gate mit 2 Eingängen	Quad 2-Input OR Gate	16-SOIC	1.27	1.02	.77
74AC11032DBR	296-4157-1-ND	Vierf. OR-Gate mit 2 Eingängen	Quad 2-Input OR Gate	16-SSOP	1.27	1.02	.77
74AC11032DBR	296-4157-2-ND	Vierf. OR-Gate mit 2 Eingängen	Quad 2-Input OR Gate	16-SSOP		1320.70/2,000	
74AC11032N	296-4158-5-ND	Vierf. OR-Gate mit 2 Eingängen	Quad 2-Input OR Gate	16-Dip	1.27	1.02	.77
74AC11074D	296-4159-5-ND	Zweif. D-Flip-Flop	Dual D-Type Flip-Flop	14-SOIC	1.27	1.02	.77
74AC11074PWR	296-4160-1-ND	Zweif. D-Flip-Flop	Dual D-Type Flip-Flop	14-TSSOP	1.27	1.02	.77
74AC11074PWR	296-4160-2-ND	Zweif. D-Flip-Flop	Dual D-Type Flip-Flop	14-TSSOP		1320.70/2,000	
74AC11086D	296-4161-5-ND	Vierf. exklusives OR-Gate mit 2 Eingängen	Quad 2-Input Exclusive OR Gate	16-SOIC	1.27	1.02	.77
74AC11138N	296-4162-5-ND	3-8-Dekodierer/Demultiplexer	3-8 Decoder/Demultiplexer	16-Dip	1.48	1.19	.89
74AC11138PWR	296-4163-1-ND	3-8-Dekodierer/Demultiplexer	3-8 Decoder/Demultiplexer	16-TSSOP	1.48	1.19	.89
74AC11138PWR	296-4163-2-ND	3-8-Dekodierer/Demultiplexer	3-8 Decoder/Demultiplexer	16-TSSOP		1540.81/2,000	
74AC11240DBR	296-4167-1-ND	Achtf. Puffer-/Leitungstreiber	Octal Buffer/Line Driver	24-SSOP	1.98	1.59	1.24
74AC11240DBR	296-4167-2-ND	Achtf. Puffer-/Leitungstreiber	Octal Buffer/Line Driver	24-SSOP		2245.18/2,000	
74AC11244DBR	296-4168-1-ND	Achtf. Puffer-/Leitungstreiber	Octal Buffer/Line Driver	24-SSOP	1.98	1.59	1.24
74AC11244DBR	296-4168-2-ND	Achtf. Puffer-/Leitungstreiber	Octal Buffer/Line Driver	24-SSOP		2245.18/2,000	
74AC11244DW	296-4169-5-ND	Achtf. Puffer-/Leitungstreiber	Octal Buffer/Line Driver	24-SOIC	1.98	1.59	1.24
74AC11244PWR	296-1000-1-ND	Achtf. Puffer-/Leitungstreiber	Octal Buffer/Line Driver	24-TSSOP	1.98	1.59	1.24
74AC11244PWR	296-1000-2-ND	Achtf. Puffer-/Leitungstreiber	Octal Buffer/Line Driver	24-TSSOP		2245.18/2,000	
74AC11245DW	296-4170-5-ND	Achtf. Bus-Transceiver	Octal Bus Transceiver	24-SOIC	1.98	1.59	1.24
74AC16244DGGR	296-15845-1-ND	Puffer/Leitungstreiber, 16-Bit	16-Bit Buffer/Line Driver	48-TSSOP	1.17	.94	.70
74AC16244DGGR	296-15845-2-ND	Puffer/Leitungstreiber, 16-Bit	16-Bit Buffer/Line Driver	48-TSSOP		1210.64/2,000	
74AC16244DL	296-4173-5-ND	Puffer/Leitungstreiber, 16-Bit	16-Bit Buffer/Line Driver	48-SSOP	1.17	.94	.70
74AC16244DLR	296-14452-1-ND	Puffer/Leitungstreiber, 16-Bit	16-Bit Buffer/Line Driver	48-SSOP	1.17	.94	.70
74AC16244DLR	296-14452-2-ND	Puffer/Leitungstreiber, 16-Bit	16-Bit Buffer/Line Driver	48-SSOP		605.32/1,000	
74AC16245DL	296-4174-5-ND	Bus-Transceiver, 16-Bit	16-Bit Bus Transceiver	48-SSOP	1.27	1.02	.77
74AC16374DLR	296-14453-1-ND	D-Flip-Flop, Tri-State, 16-Bit	Tri-State 16-Bit D-Type Flip-Flop	48-SSOP	1.17	.94	.70
74AC16374DLR	296-14453-2-ND	D-Flip-Flop, Tri-State, 16-Bit	Tri-State 16-Bit D-Type Flip-Flop	48-SSOP		605.32/1,000	
CD74AC00E	296-4214-5-ND	Vierf. NAND-Gate mit 2 Eingängen	Quad 2-Input NAND Gate	14-Dip	.51	.39	.29
CD74AC00M	296-4215-5-ND	Vierf. NAND-Gate mit 2 Eingängen	Quad 2-Input NAND Gate	14-SOIC	.47	.36	.27
CD74AC00M96	296-4215-1-ND	Vierf. NAND-Gate mit 2 Eingängen	Quad 2-Input NAND Gate	14-SOIC	.47	.36	.27
CD74AC00M96	296-4215-2-ND	Vierf. NAND-Gate mit 2 Eingängen	Quad 2-Input NAND Gate	14-SOIC		385.20/2,500	
CD74AC02M96	296-4216-1-ND	Vierf. NOR-Gate mit 2 Eingängen	Quad 2-Input NOR Gate	14-SOIC	.47	.36	.27
CD74AC02M96	296-4216-2-ND	Vierf. NOR-Gate mit 2 Eingängen	Quad 2-Input NOR Gate	14-SOIC		385.20/2,500	
CD74AC04E	296-4217-5-ND	Sechsf. Inverter	Hex Inverter	14-Dip	.51	.39	.29
CD74AC04M96	296-4218-1-ND	Sechsf. Inverter	Hex Inverter	14-SOIC	.47	.36	.27
CD74AC04M96	296-4218-2-ND	Sechsf. Inverter	Hex Inverter	14-SOIC		385.20/2,500	
CD74AC05E	296-4219-5-ND	Sechsf. Inverter	Hex Inverter	14-Dip	.51	.39	.29
CD74AC05M	296-4220-5-ND	Sechsf. Inverter	Hex Inverter	14-SOIC	.47	.36	.27
CD74AC08M	296-1377-5-ND	Vierf. AND-Gate mit 2 Eingängen	Quad 2-Input AND Gate	14-SOIC	.47	.36	.27
CD74AC08M96	296-14477-1-ND	Vierf. AND-Gate mit 2 Eingängen	Quad 2-Input AND Gate	14-SOIC	.47	.36	.27
CD74AC08M96	296-14477-2-ND	Vierf. AND-Gate mit 2 Eingängen	Quad 2-Input AND Gate	14-SOIC		385.20/2,500	
CD74AC10M96	296-4222-1-ND	Dreif. NAND-Gate mit 3 Eingängen	Triple 3-Input NAND Gate	14-SOIC	.47	.36	.27
CD74AC10M96	296-4222-2-ND	Dreif. NAND-Gate mit 3 Eingängen	Triple 3-Input NAND Gate	14-SOIC		385.20/2,500	
CD74AC14M	296-1981-5-ND	Sechsf. invertierender Schmitt-Trigger	Hex Inverter Schmitt Trigger	14-SOIC	.47	.36	.27
CD74AC14M96	296-1981-1-ND	Sechsf. invertierender Schmitt-Trigger	Hex Inverter Schmitt Trigger	14-SOIC	.47	.36	.27
CD74AC14M96	296-1981-2-ND	Sechsf. invertierender Schmitt-Trigger	Hex Inverter Schmitt Trigger	14-SOIC		385.20/2,500	
CD74AC20E	296-4237-5-ND	Zweif. NAND-Gate mit 4 Eingängen	Dual 4-Input NAND Gate	14-Dip	.51	.39	.29
CD74AC20M	296-4238-5-ND	Zweif. NAND-Gate mit 4 Eingängen	Dual 4-Input NAND Gate	14-SOIC	.47	.36	.27
CD74AC32M96	296-1985-1-ND	Vierf. OR-Gate mit 2 Eingängen	Quad 2-Input OR Gate	14-SOIC	.47	.36	.27
CD74AC32M96	296-1985-2-ND	Vierf. OR-Gate mit 2 Eingängen	Quad 2-Input OR Gate	14-SOIC		385.20/2,500	
CD74AC74M	296-4249-5-ND	Zweif. D-Flip-Flop mit Set/Reset	Dual D-Type Flip-Flop with Set/Reset	14-SOIC	.47	.36	.27
CD74AC74M96	296-14484-1-ND	Zweif. D-Flip-Flop mit Set/Reset	Dual D-Type Flip-Flop with Set/Reset	14-SOIC	.47	.36	.27
CD74AC74M96	296-14484-2-ND	Zweif. D-Flip-Flop mit Set/Reset	Dual D-Type Flip-Flop with Set/Reset	14-SOIC		385.20/2,500	

(Forts.)

★ RUFEN SIE BITTE AN FÜR NIEDRIGERE PREISE BEI GRÖSSEREN MENGEN! ★

T. I. Teilenr.	Digi-Key Teilenr.	Beschreibung		Paket	Stückpreis★ 1	25	100
CD74AC109M96	296-4221-1-ND	Zweif. JK-Flip-Flop mit Set/Reset	Dual JK Flip-Flop with Set/Reset	16-SOIC	.47	.36	.27
CD74AC109M96	296-4221-2-ND	Zweif. JK-Flip-Flop mit Set/Reset	Dual JK Flip-Flop with Set/Reset	16-SOIC		385.20/2,500	
CD74AC112E	296-4223-5-ND	Zweif. JK-Flip-Flop mit Set/Reset	Dual JK Flip-Flop with Set/Reset	16-Dip	.58	.44	.33
CD74AC112M	296-4224-5-ND	Zweif. JK-Flip-Flop mit Set/Reset	Dual JK Flip-Flop with Set/Reset	16-SOIC	.47	.36	.27
CD74AC138E	296-4225-5-ND	3-8 Leitungs-Dekodierer/Demultiplexer	3-8 Line Decoder/Demultiplexer	16-Dip	.58	.44	.33
CD74AC138M	296-4226-5-ND	3-8 Leitungs-Dekodierer/Demultiplexer	3-8 Line Decoder/Demultiplexer	16-SOIC	.47	.36	.27
CD74AC139M96	296-4227-1-ND	Zweif. 2-4 Leitungs-Dekodierer/Demultiplexer	Dual 2-4 Line Decoder/Demultiplexer	16-SOIC	.47	.36	.27
CD74AC139M96	296-4227-2-ND	Zweif. 2-4 Leitungs-Dekodierer/Demultiplexer	Dual 2-4 Line Decoder/Demultiplexer	16-SOIC		385.20/2,500	
CD74AC151M96	296-4228-1-ND	Multiplexer, 8 Eingänge	8-Input Multiplexer	16-SOIC	.64	.49	.37
CD74AC151M96	296-4228-2-ND	Multiplexer, 8 Eingänge	8-Input Multiplexer	16-SOIC		522.78/2,500	
CD74AC153M96	296-4229-1-ND	Zweif. Multiplexer, 4 Eingänge	Dual 4-Input Multiplexer	16-SOIC	.64	.49	.37
CD74AC153M96	296-4229-2-ND	Zweif. Multiplexer, 4 Eingänge	Dual 4-Input Multiplexer	16-SOIC		522.78/2,500	
CD74AC157E	296-4230-5-ND	Vierf. Multiplexer, 2 Eingänge	Quad 2-Input Multiplexer	16-Dip	.61	.46	.35
CD74AC157M	296-4231-5-ND	Vierf. Multiplexer, 2 Eingänge	Quad 2-Input Multiplexer	16-SOIC	.61	.46	.35
CD74AC161M	296-4232-5-ND	Synchroner Binärzähler, 4-Bit	4-Bit Synchronous Binary Counter	16-SOIC	.54	.41	.31
CD74AC163E	296-4233-5-ND	Synchroner Binärzähler, 4-Bit	4-Bit Synchronous Binary Counter	16-Dip	.58	.44	.33
CD74AC163M96	296-4234-1-ND	Synchroner Binärzähler, 4-Bit	4-Bit Synchronous Binary Counter	16-SOIC	.54	.41	.31
CD74AC163M96	296-4234-2-ND	Synchroner Binärzähler, 4-Bit	4-Bit Synchronous Binary Counter	16-SOIC		440.23/2,500	
CD74AC164E	296-4235-5-ND	Seriell-Ein/Parallel-Aus Schieberegister, 8-Bit	8-Bit Serial-In/Parallel-Out Shift Register	14-Dip	.58	.44	.33
CD74AC174E	296-4236-5-ND	Sechsf. D-Flip-Flop mit Reset	Hex D-Type Flip-Flop with Reset	16-Dip	.58	.44	.33
CD74AC238M96	296-4239-1-ND	3-8 Leitungs-Dekodierer/Demultiplexer	3-8 Line Decoder/Demux	16-SOIC	1.06	.85	.64
CD74AC238M96	296-4239-2-ND	3-8 Leitungs-Dekodierer/Demultiplexer	3-8 Line Decoder/Demux	16-SOIC		1354.56/2,500	
CD74AC240M	296-4240-5-ND	Achtf. Puffer-/Leitungstreiber, Tri-State	Tri-State Octal Buffer/Line Driver	20-SOIC	.68	.51	.39
CD74AC244M96	296-14479-1-ND	Achtf. nicht inv. Puffer-/Leitungstreiber, Tri-State	Tri-State Non-Inverting Octal Buffer/Line Driver	20-SOIC	.68	.51	.39
CD74AC244M96	296-14479-2-ND	Achtf. nicht inv. Puffer-/Leitungstreiber, Tri-State	Tri-State Non-Inverting Octal Buffer/Line Driver	20-SOIC		450.39/2,000	
CD74AC245M96	296-14480-1-ND	Achtf. nicht inv. Bus-Transceiver, Tri-State	Tri-State Non-Inverting Octal Bus Transceiver	20-SOIC	.68	.51	.39
CD74AC245M96	296-14480-2-ND	Achtf. nicht inv. Bus-Transceiver, Tri-State	Tri-State Non-Inverting Octal Bus Transceiver	20-SOIC		450.39/2,000	
CD74AC253M	296-4242-5-ND	Zweif. 4-Eingang-Mux, Tri-State	Tri-State Dual 4-Input Mux	16-SOIC	.68	.51	.39
CD74AC257M	296-4243-5-ND	Vierf. 2-Eingang-Mux, Tri-State	Tri-State Quad 2-Input Mux	16-SOIC	.66	.56	.45
CD74AC273E	296-1378-5-ND	Achtf. D-Flip-Flop mit Reset	Octal D-Type Flip-Flop with Reset	20-Dip	.63	.53	.43
CD74AC273M96	296-14481-1-ND	Achtf. D-Flip-Flop mit Reset	Octal D-Type Flip-Flop with Reset	20-SOIC	.63	.53	.43
CD74AC273M96	296-14481-2-ND	Achtf. D-Flip-Flop mit Reset	Octal D-Type Flip-Flop with Reset	20-SOIC		563.84/2,000	
CD74AC280E	296-4245-5-ND	Gerader/ungerader Parity-Generator/Checker, 9-Bit	9-Bit Odd/Even Parity-Generator/Checker	14-Dip	.68	.51	.39
CD74AC280M96	296-4246-1-ND	Gerader/ungerader Parity-Generator/Checker, 9-Bit	9-Bit Odd/Even Parity-Generator/Checker	14-SOIC	.68	.51	.39
CD74AC280M96	296-4246-2-ND	Gerader/ungerader Parity-Generator/Checker, 9-Bit	9-Bit Odd/Even Parity-Generator/Checker	14-SOIC		550.29/2,500	
CD74AC373M96	296-14482-1-ND	Achtf. Transparenter Latch, Tri-State	Tri-State Octal Transparent Latch	20-SOIC	.68	.51	.39
CD74AC373M96	296-14482-2-ND	Achtf. Transparenter Latch, Tri-State	Tri-State Octal Transparent Latch	20-SOIC		450.39/2,000	
CD74AC374M	296-9411-5-ND	Achtf. D-Flip-Flop, Tri-State	Tri-State Octal D-Type Flip-Flop	20-SOIC	.68	.51	.39
CD74AC534M96	296-4247-1-ND	Achtf. D-Flip-Flop, Tri-State	Tri-State Octal D-Type Flip-Flop	20-SOIC	.68	.51	.39
CD74AC534M96	296-4247-2-ND	Achtf. D-Flip-Flop, Tri-State	Tri-State Octal D-Type Flip-Flop	20-SOIC		450.39/2,000	
CD74AC541E	296-4248-5-ND	Achtf. Puffer-/Leitungstreiber, Tri-State	Tri-State Octal Buffer/Line Driver	20-Dip	.68	.51	.39
CD74AC541M96	296-16677-1-ND	Achtf. Puffer-/Leitungstreiber, Tri-State	Tri-State Octal Buffer/Line Driver	20-SOIC	.68	.51	.39
CD74AC541M96	296-16677-2-ND	Achtf. Puffer-/Leitungstreiber, Tri-State	Tri-State Octal Buffer/Line Driver	20-SOIC		450.39/2,000	
CD74AC573E	296-1379-5-ND	Achtf. transparenter Latch	Octal Transparent Latch	20-Dip	.68	.51	.39
CD74AC573M96	296-14483-1-ND	Achtf. transparenter Latch	Octal Transparent Latch	20-SOIC	.68	.51	.39
CD74AC573M96	296-14483-2-ND	Achtf. transparenter Latch	Octal Transparent Latch	20-SOIC		450.39/2,000	
SN74AC00D	296-1052-5-ND	Vierf. NAND-Gate mit 2 Eingängen	Quad 2-Input NAND Gate	14-SOIC	.38	.31	.23
SN74AC00DR	296-1052-1-ND	Vierf. NAND-Gate mit 2 Eingängen	Quad 2-Input NAND Gate	14-SOIC	.38	.31	.23
SN74AC00DR	296-1052-2-ND	Vierf. NAND-Gate mit 2 Eingängen	Quad 2-Input NAND Gate	14-SOIC		258.21/2,500	
SN74AC00N	296-4287-5-ND	Vierf. NAND-Gate mit 2 Eingängen	Quad 2-Input NAND Gate	14-Dip	.42	.34	.26
SN74AC00PWR	296-4288-1-ND	Vierf. NAND-Gate mit 2 Eingängen	Quad 2-Input NAND Gate	14-TSSOP	.38	.31	.23
SN74AC00PWR	296-4288-2-ND	Vierf. NAND-Gate mit 2 Eingängen	Quad 2-Input NAND Gate	14-TSSOP		213.34/2,000	
SN74AC04D	296-1053-5-ND	Sechsf. Inverter	Hex Inverter	14-SOIC	.38	.31	.23
SN74AC04DR	296-1053-1-ND	Sechsf. Inverter	Hex Inverter	14-SOIC	.38	.31	.23
SN74AC04DR	296-1053-2-ND	Sechsf. Inverter	Hex Inverter	14-SOIC		258.21/2,500	
SN74AC04DBR	296-4289-1-ND	Sechsf. Inverter	Hex Inverter	14-SSOP	.38	.31	.23
SN74AC04DBR	296-4289-2-ND	Sechsf. Inverter	Hex Inverter	14-SSOP		213.34/2,000	
SN74AC04N	296-4290-5-ND	Sechsf. Inverter	Hex Inverter	14-Dip	.34	.28	.21
SN74AC04PWR	296-1054-1-ND	Sechsf. Inverter	Hex Inverter	14-TSSOP	.39	.32	.22
SN74AC04PWR	296-1054-2-ND	Sechsf. Inverter	Hex Inverter	14-TSSOP		213.34/2,000	
SN74AC08DBR	296-4291-1-ND	Vierf. AND-Gate mit 2 Eingängen	Quad 2-Input AND Gate	14-SSOP	.38	.31	.23
SN74AC08DBR	296-4291-2-ND	Vierf. AND-Gate mit 2 Eingängen	Quad 2-Input AND Gate	14-SSOP		213.34/2,000	
SN74AC08DR	296-1055-1-ND	Vierf. AND-Gate mit 2 Eingängen	Quad 2-Input AND Gate	14-SOIC	.39	.32	.22
SN74AC08DR	296-1055-2-ND	Vierf. AND-Gate mit 2 Eingängen	Quad 2-Input AND Gate	14-SOIC		251.86/2,500	
SN74AC08PWR	296-4292-1-ND	Vierf. AND-Gate mit 2 Eingängen	Quad 2-Input AND Gate	14-TSSOP	.39	.32	.22
SN74AC08PWR	296-4292-2-ND	Vierf. AND-Gate mit 2 Eingängen	Quad 2-Input AND Gate	14-TSSOP		213.34/2,000	
SN74AC10DBR	296-4293-1-ND	Dreif. NAND-Gate mit 3 Eingängen	Triple 3-Input NAND Gate	14-SSOP	.42	.34	.26
SN74AC10DBR	296-4293-2-ND	Dreif. NAND-Gate mit 3 Eingängen	Triple 3-Input NAND Gate	14-SSOP		237.05/2,000	
SN74AC10DR	296-4294-1-ND	Dreif. NAND-Gate mit 3 Eingängen	Triple 3-Input NAND Gate	14-SOIC	.42	.34	.26
SN74AC10DR	296-4294-2-ND	Dreif. NAND-Gate mit 3 Eingängen	Triple 3-Input NAND Gate	14-SOIC		285.73/2,500	
SN74AC10PWR	296-4295-1-ND	Dreif. NAND-Gate mit 3 Eingängen	Triple 3-Input NAND Gate	14-TSSOP	.42	.34	.26
SN74AC10PWR	296-4295-2-ND	Dreif. NAND-Gate mit 3 Eingängen	Triple 3-Input NAND Gate	14-TSSOP		237.05/2,000	
SN74AC11DBR	296-4296-1-ND	Dreif. AND-Gate mit 3 Eingängen	Triple 3-Input AND Gate	14-SSOP	.42	.34	.26
SN74AC11DBR	296-4296-2-ND	Dreif. AND-Gate mit 3 Eingängen	Triple 3-Input AND Gate	14-SSOP		237.05/2,000	
SN74AC11D	296-4297-5-ND	Dreif. AND-Gate mit 3 Eingängen	Triple 3-Input AND Gate	14-SOIC	.42	.34	.26
SN74AC11DR	296-4297-1-ND	Dreif. AND-Gate mit 3 Eingängen	Triple 3-Input AND Gate	14-SOIC	.42	.34	.26
SN74AC11DR	296-4297-2-ND	Dreif. AND-Gate mit 3 Eingängen	Triple 3-Input AND Gate	14-SOIC		285.73/2,500	
SN74AC11PWR	296-4298-1-ND	Dreif. AND-Gate mit 3 Eingängen	Triple 3-Input AND Gate	14-TSSOP	.42	.34	.26
SN74AC11PWR	296-4298-2-ND	Dreif. AND-Gate mit 3 Eingängen	Triple 3-Input AND Gate	14-TSSOP		237.05/2,000	
SN74AC14DBR	296-4299-1-ND	Sechsf. Schmitt-Trigger-Inverter	Hex Schmitt-Trigger Inverter	14-SSOP	.41	.34	.23
SN74AC14DBR	296-4299-2-ND	Sechsf. Schmitt-Trigger-Inverter	Hex Schmitt-Trigger Inverter	14-SSOP		228.58/2,000	
SN74AC14D	296-4300-5-ND	Sechsf. Schmitt-Trigger-Inverter	Hex Schmitt-Trigger Inverter	14-SOIC	.39	.32	.22
SN74AC14DR	296-4300-1-ND	Sechsf. Schmitt-Trigger-Inverter	Hex Schmitt-Trigger Inverter	14-SOIC	.39	.32	.22
SN74AC14DR	296-4300-2-ND	Sechsf. Schmitt-Trigger-Inverter	Hex Schmitt-Trigger Inverter	14-SOIC		251.86/2,500	
SN74AC14N	296-4301-5-ND	Sechsf. Schmitt-Trigger-Inverter	Hex Schmitt-Trigger Inverter	14-Dip	.34	.28	.21
SN74AC14PWR	296-4302-1-ND	Sechsf. Schmitt-Trigger-Inverter	Hex Schmitt-Trigger Inverter	14-TSSOP	.38	.31	.23
SN74AC14PWR	296-4302-2-ND	Sechsf. Schmitt-Trigger-Inverter	Hex Schmitt-Trigger Inverter	14-TSSOP		213.34/2,000	
SN74AC32D	296-1059-5-ND	Vierf. OR-Gate mit 2 Eingängen	Quad 2-Input OR Gate	14-SOIC	.38	.31	.23
SN74AC32DR	296-1059-1-ND	Vierf. OR-Gate mit 2 Eingängen	Quad 2-Input OR Gate	14-SOIC	.38	.31	.23
SN74AC32DR	296-1059-2-ND	Vierf. OR-Gate mit 2 Eingängen	Quad 2-Input OR Gate	14-SOIC		258.21/2,500	
SN74AC32DBR	296-4317-1-ND	Vierf. OR-Gate mit 2 Eingängen	Quad 2-Input OR Gate	14-SSOP	.38	.31	.23
SN74AC32DBR	296-4317-2-ND	Vierf. OR-Gate mit 2 Eingängen	Quad 2-Input OR Gate	14-SSOP		213.34/2,000	
SN74AC32N	296-4318-5-ND	Vierf. OR-Gate mit 2 Eingängen	Quad 2-Input OR Gate	14-Dip	.42	.34	.26
SN74AC32PWR	296-4319-1-ND	Vierf. OR-Gate mit 2 Eingängen	Quad 2-Input OR Gate	14-TSSOP	.38	.31	.23
SN74AC32PWR	296-4319-2-ND	Vierf. OR-Gate mit 2 Eingängen	Quad 2-Input OR Gate	14-TSSOP		213.34/2,000	
SN74AC74D	296-1063-5-ND	Zweif. D-Flip-Flop mit positiver Taktflanke sowie Löschen und Voreinstellen	Dual Positive-Edge-Triggered D-Type Flip-Flop with Clear and Preset	14-SOIC	.39	.32	.22
SN74AC74DR	296-1063-1-ND	Zweif. D-Flip-Flop mit positiver Taktflanke sowie Löschen und Voreinstellen	Dual Positive-Edge-Triggered D-Type Flip-Flop with Clear and Preset	14-SOIC	.39	.32	.22
SN74AC74DR	296-1063-2-ND	Zweif. D-Flip-Flop mit positiver Taktflanke sowie Löschen und Voreinstellen	Dual Positive-Edge-Triggered D-Type Flip-Flop with Clear and Preset	14-SOIC		251.86/2,500	
SN74AC74DBR	296-4341-1-ND	Zweif. D-Flip-Flop mit positiver Taktflanke sowie Löschen und Voreinstellen	Dual Positive-Edge-Triggered D-Type Flip-Flop with Clear and Preset	14-SSOP	.42	.34	.26
SN74AC74DBR	296-4341-2-ND	Zweif. D-Flip-Flop mit positiver Taktflanke sowie Löschen und Voreinstellen	Dual Positive-Edge-Triggered D-Type Flip-Flop with Clear and Preset	14-SSOP		237.05/2,000	

(Forts.)

★ ***RUFEN SIE BITTE AN FÜR NIEDRIGERE PREISE BEI GRÖSSEREN MENGEN!*** ★

B

T. I. Teilenr.	Digi-Key Teilenr.	Beschreibung		Paket	Stückpreis★ 1	25	100
SN74AC74N	296-4342-5-ND	Zweif. D-Flip-Flop mit positiver Taktflanke sowie Löschen und Voreinstellen	Dual Positive-Edge-Triggered D-Type Flip-Flop with Clear and Preset	14-Dip	.34	.28	.21
SN74AC74NSR	296-13129-1-ND	Zweif. D-Flip-Flop mit positiver Taktflanke sowie Löschen und Voreinstellen	Dual Positive-Edge-Triggered D-Type Flip-Flop with Clear and Preset	14-SOP	.38	.31	.23
SN74AC74NSR	296-13129-2-ND	Zweif. D-Flip-Flop mit positiver Taktflanke sowie Löschen und Voreinstellen	Dual Positive-Edge-Triggered D-Type Flip-Flop with Clear and Preset	14-SOP		213.34/2,000	
SN74AC74PWR	296-1064-1-ND	Zweif. D-Flip-Flop mit positiver Taktflanke sowie Löschen und Voreinstellen	Dual Positive-Edge-Triggered D-Type Flip-Flop with Clear and Preset	14-TSSOP	.38	.31	.23
SN74AC74PWR	296-1064-2-ND	Zweif. D-Flip-Flop mit positiver Taktflanke sowie Löschen und Voreinstellen	Dual Positive-Edge-Triggered D-Type Flip-Flop with Clear and Preset	14-TSSOP		213.34/2,000	
SN74AC86D	296-4343-5-ND	Vierf. Exclusive-OR-Gate mit 2 Eingängen	Quad 2-Input Exclusive-OR Gate	14-SOIC	.39	.32	.22
SN74AC86DBR	296-4344-1-ND	Vierf. Exclusive-OR-Gate mit 2 Eingängen	Quad 2-Input Exclusive-OR Gate	14-SSOP	.38	.31	.23
SN74AC86DBR	296-4344-2-ND	Vierf. Exclusive-OR-Gate mit 2 Eingängen	Quad 2-Input Exclusive-OR Gate	14-SSOP		213.34/2,000	
SN74AC86N	296-4345-5-ND	Vierf. Exclusive-OR-Gate mit 2 Eingängen	Quad 2-Input Exclusive-OR Gate	14-Dip	.42	.34	.26
SN74AC86PWR	296-4346-1-ND	Vierf. Exclusive-OR-Gate mit 2 Eingängen	Quad 2-Input Exclusive-OR Gate	14-TSSOP	.39	.32	.22
SN74AC86PWR	296-4346-2-ND	Vierf. Exclusive-OR-Gate mit 2 Eingängen	Quad 2-Input Exclusive-OR Gate	14-TSSOP		213.34/2,000	
SN74AC240DBR	296-4303-1-ND	Achtf. Puffer-/Leitungstreiber, Tri-State	Tri-State Octal Buffer/Line Driver	20-SSOP	.54	.41	.31
SN74AC240DBR	296-4303-2-ND	Achtf. Puffer-/Leitungstreiber, Tri-State	Tri-State Octal Buffer/Line Driver	20-SSOP		360.65/2,000	
SN74AC240DW	296-4304-5-ND	Achtf. Puffer-/Leitungstreiber, Tri-State	Tri-State Octal Buffer/Line Driver	20-SOIC	.54	.41	.31
SN74AC240DWR	296-14686-1-ND	Achtf. Puffer-/Leitungstreiber, Tri-State	Tri-State Octal Buffer/Line Driver	20-SOIC	.54	.41	.31
SN74AC240DWR	296-14686-2-ND	Achtf. Puffer-/Leitungstreiber, Tri-State	Tri-State Octal Buffer/Line Driver	20-SOIC		360.65/2,000	
SN74AC240N	296-4305-5-ND	Achtf. Puffer-/Leitungstreiber, Tri-State	Tri-State Octal Buffer/Line Driver	20-Dip	.61	.46	.35
SN74AC240PWR	296-4306-1-ND	Achtf. Puffer-/Leitungstreiber, Tri-State	Tri-State Octal Buffer/Line Driver	20-TSSOP	.54	.41	.31
SN74AC240PWR	296-4306-2-ND	Achtf. Puffer-/Leitungstreiber, Tri-State	Tri-State Octal Buffer/Line Driver	20-TSSOP		360.65/2,000	
SN74AC241DBR	296-4307-1-ND	Achtf. Puffer-/Leitungstreiber, Tri-State	Tri-State Octal Buffer/Line Driver	20-SSOP	.42	.32	.24
SN74AC241DBR	296-4307-2-ND	Achtf. Puffer-/Leitungstreiber, Tri-State	Tri-State Octal Buffer/Line Driver	20-SSOP		281.07/2,000	
SN74AC241DW	296-1056-5-ND	Achtf. Puffer-/Leitungstreiber, Tri-State	Tri-State Octal Buffer/Line Driver	20-SOIC	.42	.32	.24
SN74AC241DWR	296-1056-1-ND	Achtf. Puffer-/Leitungstreiber, Tri-State	Tri-State Octal Buffer/Line Driver	20-SOIC	.42	.32	.24
SN74AC241DWR	296-1056-2-ND	Achtf. Puffer-/Leitungstreiber, Tri-State	Tri-State Octal Buffer/Line Driver	20-SOIC		281.07/2,000	
SN74AC241N	296-4308-5-ND	Achtf. Puffer-/Leitungstreiber, Tri-State	Tri-State Octal Buffer/Line Driver	20-Dip	.42	.32	.24
SN74AC241PWR	296-4309-1-ND	Achtf. Puffer-/Leitungstreiber, Tri-State	Tri-State Octal Buffer/Line Driver	20-TSSOP	.42	.32	.24
SN74AC241PWR	296-4309-2-ND	Achtf. Puffer-/Leitungstreiber, Tri-State	Tri-State Octal Buffer/Line Driver	20-TSSOP		281.07/2,000	
SN74AC244DBR	296-4310-1-ND	Achtf. Puffer-/Leitungstreiber, Tri-State	Tri-State Octal Buffer/Line Driver	20-SSOP	.68	.51	.39
SN74AC244DBR	296-4310-2-ND	Achtf. Puffer-/Leitungstreiber, Tri-State	Tri-State Octal Buffer/Line Driver	20-SSOP		450.39/2,000	
SN74AC244DWR	296-1057-1-ND	Achtf. Puffer-/Leitungstreiber, Tri-State	Tri-State Octal Buffer/Line Driver	20-SOIC	.68	.51	.39
SN74AC244DWR	296-1057-2-ND	Achtf. Puffer-/Leitungstreiber, Tri-State	Tri-State Octal Buffer/Line Driver	20-SOIC		450.39/2,000	
SN74AC244N	296-4311-5-ND	Achtf. Puffer-/Leitungstreiber, Tri-State	Tri-State Octal Buffer/Line Driver	20-Dip	.68	.51	.39
SN74AC244NSR	296-4312-1-ND	Achtf. Puffer-/Leitungstreiber, Tri-State	Tri-State Octal Buffer/Line Driver	20-SOP	.68	.51	.39
SN74AC244NSR	296-4312-2-ND	Achtf. Puffer-/Leitungstreiber, Tri-State	Tri-State Octal Buffer/Line Driver	20-SOP		450.39/2,000	
SN74AC244PWR	296-4313-1-ND	Achtf. Puffer-/Leitungstreiber, Tri-State	Tri-State Octal Buffer/Line Driver	20-TSSOP	.68	.51	.39
SN74AC244PWR	296-4313-2-ND	Achtf. Puffer-/Leitungstreiber, Tri-State	Tri-State Octal Buffer/Line Driver	20-TSSOP		450.39/2,000	
SN74AC245DBR	296-4314-1-ND	Achtf. Bus-Transceiver, Tri-State	Tri-State Octal Bus Transceiver	20-SSOP	.68	.51	.39
SN74AC245DBR	296-4314-2-ND	Achtf. Bus-Transceiver, Tri-State	Tri-State Octal Bus Transceiver	20-SSOP		450.39/2,000	
SN74AC245DW	296-1058-5-ND	Achtf. Bus-Transceiver, Tri-State	Tri-State Octal Bus Transceiver	20-SOIC	.68	.51	.39
SN74AC245DWR	296-1058-1-ND	Achtf. Bus-Transceiver, Tri-State	Tri-State Octal Bus Transceiver	20-SOIC	.68	.51	.39
SN74AC245DWR	296-1058-2-ND	Achtf. Bus-Transceiver, Tri-State	Tri-State Octal Bus Transceiver	20-SOIC		450.39/2,000	
SN74AC245N	296-4315-5-ND	Achtf. Bus-Transceiver, Tri-State	Tri-State Octal Bus Transceiver	20-Dip	.68	.51	.39
SN74AC245PWR	296-4316-1-ND	Achtf. Bus-Transceiver, Tri-State	Tri-State Octal Bus Transceiver	20-TSSOP	.68	.51	.39
SN74AC245PWR	296-4316-2-ND	Achtf. Bus-Transceiver, Tri-State	Tri-State Octal Bus Transceiver	20-TSSOP		450.39/2,000	
SN74AC373DBR	296-4320-1-ND	Tri-St., Achtf. transparenter D-Latch	Tri-St. Octal D-Type Transparent Latch	20-SSOP	.68	.51	.39
SN74AC373DBR	296-4320-2-ND	Tri-St., Achtf. transparenter D-Latch	Tri-St. Octal D-Type Transparent Latch	20-SSOP		450.39/2,000	
SN74AC373DWR	296-4321-1-ND	Tri-St., Achtf. transparenter D-Latch	Tri-St. Octal D-Type Transparent Latch	20-SOIC	.68	.51	.39
SN74AC373DWR	296-4321-2-ND	Tri-St., Achtf. transparenter D-Latch	Tri-St. Octal D-Type Transparent Latch	20-SOIC		450.39/2,000	
SN74AC373NSR	296-4322-1-ND	Tri-St., Achtf. transparenter D-Latch	Tri-St. Octal D-Type Transparent Latch	20-SOP	.68	.51	.39
SN74AC373NSR	296-4322-2-ND	Tri-St., Achtf. transparenter D-Latch	Tri-St. Octal D-Type Transparent Latch	20-SOP		450.39/2,000	
SN74AC373PWR	296-4323-1-ND	Tri-St., Achtf. transparenter D- Latch	Tri-St. Octal D-Type Transp. Latch	20-TSSOP	.68	.51	.39
SN74AC373PWR	296-4323-2-ND	Tri-St., Achtf. transparenter D- Latch	Tri-St. Octal D-Type Transp. Latch	20-TSSOP		450.39/2,000	
SN74AC374DBR	296-4324-1-ND	Achtf. D-Flip-Flop, Tri-State	Tri-State Octal D-Type Flip-Flop	20-SSOP	.68	.51	.39
SN74AC374DBR	296-4324-2-ND	Achtf. D-Flip-Flop, Tri-State	Tri-State Octal D-Type Flip-Flop	20-SSOP		450.39/2,000	
SN74AC374DWR	296-1060-1-ND	Achtf. D-Flip-Flop, Tri-State	Tri-State Octal D-Type Flip-Flop	20-SOIC	.68	.51	.39
SN74AC374DWR	296-1060-2-ND	Achtf. D-Flip-Flop, Tri-State	Tri-State Octal D-Type Flip-Flop	20-SOIC		450.39/2,000	
SN74AC374PWR	296-4325-1-ND	Achtf. D-Flip-Flop, Tri-State	Tri-State Octal D-Type Flip-Flop	20-TSSOP	.68	.51	.39
SN74AC374PWR	296-4325-2-ND	Achtf. D-Flip-Flop, Tri-State	Tri-State Octal D-Type Flip-Flop	20-TSSOP		450.39/2,000	
SN74AC533DBR	296-4326-1-ND	Tri-St., Achtf. transparenter D-Latch	Tri-St. Octal D-Type Transparent Latch	20-SSOP	1.02	.85	.68
SN74AC533DBR	296-4326-2-ND	Tri-St., Achtf. transparenter D-Latch	Tri-St. Octal D-Type Transparent Latch	20-SSOP		900.78/2,000	
SN74AC533DW	296-4327-5-ND	Tri-St., Achtf. transparenter D-Latch	Tri-St. Octal D-Type Transparent Latch	20-SOIC	1.02	.85	.68
SN74AC533PWR	296-4328-1-ND	Tri-St., Achtf. transparenter D- Latch	Tri-St. Octal D-Type Transp. Latch	20-TSSOP	1.02	.85	.68
SN74AC533PWR	296-4328-2-ND	Tri-St., Achtf. transparenter D- Latch	Tri-St. Octal D-Type Transp. Latch	20-TSSOP		900.78/2,000	
SN74AC534DBR	296-4329-1-ND	Achtf. D-Flip-Flop, Tri-State	Tri-State Octal D-Type Flip-Flop	20-SSOP	.51	.39	.29
SN74AC534DBR	296-4329-2-ND	Achtf. D-Flip-Flop, Tri-State	Tri-State Octal D-Type Flip-Flop	20-SSOP		338.64/2,000	
SN74AC534DW	296-4330-5-ND	Achtf. D-Flip-Flop, Tri-State	Tri-State Octal D-Type Flip-Flop	20-SOIC	.51	.39	.29
SN74AC534N	296-4331-5-ND	Achtf. D-Flip-Flop, Tri-State	Tri-State Octal D-Type Flip-Flop	20-Dip	.51	.39	.29
SN74AC534PWR	296-4332-1-ND	Achtf. D-Flip-Flop, Tri-State	Tri-State Octal D-Type Flip-Flop	20-TSSOP	.51	.39	.29
SN74AC534PWR	296-4332-2-ND	Achtf. D-Flip-Flop, Tri-State	Tri-State Octal D-Type Flip-Flop	20-TSSOP		338.64/2,000	
SN74AC563DBR	296-4333-1-ND	Tri-St., Achtf. transparenter D-Latch	Tri-St. Octal D-Type Transparent Latch	20-SSOP	1.02	.85	.68
SN74AC563DBR	296-4333-2-ND	Tri-St., Achtf. transparenter D-Latch	Tri-St. Octal D-Type Transparent Latch	20-SSOP		900.78/2,000	
SN74AC563DW	296-4334-5-ND	Tri-St., Achtf. transparenter D-Latch	Tri-St. Octal D-Type Transparent Latch	20-SOIC	1.02	.85	.68
SN74AC563PWR	296-4335-1-ND	Tri-St., Achtf. transparenter D- Latch	Tri-St. Octal D-Type Transp. Latch	20-TSSOP	1.02	.85	.68
SN74AC563PWR	296-4335-2-ND	Tri-St., Achtf. transparenter D- Latch	Tri-St. Octal D-Type Transp. Latch	20-TSSOP		900.78/2,000	
SN74AC564DW	296-4336-5-ND	Achtf. D-Flip-Flop, Tri-State	Tri-State Octal D-Type Flip-Flop	20-SOIC	1.19	1.00	.80
SN74AC573DBR	296-4337-1-ND	Tri-St., Achtf. transparenter D-Latch	Tri-St. Octal D-Type Transparent Latch	20-SSOP	.68	.51	.39
SN74AC573DBR	296-4337-2-ND	Tri-St., Achtf. transparenter D-Latch	Tri-St. Octal D-Type Transparent Latch	20-SSOP		450.39/2,000	
SN74AC573DW	296-1061-5-ND	Tri-St., Achtf. transparenter D-Latch	Tri-St. Octal D-Type Transparent Latch	20-SOIC	.68	.51	.39
SN74AC573DWR	296-1061-1-ND	Tri-St., Achtf. transparenter D-Latch	Tri-St. Octal D-Type Transparent Latch	20-SOIC	.68	.51	.39
SN74AC573DWR	296-1061-2-ND	Tri-St., Achtf. transparenter D-Latch	Tri-St. Octal D-Type Transparent Latch	20-SOIC		450.39/2,000	
SN74AC573PWR	296-4338-1-ND	Tri-St., Achtf. transparenter D- Latch	Tri-St. Octal D-Type Transp. Latch	20-TSSOP	.68	.51	.39
SN74AC573PWR	296-4338-2-ND	Tri-St., Achtf. transparenter D- Latch	Tri-St. Octal D-Type Transp. Latch	20-TSSOP		450.39/2,000	
SN74AC574DBR	296-4339-1-ND	Achtf. D-Flip-Flop, Tri-State	Tri-State Octal D-Type Flip-Flop	20-SSOP	.68	.51	.39
SN74AC574DBR	296-4339-2-ND	Achtf. D-Flip-Flop, Tri-State	Tri-State Octal D-Type Flip-Flop	20-SSOP		450.39/2,000	
SN74AC574DW	296-1062-5-ND	Achtf. D-Flip-Flop, Tri-State	Tri-State Octal D-Type Flip-Flop	20-SOIC	.68	.51	.39
SN74AC574DWR	296-1062-1-ND	Achtf. D-Flip-Flop, Tri-State	Tri-State Octal D-Type Flip-Flop	20-SOIC	.68	.51	.39
SN74AC574DWR	296-1062-2-ND	Achtf. D-Flip-Flop, Tri-State	Tri-State Octal D-Type Flip-Flop	20-SOIC		450.39/2,000	
SN74AC574PWR	296-4340-1-ND	Achtf. D-Flip-Flop, Tri-State	Tri-State Octal D-Type Flip-Flop	20-TSSOP	.68	.51	.39
SN74AC574PWR	296-4340-2-ND	Achtf. D-Flip-Flop, Tri-State	Tri-State Octal D-Type Flip-Flop	20-TSSOP		450.39/2,000	
		ACT-Gruppe					
74ACT11000DR	296-14295-1-ND	Vierf. NAND-Gate mit 2 Eingängen	Quad 2-Input NAND Gate	16-SOIC	1.25	1.00	.75
74ACT11000DR	296-14295-2-ND	Vierf. NAND-Gate mit 2 Eingängen	Quad 2-Input NAND Gate	16-SOIC		1597.96/2,500	
74ACT11004DW	296-4177-5-ND	Sechsf. Inverter	Hex Inverter	20-SOIC	1.25	1.00	.75
74ACT11008D	296-4178-5-ND	Vierf. AND-Gate mit 2 Eingängen	Quad 2-Input AND Gate	16-SOIC	1.25	1.00	.75
74ACT11008N	296-4179-5-ND	Vierf. AND-Gate mit 2 Eingängen	Quad 2-Input AND Gate	16-Dip	1.25	1.00	.75
74ACT11030DR	296-4180-1-ND	NAND-Gate, 8 Eingänge	8-Input NAND Gate	14-SOIC	1.25	1.00	.75
74ACT11030DR	296-4180-2-ND	NAND-Gate, 8 Eingänge	8-Input NAND Gate	14-SOIC		1597.96/2,500	
74ACT11032DBR	296-4181-1-ND	Vierf. pos. OR-Gate mit 2 Eingängen	Quad 2-Input Positive OR Gate	16-SSOP	1.25	1.00	.75
74ACT11032DBR	296-4181-2-ND	Vierf. pos. OR-Gate mit 2 Eingängen	Quad 2-Input Positive OR Gate	16-SSOP		1298.68/2,000	
74ACT11032DR	296-4182-1-ND	Vierf. pos. OR-Gate mit 2 Eingängen	Quad 2-Input Positive OR Gate	16-SOIC	1.25	1.00	.75

(Forts.)

★ RUFEN SIE BITTE AN FÜR NIEDRIGERE PREISE BEI GRÖSSEREN MENGEN! ★

T. I. Teilenr.	Digi-Key Teilenr.	Beschreibung		Paket	Stückpreis★ 1	25	100
74ACT11032DR	296-4182-2-ND	Vierf. pos. OR-Gate mit 2 Eingängen	Quad 2-Input Positive OR Gate	16-SOIC		1597.96/2,500	
74ACT11032N	296-4183-5-ND	Vierf. pos. OR-Gate mit 2 Eingängen	Quad 2-Input Positive OR Gate	16-Dip	1.25	1.00	.75
74ACT11074DBR	296-4184-1-ND	D-Flip-Flop mit Löschen und Voreinstellen, zweifach, positive Flankensteuerung	Dual Positive Edge-Triggered D-Type Flip-Flop w/Clear and Preset	14-SSOP	1.25	1.00	.75
74ACT11074DBR	296-4184-2-ND	D-Flip-Flop mit Löschen und Voreinstellen, zweifach, positive Flankensteuerung	Dual Positive Edge-Triggered D-Type Flip-Flop w/Clear and Preset	14-SSOP		1298.68/2,000	
74ACT11074NSR	296-13059-1-ND	D-Flip-Flop mit Löschen und Voreinstellen, zweifach, positive Flankensteuerung	Dual Positive Edge-Triggered D-Type Flip-Flop w/Clear and Preset	14-SOP	1.25	1.00	.75
74ACT11074NSR	296-13059-2-ND	D-Flip-Flop mit Löschen und Voreinstellen, zweifach, positive Flankensteuerung	Dual Positive Edge-Triggered D-Type Flip-Flop w/Clear and Preset	14-SOP		1298.68/2,000	
74ACT11139D	296-4185-5-ND	Zweif. 2-4 Dekodierer/Demux	Dual 2-4 Decoder/Demux	16-SOIC	1.48	1.19	.89
74ACT11139PWR	296-4186-1-ND	Zweif. 2-4 Dekodierer/Demux	Dual 2-4 Decoder/Demux	16-SSOP	1.48	1.19	.89
74ACT11139PWR	296-4186-2-ND	Zweif. 2-4 Dekodierer/Demux	Dual 2-4 Decoder/Demux	16-SSOP		1540.81/2,000	
74ACT11240DW	296-4187-5-ND	Tri-St., Achtf. Puffer-/Leitungstreiber	Tri-St. Octal Buffer/Line Driver	24-SOIC	2.00	1.60	1.25
74ACT11240NT	296-4188-5-ND	Tri-St., Achtf. Puffer-/Leitungstreiber	Tri-St. Octal Buffer/Line Driver	24-Dip	2.00	1.60	1.25
74ACT11244DBR	296-4189-1-ND	Tri-St., Achtf. Puffer-/Leitungstreiber	Tri-St. Octal Buffer/Line Driver	24-SSOP	2.00	1.60	1.25
74ACT11244DBR	296-4189-2-ND	Tri-St., Achtf. Puffer-/Leitungstreiber	Tri-St. Octal Buffer/Line Driver	24-SSOP		2267.19/2,000	
74ACT11244DW	296-1001-5-ND	Tri-St., Achtf. Puffer-/Leitungstreiber	Tri-St. Octal Buffer/Line Driver	24-SOIC	2.00	1.60	1.25
74ACT11244DWR	296-1001-1-ND	Tri-St., Achtf. Puffer-/Leitungstreiber	Tri-St. Octal Buffer/Line Driver	24-SOIC	2.00	1.60	1.25
74ACT11244DWR	296-1001-2-ND	Tri-St., Achtf. Puffer-/Leitungstreiber	Tri-St. Octal Buffer/Line Driver	24-SOIC		2267.19/2,000	
74ACT11244NT	296-4190-5-ND	Tri-St., Achtf. Puffer-/Leitungstreiber	Tri-St. Octal Buffer/Line Driver	24-Dip	2.00	1.60	1.25
74ACT11244PWR	296-1002-1-ND	Tri-St., Achtf. Puffer-/Leitungstreiber	Tri-St. Octal Buffer/Line Driver	24-TSSOP	2.00	1.60	1.25
74ACT11244PWR	296-1002-2-ND	Tri-St., Achtf. Puffer-/Leitungstreiber	Tri-St. Octal Buffer/Line Driver	24-TSSOP		2267.19/2,000	
74ACT11245DBR	296-4191-1-ND	Achtf. Bus-Transceiver, Tri-State	Tri-State Octal Bus Transceiver	24-SSOP	2.00	1.60	1.25
74ACT11245DBR	296-4191-2-ND	Achtf. Bus-Transceiver, Tri-State	Tri-State Octal Bus Transceiver	24-SSOP		2267.19/2,000	
74ACT11245DW	296-4192-5-ND	Achtf. Bus-Transceiver, Tri-State	Tri-State Octal Bus Transceiver	24-SOIC	2.00	1.60	1.25
74ACT11245NT	296-4193-5-ND	Achtf. Bus-Transceiver, Tri-State	Tri-State Octal Bus Transceiver	24-Dip	2.00	1.60	1.25
74ACT11245PWR	296-1003-1-ND	Achtf. Bus-Transceiver, Tri-State	Tri-State Octal Bus Transceiver	24-TSSOP	2.00	1.60	1.25
74ACT11245PWR	296-1003-2-ND	Achtf. Bus-Transceiver, Tri-State	Tri-State Octal Bus Transceiver	24-TSSOP		2267.19/2,000	
74ACT11257DBR	296-4194-1-ND	Vierf. 2-1 Multiplexer, Tri-State	Tri-State Quad 2-1 Multiplexer	20-SSOP	1.80	1.44	1.08
74ACT11257DBR	296-4194-2-ND	Vierf. 2-1 Multiplexer, Tri-State	Tri-State Quad 2-1 Multiplexer	20-SSOP		1870.99/2,000	
74ACT11257DW	296-4195-5-ND	Vierf. 2-1 Multiplexer, Tri-State	Tri-State Quad 2-1 Multiplexer	20-SOIC	1.80	1.44	1.08
74ACT11257DWR	296-4195-1-ND	Vierf. 2-1 Multiplexer, Tri-State	Tri-State Quad 2-1 Multiplexer	20-SOIC	1.80	1.44	1.08
74ACT11257DWR	296-4195-2-ND	Vierf. 2-1 Multiplexer, Tri-State	Tri-State Quad 2-1 Multiplexer	20-SOIC		1870.99/2,000	
74ACT11286D	296-4196-5-ND	9-Bit Parity-Generator/Checker	9-Bit Parity Generator/Checker	14-SOIC	1.92	1.54	1.20
74ACT11286DR	296-4196-1-ND	9-Bit Parity-Generator/Checker	9-Bit Parity Generator/Checker	14-SOIC	1.92	1.54	1.20
74ACT11286DR	296-4196-2-ND	9-Bit Parity-Generator/Checker	9-Bit Parity Generator/Checker	14-SOIC		2694.30/2,500	
74ACT11373DBR	296-4197-1-ND	Tri-St., Achtf. transparenter D-Latch	Tri-St. Octal D-Type Transparent Latch	24-SSOP	2.00	1.60	1.25
74ACT11373DBR	296-4197-2-ND	Tri-St., Achtf. transparenter D-Latch	Tri-St. Octal D-Type Transparent Latch	24-SSOP		2267.19/2,000	
74ACT11373DW	296-4198-5-ND	Tri-St., Achtf. transparenter D-Latch	Tri-St. Octal D-Type Transparent Latch	24-SOIC	2.00	1.60	1.25
74ACT11374DW	296-4199-5-ND	Achtf. D-Flip-Flop, Tri-State	Tri-State Octal D-Type Flip-Flop	24-SOIC	2.00	1.60	1.25
74ACT11543DWR	296-4200-1-ND	Achtf. eingeklinkter Transceiver, Tri-State	Tri-State Octal Latched Transceiver	28-SOIC	4.39	3.51	2.73
74ACT11543DWR	296-4200-2-ND	Achtf. eingeklinkter Transceiver, Tri-State	Tri-State Octal Latched Transceiver	28-SOIC		2483.08/1,000	
74ACT11652DWR	296-4201-1-ND	Achtf. Register-Bus-Transceiver, Tri-State	Tri-State Octal Register Bus Transceiver	28-SOIC	7.08	5.67	4.78
74ACT11652DWR	296-4201-2-ND	Achtf. Register-Bus-Transceiver, Tri-State	Tri-State Octal Register Bus Transceiver	28-SOIC		4423.49/1,000	
74ACT16240DL	296-4202-5-ND	Puffer/Treiber, Tri-State, 16-Bit	Tri-State 16-Bit Buffer/Driver	48-SSOP	—	.85	—
74ACT16240DLR	296-14454-1-ND	Puffer/Treiber, Tri-State, 16-Bit	Tri-State 16-Bit Buffer/Driver	48-SSOP	1.13	.90	.68
74ACT16240DLR	296-14454-2-ND	Puffer/Treiber, Tri-State, 16-Bit	Tri-State 16-Bit Buffer/Driver	48-SSOP		583.31/1,000	
74ACT16244DGGR	296-1004-1-ND	Puffer-/Leitungstreiber, Tri-State, 16-Bit	Tri-State 16-Bit Buffer/Line Driver	48-TSSOP	1.13	.90	.68
74ACT16244DGGR	296-1004-2-ND	Puffer-/Leitungstreiber, Tri-State, 16-Bit	Tri-State 16-Bit Buffer/Line Driver	48-TSSOP		1166.61/2,000	
74ACT16244DL	296-1005-5-ND	Puffer-/Leitungstreiber, Tri-State, 16-Bit	Tri-State 16-Bit Buffer/Line Driver	48-SSOP	1.13	.90	.68
74ACT16244DLR	296-1005-1-ND	Puffer-/Leitungstreiber, Tri-State, 16-Bit	Tri-State 16-Bit Buffer/Line Driver	48-SSOP	1.13	.90	.68
74ACT16244DLR	296-1005-2-ND	Puffer-/Leitungstreiber, Tri-State, 16-Bit	Tri-State 16-Bit Buffer/Line Driver	48-SSOP		583.31/1,000	
74ACT16245DGGR	296-4203-1-ND	Bus-Transceiver, Tri-State, 16-Bit	Tri-State 16-Bit Bus Transceiver	48-TSSOP	1.13	.90	.68
74ACT16245DGGR	296-4203-2-ND	Bus-Transceiver, Tri-State, 16-Bit	Tri-State 16-Bit Bus Transceiver	48-TSSOP		1166.61/2,000	
74ACT16245DLR	296-1006-1-ND	Transceiver, Tri-State, 16-Bit	Tri-State 16-Bit Transceiver	48-SSOP	1.13	.90	.68
74ACT16245DLR	296-1006-2-ND	Transceiver, Tri-State, 16-Bit	Tri-State 16-Bit Transceiver	48-SSOP		583.31/1,000	
74ACT16373DL	296-1007-5-ND	Tri-St., Transparenter 16-Bit D-Latch	Tri-St. 16-Bit D-Type Transparent Latch	48-SSOP	1.13	.90	.68
74ACT16373DLR	296-1007-1-ND	Tri-St., Transparenter 16-Bit D-Latch	Tri-St. 16-Bit D-Type Transparent Latch	48-SSOP	1.13	.90	.68
74ACT16373DLR	296-1007-2-ND	Tri-St., Transparenter 16-Bit D-Latch	Tri-St. 16-Bit D-Type Transparent Latch	48-SSOP		583.31/1,000	
74ACT16374DL	296-1008-5-ND	D-Flip-Flop, Tri-State, 16-Bit	Tri-State 16-Bit D-Type Flip-Flop	48-SSOP	1.13	.90	.68
74ACT16374DLR	296-1008-1-ND	D-Flip-Flop, Tri-State, 16-Bit	Tri-State 16-Bit D-Type Flip-Flop	48-SSOP	1.13	.90	.68
74ACT16374DLR	296-1008-2-ND	D-Flip-Flop, Tri-State, 16-Bit	Tri-State 16-Bit D-Type Flip-Flop	48-SSOP		583.31/1,000	
74ACT16543DL	296-1009-5-ND	Transceiver mit Register, Tri-State, 16-Bit	Tri-State 16-Bit Registered Transceiver	56-SSOP	1.30	1.04	.78
74ACT16543DLR	296-1009-1-ND	Transceiver mit Register, Tri-State, 16-Bit	Tri-State 16-Bit Registered Transceiver	56-SSOP	1.30	1.04	.78
74ACT16543DLR	296-1009-2-ND	Transceiver mit Register, Tri-State, 16-Bit	Tri-State 16-Bit Registered Transceiver	56-SSOP		671.35/1,000	
74ACT16623DLR	296-4204-1-ND	Bus-Transceiver, Tri-State, 16-Bit	Tri-State 16-Bit Bus Transceiver	48-SSOP	4.61	3.69	2.87
74ACT16623DLR	296-4204-2-ND	Bus-Transceiver, Tri-State, 16-Bit	Tri-State 16-Bit Bus Transceiver	48-SSOP		2612.61/1,000	
74ACT16646DLR	296-4205-1-ND	Tri-St., Bus-Transceiver/Register, 16-Bit	Tri-St. 16-Bit Bus Transceiver/Register	56-SSOP	2.48	1.99	1.55
74ACT16646DLR	296-4205-2-ND	Tri-St., Bus-Transceiver/Register, 16-Bit	Tri-St. 16-Bit Bus Transceiver/Register	56-SSOP		1403.66/1,000	
74ACT16651DL	296-4206-5-ND	Tri-St., Transceiver/Register, 16-Bit	Tri-St. 16-Bit Transceiver/Register	56-SSOP	7.08	5.67	4.78
74ACT16657DL	296-4207-5-ND	Transceiver, Tri-State, 16-Bit	Tri-State 16-Bit Transceiver	56-SSOP	7.60	6.85	6.07
74ACT16823DL	296-4208-5-ND	D-Flip-Flop, Tri-State, 18-Bit	Tri-State 18-Bit D-Type Flip-Flop	56-SSOP	5.42	4.34	3.66
74ACT16823DLR	296-14457-1-ND	D-Flip-Flop, Tri-State, 18-Bit	Tri-State 18-Bit D-Type Flip-Flop	56-SSOP	5.42	4.34	3.66
74ACT16823DLR	296-14457-2-ND	D-Flip-Flop, Tri-State, 18-Bit	Tri-State 18-Bit D-Type Flip-Flop	56-SSOP		3386.40/1,000	
74ACT16825DL	296-4209-5-ND	Puffer-/Leitungstreiber, Tri-State, 18-Bit	Tri-State 18-Bit Buffer/Line Driver	56-SSOP	5.42	4.34	3.66
74ACT16825DLR	296-4209-1-ND	Puffer-/Leitungstreiber, Tri-State, 18-Bit	Tri-State 18-Bit Buffer/Line Driver	56-SSOP	5.42	4.34	3.66
74ACT16825DLR	296-4209-2-ND	Puffer-/Leitungstreiber, Tri-State, 18-Bit	Tri-State 18-Bit Buffer/Line Driver	56-SSOP		3386.40/1,000	
74ACT16841DL	296-4210-5-ND	D-Latch, Tri-State, 20-Bit	Tri-State 20-Bit D-Type Latch	56-SSOP	5.42	4.34	3.66
74ACT16863DL	296-4212-5-ND	Bus-Transceiver, Tri-State, 18-Bit	Tri-State 18-Bit Bus Transceiver	56-SSOP	5.42	4.34	3.66
74ACT16952DLR	296-4213-1-ND	Transceiver mit Register, Tri-State, 16-Bit	Tri-State 16-Bit Registered Transceiver	56-SSOP	6.32	5.06	4.27
74ACT16952DLR	296-4213-2-ND	Transceiver mit Register, Tri-State, 16-Bit	Tri-State 16-Bit Registered Transceiver	56-SSOP		3947.70/1,000	
CD74ACT00M	296-4250-5-ND	Vierf. NAND-Gate mit 2 Eingängen	Quad 2-Input NAND Gate	14-SOIC	.47	.36	.27
CD74ACT00M96	296-14485-1-ND	Vierf. NAND-Gate mit 2 Eingängen	Quad 2-Input NAND Gate	14-SOIC	.47	.36	.27
CD74ACT00M96	296-14485-2-ND	Vierf. NAND-Gate mit 2 Eingängen	Quad 2-Input NAND Gate	14-SOIC		385.20/2,500	
CD74ACT02M	296-4251-5-ND	Vierf. NOR-Gate mit 2 Eingängen	Quad 2-Input NOR Gate	14-SOIC	.47	.36	.27
CD74ACT02M96	296-14486-1-ND	Vierf. NOR-Gate mit 2 Eingängen	Quad 2-Input NOR Gate	14-SOIC	.47	.36	.27
CD74ACT02M96	296-14486-2-ND	Vierf. NOR-Gate mit 2 Eingängen	Quad 2-Input NOR Gate	14-SOIC		385.20/2,500	
CD74ACT04E	296-14487-5-ND	Sechsf. Inverter	Hex Inverter	14-Dip	.51	.39	.29
CD74ACT04M	296-1983-5-ND	Sechsf. Inverter	Hex Inverter	14-SOIC	.47	.36	.27
CD74ACT04M96	296-1983-1-ND	Sechsf. Inverter	Hex Inverter	14-SOIC	.47	.36	.27
CD74ACT05E	296-12763-5-ND	Sechsf. Inverter mit Open-Drain	Hex Inverter with Open-Drain	14-Dip	.51	.39	.29
CD74ACT05M	296-4252-5-ND	Sechsf. Inverter mit Open-Drain	Hex Inverter with Open-Drain	14-SOIC	.47	.36	.27
CD74ACT05M96	296-14488-1-ND	Sechsf. Inverter mit Open-Drain	Hex Inverter with Open-Drain	14-SOIC	.47	.36	.27
CD74ACT05M96	296-14488-2-ND	Sechsf. Inverter mit Open-Drain	Hex Inverter with Open-Drain	14-SOIC		385.20/2,500	
CD74ACT08M	296-4253-5-ND	Vierf. AND-Gate mit 2 Eingängen	Quad 2-Input AND Gate	14-SOIC	.47	.36	.27
CD74ACT08M96	296-14489-1-ND	Vierf. AND-Gate mit 2 Eingängen	Quad 2-Input AND Gate	14-SOIC	.47	.36	.27
CD74ACT08M96	296-14489-2-ND	Vierf. AND-Gate mit 2 Eingängen	Quad 2-Input AND Gate	14-SOIC		385.20/2,500	
CD74ACT14E	296-12765-5-ND	Sechsf. Schmitt-Trigger-Inverter	Hex Schmitt Trigger Inverter	14-Dip	.51	.39	.29
CD74ACT14M	296-1380-5-ND	Sechsf. Schmitt-Trigger-Inverter	Hex Schmitt Trigger Inverter	14-SOIC	.47	.36	.27
CD74ACT14M96	296-14492-1-ND	Sechsf. Schmitt-Trigger-Inverter	Hex Schmitt Trigger Inverter	14-SOIC	.47	.36	.27
CD74ACT14M96	296-14492-2-ND	Sechsf. Schmitt-Trigger-Inverter	Hex Schmitt Trigger Inverter	14-SOIC		385.20/2,500	
CD74ACT20E	296-4266-5-ND	Zweif. NAND-Gate mit 4 Eingängen	Dual 4-Input NAND Gate	14-Dip	.51	.39	.29
CD74ACT20M	296-4267-5-ND	Zweif. NAND-Gate mit 4 Eingängen	Dual 4-Input NAND Gate	14-SOIC	.47	.36	.27

(Forts.)

★ ***RUFEN SIE BITTE AN FÜR NIEDRIGERE PREISE BEI GRÖSSEREN MENGEN!*** ★

B

T. I. Teilenr.	Digi-Key Teilenr.	Beschreibung		Paket	Stückpreis★ 1	25	100
CD74ACT32M	296-4278-5-ND	Vierf. OR-Gate mit 2 Eingängen	Quad 2-Input OR Gate	14-SOIC	.47	.36	.27
CD74ACT32M96	296-14499-1-ND	Vierf. OR-Gate mit 2 Eingängen	Quad 2-Input OR Gate	14-SOIC	.47	.36	.27
CD74ACT32M96	296-14499-2-ND	Vierf. OR-Gate mit 2 Eingängen	Quad 2-Input OR Gate	14-SOIC		385.20/2,500	
CD74ACT74M	296-4285-5-ND	Zweif. D-Flip-Flop mit Set/Reset	Dual D-Type Flip-Flop with Set/Reset	14-SOIC	.47	.36	.27
CD74ACT74M96	296-14503-1-ND	Zweif. D-Flip-Flop mit Set/Reset	Dual D-Type Flip-Flop with Set/Reset	14-SOIC	.47	.36	.27
CD74ACT74M96	296-14503-2-ND	Zweif. D-Flip-Flop mit Set/Reset	Dual D-Type Flip-Flop with Set/Reset	14-SOIC		385.20/2,500	
CD74ACT86E	296-4286-5-ND	Vierf. Exclusive-OR-Gate mit 2 Eingängen	Quad 2-Input Exclusive-OR Gate	14-Dip	.51	.39	.29
CD74ACT109M	296-4254-5-ND	Zweif. JK-Flip-Flop mit Set und Reset	Dual J-K Flip-Flop with Set/Reset	16-SOIC	.47	.36	.27
CD74ACT112M96	296-12764-1-ND	Zweif. JK-Flip-Flop mit Set und Reset, negativ	Dual, Neg., J-K Flip-Flop with Set/Reset	16-SOIC	.51	.39	.29
CD74ACT112M96	296-12764-2-ND	Zweif. JK-Flip-Flop mit Set und Reset, negativ	Dual, Neg., J-K Flip-Flop with Set/Reset	16-SOIC		412.72/2,500	
CD74ACT138E	296-14490-5-ND	3-8 Leitungs-Dekodierer/Demultiplexer	3-8 Line Decoder/Demux	16-Dip	.58	.44	.33
CD74ACT138M	296-4255-5-ND	3-8 Leitungs-Dekodierer/Demultiplexer	3-8 Line Decoder/Demux	16-SOIC	.47	.36	.27
CD74ACT138M96	296-14491-1-ND	3-8 Leitungs-Dekodierer/Demultiplexer	3-8 Line Decoder/Demux	16-SOIC	.47	.36	.27
CD74ACT138M96	296-14491-2-ND	3-8 Leitungs-Dekodierer/Demultiplexer	3-8 Line Decoder/Demux	16-SOIC		385.20/2,500	
CD74ACT139E	296-4256-5-ND	Zweif. 2-4 Leitungs-Dekodierer/Demux	Dual 2-4 Line Decoder/Demux	16-Dip	.58	.44	.33
CD74ACT139M	296-4257-5-ND	Zweif. 2-4 Leitungs-Dekodierer/Demux	Dual 2-4 Line Decoder/Demux	16-SOIC	.47	.36	.27
CD74ACT151M96	296-12766-1-ND	8-1 Datenselektoren/Multiplexer	8-1 Data Selectors/Multiplexer	16-SOIC	.54	.41	.31
CD74ACT151M96	296-12766-2-ND	8-1 Datenselektoren/Multiplexer	8-1 Data Selectors/Multiplexer	16-SOIC		440.23/2,500	
CD74ACT153E	296-4258-5-ND	Zweif. Multiplexer, 4 Eingänge	Dual 4-Input Multiplexer	16-Dip	.58	.44	.33
CD74ACT153M	296-4259-5-ND	Zweif. Multiplexer, 4 Eingänge	Dual 4-Input Multiplexer	16-SOIC	.47	.36	.27
CD74ACT157E	296-4260-5-ND	Vierf. Multiplexer, 2 Eingänge	Quad 2-Input Multiplexer	16-Dip	.61	.46	.35
CD74ACT157M	296-4261-5-ND	Vierf. Multiplexer, 2 Eingänge	Quad 2-Input Multiplexer	16-SOIC	.54	.41	.31
CD74ACT157PWR	296-15079-1-ND	Vierf. Multiplexer, 2 Eingänge	Quad 2-Input Multiplexer	16-TSSOP	.54	.41	.31
CD74ACT157PWR	296-15079-2-ND	Vierf. Multiplexer, 2 Eingänge	Quad 2-Input Multiplexer	16-TSSOP		360.65/2,000	
CD74ACT158M96	296-4262-1-ND	Vierf. Multiplexer, 2 Eingänge	Quad 2-Input Multiplexer	16-SOIC	.78	.59	.44
CD74ACT158M96	296-4262-2-ND	Vierf. Multiplexer, 2 Eingänge	Quad 2-Input Multiplexer	16-SOIC		632.83/2,500	
CD74ACT161M	296-4263-5-ND	Synchroner Binärzähler, 4-Bit	4-Bit Synchronous Binary Counter	16-SOIC	.54	.41	.31
CD74ACT163M	296-4264-5-ND	Synchroner Binärzähler, 4-Bit	4-Bit Synchronous Binary Counter	16-SOIC	.54	.41	.31
CD74ACT164E	296-4265-5-ND	Seriell-Ein/Parallel-Aus Schieberegister, 8-Bit	8-Bit Serial-In/Parallel-Out Shift Register	14-Dip	.61	.46	.35
CD74ACT164M	296-1381-5-ND	Seriell-Ein/Parallel-Aus Schieberegister, 8-Bit	8-Bit Serial-In/Parallel-Out Shift Register	14-SOIC	.61	.46	.35
CD74ACT164M96	296-14493-1-ND	Seriell-Ein/Parallel-Aus Schieberegister, 8-Bit	8-Bit Serial-In/Parallel-Out Shift Register	14-SOIC	.61	.46	.35
CD74ACT164M96	296-14493-2-ND	Seriell-Ein/Parallel-Aus Schieberegister, 8-Bit	8-Bit Serial-In/Parallel-Out Shift Register	14-SOIC		495.26/2,500	
CD74ACT174M96	296-14494-1-ND	Sechsf. D-Flip-Flop mit Reset	Hex D-Type Flip-Flop with Reset	16-SOIC	.68	.51	.39
CD74ACT174M96	296-14494-2-ND	Sechsf. D-Flip-Flop mit Reset	Hex D-Type Flip-Flop with Reset	16-SOIC		550.29/2,500	
CD74ACT240M96	296-12767-1-ND	Achtf. Puffer-/Leitungstreiber, Tri-State	Tri-State Octal Buffer/Line Driver	20-SOIC	.68	.51	.39
CD74ACT240M96	296-12767-2-ND	Achtf. Puffer-/Leitungstreiber, Tri-State	Tri-State Octal Buffer/Line Driver	20-SOIC		450.39/2,000	
CD74ACT241M96	296-4268-1-ND	Achtf. Puffer-/Leitungstreiber, Tri-State	Tri-State Octal Buffer/Line Driver	20-SOIC	.68	.51	.39
CD74ACT241M96	296-4268-2-ND	Achtf. Puffer-/Leitungstreiber, Tri-State	Tri-State Octal Buffer/Line Driver	20-SOIC		450.39/2,000	
CD74ACT244E	296-4269-5-ND	Achtf. Puffer-/Leitungstreiber, Tri-State	Tri-State Octal Buffer/Line Driver	20-Dip	.68	.51	.39
CD74ACT244M	296-4270-5-ND	Achtf. Puffer-/Leitungstreiber, Tri-State	Tri-State Octal Buffer/Line Driver	20-SOIC	.68	.51	.39
CD74ACT244M96	296-14495-1-ND	Achtf. Puffer-/Leitungstreiber, Tri-State	Tri-State Octal Buffer/Line Driver	20-SOIC	.68	.51	.39
CD74ACT244M96	296-14495-2-ND	Achtf. Puffer-/Leitungstreiber, Tri-State	Tri-State Octal Buffer/Line Driver	20-SOIC		450.39/2,000	
CD74ACT245E	296-14496-5-ND	Tri-St., Achtf. nicht invert. Bus-Transcvr	Tri-St. Octal Bus Non-Inverting Transcvr	20-Dip	.68	.51	.39
CD74ACT245M	296-4271-5-ND	Tri-St., Achtf. nicht invert. Bus-Transcvr	Tri-St. Octal Bus Non-Inverting Transcvr.	20-SOIC	.68	.51	.39
CD74ACT245M96	296-14497-1-ND	Tri-St., Achtf. nicht invert. Bus-Transcvr	Tri-St. Octal Bus Non-Inverting Transcvr	20-SOIC	.68	.51	.39
CD74ACT245M96	296-14497-2-ND	Tri-St., Achtf. nicht invert. Bus-Transcvr	Tri-St. Octal Bus Non-Inverting Transcvr	20-SOIC		450.39/2,000	
CD74ACT273E	296-4272-5-ND	Achtf. D-Flip-Flop mit Reset	Octal D-Type Flip-Flop with Reset	20-Dip	.68	.51	.39
CD74ACT273M	296-4273-5-ND	Achtf. D-Flip-Flop mit Reset	Octal D-Type Flip-Flop with Reset	20-SOIC	.68	.51	.39
CD74ACT273M96	296-14498-1-ND	Achtf. D-Flip-Flop mit Reset	Octal D-Type Flip-Flop with Reset	20-SOIC	.68	.51	.39
CD74ACT273M96	296-14498-2-ND	Achtf. D-Flip-Flop mit Reset	Octal D-Type Flip-Flop with Reset	20-SOIC		450.39/2,000	
CD74ACT273SM96	296-4274-1-ND	Achtf. D-Flip-Flop mit Reset	Octal D-Type Flip-Flop with Reset	20-SSOP	.68	.51	.39
CD74ACT273SM96	296-4274-2-ND	Achtf. D-Flip-Flop mit Reset	Octal D-Type Flip-Flop with Reset	20-SSOP		450.39/2,000	
CD74ACT280M96	296-12768-1-ND	Generator/Checker, gerade/ungerade Parität, 9-Bit	9-Bit Odd/Even Parity Generator/Checker	14-SOIC	.68	.51	.39
CD74ACT280M96	296-12768-2-ND	Generator/Checker, gerade/ungerade Parität, 9-Bit	9-Bit Odd/Even Parity Generator/Checker	14-SOIC		550.29/2,500	
CD74ACT283E	296-4275-5-ND	Binär-Volladdierer mit Fast Carry, 4-Bit	4-Bit Binary Adder with Fast-Carry	16-Dip	.68	.51	.39
CD74ACT297M	296-4276-5-ND	Digitaler Phase-Locked Loop	Digital Phase-Locked Loop	16-SOIC	1.69	1.36	1.02
CD74ACT299M	296-4277-5-ND	Universal-Schiebe-/Speicherregister, 8-Bit	8-In Universal Shift/Storage Register	20-SOIC	.76	.64	.51
CD74ACT374E	296-4279-5-ND	Achtf. D-Flip-Flop, Tri-State	Tri-State Octal D-Type Flip-Flop	20-Dip	.68	.51	.39
CD74ACT374M96	296-14500-1-ND	Achtf. D-Flip-Flop, Tri-State	Tri-State Octal D-Type Flip-Flop	20-SOIC	.68	.51	.39
CD74ACT374M96	296-14500-2-ND	Achtf. D-Flip-Flop, Tri-State	Tri-State Octal D-Type Flip-Flop	20-SOIC		450.39/2,000	
CD74ACT541E	296-1382-5-ND	Achtf. Puffer-/Leitungstreiber, Tri-State	Tri-State Octal Buffer/Line Driver	20-Dip	.68	.51	.39
CD74ACT541M	296-4280-5-ND	Achtf. Puffer-/Leitungstreiber, Tri-State	Tri-State Octal Buffer/Line Driver	20-SOIC	.68	.51	.39
CD74ACT541M96	296-14501-1-ND	Achtf. Puffer-/Leitungstreiber, Tri-State	Tri-State Octal Buffer/Line Driver	20-SOIC	.68	.51	.39
CD74ACT541M96	296-14501-2-ND	Achtf. Puffer-/Leitungstreiber, Tri-State	Tri-State Octal Buffer/Line Driver	20-SOIC		450.39/2,000	
CD74ACT573M	296-4282-5-ND	Achtf. Transparenter Latch, Tri-State	Tri-State Octal Transparent Latch	20-SOIC	.68	.51	.39
CD74ACT573M96	296-14502-1-ND	Achtf. Transparenter Latch, Tri-State	Tri-State Octal Transparent Latch	20-SOIC	.68	.51	.39
CD74ACT573M96	296-14502-2-ND	Achtf. Transparenter Latch, Tri-State	Tri-State Octal Transparent Latch	20-SOIC		450.39/2,000	
CD74ACT623M96	296-4283-1-ND	Achtf. nicht invert. Bus-Transceiver, Tri-State	Tri-State Octal-Bus Non-Inverting Xcvr.	20-SOIC	1.69	1.36	1.02
CD74ACT623M96	296-4283-2-ND	Achtf. nicht invert. Bus-Transceiver, Tri-State	Tri-State Octal-Bus Non-Inverting Xcvr.	20-SOIC		1760.93/2,000	
CD74ACT652M	296-4284-5-ND	Achtf. Bus-Transceiver/Register, Tri-State	Tri-State Octal-Bus Transceiver/Register	24-SOIC	1.38	1.11	.83
SN74ACT00D	296-1452-5-ND	Vierf. NAND-Gate mit 2 Eingängen	Quad 2-Input NAND Gate	14-SOIC	.38	.31	.23
SN74ACT00DBR	296-4347-1-ND	Vierf. NAND-Gate mit 2 Eingängen	Quad 2-Input NAND Gate	14-SSOP	.38	.31	.23
SN74ACT00DBR	296-4347-2-ND	Vierf. NAND-Gate mit 2 Eingängen	Quad 2-Input NAND Gate	14-SSOP		213.34/2,000	
SN74ACT00DR	296-14690-1-ND	Vierf. NAND-Gate mit 2 Eingängen	Quad 2-Input NAND Gate	14-SOIC	.38	.31	.23
SN74ACT00DR	296-14690-2-ND	Vierf. NAND-Gate mit 2 Eingängen	Quad 2-Input NAND Gate	14-SOIC		258.21/2,500	
SN74ACT00N	296-4348-5-ND	Vierf. NAND-Gate mit 2 Eingängen	Quad 2-Input NAND Gate	14-Dip	.42	.34	.26
SN74ACT00PWR	296-4349-1-ND	Vierf. NAND-Gate mit 2 Eingängen	Quad 2-Input NAND Gate	14-TSSOP	.38	.31	.23
SN74ACT00PWR	296-4349-2-ND	Vierf. NAND-Gate mit 2 Eingängen	Quad 2-Input NAND Gate	14-TSSOP		213.34/2,000	
SN74ACT04D	296-1065-5-ND	Sechsf. Inverter	Hex Inverter	14-SOIC	.39	.32	.22
SN74ACT04DR	296-1065-1-ND	Sechsf. Inverter	Hex Inverter	14-SOIC	.39	.32	.22
SN74ACT04DR	296-1065-2-ND	Sechsf. Inverter	Hex Inverter	14-SOIC		251.86/2,500	
SN74ACT04DBR	296-4350-1-ND	Sechsf. Inverter	Hex Inverter	14-SSOP	.38	.31	.23
SN74ACT04DBR	296-4350-2-ND	Sechsf. Inverter	Hex Inverter	14-SSOP		213.34/2,000	
SN74ACT04N	296-4351-5-ND	Sechsf. Inverter	Hex Inverter	14-Dip	.34	.28	.21
SN74ACT04PW	296-4352-5-ND	Sechsf. Inverter	Hex Inverter	14-TSSOP	.38	.31	.23
SN74ACT04PWR	296-4352-1-ND	Sechsf. Inverter	Hex Inverter	14-TSSOP	.39	.32	.22
SN74ACT04PWR	296-4352-2-ND	Sechsf. Inverter	Hex Inverter	14-TSSOP		213.34/2,000	
SN74ACT08D	296-1066-5-ND	Vierf. pos. AND-Gate mit 2 Eingängen	Quad 2-Input Positive AND Gate	14-SOIC	.38	.31	.23
SN74ACT08DR	296-1066-1-ND	Vierf. pos. AND-Gate mit 2 Eingängen	Quad 2-Input Positive AND Gate	14-SOIC	.38	.31	.23
SN74ACT08DR	296-1066-2-ND	Vierf. pos. AND-Gate mit 2 Eingängen	Quad 2-Input Positive AND Gate	14-SOIC		258.21/2,500	
SN74ACT08DBR	296-4353-1-ND	Vierf. pos. AND-Gate mit 2 Eingängen	Quad 2-Input Positive AND Gate	14-SSOP	.38	.31	.23
SN74ACT08DBR	296-4353-2-ND	Vierf. pos. AND-Gate mit 2 Eingängen	Quad 2-Input Positive AND Gate	14-SSOP		213.34/2,000	
SN74ACT08N	296-4354-5-ND	Vierf. pos. AND-Gate mit 2 Eingängen	Quad 2-Input Positive AND Gate	14-Dip	.42	.34	.26
SN74ACT08NSR	296-13130-1-ND	Vierf. pos. AND-Gate mit 2 Eingängen	Quad 2-Input Positive AND Gate	14-SOP	.38	.31	.23
SN74ACT08NSR	296-13130-2-ND	Vierf. pos. AND-Gate mit 2 Eingängen	Quad 2-Input Positive AND Gate	14-SOP		213.34/2,000	
SN74ACT08PWR	296-4355-1-ND	Vierf. pos. AND-Gate mit 2 Eingängen	Quad 2-Input Positive AND Gate	14-TSSOP	.38	.31	.23
SN74ACT08PWR	296-4355-2-ND	Vierf. pos. AND-Gate mit 2 Eingängen	Quad 2-Input Positive AND Gate	14-TSSOP		213.34/2,000	
SN74ACT10DR	296-4360-1-ND	Dreif. NAND-Gate mit 3 Eingängen	Triple 3-Input NAND Gate	14-SOIC	.34	.28	.21
SN74ACT10DR	296-4360-2-ND	Dreif. NAND-Gate mit 3 Eingängen	Triple 3-Input NAND Gate	14-SOIC		228.58/2,500	
SN74ACT10DBR	296-4358-1-ND	Dreif. NAND-Gate mit 3 Eingängen	Triple 3-Input NAND Gate	14-SSOP	.38	.31	.23
SN74ACT10DBR	296-4358-2-ND	Dreif. NAND-Gate mit 3 Eingängen	Triple 3-Input NAND Gate	14-SSOP		213.34/2,000	
SN74ACT10PWR	296-4361-1-ND	Dreif. NAND-Gate mit 3 Eingängen	Triple 3-Input NAND Gate	14-TSSOP	.34	.28	.21
SN74ACT10PWR	296-4361-2-ND	Dreif. NAND-Gate mit 3 Eingängen	Triple 3-Input NAND Gate	14-TSSOP		189.64/2,000	
SN74ACT11D	296-1455-5-ND	Dreif. AND-Gate mit 3 Eingängen	Triple 3-Input AND Gate	14-SOIC	.38	.31	.23
SN74ACT11DBR	296-4362-1-ND	Dreif. AND-Gate mit 3 Eingängen	Triple 3-Input AND Gate	14-SSOP	.38	.31	.23

(Forts.)

★ RUFEN SIE BITTE AN FÜR NIEDRIGERE PREISE BEI GRÖSSEREN MENGEN! ★

T. I. Teilenr.	Digi-Key Teilenr.	Beschreibung		Paket	Stückpreis★ 1	25	100
SN74ACT11DBR	296-4362-2-ND	Dreif. AND-Gate mit 3 Eingängen	Triple 3-Input AND Gate	14-SSOP		213.34/2,000	
SN74ACT11N	296-4363-5-ND	Dreif. AND-Gate mit 3 Eingängen	Triple 3-Input AND Gate	14-Dip	.42	.34	.26
SN74ACT11PWR	296-4364-1-ND	Dreif. AND-Gate mit 3 Eingängen	Triple 3-Input AND Gate	14-TSSOP	.38	.31	.23
SN74ACT11PWR	296-4364-2-ND	Dreif. AND-Gate mit 3 Eingängen	Triple 3-Input AND Gate	14-TSSOP		213.34/2,000	
SN74ACT14D	296-1068-5-ND	Sechsf. Schmitt-Trigger-Inverter	Hex Schmitt-Trigger Inverter	14-SOIC	.34	.28	.21
SN74ACT14DR	296-1068-1-ND	Sechsf. Schmitt-Trigger-Inverter	Hex Schmitt-Trigger Inverter	14-SOIC	.34	.28	.21
SN74ACT14DR	296-1068-2-ND	Sechsf. Schmitt-Trigger-Inverter	Hex Schmitt-Trigger Inverter	14-SOIC		228.58/2,500	
SN74ACT14DBR	296-4367-1-ND	Sechsf. Schmitt-Trigger-Inverter	Hex Schmitt-Trigger Inverter	14-SSOP	.34	.28	.21
SN74ACT14DBR	296-4367-2-ND	Sechsf. Schmitt-Trigger-Inverter	Hex Schmitt-Trigger Inverter	14-SSOP		189.64/2,000	
SN74ACT14N	296-4368-5-ND	Sechsf. Schmitt-Trigger-Inverter	Hex Schmitt-Trigger Inverter	14-Dip	.38	.31	.23
SN74ACT14PWR	296-4369-1-ND	Sechsf. Schmitt-Trigger-Inverter	Hex Schmitt-Trigger Inverter	14-TSSOP	.38	.31	.23
SN74ACT14PWR	296-4369-2-ND	Sechsf. Schmitt-Trigger-Inverter	Hex Schmitt-Trigger Inverter	14-TSSOP		213.34/2,000	
SN74ACT32D	296-1074-5-ND	Vierf. OR-Gate mit 2 Eingängen	Quad 2-Input OR Gate	14-SOIC	.38	.31	.23
SN74ACT32DR	296-1074-1-ND	Vierf. OR-Gate mit 2 Eingängen	Quad 2-Input OR Gate	14-SOIC	.38	.31	.23
SN74ACT32DR	296-1074-2-ND	Vierf. OR-Gate mit 2 Eingängen	Quad 2-Input OR Gate	14-SOIC		258.21/2,500	
SN74ACT32DBR	296-4387-1-ND	Vierf. OR-Gate mit 2 Eingängen	Quad 2-Input OR Gate	14-SSOP	.38	.31	.23
SN74ACT32DBR	296-4387-2-ND	Vierf. OR-Gate mit 2 Eingängen	Quad 2-Input OR Gate	14-SSOP		213.34/2,000	
SN74ACT32N	296-4388-5-ND	Vierf. OR-Gate mit 2 Eingängen	Quad 2-Input OR Gate	14-Dip	.42	.34	.26
SN74ACT32PWR	296-4389-1-ND	Vierf. OR-Gate mit 2 Eingängen	Quad 2-Input OR Gate	14-TSSOP	.38	.31	.23
SN74ACT32PWR	296-4389-2-ND	Vierf. OR-Gate mit 2 Eingängen	Quad 2-Input OR Gate	14-TSSOP		213.34/2,000	
SN74ACT74D	296-1079-5-ND	Zweif. D-Flip-Flop mit positiver Taktflanke sowie Löschen und Voreinstellen	Dual Positive-Edge-Triggered D-Type Flip-Flop with Clear and Preset	14-SOIC	.39	.32	.22
SN74ACT74DR	296-1079-1-ND	Zweif. D-Flip-Flop mit positiver Taktflanke sowie Löschen und Voreinstellen	Dual Positive-Edge-Triggered D-Type Flip-Flop with Clear and Preset	14-SOIC	.39	.32	.22
SN74ACT74DR	296-1079-2-ND	Zweif. D-Flip-Flop mit positiver Taktflanke sowie Löschen und Voreinstellen	Dual Positive-Edge-Triggered D-Type Flip-Flop with Clear and Preset	14-SOIC		251.86/2,500	
SN74ACT74DBR	296-4443-1-ND	Zweif. D-Flip-Flop mit positiver Taktflanke sowie Löschen und Voreinstellen	Dual Positive-Edge-Triggered D-Type Flip-Flop with Clear and Preset	14-SSOP	.39	.32	.22
SN74ACT74DBR	296-4443-2-ND	Zweif. D-Flip-Flop mit positiver Taktflanke sowie Löschen und Voreinstellen	Dual Positive-Edge-Triggered D-Type Flip-Flop with Clear and Preset	14-SSOP		213.34/2,000	
SN74ACT74N	296-4444-5-ND	Zweif. D-Flip-Flop mit positiver Taktflanke sowie Löschen und Voreinstellen	Dual Positive-Edge-Triggered D-Type Flip-Flop with Clear and Preset	14-Dip	.38	.31	.23
SN74ACT74NSR	296-13131-1-ND	Zweif. D-Flip-Flop mit positiver Taktflanke sowie Löschen und Voreinstellen	Dual Positive-Edge-Triggered D-Type Flip-Flop with Clear and Preset	14-SOP	.42	.34	.26
SN74ACT74NSR	296-13131-2-ND	Zweif. D-Flip-Flop mit positiver Taktflanke sowie Löschen und Voreinstellen	Dual Positive-Edge-Triggered D-Type Flip-Flop with Clear and Preset	14-SOP		237.05/2,000	
SN74ACT74PWR	296-4446-1-ND	Zweif. D-Flip-Flop mit positiver Taktflanke sowie Löschen und Voreinstellen	Dual Positive-Edge-Triggered D-Type Flip-Flop with Clear and Preset	14-TSSOP	.39	.32	.22
SN74ACT74PWR	296-4446-2-ND	Zweif. D-Flip-Flop mit positiver Taktflanke sowie Löschen und Voreinstellen	Dual Positive-Edge-Triggered D-Type Flip-Flop with Clear and Preset	14-TSSOP		213.34/2,000	
SN74ACT86D	296-1463-5-ND	Vierf. Exclusive-OR-Gate mit 2 Eingängen	Quad 2-Input Exclusive-OR Gate	14-SOIC	.38	.31	.23
SN74ACT86DBR	296-4502-1-ND	Vierf. Exclusive-OR-Gate mit 2 Eingängen	Quad 2-Input Exclusive-OR Gate	14-SSOP	.38	.31	.23
SN74ACT86DBR	296-4502-2-ND	Vierf. Exclusive-OR-Gate mit 2 Eingängen	Quad 2-Input Exclusive-OR Gate	14-SSOP		213.34/2,000	
SN74ACT86DR	296-9757-1-ND	Vierf. Exclusive-OR-Gate mit 2 Eingängen	Quad 2-Input Exclusive-OR Gate	14-SOIC	.38	.31	.23
SN74ACT86DR	296-9757-2-ND	Vierf. Exclusive-OR-Gate mit 2 Eingängen	Quad 2-Input Exclusive-OR Gate	14-SOIC		258.21/2,500	
SN74ACT86N	296-4503-5-ND	Vierf. Exclusive-OR-Gate mit 2 Eingängen	Quad 2-Input Exclusive-OR Gate	14-Dip	.42	.34	.26
SN74ACT86PWR	296-4504-1-ND	Vierf. Exclusive-OR-Gate mit 2 Eingängen	Quad 2-Input Exclusive-OR Gate	14-TSSOP	.38	.31	.23
SN74ACT86PWR	296-4504-2-ND	Vierf. Exclusive-OR-Gate mit 2 Eingängen	Quad 2-Input Exclusive-OR Gate	14-TSSOP		213.34/2,000	
SN74ACT240DBR	296-4377-1-ND	Achtf. Puffer/Treiber, Tri-State	Tri-State Octal Buffer/Driver	20-SSOP	.47	.36	.27
SN74ACT240DBR	296-4377-2-ND	Achtf. Puffer/Treiber, Tri-State	Tri-State Octal Buffer/Driver	20-SSOP		314.94/2,000	
SN74ACT240DWR	296-4378-1-ND	Achtf. Puffer/Treiber, Tri-State	Tri-State Octal Buffer/Driver	20-SOIC	.47	.36	.27
SN74ACT240DWR	296-4378-2-ND	Achtf. Puffer/Treiber, Tri-State	Tri-State Octal Buffer/Driver	20-SOIC		314.94/2,000	
SN74ACT240N	296-4379-5-ND	Achtf. Puffer/Treiber, Tri-State	Tri-State Octal Buffer/Driver	20-Dip	.47	.36	.27
SN74ACT240PWR	296-4380-1-ND	Achtf. Puffer/Treiber, Tri-State	Tri-State Octal Buffer/Driver	20-TSSOP	.47	.36	.27
SN74ACT240PWR	296-4380-2-ND	Achtf. Puffer/Treiber, Tri-State	Tri-State Octal Buffer/Driver	20-TSSOP		314.94/2,000	
SN74ACT241DBR	296-4381-1-ND	Achtf. Puffer/Treiber, Tri-State	Tri-State Octal Buffer/Driver	20-SSOP	.47	.36	.27
SN74ACT241DBR	296-4381-2-ND	Achtf. Puffer/Treiber, Tri-State	Tri-State Octal Buffer/Driver	20-SSOP		314.94/2,000	
SN74ACT241DW	296-4382-5-ND	Achtf. Puffer/Treiber, Tri-State	Tri-State Octal Buffer/Driver	20-SOIC	.47	.36	.27
SN74ACT241N	296-4383-5-ND	Achtf. Puffer/Treiber, Tri-State	Tri-State Octal Buffer/Driver	20-Dip	.47	.36	.27
SN74ACT241PWR	296-4384-1-ND	Achtf. Puffer/Treiber, Tri-State	Tri-State Octal Buffer/Driver	20-TSSOP	.47	.36	.27
SN74ACT241PWR	296-4384-2-ND	Achtf. Puffer/Treiber, Tri-State	Tri-State Octal Buffer/Driver	20-TSSOP		314.94/2,000	
SN74ACT244DBR	296-1069-1-ND	Achtf. Puffer/Treiber, Tri-State	Tri-State Octal Buffer/Driver	20-SSOP	.68	.51	.39
SN74ACT244DBR	296-1069-2-ND	Achtf. Puffer/Treiber, Tri-State	Tri-State Octal Buffer/Driver	20-SSOP		450.39/2,000	
SN74ACT244DW	296-1070-5-ND	Achtf. Puffer/Treiber, Tri-State	Tri-State Octal Buffer/Driver	20-SOIC	.68	.51	.39
SN74ACT244DWR	296-1070-1-ND	Achtf. Puffer/Treiber, Tri-State	Tri-State Octal Buffer/Driver	20-SOIC	.68	.51	.39
SN74ACT244DWR	296-1070-2-ND	Achtf. Puffer/Treiber, Tri-State	Tri-State Octal Buffer/Driver	20-SOIC		450.39/2,000	
SN74ACT244N	296-4385-5-ND	Achtf. Puffer/Treiber, Tri-State	Tri-State Octal Buffer/Driver	20-Dip	.68	.51	.39
SN74ACT244PWR	296-1071-1-ND	Achtf. Puffer/Treiber, Tri-State	Tri-State Octal Buffer/Driver	20-TSSOP	.68	.51	.39
SN74ACT244PWR	296-1071-2-ND	Achtf. Puffer/Treiber, Tri-State	Tri-State Octal Buffer/Driver	20-TSSOP		450.39/2,000	
SN74ACT245DBR	296-4386-1-ND	Achtf. Bus-Transceiver, Tri-State	Tri-State Octal Bus Transceiver	20-SSOP	.68	.51	.39
SN74ACT245DBR	296-4386-2-ND	Achtf. Bus-Transceiver, Tri-State	Tri-State Octal Bus Transceiver	20-SSOP		450.39/2,000	
SN74ACT245DW	296-1072-5-ND	Achtf. Bus-Transceiver, Tri-State	Tri-State Octal Bus Transceiver	20-SOIC	.68	.51	.39
SN74ACT245DWR	296-1072-1-ND	Achtf. Bus-Transceiver, Tri-State	Tri-State Octal Bus Transceiver	20-SOIC	.68	.51	.39
SN74ACT245DWR	296-1072-2-ND	Achtf. Bus-Transceiver, Tri-State	Tri-State Octal Bus Transceiver	20-SOIC		450.39/2,000	
SN74ACT245N	296-1460-5-ND	Achtf. Bus-Transceiver, Tri-State	Tri-State Octal Bus Transceiver	20-Dip	.68	.51	.39
SN74ACT245PWR	296-1073-1-ND	Achtf. Bus-Transceiver, Tri-State	Tri-State Octal Bus Transceiver	20-TSSOP	.68	.51	.39
SN74ACT245PWR	296-1073-2-ND	Achtf. Bus-Transceiver, Tri-State	Tri-State Octal Bus Transceiver	20-TSSOP		450.39/2,000	
SN74ACT373DBR	296-4420-1-ND	Tri-St., Achtf. transparenter D-Latch	Tri-St. Octal D-Type Transparent Latch	20-SSOP	.68	.51	.39
SN74ACT373DBR	296-4420-2-ND	Tri-St., Achtf. transparenter D-Latch	Tri-St. Octal D-Type Transparent Latch	20-SSOP		450.39/2,000	
SN74ACT373DW	296-4421-5-ND	Tri-St., Achtf. transparenter D-Latch	Tri-St. Octal D-Type Transparent Latch	20-SOIC	.68	.51	.39
SN74ACT373N	296-4422-5-ND	Tri-St., Achtf. transparenter D-Latch	Tri-St. Octal D-Type Transparent Latch	20-Dip	.68	.51	.39
SN74ACT373PWR	296-1075-1-ND	Achtf. transp. Tri-State D- Latch	Tri-State Octal D-Type Transp. Latch	20-TSSOP	.68	.51	.39
SN74ACT373PWR	296-1075-2-ND	Achtf. transp. Tri-State D- Latch	Tri-State Octal D-Type Transp. Latch	20-TSSOP		450.39/2,000	
SN74ACT374DBR	296-1076-1-ND	Achtf. D-Flip-Flop, Tri-State	Tri-State Octal D-Type Flip-Flop	20-SSOP	.68	.51	.39
SN74ACT374DBR	296-1076-2-ND	Achtf. D-Flip-Flop, Tri-State	Tri-State Octal D-Type Flip-Flop	20-SSOP		450.39/2,000	
SN74ACT374DW	296-1077-5-ND	Achtf. D-Flip-Flop, Tri-State	Tri-State Octal D-Type Flip-Flop	20-SOIC	.68	.51	.39
SN74ACT374DWR	296-1077-1-ND	Achtf. D-Flip-Flop, Tri-State	Tri-State Octal D-Type Flip-Flop	20-SOIC	.68	.51	.39
SN74ACT374DWR	296-1077-2-ND	Achtf. D-Flip-Flop, Tri-State	Tri-State Octal D-Type Flip-Flop	20-SOIC		450.39/2,000	
SN74ACT374PWR	296-4423-1-ND	Achtf. D-Flip-Flop, Tri-State	Tri-State Octal D-Type Flip-Flop	20-TSSOP	.68	.51	.39
SN74ACT374PWR	296-4423-2-ND	Achtf. D-Flip-Flop, Tri-State	Tri-State Octal D-Type Flip-Flop	20-TSSOP		450.39/2,000	
SN74ACT533DBR	296-4424-1-ND	Tri-St., Achtf. transparenter D-Latch	Tri-St. Octal D-Type Transparent Latch	20-SSOP	.46	.35	.26
SN74ACT533DBR	296-4424-2-ND	Tri-St., Achtf. transparenter D-Latch	Tri-St. Octal D-Type Transparent Latch	20-SSOP		304.78/2,000	
SN74ACT533DW	296-4425-5-ND	Tri-St., Achtf. transparenter D-Latch	Tri-St. Octal D-Type Transparent Latch	20-SOIC	.46	.35	.26
SN74ACT533N	296-4426-5-ND	Tri-St., Achtf. transparenter D-Latch	Tri-St. Octal D-Type Transparent Latch	20-Dip	.46	.35	.26
SN74ACT533PWR	296-4427-1-ND	Achtf. transp. Tri-State D- Latch	Tri-State Octal D-Type Transp. Latch	20-TSSOP	.46	.35	.26
SN74ACT533PWR	296-4427-2-ND	Achtf. transp. Tri-State D- Latch	Tri-State Octal D-Type Transp. Latch	20-TSSOP		304.78/2,000	
SN74ACT534DBR	296-4428-1-ND	Achtf. D-Flip-Flop, Tri-State	Tri-State Octal D-Type Flip-Flop	20-SSOP	.46	.35	.26
SN74ACT534DBR	296-4428-2-ND	Achtf. D-Flip-Flop, Tri-State	Tri-State Octal D-Type Flip-Flop	20-SSOP		304.78/2,000	
SN74ACT534DW	296-4429-5-ND	Achtf. D-Flip-Flop, Tri-State	Tri-State Octal D-Type Flip-Flop	20-SOIC	.46	.35	.26
SN74ACT534DWR	296-4429-1-ND	Achtf. D-Flip-Flop, Tri-State	Tri-State Octal D-Type Flip-Flop	20-SOIC	.46	.35	.26
SN74ACT534DWR	296-4429-2-ND	Achtf. D-Flip-Flop, Tri-State	Tri-State Octal D-Type Flip-Flop	20-SOIC		304.78/2,000	
SN74ACT534PWR	296-4430-1-ND	Achtf. D-Flip-Flop, Tri-State	Tri-State Octal D-Type Flip-Flop	20-TSSOP	.46	.35	.26
SN74ACT534PWR	296-4430-2-ND	Achtf. D-Flip-Flop, Tri-State	Tri-State Octal D-Type Flip-Flop	20-TSSOP		304.78/2,000	
SN74ACT563DBR	296-4431-1-ND	Tri-St., Achtf. transparenter D-Latch	Tri-St. Octal D-Type Transparent Latch	20-SSOP	.46	.35	.26
SN74ACT563DBR	296-4431-2-ND	Tri-St., Achtf. transparenter D-Latch	Tri-St. Octal D-Type Transparent Latch	20-SSOP		304.78/2,000	
SN74ACT563DW	296-4432-5-ND	Tri-St., Achtf. transparenter D-Latch	Tri-St. Octal D-Type Transparent Latch	20-SOIC	.46	.35	.26
SN74ACT564DBR	296-4433-1-ND	Achtf. D-Flip-Flop, Tri-State	Tri-State Octal D-Type Flip-Flop	20-SSOP	.54	.41	.31
SN74ACT564DBR	296-4433-2-ND	Achtf. D-Flip-Flop, Tri-State	Tri-State Octal D-Type Flip-Flop	20-SSOP		360.65/2,000	
SN74ACT564DW	296-4434-5-ND	Achtf. D-Flip-Flop, Tri-State	Tri-State Octal D-Type Flip-Flop	20-SOIC	.54	.41	.31
SN74ACT564PWR	296-4435-1-ND	Achtf. D-Flip-Flop, Tri-State	Tri-State Octal D-Type Flip-Flop	20-TSSOP	.54	.41	.31

(Forts.)

★ ***RUFEN SIE BITTE AN FÜR NIEDRIGERE PREISE BEI GRÖSSEREN MENGEN!*** ★

B

T. I. Teilenr.	Digi-Key Teilenr.	Beschreibung		Paket	Stückpreis★ 1	25	100
SN74ACT564PWR	296-4435-2-ND	Achtf. D-Flip-Flop, Tri-State	Tri-State Octal D-Type Flip-Flop	20-TSSOP		360.65/2,000	
SN74ACT573DBR	296-4436-1-ND	Tri-St., Achtf. transparenter D-Latch	Tri-St. Octal D-Type Transparent Latch	20-SSOP	.68	.51	.39
SN74ACT573DBR	296-4436-2-ND	Tri-St., Achtf. transparenter D-Latch	Tri-St. Octal D-Type Transparent Latch	20-SSOP		450.39/2,000	
SN74ACT573DW	296-4437-5-ND	Tri-St., Achtf. transparenter D-Latch	Tri-St. Octal D-Type Transparent Latch	20-SOIC	.68	.51	.39
SN74ACT573N	296-4438-5-ND	Achtf. transparenter D-Latch, Tri-State	Tri-State Octal D-Type Transparent Latch	20-Dip	.68	.51	.39
SN74ACT573PWR	296-4439-1-ND	Achtf. transp. Tri-State D- Latch	Tri-State Octal D-Type Transp. Latch	20-TSSOP	.68	.51	.39
SN74ACT573PWR	296-4439-2-ND	Achtf. transp. Tri-State D- Latch	Tri-State Octal D-Type Transp. Latch	20-TSSOP		450.39/2,000	
SN74ACT574DBR	296-4440-1-ND	Achtf. D-Flip-Flop, Tri-State	Tri-State Octal D-Type Flip-Flop	20-SSOP	.68	.51	.39
SN74ACT574DBR	296-4440-2-ND	Achtf. D-Flip-Flop, Tri-State	Tri-State Octal D-Type Flip-Flop	20-SSOP		450.39/2,000	
SN74ACT574DW	296-4441-5-ND	Achtf. D-Flip-Flop, Tri-State	Tri-State Octal D-Type Flip-Flop	20-SOIC	.68	.51	.39
SN74ACT574N	296-4442-5-ND	Achtf. D-Flip-Flop, Tri-State	Tri-State Octal D-Type Flip-Flop	20-Dip	.68	.51	.39
SN74ACT574PWR	296-1078-1-ND	Achtf. D-Flip-Flop, Tri-State	Tri-State Octal D-Type Flip-Flop	20-TSSOP	.68	.51	.39
SN74ACT574PWR	296-1078-2-ND	Achtf. D-Flip-Flop, Tri-State	Tri-State Octal D-Type Flip-Flop	20-TSSOP		450.39/2,000	
SN74ACT1071DR	296-14692-1-ND	Bus-Anschluss-Array, 10-Bit	10-Bit Bus Termination Array	14-SOIC	1.95	1.56	1.17
SN74ACT1071DR	296-14692-2-ND	Bus-Anschluss-Array, 10-Bit	10-Bit Bus Termination Array	14-SOIC		2493.24/2,500	
SN74ACT1073DWR	296-14693-1-ND	Bus-Anschluss-Array, 16-Bit	16-Bit Bus Termination Array	20-SOIC	2.19	1.76	1.37
SN74ACT1073DWR	296-14693-2-ND	Bus-Anschluss-Array, 16-Bit	16-Bit Bus Termination Array	20-SOIC		2482.23/2,000	
SN74ACT1284DBR	296-4365-1-ND	Busschnittstelle, Tri-State, 7-Bit	Tri-State 7-Bit Bus Interface	20-SSOP	.71	.60	.48
SN74ACT1284DBR	296-4365-2-ND	Busschnittstelle, Tri-State, 7-Bit	Tri-State 7-Bit Bus Interface	20-SSOP		629.87/2,000	
SN74ACT1284DW	296-1067-5-ND	Busschnittstelle, Tri-State, 7-Bit	Tri-State 7-Bit Bus Interface	20-SOIC	.71	.60	.48
SN74ACT1284DWR	296-1067-1-ND	Busschnittstelle, Tri-State, 7-Bit	Tri-State 7-Bit Bus Interface	20-SOIC	.71	.60	.48
SN74ACT1284DWR	296-1067-2-ND	Busschnittstelle, Tri-State, 7-Bit	Tri-State 7-Bit Bus Interface	20-SOIC		629.87/2,000	
SN74ACT1284PWR	296-4366-1-ND	Busschnittstelle, Tri-State, 7-Bit	Tri-State 7-Bit Bus Interface	20-TSSOP	.71	.60	.48
SN74ACT1284PWR	296-4366-2-ND	Busschnittstelle, Tri-State, 7-Bit	Tri-State 7-Bit Bus Interface	20-TSSOP		629.87/2,000	
SN74ACT8990FN	296-4505-5-ND	Test-Bus Controller, Tap Master, 16-Bit	16-Bit Test-Bus Controller Tap Master	44-PLCC	22.86	21.34	19.82
SN74ACT8990FNR	296-4505-1-ND	Test-Bus Controller, Tap Master, 16-Bit	16-Bit Test-Bus Controller Tap Master	44-PLCC	22.86	21.34	19.82
SN74ACT8990FNR	296-4505-2-ND	Test-Bus Controller, Tap Master, 16-Bit	16-Bit Test-Bus Controller Tap Master	44-PLCC		9524.25/500	
SN74ACT8997DW	296-4506-5-ND	Scan Path Linker mit 4-Bit ID	Scan Path Linker with 4-Bit ID	28-SOIC	7.05	6.35	5.63
SN74ACT8997DWR	296-15977-1-ND	Scan Path Linker mit 4-Bit ID	Scan Path Linker with 4-Bit ID	28-SOIC	7.05	6.35	5.63
SN74ACT8997DWR	296-15977-2-ND	Scan Path Linker mit 4-Bit ID	Scan Path Linker with 4-Bit ID	28-SOIC		5227.76/1,000	
		AHC-Gruppe					
SN74AHC00DBR	296-4507-1-ND	Vierf. pos. NAND-Gate mit 2 Eingängen	Quad 2-In. Positive NAND Gate	14-SSOP	.39	.32	.22
SN74AHC00DBR	296-4507-2-ND	Vierf. pos. NAND-Gate mit 2 Eingängen	Quad 2-In. Positive NAND Gate	14-SSOP		213.34/2,000	
SN74AHC00DGVR	296-4508-1-ND	Vierf. pos. NAND-Gate mit 2 Eingängen	Quad 2-In. Positive NAND Gate	14-TVSOP	.42	.34	.26
SN74AHC00DGVR	296-4508-2-ND	Vierf. pos. NAND-Gate mit 2 Eingängen	Quad 2-In. Positive NAND Gate	14-TVSOP		237.05/2,000	
SN74AHC00DR	296-4509-1-ND	Vierf. pos. NAND-Gate mit 2 Eingängen	Quad 2-In. Positive NAND Gate	14-SOIC	.39	.32	.22
SN74AHC00DR	296-4509-2-ND	Vierf. pos. NAND-Gate mit 2 Eingängen	Quad 2-In. Positive NAND Gate	14-SOIC		251.86/2,500	
SN74AHC00N	296-4510-5-ND	Vierf. pos. NAND-Gate mit 2 Eingängen	Quad 2-In. Positive NAND Gate	14-Dip	.45	.36	.27
SN74AHC00NSR	296-13132-1-ND	Vierf. pos. NAND-Gate mit 2 Eingängen	Quad 2-In. Positive NAND Gate	14-SOP	.39	.32	.22
SN74AHC00NSR	296-13132-2-ND	Vierf. pos. NAND-Gate mit 2 Eingängen	Quad 2-In. Positive NAND Gate	14-SOP		213.34/2,000	
SN74AHC00PWR	296-1080-1-ND	Vierf. pos. NAND-Gate mit 2 Eingängen	Quad 2-In. Positive NAND Gate	14-TSSOP	.39	.32	.22
SN74AHC00PWR	296-1080-2-ND	Vierf. pos. NAND-Gate mit 2 Eingängen	Quad 2-In. Positive NAND Gate	14-TSSOP		213.34/2,000	
SN74AHC00QPWRQ1	296-17742-1-ND	Vierf. pos. NAND-Gate mit 2 Eingängen	Quad 2-In. Positive NAND Gate	14-TSSOP	.51	.39	.29
SN74AHC00QPWRQ1	296-17742-2-ND	Vierf. pos. NAND-Gate mit 2 Eingängen	Quad 2-In. Positive NAND Gate	14-TSSOP		338.64/2,000	
SN74AHC00RGYR	296-13893-1-ND	Vierf. pos. NAND-Gate mit 2 Eingängen	Quad 2-In. Positive NAND Gate	14-QFN	.47	.38	.28
SN74AHC00RGYR	296-13893-2-ND	Vierf. pos. NAND-Gate mit 2 Eingängen	Quad 2-In. Positive NAND Gate	14-QFN		130.38/1,000	
SN74AHC02D	296-4511-5-ND	Vierf. NOR-Gate mit 2 Eingängen	Quad 2-Input NOR Gate	14-SOIC	.39	.32	.22
SN74AHC02DR	296-4511-1-ND	Vierf. NOR-Gate mit 2 Eingängen	Quad 2-Input NOR Gate	14-SOIC	.39	.32	.22
SN74AHC02DR	296-4511-2-ND	Vierf. NOR-Gate mit 2 Eingängen	Quad 2-Input NOR Gate	14-SOIC		251.86/2,500	
SN74AHC02DBR	296-4512-1-ND	Vierf. NOR-Gate mit 2 Eingängen	Quad 2-Input NOR Gate	14-SSOP	.39	.32	.22
SN74AHC02DBR	296-4512-2-ND	Vierf. NOR-Gate mit 2 Eingängen	Quad 2-Input NOR Gate	14-SSOP		213.34/2,000	
SN74AHC02DGVR	296-4513-1-ND	Vierf. NOR-Gate mit 2 Eingängen	Quad 2-Input NOR Gate	14-TVSOP	.42	.34	.26
SN74AHC02DGVR	296-4513-2-ND	Vierf. NOR-Gate mit 2 Eingängen	Quad 2-Input NOR Gate	14-TVSOP		237.05/2,000	
SN74AHC02N	296-4514-5-ND	Vierf. NOR-Gate mit 2 Eingängen	Quad 2-Input NOR Gate	14-Dip	.45	.36	.27
SN74AHC02PWR	296-4515-1-ND	Vierf. NOR-Gate mit 2 Eingängen	Quad 2-Input NOR Gate	14-TSSOP	.39	.32	.22
SN74AHC02PWR	296-4515-2-ND	Vierf. NOR-Gate mit 2 Eingängen	Quad 2-Input NOR Gate	14-TSSOP		213.34/2,000	
SN74AHC02RGYR	296-13894-1-ND	Vierf. NOR-Gate mit 2 Eingängen	Quad 2-Input NOR Gate	14-QFN	.51	.39	.29
SN74AHC02RGYR	296-13894-2-ND	Vierf. NOR-Gate mit 2 Eingängen	Quad 2-Input NOR Gate	14-QFN		169.32/1,000	
SN74AHC04D	296-4516-5-ND	Sechsf. Inverter	Hex Inverter	14-SOIC	.39	.32	.22
SN74AHC04DR	296-4516-1-ND	Sechsf. Inverter	Hex Inverter	14-SOIC	.39	.32	.22
SN74AHC04DR	296-4516-2-ND	Sechsf. Inverter	Hex Inverter	14-SOIC		251.86/2,500	
SN74AHC04DBR	296-4517-1-ND	Sechsf. Inverter	Hex Inverter	14-SSOP	.39	.32	.22
SN74AHC04DBR	296-4517-2-ND	Sechsf. Inverter	Hex Inverter	14-SSOP		213.34/2,000	
SN74AHC04DGVR	296-4518-1-ND	Sechsf. Inverter	Hex Inverter	14-TVSOP	.42	.34	.26
SN74AHC04DGVR	296-4518-2-ND	Sechsf. Inverter	Hex Inverter	14-TVSOP		237.05/2,000	
SN74AHC04N	296-4519-5-ND	Sechsf. Inverter	Hex Inverter	14-Dip	.45	.36	.27
SN74AHC04PWR	296-1081-1-ND	Sechsf. Inverter	Hex Inverter	14-TSSOP	.39	.32	.22
SN74AHC04PWR	296-1081-2-ND	Sechsf. Inverter	Hex Inverter	14-TSSOP		213.34/2,000	
SN74AHC04RGYR	296-13895-1-ND	Sechsf. Inverter	Hex Inverter	14-QFN	.47	.38	.28
SN74AHC04RGYR	296-13895-2-ND	Sechsf. Inverter	Hex Inverter	14-QFN		130.38/1,000	
SN74AHC05D	296-1997-5-ND	Sechsf. Inverter mit OD-Ausgang	Hex Inverter with OD Output	14-SOIC	.39	.32	.22
SN74AHC05DT	296-1997-1-ND	Sechsf. Inverter mit OD-Ausgang	Hex Inverter with OD Output	14-SOIC	.39	.32	.22
SN74AHC05DR	296-1997-2-ND	Sechsf. Inverter mit OD-Ausgang	Hex Inverter with OD Output	14-SOIC		251.86/2,500	
SN74AHC05N	296-1464-5-ND	Sechsf. Inverter mit OD-Ausgang	Hex Inverter with OD Output	14-Dip	.45	.36	.27
SN74AHC05PWR	296-4520-1-ND	Sechsf. Inverter mit OD-Ausgang	Hex Inverter with OD Output	14-TSSOP	.39	.32	.22
SN74AHC05PWR	296-4520-2-ND	Sechsf. Inverter mit OD-Ausgang	Hex Inverter with OD Output	14-TSSOP		213.34/2,000	
SN74AHC08DBR	296-4521-1-ND	Vierf. pos. AND-Gate mit 2 Eingängen	Quad 2-Input Positive AND Gate	14-SSOP	.39	.32	.22
SN74AHC08DBR	296-4521-2-ND	Vierf. pos. AND-Gate mit 2 Eingängen	Quad 2-Input Positive AND Gate	14-SSOP		213.34/2,000	
SN74AHC08DGVR	296-4522-1-ND	Vierf. pos. AND-Gate mit 2 Eingängen	Quad 2-Input Positive AND Gate	14-TVSOP	.42	.34	.26
SN74AHC08DGVR	296-4522-2-ND	Vierf. pos. AND-Gate mit 2 Eingängen	Quad 2-Input Positive AND Gate	14-TVSOP		237.05/2,000	
SN74AHC08D	296-4523-5-ND	Vierf. pos. AND-Gate mit 2 Eingängen	Quad 2-Input Positive AND Gate	14-SOIC	.39	.32	.22
SN74AHC08DR	296-4523-1-ND	Vierf. pos. AND-Gate mit 2 Eingängen	Quad 2-Input Positive AND Gate	14-SOIC	.39	.32	.22
SN74AHC08DR	296-4523-2-ND	Vierf. pos. AND-Gate mit 2 Eingängen	Quad 2-Input Positive AND Gate	14-SOIC		251.86/2,500	
SN74AHC08N	296-4524-5-ND	Vierf. pos. AND-Gate mit 2 Eingängen	Quad 2-Input Positive AND Gate	14-Dip	.45	.36	.27
SN74AHC08NSR	296-13133-1-ND	Vierf. pos. AND-Gate mit 2 Eingängen	Quad 2-Input Positive AND Gate	14-SOP	.39	.32	.22
SN74AHC08NSR	296-13133-2-ND	Vierf. pos. AND-Gate mit 2 Eingängen	Quad 2-Input Positive AND Gate	14-SOP		213.34/2,000	
SN74AHC08PWR	296-1082-1-ND	Vierf. pos. AND-Gate mit 2 Eingängen	Quad 2-Input Positive AND Gate	14-TSSOP	.39	.32	.22
SN74AHC08PWR	296-1082-2-ND	Vierf. pos. AND-Gate mit 2 Eingängen	Quad 2-Input Positive AND Gate	14-TSSOP		213.34/2,000	
SN74AHC08RGYR	296-13896-1-ND	Vierf. pos. AND-Gate mit 2 Eingängen	Quad 2-Input Positive AND Gate	14-QFN	.44	.33	.25
SN74AHC08RGYR	296-13896-2-ND	Vierf. pos. AND-Gate mit 2 Eingängen	Quad 2-Input Positive AND Gate	14-QFN		146.46/1,000	
SN74AHC14DBR	296-4548-1-ND	Sechsf. Schmitt-Trigger-Inverter	Hex Schmitt-Trigger Inverter	14-SSOP	.39	.32	.22
SN74AHC14DBR	296-4548-2-ND	Sechsf. Schmitt-Trigger-Inverter	Hex Schmitt-Trigger Inverter	14-SSOP		213.34/2,000	
SN74AHC14DGVR	296-4549-1-ND	Sechsf. Schmitt-Trigger-Inverter	Hex Schmitt-Trigger Inverter	14-TVSOP	.47	.38	.28
SN74AHC14DGVR	296-4549-2-ND	Sechsf. Schmitt-Trigger-Inverter	Hex Schmitt-Trigger Inverter	14-TVSOP		260.75/2,000	
SN74AHC14DR	296-1085-1-ND	Sechsf. Schmitt-Trigger-Inverter	Hex Schmitt-Trigger Inverter	14-SOIC	.39	.32	.22
SN74AHC14DR	296-1085-2-ND	Sechsf. Schmitt-Trigger-Inverter	Hex Schmitt-Trigger Inverter	14-SOIC		251.86/2,500	
SN74AHC14N	296-4550-5-ND	Sechsf. Schmitt-Trigger-Inverter	Hex Schmitt-Trigger Inverter	14-Dip	.45	.36	.27
SN74AHC14PWR	296-1086-1-ND	Sechsf. Schmitt-Trigger-Inverter	Hex Schmitt Trigger Inverter	14-TSSOP	.39	.32	.22
SN74AHC14PWR	296-1086-2-ND	Sechsf. Schmitt-Trigger-Inverter	Hex Schmitt-Trigger Inverter	14-TSSOP		213.34/2,000	
SN74AHC14QPWRQ1	296-13863-1-ND	Sechsf. Schmitt-Trigger-Inverter	Hex Schmitt-Trigger Inverter	14-TSSOP	.51	.39	.29
SN74AHC14QPWRQ1	296-13863-2-ND	Sechsf. Schmitt-Trigger-Inverter	Hex Schmitt-Trigger Inverter	14-TSSOP		338.64/2,000	

(Forts.)

★ ***RUFEN SIE BITTE AN FÜR NIEDRIGERE PREISE BEI GRÖSSEREN MENGEN!*** ★

T. I. Teilenr.	Digi-Key Teilenr.	Beschreibung		Paket	Stückpreis★ 1	25	100
SN74AHC14RGYR	296-13901-1-ND	Sechsf. Schmitt-Trigger-Inverter	Hex Schmitt-Trigger Inverter	14-QFN	.51	.39	.29
SN74AHC14RGYR	296-13901-2-ND	Sechsf. Schmitt-Trigger-Inverter	Hex Schmitt-Trigger Inverter	14-QFN		169.32/1,000	
SN74AHC32DBR	296-4593-1-ND	Vierf. pos. OR-Gate mit 2 Eingängen	Quad 2-In. Positive OR Gate	14-SSOP	.39	.32	.22
SN74AHC32DBR	296-4593-2-ND	Vierf. pos. OR-Gate mit 2 Eingängen	Quad 2-In. Positive OR Gate	14-SSOP		213.34/2,000	
SN74AHC32DGVR	296-4594-1-ND	Vierf. pos. OR-Gate mit 2 Eingängen	Quad 2-In. Positive OR Gate	14-TVSOP	.42	.34	.26
SN74AHC32DGVR	296-4594-2-ND	Vierf. pos. OR-Gate mit 2 Eingängen	Quad 2-In. Positive OR Gate	14-TVSOP		237.05/2,000	
SN74AHC32DR	296-4595-1-ND	Vierf. pos. OR-Gate mit 2 Eingängen	Quad 2-In. Positive OR Gate	14-SOIC	.39	.32	.22
SN74AHC32DR	296-4595-2-ND	Vierf. pos. OR-Gate mit 2 Eingängen	Quad 2-In. Positive OR Gate	14-SOIC		251.86/2,500	
SN74AHC32N	296-4596-5-ND	Vierf. pos. OR-Gate mit 2 Eingängen	Quad 2-In. Positive OR Gate	14-Dip	.45	.36	.27
SN74AHC32NSR	296-13136-1-ND	Vierf. pos. OR-Gate mit 2 Eingängen	Quad 2-In. Positive OR Gate	14-SOP	.39	.32	.22
SN74AHC32NSR	296-13136-2-ND	Vierf. pos. OR-Gate mit 2 Eingängen	Quad 2-In. Positive OR Gate	14-SOP		213.34/2,000	
SN74AHC32PWR	296-1099-1-ND	Vierf. pos. OR-Gate mit 2 Eingängen	Quad 2-In. Positive OR Gate	14-TSSOP	.39	.32	.22
SN74AHC32PWR	296-1099-2-ND	Vierf. pos. OR-Gate mit 2 Eingängen	Quad 2-In. Positive OR Gate	14-TSSOP		213.34/2,000	
SN74AHC32QDRQ1	296-17497-1-ND	Vierf. pos. OR-Gate mit 2 Eingängen	Quad 2-In. Positive OR Gate	14-SOIC	.51	.39	.29
SN74AHC32QDRQ1	296-17497-2-ND	Vierf. pos. OR-Gate mit 2 Eingängen	Quad 2-In. Positive OR Gate	14-SOIC		412.72/2,500	
SN74AHC32QPWRQ1	296-17540-1-ND	Vierf. pos. OR-Gate mit 2 Eingängen	Quad 2-In. Positive OR Gate	14-TSSOP	.51	.39	.29
SN74AHC32QPWRQ1	296-17540-2-ND	Vierf. pos. OR-Gate mit 2 Eingängen	Quad 2-In. Positive OR Gate	14-TSSOP		338.64/2,000	
SN74AHC32RGYR	296-13903-1-ND	Vierf. pos. OR-Gate mit 2 Eingängen	Quad 2-In. Positive OR Gate	14-QFN	.51	.39	.29
SN74AHC32RGYR	296-13903-2-ND	Vierf. pos. OR-Gate mit 2 Eingängen	Quad 2-In. Positive OR Gate	14-QFN		169.32/1,000	
SN74AHC74D	296-1105-5-ND	Zweif. D-Flip-Flop mit Löschen/Voreinstellen	Dual D-Type F/F w/Clear/Preset	14-SOIC	.39	.32	.22
SN74AHC74DR	296-1105-1-ND	Zweif. D-Flip-Flop mit Löschen/Voreinstellen	Dual D-Type F/F w/Clear/Preset	14-SOIC	.39	.32	.22
SN74AHC74DR	296-1105-2-ND	Zweif. D-Flip-Flop mit Löschen/Voreinstellen	Dual D-Type F/F w/Clear/Preset	14-SOIC		251.86/2,500	
SN74AHC74DBR	296-4621-1-ND	Zweif. D-Flip-Flop mit Löschen/Voreinstellen	Dual D-Type F/F w/Clear/Preset	14-SSOP	.39	.32	.22
SN74AHC74DBR	296-4621-2-ND	Zweif. D-Flip-Flop mit Löschen/Voreinstellen	Dual D-Type F/F w/Clear/Preset	14-SSOP		213.34/2,000	
SN74AHC74DGVR	296-4622-1-ND	Zweif. D-Flip-Flop mit Löschen/Voreinstellen	Dual D-Type F/F with Clear/Preset	14-TVSOP	.42	.34	.26
SN74AHC74DGVR	296-4622-2-ND	Zweif. D-Flip-Flop mit Löschen/Voreinstellen	Dual D-Type F/F with Clear/Preset	14-TVSOP		237.05/2,000	
SN74AHC74N	296-4623-5-ND	Zweif. D-Flip-Flop mit Löschen/Voreinstellen	Dual D-Type F/F with Clear/Preset	14-Dip	.45	.36	.27
SN74AHC74PWR	296-4624-1-ND	Zweif. D-Flip-Flop mit Löschen/Voreinstellen	Dual D-Type F/F with Clear/Preset	14-TSSOP	.39	.32	.22
SN74AHC74PWR	296-4624-2-ND	Zweif. D-Flip-Flop mit Löschen/Voreinstellen	Dual D-Type F/F with Clear/Preset	14-TSSOP		213.34/2,000	
SN74AHC74QDRQ1	296-17298-1-ND	Zweif. D-Flip-Flop mit Löschen/Voreinstellen	Dual D-Type F/F with Clear/Preset	14-SOIC	.54	.41	.31
SN74AHC74QDRQ1	296-17298-2-ND	Zweif. D-Flip-Flop mit Löschen/Voreinstellen	Dual D-Type F/F with Clear/Preset	14-SOIC		440.23/2,500	
SN74AHC74QPWRQ1	296-17496-1-ND	Zweif. D-Flip-Flop mit Löschen/Voreinstellen	Dual D-Type F/F with Clear/Preset	14-TSSOP	.54	.41	.31
SN74AHC74QPWRQ1	296-17496-2-ND	Zweif. D-Flip-Flop mit Löschen/Voreinstellen	Dual D-Type F/F with Clear/Preset	14-TSSOP		360.65/2,000	
SN74AHC74RGYR	296-13904-1-ND	Zweif. D-Flip-Flop mit Löschen/Voreinstellen	Dual D-Type Flip-Flop w/Clear/Preset	14-QFN	.44	.33	.25
SN74AHC74RGYR	296-13904-2-ND	Zweif. D-Flip-Flop mit Löschen/Voreinstellen	Dual D-Type Flip-Flop w/Clear/Preset	14-QFN		146.46/1,000	
SN74AHC86D	296-4625-5-ND	Vierf. Exclusive-OR-Gate mit 2 Eingängen	Quad 2-Input Exclusive-OR Gate	14-SOIC	.39	.32	.22
SN74AHC86DR	296-4625-1-ND	Vierf. Exclusive-OR-Gate mit 2 Eingängen	Quad 2-Input Exclusive-OR Gate	14-SOIC	.39	.32	.22
SN74AHC86DR	296-4625-2-ND	Vierf. Exclusive-OR-Gate mit 2 Eingängen	Quad 2-Input Exclusive-OR Gate	14-SOIC		251.86/2,500	
SN74AHC86DBR	296-4626-1-ND	Vierf. Exclusive-OR-Gate mit 2 Eingängen	Quad 2-Input Exclusive-OR Gate	14-SSOP	.39	.32	.22
SN74AHC86DBR	296-4626-2-ND	Vierf. Exclusive-OR-Gate mit 2 Eingängen	Quad 2-Input Exclusive-OR Gate	14-SSOP		213.34/2,000	
SN74AHC86N	296-4627-5-ND	Vierf. Exclusive-OR-Gate mit 2 Eingängen	Quad 2-Input Exclusive-OR Gate	14-Dip	.45	.36	.27
SN74AHC86PWR	296-4628-1-ND	Vierf. Exclusive-OR-Gate mit 2 Eingängen	Quad 2-Input Exclusive-OR Gate	14-TSSOP	.34	.28	.21
SN74AHC86PWR	296-4628-2-ND	Vierf. Exclusive-OR-Gate mit 2 Eingängen	Quad 2-Input Exclusive-OR Gate	14-TSSOP		189.64/2,000	
SN74AHC86RGYR	296-13905-1-ND	Vierf. Exclusive-OR-Gate mit 2 Eingängen	Quad 2-Input Exclusive-OR Gate	14-QFN	.51	.39	.29
SN74AHC86RGYR	296-13905-2-ND	Vierf. Exclusive-OR-Gate mit 2 Eingängen	Quad 2-Input Exclusive-OR Gate	14-QFN		169.32/1,000	
SN74AHC123ADBR	296-4525-1-ND	Zweif. monostabiler Retrigger-Multivibrator	Dual Retrig Monostable Multivibrator	16-SSOP	.47	.38	.28
SN74AHC123ADBR	296-4525-2-ND	Zweif. monostabiler Retrigger-Multivibrator	Dual Retrig Monostable Multivibrator	16-SSOP		260.75/2,000	
SN74AHC123ADGVR	296-4526-1-ND	Zweif. monostabiler Retrigger-Multivibrator	Dual Retrig Monostable Multivibrator	16-TVSOP	.51	.39	.29
SN74AHC123ADGVR	296-4526-2-ND	Zweif. monostabiler Retrigger-Multivibrator	Dual Retrig Monostable Multivibrator	16-TVSOP		338.64/2,000	
SN74AHC123ADR	296-4527-1-ND	Zweif. monostabiler Retrigger-Multivibrator	Dual Retrig Monostable Multivibrator	16-SOIC	.47	.38	.28
SN74AHC123ADR	296-4527-2-ND	Zweif. monostabiler Retrigger-Multivibrator	Dual Retrig Monostable Multivibrator	16-SOIC		315.36/2,500	
SN74AHC123APWR	296-4528-1-ND	Zweif. monostabiler Retrigger-Multivibrator	Dual Retrig Monostable Multivibrator	16-TSSOP	.47	.38	.28
SN74AHC123APWR	296-4528-2-ND	Zweif. monostabiler Retrigger-Multivibrator	Dual Retrig Monostable Multivibrator	16-TSSOP		260.75/2,000	
SN74AHC125DBR	296-4529-1-ND	Vierf. Bus-Puffer-Gate, Tri-State	Tri-State Quad Bus Buffer Gate	14-SOIC	.47	.38	.28
SN74AHC125DBR	296-4529-2-ND	Vierf. Bus-Puffer-Gate, Tri-State	Tri-State Quad Bus Buffer Gate	14-SOIC		260.75/2,000	
SN74AHC125DR	296-4530-1-ND	Vierf. Bus-Puffer-Gate, Tri-State	Tri-State Quad Bus Buffer Gate	14-SOIC	.47	.38	.28
SN74AHC125DR	296-4530-2-ND	Vierf. Bus-Puffer-Gate, Tri-State	Tri-State Quad Bus Buffer Gate	14-SOIC		315.36/2,500	
SN74AHC125N	296-4531-5-ND	Vierf. Bus-Puffer-Gate, Tri-State	Tri-State Quad Bus Buffer Gate	14-Dip	.47	.38	.28
SN74AHC125PWR	296-1083-1-ND	Vierf. Bus-Puffer-Gate, Tri-State	Tri-State Quad Bus Buffer Gate	14-TSSOP	.47	.38	.28
SN74AHC125PWR	296-1083-2-ND	Vierf. Bus-Puffer-Gate, Tri-State	Tri-State Quad Bus Buffer Gate	14-TSSOP		260.75/2,000	
SN74AHC125QPWRQ1	296-17494-1-ND	Vierf. Bus-Puffer-Gate, Tri-State	Tri-State Quad Bus Buffer Gate	14-TSSOP	.44	.33	.25
SN74AHC125QPWRQ1	296-17494-2-ND	Vierf. Bus-Puffer-Gate, Tri-State	Tri-State Quad Bus Buffer Gate	14-TSSOP		291.23/2,000	
SN74AHC125RGYR	296-13897-1-ND	Vierf. Bus-Puffer-Gate, Tri-State	Tri-State Quad Bus Buffer Gate	14-QFN	.41	.31	.23
SN74AHC125RGYR	296-13897-2-ND	Vierf. Bus-Puffer-Gate, Tri-State	Tri-State Quad Bus Buffer Gate	14-QFN		135.46/1,000	
SN74AHC126DBR	296-4532-1-ND	Vierf. Bus-Puffer-Gate, Tri-State	Tri-State Quad Bus Buffer Gate	14-SSOP	.47	.38	.28
SN74AHC126DBR	296-4532-2-ND	Vierf. Bus-Puffer-Gate, Tri-State	Tri-State Quad Bus Buffer Gate	14-SSOP		260.75/2,000	
SN74AHC126DGVR	296-4533-1-ND	Vierf. Bus-Puffer-Gate, Tri-State	Tri-State Quad Bus Buffer Gate	14-TVSOP	.47	.38	.28
SN74AHC126DGVR	296-4533-2-ND	Vierf. Bus-Puffer-Gate, Tri-State	Tri-State Quad Bus Buffer Gate	14-TVSOP		260.75/2,000	
SN74AHC126DR	296-4534-1-ND	Vierf. Bus-Puffer-Gate, Tri-State	Tri-State Quad Bus Buffer Gate	14-SOIC	.47	.38	.28
SN74AHC126DR	296-4534-2-ND	Vierf. Bus-Puffer-Gate, Tri-State	Tri-State Quad Bus Buffer Gate	14-SOIC		315.36/2,500	
SN74AHC126N	296-4535-5-ND	Vierf. Bus-Puffer-Gate, Tri-State	Tri-State Quad Bus Buffer Gate	14-Dip	.47	.38	.28
SN74AHC126PWR	296-4536-1-ND	Vierf. Bus-Puffer-Gate, Tri-State	Tri-State Quad Bus Buffer Gate	14-TSSOP	.47	.38	.28
SN74AHC126PWR	296-4536-2-ND	Vierf. Bus-Puffer-Gate, Tri-State	Tri-State Quad Bus Buffer Gate	14-TSSOP		260.75/2,000	
SN74AHC132D	296-1465-5-ND	Vierf. NAND-Gate	Quad NAND Gate	14-SOIC	.47	.38	.28
SN74AHC132DR	296-1465-1-ND	Vierf. NAND-Gate	Quad NAND Gate	14-SOIC	.47	.38	.28
SN74AHC132DR	296-1465-2-ND	Vierf. NAND-Gate	Quad NAND Gate	14-SOIC		315.36/2,500	
SN74AHC132DBR	296-4537-1-ND	Vierf. NAND-Gate	Quad NAND Gate	14-SSOP	.47	.38	.28
SN74AHC132DBR	296-4537-2-ND	Vierf. NAND-Gate	Quad NAND Gate	14-SSOP		260.75/2,000	
SN74AHC132DGVR	296-4538-1-ND	Vierf. NAND-Gate	Quad NAND Gate	14-TVSOP	.47	.38	.28
SN74AHC132DGVR	296-4538-2-ND	Vierf. NAND-Gate	Quad NAND Gate	14-TVSOP		260.75/2,000	
SN74AHC132N	296-1466-5-ND	Vierf. NAND-Gate	Quad NAND Gate	14-Dip	.47	.38	.28
SN74AHC132PWR	296-4539-1-ND	Vierf. NAND-Gate	Quad NAND Gate	14-TSSOP	.47	.38	.28
SN74AHC132PWR	296-4539-2-ND	Vierf. NAND-Gate	Quad NAND Gate	14-TSSOP		260.75/2,000	
SN74AHC132RGYR	296-13898-1-ND	Vierf. NAND-Gate	Quad NAND Gate	14-QFN	.41	.31	.23
SN74AHC132RGYR	296-13898-2-ND	Vierf. NAND-Gate	Quad NAND Gate	14-QFN		135.46/1,000	
SN74AHC138D	296-4540-5-ND	3-8 Leitungs-Dekodierer/Demultiplexer	3-8 Line Decoder/Demultiplexer	16-SOIC	.47	.38	.28
SN74AHC138DR	296-4540-1-ND	3-8 Leitungs-Dekodierer/Demultiplexer	3-8 Line Decoder/Demultiplexer	16-SOIC	.47	.38	.28
SN74AHC138DR	296-4540-2-ND	3-8 Leitungs-Dekodierer/Demultiplexer	3-8 Line Decoder/Demultiplexer	16-SOIC		315.36/2,500	
SN74AHC138DBR	296-4541-1-ND	3-8 Leitungs-Dekodierer/Demultiplexer	3-8 Line Decoder/Demultiplexer	16-SSOP	.47	.38	.28
SN74AHC138DBR	296-4541-2-ND	3-8 Leitungs-Dekodierer/Demultiplexer	3-8 Line Decoder/Demultiplexer	16-SSOP		260.75/2,000	
SN74AHC138N	296-4542-5-ND	3-8 Leitungs-Dekodierer/Demultiplexer	3-8 Line Decoder/Demultiplexer	16-Dip	.47	.38	.28
SN74AHC138PWR	296-1084-1-ND	3-8 Leitungs-Dekodierer/Demultiplexer	3-8 Line Decoder/Demultiplexer	16-TSSOP	.47	.38	.28
SN74AHC138PWR	296-1084-2-ND	3-8 Leitungs-Dekodierer/Demultiplexer	3-8 Line Decoder/Demultiplexer	16-TSSOP		260.75/2,000	
SN74AHC138RGYR	296-13899-1-ND	3-8 Leitungs-Dekodierer/Demultiplexer	3-8 Line Decoder/Demultiplexer	16-QFN	.51	.39	.29
SN74AHC138RGYR	296-13899-2-ND	3-8 Leitungs-Dekodierer/Demultiplexer	3-8 Line Decoder/Demultiplexer	16-QFN		169.32/1,000	
SN74AHC139D	296-4543-5-ND	Zweif. 2-4 Dekodierer/Demultiplexer	Dual 2-4 Decoder/Demultiplexer	16-SOIC	.47	.38	.28
SN74AHC139DBR	296-4544-1-ND	Zweif. 2-4 Dekodierer/Demultiplexer	Dual 2-4 Decoder/Demultiplexer	16-SSOP	.47	.38	.28
SN74AHC139DBR	296-4544-2-ND	Zweif. 2-4 Dekodierer/Demultiplexer	Dual 2-4 Decoder/Demultiplexer	16-SSOP		260.75/2,000	
SN74AHC139DGVR	296-4545-1-ND	Zweif. 2-4 Dekodierer/Demultiplexer	Dual 2-4 Decoder/Demultiplexer	16-TVSOP	.41	.31	.23
SN74AHC139DGVR	296-4545-2-ND	Zweif. 2-4 Dekodierer/Demultiplexer	Dual 2-4 Decoder/Demultiplexer	16-TVSOP		270.91/2,000	

(Forts.)

★ ***RUFEN SIE BITTE AN FÜR NIEDRIGERE PREISE BEI GRÖSSEREN MENGEN!*** ★

B

T. I. Teilenr.	Digi-Key Teilenr.	Beschreibung		Paket	Stückpreis★ 1	25	100
SN74AHC139N	296-4546-5-ND	Zweif. 2-4 Dekodierer/Demultiplexer	Dual 2-4 Decoder/Demultiplexer	16-Dip	.47	.38	.28
SN74AHC139PWR	296-4547-1-ND	Zweif. 2-4 Dekodierer/Demultiplexer	Dual 2-4 Decoder/Demultiplexer	16-TSSOP	.47	.38	.28
SN74AHC139PWR	296-4547-2-ND	Zweif. 2-4 Dekodierer/Demultiplexer	Dual 2-4 Decoder/Demultiplexer	16-TSSOP		260.75/2,000	
SN74AHC139RGYR	296-13900-1-ND	Zweif. 2-4 Dekodierer/Demultiplexer	Dual 2-4 Decoder/Demultiplexer	16-QFN	.51	.39	.29
SN74AHC139RGYR	296-13900-2-ND	Zweif. 2-4 Dekodierer/Demultiplexer	Dual 2-4 Decoder/Demultiplexer	16-QFN		169.32/1,000	
SN74AHC157D	296-4551-5-ND	Vierf. 2-1 Datenselektor/Multiplexer	Quad 2-1 Data Selector/Multiplexer	16-SOIC	.54	.41	.31
SN74AHC157DBR	296-4552-1-ND	Vierf. 2-1 Datenselektor/Multiplexer	Quad 2-1 Data Selector/Multiplexer	16-SSOP	.54	.41	.31
SN74AHC157DBR	296-4552-2-ND	Vierf. 2-1 Datenselektor/Multiplexer	Quad 2-1 Data Selector/Multiplexer	16-SSOP		360.65/2,000	
SN74AHC157DGVR	296-4553-1-ND	Vierf. 2-1 Datenselektor/Multiplexer	Quad 2-1 Data Selector/Multiplexer	16-TVSOP	.54	.41	.31
SN74AHC157DGVR	296-4553-2-ND	Vierf. 2-1 Datenselektor/Multiplexer	Quad 2-1 Data Selector/Multiplexer	16-TVSOP		360.65/2,000	
SN74AHC157DR	296-14700-1-ND	Vierf. 2-1 Datenselektor/Multiplexer	Quad 2-1 Data Selector/Multiplexer	16-SOIC	.54	.41	.31
SN74AHC157DR	296-14700-2-ND	Vierf. 2-1 Datenselektor/Multiplexer	Quad 2-1 Data Selector/Multiplexer	16-SOIC		440.23/2,500	
SN74AHC157N	296-4554-5-ND	Vierf. 2-1 Datenselektor/Multiplexer	Quad 2-1 Data Selector/Multiplexer	16-Dip	.54	.41	.31
SN74AHC157NSR	296-13134-1-ND	Vierf. 2-1 Datenselektor/Multiplexer	Quad 2-1 Data Selector/Multiplexer	16-SOP	.54	.41	.31
SN74AHC157NSR	296-13134-2-ND	Vierf. 2-1 Datenselektor/Multiplexer	Quad 2-1 Data Selector/Multiplexer	16-SOP		360.65/2,000	
SN74AHC157PWR	296-4555-1-ND	Vierf. 2-1 Datenselektor/Multiplexer	Quad 2-1 Data Selector/Multiplexer	16-TSSOP	.54	.41	.31
SN74AHC157PWR	296-4555-2-ND	Vierf. 2-1 Datenselektor/Multiplexer	Quad 2-1 Data Selector/Multiplexer	16-TSSOP		360.65/2,000	
SN74AHC157RGYR	296-13902-1-ND	Vierf. 2-1 Datenselektor/Multiplexer	Quad 2-1 Data Selector/Multiplexer	16-QFN	.54	.41	.31
SN74AHC157RGYR	296-13902-2-ND	Vierf. 2-1 Datenselektor/Multiplexer	Quad 2-1 Data Selector/Multiplexer	16-QFN		180.33/1,000	
SN74AHC158DBR	296-4556-1-ND	Vierf. 2-1 Datenselektor/Multiplexer	Quad 2-1 Data Selector/Multiplexer	16-SSOP	.47	.38	.28
SN74AHC158DBR	296-4556-2-ND	Vierf. 2-1 Datenselektor/Multiplexer	Quad 2-1 Data Selector/Multiplexer	16-SSOP		260.75/2,000	
SN74AHC158DGVR	296-4557-1-ND	Vierf. 2-1 Datenselektor/Multiplexer	Quad 2-1 Data Selector/Multiplexer	16-TVSOP	.47	.38	.28
SN74AHC158DGVR	296-4557-2-ND	Vierf. 2-1 Datenselektor/Multiplexer	Quad 2-1 Data Selector/Multiplexer	16-TVSOP		260.75/2,000	
SN74AHC158DR	296-4558-1-ND	Vierf. 2-1 Datenselektor/Multiplexer	Quad 2-1 Data Selector/Multiplexer	16-SOIC	.47	.38	.28
SN74AHC158DR	296-4558-2-ND	Vierf. 2-1 Datenselektor/Multiplexer	Quad 2-1 Data Selector/Multiplexer	16-SOIC		315.36/2,500	
SN74AHC158PWR	296-4559-1-ND	Vierf. 2-1 Datenselektor/Multiplexer	Quad 2-1 Data Selector/Multiplexer	16-TSSOP	.47	.38	.28
SN74AHC158PWR	296-4559-2-ND	Vierf. 2-1 Datenselektor/Multiplexer	Quad 2-1 Data Selector/Multiplexer	16-TSSOP		260.75/2,000	
SN74AHC174D	296-1467-5-ND	Sechsf. D-Flip-Flop mit Löschen	Hex D-Type Flip-Flop with Clear	16-SOIC	.47	.38	.28
SN74AHC174DBR	296-4578-1-ND	Sechsf. D-Flip-Flop mit Löschen	Hex D-Type Flip-Flop with Clear	16-SSOP	.47	.38	.28
SN74AHC174DBR	296-4578-2-ND	Sechsf. D-Flip-Flop mit Löschen	Hex D-Type Flip-Flop with Clear	16-SSOP		260.75/2,000	
SN74AHC174N	296-1468-5-ND	Sechsf. D-Flip-Flop mit Löschen	Hex D-Type Flip-Flop with Clear	16-Dip	.47	.38	.28
SN74AHC174PWR	296-12739-1-ND	Sechsf. D-Flip-Flop mit Löschen	Hex D-Type Flip-Flop with Clear	16-TSSOP	.47	.38	.28
SN74AHC174PWR	296-12739-2-ND	Sechsf. D-Flip-Flop mit Löschen	Hex D-Type Flip-Flop with Clear	16-TSSOP		260.75/2,000	
SN74AHC240DBR	296-4579-1-ND	Achtf. Puffer/Treiber, Tri-State	Tri-State Octal Buffer/Driver	20-SSOP	.51	.39	.29
SN74AHC240DBR	296-4579-2-ND	Achtf. Puffer/Treiber, Tri-State	Tri-State Octal Buffer/Driver	20-SSOP		338.64/2,000	
SN74AHC240DGVR	296-12858-1-ND	Achtf. Puffer/Treiber, Tri-State	Tri-State Octal Buffer/Driver	20-TVSOP	.51	.39	.29
SN74AHC240DGVR	296-12858-2-ND	Achtf. Puffer/Treiber, Tri-State	Tri-State Octal Buffer/Driver	20-TVSOP		338.64/2,000	
SN74AHC240DW	296-4580-5-ND	Achtf. Puffer/Treiber, Tri-State	Tri-State Octal Buffer/Driver	20-SOIC	.51	.39	.29
SN74AHC240DWR	296-4580-1-ND	Achtf. Puffer/Treiber, Tri-State	Tri-State Octal Buffer/Driver	20-SOIC	.51	.39	.29
SN74AHC240DWR	296-4580-2-ND	Achtf. Puffer/Treiber, Tri-State	Tri-State Octal Buffer/Driver	20-SOIC		338.64/2,000	
SN74AHC240N	296-4581-5-ND	Achtf. Puffer/Treiber, Tri-State	Tri-State Octal Buffer/Driver	20-Dip	.56	.42	.32
SN74AHC240PWR	296-4582-1-ND	Achtf. Puffer/Treiber, Tri-State	Tri-State Octal Buffer/Driver	20-TSSOP	.51	.39	.29
SN74AHC240PWR	296-4582-2-ND	Achtf. Puffer/Treiber, Tri-State	Tri-State Octal Buffer/Driver	20-TSSOP		338.64/2,000	
SN74AHC244DBR	296-4583-1-ND	Achtf. Puffer/Treiber, Tri-State	Tri-State Octal Buffer/Driver	20-SSOP	.51	.39	.29
SN74AHC244DBR	296-4583-2-ND	Achtf. Puffer/Treiber, Tri-State	Tri-State Octal Buffer/Driver	20-SSOP		338.64/2,000	
SN74AHC244DGVR	296-4584-1-ND	Achtf. Puffer/Treiber, Tri-State	Tri-State Octal Buffer/Driver	20-TVSOP	.51	.39	.29
SN74AHC244DGVR	296-4584-2-ND	Achtf. Puffer/Treiber, Tri-State	Tri-State Octal Buffer/Driver	20-TVSOP		338.64/2,000	
SN74AHC244DW	296-1096-5-ND	Achtf. Puffer/Treiber, Tri-State	Tri-State Octal Buffer/Driver	20-SOIC	.51	.39	.29
SN74AHC244DWR	296-1096-1-ND	Achtf. Puffer/Treiber, Tri-State	Tri-State Octal Buffer/Driver	20-SOIC	.51	.39	.29
SN74AHC244DWR	296-1096-2-ND	Achtf. Puffer/Treiber, Tri-State	Tri-State Octal Buffer/Driver	20-SOIC		338.64/2,000	
SN74AHC244N	296-4585-5-ND	Achtf. Puffer/Treiber, Tri-State	Tri-State Octal Buffer/Driver	20-Dip	.56	.42	.32
SN74AHC244PWR	296-1097-1-ND	Achtf. Puffer/Treiber, Tri-State	Tri-State Octal Buffer/Driver	20-TSSOP	.51	.39	.29
SN74AHC244PWR	296-1097-2-ND	Achtf. Puffer/Treiber, Tri-State	Tri-State Octal Buffer/Driver	20-TSSOP		338.64/2,000	
SN74AHC244QDWRQ1	296-17495-1-ND	Achtf. Puffer/Treiber, Tri-State	Tri-State Octal Buffer/Driver	20-SOIC	.59	.45	.34
SN74AHC244QDWRQ1	296-17495-2-ND	Achtf. Puffer/Treiber, Tri-State	Tri-State Octal Buffer/Driver	20-SOIC		396.21/2,000	
SN74AHC244QPWR	296-17013-1-ND	Achtf. Puffer/Treiber, Tri-State	Tri-State Octal Buffer/Driver	20-TSSOP	.81	.61	.46
SN74AHC244QPWR	296-17013-2-ND	Achtf. Puffer/Treiber, Tri-State	Tri-State Octal Buffer/Driver	20-TSSOP		540.13/2,000	
SN74AHC245DBR	296-4586-1-ND	Achtf. Bus-Transceiver, Tri-State	Tri-State Octal Bus Transceiver	20-SSOP	.41	.31	.23
SN74AHC245DBR	296-4586-2-ND	Achtf. Bus-Transceiver, Tri-State	Tri-State Octal Bus Transceiver	20-SSOP		270.91/2,000	
SN74AHC245DGVR	296-4587-1-ND	Achtf. Bus-Transceiver, Tri-State	Tri-State Octal Bus Transceiver	20-TVSOP	.68	.51	.39
SN74AHC245DGVR	296-4587-2-ND	Achtf. Bus-Transceiver, Tri-State	Tri-State Octal Bus Transceiver	20-TVSOP		450.39/2,000	
SN74AHC245DW	296-4588-5-ND	Achtf. Bus-Transceiver, Tri-State	Tri-State Octal Bus Transceiver	20-SOIC	.41	.31	.23
SN74AHC245N	296-4589-5-ND	Achtf. Bus-Transceiver, Tri-State	Tri-State Octal Bus Transceiver	20-Dip	.48	.37	.28
SN74AHC245NSR	296-13135-1-ND	Achtf. Bus-Transceiver, Tri-State	Tri-State Octal Bus Transceiver	20-SOP	.48	.37	.28
SN74AHC245NSR	296-13135-2-ND	Achtf. Bus-Transceiver, Tri-State	Tri-State Octal Bus Transceiver	20-SOP		321.71/2,000	
SN74AHC245PWR	296-1098-1-ND	Achtf. Transceiver, Tri-State	Tri-State Octal Transceiver	20-TSSOP	.41	.31	.23
SN74AHC245PWR	296-1098-2-ND	Achtf. Transceiver, Tri-State	Tri-State Octal Transceiver	20-TSSOP		270.91/2,000	
SN74AHC273DBR	296-4590-1-ND	Achtf. D-Flip-Flop mit Löschen	Octal D-Type Flip-Flop with Clear	20-SSOP	.47	.36	.27
SN74AHC273DBR	296-4590-2-ND	Achtf. D-Flip-Flop mit Löschen	Octal D-Type Flip-Flop with Clear	20-SSOP		314.94/2,000	
SN74AHC273DGVR	296-4591-1-ND	Achtf. D-Flip-Flop mit Löschen	Octal D-Type Flip-Flop with Clear	20-TVSOP	.51	.39	.29
SN74AHC273DGVR	296-4591-2-ND	Achtf. D-Flip-Flop mit Löschen	Octal D-Type Flip-Flop with Clear	20-TVSOP		338.64/2,000	
SN74AHC273DW	296-1470-5-ND	Achtf. D-Flip-Flop mit Löschen	Octal D-Type Flip-Flop with Clear	20-SOIC	.47	.36	.27
SN74AHC273DWR	296-1470-1-ND	Achtf. D-Flip-Flop mit Löschen	Octal D-Type Flip-Flop with Clear	20-SOIC	.47	.36	.27
SN74AHC273DWR	296-1470-2-ND	Achtf. D-Flip-Flop mit Löschen	Octal D-Type Flip-Flop with Clear	20-SOIC		314.94/2,000	
SN74AHC273N	296-1471-5-ND	Achtf. D-Flip-Flop mit Löschen	Octal D-Type Flip-Flop with Clear	20-Dip	.47	.36	.27
SN74AHC273PWR	296-4592-1-ND	Achtf. D-Flip-Flop mit Löschen	Octal D-Type Flip-Flop with Clear	20-TSSOP	.47	.36	.27
SN74AHC273PWR	296-4592-2-ND	Achtf. D-Flip-Flop mit Löschen	Octal D-Type Flip-Flop with Clear	20-TSSOP		314.94/2,000	
SN74AHC367DR	296-4597-1-ND	Sechsf. Puffer/Treiber, Tri-State	Tri-State Hex Buff/Driver	16-SOIC	.89	.75	.60
SN74AHC367DR	296-4597-2-ND	Sechsf. Puffer/Treiber, Tri-State	Tri-State Hex Buff/Driver	16-SOIC		963.01/2,500	
SN74AHC373DBR	296-4598-1-ND	Achtf. transparenter Tri-State D-Latch	Tri-State Octal Transp. D-Type Latch	20-SSOP	.51	.39	.29
SN74AHC373DBR	296-4598-2-ND	Achtf. transparenter Tri-State D-Latch	Tri-State Octal Transp. D-Type Latch	20-SSOP		338.64/2,000	
SN74AHC373DGVT	296-17111-1-ND	Achtf. transparenter Tri-State D-Latch	Tri-State Octal Transp. D-Type Latch	20-TVSOP	.61	.46	.35
SN74AHC373DGVT	296-17111-2-ND	Achtf. transparenter Tri-State D-Latch	Tri-State Octal Transp. D-Type Latch	20-TVSOP		404.67/2,000	
SN74AHC373DW	296-4599-5-ND	Achtf. transparenter Tri-State D-Latch	Tri-State Octal Transp. D-Type Latch	20-SOIC	.51	.39	.29
SN74AHC373N	296-4600-5-ND	Achtf. transparenter Tri-State D-Latch	Tri-State Octal Transp. D-Type Latch	20-Dip	.56	.42	.32
SN74AHC373NSR	296-13137-1-ND	Achtf. transparenter Tri-State D-Latch	Tri-State Octal Transp. D-Type Latch	20-SOP	.51	.39	.29
SN74AHC373NSR	296-13137-2-ND	Achtf. transparenter Tri-State D-Latch	Tri-State Octal Transp. D-Type Latch	20-SOP		338.64/2,000	
SN74AHC373PWR	296-1100-1-ND	Achtf. transparenter Tri-State D-Latch	Tri-State Octal Transp. D-Type Latch	20-TSSOP	.51	.39	.29
SN74AHC373PWR	296-1100-2-ND	Achtf. transparenter Tri-State D-Latch	Tri-State Octal Transp. D-Type Latch	20-TSSOP		338.64/2,000	
SN74AHC374DBR	296-1101-1-ND	Achtf. D-Flip-Flop, Tri-State	Tri-State Octal D-Type Flip-Flop	20-SSOP	.51	.39	.29
SN74AHC374DBR	296-1101-2-ND	Achtf. D-Flip-Flop, Tri-State	Tri-State Octal D-Type Flip-Flop	20-SSOP		338.64/2,000	
SN74AHC374DGVR	296-4601-1-ND	Achtf. D-Flip-Flop, Tri-State	Tri-State Octal D-Type Flip-Flop	20-TVSOP	.51	.39	.29
SN74AHC374DGVR	296-4601-2-ND	Achtf. D-Flip-Flop, Tri-State	Tri-State Octal D-Type Flip-Flop	20-TVSOP		338.64/2,000	
SN74AHC374DWR	296-4602-1-ND	Achtf. D-Flip-Flop, Tri-State	Tri-State Octal D-Type Flip-Flop	20-SOIC	.51	.39	.29
SN74AHC374DWR	296-4602-2-ND	Achtf. D-Flip-Flop, Tri-State	Tri-State Octal D-Type Flip-Flop	20-SOIC		338.64/2,000	
SN74AHC374N	296-4603-5-ND	Achtf. D-Flip-Flop, Tri-State	Tri-State Octal D-Type Flip-Flop	20-Dip	.56	.42	.32
SN74AHC374PWR	296-1102-1-ND	Achtf. D-Flip-Flop, Tri-State	Tri-State Octal D-Type Flip-Flop	20-TSSOP	.51	.39	.29
SN74AHC374PWR	296-1102-2-ND	Achtf. D-Flip-Flop, Tri-State	Tri-State Octal D-Type Flip-Flop	20-TSSOP		338.64/2,000	
SN74AHC540DBR	296-4604-1-ND	Achtf. Puffer/Treiber, Tri-State	Tri-State Octal Buffer/Driver	20-SSOP	.47	.36	.27
SN74AHC540DBR	296-4604-2-ND	Achtf. Puffer/Treiber, Tri-State	Tri-State Octal Buffer/Driver	20-SSOP		314.94/2,000	

(Forts.)

★ RUFEN SIE BITTE AN FÜR NIEDRIGERE PREISE BEI GRÖSSEREN MENGEN! ★

T. I. Teilenr.	Digi-Key Teilenr.	Beschreibung		Paket	Stückpreis★ 1	25	100
SN74AHC540DW	296-4605-5-ND	Achtf. Puffer/Treiber, Tri-State	Tri-State Octal Buffer/Driver	20-SOIC	.47	.36	.27
SN74AHC540DWR	296-4605-1-ND	Achtf. Puffer/Treiber, Tri-State	Tri-State Octal Buffer/Driver	20-SOIC	.47	.36	.27
SN74AHC540DWR	296-4605-2-ND	Achtf. Puffer/Treiber, Tri-State	Tri-State Octal Buffer/Driver	20-SOIC		314.94/2,000	
SN74AHC540N	296-4606-5-ND	Achtf. Puffer/Treiber, Tri-State	Tri-State Octal Buffer/Driver	20-Dip	.47	.36	.27
SN74AHC540PWR	296-4607-1-ND	Achtf. Puffer/Treiber, Tri-State	Tri-State Octal Buffer/Driver	20-TSSOP	.47	.36	.27
SN74AHC540PWR	296-4607-2-ND	Achtf. Puffer/Treiber, Tri-State	Tri-State Octal Buffer/Driver	20-TSSOP		314.94/2,000	
SN74AHC541DBR	296-4608-1-ND	Achtf. Puffer/Treiber, Tri-State	Tri-State Octal Buffer/Driver	20-SSOP	.47	.36	.27
SN74AHC541DBR	296-4608-2-ND	Achtf. Puffer/Treiber, Tri-State	Tri-State Octal Buffer/Driver	20-SSOP		314.94/2,000	
SN74AHC541DGVR	296-12740-1-ND	Achtf. Puffer/Treiber, Tri-State	Tri-State Octal Buffer/Driver	20-TVSOP	.47	.36	.27
SN74AHC541DGVR	296-12740-2-ND	Achtf. Puffer/Treiber, Tri-State	Tri-State Octal Buffer/Driver	20-TVSOP		314.94/2,000	
SN74AHC541DWR	296-4609-1-ND	Achtf. Puffer/Treiber, Tri-State	Tri-State Octal Buffer/Driver	20-SOIC	.47	.36	.27
SN74AHC541DWR	296-4609-2-ND	Achtf. Puffer/Treiber, Tri-State	Tri-State Octal Buffer/Driver	20-SOIC		314.94/2,000	
SN74AHC541N	296-4610-5-ND	Achtf. Puffer/Treiber, Tri-State	Tri-State Octal Buffer/Driver	20-Dip	.47	.36	.27
SN74AHC541NSR	296-13138-1-ND	Achtf. Puffer/Treiber, Tri-State	Tri-State Octal Buffer/Driver	20-SOP	.47	.36	.27
SN74AHC541NSR	296-13138-2-ND	Achtf. Puffer/Treiber, Tri-State	Tri-State Octal Buffer/Driver	20-SOP		314.94/2,000	
SN74AHC541PWR	296-1103-1-ND	Achtf. Puffer/Treiber, Tri-State	Tri-State Octal Buffer/Driver	20-TSSOP	.47	.36	.27
SN74AHC541PWR	296-1103-2-ND	Achtf. Puffer/Treiber, Tri-State	Tri-State Octal Buffer/Driver	20-TSSOP		314.94/2,000	
SN74AHC573DBR	296-4611-1-ND	Achtf. transparenter Tri-State D-Latch	Tri-State Octal Transp. D-Type Latch	20-SSOP	.51	.39	.29
SN74AHC573DBR	296-4611-2-ND	Achtf. transparenter Tri-State D-Latch	Tri-State Octal Transp. D-Type Latch	20-SSOP		338.64/2,000	
SN74AHC573DGVR	296-13818-1-ND	Achtf. transparenter Tri-State D-Latch	Tri-State Octal Transp. D-Type Latch	20-TVSOP	.51	.39	.29
SN74AHC573DGVR	296-13818-2-ND	Achtf. transparenter Tri-State D-Latch	Tri-State Octal Transp. D-Type Latch	20-TVSOP		338.64/2,000	
SN74AHC573DW	296-4612-5-ND	Achtf. transparenter Tri-State D-Latch	Tri-State Octal Transp. D-Type Latch	20-SOIC	.51	.39	.29
SN74AHC573DWR	296-4612-1-ND	Achtf. transparenter Tri-State D-Latch	Tri-State Octal Transp. D-Type Latch	20-SOIC	.51	.39	.29
SN74AHC573DWR	296-4612-2-ND	Achtf. transparenter Tri-State D-Latch	Tri-State Octal Transp. D-Type Latch	20-SOIC		338.64/2,000	
SN74AHC573N	296-4613-5-ND	Achtf. transparenter Tri-State D-Latch	Tri-State Octal Transp. D-Type Latch	20-Dip	.56	.42	.32
SN74AHC573PWR	296-1104-1-ND	Achtf. transparenter Tri-State D-Latch	Tri-State Octal Transp. D-Type Latch	20-TSSOP	.51	.39	.29
SN74AHC573PWR	296-1104-2-ND	Achtf. transparenter Tri-State D-Latch	Tri-State Octal Transp. D-Type Latch	20-TSSOP		338.64/2,000	
SN74AHC574DBR	296-4614-1-ND	Achtf. D-Flip-Flop, Tri-State	Tri-State Octal D-Type Flip-Flop	20-SSOP	.51	.39	.29
SN74AHC574DBR	296-4614-2-ND	Achtf. D-Flip-Flop, Tri-State	Tri-State Octal D-Type Flip-Flop	20-SSOP		338.64/2,000	
SN74AHC574DWR	296-4615-1-ND	Achtf. D-Flip-Flop, Tri-State	Tri-State Octal D-Type Flip-Flop	20-SOIC	.51	.39	.29
SN74AHC574DWR	296-4615-2-ND	Achtf. D-Flip-Flop, Tri-State	Tri-State Octal D-Type Flip-Flop	20-SOIC		338.64/2,000	
SN74AHC574N	296-4616-5-ND	Achtf. D-Flip-Flop, Tri-State	Tri-State Octal D-Type Flip-Flop	20-Dip	.56	.42	.32
SN74AHC574PWR	296-4617-1-ND	Achtf. D-Flip-Flop, Tri-State	Tri-State Octal D-Type Flip-Flop	20-TSSOP	.51	.39	.29
SN74AHC574PWR	296-4617-2-ND	Achtf. D-Flip-Flop, Tri-State	Tri-State Octal D-Type Flip-Flop	20-TSSOP		338.64/2,000	
SN74AHC594D	296-15394-5-ND	8-Bit Schieberegister	8-Bit Shift Register	16-SOIC	.81	.61	.46
SN74AHC595D	296-4618-5-ND	8-Bit Schieberegister, Tri-State	Tri-State 8-Bit Shift Register	16-SOIC	.81	.61	.46
SN74AHC595N	296-4619-5-ND	8-Bit Schieberegister, Tri-State	Tri-State 8-Bit Shift Register	16-Dip	.81	.61	.46
SN74AHC595PWR	296-4620-1-ND	8-Bit Schieberegister, Tri-State	Tri-State 8-Bit Shift Register	16-TSSOP	.81	.61	.46
SN74AHC595PWR	296-4620-2-ND	8-Bit Schieberegister, Tri-State	Tri-State 8-Bit Shift Register	16-TSSOP		540.13/2,000	
SN74AHC4066DGVR	296-17112-1-ND	Vierf. bilateraler Analogschalter	Quad Bilateral Analog Switch	14-TVSOP	.63	.53	.43
SN74AHC4066DGVR	296-17112-2-ND	Vierf. bilateraler Analogschalter	Quad Bilateral Analog Switch	14-TVSOP		563.84/2,000	
SN74AHC4066DR	296-15256-1-ND	Vierf. bilateraler Analogschalter	Quad Bilateral Analog Switch	14-SOIC	.63	.53	.43
SN74AHC4066DR	296-15256-2-ND	Vierf. bilateraler Analogschalter	Quad Bilateral Analog Switch	14-SOIC		687.86/2,500	
SN74AHC4066PWR	296-15257-1-ND	Vierf. bilateraler Analogschalter	Quad Bilateral Analog Switch	14-TSSOP	.63	.53	.43
SN74AHC4066PWR	296-15257-2-ND	Vierf. bilateraler Analogschalter	Quad Bilateral Analog Switch	14-TSSOP		563.84/2,000	
SN74AHC4066RGYR	296-15258-1-ND	Vierf. bilateraler Analogschalter	Quad Bilateral Analog Switch	14-QFN	.71	.60	.48
SN74AHC4066RGYR	296-15258-2-ND	Vierf. bilateraler Analogschalter	Quad Bilateral Analog Switch	14-QFN		314.94/1,000	
SN74AHC16240DGGR	296-4560-1-ND	Puffer/Treiber, Tri-State, 16-Bit	Tri-State 16-Bit Buffer/Driver	48-TSSOP	1.17	.98	.78
SN74AHC16240DGGR	296-4560-2-ND	Puffer/Treiber, Tri-State, 16-Bit	Tri-State 16-Bit Buffer/Driver	48-TSSOP		1036.24/2,000	
SN74AHC16240DGVR	296-4561-1-ND	Puffer/Treiber, Tri-State, 16-Bit	Tri-State 16-Bit Buffer/Driver	48-TVSOP	1.17	.98	.78
SN74AHC16240DGVR	296-4561-2-ND	Puffer/Treiber, Tri-State, 16-Bit	Tri-State 16-Bit Buffer/Driver	48-TVSOP		1036.24/2,000	
SN74AHC16240DL	296-4562-5-ND	Puffer/Treiber, Tri-State, 16-Bit	Tri-State 16-Bit Buffer/Driver	48-SSOP	1.17	.98	.78
SN74AHC16244DGGR	296-4563-1-ND	Puffer/Treiber, Tri-State, 16-Bit	Tri-State 16-Bit Buffer/Driver	48-TSSOP	1.17	.98	.78
SN74AHC16244DGGR	296-4563-2-ND	Puffer/Treiber, Tri-State, 16-Bit	Tri-State 16-Bit Buffer/Driver	48-TSSOP		1036.24/2,000	
SN74AHC16244DGVR	296-4564-1-ND	Puffer/Treiber, Tri-State, 16-Bit	Tri-State 16-Bit Buffer/Driver	48-TVSOP	1.17	.98	.78
SN74AHC16244DGVR	296-4564-2-ND	Puffer/Treiber, Tri-State, 16-Bit	Tri-State 16-Bit Buffer/Driver	48-TVSOP		1036.24/2,000	
SN74AHC16244DL	296-4565-5-ND	Puffer/Treiber, Tri-State, 16-Bit	Tri-State 16-Bit Buffer/Driver	48-SSOP	1.17	.98	.78
SN74AHC16373DGGR	296-4566-1-ND	Tri-St., 16-Bit transp. D-Latch	Tri-St. 16-Bit Transp. D-Type Latch	48-TSSOP	1.17	.98	.78
SN74AHC16373DGGR	296-4566-2-ND	Tri-St., 16-Bit transp. D-Latch	Tri-St. 16-Bit Transp. D-Type Latch	48-TSSOP		1036.24/2,000	
SN74AHC16373DGVR	296-4567-1-ND	Tri-St., 16-Bit transp. D-Latch	Tri-St. 16-Bit Transp. D-Type Latch	48-TVSOP	1.17	.98	.78
SN74AHC16373DGVR	296-4567-2-ND	Tri-St., 16-Bit transp. D-Latch	Tri-St. 16-Bit Transp. D-Type Latch	48-TVSOP		1036.24/2,000	
SN74AHC16373DL	296-4568-5-ND	Tri-St., 16-Bit transp. D-Latch	Tri-St. 16-Bit Transp. D-Type Latch	48-SSOP	1.17	.98	.78
SN74AHC16373DLR	296-4568-1-ND	Tri-St., 16-Bit transp. D-Latch	Tri-St. 16-Bit Transp. D-Type Latch	48-SSOP	1.17	.98	.78
SN74AHC16373DLR	296-4568-2-ND	Tri-St., 16-Bit transp. D-Latch	Tri-St. 16-Bit Transp. D-Type Latch	48-SSOP		518.12/1,000	
SN74AHC16374DGGR	296-4569-1-ND	D-Flip-Flop, Tri-State, 16-Bit	Tri-State 16-Bit D-Type Flip-Flop	48-TSSOP	1.17	.98	.78
SN74AHC16374DGGR	296-4569-2-ND	D-Flip-Flop, Tri-State, 16-Bit	Tri-State 16-Bit D-Type Flip-Flop	48-TSSOP		1036.24/2,000	
SN74AHC16374DGVR	296-4570-1-ND	D-Flip-Flop, Tri-State, 16-Bit	Tri-State 16-Bit D-Type Flip-Flop	48-TVSOP	1.17	.98	.78
SN74AHC16374DGVR	296-4570-2-ND	D-Flip-Flop, Tri-State, 16-Bit	Tri-State 16-Bit D-Type Flip-Flop	48-TVSOP		1036.24/2,000	
SN74AHC16374DL	296-4571-5-ND	D-Flip-Flop, Tri-State, 16-Bit	Tri-State 16-Bit D-Type Flip-Flop	48-SSOP	1.17	.98	.78
SN74AHC16540DGGR	296-4572-1-ND	Puffer/Treiber, Tri-State, 16-Bit	Tri-State 16-Bit Buffer/Driver	48-TSSOP	1.17	.98	.78
SN74AHC16540DGGR	296-4572-2-ND	Puffer/Treiber, Tri-State, 16-Bit	Tri-State 16-Bit Buffer/Driver	48-TSSOP		1036.24/2,000	
SN74AHC16540DGVR	296-4573-1-ND	Puffer/Treiber, Tri-State, 16-Bit	Tri-State 16-Bit Buffer/Driver	48-TVSOP	1.17	.98	.78
SN74AHC16540DGVR	296-4573-2-ND	Puffer/Treiber, Tri-State, 16-Bit	Tri-State 16-Bit Buffer/Driver	48-TVSOP		1036.24/2,000	
SN74AHC16540DL	296-4574-5-ND	Puffer/Treiber, Tri-State, 16-Bit	Tri-State 16-Bit Buffer/Driver	48-SSOP	1.17	.98	.78
SN74AHC16541DGGR	296-4575-1-ND	Puffer/Treiber, Tri-State, 16-Bit	Tri-State 16-Bit Buffer/Driver	48-TSSOP	1.17	.98	.78
SN74AHC16541DGGR	296-4575-2-ND	Puffer/Treiber, Tri-State, 16-Bit	Tri-State 16-Bit Buffer/Driver	48-TSSOP		1036.24/2,000	
SN74AHC16541DGVR	296-4576-1-ND	Puffer/Treiber, Tri-State, 16-Bit	Tri-State 16-Bit Buffer/Driver	48-TVSOP	1.17	.98	.78
SN74AHC16541DGVR	296-4576-2-ND	Puffer/Treiber, Tri-State, 16-Bit	Tri-State 16-Bit Buffer/Driver	48-TVSOP		1036.24/2,000	
SN74AHC16541DL	296-4577-5-ND	Puffer/Treiber, Tri-State, 16-Bit	Tri-State 16-Bit Buffer/Driver	48-SSOP	1.17	.98	.78
		AHCT-Gruppe					
SN74AHCT00D	296-4629-5-ND	Vierf. NAND-Gate mit 2 Eingängen	Quad 2-Input NAND Gate	14-SOIC	.39	.32	.22
SN74AHCT00DR	296-4629-1-ND	Vierf. NAND-Gate mit 2 Eingängen	Quad 2-Input NAND Gate	14-SOIC	.39	.32	.22
SN74AHCT00DR	296-4629-2-ND	Vierf. NAND-Gate mit 2 Eingängen	Quad 2-Input NAND Gate	14-SOIC		251.86/2,500	
SN74AHCT00DBR	296-4630-1-ND	Vierf. NAND-Gate mit 2 Eingängen	Quad 2-Input NAND Gate	14-SSOP	.39	.32	.22
SN74AHCT00DBR	296-4630-2-ND	Vierf. NAND-Gate mit 2 Eingängen	Quad 2-Input NAND Gate	14-SSOP		213.34/2,000	
SN74AHCT00DGVR	296-4631-1-ND	Vierf. NAND-Gate mit 2 Eingängen	Quad 2-Input NAND Gate	14-TVSOP	.42	.34	.26
SN74AHCT00DGVR	296-4631-2-ND	Vierf. NAND-Gate mit 2 Eingängen	Quad 2-Input NAND Gate	14-TVSOP		237.05/2,000	
SN74AHCT00N	296-4632-5-ND	Vierf. NAND-Gate mit 2 Eingängen	Quad 2-Input NAND Gate	14-Dip	.45	.36	.27
SN74AHCT00PWR	296-4633-1-ND	Vierf. NAND-Gate mit 2 Eingängen	Quad 2-Input NAND Gate	14-TSSOP	.39	.32	.22
SN74AHCT00PWR	296-4633-2-ND	Vierf. NAND-Gate mit 2 Eingängen	Quad 2-Input NAND Gate	14-TSSOP		213.34/2,000	
SN74AHCT00QDRQ1	296-14349-1-ND	Vierf. NAND-Gate mit 2 Eingängen	Quad 2-Input NAND Gate	14-SOIC	.51	.39	.29
SN74AHCT00QDRQ1	296-14349-2-ND	Vierf. NAND-Gate mit 2 Eingängen	Quad 2-Input NAND Gate	14-SOIC		412.72/2,500	
SN74AHCT00QPWRQ1	296-13864-1-ND	Vierf. NAND-Gate mit 2 Eingängen	Quad 2-Input NAND Gate	14-TSSOP	.51	.39	.29
SN74AHCT00QPWRQ1	296-13864-2-ND	Vierf. NAND-Gate mit 2 Eingängen	Quad 2-Input NAND Gate	14-TSSOP		338.64/2,000	
SN74AHCT00RGYR	296-13906-1-ND	Vierf. NAND-Gate mit 2 Eingängen	Quad 2-Input NAND Gate	14-QFN	.51	.39	.29
SN74AHCT00RGYR	296-13906-2-ND	Vierf. NAND-Gate mit 2 Eingängen	Quad 2-Input NAND Gate	14-QFN		169.32/1,000	
SN74AHCT02D	296-4634-5-ND	Vierf. NOR-Gate mit 2 Eingängen	Quad 2-Input NOR Gate	14-SOIC	.39	.32	.22
SN74AHCT02DR	296-4635-1-ND	Vierf. NOR-Gate mit 2 Eingängen	Quad 2-Input NOR Gate	14-SOIC	.39	.32	.22
SN74AHCT02DR	296-4635-2-ND	Vierf. NOR-Gate mit 2 Eingängen	Quad 2-Input NOR Gate	14-SOIC		251.86/2,500	
SN74AHCT02DBR	296-4636-1-ND	Vierf. NOR-Gate mit 2 Eingängen	Quad 2-Input NOR Gate	14-SSOP	.39	.32	.22

(Forts.)

★ ***RUFEN SIE BITTE AN FÜR NIEDRIGERE PREISE BEI GRÖSSEREN MENGEN!*** ★

B

T. I. Teilenr.	Digi-Key Teilenr.	Beschreibung		Paket	Stückpreis★ 1	25	100
SN74AHCT02DBR	296-4636-2-ND	Vierf. NOR-Gate mit 2 Eingängen	Quad 2-Input NOR Gate	14-SSOP		213.34/2,000	
SN74AHCT02DGVR	296-4637-1-ND	Vierf. NOR-Gate mit 2 Eingängen	Quad 2-Input NOR Gate	14-TVSOP	.38	.31	.23
SN74AHCT02DGVR	296-4637-2-ND	Vierf. NOR-Gate mit 2 Eingängen	Quad 2-Input NOR Gate	14-TVSOP		213.34/2,000	
SN74AHCT02N	296-4638-5-ND	Vierf. NOR-Gate mit 2 Eingängen	Quad 2-Input NOR Gate	14-Dip	.45	.36	.27
SN74AHCT02PWR	296-4639-1-ND	Vierf. NOR-Gate mit 2 Eingängen	Quad 2-Input NOR Gate	14-TSSOP	.39	.32	.22
SN74AHCT02PWR	296-4639-2-ND	Vierf. NOR-Gate mit 2 Eingängen	Quad 2-Input NOR Gate	14-TSSOP		213.34/2,000	
SN74AHCT02RGYR	296-13907-1-ND	Vierf. NOR-Gate mit 2 Eingängen	Quad 2-Input NOR Gate	14-QFN	.44	.33	.25
SN74AHCT02RGYR	296-13907-2-ND	Vierf. NOR-Gate mit 2 Eingängen	Quad 2-Input NOR Gate	14-QFN		146.46/1,000	
SN74AHCT04DBR	296-4640-1-ND	Sechsf. Inverter	Hex Inverter	14-SSOP	.39	.32	.22
SN74AHCT04DBR	296-4640-2-ND	Sechsf. Inverter	Hex Inverter	14-SSOP		213.34/2,000	
SN74AHCT04DGVR	296-4641-1-ND	Sechsf. Inverter	Hex Inverter	14-TVSOP	.42	.34	.26
SN74AHCT04DGVR	296-4641-2-ND	Sechsf. Inverter	Hex Inverter	14-TVSOP		237.05/2,000	
SN74AHCT04DR	296-4642-1-ND	Sechsf. Inverter	Hex Inverter	14-SOIC	.39	.32	.22
SN74AHCT04DR	296-4642-2-ND	Sechsf. Inverter	Hex Inverter	14-SOIC		251.86/2,500	
SN74AHCT04N	296-4643-5-ND	Sechsf. Inverter	Hex Inverter	14-Dip	.45	.36	.27
SN74AHCT04NSR	296-13139-1-ND	Sechsf. Inverter	Hex Inverter	14-SOP	.39	.32	.22
SN74AHCT04NSR	296-13139-2-ND	Sechsf. Inverter	Hex Inverter	14-SOP		213.34/2,000	
SN74AHCT04PWR	296-1106-1-ND	Sechsf. Inverter	Hex Inverter	14-TSSOP	.39	.32	.22
SN74AHCT04PWR	296-1106-2-ND	Sechsf. Inverter	Hex Inverter	14-TSSOP		213.34/2,000	
SN74AHCT04RGYR	296-13908-1-ND	Sechsf. Inverter	Hex Inverter	14-QFN	.47	.38	.28
SN74AHCT04RGYR	296-13908-2-ND	Sechsf. Inverter	Hex Inverter	14-QFN		130.38/1,000	
SN74AHCT08D	296-4644-5-ND	Vierf. pos. AND-Gate mit 2 Eingängen	Quad 2-Input Positive AND Gate	14-SOIC	.39	.32	.22
SN74AHCT08DR	296-4644-1-ND	Vierf. pos. AND-Gate mit 2 Eingängen	Quad 2-Input Positive AND Gate	14-SOIC	.39	.32	.22
SN74AHCT08DR	296-4644-2-ND	Vierf. pos. AND-Gate mit 2 Eingängen	Quad 2-Input Positive AND Gate	14-SOIC		251.86/2,500	
SN74AHCT08DBR	296-4645-1-ND	Vierf. pos. AND-Gate mit 2 Eingängen	Quad 2-Input Positive AND Gate	14-SSOP	.39	.32	.22
SN74AHCT08DBR	296-4645-2-ND	Vierf. pos. AND-Gate mit 2 Eingängen	Quad 2-Input Positive AND Gate	14-SSOP		213.34/2,000	
SN74AHCT08DGVR	296-4646-1-ND	Vierf. pos. AND-Gate mit 2 Eingängen	Quad 2-Input Positive AND Gate	14-TVSOP	.42	.34	.26
SN74AHCT08DGVR	296-4646-2-ND	Vierf. pos. AND-Gate mit 2 Eingängen	Quad 2-Input Positive AND Gate	14-TVSOP		237.05/2,000	
SN74AHCT08N	296-4647-5-ND	Vierf. pos. AND-Gate mit 2 Eingängen	Quad 2-Input Positive AND Gate	14-Dip	.45	.36	.27
SN74AHCT08NSR	296-13140-1-ND	Vierf. pos. AND-Gate mit 2 Eingängen	Quad 2-Input Positive AND Gate	14-SOP	.39	.32	.22
SN74AHCT08NSR	296-13140-2-ND	Vierf. pos. AND-Gate mit 2 Eingängen	Quad 2-Input Positive AND Gate	14-SOP		213.34/2,000	
SN74AHCT08PWR	296-1107-1-ND	Vierf. pos. AND-Gate mit 2 Eingängen	Quad 2-Input Positive AND Gate	14-TSSOP	.39	.32	.22
SN74AHCT08PWR	296-1107-2-ND	Vierf. pos. AND-Gate mit 2 Eingängen	Quad 2-Input Positive AND Gate	14-TSSOP		213.34/2,000	
SN74AHCT08RGYR	296-13909-1-ND	Vierf. pos. AND-Gate mit 2 Eingängen	Quad 2-Input Positive AND Gate	14-QFN	.63	.53	.43
SN74AHCT08RGYR	296-13909-2-ND	Vierf. pos. AND-Gate mit 2 Eingängen	Quad 2-Input Positive AND Gate	14-QFN		281.92/1,000	
SN74AHCT14D	296-1474-5-ND	Sechsf. Schmitt-Trigger-Inverter	Hex Schmitt-Trigger Inverter	14-SOIC	.39	.32	.22
SN74AHCT14DR	296-1474-1-ND	Sechsf. Schmitt-Trigger-Inverter	Hex Schmitt-Trigger Inverter	14-SOIC	.39	.32	.22
SN74AHCT14DR	296-1474-2-ND	Sechsf. Schmitt-Trigger-Inverter	Hex Schmitt-Trigger Inverter	14-SOIC		251.86/2,500	
SN74AHCT14DBR	296-4672-1-ND	Sechsf. Schmitt-Trigger-Inverter	Hex Schmitt-Trigger Inverter	14-SSOP	.39	.32	.22
SN74AHCT14DBR	296-4672-2-ND	Sechsf. Schmitt-Trigger-Inverter	Hex Schmitt-Trigger Inverter	14-SSOP		213.34/2,000	
SN74AHCT14DGVR	296-4673-1-ND	Sechsf. Schmitt-Trigger-Inverter	Hex Schmitt-Trigger Inverter	14-TVSOP	.38	.31	.23
SN74AHCT14DGVR	296-4673-2-ND	Sechsf. Schmitt-Trigger-Inverter	Hex Schmitt-Trigger Inverter	14-TVSOP		213.34/2,000	
SN74AHCT14RGYR	296-13912-1-ND	Sechsf. Schmitt-Trigger-Inverter	Hex Schmitt-Trigger Inverter	14-QFN	.51	.39	.29
SN74AHCT14RGYR	296-13912-2-ND	Sechsf. Schmitt-Trigger-Inverter	Hex Schmitt-Trigger Inverter	14-QFN		169.32/1,000	
SN74AHCT14N	296-4674-5-ND	Sechsf. Schmitt-Trigger-Inverter	Hex Schmitt-Trigger Inverter	14-Dip	.45	.36	.27
SN74AHCT14NSR	296-13142-1-ND	Sechsf. Schmitt-Trigger-Inverter	Hex Schmitt-Trigger Inverter	14-SOP	.39	.32	.22
SN74AHCT14NSR	296-13142-2-ND	Sechsf. Schmitt-Trigger-Inverter	Hex Schmitt-Trigger Inverter	14-SOP		213.34/2,000	
SN74AHCT14PWR	296-1110-1-ND	Sechsf. Schmitt-Trigger-Inverter	Hex Schmitt-Trigger Inverter	14-TSSOP	.39	.32	.22
SN74AHCT14PWR	296-1110-2-ND	Sechsf. Schmitt-Trigger-Inverter	Hex Schmitt-Trigger Inverter	14-TSSOP		213.34/2,000	
SN74AHCT14QPWRQ1	296-13654-1-ND	Sechsf. Schmitt-Trigger-Inverter	Hex Schmitt-Trigger Inverter	14-TSSOP	.51	.39	.29
SN74AHCT14QPWRQ1	296-13654-2-ND	Sechsf. Schmitt-Trigger-Inverter	Hex Schmitt-Trigger Inverter	14-TSSOP		338.64/2,000	
SN74AHCT32D	296-4728-5-ND	Vierf. pos. OR-Gate mit 2 Eingängen	Quad 2-Input Positive OR Gate	14-SOIC	.39	.32	.22
SN74AHCT32DBR	296-4729-1-ND	Vierf. pos. OR-Gate mit 2 Eingängen	Quad 2-Input Positive OR Gate	14-SSOP	.39	.32	.22
SN74AHCT32DBR	296-4729-2-ND	Vierf. pos. OR-Gate mit 2 Eingängen	Quad 2-Input Positive OR Gate	14-SSOP		213.34/2,000	
SN74AHCT32DGVR	296-4730-1-ND	Vierf. pos. OR-Gate mit 2 Eingängen	Quad 2-Input Positive OR Gate	14-TVSOP	.45	.36	.27
SN74AHCT32DGVR	296-4730-2-ND	Vierf. pos. OR-Gate mit 2 Eingängen	Quad 2-Input Positive OR Gate	14-TVSOP		248.90/2,000	
SN74AHCT32DR	296-4731-1-ND	Vierf. pos. OR-Gate mit 2 Eingängen	Quad 2-Input Positive OR Gate	14-SOIC	.39	.32	.22
SN74AHCT32DR	296-4731-2-ND	Vierf. pos. OR-Gate mit 2 Eingängen	Quad 2-Input Positive OR Gate	14-SOIC		251.86/2,500	
SN74AHCT32N	296-4732-5-ND	Vierf. pos. OR-Gate mit 2 Eingängen	Quad 2-Input Positive OR Gate	14-Dip	.45	.36	.27
SN74AHCT32NSR	296-13144-1-ND	Vierf. pos. OR-Gate mit 2 Eingängen	Quad 2-Input Positive OR Gate	14-SOP	.39	.32	.22
SN74AHCT32NSR	296-13144-2-ND	Vierf. pos. OR-Gate mit 2 Eingängen	Quad 2-Input Positive OR Gate	14-SOP		213.34/2,000	
SN74AHCT32PWR	296-1119-1-ND	Vierf. pos. OR-Gate mit 2 Eingängen	Quad 2-Input Positive OR Gate	14-TSSOP	.39	.32	.22
SN74AHCT32PWR	296-1119-2-ND	Vierf. pos. OR-Gate mit 2 Eingängen	Quad 2-Input Positive OR Gate	14-TSSOP		213.34/2,000	
SN74AHCT32RGYR	296-13913-1-ND	Vierf. pos. OR-Gate mit 2 Eingängen	Quad 2-Input Positive OR Gate	14-QFN	.51	.39	.29
SN74AHCT32RGYR	296-13913-2-ND	Vierf. pos. OR-Gate mit 2 Eingängen	Quad 2-Input Positive OR Gate	14-QFN		169.32/1,000	
SN74AHCT74D	296-4769-5-ND	Zweif. D-Flip-Flop mit Löschen/Voreinstellen	Dual D-Type Flip-Flop w/Clear/Preset	14-SOIC	.39	.32	.22
SN74AHCT74DBR	296-4770-1-ND	Zweif. D-Flip-Flop mit Löschen/Voreinstellen	Dual D-Type Flip-Flop w/Clear/Preset	14-SSOP	.39	.32	.22
SN74AHCT74DBR	296-4770-2-ND	Zweif. D-Flip-Flop mit Löschen/Voreinstellen	Dual D-Type Flip-Flop w/Clear/Preset	14-SSOP		213.34/2,000	
SN74AHCT74DGVR	296-4771-1-ND	Zweif. D-Flip-Flop mit Löschen/Voreinstellen	Dual D-Type Flip-Flop w/Clear/Preset	14-TVSOP	.45	.36	.27
SN74AHCT74DGVR	296-4771-2-ND	Zweif. D-Flip-Flop mit Löschen/Voreinstellen	Dual D-Type Flip-Flop w/Clear/Preset	14-TVSOP		248.90/2,000	
SN74AHCT74DR	296-14704-1-ND	Zweif. D-Flip-Flop mit Löschen/Voreinstellen	Dual D-Type Flip-Flop w/Clear/Preset	14-SOIC	.39	.32	.22
SN74AHCT74DR	296-14704-2-ND	Zweif. D-Flip-Flop mit Löschen/Voreinstellen	Dual D-Type Flip-Flop w/Clear/Preset	14-SOIC		251.86/2,500	
SN74AHCT74N	296-4772-5-ND	Zweif. D-Flip-Flop mit Löschen/Voreinstellen	Dual D-Type Flip-Flop w/Clear/Preset	14-Dip	.45	.36	.27
SN74AHCT74PWR	296-4773-1-ND	Zweif. D-Flip-Flop mit Löschen/Voreinstellen	Dual D-Type Flip-Flop w/Clear/Preset	14-TSSOP	.39	.32	.22
SN74AHCT74PWR	296-4773-2-ND	Zweif. D-Flip-Flop mit Löschen/Voreinstellen	Dual D-Type Flip-Flop w/Clear/Preset	14-TSSOP		213.34/2,000	
SN74AHCT74RGYR	296-13914-1-ND	Zweif. D-Flip-Flop mit Löschen/Voreinstellen	Dual D-Type Flip-Flop w/Clear/Preset	14-QFN	.41	.31	.23
SN74AHCT74RGYR	296-13914-2-ND	Zweif. D-Flip-Flop mit Löschen/Voreinstellen	Dual D-Type Flip-Flop w/Clear/Preset	14-QFN		135.46/1,000	
SN74AHCT86DBR	296-4774-1-ND	Vierf. Exclusive-OR-Gate mit 2 Eingängen	Quad 2-Input Exclusive-OR Gate	14-SSOP	.39	.32	.22
SN74AHCT86DBR	296-4774-2-ND	Vierf. Exclusive-OR-Gate mit 2 Eingängen	Quad 2-Input Exclusive-OR Gate	14-SSOP		213.34/2,000	
SN74AHCT86DGVR	296-4775-1-ND	Vierf. Exclusive-OR-Gate mit 2 Eingängen	Quad 2-Input Exclusive-OR Gate	14-TVSOP	.38	.31	.23
SN74AHCT86DGVR	296-4775-2-ND	Vierf. Exclusive-OR-Gate mit 2 Eingängen	Quad 2-Input Exclusive-OR Gate	14-TVSOP		213.34/2,000	
SN74AHCT86DR	296-4776-1-ND	Vierf. Exclusive-OR-Gate mit 2 Eingängen	Quad 2-Input Exclusive-OR Gate	14-SOIC	.39	.32	.22
SN74AHCT86DR	296-4776-2-ND	Vierf. Exclusive-OR-Gate mit 2 Eingängen	Quad 2-Input Exclusive-OR Gate	14-SOIC		251.86/2,500	
SN74AHCT86N	296-4777-5-ND	Vierf. Exclusive-OR-Gate mit 2 Eingängen	Quad 2-Input Exclusive-OR Gate	14-Dip	.45	.36	.27
SN74AHCT86PWR	296-4778-1-ND	Vierf. Exclusive-OR-Gate mit 2 Eingängen	Quad 2-Input Exclusive-OR Gate	14-TSSOP	.34	.28	.21
SN74AHCT86PWR	296-4778-2-ND	Vierf. Exclusive-OR-Gate mit 2 Eingängen	Quad 2-Input Exclusive-OR Gate	14-TSSOP		189.64/2,000	
SN74AHCT86RGYR	296-13915-1-ND	Vierf. Exclusive-OR-Gate mit 2 Eingängen	Quad 2-Input Exclusive-OR Gate	14-QFN	.41	.31	.23
SN74AHCT86RGYR	296-13915-2-ND	Vierf. Exclusive-OR-Gate mit 2 Eingängen	Quad 2-Input Exclusive-OR Gate	14-QFN		135.46/1,000	
SN74AHCT123ADBR	296-4648-1-ND	Zweif. monostabiler Retrigger-Multivibrator	Dual Retrig. Mono Multivibrator	16-SSOP	.47	.38	.28
SN74AHCT123ADBR	296-4648-2-ND	Zweif. monostabiler Retrigger-Multivibrator	Dual Retrig. Mono Multivibrator	16-SSOP		260.75/2,000	
SN74AHCT123ADGVR	296-4649-1-ND	Zweif. monostabiler Retrigger-Multivibrator	Dual Retrig. Mono Multivibrator	16-TVSOP	.47	.36	.27
SN74AHCT123ADGVR	296-4649-2-ND	Zweif. monostabiler Retrigger-Multivibrator	Dual Retrig. Mono Multivibrator	16-TVSOP		314.94/2,000	
SN74AHCT123ADR	296-4650-1-ND	Zweif. monostabiler Retrigger-Multivibrator	Dual Retrig. Mono Multivibrator	16-SOIC	.47	.38	.28
SN74AHCT123ADR	296-4650-2-ND	Zweif. monostabiler Retrigger-Multivibrator	Dual Retrig. Mono Multivibrator	16-SOIC		315.36/2,500	
SN74AHCT123APWR	296-4651-1-ND	Zweif. monostabiler Retrigger-Multivibrator	Dual Retrig. Mono Multivibrator	16-TSSOP	.47	.38	.28
SN74AHCT123APWR	296-4651-2-ND	Zweif. monostabiler Retrigger-Multivibrator	Dual Retrig. Mono Multivibrator	16-TSSOP		260.75/2,000	
SN74AHCT125D	296-4652-5-ND	Vierf. Bus-Puffer-Gate, Tri-State	Tri-State Quad Bus Buffer Gate	14-SOIC	.47	.38	.28
SN74AHCT125DR	296-4652-1-ND	Vierf. Bus-Puffer-Gate, Tri-State	Tri-State Quad Bus Buffer Gate	14-SOIC	.47	.38	.28
SN74AHCT125DR	296-4652-2-ND	Vierf. Bus-Puffer-Gate, Tri-State	Tri-State Quad Bus Buffer Gate	14-SOIC		315.36/2,500	
SN74AHCT125DBR	296-4653-1-ND	Vierf. Bus-Puffer-Gate, Tri-State	Tri-State Quad Bus Buffer Gate	14-SSOP	.47	.38	.28

(Forts.)

★ ***RUFEN SIE BITTE AN FÜR NIEDRIGERE PREISE BEI GRÖSSEREN MENGEN!*** ★

T. I. Teilenr.	Digi-Key Teilenr.	Beschreibung		Paket	Stückpreis★ 1	25	100
SN74AHCT125DBR	296-4653-2-ND	Vierf. Bus-Puffer-Gate, Tri-State	Tri-State Quad Bus Buffer Gate	14-SSOP		260.75/2,000	
SN74AHCT125DGVR	296-4654-1-ND	Vierf. Bus-Puffer-Gate, Tri-State	Tri-State Quad Bus Buffer Gate	14-TVSOP	.47	.38	.28
SN74AHCT125DGVR	296-4654-2-ND	Vierf. Bus-Puffer-Gate, Tri-State	Tri-State Quad Bus Buffer Gate	14-TVSOP		260.75/2,000	
SN74AHCT125N	296-4655-5-ND	Vierf. Bus-Puffer-Gate, Tri-State	Tri-State Quad Bus Buffer Gate	14-Dip	.47	.38	.28
SN74AHCT125PWR	296-1108-1-ND	Vierf. Bus-Puffer-Gate, Tri-State	Tri-State Quad Bus Buffer Gate	14-TSSOP	.47	.38	.28
SN74AHCT125PWR	296-1108-2-ND	Vierf. Bus-Puffer-Gate, Tri-State	Tri-State Quad Bus Buffer Gate	14-TSSOP		260.75/2,000	
SN74AHCT125QPWRQ1	296-16700-1-ND	Vierf. Bus-Puffer-Gate, Tri-State	Tri-State Quad Bus Buffer Gate	14-TSSOP	.72	.58	.40
SN74AHCT125QPWRQ1	296-16700-2-ND	Vierf. Bus-Puffer-Gate, Tri-State	Tri-State Quad Bus Buffer Gate	14-TSSOP		396.21/2,000	
SN74AHCT125RGYR	296-13910-1-ND	Vierf. Bus-Puffer-Gate, Tri-State	Tri-State Quad Bus Buffer Gate	14-QFN	.51	.39	.29
SN74AHCT125RGYR	296-13910-2-ND	Vierf. Bus-Puffer-Gate, Tri-State	Tri-State Quad Bus Buffer Gate	14-QFN		169.32/1,000	
SN74AHCT126DBR	296-4656-1-ND	Vierf. Bus-Puffer-Gate, Tri-State	Tri-State Quad Bus Buffer Gate	14-SSOP	.47	.38	.28
SN74AHCT126DBR	296-4656-2-ND	Vierf. Bus-Puffer-Gate, Tri-State	Tri-State Quad Bus Buffer Gate	14-SSOP		260.75/2,000	
SN74AHCT126DGVR	296-4657-1-ND	Vierf. Bus-Puffer-Gate, Tri-State	Tri-State Quad Bus Buffer Gate	14-TVSOP	.47	.38	.28
SN74AHCT126DGVR	296-4657-2-ND	Vierf. Bus-Puffer-Gate, Tri-State	Tri-State Quad Bus Buffer Gate	14-TVSOP		260.75/2,000	
SN74AHCT126DR	296-4658-1-ND	Vierf. Bus-Puffer-Gate, Tri-State	Tri-State Quad Bus Buffer Gate	14-SOIC	.47	.38	.28
SN74AHCT126DR	296-4658-2-ND	Vierf. Bus-Puffer-Gate, Tri-State	Tri-State Quad Bus Buffer Gate	14-SOIC		315.36/2,500	
SN74AHCT126N	296-4659-5-ND	Vierf. Bus-Puffer-Gate, Tri-State	Tri-State Quad Bus Buffer Gate	14-Dip	.47	.38	.28
SN74AHCT126PWR	296-4660-1-ND	Vierf. Bus-Puffer-Gate, Tri-State	Tri-State Quad Bus Buffer Gate	14-TSSOP	.47	.38	.28
SN74AHCT126PWR	296-4660-2-ND	Vierf. Bus-Puffer-Gate, Tri-State	Tri-State Quad Bus Buffer Gate	14-TSSOP		260.75/2,000	
SN74AHCT126QDRQ1	296-17134-1-ND	Vierf. Bus-Puffer-Gate, Tri-State	Tri-State Quad Bus Buffer Gate	14-SOIC	.72	.58	.40
SN74AHCT126QDRQ1	296-17134-2-ND	Vierf. Bus-Puffer-Gate, Tri-State	Tri-State Quad Bus Buffer Gate	14-SOIC		467.75/2,500	
SN74AHCT132D	296-1472-5-ND	Vierf. pos. NAND-Gate mit Schmitt-Trigger	Quad Positive NAND Gate with Schmitt-Trigger	14-SOIC	.47	.38	.28
SN74AHCT132DBR	296-4661-1-ND	Vierf. pos. NAND-Gate mit Schmitt-Trigger	Quad Positive NAND Gate with Schmitt-Trigger	14-SSOP	.47	.38	.28
SN74AHCT132DBR	296-4661-2-ND	Vierf. pos. NAND-Gate mit Schmitt-Trigger	Quad Positive NAND Gate with Schmitt-Trigger	14-SSOP		260.75/2,000	
SN74AHCT132N	296-1473-5-ND	Vierf. pos. NAND-Gate mit Schmitt-Trigger	Quad Positive NAND Gate with Schmitt-Trigger	14-Dip	.47	.38	.28
SN74AHCT132NSR	296-13141-1-ND	Vierf. pos. NAND-Gate mit Schmitt-Trigger-Eingang	Quad Positive NAND Gate with Schmitt-Trigger Input	14-SOP	.47	.38	.28
SN74AHCT132NSR	296-13141-2-ND	Vierf. pos. NAND-Gate mit Schmitt-Trigger-Eingang	Quad Positive NAND Gate with Schmitt-Trigger Input	14-SOP		260.75/2,000	
SN74AHCT132PWR	296-4662-1-ND	Vierf. pos. NAND-Gate mit Schmitt-Trigger	Quad Positive NAND Gate with Schmitt-Trigger	14-TSSOP	.47	.38	.28
SN74AHCT132PWR	296-4662-2-ND	Vierf. pos. NAND-Gate mit Schmitt-Trigger	Quad Positive NAND Gate with Schmitt-Trigger	14-TSSOP		260.75/2,000	
SN74AHCT138D	296-4663-5-ND	3-8 Leitungs-Decoder/Demultiplexer	3-8 Line Decoder/Demultiplexer	16-SOIC	.47	.38	.28
SN74AHCT138DBR	296-4664-1-ND	3-8 Leitungs-Decoder/Demultiplexer	3-8 Line Decoder/Demultiplexer	16-SSOP	.47	.38	.28
SN74AHCT138DBR	296-4664-2-ND	3-8 Leitungs-Decoder/Demultiplexer	3-8 Line Decoder/Demultiplexer	16-SSOP		260.75/2,000	
SN74AHCT138DGVR	296-4665-1-ND	3-8 Leitungs-Decoder/Demultiplexer	3-8 Line Decoder/Demultiplexer	16-TVSOP	.47	.38	.28
SN74AHCT138DGVR	296-4665-2-ND	3-8 Leitungs-Decoder/Demultiplexer	3-8 Line Decoder/Demultiplexer	16-TVSOP		260.75/2,000	
SN74AHCT138DR	296-14701-1-ND	3-8 Leitungs-Decoder/Demultiplexer	3-8 Line Decoder/Demultiplexer	16-SOIC	.47	.38	.28
SN74AHCT138DR	296-14701-2-ND	3-8 Leitungs-Decoder/Demultiplexer	3-8 Line Decoder/Demultiplexer	16-SOIC		315.36/2,500	
SN74AHCT138N	296-4666-5-ND	3-8 Leitungs-Decoder/Demultiplexer	3-8 Line Decoder/Demultiplexer	16-Dip	.47	.38	.28
SN74AHCT138PWR	296-1109-1-ND	3-8 Leitungs-Decoder/Demultiplexer	3-8 Line Decoder/Demultiplexer	16-TSSOP	.47	.38	.28
SN74AHCT138PWR	296-1109-2-ND	3-8 Leitungs-Decoder/Demultiplexer	3-8 Line Decoder/Demultiplexer	16-TSSOP		260.75/2,000	
SN74AHCT138RGYR	296-13911-1-ND	3-8 Leitungs-Decoder/Demultiplexer	3-8 Line Decoder/Demultiplexer	16-QFN	.44	.33	.25
SN74AHCT138RGYR	296-13911-2-ND	3-8 Leitungs-Decoder/Demultiplexer	3-8 Line Decoder/Demultiplexer	16-QFN		146.46/1,000	
SN74AHCT139D	296-4667-5-ND	Zweif. 2-4 Decoder/Demultiplexer	Dual 2-4 Decoder/Demultiplexer	16-SOIC	.47	.38	.28
SN74AHCT139DBR	296-4668-1-ND	Zweif. 2-4 Decoder/Demultiplexer	Dual 2-4 Decoder/Demultiplexer	16-SSOP	.47	.38	.28
SN74AHCT139DBR	296-4668-2-ND	Zweif. 2-4 Decoder/Demultiplexer	Dual 2-4 Decoder/Demultiplexer	16-SSOP		260.75/2,000	
SN74AHCT139DGVR	296-4669-1-ND	Zweif. 2-4 Decoder/Demultiplexer	Dual 2-4 Decoder/Demultiplexer	16-TVSOP	.47	.38	.28
SN74AHCT139DGVR	296-4669-2-ND	Zweif. 2-4 Decoder/Demultiplexer	Dual 2-4 Decoder/Demultiplexer	16-TVSOP		260.75/2,000	
SN74AHCT139DR	296-14702-1-ND	Zweif. 2-4 Decoder/Demultiplexer	Dual 2-4 Decoder/Demultiplexer	16-SOIC	.47	.38	.28
SN74AHCT139DR	296-14702-2-ND	Zweif. 2-4 Decoder/Demultiplexer	Dual 2-4 Decoder/Demultiplexer	16-SOIC		315.36/2,500	
SN74AHCT139N	296-4670-5-ND	Zweif. 2-4 Decoder/Demultiplexer	Dual 2-4 Decoder/Demultiplexer	16-Dip	.47	.38	.28
SN74AHCT139PWR	296-4671-1-ND	Zweif. 2-4 Decoder/Demultiplexer	Dual 2-4 Decoder/Demultiplexer	16-TSSOP	.47	.38	.28
SN74AHCT139PWR	296-4671-2-ND	Zweif. 2-4 Decoder/Demultiplexer	Dual 2-4 Decoder/Demultiplexer	16-TSSOP		260.75/2,000	
SN74AHCT157D	296-4675-5-ND	Vierf. 2-1 Datenselektor/Mux	Quad 2-to-1 Data Selector/Mux	16-SOIC	.47	.36	.27
SN74AHCT157DBR	296-4676-1-ND	Vierf. 2-1 Datenselektor/Mux	Quad 2-to-1 Data Selector/Mux	16-SSOP	.41	.31	.23
SN74AHCT157DBR	296-4676-2-ND	Vierf. 2-1 Datenselektor/Mux	Quad 2-to-1 Data Selector/Mux	16-SSOP		270.91/2,000	
SN74AHCT157DGVR	296-4677-1-ND	Vierf. 2-1 Datenselektor/Mux	Quad 2-to-1 Data Selector/Mux	16-TVSOP	.41	.31	.23
SN74AHCT157DGVR	296-4677-2-ND	Vierf. 2-1 Datenselektor/Mux	Quad 2-to-1 Data Selector/Mux	16-TVSOP		270.91/2,000	
SN74AHCT157DR	296-14703-1-ND	Vierf. 2-1 Datenselektor/Mux	Quad 2-to-1 Data Selector/Mux	16-SOIC	.41	.31	.23
SN74AHCT157DR	296-14703-2-ND	Vierf. 2-1 Datenselektor/Mux	Quad 2-to-1 Data Selector/Mux	16-SOIC		330.17/2,500	
SN74AHCT157PWR	296-4678-1-ND	Vierf. 2-1 Datenselektor/Mux	Quad 2-to-1 Data Selector/Mux	16-TSSOP	.45	.34	.26
SN74AHCT157PWR	296-4678-2-ND	Vierf. 2-1 Datenselektor/Mux	Quad 2-to-1 Data Selector/Mux	16-TSSOP		298.00/2,000	
SN74AHCT158D	296-4679-5-ND	Vierf. 2-1 Datenselektor/Mux	Quad 2-to-1 Data Selector/Mux	16-SOIC	.47	.38	.28
SN74AHCT158PWR	296-4680-1-ND	Vierf. 2-1 Datenselektor/Mux	Quad 2-to-1 Data Selector/Mux	16-TSSOP	.47	.38	.28
SN74AHCT158PWR	296-4680-2-ND	Vierf. 2-1 Datenselektor/Mux	Quad 2-to-1 Data Selector/Mux	16-TSSOP		260.75/2,000	
SN74AHCT174D	296-1475-5-ND	Sechsf. D-Flip-Flop mit Löschen	Hex D-Type Flip-Flop with Clear	16-SOIC	.61	.46	.35
SN74AHCT174DBR	296-4702-1-ND	Sechsf. D-Flip-Flop mit Löschen	Hex D-Type Flip-Flop with Clear	16-SSOP	.61	.46	.35
SN74AHCT174DBR	296-4702-2-ND	Sechsf. D-Flip-Flop mit Löschen	Hex D-Type Flip-Flop with Clear	16-SSOP		404.67/2,000	
SN74AHCT240DBR	296-4716-1-ND	Achtf. Puffer/Treiber, Tri-State	Tri-State Octal Buffer/Driver	20-SSOP	.51	.39	.29
SN74AHCT240DBR	296-4716-2-ND	Achtf. Puffer/Treiber, Tri-State	Tri-State Octal Buffer/Driver	20-SSOP		338.64/2,000	
SN74AHCT240DWR	296-4717-1-ND	Achtf. Puffer/Treiber, Tri-State	Tri-State Octal Buffer/Driver	20-SOIC	.51	.39	.29
SN74AHCT240DWR	296-4717-2-ND	Achtf. Puffer/Treiber, Tri-State	Tri-State Octal Buffer/Driver	20-SOIC		338.64/2,000	
SN74AHCT240N	296-4718-5-ND	Achtf. Puffer/Treiber, Tri-State	Tri-State Octal Buffer/Driver	20-Dip	.56	.42	.32
SN74AHCT240NSR	296-13444-1-ND	Achtf. Puffer/Treiber, Tri-State	Tri-State Octal Buffer/Driver	20-SOP	.51	.39	.29
SN74AHCT240NSR	296-13444-2-ND	Achtf. Puffer/Treiber, Tri-State	Tri-State Octal Buffer/Driver	20-SOP		338.64/2,000	
SN74AHCT240PWR	296-4719-1-ND	Achtf. Puffer/Treiber, Tri-State	Tri-State Octal Buffer/Driver	20-TSSOP	.51	.39	.29
SN74AHCT240PWR	296-4719-2-ND	Achtf. Puffer/Treiber, Tri-State	Tri-State Octal Buffer/Driver	20-TSSOP		338.64/2,000	
SN74AHCT244DBR	296-4720-1-ND	Achtf. Puffer/Treiber, Tri-State	Tri-State Octal Buffer/Driver	20-SSOP	.51	.39	.29
SN74AHCT244DBR	296-4720-2-ND	Achtf. Puffer/Treiber, Tri-State	Tri-State Octal Buffer/Driver	20-SSOP		338.64/2,000	
SN74AHCT244DGVR	296-4721-1-ND	Achtf. Puffer/Treiber, Tri-State	Tri-State Octal Buffer/Driver	20-TVSOP	.51	.39	.29
SN74AHCT244DGVR	296-4721-2-ND	Achtf. Puffer/Treiber, Tri-State	Tri-State Octal Buffer/Driver	20-TVSOP		338.64/2,000	
SN74AHCT244DW	296-4722-5-ND	Achtf. Puffer/Treiber, Tri-State	Tri-State Octal Buffer/Driver	20-SOIC	.51	.39	.29
SN74AHCT244DWR	296-4722-1-ND	Achtf. Puffer/Treiber, Tri-State	Tri-State Octal Buffer/Driver	20-SOIC	.51	.39	.29
SN74AHCT244DWR	296-4722-2-ND	Achtf. Puffer/Treiber, Tri-State	Tri-State Octal Buffer/Driver	20-SOIC		338.64/2,000	
SN74AHCT244N	296-4723-5-ND	Achtf. Puffer/Treiber, Tri-State	Tri-State Octal Buffer/Driver	20-Dip	.56	.42	.32
SN74AHCT244NSR	296-13143-1-ND	Achtf. Puffer/Treiber, Tri-State	Tri-State Octal Buffer/Driver	20-SOP	.51	.39	.29
SN74AHCT244NSR	296-13143-2-ND	Achtf. Puffer/Treiber, Tri-State	Tri-State Octal Buffer/Driver	20-SOP		338.64/2,000	
SN74AHCT244PWR	296-1116-1-ND	Achtf. Puffer/Treiber, Tri-State	Tri-State Octal Buffer/Driver	20-TSSOP	.51	.39	.29
SN74AHCT244PWR	296-1116-2-ND	Achtf. Puffer/Treiber, Tri-State	Tri-State Octal Buffer/Driver	20-TSSOP		338.64/2,000	
SN74AHCT244QPWR	296-13865-1-ND	Achtf. Puffer/Treiber, Tri-State	Tri-State Octal Buffer/Driver	20-TSSOP	.75	.56	.42
SN74AHCT244QPWR	296-13865-2-ND	Achtf. Puffer/Treiber, Tri-State	Tri-State Octal Buffer/Driver	20-TSSOP		496.11/2,000	
SN74AHCT245DBR	296-4724-1-ND	Achtf. Bus-Transceiver, Tri-State	Tri-State Octal Bus Transceiver	20-SSOP	.51	.39	.29
SN74AHCT245DBR	296-4724-2-ND	Achtf. Bus-Transceiver, Tri-State	Tri-State Octal Bus Transceiver	20-SSOP		338.64/2,000	
SN74AHCT245DGVR	296-4725-1-ND	Achtf. Bus-Transceiver, Tri-State	Tri-State Octal Bus Transceiver	20-TVSOP	.51	.39	.29
SN74AHCT245DGVR	296-4725-2-ND	Achtf. Bus-Transceiver, Tri-State	Tri-State Octal Bus Transceiver	20-TVSOP		338.64/2,000	
SN74AHCT245DW	296-1117-5-ND	Achtf. Bus-Transceiver, Tri-State	Tri-State Octal Bus Transceiver	20-SOIC	.51	.39	.29
SN74AHCT245DWR	296-1117-1-ND	Achtf. Bus-Transceiver, Tri-State	Tri-State Octal Bus Transceiver	20-SOIC	.51	.39	.29
SN74AHCT245DWR	296-1117-2-ND	Achtf. Bus-Transceiver, Tri-State	Tri-State Octal Bus Transceiver	20-SOIC		338.64/2,000	
SN74AHCT245N	296-1476-5-ND	Achtf. Bus-Transceiver, Tri-State	Tri-State Octal Bus Transceiver	20-Dip	.51	.39	.29
SN74AHCT245PWR	296-1118-1-ND	Achtf. Bus-Transceiver, Tri-State	Tri-State Octal Bus Transceiver	20-TSSOP	.51	.39	.29
SN74AHCT245PWR	296-1118-2-ND	Achtf. Bus-Transceiver, Tri-State	Tri-State Octal Bus Transceiver	20-TSSOP		338.64/2,000	
SN74AHCT273DBR	296-4726-1-ND	Achtf. D-Flip-Flop mit Löschen	Octal D-Type Flip-Flop with Clear	20-SSOP	.51	.39	.29

(Forts.)

★ ***RUFEN SIE BITTE AN FÜR NIEDRIGERE PREISE BEI GRÖSSEREN MENGEN!*** ★

B

T. I. Teilenr.	Digi-Key Teilenr.	Beschreibung		Paket	Stückpreis★ 1	25	100
SN74AHCT273DBR	296-4726-2-ND	Achtf. D-Flip-Flop mit Löschen	Octal D-Type Flip-Flop with Clear	20-SSOP		338.64/2,000	
SN74AHCT273DW	296-13489-5-ND	Achtf. D-Flip-Flop mit Löschen	Octal D-Type Flip-Flop with Clear	20-SOIC	.51	.39	.29
SN74AHCT273PWR	296-4727-1-ND	Achtf. D-Flip-Flop mit Löschen	Octal D-Type Flip-Flop with Clear	20-TSSOP	.51	.39	.29
SN74AHCT273PWR	296-4727-2-ND	Achtf. D-Flip-Flop mit Löschen	Octal D-Type Flip-Flop with Clear	20-TSSOP		338.64/2,000	
SN74AHCT367DBR	296-4733-1-ND	Sechsf. Puffer/Treiber, Tri-State	Tri-State Hex Buffer/Driver	16-SSOP	.89	.75	.60
SN74AHCT367DBR	296-4733-2-ND	Sechsf. Puffer/Treiber, Tri-State	Tri-State Hex Buffer/Driver	16-SSOP		789.03/2,000	
SN74AHCT367DGVR	296-4734-1-ND	Sechsf. Puffer/Treiber, Tri-State	Tri-State Hex Buffer/Driver	16-TVSOP	.89	.75	.60
SN74AHCT367DGVR	296-4734-2-ND	Sechsf. Puffer/Treiber, Tri-State	Tri-State Hex Buffer/Driver	16-TVSOP		789.03/2,000	
SN74AHCT367DR	296-4735-1-ND	Sechsf. Puffer/Treiber, Tri-State	Tri-State Hex Buffer/Driver	16-SOIC	.89	.75	.60
SN74AHCT367DR	296-4735-2-ND	Sechsf. Puffer/Treiber, Tri-State	Tri-State Hex Buffer/Driver	16-SOIC		963.01/2,500	
SN74AHCT367PWR	296-4736-1-ND	Sechsf. Puffer/Treiber, Tri-State	Tri-State Hex Buffer/Driver	16-TSSOP	.89	.75	.60
SN74AHCT367PWR	296-4736-2-ND	Sechsf. Puffer/Treiber, Tri-State	Tri-State Hex Buffer/Driver	16-TSSOP		789.03/2,000	
SN74AHCT373DBR	296-4737-1-ND	Tri-St., Achtf. transparenter D-Latch	Tri-St. Octal Transparent D-Type Latch	20-SSOP	.51	.39	.29
SN74AHCT373DBR	296-4737-2-ND	Tri-St., Achtf. transparenter D-Latch	Tri-St. Octal Transparent D-Type Latch	20-SSOP		338.64/2,000	
SN74AHCT373DW	296-4739-5-ND	Tri-St., Achtf. transparenter D-Latch	Tri-St. Octal Transparent D-Type Latch	20-SOIC	.51	.39	.29
SN74AHCT373DWR	296-4739-1-ND	Tri-St., Achtf. transparenter D-Latch	Tri-St. Octal Transparent D-Type Latch	20-SOIC	.51	.39	.29
SN74AHCT373DWR	296-4739-2-ND	Tri-St., Achtf. transparenter D-Latch	Tri-St. Octal Transparent D-Type Latch	20-SOIC		338.64/2,000	
SN74AHCT373N	296-4740-5-ND	Tri-St., Achtf. transparenter D-Latch	Tri-St. Octal Transparent D-Type Latch	20-Dip	.56	.42	.32
SN74AHCT373PWR	296-4741-1-ND	Tri-St., Achtf. transp. D-Latch	Tri-St. Octal Transp. D-Type Latch	20-TSSOP	.51	.39	.29
SN74AHCT373PWR	296-4741-2-ND	Tri-St., Achtf. transp. D-Latch	Tri-St. Octal Transp. D-Type Latch	20-TSSOP		338.64/2,000	
SN74AHCT374DBR	296-4742-1-ND	Achtf. flankengesteuerter D-Flip-Flop, Tri-State	Tri-State Octal D-Type Edge-Triggered Flip-Flop	20-SSOP	.51	.39	.29
SN74AHCT374DBR	296-4742-2-ND	Achtf. flankengesteuerter D-Flip-Flop, Tri-State	Tri-State Octal D-Type Edge-Triggered Flip-Flop	20-SSOP		338.64/2,000	
SN74AHCT374DGVR	296-4743-1-ND	Achtf. flankengesteuerter D-Flip-Flop, Tri-State	Tri-State Octal D-Type Edge-Triggered Flip-Flop	20-TVSOP	.68	.51	.39
SN74AHCT374DGVR	296-4743-2-ND	Achtf. flankengesteuerter D-Flip-Flop, Tri-State	Tri-State Octal D-Type Edge-Triggered Flip-Flop	20-TVSOP		450.39/2,000	
SN74AHCT374DWR	296-4744-1-ND	Achtf. flankengesteuerter D-Flip-Flop, Tri-State	Tri-State Octal D-Type Edge-Triggered Flip-Flop	20-SOIC	.51	.39	.29
SN74AHCT374DWR	296-4744-2-ND	Achtf. flankengesteuerter D-Flip-Flop, Tri-State	Tri-State Octal D-Type Edge-Triggered Flip-Flop	20-SOIC		338.64/2,000	
SN74AHCT374N	296-4745-5-ND	Achtf. flankengesteuerter D-Flip-Flop, Tri-State	Tri-State Octal D-Type Edge-Triggered Flip-Flop	20-Dip	.56	.42	.32
SN74AHCT374PWR	296-4746-1-ND	Achtf. flankengesteuerter D-Flip-Flop, Tri-State	Tri-State Octal D-Type Edge-Triggered Flip-Flop	20-TSSOP	.51	.39	.29
SN74AHCT374PWR	296-4746-2-ND	Achtf. flankengesteuerter D-Flip-Flop, Tri-State	Tri-State Octal D-Type Edge-Triggered Flip-Flop	20-TSSOP		338.64/2,000	
SN74AHCT540DBR	296-4747-1-ND	Achtf. Puffer/Treiber, Tri-State	Tri-State Octal Buffer/Driver	20-SSOP	.51	.39	.29
SN74AHCT540DBR	296-4747-2-ND	Achtf. Puffer/Treiber, Tri-State	Tri-State Octal Buffer/Driver	20-SSOP		338.64/2,000	
SN74AHCT540DGVR	296-4748-1-ND	Achtf. Puffer/Treiber, Tri-State	Tri-State Octal Buffer/Driver	20-TVSOP	.51	.39	.29
SN74AHCT540DGVR	296-4748-2-ND	Achtf. Puffer/Treiber, Tri-State	Tri-State Octal Buffer/Driver	20-TVSOP		338.64/2,000	
SN74AHCT540DW	296-4749-5-ND	Achtf. Puffer/Treiber, Tri-State	Tri-State Octal Buffer/Driver	20-SOIC	.51	.39	.29
SN74AHCT540DWR	296-4749-1-ND	Achtf. Puffer/Treiber, Tri-State	Tri-State Octal Buffer/Driver	20-SOIC	.51	.39	.29
SN74AHCT540DWR	296-4749-2-ND	Achtf. Puffer/Treiber, Tri-State	Tri-State Octal Buffer/Driver	20-SOIC		338.64/2,000	
SN74AHCT540N	296-4750-5-ND	Achtf. Puffer/Treiber, Tri-State	Tri-State Octal Buffer/Driver	20-Dip	.56	.42	.32
SN74AHCT540PWR	296-4751-1-ND	Achtf. Puffer/Treiber, Tri-State	Tri-State Octal Buffer/Driver	20-TSSOP	.51	.39	.29
SN74AHCT540PWR	296-4751-2-ND	Achtf. Puffer/Treiber, Tri-State	Tri-State Octal Buffer/Driver	20-TSSOP		338.64/2,000	
SN74AHCT541DBR	296-4752-1-ND	Achtf. Puffer/Treiber, Tri-State	Tri-State Octal Buffer/Driver	20-SSOP	.51	.39	.29
SN74AHCT541DBR	296-4752-2-ND	Achtf. Puffer/Treiber, Tri-State	Tri-State Octal Buffer/Driver	20-SSOP		338.64/2,000	
SN74AHCT541DWR	296-4754-1-ND	Achtf. Puffer/Treiber, Tri-State	Tri-State Octal Buffer/Driver	20-SOIC	.51	.39	.29
SN74AHCT541DWR	296-4754-2-ND	Achtf. Puffer/Treiber, Tri-State	Tri-State Octal Buffer/Driver	20-SOIC		338.64/2,000	
SN74AHCT541N	296-4755-5-ND	Achtf. Puffer/Treiber, Tri-State	Tri-State Octal Buffer/Driver	20-Dip	.56	.42	.32
SN74AHCT541NSR	296-13145-1-ND	Achtf. Puffer/Treiber, Tri-State	Tri-State Octal Buffer/Driver	20-SOP	.51	.39	.29
SN74AHCT541NSR	296-13145-2-ND	Achtf. Puffer/Treiber, Tri-State	Tri-State Octal Buffer/Driver	20-SOP		338.64/2,000	
SN74AHCT541PWR	296-1120-1-ND	Achtf. Puffer/Treiber, Tri-State	Tri-State Octal Buffer/Driver	20-TSSOP	.51	.39	.29
SN74AHCT541PWR	296-1120-2-ND	Achtf. Puffer/Treiber, Tri-State	Tri-State Octal Buffer/Driver	20-TSSOP		338.64/2,000	
SN74AHCT573DBR	296-4756-1-ND	Tri-St., Achtf. transp. D-Latch	Tri-St. Octal Transp. D-Type Latch	20-SSOP	.51	.39	.29
SN74AHCT573DBR	296-4756-2-ND	Tri-St., Achtf. transp. D-Latch	Tri-St. Octal Transp. D-Type Latch	20-SSOP		338.64/2,000	
SN74AHCT573DGVR	296-4757-1-ND	Tri-St., Achtf. transp. D-Latch	Tri-St. Octal Transp. D-Type Latch	20-TVSOP	.51	.39	.29
SN74AHCT573DGVR	296-4757-2-ND	Tri-St., Achtf. transp. D-Latch	Tri-St. Octal Transp. D-Type Latch	20-TVSOP		338.64/2,000	
SN74AHCT573DW	296-4758-5-ND	Tri-St., Achtf. transp. D-Latch	Tri-St. Octal Transp. D-Type Latch	20-SOIC	.51	.39	.29
SN74AHCT573DWR	296-4758-1-ND	Tri-St., Achtf. transp. D-Latch	Tri-St. Octal Transp. D-Type Latch	20-SOIC	.51	.39	.29
SN74AHCT573DWR	296-4758-2-ND	Tri-St., Achtf. transp. D-Latch	Tri-St. Octal Transp. D-Type Latch	20-SOIC		338.64/2,000	
SN74AHCT573N	296-4759-5-ND	Tri-St., Achtf. transp. D-Latch	Tri-St. Octal Transp. D-Type Latch	20-Dip	.56	.42	.32
SN74AHCT573PWR	296-1121-1-ND	Tri-St., Achtf. transp. D-Latch	Tri-St. Octal Transp. D-Type Latch	20-TSSOP	.51	.39	.29
SN74AHCT573PWR	296-1121-2-ND	Tri-St., Achtf. transp. D-Latch	Tri-St. Octal Transp. D-Type Latch	20-TSSOP		338.64/2,000	
SN74AHCT574DBR	296-4760-1-ND	Achtf. D-Flip-Flop, Tri-State	Tri-State Octal D-Type Flip-Flop	20-SSOP	.51	.39	.29
SN74AHCT574DBR	296-4760-2-ND	Achtf. D-Flip-Flop, Tri-State	Tri-State Octal D-Type Flip-Flop	20-SSOP		338.64/2,000	
SN74AHCT574DGVR	296-4761-1-ND	Achtf. D-Flip-Flop, Tri-State	Tri-State Octal D-Type Flip-Flop	20-TVSOP	.51	.39	.29
SN74AHCT574DGVR	296-4761-2-ND	Achtf. D-Flip-Flop, Tri-State	Tri-State Octal D-Type Flip-Flop	20-TVSOP		338.64/2,000	
SN74AHCT574DWR	296-4762-1-ND	Achtf. D-Flip-Flop, Tri-State	Tri-State Octal D-Type Flip-Flop	20-SOIC	.51	.39	.29
SN74AHCT574DWR	296-4762-2-ND	Achtf. D-Flip-Flop, Tri-State	Tri-State Octal D-Type Flip-Flop	20-SOIC		338.64/2,000	
SN74AHCT574N	296-4763-5-ND	Achtf. D-Flip-Flop, Tri-State	Tri-State Octal D-Type Flip-Flop	20-Dip	.56	.42	.32
SN74AHCT574PWR	296-4764-1-ND	Achtf. D-Flip-Flop, Tri-State	Tri-State Octal D-Type Flip-Flop	20-TSSOP	.51	.39	.29
SN74AHCT574PWR	296-4764-2-ND	Achtf. D-Flip-Flop, Tri-State	Tri-State Octal D-Type Flip-Flop	20-TSSOP		338.64/2,000	
SN74AHCT594D	296-4765-5-ND	Schieberegister mit Ausgangsregister, 8-Bit	8-Bit Shift Register w/Output Register	16-SOIC	.81	.61	.46
SN74AHCT594DBR	296-4766-1-ND	Schieberegister mit Ausgangsregister, 8-Bit	8-Bit Shift Register w/Output Register	16-SSOP	.81	.61	.46
SN74AHCT594DBR	296-4766-2-ND	Schieberegister mit Ausgangsregister, 8-Bit	8-Bit Shift Register w/Output Register	16-SSOP		540.13/2,000	
SN74AHCT594PWR	296-4767-1-ND	Schieberegister mit Ausgangsregister, 8-Bit	8-Bit Shift Register w/Output Register	16-TSSOP	.81	.61	.46
SN74AHCT594PWR	296-4767-2-ND	Schieberegister mit Ausgangsregister, 8-Bit	8-Bit Shift Register w/Output Register	16-TSSOP		540.13/2,000	
SN74AHCT595D	296-14308-5-ND	Schieberegister, Tri-State, 8-Bit	Tri-State 8-Bit Shift Register	16-SOIC	.81	.61	.46
SN74AHCT595DBR	296-13490-1-ND	Schieberegister, Tri-State, 8-Bit	Tri-State 8-Bit Shift Register	16-SSOP	.81	.61	.46
SN74AHCT595DBR	296-13490-2-ND	Schieberegister, Tri-State, 8-Bit	Tri-State 8-Bit Shift Register	16-SSOP		540.13/2,000	
SN74AHCT595PWR	296-9758-1-ND	Schieberegister, Tri-State, 8-Bit	Tri-State 8-Bit Shift Register	16-TSSOP	.81	.61	.46
SN74AHCT595PWR	296-9758-2-ND	Schieberegister, Tri-State, 8-Bit	Tri-State 8-Bit Shift Register	16-TSSOP		540.13/2,000	
SN74AHCT16240DGGR	296-4681-1-ND	Puffer/Treiber, Tri-State, 16-Bit	Tri-State 16-Bit Buffer/Driver	48-TSSOP	1.27	1.02	.77
SN74AHCT16240DGGR	296-4681-2-ND	Puffer/Treiber, Tri-State, 16-Bit	Tri-State 16-Bit Buffer/Driver	48-TSSOP		1320.70/2,000	
SN74AHCT16240DGVR	296-4682-1-ND	Puffer/Treiber, Tri-State, 16-Bit	Tri-State 16-Bit Buffer/Driver	48-TVSOP	1.27	1.02	.77
SN74AHCT16240DGVR	296-4682-2-ND	Puffer/Treiber, Tri-State, 16-Bit	Tri-State 16-Bit Buffer/Driver	48-TVSOP		1320.70/2,000	
SN74AHCT16240DL	296-4683-5-ND	Puffer/Treiber, Tri-State, 16-Bit	Tri-State 16-Bit Buffer/Driver	48-SSOP	1.27	1.02	.77
SN74AHCT16244DGGR	296-4684-1-ND	Puffer/Treiber, Tri-State, 16-Bit	Tri-State 16-Bit Buffer/Driver	48-TSSOP	1.27	1.02	.77
SN74AHCT16244DGGR	296-4684-2-ND	Puffer/Treiber, Tri-State, 16-Bit	Tri-State 16-Bit Buffer/Driver	48-TSSOP		1320.70/2,000	
SN74AHCT16244DGVR	296-4685-1-ND	Puffer/Treiber, Tri-State, 16-Bit	Tri-State 16-Bit Buffer/Driver	48-TVSOP	1.27	1.02	.77
SN74AHCT16244DGVR	296-4685-2-ND	Puffer/Treiber, Tri-State, 16-Bit	Tri-State 16-Bit Buffer/Driver	48-TVSOP		1320.70/2,000	
SN74AHCT16244DL	296-4686-5-ND	Puffer/Treiber, Tri-State, 16-Bit	Tri-State 16-Bit Buffer/Driver	48-SSOP	1.27	1.02	.77
SN74AHCT16245DGGR	296-4687-1-ND	Bus-Transceiver, Tri-State, 16-Bit	Tri-State 16-Bit Bus Transceiver	48-TSSOP	1.27	1.02	.77
SN74AHCT16245DGGR	296-4687-2-ND	Bus-Transceiver, Tri-State, 16-Bit	Tri-State 16-Bit Bus Transceiver	48-TSSOP		1320.70/2,000	
SN74AHCT16245DGVR	296-4688-1-ND	Bus-Transceiver, Tri-State, 16-Bit	Tri-State 16-Bit Bus Transceiver	48-TVSOP	1.27	1.02	.77
SN74AHCT16245DGVR	296-4688-2-ND	Bus-Transceiver, Tri-State, 16-Bit	Tri-State 16-Bit Bus Transceiver	48-TVSOP		1320.70/2,000	
SN74AHCT16245DL	296-4689-5-ND	Bus-Transceiver, Tri-State, 16-Bit	Tri-State 16-Bit Bus Transceiver	48-SSOP	1.27	1.02	.77
SN74AHCT16373DGGR	296-4690-1-ND	Tri-State, 16-Bit transp. D-Latch	Tri-State 16-Bit Transp. D-Type Latch	48-TSSOP	1.27	1.02	.77
SN74AHCT16373DGGR	296-4690-2-ND	Tri-State, 16-Bit transp. D-Latch	Tri-State 16-Bit Transp. D-Type Latch	48-TSSOP		1320.70/2,000	
SN74AHCT16373DGVR	296-4691-1-ND	Tri-State, 16-Bit transp. D-Latch	Tri-State 16-Bit Transp. D-Type Latch	48-TVSOP	1.27	1.02	.77
SN74AHCT16373DGVR	296-4691-2-ND	Tri-State, 16-Bit transp. D-Latch	Tri-State 16-Bit Transp. D-Type Latch	48-TVSOP		1320.70/2,000	
SN74AHCT16373DL	296-4692-5-ND	Tri-State, 16-Bit transp. D-Latch	Tri-State 16-Bit Transp. D-Type Latch	48-SSOP	1.27	1.02	.77
SN74AHCT16374DGGR	296-4693-1-ND	D-Flip-Flop, Tri-State, 16-Bit	Tri-State 16-Bit D-Type Flip-Flop	48-TSSOP	1.27	1.02	.77
SN74AHCT16374DGGR	296-4693-2-ND	D-Flip-Flop, Tri-State, 16-Bit	Tri-State 16-Bit D-Type Flip-Flop	48-TSSOP		1320.70/2,000	
SN74AHCT16374DGVR	296-4694-1-ND	D-Flip-Flop, Tri-State, 16-Bit	Tri-State 16-Bit D-Type Flip-Flop	48-TVSOP	1.27	1.02	.77

(Forts.)

★ ***RUFEN SIE BITTE AN FÜR NIEDRIGERE PREISE BEI GRÖSSEREN MENGEN!*** ★

T. I. Teilenr.	Digi-Key Teilenr.	Beschreibung		Paket	Stückpreis★ 1	25	100
SN74AHCT16374DGVR	296-4694-2-ND	D-Flip-Flop, Tri-State, 16-Bit	Tri-State 16-Bit D-Type Flip-Flop	48-TVSOP		1320.70/2,000	
SN74AHCT16374DLR	296-4695-1-ND	D-Flip-Flop, Tri-State, 16-Bit	Tri-State 16-Bit D-Type Flip-Flop	48-SSOP	1.27	1.02	.77
SN74AHCT16374DLR	296-4695-2-ND	D-Flip-Flop, Tri-State, 16-Bit	Tri-State 16-Bit D-Type Flip-Flop	48-SSOP		660.35/1,000	
SN74AHCT16540DGGR	296-4696-1-ND	Puffer/Treiber, Tri-State, 16-Bit	Tri-State 16-Bit Buffer/Driver	48-TSSOP	1.35	1.09	.82
SN74AHCT16540DGGR	296-4696-2-ND	Puffer/Treiber, Tri-State, 16-Bit	Tri-State 16-Bit Buffer/Driver	48-TSSOP		1408.74/2,000	
SN74AHCT16540DGVR	296-4697-1-ND	Puffer/Treiber, Tri-State, 16-Bit	Tri-State 16-Bit Buffer/Driver	48-TVSOP	1.35	1.09	.82
SN74AHCT16540DGVR	296-4697-2-ND	Puffer/Treiber, Tri-State, 16-Bit	Tri-State 16-Bit Buffer/Driver	48-TVSOP		1408.74/2,000	
SN74AHCT16540DL	296-4698-5-ND	Puffer/Treiber, Tri-State, 16-Bit	Tri-State 16-Bit Buffer/Driver	48-SSOP	1.35	1.09	.82
SN74AHCT16541DGGR	296-4699-1-ND	Puffer/Treiber, Tri-State, 16-Bit	Tri-State 16-Bit Buffer/Driver	48-TSSOP	1.35	1.09	.82
SN74AHCT16541DGGR	296-4699-2-ND	Puffer/Treiber, Tri-State, 16-Bit	Tri-State 16-Bit Buffer/Driver	48-TSSOP		1408.74/2,000	
SN74AHCT16541DGVR	296-4700-1-ND	Puffer/Treiber, Tri-State, 16-Bit	Tri-State 16-Bit Buffer/Driver	48-TVSOP	1.35	1.09	.82
SN74AHCT16541DGVR	296-4700-2-ND	Puffer/Treiber, Tri-State, 16-Bit	Tri-State 16-Bit Buffer/Driver	48-TVSOP		1408.74/2,000	
SN74AHCT16541DL	296-4701-5-ND	Puffer/Treiber, Tri-State, 16-Bit	Tri-State 16-Bit Buffer/Driver	48-SSOP	1.35	1.09	.82
		AHCU-Gruppe					
SN74AHCU04D	296-9759-5-ND	Sechsf. Inverter	Hex Inverter	14-SOIC	.39	.32	.22
SN74AHCU04DBR	296-9760-1-ND	Sechsf. Inverter	Hex Inverter	14-SSOP	.39	.32	.22
SN74AHCU04DBR	296-9760-2-ND	Sechsf. Inverter	Hex Inverter	14-SSOP		213.34/2,000	
SN74AHCU04DGVR	296-9761-1-ND	Sechsf. Inverter	Hex Inverter	14-TVSOP	.42	.34	.26
SN74AHCU04DGVR	296-9761-2-ND	Sechsf. Inverter	Hex Inverter	14-TVSOP		237.05/2,000	
SN74AHCU04N	296-9762-5-ND	Sechsf. Inverter	Hex Inverter	14-Dip	.39	.32	.22
SN74AHCU04PWR	296-9763-1-ND	Sechsf. Inverter	Hex Inverter	14-TSSOP	.39	.32	.22
SN74AHCU04PWR	296-9763-2-ND	Sechsf. Inverter	Hex Inverter	14-TSSOP		213.34/2,000	
SN74AHCU04RGYR	296-13916-1-ND	Sechsf. Inverter	Hex Inverter	14-QFN	.41	.31	.23
SN74AHCU04RGYR	296-13916-2-ND	Sechsf. Inverter	Hex Inverter	14-QFN		135.46/1,000	
		Microgate-Gruppe					
SN74AHC1G00DBVR	296-1087-1-ND	Einf. NAND-Gate mit 2 Eingängen	Single 2-Input NAND Gate	SOT-23-5	.33	.27	.19
SN74AHC1G00DBVR	296-1087-2-ND	Einf. NAND-Gate mit 2 Eingängen	Single 2-Input NAND Gate	SOT-23-5		259.06/3,000	
SN74AHC1G00DCKR	296-8741-1-ND	Einf. NAND-Gate mit 2 Eingängen	Single 2-Input NAND Gate	SC70-5	.33	.27	.19
SN74AHC1G00DCKR	296-8741-2-ND	Einf. NAND-Gate mit 2 Eingängen	Single 2-Input NAND Gate	SC70-5		259.06/3,000	
SN74AHC1G02DBVR	296-1088-1-ND	Einf. NOR-Gate mit 2 Eingängen	Single 2-Input NOR Gate	SOT-23-5	.33	.27	.19
SN74AHC1G02DBVR	296-1088-2-ND	Einf. NOR-Gate mit 2 Eingängen	Single 2-Input NOR Gate	SOT-23-5		259.06/3,000	
SN74AHC1G02DCKR	296-8742-1-ND	Einf. NOR-Gate mit 2 Eingängen	Single 2-Input NOR Gate	SC70-5	.33	.27	.19
SN74AHC1G02DCKR	296-8742-2-ND	Einf. NOR-Gate mit 2 Eingängen	Single 2-Input NOR Gate	SC70-5		259.06/3,000	
SN74AHC1G04DBVR	296-1089-1-ND	Einf. Inverter-Gate	Single Inverter Gate	SOT-23-5	.33	.27	.19
SN74AHC1G04DBVR	296-1089-2-ND	Einf. Inverter-Gate	Single Inverter Gate	SOT-23-5		259.06/3,000	
SN74AHC1G04DCKR	296-1090-1-ND	Einf. Inverter-Gate	Single Inverter Gate	SC70-5	.33	.27	.19
SN74AHC1G04DCKR	296-1090-2-ND	Einf. Inverter-Gate	Single Inverter Gate	SC70-5		259.06/3,000	
SN74AHC1G04QDCKRQ1	296-17248-1-ND	Einf. Inverter-Gate	Single Inverter Gate	SC70-5	.39	.32	.22
SN74AHC1G04QDCKRQ1	296-17248-2-ND	Einf. Inverter-Gate	Single Inverter Gate	SC70-5		302.24/3,000	
SN74AHC1G08DBVR	296-1091-1-ND	Einf. AND-Gate mit 2 Eingängen	Single 2-Input AND Gate	SOT-23-5	.33	.27	.19
SN74AHC1G08DBVR	296-1091-2-ND	Einf. AND-Gate mit 2 Eingängen	Single 2-Input AND Gate	SOT-23-5		259.06/3,000	
SN74AHC1G08DCKR	296-8743-1-ND	Einf. AND-Gate mit 2 Eingängen	Single 2-Input AND Gate	5-SOP	.33	.27	.19
SN74AHC1G08DCKR	296-8743-2-ND	Einf. AND-Gate mit 2 Eingängen	Single 2-Input AND Gate	5-SOP		259.06/3,000	
SN74AHC1G14DBVR	296-1092-1-ND	Einf. Schmitt-Trigger-Inverter	Single Schmitt-Trigger Inverter	SOT-23-5	.33	.27	.19
SN74AHC1G14DBVR	296-1092-2-ND	Einf. Schmitt-Trigger-Inverter	Single Schmitt-Trigger Inverter	SOT-23-5		259.06/3,000	
SN74AHC1G14DCKR	296-8748-1-ND	Einf. Schmitt-Trigger-Inverter	Single Schmitt-Trigger Inverter	SC70-5	.33	.27	.19
SN74AHC1G14DCKR	296-8748-2-ND	Einf. Schmitt-Trigger-Inverter	Single Schmitt-Trigger Inverter	SC70-5		259.06/3,000	
SN74AHC1G32DBVR	296-1093-1-ND	Einf. OR-Gate mit 2 Eingängen	Single 2-Input OR Gate	SOT-23-5	.33	.27	.19
SN74AHC1G32DBVR	296-1093-2-ND	Einf. OR-Gate mit 2 Eingängen	Single 2-Input OR Gate	SOT-23-5		259.06/3,000	
SN74AHC1G32DCKR	296-8749-1-ND	Einf. OR-Gate mit 2 Eingängen	Single 2-Input OR Gate	SC70-5	.33	.27	.19
SN74AHC1G32DCKR	296-8749-2-ND	Einf. OR-Gate mit 2 Eingängen	Single 2-Input OR Gate	SC70-5		259.06/3,000	
SN74AHC1G32TDBVRQ1	296-17421-1-ND	Einf. OR-Gate mit 2 Eingängen	Single 2-Input OR Gate	SOT-23-5	.32	.27	.18
SN74AHC1G32TDBVRQ1	296-17421-2-ND	Einf. OR-Gate mit 2 Eingängen	Single 2-Input OR Gate	SOT-23-5		253.98/3,000	
SN74AHC1G86DBVR	296-1094-1-ND	Einf. Exclusive-OR-Gate mit 2 Eingängen	Single 2-Input Exclusive-OR Gate	SOT-23-5	.33	.27	.19
SN74AHC1G86DBVR	296-1094-2-ND	Einf. Exclusive-OR-Gate mit 2 Eingängen	Single 2-Input Exclusive-OR Gate	SOT-23-5		259.06/3,000	
SN74AHC1G86DCKR	296-8750-1-ND	Einf. Exclusive-OR-Gate mit 2 Eingängen	Single 2-Input Exclusive-OR Gate	SC70-5	.33	.27	.19
SN74AHC1G86DCKR	296-8750-2-ND	Einf. Exclusive-OR-Gate mit 2 Eingängen	Single 2-Input Exclusive-OR Gate	SC70-5		259.06/3,000	
SN74AHC1G125DBVR	296-8744-1-ND	Einf. Bus-Puffer-Gate, Tri-State	Tri-State Single Bus Buffer Gate	SOT-23-5	.33	.27	.19
SN74AHC1G125DBVR	296-8744-2-ND	Einf. Bus-Puffer-Gate, Tri-State	Tri-State Single Bus Buffer Gate	SOT-23-5		259.06/3,000	
SN74AHC1G125DCKR	296-8745-1-ND	Einf. Bus-Puffer-Gate, Tri-State	Tri-State Single Bus Buffer Gate	SC70-5	.33	.27	.19
SN74AHC1G125DCKR	296-8745-2-ND	Einf. Bus-Puffer-Gate, Tri-State	Tri-State Single Bus Buffer Gate	SC70-5		259.06/3,000	
SN74AHC1G126DBVR	296-8746-1-ND	Einf. Bus-Puffer-Gate, Tri-State	Tri-State Single Bus Buffer Gate	SOT-23-5	.33	.27	.19
SN74AHC1G126DBVR	296-8746-2-ND	Einf. Bus-Puffer-Gate, Tri-State	Tri-State Single Bus Buffer Gate	SOT-23-5		259.06/3,000	
SN74AHC1G126DCKR	296-8747-1-ND	Einf. Bus-Puffer-Gate, Tri-State	Tri-State Single Bus Buffer Gate	SC70-5	.33	.27	.19
SN74AHC1G126DCKR	296-8747-2-ND	Einf. Bus-Puffer-Gate, Tri-State	Tri-State Single Bus Buffer Gate	SC70-5		259.06/3,000	
SN74AHC1GU04DBVR	296-1095-1-ND	Einf. Inverter-Gate	Single Inverter Gate	SOT-23-5	.33	.27	.19
SN74AHC1GU04DBVR	296-1095-2-ND	Einf. Inverter-Gate	Single Inverter Gate	SOT-23-5		259.06/3,000	
SN74AHC1GU04DCKR	296-8751-1-ND	Einf. Inverter-Gate	Single Inverter Gate	SC70-5	.33	.27	.19
SN74AHC1GU04DCKR	296-8751-2-ND	Einf. Inverter-Gate	Single Inverter Gate	SC70-5		259.06/3,000	
SN74AHCT1G00DBVR	296-1111-1-ND	Einf. NAND-Gate mit 2 Eingängen	Single 2-Input NAND Gate	SOT-23-5	.33	.27	.19
SN74AHCT1G00DBVR	296-1111-2-ND	Einf. NAND-Gate mit 2 Eingängen	Single 2-Input NAND Gate	SOT-23-5		259.06/3,000	
SN74AHCT1G00DCKR	296-4703-1-ND	Einf. NAND-Gate mit 2 Eingängen	Single 2-Input NAND Gate	5-SOT	.33	.27	.19
SN74AHCT1G00DCKR	296-4703-2-ND	Einf. NAND-Gate mit 2 Eingängen	Single 2-Input NAND Gate	5-SOT		259.06/3,000	
SN74AHCT1G02DBVR	296-4704-1-ND	Einf. NOR-Gate mit 2 Eingängen	Single 2-Input NOR Gate	SOT-23-5	.33	.27	.19
SN74AHCT1G02DBVR	296-4704-2-ND	Einf. NOR-Gate mit 2 Eingängen	Single 2-Input NOR Gate	SOT-23-5		259.06/3,000	
SN74AHCT1G02DCKR	296-4705-1-ND	Einf. NOR-Gate mit 2 Eingängen	Single 2-Input NOR Gate	5-SOT	.33	.27	.19
SN74AHCT1G02DCKR	296-4705-2-ND	Einf. NOR-Gate mit 2 Eingängen	Single 2-Input NOR Gate	5-SOT		259.06/3,000	
SN74AHCT1G04DBVR	296-1112-1-ND	Einf. Inverter-Gate	Single Inverter Gate	SOT-23-5	.33	.27	.19
SN74AHCT1G04DBVR	296-1112-2-ND	Einf. Inverter-Gate	Single Inverter Gate	SOT-23-5		259.06/3,000	
SN74AHCT1G04DCKR	296-4706-1-ND	Einf. Inverter-Gate	Single Inverter Gate	5-SOT	.33	.27	.19
SN74AHCT1G04DCKR	296-4706-2-ND	Einf. Inverter-Gate	Single Inverter Gate	5-SOT		259.06/3,000	
SN74AHCT1G08DBVR	296-1113-1-ND	Einf. AND-Gate mit 2 Eingängen	Single 2-Input AND Gate	SOT-23-5	.33	.27	.19
SN74AHCT1G08DBVR	296-1113-2-ND	Einf. AND-Gate mit 2 Eingängen	Single 2-Input AND Gate	SOT-23-5		259.06/3,000	
SN74AHCT1G08DCKR	296-4707-1-ND	Einf. AND-Gate mit 2 Eingängen	Single 2-Input AND Gate	5-SOT	.33	.27	.19
SN74AHCT1G08DCKR	296-4707-2-ND	Einf. AND-Gate mit 2 Eingängen	Single 2-Input AND Gate	5-SOT		259.06/3,000	
SN74AHCT1G14DBVR	296-1114-1-ND	Einf. Schmitt-Trigger-Inverter	Single Schmitt-Trigger Inverter	SOT-23-5	.33	.27	.19
SN74AHCT1G14DBVR	296-1114-2-ND	Einf. Schmitt-Trigger-Inverter	Single Schmitt-Trigger Inverter	SOT-23-5		259.06/3,000	
SN74AHCT1G14DCKR	296-4712-1-ND	Einf. Schmitt-Trigger-Inverter-Gate	Single Schmitt-Trigger Inverter Gate	5-SOT	.33	.27	.19
SN74AHCT1G14DCKR	296-4712-2-ND	Einf. Schmitt-Trigger-Inverter-Gate	Single Schmitt-Trigger Inverter Gate	5-SOT		259.06/3,000	
SN74AHCT1G32DBVR	296-1115-1-ND	Einf. OR-Gate mit 2 Eingängen	Single 2-Input OR Gate	SOT-23-5	.33	.27	.19
SN74AHCT1G32DBVR	296-1115-2-ND	Einf. OR-Gate mit 2 Eingängen	Single 2-Input OR Gate	SOT-23-5		259.06/3,000	
SN74AHCT1G32DCKR	296-4713-1-ND	Einf. OR-Gate mit 2 Eingängen	Single 2-Input OR Gate	5-SOT	.33	.27	.19
SN74AHCT1G32DCKR	296-4713-2-ND	Einf. OR-Gate mit 2 Eingängen	Single 2-Input OR Gate	5-SOT		259.06/3,000	
SN74AHCT1G86DBVR	296-4714-1-ND	Einf. Exclusive-OR-Gate mit 2 Eingängen	Single 2-Input Exclusive-OR Gate	SOT-23-5	.33	.27	.19
SN74AHCT1G86DBVR	296-4714-2-ND	Einf. Exclusive-OR-Gate mit 2 Eingängen	Single 2-Input Exclusive-OR Gate	SOT-23-5		259.06/3,000	
SN74AHCT1G86DCKR	296-4715-1-ND	Einf. Exclusive-OR-Gate mit 2 Eingängen	Single 2-Input Exclusive-OR Gate	5-SOT	.33	.27	.19
SN74AHCT1G86DCKR	296-4715-2-ND	Einf. Exclusive-OR-Gate mit 2 Eingängen	Single 2-Input Exclusive-OR Gate	5-SOT		259.06/3,000	
SN74AHCT1G125DBVR	296-4708-1-ND	Einf. Bus-Puffer-Gate, Tri-State	Tri-State Single Bus Buffer Gate	SOT-23-5	.33	.27	.19
SN74AHCT1G125DBVR	296-4708-2-ND	Einf. Bus-Puffer-Gate, Tri-State	Tri-State Single Bus Buffer Gate	SOT-23-5		259.06/3,000	
SN74AHCT1G125DCKR	296-4709-1-ND	Einf. Bus-Puffer-Gate, Tri-State	Tri-State Single Bus Buffer Gate	5-SOT	.33	.27	.19

(Forts.)

★ ***RUFEN SIE BITTE AN FÜR NIEDRIGERE PREISE BEI GRÖSSEREN MENGEN!*** ★

B

T. I. Teilenr.	Digi-Key Teilenr.	Beschreibung		Paket	Stückpreis★ 1	25	100
SN74AHCT1G125DCKR	296-4709-2-ND	Einf. Bus-Puffer-Gate, Tri-State	Tri-State Single Bus Buffer Gate	5-SOT		259.06/3,000	
SN74AHCT1G126DBVR	296-4710-1-ND	Einf. Bus-Puffer-Gate, Tri-State	Tri-State Single Bus Buffer Gate	SOT-23-5	.33	.27	.19
SN74AHCT1G126DBVR	296-4710-2-ND	Einf. Bus-Puffer-Gate, Tri-State	Tri-State Single Bus Buffer Gate	SOT-23-5		259.06/3,000	
SN74AHCT1G126DCKR	296-4711-1-ND	Einf. Bus-Puffer-Gate, Tri-State	Tri-State Single Bus Buffer Gate	5-SOT	.33	.27	.19
SN74AHCT1G126DCKR	296-4711-2-ND	Einf. Bus-Puffer-Gate, Tri-State	Tri-State Single Bus Buffer Gate	5-SOT		259.06/3,000	
		ALB-Gruppe					
SN74ALB16244DGGR	296-9764-1-ND	Puffer/Treiber, Tri-State, 16-Bit	Tri-State 16-Bit Buffer/Driver	48-TSSOP	4.28	3.43	2.67
SN74ALB16244DGGR	296-9764-2-ND	Puffer/Treiber, Tri-State, 16-Bit	Tri-State 16-Bit Buffer/Driver	48-TSSOP		4857.79/2,000	
SN74ALB16244DGVR	296-9765-1-ND	Puffer/Treiber, Tri-State, 16-Bit	Tri-State 16-Bit Buffer/Driver	48-TVSOP	4.28	3.43	2.67
SN74ALB16244DGVR	296-9765-2-ND	Puffer/Treiber, Tri-State, 16-Bit	Tri-State 16-Bit Buffer/Driver	48-TVSOP		4857.79/2,000	
SN74ALB16244DL	296-9766-5-ND	Puffer/Treiber, Tri-State, 16-Bit	Tri-State 16-Bit Buffer/Driver	48-SSOP	4.28	3.43	2.67
SN74ALB16244DLR	296-9766-1-ND	Puffer/Treiber, Tri-State, 16-Bit	Tri-State 16-Bit Buffer/Driver	48-SSOP	4.28	3.43	2.67
SN74ALB16244DLR	296-9766-2-ND	Puffer/Treiber, Tri-State, 16-Bit	Tri-State 16-Bit Buffer/Driver	48-SSOP		2428.90/1,000	
SN74ALB16245DGGR	296-9767-1-ND	Bus-Transceiver, Tri-State, 16-Bit	Tri-State 16-Bit Bus Transceiver	48-TSSOP	4.28	3.43	2.67
SN74ALB16245DGGR	296-9767-2-ND	Bus-Transceiver, Tri-State, 16-Bit	Tri-State 16-Bit Bus Transceiver	48-TSSOP		4857.79/2,000	
SN74ALB16245DGVR	296-9768-1-ND	Bus-Transceiver, Tri-State, 16-Bit	Tri-State 16-Bit Bus Transceiver	48-TVSOP	4.28	3.43	2.67
SN74ALB16245DGVR	296-9768-2-ND	Bus-Transceiver, Tri-State, 16-Bit	Tri-State 16-Bit Bus Transceiver	48-TVSOP		4857.79/2,000	
SN74ALB16245DLR	296-9769-1-ND	Bus-Transceiver, Tri-State, 16-Bit	Tri-State 16-Bit Bus Transceiver	48-SSOP	4.28	3.43	2.67
SN74ALB16245DLR	296-9769-2-ND	Bus-Transceiver, Tri-State, 16-Bit	Tri-State 16-Bit Bus Transceiver	48-SSOP		2428.90/1,000	
		ALS-Gruppe					
SN65ALS176D	296-9698-5-ND	Differenzialbus-Transceiver	Differential Bus Transceiver	8-SOP	1.48	1.19	.89
SN65ALS176DR	296-14637-1-ND	Differenzialbus-Transceiver	Differential Bus Transceiver	8-SOIC	1.48	1.19	.89
SN65ALS176DR	296-14637-2-ND	Differenzialbus-Transceiver	Differential Bus Transceiver	8-SOIC		1896.38/2,500	
SN65ALS180DR	296-14638-1-ND	Differenzial-Treiber- und Empfänger-Paar	Differential Driver and Receiver Pair	14-SOIC	2.01	1.61	1.21
SN65ALS180DR	296-14638-2-ND	Differenzial-Treiber- und Empfänger-Paar	Differential Driver and Receiver Pair	14-SOIC		2573.66/2,500	
SN65ALS544NSR	296-15214-1-ND	Diff. Schnittstellen-LD-Treiber	Differential Interface LD Driver	20-SOP	3.05	2.44	1.90
SN65ALS544NSR	296-15214-2-ND	Diff. Schnittstellen-LD-Treiber	Differential Interface LD Driver	20-SOP		3454.13/2,000	
SN65ALS1176DR	296-9697-1-ND	Differenzialbus-Transceiver	Differential Bus Transceiver	8-SOIC	3.34	2.67	2.08
SN65ALS1176DR	296-9697-2-ND	Differenzialbus-Transceiver	Differential Bus Transceiver	8-SOIC		4666.88/2,500	
SN74ALS00AD	296-1477-5-ND	Vierf. NAND-Gate mit 2 Eingängen	Quad 2-Input NAND Gate	14-SOIC	.51	.39	.29
SN74ALS00AN	296-1478-5-ND	Vierf. NAND-Gate mit 2 Eingängen	Quad 2-Input NAND Gate	14-Dip	.56	.42	.32
SN74ALS00ANSR	296-5001-2-ND	Vierf. NAND-Gate mit 2 Eingängen	Quad 2-Input NAND Gate	14-SOP		338.64/2,000	
SN74ALS02ADR	296-14705-1-ND	Vierf. NOR-Gate mit 2 Eingängen	Quad 2-Input NOR Gate	14-SOIC	.51	.39	.29
SN74ALS02ADR	296-14705-2-ND	Vierf. NOR-Gate mit 2 Eingängen	Quad 2-Input NOR Gate	14-SOIC		412.72/2,500	
SN74ALS02AN	296-1479-5-ND	Vierf. NOR-Gate mit 2 Eingängen	Quad 2-Input NOR Gate	14-Dip	.52	.40	.30
SN74ALS04BD	296-1122-5-ND	Sechsf. Inverter	Hex Inverter	14-SOIC	.51	.39	.29
SN74ALS04BDR	296-1122-1-ND	Sechsf. Inverter	Hex Inverter	14-SOIC	.51	.39	.29
SN74ALS04BDR	296-1122-2-ND	Sechsf. Inverter	Hex Inverter	14-SOIC		412.72/2,500	
SN74ALS04BN	296-1481-5-ND	Sechsf. Inverter	Hex Inverter	14-Dip	.52	.40	.30
SN74ALS05ADR	296-14707-1-ND	Sechsf. Inverter	Hex Inverter	14-SOIC	.51	.39	.29
SN74ALS05ADR	296-14707-2-ND	Sechsf. Inverter	Hex Inverter	14-SOIC		412.72/2,500	
SN74ALS05AN	296-1482-5-ND	Sechsf. Inverter mit OC	Hex Inverter with OC	14-Dip	.52	.40	.30
SN74ALS08D	296-1123-5-ND	Vierf. AND-Gate mit 2 Eingängen	Quad 2-Input AND Gate	14-SOIC	.51	.39	.29
SN74ALS08DR	296-1123-1-ND	Vierf. AND-Gate mit 2 Eingängen	Quad 2-Input AND Gate	14-SOIC	.51	.39	.29
SN74ALS08DR	296-1123-2-ND	Vierf. AND-Gate mit 2 Eingängen	Quad 2-Input AND Gate	14-SOIC		412.72/2,500	
SN74ALS08N	296-1484-5-ND	Vierf. AND-Gate mit 2 Eingängen	Quad 2-Input AND Gate	14-Dip	.52	.40	.30
SN74ALS10ADR	296-14712-1-ND	Dreif. NAND-Gate mit 3 Eingängen	Triple 3-Input NAND Gate	14-SOIC	.51	.39	.29
SN74ALS10ADR	296-14712-2-ND	Dreif. NAND-Gate mit 3 Eingängen	Triple 3-Input NAND Gate	14-SOIC		412.72/2,500	
SN74ALS11ADR	296-14713-1-ND	Dreif. AND-Gate mit 3 Eingängen	Triple 3-Input AND Gate	14-SOIC	.68	.51	.39
SN74ALS11ADR	296-14713-2-ND	Dreif. AND-Gate mit 3 Eingängen	Triple 3-Input AND Gate	14-SOIC		550.29/2,500	
SN74ALS21ADR	296-5045-1-ND	Zweif. AND-Gate mit 4 Eingängen	Dual 4-Input AND Gate	14-SOIC	.68	.51	.39
SN74ALS21ADR	296-5045-2-ND	Zweif. AND-Gate mit 4 Eingängen	Dual 4-Input AND Gate	14-SOIC		550.29/2,500	
SN74ALS27ADR	296-14731-1-ND	Dreif. NOR-Gate mit 3 Eingängen	Triple 3-Input NOR Gate	14-SOIC	.75	.56	.42
SN74ALS27ADR	296-14731-2-ND	Dreif. NOR-Gate mit 3 Eingängen	Triple 3-Input NOR Gate	14-SOIC		632.83/2,500	
SN74ALS30AN	296-1494-5-ND	NAND-Gate, 8 Eingänge	8-Input NAND Gate	14-Dip	.49	.37	.28
SN74ALS32DR	296-1127-1-ND	Vierf. OR-Gate mit 2 Eingängen	Quad 2-Input OR Gate	14-SOIC	.51	.39	.29
SN74ALS32DR	296-1127-2-ND	Vierf. OR-Gate mit 2 Eingängen	Quad 2-Input OR Gate	14-SOIC		412.72/2,500	
SN74ALS32N	296-1495-5-ND	Vierf. OR-Gate mit 2 Eingängen	Quad 2-Input OR Gate	14-Dip	.51	.39	.29
SN74ALS38BDR	296-14738-1-ND	Vierf. NAND-Puffer mit 2 Eingängen	Quad 2-Input NAND Buffer	14-SOIC	.51	.39	.29
SN74ALS38BDR	296-14738-2-ND	Vierf. NAND-Puffer mit 2 Eingängen	Quad 2-Input NAND Buffer	14-SOIC		412.72/2,500	
SN74ALS74AD	296-1130-5-ND	Zweif. D-Flip-Flop	Dual D-Type Flip-Flop	14-SOIC	.61	.46	.35
SN74ALS74ADR	296-1130-1-ND	Zweif. D-Flip-Flop	Dual D-Type Flip-Flop	14-SOIC	.61	.46	.35
SN74ALS74ADR	296-1130-2-ND	Zweif. D-Flip-Flop	Dual D-Type Flip-Flop	14-SOIC		495.26/2,500	
SN74ALS74AN	296-1506-5-ND	Zweif. D-Flip-Flop	Dual D-Type Flip-Flop	14-Dip	.61	.46	.35
SN74ALS86DR	296-14751-1-ND	Vierf. Exclusive-OR-Gate mit 2 Eingängen	Quad 2-Input Exclusive-OR Gate	14-SOIC	.47	.37	.28
SN74ALS86DR	296-14751-2-ND	Vierf. Exclusive-OR-Gate mit 2 Eingängen	Quad 2-Input Exclusive-OR Gate	14-SOIC		311.13/2,500	
SN74ALS109AN	296-14711-5-ND	Zweif. J-K-Flip-Flop	Dual J-K Flip-Flop	16-Dip	.78	.59	.44
SN74ALS138ADR	296-14714-1-ND	3-8 Leitungs-Decoder/Demultiplexer	3-8 Line Decoder/Demux	16-SOIC	.68	.51	.39
SN74ALS138ADR	296-14714-2-ND	3-8 Leitungs-Decoder/Demultiplexer	3-8 Line Decoder/Demux	16-SOIC		550.29/2,500	
SN74ALS138AN	296-1485-5-ND	3-8 Leitungs-Decoder/Demultiplexer	3-8 Line Decoder/Demux	16-Dip	.68	.51	.39
SN74ALS139DR	296-14715-1-ND	Zweif. 2-4 Decoder/Demux	Dual 2-4 Decoder/Demux	16-SOIC	.75	.56	.42
SN74ALS139DR	296-14715-2-ND	Zweif. 2-4 Decoder/Demux	Dual 2-4 Decoder/Demux	16-SOIC		605.32/2,500	
SN74ALS139N	296-1486-5-ND	Zweif. 2-4 Decoder/Demux	Dual 2-4 Decoder/Demux	16-Dip	.75	.56	.42
SN74ALS151DR	296-14717-1-ND	1-aus-8 Datenselektor/Mux	1-of-8 Data Selector/Mux	16-SOIC	.69	.58	.46
SN74ALS151DR	296-14717-2-ND	1-aus-8 Datenselektor/Mux	1-of-8 Data Selector/Mux	16-SOIC		742.89/2,500	
SN74ALS157ADR	296-14718-1-ND	Vierf. 1-aus-2 Datenselektor/Mux	Quad 1-of-2 Data Selector/Mux	16-SOIC	.63	.53	.43
SN74ALS157ADR	296-14718-2-ND	Vierf. 1-aus-2 Datenselektor/Mux	Quad 1-of-2 Data Selector/Mux	16-SOIC		687.86/2,500	
SN74ALS157AN	296-14719-5-ND	Vierf. 1-aus-2 Datenselektor/Mux	Quad 1-of-2 Data Selector/Mux	16-Dip	.63	.53	.43
SN74ALS158NSR	296-13147-1-ND	Vierf. 1-aus-2 Datenselektor/Mux	Quad 1-of-2 Data Selector/Mux	16-SOP	1.80	1.44	1.08
SN74ALS158NSR	296-13147-2-ND	Vierf. 1-aus-2 Datenselektor/Mux	Quad 1-of-2 Data Selector/Mux	16-SOP		1981.04/2,000	
SN74ALS161BN	296-1487-5-ND	Synchroner Binärzähler, 4-Bit	4-Bit Synchronous Binary Counter	16-Dip	.81	.61	.46
SN74ALS163BN	296-1488-5-ND	Synchroner Binärzähler, 4-Bit	4-Bit Synchronous Binary Counter	16-Dip	.81	.61	.46
SN74ALS166DBR	296-5027-1-ND	Schieberegister, paralleles Laden, 8-Bit	8-Bit Parallel-Load Shift Register	16-SSOP	2.57	2.06	1.61
SN74ALS166DBR	296-5027-2-ND	Schieberegister, paralleles Laden, 8-Bit	8-Bit Parallel-Load Shift Register	16-SSOP		3066.39/2,000	
SN74ALS169BNSR	296-13148-1-ND	Synchroner Auf-/Abwärts-Binärzähler, 4-Bit	4-Bit Sync. Up/Down Binary Counter	16-SOP	.89	.75	.60
SN74ALS169BNSR	296-13148-2-ND	Synchroner Auf-/Abwärts-Binärzähler, 4-Bit	4-Bit Sync. Up/Down Binary Counter	16-SOP		833.05/2,000	
SN74ALS175DR	296-14721-1-ND	Vierf. D-Flip-Flop	Quad D-Type Flip-Flop	16-SOIC	.75	.56	.42
SN74ALS175DR	296-14721-2-ND	Vierf. D-Flip-Flop	Quad D-Type Flip-Flop	16-SOIC		605.32/2,500	
SN74ALS193AN	296-14722-5-ND	Synchroner Binärzähler, 4-Bit	4-Bit Sync. Binary Counter	16-Dip	1.30	1.04	.78
SN74ALS240ADWR	296-14724-1-ND	Achtf. Puffer/Treiber, Tri-State	Tri-State Octal Buffer/Driver	20-SOIC	.63	.53	.43
SN74ALS240ADWR	296-14724-2-ND	Achtf. Puffer/Treiber, Tri-State	Tri-State Octal Buffer/Driver	20-SOIC		563.84/2,000	
SN74ALS240AN	296-14725-5-ND	Achtf. Puffer/Treiber, Tri-State	Tri-State Octal Buffer/Driver	20-Dip	.63	.53	.43
SN74ALS243ANSR	296-13149-1-ND	Vierf. Bus-Transceiver, Tri-State	Tri-State Quad Bus Transceiver	14-SOP	3.24	2.60	2.02
SN74ALS243ANSR	296-13149-2-ND	Vierf. Bus-Transceiver, Tri-State	Tri-State Quad Bus Transceiver	14-SOP		3670.86/2,000	
SN74ALS244CDW	296-1124-5-ND	Achtf. Puffer-/Leitungstreiber, Tri-State	Tri-State Octal Buffer/Line Driver	20-SOIC	.78	.59	.44
SN74ALS244CDWR	296-1124-1-ND	Achtf. Puffer-/Leitungstreiber, Tri-State	Tri-State Octal Buffer/Line Driver	20-SOIC	.78	.59	.44
SN74ALS244CDWR	296-1124-2-ND	Achtf. Puffer-/Leitungstreiber, Tri-State	Tri-State Octal Buffer/Line Driver	20-SOIC		518.12/2,000	
SN74ALS244CN	296-1490-5-ND	Achtf. Puffer-/Leitungstreiber, Tri-State	Tri-State Octal Buffer/Line Driver	20-Dip	.78	.59	.44
SN74ALS245ADW	296-1125-5-ND	Achtf. Puffer-/Leitungstreiber, Tri-State	Tri-State Octal Buffer/Line Driver	20-SOIC	.81	.61	.46
SN74ALS245ADWR	296-1125-1-ND	Achtf. Bus-Transceiver, Tri-State	Tri-State Octal Bus Transceiver	20-SOIC	.81	.61	.46

(Forts.)

★ RUFEN SIE BITTE AN FÜR NIEDRIGERE PREISE BEI GRÖSSEREN MENGEN! ★

T. I. Teilenr.	Digi-Key Teilenr.	Beschreibung		Paket	Stückpreis★ 1	25	100
SN74ALS245ADWR	296-1125-2-ND	Achtf. Bus-Transceiver, Tri-State	Tri-State Octal Bus Transceiver	20-SOIC		540.13/2,000	
SN74ALS245AN	296-1492-5-ND	Achtf. Puffer-/Leitungstreiber, Tri-State	Tri-State Octal Buffer/Line Driver	20-Dip	.81	.61	.46
SN74ALS257ADR	296-14728-1-ND	Vierf. 2-1 Leitungs-Mux, Tri-State	Tri-State Quad 2-1 Line Mux	16-SOIC	.66	.56	.45
SN74ALS257ADR	296-14728-2-ND	Vierf. 2-1 Leitungs-Mux, Tri-State	Tri-State Quad 2-1 Line Mux	16-SOIC		715.38/2,500	
SN74ALS259DR	296-14729-1-ND	Adressierbarer Latch, 8-Bit	8-Bit Addressable Latch	16-SOIC	1.63	1.31	.98
SN74ALS259DR	296-14729-2-ND	Adressierbarer Latch, 8-Bit	8-Bit Addressable Latch	16-SOIC		2275.24/2,500	
SN74ALS273N	296-1493-5-ND	Achtf. D-Flip-Flop mit Löschen	Octal D-Type Flip-Flop with Clear	20-Dip	.63	.53	.43
SN74ALS299NSR	296-13150-1-ND	Universal-Schiebe-/Speicherregister, Tri-State, 8-Bit	Tri-State 8-Bit, Universal Shift/Storage Register	20-SOP	3.05	2.44	1.90
SN74ALS299NSR	296-13150-2-ND	Universal-Schiebe-/Speicherregister, Tri-State, 8-Bit	Tri-State 8-Bit, Universal Shift/Storage Register	20-SOP		3454.13/2,000	
SN74ALS373ADWR	296-14735-1-ND	Tri-St., Achtf. transp. D-Latch	Tri-St. Octal Transp. D-Type Latch	20-SOIC	.71	.60	.48
SN74ALS373ADWR	296-14735-2-ND	Tri-St., Achtf. transp. D-Latch	Tri-St. Octal Transp. D-Type Latch	20-SOIC		629.87/2,000	
SN74ALS373AN	296-1496-5-ND	Tri-St., Achtf. transp. D-Latch	Tri-St. Octal Transp. D-Type Latch	20-Dip	.71	.60	.48
SN74ALS374ADWR	296-1128-1-ND	Achtf. D-Flip-Flop, Tri-State	Tri-State Octal D-Type Flip-Flop	20-SOIC	.78	.59	.44
SN74ALS374ADWR	296-1128-2-ND	Achtf. D-Flip-Flop, Tri-State	Tri-State Octal D-Type Flip-Flop	20-SOIC		518.12/2,000	
SN74ALS374AN	296-1498-5-ND	Achtf. D-Flip-Flop, Tri-State	Tri-State Octal D-Type Flip-Flop	20-Dip	.78	.59	.44
SN74ALS520N	296-14739-5-ND	Identitätskomparator, 8-Bit	8-Bit Identity Comparator	20-Dip	1.19	1.00	.80
SN74ALS521NSR	296-13151-1-ND	Identitätskomparator, 8-Bit	8-Bit Identity Comparator	20-SOP	1.17	.94	.70
SN74ALS521NSR	296-13151-2-ND	Identitätskomparator, 8-Bit	8-Bit Identity Comparator	20-SOP		1276.67/2,000	
SN74ALS534ADWR	296-14740-1-ND	Achtf. D-Flip-Flop, Tri-State	Tri-State Octal D-Type Flip-Flop	20-SOIC	1.72	1.38	1.03
SN74ALS534ADWR	296-14740-2-ND	Achtf. D-Flip-Flop, Tri-State	Tri-State Octal D-Type Flip-Flop	20-SOIC		1782.94/2,000	
SN74ALS540DWR	296-14741-1-ND	Achtf. Puffer/Treiber, Tri-State	Tri-State Octal Buffer/Driver	20-SOIC	1.44	1.16	.87
SN74ALS540DWR	296-14741-2-ND	Achtf. Puffer/Treiber, Tri-State	Tri-State Octal Buffer/Driver	20-SOIC		1562.82/2,000	
SN74ALS540-1NSR	296-13152-1-ND	Achtf. Puffer-/Leitungstreiber, Tri-State	Tri-State Octal Buffer/Line Driver	20-SOP	4.46	3.57	2.78
SN74ALS540-1NSR	296-13152-2-ND	Achtf. Puffer-/Leitungstreiber, Tri-State	Tri-State Octal Buffer/Line Driver	20-SOP		5289.56/2,000	
SN74ALS541DW	296-1499-5-ND	Achtf. Puffer-/Leitungstreiber, Tri-State	Tri-State Octal Buffer/Line Driver	20-SOIC	.94	.79	.63
SN74ALS541DWR	296-14742-1-ND	Achtf. Puffer-/Leitungstreiber, Tri-State	Tri-State Octal Buffer/Line Driver	20-SOIC	.94	.79	.63
SN74ALS541DWR	296-14742-2-ND	Achtf. Puffer-/Leitungstreiber, Tri-State	Tri-State Octal Buffer/Line Driver	20-SOIC		833.05/2,000	
SN74ALS541N	296-1500-5-ND	Achtf. Puffer-/Leitungstreiber, Tri-State	Tri-State Octal Buffer/Line Driver	20-Dip	.94	.79	.63
SN74ALS541NSR	296-13153-1-ND	Achtf. Puffer-/Leitungstreiber, Tri-State	Tri-State Octal Buffer/Line Driver	20-SOP	.94	.79	.63
SN74ALS541NSR	296-13153-2-ND	Achtf. Puffer-/Leitungstreiber, Tri-State	Tri-State Octal Buffer/Line Driver	20-SOP		833.05/2,000	
SN74ALS573CDW	296-1129-5-ND	Tri-St., Achtf. transparenter D-Latch	Tri-St. Octal D-Type Transparent Latch	20-SOIC	.78	.59	.44
SN74ALS573CDWR	296-1129-1-ND	Tri-St., Achtf. transparenter D-Latch	Tri-St. Octal D-Type Transparent Latch	20-SOIC	.78	.59	.44
SN74ALS573CDWR	296-1129-2-ND	Tri-St., Achtf. transparenter D-Latch	Tri-St. Octal D-Type Transparent Latch	20-SOIC		518.12/2,000	
SN74ALS573CN	296-1502-5-ND	Tri-St., Achtf. transparenter D-Latch	Tri-St. Octal D-Type Transparent Latch	20-Dip	.78	.59	.44
SN74ALS574BDW	296-1503-5-ND	Achtf. D-Flip-Flop, Tri-State	Tri-State Octal D-Type Flip-Flop	20-SOIC	.78	.59	.44
SN74ALS574BDWR	296-14745-1-ND	Achtf. D-Flip-Flop, Tri-State	Tri-State Octal D-Type Flip-Flop	20-SOIC	.78	.59	.44
SN74ALS574BDWR	296-14745-2-ND	Achtf. D-Flip-Flop, Tri-State	Tri-State Octal D-Type Flip-Flop	20-SOIC		518.12/2,000	
SN74ALS574BN	296-1504-5-ND	Achtf. D-Flip-Flop, Tri-State	Tri-State Octal D-Type Flip-Flop	20-Dip	.78	.59	.44
SN74ALS580BNSR	296-13154-1-ND	Tri-St., Achtf. transparenter D-Latch	Tri-St. Octal D-Type Transparent Latch	20-SOP	1.98	1.59	1.24
SN74ALS580BNSR	296-13154-2-ND	Tri-St., Achtf. transparenter D-Latch	Tri-St. Octal D-Type Transparent Latch	20-SOP		2245.18/2,000	
SN74ALS639AN	296-5068-5-ND	Achtf. Bus-Transceiver	Octal Bus Transceiver	20-Dip	2.97	2.38	1.85
SN74ALS641A-1DW	296-9770-5-ND	Achtf. Bus-Transceiver mit OC-Ausgang	Octal Bus Transceiver with OC Output	20-SOIC	2.68	2.15	1.68
SN74ALS641ADW	296-9771-5-ND	Achtf. Bus-Transceiver mit OC-Ausgang	Octal Bus Transceiver with OC Output	20-SOIC	2.21	1.77	1.38
SN74ALS652ANT	296-14747-5-ND	Achtf. Bus-Transceiver, Tri-State	Tri-State Octal Bus Transceiver	24-Dip	4.21	3.37	2.62
SN74ALS688N	296-14748-5-ND	Identitätskomparator, 8-Bit	8-Bit Identity Comparator	20-Dip	3.72	2.98	2.32
SN74ALS874BNT	296-14752-5-ND	Zweif. D-Flip-Flop, 4-Bit	Dual 4-Bit D-Type Flip-Flop	24-Dip	2.33	1.86	1.45
SN74ALS996NT	296-1507-5-ND	READ-BACK-Latch, 8-Bit	8-Bit READ-BACK Latch	24-Dip	8.18	6.55	5.53
SN74ALS1005DR	296-14709-1-ND	Sechsf. invertierender Puffer	Hex Inverting Buffer	14-SOIC	.81	.68	.55
SN74ALS1005DR	296-14709-2-ND	Sechsf. invertierender Puffer	Hex Inverting Buffer	14-SOIC		880.46/2,500	
SN74ALS1005NSR	296-13146-1-ND	Sechsf. invertierender Puffer mit Open-Collector-Ausgängen	Hex Inverting Buffer with OC Outputs	14-SOP	1.17	.94	.70
SN74ALS1005NSR	296-13146-2-ND	Sechsf. invertierender Puffer mit Open-Collector-Ausgängen	Hex Inverting Buffer with OC Outputs	14-SOP		1276.67/2,000	
SN74ALS1034D	296-5007-5-ND	Sechsf. nicht invertiertender Treiber	Hex Non-Inverting Driver	14-SOIC	1.30	1.04	.78
SN74ALS1035DR	296-14710-1-ND	Sechsf. nicht invertierender Puffer	Hex Non-Inverting Buffer	14-SOIC	.81	.68	.55
SN74ALS1035DR	296-14710-2-ND	Sechsf. nicht invertierender Puffer	Hex Non-Inverting Buffer	14-SOIC		880.46/2,500	
SN74ALS29827NT	296-14732-5-ND	Puffer, Tri-State, 10-Bit	Tri-State 10-Bit Buffer	24-Dip	4.40	3.52	2.74
SN75ALS057DWR	296-12932-1-ND	Vierf. Schnittstellenbus-Transceiver	Quad Interface Bus Transceiver	20-SOIC	3.70	2.96	2.30
SN75ALS057DWR	296-12932-2-ND	Vierf. Schnittstellenbus-Transceiver	Quad Interface Bus Transceiver	20-SOIC		4188.98/2,000	
SN75ALS057N	296-9927-5-ND	Vierf. Schnittstellenbus-Transceiver	Quad Interface Bus Transceiver	20-Dip	3.70	2.96	2.30
SN75ALS085DW	296-12933-5-ND	Treiber/Empfänger, Doppelkanal	Dual Channel Driver/Receiver	24-SOIC	7.62	6.10	5.15
SN75ALS085NT	296-9928-5-ND	Treiber/Empfänger, Doppelkanal	Dual Channel Driver/Receiver	24-Dip	8.04	6.44	5.43
SN75ALS160DW	296-9932-5-ND	Achtf. Bus-Transceiver	Octal Bus Transceiver	20-SOIC	2.01	1.61	1.21
SN75ALS161N	296-9933-5-ND	Achtf. Bus-Transceiver	Octal Bus Transceiver	20-Dip	4.74	3.80	3.21
SN75ALS162DW	296-9934-5-ND	Achtf. Bus-Transceiver	Octal Bus Transceiver	24-SOIC	3.98	3.19	2.48
SN75ALS162DWR	296-14963-1-ND	Achtf. Bus-Transceiver	Octal Bus Transceiver	24-SOIC	3.98	3.19	2.48
SN75ALS162DWR	296-14963-2-ND	Achtf. Bus-Transceiver	Octal Bus Transceiver	24-SOIC		4512.38/2,000	
SN75ALS163DWR	296-9935-1-ND	Achtf. Schnittstellenbus-Transceiver	Octal Interface Bus Transceiver	20-SOIC	4.49	3.59	3.03
SN75ALS163DWR	296-9935-2-ND	Achtf. Schnittstellenbus-Transceiver	Octal Interface Bus Transceiver	20-SOIC		5609.57/2,000	
SN75ALS170ADW	296-9936-5-ND	Dreif. Differenzialbus-Transceiver	Triple Differential Bus Transceiver	20-SOIC	4.67	3.74	3.16
SN75ALS171ADW	296-9937-5-ND	Dreif. Differenzialbus-Transceiver	Triple Differential Bus Transceiver	20-SOIC	4.67	3.74	3.16
SN75ALS171DWR	296-9938-1-ND	Dreif. Differenzialbus-Transceiver	Triple Differential Bus Transceiver	20-SOIC	4.35	3.49	2.94
SN75ALS171DWR	296-9938-2-ND	Dreif. Differenzialbus-Transceiver	Triple Differential Bus Transceiver	20-SOIC		5440.25/2,000	
SN75ALS172ADW	296-9939-5-ND	Vierf. Differenzialbus-Leitungstreiber	Quad Differential Bus Line Driver	20-SOIC	2.76	2.21	1.72
SN75ALS172AN	296-9940-5-ND	Vierf. Differenzialbus-Leitungstreiber	Quad Differential Bus Line Driver	16-Dip	2.76	2.21	1.72
SN75ALS173N	296-9951-5-ND	Vierf. Differenzial-Leitungsempfänger	Quad Differential Line Receiver	16-Dip	2.76	2.21	1.72
SN75ALS174AN	296-9952-5-ND	Vierf. Differenzial-Leitungstreiber	Quad Differential Line Driver	16-Dip	2.00	1.60	1.25
SN75ALS175N	296-9953-5-ND	Vierf. Differenzial-Leitungsempfänger	Quad Differential Line Receiver	16-Dip	2.42	1.94	1.51
SN75ALS175NSR	296-9954-1-ND	Vierf. Differenzial-Leitungsempfänger	Quad Differential Line Receiver	16-SOP	2.42	1.94	1.51
SN75ALS175NSR	296-9954-2-ND	Vierf. Differenzial-Leitungsempfänger	Quad Differential Line Receiver	16-SOP		2741.29/2,000	
SN75ALS176AD	296-9955-5-ND	Differenzialbus-Transceiver	Differential Bus Transceiver	8-SOIC	1.48	1.19	.89
SN75ALS176ADR	296-14964-1-ND	Differenzialbus-Transceiver	Differential Bus Transceiver	8-SOIC	1.48	1.19	.89
SN75ALS176ADR	296-14964-2-ND	Differenzialbus-Transceiver	Differential Bus Transceiver	8-SOIC		1896.38/2,500	
SN75ALS176BD	296-9956-5-ND	Differenzialbus-Transceiver	Differential Bus Transceiver	8-SOIC	1.48	1.19	.89
SN75ALS176BDR	296-14965-1-ND	Differenzialbus-Transceiver	Differential Bus Transceiver	8-SOIC	1.02	.85	.68
SN75ALS176BDR	296-14965-2-ND	Differenzialbus-Transceiver	Differential Bus Transceiver	8-SOIC		1100.58/2,500	
SN75ALS176BP	296-9957-5-ND	Differenzialbus-Transceiver	Differential Bus Transceiver	8-Dip	1.31	1.05	.79
SN75ALS176D	296-9958-5-ND	Differenzialbus-Transceiver	Differential Bus Transceiver	8-SOIC	1.31	1.05	.79
SN75ALS176DR	296-14966-1-ND	Differenzialbus-Transceiver	Differential Bus Transceiver	8-SOIC	1.31	1.05	.79
SN75ALS176DR	296-14966-2-ND	Differenzialbus-Transceiver	Differential Bus Transceiver	8-SOIC		1680.50/2,500	
SN75ALS176P	296-9959-5-ND	Differenzialbus-Transceiver	Differential Bus Transceiver	8-Dip	1.31	1.05	.79
SN75ALS180D	296-9960-5-ND	Differenzial-Treiber-/Empfänger-Paar	Differential Driver/Receiver Pair	14-SOIC	1.74	1.39	1.05
SN75ALS180DR	296-14967-1-ND	Differenzial-Treiber-/Empfänger-Paar	Differential Driver/Receiver Pair	14-SOIC	1.74	1.39	1.05
SN75ALS180DR	296-14967-2-ND	Differenzial-Treiber-/Empfänger-Paar	Differential Driver/Receiver Pair	14-SOIC		2222.33/2,500	
SN75ALS180N	296-9961-5-ND	Differenzial-Treiber-/Empfänger-Paar	Differential Driver/Receiver Pair	14-Dip	1.74	1.39	1.05
SN75ALS181N	296-9962-5-ND	Differenzial-Treiber-/Empfänger-Paar	Differential Driver/Receiver Pair	14-Dip	1.90	1.53	1.15
SN75ALS181NSR	296-9963-1-ND	Differenzial-Treiber-/Empfänger-Paar	Differential Driver/Receiver Pair	14-SOP	1.90	1.53	1.15
SN75ALS181NSR	296-9963-2-ND	Differenzial-Treiber-/Empfänger-Paar	Differential Driver/Receiver Pair	14-SOP		1981.04/2,000	
SN75ALS191D	296-9964-5-ND	Zweif. Differenzial-Leitungstreiber	Dual Differential Line Driver	8-SOIC	1.06	.85	.64
SN75ALS191P	296-9965-5-ND	Zweif. Differenzial-Leitungstreiber	Dual Differential Line Driver	8-Dip	1.06	.85	.64
SN75ALS191PSR	296-13318-1-ND	Zweif. Differenzial-Leitungstreiber	Dual Differential Line Driver	8-SOP	1.06	.85	.64
SN75ALS191PSR	296-13318-2-ND	Zweif. Differenzial-Leitungstreiber	Dual Differential Line Driver	8-SOP		1100.58/2,000	
SN75ALS192D	296-9966-5-ND	Vierf. Differenzial-Leitungstreiber	Quad Differential Line Driver	16-SOIC	.68	.51	.39
SN75ALS192DR	296-14968-1-ND	Vierf. Differenzial-Leitungstreiber	Quad Differential Line Driver	16-SOIC	.68	.51	.39
SN75ALS192DR	296-14968-2-ND	Vierf. Differenzial-Leitungstreiber	Quad Differential Line Driver	16-SOIC		550.29/2,500	
SN75ALS192N	296-15071-5-ND	Vierf. Differenzial-Leitungstreiber	Quad Differential Line Driver	16-Dip	.68	.51	.39
SN75ALS193D	296-9967-5-ND	Vierf. Differenzial-Leitungsempfänger	Quad Differential Line Receiver	16-SOIC	.75	.56	.42

(Forts.)

★ ***RUFEN SIE BITTE AN FÜR NIEDRIGERE PREISE BEI GRÖSSEREN MENGEN!*** ★

B

T. I. Teilenr.	Digi-Key Teilenr.	Beschreibung		Paket	Stückpreis★ 1	25	100
SN75ALS193N	296-9968-5-ND	Vierf. Differenzial-Leitungsempfänger	Quad Differential Line Receiver	16-Dip	.75	.56	.42
SN75ALS194DR	296-14969-1-ND	Vierf. Differenzial-Leitungstreiber	Quad Differential Line Driver	16-SOIC	1.07	.89	.72
SN75ALS194DR	296-14969-2-ND	Vierf. Differenzial-Leitungstreiber	Quad Differential Line Driver	16-SOIC		1155.61/2,500	
SN75ALS194N	296-9969-5-ND	Vierf. Differenzial-Leitungstreiber	Quad Differential Line Driver	16-Dip	1.07	.89	.72
SN75ALS195N	296-9970-5-ND	Vierf. Differenzial-Leitungsempfänger	Quad Differential Line Receiver	16-Dip	1.59	1.27	.96
SN75ALS197D	296-9971-5-ND	Vierf. Differenzial-Leitungsempfänger	Quad Differential Line Receiver	16-SOIC	.51	.39	.29
SN75ALS197DR	296-14970-1-ND	Vierf. Differenzial-Leitungsempfänger	Quad Differential Line Receiver	16-SOIC	.51	.39	.29
SN75ALS197DR	296-14970-2-ND	Vierf. Differenzial-Leitungsempfänger	Quad Differential Line Receiver	16-SOIC		412.72/2,500	
SN75ALS197N	296-9972-5-ND	Vierf. Differenzial-Leitungsempfänger	Quad Differential Line Receiver	16-Dip	.51	.39	.29
SN75ALS197NSR	296-13319-1-ND	Vierf. Diff.-Leitungsempfänger, Tri-State	Tri-State Quad Differential Line Receiver	16-SOP	.51	.39	.29
SN75ALS197NSR	296-13319-2-ND	Vierf. Diff.-Leitungsempfänger, Tri-State	Tri-State Quad Differential Line Receiver	16-SOP		338.64/2,000	
SN75ALS199D	296-9973-5-ND	Vierf. Differenzial-Leitungsempfänger	Quad Differential Line Receiver	16-SOIC	1.07	.89	.72
SN75ALS1177N	296-9929-5-ND	Zweif. Diff.-Treiber/Empfänger, Tri-State	Tri-State Dual Diff. Driver/Receiver	16-Dip	3.43	2.75	2.14
SN75ALS1177NSR	296-9930-1-ND	Zweif. Diff.-Treiber/Empfänger, Tri-State	Tri-State Dual Diff. Driver/Receiver	16-SOP	3.43	2.75	2.14
SN75ALS1177NSR	296-9930-2-ND	Zweif. Diff.-Treiber/Empfänger, Tri-State	Tri-State Dual Diff. Driver/Receiver	16-SOP		3885.89/2,000	
SN75ALS1178N	296-9931-5-ND	Zweif. Diff.-Treiber/Empfänger, Tri-State	Tri-State Dual Diff. Driver/Receiver	16-Dip	3.43	2.75	2.14
SN75ALS1178NSR	296-12185-1-ND	Zweif. Diff.-Treiber/Empfänger, Tri-State	Tri-State Dual Diff. Driver/Receiver	16-SOP	3.43	2.75	2.14
SN75ALS1178NSR	296-12185-2-ND	Zweif. Diff.-Treiber/Empfänger, Tri-State	Tri-State Dual Diff. Driver/Receiver	16-SOP		3885.89/2,000	
		ALVC-Gruppe					
74ALVC164245GRDR	296-16868-1-ND	Tri-St., Pegelumsetzungs-Transceiver, 16-Bit	Tri-St. 16-Bit Level Shifting Transceiver	54-BGA	1.35	1.09	.82
74ALVC164245GRDR	296-16868-2-ND	Tri-St., Pegelumsetzungs-Transceiver, 16-Bit	Tri-St. 16-Bit Level Shifting Transceiver	54-BGA		704.37/1,000	
74ALVC164245ZRDR	296-16869-1-ND	Tri-St., Pegelumsetzungs-Transceiver, 16-Bit	Tri-St. 16-Bit Level Shifting Transceiver	54-BGA	1.35	1.09	.82
74ALVC164245ZRDR	296-16869-2-ND	Tri-St., Pegelumsetzungs-Transceiver, 16-Bit	Tri-St. 16-Bit Level Shifting Transceiver	54-BGA		704.37/1,000	
SN74ALVC00DGVR	296-5100-1-ND	Vierf. NAND-Gate mit 2 Eingängen	Quad 2-Input NAND Gate	14-TVSOP	.41	.31	.23
SN74ALVC00DGVR	296-5100-2-ND	Vierf. NAND-Gate mit 2 Eingängen	Quad 2-Input NAND Gate	14-TVSOP		270.91/2,000	
SN74ALVC00DR	296-5101-1-ND	Vierf. NAND-Gate mit 2 Eingängen	Quad 2-Input NAND Gate	14-SOIC	.38	.31	.23
SN74ALVC00DR	296-5101-2-ND	Vierf. NAND-Gate mit 2 Eingängen	Quad 2-Input NAND Gate	14-SOIC		258.21/2,500	
SN74ALVC00NSR	296-5103-1-ND	Vierf. NAND-Gate mit 2 Eingängen	Quad 2-Input NAND Gate	14-SOP	.38	.31	.23
SN74ALVC00NSR	296-5103-2-ND	Vierf. NAND-Gate mit 2 Eingängen	Quad 2-Input NAND Gate	14-SOP		213.34/2,000	
SN74ALVC00PWR	296-5104-1-ND	Vierf. NAND-Gate mit 2 Eingängen	Quad 2-Input NAND Gate	14-TSSOP	.38	.31	.23
SN74ALVC00PWR	296-5104-2-ND	Vierf. NAND-Gate mit 2 Eingängen	Quad 2-Input NAND Gate	14-TSSOP		213.34/2,000	
SN74ALVC04D	296-1508-5-ND	Sechsf. Inverter	Hex Inverter	14-SOIC	.38	.31	.23
SN74ALVC04DGVR	296-5105-1-ND	Sechsf. Inverter	Hex Inverter	14-TVSOP	.41	.31	.23
SN74ALVC04DGVR	296-5105-2-ND	Sechsf. Inverter	Hex Inverter	14-TVSOP		270.91/2,000	
SN74ALVC04DR	296-14780-1-ND	Sechsf. Inverter	Hex Inverter	14-SOIC	.38	.31	.23
SN74ALVC04DR	296-14780-2-ND	Sechsf. Inverter	Hex Inverter	14-SOIC		258.21/2,500	
SN74ALVC04PWR	296-5106-1-ND	Sechsf. Inverter	Hex Inverter	14-TSSOP	.38	.31	.23
SN74ALVC04PWR	296-5106-2-ND	Sechsf. Inverter	Hex Inverter	14-TSSOP		213.34/2,000	
SN74ALVC04RGYR	296-13917-1-ND	Sechsf. Inverter	Hex Inverter	14-QFN	.47	.36	.27
SN74ALVC04RGYR	296-13917-2-ND	Sechsf. Inverter	Hex Inverter	14-QFN		157.47/1,000	
SN74ALVC08DGVR	296-5107-1-ND	Vierf. AND-Gate mit 2 Eingängen	Quad 2-Input AND Gate	14-TVSOP	.41	.31	.23
SN74ALVC08DGVR	296-5107-2-ND	Vierf. AND-Gate mit 2 Eingängen	Quad 2-Input AND Gate	14-TVSOP		270.91/2,000	
SN74ALVC08DR	296-5108-1-ND	Vierf. AND-Gate mit 2 Eingängen	Quad 2-Input AND Gate	14-SOIC	.38	.31	.23
SN74ALVC08DR	296-5108-2-ND	Vierf. AND-Gate mit 2 Eingängen	Quad 2-Input AND Gate	14-SOIC		258.21/2,500	
SN74ALVC08PWR	296-5109-1-ND	Vierf. AND-Gate mit 2 Eingängen	Quad 2-Input AND Gate	14-TSSOP	.38	.31	.23
SN74ALVC08PWR	296-5109-2-ND	Vierf. AND-Gate mit 2 Eingängen	Quad 2-Input AND Gate	14-TSSOP		213.34/2,000	
SN74ALVC08RGYR	296-13918-1-ND	Vierf. AND-Gate mit 2 Eingängen	Quad 2-Input AND Gate	14-QFN	.54	.41	.31
SN74ALVC08RGYR	296-13918-2-ND	Vierf. AND-Gate mit 2 Eingängen	Quad 2-Input AND Gate	14-QFN		180.33/1,000	
SN74ALVC10D	296-1509-5-ND	Dreif. NAND-Gate mit 3 Eingängen	Triple 3-Input NAND Gate	14-SOIC	.38	.31	.23
SN74ALVC10DR	296-1509-1-ND	Dreif. NAND-Gate mit 3 Eingängen	Triple 3-Input NAND Gate	14-SOIC	.38	.31	.23
SN74ALVC10DR	296-1509-2-ND	Dreif. NAND-Gate mit 3 Eingängen	Triple 3-Input NAND Gate	14-SOIC		258.21/2,500	
SN74ALVC10DGVR	296-5110-1-ND	Dreif. NAND-Gate mit 3 Eingängen	Triple 3-Input NAND Gate	14-TVSOP	.41	.31	.23
SN74ALVC10DGVR	296-5110-2-ND	Dreif. NAND-Gate mit 3 Eingängen	Triple 3-Input NAND Gate	14-TVSOP		270.91/2,000	
SN74ALVC10NSR	296-5111-1-ND	Dreif. NAND-Gate mit 3 Eingängen	Triple 3-Input NAND Gate	14-SOP	.38	.31	.23
SN74ALVC10NSR	296-5111-2-ND	Dreif. NAND-Gate mit 3 Eingängen	Triple 3-Input NAND Gate	14-SOP		213.34/2,000	
SN74ALVC10PWR	296-5112-1-ND	Dreif. NAND-Gate mit 3 Eingängen	Triple 3-Input NAND Gate	14-TSSOP	.38	.31	.23
SN74ALVC10PWR	296-5112-2-ND	Dreif. NAND-Gate mit 3 Eingängen	Triple 3-Input NAND Gate	14-TSSOP		213.34/2,000	
SN74ALVC14DGVR	296-5119-1-ND	Sechsf. Schmitt-Trigger-Inverter	Hex Schmitt-Trigger Inverter	14-TVSOP	.54	.41	.31
SN74ALVC14DGVR	296-5119-2-ND	Sechsf. Schmitt-Trigger-Inverter	Hex Schmitt-Trigger Inverter	14-TVSOP		360.65/2,000	
SN74ALVC14DR	296-5120-1-ND	Sechsf. Schmitt-Trigger-Inverter	Hex Schmitt-Trigger Inverter	14-SOIC	.38	.31	.23
SN74ALVC14DR	296-5120-2-ND	Sechsf. Schmitt-Trigger-Inverter	Hex Schmitt-Trigger Inverter	14-SOIC		258.21/2,500	
SN74ALVC14PWR	296-5121-1-ND	Sechsf. Schmitt-Trigger-Inverter	Hex Schmitt-Trigger Inverter	14-TSSOP	.38	.31	.23
SN74ALVC14PWR	296-5121-2-ND	Sechsf. Schmitt-Trigger-Inverter	Hex Schmitt-Trigger Inverter	14-TSSOP		213.34/2,000	
SN74ALVC32DGVR	296-5139-1-ND	Vierf. OR-Gate mit 2 Eingängen	Quad 2-Input OR Gate	14-TVSOP	.38	.31	.23
SN74ALVC32DGVR	296-5139-2-ND	Vierf. OR-Gate mit 2 Eingängen	Quad 2-Input OR Gate	14-TVSOP		213.34/2,000	
SN74ALVC32DR	296-5140-1-ND	Vierf. OR-Gate mit 2 Eingängen	Quad 2-Input OR Gate	14-SOIC	.38	.31	.23
SN74ALVC32DR	296-5140-2-ND	Vierf. OR-Gate mit 2 Eingängen	Quad 2-Input OR Gate	14-SOIC		258.21/2,500	
SN74ALVC32NSR	296-5141-1-ND	Vierf. OR-Gate mit 2 Eingängen	Quad 2-Input OR Gate	14-SOP	.38	.31	.23
SN74ALVC32NSR	296-5141-2-ND	Vierf. OR-Gate mit 2 Eingängen	Quad 2-Input OR Gate	14-SOP		213.34/2,000	
SN74ALVC32PWR	296-5142-1-ND	Vierf. OR-Gate mit 2 Eingängen	Quad 2-Input OR Gate	14-TSSOP	.38	.31	.23
SN74ALVC32PWR	296-5142-2-ND	Vierf. OR-Gate mit 2 Eingängen	Quad 2-Input OR Gate	14-TSSOP		213.34/2,000	
SN74ALVC125D	296-1510-5-ND	Vierf. Bus-Puffer-Gate, Tri-State	Tri-State Quad Bus Buffer Gate	14-SOIC	.44	.33	.25
SN74ALVC125DR	296-1510-1-ND	Vierf. Bus-Puffer-Gate, Tri-State	Tri-State Quad Bus Buffer Gate	14-SOIC	.44	.33	.25
SN74ALVC125DR	296-1510-2-ND	Vierf. Bus-Puffer-Gate, Tri-State	Tri-State Quad Bus Buffer Gate	14-SOIC		357.69/2,500	
SN74ALVC125DGVR	296-5113-1-ND	Vierf. Bus-Puffer-Gate, Tri-State	Tri-State Quad Bus Buffer Gate	14-TVSOP	.44	.33	.25
SN74ALVC125DGVR	296-5113-2-ND	Vierf. Bus-Puffer-Gate, Tri-State	Tri-State Quad Bus Buffer Gate	14-TVSOP		292.92/2,000	
SN74ALVC125NSR	296-5114-1-ND	Vierf. Bus-Puffer-Gate, Tri-State	Tri-State Quad Bus Buffer Gate	14-SOP	.44	.33	.25
SN74ALVC125NSR	296-5114-2-ND	Vierf. Bus-Puffer-Gate, Tri-State	Tri-State Quad Bus Buffer Gate	14-SOP		292.92/2,000	
SN74ALVC125PWR	296-5115-1-ND	Vierf. Bus-Puffer-Gate, Tri-State	Tri-State Quad Bus Buffer Gate	14-TSSOP	.44	.33	.25
SN74ALVC125PWR	296-5115-2-ND	Vierf. Bus-Puffer-Gate, Tri-State	Tri-State Quad Bus Buffer Gate	14-TSSOP		292.92/2,000	
SN74ALVC126DGVR	296-5116-1-ND	Vierf. Bus-Puffer-Gate, Tri-State	Tri-State Quad Bus Buffer Gate	14-TVSOP	.54	.41	.31
SN74ALVC126DGVR	296-5116-2-ND	Vierf. Bus-Puffer-Gate, Tri-State	Tri-State Quad Bus Buffer Gate	14-TVSOP		360.65/2,000	
SN74ALVC126DR	296-5117-1-ND	Vierf. Bus-Puffer-Gate, Tri-State	Tri-State Quad Bus Buffer Gate	14-SOIC	.44	.33	.25
SN74ALVC126DR	296-5117-2-ND	Vierf. Bus-Puffer-Gate, Tri-State	Tri-State Quad Bus Buffer Gate	14-SOIC		357.69/2,500	
SN74ALVC126NSR	296-12859-1-ND	Vierf. Bus-Puffer-Gate, Tri-State	Tri-State Quad Bus Buffer Gate	14-SOP	.44	.33	.25
SN74ALVC126NSR	296-12859-2-ND	Vierf. Bus-Puffer-Gate, Tri-State	Tri-State Quad Bus Buffer Gate	14-SOP		292.92/2,000	
SN74ALVC126PWR	296-5118-1-ND	Vierf. Bus-Puffer-Gate, Tri-State	Tri-State Quad Bus Buffer Gate	14-TSSOP	.44	.33	.25
SN74ALVC126PWR	296-5118-2-ND	Vierf. Bus-Puffer-Gate, Tri-State	Tri-State Quad Bus Buffer Gate	14-TSSOP		292.92/2,000	
SN74ALVC244DGVR	296-12862-1-ND	Achtf. Puffer/Treiber, Tri-State	Tri-State Octal Buffer/Driver	20-TVSOP	.81	.61	.46
SN74ALVC244DGVR	296-12862-2-ND	Achtf. Puffer/Treiber, Tri-State	Tri-State Octal Buffer/Driver	20-TVSOP		540.13/2,000	
SN74ALVC244DWR	296-5135-1-ND	Achtf. Puffer/Treiber, Tri-State	Tri-State Octal Buffer/Driver	20-SOIC	.47	.36	.27
SN74ALVC244DWR	296-5135-2-ND	Achtf. Puffer/Treiber, Tri-State	Tri-State Octal Buffer/Driver	20-SOIC		314.94/2,000	
SN74ALVC244NSR	296-12863-1-ND	Achtf. Puffer/Treiber, Tri-State	Tri-State Octal Buffer/Driver	20-SOP	.47	.36	.27
SN74ALVC244NSR	296-12863-2-ND	Achtf. Puffer/Treiber, Tri-State	Tri-State Octal Buffer/Driver	20-SOP		314.94/2,000	
SN74ALVC245DGVR	296-5137-1-ND	Achtf. Bus-Transceiver, Tri-State	Tri-State Octal Bus Transceiver	20-TVSOP	.63	.53	.43
SN74ALVC245DGVR	296-5137-2-ND	Achtf. Bus-Transceiver, Tri-State	Tri-State Octal Bus Transceiver	20-TVSOP		563.84/2,000	
SN74ALVC245DWR	296-5138-1-ND	Achtf. Bus-Transceiver, Tri-State	Tri-State Octal Bus Transceiver	20-SOIC	.47	.36	.27
SN74ALVC245DWR	296-5138-2-ND	Achtf. Bus-Transceiver, Tri-State	Tri-State Octal Bus Transceiver	20-SOIC		314.94/2,000	
SN74ALVC245PWR	296-9774-1-ND	Achtf. Bus-Transceiver, Tri-State	Tri-State Octal Bus Transceiver	20-TSSOP	.47	.36	.27

(Forts.)

★ ***RUFEN SIE BITTE AN FÜR NIEDRIGERE PREISE BEI GRÖSSEREN MENGEN!*** ★

T. I. Teilenr.	Digi-Key Teilenr.	Beschreibung		Paket	Stückpreis★ 1	25	100
SN74ALVC245PWR	296-9774-2-ND	Achtf. Bus-Transceiver, Tri-State	Tri-State Octal Bus Transceiver	20-TSSOP		314.94/2,000	
SN74ALVC16244ADGGR	296-5123-1-ND	Puffer/Treiber, Tri-State, 16-Bit	Tri-State 16-Bit Buffer/Driver	48-TSSOP	.89	.75	.60
SN74ALVC16244ADGGR	296-5123-2-ND	Puffer/Treiber, Tri-State, 16-Bit	Tri-State 16-Bit Buffer/Driver	48-TSSOP		789.03/2,000	
SN74ALVC16244ADL	296-5124-5-ND	Puffer/Treiber, Tri-State, 16-Bit	Tri-State 16-Bit Buffer/Driver	48-SSOP	.89	.75	.60
SN74ALVC16244AGQLR	296-9772-1-ND	Puffer/Treiber, Tri-State, 16-Bit	Tri-State 16-Bit Buffer/Driver	56-VFBGA	1.06	.85	.64
SN74ALVC16244AGQLR	296-9772-2-ND	Puffer/Treiber, Tri-State, 16-Bit	Tri-State 16-Bit Buffer/Driver	56-VFBGA		550.29/1,000	
SN74ALVC16334DGGR	296-1134-1-ND	Universal-Bustreiber, Tri-State, 16-Bit	Tri-State 16-Bit Universal Bus Driver	48-TSSOP	1.06	.85	.64
SN74ALVC16334DGGR	296-1134-2-ND	Universal-Bustreiber, Tri-State, 16-Bit	Tri-State 16-Bit Universal Bus Driver	48-TSSOP		1100.58/2,000	
SN74ALVC16334DGVR	296-5130-1-ND	Universal-Bustreiber, Tri-State, 16-Bit	Tri-State 16-Bit Universal Bus Driver	48-TVSOP	1.06	.85	.64
SN74ALVC16334DGVR	296-5130-2-ND	Universal-Bustreiber, Tri-State, 16-Bit	Tri-State 16-Bit Universal Bus Driver	48-TVSOP		1100.58/2,000	
SN74ALVC16334DL	296-1515-5-ND	Universal-Bustreiber, Tri-State, 16-Bit	Tri-State 16-Bit Universal Bus Driver	48-SSOP	1.06	.85	.64
SN74ALVC16834DGGR	296-1136-1-ND	Universal-Bustreiber, Tri-State, 18-Bit	Tri-State 18-Bit Universal Bus Driver	56-TSSOP	3.14	2.52	1.96
SN74ALVC16834DGGR	296-1136-2-ND	Universal-Bustreiber, Tri-State, 18-Bit	Tri-State 18-Bit Universal Bus Driver	56-TSSOP		3562.49/2,000	
SN74ALVC16834DGVR	296-12860-1-ND	Universal-Bustreiber, Tri-State, 18-Bit	Tri-State 18-Bit Universal Bus Driver	56-TVSOP	3.47	2.78	2.16
SN74ALVC16834DGVR	296-12860-2-ND	Universal-Bustreiber, Tri-State, 18-Bit	Tri-State 18-Bit Universal Bus Driver	56-TVSOP		3929.92/2,000	
SN74ALVC16834DL	296-1516-5-ND	Universal-Bustreiber, Tri-State, 18-Bit	Tri-State 18-Bit Universal Bus Driver	56-SSOP	3.47	2.78	2.16
SN74ALVC16834GQLR	296-5132-1-ND	Universal-Bustreiber, Tri-State, 18-Bit	Tri-State 18-Bit Universal Bus Driver	56-VFBGA	3.47	2.78	2.16
SN74ALVC16834GQLR	296-5132-2-ND	Universal-Bustreiber, Tri-State, 18-Bit	Tri-State 18-Bit Universal Bus Driver	56-VFBGA		1964.96/1,000	
SN74ALVC16835DGGR	296-1137-1-ND	Universal-Bustreiber, Tri-State, 18-Bit	Tri-State 18-Bit Universal Bus Driver	56-TSSOP	1.69	1.36	1.02
SN74ALVC16835DGGR	296-1137-2-ND	Universal-Bustreiber, Tri-State, 18-Bit	Tri-State 18-Bit Universal Bus Driver	56-TSSOP		1760.93/2,000	
SN74ALVC16835DGVR	296-5133-1-ND	Universal-Bustreiber, Tri-State, 18-Bit	Tri-State 18-Bit Universal Bus Driver	56-TVSOP	1.69	1.36	1.02
SN74ALVC16835DGVR	296-5133-2-ND	Universal-Bustreiber, Tri-State, 18-Bit	Tri-State 18-Bit Universal Bus Driver	56-TVSOP		1760.93/2,000	
SN74ALVC16835DL	296-5134-5-ND	Universal-Bustreiber, Tri-State, 18-Bit	Tri-State 18-Bit Universal Bus Driver	56-SSOP	1.69	1.36	1.02
SN74ALVC162334DGGR	296-1131-1-ND	Universal-Bustreiber, Tri-State, 16-Bit	Tri-State 16-Bit Universal Bus Driver	48-TSSOP	3.14	2.52	1.96
SN74ALVC162334DGGR	296-1131-2-ND	Universal-Bustreiber, Tri-State, 16-Bit	Tri-State 16-Bit Universal Bus Driver	48-TSSOP		3562.49/2,000	
SN74ALVC162334DGVR	296-5122-1-ND	Universal-Bustreiber, Tri-State, 16-Bit	Tri-State 16-Bit Universal Bus Driver	48-TVSOP	3.14	2.52	1.96
SN74ALVC162334DGVR	296-5122-2-ND	Universal-Bustreiber, Tri-State, 16-Bit	Tri-State 16-Bit Universal Bus Driver	48-TVSOP		3562.49/2,000	
SN74ALVC162334DL	296-1511-5-ND	Universal-Bustreiber, Tri-State, 16-Bit	Tri-State 16-Bit Universal Bus Driver	48-SSOP	3.14	2.52	1.96
SN74ALVC162334DLR	296-1511-1-ND	Universal-Bustreiber, Tri-State, 16-Bit	Tri-State 16-Bit Universal Bus Driver	48-SSOP	3.14	2.52	1.96
SN74ALVC162334DLR	296-1511-2-ND	Universal-Bustreiber, Tri-State, 16-Bit	Tri-State 16-Bit Universal Bus Driver	48-SSOP		1781.25/1,000	
SN74ALVC162831DBBR	296-5125-1-ND	Tri-St., Adressregister/-treiber, 1-4 Bit	Tri-St. 1-4 Bit Address Register/Driver	80-TVSOP	4.91	3.93	3.32
SN74ALVC162831DBBR	296-5125-2-ND	Tri-St., Adressregister/-treiber, 1-4 Bit	Tri-St. 1-4 Bit Address Register/Driver	80-TVSOP		6137.85/2,000	
SN74ALVC162834DL	296-1512-5-ND	Universal-Bustreiber, Tri-State, 18-Bit	Tri-State 18-Bit Universal Bus Driver	56-SSOP	2.38	1.91	1.49
SN74ALVC162834DLR	296-1512-1-ND	Universal-Bustreiber, Tri-State, 18-Bit	Tri-State 18-Bit Universal Bus Driver	56-SSOP	2.38	1.91	1.49
SN74ALVC162834DLR	296-1512-2-ND	Universal-Bustreiber, Tri-State, 18-Bit	Tri-State 18-Bit Universal Bus Driver	56-SSOP		1349.48/1,000	
SN74ALVC162834GR	296-5126-1-ND	Universal-Bustreiber, Tri-State, 18-Bit	Tri-State 18-Bit Universal Bus Driver	56-TSSOP	2.38	1.91	1.49
SN74ALVC162834GR	296-5126-2-ND	Universal-Bustreiber, Tri-State, 18-Bit	Tri-State 18-Bit Universal Bus Driver	56-TSSOP		2698.96/2,000	
SN74ALVC162834VR	296-5127-1-ND	Universal-Bustreiber, Tri-State, 18-Bit	Tri-State 18-Bit Universal Bus Driver	56-TVSOP	2.38	1.91	1.49
SN74ALVC162834VR	296-5127-2-ND	Universal-Bustreiber, Tri-State, 18-Bit	Tri-State 18-Bit Universal Bus Driver	56-TVSOP		2698.96/2,000	
SN74ALVC162835DGGR	296-1132-1-ND	Universal-Bustreiber, Tri-State, 18-Bit	Tri-State 18-Bit Universal Bus Driver	56-TSSOP	1.17	.94	.70
SN74ALVC162835DGGR	296-1132-2-ND	Universal-Bustreiber, Tri-State, 18-Bit	Tri-State 18-Bit Universal Bus Driver	56-TSSOP		1210.64/2,000	
SN74ALVC162835DGVR	296-5128-1-ND	Universal-Bustreiber, Tri-State, 18-Bit	Tri-State 18-Bit Universal Bus Driver	56-TVSOP	1.17	.94	.70
SN74ALVC162835DGVR	296-5128-2-ND	Universal-Bustreiber, Tri-State, 18-Bit	Tri-State 18-Bit Universal Bus Driver	56-TVSOP		1210.64/2,000	
SN74ALVC162835DL	296-1513-5-ND	Universal-Bustreiber, Tri-State, 18-Bit	Tri-State 18-Bit Universal Bus Driver	56-SSOP	1.17	.94	.70
SN74ALVC162836DGGR	296-1133-1-ND	Universal-Bustreiber, Tri-State, 20-Bit	Tri-State 20-Bit Universal Bus Driver	56-TSSOP	3.14	2.52	1.96
SN74ALVC162836DGGR	296-1133-2-ND	Universal-Bustreiber, Tri-State, 20-Bit	Tri-State 20-Bit Universal Bus Driver	56-TSSOP		3562.49/2,000	
SN74ALVC162836DGVR	296-5129-1-ND	Universal-Bustreiber, Tri-State, 20-Bit	Tri-State 20-Bit Universal Bus Driver	56-TVSOP	3.14	2.52	1.96
SN74ALVC162836DGVR	296-5129-2-ND	Universal-Bustreiber, Tri-State, 20-Bit	Tri-State 20-Bit Universal Bus Driver	56-TVSOP		3562.49/2,000	
SN74ALVC162836DL	296-1514-5-ND	Universal-Bustreiber, Tri-State, 20-Bit	Tri-State 20-Bit Universal Bus Driver	56-SSOP	3.14	2.52	1.96
SN74ALVC164245DGGR	296-1135-1-ND	Pegelumsetzungs-Transceiver, Tri-State, 16-Bit	Tri-State 16-Bit Level Shift Transceiver	48-TSSOP	1.27	1.02	.77
SN74ALVC164245DGGR	296-1135-2-ND	Pegelumsetzungs-Transceiver, Tri-State, 16-Bit	Tri-State 16-Bit Level Shift Transceiver	48-SSOP		1320.70/2,000	
SN74ALVC164245DL	296-5131-5-ND	Pegelumsetzungs-Transceiver, Tri-State, 16-Bit	Tri-State 16-Bit Level Shift Transceiver	48-SSOP	1.27	1.02	.77
SN74ALVC164245DLR	296-14781-1-ND	Pegelumsetzungs-Transceiver, Tri-State, 16-Bit	Tri-State 16-Bit Level Shift Transceiver	48-SSOP	1.27	1.02	.77
SN74ALVC164245DLR	296-14781-2-ND	Pegelumsetzungs-Transceiver, Tri-State, 16-Bit	Tri-State 16-Bit Level Shift Transceiver	48-SSOP		660.35/1,000	
SN74ALVC16835GQLR	296-9773-1-ND	Universal-Bustreiber, Tri-State, 18-Bit	Tri-State 18-Bit Universal Bus Driver	56-VFBGA	1.86	1.49	1.12
SN74ALVC16835GQLR	296-9773-2-ND	Universal-Bustreiber, Tri-State, 18-Bit	Tri-State 18-Bit Universal Bus Driver	56-VFBGA		968.51/1,000	
SN74ALVC164245KR	296-15395-1-ND	Pegelumsetzungs-Transceiver, Tri-State, 16-Bit	Tri-State 16-Bit Level Shift Transceiver	48-VFBGA	1.27	1.02	.77
SN74ALVC164245KR	296-15395-2-ND	Pegelumsetzungs-Transceiver, Tri-State, 16-Bit	Tri-State 16-Bit Level Shift Transceiver	48-VFBGA		660.35/1,000	
SN74ALVCF162834GR	296-13628-1-ND	Universal-Bustreiber, Tri-State, 3,3 V, CMOS, 18-Bit	Tri-State, 3.3V, CMOS 18-Bit Universal Bus Driver	56-TSSOP	1.48	1.19	.89
SN74ALVCF162834GR	296-13628-2-ND	Universal-Bustreiber, Tri-State, 3,3 V, CMOS, 18-Bit	Tri-State, 3.3V, CMOS 18-Bit Universal Bus Driver	56-TSSOP		1540.81/2,000	
SN74ALVCF162834LR	296-13629-1-ND	Universal-Bustreiber, Tri-State, 3,3 V, CMOS, 18-Bit	Tri-State, 3.3V, CMOS 18-Bit Universal Bus Driver	56-SSOP	1.48	1.19	.89
SN74ALVCF162834LR	296-13629-2-ND	Universal-Bustreiber, Tri-State, 3,3 V, CMOS, 18-Bit	Tri-State, 3.3V, CMOS 18-Bit Universal Bus Driver	56-SSOP		770.41/1,000	
SN74ALVCF162834VR	296-13630-1-ND	Universal-Bustreiber, Tri-State, 3,3 V, CMOS, 18-Bit	Tri-State, 3.3V, CMOS 18-Bit Universal Bus Driver	56-TVSOP	1.48	1.19	.89
SN74ALVCF162834VR	296-13630-2-ND	Universal-Bustreiber, Tri-State, 3,3 V, CMOS, 18-Bit	Tri-State, 3.3V, CMOS 18-Bit Universal Bus Driver	56-TVSOP		1540.81/2,000	
SN74ALVCF162835GR	296-13607-1-ND	Universal-Bustreiber, Tri-State, 3,3 V, CMOS, 18-Bit	Tri-State, 3.3V CMOS 18-Bit Universal Bus Driver	56-TSSOP	1.90	1.53	1.15
SN74ALVCF162835GR	296-13607-2-ND	Universal-Bustreiber, Tri-State, 3,3 V, CMOS, 18-Bit	Tri-State, 3.3V CMOS 18-Bit Universal Bus Driver	56-TSSOP		1981.04/2,000	
SN74ALVCF162835LR	296-13608-1-ND	Universal-Bustreiber, Tri-State, 3,3 V, CMOS, 18-Bit	Tri-State, 3.3V CMOS 18-Bit Universal Bus Driver	56-SSOP	1.90	1.53	1.15
SN74ALVCF162835LR	296-13608-2-ND	Universal-Bustreiber, Tri-State, 3,3 V, CMOS, 18-Bit	Tri-State, 3.3V CMOS 18-Bit Universal Bus Driver	56-SSOP		990.52/1,000	
SN74ALVCF162835VR	296-13609-1-ND	Universal-Bustreiber, Tri-State, 3,3 V, CMOS, 18-Bit	Tri-State, 3.3V CMOS 18-Bit Universal Bus Driver	56-TVSOP	1.90	1.53	1.15
SN74ALVCF162835VR	296-13609-2-ND	Universal-Bustreiber, Tri-State, 3,3 V, CMOS, 18-Bit	Tri-State, 3.3V CMOS 18-Bit Universal Bus Driver	56-TVSOP		1981.04/2,000	
		ALVCH-Gruppe					
74ALVCH16244GRDR	296-16870-1-ND	Puffer/Treiber, Tri-State, 16-Bit	Tri-State 16-Bit Buffer/Driver	54-BGA	1.35	1.09	.82
74ALVCH16244GRDR	296-16870-2-ND	Puffer/Treiber, Tri-State, 16-Bit	Tri-State 16-Bit Buffer/Driver	54-BGA		704.37/1,000	
74ALVCH16244ZRDR	296-16871-1-ND	Puffer/Treiber, Tri-State, 16-Bit	Tri-State 16-Bit Buffer/Driver	54-BGA	1.35	1.09	.82
74ALVCH16244ZRDR	296-16871-2-ND	Puffer/Treiber, Tri-State, 16-Bit	Tri-State 16-Bit Buffer/Driver	54-BGA		704.37/1,000	
74ALVCH16245GRDR	296-16872-1-ND	Bus-Transceiver, Tri-State, 16-Bit	Tri-State 16-Bit Bus Transceiver	54-BGA	1.35	1.09	.82
74ALVCH16245GRDR	296-16872-2-ND	Bus-Transceiver, Tri-State, 16-Bit	Tri-State 16-Bit Bus Transceiver	54-BGA		704.37/1,000	
74ALVCH16245ZRDR	296-16873-1-ND	Bus-Transceiver, Tri-State, 16-Bit	Tri-State 16-Bit Bus Transceiver	54-BGA	1.35	1.09	.82
74ALVCH16245ZRDR	296-16873-2-ND	Bus-Transceiver, Tri-State, 16-Bit	Tri-State 16-Bit Bus Transceiver	54-BGA		704.37/1,000	
74ALVCH16373GRDR	296-16874-1-ND	Transp. D-Latch, Tri-State, 16-Bit	Tri-State 16-Bit Transparent D-Type Latch	54-BGA	1.35	1.09	.82
74ALVCH16373GRDR	296-16874-2-ND	Transp. D-Latch, Tri-State, 16-Bit	Tri-State 16-Bit Transparent D-Type Latch	54-BGA		704.37/1,000	
74ALVCH16373ZRDR	296-16875-1-ND	Transp. D-Latch, Tri-State, 16-Bit	Tri-State 16-Bit Transparent D-Type Latch	54-BGA	1.35	1.09	.82
74ALVCH16373ZRDR	296-16875-2-ND	Transp. D-Latch, Tri-State, 16-Bit	Tri-State 16-Bit Transparent D-Type Latch	54-BGA		704.37/1,000	
SN74ALVCH244DGVR	296-6274-1-ND	Achtf. Puffer/Treiber, Tri-State	Tri-State Octal Buffer/Driver	20-TVSOP	.75	.56	.42
SN74ALVCH244DGVR	296-6274-2-ND	Achtf. Puffer/Treiber, Tri-State	Tri-State Octal Buffer/Driver	20-TVSOP		496.11/2,000	
SN74ALVCH244DW	296-1517-5-ND	Achtf. Puffer/Treiber, Tri-State	Tri-State Octal Buffer/Driver	20-SOIC	.51	.39	.29
SN74ALVCH244DWR	296-1517-1-ND	Achtf. Puffer/Treiber, Tri-State	Tri-State Octal Buffer/Driver	20-SOIC	.51	.39	.29
SN74ALVCH244DWR	296-1517-2-ND	Achtf. Puffer/Treiber, Tri-State	Tri-State Octal Buffer/Driver	20-SOIC		338.64/2,000	
SN74ALVCH244PWR	296-6275-1-ND	Achtf. Puffer/Treiber, Tri-State	Tri-State Octal Buffer/Driver	20-TSSOP	.51	.39	.29
SN74ALVCH244PWR	296-6275-2-ND	Achtf. Puffer/Treiber, Tri-State	Tri-State Octal Buffer/Driver	20-TSSOP		338.64/2,000	
SN74ALVCH245DGVR	296-6276-1-ND	Achtf. Bus-Transceiver, Tri-State	Tri-State Octal Bus Transceiver	20-TVSOP	.76	.64	.51
SN74ALVCH245DGVR	296-6276-2-ND	Achtf. Bus-Transceiver, Tri-State	Tri-State Octal Bus Transceiver	20-TVSOP		675.59/2,000	
SN74ALVCH245DWR	296-6277-1-ND	Achtf. Bus-Transceiver, Tri-State	Tri-State Octal Bus Transceiver	20-SOIC	.68	.51	.39
SN74ALVCH245DWR	296-6277-2-ND	Achtf. Bus-Transceiver, Tri-State	Tri-State Octal Bus Transceiver	20-SOIC		450.39/2,000	
SN74ALVCH245PWR	296-6278-1-ND	Achtf. Bus-Transceiver, Tri-State	Tri-State Octal Bus Transceiver	20-TSSOP	.51	.39	.29
SN74ALVCH245PWR	296-6278-2-ND	Achtf. Bus-Transceiver, Tri-State	Tri-State Octal Bus Transceiver	20-TSSOP		338.64/2,000	
SN74ALVCH373DGVR	296-6283-1-ND	Achtf. transparenter Tri-State D-Latch	Tri-State Octal Transp. D-Type Latch	20-TVSOP	.75	.56	.42
SN74ALVCH373DGVR	296-6283-2-ND	Achtf. transparenter Tri-State D-Latch	Tri-State Octal Transp. D-Type Latch	20-TVSOP		496.11/2,000	
SN74ALVCH373DWR	296-6284-1-ND	Achtf. transparenter Tri-State D-Latch	Tri-State Octal Transp. D-Type Latch	20-SOIC	.68	.51	.39
SN74ALVCH373DWR	296-6284-2-ND	Achtf. transparenter Tri-State D-Latch	Tri-State Octal Transp. D-Type Latch	20-SOIC		450.39/2,000	
SN74ALVCH373GQNR	296-15400-1-ND	Achtf. transparenter Tri-State D-Latch	Tri-State Octal Transp. D-Type Latch	20-VFBGA	.63	.53	.43

(Forts.)

★ RUFEN SIE BITTE AN FÜR NIEDRIGERE PREISE BEI GRÖSSEREN MENGEN! ★

B

T. I. Teilenr.	Digi-Key Teilenr.	Beschreibung		Paket	Stückpreis★ 1	25	100
SN74ALVCH373GQNR	296-15400-2-ND	Achtf. transparenter Tri-State D-Latch	Tri-State Octal Transp. D-Type Latch	20-VFBGA		281.92/1,000	
SN74ALVCH373PWR	296-6285-1-ND	Achtf. transparenter Tri-State D-Latch	Tri-State Octal Transp. D-Type Latch	20-TSSOP	.68	.51	.39
SN74ALVCH373PWR	296-6285-2-ND	Achtf. transparenter Tri-State D-Latch	Tri-State Octal Transp. D-Type Latch	20-TSSOP		450.39/2,000	
SN74ALVCH374PWR	296-12462-1-ND	Achtf. D-Flip-Flop, positive Flankensteuerung, Tri-State	Tri-State Octal Pos. Edge-Triggered D-Type Flip-Flop	20-TSSOP	.78	.59	.44
SN74ALVCH374PWR	296-12462-2-ND	Achtf. D-Flip-Flop, positive Flankensteuerung, Tri-State	Tri-State Octal Pos. Edge-Triggered D-Type Flip-Flop	20-TSSOP		518.12/2,000	
SN74ALVCH16240DGGR	296-5185-1-ND	Puffer/Treiber, Tri-State, 16-Bit	Tri-State 16-Bit Buffer/Driver	48-TSSOP	1.06	.85	.64
SN74ALVCH16240DGGR	296-5185-2-ND	Puffer/Treiber, Tri-State, 16-Bit	Tri-State 16-Bit Buffer/Driver	48-TSSOP		1100.58/2,000	
SN74ALVCH16240DL	296-5186-5-ND	Puffer/Treiber, Tri-State, 16-Bit	Tri-State 16-Bit Buffer/Driver	48-SSOP	1.06	.85	.64
SN74ALVCH16240DLR	296-5186-1-ND	Puffer/Treiber, Tri-State, 16-Bit	Tri-State 16-Bit Buffer/Driver	48-SSOP	1.06	.85	.64
SN74ALVCH16240DLR	296-5186-2-ND	Puffer/Treiber, Tri-State, 16-Bit	Tri-State 16-Bit Buffer/Driver	48-SSOP		550.29/1,000	
SN74ALVCH16244DGGR	296-1139-1-ND	Puffer/Treiber, Tri-State, 16-Bit	Tri-State 16-Bit Buffer/Driver	48-TSSOP	1.06	.85	.64
SN74ALVCH16244DGGR	296-1139-2-ND	Puffer/Treiber, Tri-State, 16-Bit	Tri-State 16-Bit Buffer/Driver	48-TSSOP		1100.58/2,000	
SN74ALVCH16244DGVR	296-5187-1-ND	Puffer/Treiber, Tri-State, 16-Bit	Tri-State 16-Bit Buffer/Driver	48-TVSOP	1.06	.85	.64
SN74ALVCH16244DGVR	296-5187-2-ND	Puffer/Treiber, Tri-State, 16-Bit	Tri-State 16-Bit Buffer/Driver	48-TVSOP		1100.58/2,000	
SN74ALVCH16244DL	296-5188-5-ND	Puffer/Treiber, Tri-State, 16-Bit	Tri-State 16-Bit Buffer/Driver	48-SSOP	1.06	.85	.64
SN74ALVCH16244DLR	296-5188-1-ND	Puffer/Treiber, Tri-State, 16-Bit	Tri-State 16-Bit Buffer/Driver	48-SSOP	1.06	.85	.64
SN74ALVCH16244DLR	296-5188-2-ND	Puffer/Treiber, Tri-State, 16-Bit	Tri-State 16-Bit Buffer/Driver	48-SSOP		550.29/1,000	
SN74ALVCH16244KR	296-5189-1-ND	Puffer/Treiber, Tri-State, 16-Bit	Tri-State 16-Bit Buffer/Driver	56-VFBGA	1.06	.85	.64
SN74ALVCH16244KR	296-5189-2-ND	Puffer/Treiber, Tri-State, 16-Bit	Tri-State 16-Bit Buffer/Driver	56-VFBGA		550.29/1,000	
SN74ALVCH16245DGGR	296-5190-1-ND	Bus-Transceiver, Tri-State, 16-Bit	Tri-State 16-Bit Bus Transceiver	48-TSSOP	1.06	.85	.64
SN74ALVCH16245DGGR	296-5190-2-ND	Bus-Transceiver, Tri-State, 16-Bit	Tri-State 16-Bit Bus Transceiver	48-TSSOP		1100.58/2,000	
SN74ALVCH16245DGVR	296-5191-1-ND	Bus-Transceiver, Tri-State, 16-Bit	Tri-State 16-Bit Bus Transceiver	48-TVSOP	1.06	.85	.64
SN74ALVCH16245DGVR	296-5191-2-ND	Bus-Transceiver, Tri-State, 16-Bit	Tri-State 16-Bit Bus Transceiver	48-TVSOP		1100.58/2,000	
SN74ALVCH16245DL	296-5192-5-ND	Bus-Transceiver, Tri-State, 16-Bit	Tri-State 16-Bit Bus Transceiver	48-SSOP	1.06	.85	.64
SN74ALVCH16245DLR	296-5192-1-ND	Bus-Transceiver, Tri-State, 16-Bit	Tri-State 16-Bit Bus Transceiver	48-SSOP	1.06	.85	.64
SN74ALVCH16245DLR	296-5192-2-ND	Bus-Transceiver, Tri-State, 16-Bit	Tri-State 16-Bit Bus Transceiver	48-SSOP		550.29/1,000	
SN74ALVCH16245KR	296-5193-1-ND	Bus-Transceiver, Tri-State, 16-Bit	Tri-State 16-Bit Bus Transceiver	48-BGA	1.06	.85	.64
SN74ALVCH16245KR	296-5193-2-ND	Bus-Transceiver, Tri-State, 16-Bit	Tri-State 16-Bit Bus Transceiver	48-BGA		550.29/1,000	
SN74ALVCH16260DGGR	296-1140-1-ND	Mux-D-Latch, Tri-State, 12-24-Bit	Tri-State 12-24-Bit Mux D-Type Latch	56-TSSOP	1.06	.85	.64
SN74ALVCH16260DGGR	296-1140-2-ND	Mux-D-Latch, Tri-State, 12-24-Bit	Tri-State 12-24-Bit Mux D-Type Latch	56-TSSOP		1100.58/2,000	
SN74ALVCH16260DLR	296-1141-1-ND	Mux-D-Latch, Tri-State, 12-24-Bit	Tri-State 12-24-Bit Mux D-Type Latch	56-SSOP	1.06	.85	.64
SN74ALVCH16260DLR	296-1141-2-ND	Mux-D-Latch, Tri-State, 12-24-Bit	Tri-State 12-24-Bit Mux D-Type Latch	56-SSOP		550.29/1,000	
SN74ALVCH16269DGGR	296-5198-1-ND	Tri-St., Bus-Exchanger mit Register, 12-24-Bit	Tri-St. 12-24-Bit Registered Bus Exchanger	56-TSSOP	1.48	1.19	.89
SN74ALVCH16269DGGR	296-5198-2-ND	Tri-St., Bus-Exchanger mit Register, 12-24-Bit	Tri-St. 12-24-Bit Registered Bus Exchanger	56-TSSOP		1540.81/2,000	
SN74ALVCH16269DL	296-5199-5-ND	Tri-St., Bus-Exchanger mit Register, 12-24-Bit	Tri-St. 12-24-Bit Registered Bus Exchanger	56-SSOP	1.48	1.19	.89
SN74ALVCH16269KR	296-9775-1-ND	Tri-St., Bus-Exchanger mit Register, 12-24-Bit	Tri-St. 12-24 Bit Registered Bus Exchanger	56-VFBGA	1.48	1.19	.89
SN74ALVCH16269KR	296-9775-2-ND	Tri-St., Bus-Exchanger mit Register, 12-24-Bit	Tri-St. 12-24 Bit Registered Bus Exchanger	56-VFBGA		770.41/1,000	
SN74ALVCH16270DGGR	296-5200-1-ND	Tri-St., Bus-Exchanger mit Register, 12-24-Bit	Tri-St. 12-24-Bit Registered Bus Exchanger	56-TSSOP	1.48	1.19	.89
SN74ALVCH16270DGGR	296-5200-2-ND	Tri-St., Bus-Exchanger mit Register, 12-24-Bit	Tri-St. 12-24-Bit Registered Bus Exchanger	56-TSSOP		1540.81/2,000	
SN74ALVCH16270DL	296-5201-5-ND	Tri-St., Bus-Exchanger mit Register, 12-24-Bit	Tri-St. 12-24-Bit Registered Bus Exchanger	56-SSOP	1.48	1.19	.89
SN74ALVCH16270DLR	296-5201-1-ND	Tri-St., Bus-Exchanger mit Register, 12-24-Bit	Tri-St. 12-24-Bit Registered Bus Exchanger	56-SSOP	1.48	1.19	.89
SN74ALVCH16270DLR	296-5201-2-ND	Tri-St., Bus-Exchanger mit Register, 12-24-Bit	Tri-St. 12-24-Bit Registered Bus Exchanger	56-SSOP		770.41/1,000	
SN74ALVCH16271DGGR	296-5202-1-ND	Tri-St., Bus-Exchanger mit Register, 12-24-Bit	Tri-St. 12-24-Bit Registered Bus Exchanger	56-TSSOP	3.26	2.61	2.03
SN74ALVCH16271DGGR	296-5202-2-ND	Tri-St., Bus-Exchanger mit Register, 12-24-Bit	Tri-St. 12-24-Bit Registered Bus Exchanger	56-TSSOP		3691.18/2,000	
SN74ALVCH16271DL	296-5203-5-ND	Tri-St., Bus-Exchanger mit Register, 12-24-Bit	Tri-St. 12-24-Bit Registered Bus Exchanger	56-SSOP	3.26	2.61	2.03
SN74ALVCH16282DBBR	296-5210-1-ND	Tri-St., Bus-Exchanger mit Register, 18-36-Bit	Tri-St. 18-36-Bit Registered Bus Exchanger	80-SOP	6.35	5.08	4.29
SN74ALVCH16282DBBR	296-5210-2-ND	Tri-St., Bus-Exchanger mit Register, 18-36-Bit	Tri-St. 18-36-Bit Registered Bus Exchanger	80-SOP		7937.72/2,000	
SN74ALVCH16334DGGR	296-5220-1-ND	Universal-Bustreiber, Tri-State, 16-Bit	Tri-State 16-Bit Universal Bus Driver	48-TSSOP	3.14	2.52	1.96
SN74ALVCH16334DGGR	296-5220-2-ND	Universal-Bustreiber, Tri-State, 16-Bit	Tri-State 16-Bit Universal Bus Driver	48-TSSOP		3562.49/2,000	
SN74ALVCH16334DGVR	296-12869-1-ND	Universal-Bustreiber, Tri-State, 16-Bit	Tri-State 16-Bit Universal Bus Driver	48-TVSOP	3.14	2.52	1.96
SN74ALVCH16334DGVR	296-12869-2-ND	Universal-Bustreiber, Tri-State, 16-Bit	Tri-State 16-Bit Universal Bus Driver	48-TVSOP		3562.49/2,000	
SN74ALVCH16334DL	296-5221-5-ND	Universal-Bustreiber, Tri-State, 16-Bit	Tri-State 16-Bit Universal Bus Driver	48-SSOP	3.14	2.52	1.96
SN74ALVCH16344DGGR	296-5222-1-ND	Adresstreiber, Tri-State, 1-4 Bit	Tri-State 1-4-Bit Address Driver	56-TSSOP	3.14	2.52	1.96
SN74ALVCH16344DGGR	296-5222-2-ND	Adresstreiber, Tri-State, 1-4 Bit	Tri-State 1-4-Bit Address Driver	56-TSSOP		3562.49/2,000	
SN74ALVCH16344DLR	296-5223-1-ND	Adresstreiber, Tri-State, 1-4 Bit	Tri-State 1-4-Bit Address Driver	56-SSOP	3.14	2.52	1.96
SN74ALVCH16344DLR	296-5223-2-ND	Adresstreiber, Tri-State, 1-4 Bit	Tri-State 1-4-Bit Address Driver	56-SSOP		1781.25/1,000	
SN74ALVCH16373DGGR	296-5224-1-ND	Tri-State, 16-Bit transp. D-Latch	Tri-State 16-Bit Transp. D-Type Latch	48-TSSOP	1.06	.85	.64
SN74ALVCH16373DGGR	296-5224-2-ND	Tri-State, 16-Bit transp. D-Latch	Tri-State 16-Bit Transp. D-Type Latch	48-TSSOP		1100.58/2,000	
SN74ALVCH16373DL	296-5225-5-ND	Tri-State, 16-Bit transp. D-Latch	Tri-State 16-Bit Transp. D-Type Latch	48-SSOP	1.06	.85	.64
SN74ALVCH16373DLR	296-14784-1-ND	Tri-State, 16-Bit transp. D-Latch	Tri-State 16-Bit Transp. D-Type Latch	48-SSOP	1.06	.85	.64
SN74ALVCH16373DLR	296-14784-2-ND	Tri-State, 16-Bit transp. D-Latch	Tri-State 16-Bit Transp. D-Type Latch	48-SSOP		550.29/1,000	
SN74ALVCH16373KR	296-9776-1-ND	Tri-State, 16-Bit transp. D-Latch	Tri-State 16-Bit Transp. D-Type Latch	56-VFBGA	1.06	.85	.64
SN74ALVCH16373KR	296-9776-2-ND	Tri-State, 16-Bit transp. D-Latch	Tri-State 16-Bit Transp. D-Type Latch	56-VFBGA		550.29/1,000	
SN74ALVCH16374DGGR	296-1144-1-ND	D-Flip-Flop, Tri-State, 16-Bit	Tri-State 16-Bit D-Type Flip-Flop	48-TSSOP	1.06	.85	.64
SN74ALVCH16374DGGR	296-1144-2-ND	D-Flip-Flop, Tri-State, 16-Bit	Tri-State 16-Bit D-Type Flip-Flop	48-TSSOP		1100.58/2,000	
SN74ALVCH16374DL	296-5226-5-ND	D-Flip-Flop, Tri-State, 16-Bit	Tri-State 16-Bit D-Type Flip-Flop	48-SSOP	1.06	.85	.64
SN74ALVCH16374DLR	296-5226-1-ND	D-Flip-Flop, Tri-State, 16-Bit	Tri-State 16-Bit D-Type Flip-Flop	48-SSOP	1.06	.85	.64
SN74ALVCH16374DLR	296-5226-2-ND	D-Flip-Flop, Tri-State, 16-Bit	Tri-State 16-Bit D-Type Flip-Flop	48-SSOP		550.29/1,000	
SN74ALVCH16374KR	296-9777-1-ND	D-Flip-Flop, Tri-State, 16-Bit	Tri-State 16-Bit D-Type Flip-Flop	56-VFBGA	1.17	.94	.70
SN74ALVCH16374KR	296-9777-2-ND	D-Flip-Flop, Tri-State, 16-Bit	Tri-State 16-Bit D-Type Flip-Flop	56-VFBGA		605.32/1,000	
SN74ALVCH16409DGGR	296-5227-1-ND	Universal-Bus-Exchanger, Tri-State, 9-Bit, 4-Port	Tri-State 9-Bit 4-Port Universal Bus Exchanger	56-TSSOP	1.17	.94	.70
SN74ALVCH16409DGGR	296-5227-2-ND	Universal-Bus-Exchanger, Tri-State, 9-Bit, 4-Port	Tri-State 9-Bit 4-Port Universal Bus Exchanger	56-TSSOP		1210.64/2,000	
SN74ALVCH16409DL	296-5228-5-ND	Universal-Bus-Exchanger, Tri-State, 9-Bit, 4-Port	Tri-State 9-Bit 4-Port Universal Bus Exchanger	56-SSOP	1.17	.94	.70
SN74ALVCH16500DGGR	296-5229-1-ND	Univ.-Bus-Transceiver, Tri-State, 18-Bit	Tri-State 18-Bit Univ. Bus Transceiver	56-TSSOP	1.17	.94	.70
SN74ALVCH16500DGGR	296-5229-2-ND	Univ.-Bus-Transceiver, Tri-State, 18-Bit	Tri-State 18-Bit Univ. Bus Transceiver	56-TSSOP		1210.64/2,000	
SN74ALVCH16500DLR	296-5230-1-ND	Univ.-Bus-Transceiver, Tri-State, 18-Bit	Tri-State 18-Bit Univ. Bus Transceiver	56-SSOP	1.17	.94	.70
SN74ALVCH16500DLR	296-5230-2-ND	Univ.-Bus-Transceiver, Tri-State, 18-Bit	Tri-State 18-Bit Univ. Bus Transceiver	56-SSOP		605.32/1,000	
SN74ALVCH16501DGGR	296-1145-1-ND	Univ.-Bus-Transceiver, Tri-State, 18-Bit	Tri-State 18-Bit Univ. Bus Transceiver	56-TSSOP	1.17	.94	.70
SN74ALVCH16501DGGR	296-1145-2-ND	Univ.-Bus-Transceiver, Tri-State, 18-Bit	Tri-State 18-Bit Univ. Bus Transceiver	56-TSSOP		1210.64/2,000	
SN74ALVCH16501DL	296-5231-5-ND	Univ.-Bus-Transceiver, Tri-State, 18-Bit	Tri-State 18-Bit Univ. Bus Transceiver	56-SSOP	1.17	.94	.70
SN74ALVCH16501KR	296-9778-1-ND	Univ.-Bus-Transceiver, Tri-State, 18-Bit	Tri-State 18-Bit Univ. Bus Transceiver	56-VFBGA	1.27	1.02	.77
SN74ALVCH16501KR	296-9778-2-ND	Univ.-Bus-Transceiver, Tri-State, 18-Bit	Tri-State 18-Bit Univ. Bus Transceiver	56-VFBGA		660.35/1,000	
SN74ALVCH16524DGGR	296-5232-1-ND	Tri-St., Bus-Transceiver mit Register, 18-Bit	Tri-St. 18-Bit Registered Bus Transceiver	56-TSSOP	6.77	5.42	4.58
SN74ALVCH16524DGGR	296-5232-2-ND	Tri-St., Bus-Transceiver mit Register, 18-Bit	Tri-St. 18-Bit Registered Bus Transceiver	56-TSSOP		8466.00/2,000	
SN74ALVCH16524DL	296-12870-5-ND	Universal-Bustreiber, Tri-State, 16-Bit	Tri-State 16-Bit Universal Bus Driver	56-SSOP	6.77	5.42	4.58
SN74ALVCH16525DL	296-12871-5-ND	Tri-St., Bus-Transceiver mit Register, 18-Bit	Tri-St. 18-Bit Registered Bus Transceiver	56-SSOP	1.59	1.27	.96
SN74ALVCH16525DGGR	296-5233-1-ND	Tri-St., Bus-Transceiver mit Register, 18-Bit	Tri-St. 18-Bit Registered Bus Transceiver	56-TSSOP	1.59	1.27	.96
SN74ALVCH16525DGGR	296-5233-2-ND	Tri-St., Bus-Transceiver mit Register, 18-Bit	Tri-St. 18-Bit Registered Bus Transceiver	56-TSSOP		1650.87/2,000	
SN74ALVCH16543DGGR	296-5236-1-ND	Tri-St., Transceiver mit Register, 16-Bit	Tri-St. 16-Bit Registered Transceiver	56-TSSOP	1.38	1.11	.83
SN74ALVCH16543DGGR	296-5236-2-ND	Tri-St., Transceiver mit Register, 16-Bit	Tri-St. 16-Bit Registered Transceiver	56-TSSOP		1430.75/2,000	
SN74ALVCH16543DL	296-5237-5-ND	Tri-St., Transceiver mit Register, 16-Bit	Tri-St. 16-Bit Registered Transceiver	56-SSOP	1.38	1.11	.83
SN74ALVCH16543DLR	296-14785-1-ND	Tri-St., Transceiver mit Register, 16-Bit	Tri-St. 16-Bit Registered Transceiver	56-SSOP	1.38	1.11	.83
SN74ALVCH16543DLR	296-14785-2-ND	Tri-St., Transceiver mit Register, 16-Bit	Tri-St. 16-Bit Registered Transceiver	56-SSOP		715.38/1,000	
SN74ALVCH16600DGGR	296-5238-1-ND	Univ.-Bus-Transceiver, Tri-State, 18-Bit	Tri-State 18-Bit Univ. Bus Transceiver	56-TSSOP	4.10	3.28	2.55
SN74ALVCH16600DGGR	296-5238-2-ND	Univ.-Bus-Transceiver, Tri-State, 18-Bit	Tri-State 18-Bit Univ. Bus Transceiver	56-TSSOP		4641.06/2,000	
SN74ALVCH16600DLR	296-5239-1-ND	Univ.-Bus-Transceiver, Tri-State, 18-Bit	Tri-State 18-Bit Univ. Bus Transceiver	56-SSOP	4.10	3.28	2.55
SN74ALVCH16600DLR	296-5239-2-ND	Univ.-Bus-Transceiver, Tri-State, 18-Bit	Tri-State 18-Bit Univ. Bus Transceiver	56-SSOP		2320.53/1,000	
SN74ALVCH16601DGGR	296-1146-1-ND	Univ.-Bus-Transceiver, Tri-State, 18-Bit	Tri-State 18-Bit Univ. Bus Transceiver	56-TSSOP	1.38	1.11	.83
SN74ALVCH16601DGGR	296-1146-2-ND	Univ.-Bus-Transceiver, Tri-State, 18-Bit	Tri-State 18-Bit Univ. Bus Transceiver	56-TSSOP		1430.75/2,000	
SN74ALVCH16601DL	296-5240-5-ND	Univ.-Bus-Transceiver, Tri-State, 18-Bit	Tri-State 18-Bit Univ. Bus Transceiver	56-SSOP	1.38	1.11	.83

(Forts.)

★ ***RUFEN SIE BITTE AN FÜR NIEDRIGERE PREISE BEI GRÖSSEREN MENGEN!*** ★

T. I. Teilenr.	Digi-Key Teilenr.	Beschreibung		Paket	Stückpreis★ 1	25	100
SN74ALVCH16601DLR	296-5241-1-ND	Univ.-Bus-Transceiver, Tri-State, 18-Bit	Tri-State 18-Bit Univ. Bus Transceiver	56-SSOP	1.38	1.11	.83
SN74ALVCH16601DLR	296-5241-2-ND	Univ.-Bus-Transceiver, Tri-State, 18-Bit	Tri-State 18-Bit Univ. Bus Transceiver	56-SSOP		715.38/1,000	
SN74ALVCH16646DGGR	296-5242-1-ND	Tri-St., Bus-Transceiver/Register, 16-Bit	Tri-St. 16-Bit Bus Transceiver/Register	56-TSSOP	1.80	1.44	1.08
SN74ALVCH16646DGGR	296-5242-2-ND	Tri-St., Bus-Transceiver/Register, 16-Bit	Tri-St. 16-Bit Bus Transceiver/Register	56-TSSOP		1870.99/2,000	
SN74ALVCH16646DGVR	296-5243-1-ND	Tri-St., Bus-Transceiver/Register, 16-Bit	Tri-St. 16-Bit Bus Transceiver/Register	56-TVSOP	1.80	1.44	1.08
SN74ALVCH16646DGVR	296-5243-2-ND	Tri-St., Bus-Transceiver/Register, 16-Bit	Tri-St. 16-Bit Bus Transceiver/Register	56-TVSOP		1870.99/2,000	
SN74ALVCH16646DL	296-5244-5-ND	Tri-St., Bus-Transceiver/Register, 16-Bit	Tri-St. 16-Bit Bus Transceiver/Register	56-SSOP	1.80	1.44	1.08
SN74ALVCH16646DLR	296-5244-1-ND	Tri-St., Bus-Transceiver/Register, 16-Bit	Tri-St. 16-Bit Bus Transceiver/Register	56-SSOP	1.80	1.44	1.08
SN74ALVCH16646DLR	296-5244-2-ND	Tri-St., Bus-Transceiver/Register, 16-Bit	Tri-St. 16-Bit Bus Transceiver/Register	56-SSOP		935.49/1,000	
SN74ALVCH16721DGGR	296-1147-1-ND	Flip-Flop, Tri-State, 3,3 V, 20-Bit	Tri-State 3.3V, 20-Bit Flip-Flop	56-TSSOP	1.38	1.11	.83
SN74ALVCH16721DGGR	296-1147-2-ND	Flip-Flop, Tri-State, 3,3 V, 20-Bit	Tri-State 3.3V, 20-Bit Flip-Flop	56-TSSOP		1430.75/2,000	
SN74ALVCH16721DGVR	296-5245-1-ND	Flip-Flop, Tri-State, 3,3 V, 20-Bit	Tri-State 3.3V, 20-Bit Flip-Flop	56-TVSOP	1.38	1.11	.83
SN74ALVCH16721DGVR	296-5245-2-ND	Flip-Flop, Tri-State, 3,3 V, 20-Bit	Tri-State 3.3V, 20-Bit Flip-Flop	56-TVSOP		1430.75/2,000	
SN74ALVCH16721DLR	296-5246-1-ND	Flip-Flop, Tri-State, 3,3 V, 20-Bit	Tri-State 3.3V, 20-Bit Flip-Flop	56-SSOP	1.38	1.11	.83
SN74ALVCH16721DLR	296-5246-2-ND	Flip-Flop, Tri-State, 3,3 V, 20-Bit	Tri-State 3.3V, 20-Bit Flip-Flop	56-SSOP		715.38/1,000	
SN74ALVCH16820DGGR	296-5247-1-ND	F/F, Tri-St./Doppelausgang, 3,3 V, 10-Bit	Tri-St./Dual Output 3.3V, 10-Bit F/F	56-TSSOP	2.95	2.37	1.84
SN74ALVCH16820DGGR	296-5247-2-ND	F/F, Tri-St./Doppelausgang, 3,3 V, 10-Bit	Tri-St./Dual Output 3.3V, 10-Bit F/F	56-TSSOP		3345.76/2,000	
SN74ALVCH16820DLR	296-5248-1-ND	F/F, Tri-St./Doppelausgang, 3,3 V, 10-Bit	Tri-St./Dual Output 3.3V, 10-Bit F/F	56-SSOP	2.95	2.37	1.84
SN74ALVCH16820DLR	296-5248-2-ND	F/F, Tri-St./Doppelausgang, 3,3 V, 10-Bit	Tri-St./Dual Output 3.3V, 10-Bit F/F	56-SSOP		1672.88/1,000	
SN74ALVCH16821DGGR	296-5249-1-ND	Bus-Schnittstellen-Flip-Flop, Tri-State, 3,3 V, 20-Bit	Tri-State 3.3V, 20-Bit Bus-Interface Flip-Flop	56-TSSOP	2.95	2.37	1.84
SN74ALVCH16821DGGR	296-5249-2-ND	Bus-Schnittstellen-Flip-Flop, Tri-State, 3,3 V, 20-Bit	Tri-State 3.3V, 20-Bit Bus-Interface Flip-Flop	56-TSSOP		3345.76/2,000	
SN74ALVCH16821DL	296-5250-5-ND	Bus-Schnittstellen-Flip-Flop, Tri-State, 3,3 V, 20-Bit	Tri-State 3.3V, 20-Bit Bus-Interface Flip-Flop	56-SSOP	2.95	2.37	1.84
SN74ALVCH16821DLR	296-5250-1-ND	Bus-Schnittstellen-Flip-Flop, Tri-State, 3,3 V, 20-Bit	Tri-State 3.3V, 20-Bit Bus-Interface Flip-Flop	56-SSOP	2.95	2.37	1.84
SN74ALVCH16821DLR	296-5250-2-ND	Bus-Schnittstellen-Flip-Flop, Tri-State, 3,3 V, 20-Bit	Tri-State 3.3V, 20-Bit Bus-Interface Flip-Flop	56-SSOP		1672.88/1,000	
SN74ALVCH16823DGGR	296-1148-1-ND	Tri-St., Bus-Schnittstellen-Flip-Flop, 18-Bit	Tri-St. 18-Bit Bus-Interface Flip-Flop	56-TSSOP	1.48	1.19	.89
SN74ALVCH16823DGVR	296-12872-1-ND	Tri-St., Bus-Schnittstellen-Flip-Flop, 18-Bit	Tri-St. 18-Bit Bus Interface Flip-Flop	56-TVSOP	1.48	1.19	.89
SN74ALVCH16825DGGR	296-5252-1-ND	Puffer/Treiber, Tri-State, 18-Bit	Tri-State 18-Bit Buffer/Driver	56-TSSOP	1.48	1.19	.89
SN74ALVCH16825DGGR	296-5252-2-ND	Puffer/Treiber, Tri-State, 18-Bit	Tri-State 18-Bit Buffer/Driver	56-TSSOP		1540.81/2,000	
SN74ALVCH16825DL	296-5253-5-ND	Puffer/Treiber, Tri-State, 18-Bit	Tri-State 18-Bit Buffer/Driver	56-SSOP	1.48	1.19	.89
SN74ALVCH16827DGGR	296-5254-1-ND	Puffer/Treiber, Tri-State, 20-Bit	Tri-State 20-Bit Buffer/Driver	56-TSSOP	1.59	1.27	.96
SN74ALVCH16827DGGR	296-5254-2-ND	Puffer/Treiber, Tri-State, 20-Bit	Tri-State 20-Bit Buffer/Driver	56-TSSOP		1650.87/2,000	
SN74ALVCH16827DL	296-5255-5-ND	Puffer/Treiber, Tri-State, 20-Bit	Tri-State 20-Bit Buffer/Driver	56-SSOP	1.59	1.27	.96
SN74ALVCH16831DBBR	296-5256-1-ND	1-4 Adressen-Register/-Treiber, Tri-State	Tri-State 1-4 Address Register/Driver	80-TVSOP	4.91	3.93	3.32
SN74ALVCH16831DBBR	296-5256-2-ND	1-4 Adressen-Register/-Treiber, Tri-State	Tri-State 1-4 Address Register/Driver	80-TVSOP		6137.85/2,000	
SN74ALVCH16832DGGR	296-5257-1-ND	1-4 Adressen-Register/-Treiber, Tri-State	Tri-State 1-4 Address Register/Driver	64-TSSOP	4.91	3.93	3.32
SN74ALVCH16832DGGR	296-5257-2-ND	1-4 Adressen-Register/-Treiber, Tri-State	Tri-State 1-4 Address Register/Driver	64-TSSOP		6137.85/2,000	
SN74ALVCH16835DGGR	296-1149-1-ND	Universal-Bustreiber, Tri-State, 18-Bit	Tri-State 18-Bit Universal Bus Driver	56-TSSOP	1.27	1.02	.77
SN74ALVCH16835DGGR	296-1149-2-ND	Universal-Bustreiber, Tri-State, 18-Bit	Tri-State 18-Bit Universal Bus Driver	56-TSSOP		1320.70/2,000	
SN74ALVCH16835DGVR	296-5258-1-ND	Universal-Bustreiber, Tri-State, 18-Bit	Tri-State 18-Bit Universal Bus Driver	56-TVSOP	1.27	1.02	.77
SN74ALVCH16835DGVR	296-5258-2-ND	Universal-Bustreiber, Tri-State, 18-Bit	Tri-State 18-Bit Universal Bus Driver	56-TVSOP		1320.70/2,000	
SN74ALVCH16835DLR	296-5259-1-ND	Universal-Bustreiber, Tri-State, 18-Bit	Tri-State 18-Bit Universal Bus Driver	56-SSOP	1.27	1.02	.77
SN74ALVCH16835DLR	296-5259-2-ND	Universal-Bustreiber, Tri-State, 18-Bit	Tri-State 18-Bit Universal Bus Driver	56-SSOP		660.35/1,000	
SN74ALVCH16835KR	296-5260-1-ND	Universal-Bustreiber, Tri-State, 18-Bit	Tri-State 18-Bit Universal Bus Driver	56-VFBGA	1.40	1.12	.84
SN74ALVCH16835KR	296-5260-2-ND	Universal-Bustreiber, Tri-State, 18-Bit	Tri-State 18-Bit Universal Bus Driver	56-VFBGA		726.38/1,000	
SN74ALVCH16841DGGR	296-6261-1-ND	Bus-Schnittstellen-D-Latch, Tri-State, 20-Bit	Tri-State 20-Bit Bus-Interface D-Type Latch	56-TSSOP	3.81	3.05	2.38
SN74ALVCH16841DGGR	296-6261-2-ND	Bus-Schnittstellen-D-Latch, Tri-State, 20-Bit	Tri-State 20-Bit Bus-Interface D-Type Latch	56-TSSOP		4317.66/2,000	
SN74ALVCH16841DL	296-6266-5-ND	Bus-Schnittstellen-D-Latch, Tri-State, 20-Bit	Tri-State 20-Bit Bus-Interface D-Type Latch	56-SSOP	3.14	2.52	1.96
SN74ALVCH16863DGGR	296-6267-1-ND	Transceiver, Tri-State, 18-Bit	Tri-State 18-Bit Transceiver	56-TSSOP	3.14	2.52	1.96
SN74ALVCH16863DGGR	296-6267-2-ND	Transceiver, Tri-State, 18-Bit	Tri-State 18-Bit Transceiver	56-TSSOP		3562.49/2,000	
SN74ALVCH16863DLR	296-6268-1-ND	Transceiver, Tri-State, 18-Bit	Tri-State 18-Bit Transceiver	56-SSOP	3.14	2.52	1.96
SN74ALVCH16863DLR	296-6268-2-ND	Transceiver, Tri-State, 18-Bit	Tri-State 18-Bit Transceiver	56-SSOP		1781.25/1,000	
SN74ALVCH16901DGGR	296-6269-1-ND	Universal-Bus-Transceiver mit Parity-Generator/Checker, 18-Bit	18-Bit Universal Bus Transceiver with Parity-Generator/Checker	64-TSSOP	2.86	2.29	1.78
SN74ALVCH16901DGGR	296-6269-2-ND	Universal-Bus-Transceiver mit Parity-Generator/Checker, 18-Bit	18-Bit Universal Bus Transceiver with Parity-Generator/Checker	64-TSSOP		3239.09/2,000	
SN74ALVCH16903DGGR	296-6270-1-ND	Universal-Bustreiber, Tri-State/Doppelausgang, 3,3 V, 12-Bit	Tri-State/Dual Output 3.3V, 12-Bit Universal Bus Driver	56-TSSOP	7.20	5.76	4.86
SN74ALVCH16903DGGR	296-6270-2-ND	Universal-Bustreiber, Tri-State/Doppelausgang, 3,3 V, 12-Bit	Tri-State/Dual Output 3.3V, 12-Bit Universal Bus Driver	56-TSSOP		8995.97/2,000	
SN74ALVCH16903DGVR	296-6271-1-ND	Universal-Bustreiber, Tri-State/Doppelausgang, 3,3 V, 12-Bit	Tri-State/Dual Output 3.3V, 12-Bit Universal Bus Driver	56-TVSOP	7.20	5.76	4.86
SN74ALVCH16903DGVR	296-6271-2-ND	Universal-Bustreiber, Tri-State/Doppelausgang, 3,3 V, 12-Bit	Tri-State/Dual Output 3.3V, 12-Bit Universal Bus Driver	56-TVSOP		8995.97/2,000	
SN74ALVCH16903DL	296-12873-5-ND	Universal-Bustreiber, Tri-State/Doppelausgang, 3,3 V, 12-Bit	Tri-State/Dual Output 3.3V, 12-Bit Universal Bus Driver	56-SSOP	7.20	5.76	4.86
SN74ALVCH16952DGGR	296-9780-1-ND	Tri-St., Transceiver mit Register, 16-Bit	Tri-St. 16-Bit Registered Transceiver	56-TSSOP	1.17	.94	.70
SN74ALVCH16952DGGR	296-9780-2-ND	Tri-St., Transceiver mit Register, 16-Bit	Tri-St. 16-Bit Registered Transceiver	56-TSSOP		1210.64/2,000	
SN74ALVCH16952DGVR	296-6272-1-ND	Tri-St., Transceiver mit Register, 16-Bit	Tri-St. 16-Bit Registered Transceiver	56-TVSOP	1.27	1.02	.77
SN74ALVCH16952DGVR	296-6272-2-ND	Tri-St., Transceiver mit Register, 16-Bit	Tri-St. 16-Bit Registered Transceiver	56-TVSOP		1320.70/2,000	
SN74ALVCH16952DL	296-6273-5-ND	Tri-St., Transceiver mit Register, 16-Bit	Tri-St. 16-Bit Registered Transceiver	56-SSOP	1.17	.94	.70
SN74ALVCH16952DLR	296-6273-1-ND	Tri-St., Transceiver mit Register, 16-Bit	Tri-St. 16-Bit Registered Transceiver	56-SSOP	1.17	.94	.70
SN74ALVCH16952DLR	296-6273-2-ND	Tri-St., Transceiver mit Register, 16-Bit	Tri-St. 16-Bit Registered Transceiver	56-SSOP		605.32/1,000	
SN74ALVCH16973DGGR	296-15397-1-ND	8-Bit Bus-Transceiver und transparenter D-Latch	8-Bit Bus Transceiver and Transparent D-Type Latch	48-TSSOP	2.19	1.76	1.37
SN74ALVCH16973DGGR	296-15397-2-ND	8-Bit Bus-Transceiver und transparenter D-Latch	8-Bit Bus Transceiver and Transparent D-Type Latch	48-TSSOP		2482.23/2,000	
SN74ALVCH16973DGVR	296-15398-1-ND	8-Bit Bus-Transceiver und transparenter D-Latch	8-Bit Bus Transceiver and Transparent D-Type Latch	48-TVSOP	2.19	1.76	1.37
SN74ALVCH16973DGVR	296-15398-2-ND	8-Bit Bus-Transceiver und transparenter D-Latch	8-Bit Bus Transceiver and Transparent D-Type Latch	48-TVSOP		2482.23/2,000	
SN74ALVCH16973DLR	296-15399-1-ND	8-Bit Bus-Transceiver und transparenter D-Latch	8-Bit Bus Transceiver and Transparent D-Type Latch	48-SSOP	2.19	1.76	1.37
SN74ALVCH16973DLR	296-15399-2-ND	8-Bit Bus-Transceiver und transparenter D-Latch	8-Bit Bus Transceiver and Transparent D-Type Latch	48-SSOP		1241.12/1,000	
SN74ALVCH32244KR	296-6279-1-ND	Puffer/Treiber, Tri-State, 32-Bit	Tri-State 32-Bit Buffer/Driver	96-LFBGA	2.86	2.29	1.78
SN74ALVCH32244KR	296-6279-2-ND	Puffer/Treiber, Tri-State, 32-Bit	Tri-State 32-Bit Buffer/Driver	96-LFBGA		1619.55/1,000	
SN74ALVCH32245KR	296-6280-1-ND	Bus-Transceiver, Tri-State, 32-Bit	Tri-State 32-Bit Bus Transceiver	96-LFBGA	2.86	2.29	1.78
SN74ALVCH32245KR	296-6280-2-ND	Bus-Transceiver, Tri-State, 32-Bit	Tri-State 32-Bit Bus Transceiver	96-LFBGA		1619.55/1,000	
SN74ALVCH32374KR	296-6281-1-ND	D-Flip-Flop, Tri-State, 32-Bit	Tri-State 32-Bit D-Type Flip-Flop	96-LFBGA	2.86	2.29	1.78
SN74ALVCH32374KR	296-6281-2-ND	D-Flip-Flop, Tri-State, 32-Bit	Tri-State 32-Bit D-Type Flip-Flop	96-LFBGA		1619.55/1,000	
SN74ALVCH32501KR	296-6282-1-ND	Univ.-Bus-Transceiver, Tri-State, 36-Bit	Tri-State 36-Bit Univ. Bus Transceiver	114-BGA	4.96	3.97	3.35
SN74ALVCH32501KR	296-6282-2-ND	Univ.-Bus-Transceiver, Tri-State, 36-Bit	Tri-State 36-Bit Univ. Bus Transceiver	114-BGA		3101.10/1,000	
SN74ALVCH32973KR	296-15321-1-ND	Bus-Transceiver/Transparenter D-Latch, 16-Bit	16-Bit Bus Transceiver/Transparent D-Type Latch	96-LFBGA	2.86	2.29	1.78
SN74ALVCH32973KR	296-15321-2-ND	Bus-Transceiver/Transparenter D-Latch, 16-Bit	16-Bit Bus Transceiver/Transparent D-Type Latch	96-LFBGA		1619.55/1,000	
SN74ALVCH162244DLR	296-5174-1-ND	Puffer/Treiber, Tri-State, 16-Bit	Tri-State 16-Bit Buffer/Driver	48-SSOP	1.06	.85	.64
SN74ALVCH162244DLR	296-5174-2-ND	Puffer/Treiber, Tri-State, 16-Bit	Tri-State 16-Bit Buffer/Driver	48-SSOP		550.29/1,000	
SN74ALVCH162244GR	296-5175-1-ND	Puffer/Treiber, Tri-State, 16-Bit	Tri-State 16-Bit Buffer/Driver	48-TSSOP	1.06	.85	.64
SN74ALVCH162244GR	296-5175-2-ND	Puffer/Treiber, Tri-State, 16-Bit	Tri-State 16-Bit Buffer/Driver	48-TSSOP		1100.58/2,000	
SN74ALVCH162260DL	296-5176-5-ND	Mux-D-Latch, Tri-State, 12-24-Bit	Tri-State 12-24-Bit Mux D-Type Latch	56-SSOP	1.17	.94	.70
SN74ALVCH162260GR	296-1138-1-ND	Mux-D-Latch, Tri-State, 12-24-Bit	Tri-State 12-24-Bit Mux D-Type Latch	56-TSSOP	1.17	.94	.70
SN74ALVCH162260GR	296-1138-2-ND	Mux-D-Latch, Tri-State, 12-24-Bit	Tri-State 12-24-Bit Mux D-Type Latch	56-TSSOP		1210.64/2,000	
SN74ALVCH162268DL	296-5177-5-ND	Tri-St., Bus-Exchanger mit Register, 12-24-Bit	Tri-St. 12-24-Bit Registered Bus Exchanger	56-SSOP	1.17	.94	.70
SN74ALVCH162268GR	296-5178-1-ND	Tri-St., Bus-Exchanger mit Register, 12-24-Bit	Tri-St. 12-24-Bit Registered Bus Exchanger	56-TSSOP	1.17	.94	.70
SN74ALVCH162268GR	296-5178-2-ND	Tri-St., Bus-Exchanger mit Register, 12-24-Bit	Tri-St. 12-24-Bit Registered Bus Exchanger	56-TSSOP		1210.64/2,000	
SN74ALVCH162268KR	296-15396-1-ND	Tri-St., Bus-Exchanger mit Register, 12-24-Bit	Tri-St. 12-24-Bit Registered Bus Exchanger	56-VFBGA	1.30	1.04	.78
SN74ALVCH162268KR	296-15396-2-ND	Tri-St., Bus-Exchanger mit Register, 12-24-Bit	Tri-St. 12-24-Bit Registered Bus Exchanger	56-VFBGA		671.35/1,000	
SN74ALVCH162334DL	296-5179-5-ND	Univ.-Bus-Treiber, Tri-State, 16-Bit	Tri-State 16-Bit Univ. Bus Driver	48-SSOP	3.43	2.75	2.14
SN74ALVCH162334GR	296-5180-1-ND	Univ.-Bus-Treiber, Tri-State, 16-Bit	Tri-State 16-Bit Univ. Bus Driver	48-TSSOP	3.43	2.75	2.14
SN74ALVCH162334GR	296-5180-2-ND	Univ.-Bus-Treiber, Tri-State, 16-Bit	Tri-State 16-Bit Univ. Bus Driver	48-TSSOP		3885.89/2,000	
SN74ALVCH162334VR	296-12864-1-ND	Univ.-Bus-Treiber, Tri-State, 16-Bit	Tri-State 16-Bit Univ. Bus Driver	48-TVSOP	3.43	2.75	2.14
SN74ALVCH162334VR	296-12864-2-ND	Univ.-Bus-Treiber, Tri-State, 16-Bit	Tri-State 16-Bit Univ. Bus Driver	48-TVSOP		3885.89/2,000	
SN74ALVCH162344DL	296-5181-5-ND	Adresstreiber, Tri-State, 1-bis-4-Bit	Tri-State 1-to-4-Bit Address Driver	56-SSOP	1.06	.85	.64
SN74ALVCH162344GR	296-5182-1-ND	Adresstreiber, Tri-State, 1-bis-4-Bit	Tri-State 1-to-4-Bit Address Driver	56-TSSOP	1.06	.85	.64

(Forts.)

★ ***RUFEN SIE BITTE AN FÜR NIEDRIGERE PREISE BEI GRÖSSEREN MENGEN!*** ★

B

T. I. Teilenr.	Digi-Key Teilenr.	Beschreibung		Paket	Stückpreis★ 1	25	100
SN74ALVCH162344GR	296-5182-2-ND	Adresstreiber, Tri-State, 1-bis-4-Bit	Tri-State 1-to-4-Bit Address Driver	56-TSSOP		1100.58/2,000	
SN74ALVCH162344VR	296-12865-1-ND	Adresstreiber, Tri-State, 1-bis-4-Bit	Tri-State 1-to-4-Bit Address Driver	56-TVSOP	1.06	.85	.64
SN74ALVCH162344VR	296-12865-2-ND	Adresstreiber, Tri-State, 1-bis-4-Bit	Tri-State 1-to-4-Bit Address Driver	56-TVSOP		1100.58/2,000	
SN74ALVCH162374DL	296-5183-5-ND	D-Flip-Flop, Tri-State, 16-Bit	Tri-State 16-Bit D-Type Flip-Flop	48-SSOP	1.06	.85	.64
SN74ALVCH162374GR	296-5184-1-ND	D-Flip-Flop, Tri-State, 16-Bit	Tri-State 16-Bit D-Type Flip-Flop	48-TSSOP	1.06	.85	.64
SN74ALVCH162374GR	296-5184-2-ND	D-Flip-Flop, Tri-State, 16-Bit	Tri-State 16-Bit D-Type Flip-Flop	48-TSSOP		1100.58/2,000	
SN74ALVCH162525DL	296-12866-5-ND	Tri-St., Transceiver mit Register, 18-Bit	Tri-St. 18-Bit Registered Transceiver	56-SSOP	1.80	1.44	1.08
SN74ALVCH162525GR	296-5194-1-ND	Tri-St., Transceiver mit Register, 18-Bit	Tri-St. 18-Bit Registered Transceiver	56-TSSOP	1.80	1.44	1.08
SN74ALVCH162525GR	296-5194-2-ND	Tri-St., Transceiver mit Register, 18-Bit	Tri-St. 18-Bit Registered Transceiver	56-TSSOP		1870.99/2,000	
SN74ALVCH162601DL	296-5195-5-ND	Tri-St., Transceiver mit Register, 18-Bit	Tri-St. 18-Bit Registered Transceiver	56-SSOP	1.06	.85	.64
SN74ALVCH162601DLR	296-14782-1-ND	Tri-St., Transceiver mit Register, 18-Bit	Tri-St. 18-Bit Registered Transceiver	56-SSOP	1.06	.85	.64
SN74ALVCH162601DLR	296-14782-2-ND	Tri-St., Transceiver mit Register, 18-Bit	Tri-St. 18-Bit Registered Transceiver	56-SSOP		550.29/1,000	
SN74ALVCH162601GR	296-5196-1-ND	Tri-St., Transceiver mit Register, 18-Bit	Tri-St. 18-Bit Registered Transceiver	56-TSSOP	1.06	.85	.64
SN74ALVCH162601GR	296-5196-2-ND	Tri-St., Transceiver mit Register, 18-Bit	Tri-St. 18-Bit Registered Transceiver	56-TSSOP		1100.58/2,000	
SN74ALVCH162721DLR	296-5204-1-ND	Flip-Flop, Tri-State, 3,3 V, 20-Bit	Tri-State 3.3V, 20-Bit Flip-Flop	56-SSOP	2.67	2.14	1.66
SN74ALVCH162721DLR	296-5204-2-ND	Flip-Flop, Tri-State, 3,3 V, 20-Bit	Tri-State 3.3V, 20-Bit Flip-Flop	56-SSOP		1511.18/1,000	
SN74ALVCH162721GR	296-5205-1-ND	Flip-Flop, Tri-State, 3,3 V, 20-Bit	Tri-State 3.3V, 20-Bit Flip-Flop	56-TSSOP	2.67	2.14	1.66
SN74ALVCH162721GR	296-5205-2-ND	Flip-Flop, Tri-State, 3,3 V, 20-Bit	Tri-State 3.3V, 20-Bit Flip-Flop	56-TSSOP		3022.36/2,000	
SN74ALVCH162820DL	296-5206-5-ND	Flip-Flop mit Doppelausgang, Tri-State, 3,3 V, 10-Bit	Tri-State 3.3V, 10-Bit Flip-Flop with Dual Output	56-SSOP	1.48	1.19	.89
SN74ALVCH162820GR	296-5207-1-ND	Flip-Flop mit Doppelausgang, Tri-State, 3,3 V, 10-Bit	Tri-State 3.3V, 10-Bit Flip-Flop with Dual Output	56-TSSOP	1.48	1.19	.89
SN74ALVCH162820GR	296-5207-2-ND	Flip-Flop mit Doppelausgang, Tri-State, 3,3 V, 10-Bit	Tri-State 3.3V, 10-Bit Flip-Flop with Dual Output	56-TSSOP		1540.81/2,000	
SN74ALVCH162827DLR	296-14783-1-ND	Puffer/Treiber, Tri-State, 20-Bit	Tri-State 20-Bit Buffer/Driver	56-SSOP	1.27	1.02	.77
SN74ALVCH162827DLR	296-14783-2-ND	Puffer/Treiber, Tri-State, 20-Bit	Tri-State 20-Bit Buffer/Driver	56-SSOP		660.35/1,000	
SN74ALVCH162827GR	296-1142-1-ND	Puffer/Treiber, Tri-State, 20-Bit	Tri-State 20-Bit Buffer/Driver	56-TSSOP	1.27	1.02	.77
SN74ALVCH162827GR	296-1142-2-ND	Puffer/Treiber, Tri-State, 20-Bit	Tri-State 20-Bit Buffer/Driver	56-TSSOP		1320.70/2,000	
SN74ALVCH162827VR	296-5209-1-ND	Puffer/Treiber, Tri-State, 20-Bit	Tri-State 20-Bit Buffer/Driver	56-TVSOP	1.27	1.02	.77
SN74ALVCH162827VR	296-5209-2-ND	Puffer/Treiber, Tri-State, 20-Bit	Tri-State 20-Bit Buffer/Driver	56-TVSOP		1320.70/2,000	
SN74ALVCH162830GR	296-5211-1-ND	Adresstreiber, Tri-State, 1-2-Bit	Tri-State 1-2-Bit Address Driver	80-TSSOP	1.69	1.36	1.02
SN74ALVCH162830GR	296-5211-2-ND	Adresstreiber, Tri-State, 1-2-Bit	Tri-State 1-2-Bit Address Driver	80-TSSOP		1760.93/2,000	
SN74ALVCH162831GR	296-5212-1-ND	Tri-St., Adressregister/-treiber, 1-4 Bit	Tri-St. 1-4-Bit Address Register/Driver	80-TSSOP	4.94	3.96	3.34
SN74ALVCH162831GR	296-5212-2-ND	Tri-St., Adressregister/-treiber, 1-4 Bit	Tri-St. 1-4-Bit Address Register/Driver	80-TSSOP		6180.18/2,000	
SN74ALVCH162832GR	296-5213-1-ND	Tri-St., Adressregister/-treiber, 1-4 Bit	Tri-St. 1-4-Bit Address Register/Driver	64-TSSOP	5.93	4.75	4.01
SN74ALVCH162832GR	296-5213-2-ND	Tri-St., Adressregister/-treiber, 1-4 Bit	Tri-St. 1-4-Bit Address Register/Driver	64-TSSOP		7407.75/2,000	
SN74ALVCH162835DL	296-5214-5-ND	Universal-Bustreiber, Tri-State, 18-Bit	Tri-State 18-Bit Universal Bus Driver	56-SSOP	1.69	1.36	1.02
SN74ALVCH162835GR	296-5215-1-ND	Universal-Bustreiber, Tri-State, 18-Bit	Tri-State 18-Bit Universal Bus Driver	56-TSSOP	1.69	1.36	1.02
SN74ALVCH162835GR	296-5215-2-ND	Universal-Bustreiber, Tri-State, 18-Bit	Tri-State 18-Bit Universal Bus Driver	56-TSSOP		1760.93/2,000	
SN74ALVCH162835VR	296-12867-1-ND	Universal-Bustreiber, Tri-State, 18-Bit	Tri-State 18-Bit Universal Bus Driver	56-TVSOP	1.69	1.36	1.02
SN74ALVCH162835VR	296-12867-2-ND	Universal-Bustreiber, Tri-State, 18-Bit	Tri-State 18-Bit Universal Bus Driver	56-TVSOP		1760.93/2,000	
SN74ALVCH162836DL	296-12868-5-ND	Universal-Bustreiber, Tri-State, 20-Bit	Tri-State 20-Bit Universal Bus Driver	56-SSOP	3.34	2.67	2.08
SN74ALVCH162836GR	296-5216-1-ND	Universal-Bustreiber, Tri-State, 20-Bit	Tri-State 20-Bit Universal Bus Driver	56-TSSOP	3.34	2.67	2.08
SN74ALVCH162836GR	296-5216-2-ND	Universal-Bustreiber, Tri-State, 20-Bit	Tri-State 20-Bit Universal Bus Driver	56-TSSOP		3777.53/2,000	
SN74ALVCH162836VR	296-5217-1-ND	Universal-Bustreiber, Tri-State, 20-Bit	Tri-State 20-Bit Universal Bus Driver	56-TVSOP	3.34	2.67	2.08
SN74ALVCH162836VR	296-5217-2-ND	Universal-Bustreiber, Tri-State, 20-Bit	Tri-State 20-Bit Universal Bus Driver	56-TVSOP		3777.53/2,000	
SN74ALVCH162841DL	296-5218-5-ND	Bus-Schnittstellen-D-Latch, Tri-State, 20-Bit	Tri-State 20-Bit Bus-Interface D-Type Latch	56-SSOP	1.80	1.44	1.08
SN74ALVCH162841GR	296-5219-1-ND	Bus-Schnittstellen-D-Latch, Tri-State, 20-Bit	Tri-State 20-Bit Bus-Interface D-Type Latch	56-TSSOP	1.80	1.44	1.08
SN74ALVCH162841GR	296-5219-2-ND	Bus-Schnittstellen-D-Latch, Tri-State, 20-Bit	Tri-State 20-Bit Bus-Interface D-Type Latch	56-TSSOP		1870.99/2,000	
		ALVCHG-Gruppe					
SN74ALVCHG162280GR	296-6286-1-ND	Bus Exchanger mit Register und Byte-Maske, Tri-State, 16-bis-32-Bit	Tri-State 16-to-32-Bit Registered Bus Exchanger with Byte Mask	80-TSSOP	7.62	6.10	5.15
SN74ALVCHG162280GR	296-6286-2-ND	Bus Exchanger mit Register und Byte-Maske, Tri-State, 16-bis-32-Bit	Tri-State 16-to-32-Bit Registered Bus Exchanger with Byte Mask	80-TSSOP		9524.25/2,000	
SN74ALVCHG162282GR	296-12874-1-ND	Bus-Exchanger mit Register, Tri-State, 18-bis-36-Bit	Tri-State 18-to-36-Bit Registered Bus Exchanger	80-TVSOP	7.62	6.10	5.15
SN74ALVCHG162282GR	296-12874-2-ND	Bus-Exchanger mit Register, Tri-State, 18-bis-36-Bit	Tri-State 18-to-36-Bit Registered Bus Exchanger	80-TVSOP		9524.25/2,000	
		ALVCHR-Gruppe					
SN74ALVCHR16245GR	296-6287-1-ND	Bus-Transceiver, Tri-State, 16-Bit	Tri-State 16-Bit Bus Transceiver	48-TSSOP	1.02	.85	.68
SN74ALVCHR16245GR	296-6287-2-ND	Bus-Transceiver, Tri-State, 16-Bit	Tri-State 16-Bit Bus Transceiver	48-TSSOP		900.78/2,000	
SN74ALVCHR16245LR	296-6288-1-ND	Bus-Transceiver, Tri-State, 16-Bit	Tri-State 16-Bit Bus Transceiver	48-SSOP	1.02	.85	.68
SN74ALVCHR16245LR	296-6288-2-ND	Bus-Transceiver, Tri-State, 16-Bit	Tri-State 16-Bit Bus Transceiver	48-SSOP		450.39/1,000	
SN74ALVCHR16269AGR	296-1280-1-ND	Tri-St., Bus-Exchanger mit Register, 12-24-Bit	Tri-St. 12-24-Bit Registered Bus Exchanger	56-TSSOP	1.59	1.27	.96
SN74ALVCHR16269AGR	296-1280-2-ND	Tri-St., Bus-Exchanger mit Register, 12-24-Bit	Tri-St. 12-24-Bit Registered Bus Exchanger	56-TSSOP		1650.87/2,000	
SN74ALVCHR16269ALR	296-6289-1-ND	Tri-St., Bus-Exchanger mit Register, 12-24-Bit	Tri-St. 12-24-Bit Registered Bus Exchanger	56-SSOP	1.59	1.27	.96
SN74ALVCHR16269ALR	296-6289-2-ND	Tri-St., Bus-Exchanger mit Register, 12-24-Bit	Tri-St. 12-24-Bit Registered Bus Exchanger	56-SSOP		825.44/1,000	
SN74ALVCHR16269AVR	296-6290-1-ND	Tri-St., Bus-Exchanger mit Register, 12-24-Bit	Tri-St. 12-24-Bit Registered Bus Exchanger	56-TVSOP	1.59	1.27	.96
SN74ALVCHR16269AVR	296-6290-2-ND	Tri-St., Bus-Exchanger mit Register, 12-24-Bit	Tri-St. 12-24-Bit Registered Bus Exchanger	56-TVSOP		1650.87/2,000	
SN74ALVCHR16269GR	296-9781-1-ND	Tri-St., Bus-Exchanger mit Register, 12-24-Bit	Tri-St. 12-24-Bit Registered Bus Exchanger	56-TSSOP	1.59	1.27	.96
SN74ALVCHR16269GR	296-9781-2-ND	Tri-St., Bus-Exchanger mit Register, 12-24-Bit	Tri-St. 12-24-Bit Registered Bus Exchanger	56-TSSOP		1650.87/2,000	
SN74ALVCHR16409GR	296-12877-1-ND	Universal-Bus-Exchanger, Tri-State, 9-Bit, 4-Port	Tri-State 9-Bit, 4-Port Universal Bus Exchanger	56-TSSOP	6.69	5.36	4.52
SN74ALVCHR16409GR	296-12877-2-ND	Universal-Bus-Exchanger, Tri-State, 9-Bit, 4-Port	Tri-State 9-Bit, 4-Port Universal Bus Exchanger	56-TSSOP		8361.02/2,000	
SN74ALVCHR16409LR	296-6291-1-ND	Universal-Bus-Exchanger, Tri-State, 9-Bit, 4-Port	Tri-State 9-Bit, 4-Port Universal Bus Exchanger	56-SSOP	6.72	5.38	4.54
SN74ALVCHR16409LR	296-6291-2-ND	Universal-Bus-Exchanger, Tri-State, 9-Bit, 4-Port	Tri-State 9-Bit, 4-Port Universal Bus Exchanger	56-SSOP		4201.68/1,000	
SN74ALVCHR16601GR	296-1150-1-ND	Univ.-Bus-Transceiver, Tri-State, 18-Bit	Tri-State 18-Bit Univ. Bus Transceiver	56-TSSOP	1.59	1.27	.96
SN74ALVCHR16601GR	296-1150-2-ND	Univ.-Bus-Transceiver, Tri-State, 18-Bit	Tri-State 18-Bit Univ. Bus Transceiver	56-TSSOP		1650.87/2,000	
SN74ALVCHR16601LR	296-6292-1-ND	Univ.-Bus-Transceiver, Tri-State, 18-Bit	Tri-State 18-Bit Univ. Bus Transceiver	56-SSOP	1.59	1.27	.96
SN74ALVCHR16601LR	296-6292-2-ND	Univ.-Bus-Transceiver, Tri-State, 18-Bit	Tri-State 18-Bit Univ. Bus Transceiver	56-SSOP		825.44/1,000	
SN74ALVCHR16601VR	296-12878-1-ND	Univ.-Bus-Transceiver, Tri-State, 18-Bit	Tri-State 18-Bit Univ. Bus Transceiver	56-TVSOP	1.59	1.27	.96
SN74ALVCHR16601VR	296-12878-2-ND	Univ.-Bus-Transceiver, Tri-State, 18-Bit	Tri-State 18-Bit Univ. Bus Transceiver	56-TVSOP		1650.87/2,000	
SN74ALVCHR162245DL	296-12875-5-ND	Bus-Transceiver, Tri-State, 16-Bit	Tri-State 16-Bit Bus Transceiver	48-SSOP	1.02	.85	.68
SN74ALVCHR162601DL	296-12876-5-ND	Univ.-Bus-Transceiver, Tri-State, 18-Bit	Tri-State 18-Bit Univ. Bus Transceiver	56-SSOP	4.10	3.28	2.55
		ALVCHS-Gruppe					
74ALVCHS162830AGR	296-17630-1-ND	Tri-St., Adresstreiber, 1-2-Bit	Tri-St. 1-2-Bit Address Driver	80-TSSOP	4.23	3.39	2.86
74ALVCHS162830AGR	296-17630-2-ND	Tri-St., Adresstreiber, 1-2-Bit	Tri-St. 1-2-Bit Address Driver	80-TSSOP		5291.25/2,000	
SN74ALVCHS162830GR	296-6293-1-ND	Tri-St., Adresstreiber, 1-2-Bit	Tri-St. 1-2-Bit Address Driver	80-TSSOP	3.43	2.75	2.14
SN74ALVCHS162830GR	296-6293-2-ND	Tri-St., Adresstreiber, 1-2-Bit	Tri-St. 1-2-Bit Address Driver	80-TSSOP		3885.89/2,000	
		ALVTH-Gruppe					
SN74ALVTH16240DLR	296-6296-1-ND	Tri-St., Puffer/Treiber, 2,5 V/3,3 V, 16-Bit	Tri-St. 2.5V/3.3V, 16-Bit Buffer/Driver	48-SSOP	1.12	.94	.75
SN74ALVTH16240DLR	296-6296-2-ND	Tri-St., Puffer/Treiber, 2,5 V/3,3 V, 16-Bit	Tri-St. 2.5V/3.3V, 16-Bit Buffer/Driver	48-SSOP		495.26/1,000	
SN74ALVTH16240GR	296-6297-1-ND	Tri-St., Puffer/Treiber, 2,5 V/3,3 V, 16-Bit	Tri-St. 2.5V/3.3V, 16-Bit Buffer/Driver	48-TSSOP	1.12	.94	.75
SN74ALVTH16240GR	296-6297-2-ND	Tri-St., Puffer/Treiber, 2,5 V/3,3 V, 16-Bit	Tri-St. 2.5V/3.3V, 16-Bit Buffer/Driver	48-TSSOP		990.52/2,000	
SN74ALVTH16240VR	296-6298-1-ND	Tri-St., Puffer/Treiber, 2,5 V/3,3 V, 16-Bit	Tri-St. 2.5V/3.3V, 16-Bit Buffer/Driver	48-TVSOP	1.27	1.02	.77
SN74ALVTH16240VR	296-6298-2-ND	Tri-St., Puffer/Treiber, 2,5 V/3,3 V, 16-Bit	Tri-St. 2.5V/3.3V, 16-Bit Buffer/Driver	48-TVSOP		1320.70/2,000	
SN74ALVTH16244DL	296-1519-5-ND	Tri-St., Puffer/Treiber, 2,5 V/3,3 V, 16-Bit	Tri-St. 2.5V/3.3V, 16-Bit Buffer/Driver	48-SSOP	1.12	.94	.75
SN74ALVTH16244DLR	296-1519-1-ND	Tri-St., Puffer/Treiber, 2,5 V/3,3 V, 16-Bit	Tri-St. 2.5V/3.3V, 16-Bit Buffer/Driver	48-SSOP	1.12	.94	.75
SN74ALVTH16244DLR	296-1519-2-ND	Tri-St., Puffer/Treiber, 2,5 V/3,3 V, 16-Bit	Tri-St. 2.5V/3.3V, 16-Bit Buffer/Driver	48-SSOP		495.26/1,000	
SN74ALVTH16244GR	296-6299-1-ND	Tri-St., Puffer/Treiber, 2,5 V/3,3 V, 16-Bit	Tri-St. 2.5V/3.3V, 16-Bit Buffer/Driver	48-TSSOP	1.12	.94	.75
SN74ALVTH16244GR	296-6299-2-ND	Tri-St., Puffer/Treiber, 2,5 V/3,3 V, 16-Bit	Tri-St. 2.5V/3.3V, 16-Bit Buffer/Driver	48-TSSOP		990.52/2,000	
SN74ALVTH16244KR	296-6300-1-ND	Tri-St., Puffer/Treiber, 2,5 V/3,3 V, 16-Bit	Tri-St. 2.5V/3.3V, 16-Bit Buffer/Driver	48-BGA	1.31	1.05	.79
SN74ALVTH16244KR	296-6300-2-ND	Tri-St., Puffer/Treiber, 2,5 V/3,3 V, 16-Bit	Tri-St. 2.5V/3.3V, 16-Bit Buffer/Driver	48-BGA		682.36/1,000	
SN74ALVTH16244VR	296-6301-1-ND	Tri-St., Puffer/Treiber, 2,5 V/3,3 V, 16-Bit	Tri-St. 2.5V/3.3V, 16-Bit Buffer/Driver	48-TVSOP	1.31	1.05	.79
SN74ALVTH16244VR	296-6301-2-ND	Tri-St., Puffer/Treiber, 2,5 V/3,3 V, 16-Bit	Tri-St. 2.5V/3.3V, 16-Bit Buffer/Driver	48-TVSOP		1364.72/2,000	
SN74ALVTH16245DLR	296-13158-1-ND	Tri-St., Bus-Transcvr, 2,5 V/3,3 V, 16-Bit	Tri-St. 2.5V/3.3V, 16-Bit Bus Transcvr	48-SSOP	1.31	1.05	.79
SN74ALVTH16245DLR	296-13158-2-ND	Tri-St., Bus-Transcvr, 2,5 V/3,3 V, 16-Bit	Tri-St. 2.5V/3.3V, 16-Bit Bus Transcvr	48-SSOP		682.36/1,000	
SN74ALVTH16245GR	296-13159-1-ND	Tri-St., Bus-Transcvr, 2,5 V/3,3 V, 16-Bit	Tri-St. 2.5V/3.3V, 16-Bit Bus Transcvr	48-TSSOP	1.31	1.05	.79
SN74ALVTH16245GR	296-13159-2-ND	Tri-St., Bus-Transcvr, 2,5 V/3,3 V, 16-Bit	Tri-St. 2.5V/3.3V, 16-Bit Bus Transcvr	48-TSSOP		1364.72/2,000	
SN74ALVTH16245VR	296-13160-1-ND	Tri-St., Bus-Transcvr, 2,5 V/3,3 V, 16-Bit	Tri-St. 2.5V/3.3V, 16-Bit Bus Transcvr	48-TVSOP	1.44	1.16	.87

(Forts.)

★ RUFEN SIE BITTE AN FÜR NIEDRIGERE PREISE BEI GRÖSSEREN MENGEN! ★

T. I. Teilenr.	Digi-Key Teilenr.	Beschreibung		Paket	Stückpreis★ 1	25	100
SN74ALVTH16245VR	296-13160-2-ND	Tri-St., Bus-Transcvr, 2,5 V/3,3 V, 16-Bit	Tri-St. 2.5V/3.3V, 16-Bit Bus Transcvr	48-TVSOP		1496.79/2,000	
SN74ALVTH16373DLR	296-6305-1-ND	Tri-St., D-Latch, 2,5 V/3,3 V, 16-Bit	Tri-St. 2.5V/3.3V, 16-Bit D-Type Latch	48-SSOP	1.12	.94	.75
SN74ALVTH16373DLR	296-6305-2-ND	Tri-St., D-Latch, 2,5 V/3,3 V, 16-Bit	Tri-St. 2.5V/3.3V, 16-Bit D-Type Latch	48-SSOP		495.26/1,000	
SN74ALVTH16373GR	296-6306-1-ND	Tri-St., D-Latch, 2,5 V/3,3 V, 16-Bit	Tri-St. 2.5V/3.3V, 16-Bit D-Type Latch	48-TSSOP	1.12	.94	.75
SN74ALVTH16373GR	296-6306-2-ND	Tri-St., D-Latch, 2,5 V/3,3 V, 16-Bit	Tri-St. 2.5V/3.3V, 16-Bit D-Type Latch	48-TSSOP		990.52/2,000	
SN74ALVTH16373KR	296-9782-1-ND	Tri-St., D-Latch, 2,5 V/3,3 V, 16-Bit	Tri-St. 2.5V/3.3V, 16-Bit D-Type Latch	56-VFBGA	1.48	1.19	.89
SN74ALVTH16373KR	296-9782-2-ND	Tri-St., D-Latch, 2,5 V/3,3 V, 16-Bit	Tri-St. 2.5V/3.3V, 16-Bit D-Type Latch	56-VFBGA		770.41/1,000	
SN74ALVTH16373VR	296-6307-1-ND	Tri-St., D-Latch, 2,5 V/3,3 V, 16-Bit	Tri-St. 2.5V/3.3V, 16-Bit D-Type Latch	48-TVSOP	1.31	1.05	.79
SN74ALVTH16373VR	296-6307-2-ND	Tri-St., D-Latch, 2,5 V/3,3 V, 16-Bit	Tri-St. 2.5V/3.3V, 16-Bit D-Type Latch	48-TVSOP		1364.72/2,000	
SN74ALVTH16374DLR	296-6308-1-ND	Tri-St., D-Flip-Flop, 2,5 V/3,3 V, 16-Bit	Tri-St. 2.5V/3.3V, 16-Bit D-Type F/F	48-SSOP	1.12	.94	.75
SN74ALVTH16374DLR	296-6308-2-ND	Tri-St., D-Flip-Flop, 2,5 V/3,3 V, 16-Bit	Tri-St. 2.5V/3.3V, 16-Bit D-Type F/F	48-SSOP		495.26/1,000	
SN74ALVTH16374GR	296-6309-1-ND	Tri-St., D-Flip-Flop, 2,5 V/3,3 V, 16-Bit	Tri-St. 2.5V/3.3V, 16-Bit D-Type F/F	48-TSSOP	1.12	.94	.75
SN74ALVTH16374GR	296-6309-2-ND	Tri-St., D-Flip-Flop, 2,5 V/3,3 V, 16-Bit	Tri-St. 2.5V/3.3V, 16-Bit D-Type F/F	48-TSSOP		990.52/2,000	
SN74ALVTH16374KR	296-6310-1-ND	Tri-St., D-Flip-Flop, 2,5 V/3,3 V, 16-Bit	Tri-St. 2.5V/3.3V, 16-Bit D-Type F/F	56-VFBGA	1.48	1.19	.89
SN74ALVTH16374KR	296-6310-2-ND	Tri-St., D-Flip-Flop, 2,5 V/3,3 V, 16-Bit	Tri-St. 2.5V/3.3V, 16-Bit D-Type F/F	56-VFBGA		770.41/1,000	
SN74ALVTH16374VR	296-6311-1-ND	Tri-St., D-Flip-Flop, 2,5 V/3,3 V, 16-Bit	Tri-St. 2.5V/3.3V, 16-Bit D-Type F/F	48-TVSOP	1.31	1.05	.79
SN74ALVTH16374VR	296-6311-2-ND	Tri-St., D-Flip-Flop, 2,5 V/3,3 V, 16-Bit	Tri-St. 2.5V/3.3V, 16-Bit D-Type F/F	48-TVSOP		1364.72/2,000	
SN74ALVTH16601DLR	296-6312-1-ND	Universal-Bus-Transceiver, Tri-State, 2,5 V/3,3 V, 18-Bit	Tri-State 2.5V/3.3V, 18-Bit Universal Bus Transceiver	56-SSOP	2.86	2.29	1.78
SN74ALVTH16601DLR	296-6312-2-ND	Universal-Bus-Transceiver, Tri-State, 2,5 V/3,3 V, 18-Bit	Tri-State 2.5V/3.3V, 18-Bit Universal Bus Transceiver	56-SSOP		1619.55/1,000	
SN74ALVTH16601GR	296-6313-1-ND	Universal-Bus-Transceiver, Tri-State, 2,5 V/3,3 V, 18-Bit	Tri-State 2.5V/3.3V, 18-Bit Universal Bus Transceiver	56-TSSOP	2.86	2.29	1.78
SN74ALVTH16601GR	296-6313-2-ND	Universal-Bus-Transceiver, Tri-State, 2,5 V/3,3 V, 18-Bit	Tri-State 2.5V/3.3V, 18-Bit Universal Bus Transceiver	56-TSSOP		3239.09/2,000	
SN74ALVTH16601VR	296-6314-1-ND	Universal-Bus-Transceiver, Tri-State, 2,5 V/3,3 V, 18-Bit	Tri-State 2.5V/3.3V, 18-Bit Universal Bus Transceiver	56-TVSOP	2.86	2.29	1.78
SN74ALVTH16601VR	296-6314-2-ND	Universal-Bus-Transceiver, Tri-State, 2,5 V/3,3 V, 18-Bit	Tri-State 2.5V/3.3V, 18-Bit Universal Bus Transceiver	56-TVSOP		3239.09/2,000	
SN74ALVTH16821DL	296-1520-5-ND	Bus-Schnittstellen-Flip-Flop, Tri-State, 2,5 V/3,3 V, 20-Bit	Tri-State 2.5V/3.3V, 20-Bit Bus-Interface Flip-Flop	56-SSOP	2.86	2.29	1.78
SN74ALVTH16821DLR	296-1520-1-ND	Bus-Schnittstellen-Flip-Flop, Tri-State, 2,5 V/3,3 V, 20-Bit	Tri-State 2.5V/3.3V, 20-Bit Bus-Interface Flip-Flop	56-SSOP	2.86	2.29	1.78
SN74ALVTH16821DLR	296-1520-2-ND	Bus-Schnittstellen-Flip-Flop, Tri-State, 2,5 V/3,3 V, 20-Bit	Tri-State 2.5V/3.3V, 20-Bit Bus-Interface Flip-Flop	56-SSOP		1619.55/1,000	
SN74ALVTH16821GR	296-6315-1-ND	Bus-Schnittstellen-Flip-Flop, Tri-State, 2,5 V/3,3 V, 20-Bit	Tri-State 2.5V/3.3V, 20-Bit Bus-Interface Flip-Flop	56-TSSOP	2.86	2.29	1.78
SN74ALVTH16821GR	296-6315-2-ND	Bus-Schnittstellen-Flip-Flop, Tri-State, 2,5 V/3,3 V, 20-Bit	Tri-State 2.5V/3.3V, 20-Bit Bus-Interface Flip-Flop	56-TSSOP		3239.09/2,000	
SN74ALVTH16821VR	296-6316-1-ND	Bus-Schnittstellen-Flip-Flop, Tri-State, 2,5 V/3,3 V, 20-Bit	Tri-State 2.5V/3.3V, 20-Bit Bus-Interface Flip-Flop	56-TVSOP	2.86	2.29	1.78
SN74ALVTH16821VR	296-6316-2-ND	Bus-Schnittstellen-Flip-Flop, Tri-State, 2,5 V/3,3 V, 20-Bit	Tri-State 2.5V/3.3V, 20-Bit Bus-Interface Flip-Flop	56-TVSOP		3239.09/2,000	
SN74ALVTH16827DL	296-6317-5-ND	Tri-St., Puffer/Treiber, 2,5 V/3,3 V, 20-Bit	Tri-St. 2.5V/3.3V, 20-Bit Buffer/Driver	56-SSOP	2.86	2.29	1.78
SN74ALVTH16827DLR	296-6317-1-ND	Tri-St., Puffer/Treiber, 2,5 V/3,3 V, 20-Bit	Tri-St. 2.5V/3.3V, 20-Bit Buffer/Driver	56-SSOP	2.86	2.29	1.78
SN74ALVTH16827DLR	296-6317-2-ND	Tri-St., Puffer/Treiber, 2,5 V/3,3 V, 20-Bit	Tri-St. 2.5V/3.3V, 20-Bit Buffer/Driver	56-SSOP		1619.55/1,000	
SN74ALVTH16827GR	296-6318-1-ND	Tri-St., Puffer/Treiber, 2,5 V/3,3 V, 20-Bit	Tri-St. 2.5V/3.3V, 20-Bit Buffer/Driver	56-TSSOP	2.86	2.29	1.78
SN74ALVTH16827GR	296-6318-2-ND	Tri-St., Puffer/Treiber, 2,5 V/3,3 V, 20-Bit	Tri-St. 2.5V/3.3V, 20-Bit Buffer/Driver	56-TSSOP		3239.09/2,000	
SN74ALVTH16827VR	296-6319-1-ND	Tri-St., Puffer/Treiber, 2,5 V/3,3 V, 20-Bit	Tri-St. 2.5V/3.3V, 20-Bit Buffer/Driver	56-TVSOP	2.86	2.29	1.78
SN74ALVTH16827VR	296-6319-2-ND	Tri-St., Puffer/Treiber, 2,5 V/3,3 V, 20-Bit	Tri-St. 2.5V/3.3V, 20-Bit Buffer/Driver	56-TVSOP		3239.09/2,000	
SN74ALVTH32244KR	296-6320-1-ND	Tri-St., Puffer/Treiber, 2,5 V/3,3 V, 32-Bit	Tri-St. 2.5V/3.3V, 32-Bit Buffer/Driver	96-LFBGA	2.48	1.99	1.55
SN74ALVTH32244KR	296-6320-2-ND	Tri-St., Puffer/Treiber, 2,5 V/3,3 V, 32-Bit	Tri-St. 2.5V/3.3V, 32-Bit Buffer/Driver	96-LFBGA		1403.66/1,000	
SN74ALVTH32373KR	296-6321-1-ND	Transparenter D-Latch, Tri-State, 2,5 V/3,3 V, 32-Bit	Tri-State 2.5V/3.3V, 32-Bit Transparent D-Type Latch	96-LFBGA	3.05	2.44	1.90
SN74ALVTH32373KR	296-6321-2-ND	Transparenter D-Latch, Tri-State, 2,5 V/3,3 V, 32-Bit	Tri-State 2.5V/3.3V, 32-Bit Transparent D-Type Latch	96-LFBGA		1727.06/1,000	
SN74ALVTH32374KR	296-6322-1-ND	D-Flip-Flop, Tri-State, 2,5 V/3,3 V, 32-Bit	Tri-State 2.5V/3.3V, 32-Bit D-Type Flip-Flop	96-LFBGA	2.86	2.29	1.78
SN74ALVTH32374KR	296-6322-2-ND	D-Flip-Flop, Tri-State, 2,5 V/3,3 V, 32-Bit	Tri-State 2.5V/3.3V, 32-Bit D-Type Flip-Flop	96-LFBGA		1619.55/1,000	
SN74ALVTH162244DL	296-1518-5-ND	Tri-St., Puffer/Treiber, 2,5 V/3,3 V, 16-Bit	Tri-St. 2.5V/3.3V, 16-Bit Buffer/Driver	48-SSOP	1.12	.94	.75
SN74ALVTH162244GR	296-6294-1-ND	Tri-St., Puffer/Treiber, 2,5 V/3,3 V, 16-Bit	Tri-St. 2.5V/3.3V, 16-Bit Buffer/Driver	48-TSSOP	1.12	.94	.75
SN74ALVTH162244GR	296-6294-2-ND	Tri-St., Puffer/Treiber, 2,5 V/3,3 V, 16-Bit	Tri-St. 2.5V/3.3V, 16-Bit Buffer/Driver	48-TSSOP		990.52/2,000	
SN74ALVTH162244LR	296-12879-1-ND	Tri-St., Puffer/Treiber, 2,5 V/3,3 V, 16-Bit	Tri-St. 2.5V/3.3V, 16-Bit Buffer/Driver	48-SSOP	1.12	.94	.75
SN74ALVTH162244LR	296-12879-2-ND	Tri-St., Puffer/Treiber, 2,5 V/3,3 V, 16-Bit	Tri-St. 2.5V/3.3V, 16-Bit Buffer/Driver	48-SSOP		495.26/1,000	
SN74ALVTH162244VR	296-6295-1-ND	Tri-St., Puffer/Treiber, 2,5 V/3,3 V, 16-Bit	Tri-St. 2.5V/3.3V, 16-Bit Buffer/Driver	48-TVSOP	1.27	1.02	.77
SN74ALVTH162244VR	296-6295-2-ND	Tri-St., Puffer/Treiber, 2,5 V/3,3 V, 16-Bit	Tri-St. 2.5V/3.3V, 16-Bit Buffer/Driver	48-TVSOP		1320.70/2,000	
SN74ALVTH162245GR	296-13155-1-ND	Bus-Transceiver, Tri-State, 2,5 V/3,3 V, 16-Bit	Tri-State 2.5V/3.3V, 16-Bit Bus Transceiver	48-TSSOP	1.12	.94	.75
SN74ALVTH162245GR	296-13155-2-ND	Bus-Transceiver, Tri-State, 2,5 V/3,3 V, 16-Bit	Tri-State 2.5V/3.3V, 16-Bit Bus Transceiver	48-TSSOP		990.52/2,000	
SN74ALVTH162245LR	296-13156-1-ND	Bus-Transceiver, Tri-State, 2,5 V/3,3 V, 16-Bit	Tri-State 2.5V/3.3V, 16-Bit Bus Transceiver	48-SSOP	1.12	.94	.75
SN74ALVTH162245LR	296-13156-2-ND	Bus-Transceiver, Tri-State, 2,5 V/3,3 V, 16-Bit	Tri-State 2.5V/3.3V, 16-Bit Bus Transceiver	48-SSOP		495.26/1,000	
SN74ALVTH162245VR	296-13157-1-ND	Bus-Transceiver, Tri-State, 2,5 V/3,3 V, 16-Bit	Tri-State 2.5V/3.3V, 16-Bit Bus Transceiver	48-TVSOP	1.27	1.02	.77
SN74ALVTH162245VR	296-13157-2-ND	Tri-St., Bus-Transcvr, 2,5 V/3,3 V, 16-Bit	Tri-St. 2.5V/3.3V, 16-Bit Bus Transcvr	48-TVSOP		1320.70/2,000	
SN74ALVTH162827GR	296-6303-1-ND	Tri-St., Puffer/Treiber, 2,5 V/3,3 V, 20-Bit	Tri-St. 2.5V/3.3V, 20-Bit Buffer/Driver	56-TSSOP	2.48	1.99	1.55
SN74ALVTH162827GR	296-6303-2-ND	Tri-St., Puffer/Treiber, 2,5 V/3,3 V, 20-Bit	Tri-St. 2.5V/3.3V, 20-Bit Buffer/Driver	56-TSSOP		2807.33/2,000	
SN74ALVTH162827LR	296-15401-1-ND	Tri-St., Puffer/Treiber, 2,5 V/3,3 V, 20-Bit	Tri-St. 2.5V/3.3V, 20-Bit Buffer/Driver	56-SSOP	2.48	1.99	1.55
SN74ALVTH162827LR	296-15401-2-ND	Tri-St., Puffer/Treiber, 2,5 V/3,3 V, 20-Bit	Tri-St. 2.5V/3.3V, 20-Bit Buffer/Driver	56-SSOP		1403.66/1,000	
SN74ALVTH162827VR	296-6304-1-ND	Tri-St., Puffer/Treiber, 2,5 V/3,3 V, 20-Bit	Tri-St. 2.5V/3.3V, 20-Bit Buffer/Driver	56-TVSOP	2.48	1.99	1.55
SN74ALVTH162827VR	296-6304-2-ND	Tri-St., Puffer/Treiber, 2,5 V/3,3 V, 20-Bit	Tri-St. 2.5V/3.3V, 20-Bit Buffer/Driver	56-TVSOP		2807.33/2,000	
		ALVTHR-Gruppe					
SN74ALVTHR16245GR	296-15402-1-ND	Tri-St., Bus-Transcvr, 2,5 V/3,3 V, 16-Bit	Tri-St. 2.5V/3.3V, 16-Bit Bus Transcvr	48-TSSOP	1.44	1.16	.87
SN74ALVTHR16245GR	296-15402-2-ND	Tri-St., Bus-Transcvr, 2,5 V/3,3 V, 16-Bit	Tri-St. 2.5V/3.3V, 16-Bit Bus Transcvr	48-TSSOP		1496.79/2,000	
SN74ALVTHR16245LR	296-15403-1-ND	Tri-St., Bus-Transcvr, 2,5 V/3,3 V, 16-Bit	Tri-St. 2.5V/3.3V, 16-Bit Bus Transcvr	48-SSOP	1.44	1.16	.87
SN74ALVTHR16245LR	296-15403-2-ND	Tri-St., Bus-Transcvr, 2,5 V/3,3 V, 16-Bit	Tri-St. 2.5V/3.3V, 16-Bit Bus Transcvr	48-SSOP		748.39/1,000	
SN74ALVTHR16245VR	296-15404-1-ND	Tri-St., Bus-Transcvr, 2,5 V/3,3 V, 16-Bit	Tri-St. 2.5V/3.3V, 16-Bit Bus Transcvr	48-TVSOP	1.59	1.27	.96
SN74ALVTHR16245VR	296-15404-2-ND	Tri-St., Bus-Transcvr, 2,5 V/3,3 V, 16-Bit	Tri-St. 2.5V/3.3V, 16-Bit Bus Transcvr	48-TVSOP		1650.87/2,000	
		AS-Gruppe					
SN74AS00DR	296-14787-1-ND	Vierf. NAND-Gate mit 2 Eingängen	Quad 2-Input NAND Gate	14-SOIC	.81	.61	.46
SN74AS00DR	296-14787-2-ND	Vierf. NAND-Gate mit 2 Eingängen	Quad 2-Input NAND Gate	14-SOIC		660.35/2,500	
SN74AS00N	296-1521-5-ND	Vierf. NAND-Gate mit 2 Eingängen	Quad 2-Input NAND Gate	14-Dip	.81	.61	.46
SN74AS02DR	296-14788-1-ND	Vierf. NOR-Gate mit 2 Eingängen	Quad 2-Input NOR Gate	14-SOIC	1.09	.92	.73
SN74AS02DR	296-14788-2-ND	Vierf. NOR-Gate mit 2 Eingängen	Quad 2-Input NOR Gate	14-SOIC		1183.12/2,500	
SN74AS02N	296-14789-5-ND	Vierf. NOR-Gate mit 2 Eingängen	Quad 2-Input NOR Gate	14-Dip	1.09	.92	.73
SN74AS04DR	296-14790-1-ND	Sechsf. Inverter	Hex Inverter	14-SOIC	.81	.61	.46
SN74AS04DR	296-14790-2-ND	Sechsf. Inverter	Hex Inverter	14-SOIC		660.35/2,500	
SN74AS04N	296-1522-5-ND	Sechsf. Inverter	Hex Inverter	14-Dip	.81	.61	.46
SN74AS21NSR	296-13162-1-ND	Zweif. pos. AND-Gate mit 4 Eingängen	Dual 4-Input Positive AND Gate	14-SOP	.97	.81	.65
SN74AS21NSR	296-13162-2-ND	Zweif. pos. AND-Gate mit 4 Eingängen	Dual 4-Input Positive AND Gate	14-SOP		855.07/2,000	
SN74AS27D	296-6350-5-ND	Dreif. pos. NOR-Gate, Tri-State	Tri-State Triple Positive NOR Gate	14-SOIC	.81	.61	.46
SN74AS138N	296-14793-5-ND	3-8 Leitungs-Decoder/Demultiplexer	3-8 Line Decoder/Demux	16-Dip	1.42	1.14	.86
SN74AS151NSR	296-13161-1-ND	1-aus-8 Datenselektor/Multiplexer	1-of-8 Data Selector/Multiplexer	16-SOP	1.42	1.14	.86
SN74AS151NSR	296-13161-2-ND	1-aus-8 Datenselektor/Multiplexer	1-of-8 Data Selector/Multiplexer	16-SOP		1474.78/2,000	
SN74AS194D	296-6341-5-ND	Bidirektionales Univ.-Schieberegister, 4-Bit	4-Bit, Bi-Directional Univ. Shift Register	16-SOIC	2.29	1.83	1.43
SN74AS194DR	296-6341-1-ND	Bidirektionales Univ.-Schieberegister, 4-Bit	4-Bit, Bi-Directional Univ. Shift Register	16-SOP	2.29	1.83	1.43
SN74AS194DR	296-6341-2-ND	Bidirektionales Univ.-Schieberegister, 4-Bit	4-Bit, Bi-Directional Univ. Shift Register	16-SOP		3200.15/2,500	
SN74AS253AD	296-11843-5-ND	Tri-St., Zweif. 1-aus-4 Datenselektor/Multiplexer	Tri-St. Dual 1-of-4 Data Selector/Mux	16-SOIC	2.53	2.03	1.58
SN74AS298ANSR	296-13163-1-ND	Vierf. Multiplexer mit Speicher, 2 Eingänge	Quad 2-Input Multiplexer with Storage	16-SOP	2.19	1.76	1.37
SN74AS298ANSR	296-13163-2-ND	Vierf. Multiplexer mit Speicher, 2 Eingänge	Quad 2-Input Multiplexer with Storage	16-SOP		2482.23/2,000	
SN74AS645N	296-14794-5-ND	Achtf. Bus-Transceiver, Tri-State	Tri-State Octal Bus Transceiver	20-Dip	2.74	2.20	1.71
SN74AS757N	296-12180-5-ND	Achtf. Puffer-/Leitungstreiber, mit OC-Ausgang	Octal Buffer/Line Driver with OC Output	20-Dip	5.22	4.18	3.53
SN74AS760DWR	296-14795-1-ND	Achtf. Puffer-/Leitungstreiber, mit OC-Ausgang	Octal Buffer/Line Driver with OC Output	20-SOIC	3.49	2.79	2.17
SN74AS760DWR	296-14795-2-ND	Achtf. Puffer-/Leitungstreiber, mit OC-Ausgang	Octal Buffer/Line Driver with OC Output	20-SOIC		3950.24/2,000	
SN74AS874NT	296-6381-5-ND	Zweif. flankengesteuerter D-Flip-Flop, 4-Bit	Dual 4-Bit D-Type Edge-Triggered F/F	24-Dip	4.39	3.51	2.73
SN74AS1000ADR	296-14791-1-ND	Vierf. NAND-Puffer/Treiber mit 2 Eingängen	Quad 2-In NAND Buffer/Driver	14-SOIC	1.17	.94	.70
SN74AS1000ADR	296-14791-2-ND	Vierf. NAND-Puffer/Treiber mit 2 Eingängen	Quad 2-In NAND Buffer/Driver	14-SOIC		1490.02/2,500	
SN74AS1004ADR	296-14792-1-ND	Sechsf. invertierender Treiber	Hex Inverting Driver	14-SOIC	1.17	.94	.70
SN74AS1004ADR	296-14792-2-ND	Sechsf. invertierender Treiber	Hex Inverting Driver	14-SOIC		1490.02/2,500	

(Forts.)

★ ***RUFEN SIE BITTE AN FÜR NIEDRIGERE PREISE BEI GRÖSSEREN MENGEN!*** ★

B

T. I. Teilenr.	Digi-Key Teilenr.	Beschreibung	Paket	Stückpreis★ 1	25	100
		AUC-Gruppe				
SN74AUC1G00DBVR	296-13164-1-ND	Einf. pos. NAND-Gate, 2 Eingänge	Single 2-Input Pos. NAND Gate	SOT-23-5	.38	.31	.23
SN74AUC1G00DBVR	296-13164-2-ND	Einf. pos. NAND-Gate, 2 Eingänge	Single 2-Input Pos. NAND Gate	SOT-23-5		309.86/3,000	
SN74AUC1G00DCKR	296-13165-1-ND	Einf. pos. NAND-Gate, 2 Eingänge	Single 2-Input Pos. NAND Gate	SC-70-5	.38	.31	.23
SN74AUC1G00DCKR	296-13165-2-ND	Einf. pos. NAND-Gate, 2 Eingänge	Single 2-Input Pos. NAND Gate	SC-70-5		309.86/3,000	
SN74AUC1G00YEAR	296-15422-1-ND	Einf. pos. NAND-Gate, 2 Eingänge	Single 2-Input Pos. NAND Gate	5-DSBGA	.54	.41	.31
SN74AUC1G00YEAR	296-15422-2-ND	Einf. pos. NAND-Gate, 2 Eingänge	Single 2-Input Pos. NAND Gate	5-DSBGA		528.28/3,000	
SN74AUC1G02DBVR	296-13166-1-ND	Einf. pos. NOR-Gate mit 2 Eingängen	Single 2-Input Pos. NOR Gate	SOT-23-5	.38	.31	.23
SN74AUC1G02DBVR	296-13166-2-ND	Einf. pos. NOR-Gate mit 2 Eingängen	Single 2-Input Pos. NOR Gate	SOT-23-5		309.86/3,000	
SN74AUC1G02DCKR	296-13167-1-ND	Einf. pos. NOR-Gate mit 2 Eingängen	Single 2-Input Pos. NOR Gate	SC-70-5	.38	.31	.23
SN74AUC1G02DCKR	296-13167-2-ND	Einf. pos. NOR-Gate mit 2 Eingängen	Single 2-Input Pos. NOR Gate	SC-70-5		309.86/3,000	
SN74AUC1G02YEAR	296-13724-1-ND	Einf. pos. NOR-Gate mit 2 Eingängen	Single 2-Input Pos. NOR Gate	5-DSBGA	.54	.41	.31
SN74AUC1G02YEAR	296-13724-2-ND	Einf. pos. NOR-Gate mit 2 Eingängen	Single 2-Input Pos. NOR Gate	5-DSBGA		528.28/3,000	
SN74AUC1G04DBVR	296-13168-1-ND	Einf. Inverter-Gate	Single Inverter Gate	SOT-23-5	.38	.31	.23
SN74AUC1G04DBVR	296-13168-2-ND	Einf. Inverter-Gate	Single Inverter Gate	SOT-23-5		309.86/3,000	
SN74AUC1G04DCKR	296-13169-1-ND	Einf. Inverter-Gate	Single Inverter Gate	SC-70-5	.38	.31	.23
SN74AUC1G04DCKR	296-13169-2-ND	Einf. Inverter-Gate	Single Inverter Gate	SC-70-5		309.86/3,000	
SN74AUC1G04YEAR	296-13725-1-ND	Einf. Inverter-Gate	Single Inverter Gate	5-DSBGA	.54	.41	.31
SN74AUC1G04YEAR	296-13725-2-ND	Einf. Inverter-Gate	Single Inverter Gate	5-DSBGA		528.28/3,000	
SN74AUC1G04YEPR	296-15260-1-ND	Einf. Inverter-Gate	Single Inverter Gate	5-DSBGA	.54	.41	.31
SN74AUC1G04YEPR	296-15260-2-ND	Einf. Inverter-Gate	Single Inverter Gate	5-DSBGA		528.28/3,000	
SN74AUC1G04YZAR	296-14350-1-ND	Einf. Inverter-Gate	Single Inverter Gate	5-DSBGA	.54	.41	.31
SN74AUC1G04YZAR	296-14350-2-ND	Einf. Inverter-Gate	Single Inverter Gate	5-DSBGA		528.28/3,000	
SN74AUC1G04YZPR	296-15261-1-ND	Einf. Inverter-Gate	Single Inverter Gate	5-DSBGA	.54	.41	.31
SN74AUC1G04YZPR	296-15261-2-ND	Einf. Inverter-Gate	Single Inverter Gate	5-DSBGA		528.28/3,000	
SN74AUC1G06DBVR	296-12652-1-ND	Einf. Inverter-Puffer/Treiber mit Open-Drain-Ausgang	Single Inverter Buffer/Driver with Open Drain Output	SOT-23-5	.38	.31	.23
SN74AUC1G06DBVR	296-12652-2-ND	Einf. Inverter-Puffer/Treiber mit Open-Drain-Ausgang	Single Inverter Buffer/Driver with Open Drain Output	SOT-23-5		309.86/3,000	
SN74AUC1G06DCKR	296-12653-1-ND	Einf. Inverter-Puffer/Treiber mit Open-Drain-Ausgang	Single Inverter Buffer/Driver with Open Drain Output	SC70-5	.38	.31	.23
SN74AUC1G06DCKR	296-12653-2-ND	Einf. Inverter-Puffer/Treiber mit Open-Drain-Ausgang	Single Inverter Buffer/Driver with Open Drain Output	SC70-5		309.86/3,000	
SN74AUC1G06YEAR	296-15423-1-ND	Einf. Inverter-Puffer/Treiber mit Open-Drain-Ausgang	Single Inverter Buffer/Driver with Open Drain Output	5-DSBGA	.54	.41	.31
SN74AUC1G06YEAR	296-15423-2-ND	Einf. Inverter-Puffer/Treiber mit Open-Drain-Ausgang	Single Inverter Buffer/Driver with Open Drain Output	5-DSBGA		528.28/3,000	
SN74AUC1G07DBVR	296-12463-1-ND	Einf. Puffer/Treiber mit Open-Drain-Ausgang	Single Buffer/Driver with Open Drain Output	SOT-23-5	.38	.31	.23
SN74AUC1G07DBVR	296-12463-2-ND	Einf. Puffer/Treiber mit Open-Drain-Ausgang	Single Buffer/Driver with Open Drain Output	SOT-23-5		309.86/3,000	
SN74AUC1G07DCKR	296-12464-1-ND	Einf. Puffer/Treiber mit Open-Drain-Ausgang	Single Buffer/Driver with Open Drain Output	SC70-5	.38	.31	.23
SN74AUC1G07DCKR	296-12464-2-ND	Einf. Puffer/Treiber mit Open-Drain-Ausgang	Single Buffer/Driver with Open Drain Output	SC70-5		309.86/3,000	
SN74AUC1G07YEAR	296-13726-1-ND	Einf. Puffer/Treiber mit Open-Drain-Ausgang	Single Buffer/Driver with Open Drain Output	5-DSBGA	.54	.41	.31
SN74AUC1G07YEAR	296-13726-2-ND	Einf. Puffer/Treiber mit Open-Drain-Ausgang	Single Buffer/Driver with Open Drain Output	5-DSBGA		528.28/3,000	
SN74AUC1G07YZAR	296-14014-1-ND	Einf. Puffer/Treiber mit Open-Drain-Ausgang	Single Buffer/Driver with Open Drain Output	5-DSBGA	.54	.41	.31
SN74AUC1G07YZAR	296-14014-2-ND	Einf. Puffer/Treiber mit Open-Drain-Ausgang	Single Buffer/Driver with Open Drain Output	5-DSBGA		528.28/3,000	
SN74AUC1G08DBVR	296-13170-1-ND	Einf. Pos. AND-Gate mit 2 Eingängen	Single 2-Input Pos. AND Gate	SOT-23-5	.38	.31	.23
SN74AUC1G08DBVR	296-13170-2-ND	Einf. Pos. AND-Gate mit 2 Eingängen	Single 2-Input Pos. AND Gate	SOT-23-5		309.86/3,000	
SN74AUC1G08DCKR	296-13171-1-ND	Einf. Pos. AND-Gate mit 2 Eingängen	Single 2-Input Pos. AND Gate	SC-70-5	.38	.31	.23
SN74AUC1G08DCKR	296-13171-2-ND	Einf. Pos. AND-Gate mit 2 Eingängen	Single 2-Input Pos. AND Gate	SC-70-5		309.86/3,000	
SN74AUC1G08YEAR	296-15424-1-ND	Einf. Pos. AND-Gate mit 2 Eingängen	Single 2-Input Pos. AND Gate	5-DSBGA	.54	.41	.31
SN74AUC1G08YEAR	296-15424-2-ND	Einf. Pos. AND-Gate mit 2 Eingängen	Single 2-Input Pos. AND Gate	5-DSBGA		528.28/3,000	
SN74AUC1G08YEPR	296-15098-1-ND	Einf. Pos. AND-Gate mit 2 Eingängen	Single 2-Input Pos. AND Gate	5-DSBGA	.54	.41	.31
SN74AUC1G08YEPR	296-15098-2-ND	Einf. Pos. AND-Gate mit 2 Eingängen	Single 2-Input Pos. AND Gate	5-DSBGA		528.28/3,000	
SN74AUC1G08YZAR	296-14015-1-ND	Einf. Pos. AND-Gate mit 2 Eingängen	Single 2-Input Pos. AND Gate	5-DSBGA	.54	.41	.31
SN74AUC1G08YZAR	296-14015-2-ND	Einf. Pos. AND-Gate mit 2 Eingängen	Single 2-Input Pos. AND Gate	5-DSBGA		528.28/3,000	
SN74AUC1G08YZPR	296-15099-1-ND	Einf. Pos. AND-Gate mit 2 Eingängen	Single 2-Input Pos. AND Gate	5-DSBGA	.54	.41	.31
SN74AUC1G08YZPR	296-15099-2-ND	Einf. Pos. AND-Gate mit 2 Eingängen	Single 2-Input Pos. AND Gate	5-DSBGA		528.28/3,000	
SN74AUC1G14DBVR	296-12880-1-ND	Einf. Schmitt-Trigger-Inverter	Single Schmitt-Trigger Inverter	SOT-23-5	.38	.31	.23
SN74AUC1G14DBVR	296-12880-2-ND	Einf. Schmitt-Trigger-Inverter	Single Schmitt-Trigger Inverter	SOT-23-5		309.86/3,000	
SN74AUC1G14DCKR	296-13172-1-ND	Einf. Schmitt-Trigger-Inverter	Single Schmitt-Trigger Inverter	SC-70-5	.38	.31	.23
SN74AUC1G14DCKR	296-13172-2-ND	Einf. Schmitt-Trigger-Inverter	Single Schmitt-Trigger Inverter	SC-70-5		309.86/3,000	
SN74AUC1G14YEAR	296-13727-1-ND	Einf. Schmitt-Trigger-Inverter	Single Schmitt-Trigger Inverter	5-DSBGA	.54	.41	.31
SN74AUC1G14YEAR	296-13727-2-ND	Einf. Schmitt-Trigger-Inverter	Single Schmitt-Trigger Inverter	5-DSBGA		528.28/3,000	
SN74AUC1G14YZAR	296-14016-1-ND	Einf. Schmitt-Trigger-Inverter	Single Schmitt-Trigger Inverter	5-DSBGA	.54	.41	.31
SN74AUC1G14YZAR	296-14016-2-ND	Einf. Schmitt-Trigger-Inverter	Single Schmitt-Trigger Inverter	5-DSBGA		528.28/3,000	
SN74AUC1G17DBVR	296-12654-1-ND	Einf. Schmitt-Trigger-Puffer	Single Schmitt-Trigger Buffer	SOT-23-5	.38	.31	.23
SN74AUC1G17DBVR	296-12654-2-ND	Einf. Schmitt-Trigger-Puffer	Single Schmitt-Trigger Buffer	SOT-23-5		309.86/3,000	
SN74AUC1G17DCKR	296-13173-1-ND	Einf. Schmitt-Trigger-Puffer	Single Schmitt-Trigger Buffer	SC-70-5	.38	.31	.23
SN74AUC1G17DCKR	296-13173-2-ND	Einf. Schmitt-Trigger-Puffer	Single Schmitt-Trigger Buffer	SC-70-5		309.86/3,000	
SN74AUC1G17YEAR	296-13728-1-ND	Einf. Schmitt-Trigger-Puffer	Single Schmitt-Trigger Buffer	5-DSBGA	.54	.41	.31
SN74AUC1G17YEAR	296-13728-2-ND	Einf. Schmitt-Trigger-Puffer	Single Schmitt-Trigger Buffer	5-DSBGA		528.28/3,000	
SN74AUC1G17YZAR	296-14017-1-ND	Einf. Schmitt-Trigger-Puffer	Single Schmitt-Trigger Buffer	5-DSBGA	.54	.41	.31
SN74AUC1G17YZAR	296-14017-2-ND	Einf. Schmitt-Trigger-Puffer	Single Schmitt-Trigger Buffer	5-DSBGA		528.28/3,000	
SN74AUC1G19DBVR	296-17895-1-ND	1-aus-2 Dekodierer/Demux	1-of-2 Decoder/Demux	SOT-23-6	.38	.31	.23
SN74AUC1G19DBVR	296-17895-2-ND	1-aus-2 Dekodierer/Demux	1-of-2 Decoder/Demux	SOT-23-6		309.86/3,000	
SN74AUC1G19DCKR	296-17896-1-ND	1-aus-2 Dekodierer/Demux	1-of-2 Decoder/Demux	SC70-6	.38	.31	.23
SN74AUC1G19DCKR	296-17896-2-ND	1-aus-2 Dekodierer/Demux	1-of-2 Decoder/Demux	SC70-6		309.86/3,000	
SN74AUC1G19YZPR	296-17897-1-ND	1-aus-2 Dekodierer/Demux	1-of-2 Decoder/Demux	6-WCSP	.54	.41	.31
SN74AUC1G19YZPR	296-17897-2-ND	1-aus-2 Dekodierer/Demux	1-of-2 Decoder/Demux	6-WCSP		528.28/3,000	
SN74AUC1G32DBVR	296-12655-1-ND	Einf. pos. OR-Gate mit 2 Eing.	Single 2-Input Pos. OR Gate	SOT-23-5	.38	.31	.23
SN74AUC1G32DBVR	296-12655-2-ND	Einf. pos. OR-Gate mit 2 Eing.	Single 2-Input Pos. OR Gate	SOT-23-5		309.86/3,000	
SN74AUC1G32DCKR	296-12656-1-ND	Einf. pos. OR-Gate mit 2 Eing.	Single 2-Input Pos. OR Gate	SC70-5	.38	.31	.23
SN74AUC1G32DCKR	296-12656-2-ND	Einf. pos. OR-Gate mit 2 Eing.	Single 2-Input Pos. OR Gate	SC70-5		309.86/3,000	
SN74AUC1G32YEAR	296-13729-1-ND	Einf. pos. OR-Gate mit 2 Eing.	Single 2-Input Pos. OR Gate	5-DSBGA	.54	.41	.31
SN74AUC1G32YEAR	296-13729-2-ND	Einf. pos. OR-Gate mit 2 Eing.	Single 2-Input Pos. OR Gate	5-DSBGA		528.28/3,000	
SN74AUC1G32YZAR	296-14018-1-ND	Einf. pos. OR-Gate mit 2 Eing.	Single 2-Input Pos. OR Gate	5-DSBGA	.54	.41	.31
SN74AUC1G32YZAR	296-14018-2-ND	Einf. pos. OR-Gate mit 2 Eing.	Single 2-Input Pos. OR Gate	5-DSBGA		528.28/3,000	
SN74AUC1G66DBVR	296-15427-1-ND	Einf. bilateraler Analogschalter	Single Bilateral Analog Switch	SOT-23-5	.38	.31	.23
SN74AUC1G66DBVR	296-15427-2-ND	Einf. bilateraler Analogschalter	Single Bilateral Analog Switch	SOT-23-5		309.86/3,000	
SN74AUC1G66DCKR	296-15428-1-ND	Einf. bilateraler Analogschalter	Single Bilateral Analog Switch	SC70-5	.38	.31	.23
SN74AUC1G66DCKR	296-15428-2-ND	Einf. bilateraler Analogschalter	Single Bilateral Analog Switch	SC70-5		309.86/3,000	
SN74AUC1G66YEAR	296-15429-1-ND	Einf. bilateraler Analogschalter	Single Bilateral Analog Switch	5-DSBGA	.54	.41	.31
SN74AUC1G66YEAR	296-15429-2-ND	Einf. bilateraler Analogschalter	Single Bilateral Analog Switch	5-DSBGA		528.28/3,000	
SN74AUC1G74YEPR	296-16733-1-ND	Einf. D-Flip-Flop, pos. Flankentrigg.	Single Positive-Edge-Triggered D-Type Flip-Flop	8-DSBGA	.68	.51	.39
SN74AUC1G74YEPR	296-16733-2-ND	Einf. D-Flip-Flop, pos. Flankentrigg.	Single Positive-Edge-Triggered D-Type Flip-Flop	8-DSBGA		660.35/3,000	
SN74AUC1G79DBVR	296-15430-1-ND	Einf. D-Flip-Flop	Single D-Type Flip-Flop	SOT-23-6	.38	.31	.23
SN74AUC1G79DBVR	296-15430-2-ND	Einf. D-Flip-Flop	Single D-Type Flip-Flop	SOT-23-6		309.86/3,000	
SN74AUC1G79DCKR	296-14309-1-ND	Einf. D-Flip-Flop	Single D-Type Flip-Flop	SC70-5	.38	.31	.23
SN74AUC1G79DCKR	296-14309-2-ND	Einf. D-Flip-Flop	Single D-Type Flip-Flop	SC70-5		309.86/3,000	
SN74AUC1G79YEAR	296-14351-1-ND	Einf. D-Flip-Flop	Single D-Type Flip-Flop	5-DSBGA	.54	.41	.31
SN74AUC1G79YEAR	296-14351-2-ND	Einf. D-Flip-Flop	Single D-Type Flip-Flop	5-DSBGA		528.28/3,000	
SN74AUC1G80DBVR	296-15431-1-ND	Einf. D-Flip-Flop	Single D-Type Flip-Flop	SOT-23-6	.38	.31	.23
SN74AUC1G80DBVR	296-15431-2-ND	Einf. D-Flip-Flop	Single D-Type Flip-Flop	SOT-23-6		309.86/3,000	
SN74AUC1G80DCKR	296-14310-1-ND	Einf. D-Flip-Flop	Single D-Type Flip-Flop	SC70-5	.38	.31	.23
SN74AUC1G80DCKR	296-14310-2-ND	Einf. D-Flip-Flop	Single D-Type Flip-Flop	SC70-5		309.86/3,000	
SN74AUC1G80YEAR	296-14352-1-ND	Einf. D-Flip-Flop	Single D-Type Flip-Flop	5-DSBGA	.54	.41	.31
SN74AUC1G80YEAR	296-14352-2-ND	Einf. D-Flip-Flop	Single D-Type Flip-Flop	5-DSBGA		528.28/3,000	

(Forts.)

★ RUFEN SIE BITTE AN FÜR NIEDRIGERE PREISE BEI GRÖSSEREN MENGEN! ★

T. I. Teilenr.	Digi-Key Teilenr.	Beschreibung		Paket	Stückpreis★ 1	25	100
SN74AUC1G80YEPR	296-15889-1-ND	Einf. D-Flip-Flop	Single D-Type Flip-Flop	5-DSBGA	.54	.41	.31
SN74AUC1G80YEPR	296-15889-2-ND	Einf. D-Flip-Flop	Single D-Type Flip-Flop	5-DSBGA		528.28/3,000	
SN74AUC1G80YZPR	296-15890-1-ND	Einf. D-Flip-Flop	Single D-Type Flip-Flop	5-DSBGA	.68	.51	.39
SN74AUC1G80YZPR	296-15890-2-ND	Einf. D-Flip-Flop	Single D-Type Flip-Flop	5-DSBGA		660.35/3,000	
SN74AUC1G86DBVR	296-15432-1-ND	Einf. Exclusive-OR-Gate mit 2 Eingängen	Single 2-Input Exclusive-OR Gate	SOT-23-5	.42	.34	.26
SN74AUC1G86DBVR	296-15432-2-ND	Einf. Exclusive-OR-Gate mit 2 Eingängen	Single 2-Input Exclusive-OR Gate	SOT-23-5		342.87/3,000	
SN74AUC1G86DCKR	296-15433-1-ND	Einf. Exclusive-OR-Gate mit 2 Eingängen	Single 2-Input Exclusive-OR Gate	SC70-5	.42	.34	.26
SN74AUC1G86DCKR	296-15433-2-ND	Einf. Exclusive-OR-Gate mit 2 Eingängen	Single 2-Input Exclusive-OR Gate	SC70-5		342.87/3,000	
SN74AUC1G86YEAR	296-15434-1-ND	Einf. Exclusive-OR-Gate mit 2 Eingängen	Single 2-Input Exclusive-OR Gate	5-DSBGA	.54	.41	.31
SN74AUC1G86YEAR	296-15434-2-ND	Einf. Exclusive-OR-Gate mit 2 Eingängen	Single 2-Input Exclusive-OR Gate	5-DSBGA		528.28/3,000	
SN74AUC1G86YZAR	296-15435-1-ND	Einf. Exclusive-OR-Gate mit 2 Eingängen	Single 2-Input Exclusive-OR Gate	5-DSBGA	.54	.41	.31
SN74AUC1G86YZAR	296-15435-2-ND	Einf. Exclusive-OR-Gate mit 2 Eingängen	Single 2-Input Exclusive-OR Gate	5-DSBGA		528.28/3,000	
SN74AUC1G125DBVR	296-12657-1-ND	Bus-Puffer-Gate, Tri-State	Tri-State Bus Buffer Gate	SOT-23-5	.38	.31	.23
SN74AUC1G125DBVR	296-12657-2-ND	Bus-Puffer-Gate, Tri-State	Tri-State Bus Buffer Gate	SOT-23-5		309.86/3,000	
SN74AUC1G125DCKR	296-12658-1-ND	Bus-Puffer-Gate, Tri-State	Tri-State Bus Buffer Gate	SC70-5	.38	.31	.23
SN74AUC1G125DCKR	296-12658-2-ND	Bus-Puffer-Gate, Tri-State	Tri-State Bus Buffer Gate	SC70-5		309.86/3,000	
SN74AUC1G125YEAR	296-15425-1-ND	Bus-Puffer-Gate, Tri-State	Tri-State Bus Buffer Gate	5-DSBGA	.54	.41	.31
SN74AUC1G125YEAR	296-15425-2-ND	Bus-Puffer-Gate, Tri-State	Tri-State Bus Buffer Gate	5-DSBGA		528.28/3,000	
SN74AUC1G125YZAR	296-15426-1-ND	Bus-Puffer-Gate, Tri-State	Tri-State Bus Buffer Gate	5-DSBGA	.54	.41	.31
SN74AUC1G125YZAR	296-15426-2-ND	Bus-Puffer-Gate, Tri-State	Tri-State Bus Buffer Gate	5-DSBGA		528.28/3,000	
SN74AUC1G126DBVR	296-12659-1-ND	Bus-Puffer-Gate, Tri-State	Tri-State Bus Buffer Gate	SOT-23-5	.38	.31	.23
SN74AUC1G126DBVR	296-12659-2-ND	Bus-Puffer-Gate, Tri-State	Tri-State Bus Buffer Gate	SOT-23-5		309.86/3,000	
SN74AUC1G126DCKR	296-12660-1-ND	Bus-Puffer-Gate, Tri-State	Tri-State Bus Buffer Gate	SC70-5	.38	.31	.23
SN74AUC1G126DCKR	296-12660-2-ND	Bus-Puffer-Gate, Tri-State	Tri-State Bus Buffer Gate	SC70-5		309.86/3,000	
SN74AUC1G240DBVR	296-12661-1-ND	Puffer/Treiber-Gate, Tri-State	Tri-State Buffer/Driver Gate	SOT-23-5	.42	.34	.26
SN74AUC1G240DBVR	296-12661-2-ND	Puffer/Treiber-Gate, Tri-State	Tri-State Buffer/Driver Gate	SOT-23-5		342.87/3,000	
SN74AUC1G240DCKR	296-12662-1-ND	Puffer/Treiber-Gate, Tri-State	Tri-State Buffer/Driver Gate	SC70-5	.42	.34	.26
SN74AUC1G240DCKR	296-12662-2-ND	Puffer/Treiber-Gate, Tri-State	Tri-State Buffer/Driver Gate	SC70-5		342.87/3,000	
SN74AUC1G240YEPR	296-15100-1-ND	Puffer/Treiber-Gate, Tri-State	Tri-State Buffer/Driver Gate	5-DSBGA	.54	.41	.31
SN74AUC1G240YEPR	296-15100-2-ND	Puffer/Treiber-Gate, Tri-State	Tri-State Buffer/Driver Gate	5-DSBGA		528.28/3,000	
SN74AUC1G240YZPR	296-15101-1-ND	Puffer/Treiber-Gate, Tri-State	Tri-State Buffer/Driver Gate	5-DSBGA	.54	.41	.31
SN74AUC1G240YZPR	296-15101-2-ND	Puffer/Treiber-Gate, Tri-State	Tri-State Buffer/Driver Gate	5-DSBGA		528.28/3,000	
SN74AUC1GU04DBVR	296-13174-1-ND	Einf. Inverter-Gate	Single Inverter Gate	SOT-23-5	.42	.34	.26
SN74AUC1GU04DBVR	296-13174-2-ND	Einf. Inverter-Gate	Single Inverter Gate	SOT-23-5		342.87/3,000	
SN74AUC1GU04DCKR	296-13175-1-ND	Einf. Inverter-Gate	Single Inverter Gate	SC-70-5	.42	.34	.26
SN74AUC1GU04DCKR	296-13175-2-ND	Einf. Inverter-Gate	Single Inverter Gate	SC-70-5		342.87/3,000	
SN74AUC1GU04YEAR	296-14019-1-ND	Einf. Inverter-Gate	Single Inverter Gate	5-DSBGA	.54	.41	.31
SN74AUC1GU04YEAR	296-14019-2-ND	Einf. Inverter-Gate	Single Inverter Gate	5-DSBGA		528.28/3,000	
SN74AUC1GU04YEPR	296-15848-1-ND	Einf. Inverter-Gate	Single Inverter Gate	5-DSBGA	.54	.41	.31
SN74AUC1GU04YEPR	296-15848-2-ND	Einf. Inverter-Gate	Single Inverter Gate	5-DSBGA		528.28/3,000	
SN74AUC2G04DCKR	296-16688-1-ND	Zweif. Inverter-Gate	Dual Inverter Gate	SC-70-6	.44	.33	.25
SN74AUC2G04DCKR	296-16688-2-ND	Zweif. Inverter-Gate	Dual Inverter Gate	SC-70-6		429.23/3,000	
SN74AUC2G06DCKR	296-17052-1-ND	Zweif. Inverter-Puffer/Treiber mit Open-Drain-Ausgang	Dual Inverter Buffer/Driver with OD Output	SC-70	.44	.33	.25
SN74AUC2G06DCKR	296-17052-2-ND	Zweif. Inverter-Puffer/Treiber mit Open-Drain-Ausgang	Dual Inverter Buffer/Driver with OD Output	SC-70		429.23/3,000	
SN74AUC2G07DBVR	296-15736-1-ND	Zweif. Puffer/Treiber mit Open-Drain-Ausgang	Dual Buffer/Driver with OD Output	SOT-23-6	.44	.33	.25
SN74AUC2G07DBVR	296-15736-2-ND	Zweif. Puffer/Treiber mit Open-Drain-Ausgang	Dual Buffer/Driver with OD Output	SOT-23-6		429.23/3,000	
SN74AUC2G08YZPR	296-17833-1-ND	Zweif. pos. AND-Gate, 2 Eingänge	Dual 2-In. Positive AND Gate	8-DSBGA	.68	.51	.39
SN74AUC2G08YZPR	296-17833-2-ND	Zweif. pos. AND-Gate, 2 Eingänge	Dual 2-In. Positive AND Gate	8-DSBGA		660.35/3,000	
SN74AUC2G34DBVR	296-17231-1-ND	Zweif. Puffer-Gate	Dual Buffer Gate	SOT-23-6	.44	.33	.25
SN74AUC2G34DBVR	296-17231-2-ND	Zweif. Puffer-Gate	Dual Buffer Gate	SOT-23-6		429.23/3,000	
SN74AUC2G34YZPR	296-15981-1-ND	Zweif. Puffer-Gate	Dual Buffer Gate	6-DSBGA	.68	.51	.39
SN74AUC2G34YZPR	296-15981-2-ND	Zweif. Puffer-Gate	Dual Buffer Gate	6-DSBGA		225.20/1,000	
SN74AUC2G53DCTR	296-16634-1-ND	SPDT Analogschalter / 2:1 Analog Mux/Demux	SPDT Analog Switch / 2:1 Analog Mux/Demux	8-SSOP	.47	.36	.27
SN74AUC2G53DCTR	296-16634-2-ND	SPDT Analogschalter / 2:1 Analog Mux/Demux	SPDT Analog Switch / 2:1 Analog Mux/Demux	8-SSOP		454.62/3,000	
SN74AUC2G79YEPR	296-16640-1-ND	Zweif. D-Flip-Flop, pos. Flankentrigg.	Dual Positive-Edge-Triggered D-Type Flip-Flop	8-DSBGA	.68	.51	.39
SN74AUC2G79YEPR	296-16640-2-ND	Zweif. D-Flip-Flop, pos. Flankentrigg.	Dual Positive-Edge-Triggered D-Type Flip-Flop	8-DSBGA		660.35/3,000	
SN74AUC2G79YZPR	296-16641-1-ND	Zweif. D-Flip-Flop, pos. Flankentrigg.	Dual Positive-Edge-Triggered D-Type Flip-Flop	8-DSBGA	.68	.51	.39
SN74AUC2G79YZPR	296-16641-2-ND	Zweif. D-Flip-Flop, pos. Flankentrigg.	Dual Positive-Edge-Triggered D-Type Flip-Flop	8-DSBGA		660.35/3,000	
SN74AUC2G80YEPR	296-16817-1-ND	Zweif. D-Flip-Flop, pos. Flankentrigg.	Dual Positive-Edge-Triggered D-Type Flip-Flop	8-DSBGA	.68	.51	.39
SN74AUC2G80YEPR	296-16817-2-ND	Zweif. D-Flip-Flop, pos. Flankentrigg.	Dual Positive-Edge-Triggered D-Type Flip-Flop	8-DSBGA		660.35/3,000	
SN74AUC2G80YZPR	296-16818-1-ND	Zweif. D-Flip-Flop, pos. Flankentrigg.	Dual Positive-Edge-Triggered D-Type Flip-Flop	8-DSBGA	.68	.51	.39
SN74AUC2G80YZPR	296-16818-2-ND	Zweif. D-Flip-Flop, pos. Flankentrigg.	Dual Positive-Edge-Triggered D-Type Flip-Flop	8-DSBGA		660.35/3,000	
SN74AUC2G86DCUR	296-16836-1-ND	Zweif. Exclusive-OR-Gate mit 2 Eingängen	Dual 2-Input Exclusive-OR Gate	8-VSSOP	.44	.33	.25
SN74AUC2G86DCUR	296-16836-2-ND	Zweif. Exclusive-OR-Gate mit 2 Eingängen	Dual 2-Input Exclusive-OR Gate	8-VSSOP		429.23/3,000	
SN74AUC2G125YZPR	296-16800-1-ND	Zweif. Bus-Puffer-Gate, Tri-State	Tri-State Dual Bus Buffer Gate	8-DSBGA	.68	.51	.39
SN74AUC2G125YZPR	296-16800-2-ND	Zweif. Bus-Puffer-Gate, Tri-State	Tri-State Dual Bus Buffer Gate	8-DSBGA		660.35/3,000	
SN74AUC2G126YZPR	296-16801-1-ND	Zweif. Bus-Puffer-Gate, Tri-State	Tri-State Dual Bus Buffer Gate	8-DSBGA	.68	.51	.39
SN74AUC2G126YZPR	296-16801-2-ND	Zweif. Bus-Puffer-Gate, Tri-State	Tri-State Dual Bus Buffer Gate	8-DSBGA		660.35/3,000	
SN74AUC2G240YZPR	296-16802-1-ND	Zweif. Puffer/Treiber, Tri-State	Tri-State Dual Buffer/Driver	8-DSBGA	.68	.51	.39
SN74AUC2G240YZPR	296-16802-2-ND	Zweif. Puffer/Treiber, Tri-State	Tri-State Dual Buffer/Driver	8-DSBGA		660.35/3,000	
SN74AUC2G241YEPR	296-16803-1-ND	Zweif. Puffer/Treiber, Tri-State	Tri-State Dual Buffer/Driver	8-DSBGA	.68	.51	.39
SN74AUC2G241YEPR	296-16803-2-ND	Zweif. Puffer/Treiber, Tri-State	Tri-State Dual Buffer/Driver	8-DSBGA		660.35/3,000	
SN74AUC00RGYR	296-16749-1-ND	Vierf. pos. NAND-Gate mit 2 Eingängen	Quad 2-Input Positive NAND Gate	14-QFN	.75	.56	.42
SN74AUC00RGYR	296-16749-2-ND	Vierf. pos. NAND-Gate mit 2 Eingängen	Quad 2-Input Positive NAND Gate	14-QFN		248.05/1,000	
SN74AUC02RGYR	296-16750-1-ND	Vierf. pos. NOR-Gate, 2 Eingänge	Quad 2-Input Positive NOR Gate	14-QFN	.75	.56	.42
SN74AUC02RGYR	296-16750-2-ND	Vierf. pos. NOR-Gate, 2 Eingänge	Quad 2-Input Positive NOR Gate	14-QFN		248.05/1,000	
SN74AUC04RGYR	296-16751-1-ND	Sechsf. Inverter	Hex Inverter	14-QFN	.75	.56	.42
SN74AUC04RGYR	296-16751-2-ND	Sechsf. Inverter	Hex Inverter	14-QFN		248.05/1,000	
SN74AUC06RGYR	296-16752-1-ND	Sechsf. Inverter-Puffer/Treiber mit Open-Drain-Ausgang	Hex Inverter Buffer/Driver w/OD Output	14-QFN	.75	.56	.42
SN74AUC06RGYR	296-16752-2-ND	Sechsf. Inverter-Puffer/Treiber mit Open-Drain-Ausgang	Hex Inverter Buffer/Driver w/OD Output	14-QFN		248.05/1,000	
SN74AUC07RGYR	296-17007-1-ND	Sechsf. Puffer/Treiber mit Open-Drain-Ausgang	Hex Buffer/Driver with OD Output	14-QFN	.75	.56	.42
SN74AUC07RGYR	296-17007-2-ND	Sechsf. Puffer/Treiber mit Open-Drain-Ausgang	Hex Buffer/Driver with OD Output	14-QFN		248.05/1,000	
SN74AUC08RGYR	296-16753-1-ND	Vierf. pos. AND-Gate mit 2 Eingängen	Quad 2-Input Positive AND Gate	14-QFN	.75	.56	.42
SN74AUC08RGYR	296-16753-2-ND	Vierf. pos. AND-Gate mit 2 Eingängen	Quad 2-Input Positive AND Gate	14-QFN		248.05/1,000	
SN74AUC32RGYR	296-16754-1-ND	Vierf. pos. OR-Gate mit 2 Eingängen	Quad 2-Input Positive OR Gate	14-QFN	.75	.56	.42
SN74AUC32RGYR	296-16754-2-ND	Vierf. pos. OR-Gate mit 2 Eingängen	Quad 2-Input Positive OR Gate	14-QFN		248.05/1,000	
SN74AUC74RGYR	296-17820-1-ND	Zweif. D-Flip-Flop, pos. Flankentrigg.	Dual Positive-Edge-Triggered D-Type Flip-Flop	14-QFN	.75	.56	.42
SN74AUC74RGYR	296-17820-2-ND	Zweif. D-Flip-Flop, pos. Flankentrigg.	Dual Positive-Edge-Triggered D-Type Flip-Flop	14-QFN		248.05/1,000	
SN74AUC240RGYR	296-15436-1-ND	Achtf. Puffer/Treiber, Tri-State	Tri-State Octal Buffer/Driver	20-QFN	1.22	1.02	.82
SN74AUC240RGYR	296-15436-2-ND	Achtf. Puffer/Treiber, Tri-State	Tri-State Octal Buffer/Driver	20-QFN		540.13/1,000	
SN74AUC244RGYR	296-15437-1-ND	Achtf. Puffer/Treiber, Tri-State	Tri-State Octal Buffer/Driver	20-QFN	1.22	1.02	.82
SN74AUC244RGYR	296-15437-2-ND	Achtf. Puffer/Treiber, Tri-State	Tri-State Octal Buffer/Driver	20-QFN		540.13/1,000	
SN74AUC245GQNR	296-17032-1-ND	Achtf. Bus-Transceiver, Tri-State	Tri-State Octal Bus Transceiver	20-VFBGA	1.63	1.22	.92
SN74AUC245GQNR	296-17032-2-ND	Achtf. Bus-Transceiver, Tri-State	Tri-State Octal Bus Transceiver	20-VFBGA		540.13/1,000	
SN74AUC245RGYR	296-15438-1-ND	Achtf. Bus-Transceiver, Tri-State	Tri-State Octal Bus Transceiver	20-QFN	1.22	1.02	.82
SN74AUC245RGYR	296-15438-2-ND	Achtf. Bus-Transceiver, Tri-State	Tri-State Octal Bus Transceiver	20-QFN		540.13/1,000	
SN74AUC16240DGGR	296-15408-1-ND	Puffer/Treiber, Tri-State, 16-Bit	Tri-State 16-Bit Buffer/Driver	48-TSSOP	1.80	1.44	1.08
SN74AUC16240DGGR	296-15408-2-ND	Puffer/Treiber, Tri-State, 16-Bit	Tri-State 16-Bit Buffer/Driver	48-TSSOP		1870.99/2,000	
SN74AUC16240DGVR	296-15409-1-ND	Puffer/Treiber, Tri-State, 16-Bit	Tri-State 16-Bit Buffer/Driver	48-TVSOP	1.80	1.44	1.08
SN74AUC16240DGVR	296-15409-2-ND	Puffer/Treiber, Tri-State, 16-Bit	Tri-State 16-Bit Buffer/Driver	48-TVSOP		1870.99/2,000	
SN74AUC16240GQLR	296-15410-1-ND	Puffer/Treiber, Tri-State, 16-Bit	Tri-State 16-Bit Buffer/Driver	48-VFBGA	1.97	1.58	1.19
SN74AUC16240GQLR	296-15410-2-ND	Puffer/Treiber, Tri-State, 16-Bit	Tri-State 16-Bit Buffer/Driver	48-VFBGA		1023.54/1,000	
SN74AUC16244DGGR	296-15411-1-ND	Puffer/Treiber, Tri-State, 16-Bit	Tri-State 16-Bit Buffer/Driver	48-TSSOP	1.80	1.44	1.08
SN74AUC16244DGGR	296-15411-2-ND	Puffer/Treiber, Tri-State, 16-Bit	Tri-State 16-Bit Buffer/Driver	48-TSSOP		1870.99/2,000	
SN74AUC16244DGVR	296-15412-1-ND	Puffer/Treiber, Tri-State, 16-Bit	Tri-State 16-Bit Buffer/Driver	48-TVSOP	1.80	1.44	1.08

(Forts.)

★ *RUFEN SIE BITTE AN FÜR NIEDRIGERE PREISE BEI GRÖSSEREN MENGEN!* ★

B

T. I. Teilenr.	Digi-Key Teilenr.	Beschreibung		Paket	Stückpreis★ 1	25	100
SN74AUC16244DGVR	296-15412-2-ND	Puffer/Treiber, Tri-State, 16-Bit	Tri-State 16-Bit Buffer/Driver	48-TVSOP		1870.99/2,000	
SN74AUC16244ZQLR	296-17031-1-ND	Puffer/Treiber, Tri-State, 16-Bit	Tri-State 16-Bit Buffer/Driver	56-VFBGA	3.15	2.37	1.78
SN74AUC16244ZQLR	296-17031-2-ND	Puffer/Treiber, Tri-State, 16-Bit	Tri-State 16-Bit Buffer/Driver	56-VFBGA		1023.54/1,000	
SN74AUC16245DGGR	296-15413-1-ND	Bus-Transceiver, Tri-State, 16-Bit	Tri-State 16-Bit Bus Transceiver	48-TSSOP	1.80	1.44	1.08
SN74AUC16245DGGR	296-15413-2-ND	Bus-Transceiver, Tri-State, 16-Bit	Tri-State 16-Bit Bus Transceiver	48-TSSOP		1870.99/2,000	
SN74AUC16245DGVR	296-15414-1-ND	Bus-Transceiver, Tri-State, 16-Bit	Tri-State 16-Bit Bus Transceiver	48-TVSOP	1.80	1.44	1.08
SN74AUC16245DGVR	296-15414-2-ND	Bus-Transceiver, Tri-State, 16-Bit	Tri-State 16-Bit Bus Transceiver	48-TVSOP		1870.99/2,000	
SN74AUC16245GQLR	296-15415-1-ND	Bus-Transceiver, Tri-State, 16-Bit	Tri-State 16-Bit Bus Transceiver	48-VFBGA	1.97	1.58	1.19
SN74AUC16245GQLR	296-15415-2-ND	Bus-Transceiver, Tri-State, 16-Bit	Tri-State 16-Bit Bus Transceiver	48-VFBGA		1023.54/1,000	
SN74AUC16373DGVR	296-15417-1-ND	Transp. D-Latch, Tri-State, 16-Bit	Tri-State 16-Bit Transparent D-Type Latch	48-TVSOP	1.80	1.44	1.08
SN74AUC16373DGVR	296-15417-2-ND	Transp. D-Latch, Tri-State, 16-Bit	Tri-State 16-Bit Transparent D-Type Latch	48-TVSOP		1870.99/2,000	
SN74AUC16374DGGR	296-15418-1-ND	Flankengesteuerter D-Flip-Flop, Tri-State, 16-Bit	Tri-State 16-Bit Edge-Triggered D-Type Flip-Flop	48-TSSOP	1.80	1.44	1.08
SN74AUC16374DGGR	296-15418-2-ND	Flankengesteuerter D-Flip-Flop, Tri-State, 16-Bit	Tri-State 16-Bit Edge-Triggered D-Type Flip-Flop	48-TSSOP		1870.99/2,000	
SN74AUC16374DGVR	296-15419-1-ND	Flankengesteuerter D-Flip-Flop, Tri-State, 16-Bit	Tri-State 16-Bit Edge-Triggered D-Type Flip-Flop	48-TVSOP	1.80	1.44	1.08
SN74AUC16374DGVR	296-15419-2-ND	Flankengesteuerter D-Flip-Flop, Tri-State, 16-Bit	Tri-State 16-Bit Edge-Triggered D-Type Flip-Flop	48-TVSOP		1870.99/2,000	
SN74AUC16374GQLR	296-13919-1-ND	Flankengesteuerter D-Flip-Flop, Tri-State, 16-Bit	Tri-State 16-Bit Edge-Triggered D-Type Flip-Flop	56-VFBGA	1.97	1.58	1.19
SN74AUC16374GQLR	296-13919-2-ND	Flankengesteuerter D-Flip-Flop, Tri-State, 16-Bit	Tri-State 16-Bit Edge-Triggered D-Type Flip-Flop	56-VFBGA		1023.54/1,000	
SN74AUC16501DGGR	296-15420-1-ND	Tri-St., Universal-Bus-Transceiver, 18-Bit	Tri-St. 18-Bit Universal Bus Transcvr	56-TSSOP	2.86	2.29	1.78
SN74AUC16501DGGR	296-15420-2-ND	Tri-St., Universal-Bus-Transceiver, 18-Bit	Tri-St. 18-Bit Universal Bus Transcvr	56-TSSOP		3239.09/2,000	
SN74AUC16501DGVR	296-15421-1-ND	Tri-St., Universal-Bus-Transceiver, 18-Bit	Tri-St. 18-Bit Universal Bus Transcvr	56-TVSOP	2.86	2.29	1.78
SN74AUC16501DGVR	296-15421-2-ND	Tri-St., Universal-Bus-Transceiver, 18-Bit	Tri-St. 18-Bit Universal Bus Transcvr	56-TVSOP		3239.09/2,000	
SN74AUC32244GKER	296-15439-1-ND	Puffer/Treiber, Tri-State, 32-Bit	Tri-State 32-Bit Buffer/Driver	96-LFBGA	2.42	1.94	1.51
SN74AUC32244GKER	296-15439-2-ND	Puffer/Treiber, Tri-State, 32-Bit	Tri-State 32-Bit Buffer/Driver	96-LFBGA		1370.65/1,000	
SN74AUC32245GKER	296-13610-1-ND	Bus-Transceiver, Tri-State, 32-Bit	Tri-State 32-Bit Bus Transceiver	96-LFBGA	2.38	1.91	1.49
SN74AUC32245GKER	296-13610-2-ND	Bus-Transceiver, Tri-State, 32-Bit	Tri-State 32-Bit Bus Transceiver	96-LFBGA		1349.48/1,000	
		AUCH-Gruppe					
SN74AUCH240RGYR	296-15443-1-ND	Achtf. Puffer/Treiber, Tri-State	Tri-State Octal Buffer/Driver	20-QFN	1.12	.94	.75
SN74AUCH240RGYR	296-15443-2-ND	Achtf. Puffer/Treiber, Tri-State	Tri-State Octal Buffer/Driver	20-QFN		495.26/1,000	
SN74AUCH245RGYR	296-15444-1-ND	Achtf. Bus-Transceiver, Tri-State	Tri-State Octal Bus Transceiver	20-QFN	1.12	.94	.75
SN74AUCH245RGYR	296-15444-2-ND	Achtf. Bus-Transceiver, Tri-State	Tri-State Octal Bus Transceiver	20-QFN		495.26/1,000	
SN74AUCH16244DGGR	296-15440-1-ND	Puffer/Treiber, Tri-State, 16-Bit	Tri-State 16-Bit Buffer/Driver	48-TSSOP	1.80	1.44	1.08
SN74AUCH16244DGGR	296-15440-2-ND	Puffer/Treiber, Tri-State, 16-Bit	Tri-State 16-Bit Buffer/Driver	48-TSSOP		1870.99/2,000	
SN74AUCH16244DGVR	296-15441-1-ND	Puffer/Treiber, Tri-State, 16-Bit	Tri-State 16-Bit Buffer/Driver	48-TVSOP	1.80	1.44	1.08
SN74AUCH16244DGVR	296-15441-2-ND	Puffer/Treiber, Tri-State, 16-Bit	Tri-State 16-Bit Buffer/Driver	48-TVSOP		1870.99/2,000	
SN74AUCH16244GQLR	296-15442-1-ND	Puffer/Treiber, Tri-State, 16-Bit	Tri-State 16-Bit Buffer/Driver	56-VFBGA	1.97	1.58	1.19
SN74AUCH16244GQLR	296-15442-2-ND	Puffer/Treiber, Tri-State, 16-Bit	Tri-State 16-Bit Buffer/Driver	56-VFBGA		1023.54/1,000	
SN74AUCH16374DGGR	296-17625-1-ND	Tri-St., 16-Bit Flankentrigger- D-Flip-Flop	Tri-St. 16-Bit Edge-Trigg. D-Type F/F	48-TSSOP	1.80	1.44	1.08
SN74AUCH16374DGGR	296-17625-2-ND	Tri-St., 16-Bit Flankentrigger- D-Flip-Flop	Tri-St. 16-Bit Edge-Trigg. D-Type F/F	48-TSSOP		1870.99/2,000	
SN74AUCH16374GQLR	296-15251-1-ND	Tri-St., 16-Bit Flankentrigger- D-Flip-Flop	Tri-St. 16-Bit Edge-Trigg. D-Type F/F	56-VFBGA	1.97	1.58	1.19
SN74AUCH16374GQLR	296-15251-2-ND	Tri-St., 16-Bit Flankentrigger- D-Flip-Flop	Tri-St. 16-Bit Edge-Trigg. D-Type F/F	56-VFBGA		1023.54/1,000	
SN74AUCH32244GKER	296-15445-1-ND	Puffer/Treiber, Tri-State, 32-Bit	Tri-State 32-Bit Buffer/Driver	96-LFBGA	2.38	1.91	1.49
SN74AUCH32244GKER	296-15445-2-ND	Puffer/Treiber, Tri-State, 32-Bit	Tri-State 32-Bit Buffer/Driver	96-LFBGA		1349.48/1,000	
SN74AUCH32374GKER	296-17836-1-ND	Tri-St., Flankengetriggerter D-Flip-Flop, 32-Bit	Tri-St. 32-Bit Edge-Triggered D-Type Flip-Flop	96-LFBGA	2.42	1.94	1.51
SN74AUCH32374GKER	296-17836-2-ND	Tri-St., Flankengetriggerter D-Flip-Flop, 32-Bit	Tri-St. 32-Bit Edge-Triggered D-Type Flip-Flop	96-LFBGA		1370.65/1,000	
		AUP-Gruppe					
SN74AUP1G00YZPR	296-17898-1-ND	Einf. pos. NAND-Gate, NL, 2 Eingänge	Low Power Single 2-Input Positive NAND Gate	5-WCSP	.54	.41	.31
SN74AUP1G00YZPR	296-17898-2-ND	Einf. pos. NAND-Gate, NL, 2 Eingänge	Low Power Single 2-Input Positive NAND Gate	5-WCSP		528.28/3,000	
SN74AUP1G06DBVR	296-17561-1-ND	Einf. Inverter-Puffer/Treiber, NL	Low Power Single Inverter Buffer/Driver	SOT-23-5	.34	.28	.21
SN74AUP1G06DBVR	296-17561-2-ND	Einf. Inverter-Puffer/Treiber, NL	Low Power Single Inverter Buffer/Driver	SOT-23-5		274.30/3,000	
SN74AUP1G06DCKR	296-17562-1-ND	Einf. Inverter-Puffer/Treiber, NL	Low Power Single Inverter Buffer/Driver	SC70-5	.34	.28	.21
SN74AUP1G06DCKR	296-17562-2-ND	Einf. Inverter-Puffer/Treiber, NL	Low Power Single Inverter Buffer/Driver	SC70-5		274.30/3,000	
SN74AUP1G08YZPR	296-17366-1-ND	Pos. AND-Gate, 2 Eingänge	2-Input Positive AND Gate	5-DSBGA	.54	.41	.31
SN74AUP1G08YZPR	296-17366-2-ND	Pos. AND-Gate, 2 Eingänge	2-Input Positive AND Gate	5-DSBGA		528.28/3,000	
SN74AUP1G57YZPR	296-17367-1-ND	Konfigurierbares Mehrfunktions-Gate	Config. Multiple-Function Gate	6-DSBGA	.54	.41	.31
SN74AUP1G57YZPR	296-17367-2-ND	Konfigurierbares Mehrfunktions-Gate	Config. Multiple-Function Gate	6-DSBGA		528.28/3,000	
SN74AUP1G58DBVR	296-16819-1-ND	Konfigurierbares Mehrfunktions-Gate, NL	LP Config. Multiple-Function Gate	SOT-23-6	.38	.31	.23
SN74AUP1G58DBVR	296-16819-2-ND	Konfigurierbares Mehrfunktions-Gate, NL	LP Config. Multiple-Function Gate	SOT-23-6		309.86/3,000	
SN74AUP1G58DCKR	296-16820-1-ND	Konfigurierbares Mehrfunktions-Gate, NL	LP Config. Multiple-Function Gate	SC70-6	.38	.31	.23
SN74AUP1G58DCKR	296-16820-2-ND	Konfigurierbares Mehrfunktions-Gate, NL	LP Config. Multiple-Function Gate	SC70-6		309.86/3,000	
SN74AUP1G58YZPR	296-17368-1-ND	Konfigurierbares Mehrfunktions-Gate, NL	LP Config. Multiple-Function Gate	6-DSBGA	.54	.41	.31
SN74AUP1G58YZPR	296-17368-2-ND	Konfigurierbares Mehrfunktions-Gate, NL	LP Config. Multiple-Function Gate	6-DSBGA		528.28/3,000	
SN74AUP1G79DBVR	296-17659-1-ND	Einf. D-Flip-Flop, pos. Flankentrigg., NL	LP Single Positive-Edge-Triggered D-Type F/F	SOT-23-5	.34	.28	.21
SN74AUP1G79DBVR	296-17659-2-ND	Einf. D-Flip-Flop, pos. Flankentrigg., NL	LP Single Positive-Edge-Triggered D-Type F/F	SOT-23-5		274.30/3,000	
SN74AUP1G79DCKR	296-17660-1-ND	Einf. D-Flip-Flop, pos. Flankentrigg., NL	LP Single Positive-Edge-Triggered D-Type F/F	SC70-5	.34	.28	.21
SN74AUP1G79DCKR	296-17660-2-ND	Einf. D-Flip-Flop, pos. Flankentrigg., NL	LP Single Positive-Edge-Triggered D-Type F/F	SC70-5		274.30/3,000	
SN74AUP1G80DBVR	296-17841-1-ND	Einf. D-Flip-Flop, pos. Flankentrigg., NL	LP Single Positive-Edge-Triggered D-Type Flip-Flop	SOT-23-5	.34	.28	.21
SN74AUP1G80DBVR	296-17841-2-ND	Einf. D-Flip-Flop, pos. Flankentrigg., NL	LP Single Positive-Edge-Triggered D-Type Flip-Flop	SOT-23-5		274.30/3,000	
SN74AUP1G97YZPR	296-17369-1-ND	Konfigurierbares Mehrfunktions-Gate, NL	LP Config. Multiple-Function Gate	6-DSBGA	.55	.42	.32
SN74AUP1G97YZPR	296-17369-2-ND	Konfigurierbares Mehrfunktions-Gate, NL	LP Config. Multiple-Function Gate	6-DSBGA		538.44/3,000	
SN74AUP1G98YZPR	296-17370-1-ND	Konfigurierbares Mehrfunktions-Gate, NL	LP Config. Multiple-Function Gate	6-DSBGA	.55	.42	.32
SN74AUP1G98YZPR	296-17370-2-ND	Konfigurierbares Mehrfunktions-Gate, NL	LP Config. Multiple-Function Gate	6-DSBGA		538.44/3,000	
SN74AUP1G240DBVR	296-17917-1-ND	Tri-St., Einf. Inverter-Puffer/Treiber, NL	Tri-St. Low Power Single Buffer/Driver	SOT-23-5	.34	.28	.21
SN74AUP1G240DBVR	296-17917-2-ND	Tri-St., Einf. Inverter-Puffer/Treiber, NL	Tri-St. Low Power Single Buffer/Driver	SOT-23-5		274.30/3,000	
SN74AUP1G240DCKR	296-17918-1-ND	Tri-St., Einf. Inverter-Puffer/Treiber, NL	Tri-St. Low Power Single Buffer/Driver	SC70-5	.34	.28	.21
SN74AUP1G240DCKR	296-17918-2-ND	Tri-St., Einf. Inverter-Puffer/Treiber, NL	Tri-St. Low Power Single Buffer/Driver	SC70-5		274.30/3,000	
SN74AUP1T57DBVR	296-17524-1-ND	Einf. Versorgungsspannungsumsetzer	Single Supply Voltage Translator	SOT-23-6	.47	.38	.28
SN74AUP1T57DBVR	296-17524-2-ND	Einf. Versorgungsspannungsumsetzer	Single Supply Voltage Translator	SOT-23-6		378.43/3,000	
SN74AUP1T57DCKR	296-17525-1-ND	Einf. Versorgungsspannungsumsetzer	Single Supply Voltage Translator	SC70-6	.47	.38	.28
SN74AUP1T57DCKR	296-17525-2-ND	Einf. Versorgungsspannungsumsetzer	Single Supply Voltage Translator	SC70-6		378.43/3,000	
SN74AUP1T58DBVR	296-17526-1-ND	Einf. Versorgungsspannungsumsetzer	Single Supply Voltage Translator	SOT-23-6	.47	.38	.28
SN74AUP1T58DBVR	296-17526-2-ND	Einf. Versorgungsspannungsumsetzer	Single Supply Voltage Translator	SOT-23-6		378.43/3,000	
SN74AUP1T58DCKR	296-17527-1-ND	Einf. Versorgungsspannungsumsetzer	Single Supply Voltage Translator	SC70-6	.47	.38	.28
SN74AUP1T58DCKR	296-17527-2-ND	Einf. Versorgungsspannungsumsetzer	Single Supply Voltage Translator	SC70-6		378.43/3,000	
SN74AUP1T97DBVR	296-17563-1-ND	Einf. Versorgungsspannungslevel-Umsetzer	Single Supply Voltage Level Translator	SOT-23-6	.47	.38	.28
SN74AUP1T97DBVR	296-17563-2-ND	Einf. Versorgungsspannungslevel-Umsetzer	Single Supply Voltage Level Translator	SOT-23-6		378.43/3,000	
SN74AUP1T97DCKR	296-17564-1-ND	Einf. Versorgungsspannungslevel-Umsetzer	Single Supply Voltage Level Translator	SC70-6	.47	.38	.28
SN74AUP1T97DCKR	296-17564-2-ND	Einf. Versorgungsspannungslevel-Umsetzer	Single Supply Voltage Level Translator	SC70-6		378.43/3,000	
SN74AUP1T97YZPR	296-17899-1-ND	Einf. Versorgungsspannungslevel-Umsetzer	Single Supply Voltage Level Translator	6-WCSP	.61	.46	.35
SN74AUP1T97YZPR	296-17899-2-ND	Einf. Versorgungsspannungslevel-Umsetzer	Single Supply Voltage Level Translator	6-WCSP		594.31/3,000	
SN74AUP1T98DBVR	296-17528-1-ND	Einf. Versorgungsspannungsumsetzer	Single Supply Voltage Translator	SOT-23-6	.47	.38	.28
SN74AUP1T98DBVR	296-17528-2-ND	Einf. Versorgungsspannungsumsetzer	Single Supply Voltage Translator	SOT-23-6		378.43/3,000	
SN74AUP1T98DCKR	296-17529-1-ND	Einf. Versorgungsspannungsumsetzer	Single Supply Voltage Translator	SC70-6	.47	.38	.28
SN74AUP1T98DCKR	296-17529-2-ND	Einf. Vorsorgungsspannungsübersetzer	Single Supply Voltage Translator	SC70-6		378.43/3,000	
		AVC-Gruppe					
74AVCA164245ZQLR	296-17203-1-ND	Bus-Transceiver mit Doppelversorgung, Tri-State, 16-Bit	Tri-State 16-Bit Dual-Supply Bus Transceiver	56-VFBGA	5.53	4.42	3.44
74AVCA164245ZQLR	296-17203-2-ND	Bus-Transceiver mit Doppelversorgung, Tri-State, 16-Bit	Tri-State 16-Bit Dual-Supply Bus Transceiver	56-VFBGA		3130.73/1,000	
74AVCAH164245ZQLR	296-17204-1-ND	Bus-Transceiver mit Doppelversorgung, Tri-State, 16-Bit	Tri-State 16-Bit Dual-Supply Bus Transceiver	56-VFBGA	3.35	2.69	2.09
74AVCAH164245ZQLR	296-17204-2-ND	Bus-Transceiver mit Doppelversorgung, Tri-State, 16-Bit	Tri-State 16-Bit Dual-Supply Bus Transceiver	56-VFBGA		1899.77/1,000	
74AVCB324245ZKER	296-17788-1-ND	Bus-Transceiver mit Doppelversorgung, Tri-State, 32-Bit	Tri-State 32-Bit Dual-Supply Bus Transceiver	96-LFBGA	4.19	3.36	2.61

(Forts.)

★ RUFEN SIE BITTE AN FÜR NIEDRIGERE PREISE BEI GRÖSSEREN MENGEN! ★

T. I. Teilenr.	Digi-Key Teilenr.	Beschreibung		Paket	Stückpreis★ 1	25	100
74AVCB324245ZKER	296-17788-2-ND	Bus-Transceiver mit Doppelversorgung, Tri-State, 32-Bit	Tri-State 32-Bit Dual-Supply Bus Transceiver	96-LFBGA		2374.71/1,000	
SN74AVC1T45YZPR	296-17371-1-ND	Bus-Transceiver mit Doppelversorgung	Dual Supply Bus Transceiver	6-DSBGA	.51	.39	.29
SN74AVC1T45YZPR	296-17371-2-ND	Bus-Transceiver mit Doppelversorgung	Dual Supply Bus Transceiver	6-DSBGA		495.26/3,000	
SN74AVC2T45DCTR	296-17232-1-ND	Bus-Transceiver mit Doppelversorgung, Tri-State, Doppel-Bit	Tri-State Dual-Bit, Dual-Supply Bus Transceiver	8-SSOP	.64	.49	.37
SN74AVC2T45DCTR	296-17232-2-ND	Bus-Transceiver mit Doppelversorgung, Tri-State, Doppel-Bit	Tri-State Dual-Bit, Dual-Supply Bus Transceiver	8-SSOP		627.33/3,000	
SN74AVC2T45YZPR	296-17858-1-ND	Bus-Transceiver mit Doppelversorgung, Tri-State, Doppel-Bit	Tri-State Dual-Bit, Dual-Supply Bus Transceiver	8-DSBGA	.68	.51	.39
SN74AVC2T45YZPR	296-17858-2-ND	Bus-Transceiver mit Doppelversorgung, Tri-State, Doppel-Bit	Tri-State Dual-Bit, Dual-Supply Bus Transceiver	8-DSBGA		660.35/3,000	
SN74AVC8T245RHLR	296-17859-1-ND	Bus-Transceiver mit Doppelversorgung, Tri-State, 8-Bit	Tri-State 8-Bit, Dual-Supply Bus Transceiver	24-QFN	1.06	.85	.64
SN74AVC8T245RHLR	296-17859-2-ND	Bus-Transceiver mit Doppelversorgung, Tri-State, 8-Bit	Tri-State 8-Bit, Dual-Supply Bus Transceiver	24-QFN		550.29/1,000	
SN74AVC20T245DGGR	296-17299-1-ND	Bus-Transceiver mit Doppelversorgung, Tri-State, 20-Bit	Tri-State 20-Bit, Dual-Supply Bus Transceiver	56-TSSOP	2.86	2.29	1.78
SN74AVC20T245DGGR	296-17299-2-ND	Bus-Transceiver mit Doppelversorgung, Tri-State, 20-Bit	Tri-State 20-Bit, Dual-Supply Bus Transceiver	56-TSSOP		3239.09/2,000	
SN74AVC24T245GRGR	296-17661-1-ND	Bus-Transceiver mit Doppelversorgung, Tri-State, 24-Bit	Tri-State 24-Bit Dual-Supply Bus Transceiver	83-BGA	3.18	2.55	1.98
SN74AVC24T245GRGR	296-17661-2-ND	Bus-Transceiver mit Doppelversorgung, Tri-State, 24-Bit	Tri-State 24-Bit Dual-Supply Bus Transceiver	83-BGA		1802.41/1,000	
SN74AVC24T245ZRGR	296-17662-1-ND	Bus-Transceiver mit Doppelversorgung, Tri-State, 24-Bit	Tri-State 24-Bit Dual-Supply Bus Transceiver	83-BGA	3.18	2.55	1.98
SN74AVC24T245ZRGR	296-17662-2-ND	Bus-Transceiver mit Doppelversorgung, Tri-State, 24-Bit	Tri-State 24-Bit Dual-Supply Bus Transceiver	83-BGA		1802.41/1,000	
SN74AVC16244DGGR	296-9783-1-ND	Puffer/Treiber, Tri-State, 16-Bit	Tri-State 16-Bit Buffer/Driver	48-TSSOP	3.05	2.44	1.90
SN74AVC16244DGGR	296-9783-2-ND	Puffer/Treiber, Tri-State, 16-Bit	Tri-State 16-Bit Buffer/Driver	48-TSSOP		3454.13/2,000	
SN74AVC16244DGVR	296-9784-1-ND	Puffer/Treiber, Tri-State, 16-Bit	Tri-State 16-Bit Buffer/Driver	48-TVSOP	3.05	2.44	1.90
SN74AVC16244DGVR	296-9784-2-ND	Puffer/Treiber, Tri-State, 16-Bit	Tri-State 16-Bit Buffer/Driver	48-TVSOP		3454.13/2,000	
SN74AVC16244GQLR	296-9785-1-ND	Puffer/Treiber, Tri-State, 16-Bit	Tri-State 16-Bit Buffer/Driver	56-VFBGA	3.35	2.69	2.09
SN74AVC16244GQLR	296-9785-2-ND	Puffer/Treiber, Tri-State, 16-Bit	Tri-State 16-Bit Buffer/Driver	56-VFBGA		1899.77/1,000	
SN74AVC16245DGGR	296-12334-1-ND	Bus-Transceiver, Tri-State, 16-Bit	Tri-State 16-Bit Bus Transceiver	48-TSSOP	3.05	2.44	1.90
SN74AVC16245DGGR	296-12334-2-ND	Bus-Transceiver, Tri-State, 16-Bit	Tri-State 16-Bit Bus Transceiver	48-TSSOP		3454.13/2,000	
SN74AVC16245DGVR	296-9786-1-ND	Bus-Transceiver, Tri-State, 16-Bit	Tri-State 16-Bit Bus Transceiver	48-TVSOP	3.05	2.44	1.90
SN74AVC16245DGVR	296-9786-2-ND	Bus-Transceiver, Tri-State, 16-Bit	Tri-State 16-Bit Bus Transceiver	48-TVSOP		3454.13/2,000	
SN74AVC16269DGGR	296-9787-1-ND	Tri-St., Bus-Exchanger mit Register, 12-24-Bit	Tri-St. 12-24 Bit Registered Bus Exchanger	56-TSSOP	3.78	3.02	2.35
SN74AVC16269DGGR	296-9787-2-ND	Tri-St., Bus-Exchanger mit Register, 12-24-Bit	Tri-St. 12-24 Bit Registered Bus Exchanger	56-TSSOP		4275.33/2,000	
SN74AVC16269DGVR	296-9788-1-ND	Tri-St., Bus-Exchanger mit Register, 12-24-Bit	Tri-St. 12-24 Bit Registered Bus Exchanger	56-TVSOP	3.78	3.02	2.35
SN74AVC16269DGVR	296-9788-2-ND	Tri-St., Bus-Exchanger mit Register, 12-24-Bit	Tri-St. 12-24 Bit Registered Bus Exchanger	56-TVSOP		4275.33/2,000	
SN74AVC16334DGGR	296-9789-1-ND	Univ.-Bus-Treiber, Tri-State, 16-Bit	Tri-State 16-Bit Univ. Bus Driver	48-TSSOP	3.05	2.44	1.90
SN74AVC16334DGGR	296-9789-2-ND	Univ.-Bus-Treiber, Tri-State, 16-Bit	Tri-State 16-Bit Univ. Bus Driver	48-TSSOP		3454.13/2,000	
SN74AVC16334DGVR	296-9790-1-ND	Univ.-Bus-Treiber, Tri-State, 16-Bit	Tri-State 16-Bit Univ. Bus Driver	48-TVSOP	3.05	2.44	1.90
SN74AVC16334DGVR	296-9790-2-ND	Univ.-Bus-Treiber, Tri-State, 16-Bit	Tri-State 16-Bit Univ. Bus Driver	48-TVSOP		3454.13/2,000	
SN74AVC16373DGGR	296-9791-1-ND	Transp. D-Latch, Tri-State, 16-Bit	Tri-State 16-Bit Transparent D-Type Latch	48-TSSOP	3.05	2.44	1.90
SN74AVC16373DGGR	296-9791-2-ND	Transp. D-Latch, Tri-State, 16-Bit	Tri-State 16-Bit Transparent D-Type Latch	48-TSSOP		3454.13/2,000	
SN74AVC16373DGVR	296-9792-1-ND	Transp. D-Latch, Tri-State, 16-Bit	Tri-State 16-Bit Transparent D-Type Latch	48-TVSOP	3.05	2.44	1.90
SN74AVC16373DGVR	296-9792-2-ND	Transp. D-Latch, Tri-State, 16-Bit	Tri-State 16-Bit Transparent D-Type Latch	48-TVSOP		3454.13/2,000	
SN74AVC16373GQLR	296-9793-1-ND	Transp. D-Latch, Tri-State, 16-Bit	Tri-State 16-Bit Transparent D-Type Latch	48-BGA	3.35	2.69	2.09
SN74AVC16373GQLR	296-9793-2-ND	Transp. D-Latch, Tri-State, 16-Bit	Tri-State 16-Bit Transparent D-Type Latch	48-BGA		1899.77/1,000	
SN74AVC16374DGGR	296-9794-1-ND	D-Flip-Flop, Tri-State, 16-Bit	Tri-State 16-Bit D-Type Flip-Flop	48-TSSOP	3.05	2.44	1.90
SN74AVC16374DGGR	296-9794-2-ND	D-Flip-Flop, Tri-State, 16-Bit	Tri-State 16-Bit D-Type Flip-Flop	48-TSSOP		3454.13/2,000	
SN74AVC16374DGVR	296-9795-1-ND	D-Flip-Flop, Tri-State, 16-Bit	Tri-State 16-Bit D-Type Flip-Flop	48-TVSOP	3.05	2.44	1.90
SN74AVC16374DGVR	296-9795-2-ND	D-Flip-Flop, Tri-State, 16-Bit	Tri-State 16-Bit D-Type Flip-Flop	48-TVSOP		3454.13/2,000	
SN74AVC16374GQLR	296-9796-1-ND	D-Flip-Flop, Tri-State, 16-Bit	Tri-State 16-Bit D-Type Flip-Flop	56-VFBGA	3.35	2.69	2.09
SN74AVC16374GQLR	296-9796-2-ND	D-Flip-Flop, Tri-State, 16-Bit	Tri-State 16-Bit D-Type Flip-Flop	56-VFBGA		1899.77/1,000	
SN74AVC16646DGGR	296-9797-1-ND	Bus-Transceiver/Register, Tri-State, 16-Bit	Tri-State 16-Bit Bus Xcvr/Register	56-TSSOP	2.86	2.29	1.78
SN74AVC16646DGGR	296-9797-2-ND	Bus-Transceiver/Register, Tri-State, 16-Bit	Tri-State 16-Bit Bus Xcvr/Register	56-TSSOP		3239.09/2,000	
SN74AVC16646DGVR	296-9798-1-ND	Tri-St., Bus-Transceiver/Register, 16-Bit	Tri-St. 16-Bit Bus Transceiver/Register	56-TSSOP	2.86	2.29	1.78
SN74AVC16646DGVR	296-9798-2-ND	Tri-St., Bus-Transceiver/Register, 16-Bit	Tri-St. 16-Bit Bus Transceiver/Register	56-TSSOP		3239.09/2,000	
SN74AVC16722DGGR	296-9799-1-ND	Flip-Flop, Tri-State, 22-Bit	Tri-State 22-Bit Flip-Flop	64-TSSOP	3.55	2.84	2.21
SN74AVC16722DGGR	296-9799-2-ND	Flip-Flop, Tri-State, 22-Bit	Tri-State 22-Bit Flip-Flop	64-TSSOP		4016.27/2,000	
SN74AVC16827DGGR	296-9800-1-ND	Puffer/Treiber, Tri-State, 20-Bit	Tri-State 20-Bit Buffer/Driver	56-TSSOP	2.86	2.29	1.78
SN74AVC16827DGGR	296-9800-2-ND	Puffer/Treiber, Tri-State, 20-Bit	Tri-State 20-Bit Buffer/Driver	56-TSSOP		3239.09/2,000	
SN74AVC16827DGVR	296-9801-1-ND	Puffer/Treiber, Tri-State, 20-Bit	Tri-State 20-Bit Buffer/Driver	56-TVSOP	2.86	2.29	1.78
SN74AVC16827DGVR	296-9801-2-ND	Puffer/Treiber, Tri-State, 20-Bit	Tri-State 20-Bit Buffer/Driver	56-TVSOP		3239.09/2,000	
SN74AVC16834DGGR	296-9802-1-ND	Univ.-Bus-Treiber, Tri-State, 18-Bit	Tri-State 18-Bit Univ. Bus Driver	56-TSSOP	2.10	1.68	1.31
SN74AVC16834DGGR	296-9802-2-ND	Univ.-Bus-Treiber, Tri-State, 18-Bit	Tri-State 18-Bit Univ. Bus Driver	56-TSSOP		2375.56/2,000	
SN74AVC16834DGVR	296-9803-1-ND	Univ.-Bus-Treiber, Tri-State, 18-Bit	Tri-State 18-Bit Univ. Bus Driver	56-TVSOP	2.10	1.68	1.31
SN74AVC16834DGVR	296-9803-2-ND	Univ.-Bus-Treiber, Tri-State, 18-Bit	Tri-State 18-Bit Univ. Bus Driver	56-TVSOP		2375.56/2,000	
SN74AVC16835DGGR	296-9804-1-ND	Univ.-Bus-Treiber, Tri-State, 18-Bit	Tri-State 18-Bit Univ. Bus Driver	56-TSSOP	2.10	1.68	1.31
SN74AVC16835DGGR	296-9804-2-ND	Univ.-Bus-Treiber, Tri-State, 18-Bit	Tri-State 18-Bit Univ. Bus Driver	56-TSSOP		2375.56/2,000	
SN74AVC16835DGVR	296-9805-1-ND	Univ.-Bus-Treiber, Tri-State, 18-Bit	Tri-State 18-Bit Univ. Bus Driver	56-TVSOP	2.10	1.68	1.31
SN74AVC16835DGVR	296-9805-2-ND	Univ.-Bus-Treiber, Tri-State, 18-Bit	Tri-State 18-Bit Univ. Bus Driver	56-TVSOP		2375.56/2,000	
SN74AVCA406GQCR	296-17558-1-ND	Transceiver für Speicherkartenschnittstelle	Transceiver for Memory Card Interface	48-VFBGA	1.86	1.49	1.16
SN74AVCA406GQCR	296-17558-2-ND	Transceiver für Speicherkartenschnittstelle	Transceiver for Memory Card Interface	48-VFBGA		2383.18/2,500	
SN74AVCA406ZQCR	296-17829-1-ND	Transceiver für Speicherkartenschnittstelle	Transceiver for Memory Card Interface	48-VFBGA	1.86	1.49	1.12
SN74AVCA406ZQCR	296-17829-2-ND	Transceiver für Speicherkartenschnittstelle	Transceiver for Memory Card Interface	48-VFBGA		2383.18/2,500	
SN74AVCA164245GR	296-14450-1-ND	Bus-Transceiver mit Doppelversorgung, Tri-State, 16-Bit	Tri-State 16-Bit Dual Supply Bus Transceiver	48-TSSOP	2.67	2.14	1.66
SN74AVCA164245GR	296-14450-2-ND	Bus-Transceiver mit Doppelversorgung, Tri-State, 16-Bit	Tri-State 16-Bit Dual Supply Bus Transceiver	48-TSSOP		3022.36/2,000	
SN74AVCA164245VR	296-15446-1-ND	Bus-Transceiver mit Doppelversorgung, Tri-State, 16-Bit	Tri-State 16-Bit Dual Supply Bus Transceiver	48-TVSOP	2.67	2.14	1.66
SN74AVCA164245VR	296-15446-2-ND	Bus-Transceiver mit Doppelversorgung, Tri-State, 16-Bit	Tri-State 16-Bit Dual Supply Bus Transceiver	48-TVSOP		3022.36/2,000	
SN74AVCAH164245GR	296-14754-1-ND	Bus-Transceiver, Tri-State, 16-Bit	Tri-State 16-Bit Bus Transceiver	48-TSSOP	2.67	2.14	1.66
SN74AVCAH164245GR	296-14754-2-ND	Bus-Transceiver, Tri-State, 16-Bit	Tri-State 16-Bit Bus Transceiver	48-TSSOP		3022.36/2,000	
SN74AVCAH164245KR	296-15447-1-ND	Bus-Transceiver, Tri-State, 16-Bit	Tri-State 16-Bit Bus Transceiver	56-VFBGA	2.94	2.35	1.83
SN74AVCAH164245KR	296-15447-2-ND	Bus-Transceiver, Tri-State, 16-Bit	Tri-State 16-Bit Bus Transceiver	56-VFBGA		1662.72/1,000	
SN74AVCAH164245VR	296-14063-1-ND	Bus-Transceiver, Tri-State, 16-Bit	Tri-State 16-Bit Bus Transceiver	48-TVSOP	2.67	2.14	1.66
SN74AVCAH164245VR	296-14063-2-ND	Bus-Transceiver, Tri-State, 16-Bit	Tri-State 16-Bit Bus Transceiver	48-TVSOP		3022.36/2,000	
SN74AVCB164245GR	296-15448-1-ND	Bus-Transceiver mit Doppelversorgung, Tri-State, 16-Bit	Tri-State 16-Bit Dual Supply Bus Transceiver	48-TSSOP	2.67	2.14	1.66
SN74AVCB164245GR	296-15448-2-ND	Bus-Transceiver mit Doppelversorgung, Tri-State, 16-Bit	Tri-State 16-Bit Dual Supply Bus Transceiver	48-TSSOP		3022.36/2,000	
SN74AVCB164245KR	296-15449-1-ND	Bus-Transceiver mit Doppelversorgung, Tri-State, 16-Bit	Tri-State 16-Bit Dual Supply Bus Transceiver	56-VFBGA	2.94	2.35	1.83
SN74AVCB164245KR	296-15449-2-ND	Bus-Transceiver mit Doppelversorgung, Tri-State, 16-Bit	Tri-State 16-Bit Dual Supply Bus Transceiver	56-VFBGA		1662.72/1,000	
SN74AVCB164245VR	296-15550-1-ND	Bus-Transceiver mit Doppelversorgung, Tri-State, 16-Bit	Tri-State 16-Bit Dual Supply Bus Transceiver	48-TVSOP	2.67	2.14	1.66
SN74AVCB164245VR	296-15550-2-ND	Bus-Transceiver mit Doppelversorgung, Tri-State, 16-Bit	Tri-State 16-Bit Dual Supply Bus Transceiver	48-TVSOP		3022.36/2,000	
SN74AVCBH164245GR	296-14002-1-ND	Tri-St., Bus-Transceiver mit Doppelversorgung. 16-Bit	Tri-St. 16-Bit Dual Supply Bus Transcvr	48-TSSOP	2.67	2.14	1.66
SN74AVCBH164245GR	296-14002-2-ND	Tri-St., Bus-Transceiver mit Doppelversorgung. 16-Bit	Tri-St. 16-Bit Dual Supply Bus Transcvr	48-TSSOP		3022.36/2,000	
SN74AVCBH164245KR	296-15551-1-ND	Bus-Transceiver mit Doppelversorgung, Tri-State, 16-Bit	Tri-State 16-Bit Dual Supply Bus Transceiver	56-VFBGA	2.94	2.35	1.83
SN74AVCBH164245KR	296-15551-2-ND	Bus-Transceiver mit Doppelversorgung, Tri-State, 16-Bit	Tri-State 16-Bit Dual Supply Bus Transceiver	56-VFBGA		1662.72/1,000	
SN74AVCBH164245VR	296-15552-1-ND	Bus-Transceiver mit Doppelversorgung, Tri-State, 16-Bit	Tri-State 16-Bit Dual Supply Bus Transceiver	48-TVSOP	2.67	2.14	1.66
SN74AVCBH164245VR	296-15552-2-ND	Bus-Transceiver mit Doppelversorgung, Tri-State, 16-Bit	Tri-State 16-Bit Dual Supply Bus Transceiver	48-TVSOP		3022.36/2,000	
SN74AVCBH324245KR	296-17352-1-ND	Bus-Transceiver mit Doppelversorgung, Tri-State, 32-Bit	Tri-State 32-Bit Dual Supply Bus Transceiver	96-LFBGA	3.24	2.60	2.02
SN74AVCBH324245KR	296-17352-2-ND	Bus-Transceiver mit Doppelversorgung, Tri-State, 32-Bit	Tri-State 32-Bit Dual Supply Bus Transceiver	96-LFBGA		1835.43/1,000	
SN74AVCH1T45YZPR	296-17372-1-ND	Bus-Transceiver mit Doppelversorgung	Dual Supply Bus Transceiver	6-DSBGA	.41	.31	.23
SN74AVCH1T45YZPR	296-17372-2-ND	Bus-Transceiver mit Doppelversorgung	Dual Supply Bus Transceiver	6-DSBGA		396.21/3,000	
SN74AVCH20T245GR	296-17819-1-ND	Bus-Transceiver mit Doppelversorgung, Tri-State, 20-Bit	Tri-State 20-Bit Dual Supply Bus Transceiver	56-TSSOP	2.86	2.29	1.78
SN74AVCH20T245GR	296-17819-2-ND	Bus-Transceiver mit Doppelversorgung, Tri-State, 20-Bit	Tri-State 20-Bit Dual Supply Bus Transceiver	56-TSSOP		3239.09/2,000	
SN74AVCH24T245GRGR	296-17663-1-ND	Bus-Transceiver mit Doppelversorgung, Tri-State, 24-Bit	Tri-State 24-Bit Dual Supply Bus Transceiver	83-BGA	3.18	2.55	1.98
SN74AVCH24T245GRGR	296-17663-2-ND	Bus-Transceiver mit Doppelversorgung, Tri-State, 24-Bit	Tri-State 24-Bit Dual Supply Bus Transceiver	83-BGA		1802.41/1,000	
SN74AVCH24T245ZRGR	296-17664-1-ND	Bus-Transceiver mit Doppelversorgung, Tri-State, 24-Bit	Tri-State 24-Bit Dual Supply Bus Transceiver	83-BGA	3.18	2.55	1.98
SN74AVCH24T245ZRGR	296-17664-2-ND	Bus-Transceiver mit Doppelversorgung, Tri-State, 24-Bit	Tri-State 24-Bit Dual Supply Bus Transceiver	83-BGA		1802.41/1,000	

(Forts.)

★ ***RUFEN SIE BITTE AN FÜR NIEDRIGERE PREISE BEI GRÖSSEREN MENGEN!*** ★

B

T. I. Teilenr.	Digi-Key Teilenr.	Beschreibung		Paket	Stückpreis★ 1	25	100
			BCT-Gruppe				
SN64BCT125AD	296-9690-5-ND	Vierf. Bus-Puffer-Gate, Tri-State	Tri-State Quad Bus Buffer Gate	14-SOIC	1.69	1.36	1.02
SN64BCT757DW	296-9692-5-ND	Achtf. Puffer/Treiber	Octal Buffer/Driver	20-SOIC	3.43	2.75	2.14
SN64BCT25244NT	296-9691-5-ND	Achtf. Bus-Puffer/Treiber, Tri-State	Tri-State Octal Bus Buffer/Driver	24-Dip	5.08	4.07	3.43
SN74BCT244DWR	296-1152-1-ND	Achtf. Puffer/Treiber	Octal Buffer/Driver	20-SOIC	2.48	1.99	1.55
SN74BCT244DWR	296-1152-2-ND	Achtf. Puffer/Treiber	Octal Buffer/Driver	20-SOIC		2807.33/2,000	
SN74BCT245DWR	296-1154-1-ND	Achtf. Bus-Transceiver	Octal Bus Transceiver	20-SOIC	2.48	1.99	1.55
SN74BCT245DWR	296-1154-2-ND	Achtf. Bus-Transceiver	Octal Bus Transceiver	20-SOIC		2807.33/2,000	
SN74BCT374NSR	296-13177-1-ND	Achtf. flankengesteuerter D-Flip-Flop, Tri-State	Tri-State, Octal Edge-Triggered D-Type Flip-Flop	20-SOP	2.48	1.99	1.55
SN74BCT374NSR	296-13177-2-ND	Achtf. flankengesteuerter D-Flip-Flop, Tri-State	Tri-State, Octal Edge-Triggered D-Type Flip-Flop	20-SOP		2807.33/2,000	
SN74BCT543DW	296-12335-5-ND	Achtf. Register-Transceiver mit Tri-State-Ausgang	Octal Register Transceiver with Tri-State Output	24-SOIC	6.86	5.49	4.63
SN74BCT623NSR	296-13178-1-ND	Achtf. Bus-Transceiver, Tri-State	Tri-State Octal Bus Transceiver	20-SOP	2.67	2.14	1.66
SN74BCT623NSR	296-13178-2-ND	Achtf. Bus-Transceiver, Tri-State	Tri-State Octal Bus Transceiver	20-SOP		3022.36/2,000	
SN74BCT640NSR	296-13179-1-ND	Achtf. Bus-Transceiver, Tri-State	Tri-State Octal Bus Transceiver	20-SOP	2.67	2.14	1.66
SN74BCT640NSR	296-13179-2-ND	Achtf. Bus-Transceiver, Tri-State	Tri-State Octal Bus Transceiver	20-SOP		3022.36/2,000	
SN74BCT652DWR	296-1155-1-ND	Achtf. Bus-Transceiver	Octal Bus Transceiver	24-SOIC	5.93	4.75	4.01
SN74BCT652DWR	296-1155-2-ND	Achtf. Bus-Transceiver	Octal Bus Transceiver	24-SOIC		7407.75/2,000	
SN74BCT2414DW	296-13176-5-ND	Speicher-Dekodierer mit chipintegrierter Versorgungsspannungsüberwachung	Memory Decoder with On-ChipSupply Voltage Monitor	20-SOIC	2.67	2.14	1.66
			Busschalter-Gruppe (CBT)				
SN74CB3Q3125PWR	296-16804-1-ND	Vierf. FET-Busschalter	Quad FET Bus Switch	14-TSSOP	.79	.66	.53
SN74CB3Q3125PWR	296-16804-2-ND	Vierf. FET-Busschalter	Quad FET Bus Switch	14-TSSOP		697.60/2,000	
SN74CB3Q3244GQNR	296-17033-1-ND	FET-Busschalter, 8-Bit	8-Bit, FET Bus Switch	20-VFBGA	1.15	.87	.65
SN74CB3Q3244GQNR	296-17033-2-ND	FET-Busschalter, 8-Bit	8-Bit, FET Bus Switch	20-VFBGA		382.66/1,000	
SN74CB3Q3244PWR	296-17824-1-ND	FET-Busschalter, 8-Bit	8-Bit, FET Bus Switch	20-TSSOP	.71	.60	.48
SN74CB3Q3244PWR	296-17824-2-ND	FET-Busschalter, 8-Bit	8-Bit, FET Bus Switch	20-TSSOP		629.87/2,000	
SN74CB3Q3244ZQNR	296-17034-1-ND	FET-Busschalter, 8-Bit	8-Bit, FET Bus Switch	20-VFBGA	.97	.81	.65
SN74CB3Q3244ZQNR	296-17034-2-ND	FET-Busschalter, 8-Bit	8-Bit, FET Bus Switch	20-VFBGA		427.53/1,000	
SN74CB3Q3253DBQR	296-17283-1-ND	Zweif. 1-aus-4 FET-Mux/Demux	Dual 1-of-4 FET Mux/Demux	16-SSOP	.71	.60	.48
SN74CB3Q3253DBQR	296-17283-2-ND	Zweif. 1-aus-4 FET-Mux/Demux	Dual 1-of-4 FET Mux/Demux	16-SSOP		770.41/2,500	
SN74CB3Q3257DBQR	296-17511-1-ND	1-aus-2 FET-Mux/Demux, 4-Bit	4-Bit, 1-of-2 FET Mux/Demux	16-SSOP	.71	.60	.48
SN74CB3Q3257DBQR	296-17511-2-ND	1-aus-2 FET-Mux/Demux, 4-Bit	4-Bit, 1-of-2 FET Mux/Demux	16-SSOP		770.41/2,500	
SN74CB3Q3257RGYR	296-16834-1-ND	1-aus-2 FET-Mux/Demux, 4-Bit	4-Bit, 1-of-2 FET Mux/Demux	16-QFN	.97	.81	.65
SN74CB3Q3257RGYR	296-16834-2-ND	1-aus-2 FET-Mux/Demux, 4-Bit	4-Bit, 1-of-2 FET Mux/Demux	16-QFN		427.53/1,000	
SN74CB3Q3305PWR	296-16809-1-ND	Zweif. FET-Busschalter	Dual FET Bus Switch	8-TSSOP	.85	.64	.48
SN74CB3Q3305PWR	296-16809-2-ND	Zweif. FET-Busschalter	Dual FET Bus Switch	8-TSSOP		563.84/2,000	
SN74CB3Q3306APWR	296-15102-1-ND	Zweif. FET-Busschalter, Niederspannung	Dual Low Voltage FET Bus Switch	8-TSSOP	.85	.64	.48
SN74CB3Q3306APWR	296-15102-2-ND	Zweif. FET-Busschalter, Niederspannung	Dual Low Voltage FET Bus Switch	8-TSSOP		563.84/2,000	
SN74CB3Q3384ADBQR	296-17353-1-ND	FET-Busschalter, 10-Bit	10-Bit FET Bus Switch	24-QSOP	.97	.81	.65
SN74CB3Q3384ADBQR	296-17353-2-ND	FET-Busschalter, 10-Bit	10-Bit FET Bus Switch	24-QSOP		1045.55/2,500	
SN74CB3Q6800PWR	296-17084-1-ND	FET-Busschalter, 10-Bit	10-Bit FET Bus Switch	24-TSSOP	.68	.51	.39
SN74CB3Q6800PWR	296-17084-2-ND	FET-Busschalter, 10-Bit	10-Bit FET Bus Switch	24-TSSOP		450.39/2,000	
SN74CB3Q16210DGGR	296-17178-1-ND	FET-Busschalter, Niederspannung, 20-Bit	20-Bit Low Voltage FET Bus Switch	48-TSSOP	1.61	1.29	.97
SN74CB3Q16210DGGR	296-17178-2-ND	FET-Busschalter, Niederspannung, 20-Bit	20-Bit Low Voltage FET Bus Switch	48-TSSOP		1672.88/2,000	
SN74CB3Q16211DGVR	296-17628-1-ND	2,5/3,3 V, FET-Busschalter, Niederspannung, hohe Bandbreite, 24-Bit	24-Bit FET 2.5V/3.3V Low Voltage High Bandwidth Bus Switch	56-TVSOP	1.61	1.29	.97
SN74CB3Q16211DGVR	296-17628-2-ND	2,5/3,3 V, FET-Busschalter, Niederspannung, hohe Bandbreite, 24-Bit	24-Bit FET 2.5V/3.3V Low Voltage High Bandwidth Bus Switch	56-TVSOP		1672.88/2,000	
SN74CB3Q16211DGGR	296-17629-1-ND	2,5/3,3 V, FET-Busschalter, Niederspannung, hohe Bandbreite, 24-Bit	24-Bit FET 2.5V/3.3V Low Voltage High Bandwidth Bus Switch	56-TSSOP	1.61	1.29	.97
SN74CB3Q16211DGGR	296-17629-2-ND	2,5/3,3 V, FET-Busschalter, Niederspannung, hohe Bandbreite, 24-Bit	24-Bit FET 2.5V/3.3V Low Voltage High Bandwidth Bus Switch	56-TSSOP		1672.88/2,000	
SN74CB3Q16211DLR	296-17786-1-ND	2,5/3,3 V, FET-Busschalter, Niederspannung, hohe Bandbreite, 24-Bit	24-Bit FET 2.5V/3.3V Low Voltage High Bandwidth Bus Switch	56-SSOP	1.61	1.29	.97
SN74CB3Q16211DLR	296-17786-2-ND	2,5/3,3 V, FET-Busschalter, Niederspannung, hohe Bandbreite, 24-Bit	24-Bit FET 2.5V/3.3V Low Voltage High Bandwidth Bus Switch	56-SSOP		836.44/1,000	
SN74CB3Q16244DGGR	296-17593-1-ND	FET-Busschalter, 16-Bit	16-Bit FET Bus Switch	48-TSSOP	2.01	1.61	1.21
SN74CB3Q16244DGGR	296-17593-2-ND	FET-Busschalter, 16-Bit	16-Bit FET Bus Switch	48-TSSOP		2091.10/2,000	
SN74CB3Q32245GKER	296-17665-1-ND	2,5/3,3 V, FET-Busschalter, hohe Bandbreite, 32-Bit	32-Bit, 2.5V/3.3V, High Bandwidth Bus Switch	96-LFBGA	3.24	2.60	2.02
SN74CB3Q32245GKER	296-17665-2-ND	2,5/3,3 V, FET-Busschalter, hohe Bandbreite, 32-Bit	32-Bit, 2.5V/3.3V, High Bandwidth Bus Switch	96-LFBGA		1835.43/1,000	
SN74CB3Q32245ZKER	296-17666-1-ND	2,5/3,3 V, FET-Busschalter, hohe Bandbreite, 32-Bit	32-Bit, 2.5V/3.3V, High Bandwidth Bus Switch	96-LFBGA	3.24	2.60	2.02
SN74CB3Q32245ZKER	296-17666-2-ND	2,5/3,3 V, FET-Busschalter, hohe Bandbreite, 32-Bit	32-Bit, 2.5V/3.3V, High Bandwidth Bus Switch	96-LFBGA		1835.43/1,000	
SN74CB3T1G125DCKR	296-15835-1-ND	Einf. FET-Busschalter, Niederspannung	Single Low Voltage FET Bus Switch	SC70	.74	.62	.50
SN74CB3T1G125DCKR	296-15835-2-ND	Einf. FET-Busschalter, Niederspannung	Single Low Voltage FET Bus Switch	SC70		957.50/3,000	
SN74CB3T3125PWR	296-17426-1-ND	Vierf. FET-Busschalter	Quad FET Bus Switch	14-TSSOP	1.06	.85	.64
SN74CB3T3125PWR	296-17426-2-ND	Vierf. FET-Busschalter	Quad FET Bus Switch	14-TSSOP		1100.58/2,000	
SN74CB3T3245DBQR	296-17823-1-ND	FET-Busschalter, 8-Bit	8-Bit, FET Bus Switch	20-SSOP	1.06	.85	.64
SN74CB3T3245DBQR	296-17823-2-ND	FET-Busschalter, 8-Bit	8-Bit, FET Bus Switch	20-SSOP		1354.56/2,500	
SN74CB3T3306DCTR	296-15553-1-ND	Zweif. 3,3 V, FET-Busschalter, Niederspannung	3.3V Low Voltage Dual FET Bus Switch	8-SSOP	1.06	.85	.64
SN74CB3T3306DCTR	296-15553-2-ND	Zweif. 3,3 V, FET-Busschalter, Niederspannung	3.3V Low Voltage Dual FET Bus Switch	8-SSOP		1650.87/3,000	
SN74CB3T3306DCUR	296-15554-1-ND	Zweif. 3,3 V, FET-Busschalter, Niederspannung	3.3V Low Voltage Dual FET Bus Switch	8-VSSOP	1.06	.85	.64
SN74CB3T3306DCUR	296-15554-2-ND	Zweif. 3,3 V, FET-Busschalter, Niederspannung	3.3V Low Voltage Dual FET Bus Switch	8-VSSOP		1650.87/3,000	
SN74CB3T3384DBQR	296-17842-1-ND	FET-Busschalter, 10-Bit	10-Bit FET Bus Switch	24-SSOP	1.06	.85	.64
SN74CB3T3384DBQR	296-17842-2-ND	FET-Busschalter, 10-Bit	10-Bit FET Bus Switch	24-SSOP		1354.56/2,500	
SN74CB3T16211DGGR	296-16978-1-ND	FET-Busschalter, 24-Bit	24-Bit FET Bus Switch	56-TSSOP	2.01	1.61	1.21
SN74CB3T16211DGGR	296-16978-2-ND	FET-Busschalter, 24-Bit	24-Bit FET Bus Switch	56-TSSOP		2091.10/2,000	
SN74CB3T16211DGVR	296-17832-1-ND	FET-Busschalter, 24-Bit	24-Bit FET Bus Switch	56-TVSOP	2.01	1.61	1.21
SN74CB3T16211DGVR	296-17832-2-ND	FET-Busschalter, 24-Bit	24-Bit FET Bus Switch	56-TVSOP		2091.10/2,000	
SN74CB3T16212DGGR	296-17667-1-ND	FET-Bus-Exchange-Schalter, 24-Bit	24-Bit, FET Bus Exchange Switch	56-TSSOP	2.01	1.61	1.21
SN74CB3T16212DGGR	296-17667-2-ND	FET-Bus-Exchange-Schalter, 24-Bit	24-Bit, FET Bus Exchange Switch	56-TSSOP		2091.10/2,000	
SN74CB3T16212DGVR	296-17668-1-ND	FET-Bus-Exchange-Schalter, 24-Bit	24-Bit, FET Bus Exchange Switch	56-TVSOP	2.01	1.61	1.21
SN74CB3T16212DGVR	296-17668-2-ND	FET-Bus-Exchange-Schalter, 24-Bit	24-Bit, FET Bus Exchange Switch	56-TVSOP		2091.10/2,000	
SN74CB3T16212ZQLR	296-17669-1-ND	FET-Bus-Exchange-Schalter, 24-Bit	24-Bit, FET Bus Exchange Switch	56-VFBGA	2.00	1.60	1.25
SN74CB3T16212ZQLR	296-17669-2-ND	FET-Bus-Exchange-Schalter, 24-Bit	24-Bit, FET Bus Exchange Switch	56-VFBGA		1133.60/1,000	
SN74CBT1G125DBVR	296-1164-1-ND	Einf. FET-Busschalter	Single FET Bus Switch	SOT-23-5	.39	.32	.22
SN74CBT1G125DBVR	296-1164-2-ND	Einf. FET-Busschalter	Single FET Bus Switch	SOT-23-5		302.24/3,000	
SN74CBT1G125DCKR	296-6410-1-ND	Einf. FET-Busschalter	Single FET Bus Switch	SC70-5	.39	.32	.22
SN74CBT1G125DCKR	296-6410-2-ND	Einf. FET-Busschalter	Single FET Bus Switch	SC70-5		302.24/3,000	
SN74CBT1G384DBVR	296-6411-1-ND	Einf. FET-Busschalter	Single FET Bus Switch	SOT-23-5	.38	.31	.23
SN74CBT1G384DBVR	296-6411-2-ND	Einf. FET-Busschalter	Single FET Bus Switch	SOT-23-5		309.86/3,000	
SN74CBT1G384DCKR	296-6412-1-ND	Einf. FET-Busschalter	Single FET Bus Switch	SC70-5	.38	.31	.23
SN74CBT1G384DCKR	296-6412-2-ND	Einf. FET-Busschalter	Single FET Bus Switch	SC70-5		309.86/3,000	
SN74CBT34X245DBBR	296-13180-1-ND	FET-Busschalter, 32-Bit	32-Bit FET Bus Switch	80-TVSOP	2.10	1.68	1.31
SN74CBT34X245DBBR	296-13180-2-ND	FET-Busschalter, 32-Bit	32-Bit FET Bus Switch	80-TVSOP		2375.56/2,000	
SN74CBT3125D	296-1165-5-ND	Vierf. FET-Busschalter	Quad FET Bus Switch	14-SOIC	.47	.36	.27
SN74CBT3125DR	296-1165-1-ND	Vierf. FET-Busschalter	Quad FET Bus Switch	14-SOIC	.47	.36	.27
SN74CBT3125DR	296-1165-2-ND	Vierf. FET-Busschalter	Quad FET Bus Switch	14-SOIC		385.20/2,500	
SN74CBT3125DBQR	296-6413-1-ND	Vierf. FET-Busschalter	Quad FET Bus Switch	16-SSOP	.47	.36	.27
SN74CBT3125DBQR	296-6413-2-ND	Vierf. FET-Busschalter	Quad FET Bus Switch	16-SSOP		385.20/2,500	
SN74CBT3125DBR	296-6414-1-ND	Vierf. FET-Busschalter	Quad FET Bus Switch	14-SSOP	.47	.36	.27
SN74CBT3125DBR	296-6414-2-ND	Vierf. FET-Busschalter	Quad FET Bus Switch	14-SSOP		314.94/2,000	
SN74CBT3125DGVR	296-6415-1-ND	Vierf. FET-Busschalter	Quad FET Bus Switch	14-TVSOP	.47	.36	.27
SN74CBT3125DGVR	296-6415-2-ND	Vierf. FET-Busschalter	Quad FET Bus Switch	14-TVSOP		314.94/2,000	
SN74CBT3125PWR	296-6416-1-ND	Vierf. FET-Busschalter	Quad FET Bus Switch	14-TSSOP	.47	.36	.27
SN74CBT3125PWR	296-6416-2-ND	Vierf. FET-Busschalter	Quad FET Bus Switch	14-TSSOP		314.94/2,000	
SN74CBT3125RGYR	296-13920-1-ND	Vierf. FET-Busschalter	Quad FET Bus Switch	14-QFN	.61	.46	.35
SN74CBT3125RGYR	296-13920-2-ND	Vierf. FET-Busschalter	Quad FET Bus Switch	14-QFN		202.34/1,000	
SN74CBT3126D	296-1537-5-ND	Vierf. FET-Busschalter	Quad FET Bus Switch	14-SOIC	.47	.36	.27
SN74CBT3126DR	296-1537-1-ND	Vierf. FET-Busschalter	Quad FET Bus Switch	14-SOIC	.47	.36	.27
SN74CBT3126DR	296-1537-2-ND	Vierf. FET-Busschalter	Quad FET Bus Switch	14-SOIC		385.20/2,500	
SN74CBT3126DBQR	296-6417-1-ND	Vierf. FET-Busschalter	Quad FET Bus Switch	16-SSOP	.47	.36	.27

(Forts.)

★ RUFEN SIE BITTE AN FÜR NIEDRIGERE PREISE BEI GRÖSSEREN MENGEN! ★

T. I. Teilenr.	Digi-Key Teilenr.	Beschreibung		Paket	Stückpreis★ 1	25	100
SN74CBT3126DBQR	296-6417-2-ND	Vierf. FET-Busschalter	Quad FET Bus Switch	16-SSOP		385.20/2,500	
SN74CBT3126DBR	296-6418-1-ND	Vierf. FET-Busschalter	Quad FET Bus Switch	14-SSOP	.47	.36	.27
SN74CBT3126DBR	296-6418-2-ND	Vierf. FET-Busschalter	Quad FET Bus Switch	14-SSOP		314.94/2,000	
SN74CBT3126DGVR	296-6419-1-ND	Vierf. FET-Busschalter	Quad FET Bus Switch	14-TVSOP	.47	.36	.27
SN74CBT3126DGVR	296-6419-2-ND	Vierf. FET-Busschalter	Quad FET Bus Switch	14-TVSOP		314.94/2,000	
SN74CBT3126PWR	296-6420-1-ND	Vierf. FET-Busschalter	Quad FET Bus Switch	14-TSSOP	.47	.36	.27
SN74CBT3126PWR	296-6420-2-ND	Vierf. FET-Busschalter	Quad FET Bus Switch	14-TSSOP		314.94/2,000	
SN74CBT3126RGYR	296-13921-1-ND	Vierf. FET-Busschalter	Quad FET Bus Switch	14-QFN	.61	.46	.35
SN74CBT3126RGYR	296-13921-2-ND	Vierf. FET-Busschalter	Quad FET Bus Switch	14-QFN		202.34/1,000	
SN74CBT3244DBQR	296-6421-1-ND	Achtf. FET-Busschalter	Octal FET Bus Switch	20-SSOP	.54	.41	.31
SN74CBT3244DBQR	296-6421-2-ND	Achtf. FET-Busschalter	Octal FET Bus Switch	20-SSOP		440.23/2,500	
SN74CBT3244DBR	296-6422-1-ND	Achtf. FET-Busschalter	Octal FET Bus Switch	20-SSOP	.61	.46	.35
SN74CBT3244DBR	296-6422-2-ND	Achtf. FET-Busschalter	Octal FET Bus Switch	20-SSOP		404.67/2,000	
SN74CBT3244DGVR	296-6423-1-ND	Achtf. FET-Busschalter	Octal FET Bus Switch	20-TVSOP	.61	.46	.35
SN74CBT3244DGVR	296-6423-2-ND	Achtf. FET-Busschalter	Octal FET Bus Switch	20-TVSOP		404.67/2,000	
SN74CBT3244DW	296-1538-5-ND	Achtf. FET-Busschalter	Octal FET Bus Switch	20-SOIC	.61	.46	.35
SN74CBT3244DWR	296-14796-1-ND	Achtf. FET-Busschalter	Octal FET Bus Switch	20-SOIC	.61	.46	.35
SN74CBT3244DWR	296-14796-2-ND	Achtf. FET-Busschalter	Octal FET Bus Switch	20-SOIC		404.67/2,000	
SN74CBT3244GQNR	296-12089-1-ND	Achtf. FET-Busschalter	Octal FET Bus Switch	20-BGA	.61	.46	.35
SN74CBT3244GQNR	296-12089-2-ND	Achtf. FET-Busschalter	Octal FET Bus Switch	20-BGA		202.34/1,000	
SN74CBT3244PW	296-1166-5-ND	Achtf. FET-Busschalter	Octal FET Bus Switch	20-TSSOP	.61	.46	.35
SN74CBT3244PWR	296-1166-1-ND	Achtf. FET-Busschalter	Octal FET Bus Switch	20-TSSOP	.54	.41	.31
SN74CBT3244PWR	296-1166-2-ND	Achtf. FET-Busschalter	Octal FET Bus Switch	20-TSSOP		360.65/2,000	
SN74CBT3244RGYR	296-13922-1-ND	Achtf. FET-Busschalter	Octal FET Bus Switch	20-QFN	.61	.46	.35
SN74CBT3244RGYR	296-13922-2-ND	Achtf. FET-Busschalter	Octal FET Bus Switch	20-QFN		202.34/1,000	
SN74CBT3245ADBQR	296-6424-1-ND	Achtf. FET-Busschalter	Octal FET Bus Switch	20-SSOP	.61	.46	.35
SN74CBT3245ADBQR	296-6424-2-ND	Achtf. FET-Busschalter	Octal FET Bus Switch	20-SSOP		495.26/2,500	
SN74CBT3245ADBR	296-6425-1-ND	Achtf. FET-Busschalter	Octal FET Bus Switch	20-SSOP	.54	.41	.31
SN74CBT3245ADBR	296-6425-2-ND	Achtf. FET-Busschalter	Octal FET Bus Switch	20-SSOP		360.65/2,000	
SN74CBT3245ADGVR	296-6460-1-ND	Achtf. FET-Busschalter	Octal FET Bus Switch	20-TVSOP	.61	.46	.35
SN74CBT3245ADGVR	296-6460-2-ND	Achtf. FET-Busschalter	Octal FET Bus Switch	20-TVSOP		404.67/2,000	
SN74CBT3245ADW	296-6426-5-ND	Achtf. FET-Busschalter	Octal FET Bus Switch	20-SOIC	.54	.41	.31
SN74CBT3245ADWR	296-14797-1-ND	Achtf. FET-Busschalter	Octal FET Bus Switch	20-SOIC	.54	.41	.31
SN74CBT3245ADWR	296-14797-2-ND	Achtf. FET-Busschalter	Octal FET Bus Switch	20-SOIC		360.65/2,000	
SN74CBT3245AGQNR	296-12090-1-ND	Achtf. FET-Busschalter	Octal FET Bus Switch	20-BGA	.68	.51	.39
SN74CBT3245AGQNR	296-12090-2-ND	Achtf. FET-Busschalter	Octal FET Bus Switch	20-BGA		225.20/1,000	
SN74CBT3245APWR	296-6427-1-ND	Achtf. FET-Busschalter	Octal FET Bus Switch	20-TSSOP	.63	.53	.43
SN74CBT3245APWR	296-6427-2-ND	Achtf. FET-Busschalter	Octal FET Bus Switch	20-TSSOP		563.84/2,000	
SN74CBT3245ARGYR	296-13923-1-ND	Achtf. FET-Busschalter	Octal FET Bus Switch	20-QFN	.61	.46	.35
SN74CBT3245ARGYR	296-13923-2-ND	Achtf. FET-Busschalter	Octal FET Bus Switch	20-QFN		202.34/1,000	
SN74CBT3245CDWR	296-17282-1-ND	Achtf. FET-Busschalter	Octal FET Bus Switch	20-SOIC	.47	.36	.27
SN74CBT3245CDWR	296-17282-2-ND	Achtf. FET-Busschalter	Octal FET Bus Switch	20-SOIC		314.94/2,000	
SN74CBT3251D	296-6428-5-ND	1-aus-8 FET-Mux/Demux	1-of-8 FET Mux/Demux	16-SOIC	.54	.41	.31
SN74CBT3251DBQR	296-6429-1-ND	1-aus-8 FET-Mux/Demux	1-of-8 FET Mux/Demux	16-SSOP	.54	.41	.31
SN74CBT3251DBQR	296-6429-2-ND	1-aus-8 FET-Mux/Demux	1-of-8 FET Mux/Demux	16-SSOP		440.23/2,500	
SN74CBT3251DBR	296-6430-1-ND	1-aus-8 FET-Mux/Demux	1-of-8 FET Mux/Demux	16-SSOP	.54	.41	.31
SN74CBT3251DBR	296-6430-2-ND	1-aus-8 FET-Mux/Demux	1-of-8 FET Mux/Demux	16-SSOP		360.65/2,000	
SN74CBT3251PWR	296-6431-1-ND	1-aus-8 FET-Mux/Demux	1-of-8 FET Mux/Demux	16-TSSOP	.54	.41	.31
SN74CBT3251PWR	296-6431-2-ND	1-aus-8 FET-Mux/Demux	1-of-8 FET Mux/Demux	16-TSSOP		360.65/2,000	
SN74CBT3251RGYR	296-13924-1-ND	1-aus-8 FET-Mux/Demux	1-of-8 FET Mux/Demux	16-QFN	.68	.51	.39
SN74CBT3251RGYR	296-13924-2-ND	1-aus-8 FET-Mux/Demux	1-of-8 FET Mux/Demux	16-QFN		225.20/1,000	
SN74CBT3253D	296-6432-5-ND	Zweif. 1-aus-4 FET-Mux/Demux	Dual 1-of-4 FET Mux/Demux	16-SOIC	.61	.46	.35
SN74CBT3253DBQR	296-6433-1-ND	Zweif. 1-aus-4 FET-Mux/Demux	Dual 1-of-4 FET Mux/Demux	16-SSOP	.54	.41	.31
SN74CBT3253DBQR	296-6433-2-ND	Zweif. 1-aus-4 FET-Mux/Demux	Dual 1-of-4 FET Mux/Demux	16-SSOP		440.23/2,500	
SN74CBT3253DBR	296-6434-1-ND	Zweif. 1-aus-4 FET-Mux/Demux	Dual 1-of-4 FET Mux/Demux	16-SSOP	.54	.41	.31
SN74CBT3253DBR	296-6434-2-ND	Zweif. 1-aus-4 FET-Mux/Demux	Dual 1-of-4 FET Mux/Demux	16-SSOP		360.65/2,000	
SN74CBT3253PWR	296-1167-1-ND	Zweif. 1-aus-4 FET-Mux/Demux	Dual 1-of-4 FET Mux/Demux	16-TSSOP	.54	.41	.31
SN74CBT3253PWR	296-1167-2-ND	Zweif. 1-aus-4 FET-Mux/Demux	Dual 1-of-4 FET Mux/Demux	16-TSSOP		360.65/2,000	
SN74CBT3253RGYR	296-13925-1-ND	Zweif. 1-aus-4 FET-Mux/Demux	Dual 1-of-4 FET Mux/Demux	16-QFN	.61	.46	.35
SN74CBT3253RGYR	296-13925-2-ND	Zweif. 1-aus-4 FET-Mux/Demux	Dual 1-of-4 FET Mux/Demux	16-QFN		202.34/1,000	
SN74CBT3257CDR	296-15340-1-ND	1-aus-2 FET-Mux/Demux, 4-Bit	4-Bit, 1-of-2 FET Mux/Demux	16-SOIC	.47	.36	.27
SN74CBT3257CDR	296-15340-2-ND	1-aus-2 FET-Mux/Demux, 4-Bit	4-Bit, 1-of-2 FET Mux/Demux	16-SOIC		385.20/2,500	
SN74CBT3257D	296-1168-5-ND	1-aus-2 FET-Mux/Demux, 4-Bit	4-Bit, 1-of-2 FET Mux/Demux	16-SOIC	.61	.46	.35
SN74CBT3257DR	296-1168-1-ND	1-aus-2 FET-Mux/Demux, 4-Bit	4-Bit, 1-of-2 FET Mux/Demux	16-SOIC	.54	.41	.31
SN74CBT3257DR	296-1168-2-ND	1-aus-2 FET-Mux/Demux, 4-Bit	4-Bit, 1-of-2 FET Mux/Demux	16-SOIC		440.23/2,500	
SN74CBT3257DBQR	296-6435-1-ND	1-aus-2 FET-Mux/Demux, 4-Bit	4-Bit, 1-of-2 FET Mux/Demux	16-SSOP	.54	.41	.31
SN74CBT3257DBQR	296-6435-2-ND	1-aus-2 FET-Mux/Demux, 4-Bit	4-Bit, 1-of-2 FET Mux/Demux	16-SSOP		440.23/2,500	
SN74CBT3257DBR	296-6436-1-ND	1-aus-2 FET-Mux/Demux, 4-Bit	4-Bit, 1-of-2 FET Mux/Demux	16-SSOP	.54	.41	.31
SN74CBT3257DBR	296-6436-2-ND	1-aus-2 FET-Mux/Demux, 4-Bit	4-Bit, 1-of-2 FET Mux/Demux	16-SSOP		360.65/2,000	
SN74CBT3257PWR	296-6437-1-ND	1-aus-2 FET-Mux/Demux, 4-Bit	4-Bit, 1-of-2 FET Mux/Demux	16-TSSOP	.54	.41	.31
SN74CBT3257PWR	296-6437-2-ND	1-aus-2 FET-Mux/Demux, 4-Bit	4-Bit, 1-of-2 FET Mux/Demux	16-TSSOP		360.65/2,000	
SN74CBT3257RGYR	296-13926-1-ND	1-aus-2 FET-Mux/Demux, 4-Bit	4-Bit, 1-of-2 FET Mux/Demux	16-QFN	.68	.51	.39
SN74CBT3257RGYR	296-13926-2-ND	1-aus-2 FET-Mux/Demux, 4-Bit	4-Bit, 1-of-2 FET Mux/Demux	16-QFN		225.20/1,000	
SN74CBT3306CPWR	296-16755-1-ND	Zweif. FET-Busschalter	Dual FET Bus Switch	8-TSSOP	.47	.36	.27
SN74CBT3306CPWR	296-16755-2-ND	Zweif. FET-Busschalter	Dual FET Bus Switch	8-TSSOP		314.94/2,000	
SN74CBT3306D	296-1540-5-ND	Zweif. FET-Busschalter	Dual FET Bus Switch	8-SOIC	.47	.36	.27
SN74CBT3306DR	296-1540-1-ND	Zweif. FET-Busschalter	Dual FET Bus Switch	8-SOIC	.47	.36	.27
SN74CBT3306DR	296-1540-2-ND	Zweif. FET-Busschalter	Dual FET Bus Switch	8-SOIC		385.20/2,500	
SN74CBT3306PWR	296-6438-1-ND	Zweif. FET-Busschalter	Dual FET Bus Switch	8-TSSOP	.47	.36	.27
SN74CBT3306PWR	296-6438-2-ND	Zweif. FET-Busschalter	Dual FET Bus Switch	8-TSSOP		314.94/2,000	
SN74CBT3345DBR	296-6439-1-ND	FET-Busschalter, 8-Bit	8-Bit FET Bus Switch	20-SSOP	.54	.41	.31
SN74CBT3345DBR	296-6439-2-ND	FET-Busschalter, 8-Bit	8-Bit FET Bus Switch	20-SSOP		360.65/2,000	
SN74CBT3345DGVR	296-6440-1-ND	FET-Busschalter, 8-Bit	8-Bit FET Bus Switch	20-TVSOP	.54	.41	.31
SN74CBT3345DGVR	296-6440-2-ND	FET-Busschalter, 8-Bit	8-Bit FET Bus Switch	20-TVSOP		360.65/2,000	
SN74CBT3345DW	296-6441-5-ND	FET-Busschalter, 8-Bit	8-Bit FET Bus Switch	20-SOIC	.54	.41	.31
SN74CBT3345DWR	296-14798-1-ND	FET-Busschalter, 8-Bit	8-Bit FET Bus Switch	20-SOIC	.54	.41	.31
SN74CBT3345DWR	296-14798-2-ND	FET-Busschalter, 8-Bit	8-Bit FET Bus Switch	20-SOIC		360.65/2,000	
SN74CBT3345PWR	296-6442-1-ND	FET-Busschalter, 8-Bit	8-Bit FET Bus Switch	20-TSSOP	.54	.41	.31
SN74CBT3345PWR	296-6442-2-ND	FET-Busschalter, 8-Bit	8-Bit FET Bus Switch	20-TSSOP		360.65/2,000	
SN74CBT3383DBQR	296-6443-1-ND	FET-Bus-Exchange-Schalter, 10-Bit	10-Bit FET Bus-Exchange Switch	24-SSOP	.47	.36	.27
SN74CBT3383DBQR	296-6443-2-ND	FET-Bus-Exchange-Schalter, 10-Bit	10-Bit FET Bus-Exchange Switch	24-SSOP		385.20/2,500	
SN74CBT3383DBR	296-6444-1-ND	FET-Bus-Exchange-Schalter, 10-Bit	10-Bit FET Bus-Exchange Switch	24-SSOP	.47	.36	.27
SN74CBT3383DBR	296-6444-2-ND	FET-Bus-Exchange-Schalter, 10-Bit	10-Bit FET Bus-Exchange Switch	24-SSOP		314.94/2,000	
SN74CBT3383DW	296-6445-5-ND	FET-Bus-Exchange-Schalter, 10-Bit	10-Bit FET Bus-Exchange Switch	24-SOIC	.47	.36	.27
SN74CBT3383DWR	296-14799-1-ND	FET-Bus-Exchange-Schalter, 10-Bit	10-Bit FET Bus-Exchange Switch	24-SOIC	.47	.36	.27
SN74CBT3383DWR	296-14799-2-ND	FET-Bus-Exchange-Schalter, 10-Bit	10-Bit FET Bus-Exchange Switch	24-SOIC		314.94/2,000	
SN74CBT3383PWR	296-6446-1-ND	FET-Bus-Exchange-Schalter, 10-Bit	10-Bit FET Bus-Exchange Switch	24-TSSOP	.47	.36	.27
SN74CBT3383PWR	296-6446-2-ND	FET-Bus-Exchange-Schalter, 10-Bit	10-Bit FET Bus-Exchange Switch	24-TSSOP		314.94/2,000	
SN74CBT3384ADBQR	296-6447-1-ND	FET-Busschalter, 10-Bit	10-Bit FET Bus Switch	24-SSOP	.47	.36	.27
SN74CBT3384ADBQR	296-6447-2-ND	FET-Busschalter, 10-Bit	10-Bit FET Bus Switch	24-SSOP		385.20/2,500	

(Forts.)

★ ***RUFEN SIE BITTE AN FÜR NIEDRIGERE PREISE BEI GRÖSSEREN MENGEN!*** ★

B

T. I. Teilenr.	Digi-Key Teilenr.	Beschreibung		Paket	Stückpreis★ 1	25	100
SN74CBT3384ADBR	296-6448-1-ND	FET-Busschalter, 10-Bit	10-Bit FET Bus Switch	24-SSOP	.47	.36	.27
SN74CBT3384ADBR	296-6448-2-ND	FET-Busschalter, 10-Bit	10-Bit FET Bus Switch	24-SSOP		314.94/2,000	
SN74CBT3384ADGVR	296-6449-1-ND	FET-Busschalter, 10-Bit	10-Bit FET Bus Switch	24-TVSOP	.68	.51	.39
SN74CBT3384ADGVR	296-6449-2-ND	FET-Busschalter, 10-Bit	10-Bit FET Bus Switch	24-TVSOP		450.39/2,000	
SN74CBT3384ADW	296-1169-5-ND	FET-Busschalter, 10-Bit	10-Bit FET Bus Switch	24-SOIC	.47	.36	.27
SN74CBT3384ADWR	296-1169-1-ND	FET-Busschalter, 10-Bit	10-Bit FET Bus Switch	24-SOIC	.47	.36	.27
SN74CBT3384ADWR	296-1169-2-ND	FET-Busschalter, 10-Bit	10-Bit FET Bus Switch	24-SOIC		314.94/2,000	
SN74CBT3384APWR	296-1170-1-ND	FET-Busschalter, 10-Bit	10-Bit FET Bus Switch	24-TSSOP	.47	.36	.27
SN74CBT3384APWR	296-1170-2-ND	FET-Busschalter, 10-Bit	10-Bit FET Bus Switch	24-TSSOP		314.94/2,000	
SN74CBT3861DBQR	296-6450-1-ND	FET-Busschalter, 10-Bit	10-Bit FET Bus Switch	24-SSOP	1.17	.94	.70
SN74CBT3861DBQR	296-6450-2-ND	FET-Busschalter, 10-Bit	10-Bit FET Bus Switch	24-SSOP		1490.02/2,500	
SN74CBT3861DGVR	296-6451-1-ND	FET-Busschalter, 10-Bit	10-Bit FET Bus Switch	24-TVSOP	1.17	.94	.70
SN74CBT3861DGVR	296-6451-2-ND	FET-Busschalter, 10-Bit	10-Bit FET Bus Switch	24-TVSOP		1210.64/2,000	
SN74CBT3861DWR	296-6452-1-ND	FET-Busschalter, 10-Bit	10-Bit FET Bus Switch	24-SOIC	1.17	.94	.70
SN74CBT3861DWR	296-6452-2-ND	FET-Busschalter, 10-Bit	10-Bit FET Bus Switch	24-SOIC		1210.64/2,000	
SN74CBT3861PWR	296-6453-1-ND	FET-Busschalter, 10-Bit	10-Bit FET Bus Switch	24-TSSOP	1.17	.94	.70
SN74CBT3861PWR	296-6453-2-ND	FET-Busschalter, 10-Bit	10-Bit FET Bus Switch	24-TSSOP		1210.64/2,000	
SN74CBT6800ADBQR	296-6454-1-ND	FET-Busschalter mit vorgeladenem Ausgang, 10-Bit	10-Bit FET Bus Switch with Precharged Output	24-SSOP	1.38	1.11	.83
SN74CBT6800ADBQR	296-6454-2-ND	FET-Busschalter mit vorgeladenem Ausgang, 10-Bit	10-Bit FET Bus Switch with Precharged Output	24-SSOP		1760.93/2,500	
SN74CBT6800ADBR	296-6455-1-ND	FET-Busschalter mit vorgeladenem Ausgang, 10-Bit	10-Bit FET Bus Switch with Precharged Output	24-SSOP	1.38	1.11	.83
SN74CBT6800ADBR	296-6455-2-ND	FET-Busschalter mit vorgeladenem Ausgang, 10-Bit	10-Bit FET Bus Switch with Precharged Output	24-SSOP		1430.75/2,000	
SN74CBT6800ADGVR	296-6456-1-ND	FET-Busschalter mit vorgeladenem Ausgang, 10-Bit	10-Bit FET Bus Switch with Precharged Output	24-TVSOP	1.38	1.11	.83
SN74CBT6800ADGVR	296-6456-2-ND	FET-Busschalter mit vorgeladenem Ausgang, 10-Bit	10-Bit FET Bus Switch with Precharged Output	24-TVSOP		1430.75/2,000	
SN74CBT6800ADW	296-6457-5-ND	FET-Busschalter mit vorgeladenem Ausgang, 10-Bit	10-Bit FET Bus Switch with Precharged Output	24-SOIC	1.38	1.11	.83
SN74CBT6800ADWR	296-6457-1-ND	FET-Busschalter mit vorgeladenem Ausgang, 10-Bit	10-Bit FET Bus Switch with Precharged Output	24-SOIC	1.38	1.11	.83
SN74CBT6800ADWR	296-6457-2-ND	FET-Busschalter mit vorgeladenem Ausgang, 10-Bit	10-Bit FET Bus Switch with Precharged Output	24-SOIC		1430.75/2,000	
SN74CBT6800APWR	296-6458-1-ND	FET-Busschalter mit vorgeladenem Ausgang, 10-Bit	10-Bit FET Bus Switch with Precharged Output	24-TSSOP	1.38	1.11	.83
SN74CBT6800APWR	296-6458-2-ND	FET-Busschalter mit vorgeladenem Ausgang, 10-Bit	10-Bit FET Bus Switch with Precharged Output	24-TSSOP		1430.75/2,000	
SN74CBT16209ADGGR	296-1156-1-ND	FET-Bus-Exchange-Schalter, 18-Bit	18-Bit FET Bus-Exchange Switch	48-TSSOP	1.27	1.02	.77
SN74CBT16209ADGGR	296-1156-2-ND	FET-Bus-Exchange-Schalter, 18-Bit	18-Bit FET Bus-Exchange Switch	48-TSSOP		1320.70/2,000	
SN74CBT16209ADGVR	296-6385-1-ND	FET-Bus-Exchange-Schalter, 18-Bit	18-Bit FET Bus-Exchange Switch	48-TVSOP	1.27	1.02	.77
SN74CBT16209ADGVR	296-6385-2-ND	FET-Bus-Exchange-Schalter, 18-Bit	18-Bit FET Bus-Exchange Switch	48-TVSOP		1320.70/2,000	
SN74CBT16209ADL	296-1531-5-ND	FET-Bus-Exchange-Schalter, 18-Bit	18-Bit FET Bus-Exchange Switch	48-SSOP	1.27	1.02	.77
SN74CBT16210DGGR	296-6386-1-ND	Busschalter, 20-Bit	20-Bit FET Bus Switch	48-TSSOP	1.14	.96	.77
SN74CBT16210DGGR	296-6386-2-ND	Busschalter, 20-Bit	20-Bit FET Bus Switch	48-TSSOP		1014.23/2,000	
SN74CBT16210DGVR	296-6387-1-ND	Busschalter, 20-Bit	20-Bit FET Bus Switch	48-TVSOP	1.14	.96	.77
SN74CBT16210DGVR	296-6387-2-ND	Busschalter, 20-Bit	20-Bit FET Bus Switch	48-TVSOP		1014.23/2,000	
SN74CBT16210DL	296-6388-5-ND	Busschalter, 20-Bit	20-Bit FET Bus Switch	48-SSOP	1.14	.96	.77
SN74CBT16210DLR	296-6388-1-ND	Busschalter, 20-Bit	20-Bit FET Bus Switch	48-SSOP	1.14	.96	.77
SN74CBT16210DLR	296-6388-2-ND	Busschalter, 20-Bit	20-Bit FET Bus Switch	48-SSOP		507.11/1,000	
SN74CBT16211ADGGR	296-1157-1-ND	FET-Busschalter, 24-Bit	24-Bit FET Bus Switch	56-TSSOP	1.14	.96	.77
SN74CBT16211ADGGR	296-1157-2-ND	FET-Busschalter, 24-Bit	24-Bit FET Bus Switch	56-TSSOP		1014.23/2,000	
SN74CBT16211ADGVR	296-6389-1-ND	FET-Busschalter, 24-Bit	24-Bit FET Bus Switch	56-TVSOP	1.27	1.02	.77
SN74CBT16211ADGVR	296-6389-2-ND	FET-Busschalter, 24-Bit	24-Bit FET Bus Switch	56-TVSOP		1320.70/2,000	
SN74CBT16211ADL	296-1532-5-ND	FET-Busschalter, 24-Bit	24-Bit FET Bus Switch	56-SSOP	1.14	.96	.77
SN74CBT16211ADLR	296-1532-1-ND	FET-Busschalter, 24-Bit	24-Bit FET Bus Switch	56-SSOP	1.14	.96	.77
SN74CBT16211ADLR	296-1532-2-ND	FET-Busschalter, 24-Bit	24-Bit FET Bus Switch	56-SSOP		507.11/1,000	
SN74CBT16211AGQLR	296-9806-1-ND	FET-Busschalter, 24-Bit	24-Bit FET Bus Switch	56-VFBGA	1.27	1.02	.77
SN74CBT16211AGQLR	296-9806-2-ND	FET-Busschalter, 24-Bit	24-Bit FET Bus Switch	56-VFBGA		660.35/1,000	
SN74CBT16212ADGGR	296-1158-1-ND	FET-Bus-Exchange-Schalter, 24-Bit	24-Bit FET Bus-Exchange Switch	56-TSSOP	1.27	1.02	.77
SN74CBT16212ADGGR	296-1158-2-ND	FET-Bus-Exchange-Schalter, 24-Bit	24-Bit FET Bus-Exchange Switch	56-TSSOP		1320.70/2,000	
SN74CBT16212ADGVR	296-6390-1-ND	FET-Bus-Exchange-Schalter, 24-Bit	24-Bit FET Bus-Exchange Switch	56-TVSOP	1.31	1.05	.79
SN74CBT16212ADGVR	296-6390-2-ND	FET-Bus-Exchange-Schalter, 24-Bit	24-Bit FET Bus-Exchange Switch	56-TVSOP		1364.72/2,000	
SN74CBT16212ADLR	296-1159-1-ND	FET-Bus-Exchange-Schalter, 24-Bit	24-Bit FET Bus-Exchange Switch	56-SSOP	1.27	1.02	.77
SN74CBT16212ADLR	296-1159-2-ND	FET-Bus-Exchange-Schalter, 24-Bit	24-Bit FET Bus-Exchange Switch	56-TSSOP		660.35/1,000	
SN74CBT16212AGQLR	296-9807-1-ND	Bus-Exchange-Schalter, 24-Bit	24-Bit Bus-Exchange Switch	56-VFBGA	1.65	1.33	1.00
SN74CBT16212AGQLR	296-9807-2-ND	Bus-Exchange-Schalter, 24-Bit	24-Bit Bus-Exchange Switch	56-VFBGA		858.45/1,000	
SN74CBT16213DGGR	296-6391-1-ND	FET-Bus-Exchange-Schalter, 24-Bit	24-Bit FET Bus-Exchange Switch	56-TSSOP	1.10	.89	.67
SN74CBT16213DGGR	296-6391-2-ND	FET-Bus-Exchange-Schalter, 24-Bit	24-Bit FET Bus-Exchange Switch	56-TSSOP		1144.60/2,000	
SN74CBT16213DL	296-6392-5-ND	FET-Bus-Exchange-Schalter, 24-Bit	24-Bit FET Bus-Exchange Switch	56-SSOP	1.10	.89	.67
SN74CBT16232DGGR	296-6395-1-ND	1-aus-2 FET-Mux/Demux, synchron, 16-Bit	Synchronous 16-Bit, 1-of-2 FET Mux/Demux	56-TSSOP	1.06	.85	.64
SN74CBT16232DGGR	296-6395-2-ND	1-aus-2 FET-Mux/Demux, synchron, 16-Bit	Synchronous 16-Bit, 1-of-2 FET Mux/Demux	56-TSSOP		1100.58/2,000	
SN74CBT16232DLR	296-6396-1-ND	1-aus-2 FET-Mux/Demux, synchron, 16-Bit	Synchronous 16-Bit, 1-of-2 FET Mux/Demux	56-SSOP	1.06	.85	.64
SN74CBT16232DLR	296-6396-2-ND	1-aus-2 FET-Mux/Demux, synchron, 16-Bit	Synchronous 16-Bit, 1-of-2 FET Mux/Demux	56-SSOP		550.29/1,000	
SN74CBT16233DGGR	296-1161-1-ND	1-aus-2 FET-Mux/Demux, 16-Bit	16-Bit, 1-of-2 FET Mux/Demux	56-TSSOP	1.14	.96	.77
SN74CBT16233DGGR	296-1161-2-ND	1-aus-2 FET-Mux/Demux, 16-Bit	16-Bit, 1-of-2 FET Mux/Demux	56-TSSOP		1014.23/2,000	
SN74CBT16233DGVR	296-6397-1-ND	1-aus-2 FET-Mux/Demux, 16-Bit	16-Bit, 1-of-2 FET Mux/Demux	56-TVSOP	1.06	.85	.64
SN74CBT16233DGVR	296-6397-2-ND	1-aus-2 FET-Mux/Demux, 16-Bit	16-Bit, 1-of-2 FET Mux/Demux	56-TVSOP		1100.58/2,000	
SN74CBT16233DLR	296-6398-1-ND	1-aus-2 FET-Mux/Demux, 16-Bit	16-Bit, 1-of-2 FET Mux/Demux	56-SSOP	1.06	.85	.64
SN74CBT16233DLR	296-6398-2-ND	1-aus-2 FET-Mux/Demux, 16-Bit	16-Bit, 1-of-2 FET Mux/Demux	56-SSOP		550.29/1,000	
SN74CBT16244DGGR	296-6399-1-ND	FET-Busschalter, 16-Bit	16-Bit FET Bus Switch	48-TSSOP	1.06	.85	.64
SN74CBT16244DGGR	296-6399-2-ND	FET-Busschalter, 16-Bit	16-Bit FET Bus Switch	48-TSSOP		1100.58/2,000	
SN74CBT16244DGVR	296-6400-1-ND	FET-Busschalter, 16-Bit	16-Bit FET Bus Switch	48-TVSOP	1.06	.85	.64
SN74CBT16244DGVR	296-6400-2-ND	FET-Busschalter, 16-Bit	16-Bit FET Bus Switch	48-TVSOP		1100.58/2,000	
SN74CBT16244DLR	296-6401-1-ND	FET-Busschalter, 16-Bit	16-Bit FET Bus Switch	48-SSOP	1.06	.85	.64
SN74CBT16244DLR	296-6401-2-ND	FET-Busschalter, 16-Bit	16-Bit FET Bus Switch	48-SSOP		550.29/1,000	
SN74CBT16245DGGR	296-6402-1-ND	FET-Busschalter, 16-Bit	16-Bit FET Bus Switch	48-TSSOP	1.06	.85	.64
SN74CBT16245DGGR	296-6402-2-ND	FET-Busschalter, 16-Bit	16-Bit FET Bus Switch	48-TSSOP		1100.58/2,000	
SN74CBT16245DGVR	296-6403-1-ND	FET-Busschalter, 16-Bit	16-Bit FET Bus Switch	48-TVSOP	1.06	.85	.64
SN74CBT16245DGVR	296-6403-2-ND	FET-Busschalter, 16-Bit	16-Bit FET Bus Switch	48-TVSOP		1100.58/2,000	
SN74CBT16245DLR	296-6404-1-ND	FET-Busschalter, 16-Bit	16-Bit FET Bus Switch	48-SSOP	1.06	.85	.64
SN74CBT16245DLR	296-6404-2-ND	FET-Busschalter, 16-Bit	16-Bit FET Bus Switch	48-SSOP		550.29/1,000	
SN74CBT16292DGGR	296-1162-1-ND	1-aus-2 FET-Mux/Demux mit internem Pulldown-Widerstand, 12-Bit	12-Bit, 1-of-2 FET Mux/Demux with Internal Pulldown Resistor	56-TSSOP	1.17	.94	.70
SN74CBT16292DGGR	296-1162-2-ND	1-aus-2 FET-Mux/Demux mit internem Pulldown-Widerstand, 12-Bit	12-Bit, 1-of-2 FET Mux/Demux with Internal Pulldown Resistor	56-TSSOP		1210.64/2,000	
SN74CBT16292DGVR	296-6405-1-ND	1-aus-2 FET-Mux/Demux mit internem Pulldown-Widerstand, 12-Bit	12-Bit, 1-of-2 FET Mux/Demux with Internal Pulldown Resistor	56-TVSOP	1.17	.94	.70
SN74CBT16292DGVR	296-6405-2-ND	1-aus-2 FET-Mux/Demux mit internem Pulldown-Widerstand, 12-Bit	12-Bit, 1-of-2 FET Mux/Demux with Internal Pulldown Resistor	56-TVSOP		1210.64/2,000	
SN74CBT16292DL	296-1534-5-ND	1-aus-2 FET-Mux/Demux mit internem Pulldown-Widerstand, 12-Bit	12-Bit, 1-of-2 FET Mux/Demux with Internal Pulldown Resistor	56-SSOP	1.17	.94	.70
SN74CBT16292DLR	296-1534-1-ND	1-aus-2 FET-Mux/Demux mit internem Pulldown-Widerstand, 12-Bit	12-Bit, 1-of-2 FET Mux/Demux with Internal Pulldown Resistor	56-SSOP	1.17	.94	.70
SN74CBT16292DLR	296-1534-2-ND	1-aus-2 FET-Mux/Demux mit internem Pulldown-Widerstand, 12-Bit	12-Bit, 1-of-2 FET Mux/Demux with Internal Pulldown Resistor	56-SSOP		605.32/1,000	
SN74CBT16390DGGR	296-1163-1-ND	FET-Mux/Demux-Busschalter, 16-Bit zu 32-Bit	16-Bit to 32-Bit, FET Mux/Demux Bus Switch	56-TSSOP	4.28	3.43	2.90
SN74CBT16390DGGR	296-1163-2-ND	FET-Mux/Demux-Busschalter, 16-Bit zu 32-Bit	16-Bit to 32-Bit, FET Mux/Demux Bus Switch	56-TSSOP		5355.59/2,000	
SN74CBT16390DGVR	296-6406-1-ND	FET-Mux/Demux-Busschalter, 16-Bit zu 32-Bit	16-Bit to 32-Bit, FET Mux/Demux Bus Switch	56-TVSOP	4.28	3.43	2.90
SN74CBT16390DGVR	296-6406-2-ND	FET-Mux/Demux-Busschalter, 16-Bit zu 32-Bit	16-Bit to 32-Bit, FET Mux/Demux Bus Switch	56-TVSOP		5355.59/2,000	
SN74CBT16390DL	296-1535-5-ND	FET-Mux/Demux-Busschalter, 16-Bit zu 32-Bit	16-Bit to 32-Bit, FET Mux/Demux Bus Switch	56-SSOP	4.28	3.43	2.90
SN74CBT16861DGGR	296-6407-1-ND	Busschalter, 20-Bit	20-Bit FET Bus Switch	48-TSSOP	2.10	1.68	1.31
SN74CBT16861DGGR	296-6407-2-ND	Busschalter, 20-Bit	20-Bit FET Bus Switch	48-TSSOP		2375.56/2,000	
SN74CBT16861DGVR	296-6408-1-ND	Busschalter, 20-Bit	20-Bit FET Bus Switch	48-TVSOP	2.10	1.68	1.31
SN74CBT16861DGVR	296-6408-2-ND	Busschalter, 20-Bit	20-Bit FET Bus Switch	48-TVSOP		2375.56/2,000	
SN74CBT16861DLR	296-6409-1-ND	Busschalter, 20-Bit	20-Bit FET Bus Switch	48-SSOP	2.10	1.68	1.31
SN74CBT16861DLR	296-6409-2-ND	Busschalter, 20-Bit	20-Bit FET Bus Switch	48-SSOP		1187.78/1,000	

(Forts.)

★ ***RUFEN SIE BITTE AN FÜR NIEDRIGERE PREISE BEI GRÖSSEREN MENGEN!*** ★

T. I. Teilenr.	Digi-Key Teilenr.	Beschreibung		Paket	Stückpreis★ 1	25	100
SN74CBT162292DGGR	296-1160-1-ND	1-aus-2 ET-Mux/Demux mit internem Pulldown-Widerstand, 12-Bit	12-Bit, 1-of-2 FET Mux/Demux w/Internal Pulldown Resistor	56-TSSOP	2.29	1.83	1.43
SN74CBT162292DGGR	296-1160-2-ND	1-aus-2 ET-Mux/Demux mit internem Pulldown-Widerstand, 12-Bit	12-Bit, 1-of-2 FET Mux/Demux w/Internal Pulldown Resistor	56-TSSOP		2590.60/2,000	
SN74CBT162292DGVR	296-12881-1-ND	1-aus-2 ET-Mux/Demux mit internem Pulldown-Widerstand, 12-Bit	12-Bit, 1-of-2 FET Mux/Demux w/Internal Pulldown Resistor	56-TVSOP	2.29	1.83	1.43
SN74CBT162292DGVR	296-12881-2-ND	1-aus-2 ET-Mux/Demux mit internem Pulldown-Widerstand, 12-Bit	12-Bit, 1-of-2 FET Mux/Demux w/Internal Pulldown Resistor	56-TVSOP		2590.60/2,000	
SN74CBT162292DL	296-1533-5-ND	1-aus-2 FET-Mux/Demux mit internem Pulldown-Widerstand, 12-Bit	12-Bit, 1-of-2 FET Mux/Demux with Internal Pulldown Resistor	56-SSOP	2.29	1.83	1.43
SN74CBTD1G125DBVR	296-12211-1-ND	Einf. FET-Busschalter mit Pegelumsetzung	Single FET Bus Switch w/Level Shifting	SOT-23-5	.47	.38	.28
SN74CBTD1G125DBVR	296-12211-2-ND	Einf. FET-Busschalter mit Pegelumsetzung	Single FET Bus Switch w/Level Shifting	SOT-23-5		378.43/3,000	
SN74CBTD1G125DCKR	296-6476-1-ND	Einf. FET-Busschalter mit Pegelumsetzung	Single FET Bus Switch w/Level Shifting	SC70-5	.47	.38	.28
SN74CBTD1G125DCKR	296-6476-2-ND	Einf. FET-Busschalter mit Pegelumsetzung	Single FET Bus Switch w/Level Shifting	SC70-5		378.43/3,000	
SN74CBTD1G384DBVR	296-12415-1-ND	Einf. FET-Busschalter mit Pegelumsetzung	Single FET Bus Switch w/Level Shifting	SOT-23-5	.47	.38	.28
SN74CBTD1G384DBVR	296-12415-2-ND	Einf. FET-Busschalter mit Pegelumsetzung	Single FET Bus Switch w/Level Shifting	SOT-23-5		378.43/3,000	
SN74CBTD1G384DCKR	296-12416-1-ND	Einf. FET-Busschalter mit Pegelumsetzung	Single FET Bus Switch w/Level Shifting	SC70-5	.47	.38	.28
SN74CBTD1G384DCKR	296-12416-2-ND	Einf. FET-Busschalter mit Pegelumsetzung	Single FET Bus Switch w/Level Shifting	SC70-5		378.43/3,000	
SN74CBTD3305CPWR	296-17508-1-ND	Zweif. FET-Busschalter mit Pegelumsetzung	Dual FET Bus Switch with Level Shifting	8-TSSOP	.47	.36	.27
SN74CBTD3305CPWR	296-17508-2-ND	Zweif. FET-Busschalter mit Pegelumsetzung	Dual FET Bus Switch with Level Shifting	8-TSSOP		314.94/2,000	
SN74CBTD3306D	296-6477-5-ND	Zweif. FET-Busschalter mit Pegelumsetzung	Dual FET Bus Switch with Level Shifting	8-SOIC	.47	.36	.27
SN74CBTD3306DR	296-14800-1-ND	Zweif. FET-Busschalter mit Pegelumsetzung	Dual FET Bus Switch with Level Shifting	8-SOIC	.47	.36	.27
SN74CBTD3306DR	296-14800-2-ND	Zweif. FET-Busschalter mit Pegelumsetzung	Dual FET Bus Switch with Level Shifting	8-SOIC		385.20/2,500	
SN74CBTD3306PWR	296-6478-1-ND	Zweif. FET-Busschalter mit Pegelumsetzung	Dual FET Bus Switch w/Level Shifting	8-TSSOP	.47	.36	.27
SN74CBTD3306PWR	296-6478-2-ND	Zweif. FET-Busschalter mit Pegelumsetzung	Dual FET Bus Switch w/Level Shifting	8-TSSOP		314.94/2,000	
SN74CBTD3384CDBR	296-17537-1-ND	FET-Busschalter mit Pegelumsetzung, 10-Bit	10-Bit FET Bus Switch w/Level Shifting	24-SSOP	.54	.41	.31
SN74CBTD3384CDBR	296-17537-2-ND	FET-Busschalter mit Pegelumsetzung, 10-Bit	10-Bit FET Bus Switch w/Level Shifting	24-SSOP		360.65/2,000	
SN74CBTD3384CPWR	296-17538-1-ND	FET-Busschalter mit Pegelumsetzung, 10-Bit	10-Bit FET Bus Switch w/Level Shifting	24-TSSOP	.54	.41	.31
SN74CBTD3384CPWR	296-17538-2-ND	FET-Busschalter mit Pegelumsetzung, 10-Bit	10-Bit FET Bus Switch w/Level Shifting	24-TSSOP		360.65/2,000	
SN74CBTD3384DBQR	296-6479-1-ND	FET-Busschalter mit Pegelumsetzung, 10-Bit	10-Bit FET Bus Switch w/Level Shifting	24-SSOP	.54	.41	.31
SN74CBTD3384DBQR	296-6479-2-ND	FET-Busschalter mit Pegelumsetzung, 10-Bit	10-Bit FET Bus Switch w/Level Shifting	24-SSOP		440.23/2,500	
SN74CBTD3384DBR	296-6480-1-ND	FET-Busschalter mit Pegelumsetzung, 10-Bit	10-Bit FET Bus Switch w/Level Shifting	24-SSOP	.54	.41	.31
SN74CBTD3384DBR	296-6480-2-ND	FET-Busschalter mit Pegelumsetzung, 10-Bit	10-Bit FET Bus Switch w/Level Shifting	24-SSOP		360.65/2,000	
SN74CBTD3384DGVR	296-6481-1-ND	FET-Busschalter mit Pegelumsetzung, 10-Bit	10-Bit FET Bus Switch w/Level Shifting	24-TVSOP	.78	.59	.44
SN74CBTD3384DGVR	296-6481-2-ND	FET-Busschalter mit Pegelumsetzung, 10-Bit	10-Bit FET Bus Switch w/Level Shifting	24-TVSOP		518.12/2,000	
SN74CBTD3384DW	296-6482-5-ND	FET-Busschalter mit Pegelumsetzung, 10-Bit	10-Bit FET Bus Switch w/Level Shifting	24-SOIC	.61	.46	.35
SN74CBTD3384DWR	296-6482-1-ND	FET-Busschalter mit Pegelumsetzung, 10-Bit	10-Bit FET Bus Switch w/Level Shifting	24-SOIC	.54	.41	.31
SN74CBTD3384DWR	296-6482-2-ND	FET-Busschalter mit Pegelumsetzung, 10-Bit	10-Bit FET Bus Switch w/Level Shifting	24-SOIC		360.65/2,000	
SN74CBTD3384PWR	296-1173-1-ND	FET-Busschalter mit Pegelumsetzung, 10-Bit	10-Bit FET Bus Switch with Level Shifting	24-TSSOP	.54	.41	.31
SN74CBTD3384PWR	296-1173-2-ND	FET-Busschalter mit Pegelumsetzung, 10-Bit	10-Bit FET Bus Switch with Level Shifting	24-TSSOP		360.65/2,000	
SN74CBTD3861DBQR	296-6483-1-ND	FET-Busschalter mit Pegelumsetzung, 10-Bit	10-Bit FET Bus Switch w/Level Shifting	24-SSOP	.54	.41	.31
SN74CBTD3861DBQR	296-6483-2-ND	FET-Busschalter mit Pegelumsetzung, 10-Bit	10-Bit FET Bus Switch w/Level Shifting	24-SSOP		440.23/2,500	
SN74CBTD3861DBR	296-6484-1-ND	FET-Busschalter mit Pegelumsetzung, 10-Bit	10-Bit FET Bus Switch w/Level Shifting	24-SSOP	.54	.41	.31
SN74CBTD3861DBR	296-6484-2-ND	FET-Busschalter mit Pegelumsetzung, 10-Bit	10-Bit FET Bus Switch w/Level Shifting	24-SSOP		360.65/2,000	
SN74CBTD3861DGVR	296-6485-1-ND	FET-Busschalter mit Pegelumsetzung, 10-Bit	10-Bit FET Bus Switch w/Level Shifting	24-TVSOP	.68	.51	.39
SN74CBTD3861DGVR	296-6485-2-ND	FET-Busschalter mit Pegelumsetzung, 10-Bit	10-Bit FET Bus Switch w/Level Shifting	24-TVSOP		450.39/2,000	
SN74CBTD3861DW	296-6486-5-ND	FET-Busschalter mit Pegelumsetzung, 10-Bit	10-Bit FET Bus Switch w/Level Shifting	24-SOIC	.54	.41	.31
SN74CBTD3861PWR	296-6487-1-ND	FET-Busschalter mit Pegelumsetzung, 10-Bit	10-Bit FET Bus Switch w/Level Shifting	24-TSSOP	.54	.41	.31
SN74CBTD3861PWR	296-6487-2-ND	FET-Busschalter mit Pegelumsetzung, 10-Bit	10-Bit FET Bus Switch w/Level Shifting	24-TSSOP		360.65/2,000	
SN74CBTD16210DGGR	296-1171-1-ND	FET-Busschalter mit Pegelumsetzung, 20-Bit	20-Bit FET Bus Switch w/Level Shifting	48-TSSOP	2.10	1.68	1.31
SN74CBTD16210DGGR	296-1171-2-ND	FET-Busschalter mit Pegelumsetzung, 20-Bit	20-Bit FET Bus Switch w/Level Shifting	48-TSSOP		2375.56/2,000	
SN74CBTD16210DGVR	296-6474-1-ND	FET-Busschalter mit Pegelumsetzung, 20-Bit	20-Bit FET Bus Switch w/Level Shifting	48-TVSOP	2.10	1.68	1.31
SN74CBTD16210DGVR	296-6474-2-ND	FET-Busschalter mit Pegelumsetzung, 20-Bit	20-Bit FET Bus Switch w/Level Shifting	48-TVSOP		2375.56/2,000	
SN74CBTD16210DL	296-1541-5-ND	FET-Busschalter mit Pegelumsetzung, 20-Bit	20-Bit FET Bus Switch w/Level Shifting	48-SSOP	2.10	1.68	1.31
SN74CBTD16210DLR	296-1541-1-ND	FET-Busschalter mit Pegelumsetzung, 20-Bit	20-Bit FET Bus Switch w/Level Shifting	48-SSOP	2.10	1.68	1.31
SN74CBTD16210DLR	296-1541-2-ND	FET-Busschalter mit Pegelumsetzung, 20-Bit	20-Bit FET Bus Switch w/Level Shifting	48-SSOP		1187.78/1,000	
SN74CBTD16211DGGR	296-1172-1-ND	FET-Busschalter mit Pegelumsetzung, 24-Bit	24-Bit FET Bus Switch w/Level Shifting	56-TSSOP	2.29	1.83	1.43
SN74CBTD16211DGGR	296-1172-2-ND	FET-Busschalter mit Pegelumsetzung, 24-Bit	24-Bit FET Bus Switch w/Level Shifting	56-TSSOP		2590.60/2,000	
SN74CBTD16211DGVR	296-6475-1-ND	FET-Busschalter mit Pegelumsetzung, 24-Bit	24-Bit FET Bus Switch w/Level Shifting	56-TVSOP	2.29	1.83	1.43
SN74CBTD16211DGVR	296-6475-2-ND	FET-Busschalter mit Pegelumsetzung, 24-Bit	24-Bit FET Bus Switch w/Level Shifting	56-TVSOP		2590.60/2,000	
SN74CBTD16211DL	296-1542-5-ND	FET-Busschalter mit Pegelumsetzung, 24-Bit	24-Bit FET Bus Switch w/Level Shifting	56-SSOP	2.29	1.83	1.43
SN74CBTH16211DGGR	296-6461-1-ND	FET-Busschalter mit Bus-Hold, 24-Bit	24-Bit FET Bus Switch with Bus Hold	56-TSSOP	2.51	2.02	1.57
SN74CBTH16211DGGR	296-6461-2-ND	FET-Busschalter mit Bus-Hold, 24-Bit	24-Bit FET Bus Switch with Bus Hold	56-TSSOP		2849.66/2,000	
SN74CBTH16211DL	296-1543-5-ND	FET-Busschalter mit Bus-Hold, 24-Bit	24-Bit FET Bus Switch with Bus Hold	56-SSOP	2.51	2.02	1.57
SN74CBTK6800DBQR	296-6492-1-ND	FET-Busschalter, 10-Bit	10-Bit FET Bus Switch	24-SSOP	1.38	1.11	.83
SN74CBTK6800DBQR	296-6492-2-ND	FET-Busschalter, 10-Bit	10-Bit FET Bus Switch	24-SSOP		1760.93/2,500	
SN74CBTK6800DGVR	296-6493-1-ND	FET-Busschalter, 10-Bit	10-Bit FET Bus Switch	24-TVSOP	1.38	1.11	.83
SN74CBTK6800DGVR	296-6493-2-ND	FET-Busschalter, 10-Bit	10-Bit FET Bus Switch	24-TVSOP		1430.75/2,000	
SN74CBTK6800DWR	296-6494-1-ND	FET-Busschalter, 10-Bit	10-Bit FET Bus Switch	24-SOIC	1.38	1.11	.83
SN74CBTK6800DWR	296-6494-2-ND	FET-Busschalter, 10-Bit	10-Bit FET Bus Switch	24-SOIC		1430.75/2,000	
SN74CBTK6800PWR	296-6495-1-ND	FET-Busschalter, 10-Bit	10-Bit FET Bus Switch	24-TSSOP	1.38	1.11	.83
SN74CBTK6800PWR	296-6495-2-ND	FET-Busschalter, 10-Bit	10-Bit FET Bus Switch	24-TSSOP		1430.75/2,000	
SN74CBTK16245DGGR	296-6488-1-ND	FET-Busschalter, 16-Bit	16-Bit FET Bus Switch	48-TSSOP	2.94	2.35	1.83
SN74CBTK16245DGGR	296-6488-2-ND	FET-Busschalter, 16-Bit	16-Bit FET Bus Switch	48-TSSOP		3325.44/2,000	
SN74CBTK16245DGVR	296-6489-1-ND	FET-Busschalter, 16-Bit	16-Bit FET Bus Switch	48-TVSOP	2.94	2.35	1.83
SN74CBTK16245DGVR	296-6489-2-ND	FET-Busschalter, 16-Bit	16-Bit FET Bus Switch	48-TVSOP		3325.44/2,000	
SN74CBTK16245DLR	296-6490-1-ND	FET-Busschalter, 16-Bit	16-Bit FET Bus Switch	48-SSOP	2.94	2.35	1.83
SN74CBTK16245DLR	296-6490-2-ND	FET-Busschalter, 16-Bit	16-Bit FET Bus Switch	48-SSOP		1662.72/1,000	
SN74CBTK32245GKER	296-6491-1-ND	FET-Busschalter, 32-Bit	32-Bit FET Bus Switch	96-LFBGA	4.40	3.52	2.74
SN74CBTK32245GKER	296-6491-2-ND	FET-Busschalter, 32-Bit	32-Bit FET Bus Switch	96-LFBGA		2493.24/1,000	
SN74CBTLV1G125DBVR	296-9109-1-ND	Einf. Niederspannungs-FET-Busschalter	Low Voltage Single FET Bus Switch	SOT-23-5	.51	.39	.29
SN74CBTLV1G125DBVR	296-9109-2-ND	Einf. Niederspannungs-FET-Busschalter	Low Voltage Single FET Bus Switch	SOT-23-5		495.26/3,000	
SN74CBTLV1G125DCKR	296-9110-1-ND	Einf. Niederspannungs-FET-Busschalter	Low Voltage Single FET Bus Switch	SC70-5	.51	.39	.29
SN74CBTLV1G125DCKR	296-9110-2-ND	Einf. Niederspannungs-FET-Busschalter	Low Voltage Single FET Bus Switch	SC70-5		495.26/3,000	
SN74CBTLV3125DBQR	296-9111-1-ND	Vierf. Niederspannungs-FET-Busschalter	Low Voltage Quad FET Bus Switch	16-SSOP	.75	.56	.42
SN74CBTLV3125DBQR	296-9111-2-ND	Vierf. Niederspannungs-FET-Busschalter	Low Voltage Quad FET Bus Switch	16-SSOP		605.32/2,500	
SN74CBTLV3125DGVR	296-9112-1-ND	Vierf. Niederspannungs-FET-Busschalter	Low Voltage Quad FET Bus Switch	14-TVSOP	.75	.56	.42
SN74CBTLV3125DGVR	296-9112-2-ND	Vierf. Niederspannungs-FET-Busschalter	Low Voltage Quad FET Bus Switch	14-TVSOP		496.11/2,000	
SN74CBTLV3125DR	296-9113-1-ND	Vierf. Niederspannungs-FET-Busschalter	Low Voltage Quad FET Bus Switch	14-SOIC	.75	.56	.42
SN74CBTLV3125DR	296-9113-2-ND	Vierf. Niederspannungs-FET-Busschalter	Low Voltage Quad FET Bus Switch	14-SOIC		605.32/2,500	
SN74CBTLV3125PWR	296-9114-1-ND	Vierf. Niederspannungs-FET-Busschalter	Low Voltage Quad FET Bus Switch	14-TSSOP	.75	.56	.42
SN74CBTLV3125PWR	296-9114-2-ND	Vierf. Niederspannungs-FET-Busschalter	Low Voltage Quad FET Bus Switch	14-TSSOP		496.11/2,000	
SN74CBTLV3125RGYR	296-15103-1-ND	Vierf. Niederspannungs-FET-Busschalter	Low Voltage Quad FET Bus Switch	14-QFN	.69	.58	.46
SN74CBTLV3125RGYR	296-15103-2-ND	Vierf. Niederspannungs-FET-Busschalter	Low Voltage Quad FET Bus Switch	14-QFN		303.93/1,000	
SN74CBTLV3126DBQR	296-9115-1-ND	Vierf. Niederspannungs-FET-Busschalter	Low Voltage Quad FET Bus Switch	16-SSOP	.75	.56	.42
SN74CBTLV3126DBQR	296-9115-2-ND	Vierf. Niederspannungs-FET-Busschalter	Low Voltage Quad FET Bus Switch	16-SSOP		605.32/2,500	
SN74CBTLV3126DGVR	296-9116-1-ND	Vierf. Niederspannungs-FET-Busschalter	Low Voltage Quad FET Bus Switch	14-TVSOP	.75	.56	.42
SN74CBTLV3126DGVR	296-9116-2-ND	Vierf. Niederspannungs-FET-Busschalter	Low Voltage Quad FET Bus Switch	14-TVSOP		496.11/2,000	
SN74CBTLV3126DR	296-9117-1-ND	Vierf. Niederspannungs-FET-Busschalter	Low Voltage Quad FET Bus Switch	14-SOIC	.75	.56	.42
SN74CBTLV3126DR	296-9117-2-ND	Vierf. Niederspannungs-FET-Busschalter	Low Voltage Quad FET Bus Switch	14-SOIC		605.32/2,500	
SN74CBTLV3126PWR	296-9118-1-ND	Vierf. Niederspannungs-FET-Busschalter	Low Voltage Quad FET Bus Switch	14-TSSOP	.75	.56	.42
SN74CBTLV3126PWR	296-9118-2-ND	Vierf. Niederspannungs-FET-Busschalter	Low Voltage Quad FET Bus Switch	14-TSSOP		496.11/2,000	
SN74CBTLV3126RGYR	296-15104-1-ND	Vierf. Niederspannungs-FET-Busschalter	Low Voltage Quad FET Bus Switch	14-QFN	.69	.58	.46
SN74CBTLV3126RGYR	296-15104-2-ND	Vierf. Niederspannungs-FET-Busschalter	Low Voltage Quad FET Bus Switch	14-QFN		303.93/1,000	
SN74CBTLV3245ADBQR	296-9119-1-ND	Achtf. Niederspannungs-FET-Busschalter	Low Voltage Octal FET Bus Switch	20-SSOP	.75	.56	.42

(Forts.)

★ ***RUFEN SIE BITTE AN FÜR NIEDRIGERE PREISE BEI GRÖSSEREN MENGEN!*** ★

B

T. I. Teilenr.	Digi-Key Teilenr.	Beschreibung		Paket	Stückpreis★ 1	25	100
SN74CBTLV3245ADBQR	296-9119-2-ND	Achtf. Niederspannungs-FET-Busschalter	Low Voltage Octal FET Bus Switch	20-SSOP		605.32/2,500	
SN74CBTLV3245ADGVR	296-9120-1-ND	Achtf. Niederspannungs-FET-Busschalter	Low Voltage Octal FET Bus Switch	20-TVSOP	.75	.56	.42
SN74CBTLV3245ADGVR	296-9120-2-ND	Achtf. Niederspannungs-FET-Busschalter	Low Voltage Octal FET Bus Switch	20-TVSOP		496.11/2,000	
SN74CBTLV3245ADW	296-1544-5-ND	Achtf. Niederspannungs-FET-Busschalter	Low Voltage Octal FET Bus Switch	20-SOIC	.75	.56	.42
SN74CBTLV3245ADWR	296-1544-1-ND	Achtf. Niederspannungs-FET-Busschalter	Low Voltage Octal FET Bus Switch	20-SOIC	.75	.56	.42
SN74CBTLV3245ADWR	296-1544-2-ND	Achtf. Niederspannungs-FET-Busschalter	Low Voltage Octal FET Bus Switch	20-SOIC		496.11/2,000	
SN74CBTLV3245APWR	296-9121-1-ND	Achtf. Niederspannungs-FET-Busschalter	Low Voltage Octal FET Bus Switch	20-TSSOP	.75	.56	.42
SN74CBTLV3245APWR	296-9121-2-ND	Achtf. Niederspannungs-FET-Busschalter	Low Voltage Octal FET Bus Switch	20-TSSOP		496.11/2,000	
SN74CBTLV3245ARGYR	296-17822-1-ND	Achtf. Niederspannungs-FET-Busschalter	Low Voltage Octal FET Bus Switch	20-QFN	.69	.58	.46
SN74CBTLV3245ARGYR	296-17822-2-ND	Achtf. Niederspannungs-FET-Busschalter	Low Voltage Octal FET Bus Switch	20-QFN		303.93/1,000	
SN74CBTLV3251DBQR	296-9126-1-ND	1-aus-8 Niederspannungs-FET-Mux/Demux	Low Voltage 1-of-8 FET Mux/Demux	16-SSOP	.75	.56	.42
SN74CBTLV3251DBQR	296-9126-2-ND	1-aus-8 Niederspannungs-FET-Mux/Demux	Low Voltage 1-of-8 FET Mux/Demux	16-SSOP		605.32/2,500	
SN74CBTLV3251DGVR	296-9127-1-ND	1-aus-8 Niederspannungs-FET-Mux/Demux	Low Voltage 1-of-8 FET Mux/Demux	16-TVSOP	.75	.56	.42
SN74CBTLV3251DGVR	296-9127-2-ND	1-aus-8 Niederspannungs-FET-Mux/Demux	Low Voltage 1-of-8 FET Mux/Demux	16-TVSOP		496.11/2,000	
SN74CBTLV3251DR	296-9128-1-ND	1-aus-8 Niederspannungs-FET-Mux/Demux	Low Voltage 1-of-8 FET Mux/Demux	16-SOIC	.75	.56	.42
SN74CBTLV3251DR	296-9128-2-ND	1-aus-8 Niederspannungs-FET-Mux/Demux	Low Voltage 1-of-8 FET Mux/Demux	16-SOIC		605.32/2,500	
SN74CBTLV3251PWR	296-9129-1-ND	1-aus-8 Niederspannungs-FET-Mux/Demux	Low Voltage 1-of-8 FET Mux/Demux	16-TSSOP	.75	.56	.42
SN74CBTLV3251PWR	296-9129-2-ND	1-aus-8 Niederspannungs-FET-Mux/Demux	Low Voltage 1-of-8 FET Mux/Demux	16-TSSOP		496.11/2,000	
SN74CBTLV3251RGYR	296-15105-1-ND	1-aus-8 Niederspannungs-FET-Mux/Demux	Low Voltage 1-of-8 FET Mux/Demux	16-QFN	.69	.58	.46
SN74CBTLV3251RGYR	296-15105-2-ND	1-aus-8 Niederspannungs-FET-Mux/Demux	Low Voltage 1-of-8 FET Mux/Demux	16-QFN		303.93/1,000	
SN74CBTLV3253DBQR	296-9130-1-ND	Zweif. 1-aus-4 Niedersp.-FET-Mux/Demux	Low Volt. Dual 1-of-4 FET Mux/Demux	16-SSOP	.75	.56	.42
SN74CBTLV3253DBQR	296-9130-2-ND	Zweif. 1-aus-4 Niedersp.-FET-Mux/Demux	Low Volt. Dual 1-of-4 FET Mux/Demux	16-SSOP		605.32/2,500	
SN74CBTLV3253DGVR	296-9131-1-ND	Zweif. 1-aus-4 Niedersp.-FET-Mux/Demux	Low Volt. Dual 1-of-4 FET Mux/Demux	16-TVSOP	.75	.56	.42
SN74CBTLV3253DGVR	296-9131-2-ND	Zweif. 1-aus-4 Niedersp.-FET-Mux/Demux	Low Volt. Dual 1-of-4 FET Mux/Demux	16-TVSOP		496.11/2,000	
SN74CBTLV3253DR	296-9132-1-ND	Zweif. 1-aus-4 Niedersp.-FET-Mux/Demux	Low Volt. Dual 1-of-4 FET Mux/Demux	16-SOIC	.75	.56	.42
SN74CBTLV3253DR	296-9132-2-ND	Zweif. 1-aus-4 Niedersp.-FET-Mux/Demux	Low Volt. Dual 1-of-4 FET Mux/Demux	16-SOIC		605.32/2,500	
SN74CBTLV3253PWR	296-9133-1-ND	Zweif. 1-aus-4 Niedersp.-FET-Mux/Demux	Low Volt. Dual 1-of-4 FET Mux/Demux	16-TSSOP	.75	.56	.42
SN74CBTLV3253PWR	296-9133-2-ND	Zweif. 1-aus-4 Niedersp.-FET-Mux/Demux	Low Volt. Dual 1-of-4 FET Mux/Demux	16-TSSOP		496.11/2,000	
SN74CBTLV3253RGYR	296-15106-1-ND	Zweif. 1-aus-4 Niedersp.-FET-Mux/Demux	Low Volt. Dual 1-of-4 FET Mux/Demux	16-QFN	.69	.58	.46
SN74CBTLV3253RGYR	296-15106-2-ND	Zweif. 1-aus-4 Niedersp.-FET-Mux/Demux	Low Volt. Dual 1-of-4 FET Mux/Demux	16-QFN		303.93/1,000	
SN74CBTLV3257D	296-9134-5-ND	1-aus-2 Niederspannungs-FET-Mux/Demux, 4-Bit	Low Volt. 4-Bit, 1-of-2 FET Mux/Demux	16-SOIC	.75	.56	.42
SN74CBTLV3257DBQR	296-9135-1-ND	1-aus-2 Niederspannungs-FET-Mux/Demux, 4-Bit	Low Volt. 4-Bit, 1-of-2 FET Mux/Demux	16-SSOP	.75	.56	.42
SN74CBTLV3257DBQR	296-9135-2-ND	1-aus-2 Niederspannungs-FET-Mux/Demux, 4-Bit	Low Volt. 4-Bit, 1-of-2 FET Mux/Demux	16-SSOP		605.32/2,500	
SN74CBTLV3257DGVR	296-9136-1-ND	1-aus-2 Niederspannungs-FET-Mux/Demux, 4-Bit	Low Volt. 4-Bit, 1-of-2 FET Mux/Demux	16-TVSOP	.75	.56	.42
SN74CBTLV3257DGVR	296-9136-2-ND	1-aus-2 Niederspannungs-FET-Mux/Demux, 4-Bit	Low Volt. 4-Bit, 1-of-2 FET Mux/Demux	16-TVSOP		496.11/2,000	
SN74CBTLV3257DR	296-9137-1-ND	1-aus-2 Niederspannungs-FET-Mux/Demux, 4-Bit	Low Volt. 4-Bit, 1-of-2 FET Mux/Demux	16-SOIC	.75	.56	.42
SN74CBTLV3257DR	296-9137-2-ND	1-aus-2 Niederspannungs-FET-Mux/Demux, 4-Bit	Low Volt. 4-Bit, 1-of-2 FET Mux/Demux	16-SOIC		605.32/2,500	
SN74CBTLV3257PWR	296-9138-1-ND	1-aus-2 Niederspannungs-FET-Mux/Demux, 4-Bit	Low Volt. 4-Bit, 1-of-2 FET Mux/Demux	16-TSSOP	.75	.56	.42
SN74CBTLV3257PWR	296-9138-2-ND	1-aus-2 Niederspannungs-FET-Mux/Demux, 4-Bit	Low Volt. 4-Bit, 1-of-2 FET Mux/Demux	16-TSSOP		496.11/2,000	
SN74CBTLV3257RGYR	296-15107-1-ND	1-aus-2 Niederspannungs-FET-Mux/Demux, 4-Bit	Low Volt. 4-Bit, 1-of-2 FET Mux/Demux	16-QFN	.69	.58	.46
SN74CBTLV3257RGYR	296-15107-2-ND	1-aus-2 Niederspannungs-FET-Mux/Demux, 4-Bit	Low Volt. 4-Bit, 1-of-2 FET Mux/Demux	16-QFN		303.93/1,000	
SN74CBTLV3383DBQR	296-9139-1-ND	Niederspannungs-FET-Bus-Exchange-Schalter, 10-Bit	LV 10-Bit FET Bus-Exchange Switch	24-SSOP	.75	.56	.42
SN74CBTLV3383DBQR	296-9139-2-ND	Niederspannungs-FET-Bus-Exchange-Schalter, 10-Bit	LV 10-Bit FET Bus-Exchange Switch	24-SSOP		605.32/2,500	
SN74CBTLV3383DGVR	296-9140-1-ND	Niederspannungs-FET-Bus-Exchange-Schalter, 10-Bit	LV 10-Bit FET Bus-Exchange Switch	24-TVSOP	.89	.75	.60
SN74CBTLV3383DGVR	296-9140-2-ND	Niederspannungs-FET-Bus-Exchange-Schalter, 10-Bit	LV 10-Bit FET Bus-Exchange Switch	24-TVSOP		789.03/2,000	
SN74CBTLV3383DW	296-1545-5-ND	Niederspannungs-FET-Bus-Exchange-Schalter, 10-Bit	LV 10-Bit FET Bus-Exchange Switch	24-SOIC	.75	.56	.42
SN74CBTLV3383DWR	296-1545-1-ND	Niederspannungs-FET-Bus-Exchange-Schalter, 10-Bit	LV 10-Bit FET Bus-Exchange Switch	24-SOIC	.75	.56	.42
SN74CBTLV3383DWR	296-1545-2-ND	Niederspannungs-FET-Bus-Exchange-Schalter, 10-Bit	LV 10-Bit FET Bus-Exchange Switch	24-SOIC		496.11/2,000	
SN74CBTLV3383PWR	296-9141-1-ND	Niederspannungs-FET-Bus-Exchange-Schalter, 10-Bit	LV 10-Bit FET Bus-Exchange Switch	24-TSSOP	.75	.56	.42
SN74CBTLV3383PWR	296-9141-2-ND	Niederspannungs-FET-Bus-Exchange-Schalter, 10-Bit	LV 10-Bit FET Bus-Exchange Switch	24-TSSOP		496.11/2,000	
SN74CBTLV3384DBQR	296-9142-1-ND	Niederspannungs-FET-Busschalter, 10-Bit	Low Volt. 10-Bit FET Bus Switch	24-SSOP	.75	.56	.42
SN74CBTLV3384DBQR	296-9142-2-ND	Niederspannungs-FET-Busschalter, 10-Bit	Low Volt. 10-Bit FET Bus Switch	24-SSOP		605.32/2,500	
SN74CBTLV3384DGVR	296-9143-1-ND	Niederspannungs-FET-Busschalter, 10-Bit	Low Volt. 10-Bit FET Bus Switch	24-TVSOP	.75	.56	.42
SN74CBTLV3384DGVR	296-9143-2-ND	Niederspannungs-FET-Busschalter, 10-Bit	Low Volt. 10-Bit FET Bus Switch	24-TVSOP		496.11/2,000	
SN74CBTLV3384DW	296-1546-5-ND	Niederspannungs-FET-Busschalter, 10-Bit	Low Volt. 10-Bit FET Bus Switch	24-SOIC	.75	.56	.42
SN74CBTLV3384DWR	296-1546-1-ND	Niederspannungs-FET-Busschalter, 10-Bit	Low Volt. 10-Bit FET Bus Switch	24-SOIC	.75	.56	.42
SN74CBTLV3384DWR	296-1546-2-ND	Niederspannungs-FET-Busschalter, 10-Bit	Low Volt. 10-Bit FET Bus Switch	24-SOIC		496.11/2,000	
SN74CBTLV3384PWR	296-9144-1-ND	Niederspannungs-FET-Busschalter, 10-Bit	Low Volt. 10-Bit FET Bus Switch	24-TSSOP	.75	.56	.42
SN74CBTLV3384PWR	296-9144-2-ND	Niederspannungs-FET-Busschalter, 10-Bit	Low Volt. 10-Bit FET Bus Switch	24-TSSOP		496.11/2,000	
SN74CBTLV3857DBQR	296-9145-1-ND	Niederspannungs-FET-Busschalter mit internem Pulldown-Widerstand, 10-Bit	Low Volt. 10-Bit FET Bus Switch with Internal Pulldown Resistor	24-SSOP	.75	.56	.42
SN74CBTLV3857DBQR	296-9145-2-ND	Niederspannungs-FET-Busschalter mit internem Pulldown-Widerstand, 10-Bit	Low Volt. 10-Bit FET Bus Switch with Internal Pulldown Resistor	24-SSOP		605.32/2,500	
SN74CBTLV3857DGVR	296-9146-1-ND	Niederspannungs-FET-Busschalter mit internem Pulldown-Widerstand, 10-Bit	Low Volt. 10-Bit FET Bus Switch with Internal Pulldown Resistor	24-TVSOP	.75	.56	.42
SN74CBTLV3857DGVR	296-9146-2-ND	Niederspannungs-FET-Busschalter mit internem Pulldown-Widerstand, 10-Bit	Low Volt. 10-Bit FET Bus Switch with Internal Pulldown Resistor	24-TVSOP		496.11/2,000	
SN74CBTLV3857DW	296-9147-5-ND	Niederspannungs-FET-Busschalter mit internem Pulldown-Widerstand, 10-Bit	Low Volt. 10-Bit FET Bus Switch with Internal Pulldown Resistor	24-SOIC	.75	.56	.42
SN74CBTLV3857DWR	296-9147-1-ND	Niederspannungs-FET-Busschalter mit internem Pulldown-Widerstand, 10-Bit	Low Volt. 10-Bit FET Bus Switch with Internal Pulldown Resistor	24-SOIC	.75	.56	.42
SN74CBTLV3857DWR	296-9147-2-ND	Niederspannungs-FET-Busschalter mit internem Pulldown-Widerstand, 10-Bit	Low Volt. 10-Bit FET Bus Switch with Internal Pulldown Resistor	24-SOIC		496.11/2,000	
SN74CBTLV3857PWR	296-9148-1-ND	Niederspannungs-FET-Busschalter mit internem Pulldown-Widerstand, 10-Bit	Low Volt. 10-Bit FET Bus Switch with Internal Pulldown Resistor	24-TSSOP	.75	.56	.42
SN74CBTLV3857PWR	296-9148-2-ND	Niederspannungs-FET-Busschalter mit internem Pulldown-Widerstand, 10-Bit	Low Volt. 10-Bit FET Bus Switch with Internal Pulldown Resistor	24-TSSOP		496.11/2,000	
SN74CBTLV3861DBQR	296-9149-1-ND	Niederspannungs-FET-Busschalter, 10-Bit	Low Voltage 10-Bit FET Bus Switch	24-SSOP	.75	.56	.42
SN74CBTLV3861DBQR	296-9149-2-ND	Niederspannungs-FET-Busschalter, 10-Bit	Low Voltage 10-Bit FET Bus Switch	24-SSOP		605.32/2,500	
SN74CBTLV3861DGVR	296-9152-1-ND	Niederspannungs-FET-Busschalter, 10-Bit	Low Voltage 10-Bit FET Bus Switch	24-TVSOP	.78	.59	.44
SN74CBTLV3861DGVR	296-9152-2-ND	Niederspannungs-FET-Busschalter, 10-Bit	Low Voltage 10-Bit FET Bus Switch	24-TVSOP		518.12/2,000	
SN74CBTLV3861DWR	296-9151-1-ND	Niederspannungs-FET-Busschalter, 10-Bit	Low Voltage 10-Bit FET Bus Switch	24-SOIC	.75	.56	.42
SN74CBTLV3861DWR	296-9151-2-ND	Niederspannungs-FET-Busschalter, 10-Bit	Low Voltage 10-Bit FET Bus Switch	24-SOIC		496.11/2,000	
SN74CBTLV3861NSR	296-13182-1-ND	Niederspannungs-FET-Busschalter, 10-Bit	Low Voltage 10-Bit FET Bus Switch	24-SOP	.75	.56	.42
SN74CBTLV3861NSR	296-13182-2-ND	Niederspannungs-FET-Busschalter, 10-Bit	Low Voltage 10-Bit FET Bus Switch	24-SOP		496.11/2,000	
SN74CBTLV3861PWR	296-9153-1-ND	Niederspannungs-FET-Busschalter, 10-Bit	Low Voltage 10-Bit FET Bus Switch	24-TSSOP	.75	.56	.42
SN74CBTLV3861PWR	296-9153-2-ND	Niederspannungs-FET-Busschalter, 10-Bit	Low Voltage 10-Bit FET Bus Switch	24-TSSOP		496.11/2,000	
SN74CBTLV16210DLR	296-6496-1-ND	Niederspannungs-FET-Busschalter, 20-Bit	Low Voltage 20-Bit FET Bus Switch	48-SSOP	1.90	1.53	1.19
SN74CBTLV16210DLR	296-6496-2-ND	Niederspannungs-FET-Busschalter, 20-Bit	Low Voltage 20-Bit FET Bus Switch	48-SSOP		1079.42/1,000	
SN74CBTLV16210GR	296-6497-1-ND	Niederspannungs-FET-Busschalter, 20-Bit	Low Voltage 20-Bit FET Bus Switch	48-TSSOP	1.69	1.36	1.02
SN74CBTLV16210GR	296-6497-2-ND	Niederspannungs-FET-Busschalter, 20-Bit	Low Voltage 20-Bit FET Bus Switch	48-TSSOP		1760.93/2,000	
SN74CBTLV16210VR	296-6498-1-ND	Niederspannungs-FET-Busschalter, 20-Bit	Low Voltage 20-Bit FET Bus Switch	48-TVSOP	1.69	1.36	1.02
SN74CBTLV16210VR	296-6498-2-ND	Niederspannungs-FET-Busschalter, 20-Bit	Low Voltage 20-Bit FET Bus Switch	48-TVSOP		1760.93/2,000	
SN74CBTLV16211DLR	296-6499-1-ND	Niederspannungs-FET-Busschalter, 24-Bit	Low Voltage 24-Bit FET Bus Switch	48-SSOP	1.69	1.36	1.02
SN74CBTLV16211DLR	296-6499-2-ND	Niederspannungs-FET-Busschalter, 24-Bit	Low Voltage 24-Bit FET Bus Switch	48-SSOP		880.46/1,000	
SN74CBTLV16211GR	296-6500-1-ND	Niederspannungs-FET-Busschalter, 24-Bit	Low Voltage 24-Bit FET Bus Switch	56-TSSOP	1.69	1.36	1.02
SN74CBTLV16211GR	296-6500-2-ND	Niederspannungs-FET-Busschalter, 24-Bit	Low Voltage 24-Bit FET Bus Switch	56-TSSOP		1760.93/2,000	
SN74CBTLV16211VR	296-9100-1-ND	Niederspannungs-FET-Busschalter, 24-Bit	Low Voltage 24-Bit FET Bus Switch	56-TVSOP	1.69	1.36	1.02
SN74CBTLV16211VR	296-9100-2-ND	Niederspannungs-FET-Busschalter, 24-Bit	Low Voltage 24-Bit FET Bus Switch	56-TVSOP		1760.93/2,000	
SN74CBTLV16212DLR	296-9101-1-ND	Niederspannungs-FET-Bus-Exchange-Schalter, 24-Bit	LV 24-Bit FET Bus-Exchange Switch	56-SSOP	1.69	1.36	1.02
SN74CBTLV16212DLR	296-9101-2-ND	Niederspannungs-FET-Bus-Exchange-Schalter, 24-Bit	LV 24-Bit FET Bus-Exchange Switch	56-SSOP		880.46/1,000	
SN74CBTLV16212GR	296-9102-1-ND	Niederspannungs-FET-Bus-Exchange-Schalter, 24-Bit	LV 24-Bit FET Bus-Exchange Switch	56-TSSOP	1.69	1.36	1.02
SN74CBTLV16212GR	296-9102-2-ND	Niederspannungs-FET-Bus-Exchange-Schalter, 24-Bit	LV 24-Bit FET Bus-Exchange Switch	56-TSSOP		1760.93/2,000	
SN74CBTLV16212VR	296-9103-1-ND	Niederspannungs-FET-Bus-Exchange-Schalter, 24-Bit	LV 24-Bit FET Bus-Exchange Switch	56-TVSOP	1.69	1.36	1.02
SN74CBTLV16212VR	296-9103-2-ND	Niederspannungs-FET-Bus-Exchange-Schalter, 24-Bit	LV 24-Bit FET Bus-Exchange Switch	56-TVSOP		1760.93/2,000	
SN74CBTLV16292DLR	296-9104-1-ND	1-aus-2 Niederspannungs-FET-Mux/Demux, 12-Bit	LV 12-Bit, 1-of-2 FET Mux/Demux	56-SSOP	1.69	1.36	1.02
SN74CBTLV16292DLR	296-9104-2-ND	1-aus-2 Niederspannungs-FET-Mux/Demux, 12-Bit	LV 12-Bit, 1-of-2 FET Mux/Demux	56-SSOP		880.46/1,000	
SN74CBTLV16292GR	296-9105-1-ND	1-aus-2 Niederspannungs-FET-Mux/Demux, 12-Bit	LV 12-Bit, 1-of-2 FET Mux/Demux	56-TSSOP	1.69	1.36	1.02
SN74CBTLV16292GR	296-9105-2-ND	1-aus-2 Niederspannungs-FET-Mux/Demux, 12-Bit	LV 12-Bit, 1-of-2 FET Mux/Demux	56-TSSOP		1760.93/2,000	

(Forts.)

★ ***RUFEN SIE BITTE AN FÜR NIEDRIGERE PREISE BEI GRÖSSEREN MENGEN!*** ★

T. I. Teilenr.	Digi-Key Teilenr.	Beschreibung		Paket	Stückpreis★ 1	25	100
SN74CBTLV16292VR	296-12882-1-ND	1-aus-2 Niederspannungs-FET-Mux/Demux, 12-Bit	LV 12-Bit, 1-of-2 FET Mux/Demux	56-TVSOP	1.69	1.36	1.02
SN74CBTLV16292VR	296-12882-2-ND	1-aus-2 Niederspannungs-FET-Mux/Demux, 12-Bit	LV 12-Bit, 1-of-2 FET Mux/Demux	56-TVSOP		1760.93/2,000	
SN74CBTLV16800DLR	296-9106-1-ND	1-aus-2 Niederspannungs-FET-Mux/Demux, 20-Bit	LV 20-Bit, 1-of-2 FET Mux/Demux	48-SSOP	1.69	1.36	1.02
SN74CBTLV16800DLR	296-9106-2-ND	1-aus-2 Niederspannungs-FET-Mux/Demux, 20-Bit	LV 20-Bit, 1-of-2 FET Mux/Demux	48-SSOP		880.46/1,000	
SN74CBTLV16800GR	296-9107-1-ND	1-aus-2 Niederspannungs-FET-Mux/Demux, 20-Bit	LV 20-Bit, 1-of-2 FET Mux/Demux	48-TSSOP	1.69	1.36	1.02
SN74CBTLV16800GR	296-9107-2-ND	1-aus-2 Niederspannungs-FET-Mux/Demux, 20-Bit	LV 20-Bit, 1-of-2 FET Mux/Demux	48-TSSOP		1760.93/2,000	
SN74CBTLV16800VR	296-9108-1-ND	1-aus-2 Niederspannungs-FET-Mux/Demux, 20-Bit	LV 20-Bit, 1-of-2 FET Mux/Demux	48-TVSOP	1.69	1.36	1.02
SN74CBTLV16800VR	296-9108-2-ND	1-aus-2 Niederspannungs-FET-Mux/Demux, 20-Bit	LV 20-Bit, 1-of-2 FET Mux/Demux	48-TVSOP		1760.93/2,000	
SN74CBTLVR16292GR	296-9154-1-ND	1-aus-2-Niederspannungs-FET-Mux/Demux mit internem Pulldown-Widerstand, 12-Bit	LV 12-Bit, 1-of-2 FET Mux/Demux with Internal Pulldown Resistor	56-TSSOP	2.67	2.14	1.66
SN74CBTLVR16292GR	296-9154-2-ND	1-aus-2-Niederspannungs-FET-Mux/Demux mit internem Pulldown-Widerstand, 12-Bit	LV 12-Bit, 1-of-2 FET Mux/Demux with Internal Pulldown Resistor	56-TSSOP		3022.36/2,000	
SN74CBTLVR16292LR	296-9155-1-ND	1-aus-2-Niederspannungs-FET-Mux/Demux mit internem Pulldown-Widerstand, 12-Bit	LV 12-Bit, 1-of-2 FET Mux/Demux with Internal Pulldown Resistor	56-SSOP	2.67	2.14	1.66
SN74CBTLVR16292LR	296-9155-2-ND	1-aus-2-Niederspannungs-FET-Mux/Demux mit internem Pulldown-Widerstand, 12-Bit	LV 12-Bit, 1-of-2 FET Mux/Demux with Internal Pulldown Resistor	56-SSOP		1511.18/1,000	
SN74CBTLVR16292VR	296-9156-1-ND	1-aus-2-Niederspannungs-FET-Mux/Demux mit internem Pulldown-Widerstand, 12-Bit	LV 12-Bit, 1-of-2 FET Mux/Demux with Internal Pulldown Resistor	56-TVSOP	2.67	2.14	1.66
SN74CBTLVR16292VR	296-9156-2-ND	1-aus-2-Niederspannungs-FET-Mux/Demux mit internem Pulldown-Widerstand, 12-Bit	LV 12-Bit, 1-of-2 FET Mux/Demux with Internal Pulldown Resistor	56-TVSOP		3022.36/2,000	
SN74CBTR16861DGGR	296-12336-1-ND	Busschalter, 20-Bit	20-Bit FET Bus Switch	48-TSSOP	2.30	1.85	1.44
SN74CBTR16861DGGR	296-12336-2-ND	Busschalter, 20-Bit	20-Bit FET Bus Switch	48-TSSOP		2612.61/2,000	
SN74CBTR16861DGVR	296-13183-1-ND	Busschalter, 20-Bit	20-Bit FET Bus Switch	48-TVSOP	2.30	1.85	1.44
SN74CBTR16861DGVR	296-13183-2-ND	Busschalter, 20-Bit	20-Bit FET Bus Switch	48-TVSOP		2612.61/2,000	
SN74CBTR16861DLR	296-12337-1-ND	Busschalter, 20-Bit	20-Bit FET Bus Switch	48-SSOP	2.30	1.85	1.44
SN74CBTR16861DLR	296-12337-2-ND	Busschalter, 20-Bit	20-Bit FET Bus Switch	48-SSOP		1306.30/1,000	
SN74CBTS3306DR	296-9157-1-ND	Zweif. FET-Busschalter mit Schottky-Diodenklemmung	Dual FET Bus Switch with Schottky Diode Clamping	8-SOIC	.78	.59	.44
SN74CBTS3306DR	296-9157-2-ND	Zweif. FET-Busschalter mit Schottky-Diodenklemmung	Dual FET Bus Switch with Schottky Diode Clamping	8-SOIC		632.83/2,500	
SN74CBTS3306PWR	296-9158-1-ND	Zweif. FET-Busschalter mit Schottky-Diodenklemmung	Dual FET Bus Switch with Schottky Diode Clamping	8-TSSOP	.78	.59	.44
SN74CBTS3306PWR	296-9158-2-ND	Zweif. FET-Busschalter mit Schottky-Diodenklemmung	Dual FET Bus Switch with Schottky Diode Clamping	8-TSSOP		518.12/2,000	
SN74CBTS3384DBQR	296-9159-1-ND	FET-Busschalter mit Schottky-Diodenklemmung, 10-Bit	10-Bit FET Bus Switch with Schottky Diode Clamping	24-SSOP	.78	.59	.44
SN74CBTS3384DBQR	296-9159-2-ND	FET-Busschalter mit Schottky-Diodenklemmung, 10-Bit	10-Bit FET Bus Switch with Schottky Diode Clamping	24-SSOP		632.83/2,500	
SN74CBTS3384DBR	296-9160-1-ND	FET-Busschalter mit Schottky-Diodenklemmung, 10-Bit	10-Bit FET Bus Switch with Schottky Diode Clamping	24-SSOP	.78	.59	.44
SN74CBTS3384DBR	296-9160-2-ND	FET-Busschalter mit Schottky-Diodenklemmung, 10-Bit	10-Bit FET Bus Switch with Schottky Diode Clamping	24-SSOP		518.12/2,000	
SN74CBTS3384DW	296-9161-5-ND	FET-Busschalter mit Schottky-Diodenklemmung, 10-Bit	10-Bit FET Bus Switch with Schottky Diode Clamping	24-SOIC	.78	.59	.44
SN74CBTS3384PWR	296-9162-1-ND	FET-Busschalter mit Schottky-Diodenklemmung, 10-Bit	10-Bit FET Bus Switch with Schottky Diode Clamping	24-TSSOP	.78	.59	.44
SN74CBTS3384PWR	296-9162-2-ND	FET-Busschalter mit Schottky-Diodenklemmung, 10-Bit	10-Bit, FET Bus Switch with Schottky Diode Clamping	24-TSSOP		518.12/2,000	
SN74CBTS6800DBQR	296-9163-1-ND	FET-Busschalter mit vorgeladenem Ausgang/Schottky-Diodenklemmung, 10-Bit	10-Bit, FET Bus Switch w/Precharged Out/Schottky Clamping Diode	24-SSOP	1.38	1.11	.83
SN74CBTS6800DBQR	296-9163-2-ND	FET-Busschalter mit vorgeladenem Ausgang/Schottky-Diodenklemmung, 10-Bit	10-Bit FET Bus Switch w/Precharged Out/Schottky Clamping Diode	24-SSOP		1760.93/2,500	
SN74CBTS6800DGVR	296-9164-1-ND	FET-Busschalter mit vorgeladenem Ausgang/Schottky-Diodenklemmung, 10-Bit	10-Bit FET Bus Switch w/Precharged Out/Schottky Clamping Diode	24-TVSOP	1.38	1.11	.83
SN74CBTS6800DGVR	296-9164-2-ND	FET-Busschalter mit vorgeladenem Ausgang/Schottky-Diodenklemmung, 10-Bit	10-Bit FET Bus Switch w/Precharged Out/Schottky Clamping Diode	24-TVSOP		1430.75/2,000	
SN74CBTS6800DWR	296-9165-1-ND	FET-Busschalter mit vorgeladenem Ausgang/Schottky-Diodenklemmung, 10-Bit	10-Bit FET Bus Switch w/Precharged Out/Schottky Clamping Diode	24-SOIC	1.38	1.11	.83
SN74CBTS6800DWR	296-9165-2-ND	FET-Busschalter mit vorgeladenem Ausgang/Schottky-Diodenklemmung, 10-Bit	10-Bit FET Bus Switch w/Precharged Out/Schottky Clamping Diode	24-SOIC		1430.75/2,000	
SN74CBTS6800PWR	296-9166-1-ND	FET-Busschalter mit vorgeladenem Ausgang/Schottky-Diodenklemmung, 10-Bit	10-Bit FET Bus Switch w/Precharged Out/Schottky Clamping Diode	24-TSSOP	1.38	1.11	.83
SN74CBTS6800PWR	296-9166-2-ND	FET-Busschalter mit vorgeladenem Ausgang/Schottky-Diodenklemmung, 10-Bit	10-Bit FET Bus Switch w/Precharged Out/Schottky Clamping Diode	24-TSSOP		1430.75/2,000	
SN74CBTS16211DGGR	296-1174-1-ND	FET-Busschalter mit Schottky-Diodenklemmung, 24-Bit	24-Bit FET Bus Switch with Schottky Diode Clamp	56-TSSOP	2.86	2.29	1.78
SN74CBTS16211DGGR	296-1174-2-ND	FET-Busschalter mit Schottky-Diodenklemmung, 24-Bit	24-Bit FET Bus Switch with Schottky Diode Clamp	56-TSSOP		3239.09/2,000	
SN74CBTS16211DL	296-1547-5-ND	FET-Busschalter mit Schottky-Diodenklemmung, 24-Bit	24-Bit FET Bus Switch with Schottky Diode Clamp	56-SSOP	2.86	2.29	1.78
SN74CBTS16212DGGR	296-1175-1-ND	FET-Busschalter mit Schottky-Diodenklemmung, 24-Bit	24-Bit FET Bus Switch with Schottky Diode Clamp	56-TSSOP	2.86	2.29	1.78
SN74CBTS16212DGGR	296-1175-2-ND	FET-Busschalter mit Schottky-Diodenklemmung, 24-Bit	24-Bit FET Bus Switch with Schottky Diode Clamp	56-TSSOP		3239.09/2,000	
SN74CBTS16212DL	296-1548-5-ND	FET-Busschalter mit Schottky-Diodenklemmung, 24-Bit	24-Bit FET Bus Switch with Schottky Diode Clamp	56-SSOP	2.86	2.29	1.78
		74F-Gruppe					
SN74F02DR	296-14801-1-ND	Vierf. NOR-Gate mit 2 Eingängen	Quad 2-Input NOR Gate	14-SOIC	.38	.31	.23
SN74F02DR	296-14801-2-ND	Vierf. NOR-Gate mit 2 Eingängen	Quad 2-Input NOR Gate	14-SOIC		258.21/2,500	
SN74F04D	296-1177-5-ND	Sechsf. Inverter	Hex Inverter	14-SOIC	.38	.31	.23
SN74F04DR	296-1177-1-ND	Sechsf. Inverter	Hex Inverter	14-SOIC	.38	.31	.23
SN74F04DR	296-1177-2-ND	Sechsf. Inverter	Hex Inverter	14-SOIC		258.21/2,500	
SN74F08D	296-1178-5-ND	Vierf. AND-Gate mit 2 Eingängen	Quad 2-Input AND Gate	14-SOIC	.38	.31	.23
SN74F10DR	296-14802-1-ND	Dreif. NAND-Gate mit 3 Eingängen	Triple 3-Input NAND Gate	14-SOIC	.38	.31	.23
SN74F10DR	296-14802-2-ND	Dreif. NAND-Gate mit 3 Eingängen	Triple 3-Input NAND Gate	14-SOIC		258.21/2,500	
SN74F11DR	296-14803-1-ND	Dreif. AND-Gate mit 3 Eingängen	Triple 3-Input AND Gate	14-SOIC	.38	.31	.23
SN74F11DR	296-14803-2-ND	Dreif. AND-Gate mit 3 Eingängen	Triple 3-Input AND Gate	14-SOIC		258.21/2,500	
SN74F27DR	296-3576-1-ND	Dreif. AND-Gate mit 3 Eingängen	Triple 3-Input NOR Gate	14-SOIC	.38	.31	.23
SN74F27DR	296-3576-2-ND	Dreif. AND-Gate mit 3 Eingängen	Triple 3-Input NOR Gate	14-SOIC		258.21/2,500	
SN74F38DR	296-14312-1-ND	Vierf. NAND-Puffer mit 2 Eingängen	Quad 2-Input NAND Buffer	14-SOIC	.38	.31	.23
SN74F38DR	296-14312-2-ND	Vierf. NAND-Puffer mit 2 Eingängen	Quad 2-Input NAND Buffer	14-SOIC		258.21/2,500	
SN74F74D	296-1183-5-ND	Zweif. D-Flip-Flop	Dual D-Type Flip-Flop	14-SOIC	.38	.31	.23
SN74F74DR	296-1183-1-ND	Zweif. D-Flip-Flop	Dual D-Type Flip-Flop	14-SOIC	.38	.31	.23
SN74F74DR	296-1183-2-ND	Zweif. D-Flip-Flop	Dual D-Type Flip-Flop	14-SOIC		258.21/2,500	
SN74F74N	296-1558-5-ND	Zweif. D-Flip-Flop	Dual D-Type Flip-Flop	14-Dip	.41	.33	.25
SN74F86DR	296-14825-1-ND	Vierf. Exclusive-OR-Gate mit 2 Eingängen	Quad 2-Input Exclusive OR Gate	14-SOIC	.47	.38	.28
SN74F86DR	296-14825-2-ND	Vierf. Exclusive-OR-Gate mit 2 Eingängen	Quad 2-Input Exclusive OR Gate	14-SOIC		315.36/2,500	
SN74F86N	296-3602-5-ND	Vierf. Exclusive-OR-Gate mit 2 Eingängen	Quad 2-Input Exclusive OR Gate	14-Dip	.47	.38	.28
SN74F86NSR	296-13188-1-ND	Vierf. Exclusive-OR-Gate mit 2 Eingängen	Quad 2-Input Exclusive OR Gate	14-SOP	.47	.38	.28
SN74F86NSR	296-13188-2-ND	Vierf. Exclusive-OR-Gate mit 2 Eingängen	Quad 2-Input Exclusive OR Gate	14-SOP		260.75/2,000	
SN74F125D	296-1179-5-ND	Vierf. Bus-Puffer, Tri-State	Tri-State Quad Bus Buffer	14-SOIC	.47	.38	.28
SN74F125DR	296-1179-1-ND	Vierf. Bus-Puffer, Tri-State	Tri-State Quad Bus Buffer	14-SOIC	.47	.38	.28
SN74F125DR	296-1179-2-ND	Vierf. Bus-Puffer, Tri-State	Tri-State Quad Bus Buffer	14-SOIC		315.36/2,500	
SN74F126DR	296-14804-1-ND	Vierf. Bus-Puffer-Gate, Tri-State	Tri-State Quad Bus Buffer Gate	14-SOIC	.47	.38	.28
SN74F126DR	296-14804-2-ND	Vierf. Bus-Puffer-Gate, Tri-State	Tri-State Quad Bus Buffer Gate	14-SOIC		315.36/2,500	
SN74F138D	296-3551-5-ND	3-8 Leitungs-Dekodierer/Demultiplexer	3-8 Line Decoder/Demux	16-SOIC	.47	.38	.28
SN74F138DR	296-14805-1-ND	3-8 Leitungs-Dekodierer/Demultiplexer	3-8 Line Decoder/Demux	16-SOIC	.47	.38	.28
SN74F138DR	296-14805-2-ND	3-8 Leitungs-Dekodierer/Demultiplexer	3-8 Line Decoder/Demux	16-SOIC		315.36/2,500	
SN74F138N	296-3552-5-ND	3-8 Leitungs-Dekodierer/Demultiplexer	3-8 Line Decoder/Demux	16-Dip	.47	.38	.28
SN74F151BDR	296-14806-1-ND	1-8 Datenselektor/Multiplexer	1-8 Data Selector/Multiplexer	16-SOIC	.47	.36	.27
SN74F151BDR	296-14806-2-ND	1-8 Datenselektor/Multiplexer	1-8 Data Selector/Multiplexer	16-SOIC		385.20/2,500	
SN74F153DR	296-14807-1-ND	Zweif. 1-4 Datenselektor/Mux	Dual 1-4 Data Selector/Mux	16-SOIC	.47	.38	.28
SN74F153DR	296-14807-2-ND	Zweif. 1-4 Datenselektor/Mux	Dual 1-4 Data Selector/Mux	16-SOIC		315.36/2,500	
SN74F153NSR	296-13184-1-ND	Zweif. 1-4 Datenselektor/Mux	Dual 1-4 Data Selector/Mux	16-SOP	.47	.38	.28
SN74F153NSR	296-13184-2-ND	Zweif. 1-4 Datenselektor/Mux	Dual 1-4 Data Selector/Mux	16-SOP		260.75/2,000	
SN74F157ADR	296-14808-1-ND	Vierf. 2-1-Datenselektor/Mux	Quad 2-1 Data Selector/Mux	16-SOIC	.47	.38	.28
SN74F157ADR	296-14808-2-ND	Vierf. 2-1-Datenselektor/Mux	Quad 2-1 Data Selector/Mux	16-SOIC		315.36/2,500	
SN74F157AN	296-1552-5-ND	Vierf. 2-1-Datenselektor/Mux	Quad 2-1 Data Selector/Mux	16-Dip	.47	.38	.28
SN74F161ADR	296-14809-1-ND	Synchroner Binärzähler, 4-Bit	Sync. 4-Bit Binary Counter	16-SOIC	.47	.36	.27
SN74F161ADR	296-14809-2-ND	Synchroner Binärzähler, 4-Bit	Sync. 4-Bit Binary Counter	16-SOIC		385.20/2,500	
SN74F161ANSR	296-13185-1-ND	Synchroner Binärzähler, 4-Bit	Sync. 4-Bit Binary Counter	16-SOP	.47	.36	.27
SN74F161ANSR	296-13185-2-ND	Synchroner Binärzähler, 4-Bit	Sync. 4-Bit Binary Counter	16-SOP		314.94/2,000	
SN74F163AN	296-14810-5-ND	Synchroner Binärzähler, 4-Bit	Sync. 4-Bit Binary Counter	16-Dip	.47	.36	.27
SN74F174ADR	296-14811-1-ND	Sechsf. D-Flip-Flop mit Löschen	Hex D-Type F/F with Clear	16-SOIC	.44	.33	.25
SN74F174ADR	296-14811-2-ND	Sechsf. D-Flip-Flop mit Löschen	Hex D-Type F/F with Clear	16-SOIC		357.69/2,500	
SN74F175DR	296-14812-1-ND	Vierf. D-Flip-Flop mit Löschen	Quad D-Type F/F with Clear	16-SOIC	.44	.33	.25
SN74F175DR	296-14812-2-ND	Vierf. D-Flip-Flop mit Löschen	Quad D-Type F/F with Clear	16-SOIC		357.69/2,500	
SN74F240DWR	296-14813-1-ND	Achtf. Puffer/Treiber, Tri-State	Tri-State Octal Buffer/Driver	20-SOIC	.61	.46	.35
SN74F240DWR	296-14813-2-ND	Achtf. Puffer/Treiber, Tri-State	Tri-State Octal Buffer/Driver	20-SOIC		404.67/2,000	
SN74F244DWR	296-1180-1-ND	Achtf. Puffer/Treiber, Tri-State	Tri-State Octal Buffer/Driver	20-SOIC	.54	.41	.31
SN74F244DWR	296-1180-2-ND	Achtf. Puffer/Treiber, Tri-State	Tri-State Octal Buffer/Driver	20-SOIC		360.65/2,000	
SN74F244N	296-1553-5-ND	Achtf. Puffer/Treiber, Tri-State	Tri-State Octal Buffer/Driver	20-Dip	.58	.44	.33

(Forts.)

★ ***RUFEN SIE BITTE AN FÜR NIEDRIGERE PREISE BEI GRÖSSEREN MENGEN!*** ★

B

T. I. Teilenr.	Digi-Key Teilenr.	Beschreibung		Paket	Stückpreis★ 1	25	100
SN74F245DW	296-1181-5-ND	Achtf. Bus-Transceiver, Tri-State	Tri-State Octal Bus Transceiver	20-SOIC	.54	.41	.31
SN74F245DWR	296-1181-1-ND	Achtf. Bus-Transceiver, Tri-State	Tri-State Octal Bus Transceiver	20-SOIC	.54	.41	.31
SN74F245DWR	296-1181-2-ND	Achtf. Bus-Transceiver, Tri-State	Tri-State Octal Bus Transceiver	20-SOIC		360.65/2,000	
SN74F245N	296-3572-5-ND	Achtf. Bus-Transceiver, Tri-State	Tri-State Octal Bus Transceiver	20-Dip	.61	.46	.35
SN74F251BDR	296-14814-1-ND	1-8 Datenselektor/Mux, Tri-State	Tri-State 1-8 Data Selector/Mux	16-SOIC	.52	.40	.30
SN74F251BDR	296-14814-2-ND	1-8 Datenselektor/Mux, Tri-State	Tri-State 1-8 Data Selector/Mux	16-SOIC		427.53/2,500	
SN74F257D	296-1555-5-ND	Vierf. 2-1 Datenselektor/Mux, Tri-State	Tri-State Quad 2-1 Data Select/Mux	16-SOIC	.52	.40	.30
SN74F260DR	296-14815-1-ND	Zweif. NOR-Gate mit 5 Eingängen	Dual 5-Input NOR Gate	14-SOIC	.52	.40	.30
SN74F260DR	296-14815-2-ND	Zweif. NOR-Gate mit 5 Eingängen	Dual 5-Input NOR Gate	14-SOIC		427.53/2,500	
SN74F280BDR	296-14816-1-ND	Parity-Generator/Checker, 9-Bit	9-Bit Parity Generator/Checker	14-SOIC	.52	.40	.30
SN74F280BDR	296-14816-2-ND	Parity-Generator/Checker, 9-Bit	9-Bit Parity Generator/Checker	14-SOIC		427.53/2,500	
SN74F373DWR	296-14817-1-ND	Achtf. transparenter D-Latch, Tri-State	Tri-State, Octal Transparent D-Type Latch	20-SOIC	.54	.41	.31
SN74F373DWR	296-14817-2-ND	Achtf. transparenter D-Latch, Tri-State	Tri-State, Octal Transparent D-Type Latch	20-SOIC		360.65/2,000	
SN74F374DWR	296-14818-1-ND	Achtf. flankengesteuerter D-Flip-Flop, Tri-State	Tri-State, Octal Edge-Triggered D-Type Flip-Flop	20-SOIC	.54	.41	.31
SN74F374DWR	296-14818-2-ND	Achtf. flankengesteuerter D-Flip-Flop, Tri-State	Tri-State, Octal Edge-Triggered D-TypeFlip-Flop	20-SOIC		360.65/2,000	
SN74F374N	296-3588-5-ND	Achtf. flankengesteuerter D-Flip-Flop, Tri-State	Tri-State, Octal Edge-Triggered D-Type Flip-Flop	20-Dip	.58	.44	.33
SN74F374NSR	296-13186-1-ND	Achtf. flankengesteuerter D-Flip-Flop, Tri-State	Tri-State, Octal Edge-Triggered D-Type Flip-Flop	20-SOP	.54	.41	.31
SN74F374NSR	296-13186-2-ND	Achtf. flankengesteuerter D-Flip-Flop, Tri-State	Tri-State, Octal Edge-Triggered D-Type Flip-Flop	20-SOP		360.65/2,000	
SN74F521DWR	296-14819-1-ND	Identitätskomparator, 8-Bit	8-Bit Identity Comparator	20-SOIC	.61	.46	.35
SN74F521DWR	296-14819-2-ND	Identitätskomparator, 8-Bit	8-Bit Identity Comparator	20-SOIC		404.67/2,000	
SN74F541DWR	296-14820-1-ND	Achtf. Puffer/Treiber, Tri-State	Tri-State Octal Buffer/Driver	20-SOIC	.68	.51	.39
SN74F541DWR	296-14820-2-ND	Achtf. Puffer/Treiber, Tri-State	Tri-State Octal Buffer/Driver	20-SOIC		450.39/2,000	
SN74F541NSR	296-13187-1-ND	Achtf. Puffer/Treiber, Tri-State	Tri-State Octal Buffer/Driver	20-SOP	.68	.51	.39
SN74F541NSR	296-13187-2-ND	Achtf. Puffer/Treiber, Tri-State	Tri-State Octal Buffer/Driver	20-SOP		450.39/2,000	
SN74F543DWR	296-14821-1-ND	Tri-St., Achtf. Transceiver mit Register	Tri-St. Octal Registered Transceiver	24-SOIC	.89	.75	.60
SN74F543DWR	296-14821-2-ND	Tri-St., Achtf. Transceiver mit Register	Tri-St. Octal Registered Transceiver	24-SOIC		789.03/2,000	
SN74F573DWR	296-14822-1-ND	Achtf. transparenter D-Latch, Tri-St.	Tri-St., Octal Transparent D-Type Latch	20-SOIC	.54	.41	.31
SN74F573DWR	296-14822-2-ND	Achtf. transparenter D-Latch, Tri-St.	Tri-St., Octal Transparent D-Type Latch	20-SOIC		360.65/2,000	
SN74F574DWR	296-14823-1-ND	Achtf. flankengesteuerter D-Flip-Flop, Tri-State	Tri-State, Octal Edge-Triggered D-Type Flip-Flop	20-SOIC	.54	.41	.31
SN74F574DWR	296-14823-2-ND	Achtf. flankengesteuerter D-Flip-Flop, Tri-State	Tri-State, Octal Edge-Triggered D-Type Flip-Flop	20-SOIC		360.65/2,000	
SN74F574N	296-14824-5-ND	Achtf. flankengesteuerter D-Flip-Flop, Tri-State	Tri-State, Octal Edge-Triggered D-Type Flip-Flop	20-Dip	.61	.46	.35
		FCT-Gruppe					
74FCT162244ATPVCT	296-14458-1-ND	Puffer/Leitungstreiber, 16-Bit	16-Bit Buffer/Line Driver	48-SSOP	1.02	.85	.68
74FCT162244ATPVCT	296-14458-2-ND	Puffer/Leitungstreiber, 16-Bit	16-Bit Buffer/Line Driver	48-SSOP		450.39/1,000	
74FCT162244CTPACT	296-14296-1-ND	Puffer/Leitungstreiber, 16-Bit	16-Bit Buffer/Line Driver	48-TSSOP	1.02	.85	.68
74FCT162244CTPACT	296-14296-2-ND	Puffer/Leitungstreiber, 16-Bit	16-Bit Buffer/Line Driver	48-TSSOP		900.78/2,000	
74FCT162373ATPACT	296-14459-1-ND	D-Latch, 16-Bit	16-Bit D-Type Latch	48-TSSOP	1.02	.85	.68
74FCT162373ATPACT	296-14459-2-ND	D-Latch, 16-Bit	16-Bit D-Type Latch	48-TSSOP		900.78/2,000	
74FCT162501ATPVCT	296-14460-1-ND	Transceiver mit Register, 18-Bit	18-Bit Registered Transceiver	56-SSOP	1.02	.85	.68
74FCT162501ATPVCT	296-14460-2-ND	Transceiver mit Register, 18-Bit	18-Bit Registered Transceiver	56-SSOP		450.39/1,000	
74FCT162501CTPVCT	296-12620-5-ND	Transceiver mit Register, 18-Bit	18-Bit Registered Transceiver	56-SSOP	1.02	.85	.68
74FCT162823CTPVCT	296-17320-1-ND	Bus-Schnittstellen-Register, 18-Bit	18-Bit Bus Interface Register	56-SSOP	1.02	.85	.68
74FCT162823CTPVCT	296-17320-2-ND	Bus-Schnittstellen-Register, 18-Bit	18-Bit Bus Interface Register	56-SSOP		450.39/1,000	
CD74FCT244M	296-9413-5-ND	Achtf. Puffer-/Leitungstreiber, Tri-State	Tri-State Octal Buffer/Line Driver	20-SOP	.66	.56	.45
CD74FCT245E	296-9414-5-ND	Achtf. Bus-Transceiver, Tri-State	Tri-State Octal Bus Transceiver	20-Dip	.84	.70	.56
CD74FCT245M	296-9415-5-ND	Achtf. Bus-Transceiver, Tri-State	Tri-State Octal Bus Transceiver	20-SOIC	.81	.61	.46
CD74FCT374M	296-9416-5-ND	D-Flip-Flop, Tri-State	Tri-State D-Type Flip-Flop	20-SOIC	.66	.56	.45
CD74FCT623M	296-9419-5-ND	Achtf. Bus-Transceiver, Tri-State	Tri-State Octal Bus Transceiver	20-SOIC	3.98	3.19	2.48
CD74FCT843AM	296-9420-5-ND	D-Latch, Tri-State	Tri-State D-Type Latch	20-SOIC	4.19	3.36	2.61
CY29FCT520ATSOCT	296-14562-1-ND	Mehrstufiges Pipeline-Register, Tri-State	Tri-State Multilevel Pipeline Register	24-SOIC	2.67	2.14	1.66
CY29FCT520ATSOCT	296-14562-2-ND	Mehrstufiges Pipeline-Register, Tri-State	Tri-State Multilevel Pipeline Register	24-SOIC		4857.79/2,000	
CY74FCT138ATQCT	296-14563-1-ND	1-aus-8 Dekodierer	1-of-8 Decoder	16-SSOP	.84	.70	.56
CY74FCT138ATQCT	296-14563-2-ND	1-aus-8 Dekodierer	1-of-8 Decoder	16-SSOP		907.98/2,500	
CY74FCT157CTQCT	296-12272-5-ND	Vierf. Multiplexer mit 2 Eingängen, Tri-State	Tri-State Quad 2-Input Multiplexer	16-SSOP	.84	.70	.56
CY74FCT157CTSOC	296-9438-5-ND	Vierf. Multiplexer, 2 Eingänge	Quad 2-Input Multiplexer	16-SOIC	.84	.70	.56
CY74FCT163CTQCT	296-14565-1-ND	Binärzähler, 4-Bit	4-Bit Binary Counter	16-SSOP	.78	.59	.44
CY74FCT163CTQCT	296-14565-2-ND	Binärzähler, 4-Bit	4-Bit Binary Counter	16-SSOP		1045.55/2,500	
CY74FCT240ATQCT	296-14569-1-ND	Puffer-/Leitungstreiber, Tri-State, 8-Bit	Tri-State 8-Bit Buffer/Line Driver	20-SSOP	.61	.46	.35
CY74FCT240ATQCT	296-14569-2-ND	Puffer-/Leitungstreiber, Tri-State, 8-Bit	Tri-State 8-Bit Buffer/Line Driver	20-SSOP		495.26/2,500	
CY74FCT240TQCT	296-14570-1-ND	Puffer-/Leitungstreiber, Tri-State, 8-Bit	Tri-State 8-Bit Buffer/Line Driver	20-SSOP	.61	.46	.35
CY74FCT240TQCT	296-14570-2-ND	Puffer-/Leitungstreiber, Tri-State, 8-Bit	Tri-State 8-Bit Buffer/Line Driver	20-SSOP		495.26/2,500	
CY74FCT244ATQCT	296-13854-5-ND	Puffer-/Leitungstreiber, Tri-State, 8-Bit	Tri-State 8-Bit Buffer/Line Driver	20-SSOP	.61	.46	.35
CY74FCT244ATSOCT	296-14571-1-ND	Puffer-/Leitungstreiber, Tri-State, 8-Bit	Tri-State 8-Bit Buffer/Line Driver	20-SOIC	.61	.46	.35
CY74FCT244ATSOCT	296-14571-2-ND	Puffer-/Leitungstreiber, Tri-State, 8-Bit	Tri-State 8-Bit Buffer/Line Driver	20-SOIC		404.67/2,000	
CY74FCT244CTQCT	296-14006-1-ND	Puffer-/Leitungstreiber, Tri-State, 8-Bit	Tri-State 8-Bit Buffer/Line Driver	20-SSOP	.61	.46	.35
CY74FCT244CTQCT	296-14006-2-ND	Puffer-/Leitungstreiber, Tri-State, 8-Bit	Tri-State 8-Bit Buffer/Line Driver	20-SSOP		495.26/2,500	
CY74FCT244TQCT	296-14572-1-ND	Puffer-/Leitungstreiber, Tri-State, 8-Bit	Tri-State 8-Bit Buffer/Line Driver	20-SSOP	.61	.46	.35
CY74FCT244TQCT	296-14572-2-ND	Puffer-/Leitungstreiber, Tri-State, 8-Bit	Tri-State 8-Bit Buffer/Line Driver	20-SSOP		495.26/2,500	
CY74FCT244TSOCT	296-14573-1-ND	Puffer-/Leitungstreiber, Tri-State, 8-Bit	Tri-State 8-Bit Buffer/Line Driver	20-SOIC	.61	.46	.35
CY74FCT244TSOCT	296-14573-2-ND	Puffer-/Leitungstreiber, Tri-State, 8-Bit	Tri-State 8-Bit Buffer/Line Driver	20-SOIC		404.67/2,000	
CY74FCT245ATPC	296-14574-5-ND	Transceiver, Tri-State, 8-Bit	Tri-State 8-Bit Transceiver	20-Dip	.61	.46	.35
CY74FCT245ATQCT	296-14575-1-ND	Transceiver, Tri-State, 8-Bit	Tri-State 8-Bit Transceiver	20-SSOP	.61	.46	.35
CY74FCT245ATQCT	296-14575-2-ND	Transceiver, Tri-State, 8-Bit	Tri-State 8-Bit Transceiver	20-SSOP		495.26/2,500	
CY74FCT245TQCT	296-9441-5-ND	Transceiver, Tri-State, 8-Bit	Tri-State 8-Bit Transceiver	20-SSOP	.61	.46	.35
CY74FCT257ATQCT	296-13620-1-ND	Vierf. Multiplexer mit 2 Eingängen, Tri-State	Tri-State Quad 2-Input Multiplexer	16-QSOP	.61	.46	.35
CY74FCT257ATQCT	296-13620-2-ND	Vierf. Multiplexer mit 2 Eingängen, Tri-State	Tri-State Quad 2-Input Multiplexer	16-QSOP		495.26/2,500	
CY74FCT373ATQCT	296-14576-1-ND	Latch, Tri-State, 8-Bit	Tri-State 8-Bit Latch	20-SSOP	.61	.46	.35
CY74FCT373ATQCT	296-14576-2-ND	Latch, Tri-State, 8-Bit	Tri-State 8-Bit Latch	20-SSOP		495.26/2,500	
CY74FCT374ATQCT	296-14577-1-ND	Register, Tri-State, 8-Bit	Tri-State 8-Bit Register	20-SSOP	.61	.46	.35
CY74FCT374ATQCT	296-14577-2-ND	Register, Tri-State, 8-Bit	Tri-State 8-Bit Register	20-SSOP		495.26/2,500	
CY74FCT374TQCT	296-9442-1-ND	Register, Tri-State, 8-Bit	Tri-State 8-Bit Register	20-SSOP	.61	.46	.35
CY74FCT374TQCT	296-9442-2-ND	Register, Tri-State, 8-Bit	Tri-State 8-Bit Register	20-SSOP		495.26/2,500	
CY74FCT399CTSOCT	296-13007-1-ND	Vierf.Register mit 2 Eingängen,	Quad 2-Input Register	16-SOIC	.61	.46	.35
CY74FCT399CTSOCT	296-13007-2-ND	Vierf.Register mit 2 Eingängen,	Quad 2-Input Register	16-SOIC		675.59/2,000	
CY74FCT540CTQCT	296-13855-5-ND	Puffer-/Leitungstreiber, Tri-State, 8-Bit	Tri-State 8-Bit Buffer/Line Driver	20-SSOP	.61	.46	.35
CY74FCT541ATPC	296-14578-5-ND	Puffer-/Leitungstreiber, Tri-State, 8-Bit	Tri-State 8-Bit Buffer/Line Driver	20-Dip	.61	.46	.35
CY74FCT541ATQCT	296-13699-1-ND	Puffer-/Leitungstreiber, Tri-State, 8-Bit	Tri-State 8-Bit Buffer/Line Driver	20-SSOP	.61	.46	.35
CY74FCT541ATQCT	296-13699-2-ND	Puffer-/Leitungstreiber, Tri-State, 8-Bit	Tri-State 8-Bit Buffer/Line Driver	20-SSOP		495.26/2,500	
CY74FCT541CTQCT	296-12629-1-ND	Puffer-/Leitungstreiber, Tri-State, 8-Bit	Tri-State 8-Bit Buffer/Line Driver	20-SSOP	.61	.46	.35
CY74FCT541CTQCT	296-12629-2-ND	Puffer-/Leitungstreiber, Tri-State, 8-Bit	Tri-State 8-Bit Buffer/Line Driver	20-SSOP		495.26/2,500	
CY74FCT541CTSOCT	296-12274-5-ND	Puffer-/Leitungstreiber, Tri-State, 8-Bit	Tri-State 8-Bit Buffer/Line Driver	20-SOIC	.61	.46	.35
CY74FCT543ATQCT	296-14579-1-ND	Tri-St., Transceiver mit Register und Latch, 8-Bit	Tri-St. 8-Bit Latched Registered Transceiver	24-SSOP	.61	.46	.35
CY74FCT543ATQCT	296-14579-2-ND	Tri-St., Transceiver mit Register und Latch, 8-Bit	Tri-St. 8-Bit Latched Registered Transceiver	24-SSOP		495.26/2,500	
CY74FCT574ATQCT	296-14580-1-ND	Register, Tri-State, 8-Bit	Tri-State 8-Bit Register	20-SSOP	.61	.46	.35
CY74FCT574ATQCT	296-14580-2-ND	Register, Tri-State, 8-Bit	Tri-State 8-Bit Register	20-SSOP		495.26/2,500	
CY74FCT574TQCT	296-14581-1-ND	Register, Tri-State, 8-Bit	Tri-State 8-Bit Register	20-SSOP	.61	.46	.35
CY74FCT574TQCT	296-14581-2-ND	Register, Tri-State, 8-Bit	Tri-State 8-Bit Register	20-SSOP		495.26/2,500	
CY74FCT646ATQCT	296-14582-1-ND	Register-Transceiver, Tri-State, 8-Bit	Tri-State 8-Bit Register Transceiver.	24-SSOP	1.02	.77	.58
CY74FCT646ATQCT	296-14582-2-ND	Register-Transceiver, Tri-State, 8-Bit	Tri-State 8-Bit Register Transceiver.	24-SSOP		825.44/2,500	
CY74FCT821ATQCT	296-14583-1-ND	Bus-Schnittstellen-Flip-Flop, Tri-State, 10-Bit	Tri-State 10-Bit Bus Interface Flip-Flop	24-SSOP	.61	.46	.35
CY74FCT821ATQCT	296-14583-2-ND	Bus-Schnittstellen-Flip-Flop, Tri-State, 10-Bit	Tri-State 10-Bit Bus Interface Flip-Flop	24-SSOP		495.26/2,500	
CY74FCT821BTPC	296-14584-5-ND	Bus-Schnittstellen-Flip-Flop, Tri-State, 10-Bit	Tri-State 10-Bit Bus Interface Register	24-Dip	.89	.75	.60

(Forts.)

★ RUFEN SIE BITTE AN FÜR NIEDRIGERE PREISE BEI GRÖSSEREN MENGEN! ★

T. I. Teilenr.	Digi-Key Teilenr.	Beschreibung		Paket	Stückpreis★ 1	25	100
CY74FCT821CTQCT	296-14585-1-ND	Bus-Schnittstellen-Register, Tri-State, 10-Bit	Tri-State 10-Bit Bus Interface Register	24-SSOP	.61	.46	.35
CY74FCT821CTQCT	296-14585-2-ND	Bus-Schnittstellen-Register, Tri-State, 10-Bit	Tri-State 10-Bit Bus Interface Register	24-SSOP		495.26/2,500	
CY74FCT827ATSOC	296-9443-5-ND	Puffer, Tri-State, 10-Bit	Tri-State 10-Bit Buffer	24-SOP	.61	.46	.35
CY74FCT827CTQCT	296-15180-1-ND	Puffer, Tri-State, 10-Bit	Tri-State 10-Bit Buffer	24-SSOP	.61	.46	.35
CY74FCT827CTQCT	296-15180-2-ND	Puffer, Tri-State, 10-Bit	Tri-State 10-Bit Buffer	24-SSOP		495.26/2,500	
CY74FCT827CTSOCT	296-12845-5-ND	Puffer, Tri-State, 10-Bit	Tri-State 10-Bit Buffer	24-SOIC	.61	.46	.35
CY74FCT2244ATQCT	296-14566-1-ND	Puffer-/Leitungstreiber, Tri-State, 8-Bit	Tri-State 8-Bit Buffer/Line Driver	20-SSOP	.61	.46	.35
CY74FCT2244ATQCT	296-14566-2-ND	Puffer-/Leitungstreiber, Tri-State, 8-Bit	Tri-State 8-Bit Buffer/Line Driver	20-SSOP		495.26/2,500	
CY74FCT2244CTQCT	296-14567-1-ND	Puffer-/Leitungstreiber, Tri-State, 8-Bit	Tri-State 8-Bit Buffer/Line Driver	20-SSOP	.61	.46	.35
CY74FCT2244CTQCT	296-14567-2-ND	Puffer-/Leitungstreiber, Tri-State, 8-Bit	Tri-State 8-Bit Buffer/Line Driver	20-SSOP		495.26/2,500	
CY74FCT2245ATQCT	296-12974-1-ND	Achtf. Bus-Transceiver, Tri-State	Tri-State Octal Bus Transceiver	20-QSOP	.61	.46	.35
CY74FCT2245ATQCT	296-12974-2-ND	Achtf. Bus-Transceiver, Tri-State	Tri-State Octal Bus Transceiver	20-QSOP		495.26/2,500	
CY74FCT2245TSOCT	296-14568-1-ND	Achtf. Bus-Transceiver, Tri-State	Tri-State Octal Bus Transceiver	20-SOIC	.61	.46	.35
CY74FCT2245TSOCT	296-14568-2-ND	Achtf. Bus-Transceiver, Tri-State	Tri-State Octal Bus Transceiver	20-SOIC		404.67/2,000	
CY74FCT2245TSOC	296-9439-5-ND	Achtf. Bus-Transceiver, Tri-State	Tri-State Octal Bus Transceiver	20-SOIC	.61	.46	.35
CY74FCT2257ATQCT	296-14005-1-ND	Vierf. Multiplexer, 2 Eingänge, Tri-State	Tri-State Quad 2-Input Mux	16-QSOP	1.42	1.14	.86
CY74FCT2257ATQCT	296-14005-2-ND	Vierf. Multiplexer, 2 Eingänge, Tri-State	Tri-State Quad 2-Input Mux	16-QSOP		1815.96/2,500	
CY74FCT2373CTSOC	296-12975-5-ND	Achtf. transparenter Latch, Tri-State	Tri-State Octal Transparent Latch	20-SOIC	.61	.46	.35
CY74FCT2541ATQCT	296-14007-1-ND	Puffer-/Leitungstreiber, Tri-State, 8-Bit	Tri-State 8-Bit Buffer/Line Driver	20-SSOP	.61	.46	.35
CY74FCT2541ATQCT	296-14007-2-ND	Puffer-/Leitungstreiber, Tri-State, 8-Bit	Tri-State 8-Bit Buffer/Line Driver	20-SSOP		495.26/2,500	
CY74FCT2574ATQCT	296-13635-5-ND	Achtf. HS-D-Flip-Flop, Tri-State, NL	Tri-State High Speed, LP, Octal D-Type F/F	20-QSOP	.61	.46	.35
CY74FCT2652ATQCT	296-13698-1-ND	Tri-St., Transceiver mit Register, 8-Bit	Tri-St. 8-Bit Registered Transceiver	24-QSOP	1.69	1.36	1.02
CY74FCT2652ATQCT	296-13698-2-ND	Tri-St., Transceiver mit Register, 8-Bit	Tri-St. 8-Bit Registered Transceiver	24-QSOP		2654.09/2,500	
CY74FCT2827ATQCT	296-14166-1-ND	Puffer, Tri-State, 10-Bit	Tri-State 10-Bit Buffer	24-SSOP	1.69	1.36	1.02
CY74FCT2827ATQCT	296-14166-2-ND	Puffer, Tri-State, 10-Bit	Tri-State 10-Bit Buffer	24-SSOP		2167.30/2,500	
CY74FCT16244ATPACT	296-14306-1-ND	Puffer/Leitungstreiber, 16-Bit	16-Bit Buffer/Line Driver	48-TSSOP	1.14	.96	.77
CY74FCT16244ATPACT	296-14306-2-ND	Puffer/Leitungstreiber, 16-Bit	16-Bit Buffer/Line Driver	48-TSSOP		1014.23/2,000	
CY74FCT16245ATPACT	296-16761-1-ND	Bus-Transceiver, Tri-State, 16-Bit	Tri-State 16-Bit Bus Transceiver	48-TSSOP	1.14	.96	.77
CY74FCT16245ATPACT	296-16761-2-ND	Bus-Transceiver, Tri-State, 16-Bit	Tri-State 16-Bit Bus Transceiver	48-TSSOP		1014.23/2,000	
CY74FCT16373CTPACT	296-13619-1-ND	Transp. D-Latch, Tri-State, 16-Bit	Tri-State 16-Bit Transparent D-Type Latch	48-TSSOP	1.14	.96	.77
CY74FCT16373CTPACT	296-13619-2-ND	Transp. D-Latch, Tri-State, 16-Bit	Tri-State 16-Bit Transparent D-Type Latch	48-TSSOP		1013.38/2,000	
CY74FCT16373CTPVC	296-12687-5-ND	Transp. D-Latch-Flip-Flop, Tri-State, 16-Bit	Tri-State 16-Bit, Transparent D-Type Latch Flip-Flop	48-SSOP	1.14	.96	.77
CY74FCT16374CTPACT	296-12688-1-ND	D-Flip-Flop, Tri-State, 16-Bit	Tri-State 16-Bit D-Type Flip-Flop	48-TSSOP	1.14	.96	.77
CY74FCT16374CTPACT	296-12688-2-ND	D-Flip-Flop, Tri-State, 16-Bit	Tri-State 16-Bit D-Type Flip-Flop	48-TSSOP		1014.23/2,000	
CY74FCT16374TPVC	296-12273-5-ND	D-Flip-Flop, Tri-State, 16-Bit	Tri-State 16-Bit D-Type Flip-Flop	48-SSOP	1.14	.96	.77
CY74FCT16543ATPACT	296-12973-1-ND	Tri-St., Transceiver mit Register, 16-Bit	Tri-St. 16-Bit Registered Transceiver	56-TSSOP	1.17	.94	.70
CY74FCT16543ATPACT	296-12973-2-ND	Tri-St., Transceiver mit Register, 16-Bit	Tri-St. 16-Bit Registered Transceiver	56-TSSOP		1210.64/2,000	
CY74FCT16827CTPACT	296-15309-1-ND	Puffer/Leitungstreiber, 20-Bit	20-Bit Buffer/Line Driver	56-TSSOP	1.17	.94	.70
CY74FCT16827CTPACT	296-15309-2-ND	Puffer/Leitungstreiber, 20-Bit	20-Bit Buffer/Line Driver	56-TSSOP		2003.06/2,000	
CY74FCT162244TPVCT	296-14564-1-ND	Puffer/Leitungstreiber, 16-Bit	16-Bit Buffer/Line Driver	48-SSOP	1.14	.96	.77
CY74FCT162244TPVCT	296-14564-2-ND	Puffer/Leitungstreiber, 16-Bit	16-Bit Buffer/Line Driver	48-SSOP		507.11/1,000	
CY74FCT162245CTPVC	296-12551-5-ND	Bus-Transceiver, Tri-State, 16-Bit	Tri-State 16-Bit Bus Transceiver	48-SSOP	1.14	.96	.77
		Zukünftige Bus-Gruppe					
SN74FB2031RC	296-1560-5-ND	Adress-/Daten-Transceiver, 9-Bit	9-Bit Address/Data Transceiver	52-QFP	7.54	6.80	6.03
SN74FB2033ARC	296-1561-5-ND	Transceiver, 8-Bit	8-Bit Transceiver	52-QFP	7.75	6.99	6.20
SN74FB2033KRC	296-3605-ND	TTL/BTL-Transceiver mit Register, 8-Bit	8-Bit TTL/BTL Registered Transceiver	52-QFP	8.75	7.88	6.99
SN74FB2040RC	296-3606-ND	TTL/BTL-Transceiver, 8-Bit	8-Bit TTL/BTL Transceiver	52-QFP	8.11	7.31	6.48
SN74FB2041ARC	296-3607-ND	TTL/BTL-Transceiver, 7-Bit	7-Bit TTL/BTL Transceiver	52-QFP	8.11	7.31	6.48
		GTL-Gruppe					
SN74GTL2006PWR	296-17670-1-ND	GTL-LVTTL-Umsetzer, 13-Bit	13-Bit GTL-LVTTL Translator	28-TSSOP	1.59	1.27	.96
SN74GTL2006PWR	296-17670-2-ND	GTL-LVTTL-Umsetzer, 13-Bit	13-Bit GTL-LVTTL Translator	28-TSSOP		1650.87/2,000	
SN74GTL1655DGGR	296-1184-1-ND	Universal-Bus-Transceiver, 16-Bit	16-Bit Universal Bus Transceiver	64-TSSOP	8.60	7.75	6.87
SN74GTL1655DGGR	296-1184-2-ND	Universal-Bus-Transceiver, 16-Bit	16-Bit Universal Bus Transceiver	64-TSSOP		12756.57/2,000	
SN74GTL16612DGGR	296-9808-1-ND	Universal-Bus-Transceiver, 18-Bit	18-Bit Universal Bus Transceiver	56-TSSOP	5.59	4.47	3.78
SN74GTL16612DGGR	296-9808-2-ND	Universal-Bus-Transceiver, 18-Bit	18-Bit Universal Bus Transceiver	56-TSSOP		6984.45/2,000	
SN74GTL16612DL	296-9809-5-ND	Universal-Bus-Transceiver, 18-Bit	18-Bit Universal Bus Transceiver	56-SSOP	5.59	4.47	3.78
SN74GTL16616DGGR	296-1185-1-ND	Universal-Bus-Transceiver, 17-Bit	17-Bit Universal Bus Transceiver	56-TSSOP	7.62	6.10	5.15
SN74GTL16616DGGR	296-1185-2-ND	Universal-Bus-Transceiver, 17-Bit	17-Bit Universal Bus Transceiver	56-TSSOP		11920.13/2,000	
SN74GTL16616DLR	296-9810-1-ND	Universal-Bus-Transceiver, 17-Bit	17-Bit Universal Bus Transceiver	56-SSOP	7.62	6.10	5.15
SN74GTL16616DLR	296-9810-2-ND	Universal-Bus-Transceiver, 17-Bit	17-Bit Universal Bus Transceiver	56-SSOP		5960.06/1,000	
SN74GTL16622ADGGR	296-1186-1-ND	Bus-Transceiver, 18-Bit	18-Bit Bus Transceiver	64-TSSOP	7.69	6.93	6.14
SN74GTL16622ADGGR	296-1186-2-ND	Bus-Transceiver, 18-Bit	18-Bit Bus Transceiver	64-TSSOP		11396.93/2,000	
SN74GTL16923DGGR	296-9811-1-ND	Universal-Bus-Transceiver, 18-Bit	18-Bit Universal Bus Transceiver	64-TSSOP	7.54	6.80	6.03
SN74GTL16923DGGR	296-9811-2-ND	Universal-Bus-Transceiver, 18-Bit	18-Bit Universal Bus Transceiver	64-TSSOP		11186.97/2,000	
		GTLP-Gruppe					
SN74GTLP817DGVR	296-13205-1-ND	1-zu-6 Fanout-Treiber, GTLP-zu-LVTTL	GTLP-to-LVTTL 1-to-6 Fanout Driver	24-TVSOP	3.34	2.67	2.08
SN74GTLP817DGVR	296-13205-2-ND	1-zu-6 Fanout-Treiber, GTLP-zu-LVTTL	GTLP-to-LVTTL 1-to-6 Fanout Driver	24-TVSOP		3777.53/2,000	
SN74GTLP817DWR	296-12338-1-ND	1-zu-6 Fanout-Treiber, GTLP-zu-LVTTL	GTLP-to-LVTTL 1-to-6 Fanout Driver	24-SOIC	3.34	2.67	2.08
SN74GTLP817DWR	296-12338-2-ND	1-zu-6 Fanout-Treiber, GTLP-zu-LVTTL	GTLP-to-LVTTL 1-to-6 Fanout Driver	24-SOIC		3777.53/2,000	
SN74GTLP817PWR	296-12339-1-ND	1-zu-6 Fanout-Treiber, GTLP-zu-LVTTL	GTLP-to-LVTTL 1-to-6 Fanout Driver	24-TSSOP	3.34	2.67	2.08
SN74GTLP817PWR	296-12339-2-ND	1-zu-6 Fanout-Treiber, GTLP-zu-LVTTL	GTLP-to-LVTTL 1-to-6 Fanout Driver	24-TSSOP		3777.53/2,000	
SN74GTLP1394DGVR	296-9812-1-ND	Bus-Transceiver, 2-Bit	2-Bit Bus Transceiver	16-TVSOP	2.19	1.76	1.37
SN74GTLP1394DGVR	296-9812-2-ND	Bus-Transceiver, 2-Bit	2-Bit Bus Transceiver	16-TVSOP		2482.23/2,000	
SN74GTLP1394DR	296-9813-1-ND	Bus-Transceiver, 2-Bit	2-Bit Bus Transceiver	16-SOIC	2.19	1.76	1.37
SN74GTLP1394DR	296-9813-2-ND	Bus-Transceiver, 2-Bit	2-Bit Bus Transceiver	16-SOIC		3066.81/2,500	
SN74GTLP1394PWR	296-9814-1-ND	Bus-Transceiver, 2-Bit	2-Bit Bus Transceiver	16-TSSOP	2.19	1.76	1.37
SN74GTLP1394PWR	296-9814-2-ND	Bus-Transceiver, 2-Bit	2-Bit Bus Transceiver	16-TSSOP		2482.23/2,000	
SN74GTLP1395DGVR	296-12465-1-ND	Zweif. Bus-Transcvr., LVTTL-zu-GTLP, 1-Bit, mit geteiltem LVTTL-Port	Dual 1-Bit LVTTL-to-GTLP Bus Transcvr. with Split LVTTL Port	20-TVSOP	2.38	1.91	1.49
SN74GTLP1395DGVR	296-12465-2-ND	Zweif. Bus-Transcvr., LVTTL-zu-GTLP, 1-Bit, mit geteiltem LVTTL-Port	Dual 1-Bit LVTTL-to-GTLP Bus Transcvr. with Split LVTTL Port	20-TVSOP		2698.96/2,000	
SN74GTLP1395DWR	296-12466-1-ND	Zweif. Bus-Transcvr., LVTTL-zu-GTLP, 1-Bit, mit geteiltem LVTTL-Port	Dual 1-Bit LVTTL-to-GTLP Bus Transcvr. with Split LVTTL Port	20-SOIC	2.38	1.91	1.49
SN74GTLP1395DWR	296-12466-2-ND	Zweif. Bus-Transcvr., LVTTL-zu-GTLP, 1-Bit, mit geteiltem LVTTL-Port	Dual 1-Bit LVTTL-to-GTLP Bus Transcvr. with Split LVTTL Port	20-SOIC		2698.96/2,000	
SN74GTLP1395GQNR	296-13189-1-ND	Zweif. Bus-Transcvr., LVTTL-zu-GTLP, 1-Bit, mit geteiltem LVTTL-Port	Dual 1-Bit LVTTL-to-GTLP Bus Transcvr. with Split LVTTL Port	20-VFBGA	2.67	2.14	1.66
SN74GTLP1395GQNR	296-13189-2-ND	Zweif. Bus-Transcvr., LVTTL-zu-GTLP, 1-Bit, mit geteiltem LVTTL-Port	Dual 1-Bit LVTTL-to-GTLP Bus Transcvr. with Split LVTTL Port	20-VFBGA		1511.18/1,000	
SN74GRLP1395PWR	296-12467-1-ND	Zweif. Bus-Transcvr., LVTTL-zu-GTLP, 1-Bit, mit geteiltem LVTTL-Port	Dual 1-Bit LVTTL-to-GTLP Bus Transcvr. with Split LVTTL Port	20-TSSOP	2.38	1.91	1.49
SN74GRLP1395PWR	296-12467-2-ND	Zweif. Bus-Transcvr., LVTTL-zu-GTLP, 1-Bit, mit geteiltem LVTTL-Port	Dual 1-Bit LVTTL-to-GTLP Bus Transcvr. with Split LVTTL Port	20-TSSOP		2698.96/2,000	
SN74GTLP2033DGGR	296-12468-1-ND	Transceiver mit Register, LVTTL-zu-GTLP, 8-Bit	8-Bit LVTTL-to-GTLP Registered Transceiver	48-TSSOP	4.66	3.73	3.15
SN74GTLP2033DGGR	296-12468-2-ND	Transceiver mit Register, LVTTL-zu-GTLP, 8-Bit	8-Bit LVTTL-to-GTLP Registered Transceiver	48-TSSOP		5821.22/2,000	
SN74GTLP2033DGVR	296-12469-1-ND	Transceiver mit Register, LVTTL-zu-GTLP, 8-Bit	8-Bit LVTTL-to-GTLP Registered Transceiver	48-TVSOP	4.66	3.73	3.15
SN74GTLP2033DGVR	296-12469-2-ND	Transceiver mit Register, LVTTL-zu-GTLP, 8-Bit	8-Bit LVTTL-to-GTLP Registered Transceiver	48-TVSOP		5821.22/2,000	
SN74GTLP2033GQLR	296-13190-1-ND	Transceiver mit Register und geteiltem LVTTL-Port /Inverter, einstellbare Flankenrate, LVTTL-zu-GTLP, 8-Bit	8-Bit LVTTL-to-GTLP Adj.-Edge-Rate Register Transcvr w/Split LVTTL Port/Inverter	56-VFBGA	4.91	3.93	3.32
SN74GTLP2033GQLR	296-13190-2-ND	Transceiver mit Register und geteiltem LVTTL-Port /Inverter, einstellbare Flankenrate, LVTTL-zu-GTLP, 8-Bit	8-Bit LVTTL-to-GTLP Adj.-Edge-Rate Register Transcvr w/Split LVTTL Port/Inverter	56-VFBGA		3068.93/1,000	
SN74GTLP2034DGGR	296-13191-1-ND	Transceiver mit Register und geteiltem LVTTL-Port, einstellbare Flankenrate, LVTTL-zu-GTLP, 8-Bit	8-Bit LVTTL-to-GTLP Adj-Edge-Rate Register Transcvr with Split LVTTL Port	48-TSSOP	4.66	3.73	3.15
SN74GTLP2034DGGR	296-13191-2-ND	Transceiver mit Register und geteiltem LVTTL-Port, einstellbare Flankenrate, LVTTL-zu-GTLP, 8-Bit	8-Bit LVTTL-to-GTLP Adj-Edge-Rate Register Transcvr with Split LVTTL Port	48-TSSOP		5821.22/2,000	
SN74GTLP2034DGVR	296-13192-1-ND	Transceiver mit Register und geteiltem LVTTL-Port, einstellbare Flankenrate, LVTTL-zu-GTLP, 8-Bit	8-Bit LVTTL-to-GTLP Adj-Edge-Rate Register Transcvr with Split LVTTL Port	48-TVSOP	4.66	3.73	3.15
SN74GTLP2034DGVR	296-13192-2-ND	Transceiver mit Register und geteiltem LVTTL-Port, einstellbare Flankenrate, LVTTL-zu-GTLP, 8-Bit	8-Bit LVTTL-to-GTLP Adj-Edge-Rate Register Transcvr with Split LVTTL Port	48-TVSOP		5821.22/2,000	
SN74GTLP2034GQLR	296-13193-1-ND	Transceiver mit Register und geteiltem LVTTL-Port, einstellbare Flankenrate, LVTTL-zu-GTLP, 8-Bit	8-Bit LVTTL-to-GTLP Adj-Edge-Rate Register Transceiver with Split LVTTL Port	56-VFBGA	4.91	3.93	3.32

(Forts.)

★ ***RUFEN SIE BITTE AN FÜR NIEDRIGERE PREISE BEI GRÖSSEREN MENGEN!*** ★

B

T. I. Teilenr.	Digi-Key Teilenr.	Beschreibung		Paket	Stückpreis★ 1	25	100
SN74GTLP2034GQLR	296-13193-2-ND	Transceiver mit Register und geteiltem LVTTL-Port, einstellbare Flankenrate, LVTTL-zu-GTLP, 8-Bit	8-Bit LVTTL-to-GTLP Adj-Edge-Rate Register Transceiver with Split LVTTL Port	56-VFBGA		3068.93/1,000	
SN74GTLP21395DGVR	296-13194-1-ND	Zweif. Bus-Transceiver mit geteiltem LVTTL-Port, LVTTL-zu-GTLP, 1-Bit	Dual 1-Bit LVTTL-to-GTLP Bus Transceiver with Split LVTTL Port	20-TVSOP	2.38	1.91	1.49
SN74GTLP21395DGVR	296-13194-2-ND	Zweif. Bus-Transceiver mit geteiltem LVTTL-Port, LVTTL-zu-GTLP, 1-Bit	Dual 1-Bit LVTTL-to-GTLP Bus Transceiver with Split LVTTL Port	20-TVSOP		2698.96/2,000	
SN74GTLP21395DWR	296-13195-1-ND	Zweif. Bus-Transceiver mit geteiltem LVTTL-Port, LVTTL-zu-GTLP, 1-Bit	Dual 1-Bit LVTTL-to-GTLP Bus Transceiver with Split LVTTL Port	20-SOIC	2.38	1.91	1.49
SN74GTLP21395DWR	296-13195-2-ND	Zweif. Bus-Transceiver mit geteiltem LVTTL-Port, LVTTL-zu-GTLP, 1-Bit	Dual 1-Bit LVTTL-to-GTLP Bus Transceiver with Split LVTTL Port	20-SOIC		2698.96/2,000	
SN74GTLP21395GQNR	296-13197-1-ND	Zweif. Bus-Transceiver mit geteiltem LVTTL-Port, LVTTL-zu-GTLP, 1-Bit	Dual 1-Bit LVTTL-to-GTLP Bus Transceiver with Split LVTTL Port	20-VFBGA	2.67	2.14	1.66
SN74GTLP21395GQNR	296-13197-2-ND	Zweif. Bus-Transceiver mit geteiltem LVTTL-Port, LVTTL-zu-GTLP, 1-Bit	Dual 1-Bit LVTTL-to-GTLP Bus Transceiver with Split LVTTL Port	20-VFBGA		1511.18/1,000	
SN74GTLP21395PWR	296-13198-1-ND	Zweif. Bus-Transceiver mit geteiltem LVTTL-Port, LVTTL-zu-GTLP, 1-Bit	Dual 1-Bit LVTTL-to-GTLP Bus Transceiver with Split LVTTL Port	20-TSSOP	2.38	1.91	1.49
SN74GTLP21395PWR	296-13198-2-ND	Zweif. Bus-Transceiver mit geteiltem LVTTL-Port, LVTTL-zu-GTLP, 1-Bit	Dual 1-Bit LVTTL-to-GTLP Bus Transceiver with Split LVTTL Port	20-TSSOP		2698.96/2,000	
SN74GTLP22033DGGR	296-13199-1-ND	Transceiver mit Register, geteiltem LVTTL-Port und Inverter, einstellbare Flankenrate, LVTTL-zu-GTLP, 8-Bit	8-Bit LVTTL-GTLP Adj.-Edge Rate Registered Transceiver with Split LVTTL Port and Inverter	48-TSSOP	4.66	3.73	3.15
SN74GTLP22033DGGR	296-13199-2-ND	Transceiver mit Register, geteiltem LVTTL-Port und Inverter, einstellbare Flankenrate, LVTTL-zu-GTLP, 8-Bit	8-Bit LVTTL-GTLP Adj.-Edge Rate Registered Transceiver with Split LVTTL Port and Inverter	48-TSSOP		5821.22/2,000	
SN74GTLP22033DGVR	296-13200-1-ND	Transceiver mit Register und geteiltem LVTTL-Port, einstellbare Flankenrate, LVTTL-zu-GTLP, 8-Bit	8-Bit LVTTL-GTLP Adj.-Edge Rate Registered Transceiver with Split LVTTL Port	48-TVSOP	4.66	3.73	3.15
SN74GTLP22033DGVR	296-13200-2-ND	Transceiver mit Register und geteiltem LVTTL-Port, einstellbare Flankenrate, LVTTL-zu-GTLP, 8-Bit	8-Bit LVTTL-GTLP Adj.-Edge Rate Registered Transceiver with Split LVTTL Port	48-TVSOP		5821.22/2,000	
SN74GTLP22033GQLR	296-13201-1-ND	Transceiver mit Register und geteiltem LVTTL-Port, einstellbare Flankenrate, LVTTL-zu-GTLP, 8-Bit	8-Bit LVTTL-GTLP Adj.-Edge Rate Registered Transceiver with Split LVTTL Port	56-VFBGA	4.91	3.93	3.32
SN74GTLP22033GQLR	296-13201-2-ND	Transceiver mit Register und geteiltem LVTTL-Port, einstellbare Flankenrate, LVTTL-zu-GTLP, 8-Bit	8-Bit LVTTL-GTLP Adj.-Edge Rate Registered Transceiver with Split LVTTL Port	56-VFBGA		3068.93/1,000	
SN74GTLP22034DGGR	296-13202-1-ND	Transceiver mit Register und geteiltem LVTTL-Port, einstellbare Flankenrate, LVTTL-zu-GTLP, 8-Bit	8-Bit LVTTL-GTLP Adj.-Edge-Rate Register Transcvr w/Split LVTTL Port	48-TSSOP	4.66	3.73	3.15
SN74GTLP22034DGGR	296-13202-2-ND	Transceiver mit Register und geteiltem LVTTL-Port, einstellbare Flankenrate, LVTTL-zu-GTLP, 8-Bit	8-Bit LVTTL-GTLP Adj.-Edge-Rate Register Transcvr w/Split LVTTL Port	48-TSSOP		5821.22/2,000	
SN74GTLP22034DGVR	296-13203-1-ND	Transceiver mit Register und geteiltem LVTTL-Port, einstellbare Flankenrate, LVTTL-zu-GTLP, 8-Bit	8-Bit LVTTL-GTLP Adj.-Edge-Rate Register Transcvr w/Split LVTTL Port	48-TVSOP	4.66	3.73	3.15
SN74GTLP22034DGVR	296-13203-2-ND	Transceiver mit Register und geteiltem LVTTL-Port, einstellbare Flankenrate, LVTTL-zu-GTLP, 8-Bit	8-Bit LVTTL-GTLP Adj.-Edge-Rate Register Transcvr w/Split LVTTL Port	48-TVSOP		5821.22/2,000	
SN74GTLP22034GQLR	296-13204-1-ND	Transceiver mit Register und geteiltem LVTTL-Port, einstellbare Flankenrate, LVTTL-zu-GTLP, 8-Bit	8-Bit LVTTL-GTLP Adj.-Edge-Rate Register Transcvr w/Split LVTTL Port	56-VFBGA	4.66	3.73	3.15
SN74GTLP22034GQLR	296-13204-2-ND	Transceiver mit Register und geteiltem LVTTL-Port, einstellbare Flankenrate, LVTTL-zu-GTLP, 8-Bit	8-Bit LVTTL-GTLP Adj.-Edge-Rate Register Transcvr w/Split LVTTL Port	56-VFBGA		2910.61/1,000	
		GTLPH-Gruppe					
SN74GTLPH306DGVR	296-13212-1-ND	Bus-Transceiver, LVTTL-GTLP, 8-Bit	8-Bit LVTTL-GTLP Bus Transceiver	24-TVSOP	3.43	2.75	2.14
SN74GTLPH306DGVR	296-13212-2-ND	Bus-Transceiver, LVTTL-GTLP, 8-Bit	8-Bit LVTTL-GTLP Bus Transceiver	24-TVSOP		3885.89/2,000	
SN74GTLPH306DWR	296-12341-1-ND	Bus-Transceiver, LVTTL-GTLP, 8-Bit	8-Bit LVTTL-GTLP Bus Transceiver	24-SOIC	3.43	2.75	2.14
SN74GTLPH306DWR	296-12341-2-ND	Bus-Transceiver, LVTTL-GTLP, 8-Bit	8-Bit LVTTL-GTLP Bus Transceiver	24-SOIC		3885.89/2,000	
SN74GTLPH1612DGGR	296-13206-1-ND	Universal-Bus-Transceiver, LVTTL-GTLP, einstellbare Flankenrate, 18-Bit	18-Bit LVTTL-GTLP Adj.-Edge-Rate Universal Bus Transceiver	64-TSSOP	7.20	5.76	4.86
SN74GTLPH1612DGGR	296-13206-2-ND	Universal-Bus-Transceiver, LVTTL-GTLP, einstellbare Flankenrate, 18-Bit	18-Bit LVTTL-GTLP Adj.-Edge-Rate Universal Bus Transceiver	64-TSSOP		8995.97/2,000	
SN74GTLPH1616DGGR	296-11932-1-ND	Universal-Bus-Transceiver, 17-Bit	17-Bit Universal Bus Transceiver	64-TSSOP	7.20	5.76	4.86
SN74GTLPH1616DGGR	296-11932-2-ND	Universal-Bus-Transceiver, 17-Bit	17-Bit Universal Bus Transceiver	64-TSSOP		8995.97/2,000	
SN74GTLPH1627DGGR	296-15555-1-ND	Bus-Transceiver, LVTTL-GTLP, 18-Bit	18-Bit LVTTL-GTLP Bus Transceiver	64-TSSOP	6.35	5.08	4.29
SN74GTLPH1627DGGR	296-15555-2-ND	Bus-Transceiver, LVTTL-GTLP, 18-Bit	18-Bit LVTTL-GTLP Bus Transceiver	64-TSSOP		7937.72/2,000	
SN74GTLPH1645DGGR	296-12470-1-ND	Bus-Transceiver, LVTTL-GTLP, 16-Bit	16-Bit LVTTL-GTLP Bus Transceiver	56-TSSOP	3.34	2.67	2.08
SN74GTLPH1645DGGR	296-12470-2-ND	Bus-Transceiver, LVTTL-GTLP, 16-Bit	16-Bit LVTTL-GTLP Bus Transceiver	56-TSSOP		3777.53/2,000	
SN74GTLPH1645DGVR	296-12471-1-ND	Bus-Transceiver, LVTTL-GTLP, 16-Bit	16-Bit LVTTL-GTLP Bus Transceiver	56-TVSOP	3.34	2.67	2.08
SN74GTLPH1645DGVR	296-12471-2-ND	Bus-Transceiver, LVTTL-GTLP, 16-Bit	16-Bit LVTTL-GTLP Bus Transceiver	56-TVSOP		3777.53/2,000	
SN74GTLPH1645GQLR	296-12663-1-ND	Bus-Transceiver, LVTTL-GTLP, 16-Bit	16-Bit LVTTL-GTLP Bus Transceiver	56-VFBGA	3.81	3.05	2.38
SN74GTLPH1645GQLR	296-12663-2-ND	Bus-Transceiver, LVTTL-GTLP, 16-Bit	16-Bit LVTTL-GTLP Bus Transceiver	56-VFBGA		2158.83/1,000	
SN74GTLPH1655DGGR	296-12340-1-ND	Universal-Bus-Transceiver, LVTTL-GTLP, einstellbare Flankenrate, 16-Bit	16-Bit LVTTL-GTLP Adj.-Edge-Rate Universal Bus Transceiver	64-TSSOP	7.20	5.76	4.86
SN74GTLPH1655DGGR	296-12340-2-ND	Universal-Bus-Transceiver, LVTTL-GTLP, einstellbare Flankenrate, 16-Bit	16-Bit LVTTL-GTLP Adj.-Edge-Rate Universal Bus Transceiver	64-TSSOP		8995.97/2,000	
SN74GTLPH3245GKFR	296-13213-1-ND	Bus-Transceiver, LVTTL-GTLP, einstellbare Flankenrate, 32-Bit	32-Bit LVTTL-GTLP Adj.-Edge-Rate Bus Transceiver	114-LFBGA	4.49	3.59	3.03
SN74GTLPH3245GKFR	296-13213-2-ND	Bus-Transceiver, LVTTL-GTLP, einstellbare Flankenrate, 32-Bit	32-Bit LVTTL-GTLP Adj.-Edge-Rate Bus Transceiver	114-LFBGA		2804.79/1,000	
SN74GTLPH16612DLR	296-9815-1-ND	Universal-Bus-Transceiver, 18-Bit	18-Bit Universal Bus Transceiver	56-SSOP	5.59	4.47	3.78
SN74GTLPH16612DLR	296-9815-2-ND	Universal-Bus-Transceiver, 18-Bit	18-Bit Universal Bus Transceiver	56-SSOP		3492.23/1,000	
SN74GTLPH16612GR	296-9816-1-ND	Universal-Bus-Transceiver, 18-Bit	18-Bit Universal Bus Transceiver	56-TSSOP	5.16	4.14	3.49
SN74GTLPH16612GR	296-9816-2-ND	Universal-Bus-Transceiver, 18-Bit	18-Bit Universal Bus Transceiver	56-TSSOP		6456.17/2,000	
SN74GTLPH16912GR	296-13207-1-ND	Universal-Bus-Transceiver, LVTTL-GTLP, 18-Bit	18-Bit LVTTL-GTLP Universal Bus Transceiver	56-TSSOP	5.50	4.41	3.72
SN74GTLPH16912GR	296-13207-2-ND	Universal-Bus-Transceiver, LVTTL-GTLP, 18-Bit	18-Bit LVTTL-GTLP Universal Bus Transceiver	56-TSSOP		7407.75/2,000	
SN74GTLPH16912VR	296-12256-1-ND	Universal-Bus-Transceiver, LVTTL-GTLP, 18-Bit	18-Bit LVTTL-GTLP Universal Bus Transceiver	56-TVSOP	5.50	4.41	3.72
SN74GTLPH16912VR	296-12256-2-ND	Universal-Bus-Transceiver, LVTTL-GTLP, 18-Bit	18-Bit LVTTL-GTLP Universal Bus Transceiver	56-TVSOP		7407.75/2,000	
SN74GTLPH16916GR	296-13208-1-ND	Universal-Bus-Transcvr mit gepufferten Taktausgängen, LVTTL-GTLP, 17-Bit	17-Bit LVTTL-GTLP Universal Bus Transcvr w/Buffered Clock Outputs	56-TSSOP	5.50	4.41	3.72
SN74GTLPH16916GR	296-13208-2-ND	Universal-Bus-Transcvr mit gepufferten Taktausgängen, LVTTL-GTLP, 17-Bit	17-Bit LVTTL-GTLP Universal Bus Transcvr w/Buffered Clock Outputs	56-TSSOP		7407.75/2,000	
SN74GTLPH16916VR	296-13209-1-ND	Universal-Bus-Transcvr mit gepufferten Taktausgängen, LVTTL-GTLP, 17-Bit	17-Bit LVTTL-GTLP Universal Bus Transcvr w/Buffered Clock Outputs	56-TVSOP	5.50	4.41	3.72
SN74GTLPH16916VR	296-13209-2-ND	Universal-Bus-Transcvr mit gepufferten Taktausgängen, LVTTL-GTLP, 17-Bit	17-Bit LVTTL-GTLP Universal Bus Transcvr w/Buffered Clock Outputs	56-TVSOP		7407.75/2,000	
SN74GTLPH16927GR	296-15556-1-ND	Bus-Transceiver mit Source-Sync-Taktausgang, LVTTL-GTLP, 18-Bit	18-Bit LVTTL-GTLP Bus Transceiver with Source Sync. Clock Output	56-TSSOP	5.93	4.75	4.01
SN74GTLPH16927GR	296-15556-2-ND	Bus-Transceiver mit Source-Sync-Taktausgang, LVTTL-GTLP, 18-Bit	18-Bit LVTTL-GTLP Bus Transceiver with Source Sync. Clock Output	56-TSSOP		7407.75/2,000	
SN74GTLPH16927KR	296-15557-1-ND	Bus-Transceiver mit Source-Sync-Taktausgang, LVTTL-GTLP, 18-Bit	18-Bit LVTTL-GTLP Bus Transceiver with Source Sync. Clock Output	56-VFBGA	7.20	5.76	4.86
SN74GTLPH16927KR	296-15557-2-ND	Bus-Transceiver mit Source-Sync-Taktausgang, LVTTL-GTLP, 18-Bit	18-Bit LVTTL-GTLP Bus Transceiver with Source Sync. Clock Output	56-VFBGA		4497.99/1,000	
SN74GTLPH16927VR	296-15558-1-ND	Bus-Transceiver mit Source-Sync-Taktausgang, LVTTL-GTLP, 18-Bit	18-Bit LVTTL-GTLP Bus Transceiver with Source Sync. Clock Output	56-TVSOP	7.20	5.76	4.86
SN74GTLPH16927VR	296-15558-2-ND	Bus-Transceiver mit Source-Sync-Taktausgang, LVTTL-GTLP, 18-Bit	18-Bit LVTTL-GTLP Bus Transceiver with Source Sync. Clock Output	56-TVSOP		8995.97/2,000	
SN74GTLPH16945GR	296-13210-1-ND	Bus-Transceiver, LVTTL-GTLP, 16-Bit	16-Bit LVTTL-GTLP Bus Transceiver	48-TSSOP	3.43	2.75	2.14
SN74GTLPH16945GR	296-13210-2-ND	Bus-Transceiver, LVTTL-GTLP, 16-Bit	16-Bit LVTTL-GTLP Bus Transceiver	48-TSSOP		3885.89/2,000	
SN74GTLPH16945VR	296-13211-1-ND	Bus-Transceiver, LVTTL-GTLP, 16-Bit	16-Bit LVTTL-GTLP Bus Transceiver	48-TVSOP	3.43	2.75	2.14
SN74GTLPH16945VR	296-13211-2-ND	Bus-Transceiver, LVTTL-GTLP, 16-Bit	16-Bit LVTTL-GTLP Bus Transceiver	48-TVSOP		3885.89/2,000	
SN74GTLPH32912KR	296-15559-1-ND	Bus-Transceiver, LVTTL-GTLP, 36-Bit	36-Bit LVTTL-GTLP Bus Transceiver	114-LFBGA	7.05	6.35	5.63
SN74GTLPH32912KR	296-15559-2-ND	Bus-Transceiver, LVTTL-GTLP, 36-Bit	36-Bit LVTTL-GTLP Bus Transceiver	114-LFBGA		5227.76/1,000	
SN74GTLPH32916KR	296-15560-1-ND	Bus-Transceiver mit gepuffertem Taktausgang, LVTTL-GTLP, 34-Bit	34-Bit LVTTL-GTLP Bus Transceiver w/Buffered Clock Output	114-LFBGA	7.05	6.35	5.63
SN74GTLPH32916KR	296-15560-2-ND	Bus-Transceiver mit gepuffertem Taktausgang, LVTTL-GTLP, 34-Bit	34-Bit LVTTL-GTLP Bus Transceiver w/Buffered Clock Output	114-LFBGA		5227.76/1,000	
SN74GTLPH32945KR	296-12472-1-ND	Bus-Transceiver, LVTTL-GTLP, 32-Bit	32-Bit LVTTL-GTLP Bus Transceiver	96-LFBGA	4.28	3.43	2.67
SN74GTLPH32945KR	296-12472-2-ND	Bus-Transceiver, LVTTL-GTLP, 32-Bit	32-Bit LVTTL-GTLP Bus Transceiver	96-LFBGA		2428.90/1,000	
		HC-Gruppe					
CD74HC00E	296-12769-5-ND	Vierf. NAND-Gate mit 2 Eingängen	Quad 2-Input NAND Gate	14-Dip	.54	.41	.31
CD74HC00M	296-9167-5-ND	Vierf. NAND-Gate mit 2 Eingängen	Quad 2-Input NAND Gate	14-SOIC	.41	.31	.23
CD74HC00M96	296-14504-1-ND	Vierf. NAND-Gate mit 2 Eingängen	Quad 2-Input NAND Gate	14-SOIC	.41	.31	.23
CD74HC00M96	296-14504-2-ND	Vierf. NAND-Gate mit 2 Eingängen	Quad 2-Input NAND Gate	14-SOIC		330.17/2,500	
CD74HC02E	296-12770-5-ND	Vierf. NOR-Gate mit 2 Eingängen, HS	HS, Quad 2-Input NOR Gate	14-Dip	.54	.41	.31
CD74HC03M96	296-12771-1-ND	Vierf. NAND-Gate mit 2 Eingängen und Open Drain, HS	HS, Quad 2-Input NAND Gate with Open Drain	14-SOIC	.41	.31	.23
CD74HC03M96	296-12771-2-ND	Vierf. NAND-Gate mit 2 Eingängen und Open Drain, HS	HS, Quad 2-Input NAND Gate with Open Drain	14-SOIC		330.17/2,500	
CD74HC04E	296-12772-5-ND	Sechsf. Logikinverter, HS, CMOS	HS, CMOS Logic Hex Inverter	14-Dip	.54	.41	.31
CD74HC04M	296-17318-5-ND	Sechsf. Logikinverter, HS, CMOS	HS, CMOS Logic Hex Inverter	14-SOIC	.41	.31	.23
CD74HC04M96	296-14505-1-ND	Sechsf. Logikinverter, HS, CMOS	HS, CMOS Logic Hex Inverter	14-SOIC	.41	.31	.23
CD74HC04M96	296-14505-2-ND	Sechsf. Logikinverter, HS, CMOS	HS, CMOS Logic Hex Inverter	14-SOIC		330.17/2,500	
CD74HC08E	296-12773-5-ND	Vierf. AND-Gate mit 2 Eingängen, HS	HS, Quad 2-Input AND Gate	14-Dip	.54	.41	.31
CD74HC08M	296-9169-5-ND	Vierf. AND-Gate mit 2 Eingängen, HS	HS, Quad 2-Input AND Gate	14-SOIC	.41	.31	.23
CD74HC08M96	296-14506-1-ND	Vierf. AND-Gate mit 2 Eingängen, HS	HS, Quad 2-Input AND Gate	14-SOIC	.41	.31	.23
CD74HC08M96	296-14506-2-ND	Vierf. AND-Gate mit 2 Eingängen, HS	HS, Quad 2-Input AND Gate	14-SOIC		330.17/2,500	

(Forts.)

★ RUFEN SIE BITTE AN FÜR NIEDRIGERE PREISE BEI GRÖSSEREN MENGEN! ★

T. I. Teilenr.	Digi-Key Teilenr.	Beschreibung		Paket	Stückpreis★ 1	25	100
CD74HC10E	296-12774-5-ND	Dreif. NAND-Gate mit 3 Eingängen	Triple 3-Input NAND Gate	14-Dip	.54	.41	.31
CD74HC10M	296-12775-5-ND	Dreif. NAND-Gate mit 3 Eingängen	Triple 3-Input NAND Gate	14-SOIC	.41	.31	.23
CD74HC10M96	296-14507-1-ND	Dreif. NAND-Gate mit 3 Eingängen	Triple 3-Input NAND Gate	14-SOIC	.41	.31	.23
CD74HC10M96	296-14507-2-ND	Dreif. NAND-Gate mit 3 Eingängen	Triple 3-Input NAND Gate	14-SOIC		330.17/2,500	
CD74HC11M	296-9170-5-ND	Dreif. AND-Gate mit 3 Eingängen	Triple 3-Input AND Gate	14-SOIC	.41	.31	.23
CD74HC11M96	296-12779-1-ND	Dreif. AND-Gate mit 3 Eingängen	Triple 3-Input AND Gate	14-SOIC	.41	.31	.23
CD74HC11M96	296-12779-2-ND	Dreif. AND-Gate mit 3 Eingängen	Triple 3-Input AND Gate	14-SOIC		330.17/2,500	
CD74HC14E	296-12786-5-ND	Sechsf. Schmitt-Trigger-Inverter	Hex Schmitt Trigger Inverter	14-Dip	.54	.41	.31
CD74HC14M	296-9179-5-ND	Sechsf. Schmitt-Trigger-Inverter	Hex Schmitt Trigger Inverter	14-SOIC	.41	.31	.23
CD74HC14M96	296-9179-1-ND	Sechsf. Schmitt-Trigger-Inverter	Hex Schmitt Trigger Inverter	14-SOIC	.41	.31	.23
CD74HC14M96	296-9179-2-ND	Sechsf. Schmitt-Trigger-Inverter	Hex Schmitt Trigger Inverter	14-SOIC		330.17/2,500	
CD74HC21M	296-9186-5-ND	Zweif. AND-Gate mit 4 Eingängen	Dual 4-Input AND Gate	14-SOIC	.41	.31	.23
CD74HC27E	296-12802-5-ND	Dreif. NOR-Gate mit 3 Eingängen, HS	HS Triple 3-Input NOR Gate	14-Dip	.54	.41	.31
CD74HC30E	296-9196-5-ND	NAND-Gate, 8 Eingänge	8-Input NAND Gate	14-Dip	.45	.36	.27
CD74HC30M	296-9197-5-ND	NAND-Gate, 8 Eingänge	8-Input NAND Gate	14-SOIC	.37	.30	.21
CD74HC30M96	296-14521-1-ND	NAND-Gate, 8 Eingänge	8-Input NAND Gate	14-SOIC	.39	.32	.22
CD74HC30M96	296-14521-2-ND	NAND-Gate, 8 Eingänge	8-Input NAND Gate	14-SOIC		251.86/2,500	
CD74HC32E	296-12803-5-ND	Vierf. OR-Gate, HS, CMOS-Logik mit 2 Eingängen	HS CMOS Logic Quad 2-Input OR Gate	14-Dip	.54	.41	.31
CD74HC32M	296-12804-5-ND	Vierf. OR-Gate, HS, CMOS-Logik mit 2 Eingängen	HS CMOS Logic Quad 2-Input OR Gate	14-SOIC	.41	.31	.23
CD74HC32M96	296-14522-1-ND	Vierf. OR-Gate, HS, CMOS-Logik mit 2 Eingängen	HS CMOS Logic Quad 2-Input OR Gate	14-SOIC	.41	.31	.23
CD74HC32M96	296-14522-2-ND	Vierf. OR-Gate, HS, CMOS-Logik mit 2 Eingängen	HS CMOS Logic Quad 2-Input OR Gate	14-SOIC		330.17/2,500	
CD74HC73M96	296-14540-1-ND	Zweif. JK-Flip-Flop mit Reset	Dual J-K Flip-Flop with Reset	14-SOIC	.51	.39	.29
CD74HC73M96	296-14540-2-ND	Zweif. JK-Flip-Flop mit Reset	Dual J-K Flip-Flop with Reset	14-SOIC		412.72/2,500	
CD74HC74E	296-12819-5-ND	Zweif. D-Flip-Flop	Dual D-Type Flip-Flop	14-Dip	.54	.41	.31
CD74HC74M	296-12820-5-ND	Zweif. D-Flip-Flop	Dual D-Type Flip-Flop	14-SOIC	.41	.31	.23
CD74HC74M96	296-14541-1-ND	Zweif. D-Flip-Flop	Dual D-Type Flip-Flop	14-SOIC	.41	.31	.23
CD74HC74M96	296-14541-2-ND	Zweif. D-Flip-Flop	Dual D-Type Flip-Flop	14-SOIC		330.17/2,500	
CD74HC75E	296-9240-5-ND	Zweif. bistabiler, transparenter Latch, 2-Bit	Dual 2-Bit Bistable Transparent Latch	16-Dip	.68	.51	.39
CD74HC85E	296-12821-5-ND	Größenkomparator, HS, 4-Bit	4-Bit, HS, Magnitude Comparator	16-Dip	.69	.58	.46
CD74HC85M	296-9242-5-ND	Größenkomparator, HS, 4-Bit	4-Bit, HS, Magnitude Comparator	16-SOIC	.69	.58	.46
CD74HC85M96	296-9242-1-ND	Größenkomparator, HS, 4-Bit	4-Bit, HS, Magnitude Comparator	16-SOIC	.69	.58	.46
CD74HC85M96	296-9242-2-ND	Größenkomparator, HS, 4-Bit	4-Bit, HS, Magnitude Comparator	16-SOIC		742.89/2,500	
CD74HC86E	296-12822-5-ND	Vierf. Exclusive-OR-Gate mit 2 Eingängen	Quad 2-Input Exclusive-OR Gate	14-Dip	.61	.46	.35
CD74HC93M96	296-9243-1-ND	Binärer Ripple-Zähler, 4-Bit	4-Bit Binary Ripple Counter	14-SOIC	.69	.58	.46
CD74HC93M96	296-9243-2-ND	Binärer Ripple-Zähler, 4-Bit	4-Bit Binary Ripple Counter	14-SOIC		742.89/2,500	
CD74HC112E	296-12776-5-ND	Zweif. JK-Flip-Flop mit Set und Reset, negativ	Dual, Negative, J-K Flip-Flop with Set and Reset	16-Dip	.61	.46	.35
CD74HC112M96	296-12777-1-ND	Zweif. JK-Flip-Flop mit Set und Reset, negativ	Dual, Negative, J-K Flip-Flop with Set and Reset	16-SOIC	.54	.41	.31
CD74HC112M96	296-12777-2-ND	Zweif. JK-Flip-Flop mit Set und Reset, negativ	Dual, Negative, J-K Flip-Flop with Set and Reset	16-SOIC		440.23/2,500	
CD74HC112PWR	296-12778-1-ND	Zweif. JK-Flip-Flop mit Set und Reset, negativ	Dual, Negative, J-K Flip-Flop with Set and Reset	16-TSSOP	.54	.41	.31
CD74HC112PWR	296-12778-2-ND	Zweif. JK-Flip-Flop mit Set und Reset, negativ	Dual, Negative, J-K Flip-Flop with Set and Reset	16-TSSOP		360.65/2,000	
CD74HC123E	296-9171-5-ND	Zweif. nachtriggerbare, monostabile Multivibratoren mit Reset	Dual Retriggerable Monostable Multivibrators with Reset	16-Dip	.41	.31	.23
CD74HC123M	296-9172-5-ND	Zweif. nachtriggerbare, monostabile Multivibratoren mit Reset	Dual Retriggerable Monostable Multivibrators with Reset	16-SOIC	.41	.31	.23
CD74HC123M96	296-14508-1-ND	Zweif. nachtriggerbarer, monostabiler Multivibrator mit Reset	Dual Retriggerable Monostable Multivibrator with Reset	16-SOIC	.41	.31	.23
CD74HC123M96	296-14508-2-ND	Zweif. nachtriggerbarer, monostabiler Multivibrator mit Reset	Dual Retriggerable Monostable Multivibrator with Reset	16-SOIC		330.17/2,500	
CD74HC123PWR	296-12780-1-ND	Zweif. nachtriggerbare, monostabile Multivibratoren mit Reset	Dual Retriggerable Monostable Multivibrators with Reset	16-TSSOP	.41	.31	.23
CD74HC123PWR	296-12780-2-ND	Zweif. nachtriggerbare, monostabile Multivibratoren mit Reset	Dual Retriggerable Monostable Multivibrators with Reset	16-TSSOP		270.91/2,000	
CD74HC125E	296-12781-5-ND	Vierf. Puffer, Tri-State, HS	Tri-State HS Quad Buffer	14-Dip	.61	.46	.35
CD74HC125M	296-9173-5-ND	Vierf. Puffer, Tri-State, HS	Tri-State HS Quad Buffer	14-SOIC	.54	.41	.31
CD74HC125M96	296-14509-1-ND	Vierf. Puffer, Tri-State, HS	Tri-State HS Quad Buffer	14-SOIC	.54	.41	.31
CD74HC125M96	296-14509-2-ND	Vierf. Puffer, Tri-State, HS	Tri-State HS Quad Buffer	14-SOIC		440.23/2,500	
CD74HC126E	296-12782-5-ND	Vierf. Puffer, Tri-State, HS	Tri-State HS Quad Buffer	14-Dip	.61	.46	.35
CD74HC126M	296-12783-5-ND	Vierf. Puffer, Tri-State, HS	Tri-State HS Quad Buffer	14-SOIC	.54	.41	.31
CD74HC126M96	296-14510-1-ND	Vierf. Puffer, Tri-State, HS	Tri-State HS Quad Buffer	14-SOIC	.54	.41	.31
CD74HC126M96	296-14510-2-ND	Vierf. Puffer, Tri-State, HS	Tri-State HS Quad Buffer	14-SOIC		440.23/2,500	
CD74HC132E	296-12784-5-ND	Vierf. Schmitt-Trig mit 2 Eingängen NAND-Gate	Quad 2-In Schmitt-Trig. NAND Gate	14-Dip	.61	.46	.35
CD74HC132M	296-9175-5-ND	Vierf. Schmitt-Trig mit 2 Eingängen NAND-Gate	Quad 2-In Schmitt-Trig. NAND Gate	14-SOIC	.54	.41	.31
CD74HC132M96	296-9175-1-ND	Vierf. Schmitt-Trig mit 2 Eingängen NAND-Gate	Quad 2-In Schmitt-Trig. NAND Gate	14-SOIC	.54	.41	.31
CD74HC132M96	296-9175-2-ND	Vierf. Schmitt-Trig mit 2 Eingängen NAND-Gate	Quad 2-In Schmitt-Trig. NAND Gate	14-SOIC		440.23/2,500	
CD74HC137E	296-9176-5-ND	3-8 Leitungsdekodierer/Demultiplexer, mit Adressen-Latch	3-8 Line Decoder/Demultiplexer, with Address Latch	16-Dip	.41	.31	.23
CD74HC138E	296-12785-5-ND	3-8 Leitungsdekodierer/Demux, invertierend/nicht invertierend	3-8 Line Decoder/Demux, Inverting/Non-Inverting	16-Dip	.61	.46	.35
CD74HC138M	296-9177-5-ND	3-8 Leitungsdekodierer/Demux, invertierend/nicht invertierend	3-8 Line Decoder/Demux, Inverting/Non-Inverting	16-SOIC	.54	.41	.31
CD74HC138M96	296-14511-1-ND	3-8 Leitungsdekodierer/Demux, invertierend/nicht invertierend	3-8 Line Decoder/Demux, Inverting/Non-Inverting	16-SOIC	.54	.41	.31
CD74HC138M96	296-14511-2-ND	3-8 Leitungsdekodierer/Demux, invertierend/nicht invertierend	3-8 Line Decoder/Demux, Inverting/Non-Inverting	16-SOIC		440.23/2,500	
CD74HC139M96	296-14512-1-ND	Zweif. 2-4 Leitungsdekodierer/Demux	Dual 2-4 Line Decoder/Demux	16-SOIC	.54	.41	.31
CD74HC139M96	296-14512-2-ND	Zweif. 2-4 Leitungsdekodierer/Demux	Dual 2-4 Line Decoder/Demux	16-SOIC		440.23/2,500	
CD74HC147E	296-14513-5-ND	10-4 Leitungs-Prioritäts-Encoder	10-4 Line Priority Encoder	16-Dip	.45	.34	.26
CD74HC151M96	296-12787-1-ND	Mux mit 8 Eingängen, HS, CMOS-Logik	HS CMOS Logic 8-Input Mux	16-SOIC	.54	.41	.31
CD74HC151M96	296-12787-2-ND	Mux mit 8 Eingängen, HS, CMOS-Logik	HS CMOS Logic 8-Input Mux	16-SOIC		440.23/2,500	
CD74HC154EN	296-9181-5-ND	4-16 Leitungsdekodierer/Demultiplexer	4-16 Line Decoder/Demultiplexer	24-Dip	.76	.64	.51
CD74HC154M	296-9182-5-ND	4-16 Leitungsdekodierer/Demultiplexer	4-16 Line Decoder/Demultiplexer	24-SOIC	.51	.39	.29
CD74HC164E	296-12788-5-ND	Seriell-Ein/Parallel-Aus Schieberegister, 8-Bit	8-Bit Serial-In/Parallel-Out Shift Register	14-Dip	.61	.46	.35
CD74HC164M	296-12789-5-ND	Seriell-Ein/Parallel-Aus Schieberegister, 8-Bit	8-Bit Serial-In/Parallel-Out Shift Register	14-SOIC	.54	.41	.31
CD74HC164M96	296-14514-1-ND	Seriell-Ein/Parallel-Aus Schieberegister, 8-Bit	8-Bit Serial-In/Parallel-Out Shift Register	14-SOIC	.54	.41	.31
CD74HC164M96	296-14514-2-ND	Seriell-Ein/Parallel-Aus Schieberegister, 8-Bit	8-Bit Serial-In/Parallel-Out Shift Register	14-SOIC		440.23/2,500	
CD74HC165E	296-12790-5-ND	Parallel-Ein/Seriell-Aus Schieberegister, 8-Bit	8-Bit Parallel-In/Serial-Out Shift Register	16-Dip	.61	.46	.35
CD74HC165M	296-12791-5-ND	Parallel-Ein/Seriell-Aus Schieberegister, 8-Bit	8-Bit Parallel-In/Serial-Out Shift Register	16-SOIC	.54	.41	.31
CD74HC173PWR	296-12792-1-ND	Vierf. D-Flip-Flop, Tri-State	Tri-State Quad D-Type Flip-Flop	16-TSSOP	.41	.31	.23
CD74HC173PWR	296-12792-2-ND	Vierf. D-Flip-Flop, Tri-State	Tri-State Quad D-Type Flip-Flop	16-TSSOP		270.91/2,000	
CD74HC174E	296-14515-5-ND	Sechsf. D-Flip-Flop mit Reset	Hex D-Type Flip-Flop with Reset	16-Dip	.61	.46	.35
CD74HC192PWR	296-12793-1-ND	Voreinstellbare synchrone 4-Bit-Aufwärts-/Abwärts-Zähler	Presettable Synchronous 4-Bit Up/Down Counters	16-TSSOP	.51	.39	.29
CD74HC192PWR	296-12793-2-ND	Voreinstellbare synchrone 4-Bit-Aufwärts-/Abwärts-Zähler	Presettable Synchronous 4-Bit Up/Down Counters	16-TSSOP		338.64/2,000	
CD74HC194E	296-9183-5-ND	Bidirektionales Univ.-Schieberegister, 4-Bit	4-Bit Bi-Directional Univ. Shift Register	16-Dip	.61	.46	.35
CD74HC194M	296-9185-5-ND	Bidirektionales Univ.-Schieberegister, 4-Bit	4-Bit Bi-Directional Univ. Shift Register	16-SOIC	.41	.31	.23
CD74HC194M96	296-9185-1-ND	Bidirektionales Univ.-Schieberegister, 4-Bit	4-Bit Bi-Directional Univ. Shift Register	16-SOIC	.81	.68	.55
CD74HC194M96	296-9185-2-ND	Bidirektionales Univ.-Schieberegister, 4-Bit	4-Bit Bi-Directional Univ. Shift Register	16-SOIC		330.17/2,500	
CD74HC194PWR	296-12794-1-ND	Bidirektionales Univ.-Schieberegister, 4-Bit	4-Bit Bi-Directional Univ. Shift Register	16-TSSOP	.41	.31	.23
CD74HC194PWR	296-12794-2-ND	Bidirektionales Univ.-Schieberegister, 4-Bit	4-Bit Bi-Directional Univ. Shift Register	16-TSSOP		270.91/2,000	
CD74HC195PWR	296-12795-1-ND	Parallelzugriffregister, 4-Bit	4-Bit Parallel Access Register	16-TSSOP	.78	.59	.44
CD74HC195PWR	296-12795-2-ND	Parallelzugriffregister, 4-Bit	4-Bit Parallel Access Register	16-TSSOP		518.12/2,000	
CD74HC221E	296-9187-5-ND	Zweif. Monostab. Multivibrator mit Reset, HS	HS Dual Mono Multivibrator w/Reset	16-Dip	.56	.42	.32
CD74HC221M96	296-17789-5-ND	Zweif. Monostab. Multivibrator mit Reset, HS	HS Dual Mono Multivibrator w/Reset	16-SOIC	.47	.36	.27
CD74HC221PWR	296-12796-1-ND	Zweif. Monostab. Multivibrator mit Reset, HS	HS Dual Mono Multivibrator w/Reset	16-TSSOP	.51	.39	.29
CD74HC221PWR	296-12796-2-ND	Zweif. Monostab. Multivibrator mit Reset, HS	HS Dual Mono Multivibrator w/Reset	16-TSSOP		338.64/2,000	
CD74HC237M96	296-12797-1-ND	3-8 Leitungsdekodierer-Demux mit Adressen-Latches	3-to-8 Line Decoder Demux with Address Latches	16-SOIC	.54	.41	.31
CD74HC237M96	296-12797-2-ND	3-8 Leitungsdekodierer-Demux mit Adressen-Latches	3-to-8 Line Decoder Demux with Address Latches	16-SOIC		440.23/2,500	
CD74HC237PWR	296-13813-1-ND	3-8 Leitungsdekodierer-Demux, HS, CMOS-Logik	3-to-8 Line Decoder Demux HS, CMOS Logic	16-TSSOP	.54	.41	.31
CD74HC237PWR	296-13813-2-ND	3-8 Leitungsdekodierer-Demux, HS, CMOS-Logik	3-to-8 Line Decoder Demux HS, CMOS Logic	16-TSSOP		360.65/2,000	
CD74HC238M	296-9188-5-ND	3-8 Leitungsdekodierer/Demux, invertierend/nicht invertierend	3-to-8 Line Decoder/Demux, Inverting/Non-Inverting	16-SOIC	.41	.31	.23
CD74HC238PWR	296-13814-1-ND	3-8 Leitungsdekodierer-Demux, HS, CMOS-Logik, invertierend/nicht invertierend	3-to-8 Line Decoder/Demux, HS CMOS Logic, Inverting/Non-Inverting	16-TSSOP	.41	.31	.23
CD74HC238PWR	296-13814-2-ND	3-8 Leitungsdekodierer-Demux, HS, CMOS-Logik, invertierend/nicht invertierend	3-to-8 Line Decoder/Demux, HS CMOS Logic, Inverting/Non-Inverting	16-TSSOP		270.91/2,000	

(Forts.)

★ RUFEN SIE BITTE AN FÜR NIEDRIGERE PREISE BEI GRÖSSEREN MENGEN! ★

B

T. I. Teilenr.	Digi-Key Teilenr.	Beschreibung		Paket	Stückpreis★ 1	25	100
CD74HC243M96	296-9189-1-ND	Vierf. Bus-Transceiver, Tri-State	Tri-State Quad Bus Transceiver	14-SOIC	.51	.39	.29
CD74HC243M96	296-9189-2-ND	Vierf. Bus-Transceiver, Tri-State	Tri-State Quad Bus Transceiver	14-SOIC		412.72/2,500	
CD74HC244E	296-12798-5-ND	Achtf. Puffer-/Leitungstreiber, Tri-State	Tri-State Octal Buffer/Line Driver	20-Dip	.81	.61	.46
CD74HC244M	296-12799-5-ND	Achtf. Puffer-/Leitungstreiber, Tri-State	Tri-State Octal Buffer/Line Driver	20-SOIC	.64	.49	.37
CD74HC244M96	296-14516-1-ND	Achtf. Puffer-/Leitungstreiber, Tri-State	Tri-State Octal Buffer/Line Driver	20-SOIC	.64	.49	.37
CD74HC244M96	296-14516-2-ND	Achtf. Puffer-/Leitungstreiber, Tri-State	Tri-State Octal Buffer/Line Driver	20-SOIC		428.38/2,000	
CD74HC245E	296-12800-5-ND	Achtf. Bus-Transceiver, Tri-State	Tri-State Octal Bus Transceiver	20-Dip	.81	.61	.46
CD74HC245M	296-9421-5-ND	Achtf. Bus-Transceiver, Tri-State	Tri-State Octal Bus Transceiver	20-SOIC	.64	.49	.37
CD74HC245M96	296-14517-1-ND	Achtf. Bus-Transceiver, Tri-State	Tri-State Octal Bus Transceiver	20-SOIC	.64	.49	.37
CD74HC245M96	296-14517-2-ND	Achtf. Bus-Transceiver, Tri-State	Tri-State Octal Bus Transceiver	20-SOIC		428.38/2,000	
CD74HC259M	296-9192-5-ND	Adressierbarer 8-Bit Latch	8-Bit Addressable Latch	16-SOIC	.64	.49	.37
CD74HC259M96	296-9192-1-ND	Adressierbarer 8-Bit Latch	8-Bit Addressable Latch	16-SOIC	.64	.49	.37
CD74HC259M96	296-9192-2-ND	Adressierbarer 8-Bit Latch	8-Bit Addressable Latch	16-SOIC		522.78/2,500	
CD74HC273E	296-12801-5-ND	Achtf. D-Flip-Flop mit Reset	Octal D-Type Flip-Flop with Reset	20-Dip	.81	.61	.46
CD74HC280M96	296-14518-1-ND	9-Bit Generator/Checker, gerade/ungerade Parität	9-Bit Odd/Even Parity Generator/Checker	14-SOIC	.71	.54	.40
CD74HC280M96	296-14518-2-ND	9-Bit Generator/Checker, gerade/ungerade Parität	9-Bit Odd/Even Parity Generator/Checker	14-SOIC		577.80/2,500	
CD74HC283E	296-14519-5-ND	Binärer Volladdierer mit Fast Carry, 4-Bit	4-Bit Binary Full Adder with Fast Carry	16-Dip	.52	.40	.30
CD74HC297E	296-9193-5-ND	Locked-Loop, Digitalphase	Digital Phase-Locked-Loop	16-Dip	1.85	1.48	1.11
CD74HC299E	296-9194-5-ND	Universal-Schieberegister, Tri-State, 8-Bit	Tri-State 8-Bit Universal Shift Register	20-Dip	.68	.51	.39
CD74HC299M	296-9195-5-ND	Universal-Schieberegister, Tri-State, 8-Bit	Tri-State 8-Bit Universal Shift Register	20-SOIC	.68	.51	.39
CD74HC299M96	296-14520-1-ND	Universal-Schieberegister, Tri-State, 8-Bit	Tri-State 8-Bit Universal Shift Register	20-SOIC	.68	.51	.39
CD74HC299M96	296-14520-2-ND	Universal-Schieberegister, Tri-State, 8-Bit	Tri-State 8-Bit Universal Shift Register	20-SOIC		450.39/2,000	
CD74HC354E	296-9198-5-ND	Mux/Register mit 8 Eingängen, Tri-State	Tri-State 8-Input Mux/Register	8-Dip	.75	.56	.42
CD74HC367M96	296-14523-1-ND	Sechsf. Puffer/Leitungstreiber, nicht invertierend/invertierend, Tri-State	Tri-State Hex Buffer/Line Driver, Non-Inverting/Inverting	16-SOIC	.64	.49	.37
CD74HC367M96	296-14523-2-ND	Sechsf. Puffer/Leitungstreiber, nicht invertierend/invertierend, Tri-State	Tri-State Hex Buffer/Line Driver, Non-Inverting/Inverting	16-SOIC		522.78/2,500	
CD74HC373E	296-12805-5-ND	Tri-St., Achtf. transparenter D-Latch	Tri-St. Octal Transparent D-Type Latch	20-Dip	.81	.61	.46
CD74HC373M	296-9422-5-ND	Tri-St., Achtf. transparenter D-Latch	Tri-St. Octal Transparent D-Type Latch	20-SOIC	.64	.49	.37
CD74HC373M96	296-14524-1-ND	Tri-St., Achtf. transparenter D-Latch	Tri-St. Octal Transparent D-Type Latch	20-SOIC	.64	.49	.37
CD74HC373M96	296-14524-2-ND	Tri-St., Achtf. transparenter D-Latch	Tri-St. Octal Transparent D-Type Latch	20-SOIC		428.38/2,000	
CD74HC374E	296-12806-5-ND	Achtf. D-Flip-Flop, Tri-State	Tri-State Octal D-Type Flip-Flop	20-Dip	.81	.61	.46
CD74HC374M	296-12807-5-ND	Achtf. D-Flip-Flop, Tri-State	Tri-State Octal D-Type Flip-Flop	20-SOIC	.64	.49	.37
CD74HC374M96	296-14525-1-ND	Achtf. D-Flip-Flop, Tri-State	Tri-State Octal D-Type Flip-Flop	20-SOIC	.64	.49	.37
CD74HC374M96	296-14525-2-ND	Achtf. D-Flip-Flop, Tri-State	Tri-State Octal D-Type Flip-Flop	20-SOIC		428.38/2,000	
CD74HC390E	296-9199-5-ND	Zweif. dekadischer Ripple-Zähler	Dual Decade Ripple Counter	16-Dip	.56	.42	.32
CD74HC390M96	296-14526-1-ND	Zweif. dekadischer Ripple-Zähler	Dual Decade Ripple Counter	16-SOIC	.51	.39	.29
CD74HC390M96	296-14526-2-ND	Zweif. dekadischer Ripple-Zähler	Dual Decade Ripple Counter	16-SOIC		412.72/2,500	
CD74HC423E	296-9229-5-ND	Zweif. monostabiler Retrigger-Multivibrator mit Reset	Dual Retrig. Monostable Multivibrator with Reset	16-Dip	.64	.49	.37
CD74HC540E	296-12812-5-ND	Achtf. Puffer-/Leitungstreiber, Tri-State	Tri-State Octal Buffer/Line Driver	20-Dip	.81	.61	.46
CD74HC541E	296-12813-5-ND	Achtf. Puffer-/Leitungstreiber, Tri-State	Tri-State Octal Buffer/Line Driver	20-Dip	.81	.61	.46
CD74HC541M	296-12814-5-ND	Achtf. Puffer-/Leitungstreiber, Tri-State	Tri-State Octal Buffer/Line Driver	20-SOIC	.68	.51	.39
CD74HC541M96	296-14538-1-ND	Achtf. Puffer-/Leitungstreiber, Tri-State	Tri-State Octal Buffer/Line Driver	20-SOIC	.68	.51	.39
CD74HC541M96	296-14538-2-ND	Achtf. Puffer-/Leitungstreiber, Tri-State	Tri-State Octal Buffer/Line Driver	20-SOIC		450.39/2,000	
CD74HC573E	296-12815-5-ND	Tri-St., Achtf. transparenter D-Latch	Tri-St. Octal Transparent D-Type Latch	20-Dip	.81	.61	.46
CD74HC573M96	296-12816-1-ND	Tri-St., Achtf. transparenter D-Latch	Tri-St. Octal Transparent D-Type Latch	20-SOIC	.68	.51	.39
CD74HC573M96	296-12816-2-ND	Tri-St., Achtf. transparenter D-Latch	Tri-St. Octal Transparent D-Type Latch	20-SOIC		450.39/2,000	
CD74HC574E	296-12817-5-ND	Achtf. D-Flip-Flop, Tri-State	Tri-State Octal D-Type Flip-Flop	20-Dip	.81	.61	.46
CD74HC574M	296-12818-5-ND	Achtf. D-Flip-Flop, Tri-State	Tri-State Octal D-Type Flip-Flop	20-SOIC	.68	.51	.39
CD74HC597M96	296-16704-1-ND	Schieberegister, CMOS-Logik, HS, 8-Bit	High Speed CMOS Logic 8-Bit Shift Register	16-SOIC	.89	.75	.60
CD74HC597M96	296-16704-2-ND	Schieberegister, CMOS-Logik, HS, 8-Bit	High Speed CMOS Logic 8-Bit Shift Register	16-SOIC		963.01/2,500	
CD74HC646M	296-9235-5-ND	Achtf. Bus-Transceiver/Register, Tri-State	Tri-State Octal Bus Transceiver/Register	24-SOIC	1.69	1.36	1.02
CD74HC652EN	296-14539-5-ND	Achtf. Bus-Transceiver/Register, Tri-State	Tri-State Octal Bus Transceiver/Register	24-Dip	1.27	1.02	.77
CD74HC4016E	296-9204-5-ND	Vierf. Bilateralschalter	Quad Bilateral Switch	14-Dip	.68	.51	.39
CD74HC4016M96	296-9205-1-ND	Vierf. Bilateralschalter	Quad Bilateral Switch	14-SOIC	.68	.51	.39
CD74HC4016M96	296-9205-2-ND	Vierf. Bilateralschalter	Quad Bilateral Switch	14-SOIC		550.29/2,500	
CD74HC4017M96	296-12808-1-ND	Dekadischer Zähler/Teiler, hohe Geschwindigkeit	High Speed Decade Counter/Divider	16-SOIC	.47	.36	.27
CD74HC4017M96	296-12808-2-ND	Dekadischer Zähler/Teiler, hohe Geschwindigkeit	High Speed Decade Counter/Divider	16-SOIC		385.20/2,500	
CD74HC4017PWR	296-9423-1-ND	Dekadischer Zähler/Teiler, hohe Geschwindigkeit	High Speed Decade Counter/Divider	16-TSSOP	.47	.36	.27
CD74HC4017PWR	296-9423-2-ND	Dekadischer Zähler/Teiler, hohe Geschwindigkeit	High Speed Decade Counter/Divider	16-TSSOP		314.94/2,000	
CD74HC4020M96	296-12809-1-ND	Binärzähler, HS, CMOS-Logik, 14-Bit	HS CMOS Logic 14-Bit Binary Counter	16-SOIC	.42	.34	.26
CD74HC4020M96	296-12809-2-ND	Binärzähler, HS, CMOS-Logik, 14-Bit	HS CMOS Logic 14-Bit Binary Counter	16-SOIC		315.36/2,500	
CD74HC4024E	296-9206-5-ND	Binärer 7-Phasen-Ripple-Zähler	7-Stage Binary Ripple Counter	14-Dip	.45	.34	.26
CD74HC4024M	296-9207-5-ND	Binärer 7-Phasen-Ripple-Zähler	7-Stage Binary Ripple Counter	14-SOIC	.41	.31	.23
CD74HC4040M96	296-14527-1-ND	12-Phasen-Binärzähler	12-Stage Binary Counter	16-SOIC	.54	.41	.31
CD74HC4040M96	296-14527-2-ND	12-Phasen-Binärzähler	12-Stage Binary Counter	16-SOIC		440.23/2,500	
CD74HC4046AE	296-9208-5-ND	Phase-Locked-Loop mit VCO	Phase-Locked-Loop with VCO	16-Dip	.51	.39	.29
CD74HC4046AM	296-9209-5-ND	Phase-Locked-Loop mit VCO	Phase-Locked-Loop with VCO	16-SOIC	.51	.39	.29
CD74HC4046AM96	296-14528-1-ND	Phase-Locked-Loop mit VCO	Phase-Locked-Loop with VCO	16-SOIC	.51	.39	.29
CD74HC4046AM96	296-14528-2-ND	Phase-Locked-Loop mit VCO	Phase-Locked-Loop with VCO	16-SOIC		412.72/2,500	
CD74HC4046APWR	296-9210-1-ND	Phase-Locked-Loop mit VCO	Phase-Locked-Loop with VCO	16-TSSOP	.51	.39	.29
CD74HC4046APWR	296-9210-2-ND	Phase-Locked-Loop mit VCO	Phase-Locked-Loop with VCO	16-TSSOP		338.64/2,000	
CD74HC4049E	296-9211-5-ND	Sechsf. invertierender Puffer	Hex Inverting Buffer	16-Dip	.47	.36	.27
CD74HC4049M	296-9212-5-ND	Sechsf. invertierender Puffer	Hex Inverting Buffer	16-SOIC	.47	.36	.27
CD74HC4049PWR	296-15717-1-ND	Sechsf. invertierender Puffer	Hex Inverting Buffer	16-TSSOP	.47	.36	.27
CD74HC4049PWR	296-15717-2-ND	Sechsf. invertierender Puffer	Hex Inverting Buffer	16-TSSOP		314.94/2,000	
CD74HC4050E	296-9213-5-ND	Sechsf. nicht invertierender Puffer	Hex Non-Inverting Buffer	16-Dip	.42	.34	.26
CD74HC4050M	296-9214-5-ND	Sechsf. nicht invertierender Puffer	Hex Non-Inverting Buffer	16-SOIC	.42	.34	.26
CD74HC4050M96	296-14529-1-ND	Sechsf. nicht invertierender Puffer	Hex Non-Inverting Buffer	16-SOIC	.42	.34	.26
CD74HC4050M96	296-14529-2-ND	Sechsf. nicht invertierender Puffer	Hex Non-Inverting Buffer	16-SOIC		285.73/2,500	
CD74HC4050PWR	296-9215-1-ND	Sechsf. nicht invertierender Puffer	Hex Non-Inverting Buffer	16-TSSOP	.42	.34	.26
CD74HC4050PWR	296-9215-2-ND	Sechsf. nicht invertierender Puffer	Hex Non-Inverting Buffer	16-TSSOP		237.05/2,000	
CD74HC4051E	296-12810-5-ND	Analog-Mux/Demux, HS, CMOS-Logik	HS CMOS Logic Analog Mux/Demux	16-Dip	.41	.31	.24
CD74HC4051M	296-9216-5-ND	Analog-Mux/Demux, HS, CMOS-Logik	HS CMOS Logic Analog Mux/Demux	16-SOIC	.47	.38	.28
CD74HC4051M96	296-14530-1-ND	Analog-Mux/Demux, HS, CMOS-Logik	HS CMOS Logic Analog Mux/Demux	16-SOIC	.42	.34	.26
CD74HC4051M96	296-14530-2-ND	Analog-Mux/Demux, HS, CMOS-Logik	HS CMOS Logic Analog Mux/Demux	16-SOIC		315.36/2,500	
CD74HC4051PWR	296-13031-1-ND	Analog-Mux/Demux, HS, CMOS-Logik	HS CMOS Logic Analog Mux/Demux	16-TSSOP	.42	.34	.26
CD74HC4051PWR	296-13031-2-ND	Analog-Mux/Demux, HS, CMOS-Logik	HS CMOS Logic Analog Mux/Demux	16-TSSOP		260.75/2,000	
CD74HC4052E	296-9217-5-ND	Zweif. 4-Kanal-Analog-Mux/Demux	Dual 4-Channel Analog Mux/Demux	16-Dip	.45	.34	.26
CD74HC4052M	296-9218-5-ND	Zweif. 4-Kanal-Analog-Mux/Demux	Dual 4-Channel Analog Mux/Demux	16-SOIC	.41	.31	.23
CD74HC4052M96	296-14531-1-ND	Zweif. 4-Kanal-Analog-Mux/Demux	Dual 4-Channel Analog Mux/Demux	16-SOIC	.41	.31	.23
CD74HC4052M96	296-14531-2-ND	Zweif. 4-Kanal-Analog-Mux/Demux	Dual 4-Channel Analog Mux/Demux	16-SOIC		330.17/2,500	
CD74HC4052PWR	296-17619-1-ND	Zweif. 4-Kanal-Analog-Mux/Demux	Dual 4-Channel Analog Mux/Demux	16-TSSOP	.41	.31	.23
CD74HC4052PWR	296-17619-2-ND	Zweif. 4-Kanal-Analog-Mux/Demux	Dual 4-Channel Analog Mux/Demux	16-TSSOP		270.91/2,000	
CD74HC4053E	296-9219-5-ND	Dreif. 2-Kanal-Analog-Mux/Demux	Triple 2-Channel Analog Mux/Demux	16-Dip	.47	.38	.28
CD74HC4053M	296-9220-5-ND	Dreif. 2-Kanal-Analog-Mux/Demux	Triple 2-Channel Analog Mux/Demux	16-SOIC	.42	.34	.26
CD74HC4053M96	296-14532-1-ND	Dreif. 2-Kanal-Analog-Mux/Demux	Triple 2-Channel Analog Mux/Demux	16-SOIC	.42	.34	.26
CD74HC4053M96	296-14532-2-ND	Dreif. 2-Kanal-Analog-Mux/Demux	Triple 2-Channel Analog Mux/Demux	16-SOIC		285.73/2,500	
CD74HC4053PWR	296-12111-1-ND	Dreif. 2-Kanal-Analog-Mux/Demux	Triple 2-Channel Analog Mux/Demux	16-TSSOP	.42	.34	.26
CD74HC4053PWR	296-12111-2-ND	Dreif. 2-Kanal-Analog-Mux/Demux	Triple 2-Channel Analog Mux/Demux	16-TSSOP		237.05/2,000	
CD74HC4059M96	296-9221-1-ND	Prog. Division-durch-N-Zähler, CMOS	CMOS Prog. Divide-by-N Counter	24-SOIC	2.10	1.68	1.26
CD74HC4059M96	296-9221-2-ND	Prog. Division-durch-N-Zähler, CMOS	CMOS Prog. Divide-by-N Counter	24-SOIC		2179.15/2,000	
CD74HC4060M	296-9222-5-ND	14-Phasen-Binärzähler mit Oszillator	14-Stage Binary Counter with Oscillator	16-SOIC	.41	.31	.23
CD74HC4066E	296-14533-5-ND	Vierf. Bilateralschalter	Quad Bilateral Switch	14-Dip	.41	.31	.24
CD74HC4066M	296-9224-5-ND	Vierf. Bilateralschalter	Quad Bilateral Switch	14-SOIC	.47	.38	.28
CD74HC4066M96	296-9224-1-ND	Vierf. Bilateralschalter	Quad Bilateral Switch	14-SOIC	.42	.34	.26
CD74HC4060M96	296-9224-2-ND	Vierf. Bilateralschalter	Quad Bilateral Switch	14-SOIC		315.36/2,500	

(Forts.)

★ *RUFEN SIE BITTE AN FÜR NIEDRIGERE PREISE BEI GRÖSSEREN MENGEN!* ★

T. I. Teilenr.	Digi-Key Teilenr.	Beschreibung		Paket	Stückpreis★ 1	25	100
CD74HC4066PWR	296-16703-1-ND	Vierf. HS-CMOS-Logik, bilateraler Schalter	High Speed CMOS Logic Quad Bilateral Switch	14-TSSOP	.42	.34	.26
CD74HC4066PWR	296-16703-2-ND	Vierf. HS-CMOS-Logik, bilateraler Schalter	High Speed CMOS Logic Quad Bilateral Switch	14-TSSOP		260.75/2,000	
CD74HC4067M	296-9225-5-ND	16-Kanal-Analog-Mux/Demux	16-Channel Analog Mux/Demux	24-SOIC	.61	.46	.35
CD74HC4067SM96	296-9226-1-ND	16-Kanal-Analog-Mux/Demux	16-Channel Analog Mux/Demux	24-SSOP	.75	.56	.42
CD74HC4067SM96	296-9226-2-ND	16-Kanal-Analog-Mux/Demux	16-Channel Analog Mux/Demux	24-SSOP		496.11/2,000	
CD74HC4075M	296-9227-5-ND	Dreif. OR-Gate mit 3 Eingängen	Triple 3-Input OR Gate	14-SOIC	.41	.31	.23
CD74HC4075M96	296-14534-1-ND	Dreif. OR-Gate mit 3 Eingängen	Triple 3-Input OR Gate	14-SOIC	.41	.31	.23
CD74HC4075M96	296-14534-2-ND	Dreif. OR-Gate mit 3 Eingängen	Triple 3-Input OR Gate	14-SOIC		330.17/2,500	
CD74HC4075PWR	296-9228-1-ND	Dreif. OR-Gate mit 3 Eingängen	Triple 3-Input OR Gate	14-TSSOP	.44	.33	.25
CD74HC4075PWR	296-9228-2-ND	Dreif. OR-Gate mit 3 Eingängen	Triple 3-Input OR Gate	14-TSSOP		292.92/2,000	
CD74HC4094M	296-14290-5-ND	8-Phasen-Busregister, Tri-State	Tri-State 8-Stage Bus Register	16-SOIC	.41	.31	.23
CD74HC4094M96	296-14535-1-ND	8-Phasen-Busregister, Tri-State	Tri-State 8-Stage Bus Register	16-SOIC	.41	.31	.23
CD74HC4094M96	296-14535-2-ND	8-Phasen-Busregister, Tri-State	Tri-State 8-Stage Bus Register	16-SOIC		330.17/2,500	
CD74HC4316M	296-9230-5-ND	Vierf. Analogschalter mit Stufenumsetzung	Quad Analog Switch with Level Translation	16-SOIC	.61	.46	.35
CD74HC4316M96	296-14536-1-ND	Vierf. Analogschalter mit Stufenumsetzung	Quad Analog Switch with Level Translation	16-SOIC	.61	.46	.35
CD74HC4316M96	296-14536-2-ND	Vierf. Analogschalter mit Stufenumsetzung	Quad Analog Switch with Level Translation	16-SOIC		495.26/2,500	
CD74HC4351E	296-9231-5-ND	Analog-Mux/Demux mit Latch	Analog Mux/Demux with Latch	20-Dip	.71	.60	.48
CD74HC4511E	296-14537-5-ND	BCD-zu-7 Segment-Latch/Dekodierer/Treiber	BCD-to-7 Segment Latch/Decoder/Driver	16-Dip	.68	.51	.39
CD74HC4511M	296-9232-5-ND	BCD-zu-7 Segment-Latch/Dekodierer/Treiber	BCD-to-7 Segment Latch/Decoder/Driver	16-SOIC	.64	.49	.37
CD74HC4515M	296-9233-5-ND	4-16 Leitungsdekodierer/Demux mit Eingangs-Latch	4-16 Line Decoder/Demux with Input Latch	24-SOIC	1.80	1.44	1.08
CD74HC4538E	296-12811-5-ND	Zweif. monostabiler nachtriggerbarer Präzisions-Multivibrator	Dual Retriggerable Precision Monostable Multivibrator	16-Dip	.68	.51	.39
CD74HC4538M	296-9234-5-ND	Zweif. monostabiler nachtriggerbarer Präzisions-Multivibrator	Dual Retriggerable Precision Monostable Multivibrator	16-SOIC	.61	.46	.35
CD74HC7046AE	296-9237-5-ND	PLL mit VCO/Sperrenerkennung	PLL with VCO/Lock Detector	16-Dip	1.63	1.31	.98
CD74HC7046AM	296-9238-5-ND	PLL mit VCO/Sperrenerkennung	PLL with VCO/Lock Detector	16-SOIC	1.63	1.31	.98
CD74HC7266M	296-9239-5-ND	Vierf. Exclusive-NOR-Gate, 2-Eingänge	Quad 2-Input Exclusive-NOR Gate	14-SOIC	.66	.56	.45
CD74HC40103E	296-9200-5-ND	Synchroner 8-Phasen-Abwärtszähler	8-Stage Synchronous Down Counter	16-Dip	.69	.58	.46
CD74HC40103M	296-9201-5-ND	Synchroner 8-Phasen-Abwärtszähler	8-Stage Synchronous Down Counter	16-SOIC	.69	.58	.46
CD74HC40105E	296-9202-5-ND	FIFO-Register, 4 Bit mal 16 Worte	4-Bit by 16-Word FIFO Register	16-Dip	.66	.56	.45
CD74HC40105M96	296-9203-1-ND	FIFO-Register, 4 Bit mal 16 Worte	4-Bit by 16-Word FIFO Register	16-SOIC	.66	.56	.45
CD74HC40105M96	296-9203-2-ND	FIFO-Register, 4 Bit mal 16 Worte	4-Bit by 16-Word FIFO Register	16-SOIC		715.38/2,500	
SN74HC00D	296-1187-5-ND	Vierf. NAND-Gate mit 2 Eingängen	Quad 2-Input NAND Gate	14-SOIC	.39	.32	.22
SN74HC00DR	296-1187-1-ND	Vierf. NAND-Gate mit 2 Eingängen	Quad 2-Input NAND Gate	14-SOIC	.39	.32	.22
SN74HC00DR	296-1187-2-ND	Vierf. NAND-Gate mit 2 Eingängen	Quad 2-Input NAND Gate	14-SOIC		251.86/2,500	
SN74HC00N	296-1563-5-ND	Vierf. NAND-Gate mit 2 Eingängen	Quad 2-Input NAND Gate	14-Dip	.45	.36	.27
SN74HC00NSR	296-8202-1-ND	Vierf. NAND-Gate mit 2 Eingängen	Quad 2-Input NAND Gate	14-SOP	.39	.32	.22
SN74HC00NSR	296-8202-2-ND	Vierf. NAND-Gate mit 2 Eingängen	Quad 2-Input NAND Gate	14-SOP		213.34/2,000	
SN74HC00PWR	296-8203-1-ND	Vierf. NAND-Gate mit 2 Eingängen	Quad 2-Input NAND Gate	14-TSSOP	.39	.32	.22
SN74HC00PWR	296-8203-2-ND	Vierf. NAND-Gate mit 2 Eingängen	Quad 2-Input NAND Gate	14-TSSOP		213.34/2,000	
SN74HC02D	296-1188-5-ND	Vierf. NOR-Gate mit 2 Eingängen	Quad 2-Input NOR Gate	14-SOIC	.39	.32	.22
SN74HC02DR	296-1188-1-ND	Vierf. NOR-Gate mit 2 Eingängen	Quad 2-Input NOR Gate	14-SOIC	.39	.32	.22
SN74HC02DR	296-1188-2-ND	Vierf. NOR-Gate mit 2 Eingängen	Quad 2-Input NOR Gate	14-SOIC		251.86/2,500	
SN74HC02DBR	296-8204-1-ND	Vierf. NOR-Gate mit 2 Eingängen	Quad 2-Input NOR Gate	14-SSOP	.39	.32	.22
SN74HC02DBR	296-8204-2-ND	Vierf. NOR-Gate mit 2 Eingängen	Quad 2-Input NOR Gate	14-SSOP		213.34/2,000	
SN74HC02N	296-1564-5-ND	Vierf. NOR-Gate mit 2 Eingängen	Quad 2-Input NOR Gate	14-Dip	.45	.36	.27
SN74HC02NSR	296-8205-1-ND	Vierf. NOR-Gate mit 2 Eingängen	Quad 2-Input NOR Gate	14-SOP	.39	.32	.22
SN74HC02NSR	296-8205-2-ND	Vierf. NOR-Gate mit 2 Eingängen	Quad 2-Input NOR Gate	14-SOP		213.34/2,000	
SN74HC02PWR	296-8206-1-ND	Vierf. NOR-Gate mit 2 Eingängen	Quad 2-Input NOR Gate	14-TSSOP	.39	.32	.22
SN74HC02PWR	296-8206-2-ND	Vierf. NOR-Gate mit 2 Eingängen	Quad 2-Input NOR Gate	14-TSSOP		213.34/2,000	
SN74HC03D	296-9817-5-ND	Vierf. NAND-Gate mit OD-Ausgang mit 2 Eingängen	Quad 2-In. NAND Gate with OD Output	14-SOIC	.39	.32	.22
SN74HC03DR	296-14826-1-ND	Vierf. NAND-Gate mit OD-Ausgang mit 2 Eingängen	Quad 2-In. NAND Gate with OD Output	14-SOIC	.39	.32	.22
SN74HC03DR	296-14826-2-ND	Vierf. NAND-Gate mit OD-Ausgang mit 2 Eingängen	Quad 2-In. NAND Gate with OD Output	14-SOIC		251.86/2,500	
SN74HC03N	296-8207-5-ND	Vierf. NAND-Gate mit OD-Ausgang mit 2 Eingängen	Quad 2-In. NAND Gate with OD Output	14-Dip	.45	.36	.27
SN74HC04D	296-1189-5-ND	Sechsf. Inverter	Hex Inverter	14-SOIC	.39	.32	.22
SN74HC04DR	296-1189-1-ND	Sechsf. Inverter	Hex Inverter	14-SOIC	.39	.32	.22
SN74HC04DR	296-1189-2-ND	Sechsf. Inverter	Hex Inverter	14-SOIC		251.86/2,500	
SN74HC04N	296-1566-5-ND	Sechsf. Inverter	Hex Inverter	14-Dip	.45	.36	.27
SN74HC04NSR	296-12883-1-ND	Sechsf. Inverter	Hex Inverter	14-SOP	.39	.32	.22
SN74HC04NSR	296-12883-2-ND	Sechsf. Inverter	Hex Inverter	14-SOP		213.34/2,000	
SN74HC04PWR	296-8208-1-ND	Sechsf. Inverter	Hex Inverter	14-TSSOP	.39	.32	.22
SN74HC04PWR	296-8208-2-ND	Sechsf. Inverter	Hex Inverter	14-TSSOP		213.34/2,000	
SN74HC05D	296-1190-5-ND	Sechsf. Inverter mit OD	Hex Inverter with OD	14-SOIC	.39	.32	.22
SN74HC05DR	296-1190-1-ND	Sechsf. Inverter mit OD	Hex Inverter with OD	14-SOIC	.39	.32	.22
SN74HC05DR	296-1190-2-ND	Sechsf. Inverter mit OD	Hex Inverter with OD	14-SOIC		251.86/2,500	
SN74HC05N	296-1568-5-ND	Sechsf. Inverter mit OD	Hex Inverter with OD	14-Dip	.45	.36	.27
SN74HC08D	296-1191-5-ND	Vierf. AND-Gate mit 2 Eingängen	Quad 2-Input AND Gate	14-SOIC	.39	.32	.22
SN74HC08DR	296-1191-1-ND	Vierf. AND-Gate mit 2 Eingängen	Quad 2-Input AND Gate	14-SOIC	.39	.32	.22
SN74HC08DR	296-1191-2-ND	Vierf. AND-Gate mit 2 Eingängen	Quad 2-Input AND Gate	14-SOIC		251.86/2,500	
SN74HC08N	296-1570-5-ND	Vierf. AND-Gate mit 2 Eingängen	Quad 2-Input AND Gate	14-Dip	.45	.36	.27
SN74HC08NSR	296-12884-1-ND	Vierf. AND-Gate mit 2 Eingängen	Quad 2-Input AND Gate	14-SOP	.39	.32	.22
SN74HC08NSR	296-12884-2-ND	Vierf. AND-Gate mit 2 Eingängen	Quad 2-Input AND Gate	14-SOP		213.34/2,000	
SN74HC08PWR	296-8210-1-ND	Vierf. AND-Gate mit 2 Eingängen	Quad 2-Input AND Gate	14-TSSOP	.39	.32	.22
SN74HC08PWR	296-8210-2-ND	Vierf. AND-Gate mit 2 Eingängen	Quad 2-Input AND Gate	14-TSSOP		213.34/2,000	
SN74HC10D	296-8213-5-ND	Dreif. NAND-Gate mit 3 Eingängen	Triple 3-Input NAND Gate	14-SOIC	.39	.32	.22
SN74HC10DR	296-14828-1-ND	Dreif. NAND-Gate mit 3 Eingängen	Triple 3-Input NAND Gate	14-SOIC	.39	.32	.22
SN74HC10DR	296-14828-2-ND	Dreif. NAND-Gate mit 3 Eingängen	Triple 3-Input NAND Gate	14-SOIC		251.86/2,500	
SN74HC10N	296-8214-5-ND	Dreif. NAND-Gate mit 3 Eingängen	Triple 3-Input NAND Gate	14-Dip	.45	.36	.27
SN74HC11D	296-8216-5-ND	Dreif. pos. AND-Gate mit 3 Eingängen	Triple 3-Input Pos. AND Gate	14-SOIC	.39	.32	.22
SN74HC11DR	296-14830-1-ND	Dreif. pos. AND-Gate mit 3 Eingängen	Triple 3-Input Pos. AND Gate	14-SOIC	.39	.32	.22
SN74HC11DR	296-14830-2-ND	Dreif. pos. AND-Gate mit 3 Eingängen	Triple 3-Input Pos. AND Gate	14-SOIC		251.86/2,500	
SN74HC11N	296-8217-5-ND	Dreif. pos. AND-Gate mit 3 Eingängen	Triple 3-Input Pos. AND Gate	14-Dip	.45	.36	.27
SN74HC11NSR	296-12885-1-ND	Dreif. pos. AND-Gate mit 3 Eingängen	Triple 3-Input Pos. AND Gate	14-SOP	.39	.32	.22
SN74HC11NSR	296-12885-2-ND	Dreif. pos. AND-Gate mit 3 Eingängen	Triple 3-Input Pos. AND Gate	14-SOP		213.34/2,000	
SN74HC11PWR	296-13611-1-ND	Dreif. pos. AND-Gate mit 3 Eingängen	Triple 3-Input Pos. AND Gate	14-TSSOP	.39	.32	.22
SN74HC11PWR	296-13611-2-ND	Dreif. pos. AND-Gate mit 3 Eingängen	Triple 3-Input Pos. AND Gate	14-TSSOP		213.34/2,000	
SN74HC14D	296-1194-5-ND	Sechsf. Schmitt-Trigger-Inverter	Hex Schmitt-Trigger Inverter	14-SOIC	.39	.32	.22
SN74HC14DR	296-1194-1-ND	Sechsf. Schmitt-Trigger-Inverter	Hex Schmitt-Trigger Inverter	14-SOIC	.39	.32	.22
SN74HC14DR	296-1194-2-ND	Sechsf. Schmitt-Trigger-Inverter	Hex Schmitt-Trigger Inverter	14-SOIC		251.86/2,500	
SN74HC14N	296-1577-5-ND	Sechsf. Schmitt-Trigger-Inverter	Hex Schmitt-Trigger Inverter	14-Dip	.45	.36	.27
SN74HC14NSR	296-12887-1-ND	Sechsf. Schmitt-Trigger-Inverter	Hex Schmitt-Trigger Inverter	14-SOP	.39	.32	.22
SN74HC14NSR	296-12887-2-ND	Sechsf. Schmitt-Trigger-Inverter	Hex Schmitt-Trigger Inverter	14-SOP		213.34/2,000	
SN74HC14PWR	296-8234-1-ND	Sechsf. Schmitt-Trigger-Inverter	Hex Schmitt-Trigger Inverter	14-TSSOP	.39	.32	.22
SN74HC14PWR	296-8234-2-ND	Sechsf. Schmitt-Trigger-Inverter	Hex Schmitt-Trigger Inverter	14-TSSOP		213.34/2,000	
SN74HC14QPWRQ1	296-17530-1-ND	Sechsf. Schmitt-Trigger-Inverter	Hex Schmitt-Trigger Inverter	14-TSSOP	.37	.30	.23
SN74HC14QPWRQ1	296-17530-2-ND	Sechsf. Schmitt-Trigger-Inverter	Hex Schmitt-Trigger Inverter	14-TSSOP		206.57/2,000	
SN74HC20DR	296-8263-1-ND	Zweif. NAND-Gate mit 4 Eingängen	Dual 4-Input NAND Gate	14-SOIC	.39	.32	.22
SN74HC20DR	296-8263-2-ND	Zweif. NAND-Gate mit 4 Eingängen	Dual 4-Input NAND Gate	14-SOIC		251.86/2,500	
SN74HC20N	296-12892-5-ND	Zweif. NAND-Gate mit 4 Eingängen	Dual 4-Input NAND Gate	14-Dip	.45	.36	.27
SN74HC20NSR	296-12893-1-ND	Zweif. NAND-Gate mit 4 Eingängen	Dual 4-Input NAND Gate	14-SOP	.39	.32	.22
SN74HC20NSR	296-12893-2-ND	Zweif. NAND-Gate mit 4 Eingängen	Dual 4-Input NAND Gate	14-SOP		213.34/2,000	
SN74HC21D	296-8265-5-ND	Zweif. pos. AND-Gate mit 4 Eingängen	Dual 4-Input Positive AND Gate	14-SOIC	.39	.32	.22

(Forts.)

★ ***RUFEN SIE BITTE AN FÜR NIEDRIGERE PREISE BEI GRÖSSEREN MENGEN!*** ★

B

T. I. Teilenr.	Digi-Key Teilenr.	Beschreibung		Paket	Stückpreis★ 1	25	100
SN74HC21DR	296-14842-1-ND	Zweif. pos. AND-Gate mit 4 Eingängen	Dual 4-Input Positive AND Gate	14-SOIC	.39	.32	.22
SN74HC21DR	296-14842-2-ND	Zweif. pos. AND-Gate mit 4 Eingängen	Dual 4-Input Positive AND Gate	14-SOIC		251.86/2,500	
SN74HC21N	296-8266-5-ND	Zweif. pos. AND-Gate mit 4 Eingängen	Dual 4-Input Positive AND Gate	14-Dip	.45	.36	.27
SN74HC21NSR	296-13216-1-ND	Zweif. pos. AND-Gate mit 4 Eingängen	Dual 4-Input Positive AND Gate	14-SOP	.39	.32	.22
SN74HC21NSR	296-13216-2-ND	Zweif. pos. AND-Gate mit 4 Eingängen	Dual 4-Input Positive AND Gate	14-SOP		213.34/2,000	
SN74HC21PWR	296-15846-1-ND	Zweif. pos. AND-Gate mit 4 Eingängen	Dual 4-Input Positive AND Gate	14-TSSOP	.39	.32	.22
SN74HC21PWR	296-15846-2-ND	Zweif. pos. AND-Gate mit 4 Eingängen	Dual 4-Input Positive AND Gate	14-TSSOP		213.34/2,000	
SN74HC27D	296-8298-5-ND	Dreif. NOR-Gate mit 3 Eingängen	Triple 3-Input NOR Gate	14-SOIC	.39	.32	.22
SN74HC27DR	296-14848-1-ND	Dreif. NOR-Gate mit 3 Eingängen	Triple 3-Input NOR Gate	14-SOIC	.39	.32	.22
SN74HC27DR	296-14848-2-ND	Dreif. NOR-Gate mit 3 Eingängen	Triple 3-Input NOR Gate	14-SOIC		251.86/2,500	
SN74HC27N	296-12896-5-ND	Dreif. NOR-Gate mit 3 Eingängen	Triple 3-Input NOR Gate	14-Dip	.45	.36	.27
SN74HC27NSR	296-8299-1-ND	Dreif. NOR-Gate mit 3 Eingängen	Triple 3-Input NOR Gate	14-SOP	.39	.32	.22
SN74HC27NSR	296-8299-2-ND	Dreif. NOR-Gate mit 3 Eingängen	Triple 3-Input NOR Gate	14-SOP		213.34/2,000	
SN74HC32D	296-1199-5-ND	Vierf. OR-Gate mit 2 Eingängen	Quad 2-Input OR Gate	14-SOIC	.39	.32	.22
SN74HC32DR	296-1199-1-ND	Vierf. OR-Gate mit 2 Eingängen	Quad 2-Input OR Gate	14-SOIC	.39	.32	.22
SN74HC32DR	296-1199-2-ND	Vierf. OR-Gate mit 2 Eingängen	Quad 2-Input OR Gate	14-SOIC		251.86/2,500	
SN74HC32DBR	296-8301-1-ND	Vierf. OR-Gate mit 2 Eingängen	Quad 2-Input OR Gate	14-SSOP	.39	.32	.22
SN74HC32DBR	296-8301-2-ND	Vierf. OR-Gate mit 2 Eingängen	Quad 2-Input OR Gate	14-SSOP		213.34/2,000	
SN74HC32N	296-1589-5-ND	Vierf. OR-Gate mit 2 Eingängen	Quad 2-Input OR Gate	14-Dip	.45	.36	.27
SN74HC32PWR	296-8302-1-ND	Vierf. OR-Gate mit 2 Eingängen	Quad 2-Input OR Gate	14-TSSOP	.39	.32	.22
SN74HC32PWR	296-8302-2-ND	Vierf. OR-Gate mit 2 Eingängen	Quad 2-Input OR Gate	14-TSSOP		213.34/2,000	
SN74HC42D	296-8331-5-ND	4-10 Leitungsdekodierer (1 aus 10)	4-to-10 Line Decoder (1 of 10)	16-SOIC	.81	.61	.46
SN74HC42DR	296-8331-1-ND	4-10 Leitungsdekodierer (1 aus 10)	4-to-10 Line Decoder (1 of 10)	16-SOIC	.81	.61	.46
SN74HC42DR	296-8331-2-ND	4-10 Leitungsdekodierer (1 aus 10)	4-to-10 Line Decoder (1 of 10)	16-SOIC		660.35/2,500	
SN74HC42N	296-8332-5-ND	4-10 Leitungsdekodierer (1 aus 10)	4-to-10 Line Decoder (1 of 10)	16-Dip	.81	.61	.46
SN74HC74D	296-1204-5-ND	Zweif. D-Flip-Flop	Dual D-Type Flip-Flop	14-SOIC	.39	.32	.22
SN74HC74DR	296-1204-1-ND	Zweif. D-Flip-Flop	Dual D-Type Flip-Flop	14-SOIC	.39	.32	.22
SN74HC74DR	296-1204-2-ND	Zweif. D-Flip-Flop	Dual D-Type Flip-Flop	14-SOIC		251.86/2,500	
SN74HC74DBR	296-8370-1-ND	Zweif. D-Flip-Flop mit Löschen/Voreinstellen	Dual D-Type Flip-Flop w/Clear & Preset	14-SSOP	.39	.32	.22
SN74HC74DBR	296-8370-2-ND	Zweif. D-Flip-Flop mit Löschen/Voreinstellen	Dual D-Type Flip-Flop w/Clear & Preset	14-SSOP		213.34/2,000	
SN74HC74N	296-1602-5-ND	Zweif. D-Flip-Flop mit Löschen/Voreinstellen	Dual D-Type Flip-Flop w/Clear & Preset	14-Dip	.45	.36	.27
SN74HC74NSR	296-8371-1-ND	Zweif. D-Flip-Flop mit Löschen/Voreinstellen	Dual D-Type Flip-Flop w/Clear & Preset	14-SOP	.39	.32	.22
SN74HC74NSR	296-8371-2-ND	Zweif. D-Flip-Flop mit Löschen/Voreinstellen	Dual D-Type Flip-Flop w/Clear & Preset	14-SOP		213.34/2,000	
SN74HC74PWR	296-8372-1-ND	Zweif. D-Flip-Flop mit Löschen und Voreinstellen	Dual D-Type Flip-Flop with Clear and Preset	14-TSSOP	.39	.32	.22
SN74HC74PWR	296-8372-2-ND	Zweif. D-Flip-Flop mit Löschen und Voreinstellen	Dual D-Type Flip-Flop with Clear and Preset	14-TSSOP		213.34/2,000	
SN74HC86D	296-8374-5-ND	Vierf. Exclusive-OR-Gate mit 2 Eingängen	Quad 2-Input Exclusive-OR Gate	14-SOIC	.39	.32	.22
SN74HC86DR	296-14859-1-ND	Vierf. Exclusive-OR-Gate mit 2 Eingängen	Quad 2-Input Exclusive-OR Gate	14-SOIC	.39	.32	.22
SN74HC86DR	296-14859-2-ND	Vierf. Exclusive-OR-Gate mit 2 Eingängen	Quad 2-Input Exclusive-OR Gate	14-SOIC		251.86/2,500	
SN74HC86N	296-8375-5-ND	Vierf. Exclusive-OR-Gate mit 2 Eingängen	Quad 2-Input Exclusive-OR Gate	14-Dip	.45	.36	.27
SN74HC86PWR	296-8376-1-ND	Vierf. Exclusive-OR-Gate mit 2 Eingängen	Quad 2-Input Exclusive-OR Gate	14-TSSOP	.34	.28	.21
SN74HC86PWR	296-8376-2-ND	Vierf. Exclusive-OR-Gate mit 2 Eingängen	Quad 2-Input Exclusive-OR Gate	14-TSSOP		189.64/2,000	
SN74HC109D	296-8211-5-ND	Zweif. JK-Flip-Flop mit Löschen und Voreinstellen	Dual J-K Flip-Flop with Clear and Preset	16-SOIC	.38	.31	.23
SN74HC109DR	296-14827-1-ND	Zweif. JK-Flip-Flop mit Löschen und Voreinstellen	Dual J-K Flip-Flop with Clear and Preset	16-SOIC	.38	.31	.23
SN74HC109DR	296-14827-2-ND	Zweif. JK-Flip-Flop mit Löschen und Voreinstellen	Dual J-K Flip-Flop with Clear and Preset	16-SOIC		258.21/2,500	
SN74HC109N	296-8212-5-ND	Zweif. JK-Flip-Flop mit Löschen und Voreinstellen	Dual J-K Flip-Flop with Clear and Preset	16-Dip	.45	.36	.27
SN74HC112D	296-8215-5-ND	Zweif. JK-Flip-Flop mit Löschen und Voreinstellen	Dual J-K Flip-Flop with Clear and Preset	16-SOIC	.47	.38	.28
SN74HC112DR	296-14829-1-ND	Zweif. JK-Flip-Flop mit Löschen und Voreinstellen	Dual J-K Flip-Flop with Clear and Preset	16-SOIC	.47	.38	.28
SN74HC112DR	296-14829-2-ND	Zweif. JK-Flip-Flop mit Löschen und Voreinstellen	Dual J-K Flip-Flop with Clear and Preset	16-SOIC		315.36/2,500	
SN74HC112N	296-12121-5-ND	Zweif. JK-Flip-Flop mit Löschen und Voreinstellen	Dual J-K Flip-Flop with Clear and Preset	16-Dip	.47	.38	.28
SN74HC125D	296-1192-5-ND	Vierf. Bus-Puffer-Gate, Tri-State	Quad Tri-State Bus Buffer Gate	14-SOIC	.47	.38	.28
SN74HC125DR	296-1192-1-ND	Vierf. Bus-Puffer-Gate, Tri-State	Quad Tri-State Bus Buffer Gate	14-SOIC	.47	.38	.28
SN74HC125DR	296-1192-2-ND	Vierf. Bus-Puffer-Gate, Tri-State	Quad Tri-State Bus Buffer Gate	14-SOIC		315.36/2,500	
SN74HC125DBR	296-8218-1-ND	Vierf. Bus-Puffer-Gate, Tri-State	Quad Tri-State Bus Buffer Gate	14-SSOP	.47	.38	.28
SN74HC125DBR	296-8218-2-ND	Vierf. Bus-Puffer-Gate, Tri-State	Quad Tri-State Bus Buffer Gate	14-SSOP		260.75/2,000	
SN74HC125N	296-1572-5-ND	Vierf. Bus-Puffer-Gate, Tri-State	Quad Tri-State Bus Buffer Gate	14-Dip	.41	.31	.23
SN74HC125PWT	296-16821-1-ND	Vierf. Bus-Puffer-Gate, Tri-State	Quad Tri-State Bus Buffer Gate	14-TSSOP	.66	.56	.45
SN74HC125PWT	296-16821-2-ND	Vierf. Bus-Puffer-Gate, Tri-State	Quad Tri-State Bus Buffer Gate	14-TSSOP		82.54/250	
SN74HC126D	296-8219-5-ND	Vierf. Bus-Puffer-Gate, Tri-State	Quad Tri-State Bus Buffer Gate	14-SOIC	.47	.38	.28
SN74HC126DBR	296-8220-1-ND	Vierf. Bus-Puffer-Gate, Tri-State	Quad Tri-State Bus Buffer Gate	14-SSOP	.47	.38	.28
SN74HC126DBR	296-8220-2-ND	Vierf. Bus-Puffer-Gate, Tri-State	Quad Tri-State Bus Buffer Gate	14-SSOP		260.75/2,000	
SN74HC126DR	296-14831-1-ND	Vierf. Bus-Puffer-Gate, Tri-State	Quad Tri-State Bus Buffer Gate	14-SOIC	.47	.38	.28
SN74HC126DR	296-14831-2-ND	Vierf. Bus-Puffer-Gate, Tri-State	Quad Tri-State Bus Buffer Gate	14-SOIC		315.36/2,500	
SN74HC126N	296-8221-5-ND	Vierf. Bus-Puffer-Gate, Tri-State	Quad Tri-State Bus Buffer Gate	14-Dip	.41	.31	.23
SN74HC126NSR	296-8222-1-ND	Vierf. Bus-Puffer-Gate, Tri-State	Quad Tri-State Bus Buffer Gate	14-SOP	.47	.38	.28
SN74HC126NSR	296-8222-2-ND	Vierf. Bus-Puffer-Gate, Tri-State	Quad Tri-State Bus Buffer Gate	14-SOP		260.75/2,000	
SN74HC126PWT	296-16822-1-ND	Vierf. Bus-Puffer-Gate, Tri-State	Quad Tri-State Bus Buffer Gate	14-TSSOP	.66	.56	.45
SN74HC126PWT	296-16822-2-ND	Vierf. Bus-Puffer-Gate, Tri-State	Quad Tri-State Bus Buffer Gate	14-TSSOP		82.54/250	
SN74HC132D	296-8224-5-ND	Vierf. NAND-Gate mit Schmitt-Trigger-Eing.	Quad NAND Gate w/Schmitt-Trigger In	14-SOIC	.47	.38	.28
SN74HC132DBR	296-8225-1-ND	Vierf. NAND-Gate mit Schmitt-Trigger-Eing.	Quad NAND Gate w/Schmitt-Trigger In	14-SSOP	.47	.38	.28
SN74HC132DBR	296-8225-2-ND	Vierf. NAND-Gate mit Schmitt-Trigger-Eing.	Quad NAND Gate w/Schmitt-Trigger In	14-SSOP		260.75/2,000	
SN74HC132DR	296-14832-1-ND	Vierf. NAND-Gate mit Schmitt-Trigger-Eing.	Quad NAND Gate w/Schmitt-Trigger In	14-SOIC	.47	.38	.28
SN74HC132DR	296-14832-2-ND	Vierf. NAND-Gate mit Schmitt-Trigger-Eing.	Quad NAND Gate w/Schmitt-Trigger In	14-SOIC		315.36/2,500	
SN74HC132N	296-1573-5-ND	Vierf. NAND-Gate mit Schmitt-Trigger-Eing.	Quad NAND Gate w/Schmitt-Trigger In	14-Dip	.41	.31	.23
SN74HC132PWR	296-8226-1-ND	Vierf. NAND-Gate mit Schmitt-Trigger-Eing.	Quad NAND Gate w/Schmitt-Trigger In	14-TSSOP	.47	.38	.28
SN74HC132PWR	296-8226-2-ND	Vierf. NAND-Gate mit Schmitt-Trigger-Eing.	Quad NAND Gate w/Schmitt-Trigger In	14-TSSOP		260.75/2,000	
SN74HC138D	296-1193-5-ND	3-8 Leitungsdekodierer/Demultiplexer	3-to-8 Line Decoder/Demux	16-SOIC	.47	.38	.28
SN74HC138DR	296-1193-1-ND	3-8 Leitungsdekodierer/Demultiplexer	3-to-8 Line Decoder/Demux	16-SOIC	.47	.38	.28
SN74HC138DR	296-1193-2-ND	3-8 Leitungsdekodierer/Demultiplexer	3-to-8 Line Decoder/Demux	16-SOIC		315.36/2,500	
SN74HC138DBR	296-8227-1-ND	3-8 Leitungsdekodierer/Demultiplexer	3-to-8 Line Decoder/Demux	16-SSOP	.47	.38	.28
SN74HC138DBR	296-8227-2-ND	3-8 Leitungsdekodierer/Demultiplexer	3-to-8 Line Decoder/Demux	16-SSOP		260.75/2,000	
SN74HC138N	296-1575-5-ND	3-8 Leitungsdekodierer/Demultiplexer	3-to-8 Line Decoder/Demux	16-Dip	.41	.31	.23
SN74HC138NSR	296-12886-1-ND	3-8 Leitungsdekodierer/Demultiplexer	3-to-8 Line Decoder/Demux	16-SOP	.47	.38	.28
SN74HC138NSR	296-12886-2-ND	3-8 Leitungsdekodierer/Demultiplexer	3-to-8 Line Decoder/Demux	16-SOP		260.75/2,000	
SN74HC138PWR	296-8228-1-ND	3-8 Leitungsdekodierer/Demultiplexer	3-to-8 Line Decoder/Demux	16-TSSOP	.47	.38	.28
SN74HC138PWR	296-8228-2-ND	3-8 Leitungsdekodierer/Demultiplexer	3-to-8 Line Decoder/Demux	16-TSSOP		260.75/2,000	
SN74HC139D	296-8229-5-ND	Zweif. 2-4 Leitungsdekodierer/Demux	Dual 2-4 Line Decoder/Demux	16-SOIC	.47	.38	.28
SN74HC139DR	296-14833-1-ND	Zweif. 2-4 Leitungsdekodierer/Demux	Dual 2-4 Line Decoder/Demux	16-SOIC	.47	.38	.28
SN74HC139DR	296-14833-2-ND	Zweif. 2-4 Leitungsdekodierer/Demux	Dual 2-4 Line Decoder/Demux	16-SOIC		315.36/2,500	
SN74HC139N	296-8230-5-ND	Zweif. 2-4 Leitungsdekodierer/Demux	Dual 2-4 Line Decoder/Demux	16-Dip	.41	.31	.23
SN74HC139PWR	296-8231-1-ND	Zweif. 2-4 Leitungsdekodierer/Demux	Dual 2-4 Line Decoder/Demux	16-TSSOP	.47	.38	.28
SN74HC139PWR	296-8231-2-ND	Zweif. 2-4 Leitungsdekodierer/Demux	Dual 2-4 Line Decoder/Demux	16-TSSOP		260.75/2,000	
SN74HC148D	296-8232-5-ND	8-3 Leitungs-Prioritäts-Encoder	8-to-3 Line Priority Encoder	16-SOIC	.47	.38	.28
SN74HC148N	296-8233-5-ND	8-3 Leitungs-Prioritäts-Encoder	8-to-3 Line Priority Encoder	16-Dip	.47	.38	.28
SN74HC151D	296-8235-5-ND	8-1 Leitungs-Daten-Selektor/Mux	8-1 Line Data Selector/Mux	16-SOIC	.47	.38	.28
SN74HC151DR	296-14834-1-ND	8-1 Leitungs-Daten-Selektor/Mux	8-1 Line Data Selector/Mux	16-SOIC	.47	.38	.28
SN74HC151DR	296-14834-2-ND	8-1 Leitungs-Daten-Selektor/Mux	8-1 Line Data Selector/Mux	16-SOIC		315.36/2,500	
SN74HC151N	296-8236-5-ND	8-1 Leitungs-Daten-Selektor/Mux	8-1 Line Data Selector/Mux	16-Dip	.41	.31	.23
SN74HC153D	296-8237-5-ND	Zweif. 4-1 Leitungs-Datenselektor/Mux	Dual 4-1 Line Data Selector/Mux	16-SOIC	.47	.38	.28
SN74HC153DR	296-14835-1-ND	Zweif. 4-1 Leitungs-Datenselektor/Mux	Dual 4-1 Line Data Selector/Mux	16-SOIC	.47	.38	.28
SN74HC153DR	296-14835-2-ND	Zweif. 4-1 Leitungs-Datenselektor/Mux	Dual 4-1 Line Data Selector/Mux	16-SOIC		315.36/2,500	
SN74HC153PWR	296-12888-1-ND	Zweif. 4-1 Leitungs-Datenselektor/Mux	Dual 4-1 Line Data Selector/Mux	16-TSSOP	.47	.38	.28
SN74HC153PWR	296-12888-2-ND	Zweif. 4-1 Leitungs-Datenselektor/Mux	Dual 4-1 Line Data Selector/Mux	16-TSSOP		260.75/2,000	
SN74HC153N	296-8238-5-ND	Zweif. 4-1 Leitungs-Datenselektor/Mux	Dual 4-1 Line Data Selector/Mux	16-Dip	.41	.31	.23
SN74HC157D	296-8239-5-ND	Vierf. 2-1 Datenselektor/Mux	Quad 2-1 Data Selector/Mux	16-SOIC	.41	.31	.23
SN74HC157DR	296-14836-1-ND	Vierf. 2-1 Datenselektor/Mux	Quad 2-1 Data Selector/Mux	16-SOIC	.41	.31	.23

(Forts.)

★ ***RUFEN SIE BITTE AN FÜR NIEDRIGERE PREISE BEI GRÖSSEREN MENGEN!*** ★

T. I. Teilenr.	Digi-Key Teilenr.	Beschreibung		Paket	Stückpreis★ 1	25	100
SN74HC157DR	296-14836-2-ND	Vierf. 2-1 Datenselektor/Mux	Quad 2-1 Data Selector/Mux	16-SOIC		330.17/2,500	
SN74HC157N	296-1578-5-ND	Vierf. 2-1 Datenselektor/Mux	Quad 2-1 Data Selector/Mux	16-Dip	.45	.34	.26
SN74HC157NSR	296-8240-1-ND	Vierf. 2-1 Datenselektor/Mux	Quad 2-1 Data Selector/Mux	16-SOP	.41	.31	.23
SN74HC157NSR	296-8240-2-ND	Vierf. 2-1 Datenselektor/Mux	Quad 2-1 Data Selector/Mux	16-SOP		270.91/2,000	
SN74HC161D	296-8243-5-ND	Synch. Binärzähler, 4-Bit	4-Bit Sync. Binary Counter	16-SOIC	.47	.38	.28
SN74HC161DR	296-14837-1-ND	Synch. Binärzähler, 4-Bit	4-Bit Sync. Binary Counter	16-SOIC	.47	.38	.28
SN74HC161DR	296-14837-2-ND	Synch. Binärzähler, 4-Bit	4-Bit Sync. Binary Counter	16-SOIC		315.36/2,500	
SN74HC161N	296-8244-5-ND	Synch. Binärzähler, 4-Bit	4-Bit Sync. Binary Counter	16-Dip	.45	.34	.26
SN74HC163D	296-8245-5-ND	Synch. Binärzähler, 4-Bit	4-Bit Sync. Binary Counter	16-SOIC	.47	.38	.28
SN74HC163N	296-8246-5-ND	Synch. Binärzähler, 4-Bit	4-Bit Sync. Binary Counter	16-Dip	.41	.31	.23
SN74HC163NSR	296-12889-1-ND	Synch. Binärzähler, 4-Bit	4-Bit Sync. Binary Counter	16-SOP	.47	.38	.28
SN74HC163NSR	296-12889-2-ND	Synch. Binärzähler, 4-Bit	4-Bit Sync. Binary Counter	16-SOP		260.75/2,000	
SN74HC164D	296-8247-5-ND	Serielles Schieberegister, Parallel-Aus, 8-Bit	8-Bit Parallel-Out Serial Shift Register	14-SOIC	.47	.38	.28
SN74HC164DR	296-14838-1-ND	Serielles Schieberegister, Parallel-Aus, 8-Bit	8-Bit Parallel-Out Serial Shift Register	14-SOIC	.47	.38	.28
SN74HC164DR	296-14838-2-ND	Serielles Schieberegister, Parallel-Aus, 8-Bit	8-Bit Parallel-Out Serial Shift Register	14-SOIC		315.36/2,500	
SN74HC164N	296-8248-5-ND	Serielles Schieberegister, Parallel-Aus, 8-Bit	8-Bit Parallel-Out Serial Shift Register	14-Dip	.41	.31	.23
SN74HC164PWR	296-14020-1-ND	Serielles Schieberegister, Parallel-Aus, 8-Bit	8-Bit Parallel-Out Serial Shift Register	14-TSSOP	.47	.38	.28
SN74HC164PWR	296-14020-2-ND	Serielles Schieberegister, Parallel-Aus, 8-Bit	8-Bit Parallel-Out Serial Shift Register	14-TSSOP		260.75/2,000	
SN74HC165D	296-8249-5-ND	Schieberegister, paralleles Laden, 8-Bit	8-Bit Parallel-Load Shift Register	16-SOIC	.47	.38	.28
SN74HC165DR	296-8250-1-ND	Schieberegister, paralleles Laden, 8-Bit	8-Bit Parallel-Load Shift Register	16-SOIC	.47	.38	.28
SN74HC165DR	296-8250-2-ND	Schieberegister, paralleles Laden, 8-Bit	8-Bit Parallel-Load Shift Register	16-SOIC		315.36/2,500	
SN74HC165N	296-8251-5-ND	Schieberegister, paralleles Laden, 8-Bit	8-Bit Parallel-Load Shift Register	16-Dip	.41	.31	.23
SN74HC165NSR	296-8252-1-ND	Schieberegister, paralleles Laden, 8-Bit	8-Bit Parallel-Load Shift Register	16-SOP	.47	.38	.28
SN74HC165NSR	296-8252-2-ND	Schieberegister, paralleles Laden, 8-Bit	8-Bit Parallel-Load Shift Register	16-SOP		260.75/2,000	
SN74HC165PWR	296-8253-1-ND	Schieberegister, paralleles Laden, 8-Bit	8-Bit Parallel-Load Shift Register	16-TSSOP	.47	.38	.28
SN74HC165PWR	296-8253-2-ND	Schieberegister, paralleles Laden, 8-Bit	8-Bit Parallel-Load Shift Register	16-TSSOP		260.75/2,000	
SN74HC166D	296-8254-5-ND	Schieberegister, paralleles Laden, 8-Bit	8-Bit Parallel-Load Shift Register	16-SOIC	.47	.38	.28
SN74HC166DR	296-14839-1-ND	Schieberegister, paralleles Laden, 8-Bit	8-Bit Parallel-Load Shift Register	16-SOIC	.47	.38	.28
SN74HC166DR	296-14839-2-ND	Schieberegister, paralleles Laden, 8-Bit	8-Bit Parallel-Load Shift Register	16-SOIC		315.36/2,500	
SN74HC166N	296-8255-5-ND	Schieberegister, paralleles Laden, 8-Bit	8-Bit Parallel-Load Shift Register	16-Dip	.41	.31	.23
SN74HC166NSR	296-13214-1-ND	Schieberegister, paralleles Laden, 8-Bit	8-Bit Parallel-Load Shift Register	16-SOP	.47	.38	.28
SN74HC166NSR	296-13214-2-ND	Schieberegister, paralleles Laden, 8-Bit	8-Bit Parallel-Load Shift Register	16-SOP		260.75/2,000	
SN74HC174D	296-1195-5-ND	Sechsf. D-Flip-Flop mit Löschen	Hex D-Type Flip-Flop with Clear	16-SOIC	.47	.38	.28
SN74HC174DR	296-1195-1-ND	Sechsf. D-Flip-Flop mit Löschen	Hex D-Type Flip-Flop with Clear	16-SOIC	.47	.38	.28
SN74HC174DR	296-1195-2-ND	Sechsf. D-Flip-Flop mit Löschen	Hex D-Type Flip-Flop with Clear	16-SOIC		315.36/2,500	
SN74HC174N	296-1579-5-ND	Sechsf. D-Flip-Flop mit Löschen	Hex D-Type Flip-Flop with Clear	16-Dip	.41	.31	.23
SN74HC174NSR	296-13215-1-ND	Sechsf. D-Flip-Flop mit Löschen	Hex D-Type Flip-Flop with Clear	16-SOP	.47	.38	.28
SN74HC174NSR	296-13215-2-ND	Sechsf. D-Flip-Flop mit Löschen	Hex D-Type Flip-Flop with Clear	16-SOP		260.75/2,000	
SN74HC175D	296-8256-5-ND	Vierf. D-Flip-Flop mit Löschen	Quad D-Type Flip-Flop with Clear	16-SOIC	.47	.38	.28
SN74HC175DR	296-14840-1-ND	Vierf. D-Flip-Flop mit Löschen	Quad D-Type Flip-Flop with Clear	16-SOIC	.47	.38	.28
SN74HC175DR	296-14840-2-ND	Vierf. D-Flip-Flop mit Löschen	Quad D-Type Flip-Flop with Clear	16-SOIC		315.36/2,500	
SN74HC175N	296-8257-5-ND	Vierf. D-Flip-Flop mit Löschen	Quad D-Type Flip-Flop with Clear	16-Dip	.41	.31	.23
SN74HC175PWR	296-8258-1-ND	Vierf. D-Flip-Flop mit Löschen	Quad D-Type Flip-Flop with Clear	16-TSSOP	.47	.38	.28
SN74HC175PWR	296-8258-2-ND	Vierf. D-Flip-Flop mit Löschen	Quad D-Type Flip-Flop with Clear	16-TSSOP		260.75/2,000	
SN74HC191D	296-8259-5-ND	Binärer Auf-/Abwärtszähler, synch., 4-Bit	4-Bit Sync. Up/Down Binary Counter	16-SOIC	.41	.31	.23
SN74HC191DR	296-14841-1-ND	Binärer Auf-/Abwärtszähler, synch., 4-Bit	4-Bit Sync. Up/Down Binary Counter	16-SOIC	.41	.31	.23
SN74HC191DR	296-14841-2-ND	Binärer Auf-/Abwärtszähler, synch., 4-Bit	4-Bit Sync. Up/Down Binary Counter	16-SOIC		330.17/2,500	
SN74HC191N	296-8260-5-ND	Binärer Auf-/Abwärtszähler, synch., 4-Bit	4-Bit Sync. Up/Down Binary Counter	16-Dip	.45	.34	.26
SN74HC191NSR	296-12890-1-ND	Binärer Auf-/Abwärtszähler, synch., 4-Bit	4-Bit Sync. Up/Down Binary Counter	16-SOP	.41	.31	.23
SN74HC191NSR	296-12890-2-ND	Binärer Auf-/Abwärtszähler, synch., 4-Bit	4-Bit Sync. Up/Down Binary Counter	16-SOP		270.91/2,000	
SN74HC193D	296-8261-5-ND	Auf-/Abwärtszähler (Doppeltakt mit Löschen), synch., 4-Bit	4-Bit Sync. Up/Down Counter (Dual Clock with Clear)	16-SOIC	.41	.31	.23
SN74HC193N	296-8262-5-ND	Auf-/Abwärtszähler (Doppeltakt mit Löschen), synch., 4-Bit	4-Bit Sync. Up/Down Counter (Dual Clock with Clear)	16-Dip	.45	.34	.26
SN74HC193NSR	296-12891-1-ND	Auf-/Abwärtszähler (Doppeltakt mit Löschen), synch., 4-Bit	4-Bit Sync. Up/Down Counter (Dual Clock with Clear)	16-SOP	.41	.31	.23
SN74HC193NSR	296-12891-2-ND	Auf-/Abwärtszähler (Doppeltakt mit Löschen), synch., 4-Bit	4-Bit Sync. Up/Down Counter (Dual Clock with Clear)	16-SOP		270.91/2,000	
SN74HC240DW	296-8267-5-ND	Achtf. Puffer-/Leitungstreiber, Tri-State	Tri-State Octal Buffer/Line Driver	20-SOIC	.51	.39	.29
SN74HC240DWR	296-14843-1-ND	Achtf. Puffer-/Leitungstreiber, Tri-State	Tri-State Octal Buffer/Line Driver	20-SOIC	.51	.39	.29
SN74HC240DWR	296-14843-2-ND	Achtf. Puffer-/Leitungstreiber, Tri-State	Tri-State Octal Buffer/Line Driver	20-SOIC		338.64/2,000	
SN74HC240N	296-1580-5-ND	Achtf. Puffer-/Leitungstreiber, Tri-State	Tri-State Octal Buffer/Line Driver	20-Dip	.56	.42	.32
SN74HC240PWR	296-8269-1-ND	Achtf. Puffer-/Leitungstreiber, Tri-State	Tri-State Octal Buffer/Line Driver	20-TSSOP	.51	.39	.29
SN74HC240PWR	296-8269-2-ND	Achtf. Puffer-/Leitungstreiber, Tri-State	Tri-State Octal Buffer/Line Driver	20-TSSOP		338.64/2,000	
SN74HC241DW	296-8270-5-ND	Achtf. Puffer-/Leitungstreiber, Tri-State	Tri-State Octal Buffer/Line Driver	20-SOIC	.47	.36	.27
SN74HC241N	296-8271-5-ND	Achtf. Puffer-/Leitungstreiber, Tri-State	Tri-State Octal Buffer/Line Driver	20-Dip	.52	.40	.30
SN74HC244DBR	296-8273-1-ND	Achtf. Puffer-/Leitungstreiber, Tri-State	Tri-State Octal Buffer/Line Driver	20-SSOP	.51	.39	.29
SN74HC244DBR	296-8273-2-ND	Achtf. Puffer-/Leitungstreiber, Tri-State	Tri-State Octal Buffer/Line Driver	20-SSOP		338.64/2,000	
SN74HC244DW	296-1196-5-ND	Achtf. Puffer-/Leitungstreiber, Tri-State	Tri-State Octal Buffer/Line Driver	20-SOIC	.51	.39	.29
SN74HC244DWR	296-1196-1-ND	Achtf. Puffer-/Leitungstreiber, Tri-State	Tri-State Octal Buffer/Line Driver	20-SOIC	.51	.39	.29
SN74HC244DWR	296-1196-2-ND	Achtf. Puffer-/Leitungstreiber, Tri-State	Tri-State Octal Buffer/Line Driver	20-SOIC		338.64/2,000	
SN74HC244N	296-1582-5-ND	Achtf. Puffer-/Leitungstreiber, Tri-State	Tri-State Octal Buffer/Line Driver	20-Dip	.56	.42	.32
SN74HC244NSR	296-8274-1-ND	Achtf. Puffer-/Leitungstreiber, Tri-State	Tri-State Octal Buffer/Line Driver	20-SOP	.51	.39	.29
SN74HC244NSR	296-8274-2-ND	Achtf. Puffer-/Leitungstreiber, Tri-State	Tri-State Octal Buffer/Line Driver	20-SOP		338.64/2,000	
SN74HC244PWR	296-8276-1-ND	Achtf. Puffer-/Leitungstreiber, Tri-State	Tri-State Octal Buffer/Line Driver	20-TSSOP	.51	.39	.29
SN74HC244PWR	296-8276-2-ND	Achtf. Puffer-/Leitungstreiber, Tri-State	Tri-State Octal Buffer/Line Driver	20-TSSOP		338.64/2,000	
SN74HC245DBR	296-8277-1-ND	Achtf. Bus-Transceiver, Tri-State	Tri-State Octal Bus Transceiver	20-SSOP	.51	.39	.29
SN74HC245DBR	296-8277-2-ND	Achtf. Bus-Transceiver, Tri-State	Tri-State Octal Bus Transceiver	20-SSOP		338.64/2,000	
SN74HC245DW	296-1197-5-ND	Achtf. Bus-Transceiver, Tri-State	Tri-State Octal Bus Transceiver	20-SOIC	.51	.39	.29
SN74HC245DWR	296-1197-1-ND	Achtf. Bus-Transceiver, Tri-State	Tri-State Octal Bus Transceiver	20-SOIC	.51	.39	.29
SN74HC245DWR	296-1197-2-ND	Achtf. Bus-Transceiver, Tri-State	Tri-State Octal Bus Transceiver	20-SOIC		338.64/2,000	
SN74HC245N	296-1584-5-ND	Achtf. Bus-Transceiver, Tri-State	Tri-State Octal Bus Transceiver	20-Dip	.56	.42	.32
SN74HC245NSR	296-8278-1-ND	Achtf. Bus-Transceiver, Tri-State	Tri-State Octal Bus Transceiver	20-SOP	.51	.39	.29
SN74HC245NSR	296-8278-2-ND	Achtf. Bus-Transceiver, Tri-State	Tri-State Octal Bus Transceiver	20-SOP		338.64/2,000	
SN74HC245PWR	296-8279-1-ND	Achtf. Bus-Transceiver, Tri-State	Tri-State Octal Bus Transceiver	20-TSSOP	.51	.39	.29
SN74HC245PWR	296-8279-2-ND	Achtf. Bus-Transceiver, Tri-State	Tri-State Octal Bus Transceiver	20-TSSOP		338.64/2,000	
SN74HC251D	296-8280-5-ND	Datenselektor/Mux, Tri-State	Tri-State Data Selector/Mux	16-SOIC	.45	.36	.27
SN74HC251DBR	296-12894-1-ND	Datenselektor/Mux, Tri-State	Tri-State Data Selector/Mux	16-SSOP	.45	.36	.27
SN74HC251DBR	296-12894-2-ND	Datenselektor/Mux, Tri-State	Tri-State Data Selector/Mux	16-SSOP		248.90/2,000	
SN74HC251DR	296-14844-1-ND	Datenselektor/Mux, Tri-State	Tri-State Data Selector/Mux	16-SOIC	.45	.36	.27
SN74HC251DR	296-14844-2-ND	Datenselektor/Mux, Tri-State	Tri-State Data Selector/Mux	16-SOIC		300.54/2,500	
SN74HC251N	296-1585-5-ND	Datenselektor/Mux, Tri-State	Tri-State Data Selector/Mux	16-Dip	.47	.38	.28
SN74HC251NSR	296-13217-1-ND	Datenselektor/Mux, Tri-State	Tri-State Data Selector/Mux	16-SOP	.45	.36	.27
SN74HC251NSR	296-13217-2-ND	Datenselektor/Mux, Tri-State	Tri-State Data Selector/Mux	16-SOP		248.90/2,000	
SN74HC253D	296-8281-5-ND	Tri-St., Zweif. 4-1 Leitungs-Datenselektor/Mux	Tri-St. Dual 4-1 Line Data Selector/Mux	16-SOIC	.41	.31	.23
SN74HC253DBR	296-8282-1-ND	Tri-St., Zweif. 4-1 Leitungs-Datenselektor/Mux	Tri-St. Dual 4-1 Line Data Selector/Mux	16-SSOP	.41	.31	.23
SN74HC253DBR	296-8282-2-ND	Tri-St., Zweif. 4-1 Leitungs-Datenselektor/Mux	Tri-St. Dual 4-1 Line Data Selector/Mux	16-SSOP		270.91/2,000	
SN74HC253DR	296-14845-1-ND	Tri-St., Zweif. 4-1 Leitungs-Datenselektor/Mux	Tri-St. Dual 4-1 Line Data Selector/Mux	16-SOIC	.41	.31	.23
SN74HC253DR	296-14845-2-ND	Tri-St., Zweif. 4-1 Leitungs-Datenselektor/Mux	Tri-St. Dual 4-1 Line Data Selector/Mux	16-SOIC		330.17/2,500	
SN74HC253N	296-8283-5-ND	Tri-St., Zweif. 4-1 Leitungs-Datenselektor/Mux	Tri-St. Dual 4-1 Line Data Selector/Mux	16-Dip	.45	.34	.26
SN74HC257D	296-8284-5-ND	Tri-St., Vierf. 2-1 Leitungs-Datenselektor/Mux	Tri-St. Quad 2-1 Line Data Selector/Mux	16-SOIC	.45	.36	.27
SN74HC257DR	296-14846-1-ND	Tri-St., Vierf. 2-1 Leitungs-Datenselektor/Mux	Tri-St. Quad 2-1 Line Data Selector/Mux	16-SOIC	.45	.36	.27
SN74HC257DR	296-14846-2-ND	Tri-St., Vierf. 2-1 Leitungs-Datenselektor/Mux	Tri-St. Quad 2-1 Line Data Selector/Mux	16-SOIC		300.54/2,500	
SN74HC257N	296-8285-5-ND	Tri-St., Vierf. 2-1 Leitungs-Datenselektor/Mux	Tri-St. Quad 2-1 Line Data Selector/Mux	16-Dip	.47	.38	.28
SN74HC257NSR	296-8286-1-ND	Tri-St., Vierf. 2-1 Leitungs-Datenselektor/Mux	Tri-St. Quad 2-1 Line Data Selector/Mux	16-SOP	.45	.36	.27
SN74HC257NSR	296-8286-2-ND	Tri-St., Vierf. 2-1 Leitungs-Datenselektor/Mux	Tri-St. Quad 2-1 Line Data Selector/Mux	16-SOP		248.90/2,000	
SN74HC257PWR	296-8287-1-ND	Tri-St., Vierf. 2-1 Leitungs-Datenselektor/Mux	Tri-St. Quad 2-1 Line Data Selector/Mux	16-TSSOP	.45	.36	.27
SN74HC257PWR	296-8287-2-ND	Tri-St., Vierf. 2-1 Leitungs-Datenselektor/Mux	Tri-St. Quad 2-1 Line Data Selector/Mux	16-TSSOP		248.90/2,000	
SN74HC259D	296-8290-5-ND	Adressierbarer 8-Bit Latch	8-Bit Addressable Latch	16-SOIC	.45	.36	.27

(Forts.)

★ *RUFEN SIE BITTE AN FÜR NIEDRIGERE PREISE BEI GRÖSSEREN MENGEN!* ★

B

T. I. Teilenr.	Digi-Key Teilenr.	Beschreibung		Paket	Stückpreis★ 1	25	100
SN74HC259DR	296-14847-1-ND	Adressierbarer 8-Bit Latch	8-Bit Addressable Latch	16-SOIC	.45	.36	.27
SN74HC259DR	296-14847-2-ND	Adressierbarer 8-Bit Latch	8-Bit Addressable Latch	16-SOIC		300.54/2,500	
SN74HC259N	296-8291-5-ND	Adressierbarer 8-Bit Latch	8-Bit Addressable Latch	16-Dip	.47	.38	.28
SN74HC259NSR	296-12895-1-ND	Adressierbarer 8-Bit Latch	8-Bit Addressable Latch	16-SOP	.45	.36	.27
SN74HC259NSR	296-12895-2-ND	Adressierbarer 8-Bit Latch	8-Bit Addressable Latch	16-SOP		248.90/2,000	
SN74HC259PWR	296-8292-1-ND	Adressierbarer 8-Bit Latch	8-Bit Addressable Latch	16-TSSOP	.45	.36	.27
SN74HC259PWR	296-8292-2-ND	Adressierbarer 8-Bit Latch	8-Bit Addressable Latch	16-TSSOP		248.90/2,000	
SN74HC266D	296-8293-5-ND	Vierf. Exclusive-NOR-Gate mit Open-Drain-Ausgang mit 2 Eingängen	Quad 2-Input Exclusive-NOR Gate with Open-Drain Output	14-SOIC	.45	.36	.27
SN74HC266N	296-8294-5-ND	Vierf. Exclusive-NOR-Gate mit Open-Drain-Ausgang mit 2 Eingängen	Quad 2-Input Exclusive-NOR Gate with Open-Drain Output	14-Dip	.47	.38	.28
SN74HC273DBR	296-8295-1-ND	Achtf. D-Flip-Flop mit Löschen	Octal D-Type Flip-Flop with Clear	20-SSOP	.47	.38	.28
SN74HC273DBR	296-8295-2-ND	Achtf. D-Flip-Flop mit Löschen	Octal D-Type Flip-Flop with Clear	20-SSOP		260.75/2,000	
SN74HC273DW	296-1198-5-ND	Achtf. D-Flip-Flop	Octal D-Type Flip-Flop	20-SOIC	.47	.38	.28
SN74HC273DWR	296-1198-1-ND	Achtf. D-Flip-Flop	Octal D-Type Flip-Flop	20-SOIC	.47	.38	.28
SN74HC273DWR	296-1198-2-ND	Achtf. D-Flip-Flop	Octal D-Type Flip-Flop	20-SOIC		260.75/2,000	
SN74HC273N	296-1587-5-ND	Achtf. D-Flip-Flop	Octal D-Type Flip-Flop	20-Dip	.41	.31	.23
SN74HC273NSR	296-8296-1-ND	Achtf. D-Flip-Flop mit Löschen	Octal D-Type Flip-Flop with Clear	20-SOP	.47	.38	.28
SN74HC273NSR	296-8296-2-ND	Achtf. D-Flip-Flop mit Löschen	Octal D-Type Flip-Flop with Clear	20-SOP		260.75/2,000	
SN74HC273PWR	296-8297-1-ND	Achtf. D-Flip-Flop mit Löschen	Octal D-Type Flip-Flop with Clear	20-TSSOP	.47	.38	.28
SN74HC273PWR	296-8297-2-ND	Achtf. D-Flip-Flop mit Löschen	Octal D-Type Flip-Flop with Clear	20-TSSOP		260.75/2,000	
SN74HC365D	296-8303-5-ND	Sechsf. Puffer-/Leitungstreiber, Tri-State	Tri-State Hex Buffer/Line Driver	16-SOIC	.44	.33	.25
SN74HC365N	296-8304-5-ND	Sechsf. Puffer-/Leitungstreiber, Tri-State	Tri-State Hex Buffer/Line Driver	16-Dip	.44	.33	.25
SN74HC365NSR	296-12897-1-ND	Sechsf. Puffer-/Leitungstreiber, Tri-State	Tri-State Hex Buffer/Line Driver	16-SOP	.44	.33	.25
SN74HC365NSR	296-12897-2-ND	Sechsf. Puffer-/Leitungstreiber, Tri-State	Tri-State Hex Buffer/Line Driver	16-SOP		292.92/2,000	
SN74HC367D	296-8305-5-ND	Sechsf. Puffer-/Leitungstreiber, Tri-State	Tri-State Hex Buffer/Line Driver	16-SOIC	.44	.33	.25
SN74HC367DR	296-14849-1-ND	Sechsf. Puffer-/Leitungstreiber, Tri-State	Tri-State Hex Buffer/Line Driver	16-SOIC	.44	.33	.25
SN74HC367DR	296-14849-2-ND	Sechsf. Puffer-/Leitungstreiber, Tri-State	Tri-State Hex Buffer/Line Driver	16-SOIC		357.69/2,500	
SN74HC367N	296-8306-5-ND	Sechsf. Puffer-/Leitungstreiber, Tri-State	Tri-State Hex Buffer/Line Driver	16-Dip	.54	.41	.31
SN74HC367NSR	296-12898-1-ND	Sechsf. Puffer-/Leitungstreiber, Tri-State	Tri-State Hex Buffer/Line Driver	16-SOP	.44	.33	.25
SN74HC367NSR	296-12898-2-ND	Sechsf. Puffer-/Leitungstreiber, Tri-State	Tri-State Hex Buffer/Line Driver	16-SOP		292.92/2,000	
SN74HC368D	296-8307-5-ND	Sechsf. Puffer-/Leitungstreiber, Tri-State	Tri-State Hex Buffer/Line Driver	16-SOIC	.44	.33	.25
SN74HC368DR	296-14850-1-ND	Sechsf. Puffer-/Leitungstreiber, Tri-State	Tri-State Hex Buffer/Line Driver	16-SOIC	.44	.33	.25
SN74HC368DR	296-14850-2-ND	Sechsf. Puffer-/Leitungstreiber, Tri-State	Tri-State Hex Buffer/Line Driver	16-SOIC		357.69/2,500	
SN74HC368N	296-8308-5-ND	Sechsf. Puffer-/Leitungstreiber, Tri-State	Tri-State Hex Buffer/Line Driver	16-Dip	.48	.37	.28
SN74HC373DBR	296-8309-1-ND	Tri-St., Achtf. transparenter D-Latch	Tri-St. Octal Transparent D-Type Latch	20-SSOP	.51	.39	.29
SN74HC373DBR	296-8309-2-ND	Tri-St., Achtf. transparenter D-Latch	Tri-St. Octal Transparent D-Type Latch	20-SSOP		338.64/2,000	
SN74HC373DW	296-1200-5-ND	Tri-St., Achtf. transparenter D-Latch	Tri-St. Octal Transparent D-Type Latch	20-SOIC	.51	.39	.29
SN74HC373DWR	296-1200-1-ND	Tri-St., Achtf. transparenter D-Latch	Tri-St. Octal Transparent D-Type Latch	20-SOIC	.51	.39	.29
SN74HC373DWR	296-1200-2-ND	Tri-St., Achtf. transparenter D-Latch	Tri-St. Octal Transparent D-Type Latch	20-SOIC		338.64/2,000	
SN74HC373N	296-1591-5-ND	Tri-St., Achtf. transparenter D-Latch	Tri-St. Octal Transparent D-Type Latch	20-Dip	.56	.42	.32
SN74HC373NSR	296-8310-1-ND	Tri-St., Achtf. transparenter D-Latch	Tri-St. Octal Transparent D-Type Latch	20-SOP	.51	.39	.29
SN74HC373NSR	296-8310-2-ND	Tri-St., Achtf. transparenter D-Latch	Tri-St. Octal Transparent D-Type Latch	20-SOP		338.64/2,000	
SN74HC373PWR	296-8311-1-ND	Tri-St., Achtf. transparenter D-Latch	Tri-St. Octal Transparent D-Type Latch	20-TSSOP	.51	.39	.29
SN74HC373PWR	296-8311-2-ND	Tri-St., Achtf. transparenter D-Latch	Tri-St. Octal Transparent D-Type Latch	20-TSSOP		338.64/2,000	
SN74HC374DBR	296-8312-1-ND	Achtf. D-Flip-Flop, Tri-State	Tri-State Octal D-Type Flip-Flop	20-SSOP	.51	.39	.29
SN74HC374DBR	296-8312-2-ND	Achtf. D-Flip-Flop, Tri-State	Tri-State Octal D-Type Flip-Flop	20-SSOP		338.64/2,000	
SN74HC374DW	296-1201-5-ND	Achtf. D-Flip-Flop, Tri-State	Tri-State Octal D-Type Flip-Flop	20-SOIC	.51	.39	.29
SN74HC374DWR	296-1201-1-ND	Achtf. D-Flip-Flop, Tri-State	Tri-State Octal D-Type Flip-Flop	20-SOIC	.51	.39	.29
SN74HC374DWR	296-1201-2-ND	Achtf. D-Flip-Flop, Tri-State	Tri-State Octal D-Type Flip-Flop	20-SOIC		338.64/2,000	
SN74HC374N	296-1592-5-ND	Achtf. D-Flip-Flop, Tri-State	Tri-State Octal D-Type Flip-Flop	20-Dip	.56	.42	.32
SN74HC374NSR	296-8313-1-ND	Achtf. D-Flip-Flop, Tri-State	Tri-State Octal D-Type Flip-Flop	20-SOP	.51	.39	.29
SN74HC374NSR	296-8313-2-ND	Achtf. D-Flip-Flop, Tri-State	Tri-State Octal D-Type Flip-Flop	20-SOP		338.64/2,000	
SN74HC374PWR	296-8314-1-ND	Achtf. D-Flip-Flop, Tri-State	Tri-State Octal D-Type Flip-Flop	20-TSSOP	.51	.39	.29
SN74HC374PWR	296-8314-2-ND	Achtf. D-Flip-Flop, Tri-State	Tri-State Octal D-Type Flip-Flop	20-TSSOP		338.64/2,000	
SN74HC377DW	296-9818-5-ND	Achtf. D-Flip-Flop, mit Taktaktivierung	Octal D-Type Flip-Flop with Clock Enable	20-SOIC	.41	.31	.23
SN74HC377DWR	296-9818-1-ND	Achtf. D-Flip-Flop, mit Taktaktivierung	Octal D-Type Flip-Flop with Clock Enable	20-SOP	.41	.31	.23
SN74HC377DWR	296-9818-2-ND	Achtf. D-Flip-Flop, mit Taktaktivierung	Octal D-Type Flip-Flop with Clock Enable	20-SOP		270.91/2,000	
SN74HC377N	296-8316-5-ND	Achtf. D-Flip-Flop, mit Taktaktivierung	Octal D-Type Flip-Flop with Clock Enable	20-Dip	.45	.34	.26
SN74HC393D	296-8317-5-ND	Zweif. Binärzähler, 4-Bit	Dual 4-Bit Binary Counter	14-SOIC	.42	.34	.26
SN74HC393DBR	296-8318-1-ND	Zweif. Binärzähler, 4-Bit	Dual 4-Bit Binary Counter	14-SSOP	.42	.34	.26
SN74HC393DBR	296-8318-2-ND	Zweif. Binärzähler, 4-Bit	Dual 4-Bit Binary Counter	14-SSOP		237.05/2,000	
SN74HC393DR	296-14851-1-ND	Zweif. Binärzähler, 4-Bit	Dual 4-Bit Binary Counter	14-SOIC	.42	.34	.26
SN74HC393DR	296-14851-2-ND	Zweif. Binärzähler, 4-Bit	Dual 4-Bit Binary Counter	14-SOIC		285.73/2,500	
SN74HC393N	296-8319-5-ND	Zweif. Binärzähler, 4-Bit	Dual 4-Bit Binary Counter	14-Dip	.42	.34	.26
SN74HC540DWR	296-8333-1-ND	Achtf. Puffer-/Leitungstreiber, Tri-State	Tri-State Octal Buffer/Line Driver	20-SOIC	.47	.36	.27
SN74HC540DWR	296-8333-2-ND	Achtf. Puffer-/Leitungstreiber, Tri-State	Tri-State Octal Buffer/Line Driver	20-SOIC		314.94/2,000	
SN74HC540N	296-8334-5-ND	Achtf. Puffer-/Leitungstreiber, Tri-State	Tri-State Octal Buffer/Line Driver	20-Dip	.52	.40	.30
SN74HC541DBR	296-14855-1-ND	Achtf. Puffer-/Leitungstreiber, Tri-State	Tri-State Octal Buffer/Line Driver	20-SSOP	.47	.36	.27
SN74HC541DBR	296-14855-2-ND	Achtf. Puffer-/Leitungstreiber, Tri-State	Tri-State Octal Buffer/Line Driver	20-SSOP		314.94/2,000	
SN74HC541DW	296-1202-5-ND	Achtf. Puffer-/Leitungstreiber, Tri-State	Tri-State Octal Buffer/Line Driver	20-SOIC	.47	.36	.27
SN74HC541DWR	296-1202-1-ND	Achtf. Puffer-/Leitungstreiber, Tri-State	Tri-State Octal Buffer/Line Driver	20-SOIC	.47	.36	.27
SN74HC541DWR	296-1202-2-ND	Achtf. Puffer-/Leitungstreiber, Tri-State	Tri-State Octal Buffer/Line Driver	20-SOIC		314.94/2,000	
SN74HC541N	296-1594-5-ND	Achtf. Puffer-/Leitungstreiber, Tri-State	Tri-State Octal Buffer/Line Driver	20-Dip	.52	.40	.30
SN74HC541NSR	296-13218-1-ND	Achtf. Puffer-/Leitungstreiber, Tri-State	Tri-State Octal Buffer/Line Driver	20-SOP	.47	.36	.27
SN74HC541NSR	296-13218-2-ND	Achtf. Puffer-/Leitungstreiber, Tri-State	Tri-State Octal Buffer/Line Driver	20-SOP		314.94/2,000	
SN74HC541PWR	296-8335-1-ND	Achtf. Puffer-/Leitungstreiber, Tri-State	Tri-State Octal Buffer/Line Driver	20-TSSOP	.47	.36	.27
SN74HC541PWR	296-8335-2-ND	Achtf. Puffer-/Leitungstreiber, Tri-State	Tri-State Octal Buffer/Line Driver	20-TSSOP		314.94/2,000	
SN74HC573ADW	296-1203-5-ND	Achtf. D-Latch, Tri-State	Tri-State Octal D-Type Latch	20-SOIC	.51	.39	.29
SN74HC573ADWR	296-1203-1-ND	Achtf. D-Latch, Tri-State	Tri-State Octal D-Type Latch	20-SOIC	.51	.39	.29
SN74HC573ADWR	296-1203-2-ND	Achtf. D-Latch, Tri-State	Tri-State Octal D-Type Latch	20-SOIC		338.64/2,000	
SN74HC573AN	296-1596-5-ND	Achtf. D-Latch, Tri-State	Tri-State Octal D-Type Latch	20-Dip	.56	.42	.32
SN74HC573APWR	296-8338-1-ND	Achtf. transparenter Tri-State D-Latch	Tri-State Octal Transp. D-Type Latch	20-TSSOP	.51	.39	.29
SN74HC573APWR	296-8338-2-ND	Achtf. transparenter Tri-State D-Latch	Tri-State Octal Transp. D-Type Latch	20-TSSOP		338.64/2,000	
SN74HC574DW	296-1597-5-ND	Achtf. D-Flip-Flop, Tri-State	Tri-State Octal D-Type Flip-Flop	20-SOIC	.51	.39	.29
SN74HC574DWR	296-1597-1-ND	Achtf. D-Flip-Flop, Tri-State	Tri-State Octal D-Type Flip-Flop	20-SOIC	.51	.39	.29
SN74HC574DWR	296-1597-2-ND	Achtf. D-Flip-Flop, Tri-State	Tri-State Octal D-Type Flip-Flop	20-SOIC		338.64/2,000	
SN74HC574N	296-1598-5-ND	Achtf. D-Flip-Flop, Tri-State	Tri-State Octal D-Type Flip-Flop	20-Dip	.56	.42	.32
SN74HC574PWR	296-8339-1-ND	Achtf. D-Flip-Flop, Tri-State	Tri-State Octal D-Type Flip-Flop	20-TSSOP	.51	.39	.29
SN74HC574PWR	296-8339-2-ND	Achtf. D-Flip-Flop, Tri-State	Tri-State Octal D-Type Flip-Flop	20-TSSOP		338.64/2,000	
SN74HC590AD	296-8340-5-ND	Binärer Zähler, Tri-State, 8-Bit	Tri-State 8-Bit Binary Counter	16-SOIC	.51	.39	.29
SN74HC590ADR	296-17132-1-ND	Binärer Zähler, Tri-State, 8-Bit	Tri-State 8-Bit Binary Counter	16-SOIC	.51	.39	.29
SN74HC590ADR	296-17132-2-ND	Binärer Zähler, Tri-State, 8-Bit	Tri-State 8-Bit Binary Counter	16-SOIC		412.72/2,500	
SN74HC590ADW	296-8341-5-ND	Binärer Zähler, Tri-State, 8-Bit	Tri-State 8-Bit Binary Counter	16-SOIC	.51	.39	.29
SN74HC590ADWR	296-14856-1-ND	Binärer Zähler, Tri-State, 8-Bit	Tri-State 8-Bit Binary Counter	16-SOIC	.51	.39	.29
SN74HC590ADWR	296-14856-2-ND	Binärer Zähler, Tri-State, 8-Bit	Tri-State 8-Bit Binary Counter	16-SOIC		338.64/2,000	
SN74HC590AN	296-1599-5-ND	Binärer Zähler, Tri-State, 8-Bit	Tri-State 8-Bit Binary Counter	16-Dip	.56	.42	.32
SN74HC594DW	296-8342-5-ND	Schieberegister mit Ausgangsregister, 8-Bit	8-Bit Shift Register with Output Register	16-SOIC	.63	.53	.43
SN74HC594N	296-8343-5-ND	Schieberegister mit Ausgangsregister, 8-Bit	8-Bit Shift Register with Output Register	16-Dip	.63	.53	.43
SN74HC595D	296-8344-5-ND	Schieberegister, Tri-State, 8-Bit	Tri-State 8-Bit Shift Register	16-SOIC	.51	.39	.29
SN74HC595DR	296-14857-1-ND	Schieberegister, Tri-State, 8-Bit	Tri-State 8-Bit Shift Register	16-SOIC	.51	.39	.29
SN74HC595DR	296-14857-2-ND	Schieberegister, Tri-State, 8-Bit	Tri-State 8-Bit Shift Register	16-SOIC		412.72/2,500	
SN74HC595DW	296-8345-5-ND	Schieberegister, Tri-State, 8-Bit	Tri-State 8-Bit Shift Register	16-SOIC	.51	.39	.29
SN74HC595DWR	296-14858-1-ND	Schieberegister, Tri-State, 8-Bit	Tri-State 8-Bit Shift Register	16-SOIC	.51	.39	.29
SN74HC595DWR	296-14858-2-ND	Schieberegister, Tri-State, 8-Bit	Tri-State 8-Bit Shift Register	16-SOIC		338.64/2,000	
SN74HC595N	296-1600-5-ND	Schieberegister, Tri-State, 8-Bit	Tri-State 8-Bit Shift Register	16-Dip	.56	.42	.32
SN74HC623DW	296-8346-5-ND	Achtf. Bus-Transceiver, Tri-State	Tri-State Octal Bus Transceiver	20-SOIC	4.40	3.53	2.98

(Forts.)

★ ***RUFEN SIE BITTE AN FÜR NIEDRIGERE PREISE BEI GRÖSSEREN MENGEN!*** ★

Alle Preisangaben in Euro und inklusive Zollgebühren.

T. I. Teilenr.	Digi-Key Teilenr.	Beschreibung		Paket	Stückpreis★ 1	25	100
SN74HC623N	296-8347-5-ND	Achtf. Bus-Transceiver, Tri-State	Tri-State Octal Bus Transceiver	20-Dip	4.40	3.53	2.98
SN74HC640DW	296-8348-5-ND	Achtf. Bus-Transceiver, Tri-State	Tri-State Octal Bus Transceiver	20-SOIC	1.14	.96	.77
SN74HC640N	296-8349-5-ND	Achtf. Bus-Transceiver, Tri-State	Tri-State Octal Bus Transceiver	20-Dip	1.14	.96	.77
SN74HC645DW	296-8350-5-ND	Achtf. Bus-Transceiver, Tri-State	Tri-State Octal Bus Transceiver	20-SOIC	1.02	.85	.68
SN74HC645N	296-8351-5-ND	Achtf. Bus-Transceiver, Tri-State	Tri-State Octal Bus Transceiver	20-Dip	1.02	.85	.68
SN74HC646DW	296-8352-5-ND	Achtf. Bus-Transceiver/Register, Tri-State	Tri-State Octal Bus Transceiver/Register	24-SOIC	1.02	.85	.68
SN74HC646NT	296-8353-5-ND	Achtf. Bus-Transceiver/Register, Tri-State	Tri-State Octal Bus Transceiver/Register	24-Dip	1.02	.85	.68
SN74HC652DW	296-8354-5-ND	Achtf. Bus-Transceiver/Register, Tri-State	Tri-State Octal Bus Transceiver/Register	24-SOIC	1.27	1.02	.77
SN74HC652NT	296-8355-5-ND	Achtf. Bus-Transceiver/Register, Tri-State	Tri-State Octal Bus Transceiver/Register	24-Dip	1.59	1.27	.96
SN74HC682DWR	296-8356-1-ND	Größenkomparator, 8-Bit	8-Bit Magnitude Comparator	20-SOIC	2.80	2.24	1.75
SN74HC682DWR	296-8356-2-ND	Größenkomparator, 8-Bit	8-Bit Magnitude Comparator	20-SOIC		3173.06/2,000	
SN74HC682N	296-8357-5-ND	Größenkomparator, 8-Bit	8-Bit Magnitude Comparator	20-Dip	2.80	2.24	1.75
SN74HC684DW	296-8358-5-ND	Größenkomparator, 8-Bit	8-Bit Magnitude Comparator	20-SOIC	4.91	3.93	3.32
SN74HC684N	296-8359-5-ND	Größenkomparator, 8-Bit	8-Bit Magnitude Comparator	20-Dip	5.08	4.07	3.43
SN74HC688DW	296-8360-5-ND	Identitätskomparator, 8-Bit	8-Bit Identity Comparator	20-SOIC	.69	.58	.46
SN74HC688N	296-8361-5-ND	Identitätskomparator, 8-Bit	8-Bit Identity Comparator	20-Dip	.69	.58	.46
SN74HC688PWR	296-8362-1-ND	Identitätskomparator, 8-Bit	8-Bit Identity Comparator	20-TSSOP	.69	.58	.46
SN74HC688PWR	296-8362-2-ND	Identitätskomparator, 8-Bit	8-Bit Identity Comparator	20-TSSOP		607.86/2,000	
SN74HC4020D	296-8320-5-ND	Asynchroner Binärzähler, 14-Bit	14-Bit Async. Binary Counter	16-SOIC	.46	.35	.26
SN74HC4020N	296-8321-5-ND	Asynchroner Binärzähler, 14-Bit	14-Bit Async. Binary Counter	16-Dip	.46	.35	.26
SN74HC4040D	296-8322-5-ND	Asynchroner Binärzähler, 12-Bit	12-Bit Async. Binary Counter	16-SOIC	.46	.35	.26
SN74HC4040DBR	296-8323-1-ND	Asynchroner Binärzähler, 12-Bit	12-Bit Async. Binary Counter	16-SSOP	.46	.35	.26
SN74HC4040DBR	296-8323-2-ND	Asynchroner Binärzähler, 12-Bit	12-Bit Async. Binary Counter	16-SSOP		304.78/2,000	
SN74HC4040DR	296-14852-1-ND	Asynchroner Binärzähler, 12-Bit	12-Bit Async. Binary Counter	16-SOIC	.46	.35	.26
SN74HC4040DR	296-14852-2-ND	Asynchroner Binärzähler, 12-Bit	12-Bit Async. Binary Counter	16-SOIC		372.50/2,500	
SN74HC4040N	296-8324-5-ND	Asynchroner Binärzähler, 12-Bit	12-Bit Async. Binary Counter	16-Dip	.46	.35	.26
SN74HC4040PWR	296-8325-1-ND	Asynchroner Binärzähler, 12-Bit	12-Bit Async. Binary Counter	16-TSSOP	.46	.35	.26
SN74HC4040PWR	296-8325-2-ND	Asynchroner Binärzähler, 12-Bit	12-Bit Async. Binary Counter	16-TSSOP		304.78/2,000	
SN74HC4060D	296-8326-5-ND	14-Phasen-Binärzähler und Oszillator, asynch.	14-Stage Async. Binary Counter and Oscillator	16-SOIC	.47	.36	.27
SN74HC4060DR	296-14853-1-ND	14-Phasen-Binärzähler und Oszillator, asynch.	14-Stage Async. Binary Counter and Oscillator	16-SOIC	.47	.36	.27
SN74HC4060DR	296-14853-2-ND	14-Phasen-Binärzähler und Oszillator, asynch.	14-Stage Async. Binary Counter and Oscillator	16-SOIC		385.20/2,500	
SN74HC4060N	296-8209-5-ND	14-Phasen-Binärzähler und Oszillator, asynch.	14-Stage Async. Binary Counter and Oscillator	16-Dip	.47	.36	.27
SN74HC4066D	296-8327-5-ND	Vierf. bilateraler Analogschalter	Quad Bilateral Analog Switch	14-SOIC	.42	.34	.26
SN74HC4066DBR	296-8328-1-ND	Vierf. bilateraler Analogschalter	Quad Bilateral Analog Switch	14-SSOP	.42	.34	.26
SN74HC4066DBR	296-8328-2-ND	Vierf. bilateraler Analogschalter	Quad Bilateral Analog Switch	14-SSOP		237.05/2,000	
SN74HC4066DR	296-14854-1-ND	Vierf. bilateraler Analogschalter	Quad Bilateral Analog Switch	14-SOIC	.42	.34	.26
SN74HC4066DR	296-14854-2-ND	Vierf. bilateraler Analogschalter	Quad Bilateral Analog Switch	14-SOIC		285.73/2,500	
SN74HC4066N	296-8329-5-ND	Vierf. bilateraler Analogschalter	Quad Bilateral Analog Switch	14-Dip	.42	.34	.26
SN74HC4066PWR	296-8330-1-ND	Vierf. bilateraler Analogschalter	Quad Bilateral Analog Switch	14-TSSOP	.42	.34	.26
SN74HC4066PWR	296-8330-2-ND	Vierf. bilateraler Analogschalter	Quad Bilateral Analog Switch	14-TSSOP		237.05/2,000	
SN74HC4851DR	296-15740-1-ND	8-Kanal-Analog-Mux/Demux	8-Channel Analog Mux/Demux	16-SOIC	.54	.41	.31
SN74HC4851DR	296-15740-2-ND	8-Kanal-Analog-Mux/Demux	8-Channel Analog Mux/Demux	16-SOIC		440.23/2,500	
SN74HC4851N	296-15741-5-ND	8-Kanal-Analog-Mux/Demux	8-Channel Analog Mux/Demux	16-Dip	.54	.41	.31
SN74HC4851PWR	296-16983-1-ND	8-Kanal-Analog-Mux/Demux	8-Channel Analog Mux/Demux	16-TSSOP	.54	.41	.31
SN74HC4851PWR	296-16983-2-ND	8-Kanal-Analog-Mux/Demux	8-Channel Analog Mux/Demux	16-TSSOP		360.65/2,000	
SN74HC4851QDRQ1	296-17266-1-ND	8-Kanal-Analog-Mux/Demux	8-Channel Analog Mux/Demux	16-SOIC	.63	.48	.36
SN74HC4851QDRQ1	296-17266-2-ND	8-Kanal-Analog-Mux/Demux	8-Channel Analog Mux/Demux	16-SOIC		516.43/2,500	
SN74HC4852N	296-17301-5-ND	Zweif. 4-1 Kanal-Analog-Mux/Demux	Dual 4-1 Channel Analog Mux/Demux	16-Dip	.54	.41	.31
SN74HC7001D	296-8363-5-ND	Vierf. AND-Gate mit Schmitt-Trigger-Eing.	Quad AND Gate w/Schmitt-Trigger Input	14-SOIC	1.19	1.00	.80
SN74HC7001N	296-8364-5-ND	Vierf. AND-Gate mit Schmitt-Trigger-Eing.	Quad AND Gate w/Schmitt-Trigger Input	14-Dip	1.19	1.00	.80
SN74HC7002D	296-8365-5-ND	Vierf. NOR-Gate mit Schmitt-Trigger-Eing.	Quad NOR Gate w/Schmitt-Trigger Input	14-SOIC	1.69	1.36	1.02
SN74HC7002N	296-8366-5-ND	Vierf. NOR-Gate mit Schmitt-Trigger-Eing.	Quad NOR Gate w/Schmitt-Trigger Input	14-Dip	1.69	1.36	1.02
SN74HC7032D	296-8367-5-ND	Vierf. OR-Gate mit Schmitt-Trigger-Eing.	Quad OR Gate w/Schmitt-Trigger Input	14-SOIC	1.90	1.53	1.19
SN74HC7032N	296-8368-5-ND	Vierf. OR-Gate mit Schmitt-Trigger-Eing.	Quad OR Gate w/Schmitt-Trigger Input	14-Dip	1.90	1.53	1.19
		HCT-Gruppe					
CD74HCT00E	296-2081-5-ND	Vierf. NAND-Gate mit 2 Eingängen	Quad 2-Input NAND Gate	14-Dip	.54	.41	.31
CD74HCT00M	296-9244-5-ND	Vierf. NAND-Gate mit 2 Eingängen	Quad 2-Input NAND Gate	14-SOIC	.41	.31	.23
CD74HCT00M96	296-14542-1-ND	Vierf. NAND-Gate mit 2 Eingängen	Quad 2-Input NAND Gate	14-SOIC	.41	.31	.23
CD74HCT00M96	296-14542-2-ND	Vierf. NAND-Gate mit 2 Eingängen	Quad 2-Input NAND Gate	14-SOIC		330.17/2,500	
CD74HCT02E	296-2082-5-ND	Vierf. NOR-Gate mit 2 Eingängen	Quad 2-Input NOR Gate	14-Dip	.54	.41	.31
CD74HCT02M	296-12825-5-ND	Vierf. NOR-Gate mit 2 Eingängen	Quad 2-Input NOR Gate	14-SOIC	.41	.31	.23
CD74HCT03E	296-2134-5-ND	Vierf. NAND-Gate mit 2 Eingängen und Open Drain	Quad 2-Input NAND Gate with OD	14-Dip	.45	.36	.27
CD74HCT03M96	296-9245-1-ND	Vierf. NAND-Gate mit 2 Eingängen und Open Drain	Quad 2-Input NAND Gate with OD	14-SOIC	.37	.30	.21
CD74HCT03M96	296-9245-2-ND	Vierf. NAND-Gate mit 2 Eingängen und Open Drain	Quad 2-Input NAND Gate with OD	14-SOIC		241.28/2,500	
CD74HCT04E	296-2083-5-ND	Sechsf. Inverter/Puffer	Hex Inverter/Buffer	14-Dip	.54	.41	.31
CD74HCT04M	296-9246-5-ND	Sechsf. Inverter/Puffer	Hex Inverter/Buffer	14-SOIC	.41	.31	.23
CD74HCT04M96	296-14543-1-ND	Sechsf. Inverter/Puffer	Hex Inverter/Buffer	14-SOIC	.41	.31	.23
CD74HCT04M96	296-14543-2-ND	Sechsf. Inverter/Puffer	Hex Inverter/Buffer	14-SOIC		330.17/2,500	
CD74HCT04PWR	296-17123-1-ND	Sechsf. Inverter/Puffer	Hex Inverter/Buffer	14-TSSOP	.41	.31	.23
CD74HCT04PWR	296-17123-2-ND	Sechsf. Inverter/Puffer	Hex Inverter/Buffer	14-TSSOP		270.91/2,000	
CD74HCT08E	296-2084-5-ND	Vierf. AND-Gate mit 2 Eingängen	Quad 2-Input AND Gate	14-Dip	.54	.41	.31
CD74HCT08M	296-12828-5-ND	Vierf. AND-Gate mit 2 Eingängen	Quad 2-Input AND Gate	14-SOIC	.41	.31	.23
CD74HCT08M96	296-14544-1-ND	Vierf. AND-Gate mit 2 Eingängen	Quad 2-Input AND Gate	14-SOIC	.41	.31	.23
CD74HCT08M96	296-14544-2-ND	Vierf. AND-Gate mit 2 Eingängen	Quad 2-Input AND Gate	14-SOIC		330.17/2,500	
CD74HCT10E	296-2086-5-ND	Dreif. NAND-Gate mit 3 Eingängen	Triple 3-Input NAND Gate	14-Dip	.54	.41	.31
CD74HCT10M	296-9247-5-ND	Dreif. NAND-Gate mit 3 Eingängen	Triple 3-Input NAND Gate	14-SOIC	.41	.31	.23
CD74HCT10M96	296-14545-1-ND	Dreif. NAND-Gate mit 3 Eingängen	Triple 3-Input NAND Gate	14-SOIC	.41	.31	.23
CD74HCT10M96	296-14545-2-ND	Dreif. NAND-Gate mit 3 Eingängen	Triple 3-Input NAND Gate	14-SOIC		330.17/2,500	
CD74HCT11E	296-2087-5-ND	Dreif. AND-Gate mit 3 Eingängen	Triple 3-Input AND Gate	14-Dip	.45	.36	.27
CD74HCT11M96	296-9249-1-ND	Dreif. AND-Gate mit 3 Eingängen	Triple 3-Input AND Gate	14-SOIC	.38	.31	.23
CD74HCT11M96	296-9249-2-ND	Dreif. AND-Gate mit 3 Eingängen	Triple 3-Input AND Gate	14-SOIC		258.21/2,500	
CD74HCT14E	296-2093-5-ND	Sechsf. Schmitt-Trigger-Inverter	Hex Schmitt-Trigger Inverter	14-Dip	.54	.41	.31
CD74HCT14M	296-9253-5-ND	Sechsf. Schmitt-Trigger-Inverter	Hex Schmitt-Trigger Inverter	14-SOIC	.41	.31	.23
CD74HCT14M96	296-14548-1-ND	Sechsf. Schmitt-Trigger-Inverter	Hex Schmitt-Trigger Inverter	14-SOIC	.41	.31	.23
CD74HCT14M96	296-14548-2-ND	Sechsf. Schmitt-Trigger-Inverter	Hex Schmitt-Trigger Inverter	14-SOIC		330.17/2,500	
CD74HCT21E	296-9262-5-ND	Zweif. AND-Gate mit 4 Eingängen	Dual 4-Input AND Gate	14-Dip	.45	.36	.27
CD74HCT30E	296-2111-5-ND	NAND-Gate, 8 Eingänge	8-Input NAND Gate	14-Dip	.45	.36	.27
CD74HCT30M	296-9267-5-ND	NAND-Gate, 8 Eingänge	8-Input NAND Gate	14-SOIC	.37	.30	.21
CD74HCT32E	296-2112-5-ND	Vierf. OR-Gate mit 2 Eingängen	Quad 2-Input OR Gate	14-Dip	.54	.41	.31
CD74HCT32M	296-12842-5-ND	Vierf. OR-Gate mit 2 Eingängen	Quad 2-Input OR Gate	14-SOIC	.41	.31	.23
CD74HCT32M96	296-14555-1-ND	Vierf. OR-Gate mit 2 Eingängen	Quad 2-Input OR Gate	14-SOIC	.41	.31	.23
CD74HCT32M96	296-14555-2-ND	Vierf. OR-Gate mit 2 Eingängen	Quad 2-Input OR Gate	14-SOIC		330.17/2,500	
CD74HCT73E	296-9297-5-ND	Neg. Flankensteuerung JK-Flip-Flop mit Reset	Dual Neg-Edge-Trig. J-K Flip-Flop with Reset	14-Dip	.68	.51	.39
CD74HCT73M	296-9298-5-ND	Neg. Flankensteuerung JK-Flip-Flop mit Reset	Dual Neg-Edge-Trig. J-K Flip-Flop with Reset	14-SOP	.68	.51	.39
CD74HCT74E	296-2132-5-ND	Zweif. D-Flip-Flop mit Set und Reset	Dual D-Type Flip-Flop with Set and Reset	14-Dip	.54	.41	.31
CD74HCT74M	296-9299-5-ND	Pos. Flankensteuerung D-Flip-Flop mit Set und Reset	Dual Pos-Edge-Trig. D-Type Flip-Flop with Set and Reset	14-SOIC	.41	.31	.23
CD74HCT74M96	296-14561-1-ND	Pos. Flankensteuerung D-Flip-Flop mit Set und Reset	Dual Pos-Edge-Trig. D-Type Flip-Flop with Set and Reset	14-SOIC	.41	.31	.23
CD74HCT74M96	296-14561-2-ND	Pos. Flankensteuerung D-Flip-Flop mit Set und Reset	Dual Pos-Edge-Trig. D-Type Flip-Flop with Set and Reset	14-SOIC		330.17/2,500	
CD74HCT86E	296-2133-5-ND	Vierf. Exclusive-OR-Gate, HS mit 2 Eingängen	Quad High Speed 2-Input Exclusive-OR Gate	14-Dip	.61	.46	.35
CD74HCT86M	296-8201-5-ND	Vierf. Exclusive-OR-Gate, HS mit 2 Eingängen	Quad High Speed 2-Input Exclusive-OR Gate	14-SOIC	.54	.41	.31
CD74HCT86M96	296-8201-1-ND	Vierf. Exclusive-OR-Gate, HS mit 2 Eingängen	Quad High Speed 2-Input Exclusive-OR Gate	14-SOIC	.54	.41	.31
CD74HCT86M96	296-8201-2-ND	Vierf. Exclusive-OR-Gate, HS mit 2 Eingängen	Quad High Speed 2-Input Exclusive-OR Gate	14-SOIC		440.23/2,500	
CD74HCT109E	296-2085-5-ND	Zweif. JK-Flip-Flop mit Set und Reset	Dual J-K Flip-Flop with Set and Reset	16-Dip	.61	.46	.35
CD74HCT112E	296-9248-5-ND	Zweif. JK-Flip-Flop mit Set und Reset, neg. Flankensteuerung	Dual Neg-Edge-Trig J-K Flip-Flop with Set and Reset	16-Dip	.41	.31	.23
CD74HCT123E	296-2088-5-ND	Zweif. nachtriggerbarer, monostabiler Multivibrator mit Reset	Dual Retriggerable Monostable Multivibrator with Reset	16-Dip	.45	.34	.26

(Forts.)

★ ***RUFEN SIE BITTE AN FÜR NIEDRIGERE PREISE BEI GRÖSSEREN MENGEN!*** ★

B

T. I. Teilenr.	Digi-Key Teilenr.	Beschreibung		Paket	Stückpreis★ 1	25	100
CD74HCT123M	296-9250-5-ND	Zweif. nachtriggerbarer, monostabiler Multivibrator mit Reset	Dual Retriggerable Monostable Multivibrator with Reset	16-SOIC	.41	.31	.23
CD74HCT125E	296-2089-5-ND	Vierf. Puffer, Tri-State	Tri-State Quad Buffer	14-Dip	.61	.46	.35
CD74HCT125M96	296-12829-1-ND	Vierf. Puffer, Tri-State	Tri-State Quad Buffer	14-SOIC	.54	.41	.31
CD74HCT125M96	296-12829-2-ND	Vierf. Puffer, Tri-State	Tri-State Quad Buffer	14-SOIC		440.23/2,500	
CD74HCT126E	296-9251-5-ND	Vierf. Puffer, Tri-State	Tri-State Quad Buffer	14-Dip	.41	.31	.23
CD74HCT126M	296-12830-5-ND	Vierf. Puffer, Tri-State	Tri-State Quad Buffer	14-SOIC	.41	.31	.23
CD74HCT126M96	296-14546-1-ND	Vierf. Puffer, Tri-State	Tri-State Quad Buffer	14-SOIC	.41	.31	.23
CD74HCT126M96	296-14546-2-ND	Vierf. Puffer, Tri-State	Tri-State Quad Buffer	14-SOIC		330.17/2,500	
CD74HCT132E	296-2090-5-ND	Vierf. NAND-Schmitt-Trigger mit 2 Eingängen	Quad 2-In NAND Schmitt Trigger	14-Dip	.45	.34	.26
CD74HCT132M96	296-12831-1-ND	Vierf. NAND-Schmitt-Trigger mit 2 Eingängen	Quad 2-In NAND Schmitt Trigger	14-SOIC	.41	.31	.23
CD74HCT132M96	296-12831-2-ND	Vierf. NAND-Schmitt-Trigger mit 2 Eingängen	Quad 2-In NAND Schmitt Trigger	14-SOIC		330.17/2,500	
CD74HCT138E	296-2091-5-ND	3-8 Leitungsdekodierer/Demux, invertierend/nicht invertierend	3-8 Line Decoder/Demux Inverting/Non-Inverting	16-Dip	.61	.46	.35
CD74HCT138M	296-12832-5-ND	3-8 Leitungsdekodierer/Demux, invertierend/nicht invertierend	3-8 Line Decoder/Demux Inverting/Non-Inverting	16-SOIC	.54	.41	.31
CD74HCT138M96	296-14547-1-ND	3-8 Leitungsdekodierer/Demux, invertierend/nicht invertierend	3-8 Line Decoder/Demux Inverting/Non-Inverting	16-SOIC	.54	.41	.31
CD74HCT138M96	296-14547-2-ND	3-8 Leitungsdekodierer/Demux, invertierend/nicht invertierend	3-8 Line Decoder/Demux Inverting/Non-Inverting	16-SOIC		440.23/2,500	
CD74HCT139E	296-2092-5-ND	Zweif. 2-4 Leitungsdekodierer/Demux	Dual 2-of-4 Line Decoder/Demux	16-Dip	.61	.46	.35
CD74HCT147E	296-9252-5-ND	10-4 Leitungs-Prioritäts-Encoder	10-4 Line Priority Encoder	16-Dip	.51	.39	.29
CD74HCT151M	296-9254-5-ND	Multiplexer, 8 Eingänge	8-Input Multiplexer	16-SOIC	.41	.31	.23
CD74HCT153E	296-2094-5-ND	Zweif. Multiplexer, 4 Eingänge	Dual 4-Input Multiplexer	16-Dip	.41	.31	.23
CD74HCT153M	296-9255-5-ND	Zweif. Multiplexer, 4 Eingänge	Dual 4-Input Multiplexer	16-SOIC	.41	.31	.23
CD74HCT157E	296-2095-5-ND	Vierf. Multiplexer mit 2 Eingängen	Quad 2-Input Multiplexer	16-Dip	.61	.46	.35
CD74HCT161E	296-2096-5-ND	Synchr. Binärzähler, asynchr. Rückstellung, 4-Bit	Sync. 4-Bit Binary Counter, Async. Reset	16-Dip	.45	.34	.26
CD74HCT161M	296-9256-5-ND	Synchr. Binärzähler, asynchr. Rückstellung, 4-Bit	Sync. 4-Bit Binary Counter, Async. Reset	16-SOIC	.41	.31	.23
CD74HCT163E	296-12833-5-ND	Voreinstellbarer synch. Zähler	Presettable Sync. Counter	16-Dip	.45	.34	.26
CD74HCT164E	296-2097-5-ND	Seriell-Ein/parallel-Aus Schieberegister, 8-Bit	8-Bit Serial-In Parallel-Out Shift Register	14-Dip	.45	.34	.26
CD74HCT164M	296-9257-5-ND	Seriell-Ein/Parallel-Aus Schieberegister, 8-Bit	8-Bit Serial-In/Parallel-Out Shift Register	14-SOIC	.41	.31	.23
CD74HCT164M96	296-14549-1-ND	Seriell-Ein/Parallel-Aus Schieberegister, 8-Bit	8-Bit Serial-In/Parallel-Out Shift Register	14-SOIC	.41	.31	.23
CD74HCT164M96	296-14549-2-ND	Seriell-Ein/Parallel-Aus Schieberegister, 8-Bit	8-Bit Serial-In/Parallel-Out Shift Register	14-SOIC		330.17/2,500	
CD74HCT165E	296-2098-5-ND	Parallel-Ein/seriell-Aus Schieberegister, 8-Bit	8-Bit Parallel-In Serial-Out Shift Register	16-Dip	.45	.34	.26
CD74HCT165M	296-9258-5-ND	Parallel-Ein/Seriell-Aus-Schieberegister, asynchron, 8-Bit	Asynchronous 8-Bit Parallel-In/Serial-Out Shift Register	16-SOIC	.41	.31	.23
CD74HCT165M96	296-14551-1-ND	Parallel-Ein/seriell-Aus Schieberegister, 8-Bit	8-Bit Parallel-In Serial-Out Shift Register	16-SOIC	.41	.31	.23
CD74HCT165M96	296-14551-2-ND	Parallel-Ein/seriell-Aus Schieberegister, 8-Bit	8-Bit Parallel-In Serial-Out Shift Register	16-SOIC		330.17/2,500	
CD74HCT166E	296-2099-5-ND	Parallel-Ein/seriell-Aus Schieberegister, 8-Bit	8-Bit Parallel-In Serial-Out Shift Register	16-Dip	.45	.34	.26
CD74HCT166M	296-9259-5-ND	Parallel-Ein/Seriell-Aus-Schieberegister, synchron, 8-Bit	Synchronous 8-Bit Parallel-In/Serial-Out Shift Register	16-SOIC	.41	.31	.23
CD74HCT174E	296-2100-5-ND	Sechsf. D-Flip-Flop mit Reset	Hex D-Type Flip-Flop with Reset	16-Dip	.45	.34	.26
CD74HCT174M	296-9260-5-ND	Sechsf. D-Flip-Flop mit Reset	Hex D-Type Flip-Flop with Reset	16-SOIC	.41	.31	.23
CD74HCT174M96	296-12836-1-ND	Sechsf. D-Flip-Flop mit Reset	Hex D-Type Flip-Flop with Reset	16-SOIC	.41	.31	.23
CD74HCT174M96	296-12836-2-ND	Sechsf. D-Flip-Flop mit Reset	Hex D-Type Flip-Flop with Reset	16-SOIC		330.17/2,500	
CD74HCT175E	296-2101-5-ND	Vierf. D-Flip-Flop mit Reset	Quad D-Type Flip-Flop with Reset	16-Dip	.45	.34	.26
CD74HCT175M96	296-12837-1-ND	Vierf. D-Flip-Flop mit Reset	Quad D-Type Flip-Flop with Reset	16-SOIC	.41	.31	.23
CD74HCT175M96	296-12837-2-ND	Vierf. D-Flip-Flop mit Reset	Quad D-Type Flip-Flop with Reset	16-SOIC		330.17/2,500	
CD74HCT191M	296-9261-5-ND	Voreinstellbarer, synchroner Binär-Auf-/Abwärtszähler, 4-Bit	Presettable Synchronous 4-Bit Binary Up/Down Counter	16-SOIC	.61	.46	.35
CD74HCT221M96	296-9263-1-ND	Zweif. Mono-Multivibrator mit Reset	Dual Mono Multivibrator with Reset	16-SOIC	.61	.46	.35
CD74HCT221M96	296-9263-2-ND	Zweif. Mono-Multivibrator mit Reset	Dual Mono Multivibrator with Reset	16-SOIC		495.26/2,500	
CD74HCT238M96	296-17124-5-ND	HS CMOS 3 an 8 Leitungsdekodierer/Demux Inverter (nicht invertierend	HS CMOS 3 to 8 Line Decoder/Demux Inverter/Noninverting	16-SOIC	.51	.39	.29
CD74HCT240E	296-2103-5-ND	Tri-St., Achtf. Puffer-/Leitungstreiber	Tri-St. Inverting Octal Buffer Line Driver	20-Dip	.81	.61	.46
CD74HCT240M	296-9264-5-ND	Tri-St., Achtf. Puffer-/Leitungstreiber	Tri-St. Inverting Octal Buffer Line Driver	20-SOIC	.64	.49	.37
CD74HCT241M96	296-12838-1-ND	Achtf. Puffer-/Leitungstreiber, Tri-State	Tri-State Octal Buffer/Line Driver	20-SOIC	.51	.39	.29
CD74HCT241M96	296-12838-2-ND	Achtf. Puffer-/Leitungstreiber, Tri-State	Tri-State Octal Buffer/Line Driver	20-SOIC		338.64/2,000	
CD74HCT243E	296-2145-5-ND	Vierf. Bus-Transceiver, Tri-State, HS, CMOS-Logik	Tri-State HS CMOS Logic Quad Bus Transceiver	14-Dip	.81	.68	.55
CD74HCT244E	296-2104-5-ND	Achtf. Puffer-/Leitungstreiber, Tri-State	Tri-State Octal Buffer/Line Driver	20-Dip	.81	.61	.46
CD74HCT244M	296-12839-5-ND	Achtf. Puffer-/Leitungstreiber, Tri-State	Tri-State Octal Buffer/Line Driver	20-SOIC	.64	.49	.37
CD74HCT244M96	296-14552-1-ND	Achtf. Puffer-/Leitungstreiber, Tri-State	Tri-State Octal Buffer/Line Driver	20-SOIC	.64	.49	.37
CD74HCT244M96	296-14552-2-ND	Achtf. Puffer-/Leitungstreiber, Tri-State	Tri-State Octal Buffer/Line Driver	20-SOIC		428.38/2,000	
CD74HCT245E	296-2105-5-ND	Achtf. Bus-Transceiver, Tri-State	Tri-State Octal Bus Transceiver	20-Dip	.81	.61	.46
CD74HCT245M	296-12840-5-ND	Achtf. Bus-Transceiver, Tri-State	Tri-State Octal Bus Transceiver	20-SOIC	.64	.49	.37
CD74HCT245M96	296-14553-1-ND	Achtf. Bus-Transceiver, Tri-State	Tri-State Octal Bus Transceiver	20-SOIC	.64	.49	.37
CD74HCT245M96	296-14553-2-ND	Achtf. Bus-Transceiver, Tri-State	Tri-State Octal Bus Transceiver	20-SOIC		428.38/2,000	
SN74HCT245NSR	296-15849-1-ND	Achtf. Bus-Transceiver, Tri-State	Tri-State Octal Bus Transceiver	20-SOP	.51	.39	.29
SN74HCT245NSR	296-15849-2-ND	Achtf. Bus-Transceiver, Tri-State	Tri-State Octal Bus Transceiver	20-SOP		338.64/2,000	
CD74HCT251E	296-2106-5-ND	Multiplexer, 8 Eingänge, Tri-State	Tri-State 8-Input Multiplexer	16-Dip	.56	.42	.32
CD74HCT253E	296-2107-5-ND	Zweif. Multiplexer, 4 Eingänge, Tri-State	Tri-State Dual 4-Input Multiplexer	16-Dip	.51	.39	.29
CD74HCT253M	296-9265-5-ND	Zweif. Multiplexer, 4 Eingänge, Tri-State	Tri-State Dual 4-Input Multiplexer	16-SOIC	.51	.39	.29
CD74HCT257E	296-2108-5-ND	Tri-St., Vierf. Multiplexer mit 2 Eingängen, nicht inv. Ausg.	Tri-St. Quad 2-Input Mux, Non-Invert Out	16-Dip	.81	.61	.46
CD74HCT258E	296-2146-5-ND	Vierf.Multiplexer, Tri-State, invertierend, HS, CMOS-Logik mit 2 Eingängen	Tri-State Inverting High Speed CMOS Logic Quad 2-Input Multiplexer	16-Dip	.44	.33	.25
CD74HCT259E	296-2109-5-ND	Adressierbarer 8-Bit Latch	8-Bit Addressable Latch	16-Dip	.52	.40	.30
CD74HCT273E	296-2110-5-ND	Achtf. D-Flip-Flop mit Reset	Octal D-Type Flip-Flop with Reset	20-Dip	.81	.61	.46
CD74HCT273M	296-12841-5-ND	Achtf. D-Flip-Flop mit Reset	Octal D-Type Flip-Flop with Reset	20-SOIC	.64	.49	.37
CD74HCT273M96	296-14554-1-ND	Achtf. D-Flip-Flop mit Reset	Octal D-Type Flip-Flop with Reset	20-SOIC	.64	.49	.37
CD74HCT273M96	296-14554-2-ND	Achtf. D-Flip-Flop mit Reset	Octal D-Type Flip-Flop with Reset	20-SOIC		428.38/2,000	
CD74HCT280E	296-2147-5-ND	Generator/Checker, HS, gerade/ungerade Parität, CMOS-Logik, 9-Bit	High Speed CMOS Logic 9-Bit Odd/Even Parity Generator/Checker	14-Dip	.54	.41	.31
CD74HCT299M	296-9266-5-ND	Universal-Schieberegister, Tri-State, 8-Bit	Tri-State 8-Bit Universal Shift Register	20-SOIC	.61	.46	.35
CD74HCT356E	296-2148-5-ND	Multiplexer/Register, Tri-State, HS, CMOS-Logik, 8 Eingänge	Tri-State High Speed CMOS Logic 8-Input Multiplexer/Register	20-Dip	1.12	.94	.75
CD74HCT365E	296-2149-5-ND	Sechsf. Puffer/Leitungstreiber, Tri-State, HS, CMOS-Logik, nicht invertierend	Tri-State High Speed CMOS Logic Hex Buffer/Line Driver, Non-Invert	16-Dip	.54	.41	.31
CD74HCT365M96	296-15733-1-ND	Sechsf. Puffer/Leitungstreiber, Tri-State, HS, CMOS-Logik, nicht invertierend	Tri-State High Speed CMOS Logic Hex Buffer/Line Driver, Non-Invert	16-SOIC	.54	.41	.31
CD74HCT365M96	296-15733-2-ND	Sechsf. Puffer/Leitungstreiber, Tri-State, HS, CMOS-Logik, nicht invertierend	Tri-State High Speed CMOS Logic Hex Buffer/Line Driver, Non-Invert	16-SOIC		440.23/2,500	
CD74HCT367E	296-2113-5-ND	Sechsf. Puffer-/Leitungstreiber, Tri-State	Tri-State Hex Buffer/Line Driver	16-Dip	.54	.41	.31
CD74HCT368M	296-9268-5-ND	Sechsf. Puffer-/Leitungstreiber, Tri-State, invertierend	Tri-State Inverting Hex Buffer/Line Driver	16-SOIC	.54	.41	.31
CD74HCT373E	296-2114-5-ND	Achtf. transparenter D-Latch, Tri-State	Tri-State Octal Transparent D-Type Latch	20-Dip	.81	.61	.46
CD74HCT373M	296-12843-5-ND	Achtf. transparenter D-Latch, Tri-State	Tri-State Octal Transparent D-Type Latch	20-SOIC	.64	.49	.37
CD74HCT374E	296-2115-5-ND	Achtf. D-Flip-Flop, Tri-State	Tri-State Octal D-Type Flip-Flop	20-Dip	.81	.61	.46
CD74HCT374M96	296-9269-1-ND	Achtf. D-Flip-Flop, Tri-State	Tri-State Octal D-Type Flip-Flop	20-SOIC	.64	.49	.37
CD74HCT374M96	296-9269-2-ND	Achtf. D-Flip-Flop, Tri-State	Tri-State Octal D-Type Flip-Flop	20-SOIC		428.38/2,000	
CD74HCT377M	296-9427-5-ND	Achtf. D-Flip-Flop, mit Taktfreigabe	Octal D-Type Flip-Flop w/Clock Enable	20-SOIC	.64	.49	.37
CD74HCT390M	296-9270-5-ND	Zweif. dekadischer Ripple-Zähler	Dual Decade Ripple Counter	16-SOIC	.44	.33	.25
CD74HCT393E	296-2116-5-ND	Zweif. binärer 4-Phasen-Zähler	Dual 4-Stage Binary Counter	14-Dip	.44	.33	.25
CD74HCT393M	296-9271-5-ND	Zweif. binärer 4-Phasen-Zähler	Dual 4-Stage Binary Counter	14-SOIC	.44	.33	.25
CD74HCT393M96	296-14556-1-ND	Zweif. binärer 4-Phasen-Zähler	Dual 4-Stage Binary Counter	14-SOIC	.44	.33	.25
CD74HCT393M96	296-14556-2-ND	Zweif. binärer 4-Phasen-Zähler	Dual 4-Stage Binary Counter	14-SOIC		357.69/2,500	
CD74HCT540E	296-2126-5-ND	Tri-St., Achtf. Puffer-/Leitungstreiber	Tri-St. Inverting Octal Buffer Line Driver	20-Dip	.81	.61	.46
CD74HCT541E	296-2127-5-ND	Achtf. Puffer-Leitungstreiber, Tri-State	Tri-State Octal Buffer Line Driver	20-Dip	.81	.61	.46
CD74HCT541M	296-9288-5-ND	Achtf. nicht inv. Puffer-Leitungstreiber, Tri-State	Tri-State Non-Inverting Octal Buffer Line Driver	20-SOIC	.64	.49	.37
CD74HCT541M96	296-9288-1-ND	Achtf. nicht inv. Puffer-Leitungstreiber, Tri-State	Tri-State Non-Inverting Octal Buffer Line Driver	20-SOIC	.64	.49	.37
CD74HCT541M96	296-9288-2-ND	Achtf. nicht inv. Puffer-Leitungstreiber, Tri-State	Tri-State Non-Inverting Octal Buffer Line Driver	20-SOIC		428.38/2,000	
CD74HCT563M	296-9289-5-ND	Tri-St., Achtf. transparenter invertierender Latch	Tri-St. Octal Transparent Inverting Latch	20-SOIC	.51	.39	.29
CD74HCT564M	296-9290-5-ND	Tri-St., Achtf. D-Flip-Flop, invertierend	Tri-St. Inverting Octal D-Type Flip-Flop	20-SOIC	1.14	.96	.77
CD74HCT573E	296-2128-5-ND	Tri-St., Achtf. transparenter Latch	Tri-St. Octal Transparent Latch	20-Dip	.81	.61	.46
CD74HCT573DBR	296-17125-1-ND	Tri-St., Achtf. transparenter Latch	Tri-St. Octal Transparent Latch	20-SSOP	.64	.49	.37
CD74HCT573DBR	296-17125-2-ND	Tri-St., Achtf. transparenter Latch	Tri-St. Octal Transparent Latch	20-SSOP		428.38/2,000	
CD74HCT573M96	296-9291-1-ND	Tri-St., Achtf. transparenter Latch	Tri-St. Octal Transparent Latch	20-SOIC	.64	.49	.37

(Forts.)

★ ***RUFEN SIE BITTE AN FÜR NIEDRIGERE PREISE BEI GRÖSSEREN MENGEN!*** ★

T. I. Teilenr.	Digi-Key Teilenr.	Beschreibung		Paket	Stückpreis★ 1	25	100
CD74HCT573M96	296-9291-2-ND	Tri-St., Achtf. transparenter Latch	Tri-St. Octal Transparent Latch	20-SOIC		428.38/2,000	
CD74HCT574E	296-2129-5-ND	Tri-St., Achtf. D-Flip-Flop	Tri-St. Octal D-Type Flip-Flop	20-Dip	.81	.61	.46
CD74HCT574M96	296-9292-1-ND	Tri-St., Achtf. D-Flip-Flop	Tri-St. Octal D-Type Flip-Flop	20-SOIC	.64	.49	.37
CD74HCT574M96	296-9292-2-ND	Tri-St., Achtf. D-Flip-Flop	Tri-St. Octal D-Type Flip-Flop	20-SOIC		428.38/2,000	
CD74HCT574PWR	296-17126-1-ND	Tri-St., Achtf. D-Flip-Flop	Tri-St. Octal D-Type Flip-Flop	20-TSSOP	.64	.49	.37
CD74HCT574PWR	296-17126-2-ND	Tri-St., Achtf. D-Flip-Flop	Tri-St. Octal D-Type Flip-Flop	20-TSSOP		428.38/2,000	
CD74HCT597E	296-2130-5-ND	Schieberegister mit Eingangsspeicherung, 8-Bit	8-Bit Shift Register with Input Storage	16-Dip	.81	.67	.49
CD74HCT597M96	296-12844-1-ND	Schieberegister mit Eingangsspeicherung, 8-Bit	8-Bit Shift Register with Input Storage	16-SOIC	.89	.75	.60
CD74HCT597M96	296-12844-2-ND	Schieberegister mit Eingangsspeicherung, 8-Bit	8-Bit Shift Register with Input Storage	16-SOIC		963.01/2,500	
CD74HCT646M96	296-9293-1-ND	Achtf. D-Flip-Flop, Tri-State	Tri-State Octal D-Type Flip-Flop	24-SOIC	1.69	1.36	1.02
CD74HCT646M96	296-9293-2-ND	Achtf. D-Flip-Flop, Tri-State	Tri-State Octal D-Type Flip-Flop	24-SOIC		1760.93/2,000	
CD74HCT670M	296-9294-5-ND	4x4 Registerdatei	4-by-4 Register File	16-SOIC	4.00	3.20	2.49
CD74HCT688E	296-2131-5-ND	Größenkomparator, 8-Bit	8-Bit Magnitude Comparator	20-Dip	.75	.56	.42
CD74HCT688M	296-9295-5-ND	Größenkomparator, 8-Bit	8-Bit Magnitude Comparator	20-SOIC	.68	.51	.39
CD74HCT4020M	296-9273-5-ND	14-Phasen-Binärzähler	14-Stage Binary Counter	16-SOIC	.41	.31	.23
CD74HCT4024M	296-9274-5-ND	Binärer 7-Phasen-Ripple-Zähler	7-Stage Binary Ripple Counter	14-SOIC	.47	.36	.27
CD74HCT4040E	296-2118-5-ND	Binärzähler, 12-Bit	12-Bit Binary Counter	16-Dip	.59	.45	.34
CD74HCT4040M96	296-14558-1-ND	12-Phasen Binärzähler	12-Stage Binary Counter	16-SOIC	.54	.41	.31
CD74HCT4040M96	296-14558-2-ND	12-Phasen Binärzähler	12-Stage Binary Counter	16-SOIC		440.23/2,500	
CD74HCT4046AM	296-9275-5-ND	Phase-Locked-Loop mit VCO	Phase-Locked-Loop with VCO	16-SOIC	.51	.39	.29
CD74HCT4046AM96	296-14559-1-ND	Phase-Locked-Loop mit VCO	Phase-Locked-Loop with VCO	16-SOIC	.51	.39	.29
CD74HCT4046AM96	296-14559-2-ND	Phase-Locked-Loop mit VCO	Phase-Locked-Loop with VCO	16-SOIC		412.72/2,500	
CD74HCT4051E	296-2119-5-ND	8-Kanal-Analog-Mux/Demux	8-Channel Analog Mux/Demux	16-Dip	.44	.33	.25
CD74HCT4051M	296-9276-5-ND	8-Kanal-Analog-Mux/Demux	8-Channel Analog Mux/Demux	16-SOIC	.42	.34	.26
CD74HCT4051M96	296-14560-1-ND	8-Kanal-Analog-Mux/Demux	8-Channel Analog Mux/Demux	16-SOIC	.42	.34	.26
CD74HCT4051M96	296-14560-2-ND	8-Kanal-Analog-Mux/Demux	8-Channel Analog Mux/Demux	16-SOIC		285.73/2,500	
CD74HCT4051QM96Q1	296-17264-1-ND	8-Kanal-Analog-Mux/Demux	8-Channel Analog Mux/Demux	16-SOIC	.50	.40	.30
CD74HCT4051QM96Q1	296-17264-2-ND	8-Kanal-Analog-Mux/Demux	8-Channel Analog Mux/Demux	16-SOIC		336.52/2,500	
CD74HCT4052E	296-2120-5-ND	Zweif. 4-Kanal-Analog-Mux/Demux	Dual 4-Channel Analog Mux/Demux	16-Dip	.47	.36	.27
CD74HCT4052M96	296-9277-1-ND	Zweif. 4-Kanal-Analog-Mux/Demux	Dual 4-Channel Analog Mux/Demux	16-SOIC	.44	.33	.25
CD74HCT4052M96	296-9277-2-ND	Zweif. 4-Kanal-Analog-Mux/Demux	Dual 4-Channel Analog Mux/Demux	16-SOIC		357.69/2,500	
CD74HCT4053E	296-2121-5-ND	Dreif. 2-Kanal-Analog-Mux/Demux	Triple 2-Channel Analog Mux/Demux	16-Dip	.47	.38	.28
CD74HCT4053M	296-9278-5-ND	Dreif. 2-Kanal-Analog-Mux/Demux	Triple 2-Channel Analog Mux/Demux	16-SOIC	.42	.34	.26
CD74HCT4053PWR	296-9279-1-ND	Dreif. 2-Kanal-Analog-Mux/Demux	Triple 2-Channel Analog Mux/Demux	16-TSSOP	.42	.34	.26
CD74HCT4053PWR	296-9279-2-ND	Dreif. 2-Kanal-Analog-Mux/Demux	Triple 2-Channel Analog Mux/Demux	16-TSSOP		237.05/2,000	
CD74HCT4060M	296-9280-5-ND	14-Phasen-Binärzähler mit Oszillator	14-Stage Binary Counter with Oscillator	16-SOIC	.58	.44	.33
CD74HCT4066M96	296-9281-1-ND	Vierf. Bilateralschalter	Quad Bilateral Switch	14-SOIC	.58	.44	.33
CD74HCT4066M96	296-9281-2-ND	Vierf. Bilateralschalter	Quad Bilateral Switch	14-SOIC		467.75/2,500	
CD74HCT4066E	296-2122-5-ND	Vierf. Bilateralschalter	Quad Bilateral Switch	14-Dip	.58	.44	.33
CD74HCT4094E	296-2123-5-ND	8-Phasen-Schiebe-/Speicher-Busregister, Tri-State	Tri-State, 8-Stage Shift-and-Store Bus Register	16-Dip	.58	.44	.33
CD74HCT4094M	296-14291-5-ND	8-Phasen-Schiebe-/Speicher-Busregister, Tri-State	Tri-State, 8-Stage Shift-and-Store Bus Register	16-SOIC	.58	.44	.33
CD74HCT4316E	296-2124-5-ND	Vierf. Analogschalter	Quad Analog Switch	16-Dip	.78	.59	.44
CD74HCT4511E	296-9282-5-ND	BCD-zu-7 Segment-Latch/Dekodierer/Treiber	BCD-to-7 Segment Latch/Decoder/Driver	16-Dip	.64	.49	.37
CD74HCT4514E	296-9283-5-ND	4-16 Leitungsdekodierer/Demux mit Eingangs-Latch	4-to-16 Line Decoder/Demux with Input Latch	24-Dip	1.90	1.59	.96
CD74HCT4520E	296-9284-5-ND	Zweif. binärer Aufwärtszähler	Dual Binary Up-Counter	16-Dip	.47	.36	.27
CD74HCT4520M	296-9285-5-ND	Zweif. binärer Aufwärtszähler	Dual Binary Up-Counter	16-SOIC	.47	.36	.27
CD74HCT4538E	296-2125-5-ND	Zweif. monostabiler Präzisions-Multivibrator	Dual Precision Monostable Multivibrator	16-Dip	.61	.46	.35
CD74HCT4538M	296-9286-5-ND	Zweif. monostabiler Retrigger-Präzisions-Multivibrator	Dual Retrig. Precision Monostable Multivibrator	16-SOIC	.61	.46	.35
CD74HCT7046AM	296-9296-5-ND	PLL mit VCO und Sperrenerkennung	PLL with VCO and Lock Detector	16-SOIC	1.57	1.26	.94
CD74HCT40103M	296-9272-5-ND	Synchroner 8-Phasen-Abwärtszähler	8-Stage Sync. Down Counter	16-SOIC	.69	.58	.46
CD74HCT40105E	296-2117-5-ND	FIFO-Register, 4 Bit x 16 Worte	4 Bits x 16 Words FIFO Register	16-Dip	.66	.56	.45
SN74HCT00D	296-8377-5-ND	Vierf. NAND-Gate mit 2 Eingängen	Quad 2-Input NAND Gate	14-SOIC	.39	.32	.22
SN74HCT00DR	296-14860-1-ND	Vierf. NAND-Gate mit 2 Eingängen	Quad 2-Input NAND Gate	14-SOIC	.39	.32	.22
SN74HCT00DR	296-14860-2-ND	Vierf. NAND-Gate mit 2 Eingängen	Quad 2-Input NAND Gate	14-SOIC		251.86/2,500	
SN74HCT00N	296-1603-5-ND	Vierf. NAND-Gate mit 2 Eingängen	Quad 2-Input NAND Gate	14-Dip	.45	.36	.27
SN74HCT00PWR	296-8378-1-ND	Vierf. NAND-Gate mit 2 Eingängen	Quad 2-Input NAND Gate	14-TSSOP	.39	.32	.22
SN74HCT00PWR	296-8378-2-ND	Vierf. NAND-Gate mit 2 Eingängen	Quad 2-Input NAND Gate	14-TSSOP		213.34/2,000	
SN74HCT02D	296-8379-5-ND	Vierf. NOR-Gate mit 2 Eingängen	Quad 2-Input NOR Gate	14-SOIC	.39	.32	.22
SN74HCT02DR	296-14861-1-ND	Vierf. NOR-Gate mit 2 Eingängen	Quad 2-Input NOR Gate	14-SOIC	.39	.32	.22
SN74HCT02DR	296-14861-2-ND	Vierf. NOR-Gate mit 2 Eingängen	Quad 2-Input NOR Gate	14-SOIC		251.86/2,500	
SN74HCT02N	296-8380-5-ND	Vierf. NOR-Gate mit 2 Eingängen	Quad 2-Input NOR Gate	14-Dip	.45	.36	.27
SN74HCT04D	296-1205-5-ND	Sechsf. Inverter	Hex Inverter	14-SOIC	.39	.32	.22
SN74HCT04DR	296-1205-1-ND	Sechsf. Inverter	Hex Inverter	14-SOIC	.39	.32	.22
SN74HCT04DR	296-1205-2-ND	Sechsf. Inverter	Hex Inverter	14-SOIC		251.86/2,500	
SN74HCT04N	296-1605-5-ND	Sechsf. Inverter	Hex Inverter	14-Dip	.45	.36	.27
SN74HCT04PWR	296-8382-1-ND	Sechsf. Inverter	Hex Inverter	14-TSSOP	.39	.32	.22
SN74HCT04PWR	296-8382-2-ND	Sechsf. Inverter	Hex Inverter	14-TSSOP		213.34/2,000	
SN74HCT08D	296-8383-5-ND	Vierf. AND-Gate mit 2 Eingängen	Quad 2-Input AND Gate	14-SOIC	.39	.32	.22
SN74HCT08DBR	296-8384-1-ND	Vierf. AND-Gate mit 2 Eingängen	Quad 2-Input AND Gate	14-SSOP	.39	.32	.22
SN74HCT08DBR	296-8384-2-ND	Vierf. AND-Gate mit 2 Eingängen	Quad 2-Input AND Gate	14-SSOP		213.34/2,000	
SN74HCT08DR	296-14862-1-ND	Vierf. AND-Gate mit 2 Eingängen	Quad 2-Input AND Gate	14-SOIC	.39	.32	.22
SN74HCT08DR	296-14862-2-ND	Vierf. AND-Gate mit 2 Eingängen	Quad 2-Input AND Gate	14-SOIC		251.86/2,500	
SN74HCT08N	296-1606-5-ND	Vierf. AND-Gate mit 2 Eingängen	Quad 2-Input AND Gate	14-Dip	.45	.36	.27
SN74HCT08PWR	296-8385-1-ND	Vierf. AND-Gate mit 2 Eingängen	Quad 2-Input AND Gate	14-TSSOP	.39	.32	.22
SN74HCT08PWR	296-8385-2-ND	Vierf. AND-Gate mit 2 Eingängen	Quad 2-Input AND Gate	14-TSSOP		213.34/2,000	
SN74HCT14D	296-8391-5-ND	Sechsf. Schmitt-Trigger-Inverter	Hex Schmitt-Trigger Inverter	14-SOIC	.39	.32	.22
SN74HCT14DBR	296-8392-1-ND	Sechsf. Schmitt-Trigger-Inverter	Hex Schmitt-Trigger Inverter	14-SSOP	.39	.32	.22
SN74HCT14DBR	296-8392-2-ND	Sechsf. Schmitt-Trigger-Inverter	Hex Schmitt-Trigger Inverter	14-SSOP		213.34/2,000	
SN74HCT14DGVR	296-8393-1-ND	Sechsf. Schmitt-Trigger-Inverter	Hex Schmitt-Trigger Inverter	14-TVSOP	.47	.38	.28
SN74HCT14DGVR	296-8393-2-ND	Sechsf. Schmitt-Trigger-Inverter	Hex Schmitt-Trigger Inverter	14-TVSOP		260.75/2,000	
SN74HCT14DR	296-14864-1-ND	Sechsf. Schmitt-Trigger-Inverter	Hex Schmitt-Trigger Inverter	14-SOIC	.39	.32	.22
SN74HCT14DR	296-14864-2-ND	Sechsf. Schmitt-Trigger-Inverter	Hex Schmitt-Trigger Inverter	14-SOIC		251.86/2,500	
SN74HCT14N	296-8394-5-ND	Sechsf. Schmitt-Trigger-Inverter	Hex Schmitt-Trigger Inverter	14-Dip	.45	.36	.27
SN74HCT14PWR	296-8395-1-ND	Sechsf. Schmitt-Trigger-Inverter	Hex Schmitt-Trigger Inverter	14-TSSOP	.39	.32	.22
SN74HCT14PWR	296-8395-2-ND	Sechsf. Schmitt-Trigger-Inverter	Hex Schmitt-Trigger Inverter	14-TSSOP		213.34/2,000	
SN74HCT32D	296-1614-5-ND	Vierf. OR-Gate mit 2 Eingängen	Quad 2-Input OR Gate	14-SOIC	.39	.32	.22
SN74HCT32DBR	296-8410-1-ND	Vierf. OR-Gate mit 2 Eingängen	Quad 2-Input OR Gate	14-SSOP	.39	.32	.22
SN74HCT32DBR	296-8410-2-ND	Vierf. OR-Gate mit 2 Eingängen	Quad 2-Input OR Gate	14-SSOP		213.34/2,000	
SN74HCT32DR	296-14868-1-ND	Vierf. OR-Gate mit 2 Eingängen	Quad 2-Input OR Gate	14-SOIC	.39	.32	.22
SN74HCT32DR	296-14868-2-ND	Vierf. OR-Gate mit 2 Eingängen	Quad 2-Input OR Gate	14-SOIC		251.86/2,500	
SN74HCT32N	296-1615-5-ND	Vierf. OR-Gate mit 2 Eingängen	Quad 2-Input OR Gate	14-Dip	.45	.36	.27
SN74HCT32PWR	296-8411-1-ND	Vierf. OR-Gate mit 2 Eingängen	Quad 2-Input OR Gate	14-TSSOP	.39	.32	.22
SN74HCT32PWR	296-8411-2-ND	Vierf. OR-Gate mit 2 Eingängen	Quad 2-Input OR Gate	14-TSSOP		213.34/2,000	
SN74HCT74D	296-1211-5-ND	Zweif. D-Flip-Flop mit Löschen/Voreinstellen	Dual D-Type Flip-Flop w/Clear & Preset	14-SOIC	.39	.32	.22
SN74HCT74D	296-1211-2-ND	Zweif. D-Flip-Flop mit Löschen/Voreinstellen	Dual D-Type Flip-Flop w/Clear & Preset	14-SOIC		251.86/2,500	
SN74HCT74DR	296-1211-1-ND	Zweif. D-Flip-Flop	Dual D-Type Flip-Flop	14-SOIC	.39	.32	.22
SN74HCT74N	296-1625-5-ND	Zweif. D-Flip-Flop	Dual D-Type Flip-Flop	14-Dip	.45	.36	.27
SN74HCT74PWR	296-8429-1-ND	Zweif. D-Flip-Flop mit Löschen und Voreinstellen	Dual D-Type Flip-Flop with Clear and Preset	14-TSSOP	.39	.32	.22
SN74HCT74PWR	296-8429-2-ND	Zweif. D-Flip-Flop mit Löschen und Voreinstellen	Dual D-Type Flip-Flop with Clear and Preset	14-TSSOP		213.34/2,000	
SN74HCT125D	296-1206-5-ND	Vierf. Bus-Puffer-Gate, Tri-State	Tri-State Quad Bus Buffer Gate	14-SOIC	.47	.38	.28

(Forts.)

★ ***RUFEN SIE BITTE AN FÜR NIEDRIGERE PREISE BEI GRÖSSEREN MENGEN!*** ★

B

T. I. Teilenr.	Digi-Key Teilenr.	Beschreibung		Paket	Stückpreis★ 1	25	100
SN74HCT125DR	296-1206-1-ND	Vierf. Bus-Puffer-Gate, Tri-State	Tri-State Quad Bus Buffer Gate	14-SOIC	.47	.38	.28
SN74HCT125DR	296-1206-2-ND	Vierf. Bus-Puffer-Gate, Tri-State	Tri-State Quad Bus Buffer Gate	14-SOIC		315.36/2,500	
SN74HCT125N	296-8386-5-ND	Vierf. Bus-Puffer-Gate, Tri-State	Tri-State Quad Bus Buffer Gate	14-Dip	.45	.34	.26
SN74HCT138D	296-8387-5-ND	3-8 Leitungsdekodierer/Demultiplexer	3-8 Line Decoder/Demultiplexer	14-SOIC	.47	.38	.28
SN74HCT138DR	296-14863-1-ND	3-8 Leitungsdekodierer/Demultiplexer	3-8 Line Decoder/Demultiplexer	16-SOIC	.47	.38	.28
SN74HCT138DR	296-14863-2-ND	3-8 Leitungsdekodierer/Demultiplexer	3-8 Line Decoder/Demultiplexer	16-SOIC		315.36/2,500	
SN74HCT138N	296-1608-5-ND	3-8 Leitungsdekodierer/Demultiplexer	3-8 Line Decoder/Demultiplexer	16-Dip	.45	.34	.26
SN74HCT138PWR	296-8388-1-ND	3-8 Leitungsdekodierer/Demultiplexer	3-8 Line Decoder/Demultiplexer	14-TSSOP	.47	.38	.28
SN74HCT138PWR	296-8388-2-ND	3-8 Leitungsdekodierer/Demultiplexer	3-8 Line Decoder/Demultiplexer	14-TSSOP		260.75/2,000	
SN74HCT139D	296-8389-5-ND	Zweif. 2-4 Leitungsdekodierer/Demux	Dual 2-to-4 Line Decoder/Demux	16-SOIC	.47	.38	.28
SN74HCT139N	296-8390-5-ND	Zweif. 2-4 Leitungsdekodierer/Demux	Dual 2-to-4 Line Decoder/Demux	16-Dip	.45	.34	.26
SN74HCT139PWR	296-11999-1-ND	Zweif. 2-4 Leitungsdekodierer/Demux	Dual 2-to-4 Line Decoder/Demux	16-TSSOP	.47	.38	.28
SN74HCT139PWR	296-11999-2-ND	Zweif. 2-4 Leitungsdekodierer/Demux	Dual 2-to-4 Line Decoder/Demux	16-TSSOP		260.75/2,000	
SN74HCT157D	296-8396-5-ND	Vierf. 2-1 Leitungs-Datenselektor/Mux	Quad 2-to-1 Line Data Selector/Mux	16-SOIC	.47	.36	.27
SN74HCT157N	296-8397-5-ND	Vierf. 2-1 Leitungs-Datenselektor/Mux	Quad 2-to-1 Line Data Selector/Mux	16-Dip	.47	.36	.27
SN74HCT240DW	296-8398-5-ND	Achtf. Puffer-/Leitungstreiber, Tri-State	Tri-State Octal Buffer/Line Driver	20-SOIC	.51	.39	.29
SN74HCT240DWR	296-14865-1-ND	Achtf. Puffer-/Leitungstreiber, Tri-State	Tri-State Octal Buffer/Line Driver	20-SOIC	.51	.39	.29
SN74HCT240DWR	296-14865-2-ND	Achtf. Puffer-/Leitungstreiber, Tri-State	Tri-State Octal Buffer/Line Driver	20-SOIC		338.64/2,000	
SN74HCT240N	296-8399-5-ND	Achtf. Puffer-/Leitungstreiber, Tri-State	Tri-State Octal Buffer/Line Driver	20-Dip	.56	.42	.32
SN74HCT240NSR	296-12899-1-ND	Achtf. Puffer-/Leitungstreiber, Tri-State	Tri-State Octal Buffer/Line Driver	20-SOP	.51	.39	.29
SN74HCT240NSR	296-12899-2-ND	Achtf. Puffer-/Leitungstreiber, Tri-State	Tri-State Octal Buffer/Line Driver	20-SOP		338.64/2,000	
SN74HCT240PWR	296-13631-1-ND	Achtf. Puffer-/Leitungstreiber, Tri-State	Tri-State Octal Buffer/Line Driver	20-TSSOP	.51	.39	.29
SN74HCT240PWR	296-13631-2-ND	Achtf. Puffer-/Leitungstreiber, Tri-State	Tri-State Octal Buffer/Line Driver	20-TSSOP		338.64/2,000	
SN74HCT244DBR	296-8400-1-ND	Achtf. Puffer-/Leitungstreiber, Tri-State	Tri-State Octal Buffer/Line Driver	20-SSOP	.51	.39	.29
SN74HCT244DBR	296-8400-2-ND	Achtf. Puffer-/Leitungstreiber, Tri-State	Tri-State Octal Buffer/Line Driver	20-SSOP		338.64/2,000	
SN74HCT244DW	296-1207-5-ND	Achtf. Puffer-/Leitungstreiber, Tri-State	Tri-State Octal Buffer/Line Driver	20-SOIC	.51	.39	.29
SN74HCT244DWR	296-1207-1-ND	Achtf. Puffer-/Leitungstreiber, Tri-State	Tri-State Octal Buffer/Line Driver	20-SOIC	.51	.39	.29
SN74HCT244DWR	296-1207-2-ND	Achtf. Puffer-/Leitungstreiber, Tri-State	Tri-State Octal Buffer/Line Driver	20-SOIC		338.64/2,000	
SN74HCT244N	296-1610-5-ND	Achtf. Puffer-/Leitungstreiber, Tri-State	Tri-State Octal Buffer/Line Driver	20-Dip	.56	.42	.32
SN74HCT244NSR	296-8401-1-ND	Achtf. Puffer-/Leitungstreiber, Tri-State	Tri-State Octal Buffer/Line Driver	20-SOP	.51	.39	.29
SN74HCT244NSR	296-8401-2-ND	Achtf. Puffer-/Leitungstreiber, Tri-State	Tri-State Octal Buffer/Line Driver	20-SOP		338.64/2,000	
SN74HCT244PWR	296-8402-1-ND	Achtf. Puffer-/Leitungstreiber, Tri-State	Tri-State Octal Buffer/Line Driver	20-TSSOP	.51	.39	.29
SN74HCT244PWR	296-8402-2-ND	Achtf. Puffer-/Leitungstreiber, Tri-State	Tri-State Octal Buffer/Line Driver	20-TSSOP		338.64/2,000	
SN74HCT245DBR	296-8403-1-ND	Achtf. Bus-Transceiver, Tri-State	Tri-State Octal Bus Transceiver	20-SSOP	.51	.39	.29
SN74HCT245DBR	296-8403-2-ND	Achtf. Bus-Transceiver, Tri-State	Tri-State Octal Bus Transceiver	20-SSOP		338.64/2,000	
SN74HCT245DW	296-1208-5-ND	Achtf. Bus-Transceiver, Tri-State	Tri-State Octal Bus Transceiver	20-SOIC	.51	.39	.29
SN74HCT245DWR	296-1208-1-ND	Achtf. Bus-Transceiver, Tri-State	Tri-State Octal Bus Transceiver	20-SOIC	.51	.39	.29
SN74HCT245DWR	296-1208-2-ND	Achtf. Bus-Transceiver, Tri-State	Tri-State Octal Bus Transceiver	20-SOIC		338.64/2,000	
SN74HCT245N	296-1612-5-ND	Achtf. Bus-Transceiver, Tri-State	Tri-State Octal Bus Transceiver	20-Dip	.56	.42	.32
SN74HCT245PWR	296-8404-1-ND	Achtf. Bus-Transceiver, Tri-State	Tri-State Octal Bus Transceiver	20-TSSOP	.51	.39	.29
SN74HCT245PWR	296-8404-2-ND	Achtf. Bus-Transceiver, Tri-State	Tri-State Octal Bus Transceiver	20-TSSOP		338.64/2,000	
SN74HCT257DR	296-14866-1-ND	Tri-St., Vierf. 2-1 Leitungs-Datenselektor/Mux	Tri-St. Quad 2-1 Line Data Selector/Mux	16-SOIC	.47	.36	.27
SN74HCT257DR	296-14866-2-ND	Tri-St., Vierf. 2-1 Leitungs-Datenselektor/Mux	Tri-St. Quad 2-1 Line Data Selector/Mux	16-SOIC		385.20/2,500	
SN74HCT257N	296-8406-5-ND	Tri-St., Vierf. 2-1 Leitungs-Datenselektor/Mux	Tri-St. Quad 2-1 Line Data Selector/Mux	16-Dip	.52	.40	.30
SN74HCT273DBR	296-8407-1-ND	Achtf. D-Flip-Flop mit Löschen	Octal D-Type Flip-Flop with Clear	20-SSOP	.47	.36	.27
SN74HCT273DBR	296-8407-2-ND	Achtf. D-Flip-Flop mit Löschen	Octal D-Type Flip-Flop with Clear	20-SSOP		314.94/2,000	
SN74HCT273DW	296-8408-5-ND	Achtf. D-Flip-Flop mit Löschen	Octal D-Type Flip-Flop with Clear	20-SOIC	.47	.36	.27
SN74HCT273DWR	296-14867-1-ND	Achtf. D-Flip-Flop mit Löschen	Octal D-Type Flip-Flop with Clear	20-SOIC	.47	.36	.27
SN74HCT273DWR	296-14867-2-ND	Achtf. D-Flip-Flop mit Löschen	Octal D-Type Flip-Flop with Clear	20-SOIC		314.94/2,000	
SN74HCT273N	296-1613-5-ND	Achtf. D-Flip-Flop mit Löschen	Octal D-Type Flip-Flop with Clear	20-Dip	.52	.40	.30
SN74HCT273PWR	296-8409-1-ND	Achtf. D-Flip-Flop mit Löschen	Octal D-Type Flip-Flop with Clear	20-TSSOP	.47	.36	.27
SN74HCT273PWR	296-8409-2-ND	Achtf. D-Flip-Flop mit Löschen	Octal D-Type Flip-Flop with Clear	20-TSSOP		314.94/2,000	
SN74HCT373DW	296-8412-5-ND	Tri-St., Achtf. transparenter D-Latch	Tri-St. Octal Transparent D-Type Latch	20-SOIC	.51	.39	.29
SN74HCT373DWR	296-8412-1-ND	Tri-St., Achtf. transparenter D-Latch	Tri-St. Octal Transparent D-Type Latch	20-SOIC	.51	.39	.29
SN74HCT373DWR	296-8412-2-ND	Tri-St., Achtf. transparenter D-Latch	Tri-St. Octal Transparent D-Type Latch	20-SOIC		338.64/2,000	
SN74HCT373N	296-1616-5-ND	Tri-St., Achtf. transparenter D-Latch	Tri-St. Octal Transparent D-Type Latch	20-Dip	.56	.42	.32
SN74HCT373NSR	296-8413-1-ND	Tri-St., Achtf. transparenter D-Latch	Tri-St. Octal Transparent D-Type Latch	20-SOP	.56	.42	.32
SN74HCT373NSR	296-8413-2-ND	Tri-St., Achtf. transparenter D-Latch	Tri-St. Octal Transparent D-Type Latch	20-SOP		370.81/2,000	
SN74HCT373PWR	296-8414-1-ND	Tri-St., Achtf. transp. D-Latch	Tri-St. Octal Transp. D-Type Latch	20-TSSOP	.51	.39	.29
SN74HCT373PWR	296-8414-2-ND	Tri-St., Achtf. transp. D-Latch	Tri-St. Octal Transp. D-Type Latch	20-TSSOP		338.64/2,000	
SN74HCT374DBR	296-8415-1-ND	Tri-St., Achtf. transp. D-Flip-Flop	Tri-St. Octal Transp. D-Type Flip-Flop	20-SSOP	.51	.39	.29
SN74HCT374DBR	296-8415-2-ND	Tri-St., Achtf. transp. D-Flip-Flop	Tri-St. Octal Transp. D-Type Flip-Flop	20-SSOP		338.64/2,000	
SN74HCT374DW	296-1209-5-ND	Achtf. D-Flip-Flop, Tri-State	Tri-State Octal D-Type Flip-Flop	20-SOIC	.51	.39	.29
SN74HCT374DWR	296-1209-1-ND	Achtf. D-Flip-Flop, Tri-State	Tri-State Octal D-Type Flip-Flop	20-SOIC	.51	.39	.29
SN74HCT374DWR	296-1209-2-ND	Achtf. D-Flip-Flop, Tri-State	Tri-State Octal D-Type Flip-Flop	20-SOIC		338.64/2,000	
SN74HCT374N	296-1617-5-ND	Achtf. D-Flip-Flop, Tri-State	Tri-State Octal D-Type Flip-Flop	20-Dip	.56	.42	.32
SN74HCT377DW	296-8416-5-ND	Achtf. D-Flip-Flop, mit Taktaktivierung	Octal D-Type Flip-Flop with Clock Enable	20-SOIC	.47	.36	.27
SN74HCT377N	296-8417-5-ND	Achtf. D-Flip-Flop, mit Taktaktivierung	Octal D-Type Flip-Flop with Clock Enable	20-Dip	.52	.40	.30
SN74HCT540DW	296-8418-5-ND	Achtf. Puffer-/Leitungstreiber, Tri-State	Tri-State Octal Buffer/Line Driver	20-SOIC	.47	.36	.27
SN74HCT540DWR	296-14869-1-ND	Achtf. Puffer-/Leitungstreiber, Tri-State	Tri-State Octal Buffer/Line Driver	20-SOIC	.47	.36	.27
SN74HCT540DWR	296-14869-2-ND	Achtf. Puffer-/Leitungstreiber, Tri-State	Tri-State Octal Buffer/Line Driver	20-SOIC		314.94/2,000	
SN74HCT540N	296-8419-5-ND	Achtf. Puffer-/Leitungstreiber, Tri-State	Tri-State Octal Buffer/Line Driver	20-Dip	.47	.36	.27
SN74HCT541DW	296-1618-5-ND	Achtf. Puffer-/Leitungstreiber	Octal Buffer/Line Driver	20-SOIC	.47	.36	.27
SN74HCT541DWR	296-14870-1-ND	Achtf. Puffer-/Leitungstreiber	Octal Buffer/Line Driver	20-SOIC	.47	.36	.27
SN74HCT541DWR	296-14870-2-ND	Achtf. Puffer-/Leitungstreiber	Octal Buffer/Line Driver	20-SOIC		314.94/2,000	
SN74HCT541N	296-1619-5-ND	Achtf. Puffer-/Leitungstreiber	Octal Buffer/Line Driver	20-Dip	.52	.40	.30
SN74HCT573DBR	296-8420-1-ND	Tri-St., Achtf. transparenter D-Latch	Tri-St. Octal D-Type Transparent Latch	20-SSOP	.51	.39	.29
SN74HCT573DBR	296-8420-2-ND	Tri-St., Achtf. transparenter D-Latch	Tri-St. Octal D-Type Transparent Latch	20-SSOP		338.64/2,000	
SN74HCT573DW	296-1210-5-ND	Tri-St., Achtf. transparenter D-Latch	Tri-St. Octal D-Type Transparent Latch	20-SOIC	.51	.39	.29
SN74HCT573DWR	296-1210-1-ND	Tri-St., Achtf. transparenter D-Latch	Tri-St. Octal D-Type Transparent Latch	20-SOIC	.51	.39	.29
SN74HCT573DWR	296-1210-2-ND	Tri-St., Achtf. transparenter D-Latch	Tri-St. Octal D-Type Transparent Latch	20-SOIC		338.64/2,000	
SN74HCT573N	296-1621-5-ND	Tri-St., Achtf. transparenter D-Latch	Tri-St. Octal D-Type Transparent Latch	20-Dip	.56	.42	.32
SN74HCT574DW	296-1622-5-ND	Achtf. D-Flip-Flop, Tri-State	Tri-State Octal D-Type Flip-Flop	20-SOIC	.51	.39	.29
SN74HCT574DWR	296-14871-1-ND	Achtf. D-Flip-Flop, Tri-State	Tri-State Octal D-Type Flip-Flop	20-SOIC	.51	.39	.29
SN74HCT574DWR	296-14871-2-ND	Achtf. D-Flip-Flop, Tri-State	Tri-State Octal D-Type Flip-Flop	20-SOIC		338.64/2,000	
SN74HCT574N	296-1623-5-ND	Achtf. D-Flip-Flop, Tri-State	Tri-State Octal D-Type Flip-Flop	20-Dip	.56	.42	.32
SN74HCT574PWR	296-8421-1-ND	Achtf. D-Flip-Flop, Tri-State	Tri-State Octal D-Type Flip-Flop	20-TSSOP	.51	.39	.29
SN74HCT574PWR	296-8421-2-ND	Achtf. D-Flip-Flop, Tri-State	Tri-State Octal D-Type Flip-Flop	20-TSSOP		338.64/2,000	
SN74HCT623DW	296-8422-5-ND	Achtf. Bus-Transceiver, Tri-State	Tri-State Octal Bus Transceiver	20-SOIC	4.46	3.57	2.78
SN74HCT645DW	296-8423-5-ND	Achtf. Bus-Transceiver, Tri-State	Tri-State Octal Bus Transceiver	20-SOIC	1.02	.85	.68
SN74HCT645N	296-8424-5-ND	Achtf. Bus-Transceiver, Tri-State	Tri-State Octal Bus Transceiver	20-Dip	1.02	.85	.68
SN74HCT646DW	296-8425-5-ND	Achtf. Bus-Transceiver/Register, Tri-State	Tri-State Octal Bus Transceiver/Register	24-SOIC	1.07	.89	.72
SN74HCT646NT	296-8426-5-ND	Achtf. Bus-Transceiver/Register, Tri-State	Tri-State Octal Bus Transceiver/Register	24-Dip	1.17	.98	.78
SN74HCT652DW	296-1624-5-ND	Achtf. Bus-Transceiver/Register, Tri-State	Tri-State Octal Bus Transceiver/Register	24-SOIC	1.27	1.02	.77
SN74HCT652DWR	296-1624-1-ND	Achtf. Bus-Transceiver/Register, Tri-State	Tri-State Octal Bus Transceiver/Register	24-SOIC	1.27	1.02	.77
SN74HCT652DWR	296-1624-2-ND	Achtf. Bus-Transceiver/Register, Tri-State	Tri-State Octal Bus Transceiver/Register	24-SOIC		1320.70/2,000	
SN74HCT652NT	296-8427-5-ND	Achtf. Bus-Transceiver/Register, Tri-State	Tri-State Octal Bus Transceiver/Register	24-Dip	1.27	1.02	.77
		HCU-Gruppe					
CD74HCU04M	296-9432-5-ND	Sechsf. Inverter/Puffer	Hex Inverter/Buffer	14-SOIC	.41	.31	.23
SN74HCU04D	296-9819-5-ND	Sechsf. Inverter	Hex Inverter	14-SOIC	.39	.32	.22
SN74HCU04DR	296-14872-1-ND	Sechsf. Inverter	Hex Inverter	14-SOIC	.39	.32	.22
SN74HCU04DR	296-14872-2-ND	Sechsf. Inverter	Hex Inverter	14-SOIC		251.86/2,500	
SN74HCU04N	296-9820-5-ND	Sechsf. Inverter	Hex Inverter	14-Dip	.45	.36	.27

(Forts.)

★ RUFEN SIE BITTE AN FÜR NIEDRIGERE PREISE BEI GRÖSSEREN MENGEN! ★

T. I. Teilenr.	Digi-Key Teilenr.	Beschreibung		Paket	Stückpreis★ 1	25	100
SN74HCU04PWR	296-9821-1-ND	Sechsf. Inverter	Hex Inverter	14-TSSOP	.39	.32	.22
SN74HCU04PWR	296-9821-2-ND	Sechsf. Inverter	Hex Inverter	14-TSSOP		213.34/2,000	
		HSTL-Gruppe					
SN74HSTL16918DGGR	296-9823-1-ND	Speicheradressen-Latch, HSTL-LVTTL, 9-18 Bit	9-to-18 Bit HSTL-to-LVTTL Memory Address Latch	48-TSSOP	3.81	3.05	2.38
SN74HSTL16918DGGR	296-9823-2-ND	Speicheradressen-Latch, HSTL-LVTTL, 9-18 Bit	9-to-18 Bit HSTL-to-LVTTL Memory Address Latch	48-TSSOP		4317.66/2,000	
SN74HSTL16919DGGR	296-13219-1-ND	Speicheradressen-Latch mit Eingangs-Pullup-Widerständen, HSTL-LVTTL, 9-18 Bit	9-to-18 Bit HSTL-to-LVTTL Memory Address Latch with Input Pullup Resistors	48-TSSOP	6.35	5.08	4.29
SN74HSTL16919DGGR	296-13219-2-ND	Speicheradressen-Latch mit Eingangs-Pullup-Widerständen, HSTL-LVTTL, 9-18 Bit	9-to-18 Bit HSTL-to-LVTTL Memory Address Latch with Input Pullup Resistors	48-TSSOP		7937.72/2,000	
SN74HSTL162822DGGR	296-9822-1-ND	Speicheradressen-Latch, HSTL-LVTTL, 14-28 Bit	14-to-28 Bit HSTL-to-LVTTL Memory Address Latch	64-TSSOP	6.77	5.42	4.58
SN74HSTL162822DGGR	296-9822-2-ND	Speicheradressen-Latch, HSTL-LVTTL, 14-28 Bit	14-to-28 Bit HSTL-to-LVTTL Memory Address Latch	64-TSSOP		8466.00/2,000	
		LS-Gruppe					
SN74LS00DR	296-14873-1-ND	Vierf. pos. NAND-Gate mit 2 Eingängen	Quad 2-Input Positive NAND Gate	14-SOIC	.44	.33	.25
SN74LS00DR	296-14873-2-ND	Vierf. pos. NAND-Gate mit 2 Eingängen	Quad 2-Input Positive NAND Gate	14-SOIC		357.69/2,500	
SN74LS00N	296-1626-5-ND	Vierf. pos. NAND-Gate mit 2 Eingängen	Quad 2-Input Positive NAND Gate	14-Dip	.44	.33	.25
SN74LS00NSR	296-3616-2-ND	Vierf. pos. NAND-Gate mit 2 Eingängen	Quad 2-Input Positive NAND Gate	14-SOP		292.92/2,000	
SN74LS00PSR	296-13220-1-ND	Vierf. pos. NAND-Gate mit 2 Eingängen	Quad 2-Input Positive NAND Gate	8-SOP	.44	.33	.25
SN74LS00PSR	296-13220-2-ND	Vierf. pos. NAND-Gate mit 2 Eingängen	Quad 2-Input Positive NAND Gate	8-SOP		292.92/2,000	
SN74LS02DR	296-14874-1-ND	Vierfaches pos. NOR-Gate mit 2 Eingängen	Quad 2-Input Positive NOR Gate	14-SOIC	.44	.33	.25
SN74LS02DR	296-14874-2-ND	Vierfaches pos. NOR-Gate mit 2 Eingängen	Quad 2-Input Positive NOR Gate	14-SOIC		357.69/2,500	
SN74LS02N	296-1627-5-ND	Vierf. NOR-Gate mit 2 Eingängen	Quad 2-Input NOR Gate	14-Dip	.44	.33	.25
SN74LS02NSR	296-3618-2-ND	Vierf. NOR-Gate mit 2 Eingängen	Quad 2-Input NOR Gate	14-SOP		292.92/2,000	
SN74LS03N	296-3620-5-ND	Verf. NAND-Gate mit 2 Eingängen und OC-Ausgang	Quad 2-Input NAND Gate with OC Output	14-Dip	.44	.33	.25
SN74LS04D	296-1628-5-ND	Sechsf. Inverter	Hex Inverter	14-SOIC	.44	.33	.25
SN74LS04DR	296-14875-1-ND	Sechsf. Inverter	Hex Inverter	14-SOIC	.44	.33	.25
SN74LS04DR	296-14875-2-ND	Sechsf. Inverter	Hex Inverter	14-SOIC		357.69/2,500	
SN74LS04N	296-1629-5-ND	Sechsf. Inverter	Hex Inverter	14-Dip	.44	.33	.25
SN74LS05D	296-1630-5-ND	Sechsf. Inverter mit OC-Ausgang	Hex Inverter with OC Output	14-SOIC	.44	.33	.25
SN74LS05N	296-1631-5-ND	Sechsf. Inverter mit OC-Ausgang	Hex Inverter with OC Output	14-Dip	.44	.33	.25
SN74LS06DR	296-14876-1-ND	Sechsfach-Inverter-Puffer/Treiber mit OC-Hochspannungsausgang	Hex Inverter Buffer/Driver with OC High-Volt. Output	14-SOIC	.76	.64	.51
SN74LS06DR	296-14876-2-ND	Sechsfach-Inverter-Puffer/Treiber mit OC-Hochspannungsausgang	Hex Inverter Buffer/Driver with OC High-Volt. Output	14-SOIC		825.44/2,500	
SN74LS06N	296-15069-5-ND	Sechsfach-Inverter-Puffer/Treiber mit OC-Hochspannungsausgang	Hex Inverter Buffer/Driver with OC High-Volt. Output	14-Dip	.76	.64	.51
SN74LS07D	296-3626-5-ND	Sechsf. Puffer/Treiber, Hochsp.-Ausgang	Hex Buffer/Driver with HV Output	14-SOP	.76	.64	.51
SN74LS07DBR	296-3627-1-ND	Sechsf. Puffer/Treiber, Hochsp.-Ausgang	Hex Buffer/Driver with HV Output	14-SSOP	.76	.64	.51
SN74LS07DBR	296-3627-2-ND	Sechsf. Puffer/Treiber, Hochsp.-Ausgang	Hex Buffer/Driver with HV Output	14-SSOP		675.59/2,000	
SN74LS07DR	296-14877-1-ND	Sechsf. Puffer/Treiber, Hochsp.-Ausgang	Hex Buffer/Driver with HV Output	14-SOIC	.84	.70	.56
SN74LS07DR	296-14877-2-ND	Sechsf. Puffer/Treiber, Hochsp.-Ausgang	Hex Buffer/Driver with HV Output	14-SOIC		907.98/2,500	
SN74LS07N	296-14878-5-ND	Sechsf. Puffer/Treiber, Hochsp.-Ausgang	Hex Buffer/Driver with HV Output	14-Dip	.76	.64	.51
SN74LS07NSR	296-3628-2-ND	Sechsf. Puffer/Treiber, Hochsp.-Ausgang	Hex Buffer/Driver with HV Output	14-SOP		675.59/2,000	
SN74LS08D	296-1632-5-ND	Vierf. AND-Gate mit 2 Eingängen	Quad 2-Input AND Gate	14-SOIC	.44	.33	.25
SN74LS08DR	296-14879-1-ND	Vierf. AND-Gate mit 2 Eingängen	Quad 2-Input AND Gate	14-SOIC	.44	.33	.25
SN74LS08DR	296-14879-2-ND	Vierf. AND-Gate mit 2 Eingängen	Quad 2-Input AND Gate	14-SOIC		357.69/2,500	
SN74LS08N	296-1633-5-ND	Vierf. AND-Gate mit 2 Eingängen	Quad 2-Input AND Gate	14-Dip	.44	.33	.25
SN74LS09DR	296-14880-1-ND	Vierf. AND-Gate mit 2 Eingängen und OC-Ausgang	Quad 2-Input AND Gate with OC Output	14-SOIC	.44	.33	.25
SN74LS09DR	296-14880-2-ND	Vierf. AND-Gate mit 2 Eingängen und OC-Ausgang	Quad 2-Input AND Gate with OC Output	14-SOIC		357.69/2,500	
SN74LS10N	296-1634-5-ND	Dreif. NAND-Gate mit 3 Eingängen	Triple 3-Input NAND Gate	14-Dip	.44	.33	.25
SN74LS14D	296-1212-5-ND	Sechsf. Schmitt-Trigger-Inverter	Hex Schmitt-Trigger Inverter	14-SOIC	.47	.38	.28
SN74LS14DR	296-1212-1-ND	Sechsf. Schmitt-Trigger-Inverter	Hex Schmitt-Trigger Inverter	14-SOIC	.47	.38	.28
SN74LS14DR	296-1212-2-ND	Sechsf. Schmitt-Trigger-Inverter	Hex Schmitt-Trigger Inverter	14-SOIC		315.36/2,500	
SN74LS14N	296-1643-5-ND	Sechsf. Schmitt-Trigger-Inverter	Hex Schmitt-Trigger Inverter	14-Dip	.45	.34	.26
SN74LS20N	296-3670-5-ND	Zweif. NAND-Gate mit 4 Eingängen	Dual 4-Input NAND Gate	14-Dip	.41	.31	.23
SN74LS21N	296-3672-5-ND	Zweif. AND-Gate mit 4 Eingängen	Dual 4-Input AND Gate	14-Dip	.41	.31	.23
SN74LS27N	296-14890-5-ND	Dreif. NOR-Gate mit 3 Eingängen	Triple 3-Input NOR Gate	14-Dip	.75	.56	.42
SN74LS30N	296-3693-5-ND	NAND-Gate, 8 Eingänge	8-Input NAND Gate	14-Dip	.41	.31	.23
SN74LS32DR	296-14891-1-ND	Vierf. OR-Gate mit 2 Eingängen	Quad 2-Input OR Gate	14-SOIC	.41	.31	.23
SN74LS32DR	296-14891-2-ND	Vierf. OR-Gate mit 2 Eingängen	Quad 2-Input OR Gate	14-SOIC		330.17/2,500	
SN74LS32N	296-1658-5-ND	Vierf. OR-Gate mit 2 Eingängen	Quad 2-Input OR Gate	14-Dip	.41	.31	.23
SN74LS33DR	296-14892-1-ND	Vierf. NOR-Puffer mit OC-Ausgang und 2 Eingängen	Quad 2-Input NOR Buffer w/OC Output	14-SOIC	1.02	.85	.68
SN74LS33DR	296-14892-2-ND	Vierf. NOR-Puffer mit OC-Ausgang und 2 Eingängen	Quad 2-Input NOR Buffer w/OC Output	14-SOIC		1100.58/2,500	
SN74LS38N	296-1664-5-ND	Vierf. NAND-Puffer mit 2 Eingängen	Quad 2-Input NAND Buffer	14-Dip	.54	.41	.31
SN74LS47N	296-3712-5-ND	BCD zu 7-Segment Dekodierer/Treiber	BCD to 7-Segment Decoder/Driver	16-Dip	1.14	.96	.77
SN74LS47NSR	296-13223-1-ND	BCD zu 7-Segment Dekodierer/Treiber	BCD to 7-Segment Decoder/Driver	16-SOP	1.14	.96	.77
SN74LS47NSR	296-13223-2-ND	BCD zu 7-Segment Dekodierer/Treiber	BCD to 7-Segment Decoder/Driver	16-SOP		1014.23/2,000	
SN74LS74ADR	296-14899-1-ND	Zweif. D-Flip-Flop	Dual D-Type Flip-Flop	14-SOIC	.44	.33	.25
SN74LS74ADR	296-14899-2-ND	Zweif. D-Flip-Flop	Dual D-Type Flip-Flop	14-SOIC		357.69/2,500	
SN74LS74AN	296-1668-5-ND	Zweif. D-Flip-Flop	Dual D-Type Flip-Flop	14-Dip	.44	.33	.25
SN74LS85N	296-14900-5-ND	Größenkomparator, 4-Bit	4-Bit Magnitude Comparator	16-Dip	.78	.59	.44
SN74LS86ADR	296-14901-1-ND	Vierf. Exclusive-OR-Gate mit 2 Eingängen	Quad 2-Input Exclusive-OR Gate	14-SOIC	.41	.31	.23
SN74LS86ADR	296-14901-2-ND	Vierf. Exclusive-OR-Gate mit 2 Eingängen	Quad 2-Input Exclusive-OR Gate	14-SOIC		330.17/2,500	
SN74LS86AN	296-1669-5-ND	Vierf. Exclusive-OR-Gate mit 2 Eingängen	Quad 2-Input Exclusive-OR Gate	14-Dip	.41	.31	.23
SN74LS92D	296-3747-5-ND	Division-durch-12-Zähler	Divide-by-Twelve Counter	14-SOIC	1.34	1.07	.80
SN74LS92NSR	296-13225-1-ND	Division-durch-12-Zähler	Divide-by-Twelve Counter	14-SOP	1.34	1.07	.80
SN74LS92NSR	296-13225-2-ND	Division-durch-12-Zähler	Divide-by-Twelve Counter	14-SOP		1386.73/2,000	
SN74LS93N	296-3750-5-ND	Binärzähler, 4-Bit	4-Bit Binary Counter	14-Dip	1.34	1.07	.80
SN74LS122N	296-3639-5-ND	Nachtriggerbarer monostabiler Multivibrator	Retriggerable Monostable Multivibrator	14-Dip	.63	.53	.43
SN74LS122NSR	296-13221-1-ND	Nachtriggerbarer monostabiler Multivibrator	Retriggerable Monostable Multivibrator	14-SOP	.63	.53	.43
SN74LS122NSR	296-13221-2-ND	Nachtriggerbarer monostabiler Multivibrator	Retriggerable Monostable Multivibrator	14-SOP		563.84/2,000	
SN74LS123D	296-1635-5-ND	Zweif. Monostabiler Multivibrator	Dual Monostable Multivibrator	16-SOIC	.58	.44	.33
SN74LS123DR	296-14881-1-ND	Zweif. Monostabiler Multivibrator	Dual Monostable Multivibrator	16-SOIC	.58	.44	.33
SN74LS123DR	296-14881-2-ND	Zweif. Monostabiler Multivibrator	Dual Monostable Multivibrator	16-SOIC		467.75/2,500	
SN74LS123N	296-1636-5-ND	Zweif. Monostabiler Multivibrator	Dual Monostable Multivibrator	14-Dip	.58	.44	.33
SN74LS125AD	296-1637-5-ND	Vierf. Bus-Puffer-Gate, Tri-State	Tri-State Quad Bus Buffer	14-SOIC	.58	.44	.33
SN74LS125AN	296-1638-5-ND	Vierf. Bus-Puffer, Tri-State	Tri-State Quad Bus Buffer	14-Dip	.58	.44	.33
SN74LS126ADR	296-14882-1-ND	Vierf. Bus-Puffer, Tri-State	Tri-State Quad Bus Buffer	14-SOIC	.58	.44	.33
SN74LS126ADR	296-14882-2-ND	Vierf. Bus-Puffer, Tri-State	Tri-State Quad Bus Buffer	14-SOIC		467.75/2,500	
SN74LS138DR	296-14883-1-ND	3-8 Leitungsdekodierer/Demultiplexer	3-8 Line Decoder/Demux	16-SOIC	.58	.44	.33
SN74LS138DR	296-14883-2-ND	3-8 Leitungsdekodierer/Demultiplexer	3-8 Line Decoder/Demux	16-SOIC		467.75/2,500	
SN74LS138N	296-1639-5-ND	3-8 Leitungsdekodierer/Demultiplexer	3-8 Line Decoder/Demux	16-Dip	.58	.44	.33
SN74LS139AN	296-1640-5-ND	Zweif. 2-4 Leitungsdekodierer	Dual 2-4 Line Decoder	16-Dip	.58	.44	.33
SN74LS145N	296-1641-5-ND	BCD-zu-Dezimal-Dekodierer/Treiber	BCD-To-Decimal Decoder/Driver	16-Dip	.63	.53	.43
SN74LS148N	296-3651-5-ND	8-3 Leitungs-Prioritäts-Encoder	8-3 Line Priority Encoder	16-Dip	.97	.81	.65
SN74LS151N	296-1644-5-ND	8-1 Datenselektor/Multiplexer	8-1 Data Selector/Multiplexer	16-Dip	.75	.56	.42
SN74LS157DR	296-14884-1-ND	Vierf. 2-1 Datenselektor/Mux	Quad 2-1 Data Selector/Mux	16-SOIC	.58	.44	.33
SN74LS157DR	296-14884-2-ND	Vierf. 2-1 Datenselektor/Mux	Quad 2-1 Data Selector/Mux	16-SOIC		467.75/2,500	
SN74LS157N	296-1645-5-ND	Vierf. 2-1 Datenselektor/Mux	Quad 2-1 Data Selector/Mux	16-Dip	.58	.44	.33
SN74LS157NSR	296-3659-2-ND	Vierf. 2-1 Datenselektor/Mux	Quad 2-1 Data Selector/Mux	16-SOP		382.66/2,000	
SN74LS161AN	296-1646-5-ND	Synchroner Binärzähler, 4-Bit	4-Bit Synchronous Binary Counter	16-Dip	.64	.49	.37
SN74LS161ANSR	296-3660-2-ND	Synchroner Binärzähler, 4-Bit	4-Bit Synchronous Binary Counter	16-SOP		382.66/2,000	
SN74LS164N	296-1647-5-ND	8-Bit Schieberegister	8-Bit Shift Register	14-Dip	.58	.44	.33
SN74LS165AN	296-14885-5-ND	8-Bit Schiebereg. mit Parallellast-Funktion	Parallel Load 8-Bit Shift Register	16-Dip	.58	.44	.33
SN74LS175N	296-1648-5-ND	Vierf. D-Flip-Flop	Quad D-Type Flip-Flop	16-Dip	.68	.51	.39
SN74LS191N	296-14886-5-ND	Synch. Auf-/Abwärtszähler mit Ab-/Aufwärtsmodussteuerung	Sync. Up/Down Counter with Down/Up Mode Control	16-Dip	.69	.58	.46

(Forts.)

★ ***RUFEN SIE BITTE AN FÜR NIEDRIGERE PREISE BEI GRÖSSEREN MENGEN!*** ★

B

T. I. Teilenr.	Digi-Key Teilenr.	Beschreibung		Paket	Stückpreis★ 1	25	100
SN74LS193N	296-1649-5-ND	Auf-/Abwärtszähler, 4-Bit	4-Bit Up/Down Counter	16-Dip	.69	.58	.46
SN74LS240DW	296-1650-5-ND	Achtf. Puffer-/Leitungstreiber	Octal Buffer/Line Driver	20-SOIC	.68	.51	.39
SN74LS240N	296-1651-5-ND	Achtf. Puffer-/Leitungstreiber	Octal Buffer/Line Driver	20-Dip	.68	.51	.39
SN74LS241N	296-14887-5-ND	Achtf. Puffer-/Leitungstreiber, Tri-State	Tri-State Octal Buffer/Line Driver	20-Dip	.68	.51	.39
SN74LS244DW	296-1213-5-ND	Achtf. Puffer-/Leitungstreiber, Tri-State	Tri-State Octal Buffer/Line Driver	20-SOIC	.68	.51	.39
SN74LS244DWR	296-1213-1-ND	Achtf. Puffer-/Leitungstreiber, Tri-State	Tri-State Octal Buffer/Line Driver	20-SOIC	.68	.51	.39
SN74LS244DWR	296-1213-2-ND	Achtf. Puffer-/Leitungstreiber, Tri-State	Tri-State Octal Buffer/Line Driver	20-SOIC		450.39/2,000	
SN74LS244N	296-1653-5-ND	Achtf. Puffer-/Leitungstreiber, Tri-State	Tri-State Octal Buffer/Line Driver	20-Dip	.68	.51	.39
SN74LS245DW	296-1214-5-ND	Achtf. Bus-Transceiver	Octal Bus Transceiver	20-SOIC	.68	.51	.39
SN74LS245DWR	296-1214-1-ND	Achtf. Bus-Transceiver	Octal Bus Transceiver	20-SOIC	.68	.51	.39
SN74LS245DWR	296-1214-2-ND	Achtf. Bus-Transceiver	Octal Bus Transceiver	20-SOIC		450.39/2,000	
SN74LS245N	296-1655-5-ND	Achtf. Bus-Transceiver	Octal Bus Transceiver	20-Dip	.68	.51	.39
SN74LS247D	296-3678-5-ND	BCD zu 7-Segment Dekodierer/Treiber	BCD to 7-Segment Decoder/Driver	16-SOIC	1.02	.85	.68
SN74LS247N	296-3679-5-ND	BCD zu 7-Segment Dekodierer/Treiber	BCD to 7-Segment Decoder/Driver	16-Dip	1.02	.85	.68
SN74LS251N	296-14888-5-ND	8-1 Datenselektor/Mux, Tri-State	Tri-State 8-1 Data Selector/Mux	16-Dip	.71	.54	.40
SN74LS257BN	296-1656-5-ND	2-1 Datenselektor/Multiplexer	Quad 2-1 Data Selector/Multiplexer	16-Dip	.71	.54	.40
SN74LS259BN	296-14889-5-ND	Adressierbarer 8-Bit Latch	8-Bit Addressable Latch	16-Dip	.78	.59	.44
SN74LS266N	296-3681-5-ND	Vierf. Exclusive-NOR-Gate mit OC-Ausgang mit 2 Eingängen	Quad 2-Input Exclusive-NOR Gate with OC Output	14-Dip	.78	.59	.44
SN74LS273N	296-1657-5-ND	Achtf. D-Flip-Flop	Octal D-Type Flip-Flop	20-Dip	.68	.51	.39
SN74LS279ANSR	296-13222-1-ND	Vierf. S-R-Latch	Quad S-R Latch	16-SOP	.81	.61	.46
SN74LS279ANSR	296-13222-2-ND	Vierf. S-R-Latch	Quad S-R Latch	16-SOP		540.13/2,000	
SN74LS368AN	296-3702-5-ND	Puffer/Leitungstreiber, 6-Bit	6-Bit Buffer/Line Driver	16-Dip	.81	.61	.46
SN74LS373DW	296-1659-5-ND	Achtf. D-Latch	Octal D-Type Latch	20-SOIC	.68	.51	.39
SN74LS373DWR	296-14893-1-ND	Achtf. D-Latch	Octal D-Type Latch	20-SOIC	.68	.51	.39
SN74LS373DWR	296-14893-2-ND	Achtf. D-Latch	Octal D-Type Latch	20-SOIC		450.39/2,000	
SN74LS373N	296-1660-5-ND	Achtf. D-Latch	Octal D-Type Latch	20-Dip	.68	.51	.39
SN74LS374DW	296-1661-5-ND	Achtf. D-Flip-Flop	Octal D-Type Flip-Flop	20-SOIC	.68	.51	.39
SN74LS374DWR	296-14894-1-ND	Achtf. D-Flip-Flop	Octal D-Type Flip-Flop	20-SOIC	.68	.51	.39
SN74LS374DWR	296-14894-2-ND	Achtf. D-Flip-Flop	Octal D-Type Flip-Flop	20-SOIC		450.39/2,000	
SN74LS374N	296-1662-5-ND	Achtf. D-Flip-Flop	Octal D-Type Flip-Flop	20-Dip	.68	.51	.39
SN74LS377N	296-1663-5-ND	Achtf. D-Flip-Flop	Octal D-Type Flip-Flop	20-Dip	.94	.79	.63
SN74LS393N	296-1665-5-ND	Zweif. Binärzähler, 4-Bit	Dual 4-Bit Binary Counter	14-Dip	.76	.64	.51
SN74LS399N	296-14895-5-ND	Vierf. Multiplexer mit Speicher umd 2 Eingängen	Quad 2-Input Mux with Storage	16-Dip	1.14	.92	.69
SN74LS423N	296-3707-5-ND	Zweif. monostabiler MonoMultivibrator,	Dual Retrig. Mono Multivibrator	16-Dip	1.23	.99	.74
SN74LS541N	296-1666-5-ND	Achtf. Puffer-/Leitungstreiber, Tri-State	Tri-State Octal Buffer/Line Driver	20-Dip	.63	.53	.43
SN74LS595DR	296-14896-1-ND	Schieberegister mit Ausgangs-Latch, 8-Bit	8-Bit Shift Register with Output Latch	16-SOIC	5.59	4.47	3.78
SN74LS595DR	296-14896-2-ND	Schieberegister mit Ausgangs-Latch, 8-Bit	8-Bit Shift Register with Output Latch	16-SOIC		8660.72/2,500	
SN74LS595N	296-15070-5-ND	Schieberegister mit Ausgangs-Latch, 8-Bit	8-Bit Shift Register with Output Latch	16-Dip	5.59	4.47	3.78
SN74LS640N	296-14897-5-ND	Achtf. Bus-Transceiver	Octal Bus Transceiver	20-Dip	1.09	.92	.73
SN74LS645-1NSR	296-13224-1-ND	Achtf. Bus-Transceiver, Tri-State	Tri-State Octal Bus Transceiver	20-SOP	2.01	1.61	1.21
SN74LS645-1NSR	296-13224-2-ND	Achtf. Bus-Transceiver, Tri-State	Tri-State Octal Bus Transceiver	20-SOP		2091.10/2,000	
SN74LS682N	296-14898-5-ND	Größen-/Identitätskomparator, 8-Bit	8-Bit Magnitude/Identity Comparator	20-Dip	1.34	1.07	.80
SN74LS688N	296-1667-5-ND	Größenkomparator, 8-Bit	8-Bit Magnitude Comparator	20-Dip	1.48	1.19	.89
		LV-Gruppe					
SN74LV00AD	296-1670-5-ND	Vierf. pos. NAND-Gate mit 2 Eingängen	Quad 2-Input Positive NAND Gate	14-SOIC	.41	.34	.23
SN74LV00ADR	296-1670-1-ND	Vierf. pos. NAND-Gate mit 2 Eingängen	Quad 2-Input Positive NAND Gate	14-SOIC	.39	.32	.22
SN74LV00ADR	296-1670-2-ND	Vierf. pos. NAND-Gate mit 2 Eingängen	Quad 2-Input Positive NAND Gate	14-SOIC		251.86/2,500	
SN74LV00ADBR	296-3751-1-ND	Vierf. pos. NAND-Gate mit 2 Eingängen	Quad 2-Input Positive NAND Gate	14-SSOP	.39	.32	.22
SN74LV00ADBR	296-3751-2-ND	Vierf. pos. NAND-Gate mit 2 Eingängen	Quad 2-Input Positive NAND Gate	14-SSOP		213.34/2,000	
SN74LV00ADGVR	296-3752-1-ND	Vierf. pos. NAND-Gate mit 2 Eingängen	Quad 2-Input Positive NAND Gate	14-TVSOP	.45	.36	.27
SN74LV00ADGVR	296-3752-2-ND	Vierf. pos. NAND-Gate mit 2 Eingängen	Quad 2-Input Positive NAND Gate	14-TVSOP		248.90/2,000	
SN74LV00ANSR	296-13226-1-ND	Vierf. pos. NAND-Gate mit 2 Eingängen	Quad 2-Input Positive NAND Gate	14-SOP	.39	.32	.22
SN74LV00ANSR	296-13226-2-ND	Vierf. pos. NAND-Gate mit 2 Eingängen	Quad 2-Input Positive NAND Gate	14-SOP		213.34/2,000	
SN74LV00APWR	296-3753-1-ND	Vierf. pos. NAND-Gate mit 2 Eingängen	Quad 2-Input Positive NAND Gate	14-TSSOP	.39	.32	.22
SN74LV00APWR	296-3753-2-ND	Vierf. pos. NAND-Gate mit 2 Eingängen	Quad 2-Input Positive NAND Gate	14-TSSOP		213.34/2,000	
SN74LV00ARGYR	296-13927-1-ND	Vierf. pos. NAND-Gate mit 2 Eingängen	Quad 2-Input Positive NAND Gate	14-QFN	.42	.32	.24
SN74LV00ARGYR	296-13927-2-ND	Vierf. pos. NAND-Gate mit 2 Eingängen	Quad 2-Input Positive NAND Gate	14-QFN		140.54/1,000	
SN74LV02AD	296-1671-5-ND	Vierf. NOR-Gate mit 2 Eingängen	Quad 2-Input NOR Gate	14-SOIC	.51	.39	.29
SN74LV02ADBR	296-3754-1-ND	Vierf. NOR-Gate mit 2 Eingängen	Quad 2-Input NOR Gate	14-SSOP	.51	.39	.29
SN74LV02ADBR	296-3754-2-ND	Vierf. NOR-Gate mit 2 Eingängen	Quad 2-Input NOR Gate	14-SSOP		338.64/2,000	
SN74LV02ADGVR	296-16706-1-ND	Vierf. NOR-Gate mit 2 Eingängen	Quad 2-Input NOR Gate	14-TVSOP	.51	.39	.29
SN74LV02ADGVR	296-16706-2-ND	Vierf. NOR-Gate mit 2 Eingängen	Quad 2-Input NOR Gate	14-TVSOP		338.64/2,000	
SN74LV02APWR	296-14902-1-ND	Vierf. NOR-Gate mit 2 Eingängen	Quad 2-Input NOR Gate	14-TSSOP	.51	.39	.29
SN74LV02APWR	296-14902-2-ND	Vierf. NOR-Gate mit 2 Eingängen	Quad 2-Input NOR Gate	14-TSSOP		338.64/2,000	
SN74LV02ARGYR	296-13928-1-ND	Vierf. NOR-Gate mit 2 Eingängen	Quad 2-Input NOR Gate	14-QFN	.42	.32	.24
SN74LV02ARGYR	296-13928-2-ND	Vierf. NOR-Gate mit 2 Eingängen	Quad 2-Input NOR Gate	14-QFN		140.54/1,000	
SN74LV04AD	296-1672-5-ND	Sechsf. Inverter	Hex Inverter	14-SOIC	.41	.34	.23
SN74LV04ADBR	296-3755-1-ND	Sechsf. Inverter	Hex Inverter	14-SSOP	.39	.32	.22
SN74LV04ADBR	296-3755-2-ND	Sechsf. Inverter	Hex Inverter	14-SSOP		213.34/2,000	
SN74LV04ADGVR	296-3756-1-ND	Sechsf. Inverter	Hex Inverter	14-TVSOP	.45	.36	.27
SN74LV04ADGVR	296-3756-2-ND	Sechsf. Inverter	Hex Inverter	14-TVSOP		248.90/2,000	
SN74LV04APWR	296-3757-1-ND	Sechsf. Inverter	Hex Inverter	14-TSSOP	.39	.32	.22
SN74LV04APWR	296-3757-2-ND	Sechsf. Inverter	Hex Inverter	14-TSSOP		213.34/2,000	
SN74LV04ARGYR	296-13929-1-ND	Sechsf. Inverter	Hex Inverter	14-QFN	.42	.32	.24
SN74LV04ARGYR	296-13929-2-ND	Sechsf. Inverter	Hex Inverter	14-QFN		140.54/1,000	
SN74LV05ADGVR	296-14313-1-ND	Sechsf. Inverter mit OD-Ausgang	Hex Inverter with OD Output	14-TVSOP	.51	.39	.29
SN74LV05ADGVR	296-14313-2-ND	Sechsf. Inverter mit OD-Ausgang	Hex Inverter with OD Output	14-TVSOP		338.64/2,000	
SN74LV05ADR	296-3758-1-ND	Sechsf. Inverter mit OD-Ausgang	Hex Inverter with OD Output	14-SOIC	.51	.39	.29
SN74LV05ADR	296-3758-2-ND	Sechsf. Inverter mit OD-Ausgang	Hex Inverter with OD Output	14-SOIC		412.72/2,500	
SN74LV05APWR	296-3759-1-ND	Sechsf. Inverter mit OD-Ausgang	Hex Inverter with OD Output	14-TSSOP	.51	.39	.29
SN74LV05APWR	296-3759-2-ND	Sechsf. Inverter mit OD-Ausgang	Hex Inverter with OD Output	14-TSSOP		338.64/2,000	
SN74LV06ADBR	296-3760-1-ND	Sechsf. Inverter Puffer/Treiber mit OD-Ausgang	Hex Inverter Buffer/Driver w/OD Out	14-SSOP	.51	.39	.29
SN74LV06ADBR	296-3760-2-ND	Sechsf. Inverter Puffer/Treiber mit OD-Ausgang	Hex Inverter Buffer/Driver w/OD Out	14-SSOP		338.64/2,000	
SN74LV06ADGVR	296-3761-1-ND	Sechsf. Inverter Puffer/Treiber mit OD-Ausgang	Hex Inverter Buffer/Driver w/OD Out	14-TVSOP	.51	.39	.29
SN74LV06ADGVR	296-3761-2-ND	Sechsf. Inverter Puffer/Treiber mit OD-Ausgang	Hex Inverter Buffer/Driver w/OD Out	14-TVSOP		338.64/2,000	
SN74LV06ADR	296-3762-1-ND	Sechsf. Inverter Puffer/Treiber mit OD-Ausgang	Hex Inverter Buffer/Driver w/OD Out	14-SOIC	.51	.39	.29
SN74LV06ADR	296-3762-2-ND	Sechsf. Inverter Puffer/Treiber mit OD-Ausgang	Hex Inverter Buffer/Driver w/OD Out	14-SOIC		412.72/2,500	
SN74LV06APWR	296-3763-1-ND	Sechsf. Inverter Puffer/Treiber mit OD-Ausgang	Hex Inverter Buffer/Driver w/OD Out	14-TSSOP	.51	.39	.29
SN74LV06APWR	296-3763-2-ND	Sechsf. Inverter Puffer/Treiber mit OD-Ausgang	Hex Inverter Buffer/Driver w/OD Out	14-TSSOP		338.64/2,000	
SN74LV07AD	296-3764-5-ND	Sechsf. Puffer/Treiber mit OD-Ausg.	Hex Buffer/Driver with OD Out	14-SOIC	.51	.39	.29
SN74LV07ADR	296-3764-1-ND	Sechsf. Puffer/Treiber mit OD-Ausg.	Hex Buffer/Driver with OD Out	14-SOIC	.51	.39	.29
SN74LV07ADR	296-3764-2-ND	Sechsf. Puffer/Treiber mit OD-Ausg.	Hex Buffer/Driver with OD Out	14-SOIC		412.72/2,500	
SN74LV07ADBR	296-3765-1-ND	Sechsf. Puffer/Treiber mit OD-Ausg.	Hex Buffer/Driver with OD Out	14-SSOP	.51	.39	.29
SN74LV07ADBR	296-3765-2-ND	Sechsf. Puffer/Treiber mit OD-Ausg.	Hex Buffer/Driver with OD Out	14-SSOP		338.64/2,000	
SN74LV07ADGVR	296-3766-1-ND	Sechsf. Puffer/Treiber mit OD-Ausg.	Hex Buffer/Driver with OD Out	14-TVSOP	.51	.39	.29
SN74LV07ADGVR	296-3766-2-ND	Sechsf. Puffer/Treiber mit OD-Ausg.	Hex Buffer/Driver with OD Out	14-TVSOP		338.64/2,000	
SN74LV07APWR	296-3767-1-ND	Sechsf. Puffer/Treiber mit OD-Ausg.	Hex Buffer/Driver with OD Out	14-TSSOP	.51	.39	.29
SN74LV07APWR	296-3767-2-ND	Sechsf. Puffer/Treiber mit OD-Ausg.	Hex Buffer/Driver with OD Out	14-TSSOP		338.64/2,000	
SN74LV08AD	296-1673-5-ND	Vierf. AND-Gate mit 2 Eingängen	Quad 2-Input AND Gate	14-SOIC	.39	.32	.22
SN74LV08ADBR	296-3768-1-ND	Vierf. AND-Gate mit 2 Eingängen	Quad 2-Input AND Gate	14-SSOP	.39	.32	.22
SN74LV08ADBR	296-3768-2-ND	Vierf. AND-Gate mit 2 Eingängen	Quad 2-Input AND Gate	14-SSOP		213.34/2,000	
SN74LV08ADGVR	296-3769-1-ND	Vierf. AND-Gate mit 2 Eingängen	Quad 2-Input AND Gate	14-TVSOP	.45	.36	.27
SN74LV08ADGVR	296-3769-2-ND	Vierf. AND-Gate mit 2 Eingängen	Quad 2-Input AND Gate	14-TVSOP		248.90/2,000	
SN74LV08APWR	296-3770-1-ND	Vierf. AND-Gate mit 2 Eingängen	Quad 2-Input AND Gate	14-TSSOP	.39	.32	.22

(Forts.)

★ ***RUFEN SIE BITTE AN FÜR NIEDRIGERE PREISE BEI GRÖSSEREN MENGEN!*** ★

T. I. Teilenr.	Digi-Key Teilenr.	Beschreibung		Paket	Stückpreis★ 1	25	100
SN74LV08APWR	296-3770-2-ND	Vierf. AND-Gate mit 2 Eingängen	Quad 2-Input AND Gate	14-TSSOP		228.58/2,000	
SN74LV08ARGYR	296-13930-1-ND	Vierf. AND-Gate mit 2 Eingängen	Quad 2-Input AND Gate	14-QFN	.42	.32	.24
SN74LV08ARGYR	296-13930-2-ND	Vierf. AND-Gate mit 2 Eingängen	Quad 2-Input AND Gate	14-QFN		140.54/1,000	
SN74LV10AD	296-3771-5-ND	Dreif. NAND-Gate mit 3 Eingängen	Triple 3-Input NAND Gate	14-SOIC	.39	.32	.22
SN74LV10ADR	296-3771-1-ND	Dreif. NAND-Gate mit 3 Eingängen	Triple 3-Input NAND Gate	14-SOIC	.39	.32	.22
SN74LV10ADR	296-3771-2-ND	Dreif. NAND-Gate mit 3 Eingängen	Triple 3-Input NAND Gate	14-SOIC		251.86/2,500	
SN74LV10ADBR	296-3772-1-ND	Dreif. NAND-Gate mit 3 Eingängen	Triple 3-Input NAND Gate	14-SSOP	.39	.32	.22
SN74LV10ADBR	296-3772-2-ND	Dreif. NAND-Gate mit 3 Eingängen	Triple 3-Input NAND Gate	14-SSOP		213.34/2,000	
SN74LV10ADGVR	296-3773-1-ND	Dreif. NAND-Gate mit 3 Eingängen	Triple 3-Input NAND Gate	14-TVSOP	.42	.32	.24
SN74LV10ADGVR	296-3773-2-ND	Dreif. NAND-Gate mit 3 Eingängen	Triple 3-Input NAND Gate	14-TVSOP		281.07/2,000	
SN74LV10APWR	296-9824-1-ND	Dreif. NAND-Gate mit 3 Eingängen	Triple 3-Input NAND Gate	14-TSSOP	.39	.32	.22
SN74LV10APWR	296-9824-2-ND	Dreif. NAND-Gate mit 3 Eingängen	Triple 3-Input NAND Gate	14-TSSOP		213.34/2,000	
SN74LV11ADBR	296-9825-1-ND	Dreif. AND-Gate mit 3 Eingängen	Triple 3-Input AND Gate	14-SSOP	.51	.39	.29
SN74LV11ADBR	296-9825-2-ND	Dreif. AND-Gate mit 3 Eingängen	Triple 3-Input AND Gate	14-SSOP		338.64/2,000	
SN74LV11ADGVR	296-9826-1-ND	Dreif. AND-Gate mit 3 Eingängen	Triple 3-Input AND Gate	14-TVSOP	.51	.39	.29
SN74LV11ADGVR	296-9826-2-ND	Dreif. AND-Gate mit 3 Eingängen	Triple 3-Input AND Gate	14-TVSOP		338.64/2,000	
SN74LV11ADR	296-9827-1-ND	Dreif. AND-Gate mit 3 Eingängen	Triple 3-Input AND Gate	14-SOIC	.51	.39	.29
SN74LV11ADR	296-9827-2-ND	Dreif. AND-Gate mit 3 Eingängen	Triple 3-Input AND Gate	14-SOIC		412.72/2,500	
SN74LV11APWR	296-9828-1-ND	Dreif. AND-Gate mit 3 Eingängen	Triple 3-Input AND Gate	14-TSSOP	.51	.39	.29
SN74LV11APWR	296-9828-2-ND	Dreif. AND-Gate mit 3 Eingängen	Triple 3-Input AND Gate	14-TSSOP		338.64/2,000	
SN74LV14AD	296-1678-5-ND	Sechsf. Schmitt-Trigger-Inverter	Hex Schmitt-Trigger Inverter	14-SOIC	.39	.32	.22
SN74LV14ADR	296-1678-1-ND	Sechsf. Schmitt-Trigger-Inverter	Hex Schmitt-Trigger Inverter	14-SOIC	.39	.32	.22
SN74LV14ADR	296-1678-2-ND	Sechsf. Schmitt-Trigger-Inverter	Hex Schmitt-Trigger Inverter	14-SOIC		251.86/2,500	
SN74LV14ADBR	296-3783-1-ND	Sechsf. Schmitt-Trigger-Inverter	Hex Schmitt-Trigger Inverter	14-SSOP	.39	.32	.22
SN74LV14ADBR	296-3783-2-ND	Sechsf. Schmitt-Trigger-Inverter	Hex Schmitt-Trigger Inverter	14-SSOP		213.34/2,000	
SN74LV14ADGVR	296-3784-1-ND	Sechsf. Schmitt-Trigger-Inverter	Hex Schmitt-Trigger Inverter	14-TVSOP	.45	.36	.27
SN74LV14ADGVR	296-3784-2-ND	Sechsf. Schmitt-Trigger-Inverter	Hex Schmitt-Trigger Inverter	14-TVSOP		248.90/2,000	
SN74LV14APWR	296-3785-1-ND	Sechsf. Schmitt-Trigger-Inverter	Hex Schmitt-Trigger Inverter	14-TSSOP	.39	.32	.22
SN74LV14APWR	296-3785-2-ND	Sechsf. Schmitt-Trigger-Inverter	Hex Schmitt-Trigger Inverter	14-TSSOP		228.58/2,000	
SN74LV14ARGYR	296-13935-1-ND	Sechsf. Schmitt-Trigger-Inverter	Hex Schmitt-Trigger Inverter	14-QFN	.42	.32	.24
SN74LV14ARGYR	296-13935-2-ND	Sechsf. Schmitt-Trigger-Inverter	Hex Schmitt-Trigger Inverter	14-QFN		140.54/1,000	
SN74LV20AD	296-3794-5-ND	Zweif. NAND-Gate mit 4 Eingängen	Dual 4-Input NAND Gate	14-SOIC	.68	.51	.39
SN74LV20ADR	296-3794-1-ND	Zweif. NAND-Gate mit 4 Eingängen	Dual 4-Input NAND Gate	14-SOIC	.68	.51	.39
SN74LV20ADR	296-3794-2-ND	Zweif. NAND-Gate mit 4 Eingängen	Dual 4-Input NAND Gate	14-SOIC		550.29/2,500	
SN74LV20ADBR	296-9838-1-ND	Zweif. NAND-Gate mit 4 Eingängen	Dual 4-Input NAND Gate	14-SSOP	.68	.51	.39
SN74LV20ADBR	296-9838-2-ND	Zweif. NAND-Gate mit 4 Eingängen	Dual 4-Input NAND Gate	14-SSOP		450.39/2,000	
SN74LV20ADGVR	296-3795-1-ND	Zweif. NAND-Gate mit 4 Eingängen	Dual 4-Input NAND Gate	14-TVSOP	.68	.51	.39
SN74LV20ADGVR	296-3795-2-ND	Zweif. NAND-Gate mit 4 Eingängen	Dual 4-Input NAND Gate	14-TVSOP		450.39/2,000	
SN74LV20APWR	296-3796-1-ND	Zweif. NAND-Gate mit 4 Eingängen	Dual 4-Input NAND Gate	14-TSSOP	.68	.51	.39
SN74LV20APWR	296-3796-2-ND	Zweif. NAND-Gate mit 4 Eingängen	Dual 4-Input NAND Gate	14-TSSOP		450.39/2,000	
SN74LV21ADR	296-9839-1-ND	Zweif. AND-Gate mit 4 Eingängen	Dual 4-Input AND Gate	14-SOIC	.68	.51	.39
SN74LV21ADR	296-9839-2-ND	Zweif. AND-Gate mit 4 Eingängen	Dual 4-Input AND Gate	14-SOIC		550.29/2,500	
SN74LV21ADBR	296-3798-1-ND	Zweif. AND-Gate mit 4 Eingängen	Dual 4-Input AND Gate	14-SSOP	.68	.51	.39
SN74LV21ADBR	296-3798-2-ND	Zweif. AND-Gate mit 4 Eingängen	Dual 4-Input AND Gate	14-SSOP		450.39/2,000	
SN74LV21ADGVR	296-3799-1-ND	Zweif. AND-Gate mit 4 Eingängen	Dual 4-Input AND Gate	14-TVSOP	.68	.51	.39
SN74LV21ADGVR	296-3799-2-ND	Zweif. AND-Gate mit 4 Eingängen	Dual 4-Input AND Gate	14-TVSOP		450.39/2,000	
SN74LV21APWR	296-3800-1-ND	Zweif. AND-Gate mit 4 Eingängen	Dual 4-Input AND Gate	14-TSSOP	.68	.51	.39
SN74LV21APWR	296-3800-2-ND	Zweif. AND-Gate mit 4 Eingängen	Dual 4-Input AND Gate	14-TSSOP		450.39/2,000	
SN74LV27ADR	296-3813-1-ND	Dreif. NOR-Gate mit 3 Eingängen	Triple 3-Input NOR Gate	14-SOIC	.51	.39	.29
SN74LV27ADR	296-3813-2-ND	Dreif. NOR-Gate mit 3 Eingängen	Triple 3-Input NOR Gate	14-SOIC		412.72/2,500	
SN74LV27ADBR	296-3814-1-ND	Dreif. NOR-Gate mit 3 Eingängen	Triple 3-Input NOR Gate	14-SSOP	.51	.39	.29
SN74LV27ADBR	296-3814-2-ND	Dreif. NOR-Gate mit 3 Eingängen	Triple 3-Input NOR Gate	14-SSOP		338.64/2,000	
SN74LV27ADGVR	296-3815-1-ND	Dreif. NOR-Gate mit 3 Eingängen	Triple 3-Input NOR Gate	14-TVSOP	.51	.39	.29
SN74LV27ADGVR	296-3815-2-ND	Dreif. NOR-Gate mit 3 Eingängen	Triple 3-Input NOR Gate	14-TVSOP		338.64/2,000	
SN74LV27APWR	296-3816-1-ND	Dreif. NOR-Gate mit 3 Eingängen	Triple 3-Input NOR Gate	14-TSSOP	.51	.39	.29
SN74LV27APWR	296-3816-2-ND	Dreif. NOR-Gate mit 3 Eingängen	Triple 3-Input NOR Gate	14-TSSOP		338.64/2,000	
SN74LV32AD	296-1686-5-ND	Vierf. pos. OR-Gate mit 2 Eingängen	Quad 2-Input Positive OR Gate	14-SOIC	.39	.32	.22
SN74LV32ADBR	296-3817-1-ND	Vierf. pos. OR-Gate mit 2 Eingängen	Quad 2-Input Positive OR Gate	14-SSOP	.39	.32	.22
SN74LV32ADBR	296-3817-2-ND	Vierf. pos. OR-Gate mit 2 Eingängen	Quad 2-Input Positive OR Gate	14-SSOP		213.34/2,000	
SN74LV32ADGVR	296-3818-1-ND	Vierf. pos. OR-Gate mit 2 Eingängen	Quad 2-Input Positive OR Gate	14-TVSOP	.45	.36	.27
SN74LV32ADGVR	296-3818-2-ND	Vierf. pos. OR-Gate mit 2 Eingängen	Quad 2-Input Positive OR Gate	14-TVSOP		248.90/2,000	
SN74LV32ANSR	296-13232-1-ND	Vierf. pos. OR-Gate mit 2 Eingängen	Quad 2-Input Positive OR Gate	14-SOP	.39	.32	.22
SN74LV32ANSR	296-13232-2-ND	Vierf. pos. OR-Gate mit 2 Eingängen	Quad 2-Input Positive OR Gate	14-SOP		213.34/2,000	
SN74LV32APWR	296-3819-1-ND	Vierf. pos. OR-Gate mit 2 Eingängen	Quad 2-Input Positive OR Gate	14-TSSOP	.39	.32	.22
SN74LV32APWR	296-3819-2-ND	Vierf. pos. OR-Gate mit 2 Eingängen	Quad 2-Input Positive OR Gate	14-TSSOP		228.58/2,000	
SN74LV32ARGYR	296-13941-1-ND	Vierf. pos. OR-Gate mit 2 Eingängen	Quad 2-Input Positive OR Gate	14-QFN	.51	.39	.29
SN74LV32ARGYR	296-13941-2-ND	Vierf. pos. OR-Gate mit 2 Eingängen	Quad 2-Input Positive OR Gate	14-QFN		169.32/1,000	
SN74LV74AD	296-1692-5-ND	Zweif. D-Flip-Flop	Dual D-Type Flip-Flop	14-SOIC	.42	.34	.26
SN74LV74ADBR	296-3844-1-ND	Zweif. D-Flip-Flop	Dual D-Type Flip-Flop	14-SSOP	.42	.34	.26
SN74LV74ADBR	296-3844-2-ND	Zweif. D-Flip-Flop	Dual D-Type Flip-Flop	14-SSOP		237.05/2,000	
SN74LV74ADGVR	296-9842-1-ND	Zweif. D-Flip-Flop	Dual D-Type Flip-Flop	14-TVSOP	.41	.31	.23
SN74LV74ADGVR	296-9842-2-ND	Zweif. D-Flip-Flop	Dual D-Type Flip-Flop	14-TVSOP		270.91/2,000	
SN74LV74APWR	296-3846-1-ND	Zweif. D-Flip-Flop	Dual D-Type Flip-Flop	14-TSSOP	.42	.34	.26
SN74LV74APWR	296-3846-2-ND	Zweif. D-Flip-Flop	Dual D-Type Flip-Flop	14-TSSOP		237.05/2,000	
SN74LV74ARGYR	296-13953-1-ND	Zweif. D-Flip-Flop	Dual D-Type Flip-Flop	14-QFN	.51	.39	.29
SN74LV74ARGYR	296-13953-2-ND	Zweif. D-Flip-Flop	Dual D-Type Flip-Flop	14-QFN		169.32/1,000	
SN74LV86AD	296-1693-5-ND	Vierf. Exclusive-OR-Gate mit 2 Eingängen	Quad 2-Input Exclusive-OR Gate	14-SOIC	.42	.34	.26
SN74LV86ADBR	296-14320-1-ND	Vierf. Exclusive-OR-Gate mit 2 Eingängen	Quad 2-Input Exclusive-OR Gate	14-SSOP	.42	.34	.26
SN74LV86ADBR	296-14320-2-ND	Vierf. Exclusive-OR-Gate mit 2 Eingängen	Quad 2-Input Exclusive-OR Gate	14-SSOP		237.05/2,000	
SN74LV86ADGVR	296-14321-1-ND	Vierf. Exclusive-OR-Gate mit 2 Eingängen	Quad 2-Input Exclusive-OR Gate	14-TVSOP	.41	.31	.23
SN74LV86ADGVR	296-14321-2-ND	Vierf. Exclusive-OR-Gate mit 2 Eingängen	Quad 2-Input Exclusive-OR Gate	14-TVSOP		270.91/2,000	
SN74LV86APWR	296-14322-1-ND	Vierf. Exclusive-OR-Gate mit 2 Eingängen	Quad 2-Input Exclusive-OR Gate	14-TSSOP	.42	.34	.26
SN74LV86APWR	296-14322-2-ND	Vierf. Exclusive-OR-Gate mit 2 Eingängen	Quad 2-Input Exclusive-OR Gate	14-TSSOP		237.05/2,000	
SN74LV123ADGVR	296-12991-1-ND	Zweif. monostabiler Retrigger-Multivibrator	Dual Retrig. Monostable Multivibrator	16-TVSOP	.41	.31	.23
SN74LV123ADGVR	296-12991-2-ND	Zweif. monostabiler Retrigger-Multivibrator	Dual Retrig. Monostable Multivibrator	16-TVSOP		270.91/2,000	
SN74LV123ADR	296-9829-1-ND	Zweif. monostabiler Retrigger-Multivibrator	Dual Retrig. Monostable Multivibrator	16-SOIC	.41	.31	.23
SN74LV123ADR	296-9829-2-ND	Zweif. monostabiler Retrigger-Multivibrator	Dual Retrig. Monostable Multivibrator	16-SOIC		330.17/2,500	
SN74LV123APWR	296-3774-1-ND	Zweif. monostabiler Retrigger-Multivibrator	Dual Retrig. Monostable Multivibrator	16-TSSOP	.41	.31	.23
SN74LV123APWR	296-3774-2-ND	Zweif. monostabiler Retrigger-Multivibrator	Dual Retrig. Monostable Multivibrator	16-TSSOP		270.91/2,000	
SN74LV123ARGYR	296-13931-1-ND	Zweif. monostabiler Retrigger-Multivibrator	Dual Retrig. Monostable Multivibrator	16-QFN	.51	.39	.29
SN74LV123ARGYR	296-13931-2-ND	Zweif. monostabiler Retrigger-Multivibrator	Dual Retrig. Monostable Multivibrator	16-QFN		169.32/1,000	
SN74LV125AD	296-1674-5-ND	Vierf. Bus-Puffer-Gate, Tri-State	Tri-State Quad Bus Buffer Gate	14-SOIC	.42	.34	.26
SN74LV125ADBR	296-14314-1-ND	Vierf. Bus-Puffer-Gate, Tri-State	Tri-State Quad Bus Buffer Gate	14-SSOP	.42	.34	.26
SN74LV125ADBR	296-14314-2-ND	Vierf. Bus-Puffer-Gate, Tri-State	Tri-State Quad Bus Buffer Gate	14-SSOP		237.05/2,000	
SN74LV125ADGVR	296-3775-1-ND	Vierf. Bus-Puffer-Gate, Tri-State	Tri-State Quad Bus Buffer Gate	14-TVSOP	.42	.34	.26
SN74LV125ADGVR	296-3775-2-ND	Vierf. Bus-Puffer-Gate, Tri-State	Tri-State Quad Bus Buffer Gate	14-TVSOP		237.05/2,000	
SN74LV125APWR	296-3776-1-ND	Vierf. Bus-Puffer-Gate, Tri-State	Tri-State Quad Bus Buffer Gate	14-TSSOP	.42	.34	.26
SN74LV125APWR	296-3776-2-ND	Vierf. Bus-Puffer-Gate, Tri-State	Tri-State Quad Bus Buffer Gate	14-TSSOP		237.05/2,000	
SN74LV125ARGYR	296-13932-1-ND	Vierf. Bus-Puffer-Gate, Tri-State	Tri-State Quad Bus Buffer Gate	14-QFN	.51	.39	.29
SN74LV125ARGYR	296-13932-2-ND	Vierf. Bus-Puffer-Gate, Tri-State	Tri-State Quad Bus Buffer Gate	14-QFN		169.32/1,000	

(Forts.)

★ ***RUFEN SIE BITTE AN FÜR NIEDRIGERE PREISE BEI GRÖSSEREN MENGEN!*** ★

B

T. I. Teilenr.	Digi-Key Teilenr.	Beschreibung		Paket	Stückpreis★ 1	25	100
SN74LV126AD	296-14315-5-ND	Vierf. Bus-Puffer-Gate, Tri-State	Tri-State Quad Bus Buffer Gate	14-SOIC	.42	.34	.26
SN74LV126ADBR	296-15718-1-ND	Vierf. Bus-Puffer-Gate, Tri-State	Tri-State Quad Bus Buffer Gate	14-SSOP	.42	.34	.26
SN74LV126ADBR	296-15718-2-ND	Vierf. Bus-Puffer-Gate, Tri-State	Tri-State Quad Bus Buffer Gate	14-SSOP		237.05/2,000	
SN74LV126ADGVR	296-14191-1-ND	Vierf. Bus-Puffer-Gate, Tri-State	Tri-State Quad Bus Buffer Gate	14-TVSOP	.42	.34	.26
SN74LV126ADGVR	296-14191-2-ND	Vierf. Bus-Puffer-Gate, Tri-State	Tri-State Quad Bus Buffer Gate	14-TVSOP		237.05/2,000	
SN74LV126ADR	296-14021-1-ND	Vierf. Bus-Puffer-Gate, Tri-State	Tri-State Quad Bus Buffer Gate	14-SOIC	.42	.34	.26
SN74LV126ADR	296-14021-2-ND	Vierf. Bus-Puffer-Gate, Tri-State	Tri-State Quad Bus Buffer Gate	14-SOIC		285.73/2,500	
SN74LV126APWR	296-12992-1-ND	Vierf. Bus-Puffer-Gate, Tri-State	Tri-State Quad Bus Buffer Gate	14-TSSOP	.42	.34	.26
SN74LV126APWR	296-12992-2-ND	Vierf. Bus-Puffer-Gate, Tri-State	Tri-State Quad Bus Buffer Gate	14-TSSOP		237.05/2,000	
SN74LV132AD	296-1675-5-ND	Vierf. NAND-Gate	Quad NAND Gate	14-SOIC	.42	.34	.26
SN74LV132ADR	296-1675-1-ND	Vierf. NAND-Gate	Quad NAND Gate	14-SOIC	.42	.34	.26
SN74LV132ADR	296-1675-2-ND	Vierf. NAND-Gate	Quad NAND Gate	14-SOIC		285.73/2,500	
SN74LV132ADBR	296-3777-1-ND	Vierf. NAND-Gate	Quad NAND Gate	14-SSOP	.42	.34	.26
SN74LV132ADBR	296-3777-2-ND	Vierf. NAND-Gate	Quad NAND Gate	14-SSOP		237.05/2,000	
SN74LV132ADGVR	296-3778-1-ND	Vierf. NAND-Gate	Quad NAND Gate	14-TVSOP	.42	.34	.26
SN74LV132ADGVR	296-3778-2-ND	Vierf. NAND-Gate	Quad NAND Gate	14-TVSOP		237.05/2,000	
SN74LV132APWR	296-3779-1-ND	Vierf. NAND-Gate	Quad NAND Gate	14-TSSOP	.42	.34	.26
SN74LV132APWR	296-3779-2-ND	Vierf. NAND-Gate	Quad NAND Gate	14-TSSOP		237.05/2,000	
SN74LV138AD	296-1676-5-ND	3-8 Dekodierer/Demultiplexer	3-8 Decoder/Demultiplexer	16-SOIC	.42	.34	.26
SN74LV138ADR	296-1676-1-ND	3-8 Dekodierer/Demultiplexer	3-8 Decoder/Demultiplexer	16-SOIC	.42	.34	.26
SN74LV138ADR	296-1676-2-ND	3-8 Dekodierer/Demultiplexer	3-8 Decoder/Demultiplexer	16-SOIC		285.73/2,500	
SN74LV138APWR	296-3780-1-ND	3-8 Dekodierer/Demultiplexer	3-8 Decoder/Demultiplexer	16-TSSOP	.42	.34	.26
SN74LV138APWR	296-3780-2-ND	3-8 Dekodierer/Demultiplexer	3-8 Decoder/Demultiplexer	16-TSSOP		237.05/2,000	
SN74LV138ARGYR	296-13933-1-ND	3-8 Dekodierer/Demultiplexer	3-8 Decoder/Demultiplexer	16-QFN	.51	.39	.29
SN74LV138ARGYR	296-13933-2-ND	3-8 Dekodierer/Demultiplexer	3-8 Decoder/Demultiplexer	16-QFN		169.32/1,000	
SN74LV139AD	296-1677-5-ND	Zweif. 2-4 Dekodierer/Demultiplexer	Dual 2-4 Decoder/Demultiplexer	16-SOIC	.42	.34	.26
SN74LV139ADBR	296-3781-1-ND	Zweif. 2-4 Dekodierer/Demultiplexer	Dual 2-4 Decoder/Demultiplexer	16-SSOP	.42	.34	.26
SN74LV139ADBR	296-3781-2-ND	Zweif. 2-4 Dekodierer/Demultiplexer	Dual 2-4 Decoder/Demultiplexer	16-SSOP		237.05/2,000	
SN74LV139APWR	296-3782-1-ND	Zweif. 2-4 Dekodierer/Demultiplexer	Dual 2-4 Decoder/Demultiplexer	16-TSSOP	.42	.34	.26
SN74LV139APWR	296-3782-2-ND	Zweif. 2-4 Dekodierer/Demultiplexer	Dual 2-4 Decoder/Demultiplexer	16-TSSOP		237.05/2,000	
SN74LV139ARGYR	296-13934-1-ND	Zweif. 2-4 Dekodierer/Demultiplexer	Dual 2-4 Decoder/Demultiplexer	16-QFN	.51	.39	.29
SN74LV139ARGYR	296-13934-2-ND	Zweif. 2-4 Dekodierer/Demultiplexer	Dual 2-4 Decoder/Demultiplexer	16-QFN		169.32/1,000	
SN74LV157ADBR	296-9830-1-ND	Vierf. 2-1 Leitungs-Datenselektor/Mux	Quad 2-1 Line Data Selector/Mux	16-SSOP	.75	.56	.42
SN74LV157ADBR	296-9830-2-ND	Vierf. 2-1 Leitungs-Datenselektor/Mux	Quad 2-1 Line Data Selector/Mux	16-SSOP		496.11/2,000	
SN74LV157ADGVR	296-9831-1-ND	Vierf. 2-1 Leitungs-Datenselektor/Mux	Quad 2-1 Line Data Selector/Mux	16-TVSOP	.75	.56	.42
SN74LV157ADGVR	296-9831-2-ND	Vierf. 2-1 Leitungs-Datenselektor/Mux	Quad 2-1 Line Data Selector/Mux	16-TVSOP		496.11/2,000	
SN74LV157ADR	296-9832-1-ND	Vierf. 2-1 Leitungs-Datenselektor/Mux	Quad 2-1 Line Data Selector/Mux	16-SOIC	.75	.56	.42
SN74LV157ADR	296-9832-2-ND	Vierf. 2-1 Leitungs-Datenselektor/Mux	Quad 2-1 Line Data Selector/Mux	16-SOIC		605.32/2,500	
SN74LV157APWR	296-9833-1-ND	Vierf. 2-1 Leitungs-Datenselektor/Mux	Quad 2-1 Line Data Selector/Mux	16-TSSOP	.75	.56	.42
SN74LV157APWR	296-9833-2-ND	Vierf. 2-1 Leitungs-Datenselektor/Mux	Quad 2-1 Line Data Selector/Mux	16-TSSOP		496.11/2,000	
SN74LV161ADBR	296-12342-1-ND	Synch. Binärzähler, 4-Bit	4-Bit Sync. Binary Counter	16-SSOP	.75	.56	.42
SN74LV161ADBR	296-12342-2-ND	Synch. Binärzähler, 4-Bit	4-Bit Sync. Binary Counter	16-SSOP		496.11/2,000	
SN74LV161ADGVR	296-12343-1-ND	Synch. Binärzähler, 4-Bit	4-Bit Sync. Binary Counter	16-TVSOP	.75	.56	.42
SN74LV161ADGVR	296-12343-2-ND	Synch. Binärzähler, 4-Bit	4-Bit Sync. Binary Counter	16-TVSOP		496.11/2,000	
SN74LV161ADR	296-13227-1-ND	Synch. Binärzähler, 4-Bit	4-Bit Sync. Binary Counter	16-SOIC	.75	.56	.42
SN74LV161ADR	296-13227-2-ND	Synch. Binärzähler, 4-Bit	4-Bit Sync. Binary Counter	16-SOIC		605.32/2,500	
SN74LV161APWR	296-12344-1-ND	Synch. Binärzähler, 4-Bit	4-Bit Sync. Binary Counter	16-TSSOP	.75	.56	.42
SN74LV161APWR	296-12344-2-ND	Synch. Binärzähler, 4-Bit	4-Bit Sync. Binary Counter	16-TSSOP		496.11/2,000	
SN74LV163ADBR	296-12345-1-ND	Synch. Binärzähler, 4-Bit	4-Bit Sync. Binary Counter	16-SSOP	.75	.56	.42
SN74LV163ADBR	296-12345-2-ND	Synch. Binärzähler, 4-Bit	4-Bit Sync. Binary Counter	16-SSOP		496.11/2,000	
SN74LV163ADGVR	296-12346-1-ND	Synch. Binärzähler, 4-Bit	4-Bit Sync. Binary Counter	16-TVSOP	.75	.56	.42
SN74LV163ADGVR	296-12346-2-ND	Synch. Binärzähler, 4-Bit	4-Bit Sync. Binary Counter	16-TVSOP		496.11/2,000	
SN74LV163ADR	296-11666-1-ND	Synch. Binärzähler, 4-Bit	4-Bit Sync. Binary Counter	16-SOIC	.75	.56	.42
SN74LV163ADR	296-11666-2-ND	Synch. Binärzähler, 4-Bit	4-Bit Sync. Binary Counter	16-SOIC		605.32/2,500	
SN74LV163APWR	296-12347-1-ND	Synch. Binärzähler, 4-Bit	4-Bit Sync. Binary Counter	16-TSSOP	.75	.56	.42
SN74LV163APWR	296-12347-2-ND	Synch. Binärzähler, 4-Bit	4-Bit Sync. Binary Counter	16-TSSOP		496.11/2,000	
SN74LV163ARGYR	296-13936-1-ND	Synch. Binärzähler, 4-Bit	4-Bit Sync. Binary Counter	16-QFN	.66	.56	.45
SN74LV163ARGYR	296-13936-2-ND	Synch. Binärzähler, 4-Bit	4-Bit Sync. Binary Counter	16-QFN		292.92/1,000	
SN74LV164AD	296-1680-5-ND	Serielles Schieberegister, Parallel-Aus, 8-Bit	8-Bit Parallel-Out Serial Shift Register	14-SOIC	.75	.56	.42
SN74LV164ADBR	296-3787-1-ND	Serielles Schieberegister, Parallel-Aus, 8-Bit	8-Bit Parallel-Out Serial Shift Register	14-SSOP	.75	.56	.42
SN74LV164ADBR	296-3787-2-ND	Serielles Schieberegister, Parallel-Aus, 8-Bit	8-Bit Parallel-Out Serial Shift Register	14-SSOP		496.11/2,000	
SN74LV164ANSR	296-13228-1-ND	Serielles Schieberegister, Parallel-Aus, 8-Bit	8-Bit Parallel-Out Serial Shift Register	14-SOP	.75	.56	.42
SN74LV164ANSR	296-13228-2-ND	Serielles Schieberegister, Parallel-Aus, 8-Bit	8-Bit Parallel-Out Serial Shift Register	14-SOP		496.11/2,000	
SN74LV164APWR	296-3788-1-ND	Serielles Schieberegister, Parallel-Aus, 8-Bit	8-Bit Parallel-Out Serial Shift Register	14-TSSOP	.75	.56	.42
SN74LV164APWR	296-3788-2-ND	Serielles Schieberegister, Parallel-Aus, 8-Bit	8-Bit Parallel-Out Serial Shift Register	14-TSSOP		496.11/2,000	
SN74LV165AD	296-1681-5-ND	Schieberegister mit Parallellast-Funktion, 8-Bit	8-Bit Parallel Load Shift Register	16-SOIC	.75	.56	.42
SN74LV165ADGVR	296-14316-1-ND	Schieberegister mit Parallellast-Funktion, 8-Bit	8-Bit Parallel Load Shift Register	16-TVSOP	.75	.56	.42
SN74LV165ADGVR	296-14316-2-ND	Schieberegister mit Parallellast-Funktion, 8-Bit	8-Bit Parallel Load Shift Register	16-TVSOP		496.11/2,000	
SN74LV165ADR	296-1681-1-ND	Schieberegister mit Parallellast-Funktion, 8-Bit	8-Bit Parallel Load Shift Register	16-SOIC	.75	.56	.42
SN74LV165ADR	296-1681-2-ND	Schieberegister mit Parallellast-Funktion, 8-Bit	8-Bit Parallel Load Shift Register	16-SOIC		605.32/2,500	
SN74LV165APWR	296-3790-1-ND	Schieberegister mit Parallellast-Funktion, 8-Bit	8-Bit Parallel Load Shift Register	16-TSSOP	.75	.56	.42
SN74LV165APWR	296-3790-2-ND	Schieberegister mit Parallellast-Funktion, 8-Bit	8-Bit Parallel Load Shift Register	16-TSSOP		496.11/2,000	
SN74LV165ARGYR	296-13937-1-ND	Schieberegister mit Parallellast-Funktion, 8-Bit	8-Bit Parallel Load Shift Register	16-QFN	.66	.56	.45
SN74LV165ARGYR	296-13937-2-ND	Schieberegister mit Parallellast-Funktion, 8-Bit	8-Bit Parallel Load Shift Register	16-QFN		292.92/1,000	
SN74LV166ADBR	296-9834-1-ND	Schieberegister mit Parallellast-Funktion, 8-Bit	8-Bit Parallel Load Shift Register	16-SSOP	.76	.64	.51
SN74LV166ADBR	296-9834-2-ND	Schieberegister mit Parallellast-Funktion, 8-Bit	8-Bit Parallel Load Shift Register	16-SSOP		675.59/2,000	
SN74LV166ADGVR	296-9835-1-ND	Schieberegister mit Parallellast-Funktion, 8-Bit	8-Bit Parallel Load Shift Register	16-TVSOP	.76	.64	.51
SN74LV166ADGVR	296-9835-2-ND	Schieberegister mit Parallellast-Funktion, 8-Bit	8-Bit Parallel Load Shift Register	16-TVSOP		675.59/2,000	
SN74LV166ADR	296-9836-1-ND	Schieberegister mit Parallellast-Funktion, 8-Bit	8-Bit Parallel Load Shift Register	16-SOIC	.76	.64	.51
SN74LV166ADR	296-9836-2-ND	Schieberegister mit Parallellast-Funktion, 8-Bit	8-Bit Parallel Load Shift Register	16-SOIC		825.44/2,500	
SN74LV166APWR	296-9837-1-ND	Schieberegister mit Parallellast-Funktion, 8-Bit	8-Bit Parallel Load Shift Register	16-TSSOP	.76	.64	.51
SN74LV166APWR	296-9837-2-ND	Schieberegister mit Parallellast-Funktion, 8-Bit	8-Bit Parallel Load Shift Register	16-TSSOP		675.59/2,000	
SN74LV174ADR	296-14903-1-ND	Sechsf. D-Flip-Flop mit Löschen	Hex D-Type Flip-Flop with Clear	16-SOIC	.54	.41	.31
SN74LV174ADR	296-14903-2-ND	Sechsf. D-Flip-Flop mit Löschen	Hex D-Type Flip-Flop with Clear	16-SOIC		440.23/2,500	
SN74LV174APWR	296-3792-1-ND	Sechsf. D-Flip-Flop mit Löschen	Hex D-Type Flip-Flop with Clear	16-TSSOP	.54	.41	.31
SN74LV174APWR	296-3792-2-ND	Sechsf. D-Flip-Flop mit Löschen	Hex D-Type Flip-Flop with Clear	16-TSSOP		360.65/2,000	
SN74LV175AD	296-1682-5-ND	Vierf. D-Flip-Flop mit Löschen	Quad D-Type Flip-Flop with Clear	16-SOIC	.75	.56	.42
SN74LV175ANSR	296-13229-1-ND	Vierf. D-Flip-Flop mit Löschen	Quad D-Type Flip-Flop with Clear	16-SOP	.75	.56	.42
SN74LV175ANSR	296-13229-2-ND	Vierf. D-Flip-Flop mit Löschen	Quad D-Type Flip-Flop with Clear	16-SOP		496.11/2,000	
SN74LV175APWR	296-3793-1-ND	Vierf. D-Flip-Flop mit Löschen	Quad D-Type Flip-Flop with Clear	16-TSSOP	.75	.56	.42
SN74LV175APWR	296-3793-2-ND	Vierf. D-Flip-Flop mit Löschen	Quad D-Type Flip-Flop with Clear	16-TSSOP		496.11/2,000	
SN74LV221AD	296-3801-5-ND	Zweif. monostabiler Multivibrator	Dual Monostable Multivibrator	16-SOIC	1.02	.85	.68
SN74LV221ADR	296-3801-1-ND	Zweif. monostabiler Multivibrator	Dual Monostable Multivibrator	16-SOIC	1.02	.85	.68
SN74LV221ADR	296-3801-2-ND	Zweif. monostabiler Multivibrator	Dual Monostable Multivibrator	16-SOIC		1100.58/2,500	
SN74LV221ANSR	296-12473-1-ND	Zweif. monostabiler Multivibrator	Dual Monostable Multivibrator	16-SOP	1.02	.85	.68
SN74LV221ANSR	296-12473-2-ND	Zweif. monostabiler Multivibrator	Dual Monostable Multivibrator	16-SOP		900.78/2,000	
SN74LV240ADBR	296-3802-1-ND	Achtf. Puffer/Treiber, Tri-State	Tri-State Octal Buffer/Driver	20-SSOP	.54	.41	.31
SN74LV240ADBR	296-3802-2-ND	Achtf. Puffer/Treiber, Tri-State	Tri-State Octal Buffer/Driver	20-SSOP		360.65/2,000	
SN74LV240ADGVR	296-3803-1-ND	Achtf. Puffer/Treiber, Tri-State	Tri-State Octal Buffer/Driver	20-TVSOP	.59	.45	.34
SN74LV240ADGVR	296-3803-2-ND	Achtf. Puffer/Treiber, Tri-State	Tri-State Octal Buffer/Driver	20-TVSOP		394.52/2,000	
SN74LV240ADW	296-1683-5-ND	Achtf. Puffer/Treiber, Tri-State	Tri-State Octal Buffer/Driver	20-SOIC	.54	.41	.31
SN74LV240APWR	296-12348-1-ND	Achtf. Puffer/Treiber, Tri-State	Tri-State Octal Buffer/Driver	20-TSSOP	.54	.41	.31
SN74LV240APWR	296-12348-2-ND	Achtf. Puffer/Treiber, Tri-State	Tri-State Octal Buffer/Driver	20-TSSOP		360.65/2,000	
SN74LV244ADBR	296-3804-1-ND	Achtf. Puffer/Treiber, Tri-State	Tri-State Octal Buffer/Driver	20-SSOP	.54	.41	.31
SN74LV244ADBR	296-3804-2-ND	Achtf. Puffer/Treiber, Tri-State	Tri-State Octal Buffer/Driver	20-SSOP		360.65/2,000	

(Forts.)

★ ***RUFEN SIE BITTE AN FÜR NIEDRIGERE PREISE BEI GRÖSSEREN MENGEN!*** ★

T. I. Teilenr.	Digi-Key Teilenr.	Beschreibung		Paket	Stückpreis★ 1	25	100
SN74LV244ADGVR	296-3805-1-ND	Achtf. Puffer/Treiber, Tri-State	Tri-State Octal Buffer/Driver	20-TVSOP	.68	.51	.39
SN74LV244ADGVR	296-3805-2-ND	Achtf. Puffer/Treiber, Tri-State	Tri-State Octal Buffer/Driver	20-TVSOP		450.39/2,000	
SN74LV244ADW	296-1684-5-ND	Achtf. Puffer/Treiber, Tri-State	Tri-State Octal Buffer/Driver	20-SOIC	.54	.41	.31
SN74LV244ANSR	296-13230-1-ND	Achtf. Puffer/Treiber, Tri-State	Tri-State Octal Buffer/Driver	20-SOP	.54	.41	.31
SN74LV244ANSR	296-13230-2-ND	Achtf. Puffer/Treiber, Tri-State	Tri-State Octal Buffer/Driver	20-SOP		360.65/2,000	
SN74LV244APWR	296-3806-1-ND	Achtf. Puffer/Treiber, Tri-State	Tri-State Octal Buffer/Driver	20-TSSOP	.54	.41	.31
SN74LV244APWR	296-3806-2-ND	Achtf. Puffer/Treiber, Tri-State	Tri-State Octal Buffer/Driver	20-TSSOP		360.65/2,000	
SN74LV244ARGYR	296-13938-1-ND	Achtf. Puffer/Treiber, Tri-State	Tri-State Octal Buffer/Driver	20-QFN	.68	.51	.39
SN74LV244ARGYR	296-13938-2-ND	Achtf. Puffer/Treiber, Tri-State	Tri-State Octal Buffer/Driver	20-QFN		225.20/1,000	
SN74LV245ADBR	296-3807-1-ND	Achtf. Bus-Transceiver, Tri-State	Tri-State Octal Bus Transceiver	20-SSOP	.54	.41	.31
SN74LV245ADBR	296-3807-2-ND	Achtf. Bus-Transceiver, Tri-State	Tri-State Octal Bus Transceiver	20-SSOP		360.65/2,000	
SN74LV245ADGVR	296-3808-1-ND	Achtf. Bus-Transceiver, Tri-State	Tri-State Octal Bus Transceiver	20-TVSOP	.68	.51	.39
SN74LV245ADGVR	296-3808-2-ND	Achtf. Bus-Transceiver, Tri-State	Tri-State Octal Bus Transceiver	20-TVSOP		450.39/2,000	
SN74LV245ADW	296-1685-5-ND	Achtf. Bus-Transceiver, Tri-State	Tri-State Octal Bus Transceiver	20-SOIC	.54	.41	.31
SN74LV245AGQNR	296-12091-1-ND	Achtf. Bus-Transceiver, Tri-State	Tri-State Octal Bus Transceiver	20-BGA	.59	.45	.34
SN74LV245AGQNR	296-12091-2-ND	Achtf. Bus-Transceiver, Tri-State	Tri-State Octal Bus Transceiver	20-BGA		198.10/1,000	
SN74LV245ANSR	296-13231-1-ND	Achtf. Bus-Transceiver, Tri-State	Tri-State Octal Bus Transceiver	20-SOP	.54	.41	.31
SN74LV245ANSR	296-13231-2-ND	Achtf. Bus-Transceiver, Tri-State	Tri-State Octal Bus Transceiver	20-SOP		360.65/2,000	
SN74LV245APWR	296-3809-1-ND	Achtf. Bus-Transceiver, Tri-State	Tri-State Octal Bus Transceiver	20-TSSOP	.54	.41	.31
SN74LV245APWR	296-3809-2-ND	Achtf. Bus-Transceiver, Tri-State	Tri-State Octal Bus Transceiver	20-TSSOP		360.65/2,000	
SN74LV245ARGYR	296-13939-1-ND	Achtf. Bus-Transceiver, Tri-State	Tri-State Octal Bus Transceiver	20-QFN	.68	.51	.39
SN74LV245ARGYR	296-13939-2-ND	Achtf. Bus-Transceiver, Tri-State	Tri-State Octal Bus Transceiver	20-QFN		225.20/1,000	
SN74LV245ATDBR	296-17767-1-ND	Tri-St., Achtf. Bus-Transceiver	Tri-St. Octal Bus Transceiver	20-SSOP	.68	.51	.39
SN74LV245ATDBR	296-17767-2-ND	Tri-St., Achtf. Bus-Transceiver	Tri-St. Octal Bus Transceiver	20-SSOP		450.39/2,000	
SN74LV245ATDGVR	296-17768-1-ND	Tri-St., Achtf. Bus-Transceiver	Tri-St. Octal Bus Transceiver	20-TVSOP	.68	.51	.39
SN74LV245ATDGVR	296-17768-2-ND	Tri-St., Achtf. Bus-Transceiver	Tri-St. Octal Bus Transceiver	20-TVSOP		450.39/2,000	
SN74LV245ATDWR	296-17769-1-ND	Tri-St., Achtf. Bus-Transceiver	Tri-St. Octal Bus Transceiver	20-SOIC	.68	.51	.39
SN74LV245ATDWR	296-17769-2-ND	Tri-St., Achtf. Bus-Transceiver	Tri-St. Octal Bus Transceiver	20-SOIC		450.39/2,000	
SN74LV245ATNSR	296-17770-1-ND	Tri-St., Achtf. Bus-Transceiver	Tri-St. Octal Bus Transceiver	20-SOP	.68	.51	.39
SN74LV245ATNSR	296-17770-2-ND	Tri-St., Achtf. Bus-Transceiver	Tri-St. Octal Bus Transceiver	20-SOP		450.39/2,000	
SN74LV245ATPWR	296-17771-1-ND	Tri-St., Achtf. Bus-Transceiver	Tri-St. Octal Bus Transceiver	20-TSSOP	.68	.51	.39
SN74LV245ATPWR	296-17771-2-ND	Tri-St., Achtf. Bus-Transceiver	Tri-St. Octal Bus Transceiver	20-TSSOP		450.39/2,000	
SN74LV245ATRGYR	296-17772-1-ND	Tri-St., Achtf. Bus-Transceiver	Tri-St. Octal Bus Transceiver	20-QFN	.68	.51	.39
SN74LV245ATRGYR	296-17772-2-ND	Tri-St., Achtf. Bus-Transceiver	Tri-St. Octal Bus Transceiver	20-QFN		225.20/1,000	
SN74LV273ADBR	296-12349-1-ND	Achtf. D-Flip-Flop mit Löschen	Octal D-Type Flip-Flop with Clear	20-SSOP	.81	.61	.46
SN74LV273ADBR	296-12349-2-ND	Achtf. D-Flip-Flop mit Löschen	Octal D-Type Flip-Flop with Clear	20-SSOP		540.13/2,000	
SN74LV273ADGVR	296-3810-1-ND	Achtf. D-Flip-Flop mit Löschen	Octal D-Type Flip-Flop with Clear	20-TVSOP	.81	.61	.46
SN74LV273ADGVR	296-3810-2-ND	Achtf. D-Flip-Flop mit Löschen	Octal D-Type Flip-Flop with Clear	20-TVSOP		540.13/2,000	
SN74LV273ADW	296-3811-5-ND	Achtf. D-Flip-Flop mit Löschen	Octal D-Type Flip-Flop with Clear	20-SOIC	.81	.61	.46
SN74LV273ADWR	296-14904-1-ND	Achtf. D-Flip-Flop mit Löschen	Octal D-Type Flip-Flop with Clear	20-SOIC	.81	.61	.46
SN74LV273ADWR	296-14904-2-ND	Achtf. D-Flip-Flop mit Löschen	Octal D-Type Flip-Flop with Clear	20-SOIC		540.13/2,000	
SN74LV273APWR	296-3812-1-ND	Achtf. D-Flip-Flop mit Löschen	Octal D-Type Flip-Flop with Clear	20-TSSOP	.81	.61	.46
SN74LV273APWR	296-3812-2-ND	Achtf. D-Flip-Flop mit Löschen	Octal D-Type Flip-Flop with Clear	20-TSSOP		540.13/2,000	
SN74LV273ARGYR	296-13940-1-ND	Achtf. D-Flip-Flop mit Löschen	Octal D-Type Flip-Flop with Clear	20-QFN	.74	.62	.50
SN74LV273ARGYR	296-13940-2-ND	Achtf. D-Flip-Flop mit Löschen	Octal D-Type Flip-Flop with Clear	20-QFN		326.79/1,000	
SN74LV367ADGVR	296-13491-1-ND	Sechsf. Puffer-/Leitungstreiber, Tri-State	Tri-State Hex Buffer/Line Driver	16-TVSOP	.89	.75	.60
SN74LV367ADGVR	296-13491-2-ND	Sechsf. Puffer-/Leitungstreiber, Tri-State	Tri-State Hex Buffer/Line Driver	16-TVSOP		789.03/2,000	
SN74LV367APWR	296-12350-1-ND	Sechsf. Puffer-/Leitungstreiber, Tri-State	Tri-State Hex Buffer/Line Driver	16-TSSOP	.89	.75	.60
SN74LV367APWR	296-12350-2-ND	Sechsf. Puffer-/Leitungstreiber, Tri-State	Tri-State Hex Buffer/Line Driver	16-TSSOP		789.03/2,000	
SN74LV373ADBR	296-14317-1-ND	Tri-St., Achtf. transparenter D-Latch	Tri-St. Octal D-Type Transparent Latch	20-SSOP	.54	.41	.31
SN74LV373ADBR	296-14317-2-ND	Tri-St., Achtf. transparenter D-Latch	Tri-St. Octal D-Type Transparent Latch	20-SSOP		360.65/2,000	
SN74LV373ADWR	296-16657-1-ND	Tri-St., Achtf. transparenter D-Latch	Tri-St. Octal Transparent D-Type Latch	20-SOIC	.54	.41	.31
SN74LV373ADWR	296-16657-2-ND	Tri-St., Achtf. transparenter D-Latch	Tri-St. Octal Transparent D-Type Latch	20-SOIC		360.65/2,000	
SN74LV373ADW	296-1687-5-ND	Tri-St., Achtf. transparenter D-Latch	Tri-St. Octal D-Type Transparent Latch	20-SOIC	.54	.41	.31
SN74LV373AGQNR	296-12092-1-ND	Tri-St., Achtf. transparenter D-Latch	Tri-St. Octal D-Type Transparent Latch	20-BGA	.64	.49	.37
SN74LV373AGQNR	296-12092-2-ND	Tri-St., Achtf. transparenter D-Latch	Tri-St. Octal D-Type Transparent Latch	20-BGA		214.19/1,000	
SN74LV373APWR	296-14318-1-ND	Tri-St., Achtf. transparenter D-Latch	Tri-St. Octal D-Type Transparent Latch	20-TSSOP	.54	.41	.31
SN74LV373APWR	296-14318-2-ND	Tri-St., Achtf. transparenter D-Latch	Tri-St. Octal D-Type Transparent Latch	20-TSSOP		360.65/2,000	
SN74LV373ARGYR	296-13942-1-ND	Tri-St., Achtf. transparenter D-Latch	Tri-St. Octal D-Type Transparent Latch	20-QFN	.68	.51	.39
SN74LV373ARGYR	296-13942-2-ND	Tri-St., Achtf. transparenter D-Latch	Tri-St. Octal D-Type Transparent Latch	20-QFN		225.20/1,000	
SN74LV374ADBR	296-12553-1-ND	Achtf. D-Flip-Flop, Tri-State	Tri-State Octal D-Type Flip-Flop	20-SSOP	.54	.41	.31
SN74LV374ADBR	296-12553-2-ND	Achtf. D-Flip-Flop, Tri-State	Tri-State Octal D-Type Flip-Flop	20-SSOP		360.65/2,000	
SN74LV374ADW	296-1688-5-ND	Achtf. D-Flip-Flop, Tri-State	Tri-State Octal D-Type Flip-Flop	20-SOIC	.54	.41	.31
SN74LV374AGQNR	296-12093-1-ND	Achtf. D-Flip-Flop, Tri-State	Tri-State Octal D-Type Flip-Flop	20-BGA	.64	.49	.37
SN74LV374AGQNR	296-12093-2-ND	Achtf. D-Flip-Flop, Tri-State	Tri-State Octal D-Type Flip-Flop	20-BGA		214.19/1,000	
SN74LV374APWR	296-3820-1-ND	Achtf. D-Flip-Flop, Tri-State	Tri-State Octal D-Type Flip-Flop	20-TSSOP	.54	.41	.31
SN74LV374APWR	296-3820-2-ND	Achtf. D-Flip-Flop, Tri-State	Tri-State Octal D-Type Flip-Flop	20-TSSOP		360.65/2,000	
SN74LV374ARGYR	296-13943-1-ND	Achtf. D-Flip-Flop, Tri-State	Tri-State Octal D-Type Flip-Flop	20-QFN	.64	.49	.37
SN74LV374ARGYR	296-13943-2-ND	Achtf. D-Flip-Flop, Tri-State	Tri-State Octal D-Type Flip-Flop	20-QFN		214.19/1,000	
SN74LV393ADBR	296-12351-1-ND	Zweif. Binärzähler, 4-Bit	Dual 4-Bit Binary Counter	14-SSOP	.63	.53	.43
SN74LV393ADBR	296-12351-2-ND	Zweif. Binärzähler, 4-Bit	Dual 4-Bit Binary Counter	14-SSOP		563.84/2,000	
SN74LV393ADGVR	296-13233-1-ND	Zweif. Binärzähler, 4-Bit	Dual 4-Bit Binary Counter	14-TVSOP	.63	.53	.43
SN74LV393ADGVR	296-13233-2-ND	Zweif. Binärzähler, 4-Bit	Dual 4-Bit Binary Counter	14-TVSOP		563.84/2,000	
SN74LV393ADR	296-11664-1-ND	Zweif. Binärzähler, 4-Bit	Dual 4-Bit Binary Counter	14-SOIC	.63	.53	.43
SN74LV393ADR	296-11664-2-ND	Zweif. Binärzähler, 4-Bit	Dual 4-Bit Binary Counter	14-SOIC		687.86/2,500	
SN74LV393ANSR	296-14192-1-ND	Zweif. Binärzähler, 4-Bit	Dual 4-Bit Binary Counter	14-SOIC	.63	.53	.43
SN74LV393ANSR	296-14192-2-ND	Zweif. Binärzähler, 4-Bit	Dual 4-Bit Binary Counter	14-SOIC		563.84/2,000	
SN74LV393APWR	296-11643-1-ND	Zweif. Binärzähler, 4-Bit	Dual 4-Bit Binary Counter	14-TSSOP	.63	.53	.43
SN74LV393APWR	296-11643-2-ND	Zweif. Binärzähler, 4-Bit	Dual 4-Bit Binary Counter	14-TSSOP		563.84/2,000	
SN74LV540ADGVR	296-14319-1-ND	Achtf. Puffer/Treiber, Tri-State	Tri-State Octal Buffer/Driver	20-TVSOP	.81	.61	.46
SN74LV540ADGVR	296-14319-2-ND	Achtf. Puffer/Treiber, Tri-State	Tri-State Octal Buffer/Driver	20-TVSOP		540.13/2,000	
SN74LV540ADWR	296-3837-1-ND	Achtf. Puffer/Treiber, Tri-State	Tri-State Octal Buffer/Driver	20-SOIC	.81	.61	.46
SN74LV540ADWR	296-3837-2-ND	Achtf. Puffer/Treiber, Tri-State	Tri-State Octal Buffer/Driver	20-SOIC		540.13/2,000	
SN74LV541ADBR	296-3838-1-ND	Achtf. Puffer/Treiber, Tri-State	Tri-State Octal Buffer/Driver	20-SSOP	.66	.56	.45
SN74LV541ADBR	296-3838-2-ND	Achtf. Puffer/Treiber, Tri-State	Tri-State Octal Buffer/Driver	20-SSOP		585.85/2,000	
SN74LV541ADW	296-1689-5-ND	Achtf. Puffer/Treiber, Tri-State	Tri-State Octal Buffer/Driver	20-SOIC	.66	.56	.45
SN74LV541APWR	296-13700-1-ND	Achtf. Puffer/Treiber, Tri-State	Tri-State Octal Buffer/Driver	20-TSSOP	.66	.56	.45
SN74LV541APWR	296-13700-2-ND	Achtf. Puffer/Treiber, Tri-State	Tri-State Octal Buffer/Driver	20-TSSOP		585.85/2,000	
SN74LV541ARGYR	296-13949-1-ND	Achtf. Puffer/Treiber, Tri-State	Tri-State Octal Buffer/Driver	20-QFN	.66	.56	.45
SN74LV541ARGYR	296-13949-2-ND	Achtf. Puffer/Treiber, Tri-State	Tri-State Octal Buffer/Driver	20-QFN		292.92/1,000	
SN74LV573ADBR	296-3839-1-ND	Achtf. D-Latch, Tri-State	Tri-State Octal D-Type Latch	20-SSOP	.54	.41	.31
SN74LV573ADBR	296-3839-2-ND	Achtf. D-Latch, Tri-State	Tri-State Octal D-Type Latch	20-SSOP		360.65/2,000	
SN74LV573ADW	296-1690-5-ND	Achtf. D-Latch, Tri-State	Tri-State Octal D-Type Latch	20-SOIC	.54	.41	.31
SN74LV573ADWR	296-1690-1-ND	Achtf. D-Latch, Tri-State	Tri-State Octal D-Type Latch	20-SOIC	.54	.41	.31
SN74LV573ADWR	296-1690-2-ND	Achtf. D-Latch, Tri-State	Tri-State Octal D-Type Latch	20-SOIC		360.65/2,000	
SN74LV573AGQNR	296-12094-1-ND	Achtf. transparenter D-Latch, Tri-State	Tri-State Octal Transparent D-Type Latch	20-BGA	.66	.56	.45
SN74LV573AGQNR	296-12094-2-ND	Achtf. transparenter D-Latch, Tri-State	Tri-State Octal Transparent D-Type Latch	20-BGA		292.92/1,000	
SN74LV573APWR	296-3840-1-ND	Achtf. D-Latch, Tri-State	Tri-State Octal D-Type Latch	20-TSSOP	.54	.41	.31
SN74LV573APWR	296-3840-2-ND	Achtf. D-Latch, Tri-State	Tri-State Octal D-Type Latch	20-TSSOP		360.65/2,000	
SN74LV573ARGYR	296-13950-1-ND	Achtf. D-Latch, Tri-State	Tri-State Octal D-Type Latch	20-QFN	.64	.49	.37
SN74LV573ARGYR	296-13950-2-ND	Achtf. D-Latch, Tri-State	Tri-State Octal D-Type Latch	20-QFN		214.19/1,000	
SN74LV574ADW	296-1691-5-ND	Achtf. D-Flip-Flop, Tri-State	Tri-State Octal D-Type Flip-Flop	20-SOIC	.54	.41	.31
SN74LV574AGQNR	296-12095-1-ND	D-Flip-Flop, Tri-State	Tri-State D-Type Flip-Flop	20-BGA	.66	.56	.45
SN74LV574AGQNR	296-12095-2-ND	D-Flip-Flop, Tri-State	Tri-State D-Type Flip-Flop	20-BGA		292.92/1,000	
SN74LV574APWR	296-12285-1-ND	Achtf. D-Flip-Flop, Tri-State	Tri-State Octal D-Type Flip-Flop	20-TSSOP	.54	.41	.31

(Forts.)

★ ***CALL FOR LOWER PRICING ON LARGER QUANTITIES!*** ★

B

T. I. Teilenr.	Digi-Key Teilenr.	Beschreibung		Paket	Stückpreis★ 1	25	100
SN74LV574APWR	296-12285-2-ND	Achtf. D-Flip-Flop, Tri-State	Tri-State Octal D-Type Flip-Flop	20-TSSOP		360.65/2,000	
SN74LV574ARGYR	296-13951-1-ND	Achtf. D-Flip-Flop, Tri-State	Tri-State Octal D-Type Flip-Flop	20-QFN	.64	.49	.37
SN74LV574ARGYR	296-13951-2-ND	Achtf. D-Flip-Flop, Tri-State	Tri-State Octal D-Type Flip-Flop	20-QFN		214.19/1,000	
SN74LV594ADBR	296-3841-1-ND	Schieberegister mit Ausgangsregister, 8-Bit	8-Bit Shift Register w/Output Register	16-SSOP	.66	.56	.45
SN74LV594ADBR	296-3841-2-ND	Schieberegister mit Ausgangsregister, 8-Bit	8-Bit Shift Register w/Output Register	16-SSOP		585.85/2,000	
SN74LV595APWR	296-3843-1-ND	Schieberegister, Tri-State, 8-Bit	Tri-State 8-Bit Shift Register	16-TSSOP	.81	.61	.46
SN74LV595APWR	296-3843-2-ND	Schieberegister, Tri-State, 8-Bit	Tri-State 8-Bit Shift Register	16-TSSOP		540.13/2,000	
SN74LV595ARGYR	296-13952-1-ND	Schieberegister, Tri-State, 8-Bit	Tri-State 8-Bit Shift Register	16-QFN	.74	.62	.50
SN74LV595ARGYR	296-13952-2-ND	Schieberegister, Tri-State, 8-Bit	Tri-State 8-Bit Shift Register	16-QFN		326.79/1,000	
SN74LV4040ADBR	296-3821-1-ND	Asynch. Binärzähler, 12-Bit	12-Bit Async. Binary Counter	16-SSOP	1.02	.85	.68
SN74LV4040ADBR	296-3821-2-ND	Asynch. Binärzähler, 12-Bit	12-Bit Async. Binary Counter	16-SSOP		900.78/2,000	
SN74LV4040ADGVR	296-3822-1-ND	Asynch. Binärzähler, 12-Bit	12-Bit Async. Binary Counter	16-TVSOP	1.02	.85	.68
SN74LV4040ADGVR	296-3822-2-ND	Asynch. Binärzähler, 12-Bit	12-Bit Async. Binary Counter	16-TVSOP		900.78/2,000	
SN74LV4040APWR	296-3824-1-ND	Asynch. Binärzähler, 12-Bit	12-Bit Async. Binary Counter	16-TSSOP	1.02	.85	.68
SN74LV4040APWR	296-3824-2-ND	Asynch. Binärzähler, 12-Bit	12-Bit Async. Binary Counter	16-TSSOP		900.78/2,000	
SN74LV4040ARGYR	296-13944-1-ND	Asynch. Binärzähler, 12-Bit	12-Bit Async. Binary Counter	16-QFN	1.22	1.02	.82
SN74LV4040ARGYR	296-13944-2-ND	Asynch. Binärzähler, 12-Bit	12-Bit Async. Binary Counter	16-QFN		540.13/1,000	
SN74LV4051ADBR	296-3825-1-ND	8-Kanal-Analog-Mux/Demux	8-Channel Analog Mux/Demux	16-SSOP	.63	.53	.43
SN74LV4051ADBR	296-3825-2-ND	8-Kanal-Analog-Mux/Demux	8-Channel Analog Mux/Demux	16-SSOP		563.84/2,000	
SN74LV4051ADGVR	296-3826-1-ND	8-Kanal-Analog-Mux/Demux	8-Channel Analog Mux/Demux	16-TVSOP	.63	.53	.43
SN74LV4051ADGVR	296-3826-2-ND	8-Kanal-Analog-Mux/Demux	8-Channel Analog Mux/Demux	16-TVSOP		563.84/2,000	
SN74LV4051ADR	296-3827-1-ND	8-Kanal-Analog-Mux/Demux	8-Channel Analog Mux/Demux	16-SOIC	.63	.53	.43
SN74LV4051ADR	296-3827-2-ND	8-Kanal-Analog-Mux/Demux	8-Channel Analog Mux/Demux	16-SOIC		687.86/2,500	
SN74LV4051AN	296-3828-5-ND	8-Kanal-Analog-Mux/Demux	8-Channel Analog Mux/Demux	16-Dip	.63	.53	.43
SN74LV4051ANSR	296-17113-1-ND	8-Kanal-Analog-Mux/Demux	8-Channel Analog Mux/Demux	16-SOP	.63	.53	.43
SN74LV4051ANSR	296-17113-2-ND	8-Kanal-Analog-Mux/Demux	8-Channel Analog Mux/Demux	16-SOP		563.84/2,000	
SN74LV4051APWR	296-3829-1-ND	8-Kanal-Analog-Mux/Demux	8-Channel Analog Mux/Demux	16-TSSOP	.63	.53	.43
SN74LV4051APWR	296-3829-2-ND	8-Kanal-Analog-Mux/Demux	8-Channel Analog Mux/Demux	16-TSSOP		563.84/2,000	
SN74LV4051ARGYR	296-13945-1-ND	8-Kanal-Analog-Mux/Demux	8-Channel Analog Mux/Demux	16-QFN	.76	.64	.51
SN74LV4051ARGYR	296-13945-2-ND	8-Kanal-Analog-Mux/Demux	8-Channel Analog Mux/Demux	16-QFN		337.79/1,000	
SN74LV4052ADGVR	296-12706-1-ND	Zweif. 4-Kanal-Analog-Mux/Demux	Dual 4-Ch. Analog Mux/Demux	16-TVSOP	.63	.53	.43
SN74LV4052ADGVR	296-12706-2-ND	Zweif. 4-Kanal-Analog-Mux/Demux	Dual 4-Ch. Analog Mux/Demux	16-TVSOP		563.84/2,000	
SN74LV4052ADR	296-16707-1-ND	Zweif. 4-Kanal-Analog-Mux/Demux	Dual 4-Ch. Analog Mux/Demux	16-SOIC	.63	.53	.43
SN74LV4052ADR	296-16707-2-ND	Zweif. 4-Kanal-Analog-Mux/Demux	Dual 4-Ch. Analog Mux/Demux	16-SOIC		687.86/2,500	
SN74LV4052AN	296-3830-5-ND	Zweif. 4-Kanal-Analog-Mux/Demux	Dual 4-Ch. Analog Mux/Demux	16-Dip	.63	.53	.43
SN74LV4052APW	296-3831-5-ND	Zweif. 4-Kanal-Analog-Mux/Demux	Dual 4-Ch. Analog Mux/Demux	16-TSSOP	.63	.53	.43
SN74LV4052APWR	296-3831-1-ND	Zweif. 4-Kanal-Analog-Mux/Demux	Dual 4-Ch. Analog Mux/Demux	16-TSSOP	.63	.53	.43
SN74LV4052APWR	296-3831-2-ND	Zweif. 4-Kanal-Analog-Mux/Demux	Dual 4-Ch. Analog Mux/Demux	16-TSSOP		563.84/2,000	
SN74LV4052ARGYR	296-13946-1-ND	Zweif. 4-Kanal-Analog-Mux/Demux	Dual 4-Ch. Analog Mux/Demux	16-QFN	.76	.64	.51
SN74LV4052ARGYR	296-13946-2-ND	Zweif. 4-Kanal-Analog-Mux/Demux	Dual 4-Ch. Analog Mux/Demux	16-QFN		337.79/1,000	
SN74LV4053ADR	296-16708-1-ND	Dreif. 2-Kanal-Analog-Mux/Demux	Triple 2-Ch. Analog Mux/Demux	16-SOIC	.63	.53	.43
SN74LV4053ADR	296-16708-2-ND	Dreif. 2-Kanal-Analog-Mux/Demux	Triple 2-Ch. Analog Mux/Demux	16-SOIC		687.86/2,500	
SN74LV4053AN	296-3832-5-ND	Dreif. 2-Kanal-Analog-Mux/Demux	Triple 2-Ch. Analog Mux/Demux	16-Dip	.63	.53	.43
SN74LV4053APW	296-3833-5-ND	Dreif. 2-Kanal-Analog-Mux/Demux	Triple 2-Ch. Analog Mux/Demux	16-TSSOP	.63	.53	.43
SN74LV4053APWR	296-3833-1-ND	Dreif. 2-Kanal-Analog-Mux/Demux	Triple 2-Ch. Analog Mux/Demux	16-TSSOP	.63	.53	.43
SN74LV4053APWR	296-3833-2-ND	Dreif. 2-Kanal-Analog-Mux/Demux	Triple 2-Ch. Analog Mux/Demux	16-TSSOP		550.29/2,000	
SN74LV4053ARGYR	296-13947-1-ND	Dreif. 2-Kanal-Analog-Mux/Demux	Triple 2-Ch. Analog Mux/Demux	16-QFN	.76	.64	.51
SN74LV4053ARGYR	296-13947-2-ND	Dreif. 2-Kanal-Analog-Mux/Demux	Triple 2-Ch. Analog Mux/Demux	16-QFN		337.79/1,000	
SN74LV4066ADR	296-3834-1-ND	Vierf. bilateraler Analogschalter	Quad Bilateral Analog Switch	14-SOIC	.63	.53	.43
SN74LV4066ADR	296-3834-2-ND	Vierf. bilateraler Analogschalter	Quad Bilateral Analog Switch	14-SOIC		687.86/2,500	
SN74LV4066AN	296-3835-5-ND	Vierf. bilateraler Analogschalter	Quad Bilateral Analog Switch	14-Dip	.63	.53	.43
SN74LV4066APW	296-3836-5-ND	Vierf. bilateraler Analogschalter	Quad Bilateral Analog Switch	14-TSSOP	.63	.53	.43
SN74LV4066APWR	296-3836-1-ND	Vierf. bilateraler Analogschalter	Quad Bilateral Analog Switch	14-TSSOP	.63	.53	.43
SN74LV4066APWR	296-3836-2-ND	Vierf. bilateraler Analogschalter	Quad Bilateral Analog Switch	14-TSSOP		563.84/2,000	
SN74LV4066ARGYR	296-13948-1-ND	Vierf. bilateraler Analogschalter	Quad Bilateral Analog Switch	14-QFN	.76	.64	.51
SN74LV4066ARGYR	296-13948-2-ND	Vierf. bilateraler Analogschalter	Quad Bilateral Analog Switch	14-QFN		337.79/1,000	
SN74LV4320AGKFR	296-17919-1-ND	CompactFlash™-Schnitttstelle, Doppelversorgung, Level-Umsetzung, NL	Low Power Dual Supply, Level Translating CompactFlash™ Interface	114-LFBGA	3.34	2.67	2.08
SN74LV4320AGKFR	296-17919-2-ND	CompactFlash™-Schnitttstelle, Doppelversorgung, Level-Umsetzung, NL	Low Power Dual Supply, Level Translating CompactFlash™ Interface	114-LFBGA		1888.76/1,000	
SN74LV8151NT	296-17840-ND	Tri-St., Universal Schmitt-Trigger-Puffer, 10-Bit	Tri-St. 10-Bit Universal Schmitt-Trigger Buffer	24-Dip	.74	.62	.50
SN74LV8153QPWRQ1	296-17728-1-ND	Seriell-an-Parallel-Schnittstelle	Serial-to-Parallel Interface	20-TSSOP	1.34	1.07	.80
SN74LV8153QPWRQ1	296-17728-2-ND	Seriell-an-Parallel-Schnittstelle	Serial-to-Parallel Interface	20-TSSOP		1386.73/2,000	
SN74LV161284DGGR	296-1215-1-ND	Bus-Schnittstelle, 19-Bit	19-Bit Bus Interface	48-TSSOP	2.57	2.06	1.61
SN74LV161284DGGR	296-1215-2-ND	Bus-Schnittstelle, 19-Bit	19-Bit Bus Interface	48-TSSOP		2914.00/2,000	
SN74LV161284DL	296-1679-5-ND	Bus-Schnittstelle, 19-Bit	19-Bit Bus Interface	48-SSOP	2.57	2.06	1.61
SN74LV161284DLR	296-3786-1-ND	Bus-Schnittstelle, 19-Bit	19-Bit Bus Interface	48-SSOP	2.57	2.06	1.61
SN74LV161284DLR	296-3786-2-ND	Bus-Schnittstelle, 19-Bit	19-Bit Bus Interface	48-SSOP		1457.00/1,000	
			LVC-Gruppe				
1P1G3157QDCKRQ1	296-15610-1-ND	SPDT-Analogschalter	SPDT Analog Switch	SC70-6	.68	.51	.39
1P1G3157QDCKRQ1	296-15610-2-ND	SPDT-Analogschalter	SPDT Analog Switch	SC70-6		660.35/3,000	
SN74LVC1G00DBVR	296-9845-1-ND	NAND-Gate mit 2 Eingängen	2-Input NAND Gate	SOT-23-5	.33	.27	.19
SN74LVC1G00DBVR	296-9845-2-ND	NAND-Gate mit 2 Eingängen	2-Input NAND Gate	SOT-23-5		259.06/3,000	
SN74LVC1G00DCKR	296-9846-1-ND	NAND-Gate mit 2 Eingängen	2-Input NAND Gate	SC70	.33	.27	.19
SN74LVC1G00DCKR	296-9846-2-ND	NAND-Gate mit 2 Eingängen	2-Input NAND Gate	SC70		259.06/3,000	
SN74LVC1G00YEAR	296-14022-1-ND	Einf. pos. NAND-Gate, 2 Eingänge	Single 2-Input Positive NAND Gate	5-DSBGA	.45	.36	.27
SN74LVC1G00YEAR	296-14022-2-ND	Einf. pos. NAND-Gate, 2 Eingänge	Single 2-Input Positive NAND Gate	5-DSBGA		360.65/3,000	
SN74LVC1G00YZAR	296-14023-1-ND	Einf. pos. NAND-Gate, 2 Eingänge	Single 2-Input Positive NAND Gate	5-DSBGA	.45	.36	.27
SN74LVC1G00YZAR	296-14023-2-ND	Einf. pos. NAND-Gate, 2 Eingänge	Single 2-Input Positive NAND Gate	5-DSBGA		360.65/3,000	
SN74LVC1G00YZPR	296-14353-1-ND	Einf. pos. NAND-Gate, 2 Eingänge	Single 2-Input Positive NAND Gate	5-DSBGA	.45	.36	.27
SN74LVC1G00YZPR	296-14353-2-ND	Einf. pos. NAND-Gate, 2 Eingänge	Single 2-Input Positive NAND Gate	5-DSBGA		360.65/3,000	
SN74LVC1G02YEAR	296-14024-1-ND	Einf. pos. NOR-Gate, 2 Eingänge	Single 2-Input Positive NOR Gate	5-DSBGA	.45	.36	.27
SN74LVC1G02YEAR	296-14024-2-ND	Einf. pos. NOR-Gate, 2 Eingänge	Single 2-Input Positive NOR Gate	5-DSBGA		360.65/3,000	
SN74LVC1G02YZAR	296-13249-1-ND	Einf. pos. NOR-Gate, 2 Eingänge	Single 2-Input Positive NOR Gate	5-DSBGA	.45	.36	.27
SN74LVC1G02YZAR	296-13249-2-ND	Einf. pos. NOR-Gate, 2 Eingänge	Single 2-Input Positive NOR Gate	5-DSBGA		360.65/3,000	
SN74LVC1G04YEAR	296-13250-1-ND	Einf. Inverter-Gate	Single Inverter Gate	5-DSBGA	.45	.36	.27
SN74LVC1G04YEAR	296-13250-2-ND	Einf. Inverter-Gate	Single Inverter Gate	5-DSBGA		360.65/3,000	
SN74LVC1G04YEPR	296-14354-1-ND	Einf. Inverter-Gate	Single Inverter Gate	5-DSBGA	.45	.36	.27
SN74LVC1G04YEPR	296-14354-2-ND	Einf. Inverter-Gate	Single Inverter Gate	5-DSBGA		360.65/3,000	
SN74LVC1G04YZAR	296-14025-1-ND	Einf. Inverter-Gate	Single Inverter Gate	5-DSBGA	.45	.36	.27
SN74LVC1G04YZAR	296-14025-2-ND	Einf. Inverter-Gate	Single Inverter Gate	5-DSBGA		360.65/3,000	
SN74LVC1G04YZPR	296-14355-1-ND	Einf. Inverter-Gate	Single Inverter Gate	5-DSBGA	.45	.36	.27
SN74LVC1G04YZPR	296-14355-2-ND	Einf. Inverter-Gate	Single Inverter Gate	5-DSBGA		360.65/3,000	
SN74LVC1G06DBVR	296-8483-1-ND	Einf. Inverter-Puffer/Treiber mit Open-Drain-Ausgang	Single Inverter Buffer/Driver with OD Output	SOT-23-5	.33	.27	.19
SN74LVC1G06DBVR	296-8483-2-ND	Einf. Inverter-Puffer/Treiber mit Open-Drain-Ausgang	Single Inverter Buffer/Driver with OD Output	SOT-23-5		259.06/3,000	
SN74LVC1G06DCKR	296-8484-1-ND	Einf. Inverter-Puffer/Treiber mit Open-Drain-Ausgang	Single Inverter Buffer/Driver w/OD Output	SC70-5	.39	.32	.22
SN74LVC1G06DCKR	296-8484-2-ND	Einf. Inverter-Puffer/Treiber mit Open-Drain-Ausgang	Single Inverter Buffer/Driver w/OD Output	SC70-5		302.24/3,000	
SN74LVC1G07DBVR	296-8485-1-ND	Einf. Puffer/Treiber mit Open-Drain-Ausgang	Single Buffer/Driver with OD Output	SOT-23-5	.39	.32	.22
SN74LVC1G07DBVR	296-8485-2-ND	Einf. Puffer/Treiber mit Open-Drain-Ausgang	Single Buffer/Driver with OD Output	SOT-23-5		302.24/3,000	
SN74LVC1G07DCKR	296-8486-1-ND	Einf. Puffer/Treiber mit Open-Drain-Ausgang	Single Buffer/Driver with OD Output	SC70-5	.39	.32	.22
SN74LVC1G07DCKR	296-8486-2-ND	Einf. Puffer/Treiber mit Open-Drain-Ausgang	Single Buffer/Driver with OD Output	SC70-5		302.24/3,000	
SN74LVC1G07YEAR	296-13251-1-ND	Einf. Puffer/Treiber mit Open-Drain-Ausgang	Single Buffer/Driver with OD Output	5-DSBGA	.45	.36	.27
SN74LVC1G07YEAR	296-13251-2-ND	Einf. Puffer/Treiber mit Open-Drain-Ausgang	Single Buffer/Driver with OD Output	5-DSBGA		360.65/3,000	
SN74LVC1G07YZAR	296-14026-1-ND	Einf. Puffer/Treiber mit Open-Drain-Ausgang	Single Buffer/Driver with OD Output	5-DSBGA	.45	.36	.27

(Forts.)

★ RUFEN SIE BITTE AN FÜR NIEDRIGERE PREISE BEI GRÖSSEREN MENGEN! ★

Alle Preisangaben in Euro und inklusive Zollgebühren.

T. I. Teilenr.	Digi-Key Teilenr.	Beschreibung		Paket	Stückpreis★ 1	25	100
SN74LVC1G07YZAR	296-14026-2-ND	Einf. Puffer/Treiber mit Open-Drain-Ausgang	Single Buffer/Driver with OD Output	5-DSBGA		360.65/3,000	
SN74LVC1G08DCKR	296-11602-1-ND	Einf. pos. AND-Gate, 2 Eingänge	Single 2-Input Positive AND Gate	SC70-5	.33	.27	.19
SN74LVC1G08DCKR	296-11602-2-ND	Einf. pos. AND-Gate, 2 Eingänge	Single 2-Input Positive AND Gate	SC70-5		259.06/3,000	
SN74LVC1G08YEAR	296-12474-1-ND	Einf. pos. AND-Gate, 2 Eingänge	Single 2-Input Positive AND Gate	5-DSBGA	.45	.36	.27
SN74LVC1G08YEAR	296-12474-2-ND	Einf. pos. AND-Gate, 2 Eingänge	Single 2-Input Positive AND Gate	5-DSBGA		360.65/3,000	
SN74LVC1G08YEPR	296-14357-1-ND	Einf. pos. AND-Gate, 2 Eingänge	Single 2-Input Positive AND Gate	5-DSBGA	.45	.36	.27
SN74LVC1G08YEPR	296-14357-2-ND	Einf. pos. AND-Gate, 2 Eingänge	Single 2-Input Positive AND Gate	5-DSBGA		360.65/3,000	
SN74LVC1G08YZAR	296-13252-1-ND	Einf. pos. AND-Gate, 2 Eingänge	Single 2-Input Positive AND Gate	5-DSBGA	.45	.36	.27
SN74LVC1G08YZAR	296-13252-2-ND	Einf. pos. AND-Gate, 2 Eingänge	Single 2-Input Positive AND Gate	5-DSBGA		360.65/3,000	
SN74LVC1G08YZPR	296-14358-1-ND	Einf. pos. AND-Gate, 2 Eingänge	Single 2-Input Positive AND Gate	5-DSBGA	.45	.36	.27
SN74LVC1G08YZPR	296-14358-2-ND	Einf. pos. AND-Gate, 2 Eingänge	Single 2-Input Positive AND Gate	5-DSBGA		360.65/3,000	
SN74LVC1G11DBVR	296-16810-1-ND	Einf. pos. AND-Gate, 3 Eingänge	Single 3-Input Positive AND Gate	SOT-23-6	.33	.27	.19
SN74LVC1G11DBVR	296-16810-2-ND	Einf. pos. AND-Gate, 3 Eingänge	Single 3-Input Positive AND Gate	SOT-23-6		259.06/3,000	
SN74LVC1G14YEAR	296-13037-1-ND	Einf. Schmitt-Trigger-Inverter	Single Schmitt-Trigger Inverter	5-DSBGA	.45	.36	.27
SN74LVC1G14YEAR	296-13037-2-ND	Einf. Schmitt-Trigger-Inverter	Single Schmitt-Trigger Inverter	5-DSBGA		360.65/3,000	
SN74LVC1G14YEPR	296-14362-1-ND	Einf. Schmitt-Trigger-Inverter	Single Schmitt-Trigger Inverter	5-DSBGA	.45	.36	.27
SN74LVC1G14YEPR	296-14362-2-ND	Einf. Schmitt-Trigger-Inverter	Single Schmitt-Trigger Inverter	5-DSBGA		360.65/3,000	
SN74LVC1G14YZAR	296-13038-1-ND	Einf. Schmitt-Trigger-Inverter	Single Schmitt-Trigger Inverter	5-DSBGA	.45	.36	.27
SN74LVC1G14YZAR	296-13038-2-ND	Einf. Schmitt-Trigger-Inverter	Single Schmitt-Trigger Inverter	5-DSBGA		360.65/3,000	
SN74LVC1G14YZPR	296-14363-1-ND	Einf. Schmitt-Trigger-Inverter	Single Schmitt-Trigger Inverter	5-DSBGA	.45	.36	.27
SN74LVC1G14YZPR	296-14363-2-ND	Einf. Schmitt-Trigger-Inverter	Single Schmitt-Trigger Inverter	5-DSBGA		360.65/3,000	
SN74LVC1G17DBVR	296-11933-1-ND	Einf. Schmitt-Trigger-Puffer	Single Schmitt-Trigger Buffer	SOT-23-5	.30	.25	.17
SN74LVC1G17DBVR	296-11933-2-ND	Einf. Schmitt-Trigger-Puffer	Single Schmitt-Trigger Buffer	SOT-23-5		238.74/3,000	
SN74LVC1G17DCKR	296-11934-1-ND	Einf. Schmitt-Trigger-Puffer	Single Schmitt-Trigger Buffer	SC70-5	.33	.27	.19
SN74LVC1G17DCKR	296-11934-2-ND	Einf. Schmitt-Trigger-Puffer	Single Schmitt-Trigger Buffer	SC70-5		259.06/3,000	
SN74LVC1G17YEAR	296-15566-1-ND	Einf. Schmitt-Trigger-Puffer	Single Schmitt-Trigger Buffer	5-DSBGA	.45	.36	.27
SN74LVC1G17YEAR	296-15566-2-ND	Einf. Schmitt-Trigger-Puffer	Single Schmitt-Trigger Buffer	5-DSBGA		347.95/3,000	
SN74LVC1G17YZAR	296-15567-1-ND	Einf. Schmitt-Trigger-Puffer	Single Schmitt-Trigger Buffer	5-DSBGA	.45	.36	.27
SN74LVC1G17YZAR	296-15567-2-ND	Einf. Schmitt-Trigger-Puffer	Single Schmitt-Trigger Buffer	5-DSBGA		347.95/3,000	
SN74LVC1G18DBVR	296-15568-1-ND	1-aus-2 Demultiplexer, Tri-State, nicht invertierend	Tri-State 1-of-2 Noninverting Demux	SOT-23-6	.36	.29	.20
SN74LVC1G18DBVR	296-15568-2-ND	1-aus-2 Demultiplexer, Tri-State, nicht invertierend	Tri-State 1-of-2 Noninverting Demux	SOT-23-6		281.92/3,000	
SN74LVC1G18DCKR	296-15569-1-ND	1-aus-2 Demultiplexer, Tri-State, nicht invertierend	Tri-State 1-of-2 Noninverting Demux	SC70-6	.66	.50	.36
SN74LVC1G18DCKR	296-15569-2-ND	1-aus-2 Demultiplexer, Tri-State, nicht invertierend	Tri-State 1-of-2 Noninverting Demux	SC70-6		388.59/3,000	
SN74LVC1G18YEAR	296-15570-1-ND	1-aus-2 Demultiplexer, Tri-State, nicht invertierend	Tri-State 1-of-2 Noninverting Demux	6-DSBGA	.41	.31	.23
SN74LVC1G18YEAR	296-15570-2-ND	1-aus-2 Demultiplexer, Tri-State, nicht invertierend	Tri-State 1-of-2 Noninverting Demux	6-DSBGA		396.21/3,000	
SN74LVC1G18YZAR	296-15571-1-ND	1-aus-2 Demultiplexer, Tri-State, nicht invertierend	Tri-State 1-of-2 Noninverting Demux	6-DSBGA	.41	.31	.23
SN74LVC1G18YZAR	296-15571-2-ND	1-aus-2 Demultiplexer, Tri-State, nicht invertierend	Tri-State 1-of-2 Noninverting Demux	6-DSBGA		396.21/3,000	
SN74LVC1G19DBVR	296-16982-1-ND	1-aus-2 Dekodierer/Demux	1-of-2 Decoder/Demux	6-SOP	.36	.29	.20
SN74LVC1G19DBVR	296-16982-2-ND	1-aus-2 Dekodierer/Demux	1-of-2 Decoder/Demux	6-SOP		281.92/3,000	
SN74LVC1G27DBVR	296-17119-1-ND	Einf. pos. NOR-Gate, 3 Eingänge	Single 3-Input Positive NOR Gate	SOT-23-6	.33	.27	.19
SN74LVC1G27DBVR	296-17119-2-ND	Einf. pos. NOR-Gate, 3 Eingänge	Single 3-Input Positive NOR Gate	SOT-23-6		259.06/3,000	
SN74LVC1G32DBVR	296-9847-1-ND	Einf. pos. OR-Gate, 2 Eingänge	Single 2-Input Positive OR Gate	SOT-23-5	.33	.27	.19
SN74LVC1G32DBVR	296-9847-2-ND	Einf. pos. OR-Gate, 2 Eingänge	Single 2-Input Positive OR Gate	SOT-23-5		259.06/3,000	
SN74LVC1G32DCKR	296-9848-1-ND	Einf. pos. OR-Gate, 2 Eingänge	Single 2-Input Positive OR Gate	SC70	.33	.27	.19
SN74LVC1G32DCKR	296-9848-2-ND	Einf. pos. OR-Gate, 2 Eingänge	Single 2-Input Positive OR Gate	SC70		259.06/3,000	
SN74LVC1G32YEAR	296-13039-1-ND	Einf. pos. OR-Gate, 2 Eingänge	Single 2-Input Positive OR Gate	5-DSBGA	.45	.36	.27
SN74LVC1G32YEAR	296-13039-2-ND	Einf. pos. OR-Gate, 2 Eingänge	Single 2-Input Positive OR Gate	5-DSBGA		360.02/3,000	
SN74LVC1G32YZAR	296-14028-1-ND	Einf. pos. OR-Gate, 2 Eingänge	Single 2-Input Positive OR Gate	5-DSBGA	.45	.36	.27
SN74LVC1G32YZAR	296-14028-2-ND	Einf. pos. OR-Gate, 2 Eingänge	Single 2-Input Positive OR Gate	5-DSBGA		360.65/3,000	
SN74LVC1G32YZPR	296-14365-1-ND	Einf. pos. OR-Gate, 2 Eingänge	Single 2-Input Positive OR Gate	5-DSBGA	.45	.36	.27
SN74LVC1G32YZPR	296-14365-2-ND	Einf. pos. OR-Gate, 2 Eingänge	Single 2-Input Positive OR Gate	5-DSBGA		360.65/3,000	
SN74LVC1G34DBVR	296-17893-1-ND	Einf. Puffer-Gate	Single Buffer Gate	SOT-23-5	.33	.27	.19
SN74LVC1G34DBVR	296-17893-2-ND	Einf. Puffer-Gate	Single Buffer Gate	SOT-23-5		259.06/3,000	
SN74LVC1G34DCKR	296-17230-1-ND	Einf. Puffer-Gate	Single Buffer Gate	SC70-5	.33	.27	.19
SN74LVC1G34DCKR	296-17230-2-ND	Einf. Puffer-Gate	Single Buffer Gate	SC70-5		259.06/3,000	
SN74LVC1G57DBVR	296-15574-1-ND	Konfig. Mehrfunktions-Gate	Config. Multiple-Function Gate	SOT-23-6	.33	.27	.19
SN74LVC1G57DBVR	296-15574-2-ND	Konfig. Mehrfunktions-Gate	Config. Multiple-Function Gate	SOT-23-6		259.06/3,000	
SN74LVC1G57DCKR	296-15575-1-ND	Konfig. Mehrfunktions-Gate	Config. Multiple-Function Gate	SC70-6	.33	.27	.19
SN74LVC1G57DCKR	296-15575-2-ND	Konfig. Mehrfunktions-Gate	Config. Multiple-Function Gate	SC70-6		259.06/3,000	
SN74LVC1G57YEAR	296-14293-1-ND	Konfig. Mehrfunktions-Gate	Config. Multiple-Function Gate	6-DSBGA	.45	.36	.27
SN74LVC1G57YEAR	296-14293-2-ND	Konfig. Mehrfunktions-Gate	Config. Multiple-Function Gate	6-DSBGA		360.65/3,000	
SN74LVC1G58DBVR	296-15576-1-ND	Konfig. Mehrfunktions-Gate	Config. Multiple-Function Gate	SOT-23-6	.33	.27	.19
SN74LVC1G58DBVR	296-15576-2-ND	Konfig. Mehrfunktions-Gate	Config. Multiple-Function Gate	SOT-23-6		259.06/3,000	
SN74LVC1G58DCKR	296-15577-1-ND	Konfig. Mehrfunktions-Gate	Config. Multiple-Function Gate	SC70-6	.33	.27	.19
SN74LVC1G58DCKR	296-15577-2-ND	Konfig. Mehrfunktions-Gate	Config. Multiple-Function Gate	SC70-6		259.06/3,000	
SN74LVC1G58YEAR	296-14294-1-ND	Mehrfunktions-Gate	Multiple-Function Gate	6-DSBGA	.45	.36	.27
SN74LVC1G58YEAR	296-14294-2-ND	Mehrfunktions-Gate	Multiple-Function Gate	6-DSBGA		360.65/3,000	
SN74LVC1G66DBVR	296-13253-1-ND	Einf. bilateraler Analogschalter	Single Bilateral Analog Switch	SOT-23-5	.39	.32	.22
SN74LVC1G66DBVR	296-13253-2-ND	Einf. bilateraler Analogschalter	Single Bilateral Analog Switch	SOT-23-5		302.24/3,000	
SN74LVC1G66DCKR	296-13254-1-ND	Einf. bilateraler Analogschalter	Single Bilateral Analog Switch	SC-70-5	.38	.31	.23
SN74LVC1G66DCKR	296-13254-2-ND	Einf. bilateraler Analogschalter	Single Bilateral Analog Switch	SC-70-5		309.86/3,000	
SN74LVC1G66YEAR	296-13255-1-ND	Einf. bilateraler Analogschalter	Single Bilateral Analog Switch	5-DSBGA	.41	.31	.23
SN74LVC1G66YEAR	296-13255-2-ND	Einf. bilateraler Analogschalter	Single Bilateral Analog Switch	5-DSBGA		396.21/3,000	
SN74LVC1G66YZAR	296-14029-1-ND	Einf. bilateraler Analogschalter	Single Bilateral Analog Switch	5-DSBGA	.41	.31	.23
SN74LVC1G66YZAR	296-14029-2-ND	Einf. bilateraler Analogschalter	Single Bilateral Analog Switch	5-DSBGA		396.21/3,000	
SN74LVC1G66YZPR	296-15108-1-ND	Einf. bilateraler Analogschalter	Single Bilateral Analog Switch	5-DSBGA	.41	.31	.23
SN74LVC1G66YZPR	296-15108-2-ND	Einf. bilateraler Analogschalter	Single Bilateral Analog Switch	5-DSBGA		396.21/3,000	
SN74LVC1G79DBVR	296-9849-1-ND	Pos.-Flanken-Trigger, D-Flip-Flop	Positive Edge-Trig. D-Type Flip-Flop	SOT-23-5	.33	.27	.19
SN74LVC1G79DBVR	296-9849-2-ND	Pos.-Flanken-Trigger, D-Flip-Flop	Positive Edge-Trig. D-Type Flip-Flop	SOT-23-5		259.06/3,000	
SN74LVC1G79DCKR	296-9850-1-ND	Pos.-Flanken-Trigger, D-Flip-Flop	Positive Edge-Trig. D-Type Flip-Flop	SC70-5	.33	.27	.19
SN74LVC1G79DCKR	296-9850-2-ND	Pos.-Flanken-Trigger, D-Flip-Flop	Positive Edge-Trig. D-Type Flip-Flop	SC70-5		259.06/3,000	
SN74LVC1G79YEAR	296-14030-1-ND	Einf. Pos.-Flanken-Trigger, D-Flip-Flop	Single Positive Edge-Trig. D-Type Flip-Flop	5-DSBGA	.45	.36	.27
SN74LVC1G79YEAR	296-14030-2-ND	Einf. Pos.-Flanken-Trigger, D-Flip-Flop	Single Positive Edge-Trig. D-Type Flip-Flop	5-DSBGA		360.65/3,000	
SN74LVC1G79YZAR	296-15578-1-ND	Einf. Pos.-Flanken-Trigger, D-Flip-Flop	Single Positive Edge-Trig. D-Type Flip-Flop	5-DSBGA	.45	.36	.27
SN74LVC1G79YZAR	296-15578-2-ND	Einf. Pos.-Flanken-Trigger, D-Flip-Flop	Single Positive Edge-Trig. D-Type Flip-Flop	5-DSBGA		347.95/3,000	
SN74LVC1G80DBVR	296-9851-1-ND	Pos.-Flanken-Trigger, D-Flip-Flop	Positive Edge-Trig. D-Type F/F	SOT-23-5	.33	.27	.19
SN74LVC1G80DBVR	296-9851-2-ND	Pos.-Flanken-Trigger, D-Flip-Flop	Positive Edge-Trig. D-Type F/F	SOT-23-5		259.06/3,000	
SN74LVC1G80DCKR	296-9852-1-ND	Pos.-Flanken-Trigger, D-Flip-Flop	Positive Edge-Trig. D-Type F/F	SC70-5	.33	.27	.19
SN74LVC1G80DCKR	296-9852-2-ND	Pos.-Flanken-Trigger, D-Flip-Flop	Positive Edge-Trig. D-Type F/F	SC70-5		259.06/3,000	
SN74LVC1G80YEAR	296-15579-1-ND	Pos.-Flanken-Trigger, D-Flip-Flop	Positive Edge-Trig. D-Type F/F	5-DSBGA	.45	.36	.27
SN74LVC1G80YEAR	296-15579-2-ND	Pos.-Flanken-Trigger, D-Flip-Flop	Positive Edge-Trig. D-Type F/F	5-DSBGA		347.95/3,000	
SN74LVC1G80YZAR	296-14031-1-ND	Pos.-Flanken-Trigger, D-Flip-Flop	Positive Edge-Trig. D-Type F/F	5-DSBGA	.45	.36	.27
SN74LVC1G80YZAR	296-14031-2-ND	Pos.-Flanken-Trigger, D-Flip-Flop	Positive Edge-Trig. D-Type F/F	5-DSBGA		360.65/3,000	
SN74LVC1G86DBVR	296-9853-1-ND	Exclusive-OR-Gate mit 2 Eingängen	2-Input Exclusive OR Gate	SOT-23-5	.30	.25	.17
SN74LVC1G86DBVR	296-9853-2-ND	Exclusive-OR-Gate mit 2 Eingängen	2-Input Exclusive OR Gate	SOT-23-5		238.74/3,000	
SN74LVC1G86DCKR	296-9854-1-ND	Exclusive-OR-Gate mit 2 Eingängen	2-Input Exclusive OR Gate	SC70	.33	.27	.19
SN74LVC1G86DCKR	296-9854-2-ND	Exclusive-OR-Gate mit 2 Eingängen	2-Input Exclusive OR Gate	SC70		259.06/3,000	
SN74LVC1G86YEAR	296-15580-1-ND	Exclusive-OR-Gate mit 2 Eingängen	2-Input Exclusive OR Gate	5-DSBGA	.45	.36	.27
SN74LVC1G86YEAR	296-15580-2-ND	Exclusive-OR-Gate mit 2 Eingängen	2-Input Exclusive OR Gate	5-DSBGA		347.95/3,000	
SN74LVC1G86YZAR	296-14032-1-ND	Exclusive-OR-Gate mit 2 Eingängen	2-Input Exclusive OR Gate	5-DSBGA	.45	.36	.27

(Forts.)

★ ***RUFEN SIE BITTE AN FÜR NIEDRIGERE PREISE BEI GRÖSSEREN MENGEN!*** ★

B

T. I. Teilenr.	Digi-Key Teilenr.	Beschreibung		Paket	Stückpreis★ 1	25	100
SN74LVC1G86YZAR	296-14032-2-ND	Exclusive-OR-Gate mit 2 Eingängen	2-Input Exclusive OR Gate	5-DSBGA		360.65/3,000	
SN74LVC1G97DBVR	296-15581-1-ND	Konfig. Mehrfunktions-Gate	Config. Multiple Function Gate	SOT-23-6	.33	.27	.19
SN74LVC1G97DBVR	296-15581-2-ND	Konfig. Mehrfunktions-Gate	Config. Multiple Function Gate	SOT-23-6		198.10/3,000	
SN74LVC1G97DCKR	296-15582-1-ND	Konfig. Mehrfunktions-Gate	Config. Multiple Function Gate	SC70-6	.33	.27	.19
SN74LVC1G97DCKR	296-15582-2-ND	Konfig. Mehrfunktions-Gate	Config. Multiple Function Gate	SC70-6		198.10/3,000	
SN74LVC1G97QDCKRQ1	296-17671-1-ND	Konfig. Mehrfunktions-Gate	Config. Multiple Function Gate	SC70-6	.39	.32	.22
SN74LVC1G97QDCKRQ1	296-17671-2-ND	Konfig. Mehrfunktions-Gate	Config. Multiple Function Gate	SC70-6		302.24/3,000	
SN74LVC1G97YEAR	296-14366-1-ND	Konfig. Mehrfunktions-Gate	Config. Multiple Function Gate	6-DSBGA	.42	.32	.24
SN74LVC1G97YEAR	296-14366-2-ND	Konfig. Mehrfunktions-Gate	Config. Multiple Function Gate	6-DSBGA		413.99/3,000	
SN74LVC1G97YEPR	296-16851-1-ND	Konfig. Mehrfunktions-Gate	Config. Multiple Function Gate	6-DSBGA	.42	.32	.24
SN74LVC1G97YEPR	296-16851-2-ND	Konfig. Mehrfunktions-Gate	Config. Multiple Function Gate	6-DSBGA		413.99/3,000	
SN74LVC1G97YZAR	296-14367-1-ND	Konfig. Mehrfunktions-Gate	Config. Multiple Function Gate	6-DSBGA	.42	.32	.24
SN74LVC1G97YZAR	296-14367-2-ND	Konfig. Mehrfunktions-Gate	Config. Multiple Function Gate	6-DSBGA		413.99/3,000	
SN74LVC1G97YZPR	296-16852-1-ND	Konfig. Mehrfunktions-Gate	Config. Multiple Function Gate	6-DSBGA	.42	.32	.24
SN74LVC1G97YZPR	296-16852-2-ND	Konfig. Mehrfunktions-Gate	Config. Multiple Function Gate	6-DSBGA		413.99/3,000	
SN74LVC1G98DBVR	296-15583-1-ND	Konfig. Mehrfunktions-Gate	Config. Multiple Function Gate	SOT-23-6	.36	.29	.20
SN74LVC1G98DBVR	296-15583-2-ND	Konfig. Mehrfunktions-Gate	Config. Multiple Function Gate	SOT-23-6		281.92/3,000	
SN74LVC1G98DCKR	296-15584-1-ND	Konfig. Mehrfunktions-Gate	Config. Multiple Function Gate	SC70-5	.33	.27	.19
SN74LVC1G98DCKR	296-15584-2-ND	Konfig. Mehrfunktions-Gate	Config. Multiple Function Gate	SC70-5		198.10/3,000	
SN74LVC1G98QDCKRQ1	296-17672-1-ND	Konfig. Mehrfunktions-Gate	Config. Multiple Function Gate	SC70-6	.39	.32	.22
SN74LVC1G98QDCKRQ1	296-17672-2-ND	Konfig. Mehrfunktions-Gate	Config. Multiple Function Gate	SC70-6		302.24/3,000	
SN74LVC1G98YEAR	296-14368-1-ND	Konfig. Mehrfunktions-Gate	Config. Multiple Function Gate	6-DSBGA	.42	.32	.24
SN74LVC1G98YEAR	296-14368-2-ND	Konfig. Mehrfunktions-Gate	Config. Multiple Function Gate	6-DSBGA		413.99/3,000	
SN74LVC1G98YZAR	296-14369-1-ND	Konfig. Mehrfunktions-Gate	Config. Multiple Function Gate	6-DSBGA	.42	.32	.24
SN74LVC1G98YZAR	296-14369-2-ND	Konfig. Mehrfunktions-Gate	Config. Multiple Function Gate	6-DSBGA		413.99/3,000	
SN74LVC1G99YZPR	296-17900-1-ND	Tri-St., Ultra-konfigurierbares Mehrfunktions-Gate	Tri-St. Ultra Configurable Multiple Function Gate	8-WCSP	.44	.33	.25
SN74LVC1G99YZPR	296-17900-2-ND	Tri-St., Ultra-konfigurierbares Mehrfunktions-Gate	Tri-St. Ultra Configurable Multiple Function Gate	8-WCSP		429.23/3,000	
SN74LVC1G125YEAR	296-14359-1-ND	Einf. Bus-Puffer-Gate, Tri-State	Tri-State Single Bus Buffer Gate	5-DSBGA	.45	.36	.27
SN74LVC1G125YEAR	296-14359-2-ND	Einf. Bus-Puffer-Gate, Tri-State	Tri-State Single Bus Buffer Gate	5-DSBGA		360.65/3,000	
SN74LVC1G126YEAR	296-15564-1-ND	Einf. Bus-Puffer-Gate, Tri-State	Tri-State Single Bus Buffer Gate	5-DSBGA	.45	.36	.27
SN74LVC1G126YEAR	296-15564-2-ND	Einf. Bus-Puffer-Gate, Tri-State	Tri-State Single Bus Buffer Gate	5-DSBGA		347.95/3,000	
SN74LVC1G126YEPR	296-15565-1-ND	Einf. Bus-Puffer-Gate, Tri-State	Tri-State Single Bus Buffer Gate	5-DSBGA	.45	.36	.27
SN74LVC1G126YEPR	296-15565-2-ND	Einf. Bus-Puffer-Gate, Tri-State	Tri-State Single Bus Buffer Gate	5-DSBGA		347.95/3,000	
SN74LVC1G126YZAR	296-14027-1-ND	Einf. Bus-Puffer-Gate, Tri-State	Tri-State Single Bus Buffer Gate	5-DSBGA	.45	.36	.27
SN74LVC1G126YZAR	296-14027-2-ND	Einf. Bus-Puffer-Gate, Tri-State	Tri-State Single Bus Buffer Gate	5-DSBGA		360.65/3,000	
SN74LVC1G126YZPR	296-14361-1-ND	Einf. Bus-Puffer-Gate, Tri-State	Tri-State Single Bus Buffer Gate	5-DSBGA	.45	.36	.27
SN74LVC1G126YZPR	296-14361-2-ND	Einf. Bus-Puffer-Gate, Tri-State	Tri-State Single Bus Buffer Gate	5-DSBGA		360.65/3,000	
SN74LVC1G132YEPR	296-17473-1-ND	Einf. NAND-Gate mit 2 Eingängen	Single 2-Input NAND Gate	5-DSBGA	.45	.36	.27
SN74LVC1G132YEPR	296-17473-2-ND	Einf. NAND-Gate mit 2 Eingängen	Single 2-Input NAND Gate	5-DSBGA		360.65/3,000	
SN74LVC1G132YZPR	296-17622-1-ND	Einf. NAND-Gate mit 2 Eingängen	Single 2-Input NAND Gate	5-DSBGA	.45	.36	.27
SN74LVC1G132YZPR	296-17622-2-ND	Einf. NAND-Gate mit 2 Eingängen	Single 2-Input NAND Gate	5-DSBGA		360.65/3,000	
SN74LVC1G175DBVR	296-17617-1-ND	Einf. D-Flip-Flop mit asynch. Löschfunktion	Single D-Type F/F with Async. Clear	SOT-23-6	.33	.27	.19
SN74LVC1G175DBVR	296-17617-2-ND	Einf. D-Flip-Flop mit asynch. Löschfunktion	Single D-Type F/F with Async. Clear	SOT-23-6		259.06/3,000	
SN74LVC1G175DCKR	296-16998-1-ND	Einf. D-Flip-Flop mit asynch. Löschfunktion	Single D-Type F/F with Async. Clear	SC70-6	.33	.27	.19
SN74LVC1G175DCKR	296-16998-2-ND	Einf. D-Flip-Flop mit asynch. Löschfunktion	Single D-Type F/F with Async. Clear	SC70-6		259.06/3,000	
SN74LVC1G175YZPR	296-17373-1-ND	Einf. D-Flip-Flop mit asynch. Löschfunktion	Single D-Type F/F with Async. Clear	6-DSBGA	.45	.36	.27
SN74LVC1G175YZPR	296-17373-2-ND	Einf. D-Flip-Flop mit asynch. Löschfunktion	Single D-Type F/F with Async. Clear	6-DSBGA		360.65/3,000	
SN74LVC1G240YEAR	296-14364-1-ND	Einf. Puffer/Treiber, Tri-State	Tri-State Single Buffer/Driver	5-DSBGA	.45	.36	.27
SN74LVC1G240YEAR	296-14364-2-ND	Einf. Puffer/Treiber, Tri-State	Tri-State Single Buffer/Driver	5-DSBGA		360.65/3,000	
SN74LVC1G240YEPR	296-15850-1-ND	Einf. Puffer/Treiber, Tri-State	Tri-State Single Buffer/Driver	5-DSBGA	.45	.36	.27
SN74LVC1G240YEPR	296-15850-2-ND	Einf. Puffer/Treiber, Tri-State	Tri-State Single Buffer/Driver	5-DSBGA		360.65/3,000	
SN74LVC1G240YZPR	296-15874-1-ND	Einf. Puffer/Treiber, Tri-State	Tri-State Single Buffer/Driver	5-DSBGA	.45	.36	.27
SN74LVC1G240YZPR	296-15874-2-ND	Einf. Puffer/Treiber, Tri-State	Tri-State Single Buffer/Driver	5-DSBGA		360.65/3,000	
SN74LVC1G332DCKR	296-15943-1-ND	Pos. OR-Gate, 3 Eingänge	3-Input Positive OR Gate	SC70-6	.33	.27	.19
SN74LVC1G332DCKR	296-15943-2-ND	Pos. OR-Gate, 3 Eingänge	3-Input Positive OR Gate	SC70-6		259.06/3,000	
SN74LVC1G332YEPR	296-15875-1-ND	Pos. OR-Gate, 3 Eingänge	3-Input Positive OR Gate	5-DSBGA	.45	.36	.27
SN74LVC1G332YEPR	296-15875-2-ND	Pos. OR-Gate, 3 Eingänge	3-Input Positive OR Gate	5-DSBGA		360.65/3,000	
SN74LVC1G332YZPR	296-15853-1-ND	Pos. OR-Gate, 3 Eingänge	3-Input Positive OR Gate	5-DSBGA	.45	.36	.27
SN74LVC1G332YZPR	296-15853-2-ND	Pos. OR-Gate, 3 Eingänge	3-Input Positive OR Gate	5-DSBGA		360.65/3,000	
SN74LVC1G373YZPR	296-17100-1-ND	Einf. D-Latch, Tri-State	Tri-State Single D-Type Latch	6-DSBGA	.44	.33	.25
SN74LVC1G373YZPR	296-17100-2-ND	Einf. D-Latch, Tri-State	Tri-State Single D-Type Latch	6-DSBGA		429.23/3,000	
SN74LVC1G3157DBVR	296-14908-1-ND	SPDT-Analogschalter	SPDT Analog Switch	SOT-23-6	.42	.34	.26
SN74LVC1G3157DBVR	296-14908-2-ND	SPDT-Analogschalter	SPDT Analog Switch	SOT-23-6		342.87/3,000	
SN74LVC1G3157DCKR	296-14909-1-ND	SPDT-Analogschalter	SPDT Analog Switch	SC70-6	.42	.34	.26
SN74LVC1G3157DCKR	296-14909-2-ND	SPDT-Analogschalter	SPDT Analog Switch	SC70-6		342.87/3,000	
SN74LVC1G3157YEPR	296-17186-1-ND	SPDT-Analogschalter	SPDT Analog Switch	6-DSBGA	.41	.31	.23
SN74LVC1G3157YEPR	296-17186-2-ND	SPDT-Analogschalter	SPDT Analog Switch	6-DSBGA		396.21/3,000	
SN74LVC1GU04DBVR	296-8487-1-ND	Einf. Inverter-Gate	Single Inverter Gate	SOT-23-5	.33	.27	.19
SN74LVC1GU04DBVR	296-8487-2-ND	Einf. Inverter-Gate	Single Inverter Gate	SOT-23-5		259.06/3,000	
SN74LVC1GU04DCKR	296-8488-1-ND	Einf. Inverter-Gate	Single Inverter Gate	SC70-5	.34	.28	.21
SN74LVC1GU04DCKR	296-8488-2-ND	Einf. Inverter-Gate	Single Inverter Gate	SC70-5		274.30/3,000	
SN74LVC1GU04YEAR	296-13730-1-ND	Einf. Inverter-Gate	Single Inverter Gate	5-DSBGA	.45	.36	.27
SN74LVC1GU04YEAR	296-13730-2-ND	Einf. Inverter-Gate	Single Inverter Gate	5-DSBGA		360.65/3,000	
SN74LVC1GU04YZAR	296-14033-1-ND	Einf. Inverter-Gate	Single Inverter Gate	5-DSBGA	.45	.36	.27
SN74LVC1GU04YZAR	296-14033-2-ND	Einf. Inverter-Gate	Single Inverter Gate	5-DSBGA		360.65/3,000	
SN74LVC1GU04YZPR	296-14370-1-ND	Einf. Inverter-Gate	Single Inverter Gate	5-DSBGA	.45	.36	.27
SN74LVC1GU04YZPR	296-14370-2-ND	Einf. Inverter-Gate	Single Inverter Gate	5-DSBGA		360.65/3,000	
SN74LVC1GX04DBVR	296-17821-1-ND	Kristalloszillatortreiber	Crystal Oscillator Driver	SOT-23-6	.75	.56	.42
SN74LVC1GX04DBVR	296-17821-2-ND	Kristalloszillatortreiber	Crystal Oscillator Driver	SOT-23-6		726.38/3,000	
SN74LVC1T45DBVR	296-16843-1-ND	Zweif. Bus-Transceiver mit Doppelversorgung, Tri-State, Einzel-Bit	Tri-State Single-Bit Dual Supply Bus Transceiver	SOT-23-6	.44	.33	.25
SN74LVC1T45DBVR	296-16843-2-ND	Zweif. Bus-Transceiver mit Doppelversorgung, Tri-State, Einzel-Bit	Tri-State Single-Bit Dual Supply Bus Transceiver	SOT-23-6		429.23/3,000	
SN74LVC1T45DCKR	296-16844-1-ND	Zweif. Bus-Transceiver mit Doppelversorgung, Tri-State, Einzel-Bit	Tri-State Single-Bit Dual Supply Bus Transceiver	SC70-6	.44	.33	.25
SN74LVC1T45DCKR	296-16844-2-ND	Zweif. Bus-Transceiver mit Doppelversorgung, Tri-State, Einzel-Bit	Tri-State Single-Bit Dual Supply Bus Transceiver	SC70-6		429.23/3,000	
SN74LVC1T45YEPR	296-17207-1-ND	Zweif. Bus-Transceiver mit Doppelversorgung, Tri-State, Einzel-Bit	Tri-State Single-Bit Dual Supply Bus Transceiver	6-DSBGA	.47	.38	.28
SN74LVC1T45YEPR	296-17207-2-ND	Zweif. Bus-Transceiver mit Doppelversorgung, Tri-State, Einzel-Bit	Tri-State Single-Bit Dual Supply Bus Transceiver	6-DSBGA		480.02/3,000	
SN74LVC1T45YZPR	296-17018-1-ND	Zweif. Bus-Transceiver mit Doppelversorgung, Tri-State, Einzel-Bit	Tri-State Single-Bit Dual Supply Bus Transceiver	6-DSBGA	.47	.36	.27
SN74LVC1T45YZPR	296-17018-2-ND	Zweif. Bus-Transceiver mit Doppelversorgung, Tri-State, Einzel-Bit	Tri-State Single-Bit Dual Supply Bus Transceiver	6-DSBGA		462.24/3,000	
SN74LVC2G00DCTR	296-13257-1-ND	Zweif. pos. NAND-Gate, 2 Eingänge	Dual 2-Input Positive NAND Gate	8-SSOP	.46	.35	.26
SN74LVC2G00DCTR	296-13257-2-ND	Zweif. pos. NAND-Gate, 2 Eingänge	Dual 2-Input Positive NAND Gate	8-SSOP		447.00/3,000	
SN74LVC2G00DCUR	296-13258-1-ND	Zweif. pos. NAND-Gate, 2 Eingänge	Dual 2-Input Positive NAND Gate	8-VSSOP	.41	.31	.23
SN74LVC2G00DCUR	296-13258-2-ND	Zweif. pos. NAND-Gate, 2 Eingänge	Dual 2-Input Positive NAND Gate	8-VSSOP		396.21/3,000	
SN74LVC2G00YEAR	296-15585-1-ND	Zweif. pos. NAND-Gate, 2 Eingänge	Dual 2-Input Positive NAND Gate	8-DSBGA	.47	.36	.27
SN74LVC2G00YEAR	296-15585-2-ND	Zweif. pos. NAND-Gate, 2 Eingänge	Dual 2-Input Positive NAND Gate	8-DSBGA		462.24/3,000	
SN74LVC2G00YZAR	296-14034-1-ND	Zweif. pos. NAND-Gate, 2 Eingänge	Dual 2-Input Positive NAND Gate	8-DSBGA	.47	.36	.27
SN74LVC2G00YZAR	296-14034-2-ND	Zweif. pos. NAND-Gate, 2 Eingänge	Dual 2-Input Positive NAND Gate	8-DSBGA		462.24/3,000	
SN74LVC2G02DCTR	296-13259-1-ND	Zweif. pos. NOR-Gate, 2 Eingänge	Dual 2-Input Positive NOR Gate	8-SSOP	.44	.33	.25
SN74LVC2G02DCTR	296-13259-2-ND	Zweif. pos. NOR-Gate, 2 Eingänge	Dual 2-Input Positive NOR Gate	8-SSOP		429.23/3,000	
SN74LVC2G02DCUR	296-13260-1-ND	Zweif. pos. NOR-Gate, 2 Eingänge	Dual 2-Input Positive NOR Gate	8-VSSOP	.41	.31	.23
SN74LVC2G02DCUR	296-13260-2-ND	Zweif. pos. NOR-Gate, 2 Eingänge	Dual 2-Input Positive NOR Gate	8-VSSOP		396.21/3,000	
SN74LVC2G02YEAR	296-13731-1-ND	Zweif. pos. NOR-Gate, 2 Eingänge	Dual 2-Input Positive NOR Gate	8-DSBGA	.47	.36	.27

(Forts.)

★ ***RUFEN SIE BITTE AN FÜR NIEDRIGERE PREISE BEI GRÖSSEREN MENGEN!*** ★

Alle Preisangaben in Euro und inklusive Zollgebühren.

T. I. Teilenr.	Digi-Key Teilenr.	Beschreibung		Paket	Stückpreis★ 1	25	100
SN74LVC2G02YEAR	296-13731-2-ND	Zweif. pos. NOR-Gate, 2 Eingänge	Dual 2-Input Positive NOR Gate	8-DSBGA		462.24/3,000	
SN74LVC2G02YZAR	296-14035-1-ND	Zweif. pos. NOR-Gate, 2 Eingänge	Dual 2-Input Positive NOR Gate	8-DSBGA	.47	.36	.27
SN74LVC2G02YZAR	296-14035-2-ND	Zweif. pos. NOR-Gate, 2 Eingänge	Dual 2-Input Positive NOR Gate	8-DSBGA		462.24/3,000	
SN74LVC2G04DBVR	296-13261-1-ND	Zweif. Inverter-Gate	Dual Inverter Gate	SOT-23-6	.34	.28	.21
SN74LVC2G04DBVR	296-13261-2-ND	Zweif. Inverter-Gate	Dual Inverter Gate	SOT-23-6		274.30/3,000	
SN74LVC2G04DCKR	296-13262-1-ND	Zweif. Inverter-Gate	Dual Inverter Gate	SC-70-6	.34	.28	.21
SN74LVC2G04DCKR	296-13262-2-ND	Zweif. Inverter-Gate	Dual Inverter Gate	SC-70-6		274.30/3,000	
SN74LVC2G04YEAR	296-13732-1-ND	Zweif. Inverter-Gate	Dual Inverter Gate	6-DSBGA	.47	.36	.27
SN74LVC2G04YEAR	296-13732-2-ND	Zweif. Inverter-Gate	Dual Inverter Gate	6-DSBGA		462.24/3,000	
SN74LVC2G04YZAR	296-13733-1-ND	Zweif. Inverter-Gate	Dual Inverter Gate	6-DSBGA	.47	.36	.27
SN74LVC2G04YZAR	296-13733-2-ND	Zweif. Inverter-Gate	Dual Inverter Gate	6-DSBGA		462.24/3,000	
SN74LVC2G06DBVR	296-13492-1-ND	Zweif. Inverter-Puffer/Treiber mit Open-Drain-Ausgang	Dual Inverter Buffer/Driver with Open-Drain Output	SOT-23-6	.34	.28	.21
SN74LVC2G06DBVR	296-13492-2-ND	Zweif. Inverter-Puffer/Treiber mit Open-Drain-Ausgang	Dual Inverter Buffer/Driver with Open-Drain Output	SOT-23-6		274.30/3,000	
SN74LVC2G06DCKR	296-13493-1-ND	Zweif. Inverter-Puffer/Treiber mit Open-Drain-Ausgang	Dual Inverter Buffer/Driver with Open-Drain Output	SC-70-6	.34	.28	.21
SN74LVC2G06DCKR	296-13493-2-ND	Zweif. Inverter-Puffer/Treiber mit Open-Drain-Ausgang	Dual Inverter Buffer/Driver with Open-Drain Output	SC-70-6		274.30/3,000	
SN74LVC2G06YEAR	296-13734-1-ND	Zweif. Inverter-Puffer/Treiber mit Open-Drain-Ausgang	Dual Inverter Buffer/Driver with Open-Drain Output	6-DSBGA	.47	.36	.27
SN74LVC2G06YEAR	296-13734-2-ND	Zweif. Inverter-Puffer/Treiber mit Open-Drain-Ausgang	Dual Inverter Buffer/Driver with Open-Drain Output	6-DSBGA		462.24/3,000	
SN74LVC2G06YZAR	296-13735-1-ND	Zweif. Inverter-Puffer/Treiber mit Open-Drain-Ausgang	Dual Inverter Buffer/Driver with Open-Drain Output	6-DSBGA	.47	.36	.27
SN74LVC2G06YZAR	296-13735-2-ND	Zweif. Inverter-Puffer/Treiber mit Open-Drain-Ausgang	Dual Inverter Buffer/Driver with Open-Drain Output	6-DSBGA		462.24/3,000	
SN74LVC2G07DBVR	296-13494-1-ND	Zweif. Puffer/Treiber mit Open-Drain-Ausgang	Dual Buffer/Driver with OD Output	SOT-23-6	.34	.28	.21
SN74LVC2G07DBVR	296-13494-2-ND	Zweif. Puffer/Treiber mit Open-Drain-Ausgang	Dual Buffer/Driver with OD Output	SOT-23-6		274.30/3,000	
SN74LVC2G07DCKR	296-13495-1-ND	Zweif. Puffer/Treiber mit Open-Drain-Ausgang	Dual Buffer/Driver with OD Output	SC-70-6	.34	.28	.21
SN74LVC2G07DCKR	296-13495-2-ND	Zweif. Puffer/Treiber mit Open-Drain-Ausgang	Dual Buffer/Driver with OD Output	SC-70-6		274.30/3,000	
SN74LVC2G07YEAR	296-13736-1-ND	Zweif. Puffer/Treiber mit Open-Drain-Ausgang	Dual Buffer/Driver with OD Output	6-DSBGA	.47	.36	.27
SN74LVC2G07YEAR	296-13736-2-ND	Zweif. Puffer/Treiber mit Open-Drain-Ausgang	Dual Buffer/Driver with OD Output	6-DSBGA		462.24/3,000	
SN74LVC2G07YZAR	296-13737-1-ND	Zweif. Puffer/Treiber mit Open-Drain-Ausgang	Dual Buffer/Driver with OD Output	6-DSBGA	.47	.36	.27
SN74LVC2G07YZAR	296-13737-2-ND	Zweif. Puffer/Treiber mit Open-Drain-Ausgang	Dual Buffer/Driver with OD Output	6-DSBGA		462.24/3,000	
SN74LVC2G08DCTR	296-13263-1-ND	Zweif. pos. AND-Gate, 2 Eingänge	Dual 2-Input Positive AND Gate	8-SSOP	.41	.31	.23
SN74LVC2G08DCTR	296-13263-2-ND	Zweif. pos. AND-Gate, 2 Eingänge	Dual 2-Input Positive AND Gate	8-SSOP		396.21/3,000	
SN74LVC2G08DCUR	296-13264-1-ND	Zweif. pos. AND-Gate, 2 Eingänge	Dual 2-Input Positive AND Gate	8-VSSOP	.41	.31	.23
SN74LVC2G08DCUR	296-13264-2-ND	Zweif. pos. AND-Gate, 2 Eingänge	Dual 2-Input Positive AND Gate	8-VSSOP		396.21/3,000	
SN74LVC2G08YEPR	296-16734-1-ND	Zweif. pos. AND-Gate, 2 Eingänge	Dual 2-Input Positive AND Gate	8-DSBGA	.47	.36	.27
SN74LVC2G08YEPR	296-16734-2-ND	Zweif. pos. AND-Gate, 2 Eingänge	Dual 2-Input Positive AND Gate	8-DSBGA		462.24/3,000	
SN74LVC2G08YZAR	296-14036-1-ND	Zweif. pos. AND-Gate, 2 Eingänge	Dual 2-Input Positive AND Gate	8-DSBGA	.47	.36	.27
SN74LVC2G08YZAR	296-14036-2-ND	Zweif. pos. AND-Gate, 2 Eingänge	Dual 2-Input Positive AND Gate	8-DSBGA		462.24/3,000	
SN74LVC2G08YZPR	296-14371-1-ND	Zweif. pos. AND-Gate, 2 Eingänge	Dual 2-Input Positive AND Gate	8-DSBGA	.47	.36	.27
SN74LVC2G08YZPR	296-14371-2-ND	Zweif. pos. AND-Gate, 2 Eingänge	Dual 2-Input Positive AND Gate	8-DSBGA		462.24/3,000	
SN74LVC2G14DBVR	296-13010-1-ND	Zweif. Schmitt-Trigger-Inverter	Dual Schmitt-Trigger Inverter	SOT-23-6	.34	.28	.21
SN74LVC2G14DBVR	296-13010-2-ND	Zweif. Schmitt-Trigger-Inverter	Dual Schmitt-Trigger Inverter	SOT-23-6		274.30/3,000	
SN74LVC2G14DCKR	296-13011-1-ND	Zweif. Schmitt-Trigger-Inverter	Dual Schmitt-Trigger Inverter	SC70-6	.34	.28	.21
SN74LVC2G14DCKR	296-13011-2-ND	Zweif. Schmitt-Trigger-Inverter	Dual Schmitt-Trigger Inverter	SC70-6		274.30/3,000	
SN74LVC2G14YEAR	296-13970-1-ND	Zweif. Schmitt-Trigger-Inverter	Dual Schmitt-Trigger Inverter	6-DSBGA	.47	.36	.27
SN74LVC2G14YEAR	296-13970-2-ND	Zweif. Schmitt-Trigger-Inverter	Dual Schmitt-Trigger Inverter	6-DSBGA		462.24/3,000	
SN74LVC2G17DBVR	296-13012-1-ND	Zweif. Schmitt-Trigger-Puffer	Dual Schmitt-Trigger Buffer	SOT-23-6	.34	.28	.21
SN74LVC2G17DBVR	296-13012-2-ND	Zweif. Schmitt-Trigger-Puffer	Dual Schmitt-Trigger Buffer	SOT-23-6		274.30/3,000	
SN74LVC2G17DCKR	296-13013-1-ND	Zweif. Schmitt-Trigger-Puffer	Dual Schmitt-Trigger Buffer	SC70-6	.34	.28	.21
SN74LVC2G17DCKR	296-13013-2-ND	Zweif. Schmitt-Trigger-Puffer	Dual Schmitt-Trigger Buffer	SC70-6		274.30/3,000	
SN74LVC2G17YEAR	296-14039-1-ND	Zweif. Schmitt-Trigger-Puffer	Dual Schmitt-Trigger Buffer	6-DSBGA	.47	.36	.27
SN74LVC2G17YEAR	296-14039-2-ND	Zweif. Schmitt-Trigger-Puffer	Dual Schmitt-Trigger Buffer	6-DSBGA		462.24/3,000	
SN74LVC2G32DCTR	296-13267-1-ND	Zweif. pos. OR-Gate mit 2 Eingängen	Dual 2-Input Positive OR Gate	8-SSOP	.41	.31	.23
SN74LVC2G32DCTR	296-13267-2-ND	Zweif. pos. OR-Gate mit 2 Eingängen	Dual 2-Input Positive OR Gate	8-SSOP		396.21/3,000	
SN74LVC2G32DCUR	296-13268-1-ND	Zweif. pos. OR-Gate mit 2 Eingängen	Dual 2-Input Positive OR Gate	8-VSSOP	.41	.31	.23
SN74LVC2G32DCUR	296-13268-2-ND	Zweif. pos. OR-Gate mit 2 Eingängen	Dual 2-Input Positive OR Gate	8-VSSOP		396.21/3,000	
SN74LVC2G32YEAR	296-15593-1-ND	Zweif. pos. OR-Gate mit 2 Eingängen	Dual 2-Input Positive OR Gate	8-DSBGA	.47	.36	.27
SN74LVC2G32YEAR	296-15593-2-ND	Zweif. pos. OR-Gate mit 2 Eingängen	Dual 2-Input Positive OR Gate	8-DSBGA		462.24/3,000	
SN74LVC2G32YEPR	296-15349-1-ND	Zweif. pos. OR-Gate mit 2 Eingängen	Dual 2-Input Positive OR Gate	8-DSBGA	.47	.36	.27
SN74LVC2G32YEPR	296-15349-2-ND	Zweif. pos. OR-Gate mit 2 Eingängen	Dual 2-Input Positive OR Gate	8-DSBGA		462.24/3,000	
SN74LVC2G32YZAR	296-14040-1-ND	Zweif. pos. OR-Gate mit 2 Eingängen	Dual 2-Input Positive OR Gate	8-DSBGA	.47	.36	.27
SN74LVC2G32YZAR	296-14040-2-ND	Zweif. pos. OR-Gate mit 2 Eingängen	Dual 2-Input Positive OR Gate	8-DSBGA		462.24/3,000	
SN74LVC2G32YZPR	296-15350-1-ND	Zweif. pos. OR-Gate mit 2 Eingängen	Dual 2-Input Positive OR Gate	8-DSBGA	.47	.36	.27
SN74LVC2G32YZPR	296-15350-2-ND	Zweif. pos. OR-Gate mit 2 Eingängen	Dual 2-Input Positive OR Gate	8-DSBGA		462.24/3,000	
SN74LVC2G34DBVR	296-13496-1-ND	Zweif. Puffer-Gate	Dual Buffer Gate	SOT-23-6	.41	.31	.23
SN74LVC2G34DBVR	296-13496-2-ND	Zweif. Puffer-Gate	Dual Buffer Gate	SOT-23-6		396.21/3,000	
SN74LVC2G34DCKR	296-13497-1-ND	Zweif. Puffer-Gate	Dual Buffer Gate	SC-70-6	.41	.31	.23
SN74LVC2G34DCKR	296-13497-2-ND	Zweif. Puffer-Gate	Dual Buffer Gate	SC-70-6		396.21/3,000	
SN74LVC2G34YEAR	296-13740-1-ND	Zweif. Puffer-Gate	Dual Buffer Gate	6-DSBGA	.47	.36	.27
SN74LVC2G34YEAR	296-13740-2-ND	Zweif. Puffer-Gate	Dual Buffer Gate	6-DSBGA		462.24/3,000	
SN74LVC2G34YEPR	296-17087-1-ND	Zweif. Puffer-Gate	Dual Buffer Gate	6-DSBGA	.47	.36	.27
SN74LVC2G34YEPR	296-17087-2-ND	Zweif. Puffer-Gate	Dual Buffer Gate	6-DSBGA		462.24/3,000	
SN74LVC2G34YZAR	296-13741-1-ND	Zweif. Puffer-Gate	Dual Buffer Gate	6-DSBGA	.47	.36	.27
SN74LVC2G34YZAR	296-13741-2-ND	Zweif. Puffer-Gate	Dual Buffer Gate	6-DSBGA		462.24/3,000	
SN74LVC2G38DCTR	296-17010-1-ND	Zweif. NAND-Gate m. 2 Eingängen	Dual 2-Input Nand Gate	8-SSOP	.41	.31	.23
SN74LVC2G38DCTR	296-17010-2-ND	Zweif. NAND-Gate m. 2 Eingängen	Dual 2-Input Nand Gate	8-SSOP		396.21/3,000	
SN74LVC2G53DCTR	296-13269-1-ND	Zweif. Analog-Mux/Demux	Dual Analog Mux/Demux	8-SSOP	.44	.33	.25
SN74LVC2G53DCTR	296-13269-2-ND	Zweif. Analog-Mux/Demux	Dual Analog Mux/Demux	8-SSOP		429.23/3,000	
SN74LVC2G53DCUR	296-13270-1-ND	Zweif. Analog-Mux/Demux	Dual Analog Mux/Demux	8-VSSOP	.41	.31	.23
SN74LVC2G53DCUR	296-13270-2-ND	Zweif. Analog-Mux/Demux	Dual Analog Mux/Demux	8-VSSOP		396.21/3,000	
SN74LVC2G53YEAR	296-13702-1-ND	Zweif. Analog-Mux/Demux	Dual Analog Mux/Demux	8-DSBGA	.54	.41	.31
SN74LVC2G53YEAR	296-13702-2-ND	Zweif. Analog-Mux/Demux	Dual Analog Mux/Demux	8-DSBGA		528.28/3,000	
SN74LVC2G53YZAR	296-12664-1-ND	Zweif. Analog-Mux/Demux	Dual Analog Mux/Demux	8-DSBGA	.54	.41	.31
SN74LVC2G53YZAR	296-12664-2-ND	Zweif. Analog-Mux/Demux	Dual Analog Mux/Demux	8-DSBGA		528.28/3,000	
SN74LVC2G53YZPR	296-14372-1-ND	Zweif. Analog-Mux/Demux	Dual Analog Mux/Demux	8-DSBGA	.54	.41	.31
SN74LVC2G53YZPR	296-14372-2-ND	Zweif. Analog-Mux/Demux	Dual Analog Mux/Demux	8-DSBGA		528.28/3,000	
SN74LVC2G66DCTR	296-13271-1-ND	Zweif. bilateraler Analogschalter	Dual Bilateral Analog Switch	8-SSOP	.41	.31	.23
SN74LVC2G66DCTR	296-13271-2-ND	Zweif. bilateraler Analogschalter	Dual Bilateral Analog Switch	8-SSOP		396.21/3,000	
SN74LVC2G66DCUR	296-13272-1-ND	Zweif. bilateraler Analogschalter	Dual Bilateral Analog Switch	8-VSSOP	.41	.31	.23
SN74LVC2G66DCUR	296-13272-2-ND	Zweif. bilateraler Analogschalter	Dual Bilateral Analog Switch	8-VSSOP		396.21/3,000	
SN74LVC2G66YEAR	296-15594-1-ND	Zweif. bilateraler Analogschalter	Dual Bilateral Analog Switch	8-DSBGA	.54	.41	.31
SN74LVC2G66YEAR	296-15594-2-ND	Zweif. bilateraler Analogschalter	Dual Bilateral Analog Switch	8-DSBGA		528.28/3,000	
SN74LVC2G66YZAR	296-14041-1-ND	Zweif. bilateraler Analogschalter	Dual Bilateral Analog Switch	8-DSBGA	.54	.41	.31
SN74LVC2G66YZAR	296-14041-2-ND	Zweif. bilateraler Analogschalter	Dual Bilateral Analog Switch	8-DSBGA		528.28/3,000	
SN74LVC2G66YZPR	296-14373-1-ND	Zweif. bilateraler Analogschalter	Dual Bilateral Analog Switch	8-DSBGA	.54	.41	.31
SN74LVC2G66YZPR	296-14373-2-ND	Zweif. bilateraler Analogschalter	Dual Bilateral Analog Switch	8-DSBGA		528.28/3,000	
SN74LVC2G74DCTR	296-13273-1-ND	Einf. D-Flip-Flop mit positiver Flankensteuerung sowie Löschen und Voreinstellen	Single Positive-Edge-Triggered D-Type Flip-Flop w/Clear and Preset	8-SSOP	.41	.31	.23
SN74LVC2G74DCTR	296-13273-2-ND	Einf. D-Flip-Flop mit positiver Flankensteuerung sowie Löschen und Voreinstellen	Single Positive-Edge-Triggered D-Type Flip-Flop w/Clear and Preset	8-SSOP		396.21/3,000	
SN74LVC2G74DCUR	296-12755-1-ND	Einf. D-Flip-Flop mit positiver Flankensteuerung sowie Löschen und Voreinstellen	Single Positive-Edge-Triggered D-Type Flip-Flop w/Clear and Preset	8-VSSOP	.41	.31	.23
SN74LVC2G74DCUR	296-12755-2-ND	Einf. D-Flip-Flop mit positiver Flankensteuerung sowie Löschen und Voreinstellen	Single Positive-Edge-Triggered D-Type Flip-Flop w/Clear and Preset	8-VSSOP		396.21/3,000	
SN74LVC2G74YEAR	296-15595-1-ND	Einf. D-Flip-Flop mit positiver Flankensteuerung sowie Löschen und Voreinstellen	Single Positive-Edge-Triggered D-Type Flip-Flop w/Clear and Preset	8-DSBGA	.47	.36	.27
SN74LVC2G74YEAR	296-15595-2-ND	Einf. D-Flip-Flop mit positiver Flankensteuerung sowie Löschen und Voreinstellen	Single Positive-Edge-Triggered D-Type Flip-Flop w/Clear and Preset	8-DSBGA		462.24/3,000	
SN74LVC2G74YEPR	296-14374-1-ND	Einf. D-Flip-Flop mit positiver Flankensteuerung sowie Löschen und Voreinstellen	Single Positive-Edge-Triggered D-Type Flip-Flop w/Clear and Preset	8-DSBGA	.47	.36	.27
SN74LVC2G74YEPR	296-14374-2-ND	Einf. D-Flip-Flop mit positiver Flankensteuerung sowie Löschen und Voreinstellen	Single Positive-Edge-Triggered D-Type Flip-Flop w/Clear and Preset	8-DSBGA		462.24/3,000	
SN74LVC2G74YZAR	296-14042-1-ND	Einf. D-Flip-Flop mit positiver Flankensteuerung sowie Löschen und Voreinstellen	Single Positive-Edge-Triggered D-Type Flip-Flop w/Clear and Preset	8-DSBGA	.47	.36	.27
SN74LVC2G74YZAR	296-14042-2-ND	Einf. D-Flip-Flop mit positiver Flankensteuerung sowie Löschen und Voreinstellen	Single Positive-Edge-Triggered D-Type Flip-Flop w/Clear and Preset	8-DSBGA		462.24/3,000	
SN74LVC2G74YZPR	296-14375-1-ND	Einf. D-Flip-Flop mit positiver Flankensteuerung sowie Löschen und Voreinstellen	Single Positive-Edge-Triggered D-Type Flip-Flop w/Clear and Preset	8-DSBGA	.47	.36	.27
SN74LVC2G74YZPR	296-14375-2-ND	Einf. D-Flip-Flop mit positiver Flankensteuerung sowie Löschen und Voreinstellen	Single Positive-Edge-Triggered D-Type Flip-Flop w/Clear and Preset	8-DSBGA		462.24/3,000	

(Forts.)

★ ***RUFEN SIE BITTE AN FÜR NIEDRIGERE PREISE BEI GRÖSSEREN MENGEN!*** ★

B

T. I. Teilenr.	Digi-Key Teilenr.	Beschreibung		Paket	Stückpreis★ 1	25	100
SN74LVC2G79DCUR	296-17254-1-ND	Zweif. D-Flip-Flop, pos. Flankentrigg.	Dual Positive-Edge-Triggered D-Type Flip-Flop	8-VSSOP	.41	.31	.23
SN74LVC2G79DCUR	296-17254-2-ND	Zweif. D-Flip-Flop, pos. Flankentrigg.	Dual Positive-Edge-Triggered D-Type Flip-Flop	8-VSSOP		396.21/3,000	
SN74LVC2G79YEPR	296-15982-1-ND	Zweif. D-Flip-Flop, pos. Flankentrigg.	Dual Positive-Edge-Triggered D-Type Flip-Flop	8-DSBGA	.47	.36	.27
SN74LVC2G79YEPR	296-15982-2-ND	Zweif. D-Flip-Flop, pos. Flankentrigg.	Dual Positive-Edge-Triggered D-Type Flip-Flop	8-DSBGA		462.24/3,000	
SN74LVC2G79YZPR	296-15983-1-ND	Zweif. D-Flip-Flop, pos. Flankentrigg.	Dual Positive-Edge-Triggered D-Type Flip-Flop	8-DSBGA	.47	.36	.27
SN74LVC2G79YZPR	296-15983-2-ND	Zweif. D-Flip-Flop, pos. Flankentrigg.	Dual Positive-Edge-Triggered D-Type Flip-Flop	8-DSBGA		462.24/3,000	
SN74LVC2G80DCUR	296-17083-1-ND	Zweif. D-Flip-Flop, pos. Flankentrigg.	Dual Positive-Edge-Triggered D-Type Flip-Flop	8-VSSOP	.41	.31	.23
SN74LVC2G80DCUR	296-17083-2-ND	Zweif. D-Flip-Flop, pos. Flankentrigg.	Dual Positive-Edge-Triggered D-Type Flip-Flop	8-VSSOP		396.21/3,000	
SN74LVC2G80YEPR	296-15984-1-ND	Zweif. D-Flip-Flop, pos. Flankentrigg.	Dual Positive-Edge-Triggered D-Type Flip-Flop	8-DSBGA	.47	.36	.27
SN74LVC2G80YEPR	296-15984-2-ND	Zweif. D-Flip-Flop, pos. Flankentrigg.	Dual Positive-Edge-Triggered D-Type Flip-Flop	8-DSBGA		462.24/3,000	
SN74LVC2G80YZPR	296-15985-1-ND	Zweif. D-Flip-Flop, pos. Flankentrigg.	Dual Positive-Edge-Triggered D-Type Flip-Flop	8-DSBGA	.47	.36	.27
SN74LVC2G80YZPR	296-15985-2-ND	Zweif. D-Flip-Flop, pos. Flankentrigg.	Dual Positive-Edge-Triggered D-Type Flip-Flop	8-DSBGA		462.24/3,000	
SN74LVC2G86DCTR	296-13274-1-ND	Zweif. Exclusive-OR-Gate mit 2 Eingängen	Dual 2-Input Exclusive OR Gate	8-SSOP	.41	.31	.23
SN74LVC2G86DCTR	296-13274-2-ND	Zweif. Exclusive-OR-Gate mit 2 Eingängen	Dual 2-Input Exclusive OR Gate	8-SSOP		396.21/3,000	
SN74LVC2G86DCUR	296-13275-1-ND	Zweif. Exclusive-OR-Gate mit 2 Eingängen	Dual 2-Input Exclusive OR Gate	8-VSSOP	.41	.31	.23
SN74LVC2G86DCUR	296-13275-2-ND	Zweif. Exclusive-OR-Gate mit 2 Eingängen	Dual 2-Input Exclusive OR Gate	8-VSSOP		396.21/3,000	
SN74LVC2G86YEAR	296-13972-1-ND	Zweif. Exclusive-OR-Gate mit 2 Eingängen	Dual 2-Input Exclusive OR Gate	8-DSBGA	.47	.36	.27
SN74LVC2G86YEAR	296-13972-2-ND	Zweif. Exclusive-OR-Gate mit 2 Eingängen	Dual 2-Input Exclusive OR Gate	8-DSBGA		462.24/3,000	
SN74LVC2G86YZAR	296-15709-1-ND	Zweif. Exclusive-OR-Gate mit 2 Eingängen	Dual 2-Input Exclusive OR Gate	8-DSBGA	.47	.36	.27
SN74LVC2G86YZAR	296-15709-2-ND	Zweif. Exclusive-OR-Gate mit 2 Eingängen	Dual 2-Input Exclusive OR Gate	8-DSBGA		462.24/3,000	
SN74LVC2G125DCTR	296-12164-1-ND	Zweif. Bus-Puffer-Gate, Tri-State	Tri-State Dual Bus Buffer Gate	8-SSOP	.41	.31	.23
SN74LVC2G125DCTR	296-12164-2-ND	Zweif. Bus-Puffer-Gate, Tri-State	Tri-State Dual Bus Buffer Gate	8-SSOP		396.21/3,000	
SN74LVC2G125DCUR	296-13265-1-ND	Zweif. Bus-Puffer-Gate, Tri-State	Tri-State Dual Bus Buffer Gate	8-VSSOP	.41	.31	.23
SN74LVC2G125DCUR	296-13265-2-ND	Zweif. Bus-Puffer-Gate, Tri-State	Tri-State Dual Bus Buffer Gate	8-VSSOP		396.21/3,000	
SN74LVC2G125YEAR	296-13738-1-ND	Zweif. Bus-Puffer-Gate, Tri-State	Tri-State Dual Bus Buffer Gate	8-DSBGA	.47	.36	.27
SN74LVC2G125YEAR	296-13738-2-ND	Zweif. Bus-Puffer-Gate, Tri-State	Tri-State Dual Bus Buffer Gate	8-DSBGA		462.24/3,000	
SN74LVC2G125YZAR	296-14037-1-ND	Zweif. Bus-Puffer-Gate, Tri-State	Tri-State Dual Bus Buffer Gate	8-DSBGA	.47	.36	.27
SN74LVC2G125YZAR	296-14037-2-ND	Zweif. Bus-Puffer-Gate, Tri-State	Tri-State Dual Bus Buffer Gate	8-DSBGA		462.24/3,000	
SN74LVC2G125YZPR	296-15109-1-ND	Zweif. Bus-Puffer-Gate, Tri-State	Tri-State Dual Bus Buffer Gate	8-DSBGA	.47	.36	.27
SN74LVC2G125YZPR	296-15109-2-ND	Zweif. Bus-Puffer-Gate, Tri-State	Tri-State Dual Bus Buffer Gate	8-DSBGA		462.24/3,000	
SN74LVC2G126DCTR	296-12554-1-ND	Zweif. Bus-Puffer-Gate, Tri-State	Tri-State Dual Bus Buffer Gate	8-SSOP	.41	.31	.23
SN74LVC2G126DCTR	296-12554-2-ND	Zweif. Bus-Puffer-Gate, Tri-State	Tri-State Dual Bus Buffer Gate	8-SSOP		396.21/3,000	
SN74LVC2G126DCUR	296-12555-1-ND	Zweif. Bus-Puffer-Gate, Tri-State	Tri-State Dual Bus Buffer Gate	8-VSSOP	.41	.31	.23
SN74LVC2G126DCUR	296-12555-2-ND	Zweif. Bus-Puffer-Gate, Tri-State	Tri-State Dual Bus Buffer Gate	8-VSSOP		396.21/3,000	
SN74LVC2G126YEAR	296-15586-1-ND	Zweif. Bus-Puffer-Gate, Tri-State	Tri-State Dual Bus Buffer Gate	8-DSBGA	.47	.36	.27
SN74LVC2G126YEAR	296-15586-2-ND	Zweif. Bus-Puffer-Gate, Tri-State	Tri-State Dual Bus Buffer Gate	8-DSBGA		462.24/3,000	
SN74LVC2G126YZAR	296-14038-1-ND	Zweif. Bus-Puffer-Gate, Tri-State	Tri-State Dual Bus Buffer Gate	8-DSBGA	.47	.36	.27
SN74LVC2G126YZAR	296-14038-2-ND	Zweif. Bus-Puffer-Gate, Tri-State	Tri-State Dual Bus Buffer Gate	8-DSBGA		462.24/3,000	
SN74LVC2G126YZPR	296-15587-1-ND	Zweif. Bus-Puffer-Gate, Tri-State	Tri-State Dual Bus Buffer Gate	8-DSBGA	.47	.36	.27
SN74LVC2G126YZPR	296-15587-2-ND	Zweif. Bus-Puffer-Gate, Tri-State	Tri-State Dual Bus Buffer Gate	8-DSBGA		462.24/3,000	
SN74LVC2G132DCTR	296-17056-1-ND	Zweif. NAND-Gate m. 2 Eing.	Dual, 2-Input NAND Gate	8-SSOP	.41	.31	.23
SN74LVC2G132DCTR	296-17056-2-ND	Zweif. NAND-Gate m. 2 Eing.	Dual, 2-Input NAND Gate	8-SSOP		396.21/3,000	
SN74LVC2G132YEPR	296-17729-1-ND	Zweif. NAND-Gate m. 2 Eing.	Dual, 2-Input NAND Gate	8-DSBGA	.54	.41	.31
SN74LVC2G132YEPR	296-17729-2-ND	Zweif. NAND-Gate m. 2 Eing.	Dual, 2-Input NAND Gate	8-DSBGA		528.28/3,000	
SN74LVC2G132YZPR	296-17504-1-ND	Zweif. NAND-Gate m. 2 Eing.	Dual, 2-Input NAND Gate	8-DSBGA	.54	.41	.31
SN74LVC2G132YZPR	296-17504-2-ND	Zweif. NAND-Gate m. 2 Eing.	Dual, 2-Input NAND Gate	8-DSBGA		528.28/3,000	
SN74LVC2G157DCTR	296-13266-1-ND	Einf. 2-1 Leitungs-Datenselektor/Mux	Single, 2-1 Line Data Selector/Mux	8-SSOP	.41	.31	.23
SN74LVC2G157DCTR	296-13266-2-ND	Einf. 2-1 Leitungs-Datenselektor/Mux	Single, 2-1 Line Data Selector/Mux	8-SSOP		396.21/3,000	
SN74LVC2G157DCUR	296-12605-1-ND	Einf. 2-1 Leitungs-Datenselektor/Mux	Single, 2-1 Line Data Selector/Mux	8-VSSOP	.41	.31	.23
SN74LVC2G157DCUR	296-12605-2-ND	Einf. 2-1 Leitungs-Datenselektor/Mux	Single, 2-1 Line Data Selector/Mux	8-VSSOP		396.21/3,000	
SN74LVC2G157YEAR	296-13971-1-ND	Einf. 2-1 Leitungs-Datenselektor/Mux	Single, 2-1 Line Data Selector/Mux	8-DSBGA	.47	.36	.27
SN74LVC2G157YEAR	296-13971-2-ND	Einf. 2-1 Leitungs-Datenselektor/Mux	Single, 2-1 Line Data Selector/Mux	8-DSBGA		462.24/3,000	
SN74LVC2G157YZAR	296-15708-1-ND	Einf. 2-1 Leitungs-Datenselektor/Mux	Single, 2-1 Line Data Selector/Mux	8-DSBGA	.47	.36	.27
SN74LVC2G157YZAR	296-15708-2-ND	Einf. 2-1 Leitungs-Datenselektor/Mux	Single, 2-1 Line Data Selector/Mux	8-DSBGA		462.24/3,000	
SN74LVC2G240DCTR	296-15588-1-ND	Zweif. Puffer/Treiber, Tri-State	Tri-State Dual Buffer/Driver	8-SSOP	.42	.32	.24
SN74LVC2G240DCTR	296-15588-2-ND	Zweif. Puffer/Treiber, Tri-State	Tri-State Dual Buffer/Driver	8-SSOP		413.99/3,000	
SN74LVC2G240DCUR	296-13739-1-ND	Zweif. Puffer/Treiber, Tri-State	Tri-State Dual Buffer/Driver	8-VSSOP	.44	.33	.25
SN74LVC2G240DCUR	296-13739-2-ND	Zweif. Puffer/Treiber, Tri-State	Tri-State Dual Buffer/Driver	8-VSSOP		429.23/3,000	
SN74LVC2G240YEAR	296-15589-1-ND	Zweif. Puffer/Treiber, Tri-State	Tri-State Dual Buffer/Driver	8-DSBGA	.47	.36	.27
SN74LVC2G240YEAR	296-15589-2-ND	Zweif. Puffer/Treiber, Tri-State	Tri-State Dual Buffer/Driver	8-DSBGA		462.24/3,000	
SN74LVC2G240YZAR	296-15590-1-ND	Zweif. Puffer/Treiber, Tri-State	Tri-State Dual Buffer/Driver	8-DSBGA	.47	.36	.27
SN74LVC2G240YZAR	296-15590-2-ND	Zweif. Puffer/Treiber, Tri-State	Tri-State Dual Buffer/Driver	8-DSBGA		462.24/3,000	
SN74LVC2G241DCTR	296-11935-1-ND	Zweif. Puffer/Treiber, Tri-State	Tri-State Dual Buffer/Driver	8-SSOP	.42	.32	.24
SN74LVC2G241DCTR	296-11935-2-ND	Zweif. Puffer/Treiber, Tri-State	Tri-State Dual Buffer/Driver	8-SSOP		413.99/3,000	
SN74LVC2G241DCUR	296-11936-1-ND	Zweif. Puffer/Treiber, Tri-State	Tri-State Dual Buffer/Driver	8-VSSOP	.44	.33	.25
SN74LVC2G241DCUR	296-11936-2-ND	Zweif. Puffer/Treiber, Tri-State	Tri-State Dual Buffer/Driver	8-VSSOP		429.23/3,000	
SN74LVC2G241YEAR	296-15591-1-ND	Zweif. Puffer/Treiber, Tri-State	Tri-State Dual Buffer/Driver	8-DSBGA	.47	.36	.27
SN74LVC2G241YEAR	296-15591-2-ND	Zweif. Puffer/Treiber, Tri-State	Tri-State Dual Buffer/Driver	8-DSBGA		462.24/3,000	
SN74LVC2G241YEPR	296-15854-1-ND	Zweif. Puffer/Treiber, Tri-State	Tri-State Dual Buffer/Driver	8-DSBGA	.47	.36	.27
SN74LVC2G241YEPR	296-15854-2-ND	Zweif. Puffer/Treiber, Tri-State	Tri-State Dual Buffer/Driver	8-DSBGA		462.24/3,000	
SN74LVC2G241YZAR	296-15592-1-ND	Zweif. Puffer/Treiber, Tri-State	Tri-State Dual Buffer/Driver	8-DSBGA	.47	.36	.27
SN74LVC2G241YZAR	296-15592-2-ND	Zweif. Puffer/Treiber, Tri-State	Tri-State Dual Buffer/Driver	8-DSBGA		462.24/3,000	
SN74LVC2G241YZPR	296-15855-1-ND	Zweif. Puffer/Treiber, Tri-State	Tri-State Dual Buffer/Driver	8-DSBGA	.47	.36	.27
SN74LVC2G241YZPR	296-15855-2-ND	Zweif. Puffer/Treiber, Tri-State	Tri-State Dual Buffer/Driver	8-DSBGA		462.24/3,000	
SN74LVC2GU04DBVR	296-13276-1-ND	Zweif. Inverter-Gate	Dual Inverter Gate	SOT-23-6	.34	.28	.21
SN74LVC2GU04DBVR	296-13276-2-ND	Zweif. Inverter-Gate	Dual Inverter Gate	SOT-23-6		274.30/3,000	
SN74LVC2GU04DCKR	296-13277-1-ND	Zweif. Inverter-Gate	Dual Inverter Gate	SC-70-6	.34	.28	.21
SN74LVC2GU04DCKR	296-13277-2-ND	Zweif. Inverter-Gate	Dual Inverter Gate	SC-70-6		274.30/3,000	
SN74LVC2GU04YEAR	296-13742-1-ND	Zweif. Inverter-Gate	Dual Inverter Gate	6-DSBGA	.47	.36	.27
SN74LVC2GU04YEAR	296-13742-2-ND	Zweif. Inverter-Gate	Dual Inverter Gate	6-DSBGA		462.24/3,000	
SN74LVC2GU04YZAR	296-13743-1-ND	Zweif. Inverter-Gate	Dual Inverter Gate	6-DSBGA	.47	.36	.27
SN74LVC2GU04YZAR	296-13743-2-ND	Zweif. Inverter-Gate	Dual Inverter Gate	6-DSBGA		462.24/3,000	
SN74LVC2GU04YZPR	296-14376-1-ND	Zweif. Inverter-Gate	Dual Inverter Gate	6-DSBGA	.47	.36	.27
SN74LVC2GU04YZPR	296-14376-2-ND	Zweif. Inverter-Gate	Dual Inverter Gate	6-DSBGA		462.24/3,000	
SN74LVC2T45DCTR	296-16845-1-ND	Bus-Transceiver mit Doppelversorgung, Tri-State, Doppel-Bit	Tri-State Dual-Bit Dual Supply Bus Transceiver	8-SSOP	.61	.46	.35
SN74LVC2T45DCTR	296-16845-2-ND	Bus-Transceiver mit Doppelversorgung, Tri-State, Doppel-Bit	Tri-State Dual-Bit Dual Supply Bus Transceiver	8-SSOP		594.31/3,000	
SN74LVC2T45DCUR	296-17014-1-ND	Bus-Transceiver mit Doppelversorgung, Tri-State, Doppel-Bit	Tri-State Dual-Bit Dual Supply Bus Transceiver	8-VSSOP	.61	.46	.35
SN74LVC2T45DCUR	296-17014-2-ND	Bus-Transceiver mit Doppelversorgung, Tri-State, Doppel-Bit	Tri-State Dual-Bit Dual Supply Bus Transceiver	8-VSSOP		594.31/3,000	
SN74LVC2T45YEPR	296-17035-1-ND	Bus-Transceiver mit Doppelversorgung, Tri-State, Doppel-Bit	Tri-State Dual-Bit Dual Supply Bus Transceiver	8-DSBGA	.64	.49	.37
SN74LVC2T45YEPR	296-17035-2-ND	Bus-Transceiver mit Doppelversorgung, Tri-State, Doppel-Bit	Tri-State Dual-Bit Dual Supply Bus Transceiver	8-DSBGA		627.33/3,000	
SN74LVC2T45YZPR	296-17036-1-ND	Bus-Transceiver mit Doppelversorgung, Tri-State, Doppel-Bit	Tri-State Dual-Bit Dual Supply Bus Transceiver	8-DSBGA	.64	.49	.37
SN74LVC2T45YZPR	296-17036-2-ND	Bus-Transceiver mit Doppelversorgung, Tri-State, Doppel-Bit	Tri-State Dual-Bit Dual Supply Bus Transceiver	8-DSBGA		627.33/3,000	
SN74LVC3G04DCTR	296-13278-1-ND	Dreif. Inverter-Gate	Triple Inverter Gate	8-SSOP	.51	.39	.29
SN74LVC3G04DCTR	296-13278-2-ND	Dreif. Inverter-Gate	Triple Inverter Gate	8-SSOP		495.26/3,000	
SN74LVC3G04DCUR	296-13279-1-ND	Dreif. Inverter-Gate	Triple Inverter Gate	8-VSSOP	.51	.39	.29
SN74LVC3G04DCUR	296-13279-2-ND	Dreif. Inverter-Gate	Triple Inverter Gate	8-VSSOP		495.26/3,000	
SN74LVC3G04YEAR	296-14043-1-ND	Dreif. Inverter-Gate	Triple Inverter Gate	8-DSBGA	.61	.46	.35
SN74LVC3G04YEAR	296-14043-2-ND	Dreif. Inverter-Gate	Triple Inverter Gate	8-DSBGA		594.31/3,000	
SN74LVC3G04YZAR	296-15710-1-ND	Dreif. Inverter-Gate	Triple Inverter Gate	8-DSBGA	.61	.46	.35
SN74LVC3G04YZAR	296-15710-2-ND	Dreif. Inverter-Gate	Triple Inverter Gate	8-DSBGA		594.31/3,000	

(Forts.)

★ ***RUFEN SIE BITTE AN FÜR NIEDRIGERE PREISE BEI GRÖSSEREN MENGEN!*** ★

T. I. Teilenr.	Digi-Key Teilenr.	Beschreibung		Paket	Stückpreis★ 1	25	100
SN74LVC3G04YZPR	296-15110-1-ND	Dreif. Inverter-Gate	Triple Inverter Gate	8-DSBGA	.61	.46	.35
SN74LVC3G04YZPR	296-15110-2-ND	Dreif. Inverter-Gate	Triple Inverter Gate	8-DSBGA		594.31/3,000	
SN74LVC3G06DCTR	296-13280-1-ND	Dreif. Inverter-Puffer/Treiber mit Open-Drain-Ausgängen	Triple Inverter Buffer/Driver with Open Drain Outputs	8-SSOP	.51	.39	.29
SN74LVC3G06DCTR	296-13280-2-ND	Dreif. Inverter-Puffer/Treiber mit Open-Drain-Ausgängen	Triple Inverter Buffer/Driver with Open Drain Outputs	8-SSOP		495.26/3,000	
SN74LVC3G06DCUR	296-13281-1-ND	Dreif. Inverter-Puffer/Treiber mit Open-Drain-Ausgängen	Triple Inverter Buffer/Driver with Open Drain Outputs	8-VSSOP	.51	.39	.29
SN74LVC3G06DCUR	296-13281-2-ND	Dreif. Inverter-Puffer/Treiber mit Open-Drain-Ausgängen	Triple Inverter Buffer/Driver with Open Drain Outputs	8-VSSOP		495.26/3,000	
SN74LVC3G06YEAR	296-15598-1-ND	Dreif. Inverter-Puffer/Treiber mit Open-Drain-Ausgängen	Triple Inverter Buffer/Driver with Open Drain Outputs	8-DSBGA	.61	.46	.35
SN74LVC3G06YEAR	296-15598-2-ND	Dreif. Inverter-Puffer/Treiber mit Open-Drain-Ausgängen	Triple Inverter Buffer/Driver with Open Drain Outputs	8-DSBGA		594.31/3,000	
SN74LVC3G07DCTR	296-13282-1-ND	Dreif. Puffer/Treiber mit Open-Drain-Ausgängen	Triple Buffer/Driver with OD Outputs	8-SSOP	.51	.39	.29
SN74LVC3G07DCTR	296-13282-2-ND	Dreif. Puffer/Treiber mit Open-Drain-Ausgängen	Triple Buffer/Driver with OD Outputs	8-SSOP		495.26/3,000	
SN74LVC3G07DCUR	296-13283-1-ND	Dreif. Puffer/Treiber mit Open-Drain-Ausgängen	Triple Buffer/Driver with OD Outputs	8-VSSOP	.51	.39	.29
SN74LVC3G07DCUR	296-13283-2-ND	Dreif. Puffer/Treiber mit Open-Drain-Ausgängen	Triple Buffer/Driver with OD Outputs	8-VSSOP		495.26/3,000	
SN74LVC3G07YEAR	296-14044-1-ND	Dreif. Puffer/Treiber mit Open-Drain-Ausgängen	Triple Buffer/Driver with OD Outputs	8-DSBGA	.61	.46	.35
SN74LVC3G07YEAR	296-14044-2-ND	Dreif. Puffer/Treiber mit Open-Drain-Ausgängen	Triple Buffer/Driver with OD Outputs	8-DSBGA		594.31/3,000	
SN74LVC3G07YZAR	296-15711-1-ND	Dreif. Puffer/Treiber mit Open-Drain-Ausgängen	Triple Buffer/Driver with OD Outputs	8-DSBGA	.61	.46	.35
SN74LVC3G07YZAR	296-15711-2-ND	Dreif. Puffer/Treiber mit Open-Drain-Ausgängen	Triple Buffer/Driver with OD Outputs	8-DSBGA		594.31/3,000	
SN74LVC3G14DCTR	296-13284-1-ND	Dreif. Schmitt-Trigger-Inverter	Triple Schmitt-Trigger Inverter	8-SSOP	.51	.39	.29
SN74LVC3G14DCTR	296-13284-2-ND	Dreif. Schmitt-Trigger-Inverter	Triple Schmitt-Trigger Inverter	8-SSOP		495.26/3,000	
SN74LVC3G14DCUR	296-13006-1-ND	Dreif. Schmitt-Trigger-Inverter	Triple Schmitt-Trigger Inverter	8-VSSOP	.51	.39	.29
SN74LVC3G14DCUR	296-13006-2-ND	Dreif. Schmitt-Trigger-Inverter	Triple Schmitt-Trigger Inverter	8-VSSOP		495.26/3,000	
SN74LVC3G14YEAR	296-14045-1-ND	Dreif. Schmitt-Trigger-Inverter	Triple Schmitt-Trigger Inverter	8-DSBGA	.61	.46	.35
SN74LVC3G14YEAR	296-14045-2-ND	Dreif. Schmitt-Trigger-Inverter	Triple Schmitt-Trigger Inverter	8-DSBGA		594.31/3,000	
SN74LVC3G17DCTR	296-16915-1-ND	Dreif. Schmitt-Trigger-Puffer	Triple Schmitt-Trigger Buffer	8-SSOP	.51	.39	.29
SN74LVC3G17DCTR	296-16915-2-ND	Dreif. Schmitt-Trigger-Puffer	Triple Schmitt-Trigger Buffer	8-SSOP		495.26/3,000	
SN74LVC3G34DCTR	296-13285-1-ND	Dreif. Puffer-Gate	Triple Buffer Gate	8-SSOP	.51	.39	.29
SN74LVC3G34DCTR	296-13285-2-ND	Dreif. Puffer-Gate	Triple Buffer Gate	8-SSOP		495.26/3,000	
SN74LVC3G34DCUR	296-13286-1-ND	Dreif. Puffer-Gate	Triple Buffer Gate	8-VSSOP	.51	.39	.29
SN74LVC3G34DCUR	296-13286-2-ND	Dreif. Puffer-Gate	Triple Buffer Gate	8-VSSOP		495.26/3,000	
SN74LVC3G34YEAR	296-14046-1-ND	Dreif. Puffer-Gate	Triple Buffer Gate	8-DSBGA	.61	.46	.35
SN74LVC3G34YEAR	296-14046-2-ND	Dreif. Puffer-Gate	Triple Buffer Gate	8-DSBGA		594.31/3,000	
SN74LVC3G34YZPR	296-15111-1-ND	Dreif. Puffer-Gate	Triple Buffer Gate	8-DSBGA	.61	.46	.35
SN74LVC3G34YZPR	296-15111-2-ND	Dreif. Puffer-Gate	Triple Buffer Gate	8-DSBGA		594.31/3,000	
SN74LVC3GU04YEPR	296-16823-1-ND	Dreif. Inverter-Gate	Triple Inverter Gate	8-DSBGA	.61	.46	.35
SN74LVC3GU04YEPR	296-16823-2-ND	Dreif. Inverter-Gate	Triple Inverter Gate	8-DSBGA		594.31/3,000	
SN74LVC3GU04YZPR	296-16824-1-ND	Dreif. Inverter-Gate	Triple Inverter Gate	8-DSBGA	.61	.46	.35
SN74LVC3GU04YZPR	296-16824-2-ND	Dreif. Inverter-Gate	Triple Inverter Gate	8-DSBGA		594.31/3,000	
SN74LVC00AD	296-1694-5-ND	Vierf. NAND-Gate mit 2 Eingängen	Quad 2-Input NAND Gate	14-SOIC	.41	.34	.23
SN74LVC00ADR	296-1694-1-ND	Vierf. NAND-Gate mit 2 Eingängen	Quad 2-Input NAND Gate	14-SOIC	.41	.34	.23
SN74LVC00ADR	296-1694-2-ND	Vierf. NAND-Gate mit 2 Eingängen	Quad 2-Input NAND Gate	14-SOIC		270.91/2,500	
SN74LVC00ADBR	296-8430-1-ND	Vierf. NAND-Gate mit 2 Eingängen	Quad 2-Input NAND Gate	14-SSOP	.41	.34	.23
SN74LVC00ADBR	296-8430-2-ND	Vierf. NAND-Gate mit 2 Eingängen	Quad 2-Input NAND Gate	14-SSOP		228.58/2,000	
SN74LVC00APWR	296-1216-1-ND	Vierf. NAND-Gate mit 2 Eingängen	Quad 2-Input NAND Gate	14-TSSOP	.41	.34	.23
SN74LVC00APWR	296-1216-2-ND	Vierf. NAND-Gate mit 2 Eingängen	Quad 2-Input NAND Gate	14-TSSOP		228.58/2,000	
SN74LVC00ARGYR	296-13954-1-ND	Vierf. NAND-Gate mit 2 Eingängen	Quad 2-Input NAND Gate	14-QFN	.44	.33	.25
SN74LVC00ARGYR	296-13954-2-ND	Vierf. NAND-Gate mit 2 Eingängen	Quad 2-Input NAND Gate	14-QFN		145.62/1,000	
SN74LVC02AD	296-8433-5-ND	Vierf. NOR-Gate mit 2 Eingängen	Quad 2-Input NOR Gate	14-SOIC	.41	.34	.23
SN74LVC02ADR	296-8433-1-ND	Vierf. NOR-Gate mit 2 Eingängen	Quad 2-Input NOR Gate	14-SOIC	.41	.34	.23
SN74LVC02ADR	296-8433-2-ND	Vierf. NOR-Gate mit 2 Eingängen	Quad 2-Input NOR Gate	14-SOIC		270.91/2,500	
SN74LVC02ADBR	296-8432-1-ND	Vierf. NOR-Gate mit 2 Eingängen	Quad 2-Input NOR Gate	14-SSOP	.43	.35	.24
SN74LVC02ADBR	296-8432-2-ND	Vierf. NOR-Gate mit 2 Eingängen	Quad 2-Input NOR Gate	14-SSOP		237.05/2,000	
SN74LVC02APWR	296-8434-1-ND	Vierf. NOR-Gate mit 2 Eingängen	Quad 2-Input NOR Gate	14-TSSOP	.34	.28	.21
SN74LVC02APWR	296-8434-2-ND	Vierf. NOR-Gate mit 2 Eingängen	Quad 2-Input NOR Gate	14-TSSOP		189.64/2,000	
SN74LVC02ARGYR	296-13955-1-ND	Vierf. NOR-Gate mit 2 Eingängen	Quad 2-Input NOR Gate	14-QFN	.51	.39	.29
SN74LVC02ARGYR	296-13955-2-ND	Vierf. NOR-Gate mit 2 Eingängen	Quad 2-Input NOR Gate	14-QFN		169.32/1,000	
SN74LVC04AD	296-1218-5-ND	Sechsf. Inverter	Hex Inverter	14-SOIC	.41	.34	.23
SN74LVC04ADR	296-1218-1-ND	Sechsf. Inverter	Hex Inverter	14-SOIC	.41	.34	.23
SN74LVC04ADR	296-1218-2-ND	Sechsf. Inverter	Hex Inverter	14-SOIC		270.91/2,500	
SN74LVC04ADBR	296-1217-1-ND	Sechsf. Inverter	Hex Inverter	14-SSOP	.41	.34	.23
SN74LVC04ADBR	296-1217-2-ND	Sechsf. Inverter	Hex Inverter	14-SSOP		228.58/2,000	
SN74LVC04ADGVR	296-8435-1-ND	Sechsf. Inverter	Hex Inverter	14-TVSOP	.47	.38	.28
SN74LVC04ADGVR	296-8435-2-ND	Sechsf. Inverter	Hex Inverter	14-TVSOP		260.75/2,000	
SN74LVC04APWR	296-1219-1-ND	Sechsf. Inverter	Hex Inverter	14-TSSOP	.41	.34	.23
SN74LVC04APWR	296-1219-2-ND	Sechsf. Inverter	Hex Inverter	14-TSSOP		228.58/2,000	
SN74LVC04ARGYR	296-13956-1-ND	Sechsf. Inverter	Hex Inverter	14-QFN	.44	.33	.25
SN74LVC04ARGYR	296-13956-2-ND	Sechsf. Inverter	Hex Inverter	14-QFN		146.46/1,000	
SN74LVC06AD	296-1696-5-ND	Sechsf. Inverter-Puffer/Treiber mit Open-Drain	Hex Inverter Buffer/Driver with OD	14-SOIC	.41	.34	.23
SN74LVC06ADBR	296-14399-1-ND	Sechsf. Inverter-Puffer/Treiber mit Open-Drain	Hex Inverter Buffer/Driver with OD	14-SSOP	.34	.28	.21
SN74LVC06ADBR	296-14399-2-ND	Sechsf. Inverter-Puffer/Treiber mit Open-Drain	Hex Inverter Buffer/Driver with OD	14-SSOP		189.64/2,000	
SN74LVC06ADR	296-14905-1-ND	Sechsf. Inverter-Puffer/Treiber mit Open-Drain	Hex Inverter Buffer/Driver with OD	14-SOIC	.41	.34	.23
SN74LVC06ADR	296-14905-2-ND	Sechsf. Inverter-Puffer/Treiber mit Open-Drain	Hex Inverter Buffer/Driver with OD	14-SOIC		270.91/2,500	
SN74LVC06ADGVR	296-8436-1-ND	Sechsf. Inverter-Puffer/Treiber mit Open-Drain	Hex Inverter Buffer/Driver with OD	14-TVSOP	.51	.39	.29
SN74LVC06ADGVR	296-8436-2-ND	Sechsf. Inverter-Puffer/Treiber mit Open-Drain	Hex Inverter Buffer/Driver with OD	14-TVSOP		338.64/2,000	
SN74LVC06APWR	296-8437-1-ND	Sechsf. Inverter-Puffer/Treiber mit Open-Drain	Hex Inverter Buffer/Driver with OD	14-TSSOP	.41	.34	.23
SN74LVC06APWR	296-8437-2-ND	Sechsf. Inverter-Puffer/Treiber mit Open-Drain	Hex Inverter Buffer/Driver with OD	14-TSSOP		228.58/2,000	
SN74LVC06ARGYR	296-13957-1-ND	Sechsf. Inverter-Puffer/Treiber mit Open-Drain	Hex Inverter Buffer/Driver with OD	14-QFN	.51	.39	.29
SN74LVC06ARGYR	296-13957-2-ND	Sechsf. Inverter-Puffer/Treiber mit Open-Drain	Hex Inverter Buffer/Driver with OD	14-QFN		169.32/1,000	
SN74LVC07AD	296-8441-5-ND	Sechsf. Puffer/Treiber mit OD	Hex Buffer/Driver with OD	14-SOIC	.41	.34	.23
SN74LVC07ADR	296-8441-1-ND	Sechsf. Puffer/Treiber mit OD	Hex Buffer/Driver with OD	14-SOIC	.41	.34	.23
SN74LVC07ADR	296-8441-2-ND	Sechsf. Puffer/Treiber mit OD	Hex Buffer/Driver with OD	14-SOIC		270.91/2,500	
SN74LVC07ADBR	296-8439-1-ND	Sechsf. Puffer/Treiber mit OD	Hex Buffer/Driver with OD	14-SSOP	.43	.35	.24
SN74LVC07ADBR	296-8439-2-ND	Sechsf. Puffer/Treiber mit OD	Hex Buffer/Driver with OD	14-SSOP		237.05/2,000	
SN74LVC07ADGVR	296-8440-1-ND	Sechsf. Puffer/Treiber mit OD	Hex Buffer/Driver with OD	14-TVSOP	.47	.36	.27
SN74LVC07ADGVR	296-8440-2-ND	Sechsf. Puffer/Treiber mit OD	Hex Buffer/Driver with OD	14-TVSOP		314.94/2,000	
SN74LVC07APWR	296-8442-1-ND	Sechsf. Puffer/Treiber mit OD	Hex Buffer/Driver with OD	14-TSSOP	.41	.34	.23
SN74LVC07APWR	296-8442-2-ND	Sechsf. Puffer/Treiber mit OD	Hex Buffer/Driver with OD	14-TSSOP		228.58/2,000	
SN74LVC07ARGYR	296-13958-1-ND	Sechsf. Puffer/Treiber mit OD	Hex Buffer/Driver with OD	14-QFN	.51	.39	.29
SN74LVC07ARGYR	296-13958-2-ND	Sechsf. Puffer/Treiber mit OD	Hex Buffer/Driver with OD	14-QFN		169.32/1,000	
SN74LVC08AD	296-1697-5-ND	Vierf. AND-Gate mit 2 Eingängen	Quad 2-Input AND Gate	14-SOIC	.41	.34	.23
SN74LVC08ADR	296-1697-1-ND	Vierf. AND-Gate mit 2 Eingängen	Quad 2-Input AND Gate	14-SOIC	.41	.34	.23
SN74LVC08ADR	296-1697-2-ND	Vierf. AND-Gate mit 2 Eingängen	Quad 2-Input AND Gate	14-SOIC		270.91/2,500	
SN74LVC08ADBR	296-1220-1-ND	Vierf. AND-Gate mit 2 Eingängen	Quad 2-Input AND Gate	14-SSOP	.41	.34	.23
SN74LVC08ADBR	296-1220-2-ND	Vierf. AND-Gate mit 2 Eingängen	Quad 2-Input AND Gate	14-SSOP		228.58/2,000	
SN74LVC08APWR	296-1221-1-ND	Vierf. AND-Gate mit 2 Eingängen	Quad 2-Input AND Gate	14-TSSOP	.41	.34	.23
SN74LVC08APWR	296-1221-2-ND	Vierf. AND-Gate mit 2 Eingängen	Quad 2-Input AND Gate	14-TSSOP		228.58/2,000	
SN74LVC08ARGYR	296-13959-1-ND	Vierf. AND-Gate mit 2 Eingängen	Quad 2-Input AND Gate	14-QFN	.42	.32	.24
SN74LVC08ARGYR	296-13959-2-ND	Vierf. AND-Gate mit 2 Eingängen	Quad 2-Input AND Gate	14-QFN		140.54/1,000	
SN74LVC10AD	296-8443-5-ND	Dreif. NAND-Gate mit 3 Eingängen	Triple 3-Input NAND Gate	14-SOP	.38	.31	.23
SN74LVC10ADBR	296-8444-1-ND	Dreif. NAND-Gate mit 3 Eingängen	Triple 3-Input NAND Gate	14-SSOP	.38	.31	.23
SN74LVC10ADBR	296-8444-2-ND	Dreif. NAND-Gate mit 3 Eingängen	Triple 3-Input NAND Gate	14-SSOP		213.34/2,000	
SN74LVC10APWR	296-8445-1-ND	Dreif. NAND-Gate mit 3 Eingängen	Triple 3-Input NAND Gate	14-TSSOP	.38	.31	.23

(Forts.)

★ *RUFEN SIE BITTE AN FÜR NIEDRIGERE PREISE BEI GRÖSSEREN MENGEN!* ★

B

T. I. Teilenr.	Digi-Key Teilenr.	Beschreibung		Paket	Stückpreis★ 1	25	100
SN74LVC10APWR	296-8445-2-ND	Dreif. NAND-Gate mit 3 Eingängen	Triple 3-Input NAND Gate	14-TSSOP		213.34/2,000	
SN74LVC10ARGYR	296-13960-1-ND	Dreif. NAND-Gate mit 3 Eingängen	Triple 3-Input NAND Gate	14-QFN	.56	.42	.32
SN74LVC10ARGYR	296-13960-2-ND	Dreif. NAND-Gate mit 3 Eingängen	Triple 3-Input NAND Gate	14-QFN		185.41/1,000	
SN74LVC14AD	296-1699-5-ND	Sechsf. Schmitt-Trigger-Inverter	Hex Schmitt-Trigger Inverter	14-SOIC	.41	.34	.23
SN74LVC14ADR	296-1699-1-ND	Sechsf. Schmitt-Trigger-Inverter	Hex Schmitt-Trigger Inverter	14-SOIC	.41	.34	.23
SN74LVC14ADR	296-1699-2-ND	Sechsf. Schmitt-Trigger-Inverter	Hex Schmitt-Trigger Inverter	14-SOIC		270.91/2,500	
SN74LVC14ADBR	296-8463-1-ND	Sechsf. Schmitt-Trigger-Inverter	Hex Schmitt-Trigger Inverter	14-SSOP	.41	.34	.23
SN74LVC14ADBR	296-8463-2-ND	Sechsf. Schmitt-Trigger-Inverter	Hex Schmitt-Trigger Inverter	14-SSOP		228.58/2,000	
SN74LVC14ADGVR	296-8464-1-ND	Sechsf. Schmitt-Trigger-Inverter	Hex Schmitt-Trigger Inverter	14-TVSOP	.47	.38	.28
SN74LVC14ADGVR	296-8464-2-ND	Sechsf. Schmitt-Trigger-Inverter	Hex Schmitt-Trigger Inverter	14-TVSOP		260.75/2,000	
SN74LVC14APWR	296-1224-1-ND	Sechsf. Schmitt-Trigger-Inverter	Hex Schmitt-Trigger Inverter	14-TSSOP	.41	.34	.23
SN74LVC14APWR	296-1224-2-ND	Sechsf. Schmitt-Trigger-Inverter	Hex Schmitt-Trigger Inverter	14-TSSOP		228.58/2,000	
SN74LVC14ARGYR	296-13965-1-ND	Sechsf. Schmitt-Trigger-Inverter	Hex Schmitt-Trigger Inverter	14-QFN	.44	.33	.25
SN74LVC14ARGYR	296-13965-2-ND	Sechsf. Schmitt-Trigger-Inverter	Hex Schmitt-Trigger Inverter	14-QFN		146.46/1,000	
SN74LVC32AD	296-1235-5-ND	Vierf. OR-Gate mit 2 Eingängen	Quad 2-Input OR Gate	14-SOIC	.41	.34	.23
SN74LVC32ADR	296-1235-1-ND	Vierf. OR-Gate mit 2 Eingängen	Quad 2-Input OR Gate	14-SOIC	.41	.34	.23
SN74LVC32ADR	296-1235-2-ND	Vierf. OR-Gate mit 2 Eingängen	Quad 2-Input OR Gate	14-SOIC		270.91/2,500	
SN74LVC32ADBR	296-1234-1-ND	Vierf. OR-Gate mit 2 Eingängen	Quad 2-Input OR Gate	14-SSOP	.41	.34	.23
SN74LVC32ADBR	296-1234-2-ND	Vierf. OR-Gate mit 2 Eingängen	Quad 2-Input OR Gate	14-SSOP		228.58/2,000	
SN74LVC32APWR	296-1236-1-ND	Vierf. OR-Gate mit 2 Eingängen	Quad 2-Input OR Gate	14-TSSOP	.41	.34	.23
SN74LVC32APWR	296-1236-2-ND	Vierf. OR-Gate mit 2 Eingängen	Quad 2-Input OR Gate	14-TSSOP		228.58/2,000	
SN74LVC32ARGYR	296-13819-1-ND	Vierf. Pos. OR-Gate, 2 Eingänge	Quad 2-Input Pos. OR Gate	14-QFN	.42	.32	.24
SN74LVC32ARGYR	296-13819-2-ND	Vierf. Pos. OR-Gate, 2 Eingänge	Quad 2-Input Pos. OR Gate	14-QFN		140.54/1,000	
SN74LVC74AD	296-1240-5-ND	Zweif. D-Flip-Flop, Tri-State	Tri-State Dual D-Type Flip-Flop	14-SOIC	.41	.34	.23
SN74LVC74ADR	296-1240-1-ND	Zweif. D-Flip-Flop, Tri-State	Tri-State Dual D-Type Flip-Flop	14-SOIC	.41	.34	.23
SN74LVC74ADR	296-1240-2-ND	Zweif. D-Flip-Flop, Tri-State	Tri-State Dual D-Type Flip-Flop	14-SOIC		270.91/2,500	
SN74LVC74ADBR	296-1239-1-ND	Zweif. D-Flip-Flop, Tri-State	Tri-State Dual D-Type Flip-Flop	14-SSOP	.41	.34	.23
SN74LVC74ADBR	296-1239-2-ND	Zweif. D-Flip-Flop, Tri-State	Tri-State Dual D-Type Flip-Flop	14-SSOP		228.58/2,000	
SN74LVC74APWR	296-1241-1-ND	Zweif. D-Flip-Flop, Tri-State	Tri-State Dual D-Type Flip-Flop	14-TSSOP	.41	.34	.23
SN74LVC74APWR	296-1241-2-ND	Zweif. D-Flip-Flop, Tri-State	Tri-State Dual D-Type Flip-Flop	14-TSSOP		228.58/2,000	
SN74LVC74AQPWRQ1	296-17492-1-ND	Zweif. D-Flip-Flop, Tri-State	Tri-State Dual D-Type Flip-Flop	14-TSSOP	.35	.28	.21
SN74LVC74AQPWRQ1	296-17492-2-ND	Zweif. D-Flip-Flop, Tri-State	Tri-State Dual D-Type Flip-Flop	14-TSSOP		194.72/2,000	
SN74LVC74ARGYR	296-13977-1-ND	Zweif. D-Flip-Flop, Tri-State	Tri-State Dual D-Type Flip-Flop	14-QFN	.51	.39	.29
SN74LVC74ARGYR	296-13977-2-ND	Zweif. D-Flip-Flop, Tri-State	Tri-State Dual D-Type Flip-Flop	14-QFN		169.32/1,000	
SN74LVC86AD	296-8561-5-ND	Vierf. Exclusive-OR-Gate mit 2 Eingängen	Quad 2-Input Exclusive-OR Gate	14-SOIC	.41	.34	.23
SN74LVC86ADBR	296-8562-1-ND	Vierf. Exclusive-OR-Gate mit 2 Eingängen	Quad 2-Input Exclusive-OR Gate	14-SSOP	.41	.34	.23
SN74LVC86ADBR	296-8562-2-ND	Vierf. Exclusive-OR-Gate mit 2 Eingängen	Quad 2-Input Exclusive-OR Gate	14-SSOP		228.58/2,000	
SN74LVC86ADR	296-14915-1-ND	Vierf. Exclusive-OR-Gate mit 2 Eingängen	Quad 2-Input Exclusive-OR Gate	14-SOIC	.41	.34	.23
SN74LVC86ADR	296-14915-2-ND	Vierf. Exclusive-OR-Gate mit 2 Eingängen	Quad 2-Input Exclusive-OR Gate	14-SOIC		270.91/2,500	
SN74LVC86APWR	296-1242-1-ND	Vierf. Exclusive-OR-Gate mit 2 Eingängen	Quad 2-Input Exclusive-OR Gate	14-TSSOP	.41	.34	.23
SN74LVC86APWR	296-1242-2-ND	Vierf. Exclusive-OR-Gate mit 2 Eingängen	Quad 2-Input Exclusive-OR Gate	14-TSSOP		228.58/2,000	
SN74LVC86ARGYR	296-13978-1-ND	Vierf. Exclusive-OR-Gate mit 2 Eingängen	Quad 2-Input Exclusive-OR Gate	14-QFN	.47	.36	.27
SN74LVC86ARGYR	296-13978-2-ND	Vierf. Exclusive-OR-Gate mit 2 Eingängen	Quad 2-Input Exclusive-OR Gate	14-QFN		157.47/1,000	
SN74LVC112AD	296-8449-5-ND	Zweif. JK-Flip-Flop mit Löschen/Voreinstellen sowie neg. Flankensteuerung	Dual Neg-Edge-Trig JK Flip-Flop with Clear/Preset	16-SOIC	.61	.46	.35
SN74LVC112ADR	296-8449-1-ND	Zweif. JK-Flip-Flop mit Löschen/Voreinstellen sowie neg. Flankensteuerung	Dual Neg-Edge-Trig JK Flip-Flop with Clear/Preset	16-SOIC	.61	.46	.35
SN74LVC112ADR	296-8449-2-ND	Zweif. JK-Flip-Flop mit Löschen/Voreinstellen sowie neg. Flankensteuerung	Dual Neg-Edge-Trig JK Flip-Flop with Clear/Preset	16-SOIC		495.26/2,500	
SN74LVC112ADBR	296-8447-1-ND	Zweif. JK-Flip-Flop mit Löschen/Voreinstellen sowie neg. Flankensteuerung	Dual Neg-Edge-Trig JK Flip-Flop with Clear/Preset	16-SSOP	.61	.46	.35
SN74LVC112ADBR	296-8447-2-ND	Zweif. JK-Flip-Flop mit Löschen/Voreinstellen sowie neg. Flankensteuerung	Dual Neg-Edge-Trig JK Flip-Flop with Clear/Preset	16-SSOP		404.67/2,000	
SN74LVC112ADGVR	296-8448-1-ND	Zweif. JK-Flip-Flop mit Löschen/Voreinstellen sowie neg. Flankensteuerung	Dual Neg-Edge-Trig JK Flip-Flop with Clear/Preset	16-TVSOP	.61	.46	.35
SN74LVC112ADGVR	296-8448-2-ND	Zweif. JK-Flip-Flop mit Löschen/Voreinstellen sowie neg. Flankensteuerung	Dual Neg-Edge-Trig JK Flip-Flop with Clear/Preset	16-TVSOP		404.67/2,000	
SN74LVC112APWR	296-8450-1-ND	Zweif. JK-Flip-Flop mit Löschen/Voreinstellen sowie neg. Flankensteuerung	Dual Neg-Edge-Trig JK Flip-Flop with Clear/Preset	16-TSSOP	.61	.46	.35
SN74LVC112APWR	296-8450-2-ND	Zweif. JK-Flip-Flop mit Löschen/Voreinstellen sowie neg. Flankensteuerung	Dual Neg-Edge-Trig JK Flip-Flop with Clear/Preset	16-TSSOP		404.67/2,000	
SN74LVC125AD	296-8453-5-ND	Vierf. Bus-Puffer-Gate, Tri-State	Tri-State Quad Bus Buffer Gate	14-SOIC	.38	.31	.23
SN74LVC125ADR	296-8453-1-ND	Vierf. Bus-Puffer-Gate, Tri-State	Tri-State Quad Bus Buffer Gate	14-SOIC	.38	.31	.23
SN74LVC125ADR	296-8453-2-ND	Vierf. Bus-Puffer-Gate, Tri-State	Tri-State Quad Bus Buffer Gate	14-SOIC		258.21/2,500	
SN74LVC125ADBR	296-8452-1-ND	Vierf. Bus-Puffer-Gate, Tri-State	Tri-State Quad Bus Buffer Gate	14-SSOP	.36	.29	.22
SN74LVC125ADBR	296-8452-2-ND	Vierf. Bus-Puffer-Gate, Tri-State	Tri-State Quad Bus Buffer Gate	14-SSOP		201.49/2,000	
SN74LVC125ANSR	296-13234-1-ND	Vierf. Bus-Puffer-Gate, Tri-State	Tri-State Quad Bus Buffer Gate	14-SOP	.36	.29	.22
SN74LVC125ANSR	296-13234-2-ND	Vierf. Bus-Puffer-Gate, Tri-State	Tri-State Quad Bus Buffer Gate	14-SOP		201.49/2,000	
SN74LVC125APWR	296-1222-1-ND	Vierf. Bus-Puffer-Gate, Tri-State	Tri-State Quad Bus Buffer Gate	14-TSSOP	.38	.31	.23
SN74LVC125APWR	296-1222-2-ND	Vierf. Bus-Puffer-Gate, Tri-State	Tri-State Quad Bus Buffer Gate	14-TSSOP		213.34/2,000	
SN74LVC125ARGYR	296-13961-1-ND	Vierf. Bus-Puffer-Gate, Tri-State	Tri-State Quad Bus Buffer Gate	14-QFN	.56	.42	.32
SN74LVC125ARGYR	296-13961-2-ND	Vierf. Bus-Puffer-Gate, Tri-State	Tri-State Quad Bus Buffer Gate	14-QFN		185.41/1,000	
SN74LVC126AD	296-8457-5-ND	Vierf. Bus-Puffer-Gate, Tri-State	Tri-State Quad Bus Buffer Gate	14-SOIC	.36	.29	.22
SN74LVC126ADR	296-8457-1-ND	Vierf. Bus-Puffer-Gate, Tri-State	Tri-State Quad Bus Buffer Gate	14-SOIC	.36	.29	.22
SN74LVC126ADR	296-8457-2-ND	Vierf. Bus-Puffer-Gate, Tri-State	Tri-State Quad Bus Buffer Gate	14-SOIC		243.40/2,500	
SN74LVC126ADBR	296-8455-1-ND	Vierf. Bus-Puffer-Gate, Tri-State	Tri-State Quad Bus Buffer Gate	14-SSOP	.36	.29	.22
SN74LVC126ADBR	296-8455-2-ND	Vierf. Bus-Puffer-Gate, Tri-State	Tri-State Quad Bus Buffer Gate	14-SSOP		201.49/2,000	
SN74LVC126ADGVR	296-8456-1-ND	Vierf. Bus-Puffer-Gate, Tri-State	Tri-State Quad Bus Buffer Gate	14-TVSOP	.44	.33	.25
SN74LVC126ADGVR	296-8456-2-ND	Vierf. Bus-Puffer-Gate, Tri-State	Tri-State Quad Bus Buffer Gate	14-TVSOP		292.92/2,000	
SN74LVC126ANSR	296-13701-1-ND	Vierf. Bus-Puffer-Gate, Tri-State	Tri-State Quad Bus Buffer Gate	14-SOP	.36	.29	.22
SN74LVC126ANSR	296-13701-2-ND	Vierf. Bus-Puffer-Gate, Tri-State	Tri-State Quad Bus Buffer Gate	14-SOP		201.49/2,000	
SN74LVC126APWR	296-8458-1-ND	Vierf. Bus-Puffer-Gate, Tri-State	Tri-State Quad Bus Buffer Gate	14-TSSOP	.47	.38	.28
SN74LVC126APWR	296-8458-2-ND	Vierf. Bus-Puffer-Gate, Tri-State	Tri-State Quad Bus Buffer Gate	14-TSSOP		260.75/2,000	
SN74LVC126ARGYR	296-13962-1-ND	Vierf. Bus-Puffer-Gate, Tri-State	Tri-State Quad Bus Buffer Gate	14-QFN	.56	.42	.32
SN74LVC126ARGYR	296-13962-2-ND	Vierf. Bus-Puffer-Gate, Tri-State	Tri-State Quad Bus Buffer Gate	14-QFN		185.41/1,000	
SN74LVC138AD	296-8459-5-ND	3-8 Leitungs-Dekodierer/Demultiplexer	3-8 Line Decoder/Demux	16-SOIC	.38	.31	.23
SN74LVC138ADBR	296-8460-1-ND	3-8 Leitungs-Dekodierer/Demultiplexer	3-8 Line Decoder/Demux	16-SSOP	.38	.31	.23
SN74LVC138ADBR	296-8460-2-ND	3-8 Leitungs-Dekodierer/Demultiplexer	3-8 Line Decoder/Demux	16-SSOP		213.34/2,000	
SN74LVC138ADGVR	296-13235-1-ND	3-8 Leitungs-Dekodierer/Demultiplexer	3-8 Line Decoder/Demux	16-TVSOP	.56	.42	.32
SN74LVC138ADGVR	296-13235-2-ND	3-8 Leitungs-Dekodierer/Demultiplexer	3-8 Line Decoder/Demux	16-TVSOP		370.81/2,000	
SN74LVC138ADR	296-14906-1-ND	3-8 Leitungs-Dekodierer/Demultiplexer	3-8 Line Decoder/Demux	16-SOIC	.38	.31	.23
SN74LVC138ADR	296-14906-2-ND	3-8 Leitungs-Dekodierer/Demultiplexer	3-8 Line Decoder/Demux	16-SOIC		258.21/2,500	
SN74LVC138AGQNR	296-12096-1-ND	3-8 Leitungs-Dekodierer/Demultiplexer	3-8 Line Decoder/Demux	20-BGA	.56	.42	.32
SN74LVC138AGQNR	296-12096-2-ND	3-8 Leitungs-Dekodierer/Demultiplexer	3-8 Line Decoder/Demux	20-BGA		185.41/1,000	
SN74LVC138APWR	296-1223-1-ND	3-8 Leitungs-Dekodierer/Demultiplexer	3-8 Line Decoder/Demux	16-TSSOP	.38	.31	.23
SN74LVC138APWR	296-1223-2-ND	3-8 Leitungs-Dekodierer/Demultiplexer	3-8 Line Decoder/Demux	16-TSSOP		213.34/2,000	
SN74LVC138ARGYR	296-13963-1-ND	3-8 Leitungs-Dekodierer/Demultiplexer	3-8 Line Decoder/Demux	16-QFN	.56	.42	.32
SN74LVC138ARGYR	296-13963-2-ND	3-8 Leitungs-Dekodierer/Demultiplexer	3-8 Line Decoder/Demux	16-QFN		185.41/1,000	
SN74LVC139AD	296-1698-5-ND	Zweif. 2-4 Leitungs-Dekodierer/Demux	Dual 2-4 Line Decoder/Demux	16-SOIC	.41	.31	.23
SN74LVC139ADBR	296-8461-1-ND	Zweif. 2-4 Leitungs-Dekodierer/Demux	Dual 2-4 Line Decoder/Demux	16-SSOP	.51	.39	.29
SN74LVC139ADBR	296-8461-2-ND	Zweif. 2-4 Leitungs-Dekodierer/Demux	Dual 2-4 Line Decoder/Demux	16-SSOP		338.64/2,000	
SN74LVC139AGQNR	296-13236-1-ND	Zweif. 2-4 Leitungs-Dekodierer/Demux	Dual 2-4 Line Decoder/Demux	16-VFBGA	.56	.42	.32
SN74LVC139AGQNR	296-13236-2-ND	Zweif. 2-4 Leitungs-Dekodierer/Demux	Dual 2-4 Line Decoder/Demux	16-VFBGA		185.41/1,000	
SN74LVC139APWR	296-8462-1-ND	Zweif. 2-4 Leitungs-Dekodierer/Demux	Dual 2-4 Line Decoder/Demux	16-TSSOP	.38	.31	.23
SN74LVC139APWR	296-8462-2-ND	Zweif. 2-4 Leitungs-Dekodierer/Demux	Dual 2-4 Line Decoder/Demux	16-TSSOP		213.34/2,000	
SN74LVC139ARGYR	296-13964-1-ND	Zweif. 2-4 Leitungs-Dekodierer/Demux	Dual 2-4 Line Decoder/Demux	16-QFN	.61	.46	.35
SN74LVC139ARGYR	296-13964-2-ND	Zweif. 2-4 Leitungs-Dekodierer/Demux	Dual 2-4 Line Decoder/Demux	16-QFN		202.34/1,000	
SN74LVC157AD	296-1700-5-ND	Vierf. 2-1 Datenselektor/Mux	Quad 2-1 Data Selector/Mux	16-SOIC	.47	.38	.28
SN74LVC157ADBR	296-8465-1-ND	Vierf. 2-1 Datenselektor/Mux	Quad 2-1 Data Selector/Mux	16-SSOP	.47	.38	.28

(Forts.)

★ *RUFEN SIE BITTE AN FÜR NIEDRIGERE PREISE BEI GRÖSSEREN MENGEN!* ★

T. I. Teilenr.	Digi-Key Teilenr.	Beschreibung		Paket	Stückpreis★ 1	25	100
SN74LVC157ADBR	296-8465-2-ND	Vierf. 2-1 Datenselektor/Mux	Quad 2-1 Data Selector/Mux	16-SSOP		260.75/2,000	
SN74LVC157ADR	296-14907-1-ND	Vierf. 2-1 Datenselektor/Mux	Quad 2-1 Data Selector/Mux	16-SOIC	.47	.38	.28
SN74LVC157ADR	296-14907-2-ND	Vierf. 2-1 Datenselektor/Mux	Quad 2-1 Data Selector/Mux	16-SOIC		315.36/2,500	
SN74LVC157APWR	296-1225-1-ND	Vierf. 2-1 Datenselektor/Mux	Quad 2-1 Data Selector/Mux	16-TSSOP	.47	.38	.28
SN74LVC157APWR	296-1225-2-ND	Vierf. 2-1 Datenselektor/Mux	Quad 2-1 Data Selector/Mux	16-TSSOP		260.75/2,000	
SN74LVC157AQPWRQ1	296-17743-1-ND	Vierf. 2-1 Datenselektor/Mux	Quad 2-1 Data Selector/Mux	16-TSSOP	.55	.44	.33
SN74LVC157AQPWRQ1	296-17743-2-ND	Vierf. 2-1 Datenselektor/Mux	Quad 2-1 Data Selector/Mux	16-TSSOP		306.47/2,000	
SN74LVC157ARGYR	296-13966-1-ND	Vierf. 2-1 Datenselektor/Mux	Quad 2-1 Data Selector/Mux	16-QFN	.56	.42	.32
SN74LVC157ARGYR	296-13966-2-ND	Vierf. 2-1 Datenselektor/Mux	Quad 2-1 Data Selector/Mux	16-QFN		185.41/1,000	
SN74LVC240ADBR	296-8494-1-ND	Achtf. Puffer/Treiber, Tri-State	Tri-State Octal Buffer/Driver	20-SSOP	.54	.41	.31
SN74LVC240ADBR	296-8494-2-ND	Achtf. Puffer/Treiber, Tri-State	Tri-State Octal Buffer/Driver	20-SSOP		360.65/2,000	
SN74LVC240ADGVR	296-8495-1-ND	Achtf. Puffer/Treiber, Tri-State	Tri-State Octal Buffer/Driver	20-TVSOP	.75	.56	.42
SN74LVC240ADGVR	296-8495-2-ND	Achtf. Puffer/Treiber, Tri-State	Tri-State Octal Buffer/Driver	20-TVSOP		496.11/2,000	
SN74LVC240ADW	296-8496-5-ND	Achtf. Puffer/Treiber, Tri-State	Tri-State Octal Buffer/Driver	20-SOIC	.51	.39	.29
SN74LVC240ADWR	296-8496-1-ND	Achtf. Puffer/Treiber, Tri-State	Tri-State Octal Buffer/Driver	20-SOIC	.51	.39	.29
SN74LVC240ADWR	296-8496-2-ND	Achtf. Puffer/Treiber, Tri-State	Tri-State Octal Buffer/Driver	20-SOIC		338.64/2,000	
SN74LVC240ANSR	296-12902-1-ND	Achtf. Puffer/Treiber, Tri-State	Tri-State Octal Buffer/Driver	20-SOP	.54	.41	.31
SN74LVC240ANSR	296-12902-2-ND	Achtf. Puffer/Treiber, Tri-State	Tri-State Octal Buffer/Driver	20-SOP		360.65/2,000	
SN74LVC240APWR	296-8498-1-ND	Achtf. Puffer/Treiber, Tri-State	Tri-State Octal Buffer/Driver	20-TSSOP	.51	.39	.29
SN74LVC240APWR	296-8498-2-ND	Achtf. Puffer/Treiber, Tri-State	Tri-State Octal Buffer/Driver	20-TSSOP		338.64/2,000	
SN74LVC244ADBR	296-8499-1-ND	Achtf. Puffer/Treiber, Tri-State	Tri-State Octal Buffer/Driver	20-SSOP	.45	.36	.27
SN74LVC244ADBR	296-8499-2-ND	Achtf. Puffer/Treiber, Tri-State	Tri-State Octal Buffer/Driver	20-SSOP		248.90/2,000	
SN74LVC244ADGVR	296-8500-1-ND	Achtf. Puffer/Treiber, Tri-State	Tri-State Octal Buffer/Driver	20-TVSOP	.68	.51	.39
SN74LVC244ADGVR	296-8500-2-ND	Achtf. Puffer/Treiber, Tri-State	Tri-State Octal Buffer/Driver	20-TVSOP		450.39/2,000	
SN74LVC244ADWR	296-1229-1-ND	Achtf. Puffer/Treiber, Tri-State	Tri-State Octal Buffer/Driver	20-SOIC	.47	.38	.28
SN74LVC244ADWR	296-1229-2-ND	Achtf. Puffer/Treiber, Tri-State	Tri-State Octal Buffer/Driver	20-SOIC		260.75/2,000	
SN74LVC244AGQNR	296-12097-1-ND	Achtf. Puffer/Treiber, Tri-State	Tri-State Octal Buffer/Driver	20-BGA	.51	.39	.29
SN74LVC244AGQNR	296-12097-2-ND	Achtf. Puffer/Treiber, Tri-State	Tri-State Octal Buffer/Driver	20-BGA		169.32/1,000	
SN74LVC244AN	296-8501-5-ND	Achtf. Puffer/Treiber, Tri-State	Tri-State Octal Buffer/Driver	20-Dip	.51	.39	.29
SN74LVC244ANSR	296-17115-1-ND	Achtf. Puffer/Treiber, Tri-State	Tri-State Octal Buffer/Driver	20-SOP	.47	.38	.28
SN74LVC244ANSR	296-17115-2-ND	Achtf. Puffer/Treiber, Tri-State	Tri-State Octal Buffer/Driver	20-SOP		260.75/2,000	
SN74LVC244APWR	296-1230-1-ND	Achtf. Puffer/Treiber, Tri-State	Tri-State Octal Buffer/Driver	20-TSSOP	.47	.38	.28
SN74LVC244APWR	296-1230-2-ND	Achtf. Puffer/Treiber, Tri-State	Tri-State Octal Buffer/Driver	20-TSSOP		260.75/2,000	
SN74LVC244ARGYR	296-13967-1-ND	Achtf. Puffer/Treiber, Tri-State	Tri-State Octal Buffer/Driver	20-QFN	.58	.44	.33
SN74LVC244ARGYR	296-13967-2-ND	Achtf. Puffer/Treiber, Tri-State	Tri-State Octal Buffer/Driver	20-QFN		191.33/1,000	
SN74LVC245ADBR	296-1231-1-ND	Achtf. Bus-Transceiver, Tri-State	Tri-State Octal Bus Transceiver	20-SSOP	.47	.38	.28
SN74LVC245ADBR	296-1231-2-ND	Achtf. Bus-Transceiver, Tri-State	Tri-State Octal Bus Transceiver	20-SSOP		260.75/2,000	
SN74LVC245ADGVR	296-8502-1-ND	Achtf. Bus-Transceiver, Tri-State	Tri-State Octal Bus Transceiver	20-TVSOP	.68	.51	.39
SN74LVC245ADGVR	296-8502-2-ND	Achtf. Bus-Transceiver, Tri-State	Tri-State Octal Bus Transceiver	20-TVSOP		450.39/2,000	
SN74LVC245ADW	296-1232-5-ND	Achtf. Bus-Transceiver, Tri-State	Tri-State Octal Bus Transceiver	20-SOIC	.47	.38	.28
SN74LVC245ADWR	296-1232-1-ND	Achtf. Bus-Transceiver, Tri-State	Tri-State Octal Bus Transceiver	20-SOIC	.47	.38	.28
SN74LVC245ADWR	296-1232-2-ND	Achtf. Bus-Transceiver, Tri-State	Tri-State Octal Bus Transceiver	20-SOIC		260.75/2,000	
SN74LVC245AGQNR	296-12098-1-ND	Achtf. Bus-Transceiver, Tri-State	Tri-State Octal Bus Transceiver	20-BGA	.58	.44	.33
SN74LVC245AGQNR	296-12098-2-ND	Achtf. Bus-Transceiver, Tri-State	Tri-State Octal Bus Transceiver	20-BGA		191.33/1,000	
SN74LVC245AN	296-8503-5-ND	Achtf. Bus-Transceiver, Tri-State	Tri-State Octal Bus Transceiver	20-Dip	.51	.39	.29
SN74LVC245ANSR	296-13632-1-ND	Achtf. Bus-Transceiver, Tri-State	Tri-State Octal Bus Transceiver	20-SOP	.51	.39	.29
SN74LVC245ANSR	296-13632-2-ND	Achtf. Bus-Transceiver, Tri-State	Tri-State Octal Bus Transceiver	20-SOP		338.64/2,000	
SN74LVC245APWR	296-1233-1-ND	Achtf. Bus-Transceiver, Tri-State	Tri-State Octal Bus Transceiver	20-TSSOP	.51	.39	.29
SN74LVC245APWR	296-1233-2-ND	Achtf. Bus-Transceiver, Tri-State	Tri-State Octal Bus Transceiver	20-TSSOP		338.64/2,000	
SN74LVC245ARGYR	296-13968-1-ND	Achtf. Bus-Transceiver, Tri-State	Tri-State Octal Bus Transceiver	20-QFN	.58	.44	.33
SN74LVC245ARGYR	296-13968-2-ND	Achtf. Bus-Transceiver, Tri-State	Tri-State Octal Bus Transceiver	20-QFN		191.33/1,000	
SN74LVC257AD	296-8504-5-ND	Vierf. 2-1 Datenselektor/Mux, Tri-State	Tri-State Quad 2-1 Data Selector/Mux	16-SOIC	.47	.36	.27
SN74LVC257ADBR	296-12903-1-ND	Vierf. 2-1 Datenselektor/Mux, Tri-State	Tri-State Quad 2-1 Data Selector/Mux	16-SSOP	.47	.36	.27
SN74LVC257ADBR	296-12903-2-ND	Vierf. 2-1 Datenselektor/Mux, Tri-State	Tri-State Quad 2-1 Data Selector/Mux	16-SSOP		314.94/2,000	
SN74LVC257ADR	296-8504-1-ND	Vierf. 2-1 Datenselektor/Mux, Tri-State	Tri-State Quad 2-1 Data Selector/Mux	16-SOIC	.51	.39	.29
SN74LVC257ADR	296-8504-2-ND	Vierf. 2-1 Datenselektor/Mux, Tri-State	Tri-State Quad 2-1 Data Selector/Mux	16-SOIC		412.72/2,500	
SN74LVC257APWR	296-8506-1-ND	Vierf. 2-1 Datenselektor/Mux, Tri-State	Tri-State Quad 2-1 Data Selector/Mux	16-TSSOP	.47	.36	.27
SN74LVC257APWR	296-8506-2-ND	Vierf. 2-1 Datenselektor/Mux, Tri-State	Tri-State Quad 2-1 Data Selector/Mux	16-TSSOP		314.94/2,000	
SN74LVC257ARGYR	296-13969-1-ND	Vierf. 2-1 Datenselektor/Mux, Tri-State	Tri-State Quad 2-1 Data Selector/Mux	16-QFN	.58	.44	.33
SN74LVC257ARGYR	296-13969-2-ND	Vierf. 2-1 Datenselektor/Mux, Tri-State	Tri-State Quad 2-1 Data Selector/Mux	16-QFN		191.33/1,000	
SN74LVC373ADBR	296-1237-1-ND	Achtf. transparenter Tri-State D-Latch	Tri-State Octal Transp. D-Type Latch	20-SSOP	.41	.31	.23
SN74LVC373ADBR	296-1237-2-ND	Achtf. transparenter Tri-State D-Latch	Tri-State Octal Transp. D-Type Latch	20-SSOP		270.91/2,000	
SN74LVC373ADGVR	296-8510-1-ND	Achtf. transparenter Tri-State D-Latch	Tri-State Octal Transp. D-Type Latch	20-TVSOP	.75	.56	.42
SN74LVC373ADGVR	296-8510-2-ND	Achtf. transparenter Tri-State D-Latch	Tri-State Octal Transp. D-Type Latch	20-TVSOP		496.11/2,000	
SN74LVC373ADW	296-8511-5-ND	Achtf. transparenter Tri-State D-Latch	Tri-State Octal Transp. D-Type Latch	20-SOIC	.41	.31	.23
SN74LVC373ADWR	296-8511-1-ND	Achtf. transparenter Tri-State D-Latch	Tri-State Octal Transp. D-Type Latch	20-SOIC	.41	.31	.23
SN74LVC373ADWR	296-8511-2-ND	Achtf. transparenter Tri-State D-Latch	Tri-State Octal Transp. D-Type Latch	20-SOIC		270.91/2,000	
SN74LVC373AGQNR	296-12099-1-ND	Achtf. transparenter Tri-State D-Latch	Tri-State Octal Transp. D-Type Latch	20-BGA	.68	.51	.39
SN74LVC373AGQNR	296-12099-2-ND	Achtf. transparenter Tri-State D-Latch	Tri-State Octal Transp. D-Type Latch	20-BGA		225.20/1,000	
SN74LVC373AN	296-12905-5-ND	Achtf. transparenter Tri-State D-Latch	Tri-State Octal Transp. D-Type Latch	20-Dip	.58	.44	.33
SN74LVC373APWR	296-8512-1-ND	Achtf. transparenter Tri-State D-Latch	Tri-State Octal Transp. D-Type Latch	20-TSSOP	.41	.31	.23
SN74LVC373APWR	296-8512-2-ND	Achtf. transparenter Tri-State D-Latch	Tri-State Octal Transp. D-Type Latch	20-TSSOP		270.91/2,000	
SN74LVC373ARGYR	296-13973-1-ND	Achtf. transparenter Tri-State D-Latch	Tri-State Octal Transp. D-Type Latch	20-QFN	.68	.51	.39
SN74LVC373ARGYR	296-13973-2-ND	Achtf. transparenter Tri-State D-Latch	Tri-State Octal Transp. D-Type Latch	20-QFN		225.20/1,000	
SN74LVC374ADBR	296-8513-1-ND	Achtf. D-Flip-Flop, Tri-State	Tri-State Octal D-Type Flip-Flop	20-SSOP	.41	.31	.23
SN74LVC374ADBR	296-8513-2-ND	Achtf. D-Flip-Flop, Tri-State	Tri-State Octal D-Type Flip-Flop	20-SSOP		270.91/2,000	
SN74LVC374ADGVR	296-12906-1-ND	Achtf. D-Flip-Flop, Tri-State	Tri-State Octal D-Type Flip-Flop	20-TVSOP	.75	.56	.42
SN74LVC374ADGVR	296-12906-2-ND	Achtf. D-Flip-Flop, Tri-State	Tri-State Octal D-Type Flip-Flop	20-TVSOP		496.11/2,000	
SN74LVC374ADW	296-1701-5-ND	Achtf. D-Flip-Flop, Tri-State	Tri-State Octal D-Type Flip-Flop	20-SOIC	.41	.31	.23
SN74LVC374ADWR	296-1701-1-ND	Achtf. D-Flip-Flop, Tri-State	Tri-State Octal D-Type Flip-Flop	20-SOIC	.41	.31	.23
SN74LVC374ADWR	296-1701-2-ND	Achtf. D-Flip-Flop, Tri-State	Tri-State Octal D-Type Flip-Flop	20-SOIC		270.91/2,000	
SN74LVC374AN	296-12907-5-ND	Achtf. D-Flip-Flop, Tri-State	Tri-State Octal D-Type Flip-Flop	20-Dip	.58	.44	.33
SN74LVC374APWR	296-1238-1-ND	Achtf. D-Flip-Flop, Tri-State	Tri-State Octal D-Type Flip-Flop	20-TSSOP	.41	.31	.23
SN74LVC374APWR	296-1238-2-ND	Achtf. D-Flip-Flop, Tri-State	Tri-State Octal D-Type Flip-Flop	20-TSSOP		270.91/2,000	
SN74LVC374ARGYR	296-14910-1-ND	Achtf. D-Flip-Flop, Tri-State	Tri-State Octal D-Type Flip-Flop	20-QFN	.58	.44	.33
SN74LVC374ARGYR	296-14910-2-ND	Achtf. D-Flip-Flop, Tri-State	Tri-State Octal D-Type Flip-Flop	20-QFN		191.33/1,000	
SN74LVC540ADBR	296-8516-1-ND	Achtf. Puffer/Treiber, Tri-State	Tri-State Octal Buffer/Driver	20-SSOP	.47	.36	.27
SN74LVC540ADBR	296-8516-2-ND	Achtf. Puffer/Treiber, Tri-State	Tri-State Octal Buffer/Driver	20-SSOP		314.94/2,000	
SN74LVC540ADGVR	296-12908-1-ND	Achtf. Puffer/Treiber, Tri-State	Tri-State Octal Buffer/Driver	20-TVSOP	.63	.53	.43
SN74LVC540ADGVR	296-12908-2-ND	Achtf. Puffer/Treiber, Tri-State	Tri-State Octal Buffer/Driver	20-TVSOP		563.84/2,000	
SN74LVC540ADWR	296-8517-1-ND	Achtf. Puffer/Treiber, Tri-State	Tri-State Octal Buffer/Driver	20-SOIC	.47	.36	.27
SN74LVC540ADWR	296-8517-2-ND	Achtf. Puffer/Treiber, Tri-State	Tri-State Octal Buffer/Driver	20-SOIC		314.94/2,000	
SN74LVC540APWR	296-12909-1-ND	Achtf. Puffer/Treiber, Tri-State	Tri-State Octal Buffer/Driver	20-TSSOP	.54	.41	.31
SN74LVC540APWR	296-12909-2-ND	Achtf. Puffer/Treiber, Tri-State	Tri-State Octal Buffer/Driver	20-TSSOP		360.65/2,000	
SN74LVC541ADBR	296-8518-1-ND	Achtf. Puffer/Treiber, Tri-State	Tri-State Octal Buffer/Driver	20-SSOP	.42	.34	.26
SN74LVC541ADBR	296-8518-2-ND	Achtf. Puffer/Treiber, Tri-State	Tri-State Octal Buffer/Driver	20-SSOP		237.05/2,000	
SN74LVC541ADGVR	296-8519-1-ND	Achtf. Puffer/Treiber, Tri-State	Tri-State Octal Buffer/Driver	20-TVSOP	.68	.51	.39
SN74LVC541ADGVR	296-8519-2-ND	Achtf. Puffer/Treiber, Tri-State	Tri-State Octal Buffer/Driver	20-TVSOP		450.39/2,000	
SN74LVC541ADW	296-8520-5-ND	Achtf. Puffer/Treiber, Tri-State	Tri-State Octal Buffer/Driver	20-SOIC	.42	.34	.26
SN74LVC541ADWR	296-14912-1-ND	Achtf. Puffer/Treiber, Tri-State	Tri-State Octal Buffer/Driver	20-SOIC	.41	.31	.23

(Forts.)

★ ***RUFEN SIE BITTE AN FÜR NIEDRIGERE PREISE BEI GRÖSSEREN MENGEN!*** ★

B

T. I. Teilenr.	Digi-Key Teilenr.	Beschreibung		Paket	Stückpreis★ 1	25	100
SN74LVC541ADWR	296-14912-2-ND	Achtf. Puffer/Treiber, Tri-State	Tri-State Octal Buffer/Driver	20-SOIC		270.91/2,000	
SN74LVC541ANSR	296-15847-1-ND	Achtf. Puffer/Treiber, Tri-State	Tri-State Octal Buffer/Driver	20-SOP	.41	.31	.23
SN74LVC541ANSR	296-15847-2-ND	Achtf. Puffer/Treiber, Tri-State	Tri-State Octal Buffer/Driver	20-SOP		270.91/2,000	
SN74LVC541APWR	296-8521-1-ND	Achtf. Puffer/Treiber, Tri-State	Tri-State Octal Buffer/Driver	20-TSSOP	.41	.31	.23
SN74LVC541APWR	296-8521-2-ND	Achtf. Puffer/Treiber, Tri-State	Tri-State Octal Buffer/Driver	20-TSSOP		270.91/2,000	
SN74LVC541ARGYR	296-13974-1-ND	Achtf. Puffer/Treiber, Tri-State	Tri-State Octal Buffer/Driver	20-QFN	.75	.56	.42
SN74LVC541ARGYR	296-13974-2-ND	Achtf. Puffer/Treiber, Tri-State	Tri-State Octal Buffer/Driver	20-QFN		248.05/1,000	
SN74LVC543ADBR	296-8522-1-ND	Achtf. Transceiver mit Register, Tri-State	Tri-State Octal Registered Transceiver	24-SSOP	.89	.75	.60
SN74LVC543ADBR	296-8522-2-ND	Achtf. Transceiver mit Register, Tri-State	Tri-State Octal Registered Transceiver	24-SSOP		789.03/2,000	
SN74LVC543ADW	296-8523-5-ND	Achtf. Transceiver mit Register, Tri-State	Tri-State Octal Registered Transceiver	24-SOIC	.89	.75	.60
SN74LVC543APWR	296-8524-1-ND	Achtf. Transceiver mit Register, Tri-State	Tri-State Octal Registered Transceiver	24-TSSOP	.89	.75	.60
SN74LVC543APWR	296-8524-2-ND	Achtf. Transceiver mit Register, Tri-State	Tri-State Octal Registered Transceiver	24-TSSOP		789.03/2,000	
SN74LVC573ADBR	296-8525-1-ND	Achtf. transparenter Tri-State D-Latch	Tri-State Octal Transp. D-Type Latch	20-SSOP	.42	.34	.26
SN74LVC573ADBR	296-8525-2-ND	Achtf. transparenter Tri-State D-Latch	Tri-State Octal Transp. D-Type Latch	20-SSOP		237.05/2,000	
SN74LVC573ADGVR	296-8526-1-ND	Achtf. transparenter Tri-State D-Latch	Tri-State Octal Transp. D-Type Latch	20-TVSOP	.61	.46	.35
SN74LVC573ADGVR	296-8526-2-ND	Achtf. transparenter Tri-State D-Latch	Tri-State Octal Transp. D-Type Latch	20-TVSOP		404.67/2,000	
SN74LVC573ADW	296-8527-5-ND	Achtf. transparenter Tri-State D-Latch	Tri-State Octal Transp. D-Type Latch	20-SOIC	.42	.34	.26
SN74LVC573ADWR	296-14913-1-ND	Achtf. transparenter Tri-State D-Latch	Tri-State Octal Transp. D-Type Latch	20-SOIC	.41	.31	.23
SN74LVC573ADWR	296-14913-2-ND	Achtf. transparenter Tri-State D-Latch	Tri-State Octal Transp. D-Type Latch	20-SOIC		270.91/2,000	
SN74LVC573AGQNR	296-12100-1-ND	Achtf. transparenter Tri-State D-Latch	Tri-State Octal Transp. D-Type Latch	20-BGA	.68	.51	.39
SN74LVC573AGQNR	296-12100-2-ND	Achtf. transparenter Tri-State D-Latch	Tri-State Octal Transp. D-Type Latch	20-BGA		225.20/1,000	
SN74LVC573AN	296-8528-5-ND	Achtf. transparenter Tri-State D-Latch	Tri-State Octal Transp. D-Type Latch	20-Dip	.51	.39	.29
SN74LVC573APWR	296-8529-1-ND	Achtf. transparenter Tri-State D-Latch	Tri-State Octal Transp. D-Type Latch	20-TSSOP	.41	.31	.23
SN74LVC573APWR	296-8529-2-ND	Achtf. transparenter Tri-State D-Latch	Tri-State Octal Transp. D-Type Latch	20-TSSOP		270.91/2,000	
SN74LVC573ARGYR	296-13975-1-ND	Achtf. transparenter Tri-State D-Latch	Tri-State Octal Transp. D-Type Latch	20-QFN	.68	.51	.39
SN74LVC573ARGYR	296-13975-2-ND	Achtf. transparenter Tri-State D-Latch	Tri-State Octal Transp. D-Type Latch	20-QFN		225.20/1,000	
SN74LVC574ADBR	296-8530-1-ND	Achtf. D-Flip-Flop, Tri-State	Tri-State Octal D-Type Flip-Flop	20-SSOP	.42	.34	.26
SN74LVC574ADBR	296-8530-2-ND	Achtf. D-Flip-Flop, Tri-State	Tri-State Octal D-Type Flip-Flop	20-SSOP		237.05/2,000	
SN74LVC574ADGVR	296-12475-1-ND	Achtf. D-Flip-Flop, Tri-State	Tri-State Octal D-Type Flip-Flop	20-TVSOP	.61	.46	.35
SN74LVC574ADGVR	296-12475-2-ND	Achtf. D-Flip-Flop, Tri-State	Tri-State Octal D-Type Flip-Flop	20-TVSOP		404.67/2,000	
SN74LVC574ADW	296-8531-5-ND	Achtf. D-Flip-Flop, Tri-State	Tri-State Octal D-Type Flip-Flop	20-SOIC	.42	.34	.26
SN74LVC574ADWR	296-14914-1-ND	Achtf. D-Flip-Flop, Tri-State	Tri-State Octal D-Type Flip-Flop	20-SOIC	.41	.31	.23
SN74LVC574ADWR	296-14914-2-ND	Achtf. D-Flip-Flop, Tri-State	Tri-State Octal D-Type Flip-Flop	20-SOIC		270.91/2,000	
SN74LVC574AGQNR	296-12101-1-ND	Achtf. D-Flip-Flop, Tri-State	Tri-State Octal D-Type Flip-Flop	20-BGA	.61	.46	.35
SN74LVC574AGQNR	296-12101-2-ND	Achtf. D-Flip-Flop, Tri-State	Tri-State Octal D-Type Flip-Flop	20-BGA		202.34/1,000	
SN74LVC574AN	296-12910-5-ND	Achtf. D-Flip-Flop, Tri-State	Tri-State Octal D-Type Flip-Flop	20-Dip	.51	.39	.29
SN74LVC574APWR	296-8532-1-ND	Achtf. D-Flip-Flop, Tri-State	Tri-State Octal D-Type Flip-Flop	20-TSSOP	.41	.31	.23
SN74LVC574APWR	296-8532-2-ND	Achtf. D-Flip-Flop, Tri-State	Tri-State Octal D-Type Flip-Flop	20-TSSOP		270.91/2,000	
SN74LVC574ARGYR	296-13976-1-ND	Achtf. D-Flip-Flop, Tri-State	Tri-State Octal D-Type Flip-Flop	20-QFN	.58	.44	.33
SN74LVC574ARGYR	296-13976-2-ND	Achtf. D-Flip-Flop, Tri-State	Tri-State Octal D-Type Flip-Flop	20-QFN		191.33/1,000	
SN74LVC646ADBR	296-8533-1-ND	Tri-St., Achtf. Bus-Transceiver/Register	Tri-St. Octal Bus Transceiver/Register	24-SSOP	1.07	.89	.72
SN74LVC646ADBR	296-8533-2-ND	Tri-St., Achtf. Bus-Transceiver/Register	Tri-St. Octal Bus Transceiver/Register	24-SSOP		946.50/2,000	
SN74LVC646ADW	296-8534-5-ND	Tri-St., Achtf. Bus-Transceiver/Register	Tri-St. Octal Bus Transceiver/Register	24-SOIC	1.07	.89	.72
SN74LVC646APWR	296-8535-1-ND	Tri-St., Achtf. Bus-Transceiver/Register	Tri-St. Octal Bus Transceiver/Register	24-TSSOP	1.07	.89	.72
SN74LVC646APWR	296-8535-2-ND	Tri-St., Achtf. Bus-Transceiver/Register	Tri-St. Octal Bus Transceiver/Register	24-TSSOP		946.50/2,000	
SN74LVC652ADBR	296-8536-1-ND	Tri-St., Achtf. Bus-Transceiver/Register	Tri-St. Octal Bus Transceiver/Register	24-SSOP	.89	.75	.60
SN74LVC652ADBR	296-8536-2-ND	Tri-St., Achtf. Bus-Transceiver/Register	Tri-St. Octal Bus Transceiver/Register	24-SSOP		789.03/2,000	
SN74LVC652ADW	296-8537-5-ND	Tri-St., Achtf. Bus-Transceiver/Register	Tri-St. Octal Bus Transceiver/Register	24-SOIC	.89	.75	.60
SN74LVC652APWR	296-8538-1-ND	Tri-St., Achtf. Bus-Transceiver/Register	Tri-St. Octal Bus Transceiver/Register	24-TSSOP	.89	.75	.60
SN74LVC652APWR	296-8538-2-ND	Tri-St., Achtf. Bus-Transceiver/Register	Tri-St. Octal Bus Transceiver/Register	24-TSSOP		789.03/2,000	
SN74LVC821ADBR	296-8539-1-ND	Schnittstellen-Flip-Flop, Tri-State, 10-Bit	Tri-State 10-Bit Interface Flip-Flop	24-SSOP	.81	.68	.55
SN74LVC821ADBR	296-8539-2-ND	Schnittstellen-Flip-Flop, Tri-State, 10-Bit	Tri-State 10-Bit Interface Flip-Flop	24-SSOP		721.30/2,000	
SN74LVC821ADGVR	296-8540-1-ND	Schnittstellen-Flip-Flop, Tri-State, 10-Bit	Tri-State 10-Bit Interface Flip-Flop	24-TVSOP	.81	.68	.55
SN74LVC821ADGVR	296-8540-2-ND	Schnittstellen-Flip-Flop, Tri-State, 10-Bit	Tri-State 10-Bit Interface Flip-Flop	24-TVSOP		721.30/2,000	
SN74LVC821ADW	296-1703-5-ND	Schnittstellen-Flip-Flop, Tri-State, 10-Bit	Tri-State 10-Bit Interface Flip-Flop	24-SOIC	.81	.68	.55
SN74LVC821ADWR	296-1703-1-ND	Bus-Schnittstellen-Flip-Flop, Tri-State, 10-Bit	Tri-State 10-Bit Bus-Interface Flip-Flop	24-SOIC	.81	.68	.55
SN74LVC821ADWR	296-1703-2-ND	Bus-Schnittstellen-Flip-Flop, Tri-State, 10-Bit	Tri-State 10-Bit Bus-Interface Flip-Flop	24-SOIC		721.30/2,000	
SN74LVC821APWR	296-8541-1-ND	Schnittstellen-Flip-Flop, Tri-State, 10-Bit	Tri-State 10-Bit Interface Flip-Flop	24-TSSOP	.81	.68	.55
SN74LVC821APWR	296-8541-2-ND	Schnittstellen-Flip-Flop, Tri-State, 10-Bit	Tri-State 10-Bit Interface Flip-Flop	24-TSSOP		721.30/2,000	
SN74LVC823ADBR	296-8542-1-ND	Bus-Schnittstellen-Flip-Flop, Tri-State, 9-Bit	Tri-State 9-Bit Bus-Interface Flip-Flop	24-SSOP	.63	.53	.43
SN74LVC823ADBR	296-8542-2-ND	Bus-Schnittstellen-Flip-Flop, Tri-State, 9-Bit	Tri-State 9-Bit Bus-Interface Flip-Flop	24-SSOP		563.84/2,000	
SN74LVC823ADGVR	296-8543-1-ND	Bus-Schnittstellen-Flip-Flop, Tri-State, 9-Bit	Tri-State 9-Bit Bus-Interface Flip-Flop	24-TVSOP	.89	.75	.60
SN74LVC823ADGVR	296-8543-2-ND	Bus-Schnittstellen-Flip-Flop, Tri-State, 9-Bit	Tri-State 9-Bit Bus-Interface Flip-Flop	24-TVSOP		789.03/2,000	
SN74LVC823ADW	296-12911-5-ND	Bus-Schnittstellen-Flip-Flop, Tri-State, 9-Bit	Tri-State 9-Bit Bus-Interface Flip-Flop	24-SOIC	.63	.53	.43
SN74LVC823APWR	296-8544-1-ND	Bus-Schnittstellen-Flip-Flop, Tri-State, 9-Bit	Tri-State 9-Bit Bus-Interface Flip-Flop	24-TSSOP	.63	.53	.43
SN74LVC823APWR	296-8544-2-ND	Bus-Schnittstellen-Flip-Flop, Tri-State, 9-Bit	Tri-State 9-Bit Bus-Interface Flip-Flop	24-TSSOP		563.84/2,000	
SN74LVC827ADBR	296-8545-1-ND	Puffer/Treiber, Tri-State, 10-Bit	Tri-State 10-Bit Buffer/Driver	24-SSOP	.94	.79	.63
SN74LVC827ADBR	296-8545-2-ND	Puffer/Treiber, Tri-State, 10-Bit	Tri-State 10-Bit Buffer/Driver	24-SSOP		833.05/2,000	
SN74LVC827ADGVR	296-8546-1-ND	Puffer/Treiber, Tri-State, 10-Bit	Tri-State 10-Bit Buffer/Driver	24-TVSOP	.94	.79	.63
SN74LVC827ADGVR	296-8546-2-ND	Puffer/Treiber, Tri-State, 10-Bit	Tri-State 10-Bit Buffer/Driver	24-TVSOP		833.05/2,000	
SN74LVC827ADW	296-8547-5-ND	Puffer/Treiber, Tri-State, 10-Bit	Tri-State 10-Bit Buffer/Driver	24-SOIC	.94	.79	.63
SN74LVC827APWR	296-8548-1-ND	Puffer/Treiber, Tri-State, 10-Bit	Tri-State 10-Bit Buffer/Driver	24-TSSOP	.94	.79	.63
SN74LVC827APWR	296-8548-2-ND	Puffer/Treiber, Tri-State, 10-Bit	Tri-State 10-Bit Buffer/Driver	24-TSSOP		833.05/2,000	
SN74LVC828ADBR	296-12912-1-ND	Puffer/Treiber, Tri-State, 10-Bit	Tri-State 10-Bit Buffer/Driver	24-SSOP	.94	.79	.63
SN74LVC828ADBR	296-12912-2-ND	Puffer/Treiber, Tri-State, 10-Bit	Tri-State 10-Bit Buffer/Driver	24-SSOP		833.05/2,000	
SN74LVC828ADGVR	296-12741-1-ND	Puffer/Treiber, Tri-State, 10-Bit	Tri-State 10-Bit Buffer/Driver	24-TVSOP	.94	.79	.63
SN74LVC828ADGVR	296-12741-2-ND	Puffer/Treiber, Tri-State, 10-Bit	Tri-State 10-Bit Buffer/Driver	24-TVSOP		833.05/2,000	
SN74LVC828ADW	296-12913-5-ND	Puffer/Treiber, Tri-State, 10-Bit	Tri-State 10-Bit Buffer/Driver	24-SOIC	.94	.79	.63
SN74LVC828APWR	296-8549-1-ND	Puffer/Treiber, Tri-State, 10-Bit	Tri-State 10-Bit Buffer/Driver	24-TSSOP	.94	.79	.63
SN74LVC828APWR	296-8549-2-ND	Puffer/Treiber, Tri-State, 10-Bit	Tri-State 10-Bit Buffer/Driver	24-TSSOP		833.05/2,000	
SN74LVC841ADBR	296-8550-1-ND	Tri-St., Schnittstelle, D-Latch, 10-Bit	Tri-St. 10-Bit Interface D-Type Latch	24-SSOP	1.44	1.16	.87
SN74LVC841ADBR	296-8550-2-ND	Tri-St., Schnittstelle, D-Latch, 10-Bit	Tri-St. 10-Bit Interface D-Type Latch	24-SSOP		1496.79/2,000	
SN74LVC841ADGVR	296-8551-1-ND	Tri-St., Schnittstelle, D-Latch, 10-Bit	Tri-St. 10-Bit Interface D-Type Latch	24-TVSOP	1.44	1.16	.87
SN74LVC841ADGVR	296-8551-2-ND	Tri-St., Schnittstelle, D-Latch, 10-Bit	Tri-St. 10-Bit Interface D-Type Latch	24-TVSOP		1496.79/2,000	
SN74LVC841ADW	296-8552-5-ND	Tri-St., Schnittstelle, D-Latch, 10-Bit	Tri-St. 10-Bit Interface D-Type Latch	24-SOIC	1.44	1.16	.87
SN74LVC841APWR	296-8553-1-ND	Tri-St., Schnittstelle, D-Latch, 10-Bit	Tri-St. 10-Bit Interface D-Type Latch	24-TSSOP	1.44	1.16	.87
SN74LVC841APWR	296-8553-2-ND	Tri-St., Schnittstelle, D-Latch, 10-Bit	Tri-St. 10-Bit Interface D-Type Latch	24-TSSOP		1496.79/2,000	
SN74LVC861ADBR	296-12914-1-ND	Bus-Transceiver, Tri-State, 10-Bit	Tri-State 10-Bit Bus Transceiver	24-SSOP	1.74	1.39	1.05
SN74LVC861ADBR	296-12914-2-ND	Bus-Transceiver, Tri-State, 10-Bit	Tri-State 10-Bit Bus Transceiver	24-SSOP		1804.95/2,000	
SN74LVC861ADGVR	296-8555-1-ND	Bus-Transceiver, Tri-State, 10-Bit	Tri-State 10-Bit Bus Transceiver	24-TVSOP	1.74	1.39	1.05
SN74LVC861ADGVR	296-8555-2-ND	Bus-Transceiver, Tri-State, 10-Bit	Tri-State 10-Bit Bus Transceiver	24-TVSOP		1804.95/2,000	
SN74LVC861ADW	296-8556-5-ND	Bus-Transceiver, Tri-State, 10-Bit	Tri-State 10-Bit Bus Transceiver	24-SOIC	1.74	1.39	1.05
SN74LVC861APWR	296-12915-1-ND	Bus-Transceiver, Tri-State, 10-Bit	Tri-State 10-Bit Bus Transceiver	24-TSSOP	1.74	1.39	1.05
SN74LVC861APWR	296-12915-2-ND	Bus-Transceiver, Tri-State, 10-Bit	Tri-State 10-Bit Bus Transceiver	24-TSSOP		1804.95/2,000	
SN74LVC863ADBR	296-8557-1-ND	Bus-Transceiver, Tri-State, 9-Bit	Tri-State 9-Bit Bus Transceiver	24-SSOP	1.74	1.39	1.05
SN74LVC863ADBR	296-8557-2-ND	Bus-Transceiver, Tri-State, 9-Bit	Tri-State 9-Bit Bus Transceiver	24-SSOP		1804.95/2,000	
SN74LVC863ADGVR	296-8558-1-ND	Bus-Transceiver, Tri-State, 9-Bit	Tri-State 9-Bit Bus Transceiver	24-TVSOP	1.74	1.39	1.05
SN74LVC863ADGVR	296-8558-2-ND	Bus-Transceiver, Tri-State, 9-Bit	Tri-State 9-Bit Bus Transceiver	24-TVSOP		1804.95/2,000	
SN74LVC863ADW	296-8559-5-ND	Bus-Transceiver, Tri-State, 9-Bit	Tri-State 9-Bit Bus Transceiver	24-SOIC	1.74	1.39	1.05
SN74LVC863APWR	296-8560-1-ND	Bus-Transceiver, Tri-State, 9-Bit	Tri-State 9-Bit Bus Transceiver	24-TSSOP	1.74	1.39	1.05

(Forts.)

★ *RUFEN SIE BITTE AN FÜR NIEDRIGERE PREISE BEI GRÖSSEREN MENGEN!* ★

Alle Preisangaben in Euro und inklusive Zollgebühren.

T. I. Teilenr.	Digi-Key Teilenr.	Beschreibung		Paket	Stückpreis★ 1	25	100
SN74LVC863APWR	296-8560-2-ND	Bus-Transceiver, Tri-State, 9-Bit	Tri-State 9-Bit Bus Transceiver	24-TSSOP		1804.95/2,000	
SN74LVC1404DCTR	296-17257-1-ND	Oszillatortreiber	Oscillator Driver	8-SSOP	.69	.58	.46
SN74LVC1404DCTR	296-17257-2-ND	Oszillatortreiber	Oscillator Driver	8-SSOP		891.47/3,000	
SN74LVC2244ADBR	296-8489-1-ND	Achtf. Puffer/Treiber, Tri-State	Tri-State Octal Buffer/Driver	20-SSOP	.51	.39	.29
SN74LVC2244ADBR	296-8489-2-ND	Achtf. Puffer/Treiber, Tri-State	Tri-State Octal Buffer/Driver	20-SSOP		338.64/2,000	
SN74LVC2244ADGVR	296-12901-1-ND	Achtf. Puffer/Treiber, Tri-State	Tri-State Octal Buffer/Driver	20-TVSOP	.68	.51	.39
SN74LVC2244ADGVR	296-12901-2-ND	Achtf. Puffer/Treiber, Tri-State	Tri-State Octal Buffer/Driver	20-TVSOP		450.39/2,000	
SN74LVC2244ADW	296-8490-5-ND	Achtf. Puffer/Treiber, Tri-State	Tri-State Octal Buffer/Driver	20-SOIC	.51	.39	.29
SN74LVC2244ADWR	296-8490-1-ND	Achtf. Puffer/Treiber, Tri-State	Tri-State Octal Buffer/Driver	20-SOIC	.61	.46	.35
SN74LVC2244ADWR	296-8490-2-ND	Achtf. Puffer/Treiber, Tri-State	Tri-State Octal Buffer/Driver	20-SOIC		404.67/2,000	
SN74LVC2244ANSR	296-13256-1-ND	Achtf. Puffer/Treiber, Tri-State	Tri-State Octal Buffer/Driver	20-SOP	.51	.39	.29
SN74LVC2244ANSR	296-13256-2-ND	Achtf. Puffer/Treiber, Tri-State	Tri-State Octal Buffer/Driver	20-SOP		338.64/2,000	
SN74LVC2244APWR	296-8491-1-ND	Achtf. Puffer/Treiber, Tri-State	Tri-State Octal Buffer/Driver	20-TSSOP	.51	.39	.29
SN74LVC2244APWR	296-8491-2-ND	Achtf. Puffer/Treiber, Tri-State	Tri-State Octal Buffer/Driver	20-TSSOP		338.64/2,000	
SN74LVC2952ADBR	296-12904-1-ND	Tri-St., Achtf. Bus-Transceiver/Register	Tri-St. Octal Bus Transceiver/Register	24-SSOP	.89	.75	.60
SN74LVC2952ADBR	296-12904-2-ND	Tri-St., Achtf. Bus-Transceiver/Register	Tri-St. Octal Bus Transceiver/Register	24-SSOP		789.03/2,000	
SN74LVC2952ADW	296-8507-5-ND	Tri-St., Achtf. Bus-Transceiver/Register	Tri-St. Octal Bus Transceiver/Register	24-SOIC	.89	.75	.60
SN74LVC2952APWR	296-8508-1-ND	Tri-St., Achtf. Bus-Transceiver/Register	Tri-St. Octal Bus Transceiver/Register	24-TSSOP	.89	.75	.60
SN74LVC2952APWR	296-8508-2-ND	Tri-St., Achtf. Bus-Transceiver/Register	Tri-St. Octal Bus Transceiver/Register	24-TSSOP		789.03/2,000	
SN74LVC4245ADBR	296-8514-1-ND	Tri-St., Achtf. Bus-Transceiver 3,3 V-5 V Schieber	Tri-St. Octal Bus Xcvr. 3.3V-5V Shifter	24-SSOP	.76	.64	.51
SN74LVC4245ADBR	296-8514-2-ND	Tri-St., Achtf. Bus-Transceiver 3,3 V-5 V Schieber	Tri-St. Octal Bus Xcvr. 3.3V-5V Shifter	24-SSOP		675.59/2,000	
SN74LVC4245ADW	296-8515-5-ND	Tri-St., Achtf. Bus-Transceiver 3,3 V-5 V Schieber	Tri-St. Octal Bus Xcvr. 3.3V-5V Shifter	24-SOIC	.76	.64	.51
SN74LVC4245ADWR	296-14911-1-ND	Tri-St., Achtf. Bus-Transceiver 3,3 V-5 V Schieber	Tri-St. Octal Bus Xcvr. 3.3V-5V Shifter	24-SOIC	.76	.64	.51
SN74LVC4245ADWR	296-14911-2-ND	Tri-St., Achtf. Bus-Transceiver 3,3 V-5 V Schieber	Tri-St. Octal Bus Xcvr. 3.3V-5V Shifter	24-SOIC		675.59/2,000	
SN74LVC4245APWR	296-12183-1-ND	Tri-St. Achtf. Transceiver 3,3 V-5 V Schieber	Octal Tri-St. Xcvr. 3.3V-5V Shifter	24-TSSOP	.76	.64	.51
SN74LVC4245APWR	296-12183-2-ND	Tri-St. Achtf. Transceiver 3,3 V-5 V Schieber	Octal Tri-St. Xcvr. 3.3V-5V Shifter	24-TSSOP		675.59/2,000	
SN74LVC16244ADGGR	296-1226-1-ND	Puffer/Treiber, Tri-State, 16-Bit	Tri-State 16-Bit Buffer/Driver	48-TSSOP	.97	.81	.65
SN74LVC16244ADGGR	296-1226-2-ND	Puffer/Treiber, Tri-State, 16-Bit	Tri-State 16-Bit Buffer/Driver	48-TSSOP		855.07/2,000	
SN74LVC16244ADGVR	296-8471-1-ND	Puffer/Treiber, Tri-State, 16-Bit	Tri-State 16-Bit Buffer/Driver	48-TVSOP	1.23	.99	.74
SN74LVC16244ADGVR	296-8471-2-ND	Puffer/Treiber, Tri-State, 16-Bit	Tri-State 16-Bit Buffer/Driver	48-TVSOP		1276.67/2,000	
SN74LVC16244ADL	296-1227-5-ND	Puffer/Treiber, Tri-State, 16-Bit	Tri-State 16-Bit Buffer/Driver	48-SSOP	.97	.81	.65
SN74LVC16244ADLR	296-1227-1-ND	Puffer/Treiber, 16-Bit	16-Bit Buffer/Driver	48-SSOP	.97	.81	.65
SN74LVC16244ADLR	296-1227-2-ND	Puffer/Treiber, 16-Bit	16-Bit Buffer/Driver	48-SSOP		427.53/1,000	
SN74LVC16244AGQLR	296-8472-1-ND	Puffer/Treiber, Tri-State, 16-Bit	Tri-State 16-Bit Buffer/Driver	56-VFBGA	1.69	1.36	1.02
SN74LVC16244AGQLR	296-8472-2-ND	Puffer/Treiber, Tri-State, 16-Bit	Tri-State 16-Bit Buffer/Driver	56-VFBGA		880.46/1,000	
SN74LVC16244AGRDR	296-16881-1-ND	Puffer/Treiber, Tri-State, 16-Bit	Tri-State 16-Bit Buffer/Driver	54-BGA	1.23	.99	.74
SN74LVC16244AGRDR	296-16881-2-ND	Puffer/Treiber, Tri-State, 16-Bit	Tri-State 16-Bit Buffer/Driver	54-BGA		638.34/1,000	
SN74LVC16244AZQLR	296-16642-1-ND	Puffer/Treiber, Tri-State, 16-Bit	Tri-State 16-Bit Buffer/Driver	56-VFBGA	1.65	1.33	1.00
SN74LVC16244AZQLR	296-16642-2-ND	Puffer/Treiber, Tri-State, 16-Bit	Tri-State 16-Bit Buffer/Driver	56-VFBGA		858.45/1,000	
SN74LVC16244AZRDR	296-16882-1-ND	Puffer/Treiber, Tri-State, 16-Bit	Tri-State 16-Bit Buffer/Driver	54-BGA	1.23	.99	.74
SN74LVC16244AZRDR	296-16882-2-ND	Puffer/Treiber, Tri-State, 16-Bit	Tri-State 16-Bit Buffer/Driver	54-BGA		638.34/1,000	
SN74LVC16245ADGGR	296-1228-1-ND	Bus-Transceiver, Tri-State, 16-Bit	Tri-State 16-Bit Bus Transceiver	48-TSSOP	.97	.81	.65
SN74LVC16245ADGGR	296-1228-2-ND	Bus-Transceiver, Tri-State, 16-Bit	Tri-State 16-Bit Bus Transceiver	48-TSSOP		855.07/2,000	
SN74LVC16245ADGVR	296-8473-1-ND	Bus-Transceiver, Tri-State, 16-Bit	Tri-State 16-Bit Bus Transceiver	48-TVSOP	1.23	.99	.74
SN74LVC16245ADGVR	296-8473-2-ND	Bus-Transceiver, Tri-State, 16-Bit	Tri-State 16-Bit Bus Transceiver	48-TVSOP		1276.67/2,000	
SN74LVC16245ADL	296-8474-5-ND	Bus-Transceiver, Tri-State, 16-Bit	Tri-State 16-Bit Bus Transceiver	48-SSOP	.97	.81	.65
SN74LVC16245ADLR	296-8474-1-ND	Bus-Transceiver, Tri-State, 16-Bit	Tri-State 16-Bit Bus Transceiver	48-SSOP	.97	.81	.65
SN74LVC16245ADLR	296-8474-2-ND	Bus-Transceiver, Tri-State, 16-Bit	Tri-State 16-Bit Bus Transceiver	48-SSOP		427.53/1,000	
SN74LVC16245AGQLR	296-9843-1-ND	Bus-Transceiver, Tri-State, 16-Bit	Tri-State 16-Bit Bus Transceiver	56-VFBGA	1.69	1.36	1.02
SN74LVC16245AGQLR	296-9843-2-ND	Bus-Transceiver, Tri-State, 16-Bit	Tri-State 16-Bit Bus Transceiver	56-VFBGA		880.46/1,000	
SN74LVC16245AGRDR	296-16883-1-ND	Bus-Transceiver, Tri-State, 16-Bit	Tri-State 16-Bit Bus Transceiver	54-BGA	1.23	.99	.74
SN74LVC16245AGRDR	296-16883-2-ND	Bus-Transceiver, Tri-State, 16-Bit	Tri-State 16-Bit Bus Transceiver	54-BGA		638.34/1,000	
SN74LVC16245AZRDR	296-16884-1-ND	Bus-Transceiver, Tri-State, 16-Bit	Tri-State 16-Bit Bus Transceiver	54-BGA	1.23	.99	.74
SN74LVC16245AZRDR	296-16884-2-ND	Bus-Transceiver, Tri-State, 16-Bit	Tri-State 16-Bit Bus Transceiver	54-BGA		638.34/1,000	
SN74LVC16373ADGGR	296-13241-1-ND	Transp. D-Latch, Tri-State, 16-Bit	Tri-State 16-Bit Transparent D-Type Latch	48-TSSOP	.97	.81	.65
SN74LVC16373ADGGR	296-13241-2-ND	Transp. D-Latch, Tri-State, 16-Bit	Tri-State 16-Bit Transparent D-Type Latch	48-TSSOP		855.07/2,000	
SN74LVC16373ADGVR	296-13242-1-ND	Transp. D-Latch, Tri-State, 16-Bit	Tri-State 16-Bit Transparent D-Type Latch	48-TVSOP	1.23	.99	.74
SN74LVC16373ADGVR	296-13242-2-ND	Transp. D-Latch, Tri-State, 16-Bit	Tri-State 16-Bit Transparent D-Type Latch	48-TVSOP		1276.67/2,000	
SN74LVC16373ADLR	296-13243-1-ND	Transp. D-Latch, Tri-State, 16-Bit	Tri-State 16-Bit Transparent D-Type Latch	48-SSOP	.97	.81	.65
SN74LVC16373ADLR	296-13243-2-ND	Transp. D-Latch, Tri-State, 16-Bit	Tri-State 16-Bit Transparent D-Type Latch	48-SSOP		427.53/1,000	
SN74LVC16373AGQLR	296-13244-1-ND	Transp. D-Latch, Tri-State, 16-Bit	Tri-State 16-Bit Transparent D-Type Latch	56-VFBGA	1.65	1.33	1.00
SN74LVC16373AGQLR	296-13244-2-ND	Transp. D-Latch, Tri-State, 16-Bit	Tri-State 16-Bit Transparent D-Type Latch	56-VFBGA		858.45/1,000	
SN74LVC16373DGGR	296-11848-1-ND	Transp. D-Latch, Tri-State, 16-Bit	Tri-State 16-Bit Transparent D-Type Latch	48-TSSOP	.97	.81	.65
SN74LVC16373DGGR	296-11848-2-ND	Transp. D-Latch, Tri-State, 16-Bit	Tri-State 16-Bit Transparent D-Type Latch	48-TSSOP		855.07/2,000	
SN74LVC16373DL	296-11834-5-ND	Transp. D-Latch, Tri-State, 16-Bit	Tri-State 16-Bit Transparent D-Type Latch	48-SSOP	.97	.81	.65
SN74LVC16373DLR	296-11834-1-ND	Transp. D-Latch, Tri-State, 16-Bit	Tri-State 16-Bit Transparent D-Type Latch	48-SSOP	.97	.81	.65
SN74LVC16373DLR	296-11834-2-ND	Transp. D-Latch, Tri-State, 16-Bit	Tri-State 16-Bit Transparent D-Type Latch	48-SSOP		427.53/1,000	
SN74LVC16374ADGGR	296-13245-1-ND	Flankengesteuerter D-Flip-Flop, Tri-State, 16-Bit	Tri-State 16-Bit Edge-Triggered D-Type Flip-Flop	48-TSSOP	.97	.81	.65
SN74LVC16374ADGGR	296-13245-2-ND	Flankengesteuerter D-Flip-Flop, Tri-State, 16-Bit	Tri-State 16-Bit Edge-Triggered D-Type Flip-Flop	48-TSSOP		855.07/2,000	
SN74LVC16374ADGVR	296-13246-1-ND	Flankengesteuerter D-Flip-Flop, Tri-State, 16-Bit	Tri-State 16-Bit Edge-Triggered D-Type Flip-Flop	48-TVSOP	1.23	.99	.74
SN74LVC16374ADGVR	296-13246-2-ND	Flankengesteuerter D-Flip-Flop, Tri-State, 16-Bit	Tri-State 16-Bit Edge-Triggered D-Type Flip-Flop	48-TVSOP		1276.67/2,000	
SN74LVC16374ADLR	296-13247-1-ND	Flankengesteuerter D-Flip-Flop, Tri-State, 16-Bit	Tri-State 16-Bit Edge-Triggered D-Type Flip-Flop	48-SSOP	.97	.81	.65
SN74LVC16374ADLR	296-13247-2-ND	Flankengesteuerter D-Flip-Flop, Tri-State, 16-Bit	Tri-State 16-Bit Edge-Triggered D-Type Flip-Flop	48-SSOP		427.53/1,000	
SN74LVC16374AGQLR	296-13248-1-ND	Flankengesteuerter D-Flip-Flop, Tri-State, 16-Bit	Tri-State 16-Bit Edge-Triggered D-Type Flip-Flop	56-VFBGA	1.65	1.33	1.00
SN74LVC16374AGQLR	296-13248-2-ND	Flankengesteuerter D-Flip-Flop, Tri-State, 16-Bit	Tri-State 16-Bit Edge-Triggered D-Type Flip-Flop	56-VFBGA		858.45/1,000	
SN74LVC16374AGRDR	296-16885-1-ND	Flankengesteuerter D-Flip-Flop, Tri-State, 16-Bit	Tri-State 16-Bit Edge-Triggered D-Type Flip-Flop	54-BGA	1.23	.99	.74
SN74LVC16374AGRDR	296-16885-2-ND	Flankengesteuerter D-Flip-Flop, Tri-State, 16-Bit	Tri-State 16-Bit Edge-Triggered D-Type Flip-Flop	54-BGA		638.34/1,000	
SN74LVC16374AZRDR	296-16886-1-ND	Flankengesteuerter D-Flip-Flop, Tri-State, 16-Bit	Tri-State 16-Bit Edge-Triggered D-Type Flip-Flop	54-BGA	1.23	.99	.74
SN74LVC16374AZRDR	296-16886-2-ND	Flankengesteuerter D-Flip-Flop, Tri-State, 16-Bit	Tri-State 16-Bit Edge-Triggered D-Type Flip-Flop	54-BGA		638.34/1,000	
SN74LVC16374DGGR	296-11833-1-ND	Flankengesteuerter D-Flip-Flop, Tri-State, 16-Bit	Tri-State 16-Bit Edge-Triggered D-Type Flip-Flop	48-TSSOP	.97	.81	.65
SN74LVC16374DGGR	296-11833-2-ND	Flankengesteuerter D-Flip-Flop, Tri-State, 16-Bit	Tri-State 16-Bit Edge-Triggered D-Type Flip-Flop	48-TSSOP		855.07/2000	
SN74LVC16374DLR	296-11851-1-ND	Flankengesteuerter D-Flip-Flop, Tri-State, 16-Bit	Tri-State 16-Bit Edge-Triggered D-Type Flip-Flop	48-SSOP	.97	.81	.65
SN74LVC16374DLR	296-11851-2-ND	Flankengesteuerter D-Flip-Flop, Tri-State, 16-Bit	Tri-State 16-Bit Edge-Triggered D-Type Flip-Flop	48-SSOP		427.53/1000	
SN74LVC16543DGGR	296-9844-1-ND	Bus-Transceiver, Tri-State, 16-Bit	Tri-State 16-Bit Bus Transceiver	56-TSSOP	2.29	1.83	1.43
SN74LVC16543DGGR	296-9844-2-ND	Bus-Transceiver, Tri-State, 16-Bit	Tri-State 16-Bit Bus Transceiver	56-TSSOP		2590.60/2,000	
SN74LVC16646ADGGR	296-15561-1-ND	Tri-St., Bus-Transceiver/Register, 16-Bit	Tri-St. 16-Bit Bus Transceiver/Register	56-TSSOP	1.38	1.11	.83
SN74LVC16646ADGGR	296-15561-2-ND	Tri-St., Bus-Transceiver/Register, 16-Bit	Tri-St. 16-Bit Bus Transceiver/Register	56-TSSOP		2146.13/3,000	
SN74LVC16646ADGVR	296-15562-1-ND	Tri-St., Bus-Transceiver/Register, 16-Bit	Tri-St. 16-Bit Bus Transceiver/Register	56-TVSOP	1.38	1.11	.83
SN74LVC16646ADGVR	296-15562-2-ND	Tri-St., Bus-Transceiver/Register, 16-Bit	Tri-St. 16-Bit Bus Transceiver/Register	56-TVSOP		1430.75/2,000	
SN74LVC16646ADLR	296-15563-1-ND	Tri-St., Bus-Transceiver/Register, 16-Bit	Tri-St. 16-Bit Bus Transceiver/Register	56-SSOP	1.38	1.11	.83
SN74LVC16646ADLR	296-15563-2-ND	Tri-St., Bus-Transceiver/Register, 16-Bit	Tri-St. 16-Bit Bus Transceiver/Register	56-SSOP		715.38/1,000	
SN74LVC32244GKER	296-8509-1-ND	Puffer/Treiber, Tri-State, 32-Bit	Tri-State 32-Bit Buffer/Driver	96-LFBGA	3.14	2.52	1.96
SN74LVC32244GKER	296-8509-2-ND	Puffer/Treiber, Tri-State, 32-Bit	Tri-State 32-Bit Buffer/Driver	96-LFBGA		1746.54/1,000	
SN74LVC32245GKER	296-9855-1-ND	Bus-Transceiver, Tri-State, 32-Bit	Tri-State 32-Bit Bus Transceiver	96-LFBGA	3.14	2.52	1.96
SN74LVC32245GKER	296-9855-2-ND	Bus-Transceiver, Tri-State, 32-Bit	Tri-State 32-Bit Bus Transceiver	96-LFBGA		1781.25/1,000	
SN74LVC32245ZKER	296-15336-1-ND	Bus-Transceiver, Tri-State, 32-Bit	Tri-State 32-Bit Bus Transceiver	96-LFBGA	3.14	2.52	1.96
SN74LVC32245ZKER	296-15336-2-ND	Bus-Transceiver, Tri-State, 32-Bit	Tri-State 32-Bit Bus Transceiver	96-LFBGA		1781.25/1,000	
SN74LVC32374AGKER	296-15596-1-ND	Tri-St., Flankengetriggerter D-Flip-Flop, 32-Bit	Tri-St. 32-Bit Edge-Triggered D-Type Flip-Flop	96-LFBGA	2.48	1.99	1.55
SN74LVC32374AGKER	296-15596-2-ND	Tri-St., Flankengetriggerter D-Flip-Flop, 32-Bit	Tri-St. 32-Bit Edge-Triggered D-Type Flip-Flop	96-LFBGA		1403.66/1,000	
SN74LVC161284DGGR	296-8466-1-ND	Bus-Schnittstelle, Tri-State, 19-Bit	Tri-State 19-Bit Bus Interface	48-TSSOP	1.19	1.00	.80

(Forts.)

★ ***RUFEN SIE BITTE AN FÜR NIEDRIGERE PREISE BEI GRÖSSEREN MENGEN!*** ★

B

T. I. Teilenr.	Digi-Key Teilenr.	Beschreibung		Paket	Stückpreis★ 1	25	100
SN74LVC161284DGGR	296-8466-2-ND	Bus-Schnittstelle, Tri-State, 19-Bit	Tri-State 19-Bit Bus Interface	48-TSSOP		1058.25/2,000	
SN74LVC161284DL	296-8467-5-ND	Bus-Schnittstelle, Tri-State, 19-Bit	Tri-State 19-Bit Bus Interface	48-SSOP	1.19	1.00	.80
SN74LVC161284DLR	296-8467-1-ND	Bus-Schnittstelle, Tri-State, 19-Bit	Tri-State 19-Bit Bus Interface	48-SSOP	1.19	1.00	.80
SN74LVC161284DLR	296-8467-2-ND	Bus-Schnittstelle, Tri-State, 19-Bit	Tri-State 19-Bit Bus Interface	48-SSOP		529.13/1,000	
SN74LVC162244ADGGR	296-13237-1-ND	Puffer/Treiber, Tri-State, 16-Bit	Tri-State 16-Bit Buffer/Driver	48-TSSOP	.97	.81	.65
SN74LVC162244ADGGR	296-13237-2-ND	Puffer/Treiber, Tri-State, 16-Bit	Tri-State 16-Bit Buffer/Driver	48-TSSOP		855.07/2,000	
SN74LVC162244ADGVR	296-13238-1-ND	Puffer/Treiber, Tri-State, 16-Bit	Tri-State 16-Bit Buffer/Driver	48-TVSOP	1.23	.99	.74
SN74LVC162244ADGVR	296-13238-2-ND	Puffer/Treiber, Tri-State, 16-Bit	Tri-State 16-Bit Buffer/Driver	48-TVSOP		1276.67/2,000	
SN74LVC162244ADLR	296-13239-1-ND	Puffer/Treiber, Tri-State, 16-Bit	Tri-State 16-Bit Buffer/Driver	48-SSOP	.97	.81	.65
SN74LVC162244ADLR	296-13239-2-ND	Puffer/Treiber, Tri-State, 16-Bit	Tri-State 16-Bit Buffer/Driver	48-SSOP		427.53/1,000	
SN74LVC162244AGQLR	296-13240-1-ND	Puffer/Treiber, Tri-State, 16-Bit	Tri-State 16-Bit Buffer/Driver	56-VFBGA	1.65	1.33	1.00
SN74LVC162244AGQLR	296-13240-2-ND	Puffer/Treiber, Tri-State, 16-Bit	Tri-State 16-Bit Buffer/Driver	56-VFBGA		858.45/1,000	
		LVCC-Gruppe					
SN74LVCC3245ADBR	296-8563-1-ND	Achtf. Tri-State Bus-Transceiver m. einst. Ausgangsspannung	Tri-State Octal Bus Transceiver with Adjustable Output Volt	24-SSOP	.89	.75	.60
SN74LVCC3245ADBR	296-8563-2-ND	Achtf. Tri-State Bus-Transceiver m. einst. Ausgangsspannung	Tri-State Octal Bus Transceiver with Adjustable Output Volt	24-SSOP		789.03/2,000	
SN74LVCC3245ADW	296-1704-5-ND	Achtf. Tri-State Bus-Transceiver m. einst. Ausgangsspannung	Tri-State Octal Bus Transceiver with Adjustable Output Volt	24-SOIC	.89	.75	.60
SN74LVCC3245ADWR	296-14916-1-ND	Achtf. Tri-State Bus-Transceiver m. einst. Ausgangsspannung	Tri-State Octal Bus Transceiver with Adjustable Output Volt.	24-SOIC	.89	.75	.60
SN74LVCC3245ADWR	296-14916-2-ND	Achtf. Tri-State Bus-Transceiver m. einst. Ausgangsspannung	Tri-State Octal Bus Transceiver with Adjustable Output Volt.	24-SOIC		789.03/2,000	
SN74LVCC3245ANSR	296-17208-1-ND	Achtf. Tri-State Bus-Transceiver m. einst. Ausgangsspannung	Tri-State Octal Bus Transceiver with Adjustable Output Volt.	24-SOP	.89	.75	.60
SN74LVCC3245ANSR	296-17208-2-ND	Achtf. Tri-State Bus-Transceiver m. einst. Ausgangsspannung	Tri-State Octal Bus Transceiver with Adjustable Output Volt.	24-SOP		789.03/2,000	
SN74LVCC3245APWR	296-8564-1-ND	Achtf. Tri-State Bus-Transceiver m. einst. Ausgangsspannung	Tri-State Octal Bus Transceiver with Adjustable Output Volt	24-TSSOP	.89	.75	.60
SN74LVCC3245APWR	296-8564-2-ND	Achtf. Tri-State Bus-Transceiver m. einst. Ausgangsspannung	Tri-State Octal Bus Transceiver with Adjustable Output Volt	24-TSSOP		789.03/2,000	
SN74LVCC4245ADBR	296-8565-1-ND	Achtf. Tri-State Doppelbus-Transceiver m. einst. Ausgangsspannung	Tri-State Octal Dual Bus Transceiver with Adjustable Output Volt	24-SSOP	.89	.75	.60
SN74LVCC4245ADBR	296-8565-2-ND	Achtf. Tri-State Doppelbus-Transceiver m. einst. Ausgangsspannung	Tri-State Octal Dual Bus Transceiver with Adjustable Output Volt	24-SSOP		789.03/2,000	
SN74LVCC4245ADW	296-8566-5-ND	Achtf. Tri-State Doppelbus-Transceiver m. einst. Ausgangsspannung	Tri-State Octal Dual Bus Transceiver with Adj. Output Volt	24-SOIC	.89	.75	.60
SN74LVCC4245ANSR	296-17209-1-ND	Achtf. Tri-State Doppelbus-Transceiver m. einst. Ausgangsspannung	Tri-State Octal Dual Bus Transceiver with Adj. Output Volt.	24-SOP	.89	.75	.60
SN74LVCC4245ANSR	296-17209-2-ND	Achtf. Tri-State Doppelbus-Transceiver m. einst. Ausgangsspannung	Tri-State Octal Dual Bus Transceiver with Adj. Output Volt.	24-SOP		789.03/2,000	
SN74LVCC4245APWR	296-8567-1-ND	Achtf. Tri-State Doppelbus-Transceiver m. einst. Ausgangsspannung	Tri-State Octal Dual Bus Transceiver with Adjustable Output Volt	24-TSSOP	.89	.75	.60
SN74LVCC4245APWR	296-8567-2-ND	Achtf. Tri-State Doppelbus-Transceiver m. einst. Ausgangsspannung	Tri-State Octal Dual Bus Transceiver with Adjustable Output Volt	24-TSSOP		789.03/2,000	
		LVCH-Gruppe					
SN74LVCH244ADBR	296-8607-1-ND	Achtf. Puffer/Treiber, Tri-State	Tri-State Octal Buffer/Driver	20-SSOP	.51	.39	.29
SN74LVCH244ADBR	296-8607-2-ND	Achtf. Puffer/Treiber, Tri-State	Tri-State Octal Buffer/Driver	20-SSOP		338.64/2,000	
SN74LVCH244ADGVR	296-8608-1-ND	Achtf. Puffer/Treiber, Tri-State	Tri-State Octal Buffer/Driver	20-TVSOP	.68	.51	.39
SN74LVCH244ADGVR	296-8608-2-ND	Achtf. Puffer/Treiber, Tri-State	Tri-State Octal Buffer/Driver	20-TVSOP		450.39/2,000	
SN74LVCH244ADWR	296-14917-1-ND	Achtf. Puffer/Treiber, Tri-State	Tri-State Octal Buffer/Driver	20-SOIC	.51	.39	.29
SN74LVCH244ADWR	296-14917-2-ND	Achtf. Puffer/Treiber, Tri-State	Tri-State Octal Buffer/Driver	20-SOIC		338.64/2,000	
SN74LVCH244APWR	296-8610-1-ND	Achtf. Puffer/Treiber, Tri-State	Tri-State Octal Buffer/Driver	20-TSSOP	.51	.39	.29
SN74LVCH244APWR	296-8610-2-ND	Achtf. Puffer/Treiber, Tri-State	Tri-State Octal Buffer/Driver	20-TSSOP		338.64/2,000	
SN74LVCH244ARGYR	296-13979-1-ND	Achtf. Puffer/Treiber, Tri-State	Tri-State Octal Buffer/Driver	20-QFN	.68	.51	.39
SN74LVCH244ARGYR	296-13979-2-ND	Achtf. Puffer/Treiber, Tri-State	Tri-State Octal Buffer/Driver	20-QFN		225.20/1,000	
SN74LVCH245ADBR	296-8611-1-ND	Achtf. Bus-Transceiver, Tri-State	Tri-State Octal Bus Transceiver	20-SSOP	.51	.39	.29
SN74LVCH245ADBR	296-8611-2-ND	Achtf. Bus-Transceiver, Tri-State	Tri-State Octal Bus Transceiver	20-SSOP		338.64/2,000	
SN74LVCH245ADGVR	296-8612-1-ND	Achtf. Bus-Transceiver, Tri-State	Tri-State Octal Bus Transceiver	20-TVSOP	.75	.56	.42
SN74LVCH245ADGVR	296-8612-2-ND	Achtf. Bus-Transceiver, Tri-State	Tri-State Octal Bus Transceiver	20-TVSOP		496.11/2,000	
SN74LVCH245ADW	296-8613-5-ND	Achtf. Bus-Transceiver, Tri-State	Tri-State Octal Bus Transceiver	20-SOIC	.51	.39	.29
SN74LVCH245ADWR	296-14918-1-ND	Achtf. Bus-Transceiver, Tri-State	Tri-State Octal Bus Transceiver	20-SOIC	.51	.39	.29
SN74LVCH245ADWR	296-14918-2-ND	Achtf. Bus-Transceiver, Tri-State	Tri-State Octal Bus Transceiver	20-SOIC		338.64/2,000	
SN74LVCH245AGQNR	296-12102-1-ND	Achtf. Bus-Transceiver, Tri-State	Tri-State Octal Bus Transceiver	20-BGA	.68	.51	.39
SN74LVCH245AGQNR	296-12102-2-ND	Achtf. Bus-Transceiver, Tri-State	Tri-State Octal Bus Transceiver	20-BGA		225.20/1,000	
SN74LVCH245APWR	296-1247-1-ND	Achtf. Bus-Transceiver, Tri-State	Tri-State Octal Bus Transceiver	20-TSSOP	.54	.41	.31
SN74LVCH245APWR	296-1247-2-ND	Achtf. Bus-Transceiver, Tri-State	Tri-State Octal Bus Transceiver	20-TSSOP		360.65/2,000	
SN74LVCH245ARGYR	296-13980-1-ND	Achtf. Bus-Transceiver, Tri-State	Tri-State Octal Bus Transceiver	20-QFN	.63	.53	.43
SN74LVCH245ARGYR	296-13980-2-ND	Achtf. Bus-Transceiver, Tri-State	Tri-State Octal Bus Transceiver	20-QFN		281.92/1,000	
SN74LVCH16240ADGGR	296-8571-1-ND	Puffer/Treiber, Tri-State, 16-Bit	Tri-State 16-Bit Buffer/Driver	48-TSSOP	.97	.81	.65
SN74LVCH16240ADGGR	296-8571-2-ND	Puffer/Treiber, Tri-State, 16-Bit	Tri-State 16-Bit Buffer/Driver	48-TSSOP		855.07/2,000	
SN74LVCH16240ADLR	296-8572-1-ND	Puffer/Treiber, Tri-State, 16-Bit	Tri-State 16-Bit Buffer/Driver	48-SSOP	.97	.81	.65
SN74LVCH16240ADLR	296-8572-2-ND	Puffer/Treiber, Tri-State, 16-Bit	Tri-State 16-Bit Buffer/Driver	48-SSOP		427.53/1,000	
SN74LVCH16244ADGGR	296-8573-1-ND	Puffer/Treiber, Tri-State, 16-Bit	Tri-State 16-Bit Buffer/Driver	48-TSSOP	.97	.81	.65
SN74LVCH16244ADGGR	296-8573-2-ND	Puffer/Treiber, Tri-State, 16-Bit	Tri-State 16-Bit Buffer/Driver	48-TSSOP		855.07/2,000	
SN74LVCH16244ADGVR	296-8574-1-ND	Puffer/Treiber, Tri-State, 16-Bit	Tri-State 16-Bit Buffer/Driver	48-TVSOP	1.23	.99	.74
SN74LVCH16244ADGVR	296-8574-2-ND	Puffer/Treiber, Tri-State, 16-Bit	Tri-State 16-Bit Buffer/Driver	48-TVSOP		1276.67/2,000	
SN74LVCH16244ADL	296-1243-5-ND	Puffer/Treiber, Tri-State, 16-Bit	Tri-State 16-Bit Buffer/Driver	48-SSOP	.97	.81	.65
SN74LVCH16244ADLR	296-1243-1-ND	Puffer/Treiber, Tri-State, 16-Bit	Tri-State 16-Bit Buffer/Driver	48-SSOP	.97	.81	.65
SN74LVCH16244ADLR	296-1243-2-ND	Puffer/Treiber, Tri-State, 16-Bit	Tri-State 16-Bit Buffer/Driver	48-SSOP		427.53/1,000	
SN74LVCH16244AGQLR	296-8578-1-ND	Puffer/Treiber, Tri-State, 16-Bit	Tri-State 16-Bit Buffer/Driver	56-VFBGA	1.65	1.33	1.00
SN74LVCH16244AGQLR	296-8578-2-ND	Puffer/Treiber, Tri-State, 16-Bit	Tri-State 16-Bit Buffer/Driver	56-VFBGA		858.45/1,000	
SN74LVCH16244AGRDR	296-16887-1-ND	Puffer/Treiber, Tri-State, 16-Bit	Tri-State 16-Bit Buffer/Driver	54-BGA	1.23	.99	.74
SN74LVCH16244AGRDR	296-16887-2-ND	Puffer/Treiber, Tri-State, 16-Bit	Tri-State 16-Bit Buffer/Driver	54-BGA		638.34/1,000	
SN74LVCH16244AZRDR	296-16888-1-ND	Puffer/Treiber, Tri-State, 16-Bit	Tri-State 16-Bit Buffer/Driver	54-BGA	1.23	.99	.74
SN74LVCH16244AZRDR	296-16888-2-ND	Puffer/Treiber, Tri-State, 16-Bit	Tri-State 16-Bit Buffer/Driver	54-BGA		638.34/1,000	
SN74LVCH16245ADGGR	296-1244-1-ND	Bus-Transceiver, Tri-State, 16-Bit	Tri-State 16-Bit Bus Transceiver	48-TSSOP	.97	.81	.65
SN74LVCH16245ADGGR	296-1244-2-ND	Bus-Transceiver, Tri-State, 16-Bit	Tri-State 16-Bit Bus Transceiver	48-TSSOP		855.07/2,000	
SN74LVCH16245ADGVR	296-8580-1-ND	Bus-Transceiver, Tri-State, 16-Bit	Tri-State 16-Bit Bus Transceiver	48-TVSOP	.97	.81	.65
SN74LVCH16245ADGVR	296-8580-2-ND	Bus-Transceiver, Tri-State, 16-Bit	Tri-State 16-Bit Bus Transceiver	48-TVSOP		855.07/2,000	
SN74LVCH16245ADL	296-1245-5-ND	Bus-Transceiver, Tri-State, 16-Bit	Tri-State 16-Bit Bus Transceiver	48-SSOP	.97	.81	.65
SN74LVCH16245ADLR	296-1245-1-ND	Bus-Transceiver, Tri-State, 16-Bit	Tri-State 16-Bit Bus Transceiver	48-SSOP	.97	.81	.65
SN74LVCH16245ADLR	296-1245-2-ND	Bus-Transceiver, Tri-State, 16-Bit	Tri-State 16-Bit Bus Transceiver	48-SSOP		427.53/1,000	
SN74LVCH16245AGQLR	296-8582-1-ND	Bus-Transceiver, Tri-State, 16-Bit	Tri-State 16-Bit Bus Transceiver	56-VFBGA	1.65	1.33	1.00
SN74LVCH16245AGQLR	296-8582-2-ND	Bus-Transceiver, Tri-State, 16-Bit	Tri-State 16-Bit Bus Transceiver	56-VFBGA		858.45/1,000	
SN74LVCH16245AGRDR	296-16889-1-ND	Bus-Transceiver, Tri-State, 16-Bit	Tri-State 16-Bit Bus Transceiver	54-BGA	1.23	.99	.74
SN74LVCH16245AGRDR	296-16889-2-ND	Bus-Transceiver, Tri-State, 16-Bit	Tri-State 16-Bit Bus Transceiver	54-BGA		638.34/1,000	
SN74LVCH16245AZRDR	296-16890-1-ND	Bus-Transceiver, Tri-State, 16-Bit	Tri-State 16-Bit Bus Transceiver	54-BGA	1.23	.99	.74
SN74LVCH16245AZRDR	296-16890-2-ND	Bus-Transceiver, Tri-State, 16-Bit	Tri-State 16-Bit Bus Transceiver	54-BGA		638.34/1,000	
SN74LVCH16373ADGGR	296-8583-1-ND	Tri-St., transp.16-Bit D-Latch	Tri-St. 16-Bit Transp. D-Type Latch	48-TSSOP	.97	.81	.65
SN74LVCH16373ADGGR	296-8583-2-ND	Tri-St., transp.16-Bit D-Latch	Tri-St. 16-Bit Transp. D-Type Latch	48-TSSOP		855.07/2,000	
SN74LVCH16373ADGVR	296-8584-1-ND	Tri-St., transp.16-Bit D-Latch	Tri-St. 16-Bit Transp. D-Type Latch	48-TVSOP	1.23	.99	.74
SN74LVCH16373ADGVR	296-8584-2-ND	Tri-St., transp.16-Bit D-Latch	Tri-St. 16-Bit Transp. D-Type Latch	48-TVSOP		1276.67/2,000	
SN74LVCH16373ADL	296-8585-5-ND	Tri-St., transp.16-Bit D-Latch	Tri-St. 16-Bit Transp. D-Type Latch	48-SSOP	.97	.81	.65
SN74LVCH16373ADLR	296-8585-1-ND	Tri-St., transp.16-Bit D-Latch	Tri-St. 16-Bit Transp. D-Type Latch	48-SSOP	.97	.81	.65
SN74LVCH16373ADLR	296-8585-2-ND	Tri-St., transp.16-Bit D-Latch	Tri-St. 16-Bit Transp. D-Type Latch	48-SSOP		427.53/1,000	
SN74LVCH16373AGQLR	296-8586-1-ND	Tri-St., transp.16-Bit D-Latch	Tri-St. 16-Bit Transp. D-Type Latch	56-VFBGA	1.65	1.33	1.00
SN74LVCH16373AGQLR	296-8586-2-ND	Tri-St., transp.16-Bit D-Latch	Tri-St. 16-Bit Transp. D-Type Latch	56-VFBGA		858.45/1,000	
SN74LVCH16374ADGGR	296-8587-1-ND	D-Flip-Flop, Tri-State, 16-Bit	Tri-State 16-Bit D-Type Flip-Flop	48-TSSOP	.97	.81	.65
SN74LVCH16374ADGGR	296-8587-2-ND	D-Flip-Flop, Tri-State, 16-Bit	Tri-State 16-Bit D-Type Flip-Flop	48-TSSOP		855.07/2,000	
SN74LVCH16374ADGVR	296-8588-1-ND	D-Flip-Flop, Tri-State, 16-Bit	Tri-State 16-Bit D-Type Flip-Flop	48-TVSOP	1.23	.99	.74
SN74LVCH16374ADGVR	296-8588-2-ND	D-Flip-Flop, Tri-State, 16-Bit	Tri-State 16-Bit D-Type Flip-Flop	48-TVSOP		1276.67/2,000	
SN74LVCH16374ADL	296-8589-5-ND	D-Flip-Flop, Tri-State, 16-Bit	Tri-State 16-Bit D-Type Flip-Flop	48-SSOP	—	.81	—
SN74LVCH16374ADLR	296-8589-1-ND	D-Flip-Flop, Tri-State, 16-Bit	Tri-State 16-Bit D-Type Flip-Flop	48-SSOP	.97	.81	.65
SN74LVCH16374ADLR	296-8589-2-ND	D-Flip-Flop, Tri-State, 16-Bit	Tri-State 16-Bit D-Type Flip-Flop	48-SSOP		427.53/1,000	
SN74LVCH16374AGQLR	296-8590-1-ND	D-Flip-Flop, Tri-State, 16-Bit	Tri-State 16-Bit D-Type Flip-Flop	56-VFBGA	1.65	1.33	1.00

(Forts.)

★ RUFEN SIE BITTE AN FÜR NIEDRIGERE PREISE BEI GRÖSSEREN MENGEN! ★

Alle Preisangaben in Euro und inklusive Zollgebühren.

T. I. Teilenr..	Digi-Key Teilenr.	Beschreibung		Paket	Stückpreis★ 1	25	100
SN74LVCH16374AGQLR	296-8590-2-ND	D-Flip-Flop, Tri-State, 16-Bit	Tri-State 16-Bit D-Type Flip-Flop	56-VFBGA		858.45/1,000	
SN74LVCH16540ADGGR	296-8591-1-ND	Puffer/Treiber, Tri-State, 16-Bit	Tri-State 16-Bit Buffer/Driver	48-TSSOP	2.10	1.68	1.31
SN74LVCH16540ADGGR	296-8591-2-ND	Puffer/Treiber, Tri-State, 16-Bit	Tri-State 16-Bit Buffer/Driver	48-TSSOP		2375.56/2,000	
SN74LVCH16540ADGVR	296-8592-1-ND	Puffer/Treiber, Tri-State, 16-Bit	Tri-State 16-Bit Buffer/Driver	48-TVSOP	2.10	1.68	1.31
SN74LVCH16540ADGVR	296-8592-2-ND	Puffer/Treiber, Tri-State, 16-Bit	Tri-State 16-Bit Buffer/Driver	48-TVSOP		2375.56/2,000	
SN74LVCH16540ADL	296-8593-5-ND	Puffer/Treiber, Tri-State, 16-Bit	Tri-State 16-Bit Buffer/Driver	48-SSOP	2.10	1.68	1.31
SN74LVCH16541ADGGR	296-8594-1-ND	Puffer/Treiber, Tri-State, 16-Bit	Tri-State 16-Bit Buffer/Driver	48-TSSOP	1.14	.96	.77
SN74LVCH16541ADGGR	296-8594-2-ND	Puffer/Treiber, Tri-State, 16-Bit	Tri-State 16-Bit Buffer/Driver	48-TSSOP		1014.23/2,000	
SN74LVCH16541ADGVR	296-8595-1-ND	Puffer/Treiber, Tri-State, 16-Bit	Tri-State 16-Bit Buffer/Driver	48-TVSOP	1.23	.99	.74
SN74LVCH16541ADGVR	296-8595-2-ND	Puffer/Treiber, Tri-State, 16-Bit	Tri-State 16-Bit Buffer/Driver	48-TVSOP		1276.67/2,000	
SN74LVCH16541ADL	296-8596-5-ND	Puffer/Treiber, Tri-State, 16-Bit	Tri-State 16-Bit Buffer/Driver	48-SSOP	1.14	.96	.77
SN74LVCH16543ADGGR	296-1246-1-ND	Tri-St., Transceiver mit Register, 16-Bit	Tri-St. 16-Bit Registered Transceiver	56-TSSOP	1.06	.85	.64
SN74LVCH16543ADGGR	296-1246-2-ND	Tri-St., Transceiver mit Register, 16-Bit	Tri-St. 16-Bit Registered Transceiver	56-TSSOP		1100.58/2,000	
SN74LVCH16543ADGVR	296-8597-1-ND	Tri-St., Transceiver mit Register, 16-Bit	Tri-St. 16-Bit Registered Transceiver	56-TVSOP	1.40	1.12	.84
SN74LVCH16543ADGVR	296-8597-2-ND	Tri-St., Transceiver mit Register, 16-Bit	Tri-St. 16-Bit Registered Transceiver	56-TVSOP		1452.77/2,000	
SN74LVCH16543ADL	296-8598-5-ND	Tri-St., Transceiver mit Register, 16-Bit	Tri-St. 16-Bit Registered Transceiver	56-SSOP	1.40	1.12	.84
SN74LVCH16543ADLR	296-8598-1-ND	Tri-St., Transceiver mit Register, 16-Bit	Tri-St. 16-Bit Registered Transceiver	56-SSOP	1.40	1.12	.84
SN74LVCH16543ADLR	296-8598-2-ND	Tri-St., Transceiver mit Register, 16-Bit	Tri-St. 16-Bit Registered Transceiver	56-SSOP		726.38/1,000	
SN74LVCH16543AGQLR	296-13287-1-ND	Tri-St., Transceiver mit Register, 16-Bit	Tri-St. 16-Bit Registered Transceiver	56-VFBGA	1.65	1.33	1.00
SN74LVCH16543AGQLR	296-13287-2-ND	Tri-St., Transceiver mit Register, 16-Bit	Tri-St. 16-Bit Registered Transceiver	56-VFBGA		858.45/1,000	
SN74LVCH16646ADGGR	296-8599-1-ND	Tri-St., Transceiver/Register, 16-Bit	Tri-St. 16-Bit Transceiver/Register	56-TSSOP	1.69	1.36	1.02
SN74LVCH16646ADGGR	296-8599-2-ND	Tri-St., Transceiver/Register, 16-Bit	Tri-St. 16-Bit Transceiver/Register	56-TSSOP		1760.93/2,000	
SN74LVCH16646ADGVR	296-9859-1-ND	Tri-St., Transceiver/Register, 16-Bit	Tri-St. 16-Bit Transceiver/Register	56-TVSOP	1.69	1.36	1.02
SN74LVCH16646ADGVR	296-9859-2-ND	Tri-St., Transceiver/Register, 16-Bit	Tri-St. 16-Bit Transceiver/Register	56-TVSOP		1760.93/2,000	
SN74LVCH16646ADL	296-8600-5-ND	Tri-St., Transceiver/Register, 16-Bit	Tri-St. 16-Bit Transceiver/Register	56-SSOP	1.69	1.36	1.02
SN74LVCH16652ADGGR	296-8601-1-ND	Tri-St., Transceiver/Register, 16-Bit	Tri-St. 16-Bit Transceiver/Register	56-TSSOP	1.69	1.36	1.02
SN74LVCH16652ADGGR	296-8601-2-ND	Tri-St., Transceiver/Register, 16-Bit	Tri-St. 16-Bit Transceiver/Register	56-TSSOP		1760.93/2,000	
SN74LVCH16652ADGVR	296-8602-1-ND	Tri-St., Transceiver/Register, 16-Bit	Tri-St. 16-Bit Transceiver/Register	56-TVSOP	1.69	1.36	1.02
SN74LVCH16652ADGVR	296-8602-2-ND	Tri-St., Transceiver/Register, 16-Bit	Tri-St. 16-Bit Transceiver/Register	56-TVSOP		1760.93/2,000	
SN74LVCH16652ADL	296-8603-5-ND	Tri-St., Transceiver/Register, 16-Bit	Tri-St. 16-Bit Transceiver/Register	56-SSOP	1.69	1.36	1.02
SN74LVCH16901DGGR	296-8604-1-ND	Universal Bus-Transceiver mit Parity Gen/Checker, 18-Bit	18-Bit Universal Bus Transceiver with Parity Gen/Checker	64-TSSOP	6.35	5.08	4.29
SN74LVCH16901DGGR	296-8604-2-ND	Universal Bus-Transceiver mit Parity Gen/Checker, 18-Bit	18-Bit Universal Bus Transceiver with Parity Gen/Checker	64-TSSOP		7937.72/2,000	
SN74LVCH16952ADGGR	296-8605-1-ND	Tri-St., Transceiver mit Register, 16-Bit	Tri-St. 16-Bit Register Transceiver	56-TSSOP	3.05	2.44	1.90
SN74LVCH16952ADGGR	296-8605-2-ND	Tri-St., Transceiver mit Register, 16-Bit	Tri-St. 16-Bit Register Transceiver	56-TSSOP		3454.13/2,000	
SN74LVCH16952ADGVR	296-12916-1-ND	Tri-St., Transceiver mit Register, 16-Bit	Tri-St. 16-Bit Register Transceiver	56-TVSOP	3.05	2.44	1.90
SN74LVCH16952ADGVR	296-12916-2-ND	Tri-St., Transceiver mit Register, 16-Bit	Tri-St. 16-Bit Register Transceiver	56-TVSOP		3454.13/2,000	
SN74LVCH16952ADL	296-8606-5-ND	Tri-St., Transceiver mit Register, 16-Bit	Tri-St. 16-Bit Register Transceiver	56-SSOP	3.05	2.44	1.90
SN74LVCH32244AGKER	296-8614-1-ND	Puffer/Treiber, Tri-State, 32-Bit	Tri-State 32-Bit Buffer/Driver	96-LFBGA	2.86	2.29	1.78
SN74LVCH32244AGKER	296-8614-2-ND	Puffer/Treiber, Tri-State, 32-Bit	Tri-State 32-Bit Buffer/Driver	96-LFBGA		1619.55/1,000	
SN74LVCH32245AGKER	296-8615-1-ND	Bus-Transceiver, Tri-State, 32-Bit	Tri-State 32-Bit Bus Transceiver	96-LFBGA	2.00	1.60	1.25
SN74LVCH32245AGKER	296-8615-2-ND	Bus-Transceiver, Tri-State, 32-Bit	Tri-State 32-Bit Bus Transceiver	96-LFBGA		1133.60/1,000	
SN74LVCH32373AGKER	296-8616-1-ND	Tri-St., Transparenter D-Latch, 32-Bit	Tri-St. 32-Bit Transparent D-Type Latch	96-LFBGA	3.14	2.52	1.96
SN74LVCH32373AGKER	296-8616-2-ND	Tri-St., Transparenter D-Latch, 32-Bit	Tri-St. 32-Bit Transparent D-Type Latch	96-LFBGA		1781.25/1,000	
SN74LVCH32374AGKER	296-8617-1-ND	D-Flip-Flop, Tri-State, 32-Bit	Tri-State 32-Bit D-Type Flip-Flop	96-LFBGA	3.14	2.52	1.96
SN74LVCH32374AGKER	296-8617-2-ND	D-Flip-Flop, Tri-State, 32-Bit	Tri-State 32-Bit D-Type Flip-Flop	96-LFBGA		1781.25/1,000	
SN74LVCH162244ADLR	296-8568-1-ND	Puffer/Treiber, Tri-State, 16-Bit	Tri-State 16-Bit Buffer/Driver	48-SSOP	.97	.81	.65
SN74LVCH162244ADLR	296-8568-2-ND	Puffer/Treiber, Tri-State, 16-Bit	Tri-State 16-Bit Buffer/Driver	48-SSOP		427.53/1,000	
SN74LVCH162244AGR	296-8569-1-ND	Puffer/Treiber, Tri-State, 16-Bit	Tri-State 16-Bit Buffer/Driver	48-TSSOP	.97	.81	.65
SN74LVCH162244AGR	296-8569-2-ND	Puffer/Treiber, Tri-State, 16-Bit	Tri-State 16-Bit Buffer/Driver	48-TSSOP		855.07/2,000	
SN74LVCH162244AVR	296-8570-1-ND	Puffer/Treiber, Tri-State, 16-Bit	Tri-State 16-Bit Buffer/Driver	48-TVSOP	1.23	.99	.74
SN74LVCH162244AVR	296-8570-2-ND	Puffer/Treiber, Tri-State, 16-Bit	Tri-State 16-Bit Buffer/Driver	48-TVSOP		1276.67/2,000	
SN74LVCH322244AKR	296-15599-1-ND	Puffer/Treiber, Tri-State, 32-Bit	Tri-State 32-Bit Buffer/Driver	96-LFBGA	3.14	2.52	1.96
SN74LVCH322244AKR	296-15599-2-ND	Puffer/Treiber, Tri-State, 32-Bit	Tri-State 32-Bit Buffer/Driver	96-LFBGA		1781.25/1,000	
		LVCHR-Gruppe					
SN74LVCHR16245AGR	296-9860-1-ND	Bus-Transceiver, Tri-State, 16-Bit	Tri-State 16-Bit Bus Transceiver	48-TSSOP	.97	.81	.65
SN74LVCHR16245AGR	296-9860-2-ND	Bus-Transceiver, Tri-State, 16-Bit	Tri-State 16-Bit Bus Transceiver	48-TSSOP		855.07/2,000	
SN74LVCHR16245AKR	296-14400-1-ND	Bus-Transceiver, Tri-State, 16-Bit	Tri-State 16-Bit Bus Transceiver	56-VFBGA	1.14	.96	.77
SN74LVCHR16245AKR	296-14400-2-ND	Bus-Transceiver, Tri-State, 16-Bit	Tri-State 16-Bit Bus Transceiver	56-VFBGA		507.11/1,000	
SN74LVCHR16245ALR	296-1248-1-ND	Bus-Transceiver, Tri-State, 16-Bit	Tri-State 16-Bit Bus Transceiver	48-SSOP	.97	.81	.65
SN74LVCHR16245ALR	296-1248-2-ND	Bus-Transceiver, Tri-State, 16-Bit	Tri-State 16-Bit Bus Transceiver	48-SSOP		427.53/1,000	
SN74LVCHR16245AVR	296-15600-1-ND	Bus-Transceiver, Tri-State, 16-Bit	Tri-State 16-Bit Bus Transceiver	48-TVSOP	1.23	.99	.74
SN74LVCHR16245AVR	296-15600-2-ND	Bus-Transceiver, Tri-State, 16-Bit	Tri-State 16-Bit Bus Transceiver	48-TVSOP		1276.67/2,000	
SN74LVCHR162245ADL	296-8618-5-ND	Bus-Transceiver, Tri-State, 16-Bit	Tri-State 16-Bit Bus Transceiver	48-SSOP	.97	.81	.65
		LVCR-Gruppe					
SN74LVCR2245ADBR	296-8621-1-ND	Achtf. Bus-Transceiver, Tri-State	Tri-State Octal Bus Transceiver	20-SSOP	.68	.51	.39
SN74LVCR2245ADBR	296-8621-2-ND	Achtf. Bus-Transceiver, Tri-State	Tri-State Octal Bus Transceiver	20-SSOP		450.39/2,000	
SN74LVCR2245ADGVR	296-8622-1-ND	Achtf. Bus-Transceiver, Tri-State	Tri-State Octal Bus Transceiver	20-TVSOP	.63	.53	.43
SN74LVCR2245ADGVR	296-8622-2-ND	Achtf. Bus-Transceiver, Tri-State	Tri-State Octal Bus Transceiver	20-TVSOP		563.84/2,000	
SN74LVCR2245ADWR	296-8623-1-ND	Achtf. Bus-Transceiver, Tri-State	Tri-State Octal Bus Transceiver	20-SOIC	.68	.51	.39
SN74LVCR2245ADWR	296-8623-2-ND	Achtf. Bus-Transceiver, Tri-State	Tri-State Octal Bus Transceiver	20-SOIC		450.39/2,000	
SN74LVCR2245AGQNR	296-12103-1-ND	Achtf. Bus-Transceiver, Tri-State	Tri-State Octal Bus Transceiver	20-BGA	.78	.59	.44
SN74LVCR2245AGQNR	296-12103-2-ND	Achtf. Bus-Transceiver, Tri-State	Tri-State Octal Bus Transceiver	20-BGA		259.06/1,000	
SN74LVCR2245ANSR	296-13288-1-ND	Achtf. Bus-Transceiver, Tri-State	Tri-State Octal Bus Transceiver	20-SOP	.68	.51	.39
SN74LVCR2245ANSR	296-13288-2-ND	Achtf. Bus-Transceiver, Tri-State	Tri-State Octal Bus Transceiver	20-SOP		450.39/2,000	
SN74LVCR2245APWR	296-8624-1-ND	Achtf. Bus-Transceiver, Tri-State	Tri-State Octal Bus Transceiver	20-TSSOP	.68	.51	.39
SN74LVCR2245APWR	296-8624-2-ND	Achtf. Bus-Transceiver, Tri-State	Tri-State Octal Bus Transceiver	20-TSSOP		450.39/2,000	
SN74LVCR2245ARGYR	296-13981-1-ND	Achtf. Bus-Transceiver, Tri-State	Tri-State Octal Bus Transceiver	20-QFN	.63	.53	.43
SN74LVCR2245ARGYR	296-13981-2-ND	Achtf. Bus-Transceiver, Tri-State	Tri-State Octal Bus Transceiver	20-QFN		281.92/1,000	
SN74LVCR16245ADGGR	296-15601-1-ND	Bus-Transceiver, Tri-State, 16-Bit	Tri-State 16-Bit Bus Transceiver	48-TSSOP	1.86	1.49	1.12
SN74LVCR16245ADGGR	296-15601-2-ND	Bus-Transceiver, Tri-State, 16-Bit	Tri-State 16-Bit Bus Transceiver	48-TSSOP		1937.02/2,000	
SN74LVCR16245ADGVR	296-15602-1-ND	Bus-Transceiver, Tri-State, 16-Bit	Tri-State 16-Bit Bus Transceiver	48-TVSOP	1.86	1.49	1.12
SN74LVCR16245ADGVR	296-15602-2-ND	Bus-Transceiver, Tri-State, 16-Bit	Tri-State 16-Bit Bus Transceiver	48-TVSOP		1937.02/2,000	
SN74LVCR16245ADLR	296-15603-1-ND	Bus-Transceiver, Tri-State, 16-Bit	Tri-State 16-Bit Bus Transceiver	48-SSOP	1.86	1.49	1.12
SN74LVCR16245ADLR	296-15603-2-ND	Bus-Transceiver, Tri-State, 16-Bit	Tri-State 16-Bit Bus Transceiver	48-SSOP		968.51/1,000	
SN74LVCR32245AGKER	296-15604-1-ND	Bus-Transceiver, Tri-State, 32-Bit	Tri-State 32-Bit Bus Transceiver	96-LFBGA	2.00	1.60	1.25
SN74LVCR32245AGKER	296-15604-2-ND	Bus-Transceiver, Tri-State, 32-Bit	Tri-State 32-Bit Bus Transceiver	96-LFBGA		1133.60/1,000	
SN74LVCR162245DGGR	296-8619-1-ND	Bus-Transceiver, Tri-State, 16-Bit	Tri-State 16-Bit Bus Transceiver	48-TSSOP	.97	.81	.65
SN74LVCR162245DGGR	296-8619-2-ND	Bus-Transceiver, Tri-State, 16-Bit	Tri-State 16-Bit Bus Transceiver	48-TSSOP		855.07/2,000	
SN74LVCR162245DL	296-8620-5-ND	Bus-Transceiver, Tri-State, 16-Bit	Tri-State 16-Bit Bus Transceiver	48-SSOP	.97	.81	.65
SN74LVCR162245KR	296-12707-1-ND	Bus-Transceiver, Tri-State, 16-Bit	Tri-State 16-Bit Bus Transceiver	56-VFBGA	1.14	.96	.77
SN74LVCR162245KR	296-12707-2-ND	Bus-Transceiver, Tri-State, 16-Bit	Tri-State 16-Bit Bus Transceiver	56-VFBGA		507.11/1,000	
		LVCU-Gruppe					
SN74LVCU04AD	296-9861-5-ND	Sechsf. Inverter	Hex Inverter	14-SOIC	.61	.46	.35
SN74LVCU04ADR	296-9861-1-ND	Sechsf. Inverter	Hex Inverter	14-SOIC	.61	.46	.35
SN74LVCU04ADR	296-9861-2-ND	Sechsf. Inverter	Hex Inverter	14-SOIC		495.26/2,500	
SN74LVCU04ADBR	296-9862-1-ND	Sechsf. Inverter	Hex Inverter	14-SSOP	.61	.46	.35
SN74LVCU04ADBR	296-9862-2-ND	Sechsf. Inverter	Hex Inverter	14-SSOP		404.67/2,000	
SN74LVCU04ADGVR	296-9863-1-ND	Sechsf. Inverter	Hex Inverter	14-TVSOP	.61	.46	.35
SN74LVCU04ADGVR	296-9863-2-ND	Sechsf. Inverter	Hex Inverter	14-TVSOP		404.67/2,000	
SN74LVCU04APWR	296-9865-1-ND	Sechsf. Inverter	Hex Inverter	14-TSSOP	.61	.46	.35
SN74LVCU04APWR	296-9865-2-ND	Sechsf. Inverter	Hex Inverter	14-TSSOP		404.67/2,000	

(Forts.)

★ ***RUFEN SIE BITTE AN FÜR NIEDRIGERE PREISE BEI GRÖSSEREN MENGEN!*** ★

B

T. I. Teilenr.	Digi-Key Teilenr.	Beschreibung		Paket	Stückpreis★ 1	25	100
			LVCZ-Gruppe				
SN74LVCZ240ADBR	296-9870-1-ND	Achtf. Puffer/Treiber, Tri-State	Tri-State Octal Buffer/Driver	20-SSOP	.89	.75	.60
SN74LVCZ240ADBR	296-9870-2-ND	Achtf. Puffer/Treiber, Tri-State	Tri-State Octal Buffer/Driver	20-SSOP		789.03/2,000	
SN74LVCZ240ADGVR	296-9871-1-ND	Achtf. Puffer/Treiber, Tri-State	Tri-State Octal Buffer/Driver	20-TVSOP	.89	.75	.60
SN74LVCZ240ADGVR	296-9871-2-ND	Achtf. Puffer/Treiber, Tri-State	Tri-State Octal Buffer/Driver	20-TVSOP		789.03/2,000	
SN74LVCZ240ADWR	296-9872-1-ND	Achtf. Puffer/Treiber, Tri-State	Tri-State Octal Buffer/Driver	20-SOIC	.89	.75	.60
SN74LVCZ240ADWR	296-9872-2-ND	Achtf. Puffer/Treiber, Tri-State	Tri-State Octal Buffer/Driver	20-SOIC		789.03/2,000	
SN74LVCZ240ANSR	296-12993-1-ND	Achtf. Puffer/Treiber, Tri-State	Tri-State Octal Buffer/Driver	20-SOP	.89	.75	.60
SN74LVCZ240ANSR	296-12993-2-ND	Achtf. Puffer/Treiber, Tri-State	Tri-State Octal Buffer/Driver	20-SOP		789.03/2,000	
SN74LVCZ240APW	296-9873-5-ND	Achtf. Puffer/Treiber, Tri-State	Tri-State Octal Buffer/Driver	20-TSSOP	.89	.75	.60
SN74LVCZ240APWR	296-9873-1-ND	Achtf. Puffer/Treiber, Tri-State	Tri-State Octal Buffer/Driver	20-TSSOP	.89	.75	.60
SN74LVCZ240APWR	296-9873-2-ND	Achtf. Puffer/Treiber, Tri-State	Tri-State Octal Buffer/Driver	20-TSSOP		789.03/2,000	
SN74LVCZ244ADBR	296-9874-1-ND	Achtf. Puffer/Treiber, Tri-State	Tri-State Octal Buffer/Driver	20-SSOP	.89	.75	.60
SN74LVCZ244ADBR	296-9874-2-ND	Achtf. Puffer/Treiber, Tri-State	Tri-State Octal Buffer/Driver	20-SSOP		789.03/2,000	
SN74LVCZ244ADWR	296-9875-1-ND	Achtf. Puffer/Treiber, Tri-State	Tri-State Octal Buffer/Driver	20-SOIC	.89	.75	.60
SN74LVCZ244ADWR	296-9875-2-ND	Achtf. Puffer/Treiber, Tri-State	Tri-State Octal Buffer/Driver	20-SOIC		789.03/2,000	
SN74LVCZ244APW	296-9876-5-ND	Achtf. Puffer/Treiber, Tri-State	Tri-State Octal Buffer/Driver	20-TSSOP	.89	.75	.60
SN74LVCZ244APWR	296-9876-1-ND	Achtf. Puffer/Treiber, Tri-State	Tri-State Octal Buffer/Driver	20-TSSOP	.89	.75	.60
SN74LVCZ244APWR	296-9876-2-ND	Achtf. Puffer/Treiber, Tri-State	Tri-State Octal Buffer/Driver	20-TSSOP		789.03/2,000	
SN74LVCZ245ADBR	296-9877-1-ND	Achtf. Bus-Transceiver, Tri-State	Tri-State Octal Bus Transceiver	20-SSOP	.89	.75	.60
SN74LVCZ245ADBR	296-9877-2-ND	Achtf. Bus-Transceiver, Tri-State	Tri-State Octal Bus Transceiver	20-SSOP		789.03/2,000	
SN74LVCZ245ADWR	296-9878-1-ND	Achtf. Bus-Transceiver, Tri-State	Tri-State Octal Bus Transceiver	20-SOIC	.89	.75	.60
SN74LVCZ245ADWR	296-9878-2-ND	Achtf. Bus-Transceiver, Tri-State	Tri-State Octal Bus Transceiver	20-SOIC		789.03/2,000	
SN74LVCZ245APW	296-9879-5-ND	Achtf. Bus-Transceiver, Tri-State	Tri-State Octal Bus Transceiver	20-TSSOP	.89	.75	.60
SN74LVCZ245APWR	296-9879-1-ND	Achtf. Bus-Transceiver, Tri-State	Tri-State Octal Bus Transceiver	20-TSSOP	.89	.75	.60
SN74LVCZ245APWR	296-9879-2-ND	Achtf. Bus-Transceiver, Tri-State	Tri-State Octal Bus Transceiver	20-TSSOP		789.03/2,000	
SN74LVCZ16240ADGGR	296-9866-1-ND	Puffer/Treiber, Tri-State, 16-Bit	Tri-State 16-Bit Buffer/Driver	48-TSSOP	2.19	1.76	1.37
SN74LVCZ16240ADGGR	296-9866-2-ND	Puffer/Treiber, Tri-State, 16-Bit	Tri-State 16-Bit Buffer/Driver	48-TSSOP		2482.23/2,000	
SN74LVCZ16240ADGVR	296-15605-1-ND	Puffer/Treiber, Tri-State, 16-Bit	Tri-State 16-Bit Buffer/Driver	48-TVSOP	2.19	1.76	1.37
SN74LVCZ16240ADGVR	296-15605-2-ND	Puffer/Treiber, Tri-State, 16-Bit	Tri-State 16-Bit Buffer/Driver	48-TVSOP		2482.23/2,000	
SN74LVCZ16240ADLR	296-9867-1-ND	Puffer/Treiber, Tri-State, 16-Bit	Tri-State 16-Bit Buffer/Driver	48-SSOP	2.19	1.76	1.37
SN74LVCZ16240ADLR	296-9867-2-ND	Puffer/Treiber, Tri-State, 16-Bit	Tri-State 16-Bit Buffer/Driver	48-SSOP		1241.12/1,000	
SN74LVCZ16244ADGGR	296-9868-1-ND	Puffer/Treiber, Tri-State, 16-Bit	Tri-State 16-Bit Buffer/Driver	48-TSSOP	1.17	.94	.70
SN74LVCZ16244ADGGR	296-9868-2-ND	Puffer/Treiber, Tri-State, 16-Bit	Tri-State 16-Bit Buffer/Driver	48-TSSOP		1210.64/2,000	
SN74LVCZ16244ADGVR	296-15606-1-ND	Puffer/Treiber, Tri-State, 16-Bit	Tri-State 16-Bit Buffer/Driver	48-TVSOP	1.69	1.36	1.02
SN74LVCZ16244ADGVR	296-15606-2-ND	Puffer/Treiber, Tri-State, 16-Bit	Tri-State 16-Bit Buffer/Driver	48-TVSOP		1760.93/2,000	
SN74LVCZ16244ADLR	296-9869-1-ND	Puffer/Treiber, Tri-State, 16-Bit	Tri-State 16-Bit Buffer/Driver	48-SSOP	1.69	1.36	1.02
SN74LVCZ16244ADLR	296-9869-2-ND	Puffer/Treiber, Tri-State, 16-Bit	Tri-State 16-Bit Buffer/Driver	48-SSOP		880.46/1,000	
SN74LVCZ16245ADGGR	296-13289-1-ND	Bus-Transceiver, Tri-State, 16-Bit	Tri-State 16-Bit Bus Transceiver	48-TSSOP	1.69	1.36	1.02
SN74LVCZ16245ADGGR	296-13289-2-ND	Bus-Transceiver, Tri-State, 16-Bit	Tri-State 16-Bit Bus Transceiver	48-TSSOP		1760.93/2,000	
SN74LVCZ16245ADGVR	296-13612-1-ND	Bus-Transceiver, Tri-State, 16-Bit	Tri-State 16-Bit Bus Transceiver	48-TVSOP	1.69	1.36	1.02
SN74LVCZ16245ADGVR	296-13612-2-ND	Bus-Transceiver, Tri-State, 16-Bit	Tri-State 16-Bit Bus Transceiver	48-TVSOP		1760.93/2,000	
SN74LVCZ16245ADLR	296-13290-1-ND	Bus-Transceiver, Tri-State, 16-Bit	Tri-State 16-Bit Bus Transceiver	48-SSOP	1.69	1.36	1.02
SN74LVCZ16245ADLR	296-13290-2-ND	Bus-Transceiver, Tri-State, 16-Bit	Tri-State 16-Bit Bus Transceiver	48-SSOP		880.46/1,000	
SN74LVCZ32240AGKER	296-15607-1-ND	Puffer/Treiber, Tri-State, 32-Bit	Tri-State 32-Bit Buffer/Driver	96-LFBGA	3.29	2.64	2.06
SN74LVCZ32240AGKER	296-15607-2-ND	Puffer/Treiber, Tri-State, 32-Bit	Tri-State 32-Bit Buffer/Driver	96-LFBGA		1867.60/1,000	
SN74LVCZ32244AGKER	296-15608-1-ND	Puffer/Treiber, Tri-State, 32-Bit	Tri-State 32-Bit Buffer/Driver	96-LFBGA	3.29	2.64	2.06
SN74LVCZ32244AGKER	296-15608-2-ND	Puffer/Treiber, Tri-State, 32-Bit	Tri-State 32-Bit Buffer/Driver	96-LFBGA		1867.60/1,000	
SN74LVCZ32245AGKER	296-15609-1-ND	Bus-Transceiver, Tri-State, 32-Bit	Tri-State 32-Bit Bus Transceiver	96-LFBGA	3.29	2.64	2.06
SN74LVCZ32245AGKER	296-15609-2-ND	Bus-Transceiver, Tri-State, 32-Bit	Tri-State 32-Bit Bus Transceiver	96-LFBGA		1867.60/1,000	
SN74LVCZ161284AGR	296-12025-1-ND	Bus-Schnittstelle, Tri-State, 19-Bit	Tri-State 19-Bit Bus Interface	48-TSSOP	1.48	1.19	.89
SN74LVCZ161284AGR	296-12025-2-ND	Bus-Schnittstelle, Tri-State, 19-Bit	Tri-State 19-Bit Bus Interface	48-TSSOP		1540.81/2,000	
			LVT-Gruppe				
SN74LVT125D	296-1249-5-ND	Vierf. Bus-Puffer, ABT, Tri-State, 3,3 V	Tri-State 3.3V ABT Quad Bus Buffer	14-SOIC	1.02	.85	.68
SN74LVT125DBR	296-14919-1-ND	Vierf. Bus-Puffer, ABT, Tri-State, 3,3 V	Tri-State 3.3V ABT Quad Bus Buffer	14-SSOP	1.02	.85	.68
SN74LVT125DBR	296-14919-2-ND	Vierf. Bus-Puffer, ABT, Tri-State, 3,3 V	Tri-State 3.3V ABT Quad Bus Buffer	14-SSOP		900.78/2,000	
SN74LVT125DR	296-1249-1-ND	Vierf. Bus-Puffer, ABT, Tri-State, 3,3 V	Tri-State 3.3V ABT Quad Bus Buffer	14-SOIC	1.02	.85	.68
SN74LVT125DR	296-1249-2-ND	Vierf. Bus-Puffer, ABT, Tri-State, 3,3 V	Tri-State 3.3V ABT Quad Bus Buffer	14-SOIC		1100.58/2,500	
SN74LVT125NSR	296-13291-1-ND	Vierf. Bus-Puffer, ABT, Tri-State, 3,3 V	Tri-State 3.3V ABT Quad Bus Buffer	14-SOP	1.02	.85	.68
SN74LVT125NSR	296-13291-2-ND	Vierf. Bus-Puffer, ABT, Tri-State, 3,3 V	Tri-State 3.3V ABT Quad Bus Buffer	14-SOP		900.78/2,000	
SN74LVT125PWR	296-1250-1-ND	Vierf. Bus-Puffer, ABT, Tri-State, 3,3 V	Tri-State 3.3V ABT Quad Bus Buffer	14-TSSOP	1.02	.85	.68
SN74LVT125PWR	296-1250-2-ND	Vierf. Bus-Puffer, ABT, Tri-State, 3,3 V	Tri-State 3.3V ABT Quad Bus Buffer	14-TSSOP		900.78/2,000	
SN74LVT240ADBR	296-14924-1-ND	Achtf. 3,3 V ABT Puffer/Treiber, Tri-State	Tri-State 3.3V ABT Octal Buffer/Driver	20-SSOP	.69	.58	.46
SN74LVT240ADBR	296-14924-2-ND	Achtf. 3,3 V ABT Puffer/Treiber, Tri-State	Tri-State 3.3V ABT Octal Buffer/Driver	20-SSOP		607.86/2,000	
SN74LVT240ADW	296-1706-5-ND	Achtf. 3,3 V ABT Puffer/Treiber, Tri-State	Tri-State 3.3V ABT Octal Buffer/Driver	20-SOIC	.69	.58	.46
SN74LVT240ADWR	296-14925-1-ND	Achtf. 3,3 V ABT Puffer/Treiber, Tri-State	Tri-State 3.3V ABT Octal Buffer/Driver	20-SOIC	.69	.58	.46
SN74LVT240ADWR	296-14925-2-ND	Achtf. 3,3 V ABT Puffer/Treiber, Tri-State	Tri-State 3.3V ABT Octal Buffer/Driver	20-SOIC		607.86/2,000	
SN74LVT240APWR	296-8647-1-ND	Achtf. 3,3 V ABT Puffer/Treiber, Tri-State	Tri-State 3.3V ABT Octal Buffer/Driver	20-TSSOP	.74	.62	.50
SN74LVT240APWR	296-8647-2-ND	Achtf. 3,3 V ABT Puffer/Treiber, Tri-State	Tri-State 3.3V ABT Octal Buffer/Driver	20-TSSOP		653.58/2,000	
SN74LVT244BDBR	296-8648-1-ND	Achtf. 3,3 V ABT Puffer/Treiber, Tri-State	Tri-State 3.3V ABT Octal Buffer/Driver	20-SSOP	.78	.59	.44
SN74LVT244BDBR	296-8648-2-ND	Achtf. 3,3 V ABT Puffer/Treiber, Tri-State	Tri-State 3.3V ABT Octal Buffer/Driver	20-SSOP		518.12/2,000	
SN74LVT244BDW	296-1707-5-ND	Achtf. 3,3 V ABT Puffer/Treiber, Tri-State	Tri-State 3.3V ABT Octal Buffer/Driver	20-SOIC	.78	.59	.44
SN74LVT244BDWR	296-14926-1-ND	Achtf. 3,3 V ABT Puffer/Treiber, Tri-State	Tri-State 3.3V ABT Octal Buffer/Driver	20-SOIC	.78	.59	.44
SN74LVT244BDWR	296-14926-2-ND	Achtf. 3,3 V ABT Puffer/Treiber, Tri-State	Tri-State 3.3V ABT Octal Buffer/Driver	20-SOIC		518.12/2,000	
SN74LVT244BGQNR	296-12104-1-ND	Achtf. 3,3 V ABT Puffer/Treiber, Tri-State	Tri-State 3.3V ABT Octal Buffer/Driver	20-BGA	.69	.58	.46
SN74LVT244BGQNR	296-12104-2-ND	Achtf. 3,3 V ABT Puffer/Treiber, Tri-State	Tri-State 3.3V ABT Octal Buffer/Driver	20-BGA		303.93/1,000	
SN74LVT244BPWR	296-8649-1-ND	Achtf. 3,3 V ABT Puffer/Treiber, Tri-State	Tri-State 3.3V ABT Octal Buffer/Driver	20-TSSOP	.78	.59	.44
SN74LVT244BPWR	296-8649-2-ND	Achtf. 3,3 V ABT Puffer/Treiber, Tri-State	Tri-State 3.3V ABT Octal Buffer/Driver	20-TSSOP		518.12/2,000	
SN74LVT244BRGYR	296-13982-1-ND	Achtf. 3,3 V ABT Puffer/Treiber, Tri-State	Tri-State 3.3V ABT Octal Buffer/Driver	20-QFN	2.74	2.06	1.49
SN74LVT244BRGYR	296-13982-2-ND	Achtf. 3,3 V ABT Puffer/Treiber, Tri-State	Tri-State 3.3V ABT Octal Buffer/Driver	20-QFN		617.17/1,000	
SN74LVT245BDBR	296-8650-1-ND	Tri-St., Achtf. Bus-Transceiver, ABT, 3,3 V	Tri-St. 3.3V ABT Octal Bus Transceiver	20-SSOP	.78	.59	.44
SN74LVT245BDBR	296-8650-2-ND	Tri-St., Achtf. Bus-Transceiver, ABT, 3,3 V	Tri-St. 3.3V ABT Octal Bus Transceiver	20-SSOP		518.12/2,000	
SN74LVT245BDW	296-8651-5-ND	Tri-St., Achtf. Bus-Transceiver, ABT, 3,3 V	Tri-St. 3.3V ABT Octal Bus Transceiver	20-SOIC	.78	.59	.44
SN74LVT245BDWR	296-8651-1-ND	Tri-St., Achtf. Bus-Transceiver, ABT, 3,3 V	Tri-St. 3.3V ABT Octal Bus Transceiver	20-SOIC	.78	.59	.44
SN74LVT245BDWR	296-8651-2-ND	Tri-St., Achtf. Bus-Transceiver, ABT, 3,3 V	Tri-St. 3.3V ABT Octal Bus Transceiver	20-SOIC		518.12/2,000	
SN74LVT245BGQNR	296-12105-1-ND	Tri-St., Achtf. Bus-Transceiver, ABT, 3,3 V	Tri-St. 3.3V ABT Octal Bus Transceiver	20-BGA	.69	.58	.46
SN74LVT245BGQNR	296-12105-2-ND	Tri-St., Achtf. Bus-Transceiver, ABT, 3,3 V	Tri-St. 3.3V ABT Octal Bus Transceiver	20-BGA		303.93/1,000	
SN74LVT245BNSR	296-13294-1-ND	Tri-St., Achtf. Bus-Transceiver, ABT, 3,3 V	Tri-St. 3.3V ABT Octal Bus Transceiver	20-SOP	.78	.59	.44
SN74LVT245BNSR	296-13294-2-ND	Tri-St., Achtf. Bus-Transceiver, ABT, 3,3 V	Tri-St. 3.3V ABT Octal Bus Transceiver	20-SOP		518.12/2,000	
SN74LVT245BPWR	296-8652-1-ND	Tri-St., Achtf. Bus-Transceiver, ABT, 3,3 V	Tri-St. 3.3V ABT Octal Bus Transceiver	20-TSSOP	.78	.59	.44
SN74LVT245BPWR	296-8652-2-ND	Tri-St., Achtf. Bus-Transceiver, ABT, 3,3 V	Tri-St. 3.3V ABT Octal Bus Transceiver	20-TSSOP		518.12/2,000	
SN74LVT245BRGYR	296-13983-1-ND	Tri-St., Achtf. Bus-Transceiver, ABT, 3,3 V	Tri-St. 3.3V ABT Octal Bus Transceiver	20-QFN	.69	.58	.46
SN74LVT245BRGYR	296-13983-2-ND	Tri-St., Achtf. Bus-Transceiver, ABT, 3,3 V	Tri-St. 3.3V ABT Octal Bus Transceiver	20-QFN		303.93/1,000	
SN74LVT543PWR	296-13295-1-ND	Achtf. Transceiver mit Register, Tri-State	Tri-State Octal Registered Transceiver	24-TSSOP	1.69	1.36	1.02
SN74LVT543PWR	296-13295-2-ND	Achtf. Transceiver mit Register, Tri-State	Tri-State Octal Registered Transceiver	24-TSSOP		1760.93/2,000	
SN74LVT573DBR	296-8654-1-ND	Achtf. transparenter Latch	Octal Transparent Latch	20-SSOP	1.69	1.36	1.02
SN74LVT573DBR	296-8654-2-ND	Achtf. transparenter Latch	Octal Transparent Latch	20-SSOP		1760.93/2,000	
SN74LVT573DWR	296-1255-1-ND	Achtf. transparenter Latch, 3,3 V	3.3V Octal Transparent Latch	20-SOIC	1.69	1.36	1.02
SN74LVT573DWR	296-1255-2-ND	Achtf. transparenter Latch, 3,3 V	3.3V Octal Transparent Latch	20-SOIC		1760.93/2,000	
SN74LVT574PWR	296-1257-1-ND	Achtf. Tri-State 3,3 V D-Typ Flip-Flop	Tri-State 3.3V Octal D-Type Flip-Flop	20-TSSOP	1.69	1.36	1.02
SN74LVT574PWR	296-1257-2-ND	Achtf. Tri-State 3,3 V D-Typ Flip-Flop	Tri-State 3.3V Octal D-Type Flip-Flop	20-TSSOP		1760.93/2,000	
SN74LVT8980ADW	296-13498-5-ND	Integrierter Test-Bus Controller (IEEE STD 1149.1)	Embedded Test-Bus Controller (IEEE STD 1149.1)	24-SOIC	7.55	6.05	5.10
SN74LVT8980ADWR	296-15986-1-ND	Integrierter Test-Bus Controller (IEEE STD 1149.1)	Embedded Test-Bus Controller (IEEE STD 1149.1)	24-SOIC	7.55	6.05	5.10

(Forts.)

★ RUFEN SIE BITTE AN FÜR NIEDRIGERE PREISE BEI GRÖSSEREN MENGEN! ★

T. I. Teilenr.	Digi-Key Teilenr.	Beschreibung		Paket	Stückpreis★ 1	25	100
SN74LVT8980ADWR	296-15986-2-ND	Integrierter Test-Bus Controller (IEEE STD 1149.1)	Embedded Test-Bus Controller (IEEE STD 1149.1)	24-SOIC		9439.59/2,000	
SN74LVT8986GGV	296-14927-5-ND	3,3 V Anschlussfolge adressierbarer Scan Port	3.3V Linking Addressable Scan Port	64-PBGA	6.82	5.46	4.61
SN74LVT8986PM	296-14928-5-ND	3,3 V Anschlussfolge adressierbarer Scan Port	3.3V Linking Addressable Scan Port	64-LQFP	6.82	5.46	4.61
SN74LVT8996DW	296-8656-5-ND	3,3 V adressierbarer Scan Port Transceiver (IEEE STD 1149.1), 10-Bit	3.3V 10-Bit Addressable Scan Port Transceiver (IEEE STD 1149.1)	24-SOIC	7.62	6.10	5.15
SN74LVT8996DWR	296-8656-1-ND	3,3 V adressierbarer Scan Port Transceiver (IEEE STD 1149.1), 10-Bit	3.3V 10-Bit Addressable Scan Port Transceiver (IEEE STD 1149.1)	24-SOIC	7.62	6.10	5.15
SN74LVT8996DWR	296-8656-2-ND	3,3 V adressierbarer Scan Port Transceiver (IEEE STD 1149.1), 10-Bit	3.3V 10-Bit Addressable Scan Port Transceiver (IEEE STD 1149.1)	24-SOIC		9524.25/2,000	
SN74LVT8996PW	296-8657-5-ND	3,3 V adressierbarer Scan Port Transceiver (IEEE STD 1149.1), 10-Bit	3.3V 10-Bit Addressable Scan Port Transceiver (IEEE STD 1149.1)	24-TSSOP	7.62	6.10	5.15
SN74LVT8996PWR	296-8657-1-ND	3,3 V adressierbarer Scan Port Transceiver (IEEE STD 1149.1), 10-Bit	3.3V 10-Bit Addressable Scan Port Transceiver (IEEE STD 1149.1)	24-TSSOP	7.62	6.10	5.15
SN74LVT8996PWR	296-8657-2-ND	3,3 V adressierbarer Scan Port Transceiver (IEEE STD 1149.1), 10-Bit	3.3V 10-Bit Addressable Scan Port Transceiver (IEEE STD 1149.1)	24-TSSOP		9524.25/2,000	
SN74LVT16240DGGR	296-8633-1-ND	Tri-St., 3,3 V ABT Puffer/Treiber, 16-Bit	Tri-St. 3.3V ABT 16-Bit Buffer/Driver	48-TSSOP	1.27	1.02	.77
SN74LVT16240DGGR	296-8633-2-ND	Tri-St., 3,3 V ABT Puffer/Treiber, 16-Bit	Tri-St. 3.3V ABT 16-Bit Buffer/Driver	48-TSSOP		1320.70/2,000	
SN74LVT16240DLR	296-8634-1-ND	Tri-St., 3,3 V ABT Puffer/Treiber, 16-Bit	Tri-St. 3.3V ABT 16-Bit Buffer/Driver	48-SSOP	1.27	1.02	.77
SN74LVT16240DLR	296-8634-2-ND	Tri-St., 3,3 V ABT Puffer/Treiber, 16-Bit	Tri-St. 3.3V ABT 16-Bit Buffer/Driver	48-SSOP		660.35/1,000	
SN74LVT16244BDGGR	296-8635-1-ND	Tri-St., 3,3 V ABT Puffer/Treiber, 16-Bit	Tri-St. 3.3V ABT 16-Bit Buffer/Driver	48-TSSOP	1.27	1.02	.77
SN74LVT16244BDGGR	296-8635-2-ND	Tri-St., 3,3 V ABT Puffer/Treiber, 16-Bit	Tri-St. 3.3V ABT 16-Bit Buffer/Driver	48-TSSOP		1320.70/2,000	
SN74LVT16244BDGVR	296-8636-1-ND	Tri-St., 3,3 V ABT Puffer/Treiber, 16-Bit	Tri-St. 3.3V ABT 16-Bit Buffer/Driver	48-TVSOP	1.27	1.02	.77
SN74LVT16244BDGVR	296-8636-2-ND	Tri-St., 3,3 V ABT Puffer/Treiber, 16-Bit	Tri-St. 3.3V ABT 16-Bit Buffer/Driver	48-TVSOP		1320.70/2,000	
SN74LVT16244BDLR	296-8637-1-ND	Tri-St., 3,3 V ABT Puffer/Treiber, 16-Bit	Tri-St. 3.3V ABT 16-Bit Buffer/Driver	48-SSOP	1.27	1.02	.77
SN74LVT16244BDLR	296-8637-2-ND	Tri-St., 3,3 V ABT Puffer/Treiber, 16-Bit	Tri-St. 3.3V ABT 16-Bit Buffer/Driver	48-SSOP		660.35/1,000	
SN74LVT16244BGQLR	296-8638-1-ND	Tri-St., 3,3 V ABT Puffer/Treiber, 16-Bit	Tri-St. 3.3V ABT 16-Bit Buffer/Driver	48-TVFBGA	1.27	1.02	.77
SN74LVT16244BGQLR	296-8638-2-ND	Tri-St., 3,3 V ABT Puffer/Treiber, 16-Bit	Tri-St. 3.3V ABT 16-Bit Buffer/Driver	48-TVFBGA		660.35/1,000	
SN74LVT16244BGRDR	296-16893-1-ND	Tri-St., 3,3 V ABT Puffer/Treiber, 16-Bit	Tri-St. 3.3V ABT 16-Bit Buffer/Driver	54-BGA	1.27	1.02	.77
SN74LVT16244BGRDR	296-16893-2-ND	Tri-St., 3,3 V ABT Puffer/Treiber, 16-Bit	Tri-St. 3.3V ABT 16-Bit Buffer/Driver	54-BGA		660.35/1,000	
SN74LVT16244BZRDR	296-16894-1-ND	Tri-St., 3,3 V ABT Puffer/Treiber, 16-Bit	Tri-St. 3.3V ABT 16-Bit Buffer/Driver	54-BGA	1.27	1.02	.77
SN74LVT16244BZRDR	296-16894-2-ND	Tri-St., 3,3 V ABT Puffer/Treiber, 16-Bit	Tri-St. 3.3V ABT 16-Bit Buffer/Driver	54-BGA		660.35/1,000	
SN74LVT16245ADGGR	296-1251-1-ND	3,3 V ABT Bus-Transceiver, Tri-State, 16-Bit	Tri-State 3.3V ABT 16-Bit Bus Xcvr.	48-TSSOP	1.90	1.53	1.19
SN74LVT16245ADGGR	296-1251-2-ND	3,3 V ABT Bus-Transceiver, Tri-State, 16-Bit	Tri-State 3.3V ABT 16-Bit Bus Xcvr	48-TSSOP		2158.83/2,000	
SN74LVT16245ADL	296-8639-5-ND	3,3 V ABT Bus-Transceiver, Tri-State, 16-Bit	Tri-State 3.3V ABT 16-Bit Bus Xcvr	48-SSOP	1.90	1.53	1.19
SN74LVT16245BDGGR	296-8640-1-ND	3,3 V ABT Bus-Transceiver, Tri-State, 16-Bit	Tri-State 3.3V ABT 16-Bit Bus Xcvr.	48-TSSOP	1.27	1.02	.77
SN74LVT16245BDGGR	296-8640-2-ND	3,3 V ABT Bus-Transceiver, Tri-State, 16-Bit	Tri-State 3.3V ABT 16-Bit Bus Xcvr.	48-TSSOP		1320.70/2,000	
SN74LVT16245BDGVR	296-8641-1-ND	3,3 V ABT Bus-Transceiver, Tri-State, 16-Bit	Tri-State 3.3V ABT 16-Bit Bus Xcvr.	48-TVSOP	1.48	1.19	.89
SN74LVT16245BDGVR	296-8641-2-ND	3,3 V ABT Bus-Transceiver, Tri-State, 16-Bit	Tri-State 3.3V ABT 16-Bit Bus Xcvr.	48-TVSOP		1540.81/2,000	
SN74LVT16245BDLR	296-8642-1-ND	3,3 V ABT Bus-Transceiver, Tri-State, 16-Bit	Tri-State 3.3V ABT 16-Bit Bus Xcvr.	48-SSOP	1.48	1.19	.89
SN74LVT16245BDLR	296-8642-2-ND	3,3 V ABT Bus-Transceiver, Tri-State, 16-Bit	Tri-State 3.3V ABT 16-Bit Bus Xcvr.	48-SSOP		660.35/1,000	
SN74LVT16245BGQLR	296-8643-1-ND	3,3 V ABT Bus-Transceiver, Tri-State, 16-Bit	Tri-State 3.3V ABT 16-Bit Bus Xcvr.	48-TVFBGA	1.48	1.19	.89
SN74LVT16245BGQLR	296-8643-2-ND	3,3 V ABT Bus-Transceiver, Tri-State, 16-Bit	Tri-State 3.3V ABT 16-Bit Bus Xcvr.	48-TVFBGA		770.41/1,000	
SN74LVT16500DGGR	296-14920-1-ND	3,3 V ABT Univ.-Bus-Transceiver, Tri-State, 18-Bit	Tri-State 3.3V ABT 18-Bit Univ. Bus Transceiver	56-TSSOP	2.30	1.85	1.44
SN74LVT16500DGGR	296-14920-2-ND	3,3 V ABT Univ.-Bus-Transceiver, Tri-State, 18-Bit	Tri-State 3.3V ABT 18-Bit Univ. Bus Transceiver	56-TSSOP		2612.61/2,000	
SN74LVT16500DLR	296-8644-1-ND	3,3 V ABT Univ.-Bus-Transceiver, Tri-State, 18-Bit	Tri-State 3.3V ABT 18-Bit Univ. Bus Transceiver	56-SSOP	2.30	1.85	1.44
SN74LVT16500DLR	296-8644-2-ND	3,3 V ABT Univ.-Bus-Transceiver, Tri-State, 18-Bit	Tri-State 3.3V ABT 18-Bit Univ. Bus Transceiver	56-SSOP		1306.30/1,000	
SN74LVT16501DGGR	296-1252-1-ND	3,3 V ABT Univ.-Bus-Transceiver, Tri-State, 18-Bit	Tri-State 3.3V ABT 18-Bit Univ. Bus Transceiver	56-TSSOP	2.30	1.85	1.44
SN74LVT16501DGGR	296-1252-2-ND	3,3 V ABT Univ.-Bus-Transceiver, Tri-State, 18-Bit	Tri-State 3.3V ABT 18-Bit Univ. Bus Transceiver	56-TSSOP		2612.61/2,000	
SN74LVT16501DLR	296-14921-1-ND	3,3 V ABT Univ.-Bus-Transceiver, Tri-State, 18-Bit	Tri-State 3.3V ABT 18-Bit Univ. Bus Transceiver	56-SSOP	2.30	1.85	1.44
SN74LVT16501DLR	296-14921-2-ND	3,3 V ABT Univ.-Bus-Transceiver, Tri-State, 18-Bit	Tri-State 3.3V ABT 18-Bit Univ. Bus Transceiver	56-SSOP		1306.30/1,000	
SN74LVT16543DGGR	296-14922-1-ND	3,3 V Register-Transceiver, 16-Bit	3.3V, 16-Bit Registered Transceiver	56-TSSOP	2.30	1.85	1.44
SN74LVT16543DGGR	296-14922-2-ND	3,3 V Register-Transceiver, 16-Bit	3.3V, 16-Bit Registered Transceiver	56-TSSOP		2612.61/2,000	
SN74LVT16543DLR	296-8645-1-ND	Register-Transceiver	Registered Transceiver	56-SSOP	2.30	1.85	1.44
SN74LVT16543DLR	296-8645-2-ND	Register-Transceiver	Registered Transceiver	56-SSOP		1306.30/1,000	
SN74LVT16646DGGR	296-14923-1-ND	3,3 V Bus-Transceiver, 16-Bit	3.3V, 16-Bit Bus Transceiver	56-TSSOP	3.47	2.78	2.16
SN74LVT16646DGGR	296-14923-2-ND	3,3 V Bus-Transceiver, 16-Bit	3.3V, 16-Bit Bus Transceiver	56-TSSOP		3929.92/2,000	
SN74LVT18512DGGR	296-8646-1-ND	3,3 V ABT Scan-Testgerät mit univ. Bus-Transceiver, 18-Bit	3.3V ABT Scan Test Device with 18-Bit Universal Bus Transceiver	64-TSSOP	5.08	4.07	3.43
SN74LVT18512DGGR	296-8646-2-ND	3,3 V ABT Scan-Testgerät mit univ. Bus-Transceiver, 18-Bit	3.3V ABT Scan Test Device with 18-Bit Universal Bus Transceiver	64-TSSOP		6349.50/2,000	
SN74LVT32240GKER	296-9881-1-ND	3,3 V ABT Puffer/Treiber, 32-Bit	3.3V ABT 32-Bit Buffer/Driver	96-LFBGA	2.48	1.99	1.55
SN74LVT32240GKER	296-9881-2-ND	3,3 V ABT Puffer/Treiber, 32-Bit	3.3V ABT 32-Bit Buffer/Driver	96-LFBGA		1403.66/1,000	
SN74LVT32244GKER	296-8653-1-ND	3,3 V ABT Puffer/Treiber, Tri-State, 32-Bit	Tri-St., 3.3V, ABT 32-Bit Buffer/Driver	96-LFBGA	2.48	1.99	1.55
SN74LVT32244GKER	296-8653-2-ND	3,3 V ABT Puffer/Treiber, Tri-State, 32-Bit	Tri-St., 3.3V, ABT 32-Bit Buffer/Driver	96-LFBGA		1403.66/1,000	
SN74LVT162240DGGR	296-8625-1-ND	Vierf. 3,3 V ABT Bus Puffer/Treiber, Tri-State	Tri-State, 3.3V, ABT Quad Bus Buffer/Driver	48-TSSOP	1.27	1.02	.77
SN74LVT162240DGGR	296-8625-2-ND	Vierf. 3,3 V ABT Bus Puffer/Treiber, Tri-State	Tri-State, 3.3V, ABT Quad Bus Buffer/Driver	48-TSSOP		1320.70/2,000	
SN74LVT162240DGVR	296-8626-1-ND	Vierf. 3,3 V ABT Bus Puffer/Treiber, Tri-State	Tri-State, 3.3V, ABT Quad Bus Buffer/Driver	48-TVSOP	1.27	1.02	.77
SN74LVT162240DGVR	296-8626-2-ND	Vierf. 3,3 V ABT Bus Puffer/Treiber, Tri-State	Tri-State, 3.3V, ABT Quad Bus Buffer/Driver	48-TVSOP		1320.70/2,000	
SN74LVT162240DLR	296-8627-1-ND	Vierf. 3,3 V ABT Bus Puffer/Treiber, Tri-State	Tri-State, 3.3V, ABT Quad Bus Buffer/Driver	48-SSOP	1.27	1.02	.77
SN74LVT162240DLR	296-8627-2-ND	Vierf. 3,3 V ABT Bus Puffer/Treiber, Tri-State	Tri-State, 3.3V, ABT Quad Bus Buffer/Driver	48-SSOP		660.35/1,000	
SN74LVT162244ADGGR	296-8628-1-ND	3,3 V ABT Puffer/Treiber, Tri-State, 16-Bit	Tri-St., 3.3V, ABT 16-Bit Buffer/Driver	48-TSSOP	1.27	1.02	.77
SN74LVT162244ADGGR	296-8628-2-ND	3,3 V ABT Puffer/Treiber, Tri-State, 16-Bit	Tri-St., 3.3V, ABT 16-Bit Buffer/Driver	48-TSSOP		1320.70/2,000	
SN74LVT162244ADGVR	296-8629-1-ND	3,3 V ABT Puffer/Treiber, Tri-State, 16-Bit	Tri-St., 3.3V, ABT 16-Bit Buffer/Driver	48-TVSOP	1.27	1.02	.77
SN74LVT162244ADGVR	296-8629-2-ND	3,3 V ABT Puffer/Treiber, Tri-State, 16-Bit	Tri-St., 3.3V, ABT 16-Bit Buffer/Driver	48-TVSOP		1320.70/2,000	
SN74LVT162244ADLR	296-8630-1-ND	3,3 V ABT Puffer/Treiber, Tri-State, 16-Bit	Tri-St., 3.3V, ABT 16-Bit Buffer/Driver	48-SSOP	1.27	1.02	.77
SN74LVT162244ADLR	296-8630-2-ND	3,3 V ABT Puffer/Treiber, Tri-State, 16-Bit	Tri-St., 3.3V, ABT 16-Bit Buffer/Driver	48-SSOP		660.35/1,000	
SN74LVT162244AGQLR	296-13292-1-ND	3,3 V ABT Puffer/Treiber, Tri-State, 16-Bit	Tri-St., 3.3V, ABT 16-Bit Buffer/Driver	56-VFBGA	1.27	1.02	.77
SN74LVT162244AGQLR	296-13292-2-ND	3,3 V ABT Puffer/Treiber, Tri-State, 16-Bit	Tri-St., 3.3V, ABT 16-Bit Buffer/Driver	56-VFBGA		660.35/1,000	
SN74LVT162244AGRDR	296-16891-1-ND	3,3 V ABT Puffer/Treiber, Tri-State, 16-Bit	Tri-State 3.3V, ABT 16-Bit Buffer/Driver	54-BGA	1.27	1.02	.77
SN74LVT162244AGRDR	296-16891-2-ND	3,3 V ABT Puffer/Treiber, Tri-State, 16-Bit	Tri-State 3.3V, ABT 16-Bit Buffer/Driver	54-BGA		660.35/1,000	
SN74LVT162244AZRDR	296-16892-1-ND	3,3 V ABT Puffer/Treiber, Tri-State, 16-Bit	Tri-State 3.3V, ABT 16-Bit Buffer/Driver	54-BGA	1.27	1.02	.77
SN74LVT162244AZRDR	296-16892-2-ND	3,3 V ABT Puffer/Treiber, Tri-State, 16-Bit	Tri-State 3.3V, ABT 16-Bit Buffer/Driver	54-BGA		660.35/1,000	
SN74LVT162245ADGGR	296-8631-1-ND	3,3 V ABT Bus-Transceiver, Tri-State, 16-Bit	Tri-State 3.3V ABT 16-Bit Bus Xcvr.	48-TSSOP	1.27	1.02	.77
SN74LVT162245ADGGR	296-8631-2-ND	3,3 V ABT Bus-Transceiver, Tri-State, 16-Bit	Tri-State 3.3V ABT 16-Bit Bus Xcvr.	48-TSSOP		1320.70/2,000	
SN74LVT162245ADLR	296-8632-1-ND	3,3 V ABT Bus-Transceiver, Tri-State, 16-Bit	Tri-State 3.3V ABT 16-Bit Bus Xcvr.	48-SSOP	1.27	1.02	.77
SN74LVT162245ADLR	296-8632-2-ND	3,3 V ABT Bus-Transceiver, Tri-State, 16-Bit	Tri-State 3.3V ABT 16-Bit Bus Xcvr.	48-SSOP		660.35/1,000	
SN74LVT162245AGQLR	296-13293-1-ND	3,3 V ABT Bus-Transceiver, Tri-State, 16-Bit	Tri-State 3.3V ABT 16-Bit Bus Xcvr.	56-VFBGA	1.59	1.27	.96
SN74LVT162245AGQLR	296-13293-2-ND	3,3 V ABT Bus-Transceiver, Tri-State, 16-Bit	Tri-State 3.3V ABT 16-Bit Bus Xcvr.	56-VFBGA		825.44/1,000	
		LVTH-Gruppe					
74LVTH162244ZRDR	296-16876-1-ND	3,3 V Puffer/Treiber, Tri-State, 16-Bit	Tri-State 3.3V, 16-Bit Buffer/Driver	54-BGA	1.12	.94	.75
74LVTH162244ZRDR	296-16876-2-ND	3,3 V Puffer/Treiber, Tri-State, 16-Bit	Tri-State 3.3V, 16-Bit Buffer/Driver	54-BGA		495.26/1,000	
74LVTH162245GRDR	296-16877-1-ND	3,3 V Bus-Transceiver, Tri-State, 16-Bit	Tri-State 3.3V, 16-Bit Bus Transceiver	54-BGA	1.08	.87	.65
74LVTH162245GRDR	296-16877-2-ND	3,3 V Bus-Transceiver, Tri-State, 16-Bit	Tri-State 3.3V, 16-Bit Bus Transceiver	54-BGA		561.30/1,000	
74LVTH162245ZRDR	296-16878-1-ND	3,3 V Bus-Transceiver, Tri-State, 16-Bit	Tri-State 3.3V, 16-Bit Bus Transceiver	54-BGA	1.08	.87	.65
74LVTH162245ZRDR	296-16878-2-ND	3,3 V Bus-Transceiver, Tri-State, 16-Bit	Tri-State 3.3V, 16-Bit Bus Transceiver	54-BGA		561.30/1,000	
74LVTH162374GRDR	296-16879-1-ND	3,3 V D-Flip-Flop mit Taktflanke, Tri-State, 16-Bit	Tri-State 3.3V, 16-Bit Edge-Triggered D-Type Flip-Flop	54-BGA	1.08	.87	.65
74LVTH162374GRDR	296-16879-2-ND	3,3 V D-Flip-Flop mit Taktflanke, Tri-State, 16-Bit	Tri-State 3.3V, 16-Bit Edge-Triggered D-Type Flip-Flop	54-BGA		561.30/1,000	
74LVTH162374ZRDR	296-16880-1-ND	3,3 V D-Flip-Flop mit Taktflanke, Tri-State, 16-Bit	Tri-State 3.3V, 16-Bit Edge-Triggered D-Type Flip-Flop	54-BGA	1.08	.87	.65
74LVTH162374ZRDR	296-16880-2-ND	3,3 V D-Flip-Flop mit Taktflanke, Tri-State, 16-Bit	Tri-State 3.3V, 16-Bit Edge-Triggered D-Type Flip-Flop	54-BGA		561.30/1,000	
SN74LVTH125D	296-1708-5-ND	Vierf. ABT Bus-Puffer, Tri-State	Tri-State ABT Quad Bus Buffer	14-SOIC	.47	.36	.27
SN74LVTH125DR	296-1708-1-ND	Vierf. ABT Bus-Puffer, Tri-State	Tri-State ABT Quad Bus Buffer	14-SOIC	.47	.36	.27
SN74LVTH125DR	296-1708-2-ND	Vierf. ABT Bus-Puffer, Tri-State	Tri-State ABT Quad Bus Buffer	14-SOIC		385.20/2,500	
SN74LVTH125DBR	296-8658-1-ND	Vierf. ABT Bus-Puffer, Tri-State	Tri-State ABT Quad Bus Buffer	14-SSOP	.47	.36	.27
SN74LVTH125DBR	296-8658-2-ND	Vierf. ABT Bus-Puffer, Tri-State	Tri-State ABT Quad Bus Buffer	14-SSOP		314.94/2,000	
SN74LVTH125DGVR	296-8659-1-ND	Vierf. ABT Bus-Puffer, Tri-State	Tri-State ABT Quad Bus Buffer	14-TVSOP	.58	.44	.33
SN74LVTH125DGVR	296-8659-2-ND	Vierf. ABT Bus-Puffer, Tri-State	Tri-State ABT Quad Bus Buffer	14-TVSOP		382.66/2,000	
SN74LVTH125PWR	296-8660-1-ND	Vierf. ABT Bus-Puffer, Tri-State	Tri-State ABT Quad Bus Buffer	14-TSSOP	.52	.40	.30
SN74LVTH125PWR	296-8660-2-ND	Vierf. ABT Bus-Puffer, Tri-State	Tri-State ABT Quad Bus Buffer	14-TSSOP		314.94/2,000	
SN74LVTH125RGYR	296-13984-1-ND	Vierf. ABT Bus-Puffer, Tri-State	Tri-State ABT Quad Bus Buffer	14-QFN	.61	.46	.35

(Forts.)

★ RUFEN SIE BITTE AN FÜR NIEDRIGERE PREISE BEI GRÖSSEREN MENGEN! ★

B

T. I. Teilenr.	Digi-Key Teilenr.	Beschreibung		Paket	Stückpreis★ 1	25	100
SN74LVTH125RGYR	296-13984-2-ND	Vierf. ABT Bus-Puffer, Tri-State	Tri-State ABT Quad Bus Buffer	14-QFN		202.34/1,000	
SN74LVTH126DBR	296-8661-1-ND	Vierf. ABT Bus-Puffer, Tri-State	Tri-State ABT Quad Bus Buffer	14-SSOP	.47	.36	.27
SN74LVTH126DBR	296-8661-2-ND	Vierf. ABT Bus-Puffer, Tri-State	Tri-State ABT Quad Bus Buffer	14-SSOP		314.94/2,000	
SN74LVTH126DGVR	296-8662-1-ND	Vierf. ABT Bus-Puffer, Tri-State	Tri-State ABT Quad Bus Buffer	14-TVSOP	.47	.36	.27
SN74LVTH126DGVR	296-8662-2-ND	Vierf. ABT Bus-Puffer, Tri-State	Tri-State ABT Quad Bus Buffer	14-TVSOP		314.94/2,000	
SN74LVTH126DR	296-8663-1-ND	Vierf. ABT Bus-Puffer, Tri-State	Tri-State ABT Quad Bus Buffer	14-SOIC	.47	.36	.27
SN74LVTH126DR	296-8663-2-ND	Vierf. ABT Bus-Puffer, Tri-State	Tri-State ABT Quad Bus Buffer	14-SOIC		385.20/2,500	
SN74LVTH126PWR	296-8664-1-ND	Vierf. ABT Bus-Puffer, Tri-State	Tri-State ABT Quad Bus Buffer	14-TSSOP	.52	.40	.30
SN74LVTH126PWR	296-8664-2-ND	Vierf. ABT Bus-Puffer, Tri-State	Tri-State ABT Quad Bus Buffer	14-TSSOP		314.94/2,000	
SN74LVTH240DBR	296-8706-1-ND	Achtf. ABT Puffer/Treiber, Tri-State	Tri-State ABT Octal Buffer/Driver	20-SSOP	.75	.56	.42
SN74LVTH240DBR	296-8706-2-ND	Achtf. ABT Puffer/Treiber, Tri-State	Tri-State ABT Octal Buffer/Driver	20-SSOP		496.11/2,000	
SN74LVTH240DWR	296-8707-1-ND	Achtf. ABT Puffer/Treiber, Tri-State	Tri-State ABT Octal Buffer/Driver	20-SOIC	.75	.56	.42
SN74LVTH240DWR	296-8707-2-ND	Achtf. ABT Puffer/Treiber, Tri-State	Tri-State ABT Octal Buffer/Driver	20-SOIC		496.11/2,000	
SN74LVTH240GQNR	296-12106-1-ND	Achtf. ABT Puffer/Treiber, Tri-State	Tri-State ABT Octal Buffer/Driver	20-BGA	.66	.56	.45
SN74LVTH240GQNR	296-12106-2-ND	Achtf. ABT Puffer/Treiber, Tri-State	Tri-State ABT Octal Buffer/Driver	20-BGA		292.92/1,000	
SN74LVTH240PWR	296-8708-1-ND	Achtf. ABT Puffer/Treiber, Tri-State	Tri-State ABT Octal Buffer/Driver	20-TSSOP	.81	.61	.46
SN74LVTH240PWR	296-8708-2-ND	Achtf. ABT Puffer/Treiber, Tri-State	Tri-State ABT Octal Buffer/Driver	20-TSSOP		540.13/2,000	
SN74LVTH240RGYR	296-13985-1-ND	Achtf. ABT Puffer/Treiber, Tri-State	Tri-State ABT Octal Buffer/Driver	20-QFN	.66	.56	.45
SN74LVTH240RGYR	296-13985-2-ND	Achtf. ABT Puffer/Treiber, Tri-State	Tri-State ABT Octal Buffer/Driver	20-QFN		292.92/1,000	
SN74LVTH241DBR	296-12742-1-ND	Achtf. ABT Puffer/Treiber, Tri-State	Tri-State ABT Octal Buffer/Driver	20-SSOP	.75	.56	.42
SN74LVTH241DBR	296-12742-2-ND	Achtf. ABT Puffer/Treiber, Tri-State	Tri-State ABT Octal Buffer/Driver	20-SSOP		496.11/2,000	
SN74LVTH241DW	296-1715-5-ND	Achtf. ABT Puffer/Treiber, Tri-State	Tri-State ABT Octal Buffer/Driver	20-SOIC	.75	.56	.42
SN74LVTH241PWR	296-8709-1-ND	Achtf. ABT Puffer/Treiber, Tri-State	Tri-State ABT Octal Buffer/Driver	20-TSSOP	.81	.61	.46
SN74LVTH241PWR	296-8709-2-ND	Achtf. ABT Puffer/Treiber, Tri-State	Tri-State ABT Octal Buffer/Driver	20-TSSOP		540.13/2,000	
SN74LVTH244ADBR	296-1269-1-ND	Achtf. ABT Puffer/Treiber, Tri-State	Tri-State ABT Octal Buffer/Driver	20-SSOP	.68	.51	.39
SN74LVTH244ADBR	296-1269-2-ND	Achtf. ABT Puffer/Treiber, Tri-State	Tri-State ABT Octal Buffer/Driver	20-SSOP		450.39/2,000	
SN74LVTH244ADW	296-1270-5-ND	Achtf. ABT Puffer/Treiber, Tri-State	Tri-State ABT Octal Buffer/Driver	20-SOIC	.68	.51	.39
SN74LVTH244ADWR	296-1270-1-ND	Achtf. ABT Puffer/Treiber, Tri-State	Tri-State ABT Octal Buffer/Driver	20-SOIC	.68	.51	.39
SN74LVTH244ADWR	296-1270-2-ND	Achtf. ABT Puffer/Treiber, Tri-State	Tri-State ABT Octal Buffer/Driver	20-SOIC		450.39/2,000	
SN74LVTH244AGQNR	296-12107-1-ND	Achtf. ABT Puffer/Treiber, Tri-State	Tri-State ABT Octal Buffer/Driver	20-BGA	.75	.56	.42
SN74LVTH244AGQNR	296-12107-2-ND	Achtf. ABT Puffer/Treiber, Tri-State	Tri-State ABT Octal Buffer/Driver	20-BGA		248.05/1,000	
SN74LVTH244APWR	296-1271-1-ND	Achtf. ABT Puffer/Treiber, Tri-State	Tri-State ABT Octal Buffer/Driver	20-TSSOP	.68	.51	.39
SN74LVTH244APWR	296-1271-2-ND	Achtf. ABT Puffer/Treiber, Tri-State	Tri-State ABT Octal Buffer/Driver	20-TSSOP		450.39/2,000	
SN74LVTH244ARGYR	296-13986-1-ND	Achtf. ABT Puffer/Treiber, Tri-State	Tri-State ABT Octal Buffer/Driver	20-QFN	.78	.59	.44
SN74LVTH244ARGYR	296-13986-2-ND	Achtf. ABT Puffer/Treiber, Tri-State	Tri-State ABT Octal Buffer/Driver	20-QFN		259.06/1,000	
SN74LVTH245ADBR	296-8710-1-ND	Achtf. ABT Bus-Transceiver, Tri-State	Tri-State ABT Octal Bus Transceiver	20-SSOP	.68	.51	.39
SN74LVTH245ADBR	296-8710-2-ND	Achtf. ABT Bus-Transceiver, Tri-State	Tri-State ABT Octal Bus Transceiver	20-SSOP		450.39/2,000	
SN74LVTH245ADW	296-8711-5-ND	Achtf. ABT Bus-Transceiver, Tri-State	Tri-State ABT Octal Bus Transceiver	20-SOIC	.68	.51	.39
SN74LVTH245ADWR	296-8711-1-ND	Achtf. ABT Bus-Transceiver, Tri-State	Tri-State ABT Octal Bus Transceiver	20-SOIC	.68	.51	.39
SN74LVTH245ADWR	296-8711-2-ND	Achtf. ABT Bus-Transceiver, Tri-State	Tri-State ABT Octal Bus Transceiver	20-SOIC		450.39/2,000	
SN74LVTH245AGQNR	296-12108-1-ND	Achtf. ABT Bus-Transceiver, Tri-State	Tri-State ABT Octal Bus Transceiver	20-BGA	.63	.53	.43
SN74LVTH245AGQNR	296-12108-2-ND	Achtf. ABT Bus-Transceiver, Tri-State	Tri-State ABT Octal Bus Transceiver	20-BGA		281.92/1,000	
SN74LVTH245APWR	296-1272-1-ND	Achtf. ABT Bus-Transceiver, Tri-State	Tri-State ABT Octal Bus Transceiver	20-TSSOP	.68	.51	.39
SN74LVTH245APWR	296-1272-2-ND	Achtf. ABT Bus-Transceiver, Tri-State	Tri-State ABT Octal Bus Transceiver	20-TSSOP		450.39/2,000	
SN74LVTH245ARGYR	296-13987-1-ND	Achtf. ABT Bus-Transceiver, Tri-State	Tri-State ABT Octal Bus Transceiver	20-QFN	.78	.59	.44
SN74LVTH245ARGYR	296-13987-2-ND	Achtf. ABT Bus-Transceiver, Tri-State	Tri-State ABT Octal Bus Transceiver	20-QFN		259.06/1,000	
SN74LVTH273DBR	296-8712-1-ND	Achtf. ABT D-Flip-Flop m. Löschen	ABT Octal D-Type Flip-Flop with Clear	20-SSOP	.68	.51	.39
SN74LVTH273DBR	296-8712-2-ND	Achtf. ABT D-Flip-Flop m. Löschen	ABT Octal D-Type Flip-Flop with Clear	20-SSOP		450.39/2,000	
SN74LVTH273DWR	296-14934-1-ND	Achtf. ABT D-Flip-Flop m. Löschen	ABT Octal D-Type Flip-Flop with Clear	20-SOIC	.68	.51	.39
SN74LVTH273DWR	296-14934-2-ND	Achtf. ABT D-Flip-Flop m. Löschen	ABT Octal D-Type Flip-Flop with Clear	20-SOIC		450.39/2,000	
SN74LVTH273PWR	296-1273-1-ND	Achtf. ABT D-Flip-Flop m. Löschen	ABT Octal D-Type Flip-Flop with Clear	20-TSSOP	.68	.51	.39
SN74LVTH273PWR	296-1273-2-ND	Achtf. ABT D-Flip-Flop m. Löschen	ABT Octal D-Type Flip-Flop with Clear	20-TSSOP		450.39/2,000	
SN74LVTH373DBR	296-8718-1-ND	Achtf. ABT D-Latch, Tri-State	Tri-State ABT Octal D-Type Latch	20-SSOP	.68	.51	.39
SN74LVTH373DBR	296-8718-2-ND	Achtf. ABT D-Latch, Tri-State	Tri-State ABT Octal D-Type Latch	20-SSOP		450.39/2,000	
SN74LVTH373DW	296-8719-5-ND	Achtf. ABT D-Latch, Tri-State	Tri-State ABT Octal D-Type Latch	20-SOIC	.68	.51	.39
SN74LVTH373PWR	296-8720-1-ND	Achtf. ABT D-Latch, Tri-State	Tri-State ABT Octal D-Type Latch	20-TSSOP	.68	.51	.39
SN74LVTH373PWR	296-8720-2-ND	Achtf. ABT D-Latch, Tri-State	Tri-State ABT Octal D-Type Latch	20-TSSOP		450.39/2,000	
SN74LVTH374DBR	296-8721-1-ND	Achtf. ABT D-Flip-Flop, Tri-State	Tri-State ABT Octal D-Type Flip-Flop	20-SSOP	.68	.51	.39
SN74LVTH374DBR	296-8721-2-ND	Achtf. ABT D-Flip-Flop, Tri-State	Tri-State ABT Octal D-Type Flip-Flop	20-SSOP		450.39/2,000	
SN74LVTH374DW	296-8722-5-ND	Achtf. ABT D-Flip-Flop, Tri-State	Tri-State ABT Octal D-Type Flip-Flop	20-SOIC	.68	.51	.39
SN74LVTH374DWR	296-8722-1-ND	Achtf. ABT D-Flip-Flop, Tri-State	Tri-State ABT Octal D-Type Flip-Flop	20-SOIC	.68	.51	.39
SN74LVTH374DWR	296-8722-2-ND	Achtf. ABT D-Flip-Flop, Tri-State	Tri-State ABT Octal D-Type Flip-Flop	20-SOIC		450.39/2,000	
SN74LVTH374PWR	296-8723-1-ND	Achtf. ABT D-Flip-Flop, Tri-State	Tri-State ABT Octal D-Type Flip-Flop	20-TSSOP	.68	.51	.39
SN74LVTH374PWR	296-8723-2-ND	Achtf. ABT D-Flip-Flop, Tri-State	Tri-State ABT Octal D-Type Flip-Flop	20-TSSOP		450.39/2,000	
SN74LVTH540DBR	296-8724-1-ND	Achtf. ABT Puffer/Treiber, Tri-State	Tri-State ABT Octal Buffer/Driver	20-SSOP	1.19	1.00	.80
SN74LVTH540DBR	296-8724-2-ND	Achtf. ABT Puffer/Treiber, Tri-State	Tri-State ABT Octal Buffer/Driver	20-SSOP		1058.25/2,000	
SN74LVTH540DW	296-8725-5-ND	Achtf. ABT Puffer/Treiber, Tri-State	Tri-State ABT Octal Buffer/Driver	20-SOIC	1.19	1.00	.80
SN74LVTH540PWR	296-8726-1-ND	Achtf. ABT Puffer/Treiber, Tri-State	Tri-State ABT Octal Buffer/Driver	20-TSSOP	1.19	1.00	.80
SN74LVTH540PWR	296-8726-2-ND	Achtf. ABT Puffer/Treiber, Tri-State	Tri-State ABT Octal Buffer/Driver	20-TSSOP		1058.25/2,000	
SN74LVTH541DBR	296-8727-1-ND	Achtf. ABT Puffer/Treiber, Tri-State	Tri-State ABT Octal Buffer/Driver	20-SSOP	1.19	1.00	.80
SN74LVTH541DBR	296-8727-2-ND	Achtf. ABT Puffer/Treiber, Tri-State	Tri-State ABT Octal Buffer/Driver	20-SSOP		1058.25/2,000	
SN74LVTH541DW	296-8728-5-ND	Achtf. ABT Puffer/Treiber, Tri-State	Tri-State ABT Octal Buffer/Driver	20-SOIC	1.19	1.00	.80
SN74LVTH541PWR	296-8729-1-ND	Achtf. ABT Puffer/Treiber, Tri-State	Tri-State ABT Octal Buffer/Driver	20-TSSOP	1.19	1.00	.80
SN74LVTH541PWR	296-8729-2-ND	Achtf. ABT Puffer/Treiber, Tri-State	Tri-State ABT Octal Buffer/Driver	20-TSSOP		1058.25/2,000	
SN74LVTH543DBR	296-8730-1-ND	Tri-St., Achtf. ABT Transceiver/Register	Tri-St. ABT Octal Transceiver/Register	24-SSOP	1.14	.96	.77
SN74LVTH543DBR	296-8730-2-ND	Tri-St., Achtf. ABT Transceiver/Register	Tri-St. ABT Octal Transceiver/Register	24-SSOP		1014.23/2,000	
SN74LVTH543DGVR	296-8731-1-ND	Tri-St., Achtf. ABT Transceiver/Register	Tri-St. ABT Octal Transceiver/Register	24-TVSOP	1.14	.96	.77
SN74LVTH543DGVR	296-8731-2-ND	Tri-St., Achtf. ABT Transceiver/Register	Tri-St. ABT Octal Transceiver/Register	24-TVSOP		1014.23/2,000	
SN74LVTH543DW	296-1717-5-ND	Tri-St., Achtf. ABT Transceiver/Register	Tri-St. ABT Octal Transceiver/Register	24-SOIC	1.14	.96	.77
SN74LVTH543PWR	296-8732-1-ND	Tri-St., Achtf. ABT Transceiver/Register	Tri-St. ABT Octal Transceiver/Register	24-TSSOP	1.14	.96	.77
SN74LVTH543PWR	296-8732-2-ND	Tri-St., Achtf. ABT Transceiver/Register	Tri-St. ABT Octal Transceiver/Register	24-TSSOP		1014.23/2,000	
SN74LVTH573DBR	296-8733-1-ND	Achtf. 3,3 V ABT D-Latch, transparent, Tri-State	Tri-State, 3.3V, ABT Octal Transparent D-Type Latch	20-SSOP	.68	.51	.39
SN74LVTH573DBR	296-8733-2-ND	Achtf. 3,3 V ABT D-Latch, transparent, Tri-State	Tri-State, 3.3V, ABT Octal Transparent D-Type Latch	20-SSOP		450.39/2,000	
SN74LVTH573DW	296-1718-5-ND	Achtf. 3,3 V ABT D-Latch, transparent, Tri-State	Tri-State, 3.3V, ABT Octal Transparent D-Type Latch	20-SOIC	.68	.51	.39
SN74LVTH573DWR	296-14935-1-ND	Achtf. 3,3 V ABT D-Latch, transparent, Tri-State	Tri-State, 3.3V, ABT Octal Transparent D-Type Latch	20-SOIC	.68	.51	.39
SN74LVTH573DWR	296-14935-2-ND	Achtf. 3,3 V ABT D-Latch, transparent, Tri-State	Tri-State, 3.3V, ABT Octal Transparent D-Type Latch	20-SOIC		450.39/2,000	
SN74LVTH573GQNR	296-12109-1-ND	Achtf. 3,3 V ABT D-Latch, transparent, Tri-State	Tri-State, 3.3V, ABT Octal Transparent D-Type Latch	20-BGA	.81	.61	.46
SN74LVTH573GQNR	296-12109-2-ND	Achtf. 3,3 V ABT D-Latch, transparent, Tri-State	Tri-State, 3.3V, ABT Octal Transparent D-Type Latch	20-BGA		270.07/1,000	
SN74LVTH573NSR	296-13300-1-ND	Achtf. 3,3 V ABT D-Latch, transparent, Tri-State	Tri-State, 3.3V, ABT Octal Transparent D-Type Latch	20-SOP	.68	.51	.39
SN74LVTH573NSR	296-13300-2-ND	Achtf. 3,3 V ABT D-Latch, transparent, Tri-State	Tri-State, 3.3V, ABT Octal Transparent D-Type Latch	20-SOP		450.39/2,000	
SN74LVTH573PWR	296-8734-1-ND	Achtf. 3,3 V ABT D-Latch, transparent, Tri-State	Tri-State, 3.3V, ABT Octal Transparent D-Type Latch	20-TSSOP	.68	.51	.39
SN74LVTH573PWR	296-8734-2-ND	Achtf. 3,3 V ABT D-Latch, transparent, Tri-State	Tri-State, 3.3V, ABT Octal Transparent D-Type Latch	20-TSSOP		450.39/2,000	
SN74LVTH573RGYR	296-13988-1-ND	Achtf. 3,3 V ABT D-Latch, transparent, Tri-State	Tri-State, 3.3V, ABT Octal Transparent D-Type Latch	20-QFN	.81	.61	.46
SN74LVTH573RGYR	296-13988-2-ND	Achtf. 3,3 V ABT D-Latch, transparent, Tri-State	Tri-State, 3.3V, ABT Octal Transparent D-Type Latch	20-QFN		270.07/1,000	
SN74LVTH574DBR	296-8735-1-ND	Achtf. ABT D-Flip-Flop, Tri-State	Tri-State ABT Octal D-Type Flip-Flop	20-SSOP	.68	.51	.39
SN74LVTH574DBR	296-8735-2-ND	Achtf. ABT D-Flip-Flop, Tri-State	Tri-State ABT Octal D-Type Flip-Flop	20-SSOP		450.39/2,000	
SN74LVTH574DW	296-1719-5-ND	Achtf. ABT D-Flip-Flop, Tri-State	Tri-State ABT Octal D-Type Flip-Flop	20-SOIC	.68	.51	.39
SN74LVTH574DWR	296-1719-1-ND	Achtf. ABT D-Flip-Flop, Tri-State	Tri-State ABT Octal D-Type Flip-Flop	20-SOIC	.68	.51	.39
SN74LVTH574DWR	296-1719-2-ND	Achtf. ABT D-Flip-Flop, Tri-State	Tri-State ABT Octal D-Type Flip-Flop	20-SOIC		450.39/2,000	
SN74LVTH574GQNR	296-12110-1-ND	Achtf. ABT D-Flip-Flop, Tri-State	Tri-State ABT Octal D-Type Flip-Flop	20-BGA	.81	.61	.46

(Forts.)

★ ***RUFEN SIE BITTE AN FÜR NIEDRIGERE PREISE BEI GRÖSSEREN MENGEN!*** ★

T. I. Teilenr.	Digi-Key Teilenr.	Beschreibung		Paket	Stückpreis★ 1	25	100
SN74LVTH574GQNR	296-12110-2-ND	Achtf. ABT D-Flip-Flop, Tri-State	Tri-State ABT Octal D-Type Flip-Flop	20-BGA		270.07/1,000	
SN74LVTH574PWR	296-8736-1-ND	Achtf. ABT D-Flip-Flop, Tri-State	Tri-State ABT Octal D-Type Flip-Flop	20-TSSOP	.68	.51	.39
SN74LVTH574PWR	296-8736-2-ND	Achtf. ABT D-Flip-Flop, Tri-State	Tri-State ABT Octal D-Type Flip-Flop	20-TSSOP		450.39/2,000	
SN74LVTH574RGYR	296-13989-1-ND	Achtf. ABT D-Flip-Flop, Tri-State	Tri-State ABT Octal D-Type Flip-Flop	20-QFN	2.34	1.76	1.27
SN74LVTH574RGYR	296-13989-2-ND	Achtf. ABT D-Flip-Flop, Tri-State	Tri-State ABT Octal D-Type Flip-Flop	20-QFN		525.74/1,000	
SN74LVTH646DBR	296-8737-1-ND	Tri-St., Achtf. ABT Bus-Transceiver/Register	Tri-St. ABT Octal Bus Xcvr./Register	24-SSOP	.89	.75	.60
SN74LVTH646DBR	296-8737-2-ND	Tri-St., Achtf. ABT Bus-Transceiver/Register	Tri-St. ABT Octal Bus Xcvr./Register	24-SSOP		789.03/2,000	
SN74LVTH646DGVR	296-12924-1-ND	Tri-St., Achtf. ABT Bus-Transceiver/Register	Tri-St. ABT Octal Bus Xcvr./Register	24-TVSOP	.89	.75	.60
SN74LVTH646DGVR	296-12924-2-ND	Tri-St., Achtf. ABT Bus-Transceiver/Register	Tri-St. ABT Octal Bus Xcvr./Register	24-TVSOP		789.03/2,000	
SN74LVTH646DW	296-1720-5-ND	Tri-St., Achtf. ABT Bus-Transceiver/Register	Tri-St. ABT Octal Bus Xcvr./Register	24-SOIC	.89	.75	.60
SN74LVTH646PWR	296-8738-1-ND	Tri-St., Achtf. ABT Bus-Transceiver/Register	Tri-St. ABT Octal Bus Xcvr./Register	24-TSSOP	.89	.75	.60
SN74LVTH646PWR	296-8738-2-ND	Tri-St., Achtf. ABT Bus-Transceiver/Register	Tri-St. ABT Octal Bus Xcvr./Register	24-TSSOP		789.03/2,000	
SN74LVTH652DBR	296-8739-1-ND	Tri-St., Achtf. ABT Bus-Transceiver/Register	Tri-St. ABT Octal Bus Xcvr./Register	24-SSOP	1.59	1.27	.96
SN74LVTH652DBR	296-8739-2-ND	Tri-St., Achtf. ABT Bus-Transceiver/Register	Tri-St. ABT Octal Bus Xcvr./Register	24-SSOP		1650.87/2,000	
SN74LVTH652DGVR	296-12925-1-ND	Tri-St., Achtf. ABT Bus-Transceiver/Register	Tri-St. ABT Octal Bus Xcvr./Register	24-TVSOP	1.59	1.27	.96
SN74LVTH652DGVR	296-12925-2-ND	Tri-St., Achtf. ABT Bus-Transceiver/Register	Tri-St. ABT Octal Bus Xcvr./Register	24-TVSOP		1650.87/2,000	
SN74LVTH652DW	296-1721-5-ND	Tri-St., Achtf. ABT Bus-Transceiver/Register	Tri-St. ABT Octal Bus Xcvr./Register	24-SOIC	1.59	1.27	.96
SN74LVTH652PWR	296-8740-1-ND	Tri-St., Achtf. ABT Bus-Transceiver/Register	Tri-St. ABT Octal Bus Xcvr./Register	24-TSSOP	1.59	1.27	.96
SN74LVTH652PWR	296-8740-2-ND	Tri-St., Achtf. ABT Bus-Transceiver/Register	Tri-St. ABT Octal Bus Xcvr./Register	24-TSSOP		1650.87/2,000	
SN74LVTH2245DBR	296-8704-1-ND	Achtf. ABT Bus-Transceiver, Tri-State	Tri-State ABT Octal Bus Transceiver	20-SSOP	.68	.51	.39
SN74LVTH2245DBR	296-8704-2-ND	Achtf. ABT Bus-Transceiver, Tri-State	Tri-State ABT Octal Bus Transceiver	20-SSOP		450.39/2,000	
SN74LVTH2245DGVR	296-12921-1-ND	Achtf. ABT Bus-Transceiver, Tri-State	Tri-State ABT Octal Bus Transceiver	20-TVSOP	.66	.56	.45
SN74LVTH2245DGVR	296-12921-2-ND	Achtf. ABT Bus-Transceiver, Tri-State	Tri-State ABT Octal Bus Transceiver	20-TVSOP		585.85/2,000	
SN74LVTH2245DW	296-1714-5-ND	Achtf. ABT Bus-Transceiver, Tri-State	Tri-State ABT Octal Bus Transceiver	20-SOIC	.68	.51	.39
SN74LVTH2245PWR	296-8705-1-ND	Achtf. ABT Bus-Transceiver, Tri-State	Tri-State ABT Octal Bus Transceiver	20-TSSOP	.68	.51	.39
SN74LVTH2245PWR	296-8705-2-ND	Achtf. ABT Bus-Transceiver, Tri-State	Tri-State ABT Octal Bus Transceiver	20-TSSOP		450.39/2,000	
SN74LVTH2952DBR	296-8714-1-ND	Tri-St., Achtf. ABT Bus-Transceiver/Register	Tri-St. ABT Octal Bus Xcvr./Register	24-SSOP	1.02	.85	.68
SN74LVTH2952DBR	296-8714-2-ND	Tri-St., Achtf. ABT Bus-Transceiver/Register	Tri-St. ABT Octal Bus Xcvr./Register	24-SSOP		900.78/2,000	
SN74LVTH2952DGVR	296-12922-1-ND	Tri-St., Achtf. ABT Bus-Transceiver/Register	Tri-St. ABT Octal Bus Xcvr./Register	24-TVSOP	1.02	.85	.68
SN74LVTH2952DGVR	296-12922-2-ND	Tri-St., Achtf. ABT Bus-Transceiver/Register	Tri-St. ABT Octal Bus Xcvr./Register	24-TVSOP		900.78/2,000	
SN74LVTH2952DW	296-1716-5-ND	Tri-St., Achtf. ABT Bus-Transceiver/Register	Tri-St. ABT Octal Bus Xcvr./Register	24-SOIC	1.02	.85	.68
SN74LVTH2952PWR	296-8715-1-ND	Tri-St., Achtf. ABT Bus-Transceiver/Register	Tri-St. ABT Octal Bus Xcvr./Register	24-TSSOP	1.02	.85	.68
SN74LVTH2952PWR	296-8715-2-ND	Tri-St., Achtf. ABT Bus-Transceiver/Register	Tri-St. ABT Octal Bus Xcvr./Register	24-TSSOP		900.78/2,000	
SN74LVTH16240DGGR	296-8674-1-ND	ABT Puffer/Treiber, Tri-State, 16-Bit	Tri-State ABT 16-Bit Buffer/Driver	48-TSSOP	1.02	.85	.68
SN74LVTH16240DGGR	296-8674-2-ND	ABT Puffer/Treiber, Tri-State, 16-Bit	Tri-State ABT 16-Bit Buffer/Driver	48-TSSOP		900.78/2,000	
SN74LVTH16240DL	296-8675-5-ND	ABT Puffer/Treiber, Tri-State, 16-Bit	Tri-State ABT 16-Bit Buffer/Driver	48-SSOP	1.02	.85	.68
SN74LVTH16241DGGR	296-8676-1-ND	ABT Puffer/Treiber, Tri-State, 16-Bit	Tri-State ABT 16-Bit Buffer/Driver	48-TSSOP	1.02	.85	.68
SN74LVTH16241DGGR	296-8676-2-ND	ABT Puffer/Treiber, Tri-State, 16-Bit	Tri-State ABT 16-Bit Buffer/Driver	48-TSSOP		900.78/2,000	
SN74LVTH16241DL	296-12919-5-ND	ABT Puffer/Treiber, Tri-State, 16-Bit	Tri-State ABT 16-Bit Buffer/Driver	48-SSOP	1.02	.85	.68
SN74LVTH16244ADGGR	296-1260-1-ND	ABT Puffer/Treiber, Tri-State, 16-Bit	Tri-State ABT 16-Bit Buffer/Driver	48-TSSOP	1.02	.85	.68
SN74LVTH16244ADGGR	296-1260-2-ND	ABT Puffer/Treiber, Tri-State, 16-Bit	Tri-State ABT 16-Bit Buffer/Driver	48-TSSOP		900.78/2,000	
SN74LVTH16244ADGVR	296-8677-1-ND	ABT Puffer/Treiber, Tri-State, 16-Bit	Tri-State ABT 16-Bit Buffer/Driver	48-TVSOP	1.02	.85	.68
SN74LVTH16244ADGVR	296-8677-2-ND	ABT Puffer/Treiber, Tri-State, 16-Bit	Tri-State ABT 16-Bit Buffer/Driver	48-TVSOP		900.78/2,000	
SN74LVTH16244ADL	296-1261-5-ND	ABT Puffer/Treiber, Tri-State, 16-Bit	Tri-State ABT 16-Bit Buffer/Driver	48-SSOP	1.02	.85	.68
SN74LVTH16244ADLR	296-1261-1-ND	ABT Puffer/Treiber, Tri-State, 16-Bit	Tri-State ABT 16-Bit Buffer/Driver	48-SSOP	1.02	.85	.68
SN74LVTH16244ADLR	296-1261-2-ND	ABT Puffer/Treiber, Tri-State, 16-Bit	Tri-State ABT 16-Bit Buffer/Driver	48-SSOP		450.39/1,000	
SN74LVTH16244AGQLR	296-8678-1-ND	ABT Puffer/Treiber, Tri-State, 16-Bit	Tri-State ABT 16-Bit Buffer/Driver	48-TVFBGA	1.27	1.02	.77
SN74LVTH16244AGQLR	296-8678-2-ND	ABT Puffer/Treiber, Tri-State, 16-Bit	Tri-State ABT 16-Bit Buffer/Driver	48-TVFBGA		660.35/1,000	
SN74LVTH16244AGRDR	296-16895-1-ND	ABT Puffer/Treiber, Tri-State, 16-Bit	Tri-State ABT 16-Bit Buffer/Driver	54-BGA	1.27	1.02	.77
SN74LVTH16244AGRDR	296-16895-2-ND	ABT Puffer/Treiber, Tri-State, 16-Bit	Tri-State ABT 16-Bit Buffer/Driver	54-BGA		660.35/1,000	
SN74LVTH16244AZRDR	296-16896-1-ND	ABT Puffer/Treiber, Tri-State, 16-Bit	Tri-State ABT 16-Bit Buffer/Driver	54-BGA	1.27	1.02	.77
SN74LVTH16244AZRDR	296-16896-2-ND	ABT Puffer/Treiber, Tri-State, 16-Bit	Tri-State ABT 16-Bit Buffer/Driver	54-BGA		660.35/1,000	
SN74LVTH16245ADGGR	296-1262-1-ND	ABT Bus-Transceiver, Tri-State, 16-Bit	Tri-State ABT 16-Bit Bus Transceiver	48-TSSOP	1.02	.85	.68
SN74LVTH16245ADGGR	296-1262-2-ND	ABT Bus-Transceiver, Tri-State, 16-Bit	Tri-State ABT 16-Bit Bus Transceiver	48-TSSOP		900.78/2,000	
SN74LVTH16245ADGVR	296-8679-1-ND	ABT Bus-Transceiver, Tri-State, 16-Bit	Tri-State ABT 16-Bit Bus Transceiver	48-TVSOP	1.27	1.02	.77
SN74LVTH16245ADGVR	296-8679-2-ND	ABT Bus-Transceiver, Tri-State, 16-Bit	Tri-State ABT 16-Bit Bus Transceiver	48-TVSOP		1320.70/2,000	
SN74LVTH16245ADL	296-8680-5-ND	ABT Bus-Transceiver, Tri-State, 16-Bit	Tri-State ABT 16-Bit Bus Transceiver	48-SSOP	1.02	.85	.68
SN74LVTH16245ADLR	296-8680-1-ND	ABT Bus-Transceiver, Tri-State, 16-Bit	Tri-State ABT 16-Bit Bus Transceiver	48-SSOP	1.02	.85	.68
SN74LVTH16245ADLR	296-8680-2-ND	ABT Bus-Transceiver, Tri-State, 16-Bit	Tri-State ABT 16-Bit Bus Transceiver	48-SSOP		450.39/1,000	
SN74LVTH16245AGQLR	296-8681-1-ND	ABT Bus-Transceiver, Tri-State, 16-Bit	Tri-State ABT 16-Bit Bus Transceiver	56-VFBGA	1.14	.96	.77
SN74LVTH16245AGQLR	296-8681-2-ND	ABT Bus-Transceiver, Tri-State, 16-Bit	Tri-State ABT 16-Bit Bus Transceiver	56-VFBGA		507.11/1,000	
SN74LVTH16245AGRDR	296-16897-1-ND	ABT Bus-Transceiver, Tri-State, 16-Bit	Tri-State ABT 16-Bit Bus Transceiver	54-BGA	1.06	.85	.64
SN74LVTH16245AGRDR	296-16897-2-ND	ABT Bus-Transceiver, Tri-State, 16-Bit	Tri-State ABT 16-Bit Bus Transceiver	54-BGA		550.29/1,000	
SN74LVTH16245AZRDR	296-16898-1-ND	ABT Bus-Transceiver, Tri-State, 16-Bit	Tri-State ABT 16-Bit Bus Transceiver	54-BGA	1.27	1.02	.77
SN74LVTH16245AZRDR	296-16898-2-ND	ABT Bus-Transceiver, Tri-State, 16-Bit	Tri-State ABT 16-Bit Bus Transceiver	54-BGA		660.35/1,000	
SN74LVTH162541DGGR	296-8682-1-ND	ABT Puffer/Treiber, Tri-State, 16-Bit	Tri-State ABT 16-Bit Buffer/Driver	48-TSSOP	1.48	1.19	.89
SN74LVTH162541DGGR	296-8682-2-ND	ABT Puffer/Treiber, Tri-State, 16-Bit	Tri-State ABT 16-Bit Buffer/Driver	48-TSSOP		1540.81/2,000	
SN74LVTH162541DL	296-8683-5-ND	ABT Puffer/Treiber, Tri-State, 16-Bit	Tri-State ABT 16-Bit Buffer/Driver	48-SSOP	1.48	1.19	.89
SN74LVTH16373DGGR	296-8684-1-ND	ABT D-Latch, Tri-State, 16-Bit	Tri-State ABT 16-Bit D-Type Latch	48-TSSOP	1.02	.85	.68
SN74LVTH16373DGGR	296-8684-2-ND	ABT D-Latch, Tri-State, 16-Bit	Tri-State ABT 16-Bit D-Type Latch	48-TSSOP		900.78/2,000	
SN74LVTH16373DL	296-8685-5-ND	ABT D-Latch, Tri-State, 16-Bit	Tri-State ABT 16-Bit D-Type Latch	48-SSOP	1.02	.85	.68
SN74LVTH16373DLR	296-8685-1-ND	ABT D-Latch, Tri-State, 16-Bit	Tri-State ABT 16-Bit D-Type Latch	48-SSOP	1.02	.85	.68
SN74LVTH16373DLR	296-8685-2-ND	ABT D-Latch, Tri-State, 16-Bit	Tri-State ABT 16-Bit D-Type Latch	48-SSOP		450.39/1,000	
SN74LVTH16373GQLR	296-8686-1-ND	ABT D-Latch, Tri-State, 16-Bit	Tri-State ABT 16-Bit D-Type Latch	48-TVFBGA	1.27	1.02	.77
SN74LVTH16373GQLR	296-8686-2-ND	ABT D-Latch, Tri-State, 16-Bit	Tri-State ABT 16-Bit D-Type Latch	48-TVFBGA		660.35/1,000	
SN74LVTH16373GRDR	296-16899-1-ND	ABT D-Latch, Tri-State, 16-Bit	Tri-State ABT 16-Bit D-Type Latch	54-BGA	1.27	1.02	.77
SN74LVTH16373GRDR	296-16899-2-ND	ABT D-Latch, Tri-State, 16-Bit	Tri-State ABT 16-Bit D-Type Latch	54-BGA		660.35/1,000	
SN74LVTH16373ZRDR	296-16900-1-ND	ABT D-Latch, Tri-State, 16-Bit	Tri-State ABT 16-Bit D-Type Latch	54-BGA	1.27	1.02	.77
SN74LVTH16373ZRDR	296-16900-2-ND	ABT D-Latch, Tri-State, 16-Bit	Tri-State ABT 16-Bit D-Type Latch	54-BGA		660.35/1,000	
SN74LVTH16374DGGR	296-1263-1-ND	ABT D-Flip-Flop, Tri-State, 16-Bit	Tri-State ABT 16-Bit D-Type F/F	48-TSSOP	1.27	1.02	.77
SN74LVTH16374DGGR	296-1263-2-ND	ABT D-Flip-Flop, Tri-State, 16-Bit	Tri-State ABT 16-Bit D-Type F/F	48-TSSOP		1320.70/2,000	
SN74LVTH16374DL	296-1264-5-ND	ABT D-Flip-Flop, Tri-State, 16-Bit	Tri-State ABT 16-Bit D-Type F/F	48-SSOP	1.02	.85	.68
SN74LVTH16374DLR	296-1264-1-ND	ABT D-Flip-Flop, Tri-State, 16-Bit	Tri-State ABT 16-Bit D-Type F/F	48-SSOP	1.02	.85	.68
SN74LVTH16374DLR	296-1264-2-ND	ABT D-Flip-Flop, Tri-State, 16-Bit	Tri-State ABT 16-Bit D-Type F/F	48-SSOP		450.39/1,000	
SN74LVTH16374GQLR	296-8688-1-ND	ABT D-Flip-Flop, Tri-State, 16-Bit	Tri-State ABT 16-Bit D-Type F/F	48-TVFBGA	1.27	1.02	.77
SN74LVTH16374GQLR	296-8688-2-ND	ABT D-Flip-Flop, Tri-State, 16-Bit	Tri-State ABT 16-Bit D-Type F/F	48-TVFBGA		660.35/1,000	
SN74LVTH16374GRDR	296-16901-1-ND	ABT D-Flip-Flop, Tri-State, 16-Bit	Tri-State ABT 16-Bit D-Type F/F	54-BGA	1.27	1.02	.77
SN74LVTH16374GRDR	296-16901-2-ND	ABT D-Flip-Flop, Tri-State, 16-Bit	Tri-State ABT 16-Bit D-Type F/F	54-BGA		660.35/1,000	
SN74LVTH16374ZRDR	296-16902-1-ND	ABT D-Flip-Flop, Tri-State, 16-Bit	Tri-State ABT 16-Bit D-Type F/F	54-BGA	1.27	1.02	.77
SN74LVTH16374ZRDR	296-16902-2-ND	ABT D-Flip-Flop, Tri-State, 16-Bit	Tri-State ABT 16-Bit D-Type F/F	54-BGA		660.35/1,000	
SN74LVTH16500DGGR	296-8689-1-ND	ABT Univ.-Bus-Transceiver, Tri-State, 18-Bit	Tri-State ABT 18-Bit Univ. Bus Xcvr.	56-TSSOP	1.27	1.02	.77
SN74LVTH16500DGGR	296-8689-2-ND	ABT Univ.-Bus-Transceiver, Tri-State, 18-Bit	Tri-State ABT 18-Bit Univ. Bus Xcvr.	56-TSSOP		1320.70/2,000	
SN74LVTH16500DL	296-8690-5-ND	ABT Univ.-Bus-Transceiver, Tri-State, 18-Bit	Tri-State ABT 18-Bit Univ. Bus Xcvr.	56-SSOP	1.69	1.36	1.02
SN74LVTH16500GQLR	296-12476-1-ND	ABT Univ.-Bus-Transceiver, Tri-State, 18-Bit	Tri-State ABT 18-Bit Univ. Bus Xcvr.	56-VFBGA	1.92	1.54	1.20
SN74LVTH16500GQLR	296-12476-2-ND	ABT Univ.-Bus-Transceiver, Tri-State, 18-Bit	Tri-State ABT 18-Bit Univ. Bus Xcvr.	56-VFBGA		1090.42/1,000	
SN74LVTH16501DGGR	296-8691-1-ND	ABT Univ.-Bus-Transceiver, Tri-State, 18-Bit	Tri-State ABT 18-Bit Univ. Bus Xcvr.	56-TSSOP	1.38	1.11	.83
SN74LVTH16501DGGR	296-8691-2-ND	ABT Univ.-Bus-Transceiver, Tri-State, 18-Bit	Tri-State ABT 18-Bit Univ. Bus Xcvr.	56-TSSOP		1430.75/2,000	
SN74LVTH16501DLR	296-14930-1-ND	ABT Univ.-Bus-Transceiver, Tri-State, 18-Bit	Tri-State ABT 18-Bit Univ. Bus Xcvr.	56-SSOP	1.48	1.19	.89
SN74LVTH16501DLR	296-14930-2-ND	ABT Univ.-Bus-Transceiver, Tri-State, 18-Bit	Tri-State ABT 18-Bit Univ. Bus Xcvr.	56-SSOP		770.41/1,000	
SN74LVTH16541DGGR	296-8693-1-ND	ABT Puffer/Treiber, Tri-State, 16-Bit	Tri-State ABT 16-Bit Buffer/Driver	48-TSSOP	1.48	1.19	.89

(Forts.)

★ ***RUFEN SIE BITTE AN FÜR NIEDRIGERE PREISE BEI GRÖSSEREN MENGEN!*** ★

B

T. I. Teilenr.	Digi-Key Teilenr.	Beschreibung		Paket	Stückpreis★ 1	25	100
SN74LVTH16541DGGR	296-8693-2-ND	ABT Puffer/Treiber, Tri-State, 16-Bit	Tri-State ABT 16-Bit Buffer/Driver	48-TSSOP		1540.81/2,000	
SN74LVTH16541DL	296-12920-5-ND	ABT Puffer/Treiber, Tri-State, 16-Bit	Tri-State ABT 16-Bit Buffer/Driver	48-SSOP	1.48	1.19	.89
SN74LVTH16543DGGR	296-1265-1-ND	ABT Transceiver/Register, Tri-State, 16-Bit	Tri-State ABT 16-Bit Xcvr./Register	56-TSSOP	1.17	.94	.70
SN74LVTH16543DGGR	296-1265-2-ND	ABT Transceiver/Register, Tri-State, 16-Bit	Tri-State ABT 16-Bit Xcvr./Register	56-TSSOP		1210.64/2,000	
SN74LVTH16543DL	296-1710-5-ND	ABT Transceiver/Register, Tri-State, 16-Bit	Tri-State ABT 16-Bit Xcvr./Register	56-SSOP	1.17	.94	.70
SN74LVTH16543DLR	296-1710-1-ND	ABT Transceiver/Register, Tri-State, 16-Bit	Tri-State ABT 16-Bit Xcvr./Register	56-SSOP	1.17	.94	.70
SN74LVTH16543DLR	296-1710-2-ND	ABT Transceiver/Register, Tri-State, 16-Bit	Tri-State ABT 16-Bit Xcvr./Register	56-SSOP		605.32/1,000	
SN74LVTH16646DGGR	296-1266-1-ND	ABT Transceiver/Register, Tri-State, 16-Bit	Tri-State ABT 16-Bit Xcvr./Register	56-TSSOP	1.48	1.19	.89
SN74LVTH16646DGGR	296-1266-2-ND	ABT Transceiver/Register, Tri-State, 16-Bit	Tri-State ABT 16-Bit Xcvr./Register	56-TSSOP		1540.81/2,000	
SN74LVTH16646DL	296-1711-5-ND	ABT Transceiver/Register, Tri-State, 16-Bit	Tri-State ABT 16-Bit Xcvr./Register	56-SSOP	1.48	1.19	.89
SN74LVTH16652DGGR	296-1267-1-ND	ABT Transceiver/Register, Tri-State, 16-Bit	Tri-State ABT 16-Bit Xcvr./Register	56-TSSOP	2.00	1.60	1.25
SN74LVTH16652DGGR	296-1267-2-ND	ABT Transceiver/Register, Tri-State, 16-Bit	Tri-State ABT 16-Bit Xcvr./Register	56-TSSOP		2267.19/2,000	
SN74LVTH16652DL	296-1712-5-ND	ABT Transceiver/Register, Tri-State, 16-Bit	Tri-State ABT 16-Bit Xcvr./Register	56-SSOP	2.00	1.60	1.25
SN74LVTH16835DGGR	296-8694-1-ND	ABT Univ.-Bus-Treiber, Tri-State, 18-Bit	Tri-State ABT 18-Bit Univ. Bus Driver	56-TSSOP	1.95	1.56	1.21
SN74LVTH16835DGGR	296-8694-2-ND	ABT Univ.-Bus-Treiber, Tri-State, 18-Bit	Tri-State ABT 18-Bit Univ. Bus Driver	56-TSSOP		2202.85/2,000	
SN74LVTH16835DL	296-8695-5-ND	ABT Univ.-Bus-Treiber, Tri-State, 18-Bit	Tri-State ABT 18-Bit Univ. Bus Driver	56-SSOP	1.95	1.56	1.21
SN74LVTH16952DGGR	296-1268-1-ND	ABT Transceiver/Register, Tri-State, 16-Bit	Tri-State ABT 16-Bit Xcvr./Register	56-TSSOP	1.65	1.33	1.00
SN74LVTH16952DGGR	296-1268-2-ND	ABT Transceiver/Register, Tri-State, 16-Bit	Tri-State ABT 16-Bit Xcvr./Register	56-TSSOP		1716.90/2,000	
SN74LVTH16952DL	296-1713-5-ND	ABT Transceiver/Register, Tri-State, 16-Bit	Tri-State ABT 16-Bit Xcvr./Register	56-SSOP	1.65	1.33	1.00
SN74LVTH16952DLR	296-14931-1-ND	ABT Transceiver/Register, Tri-State, 16-Bit	Tri-State ABT 16-Bit Xcvr./Register	56-SSOP	1.65	1.33	1.00
SN74LVTH16952DLR	296-14931-2-ND	ABT Transceiver/Register, Tri-State, 16-Bit	Tri-State ABT 16-Bit Xcvr./Register	56-SSOP		858.45/1,000	
SN74LVTH18502APM	296-8699-ND	ABT Scan-Testgerät mit Transceiver, 18-Bit	ABT Scan Test Device with 18-Bit Transceiver	64-LQFP	5.59	4.47	3.78
SN74LVTH18502APMR	296-14932-1-ND	ABT Scan-Testgerät mit Transceiver, 18-Bit	ABT Scan Test Device with 18-Bit Transceiver	64-LQFP	5.59	4.47	3.78
SN74LVTH18502APMR	296-14932-2-ND	ABT Scan-Testgerät mit Transceiver, 18-Bit	ABT Scan Test Device with 18-Bit Transceiver	64-LQFP		3492.23/1,000	
SN74LVTH18504APM	296-8700-ND	ABT Scan-Testgerät mit Transceiver, 20-Bit	ABT Scan Test Device with 20-Bit Transceiver	64-LQFP	5.59	4.47	3.78
SN74LVTH18504APMR	296-14933-1-ND	ABT Scan-Testgerät mit Transceiver, 20-Bit	ABT Scan Test Device with 20-Bit Transceiver	64-LQFP	5.59	4.47	3.78
SN74LVTH18504APMR	296-14933-2-ND	ABT Scan-Testgerät mit Transceiver, 20-Bit	ABT Scan Test Device with 20-Bit Transceiver	64-LQFP		3492.23/1,000	
SN74LVTH18511DGGR	296-17079-1-ND	3,3 V ABT Universal-Bus-Transceiver, 18-Bit	3.3V ABT 18-Bit Universal Bus Transceiver	64-TSSOP	5.59	4.47	3.78
SN74LVTH18511DGGR	296-17079-2-ND	3,3 V ABT Universal-Bus-Transceiver, 18-Bit	3.3V ABT 18-Bit Universal Bus Transceiver	64-TSSOP		6984.45/2,000	
SN74LVTH18512DGGR	296-8701-1-ND	ABT Scan-Testgerät mit Transceiver, 18-Bit	ABT Scan Test Device with 18-Bit Transceiver	64-TSSOP	5.59	4.47	3.78
SN74LVTH18512DGGR	296-8701-2-ND	ABT Scan-Testgerät mit Transceiver, 18-Bit	ABT Scan Test Device with 18-Bit Transceiver	64-TSSOP		6984.45/2,000	
SN74LVTH18514DGGR	296-8702-1-ND	ABT Scan-Testgerät mit Transceiver, 20-Bit	ABT Scan Test Device with 20-Bit Transceiver	64-TSSOP	5.59	4.47	3.78
SN74LVTH18514DGGR	296-8702-2-ND	ABT Scan-Testgerät mit Transceiver, 20-Bit	ABT Scan Test Device with 20-Bit Transceiver	64-TSSOP		6984.45/2,000	
SN74LVTH18646APM	296-8703-ND	ABT Scan-Testgerät mit Transceiver und Register, 18-Bit	ABT Scan Test Device w/18-Bit Transceiver and Registers	64-LQFP	11.56	10.42	9.24
SN74LVTH18652APM	296-12994-5-ND	3,3 V ABT Scan-Testgerät mit Transceiver und Register, 18-Bit	3.3V ABT Scan Test Device with 18-Bit Transceiver and Register	64-LQFP	11.56	10.42	9.24
SN74LVTH32244GKER	296-8716-1-ND	ABT Puffer/Treiber, Tri-State, 32-Bit	Tri-State ABT 32-Bit Buffer/Driver	96-LFBGA	2.19	1.76	1.37
SN74LVTH32244GKER	296-8716-2-ND	ABT Puffer/Treiber, Tri-State, 32-Bit	Tri-State ABT 32-Bit Buffer/Driver	96-LFBGA		1241.12/1,000	
SN74LVTH32245GKER	296-9882-1-ND	ABT Bus-Transceiver, Tri-State, 32-Bit	Tri-State ABT 32-Bit Bus Transceiver	96-LFBGA	2.19	1.76	1.37
SN74LVTH32245GKER	296-9882-2-ND	ABT Bus-Transceiver, Tri-State, 32-Bit	Tri-State ABT 32-Bit Bus Transceiver	96-LFBGA		1241.12/1,000	
SN74LVTH32373GKER	296-8717-1-ND	ABT D-Latch, Tri-State, 32-Bit	Tri-State ABT 32-Bit D-Type Latch	96-LFBGA	2.10	1.68	1.31
SN74LVTH32373GKER	296-8717-2-ND	ABT D-Latch, Tri-State, 32-Bit	Tri-State ABT 32-Bit D-Type Latch	96-LFBGA		1187.78/1,000	
SN74LVTH32374GKER	296-9883-1-ND	Tri-State ABT 32-Bit D-Flip-Flop	Tri-State ABT 32-Bit D-Type Flip-Flop	96-LFBGA	2.10	1.68	1.31
SN74LVTH32374GKER	296-9883-2-ND	Tri-State ABT 32-Bit D-Flip-Flop	Tri-State ABT 32-Bit D-Type Flip-Flop	96-LFBGA		1187.78/1,000	
SN74LVTH162240DGGR	296-8665-1-ND	ABT Puffer/Treiber, Tri-State, 16-Bit	Tri-State ABT 16-Bit Buffer/Driver	48-TSSOP	1.02	.85	.68
SN74LVTH162240DGGR	296-8665-2-ND	ABT Puffer/Treiber, Tri-State, 16-Bit	Tri-State ABT 16-Bit Buffer/Driver	48-TSSOP		900.78/2,000	
SN74LVTH162240DL	296-8666-5-ND	ABT Puffer/Treiber, Tri-State, 16-Bit	Tri-State ABT 16-Bit Buffer/Driver	48-SSOP	1.02	.85	.68
SN74LVTH162241DGGR	296-8667-1-ND	ABT Puffer/Treiber, Tri-State, 16-Bit	Tri-State ABT 16-Bit Buffer/Driver	48-TSSOP	1.02	.85	.68
SN74LVTH162241DGGR	296-8667-2-ND	ABT Puffer/Treiber, Tri-State, 16-Bit	Tri-State ABT 16-Bit Buffer/Driver	48-TSSOP		900.78/2,000	
SN74LVTH162241DL	296-12917-5-ND	ABT Puffer/Treiber, Tri-State, 16-Bit	Tri-State ABT 16-Bit Buffer/Driver	48-SSOP	1.02	.85	.68
SN74LVTH162244DGGR	296-1258-1-ND	3,3 V ABT Puffer/Treiber, Tri-State, 16-Bit	Tri-State 3.3V ABT 16-Bit Buffer/Driver	48-TSSOP	1.02	.85	.68
SN74LVTH162244DGGR	296-1258-2-ND	3,3 V ABT Puffer/Treiber, Tri-State, 16-Bit	Tri-State 3.3V ABT 16-Bit Buffer/Driver	48-TSSOP		900.78/2,000	
SN74LVTH162244DL	296-1259-5-ND	3,3 V ABT Puffer/Treiber, Tri-State, 16-Bit	Tri-State 3.3V ABT 16-Bit Buffer/Driver	48-SSOP	1.02	.85	.68
SN74LVTH162244DLR	296-1259-1-ND	3,3 V ABT Puffer/Treiber, Tri-State, 16-Bit	Tri-State 3.3V ABT 16-Bit Buffer/Driver	48-SSOP	1.02	.85	.68
SN74LVTH162244DLR	296-1259-2-ND	3,3 V ABT Puffer/Treiber, Tri-State, 16-Bit	Tri-State 3.3V ABT 16-Bit Buffer/Driver	48-SSOP		450.39/1,000	
SN74LVTH162244KR	296-13296-1-ND	Tri-St., 3,3 V ABT Puffer/Treiber, 16-Bit	Tri-St. 3.3V ABT 16-Bit Buffer/Driver	56-VFBGA	1.02	.85	.68
SN74LVTH162244KR	296-13296-2-ND	Tri-St., 3,3 V ABT Puffer/Treiber, 16-Bit	Tri-St. 3.3V ABT 16-Bit Buffer/Driver	56-VFBGA		450.39/1,000	
SN74LVTH162245DGGR	296-8669-1-ND	3,3 V ABT Bus-Transceiver, Tri-State, 16-Bit	Tri-State 3.3V ABT 16-Bit Bus Xcvr.	48-TSSOP	1.02	.85	.68
SN74LVTH162245DGGR	296-8669-2-ND	3,3 V ABT Bus-Transceiver, Tri-State, 16-Bit	Tri-State 3.3V ABT 16-Bit Bus Xcvr.	48-TSSOP		900.78/2,000	
SN74LVTH162245DL	296-8670-5-ND	3,3 V ABT Bus-Transceiver, Tri-State, 16-Bit	Tri-State 3.3V ABT 16-Bit Bus Xcvr.	48-SSOP	1.02	.85	.68
SN74LVTH162245DLR	296-8670-1-ND	3,3 V ABT Bus-Transceiver, Tri-State, 16-Bit	Tri-State 3.3V ABT 16-Bit Bus Xcvr.	48-SSOP	1.02	.85	.68
SN74LVTH162245DLR	296-8670-2-ND	3,3 V ABT Bus-Transceiver, Tri-State, 16-Bit	Tri-State 3.3V ABT 16-Bit Bus Xcvr.	48-SSOP		450.39/1,000	
SN74LVTH162245KR	296-13297-1-ND	3,3 V ABT Bus-Transceiver, Tri-State, 16-Bit	Tri-State 3.3V ABT 16-Bit Bus Xcvr.	56-VFBGA	1.38	1.11	.83
SN74LVTH162245KR	296-13297-2-ND	3,3 V ABT Bus-Transceiver, Tri-State, 16-Bit	Tri-State 3.3V ABT 16-Bit Bus Xcvr.	56-VFBGA		715.38/1,000	
SN74LVTH162373DGGR	296-8671-1-ND	ABT Transparent D-Latch, Tri-State, 16-Bit	Tri-State ABT 16-Bit Transparent D-Type Latch	48-TSSOP	1.02	.85	.68
SN74LVTH162373DGGR	296-8671-2-ND	ABT Transparent D-Latch, Tri-State, 16-Bit	Tri-State ABT 16-Bit Transparent D-Type Latch	48-TSSOP		900.78/2,000	
SN74LVTH162373DL	296-12918-5-ND	ABT Transparent D-Latch, Tri-State, 16-Bit	Tri-State ABT 16-Bit Transparent D-Type Latch	48-SSOP	1.02	.85	.68
SN74LVTH162373KR	296-12665-1-ND	ABT Transparent D-Latch, Tri-State, 16-Bit	Tri-State ABT 16-Bit Transparent D-Type Latch	56-VFBGA	1.14	.96	.77
SN74LVTH162373KR	296-12665-2-ND	ABT Transparent D-Latch, Tri-State, 16-Bit	Tri-State ABT 16-Bit Transparent D-Type Latch	56-VFBGA		507.11/1,000	
SN74LVTH162374DGGR	296-8672-1-ND	3,3 V ABT D-Flip-Flop, flankengetriggert, Tri-State, 16-Bit	Tri-State, 3.3V, ABT 16-Bit Edge-Triggered D-Type Flip-Flop	48-TSSOP	1.02	.85	.68
SN74LVTH162374DGGR	296-8672-2-ND	3,3 V ABT D-Flip-Flop, flankengetriggert, Tri-State, 16-Bit	Tri-State, 3.3V, ABT 16-Bit Edge-Triggered D-Type Flip-Flop	48-TSSOP		900.78/2,000	
SN74LVTH162374DL	296-8673-5-ND	3,3 V ABT D-Flip-Flop, flankengetriggert, Tri-State, 16-Bit	Tri-State, 3.3V, ABT 16-Bit Edge-Triggered D-Type Flip-Flop	48-SSOP	1.02	.85	.68
SN74LVTH162374DLR	296-14929-1-ND	3,3 V ABT D-Flip-Flop, flankengetriggert, Tri-State, 16-Bit	Tri-State, 3.3V, ABT 16-Bit Edge-Triggered D-Type Flip-Flop	48-SSOP	1.02	.85	.68
SN74LVTH162374DLR	296-14929-2-ND	3,3 V ABT D-Flip-Flop, flankengetriggert, Tri-State, 16-Bit	Tri-State, 3.3V, ABT 16-Bit Edge-Triggered D-Type Flip-Flop	48-SSOP		450.39/1,000	
SN74LVTH162374KR	296-13298-1-ND	3,3 V ABT D-Flip-Flop, flankengetriggert, Tri-State, 16-Bit	Tri-State, 3.3V, ABT 16-Bit Edge-Triggered D-Type Flip-Flop	56-VFBGA	1.14	.96	.77
SN74LVTH162374KR	296-13298-2-ND	3,3 V ABT D-Flip-Flop, flankengetriggert, Tri-State, 16-Bit	Tri-State, 3.3V, ABT 16-Bit Edge-Triggered D-Type Flip-Flop	56-VFBGA		507.11/1,000	
SN74LVTH182502APM	296-8696-ND	ABT Scan-Testgerät mit Transceiver, 18-Bit	ABT Scan Test Device w/18-Bit Xcvr.	64-LQFP	5.59	4.47	3.78
SN74LVTH182504APM	296-8697-ND	ABT Scan-Testgerät mit Transceiver, 20-Bit	ABT Scan Test Device w/20-Bit Xcvr.	64-LQFP	5.59	4.47	3.78
SN74LVTH182512DGGR	296-8698-1-ND	ABT Scan-Testgerät mit Transceiver, 18-Bit	ABT Scan Test Device w/18-Bit Xcvr.	64-TSSOP	5.59	4.47	3.78
SN74LVTH182512DGGR	296-8698-2-ND	ABT Scan-Testgerät mit Transceiver, 18-Bit	ABT Scan Test Device w/18-Bit Xcvr.	64-TSSOP		6984.45/2,000	
SN74LVTH182652APM	296-14323-ND	3,3 V ABT Scan-Testgerät	3.3V ABT Scan Test Device	64-LQFP	11.56	10.42	9.24
SN74LVTH322374KR	296-13299-1-ND	3,3 V ABT D-Flip-Flop, flankengetriggert, Tri-State, 32-Bit	Tri-State, 3.3V, ABT, 32-Bit, Edge-Triggered D-Type Flip-Flop	96-LFBGA	2.19	1.76	1.37
SN74LVTH322374KR	296-13299-2-ND	3,3 V ABT D-Flip-Flop, flankengetriggert, Tri-State, 32-Bit	Tri-State, 3.3V, ABT, 32-Bit, Edge-Triggered D-Type Flip-Flop	96-LFBGA		1241.12/1,000	
		LVTZ-Gruppe					
SN74LVTZ244DBR	296-12927-1-ND	Achtf. 3,3 V ABT Puffer/Treiber, Tri-State	Tri-State 3.3V ABT Octal Buffer/Driver	20-SSOP	.68	.51	.39
SN74LVTZ244DBR	296-12927-2-ND	Achtf. 3,3 V ABT Puffer/Treiber, Tri-State	Tri-State 3.3V ABT Octal Buffer/Driver	20-SSOP		450.39/2,000	
SN74LVTZ244DW	296-11806-5-ND	Achtf. 3,3 V ABT Puffer/Treiber, Tri-State	Tri-State 3.3V ABT Octal Buffer/Driver	20-SOIC	.68	.51	.39
SN74LVTZ244PWR	296-12928-1-ND	Achtf. 3,3 V ABT Puffer/Treiber, Tri-State	Tri-State 3.3V ABT Octal Buffer/Driver	20-TSSOP	.68	.51	.39
SN74LVTZ244PWR	296-12928-2-ND	Achtf. 3,3 V ABT Puffer/Treiber, Tri-State	Tri-State 3.3V ABT Octal Buffer/Driver	20-TSSOP		450.39/2,000	
		LVU-Gruppe					
SN74LVU04AD	296-1722-5-ND	Sechsf. ungepufferter Inverter	Unbuffered Hex Inverter	14-SOIC	.51	.39	.29
SN74LVU04ADBR	296-9884-1-ND	Sechsf. ungepufferter Inverter	Unbuffered Hex Inverter	14-SSOP	.51	.39	.29
SN74LVU04ADBR	296-9884-2-ND	Sechsf. ungepufferter Inverter	Unbuffered Hex Inverter	14-SSOP		338.64/2,000	
SN74LVU04ADGVR	296-12929-1-ND	Sechsf. ungepufferter Inverter	Unbuffered Hex Inverter	14-TVSOP	.51	.39	.29
SN74LVU04ADGVR	296-12929-2-ND	Sechsf. ungepufferter Inverter	Unbuffered Hex Inverter	14-TVSOP		338.64/2,000	
SN74LVU04APWR	296-9885-1-ND	Sechsf. ungepufferter Inverter	Unbuffered Hex Inverter	14-TSSOP	.51	.39	.29
SN74LVU04APWR	296-9885-2-ND	Sechsf. ungepufferter Inverter	Unbuffered Hex Inverter	14-TSSOP		338.64/2,000	
SN74LVU04ARGYR	296-13990-1-ND	Sechsf. ungepufferter Inverter	Unbuffered Hex Inverter	14-QFN	.41	.31	.23
SN74LVU04ARGYR	296-13990-2-ND	Sechsf. ungepufferter Inverter	Unbuffered Hex Inverter	14-QFN		135.46/1,000	

(Forts.)

★ RUFEN SIE BITTE AN FÜR NIEDRIGERE PREISE BEI GRÖSSEREN MENGEN! ★

T. I. Teilenr.	Digi-Key Teilenr.	Beschreibung		Paket	Stückpreis★ 1	25	100
			MLVD-Gruppe				
SN65MLVD047D	296-16855-5-ND	Vierf. MLVDS Diff.-Leitungstreiber	MLVDS Quad Diff. Line Driver	16-SOIC	2.76	2.21	1.72
SN65MLVD047PW	296-16856-ND	Vierf. MLVDS Diff.-Leitungstreiber	MLVDS Quad Diff. Line Driver	16-TSSOP	2.76	2.21	1.72
SN65MLVD128DGG	296-16849-ND	1:8 LVTTL an MLVDS Rückmelder	1:8 LVTTL to MLVDS Repeater	48-TSSOP	6.43	5.15	4.35
SN65MLVD129DGG	296-16850-ND	Zweif. 1:4 LVTTL an MLVDS Rückmelder	Dual 1:4 LVTTL to MLVDS Repeater	48-TSSOP	6.43	5.15	4.35
SN65MLVD200AD	296-16667-5-ND	MLVDS Leitungstreiber/Empfänger	MLVDS Line Driver/Receiver	8-SOIC	2.80	2.24	1.75
SN65MLVD200D	296-12207-5-ND	Diff.-Leitungstreiber/Empfänger, HS	High Speed Diff. Line Driver/Receiver	8-SOIC	2.80	2.24	1.75
SN65MLVD202AD	296-16668-5-ND	MLVDS Leitungstreiber/Empfänger	MLVDS Line Driver/Receiver	14-SOIC	2.80	2.24	1.75
SN65MLVD202D	296-12208-5-ND	Diff.-Leitungstreiber/Empfänger, HS	High Speed Diff. Line Driver/Receiver	14-SOIC	2.80	2.24	1.75
SN65MLVD204AD	296-16669-5-ND	MLVDS Leitungstreiber/Empfänger	MLVDS Line Driver/Receiver	8-SOIC	2.80	2.24	1.75
SN65MLVD204D	296-12209-5-ND	Diff.-Leitungstreiber/Empfänger, HS	High Speed Diff. Line Driver/Receiver	8-SOIC	2.80	2.24	1.75
SN65MLVD205AD	296-16670-5-ND	MLVDS Leitungstreiber/Empfänger	MLVDS Line Driver/Receiver	14-SOIC	2.80	2.24	1.75
SN65MLVD205D	296-12210-5-ND	Diff.-Leitungstreiber/Empfänger, HS	High Speed Diff. Line Driver/Receiver	14-SOIC	2.80	2.24	1.75
			74S-Gruppe				
SN74S00N	296-1723-5-ND	Vierf. NAND-Gate mit 2 Eingängen	Quad 2-Input NAND Gate	14-Dip	.66	.56	.45
SN74S04N	296-1724-5-ND	Sechsf. Inverter	Hex Inverter	14-Dip	.66	.56	.45
SN74S10N	296-14937-5-ND	Dreif. pos. NAND-Gate, 3 Eingänge	Triple 3-Input Positive NAND Gate	14-Dip	.71	.60	.48
SN74S37NSR	296-13301-1-ND	Vierf. pos. NAND-Puffer, 2 Eingänge	Quad 2-Input Positive NAND Buffer	14-SOP	1.22	1.02	.82
SN74S37NSR	296-13301-2-ND	Vierf. pos. NAND-Puffer, 2 Eingänge	Quad 2-Input Positive NAND Buffer	14-SOP		1080.26/2,000	
SN74S38D	296-1732-5-ND	Vierf. NAND, 2 Eingänge, mit OC	Quad 2-Input NAND with OC	14-SOIC	1.22	1.02	.82
SN74S38DR	296-14939-1-ND	Vierf. NAND, 2 Eingänge, mit OC	Quad 2-Input NAND with OC	14-SOIC	1.22	1.02	.82
SN74S38DR	296-14939-2-ND	Vierf. NAND, 2 Eingänge, mit OC	Quad 2-Input NAND with OC	14-SOIC		1320.70/2,500	
SN74S38N	296-1733-5-ND	Vierf. NAND, 2 Eingänge, mit OC	Quad 2-Input NAND with OC	14-Dip	1.22	1.02	.82
SN74S74N	296-1734-5-ND	Zweif. D-Flip-Flop	Dual D-Type Flip-Flop	14-Dip	.76	.64	.51
SN74S138AN	296-1728-5-ND	3-8 Leitungs-Dekodierer/Demultiplexer	3-8 Line Decoder/Demultiplexer	16-Dip	1.02	.85	.68
SN74S240N	296-1729-5-ND	Achtf. Puffer-/Leitungstreiber, Tri-State	Tri-State Octal Buffer/Line Driver	20-Dip	1.93	1.55	1.16
SN74S244N	296-1730-5-ND	Achtf. Puffer-/Leitungstreiber, Tri-State	Tri-State Octal Buffer/Line Driver	20-Dip	1.93	1.55	1.16
SN74S280N	296-14938-5-ND	Generator/Checker, gerade/ungerade Parität, 9-Bit	9-Bit Odd/Even Parity Generator/Checker	14-Dip	1.93	1.55	1.16
SN74S1051DR	296-14193-1-ND	Schottky Anschluss-Array, 12-Bit	12-Bit, Schottky Termination Array	16-SOIC	1.98	1.59	1.24
SN74S1051DR	296-14193-2-ND	Schottky Anschluss-Array, 12-Bit	12-Bit, Schottky Termination Array	16-SOIC		2772.62/2,500	
SN74S1053DW	296-1726-5-ND	Schottky Barrierendiode, Busanschluss-Array, 16-Bit	16-Bit, Schottky Barrier Diode Bus-Termination Array	20-SOIC	1.98	1.59	1.24
SN74S1053DWR	296-14936-1-ND	Schottky Barrierendiode, Busanschluss-Array, 16-Bit	16-Bit, Schottky Barrier Diode Bus-Termination Array	20-SOIC	1.98	1.59	1.24
SN74S1053DWR	296-14936-2-ND	Schottky Barrierendiode, Busanschluss-Array, 16-Bit	16-Bit, Schottky Barrier Diode Bus-Termination Array	20-SOIC		2245.18/2,000	
SN74S1053PWR	296-13703-1-ND	Schottky Barrierendiode, Busanschluss-Array, 16-Bit	16-Bit, Schottky Barrier Diode Bus-Termination Array	20-TSSOP	1.98	1.59	1.24
SN74S1053PWR	296-13703-2-ND	Schottky Barrierendiode, Busanschluss-Array, 16-Bit	16-Bit, Schottky Barrier Diode Bus-Termination Array	20-TSSOP		2245.18/2,000	
SN74S1053N	296-1727-5-ND	Anschluss-Array, 16-Bit	16-Bit Termination Array	20-Dip	1.98	1.59	1.24
			SSTL-Gruppe				
SN74SSTL16837ADGGR	296-9886-1-ND	Universal-Bustreiber, Tri-State, 20-Bit	Tri-State 20-Bit Universal Bus Driver	64-TSSOP	6.35	5.08	4.29
SN74SSTL16837ADGGR	296-9886-2-ND	Universal-Bustreiber, Tri-State, 20-Bit	Tri-State 20-Bit Universal Bus Driver	64-TSSOP		7937.72/2,000	
SN74SSTL16847DGGR	296-1274-1-ND	SSTL_3-Puffer, 20-Bit	20-Bit SSTL_3 Buffer	64-TSSOP	6.35	5.08	4.29
SN74SSTL16847DGGR	296-1274-2-ND	SSTL_3-Puffer, 20-Bit	20-Bit SSTL_3 Buffer	64-TSSOP		7937.72/2,000	
SN74SSTL16857DGGR	296-9887-1-ND	Puffer mit Register, 14-Bit	14-Bit Registered Buffer	48-TSSOP	6.35	5.08	4.29
SN74SSTL16857DGGR	296-9887-2-ND	Puffer mit Register, 14-Bit	14-Bit Registered Buffer	48-TSSOP		7937.72/2,000	
			SSTU-Gruppe				
SN74SSTU32864CZKER	296-17801-1-ND	Konfig. Puffer mit Register und SSTL, 18 Eingänge und Ausgänge, 25-Bit	25-Bit Config. Registered Buffer with SSTL 18 Input and Output	96-LFBGA	4.49	3.59	3.03
SN74SSTU32864CZKER	296-17801-2-ND	Konfig. Puffer mit Register und SSTL, 18 Eingänge und Ausgänge, 25-Bit	25-Bit Config. Registered Buffer with SSTL 18 Input and Output	96-LFBGA		2804.79/1,000	
SN74SSTU32864DZKER	296-17860-1-ND	Konfig. Puffer mit Register und SSTL, 18 Eingänge und Ausgänge, 25-Bit	25-Bit Config. Registered Buffer with SSTL 18 Input and Output	96-LFBGA	7.77	7.00	6.21
SN74SSTU32864DZKER	296-17860-2-ND	Konfig. Puffer mit Register und SSTL, 18 Eingänge und Ausgänge, 25-Bit	25-Bit Config. Registered Buffer with SSTL 18 Input and Output	96-LFBGA		5761.11/1,000	
SN74SSTU32864GKER	296-15611-1-ND	Konfig. Puffer mit Register und SSTL, 18 Eingänge und Ausgänge, 25-Bit	25-Bit Config. Registered Buffer with SSTL 18 Input and Output	96-LFBGA	4.49	3.59	3.03
SN74SSTU32864GKER	296-15611-2-ND	Konfig. Puffer mit Register und SSTL, 18 Eingänge und Ausgänge, 25-Bit	25-Bit Config. Registered Buffer with SSTL 18 Input and Output	96-LFBGA		2804.79/1,000	
SN74SSTU32864ZKER	296-17793-1-ND	Konfig. Puffer mit Register und SSTL, 18 Eingänge und Ausgänge, 25-Bit	25-Bit Config. Registered Buffer with SSTL 18 Input and Output	96-LFBGA	4.49	3.59	3.03
SN74SSTU32864ZKER	296-17793-2-ND	Konfig. Puffer mit Register und SSTL, 18 Eingänge und Ausgänge, 25-Bit	25-Bit Config. Registered Buffer with SSTL 18 Input and Output	96-LFBGA		2804.79/1,000	
			SSTV-Gruppe				
SN74SSTV16857DGGR	296-13302-1-ND	Puffer m. Register und SSTL_2 Ein- und Ausgängen, 14-Bit	14-Bit Registered Buffer with SSTL_2 Inputs and Outputs	48-TSSOP	1.80	1.44	1.08
SN74SSTV16857DGGR	296-13302-2-ND	Puffer m. Register und SSTL_2 Ein- und Ausgängen, 14-Bit	14-Bit Registered Buffer with SSTL_2 Inputs and Outputs	48-TSSOP		1870.99/2,000	
SN74SSTV16857DGVR	296-12039-1-ND	Puffer m. Register und SSTL_2 Ein- und Ausgängen, 14-Bit	14-Bit Registered Buffer with SSTL_2 Inputs and Outputs	48-TVSOP	1.80	1.44	1.08
SN74SSTV16857DGVR	296-12039-2-ND	Puffer m. Register und SSTL_2 Ein- und Ausgängen, 14-Bit	14-Bit Registered Buffer with SSTL_2 Inputs and Outputs	48-TVSOP		1870.99/2,000	
SN74SSTV16859DGGR	296-13303-1-ND	Puffer m. Register und SSTL_2 Ein- und Ausgängen, 13-26-Bit	13-26-Bit Registered Buffer with SSTL_2 Inputs and Outputs	64-TSSOP	2.10	1.68	1.31
SN74SSTV16859DGGR	296-13303-2-ND	Puffer m. Register und SSTL_2 Ein- und Ausgängen, 13-26-Bit	13-26-Bit Registered Buffer with SSTL_2 Inputs and Outputs	64-TSSOP		2375.56/2,000	
SN74SSTV16859RGQR	296-14377-1-ND	Puffer m. Register und SSTL_2 Ein- und Ausgängen, 13-26-Bit	13-26-Bit Registered Buffer with SSTL_2 Inputs and Outputs	56-QFN	2.10	1.68	1.31
SN74SSTV16859RGQR	296-14377-2-ND	Puffer m. Register und SSTL_2 Ein- und Ausgängen, 13-26-Bit	13-26-Bit Registered Buffer with SSTL_2 Inputs and Outputs	56-QFN		2375.56/2,000	
SN74SSTV32852GKFR	296-13304-1-ND	Puffer m. Register und SSTL_2 Ein- und Ausgängen, 24-48-Bit	24-48-Bit Registered Buffer with SSTL_2 Inputs and Outputs	114-LFBGA	4.19	3.36	2.61
SN74SSTV32852GKFR	296-13304-2-ND	Puffer m. Register und SSTL_2 Ein- und Ausgängen, 24-48-Bit	24-48-Bit Registered Buffer with SSTL_2 Inputs and Outputs	114-LFBGA		2374.71/1,000	
SN74SSTV32867GKER	296-13305-1-ND	Puffer m. Register und SSTL_2 Eingängen u. LVCMOS-Ausgängen, 26-Bit	26-Bit Registered Buffer with SSTL_2 Inputs and LVCMOS Outputs	96-LFBGA	4.66	3.73	3.15
SN74SSTV32867GKER	296-13305-2-ND	Puffer m. Register und SSTL_2 Eingängen u. LVCMOS-Ausgängen, 26-Bit	26-Bit Registered Buffer with SSTL_2 Inputs and LVCMOS Outputs	96-LFBGA		2910.61/1,000	
SN74SSTV32877GKER	296-13306-1-ND	Puffer m. Register und SSTL_2 Ein- u. Ausgängen, 26-Bit	26-Bit Registered Buffer with SSTL_2 Inputs and Outputs	96-LFBGA	4.66	3.73	3.15
SN74SSTV32877GKER	296-13306-2-ND	Puffer m. Register und SSTL_2 Ein- u. Ausgängen, 26-Bit	26-Bit Registered Buffer with SSTL_2 Inputs and Outputs	96-LFBGA		2910.61/1,000	
SN74SSTVF16857GR	296-13636-1-ND	Puffer m. Register und SSTL_2 Ein- und Ausgängen, 14-Bit	14-Bit Registered Buffer with SSTL_2 Inputs and Outputs	48-TSSOP	1.80	1.44	1.08
SN74SSTVF16857GR	296-13636-2-ND	Puffer m. Register und SSTL_2 Ein- und Ausgängen, 14-Bit	14-Bit Registered Buffer with SSTL_2 Inputs and Outputs	48-TSSOP		1870.99/2,000	
SN74SSTVF16857VR	296-13637-1-ND	Puffer m. Register und SSTL_2 Ein- und Ausgängen, 14-Bit	14-Bit Registered Buffer with SSTL_2 Inputs and Outputs	48-TVSOP	1.80	1.44	1.08
SN74SSTVF16857VR	296-13637-2-ND	Puffer m. Register und SSTL_2 Ein- und Ausgängen, 14-Bit	14-Bit Registered Buffer with SSTL_2 Inputs and Outputs	48-TVSOP		1870.99/2,000	
SN74SSTVF32852KR	296-15612-1-ND	Puffer m. Register und SSTL_2 Ein- und Ausgängen, 24-48-Bit	24-48-Bit Registered Buffer with SSTL_2 Inputs and Outputs	114-LFBGA	4.19	3.36	2.61
SN74SSTVF32852KR	296-15612-2-ND	Puffer m. Register und SSTL_2 Ein- und Ausgängen, 24-48-Bit	24-48-Bit Registered Buffer with SSTL_2 Inputs and Outputs	114-LFBGA		2374.71/1,000	
			TTL-Gruppe				
SN10KHT5541DW	296-9688-5-ND	ECL zu TTL Umsetzer, Tri-State	Tri-State ECL to TTL Translator	24-SOIC	6.10	4.88	4.12
SN10KHT5541NT	296-9689-5-ND	ECL zu TTL Umsetzer, Tri-State	Tri-State ECL to TTL Translator	24-Dip	6.10	4.88	4.12
SN7400N	296-14641-5-ND	Vierf. NAND-Gate mit 2 Eingängen	Quad 2-Input NAND Gate	14-Dip	.89	.75	.60
SN7404N	296-14642-5-ND	Sechsf. Inverter	Hex Inverter	14-Dip	1.09	.92	.73
SN7406D	296-1017-5-ND	Sechsf. Inverter-Puffer/Treiber m. Hochsp.-Ausgang	Hex Inverter Buffer/Driver w/HV Output	14-SOIC	.81	.68	.55
SN7406DR	296-1017-1-ND	Sechsf. Inverter-Puffer/Treiber m. Hochsp.-Ausgang	Hex Inverter Buffer/Driver w/HV Output	14-SOIC	.81	.68	.55
SN7406DR	296-1017-2-ND	Sechsf. Inverter-Puffer/Treiber m. Hochsp.-Ausgang	Hex Inverter Buffer/Driver w/HV Output	14-SOIC		880.46/2,500	
SN7406N	296-1435-5-ND	Sechsf. Inverter-Puffer/Treiber m. Hochsp.-Ausgang	Hex Inverter Buffer/Driver w/HV Output	14-Dip	.89	.75	.60
SN7407D	296-1018-5-ND	Sechsf. Puffer/Treiber mit OC, Hochsp.-Ausgang	Hex Buffer/Driver with OC HV Output	14-SOIC	.81	.68	.55
SN7407N	296-1436-5-ND	Sechsf. Puffer/Treiber mit OC, Hochsp.-Ausgang	Hex Buffer/Driver with OC HV Output	14-Dip	.81	.68	.55
SN7414NSR	296-13127-1-ND	Sechsf. Schmitt-Trigger-Inverter	Hex Schmitt-Trigger Inverter	14-SOP	1.09	.92	.73
SN7414NSR	296-13127-2-ND	Sechsf. Schmitt-Trigger-Inverter	Hex Schmitt-Trigger Inverter	14-SOP		968.51/2,000	
SN7416N	296-14646-5-ND	Sechsf. Inverter mit OC, Hochsp.-Ausgang	Hex Inverter with OC HV Output	14-Dip	1.02	.85	.68
SN7417N	296-14647-5-ND	Sechsf. Puffer mit OC, Hochsp.-Ausgang	Hex Buffer with OC HV Output	14-Dip	.97	.81	.65
SN7438N	296-14648-5-ND	Vierf. NAND-Puffer mit 2 Eingängen	Quad 2-Input NAND Buffer	14-Dip	.91	.77	.61
SN74128NSR	296-13126-1-ND	NOR Leitungstreiber mit 2 Eingängen	2-Input NOR Line Driver	14-SOP	1.14	.92	.69
SN74128NSR	296-13126-2-ND	NOR Leitungstreiber mit 2 Eingängen	2-Input NOR Line Driver	14-SOP		1188.63/2,000	
SN74154N	296-8757-5-ND	4-16-Leitungs-Dekodierer/Demux	4-Line to 16-Line Decoder/Demux	24-Dip	1.95	1.56	1.21
			VMEH-Gruppe				
SN74VMEH22501ADGGR	296-17565-1-ND	Universal-Bus-Transceiver, 8-Bit, u. zwei Bus-Transceiver, 1-Bit	8-Bit Universal Bus Transceiver and Two 1-Bit Bus Transceivers	48-TSSOP	4.11	3.30	2.57
SN74VMEH22501ADGGR	296-17565-2-ND	Universal-Bus-Transceiver, 8-Bit, u. zwei Bus-Transceiver, 1-Bit	8-Bit Universal Bus Transceiver and Two 1-Bit Bus Transceivers	48-TSSOP		4663.07/2,000	
SN74VMEH22501ADGVR	296-17566-1-ND	Universal-Bus-Transceiver, 8-Bit, u. zwei Bus-Transceiver, 1-Bit	8-Bit Universal Bus Transceiver and Two 1-Bit Bus Transceivers	48-TVSOP	4.11	3.30	2.57
SN74VMEH22501ADGVR	296-17566-2-ND	Universal-Bus-Transceiver, 8-Bit, u. zwei Bus-Transceiver, 1-Bit	8-Bit Universal Bus Transceiver and Two 1-Bit Bus Transceivers	48-TVSOP		4663.07/2,000	
SN74VMEH22501AGQLR	296-17567-1-ND	Universal-Bus-Transceiver, 8-Bit, u. zwei Bus-Transceiver, 1-Bit	8-Bit Universal Bus Transceiver and Two 1-Bit Bus Transceivers	56-VFBGA	4.57	3.66	2.85
SN74VMEH22501AGQLR	296-17567-2-ND	Universal-Bus-Transceiver, 8-Bit, u. zwei Bus-Transceiver, 1-Bit	8-Bit Universal Bus Transceiver and Two 1-Bit Bus Transceivers	56-VFBGA		2590.60/1,000	
SN74VMEH22501DGGR	296-13309-1-ND	Univ.-Bus-Transceiver, Tri-State, 8-Bit, u. zwei Bus-Transceiver, 1-Bit, mit geteiltem LVTTL-Port u. Rückkopplungspfad	Tri-State, 8-Bit, Univ. Bus Transceiver and Two 1-Bit Bus Transceivers with Split LVTTL Port, and Feedback Path	48-TSSOP	3.93	3.14	2.45
SN74VMEH22501DGGR	296-13309-2-ND	Univ.-Bus-Transceiver, Tri-State, 8-Bit, u. zwei Bus-Transceiver, 1-Bit, mit geteiltem LVTTL-Port u. Rückkopplungspfad	Tri-State, 8-Bit, Univ. Bus Transceiver and Two 1-Bit Bus Transceivers with Split LVTTL Port, and Feedback Path	48-TSSOP		4448.04/2,000	

(Forts.)

★ CRUFEN SIE BITTE AN FÜR NIEDRIGERE PREISE BEI GRÖSSEREN MENGEN! ★

T. I. Teilenr.	Digi-Key Teilenr.	Beschreibung		Paket	Stückpreis★ 1	25	100
SN74VMEH22501DGVR	296-13310-1-ND	Univ.-Bus-Transceiver, Tri-State, 8-Bit, u. zwei Bus-Transceiver, 1-Bit, mit geteiltem LVTTL-Port u. Rückkopplungspfad	Tri-State, 8-Bit, Univ. Bus Transceiver and Two 1-Bit Bus Transceivers with Split LVTTL Port, and Feedback Path	48-TVSOP	3.93	3.14	2.45
SN74VMEH22501DGVR	296-13310-2-ND	Univ.-Bus-Transceiver, Tri-State, 8-Bit, u. zwei Bus-Transceiver, 1-Bit, mit geteiltem LVTTL-Port u. Rückkopplungspfad	Tri-State, 8-Bit, Univ. Bus Transceiver and Two 1-Bit Bus Transceivers with Split LVTTL Port, and Feedback Path	48-TVSOP		4448.04/2,000	
SN74VMEH22501GQLR	296-13311-1-ND	Univ.-Bus-Transceiver, Tri-State, 8-Bit, u. zwei Bus-Transceiver, 1-Bit, mit geteiltem LVTTL-Port u. Rückkopplungspfad	Tri-State, 8-Bit, Univ. Bus Transceiver and Two 1-Bit Bus Transceivers with Split LVTTL Port, and Feedback Path	56-VFBGA	4.40	3.52	2.74
SN74VMEH22501GQLR	296-13311-2-ND	Univ.-Bus-Transceiver, Tri-State, 8-Bit, u. zwei Bus-Transceiver, 1-Bit, mit geteiltem LVTTL-Port u. Rückkopplungspfad	Tri-State, 8-Bit, Univ. Bus Transceiver and Two 1-Bit Bus Transceivers with Split LVTTL Port, and Feedback Path	56-VFBGA		2493.24/1,000	

T. I. Teilenr.	Digi-Key Teilenr.	Beschreibung		Paket	Stückpreis★ 1	25	100
DIT4096IPW	DIT4096IPW-ND	5 V, 96 kHz digitaler Audio-Transmitter	5V, 96KHz Digital Audio Transmitter	28-TSSOP	2.95	2.37	1.84
DIT4192IPW	DIT4192IPW-ND	5 V, 192 kHz digitaler Audio-Transmitter	5V, 192KHz Digital Audio Transmitter	28-TSSOP	3.90	3.13	2.43
GC2011A-PB	296-12259-ND	Digitalfilter	Digital Filter	160-BGA	126.99	—	—
GC2011A-PQ	296-12260-ND	Digitalfilter	Digital Filter	160-QFP	126.99	—	—
GC4016-PB	296-12264-ND	Vierf. digitaler Abwärtswandler	Digital Quad Downconverter	160-PBGA	50.80	—	—
GC4116-PB	296-12266-ND	Vierf. digitaler Aufwärtswandler	Digital Quad Upconverter	160-PBGA	60.96	—	—
GC5016-PB	296-15780-ND	Vierf. digitaler Ab-/Aufwärtswandler, Breitband	Wideband, Quad Digital Down/Up Converter	252-PBGA	36.51	—	—
GC5016-PBZ	296-17306-ND	Vierf. digitaler Ab-/Aufwärtswandler, Breitband	Wideband, Quad Digital Down/Up Converter	252-PBGA	36.51	—	—

T. I. Teilenr.	Digi-Key Teilenr.	Beschreibung		Paket	Stückpreis★ 1	25	100
SN74ABT3612-15PCB	296-3984-ND	64x36x2 bidir. Synch. FIFO-Speicher	64x36x2 Bi-Dir. Sync. FIFO Memory	120-HLQFP	12.85	11.57	10.26
SN74ABT3612-15PQ	296-3985-ND	64x36x2 bidir. Synch. FIFO-Speicher	64x36x2 Bi-Dir. Sync. FIFO Memory	132-BQFP	12.85	11.57	10.26
SN74ABT3612-20PCB	296-3986-ND	64x36x2 bidir. Synch. FIFO-Speicher	64x36x2 Bi-Dir. Sync. FIFO Memory	120-HLQFP	12.67	11.41	10.12
SN74ABT3612-20PQ	296-3987-ND	64x36x2 bidir. Synch. FIFO-Speicher	64x36x2 Bi-Dir. Sync. FIFO Memory	132-BQFP	12.67	11.41	10.12
SN74ABT3612-30PCB	296-3988-ND	64x36x2 bidir. Synch. FIFO-Speicher	64x36x2 Bi-Dir. Sync. FIFO Memory	120-HLQFP	13.32	11.99	10.63
SN74ABT3612-30PQ	296-3989-ND	64x36x2 bidir. Synch. FIFO-Speicher	64x36x2 Bi-Dir. Sync. FIFO Memory	132-BQFP	13.32	11.99	10.63
SN74ABT3614-15PCB	296-3996-ND	64x36x2 bidir. Synch. FIFO-Speicher	64x36x2 Bi-Dir. Sync. FIFO Memory	120-HLQFP	12.85	11.57	10.26
SN74ABT3614-15PQ	296-3997-ND	64x36x2 bidir. Synch. FIFO-Speicher	64x36x2 Bi-Dir. Sync. FIFO Memory	132-BQFP	12.85	11.57	10.26
SN74ABT3614-20PCB	296-3998-ND	64x36x2 bidir. Synch. FIFO-Speicher	64x36x2 Bi-Dir. Sync. FIFO Memory	120-HLQFP	12.67	11.41	10.12
SN74ABT3614-20PQ	296-3999-ND	64x36x2 bidir. Synch. FIFO-Speicher	64x36x2 Bi-Dir. Sync. FIFO Memory	132-BQFP	12.67	11.41	10.12
SN74ABT3614-30PCB	296-4000-ND	64x36x2 bidir. Synch. FIFO-Speicher	64x36x2 Bi-Dir. Sync. FIFO Memory	120-HLQFP	13.32	11.99	10.63
SN74ABT3614-30PQ	296-4001-ND	64x36x2 bidir. Synch. FIFO-Speicher	64x36x2 Bi-Dir. Sync. FIFO Memory	132-BQFP	13.32	11.99	10.63
SN74ABT7820-20PH	296-4082-ND	512x18x2 bidir. Asynch. FIFO-Speicher	512x18x2 Bi-Dir. Async. FIFO Memory	80-QFP	15.09	14.09	13.08
SN74ABT7820-20PN	296-4083-ND	512x18x2 bidir. Asynch. FIFO-Speicher	512x18x2 Bi-Dir. Async. FIFO Memory	80-LQFP	15.09	14.09	13.08
SN74ABT7820-25PH	296-4084-ND	512x18x2 bidir. Asynch. FIFO-Speicher	512x18x2 Bi-Dir. Async. FIFO Memory	80-QFP	8.94	8.06	7.14
SN74ABT7820-25PN	296-4085-ND	512x18x2 bidir. Asynch. FIFO-Speicher	512x18x2 Bi-Dir. Async. FIFO Memory	80-LQFP	8.94	8.06	7.14
SN74ABT7820-30PH	296-4086-ND	512x18x2 bidir. Asynch. FIFO-Speicher	512x18x2 Bi-Dir. Async. FIFO Memory	80-QFP	13.00	12.13	11.26
SN74ACT2226DWR	296-15971-1-ND	Zweif. 64x1 FIFO-Speicher	Dual 64x1 FIFO Memory	24-SOIC	4.57	3.66	2.85
SN74ACT2226DWR	296-15971-2-ND	Zweif. 64x1 FIFO-Speicher	Dual 64x1 FIFO Memory	24-SOIC		5181.19/2,000	
SN74ACT2227DW	296-4371-5-ND	Zweif. 64x1 FIFO-Speicher	Dual 64x1 FIFO Memory	28-SOIC	4.57	3.66	2.85
SN74ACT2227DWR	296-15972-1-ND	Zweif. 64x1 FIFO-Speicher	Dual 64x1 FIFO Memory	28-SOIC	4.57	3.66	2.85
SN74ACT2227DWR	296-15972-2-ND	Zweif. 64x1 FIFO-Speicher	Dual 64x1 FIFO Memory	28-SOIC		2590.60/1,000	
SN74ACT2228DW	296-4372-5-ND	Zweif. 256x1 FIFO-Speicher	Dual 256x1 FIFO Memory	24-SOIC	4.57	3.66	2.85
SN74ACT2228DWR	296-15973-1-ND	Zweif. 256x1 FIFO-Speicher	Dual 256x1 FIFO Memory	24-SOIC	4.57	3.66	2.85
SN74ACT2228DWR	296-15973-2-ND	Zweif. 256x1 FIFO-Speicher	Dual 256x1 FIFO Memory	24-SOIC		5181.19/2,000	
SN74ACT2229DW	296-4373-5-ND	Zweif. 256x1 FIFO-Speicher	Dual 256x1 FIFO Memory	28-SOIC	5.08	4.07	3.43
SN74ACT2229DWR	296-15974-1-ND	Zweif. 256x1 FIFO-Speicher	Dual 256x1 FIFO Memory	28-SOIC	5.08	4.07	3.43
SN74ACT2229DWR	296-15974-2-ND	Zweif. 256x1 FIFO-Speicher	Dual 256x1 FIFO Memory	28-SOIC		3174.75/1,000	
SN74ACT2235-20PAG	296-4374-ND	1024x9x2 bidir. Asynch. FIFO-Speicher	1024x9x2 Bi-Dir. Async. FIFO Memory	64-TQFP	15.09	14.09	13.08
SN74ACT2235-40FN	296-4375-5-ND	1024x9x2 bidir. Asynch. FIFO-Speicher	1024x9x2 Bi-Dir. Async. FIFO Memory	44-PLCC	9.78	8.81	7.81
SN74ACT2235-60FN	296-4376-5-ND	1024x9x2 bidir. Asynch. FIFO-Speicher	1024x9x2 Bi-Dir. Async. FIFO Memory	44-PLCC	9.02	8.13	7.21
SN74ACT3622-20PCB	296-4392-ND	256x36x2 bidir. Synch. FIFO-Speicher	256x36x2 Bi-Dir. Sync. FIFO Memory	120-TQFP	15.09	14.09	13.08
SN74ACT3622-20PQ	296-4393-ND	256x36x2 bidir. Synch. FIFO-Speicher	256x36x2 Bi-Dir. Sync. FIFO Memory	132-BQFP	15.09	14.09	13.08
SN74ACT3622-30PCB	296-4394-ND	256x36x2 bidir. Synch. FIFO-Speicher	256x36x2 Bi-Dir. Sync. FIFO Memory	120-TQFP	13.00	12.13	11.26
SN74ACT3622-30PQ	296-4395-ND	256x36x2 bidir. Synch. FIFO-Speicher	256x36x2 Bi-Dir. Sync. FIFO Memory	132-BQFP	13.00	12.13	11.26
SN74ACT3631-20PCB	296-4398-ND	512x36 FIFO-Speicher, getaktet	512x36 Clocked FIFO Memory	120-TQFP	15.09	14.09	13.08
SN74ACT3631-20PQ	296-4399-ND	512x36 FIFO-Speicher, getaktet	512x36 Clocked FIFO Memory	132-BQFP	15.09	14.09	13.08
SN74ACT3631-30PCB	296-4400-ND	512x36 FIFO-Speicher, getaktet	512x36 Clocked FIFO Memory	120-TQFP	13.00	12.13	11.26
SN74ACT3631-30PQ	296-4401-ND	512x36 FIFO-Speicher, getaktet	512x36 Clocked FIFO Memory	132-BQFP	13.00	12.13	11.26
SN74ACT3632-20PCB	296-4404-ND	512x36x2 bidirektionaler FIFO-Speicher	512x36x2 Bi-Directional FIFO Memory	120-TQFP	15.09	14.09	13.08
SN74ACT3632-20PQ	296-4405-ND	512x36x2 bidirektionaler FIFO-Speicher	512x36x2 Bi-Directional FIFO Memory	132-BQFP	15.09	14.09	13.08
SN74ACT3632-30PCB	296-4406-ND	512x36x2 bidirektionaler FIFO-Speicher	512x36x2 Bi-Directional FIFO Memory	120-TQFP	13.00	12.13	11.26
SN74ACT3632-30PQ	296-4407-ND	512x36x2 bidirektionaler FIFO-Speicher	512x36x2 Bi-Directional FIFO Memory	132-BQFP	13.00	12.13	11.26
SN74ACT3641-20PCB	296-4410-ND	1Kx36 FIFO-Speicher, getaktet	1Kx36 Clocked FIFO Memory	120-TQFP	18.44	17.21	15.99
SN74ACT3641-20PQ	296-4411-ND	1Kx36 FIFO-Speicher, getaktet	1Kx36 Clocked FIFO Memory	132-BQFP	18.44	17.21	15.99
SN74ACT3641-30PCB	296-4412-ND	1Kx36 FIFO-Speicher, getaktet	1Kx36 Clocked FIFO Memory	120-TQFP	18.44	17.21	15.99
SN74ACT3641-30PQ	296-4413-ND	1Kx36 FIFO-Speicher, getaktet	1Kx36 Clocked FIFO Memory	132-BQFP	18.44	17.21	15.99
SN74ACT3651-15PQ	296-4415-ND	2Kx36 synch. FIFO-Speicher, getaktet	2Kx36 Synchronous FIFO Memory	132-BQFP	25.98	24.25	22.52
SN74ACT3651-20PCB	296-4416-ND	2Kx36 synch. FIFO-Speicher, getaktet	2Kx36 Synchronous FIFO Memory	120-TQFP	20.95	19.56	18.16
SN74ACT3651-20PQ	296-4417-ND	2Kx36 synch. FIFO-Speicher, getaktet	2Kx36 Synchronous FIFO Memory	132-BQFP	20.95	19.56	18.16
SN74ACT3651-30PCB	296-4418-ND	2Kx36 synch. FIFO-Speicher, getaktet	2Kx36 Synchronous FIFO Memory	120-TQFP	18.86	17.61	16.35
SN74ACT3651-30PQ	296-4419-ND	2Kx36 synch. FIFO-Speicher, getaktet	2Kx36 Synchronous FIFO Memory	132-BQFP	18.86	17.61	16.35
SN74ACT7802-25FN	296-4447-ND	1Kx18 FIFO-Speicher, gestrobt	1Kx18 Strobed FIFO Memory	68-PLCC	8.94	8.06	7.14
SN74ACT7802-25PN	296-4448-ND	1Kx18 FIFO-Speicher, gestrobt	1Kx18 Strobed FIFO Memory	80-TQFP	8.94	8.06	7.14
SN74ACT7803-20DL	296-4450-5-ND	512x18 FIFO-Speicher, getaktet	512x18 Clocked FIFO Memory	56-SOP	6.71	5.37	4.53
SN74ACT7803-25DL	296-4451-5-ND	512x18 FIFO-Speicher, getaktet	512x18 Clocked FIFO Memory	56-SOP	6.71	5.37	4.53
SN74ACT7803-25DLR	296-4451-1-ND	512x18 FIFO-Speicher, getaktet	512x18 Clocked FIFO Memory	56-SOP	6.71	5.37	4.53
SN74ACT7803-25DLR	296-4451-2-ND	512x18 FIFO-Speicher, getaktet	512x18 Clocked FIFO Memory	56-SOP		4190.67/1,000	
SN74ACT7803-40DL	296-4452-5-ND	512x18 FIFO-Speicher, getaktet	512x18 Clocked FIFO Memory	56-SOP	5.59	4.47	3.78
SN74ACT7804-20DL	296-4453-5-ND	512x18 FIFO-Speicher, gestrobt	512x18 Strobed FIFO Memory	56-SOP	6.71	5.37	4.53
SN74ACT7804-20DLR	296-15975-1-ND	512x18 FIFO-Speicher, gestrobt	512x18 Strobed FIFO Memory	56-SSOP	6.71	5.37	4.53
SN74ACT7804-20DLR	296-15975-2-ND	512x18 FIFO-Speicher, gestrobt	512x18 Strobed FIFO Memory	56-SSOP		4190.67/1,000	
SN74ACT7804-40DLR	296-4454-1-ND	512x18 FIFO-Speicher, gestrobt	512x18 Strobed FIFO Memory	56-SOP	5.59	4.47	3.78
SN74ACT7804-40DLR	296-4454-2-ND	512x18 FIFO-Speicher, gestrobt	512x18 Strobed FIFO Memory	56-SOP		3492.23/1,000	
SN74ACT7805-15DLR	296-15976-1-ND	256x18 FIFO-Speicher, getaktet	256x18 Clocked FIFO Memory	56-SSOP	6.71	5.37	4.53
SN74ACT7805-15DLR	296-15976-2-ND	256x18 FIFO-Speicher, getaktet	256x18 Clocked FIFO Memory	56-SSOP		4190.67/1,000	
SN74ACT7805-20DL	296-4456-5-ND	256x18 FIFO-Speicher, getaktet	256x18 Clocked FIFO Memory	56-SOP	12.67	11.41	10.12
SN74ACT7805-25DLR	296-4457-1-ND	256x18 FIFO-Speicher, getaktet	256x18 Clocked FIFO Memory	56-SOP	6.71	5.37	4.53
SN74ACT7805-25DLR	296-4457-2-ND	256x18 FIFO-Speicher, getaktet	256x18 Clocked FIFO Memory	56-SOP		4190.67/1,000	
SN74ACT7805-40DL	296-4458-5-ND	256x18 FIFO-Speicher, getaktet	256x18 Clocked FIFO Memory	56-SOP	5.03	4.03	3.40
SN74ACT7806-20DL	296-4459-5-ND	256x18 FIFO-Speicher, getaktet	256x18 Strobed FIFO Memory	56-SOP	12.67	11.41	10.12
SN74ACT7807-20FN	296-4462-5-ND	2Kx9 FIFO-Speicher, getaktet	2Kx9 Clocked FIFO Memory	44-PLCC	15.09	14.09	13.08
SN74ACT7807-20PAG	296-4463-ND	2Kx9 FIFO-Speicher, getaktet	2Kx9 Clocked FIFO Memory	64-TQFP	15.09	14.09	13.08
SN74ACT7807-25FN	296-4464-5-ND	2Kx9 FIFO-Speicher, getaktet	2Kx9 Clocked FIFO Memory	44-PLCC	8.94	8.06	7.14
SN74ACT7807-25PAG	296-4465-ND	2Kx9 FIFO-Speicher, getaktet	2Kx9 Clocked FIFO Memory	64-TQFP	8.94	8.06	7.14

(Forts.)

★ RUFEN SIE BITTE AN FÜR NIEDRIGERE PREISE BEI GRÖSSEREN MENGEN! ★

Alle Preisangaben in Euro und inklusive Zollgebühren.

T. I. Teilenr.	Digi-Key Teilenr.	Beschreibung		Paket	Stückpreis★ 1	25	100
SN74ACT7807-40FN	296-4466-5-ND	2Kx9 FIFO-Speicher, getaktet	2Kx9 Clocked FIFO Memory	44-PLCC	9.78	8.81	7.81
SN74ACT7807-40PAG	296-4467-ND	2Kx9 FIFO-Speicher, getaktet	2Kx9 Clocked FIFO Memory	64-TQFP	9.78	8.81	7.81
SN74ACT7808-20FN	296-4468-5-ND	2Kx9 FIFO-Speicher, gestrobt	2Kx9 Strobed FIFO Memory	44-PLCC	15.09	14.09	13.08
SN74ACT7808-20PAG	296-4469-ND	2Kx9 FIFO-Speicher, gestrobt	2Kx9 Strobed FIFO Memory	64-TQFP	15.09	14.09	13.08
SN74ACT7808-25FN	296-4470-5-ND	2Kx9 FIFO-Speicher, gestrobt	2Kx9 Strobed FIFO Memory	44-PLCC	8.94	8.06	7.14
SN74ACT7808-25PAG	296-4471-ND	2Kx9 FIFO-Speicher, gestrobt	2Kx9 Strobed FIFO Memory	64-TQFP	8.94	8.06	7.14
SN74ACT7808-30FN	296-4472-5-ND	2Kx9 FIFO-Speicher, gestrobt	2Kx9 Strobed FIFO Memory	44-PLCC	13.00	12.13	11.26
SN74ACT7808-30PAG	296-4473-ND	2Kx9 FIFO-Speicher, gestrobt	2Kx9 Strobed FIFO Memory	64-TQFP	13.00	12.13	11.26
SN74ACT7808-40FN	296-4474-5-ND	2Kx9 FIFO-Speicher, gestrobt	2Kx9 Strobed FIFO Memory	44-PLCC	9.78	8.81	7.81
SN74ACT7808-40PAG	296-4475-ND	2Kx9 FIFO-Speicher, gestrobt	2Kx9 Strobed FIFO Memory	64-TQFP	9.78	8.81	7.81
SN74ACT7811-15FN	296-4476-5-ND	1Kx18 FIFO-Speicher, getaktet	1Kx18 Clocked FIFO Memory	68-PLCC	8.94	8.06	7.14
SN74ACT7811-18FN	296-4478-5-ND	1Kx18 FIFO-Speicher, getaktet	1Kx18 Clocked FIFO Memory	68-PLCC	15.09	14.09	13.08
SN74ACT7811-18PN	296-4479-ND	1Kx18 FIFO-Speicher, getaktet	1Kx18 Clocked FIFO Memory	80-TQFP	15.09	14.09	13.08
SN74ACT7811-20FN	296-4480-5-ND	1Kx18 FIFO-Speicher, getaktet	1Kx18 Clocked FIFO Memory	68-PLCC	11.63	10.48	9.29
SN74ACT7811-20PN	296-4481-ND	1Kx18 FIFO-Speicher, getaktet	1Kx18 Clocked FIFO Memory	80-TQFP	11.63	10.48	9.29
SN74ACT7811-25FN	296-4482-5-ND	1Kx18 FIFO-Speicher, getaktet	1Kx18 Clocked FIFO Memory	68-PLCC	8.99	8.13	7.21
SN74ACT7811-25PN	296-4483-ND	1Kx18 FIFO-Speicher, getaktet	1Kx18 Clocked FIFO Memory	80-TQFP	9.02	8.13	7.21
SN74ACT7813-20DL	296-4485-5-ND	64x18 FIFO-Speicher, getaktet	64x18 Clocked FIFO Memory	56-SOP	6.71	5.37	4.53
SN74ACT7813-25DL	296-4486-5-ND	64x18 FIFO-Speicher, getaktet	64x18 Clocked FIFO Memory	56-SOP	6.15	4.92	4.15
SN74ACT7813-40DL	296-4487-5-ND	64x18 FIFO-Speicher, getaktet	64x18 Clocked FIFO Memory	56-SOP	5.59	4.47	3.78
SN74ACT7814-20DL	296-4488-5-ND	64x18 FIFO-Speicher, gestrobt	64x18 Strobed FIFO Memory	56-SOP	6.71	5.37	4.53
SN74ACT7814-40DLR	296-4489-1-ND	64x18 FIFO-Speicher, gestrobt	64x18 Strobed FIFO Memory	56-SOP	5.59	4.47	3.78
SN74ACT7814-40DLR	296-4489-2-ND	64x18 FIFO-Speicher, gestrobt	64x18 Strobed FIFO Memory	56-SOP		3492.23/1,000	
SN74ACT7881-15FN	296-4490-5-ND	1Kx18 FIFO-Speicher, getaktet	1Kx18 Clocked FIFO Memory	68-PLCC	15.09	14.09	13.08
SN74ACT7881-15PN	296-4491-ND	1Kx18 FIFO-Speicher, getaktet	1Kx18 Clocked FIFO Memory	80-TQFP	15.09	14.09	13.08
SN74ACT7881-20FN	296-4492-5-ND	1Kx18 FIFO-Speicher, getaktet	1Kx18 Clocked FIFO Memory	68-PLCC	15.09	14.09	13.08
SN74ACT7881-20PN	296-4493-ND	1Kx18 FIFO-Speicher, getaktet	1Kx18 Clocked FIFO Memory	80-TQFP	15.09	14.09	13.08
SN74ACT7881-30FN	296-4494-5-ND	1Kx18 FIFO-Speicher, getaktet	1Kx18 Clocked FIFO Memory	68-PLCC	13.00	12.13	11.26
SN74ACT7881-30PN	296-4495-ND	1Kx18 FIFO-Speicher, getaktet	1Kx18 Clocked FIFO Memory	80-TQFP	13.00	12.13	11.26
SN74ACT7882-15FN	296-4496-5-ND	2Kx18 FIFO-Speicher, getaktet	2Kx18 Clocked FIFO Memory	68-PLCC	18.86	17.61	16.35
SN74ACT7882-20FN	296-4498-5-ND	2Kx18 FIFO-Speicher, getaktet	2Kx18 Clocked FIFO Memory	68-PLCC	18.86	17.61	16.35
SN74ACT7882-20PN	296-4499-ND	2Kx18 FIFO-Speicher, getaktet	2Kx18 Clocked FIFO Memory	80-LQFP	18.86	17.61	16.35
SN74ACT7882-30FN	296-4500-5-ND	2Kx18 FIFO-Speicher, getaktet	2Kx18 Clocked FIFO Memory	68-PLCC	17.60	16.43	15.26
SN74ACT7882-30PN	296-4501-ND	2Kx18 FIFO-Speicher, getaktet	2Kx18 Clocked FIFO Memory	80-LQFP	17.60	16.43	15.26
SN74ALS232BN	296-5039-5-ND	16x4 asynch. FIFO-Speicher	16x4 Asynchronous FIFO Memory	16-Dip	4.57	3.66	2.85
SN74ALVC7803-20DL	296-5161-5-ND	512x18, 3,3 V synch. FIFO-Speicher	512x18, 3.3V Sync. FIFO Memory	56-SSOP	6.71	5.37	4.53
SN74ALVC7803-20DLR	296-15978-1-ND	512x18, 3,3 V synch. FIFO-Speicher	512x18, 3.3V Sync. FIFO Memory	56-SSOP	6.71	5.37	4.53
SN74ALVC7803-20DLR	296-15978-2-ND	512x18, 3,3 V synch. FIFO-Speicher	512x18, 3.3V Sync. FIFO Memory	56-SSOP		4190.67/1,000	
SN74ALVC7803-25DL	296-5162-5-ND	512x18, 3,3 V synch. FIFO-Speicher	512x18, 3.3V Sync. FIFO Memory	56-SSOP	6.71	5.37	4.53
SN74ALVC7803-40DL	296-5163-5-ND	512x18, 3,3 V synch. FIFO-Speicher	512x18, 3.3V Sync. FIFO Memory	56-SSOP	5.59	4.47	3.78
SN74ALVC7804-25DL	296-5164-5-ND	512x18, 3,3 V asynch. FIFO-Speicher	512x18, 3.3V Async. FIFO Memory	56-SSOP	6.71	5.37	4.53
SN74ALVC7805-20DLR	296-15979-1-ND	256x18, 3,3 V synch. FIFO-Speicher	256x18, 3.3V Sync. FIFO Memory	56-SSOP	12.67	11.41	10.12
SN74ALVC7805-20DLR	296-15979-2-ND	256x18, 3,3 V synch. FIFO-Speicher	256x18, 3.3V Sync. FIFO Memory	56-SSOP		9389.05/1,000	
SN74ALVC7805-25DL	296-5166-5-ND	256x18, 3,3 V synch. FIFO-Speicher	256x18, 3.3V Sync. FIFO Memory	56-SSOP	6.71	5.37	4.53
SN74ALVC7805-40DL	296-5167-5-ND	256x18, 3,3 V synch. FIFO-Speicher	256x18, 3.3V Sync. FIFO Memory	56-SSOP	5.03	4.03	3.40
SN74ALVC7806-25DL	296-5168-5-ND	256x18, 3,3 V asynch. FIFO-Speicher	256x18, 3.3V Async. FIFO Memory	56-SSOP	6.71	5.37	4.53
SN74ALVC7813-20DL	296-5169-5-ND	64x18, 3,3 V synch. FIFO-Speicher	64x18, 3.3V Sync. FIFO Memory	56-SSOP	6.71	5.37	4.53
SN74ALVC7813-20DLR	296-15980-1-ND	64x18, 3,3 V synch. FIFO-Speicher	64x18, 3.3V Sync. FIFO Memory	56-SSOP	6.71	5.37	4.53
SN74ALVC7813-20DLR	296-15980-2-ND	64x18, 3,3 V synch. FIFO-Speicher	64x18, 3.3V Sync. FIFO Memory	56-SSOP		4190.67/1,000	
SN74ALVC7813-25DL	296-5170-5-ND	64x18, 3,3 V synch. FIFO-Speicher	64x18, 3.3V Sync. FIFO Memory	56-SSOP	6.15	4.92	4.15
SN74ALVC7813-40DL	296-5171-5-ND	64x18, 3,3 V synch. FIFO-Speicher	64x18, 3.3V Sync. FIFO Memory	56-SSOP	5.59	4.47	3.78
SN74ALVC7814-25DL	296-5172-5-ND	64x18, 3,3 V asynch. FIFO-Speicher	64x18, 3.3V Async. FIFO Memory	56-SSOP	6.15	4.92	4.15
SN74ALVC7814-40DL	296-5173-5-ND	64x18, 3,3 V asynch. FIFO-Speicher	64x18, 3.3V Async. FIFO Memory	56-SSOP	5.59	4.47	3.78
SN74V215-7PAG	296-9897-ND	512x18 synch. FIFO-Speicher	512x18 Sync. FIFO Memory	64-TQFP	7.08	5.67	4.78
SN74V215-10PAG	296-9894-ND	512x18 synch. FIFO-Speicher	512x18 Sync. FIFO Memory	64-TQFP	6.77	5.42	4.58
SN74V215-15PAG	296-9895-ND	512x18 synch. FIFO-Speicher	512x18 Sync. FIFO Memory	64-TQFP	6.48	5.19	4.38
SN74V225-7PAG	296-9901-ND	1024x18 synch. FIFO-Speicher	1024x18 Sync. FIFO Memory	64-TQFP	7.94	6.36	5.37
SN74V225-10PAG	296-9898-ND	1024x18 synch. FIFO-Speicher	1024x18 Sync. FIFO Memory	64-TQFP	7.65	6.13	5.17
SN74V225-15PAG	296-9899-ND	1024x18 synch. FIFO-Speicher	1024x18 Sync. FIFO Memory	64-TQFP	7.37	5.90	4.98
SN74V225-20PAG	296-9900-ND	1024x18 synch. FIFO-Speicher	1024x18 Sync. FIFO Memory	64-TQFP	7.08	5.67	4.78
SN74V235-7PAG	296-9905-ND	2048x18 synch. FIFO-Speicher	2048x18 Sync. FIFO Memory	64-TQFP	7.46	6.72	5.96
SN74V235-10PAG	296-9902-ND	2048x18 synch. FIFO-Speicher	2048x18 Sync. FIFO Memory	64-TQFP	7.22	6.51	5.77
SN74V235-15PAG	296-9903-ND	2048x18 synch. FIFO-Speicher	2048x18 Sync. FIFO Memory	64-TQFP	8.38	6.71	5.66
SN74V235-20PAG	296-9904-ND	2048x18 synch. FIFO-Speicher	2048x18 Sync. FIFO Memory	64-TQFP	8.09	6.48	5.47
SN74V245-7PAG	296-9909-ND	4096x18 synch. FIFO-Speicher	4096x18 Sync. FIFO Memory	64-TQFP	8.17	7.36	6.52
SN74V245-15PAG	296-9907-ND	4096x18 synch. FIFO-Speicher	4096x18 Sync. FIFO Memory	64-TQFP	7.69	6.93	6.14
SN74V245-20PAG	296-9908-ND	4096x18 synch. FIFO-Speicher	4096x18 Sync. FIFO Memory	64-TQFP	7.46	6.72	5.96
SN74V263-6PZA	296-12479-ND	8192x18, 3,3 V synch. FIFO-Speicher	8192x18, 3.3V Sync. FIFO Memory	80-TQFP	18.94	17.68	16.41
SN74V263-7GGM	296-15723-5-ND	8192x18, 3,3 V synch. FIFO-Speicher	8192x18, 3.3V Sync. FIFO Memory	80-TQFP	27.86	26.01	24.15
SN74V263-7PZA	296-12480-ND	8192x18, 3,3 V synch. FIFO-Speicher	8192x18, 3.3V Sync. FIFO Memory	80-TQFP	18.41	17.18	15.95
SN74V263-10PZA	296-12477-ND	8192x18, 3,3 V synch. FIFO-Speicher	8192x18, 3.3V Sync. FIFO Memory	80-TQFP	17.87	16.68	15.49
SN74V263-15PZA	296-12478-ND	8192x18, 3,3 V synch. FIFO-Speicher	8192x18, 3.3V Sync. FIFO Memory	80-TQFP	17.32	16.17	15.02
SN74V273-7PZA	296-12484-ND	16384x18, 3,3 V synch. FIFO-Speicher	16384x18, 3.3V Sync. FIFO Memory	80-TQFP	20.03	18.70	17.36
SN74V273-10PZA	296-12481-ND	16384x18, 3,3 V synch. FIFO-Speicher	16384x18, 3.3V Sync. FIFO Memory	80-TQFP	19.48	18.19	16.89
SN74V273-15PZA	296-12482-ND	16384x18, 3,3 V synch. FIFO-Speicher	16384x18, 3.3V Sync. FIFO Memory	80-TQFP	18.94	17.68	16.41
SN74V283-6PZA	296-12487-ND	32768x18, 3,3 V synch. FIFO-Speicher	32768x18, 3.3V Sync. FIFO Memory	80-TQFP	22.20	20.72	19.24
SN74V283-15PZA	296-12486-ND	32768x18, 3,3 V synch. FIFO-Speicher	32768x18, 3.3V Sync. FIFO Memory	80-TQFP	20.58	19.21	17.83
SN74V293-6PZA	296-12491-ND	65536x18, 3,3 V synch. FIFO-Speicher	65536x18, 3.3V Sync. FIFO Memory	80-TQFP	23.81	22.23	20.64
SN74V293-7PZA	296-12492-ND	65536x18, 3,3 V synch. FIFO-Speicher	65536x18, 3.3V Sync. FIFO Memory	80-TQFP	23.28	21.73	20.18
SN74V293-10PZA	296-12489-ND	65536x18, 3,3 V synch. FIFO-Speicher	65536x18, 3.3V Sync. FIFO Memory	80-TQFP	22.73	21.22	19.71
SN74V293-15PZA	296-12490-ND	65536x18, 3,3 V synch. FIFO-Speicher	65536x18, 3.3V Sync. FIFO Memory	80-TQFP	22.20	20.72	19.24
SN74V3640-7PEU	296-14940-ND	1024x36, 3,3 V FIFO-CMOS-Speicher	1024x36, 3.3V FIFO CMOS Memory	128-LQFP	15.54	14.50	13.47
SN74V3650-7PEU	296-14941-ND	2048x36, 3,3 V FIFO-CMOS-Speicher	2048x36, 3.3V FIFO CMOS Memory	128-LQFP	16.91	15.78	14.65
SN74V3660-7PEU	296-14942-ND	4096x36, 3,3 V FIFO-CMOS-Speicher	4096x36, 3.3V FIFO CMOS Memory	128-LQFP	18.41	17.18	15.95
SN74V3680-7PEU	296-14944-ND	16384x36, 3,3 V FIFO-CMOS-Speicher	16384x36, 3.3V FIFO CMOS Memory	128-LQFP	21.66	20.21	18.77
SN74V3690-6PEU	296-14945-ND	32768x36, 3,3 V FIFO-CMOS-Speicher	32768x36, 3.3V FIFO CMOS Memory	128-LQFP	23.81	22.23	20.64

T. I. Teilenr.	Digi-Key Teilenr.	Beschreibung		Paket	Stückpreis★ 1	25	100
TLC04ID	296-10230-5-ND	Butterworth Schaltkondensator-Filter	Butterworth Switched-Capacitor Filter	8-SOIC	2.19	1.76	1.37
TLC14CD	296-10239-5-ND	Butterworth Schaltkondensator-Filter	Butterworth Switched-Capacitor Filter	8-SOIC	2.01	1.61	1.21
TLC14ID	296-10240-5-ND	Butterworth Schaltkondensator-Filter	Butterworth Switched-Capacitor Filter	8-SOIC	1.90	1.53	1.19
UAF42AP	UAF42AP-ND	Aktiver Universalfilter, -108 db THD	Universal Active Filter, -108db THD	14-Dip	10.65	9.59	8.51
UAF42AU	UAF42AU-ND	Aktiver Universalfilter	Universal Active Filter	16-SOIC	10.65	9.59	8.51

★ *CALL FOR LOWER PRICING ON LARGER QUANTITIES!* ★

Texas Instruments — INTEGRATOREN

T. I. Teilenr.	Digi-Key Teilenr.	Beschreibung		Paket	Stückpreis★ 1	25	100
ACF2101BU	ACF2101BU-ND	Rauscharmer Doppelschaltintegrator	Low Noise, Dual, Switched Integrator	24-SOIC	19.75	18.44	17.12
IVC102U	IVC102U-ND	Präzisions-Schaltintegrator-Transimpedanzverstärker	Prec. Switched Integrator Trans. Amp	14-SOIC	7.70	6.17	5.21

Texas Instruments — E/A-EXPANDER

T. I. Teilenr.	Digi-Key Teilenr.	Beschreibung		Paket	Stückpreis★ 1	25	100
PCF8574ADWR	296-13105-1-ND	Fernbetr. E/A-Expander für I²C Bus, 8-Bit	8-Bit, Remote I/O Expander for I²C Bus	16-SOIC	1.59	1.27	.96
PCF8574ADWR	296-13105-2-ND	Fernbetr. E/A-Expander für I²C Bus, 8-Bit	8-Bit, Remote I/O Expander for I²C Bus	16-SOIC		1650.87/2,000	
PCF8574AN	296-13106-5-ND	Fernbetr. E/A-Expander für I²C Bus, 8-Bit	8-Bit, Remote I/O Expander for I²C Bus	16-Dip	1.59	1.27	.96
PCF8574DWR	296-13108-1-ND	Fernbetr. E/A-Expander für I²C Bus, 8-Bit	8-Bit, Remote I/O Expander for I²C Bus	16-SOIC	1.59	1.27	.96
PCF8574DWR	296-13108-2-ND	Fernbetr. E/A-Expander für I²C Bus, 8-Bit	8-Bit, Remote I/O Expander for I²C Bus	16-SOIC		1650.87/2,000	
PCF8574PWR	296-13110-1-ND	Fernbetr. E/A-Expander für I²C Bus, 8-Bit	8-Bit, Remote I/O Expander for I²C Bus	20-TSSOP	1.59	1.27	.96
PCF8574PWR	296-13110-2-ND	Fernbetr. E/A-Expander für I²C Bus, 8-Bit	8-Bit, Remote I/O Expander for I²C Bus	20-TSSOP		1650.87/2,000	
PCF8575CDBQR	296-17913-1-ND	Fernbetr. E/A-Expander für I²C Bus und SMBus, 16-Bit	16-Bit, Remote I/O Expander for I²C AND SMBus	24-QSOP	2.38	1.91	1.49
PCF8575CDBQR	296-17913-2-ND	Fernbetr. E/A-Expander für I²C Bus und SMBus, 16-Bit	16-Bit, Remote I/O Expander for I²C AND SMBus	24-QSOP		3333.49/2,500	
PCF8575CDGVR	296-17914-1-ND	Fernbetr. E/A-Expander für I²C Bus und SMBus, 16-Bit	16-Bit, Remote I/O Expander for I²C AND SMBus	24-TVSOP	2.38	1.91	1.49
PCF8575CDGVR	296-17914-2-ND	Fernbetr. E/A-Expander für I²C Bus und SMBus, 16-Bit	16-Bit, Remote I/O Expander for I²C AND SMBus	24-TVSOP		2698.96/2,000	
PCF8575CDWR	296-17915-1-ND	Fernbetr. E/A-Expander für I²C Bus und SMBus, 16-Bit	16-Bit, Remote I/O Expander for I²C AND SMBus	24-SOIC	2.38	1.91	1.49
PCF8575CDWR	296-17915-2-ND	Fernbetr. E/A-Expander für I²C Bus und SMBus, 16-Bit	16-Bit, Remote I/O Expander for I²C AND SMBus	24-SOIC		2698.96/2,000	
PCF8575CPWR	296-17916-1-ND	Fernbetr. E/A-Expander für I²C Bus und SMBus, 16-Bit	16-Bit, Remote I/O Expander for I²C AND SMBus	24-TSSOP	2.38	1.91	1.49
PCF8575CPWR	296-17916-2-ND	Fernbetr. E/A-Expander für I²C Bus und SMBus, 16-Bit	16-Bit, Remote I/O Expander for I²C AND SMBus	24-TSSOP		2698.96/2,000	
PCF8575DBQR	296-17806-1-ND	Fernbetr. E/A-Expander für I²C Bus und SMBus, 16-Bit	16-Bit, Remote I/O Expander for I²C AND SMBus	24-QSOP	2.38	1.91	1.49
PCF8575DBQR	296-17806-2-ND	Fernbetr. E/A-Expander für I²C Bus und SMBus, 16-Bit	16-Bit, Remote I/O Expander for I²C AND SMBus	24-QSOP		3333.49/2,500	
PCF8575DBR	296-17856-1-ND	Fernbetr. E/A-Expander für I²C Bus und SMBus, 16-Bit	16-Bit, Remote I/O Expander for I²C AND SMBus	24-SSOP	2.29	1.83	1.43
PCF8575DBR	296-17856-2-ND	Fernbetr. E/A-Expander für I²C Bus und SMBus, 16-Bit	16-Bit, Remote I/O Expander for I²C AND SMBus	24-SSOP		2590.60/2,000	
PCF8575DGVR	296-17792-1-ND	Fernbetr. E/A-Expander für I²C Bus und SMBus, 16-Bit	16-Bit, Remote I/O Expander for I²C AND SMBus	24-TVSOP	2.38	1.91	1.49
PCF8575DGVR	296-17792-2-ND	Fernbetr. E/A-Expander für I²C Bus und SMBus, 16-Bit	16-Bit, Remote I/O Expander for I²C AND SMBus	24-TVSOP		2698.96/2,000	
PCF8575PWR	296-17807-1-ND	Fernbetr. E/A-Expander für I²C Bus und SMBus, 16-Bit	16-Bit, Remote I/O Expander for I²C AND SMBus	24-TSSOP	2.38	1.91	1.49
PCF8575PWR	296-17807-2-ND	Fernbetr. E/A-Expander für I²C Bus und SMBus, 16-Bit	16-Bit, Remote I/O Expander for I²C AND SMBus	24-TSSOP		2698.96/2,000	

Texas Instruments — LINEARE PERIPHERIETREIBER

T. I. Teilenr.	Digi-Key Teilenr.	Beschreibung		Paket	Stückpreis★ 1	25	100
DS3680D	296-9484-5-ND	Vierf. Telefonrelaistreiber	Quad Telephone Relay Driver	14-SOIC	.71	.60	.48
DS3680N	296-9485-5-ND	Vierf. Telefonrelaistreiber	Quad Telephone Relay Driver	14-Dip	.76	.64	.51
SN75437ANE	296-14959-5-ND	Vierf. Peripherietreiber	Quad Peripheral Driver	16-Dip	1.86	1.49	1.12
SN754410NE	296-9911-5-ND	Vierf. Half-H-Treiber	Quad Half-H Driver	16-Dip	1.59	1.27	.96
SN75451BD	296-9912-5-ND	Zweif. Hochgeschwindigkeits-Peripherietreiber	Dual High Speed Peripheral Driver	8-SOIC	.68	.51	.39
SN75451BDR	296-14960-1-ND	Zweif. Hochgeschwindigkeits-Peripherietreiber	Dual High Speed Peripheral Driver	8-SOIC	.68	.51	.39
SN75451BDR	296-14960-2-ND	Zweif. Hochgeschwindigkeits-Peripherietreiber	Dual High Speed Peripheral Driver	8-SOIC		550.29/2,500	
SN75451BP	296-1746-5-ND	Zweif. Hochgeschwindigkeits-Peripherietreiber	Dual High Speed Peripheral Driver	8-Dip	.68	.51	.39
SN75452BDR	296-14961-1-ND	Zweif. Hochgeschwindigkeits-Peripherietreiber	Dual High Speed Peripheral Driver	8-SOIC	.68	.51	.39
SN75452BDR	296-14961-2-ND	Zweif. Hochgeschwindigkeits-Peripherietreiber	Dual High Speed Peripheral Driver	8-SOIC		550.29/2,500	
SN75452BP	296-1747-5-ND	Zweif. Hochgeschwindigkeits-Peripherietreiber	Dual High Speed Peripheral Driver	8-Dip	.68	.51	.39
SN75453BD	296-9913-5-ND	Zweif. Hochgeschwindigkeits-Peripherietreiber	Dual High Speed Peripheral Driver	8-SOIC	.68	.51	.39
SN75453BDR	296-9913-1-ND	Zweif. Hochgeschwindigkeits-Peripherietreiber	Dual High Speed Peripheral Driver	8-SOIC	.68	.51	.39
SN75453BDR	296-9913-2-ND	Zweif. Hochgeschwindigkeits-Peripherietreiber	Dual High Speed Peripheral Driver	8-SOIC		550.29/2,500	
SN75453BP	296-1748-5-ND	Zweif. Hochgeschwindigkeits-Peripherietreiber	Dual High Speed Peripheral Driver	8-Dip	.68	.51	.39
SN75454BP	296-9914-5-ND	Zweif. Hochgeschwindigkeits-Peripherietreiber	Dual High Speed Peripheral Driver	8-Dip	.68	.51	.39
SN75462P	296-9915-5-ND	Zweif. Peripherietreiber	Dual Peripheral Driver	8-Dip	.97	.81	.65
SN75463P	296-9916-5-ND	Zweif. Peripherietreiber	Dual Peripheral Driver	8-Dip	1.14	.96	.77
SN75468N	296-9917-5-ND	Darlington Transistor Array, hohe Spannung	High Voltage Darlington Transistor Array	16-Dip	.63	.53	.43
SN75469N	296-9918-5-ND	Darlington Transistor Array, hohe Spannung	High Voltage Darlington Transistor Array	16-Dip	.68	.51	.39
SN75471P	296-9919-5-ND	Zweif. Peripherietreiber	Dual Peripheral Driver	8-Dip	.68	.51	.39
SN75477DR	296-14962-1-ND	Zweif. Peripherietreiber	Dual Peripheral Driver	8-SOIC	.68	.51	.39
SN75477DR	296-14962-2-ND	Zweif. Peripherietreiber	Dual Peripheral Driver	8-SOIC		550.29/2,500	
SN75477P	296-9920-5-ND	Zweif. Peripherietreiber	Dual Peripheral Driver	8-Dip	.68	.51	.39
SN75472P	296-1749-5-ND	Zweif. Peripherietreiber	Dual Peripheral Driver	8-Dip	.68	.51	.39
TLC5904PZP	296-2378-ND	Konstantstrom-LED-Treiber	Constant Current LED Driver	100-HTQFP	6.26	5.02	4.23
TLC5905PAP	296-2379-ND	Konstantstrom-LED-Treiber	Constant Current LED Driver	64-HTQFP	4.83	3.87	3.26
TLC5911PZP	296-2381-ND	Konstantstrom-LED-Treiber	Constant Current LED Driver	100-HTQFP	7.62	6.10	5.15
TLC5920DL	296-10348-5-ND	LED-Treiber m. Schieberegister	LED Driver with Shift Register	48-SSOP	2.10	1.68	1.31
TLC5921DAP	296-10349-5-ND	LED-Treiber m. Schieberegister	LED Driver with Shift Register	32-HTSSOP	2.27	1.82	1.42
TLC5922DAP	296-15843-5-ND	LED-Treiber, 16 Kanäle	16-Channel LED Driver	32-HTSSOP	2.57	2.06	1.61
TLC5923DAP	296-17731-5-ND	LED-Treiber, 16 Kanäle	16-Channel LED Driver	32-HTSSOP	2.67	2.14	1.66
TLC5930PWP	296-15631-5-ND	LED-Treiber, 12 Kanäle	12-Channel LED Driver	24-HTSSOP	7.03	5.63	4.75
TLC5940NT	296-17732-5-ND	LED-Treiber, 16 Kanäle	16-Channel LED Driver	28-Dip	3.62	2.90	2.26
TLC5940PWP	296-17733-5-ND	LED-Treiber, 16 Kanäle	16-Channel LED Driver	28-HTSSOP	3.62	2.90	2.26
TPIC2810D	296-13746-5-ND	LED-Treiber m. I²C-Schnittstelle, 8-Bit	8-Bit, LED Driver with I²C Interface	16-SOIC	1.82	1.46	1.10
ULN2003AD	296-1368-5-ND	Darlington Transistor Array	Darlington Transistor Array	16-SOIC	.54	.41	.31
ULN2003ADR	296-1368-1-ND	Darlington Transistor Array	Darlington Transistor Array	16-SOIC	.54	.41	.31
ULN2003ADR	296-1368-2-ND	Darlington Transistor Array	Darlington Transistor Array	16-SOIC		440.23/2,500	
ULN2003AIDR	296-15407-1-ND	Darlington Transistor Array	Darlington Transistor Array	16-SOIC	.54	.41	.31
ULN2003AIDR	296-15407-2-ND	Darlington Transistor Array	Darlington Transistor Array	16-SOIC		440.23/2,500	
ULN2003AIN	296-16971-5-ND	Darlington Transistor Array	Darlington Transistor Array	16-Dip	.54	.41	.31
ULN2003AIPWR	296-17785-1-ND	Darlington Transistor Array	Darlington Transistor Array	16-TSSOP	.54	.41	.31
ULN2003AIPWR	296-17785-2-ND	Darlington Transistor Array	Darlington Transistor Array	16-TSSOP		360.65/2,000	
ULN2003AN	296-1979-5-ND	Darlington Transistor Array	Darlington Transistor Array	16-Dip	.54	.41	.31
ULN2004AD	296-12965-5-ND	Darlington Transistor Array, hohe Spannung, hoher Strom	High-Voltage, High-Current Darlington Transistor Array	16-SOIC	.54	.41	.31
ULN2004ADR	296-15067-1-ND	Darlington Transistor Array, hohe Spannung, hoher Strom	High-Voltage, High-Current Darlington Transistor Array	16-SOIC	.54	.41	.31
ULN2004ADR	296-15067-2-ND	Darlington Transistor Array, hohe Spannung, hoher Strom	High-Voltage, High-Current Darlington Transistor Array	16-SOIC		440.23/2,500	
ULN2004AIDR	296-17022-1-ND	Darlington Transistor Array, hohe Spannung, hoher Strom	High-Voltage, High-Current Darlington Transistor Array	16-SOIC	.54	.41	.31
ULN2004AIDR	296-17022-2-ND	Darlington Transistor Array, hohe Spannung, hoher Strom	High-Voltage, High-Current Darlington Transistor Array	16-SOIC		440.23/2,500	
ULN2004AIN	296-17051-5-ND	Darlington Transistor Array, hohe Spannung, hoher Strom	High-Voltage, High-Current Darlington Transistor Array	16-Dip	.54	.41	.31
ULN2004AINSR	296-17023-1-ND	Darlington Transistor Array, hohe Spannung, hoher Strom	High-Voltage, High-Current Darlington Transistor Array	16-SOP	.54	.41	.31
ULN2004AINSR	296-17023-2-ND	Darlington Transistor Array, hohe Spannung, hoher Strom	High-Voltage, High-Current Darlington Transistor Array	16-SOP		360.65/2,000	
ULN2004AN	296-1980-5-ND	Darlington Transistor Array, hohe Spannung, hoher Strom	High-Voltage, High-Current Darlington Transistor Array	16-Dip	.54	.41	.31
ULN2803ADWR	296-15777-1-ND	Darlington Transistor Array	Darlington Transistor Array	18-SOIC	.63	.53	.43
ULN2803ADWR	296-15777-2-ND	Darlington Transistor Array	Darlington Transistor Array	18-SOIC		563.84/2,000	
ULQ2003ADR	296-11570-1-ND	Darlington Transistor Array	Darlington Transistor Array	16-SOIC	.91	.77	.61
ULQ2003ADR	296-11570-2-ND	Darlington Transistor Array	Darlington Transistor Array	16-SOIC		990.52/2,500	
ULQ2003ATDRQ1	296-14395-1-ND	Darlington Transistor Array	Darlington Transistor Array	16-SOIC	2.01	1.61	1.21
ULQ2003ATDRQ1	296-14395-2-ND	Darlington Transistor Array	Darlington Transistor Array	16-SOIC		2573.66/2,500	
ULQ2004ADR	296-13535-1-ND	Darlington Transistor Array, hohe Spannung, hoher Strom	High-Voltage High-Current Darlington Transistor Array	16-SOIC	.91	.77	.61
ULQ2004ADR	296-13535-2-ND	Darlington Transistor Array, hohe Spannung, hoher Strom	High-Voltage High-Current Darlington Transistor Array	16-SOIC		990.52/2,500	
ULQ2004AN	296-15700-5-ND	Darlington Transistor Array, hohe Spannung, hoher Strom	High-Voltage High-Current Darlington Transistor Array	16-Dip	.63	.47	.36

★ *RUFEN SIE BITTE AN FÜR NIEDRIGERE PREISE BEI GRÖSSEREN MENGEN!* ★

Alle Preisangaben in Euro und inklusive Zollgebühren.

T. I. Teilenr.	Digi-Key Teilenr.	Beschreibung		Paket	Stückpreis★ 1	25	100
		Analoge Multiplexer/Vervielfacher					
MPC506AP	MPC506AP-ND	Einseitiger CMOS, 16-Kan./Diff. 8-Kan.	Single Ended 16-Ch./Diff. 8-Ch. CMOS	28-Dip	7.64	6.89	6.11
MPC506AU	MPC506AU-ND	Einseitiger CMOS, 16-Kan./Diff. 8-Kan.	Single Ended 16-Ch./Diff. 8-Ch. CMOS	28-SOIC	7.64	6.89	6.11
MPC507AP	MPC507AP-ND	Einseitiger CMOS, 16-Kan./Diff. 8-Kan.	Single Ended 16-Ch./Diff. 8-Ch. CMOS	28-Dip	7.64	6.89	6.11
MPC507AU	MPC507AU-ND	Einseitiger CMOS, 16-Kan./Diff. 8-Kan.	Single Ended 16-Ch./Diff. 8-Ch. CMOS	28-SOIC	7.64	6.89	6.11
MPC508AP	MPC508AP-ND	CMOS-Analog-Multiplexer, 8-Kan./4-Kan.	8-Ch./4-Ch. CMOS Analog Multiplexer	16-Dip	4.50	3.61	3.05
MPC508AU	MPC508AU-ND	Einseitiger CMOS, 16-Kan./Diff. 8-Kan.	Single Ended 16-Ch./Diff. 8-Ch. CMOS	16-SOIC	4.50	3.61	3.05
MPC509AP	MPC509AP-ND	Einseitiger CMOS, 8-Kan./Diff. 4-Kan.	Single Ended 8-Ch./Diff. 4-Ch. CMOS	16-Dip	4.50	3.61	3.05
MPC509AU	MPC509AU-ND	Einseitiger CMOS, 8-Kan./Diff. 4-Kan.	Single Ended 8-Ch./Diff. 4-Ch. CMOS	16-SOIC	4.99	4.00	3.38
MPY634KP	MPY634KP-ND	Präzisions-Analogmultiplikator, hohe Bandbreite	Wideband Precision Analog Multiplier	14-Dip	14.93	13.93	12.94
MPY634KU	MPY634KU-ND	Präzisions-Analogmultiplikator, hohe Bandbreite	Wideband Precision Analog Multiplier	16-SOIC	16.70	15.59	14.48

B

T. I. Teilenr.	Digi-Key Teilenr.	Beschreibung		Paket	Stückpreis★ 1	25	100
OPT101P	OPT101P-ND	Mono-Fotodioden-Transimpedanzverstärker	Mono Photodiode Transimpedance Amp	8-Dip	4.66	3.73	3.15
OPT101P-J	OPT101P-J-ND	Mono-Fotodioden-Transimpedanzverstärker	Mono Photodiode Transimpedance Amp	8-SMD	4.66	3.73	3.15
OPT301M	OPT301M-ND	Fotodiode u. Verstärker, integriert	Integrated Photodiode and Amplifier	TO-99-8	49.55	46.25	42.95

T. I. Teilenr.	Digi-Key Teilenr.	Beschreibung		Paket	Stückpreis★ 1	25	100
		CCFL-Treiber					
UCC2972N	296-2256-5-ND	CCFL-Treiber-Controller	CCFL Driver Controller	8-Dip	4.77	3.81	2.97
UCC2973PW	296-13533-5-ND	BiCMOS CCFL-Treiber-Controller	BiCMOS CCFL Driver Controller	8-TSSOP	5.08	4.07	3.43
UCC3972N	296-6764-5-ND	BiCMOS CCFL-Treiber-Controller	BiCMOS CCFL Driver Controller	8-Dip	4.77	3.81	2.97
UCC3972PW	296-2257-5-ND	CCFL-Treiber-Controller	CCFL Driver Controller	8-TSSOP	4.77	3.81	2.97
UCC3973PW	296-6765-5-ND	BiCMOS CCFL-Treiber-Controller	BiCMOS CCFL Driver Controller	8-SOP	5.08	4.07	3.43
		Hot-Plug					
HPC3130APBK	296-9510-ND	Hot-Plug-Controller	Hot Plug Controller	128-LQFP	13.20	11.89	10.54
HPC3130APEM	296-9511-ND	Hot-Plug-Controller	Hot Plug Controller	120-QFP	13.20	11.89	10.54
HPC3130APGE	296-9512-ND	Hot-Plug-Controller	Hot Plug Controller	144-LQFP	13.20	11.89	10.54
HPC3130PBK	296-9513-ND	Hot-Plug-Controller	Hot Plug Controller	128-LQFP	13.20	11.89	10.54
HPC3130PBM	296-9514-ND	Hot-Plug-Controller	Hot Plug Controller	120-QFP	13.20	11.89	10.54
TPS2340APFP	296-15639-ND	PCI-Hot-Plug-Leistungscontroller, Doppelsteckplatz	Dual-Slot PCI Hot Plug Power Controller	80-HTQFP	10.37	9.34	8.28
TPS2342PFP	296-17347-ND	PCI-X 2.0 Hot-Plug-Leistungscontroller, Doppelsteckplatz	Dual Slot PCI-X 2.0 Hot Plug Power Controller	80-HTQFP	9.87	8.89	7.89
		Hot-Swap					
TPS2300IPW	296-2319-5-ND	Zweif. Hot-Swap-Leistungscontroller	Dual Hot-Swap Power Controller	20-TSSOP	3.05	2.44	1.90
TPS2301IPW	296-2320-5-ND	Zweif. Hot-Swap-Leistungscontroller	Dual Hot-Swap Power Controller	20-TSSOP	3.05	2.44	1.90
TPS2306DW	296-11642-5-ND	Zweif. Hot-Swap-Leistungscontroller	Dual Hot-Swap Power Controller	16-SOIC	3.05	2.44	1.90
TPS2310IPW	296-2321-5-ND	Zweif. Hot-Swap-Leistungscontroller	Dual Hot-Swap Power Controller	20-TSSOP	3.05	2.44	1.90
TPS2311IPW	296-2322-5-ND	Zweif. Hot-Swap-Leistungscontroller	Dual Hot-Swap Power Controller	20-TSSOP	3.05	2.44	1.90
TPS2320ID	296-6766-5-ND	Zweif. Hot-Swap-Leistungscontroller	Dual Hot-Swap Power Controller	16-SOIC	2.57	2.06	1.61
TPS2320IPW	296-2323-5-ND	Zweif. Hot-Swap-Leistungscontroller	Dual Hot-Swap Power Controller	16-TSSOP	2.57	2.06	1.61
TPS2321ID	296-6767-5-ND	Zweif. Hot-Swap-Leistungscontroller	Dual Hot-Swap Power Controller	16-SOIC	2.57	2.06	1.61
TPS2321IPW	296-2324-5-ND	Zweif. Hot-Swap-Leistungscontroller	Dual Hot-Swap Power Controller	16-TSSOP	2.57	2.06	1.61
TPS2330ID	296-6768-5-ND	Einf. Hot-Swap-Leistungscontroller	Single Hot-Swap Power Controller	14-SOIC	2.38	1.91	1.49
TPS2330IPW	296-2325-5-ND	Hot-Swap-Leistungs-Controller	Hot-Swap Power Controller	14-TSSOP	2.38	1.91	1.49
TPS2331ID	296-6769-5-ND	Einf. Hot-Swap-Leistungscontroller	Single Hot-Swap Power Controller	14-SOIC	2.38	1.91	1.49
TPS2331IPW	296-2326-5-ND	Hot-Swap-Leistungs-Controller	Hot-Swap Power Controller	14-TSSOP	2.38	1.91	1.49
TPS2345PW	296-12714-5-ND	Hot-Swap-Leistungsmanager	Hot-Swap Power Manager	24-TSSOP	6.26	5.02	4.23
TPS2346PW	296-12956-5-ND	Hot-Swap-Leistungsmanager f. optisches Netzwerk	Optical Network Hot-Swap Power Manager	24-TSSOP	6.26	5.02	4.23
TPS2350D	296-16959-5-ND	Hot-Swap-Leistungsmanager	Hot-Swap Power Manager	14-SOIC	3.62	2.90	2.26
TPS2390DGK	296-13511-5-ND	Einf. Hot-Swap-Controller, 48 V, negativ	Simple Negative 48V Hot-Swap Controller	8-VSSOP	1.90	1.53	1.19
TPS2391DGK	296-13512-5-ND	Einf. Hot-Swap-Controller, 48 V, negativ	Simple Negative 48V Hot-Swap Controller	8-VSSOP	1.90	1.53	1.19
TPS2392PW	296-13668-5-ND	Hot-Swap-Leistungsmanager, 48 V, negativ, volle Ausstattung	Full Featured Negative 48V Hot-Swap Power Manager	14-TSSOP	3.43	2.75	2.14
TPS2393APW	296-17247-ND	Hot-Swap-Leistungsmanager, 48 V, negativ, volle Ausstattung	Full Featured Negative 48V Hot-Swap Power Manager	14-TSSOP	3.43	2.75	2.14
TPS2393DBT	296-17388-ND	Hot-Swap-Leistungsmanager, 48 V, negativ, volle Ausstattung	Full Featured Negative 48V Hot-Swap Power Manager	44-TSSOP	3.90	3.13	2.43
TPS2393PW	296-13669-5-ND	Hot-Swap-Leistungsmanager, 48 V, negativ, volle Ausstattung	Full Featured Negative 48V Hot-Swap Power Manager	14-TSSOP	3.43	2.75	2.14
TPS2398DGK	296-15731-5-ND	Neg. Hot-Swap-Leistungsmanager, 48 V	Neg. 48V Hot-Swap Power Manager	8-MSOP	2.27	1.82	1.42
TPS2399DGK	296-15732-5-ND	Neg. Hot-Swap-Leistungsmanager, 48 V	Neg. 48V Hot-Swap Power Manager	8-MSOP	2.27	1.82	1.42
TPS2491DGS	296-16906-ND	Pos. Hot-Swap-Controller, Hochspannung, Leistungsbegrenzung	Positive High-Volt. Power-Limiting Hot-Swap Controller	10-MSOP	3.24	2.60	2.02
UC2914DW	296-12245-5-ND	Hot-Swap-Leistungsmanager, 5-35 V	5V to 35V Hot-Swap Power Manager	18-SOIC	8.72	6.98	5.89
UC2914N	296-2502-5-ND	Hot-Swap-Leistungsmanager, 5-35 V	5V to 35V Hot-Swap Power Manager	18-Dip	7.26	6.54	5.80
UC3914DW	296-11347-5-ND	Hot-Swap-Leistungsmanager, 5-35 V	5V to 35V Hot-Swap Power Manager	18-SOIC	7.28	5.83	4.92
UC3914N	296-2327-5-ND	Hot-Swap-Leistungsmanager, 5-35 V	5V to 35V Hot-Swap Power Manager	18-Dip	7.28	5.83	4.92
UCC2912DP	296-16715-5-ND	Prog. Hot-Swap-Leistungsmanager	Prog. Hot-Swap Power Manager	16-SOIC	4.57	3.66	3.09
UCC2912PWP	296-16716-ND	Prog. Hot-Swap-Leistungsmanager	Prog. Hot-Swap Power Manager	24-TSSOP	4.57	3.66	3.09
UCC2913D	296-2328-5-ND	Neg. Spann. Hot-Swap-Leistungsmanager	Neg. V. Hot-Swap Power Manager	8-SOIC	3.14	2.52	1.96
UCC2913N	296-12247-5-ND	Neg. Spann. Hot-Swap-Leistungsmanager	Neg. V. Hot-Swap Power Manager	8-Dip	3.14	2.52	1.96
UCC2915DP	296-2329-5-ND	Prog. Hot-Swap-Leistungsmanager, 15 V	15V Hot-Swap Prog. Power Manager	16-SOIC	7.03	5.63	4.75
UCC2917D	296-2330-5-ND	Hot-Swap-Leistungsmanager, pos., gleitend	Pos. Floating Hot-Swap Power Manager	16-SOIC	4.28	3.43	2.67
UCC2917N	296-12249-5-ND	Hot-Swap-Leistungsmanager, pos., gleitend	Pos. Floating Hot-Swap Power Manager	16-Dip	4.28	3.43	2.67
UCC2919D	296-2331-5-ND	Hot-Swap-Leistungsmanager, 3-8 V	3V to 8V Hot-Swap Power Manager	16-SOIC	4.74	3.80	3.21
UCC2919PW	296-12251-5-ND	Hot-Swap-Leistungsmanager, 3-8 V	3V to 8V Hot-Swap Power Manager	16-TSSOP	4.74	3.80	3.21
UCC2921D	296-2332-5-ND	Hot-Swap-Leistungsmanager, neg., gleitend, verriegelnd	Latching Negative Floating Hot-Swap Power Manager	8-SOIC	3.52	2.82	2.20
UCC2921N	296-12252-5-ND	Hot-Swap-Leistungsmanager, neg., gleitend, verriegelnd	Latching Negative Floating Hot-Swap Power Manager	8-Dip	3.52	2.82	2.20
UCC3912DP	296-2333-5-ND	Prog. Hot-Swap-Leistungsmanager	Prog. Hot-Swap Power Manager	16-SOIC	4.39	3.51	2.73
UCC3912PWP	296-12031-5-ND	Prog. Hot-Swap-Leistungsmanager	Prog. Hot-SwapPower Manager	24-HTSSOP	4.39	3.51	2.73
UCC3913D	296-2335-5-ND	Hot-Swap-Leistungsmanager, neg. Spannung	Negative Volt. Hot-Swap Power Manager	8-SOIC	2.86	2.29	1.78
UCC3913N	296-6770-5-ND	Hot-Swap-Leistungsmanager, neg. Spannung	Negative Volt. Hot-Swap Power Manager	8-Dip	2.86	2.29	1.78
UCC3915DP	296-2336-5-ND	Programmierbarer Hot-Swap-Leistungsmanager, 15 V	15V Programmable Hot-Swap Power Manager	16-SOIC	4.32	3.46	2.92
UCC3915N	296-6771-5-ND	Prog.Hot-Swap-Leistungsmanager, 7-15 V	7-15V Prog. Hot-Swap Power Manager	16-Dip	4.32	3.46	2.92
UCC3915PWP	296-6772-5-ND	Prog.Hot-Swap-Leistungsmanager, 7-15 V	7-15V Prog. Hot-Swap Power Manager	24-HTSSOP	4.32	3.46	2.92
UCC39161DP	296-6773-5-ND	High-Side-Leistungsmanager, niedr. Strom, 4-6 V	4-6V Low Current High-Side Power Manager	8-SOIC	4.49	3.59	3.03
UCC3917D	296-2337-5-ND	Positiver Hot-Swap-Leistungsmanager, gleitend	Positive Floating Hot-Swap Power Manager	16-SOIC	3.52	2.82	2.20
UCC3917N	296-6774-5-ND	Positiver Hot-Swap-Leistungsmanager, gleitend	Positive Floating Hot-Swap Power Manager	16-Dip	3.52	2.82	2.20
UCC3918DP	296-2338-5-ND	Hot-Swap-Leistungsmanager, niedr. Durchlasswiderstand	Low On-Resistance Hot-Swap Power Manager	16-SOIC	4.48	3.59	2.79
UCC3919D	296-2339-5-ND	Hot-Swap-Leistungsmanager, 3-8 V	3V to 8V Hot-Swap Power Manager	16-SOIC	4.48	3.59	2.79
UCC3919PW	296-6777-5-ND	Einf. Hot-Swap-Leistungscontroller	Single Hot-Swap Power Controller	16-TSSOP	4.48	3.59	2.79
UCC3921D	296-2340-5-ND	Hot-Swap-Leistungsmanager, neg., gleitend	Neg. Floating Hot-Swap Power Manager	8-SOIC	3.05	2.44	1.90
UCC3921N	296-6779-5-ND	Hot-Swap-Leistungsmanager, neg., gleitend, verriegelbar	Negative Latchable Floating Hot-Swap Power Manager	8-Dip	3.05	2.44	1.90
UCC39151DPTR	296-11994-1-ND	Programmierbarer Hot-Swap-Leistungsmanager, 7-15 V	7-15V Programmable Hot-Swap Power Manager	16-SOIC	7.75	6.99	6.20
UCC39151DPTR	296-11994-2-ND	Programmierbarer Hot-Swap-Leistungsmanager, 7-15 V	7-15V Programmable Hot-Swap Power Manager	16-SOIC		14144.57/2,500	
UCC39151PWPTR	296-11995-1-ND	Programmierbarer Hot-Swap-Leistungsmanager, 7-15 V	7-15V Programmable Hot-Swap Power Manager	24-HTSSOP	7.75	6.99	6.20
UCC39151PWPTR	296-11995-2-ND	Programmierbarer Hot-Swap-Leistungsmanager, 7-15 V	7-15V Programmable Hot-Swap Power Manager	24-HTSSOP		11501.91/2,000	

(Forts.)

★ **RUFEN SIE BITTE AN FÜR NIEDRIGERE PREISE BEI GRÖSSEREN MENGEN!** ★

B

T. I. Teilenr.	Digi-Key Teilenr.	Beschreibung		Paket	Stückpreis★ 1	25	100
			Peripher				
TPS2370D	296-15039-5-ND	Stromschnittstellenschalter	Power Interface Switch	8-SOIC	3.24	2.60	2.02
TPS2370PW	296-15040-5-ND	Stromschnittstellenschalter	Power Interface Switch	8-TSSOP	3.24	2.60	2.02
TPS2375D	296-17061-ND	IEEE 802.3af PoE-betriebener Controller	IEEE 802.3af PoE Powered Controller	8-SOIC	4.23	3.18	2.39
TPS2375EVM	296-17039-ND	Power-Over-Ethernet betriebenes Gerät, Evaluierungsmodul	Power-Over-Ethernet Powered Device Evaluation Module	—	141.72	—	—
TPS2375PW	296-17062-ND	IEEE 802.3af PoE-betriebener Controller	IEEE 802.3af PoE Powered Controller	8-TSSOP	4.23	3.18	2.39
TPS2375PW-1	296-17903-5-ND	IEEE 802.3af PoE-betriebener Controller	IEEE 802.3af PoE Powered Controller	8-TSSOP	2.38	1.91	1.49
TPS2376D	296-17063-ND	IEEE 802.3af PoE-betriebener Controller	IEEE 802.3af PoE Powered Controller	8-SOIC	4.23	3.18	2.39
TPS2376PW	296-17064-ND	IEEE 802.3af PoE-betriebener Controller	IEEE 802.3af PoE Powered Controller	8-TSSOP	4.23	3.18	2.39
TPS2377D	296-17065-ND	IEEE 802.3af PoE-betriebener Controller	IEEE 802.3af PoE Powered Controller	8-SOIC	4.23	3.18	2.39
TPS2377D-1	296-17904-5-ND	IEEE 802.3af PoE-betriebener Controller	IEEE 802.3af PoE Powered Controller	8-SOIC	2.38	1.91	1.49
TPS2377PW	296-17066-ND	IEEE 802.3af PoE-betriebener Controller	IEEE 802.3af PoE Powered Controller	8-TSSOP	4.23	3.18	2.39
TPS65160PWPR	296-17905-1-ND	Bias-Stromversorgung für TV und Monitor TFT LCD-Felder	Bias Power Supply for TV and Monitor TFT LCD Panels	28-TSSOP	3.81	3.05	2.38
TPS65160PWPR	296-17905-2-ND	Bias-Stromversorgung für TV und Monitor TFT LCD-Felder	Bias Power Supply for TV and Monitor TFT LCD Panels	28-TSSOP		4317.66/2,000	
TPS75003RHLR	296-17835-1-ND	Dreif. Versorgungsspannungs-Management-Schaltkreis	Triple Supply Power Management IC	20-QFN	3.62	2.90	2.26
TPS75003RHLR	296-17835-2-ND	Dreif. Versorgungsspannungs-Management-Schaltkreis	Triple Supply Power Management IC	20-QFN		6080.28/3,000	
UC563DP	296-11362-5-ND	VME Bus-Bias-Generator, 32-polig	32-Line VME Bus Bias Generator	8-SOIC	4.28	3.43	2.67
UC5601QP	296-11357-5-ND	SE-Abschluss f. SCSI u. Fast SCSI, 18-polig, 5 V	18-Line 5V SE Terminator for SCSI and Fast SCSI	28-PLCC	6.99	5.60	4.73
UC5603DP	296-11359-5-ND	SE-Abschluss f. SCSI u. Fast SCSI, 9-polig, 5 V	9-Line 5V SE Terminator for SCSI and Fast SCSI	16-SOIC	4.44	3.56	2.77
UCC3916DP	296-2255-5-ND	SCSI Termpower Manager	SCSI Termpower Manager	8-SOIC	3.24	2.60	2.02
UCC5510MWP	296-6730-5-ND	SCSI Multi-Abschluss, 9-polig	9-Line SCSI Multi Terminator	36-SOP	3.45	2.76	2.15
UCC5519PWP	296-15066-5-ND	SCSI Multi-Abschluss, 9-polig	9-Line SCSI Multi Terminator	28-HTSSOP	2.36	1.89	1.47
UCC5606DP	296-6731-5-ND	SCSI SE Abschluss, 9-polig, 3-5 V	9-Line 3-5V SCSI SE Terminator	16-SOIC	2.63	2.11	1.64
UCC5606PWP	296-6732-5-ND	SCSI SE Abschluss, 9-polig, 3-5 V	9-Line 3-5V SCSI SE Terminator	16-HTSSOP	2.63	2.11	1.64
UCC5614DP	296-6735-5-ND	SCSI SE Abschluss, 9-polig, 3-5 V	9-Line 3-5V SCSI SE Terminator	16-SOIC	2.63	2.11	1.64
UCC5614PWP	296-6736-5-ND	SCSI SE Abschluss, 9-polig, 3-5 V	9-Line 3-5V SCSI SE Terminator	24-HTSSOP	2.63	2.11	1.64
UCC5617DWP	296-6737-5-ND	SCSI SE Abschluss, 18-polig, 3-5 V	18-Line 3-5V SCSI SE Terminator	28-SOIC	3.98	3.19	2.48
UCC5618DWP	296-6738-5-ND	SCSI SE Abschluss, 18-polig, 3-5 V	18-Line 3-5V SCSI SE Terminator	28-SOIC	3.98	3.19	2.48
UCC5618QP	296-6739-5-ND	SCSI SE Abschluss, 18-polig, 3-5 V	18-Line 3-5V SCSI SE Terminator	28-PLCC	4.44	3.56	2.77
UCC5619MWP	296-6740-5-ND	SE Abschluss f. Fast/Ultra SCSI, 27-polig, 5 V	27-Line 5V SE Terminator for Fast/Ultra SCSI	36-SOP	4.83	3.87	3.26
UCC5620MWP	296-6743-5-ND	SE Abschluss f. Fast/Ultra SCSI, 27-polig, 5 V	27-Line 5V SE Terminator for Fast/Ultra SCSI	48-SOP	4.83	3.87	3.26
UCC5621MWP	296-6744-5-ND	SE Abschluss f. Fast/Ultra SCSI, 27-polig, 5 V	27-Line 5V SE Terminator for Fast/Ultra SCSI	44-SOP	4.83	3.87	3.26
UCC5622MWP	296-6746-5-ND	SE Abschluss f. Fast/Ultra SCSI, 27-polig, 5 V	27-Line 5V SE Terminator for Fast/Ultra SCSI	44-SOP	4.83	3.87	3.26
UCC5628FQP	296-6747-ND	SCSI Multi-Abschluss, 14-polig, 3-5 V	14-Line 3-5V SCSI Multi Terminator	48-LQFP	4.54	3.63	2.83
UCC5629FQP	296-6748-ND	SCSI Multi-Abschluss, 14-polig, 3-5 V	14-Line 3-5V SCSI Multi Terminator	48-LQFP	4.54	3.63	2.83
UCC5630AFQP	296-6749-ND	SCSI Multi-Abschluss, 9-polig, 3-5 V	9-Line 3-5V SCSI Multi Terminator	48-LQFP	4.71	3.77	2.93
UCC5630AMWP	296-6750-5-ND	SCSI Multi-Abschluss, 9-polig, 3-5 V	9-Line 3-5V SCSI Multi Terminator	36-SOP	3.62	2.90	2.26
UCC5631AFQP	296-6751-ND	SCSI Multi-Abschluss, 9-polig, 3-5 V	9-Line 3-5V SCSI Multi Terminator	48-LQFP	4.71	3.77	2.93
UCC5631AMWP	296-6752-5-ND	SCSI Multi-Abschluss, 9-polig, 3-5 V	9-Line 3-5V SCSI Multi Terminator	36-SOP	3.62	2.90	2.26
UCC5638FQP	296-6753-ND	SCSI Multi-Abschluss, 15-polig, 3-5 V	15-Line 3-5V SCSI Multi Terminator	48-LQFP	4.44	3.56	2.77
UCC5639FQP	296-6754-ND	SCSI Multi-Abschluss, 15-polig, 3-5 V	15-Line 3-5V SCSI Multi Terminator	48-LQFP	4.54	3.63	2.83
UCC5640PW24	296-6755-5-ND	LVD SCSI Abschluss, 9-polig, 3-5 V	9-Line 3-5V LVD SCSI Terminator	24-TSSOP	2.53	2.03	1.58
UCC5640PW28	296-6756-5-ND	LVD SCSI Abschluss, 9-polig, 3-5 V	9-Line 3-5V LVD SCSI Terminator	28-TSSOP	2.53	2.03	1.58
UCC5641PW24	296-6757-5-ND	LVD SCSI Abschluss, 9-polig, 3-5 V	9-Line 3-5V LVD SCSI Terminator	24-TSSOP	3.53	2.82	2.20
UCC5641PW28	296-6758-5-ND	LVD SCSI Abschluss, 9-polig, 3-5 V	9-Line 3-5V LVD SCSI Terminator	28-TSSOP	3.53	2.82	2.20
UCC5670MWP	296-12964-5-ND	Multimode SCSI Abschluss, 9-polig	9-Line Multimode SCSI Terminator	36-SSOP	3.35	2.69	2.09
UCC5672MWP	296-6760-5-ND	SCSI Multi-Abschluss, 9-polig, 3-5 V	9-Line 3-5V SCSI Multi Terminator	36-SOP	3.62	2.90	2.26
UCC5672PWP	296-6761-5-ND	SCSI Multi-Abschluss, 9-polig, 3-5 V	9-Line 3-5V SCSI Multi Terminator	28-HTSSOP	3.62	2.90	2.26
UCC5673MWP	296-6762-5-ND	SCSI Multi-Abschluss, 9-polig, 3-5 V	9-Line 3-5V SCSI Multi Terminator	36-SOP	3.62	2.90	2.26
UCC5673PWP	296-6763-5-ND	SCSI Multi-Abschluss, 9-polig, 3-5 V	9-Line 3-5V SCSI Multi Terminator	28-HTSSOP	3.62	2.90	2.26
UCC5680PW24	296-11565-5-ND	LVD Abschluss f. SCSI - Ultra3 SCSI, 9-polig, 3-5 V	9-Line 3-5V LVD Terminator for SCSI - Ultra3 SCSI	24-TSSOP	2.53	2.03	1.58
UCC5680PW28	296-11566-5-ND	LVD Abschluss f. SCSI - Ultra3 SCSI, 9-polig, 3-5 V	9-Line 3-5V LVD Terminator for SCSI - Ultra3 SCSI	28-TSSOP	2.53	2.03	1.58
UCC5686PM	296-11567-ND	LVD Abschluss f. Wide Ultra2/Ultra3 SCSI, 27-polig, 3-5 V	27-Line 3-5V LVD Terminator for Wide Ultra2/Ultra3 SCSI	64-QFP	5.64	4.52	3.81
UCC5687PM	296-11568-ND	LVD Abschluss f. Wide Ultra2/Ultra3 SCSI, 27-polig, 3-5 V	27-Line 3-5V LVD Terminator for Wide Ultra2/Ultra3 SCSI	64-QFP	5.64	4.52	3.81
UCC5696PN	296-14234-5-ND	LVD SCSI Abschluss, 27-polig	27-Line LVD SCSI Terminator	80-LQFP	9.38	8.45	7.49
			Leistung + Array				
TPIC44H01DA	296-1952-5-ND	High-Side-Treiber, 4 Kanäle	4-Channel High-Side Driver	32-TSSOP	3.24	2.60	2.02
			Leistung + Logik				
TPIC6A259DW	296-9004-5-ND	Adressierbarer Leistungslatch, 8-Bit	Power 8-Bit Addressable Latch	24-SOIC	2.53	2.03	1.58
TPIC6A259NE	296-9005-5-ND	Adressierbarer Leistungslatch, 8-Bit	Power 8-Bit Addressable Latch	20-Dip	3.26	2.61	2.03
TPIC6A595DW	296-9006-5-ND	Leistungsschieberegister, 8-Bit	Power 8-Bit Shift Register	24-SOIC	2.19	1.76	1.37
TPIC6A595NE	296-9007-5-ND	Leistungsschieberegister, 8-Bit	Power 8-Bit Shift Register	20-Dip	2.29	1.83	1.43
TPIC6A596DW	296-9008-5-ND	Leistungsschieberegister, 8-Bit	Power 8-Bit Shift Register	24-SOIC	2.19	1.76	1.37
TPIC6A596NE	296-9009-5-ND	Leistungsschieberegister, 8-Bit	Power 8-Bit Shift Register	20-Dip	2.29	1.83	1.43
TPIC6B259DW	296-9010-5-ND	Adressierbarer Leistungslatch, 8-Bit	Power 8-Bit Addressable Latch	20-SOIC	1.44	1.16	.87
TPIC6B259N	296-9011-5-ND	Adressierbarer Leistungslatch, 8-Bit	Power 8-Bit Addressable Latch	20-Dip	1.44	1.16	.87
TPIC6B273DW	296-1350-5-ND	Achtf. D-Leistungsschalter	Power Octal D-Type Switch	20-SOIC	1.44	1.16	.87
TPIC6B273DWR	296-1350-1-ND	Achtf. D-Leistungsschalter	Power Octal D-Type Latch	20-SOIC	1.44	1.16	.87
TPIC6B273DWR	296-1350-2-ND	Achtf. D-Leistungsschalter	Power Octal D-Type Latch	20-SOIC		1496.79/2,000	
TPIC6B273N	296-9012-5-ND	Achtf. D-Leistungsschalter	Power Octal D-Type Latch	20-Dip	1.44	1.16	.87
TPIC6B595DW	296-1351-5-ND	Leistungsschieberegister, 8-Bit	Power 8-Bit Shift Register	20-SOIC	1.07	.89	.72
TPIC6B595DWR	296-1351-1-ND	Leistungsschieberegister, 8-Bit	Power 8-Bit Shift Register	20-SOIC	1.19	1.00	.80
TPIC6B595DWR	296-1351-2-ND	Leistungsschieberegister, 8-Bit	Power 8-Bit Shift Register	20-SOIC		1058.25/2,000	
TPIC6B595N	296-1956-5-ND	Leistungsschieberegister, 8-Bit	Power 8-Bit Shift Register	20-Dip	1.19	1.00	.80
TPIC6B596DW	296-9013-5-ND	Leistungsschieberegister, 8-Bit	Power 8-Bit Shift Register	20-SOIC	1.07	.89	.72
TPIC6C595D	296-2019-5-ND	Leistungsschieberegister, 8-Bit	Power 8-Bit Shift Register	16-SOIC	.84	.70	.56
TPIC6C595N	296-2020-5-ND	Leistungsschieberegister, 8-Bit	Power 8-Bit Shift Register	16-Dip	.89	.75	.60
TPIC6C596D	296-9014-5-ND	Leistungsschieberegister, 8-Bit	Power 8-Bit Shift Register	16-SOIC	.84	.70	.56
TPIC6C596N	296-9015-5-ND	Leistungsschieberegister, 8-Bit	Power 8-Bit Shift Register	16-Dip	.89	.75	.60
TPIC43T01DA	296-10866-5-ND	Dreiphasiger bürstenloser Motor, Drehzahl-Controller	Three-Phase Brushless Motor RPM Controller	38-TSSOP	4.28	3.43	2.67
TPIC44L01DB	296-10867-5-ND	4-Kanal Seriell/Parallel Low-Side Pre-FET Treiber	4-Channel Serial/Parallel Low-Side Pre-FET Driver	24-SSOP	1.69	1.36	1.02
TPIC44L02DB	296-10868-5-ND	4-Kanal Seriell/Parallel Low-Side Pre-FET Treiber	4-Channel Serial/Parallel Low-Side Pre-FET Driver	24-SSOP	1.69	1.36	1.02
TPIC46L01DB	296-10869-5-ND	6-Kanal Seriell/Parallel Low-Side Pre-FET Treiber	6-Channel Serial/Parallel Low-Side Pre-FET Driver	28-SSOP	1.90	1.53	1.19
TPIC46L02DB	296-10870-5-ND	6-Kanal Seriell/Parallel Low-Side Pre-FET Treiber	6-Channel Serial/Parallel Low-Side Pre-FET Driver	28-SSOP	1.90	1.53	1.19
TPIC46L03DB	296-10871-5-ND	6-Kanal Seriell/Parallel Low-Side Pre-FET Treiber	6-Channel Serial/Parallel Low-Side Pre-FET Driver	28-SSOP	1.90	1.53	1.19
TPIC0107BDWP	296-10857-5-ND	Intelligente H-Brücke, PWM-Steuerung	PWM Control Intelligent H-Bridge	20-HSOP	3.81	3.05	2.38
TPIC0108BDWP	296-10858-5-ND	Intelligente H-Brücke, PWM-Steuerung	PWM Control Intelligent H-Bridge	20-HSOP	4.39	3.51	2.73
TPIC0108BDWPR	296-10858-1-ND	Intelligente H-Brücke, PWM-Steuerung	PWM Control Intelligent H-Bridge	20-HSOP	4.39	3.51	2.73
TPIC0108BDWPR	296-10858-2-ND	Intelligente H-Brücke, PWM-Steuerung	PWM Control Intelligent H-Bridge	20-HSOP		4966.16/2,000	
TPIC1021DR	296-17542-1-ND	LIN physikalische Schnittstelle	LIN Physical Interface	8-SOIC	1.17	.94	.70
TPIC1021DR	296-17542-2-ND	LIN physikalische Schnittstelle	LIN Physical Interface	8-SOIC		1490.02/2,500	
TPIC2101D	296-10860-5-ND	Low-Side Pre-FET Treiber, einphasig	Single Phase Low-Side Pre-FET Driver	14-SOIC	2.10	1.68	1.31
TPIC2101N	296-10861-5-ND	Low-Side Pre-FET Treiber, einphasig	Single Phase Low-Side Pre-FET Driver	14-Dip	2.10	1.68	1.31
TPIC2603DW	296-10863-5-ND	Low-Side-Treiber m. serieller Schnittstelle, 6-Kan.	6-Ch. Serial Interface Low-Side Driver	24-SOP	4.48	3.59	2.79
TPIC2603NE	296-10864-5-ND	Low-Side-Treiber m. serieller Schnittstelle, 6-Kan.	6-Ch. Serial Interface Low-Side Driver	20-Dip	4.48	3.59	2.79
TPIC2701N	296-10865-5-ND	Common-Source-Treiber, 7-Kan.	7-Ch. Common-Source Driver	16-Dip	3.81	3.05	2.38
TPIC6259DW	296-9000-5-ND	Adressierbarer Leistungslatch, 8-Bit	Power 8-Bit Addressable Latch	20-SOIC	2.29	1.83	1.43
TPIC6259N	296-9001-5-ND	Adressierbarer Leistungslatch, 8-Bit	Power 8-Bit Addressable Latch	20-Dip	2.29	1.83	1.43
TPIC6273DW	296-9002-5-ND	Achtf. D-Leistungsschalter	Power Octal D-Type Latch	20-SOIC	2.29	1.83	1.43
TPIC6273N	296-1953-5-ND	Achtf. D-Leistungsschalter	Power Octal D-Type Latch	20-Dip	2.29	1.83	1.43
TPIC6595DW	296-1349-5-ND	Leistungsschieberegister, 8-Bit	Power 8-Bit Shift Register	20-SOIC	2.04	1.64	1.27
TPIC6595DWR	296-1349-1-ND	Leistungsschieberegister, 8-Bit	Power 8-Bit Shift Register	20-SOIC	2.12	1.70	1.32
TPIC6595DWR	296-1349-2-ND	Leistungsschieberegister, 8-Bit	Power 8-Bit Shift Register	20-SOIC		2395.88/2,000	
TPIC6595N	296-1954-5-ND	Leistungsschieberegister, 8-Bit	Power 8-Bit Shift Register	20-Dip	2.12	1.70	1.32
TPIC6596DW	296-9003-5-ND	Leistungsschieberegister, 8-Bit	Power 8-Bit Shift Register	20-SOIC	2.04	1.64	1.27

★ RUFEN SIE BITTE AN FÜR NIEDRIGERE PREISE BEI GRÖSSEREN MENGEN! ★

Alle Preisangaben in Euro und inklusive Zollgebühren.

T. I. Teilenr.	Digi-Key Teilenr.	Beschreibung		Paket	Stückpreis★ 1	25	100
PGA309AIPWT	296-16726-1-ND	Smart programmierbarer Sensor	Smart Programmable Sensor	16-TSSOP	4.99	4.00	3.38
PGA309AIPWT	296-16726-2-ND	Smart programmierbarer Sensor	Smart Programmable Sensor	16-TSSOP		811.68/250	
TL852CDR	296-17139-1-ND	Empfänger mit Sonar-Bereich	Sonar Ranging Receiver	16-SOIC	3.66	2.93	2.28
TL852CDR	296-17139-2-ND	Empfänger mit Sonar-Bereich	Sonar Ranging Receiver	16-SOIC		5119.81/2,500	
TPIC8101DWR	296-15132-1-ND	Klopfsensorschnittstelle	Knock Sensor Interface	20-SOIC	4.72	3.78	2.94
TPIC8101DWR	296-15132-2-ND	Klopfsensorschnittstelle	Knock Sensor Interface	20-SOIC		5353.90/2,000	
UC2950T	296-13022-5-ND	Bipolarer Halbbrückenschalter	Half-Bridge Bipolar Switch	TO-220-5	4.74	3.80	3.21
UC3717AN	296-11258-5-ND	Schrittmotor-Antriebsschaltung	Stepper Motor Drive Circuit	16-Dip	5.59	4.47	3.78
UC3770AN	296-11259-5-ND	HP-Schrittmotor-Antriebsschaltung	HP Stepper Motor Drive Circuit	16-Dip	4.71	3.77	2.93
UC3770BN	296-11260-5-ND	HP-Schrittmotor-Antriebsschaltung	HP Stepper Motor Drive Circuit	16-Dip	4.27	3.42	2.89
UC3871DW	296-11326-5-ND	Resonanz-Leuchtstofflampentreiber	Resonant Fluorescent Lamp Driver	18-SOIC	6.77	5.42	4.58
UC3871N	296-11327-5-ND	Resonanz-Leuchtstofflampentreiber	Resonant Fluorescent Lamp Driver	18-Dip	6.77	5.42	4.58
UC3872DW	296-11328-5-ND	Resonanz-Lampenvorschaltglied-Controller	Resonant Lamp Ballast Controller	16-SOIC	5.08	4.07	3.43
UC3872M	296-11329-5-ND	Resonanz-Lampenvorschaltglied-Controller	Resonant Lamp Ballast Controller	16-HTSSOP	5.08	4.07	3.43
UC3872N	296-11330-5-ND	Resonanz-Lampenvorschaltglied-Controller	Resonant Lamp Ballast Controller	20-Dip	5.08	4.07	3.43
UCC2305DW	296-13023-5-ND	HID-Lampen-Controller	HID Lamp Controller	28-SOIC	8.32	7.50	6.65
UCC2305N	296-13633-5-ND	HID-Lampen-Controller	HID Lamp Controller	28-Dip	9.66	8.70	7.72
UCC3974PW	296-12405-5-ND	Zweif. Kaltkathoden-Leuchtstoffröhren-Controller	Dual Cold Cathode Fluorescent Lamp Controller	16-TSSOP	6.29	5.03	3.92
UCC3977PW	296-12615-5-ND	Zweif. Transformator-Controller	Dual Transformer Controller	8-TSSOP	1.90	1.53	1.19

B

T. I. Teilenr.	Digi-Key Teilenr.	Beschreibung		Paket	Stückpreis★ 1	25	100
			Audio-Differenzialleitungstreiber				
DRV134PA	DRV134PA-ND	Audio-Balanced Leitungstreiber mit Differenzialausgang	Audio Balanced Line Driver with Differential Output	8-Dip	3.72	2.98	2.32
DRV134UA	DRV134UA-ND	Audio-Balanced Leitungstreiber mit Differenzialausgang	Audio Balanced Line Driver with Differential Output	16-SOIC	3.72	2.98	2.32
DRV135UA	DRV135UA-ND	Audio-Balanced Leitungstreiber mit Differenzialausgang	Audio Balanced Line Driver with Differential Output	8-SOIC	3.72	2.98	2.32
			Batterie-Management				
BQ20Z80DBT	296-17638-5-ND	Modernes Kraftstoffmessgerät	Advanced Gas Gauge	38-TSSOP	7.79	6.24	—
BQ2000PN-B5	296-9313-5-ND	Lademanagement für unterschiedl. chem. Zusammensetzungen	Multichemistry Charge Management	8-Dip	3.24	2.60	2.02
BQ2000PW	296-12359-5-ND	Lademanagement mit Umschaltmodus für unterschiedl. chem. Zusammensetzungen	Multichemistry Switchmode Charge Management	8-TSSOP	3.24	2.60	2.02
BQ2000SN-B5	296-9314-5-ND	Lademanagement für unterschiedl. chem. Zusammensetzungen	Multichemistry Charge Management	8-SOIC	3.24	2.60	2.02
BQ2000TPN-B5	296-9315-5-ND	Lademanagement für unterschiedl. chem. Zusammensetzungen	Multichemistry Charge Management	8-Dip	3.24	2.60	2.02
BQ2000TPW	296-12360-5-ND	Lademanagement mit Umschaltmodus für unterschiedl. chem. Zusammensetzungen	Multichemistry Switchmode Charge Management	8-TSSOP	3.24	2.60	2.02
BQ2000TSN-B5	296-9316-5-ND	Lademanagement für unterschiedl. chem. Zusammensetzungen	Multichemistry Charge Management	8-SOIC	3.24	2.60	2.02
BQ2002CPN	296-9317-5-ND	Schnelllade-Controller	Fast Charge Controller	8-Dip	2.00	1.60	1.25
BQ2002CSN	296-9318-5-ND	Schnelllade-Controller	Fast Charge Controller	8-SOP	2.00	1.60	1.25
BQ2002DSN	296-9319-5-ND	Schnelllade-Controller	Fast Charge Controller	8-SOP	2.00	1.60	1.25
BQ2002EPN	296-9320-5-ND	Schnelllade-Controller	Fast Charge Controller	8-Dip	2.00	1.60	1.25
BQ2002ESN	296-9321-5-ND	Schnelllade-Controller	Fast Charge Controller	8-SOIC	2.00	1.60	1.25
BQ2002FPN	296-9322-5-ND	Schnelllade-Controller	Fast Charge Controller	8-Dip	2.00	1.60	1.25
BQ2002FSN	296-9323-5-ND	Schnelllade-Controller	Fast Charge Controller	8-SOIC	2.00	1.60	1.25
BQ2002GPN	296-9324-5-ND	Schnelllade-Controller	Fast Charge Controller	8-Dip	2.00	1.60	1.25
BQ2002GSN	296-9325-5-ND	Schnelllade-Controller	Fast Charge Controller	8-SOIC	2.00	1.60	1.25
BQ2002PN	296-9326-5-ND	Schnelllade-Controller	Fast Charge Controller	8-Dip	2.00	1.60	1.25
BQ2002SN	296-9327-5-ND	Schnelllade-Controller	Fast Charge Controller	8-SOIC	2.00	1.60	1.25
BQ2002TPN	296-9328-5-ND	Schnelllade-Controller	Fast Charge Controller	8-Dip	2.00	1.60	1.25
BQ2002TSN	296-9329-5-ND	Schnelllade-Controller	Fast Charge Controller	8-SOIC	2.00	1.60	1.25
BQ2003PN	296-9330-5-ND	Schnelllade-Controller	Fast Charge Controller	16-Dip	4.19	3.36	2.61
BQ2003S	296-9331-5-ND	Schnelllade-Controller	Fast Charge Controller	16-SOIC	4.19	3.36	2.61
BQ2004EPN	296-9332-5-ND	Schnelllade-Controller	Fast Charge Controller	16-Dip	4.19	3.36	2.61
BQ2004ESN	296-9333-5-ND	Schnelllade-Controller	Fast Charge Controller	16-SOIC	4.19	3.36	2.61
BQ2004HPN	296-9334-5-ND	Schnelllade-Controller	Fast Charge Controller	16-Dip	4.19	3.36	2.61
BQ2004HSN	296-9335-5-ND	Schnelllade-Controller	Fast Charge Controller	16-SOIC	4.19	3.36	2.61
BQ2004PN	296-9336-5-ND	Schnelllade-Controller	Fast Charge Controller	16-Dip	4.19	3.36	2.61
BQ2004SN	296-9337-5-ND	Schnelllade-Controller	Fast Charge Controller	16-SOIC	4.19	3.36	2.61
BQ2005S	296-9338-5-ND	Zweif. Schnelllade-Controller	Dual Fast Charge Controller	20-SOIC	4.19	3.36	2.61
BQ2010SN-D107	296-2218-5-ND	Batterie-Gasmessgerät	Battery Gas Gauge	16-SOIC	6.52	5.22	4.41
BQ2011SN-D118	296-9340-5-ND	Batterie-Gasmessgerät	Battery Gas Gauge	16-SOIC	6.35	5.08	4.29
BQ2012SN-D107	296-9341-5-ND	Batterie-Gasmessgerät	Battery Gas Gauge	16-SOIC	6.52	5.22	4.41
BQ2013HSN-A514	296-9343-5-ND	Batterie-Gasmessgerät	Battery Gas Gauge	16-SOIC	6.26	5.02	4.23
BQ2014HSN	296-9345-5-ND	Batterie-Gasmessgerät	Battery Gas Gauge	16-SOIC	6.26	5.02	4.23
BQ2014SN-D120	296-2220-5-ND	Batterie-Gasmessgerät	Battery Gas Gauge	16-SOIC	6.52	5.22	4.41
BQ2018SN-E1	296-2221-5-ND	Batterie-Leistungsüberwachung	Battery Power Monitor	8-SOIC	3.62	2.90	2.26
BQ2018TS-E1	296-2222-5-ND	Batterie-Leistungsüberwachung	Battery Power Monitor	8-TSSOP	3.62	2.90	2.26
BQ2019PW	296-9348-5-ND	Hoch entwickelte Batterieüberwachung	Advanced Battery Monitoring	8-TSSOP	3.72	2.98	2.32
BQ2022DBZR	296-16825-1-ND	Serieller Eprom mit SDQ, 1K-Bit	1K-Bit Serial Eprom with SDQ	SOT-23	2.38	1.91	1.49
BQ2022DBZR	296-16825-2-ND	Serieller Eprom mit SDQ, 1K-Bit	1K-Bit Serial Eprom with SDQ	SOT-23		4000.19/3,000	
BQ2023PW	296-11861-5-ND	Batterie-Leistungsüberwachung	Battery Power Monitor	8-TSSOP	3.81	3.05	2.38
BQ2031PN-A5	296-9349-5-ND	Bleiakku-Schnellladung	Lead Acid Fast Charge	16-Dip	4.74	3.80	3.21
BQ2031SN-A5	296-9350-5-ND	Bleiakku-Schnellladung	Lead Acid Fast Charge	16-SOIC	4.74	3.80	3.21
BQ2040SN-C408	296-2223-5-ND	Batterie-Gasmessgerät	Battery Gas Gauge	16-SOIC	6.52	5.22	4.41
BQ2040SN-D111	296-13773-5-ND	Gassmessgerät-IC mit SMBus-Schnittstelle	Gas Gauge IC with SMBus Interface	16-SOIC	6.52	5.22	4.41
BQ2050HSN-A508	296-9353-5-ND	Lithium-Ionen-Gasmessgerät	Lithium-Ion Gas Gauge	16-SOIC	6.26	5.02	4.23
BQ2050SN-D119	296-2225-5-ND	Lithium-Ionen-Leistungsmessgerät	Lithium-Ion Power Gauge	16-SOIC	6.52	5.22	4.41
BQ2052SN-A515	296-9355-5-ND	Primäres Lithium-Gasmessgerät	Primary Lithium Gas Gauge	16-SOIC	6.77	5.42	4.58
BQ2054PN	296-9356-5-ND	Lithium-Ionen-Schnellladung	Lithium-Ion Fast Charge	16-Dip	4.39	3.51	2.73
BQ2054SN	296-9357-5-ND	Lithium-Ionen-Schnellladung	Lithium-Ion Fast Charge	16-SOIC	4.39	3.51	2.73
BQ2057CDGK	296-11991-5-ND	Lineares Lademanagement für 1 Zelle, Li-Ion, LDO	Li-Ion LDO Linear Charge Management for 1 Cell	8-MSOP	1.90	1.53	1.15
BQ2057CDGKR	296-11991-1-ND	Lineares Lademanagement für 1 Zelle, Li-Ion, LDO	Li-Ion LDO Linear Charge Management for 1 Cell	8-MSOP	1.90	1.53	1.15
BQ2057CDGKR	296-11991-2-ND	Lineares Lademanagement für 1 Zelle, Li-Ion, LDO	Li-Ion LDO Linear Charge Management for 1 Cell	8-MSOP		2438.21/2,500	
BQ2057CSN	296-9358-5-ND	Lineares Lademanagement für 1 Zelle, Li-Ion, LDO	Li-Ion LDO Linear Charge Management for 1 Cell	8-SOIC	1.90	1.53	1.15
BQ2057CTS	296-9359-5-ND	Lineares Lademanagement für 1 Zelle, Li-Ion, LDO	Li-Ion LDO Linear Charge Management for 1 Cell	8-TSSOP	1.90	1.53	1.15
BQ2057DGK	296-11992-5-ND	Lineares Lademanagement für 1 Zelle, Li-Ion, LDO	Li-Ion LDO Linear Charge Management for 1 Cell	8-MSOP	1.90	1.53	1.15
BQ2057DGKR	296-11992-1-ND	Lineares Lademanagement für 1 Zelle, Li-Ion, LDO	Li-Ion LDO Linear Charge Management for 1 Cell	8-MSOP	1.90	1.53	1.15
BQ2057DGKR	296-11992-2-ND	Lineares Lademanagement für 1 Zelle, Li-Ion, LDO	Li-Ion LDO Linear Charge Management for 1 Cell	8-MSOP		2438.21/2,500	
BQ2057PDGK	296-15351-5-ND	Lineares Lademanagement, Li-Ion, LDO	Li-Ion LDO Linear Charge Mgmt	8-VSSOP	2.29	1.83	1.43
BQ2057SN	296-9360-5-ND	Lineares Lademanagement, Li-Ion, LDO	Li-Ion LDO Linear Charge Mgmt	8-SOIC	1.90	1.53	1.15
BQ2057TS	296-9361-5-ND	Lineares Lademanagement, Li-Ion, LDO	Li-Ion LDO Linear Charge Mgmt	8-TSSOP	1.90	1.53	1.15
BQ2057TSN	296-9362-5-ND	Lineares Lademanagement, Li-Ion, LDO	Li-Ion LDO Linear Charge Mgmt	8-SOIC	2.29	1.83	1.43
BQ2057TTS	296-9363-5-ND	Lineares Lademanagement, Li-Ion, LDO	Li-Ion LDO Linear Charge Mgmt	8-TSSOP	2.29	1.83	1.43
BQ2057WSN	296-9364-5-ND	Lineares Lademanagement, Li-Ion, LDO	Li-Ion LDO Linear Charge Mgmt	8-SOIC	2.29	1.83	1.43
BQ2057WTS	296-9365-5-ND	Lineares Lademanagement, Li-Ion, LDO	Li-Ion LDO Linear Charge Mgmt	8-TSSOP	2.29	1.83	1.43
BQ2060SS-E411	296-12268-5-ND	Gasmessgerät für unterschiedliche chem. Zusammensetzungen, SBS v1.1	Multi-Chemistry SBS v1.1 Gas Gauge	28-SSOP	6.60	5.29	4.46
BQ2063DBQ	296-12199-5-ND	Batterie-Gasmessgerät	Battery Gas Gauge	28-SSOP	6.60	5.29	4.46
BQ2083DBT	296-13030-5-ND	SBS-konformes Gasmessgerät für BQ29311	SBS Compliant Gas Gauge for BQ29311	38-TSSOP	7.62	6.10	5.15
BQ2083DBT-V1P3	296-17237-ND	SBS-konformes Gasmessgerät für BQ29311	SBS Compliant Gas Gauge for BQ29311	38-TSSOP	7.62	6.10	5.15
BQ2084DBT	296-15343-5-ND	SBS-konformes Gasmessgerät für BQ29312	SBS Compliant Gas Gauge for BQ29312	38-TSSOP	6.77	5.42	4.58

(Forts.)

★ RUFEN SIE BITTE AN FÜR NIEDRIGERE PREISE BEI GRÖSSEREN MENGEN! ★

B

T. I. Teilenr.	Digi-Key Teilenr.	Beschreibung		Paket	Stückpreis★ 1	25	100
BQ2085DBT	296-14071-5-ND	SBS-konformes Batterie-Gasmessgerät	SBS Compliant Battery Gas Gauge	38-TSSOP	7.79	6.24	5.26
BQ2085DBT-V1P3	296-17238-ND	SBS-konformes Batterie-Gasmessgerät	SBS Compliant Battery Gas Gauge	38-TSSOP	7.79	6.24	5.26
BQ2085DBTR	296-15962-1-ND	Gasmessgerät für BQ29311	Gas Gauge for BQ29311	38-TSSOP	7.79	6.24	5.26
BQ2085DBTR	296-15962-2-ND	Gasmessgerät für BQ29311	Gas Gauge for BQ29311	38-TSSOP		9735.90/2,000	
BQ2201PN	296-9369-5-ND	Controller-IC, nicht-flüchtiger SRAM	SRAM Nonvolatile Controller IC	8-Dip	3.52	2.82	2.20
BQ2201SN	296-9370-5-ND	Controller-IC, nicht-flüchtiger SRAM	SRAM Nonvolatile Controller IC	8-SOIC	3.52	2.82	2.20
BQ2205LYPW	296-16973-5-ND	Leistungsüberwachung und Schalt-Controller für 3,3 V SRAM	Power Monitoring and Switching Controller for 3.3V SRAM	16-TSSOP	3.34	2.67	2.08
BQ2954PN	296-9387-5-ND	Lithium-Ionen-Schnelllader	Lithium-Ion Fast Charger	16-Dip	4.23	3.39	2.86
BQ2954SN	296-9388-5-ND	Lithium-Ionen-Schnelllader	Lithium-Ion Fast Charger	16-SOIC	4.23	3.39	2.86
BQ4010MA-85	296-9389-5-ND	Nicht-flüchtiger 8Kx8 SRAM, 85 nS	8Kx8 Nonvolatile SRAM, 85nS	28-Dip	7.70	6.94	6.15
BQ4010YMA-70	296-9390-5-ND	Nicht-flüchtiger 8Kx8 SRAM, 10 %, 70 nS	8Kx8 Nonvolatile SRAM, 10%, 70nS	28-Dip	7.70	6.94	6.15
BQ4011MA-100	296-9391-5-ND	Nicht-flüchtiger 32Kx8 SRAM, 100 nS	32Kx8 Nonvolatile SRAM, 100nS	28-Dip	8.89	8.01	7.10
BQ4011YMA-70	296-9393-5-ND	Nicht-flüchtiger 32Kx8 SRAM, 10 %, 70 nS	32Kx8 Nonvolatile SRAM, 10%, 70nS	28-Dip	8.89	8.01	7.10
BQ4011YMA-100	296-9392-5-ND	Nicht-flüchtiger 32Kx8 SRAM, 10 %, 100 nS	32Kx8 Nonvolatile SRAM, 10%, 100nS	28-Dip	8.89	8.01	7.10
BQ4013YMA-70	296-9394-5-ND	Nicht-flüchtiger 128Kx8 SRAM, 10 %, 70 nS	128Kx8 Nonvolatile SRAM, 10%, 70nS	32-Dip	11.25	10.14	8.99
BQ4013YMA-70N	296-9395-5-ND	Nicht-flüchtiger 128Kx8 SRAM, 10 %, 70 nS	128Kx8 Nonvolatile SRAM, 10%, 70nS	32-Dip	11.25	10.14	8.99
BQ4013YMA-85	296-9396-5-ND	Nicht-flüchtiger 128Kx8 SRAM, 10 %, 85 nS	128Kx8 Nonvolatile SRAM, 10%, 85nS	32-Dip	11.25	10.14	8.99
BQ4014MB-85	296-9397-5-ND	Nicht-flüchtiger 256Kx8 SRAM, 85 nS	256Kx8 Nonvolatile SRAM, 85nS	32-Dip	21.33	19.92	18.49
BQ4014YMB-85	296-9398-5-ND	Nicht-flüchtiger 256Kx8 SRAM, 10 %, 85 nS	256Kx8 Nonvolatile SRAM, 10%, 85nS	32-Dip	21.33	19.92	18.49
BQ4015MA-70	296-9399-5-ND	Nicht-flüchtiger 512Kx8 SRAM, 70 nS	512Kx8 Nonvolatile SRAM, 70nS	32-Dip	23.47	21.91	20.34
BQ4015YMA-70	296-9400-5-ND	Nicht-flüchtiger 512Kx8 SRAM, 10 %, 70 nS	512Kx8 Nonvolatile SRAM, 10%, 70nS	32-Dip	23.47	21.91	20.34
BQ4015YMA-85	296-9401-5-ND	Nicht-flüchtiger 512Kx8 SRAM, 10 %, 85 nS	512Kx8 Nonvolatile SRAM, 10%, 85nS	32-Dip	23.47	21.91	20.34
BQ4016MC-70	296-9402-5-ND	Nicht-flüchtiger 1024Kx8 SRAM, 70 nS	1024Kx8 Nonvolatile SRAM, 70nS	36-Dip	27.73	25.89	24.04
BQ4016YMC-70	296-9403-5-ND	Nicht-flüchtiger 1024Kx8 SRAM, 10 %, 70 nS	1024Kx8 Nonvolatile SRAM, 10%, 70nS	36-Dip	27.73	25.89	24.04
BQ4017MC-70	296-9404-5-ND	Nicht-flüchtiger 2048Kx8 SRAM, 70 nS	2048Kx8 Nonvolatile SRAM, 70nS	36-Dip	53.34	49.78	46.23
BQ20851DBT-V1P2	296-17465-5-ND	Gasmessgerät für BQ29311	Gas Gauge for BQ29311	38-TSSOP	7.33	6.61	5.86
BQ24001PWP	296-9378-5-ND	Li-Ion-Lademanagement, Einzelzelle	Single Cell Li-Ion Charge Management	20-HTSSOP	2.29	1.83	1.43
BQ24001RGWR	296-12968-1-ND	Li-Ion-Lademanagement, Einzelzelle	Single Cell Li-Ion Charge Management	20-QFN	2.29	1.83	1.43
BQ24001RGWR	296-12968-2-ND	Li-Ion-Lademanagement, Einzelzelle	Single Cell Li-Ion Charge Management	20-QFN		3840.18/3,000	
BQ24002PWP	296-9379-5-ND	Li-Ion-Lademanagement, Einzelzelle	Single Cell Li-Ion Charge Management	20-HTSSOP	2.29	1.83	1.43
BQ24002RGWR	296-12969-1-ND	Li-Ion-Lademanagement, Einzelzelle	Single Cell Li-Ion Charge Management	20-QFN	2.29	1.83	1.43
BQ24002RGWR	296-12969-2-ND	Li-Ion-Lademanagement, Einzelzelle	Single Cell Li-Ion Charge Management	20-QFN		3840.18/3,000	
BQ24003PWP	296-9380-5-ND	Li-Ion-Lademanagement, Einzelzelle	Single Cell Li-Ion Charge Management	20-HTSSOP	2.29	1.83	1.43
BQ24003RGWR	296-12970-1-ND	Li-Ion-Lademanagement, Einzelzelle	Single Cell Li-Ion Charge Management	20-QFN	2.29	1.83	1.43
BQ24003RGWR	296-12970-2-ND	Li-Ion-Lademanagement, Einzelzelle	Single Cell Li-Ion Charge Management	20-QFN		3840.18/3,000	
BQ24004PWP	296-9381-5-ND	Lithium-Ionen-Batterielader	Lithium-Ion Battery Charger	20-HTSSOP	3.05	2.44	1.90
BQ24005PWP	296-9382-5-ND	Lithium-Ionen-Batterielader	Lithium-Ion Battery Charger	20-HTSSOP	3.05	2.44	1.90
BQ24006PWP	296-9383-5-ND	Lithium-Ionen-Batterielader	Lithium-Ion Battery Charger	20-HTSSOP	3.05	2.44	1.90
BQ24007PWP	296-9384-5-ND	Li-Ion-Lademanagement-Timer mit Aktivierung, Einzelzelle	Single Cell Li-Ion Charge Management Timer-Enable	20-HTSSOP	2.29	1.83	1.43
BQ24007RGWR	296-12971-1-ND	Li-Ion-Lademanagement-Timer mit Aktivierung, Einzelzelle	Single Cell Li-Ion Charge Management Timer-Enable	20-QFN	2.29	1.83	1.43
BQ24007RGWR	296-12971-2-ND	Li-Ion-Lademanagement-Timer mit Aktivierung, Einzelzelle	Single Cell Li-Ion Charge Management Timer-Enable	20-QFN		3840.18/3,000	
BQ24008PWP	296-9385-5-ND	Lithium-Ionen-Batterielader	Lithium-Ion Battery Charger	20-HTSSOP	2.29	1.83	1.43
BQ24010DRCR	296-13714-1-ND	Li-Ion-Lademanagement, Einzelchip	Single Chip, Li-Ion Charge Management	10-SON	2.00	1.60	1.25
BQ24010DRCR	296-13714-2-ND	Li-Ion-Lademanagement, Einzelchip	Single Chip, Li-Ion Charge Management	10-SON		3360.16/3,000	
BQ24012DRCR	296-13715-1-ND	Li-Ion-Lademanagement, Einzelchip	Single Chip, Li-Ion Charge Management	10-SON	2.00	1.60	1.25
BQ24012DRCR	296-13715-2-ND	Li-Ion-Lademanagement, Einzelchip	Single Chip, Li-Ion Charge Management	10-SON		3360.16/3,000	
BQ24013DRCR	296-13716-1-ND	Li-Ion-Lademanagement, Einzelchip	Single Chip, Li-Ion Charge Management	10-SON	2.00	1.60	1.25
BQ24013DRCR	296-13716-2-ND	Li-Ion-Lademanagement, Einzelchip	Single Chip, Li-Ion Charge Management	10-SON		3360.16/3,000	
BQ24020DRCR	296-14072-1-ND	Li-Ion-/Li-Pol-Lader	Li-Ion/Li-Pol Charger	10-SON	3.05	2.44	1.90
BQ24020DRCR	296-14072-2-ND	Li-Ion-/Li-Pol-Lader	Li-Ion/Li-Pol Charger	10-SON		5120.24/3,000	
BQ24022DRCR	296-14397-1-ND	Li-Ion-Lademanagement, Einzelzelle	Single Cell Li-Ion Charge Management	10-SON	3.05	2.44	1.90
BQ24022DRCR	296-14397-2-ND	Li-Ion-Lademanagement, Einzelzelle	Single Cell Li-Ion Charge Management	10-SON		5120.24/3,000	
BQ24023DRCR	296-15182-1-ND	Li-Ion-/Li-Pol-Lader	Li-Ion/Li-Pol Charger	10-SON	3.05	2.44	1.90
BQ24023DRCR	296-15182-2-ND	Li-Ion-/Li-Pol-Lader	Li-Ion/Li-Pol Charger	10-SON		5120.24/3,000	
BQ24024DRCR	296-17054-1-ND	Li-Ion-/Li-Pol-Lader, Einzelchip	Single Chip, Li-Ion/Li-Pol Charger	10-SON	3.05	2.44	1.90
BQ24024DRCR	296-17054-2-ND	Li-Ion-/Li-Pol-Lader, Einzelchip	Single Chip, Li-Ion/Li-Pol Charger	10-SON		5120.24/3,000	
BQ24025DRCR	296-15760-1-ND	Li-Ion-/Li-Pol-Lader, Einzelchip	Single Chip, Li-Ion/Li-Pol Charger	10-SON	3.05	2.44	1.90
BQ24025DRCR	296-15760-2-ND	Li-Ion-/Li-Pol-Lader, Einzelchip	Single Chip, Li-Ion/Li-Pol Charger	10-SON		5120.24/3,000	
BQ24026DRCR	296-17305-1-ND	Li-Ion-/Li-Pol-Lader	Li-Ion/Li-Pol Charger	10-SON	3.05	2.44	1.90
BQ24026DRCR	296-17305-2-ND	Li-Ion-/Li-Pol-Lader	Li-Ion/Li-Pol Charger	10-SON		5120.24/3,000	
BQ24030RHLR	296-17909-1-ND	Leistungs-Managementsystem, Einzelchip	Single-Chip Power Management System	20-QFN	4.39	3.51	2.73
BQ24030RHLR	296-17909-2-ND	Leistungs-Managementsystem, Einzelchip	Single-Chip Power Management System	20-QFN		7360.34/3,000	
BQ24032RHLR	296-17297-1-ND	Einzel-Chip-Ladunund System Power-Path Management-Schaltkreis	Single-Chip Charge and System Power-Path Management IC	20-QFN	4.46	3.57	2.78
BQ24032RHLR	296-17297-2-ND	Einzel-Chip-Ladunund System Power-Path Management-Schaltkreis	Single-Chip Charge and System Power-Path Management IC	20-QFN		7487.33/3,000	
BQ24035RHLR	296-17803-1-ND	Einzel-Chip-Ladunund System Power-Path Management-Schaltkreis	Single-Chip Charge and System Power-Path Management IC	20-QFN	4.39	3.51	2.73
BQ24035RHLR	296-17803-2-ND	Einzel-Chip-Ladunund System Power-Path Management-Schaltkreis	Single-Chip Charge and System Power-Path Managment IC	20-QFN		7360.34/3,000	
BQ24100EVM	296-17258-ND	Evaluierungsmodul für BQ24100	Evaluation Module for BQ24100	—	53.15	—	—
BQ24100RHLR	296-17154-1-ND	Li-Ion-/Li-Pol-Lader	Li-Ion/Li-Pol Charger	20-QFN	4.00	3.20	2.49
BQ24100RHLR	296-17154-2-ND	Li-Ion-/Li-Pol-Lader	Li-Ion/Li-Pol Charger	20-QFN		6720.31/3,000	
BQ24103EVM	296-17259-ND	Evaluierungsmodul für BQ24103	Evaluation Module for BQ24103	—	53.15	—	—
BQ24103RHLR	296-17155-1-ND	Li-Ion-/Li-Pol-Lader	Li-Ion/Li-Pol Charger	20-QFN	4.19	3.36	2.61
BQ24103RHLR	296-17155-2-ND	Li-Ion-/Li-Pol-Lader	Li-Ion/Li-Pol Charger	20-QFN		7040.33/3,000	
BQ24105EVM	296-17260-ND	Evaluierungsmodul für BQ24105	Evaluation Module for BQ24105	—	53.15	—	—
BQ24105RHLR	296-17159-1-ND	Li-Ion-/Li-Pol-Lader	Li-Ion/Li-Pol Charger	20-QFN	5.93	4.75	4.01
BQ24105RHLR	296-17159-2-ND	Li-Ion-/Li-Pol-Lader	Li-Ion/Li-Pol Charger	20-QFN		11022.73/3,000	
BQ24108RHLR	296-17398-1-ND	Li-Ion/Li-POL Lade-Management	Li-Ion/Li-POL Charge Management	20-QFN	4.19	3.36	2.61
BQ24108RHLR	296-17398-2-ND	Li-Ion/Li-POL Lade-Management	Li-Ion/Li-POL Charge Management	20-QFN		7040.33/3,000	
BQ24113EVM	296-17261-ND	Evaluierungsmodul für BQ24113	Evaluation Module for BQ24113	—	53.15	—	—
BQ24113RHLR	296-17156-1-ND	Li-Ion-/Li-Pol-Lader	Li-Ion/Li-Pol Charger	20-QFN	4.19	3.36	2.61
BQ24113RHLR	296-17156-2-ND	Li-Ion-/Li-Pol-Lader	Li-Ion/Li-Pol Charger	20-QFN		7040.33/3,000	
BQ24115EVM	296-17262-ND	Evaluierungsmodul für BQ24115	Evaluation Module for BQ24115	—	53.15	—	—
BQ24115RHLR	296-17160-1-ND	Li-Ion-/Li-Pol-Lader	Li-Ion/Li-Pol Charger	20-QFN	5.93	4.75	4.01
BQ24115RHLR	296-17160-2-ND	Li-Ion-/Li-Pol-Lader	Li-Ion/Li-Pol Charger	20-QFN		11022.73/3,000	
BQ24200DGN	296-12409-5-ND	Li-Ion- und Li-Pol-Lademanagement, 4,2 V, 500 mA	4.2V, 500mA, Li-Ion and Li-Pol Charge Management	8-MSOP	1.80	1.44	1.08
BQ24201DGN	296-12410-5-ND	Li-Ion- und Li-Pol-Lademanagement, 4,1 V, 500 mA	4.1V, 500mA, Li-Ion and Li-Pol Charge Management	8-MSOP	1.80	1.44	1.08
BQ24202DGN	296-12411-5-ND	Li-Ion- und Li-Pol-Lademanagement, 4,2 V, 500 mA	4.2V, 500mA, Li-Ion and Li-Pol Charge Management	8-MSOP	1.80	1.44	1.08
BQ24203DGN	296-12412-5-ND	Li-Ion- und Li-Pol-Lademanagement, 4,1 V, 500 mA	4.1V, 500mA, Li-Ion and Li-Pol Charge Management	8-MSOP	1.80	1.44	1.08
BQ24204DGN	296-12413-5-ND	Li-Ion- und Li-Pol-Lademanagement, 4,2 V, 500 mA	4.2V, 500mA, Li-Ion and Li-Pol Charge Management	8-MSOP	1.80	1.44	1.08
BQ24205DGN	296-12414-5-ND	Li-Ion- und Li-Pol-Lademanagement, 4,1 V, 500 mA	4.1V, 500mA, Li-Ion and Li-Pol Charge Management	8-MSOP	1.80	1.44	1.08
BQ24400D	296-12622-5-ND	Programmierbares NiCd/NiMH-Lademanagement	Programmable NiCd/NiMH Charge Management	8-SOIC	2.95	2.37	1.84
BQ24400PW	296-12623-5-ND	Programmierbares NiCd/NiMH-Lademanagement	Programmable NiCd/NiMH Charge Management	8-TSSOP	2.95	2.37	1.84
BQ24401D	296-12624-5-ND	Programmierbares NiCd/NiMH-Lademanagement	Programmable NiCd/NiMH Charge Management	8-SOIC	2.95	2.37	1.84
BQ24401PW	296-12625-5-ND	Programmierbares NiCd/NiMH-Lademanagement	Programmable NiCd/NiMH Charge Management	8-TSSOP	2.95	2.37	1.84
BQ24700PW	296-12361-5-ND	Batterielader-Controller/Selektor mit DPM	Battery Charger Controller/Selector with DPM	24-TSSOP	5.25	4.20	3.55
BQ24701PW	296-12362-5-ND	Batterielader-Controller/Selektor mit DPM	Battery Charger Controller/Selector with DPM	24-TSSOP	5.25	4.20	3.55
BQ24702PW	296-15264-5-ND	Batterielader-Controller und System-Leistungs-Selektor	Battery Charger Controller and System Power Selector	24-TSSOP	5.25	4.20	3.55
BQ24703PW	296-15113-5-ND	Batterielader-Controller/Selektor mit DPM	Battery Charger Controller/Selector with DPM	24-TSSOP	5.25	4.20	3.55
BQ24703RHDR	296-17828-1-ND	Batterielader-Controller/Selektor mit DPM	Battery Charger Controller/Selector with DPM	28-QFN	5.25	4.20	3.55
BQ24703RHDR	296-17828-2-ND	Batterielader-Controller/Selektor mit DPM	Battery Charger Controller/Selector with DPM	28-QFN		9762.99/3,000	
BQ24901PW	296-14073-5-ND	Li-Ion-/Li-Pol-Lader, Einzelzelle	Single Cell Li-Ion and Li-Pol Charger	14-TSSOP	4.00	3.20	2.49
BQ25010RHLR	296-17639-1-ND	Ladegerät und DC/DC-Wandler	Charger and DC/DC Converter	20-QFN	4.19	3.36	2.61
BQ25010RHLR	296-17639-2-ND	Ladegerät und DC/DC-Wandler	Charger and DC/DC Converter	20-QFN		7040.33/3,000	
BQ25012RHLR	296-17804-1-ND	Lade-/Leistungs-Management	Charge/Power Management	20-QFN	4.19	3.36	2.61
BQ25012RHLR	296-17804-2-ND	Lade-/Leistungs-Management	Charge/Power Management	20-QFN		7040.33/3,000	
BQ26200PW	296-12626-5-ND	Hochleistungsbatterieüberwachung	High Performance Battery Monitor	8-TSSOP	3.81	3.05	2.38

(Forts.)

★ ***RUFEN SIE BITTE AN FÜR NIEDRIGERE PREISE BEI GRÖSSEREN MENGEN!*** ★

Alle Preisangaben in Euro und inklusive Zollgebühren.

T. I. Teilenr.	Digi-Key Teilenr.	Beschreibung		Paket	Stückpreis★ 1	25	100
BQ26220PW	296-14004-5-ND	Hochleistungsbatterieüberwachung mit Spannung und Temperatur	High Performance Battery Monitor with Voltage and Temperature	8-TSSOP	3.90	3.13	2.43
BQ26221PWR	296-17161-1-ND	Hochleistungs- Batterieüberwachung	High Perf. Battery Monitor	8-TSSOP	3.90	3.13	2.43
BQ26221PWR	296-17161-2-ND	Hochleistungs- Batterieüberwachung	High Perf. Battery Monitor	8-TSSOP		4426.02/2,000	
BQ26231PW	296-12269-5-ND	Batterie-Coulomb-Zähler	Battery Coulomb Counter	8-TSSOP	2.86	2.29	1.78
BQ2650X-TESTER	296-17263-ND	System-Tester für BQ26500/BQ26501	System Tester for BQ26500/BQ26501	—	161.61	—	—
BQ26500PW	296-15848-5-ND	Li-Ion- und Li-Pol-Batterie-Gasmessgerät, Einzelzelle	Single-Cell Li-Ion and Li-Pol Battery Gas Gauge	8-TSSOP	4.48	3.59	2.79
BQ26500PWR	296-16775-1-ND	Li-Ion- und Li-Pol-Batterie-Gasmessgerät, Einzelzelle	Single-Cell Li-Ion and Li-Pol Battery Gas Gauge	8-TSSOP	4.48	3.59	2.79
BQ26500PWR	296-16775-2-ND	Li-Ion- und Li-Pol-Batterie-Gasmessgerät, Einzelzelle	Single-Cell Li-Ion and Li-Pol Battery Gas Gauge	8-TSSOP		5072.83/2,000	
BQ26501PW	296-16925-5-ND	Li-Ion- und Li-Pol-Batterie-Gasmessgerät, Einzelzelle	Single-Cell Li-Ion and Li-Pol Battery Gas Gauge	8-TSSOP	4.48	3.59	2.79
BQ27000DRKR	296-17428-1-ND	Li-Ion- und Li-Pol-Batterie-Gasmessgerät, Einzelzelle	Single-Cell Li-Ion and Li-Pol Battery Gas Gauge	10-SON	4.23	3.39	2.86
BQ27000DRKR	296-17428-2-ND	Li-Ion- und Li-Pol-Batterie-Gasmessgerät, Einzelzelle	Single-Cell Li-Ion and Li-Pol Battery Gas Gauge	10-SON		7873.38/3,000	
BQ27200DRKR	296-17521-1-ND	Li-Ion- und Li-Pol-Batterie-Gasmessgerät, Einzelzelle	Single-Cell Li-Ion and Li-Pol Battery Gas Gauge	10-QFN	4.40	3.53	2.98
BQ27200DRKR	296-17521-2-ND	Li-Ion- und Li-Pol-Batterie-Gasmessgerät, Einzelzelle	Single-Cell Li-Ion and Li-Pol Battery Gas Gauge	10-QFN		8188.32/3,000	
BQ29311PW	296-13067-5-ND	Li-Ion- oder Li-Pol-Batterieschutz für 3 und 4 Zellen	3 and 4 Cell Li-Ion or Lithium-Polymer Battery Protection	24-TSSOP	2.48	1.99	1.55
BQ29312PW	296-15247-5-ND	Li-Ion- oder Li-Pol-Batterieschutz für 3 und 4 Zellen	3 and 4 Cell Lithium-Ion or Lithium-Polymer Battery Protection	24-TSSOP	2.48	1.99	1.55
BQ29400PW	296-15331-5-ND	Li-Ion-Batterieschutz für 2, 3 und 4 Zellen	2, 3, and 4 Cell Li-Ion Battery Protection	8-TSSOP	1.07	.89	.72
BQ29401PW	296-16673-5-ND	Li-Ion-Batterieschutz für 2 bis 4 Zellen	2 to 4 Cell Li-Ion Battery Protection	8-TSSOP	1.02	.85	.68
TPS3600D25PW	296-12017-5-ND	Batteriereservewächter für LP-Prozessoren	Battery Backup Supervisor for LP Processors	14-TSSOP	3.81	3.05	2.38
TPS61100RGER	296-15141-1-ND	Einzelzellen-Boost-Wandler, zwei Ausgänge	Dual Output, Single Cell Boost Converter	24-QFN	3.52	2.82	2.20
TPS61100RGER	296-15141-2-ND	Einzelzellen-Boost-Wandler, zwei Ausgänge	Dual Output, Single Cell Boost Converter	24-QFN		5920.27/3,000	
TPS61103RGER	296-15142-1-ND	Einzelzellen-Boost-Wandler, zwei Ausgänge, 3,3 V	3.3V, Dual Output, Single Cell Boost Converter	24-QFN	3.52	2.82	2.20
TPS61103RGER	296-15142-2-ND	Einzelzellen-Boost-Wandler, zwei Ausgänge, 3,3 V	3.3V, Dual Output, Single Cell Boost Converter	24-QFN		5920.27/3,000	
TPS61106RGER	296-15143-1-ND	Einzelzellen-Boost-Wandler, zwei Ausgänge, 3,3 V	3.3V, Dual Output, Single Cell Boost Converter	24-QFN	3.52	2.82	2.20
TPS61106RGER	296-15143-2-ND	Einzelzellen-Boost-Wandler, zwei Ausgänge, 3,3 V	3.3V, Dual Output, Single Cell Boost Converter	24-QFN		5920.27/3,000	
TPS61107RGER	296-15144-1-ND	Einzelzellen-Boost-Wandler, zwei Ausgänge, 3,3 V	3.3V, Dual Output, Single Cell Boost Converter	24-QFN	3.52	2.82	2.20
TPS61107RGER	296-15144-2-ND	Einzelzellen-Boost-Wandler, zwei Ausgänge, 3,3 V	3.3V, Dual Output, Single Cell Boost Converter	24-QFN		5920.27/3,000	
TPS61130PW	296-13521-5-ND	SEPIC-Konverter, Einstellb., zwei Ausgänge, Einzelzelle Li oder Doppelzelle	Adj., Dual Output, Single Cell Li or Dual Cell Sepic Converter	16-TSSOP	3.90	3.13	2.43
TPS61130RSAR	296-16921-1-ND	SEPIC-Konverter, Einstellb., zwei Ausgänge, Einzelzelle Li oder Doppelzelle	Adj., Dual Output, Single Cell Li or Dual Cell Sepic Converter	16-QFN	3.90	3.13	2.43
TPS61130RSAR	296-16921-2-ND	SEPIC-Konverter, Einstellb., zwei Ausgänge, Einzelzelle Li oder Doppelzelle	Adj., Dual Output, Single Cell Li or Dual Cell Sepic Converter	16-QFN		6560.30/3,000	
TPS61131PW	296-13522-5-ND	SEPIC-Konverter, zwei Ausgänge, Einzelzelle Li oder Doppelzelle, 3,3 V	3.3V, Dual Output, Single Cell Li or Dual Cell Sepic Converter	16-TSSOP	3.90	3.13	2.43
TPS61132PW	296-13523-5-ND	SEPIC-Konverter, zwei Ausgänge, Einzelzelle Li oder Doppelzelle, 3,3 V	3.3V, Dual Output, Single Cell Li or Dual Cell Sepic Converter	16-TSSOP	3.90	3.13	2.43
TPS65010RGZR	296-15241-1-ND	Leistungs- und Batterie-Management-IC für mit Li-Ion-Batterien betriebene Systeme	Power and Battery Management IC for Li-Ion Powered Systems	48-QFN	5.59	4.47	3.78
TPS65010RGZR	296-15241-2-ND	Leistungs- und Batterie-Management-IC für mit Li-Ion-Batterien betriebene Systeme	Power and Battery Management IC for Li-Ion Powered Systems	48-QFN		8660.72/2,500	
TPS65011RGZR	296-16813-1-ND	Leitungs-/Batteriemanagement	Power/Battery Management	48-QFN	5.59	4.47	3.78
TPS65011RGZR	296-16813-2-ND	Leitungs-/Batteriemanagement	Power/Battery Management	48-QFN		8660.72/2,500	
TPS65012RGZR	296-16831-1-ND	Leitungs-/Batteriemanagement	Power/Battery Management	48-QFN	5.59	4.47	3.78
TPS65012RGZR	296-16831-2-ND	Leitungs-/Batteriemanagement	Power/Battery Management	48-QFN		8660.72/2,500	
TPS65013RGZT	296-17390-1-ND	Lineares Ladegerätmanagement für Einzelzellen Li-Ion oder Li-Polymer	Linear Charger Mgmt for Single Li-Ion or Li-Polymer Cells	48-QFN	5.93	4.75	4.01
TPS65013RGZT	296-17390-2-ND	Lineares Ladegerätmanagement für Einzelzellen Li-Ion oder Li-Polymer	Linear Charger Mgmt for Single Li-Ion or Li-Polymer Cells	48-QFN		963.01/250	
TPS65014RGZT	296-17695-1-ND	Leitungs-/Batteriemanagement	Power/Battery Management	48-QFN	5.93	4.75	4.01
TPS65014RGZT	296-17695-2-ND	Leitungs-/Batteriemanagement	Power/Battery Management	48-QFN		963.01/250	
TPS65145RGER	296-16904-1-ND	LCD-Versorgung mit Regler, drei Ausgänge	Triple Output LCD Supply with Regulator	24-QFN	3.05	2.44	1.90
TPS65145RGER	296-16904-2-ND	LCD-Versorgung mit Regler, drei Ausgänge	Triple Output LCD Supply with Regulator	24-QFN		5120.24/3,000	
UC2906DW	296-2228-5-ND	Bleiakku-Batterielader	Lead-Acid Battery Charger	16-SOIC	4.66	3.73	3.15
UC2909DW	296-12527-5-ND	Bleiakku-Batterielader mit Umschaltmodus	Switchmode Lead-Acid Battery Charger	20-SOIC	5.16	4.14	3.49
UC2909N	296-2229-5-ND	Bleiakku-Batterielader	Lead-Acid Battery Charger	20-Dip	5.16	4.14	3.49
UC3906DW	296-2230-5-ND	Bleiakku-Batterielader	Lead-Acid Battery Charger	16-SOIC	4.66	3.73	3.15
UC3906Q	296-12193-5-ND	Bleiakku-Batterielader	Lead-Acid Battery Charger	20-PLCC	4.66	3.73	3.15
UC3909DW	296-11345-5-ND	Lademanagement mit Umschaltmodus für Bleiakkus	Lead-Acid Switchmode Charge Management	20-SOIC	5.16	4.14	3.49
UC3909N	296-2232-5-ND	Lademanagement mit Umschaltmodus für Bleiakkus	Lead-Acid Switchmode Charge Management	20-Dip	5.16	4.14	3.49
UCC3911DP-1	296-11540-5-ND	Lithium-Ionen-Schutzschaltung für 2 Zellen	2-Cell Lithium-Ion Protector Circuit	16-SOIC	4.10	3.28	2.55
UCC3911DP-2	296-11541-5-ND	Lithium-Ionen-Schutzschaltung für 2 Zellen	2-Cell Lithium-Ion Protector Circuit	16-SOIC	4.10	3.28	2.55
UCC3911DP-3	296-11542-5-ND	Lithium-Ionen-Schutzschaltung für 2 Zellen	2-Cell Lithium-Ion Protector Circuit	16-SOIC	4.10	3.28	2.55
UCC3911DP-4	296-11543-5-ND	Lithium-Ionen-Schutzschaltung für 2 Zellen	2-Cell Lithium-Ion Protector Circuit	16-SOIC	4.10	3.28	2.55
UCC3952DP-1	296-11552-5-ND	Lithium-Ionen-Schutzschaltung	Lithium-Ion Protector Circuit	16-SOIC	3.34	2.67	2.08
UCC3952DP-2	296-11553-5-ND	Lithium-Ionen-Schutzschaltung	Lithium-Ion Protector Circuit	16-SOIC	3.34	2.67	2.08
UCC3952DP-3	296-11554-5-ND	Lithium-Ionen-Schutzschaltung	Lithium-Ion Protector Circuit	16-SOIC	3.34	2.67	2.08
UCC3952DP-4	296-11555-5-ND	Lithium-Ionen-Schutzschaltung	Lithium-Ion Protector Circuit	16-SOIC	3.34	2.67	2.08
UCC3952PW-1	296-11556-5-ND	Lithium-Ionen-Schutzschaltung	Lithium-Ion Protector Circuit	16-SOP	3.34	2.67	2.08
UCC3952PW-2	296-11557-5-ND	Lithium-Ionen-Schutzschaltung	Lithium-Ion Protector Circuit	16-SOP	3.34	2.67	2.08
UCC3952PW-3	296-11558-5-ND	Lithium-Ionen-Schutzschaltung	Lithium-Ion Protector Circuit	16-SOP	3.34	2.67	2.08
UCC3952PW-4	296-11559-5-ND	Lithium-Ionen-Schutzschaltung	Lithium-Ion Protector Circuit	16-SOP	3.34	2.67	2.08
UCC3956DW	296-11560-5-ND	Lithium-Ionen-Batterieschaltkreis	Lithium-Ion Battery Circuit	20-SOIC	3.90	3.13	2.43
UCC3956N	296-2233-5-ND	Lithium-Ionen-Batterieschaltkreis	Lithium-Ion Battery Circuit	20-Dip	3.90	3.13	2.43
UCC3957M-1	296-2234-5-ND	Lithium-Ionen-Schutzschaltung	Lithium-Ion Protector Circuit	16-SSOP	2.95	2.37	1.84
UCC3957M-2	296-2235-5-ND	Lithium-Ionen-Schutzschaltung	Lithium-Ion Protector Circuit	16-SSOP	2.95	2.37	1.84
UCC3957M-3	296-2236-5-ND	Lithium-Ionen-Schutzschaltung	Lithium-Ion Protector Circuit	16-SSOP	2.95	2.37	1.84
UCC3957M-4	296-2237-5-ND	Lithium-Ionen-Schutzschaltung	Lithium-Ion Protector Circuit	16-SSOP	2.95	2.37	1.84
		Buck-Regler					
MC33063ADR	296-17763-1-ND	1,5 A Boost/Buck/invertierender Schaltregler	1.5A Boost/Buck/Inverting Switching Regulator	8-SOIC	.79	.66	.53
MC33063ADR	296-17763-2-ND	1,5 A Boost/Buck/invertierender Schaltregler	1.5A Boost/Buck/Inverting Switching Regulator	8-SOIC		852.95/2,500	
MC33063AP	296-17764-5-ND	1,5 A Boost/Buck/invertierender Schaltregler	1.5A Boost/Buck/Inverting Switching Regulator	8-Dip	.79	.66	.53
MC34063ADR	296-17765-1-ND	1,5 A Boost/Buck/invertierender Schaltregler	1.5A Boost/Buck/Inverting Switching Regulator	8-SOIC	.66	.56	.45
MC34063ADR	296-17765-2-ND	1,5 A Boost/Buck/invertierender Schaltregler	1.5A Boost/Buck/Inverting Switching Regulator	8-SOIC		715.38/2,500	
MC34063AP	296-17764-5-ND	1,5 A Boost/Buck/invertierender Schaltregler	1.5A Boost/Buck/Inverting Switching Regulator	8-Dip	.79	.66	.53
TPPM0115D	296-11987-5-ND	Synch. Buck-Controller mit Umschaltmodus	Switch Mode Sync. Buck Controller	8-SOIC	2.90	2.32	1.81
TPPM0115DR	296-11987-2-ND	Synch. Buck-Controller mit Umschaltmodus	Switch Mode Sync. Buck Controller	8-SOIC		4053.10/2,500	
TPS5110PW	296-15672-5-ND	Synch. Buck-PWM-Controller mit NMOS-LDO-Controller	Sync. Buck PWM Controller with NMOS LDO Controller	24-TSSOP	4.48	3.59	2.79
TPS5120DBT	296-10925-ND	Buck-Controller, zwei Ausgänge	Dual Out Buck Controller	30-TSSOP	4.74	3.80	3.21
TPS5130PT	296-15673-ND	Dreif. synch. Buck-Controller mit NMOS-LDO-Controller	Triple Sync. Buck Controller with NMOS LDO Controller	48-TQFP	6.18	4.95	4.18
TPS5210DW	296-2021-5-ND	Synch. Buck-Controller	Sync. Buck Controller	28-SOIC	5.93	4.75	4.01
TPS5210PWP	296-10929-5-ND	Synch. Buck-Controller	Sync. Buck Controller	28-HTSSOP	6.01	4.81	4.06
TPS5211PWP	296-10931-5-ND	Synch. Buck-Controller	Sync. Buck Controller	28-HTSSOP	6.10	4.88	4.12
TPS54073PWP	296-17775-ND	2,2-4 V, 14 A Sync. Buck-Wandler	2.2-4V, 14A Sync. Buck Converter	28-HTSSOP	7.48	6.74	5.97
TPS54872PWP	296-15674-5-ND	Synch. PWM-Umschalter	Sync. PWM Switcher	28-TSSOP	6.69	5.36	4.52
TPS54972PWP	296-15675-5-ND	Synch. PWM-Umschalter	Sync. PWM Switcher	28-TSSOP	7.11	5.69	4.81
TPS5615PWP	296-2022-5-ND	Buck-Regler-Controller	Buck Regulator Controller	28-HTSSOP	6.26	5.02	4.23
TPS5618PWP	296-2023-5-ND	Buck-Regler-Controller	Buck Regulator Controller	28-HTSSOP	6.26	5.02	4.23
TPS5625PWP	296-2024-5-ND	Buck-Regler-Controller	Buck Regulator Controller	28-HTSSOP	6.26	5.02	4.23
TPS5633PWP	296-2025-5-ND	Buck-Regler-Controller	Buck Regulator Controller	28-HTSSOP	6.26	5.02	4.23
TPS40000DGQ	296-13051-5-ND	Synch. Buck-Controller, niedr. Eingangsbereich, Spannungsmodus	Low-Input, Voltage Mode Synchronous Buck Controller	10-MSOP	2.10	1.68	1.26
TPS40001DGQ	296-13052-5-ND	Synch. Buck-Controller, niedr. Eingangsbereich, Spannungsmodus	Low-Input, Voltage Mode Synchronous Buck Controller	10-MSOP	1.78	1.43	1.07
TPS40002DGQ	296-13053-5-ND	Synch. Buck-Controller, niedr. Eingangsbereich, Spannungsmodus	Low-Input, Voltage Mode Synchronous Buck Controller	10-MSOP	2.10	1.68	1.26
TPS40003DGQ	296-13054-5-ND	Synch. Buck-Controller, niedr. Eingangsbereich, Spannungsmodus	Low-Input, Voltage Mode Synchronous Buck Controller	10-MSOP	1.78	1.43	1.07
TPS40004DGQ	296-15715-5-ND	Synch. Buck-Controller, niedr. Eingangsbereich, Spannungsmodus	Low-Input, Voltage Mode Synchronous Buck Controller	10-MSOP	1.95	1.56	1.21
TPS40005DGQ	296-15716-5-ND	Synch. Buck-Controller, niedr. Eingangsbereich, Spannungsmodus	Low-Input, Voltage Mode Synchronous Buck Controller	10-MSOP	2.10	1.68	1.26
TPS40007DGQ	296-17067-ND	Synch. Buck-Controller, niedr. Eingangsbereich, hoch effizient	Low-Input, High-Efficiency, Sync. Buck Controller	10-MSOP	2.29	1.83	1.43
TPS40009DGQ	296-17068-ND	Synch. Buck-Controller, niedr. Eingangsbereich, hoch effizient	Low-Input, High-Efficiency, Sync. Buck Controller	10-MSOP	3.35	2.52	1.89
TPS40020PWP	296-16713-ND	Synch. Buck-Controller, niedr. Eingangsbereich, Spannungsmodus	Low-Input, Voltage Mode, Sync. Buck Controller	16-HTSSOP	2.19	1.76	1.37
TPS40021PWP	296-16714-ND	Synch. Buck-Controller, niedr. Eingangsbereich, Spannungsmodus	Low-Input, Voltage Mode, Sync. Buck Controller	16-HTSSOP	2.19	1.76	1.37
TPS40050PWP	296-15042-5-ND	Synch. Buck-Controller, weiter Eingangsbereich	Wide-Input, Sync. Buck Controller	16-HTSSOP	2.67	2.14	1.66
TPS40050QPWPRQ1	296-16963-1-ND	Synch. Buck-Controller, weiter Eingangsbereich	Wide-Input, Sync. Buck Controller	16-HTSSOP	3.14	2.52	1.96
TPS40050QPWPRQ1	296-16963-2-ND	Synch. Buck-Controller, weiter Eingangsbereich	Wide-Input, Sync. Buck Controller	16-HTSSOP		3562.49/2,000	
TPS40051PWP	296-15043-5-ND	Synch. Buck-Controller, weiter Eingangsbereich	Wide-Input, Sync. Buck Controller	16-HTSSOP	2.67	2.14	1.66

(Forts.)

★ ***RUFEN SIE BITTE AN FÜR NIEDRIGERE PREISE BEI GRÖSSEREN MENGEN!*** ★

B

B

T. I. Teilenr.	Digi-Key Teilenr.	Beschreibung		Paket	Stückpreis★ 1	25	100
TPS40051QPWPRQ1	296-16964-1-ND	Synch. Buck-Controller, weiter Eingangsbereich	Wide-Input, Sync. Buck Controller	16-HTSSOP	3.14	2.52	1.96
TPS40051QPWPRQ1	296-16964-2-ND	Synch. Buck-Controller, weiter Eingangsbereich	Wide-Input, Sync. Buck Controller	16-HTSSOP		3562.49/2,000	
TPS40053PWP	296-15044-5-ND	Synch. Buck-Controller, weiter Eingangsbereich	Wide-Input, Sync. Buck Controller	16-HTSSOP	2.67	2.14	1.66
TPS40055PWP	296-17510-ND	Synch. Buck-Controller, weiter Eingangsbereich	Wide-Input Sync. Buck Controller	16-HTSSOP	2.57	2.06	1.61
TPS40057PWP	296-17235-ND	Synch. Buck-Controller, weiter Eingangsbereich	Wide-Input Sync. Buck Controller	16-HTSSOP	2.57	2.06	1.61
TPS40060PWP	296-14389-ND	Synch. Buck-Controller, weiter Eingangsbereich	Wide-Input Sync. Buck Controller	16-HTSSOP	2.67	2.14	1.66
TPS40061PWP	296-14390-ND	Synch. Buck-Controller, weiter Eingangsbereich	Wide-Input Sync. Buck Controller	16-HTSSOP	2.67	2.14	1.66
TPS40070PWP	296-16773-ND	Synch. Buck-Controller	Sync. Buck Controller	16-HTSSOP	2.57	2.06	1.61
TPS40071PWP	296-16774-ND	Synch. Buck-Controller	Sync. Buck Controller	16-HTSSOP	2.57	2.06	1.61
TPS40091PW	296-17212-5-ND	Prog. synch. Buck-Controller	Prog. Sync. Buck Controller	24-TSSOP	3.62	2.90	2.26
TPS40130DBT	296-17348-ND	Synch. Buck-Controller, 2 Phasen	2-Phase, Sync. Buck Controller	30-TSSOP	2.48	1.99	1.55
TPS40130EVM-001	296-17491-ND	Evaluierungsmodul für TPS40130	Evaluation Module for TPS40130	—	53.15	—	—
TPS51100EVM-001	296-17268-ND	Evaluierungsmodul für TPS51100	Evaluation Module for TPS51100	—	53.15	—	—
TPS51116PWP	296-17243-ND	Synch. Buck-Controller	Sync. Buck Controller	20-HTSSOP	2.29	1.83	1.43
TPS54010PWP	296-17288-5-ND	Synch. Buck-PWM-Umschalter, 14-A-Ausgang	14A Output Sync. Buck PWM Switcher	28-TSSOP	7.48	6.74	5.97
TPS54310PWP	296-12509-5-ND	Synch. Buck-PWM-Wandler	Sync. Buck PWM Converter	20-HTSSOP	4.48	3.59	2.79
TPS54311PWP	296-12679-5-ND	Synch. Buck-PWM-Wandler	Sync. Buck PWM Converter	20-HTSSOP	4.48	3.59	2.79
TPS54312PWP	296-12680-5-ND	Synch. Buck-PWM-Wandler	Sync. Buck PWM Converter	20-HTSSOP	4.48	3.59	2.79
TPS54313PWP	296-12681-5-ND	Synch. Buck-PWM-Wandler	Sync. Buck PWM Converter	20-HTSSOP	4.48	3.59	2.79
TPS54314PWP	296-12682-5-ND	Synch. Buck-PWM-Wandler	Sync. Buck PWM Converter	20-HTSSOP	4.48	3.59	2.79
TPS54315PWP	296-12683-5-ND	Synch. Buck-PWM-Wandler	Sync. Buck PWM Converter	20-HTSSOP	4.48	3.59	2.79
TPS54316PWP	296-12684-5-ND	Synch. Buck-PWM-Wandler	Sync. Buck PWM Converter	20-HTSSOP	4.48	3.59	2.79
TPS54352PWP	296-17069-ND	4,5 V bis 20 V Eingang, 3 A Ausgang, sync. PWM-Wandler	4.5V to 20V Input, 3A Output, Sync. PWM Converter	16-HTSSOP	3.90	3.13	2.43
TPS54353PWP	296-17070-ND	4,5 V bis 20 V Eingang, 3 A Ausgang, sync. PWM-Wandler	4.5V to 20V Input, 3A Output, Sync. PWM Converter	16-HTSSOP	3.90	3.13	2.43
TPS54354PWP	296-17071-ND	4,5 V bis 20 V Eingang, 3 A Ausgang, sync. PWM-Wandler	4.5V to 20V Input, 3A Output, Sync. PWM Converter	16-HTSSOP	3.90	3.13	2.43
TPS54355PWP	296-17072-ND	4,5 V bis 20 V Eingang, 3 A Ausgang, sync. PWM-Wandler	4.5V to 20V Input, 3A Output, Sync. PWM Converter	16-HTSSOP	3.90	3.13	2.43
TPS54356PWP	296-17073-ND	4,5 V bis 20 V Eingang, 3 A Ausgang, sync. PWM-Wandler	4.5V to 20V Input, 3A Output, Sync. PWM Converter	16-HTSSOP	3.90	3.13	2.43
TPS54357PWP	296-17074-ND	4,5 V bis 20 V Eingang, 3 A Ausgang, sync. PWM-Wandler	4.5V to 20V Input, 3A Output, Sync. PWM Converter	16-HTSSOP	3.90	3.13	2.43
TPS54373PWP	296-14327-5-ND	Synch. Buck-Umschalter, 3 A	3A Sync. Buck Switcher	20-HTSSOP	4.48	3.59	2.79
TPS54380PWP	296-14391-ND	Synch. Buck-PWM-Umschalter, 3 A	3A Sync. Buck PWM Switcher	20-HTSSOP	4.48	3.59	2.79
TPS54673PWP	296-13828-5-ND	Synch. Buck-Umschalter, Eingang 3 V zu 6 V, 6 A	3V to 6V Input, 6A Sync. Buck Switcher	28-HTSSOP	5.67	4.54	3.83
TPS54680PWP	296-13829-5-ND	Synch. Buck-PWM-Umschalter (Swift™), Eingang 3 V zu 6 V, 6 A	3V to 6V Input, 6A Sync. Buck PWM Switcher (Swift™)	28-HTSSOP	5.67	4.54	3.83
TPS54810PWP	296-12715-5-ND	Synch. Buck-PWM-Wandler	Sync. Buck PWM Converter	28-HTSSOP	6.69	5.36	4.52
TPS54873PWP	296-13830-5-ND	Synch. Buck-Umschalter, Eingang 4 V zu 6 V, 8 A	4V to 6V Input, 8A Sync. Buck Switcher	28-HTSSOP	6.69	5.36	4.52
TPS54880PWP	296-13831-5-ND	Synch. Buck-PWM-Umschalter (Swift™), Eingang 4 V zu 6 V, 8 A	4V to 6V Input, 8A Sync. Buck PWM Switcher (Swift™)	28-HTSSOP	6.69	5.36	4.52
TPS54973PWP	296-14414-5-ND	Synch. Buck-Umschalter, 9 A	9A Sync. Buck Switcher	28-HTSSOP	7.11	5.69	4.81
TPS54980PWP	296-14415-5-ND	Synch. Buck-PWM-Umschalter, 9 A	9A Sync. Buck PWM Switcher	28-HTSSOP	7.11	5.69	4.81
TPS60240DGKR	296-12510-1-ND	Null-Ripple-Schaltkondensator/Buck-Boost-Wandler, 3,3 V	3.3V Zero-Ripple Switched Cap Buck-Boost Converter	8-MSOP	2.19	1.76	1.37
TPS60240DGKR	296-12510-2-ND	Null-Ripple-Schaltkondensator/Buck-Boost-Wandler, 3,3 V	3.3V Zero-Ripple Switched Cap Buck-Boost Converter	8-MSOP		3066.81/2,500	
TPS60241DGKT	296-12241-1-ND	Null-Ripple-Schaltkondensator/Buck-Boost-Wandler	Zero-Ripple Switched Cap Buck-Boost Converter	8-MSOP	2.19	1.76	1.37
TPS60241DGKT	296-12241-2-ND	Null-Ripple-Schaltkondensator/Buck-Boost-Wandler	Zero-Ripple Switched Cap Buck-Boost Converter	8-MSOP		323.82/250	
TPS60242DGKT	296-12511-5-ND	Null-Ripple-Schaltkondensator/Buck-Boost-Wandler, 2,7 V	2.7V Zero-Ripple Switched Cap Buck-Boost Converter	8-MSOP	2.19	1.76	1.37
TPS60243DGKT	296-12512-5-ND	Null-Ripple-Schaltkondensator/Buck-Boost-Wandler, 3 V	3V Zero-Ripple Switched Cap Buck-Boost Converter	8-MSOP	2.19	1.76	1.37
TPS62100D	296-10976-5-ND	Einstellbarer synch. Buck-Wandler	Adjustable Sync. Buck Converter	8-SOP	3.62	2.90	2.26
TPS62101D	296-10977-5-ND	Einstellbarer synch. Buck-Wandler	Adjustable Sync. Buck Converter	8-SOP	3.62	2.90	2.26
TPS62102D	296-10978-5-ND	Einstellbarer synch. Buck-Wandler	Adjustable Sync. Buck Converter	8-SOP	3.62	2.90	2.26
TPS62103D	296-10979-5-ND	Einstellbarer synch. Buck-Wandler	Adjustable Sync. Buck Converter	8-SOP	3.62	2.90	2.26
UCC3585D	296-11448-5-ND	Niederspannungs-Buck-Controller	Low Voltage Buck Controller	16-SOIC	2.48	1.99	1.55
UCC3585M	296-11450-5-ND	Niederspannungs-Buck-Controller	Low Voltage Buck Controller	16-SSOP	2.48	1.99	1.55
UCC3585N	296-11451-5-ND	Niederspannungs-Buck-Controller	Low Voltage Buck Controller	16-Dip	2.48	1.99	1.55
UCC27221PWP	296-14216-5-ND	Synch. Buck-Treiber, prädiktiv	Predictive Sync. Buck Driver	14-HTSSOP	2.57	2.06	1.61
UCC27222PWP	296-14217-5-ND	Synch. Buck-Treiber, prädiktiv	Predictive Sync. Buck Driver	14-HTSSOP	2.57	2.06	1.61
		DC/DC-Wandler					
0722MG	0722MG-ND	DC/DC-Wandler, doppelt isoliert	Dual-Isolated DC/DC Converter	20-OmniPak	274.55	256.25	237.95
DCP021212DU	296-9446-5-ND	Ungeregelter DC/DC-Wandler, 2 W	2W Unregulated DC/DC Converter	28-SOIC	9.95	8.96	7.94
DCP021212U	296-9447-5-ND	Ungeregelter DC/DC-Wandler, 2 W	2W Unregulated DC/DC Converter	28-SOIC	9.95	8.96	7.94
DCP021515U	296-9448-5-ND	Ungeregelter DC/DC-Wandler, 2 W	2W Unregulated DC/DC Converter	28-SOIC	9.95	8.96	7.94
DCP022405U	296-12367-5-ND	DC/DC-Wandler, 2 W, 24 V Ein, ±5 V Aus	2W DC/DC Conv., 24V In, ±5V Out	28-SOIC	9.95	8.96	7.94
DCP022415DU	296-9449-5-ND	Ungeregelter DC/DC-Wandler, 2 W	2W Unregulated DC/DC Converter	28-SOIC	9.95	8.96	7.94
DCP010505BP	DCP010505BP-ND	Isolierter DC/DC-Wandler, 5 V Ein, 5 V Aus	Isolated DC/DC Converter, 5V In, 5V Out	14-Dip	7.54	6.80	6.03
DCP010505BP-U	DCP010505BP-U-ND	Isolierter DC/DC-Wandler, 5 V Ein, 5 V Aus	Isolated DC/DC Converter, 5V In, 5V Out	14-GullWing	7.54	6.80	6.03
DCP010505DBP	DCP010505DBP-ND	Isolierter DC/DC-Wandler, 5 V Ein, zweif. ±5 V Aus	Isolated DC/DC Converter, 5V In, Dual ±5V Out	14-Dip	8.32	7.50	6.65
DCP010505DBP-U	DCP010505DBP-U-ND	Isolierter DC/DC-Wandler, 5 V Ein, zweif. ±5 V Aus	Isolated DC/DC Converter, 5V In, Dual ±5V Out	14-GullWing	8.32	7.50	6.65
DCP010512BP	DCP010512BP-ND	Isolierter DC/DC-Wandler, 5 V Ein, 12 V Aus	Isolated DC-DC Converter, 5V In, 12V Out	14-Dip	7.54	6.80	6.03
DCP010512BP-U	DCP010512BP-U-ND	Isolierter DC/DC-Wandler, 5 V Ein, 12 V Aus	Isolated DC/DC Converter, 5V In, 12V Out	14-GullWing	7.54	6.80	6.03
DCP010512DBP	DCP010512DBP-ND	Isolierter DC/DC-Wandler, 5 V Ein, zweif. 12 V Aus	Isolated DC/DC Converter, 5V In, Dual 12V Out	14-Dip	8.32	7.50	6.65
DCP010512DBP-U	DCP010512DBP-U-ND	Isolierter DC/DC-Wandler, 5 V Ein, zweif. 12 V Aus	Isolated DC/DC Converter, 5V In, Dual 12V Out	14-GullWing	8.32	7.50	6.65
DCP010515BP	DCP010515BP-ND	Isolierter DC/DC-Wandler, 5 V Ein, 15 V Aus	Isolated DC/DC Converter, 5V In, 15V Out	14-Dip	7.54	6.80	6.03
DCP010515BP-U	DCP010515BP-U-ND	Isolierter DC/DC-Wandler, 5 V Ein, 15 V Aus	Isolated DC/DC Converter, 5V In, 15V Out	14-GullWing	7.54	6.80	6.03
DCP010515DBP	DCP010515DBP-ND	Isolierter DC/DC-Wandler, 5 V Ein, zweif. 15 V Aus	Isolated DC/DC Converter, 5V In, Dual 15V Out	14-Dip	8.32	7.50	6.65
DCP010515DBP-U	DCP010515DBP-U-ND	Isolierter DC/DC-Wandler, 5 V Ein, zweif. 15 V Aus	Isolated DC/DC Converter, 5V In, Dual 15V Out	14-GullWing	7.54	6.80	6.03
DCP011512DBP	DCP011512DBP-ND	Isolierter DC/DC-Wandler, 15 V Ein, zweif. ±12 V Aus	Isolated DC/DC Converter, 15V In, Dual ±12V Out	14-Dip	8.32	7.50	6.65
DCP011512DBP-U	DCP011512DBP-U-ND	Isolierter DC/DC-Wandler, 15 V Ein, zweif. ±12 V Aus	Isolated DC/DC Converter, 15V In, Dual ±12V Out	14-GullWing	8.32	7.50	6.65
DCP011515DBP	DCP011515DBP-ND	Isolierter DC/DC-Wandler, 15 V Ein, zweif. ±15 V Aus	Isolated DC/DC Converter, 15V In, Dual ±15V Out	14-Dip	8.32	7.50	6.65
DCP011515DBP-U	DCP011515DBP-U-ND	Isolierter DC/DC-Wandler, 15 V Ein, zweif. ±15 V Aus	Isolated DC/DC Converter, 15V In, Dual ±15V Out	14-GullWing	8.32	7.50	6.65
DCP012405BP	DCP012405BP-ND	Isolierter DC/DC-Wandler, 24 V Ein, 5 V Aus	Isolated DC/DC Converter, 24V In, 5V Out	14-Dip	7.54	6.80	6.03
DCP012405BP-U	DCP012405BP-U-ND	Isolierter DC/DC-Wandler, 24 V Ein, 5 V Aus	Isolated DC/DC Converter, 24V In, 5V Out	14-GullWing	7.54	6.80	6.03
DCP012415DBP	DCP012415DBP-ND	Isolierter DC/DC-Wandler, 24 V Ein, zweif. ±15 V Aus	Isolated DC/DC Converter, 24V In, Dual ±15V Out	14-Dip	8.32	7.50	6.65
DCP012415DBP-U	DCP012415DBP-U-ND	Isolierter DC/DC-Wandler, 24 V Ein, zweif. ±15 V Aus	Isolated DC/DC Converter, 24V In, Dual ±15V Out	14-GullWing	8.32	7.50	6.65
DCP020503P	DCP020503P-ND	DC/DC-Wandler, 2 W, 5 V Ein, 3 V Aus	2W DC/DC Converter, 5V In, 3V Out	14-Dip	9.80	8.83	7.83
DCP020503U	DCP020503U-ND	DC/DC-Wandler, 2 W, 5 V Ein, 3 V Aus	2W DC/DC Converter, 5V In, 3V Out	28-SOIC	9.95	8.96	7.94
DCP020505P	DCP020505P-ND	DC/DC-Wandler, 2 W, 5 V Ein, 5 V Aus	2W DC/DC Converter, 5V In, 5V Out	14-Dip	9.80	8.83	7.83
DCP020505U	DCP020505U-ND	DC/DC-Wandler, 2 W, 5 V Ein, 5 V Aus	2W DC/DC Converter, 5V In, 5V Out	28-SOIC	9.95	8.96	7.94
DCP020507P	DCP020507P-ND	DC/DC-Wandler, 2 W, 5 V Ein, 7 V Aus	2W DC/DC Converter, 5V In, 7V Out	14-Dip	9.80	8.83	7.83
DCP020507U	DCP020507U-ND	DC/DC-Wandler, 2 W, 5 V Ein, 7 V Aus	2W DC/DC Converter, 5V In, 7V Out	28-SOIC	9.95	8.96	7.94
DCP020509P	DCP020509P-ND	DC/DC-Wandler, 2 W, 5 V Ein, 9 V Aus	2W DC/DC Converter, 5V In, 9V Out	14-Dip	9.80	8.83	7.83
DCP020509U	DCP020509U-ND	DC/DC-Wandler, 2 W, 5 V Ein, 9 V Aus	2W DC/DC Converter, 5V In, 9V Out	28-SOIC	9.95	8.96	7.94
DCP020515DP	DCP020515DP-ND	DC/DC-Wandler, 2 W, 5 V Ein, ±15 V Aus	2W DC/DC Conv., 5V In, ±15V Out	14-Dip	9.80	8.83	7.83
DCP020515DU	DCP020515DU-ND	DC/DC-Wandler, 2 W, 5 V Ein, ±15 V Aus	2W DC/DC Conv., 5V In, ±15V Out	28-SOIC	9.95	8.96	7.94
DCP021205P	DCP021205P-ND	DC/DC-Wandler, 2 W, 12 V Ein, 5 V Aus	2W DC/DC Conv., 12V In, 5V Out	14-Dip	9.80	8.83	7.83
DCP021205U	DCP021205U-ND	DC/DC-Wandler, 2 W, 12 V Ein, 5 V Aus	2W DC/DC Conv., 12V In, 5V Out	28-SOIC	9.95	8.96	7.94
DCP021212DP	DCP021212DP-ND	DC/DC-Wandler, 2 W, 12 V Ein, ±12 V Aus	2W DC/DC Conv., 12V In, ±12V Out	14-Dip	9.80	8.83	7.83
DCP021212P	DCP021212P-ND	DC/DC-Wandler, 2 W, 12 V Ein, 12 V Aus	2W DC/DC Conv., 12V In, 12V Out	14-Dip	9.80	8.83	7.83
DCP021515P	DCP021515P-ND	DC/DC-Wandler, 2 W, 15 V Ein, 15 V Aus	2W DC/DC Conv., 15V In, 15V Out	14-Dip	9.80	8.83	7.83
DCP022405DP	DCP022405DP-ND	DC/DC-Wandler, 2 W, 24 V Ein, ±5 V Aus	2W DC/DC Conv., 24V In, ±5V Out	14-Dip	9.80	8.83	7.83
DCP022405P	DCP022405P-ND	DC/DC-Wandler, 2 W, 24 V Ein, 5 V Aus	2W DC/DC Conv., 24V In, 5V Out	14-Dip	9.80	8.83	7.83
DCP022415DP	DCP022415DP-ND	DC/DC-Wandler, 2 W, 24 V Ein, ±15 V Aus	2W DC/DC Conv., 24V In, ±15V Out	14-Dip	9.80	8.83	7.83
DCR010503P	DCR010503P-ND	Isolierter DC/DC-Wandler, 5 V auf 3 V	Isolated DC/DC Converter, 5V to 3V	18-Dip	8.39	7.56	6.70
DCR010503U	296-9450-5-ND	Geregelter DC/DC-Wandler, 1 W	1W Regulated DC/DC Converter	28-SOIC	8.89	8.01	7.10
DCR010505P	DCR010505P-ND	Isolierter DC/DC-Wandler, 5 V auf 5 V	Isolated DC/DC Converter, 5V to 5V	18-Dip	8.39	7.56	6.70
DCR010505U	296-9451-5-ND	Geregelter DC/DC-Wandler, 1 W	1W Regulated DC/DC Converter	28-SOIC	8.89	8.01	7.10
DCR011203P	DCR011203P-ND	DC/DC-Wandler, 12 V auf 3 V	DC/DC Converter, 12V to 3V	18-Dip	8.39	7.56	6.70
DCR011203U	296-9452-5-ND	Geregelter DC/DC-Wandler, 1 W	1W Regulated DC/DC Converter	28-SOIC	8.89	8.01	7.10

(Forts.)

★ RUFEN SIE BITTE AN FÜR NIEDRIGERE PREISE BEI GRÖSSEREN MENGEN! ★

T. I. Teilenr.	Digi-Key Teilenr.	Beschreibung		Paket	Stückpreis★ 1	25	100
DCR011205P	DCR011205P-ND	DC/DC-Wandler, 12 V auf 5 V	DC/DC Converter, 12V to 5V	18-Dip	8.39	7.56	6.70
DCR011205U	296-9453-5-ND	Geregelter DC/DC-Wandler, 1 W	1W Regulated DC/DC Converter	28-SOIC	8.89	8.01	7.10
DCR012403P	296-9454-5-ND	Geregelter DC/DC-Wandler, 1 W	1W Regulated DC/DC Converter	18-Dip	8.39	7.56	6.70
DCR012403U	296-9455-5-ND	Geregelter DC/DC-Wandler, 1 W	1W Regulated DC/DC Converter	28-SOIC	8.89	8.01	7.10
DCR012405P	296-9456-5-ND	Geregelter DC/DC-Wandler, 1 W	1W Regulated DC/DC Converter	18-Dip	8.39	7.56	6.70
DCR012405U	296-9457-5-ND	Geregelter DC/DC-Wandler, 1 W	1W Regulated DC/DC Converter	28-SOIC	8.89	8.01	7.10
DCR021205P	296-9458-5-ND	Geregelter DC/DC-Wandler, 2 W	2W Regulated DC/DC Converter	10-Dip	10.29	9.28	8.22
DCR022405P	296-9459-5-ND	Geregelter DC/DC-Wandler, 2 W	2W Regulated DC/DC Converter	10-Dip	10.29	9.28	8.22
DCR022405P-U	296-17138-ND	Geregelter DC/DC-Wandler, 2 W	2W Regulated DC/DC Converter	10-MSOP	10.29	9.28	8.22
DCV010505DP	296-13450-5-ND	Isolierter Mini-DC/DC-Wandler, 5 V Ein, 5 V Aus	Mini, Isolated DC/DC Converter, 5V In, 5V Out	14-Dip	12.77	11.50	10.20
DCV010505P	DCV010505P-ND	Isolierter Mini-DC/DC-Wandler, 5 V Ein, 5 V Aus	Mini, Isolated DC/DC Converter, 5V In, 5V Out	14-Dip	11.99	10.80	9.58
DCV010505P-U	DCV010505P-U-ND	Isolierter Mini-DC/DC-Wandler, 5 V Ein, 5 V Aus	Mini, Isolated DC/DC Converter, 5V In, 5V Out	14-GullWing	11.99	10.80	9.58
DCV010512DP	DCV010512DP-ND	Isolierter Mini-DC/DC-Wandler, 5 V Ein, zweif. 12 V Aus	Mini, Isolated DC/DC Converter, 5V In, Dual 12V Out	14-Dip	12.77	11.50	10.20
DCV010512DP-U	DCV010512DP-U-ND	Isolierter Mini-DC/DC-Wandler, 5 V Ein, zweif. 12 V Aus	Mini, Isolated DC/DC Converter, 5V In, Dual 12V Out	14-GullWing	12.77	11.50	10.20
DCV010512P	DCV010512P-ND	Isolierter Mini-DC/DC-Wandler, 5 V Ein, 12 V Aus	Mini, Isolated DC/DC Converter, 5V In, 12V Out	14-Dip	11.99	10.80	9.58
DCV010512P-U	DCV010512P-U-ND	Isolierter Mini-DC/DC-Wandler, 5 V Ein, 12 V Aus	Mini, Isolated DC/DC Converter, 5V In, 12V Out	14-GullWing	11.99	10.80	9.58
DCV010515DP	DCV010515DP-ND	Isolierter Mini-DC/DC-Wandler, 5 V Ein, zweif. 15 V Aus	Mini, Isolated DC/DC Converter, 5V In, Dual 15V Out	14-Dip	12.77	11.50	10.20
DCV010515DP-U	DCV010515DP-U-ND	Isolierter Mini-DC/DC-Wandler, 5 V Ein, zweif. 15 V Aus	Mini, Isolated DC/DC Converter, 5V In, Dual 15V Out	14-GullWing	12.77	11.50	10.20
DCV010515P	DCV010515P-ND	Isolierter Mini-DC/DC-Wandler, 5 V Ein, 15 V Aus	Mini, Isolated DC/DC Converter, 5V In, 15V Out	14-Dip	11.99	10.80	9.58
DCV010515P-U	DCV010515P-U-ND	Isolierter Mini-DC/DC-Wandler, 5 V Ein, 15 V Aus	Mini, Isolated DC/DC Converter, 5V In, 15V Out	14-GullWing	11.99	10.80	9.58
DCV011512DP	DCV011512DP-ND	Isolierter Mini-DC/DC-Wandler, 15 V Ein, zweif. 12 V Aus	Mini, Isolated DC/DC Converter, 15V In, Dual 12V Out	14-Dip	12.77	11.50	10.20
DCV011512DP-U	DCV011512DP-U-ND	Isolierter Mini-DC/DC-Wandler, 15 V Ein, zweif. 12 V Aus	Mini, Isolated DC/DC Converter, 15V In, Dual 12V Out	14-GullWing	12.77	11.50	10.20
DCV011512DP-U/700	DCV011512DP-UTR-ND	Isolierter Mini-DC/DC-Wandler, 15 V Ein, zweif. 12 V Aus	Mini, Isolated DC/DC Converter, 15V In, Dual 12V Out	14-GullWing		6704.31/700	
DCV011515DP	DCV011515DP-ND	Isolierter Mini-DC/DC-Wandler, 15 V Ein, zweif. 15 V Aus	Mini, Isolated DC/DC Converter, 15V In, Dual 15V Out	14-Dip	12.77	11.50	10.20
DCV011515DP-U	DCV011515DP-U-ND	Isolierter Mini-DC/DC-Wandler, 15 V Ein, zweif. 15 V Aus	Mini, Isolated DC/DC Converter, 15V In, Dual 15V Out	14-GullWing	12.77	11.50	10.20
DCV011515DP-U/700	DCV011515DP-UTR-ND	Isolierter Mini-DC/DC-Wandler, 15 V Ein, zweif. 15 V Aus	Mini, Isolated DC/DC Converter, 15V In, Dual 15V Out	14-GullWing		6704.31/700	
DCV012405P	DCV012405P-ND	Isolierter Mini-DC/DC-Wandler, 24 V Ein, 5 V Aus	Mini, Isolated DC/DC Converter, 24V In, 5V Out	14-Dip	11.99	10.80	9.58
DCV012405P-U	DCV012405P-U-ND	Isolierter Mini-DC/DC-Wandler, 24 V Ein, 5 V Aus	Mini, Isolated DC/DC Converter, 24V In, 5V Out	14-GullWing	11.99	10.80	9.58
DCV012405P-U/700	DCV012405P-UTR-ND	Isolierter Mini-DC/DC-Wandler, 24 V Ein, 5 V Aus	Mini, Isolated DC/DC Converter, 24V In, 5V Out	14-GullWing		6333.92/700	
DCV012415DP	DCV012415DP-ND	Isolierter Mini-DC/DC-Wandler, 24 V Ein, zweif. 15 V Aus	Mini, Isolated DC/DC Converter, 24V In, Dual 15V Out	14-Dip	12.77	11.50	10.20
DCV012415DP-U	DCV012415DP-U-ND	Isolierter Mini-DC/DC-Wandler, 24 V Ein, zweif. 15 V Aus	Mini, Isolated DC/DC Converter, 24V In, Dual 15V Out	14-GullWing	12.77	11.50	10.20
DCV012415DP-U/700	DCV012415DP-UTR-ND	Isolierter Mini-DC/DC-Wandler, 24 V Ein, zweif. 15 V Aus	Mini, Isolated DC/DC Converter, 24V In, Dual 15V Out	14-GullWing		6704.31/700	
LT1054CDW	296-9590-5-ND	Schaltkondensator-Spannungswandler mit Regler	Switched-Cap. Volt. Converter with Regulator	16-SOIC	1.69	1.36	1.02
LT1054CDWR	296-14618-1-ND	Schaltkondensator-Spannungswandler mit Regler	Switched-Cap. Volt. Converter with Regulator	16-SOIC	1.69	1.36	1.02
LT1054CDWR	296-14618-2-ND	Schaltkondensator-Spannungswandler mit Regler	Switched-Cap. Volt. Converter with Regulator	16-SOIC		1760.93/2,000	
LT1054CP	296-9591-5-ND	Schaltkondensator-Spannungswandler mit Regler	Switched-Cap. Volt. Converter with Regulator	8-Dip	1.69	1.36	1.02
LT1054IDW	296-9592-5-ND	Schaltkondensator-Spannungswandler mit Regler	Switched-Cap. Volt. Converter with Regulator	16-SOIC	2.48	1.99	1.55
LT1054IDWR	296-17595-1-ND	Schaltkondensator-Spannungswandler mit Regler	Switched-Cap. Volt. Converter with Regulator	16-SOIC	2.48	1.99	1.55
LT1054IDWR	296-17595-2-ND	Schaltkondensator-Spannungswandler mit Regler	Switched-Cap. Volt. Converter with Regulator	16-SOIC		2807.33/2,000	
LT1054IP	296-17596-5-ND	Schaltkondensator-Spannungswandler mit Regler	Switched-Cap. Volt. Converter with Regulator	8-Dip	2.48	1.99	1.55
REG710NA-2.5/250	296-12133-1-ND	DC/DC-Wandler, 2,5 V, 30 mA	2.5V, 30mA DC/DC Converter	SOT-23-6	1.31	1.05	.79
REG710NA-2.5/250	296-12133-2-ND	DC/DC-Wandler, 2,5 V, 30 mA	2.5V, 30mA DC/DC Converter	SOT-23-6		183.71/250	
REG710NA-2.7/250	296-12134-1-ND	DC/DC-Wandler, 2,7 V, 30 mA	2.7V, 30mA DC/DC Converter	SOT-23-6	1.31	1.05	.79
REG710NA-2.7/250	296-12134-2-ND	DC/DC-Wandler, 2,7 V, 30 mA	2.7V, 30mA DC/DC Converter	SOT-23-6		183.71/250	
REG710NA-3.3/250	296-12135-1-ND	DC/DC-Wandler, 3,3 V, 30 mA	3.3V, 30mA DC/DC Converter	SOT-23-6	1.31	1.05	.79
REG710NA-3.3/250	296-12135-2-ND	DC/DC-Wandler, 3,3 V, 30 mA	3.3V, 30mA DC/DC Converter	SOT-23-6		183.71/250	
REG710NA-3/250	296-12136-1-ND	DC/DC-Wandler, 3,0 V, 30 mA	3.0V, 30mA DC/DC Converter	SOT-23-6	1.31	1.05	.79
REG710NA-3/250	296-12136-2-ND	DC/DC-Wandler, 3,0 V, 30 mA	3.0V, 30mA DC/DC Converter	SOT-23-6		183.71/250	
REG710NA-5/250	296-12137-1-ND	DC/DC-Wandler, 5,0 V, 30 mA	5.0V, 30mA DC/DC Converter	SOT-23-6	1.31	1.05	.79
REG710NA-5/250	296-12137-2-ND	DC/DC-Wandler, 5,0 V, 30 mA	5.0V, 30mA DC/DC Converter	SOT-23-6		183.71/250	
REG71050DDCT	296-17420-1-ND	Buck/Boost-Wandler, 60 mA	60mA Buck/Boost Converter	TSOT-23-6	1.31	1.05	.79
REG71050DDCT	296-17420-2-ND	Buck/Boost-Wandler, 60 mA	60mA Buck/Boost Converter	TSOT-23-6		183.71/250	
REG71055DDCT	296-15370-1-ND	Schaltkondensator-Buck/Boost-Wandler, 60 mA	60mA Switched-Cap Buck/Boost Converter	TSOT-6	1.31	1.05	.79
REG71055DDCT	296-15370-2-ND	Schaltkondensator-Buck/Boost-Wandler, 60 mA	60mA Switched-Cap Buck/Boost Converter	TSOT-6		183.71/250	
TPS2490DGS	296-17085-ND	Pos. Hot-Swap-Controller, Hochspannung, Strombegrenzung	Positive High-Volt. Power-Limiting Hotswap Controller	10-MSOP	3.24	2.60	2.02
TPS5102IDBT	296-2260-5-ND	Zweif. DC/DC-Controller	Dual DC/DC Controller	30-SSOP	4.66	3.73	3.15
TPS5103IDB	296-2261-5-ND	Multimodus-DC/DC-Controller	Multimode DC/DC Controller	20-SSOP	3.24	2.60	2.02
TPS5124DBT	296-15863-5-ND	Zwei Kan., synch. Step-Down-PWM-Controller	Dual Ch., Sync. Step-Down PWM Controller	30-TSSOP	4.10	3.28	2.55
TPS5140PAG	296-12364-ND	DC/DC-Controller mit hohem Wirkungsgrad, vierfacher Ausgang	Quad-Out High Efficiency DC/DC Controller	64-TQFP	7.48	6.74	5.97
TPS5300DAP	296-12508-5-ND	CPU-Netzspannungsregler	CPU Power Supply Controller	32-TSSOP	5.84	4.68	3.95
TPS5602IDBT	296-2262-5-ND	Zweif. DC/DC-Controller	Dual DC/DC Controller	30-SSOP	5.76	4.61	3.89
TPS6734ID	296-3225-5-ND	Boost-Wandler, 12 V, 120 mA	12V, 120mA Boost Converter	8-SOIC	1.78	1.43	1.07
TPS6734IDR	296-3225-1-ND	Boost-Wandler, 12 V, 120 mA	12V, 120mA Boost Converter	8-SOIC	1.78	1.43	1.07
TPS6734IDR	296-3225-2-ND	Boost-Wandler, 12 V, 120 mA	12V, 120mA Boost Converter	8-SOIC		2275.24/2,500	
TPS6734IP	296-3226-5-ND	Boost-Wandler, 12 V, 120 mA	12V, 120mA Boost Converter	8-Dip	1.78	1.43	1.07
TPS6735ID	296-10982-5-ND	DC/DC-Wandler, neg. 5 V, 200 mA	Neg. 5V, 200mA DC/DC Converter	8-SOIC	1.78	1.43	1.07
TPS6735IDR	296-10982-1-ND	DC/DC-Wandler, neg. 5 V, 200 mA	Neg. 5V, 200mA DC/DC Converter	8-SOIC	1.78	1.43	1.07
TPS6735IDR	296-10982-2-ND	DC/DC-Wandler, neg. 5 V, 200 mA	Neg. 5V, 200mA DC/DC Converter	8-SOIC		2275.24/2,500	
TPS6735IP	296-10983-5-ND	DC/DC-Wandler, neg. 5 V, 200 mA	Neg. 5V, 200mA DC/DC Converter	8-Dip	1.78	1.43	1.07
TPS6755ID	296-10984-5-ND	Einstellb. DC/DC-Wandler, 200 mA	Adj., 200mA DC/DC Converter	8-SOIC	2.00	1.60	1.25
TPS6755IP	296-10985-5-ND	Einstellb. DC/DC-Wandler, 200 mA	Adj., 200mA DC/DC Converter	8-Dip	2.00	1.60	1.25
TPS40052PWP	296-15751-5-ND	Synch. Buck-Controller, weiter Eingangsbereich	Wide Input Sync. Buck Controller	16-HTSSOP	2.67	2.14	1.66
TPS40090PW	296-15881-5-ND	Synch. Mehrphasen-Buck-Controller	Multiphase Sync. Buck Controller	24-TSSOP	3.62	2.90	2.26
TPS40120PW	296-17389-ND	Progr. Feedback-Teiler	Programmable Feedback Divider	14-HTSSOP	1.24	1.04	.83
TPS51020DBT	296-15896-5-ND	Zweif. synch. DC/DC-Controller	Sync. Dual DC/DC Controller	30-TSSOP	4.57	3.66	2.85
TPS54010EVM-067	296-17269-ND	Evaluierungsmodul für TPS54010	Evaluation Module for TPS54010	—	53.15	—	—
TPS54350PWP	296-15882-5-ND	Synch. Buck-PWM-Wandler	Sync. Buck PWM Converter	16-HTSSOP	3.90	3.13	2.43
XILINXPWR-081	296-17394-ND	Evaluierungsmodul für Xilinx FPGA	Evaluation Module for Xilinx FPGA	—	215.85	—	—
XILINXPWR-082	296-17304-ND	Evaluierungsmodul für Xilinx FPGA	Evaluation Module for Xilinx FPGA	—	215.85	—	—
XILINXPWR-083	296-17395-ND	Evaluierungsmodul für Xilinx FPGA	Evaluation Module for Xilinx FPGA	—	215.85	—	—
TPS54610PWP	296-12123-5-ND	Kontinuierlicher Buck-Wandler, niedrige Eingangsspannung, 6 A , 3,3 V Aus	Low Input Voltage, 6A Continuous Buck Converter 3.3V Out	28-HTSSOP	5.67	4.54	3.83
TPS54611PWP	296-12124-5-ND	Kontinuierlicher Buck-Wandler, niedrige Eingangsspannung, 6 A , 0,9 V Aus	Low Input Voltage 6A Continuous Buck Converter 0.9V Out	28-HTSSOP	5.67	4.54	3.83
TPS54612PWP	296-12125-5-ND	Kontinuierlicher Buck-Wandler, niedrige Eingangsspannung, 6 A , 1,2 V Aus	Low Input Voltage 6A Continuous Buck Converter 1.2V Out	28-HTSSOP	5.67	4.54	3.83
TPS54613PWP	296-12126-5-ND	Kontinuierlicher Buck-Wandler, niedrige Eingangsspannung, 6 A , 1,5 V Aus	Low Input Voltage 6A Continuous Buck Converter 1.5V Out	28-HTSSOP	5.67	4.54	3.83
TPS54614PWP	296-12127-5-ND	Kontinuierlicher Buck-Wandler, niedrige Eingangsspannung, 6 A , 1,8 V Aus	Low Input Voltage 6A Continuous Buck Converter 1.8V Out	28-HTSSOP	5.67	4.54	3.83
TPS54615PWP	296-12128-5-ND	Kontinuierlicher Buck-Wandler, niedrige Eingangsspannung, 6 A , 2,5 V Aus	Low Input Voltage 6A Continuous Buck Converter 2.5V Out	28-HTSSOP	5.67	4.54	3.83
TPS54672PWP	296-12130-5-ND	Synch. PWM-Umschalter mit integrierten FETs, Schienenabschluss	Track-Termination Sync. PWM Switcher with Integrated FETs	28-HTSSOP	5.67	4.54	3.83
TPS54900PW	296-13408-5-ND	Programmierbarer Step-Down-DC/DC-Wandler, 4-Kan	Programmable 4-Channel Step-Down DC/DC Converter	16-TSSOP	9.74	8.77	7.77
TPS60100PWP	296-2263-5-ND	DC/DC-Wandler, 3,3 V, 0,2 A	3.3V, 0.2A, DC/DC Converter	20-HTSSOP	2.38	1.91	1.49
TPS60101PWP	296-2264-5-ND	DC/DC-Wandler, 3,3 V, 0,1 A	3.3V, 0.1A, DC/DC Converter	20-HTSSOP	2.00	1.60	1.25
TPS60110PWP	296-2265-5-ND	DC/DC-Wandler, 5 V, 0,3 A	5V, 0.3A, DC/DC Converter	20-HTSSOP	2.48	1.99	1.55
TPS60111PWP	296-2266-5-ND	DC/DC-Wandler, 5 V, 0,15 A	5V, 0.15A, DC/DC Converter	20-HTSSOP	2.19	1.76	1.37
TPS60120PWP	296-2267-5-ND	DC/DC-Wandler, 3,3 V, 0,2 A	3.3V, 0.2A, DC/DC Converter	20-HTSSOP	2.38	1.91	1.49
TPS60121PWP	296-2268-5-ND	DC/DC-Wandler, 3,3 V, 0,2 A	3.3V, 0.2A, DC/DC Converter	20-HTSSOP	2.38	1.91	1.49
TPS60122PWP	296-2269-5-ND	DC/DC-Wandler, 3,3 V, 0,1 A	3.3V, 0.1A, DC/DC Converter	20-HTSSOP	2.00	1.60	1.25
TPS60123PWP	296-2270-5-ND	DC/DC-Wandler, 3,3 V, 0,1 A	3.3V, 0.1A, DC/DC Converter	20-HTSSOP	2.00	1.60	1.25
TPS60124PWP	296-10948-5-ND	DC/DC-Wandler, 3,3 V, 200 mA	3.3V, 200mA, DC/DC Converter	20-HTSSOP	2.38	1.91	1.49
TPS60125PWP	296-10949-5-ND	DC/DC-Wandler, 3,3 V, 200 mA	3.3V, 200mA, DC/DC Converter	20-HTSSOP	2.38	1.91	1.49
TPS60130PWP	296-2271-5-ND	DC/DC-Wandler, 5 V, 0,3 A	5V, 0.3A, DC/DC Converter	20-HTSSOP	2.48	1.99	1.55
TPS60131PWP	296-2272-5-ND	DC/DC-Wandler, 5 V, 0,3 A	5V, 0.3A, DC/DC Converter	20-HTSSOP	2.48	1.99	1.55
TPS60132PWP	296-2273-5-ND	DC/DC-Wandler, 5 V, 0,15 A	5V, 0.15A, DC/DC Converter	20-HTSSOP	2.19	1.76	1.37
TPS60133PWP	296-2274-5-ND	DC/DC-Wandler, 5 V, 0,15 A	5V, 0.15A, DC/DC Converter	20-HTSSOP	2.19	1.76	1.37
TPS60140PWP	296-2275-5-ND	DC/DC-Wandler, 5 V, 0,1 A	5V, 0.1A, DC/DC Converter	20-HTSSOP	2.00	1.60	1.25
TPS60140PWPR	296-2275-1-ND	DC/DC-Wandler, 5 V, 0,1 A	5V, 0.1A, DC/DC Converter	20-HTSSOP	2.00	1.60	1.25
TPS60140PWPR	296-2275-2-ND	DC/DC-Wandler, 5 V, 0,1 A	5V, 0.1A, DC/DC Converter	20-HTSSOP		2267.19/2,000	

(Forts.)

★ RUFEN SIE BITTE AN FÜR NIEDRIGERE PREISE BEI GRÖSSEREN MENGEN! ★

B

T. I. Teilenr.	Digi-Key Teilenr.	Beschreibung		Paket	Stückpreis★ 1	25	100
TPS60141PWP	296-2276-5-ND	DC/DC-Wandler, 5 V, 0,1 A	5V, 0.1A, DC/DC Converter	20-HTSSOP	2.00	1.60	1.25
TPS60141PWPR	296-2276-1-ND	DC/DC-Wandler, 5 V, 0,1 A	5V, 0.1A, DC/DC Converter	20-HTSSOP	2.00	1.60	1.25
TPS60141PWPR	296-2276-2-ND	DC/DC-Wandler, 5 V, 0,1 A	5V, 0.1A, DC/DC Converter	20-HTSSOP		2267.19/2,000	
TPS60200DGS	296-10954-5-ND	Ladepumpe, geringe Welligkeit, 3,3 V, 100 mA	3.3V, 100mA Low Ripple Charge Pump	10-TSSOP	2.00	1.60	1.25
TPS60201DGS	296-10956-5-ND	Ladepumpe, geringe Welligkeit, 3,3 V, 100 mA	3.3V, 100mA Low Ripple Charge Pump	10-TSSOP	2.00	1.60	1.25
TPS60202DGS	296-10957-5-ND	Ladepumpe, geringe Welligkeit, 3,3 V, 100 mA	3.3V, 100mA Low Ripple Charge Pump	10-TSSOP	2.01	1.61	1.21
TPS60203DGS	296-10958-5-ND	Ladepumpe, geringe Welligkeit, 3,3 V, 100 mA	3.3V, 100mA Low Ripple Charge Pump	10-TSSOP	2.01	1.61	1.21
TPS60204DGSR	296-12365-1-ND	Geregelter DC/DC-Wandler, NL, für Ladepumpe mit geringer Welligkeit, 3,3 V	Regulated 3.3V Low Ripple Charge Pump LP DC/DC Converter	10-MSOP	2.00	1.60	1.25
TPS60204DGSR	296-12365-2-ND	Geregelter DC/DC-Wandler, NL, für Ladepumpe mit geringer Welligkeit, 3,3 V	Regulated 3.3V Low Ripple Charge Pump LP DC/DC Converter	10-MSOP		2800.13/2,500	
TPS60205DGSR	296-12366-1-ND	Geregelter DC/DC-Wandler, NL, für Ladepumpe mit geringer Welligkeit, 3,3 V	Regulated 3.3V Low Ripple Charge Pump LP DC/DC Converter	10-MSOP	2.00	1.60	1.25
TPS60205DGSR	296-12366-2-ND	Geregelter DC/DC-Wandler, NL, für Ladepumpe mit geringer Welligkeit, 3,3 V	Regulated 3.3V Low Ripple Charge Pump LP DC/DC Converter	10-MSOP		2800.13/2,500	
TPS60210DGS	296-10959-5-ND	Ladepumpe, geringe Welligkeit, 3,3 V, 100 mA	3.3V, 100mA Low Ripple Charge Pump	10-TSSOP	2.00	1.60	1.25
TPS60211DGS	296-10961-5-ND	Ladepumpe, geringe Welligkeit, 3,3 V, 100 mA	3.3V, 100mA Low Ripple Charge Pump	10-TSSOP	2.00	1.60	1.25
TPS60212DGS	296-10962-5-ND	Ladepumpe, geringe Welligkeit, 3,3 V, 100 mA	3.3V, 100mA Low Ripple Charge Pump	10-TSSOP	2.01	1.61	1.21
TPS60213DGS	296-10963-5-ND	Ladepumpe, geringe Welligkeit, 3,3 V, 50 mA	3.3V, 50mA Low Ripple Charge Pump	10-TSSOP	2.01	1.61	1.21
TPS60230RGTT	296-17136-1-ND	Ladepumpen-Stromquelle mit PWM-Helligkeitssteuerung, weiße LED	White LED Charge Pump Current Source w/PWM Brightness Control	16-QFN	2.86	2.29	1.78
TPS60230RGTT	296-17136-2-ND	Ladepumpen-Stromquelle mit PWM-Helligkeitssteuerung, weiße LED	White LED Charge Pump Current Source w/PWM Brightness Control	16-QFN		422.24/250	
TPS60231EVM-047	296-17608-ND	Evaluierungsmodul für TPS60231	Evaluation Module for TPS60231	—	53.15	—	—
TPS60231RGTR	296-17490-1-ND	Ladepumpen-Stromquelle mit PWM-Helligkeitssteuerung, weiße LED	White LED Charge Pump Current Source w/PWM Brightness Control	16-QFN	2.67	2.14	1.66
TPS60231RGTR	296-17490-2-ND	Ladepumpen-Stromquelle mit PWM-Helligkeitssteuerung, weiße LED	White LED Charge Pump Current Source w/PWM Brightness Control	16-QFN		4480.21/3,000	
TPS60300DGSR	296-13410-1-ND	Ladepumpe mit hohem Wirkungsgrad, Einzelzelle bis 3,3 V, 20 mA, Doppelausgang	Single Cell to 3.3V, 20mA Dual Output, High Effic. Charge Pump	10-MSOP	2.01	1.61	1.21
TPS60300DGSR	296-13410-2-ND	Ladepumpe mit hohem Wirkungsgrad, Einzelzelle bis 3,3 V, 20 mA, Doppelausgang	Single Cell to 3.3V, 20mA Dual Output, High Effic. Charge Pump	10-MSOP		2573.66/2,500	
TPS60301DGSR	296-13411-1-ND	Ladepumpe mit hohem Wirkungsgrad, Einzelzelle bis 3 V, 20 mA, Doppelausgang	Single Cell to 3V, 20mA Dual Output, High Effic. Charge Pump	10-MSOP	2.01	1.61	1.21
TPS60301DGSR	296-13411-2-ND	Ladepumpe mit hohem Wirkungsgrad, Einzelzelle bis 3 V, 20 mA, Doppelausgang	Single Cell to 3V, 20mA Dual Output, High Effic. Charge Pump	10-MSOP		2573.66/2,500	
TPS60302DGSR	296-13412-1-ND	Ladepumpe mit hohem Wirkungsgrad, Einzelzelle bis 3,3 V, 20 mA, Doppelausgang	Single Cell to 3.3V, 20mA Dual Output, High Effic. Charge Pump	10-MSOP	2.01	1.61	1.21
TPS60302DGSR	296-13412-2-ND	Ladepumpe mit hohem Wirkungsgrad, Einzelzelle bis 3,3 V, 20 mA, Doppelausgang	Single Cell to 3.3V, 20mA Dual Output, High Effic. Charge Pump	10-MSOP		2573.66/2,500	
TPS60303DGSR	296-13413-1-ND	Ladepumpe mit hohem Wirkungsgrad, Einzelzelle bis 3 V, 20 mA, Doppelausgang	Single Cell to 3V, 20mA Dual Output, High Effic. Charge Pump	10-MSOP	2.01	1.61	1.21
TPS60303DGSR	296-13413-2-ND	Ladepumpe mit hohem Wirkungsgrad, Einzelzelle bis 3 V, 20 mA, Doppelausgang	Single Cell to 3V, 20mA Dual Output, High Effic. Charge Pump	10-MSOP		2573.66/2,500	
TPS60310DGSR	296-13414-1-ND	Ladepumpe mit hohem Wirkungsgrad u. Snooze-Betrieb, Einzelzelle bis 3,3 V, 20 mA, Doppelausgang	Single Cell to 3.3V, 20mA Dual Output High Efficiency Charge Pump with Snooze Mode	10-MSOP	2.00	1.60	1.25
TPS60310DGSR	296-13414-2-ND	Ladepumpe mit hohem Wirkungsgrad u. Snooze-Betrieb, Einzelzelle bis 3,3 V, 20 mA, Doppelausgang	Single Cell to 3.3V, 20mA Dual Output High Efficiency Charge Pump with Snooze Mode	10-MSOP		2800.13/2,500	
TPS60311DGSR	296-13415-1-ND	Ladepumpe mit hohem Wirkungsgrad u. Snooze-Betrieb, Einzelzelle bis 3 V, 20 mA, Doppelausgang	Single Cell to 3V, 20mA Dual Output High Efficiency Charge Pump with Snooze Mode	10-MSOP	2.00	1.60	1.25
TPS60311DGSR	296-13415-2-ND	Ladepumpe mit hohem Wirkungsgrad u. Snooze-Betrieb, Einzelzelle bis 3 V, 20 mA, Doppelausgang	Single Cell to 3V, 20mA Dual Output High Efficiency Charge Pump with Snooze Mode	10-MSOP		2800.13/2,500	
TPS60312DGSR	296-13416-1-ND	Ladepumpe mit hohem Wirkungsgrad u. Snooze-Betrieb, Einzelzelle bis 3,3 V, 20 mA, Doppelausgang	Single Cell to 3.3V, 20mA Dual Output High Efficiency Charge Pump with Snooze Mode	10-MSOP	2.00	1.60	1.25
TPS60312DGSR	296-13416-2-ND	Ladepumpe mit hohem Wirkungsgrad u. Snooze-Betrieb, Einzelzelle bis 3,3 V, 20 mA, Doppelausgang	Single Cell to 3.3V, 20mA Dual Output High Efficiency Charge Pump with Snooze Mode	10-MSOP		2800.13/2,500	
TPS60313DGSR	296-13417-1-ND	Ladepumpe mit hohem Wirkungsgrad u. Snooze-Betrieb, Einzelzelle bis 3 V, 20 mA, Doppelausgang	Single Cell to 3V, 20mA Dual Output High Efficiency Charge Pump with Snooze Mode	10-MSOP	2.00	1.60	1.25
TPS60313DGSR	296-13417-2-ND	Ladepumpe mit hohem Wirkungsgrad u. Snooze-Betrieb, Einzelzelle bis 3 V, 20 mA, Doppelausgang	Single Cell to 3V, 20mA Dual Output High Efficiency Charge Pump with Snooze Mode	10-MSOP		2800.13/2,500	
TPS60400DBVT	296-12013-1-ND	Ladepumpen-Spannungsinverter, 60 mA	60mA Charge Pump Volt. Inverter	SOT-23-5	.79	.66	.53
TPS60400DBVT	296-12013-2-ND	Ladepumpen-Spannungsinverter, 60 mA	60mA Charge Pump Volt. Inverter	SOT-23-5		98.42/250	
TPS60401DBVT	296-12014-1-ND	Ladepumpen-Spannungsinverter, 60 mA	60mA Charge Pump Volt. Inverter	SOT-23-5	.79	.66	.53
TPS60401DBVT	296-12014-2-ND	Ladepumpen-Spannungsinverter, 60 mA	60mA Charge Pump Volt. Inverter	SOT-23-5		98.42/250	
TPS60402DBVT	296-12015-1-ND	Ladepumpen-Spannungsinverter, 60 mA	60mA Charge Pump Volt. Inverter	SOT-23-5	.79	.66	.53
TPS60402DBVT	296-12015-2-ND	Ladepumpen-Spannungsinverter, 60 mA	60mA Charge Pump Volt. Inverter	SOT-23-5		98.42/250	
TPS60403DBVT	296-13418-1-ND	Ungeregelter Ladepumpen-Spannungsinverter, 60 mA	Unregulated 60mA Charge Pump Voltage Inverter	SOT-23-5	.79	.66	.53
TPS60403DBVT	296-13418-2-ND	Ungeregelter Ladepumpen-Spannungsinverter, 60 mA	Unregulated 60mA Charge Pump Voltage Inverter	SOT-23-5		98.42/250	
TPS60500DGS	296-12513-5-ND	Step-Down-Ladepumpe mit hohem Wirkungsgrad, 0,8-3,3 V, 250 mA	0.8-3.3V, 250mA High Efficiency Step-Down Charge Pump	10-MSOP	1.69	1.36	1.02
TPS60500DGSR	296-17015-1-ND	250 mA Step-Down-Ladepumpe	250mA Step-Down Charge Pump	10-MSOP	1.69	1.36	1.02
TPS60500DGSR	296-17015-2-ND	250 mA Step-Down-Ladepumpe	250mA Step-Down Charge Pump	10-MSOP		2167.30/2,500	
TPS60501DGS	296-12514-5-ND	Step-Down-Ladepumpe mit hohem Wirkungsgrad, 3,3 V, 250 mA	3.3V, 250mA High Efficiency Step-Down Charge Pump	10-MSOP	1.69	1.36	1.02
TPS60502DGS	296-12515-5-ND	Step-Down-Ladepumpe mit hohem Wirkungsgrad, 1,8 V, 250 mA	1.8V, 250mA High Efficiency Step-Down Charge Pump	10-MSOP	1.69	1.36	1.02
TPS60503DGS	296-12516-5-ND	Step-Down-Ladepumpe mit hohem Wirkungsgrad, 1,5 V, 250 mA	1.5V, 250mA High Efficiency Step-Down Charge Pump	10-MSOP	1.69	1.36	1.02
TPS61000DGS	296-3217-5-ND	Einstellbarer Boost-Wandler, 100 mA	Adj., 100mA Boost Converter	10-MSOP	1.90	1.53	1.15
TPS61001DGS	296-3218-5-ND	Boost-Wandler, 1,5 V, 100 mA	1.5V, 100mA Boost Converter	10-MSOP	1.90	1.53	1.15
TPS61002DGS	296-3219-5-ND	Boost-Wandler, 1,8 V, 100 mA	1.8V, 100mA Boost Converter	10-MSOP	1.90	1.53	1.15
TPS61003DGS	296-3220-5-ND	Boost-Wandler, 2,5 V, 100 mA	2.5V, 100mA Boost Converter	10-MSOP	1.90	1.53	1.15
TPS61004DGS	296-3221-5-ND	Boost-Wandler, 2,8 V, 100 mA	2.8V, 100mA Boost Converter	10-MSOP	1.90	1.53	1.15
TPS61005DGS	296-3222-5-ND	Boost-Wandler, 3,0 V, 100 mA	3.0V, 100mA Boost Converter	10-MSOP	1.90	1.53	1.15
TPS61006DGS	296-3223-5-ND	Boost-Wandler, 3,3 V, 100 mA	3.3V, 100mA Boost Converter	10-MSOP	1.90	1.53	1.15
TPS61007DGS	296-3224-5-ND	Einstellbarer Boost-Wandler, 100 mA	Adj., 100mA Boost Converter	10-MSOP	1.90	1.53	1.15
TPS61010DGS	296-10969-5-ND	Einstellbarer synch. Boost-Wandler	Adj., Synchronous Boost Converter	10-TSSOP	2.10	1.68	1.31
TPS61011DGS	296-10970-5-ND	Synch. Boost-Wandler, 1,5 V	1.5V Synchronous Boost Converter	10-TSSOP	2.10	1.68	1.31
TPS61012DGS	296-10971-5-ND	Synch. Boost-Wandler, 1,8 V	1.8V Synchronous Boost Converter	10-TSSOP	2.10	1.68	1.31
TPS61013DGS	296-10972-5-ND	Synch. Boost-Wandler, 2,5 V	2.5V Synchronous Boost Converter	10-TSSOP	2.10	1.68	1.31
TPS61014DGS	296-10973-5-ND	Synch. Boost-Wandler, 2,8 V	2.8V Synchronous Boost Converter	10-TSSOP	2.10	1.68	1.31
TPS61015DGS	296-10974-5-ND	Boost-Wandler, 3,0 V	3.0V Synchronous Boost Converter	10-TSSOP	2.10	1.68	1.31
TPS61016DGS	296-10975-5-ND	Boost-Wandler, 3,3 V	3.3V Synchronous Boost Converter	10-TSSOP	2.10	1.68	1.31
TPS61020DRCR	296-15752-1-ND	Synch. Boost-Wandler	Synchronous Boost Converter	10-SON	2.67	2.14	1.66
TPS61020DRCR	296-15752-2-ND	Synch. Boost-Wandler	Synchronous Boost Converter	10-SON		4480.21/3,000	
TPS61024DRCR	296-15753-1-ND	Synch. Boost-Wandler	Synchronous Boost Converter	10-SON	2.67	2.14	1.66
TPS61024DRCR	296-15753-2-ND	Synch. Boost-Wandler	Synchronous Boost Converter	10-SON		4480.21/3,000	
TPS61025DRCR	296-15844-1-ND	Synch. Boost-Wandler	Synchronous Boost Converter	10-SON	2.67	2.14	1.66
TPS61025DRCR	296-15844-2-ND	Synch. Boost-Wandler	Synchronous Boost Converter	10-SON		4480.21/3,000	
TPS61027DRCR	296-15754-1-ND	Synch. Boost-Wandler	Synchronous Boost Converter	10-SON	2.67	2.14	1.66
TPS61027DRCR	296-15754-2-ND	Synch. Boost-Wandler	Synchronous Boost Converter	10-SON		4480.21/3,000	
TPS61030PWPR	296-14416-1-ND	Boost-Wandler, Einzel-/Doppelzelle	Single/Dual Cell Boost Converter	16-HTSSOP	4.00	3.20	2.49
TPS61030PWPR	296-14416-2-ND	Boost-Wandler, Einzel-/Doppelzelle	Single/Dual Cell Boost Converter	16-HTSSOP		4534.39/2,000	
TPS61030RSAR	296-16660-1-ND	Einst. synch. Boost-Wandler	Adj., Sync. Boost Converter	16-QFN	4.00	3.20	2.49
TPS61030RSAR	296-16660-2-ND	Einst. synch. Boost-Wandler	Adj., Sync. Boost Converter	16-QFN		6720.31/3,000	
TPS61031PWPR	296-14417-1-ND	Boost-Wandler, Einzel-/Doppelzelle	Single/Dual Cell Boost Converter	16-HTSSOP	4.00	3.20	2.49
TPS61031PWPR	296-14417-2-ND	Boost-Wandler, Einzel-/Doppelzelle	Single/Dual Cell Boost Converter	16-HTSSOP		4534.39/2,000	
TPS61031RSAR	296-16661-1-ND	Synch. Boost-Wandler, 3,3 V	3.3V, Sync. Boost Converter	16-QFN	4.00	3.20	2.49
TPS61031RSAR	296-16661-2-ND	Synch. Boost-Wandler, 3,3 V	3.3V, Sync. Boost Converter	16-QFN		6720.31/3,000	
TPS61032PWPR	296-14418-1-ND	Boost-Wandler, Einzel- oder Doppelzelle	Single or Dual Cell Boost Converter	16-TSSOP	4.00	3.20	2.49
TPS61032PWPR	296-14418-2-ND	Boost-Wandler, Einzel- oder Doppelzelle	Single or Dual Cell Boost Converter	16-TSSOP		4534.39/2,000	
TPS61032RSAR	296-16662-1-ND	Synch. Boost-Wandler, 5 V	5V, Sync. Boost Converter	16-QFN	4.00	3.20	2.49
TPS61032RSAR	296-16662-2-ND	Synch. Boost-Wandler, 5 V	5V, Sync. Boost Converter	16-QFN		6720.31/3,000	
TPS61040DBVR	296-12685-1-ND	DC/DC-Boost-Wandler, NL	LP DC/DC Boost Converter	SOT-23-5	2.01	1.61	1.21
TPS61040DBVR	296-12685-2-ND	DC/DC-Boost-Wandler, NL	LP DC/DC Boost Converter	SOT-23-5		3088.40/3,000	
TPS61041DBVR	296-12686-1-ND	DC/DC-Boost-Wandler, NL	LP DC/DC Boost Converter	SOT-23-5	1.59	1.27	.96
TPS61041DBVR	296-12686-2-ND	DC/DC-Boost-Wandler, NL	LP DC/DC Boost Converter	SOT-23-5		2438.21/3,000	
TPS61042DRBR	296-14449-1-ND	Konstantstrom-LED-Treiber	Constant Current LED Driver	8-QFN	2.29	1.83	1.43
TPS61042DRBR	296-14449-2-ND	Konstantstrom-LED-Treiber	Constant Current LED Driver	8-QFN		3840.18/3,000	
TPS61043DRBR	296-16675-1-ND	Konstantstrom-LED-Treiber	Constant Current LED Driver	8-SON	2.10	1.68	1.26
TPS61043DRBR	296-16675-2-ND	Konstantstrom-LED-Treiber	Constant Current LED Driver	8-SON		3217.93/3,000	
TPS61045DRBR	296-14419-1-ND	Einstellbarer LCD-Boost-Wandler	Adjustable LCD Boost Converter	8-SON	2.57	2.06	1.61

(Forts.)

★ RUFEN SIE BITTE AN FÜR NIEDRIGERE PREISE BEI GRÖSSEREN MENGEN! ★

T. I. Teilenr.	Digi-Key Teilenr.	Beschreibung		Paket	Stückpreis★ 1	25	100
TPS61045DRBR	296-14419-2-ND	Einstellbarer LCD-Boost-Wandler	Adjustable LCD Boost Converter	8-SON		4320.20/3,000	
TPS61060DRBR	296-17500-1-ND	Konstantstrom-LED-Treiber	Constant Current LED Driver	8-SON	2.57	2.06	1.61
TPS61060DRBR	296-17500-2-ND	Konstantstrom-LED-Treiber	Constant Current LED Driver	8-SON		4320.20/3,000	
TPS61060YZFT	296-17745-1-ND	Konstantstrom-LED-Treiber	Constant Current LED Driver	8-DSBGA	2.76	2.21	1.72
TPS61060YZFT	296-17745-2-ND	Konstantstrom-LED-Treiber	Constant Current LED Driver	8-DSBGA		408.27/250	
TPS61061DRBR	296-17499-1-ND	Konstantstrom-LED-Treiber	Constant Current LED Driver	8-SON	2.57	2.06	1.61
TPS61061DRBR	296-17499-2-ND	Konstantstrom-LED-Treiber	Constant Current LED Driver	8-SON		4320.20/3,000	
TPS61061EVM-091	296-17517-ND	Evaluierungsmodul für TPS61061-091	Evaluation Module for TPS61061-091	—	53.15	—	—
TPS61061YZFT	296-17746-1-ND	Konstantstrom-LED-Treiber	Constant Current LED Driver	8-DSBGA	2.76	2.21	1.72
TPS61061YZFT	296-17746-2-ND	Konstantstrom-LED-Treiber	Constant Current LED Driver	8-DSBGA		408.27/250	
TPS61062DRBR	296-17502-1-ND	Konstantstrom-LED-Treiber	Constant Current LED Driver	8-SON	2.57	2.06	1.61
TPS61062DRBR	296-17502-2-ND	Konstantstrom-LED-Treiber	Constant Current LED Driver	8-SON		4320.20/3,000	
TPS61062YZFT	296-17747-1-ND	Konstantstrom-LED-Treiber	Constant Current LED Driver	8-DSBGA	2.76	2.21	1.72
TPS61062YZFT	296-17747-2-ND	Konstantstrom-LED-Treiber	Constant Current LED Driver	8-DSBGA		408.27/250	
TPS61070DDCR	296-17151-1-ND	Synch. Boost-Wandler mit 600-mA-Schalter	Sync. Boost Converter with 600mA Switch	TSOT-6	2.01	1.61	1.21
TPS61070DDCR	296-17151-2-ND	Synch. Boost-Wandler mit 600-mA-Schalter	Sync. Boost Converter with 600mA Switch	TSOT-6		3088.40/3,000	
TPS61070EVM-62	296-17213-ND	Evaluierungsmodul für TPS61070	Evaluation Module for TPS61070	—	62.23	—	—
TPS61071DDCR	296-17227-1-ND	Synch. Boost-Wandler mit 600-mA-Schalter	Sync. Boost Converter with 600mA Switch	TSOT-6	2.01	1.61	1.21
TPS61071DDCR	296-17227-2-ND	Synch. Boost-Wandler mit 600-mA-Schalter	Sync. Boost Converter with 600mA Switch	TSOT-6		3088.40/3,000	
TPS61090RSAR	296-15259-1-ND	Synch. Boost-Wandler mit 2 A-Schalter	Sync. Boost Converter w/2A Switch	16-QFN	3.24	2.60	2.02
TPS61090RSAR	296-15259-2-ND	Synch. Boost-Wandler mit 2 A-Schalter	Sync. Boost Converter w/2A Switch	16-QFN		5440.25/3,000	
TPS61091RSAR	296-15239-1-ND	Synch. Boost-Wandler mit 2 A-Schalter	Sync. Boost Converter w/2A Switch	16-QFN	3.24	2.60	2.02
TPS61091RSAR	296-15239-2-ND	Synch. Boost-Wandler mit 2 A-Schalter	Sync. Boost Converter w/2A Switch	16-QFN		5440.25/3,000	
TPS61092RSAR	296-15240-1-ND	Synch. Boost-Wandler mit 2 A-Schalter	Sync. Boost Converter w/2A Switch	16-QFN	3.24	2.60	2.02
TPS61092RSAR	296-15240-2-ND	Synch. Boost-Wandler mit 2 A-Schalter	Sync. Boost Converter w/2A Switch	16-QFN		5440.25/3,000	
TPS61100PW	296-13515-5-ND	Einstellbarer Einzelzellen-Boost-Wandler, zwei Ausgänge	Adj., Dual Output, Single Cell Boost Converter	20-TSSOP	3.52	2.82	2.20
TPS61103PW	296-13516-5-ND	Einzelzellen-Boost-Wandler, zwei Ausgänge, 3,3 V	3.3V, Dual Output, Single Cell Boost Converter	20-TSSOP	3.52	2.82	2.20
TPS61106PW	296-13517-5-ND	Einzelzellen-Boost-Wandler, zwei Ausgänge, 3,3 V	3.3V, Dual Output, Single Cell Boost Converter	20-TSSOP	3.52	2.82	2.20
TPS61107PWR	296-13750-1-ND	Einzelzellen-Boost-Wandler, zwei Ausgänge	Dual Output, Single Cell Boost Converter	20-TSSOP	3.52	2.82	2.20
TPS61107PWR	296-13750-2-ND	Einzelzellen-Boost-Wandler, zwei Ausgänge	Dual Output, Single Cell Boost Converter	20-TSSOP		3994.26/2,000	
TPS61120PW	296-13518-5-ND	Einstellb. Boost-Wandler, zwei Ausgänge, Einzelzelle Li oder Doppelzelle	Adj., Dual Output, Single Cell Li or Dual Cell Boost Converter	16-TSSOP	3.72	2.98	2.32
TPS61121PW	296-13519-5-ND	Boost-Wandler, zwei Ausgänge, Einzelzelle Li oder Doppelzelle, 3,3 V	3.3V, Dual Output, Single Cell Li or Dual Cell Boost Converter	16-TSSOP	3.72	2.98	2.32
TPS61122PW	296-13520-5-ND	Boost-Wandler, zwei Ausgänge, Einzelzelle Li oder Doppelzelle, 3,6 V	3.6V, Dual Output, Single Cell Li or Dual Cell Boost Converter	16-TSSOP	3.72	2.98	2.32
TPS62000YEGT	296-15776-1-ND	Äußerst effizienter Step-Down-DC/DC-Wandler, NL	High Efficiency Step-Down, Low Power DC/DC Converter	12-WCSP	2.76	2.21	1.72
TPS62000YEGT	296-15776-2-ND	Äußerst effizienter Step-Down-DC/DC-Wandler, NL	High Efficiency Step-Down, Low Power DC/DC Converter	12-WCSP		408.27/250	
TPS62007DGS	296-12517-5-ND	Step-Down-DC/DC-Wandler mit hohem Wirkungsgrad, 3,3 V	3.3V High Efficiency Step-Down, DC/DC Converter	10-MSOP	2.67	2.14	1.66
TPS62008DGS	296-15676-5-ND	Step-Down-DC/DC-Wandler mit hohem Wirkungsgrad, 600 mA	600mA High Efficiency, Step-Down, DC/DC Converter	10-MSOP	2.67	2.14	1.66
TPS62020DGQR	296-15250-1-ND	Step-Down-Wandler mit hohem Wirkungsgrad, 600 mA	600mA High Efficiency Step-Down Converter	10-MSOP	3.05	2.44	1.90
TPS62020DGQR	296-15250-2-ND	Step-Down-Wandler mit hohem Wirkungsgrad, 600 mA	600mA High Efficiency Step-Down Converter	10-MSOP		4266.86/2,500	
TPS62020DRCR	296-15897-1-ND	Step-Down-Wandler mit hohem Wirkungsgrad, 600 mA	600mA High Efficiency Step-Down Converter	10-SON	3.05	2.44	1.90
TPS62020DRCR	296-15897-2-ND	Step-Down-Wandler mit hohem Wirkungsgrad, 600 mA	600mA High Efficiency Step-Down Converter	10-SON		5120.24/3,000	
TPS62021DGQR	296-17179-1-ND	Step-Down-Wandler mit hohem Wirkungsgrad, 600 mA/1,25 MHz	600mA/1.25MHz High Efficiency Step-Down Converter	10-MSOP	3.05	2.44	1.90
TPS62021DGQR	296-17179-2-ND	Step-Down-Wandler mit hohem Wirkungsgrad, 600 mA/1,25 MHz	600mA/1.25MHz High Efficiency Step-Down Converter	10-MSOP		4266.86/2,500	
TPS62021DRCR	296-17180-1-ND	Step-Down-Wandler mit hohem Wirkungsgrad, 600 mA/1,25 MHz	600mA/1.25MHz High Efficiency Step-Down Converter	10-SON	3.05	2.44	1.90
TPS62021DRCR	296-17180-2-ND	Step-Down-Wandler mit hohem Wirkungsgrad, 600 mA/1,25 MHz	600mA/1.25MHz High Efficiency Step-Down Converter	10-SON		5120.24/3,000	
TPS62026DGQR	296-17693-1-ND	Step-Down-Wandler mit hohem Wirkungsgrad, 600 mA/1,25 MHz	600mA/1.25MHz High Efficiency Step-Down Converter	10-MSOP	3.05	2.44	1.90
TPS62026DGQR	296-17693-2-ND	Step-Down-Wandler mit hohem Wirkungsgrad, 600 mA/1,25 MHz	600mA/1.25MHz High Efficiency Step-Down Converter	10-MSOP		4266.86/2,500	
TPS62026DRCR	296-17694-1-ND	Step-Down-Wandler mit hohem Wirkungsgrad, 600 mA/1,25 MHz	600mA/1.25MHz High Efficiency Step-Down Converter	10-QFN	3.05	2.44	1.90
TPS62026DRCR	296-17694-2-ND	Step-Down-Wandler mit hohem Wirkungsgrad, 600 mA/1,25 MHz	600mA/1.25MHz High Efficiency Step-Down Converter	10-QFN		5120.24/3,000	
TPS62040DGQR	296-15219-1-ND	Step-Down-Wandler mit hohem Wirkungsgrad, 1,2 A, 1,25 MHz	1.2A, 1.25MHz, High Efficiency Step-Down Converter	10-MSOP	3.62	2.90	2.26
TPS62040DGQR	296-15219-2-ND	Step-Down-Wandler mit hohem Wirkungsgrad, 1,2 A, 1,25 MHz	1.2A, 1.25MHz, High Efficiency Step-Down Converter	10-MSOP		5066.90/2,500	
TPS62040DRCR	296-15898-1-ND	Step-Down-Wandler mit hohem Wirkungsgrad, 1,2 A, 1,25 MHz	1.2A, 1.25MHz, High Efficiency Step-Down Converter	10-SON	3.62	2.90	2.26
TPS62040DRCR	296-15898-2-ND	Step-Down-Wandler mit hohem Wirkungsgrad, 1,2 A, 1,25 MHz	1.2A, 1.25MHz, High Efficiency Step-Down Converter	10-SON		6080.28/3,000	
TPS62042DGQR	296-15220-1-ND	Step-Down-Wandler mit hohem Wirkungsgrad, 1,2 A, 1,25 MHz	1.2A, 1.25MHz, High Efficiency Step-Down Converter	10-MSOP	3.62	2.90	2.26
TPS62042DGQR	296-15220-2-ND	Step-Down-Wandler mit hohem Wirkungsgrad, 1,2 A, 1,25 MHz	1.2A, 1.25MHz, High Efficiency Step-Down Converter	10-MSOP		5066.90/2,500	
TPS62042DRCR	296-15899-1-ND	Step-Down-Wandler mit hohem Wirkungsgrad, 1,2 A, 1,25 MHz	1.2A, 1.25MHz, High Efficiency Step-Down Converter	10-SON	3.62	2.90	2.26
TPS62042DRCR	296-15899-2-ND	Step-Down-Wandler mit hohem Wirkungsgrad, 1,2 A, 1,25 MHz	1.2A, 1.25MHz, High Efficiency Step-Down Converter	10-SON		6080.28/3,000	
TPS62043DGQR	296-15221-1-ND	Step-Down-Wandler mit hohem Wirkungsgrad, 1,2 A, 1,25 MHz	1.2A, 1.25MHz, High Efficiency Step-Down Converter	10-MSOP	3.62	2.90	2.26
TPS62043DGQR	296-15221-2-ND	Step-Down-Wandler mit hohem Wirkungsgrad, 1,2 A, 1,25 MHz	1.2A, 1.25MHz, High Efficiency Step-Down Converter	10-MSOP		5066.90/2,500	
TPS62043DRCR	296-15900-1-ND	Step-Down-Wandler mit hohem Wirkungsgrad, 1,2 A, 1,25 MHz	1.2A, 1.25MHz, High Efficiency Step-Down Converter	10-SON	3.62	2.90	2.26
TPS62043DRCR	296-15900-2-ND	Step-Down-Wandler mit hohem Wirkungsgrad, 1,2 A, 1,25 MHz	1.2A, 1.25MHz, High Efficiency Step-Down Converter	10-SON		6080.28/3,000	
TPS62044DGQR	296-15222-1-ND	Step-Down-Wandler mit hohem Wirkungsgrad, 1,2 A, 1,25 MHz	1.2A, 1.25MHz, High Efficiency Step-Down Converter	10-MSOP	3.62	2.90	2.26
TPS62044DGQR	296-15222-2-ND	Step-Down-Wandler mit hohem Wirkungsgrad, 1,2 A, 1,25 MHz	1.2A, 1.25MHz, High Efficiency Step-Down Converter	10-MSOP		5066.90/2,500	
TPS62044DRCR	296-15901-1-ND	Step-Down-Wandler mit hohem Wirkungsgrad, 1,2 A, 1,25 MHz	1.2A, 1.25MHz, High Efficiency Step-Down Converter	10-SON	3.62	2.90	2.26
TPS62044DRCR	296-15901-2-ND	Step-Down-Wandler mit hohem Wirkungsgrad, 1,2 A, 1,25 MHz	1.2A, 1.25MHz, High Efficiency Step-Down Converter	10-SON		6080.28/3,000	
TPS62046DGQR	296-15223-1-ND	Step-Down-Wandler mit hohem Wirkungsgrad, 1,2 A, 1,25 MHz	1.2A, 1.25MHz, High Efficiency Step-Down Converter	10-MSOP	3.62	2.90	2.26
TPS62046DGQR	296-15223-2-ND	Step-Down-Wandler mit hohem Wirkungsgrad, 1,2 A, 1,25 MHz	1.2A, 1.25MHz, High Efficiency Step-Down Converter	10-MSOP		5066.90/2,500	
TPS62046DRCR	296-15902-1-ND	Step-Down-Wandler mit hohem Wirkungsgrad, 1,2 A, 1,25 MHz	1.2A, 1.25MHz, High Efficiency Step-Down Converter	10-SON	3.62	2.90	2.26
TPS62046DRCR	296-15902-2-ND	Step-Down-Wandler mit hohem Wirkungsgrad, 1,2 A, 1,25 MHz	1.2A, 1.25MHz, High Efficiency Step-Down Converter	10-SON		6080.28/3,000	
TPS62050DGSR	296-14392-1-ND	Synch. Step-Down-Wandler, 800 mA	800mA Sync. Step-Down Converter	10-MSOP	3.52	2.82	2.20
TPS62050DGSR	296-14392-2-ND	Synch. Step-Down-Wandler, 800 mA	800mA Sync. Step-Down Converter	10-MSOP		4933.56/2,500	
TPS62051DGS	296-14209-5-ND	Synch. Step-Down-Wandler, 800 mA	800mA Sync. Step-Down Converter	10-MSOP	3.52	2.82	2.20
TPS62052DGS	296-14210-5-ND	Synch. Step-Down-Wandler, 800 mA	800mA Sync. Step-Down Converter	10-MSOP	3.52	2.82	2.20
TPS62054DGS	296-14211-5-ND	Synch. Step-Down-Wandler, 800 mA	800mA Sync. Step-Down Converter	10-MSOP	3.52	2.82	2.20
TPS62056DGS	296-14212-5-ND	Synch. Step-Down-Wandler, 800 mA	800mA Sync. Step-Down Converter	10-MSOP	3.52	2.82	2.20
TPS62200DBVR	296-12716-1-ND	Einstellb. Step-Down-DC/DC-Wandler mit hohem Wirkungsgrad	Adj., High Efficiency Step-Down, DC/DC Converter	SOT-23-5	1.69	1.36	1.02
TPS62200DBVR	296-12716-2-ND	Einstellb. Step-Down-DC/DC-Wandler mit hohem Wirkungsgrad	Adj., High Efficiency Step-Down, DC/DC Converter	SOT-23-5		2600.76/3,000	
TPS62201DBVT	296-12717-1-ND	Step-Down-DC/DC-Wandler mit hohem Wirkungsgrad, 1,5 V	1.5V, High Efficiency Step-Down, DC/DC Converter	SOT-23-5	1.69	1.36	1.02
TPS62201DBVT	296-12717-2-ND	Step-Down-DC/DC-Wandler mit hohem Wirkungsgrad, 1,5 V	1.5V, High Efficiency Step-Down, DC/DC Converter	SOT-23-5		237.05/250	
TPS62202DBVT	296-12718-1-ND	Step-Down-DC/DC-Wandler mit hohem Wirkungsgrad, 1,8 V	1.8V, High Efficiency Step-Down, DC/DC Converter	SOT-23-5	1.69	1.36	1.02
TPS62202DBVT	296-12718-2-ND	Step-Down-DC/DC-Wandler mit hohem Wirkungsgrad, 1,8 V	1.8V, High Efficiency Step-Down, DC/DC Converter	SOT-23-5		237.05/250	
TPS62203DBVT	296-12719-1-ND	Step-Down-DC/DC-Wandler mit hohem Wirkungsgrad, 3,3 V	3.3V, High Efficiency Step-Down, DC/DC Converter	SOT-23-5	1.69	1.36	1.02
TPS62203DBVT	296-12719-2-ND	Step-Down-DC/DC-Wandler mit hohem Wirkungsgrad, 3,3 V	3.3V, High Efficiency Step-Down, DC/DC Converter	SOT-23-5		237.05/250	
TPS62204DBVT	296-12720-1-ND	Step-Down-DC/DC-Wandler mit hohem Wirkungsgrad, 1,6 V	1.6V, High Efficiency Step-Down, DC/DC Converter	SOT-23-5	1.69	1.36	1.02
TPS62204DBVT	296-12720-2-ND	Step-Down-DC/DC-Wandler mit hohem Wirkungsgrad, 1,6 V	1.6V, High Efficiency Step-Down, DC/DC Converter	SOT-23-5		237.05/250	
TPS62205DBVT	296-12721-1-ND	Step-Down-DC/DC-Wandler mit hohem Wirkungsgrad, 2,5 V	2.5V, High Efficiency Step-Down, DC/DC Converter	SOT-23-5	1.69	1.36	1.02
TPS62205DBVT	296-12721-2-ND	Step-Down-DC/DC-Wandler mit hohem Wirkungsgrad, 2,5 V	2.5V, High Efficiency Step-Down, DC/DC Converter	SOT-23-5		237.05/250	
TPS62207DBVT	296-17197-1-ND	Synch. Step-Down-DC/DC-Wandler mit hohem Wirkungsgrad, 1,2 V	1.2V, High-Eff. Sync. Step-Down Converter	SOT-23-5	2.57	2.06	1.61
TPS62207DBVT	296-17197-2-ND	Synch. Step-Down-DC/DC-Wandler mit hohem Wirkungsgrad, 1,2 V	1.2V, High-Eff. Sync. Step-Down Converter	SOT-23-5		380.12/250	
TPS62208DBVR	296-16966-1-ND	Step-Down-DC/DC-Wandler mit hohem Wirkungsgrad, 2,8 V	2.8V, High-Efficiency Step-Down, DC/DC Converter	SOT-23-5	1.69	1.36	1.02
TPS62208DBVR	296-16966-2-ND	Step-Down-DC/DC-Wandler mit hohem Wirkungsgrad, 2,8 V	2.8V, High-Efficiency Step-Down, DC/DC Converter	SOT-23-5		2600.76/3,000	
TPS62220DDCT	296-15793-1-ND	Äußerst effizienter, einstellbarer Step-Down-Wandler, 400 mA	Adj., 400mA, High Efficiency Step-Down Converter	SOT-23-5	2.67	2.14	1.66
TPS62220DDCT	296-15793-2-ND	Äußerst effizienter, einstellbarer Step-Down-Wandler, 400 mA	Adj., 400mA, High Efficiency Step-Down Converter	SOT-23-5		394.09/250	
TPS62221DDCT	296-15794-1-ND	Step-Down-Wandler mit hohem Wirkungsgrad, 1,5 V, 400 mA	1.5V, 400mA, High Efficiency Step-Down Converter	SOT-23-5	2.86	2.29	1.78
TPS62221DDCT	296-15794-2-ND	Step-Down-Wandler mit hohem Wirkungsgrad, 1,5 V, 400 mA	1.5V, 400mA, High Efficiency Step-Down Converter	SOT-23-5		422.24/250	
TPS62222DDCT	296-15795-1-ND	Step-Down-Wandler mit hohem Wirkungsgrad, 1,8 V, 400 mA	1.8V, 400mA, High Efficiency Step-Down Converter	SOT-23-5	2.86	2.29	1.78
TPS62222DDCT	296-15795-2-ND	Step-Down-Wandler mit hohem Wirkungsgrad, 1,8 V, 400 mA	1.8V, 400mA, High Efficiency Step-Down Converter	SOT-23-5		422.24/250	
TPS62223DDCT	296-17104-1-ND	Step-Down-Wandler mit hohem Wirkungsgrad, 400 mA/1,25 MHz	400mA/1.25MHz, High Efficiency, Step-Down Converter	TSOT-23	2.86	2.29	1.78
TPS62223DDCT	296-17104-2-ND	Step-Down-Wandler mit hohem Wirkungsgrad, 400 mA/1,25 MHz	400mA/1.25MHz, High Efficiency, Step-Down Converter	TSOT-23		422.24/250	
TPS62224DDCT	296-15796-1-ND	Step-Down-Wandler mit hohem Wirkungsgrad, 1,6 V, 400 mA	1.6V, 400mA, High Efficiency Step-Down Converter	SOT-23-5	2.86	2.29	1.78

(Forts.)

★ ***RUFEN SIE BITTE AN FÜR NIEDRIGERE PREISE BEI GRÖSSEREN MENGEN!*** ★

B

T. I. Teilenr.	Digi-Key Teilenr.	Beschreibung		Paket	Stückpreis★ 1	25	100
TPS62224DDCT	296-15796-2-ND	Step-Down-Wandler mit hohem Wirkungsgrad, 1,6 V, 400 mA	1.6V, 400mA, High Efficiency Step-Down Converter	SOT-23-5		422.24/250	
TPS62228DDCT	296-17453-1-ND	Step-Down-Wandler, 1,875 V, 400 mA, 1,25 MHz	1.875V, 400mA, 1.25MHz Step-Down Converter	TSOT-23-5	2.86	2.29	1.78
TPS62228DDCT	296-17453-2-ND	Step-Down-Wandler, 1,875 V, 400 mA, 1,25 MHz	1.875V, 400mA, 1.25MHz Step-Down Converter	TSOT-23-5		422.24/250	
TPS62229DDCT	296-17454-1-ND	Step-Down-Wandler, 1,7 V, 400 mA, 1,25 MHz	1.7V, 400mA, 1.25MHz Step-Down Converter	TSOT-23-5	2.86	2.29	1.78
TPS62229DDCT	296-17454-2-ND	Step-Down-Wandler, 1,7 V, 400 mA, 1,25 MHz	1.7V, 400mA, 1.25MHz Step-Down Converter	TSOT-23-5		422.24/250	
TPS62301YZDR	296-17290-1-ND	Synch. Step-Down-Wandler, 1,5 V	1.5V, Sync. Step-Down Converter	8-CSP	3.72	2.98	2.32
TPS62301YZDR	296-17290-2-ND	Synch. Step-Down-Wandler, 1,5 V	1.5V, Sync. Step-Down Converter	8-CSP		6240.29/3,000	
TPS62302YZDR	296-17292-1-ND	Synch. Step-Down-Wandler, 1,6 V	1.6V, Sync. Step-Down Converter	8-CSP	3.72	2.98	2.32
TPS62302YZDR	296-17292-2-ND	Synch. Step-Down-Wandler, 1,6 V	1.6V, Sync. Step-Down Converter	8-CSP		6240.29/3,000	
TPS62303YZDT	296-17291-1-ND	Synch. Step-Down-Wandler, 1,8 V	1.8V, Sync. Step-Down Converter	8-CSP	3.72	2.98	2.32
TPS62303YZDT	296-17291-2-ND	Synch. Step-Down-Wandler, 1,8 V	1.8V, Sync. Step-Down Converter	8-CSP		549.02/250	
TPS62320YEDT	296-17293-1-ND	Einstellb. synch. Step-Down-Wandler	Adj. Sync. Step-Down Converter	8-CSP	3.72	2.98	2.32
TPS62320YEDT	296-17293-2-ND	Einstellb. synch. Step-Down-Wandler	Adj. Sync. Step-Down Converter	8-CSP		549.02/250	
TPS62320YZDT	296-17294-1-ND	Einstellb. synch. Step-Down-Wandler	Adj. Sync. Step-Down Converter	8-CSP	3.72	2.98	2.32
TPS62320YZDT	296-17294-2-ND	Einstellb. synch. Step-Down-Wandler	Adj. Sync. Step-Down Converter	8-CSP		549.02/250	
TPS62321YEDT	296-17295-1-ND	Synch. Step-Down-Wandler, 1,5 V	1.5V, Sync. Step-Down Converter	8-CSP	3.72	2.98	2.32
TPS62321YEDT	296-17295-2-ND	Synch. Step-Down-Wandler, 1,5 V	1.5V, Sync. Step-Down Converter	8-CSP		549.02/250	
TPS62321YZDT	296-17296-1-ND	Synch. Step-Down-Wandler, 1,5 V	1.5V, Sync. Step-Down Converter	8-CSP	3.72	2.98	2.32
TPS62321YZDT	296-17296-2-ND	Synch. Step-Down-Wandler, 1,5 V	1.5V, Sync. Step-Down Converter	8-CSP		549.02/250	
TPS64200DBVT	296-15704-1-ND	Einstellb. Step-Down-Controller	Adj., Step-Down Controller	SOT-23-6	1.17	.94	.70
TPS64200DBVT	296-15704-2-ND	Einstellb. Step-Down-Controller	Adj., Step-Down Controller	SOT-23-6		162.97/250	
TPS64201DBVT	296-15705-1-ND	Einstellb. Step-Down-Controller	Adj., Step-Down Controller	SOT-23-6	1.17	.94	.70
TPS64201DBVT	296-15705-2-ND	Einstellb. Step-Down-Controller	Adj., Step-Down Controller	SOT-23-6		162.97/250	
TPS64202DBVT	296-15706-1-ND	Einstellb. Step-Down-Controller	Adj., Step-Down Controller	SOT-23-6	1.17	.94	.70
TPS64202DBVT	296-15706-2-ND	Einstellb. Step-Down-Controller	Adj., Step-Down Controller	SOT-23-6		162.97/250	
TPS64203DBVT	296-15707-1-ND	Einstellb. Step-Down-Controller	Adj., Step-Down Controller	SOT-23-6	1.17	.94	.70
TPS64203DBVT	296-15707-2-ND	Einstellb. Step-Down-Controller	Adj., Step-Down Controller	SOT-23-6		162.97/250	
TPS65100PWPR	296-17082-1-ND	LCD-Versorgung, dreif. Ausgang	Triple Output LCD Supply	24-TSSOP	3.34	2.67	2.08
TPS65100PWPR	296-17082-2-ND	LCD-Versorgung, dreif. Ausgang	Triple Output LCD Supply	24-TSSOP		3777.53/2,000	
TPS65110RGE	296-15797-ND	Dreif. Ladepumpe LTPS-LCD Bias-Stromversorgung	Triple Charge Pump LTPS-LCD Bias Power Supply	24-QFN	2.48	1.99	1.55
TPS65110RGER	296-15841-1-ND	Dreif. Ladepumpe LTPS-LCD Bias-Stromversorgung	Triple Charge Pump LTPS-LCD Bias Power Supply	24-QFN	2.48	1.99	1.55
TPS65110RGER	296-15841-2-ND	Dreif. Ladepumpe LTPS-LCD Bias-Stromversorgung	Triple Charge Pump LTPS-LCD Bias Power Supply	24-QFN		4160.19/3,000	
TPS65120RGTR	296-17181-1-ND	Einzelinduktor, TFT Display, vier Ausgänge	Single Inductor, Quad Output, TFT Display	16-QFN	2.57	2.06	1.61
TPS65120RGTR	296-17181-2-ND	Einzelinduktor, TFT Display, vier Ausgänge	Single Inductor, Quad Output, TFT Display	16-QFN		4320.20/3,000	
TPS65121RGTR	296-17182-1-ND	Einzelinduktor, TFT Display, vier Ausgänge	Single Inductor, Quad Output, TFT Display	16-QFN	2.57	2.06	1.61
TPS65121RGTR	296-17182-2-ND	Einzelinduktor, TFT Display, vier Ausgänge	Single Inductor, Quad Output, TFT Display	16-QFN		4320.20/3,000	
TPS65123RGTR	296-17183-1-ND	Einzelinduktor, TFT Display, drei Ausgänge	Single Inductor, Triple Output, TFT Display	16-QFN	2.57	2.06	1.61
TPS65123RGTR	296-17183-2-ND	Einzelinduktor, TFT Display, drei Ausgänge	Single Inductor, Triple Output, TFT Display	16-QFN		4320.20/3,000	
TPS65124RGTR	296-17184-1-ND	Einzelinduktor, TFT Display, drei Ausgänge	Single Inductor, Triple Output, TFT Display	16-QFN	2.57	2.06	1.61
TPS65124RGTR	296-17184-2-ND	Einzelinduktor, TFT Display, drei Ausgänge	Single Inductor, Triple Output, TFT Display	16-QFN		4320.20/3,000	
TPS65130RGER	296-17080-1-ND	DC-DC-Wandler, Positiv/Negativ-Ausgang	Positive/Negative Output DC/DC Converter	24-QFN	4.39	3.51	2.73
TPS65130RGER	296-17080-2-ND	DC-DC-Wandler, Positiv/Negativ-Ausgang	Positive/Negative Output DC/DC Converter	24-QFN		7360.34/3,000	
TPS65131EVM-063	296-17872-ND	Eval. Modul für TPS65131-63	Eval. Module for TPS65131-63	—	53.15	—	—
TPS65131RGET	296-17349-1-ND	DC/DC-Wandler, zwei Ausgänge	Dual Output DC/DC Converter	24-QFN	5.08	4.07	3.43
TPS65131RGET	296-17349-2-ND	DC/DC-Wandler, zwei Ausgänge	Dual Output DC/DC Converter	24-QFN		825.44/250	
UCC3941D-3	296-2280-5-ND	Synch. Boost-Wandler, 1 V bis 3 V	1V to 3V Sync. Boost Converter	8-SOIC	3.43	2.75	2.14
UCC3941DTR-3	296-2280-1-ND	Synch. Boost-Wandler, 1 V bis 3 V	1V to 3V Sync. Boost Converter	8-SOIC	2.86	2.29	1.78
UCC3941DTR-3	296-2280-2-ND	Synch. Boost-Wandler, 1 V bis 3 V	1V to 3V Sync. Boost Converter	8-SOIC		4000.19/2,500	
UCC3941D-5	296-2281-5-ND	Synch. Boost-Wandler, 1 V bis 5 V	1V to 5V Sync. Boost Converter	8-SOIC	3.43	2.75	2.14
UCC3941DTR-5	296-2281-1-ND	Synch. Boost-Wandler, 1 V bis 5 V	1V to 5V Sync. Boost Converter	8-SOIC	2.86	2.29	1.78
UCC3941DTR-5	296-2281-2-ND	Synch. Boost-Wandler, 1 V bis 5 V	1V to 5V Sync. Boost Converter	8-SOIC		4000.19/2,500	
UCC3941N-5	296-3229-5-ND	Synch. Boost-Wandler, 5 V	5V Sync. Boost Converter	8-Dip	3.43	2.75	2.14
UCC39412D	296-2278-5-ND	Synch. Boost-Wandler, Niedrigleistung	Low Power Sync. Boost Converter	8-SOIC	2.86	2.29	1.78
		Mikroprozessor-Überwachungsschaltungstreiber					
TL7700CPWR	296-13050-1-ND	Einstellb. Versorgungsspannungswächter	Adj., Supply Voltage Supervisor	8-TSSOP	2.38	1.91	1.49
TL7700CPWR	296-13050-2-ND	Einstellb. Versorgungsspannungswächter	Adj., Supply Voltage Supervisor	8-TSSOP		2698.96/2,000	
TL7702ACD	296-1295-5-ND	Netzteilüberwachung, 2,53 V	2.53V Supply Monitor	8-SOIC	.47	.36	.27
TL7702ACDR	296-1295-1-ND	Netzteilüberwachung, 2,53 V	2.53V Supply Monitor	8-SOIC	.47	.36	.27
TL7702ACDR	296-1295-2-ND	Netzteilüberwachung, 2,53 V	2.53V Supply Monitor	8-SOIC		385.20/2,500	
TL7702ACP	296-3232-5-ND	Netzteilüberwachung, 2,53 V	2.53V Supply Monitor	8-Dip	.47	.36	.27
TL7702AID	296-3233-5-ND	Netzteilüberwachung, 2,53 V	2.53V Supply Monitor	8-SOIC	.54	.41	.31
TL7702AIDR	296-15017-1-ND	Versorgungsspannungswächter	Supply Volt. Supervisor	8-SOIC	.54	.41	.31
TL7702AIDR	296-15017-2-ND	Versorgungsspannungswächter	Supply Volt. Supervisor	8-SOIC		440.23/2,500	
TL7702AIP	296-3234-5-ND	Netzteilüberwachung, 2,53 V	2.53V Supply Monitor	8-Dip	.54	.41	.31
TL7702BCD	296-1296-5-ND	Netzteilüberwachung, 2,53 V	2.53V Supply Monitor	8-SOIC	.51	.39	.29
TL7702BCDR	296-1296-1-ND	Netzteilüberwachung, 2,53 V	2.53V Supply Monitor	8-SOIC	.51	.39	.29
TL7702BCDR	296-1296-2-ND	Netzteilüberwachung, 2,53 V	2.53V Supply Monitor	8-SOIC		412.72/2,500	
TL7702BCP	296-3236-5-ND	Netzteilüberwachung, 2,53 V	2.53V Supply Monitor	8-Dip	.51	.39	.29
TL7702BIDR	296-15018-1-ND	Netzteilüberwachung, 2,53 V	2.53V Supply Monitor	8-SOIC	.61	.46	.35
TL7702BIDR	296-15018-2-ND	Netzteilüberwachung, 2,53 V	2.53V Supply Monitor	8-SOIC		495.26/2,500	
TL7702BIP	296-3238-5-ND	Netzteilüberwachung, 2,53 V	2.53V Supply Monitor	8-Dip	.61	.46	.35
TL7705ACD	296-1297-5-ND	Netzteilüberwachung, 4,55 V	4.55V Supply Monitor	8-SOIC	.47	.36	.27
TL7705ACDR	296-1297-1-ND	Netzteilüberwachung, 4,55 V	4.55V Supply Monitor	8-SOIC	.47	.36	.27
TL7705ACDR	296-1297-2-ND	Netzteilüberwachung, 4,55 V	4.55V Supply Monitor	8-SOIC		385.20/2,500	
TL7705ACP	296-1801-5-ND	Netzteilüberwachung, 4,55 V	4.55V Supply Monitor	8-Dip	.47	.36	.27
TL7705ACPSR	296-3239-1-ND	Netzteilüberwachung, 4,55 V	4.55V Supply Monitor	8-SOIC	.47	.36	.27
TL7705ACPSR	296-3239-2-ND	Netzteilüberwachung, 4,55 V	4.55V Supply Monitor	8-SOIC		314.94/2,000	
TL7705AID	296-3240-5-ND	Netzteilüberwachung, 4,55 V	4.55V Supply Monitor	8-SOIC	.54	.41	.31
TL7705AIDR	296-15019-1-ND	Netzteilüberwachung, 4,55 V	4.55V Supply Monitor	8-SOIC	.54	.41	.31
TL7705AIDR	296-15019-2-ND	Netzteilüberwachung, 4,55 V	4.55V Supply Monitor	8-SOIC		440.23/2,500	
TL7705AIP	296-3241-5-ND	Netzteilüberwachung, 4,55 V	4.55V Supply Monitor	8-Dip	.54	.41	.31
TL7705BCD	296-1298-5-ND	Netzteilüberwachung, 4,55 V	4.55V Supply Monitor	8-SOIC	.51	.39	.29
TL7705BCDR	296-1298-1-ND	Netzteilüberwachung, 4,55 V	4.55V Supply Monitor	8-SOIC	.51	.39	.29
TL7705BCDR	296-1298-2-ND	Netzteilüberwachung, 4,55 V	4.55V Supply Monitor	8-SOIC		412.72/2,500	
TL7705BCP	296-3242-5-ND	Netzteilüberwachung, 4,55 V	4.55V Supply Monitor	8-Dip	.51	.39	.29
TL7705BID	296-3243-5-ND	Netzteilüberwachung, 4,55 V	4.55V Supply Monitor	8-SOIC	.61	.46	.35
TL7705BIDR	296-15020-1-ND	Netzteilüberwachung, 4,55 V	4.55V Supply Monitor	8-SOIC	.61	.46	.35
TL7705BIDR	296-15020-2-ND	Netzteilüberwachung, 4,55 V	4.55V Supply Monitor	8-SOIC		495.26/2,500	
TL7705BIP	296-3244-5-ND	Netzteilüberwachung, 4,55 V	4.55V Supply Monitor	8-Dip	.61	.46	.35
TL7705BQD	296-3245-5-ND	Netzteilüberwachung, 4,55 V	4.55V Supply Monitor	8-SOIC	1.59	1.27	.96
TL7709ACD	296-3247-5-ND	Netzteilüberwachung, 7,6 V	7.6V Supply Monitor	8-SOIC	1.19	1.00	.80
TL7709ACP	296-3248-5-ND	Netzteilüberwachung, 7,6 V	7.6V Supply Monitor	8-Dip	1.19	1.00	.80
TL7712ACD	296-3249-5-ND	Netzteilüberwachung, 10,8 V	10.8V Supply Monitor	8-SOIC	.71	.60	.48
TL7712ACDR	296-15021-1-ND	Netzteilüberwachung, 10,8 V	10.8V Supply Monitor	8-SOIC	.71	.60	.48
TL7712ACDR	296-15021-2-ND	Netzteilüberwachung, 10,8 V	10.8V Supply Monitor	8-SOIC		770.41/2,500	
TL7712ACP	296-3250-5-ND	Netzteilüberwachung, 10,8 V	10.8V Supply Monitor	8-Dip	.71	.60	.48
TL7715ACD	296-3251-5-ND	Versorgungsspannungswächter	Supply Voltage Supervisor	8-SOP	1.19	1.00	.80
TL7715ACP	296-3252-5-ND	Versorgungsspannungswächter	Supply Voltage Supervisor	8-Dip	1.19	1.00	.80
TL7726CD	296-3253-5-ND	Sechsf. Klemmschaltung	Hex Clamping Circuit	8-SOIC	1.38	1.11	.83
TL7726CDR	296-15022-1-ND	Sechsf. Klemmschaltung	Hex Clamping Circuit	8-SOIC	1.38	1.11	.83
TL7726CDR	296-15022-2-ND	Sechsf. Klemmschaltung	Hex Clamping Circuit	8-SOIC		1760.93/2,500	
TL7726CP	296-3254-5-ND	Sechsf. Klemmschaltung	Hex Clamping Circuit	8-Dip	1.38	1.11	.83
TL7726ID	296-3255-5-ND	Sechsf. Klemmschaltung	Hex Clamping Circuit	8-SOIC	1.48	1.19	.89
TL7726IP	296-3256-5-ND	Sechsf. Klemmschaltung	Hex Clamping Circuit	8-Dip	1.48	1.19	.89

(Forts.)

★ RUFEN SIE BITTE AN FÜR NIEDRIGERE PREISE BEI GRÖSSEREN MENGEN! ★

Alle Preisangaben in Euro und inklusive Zollgebühren.

T. I. Teilenr.	Digi-Key Teilenr.	Beschreibung		Paket	Stückpreis★ 1	25	100
TL7733BCDR	296-12952-1-ND	Versorgungsspannungswächter	Supply Voltage Supervisor	8-SOIC	.51	.39	.29
TL7733BCDR	296-12952-2-ND	Versorgungsspannungswächter	Supply Voltage Supervisor	8-SOIC		412.72/2,500	
TL7733BCP	296-12953-5-ND	Versorgungsspannungswächter	Supply Voltage Supervisor	8-Dip	.51	.39	.29
TL7733BIDR	296-13356-1-ND	Versorgungsspannungswächter	Supply Voltage Supervisor	8-SOIC	.61	.46	.35
TL7733BIDR	296-13356-2-ND	Versorgungsspannungswächter	Supply Voltage Supervisor	8-SOIC		495.26/2,500	
TL7733BIP	296-13357-5-ND	Versorgungsspannungswächter	Supply Voltage Supervisor	8-Dip	.61	.46	.35
TL7757CD	296-3257-5-ND	4,55 V, Versorgungsüberwachung/Spannungs- Detektor	4.55V Supply Monitor/V. Detector	8-SOP	.61	.46	.35
TL7757CDR	296-15023-1-ND	4,55 V, Versorgungsüberwachung/Spannungs- Detektor	4.55V Supply Monitor/V. Detector	8-SOIC	.61	.46	.35
TL7757CDR	296-15023-2-ND	4,55 V, Versorgungsüberwachung/Spannungs- Detektor	4.55V Supply Monitor/V. Detector	8-SOIC		495.26/2,500	
TL7757CLP	296-1992-ND	4,55 V, Versorgungsüberwachung/Spannungs- Detektor	4.55V Supply Monitor/V. Detector	TO-226AA	.61	.46	.35
TL7757CLPR	296-1992-1-ND	4,55 V, Versorgungsüberwachung/Spannungs- Detektor	4.55V Supply Monitor/V. Detector	TO-226AA	.61	.46	.35
TL7757CLPR	296-1992-2-ND	4,55 V, Versorgungsüberwachung/Spannungs- Detektor	4.55V Supply Monitor/V. Detector	TO-226AA		404.67/2,000	
TL7757CPK	296-3259-1-ND	4,55 V, Versorgungsüberwachung/Spannungs- Detektor	4.55V Supply Monitor/V. Detector	SOT-89	.68	.51	.39
TL7757CPK	296-3259-2-ND	4,55 V, Versorgungsüberwachung/Spannungs- Detektor	4.55V Supply Monitor/V. Detector	SOT-89		225.20/1,000	
TL7757ID	296-3260-5-ND	4,55 V, Versorgungsüberwachung/Spannungs- Detektor	4.55V Supply Monitor/V. Detector	8-SOIC	.68	.51	.39
TL7757ILP	296-3261-5-ND	4,55 V, Versorgungsüberwachung/Spannungs- Detektor	4.55V Supply Monitor/V. Detector	TO-226AA	.68	.51	.39
TL7757IPK	296-3262-1-ND	4,55 V, Versorgungsüberwachung/Spannungs- Detektor	4.55V Supply Monitor/V. Detector	SOT-89	.75	.56	.42
TL7757IPK	296-3262-2-ND	4,55 V, Versorgungsüberwachung/Spannungs- Detektor	4.55V Supply Monitor/V. Detector	SOT-89		248.05/1,000	
TL7759CD	296-3263-5-ND	Netzteilüberwachung, 4,55 V	4.55V Supply Monitor	8-SOIC	1.24	1.04	.83
TL7759CP	296-3264-5-ND	Netzteilüberwachung, 4,55 V	4.55V Supply Monitor	8-Dip	1.24	1.04	.83
TL7759CPWR	296-1299-1-ND	Netzteilüberwachung, 4,55 V	4.55V Supply Monitor	8-TSSOP	1.24	1.04	.83
TL7759CPWR	296-1299-2-ND	Netzteilüberwachung, 4,55 V	4.55V Supply Monitor	8-TSSOP		1103.97/2,000	
TL7770-5CDW	296-3265-5-ND	Doppelnetzteilüberwachung, 4,55 V	4.55V Dual Supply Monitor	16-SOIC	1.82	1.46	1.10
TL7770-5CDWR	296-15024-1-ND	Doppelnetzteilüberwachung, 4,55 V	4.55V Dual Supply Monitor	16-SOIC	1.82	1.46	1.10
TL7770-5CDWR	296-15024-2-ND	Doppelnetzteilüberwachung, 4,55 V	4.55V Dual Supply Monitor	16-SOIC		1893.00/2,000	
TL7770-5CN	296-3266-5-ND	Doppelnetzteilüberwachung, 4,55 V	4.55V Dual Supply Monitor	16-Dip	1.82	1.46	1.10
TL7770-5IDW	296-3267-5-ND	Doppelnetzteilüberwachung, 4,55 V	4.55V Dual Supply Monitor	16-SOIC	1.90	1.53	1.19
TL7770-12CDWR	296-12954-1-ND	Doppelnetzteilwächter	Dual Power Supply Supervisor	16-SOIC	2.29	1.83	1.43
TL7770-12CDWR	296-12954-2-ND	Doppelnetzteilwächter	Dual Power Supply Supervisor	16-SOIC		2590.60/2,000	
TLC7701ID	296-3268-5-ND	Netzteilüberwachung, 1,1 V	1.1V Supply Monitor	8-SOIC	1.31	1.05	.79
TLC7701IP	296-2608-5-ND	Netzteilüberwachung, 1,1 V	1.1V Supply Monitor	8-Dip	1.31	1.05	.79
TLC7701IPW	296-2609-5-ND	Netzteilüberwachung, 1,1 V	1.1V Supply Monitor	8-TSSOP	1.31	1.05	.79
TLC7701IPWR	296-2609-1-ND	Netzteilüberwachung, 1,1 V	1.1V Supply Monitor	8-TSSOP	1.31	1.05	.79
TLC7701IPWR	296-2609-2-ND	Netzteilüberwachung, 1,1 V	1.1V Supply Monitor	8-TSSOP		1364.72/2,000	
TLC7701QD	296-3270-5-ND	Netzteilüberwachung, 1,1 V	1.1V Supply Monitor	8-SOIC	1.42	1.14	.86
TLC7701QP	296-3271-5-ND	Netzteilüberwachung, 1,1 V	1.1V Supply Monitor	8-Dip	1.42	1.14	.86
TLC7703ID	296-3272-5-ND	Micropower-Versorgungsspannungswächter, 2,63 V	2.63V Micropower Supply Voltage Supervisor	8-SOIC	1.72	1.38	1.03
TLC7703IP	296-3273-5-ND	Micropower-Versorgungsspannungswächter, 2,63 V	2.63V Micropower Supply Voltage Supervisor	8-Dip	1.72	1.38	1.03
TLC7703IPWR	296-3274-1-ND	Micropower-Versorgungsspannungswächter, 2,63 V	2.63V Micropower Supply Voltage Supervisor	8-TSSOP	1.72	1.38	1.03
TLC7703IPWR	296-3274-2-ND	Micropower-Versorgungsspannungswächter, 2,63 V	2.63V Micropower Supply Voltage Supervisor	8-TSSOP		1782.94/2,000	
TLC7703QD	296-2610-5-ND	Micropower-Versorgungsspannungswächter, 2,63 V	2.63V Micropower Supply Voltage Supervisor	8-SOIC	1.82	1.46	1.10
TLC7703QP	296-13359-5-ND	Micropower-Versorgungsspannungswächter, 2,63 V	2.63V Micropower Supply Voltage Supervisor	8-Dip	1.82	1.46	1.10
TLC7705ID	296-1872-5-ND	Netzteilüberwachung, 4,55 V	4.55V Supply Monitor	8-SOIC	1.31	1.05	.79
TLC7705IP	296-3276-5-ND	Netzteilüberwachung, 4,55 V	4.55V Supply Monitor	8-Dip	1.31	1.05	.79
TLC7705IPWR	296-3277-1-ND	Netzteilüberwachung, 4,55 V	4.55V Supply Monitor	8-TSSOP	1.31	1.05	.79
TLC7705IPWR	296-3277-2-ND	Netzteilüberwachung, 4,55 V	4.55V Supply Monitor	8-TSSOP		1364.72/2,000	
TLC7705QD	296-3278-5-ND	Netzteilüberwachung, 4,55 V	4.55V Supply Monitor	8-SOIC	1.42	1.14	.86
TLC7725ID	296-3280-5-ND	Micropower-Versorgungsspannungswächter, 2,25 V	2.25V Micropower Supply Voltage Supervisor	8-SOIC	1.72	1.38	1.03
TLC7725QD	296-3281-5-ND	Micropower-Versorgungsspannungswächter, 2,25 V	2.25V Micropower Supply Voltage Supervisor	8-SOIC	1.82	1.46	1.10
TLC7725QP	296-13360-5-ND	Micropower-Versorgungsspannungswächter, 2,25 V	2.25V Micropower Supply Voltage Supervisor	8-Dip	1.82	1.46	1.10
TLC7725QPWR	296-3283-1-ND	Micropower-Versorgungsspannungswächter, 2,25 V	2.25V Micropower Supply Voltage Supervisor	8-TSSOP	1.82	1.46	1.10
TLC7725QPWR	296-3283-2-ND	Micropower-Versorgungsspannungswächter, 2,25 V	2.25V Micropower Supply Voltage Supervisor	8-TSSOP		1893.00/2,000	
TLC7725IP	296-2611-5-ND	Micropower-Versorgungsspannungswächter, 2,25 V	2.25V Micropower Supply Voltage Supervisor	8-Dip	1.72	1.38	1.03
TLC7733ID	296-2612-5-ND	Netzteilüberwachung, 2,93 V	2.93V Supply Monitor	8-SOIC	1.72	1.38	1.03
TLC7733IP	296-3284-5-ND	Netzteilüberwachung, 2,93 V	2.93V Supply Monitor	8-Dip	1.72	1.38	1.03
TLC7733IPWR	296-3285-1-ND	Netzteilüberwachung, 2,93 V	2.93V Supply Monitor	8-TSSOP	1.72	1.38	1.03
TLC7733IPWR	296-3285-2-ND	Netzteilüberwachung, 2,93 V	2.93V Supply Monitor	8-TSSOP		1782.94/2,000	
TLC7733QD	296-3286-5-ND	Netzteilüberwachung, 2,93 V	2.93V Supply Monitor	8-SOIC	1.82	1.46	1.10
TLC7733QP	296-3287-5-ND	Netzteilüberwachung, 2,93 V	2.93V Supply Monitor	8-Dip	1.82	1.46	1.10
TLC7733QPWR	296-3288-1-ND	Netzteilüberwachung, 2,93 V	2.93V Supply Monitor	8-TSSOP	1.82	1.46	1.10
TLC7733QPWR	296-3288-2-ND	Netzteilüberwachung, 2,93 V	2.93V Supply Monitor	8-TSSOP		1893.00/2,000	
TPS3103E12DBVR	296-13393-1-ND	Ultraniedriger Versorgungsstrom-/Spannungswächter-Schaltkreis, 1,14 V	1.14V, Ultralow Supply-Current/Supply-Voltage Supervisory Circuit	SOT-23-6	1.90	1.53	1.15
TPS3103E12DBVR	296-13393-2-ND	Ultraniedriger Versorgungsstrom-/Spannungswächter-Schaltkreis, 1,14 V	1.14V, Ultralow Supply-Current/Supply-Voltage Supervisory Circuit	SOT-23-6		2925.85/3,000	
TPS3103E15DBVR	296-13394-1-ND	Ultraniedriger Versorgungsstrom-/Spannungswächter-Schaltkreis, 1,43 V	1.43V, Ultralow Supply-Current/Supply-Voltage Supervisory Circuit	SOT-23-6	1.90	1.53	1.15
TPS3103E15DBVR	296-13394-2-ND	Ultraniedriger Versorgungsstrom-/Spannungswächter-Schaltkreis, 1,43 V	1.43V, Ultralow Supply-Current/Supply-Voltage Supervisory Circuit	SOT-23-6		2925.85/3,000	
TPS3103H20DBVR	296-13395-1-ND	Ultraniedriger Versorgungsstrom-/Spannungswächter-Schaltkreis, 1,84 V	1.84V, Ultralow Supply-Current/Supply-Voltage Supervisory Circuit	SOT-23-6	1.90	1.53	1.15
TPS3103H20DBVR	296-13395-2-ND	Ultraniedriger Versorgungsstrom-/Spannungswächter-Schaltkreis, 1,84 V	1.84V, Ultralow Supply-Current/Supply-Voltage Supervisory Circuit	SOT-23-6		2925.85/3,000	
TPS3103K33DBVR	296-13396-1-ND	Ultraniedriger Versorgungsstrom-/Spannungswächter-Schaltkreis, 2,94 V	2.94V, Ultralow Supply-Current/Supply-Voltage Supervisory Circuit	SOT-23-6	1.90	1.53	1.15
TPS3103K33DBVR	296-13396-2-ND	Ultraniedriger Versorgungsstrom-/Spannungswächter-Schaltkreis, 2,94 V	2.94V, Ultralow Supply-Current/Supply-Voltage Supervisory Circuit	SOT-23-6		2925.85/3,000	
TPS3106E09DBVT	296-13397-1-ND	Ultraniedriger Versorgungsstrom-/Spannungswächter-Schaltkreis, 0,86 V	0.86V, Ultralow Supply-Current/Supply-Voltage Supervisory Circuit	SOT-23-6	2.01	1.61	1.21
TPS3106E09DBVT	296-13397-2-ND	Ultraniedriger Versorgungsstrom-/Spannungswächter-Schaltkreis, 0,86 V	0.86V, Ultralow Supply-Current/Supply-Voltage Supervisory Circuit	SOT-23-6		281.49/250	
TPS3106E16DBVR	296-13398-1-ND	Ultraniedriger Versorgungsstrom-/Spannungswächter-Schaltkreis, 1,52 V	1.52V, Ultralow Supply-Current/Supply-Voltage Supervisory Circuit	SOT-23-6	1.90	1.53	1.15
TPS3106E16DBVR	296-13398-2-ND	Ultraniedriger Versorgungsstrom-/Spannungswächter-Schaltkreis, 1,52 V	1.52V, Ultralow Supply-Current/Supply-Voltage Supervisory Circuit	SOT-23-6		2925.85/3,000	
TPS3106K33DBVR	296-13399-1-ND	Ultraniedriger Versorgungsstrom-/Spannungswächter-Schaltkreis, 2,94 V	2.94V, Ultralow Supply-Current/Supply-Voltage Supervisory Circuit	SOT-23-6	1.90	1.53	1.15
TPS3106K33DBVR	296-13399-2-ND	Ultraniedriger Versorgungsstrom-/Spannungswächter-Schaltkreis, 2,94 V	2.94V, Ultralow Supply-Current/Supply-Voltage Supervisory Circuit	SOT-23-6		2925.85/3,000	
TPS3106K33DBVT	296-17102-1-ND	Ultraniedriger Versorgungsstrom-/Spannungswächter-Schaltkreis, 2,941 V	2.941V, Ultralow Supply-Current/Supply-Voltage Supervisory Circuit	SOT-23-6	1.90	1.53	1.15
TPS3106K33DBVT	296-17102-2-ND	Ultraniedriger Versorgungsstrom-/Spannungswächter-Schaltkreis, 2,941 V	2.941V, Ultralow Supply-Current/Supply-Voltage Supervisory Circuit	SOT-23-6		266.68/250	
TPS3110E09DBVR	296-13400-1-ND	Ultraniedriger Versorgungsstrom-/Spannungswächter-Schaltkreis, 0,86 V	0.86V, Ultralow Supply-Current/Supply-Voltage Supervisory Circuit	SOT-23-6	1.90	1.53	1.19
TPS3110E09DBVR	296-13400-2-ND	Ultraniedriger Versorgungsstrom-/Spannungswächter-Schaltkreis, 0,86 V	0.86V, Ultralow Supply-Current/Supply-Voltage Supervisory Circuit	SOT-23-6		3200.15/3,000	
TPS3110E12DBVR	296-13401-1-ND	Ultraniedriger Versorgungsstrom-/Spannungswächter-Schaltkreis, 1,14 V	1.14V, Ultralow Supply-Current/Supply-Voltage Supervisory Circuit	SOT-23-6	1.90	1.53	1.19
TPS3110E12DBVR	296-13401-2-ND	Ultraniedriger Versorgungsstrom-/Spannungswächter-Schaltkreis, 1,14 V	1.14V, Ultralow Supply-Current/Supply-Voltage Supervisory Circuit	SOT-23-6		3200.15/3,000	
TPS3110E15DBVR	296-13402-1-ND	Ultraniedriger Versorgungsstrom-/Spannungswächter-Schaltkreis, 1,43 V	1.43V, Ultralow Supply-Current/Supply-Voltage Supervisory Circuit	SOT-23-6	1.90	1.53	1.19
TPS3110E15DBVR	296-13402-2-ND	Ultraniedriger Versorgungsstrom-/Spannungswächter-Schaltkreis, 1,43 V	1.43V, Ultralow Supply-Current/Supply-Voltage Supervisory Circuit	SOT-23-6		3200.15/3,000	
TPS3110K33DBVT	296-13403-1-ND	Ultraniedriger Versorgungsstrom-/Spannungswächter-Schaltkreis, 2,94 V	2.94V, Ultralow Supply-Current/Supply-Voltage Supervisory Circuit	SOT-23-6	2.10	1.68	1.26
TPS3110K33DBVT	296-13403-2-ND	Ultraniedriger Versorgungsstrom-/Spannungswächter-Schaltkreis, 2,94 V	2.94V, Ultralow Supply-Current/Supply-Voltage Supervisory Circuit	SOT-23-6		293.35/250	
TPS3123G15DBVR	296-10890-1-ND	Ultraniedriger Spannungs-Prozessor-Wächterschaltkreis, 1,40 V	1.40V, Ultralow Voltage Processor Supervisory Circuit	SOT-23-5	1.80	1.44	1.08
TPS3123G15DBVR	296-10890-2-ND	Ultraniedriger Spannungs-Prozessor-Wächterschaltkreis, 1,40 V	1.40V, Ultralow Voltage Processor Supervisory Circuit	SOT-23-5		2763.30/3,000	
TPS3123G15DBVT	296-3289-1-ND	Ultraniedriger Spannungs-Prozessor-Wächterschaltkreis, 1,40 V	1.40V, Ultralow Voltage Processor Supervisory Circuit	SOT-23-5	1.80	1.44	1.08
TPS3123G15DBVT	296-3289-2-ND	Ultraniedriger Spannungs-Prozessor-Wächterschaltkreis, 1,40 V	1.40V, Ultralow Voltage Processor Supervisory Circuit	SOT-23-5		251.86/250	
TPS3123J12DBVR	296-10891-1-ND	Ultraniedriger Spannungs-Prozessor-Wächterschaltkreis, 1,08 V	1.08V, Ultralow Voltage Processor Supervisory Circuit	SOT-23-5	1.80	1.44	1.08
TPS3123J12DBVR	296-10891-2-ND	Ultraniedriger Spannungs-Prozessor-Wächterschaltkreis, 1,08 V	1.08V, Ultralow Voltage Processor Supervisory Circuit	SOT-23-5		2763.30/3,000	
TPS3123J12DBVT	296-3290-1-ND	Ultraniedriger Spannungs-Prozessor-Wächterschaltkreis, 1,08 V	1.08V, Ultralow Voltage Processor Supervisory Circuit	SOT-23-5	1.80	1.44	1.08
TPS3123J12DBVT	296-3290-2-ND	Ultraniedriger Spannungs-Prozessor-Wächterschaltkreis, 1,08 V	1.08V, Ultralow Voltage Processor Supervisory Circuit	SOT-23-5		251.86/250	
TPS3123J18DBVR	296-10892-1-ND	Ultraniedriger Spannungs-Prozessor-Wächterschaltkreis, 1,62 V	1.62V, Ultralow Voltage Processor Supervisory Circuit	SOT-23-5	1.80	1.44	1.08
TPS3123J18DBVR	296-10892-2-ND	Ultraniedriger Spannungs-Prozessor-Wächterschaltkreis, 1,62 V	1.62V, Ultralow Voltage Processor Supervisory Circuit	SOT-23-5		2763.30/3,000	
TPS3123J18DBVT	296-3291-1-ND	Ultraniedriger Spannungs-Prozessor-Wächterschaltkreis, 1,62 V	1.62V, Ultralow Voltage Processor Supervisory Circuit	SOT-23-5	1.80	1.44	1.08
TPS3123J18DBVT	296-3291-2-ND	Ultraniedriger Spannungs-Prozessor-Wächterschaltkreis, 1,62 V	1.62V, Ultralow Voltage Processor Supervisory Circuit	SOT-23-5		251.86/250	
TPS3124G15DBVR	296-10893-1-ND	Ultraniedriger Spannungs-Prozessor-Wächterschaltkreis, 1,40 V	1.40V, Ultralow Voltage Processor Supervisory Circuit	SOT-23-5	1.80	1.44	1.08
TPS3124G15DBVR	296-10893-2-ND	Ultraniedriger Spannungs-Prozessor-Wächterschaltkreis, 1,40 V	1.40V, Ultralow Voltage Processor Supervisory Circuit	SOT-23-5		2763.30/3,000	
TPS3124G15DBVT	296-3292-1-ND	Ultraniedriger Spannungs-Prozessor-Wächterschaltkreis, 1,40 V	1.40V, Ultralow Voltage Processor Supervisory Circuit	SOT-23-5	1.80	1.44	1.08
TPS3124G15DBVT	296-3292-2-ND	Ultraniedriger Spannungs-Prozessor-Wächterschaltkreis, 1,40 V	1.40V, Ultralow Voltage Processor Supervisory Circuit	SOT-23-5		251.86/250	
TPS3124J12DBVR	296-10894-1-ND	Ultraniedriger Spannungs-Prozessor-Wächterschaltkreis, 1,08 V	1.08V, Ultralow Voltage Processor Supervisory Circuit	SOT-23-5	1.80	1.44	1.08
TPS3124J12DBVR	296-10894-2-ND	Ultraniedriger Spannungs-Prozessor-Wächterschaltkreis, 1,08 V	1.08V, Ultralow Voltage Processor Supervisory Circuit	SOT-23-5		2763.30/3,000	
TPS3124J12DBVT	296-3293-1-ND	Ultraniedriger Spannungs-Prozessor-Wächterschaltkreis, 1,08 V	1.08V, Ultralow Voltage Processor Supervisory Circuit	SOT-23-5	1.80	1.44	1.08
TPS3124J12DBVT	296-3293-2-ND	Ultraniedriger Spannungs-Prozessor-Wächterschaltkreis, 1,08 V	1.08V, Ultralow Voltage Processor Supervisory Circuit	SOT-23-5		251.86/250	

(Forts.)

★ ***RUFEN SIE BITTE AN FÜR NIEDRIGERE PREISE BEI GRÖSSEREN MENGEN!*** ★

B

T. I. Teilenr.	Digi-Key Teilenr.	Beschreibung		Paket	Stückpreis★ 1	25	100
TPS3124J18DBVR	296-10895-1-ND	Ultraniedriger Spannungs-Prozessor-Wächterschaltkreis, 1,62 V	1.62V, Ultralow Voltage Processor Supervisory Circuit	SOT-23-5	1.80	1.44	1.08
TPS3124J18DBVR	296-10895-2-ND	Ultraniedriger Spannungs-Prozessor-Wächterschaltkreis, 1,62 V	1.62V, Ultralow Voltage Processor Supervisory Circuit	SOT-23-5		2763.30/3,000	
TPS3124J18DBVT	296-3294-1-ND	Ultraniedriger Spannungs-Prozessor-Wächterschaltkreis, 1,62 V	1.62V, Ultralow Voltage Processor Supervisory Circuit	SOT-23-5	1.80	1.44	1.08
TPS3124J18DBVT	296-3294-2-ND	Ultraniedriger Spannungs-Prozessor-Wächterschaltkreis, 1,62 V	1.62V, Ultralow Voltage Processor Supervisory Circuit	SOT-23-5		251.86/250	
TPS3125G15DBVR	296-10896-1-ND	Ultraniedriger Spannungs-Prozessor-Wächterschaltkreis, 1,40 V	1.40V, Ultralow Voltage Processor Supervisory Circuit	SOT-23-5	1.61	1.29	.97
TPS3125G15DBVR	296-10896-2-ND	Ultraniedriger Spannungs-Prozessor-Wächterschaltkreis, 1,40 V	1.40V, Ultralow Voltage Processor Supervisory Circuit	SOT-23-5		2470.72/3,000	
TPS3125G15DBVT	296-2613-1-ND	Ultraniedriger Spannungs-Prozessor-Wächterschaltkreis, 1,40 V	1.40V, Ultralow Voltage Processor Supervisory Circuit	SOT-23-5	1.61	1.29	.97
TPS3125G15DBVT	296-2613-2-ND	Ultraniedriger Spannungs-Prozessor-Wächterschaltkreis, 1,40 V	1.40V, Ultralow Voltage Processor Supervisory Circuit	SOT-23-5		225.20/250	
TPS3125J12DBVR	296-10897-1-ND	Ultraniedriger Spannungs-Prozessor-Wächterschaltkreis, 1,08 V	1.08V, Ultralow Voltage Processor Supervisory Circuit	SOT-23-5	1.61	1.29	.97
TPS3125J12DBVR	296-10897-2-ND	Ultraniedriger Spannungs-Prozessor-Wächterschaltkreis, 1,08 V	1.08V, Ultralow Voltage Processor Supervisory Circuit	SOT-23-5		2470.72/3,000	
TPS3125J12DBVT	296-2614-1-ND	Ultraniedriger Spannungs-Prozessor-Wächterschaltkreis, 1,08 V	1.08V, Ultralow Voltage Processor Supervisory Circuit	SOT-23-5	1.61	1.29	.97
TPS3125J12DBVT	296-2614-2-ND	Ultraniedriger Spannungs-Prozessor-Wächterschaltkreis, 1,08 V	1.08V, Ultralow Voltage Processor Supervisory Circuit	SOT-23-5		225.20/250	
TPS3125J18DBVR	296-10898-1-ND	Ultraniedriger Spannungs-Prozessor-Wächterschaltkreis, 1,62 V	1.62V, Ultralow Voltage Processor Supervisory Circuit	SOT-23-5	1.61	1.29	.97
TPS3125J18DBVR	296-10898-2-ND	Ultraniedriger Spannungs-Prozessor-Wächterschaltkreis, 1,62 V	1.62V, Ultralow Voltage Processor Supervisory Circuit	SOT-23-5		2470.72/3,000	
TPS3125J18DBVT	296-2615-1-ND	Ultraniedriger Spannungs-Prozessor-Wächterschaltkreis, 1,62 V	1.62V, Ultralow Voltage Processor Supervisory Circuit	SOT-23-5	1.61	1.29	.97
TPS3125J18DBVT	296-2615-2-ND	Ultraniedriger Spannungs-Prozessor-Wächterschaltkreis, 1,62 V	1.62V, Ultralow Voltage Processor Supervisory Circuit	SOT-23-5		225.20/250	
TPS3125L30DBVR	296-10899-1-ND	Ultraniedriger Spannungs-Prozessor-Wächterschaltkreis, 2,64 V	2.64V, Ultralow Voltage Processor Supervisory Circuit	SOT-23-5	1.61	1.29	.97
TPS3125L30DBVR	296-10899-2-ND	Ultraniedriger Spannungs-Prozessor-Wächterschaltkreis, 2,64 V	2.64V, Ultralow Voltage Processor Supervisory Circuit	SOT-23-5		2471.23/3,000	
TPS3125L30DBVT	296-2616-1-ND	Ultraniedriger Spannungs-Prozessor-Wächterschaltkreis, 2,64 V	2.64V, Ultralow Voltage Processor Supervisory Circuit	SOT-23-5	1.61	1.29	.97
TPS3125L30DBVT	296-2616-2-ND	Ultraniedriger Spannungs-Prozessor-Wächterschaltkreis, 2,64 V	2.64V, Ultralow Voltage Processor Supervisory Circuit	SOT-23-5		225.20/250	
TPS3126E12DBVT	296-10900-1-ND	Ultraniedriger Spannungs-Prozessor-Wächterschaltkreis, 1,14 V	1.14V, Ultralow Voltage Processor Supervisory Circuit	SOT-23-5	1.69	1.36	1.02
TPS3126E12DBVT	296-10900-2-ND	Ultraniedriger Spannungs-Prozessor-Wächterschaltkreis, 1,14 V	1.14V, Ultralow Voltage Processor Supervisory Circuit	SOT-23-5		237.05/250	
TPS3126E15DBVT	296-10901-1-ND	Ultraniedriger Spannungs-Prozessor-Wächterschaltkreis, 1,43 V	1.43V, Ultralow Voltage Processor Supervisory Circuit	SOT-23-5	1.69	1.36	1.02
TPS3126E15DBVT	296-10901-2-ND	Ultraniedriger Spannungs-Prozessor-Wächterschaltkreis, 1,43 V	1.43V, Ultralow Voltage Processor Supervisory Circuit	SOT-23-5		237.05/250	
TPS3126E18DBVT	296-10902-1-ND	Ultraniedriger Spannungs-Prozessor-Wächterschaltkreis, 1,71 V	1.71V, Ultralow Voltage Processor Supervisory Circuit	SOT-23-5	1.69	1.36	1.02
TPS3126E18DBVT	296-10902-2-ND	Ultraniedriger Spannungs-Prozessor-Wächterschaltkreis, 1,71 V	1.71V, Ultralow Voltage Processor Supervisory Circuit	SOT-23-5		237.05/250	
TPS3128E12DBVT	296-10903-1-ND	Ultraniedriger Spannungs-Prozessor-Wächterschaltkreis, 1,14 V	1.14V, Ultralow Voltage Processor Supervisory Circuit	SOT-23-5	1.80	1.44	1.08
TPS3128E12DBVT	296-10903-2-ND	Ultraniedriger Spannungs-Prozessor-Wächterschaltkreis, 1,14 V	1.14V, Ultralow Voltage Processor Supervisory Circuit	SOT-23-5		251.86/250	
TPS3128E15DBVT	296-10904-1-ND	Ultraniedriger Spannungs-Prozessor-Wächterschaltkreis, 1,43 V	1.43V, Ultralow Voltage Processor Supervisory Circuit	SOT-23-5	1.80	1.44	1.08
TPS3128E15DBVT	296-10904-2-ND	Ultraniedriger Spannungs-Prozessor-Wächterschaltkreis, 1,43 V	1.43V, Ultralow Voltage Processor Supervisory Circuit	SOT-23-5		251.86/250	
TPS3128E18DBVT	296-10905-1-ND	Ultraniedriger Spannungs-Prozessor-Wächterschaltkreis, 1,71 V	1.71V, Ultralow Voltage Processor Supervisory Circuit	SOT-23-5	1.80	1.44	1.08
TPS3128E18DBVT	296-10905-2-ND	Ultraniedriger Spannungs-Prozessor-Wächterschaltkreis, 1,71 V	1.71V, Ultralow Voltage Processor Supervisory Circuit	SOT-23-5		251.86/250	
TPS3305-18D	296-2617-5-ND	Zweif. Spannungsüberwachung, 2,93/1,68	Dual 2.93/1.68 Volt Monitor	8-SOIC	1.90	1.53	1.19
TPS3305-18DGNR	296-3299-1-ND	Zweif. Spannungsüberwachung, 3,3/1,8	Dual 3.3/1.8 Volt Monitor	8-MSOP	1.90	1.53	1.19
TPS3305-18DGNR	296-3299-2-ND	Zweif. Spannungsüberwachung, 3,3/1,8	Dual 3.3/1.8 Volt Monitor	8-MSOP		2666.79/2,500	
TPS3305-25D	296-2618-5-ND	Zweif. Spannungsüberwachung, 2,93/2,25	Dual 2.93/2.25 Volt Monitor	8-SOIC	1.90	1.53	1.19
TPS3305-25DGNR	296-3300-1-ND	Zweif. Spannungsüberwachung, 3,3/2,5	Dual 3.3/2.5 Volt Monitor	8-MSOP	1.90	1.53	1.19
TPS3305-25DGNR	296-3300-2-ND	Zweif. Spannungsüberwachung, 3,3/2,5	Dual 3.3/2.5 Volt Monitor	8-MSOP		2666.79/2,500	
TPS3305-33D	296-2619-5-ND	Zweif. Spannungsüberwachung, 4,55/2,93	Dual 4.55/2.93 Volt Monitor	8-SOIC	1.90	1.53	1.19
TPS3305-33DGNR	296-3301-1-ND	Zweif. Spannungsüberwachung, 5/3,3	Dual 5/3.3 Volt Monitor	8-MSOP	1.90	1.53	1.19
TPS3305-33DGNR	296-3301-2-ND	Zweif. Spannungsüberwachung, 5/3,3	Dual 5/3.3 Volt Monitor	8-MSOP		2666.79/2,500	
TPS3306-15D	296-3302-5-ND	Zweif. Spannungsüberwachung, 3,3/1,5	Dual 3.3/1.5 Volt Monitor	8-SOIC	2.00	1.60	1.25
TPS3306-15DGK	296-3303-5-ND	Zweif. Spannungsüberwachung, 3,3/1,5	Dual 3.3/1.5 Volt Monitor	8-SOP	2.00	1.60	1.25
TPS3306-18D	296-3304-5-ND	Zweif. Spannungsüberwachung, 3,3/1,8	Dual 3.3/1.8 Volt Monitor	8-SOIC	2.00	1.60	1.25
TPS3306-18DGK	296-3305-5-ND	Zweif. Spannungsüberwachung, 3,3/1,8	Dual 3.3/1.8 Volt Monitor	8-SOP	2.00	1.60	1.25
TPS3306-20D	296-3306-5-ND	Zweif. Spannungsüberwachung, 3,3/2	Dual 3.3/2 Volt Monitor	8-SOIC	2.00	1.60	1.25
TPS3306-20DGK	296-3307-5-ND	Zweif. Spannungsüberwachung, 3,3/2	Dual 3.3/2 Volt Monitor	8-SOP	2.00	1.60	1.25
TPS3306-25D	296-3308-5-ND	Zweif. Spannungsüberwachung, 3,3/2,5	Dual 3.3/2.5 Volt Monitor	8-SOIC	2.00	1.60	1.25
TPS3306-25DGK	296-3309-5-ND	Zweif. Spannungsüberwachung, 3,3/2,5	Dual 3.3/2.5 Volt Monitor	8-SOP	2.00	1.60	1.25
TPS3306-33D	296-3310-5-ND	Zweif. Spannungsüberwachung, 5/3,3	Dual 5/3.3 Volt Monitor	8-SOIC	2.00	1.60	1.25
TPS3306-33DGK	296-3311-5-ND	Zweif. Spannungsüberwachung, 5/3,3	Dual 5/3.3 Volt Monitor	8-SOP	2.00	1.60	1.25
TPS3307-18D	296-2620-5-ND	Dreif. Spannungsüberwachung, 2,93/1,68/1,25	Triple 2.93/1.68/1.25 Volt Monitor	8-SOIC	2.00	1.60	1.25
TPS3307-18DGNR	296-3312-1-ND	Dreif. Spannungsüberwachung, 3,3/1,8/einstellbar	Triple 3.3/1.8/Adj. Volt Monitor	8-MSOP	2.00	1.60	1.25
TPS3307-18DGNR	296-3312-2-ND	Dreif. Spannungsüberwachung, 3,3/1,8/einstellbar	Triple 3.3/1.8/Adj. Volt Monitor	8-MSOP		2800.13/2,500	
TPS3307-18QDRQ1	296-15641-1-ND	Dreif. Spannungsüberwachung, 3,3/1,8/einstellbar	Triple 3.3/1.8/Adj. Volt Monitor	8-SOIC	2.38	1.91	1.49
TPS3307-18QDRQ1	296-15641-2-ND	Dreif. Spannungsüberwachung, 3,3/1,8/einstellbar	Triple 3.3/1.8/Adj. Volt Monitor	8-SOIC		3333.49/2,500	
TPS3307-25D	296-2621-5-ND	Dreif. Spannungsüberwachung, 2,93/2,25/1,25	Triple 2.93/2.25/1.25 Volt Monitor	8-SOIC	2.00	1.60	1.25
TPS3307-25DGNR	296-3313-1-ND	Dreif. Spannungsüberwachung, 3,3/2,5/einstellbar	Triple 3.3/2.5/Adj. Volt Monitor	8-MSOP	2.00	1.60	1.25
TPS3307-25DGNR	296-3313-2-ND	Dreif. Spannungsüberwachung, 3,3/2,5/einstellbar	Triple 3.3/2.5/Adj. Volt Monitor	8-MSOP		2800.13/2,500	
TPS3307-33D	296-3314-5-ND	Dreif. Spannungsüberwachung, 5/3,3/einstellbar	Triple 5/3.3/Adj. Volt Monitor	8-SOIC	2.00	1.60	1.25
TPS3307-33DR	296-3314-1-ND	Dreif. Spannungsüberwachung, 5/3,3/einstellbar	Triple 5/3.3/Adj. Volt Monitor	8-SOIC	2.00	1.60	1.25
TPS3307-33DR	296-3314-2-ND	Dreif. Spannungsüberwachung, 5/3,3/einstellbar	Triple 5/3.3/Adj. Volt Monitor	8-SOIC		2800.13/2,500	
TPS3307-33DGN	296-3315-5-ND	Dreif. Spannungsüberwachung, 5/3,3/einstellbar	Triple 5/3.3/Adj. Volt Monitor	8-MSOP	2.00	1.60	1.25
TPS3307-33DGNR	296-3315-1-ND	Dreif. Spannungsüberwachung, 5/3,3/einstellbar	Triple 5/3.3/Adj. Volt Monitor	8-MSOP	2.00	1.60	1.25
TPS3307-33DGNR	296-3315-2-ND	Dreif. Spannungsüberwachung, 5/3,3/einstellbar	Triple 5/3.3/Adj. Volt Monitor	8-MSOP		2800.13/2,500	
TPS3510DR	296-3317-1-ND	Stromversorgungsüberwachung, 3,5 V	3.5V Power Supply Monitor	8-SOIC	1.17	.94	.70
TPS3510DR	296-3317-2-ND	Stromversorgungsüberwachung, 3,5 V	3.5V Power Supply Monitor	8-SOIC		1238.15/2,500	
TPS3510P	296-3318-5-ND	Stromversorgungsüberwachung, 3,5 V	3.5V Power Supply Monitor	8-Dip	1.14	.96	.77
TPS3511D	296-15041-5-ND	Stromwächter, PC	PC Power Supply Supervisor	8-SOIC	1.14	.96	.77
TPS3513D	296-13404-5-ND	Stromwächter, PC	PC Power Supply Supervisor	14-SOIC	1.48	1.19	.89
TPS3513N	296-17024-ND	Stromwächter, PC	PC Power Supply Supervisor	14-Dip	1.48	1.19	.89
TPS3514D	296-13513-5-ND	Stromwächter, PC	PC Power Supply Supervisor	14-SOIC	1.48	1.19	.89
TPS3600D20PW	296-10906-5-ND	Batteriereservewächter für NL-Prozessoren, 2 V	2V Battery Backup Supervisor for LP Processors	14-TSSOP	3.81	3.05	2.38
TPS3600D33PW	296-12237-5-ND	Batteriereservewächter für NL-Prozessoren, 3,3 V	3.3V Battery Backup Supervisor for LP Processors	14-TSSOP	3.81	3.05	2.38
TPS3600D33PWR	296-10907-1-ND	Batteriereservewächter für NL-Prozessoren, 3,3 V	3.3V Battery Backup Supervisor for LP Processors	14-TSSOP	4.39	3.51	2.73
TPS3600D33PWR	296-10907-2-ND	Batteriereservewächter für NL-Prozessoren, 3,3 V	3.3V Battery Backup Supervisor for LP Processors	14-TSSOP		4317.66/2,000	
TPS3600D50PW	296-12238-5-ND	Batteriereservewächter für NL-Prozessoren, 5 V	5V Battery Backup Supervisor for LP Processors	14-TSSOP	3.81	3.05	2.38
TPS3600D50PWR	296-10908-1-ND	Batteriereservewächter für NL-Prozessoren, 5 V	5V Battery Backup Supervisor for LP Processors	14-TSSOP	4.39	3.51	2.73
TPS3606-33DGS	296-10909-5-ND	Batteriereservewächter für NL-Prozessoren, 3,3 V	3.3V Battery Backup Supervisor for LP Processors	10-MSOP	2.76	2.21	1.72
TPS3610T50PW	296-10910-5-ND	Batteriereservewächter für RAM-Beibehaltung, 5 V	5V Battery Backup Supervisor for RAM Retention	14-TSSOP	3.14	2.52	1.96
TPS3610U18PW	296-12239-5-ND	Batteriereservewächter für RAM-Beibehaltung, 1,8 V	1.8V Battery Backup Supervisor for RAM Retention	14-TSSOP	3.14	2.52	1.96
TPS3613-01DGS	296-10912-5-ND	Einstellb. Batteriereservewächter für RAM-Beibehaltung	Adj. Battery Backup Supervisor for RAM Retention	10-MSOP	2.67	2.14	1.66
TPS3617-50DGK	296-10913-5-ND	Batteriereservewächter für RAM-Beibehaltung, 5 V	5V Battery Backup Supervisor for RAM Retention	8-MSOP	2.29	1.83	1.43
TPS3618-50DGKT	296-17574-1-ND	Batteriereservewächter für RAM-Beibehaltung, 5 V	5V Battery Backup Supervisor for RAM Retention	8-MSOP	2.57	2.06	1.61
TPS3618-50DGKT	296-17574-2-ND	Batteriereservewächter für RAM-Beibehaltung, 5 V	5V Battery Backup Supervisor for RAM Retention	8-MSOP		380.12/250	
TPS3619-33DGK	296-12141-5-ND	Batteriereservewächter für RAM-Beibehaltung, 3,3 V	3.3V Battery Backup Supervisor for RAM Retention	8-MSOP	2.10	1.68	1.31
TPS3619-50DGK	296-12142-5-ND	Batteriereservewächter für RAM-Beibehaltung, 5 V	5V Battery Backup Supervisor for RAM Retention	8-MSOP	2.10	1.68	1.31
TPS3620-33DGKR	296-17452-1-ND	Batteriereservewächter für RAM-Beibehaltung, 3,3 V	3.3V Backup Battery Supervisor for RAM Retention	8-MSOP	2.10	1.68	1.31
TPS3620-33DGKR	296-17452-2-ND	Batteriereservewächter für RAM-Beibehaltung, 3,3 V	3.3V Backup Battery Supervisor for RAM Retention	8-MSOP		2933.47/2,500	
TPS3620-50DGKR	296-17575-1-ND	Batteriereservewächter für RAM-Beibehaltung, 5 V	5V Battery Backup Supervisor for RAM Retention	8-MSOP	2.10	1.68	1.31
TPS3620-50DGKR	296-17575-2-ND	Batteriereservewächter für RAM-Beibehaltung, 5 V	5V Battery Backup Supervisor for RAM Retention	8-MSOP		2933.47/2500	
TPS3705-30D	296-2622-5-ND	Stromversorgungsüberwachung, 2,63 V	2.63V Supply Monitor	8-SOIC	1.42	1.14	.86
TPS3705-30DGN	296-3316-5-ND	Stromversorgungsüberwachung, 2,63 V	2.63V Supply Monitor	8-MSOP	1.42	1.14	.86
TPS3705-33D	296-2623-5-ND	Stromversorgungsüberwachung, 2,93 V	2.93V Supply Monitor	8-SOIC	1.42	1.14	.86
TPS3705-33DGNR	296-3319-1-ND	Stromversorgungsüberwachung, 2,93 V	2.93V Supply Monitor	8-MSOP	1.42	1.14	.86
TPS3705-33DGNR	296-3319-2-ND	Stromversorgungsüberwachung, 2,93 V	2.93V Supply Monitor	8-MSOP		1815.96/2,500	
TPS3705-50D	296-2624-5-ND	Stromversorgungsüberwachung, 4,55 V	4.55V Supply Monitor	8-SOIC	1.42	1.14	.86
TPS3705-50DGNR	296-3320-1-ND	Stromversorgungsüberwachung, 4,55 V	4.55V Supply Monitor	8-MSOP	1.42	1.14	.86
TPS3705-50DGNR	296-3320-2-ND	Stromversorgungsüberwachung, 4,55 V	4.55V Supply Monitor	8-MSOP		1815.96/2,500	
TPS3707-25D	296-2625-5-ND	Stromversorgungsüberwachung, 2,25 V	2.25V Supply Monitor	8-SOIC	1.34	1.07	.80

(Forts.)

★ ***RUFEN SIE BITTE AN FÜR NIEDRIGERE PREISE BEI GRÖSSEREN MENGEN!*** ★

T. I. Teilenr.	Digi-Key Teilenr.	Beschreibung		Paket	Stückpreis★ 1	25	100
TPS3707-25DGNR	296-3321-1-ND	Stromversorgungsüberwachung, 2,25 V	2.25V Supply Monitor	8-MSOP	1.34	1.07	.80
TPS3707-25DGNR	296-3321-2-ND	Stromversorgungsüberwachung, 2,25 V	2.25V Supply Monitor	8-MSOP		1705.90/2,500	
TPS3707-30D	296-2626-5-ND	Stromversorgungsüberwachung, 2,63 V	2.63V Supply Monitor	8-SOIC	1.34	1.07	.80
TPS3707-30DGN	296-3322-5-ND	Stromversorgungsüberwachung, 2,63 V	2.63V Supply Monitor	8-MSOP	1.34	1.07	.80
TPS3707-33D	296-2627-5-ND	Stromversorgungsüberwachung, 2,93 V	2.93V Supply Monitor	8-SOIC	1.34	1.07	.80
TPS3707-33DGN	296-3323-5-ND	Stromversorgungsüberwachung, 2,93 V	2.93V Supply Monitor	8-MSOP	1.34	1.07	.80
TPS3707-50D	296-2628-5-ND	Stromversorgungsüberwachung, 4,55 V	4.55V Supply Monitor	8-SOIC	1.34	1.07	.80
TPS3707-50DGNR	296-3324-1-ND	Stromversorgungsüberwachung, 4,55 V	4.55V Supply Monitor	8-MSOP	1.34	1.07	.80
TPS3707-50DGNR	296-3324-2-ND	Stromversorgungsüberwachung, 4,55 V	4.55V Supply Monitor	8-MSOP		1705.90/2,500	
TPS3800G27DCKR	296-12382-1-ND	Ultrakleiner Spannungswächter	Ultra-Small Supply Volt. Supervisor	SOT-323-5	1.24	1.04	.83
TPS3800G27DCKR	296-12382-2-ND	Ultrakleiner Spannungswächter	Ultra-Small Supply Volt. Supervisor	SOT-323-5		1320.70/3,000	
TPS3801-01DCKR	296-12383-1-ND	Ultrakleiner Spannungswächter	Ultra-Small Supply Volt. Supervisor	SOT-323-5	1.24	1.04	.83
TPS3801-01DCKR	296-12383-2-ND	Ultrakleiner Spannungswächter	Ultra-Small Supply Volt. Supervisor	SOT-323-5		1320.70/3,000	
TPS3801E18DCKR	296-12384-1-ND	Ultrakleiner Spannungswächter	Ultra-Small Supply Volt. Supervisor	SOT-323-5	1.24	1.04	.83
TPS3801E18DCKR	296-12384-2-ND	Ultrakleiner Spannungswächter	Ultra-Small Supply Volt. Supervisor	SOT-323-5		1320.70/3,000	
TPS3801I50DCKR	296-3325-1-ND	Stromversorgungsüberwachung, 4,55 V	4.55V Supply Monitor	SOT-323-5	1.24	1.04	.83
TPS3801I50DCKR	296-3325-2-ND	Stromversorgungsüberwachung, 4,55 V	4.55V Supply Monitor	SOT-323-5		1320.70/3,000	
TPS3801J25DCKR	296-3326-1-ND	Stromversorgungsüberwachung, 2,25 V	2.25V Supply Monitor	SOT-323-5	1.24	1.04	.83
TPS3801J25DCKR	296-3326-2-ND	Stromversorgungsüberwachung, 2,25 V	2.25V Supply Monitor	SOT-323-5		1320.70/3,000	
TPS3801K33DCKR	296-3327-1-ND	Stromversorgungsüberwachung, 2,93 V	2.93V Supply Monitor	SOT-323-5	1.24	1.04	.83
TPS3801K33DCKR	296-3327-2-ND	Stromversorgungsüberwachung, 2,93 V	2.93V Supply Monitor	SOT-323-5		1320.70/3,000	
TPS3801L30DCKR	296-3328-1-ND	Stromversorgungsüberwachung, 2,64 V	2.64V Supply Monitor	SOT-323-5	1.24	1.04	.83
TPS3801L30DCKR	296-3328-2-ND	Stromversorgungsüberwachung, 2,64 V	2.64V Supply Monitor	SOT-323-5		1320.70/3,000	
TPS3801T50DCKR	296-12385-1-ND	Ultrakleiner Spannungswächter	Ultra-Small Supply Voltage Supervisor	SOT-323-5	1.24	1.04	.83
TPS3801T50DCKR	296-12385-2-ND	Ultrakleiner Spannungswächter	Ultra-Small Supply Voltage Supervisor	SOT-323-5		1320.70/3,000	
TPS3802K33DCKR	296-12386-1-ND	Ultrakleiner Spannungswächter	Ultra-Small Supply Voltage Supervisor	SOT-323-5	1.24	1.04	.83
TPS3802K33DCKR	296-12386-2-ND	Ultrakleiner Spannungswächter	Ultra-Small Supply Voltage Supervisor	SOT-323-5		1320.70/3,000	
TPS3802L30DCKR	296-13514-1-ND	Ultrakleiner Spannungswächter	Ultra-Small Supply Voltage Supervisor	SOT323-5	1.24	1.04	.83
TPS3802L30DCKR	296-13514-2-ND	Ultrakleiner Spannungswächter	Ultra-Small Supply Voltage Supervisor	SOT323-5		1320.70/3,000	
TPS3803-01DCKR	296-13405-1-ND	Spannungserkennung, einstellb./1,5 V	Adj./1.5V Voltage Detector	SC70-5	.81	.61	.46
TPS3803-01DCKR	296-13405-2-ND	Spannungserkennung, einstellb./1,5 V	Adj./1.5V Voltage Detector	SC70-5		693.37/3,000	
TPS3803-01QDCKRQ1	296-16960-1-ND	Spannungserkennung, einstellb./1,5 V	Adj./1.5V Voltage Detector	SC70-5	.74	.62	.50
TPS3803-01QDCKRQ1	296-16960-2-ND	Spannungserkennung, einstellb./1,5 V	Adj./1.5V Voltage Detector	SC70-5		792.42/3,000	
TPS3803G15DCKR	296-13406-1-ND	Spannungserkennung, einstellb./1,5 V	Adj./1.5V Voltage Detector	SC70-5	.81	.61	.46
TPS3803G15DCKR	296-13406-2-ND	Spannungserkennung, einstellb./1,5 V	Adj./1.5V Voltage Detector	SC70-5		693.37/3,000	
TPS3803G15QDCKRQ1	296-16961-1-ND	Spannungserkennung, einstellb./1,5 V	Adj./1.5V Voltage Detector	SC70-5	.74	.62	.50
TPS3803G15QDCKRQ1	296-16961-2-ND	Spannungserkennung, einstellb./1,5 V	Adj./1.5V Voltage Detector	SC70-5		792.42/3,000	
TPS3805H33DCKR	296-13407-1-ND	Zweif. Spannungserkennung, einstellb./3,3 V	Dual, Adj./3.3V Volt. Detector	SC70-5	.74	.62	.50
TPS3805H33DCKR	296-13407-2-ND	Zweif. Spannungserkennung, einstellb./3,3 V	Dual, Adj./3.3V Volt. Detector	SC70-5		957.50/3,000	
TPS3805H33QDCKRQ1	296-16962-1-ND	Zweif. Spannungserkennung, einstellb./3,3 V	Dual, Adj./3.3V Volt. Detector	SC70-5	.86	.72	.58
TPS3805H33QDCKRQ1	296-16962-2-ND	Zweif. Spannungserkennung, einstellb./3,3 V	Dual, Adj./3.3V Volt. Detector	SC70-5		1122.59/3,000	
TPS3806I33DBVR	296-12011-1-ND	Zweif. Spannungserkennung mit einstellbarer Hysterese	Dual Voltage Detector with Adjustable Hysteresis	SOT-23-6	1.27	1.02	.77
TPS3806I33DBVR	296-12011-2-ND	Zweif. Spannungserkennung mit einstellbarer Hysterese	Dual Voltage Detector with Adjustable Hysteresis	SOT-23-6		1485.78/3,000	
TPS3806J20DBVR	296-12012-1-ND	Zweif. Spannungserkennung mit einstellbarer Hysterese	Dual Voltage Detector with Adjustable Hysteresis	SOT-23-6	1.27	1.02	.77
TPS3806J20DBVR	296-12012-2-ND	Zweif. Spannungserkennung mit einstellbarer Hysterese	Dual Voltage Detector with Adjustable Hysteresis	SOT-23-6		1485.78/3,000	
TPS3808G01DBVR	296-17188-1-ND	Einstellb. Spannungswächter	Adj. Voltage Supervisor	SOT-23	1.48	1.19	.89
TPS3808G01DBVR	296-17188-2-ND	Einstellb. Spannungswächter	Adj. Voltage Supervisor	SOT-23		2275.66/3,000	
TPS3808G09DBVR	296-17189-1-ND	0,9 V Spannungswächter	0.9V Voltage Supervisor	SOT-23	1.48	1.19	.89
TPS3808G09DBVR	296-17189-2-ND	0,9 V Spannungswächter	0.9V Voltage Supervisor	SOT-23		2275.66/3,000	
TPS3808G12DBVR	296-17190-1-ND	1,2 V Spannungswächter	1.2V Voltage Supervisor	SOT-23	1.48	1.19	.89
TPS3808G12DBVR	296-17190-2-ND	1,2 V Spannungswächter	1.2V Voltage Supervisor	SOT-23		2275.66/3,000	
TPS3808G15DBVR	296-17191-1-ND	1,5 V Spannungswächter	1.5V Voltage Supervisor	SOT-23	1.48	1.19	.89
TPS3808G15DBVR	296-17191-2-ND	1,5 V Spannungswächter	1.5V Voltage Supervisor	SOT-23		2275.66/3,000	
TPS3808G18DBVR	296-17192-1-ND	1,8 V Spannungswächter	1.8V Voltage Supervisor	SOT-23	1.48	1.19	.89
TPS3808G18DBVR	296-17192-2-ND	1,8 V Spannungswächter	1.8V Voltage Supervisor	SOT-23		2275.66/3,000	
TPS3808G25DBVR	296-17193-1-ND	2,5 V Spannungswächter	2.5V Voltage Supervisor	SOT-23	1.48	1.19	.89
TPS3808G25DBVR	296-17193-2-ND	2,5 V Spannungswächter	2.5V Voltage Supervisor	SOT-23		2275.66/3,000	
TPS3808G30DBVR	296-17194-1-ND	3,0 V Spannungswächter	3.0V Voltage Supervisor	SOT-23	1.48	1.19	.89
TPS3808G30DBVR	296-17194-2-ND	3,0 V Spannungswächter	3.0V Voltage Supervisor	SOT-23		2275.66/3,000	
TPS3808G33DBVR	296-17195-1-ND	3,3 V Spannungswächter	3.3V Voltage Supervisor	SOT-23	1.48	1.19	.89
TPS3808G33DBVR	296-17195-2-ND	3,3 V Spannungswächter	3.3V Voltage Supervisor	SOT-23		2275.66/3,000	
TPS3808G50DBVR	296-17196-1-ND	5,0 V Spannungswächter	5.0V Voltage Supervisor	SOT-23	1.48	1.19	.89
TPS3808G50DBVR	296-17196-2-ND	5,0 V Spannungswächter	5.0V Voltage Supervisor	SOT-23		2275.66/3,000	
TPS3809I50DBVR	296-10914-1-ND	Spannungswächter, 4,55 V	4.55V Supply Volt. Supervisor	SOT-23	.81	.61	.46
TPS3809I50DBVR	296-10914-2-ND	Spannungswächter, 4,55 V	4.55V Supply Volt. Supervisor	SOT-23		693.37/3,000	
TPS3809I50DBVT	296-2629-1-ND	Spannungswächter, 4,55 V	4.55V Supply Volt. Supervisor	SOT-23	.81	.61	.46
TPS3809I50DBVT	296-2629-2-ND	Spannungswächter, 4,55 V	4.55V Supply Volt. Supervisor	SOT-23		73.87/250	
TPS3809I50QDBVRQ1	296-15642-1-ND	Spannungswächter, 4,55 V	4.55V Supply Volt. Supervisor	SOT-23	.74	.62	.50
TPS3809I50QDBVRQ1	296-15642-2-ND	Spannungswächter, 4,55 V	4.55V Supply Volt. Supervisor	SOT-23		792.42/3,000	
TPS3809J25DBVR	296-10915-1-ND	Spannungswächter, 2,25 V	2.25V Supply Volt. Supervisor	SOT-23	.81	.61	.46
TPS3809J25DBVR	296-10915-2-ND	Spannungswächter, 2,25 V	2.25V Supply Volt. Supervisor	SOT-23		693.37/3,000	
TPS3809J25DBVT	296-2630-1-ND	Spannungswächter, 2,25 V	2.25V Supply Volt. Supervisor	SOT-23	.81	.61	.46
TPS3809J25DBVT	296-2630-2-ND	Spannungswächter, 2,25 V	2.25V Supply Volt. Supervisor	SOT-23		73.87/250	
TPS3809J25QDBVRQ1	296-15643-1-ND	Spannungswächter, 2,25 V	2.25V Supply Volt. Supervisor	SOT-23	.74	.62	.50
TPS3809J25QDBVRQ1	296-15643-2-ND	Spannungswächter, 2,25 V	2.25V Supply Volt. Supervisor	SOT-23		792.42/3,000	
TPS3809K33DBVR	296-10916-1-ND	Spannungswächter, 2,93 V	2.93V Supply Volt. Supervisor	SOT-23	.81	.61	.46
TPS3809K33DBVR	296-10916-2-ND	Spannungswächter, 2,93 V	2.93V Supply Volt. Supervisor	SOT-23		693.37/3,000	
TPS3809K33DBVT	296-2631-1-ND	Spannungswächter, 2,93 V	2.93V Supply Volt. Supervisor	SOT-23	.81	.61	.46
TPS3809K33DBVT	296-2631-2-ND	Spannungswächter, 2,93 V	2.93V Supply Volt. Supervisor	SOT-23		73.87/250	
TPS3809K33QDBVRQ1	296-15644-1-ND	Spannungswächter, 2,93 V	2.93V Supply Volt. Supervisor	SOT-23	.74	.62	.50
TPS3809K33QDBVRQ1	296-15644-2-ND	Spannungswächter, 2,93 V	2.93V Supply Volt. Supervisor	SOT-23		792.42/3,000	
TPS3809L30DBVR	296-10917-1-ND	Spannungswächter, 2,64 V	2.64V Supply Volt. Supervisor	SOT-23	.81	.61	.46
TPS3809L30DBVR	296-10917-2-ND	Spannungswächter, 2,64 V	2.64V Supply Volt. Supervisor	SOT-23		693.37/3,000	
TPS3809L30DBVT	296-2632-1-ND	Spannungswächter, 2,64 V	2.64V Supply Volt. Supervisor	SOT-23	.81	.61	.46
TPS3809L30DBVT	296-2632-2-ND	Spannungswächter, 2,64 V	2.64V Supply Volt. Supervisor	SOT-23		73.87/250	
TPS3809L30QDBVRQ1	296-15645-1-ND	Spannungswächter, 2,64 V	2.64V Supply Volt. Supervisor	SOT-23	.74	.62	.50
TPS3809L30QDBVRQ1	296-15645-2-ND	Spannungswächter, 2,64 V	2.64V Supply Volt. Supervisor	SOT-23		792.42/3,000	
TPS3813I50DBVT	296-10918-1-ND	Wächter mit programmierbarem Watchdog-Fenster, 5 V	5V Supervisor with Programmable Watchdog Window	SOT-23-6	1.90	1.53	1.15
TPS3813I50DBVT	296-10918-2-ND	Wächter mit programmierbarem Watchdog-Fenster, 5 V	5V Supervisor with Programmable Watchdog Window	SOT-23-6		266.68/250	
TPS3813J25DBVT	296-10919-1-ND	Wächter mit programmierbarem Watchdog-Fenster, 2,5 V	2.5V Supervisor with Programmable Watchdog Window	SOT-23-6	1.90	1.53	1.15
TPS3813J25DBVT	296-10919-2-ND	Wächter mit programmierbarem Watchdog-Fenster, 2,5 V	2.5V Supervisor with Programmable Watchdog Window	SOT-23-6		266.68/250	
TPS3813K33DBVT	296-10920-1-ND	Wächter mit programmierbarem Watchdog-Fenster, 3,3 V	3.3V Supervisor with Programmable Watchdog Window	SOT-23-6	1.90	1.53	1.15
TPS3813K33DBVT	296-10920-2-ND	Wächter mit programmierbarem Watchdog-Fenster, 3,3 V	3.3V Supervisor with Programmable Watchdog Window	SOT-23-6		266.68/250	
TPS3813L30DBVT	296-10921-1-ND	Wächter mit programmierbarem Watchdog-Fenster, 3,0 V	3.0V Supervisor with Programmable Watchdog Window	SOT-23-6	1.90	1.53	1.15
TPS3813L30DBVT	296-10921-2-ND	Wächter mit programmierbarem Watchdog-Fenster, 3,0 V	3.0V Supervisor with Programmable Watchdog Window	SOT-23-6		266.68/250	
TPS3820-33DBVT	296-2633-1-ND	Stromversorgungsüberwachung, 2,93 V	2.93V Supply Monitor	SOT-23-5	1.17	.94	.70
TPS3820-33DBVT	296-2633-2-ND	Stromversorgungsüberwachung, 2,93 V	2.93V Supply Monitor	SOT-23-5		162.97/250	
TPS3820-33QDBVRQ1	296-15646-1-ND	Stromversorgungsüberwachung, 2,93 V	2.93V Supply Monitor	SOT-23-5	1.34	1.07	.80
TPS3820-33QDBVRQ1	296-15646-2-ND	Stromversorgungsüberwachung, 2,93 V	2.93V Supply Monitor	SOT-23-5		2080.10/3,000	
TPS3820-50DBVT	296-2635-1-ND	Stromversorgungsüberwachung, 4,55 V	4.55V Supply Monitor	SOT-23-5	1.17	.94	.70

(Forts.)

★ RUFEN SIE BITTE AN FÜR NIEDRIGERE PREISE BEI GRÖSSEREN MENGEN! ★

B

T. I. Teilenr.	Digi-Key Teilenr.	Beschreibung		Paket	Stückpreis★ 1	25	100
TPS3820-50DBVT	296-2635-2-ND	Stromversorgungsüberwachung, 4,55 V	4.55V Supply Monitor	SOT-23-5		162.97/250	
TPS3820-50QDBVRQ1	296-15647-1-ND	Stromversorgungsüberwachung, 4,55 V	4.55V Supply Monitor	SOT-23-5	1.34	1.07	.80
TPS3820-50QDBVRQ1	296-15647-2-ND	Stromversorgungsüberwachung, 4,55 V	4.55V Supply Monitor	SOT-23-5		2080.10/3,000	
TPS3823-25DBVR	296-3333-1-ND	Stromversorgungsüberwachung, 2,25 V	2.25V Supply Monitor	SOT-23-5	1.17	.94	.70
TPS3823-25DBVR	296-3333-2-ND	Stromversorgungsüberwachung, 2,25 V	2.25V Supply Monitor	SOT-23-5		1788.02/3,000	
TPS3823-25QDBVRQ1	296-15648-1-ND	Stromversorgungsüberwachung, 2,25 V	2.25V Supply Monitor	SOT-23-5	1.34	1.07	.80
TPS3823-25QDBVRQ1	296-15648-2-ND	Stromversorgungsüberwachung, 2,25 V	2.25V Supply Monitor	SOT-23-5		2080.10/3,000	
TPS3823-30DBVR	296-3334-1-ND	Stromversorgungsüberwachung, 2,63 V	2.63V Supply Monitor	SOT-23-5	1.17	.94	.70
TPS3823-30DBVR	296-3334-2-ND	Stromversorgungsüberwachung, 2,63 V	2.63V Supply Monitor	SOT-23-5		1788.02/3,000	
TPS3823-30QDBVRQ1	296-15649-1-ND	Stromversorgungsüberwachung, 2,63 V	2.63V Supply Monitor	SOT-23-5	1.34	1.07	.80
TPS3823-30QDBVRQ1	296-15649-2-ND	Stromversorgungsüberwachung, 2,63 V	2.63V Supply Monitor	SOT-23-5		2080.10/3,000	
TPS3823-33DBVR	296-1357-1-ND	Stromversorgungsüberwachung, 2,93 V	2.93V Supply Monitor	SOT-23-5	1.17	.94	.70
TPS3823-33DBVR	296-1357-2-ND	Stromversorgungsüberwachung, 2,93 V	2.93V Supply Monitor	SOT-23-5		1788.02/3,000	
TPS3823-33QDBVRQ1	296-15650-1-ND	Stromversorgungsüberwachung, 2,93 V	2.93V Supply Monitor	SOT-23-5	1.34	1.07	.80
TPS3823-33QDBVRQ1	296-15650-2-ND	Stromversorgungsüberwachung, 2,93 V	2.93V Supply Monitor	SOT-23-5		2080.10/3,000	
TPS3823-50DBVR	296-3335-1-ND	Stromversorgungsüberwachung, 4,55 V	4.55V Supply Monitor	SOT-23-5	1.17	.94	.70
TPS3823-50DBVR	296-3335-2-ND	Stromversorgungsüberwachung, 4,55 V	4.55V Supply Monitor	SOT-23-5		1788.02/3,000	
TPS3823-50DBVT	296-10922-1-ND	Stromversorgungsüberwachung, 4,55 V	4.55V Supply Monitor	SOT-23-5	1.17	.94	.70
TPS3823-50DBVT	296-10922-2-ND	Stromversorgungsüberwachung, 4,55 V	4.55V Supply Monitor	SOT-23-5		162.97/250	
TPS3823-50QDBVRQ1	296-15651-1-ND	Stromversorgungsüberwachung, 4,55 V	4.55V Supply Monitor	SOT-23-5	1.34	1.07	.80
TPS3823-50QDBVRQ1	296-15651-2-ND	Stromversorgungsüberwachung, 4,55 V	4.55V Supply Monitor	SOT-23-5		2080.10/3,000	
TPS3824-25DBVR	296-3336-1-ND	Stromversorgungsüberwachung, 2,25 V	2.25V Supply Monitor	SOT-23-5	1.17	.94	.70
TPS3824-25DBVR	296-3336-2-ND	Stromversorgungsüberwachung, 2,25 V	2.25V Supply Monitor	SOT-23-5		1788.02/3,000	
TPS3824-25QDBVRQ1	296-15652-1-ND	Stromversorgungsüberwachung, 2,25 V	2.25V Supply Monitor	SOT-23-5	1.34	1.07	.80
TPS3824-25QDBVRQ1	296-15652-2-ND	Stromversorgungsüberwachung, 2,25 V	2.25V Supply Monitor	SOT-23-5		2080.10/3,000	
TPS3824-30DBVR	296-3337-1-ND	Stromversorgungsüberwachung, 2,63 V	2.63V Supply Monitor	SOT-23-5	1.17	.94	.70
TPS3824-30DBVR	296-3337-2-ND	Stromversorgungsüberwachung, 2,63 V	2.63V Supply Monitor	SOT-23-5		1788.02/3,000	
TPS3824-30QDBVRQ1	296-15653-1-ND	Stromversorgungsüberwachung, 2,63 V	2.63V Supply Monitor	SOT-23-5	1.34	1.07	.80
TPS3824-30QDBVRQ1	296-15653-2-ND	Stromversorgungsüberwachung, 2,63 V	2.63V Supply Monitor	SOT-23-5		2080.10/3,000	
TPS3824-33DBVR	296-3338-1-ND	Stromversorgungsüberwachung, 2,93 V	2.93V Supply Monitor	SOT-23-5	1.17	.94	.70
TPS3824-33DBVR	296-3338-2-ND	Stromversorgungsüberwachung, 2,93 V	2.93V Supply Monitor	SOT-23-5		1788.02/3,000	
TPS3824-33QDBVRQ1	296-15654-1-ND	Stromversorgungsüberwachung, 2,93 V	2.93V Supply Monitor	SOT-23-5	1.34	1.07	.80
TPS3824-33QDBVRQ1	296-15654-2-ND	Stromversorgungsüberwachung, 2,93 V	2.93V Supply Monitor	SOT-23-5		2080.10/3,000	
TPS3824-50DBVR	296-1358-1-ND	Stromversorgungsüberwachung, 4,55 V	4.55V Supply Monitor	SOT-23-5	1.17	.94	.70
TPS3824-50DBVR	296-1358-2-ND	Stromversorgungsüberwachung, 4,55 V	4.55V Supply Monitor	SOT-23-5		1788.02/3,000	
TPS3824-50QDBVRQ1	296-15655-1-ND	Stromversorgungsüberwachung, 4,55 V	4.55V Supply Monitor	SOT-23-5	1.34	1.07	.80
TPS3824-50QDBVRQ1	296-15655-2-ND	Stromversorgungsüberwachung, 4,55 V	4.55V Supply Monitor	SOT-23-5		2080.10/3,000	
TPS3825-33DBVT	296-2636-1-ND	Stromversorgungsüberwachung, 2,93 V	2.93V Supply Monitor	SOT-23-5	1.17	.98	.78
TPS3825-33DBVT	296-2636-2-ND	Stromversorgungsüberwachung, 2,93 V	2.93V Supply Monitor	SOT-23-5		146.04/250	
TPS3825-33QDBVRQ1	296-15656-1-ND	Stromversorgungsüberwachung, 2,93 V	2.93V Supply Monitor	SOT-23-5	1.17	.94	.70
TPS3825-33QDBVRQ1	296-15656-2-ND	Stromversorgungsüberwachung, 2,93 V	2.93V Supply Monitor	SOT-23-5		1815.96/3,000	
TPS3825-50DBVT	296-2637-1-ND	Stromversorgungsüberwachung, 4,55 V	4.55V Supply Monitor	SOT-23-5	1.17	.98	.78
TPS3825-50DBVT	296-2637-2-ND	Stromversorgungsüberwachung, 4,55 V	4.55V Supply Monitor	SOT-23-5		146.04/250	
TPS3825-50QDBVRQ1	296-15657-1-ND	Stromversorgungsüberwachung, 4,55 V	4.55V Supply Monitor	SOT-23-5	1.17	.94	.70
TPS3825-50QDBVRQ1	296-15657-2-ND	Stromversorgungsüberwachung, 4,55 V	4.55V Supply Monitor	SOT-23-5		1815.96/3,000	
TPS3828-33DBVT	296-2638-1-ND	Stromversorgungsüberwachung, 2,93 V	2.93V Supply Monitor	SOT-23-5	1.17	.94	.70
TPS3828-33DBVT	296-2638-2-ND	Stromversorgungsüberwachung, 2,93 V	2.93V Supply Monitor	SOT-23-5		162.97/250	
TPS3828-33QDBVRQ1	296-15658-1-ND	Stromversorgungsüberwachung, 2,93 V	2.93V Supply Monitor	SOT-23-5	1.34	1.07	.80
TPS3828-33QDBVRQ1	296-15658-2-ND	Stromversorgungsüberwachung, 2,93 V	2.93V Supply Monitor	SOT-23-5		2080.10/3,000	
TPS3828-50DBVT	296-2639-1-ND	Stromversorgungsüberwachung, 4,55 V	4.55V Supply Monitor	SOT-23-5	1.17	.94	.70
TPS3828-50DBVT	296-2639-2-ND	Stromversorgungsüberwachung, 4,55 V	4.55V Supply Monitor	SOT-23-5		162.97/250	
TPS3828-50QDBVRQ1	296-15659-1-ND	Stromversorgungsüberwachung, 4,55 V	4.55V Supply Monitor	SOT-23-5	1.34	1.07	.80
TPS3828-50QDBVRQ1	296-15659-2-ND	Stromversorgungsüberwachung, 4,55 V	4.55V Supply Monitor	SOT-23-5		2080.10/3,000	
TPS3836E18DBVT	296-3339-1-ND	Niederstromüberwachung, 1,71 V	1.71V Low Current Monitor	SOT-23-5	1.80	1.44	1.08
TPS3836E18DBVT	296-3339-2-ND	Niederstromüberwachung, 1,71 V	1.71V Low Current Monitor	SOT-23-5		251.86/250	
TPS3836E18QDBVRQ1	296-15660-1-ND	Niederstromüberwachung, 1,71 V	1.71V Low Current Monitor	SOT-23-5	1.90	1.53	1.19
TPS3836E18QDBVRQ1	296-15660-2-ND	Niederstromüberwachung, 1,71 V	1.71V Low Current Monitor	SOT-23-5		3301.74/3,000	
TPS3836H30DBVT	296-13003-1-ND	Niederstromüberwachung, 2,79 V	2.79V Low Current Monitor	SOT-23-5	1.80	1.44	1.08
TPS3836H30DBVT	296-13003-2-ND	Niederstromüberwachung, 2,79 V	2.79V Low Current Monitor	SOT-23-5		251.86/250	
TPS3836H30QDBVRQ1	296-15661-1-ND	Niederstromüberwachung, 2,79 V	2.79V Low Current Monitor	SOT-23-5	1.90	1.53	1.19
TPS3836H30QDBVRQ1	296-15661-2-ND	Niederstromüberwachung, 2,79 V	2.79V Low Current Monitor	SOT-23-5		3301.74/3,000	
TPS3836J25DBVT	296-3340-1-ND	Niederstromüberwachung, 2,25 V	2.25V Low Current Monitor	SOT-23-5	1.80	1.44	1.08
TPS3836J25DBVT	296-3340-2-ND	Niederstromüberwachung, 2,25 V	2.25V Low Current Monitor	SOT-23-5		251.86/250	
TPS3836J25QDBVRQ1	296-15662-1-ND	Niederstromüberwachung, 2,25 V	2.25V Low Current Monitor	SOT-23-5	1.90	1.53	1.19
TPS3836J25QDBVRQ1	296-15662-2-ND	Niederstromüberwachung, 2,25 V	2.25V Low Current Monitor	SOT-23-5		3301.74/3,000	
TPS3836K33DBVT	296-3341-2-ND	Niederstromüberwachung, 2,93 V	2.93V Low Current Monitor	SOT-23-5		251.86/250	
TPS3836K33QDBVRQ1	296-15663-1-ND	Niederstromüberwachung, 2,93 V	2.93V Low Current Monitor	SOT-23-5	1.90	1.53	1.19
TPS3836K33QDBVRQ1	296-15663-2-ND	Niederstromüberwachung, 2,93 V	2.93V Low Current Monitor	SOT-23-5		3301.74/3,000	
TPS3836L30DBVT	296-3342-1-ND	Niederstromüberwachung, 2,64 V	2.64V Low Current Monitor	SOT-23-5	1.80	1.44	1.08
TPS3836L30DBVT	296-3342-2-ND	Niederstromüberwachung, 2,64 V	2.64V Low Current Monitor	SOT-23-5		251.86/250	
TPS3836L30QDBVRQ1	296-15664-1-ND	Niederstromüberwachung, 2,64 V	2.64V Low Current Monitor	SOT-23-5	1.90	1.53	1.19
TPS3836L30QDBVRQ1	296-15664-2-ND	Niederstromüberwachung, 2,64 V	2.64V Low Current Monitor	SOT-23-5		3301.74/3,000	
TPS3837E18DBVT	296-3343-1-ND	Niederstromüberwachung, 1,71 V	1.71V Low Current Monitor	SOT-23-5	1.80	1.44	1.08
TPS3837E18DBVT	296-3343-2-ND	Niederstromüberwachung, 1,71 V	1.71V Low Current Monitor	SOT-23-5		251.86/250	
TPS3837E18QDBVRQ1	296-15665-1-ND	Niederstromüberwachung, 1,71 V	1.71V Low Current Monitor	SOT-23-5	1.90	1.53	1.19
TPS3837E18QDBVRQ1	296-15665-2-ND	Niederstromüberwachung, 1,71 V	1.71V Low Current Monitor	SOT-23-5		3301.74/3,000	
TPS3837J25QDBVRQ1	296-15666-1-ND	Niederstromüberwachung, 2,25 V	2.25V Low Current Monitor	SOT-23-5	1.90	1.53	1.19
TPS3837J25QDBVRQ1	296-15666-2-ND	Niederstromüberwachung, 2,25 V	2.25V Low Current Monitor	SOT-23-5		3301.74/3,000	
TPS3837K33DBVT	296-3345-1-ND	Niederstromüberwachung, 2,93 V	2.93V Low Current Monitor	SOT-23-5	1.80	1.44	1.08
TPS3837K33DBVT	296-3345-2-ND	Niederstromüberwachung, 2,93 V	2.93V Low Current Monitor	SOT-23-5		251.86/250	
TPS3837K33QDBVRQ1	296-15667-1-ND	Niederstromüberwachung, 2,93 V	2.93V Low Current Monitor	SOT-23-5	1.90	1.53	1.19
TPS3837K33QDBVRQ1	296-15667-2-ND	Niederstromüberwachung, 2,93 V	2.93V Low Current Monitor	SOT-23-5		3301.74/3,000	
TPS3837L30DBVT	296-3346-1-ND	Niederstromüberwachung, 2,64 V	2.64V Low Current Monitor	SOT-23-5	1.80	1.44	1.08
TPS3837L30DBVT	296-3346-2-ND	Niederstromüberwachung, 2,64 V	2.64V Low Current Monitor	SOT-23-5		251.86/250	
TPS3837L30QDBVRQ1	296-15668-1-ND	Niederstromüberwachung, 2,64 V	2.64V Low Current Monitor	SOT-23-5	1.90	1.53	1.19
TPS3837L30QDBVRQ1	296-15668-2-ND	Niederstromüberwachung, 2,64 V	2.64V Low Current Monitor	SOT-23-5		3301.74/3,000	
TPS3838E18DBVT	296-3347-1-ND	Niederstromüberwachung, 1,71 V	1.71V Low Current Monitor	SOT-23-5	1.80	1.44	1.08
TPS3838E18DBVT	296-3347-2-ND	Niederstromüberwachung, 1,71 V	1.71V Low Current Monitor	SOT-23-5		251.86/250	
TPS3838E18QDBVRQ1	296-15669-1-ND	Niederstromüberwachung, 1,71 V	1.71V Low Current Monitor	SOT-23-5	1.90	1.53	1.19
TPS3838E18QDBVRQ1	296-15669-2-ND	Niederstromüberwachung, 1,71 V	1.71V Low Current Monitor	SOT-23-5		3301.74/3,000	
TPS3838J25DBVT	296-3348-1-ND	Niederstromüberwachung, 2,25 V	2.25V Low Current Monitor	SOT-23-5	1.80	1.44	1.08
TPS3838J25DBVT	296-3348-2-ND	Niederstromüberwachung, 2,25 V	2.25V Low Current Monitor	SOT-23-5		251.86/250	
TPS3838K33DBVT	296-3349-1-ND	Niederstromüberwachung, 2,93 V	2.93V Low Current Monitor	SOT-23-5	1.80	1.44	1.08
TPS3838K33DBVT	296-3349-2-ND	Niederstromüberwachung, 2,93 V	2.93V Low Current Monitor	SOT-23-5		251.86/250	
TPS3838K33QDBVRQ1	296-15670-1-ND	Niederstromüberwachung, 2,93 V	2.93V Low Current Monitor	SOT-23-5	1.90	1.53	1.19
TPS3838K33QDBVRQ1	296-15670-2-ND	Niederstromüberwachung, 2,93 V	2.93V Low Current Monitor	SOT-23-5		3301.74/3,000	
TPS3838L30DBVT	296-3350-1-ND	Niederstromüberwachung, 2,64 V	2.64V Low Current Monitor	SOT-23-5	1.80	1.44	1.08
TPS3838L30DBVT	296-3350-2-ND	Niederstromüberwachung, 2,64 V	2.64V Low Current Monitor	SOT-23-5		251.86/250	
TPS3838L30QDBVRQ1	296-15671-1-ND	Niederstromüberwachung, 2,64 V	2.64V Low Current Monitor	SOT-23-5	1.90	1.53	1.19
TPS3838L30QDBVRQ1	296-15671-2-ND	Niederstromüberwachung, 2,64 V	2.64V Low Current Monitor	SOT-23-5		3301.74/3,000	

(Forts.)

★ RUFEN SIE BITTE AN FÜR NIEDRIGERE PREISE BEI GRÖSSEREN MENGEN! ★

Alle Preisangaben in Euro und inklusive Zollgebühren.

T. I. Teilenr.	Digi-Key Teilenr.	Beschreibung		Paket	Stückpreis★ 1	25	100
UC2543DW	296-3355-5-ND	Stromversorgungsüberwachung, 2,5 V	2.5V Power Supply Monitor	16-SOIC	4.59	3.68	3.10
UC2543N	296-3356-5-ND	Stromversorgungsüberwachung, 2,5 V	2.5V Power Supply Monitor	16-Dip	4.59	3.68	3.10
UC2903DW	296-2640-5-ND	Vierf. Spannungsversorgungsüberwachung	Quad Voltage Supply Monitor	18-SOIC	4.66	3.74	2.91
UC3543DW	296-3357-5-ND	Stromversorgungsüberwachung, 2,5 V	2.5V Power Supply Monitor	16-SOIC	4.54	3.63	2.83
UC3543N	296-3358-5-ND	Stromversorgungsüberwachung, 2,5 V	2.5V Power Supply Monitor	16-Dip	4.54	3.63	2.83
UC3544N	296-3359-5-ND	Stromversorgungsüberwachung, 2,5 V	2.5V Power Supply Monitor	18-Dip	2.99	2.40	1.87
UC3903DW	296-2642-5-ND	Vierf. Spannungsversorgungsüberwachung	Quad Voltage Supply Monitor	18-SOIC	4.00	3.20	2.49
UC3910D	296-2644-5-ND	DAU-Umwandler und Spannungsüberwachung, 4-Bit	4-Bit DAC and Voltage Monitor	16-SOIC	4.83	3.87	3.26
UC39432D	296-11350-5-ND	Präzisions-Analog-Controller	Precision Analog Controller	8-SOIC	4.66	3.74	2.91
UC39432N	296-11351-5-ND	Präzisions-Analog-Controller	Precision Analog Controller	8-Dip	4.66	3.74	2.91
UCC2946D	296-2645-5-ND	Mikroprozessor-Wächter mit Watchdog-Timer	Microprocessor Supervisor with Watch Dog Timer	8-SOIC	2.67	2.14	1.66
UCC3946D	296-2646-5-ND	Mikroprozessor-Wächter mit Watchdog-Timer	Microprocessor Supervisor with Watch Dog Timer	8-SOIC	2.57	2.06	1.61
UCC3946N	296-11547-5-ND	Mikroprozessor-Wächter mit Watchdog-Timer	Microprocessor Supervisor with Watch Dog Timer	8-Dip	2.57	2.06	1.61
		MOSFET / MOSFET-Treiber					
SN75372D	296-3360-5-ND	Zweif. MOSFET-Treiber	Dual MOSFET Driver	8-SOIC	1.90	1.53	1.15
SN75372DR	296-14958-1-ND	Zweif. MOSFET-Treiber	Dual MOSFET Driver	8-SOIC	1.90	1.53	1.15
SN75372DR	296-14958-2-ND	Zweif. MOSFET-Treiber	Dual MOSFET Driver	8-SOIC		2438.21/2,500	
SN75372P	296-3361-5-ND	Zweif. MOSFET-Treiber	Dual MOSFET Driver	8-Dip	1.90	1.53	1.15
SN75374D	296-3362-5-ND	Vierf. MOSFET-Treiber	Quad MOSFET Driver	16-SOIC	2.10	1.68	1.31
TPS1100D	296-3379-5-ND	P-Kanal-MOSFET, Anstiegszeit 10 ns	P-Channel MOSFET, Rise Time 10nS	8-SOIC	1.19	1.00	.80
TPS1100PWR	296-13383-1-ND	Einf. P-Kanal-MOSFETs mit Verbesserungsmodus	Single P-Channel Enhancement Mode MOSFETs	8-TSSOP	1.19	1.00	.80
TPS1100PWR	296-13383-2-ND	Einf. P-Kanal-MOSFETs mit Verbesserungsmodus	Single P-Channel Enhancement Mode MOSFETs	8-TSSOP		1058.25/2,000	
TPS1101D	296-3381-5-ND	P-Kanal-MOSFET, Anstiegszeit 5,5 ns	P-Channel MOSFET, Rise Time 5.5nS	8-SOIC	1.59	1.27	.96
TPS1101PWR	296-13384-1-ND	Einf. P-Kanal-MOSFETs mit Verbesserungsmodus	Single P-Channel Enhancement Mode MOSFETs	16-TSSOP	1.59	1.27	.96
TPS1101PWR	296-13384-2-ND	Einf. P-Kanal-MOSFETs mit Verbesserungsmodus	Single P-Channel Enhancement Mode MOSFETs	16-TSSOP		1650.87/2,000	
TPS1120D	296-1352-5-ND	Zweif. P-Kanal-MOSFET	Dual P-Channel MOSFET	8-SOIC	1.48	1.19	.89
TPS1120DR	296-1352-1-ND	Zweif. P-Kanal-MOSFET	Dual P-Channel MOSFET	8-SOIC	1.48	1.19	.89
TPS1120DR	296-1352-2-ND	Zweif. P-Kanal-MOSFET	Dual P-Channel MOSFET	8-SOIC		1896.38/2,500	
TPS2811D	296-2385-5-ND	Zweif. invert. MOSFET-Treiber, 2 A	Dual 2A Invert MOSFET Driver	8-SOIC	1.82	1.46	1.10
TPS2811P	296-3363-5-ND	Zweif. invert. MOSFET-Treiber, HS, 2 A	Dual 2A High Speed Invert MOSFET Driver	8-Dip	1.82	1.46	1.10
TPS2811PW	296-15640-5-ND	Zweif. invert. MOSFET-Treiber, HS, 2 A	Dual 2A High Speed Invert MOSFET Driver	8-TSSOP	1.82	1.46	1.10
TPS2812D	296-3364-5-ND	Zweif. nicht invert. FET-Treiber, HS, 2 A	Dual 2A High Speed Non-Invert FET Driver	8-SOIC	1.82	1.46	1.10
TPS2812P	296-3365-5-ND	Zweif. nicht invert. FET-Treiber, HS, 2 A	Dual 2A High Speed Non-Invert FET Driver	8-Dip	1.82	1.46	1.10
TPS2812PWR	296-15139-1-ND	Zweif. nicht invert. FET-Treiber, HS, 2 A	Dual 2A High Speed Non-Invert FET Driver	8-TSSOP	1.82	1.46	1.10
TPS2812PWR	296-15139-2-ND	Zweif. nicht invert. FET-Treiber, HS, 2 A	Dual 2A High Speed Non-Invert FET Driver	8-TSSOP		1893.00/2,000	
TPS2813D	296-1356-5-ND	Zweif. zusätzl. MOSFET-Treiber, HS, 2 A	Dual 2A High Speed Complementary MOSFET Driver	8-SOIC	1.82	1.46	1.10
TPS2813DR	296-1356-1-ND	Zweif. zusätzl. MOSFET-Treiber, 2 A	Dual 2A Complementary MOSFET Driver	8-SOIC	1.82	1.46	1.10
TPS2813DR	296-1356-2-ND	Zweif. zusätzl. MOSFET-Treiber, 2 A	Dual 2A Complementary MOSFET Driver	8-SOIC		2330.27/2,500	
TPS2813P	296-2386-5-ND	Zweif. zusätzl. MOSFET-Treiber, 2 A	Dual 2A Complementary MOSFET Driver	8-Dip	1.82	1.46	1.10
TPS2813PWR	296-3367-1-ND	Zweif. zusätzl. MOSFET-Treiber, 2 A	Dual 2A Complementary MOSFET Driver	8-TSSOP	1.82	1.46	1.10
TPS2813PWR	296-3367-2-ND	Zweif. zusätzl. MOSFET-Treiber, 2 A	Dual 2A Complementary MOSFET Driver	8-TSSOP		1893.00/2,000	
TPS2814D	296-3368-5-ND	Zweif. MOSFET-Treiber, HS, 2 A	Dual 2A High Speed MOSFET Driver	8-SOIC	1.82	1.46	1.10
TPS2814P	296-2387-5-ND	Zweif. MOSFET-Treiber, 2 A	Dual 2A MOSFET Driver	8-Dip	1.82	1.46	1.10
TPS2814PWR	296-3369-1-ND	Zweif. MOSFET-Treiber, 2 A	Dual 2A MOSFET Driver	8-TSSOP	1.82	1.46	1.10
TPS2814PWR	296-3369-2-ND	Zweif. MOSFET-Treiber, 2 A	Dual 2A MOSFET Driver	8-TSSOP		1893.00/2,000	
TPS2815D	296-2388-5-ND	Zweif. NAND-MOSFET-Treiber, 2 A	Dual 2A NAND MOSFET Driver	8-SOIC	1.82	1.46	1.10
TPS2815P	296-3370-5-ND	Zweif. NAND-MOSFET-Treiber, HS, 2 A	Dual 2A HS NAND MOSFET Driver	8-Dip	1.82	1.46	1.10
TPS2816DBVR	296-3371-1-ND	Invert. MOSFET-Treiber, HS, 2 A	2A HS Inverting MOSFET Driver	SOT-23-5	1.31	1.05	.79
TPS2816DBVR	296-3371-2-ND	Invert. MOSFET-Treiber, HS, 2 A	2A HS Inverting MOSFET Driver	SOT-23-5		2016.60/3,000	
TPS2817DBVR	296-3372-1-ND	Nicht invert. MOSFET-Treiber, HS, 2 A	2A HS Non-Invert MOSFET Driver	SOT-23-5	1.31	1.05	.79
TPS2817DBVR	296-3372-2-ND	Nicht invert. MOSFET-Treiber, HS, 2 A	2A HS Non-Invert MOSFET Driver	SOT-23-5		2016.60/3,000	
TPS2818DBVR	296-3373-1-ND	Invert. MOSFET-Treiber, HS, 2 A	2A HS Inverting MOSFET Driver	SOT-23-5	1.31	1.05	.79
TPS2818DBVR	296-3373-2-ND	Invert. MOSFET-Treiber, HS, 2 A	2A HS Inverting MOSFET Driver	SOT-23-5		2016.60/3,000	
TPS2819DBVR	296-3374-1-ND	Nicht invert. MOSFET-Treiber, HS, 2 A	2A HS Non-Invert MOSFET Driver	SOT-23-5	1.31	1.05	.79
TPS2819DBVR	296-3374-2-ND	Nicht invert. MOSFET-Treiber, HS, 2 A	2A HS Non-Invert MOSFET Driver	SOT-23-5		2016.60/3,000	
TPS2828DBVR	296-1986-1-ND	Invert. MOSFET-Treiber, HS, 2 A	2A HS Inverting MOSFET Driver	SOT-23-5	1.21	.97	.73
TPS2828DBVR	296-1986-2-ND	Invert. MOSFET-Treiber, HS, 2 A	2A HS Inverting MOSFET Driver	SOT-23-5		1854.05/3,000	
TPS2829DBVR	296-1987-1-ND	Nicht invert. MOSFET-Treiber, HS, 2 A	2A HS Non-Invert MOSFET Driver	SOT-23-5	1.21	.97	.73
TPS2829DBVR	296-1987-2-ND	Nicht invert. MOSFET-Treiber, HS, 2 A	2A HS Non-Invert MOSFET Driver	SOT-23-5		1854.05/3,000	
TPS2830D	296-2390-5-ND	Nicht invert. BUCK-FET-Treiber, schnelle Synch.	Non-Inverting Fast Sync. BUCK FET Driver	14-SOIC	2.00	1.60	1.25
TPS2830PWP	296-3376-5-ND	Nicht invert. BUCK-MOSFET-Treiber, schnelle Synch.	Non-Inverting Fast Sync. BUCK MOSFET Driver	14-HTSSOP	2.00	1.60	1.25
TPS2831D	296-2391-5-ND	Invert. BUCK-MOSFET-Treiber, schnelle Synch.	Invert Fast Sync. BUCK MOSFET Driver	14-SOIC	2.00	1.60	1.25
TPS2831PWP	296-3377-5-ND	Invert. BUCK-MOSFET-Treiber, schnelle Synch.	Invert Fast Sync. BUCK MOSFET Driver	14-HTSSOP	2.00	1.60	1.25
TPS2832D	296-2392-5-ND	Nicht invert. BUCK-FET-Treiber, schnelle Synch.	Non-Invert Fast Sync. BUCK FET Driver	8-SOIC	1.90	1.53	1.19
TPS2833D	296-2393-5-ND	Invert. BUCK-MOSFET-Treiber, schnelle Synch.	Invert Fast Sync. BUCK MOSFET Driver	8-SOIC	1.90	1.53	1.19
TPS2834D	296-2394-5-ND	Nicht invert. BUCK-FET-Treiber, schnelle Synch.	Non-Invert Fast Sync. BUCK FET Driver	14-SOIC	2.00	1.60	1.25
TPS2834PWP	296-3378-5-ND	Nicht invert. BUCK-MOSFET-Treiber, schnelle Synch.	Non-Invert Fast Sync. BUCK MOSFET Driver	14-HTSSOP	2.00	1.60	1.25
TPS2835D	296-2395-5-ND	Invert. BUCK-MOSFET-Treiber, schnelle Synch.	Invert Fast Sync. BUCK MOSFET Driver	14-SOIC	2.00	1.60	1.25
TPS2835PWP	296-10885-5-ND	Invert. BUCK-MOSFET-Treiber, schnelle Synch.	Invert Fast Sync. BUCK MOSFET Driver	14-HTSSOP	2.00	1.60	1.25
TPS2836D	296-2396-5-ND	Nicht invert. BUCK-FET-Treiber, schnelle Synch.	Non-Invert Fast Sync. BUCK FET Driver	8-SOIC	2.38	1.91	1.49
TPS2838PWP	296-10886-5-ND	Nicht invert. BUCK-MOSFET-Treiber, schnelle Synch.	Non-Inverting Fast Sync. BUCK MOSFET Driver	16-HTSSOP	2.48	1.99	1.55
TPS2839PWP	296-10887-5-ND	Invert. BUCK-MOSFET-Treiber, schnelle Synch.	Inverting Fast Sync. BUCK MOSFET Driver	16-HTSSOP	2.76	2.21	1.72
TPS2848PWP	296-10888-5-ND	MOSFET-Treiber mit Regler	MOSFET Driver with Regulator	14-HTSSOP	2.38	1.91	1.49
TPS2849PWP	296-10889-5-ND	MOSFET-Treiber mit Regler	MOSFET Driver with Regulator	14-HTSSOP	2.38	1.91	1.49
TPS2837D	296-2397-5-ND	Invert. BUCK-MOSFET-Treiber, schnelle Synch.	Invert Fast Sync. BUCK MOSFET Driver	8-SOIC	2.38	1.91	1.49
UC2709DW	296-2398-5-ND	Zweif. MOSFET-Treiber, HS	Dual High Speed MOSFET Driver	16-SOIC	7.20	5.76	4.86
UC2710N	296-2399-5-ND	Hochstrom-MOSFET-Treiber	High Current MOSFET Driver	8-Dip	6.10	4.88	4.12
UC2714D	296-12113-5-ND	FET-Treiber mit Nebenausgang und zusätzl. Schaltung	Complementary Switch FET Driver with Aux Out	8-SOIC	2.00	1.60	1.25
UC2714N	296-12171-5-ND	FET-Treiber mit Nebenausgang und zusätzl. Schaltung	Complementary Switch FET Driver with Aux Out	8-Dip	2.00	1.60	1.25
UC2715D	296-12172-5-ND	FET-Treiber mit Nebenausgang und zusätzl. Schaltung	Complementary Switch FET Driver with Aux Out	8-SOIC	1.90	1.53	1.19
UC2715DP	296-12173-5-ND	FET-Treiber mit Nebenausgang und zusätzl. Schaltung	Complementary Switch FET Driver with Aux Out	16-SOIC	1.90	1.53	1.19
UC2715N	296-12174-5-ND	FET-Treiber mit Nebenausgang und zusätzl. Schaltung	Complementary Switch FET Driver with Aux Out	8-Dip	1.90	1.53	1.19
UC3706N	296-11242-5-ND	Zweif. MOSFET-Treiber, HS	Dual High Speed MOSFET Driver	16-Dip	4.39	3.51	2.73
UC3709DW	296-2400-5-ND	Zweif. MOSFET-Treiber, HS	Dual High Speed MOSFET Driver	16-SOIC	4.91	3.93	3.32
UC3709N	296-11245-5-ND	Zweif. MOSFET-Treiber, HS	Dual High Speed MOSFET Driver	8-Dip	4.91	3.93	3.32
UC3710DW	296-2401-5-ND	Hochstrom-MOSFET-Treiber mit zusätzl. Schaltung	Complimentary High Current MOSFET Driver	16-SOIC	5.50	4.41	3.72
UC3710N	296-11246-5-ND	Hochstrom-MOSFET-Treiber	High-Current MOSFET Driver	8-Dip	5.50	4.41	3.72
UC3710T	296-11247-5-ND	Hochstrom-MOSFET-Treiber	High-Current MOSFET Driver	TO-220-5	5.50	4.41	3.72
UC3714D	296-11253-5-ND	Hochstrom-MOSFET-Treiber	High-Current MOSFET Driver	8-SOIC	2.01	1.61	1.21
UC3714DP	296-11254-5-ND	Hochstrom-MOSFET-Treiber	High-Current MOSFET Driver	16-SOIC	2.01	1.61	1.21
UC3714N	296-11255-5-ND	Hochstrom-MOSFET-Treiber	High-Current MOSFET Driver	8-Dip	2.01	1.61	1.21
UC3715D	296-11256-5-ND	Hochstrom-MOSFET-Treiber	High-Current MOSFET Driver	8-SOIC	1.90	1.53	1.15
UC3715DP	296-11668-5-ND	MOSFET-Treiber mit Nebenausgang und zusätzl. Schaltung	Complimentary Switch MOSFET Driver with Aux Out	16-SOIC	1.90	1.53	1.15
UC3715N	296-11257-5-ND	Hochstrom-MOSFET-Treiber	High-Current MOSFET Driver	8-Dip	1.90	1.53	1.15
UCC2837D	296-2403-5-ND	Linearer regulierender Controller, N-FET	N-FET Linear Regulating Controller	8-SOIC	4.49	3.59	3.03
UCC27321D	296-13670-5-ND	Einf. MOSFET-Treiber mit Freigabe, 9 A, HS, Low-Side	Single 9A High Speed Low-Side MOSFET Driver with Enable	8-SOIC	2.10	1.68	1.31
UCC27321DGN	296-13671-5-ND	Einf. MOSFET-Treiber mit Freigabe, 9 A, HS, Low-Side	Single 9A High Speed Low-Side MOSFET Driver with Enable	8-MSOP	2.29	1.83	1.43
UCC27321P	296-13672-5-ND	Einf. MOSFET-Treiber mit Freigabe, 9 A, HS, Low-Side	Single 9A High Speed Low-Side MOSFET Driver with Enable	8-Dip	2.10	1.68	1.31
UCC27322D	296-13673-5-ND	Einf. MOSFET-Treiber mit Freigabe, 9 A, HS, Low-Side	Single 9A High Speed Low-Side MOSFET Driver with Enable	8-SOIC	2.10	1.68	1.31
UCC27322DGN	296-13674-5-ND	Einf. MOSFET-Treiber mit Freigabe, 9 A, HS, Low-Side	Single 9A High Speed Low-Side MOSFET Driver with Enable	8-MSOP	2.29	1.83	1.43
UCC27322P	296-13675-5-ND	Einf. MOSFET-Treiber mit Freigabe, 9 A, HS, Low-Side	Single 9A High Speed Low-Side MOSFET Driver with Enable	8-Dip	2.10	1.68	1.31
UCC27323D	296-12528-5-ND	Zweif. MOSFET-Treiber, 4 A, HS	4A HS Dual MOSFET Driver	8-SOIC	1.69	1.36	1.02
UCC27323DGN	296-12529-5-ND	Zweif. MOSFET-Treiber, 4 A, HS	4A HS Dual MOSFET Driver	8-MSOP	1.90	1.53	1.15
UCC27323P	296-12530-5-ND	Zweif. MOSFET-Treiber, 4 A, HS	4A HS Dual MOSFET Driver	8-Dip	1.69	1.36	1.02

(Forts.)

★ ***RUFEN SIE BITTE AN FÜR NIEDRIGERE PREISE BEI GRÖSSEREN MENGEN!*** ★

B

T. I. Teilenr.	Digi-Key Teilenr.	Beschreibung		Paket	Stückpreis★ 1	25	100
UCC27324D	296-12531-5-ND	Zweif. MOSFET-Treiber, 4 A, HS	4A HS Dual MOSFET Driver	8-SOIC	1.69	1.36	1.02
UCC27324DGN	296-12532-5-ND	Zweif. MOSFET-Treiber, 4 A, HS	4A HS Dual MOSFET Driver	8-MSOP	1.69	1.36	1.02
UCC27324P	296-12533-5-ND	Zweif. MOSFET-Treiber, 4 A, HS	4A HS Dual MOSFET Driver	8-Dip	1.69	1.36	1.02
UCC27325D	296-12534-5-ND	Zweif. MOSFET-Treiber, 4 A, HS	4A HS Dual MOSFET Driver	8-SOIC	1.69	1.36	1.02
UCC27325DGN	296-12535-5-ND	Zweif. MOSFET-Treiber, 4 A, HS	4A HS Dual MOSFET Driver	8-MSOP	1.69	1.36	1.02
UCC27325P	296-12536-5-ND	Zweif. MOSFET-Treiber, 4 A, HS	4A HS Dual MOSFET Driver	8-Dip	1.69	1.36	1.02
UCC27423D	296-15864-5-ND	Zweif. Hochgeschwindigkeits-MOSFET-Treiber, Low-Side, 4 A	4A Dual High Speed Low-Side MOSFET Driver	8-SOIC	1.80	1.44	1.08
UCC27423DGN	296-15865-5-ND	Zweif. Hochgeschwindigkeits-MOSFET-Treiber, Low-Side, 4 A	4A Dual High Speed Low-Side MOSFET Driver	8-MSOP	1.80	1.44	1.08
UCC27423P	296-15866-5-ND	Zweif. Hochgeschwindigkeits-MOSFET-Treiber, Low-Side, 4 A	4A Dual High Speed Low-Side MOSFET Driver	8-Dip	1.80	1.44	1.08
UCC27424D	296-15867-5-ND	Zweif. Hochgeschwindigkeits-MOSFET-Treiber, Low-Side, 4 A	4A Dual High Speed Low-Side MOSFET Driver	8-SOIC	1.69	1.36	1.02
UCC27424DGN	296-15868-5-ND	Zweif. Hochgeschwindigkeits-MOSFET-Treiber, Low-Side, 4 A	4A Dual High Speed Low-Side MOSFET Driver	8-MSOP	1.69	1.36	1.02
UCC27424P	296-15869-5-ND	Zweif. Hochgeschwindigkeits-MOSFET-Treiber, Low-Side, 4 A	4A Dual High Speed Low-Side MOSFET Driver	8-Dip	1.69	1.36	1.02
UCC27425D	296-15870-5-ND	Zweif. Hochgeschwindigkeits-MOSFET-Treiber, Low-Side, 4 A	4A Dual High Speed Low-Side MOSFET Driver	8-SOIC	1.69	1.36	1.02
UCC27425DGN	296-15871-5-ND	Zweif. Hochgeschwindigkeits-MOSFET-Treiber, Low-Side, 4 A	4A Dual High Speed Low-Side MOSFET Driver	8-MSOP	1.69	1.36	1.02
UCC27425P	296-15872-5-ND	Zweif. Hochgeschwindigkeits-MOSFET-Treiber, Low-Side, 4 A	4A Dual High Speed Low-Side MOSFET Driver	8-Dip	1.69	1.36	1.02
UCC37321D	296-13684-5-ND	Einf. MOSFET-Treiber mit Freigabe, 9 A, HS, Low-Side	Single 9A High Speed Low-Side MOSFET Driver with Enable	8-SOIC	2.10	1.68	1.26
UCC37321DGN	296-13685-5-ND	Einf. MOSFET-Treiber mit Freigabe, 9 A, HS, Low-Side	Single 9A High Speed Low-Side MOSFET Driver with Enable	8-MSOP	2.10	1.68	1.31
UCC37321P	296-13686-5-ND	Einf. MOSFET-Treiber mit Freigabe, 9 A, HS, Low-Side	Single 9A High Speed Low-Side MOSFET Driver with Enable	8-Dip	2.10	1.68	1.26
UCC37322D	296-13687-5-ND	Einf. MOSFET-Treiber mit Freigabe, 9 A, HS, Low-Side	Single 9A High Speed Low-Side MOSFET Driver with Enable	8-SOIC	2.10	1.68	1.26
UCC37322DGN	296-13688-5-ND	Einf. MOSFET-Treiber mit Freigabe, 9 A, HS, Low-Side	Single 9A High Speed Low-Side MOSFET Driver with Enable	8-MSOP	2.10	1.68	1.31
UCC37322P	296-13689-5-ND	Einf. MOSFET-Treiber mit Freigabe, 9 A, HS, Low-Side	Single 9A High Speed Low-Side MOSFET Driver with Enable	8-Dip	2.10	1.68	1.26
UCC37323D	296-15691-5-ND	Zweif. MOSFET-Leistungstreiber, 4 A, HS, Low-Side	Dual 4A High Speed Low-Side, Power MOSFET Driver	8-SOIC	1.59	1.27	.96
UCC37323DGN	296-15692-5-ND	Zweif. MOSFET-Leistungstreiber, 4 A, HS, Low-Side	Dual 4A High Speed Low-Side, Power MOSFET Driver	8-MSOP	1.80	1.44	1.08
UCC37323P	296-15693-5-ND	Zweif. MOSFET-Leistungstreiber, 4 A, HS, Low-Side	Dual 4A High Speed Low-Side, Power MOSFET Driver	8-Dip	1.59	1.27	.96
UCC37324D	296-15694-5-ND	Zweif. MOSFET-Leistungstreiber, 4 A, HS, Low-Side	Dual 4A High Speed Low-Side, Power MOSFET Driver	8-SOIC	1.59	1.27	.96
UCC37324DGN	296-15695-5-ND	Zweif. MOSFET-Leistungstreiber, 4 A, HS, Low-Side	Dual 4A High Speed Low-Side, Power MOSFET Driver	8-MSOP	1.59	1.27	.96
UCC37324P	296-15696-5-ND	Zweif. MOSFET-Leistungstreiber, 4 A, HS, Low-Side	Dual 4A High Speed Low-Side, Power MOSFET Driver	8-Dip	1.59	1.27	.96
UCC37325D	296-15697-5-ND	Zweif. MOSFET-Leistungstreiber, 4 A, HS, Low-Side	Dual 4A High Speed Low-Side, Power MOSFET Driver	8-SOIC	1.59	1.27	.96
UCC37325DGN	296-15698-5-ND	Zweif. MOSFET-Leistungstreiber, 4 A, HS, Low-Side	Dual 4A High Speed Low-Side, Power MOSFET Driver	8-MSOP	1.59	1.27	.96
UCC37325P	296-15699-5-ND	Zweif. MOSFET-Leistungstreiber, 4 A, HS, Low-Side	Dual 4A High Speed Low-Side, Power MOSFET Driver	8-Dip	1.59	1.27	.96
UCD7201PWP	296-17924-5-ND	MOSFET-Treiber mit einem gemeinsamen Stromsensor	MOSFET Driver with Single Common Current Sense	14-HTSSOP	2.29	1.83	1.43
		Leistungsverteilerschalter					
TPS2010AD	296-2555-5-ND	MOSFET-Schalter, 0,2 A, 2,7-5,5 V, High-Side	0.2A, 2.7-5.5V High-Side MOSFET Switch	8-SOIC	1.59	1.27	.96
TPS2010APWP	296-3384-5-ND	MOSFET-Schalter, 0,2 A, 2,7-5,5 V, High-Side	0.2A, 2.7-5.5V High-Side MOSFET Switch	14-HTSSOP	1.59	1.27	.96
TPS2010PWR	296-3385-1-ND	MOSFET-Schalter, 0,2 A, 2,7-5,5 V, High-Side	0.2A, 2.7-5.5V High-Side MOSFET Switch	14-TSSOP	2.01	1.61	1.21
TPS2010PWR	296-3385-2-ND	MOSFET-Schalter, 0,2 A, 2,7-5,5 V, High-Side	0.2A, 2.7-5.5V High-Side MOSFET Switch	14-TSSOP		2091.10/2,000	
TPS2011AD	296-2556-5-ND	MOSFET-Schalter, 0,6 A, 2,7-5,5 V, High-Side	0.6A, 2.7-5.5V High-Side MOSFET Switch	8-SOIC	1.59	1.27	.96
TPS2011APWP	296-13804-5-ND	MOSFET-Schalter, 0,6 A, 2,7-5,5 V, High-Side	0.6A, 2.7-5.5V High-Side MOSFET Switch	8-HTSSOP	1.59	1.27	.96
TPS2011D	296-3386-5-ND	MOSFET-Schalter, 0,6 A, 2,7-5,5 V, High-Side	0.6A, 2.7-5.5V High-Side MOSFET Switch	8-SOIC	2.01	1.61	1.21
TPS2012AD	296-2557-5-ND	MOSFET-Schalter, 1,0 A, 2,7-5,5 V, High-Side	1.0A, 2.7-5.5V High-Side MOSFET Switch	8-SOIC	1.59	1.27	.96
TPS2012D	296-1957-5-ND	MOSFET-Schalter, 1,0 A, 2,7-5,5 V, High-Side	1.0A, 2.7-5.5V High-Side MOSFET Switch	8-SOIC	2.01	1.61	1.21
TPS2013AD	296-2558-5-ND	MOSFET-Schalter, 1,5 A, 2,7-5,5 V, High-Side	1.5A, 2.7-5.5V High-Side MOSFET Switch	8-SOIC	1.59	1.27	.96
TPS2013APWPR	296-17531-1-ND	MOSFET-Schalter, 2,2 A, 2,7-5,5 V, High-Side	2.2A, 2.7-5.5V High-Side MOSFET Switch	14-TSSOP	1.59	1.27	.96
TPS2013APWPR	296-17531-2-ND	MOSFET-Schalter, 2,2 A, 2,7-5,5 V, High-Side	2.2A, 2.7-5.5V High-Side MOSFET Switch	14-TSSOP		1650.87/2,000	
TPS2013D	296-1353-5-ND	MOSFET-Schalter, 1,5 A, 2,7-5,5 V, High-Side	1.5A, 2.7-5.5V High-Side MOSFET Switch	8-SOIC	2.01	1.61	1.21
TPS2013DR	296-1353-1-ND	MOSFET-Schalter, 1,5 A, 2,7-5,5 V, High-Side	1.5A, 2.7-5.5V High-Side MOSFET Switch	8-SOIC	2.01	1.61	1.21
TPS2013DR	296-1353-2-ND	MOSFET-Schalter, 1,5 A, 2,7-5,5 V, High-Side	1.5A, 2.7-5.5V High-Side MOSFET Switch	8-SOIC		2573.66/2,500	
TPS2013PWR	296-3388-1-ND	MOSFET-Schalter, 1,5 A, 2,7-5,5 V, High-Side	1.5A, 2.7-5.5V High-Side MOSFET Switch	14-TSSOP	2.01	1.61	1.21
TPS2013PWR	296-3388-2-ND	MOSFET-Schalter, 1,5 A, 2,7-5,5 V, High-Side	1.5A, 2.7-5.5V High-Side MOSFET Switch	14-TSSOP		2091.10/2,000	
TPS2014D	296-1354-5-ND	MOSFET-Schalter, 0,66 A, 4-5,5 V, High-Side	0.66A, 4-5.5V High-Side MOSFET Switch	8-SOIC	3.81	3.05	2.38
TPS2014DR	296-1354-1-ND	MOSFET-Schalter, 0,66 A, 4-5,5 V, High-Side	0.66A, 4-5.5V High-Side MOSFET Switch	8-SOIC	3.81	3.05	2.38
TPS2014DR	296-1354-2-ND	MOSFET-Schalter, 0,66 A, 4-5,5 V, High-Side	0.66A, 4-5.5V High-Side MOSFET Switch	8-SOIC		5333.58/2,500	
TPS2014P	296-3389-5-ND	MOSFET-Schalter, 0,66 A, 4-5,5 V, High-Side	0.66A, 4-5.5V High-Side MOSFET Switch	8-Dip	3.81	3.05	2.38
TPS2015D	296-1355-5-ND	MOSFET-Schalter, 1,0 A, 4-5,5 V, High-Side	1.0A, 4-5.5V High-Side MOSFET Switch	8-SOIC	3.81	3.05	2.38
TPS2015DR	296-1355-1-ND	MOSFET-Schalter, 1,0 A, 4-5,5 V, High-Side	1.0A, 4-5.5V High-Side MOSFET Switch	8-SOIC	3.81	3.05	2.38
TPS2015DR	296-1355-2-ND	MOSFET-Schalter, 1,0 A, 4-5,5 V, High-Side	1.0A, 4-5.5V High-Side MOSFET Switch	8-SOIC		5333.58/2,500	
TPS2015P	296-3390-5-ND	MOSFET-Schalter, 1,0 A, 4-5,5 V, High-Side	1.0A, 4-5.5V High-Side MOSFET Switch	8-Dip	3.81	3.05	2.38
TPS2020D	296-2560-5-ND	MOSFET-Schalter, 0,22 A, 2,7-5,5 V, Hot-Swap, High-Side	0.22A, 2.7-5.5V Hot-Swap High-Side MOSFET Switch	8-SOIC	1.90	1.53	1.19
TPS2021D	296-2561-5-ND	MOSFET-Schalter, 0,66 A, 2,7-5,5 V, Hot-Swap, High-Side	0.66A, 2.7-5.5V Hot-Swap High-Side MOSFET Switch	8-SOIC	1.90	1.53	1.19
TPS2022D	296-2562-5-ND	MOSFET-Schalter, 1,1 A, 2,7-5,5 V, Hot-Swap, High-Side	1.1A, 2.7-5.5V Hot-Swap High-Side MOSFET Switch	8-SOIC	1.90	1.53	1.19
TPS2023D	296-2563-5-ND	MOSFET-Schalter, 1,65 A, 2,7-5,5 V, Hot-Swap, High-Side	1.65A, 2.7-5.5V Hot-Swap High-Side MOSFET Switch	8-SOIC	1.90	1.53	1.19
TPS2023P	296-12233-5-ND	MOSFET-Schalter, 1,65 A, 2,7-5,5 V, Hot-Swap, High-Side	1.65A, 2.7-5.5V Hot-Swap High-Side MOSFET Switch	8-Dip	1.90	1.53	1.19
TPS2024D	296-2564-5-ND	MOSFET-Schalter, 2,2 A, 2,7-5,5 V, Hot-Swap, High-Side	2.2A, 2.7-5.5V Hot-Swap High-Side MOSFET Switch	8-SOIC	1.90	1.53	1.19
TPS2024DR	296-2564-1-ND	MOSFET-Schalter, 2,2 A, 2,7-5,5 V, Hot-Swap, High-Side	2.2A, 2.7-5.5V Hot-Swap High-Side MOSFET Switch	8-SOIC	1.90	1.53	1.19
TPS2024DR	296-2564-2-ND	MOSFET-Schalter, 2,2 A, 2,7-5,5 V, Hot-Swap, High-Side	2.2A, 2.7-5.5V Hot-Swap High-Side MOSFET Switch	8-SOIC		2666.79/2,500	
TPS2024P	296-12234-5-ND	MOSFET-Schalter, 2,2 A, 2,7-5,5 V, Hot-Swap, High-Side	2.2A, 2.7-5.5V Hot-Swap High-Side MOSFET Switch	8-Dip	1.90	1.53	1.19
TPS2030D	296-2565-5-ND	MOSFET-Schalter, 0,22 A, 2,7-5,5 V, Hot-Swap, High-Side	0.22A, 2.7-5.5V Hot-Swap High-Side MOSFET Switch	8-SOIC	1.90	1.53	1.19
TPS2030P	296-3392-5-ND	MOSFET-Schalter, 0,22 A, 2,7-5,5 V, Hot-Swap, High-Side	0.22A, 2.7-5.5V Hot-Swap High-Side MOSFET Switch	8-Dip	1.90	1.53	1.19
TPS2031D	296-2566-5-ND	MOSFET-Schalter, 0,66 A, 2,7-5,5 V, Hot-Swap, High-Side	0.66A, 2.7-5.5V Hot-Swap High-Side MOSFET Switch	8-SOIC	1.90	1.53	1.19
TPS2032D	296-2567-5-ND	MOSFET-Schalter, 1,1 A, 2,7-5,5 V, Hot-Swap, High-Side	1.1A, 2.7-5.5V Hot-Swap High-Side MOSFET Switch	8-SOIC	1.90	1.53	1.19
TPS2033D	296-2568-5-ND	MOSFET-Schalter, 1,65 A, 2,7-5,5 V, Hot-Swap, High-Side	1.65A, 2.7-5.5V Hot-Swap High-Side MOSFET Switch	8-SOIC	1.90	1.53	1.19
TPS2033P	296-12235-5-ND	MOSFET-Schalter, 1,65 A, 2,7-5,5 V, Hot-Swap, High-Side	1.65A, 2.7-5.5V Hot-Swap High-Side MOSFET Switch	8-Dip	1.90	1.53	1.19
TPS2034D	296-2569-5-ND	MOSFET-Schalter, 2,2 A, 2,7-5,5 V, Hot-Swap, High-Side	2.2A, 2.7-5.5V Hot-Swap High-Side MOSFET Switch	8-SOIC	1.90	1.53	1.19
TPS2034P	296-12236-5-ND	MOSFET-Schalter, 2,2 A, 2,7-5,5 V, Hot-Swap, High-Side	2.2A, 2.7-5.5V Hot-Swap High-Side MOSFET Switch	8-Dip	1.90	1.53	1.19
TPS2041AD	296-3393-5-ND	MOSFET-Schalter, 0,7 A, 2,7-5,5 V, High-Side	0.7A, 2.7-5.5V High-Side MOSFET Switch	8-SOIC	1.44	1.16	.87
TPS2041BD	296-16927-5-ND	MOSFET-Schalter, 0,7 A, 2,7-5,5 V, High-Side	0.7A, 2.7-5.5V, High-Side MOSFET Switch	16-SOIC	1.07	.89	.72
TPS2041D	296-3394-5-ND	MOSFET-Schalter, 0,7 A, 2,7-5,5 V, High-Side	0.7A, 2.7-5.5V High-Side MOSFET Switch	8-SOIC	2.02	1.62	1.26
TPS2041P	296-2570-5-ND	MOSFET-Schalter, 0,7 A, 2,7-5,5 V, High-Side	0.7A, 2.7-5.5V High-Side MOSFET Switch	8-Dip	2.02	1.62	1.26
TPS2042AD	296-3395-5-ND	Zweif. MOSFET-Schalter, 0,7 A, 2,7-5,5 V, High-Side, (1 ein/2 aus)	Dual (1in/2out), 0.7A, 2.7-5.5V High-Side MOSFET Switch	8-SOIC	1.80	1.44	1.08
TPS2042BDGN	296-17060-ND	Zweif. MOSFET-Schalter, 0,7 A, 2,7-5,5 V, High-Side, (1 ein/2 aus)	Dual (1in/2out), 0.7A, 2.7-5.5V High-Side MOSFET Switch	8-MSOP	2.57	1.94	1.45
TPS2042BDR	296-17002-1-ND	Zweif. MOSFET-Schalter, 0,7 A, 2,7-5,5 V, High-Side, (1 ein/2 aus)	Dual (1in/2out), 0.7A, 2.7-5.5V High-Side MOSFET Switch	8-SOIC	1.42	1.14	.86
TPS2042BDR	296-17002-2-ND	Zweif. MOSFET-Schalter, 0,7 A, 2,7-5,5 V, High-Side, (1 ein/2 aus)	Dual (1in/2out), 0.7A, 2.7-5.5V High-Side MOSFET Switch	8-SOIC		1815.96/2,500	
TPS2042D	296-3396-5-ND	Zweif. MOSFET-Schalter, 0,7 A, 2,7-5,5 V, High-Side, (1 ein/2 aus)	Dual (1in/2out), 0.7A, 2.7-5.5V High-Side MOSFET Switch	8-SOIC	2.44	1.96	1.52
TPS2042DR	296-3396-1-ND	Zweif. MOSFET-Schalter, 0,7 A, 2,7-5,5 V, High-Side, (1 ein/2 aus)	Dual (1in/2out), 0.7A, 2.7-5.5V High-Side MOSFET Switch	8-SOIC	2.44	1.96	1.52
TPS2042DR	296-3396-2-ND	Zweif. MOSFET-Schalter, 0,7 A, 2,7-5,5 V, High-Side, (1 ein/2 aus)	Dual (1in/2out), 0.7A, 2.7-5.5V High-Side MOSFET Switch	8-SOIC		3413.91/2,500	
TPS2042P	296-2571-5-ND	Zweif. MOSFET-Schalter, 0,7 A, 2,7-5,5 V, High-Side, (1 ein/2 aus)	Dual (1in/2out), 0.7A, 2.7-5.5V High-Side MOSFET Switch	8-Dip	2.44	1.96	1.52
TPS2043AD	296-3397-5-ND	Dreif. MOSFET-Schalter, 0,7 A, 2,7-5,5 V, High-Side, (2 ein/3 aus)	Triple (2in/3out), 0.7A, 2.7-5.5V High-Side MOSFET Switch	8-SOIC	1.95	1.56	1.21
TPS2043BD	296-17211-5-ND	Dreif. MOSFET-Schalter, 0,7 A, 2,7-5,5 V, High-Side, (2 ein/3 aus)	Triple (2in/3out), 0.7A, 2.7-5.5V High-Side MOSFET Switch	16-SOIC	1.61	1.29	.97
TPS2043D	296-2572-5-ND	Dreif. MOSFET-Schalter, 0,7 A, 2,7-5,5 V, High-Side, (2 ein/3 aus)	Triple (2in/3out), 0.7A, 2.7-5.5V High-Side MOSFET Switch	16-SOIC	3.09	2.47	1.93
TPS2043DR	296-2572-1-ND	Dreif. MOSFET-Schalter, 0,7 A, 2,7-5,5 V, High-Side, (2 ein/3 aus)	Triple (2in/3out), 0.7A, 2.7-5.5V High-Side MOSFET Switch	16-SOIC	3.09	2.47	1.93
TPS2043DR	296-2572-2-ND	Dreif. MOSFET-Schalter, 0,7 A, 2,7-5,5 V, High-Side, (2 ein/3 aus)	Triple (2in/3out), 0.7A, 2.7-5.5V High-Side MOSFET Switch	16-SOIC		4319.78/2,500	
TPS2044AD	296-3399-5-ND	Vierf. MOSFET-Schalter, 0,7 A, 2,7-5,5 V, High-Side, (2 ein/4 aus)	Quad (2in/4out), 0.7A, 2.7-5.5V High-Side MOSFET Switch	16-SOIC	2.35	1.88	1.46
TPS2044D	296-1959-5-ND	Vierf. MOSFET-Schalter, 0,7 A, 2,7-5,5 V, High-Side, (2 ein/4 aus)	Quad (2in/4out), 0.7A, 2.7-5.5V High-Side MOSFET Switch	16-SOIC	3.89	3.11	2.42
TPS2045AD	296-3400-5-ND	MOSFET-Schalter, 0,345 A, 2,7-5,5 V, High-Side	0.345A, 2.7-5.5V High-Side MOSFET Switch	8-SOIC	1.21	.97	.73
TPS2045D	296-2573-5-ND	MOSFET-Schalter, 0,345 A, 2,7-5,5 V, High-Side	0.345A, 2.7-5.5V High-Side MOSFET Switch	8-SOIC	2.02	1.62	1.26
TPS2045DR	296-2573-1-ND	MOSFET-Schalter, 0,345 A, 2,7-5,5 V, High-Side	0.345A, 2.7-5.5V High-Side MOSFET Switch	8-SOIC	2.02	1.62	1.26
TPS2045DR	296-2573-2-ND	MOSFET-Schalter, 0,345 A, 2,7-5,5 V, High-Side	0.345A, 2.7-5.5V High-Side MOSFET Switch	8-SOIC		2827.64/2,500	
TPS2045P	296-3402-5-ND	MOSFET-Schalter, 0,345 A, 2,7-5,5 V, High-Side	0.345A, 2.7-5.5V High-Side MOSFET Switch	8-Dip	2.02	1.62	1.26
TPS2046AD	296-3403-5-ND	Zweif. MOSFET-Schalter, 0,345 A, 2,7-5,5 V, High-Side, (1 ein/2 aus)	Dual (1in/2out), 0.345A, 2.7-5.5V High-Side MOSFET Switch	8-SOIC	1.72	1.38	1.03
TPS2046BDR	296-17246-1-ND	Zweif. MOSFET-Schalter, 0,345 A, 2,7-5,5 V, High-Side, (1 ein/2 aus)	Dual (1in/2out), 0.345A, 2.7-5.5V High-Side MOSFET Switch	8-SOIC	1.17	.94	.70
TPS2046BDR	296-17246-2-ND	Zweif. MOSFET-Schalter, 0,345 A, 2,7-5,5 V, High-Side, (1 ein/2 aus)	Dual (1in/2out), 0.345A, 2.7-5.5V High-Side MOSFET Switch	8-SOIC		1490.02/2,500	
TPS2046D	296-2574-5-ND	Zweif. MOSFET-Schalter, 0,345 A, 2,7-5,5 V, High-Side, (1 ein/2 aus)	Dual (1in/2out), 0.345A, 2.7-5.5V High-Side MOSFET Switch	8-SOIC	2.35	1.88	1.46

(Forts.)

★ RUFEN SIE BITTE AN FÜR NIEDRIGERE PREISE BEI GRÖSSEREN MENGEN! ★

Alle Preisangaben in Euro und inklusive Zollgebühren.

T. I. Teilenr.	Digi-Key Teilenr.	Beschreibung		Paket	Stückpreis★ 1	25	100
TPS2046DR	296-2574-1-ND	Zweif. MOSFET-Schalter, 0,345 A, 2,7-5,5 V, High-Side, (1 ein/2 aus)	Dual (1in/2out), 0.345A, 2.7-5.5V High-Side MOSFET Switch	8-SOIC	2.35	1.88	1.46
TPS2046DR	296-2574-2-ND	Zweif. MOSFET-Schalter, 0,345 A, 2,7-5,5 V, High-Side, (1 ein/2 aus)	Dual (1in/2out), 0.345A, 2.7-5.5V High-Side MOSFET Switch	8-SOIC		3280.58/2,500	
TPS2046P	296-3405-5-ND	Zweif. MOSFET-Schalter, 0,345 A, 2,7-5,5 V, High-Side, (1 ein/2 aus)	Dual (1in/2out), 0.345A, 2.7-5.5V High-Side MOSFET Switch	8-Dip	2.35	1.88	1.46
TPS2047AD	296-3406-5-ND	Dreif. MOSFET-Schalter, 0,345 A, 2,7-5,5 V, High-Side, (2 ein/3 aus)	Triple (2in/3out), 0.345A, 2.7-5.5V High-Side MOSFET Switch	16-SOIC	2.07	1.66	1.25
TPS2047BD	296-17403-5-ND	Dreif. MOSFET-Schalter, 0,345 A, 2,7-5,5 V, High-Side, (2 ein/3 aus)	Triple (2in/3out), 0.345A, 2.7-5.5V High-Side MOSFET Switch	16-SOIC	1.61	1.29	.97
TPS2047D	296-2575-5-ND	Dreif. MOSFET-Schalter, 0,345 A, 2,7-5,5 V, High-Side, (2 ein/3 aus)	Triple (2in/3out), 0.345A, 2.7-5.5V High-Side MOSFET Switch	16-SOIC	3.24	2.60	2.02
TPS2047DR	296-2575-1-ND	Dreif. MOSFET-Schalter, 0,345 A, 2,7-5,5 V, High-Side, (2 ein/3 aus)	Triple (2in/3out), 0.345A, 2.7-5.5V High-Side MOSFET Switch	16-SOIC	3.24	2.60	2.02
TPS2047DR	296-2575-2-ND	Dreif. MOSFET-Schalter, 0,345 A, 2,7-5,5 V, High-Side, (2 ein/3 aus)	Triple (2in/3out), 0.345A, 2.7-5.5V High-Side MOSFET Switch	16-SOIC		4533.54/2,500	
TPS2048AD	296-3408-5-ND	Vierf. MOSFET-Schalter, 0,345 A, 2,7-5,5 V, High-Side, (2 ein/4 aus)	Quad (2in/4out), 0.345A, 2.7-5.5V High-Side MOSFET Switch	16-SOIC	2.18	1.74	1.36
TPS2048DR	296-3409-1-ND	Vierf. MOSFET-Schalter, 0,345 A, 2,7-5,5 V, High-Side, (2 ein/4 aus)	Quad (2in/4out), 0.345A, 2.7-5.5V High-Side MOSFET Switch	16-SOIC	4.13	3.31	2.58
TPS2048DR	296-3409-2-ND	Vierf. MOSFET-Schalter, 0,345 A, 2,7-5,5 V, High-Side, (2 ein/4 aus)	Quad (2in/4out), 0.345A, 2.7-5.5V High-Side MOSFET Switch	16-SOIC		5786.51/2,500	
TPS2051AD	296-3410-5-ND	MOSFET-Schalter, 0,7 A, 2,7-5,5 V, High-Side	0.7A, 2.7-5.5V High-Side MOSFET Switch	8-SOIC	1.27	1.02	.77
TPS2051BDGNR	296-17313-1-ND	MOSFET-Schalter, 0,7 A, 2,7-5,5 V, High-Side	0.7A, 2.7-5.5V High-Side MOSFET Switch	8-MSOP	1.22	1.02	.82
TPS2051BDGNR	296-17313-2-ND	MOSFET-Schalter, 0,7 A, 2,7-5,5 V, High-Side	0.7A, 2.7-5.5V High-Side MOSFET Switch	8-MSOP		1320.70/2,500	
TPS2051BDR	296-16987-1-ND	MOSFET-Schalter, 0,7 A, 2,7-5,5 V, High-Side	0.7A, 2.7-5.5V High-Side MOSFET Switch	8-SOIC	1.22	1.02	.82
TPS2051BDR	296-16987-2-ND	MOSFET-Schalter, 0,7 A, 2,7-5,5 V, High-Side	0.7A, 2.7-5.5V High-Side MOSFET Switch	8-SOIC		1320.70/2,500	
TPS2051D	296-2576-5-ND	MOSFET-Schalter, 0,7 A, 2,7-5,5 V, High-Side	0.7A, 2.7-5.5V High-Side MOSFET Switch	8-SOIC	1.95	1.56	1.21
TPS2051P	296-3411-5-ND	MOSFET-Schalter, 0,7 A, 2,7-5,5 V, High-Side	0.7A, 2.7-5.5V High-Side MOSFET Switch	8-Dip	1.95	1.56	1.21
TPS2052AD	296-3412-5-ND	Zweif. MOSFET-Schalter, 0,7 A, 2,7-5,5 V, High-Side, (1 ein/2 aus)	Dual (1in/2out), 0.7A, 2.7-5.5V High-Side MOSFET Switch	8-SOIC	1.72	1.38	1.03
TPS2052BDR	296-17451-1-ND	Zweif. MOSFET-Schalter, 0,7 A, 2,7-5,5 V, High-Side, (1 ein/2 aus)	Dual (1in/2out), 0.7A, 2.7-5.5V High-Side MOSFET Switch	8-SOIC	1.25	1.00	.75
TPS2052BDR	296-17451-2-ND	Zweif. MOSFET-Schalter, 0,7 A, 2,7-5,5 V, High-Side, (1 ein/2 aus)	Dual (1in/2out), 0.7A, 2.7-5.5V High-Side MOSFET Switch	8-SOIC		1597.96/2,500	
TPS2052BDGN	296-17459-5-ND	Zweif. MOSFET-Schalter, 0,7 A, 2,7-5,5 V, High-Side, (1 ein/2 aus)	Dual (1in/2out), 0.7A, 2.7-5.5V High-Side MOSFET Switch	8-MSOP	1.25	1.00	.75
TPS2052D	296-2577-5-ND	Zweif. MOSFET-Schalter, 0,7 A, 2,7-5,5 V, High-Side, (1 ein/2 aus)	Dual (1in/2out), 0.7A, 2.7-5.5V High-Side MOSFET Switch	8-SOIC	2.35	1.88	1.46
TPS2052DR	296-2577-1-ND	Zweif. MOSFET-Schalter, 0,7 A, 2,7-5,5 V, High-Side, (1 ein/2 aus)	Dual (1in/2out), 0.7A, 2.7-5.5V High-Side MOSFET Switch	8-SOIC	2.35	1.88	1.46
TPS2052DR	296-2577-2-ND	Zweif. MOSFET-Schalter, 0,7 A, 2,7-5,5 V, High-Side, (1 ein/2 aus)	Dual (1in/2out), 0.7A, 2.7-5.5V High-Side MOSFET Switch	8-SOIC		3280.58/2,500	
TPS2052P	296-3414-5-ND	Zweif. MOSFET-Schalter, 0,7 A, 2,7-5,5 V, High-Side, (1 ein/2 aus)	Dual (1in/2out), 0.7A, 2.7-5.5V High-Side MOSFET Switch	8-Dip	2.35	1.88	1.46
TPS2053AD	296-3415-5-ND	Dreif. MOSFET-Schalter, 0,7 A, 2,7-5,5 V, High-Side, (2 ein/3 aus)	Triple (2in/3out), 0.7A, 2.7-5.5V High-Side MOSFET Switch	16-SOIC	2.07	1.66	1.25
TPS2053D	296-2578-5-ND	Dreif. MOSFET-Schalter, 0,7 A, 2,7-5,5 V, High-Side, (2 ein/3 aus)	Triple (2in/3out), 0.7A, 2.7-5.5V High-Side MOSFET Switch	16-SOIC	3.09	2.47	1.93
TPS2053DR	296-2578-1-ND	Dreif. MOSFET-Schalter, 0,7 A, 2,7-5,5 V, High-Side, (2 ein/3 aus)	Triple (2in/3out), 0.7A, 2.7-5.5V High-Side MOSFET Switch	16-SOIC	3.09	2.47	1.93
TPS2053DR	296-2578-2-ND	Dreif. MOSFET-Schalter, 0,7 A, 2,7-5,5 V, High-Side, (2 ein/3 aus)	Triple (2in/3out), 0.7A, 2.7-5.5V High-Side MOSFET Switch	16-SOIC		4319.78/2,500	
TPS2054AD	296-3417-5-ND	Vierf. MOSFET-Schalter, 0,7 A, 2,7-5,5 V, High-Side, (2 ein/4 aus)	Quad (2in/4out), 0.7A, 2.7-5.5V High-Side MOSFET Switch	16-SOIC	2.44	1.96	1.52
TPS2054BDR	296-16988-1-ND	Vierf. MOSFET-Schalter, 0,7 A, 2,7-5,5 V, High-Side, (2 ein/4 aus)	Quad (2in/4out), 0.7A, 2.7-5.5V High-Side MOSFET Switch	16-SOIC	2.01	1.61	1.21
TPS2054BDR	296-16988-2-ND	Vierf. MOSFET-Schalter, 0,7 A, 2,7-5,5 V, High-Side, (2 ein/4 aus)	Quad (2in/4out), 0.7A, 2.7-5.5V High-Side MOSFET Switch	16-SOIC		2573.66/2,500	
TPS2054D	296-1960-5-ND	Vierf. MOSFET-Schalter, 0,7 A, 2,7-5,5 V, High-Side, (2 ein/4 aus)	Quad (2in/4out), 0.7A, 2.7-5.5V High-Side MOSFET Switch	16-SOIC	4.06	3.25	2.53
TPS2055AD	296-3418-5-ND	MOSFET-Schalter, 0,345 A, 2,7-5,5 V, High-Side	0.345A, 2.7-5.5V High-Side MOSFET Switch	8-SOIC	1.21	.97	.73
TPS2055D	296-2579-5-ND	MOSFET-Schalter, 0,345 A, 2,7-5,5 V, High-Side	0.345A, 2.7-5.5V High-Side MOSFET Switch	8-SOIC	1.95	1.56	1.21
TPS2055DR	296-2579-1-ND	MOSFET-Schalter, 0,345 A, 2,7-5,5 V, High-Side	0.345A, 2.7-5.5V High-Side MOSFET Switch	8-SOIC	1.95	1.56	1.21
TPS2055DR	296-2579-2-ND	MOSFET-Schalter, 0,345 A, 2,7-5,5 V, High-Side	0.345A, 2.7-5.5V High-Side MOSFET Switch	8-SOIC		2719.70/2,500	
TPS2055P	296-3420-5-ND	MOSFET-Schalter, 0,345 A, 2,7-5,5 V, High-Side	0.345A, 2.7-5.5V High-Side MOSFET Switch	8-Dip	1.95	1.56	1.21
TPS2056AD	296-3421-5-ND	Zweif. MOSFET-Schalter, 0,345 A, 2,7-5,5 V, High-Side, (1 ein/2 aus)	Dual (1in/2out), 0.345A, 2.7-5.5V High-Side MOSFET Switch	8-SOIC	1.72	1.38	1.03
TPS2056D	296-2580-5-ND	Zweif. MOSFET-Schalter, 0,345 A, 2,7-5,5 V, High-Side, (1 ein/2 aus)	Dual (1in/2out), 0.345A, 2.7-5.5V High-Side MOSFET Switch	8-SOIC	2.35	1.88	1.46
TPS2056DR	296-2580-1-ND	Zweif. MOSFET-Schalter, 0,345 A, 2,7-5,5 V, High-Side, (1 ein/2 aus)	Dual (1in/2out), 0.345A, 2.7-5.5V High-Side MOSFET Switch	8-SOIC	2.35	1.88	1.46
TPS2056DR	296-2580-2-ND	Zweif. MOSFET-Schalter, 0,345 A, 2,7-5,5 V, High-Side, (1 ein/2 aus)	Dual (1in/2out), 0.345A, 2.7-5.5V High-Side MOSFET Switch	8-SOIC		3280.58/2,500	
TPS2057AD	296-3423-5-ND	Dreif. MOSFET-Schalter, 0,345 A, 2,7-5,5 V, High-Side, (2 ein/3 aus)	Triple (2in/3out), 0.345A, 2.7-5.5V High-Side MOSFET Switch	16-SOIC	2.01	1.61	1.21
TPS2057D	296-2581-5-ND	Dreif. MOSFET-Schalter, 0,345 A, 2,7-5,5 V, High-Side, (2 ein/3 aus)	Triple (2in/3out), 0.345A, 2.7-5.5V High-Side MOSFET Switch	16-SOIC	3.09	2.47	1.93
TPS2057DR	296-2581-1-ND	Dreif. MOSFET-Schalter, 0,345 A, 2,7-5,5 V, High-Side, (2 ein/3 aus)	Triple (2in/3out), 0.345A, 2.7-5.5V High-Side MOSFET Switch	16-SOIC	3.09	2.47	1.93
TPS2057DR	296-2581-2-ND	Dreif. MOSFET-Schalter, 0,345 A, 2,7-5,5 V, High-Side, (2 ein/3 aus)	Triple (2in/3out), 0.345A, 2.7-5.5V High-Side MOSFET Switch	16-SOIC		4319.78/2,500	
TPS2058AD	296-3425-5-ND	Vierf. MOSFET-Schalter, 0,345 A, 2,7-5,5 V, High-Side, (2 ein/4 aus)	Quad (2in/4out), 0.345A, 2.7-5.5V High-Side MOSFET Switch	16-SOIC	2.18	1.74	1.36
TPS2058D	296-2582-5-ND	Vierf. MOSFET-Schalter, 0,345 A, 2,7-5,5 V, High-Side, (2 ein/4 aus)	Quad (2in/4out), 0.345A, 2.7-5.5V High-Side MOSFET Switch	16-SOIC	3.89	3.11	2.42
TPS2058DR	296-2582-1-ND	Vierf. MOSFET-Schalter, 0,345 A, 2,7-5,5 V, High-Side, (2 ein/4 aus)	Quad (2in/4out), 0.345A, 2.7-5.5V High-Side MOSFET Switch	16-SOIC	3.89	3.11	2.42
TPS2058DR	296-2582-2-ND	Vierf. MOSFET-Schalter, 0,345 A, 2,7-5,5 V, High-Side, (2 ein/4 aus)	Quad (2in/4out), 0.345A, 2.7-5.5V High-Side MOSFET Switch	16-SOIC		5439.41/2,500	
TPS2061DGNR	296-17225-1-ND	Strombegrenzter Leistungsverteilerschalter	Current-Limited Power-Distribution Switch	8-MSOP	1.06	.85	.64
TPS2061DGNR	296-17225-2-ND	Strombegrenzter Leistungsverteilerschalter	Current-Limited Power-Distribution Switch	8-MSOP		1354.56/2,500	
TPS2062DGN	296-17536-5-ND	Zweif. MOSFET-Schalter, 1 A, 2,7-5,5 V, High-Side	1A, 2.7-5.5V Dual High-Side MOSFET Switch	8-HTSSOP	1.34	1.07	.80
TPS2063DR	296-17386-1-ND	Dreif. MOSFET-Schalter, 1 A, 2,7-5,5 V, High-Side	1A, 2.7-5.5V Triple High-Side MOSFET Switch	16-SOIC	1.61	1.29	.97
TPS2063DR	296-17386-2-ND	Dreif. MOSFET-Schalter, 1 A, 2,7-5,5 V, High-Side	1A, 2.7-5.5V Triple High-Side MOSFET Switch	16-SOIC		2059.35/2,500	
TPS2064DGN	296-17871-5-ND	Zweif. strombegrenzter Leistungsverteilerschalter	Current-Limited, Dual Power-Distribution Switch	8-MSOP	1.92	1.54	1.20
TPS2065DGNR	296-17314-1-ND	MOSFET-Schalter, 1 A, 2,7-5,5 V, High-Side	1A, 2.7-5.5V High-Side MOSFET Switch	8-MSOP	1.42	1.14	.86
TPS2065DGNR	296-17314-2-ND	MOSFET-Schalter, 1 A, 2,7-5,5 V, High-Side	1A, 2.7-5.5V High-Side MOSFET Switch	8-MSOP		1815.96/2,500	
TPS2065DR	296-17315-1-ND	MOSFET-Schalter, 1 A, 2,7-5,5 V, High-Side	1A, 2.7-5.5V High-Side MOSFET Switch	8-SOIC	1.42	1.14	.86
TPS2065DR	296-17315-2-ND	MOSFET-Schalter, 1 A, 2,7-5,5 V, High-Side	1A, 2.7-5.5V High-Side MOSFET Switch	8-SOIC		1815.96/2,500	
TPS2066DGNR	296-17316-1-ND	Zweif. MOSFET-Schalter, 1 A, 2,7-5,5 V, High-Side	1A, 2.7-5.5V Dual High-Side MOSFET Switch	8-MSOP	1.42	1.14	.86
TPS2066DGNR	296-17316-2-ND	Zweif. MOSFET-Schalter, 1 A, 2,7-5,5 V, High-Side	1A, 2.7-5.5V Dual High-Side MOSFET Switch	8-MSOP		1815.96/2,500	
TPS2067DR	296-17387-1-ND	Dreif. MOSFET-Schalter, 1 A, 2,7-5,5 V, High-Side	1A, 2.7-5.5V Triple High-Side MOSFET Switch	16-SOIC	1.61	1.29	.97
TPS2067DR	296-17387-2-ND	Dreif. MOSFET-Schalter, 1 A, 2,7-5,5 V, High-Side	1A, 2.7-5.5V Triple High-Side MOSFET Switch	16-SOIC		2059.35/2,500	
TPS2070DAP	296-3427-5-ND	Zweif. PCMCIA I/F-Netzschalter, Bet. Niedrig	Dual PCMCIA Power I/F Switch, Act. Low	32-HTSSOP	4.32	3.46	2.92
TPS2071DAP	296-3428-5-ND	Zweif. PCMCIA I/F-Netzschalter, Bet. Hoch	Dual PCMCIA Power I/F Switch, Act. High	32-HTSSOP	4.32	3.46	2.92
TPS2074DB	296-3429-5-ND	USB Hub-Leistungs-Controller., Bet. Niedrig	USB Hub Power Cont., Act. Low	24-SSOP	4.32	3.46	2.92
TPS2075DB	296-3430-5-ND	USB Hub-Leistungs-Controller., Bet. Hoch	USB Hub Power Cont., Act. High	24-SSOP	4.32	3.46	2.92
TPS2080D	296-3431-5-ND	Zweif. MOSFET-Schalter, 0,7 A, 2,7-5,5 V, High-Side, (2 ein/2 aus), Bet. Hoch	Dual (2in/2out), 0.7A, 2.7-5.5V High-Side MOSFET Switch, Act. High	8-SOIC	1.38	1.11	.83
TPS2081D	296-3432-5-ND	Zweif. MOSFET-Schalter, 0,7 A, 2,7-5,5 V, High-Side, (2 ein/2 aus), Bet. Niedrig	Dual (2in/2out), 0.7A, 2.7-5.5V High-Side MOSFET Switch, Act. Low	8-SOIC	1.38	1.11	.83
TPS2082D	296-3433-5-ND	Zweif. MOSFET-Schalter, 0,7 A, 2,7-5,5 V, High-Side, (2 ein/2 aus), Bet. Niedrig	Dual (2in/2out), 0.7A, 2.7-5.5V High-Side MOSFET Switch, Act. Low	8-SOIC	1.38	1.11	.83
TPS2085D	296-3434-5-ND	Vierf. MOSFET-Schalter, 0,7 A, 2,7-5,5 V, High-Side, (4 ein/4 aus), Bet. Hoch	Quad (4in/4out), 0.7A, 2.7-5.5V High-Side MOSFET Switch, Act. High	16-SOIC	2.00	1.60	1.25
TPS2086D	296-3435-5-ND	Vierf. MOSFET-Schalter, 0,7 A, 2,7-5,5 V, High-Side, (4 ein/4 aus), Bet. Niedrig	Quad (4in/4out), 0.7A, 2.7-5.5V High-Side MOSFET Switch, Act. Low	16-SOIC	2.00	1.60	1.25
TPS2087D	296-3436-5-ND	Vierf. MOSFET-Schalter, 0,7 A, 2,7-5,5 V, High-Side, (4 ein/4 aus), Bet. Niedrig	Quad (4in/4out), 0.7A, 2.7-5.5V High-Side MOSFET Switch, Act. Low	16-SOIC	2.00	1.60	1.25
TPS2090D	296-3437-5-ND	Zweif. MOSFET-Schalter, 0,3 A, 2,7-5,5 V, High-Side, (2 ein/2 aus), Bet. Hoch	Dual (2in/2out), 0.3A, 2.7-5.5V High-Side MOSFET Switch, Act. High	8-SOIC	1.38	1.11	.83
TPS2091D	296-3438-5-ND	Zweif. MOSFET-Schalter, 0,3 A, 2,7-5,5 V, High-Side, (2 ein/2 aus), Bet. Niedrig	Dual (2in/2out), 0.3A, 2.7-5.5V High-Side MOSFET Switch, Act. Low	8-SOIC	1.38	1.11	.83
TPS2092D	296-3439-5-ND	Zweif. MOSFET-Schalter, 0,3 A, 2,7-5,5 V, High-Side, (2 ein/2 aus), Bet. Niedrig	Dual (2in/2out), 0.3A, 2.7-5.5V High-Side MOSFET Switch, Act. Low	8-SOIC	1.38	1.11	.83
TPS2095D	296-3440-5-ND	Vierf. MOSFET-Schalter, 0,3 A, 2,7-5,5 V, High-Side, (4 ein/4 aus), Bet. Hoch	Quad (4in/4out), 0.3A, 2.7-5.5V High-Side MOSFET Switch, Act. High	16-SOIC	2.00	1.60	1.25
TPS2096D	296-3441-5-ND	Vierf. MOSFET-Schalter, 0,3 A, 2,7-5,5 V, High-Side, (4 ein/4 aus), Bet. Niedrig	Quad (4in/4out), 0.3A, 2.7-5.5V High-Side MOSFET Switch, Act. Low	16-SOIC	2.00	1.60	1.25
TPS2097D	296-3442-5-ND	Vierf. MOSFET-Schalter, 0,3 A, 2,7-5,5 V, High-Side, (4 ein/4 aus), Bet. Niedrig	Quad (4in/4out), 0.3A, 2.7-5.5V High-Side MOSFET Switch, Act. Low	16-SOIC	2.00	1.60	1.25
TPS2100D	296-2583-5-ND	VAUX-Stromverteilerschalter	VAUX Power Distribution Switch	8-SOIC	1.38	1.11	.83
TPS2100DBVR	296-10878-1-ND	VAUX-Stromverteilerschalter	VAUX Power Distribution Switch	SOT-23-5	1.38	1.11	.83
TPS2100DBVR	296-10878-2-ND	VAUX-Stromverteilerschalter	VAUX Power Distribution Switch	SOT-23-5		2113.11/3,000	
TPS2100DBVT	296-2584-1-ND	VAUX-Stromverteilerschalter	VAUX Power Distribution Switch	SOT-23-5	1.38	1.11	.83
TPS2100DBVT	296-2584-2-ND	VAUX-Stromverteilerschalter	VAUX Power Distribution Switch	SOT-23-5		192.60/250	
TPS2101D	296-2585-5-ND	VAUX-Stromverteilerschalter	VAUX Power Distribution Switch	8-SOIC	1.38	1.11	.83
TPS2101DBVR	296-10879-1-ND	VAUX-Stromverteilerschalter	VAUX Power Distribution Switch	SOT-23-5	1.38	1.11	.83
TPS2101DBVR	296-10879-2-ND	VAUX-Stromverteilerschalter	VAUX Power Distribution Switch	SOT-23-5		2113.11/3,000	
TPS2101DBVT	296-2586-1-ND	VAUX-Stromverteilerschalter	VAUX Power Distribution Switch	SOT-23-5	1.38	1.11	.83
TPS2101DBVT	296-2586-2-ND	VAUX-Stromverteilerschalter	VAUX Power Distribution Switch	SOT-23-5		192.60/250	
TPS2102D	296-2587-5-ND	VAUX-Stromverteilerschalter	VAUX Power Distribution Switch	8-SOIC	1.59	1.27	.96
TPS2102DBVR	296-10880-1-ND	VAUX-Stromverteilerschalter	VAUX Power Distribution Switch	SOT-23-5	1.59	1.27	.96
TPS2102DBVR	296-10880-2-ND	VAUX-Stromverteilerschalter	VAUX Power Distribution Switch	SOT-23-5		2438.21/3,000	
TPS2102DBVT	296-2588-1-ND	VAUX-Stromverteilerschalter	VAUX Power Distribution Switch	SOT-23-5	1.59	1.27	.96
TPS2102DBVT	296-2588-2-ND	VAUX-Stromverteilerschalter	VAUX Power Distribution Switch	SOT-23-5		222.23/250	
TPS2103D	296-2589-5-ND	VAUX-Stromverteilerschalter	VAUX Power Distribution Switch	8-SOIC	1.59	1.27	.96
TPS2103DBVR	296-10881-1-ND	VAUX-Stromverteilerschalter	VAUX Power Distribution Switch	SOT-23-5	1.59	1.27	.96
TPS2103DBVR	296-10881-2-ND	VAUX-Stromverteilerschalter	VAUX Power Distribution Switch	SOT-23-5		2438.21/3,000	
TPS2103DBVT	296-2590-1-ND	VAUX-Stromverteilerschalter	VAUX Power Distribution Switch	SOT-23-5	1.59	1.27	.96

(Forts.)

★ RUFEN SIE BITTE AN FÜR NIEDRIGERE PREISE BEI GRÖSSEREN MENGEN! ★

B

T. I. Teilenr.	Digi-Key Teilenr.	Beschreibung		Paket	Stückpreis★ 1	25	100
TPS2103DBVT	296-2590-2-ND	VAUX-Stromverteilerschalter	VAUX Power Distribution Switch	SOT-23-5		222.23/250	
TPS2104D	296-2591-5-ND	VAUX-Stromverteilerschalter	VAUX Power Distribution Switch	8-SOIC	1.90	1.53	1.15
TPS2104DBVR	296-10882-1-ND	VAUX-Stromverteilerschalter	VAUX Power Distribution Switch	SOT-23-5	1.90	1.53	1.15
TPS2104DBVR	296-10882-2-ND	VAUX-Stromverteilerschalter	VAUX Power Distribution Switch	SOT-23-5		2925.85/3,000	
TPS2104DBVT	296-3447-1-ND	VAUX-Stromverteilerschalter	VAUX Power Distribution Switch	SOT-23-5	1.90	1.53	1.15
TPS2104DBVT	296-3447-2-ND	VAUX-Stromverteilerschalter	VAUX Power Distribution Switch	SOT-23-5		266.68/250	
TPS2105D	296-2592-5-ND	VAUX-Stromverteilerschalter	VAUX Power Distribution Switch	8-SOIC	1.90	1.53	1.15
TPS2105DBVR	296-10883-2-ND	VAUX-Stromverteilerschalter	VAUX Power Distribution Switch	SOT-23-5		2925.85/3,000	
TPS2105DBVT	296-3448-1-ND	VAUX-Stromverteilerschalter	VAUX Power Distribution Switch	SOT-23-5	1.90	1.53	1.15
TPS2105DBVT	296-3448-2-ND	VAUX-Stromverteilerschalter	VAUX Power Distribution Switch	SOT-23-5		266.68/250	
TPS2110APWR	296-16935-1-ND	Strom-Mux mit 2 Eingängen und autom. Umschaltung	2-In. Autoswitching Power Mux	8-TSSOP	1.59	1.27	.96
TPS2110APWR	296-16935-2-ND	Strom-Mux mit 2 Eingängen und autom. Umschaltung	2-In. Autoswitching Power Mux	8-TSSOP		1650.87/2,000	
TPS2110PW	296-14202-5-ND	Strom-Mux mit 2 Eingängen und autom. Umschaltung	2-In. Autoswitching Power Mux	8-TSSOP	1.59	1.27	.96
TPS2111APWR	296-16936-1-ND	Strom-Mux mit 2 Eingängen und autom. Umschaltung	2-In. Autoswitching Power Mux	8-TSSOP	1.59	1.27	.96
TPS2111APWR	296-16936-2-ND	Strom-Mux mit 2 Eingängen und autom. Umschaltung	2-In. Autoswitching Power Mux	8-TSSOP		1650.87/2,000	
TPS2111PW	296-14203-5-ND	Strom-Mux mit 2 Eingängen und autom. Umschaltung	2-In. Autoswitching Power Mux	8-TSSOP	1.59	1.27	.96
TPS2112APWR	296-16937-1-ND	Strom-Mux mit 2 Eingängen und autom. Umschaltung	2-In. Autoswitching Power Mux	8-TSSOP	1.59	1.27	.96
TPS2112APWR	296-16937-2-ND	Strom-Mux mit 2 Eingängen und autom. Umschaltung	2-In. Autoswitching Power Mux	8-TSSOP		1650.87/2,000	
TPS2113APWR	296-16938-1-ND	Strom-Mux mit 2 Eingängen und autom. Umschaltung	2-In. Autoswitching Power Mux	8-TSSOP	1.59	1.27	.96
TPS2113APWR	296-16938-2-ND	Strom-Mux mit 2 Eingängen und autom. Umschaltung	2-In. Autoswitching Power Mux	8-TSSOP		1650.87/2,000	
TPS2113PW	296-14205-5-ND	Strom-Mux mit 2 Eingängen und autom. Umschaltung	2-In. Autoswitching Power Mux	8-TSSOP	1.59	1.27	.96
TPS2114APWR	296-16939-1-ND	Strom-Mux mit 2 Eingängen und autom. Umschaltung	2-In. Autoswitching Power Mux	8-TSSOP	1.59	1.27	.96
TPS2114APWR	296-16939-2-ND	Strom-Mux mit 2 Eingängen und autom. Umschaltung	2-In. Autoswitching Power Mux	8-TSSOP		1650.87/2,000	
TPS2114PW	296-14206-5-ND	Strom-Mux mit 2 Eingängen und autom. Umschaltung	2-In. Autoswitching Power Mux	8-TSSOP	1.59	1.27	.96
TPS2115APWR	296-16940-1-ND	Strom-Mux mit 2 Eingängen und autom. Umschaltung	2-In. Autoswitching Power Mux	8-TSSOP	1.59	1.27	.96
TPS2115APWR	296-16940-2-ND	Strom-Mux mit 2 Eingängen und autom. Umschaltung	2-In. Autoswitching Power Mux	8-TSSOP		1650.87/2,000	
TPS2115PW	296-14207-5-ND	Strom-Mux mit 2 Eingängen und autom. Umschaltung	2-In. Autoswitching Power Mux	8-TSSOP	1.59	1.27	.96
TPS2145IPWP	296-13385-5-ND	LDO und Zweifach-Schalter mit kontrollierten Anstiegszeiten für DSP und tragbare Anwendungen	LDO and Dual Switch with Controlled Rise Times for DSP and Portable Applications	14-TSSOP	2.19	1.76	1.37
TPS2147IDGQ	296-13386-5-ND	LDO und Zweifach-Schalter mit kontrollierten Anstiegszeiten für DSP und tragbare Anwendungen	LDO and Dual Switch with Controlled Rise Times for DSP and Portable Applications	10-MSOP	2.10	1.68	1.31
TPS2148IDGN	296-13387-5-ND	LDO und Zweifach-Schalter, 3,3 V, für USB-Peripherie-Strommanagement	3.3V, LDO and Dual Switch for USB Peripheral Power Management	8-MSOP	2.10	1.68	1.26
TPS2149IDGN	296-13388-5-ND	LDO und Zweifach-Schalter, 3,3 V, für USB-Bus-betriebenes Hub-Strommanagement	3.3V, LDO and Dual Switch for USB Bus Powered Hub Power Management	8-MSOP	2.01	1.61	1.21
TPS2155IPWP	296-13389-5-ND	LDO und Zweifach-Schalter mit kontrollierten Anstiegszeiten für DSP und tragbare Anwendungen	LDO and Dual Switch with Controlled Rise Times for DSP and Portable Applications	14-TSSOP	2.19	1.76	1.37
TPS2157IDGQ	296-13390-5-ND	LDO und Zweifach-Schalter mit kontrollierten Anstiegszeiten für DSP und tragbare Anwendungen	LDO and Dual Switch with Controlled Rise Times for DSP and Portable Applications	10-MSOP	2.10	1.68	1.26
TPS2158IDGN	296-13391-5-ND	LDO und Zweifach-Schalter, 3,3 V, für USB-Peripherie-Strommanagement	3.3V, LDO and Dual Switch for USB Peripheral Power Management	8-MSOP	2.10	1.68	1.26
TPS2159IDGN	296-13392-5-ND	LDO und Zweifach-Schalter, 3,3 V, für USB-Bus-betriebenes Hub-Strommanagement	3.3V, LDO and Dual Switch for USB Bus Powered Hub Power Management	8-MSOP	2.01	1.61	1.21
TPS2201IDBR	296-3449-1-ND	Zweif. PCMCIA-Netzschalter	Dual PCMCIA Power Switch	30-SSOP	9.95	8.96	7.94
TPS2201IDBR	296-3449-2-ND	Zweif. PCMCIA-Netzschalter	Dual PCMCIA Power Switch	30-SSOP		14742.69/2,000	
TPS2201IDFR	296-3450-1-ND	Zweif. PCMCIA-Netzschalter	Dual PCMCIA Power Switch	30-SSOP	9.95	8.96	7.94
TPS2201IDFR	296-3450-2-ND	Zweif. PCMCIA-Netzschalter	Dual PCMCIA Power Switch	30-SSOP		7371.35/1,000	
TPS2202AIDBR	296-3451-1-ND	Zweif. PCMCIA-Netzschalter	Dual PCMCIA Power Switch	30-SSOP	9.45	8.51	7.55
TPS2202AIDBR	296-3451-2-ND	Zweif. PCMCIA-Netzschalter	Dual PCMCIA Power Switch	30-SSOP		14011.23/2,000	
TPS2204APWP	296-15133-5-ND	Zweif. PCMCIA-Netzschalter	Dual PCMCIA Power Switch	24-HTSSOP	3.52	2.82	2.20
TPS2205IDAPR	296-3454-2-ND	Zweif. PCMCIA I/F-Netzschalter	Dual PCMCIA Power I/F Switch	32-TSSOP		6137.85/2,000	
TPS2205IDBR	296-3455-1-ND	Zweif. PCMCIA I/F-Netzschalter	Dual PCMCIA Power I/F Switch	30-SSOP	4.91	3.93	3.32
TPS2205IDBR	296-3455-2-ND	Zweif. PCMCIA I/F-Netzschalter	Dual PCMCIA Power I/F Switch	30-SSOP		6137.85/2,000	
TPS2205IDFR	296-3456-1-ND	Zweif. PCMCIA I/F-Netzschalter	Dual PCMCIA Power I/F Switch	30-SSOP	4.91	3.93	3.32
TPS2205IDFR	296-3456-2-ND	Zweif. PCMCIA I/F-Netzschalter	Dual PCMCIA Power I/F Switch	30-SSOP		3068.93/1,000	
TPS2206ADAP	296-15134-5-ND	Zweif. PCMCIA I/F-Netzschalter	Dual PCMCIA Power I/F Switch	32-TSSOP	4.00	3.20	2.49
TPS2206ADB	296-14058-5-ND	Zweif. PCMCIA I/F-Netzschalter	Dual PCMCIA Power I/F Switch	30-SSOP	4.00	3.20	2.49
TPS2206IDAPR	296-3457-1-ND	Zweif. PCMCIA-Netzschalter	Dual PCMCIA Power Switch	32-TSSOP	4.99	4.00	3.38
TPS2206IDAPR	296-3457-2-ND	Zweif. PCMCIA-Netzschalter	Dual PCMCIA Power Switch	32-TSSOP		6244.52/2,000	
TPS2206IDB	296-2246-5-ND	Zweif. PCMCIA-Netzschalter	Dual PCMCIA Power Switch	30-SSOP	3.05	2.44	1.90
TPS2206IDBR	296-2246-1-ND	Zweif. PCMCIA-Netzschalter	Dual PCMCIA Power Switch	30-SSOP	4.99	4.00	3.38
TPS2206IDBR	296-2246-2-ND	Zweif. PCMCIA-Netzschalter	Dual PCMCIA Power Switch	30-SSOP		6244.52/2,000	
TPS2206IDFR	296-13510-1-ND	Zweif. PCMCIA-Netzschalter	Dual PCMCIA Power Switch	30-SSOP	4.99	4.00	3.38
TPS2206IDFR	296-13510-2-ND	Zweif. PCMCIA-Netzschalter	Dual PCMCIA Power Switch	30-SSOP		3122.26/1,000	
TPS2210APWP	296-15135-5-ND	PCMCIA-Schnittstellen-Netzschalter	PCMCIA Power Interface Switch	24-HTSSOP	1.72	1.38	1.03
TPS2211AIDB	296-3460-5-ND	PCMCIA-Schnittstellen-Netzschalter	PCMCIA Power Interface Switch	16-SSOP	1.51	1.21	.91
TPS2211AIDBR	296-13827-1-ND	PCMCIA-Schnittstellen-Netzschalter	PCMCIA Power Interface Switch	16-SSOP	1.51	1.21	.91
TPS2211AIDBR	296-13827-2-ND	PCMCIA-Schnittstellen-Netzschalter	PCMCIA Power Interface Switch	16-SSOP		1562.82/2,000	
TPS2211APWP	296-13872-5-ND	PCMCIA-Schnittstellen-Netzschalter	PCMCIA Power InterfaceSwitch	20-HTSSOP	1.51	1.21	.91
TPS2211IDBR	296-3461-2-ND	PCMCIA-Schnittstellen-Netzschalter	PCMCIA Power Interface Switch	16-SSOP		2980.03/2,000	
TPS2212IDB	296-2247-5-ND	Einf. PCMCIA-Netzschalter	Single PCMCIA Power Switch	16-SSOP	2.76	2.21	1.72
TPS2214ADB	296-2248-5-ND	Zweif. PCMCIA-Netzschalter	Dual PCMCIA Power Switch	24-SSOP	4.59	3.68	3.10
TPS2214DB	296-2249-5-ND	Zweif. PCMCIA-Netzschalter	Dual PCMCIA Power Switch	24-SSOP	4.74	3.80	3.21
TPS2216ADAP	296-2250-5-ND	Zweif. PCMCIA-Netzschalter	Dual PCMCIA Power Switch	32-HTSSOP	4.67	3.74	3.16
TPS2216ADB	296-2251-5-ND	Zweif. PCMCIA-Netzschalter	Dual PCMCIA Power Switch	30-SSOP	4.67	3.74	3.16
TPS2216DB	296-2252-5-ND	Zweif. PCMCIA-Netzschalter	Dual PCMCIA Power Switch	30-SSOP	5.38	4.31	3.64
TPS2216DAP	296-3462-5-ND	PCMCIA-Netzschalter, serielle Schnittstelle	PCMCIA Power Switch Serial Interface	32-HTSSOP	5.38	4.31	3.64
TPS2220BDB	296-17773-ND	Cardbus-Schnittstellen-Netzschalter für seriellen PCMCIA Controller	Cardbus Power Interface Switch for Serial PCMCIA Controller	24-SSOP	1.51	1.21	.91
TPS2220BPWP	296-17774-ND	Cardbus-Schnittstellen-Netzschalter für seriellen PCMCIA Controller	Cardbus Power Interface Switch for Serial PCMCIA Controller	24-HTSSOP	1.51	1.21	.91
TPS2220APWP	296-15136-5-ND	Cardbus-Schnittstellen-Netzschalter für seriellen PCMCIA Controller	Cardbus Power Interface Switch for Serial PCMCIA Controller	24-HTSSOP	1.72	1.38	1.03
TPS2221PWP	296-13747-5-ND	Einf. PC-Karten-Schnittstellen-Netzschalter für serielle PCMCIA Controller	Single PC Card Power Interface Switch for PCMCIA Controllers	14-HTSSOP	3.52	2.82	2.20
TPS2223ADB	296-13015-5-ND	CardBus-Schnittstellenschalter, Doppelsteckplatz	Dual-Slot CardBus Interface Switches	24-SSOP	3.26	2.61	2.03
TPS2223APWP	296-13016-5-ND	CardBus-Schnittstellenschalter, Doppelsteckplatz	Dual-Slot CardBus Interface Switches	24-HTSSOP	3.26	2.61	2.03
TPS2223DB	296-12387-5-ND	1 A PC-Karten-Stromschalter mit serieller Schnittstelle, Doppelsteckplatz	1A Dual-Slot PC Card Power Switch w/Serial Interface	24-SSOP	3.52	2.82	2.20
TPS2223PWP	296-12388-5-ND	1 A PC-Karten-Stromschalter mit serieller Schnittstelle, Doppelsteckplatz	1A Dual-Slot PC Card Power Switch w/Serial Interface	24-HTSSOP	3.52	2.82	2.20
TPS2224ADB	296-13017-5-ND	CardBus-Schnittstellenschalter, Doppelsteckplatz	Dual-Slot CardBus Interface Switches	24-SSOP	3.52	2.82	2.20
TPS2224APWP	296-13018-5-ND	CardBus-Schnittstellenschalter, Doppelsteckplatz	Dual-Slot CardBus Interface Switches	24-HTSSOP	3.52	2.82	2.20
TPS2224DB	296-12389-5-ND	1 A PC-Karten-Stromschalter mit serieller Schnittstelle, Doppelsteckplatz	1A Dual-Slot PC Card Power Switch w/Serial Interface	24-SSOP	3.89	3.11	2.42
TPS2224PWP	296-12390-5-ND	1 A PC-Karten-Stromschalter mit serieller Schnittstelle, Doppelsteckplatz	1A Dual-Slot PC Card Power Switch w/Serial Interface	24-HTSSOP	3.89	3.11	2.42
TPS2226ADB	296-13019-5-ND	CardBus-Schnittstellenschalter, Doppelsteckplatz	Dual-Slot CardBus Interface Switch	30-SSOP	3.81	3.05	2.38
TPS2226DB	296-12391-5-ND	1 A PC-Karten-Stromschalter mit serieller Schnittstelle, Doppelsteckplatz	1A Dual-Slot PC Card Power Switch w/Serial Interface	30-SSOP	4.25	3.40	2.65
TPS2228DB	296-13748-5-ND	Zweif. PC-Karten-Schnittstellen-Netzschalter für PCMCIA Controller	Dual PC Card Power Interface Switch for PCMCIA Controllers	30-SSOP	5.42	4.34	3.66
TPS2228PWP	296-13749-5-ND	Zweif. PC-Karten-Schnittstellen-Netzschalter für PCMCIA Controller	Dual PC Card Power Interface Switch for PCMCIA Controllers	20-HTSSOP	5.25	4.20	3.55
TPS2231EVM	296-17281-ND	Evaluierungsmodul für TPS2231	Evaluation Module for TPS2231	—	53.15	—	—
TPS2231PWP	296-17239-ND	ExpressCard™ -Schnittstellen-Netzschalter	ExpressCard™ Power Interface Switch	24-HTSSOP	1.78	1.43	1.07
TPS2236DAP	296-17591-5-ND	Zweif. ExpressCard™-Schnittstellen-Netzschalter	Dual ExpressCard™ Power Interface Switch	24-HTSSOP	2.53	2.03	1.58
TPS2383PM	296-15138-ND	Achtf. Strommanager für Quellengeräte	Octal Power Sourcing Equipment Power Manager	64-LQFP	10.37	9.34	8.28
TPS2400DBVR	296-17744-1-ND	Überspannungsschutz-Controller	Overvoltage Protection Controller	SOT-23-5	1.69	1.36	1.02
TPS2400DBVR	296-17744-2-ND	Überspannungsschutz-Controller	Overvoltage Protection Controller	SOT-23-5		2600.76/3,000	
TPS2400DBVT	296-17226-1-ND	Überspannungsschutz-Controller	Overvoltage Protection Controller	SOT-23-5	1.69	1.36	1.02
TPS2400DBVT	296-17226-2-ND	Überspannungsschutz-Controller	Overvoltage Protection Controller	SOT-23-5		237.05/250	
TPS54974PWP	296-15140-5-ND	Zweif. Eingangsbus 9 A Ausgang-Synch. Buck-PWM-Umschalter mit integrierten FETs	Dual Input Bus 9A Output Sync. Buck PWM Switcher with Integrated FETs	28-HTSSOP	7.11	5.69	4.81

(Forts.)

★ ***RUFEN SIE BITTE AN FÜR NIEDRIGERE PREISE BEI GRÖSSEREN MENGEN!*** ★

T. I. Teilenr.	Digi-Key Teilenr.	Beschreibung		Paket	Stückpreis★ 1	25	100
UC37131D	296-11248-5-ND	Low Side Smart-Netzschalter	Low Side Smart Power Switch	8-SOIC	4.10	3.28	2.55
UC37132D	296-11249-5-ND	High/Low Side Smart-Netzschalter	High/Low Side Smart Power Switch	16-SOIC	4.57	3.66	2.85
UC37132N	296-11250-5-ND	High/Low Side Smart-Netzschalter	High/Low Side Smart Power Switch	14-Dip	4.57	3.66	2.85
UC37133D	296-11251-5-ND	High Side Smart-Netzschalter	High Side Smart Power Switch	8-SOIC	4.10	3.28	2.55
UC37133N	296-11252-5-ND	High Side Smart-Netzschalter	High Side Smart Power Switch	8-Dip	4.10	3.28	2.55
		PWM-Controller					
DRV101FKTWT	296-15963-1-ND	PWM-Solenoid/Ventiltreiber	PWM Solenoid/Valve Driver	7-DDPAK	6.52	5.22	—
DRV101FKTWT	296-15963-2-ND	PWM-Solenoid/Ventiltreiber	PWM Solenoid/Valve Driver	7-DDPAK		220.03/50	
DRV101T	DRV101T-ND	PWM-Solenoid/Ventiltreiber	PWM Solenoid/Valve Driver	7-TO-220	6.52	5.22	4.41
DRV102FKTWT	296-15964-1-ND	PWM-Solenoid/Ventiltreiber	PWM Solenoid/Valve Driver	7-DDPAK	6.52	5.22	—
DRV102FKTWT	296-15964-2-ND	PWM-Solenoid/Ventiltreiber	PWM Solenoid/Valve Driver	7-DDPAK		220.03/50	
DRV102T	DRV102T-ND	PWM-Solenoid/Ventiltreiber	PWM Solenoid/Valve Driver	TO-220-7	6.52	5.22	4.41
DRV103H	DRV103H-ND	Low Side DMOS-Netzschalter PWM Ausg.	Low Side DMOS Power Switch PWM Out	8-SOP	3.52	2.82	2.20
DRV103H/2K5	DRV103H/2K5CT-ND	Low Side DMOS-Netzschalter PWM Ausg.	Low Side DMOS Power Switch PWM Out	8-HSOP	3.52	2.82	2.20
DRV103H/2K5	DRV103H/2K5TR-ND	Low Side DMOS-Netzschalter PWM Ausg.	Low Side DMOS Power Switch PWM Out	8-HSOP		4933.56/2,500	
DRV103U	296-11622-ND	PWM-Low-Side-Treiber	PWM Low Side Driver	8-SOIC	3.05	2.44	1.90
DRV104PWPR	296-15746-1-ND	PWM-High-Side-Treiber, 1,2 A	1.2A, High Side PWM Driver	14-HTSSOP	3.05	2.44	1.90
DRV104PWPR	296-15746-2-ND	PWM-High-Side-Treiber, 1,2 A	1.2A, High Side PWM Driver	14-HTSSOP		3454.13/2,000	
DRV590DWP	296-12201-5-ND	Hocheffizienter PWM-Stromtreiber, 1,2 A	1.2A, High Eff. PWM Power Driver	20-SOIC	10.29	9.28	8.22
DRV591VFP	296-12430-ND	Hocheffizienter PWM-Stromtreiber	High Efficiency PWM Power Driver	32-HLQFP	8.89	8.01	7.10
DRV592VFP	296-12550-ND	Hocheffizienter PWM-Stromtreiber	High Efficiency PWM Power Driver	32-HLQFP	15.87	14.82	13.76
DRV593VFPR	296-13643-1-ND	Hocheffizienter PWM-Stromtreiber, ±3 A	±3A High Efficiency PWM Power Driver	32-HLQFP	8.32	7.50	6.65
DRV593VFPR	296-13643-2-ND	Hocheffizienter PWM-Stromtreiber, ±3 A	±3A High Efficiency PWM Power Driver	32-HLQFP		6169.17/1,000	
DRV594VFPR	296-13644-1-ND	Hocheffizienter PWM-Stromtreiber, ±3 A	±3A High Efficiency PWM Power Driver	32-HLQFP	8.32	7.50	6.65
DRV594VFPR	296-13644-2-ND	Hocheffizienter PWM-Stromtreiber, ±3 A	±3A High Efficiency PWM Power Driver	32-HLQFP		6169.17/1,000	
DRV1100P	DRV1100P-ND	Hochleistungsfähiger Differenzialtreiber-Verst.	High Power Differential Driver Amp	8-Dip	5.33	4.27	3.61
DRV1100U	DRV1100U-ND	Hochleistungsfähiger Differenzialtreiber-Verst.	High Power Differential Driver Amp	8-SOIC	5.33	4.27	3.61
DRV1101U	DRV1101U-ND	Hochleistungsfähiger Differenzialleitungstreiber	High Power Differential Line Driver	8-SOIC	5.33	4.27	3.61
DRV1101U/2K5	DRV1101UTR-ND	Hochleistungsfähiger Differenzialleitungstreiber	High Power Differential Line Driver	8-SOIC		8398.27/2,500	
SG2524DR	296-12552-1-ND	PWM-Controller mit Abschaltfunktion	PWM Controller with Shutdown	16-SOIC	.71	.60	.48
SG2524DR	296-12552-2-ND	PWM-Controller mit Abschaltfunktion	PWM Controller with Shutdown	16-SOIC		770.41/2,500	
SG2524N	296-9685-5-ND	PWM-Controller mit Abschaltfunktion	PWM Controller with Shutdown	16-Dip	.71	.60	.48
SG3524D	296-9686-5-ND	PWM-Regler	Regulating PWM	16-SOIC	.71	.60	.48
SG3524N	296-9687-5-ND	PWM-Regler	Regulating PWM	16-Dip	.71	.60	.48
SN74TVC3010DBQR	296-9891-1-ND	10-Bit programmierbare Spannungsklemme	10-Bit Programmable Volt. Clamp	24-SSOP	1.38	1.11	.83
SN74TVC3010DBQR	296-9891-2-ND	10-Bit programmierbare Spannungsklemme	10-Bit Programmable Volt. Clamp	24-SSOP		1760.93/2,500	
SN74TVC3010DGVR	296-9892-1-ND	10-Bit programmierbare Spannungsklemme	10-Bit Programmable Volt. Clamp	24-TVSOP	1.17	.94	.70
SN74TVC3010DGVR	296-9892-2-ND	10-Bit programmierbare Spannungsklemme	10-Bit Programmable Volt. Clamp	24-TVSOP		1210.64/2,000	
SN74TVC3010PWR	296-9893-1-ND	10-Bit programmierbare Spannungsklemme	10-Bit Programmable Volt. Clamp	24-TSSOP	1.17	.94	.70
SN74TVC3010PWR	296-9893-2-ND	10-Bit programmierbare Spannungsklemme	10-Bit Programmable Volt. Clamp	24-TSSOP		1210.64/2,000	
SN74TVC3306DCTR	296-13307-1-ND	Klemme, zwei Spannungen	Dual Voltage Clamp	8-SSOP	1.17	.94	.70
SN74TVC3306DCTR	296-13307-2-ND	Klemme, zwei Spannungen	Dual Voltage Clamp	8-SSOP		1788.02/3,000	
SN74TVC3306DCUR	296-13308-1-ND	Klemme, zwei Spannungen	Dual Voltage Clamp	8-VSSOP	1.17	.94	.70
SN74TVC3306DCUR	296-13308-2-ND	Klemme, zwei Spannungen	Dual Voltage Clamp	8-VSSOP		1788.02/3,000	
SN74TVC16222ADGGR	296-9888-1-ND	22-Bit programmierbare Spannungsklemme	22-Bit Programmable Volt. Clamp	48-TSSOP	1.76	1.41	1.06
SN74TVC16222ADGGR	296-9888-2-ND	22-Bit programmierbare Spannungsklemme	22-Bit Programmable Volt. Clamp	48-TSSOP		1826.96/2,000	
SN74TVC16222ADGVR	296-9889-1-ND	22-Bit programmierbare Spannungsklemme	22-Bit Programmable Volt. Clamp	48-TVSOP	1.76	1.41	1.06
SN74TVC16222ADGVR	296-9889-2-ND	22-Bit programmierbare Spannungsklemme	22-Bit Programmable Volt. Clamp	48-TVSOP		1826.96/2,000	
SN74TVC16222ADLR	296-9890-1-ND	22-Bit programmierbare Spannungsklemme	22-Bit Programmable Volt. Clamp	48-SSOP	1.76	1.41	1.06
SN74TVC16222ADLR	296-9890-2-ND	22-Bit programmierbare Spannungsklemme	22-Bit Programmable Volt. Clamp	48-SSOP		913.48/1,000	
TL494CD	296-1293-5-ND	PWM-Controller	PWM Controller	16-SOIC	.44	.33	.25
TL494CDR	296-1293-1-ND	PWM-Controller	PWM Controller	16-SOIC	.44	.33	.25
TL494CDR	296-1293-2-ND	PWM-Controller	PWM Controller	16-SOIC		357.69/2,500	
TL494CN	296-1799-5-ND	PWM-Controller	PWM Controller	16-Dip	.44	.33	.25
TL494CNSR	296-10191-1-ND	PWM-Controller	PWM Controller	16-SOP	.44	.33	.25
TL494CNSR	296-10191-2-ND	PWM-Controller	PWM Controller	16-SOP		292.92/2,000	
TL494CPWR	296-10192-1-ND	PWM-Controller	PWM Controller	16-TSSOP	.44	.33	.25
TL494CPWR	296-10192-2-ND	PWM-Controller	PWM Controller	16-TSSOP		292.92/2,000	
TL494ID	296-10193-5-ND	PWM-Regelkreis	PWM Control Circuit	16-SOIC	.64	.49	.37
TL494IN	296-10194-5-ND	PWM-Controller	PWM Controller	16-Dip	.64	.49	.37
TL499ACPSR	296-17592-1-ND	Stromversorgungs-Controller mit breitem Bereich	Wide Range Power Supply Controller	8-SOIC	1.06	.85	.64
TL499ACPSR	296-17592-2-ND	Stromversorgungs-Controller mit breitem Bereich	Wide Range Power Supply Controller	8-SOIC		1100.58/2,000	
TL594CD	296-10220-5-ND	PWM-Regelkreis	PWM Control Circuit	16-SOIC	.81	.61	.46
TL594CDR	296-15012-1-ND	PWM-Regelkreis	PWM Control Circuit	16-SOIC	.81	.61	.46
TL594CDR	296-15012-2-ND	PWM-Regelkreis	PWM Control Circuit	16-SOIC		660.35/2,500	
TL594CN	296-10221-5-ND	PWM-Regelkreis	PWM Control Circuit	16-Dip	.71	.54	.40
TL598CD	296-10225-5-ND	PWM-Controller	PWM Controller	16-SOIC	1.14	.96	.77
TL598CN	296-10226-5-ND	PWM-Controller	PWM Controller	16-Dip	1.14	.96	.77
TL712CDR	296-15013-1-ND	Differenzialkomparator	Differential Comparator	8-SOIC	1.17	.98	.78
TL712CDR	296-15013-2-ND	Differenzialkomparator	Differential Comparator	8-SOIC		1265.67/2,500	
TL1451ACD	296-13350-5-ND	PWM-Controller, zwei Kanäle	Dual Channel PWM Controller	16-SOIC	1.90	1.53	1.15
TL1451ACDBR	296-10133-1-ND	PWM-Controller, zwei Kanäle	Dual Channel PWM Controller	16-SSOP	1.90	1.53	1.15
TL1451ACDBR	296-10133-2-ND	PWM-Controller, zwei Kanäle	Dual Channel PWM Controller	16-SSOP		1981.04/2,000	
TL1451ACN	296-12197-5-ND	PWM-Controller, zwei Kanäle	Dual Channel PWM Controller	16-Dip	1.90	1.53	1.15
TL1451ACNSR	296-10134-1-ND	PWM-Controller, zwei Kanäle	Dual Channel PWM Controller	16-SOIC	1.90	1.53	1.15
TL1451ACNSR	296-10134-2-ND	PWM-Controller, zwei Kanäle	Dual Channel PWM Controller	16-SOIC		1981.04/2,000	
TL1451ACPWR	296-10135-1-ND	PWM-Controller, zwei Kanäle	Dual Channel PWM Controller	16-TSSOP	1.90	1.53	1.15
TL1451ACPWR	296-10135-2-ND	PWM-Controller, zwei Kanäle	Dual Channel PWM Controller	16-TSSOP		1981.04/2,000	
TL1451AQD	296-10137-5-ND	PWM-Controller, zwei Kanäle	Dual Channel PWM Controller	16-SOIC	2.00	1.60	1.25
TL1453CD	296-10138-5-ND	PWM-Controller, zwei Kanäle	Dual Channel PWM Controller	16-SOIC	1.90	1.53	1.15
TL1453CN	296-10139-5-ND	PWM-Controller, zwei Kanäle	Dual Channel PWM Controller	16-Dip	1.90	1.53	1.15
TL1454ACD	296-13792-5-ND	PWM-Regelkreis, zwei Kanäle	Dual Channel PWM Control Circuit	16-SOIC	1.90	1.53	1.19
TL1454ACDBR	296-13793-1-ND	PWM-Regelkreis, zwei Kanäle	Dual Channel PWM Control Circuit	16-SSOP	2.12	1.70	1.27
TL1454ACDBR	296-13793-2-ND	PWM-Regelkreis, zwei Kanäle	Dual Channel PWM Control Circuit	16-SSOP		2158.83/2,000	
TL1454ACN	296-13794-5-ND	PWM-Regelkreis, zwei Kanäle	Dual Channel PWM Control Circuit	16-Dip	1.90	1.53	1.19
TL1454ACNSR	296-13795-1-ND	PWM-Regelkreis, zwei Kanäle	Dual Channel PWM Control Circuit	16-SOP	2.12	1.70	1.27
TL1454ACNSR	296-13795-2-ND	PWM-Regelkreis, zwei Kanäle	Dual Channel PWM Control Circuit	16-SOP		2158.83/2,000	
TL1454ACPWR	296-13796-1-ND	PWM-Regelkreis, zwei Kanäle	Dual Channel PWM Control Circuit	16-TSSOP	2.12	1.70	1.27
TL1454ACPWR	296-13796-2-ND	PWM-Regelkreis, zwei Kanäle	Dual Channel PWM Control Circuit	16-TSSOP		2158.83/2,000	
TL2842DR-8	296-12998-1-ND	Strommodus-PWM-Controller	Current-Mode PWM Controller	8-SOP	.63	.53	.43
TL2842DR-8	296-12998-2-ND	Strommodus-PWM-Controller	Current-Mode PWM Controller	8-SOP		687.86/2,500	
TL2842P	296-16646-5-ND	Strommodus-PWM-Controller	Current-Mode PWM Controller	8-Dip	.63	.53	.43
TL2843D	296-1977-5-ND	Strommodus-PWM-Controller	Current-Mode PWM Controller	14-SOIC	.63	.53	.43
TL2843DR	296-17541-1-ND	Strommodus-PWM-Controller	Current-Mode PWM Controller	14-SOIC	.63	.53	.43
TL2843DR	296-17541-2-ND	Strommodus-PWM-Controller	Current-Mode PWM Controller	14-SOIC		687.86/2,500	
TL2843DR-8	296-10164-1-ND	Strommodus-PWM-Controller	Current-Mode PWM Controller	8-SOIC	.63	.53	.43
TL2843DR-8	296-10164-2-ND	Strommodus-PWM-Controller	Current-Mode PWM Controller	8-SOIC		687.86/2,500	
TL2844DR	296-1367-1-ND	Strommodus-PWM-Controller	Current-Mode PWM Controller	14-SOIC	.63	.53	.43
TL2844DR-8	296-10165-1-ND	Strommodus-PWM-Controller	Current-Mode PWM Controller	8-SOIC	.63	.53	.43
TL2844DR-8	296-10165-2-ND	Strommodus-PWM-Controller	Current-Mode PWM Controller	8-SOIC		687.86/2,500	
TL2844P	296-16647-5-ND	Strommodus-PWM-Controller	Current-Mode PWM Controller	8-Dip	.63	.53	.43

(Forts.)

★ ***RUFEN SIE BITTE AN FÜR NIEDRIGERE PREISE BEI GRÖSSEREN MENGEN!*** ★

B

T. I. Teilenr.	Digi-Key Teilenr.	Beschreibung		Paket	Stückpreis★ 1	25	100
TL2845DR-8	296-10166-1-ND	Strommodus-PWM-Controller	Current-Mode PWM Controller	8-SOIC	.63	.53	.43
TL2845DR-8	296-10166-2-ND	Strommodus-PWM-Controller	Current-Mode PWM Controller	8-SOIC		687.86/2,500	
TL3842DR-8	296-10173-1-ND	Strommodus-PWM-Controller	Current-Mode PWM Controller	8-SOIC	.75	.56	.42
TL3842DR-8	296-10173-2-ND	Strommodus-PWM-Controller	Current-Mode PWM Controller	8-SOIC		605.32/2,500	
TL3842P	296-10174-5-ND	Strommodus-PWM-Controller	Current-Mode PWM Controller	8-Dip	.75	.56	.42
TL3843DR	296-15010-1-ND	Strommodus-PWM-Controller	Current-Mode PWM Controller	14-SOIC	.75	.56	.42
TL3843DR	296-15010-2-ND	Strommodus-PWM-Controller	Current-Mode PWM Controller	14-SOIC		605.32/2,500	
TL3843DR-8	296-10175-1-ND	Strommodus-PWM-Controller	Current-Mode PWM Controller	8-SOIC	.75	.56	.42
TL3843DR-8	296-10175-2-ND	Strommodus-PWM-Controller	Current-Mode PWM Controller	8-SOIC		605.32/2,500	
TL3843P	296-10176-5-ND	Strommodus-PWM-Controller	Current-Mode PWM Controller	8-Dip	.75	.56	.42
TL3844DR-8	296-10177-1-ND	Strommodus-PWM-Controller	Current-Mode PWM Controller	8-SOIC	.75	.56	.42
TL3844DR-8	296-10177-2-ND	Strommodus-PWM-Controller	Current-Mode PWM Controller	8-SOIC		605.32/2,500	
TL3844P	296-10178-5-ND	Strommodus-PWM-Controller	Current-Mode PWM Controller	8-Dip	.75	.56	.42
TL3845DR	296-15011-1-ND	Strommodus-PWM-Controller	Current-Mode PWM Controller	14-SOIC	.75	.56	.42
TL3845DR	296-15011-2-ND	Strommodus-PWM-Controller	Current-Mode PWM Controller	14-SOIC		605.32/2,500	
TL3845DR-8	296-10179-1-ND	Strommodus-PWM-Controller	Current-Mode PWM Controller	8-SOIC	.75	.56	.42
TL3845DR-8	296-10179-2-ND	Strommodus-PWM-Controller	Current-Mode PWM Controller	8-SOIC		605.32/2,500	
TL3845P	296-10180-5-ND	Strommodus-PWM-Controller	Current-Mode PWM Controller	8-Dip	.75	.56	.42
TL5001ACD	296-2472-5-ND	PWM-Controller-Schaltkreis	PWM Controller Circuit	8-SOIC	1.10	.89	.67
TL5001ACDR	296-2472-1-ND	PWM-Contr. mit breitem Eingangsspannungsbereich	PWM Cont. w/Wide Input Volt Range	8-SOIC	1.32	1.11	.89
TL5001ACDR	296-2472-2-ND	PWM-Contr. mit breitem Eingangsspannungsbereich	PWM Cont. w/Wide Input Volt Range	8-SOIC		1409.59/2,500	
TL5001AIP	296-10203-5-ND	PWM-Contr. mit breitem Eingangsspannungsbereich	PWM Cont. w/Wide Input Volt Range	8-Dip	1.10	.89	.67
TL5001AQDR	296-16812-1-ND	PWM-Contr. mit breitem Eingangsspannungsbereich	PWM Cont. w/Wide Input Volt Range	8-SOIC	1.31	1.05	.79
TL5001AQDR	296-16812-2-ND	PWM-Contr. mit breitem Eingangsspannungsbereich	PWM Cont. w/Wide Input Volt Range	8-SOIC		1680.50/2,500	
TL5001CDR	296-1294-1-ND	PWM-Controller	PWM Controller	8-SOIC	1.09	.92	.73
TL5001CDR	296-1294-2-ND	PWM-Controller	PWM Controller	8-SOIC		1183.12/2,500	
TL5001CP	296-10205-5-ND	PWM-Contr. mit breitem Eingangsspannungsbereich	PWM Cont. w/Wide Input Volt Range	8-Dip	1.09	.92	.73
TL5001CPSR	296-10206-1-ND	PWM-Contr. mit breitem Eingangsspannungsbereich	PWM Cont. w/Wide Input Volt Range	8-SOP	1.09	.92	.73
TL5001CPSR	296-10206-2-ND	PWM-Contr. mit breitem Eingangsspannungsbereich	PWM Cont. w/Wide Input Volt Range	8-SOP		968.51/2,000	
TL5001ID	296-10214-5-ND	PWM-Contr. mit breitem Eingangsspannungsbereich	PWM Cont. w/Wide Input Volt Range	8-SOIC	1.09	.92	.73
TL5001QD	296-10215-5-ND	PWM-Contr. mit breitem Eingangsspannungsbereich	PWM Cont. w/Wide Input Volt Range	8-SOIC	1.22	1.02	.82
TL5002CDR	296-10216-1-ND	PWM-Controller	PWM Controller	8-SOP	1.42	1.14	.86
TL5002CDR	296-10216-2-ND	PWM-Controller	PWM Controller	8-SOP		1815.96/2,500	
TLC2932IPWR	296-10262-1-ND	HP Phase, Sperrschleife	HP Phase Lock Loop	14-TSSOP	2.44	1.96	1.52
TLC2932IPWR	296-10262-2-ND	HP Phase, gesperrte Schleife	HP Phase Locked Loop	14-TSSOP		2763.30/2,000	
TLC2933IPW	296-11907-5-ND	HP Phase, gesperrte Schleife	HP Phase Locked Loop	14-TSSOP	2.44	1.96	1.52
TLC2934IPWR	296-10263-1-ND	HP Einzelphase, gesperrte Schleife	HP Single Phase Locked Loop	14-TSSOP	2.35	1.88	1.46
TLC2934IPWR	296-10263-2-ND	HP Einzelphase, gesperrte Schleife	HP Single Phase Locked Loop	14-TSSOP		2654.94/2,000	
TPS5100IPW	296-2474-5-ND	PWM-Controller, 3 Kanäle	3-Channel PWM Controller	16-TSSOP	2.48	1.99	1.55
TPS43000PW	296-12403-5-ND	HF-PWM-Controller, synchron	Hi-Freq. Sync. PWM Controller	16-TSSOP	4.00	3.20	2.49
TPS54372PWP	296-13055-5-ND	Synch. PWM-Umschalter, 3 A Ausgang	3A Output Sync. PWM Switcher	20-HTSSOP	4.48	3.59	2.79
TPS54616PWPR	296-12288-1-ND	Synch.-Buck-PWM-Wandler	Sync.-Buck PWM Converter	28-HTSSOP	5.67	4.54	3.83
TPS54616PWPR	296-12288-2-ND	Synch.-Buck-PWM-Wandler	Sync.-Buck PWM Converter	28-HTSSOP		7091.12/2,000	
TPS54910PWP	296-13409-5-ND	Synchroner PWM-Umschalter mit integrierten FETs (SWIFT™), 3 V bis 4 V Eingang, 9 A Ausgang	3V-4V In, 9A Out, Sync. PWM Switcher w/Integrated FETs (SWIFT™)	28-HTSSOP	7.11	5.69	4.81
TPS56100PWP	296-2475-5-ND	DSP-Stromversorgungs-Controller	DSP Power Supply Controller	28-HTSSOP	6.26	5.02	4.23
TPS56300PWP	296-2476-5-ND	DSP-Versorgungscontroller	DSP Supply Controller	28-HTSSOP	7.37	5.90	4.98
TPS56302PWP	296-2477-5-ND	Zweif. DSP-Versorgungscontroller	Dual DSP Supply Controller	28-HTSSOP	7.37	5.90	4.98
UC2524ADW	296-11151-5-ND	Erweiterter PWM-Regler	Advanced Regulating PWM	16-SOIC	3.62	2.90	2.26
UC2524AN	296-11152-5-ND	Erweiterter PWM-Regler	Advanced Regulating PWM	16-Dip	3.62	2.90	2.26
UC2525ADW	296-11153-5-ND	PWM-Regler	Regulating PWM	16-SOIC	3.35	2.69	2.09
UC2525AN	296-11154-5-ND	PWM-Regler	Regulating PWM	16-Dip	3.98	3.19	2.48
UC2525BDW	296-2479-5-ND	PWM-Regler	Regulating PWM	16-SOIC	5.06	4.05	3.42
UC2526ADW	296-11155-5-ND	PWM-Regler	Regulating PWM	18-SOIC	2.90	2.32	1.81
UC2526AN	296-11156-5-ND	PWM-Regler	Regulating PWM	18-Dip	2.90	2.32	1.81
UC2572D	296-2480-5-ND	Flyback-PWM, negativer Ausgang	Negative Output Flyback PWM	8-SOIC	2.29	1.83	1.43
UC2572N	296-11157-5-ND	Flyback-PWM, negativer Ausgang	Negative Output Flyback PWM	8-Dip	2.29	1.83	1.43
UC2573N	296-11158-5-ND	Buck-PWM-Spannungsversorgungsregler	Buck PWM Voltage Supply Regulator	8-Dip	2.29	1.83	1.43
UC2625DW	296-11162-5-ND	Bürstenloser DC-Motor-Comtroller	Brushless DC Motor Controller	28-SOIC	7.75	6.99	6.20
UC2637DW	296-2481-5-ND	DC-Motor-Controller Umschaltmodus	DC Motor Switch-Mode Controller	20-SOIC	6.01	4.81	4.06
UC2637N	296-11163-5-ND	DC-Motor-Controller Umschaltmodus	DC Motor Switch-Mode Controller	18-Dip	6.01	4.81	4.06
UC2638DW	296-2482-5-ND	PWM-Motor-Controller	PWM Motor Controller	20-SOIC	6.35	5.08	4.29
UC2705D	296-2484-5-ND	Hochgeschwindigkeits-Stromtreiber	High Speed Power Driver	8-SOIC	4.32	3.46	2.92
UC2705N	296-11164-5-ND	Hochgeschwindigkeits-Stromtreiber	High Speed Power Driver	8-Dip	4.32	3.46	2.92
UC2706DW	296-2485-5-ND	Zweif. Ausgangstreiber	Dual Output Driver	16-SOIC	5.25	4.20	3.55
UC2707DW	296-2486-5-ND	Zweif. Kanalstromtreiber	Dual Channel Power Driver	16-SOIC	5.16	4.14	3.49
UC2707N	296-11165-5-ND	Zweif. Kanalstromtreiber	Dual Channel Power Driver	16-Dip	5.16	4.14	3.49
UC2708DW	296-2487-5-ND	Zweif. Kanalstromtreiber, nicht invert.	Dual Non-Inverting Power Driver	16-SOIC	6.35	5.08	4.29
UC2823ADW	296-2488-5-ND	HS-PWM-Controller	High Speed PWM Controller	16-SOIC	7.62	6.86	6.09
UC2823AN	296-11166-5-ND	HS-PWM-Controller	High Speed PWM Controller	16-Dip	7.62	6.86	6.09
UC2823BDW	296-2489-5-ND	HS-PWM-Controller	High Speed PWM Controller	16-SOIC	8.68	7.81	6.93
UC2823N	296-11167-5-ND	HS-PWM-Controller	High Speed PWM Controller	16-Dip	3.09	2.47	1.93
UC2824DW	296-15145-5-ND	HS-PWM-Controller	High Speed PWM Controller	16-SOIC	8.39	7.56	6.70
UC2825ADW	296-2490-5-ND	HS-PWM-Controller	High Speed PWM Controller	16-SOIC	4.74	3.80	3.21
UC2825AN	296-11168-5-ND	HS-PWM-Controller	High Speed PWM Controller	16-Dip	4.74	3.80	3.21
UC2825BDW	296-2491-5-ND	HS-PWM-Controller	High Speed PWM Controller	16-SOIC	7.62	6.86	6.09
UC2825BN	296-11169-5-ND	HS-PWM-Controller	High Speed PWM Controller	16-Dip	7.62	6.86	6.09
UC2825DW	296-11170-5-ND	HS-PWM-Controller	High Speed PWM Controller	16-SOIC	3.09	2.47	1.93
UC2825N	296-11171-5-ND	HS-PWM-Controller	High Speed PWM Controller	16-Dip	3.09	2.47	1.93
UC2827DW-1	296-2492-5-ND	Stromgespeister PWM-Controller	Current Fed PWM Controller	24-SOIC	6.26	5.02	4.23
UC2827DW-2	296-2493-5-ND	Spannunggespeister PWM-Controller	Voltage Fed PWM Controller	24-SOIC	6.26	5.02	4.23
UC2834N	296-11172-5-ND	Hocheffizienter Regler-Controller	High-Efficiency Regulator Controller	16-Dip	9.66	8.70	7.72
UC2842AD	296-11173-5-ND	Strommodus-PWM-Controller	Current-Mode PWM Controller	14-SOIC	1.82	1.46	1.10
UC2842AD8	296-11174-5-ND	Strommodus-PWM-Controller	Current-Mode PWM Controller	8-SOIC	1.82	1.46	1.10
UC2842AN	296-11175-5-ND	Strommodus-PWM-Controller	Current-Mode PWM Controller	8-Dip	1.82	1.46	1.10
UC2842AQDR	296-15197-1-ND	Strommodus-PWM-Controller	Current-Mode PWM Controller	14-SOIC	1.82	1.46	1.10
UC2842AQDR	296-15197-2-ND	Strommodus-PWM-Controller	Current-Mode PWM Controller	14-SOIC		2330.27/2,500	
UC2842AQD8R	296-15196-1-ND	Strommodus-PWM-Controller	Current-Mode PWM Controller	8-SOIC	1.82	1.46	1.10
UC2842AQD8R	296-15196-2-ND	Strommodus-PWM-Controller	Current-Mode PWM Controller	8-SOIC		2330.27/2,500	
UC2842N	296-11176-5-ND	Strommodus-PWM-Controller	Current-Mode PWM Controller	8-Dip	1.90	1.53	1.15
UC2843AD	296-11177-5-ND	Strommodus-PWM-Controller	Current-Mode PWM Controller	14-SOIC	1.82	1.46	1.10
UC2843AD8	296-11178-5-ND	Strommodus-PWM-Controller	Current-Mode PWM Controller	8-SOIC	1.82	1.46	1.10
UC2843AN	296-11179-5-ND	Strommodus-PWM-Controller	Current-Mode PWM Controller	8-Dip	1.82	1.46	1.10
UC2843AQDR	296-15201-1-ND	Strommodus-PWM-Controller	Current-Mode PWM Controller	14-SOIC	1.82	1.46	1.10
UC2843AQDR	296-15201-2-ND	Strommodus-PWM-Controller	Current-Mode PWM Controller	14-SOIC		2330.27/2,500	
UC2843AQD8R	296-15200-1-ND	Strommodus-PWM-Controller	Current-Mode PWM Controller	8-SOIC	1.82	1.46	1.10
UC2843AQD8R	296-15200-2-ND	Strommodus-PWM-Controller	Current-Mode PWM Controller	8-SOIC		2330.27/2,500	
UC2843D8	296-11180-5-ND	Strommodus-PWM-Controller	Current-Mode PWM Controller	8-SOIC	1.82	1.46	1.10
UC2843N	296-11181-5-ND	Strommodus-PWM-Controller	Current-Mode PWM Controller	8-Dip	1.82	1.46	1.10
UC2844AD	296-11182-5-ND	Strommodus-PWM-Controller	Current-Mode PWM Controller	14-SOIC	1.82	1.46	1.10
UC2844AN	296-11183-5-ND	Strommodus-PWM-Controller	Current-Mode PWM Controller	8-Dip	1.82	1.46	1.10

(Forts.)

★ ***RUFEN SIE BITTE AN FÜR NIEDRIGERE PREISE BEI GRÖSSEREN MENGEN!*** ★

Alle Preisangaben in Euro und inklusive Zollgebühren.

T. I. Teilenr.	Digi-Key Teilenr.	Beschreibung		Paket	Stückpreis★ 1	25	100
UC2844AQD	296-15681-5-ND	Strommodus-PWM-Controller	Current-Mode PWM Controller	14-SOIC	1.95	1.56	1.17
UC2844AQD8	296-15682-5-ND	Strommodus-PWM-Controller	Current-Mode PWM Controller	8-SOIC	1.95	1.56	1.17
UC2844AQD8R	296-15683-1-ND	Strommodus-PWM-Controller	Current-Mode PWM Controller	8-SOIC	1.90	1.53	1.19
UC2844AQD8R	296-15683-2-ND	Strommodus-PWM-Controller	Current-Mode PWM Controller	8-SOIC		2666.79/2,500	
UC2844AQDR	296-15684-1-ND	Strommodus-PWM-Controller	Current-Mode PWM Controller	14-SOIC	1.90	1.53	1.19
UC2844AQDR	296-15684-2-ND	Strommodus-PWM-Controller	Current-Mode PWM Controller	14-SOIC		2666.79/2,500	
UC2844D8	296-11184-5-ND	Strommodus-PWM-Controller	Current-Mode PWM Controller	8-SOIC	1.82	1.46	1.10
UC2845AD	296-11185-5-ND	Strommodus-PWM-Controller	Current-Mode PWM Controller	14-SOIC	1.90	1.53	1.19
UC2845AD8	296-11186-5-ND	Strommodus-PWM-Controller	Current-Mode PWM Controller	8-SOIC	1.90	1.53	1.19
UC2845AN	296-11187-5-ND	Strommodus-PWM-Controller	Current-Mode PWM Controller	8-Dip	1.90	1.53	1.19
UC2845AQDR	296-15205-1-ND	Strommodus-PWM-Controller	Current-Mode PWM Controller	14-SOIC	2.03	1.63	1.22
UC2845AQDR	296-15205-2-ND	Strommodus-PWM-Controller	Current-Mode PWM Controller	14-SOIC		2601.18/2,500	
UC2845AQD8R	296-15204-1-ND	Strommodus-PWM-Controller	Current-Mode PWM Controller	8-SOIC	2.36	1.89	1.47
UC2845AQD8R	296-15204-2-ND	Strommodus-PWM-Controller	Current-Mode PWM Controller	8-SOIC		3305.97/2,500	
UC2845N	296-11188-5-ND	Strommodus-PWM-Controller	Current-Mode PWM Controller	8-Dip	2.07	1.67	1.30
UC2846DW	296-11189-5-ND	Strommodus-PWM-Controller	Current-Mode PWM Controller	16-SOIC	3.09	2.47	1.93
UC2846N	296-11190-5-ND	Strommodus-PWM-Controller	Current-Mode PWM Controller	16-Dip	3.09	2.47	1.93
UC2849DW	296-2494-5-ND	Strommodus-Controller, Sekundärseite	Secondary-Side Current-Mode Controller	24-SOIC	6.01	4.81	4.06
UC2849DWTR	296-14446-1-ND	Strommodus-Controller, Sekundärseite	Secondary-Side Current-Mode Controller	24-SOIC	6.01	4.81	4.06
UC2849DWTR	296-14446-2-ND	Strommodus-Controller, Sekundärseite	Secondary-Side Current-Mode Controller	24-SOIC		3757.21/1,000	
UC2849N	296-11191-5-ND	Strommodus-Controller, Sekundärseite	Secondary-Side Current-Mode Controller	24-Dip	6.01	4.81	4.06
UC2851N	296-11192-5-ND	Programm. Offline-PWM-Controller	Prog. Off-Line PWM Controller	18-Dip	8.75	7.88	6.99
UC2853N	296-11193-5-ND	Vorregler mit hohem Leistungsfaktor	High Power Factor Pre-Regulator	8-Dip	2.29	1.83	1.43
UC2854ADW	296-2495-5-ND	Leistungsfaktor-Vorregler	Power Factor Pre-Regulator	16-SOIC	2.95	2.37	1.84
UC2854BDW	296-2496-5-ND	Leistungsfaktor-Vorregler	Power Factor Pre-Regulator	16-SOIC	2.95	2.37	1.84
UC2854BN	296-11194-5-ND	Leistungsfaktor-Vorregler	Power Factor Pre-Regulator	16-Dip	2.95	2.37	1.84
UC2854DW	296-11195-5-ND	Leistungsfaktor-Vorregler	Power Factor Pre-Regulator	16-SOIC	2.53	2.03	1.58
UC2855ADW	296-2497-5-ND	Leistungsfaktor-Vorregler	Power Factor Pre-Regulator	20-SOIC	9.66	8.70	7.72
UC2855BDW	296-2498-5-ND	Leistungsfaktor-Vorregler	Power Factor Pre-Regulator	20-SOIC	9.66	8.70	7.72
UC2855BN	296-11196-5-ND	Leistungsfaktor-Vorregler	Power Factor Pre-Regulator	20-Dip	9.66	8.70	7.72
UC2856DW	296-11197-5-ND	Verbesserter Strommodus-PWM-Controller	Improved Current-Mode PWM Controller	16-SOIC	3.43	2.75	2.14
UC2856N	296-11198-5-ND	Verbesserter Strommodus-PWM-Controller	Improved Current-Mode PWM Controller	16-Dip	3.43	2.75	2.14
UC2861DW	296-14061-5-ND	Stromversorgungs-Controller, Resonanz-Modus	Resonant-Mode Power Supply Controller	16-SOIC	4.57	3.66	2.85
UC2864DW	296-11199-5-ND	Netzteil-Controller	Power Supply Controller	16-SOIC	4.57	3.66	2.85
UC2866N	296-15348-5-ND	Stromversorgungs-Controller, Resonanz-Modus	Resonant-Mode Power Supply Controller	16-Dip	4.57	3.66	2.85
UC2872DW	296-11200-5-ND	Lampenvorschaltglied-Controller	Lamp Ballast Controller	16-SOIC	7.11	5.69	4.81
UC2875N	296-11201-5-ND	Phasenverschiebungs-PWM-Controller	Phase Shift PWM Controller	20-Dip	7.54	6.80	6.03
UC2879DW	296-11202-5-ND	Phasenverschiebungs-PWM-Controller	Phase Shift PWM Controller	20-SOIC	6.86	5.49	4.63
UC2879N	296-11203-5-ND	Phasenverschiebungs-PWM-Controller	Phase Shift PWM Controller	20-Dip	6.86	5.49	4.63
UC2901D	296-11204-5-ND	Isolierter FB-Generator	Isolated FB Generator	14-SOIC	4.74	3.80	3.21
UC2901N	296-11205-5-ND	Isolierter FB-Generator	Isolated FB Generator	14-Dip	4.74	3.80	3.21
UC2901Q	296-11206-5-ND	Isolierter FB-Generator	Isolated FB Generator	20-PLCC	4.74	3.80	3.21
UC2903N	296-11207-5-ND	Versorgungs-/Leitungsmonitor	Supply/Line Monitor	18-Dip	4.66	3.74	2.91
UC2906N	296-11208-5-ND	Bleiakku-Lademanagement	Lead Acid Charge Management	16-Dip	4.66	3.73	3.15
UC2907DW	296-2499-5-ND	Load-Share-Controller	Load Share Controller	16-SOIC	4.23	3.39	2.86
UC3524ADW	296-11211-5-ND	Erweiterter PWM-Regler	Advanced Regulating PWM	16-SOIC	3.09	2.47	1.93
UC3524AN	296-11212-5-ND	Erweiterter PWM-Regler	Advanced Regulating PWM	16-Dip	3.09	2.47	1.93
UC3524D	296-11213-5-ND	Erweiterter PWM-Regler	Advanced Regulating PWM	16-SOIC	1.72	1.38	1.03
UC3524N	296-11214-5-ND	Erweiterter PWM-Regler	Advanced Regulating PWM	16-Dip	1.72	1.38	1.03
UC3525ADW	296-11215-5-ND	PWM-Regler	Regulating PWM	16-SOIC	1.90	1.53	1.19
UC3525AN	296-11216-5-ND	PWM-Regler	Regulating PWM	16-Dip	1.90	1.53	1.19
UC3525AQ	296-11217-5-ND	PWM-Regler	Regulating PWM	20-PLCC	1.90	1.53	1.19
UC3525BDW	296-2503-5-ND	PWM-Regler	Regulating PWM	16-SOIC	4.08	3.27	2.54
UC3525BN	296-11218-5-ND	PWM-Regler	Regulating PWM	16-Dip	4.08	3.27	2.54
UC3526ADW	296-11219-5-ND	PWM-Regler	Regulating PWM	18-SOIC	1.90	1.53	1.19
UC3526AN	296-11220-5-ND	PWM-Regler	Regulating PWM	18-Dip	1.90	1.53	1.19
UC3526DW	296-11221-5-ND	PWM-Regler	Regulating PWM	18-SOIC	1.90	1.53	1.19
UC3526N	296-11222-5-ND	PWM-Regler	Regulating PWM	18-Dip	1.90	1.53	1.19
UC3527AN	296-11223-5-ND	PWM-Regler	Regulating PWM	16-Dip	3.14	2.52	1.96
UC3527BN	296-2504-5-ND	PWM-Regler	Regulating PWM	16-Dip	4.23	3.39	2.86
UC3572D	296-2506-5-ND	Flyback-PWM, negativer Ausgang	Negative Output Flyback PWM	8-SOIC	2.00	1.60	1.25
UC3572N	296-11224-5-ND	Flyback-PWM, negativer Ausgang	Negative Output Flyback PWM	8-Dip	2.00	1.60	1.25
UC3573D	296-2507-5-ND	Buck-PWM-Spannungsversorgungsregler	Buck PWM Voltage Supply Regulator	8-SOIC	2.00	1.60	1.25
UC3573N	296-11225-5-ND	Buck-PWM-Spannungsversorgungsregler	Buck PWM Voltage Supply Regulator	8-Dip	2.00	1.60	1.25
UC3578N	296-11227-5-ND	Buck-PWM-Stepdown-Regler	Buck PWM Stepdown Regulator	16-Dip	4.99	4.00	3.38
UC3625DW	296-11235-5-ND	Bürstenloser DC-Motor-Regler	Brushless DC Motor Controller	28-SOIC	7.05	6.35	5.63
UC3625N	296-11236-5-ND	Bürstenloser DC-Motor-Regler	Brushless DC Motor Controller	28-Dip	7.05	6.35	5.63
UC3625Q	296-15064-5-ND	Bürstenloser DC-Motor-Regler	Brushless DC Motor Controller	28-PLCC	7.05	6.35	5.63
UC3637DW	296-2508-5-ND	DC-Motorantriebs-Controller	DC Motor Drive Controller	20-SOIC	5.42	4.34	3.66
UC3637N	296-11237-5-ND	DC-Motorantriebs-Controller	DC Motor Drive Controller	18-Dip	5.42	4.34	3.66
UC3638DW	296-2509-5-ND	PWM-Motor-Controller	PWM Motor Controller	20-SOIC	5.59	4.47	3.78
UC3638N	296-11238-5-ND	PWM-Motor-Controller	PWM Motor Controller	20-Dip	5.59	4.47	3.78
UC3638Q	296-13056-5-ND	Erweiterter PWM-Motor-Controller	Advanced PWM Motor Controller	20-PLCC	5.59	4.47	3.78
UC3705D	296-2511-5-ND	Hochgeschwindigkeits-Stromtreiber	High Speed Power Driver	8-SOIC	4.39	3.51	2.73
UC3705N	296-11240-5-ND	Hochgeschwindigkeits-Stromtreiber	High Speed Power Driver	8-Dip	4.39	3.51	2.73
UC3705T	296-11241-5-ND	Hochgeschwindigkeits-Stromtreiber	High Speed Power Driver	TO-220-5	4.39	3.51	2.73
UC3706DW	296-2512-5-ND	Zweif. Ausgangstreiber	Dual Output Driver	16-SOIC	4.39	3.51	2.73
UC3707DW	296-2513-5-ND	Zweif. Kanalstromtreiber	Dual Channel Power Driver	16-SOIC	4.32	3.46	2.92
UC3707N	296-11243-5-ND	Zweif. Kanalstromtreiber	Dual Channel Power Driver	16-Dip	4.32	3.46	2.92
UC3708DW	296-2514-5-ND	Zweif. Kanalstromtreiber, nicht invert.	Dual Non-Inverting Power Driver	16-SOIC	5.25	4.20	3.55
UC3708N	296-12120-5-ND	Zweif. Kanalstromtreiber, nicht invert.	Dual Non-Inverting Power Driver	8-Dip	5.25	4.20	3.55
UC3708NE	296-11244-5-ND	Zweif. Kanalstromtreiber, nicht invert.	Dual Non-Inverting Power Driver	16-Dip	5.25	4.20	3.55
UC3823ADW	296-2515-5-ND	HS-PWM-Controller	High Speed PWM Controller	16-SOIC	8.30	6.64	5.61
UC3823AN	296-11261-5-ND	HS-PWM-Controller	High Speed PWM Controller	16-Dip	8.30	6.64	5.61
UC3823BN	296-11262-5-ND	HS-PWM-Controller	High Speed PWM Controller	16-Dip	8.25	7.43	6.59
UC3823DW	296-11263-5-ND	HS-PWM-Controller	High Speed PWM Controller	16-SOIC	2.90	2.32	1.81
UC3823Q	296-11264-5-ND	HS-PWM-Controller	High Speed PWM Controller	20-PLCC	2.90	2.32	1.81
UC3823BDW	296-2516-5-ND	HS-PWM-Controller	High Speed PWM Controller	16-SOIC	8.25	7.43	6.59
UC3824DW	296-11265-5-ND	HS-PWM-Controller	High Speed PWM Controller	16-SOIC	7.70	6.17	5.21
UC3824N	296-11266-5-ND	HS-PWM-Controller	High Speed PWM Controller	16-Dip	7.70	6.17	5.21
UC3825ADW	296-2517-5-ND	HS-PWM-Controller	High Speed PWM Controller	16-SOIC	4.49	3.59	3.03
UC3825AN	296-11267-5-ND	HS-PWM-Controller	High Speed PWM Controller	16-Dip	4.49	3.59	3.03
UC3825AQ	296-11268-5-ND	HS-PWM-Controller	High Speed PWM Controller	20-PLCC	4.49	3.59	3.03
UC3825BDW	296-2518-5-ND	HS-PWM-Controller	High Speed PWM Controller	16-SOIC	7.20	6.48	5.75
UC3825BN	296-11269-5-ND	HS-PWM-Controller	High Speed PWM Controller	16-Dip	7.20	6.48	5.75
UC3825DW	296-11270-5-ND	HS-PWM-Controller	High Speed PWM Controller	16-SOIC	2.90	2.32	1.81
UC3825N	296-11271-5-ND	HS-PWM-Controller	High Speed PWM Controller	16-Dip	2.90	2.32	1.81
UC3827DW-1	296-2519-5-ND	Buck, stromgespeister PWM-Controller	Buck, Current Fed PWM Controller	24-SOIC	5.93	4.75	4.01
UC3827DW-2	296-2520-5-ND	Buck, spannungsgespeister PWM-Controller	Buck, Voltage Fed PWM Controller	24-SOIC	5.93	4.75	4.01
UC3827N-1	296-2521-5-ND	Buck, stromgespeister PWM-Controller	Buck, Current Fed PWM Controller	24-Dip	5.93	4.75	4.01

(Forts.)

★ ***RUFEN SIE BITTE AN FÜR NIEDRIGERE PREISE BEI GRÖSSEREN MENGEN!*** ★

B

T. I. Teilenr.	Digi-Key Teilenr.	Beschreibung		Paket	Stückpreis★ 1	25	100
UC3827N-2	296-2522-5-ND	Buck, spannungsgespeister PWM-Controller	Buck, Voltage Fed PWM Controller	24-Dip	5.93	4.75	4.01
UC3834N	296-11275-5-ND	Hocheffizienter Linearregler	High Efficiency Linear Regulator	16-Dip	7.97	7.18	6.37
UC3835N	296-2523-5-ND	Hocheffizienter Regler-Controller	High Efficiency Regulator Controller	8-Dip	5.16	4.14	3.49
UC3836D	296-2524-5-ND	Hocheffizienter Regler-Controller	High Efficiency Regulator Controller	8-SOIC	5.76	4.61	3.89
UC3836N	296-11276-5-ND	Hocheffizienter Regler-Controller	High Efficiency Regulator Controller	8-Dip	5.76	4.61	3.89
UC3841N	296-11277-5-ND	Programm. Offline-PWM-Controller	Prog., Off-Line, PWM Controller	18-Dip	7.28	5.83	4.92
UC3842AD	296-11278-5-ND	Strommodus-PWM-Controller	Current-Mode PWM Controller	14-SOP	1.61	1.29	.97
UC3842AD8	296-11279-5-ND	Strommodus-PWM-Controller	Current-Mode PWM Controller	8-SOP	1.61	1.29	.97
UC3842ADW	296-13426-5-ND	Strommodus-PWM-Controller	Current-Mode PWM Controller	16-SOIC	1.61	1.29	.97
UC3842AN	296-11280-5-ND	Strommodus-PWM-Controller	Current-Mode PWM Controller	8-Dip	1.61	1.29	.97
UC3842D	296-13427-5-ND	Strommodus-PWM-Controller	Current-Mode PWM Controller	14-SOIC	1.61	1.29	.97
UC3842D8	296-11281-5-ND	Strommodus-PWM-Controller	Current-Mode PWM Controller	8-SOIC	1.61	1.29	.97
UC3842N	296-11282-5-ND	Strommodus-PWM-Controller	Current-Mode PWM Controller	8-Dip	1.61	1.29	.97
UC3843AD	296-11283-5-ND	Strommodus-PWM-Controller	Current-Mode PWM Controller	14-SOIC	1.61	1.29	.97
UC3843AD8	296-11284-5-ND	Strommodus-PWM-Controller	Current-Mode PWM Controller	8-SOIC	1.61	1.29	.97
UC3843AN	296-11285-5-ND	Strommodus-PWM-Controller	Current-Mode PWM Controller	8-Dip	1.61	1.29	.97
UC3843D	296-11286-5-ND	Strommodus-PWM-Controller	Current-Mode PWM Controller	14-SOIC	1.61	1.29	.97
UC3843D8	296-11287-5-ND	Strommodus-PWM-Controller	Current-Mode PWM Controller	8-SOP	1.61	1.29	.97
UC3843N	296-11288-5-ND	Strommodus-PWM-Controller	Current-Mode PWM Controller	8-Dip	1.61	1.29	.97
UC3844AD	296-11289-5-ND	Strommodus-PWM-Controller	Current-Mode PWM Controller	14-SOIC	1.61	1.29	.97
UC3844AD8	296-11290-5-ND	Strommodus-PWM-Controller	Current-Mode PWM Controller	8-SOIC	1.61	1.29	.97
UC3844AN	296-11291-5-ND	Strommodus-PWM-Controller	Current-Mode PWM Controller	8-Dip	1.61	1.29	.97
UC3844D	296-11292-5-ND	Strommodus-PWM-Controller	Current-Mode PWM Controller	14-SOIC	1.61	1.29	.97
UC3844D8	296-11293-5-ND	Strommodus-PWM-Controller	Current-Mode PWM Controller	8-SOIC	1.61	1.29	.97
UC3844N	296-11294-5-ND	Strommodus-PWM-Controller	Current-Mode PWM Controller	8-Dip	1.61	1.29	.97
UC3845AD	296-11295-5-ND	Strommodus-PWM-Controller	Current-Mode PWM Controller	14-SOIC	1.61	1.29	.97
UC3845AD8	296-11296-5-ND	Strommodus-PWM-Controller	Current-Mode PWM Controller	8-SOIC	1.61	1.29	.97
UC3845AN	296-11297-5-ND	Strommodus-PWM-Controller	Current-Mode PWM Controller	8-Dip	1.61	1.29	.97
UC3845D	296-11298-5-ND	Strommodus-PWM-Controller	Current-Mode PWM Controller	14-SOIC	1.61	1.29	.97
UC3845D8	296-11299-5-ND	Strommodus-PWM-Controller	Current-Mode PWM Controller	8-SOIC	1.61	1.29	.97
UC3846DW	296-11300-5-ND	Strommodus-PWM-Controller	Current-Mode PWM Controller	16-SOIC	2.90	2.32	1.81
UC3846N	296-11301-5-ND	Strommodus-PWM-Controller	Current-Mode PWM Controller	16-Dip	2.90	2.32	1.81
UC3847DW	296-11302-5-ND	Strommodus-PWM-Controller	Current-Mode PWM Controller	16-SOIC	4.59	3.68	3.10
UC3847N	296-11303-5-ND	Strommodus-PWM-Controller	Current-Mode PWM Controller	16-Dip	4.59	3.68	3.10
UC3848DW	296-11304-5-ND	Durchschn. Strommodus-PWM-Controller	Avg. Current-Mode PWM Controller	16-SOIC	4.23	3.39	2.86
UC3849DW	296-2525-5-ND	Strommodus-Controller, Sekundärseite	Secondary-Side Current-Mode Controller	24-SOIC	5.16	4.14	3.49
UC3851N	296-11305-5-ND	Programm. Offline-PWM-Controller	Prog. Off-Line PWM Controller	18-Dip	8.04	6.44	5.43
UC3852D	296-11306-5-ND	Leistungsfaktor-Vorregler	Power Factor Pre-Regulator	8-SOIC	3.24	2.60	2.02
UC3852N	296-11307-5-ND	Leistungsfaktor-Vorregler	Power Factor Pre-Regulator	8-Dip	3.24	2.60	2.02
UC3853D	296-11308-5-ND	Leistungsfaktor-Vorregler	Power Factor Pre-Regulator	8-SOIC	2.10	1.68	1.26
UC3853N	296-11309-5-ND	Leistungsfaktor-Vorregler	Power Factor Pre-Regulator	8-Dip	2.10	1.68	1.26
UC3854ADW	296-2526-5-ND	Leistungsfaktor-Vorregler	Power Factor Pre-Regulator	16-SOIC	2.57	2.06	1.61
UC3854AN	296-11310-5-ND	Leistungsfaktor-Vorregler	Power Factor Pre-Regulator	16-Dip	2.57	2.06	1.61
UC3854BDW	296-2527-5-ND	Leistungsfaktor-Vorregler	Power Factor Pre-Regulator	16-SOIC	2.57	2.06	1.61
UC3854BN	296-11311-5-ND	Leistungsfaktor-Vorregler	Power Factor Pre-Regulator	16-Dip	2.57	2.06	1.61
UC3854DW	296-11312-5-ND	Leistungsfaktor-Vorregler	Power Factor Pre-Regulator	16-SOIC	2.07	1.67	1.30
UC3854N	296-11313-5-ND	Leistungsfaktor-Vorregler	Power Factor Pre-Regulator	16-Dip	2.07	1.67	1.30
UC3855ADW	296-2528-5-ND	Leistungsfaktor-Vorregler	Power Factor Pre-Regulator	20-SOIC	8.04	7.24	6.42
UC3855AN	296-11314-5-ND	Leistungsfaktor-Vorregler	Power Factor Pre-Regulator	20-Dip	8.04	7.24	6.42
UC3855BDW	296-2529-5-ND	Leistungsfaktor-Vorregler	Power Factor Pre-Regulator	20-SOIC	8.04	7.24	6.42
UC3855BN	296-11315-5-ND	Leistungsfaktor-Vorregler	Power Factor Pre-Regulator	20-Dip	8.04	7.24	6.42
UC3856DW	296-11316-5-ND	Strommodus-PWM-Controller	Current-Mode PWM Controller	16-SOIC	3.24	2.60	2.02
UC3856N	296-11317-5-ND	Strommodus-PWM-Controller	Current-Mode PWM Controller	16-Dip	3.24	2.60	2.02
UC3861DW	296-14332-5-ND	Stromversorgungs-Controller, Resonanz-Modus	Resonant-Mode Power Supply Controller	16-SOIC	3.90	3.13	2.43
UC3861N	296-11318-5-ND	Stromversorgungs-Controller, Resonanz-Modus	Resonant-Mode Power Supply Controller	16-Dip	3.90	3.13	2.43
UC3862N	296-11319-5-ND	Stromversorgungs-Controller, Resonanz-Modus	Resonant-Mode Power Supply Controller	16-Dip	3.90	3.13	2.43
UC3863N	296-11320-5-ND	Stromversorgungs-Controller, Resonanz-Modus	Resonant-Mode Power Supply Controller	16-Dip	3.90	3.13	2.43
UC3864DW	296-11321-5-ND	Stromversorgungs-Controller, Resonanz-Modus	Resonant-Mode Power Supply Controller	16-SOIC	3.90	3.13	2.43
UC3864N	296-11322-5-ND	Stromversorgungs-Controller, Resonanz-Modus	Resonant-Mode Power Supply Controller	16-Dip	3.90	3.13	2.43
UC3865N	296-11323-5-ND	Stromversorgungs-Controller, Resonanz-Modus	Resonant-Mode Power Supply Controller	16-Dip	3.90	3.13	2.43
UC3867N	296-11324-5-ND	Stromversorgungs-Controller, Resonanz-Modus	Resonant-Mode Power Supply Controller	16-Dip	3.90	3.13	2.43
UC3868N	296-11325-5-ND	Stromversorgungs-Controller, Resonanz-Modus	Resonant-Mode Power Supply Controller	16-Dip	3.90	3.13	2.43
UC3875DWP	296-11331-5-ND	Resonanz-Controller, Phasenverschiebung	Phase Shift Resonant Controller	28-SOIC	8.21	6.57	5.55
UC3875N	296-11332-5-ND	Resonanz-Controller, Phasenverschiebung	Phase Shift Resonant Controller	20-Dip	8.21	6.57	5.55
UC3876N	296-11333-5-ND	Resonanz-Controller, Phasenverschiebung	Phase Shift Resonant Controller	20-Dip	11.07	9.97	8.84
UC3879DW	296-11334-5-ND	Resonanz-Controller, Phasenverschiebung	Phase Shift Resonant Controller	20-SOIC	6.26	5.02	4.23
UC3879N	296-11335-5-ND	Resonanz-Controller, Phasenverschiebung	Phase Shift Resonant Controller	20-Dip	6.26	5.02	4.23
UC3886D	296-11336-5-ND	Strommodus-PWM-Controller	Current-Mode PWM Controller	16-SOIC	4.32	3.46	2.92
UC3886N	296-11337-5-ND	Strommodus-PWM-Controller	Current-Mode PWM Controller	16-Dip	4.32	3.46	2.92
UC3902D	296-11340-5-ND	Load-Share-Controller	Load Share Controller	8-SOIC	3.52	2.82	2.20
UC3902N	296-11341-5-ND	Load-Share-Controller	Load Share Controller	8-Dip	3.52	2.82	2.20
UC3907DW	296-2530-5-ND	Load-Share-Controller	Load Share Controller	16-SOIC	4.00	3.20	2.49
UC3907N	296-11344-5-ND	Load-Share-Controller	Load Share Controller	16-Dip	4.00	3.20	2.49
UC28023DW	296-15060-5-ND	HS-PWM-Controller	High Speed PWM Controller	16-SOIC	2.44	1.96	1.52
UC28023N	296-15061-5-ND	HS-PWM-Controller	High Speed PWM Controller	16-Dip	2.44	1.96	1.52
UC28025DW	296-15062-5-ND	HS-PWM-Controller	High Speed PWM Controller	16-SOIC	2.44	1.96	1.52
UC28025N	296-15063-5-ND	HS-PWM-Controller	High Speed PWM Controller	16-Dip	2.44	1.96	1.52
UCC28C40D	296-13429-5-ND	UVLO 7,0 V/6,6 V, BiCMOS Strommodus PWM-Controller, Niedrigleistung	UVLO 7.0V/6.6V, BiCMOS Low Power Current-Mode PWM Controller	8-SOIC	1.59	1.27	.96
UCC28C40DGK	296-12570-5-ND	UVLO 7,0 V/6,6 V, BiCMOS Strommodus PWM-Controller, Niedrigleistung	UVLO 7.0V/6.6V, BiCMOS Low Power Current-Mode PWM Controller	8-MSOP	1.59	1.27	.96
UCC28C40P	296-12571-5-ND	UVLO 7,0 V/6,6 V, BiCMOS Strommodus PWM-Controller, Niedrigleistung	UVLO 7.0V/6.6V, BiCMOS Low Power Current-Mode PWM Controller	8-Dip	1.59	1.27	.96
UCC28C41D	296-13430-5-ND	UVLO 7,0 V/6,6 V, BiCMOS Strommodus PWM-Controller, Niedrigleistung	UVLO 7.0V/6.6V, BiCMOS Low Power Current-Mode PWM Controller	8-SOIC	1.59	1.27	.96
UCC28C41DGK	296-12572-5-ND	UVLO 7,0 V/6,6 V, BiCMOS Strommodus PWM-Controller, Niedrigleistung	UVLO 7.0V/6.6V, BiCMOS Low Power Current-Mode PWM Controller	8-MSOP	1.59	1.27	.96
UCC28C41P	296-12573-5-ND	UVLO 7,0 V/6,6 V, BiCMOS Strommodus PWM-Controller, Niedrigleistung	UVLO 7.0V/6.6V, BiCMOS Low Power Current-Mode PWM Controller	8-Dip	1.59	1.27	.96
UCC28C42D	296-13431-5-ND	UVLO 14,5 V/9,0 V, BiCMOS Strommodus PWM-Controller, Niedrigleistung	UVLO 14.5/9.0V, BiCMOS Low Power Current-Mode PWM Controller	8-SOIC	1.59	1.27	.96
UCC28C42DGK	296-12291-5-ND	UVLO 14,5 V/9,0 V, BiCMOS Strommodus PWM-Controller, Niedrigleistung	UVLO 14.5/9.0V, BiCMOS Low Power Current-Mode PWM Controller	8-MSOP	1.59	1.27	.96
UCC28C42P	296-13432-5-ND	UVLO 14,5 V/9,0 V, BiCMOS Strommodus PWM-Controller, Niedrigleistung	UVLO 14.5/9.0V, BiCMOS Low Power Current-Mode PWM Controller	8-Dip	1.59	1.27	.96
UCC28C43D	296-13433-5-ND	UVLO 8,4 V/7,6 V, BiCMOS-Strommodus, PWM-Controller, Niedrigleistung	UVLO 8.4V/7.6V, BiCMOS Low Power Current-Mode PWM Controller	8-SOIC	1.59	1.27	.96
UCC28C43DGK	296-12292-5-ND	UVLO 8,4 V/7,6 V, BiCMOS-Strommodus, PWM-Controller, Niedrigleistung	UVLO 8.4V/7.6V, BiCMOS Low Power Current-Mode PWM Controller	8-MSOP	1.59	1.27	.96
UCC28C43P	296-13434-5-ND	UVLO 8,4 V/7,6 V, BiCMOS-Strommodus, PWM-Controller, Niedrigleistung	UVLO 8.4V/7.6V, BiCMOS Low Power Current-Mode PWM Controller	8-Dip	1.59	1.27	.96
UCC28C44D	296-13435-5-ND	UVLO 14,5 V/9,0 V, BiCMOS Strommodus PWM-Controller, Niedrigleistung	UVLO 14.5V/9.0V, BiCMOS Low Power Current-Mode PWM Controller	8-SOIC	1.59	1.27	.96
UCC28C44DGK	296-12574-5-ND	UVLO 14,5 V/9,0 V, BiCMOS Strommodus PWM-Controller, Niedrigleistung	UVLO 14.5V/9.0V, BiCMOS Low Power Current-Mode PWM Controller	8-MSOP	1.59	1.27	.96
UCC28C44P	296-12575-5-ND	UVLO 14,5 V/9,0 V, BiCMOS Strommodus PWM-Controller, Niedrigleistung	UVLO 14.5V/9.0V, BiCMOS Low Power Current-Mode PWM Controller	8-Dip	1.59	1.27	.96
UCC28C45D	296-12576-5-ND	UVLO 8,4 V/7,6 V, BiCMOS-Strommodus, PWM-Controller, Niedrigleistung	UVLO 8.4V/7.6V, BiCMOS Low Power Current-Mode PWM Controller	8-SOIC	1.59	1.27	.96
UCC28C45DGK	296-12293-5-ND	UVLO 8,4 V/7,6 V, BiCMOS-Strommodus, PWM-Controller, Niedrigleistung	UVLO 8.4V/7.6V, BiCMOS Low Power Current-Mode PWM Controller	8-MSOP	1.59	1.27	.96
UCC28C45P	296-13436-5-ND	UVLO 8,4 V/7,6 V, BiCMOS-Strommodus, PWM-Controller, Niedrigleistung	UVLO 8.4V/7.6V, BiCMOS Low Power Current-Mode PWM Controller	8-Dip	1.59	1.27	.96
UCC38C40D	296-13832-5-ND	BiCMOS Strommodus-PWM-Controller, Niedrigleistung	BiCMOS Low-Power Current-Mode PWM Controller	8-SOIC	1.48	1.19	.89
UCC38C40DGK	296-13833-5-ND	BiCMOS Strommodus-PWM-Controller, Niedrigleistung	BiCMOS Low-Power Current-Mode PWM Controller	8-MSOP	1.48	1.19	.89
UCC38C40P	296-13834-5-ND	BiCMOS Strommodus-PWM-Controller, Niedrigleistung	BiCMOS Low-Power Current-Mode PWM Controller	8-Dip	1.48	1.19	.89
UCC38C41D	296-13835-5-ND	BiCMOS Strommodus-PWM-Controller, Niedrigleistung	BiCMOS Low-Power Current-Mode PWM Controller	8-SOIC	1.48	1.19	.89
UCC38C41DGK	296-13836-5-ND	BiCMOS Strommodus-PWM-Controller, Niedrigleistung	BiCMOS Low-Power Current-Mode PWM Controller	8-MSOP	1.48	1.19	.89

(Forts.)

★ RUFEN SIE BITTE AN FÜR NIEDRIGERE PREISE BEI GRÖSSEREN MENGEN! ★

Alle Preisangaben in Euro und inklusive Zollgebühren.

T. I. Teilenr.	Digi-Key Teilenr.	Beschreibung		Paket	Stückpreis★ 1	25	100
UCC38C41P	296-13837-5-ND	BiCMOS Strommodus-PWM-Controller, Niedrigleistung	BiCMOS Low-Power Current-Mode PWM Controller	8-Dip	1.48	1.19	.89
UCC38C42D	296-13838-5-ND	BiCMOS Strommodus-PWM-Controller, Niedrigleistung	BiCMOS Low-Power Current-Mode PWM Controller	8-SOIC	1.48	1.19	.89
UCC38C42DGK	296-13839-5-ND	BiCMOS Strommodus-PWM-Controller, Niedrigleistung	BiCMOS Low-Power Current-Mode PWM Controller	8-MSOP	1.48	1.19	.89
UCC38C42P	296-13840-5-ND	BiCMOS Strommodus-PWM-Controller, Niedrigleistung	BiCMOS Low-Power Current-Mode PWM Controller	8-Dip	1.48	1.19	.89
UCC38C43D	296-12253-5-ND	UVLO 8,4 V/7,6 V, BiCMOS-Strommodus, PWM-Controller, Niedrigleistung	UVLO 8.4V/7.6V, BiCMOS Low Power Current-Mode PWM Controller	8-SOIC	1.48	1.19	.89
UCC38C43DGK	296-13841-5-ND	BiCMOS Strommodus-PWM-Controller, Niedrigleistung	BiCMOS Low-Power Current-Mode PWM Controller	8-MSOP	1.48	1.19	.89
UCC38C43P	296-13441-5-ND	UVLO 8,4 V/7,6 V, BiCMOS-Strommodus, PWM-Controller, Niedrigleistung	UVLO 8.4V/7.6V, BiCMOS Low Power Current-Mode PWM Controller	8-Dip	1.48	1.19	.89
UCC38C44D	296-13842-5-ND	BiCMOS Strommodus-PWM-Controller, Niedrigleistung	BiCMOS Low-Power Current-Mode PWM Controller	8-SOIC	1.48	1.19	.89
UCC38C44DGK	296-13843-5-ND	BiCMOS Strommodus-PWM-Controller, Niedrigleistung	BiCMOS Low-Power Current-Mode PWM Controller	8-MSOP	1.48	1.19	.89
UCC38C44P	296-13442-5-ND	UVLO 14,5 V/9,0 V, BiCMOS Strommodus PWM-Controller, Niedrigleistung	UVLO 14.5V/9.0V, BiCMOS Low Power Current-Mode PWM Controller	8-Dip	1.48	1.19	.89
UCC2580D-1	296-11374-5-ND	Einzelend-Aktivklemme/Rücksetz-PWM	Single Ended Active Clamp/Reset PWM	16-SOIC	4.00	3.20	2.49
UCC38C45D	296-13844-5-ND	BiCMOS Strommodus-PWM-Controller, Niedrigleistung	BiCMOS Low-Power Current-Mode PWM Controller	8-SOIC	1.48	1.19	.89
UCC38C45DGK	296-13845-5-ND	BiCMOS Strommodus-PWM-Controller, Niedrigleistung	BiCMOS Low-Power Current-Mode PWM Controller	8-MSOP	1.48	1.19	.89
UCC38C45P	296-13846-5-ND	BiCMOS Strommodus-PWM-Controller, Niedrigleistung	BiCMOS Low-Power Current-Mode PWM Controller	8-Dip	1.48	1.19	.89
UCC2540EVM-054	296-17270-ND	Evaluierungsmodul für UCC2540	Evaluation Module for UCC2540	—	53.15	—	—
UCC2580D-2	296-11375-5-ND	Einzelend-Aktivklemme/Rücksetz-PWM	Single Ended Active Clamp/Reset PWM	16-SOIC	4.00	3.20	2.49
UCC2580D-3	296-11376-5-ND	Einzelend-Aktivklemme/Rücksetz-PWM	Single Ended Active Clamp/Reset PWM	16-SOIC	4.00	3.20	2.49
UCC2580D-4	296-11377-5-ND	Einzelend-Aktivklemme/Rücksetz-PWM	Single Ended Active Clamp/Reset PWM	16-SOIC	4.00	3.20	2.49
UCC2580N-1	296-11378-5-ND	Einzelend-Aktivklemme/Rücksetz-PWM	Single Ended Active Clamp/Reset PWM	16-Dip	4.00	3.20	2.49
UCC2580N-2	296-11671-5-ND	Einzelend-Aktivklemme/Rücksetz-PWM	Single Ended Active Clamp/Reset PWM	16-Dip	4.00	3.20	2.49
UCC2580N-3	296-11672-5-ND	Einzelend-Aktivklemme/Rücksetz-PWM	Single Ended ActiveClamp/Reset PWM	16-Dip	4.00	3.20	2.49
UCC2580N-4	296-11673-5-ND	Einzelend-Aktivklemme/Rücksetz-PWM	Single Ended ActiveClamp/Reset PWM	16-Dip	4.00	3.20	2.49
UCC2581D	296-11379-5-ND	Micropower Spannungsmodus-PWM	Micropower Voltage Mode PWM	14-SOIC	2.19	1.76	1.37
UCC2583D	296-12392-5-ND	Nachregler, Sekundärseite, m. Umschaltmodus	Switch Mode Secondary Side Post Regulator	14-SOIC	3.90	3.13	2.43
UCC2583N	296-12115-5-ND	Nachregler, Sekundärseite, m. Umschaltmodus	Switch Mode Secondary Side Post Regulator	14-Dip	3.90	3.13	2.43
UCC2800D	296-11380-5-ND	BiCMOS-Strommodus-PWM, NL	LP BiCMOS Current-Mode PWM	8-SOIC	3.26	2.61	2.03
UCC2800N	296-11381-5-ND	BiCMOS-Strommodus-PWM, NL	LP BiCMOS Current-Mode PWM	8-Dip	3.26	2.61	2.03
UCC2801D	296-11382-5-ND	BiCMOS-Strommodus-PWM, NL	LP BiCMOS Current-Mode PWM	8-SOIC	3.26	2.61	2.03
UCC2801N	296-11383-5-ND	BiCMOS-Strommodus-PWM, NL	LP BiCMOS Current-Mode PWM	8-Dip	3.26	2.61	2.03
UCC2801QDRQ1	296-15685-1-ND	BiCMOS-Strommodus-PWM, NL	LP BiCMOS Current-Mode PWM	8-SOIC	2.80	2.24	1.75
UCC2801QDRQ1	296-15685-2-ND	BiCMOS-Strommodus-PWM, NL	LP BiCMOS Current-Mode PWM	8-SOIC		3919.76/2,500	
UCC2802D	296-11384-5-ND	BiCMOS-Strommodus-PWM, NL	LP BiCMOS Current-Mode PWM	8-SOIC	3.26	2.61	2.03
UCC2802N	296-11385-5-ND	BiCMOS-Strommodus-PWM, NL	LP BiCMOS Current-Mode PWM	8-Dip	3.26	2.61	2.03
UCC2802QDRQ1	296-15686-1-ND	BiCMOS-Strommodus-PWM, NL	LP BiCMOS Current-Mode PWM	8-SOIC	2.80	2.24	1.75
UCC2802QDRQ1	296-15686-2-ND	BiCMOS-Strommodus-PWM, NL	LP BiCMOS Current-Mode PWM	8-SOIC		3919.76/2,500	
UCC2803D	296-11386-5-ND	BiCMOS-Strommodus-PWM, NL	LP BiCMOS Current-Mode PWM	8-SOIC	3.26	2.61	2.03
UCC2803N	296-11387-5-ND	BiCMOS-Strommodus-PWM, NL	LP BiCMOS Current-Mode PWM	8-Dip	3.26	2.61	2.03
UCC2803QDRQ1	296-15687-1-ND	BiCMOS-Strommodus-PWM, NL	LP BiCMOS Current-Mode PWM	8-SOIC	2.80	2.24	1.75
UCC2803QDRQ1	296-15687-2-ND	BiCMOS-Strommodus-PWM, NL	LP BiCMOS Current-Mode PWM	8-SOIC		3919.76/2,500	
UCC2804D	296-11388-5-ND	BiCMOS-Strommodus-PWM, NL	LP BiCMOS Current-Mode PWM	8-SOIC	3.26	2.61	2.03
UCC2804N	296-11389-5-ND	BiCMOS-Strommodus-PWM, NL	LP BiCMOS Current-Mode PWM	8-Dip	3.26	2.61	2.03
UCC2804QDRQ1	296-15688-1-ND	BiCMOS-Strommodus-PWM, NL	LP BiCMOS Current-Mode PWM	8-SOIC	2.80	2.24	1.75
UCC2804QDRQ1	296-15688-2-ND	BiCMOS-Strommodus-PWM, NL	LP BiCMOS Current-Mode PWM	8-SOIC		3919.76/2,500	
UCC2805D	296-11390-5-ND	BiCMOS-Strommodus-PWM, NL	LP BiCMOS Current-Mode PWM	8-SOIC	3.26	2.61	2.03
UCC2805N	296-11675-5-ND	BiCMOS-Strommodus-PWM, NL	LP BiCMOS Current-Mode PWM	8-Dip	3.26	2.61	2.03
UCC2805QDRQ1	296-15689-1-ND	BiCMOS-Strommodus-PWM, NL	LP BiCMOS Current-Mode PWM	8-SOIC	2.80	2.24	1.75
UCC2805QDRQ1	296-15689-2-ND	BiCMOS-Strommodus-PWM, NL	LP BiCMOS Current-Mode PWM	8-SOIC		3919.76/2,500	
UCC2805PW	296-13532-5-ND	BiCMOS-Strommodus-PWM, NL	LP BiCMOS Current-Mode PWM	8-TSSOP	3.35	2.69	2.09
UCC2806DW	296-11391-5-ND	Strommodus-PWM, zweif. Ausgang, Niedrigleistung	Low Power, Dual Output, Current-Mode PWM	16-SOIC	8.30	6.64	5.61
UCC2806M	296-11676-5-ND	Strommodus-PWM, zweif. Ausgang, Niedrigleistung	Low Power, Dual-Output, Current-Mode PWM	16-SSOP	8.30	6.64	5.61
UCC2806PW	296-12393-5-ND	Strommodus-PWM-Controller, zweif. Ausgang, Niedrigleistung	Low Power, Dual Output, Current-Mode PWM Controller	16-TSSOP	8.30	6.64	5.61
UCC2807D-1	296-11393-5-ND	Programmierbare Arbeitszyklus-PWM	Programmable Duty Cycle PWM	8-SOIC	3.14	2.52	1.96
UCC2807D-2	296-2533-5-ND	Programmierbare Max.-Arbeits-PWM	Programmable Max-Duty PWM	8-SOIC	3.14	2.52	1.96
UCC2807D-3	296-11678-5-ND	Programmierbare Max.-Arbeits-PWM	Programmable Max-Duty PWM	8-SOIC	3.90	3.13	2.43
UCC2807N-2	296-11394-5-ND	Programmierbare Arbeitszyklus-PWM	Programmable Duty Cycle PWM	8-Dip	3.14	2.52	1.96
UCC2808AD-1	296-11395-5-ND	Strommodus-Push/Pull-PWM, NL	LP Current-Mode Push/Pull PWM	8-SOIC	2.57	2.06	1.61
UCC2808AD-2	296-11396-5-ND	Strommodus-Push/Pull-PWM, NL	LP Current-Mode Push/Pull PWM	8-SOIC	2.57	2.06	1.61
UCC2808AN-1	296-11397-5-ND	Strommodus-Push/Pull-PWM, NL	LP Current-Mode Push/Pull PWM	8-Dip	2.57	2.06	1.61
UCC2808AN-2	296-11398-5-ND	Strommodus-Push/Pull-PWM, NL	LP Current-Mode Push/Pull PWM	8-Dip	2.57	2.06	1.61
UCC2808APW-1	296-11679-5-ND	Strommodus-Push/Pull-PWM	Current-Mode Push/Pull PWM	8-TSSOP	2.57	2.06	1.61
UCC2808APW-2	296-11680-5-ND	Strommodus-Push/Pull-PWM	Current-Mode Push/Pull PWM	8-TSSOP	2.57	2.06	1.61
UCC2808D-1	296-2534-5-ND	Strommodus-Push/Pull-PWM	Current-Mode Push/Pull PWM	8-SOIC	2.57	2.06	1.61
UCC2808D-2	296-2535-5-ND	Strommodus-Push/Pull-PWM	Current-Mode Push/Pull PWM	8-SOIC	2.57	2.06	1.61
UCC2808N-1	296-11399-5-ND	Strommodus-Push/Pull-PWM, NL	LP Current-Mode Push/Pull PWM	8-Dip	2.57	2.06	1.61
UCC2808N-2	296-11400-5-ND	Strommodus-Push/Pull-PWM, NL	LP Current-Mode Push/Pull PWM	8-Dip	2.57	2.06	1.61
UCC2809D-1	296-11401-5-ND	Preiswerter Primärseiten-Controller	Economy Primary Side Controller	8-SOIC	2.01	1.61	1.21
UCC2809D-2	296-11681-5-ND	Primärseiten-Controller	Primary Side Controller	8-SOIC	2.01	1.61	1.21
UCC2809P-1	296-11402-5-ND	Preiswerter Primärseiten-Controller	Economy Primary Side Controller	8-MSOP	2.01	1.61	1.21
UCC2809P-2	296-11403-5-ND	Preiswerter Primärseiten-Controller	Economy Primary Side Controller	8-MSOP	2.01	1.61	1.21
UCC2810DW	296-2536-5-ND	Synchroner Strommodus-PWM, zwei Kanäle	Dual Channel Synchronous Current-Mode PWM	16-SOIC	5.76	4.61	3.89
UCC2810N	296-11404-5-ND	Synchroner Strommodus-PWM, zwei Kanäle	Dual Channel Synchronous Current-Mode PWM	16-Dip	5.76	4.61	3.89
UCC2813D-0	296-11682-5-ND	BiCMOS-Strommodus-PWM, NL	LP BiCMOS Current-Mode PWM	8-SOIC	2.36	1.89	1.47
UCC2813D-1	296-11405-5-ND	BiCMOS-Strommodus-PWM, NL	LP BiCMOS Current-Mode PWM	8-SOIC	2.36	1.89	1.47
UCC2813D-2	296-11406-5-ND	BiCMOS-Strommodus-PWM, NL	LP BiCMOS Current-Mode PWM	8-SOIC	2.36	1.89	1.47
UCC2813D-3	296-11407-5-ND	BiCMOS-Strommodus-PWM, NL	LP BiCMOS Current-Mode PWM	8-SOIC	2.36	1.89	1.47
UCC2813D-4	296-11408-5-ND	BiCMOS-Strommodus-PWM, NL	LP BiCMOS Current-Mode PWM	8-SOIC	2.36	1.89	1.47
UCC2813D-5	296-11409-5-ND	BiCMOS-Strommodus-PWM, NL	LP BiCMOS Current-Mode PWM	8-SOIC	2.36	1.89	1.47
UCC2813N-0	296-12055-5-ND	BiCMOS-Strommodus-PWM, NL	LP BiCMOS Current-Mode PWM	8-Dip	2.36	1.89	1.47
UCC2813N-1	296-12056-5-ND	BiCMOS-Strommodus-PWM, NL	LP BiCMOS Current-Mode PWM	8-Dip	2.36	1.89	1.47
UCC2813N-2	296-12057-5-ND	BiCMOS-Strommodus-PWM, NL	LP BiCMOS Current-Mode PWM	8-Dip	2.36	1.89	1.47
UCC2813N-4	296-12058-5-ND	BiCMOS-Strommodus-PWM, NL	LP BiCMOS Current-Mode PWM	8-Dip	2.36	1.89	1.47
UCC2813N-5	296-12059-5-ND	BiCMOS-Strommodus-PWM, NL	LP BiCMOS Current-Mode PWM	8-Dip	2.36	1.89	1.47
UCC2813PW-0	296-12060-5-ND	BiCMOS-Strommodus-PWM, NL	LP BiCMOS Current-Mode PWM	8-TSSOP	2.36	1.89	1.47
UCC2813PW-1	296-12061-5-ND	BiCMOS-Strommodus-PWM, NL	LP BiCMOS Current-Mode PWM	8-TSSOP	2.36	1.89	1.47
UCC2813PW-2	296-12062-5-ND	BiCMOS-Strommodus-PWM, NL	LP BiCMOS Current-Mode PWM	8-TSSOP	2.36	1.89	1.47
UCC2813PW-3	296-12063-5-ND	BiCMOS-Strommodus-PWM, NL	LP BiCMOS Current-Mode PWM	8-TSSOP	2.36	1.89	1.47
UCC2813PW-4	296-12064-5-ND	BiCMOS-Strommodus-PWM, NL	LP BiCMOS Current-Mode PWM	8-TSSOP	2.36	1.89	1.47
UCC2813PW-5	296-12065-5-ND	BiCMOS-Strommodus-PWM, NL	LP BiCMOS Current-Mode PWM	8-TSSOP	2.36	1.89	1.47
UCC2813QDR-3Q1	296-17879-1-ND	BiCMOS-Strommodus-PWM, NL	LP BiCMOS Current-Mode PWM	8-SOIC	2.80	2.24	1.75
UCC2813QDR-3Q1	296-17879-2-ND	BiCMOS-Strommodus-PWM, NL	LP BiCMOS Current-Mode PWM	8-SOIC		3919.76/2,500	
UCC2817AD	296-15954-5-ND	Leistungsfaktor-Vorregler	Power Factor Pre-Regulator	16-SOIC	2.38	1.91	1.49
UCC2817APW	296-15955-5-ND	Leistungsfaktor-Vorregler	Power Factor Pre-Regulator	16-TSSOP	2.38	1.91	1.49
UCC2817D	296-11410-5-ND	Leistungsfaktor-Vorregler	Power Factor Pre-Regulator	16-SOP	2.38	1.91	1.49
UCC2817DW	296-11411-5-ND	Leistungsfaktor-Vorregler	Power Factor Pre-Regulator	16-SOP	2.38	1.91	1.49
UCC2818AD	296-15956-5-ND	BiCMOS-Leistungsfaktor-Vorreg.	BiCMOS Power Factor Pre-Reg.	16-SOIC	2.38	1.91	1.49
UCC2818APW	296-15957-5-ND	BiCMOS-Leistungsfaktor-Vorreg.	BiCMOS Power Factor Pre-Reg.	16-TSSOP	2.38	1.91	1.49
UCC2818D	296-13428-5-ND	BiCMOS-Leistungsfaktor-Vorreg.	BiCMOS Power Factor Pre-Reg.	16-SOIC	2.38	1.91	1.49
UCC2818DW	296-11412-5-ND	BiCMOS-Leistungsfaktor-Vorreg.	BiCMOS Power Factor Pre-Reg.	16-SOIC	2.38	1.91	1.49
UCC2819AD	296-15958-5-ND	BiCMOS-Leistungsfaktor-Vorreg.	BiCMOS Power Factor Pre-Reg.	16-SOIC	2.38	1.91	1.49
UCC2819APW	296-15959-5-ND	BiCMOS-Leistungsfaktor-Vorreg.	BiCMOS Power Factor Pre-Reg.	16-TSSOP	2.38	1.91	1.49

(Forts.)

★ ***RUFEN SIE BITTE AN FÜR NIEDRIGERE PREISE BEI GRÖSSEREN MENGEN!*** ★

B

T. I. Teilenr.	Digi-Key Teilenr.	Beschreibung		Paket	Stückpreis★ 1	25	100
UCC2819D	296-12537-5-ND	BiCMOS-Leistungsfaktor-Vorreg.	BiCMOS Power Factor Pre-Reg.	16-SOIC	2.38	1.91	1.49
UCC2819N	296-12538-5-ND	BiCMOS-Leistungsfaktor-Vorreg.	BiCMOS Power Factor Pre-Reg.	16-Dip	2.38	1.91	1.49
UCC2891D	296-15883-5-ND	PWM-Controller-Klemme	PWM Controller Clamp	16-SOIC	2.86	2.29	1.78
UCC2891PW	296-17240-ND	PWM-Controller-Klemme	PWM Controller Clamp	16-TSSOP	2.10	1.68	1.31
UCC2892D	296-15884-5-ND	PWM-Controller-Klemme	PWM Controller Clamp	16-SOIC	2.76	2.21	1.72
UCC2892PW	296-15885-5-ND	PWM-Controller-Klemme	PWM Controller Clamp	16-TSSOP	2.10	1.68	1.31
UCC2893D	296-15886-5-ND	PWM-Controller-Klemme	PWM Controller Clamp	16-SOIC	2.10	1.68	1.31
UCC2893PW	296-17241-ND	PWM-Controller-Klemme	PWM Controller Clamp	16-TSSOP	2.10	1.68	1.31
UCC2894D	296-15887-5-ND	PWM-Controller-Klemme	PWM Controller Clamp	16-SOIC	2.10	1.68	1.31
UCC2894PW	296-15888-5-ND	PWM-Controller-Klemme	PWM Controller Clamp	16-TSSOP	2.10	1.68	1.31
UCC2895DW	296-2537-5-ND	BiCMOS-Resonanz-Controller, erweiterte Phasenverschiebung	BiCMOS Advanced Phase Shift Resonant Controller	20-SOIC	7.33	6.61	5.86
UCC2895N	296-11418-5-ND	BiCMOS-Resonanz-Controller, erweiterte Phasenverschiebung	BiCMOS Advanced Phase Shift Resonant Controller	20-Dip	7.33	6.61	5.86
UCC2895PW	296-11419-5-ND	BiCMOS-Resonanz-Controller, erweiterte Phasenverschiebung	BiCMOS Advanced Phase Shift Resonant Controller	20-TSSOP	7.41	6.67	5.92
UCC2897PW	296-17003-5-ND	Erw. Strommodus-PWM-Controller	Adv. Current-Mode PWM Controller	20-TSSOP	2.10	1.68	1.31
UCC2960D	296-11421-5-ND	Startup-Controller, Primärseite	Primary Side Startup Controller	8-SOIC	2.00	1.60	1.25
UCC2960P	296-11422-5-ND	Startup-Controller, Primärseite	Primary Side Startup Controller	8-Dip	2.00	1.60	1.25
UCC2961D	296-11423-5-ND	Erw. Startup-Controller, Primärseite	Adv. Primary Side Startup Controller	14-SOIC	2.29	1.83	1.43
UCC2961N	296-11424-5-ND	Erw. Startup-Controller, Primärseite	Adv. Primary Side Startup Controller	14-Dip	2.29	1.83	1.43
UCC2975PW	296-13437-5-ND	Piezoelektrischer Transformator-Controller mit Multi-Topologie	Multi-Topology Piezoelectric Transformer Controller	8-TSSOP	4.23	3.39	2.86
UCC2976PW	296-12539-5-ND	3-13,5 V Transformator-Controller mit Multi-Topologie	3-13.5V Multi-Topology Transformer Controller	8-TSSOP	4.23	3.39	2.86
UCC2977PW	296-12540-5-ND	3-13,5 V Transformator-Controller mit Multi-Topologie	3-13.5V Multi-Topology Transformer Controller	8-TSSOP	4.23	3.39	2.86
UCC3580D-1	296-11436-5-ND	Aktivklemme/Rücksetz-PWM	Active Clamp/Reset PWM	16-SOIC	3.62	2.90	2.26
UCC3580D-2	296-11437-5-ND	Aktivklemme/Rücksetz-PWM	Active Clamp/Reset PWM	16-SOIC	3.62	2.90	2.26
UCC3580D-3	296-11438-5-ND	Aktivklemme/Rücksetz-PWM	Active Clamp/Reset PWM	16-SOIC	3.62	2.90	2.26
UCC3580D-4	296-11439-5-ND	Aktivklemme/Rücksetz-PWM	Active Clamp/Reset PWM	16-SOIC	3.62	2.90	2.26
UCC3580N-1	296-11440-5-ND	Aktivklemme/Rücksetz-PWM	Active Clamp/Reset PWM	16-Dip	3.62	2.90	2.26
UCC3580N-2	296-11441-5-ND	Aktivklemme/Rücksetz-PWM	Active Clamp/Reset PWM	16-Dip	3.62	2.90	2.26
UCC3580N-3	296-11442-5-ND	Aktivklemme/Rücksetz-PWM	Active Clamp/Reset PWM	16-Dip	3.62	2.90	2.26
UCC3580N-4	296-11443-5-ND	Aktivklemme/Rücksetz-PWM	Active Clamp/Reset PWM	16-SOP	3.62	2.90	2.26
UCC3581D	296-11444-5-ND	Micropower Spannungsmodus-PWM	Micropower Voltage Mode PWM	14-SOIC	1.90	1.53	1.19
UCC3581N	296-11445-5-ND	Micropower Spannungsmodus-PWM	Micropower Voltage Mode PWM	14-Dip	1.90	1.53	1.19
UCC3583D	296-11446-5-ND	Nachregler, Sekundärseite, m. Umschaltmodus	Switch Mode Secondary Side Post Regulator	14-SOIC	3.34	2.67	2.08
UCC3583N	296-11447-5-ND	Nachregler, Sekundärseite, m. Umschaltmodus	Switch Mode Secondary Side Post Regulator	14-Dip	3.34	2.67	2.08
UCC3588D	296-2540-5-ND	5-Bit programmierbarer Ausgangs-BiCMOS-Stromversorgungs-Controller	5-Bit, Programmable Output BiCMOS Power Supply Controller	16-SOIC	4.00	3.20	2.49
UCC3588PW	296-13438-5-ND	5-Bit programmierbarer Ausgangs-BiCMOS-Stromversorgungs-Controller	5-Bit, Programmable Output BiCMOS Power Supply Controller	16-SOIC	4.00	3.20	2.49
UCC3626DW	296-11452-5-ND	Bürstenloser DC-Motor-Regler	Brushless DC Motor Controller	28-SOIC	8.60	7.75	6.87
UCC3626PW	296-11453-5-ND	Bürstenloser DC-Motor-Regler	Brushless DC Motor Controller	28-TSSOP	8.68	7.81	6.93
UCC3800D	296-11457-5-ND	BiCMOS-Strommodus-PWM, NL	LP BiCMOS Current-Mode PWM	8-SOIC	2.44	1.96	1.52
UCC3800N	296-11458-5-ND	BiCMOS-Strommodus-PWM, NL	LP BiCMOS Current-Mode PWM	8-Dip	2.44	1.96	1.52
UCC3800PW	296-11459-5-ND	BiCMOS-Strommodus-PWM, NL	LP BiCMOS Current-Mode PWM	8-TSSOP	2.53	2.03	1.58
UCC3801D	296-11460-5-ND	BiCMOS-Strommodus-PWM, NL	LP BiCMOS Current-Mode PWM	8-SOIC	2.44	1.96	1.52
UCC3801N	296-11461-5-ND	BiCMOS-Strommodus-PWM, NL	LP BiCMOS Current-Mode PWM	8-Dip	2.44	1.96	1.52
UCC3801PW	296-11462-5-ND	BiCMOS-Strommodus-PWM, NL	LP BiCMOS Current-Mode PWM	8-TSSOP	2.53	2.03	1.58
UCC3802D	296-11463-5-ND	BiCMOS-Strommodus-PWM, NL	LP BiCMOS Current-Mode PWM	8-SOIC	2.44	1.96	1.52
UCC3802N	296-11464-5-ND	BiCMOS-Strommodus-PWM, NL	LP BiCMOS Current-Mode PWM	8-Dip	2.44	1.96	1.52
UCC3802PW	296-11465-5-ND	BiCMOS-Strommodus-PWM, NL	LP BiCMOS Current-Mode PWM	8-TSSOP	2.53	2.03	1.58
UCC3803D	296-12195-5-ND	BiCMOS-Strommodus-PWM, NL	LP BiCMOS Current-Mode PWM	8-SOIC	2.44	1.96	1.52
UCC3803N	296-11466-5-ND	BiCMOS-Strommodus-PWM, NL	LP BiCMOS Current-Mode PWM	8-Dip	2.44	1.96	1.52
UCC3803PW	296-11467-5-ND	BiCMOS-Strommodus-PWM, NL	LP BiCMOS Current-Mode PWM	8-TSSOP	2.53	2.03	1.58
UCC3804D	296-11468-5-ND	BiCMOS-Strommodus-PWM, NL	LP BiCMOS Current-Mode PWM	8-SOIC	2.44	1.96	1.52
UCC3804N	296-11469-5-ND	BiCMOS-Strommodus-PWM, NL	LP BiCMOS Current-Mode PWM	8-Dip	2.44	1.96	1.52
UCC3804PW	296-11470-5-ND	BiCMOS-Strommodus-PWM, NL	LP BiCMOS Current-Mode PWM	8-TSSOP	2.53	2.03	1.58
UCC3805D	296-11471-5-ND	BiCMOS-Strommodus-PWM, NL	LP BiCMOS Current-Mode PWM	8-SOIC	2.44	1.96	1.52
UCC3805N	296-11472-5-ND	BiCMOS-Strommodus-PWM, NL	LP BiCMOS Current-Mode PWM	8-Dip	2.44	1.96	1.52
UCC3805PW	296-11473-5-ND	BiCMOS-Strommodus-PWM, NL	LP BiCMOS Current-Mode PWM	8-TSSOP	2.53	2.03	1.58
UCC3806DW	296-11474-5-ND	Strommodus-PWM, zweif. Ausgang, Niedrigleistung	LP Dual Output Current-Mode PWM	16-SOIC	6.94	5.56	4.69
UCC3806N	296-11475-5-ND	Strommodus-PWM, zweif. Ausgang, Niedrigleistung	LP Dual Output Current-Mode PWM	16-Dip	6.94	5.56	4.69
UCC3806Q	296-11476-5-ND	Strommodus-PWM, zweif. Ausgang, Niedrigleistung	LP Dual Output Current-Mode PWM	20-PLCC	6.94	5.56	4.69
UCC3807D-1	296-2541-5-ND	Prog. Arbeitszyklus-PWM-Controller	Prog. Duty Cycle PWM Controller	8-SOP	2.86	2.29	1.78
UCC3807D-2	296-2542-5-ND	Prog. Arbeitszyklus-PWM-Controller	Prog. Duty Cycle PWM Controller	8-SOP	2.86	2.29	1.78
UCC3807D-3	296-2543-5-ND	Prog. Arbeitszyklus-PWM-Controller	Prog. Duty Cycle PWM Controller	8-SOP	2.86	2.29	1.78
UCC3807N-1	296-11477-5-ND	Prog. Arbeitszyklus-PWM-Controller	Prog. Duty Cycle PWM Controller	8-Dip	2.86	2.29	1.78
UCC3807N-2	296-11478-5-ND	Prog. Arbeitszyklus-PWM-Controller	Prog. Duty Cycle PWM Controller	8-Dip	2.86	2.29	1.78
UCC3807N-3	296-11479-5-ND	Prog. Arbeitszyklus-PWM-Controller	Prog. Duty Cycle PWM Controller	8-Dip	2.86	2.29	1.78
UCC3808AD-1	296-11480-5-ND	Strommodus-Push/Pull-PWM, NL	LP Current-Mode Push/Pull PWM	8-SOIC	2.48	1.99	1.55
UCC3808AD-2	296-11481-5-ND	Strommodus-Push/Pull-PWM, NL	LP Current-Mode Push/Pull PWM	8-SOIC	2.48	1.99	1.55
UCC3808AN-1	296-13439-5-ND	Strommodus-Push/Pull-PWM, NL	LP Current-Mode Push/Pull PWM	8-Dip	2.48	1.99	1.55
UCC3808AN-2	296-11482-5-ND	Strommodus-Push/Pull-PWM, NL	LP Current-Mode Push/Pull PWM	8-Dip	2.48	1.99	1.55
UCC3808APW-1	296-11684-5-ND	Strommodus-Push/Pull-PWM, NL	LP Current-Mode Push/Pull PWM	8-TSSOP	2.48	1.99	1.55
UCC3808APW-2	296-11685-5-ND	Strommodus-Push/Pull-PWM, NL	LP Current-Mode Push/Pull PWM	8-TSSOP	2.48	1.99	1.55
UCC3808D-1	296-2544-5-ND	Strommodus-Push/Pull-PWM, NL	LP Current-Mode Push/Pull PWM	8-SOIC	2.48	1.99	1.55
UCC3808D-2	296-2545-5-ND	Strommodus-Push/Pull-PWM, NL	LP Current-Mode Push/Pull PWM	8-SOIC	2.48	1.99	1.55
UCC3808N-1	296-11483-5-ND	Strommodus-Push/Pull-PWM, NL	LP Current-Mode Push/Pull PWM	8-Dip	2.48	1.99	1.55
UCC3808N-2	296-11484-5-ND	Strommodus-Push/Pull-PWM, NL	LP Current-Mode Push/Pull PWM	8-Dip	2.48	1.99	1.55
UCC3809D-1	296-11485-5-ND	Preiswerter Primärseiten-Controller	Economy Primary Side Controller	8-SOIC	1.80	1.44	1.08
UCC3809D-2	296-11486-5-ND	Preiswerter Primärseiten-Controller	Economy Primary Side Controller	8-SOIC	1.80	1.44	1.08
UCC3809N-1	296-11487-5-ND	Preiswerter Primärseiten-Controller	Economy Primary Side Controller	8-Dip	1.80	1.44	1.08
UCC3809N-2	296-11488-5-ND	Preiswerter Primärseiten-Controller	Economy Primary Side Controller	8-Dip	1.80	1.44	1.08
UCC3809P-1	296-11489-5-ND	Preiswerter Primärseiten-Controller	Economy Primary Side Controller	8-MSOP	1.80	1.44	1.08
UCC3809P-2	296-13440-5-ND	Preiswerter Primärseiten-Controller	Economy Primary Side Controller	8-MSOP	1.80	1.44	1.08
UCC3809PW-1	296-11490-5-ND	Preiswerter Primärseiten-Controller	Economy Primary Side Controller	8-TSSOP	1.80	1.44	1.08
UCC3809PW-2	296-12395-5-ND	Preiswerter Primärseiten-Controller	Economy Primary Side Controller	8-TSSOP	1.80	1.44	1.08
UCC3810DW	296-2546-5-ND	Synchroner Strommodus-PWM, 2 Kan.	2-Channel Sync. Current-Mode PWM	16-SOIC	3.52	2.82	2.20
UCC3810N	296-11491-5-ND	Synchroner Strommodus-PWM, 2 Kan.	2-Channel Sync. Current-Mode PWM	16-Dip	3.52	2.82	2.20
UCC3813D-0	296-11492-5-ND	BiCMOS-Strommodus-PWM, NL	LP BiCMOS Current-Mode PWM	8-SOIC	1.61	1.29	.97
UCC3813D-1	296-11493-5-ND	BiCMOS-Strommodus-PWM, NL	LP BiCMOS Current-Mode PWM	8-SOIC	1.61	1.29	.97
UCC3813D-2	296-11494-5-ND	BiCMOS-Strommodus-PWM, NL	LP BiCMOS Current-Mode PWM	8-SOIC	1.61	1.29	.97
UCC3813D-3	296-11495-5-ND	BiCMOS-Strommodus-PWM, NL	LP BiCMOS Current-Mode PWM	8-SOIC	1.61	1.29	.97
UCC3813D-4	296-11496-5-ND	BiCMOS-Strommodus-PWM, NL	LP BiCMOS Current-Mode PWM	8-SOIC	1.61	1.29	.97
UCC3813D-5	296-11497-5-ND	BiCMOS-Strommodus-PWM, NL	LP BiCMOS Current-Mode PWM	8-SOIC	1.61	1.29	.97
UCC3813N-0	296-11498-5-ND	BiCMOS-Strommodus-PWM, NL	LP BiCMOS Current-Mode PWM	8-Dip	1.61	1.29	.97
UCC3813N-1	296-11499-5-ND	BiCMOS-Strommodus-PWM, NL	LP BiCMOS Current-Mode PWM	8-Dip	1.61	1.29	.97
UCC3813N-2	296-11500-5-ND	BiCMOS-Strommodus-PWM, NL	LP BiCMOS Current-Mode PWM	8-Dip	1.61	1.29	.97
UCC3813N-3	296-11501-5-ND	BiCMOS-Strommodus-PWM, NL	LP BiCMOS Current-Mode PWM	8-Dip	1.61	1.29	.97
UCC3813N-4	296-11502-5-ND	BiCMOS-Strommodus-PWM, NL	LP BiCMOS Current-Mode PWM	8-Dip	1.61	1.29	.97
UCC3813N-5	296-11503-5-ND	BiCMOS-Strommodus-PWM, NL	LP BiCMOS Current-Mode PWM	8-Dip	1.61	1.29	.97
UCC3813PW-0	296-11504-5-ND	BiCMOS-Strommodus-PWM, NL	LP BiCMOS Current-Mode PWM	8-TSSOP	1.61	1.29	.97
UCC3813PW-1	296-11505-5-ND	BiCMOS-Strommodus-PWM, NL	LP BiCMOS Current-Mode PWM	8-TSSOP	1.61	1.29	.97
UCC3813PW-2	296-11506-5-ND	BiCMOS-Strommodus-PWM, NL	LP BiCMOS Current-Mode PWM	8-TSSOP	1.61	1.29	.97
UCC3813PW-3	296-11507-5-ND	BiCMOS-Strommodus-PWM, NL	LP BiCMOS Current-Mode PWM	8-TSSOP	1.61	1.29	.97
UCC3813PW-4	296-11508-5-ND	BiCMOS-Strommodus-PWM, NL	LP BiCMOS Current-Mode PWM	8-TSSOP	1.61	1.29	.97
UCC3813PW-5	296-11509-5-ND	BiCMOS-Strommodus-PWM, NL	LP BiCMOS Current-Mode PWM	8-TSSOP	1.61	1.29	.97
UCC3817AD	296-16717-5-ND	Leistungsfaktor-Vorregler	Power Factor Pre-Regulator	16-SOIC	2.19	1.76	1.37
UCC3817AN	296-16718-5-ND	Leistungsfaktor-Vorregler	Power Factor Pre-Regulator	16-Dip	2.19	1.76	1.37
UCC3817APW	296-16719-ND	Leistungsfaktor-Vorregler	Power Factor Pre-Regulator	16-TSSOP	2.19	1.76	1.37

(Forts.)

★ ***RUFEN SIE BITTE AN FÜR NIEDRIGERE PREISE BEI GRÖSSEREN MENGEN!*** ★

Alle Preisangaben in Euro und inklusive Zollgebühren.

T. I. Teilenr.	Digi-Key Teilenr.	Beschreibung		Paket	Stückpreis★ 1	25	100
UCC3817D	296-2547-5-ND	Leistungsfaktor-Vorregler	Power Factor Pre-Regulator	16-SOIC	2.19	1.76	1.37
UCC3817DW	296-11510-5-ND	Leistungsfaktor-Vorregler	Power Factor Pre-Regulator	16-SOIC	2.19	1.76	1.37
UCC3817N	296-11512-5-ND	Leistungsfaktor-Vorregler	Power Factor Pre-Regulator	16-Dip	2.19	1.76	1.37
UCC3818AD	296-16720-5-ND	Leistungsfaktor-Vorregler	Power Factor Pre-Regulator	16-SOIC	2.19	1.76	1.37
UCC3818AN	296-16721-5-ND	Leistungsfaktor-Vorregler	Power Factor Pre-Regulator	16-Dip	2.19	1.76	1.37
UCC3818APW	296-16722-ND	Leistungsfaktor-Vorregler	Power Factor Pre-Regulator	16-TSSOP	2.19	1.76	1.37
UCC3818D	296-11513-5-ND	Leistungsfaktor-Vorregler	Power Factor Pre-Regulator	16-SOIC	2.19	1.76	1.37
UCC3818DW	296-11514-5-ND	Leistungsfaktor-Vorregler	Power Factor Pre-Regulator	16-SOIC	2.19	1.76	1.37
UCC3818N	296-11515-5-ND	Leistungsfaktor-Vorregler	Power Factor Pre-Regulator	16-Dip	2.19	1.76	1.37
UCC3819AD	296-16723-5-ND	Programmierbarer Ausgangsleistungsfaktor-Vorregler	Programmable Output Power Factor Pre-Regulator	16-SOIC	2.19	1.76	1.37
UCC3819AN	296-16724-5-ND	Programmierbarer Ausgangsleistungsfaktor-Vorregler	Programmable Output Power Factor Pre-Regulator	16-Dip	2.19	1.76	1.37
UCC3819APW	296-16725-ND	Programmierbarer Ausgangsleistungsfaktor-Vorregler	Programmable Output Power Factor Pre-Regulator	16-TSSOP	2.19	1.76	1.37
UCC3837D	296-2548-5-ND	N-FET-Versorgungs-Controller	N-FET Supply Controller	8-SOIC	3.72	2.98	2.32
UCC3839D	296-11516-5-ND	DurchschnittsStrommodus-Controller, Sekundärseite	Secondary Side Average Current Mode Controller	14-SOIC	2.01	1.61	1.21
UCC3839N	296-11517-5-ND	DurchschnittsStrommodus-Controller, Sekundärseite	Secondary Side Average Current Mode Controller	14-Dip	2.01	1.61	1.21
UCC3884D	296-2551-5-ND	Strommodus-PWM-Controller	Current-Mode PWM Controller	16-SOIC	3.05	2.44	1.90
UCC3884N	296-11530-5-ND	Strommodus-PWM-Controller	Current-Mode PWM Controller	16-Dip	3.05	2.44	1.90
UCC3888D	296-11531-5-ND	Offline Stromversorgungs-Controller	Off-Line Power Supply Controller	8-SOIC	1.21	.97	.73
UCC3888N	296-11532-5-ND	Offline Stromversorgungs-Controller	Off-Line Power Supply Controller	8-Dip	1.21	.97	.73
UCC3889D	296-11533-5-ND	Offline Stromversorgungs-Controller	Off-Line Power Supply Controller	8-SOIC	1.21	.97	.73
UCC3889N	296-11534-5-ND	Offline Stromversorgungs-Controller	Off-Line Power Supply Controller	8-Dip	1.21	.97	.73
UCC3895DW	296-2552-5-ND	Phasenverschiebungs-PWM-Controller	Phase Shift PWM Controller	20-SOIC	7.37	5.90	4.98
UCC3895N	296-11538-5-ND	Phasenverschiebungs-PWM-Controller	Phase Shift PWM Controller	20-Dip	7.37	5.90	4.98
UCC3895PW	296-11686-5-ND	Phasenverschiebungs-PWM-Controller	Phase Shift PWM Controller	20-TSSOP	7.45	5.96	5.03
UCC3895Q	296-11539-5-ND	Phasenverschiebungs-PWM-Controller	Phase Shift PWM Controller	20-PLCC	7.37	5.90	4.98
UCC3960D	296-11561-5-ND	Startup-Controller, Primärseite	Primary Side Startup Controller	8-SOIC	2.01	1.61	1.21
UCC3960P	296-11562-5-ND	Startup-Controller, Primärseite	Primary Side Startup Controller	8-Dip	2.01	1.61	1.21
UCC3961D	296-11563-5-ND	Erw. Startup-Controller, Primärseite	Adv. Primary Side Startup Controller	14-SOIC	2.00	1.60	1.25
UCC3961N	296-11564-5-ND	Erw. Startup-Controller, Primärseite	Adv. Primary Side Startup Controller	14-Dip	2.00	1.60	1.25
UCC25701D	296-11363-5-ND	Erweiterter PWM, Spannungsmodus	Advanced Voltage-Mode PWM	14-SOIC	5.25	4.20	3.55
UCC25701N	296-11364-5-ND	Erweiterter PWM, Spannungsmodus	Advanced Voltage-Mode PWM	14-Dip	5.25	4.20	3.55
UCC25701PW	296-11365-5-ND	Erweiterter PWM, Spannungsmodus	Advanced Voltage-Mode PWM	14-TSSOP	5.33	4.27	3.61
UCC25702D	296-12194-5-ND	Erweiterter PWM, Spannungsmodus	Advanced Voltage-Mode PWM	14-SOIC	5.25	4.20	3.55
UCC25702N	296-11366-5-ND	Erweiterter PWM, Spannungsmodus	Advanced Voltage-Mode PWM	14-Dip	5.25	4.20	3.55
UCC25702PW	296-11367-5-ND	Erweiterter PWM, Spannungsmodus	Advanced Voltage-Mode PWM	14-TSSOP	5.33	4.27	3.61
UCC25705D	296-11368-5-ND	HS-PWM, Spannungsmodus	High Speed Voltage-Mode PWM	8-SOIC	1.90	1.53	1.15
UCC25705DGK	296-12175-5-ND	HS-PWM, Spannungsmodus	High Speed Voltage-Mode PWM	8-MSOP	1.90	1.53	1.15
UCC25705P	296-11369-5-ND	HS-PWM, Spannungsmodus	High Speed Voltage-Mode PWM	8-Dip	1.90	1.53	1.15
UCC25706D	296-11370-5-ND	HS-PWM, Spannungsmodus	High Speed Voltage-Mode PWM	8-SOIC	1.90	1.53	1.15
UCC25706DGK	296-11371-5-ND	HS-PWM, Spannungsmodus	High Speed Voltage-Mode PWM	8-MSOP	1.90	1.53	1.15
UCC25706P	296-12114-5-ND	HS-PWM, Spannungsmodus	High Speed Voltage-Mode PWM	8-Dip	1.90	1.53	1.15
UCC28050D	296-13708-5-ND	PFC-Controller, Übergangsmodus	Transition Mode PFC Controller	8-SOIC	1.59	1.27	.96
UCC28050P	296-13709-5-ND	PFC-Controller, Übergangsmodus	Transition Mode PFC Controller	8-Dip	1.59	1.27	.96
UCC28051D	296-15243-5-ND	PFC-Controller, Übergangsmodus	Transition Mode PFC Controller	8-SOIC	1.59	1.27	.96
UCC28051P	296-15224-5-ND	PFC-Controller, Übergangsmodus	Transition Mode PFC Controller	8-Dip	1.59	1.27	.96
UCC28083D	296-13676-5-ND	Push-Pull-PWM-Controller, Strommodus, mit programmierbarem Slope-Ausgleich	Current Mode Push Pull PWM Controller with Prog. Slope Compensation	8-SOIC	2.29	1.83	1.43
UCC28083P	296-13677-5-ND	Push-Pull-PWM-Controller, Strommodus, mit programmierbarem Slope-Ausgleich	Current Mode Push Pull PWM Controller with Prog. Slope Compensation	8-Dip	2.29	1.83	1.43
UCC28083PW	296-14333-5-ND	Push-Pull-PWM-Controller, Strommodus, mit programmierbarem Slope-Ausgleich	Current Mode Push Pull PWM Controller with Prog. Slope Compensation	8-TSSOP	2.29	1.83	1.43
UCC28084D	296-13678-5-ND	Push-Pull-PWM-Controller, Strommodus, mit programmierbarem Slope-Ausgleich	Current Mode Push Pull PWM Controller with Prog. Slope Compensation	8-SOIC	2.57	2.06	1.61
UCC28084P	296-13679-5-ND	Push-Pull-PWM-Controller, Strommodus, mit programmierbarem Slope-Ausgleich	Current Mode Push Pull PWM Controller with Prog. Slope Compensation	8-Dip	2.57	2.06	1.61
UCC28084PW	296-14334-5-ND	Push-Pull-PWM-Controller, Strommodus, mit programmierbarem Slope-Ausgleich	Current Mode Push Pull PWM Controller with Prog. Slope Compensation	8-TSSOP	2.57	2.06	1.61
UCC28085D	296-13680-5-ND	Push-Pull-PWM-Controller, Strommodus, mit programmierbarem Slope-Ausgleich	Current Mode Push Pull PWM Controller with Prog. Slope Compensation	8-SOIC	2.57	2.06	1.61
UCC28085P	296-13681-5-ND	Push-Pull-PWM-Controller, Strommodus, mit programmierbarem Slope-Ausgleich	Current Mode Push Pull PWM Controller with Prog. Slope Compensation	8-Dip	2.57	2.06	1.61
UCC28085PW	296-14335-5-ND	Push-Pull-PWM-Controller, Strommodus, mit programmierbarem Slope-Ausgleich	Current Mode Push Pull PWM Controller with Prog. Slope Compensation	8-TSSOP	2.57	2.06	1.61
UCC28086D	296-13682-5-ND	Push-Pull-PWM-Controller, Strommodus, mit programmierbarem Slope-Ausgleich	Current Mode Push Pull PWM Controller with Prog. Slope Comp.	8-SOIC	2.57	2.06	1.61
UCC28086P	296-13683-5-ND	Push-Pull-PWM-Controller, Strommodus, mit programmierbarem Slope-Ausgleich	Current Mode Push Pull PWM Controller with Prog. Slope Comp.	8-Dip	2.57	2.06	1.61
UCC28086PW	296-15690-5-ND	Push-Pull-PWM-Controller, Strommodus, mit programmierbarem Slope-Ausgleich	Current Mode Push Pull PWM Controller with Prog. Slope Comp.	8-TSSOP	2.57	2.06	1.61
UCC28089D	296-17461-5-ND	Push-Pull-Oszillator, Primärseite	Primary-Side Push-Pull Oscillator	8-SOIC	1.38	1.11	.83
UCC28220D	296-15755-5-ND	Zweif. verzahnter PWM-Controller	Interleaved Dual PWM Controller	16-SOIC	3.05	2.44	1.90
UCC28220PW	296-15756-5-ND	Zweif. verzahnter PWM-Controller	Interleaved Dual PWM Controller	16-TSSOP	3.05	2.44	1.90
UCC28221D	296-15757-5-ND	Zweif. verzahnter PWM-Controller	Interleaved Dual PWM Controller	16-SOIC	3.14	2.52	1.96
UCC28221PW	296-15758-5-ND	Zweif. verzahnter PWM-Controller	Interleaved Dual PWM Controller	20-TSSOP	3.14	2.52	1.96
UCC28510DW	296-14218-5-ND	PFC/PWM-Kombinationscontroller	PFC/PWM Combination Controller	20-SOIC	3.43	2.75	2.14
UCC28510N	296-14219-5-ND	PFC/PWM-Kombinationscontroller	PFC/PWM Combination Controller	20-Dip	3.43	2.75	2.14
UCC28511DW	296-14220-5-ND	PFC/PWM-Kombinationscontroller	PFC/PWM Combination Controller	20-SOIC	3.43	2.75	2.14
UCC28511N	296-14221-5-ND	PFC/PWM-Kombinationscontroller	PFC/PWM Combination Controller	20-Dip	3.43	2.75	2.14
UCC28512DW	296-14222-5-ND	PFC/PWM-Kombinationscontroller	PFC/PWM Combination Controller	20-SOIC	3.43	2.75	2.14
UCC28512N	296-14223-5-ND	PFC/PWM-Kombinationscontroller	PFC/PWM Combination Controller	20-Dip	3.43	2.75	2.14
UCC28513DW	296-14224-5-ND	PFC/PWM-Kombinationscontroller	PFC/PWM Combination Controller	20-SOIC	3.43	2.75	2.14
UCC28513N	296-14225-5-ND	PFC/PWM-Kombinationscontroller	PFC/PWM Combination Controller	20-Dip	3.43	2.75	2.14
UCC28514DW	296-14226-5-ND	PFC/PWM-Kombinationscontroller	PFC/PWM Combination Controller	20-SOIC	3.43	2.75	2.14
UCC28514N	296-14227-5-ND	PFC/PWM-Kombinationscontroller	PFC/PWM Combination Controller	20-Dip	3.43	2.75	2.14
UCC28515DW	296-14228-5-ND	PFC/PWM-Kombinationscontroller	PFC/PWM Combination Controller	20-SOIC	3.43	2.75	2.14
UCC28515N	296-14229-5-ND	PFC/PWM-Kombinationscontroller	PFC/PWM Combination Controller	20-Dip	3.43	2.75	2.14
UCC28516DW	296-14230-5-ND	PFC/PWM-Kombinationscontroller	PFC/PWM Combination Controller	20-SOIC	3.43	2.75	2.14
UCC28516N	296-14231-5-ND	PFC/PWM-Kombinationscontroller	PFC/PWM Combination Controller	20-Dip	3.43	2.75	2.14
UCC28517DW	296-14232-5-ND	PFC/PWM-Kombinationscontroller	PFC/PWM Combination Controller	20-SOIC	3.43	2.75	2.14
UCC28517N	296-14233-5-ND	PFC/PWM-Kombinationscontroller	PFC/PWM Combination Controller	20-Dip	3.43	2.75	2.14
UCC29002D	296-13024-5-ND	Erweiterter Belastungsteilungs-Controller	Advanced Load Share Controller	8-SOIC	1.90	1.53	1.19
UCC29002DGK	296-13025-5-ND	Erweiterter Belastungsteilungs-Controller	Advanced Load Share Controller	8-MSOP	1.90	1.53	1.19
UCC29002P	296-13026-5-ND	Erweiterter Belastungsteilungs-Controller	Advanced Load Share Controller	8-Dip	1.90	1.53	1.19
UCC29421N	296-2538-5-ND	Multimodus-HF-PWM-Controller	Multimode High-Freq. PWM Controller	16-Dip	2.86	2.29	1.78
UCC29421PW	296-12394-5-ND	Multimodus-HF-Synch.-Controller	Multimode High-Freq. Sync. Controller	20-TSSOP	4.10	3.28	2.55
UCC29422N	296-2539-5-ND	Multimodus-HF-PWM-Controller	Multimode High-Freq. PWM Controller	16-Dip	4.10	3.28	2.55
UCC35701D	296-11425-5-ND	Erweiterter PWM, Spannungsmodus	Advanced Voltage-Mode PWM	14-SOIC	4.99	4.00	3.38
UCC35701N	296-11426-5-ND	Erweiterter PWM, Spannungsmodus	Advanced Voltage-Mode PWM	14-Dip	4.99	4.00	3.38
UCC35701PW	296-11427-5-ND	Erweiterter PWM, Spannungsmodus	Advanced Voltage-Mode PWM	14-TSSOP	5.08	4.07	3.43
UCC35702D	296-11428-5-ND	Erweiterter PWM, Spannungsmodus	Advanced Voltage-Mode PWM	14-SOIC	4.99	4.00	3.38
UCC35702N	296-11429-5-ND	Erweiterter PWM, Spannungsmodus	Advanced Voltage-Mode PWM	14-Dip	4.99	4.00	3.38
UCC35702PW	296-11430-5-ND	Erweiterter PWM, Spannungsmodus	Advanced Voltage-Mode PWM	14-TSSOP	5.08	4.07	3.43
UCC35705D	296-11431-5-ND	HS-PWM, Spannungsmodus	High Speed Voltage-Mode PWM	8-SOIC	1.59	1.27	.96
UCC35705DGK	296-11683-5-ND	HS-PWM, Spannungsmodus	High Speed Voltage-Mode PWM	8-MSOP	1.59	1.27	.96

(Forts.)

★ *RUFEN SIE BITTE AN FÜR NIEDRIGERE PREISE BEI GRÖSSEREN MENGEN!* ★

B

T. I. Teilenr.	Digi-Key Teilenr.	Beschreibung		Paket	Stückpreis★ 1	25	100
UCC35705P	296-11432-5-ND	HS-PWM, Spannungsmodus	High Speed Voltage-Mode PWM	8-Dip	1.59	1.27	.96
UCC35706D	296-11433-5-ND	HS-PWM, Spannungsmodus	High Speed Voltage-Mode PWM	8-SOIC	1.59	1.27	.96
UCC35706DGK	296-11434-5-ND	HS-PWM, Spannungsmodus	High Speed Voltage-Mode PWM	8-MSOP	1.59	1.27	.96
UCC35706P	296-15320-5-ND	HS-PWM, Spannungsmodus	High Speed Voltage-Mode PWM	8-Dip	1.59	1.27	.96
UCC38050D	296-13710-5-ND	PFC-Controller, Übergangsmodus	Transition Mode PFC Controller	8-SOIC	1.48	1.19	.89
UCC38050P	296-13711-5-ND	PFC-Controller, Übergangsmodus	Transition Mode PFC Controller	8-Dip	1.48	1.19	.89
UCC38051D	296-15225-5-ND	PFC-Controller, Übergangsmodus	Transition Mode PFC Controller	8-SOIC	1.48	1.19	.89
UCC38051P	296-15226-5-ND	PFC-Controller, Übergangsmodus	Transition Mode PFC Controller	8-Dip	1.48	1.19	.89
UCC38083D	296-13690-5-ND	Push-Pull-PWM-Controller, Strommodus, mit programmierbarem Slope-Ausgleich	Current Mode Push-Pull PWM Controller with Prog. Slope Compensation	8-SOIC	2.10	1.68	1.31
UCC38083P	296-13691-5-ND	Push-Pull-PWM-Controller, Strommodus, mit programmierbarem Slope-Ausgleich	Current Mode Push-Pull PWM Controller with Prog. Slope Compensation	8-Dip	2.10	1.68	1.31
UCC38083PW	296-14336-5-ND	Push-Pull-PWM-Controller, Strommodus, mit Slope-Ausgleich	Current Mode Push-Pull PWM Controller with Slope Compensation	8-TSSOP	2.10	1.68	1.31
UCC38084D	296-13692-5-ND	Push-Pull-PWM-Controller, Strommodus, mit programmierbarem Slope-Ausgleich	Current Mode Push-Pull PWM Controller with Prog. Slope Compensation	8-SOIC	2.48	1.99	1.55
UCC38084P	296-13693-5-ND	Push-Pull-PWM-Controller, Strommodus, mit programmierbarem Slope-Ausgleich	Current Mode Push-Pull PWM Controller with Prog. Slope Compensation	8-Dip	2.48	1.99	1.55
UCC38084PW	296-14337-5-ND	Push-Pull-PWM-Controller, Strommodus, mit programmierbarem Slope-Ausgleich	Current Mode Push-Pull PWM Controller with Prog. Slope Compensation	8-TSSOP	2.48	1.99	1.55
UCC38085D	296-13694-5-ND	Push-Pull-PWM-Controller, Strommodus, mit programmierbarem Slope-Ausgleich	Current Mode Push-Pull PWM Controller with Prog. Slope Compensation	8-SOIC	2.48	1.99	1.55
UCC38085P	296-13695-5-ND	Push-Pull-PWM-Controller, Strommodus, mit programmierbarem Slope-Ausgleich	Current Mode Push-Pull PWM Controller with Prog. Slope Compensation	8-Dip	2.48	1.99	1.55
UCC38085PW	296-14338-5-ND	Push-Pull-PWM-Controller, Strommodus, mit programmierbarem Slope-Ausgleich	Current Mode Push-Pull PWM Controller with Prog. Slope Compensation	8-TSSOP	2.48	1.99	1.55
UCC38086D	296-13696-5-ND	Push-Pull-PWM-Controller, Strommodus, mit programmierbarem Slope-Ausgleich	Current Mode Push-Pull PWM Controller with Prog. Slope Compensation	8-SOIC	2.48	1.99	1.55
UCC38086P	296-13697-5-ND	Push-Pull-PWM-Controller, Strommodus, mit programmierbarem Slope-Ausgleich	Current Mode Push-Pull PWM Controller with Prog. Slope Compensation	8-Dip	2.48	1.99	1.55
UCC38086PW	296-14339-5-ND	Push-Pull-PWM-Controller, Strommodus, mit programmierbarem Slope-Ausgleich	Current Mode Push-Pull PWM Controller with Prog. Slope Compensation	8-TSSOP	2.48	1.99	1.55
UCC38500DW	296-11518-5-ND	BiCMOS-PFC/PWM-Controller, kombiniert	BiCMOS Combined PFC/PWM Controller	20-SOIC	4.48	3.59	2.79
UCC38500N	296-11520-5-ND	BiCMOS-PFC/PWM-Controller, kombiniert	BiCMOS Combined PFC/PWM Controller	20-Dip	4.48	3.59	2.79
UCC38501DW	296-11521-5-ND	BiCMOS-PFC/PWM-Controller, kombiniert	BiCMOS Combined PFC/PWM Controller	20-SOIC	4.48	3.59	2.79
UCC38501N	296-11522-5-ND	BiCMOS-PFC/PWM-Controller, kombiniert	BiCMOS Combined PFC/PWM Controller	20-Dip	4.48	3.59	2.79
UCC38502DW	296-12404-5-ND	BiCMOS-PFC/PWM-Controller, kombiniert	BiCMOS Combined PFC/PWM Controller	20-SOIC	4.48	3.59	2.79
UCC38502N	296-11523-5-ND	BiCMOS-PFC/PWM-Controller, kombiniert	BiCMOS Combined PFC/PWM Controller	20-Dip	4.48	3.59	2.79
UCC38503DW	296-12046-5-ND	BiCMOS-PFC/PWM-Controller, kombiniert	BiCMOS Combined PFC/PWM Controller	20-SOIC	4.48	3.59	2.79
UCC38503N	296-11524-5-ND	BiCMOS-PFC/PWM-Controller, kombiniert	BiCMOS Combined PFC/PWM Controller	20-Dip	4.48	3.59	2.79
UCC39002D	296-13027-5-ND	Erweiterter Belastungsteilungs-Controller	Advanced Load Share Controller	8-SOIC	2.01	1.61	1.21
UCC39002P	296-13029-5-ND	Erweiterter Belastungsteilungs-Controller	Advanced Load Share Controller	8-Dip	2.01	1.61	1.21
UCC39421N	296-11545-5-ND	Multimodus-HF-PWM-Controller	Multimode Hi-Freq. PWM Controller	16-Dip	4.10	3.28	2.55
UCC39421PW	296-2553-5-ND	Multimodus-HF-PWM-Controller	Multimode Hi-Freq. PWM Controller	16-TSSOP	4.10	3.28	2.55
UCC39422N	296-11546-5-ND	Multimodus-HF-PWM-Controller	Multimode Hi-Freq. PWM Controller	20-Dip	4.10	3.28	2.55
UCC39422PW	296-2554-5-ND	Multimodus-HF-PWM-Controller	Multimode Hi-Freq. PWM Controller	20-TSSOP	4.10	3.28	2.55
		Schottky Dioden-Arrays					
UC2610N	296-11161-5-ND	Zweif. Schottky Diodenbrücke	Dual Schottky Diode Bridge	8-Dip	4.74	3.80	3.21
UC3610DW	296-11230-5-ND	Zweif. Schottky Diodenbrücke	Dual Schottky Diode Bridge	16-SOIC	4.48	3.59	2.79
UC3610N	296-11231-5-ND	Zweif. Schottky Diodenbrücke	Dual Schottky Diode Bridge	8-Dip	4.48	3.59	2.79
UC3611DW	296-11233-5-ND	Vierf. Schottky Dioden-Array	Quad Schottky Diode Array	16-SOIC	3.72	2.98	2.32
UC3611N	296-11234-5-ND	Vierf. Schottky Dioden-Array	Quad Schottky Diode Array	8-Dip	3.72	2.98	2.32
		Spannungsreferenzen					
LM285D-1-2	296-9521-5-ND	1,2 V Micropower Spannungsreferenz	1.2V Micropower Voltage Reference	8-SOP	.68	.51	.39
LM285D-2-5	296-9522-5-ND	2,5 V Micropower Spannungsreferenz	2.5V Micropower Voltage Reference	8-SOP	.68	.51	.39
LM285DR-2-5	296-14592-1-ND	2,5 V Micropower Spannungsreferenz	2.5V Micropower Voltage Reference	8-SOIC	.68	.51	.39
LM285DR-2-5	296-14592-2-ND	2,5 V Micropower Spannungsreferenz	2.5V Micropower Voltage Reference	8-SOIC		550.29/2,500	
LM285LP-1-2	296-9523-5-ND	1,2 V Micropower Spannungsreferenz	1.2V Micropower Voltage Reference	TO-92	.54	.41	.31
LM285LP-2-5	296-9524-5-ND	2,5 V Micropower Spannungsreferenz	2.5V Micropower Voltage Reference	TO-92	.54	.41	.31
LM336BD-2-5	296-9547-5-ND	2,5 V-Präzisions-Spannungsreferenz	2.5V Precision Voltage Reference	8-SOIC	.75	.56	.42
LM336BLP-2-5	296-9548-5-ND	2,5 V-Präzisions-Spannungsreferenz	2.5V Precision Voltage Reference	TO-92	.75	.56	.42
LM336D-2-5	296-9549-5-ND	2,5 V-Präzisions-Spannungsreferenz	2.5V Precision Voltage Reference	8-SOIC	.75	.56	.42
LM385BD-1-2	296-9556-5-ND	1,2 V Micropower Spannungsreferenz	1.2V Micropower Voltage Reference	8-SOIC	.68	.51	.39
LM385BD-2-5	296-9557-5-ND	2,5 V Micropower Spannungsreferenz	2.5V Micropower Voltage Reference	8-SOIC	.68	.51	.39
LM385BDR-1-2	296-14603-1-ND	2,5 V Micropower Spannungsreferenz	2.5V Micropower Voltage Reference	8-SOIC	.68	.51	.39
LM385BDR-1-2	296-14603-2-ND	2,5 V Micropower Spannungsreferenz	2.5V Micropower Voltage Reference	8-SOIC		550.29/2,500	
LM385BLP-1-2	296-9558-5-ND	1,2 V Micropower Spannungsreferenz	1.2V Micropower Voltage Reference	TO-92	.68	.51	.39
LM385BLP-2-5	296-9559-5-ND	2,5 V Micropower Spannungsreferenz	2.5V Micropower Voltage Reference	TO-92	.68	.51	.39
LM385BPWR-1-2	296-13073-1-ND	1,2 V Micropower Spannungsreferenz	1.2V Micropower Voltage Reference	8-TSSOP	.68	.51	.39
LM385BPWR-1-2	296-13073-2-ND	1,2 V Micropower Spannungsreferenz	1.2V Micropower Voltage Reference	8-TSSOP		450.39/2,000	
LM385BPWR-2-5	296-13074-1-ND	2,5 V Micropower Spannungsreferenz	2.5V Micropower Voltage Reference	8-TSSOP	.68	.51	.39
LM385BPWR-2-5	296-13074-2-ND	2,5 V Micropower Spannungsreferenz	2.5V Micropower Voltage Reference	8-TSSOP		450.39/2,000	
LM385D-1-2	296-9560-5-ND	1,2 V Micropower Spannungsreferenz	1.2V Micropower Voltage Reference	8-SOIC	.47	.36	.27
LM385D-2-5	296-9561-5-ND	2,5 V Micropower Spannungsreferenz	2.5V Micropower Voltage Reference	8-SOIC	.47	.36	.27
LM385LP-1-2	296-9562-5-ND	1,2 V Micropower Spannungsreferenz	1.2V Micropower Voltage Reference	TO-92	.47	.36	.27
LM385LP-2-5	296-9563-5-ND	2,5 V Micropower Spannungsreferenz	2.5V Micropower Voltage Reference	TO-92	.47	.36	.27
LM385PWR-1-2	296-13075-1-ND	1,2 V Micropower Spannungsreferenz	1.2V Micropower Voltage Reference	8-TSSOP	.47	.36	.27
LM385PWR-1-2	296-13075-2-ND	1,2 V Micropower Spannungsreferenz	1.2V Micropower Voltage Reference	8-TSSOP		314.94/2,000	
LM385PWR-2-5	296-13076-1-ND	2,5 V Micropower Spannungsreferenz	2.5V Micropower Voltage Reference	8-TSSOP	.47	.36	.27
LM385PWR-2-5	296-13076-2-ND	2,5 V Micropower Spannungsreferenz	2.5V Micropower Voltage Reference	8-TSSOP		314.94/2,000	
LT1004CD-1-2	296-9580-5-ND	1,2 V Micropower integrierte Spannungsreferenz	1.2V Micropower Integrated Voltage Reference	8-SOIC	.71	.60	.48
LT1004CD-2-5	296-9581-5-ND	2,5 V Micropower integrierte Spannungsreferenz	2.5V Micropower Integrated Voltage Reference	8-SOIC	.71	.60	.48
LT1004CDR-1-2	296-14610-1-ND	1,2 V Micropower integrierte Spannungsreferenz	1.2V Micropower Integrated Voltage Reference	8-SOIC	.71	.60	.48
LT1004CDR-1-2	296-14610-2-ND	1,2 V Micropower integrierte Spannungsreferenz	1.2V Micropower Integrated Voltage Reference	8-SOIC		770.41/2,500	
LT1004CLP-1-2	296-9582-5-ND	1,2 V Micropower integrierte Spannungsreferenz	1.2V Micropower Integrated Voltage Reference	TO-92	.71	.60	.48
LT1004CLP-2-5	296-9583-5-ND	2,5 V Micropower integrierte Spannungsreferenz	2.5V Micropower Integrated Voltage Reference	TO-92	.71	.60	.48
LT1004CPWR-1-2	296-13077-1-ND	1,2 V Micropower integrierte Spannungsreferenz	1.2V Micropower Integrated Voltage Reference	8-TSSOP	.71	.60	.48
LT1004CPWR-1-2	296-13077-2-ND	1,2 V Micropower integrierte Spannungsreferenz	1.2V Micropower Integrated Voltage Reference	8-TSSOP		629.87/2,000	
LT1004CPWR-2-5	296-13078-1-ND	2,5 V Micropower integrierte Spannungsreferenz	2.5V Micropower Integrated Voltage Reference	8-TSSOP	.71	.60	.48
LT1004CPWR-2-5	296-13078-2-ND	2,5 V Micropower integrierte Spannungsreferenz	2.5V Micropower Integrated Voltage Reference	8-TSSOP		629.87/2,000	
LT1004ID-2-5	296-9584-5-ND	2,5 V Micropower integrierte Spannungsreferenz	2.5V Micropower Integrated Voltage Reference	8-SOIC	1.17	.94	.70
LT1004IPWR-1-2	296-13079-1-ND	1,2 V Micropower integrierte Spannungsreferenz	1.2V Micropower Integrated Voltage Reference	8-TSSOP	1.17	.94	.70
LT1004IPWR-1-2	296-13079-2-ND	1,2 V Micropower integrierte Spannungsreferenz	1.2V Micropower Integrated Voltage Reference	8-TSSOP		1210.64/2,000	
LT1004IPWR-2-5	296-13080-1-ND	2,5 V Micropower integrierte Spannungsreferenz	2.5V Micropower Integrated Voltage Reference	8-TSSOP	1.17	.94	.70
LT1004IPWR-2-5	296-13080-2-ND	2,5 V Micropower integrierte Spannungsreferenz	2.5V Micropower Integrated Voltage Reference	8-TSSOP		1210.64/2,000	
LT1009CDR	296-14611-1-ND	2,5 V integrierter Bezugsschaltkreis	2.5V Integrated Reference Circuit	8-SOIC	.81	.68	.55
LT1009CDR	296-14611-2-ND	2,5 V integrierter Bezugsschaltkreis	2.5V Integrated Reference Circuit	8-SOIC		880.46/2,500	
LT1009CLP	296-9585-5-ND	2,5 V integrierter Bezugsschaltkreis	2.5V Integrated Reference Circuit	TO-92	.81	.68	.55
LT1009CLPR	296-14612-1-ND	2,5 V integrierter Bezugsschaltkreis	2.5V Integrated Reference Circuit	TO-92	.81	.68	.55
LT1009CLPR	296-14612-2-ND	2,5 V integrierter Bezugsschaltkreis	2.5V Integrated Reference Circuit	TO-92		721.30/2,000	
LT1009CPWR	296-13081-1-ND	2,5 V integrierter Bezugsschaltkreis	2.5V Integrated Reference Circuit	8-TSSOP	.81	.68	.55
LT1009CPWR	296-13081-2-ND	2,5 V integrierter Bezugsschaltkreis	2.5V Integrated Reference Circuit	8-TSSOP		721.30/2,000	
LT1009ID	296-9586-5-ND	2,5 V integrierter Bezugsschaltkreis	2.5V Integrated Reference Circuit	8-SOIC	.89	.75	.60

(Forts.)

★ RUFEN SIE BITTE AN FÜR NIEDRIGERE PREISE BEI GRÖSSEREN MENGEN! ★

T. I. Teilenr.	Digi-Key Teilenr.	Beschreibung		Paket	Stückpreis★ 1	25	100
LT1009IDR	296-14613-1-ND	2,5 V integrierter Bezugsschaltkreis	2.5V Integrated Reference Circuit	8-SOIC	.89	.75	.60
LT1009IDR	296-14613-2-ND	2,5 V integrierter Bezugsschaltkreis	2.5V Integrated Reference Circuit	8-SOIC		963.01/2,500	
LT1009ILP	296-9587-5-ND	2,5 V integrierter Bezugsschaltkreis	2.5V Integrated Reference Circuit	TO-92	.89	.75	.60
LT1009ILPR	296-14614-1-ND	2,5 V integrierter Bezugsschaltkreis	2.5V Integrated Reference Circuit	TO-92	.89	.75	.60
LT1009ILPR	296-14614-2-ND	2,5 V integrierter Bezugsschaltkreis	2.5V Integrated Reference Circuit	TO-92		789.03/2,000	
LT1009IPWR	296-15734-1-ND	2,5 V integrierter Bezugsschaltkreis	2.5V Integrated Reference Circuit	8-TSSOP	.89	.75	.60
LT1009IPWR	296-15734-2-ND	2,5 V integrierter Bezugsschaltkreis	2.5V Integrated Reference Circuit	8-TSSOP		789.03/2,000	
REF02AP	296-12732-5-ND	+5 V Präzisions-Spannungsreferenz	+5V Precision Voltage Reference	8-Dip	2.63	2.11	1.64
REF02AU	REF02AU-ND	+5 V Spannungsreferenz	+5V Voltage Reference	8-SOIC	2.63	2.11	1.64
REF02BP	REF02BP-ND	+5 V Präzisions-Spannungsreferenz	+5V Precision Voltage Reference	8-Dip	4.27	3.42	2.89
REF02BU	REF02BU-ND	+5 V Spannungsreferenz	+5V Voltage Reference	8-SOIC	3.72	2.98	2.32
REF102AP	REF102AP-ND	+10 V Präzisions-Spannungsreferenz	+10V Precision Voltage Reference	8-Dip	3.34	2.67	2.08
REF102AU	REF102AU-ND	+10 V Präzisions-Spannungsreferenz	+10V Precision Voltage Reference	8-SOIC	3.34	2.67	2.08
REF102BP	REF102BP-ND	+10 V Präzisions-Spannungsreferenz	+10V Precision Voltage Reference	8-Dip	5.50	4.41	3.72
REF102BU	296-17004-5-ND	+10 V Präzisions-Spannungsreferenz	+10V Precision Voltage Reference	8-SOIC	5.50	4.41	3.72
REF102CP	296-17005-5-ND	+10 V Präzisions-Spannungsreferenz	+10V Precision Voltage Reference	8-Dip	7.62	6.10	5.15
REF102CU	296-17006-5-ND	+10 V Präzisions-Spannungsreferenz	+10V Precision Voltage Reference	8-SOIC	7.62	6.10	5.15
REF200AU	REF200AU-ND	Zweif. Stromquelle/Stromzug	Dual Current Source/Current Sink	8-SOIC	4.40	3.53	2.98
REF1004C-1.2	REF1004C-1.2-ND	1,2 V Micropower Spannungsreferenz	1.2V Micropower Voltage Reference	8-SOIC	2.36	1.89	1.47
REF1004C-2.5	REF1004C-2.5-ND	2,5 V Micropower Spannungsreferenz	2.5V Micropower Voltage Reference	8-SOIC	2.36	1.89	1.47
REF1004I-1.2	REF1004I-1.2-ND	1,2 V Micropower Spannungsreferenz	1.2V Micropower Voltage Reference	8-SOIC	4.61	3.69	2.87
REF1004I-2.5	REF1004I-2.5-ND	2,5 V Micropower Spannungsreferenz	2.5V Micropower Voltage Reference	8-SOIC	4.61	3.69	2.87
REF1112AIDBZT	296-15842-1-ND	1,25 V Shunt-Spannungsreferenz	1.25V, Shunt Voltage Reference	SOT-23	1.80	1.44	1.08
REF1112AIDBZT	296-15842-2-ND	1,25 V Shunt-Spannungsreferenz	1.25V, Shunt Voltage Reference	SOT-23		251.86/250	
REF2912AIDBZT	296-13480-1-ND	1,25 V Präzision, Niedrigleistung, Niederspannungs-Abfallspannungsreferenz	1.25V, Precision, Low Power, Low Voltage Dropout Voltage Reference	SOT-23	1.24	1.04	.83
REF2912AIDBZT	296-13480-2-ND	1,25 V Präzision, Niedrigleistung, Niederspannungs-Abfallspannungsreferenz	1.25V, Precision, Low Power, Low Voltage Dropout Voltage Reference	SOT-23		155.56/250	
REF2920AIDBZT	296-13481-1-ND	2,048 V Präzision, Niedrigleistung, Niederspannungs-Abfallspannungsreferenz	2.048V, Precision, Low Power, Low Voltage Dropout Voltage Reference	SOT-23	1.24	1.04	.83
REF2920AIDBZT	296-13481-2-ND	2,048 V Präzision, Niedrigleistung, Niederspannungs-Abfallspannungsreferenz	2.048V, Precision, Low Power, Low Voltage Dropout Voltage Reference	SOT-23		155.56/250	
REF2925AIDBZT	296-13482-1-ND	2,5 V Präzision, Niedrigleistung, Niederspannungs-Abfallspannungsreferenz	2.5V, Precision, Low Power, Low Voltage Dropout Voltage Reference	SOT-23	1.24	1.04	.83
REF2925AIDBZT	296-13482-2-ND	2,5 V Präzision, Niedrigleistung, Niederspannungs-Abfallspannungsreferenz	2.5V, Precision, Low Power, Low Voltage Dropout Voltage Reference	SOT-23		155.56/250	
REF2930AIDBZT	296-13483-1-ND	3,0 V Präzision, Niedrigleistung, Niederspannungs-Abfallspannungsreferenz	3.0V, Precision, Low Power, Low Voltage Dropout Voltage Reference	SOT-23	1.24	1.04	.83
REF2930AIDBZT	296-13483-2-ND	3,0 V Präzision, Niedrigleistung, Niederspannungs-Abfallspannungsreferenz	3.0V, Precision, Low Power, Low Voltage Dropout Voltage Reference	SOT-23		155.56/250	
REF2933AIDBZT	296-13484-1-ND	3,3 V Präzision, Niedrigleistung, Niederspannungs-Abfallspannungsreferenz	3.3V, Precision, Low Power, Low Voltage Dropout Voltage Reference	SOT-23	1.24	1.04	.83
REF2933AIDBZT	296-13484-2-ND	3,3 V Präzision, Niedrigleistung, Niederspannungs-Abfallspannungsreferenz	3.3V, Precision, Low Power, Low Voltage Dropout Voltage Reference	SOT-23		155.56/250	
REF2940AIDBZT	296-13485-1-ND	4,096 V Präzision, Niedrigleistung, Niederspannungs-Abfallspannungsreferenz	4.096V, Precision, Low Power, Low Voltage Dropout Voltage Reference	SOT-23	1.24	1.04	.83
REF2940AIDBZT	296-13485-2-ND	4,096 V Präzision, Niedrigleistung, Niederspannungs-Abfallspannungsreferenz	4.096V, Precision, Low Power, Low Voltage Dropout Voltage Reference	SOT-23		155.56/250	
REF3012AIDBZT	REF3012AIDBZTCT-ND	1,25 V CMOS-Spannungsref., Niedrigleistung	1.25V, Low Power CMOS Voltage Ref.	SOT-23	1.27	1.02	.77
REF3012AIDBZT	REF3012AIDBZTTR-ND	1,25 V CMOS-Spannungsref., Niedrigleistung	1.25V, Low Power CMOS Voltage Ref.	SOT-23		177.79/250	
REF3020AIDBZT	REF3020AIDBZTCT-ND	2,0 V CMOS-Spannungsref., Niedrigleistung	2.0V, Low Power CMOS Voltage Ref.	SOT-23	1.27	1.02	.77
REF3020AIDBZT	REF3020AIDBZTTR-ND	2,0 V CMOS-Spannungsref., Niedrigleistung	2.0V, Low Power CMOS Voltage Ref.	SOT-23		177.79/250	
REF3025AIDBZT	REF3025AIDBZTCT-ND	2,5 V CMOS-Spannungsref., Niedrigleistung	2.5V, Low Power CMOS Voltage Ref.	SOT-23	1.27	1.02	.77
REF3025AIDBZT	REF3025AIDBZTTR-ND	2,5 V CMOS-Spannungsref., Niedrigleistung	2.5V, Low Power CMOS Voltage Ref.	SOT-23		177.79/250	
REF3033AIDBZT	REF3033AIDBZTCT-ND	3,3 V CMOS-Spannungsref., Niedrigleistung	3.3V, Low Power CMOS Voltage Ref.	SOT-23	1.27	1.02	.77
REF3033AIDBZT	REF3033AIDBZTTR-ND	3,3 V CMOS-Spannungsref., Niedrigleistung	3.3V, Low Power CMOS Voltage Ref.	SOT-23		177.79/250	
REF3040AIDBZT	REF3040AIDBZTCT-ND	4,0 V CMOS-Spannungsref., Niedrigleistung	4.0V, Low Power CMOS Voltage Ref.	SOT-23	1.27	1.02	.77
REF3040AIDBZT	REF3040AIDBZTTR-ND	4,0 V CMOS-Spannungsref., Niedrigleistung	4.0V, Low Power CMOS Voltage Ref.	SOT-23		177.79/250	
REF3125AIDBZT	296-17509-1-ND	2,5 V, 100 µA, Spannungsreferenz	2.5V, 100µA, Volt. Reference	SOT-23	2.10	1.68	1.31
REF3125AIDBZT	296-17509-2-ND	2,5 V, 100 µA, Spannungsreferenz	2.5V, 100µA, Volt. Reference	SOT-23		309.64/250	
REF3140AIDBZT	296-17234-1-ND	4,096 V CMOS-Spannungsref., Niedrigleistung	4.096V, Low Power CMOS Voltage Ref.	SOT-23	2.10	1.68	1.31
REF3140AIDBZT	296-17234-2-ND	4,096 V CMOS-Spannungsref., Niedrigleistung	4.096V, Low Power CMOS Voltage Ref.	SOT-23		309.64/250	
TL431ACD	296-1286-5-ND	Shunt-Regler, einstellbar	Adjustable Shunt Regulator	8-SOIC	.38	.31	.23
TL431ACDBVR	296-15236-1-ND	Shunt-Regler, einstellbar	Adjustable Shunt Regulator	SOT-23-5	.38	.31	.23
TL431ACDBVR	296-15236-2-ND	Shunt-Regler, einstellbar	Adjustable Shunt Regulator	SOT-23-5		309.86/3,000	
TL431ACDBVT	296-15323-1-ND	Shunt-Regler, einstellbar	Adjustable Shunt Regulator	SOT-23-5	.38	.31	.23
TL431ACDBVT	296-15323-2-ND	Shunt-Regler, einstellbar	Adjustable Shunt Regulator	SOT-23-5		40.00/250	
TL431ACDR	296-1286-1-ND	Shunt-Regler, einstellbar	Adjustable Shunt Regulator	8-SOIC	.38	.31	.23
TL431ACDR	296-1286-2-ND	Shunt-Regler, einstellbar	Adjustable Shunt Regulator	8-SOIC		258.21/2,500	
TL431ACLP	296-1287-ND	Shunt-Regler, einstellbar	Adjustable Shunt Regulator	TO-92	.38	.31	.23
TL431ACLPR	296-1287-1-ND	Shunt-Regler, einstellbar	Adjustable Shunt Regulator	TO-92	.38	.31	.23
TL431ACLPR	296-1287-2-ND	Shunt-Regler, einstellbar	Adjustable Shunt Regulator	TO-92		213.34/2,000	
TL431ACP	296-10182-5-ND	Shunt-Regler, einstellbar	Adjustable Shunt Regulator	8-Dip	.38	.31	.23
TL431ACPK	296-17037-1-ND	Shunt-Regler, einstellbar	Adjustable Shunt Regulator	SOT-89	.47	.38	.28
TL431ACPK	296-17037-2-ND	Shunt-Regler, einstellbar	Adjustable Shunt Regulator	SOT-89		130.38/1,000	
TL431ACPSR	296-13352-1-ND	Shunt-Regler, einstellbar	Adjustable Shunt Regulator	8-SOP	.38	.31	.23
TL431ACPSR	296-13352-2-ND	Shunt-Regler, einstellbar	Adjustable Shunt Regulator	8-SOP		213.34/2,000	
TL431ACPWR	296-13353-1-ND	Shunt-Regler, einstellbar	Adjustable Shunt Regulator	8-SSOP	.38	.31	.23
TL431ACPWR	296-13353-2-ND	Shunt-Regler, einstellbar	Adjustable Shunt Regulator	8-SSOP		213.34/2,000	
TL431AID	296-1288-5-ND	Shunt-Regler, einstellbar	Adjustable Shunt Regulator	8-SOIC	.42	.34	.26
TL431AIDBVT	296-15324-1-ND	Shunt-Regler, einstellbar	Adjustable Shunt Regulator	SOT-23-5	.42	.34	.26
TL431AIDBVT	296-15324-2-ND	Shunt-Regler, einstellbar	Adjustable Shunt Regulator	SOT-23-5		44.45/250	
TL431AIDR	296-1288-1-ND	Shunt-Regler, einstellbar	Adjustable Shunt Regulator	8-SOIC	.42	.34	.26
TL431AIDR	296-1288-2-ND	Shunt-Regler, einstellbar	Adjustable Shunt Regulator	8-SOIC		285.73/2,500	
TL431AILP	296-10183-5-ND	Shunt-Regler, einstellbar	Adjustable Shunt Regulator	TO-226AA	.42	.34	.26
TL431AILPR	296-10183-1-ND	Shunt-Regler, einstellbar	Adjustable Shunt Regulator	TO-226AA	.42	.34	.26
TL431AILPR	296-10183-2-ND	Shunt-Regler, einstellbar	Adjustable Shunt Regulator	TO-226AA		237.05/2,000	
TL431AIP	296-10184-5-ND	Shunt-Regler, einstellbar	Adjustable Shunt Regulator	8-Dip	.42	.34	.26
TL431AIPK	296-17038-1-ND	Shunt-Regler, einstellbar	Adjustable Shunt Regulator	SOT-89	.41	.31	.23
TL431AIPK	296-17038-2-ND	Shunt-Regler, einstellbar	Adjustable Shunt Regulator	SOT-89		135.46/1,000	
TL431CD	296-1289-5-ND	Shunt-Regler, einstellbar	Adjustable Shunt Regulator	8-SOIC	.34	.28	.21
TL431CDR	296-1289-1-ND	Shunt-Regler, einstellbar	Adjustable Shunt Regulator	8-SOIC	.34	.28	.21
TL431CDR	296-1289-2-ND	Shunt-Regler, einstellbar	Adjustable Shunt Regulator	8-SOIC		228.58/2,500	
TL431CDBVR	296-10185-1-ND	Shunt-Regler, einstellbar	Adjustable Shunt Regulator	SOT-23-5	.34	.28	.21
TL431CDBVR	296-10185-2-ND	Shunt-Regler, einstellbar	Adjustable Shunt Regulator	SOT-23-5		274.30/3,000	
TL431CLP	296-1290-ND	Shunt-Regler, einstellbar	Adjustable Shunt Regulator	TO-92	.34	.28	.21
TL431CLPR	296-1290-1-ND	Shunt-Regler, einstellbar	Adjustable Shunt Regulator	TO-92	.34	.28	.21
TL431CLPR	296-1290-2-ND	Shunt-Regler, einstellbar	Adjustable Shunt Regulator	TO-92		189.64/2,000	
TL431CP	296-1798-5-ND	Shunt-Regler, einstellbar	Adjustable Shunt Regulator	8-Dip	.34	.28	.21
TL431CPK	296-1991-1-ND	Shunt-Regler, einstellbar	Adjustable Shunt Regulator	3-Sip	.42	.34	.26
TL431CPWR	296-12497-1-ND	Shunt-Regler, einstellbar	Adjustable Shunt Regulator	8-TSSOP	.34	.28	.21
TL431CPWR	296-12497-2-ND	Shunt-Regler, einstellbar	Adjustable Shunt Regulator	8-TSSOP		189.64/2,000	
TL431IDBVR	296-10187-1-ND	Shunt-Regler, einstellbar	Adjustable Shunt Regulator	SOT-23-5	.38	.31	.23
TL431IDBVR	296-10187-2-ND	Shunt-Regler, einstellbar	Adjustable Shunt Regulator	SOT-23-5		309.86/3,000	
TL431IDR	296-1291-1-ND	Shunt-Regler, einstellbar	Adjustable Shunt Regulator	8-SOIC	.38	.31	.23
TL431IDR	296-1291-2-ND	Shunt-Regler, einstellbar	Adjustable Shunt Regulator	8-SOIC		258.21/2,500	
TL431ILP	296-1292-ND	Shunt-Regler, einstellbar	Adjustable Shunt Regulator	TO-92	.38	.31	.23
TL431ILPR	296-1292-1-ND	Shunt-Regler, einstellbar	Adjustable Shunt Regulator	TO-92	.38	.31	.23
TL431ILPR	296-1292-2-ND	Shunt-Regler, einstellbar	Adjustable Shunt Regulator	TO-92		213.34/2,000	
TL431IP	296-10188-5-ND	Shunt-Regler, einstellbar	Adjustable Shunt Regulator	8-Dip	.38	.31	.23
TL431IPK	296-10189-1-ND	Shunt-Regler, einstellbar	Adjustable Shunt Regulator	SOT-89	.47	.38	.28
TL431IPK	296-10189-2-ND	Shunt-Regler, einstellbar	Adjustable Shunt Regulator	SOT-89		130.38/1,000	

(Forts.)

★ ***RUFEN SIE BITTE AN FÜR NIEDRIGERE PREISE BEI GRÖSSEREN MENGEN!*** ★

B

T. I. Teilenr.	Digi-Key Teilenr.	Beschreibung		Paket	Stückpreis★ 1	25	100
TL1431CD	296-10129-5-ND	Einstellb. programmierbarer Shunt-Regler	Adj. Programmable Shunt Regulator	8-SOIC	.68	.51	.39
TL1431CDR	296-10129-1-ND	Einstellb. programmierbarer Shunt-Regler	Adj. Programmable Shunt Regulator	8-SOIC	.68	.51	.39
TL1431CDR	296-10129-2-ND	Einstellb. programmierbarer Shunt-Regler	Adj. Programmable Shunt Regulator	8-SOIC		550.29/2,500	
TL1431CLP	296-10130-5-ND	Einstellb. programmierbarer Shunt-Regler	Adj. Programmable Shunt Reg.	TO-226AA	.68	.51	.39
TL1431CLPR	296-10130-1-ND	Einstellb. programmierbarer Shunt-Regler	Adj. Programmable Shunt Reg.	TO-226AA	.68	.51	.39
TL1431CLPR	296-10130-2-ND	Einstellb. programmierbarer Shunt-Regler	Adj. Programmable Shunt Reg.	TO-226AA		450.39/2,000	
TL1431CPWR	296-12607-1-ND	Einstellb. programmierbarer Shunt-Regler	Adj. Programmable Shunt Regulator	8-TSSOP	.68	.51	.39
TL1431CPWR	296-12607-2-ND	Einstellb. programmierbarer Shunt-Regler	Adj. Programmable Shunt Regulator	8-TSSOP		450.39/2,000	
TL1431QD	296-10131-5-ND	Einstellb. programmierbarer Shunt-Regler	Adj. Programmable Shunt Regulator	8-SOIC	.76	.64	.51
TL1431QDR	296-17021-1-ND	Einstellb. programmierbarer Shunt-Regler	Adj. Programmable Shunt Regulator	8-SOIC	1.02	.77	.58
TL1431QDR	296-17021-2-ND	Einstellb. programmierbarer Shunt-Regler	Adj. Programmable Shunt Regulator	8-SOIC		825.44/2,500	
TL1431QLPR	296-10132-1-ND	Einstellb. programmierbarer Shunt-Regler	Adj. Programmable Shunt Regulator	TO-92	1.50	1.25	1.00
TL1431QLPR	296-10132-2-ND	Einstellb. programmierbarer Shunt-Regler	Adj. Programmable Shunt Regulator	TO-92		1329.16/2,000	
TLV431ACDBVR	296-1348-1-ND	Einstellb. Shunt-Regler, Niederspannung	Low Volt. Adj. Shunt Regulator	SOT-23-5	.47	.36	.27
TLV431AIDBVR	296-1984-1-ND	Einstellb. Shunt-Regler, Niederspannung	Low Volt. Adj. Shunt Regulator	SOT-23-5	.54	.41	.31
TLV431AIDR	296-15032-1-ND	Einstellb. Shunt-Regler, Niederspannung	Low Volt. Adj. Shunt Regulator	8-SOIC	.54	.41	.31
TLV431AIDR	296-15032-2-ND	Einstellb. Shunt-Regler, Niederspannung	Low Volt. Adj. Shunt Regulator	8-SOIC		440.23/2,500	
TLV431BCDBVR	296-17568-1-ND	Einstellb. Shunt-Regler, Niederspannung	Low Volt. Adj. Shunt Reg.	SOT-23-5	.71	.54	.40
TLV431BCDBVR	296-17568-2-ND	Einstellb. Shunt-Regler, Niederspannung	Low Volt. Adj. Shunt Reg.	SOT-23-5		693.37/3,000	
TLV431BCDBZR	296-17569-1-ND	Einstellb. Shunt-Regler, Niederspannung	Low Volt. Adj. Shunt Reg.	SOT-23	.71	.54	.40
TLV431BCDBZR	296-17569-2-ND	Einstellb. Shunt-Regler, Niederspannung	Low Volt. Adj. Shunt Reg.	SOT-23		693.37/3,000	
TLV431BIDBVR	296-17570-1-ND	Einstellb. Shunt-Regler, Niederspannung	Low Volt. Adj. Shunt Reg.	SOT-23-5	.78	.59	.44
TLV431BIDBVR	296-17570-2-ND	Einstellb. Shunt-Regler, Niederspannung	Low Volt. Adj. Shunt Reg.	SOT-23-5		759.40/3,000	
TLV431BIDBZR	296-17571-1-ND	Einstellb. Shunt-Regler, Niederspannung	Low Volt. Adj. Shunt Reg.	SOT-23	.78	.59	.44
TLV431BIDBZR	296-17571-2-ND	Einstellb. Shunt-Regler, Niederspannung	Low Volt. Adj. Shunt Reg.	SOT-23		759.40/3,000	
TLV431BQDBVR	296-17572-1-ND	Einstellb. Shunt-Regler, Niederspannung	Low Volt. Adj. Shunt Reg.	SOT-23-5	.84	.70	.56
TLV431BQDBVR	296-17572-2-ND	Einstellb. Shunt-Regler, Niederspannung	Low Volt. Adj. Shunt Reg.	SOT-23-5		1089.57/3,000	
TLV431BQDBZR	296-17573-1-ND	Einstellb. Shunt-Regler, Niederspannung	Low Volt. Adj. Shunt Reg.	SOT-23	.84	.70	.56
TLV431BQDBZR	296-17573-2-ND	Einstellb. Shunt-Regler, Niederspannung	Low Volt. Adj. Shunt Reg.	SOT-23		1089.57/3,000	
TLV431CDBVR	296-13616-1-ND	Einstellb. Shunt-Regler, Niederspannung	Low Volt. Adj. Shunt Regulator	SOT-23-5	.44	.33	.25
TLV431CDBVR	296-13616-2-ND	Einstellb. Shunt-Regler, Niederspannung	Low Volt. Adj. Shunt Regulator	SOT-23-5		429.23/3,000	
TLV431IDBVR	296-13617-1-ND	Einstellb. Shunt-Regler, Niederspannung	Low Volt. Adj. Shunt Regulator	SOT-23-5	.51	.39	.29
TLV431IDBVR	296-13617-2-ND	Einstellb. Shunt-Regler, Niederspannung	Low Volt. Adj. Shunt Regulator	SOT-23-5		495.26/3,000	
TLV431ILP	296-10729-5-ND	Einstellb. Shunt-Regler, Niederspannung	Low Volt. Adj. Shunt Regulator	TO-92	.51	.39	.29
UCC561DP	296-12196-5-ND	Niedrigspannungs-Diff. SCSI 27-Leitungsreglersatz	Low Volt. Diff SCSI 27-Line Reg. Set	16-SOIC	2.18	1.74	1.36
		Regler, niedrige Abfallspannung					
LP2981-30DBVR	296-17546-1-ND	3 V, 100 mA LDO-Regler	3V, 100mA LDO Regulator	SOT-23-5	.68	.51	.39
LP2981-30DBVR	296-17546-2-ND	3 V, 100 mA LDO-Regler	3V, 100mA LDO Regulator	SOT-23-5		660.35/3,000	
LP2981-33DBVR	296-17360-1-ND	3,3 V, 100 mA LDO-Regler	3.3V, 100mA LDO Regulator	SOT-23-5	.68	.51	.39
LP2981-33DBVR	296-17360-2-ND	3,3 V, 100 mA LDO-Regler	3.3V, 100mA LDO Regulator	SOT-23-5		660.35/3,000	
LP2981A-30DBVR	296-17545-1-ND	3 V, 100 mA LDO-Regler	3V, 100mA LDO Regulator	SOT-23-5	.75	.56	.42
LP2981A-30DBVR	296-17545-2-ND	3 V, 100 mA LDO-Regler	3V, 100mA LDO Regulator	SOT-23-5		726.38/3,000	
LP2981A-33DBVR	296-17361-1-ND	3,3 V, 100 mA LDO-Regler	3.3V, 100mA LDO Regulator	SOT-23-5	.75	.56	.42
LP2981A-33DBVR	296-17361-2-ND	3,3 V, 100 mA LDO-Regler	3.3V, 100mA LDO Regulator	SOT-23-5		726.38/3,000	
REG101NA-A/250	REG101NA-A/250CT-ND	Einstellb. 100 mA LDO-Regler	Adj., 100mA LDO Regulator	SOT-23-5	1.90	1.53	1.15
REG101NA-A/250	REG101NA-A/250TR-ND	Einstellb. 100 mA LDO-Regler	Adj., 100mA LDO Regulator	SOT-23-5		266.68/250	
REG101NA-2.5/250	REG101NA-2.5CT-ND	2,5 V DMOS-LDO-Regler, 100 mA	2.5V DMOS 100mA LDO Regulator	SOT-23-5	1.90	1.53	1.15
REG101NA-2.5/250	REG101NA-2.5TR-ND	2,5 V DMOS-LDO-Regler, 100 mA	2.5V DMOS 100mA LDO Regulator	SOT-23-5		266.68/250	
REG101NA-2.8/250	REG101NA-2.8CT-ND	2,8 V DMOS-LDO-Regler, 100 mA	2.8V DMOS 100mA LDO Regulator	SOT-23-5	1.90	1.53	1.15
REG101NA-2.8/250	REG101NA-2.8TR-ND	2,8 V DMOS-LDO-Regler, 100 mA	2.8V DMOS 100mA LDO Regulator	SOT-23-5		266.68/250	
REG101NA-2.85/250	REG101NA-2.85CT-ND	2,85 V DMOS-LDO-Regler, 100 mA	2.85V DMOS 100mA LDO Regulator	SOT-23-5	1.90	1.53	1.15
REG101NA-2.85/250	REG101NA-2.85TR-ND	2,85 V DMOS-LDO-Regler, 100 mA	2.85V DMOS 100mA LDO Regulator	SOT-23-5		266.68/250	
REG101NA-3/250	REG101NA-3CT-ND	3 V DMOS-LDO-Regler, 100 mA	3V DMOS 100mA LDO Regulator	SOT-23-5	1.90	1.53	1.15
REG101NA-3/250	REG101NA-3TR-ND	3 V DMOS-LDO-Regler, 100 mA	3V DMOS 100mA LDO Regulator	SOT-23-5		266.68/250	
REG101NA-3.3/250	REG101NA-3.3CT-ND	3,3 V DMOS-LDO-Regler, 100 mA	3.3V DMOS 100mA LDO Regulator	SOT-23-5	1.90	1.53	1.15
REG101NA-3.3/250	REG101NA-3.3TR-ND	3,3 V DMOS-LDO-Regler, 100 mA	3.3V DMOS 100mA LDO Regulator	SOT-23-5		266.68/250	
REG101NA-5/250	REG101NA-5CT-ND	5 V DMOS-LDO-Regler, 100 mA	5V DMOS 100mA LDO Regulator	SOT-23-5	1.90	1.53	1.15
REG101NA-5/250	REG101NA-5TR-ND	5 V DMOS-LDO-Regler, 100 mA	5V DMOS 100mA LDO Regulator	SOT-23-5		266.68/250	
REG101UA-A	REG101UA-A-ND	Einstellb. 100 mA LDO-Regler	Adj., 100mA LDO Regulator	8-SOIC	2.01	1.61	1.21
REG101UA-2.5	REG101UA-2.5-ND	2,5 V DMOS-LDO-Regler, 100 mA	2.5V DMOS 100mA LDO Regulator	SO-8-50	2.01	1.61	1.21
REG101UA-2.5/2KS	REG101UA-2.5TR-ND	2,5 V DMOS-LDO-Regler, 100 mA	2.5V DMOS 100mA LDO Regulator	SO-8-50		2573.66/2,500	
REG101UA-2.8	REG101UA-2.8-ND	2,8 V DMOS-LDO-Regler, 100 mA	2.8V DMOS 100mA LDO Regulator	SO-8-50	2.01	1.61	1.21
REG101UA-2.8/2KS	REG101UA-2.8TR-ND	2,8 V DMOS-LDO-Regler, 100 mA	2.8V DMOS 100mA LDO Regulator	SO-8-50		2573.66/2,500	
REG101UA-2.85	REG101UA-2.85-ND	2,85 V DMOS-LDO-Regler, 100 mA	2.85V DMOS 100mA LDO Regulator	SO-8-50	2.01	1.61	1.21
REG101UA-3	REG101UA-3-ND	3 V DMOS-LDO-Regler, 100 mA	3V DMOS 100mA LDO Regulator	SO-8-50	2.01	1.61	1.21
REG101UA-3/2KS	REG101UA-3TR-ND	3 V DMOS-LDO-Regler, 100 mA	3V DMOS 100mA LDO Regulator	SO-8-50		2573.66/2,500	
REG101UA-3.3	REG101UA-3.3-ND	3,3 V, 100 mA LDO-Regler	3.3V, 100mA LDO Regulator	8-SOIC	2.01	1.61	1.21
REG101UA-5	REG101UA-5-ND	5 V DMOS-LDO-Regler, 100 mA	5V DMOS 100mA LDO Regulator	SO-8-50	2.01	1.61	1.21
REG101UA-5/2KS	REG101UA-5TR-ND	5 V DMOS-LDO-Regler, 100 mA	5V DMOS 100mA LDO Regulator	SO-8-50		2573.66/2,500	
REG102NA-A/250	REG102NA-A/250CT-ND	250 mA LDO-Regler, einstellb.	Adj., 250mA LDO Regulator	SOT-23-5	2.12	1.70	1.27
REG102NA-A/250	REG102NA-A/250TR-ND	250 mA LDO-Regler, einstellb.	Adj., 250mA LDO Regulator	SOT-23-5		281.49/250	
REG102NA-2.5/250	REG102NA-2.5CT-ND	2,5 V DMOS-LDO-Regler, 250 mA	2.5V DMOS 250mA LDO Regulator	SOT-23-5	2.12	1.70	1.27
REG102NA-2.5/250	REG102NA-2.5TR-ND	2,5 V DMOS-LDO-Regler, 250 mA	2.5V DMOS 250mA LDO Regulator	SOT-23-5		281.49/250	
REG102NA-2.8/250	REG102NA2.8250CT-ND	2,8 V, 250 mA LDO-Regler	2.8V, 250mA LDO Regulator	SOT-23-5	2.12	1.70	1.27
REG102NA-2.8/250	REG102NA2.8250TR-ND	2,8 V, 250 mA LDO-Regler	2.8V, 250mA LDO Regulator	SOT-23-5		281.49/250	
REG102NA-2.85/250	REG102NA-2.85CT-ND	2,85 V DMOS-LDO-Regler, 250 mA	2.85V DMOS 250mA LDO Regulator	SOT-23-5	2.12	1.70	1.27
REG102NA-2.85/250	REG102NA-2.85TR-ND	2,85 V DMOS-LDO-Regler, 250 mA	2.85V DMOS 250mA LDO Regulator	SOT-23-5		281.49/250	
REG102NA-3/3K	296-17894-1-ND	3 V, DMOS LDO-Regler, 250 mA	3V, DMOS 250mA LDO Reg.	SOT-23-5	1.90	1.53	1.19
REG102NA-3/3K	296-17894-2-ND	3 V, DMOS LDO-Regler, 250 mA	3V, DMOS 250mA LDO Reg.	SOT-23-5		3200.15/3,000	
REG102NA-3/250	REG102NA-3CT-ND	3 V DMOS-LDO-Regler, 250 mA	3V DMOS 250mA LDO Regulator	SOT-23-5	2.12	1.70	1.27
REG102NA-3/250	REG102NA-3TR-ND	3 V DMOS-LDO-Regler, 250 mA	3V DMOS 250mA LDO Regulator	SOT-23-5		281.49/250	
REG102NA-3.3/250	REG102NA-3.3CT-ND	3,3 V DMOS-LDO-Regler, 250 mA	3.3V DMOS 250mA LDO Regulator	SOT-23-5	2.12	1.70	1.27
REG102NA-3.3/250	REG102NA-3.3TR-ND	3,3 V DMOS-LDO-Regler, 250 mA	3.3V DMOS 250mA LDO Regulator	SOT-23-5		281.49/250	
REG102NA-5/250	REG102NA-5CT-ND	5 V DMOS-LDO-Regler, 250 mA	5V DMOS 250mA LDO Regulator	SOT-23-5	2.12	1.70	1.27
REG102NA-5/250	REG102NA-5TR-ND	5 V DMOS-LDO-Regler, 250 mA	5V DMOS 250mA LDO Regulator	SOT-23-5		281.49/250	
REG102UA-A	REG102UA-A-ND	250 mA LDO-Regler, einstellb.	Adj., 250mA LDO Regulator	8-SOIC	2.00	1.60	1.25
REG102UA-2.5	REG102UA-2.5-ND	2,5 V, 250 mA LDO-Regler	2.5V, 250mA LDO Regulator	8-SOIC	2.00	1.60	1.25
REG102UA-2.85	REG102UA-2.85-ND	2,85 V, 250 mA LDO-Regler	2.85V, 250mA LDO Regulator	8-SOIC	2.00	1.60	1.25
REG102UA-3	REG102UA-3-ND	3 V, 250 mA LDO-Regler	3V, 250mA LDO Regulator	8-SOIC	2.00	1.60	1.25
REG102UA-3.3	REG102UA-3.3-ND	3,3 V, 250 mA LDO-Regler	3.3V, 250mA LDO Regulator	8-SOIC	2.00	1.60	1.25
REG102UA-5	REG102UA-5-ND	5 V, 250 mA LDO-Regler	5V, 250mA LDO Regulator	8-SOIC	2.00	1.60	1.25
REG103FA-AKTTT	296-15998-1-ND	Einstellb. 500 mA LDO-Regler	Adj., 500mA LDO Regulator	5-DDPAK	4.76	3.81	—
REG103FA-AKTTT	296-15998-2-ND	Einstellb. 500 mA LDO-Regler	Adj., 500mA LDO Regulator	5-DDPAK		160.60/50	
REG103FA-A/500	296-15940-1-ND	Einstellb. 500 mA LDO-Regler	Adj., 500mA LDO Regulator	5-DDPAK	4.76	3.81	3.22
REG103FA-A/500	296-15940-2-ND	Einstellb. 500 mA LDO-Regler	Adj., 500mA LDO Regulator	5-DDPAK		1510.76/500	
REG103FA-2.5	REG103FA-2.5-ND	2,5 V, 500 mA LDO-Regler	2.5V, 500mA LDO Regulator	5-DDPAK	4.27	3.42	2.89
REG103FA-2.5/500	296-15935-1-ND	2,5 V, 500 mA LDO-Regler	2.5V, 500mA LDO Regulator	5-DDPAK	4.76	3.81	3.22
REG103FA-2.5/500	296-15935-2-ND	2,5 V, 500 mA LDO-Regler	2.5V, 500mA LDO Regulator	5-DDPAK		1510.76/500	
REG103FA-2.5KTTT	296-15993-1-ND	2,5 V, 500 mA LDO-Regler	2.5V, 500mA LDO Regulator	5-DDPAK	4.76	3.81	—
REG103FA-2.5KTTT	296-15993-2-ND	2,5 V, 500 mA LDO-Regler	2.5V, 500mA LDO Regulator	5-DDPAK		160.60/50	
REG103FA-2.7	REG103FA-2.7-ND	2,7 V, 500 mA LDO-Regler	2.7V, 500mA LDO Regulator	5-DDPAK	4.27	3.42	2.89

(Forts.)

★ RUFEN SIE BITTE AN FÜR NIEDRIGERE PREISE BEI GRÖSSEREN MENGEN! ★

T. I. Teilenr.	Digi-Key Teilenr.	Beschreibung		Paket	Stückpreis★ 1	25	100
REG103FA-2.7/500	296-15936-1-ND	2,7 V, 500 mA LDO-Regler	2.7V, 500mA LDO Regulator	5-DDPAK	4.76	3.81	3.22
REG103FA-2.7/500	296-15936-2-ND	2,7 V, 500 mA LDO-Regler	2.7V, 500mA LDO Regulator	5-DDPAK		1510.76/500	
REG103FA-2.7KTTT	296-15994-1-ND	2,7 V, 500 mA LDO-Regler	2.7V, 500mA LDO Regulator	5-DDPAK	4.76	3.81	—
REG103FA-2.7KTTT	296-15994-2-ND	2,7 V, 500 mA LDO-Regler	2.7V, 500mA LDO Regulator	5-DDPAK		160.60/50	
REG103FA-3/500	296-15938-1-ND	3 V, 500 mA LDO-Regler	3V, 500mA LDO Regulator	5-DDPAK	4.76	3.81	3.22
REG103FA-3/500	296-15938-2-ND	3 V, 500 mA LDO-Regler	3V, 500mA LDO Regulator	5-DDPAK		1510.76/500	
REG103FA-3KTTT	296-15995-1-ND	3 V, 500 mA LDO-Regler	3V, 500mA LDO Regulator	5-DDPAK	4.76	3.81	—
REG103FA-3KTTT	296-15995-2-ND	3 V, 500 mA LDO-Regler	3V, 500mA LDO Regulator	5-DDPAK		160.60/50	
REG103FA-3.3/500	296-15937-1-ND	3,3 V, 500 mA LDO-Regler	3.3V, 500mA LDO Regulator	5-DDPAK	4.76	3.81	3.22
REG103FA-3.3/500	296-15937-2-ND	3,3 V, 500 mA LDO-Regler	3.3V, 500mA LDO Regulator	5-DDPAK		1510.76/500	
REG103FA-3.3KTTT	296-15996-1-ND	3,3 V, 500 mA LDO-Regler	3.3V, 500mA LDO Regulator	5-DDPAK	4.76	3.81	—
REG103FA-3.3KTTT	296-15996-2-ND	3,3 V, 500 mA LDO-Regler	3.3V, 500mA LDO Regulator	5-DDPAK		160.60/50	
REG103FA-5/500	296-15939-1-ND	5 V, 500 mA LDO-Regler	5V, 500mA LDO Regulator	5-DDPAK	4.76	3.81	3.22
REG103FA-5/500	296-15939-2-ND	5 V, 500 mA LDO-Regler	5V, 500mA LDO Regulator	5-DDPAK		1510.76/500	
REG103FA-5KTTT	296-15997-1-ND	5 V, 500 mA LDO-Regler	5V, 500mA LDO Regulator	5-DDPAK	4.76	3.81	—
REG103FA-5KTTT	296-15997-2-ND	5 V, 500 mA LDO-Regler	5V, 500mA LDO Regulator	5-DDPAK		160.60/50	
REG103GA-A	REG103GA-A-ND	500 mA CMOS-LDO-Reg., einstellb.	Adj., CMOS 500mA LDO Regulator	SOT-223-5	4.21	3.37	2.62
REG103GA-2.5	REG103GA-2.5-ND	2,5 V, 500 mA CMOS-LDO-Regler	2.5V CMOS 500mA LDO Regulator	SOT-223-5	4.21	3.37	2.62
REG103GA-2.7	REG103GA-2.7-ND	2,7 V, 500 mA CMOS-LDO-Regler	2.7V CMOS 500mA LDO Regulator	SOT-223-5	4.21	3.37	2.62
REG103GA-3	REG103GA-3-ND	3 V, 500 mA CMOS-LDO-Reg.	3V CMOS 500mA LDO Regulator	SOT-223-5	4.21	3.37	2.62
REG103GA-3.3	REG103GA-3.3-ND	3,3 V, 500 mA CMOS-LDO-Regler	3.3V CMOS 500mA LDO Regulator	SOT-223-5	4.21	3.37	2.62
REG103GA-5	REG103GA-5-ND	5 V, 500 mA CMOS-LDO-Regler	5V CMOS 500mA LDO Regulator	SOT-223-5	4.21	3.37	2.62
REG103UA-A	REG103UA-A-ND	500 mA DMOS-LDO-Reg., einstellb.	Adj., DMOS 500mA LDO Regulator	8-SOIC	4.06	3.25	2.53
REG103UA-2.5	REG103UA-2.5-ND	2,5 V, 500 mA DMOS-LDO-Regler	2.5V DMOS 500mA LDO Regulator	8-SOIC	4.06	3.25	2.53
REG103UA-2.7	REG103UA-2.7-ND	2,7 V, 500 mA DMOS-LDO-Regler	2.7V DMOS 500mA LDO Regulator	8-SOIC	4.06	3.25	2.53
REG103UA-3	REG103UA-3-ND	3 V, 500 mA DMOS-LDO-Regler	3V DMOS 500mA LDO Regulator	8-SOIC	4.06	3.25	2.53
REG103UA-3.3	REG103UA-3.3-ND	3,3 V, 500 mA DMOS-LDO-Regler	3.3V DMOS 500mA LDO Regulator	8-SOIC	4.06	3.25	2.53
REG103UA-5	REG103UA-5-ND	5 V, 500 mA DMOS-LDO-Regler	5V DMOS 500mA LDO Regulator	8-SOIC	4.06	3.25	2.53
REG104FA-AKTTT	296-16004-1-ND	1 A CMOS LDO-Regler, einstellb.	Adj., CMOS 1A LDO Regulator	5-DDPAK	4.67	3.74	—
REG104FA-AKTTT	296-16004-2-ND	1 A CMOS LDO-Regler, einstellb.	Adj., CMOS 1A LDO Regulator	5-DDPAK		157.72/50	
REG104FA-A/500	296-15907-1-ND	1 A CMOS LDO-Regler, einstellb.	Adj., CMOS 1A LDO Regulator	5-DDPAK	4.67	3.74	3.16
REG104FA-A/500	296-15907-2-ND	1 A CMOS LDO-Regler, einstellb.	Adj., CMOS 1A LDO Regulator	5-DDPAK		1483.67/500	
REG104FA-2.5/500	REG104FA-2.5TR-ND	2,5 V, 1 A CMOS-LDO-Regler	2.5V CMOS 1A LDO Regulator	5-DDPAK		1483.67/500	
REG104FA-2.5KTTT	296-15999-1-ND	2,5 V, 1 A CMOS-LDO-Regler	2.5V CMOS 1A LDO Regulator	5-DDPAK	4.67	3.74	—
REG104FA-2.5KTTT	296-15999-2-ND	2,5 V, 1 A CMOS-LDO-Regler	2.5V CMOS 1A LDO Regulator	5-DDPAK		157.72/50	
REG104FA-2.7/500	296-15906-1-ND	2,7 V, 1 A CMOS-LDO-Regler	2.7V CMOS 1A LDO Regulator	5-DDPAK	4.67	3.74	3.16
REG104FA-2.7/500	296-15906-2-ND	2,7 V, 1 A CMOS-LDO-Reglerr	2.7V CMOS 1A LDO Regulator	5-DDPAK		1483.67/500	
REG104FA-2.7KTTT	296-16000-1-ND	2,7 V, 1 A CMOS-LDO-Regler	2.7V CMOS 1A LDO Regulator	5-DDPAK	4.67	3.74	—
REG104FA-2.7KTTT	296-16000-2-ND	2,7 V, 1 A CMOS-LDO-Regler	2.7V CMOS 1A LDO Regulator	5-DDPAK		157.72/50	
REG104FA-3/500	REG104FA-3TR-ND	3 V, 1 A CMOS-LDO-Regler	3V CMOS 1A LDO Regulator	5-DDPAK		1483.67/500	
REG104FA-3KTTT	296-16001-1-ND	3 V, 1 A CMOS-LDO-Regler	3V CMOS 1A LDO Regulator	5-DDPAK	4.67	3.74	—
REG104FA-3KTTT	296-16001-2-ND	3 V, 1 A CMOS-LDO-Regler	3V CMOS 1A LDO Regulator	5-DDPAK		157.72/50	
REG104FA-3.3/500	REG104FA-3.3TR-ND	3,3 V, 1 A CMOS-LDO-Regler	3.3V CMOS 1A LDO Regulator	5-DDPAK		1483.67/500	
REG104FA-3.3KTTT	296-16002-1-ND	3,3 V, 1 A CMOS-LDO-Regler	3.3V CMOS 1A LDO Regulator	5-DDPAK	4.67	3.74	—
REG104FA-3.3KTTT	296-16002-2-ND	3,3 V, 1 A CMOS-LDO-Regler	3.3V CMOS 1A LDO Regulator	5-DDPAK		157.72/50	
REG104FA-5/500	REG104FA-5TR-ND	5 V, 1 A CMOS-LDO-Regler	5V CMOS 1A LDO Regulator	5-DDPAK		1483.67/500	
REG104FA-5KTTT	296-16003-1-ND	5 V, 1 A CMOS-LDO-Regler	5V CMOS 1A LDO Regulator	5-DDPAK	4.67	3.74	—
REG104FA-5KTTT	296-16003-2-ND	5 V, 1 A CMOS-LDO-Regler	5V CMOS 1A LDO Regulator	5-DDPAK		157.72/50	
REG104GA-A	REG104GA-A-ND	1000 mA LDO-Regler, einstellb.	Adj., 1000mA LDO Regulator	6-SOP	4.25	3.40	2.65
REG104GA-2.5	REG104GA-2.5-ND	2,5 V, 1 A CMOS-LDO-Regler	2.5V CMOS 1A LDO Regulator	SOT-223-5	4.25	3.40	2.65
REG104GA-2.5/2K5	REG104GA-2.5TR-ND	2,5 V, 1 A CMOS-LDO-Regler	2.5V CMOS 1A LDO Regulator	SOT-223-5		5947.37/2,500	
REG104GA-3	REG104GA-3-ND	3 V, 1 A CMOS-LDO-Regler	3V CMOS 1A LDO Regulator	SOT-223-5	4.25	3.40	2.65
REG104GA-3/2K5	REG104GA-3TR-ND	3 V, 1 A CMOS-LDO-Regler	3V CMOS 1A LDO Regulator	SOT-223-5		5947.37/2,500	
REG104GA-3.3	REG104GA-3.3-ND	3,3 V, 1 A CMOS-LDO-Regler	3.3V CMOS 1A LDO Regulator	SOT-223-5	4.25	3.40	2.65
REG104GA-3.3/2K5	REG104GA-3.3TR-ND	3,3 V, 1 A CMOS-LDO-Regler	3.3V CMOS 1A LDO Regulator	SOT-223-5		5947.37/2,500	
REG104GA-5	REG104GA-5-ND	5 V, 1 A CMOS-LDO-Regler	5V CMOS 1A LDO Regulator	SOT-223-5	4.25	3.40	2.65
REG104GA-5/2K5	REG104GA-5TR-ND	5 V, 1 A CMOS-LDO-Regler	5V CMOS 1A LDO Regulator	SOT-223-5		5947.37/2,500	
REG113EA2.5/2K5	REG113EA2.52K5CT-ND	2,5 V DMOS-LDO-Regler	2.5V DMOS LDO Regulator	8-TSSOP	2.18	1.74	1.36
REG113EA2.5/2K5	REG113EA2.52K5TR-ND	2,5 V DMOS-LDO-Regler	2.5V DMOS LDO Regulator	8-TSSOP		3039.29/2,500	
REG113EA-2.85/2K5	REG113EA2.852K5CT-ND	2,85 V, 400 mA LDO-Regler	2.85V, 400mA LDO Regulator	8-TSSOP	2.18	1.74	1.36
REG113EA-2.85/2K5	REG113EA2.852K5TR-ND	2,85 V, 400 mA LDO-Regler	2.85V, 400mA LDO Regulator	8-TSSOP		3039.29/2,500	
REG113EA-3/2K5	REG113EA-3/2K5CT-ND	3 V DMOS-LDO-Regler	3V DMOS LDO Regulator	8-TSSOP	2.18	1.74	1.36
REG113EA-3/2K5	REG113EA-3/2K5TR-ND	3 V DMOS-LDO-Regler	3V DMOS LDO Regulator	8-TSSOP		3039.29/2,500	
REG113EA-3.3/250	REG113EA3.3/250CT-ND	3,3 V DMOS-LDO-Regler	3.3V DMOS LDO Regulator	8-TSSOP	2.18	1.74	1.36
REG113EA-3.3/250	REG113EA3.3/250TR-ND	3,3 V DMOS-LDO-Regler	3.3V DMOS LDO Regulator	8-TSSOP		320.86/250	
REG113EA-5/2K5	REG113EA-5/2K5CT-ND	5 V DMOS-LDO-Regler	5V DMOS LDO Regulator	8-TSSOP	2.18	1.74	1.36
REG113EA-5/2K5	REG113EA-5/2K5TR-ND	5 V DMOS-LDO-Regler	5V DMOS LDO Regulator	8-TSSOP		3039.29/2,500	
REG113NA-2.5/3K	REG113NA-2.5/3KCT-ND	2,5 V, 400 mA LDO-Regler	2.5V, 400mA LDO Regulator	SOT-23-5	2.23	1.78	1.34
REG113NA-2.5/3K	REG113NA-2.5/3KTR-ND	2,5 V, 400 mA LDO-Regler	2.5V, 400mA LDO Regulator	SOT-23-5		3360.16/3,000	
REG113NA-2.85/3K	REG113NA2.853KCT-ND	2,85 V, 400 mA LDO-Regler	2.85V, 400mA LDO Regulator	SOT-23-5	2.23	1.78	1.34
REG113NA-2.85/3K	REG113NA2.853KTR-ND	2,85 V, 400 mA LDO-Regler	2.85V, 400mA LDO Regulator	SOT-23-5		3360.16/3,000	
REG113NA-3/3K	REG113NA-3/3KCT-ND	3 V, 400 mA LDO-Regler	3V, 400mA LDO Regulator	SOT-23-5	2.23	1.78	1.34
REG113NA-3/3K	REG113NA-3/3KTR-ND	3 V, 400 mA LDO-Regler	3V, 400mA LDO Regulator	SOT-23-5		3360.16/3,000	
REG113NA-3.3/3K	REG113NA-3.3/3KCT-ND	3,3 V, 400 mA LDO-Regler	3.3V, 400mA LDO Regulator	SOT-23-5	2.23	1.78	1.34
REG113NA-3.3/3K	REG113NA-3.3/3KTR-ND	3,3 V, 400 mA LDO-Regler	3.3V, 400mA LDO Regulator	SOT-23-5		3360.16/3,000	
REG113NA-5/3K	REG113NA-5/3KCT-ND	5 V, 400 mA DMOS-LDO-Regler	5V, 400mA DMOS LDO Regulator	SOT-23-5	2.23	1.78	1.34
REG113NA-5/3K	REG113NA-5/3KTR-ND	5 V, 400 mA DMOS-LDO-Regler	5V, 400mA DMOS LDO Regulator	SOT-23-5		3360.16/3,000	
REG1117	REG1117-ND	LDO-Regler, positiv, einstellb.	Adj., LDO Positive Regulator	SOT-223	1.61	1.29	.97
REG1117-2.85	REG1117-2.85-ND	2,85 V LDO-Regler, positiv	2.85V LDO Positive Regulator	SOT-223	1.61	1.29	.97
REG1117-3.3	REG1117-3.3-ND	3,30 V LDO-Regler, positiv	3.30V LDO Positive Regulator	SOT-223	1.61	1.29	.97
REG1117-5	REG1117-5-ND	5 V LDO-Regler, positiv	5V LDO Positive Regulator	SOT-223	1.61	1.29	.97
REG1117A	REG1117A-ND	1 A LDO-Regler, positiv, einstellb.	Adj., 1A LDO Positive Regulator	SOT-223	1.72	1.38	1.03
REG1117A-1.8	REG1117A-1.8-ND	1,8 V, 1 A LDO-Regler	1.8V, 1A LDO Regulator	SOT-223	1.72	1.38	1.03
REG1117A-2.5	REG1117A-2.5-ND	2,5 V, 1 A LDO-Regler	2.5V, 1A LDO Regulator	SOT-223	1.72	1.38	1.03
REG1117F-3.3/500	296-15941-1-ND	3,3 V, 1 A LDO-Regler	3.3V, 1A LDO Regulator	3-DDPAK	2.07	1.67	1.30
REG1117F-3.3/500	296-15941-2-ND	3,3 V, 1 A LDO-Regler	3.3V, 1A LDO Regulator	3-DDPAK		599.82/500	
REG1117F-3.3KTTT	296-16005-1-ND	3,3 V, 800 mA LDO-Regler	3.3V, 800mA LDO Regulator	3-DDPAK	2.07	1.67	—
REG1117F-3.3KTTT	296-16005-2-ND	3,3 V, 800 mA LDO-Regler	3.3V, 800mA LDO Regulator	3-DDPAK		64.60/50	
REG1117FA/500	296-15942-1-ND	1 A LDO-Regler, einstellb.	Adj., 1A LDO Regulator	3-DDPAK	2.27	1.82	1.42
REG1117FA/500	296-15942-2-ND	1 A LDO-Regler, einstellb.	Adj., 1A LDO Regulator	3-DDPAK		654.85/500	
REG1117FAKTTT	296-16006-1-ND	1 A LDO-Regler, einstellb.	Adj., 1A LDO Regulator	3-DDPAK	2.27	1.82	—
REG1117FAKTTT	296-16006-2-ND	1 A LDO-Regler, einstellb.	Adj., 1A LDO Regulator	3-DDPAK		70.52/50	
REG1117FA-1.8/500	296-15908-1-ND	1,8 V, 1 A LDO-Regler	1.8V, 1A LDO Regulator	3-DDPAK	2.27	1.82	1.42
REG1117FA-1.8/500	296-15908-2-ND	1,8 V, 1 A LDO-Regler	1.8V, 1A LDO Regulator	3-DDPAK		654.85/500	
REG1117FA-1.8KTTT	296-16007-1-ND	1,8 V, 1 A LDO-Regler	1.8V, 1A LDO Regulator	3-DDPAK	2.27	1.82	—
REG1117FA-1.8KTTT	296-16007-2-ND	1,8 V, 1 A LDO-Regler	1.8V, 1A LDO Regulator	3-DDPAK		70.52/50	
REG1117FA-2.5/500	296-15909-1-ND	2,5 V, 1 A LDO-Regler	2.5V, 1A LDO Regulator	3-DDPAK	2.27	1.82	1.42
REG1117FA-2.5/500	296-15909-2-ND	2,5 V, 1 A LDO-Regler	2.5V, 1A LDO Regulator	3-DDPAK		654.85/500	
REG1117FA-2.5KTTT	296-16008-1-ND	2,5 V, 1 A LDO-Regler	2.5V, 1A LDO Regulator	3-DDPAK	2.27	1.82	—
REG1117FA-2.5KTTT	296-16008-2-ND	2,5 V, 1 A LDO-Regler	2.5V, 1A LDO Regulator	3-DDPAK		70.52/50	
REG1117FA-5.0/500	296-15910-1-ND	5 V, 1 A LDO-Regler	5V, 1A LDO Regulator	3-DDPAK	2.27	1.82	1.42
REG1117FA-5.0/500	296-15910-2-ND	5 V, 1 A LDO-Regler	5V, 1A LDO Regulator	3-DDPAK		654.85/500	
REG1117FA-5.0KTTT	296-16009-1-ND	5 V, 1 A LDO-Regler	5V, 1A LDO Regulator	3-DDPAK	2.27	1.82	—
REG1117FA-5.0KTTT	296-16009-2-ND	5 V, 1 A LDO-Regler	5V, 1A LDO Regulator	3-DDPAK		70.52/50	
REG1118-2.85	REG1118-2.85-ND	2,85 V LDO-Linearregler mit Quelle/Senke-Kapazität	2.85V LDO Regulator with Source/Sink Capability	SOT-223	1.90	1.53	1.15

(Forts.)

★ ***RUFEN SIE BITTE AN FÜR NIEDRIGERE PREISE BEI GRÖSSEREN MENGEN!*** ★

B

B

T. I. Teilenr.	Digi-Key Teilenr.	Beschreibung		Paket	Stückpreis★ 1	25	100
SN105125DBVR	296-15347-1-ND	150 mA LDO-Spannungsregler mit POK	150mA LDO Regulator with POK	5-SOP	.74	.62	.50
SN105125DBVR	296-15347-2-ND	150 mA LDO-Spannungsregler mit POK	150mA LDO Regulator with POK	5-SOP		957.50/3,000	
TL750L05CD	296-8000-5-ND	5 V LDO-Spannungsregler	5V, LDO Voltage Regulator	8-SOIC	.58	.44	.33
TL750L05CDR	296-15014-1-ND	5 V LDO-Spannungsregler	5V, LDO Voltage Regulator	8-SOIC	.58	.44	.33
TL750L05CDR	296-15014-2-ND	5 V LDO-Spannungsregler	5V, LDO Voltage Regulator	8-SOIC		467.75/2,500	
TL750L05CKC	296-8001-5-ND	5 V LDO-Spannungsregler	5V, LDO Voltage Regulator	TO-220AB	.63	.53	.43
TL750L05CKTER	296-13797-1-ND	5 V LDO-Spannungsregler	5V, LDO Voltage Regulator	3-PFM	.71	.60	.48
TL750L05CKTER	296-13797-2-ND	5 V LDO-Spannungsregler	5V, LDO Voltage Regulator	3-PFM		629.87/2,000	
TL750L05CLP	296-8002-5-ND	5 V LDO-Spannungsregler	5V, LDO Voltage Regulator	TO-92	.58	.44	.33
TL750L08CD	296-8004-5-ND	8 V, 150 mA LDO-Regler	8V, 150mA LDO Regulator	8-SOIC	.58	.44	.33
TL750L08CLP	296-8005-5-ND	8 V, 150 mA LDO-Regler	8V, 150mA LDO Regulator	TO-92	.58	.44	.33
TL750L10CD	296-8006-5-ND	10 V, 150 mA LDO-Regler	10V, 150mA LDO Regulator	8-SOIC	.58	.44	.33
TL750L10CLPR	296-8007-1-ND	10 V, 150 mA LDO-Regler	10V, 150mA LDO Regulator	TO-92	.58	.44	.33
TL750L10CLPR	296-8007-2-ND	10 V, 150 mA LDO-Regler	10V, 150mA LDO Regulator	TO-92		382.66/2,000	
TL750L12CD	296-8008-5-ND	12 V, 150 mA LDO-Regler	12V, 150mA LDO Regulator	8-SOIC	.58	.44	.33
TL750L12CLP	296-8009-5-ND	12 V, 150 mA LDO-Regler	12V, 150mA LDO Regulator	TO-92	.58	.44	.33
TL750M05CKTPR	296-17613-1-ND	5 V LDO-Spannungsregler	5V, LDO Voltage Regulator	2-PFM	.91	.77	.61
TL750M05CKTPR	296-17613-2-ND	5 V LDO-Spannungsregler	5V, LDO Voltage Regulator	2-PFM		1188.63/3,000	
TL751L05CD	296-8011-5-ND	5 V, 150 mA LDO-Regler	5V, 150mA LDO Regulator	8-SOIC	.74	.62	.50
TL751L05CDR	296-15015-1-ND	5 V, 150 mA LDO-Regler	5V, 150mA LDO Regulator	8-SOIC	.74	.62	.50
TL751L05CDR	296-15015-2-ND	5 V, 150 mA LDO-Regler	5V, 150mA LDO Regulator	8-SOIC		797.92/2,500	
TL751L10CD	296-8012-5-ND	10 V, 150 mA LDO-Regler	10V, 150mA LDO Regulator	8-SOIC	.74	.62	.50
TL751L10CP	296-8013-5-ND	10 V, 150 mA LDO-Regler	10V, 150mA LDO Regulator	8-Dip	.74	.62	.50
TL751L12CDR	296-15016-1-ND	12 V, 150 mA LDO-Regler	12V, 150mA LDO Regulator	8-SOIC	.74	.62	.50
TL751L12CDR	296-15016-2-ND	12 V, 150 mA LDO-Regler	12V, 150mA LDO Regulator	8-SOIC		797.92/2,500	
TL7700CPSR	296-8015-1-ND	Spannungswächter	Supply-Voltage Supervisor	8-SOP	2.38	1.91	1.49
TL7700CPSR	296-8015-2-ND	Spannungswächter	Supply-Voltage Supervisor	8-SOP		2698.96/2,000	
TLV1117CDCYR	296-17598-1-ND	LDO-Spannungsregler, einstellb.	Adj., LDO Voltage Regulator	SOT-223	.54	.41	.31
TLV1117CDCYR	296-17598-2-ND	LDO-Spannungsregler, einstellb.	Adj., LDO Voltage Regulator	SOT-223		440.23/2,500	
TLV1117CKCS	296-17599-5-ND	LDO-Spannungsregler, einstellb.	Adj., LDO Voltage Regulator	TO-220	.75	.56	.42
TLV1117CKTER	296-17734-1-ND	LDO-Spannungsregler, einstellb.	Adj., LDO Voltage Regulator	3-PFM	.69	.58	.46
TLV1117CKTER	296-17734-2-ND	LDO-Spannungsregler, einstellb.	Adj., LDO Voltage Regulator	3-PFM		607.86/2,000	
TLV1117CKTPR	296-17735-1-ND	LDO-Spannungsregler, einstellb.	Adj., LDO Voltage Regulator	3-PFM	.68	.51	.39
TLV1117CKTPR	296-17735-2-ND	LDO-Spannungsregler, einstellb.	Adj., LDO Voltage Regulator	3-PFM		660.35/3,000	
TLV1117IDCYR	296-17600-1-ND	LDO-Spannungsregler, einstellb.	Adj., LDO Voltage Regulator	SOT-223	.61	.46	.35
TLV1117IDCYR	296-17600-2-ND	LDO-Spannungsregler, einstellb.	Adj., LDO Voltage Regulator	SOT-223		495.26/2500	
TLV1117IKCS	296-17601-5-ND	LDO-Spannungsregler, einstellb.	Adj., LDO Voltage Regulator	TO-220	.81	.61	.46
TLV1117IKTER	296-17736-1-ND	LDO-Spannungsregler, einstellb.	Adj., LDO Voltage Regulator	3-PFM	.69	.58	.46
TLV1117IKTER	296-17736-2-ND	LDO-Spannungsregler, einstellb.	Adj., LDO Voltage Regulator	3-PFM		607.86/2,000	
TLV1117IKTPR	296-17737-1-ND	LDO-Spannungsregler, einstellb.	Adj., LDO Voltage Regulator	3-PFM	.68	.51	.39
TLV1117IKTPR	296-17737-2-ND	LDO-Spannungsregler, einstellb.	Adj., LDO Voltage Regulator	3-PFM		660.35/3,000	
TLV2217-25KC	296-17624-ND	2,5 V PnP LDO-Festspannungsregler	LDO 2.5V PnP Fixed Voltage Regulator	TO-220	1.12	.94	.75
TLV2217-25KTPR	296-16031-1-ND	2,5 V PnP LDO-Festspannungsregler	LDO 2.5V PnP Fixed Voltage Regulator	2-PFM	.71	.60	.48
TLV2217-25KTPR	296-16031-2-ND	2,5 V PnP LDO-Festspannungsregler	LDO 2.5V PnP Fixed Voltage Regulator	2-PFM		924.49/3,000	
TLV2217-33KC	296-10502-5-ND	3,3 V PnP LDO-Festspannungsregler	LDO 3.3V PnP Fixed Voltage Reg.	TO-220AB	1.12	.94	.75
TLV2217-33KTPR	296-10503-1-ND	3,3 V PnP LDO-Festspannungsregler	LDO 3.3V PnP Fixed Voltage Regulator	2-PFM	.71	.60	.48
TLV2217-33KTPR	296-10503-2-ND	3,3 V PnP LDO-Festspannungsregler	LDO 3.3V PnP Fixed Voltage Regulator	2-PFM		924.49/3,000	
TLV2217-33PWR	296-12368-1-ND	3,3 V PnP LDO-Festspannungsregler	LDO 3.3V PnP Fixed Voltage Reg.	20-TSSOP	.71	.60	.48
TLV2217-33PWR	296-12368-2-ND	3,3 V PnP LDO-Festspannungsregler	LDO 3.3V PnP Fixed Voltage Reg.	20-TSSOP		629.87/2,000	
TPPM0110DWPR	296-10872-1-ND	Zweif. 5 V, 1 mA LDO-Regler	5V, 1mA Dual LDO Regulator	20-HSOP	3.05	2.44	1.90
TPPM0110DWPR	296-10872-2-ND	Zweif. 5 V, 1 mA LDO-Regler	5V, 1mA Dual LDO Regulator	20-HSOP		3454.13/2,000	
TPPM0111DWP	296-12507-5-ND	Zweif. LDO-Linearregler	Dual LDO Linear Regulator	20-HSOP	3.05	2.44	1.90
TPPM0301DR	296-10873-1-ND	5 V, 400 mA LDO-Spannungsregler	5V, 400mA LDO Voltage Regulator	8-SOIC	3.09	2.47	1.93
TPPM0301DR	296-10873-2-ND	5 V, 400 mA LDO-Spannungsregler	5V, 400mA LDO Voltage Regulator	8-SOIC		4319.78/2,500	
TPPM0302DGN	296-10874-5-ND	5 V, 400 mA LDO-Spannungsregler	5V, 400mA LDO Voltage Regulator	8-MSOP	3.09	2.47	1.93
TPPM0303DR	296-10875-1-ND	5 V, 250 mA LDO-Regler	5V, 250mA LDO Regulator	8-SOIC	2.07	1.67	1.30
TPPM0303DR	296-10875-2-ND	5 V, 250 mA LDO-Regler	5V, 250mA LDO Regulator	8-SOIC		2905.95/2,500	
TPS71H01QPWPR	296-8051-1-ND	500 mA LDO-Regler, einstellbar	Adjustable 500mA LDO Regulator	20-HTSSOP	4.19	3.36	2.61
TPS71H01QPWPR	296-8051-2-ND	500 mA LDO-Regler, einstellbar	Adjustable 500mA LDO Regulator	20-HTSSOP		4749.43/2,000	
TPS73HD301PWP	296-2666-5-ND	Zweif. LDO-Regler, einstellbar	Dual Adjustable LDO Regulator	28-HTSSOP	4.00	3.20	2.49
TPS73HD318PWP	296-2667-5-ND	Zweif. 1,8/3,3 V, 750 mA LDO-Regler	Dual 1.8/3.3V 750mA LDO Reg.	28-HTSSOP	4.00	3.20	2.49
TPS73HD318PWPR	296-2667-1-ND	Zweif. 1,8/3,3 V, 750 mA LDO-Regler	Dual 1.8/3.3V 750mA LDO Reg.	28-HTSSOP	4.00	3.20	2.49
TPS73HD318PWPR	296-2667-2-ND	Zweif. 1,8/3,3 V, 750 mA LDO-Regler	Dual 1.8/3.3V 750mA LDO Reg.	28-HTSSOP		4534.39/2,000	
TPS73HD325PWPR	296-8071-1-ND	Zweif. 2,5/3,3 V, 750 mA LDO-Regler	Dual 2.5/3.3V 750mA LDO Reg.	28-HTSSOP	4.00	3.20	2.49
TPS73HD325PWPR	296-8071-2-ND	Zweif. 2,5/3,3 V, 750 mA LDO-Regler	Dual 2.5/3.3V 750mA LDO Reg.	28-HTSSOP		4534.39/2,000	
TPS712XXEVM-050	296-17873-ND	Eval. -Module für TPS712XX-050	Eval. Module for TPS712XX-050	—	12.05	—	—
TPS715A01DRBT	296-17614-1-ND	1,2 V-15 V, 80 mA LDO-Linearregler	1.2V-15V, 80mA LDO Linear Regulator	8-SON	1.12	.94	.75
TPS715A01DRBT	296-17614-2-ND	1,2 V-15 V, 80 mA LDO-Linearregler	1.2V-15V, 80mA LDO Linear Regulator	8-SON		139.69/250	
TPS715A33DRBT	296-17615-1-ND	3,3 V, 80 mA LDO-Linearregler	3.3V, 80mA LDO Linear Regulator	8-SON	1.12	.94	.75
TPS715A33DRBT	296-17615-2-ND	3,3 V, 80 mA LDO-Linearregler	3.3V, 80mA LDO Linear Regulator	8-SON		139.69/250	
TPS2140IPWP	296-12564-5-ND	LDO und 3,3 V Schalter mit zweif. Stromgrenze, einstellb.	Adj. LDO and 3.3V Switch with Dual Current Limit	14-HTSSOP	2.10	1.68	1.31
TPS2141IPWP	296-12565-5-ND	LDO und 5 V Schalter mit zweif. Stromgrenze, einstellb.	Adj. LDO and 5V Switch with Dual Current Limit	14-HTSSOP	2.10	1.68	1.31
TPS2150IPWP	296-12566-5-ND	LDO und 3,3 V Schalter mit zweif. Stromgrenze, einstellb.	Adj. LDO and 3.3V Switch with Dual Current Limit	14-HTSSOP	2.10	1.68	1.31
TPS2151IPWP	296-12567-5-ND	LDO und 5 V Schalter mit zweif. Stromgrenze, einstellb.	Adj. LDO and 5V Switch with Dual Current Limit	14-HTSSOP	2.10	1.68	1.31
TPS767D301PWP	296-2740-5-ND	Zweif. einstellb./3,3 V LDO-Regler	Dual Adj./3.3 LDO Regulator	28-HTSSOP	3.81	3.05	2.38
TPS767D318PWP	296-2741-5-ND	Zweif. 1,8/3,3 V LDO-Regler	Dual 1.8/3.3V LDO Regulator	28-HTSSOP	3.81	3.05	2.38
TPS767D325PWP	296-2742-5-ND	Zweif. 2,5/3,3 V LDO-Regler	Dual 2.5/3.3V LDO Regulator	28-HTSSOP	3.81	3.05	2.38
TPS767D325QPWPRQ1	296-17532-1-ND	Zweif. 2,5/3,3 V LDO-Regler	Dual 2.5/3.3V LDO Regulator	28-HTSSOP	4.39	3.51	2.73
TPS767D325QPWPRQ1	296-17532-2-ND	Zweif. 2,5/3,3 V LDO-Regler	Dual 2.5/3.3V LDO Regulator	28-HTSSOP		4966.16/2,000	
TPS7101QDR	296-1359-1-ND	1,2 V-9,75 V, 2 A LDO-Regler, einstellb.	Adj. 1.2V-9.75V 2A LDO Regulator	8-SOIC	2.38	1.91	1.49
TPS7101QDR	296-1359-2-ND	1,2 V-9,75 V, 2 A LDO-Regler, einstellb.	Adj. 1.2V-9.75V 2A LDO Regulator	8-SOIC		3333.49/2,500	
TPS7101QP	296-8041-5-ND	1,2 V-9,75 V, 2 A LDO-Regler, einstellb.	Adj. 1.2V-9.75V 2A LDO Regulator	8-Dip	2.38	1.91	1.49
TPS7101QPWR	296-8042-1-ND	1,2 V-9,75 V, 2 A LDO-Regler, einstellb.	Adj. 1.2V-9.75V 2A LDO Regulator	20-TSSOP	2.38	1.91	1.49
TPS7101QPWR	296-8042-2-ND	1,2 V-9,75 V, 2 A LDO-Regler, einstellb.	Adj. 1.2V-9.75V 2A LDO Regulator	20-TSSOP		2698.96/2,000	
TPS7133QD	296-2658-5-ND	3,3 V, 500 mA PMOS-LDO-Regler	3.3V, 500mA PMOS LDO Regulator	8-SOIC	2.38	1.91	1.49
TPS7133QP	296-8046-5-ND	3,3 V, 500 mA PMOS-LDO-Regler	3.3V, 500mA PMOS LDO Regulator	8-Dip	2.38	1.91	1.49
TPS7133QPWR	296-8047-1-ND	3,3 V, 500 mA PMOS-LDO-Regler	3.3V, 500mA PMOS LDO Regulator	20-TSSOP	2.38	1.91	1.49
TPS7133QPWR	296-8047-2-ND	3,3 V, 500 mA PMOS-LDO-Regler	3.3V, 500mA PMOS LDO Regulator	20-TSSOP		2698.96/2,000	
TPS7148QD	296-1961-5-ND	4,8 V, 500 mA LDO-Regler	4.8V, 500mA LDO Regulator	8-SOIC	2.38	1.91	1.49
TPS7148QP	296-8048-5-ND	4,85 V, 500 mA LDO-Regler	4.85V, 500mA LDO Regulator	8-Dip	2.38	1.91	1.49
TPS7150QD	296-8049-5-ND	5 V, 500 mA LDO-Regler	5V, 500mA LDO Regulator	8-SOIC	2.38	1.91	1.49
TPS7150QP	296-8050-5-ND	5 V, 500 mA LDO-Regler	5V, 500mA LDO Regulator	8-Dip	2.38	1.91	1.49
TPS7201QD	296-1360-5-ND	250 mA LDO-Regler, einstellbar	Adjustable 250mA LDO Regulator	8-SOIC	1.27	1.02	.77
TPS7201QDR	296-1360-1-ND	250 mA LDO-Regler, einstellbar	Adjustable 250mA LDO Regulator	8-SOIC	1.27	1.02	.77
TPS7201QDR	296-1360-2-ND	250 mA LDO-Regler, einstellbar	Adjustable 250mA LDO Regulator	8-SOIC		1625.47/2,500	
TPS7201QP	296-8052-5-ND	250 mA LDO-Regler, einstellbar	Adjustable 250mA LDO Regulator	8-Dip	1.27	1.02	.77
TPS7201QPWR	296-8053-1-ND	250 mA LDO-Regler, einstellbar	Adjustable 250mA LDO Regulator	8-TSSOP	1.27	1.02	.77
TPS7201QPWR	296-8053-2-ND	250 mA LDO-Regler, einstellbar	Adjustable 250mA LDO Regulator	8-TSSOP		1320.70/2,000	
TPS7225QD	296-1962-5-ND	2,5 V, 250 mA LDO-Regler	2.5V, 250mA LDO Regulator	8-SOIC	1.27	1.02	.77
TPS7225QP	296-1963-5-ND	2,5 V, 250 mA LDO-Regler	2.5V, 250mA LDO Regulator	8-Dip	1.27	1.02	.77

(Forts.)

★ ***RUFEN SIE BITTE AN FÜR NIEDRIGERE PREISE BEI GRÖSSEREN MENGEN!*** ★

Alle Preisangaben in Euro und inklusive Zollgebühren.

T. I. Teilenr.	Digi-Key Teilenr.	Beschreibung		Paket	Stückpreis★ 1	25	100
TPS7225QPWR	296-8054-1-ND	2,5 V, 250 mA LDO-Regler	2.5V, 250mA LDO Regulator	8-TSSOP	1.27	1.02	.77
TPS7225QPWR	296-8054-2-ND	2,5 V, 250 mA LDO-Regler	2.5V, 250mA LDO Regulator	8-TSSOP		1320.70/2,000	
TPS7230QD	296-1964-5-ND	3,0 V, 250 mA LDO-Regler	3.0V, 250mA LDO Regulator	8-SOIC	1.27	1.02	.77
TPS7230QP	296-1965-5-ND	3,0 V, 250 mA LDO-Regler	3.0V, 250mA LDO Regulator	8-Dip	1.27	1.02	.77
TPS7230QPWR	296-8055-1-ND	3,0 V, 250 mA LDO-Regler	3.0V, 250mA LDO Regulator	8-TSSOP	1.27	1.02	.77
TPS7230QPWR	296-8055-2-ND	3,0 V, 250 mA LDO-Regler	3.0V, 250mA LDO Regulator	8-TSSOP		1320.70/2,000	
TPS7233QD	296-1966-5-ND	3,3 V, 250 mA LDO-Regler	3.3V, 250mA LDO Regulator	8-SOIC	1.27	1.02	.77
TPS7233QP	296-8056-5-ND	3,3 V, 250 mA LDO-Regler	3.3V, 250mA LDO Regulator	8-Dip	1.27	1.02	.77
TPS7233QPWR	296-8057-1-ND	3,3 V, 250 mA LDO-Regler	3.3V, 250mA LDO Regulator	8-TSSOP	1.27	1.02	.77
TPS7233QPWR	296-8057-2-ND	3,3 V, 250 mA LDO-Regler	3.3V, 250mA LDO Regulator	8-TSSOP		1320.70/2,000	
TPS7248QD	296-8058-5-ND	4,85 V, 250 mA PMOS LDO-Regler	4.85V, 250mA PMOS LDO Regulator	8-SOIC	1.27	1.02	.77
TPS7248QP	296-2659-5-ND	4,85 V, 250 mA PMOS LDO-Regler	4.85V, 250mA PMOS LDO Regulator	8-Dip	1.27	1.02	.77
TPS7250QD	296-1361-5-ND	5,0 V, 250 mA LDO-Regler	5.0V, 250mA LDO Regulator	8-SOIC	1.27	1.02	.77
TPS7250QDR	296-1361-1-ND	5,0 V, 250 mA LDO-Regler	5.0V, 250mA LDO Regulator	8-SOIC	1.27	1.02	.77
TPS7250QDR	296-1361-2-ND	5,0 V, 250 mA LDO-Regler	5.0V, 250mA LDO Regulator	8-SOIC		1625.47/2,500	
TPS7250QP	296-8059-5-ND	5,0 V, 250 mA LDO-Regler	5.0V, 250mA LDO Regulator	8-Dip	1.27	1.02	.77
TPS7250QPWR	296-8060-1-ND	5,0 V, 250 mA LDO-Regler	5.0V, 250mA LDO Regulator	8-TSSOP	1.27	1.02	.77
TPS7250QPWR	296-8060-2-ND	5,0 V, 250 mA LDO-Regler	5.0V, 250mA LDO Regulator	8-TSSOP		1320.70/2,000	
TPS7301QD	296-1362-5-ND	500 mA LDO-Regler, einstellbar	Adjustable 500mA LDO Regulator	8-SOIC	2.00	1.60	1.25
TPS7301QDR	296-1362-1-ND	500 mA LDO-Regler, einstellbar	Adjustable 500mA LDO Regulator	8-SOIC	2.00	1.60	1.25
TPS7301QDR	296-1362-2-ND	500 mA LDO-Regler, einstellbar	Adjustable 500mA LDO Regulator	8-SOIC		2800.13/2,500	
TPS7301QP	296-2660-5-ND	500 mA LDO-Regler, einstellbar	Adjustable 500mA LDO Regulator	8-Dip	2.00	1.60	1.25
TPS7301QPW	296-8061-5-ND	500 mA LDO-Regler, einstellbar	Adjustable 500mA LDO Regulator	20-TSSOP	2.00	1.60	1.25
TPS7325QD	296-2661-5-ND	2,5 V, 500 mA LDO-Regler mit verzögerter Rückstellung	2.5V, 500mA LDO Regulator with Delayed Reset	8-SOIC	2.10	1.68	1.26
TPS7325QP	296-8062-5-ND	2,5 V, 500 mA LDO-Regler mit verzögerter Rückstellung	2.5V, 500mA LDO Regulator with Delayed Reset	8-Dip	2.10	1.68	1.26
TPS7325QPWR	296-8063-1-ND	2,5 V, 500 mA LDO-Regler mit verzögerter Rückstellung	2.5V, 500mA LDO Regulator with Delayed Reset	20-TSSOP	2.10	1.68	1.26
TPS7325QPWR	296-8063-2-ND	2,5 V, 500 mA LDO-Regler mit verzögerter Rückstellung	2.5V, 500mA LDO Regulator with Delayed Reset	20-TSSOP		2179.15/2,000	
TPS7330QD	296-2662-5-ND	3,0 V, 500 mA LDO-Regler mit verzögerter Rückstellung	3.0V, 500mA LDO Regulator with Delayed Reset	8-SOIC	2.10	1.68	1.26
TPS7330QDR	296-2662-1-ND	3,0 V, 500 mA LDO-Regler mit verzögerter Rückstellung	3.0V, 500mA LDO Regulator with Delayed Reset	8-SOIC	2.10	1.68	1.26
TPS7330QDR	296-2662-2-ND	3,0 V, 500 mA LDO-Regler mit verzögerter Rückstellung	3.0V, 500mA LDO Regulator with Delayed Reset	8-SOIC		2681.61/2,500	
TPS7330QP	296-8064-5-ND	3,0 V, 500 mA LDO-Regler mit verzögerter Rückstellung	3.0V, 500mA LDO Regulator with Delayed Reset	8-Dip	2.10	1.68	1.26
TPS7330QPWR	296-8065-1-ND	3,0 V, 500 mA LDO-Regler mit verzögerter Rückstellung	3.0V, 500mA LDO Regulator with Delayed Reset	20-TSSOP	2.10	1.68	1.26
TPS7330QPWR	296-8065-2-ND	3,0 V, 500 mA LDO-Regler mit verzögerter Rückstellung	3.0V, 500mA LDO Regulator with Delayed Reset	20-TSSOP		2179.15/2,000	
TPS7333QD	296-8066-5-ND	3,3 V, 500 mA LDO-Regler mit verzögerter Rückstellung	3.3V, 500mA LDO Regulator with Delayed Reset	8-SOIC	2.10	1.68	1.26
TPS7333QDR	296-8066-1-ND	3,3 V, 500 mA LDO-Regler mit verzögerter Rückstellung	3.3V, 500mA LDO Regulator with Delayed Reset	8-SOIC	2.10	1.68	1.26
TPS7333QDR	296-8066-2-ND	3,3 V, 500 mA LDO-Regler mit verzögerter Rückstellung	3.3V, 500mA LDO Regulator with Delayed Reset	8-SOIC		2681.61/2,500	
TPS7333QP	296-2663-5-ND	3,3 V, 500 mA LDO-Regler mit verzögerter Rückstellung	3.3V, 500mA LDO Regulator with Delayed Reset	8-Dip	2.10	1.68	1.26
TPS7333QPWR	296-8067-1-ND	3,3 V, 500 mA LDO-Regler mit verzögerter Rückstellung	3.3V, 500mA LDO Regulator with Delayed Reset	20-TSSOP	2.10	1.68	1.26
TPS7333QPWR	296-8067-2-ND	3,3 V, 500 mA LDO-Regler mit verzögerter Rückstellung	3.3V, 500mA LDO Regulator with Delayed Reset	20-TSSOP		2179.15/2,000	
TPS7348QD	296-8068-5-ND	4,85 V, 500 mA LDO-Regler mit verzögerter Rückstellung	4.85V, 500mA LDO Regulator with Delayed Reset	8-SOIC	2.10	1.68	1.26
TPS7348QDR	296-8068-1-ND	4,85 V, 500 mA LDO-Regler mit verzögerter Rückstellung	4.85V, 500mA LDO Regulator with Delayed Reset	8-SOIC	2.10	1.68	1.26
TPS7348QDR	296-8068-2-ND	4,85 V, 500 mA LDO-Regler mit verzögerter Rückstellung	4.85V, 500mA LDO Regulator with Delayed Reset	8-SOIC		2681.61/2,500	
TPS7348QP	296-2664-5-ND	4,85 V, 500 mA LDO-Regler mit verzögerter Rückstellung	4.85V, 500mA LDO Regulator with Delayed Reset	8-Dip	2.10	1.68	1.26
TPS7350QD	296-8069-5-ND	5,0 V, 500 mA LDO-Regler mit verzögerter Rückstellung	5.0V, 500mA LDO Regulator with Delayed Reset	8-SOIC	2.10	1.68	1.26
TPS7350QP	296-2665-5-ND	5,0 V, 500 mA LDO-Regler mit verzögerter Rückstellung	5.0V, 500mA LDO Regulator with Delayed Reset	8-Dip	2.10	1.68	1.26
TPS7350QPWR	296-8070-1-ND	5,0 V, 500 mA LDO-Regler mit verzögerter Rückstellung	5.0V, 500mA LDO Regulator with Delayed Reset	20-TSSOP	2.10	1.68	1.26
TPS7350QPWR	296-8070-2-ND	5,0 V, 500 mA LDO-Regler mit verzögerter Rückstellung	5.0V, 500mA LDO Regulator with Delayed Reset	20-TSSOP		2179.15/2,000	
TPS7415D	296-2668-5-ND	1,5 V, 200 mA LDO-Regler	1.5V, 200mA LDO Regulator	8-SOIC	1.27	1.02	.77
TPS7418D	296-2669-5-ND	1,8 V, 200 mA LDO-Regler	1.8V, 200mA LDO Regulator	8-SOIC	1.27	1.02	.77
TPS7425D	296-2670-5-ND	2,5 V, 200 mA LDO-Regler	2.5V, 200mA LDO Regulator	8-SOIC	1.27	1.02	.77
TPS7430D	296-2671-5-ND	3,0 V, 200 mA LDO-Regler	3.0V, 200mA LDO Regulator	8-SOIC	1.27	1.02	.77
TPS7433D	296-2672-5-ND	3,3 V, 200 mA LDO-Regler	3.3V, 200mA LDO Regulator	8-SOIC	1.27	1.02	.77
TPS70102PWP	296-2652-5-ND	Zweif. 500 mA LDO-Regler, einstellbar	Dual, Adj., 500mA LDO Reg.	20-HTSSOP	2.86	2.29	1.78
TPS70145PWP	296-2653-5-ND	Zweif. 3,3/1,2 V 500 mA LDO-Regler	Dual, 3.3/1.2V, 500mA LDO Reg.	20-HTSSOP	2.86	2.29	1.78
TPS70148PWP	296-2654-5-ND	Zweif. 3,3/1,5 V 500 mA LDO-Regler	Dual, 3.3/1.5V, 500mA LDO Reg.	20-HTSSOP	2.86	2.29	1.78
TPS70151PWP	296-2655-5-ND	Zweif. 3,3/1,8 V 500 mA LDO-Regler	Dual, 3.3/1.8V, 500mA LDO Reg.	20-HTSSOP	2.86	2.29	1.78
TPS70158PWP	296-2656-5-ND	Zweif. 3,3/2,5 V 500 mA LDO-Regler	Dual, 3.3/2.5V, 500mA LDO Reg.	20-HTSSOP	2.86	2.29	1.78
TPS70202PWP	296-8016-5-ND	Zweif. 500 mA LDO-Regler, einstellbar	Dual, Adj., 500mA LDO Reg.	20-HTSSOP	2.86	2.29	1.78
TPS70245PWP	296-8017-5-ND	Zweif. 3,3/1,2 V 500 mA/250 mA LDO-Regler	Dual, 3.3V/1.2V, 500mA/250mA LDO Regulator	20-HTSSOP	2.86	2.29	1.78
TPS70248PWP	296-8018-5-ND	Zweif. 3,3/1,5 V 500 mA/250 mA LDO-Regler	Dual, 3.3V/1.5V, 500mA/250mA LDO Regulator	20-HTSSOP	2.86	2.29	1.78
TPS70251PWP	296-8019-5-ND	Zweif. 3,3/1,8 V 500 mA/250 mA LDO-Regler	Dual, 3.3V/1.8V, 500mA/250mA LDO Regulator	20-HTSSOP	2.86	2.29	1.78
TPS70258PWP	296-8020-5-ND	Zweif. 3,3/2,5 V 500 mA/250 mA LDO-Regler	Dual, 3.3V/2.5V, 500mA/250mA LDO Regulator	20-HTSSOP	2.86	2.29	1.78
TPS70302PWP	296-8021-5-ND	Zweif. 1 A/2 A LDO-Regler, einstellbar	Dual, Adj., 1A/2A LDO Regulator	24-HTSSOP	4.48	3.59	2.79
TPS70345PWP	296-8022-5-ND	Zweif. 3,3/1,2 V, 1 A/2 A LDO-Regler	Dual, 3.3V/1.2V, 1A/2A LDO Reg.	24-HTSSOP	4.48	3.59	2.79
TPS70348PWP	296-8023-5-ND	Zweif. 3,3/1,5 V, 1 A/2 A LDO-Regler	Dual, 3.3V/1.5V, 1A/2A LDO Reg.	20-HTSSOP	4.48	3.59	2.79
TPS70351PWP	296-8024-5-ND	Zweif. 3,3/1,8 V, 1 A/2 A LDO-Regler	Dual, 3.3V/1.8V, 1A/2A LDO Reg.	24-HTSSOP	4.48	3.59	2.79
TPS70358PWP	296-8025-5-ND	Zweif. 3,3/2,5 V, 1 A/2 A LDO-Regler	Dual, 3.3V/2.5V, 1A/2A LDO Reg.	24-HTSSOP	4.48	3.59	2.79
TPS70402PWP	296-8026-5-ND	Zweif. 1 A/2 A LDO-Regler, einstellbar	Dual, Adj., 1A/2A LDO Reg.	24-HTSSOP	4.48	3.59	2.79
TPS70445PWP	296-8027-5-ND	Zweif. 3,3/1,2 V, 1 A/2 A LDO-Regler	Dual, 3.3V/1.2V, 1A/2A LDO Reg.	24-HTSSOP	4.48	3.59	2.79
TPS70448PWP	296-8028-5-ND	Zweif. 3,3/1,5 V, 1 A/2 A LDO-Regler	Dual, 3.3V/1.5V, 1A/2A LDO Reg.	24-HTSSOP	4.48	3.59	2.79
TPS70451PWP	296-8029-5-ND	Zweif. 3,3/1,8 V, 1 A/2 A LDO-Regler	Dual, 3.3V/1.8V, 1A/2A LDO Reg.	24-HTSSOP	4.48	3.59	2.79
TPS70458PWP	296-8030-5-ND	Zweif. 3,3/2,5 V, 1 A/2 A LDO-Regler	Dual, 3.3V/2.5V, 1A/2A LDO Reg.	24-HTSSOP	4.48	3.59	2.79
TPS70702PWP	296-8031-5-ND	Zweif. 1 A/2 A LDO-Regler, einstellbar	Dual, Adj., 1A/2A LDO Reg.	20-HTSSOP	2.29	1.83	1.43
TPS70745PWP	296-8032-5-ND	Zweif. 3,3/1,2 V, 250 mA/125 mA LDO-Regler	Dual, 3.3V/1.2V, 250mA/125mA LDO Regulator	20-HTSSOP	2.29	1.83	1.43
TPS70748PWP	296-8033-5-ND	Zweif. 3,3/1,5 V, 250 mA/125 mA LDO-Regler	Dual, 3.3V/1.5V, 250mA/125mA LDO Regulator	20-HTSSOP	2.29	1.83	1.43
TPS70751PWP	296-8034-5-ND	Zweif. 3,3/1,8 V, 250 mA/125 mA LDO-Regler	Dual, 3.3V/1.8V, 250mA/125mA LDO Regulator	20-HTSSOP	2.29	1.83	1.43
TPS70758PWP	296-8035-5-ND	Zweif. 3,3/2,5 V, 250 mA/125 mA LDO-Regler	Dual, 3.3V/2.5V, 250mA/125mA LDO Regulator	20-HTSSOP	2.29	1.83	1.43
TPS70802PWP	296-8036-5-ND	Zweif. 250 mA/125 mA LDO-Regler, einstellbar	Dual, Adjustable, 250mA/125mA LDO Regulator	20-HTSSOP	2.29	1.83	1.43
TPS70845PWP	296-8037-5-ND	Zweif. 3,3/1,2 V, 250 mA/125 mA LDO-Regler	Dual, 3.3V/1.2V, 250mA/125mA LDO Regulator	20-HTSSOP	2.29	1.83	1.43
TPS70848PWP	296-8038-5-ND	Zweif. 3,3/1,5 V, 250 mA/125 mA LDO-Regler	Dual, 3.3V/1.5V, 250mA/125mA LDO Regulator	20-HTSSOP	2.29	1.83	1.43
TPS70851PWP	296-8039-5-ND	Zweif. 3,3/1,8 V, 250 mA/125 mA LDO-Regler	Dual, 3.3V/1.8V, 250mA/125mA LDO Regulator	20-HTSSOP	2.29	1.83	1.43
TPS70858PWP	296-8040-5-ND	Zweif. 3,3/2,5 V, 250 mA/125 mA LDO-Regler	Dual, 3.3V/2.5V, 250mA/125mA LDO Regulator	20-HTSSOP	2.29	1.83	1.43
TPS71025D	296-8043-5-ND	2,5 V, 500 mA LDO-Regler	2.5V, 500mA LDO Regulator	8-SOIC	2.38	1.91	1.49
TPS71025DR	296-8043-1-ND	2,5 V, 500 mA LDO-Regler	2.5V, 500mA LDO Regulator	8-SOIC	2.38	1.91	1.49
TPS71025DR	296-8043-2-ND	2,5 V, 500 mA LDO-Regler	2.5V, 500mA LDO Regulator	8-SOIC		3333.49/2,500	
TPS71025P	296-2657-5-ND	2,5 V, 500 mA LDO-Regler	2.5V, 500mA LDO Regulator	8-Dip	2.38	1.91	1.49
TPS71025PWR	296-8045-1-ND	2,5 V, 500 mA LDO-Regler	2.5V, 500mA LDO Regulator	20-TSSOP	2.38	1.91	1.49
TPS71025PWR	296-8045-2-ND	2,5 V, 500 mA LDO-Regler	2.5V, 500mA LDO Regulator	20-TSSOP		2698.96/2,000	
TPS71202DRCT	296-17696-1-ND	Zweif. 250 mA Ausgang, LDO-Linearregler	Dual 250mA Output, LDO Linear Regulator	10-SON	1.69	1.36	1.02
TPS71202DRCT	296-17696-2-ND	Zweif. 250 mA Ausgang, LDO-Linearregler	Dual 250mA Output, LDO Linear Regulator	10-SON		237.05/250	
TPS71219DRCT	296-17697-1-ND	1,8 V/einstellb., zweif. 250 mA Ausgang, LDO-Linearregler	1.8V/Adj., Dual 250mA Output, LDO Linear Regulator	10-SON	1.69	1.36	1.02
TPS71219DRCT	296-17697-2-ND	1,8 V/einstellb., zweif. 250 mA Ausgang, LDO-Linearregler	1.8V/Adj., Dual 250mA Output, LDO Linear Regulator	10-SON		237.05250	
TPS71229DRCT	296-17698-1-ND	2,8 V/einstellb., zweif. 250 mA Ausgang, LDO-Linearregler	2.8V/Adj., Dual 250mA Output, LDO Linear Regulator	10-SON	1.69	1.36	1.02
TPS71229DRCT	296-17698-2-ND	2,8 V/einstellb., zweif. 250 mA Ausgang, LDO-Linearregler	2.8V/Adj., Dual 250mA Output, LDO Linear Regulator	10-SON		237.05/250	
TPS71247DRCT	296-17699-1-ND	1,8 V/2,85 V, zweif. 250 mA Ausgang, LDO-Linearregler	1.8V/2.85V, Dual 250mA Output, LDO Linear Regulator	10-SON	1.69	1.36	1.02
TPS71247DRCT	296-17699-2-ND	1,8 V/2,85 V, zweif. 250 mA Ausgang, LDO-Linearregler	1.8V/2.85V, Dual 250mA Output, LDO Linear Regulator	10-SON		237.05/250	
TPS71257DRCT	296-17700-1-ND	2,85 V/2,85 V, zweif. 250 mA Ausgang, LDO-Linearregler	2.85V/2.85V, Dual 250mA Output, LDO Linear Regulator	10-SON	1.69	1.36	1.02
TPS71257DRCT	296-17700-2-ND	2,85 V/2,85 V, zweif. 250 mA Ausgang, LDO-Linearregler	2.85V/2.85V, Dual 250mA Output, LDO Linear Regulator	10-SON		237.05/250	
TPS71319DRCT	296-17739-1-ND	1,8 V/einstellb., zweif. 250 mA, ultraleiser LDO-Linearregler, High-PSRR	1.8V/Adj., Dual 250mA, Ultra Low Noise, High PSRR LDO Linear Reg.	10-SON	1.90	1.53	1.15
TPS71319DRCT	296-17739-2-ND	1,8 V/einstellb., zweif. 250 mA, ultraleiser LDO-Linearregler, High-PSRR	1.8V/Adj., Dual 250mA, Ultra Low Noise, High PSRR LDO Linear Reg.	10-SON		266.68/250	
TPS71334DRCT	296-17701-1-ND	3,3 V/einstellb., zweif. 250 mA Ausgang, LDO-Linearregler	3.3V/Adj., Dual 250mA Output, LDO Linear Regulator	10-SON	1.90	1.53	1.15
TPS71334DRCT	296-17701-2-ND	3,3 V/einstellb., zweif. 250 mA Ausgang, LDO-Linearregler	3.3V/Adj., Dual 250mA Output, LDO Linear Regulator	10-SON		266.68/250	
TPS71501DCKR	296-12957-1-ND	Micropower, LDO-Linearregler für hohe Eingangsspannung	High Input Voltage, Micropower, LDO Linear Regulator	SC70-5	.86	.72	.58

(Forts.)

★ *RUFEN SIE BITTE AN FÜR NIEDRIGERE PREISE BEI GRÖSSEREN MENGEN!* ★

B

T. I. Teilenr.	Digi-Key Teilenr.	Beschreibung		Paket	Stückpreis★ 1	25	100
TPS71501DCKR	296-12957-2-ND	Micropower, LDO-Linearregler für hohe Eingangsspannung	High Input Voltage, Micropower, LDO Linear Regulator	SC70-5		1122.59/3,000	
TPS71501QDCKRQ1	296-17748-1-ND	Micropower, LDO-Linearregler für hohe Eingangsspannung	High Input Voltage, Micropower, LDO Linear Regulator	SC70-5	1.02	.85	.68
TPS71501QDCKRQ1	296-17748-2-ND	Micropower, LDO-Linearregler für hohe Eingangsspannung	High Input Voltage, Micropower, LDO Linear Regulator	SC70-5		1320.70/3,000	
TPS71525DCKR	296-12007-1-ND	2,5 V, 50 mA LDO für hohe Eingangsspann.	2.5V, 50mA High Input LDO	SC70-5	.86	.72	.58
TPS71525DCKR	296-12007-2-ND	2,5 V, 50 mA LDO für hohe Eingangsspann.	2.5V, 50mA High Input LDO	SC70-5		1122.59/3,000	
TPS71530DCKR	296-15045-1-ND	3 V, 50 mA LDO für hohe Eingangsspann.	3V, 50mA High Input LDO	SOT-323-5	.86	.72	.58
TPS71530DCKR	296-15045-2-ND	3 V, 50 mA LDO für hohe Eingangsspann.	3V, 50mA High Input LDO	SOT-323-5		1122.59/3,000	
TPS71533DCKR	296-12008-1-ND	3,3 V, 50 mA LDO für hohe Eingangsspann.	3.3V, 50mA High Input LDO	SC70-5	.86	.72	.58
TPS71533DCKR	296-12008-2-ND	3,3 V, 50 mA LDO für hohe Eingangsspann.	3.3V, 50mA High Input LDO	SC70-5		1122.59/3,000	
TPS71550DCKR	296-15046-1-ND	5 V, 50 mA LDO für hohe Eingangsspann.	5V, 50mA High Input LDO	SOT-323-5	.86	.72	.58
TPS71550DCKR	296-15046-2-ND	5 V, 50 mA LDO für hohe Eingangsspann.	5V, 50mA High Input LDO	SOT-323-5		1122.59/3,000	
TPS72101DBVT	296-13004-1-ND	Kappenfreier 150 mA LDO-Linearregler für niedrige Eingangsspannung	Low Input Voltage, Cap Free 150mA LDO Linear Regulator	SOT-23-5	1.04	.87	.70
TPS72101DBVT	296-13004-2-ND	Kappenfreier 150 mA LDO-Linearregler für niedrige Eingangsspannung	Low Input Voltage, Cap Free 150mA LDO Linear Regulator	SOT-23-5		130.16/250	
TPS72115DBVT	296-12518-1-ND	1,5 V, 150 mA LDO-Regler	1.5V, 150mA LDO Regulator	SOT-23-5	1.04	.87	.70
TPS72115DBVT	296-12518-2-ND	1,5 V, 150 mA LDO-Regler	1.5V, 150mA LDO Regulator	SOT-23-5		130.16/250	
TPS72116DBVT	296-12519-1-ND	1,6 V, 150 mA LDO-Regler	1.6V, 150mA LDO Regulator	SOT-23-5	1.04	.87	.70
TPS72116DBVT	296-12519-2-ND	1,6 V, 150 mA LDO-Regler	1.6V, 150mA LDO Regulator	SOT-23-5		130.16/250	
TPS72118DBVT	296-12520-1-ND	1,8 V, 150 mA LDO-Regler	1.8V, 150mA LDO Regulator	SOT-23-5	1.04	.87	.70
TPS72118DBVT	296-12520-2-ND	1,8 V, 150 mA LDO-Regler	1.8V, 150mA LDO Regulator	SOT-23-5		130.16/250	
TPS72201DBVR	296-17874-1-ND	50 mA LDO-Linearreg., einstellb.	Adj., 50mA LDO Linear Reg.	SOT-23-5	1.04	.87	.70
TPS72201DBVR	296-17874-2-ND	50 mA LDO-Linearreg., einstellb.	Adj., 50mA LDO Linear Reg.	SOT-23-5		1353.71/3,000	
TPS72201DBVT	296-15677-1-ND	50 mA LDO-Linearreg., einstellb.	Adj., 50mA LDO Linear Reg.	SOT-23-5	1.04	.87	.70
TPS72201DBVT	296-15677-2-ND	50 mA LDO-Linearreg., einstellb.	Adj., 50mA LDO Linear Reg.	SOT-23-5		130.16/250	
TPS72215DBVT	296-12521-1-ND	1,5 V, 50 mA LDO-Regler, niedrige Eingangsspannung	1.5V, 50mA Low Vin, LDO Reg.	SOT-23-5	1.04	.87	.70
TPS72215DBVT	296-12521-2-ND	1,5 V, 50 mA LDO-Regler, niedrige Eingangsspannung	1.5V, 50mA Low Vin, LDO Reg.	SOT-23-5		130.16/250	
TPS72216DBVT	296-12522-1-ND	1,6 V, 50 mA LDO-Regler, niedrige Eingangsspannung	1.6V, 50mA Low Vin, LDO Reg.	SOT-23-5	1.04	.87	.70
TPS72216DBVT	296-12522-2-ND	1,6 V, 50 mA LDO-Regler, niedrige Eingangsspannung	1.6V, 50mA Low Vin, LDO Reg.	SOT-23-5		130.16/250	
TPS72218DBVT	296-12523-1-ND	1,8 V, 50 mA LDO-Regler, niedrige Eingangsspannung	1.8V, 50mA Low Vin, LDO Reg.	SOT-23-5	1.04	.87	.70
TPS72218DBVT	296-12523-2-ND	1,8 V, 50 mA LDO-Regler, niedrige Eingangsspannung	1.8V, 50mA Low Vin, LDO Reg.	SOT-23-5		130.16/250	
TPS72301DBVT	296-15798-1-ND	200 mA LDO-Regler, einstellb.	Adj., 200mA LDO Regulator	SOT-23-5	2.00	1.60	1.25
TPS72301DBVT	296-15798-2-ND	200 mA LDO-Regler, einstellb.	Adj., 200mA LDO Regulator	SOT-23-5		295.68/250	
TPS72325DBVT	296-15799-1-ND	2,5 V, 200 mA LDO-Regler	2.5V, 200mA LDO Regulator	SOT-23-5	2.00	1.60	1.25
TPS72325DBVT	296-15799-2-ND	2,5 V, 200 mA LDO-Regler	2.5V, 200mA LDO Regulator	SOT-23-5		295.68/250	
TPS72501DCQR	296-13524-1-ND	1 A LDO-Linearregler mit Wächter für niedrige Eingangsspannung, einstellb.	Adj. Low Input Voltage, 1A LDO Linear Regulator with Supervisor	SOT-223-5	2.10	1.68	1.31
TPS72501DCQR	296-13524-2-ND	1 A LDO-Linearregler mit Wächter für niedrige Eingangsspannung, einstellb.	Adj. Low Input Voltage, 1A LDO Linear Regulator with Supervisor	SOT-223-5		2933.47/2,500	
TPS72501DT	296-13805-1-ND	1 A LDO-Linearregler mit Wächter für niedrige Eingangsspannung, einstellb.	Adj. Low Input Voltage, 1A LDO Linear Regulator with Supervisor	8-SOIC	3.62	2.90	2.26
TPS72501DT	296-13805-2-ND	1 A LDO-Linearregler mit Wächter für niedrige Eingangsspannung, einstellb.	Adj. Low Input Voltage, 1A LDO Linear Regulator with Supervisor	8-SOIC		534.84/250	
TPS72501KTTT	296-13525-1-ND	1 A LDO-Linearregler mit Wächter für niedrige Eingangsspannung, einstellb.	Adj. Low Input Voltage, 1A LDO Linear Regulator with Supervisor	DDPAK-5	2.48	1.99	1.55
TPS72501KTTT	296-13525-2-ND	1 A LDO-Linearregler mit Wächter für niedrige Eingangsspannung, einstellb.	Adj. Low Input Voltage, 1A LDO Linear Regulator with Supervisor	DDPAK-5		715.38/500	
TPS72515DCQR	296-12692-1-ND	1,5 V, 1 A LDO-Linearregler	1.5V, 1A LDO Linear Regulator	SOT-223-5	2.10	1.68	1.31
TPS72515DCQR	296-12692-2-ND	1,5 V, 1 A LDO-Linearregler	1.5V, 1A LDO Linear Regulator	SOT-223-5		2933.47/2,500	
TPS72515KTTT	296-12693-1-ND	1,5 V, 1 A LDO-Linearregler	1.5V, 1A LDO Linear Regulator	TO-263-5	2.48	1.99	—
TPS72515KTTT	296-12693-2-ND	1,5 V, 1 A LDO-Linearregler	1.5V, 1A LDO Linear Regulator	TO-263-5		77.04/50	
TPS72516DCQ	296-14393-5-ND	1,6 V, 1 A LDO-Linearregler	1.6V, 1A LDO Linear Regulator	SOT-223-5	2.10	1.68	1.31
TPS72516DCQR	296-14420-1-ND	1,6 V, 1 A LDO-Linearregler	1.6V, 1A LDO Linear Regulator	SOT-223-5	2.10	1.68	1.31
TPS72516DCQR	296-14420-2-ND	1,6 V, 1 A LDO-Linearregler	1.6V, 1A LDO Linear Regulator	SOT-223-5		2933.47/2,500	
TPS72518DCQR	296-12694-1-ND	1,8 V, 1 A LDO-Linearregler	1.8V, 1A LDO Linear Regulator	SOT-223-5	2.10	1.68	1.31
TPS72518DCQR	296-12694-2-ND	1,8 V, 1 A LDO-Linearregler	1.8V, 1A LDO Linear Regulator	SOT-223-5		2933.47/2,500	
TPS72518KTTT	296-12695-1-ND	1,8 V, 1 A LDO-Linearregler	1.8V, 1A LDO Linear Regulator	TO-263-5	2.48	1.99	—
TPS72518KTTT	296-12695-2-ND	1,8 V, 1 A LDO-Linearregler	1.8V, 1A LDO Linear Regulator	TO-263-5		77.04/50	
TPS72525DCQR	296-12696-1-ND	2,5 V, 1 A LDO-Linearregler	2.5V, 1A LDO Linear Regulator	SOT-223-5	2.10	1.68	1.31
TPS72525DCQR	296-12696-2-ND	2,5 V, 1 A LDO-Linearregler	2.5V, 1A LDO Linear Regulator	SOT-223-5		2933.47/2,500	
TPS72525KTTT	296-12697-1-ND	2,5 V, 1 A LDO-Linearregler	2.5V, 1A LDO Linear Regulator	TO-263-5	2.48	1.99	—
TPS72525KTTT	296-12697-2-ND	2,5 V, 1 A LDO-Linearregler	2.5V, 1A LDO Linear Regulator	TO-263-5		77.04/50	
TPS72615DCQR	296-12958-1-ND	1,5 V, 1 A LDO-Linearregler mit Wächter für niedrige Eingangsspannung	1.5V, 1A Low Input Volt., LDO Linear Regulator with Supervisor	SOT-223-5	2.10	1.68	1.31
TPS72615DCQR	296-12958-2-ND	1,5 V, 1 A LDO-Linearregler mit Wächter für niedrige Eingangsspannung	1.5V, 1A Low Input Volt., LDO Linear Regulator with Supervisor	SOT-223-5		2933.47/2,500	
TPS72615KTTT	296-13751-1-ND	1,5 V, 1 A LDO-Linearregler mit Wächter für niedrige Eingangsspannung	1.5V, 1A Low Input Volt., LDO Linear Regulator with Supervisor	DDPAK-5	2.48	1.99	—
TPS72615KTTT	296-13751-2-ND	1,5 V, 1 A LDO-Linearregler mit Wächter für niedrige Eingangsspannung	1.5V, 1A Low Input Volt., LDO Linear Regulator with Supervisor	DDPAK-5		77.04/50	
TPS72616DCQR	296-13705-1-ND	1,6 V, 1 A LDO-Linearregler mit Wächter für niedrige Eingangsspannung	1.6V, 1A Low Input Voltage, LDO Linear Regulator with Supervisor	SOT-223-5	2.10	1.68	1.31
TPS72616DCQR	296-13705-2-ND	1,6 V, 1 A LDO-Linearregler mit Wächter für niedrige Eingangsspannung	1.6V, 1A Low Input Voltage, LDO Linear Regulator with Supervisor	SOT-223-5		2933.47/2,500	
TPS72616KTTT	296-13752-1-ND	1,6 V, 1 A LDO-Linearregler mit Wächter für niedrige Eingangsspannung	1.6V, 1A Low Input Voltage, LDO Linear Regulator with Supervisor	DDPAK-5	2.48	1.99	—
TPS72616KTTT	296-13752-2-ND	1,6 V, 1 A LDO-Linearregler mit Wächter für niedrige Eingangsspannung	1.6V, 1A Low Input Voltage, LDO Linear Regulator with Supervisor	DDPAK-5		77.04/50	
TPS72618DCQR	296-12959-1-ND	1,8 V, 1 A LDO-Linearregler mit Wächter für niedrige Eingangsspannung	1.8V, 1A Low Input Volt., LDO Linear Regulator with Supervisor	SOT-223-5	2.10	1.68	1.31
TPS72618DCQR	296-12959-2-ND	1,8 V, 1 A LDO-Linearregler mit Wächter für niedrige Eingangsspannung	1.8V, 1A Low Input Volt., LDO Linear Regulator with Supervisor	SOT-223-5		2933.47/2,500	
TPS72618KTTT	296-13753-1-ND	1,8 V, 1 A LDO-Linearregler mit Wächter für niedrige Eingangsspannung	1.8V, 1A Low Input Voltage, LDO Linear Regulator with Supervisor	DDPAK-5	2.48	1.99	—
TPS72618KTTT	296-13753-2-ND	1,8 V, 1 A LDO-Linearregler mit Wächter für niedrige Eingangsspannung	1.8V, 1A Low Input Voltage, LDO Linear Regulator with Supervisor	DDPAK-5		77.04/50	
TPS72625DCQR	296-12960-1-ND	2,5 V, 1 A LDO-Linearregler mit Wächter für niedrige Eingangsspannung	2.5V, 1A Low Input Volt., LDO Linear Regulator with Supervisor	SOT-223-5	2.10	1.68	1.31
TPS72625DCQR	296-12960-2-ND	2,5 V, 1 A LDO-Linearregler mit Wächter für niedrige Eingangsspannung	2.5V, 1A Low Input Volt., LDO Linear Regulator with Supervisor	SOT-223-5		2933.47/2,500	
TPS72625KTTT	296-13754-1-ND	2,5 V, 1 A LDO-Linearregler mit Wächter für niedrige Eingangsspannung	2.5V, 1A Low Input Voltage, LDO Linear Regulator with Supervisor	DDPAK-5	2.48	1.99	—
TPS72625KTTT	296-13754-2-ND	2,5 V, 1 A LDO-Linearregler mit Wächter für niedrige Eingangsspannung	2.5V, 1A Low Input Voltage, LDO Linear Regulator with Supervisor	DDPAK-5		77.04/50	
TPS73001DBVT	296-17576-1-ND	1,22 V - 5,5 V LDO-Regler	1.22V-5.5V LDO Regulator	SOT-23-5	.64	.49	.37
TPS73001DBVT	296-17576-2-ND	1,22 V - 5,5 V LDO-Regler	1.22V-5.5V LDO Regulator	SOT-23-5		66.67/250	
TPS73018DBVT	296-17577-1-ND	1,8 V LDO-Regler	1.8V LDO Regulator	SOT-23-5	.64	.49	.37
TPS73018DBVT	296-17577-2-ND	1,8 V LDO-Regler	1.8V LDO Regulator	SOT-23-5		66.67/250	
TPS73025DBVR	296-17578-1-ND	2,5 V LDO-Regler	2.5V LDO Regulator	SOT-23-5	.64	.49	.37
TPS73025DBVR	296-17578-2-ND	2,5 V LDO-Regler	2.5V LDO Regulator	SOT-23-5		627.33/3,000	
TPS73030DBVT	296-17579-1-ND	3 V LDO-Regler	3V LDO Regulator	SOT-23-5	.64	.49	.37
TPS73030DBVT	296-17579-2-ND	3 V LDO-Regler	3V LDO Regulator	SOT-23-5		66.67/250	
TPS73033DBVR	296-17580-1-ND	3,3 V LDO-Regler	3.3V LDO Regulator	SOT-23-5	.64	.49	.37
TPS73033DBVR	296-17580-2-ND	3,3 V LDO-Regler	3.3V LDO Regulator	SOT-23-5		627.33/3,000	
TPS73101DBVT	296-15800-1-ND	150 mA LDO-Regler, einstellb.	Adj., 150mA LDO Regulator	SOT-23-5	1.09	.92	.73
TPS73101DBVT	296-15800-2-ND	150 mA LDO-Regler, einstellb.	Adj., 150mA LDO Regulator	SOT-23-5		136.51/250	
TPS73115DBVT	296-15801-1-ND	1,5 V, 150 mA LDO-Regler	1.5V, 150mA LDO Regulator	SOT-23-5	1.09	.92	.73
TPS73115DBVT	296-15801-2-ND	1,5 V, 150 mA LDO-Regler	1.5V, 150mA LDO Regulator	SOT-23-5		136.51/250	
TPS73118DBVT	296-15802-1-ND	1,8 V, 150 mA LDO-Regler	1.8V, 150mA LDO Regulator	SOT-23-5	1.09	.92	.73
TPS73118DBVT	296-15802-2-ND	1,8 V, 150 mA LDO-Regler	1.8V, 150mA LDO Regulator	SOT-23-5		136.51/250	
TPS73125DBVT	296-15803-1-ND	2,5 V, 150 mA LDO-Regler	2.5V, 150mA LDO Regulator	SOT-23-5	1.09	.92	.73
TPS73125DBVT	296-15803-2-ND	2,5 V, 150 mA LDO-Regler	2.5V, 150mA LDO Regulator	SOT-23-5		136.51/250	
TPS73130DBVT	296-15804-1-ND	3 V, 150 mA LDO-Regler	3V, 150mA LDO Regulator	SOT-23-5	1.09	.92	.73
TPS73130DBVT	296-15804-2-ND	3 V, 150 mA LDO-Regler	3V, 150mA LDO Regulator	SOT-23-5		136.51/250	
TPS73132DBVT	296-17422-1-ND	3,2 V, 150 mA LDO-Regler	3.2V, 150mA LDO Regulator	SOT-23-5	1.09	.92	.73
TPS73132DBVT	296-17422-2-ND	3,2 V, 150 mA LDO-Regler	3.2V, 150mA LDO Regulator	SOT-23-5		136.51/250	
TPS73133DBVT	296-15805-1-ND	3,3 V, 150 mA LDO-Regler	3.3V, 150mA LDO Regulator	SOT-23-5	1.09	.92	.73
TPS73133DBVT	296-15805-2-ND	3,3 V, 150 mA LDO-Regler	3.3V, 150mA LDO Regulator	SOT-23-5		136.51/250	
TPS73150DBVT	296-15806-1-ND	5 V, 150 mA LDO-Regler	5V, 150mA LDO Regulator	SOT-23-5	1.09	.92	.73
TPS73150DBVT	296-15806-2-ND	5 V, 150 mA LDO-Regler	5V, 150mA LDO Regulator	SOT-23-5		136.51/250	
TPS73201DBVT	296-15807-1-ND	250 mA LDO-Regler, einstellb.	Adj., 250mA LDO Regulator	SOT-23-5	1.31	1.05	.79
TPS73201DBVT	296-15807-2-ND	250 mA LDO-Regler, einstellb.	Adj., 250mA LDO Regulator	SOT-23-5		183.71/250	
TPS73201DCQR	296-16861-1-ND	250 mA LDO-Regler, einstellb.	Adj., 250mA LDO Regulator	SOT-223-5	1.51	1.21	.91
TPS73201DCQR	296-16861-2-ND	250 mA LDO-Regler, einstellb.	Adj., 250mA LDO Regulator	SOT-223-5		1923.90/2,500	
TPS73215DBVT	296-15808-1-ND	1,5 V, 250 mA LDO-Regler	1.5V, 250mA LDO Regulator	SOT-23-5	1.31	1.05	.79
TPS73215DBVT	296-15808-2-ND	1,5 V, 250 mA LDO-Regler	1.5V, 250mA LDO Regulator	SOT-23-5		183.71/250	
TPS73215DCQR	296-16862-1-ND	1,5 V, 250 mA LDO-Regler	1.5V, 250mA LDO Regulator	SOT-223-5	1.51	1.21	.91
TPS73215DCQR	296-16862-2-ND	1,5 V, 250 mA LDO-Regler	1.5V, 250mA LDO Regulator	SOT-223-5		1923.90/2,500	
TPS73216DBVT	296-17423-1-ND	1,6 V, 250 mA LDO-Regler	1.6V, 250mA LDO Regulator	SOT-23-5	1.31	1.05	.79

(Forts.)

★ ***RUFEN SIE BITTE AN FÜR NIEDRIGERE PREISE BEI GRÖSSEREN MENGEN!*** ★

T. I. Teilenr.	Digi-Key Teilenr.	Beschreibung		Paket	Stückpreis★ 1	25	100
TPS73216DBVT	296-17423-2-ND	1,6 V, 250 mA LDO-Regler	1.6V, 250mA LDO Regulator	SOT-23-5		183.71/250	
TPS73218DBVT	296-15809-1-ND	1,8 V, 250 mA LDO-Regler	1.8V, 250mA LDO Regulator	SOT-23-5	1.31	1.05	.79
TPS73218DBVT	296-15809-2-ND	1,8 V, 250 mA LDO-Regler	1.8V, 250mA LDO Regulator	SOT-23-5		183.71/250	
TPS73218DCQR	296-16863-1-ND	1,8 V, 250 mA LDO-Regler	1.8V, 250mA LDO Regulator	SOT-223-5	1.51	1.21	.91
TPS73218DCQR	296-16863-2-ND	1,8 V, 250 mA LDO-Regler	1.8V, 250mA LDO Regulator	SOT-223-5		1923.90/2,500	
TPS73225DBVT	296-15810-1-ND	2,5 V, 250 mA LDO-Regler	2.5V, 250mA LDO Regulator	SOT-23-5	1.31	1.05	.79
TPS73225DBVT	296-15810-2-ND	2,5 V, 250 mA LDO-Regler	2.5V, 250mA LDO Regulator	SOT-23-5		183.71/250	
TPS73225DCQR	296-16864-1-ND	2,5 V, 250 mA LDO-Regler	2.5V, 250mA LDO Regulator	SOT-223-5	1.51	1.21	.91
TPS73225DCQR	296-16864-2-ND	2,5 V, 250 mA LDO-Regler	2.5V, 250mA LDO Regulator	SOT-223-5		1923.90/2,500	
TPS73230DBVT	296-15811-1-ND	3 V, 250 mA LDO-Regler	3V, 250mA LDO Regulator	SOT-23-5	1.31	1.05	.79
TPS73230DBVT	296-15811-2-ND	3 V, 250 mA LDO-Regler	3V, 250mA LDO Regulator	SOT-23-5		183.71/250	
TPS73230DCQR	296-16865-1-ND	3 V, 250 mA LDO-Regler	3V, 250mA LDO Regulator	SOT-223-5	1.51	1.21	.91
TPS73230DCQR	296-16865-2-ND	3 V, 250 mA LDO-Regler	3V, 250mA LDO Regulator	SOT-223-5		1923.90/2,500	
TPS73233DBVT	296-15812-1-ND	3,3 V, 250 mA LDO-Regler	3.3V, 250mA LDO Regulator	SOT-23-5	1.31	1.05	.79
TPS73233DBVT	296-15812-2-ND	3,3 V, 250 mA LDO-Regler	3.3V, 250mA LDO Regulator	SOT-23-5		183.71/250	
TPS73233DCQR	296-16866-1-ND	3,3 V, 250 mA LDO-Regler	3.3V, 250mA LDO Regulator	SOT-223-5	1.51	1.21	.91
TPS73233DCQR	296-16866-2-ND	3,3 V, 250 mA LDO-Regler	3.3V, 250mA LDO Regulator	SOT-223-5		1923.90/2,500	
TPS73250DBVT	296-15813-1-ND	5 V, 250 mA LDO-Regler	5V, 250mA LDO Regulator	SOT-23-5	1.31	1.05	.79
TPS73250DBVT	296-15813-2-ND	5 V, 250 mA LDO-Regler	5V, 250mA LDO Regulator	SOT-23-5		183.71/250	
TPS73250DCQR	296-16867-1-ND	5 V, 250 mA LDO-Regler	5V, 250mA LDO Regulator	SOT-223-5	1.51	1.21	.91
TPS73250DCQR	296-16867-2-ND	5 V, 250 mA LDO-Regler	5V, 250mA LDO Regulator	SOT-223-5		1923.90/2,500	
TPS73601DBVT	296-15814-1-ND	400 mA LDO-Regler, einstellb.	Adj., 400mA LDO Regulator	SOT-23-5	1.72	1.38	1.03
TPS73601DBVT	296-15814-2-ND	400 mA LDO-Regler, einstellb.	Adj., 400mA LDO Regulator	SOT-23-5		240.01/250	
TPS73601DCQR	296-16909-1-ND	400 mA LDO-Regler, einstellb.	Adj., 400mA LDO Regulator	SOT-223-5	1.90	1.53	1.15
TPS73601DCQR	296-16909-2-ND	400 mA LDO-Regler, einstellb.	Adj., 400mA LDO Regulator	SOT-223-5		2438.21/2,500	
TPS73601DRBT	296-17620-1-ND	400 mA LDO-Regler, einstellb.	Adj., 400mA LDO Regulator	8-SON	1.90	1.53	1.15
TPS73601DRBT	296-17620-2-ND	400 mA LDO-Regler, einstellb.	Adj., 400mA LDO Regulator	8-SON		266.68/250	
TPS73615DBVT	296-15815-1-ND	1,5 V, 400 mA LDO-Regler	1.5V, 400mA LDO Regulator	SOT-23-5	1.90	1.53	1.15
TPS73615DBVT	296-15815-2-ND	1,5 V, 400 mA LDO-Regler	1.5V, 400mA LDO Regulator	SOT-23-5		240.01/250	
TPS73615DCQR	296-16910-1-ND	1,5 V, 400 mA LDO-Regler	1.5V, 400mA LDO Regulator	SOT-223-5	1.90	1.53	1.15
TPS73615DCQR	296-16910-2-ND	1,5 V, 400 mA LDO-Regler	1.5V, 400mA LDO Regulator	SOT-223-5		2438.21/2,500	
TPS73618DBVT	296-15816-1-ND	1,8 V, 400 mA LDO-Regler	1.8V, 400mA LDO Regulator	SOT-23-5	1.72	1.38	1.03
TPS73618DBVT	296-15816-2-ND	1,8 V, 400 mA LDO-Regler	1.8V, 400mA LDO Regulator	SOT-23-5		240.01/250	
TPS73618DCQR	296-16911-1-ND	1,8 V, 400 mA LDO-Regler	1.8V, 400mA LDO Regulator	SOT-223-5	1.90	1.53	1.15
TPS73618DCQR	296-16911-2-ND	1,8 V, 400 mA LDO-Regler	1.8V, 400mA LDO Regulator	SOT-223-5		2438.21/2,500	
TPS73625DBVT	296-15817-1-ND	2,5 V, 400 mA LDO-Regler	2.5V, 400mA LDO Regulator	SOT-23-5	1.72	1.38	1.03
TPS73625DBVT	296-15817-2-ND	2,5 V, 400 mA LDO-Regler	2.5V, 400mA LDO Regulator	SOT-23-5		240.01/250	
TPS73625DCQR	296-16912-1-ND	2,5 V, 400 mA LDO-Regler	2.5V, 400mA LDO Regulator	SOT-223-5	1.90	1.53	1.15
TPS73625DCQR	296-16912-2-ND	2,5 V, 400 mA LDO-Regler	2.5V, 400mA LDO Regulator	SOT-223-5		2438.21/2,500	
TPS73630DBVT	296-15818-1-ND	3 V, 400 mA LDO-Regler	3V, 400mA LDO Regulator	SOT-23-5	1.72	1.38	1.03
TPS73630DBVT	296-15818-2-ND	3 V, 400 mA LDO-Regler	3V, 400mA LDO Regulator	SOT-23-5		240.01/250	
TPS73630DCQR	296-16913-1-ND	3 V, 400 mA LDO-Regler	3V, 400mA LDO Regulator	SOT-223-5	1.90	1.53	1.15
TPS73630DCQR	296-16913-2-ND	3 V, 400 mA LDO-Regler	3V, 400mA LDO Regulator	SOT-223-5		2438.21/2,500	
TPS73632DBVT	296-17424-1-ND	3,2 V, 400 mA LDO-Regler	3.2V, 400mA LDO Regulator	SOT-23-5	1.72	1.38	1.03
TPS73632DBVT	296-17424-2-ND	3,2 V, 400 mA LDO-Regler	3.2V, 400mA LDO Regulator	SOT-23-5		240.01/250	
TPS73633DBVT	296-15819-1-ND	3,3 V, 400 mA LDO-Regler	3.3V, 400mA LDO Regulator	SOT-23-5	1.72	1.38	1.03
TPS73633DBVT	296-15819-2-ND	3,3 V, 400 mA LDO-Regler	3.3V, 400mA LDO Regulator	SOT-23-5		240.01/250	
TPS73633DCQR	296-16914-1-ND	3,3 V, 400 mA LDO-Regler	3.3V, 400mA LDO Regulator	SOT-223-5	1.90	1.53	1.15
TPS73633DCQR	296-16914-2-ND	3,3 V, 400 mA LDO-Regler	3.3V, 400mA LDO Regulator	SOT-223-5		2438.21/2,500	
TPS73643DBVR	296-17498-1-ND	4,3 V, 400 mA LDO-Regler	4.3V, 400mA LDO Regulator	SOT-23-5	1.72	1.38	1.03
TPS73643DBVR	296-17498-2-ND	4,3 V, 400 mA LDO-Regler	4.3V, 400mA LDO Regulator	SOT-23-5		2633.77/3,000	
TPS75101QPWP	296-2673-5-ND	1,5 A LDO-Regler, einstellb.	Adj., 1.5A LDO Regulator	20-HTSSOP	3.05	2.44	1.90
TPS75115QPWP	296-2674-5-ND	1,5 V, 1,5 A LDO-Regler	1.5V, 1.5A LDO Regulator	20-HTSSOP	3.05	2.44	1.90
TPS75118QPWP	296-2675-5-ND	1,8 V, 1,5 A LDO-Regler	1.8V, 1.5A LDO Regulator	20-HTSSOP	3.05	2.44	1.90
TPS75125QPWP	296-2676-5-ND	2,5 V, 1,5 A LDO-Regler	2.5V, 1.5A LDO Regulator	20-HTSSOP	3.05	2.44	1.90
TPS75133QPWP	296-2677-5-ND	3,3 V, 1,5 A LDO-Regler	3.3V, 1.5A LDO Regulator	20-HTSSOP	3.05	2.44	1.90
TPS75201QPWP	296-2678-5-ND	2 A LDO-Regler, einstellb.	Adj., 2A LDO Regulator	20-HTSSOP	3.43	2.75	2.14
TPS75215QPWP	296-2679-5-ND	1,5 V, 2 A LDO-Regler	1.5V, 2A LDO Regulator	20-HTSSOP	3.43	2.75	2.14
TPS75218QPWP	296-2680-5-ND	1,8 V, 2 A LDO-Regler	1.8V, 2A LDO Regulator	20-HTSSOP	3.43	2.75	2.14
TPS75218QPWPRQ1	296-15279-1-ND	1,8 V, 2 A LDO-Regler	1.8V, 2A LDO Regulator	20-HTSSOP	4.00	3.20	2.49
TPS75218QPWPRQ1	296-15279-2-ND	1,8 V, 2 A LDO-Regler	1.8V, 2A LDO Regulator	20-HTSSOP		4534.39/2,000	
TPS75225QPWP	296-2681-5-ND	2,5 V, 2 A LDO-Regler	2.5V, 2A LDO Regulator	20-HTSSOP	3.43	2.75	2.14
TPS75233QPWP	296-2682-5-ND	3,3 V, 2 A LDO-Regler	3.3V, 2A LDO Regulator	20-HTSSOP	3.43	2.75	2.14
TPS75233QPWPRQ1	296-15280-1-ND	3,3 V, 2 A LDO-Regler	3.3V, 2A LDO Regulator	20-HTSSOP	4.00	3.20	2.49
TPS75233QPWPRQ1	296-15280-2-ND	3,3 V, 2 A LDO-Regler	3.3V, 2A LDO Regulator	20-HTSSOP		4534.39/2,000	
TPS75301QPWP	296-2683-5-ND	1,5 A LDO-Regler, einstellb.	Adj., 1.5A LDO Regulator	20-HTSSOP	3.24	2.60	2.02
TPS75301QPWPRQ1	296-15281-1-ND	1,5 A LDO-Regler, einstellb.	Adj., 1.5A LDO Regulator	20-HTSSOP	3.81	3.05	2.38
TPS75301QPWPRQ1	296-15281-2-ND	1,5 A LDO-Regler, einstellb.	Adj., 1.5A LDO Regulator	20-HTSSOP		4317.66/2,000	
TPS75315QPWP	296-2684-5-ND	1,5 V, 1,5 A LDO-Regler	1.5V, 1.5A LDO Regulator	20-HTSSOP	3.24	2.60	2.02
TPS75318QPWP	296-2685-5-ND	1,8 V, 1,5 A LDO-Regler	1.8V, 1.5A LDO Regulator	20-HTSSOP	3.24	2.60	2.02
TPS75318QPWPRQ1	296-15282-1-ND	1,8 V, 1,5 A LDO-Regler	1.8V, 1.5A LDO Regulator	20-HTSSOP	3.81	3.05	2.38
TPS75318QPWPRQ1	296-15282-2-ND	1,8 V, 1,5 A LDO-Regler	1.8V, 1.5A LDO Regulator	20-HTSSOP		4317.66/2,000	
TPS75325QPWP	296-2686-5-ND	2,5 V, 1,5 A LDO-Regler	2.5V, 1.5A LDO Regulator	20-HTSSOP	3.24	2.60	2.02
TPS75333QPWP	296-2687-5-ND	3,3 V, 1,5 A LDO-Regler	3.3V, 1.5A LDO Regulator	20-HTSSOP	3.24	2.60	2.02
TPS75333QPWPRQ1	296-15283-1-ND	3,3 V, 1,5 A LDO-Regler	3.3V, 1.5A LDO Regulator	20-HTSSOP	3.81	3.05	2.38
TPS75333QPWPRQ1	296-15283-2-ND	3,3 V, 1,5 A LDO-Regler	3.3V, 1.5A LDO Regulator	20-HTSSOP		4317.66/2,000	
TPS75401QPWP	296-2688-5-ND	2 A LDO-Regler, einstellb.	Adjustable, 2A LDO Regulator	20-HTSSOP	3.34	2.67	2.08
TPS75415QPWP	296-2689-5-ND	1,5 V, 2 A LDO-Regler	1.5V, 2A LDO Regulator	20-HTSSOP	3.34	2.67	2.08
TPS75418QPWP	296-2690-5-ND	1,8 V, 2 A LDO-Regler	1.8V, 2A LDO Regulator	20-HTSSOP	3.34	2.67	2.08
TPS75425QPWP	296-2691-5-ND	2,5 V, 2 A LDO-Regler	2.5V, 2A LDO Regulator	20-HTSSOP	3.34	2.67	2.08
TPS75433QPWP	296-2692-5-ND	3,3 V, 2 A LDO-Regler	3.3V, 2A LDO Regulator	20-HTSSOP	3.34	2.67	2.08
TPS75501KC	296-10988-5-ND	5 A LDO-Regler, einstellb.	Adj., 5A LDO Regulator	TO-220	5.08	4.07	3.43
TPS75501KTTT	296-15992-1-ND	5 A LDO-Regler, einstellb.	Adj., 5A LDO Regulator	TO-263-5	5.08	4.07	—
TPS75501KTTT	296-15992-2-ND	5 A LDO-Regler, einstellb.	Adj., 5A LDO Regulator	TO-263-5		171.44/50	
TPS75515KC	296-10990-5-ND	1,5 V, 5 A LDO-Regler	1.5V, 5A LDO Regulator	TO-220	5.08	4.07	3.43
TPS75515KTTT	296-15911-1-ND	1,5 V, 5 A LDO-Regler	1.5V, 5A LDO Regulator	TO-263-5	5.08	4.07	—
TPS75515KTTT	296-15911-2-ND	1,5 V, 5 A LDO-Regler	1.5V, 5A LDO Regulator	TO-263-5		171.44/50	
TPS75518KC	296-10992-5-ND	1,8 V, 5 A LDO-Regler	1.8V, 5A LDO Regulator	TO-220	5.08	4.07	3.43
TPS75518KTTT	296-15912-1-ND	1,8 V, 5 A LDO-Regler	1.8V, 5A LDO Regulator	TO-263-5	5.08	4.07	—
TPS75518KTTT	296-15912-2-ND	1,8 V, 5 A LDO-Regler	1.8V, 5A LDO Regulator	TO-263-5		171.44/50	
TPS75525KC	296-10994-5-ND	2,5 V, 5 A LDO-Regler	2.5V, 5A LDO Regulator	TO-220	5.08	4.07	3.43
TPS75525KTTT	296-15913-1-ND	2,5 V, 5 A LDO-Regler	2.5V, 5A LDO Regulator	TO-263-5	5.08	4.07	—
TPS75525KTTT	296-15913-2-ND	2,5 V, 5 A LDO-Regler	2.5V, 5A LDO Regulator	TO-263-5		171.44/50	
TPS75533KC	296-10996-5-ND	3,3 V, 5 A LDO-Regler	3.3V, 5A LDO Regulator	TO-220	5.08	4.07	3.43
TPS75533KTTT	296-15914-1-ND	3,3 V, 5 A LDO-Regler	3.3V, 5A LDO Regulator	TO-263-5	5.08	4.07	—
TPS75533KTTT	296-15914-2-ND	3,3 V, 5 A LDO-Regler	3.3V, 5A LDO Regulator	TO-263-5		171.44/50	
TPS75601KC	296-11947-5-ND	5 A LDO-Regler, einstellb.	Adj., 5A LDO Regulator	TO-220-5	5.08	4.07	3.43
TPS75601KTTT	296-15915-1-ND	5 A LDO-Regler, einstellb.	Adj., 5A LDO Regulator	TO-263-5	5.08	4.07	—
TPS75601KTTT	296-15915-2-ND	5 A LDO-Regler, einstellb.	Adj., 5A LDO Regulator	TO-263-5		171.44/50	
TPS75615KC	296-11949-5-ND	1,5 V, 5 A LDO-Regler	1.5V, 5A LDO Regulator	TO-220-5	5.08	4.07	3.43
TPS75615KTTT	296-15916-1-ND	1,5 V, 5 A LDO-Regler	1.5V, 5A LDO Regulator	TO-263-5	5.08	4.07	—
TPS75615KTTT	296-15916-2-ND	1,5 V, 5 A LDO-Regler	1.5V, 5A LDO Regulator	TO-263-5		171.44/50	
TPS75618KC	296-11951-5-ND	1,8 V, 5 A LDO-Regler	1.8V, 5A LDO Regulator	TO-220-5	5.08	4.07	3.43
TPS75618KTTT	296-15917-1-ND	1,8 V, 5 A LDO-Regler	1.8V, 5A LDO Regulator	TO-263-5	5.08	4.07	—
TPS75618KTTT	296-15917-2-ND	1,8 V, 5 A LDO-Regler	1.8V, 5A LDO Regulator	TO-263-5		171.44/50	

(Forts.)

★ ***RUFEN SIE BITTE AN FÜR NIEDRIGERE PREISE BEI GRÖSSEREN MENGEN!*** ★

B

T. I. Teilenr.	Digi-Key Teilenr.	Beschreibung		Paket	Stückpreis★ 1	25	100
TPS75625KC	296-11953-5-ND	2,5 V, 5 A LDO-Regler	2.5V, 5A LDO Regulator	TO-220-5	5.08	4.07	3.43
TPS75625KTTT	296-15918-1-ND	2,5 V, 5 A LDO-Regler	2.5V, 5A LDO Regulator	TO-263-5	5.08	4.07	—
TPS75625KTTT	296-15918-2-ND	2,5 V, 5 A LDO-Regler	2.5V, 5A LDO Regulator	TO-263-5		171.44/50	
TPS75633KC	296-11955-5-ND	3,3 V, 5 A LDO-Regler	3.3V, 5A LDO Regulator	TO-220-5	5.08	4.07	3.43
TPS75633KTTT	296-15919-1-ND	3,3 V, 5 A LDO-Regler	3.3V, 5A LDO Regulator	TO-263-5	5.08	4.07	—
TPS75633KTTT	296-15919-2-ND	3,3 V, 5 A LDO-Regler	3.3V, 5A LDO Regulator	TO-263-5		171.44/50	
TPS75701KC	296-10998-5-ND	3 A LDO-Regler, einstellb.	Adj., 3A LDO Regulator	TO-220	4.57	3.66	3.09
TPS75701KTTT	296-15920-1-ND	3 A LDO-Regler, einstellb.	Adj., 3A LDO Regulator	TO-263-5	4.57	3.66	—
TPS75701KTTT	296-15920-2-ND	3 A LDO-Regler, einstellb.	Adj., 3A LDO Regulator	TO-263-5		154.29/50	
TPS75715KC	296-11000-5-ND	1,5 V, 3 A LDO-Regler	1.5V, 3A LDO Regulator	TO-220	4.57	3.66	3.09
TPS75715KTTT	296-15921-1-ND	1,5 V, 3 A LDO-Regler	1.5V, 3A LDO Regulator	TO-263-5	4.57	3.66	—
TPS75715KTTT	296-15921-2-ND	1,5 V, 3 A LDO-Regler	1.5V, 3A LDO Regulator	TO-263-5		154.29/50	
TPS75718KC	296-11002-5-ND	1,8 V, 3 A LDO-Regler	1.8V, 3A LDO Regulator	TO-220	4.57	3.66	3.09
TPS75718KTTT	296-15922-1-ND	1,8 V, 3 A LDO-Regler	1.8V, 3A LDO Regulator	TO-263-5	4.57	3.66	—
TPS75718KTTT	296-15922-2-ND	1,8 V, 3 A LDO-Regler	1.8V, 3A LDO Regulator	TO-263-5		154.29/50	
TPS75725KC	296-11004-5-ND	2,5 V, 3 A LDO-Regler	2.5V, 3A LDO Regulator	TO-220	4.57	3.66	3.09
TPS75725KTTT	296-15923-1-ND	2,5 V, 3 A LDO-Regler	2.5V, 3A LDO Regulator	TO-263-5	4.57	3.66	—
TPS75725KTTT	296-15923-2-ND	2,5 V, 3 A LDO-Regler	2.5V, 3A LDO Regulator	TO-263-5		154.29/50	
TPS75733KC	296-11006-5-ND	3,3 V, 3 A LDO-Regler	3.3V, 3A LDO Regulator	TO-220	4.57	3.66	3.09
TPS75733KTTT	296-15924-1-ND	3,3 V, 3 A LDO-Regler	3.3V, 3A LDO Regulator	TO-263-5	4.57	3.66	—
TPS75733KTTT	296-15924-2-ND	3,3 V, 3 A LDO-Regler	3.3V, 3A LDO Regulator	TO-263-5		154.29/50	
TPS75801KC	296-11957-5-ND	3 A LDO-Regler, einstellb.	Adj., 3A LDO Regulator	TO-220-5	4.57	3.66	3.09
TPS75801KTTT	296-15925-1-ND	3 A LDO-Regler, einstellb.	Adj., 3A LDO Regulator	TO-263-5	4.57	3.66	—
TPS75801KTTT	296-15925-2-ND	3 A LDO-Regler, einstellb.	Adj., 3A LDO Regulator	TO-263-5		154.29/50	
TPS75815KC	296-11959-5-ND	1,5 V, 3 A LDO-Regler	1.5V, 3A LDO Regulator	TO-220-5	4.57	3.66	3.09
TPS75815KTTT	296-15926-1-ND	1,5 V, 3 A LDO-Regler	1.5V, 3A LDO Regulator	TO-263-5	4.57	3.66	—
TPS75815KTTT	296-15926-2-ND	1,5 V, 3 A LDO-Regler	1.5V, 3A LDO Regulator	TO-263-5		154.29/50	
TPS75818KC	296-11961-5-ND	1,8 V, 3 A LDO-Regler	1.8V, 3A LDO Regulator	TO-220-5	4.57	3.66	3.09
TPS75818KTTT	296-15927-1-ND	1,8 V, 3 A LDO-Regler	1.8V, 3A LDO Regulator	TO-263-5	4.57	3.66	—
TPS75818KTTT	296-15927-2-ND	1,8 V, 3 A LDO-Regler	1.8V, 3A LDO Regulator	TO-263-5		154.29/50	
TPS75825KC	296-11963-5-ND	2,5 V, 3 A LDO-Regler	2.5V, 3A LDO Regulator	TO-220-5	4.57	3.66	3.09
TPS75825KTTT	296-15928-1-ND	2,5 V, 3 A LDO-Regler	2.5V, 3A LDO Regulator	TO-263-5	4.57	3.66	—
TPS75825KTTT	296-15928-2-ND	2,5 V, 3 A LDO-Regler	2.5V, 3A LDO Regulator	TO-263-5		154.29/50	
TPS75833KC	296-11965-5-ND	3,3 V, 3 A LDO-Regler	3.3V, 3A LDO Regulator	TO-220-5	4.57	3.66	3.09
TPS75833KTTT	296-15929-1-ND	3,3 V, 3 A LDO-Regler	3.3V, 3A LDO Regulator	TO-263-5	4.57	3.66	—
TPS75833KTTT	296-15929-2-ND	3,3 V, 3 A LDO-Regler	3.3V, 3A LDO Regulator	TO-263-5		154.29/50	
TPS75901KC	296-12369-5-ND	7,5 A LDO-Regler, einstellb.	Adj., 7.5A LDO Regulator	TO-220-5	5.42	4.34	3.66
TPS75901KTTT	296-15930-1-ND	7,5 A LDO-Regler, einstellb.	Adj., 7.5A LDO Regulator	TO-263-5	5.42	4.34	—
TPS75901KTTT	296-15930-2-ND	7,5 A LDO-Regler, einstellb.	Adj., 7.5A LDO Regulator	TO-263-5		182.87/50	
TPS75915KC	296-12371-5-ND	1,5 V, 7,5 A LDO-Regler, fester Ausgang	1.5V, Fixed Out 7.5A LDO Regulator	TO-220-5	5.42	4.34	3.66
TPS75915KTTT	296-15931-1-ND	1,5 V, 7,5 A LDO-Regler, fester Ausgang	1.5V, Fixed Out 7.5A LDO Regulator	TO-263-5	5.42	4.34	—
TPS75915KTTT	296-15931-2-ND	1,5 V, 7,5 A LDO-Regler, fester Ausgang	1.5V, Fixed Out 7.5A LDO Regulator	TO-263-5		182.87/50	
TPS75918KC	296-12373-5-ND	1,8 V, 7,5 A LDO-Regler, fester Ausgang	1.8V, Fixed Out 7.5A LDO Regulator	TO-220-5	5.42	4.34	3.66
TPS75918KTTT	296-15932-1-ND	1,8 V, 7,5 A LDO-Regler, fester Ausgang	1.8V, Fixed Out 7.5A LDO Regulator	TO-263-5	5.42	4.34	—
TPS75918KTTT	296-15932-2-ND	1,8 V, 7,5 A LDO-Regler, fester Ausgang	1.8V, Fixed Out 7.5A LDO Regulator	TO-263-5		182.87/50	
TPS75925KC	296-12375-5-ND	2,5 V, 7,5 A LDO-Regler, fester Ausgang	2.5V, Fixed Out 7.5A LDO Regulator	TO-220-5	5.42	4.34	3.66
TPS75925KTTT	296-15933-1-ND	2,5 V, 7,5 A LDO-Regler, fester Ausgang	2.5V, Fixed Out 7.5A LDO Regulator	TO-263-5	5.42	4.34	—
TPS75925KTTT	296-15933-2-ND	2,5 V, 7,5 A LDO-Regler, fester Ausgang	2.5V, Fixed Out 7.5A LDO Regulator	TO-263-5		182.87/50	
TPS75933KC	296-12377-5-ND	3,3 V, 7,5 A LDO-Regler, fester Ausgang	3.3V, Fixed Out 7.5A LDO Regulator	TO-220-5	5.42	4.34	3.66
TPS75933KTTT	296-15934-1-ND	3,3 V, 7,5 A LDO-Regler, fester Ausgang	3.3V, Fixed Out 7.5A LDO Regulator	TO-263-5	5.42	4.34	—
TPS75933KTTT	296-15934-2-ND	3,3 V, 7,5 A LDO-Regler, fester Ausgang	3.3V, Fixed Out 7.5A LDO Regulator	TO-263-5		182.87/50	
TPS76030DBVR	296-1363-1-ND	3 V, 50 mA NL LDO-Regler	3V LP 50mA LDO Regulator	SOT-23-5	.91	.77	.61
TPS76030DBVR	296-1363-2-ND	3 V, 50 mA NL LDO-Regler	3V LP 50mA LDO Regulator	SOT-23-5		1188.63/3,000	
TPS76032DBVR	296-8072-1-ND	3,2 V, 50 mA LDO-Regler	3.2V, 50mA LDO Regulator	SOT-23-5	.91	.77	.61
TPS76032DBVR	296-8072-2-ND	3,2 V, 50 mA LDO-Regler	3.2V, 50mA LDO Regulator	SOT-23-5		1188.63/3,000	
TPS76033DBVR	296-8073-1-ND	3,3 V, 50 mA LDO-Regler	3.3V, 50mA LDO Regulator	SOT-23-5	.91	.77	.61
TPS76033DBVR	296-8073-2-ND	3,3 V, 50 mA LDO-Regler	3.3V, 50mA LDO Regulator	SOT-23-5		1188.63/3,000	
TPS76038DBVR	296-8074-1-ND	3,8 V, 50 mA LDO-Regler	3.8V, 50mA LDO Regulator	SOT-23-5	.91	.77	.61
TPS76038DBVR	296-8074-2-ND	3,8 V, 50 mA LDO-Regler	3.8V, 50mA LDO Regulator	SOT-23-5		1188.63/3,000	
TPS76050DBVR	296-8075-1-ND	5,0 V, 50 mA LDO-Regler	5.0V, 50mA LDO Regulator	SOT-23-5	.91	.77	.61
TPS76050DBVR	296-8075-2-ND	5,0 V, 50 mA LDO-Regler	5.0V, 50mA LDO Regulator	SOT-23-5		1188.63/3,000	
TPS76130DBVR	296-11008-1-ND	3,0 V, 100 mA LDO-Regler	3.0V, 100mA LDO Regulator	SOT-23-5	.94	.79	.63
TPS76130DBVR	296-11008-2-ND	3,0 V, 100 mA LDO-Regler	3.0V, 100mA LDO Regulator	SOT-23-5		1221.64/3,000	
TPS76130DBVT	296-2693-1-ND	3,0 V, 100 mA LDO-Regler	3.0V, 100mA LDO Regulator	SOT-23-5	.94	.79	.63
TPS76130DBVT	296-2693-2-ND	3,0 V, 100 mA LDO-Regler	3.0V, 100mA LDO Regulator	SOT-23-5		117.47/250	
TPS76132DBVR	296-11009-1-ND	3,2 V, 100 mA LDO-Regler	3.2V, 100mA LDO Regulator	SOT-23-5	.94	.79	.63
TPS76132DBVR	296-11009-2-ND	3,2 V, 100 mA LDO-Regler	3.2V, 100mA LDO Regulator	SOT-23-5		1221.64/3,000	
TPS76132DBVT	296-2694-1-ND	3,2 V, 100 mA LDO-Regler	3.2V, 100mA LDO Regulator	SOT-23-5	.94	.79	.63
TPS76132DBVT	296-2694-2-ND	3,2 V, 100 mA LDO-Regler	3.2V, 100mA LDO Regulator	SOT-23-5		117.47/250	
TPS76133DBVR	296-11010-1-ND	3,3 V, 100 mA LDO-Regler	3.3V, 100mA LDO Regulator	SOT-23-5	.94	.79	.63
TPS76133DBVR	296-11010-2-ND	3,3 V, 100 mA LDO-Regler	3.3V, 100mA LDO Regulator	SOT-23-5		1221.64/3,000	
TPS76133DBVT	296-2695-1-ND	3,3 V, 100 mA LDO-Regler	3.3V, 100mA LDO Regulator	SOT-23-5	.94	.79	.63
TPS76133DBVT	296-2695-2-ND	3,3 V, 100 mA LDO-Regler	3.3V, 100mA LDO Regulator	SOT-23-5		117.47/250	
TPS76138DBVR	296-11011-1-ND	3,8 V, 100 mA LDO-Regler	3.8V, 100mA LDO Regulator	SOT-23-5	.94	.79	.63
TPS76138DBVR	296-11011-2-ND	3,8 V, 100 mA LDO-Regler	3.8V, 100mA LDO Regulator	SOT-23-5		1221.64/3,000	
TPS76138DBVT	296-2696-1-ND	3,8 V, 100 mA LDO-Regler	3.8V, 100mA LDO Regulator	SOT-23-5	.94	.79	.63
TPS76138DBVT	296-2696-2-ND	3,8 V, 100 mA LDO-Regler	3.8V, 100mA LDO Regulator	SOT-23-5		117.47/250	
TPS76150DBVR	296-11012-1-ND	5,0 V, 100 mA LDO-Regler	5.0V, 100mA LDO Regulator	SOT-23-5	.94	.79	.63
TPS76150DBVR	296-11012-2-ND	5,0 V, 100 mA LDO-Regler	5.0V, 100mA LDO Regulator	SOT-23-5		1221.64/3,000	
TPS76150DBVT	296-2697-1-ND	5,0 V, 100 mA LDO-Regler	5.0V, 100mA LDO Regulator	SOT-23-5	.94	.79	.63
TPS76150DBVT	296-2697-2-ND	5,0 V, 100 mA LDO-Regler	5.0V, 100mA LDO Regulator	SOT-23-5		117.47/250	
TPS76201DBVR	296-11013-1-ND	100 mA LDO-Regler, einstellb.	Adjustable, 100mA LDO Regulator	SOT-23-5	.94	.79	.63
TPS76201DBVR	296-11013-2-ND	100 mA LDO-Regler, einstellb.	Adjustable, 100mA LDO Regulator	SOT-23-5		1221.64/3,000	
TPS76301DBVR	296-11014-1-ND	150 mA LDO-Regler, einstellb.	Adjustable, 150mA LDO Regulator	SOT-23-5	.71	.54	.40
TPS76301DBVR	296-11014-2-ND	150 mA LDO-Regler, einstellb.	Adjustable, 150mA LDO Regulator	SOT-23-5		693.37/3,000	
TPS76301DBVT	296-2698-1-ND	150 mA LDO-Regler, einstellb.	Adjustable, 150mA LDO Regulator	SOT-23-5	.71	.54	.40
TPS76301DBVT	296-2698-2-ND	150 mA LDO-Regler, einstellb.	Adjustable, 150mA LDO Regulator	SOT-23-5		73.87/250	
TPS76316DBVR	296-11015-1-ND	1,6 V, 150 mA LDO-Regler	1.6V, 150mA LDO Regulator	SOT-23-5	.71	.54	.40
TPS76316DBVR	296-11015-2-ND	1,6 V, 150 mA LDO-Regler	1.6V, 150mA LDO Regulator	SOT-23-5		693.37/3,000	
TPS76316DBVT	296-2699-1-ND	1,6 V, 150 mA LDO-Regler	1.6V, 150mA LDO Regulator	SOT-23-5	.71	.54	.40
TPS76316DBVT	296-2699-2-ND	1,6 V, 150 mA LDO-Regler	1.6V, 150mA LDO Regulator	SOT-23-5		73.87/250	
TPS76318DBVT	296-2700-1-ND	1,8 V, 150 mA LDO-Regler	1.8V, 150mA LDO Regulator	SOT-23-5	.71	.54	.40
TPS76318DBVT	296-2700-2-ND	1,8 V, 150 mA LDO-Regler	1.8V, 150mA LDO Regulator	SOT-23-5		73.87/250	
TPS76325DBVR	296-11017-1-ND	2,5 V, 150 mA LDO-Regler	2.5V, 150mA LDO Regulator	SOT-23-5	.71	.54	.40
TPS76325DBVR	296-11017-2-ND	2,5 V, 150 mA LDO-Regler	2.5V, 150mA LDO Regulator	SOT-23-5		693.37/3,000	
TPS76325DBVT	296-2701-1-ND	2,5 V, 150 mA LDO-Regler	2.5V, 150mA LDO Regulator	SOT-23-5	.71	.54	.40
TPS76325DBVT	296-2701-2-ND	2,5 V, 150 mA LDO-Regler	2.5V, 150mA LDO Regulator	SOT-23-5		73.87/250	
TPS76327DBVR	296-11018-1-ND	2,7 V, 150 mA LDO-Regler	2.7V, 150mA LDO Regulator	SOT-23-5	.71	.54	.40
TPS76327DBVR	296-11018-2-ND	2,7 V, 150 mA LDO-Regler	2.7V, 150mA LDO Regulator	SOT-23-5		693.37/3,000	
TPS76327DBVT	296-2702-1-ND	2,7 V, 150 mA LDO-Regler	2.7V, 150mA LDO Regulator	SOT-23-5	.71	.54	.40
TPS76327DBVT	296-2702-2-ND	2,7 V, 150 mA LDO-Regler	2.7V, 150mA LDO Regulator	SOT-23-5		73.87/250	
TPS76328DBVR	296-11019-1-ND	2,8 V, 150 mA LDO-Regler	2.8V, 150mA LDO Regulator	SOT-23-5	.71	.54	.40
TPS76328DBVR	296-11019-2-ND	2,8 V, 150 mA LDO-Regler	2.8V, 150mA LDO Regulator	SOT-23-5		693.37/3,000	
TPS76328DBVT	296-2703-1-ND	2,8 V, 150 mA LDO-Regler	2.8V, 150mA LDO Regulator	SOT-23-5	.71	.54	.40
TPS76328DBVT	296-2703-2-ND	2,8 V, 150 mA LDO-Regler	2.8V, 150mA LDO Regulator	SOT-23-5		73.87/250	

(Forts.)

★ RUFEN SIE BITTE AN FÜR NIEDRIGERE PREISE BEI GRÖSSEREN MENGEN! ★

T. I. Teilenr.	Digi-Key Teilenr.	Beschreibung		Paket	Stückpreis★ 1	25	100
TPS76330DBVR	296-11020-1-ND	3,0 V, 150 mA LDO-Regler	3.0V, 150mA LDO Regulator	SOT-23-5	.71	.54	.40
TPS76330DBVR	296-11020-2-ND	3,0 V, 150 mA LDO-Regler	3.0V, 150mA LDO Regulator	SOT-23-5		693.37/3,000	
TPS76330DBVT	296-2704-1-ND	3,0 V, 150 mA LDO-Regler	3.0V, 150mA LDO Regulator	SOT-23-5	.71	.54	.40
TPS76330DBVT	296-2704-2-ND	3,0 V, 150 mA LDO-Regler	3.0V, 150mA LDO Regulator	SOT-23-5		73.87/250	
TPS76333DBVR	296-11021-1-ND	3,3 V, 150 mA LDO-Regler	3.3V, 150mA LDO Regulator	SOT-23-5	.71	.54	.40
TPS76333DBVR	296-11021-2-ND	3,3 V, 150 mA LDO-Regler	3.3V, 150mA LDO Regulator	SOT-23-5		693.37/3,000	
TPS76333DBVT	296-2705-1-ND	3,3 V, 150 mA LDO-Regler	3.3V, 150mA LDO Regulator	SOT-23-5	.71	.54	.40
TPS76333DBVT	296-2705-2-ND	3,3 V, 150 mA LDO-Regler	3.3V, 150mA LDO Regulator	SOT-23-5		73.87/250	
TPS76333QDBVRQ1	296-17749-1-ND	3,3 V, 150 mA LDO-Regler	3.3V, 150mA LDO Regulator	SOT-23-5	.81	.61	.46
TPS76333QDBVRQ1	296-17749-2-ND	3,3 V, 150 mA LDO-Regler	3.3V, 150mA LDO Regulator	SOT-23-5		792.42/3,000	
TPS76338DBVT	296-2706-1-ND	3,8 V, 150 mA LDO-Regler	3.8V, 150mA LDO Regulator	SOT-23-5	.71	.54	.40
TPS76338DBVT	296-2706-2-ND	3,8 V, 150 mA LDO-Regler	3.8V, 150mA LDO Regulator	SOT-23-5		73.87/250	
TPS76350DBVR	296-11023-1-ND	5,0 V, 150 mA LDO-Regler	5.0V, 150mA LDO Regulator	SOT-23-5	.71	.54	.40
TPS76350DBVR	296-11023-2-ND	5,0 V, 150 mA LDO-Regler	5.0V, 150mA LDO Regulator	SOT-23-5		693.37/3,000	
TPS76350DBVT	296-2707-1-ND	5,0 V, 150 mA LDO-Regler	5.0V, 150mA LDO Regulator	SOT-23-5	.71	.54	.40
TPS76350DBVT	296-2707-2-ND	5,0 V, 150 mA LDO-Regler	5.0V, 150mA LDO Regulator	SOT-23-5		73.87/250	
TPS76425DBVR	296-11024-1-ND	2,5 V, 150 mA LDO-Regler	2.5V, 150mA LDO Regulator	SOT-23-5	.81	.61	.46
TPS76425DBVR	296-11024-2-ND	2,5 V, 150 mA LDO-Regler	2.5V, 150mA LDO Regulator	SOT-23-5		792.42/3,000	
TPS76425DBVT	296-2708-1-ND	2,5 V, 150 mA LDO-Regler	2.5V, 150mA LDO Regulator	SOT-23-5	.81	.61	.46
TPS76425DBVT	296-2708-2-ND	2,5 V, 150 mA LDO-Regler	2.5V, 150mA LDO Regulator	SOT-23-5		84.24/250	
TPS76427DBVR	296-11025-1-ND	2,7 V, 150 mA LDO-Regler	2.7V, 150mA LDO Regulator	SOT-23-5	.81	.61	.46
TPS76427DBVR	296-11025-2-ND	2,7 V, 150 mA LDO-Regler	2.7V, 150mA LDO Regulator	SOT-23-5		792.42/3,000	
TPS76427DBVT	296-2709-1-ND	2,7 V, 150 mA LDO-Regler	2.7V, 150mA LDO Regulator	SOT-23-5	.81	.61	.46
TPS76427DBVT	296-2709-2-ND	2,7 V, 150 mA LDO-Regler	2.7V, 150mA LDO Regulator	SOT-23-5		84.24/250	
TPS76428DBVR	296-11026-1-ND	2,8 V, 150 mA LDO-Regler	2.8V, 150mA LDO Regulator	SOT-23-5	.81	.61	.46
TPS76428DBVR	296-11026-2-ND	2,8 V, 150 mA LDO-Regler	2.8V, 150mA LDO Regulator	SOT-23-5		792.42/3,000	
TPS76428DBVT	296-2710-1-ND	2,8 V, 150 mA LDO-Regler	2.8V, 150mA LDO Regulator	SOT-23-5	.81	.61	.46
TPS76428DBVT	296-2710-2-ND	2,8 V, 150 mA LDO-Regler	2.8V, 150mA LDO Regulator	SOT-23-5		84.24/250	
TPS76430DBVT	296-2711-1-ND	3,0 V, 150 mA LDO-Regler	3.0V, 150mA LDO Regulator	SOT-23-5	.81	.61	.46
TPS76430DBVT	296-2711-2-ND	3,0 V, 150 mA LDO-Regler	3.0V, 150mA LDO Regulator	SOT-23-5		84.24/250	
TPS76433DBVR	296-11028-1-ND	3,3 V, 150 mA LDO-Regler	3.3V, 150mA LDO Regulator	SOT-23-5	.81	.61	.46
TPS76433DBVR	296-11028-2-ND	3,3 V, 150 mA LDO-Regler	3.3V, 150mA LDO Regulator	SOT-23-5		792.42/3,000	
TPS76433DBVT	296-2712-1-ND	3,3 V, 150 mA LDO-Regler	3.3V, 150mA LDO Regulator	SOT-23-5	.81	.61	.46
TPS76433DBVT	296-2712-2-ND	3,3 V, 150 mA LDO-Regler	3.3V, 150mA LDO Regulator	SOT-23-5		84.24/250	
TPS76501D	296-2713-5-ND	150 mA LDO-Regler, einstellb.	Adjustable, 150mA LDO Regulator	8-SOIC	1.06	.85	.64
TPS76515D	296-2714-5-ND	1,5 V, 150 mA LDO-Regler	1.5V, 150mA LDO Regulator	8-SOIC	1.06	.85	.64
TPS76518D	296-2715-5-ND	1,8 V, 150 mA LDO-Regler	1.8V, 150mA LDO Regulator	8-SOIC	1.06	.85	.64
TPS76525D	296-2716-5-ND	2,5 V, 150 mA LDO-Regler	2.5V, 150mA LDO Regulator	8-SOIC	1.06	.85	.64
TPS76527D	296-2717-5-ND	2,7 V, 150 mA LDO-Regler	2.7V, 150mA LDO Regulator	8-SOIC	1.06	.85	.64
TPS76528D	296-2718-5-ND	2,8 V, 150 mA LDO-Regler	2.8V, 150mA LDO Regulator	8-SOIC	1.06	.85	.64
TPS76530D	296-2719-5-ND	3,0 V, 150 mA LDO-Regler	3.0V, 150mA LDO Regulator	8-SOIC	1.06	.85	.64
TPS76533D	296-2720-5-ND	3,3 V, 150 mA LDO-Regler	3.3V, 150mA LDO Regulator	8-SOIC	1.06	.85	.64
TPS76550D	296-2721-5-ND	5,0 V, 150 mA LDO-Regler	5.0V, 150mA LDO Regulator	8-SOIC	1.06	.85	.64
TPS76601D	296-2722-5-ND	250 mA LDO-Regler, einstellb.	Adjustable, 250mA LDO Regulator	8-SOIC	1.02	.85	.68
TPS76615D	296-2723-5-ND	1,5 V, 250 mA LDO-Regler	1.5V, 250mA LDO Regulator	8-SOIC	1.02	.85	.68
TPS76615D	296-2723-1-ND	1,5 V, 250 mA LDO-Regler	1.5V, 250mA LDO Regulator	8-SOIC	1.02	.85	.68
TPS76615DR	296-2723-2-ND	1,5 V, 250 mA LDO-Regler	1.5V, 250mA LDO Regulator	8-SOIC		1100.58/2,500	
TPS76618D	296-2724-5-ND	1,8 V, 250 mA LDO-Regler	1.8V, 250mA LDO Regulator	8-SOIC	1.02	.85	.68
TPS76625D	296-2725-5-ND	2,5 V, 250 mA LDO-Regler	2.5V, 250mA LDO Regulator	8-SOIC	1.02	.85	.68
TPS76627D	296-2726-5-ND	2,7 V, 250 mA LDO-Regler	2.7V, 250mA LDO Regulator	8-SOIC	1.02	.85	.68
TPS76628D	296-2727-5-ND	2,8 V, 250 mA LDO-Regler	2.8V, 250mA LDO Regulator	8-SOIC	1.02	.85	.68
TPS76630D	296-2728-5-ND	3,0 V, 250 mA LDO-Regler	3.0V, 250mA LDO Regulator	8-SOIC	1.02	.85	.68
TPS76633D	296-2729-5-ND	3,3 V, 250 mA LDO-Regler	3.3V, 250mA LDO Regulator	8-SOIC	1.02	.85	.68
TPS76650D	296-2730-5-ND	5,0 V, 250 mA LDO-Regler	5.0V, 250mA LDO Regulator	8-SOIC	1.02	.85	.68
TPS76701QD	296-2731-5-ND	1 A LDO-Regler, einstellb.	Adj., 1A LDO Voltage Regulator	8-SOIC	2.10	1.68	1.31
TPS76701QPWP	296-8076-5-ND	1 A LDO-Regler, einstellb.	Adj., 1A LDO Voltage Regulator	20-HTSSOP	2.10	1.68	1.31
TPS76701QPWPR	296-8076-1-ND	1 A LDO-Regler, einstellb.	Adj., 1A LDO Voltage Regulator	20-HTSSOP	2.10	1.68	1.31
TPS76701QPWPR	296-8076-2-ND	1 A LDO-Regler, einstellb.	Adj., 1A LDO Voltage Regulator	20-HTSSOP		2375.56/2.000	
TPS76701QPWPRQ1	296-16967-1-ND	1 A LDO-Regler, einstellb.	Adj., 1A LDO Voltage Regulator	20-HTSSOP	2.48	1.99	1.55
TPS76701QPWPRQ1	296-16967-2-ND	1 A LDO-Regler, einstellb.	Adj., 1A LDO Voltage Regulator	20-HTSSOP		2807.33/2,000	
TPS76715QD	296-2732-5-ND	1,5 V, 1 A LDO-Regler	1.5V, 1A LDO Regulator	8-SOIC	2.10	1.68	1.31
TPS76715QPWP	296-8077-5-ND	1,5 V, 1 A LDO-Regler	1.5V, 1A LDO Regulator	20-HTSSOP	2.10	1.68	1.31
TPS76718QD	296-2733-5-ND	1,8 V, 1 A LDO-Regler	1.8V, 1A LDO Regulator	8-SOIC	2.10	1.68	1.31
TPS76718QPWP	296-8078-5-ND	1,8 V, 1 A LDO-Regler	1.8V, 1A LDO Regulator	20-HTSSOP	2.10	1.68	1.31
TPS76718QPWPRQ1	296-15284-1-ND	1,8 V, 1 A LDO-Regler	1.8V, 1A LDO Regulator	20-HTSSOP	2.48	1.99	1.55
TPS76718QPWPRQ1	296-15284-2-ND	1,8 V, 1 A LDO-Regler	1.8V, 1A LDO Regulator	20-HTSSOP		2807.33/2,000	
TPS76725QD	296-2734-5-ND	2,5 V, 1 A LDO-Regler	2.5V, 1A LDO Regulator	8-SOIC	2.10	1.68	1.31
TPS76725QPWP	296-8079-5-ND	2,5 V, 1 A LDO-Regler	2.5V, 1A LDO Regulator	20-HTSSOP	2.10	1.68	1.31
TPS76727QD	296-2735-5-ND	2,7 V, 1 A LDO-Regler	2.7V, 1A LDO Regulator	8-SOIC	2.10	1.68	1.31
TPS76727QPWP	296-8080-5-ND	2,7 V, 1 A LDO-Regler	2.7V, 1A LDO Regulator	20-HTSSOP	2.10	1.68	1.31
TPS76728QD	296-2736-5-ND	2,8 V, 1 A LDO-Regler	2.8V, 1A LDO Regulator	8-SOIC	2.10	1.68	1.31
TPS76728QPWP	296-8081-5-ND	2,8 V, 1 A LDO-Regler	2.8V, 1A LDO Regulator	20-HTSSOP	2.10	1.68	1.31
TPS76730QD	296-2737-5-ND	3,0 V, 1 A LDO-Regler	3.0V, 1A LDO Regulator	8-SOIC	2.10	1.68	1.31
TPS76730QPWP	296-8082-5-ND	3,0 V, 1 A LDO-Regler	3.0V, 1A LDO Regulator	20-HTSSOP	2.10	1.68	1.31
TPS76733QD	296-2738-5-ND	3,3 V, 1 A LDO-Regler	3.3V, 1A LDO Regulator	8-SOIC	2.10	1.68	1.31
TPS76733QPWP	296-8083-5-ND	3,3 V, 1 A LDO-Regler	3.3V, 1A LDO Regulator	20-HTSSOP	2.10	1.68	1.31
TPS76733QPWPRQ1	296-15285-1-ND	3,3 V, 1 A LDO-Regler	3.3V, 1A LDO Regulator	20-HTSSOP	2.48	1.99	1.55
TPS76733QPWPRQ1	296-15285-2-ND	3,3 V, 1 A LDO-Regler	3.3V, 1A LDO Regulator	20-HTSSOP		2807.33/2,000	
TPS76750QD	296-2739-5-ND	5,0 V, 1 A LDO-Regler	5.0V, 1A LDO Regulator	8-SOIC	2.10	1.68	1.31
TPS76750QPWP	296-8084-5-ND	5,0 V, 1 A LDO-Regler	5.0V, 1A LDO Regulator	20-HTSSOP	2.10	1.68	1.31
TPS76750QPWPRQ1	296-15286-1-ND	5,0 V, 1 A LDO-Regler	5.0V, 1A LDO Regulator	20-HTSSOP	2.48	1.99	1.55
TPS76750QPWPRQ1	296-15286-2-ND	5,0 V, 1 A LDO-Regler	5.0V, 1A LDO Regulator	20-HTSSOP		2807.33/2,000	
TPS76801QD	296-2743-5-ND	1 A LDO-Regler, einstellb.	Adj., 1A LDO Regulator	8-SOIC	1.90	1.53	1.15
TPS76801QPWP	296-8085-5-ND	1 A LDO-Regler, einstellb.	Adj., 1A LDO Regulator.	20-HTSSOP	1.90	1.53	1.15
TPS76801QPWPRQ1	296-15287-1-ND	1 A LDO-Regler, einstellb.	Adj., 1A LDO Regulator	20-HTSSOP	2.00	1.60	1.25
TPS76801QPWPRQ1	296-15287-2-ND	1 A LDO-Regler, einstellb.	Adj., 1A LDO Regulator	20-HTSSOP		2267.19/2,000	
TPS76815QD	296-2744-5-ND	1,5 V, 1 A LDO-Regler	1.5V, 1A LDO Regulator	8-SOIC	1.90	1.53	1.15
TPS76815QPWP	296-8086-5-ND	1,5 V, 1 A LDO-Regler	1.5V, 1A LDO Regulator	20-HTSSOP	1.90	1.53	1.15
TPS76818QD	296-2745-5-ND	1,8 V, 1 A LDO-Regler	1.8V, 1A LDO Regulator	8-SOIC	1.90	1.53	1.15
TPS76818QPWP	296-8087-5-ND	1,8 V, 1 A LDO-Regler	1.8V, 1A LDO Regulator	20-HTSSOP	1.90	1.53	1.15
TPS76818QPWPRQ1	296-15288-1-ND	1,8 V, 1 A LDO-Regler	1.8V, 1A LDO Regulator	20-HTSSOP	2.00	1.60	1.25
TPS76818QPWPRQ1	296-15288-2-ND	1,8 V, 1 A LDO-Regler	1.8V, 1A LDO Regulator	20-HTSSOP		2267.19/2,000	
TPS76825QD	296-2746-5-ND	2,5 V, 1 A LDO-Regler	2.5V, 1A LDO Regulator	8-SOIC	1.90	1.53	1.15
TPS76825QPWP	296-8088-5-ND	2,5 V, 1 A LDO-Regler	2.5V, 1A LDO Regulator	20-HTSSOP	1.90	1.53	1.15
TPS76827QD	296-2747-5-ND	2,7 V, 1 A LDO-Regler	2.7V, 1A LDO Regulator	8-SOIC	1.90	1.53	1.15
TPS76827QPWP	296-8089-5-ND	2,7 V, 1 A LDO-Regler	2.7V, 1A LDO Regulator	20-HTSSOP	1.90	1.53	1.15
TPS76828QD	296-2748-5-ND	2,8 V, 1 A LDO-Regler	2.8V, 1A LDO Regulator	8-SOIC	1.90	1.53	1.15
TPS76828QPWP	296-8090-5-ND	2,8 V, 1 A LDO-Regler	2.8V, 1A LDO Regulator	20-HTSSOP	1.90	1.53	1.15
TPS76830QD	296-2749-5-ND	3,0 V, 1 A LDO-Regler	3.0V, 1A LDO Regulator	8-SOIC	1.90	1.53	1.15
TPS76830QPWP	296-8091-5-ND	3,0 V, 1 A LDO-Regler	3.0V, 1A LDO Regulator	20-HTSSOP	1.90	1.53	1.15

(Forts.)

★ ***RUFEN SIE BITTE AN FÜR NIEDRIGERE PREISE BEI GRÖSSEREN MENGEN!*** ★

B

T. I. Teilenr.	Digi-Key Teilenr.	Beschreibung		Paket	Stückpreis★ 1	25	100
TPS76833QD	296-2750-5-ND	3,3 V, 1 A LDO-Regler	3.3V, 1A LDO Regulator	8-SOIC	1.90	1.53	1.15
TPS76833QPWP	296-8092-5-ND	3,3 V, 1 A LDO-Regler	3.3V, 1A LDO Regulator	20-HTSSOP	1.90	1.53	1.15
TPS76833QPWPRQ1	296-15289-1-ND	3,3 V, 1 A LDO-Regler	3.3V, 1A LDO Regulator	20-HTSSOP	2.00	1.60	1.25
TPS76833QPWPRQ1	296-15289-2-ND	3,3 V, 1 A LDO-Regler	3.3V, 1A LDO Regulator	20-HTSSOP		2267.19/2,000	
TPS76850QD	296-2751-5-ND	5,0 V, 1 A LDO-Regler	5.0V, 1A LDO Regulator	8-SOIC	1.90	1.53	1.15
TPS76850QPWP	296-8093-5-ND	5,0 V, 1 A LDO-Regler	5.0V, 1A LDO Regulator	20-HTSSOP	1.90	1.53	1.15
TPS76850QPWPRQ1	296-15290-1-ND	5,0 V, 1 A LDO-Regler	5.0V, 1A LDO Regulator	20-HTSSOP	2.00	1.60	1.25
TPS76850QPWPRQ1	296-15290-2-ND	5,0 V, 1 A LDO-Regler	5.0V, 1A LDO Regulator	20-HTSSOP		2267.19/2,000	
TPS76901DBVR	296-11029-1-ND	100 mA LDO-Regler, einstellb.	Adj., 100mA LDO Regulator	SOT-23-5	.81	.61	.46
TPS76901DBVR	296-11029-2-ND	100 mA LDO-Regler, einstellb.	Adj., 100mA LDO Regulator	SOT-23-5		792.42/3,000	
TPS76901DBVT	296-2752-1-ND	100 mA LDO-Regler, einstellb.	Adj., 100mA LDO Regulator	SOT-23-5	.81	.61	.46
TPS76901DBVT	296-2752-2-ND	100 mA LDO-Regler, einstellb.	Adj., 100mA LDO Regulator	SOT-23-5		84.24/250	
TPS76901QDBVRQ1	296-15291-1-ND	100 mA LDO-Regler, einstellb.	Adj., 100mA LDO Regulator	SOT-23-5	.74	.62	.50
TPS76901QDBVRQ1	296-15291-2-ND	100 mA LDO-Regler, einstellb.	Adj., 100mA LDO Regulator	SOT-23-5		957.50/3,000	
TPS76912DBVR	296-11031-1-ND	1,2 V, 100 mA LDO-Regler	1.2V, 100mA LDO Regulator	SOT-23-5	.81	.61	.46
TPS76912DBVR	296-11031-2-ND	1,2 V, 100 mA LDO-Regler	1.2V, 100mA LDO Regulator	SOT-23-5		792.42/3,000	
TPS76912DBVT	296-2753-1-ND	1,2 V, 100 mA LDO-Regler	1.2V, 100mA LDO Regulator	SOT-23-5	.81	.61	.46
TPS76912DBVT	296-2753-2-ND	1,2 V, 100 mA LDO-Regler	1.2V, 100mA LDO Regulator	SOT-23-5		84.24/250	
TPS76915DBVR	296-11032-1-ND	1,5 V, 100 mA LDO-Regler	1.5V, 100mA LDO Regulator	SOT-23-5	.81	.61	.46
TPS76915DBVR	296-11032-2-ND	1,5 V, 100 mA LDO-Regler	1.5V, 100mA LDO Regulator	SOT-23-5		792.42/3,000	
TPS76915DBVT	296-2754-1-ND	1,5 V, 100 mA LDO-Regler	1.5V, 100mA LDO Regulator	SOT-23-5	.81	.61	.46
TPS76915DBVT	296-2754-2-ND	1,5 V, 100 mA LDO-Regler	1.5V, 100mA LDO Regulator	SOT-23-5		84.24/250	
TPS76918DBVR	296-11033-1-ND	1,8 V, 100 mA LDO-Regler	1.8V, 100mA LDO Regulator	SOT-23-5	.81	.61	.46
TPS76918DBVR	296-11033-2-ND	1,8 V, 100 mA LDO-Regler	1.8V, 100mA LDO Regulator	SOT-23-5		792.42/3,000	
TPS76918DBVT	296-2755-1-ND	1,8 V, 100 mA LDO-Regler	1.8V, 100mA LDO Regulator	SOT-23-5	.81	.61	.46
TPS76918DBVT	296-2755-2-ND	1,8 V, 100 mA LDO-Regler	1.8V, 100mA LDO Regulator	SOT-23-5		84.24/250	
TPS76918QDBVRQ1	296-15292-1-ND	1,8 V, 100 mA LDO-Regler	1.8V, 100mA LDO Regulator	SOT-23-5	.74	.62	.50
TPS76918QDBVRQ1	296-15292-2-ND	1,8 V, 100 mA LDO-Regler	1.8V, 100mA LDO Regulator	SOT-23-5		957.50/3,000	
TPS76925DBVR	296-11035-1-ND	2,5 V, 100 mA LDO-Regler	2.5V, 100mA LDO Regulator	SOT-23-5	.81	.61	.46
TPS76925DBVR	296-11035-2-ND	2,5 V, 100 mA LDO-Regler	2.5V, 100mA LDO Regulator	SOT-23-5		792.42/3,000	
TPS76925DBVT	296-2756-1-ND	2,5 V, 100 mA LDO-Regler	2.5V, 100mA LDO Regulator	SOT-23-5	.81	.61	.46
TPS76925DBVT	296-2756-2-ND	2,5 V, 100 mA LDO-Regler	2.5V, 100mA LDO Regulator	SOT-23-5		84.24/250	
TPS76927DBVR	296-11036-1-ND	2,7 V, 100 mA LDO-Regler	2.7V, 100mA LDO Regulator	SOT-23-5	.81	.61	.46
TPS76927DBVR	296-11036-2-ND	2,7 V, 100 mA LDO-Regler	2.7V, 100mA LDO Regulator	SOT-23-5		792.42/3,000	
TPS76927DBVT	296-2757-1-ND	2,7 V, 100 mA LDO-Regler	2.7V, 100mA LDO Regulator	SOT-23-5	.81	.61	.46
TPS76927DBVT	296-2757-2-ND	2,7 V, 100 mA LDO-Regler	2.7V, 100mA LDO Regulator	SOT-23-5		84.24/250	
TPS76928DBVR	296-11037-1-ND	2,8 V, 100 mA LDO-Regler	2.8V, 100mA LDO Regulator	SOT-23-5	.81	.61	.46
TPS76928DBVR	296-11037-2-ND	2,8 V, 100 mA LDO-Regler	2.8V, 100mA LDO Regulator	SOT-23-5		792.42/3,000	
TPS76928DBVT	296-2758-1-ND	2,8 V, 100 mA LDO-Regler	2.8V, 100mA LDO Regulator	SOT-23-5	.81	.61	.46
TPS76928DBVT	296-2758-2-ND	2,8 V, 100 mA LDO-Regler	2.8V, 100mA LDO Regulator	SOT-23-5		84.24/250	
TPS76930DBVR	296-11038-2-ND	3,0 V, 100 mA LDO-Regler	3.0V, 100mA LDO Regulator	SOT-23-5		792.42/3,000	
TPS76930DBVT	296-2759-1-ND	3,0 V, 100 mA LDO-Regler	3.0V, 100mA LDO Regulator	SOT-23-5	.81	.61	.46
TPS76930DBVT	296-2759-2-ND	3,0 V, 100 mA LDO-Regler	3.0V, 100mA LDO Regulator	SOT-23-5		84.24/250	
TPS76930QDBVRQ1	296-15293-1-ND	3,0 V, 100 mA LDO-Regler	3.0V, 100mA LDO Regulator	SOT-23-5	.74	.62	.50
TPS76930QDBVRQ1	296-15293-2-ND	3,0 V, 100 mA LDO-Regler	3.0V, 100mA LDO Regulator	SOT-23-5		957.50/3,000	
TPS76933DBVR	296-11039-2-ND	3,3 V, 100 mA LDO-Regler	3.3V, 100mA LDO Regulator	SOT-23-5		792.42/3,000	
TPS76933DBVT	296-2760-1-ND	3,3 V, 100 mA LDO-Regler	3.3V, 100mA LDO Regulator	SOT-23-5	.81	.61	.46
TPS76933DBVT	296-2760-2-ND	3,3 V, 100 mA LDO-Regler	3.3V, 100mA LDO Regulator	SOT-23-5		84.24/250	
TPS76933QDBVRQ1	296-15294-1-ND	3,3 V, 100 mA LDO-Regler	3.3V, 100mA LDO Regulator	SOT-23-5	.74	.62	.50
TPS76933QDBVRQ1	296-15294-2-ND	3,3 V, 100 mA LDO-Regler	3.3V, 100mA LDO Regulator	SOT-23-5		957.50/3,000	
TPS76950DBVR	296-11041-1-ND	5,0 V, 100 mA LDO-Regler	5.0V, 100mA LDO Regulator	SOT-23-5	.81	.61	.46
TPS76950DBVR	296-11041-2-ND	5,0 V, 100 mA LDO-Regler	5.0V, 100mA LDO Regulator	SOT-23-5		792.42/3,000	
TPS76950DBVT	296-2761-1-ND	5,0 V, 100 mA LDO-Regler	5.0V, 100mA LDO Regulator	SOT-23-5	.81	.61	.46
TPS76950DBVT	296-2761-2-ND	5,0 V, 100 mA LDO-Regler	5.0V, 100mA LDO Regulator	SOT-23-5		84.24/250	
TPS76950QDBVRQ1	296-15295-1-ND	5,0 V, 100 mA LDO-Regler	5.0V, 100mA LDO Regulator	SOT-23-5	.74	.62	.50
TPS76950QDBVRQ1	296-15295-2-ND	5,0 V, 100 mA LDO-Regler	5.0V, 100mA LDO Regulator	SOT-23-5		957.50/3,000	
TPS77001DBVR	296-11043-1-ND	50 mA LDO-Regler, einstellb.	Adjustable, 50mA LDO Regulator	SOT-23-5	.74	.62	.50
TPS77001DBVR	296-11043-2-ND	50 mA LDO-Regler, einstellb.	Adjustable, 50mA LDO Regulator	SOT-23-5		957.50/3,000	
TPS77001DBVT	296-2762-1-ND	50 mA LDO-Regler, einstellb.	Adjustable, 50mA LDO Regulator	SOT-23-5	.74	.62	.50
TPS77001DBVT	296-2762-2-ND	50 mA LDO-Regler, einstellb.	Adjustable, 50mA LDO Regulator	SOT-23-5		92.07/250	
TPS77012DBVR	296-11044-1-ND	1,2 V, 50 mA LDO-Regler	1.2V, 50mA LDO Regulator	SOT-23-5	.74	.62	.50
TPS77012DBVR	296-11044-2-ND	1,2 V, 50 mA LDO-Regler	1.2V, 50mA LDO Regulator	SOT-23-5		957.50/3,000	
TPS77012DBVT	296-2763-1-ND	1,2 V, 50 mA LDO-Regler	1.2V, 50mA LDO Regulator	SOT-23-5	.74	.62	.50
TPS77012DBVT	296-2763-2-ND	1,2 V, 50 mA LDO-Regler	1.2V, 50mA LDO Regulator	SOT-23-5		92.07/250	
TPS77015DBVR	296-11045-1-ND	1,5 V, 50 mA LDO-Regler	1.5V, 50mA LDO Regulator	SOT-23-5	.74	.62	.50
TPS77015DBVR	296-11045-2-ND	1,5 V, 50 mA LDO-Regler	1.5V, 50mA LDO Regulator	SOT-23-5		957.50/3,000	
TPS77015DBVT	296-2764-1-ND	1,5 V, 50 mA LDO-Regler	1.5V, 50mA LDO Regulator	SOT-23-5	.74	.62	.50
TPS77015DBVT	296-2764-2-ND	1,5 V, 50 mA LDO-Regler	1.5V, 50mA LDO Regulator	SOT-23-5		92.07/250	
TPS77018DBVR	296-11046-1-ND	1,8 V, 50 mA LDO-Regler	1.8V, 50mA LDO Regulator	SOT-23-5	.74	.62	.50
TPS77018DBVR	296-11046-2-ND	1,8 V, 50 mA LDO-Regler	1.8V, 50mA LDO Regulator	SOT-23-5		957.50/3,000	
TPS77018DBVT	296-2765-1-ND	1,8 V, 50 mA LDO-Regler	1.8V, 50mA LDO Regulator	SOT-23-5	.74	.62	.50
TPS77018DBVT	296-2765-2-ND	1,8 V, 50 mA LDO-Regler	1.8V, 50mA LDO Regulator	SOT-23-5		92.07/250	
TPS77025DBVR	296-11047-1-ND	2,5 V, 50 mA LDO-Regler	2.5V, 50mA LDO Regulator	SOT-23-5	.74	.62	.50
TPS77025DBVR	296-11047-2-ND	2,5 V, 50 mA LDO-Regler	2.5V, 50mA LDO Regulator	SOT-23-5		957.50/3,000	
TPS77025DBVT	296-2766-1-ND	2,5 V, 50 mA LDO-Regler	2.5V, 50mA LDO Regulator	SOT-23-5	.74	.62	.50
TPS77025DBVT	296-2766-2-ND	2,5 V, 50 mA LDO-Regler	2.5V, 50mA LDO Regulator	SOT-23-5		92.07/250	
TPS77027DBVR	296-11048-1-ND	2,7 V, 50 mA LDO-Regler	2.7V, 50mA LDO Regulator	SOT-23-5	.74	.62	.50
TPS77027DBVR	296-11048-2-ND	2,7 V, 50 mA LDO-Regler	2.7V, 50mA LDO Regulator	SOT-23-5		957.50/3,000	
TPS77027DBVT	296-2767-1-ND	2,7 V, 50 mA LDO-Regler	2.7V, 50mA LDO Regulator	SOT-23-5	.74	.62	.50
TPS77027DBVT	296-2767-2-ND	2,7 V, 50 mA LDO-Regler	2.7V, 50mA LDO Regulator	SOT-23-5		92.07/250	
TPS77028DBVR	296-11049-1-ND	2,8 V, 50 mA LDO-Regler	2.8V, 50mA LDO Regulator	SOT-23-5	.74	.62	.50
TPS77028DBVR	296-11049-2-ND	2,8 V, 50 mA LDO-Regler	2.8V, 50mA LDO Regulator	SOT-23-5		957.50/3,000	
TPS77028DBVT	296-2768-1-ND	2,8 V, 50 mA LDO-Regler	2.8V, 50mA LDO Regulator	SOT-23-5	.74	.62	.50
TPS77028DBVT	296-2768-2-ND	2,8 V, 50 mA LDO-Regler	2.8V, 50mA LDO Regulator	SOT-23-5		92.07/250	
TPS77030DBVR	296-11050-1-ND	3,0 V, 50 mA LDO-Regler	3.0V, 50mA LDO Regulator	SOT-23-5	.74	.62	.50
TPS77030DBVR	296-11050-2-ND	3,0 V, 50 mA LDO-Regler	3.0V, 50mA LDO Regulator	SOT-23-5		957.50/3,000	
TPS77030DBVT	296-2769-1-ND	3,0 V, 50 mA LDO-Regler	3.0V, 50mA LDO Regulator	SOT-23-5	.74	.62	.50
TPS77030DBVT	296-2769-2-ND	3,0 V, 50 mA LDO-Regler	3.0V, 50mA LDO Regulator	SOT-23-5		92.07/250	
TPS77033DBVT	296-2770-1-ND	3,3 V, 50 mA LDO-Regler	3.3V, 50mA LDO Regulator	SOT-23-5	.74	.62	.50
TPS77033DBVT	296-2770-2-ND	3,3 V, 50 mA LDO-Regler	3.3V, 50mA LDO Regulator	SOT-23-5		92.07/250	
TPS77050DBVR	296-11052-1-ND	5,0 V, 50 mA LDO-Regler	5.0V, 50mA LDO Regulator	SOT-23-5	.74	.62	.50
TPS77050DBVR	296-11052-2-ND	5,0 V, 50 mA LDO-Regler	5.0V, 50mA LDO Regulator	SOT-23-5		957.50/3,000	
TPS77050DBVT	296-2771-1-ND	5,0 V, 50 mA LDO-Regler	5.0V, 50mA LDO Regulator	SOT-23-5	.74	.62	.50
TPS77050DBVT	296-2771-2-ND	5,0 V, 50 mA LDO-Regler	5.0V, 50mA LDO Regulator	SOT-23-5		92.07/250	
TPS77101DGK	296-8094-5-ND	150 mA LDO-Regler, einstellb.	Adjustable, 150mA LDO Regulator	8-MSOP	1.27	1.02	.77
TPS77115DGK	296-8095-5-ND	1,5 V, 150 mA LDO-Regler	1.5V, 150mA LDO Regulator	8-MSOP	1.27	1.02	.77
TPS77118DGK	296-8096-5-ND	1,8 V, 150 mA LDO-Regler	1.8V, 150mA LDO Regulator	8-MSOP	1.27	1.02	.77
TPS77127DGK	296-8097-5-ND	2,7 V, 150 mA LDO-Regler	2.7V, 150mA LDO Regulator	8-MSOP	1.27	1.02	.77
TPS77128DGK	296-8098-5-ND	2,8 V, 150 mA LDO-Regler	2.8V, 150mA LDO Regulator	8-MSOP	1.27	1.02	.77
TPS77133DGK	296-8099-5-ND	3,3 V, 150 mA LDO-Regler	3.3V, 150mA LDO Regulator	8-MSOP	1.27	1.02	.77
TPS77150DGK	296-8100-5-ND	5,0 V, 150 mA LDO-Regler	5.0V, 150mA LDO Regulator	8-MSOP	1.27	1.02	.77
TPS77201DGK	296-8101-5-ND	150 mA LDO-Regler, einstellb.	Adjustable, 150mA LDO Regulator	8-MSOP	1.27	1.02	.77
TPS77215DGK	296-8102-5-ND	1,5 V, 150 mA LDO-Regler	1.5V, 150mA LDO Regulator	8-MSOP	1.27	1.02	.77
TPS77218DGK	296-8103-5-ND	1,8 V, 150 mA LDO-Regler	1.8V, 150mA LDO Regulator	8-MSOP	1.27	1.02	.77
TPS77227DGK	296-8104-5-ND	2,7 V, 150 mA LDO-Regler	2.7V, 150mA LDO Regulator	8-MSOP	1.27	1.02	.77

(Forts.)

★ ***RUFEN SIE BITTE AN FÜR NIEDRIGERE PREISE BEI GRÖSSEREN MENGEN!*** ★

T. I. Teilenr.	Digi-Key Teilenr.	Beschreibung		Paket	Stückpreis★ 1	25	100
TPS77228DGK	296-8105-5-ND	2,8 V, 150 mA LDO-Regler	2.8V, 150mA LDO Regulator	8-MSOP	1.27	1.02	.77
TPS77233DGK	296-8106-5-ND	3,3 V, 150 mA LDO-Regler	3.3V, 150mA LDO Regulator	8-MSOP	1.27	1.02	.77
TPS77250DGK	296-8107-5-ND	5,0 V, 150 mA LDO-Regler	5.0V, 150mA LDO Regulator	8-MSOP	1.27	1.02	.77
TPS77301DGK	296-8108-5-ND	250 mA LDO-Regler, einstellb.	Adjustable, 250mA LDO Regulator	8-MSOP	1.48	1.19	.89
TPS77315DGK	296-8109-5-ND	1,5 V, 250 mA LDO-Regler	1.5V, 250mA LDO Regulator	8-MSOP	1.48	1.19	.89
TPS77316DGK	296-13419-5-ND	250 mA LDO-Regler mit Rückstellausgang	250mA LDO Reg. w/Reset Output	8-MSOP	1.48	1.19	.89
TPS77318DGK	296-8110-5-ND	1,8 V, 250 mA LDO-Regler	1.8V, 250mA LDO Regulator	8-MSOP	1.48	1.19	.89
TPS77327DGK	296-8111-5-ND	2,7 V, 250 mA LDO-Regler	2.7V, 250mA LDO Regulator	8-MSOP	1.48	1.19	.89
TPS77328DGK	296-8112-5-ND	2,8 V, 250 mA LDO-Regler	2.8V, 250mA LDO Regulator	8-MSOP	1.48	1.19	.89
TPS77333DGK	296-8113-5-ND	3,3 V, 250 mA LDO-Regler	3.3V, 250mA LDO Regulator	8-MSOP	1.48	1.19	.89
TPS77350DGK	296-8114-5-ND	5,0 V, 250 mA LDO-Regler	5.0V, 250mA LDO Regulator	8-MSOP	1.48	1.19	.89
TPS77401DGK	296-8115-5-ND	250 mA LDO-Regler, einstellb.	Adjustable, 250mA LDO Regulator	8-MSOP	1.48	1.19	.89
TPS77415DGK	296-8116-5-ND	1,5 V, 250 mA LDO-Regler	1.5V, 250mA LDO Regulator	8-MSOP	1.48	1.19	.89
TPS77418DGK	296-8117-5-ND	1,8 V, 250 mA LDO-Regler	1.8V, 250mA LDO Regulator	8-MSOP	1.48	1.19	.89
TPS77427DGK	296-8118-5-ND	2,7 V, 250 mA LDO-Regler	2.7V, 250mA LDO Regulator	8-MSOP	1.48	1.19	.89
TPS77428DGK	296-8119-5-ND	2,8 V, 250 mA LDO-Regler	2.8V, 250mA LDO Regulator	8-MSOP	1.48	1.19	.89
TPS77433DGK	296-8120-5-ND	3,3 V, 250 mA LDO-Regler	3.3V, 250mA LDO Regulator	8-MSOP	1.48	1.19	.89
TPS77450DGK	296-8121-5-ND	5,0 V, 250 mA LDO-Regler	5.0V, 250mA LDO Regulator	8-MSOP	1.48	1.19	.89
TPS77501D	296-2772-5-ND	500 mA LDO-Regler, einstellb.	Adj., 500mA LDO Regulator	8-SOIC	2.01	1.61	1.21
TPS77501PWP	296-8122-5-ND	500 mA LDO-Regler, einstellb.	Adj., 500mA LDO Regulator	20-HTSSOP	2.01	1.61	1.21
TPS77501QPWPRQ1	296-15296-1-ND	500 mA LDO-Regler, einstellb.	Adj., 500mA LDO Regulator	20-HTSSOP	2.10	1.68	1.31
TPS77501QPWPRQ1	296-15296-2-ND	500 mA LDO-Regler, einstellb.	Adj., 500mA LDO Regulator	20-HTSSOP		2375.56/2,000	
TPS77515D	296-2773-5-ND	1,5 V, 500 mA LDO-Regler	1.5V, 500mA LDO Regulator	8-SOIC	2.01	1.61	1.21
TPS77515PWP	296-8123-5-ND	1,5 V, 500 mA LDO-Regler	1.5V, 500mA LDO Regulator	20-HTSSOP	2.01	1.61	1.21
TPS77516D	296-13420-5-ND	1,6 V, 500 mA LDO-Regler	1.6V, 500mA LDO Regulator	8-SOIC	2.01	1.61	1.21
TPS77516PWP	296-12401-5-ND	1,6 V, 500 mA LDO-Regler	1.6V, 500mA LDO Regulator	20-HTSSOP	2.01	1.61	1.21
TPS77518D	296-2774-5-ND	1,8 V, 500 mA LDO-Regler	1.8V, 500mA LDO Regulator	8-SOIC	2.01	1.61	1.21
TPS77518PWP	296-8124-5-ND	1,8 V, 500 mA LDO-Regler	1.8V, 500mA LDO Regulator	20-HTSSOP	2.01	1.61	1.21
TPS77518QPWPRQ1	296-15297-1-ND	1,8 V, 500 mA LDO-Regler	1.8V, 500mA LDO Regulator	20-HTSSOP	2.10	1.68	1.31
TPS77518QPWPRQ1	296-15297-2-ND	1,8 V, 500 mA LDO-Regler	1.8V, 500mA LDO Regulator	20-HTSSOP		2375.56/2,000	
TPS77525D	296-2775-5-ND	2,5 V, 500 mA LDO-Regler	2.5V, 500mA LDO Regulator	8-SOIC	2.01	1.61	1.21
TPS77525PWP	296-8125-5-ND	2,5 V, 500 mA LDO-Regler	2.5V, 500mA LDO Regulator	20-HTSSOP	2.01	1.61	1.21
TPS77533D	296-2776-5-ND	3,3 V, 500 mA LDO-Regler	3.3V, 500mA LDO Regulator	8-SOIC	2.01	1.61	1.21
TPS77533PWP	296-8126-5-ND	3,3 V, 500 mA LDO-Regler	3.3V, 500mA LDO Regulator	20-HTSSOP	2.01	1.61	1.21
TPS77533QPWPRQ1	296-15298-1-ND	3,3 V, 500 mA LDO-Regler	3.3V, 500mA LDO Regulator	20-HTSSOP	2.10	1.68	1.31
TPS77533QPWPRQ1	296-15298-2-ND	3,3 V, 500 mA LDO-Regler	3.3V, 500mA LDO Regulator	20-HTSSOP		2375.56/2,000	
TPS77601D	296-2777-5-ND	500 mA LDO-Regler, einstellb.	Adj., 500mA LDO Regulator	8-SOIC	1.48	1.19	.89
TPS77601PWP	296-8127-5-ND	500 mA LDO-Regler, einstellb.	Adj., 500mA LDO Regulator	20-HTSSOP	1.48	1.19	.89
TPS77601QPWPRQ1	296-15299-1-ND	500 mA LDO-Regler, einstellb.	Adj., 500mA LDO Regulator	20-HTSSOP	1.80	1.44	1.08
TPS77601QPWPRQ1	296-15299-2-ND	500 mA LDO-Regler, einstellb.	Adj., 500mA LDO Regulator	20-HTSSOP		1870.99/2,000	
TPS77615D	296-2778-5-ND	1,5 V, 500 mA LDO-Regler	1.5V, 500mA LDO Regulator	8-SOIC	1.48	1.19	.89
TPS77615PWP	296-11053-5-ND	1,5 V, 500 mA LDO-Regler	1.5V, 500mA LDO Regulator	20-HTSSOP	1.48	1.19	.89
TPS77618D	296-2779-5-ND	1,8 V, 500 mA LDO-Regler	1.8V, 500mA LDO Regulator	8-SOIC	1.48	1.19	.89
TPS77618PWP	296-8128-5-ND	1,8 V, 500 mA LDO-Regler	1.8V, 500mA LDO Regulator	20-HTSSOP	1.48	1.19	.89
TPS77618QPQPRQ1	296-15300-1-ND	1,8 V, 500 mA LDO-Regler	1.8V, 500mA LDO Regulator	20-HTSSOP	1.80	1.44	1.08
TPS77618QPQPRQ1	296-15300-2-ND	1,8 V, 500 mA LDO-Regler	1.8V, 500mA LDO Regulator	20-HTSSOP		1870.99/2,000	
TPS77625D	296-2780-5-ND	2,5 V, 500 mA LDO-Regler	2.5V, 500mA LDO Regulator	8-SOIC	1.48	1.19	.89
TPS77625PWP	296-8129-5-ND	2,5 V, 500 mA LDO-Regler	2.5V, 500mA LDO Regulator	20-HTSSOP	1.48	1.19	.89
TPS77628D	296-2781-5-ND	2,8 V, 500 mA LDO-Regler	2.8V, 500mA LDO Regulator	8-SOIC	1.48	1.19	.89
TPS77628PWP	296-8130-5-ND	2,8 V, 500 mA LDO-Regler	2.8V, 500mA LDO Regulator	20-HTSSOP	1.48	1.19	.89
TPS77633D	296-2782-5-ND	3,3 V, 500 mA LDO-Regler	3.3V, 500mA LDO Regulator	8-SOIC	1.48	1.19	.89
TPS77633PWP	296-8131-5-ND	3,3 V, 500 mA LDO-Regler	3.3V, 500mA LDO Regulator	20-HTSSOP	1.48	1.19	.89
TPS77633QPWPRQ1	296-15301-1-ND	3,3 V, 500 mA LDO-Regler	3.3V, 500mA LDO Regulator	20-TSSOP	1.80	1.44	1.08
TPS77633QPWPRQ1	296-15301-2-ND	3,3 V, 500 mA LDO-Regler	3.3V, 500mA LDO Regulator	20-TSSOP		1870.99/2,000	
TPS77701D	296-2783-5-ND	750 mA LDO-Reg., einstellb.	Adjustable, 750mA LDO Reg.	8-SOIC	2.00	1.60	1.25
TPS77701PWP	296-8132-5-ND	750 mA LDO-Reg., einstellb.	Adjustable, 750mA LDO Reg.	20-HTSSOP	2.00	1.60	1.25
TPS77715D	296-2784-5-ND	1,5 V, 750 mA LDO-Reg. mit Rückstellausgang	1.5V, 750mA LDO Reg. w/Reset Out	8-SOIC	2.00	1.60	1.25
TPS77715DR	296-17049-1-ND	1,5 V, 750 mA LDO-Reg. mit Rückstellausgang	1.5V, 750mA LDO Reg. w/Reset Out	8-SOIC	3.56	2.67	2.01
TPS77715DR	296-17049-2-ND	1,5 V, 750 mA LDO-Reg. mit Rückstellausgang	1.5V, 750mA LDO Reg. w/Reset Out	8-SOIC		2800.13/2,500	
TPS77715PWP	296-8133-5-ND	1,5 V, 750 mA LDO-Regler mit Rückstellausgang	1.5V, 750mA LDO Regulator with Reset Out	20-HTSSOP	2.00	1.60	1.25
TPS77718D	296-2785-5-ND	1,8 V, 750 mA LDO-Reg. mit Rückstellausgang	1.8V, 750mA LDO Reg. w/Reset Out	8-SOIC	2.00	1.60	1.25
TPS77718PWP	296-8134-5-ND	1,8 V, 750 mA LDO-Regler mit Rückstellausgang	1.8V, 750mA LDO Regulator with Reset Out	20-HTSSOP	2.00	1.60	1.25
TPS77725D	296-2786-5-ND	2,5 V, 750 mA LDO-Reg. mit Rückstellausgang	2.5V, 750mA LDO Reg. w/Reset Out	8-SOIC	2.00	1.60	1.25
TPS77725PWP	296-8135-5-ND	2,5 V, 750 mA LDO-Reg. mit Rückstellausgang	2.5V, 750mA LDO Reg. with Reset Out	20-HTSSOP	2.00	1.60	1.25
TPS77733D	296-2787-5-ND	3,3 V, 750 mA LDO-Reg. mit Rückstellausgang	3.3V, 750mA LDO Reg. w/Reset Out	8-SOIC	2.00	1.60	1.25
TPS77733PWP	296-8136-5-ND	3,3 V, 750 mA LDO-Reg. mit Rückstellausgang	3.3V, 750mA LDO Reg. with Reset Out	20-HTSSOP	2.00	1.60	1.25
TPS77801D	296-2788-5-ND	750 mA LDO-Regler, einstellb.	Adjustable, 750mA LDO Regulator	8-SOIC	1.90	1.53	1.19
TPS77801PWP	296-8137-5-ND	750 mA LDO-Regler, einstellb.	Adjustable, 750mA LDO Regulator	20-HTSSOP	1.90	1.53	1.19
TPS77815D	296-2789-5-ND	1,5 V, 750 mA LDO-Regler	1.5V, 750mA LDO Regulator	8-SOIC	1.90	1.53	1.19
TPS77815PWP	296-8138-5-ND	1,5 V, 750 mA LDO-Regler	1.5V, 750mA LDO Regulator	20-HTSSOP	1.90	1.53	1.19
TPS77818D	296-2790-5-ND	1,8 V, 750 mA LDO-Regler	1.8V, 750mA LDO Regulator	8-SOIC	1.90	1.53	1.19
TPS77818PWP	296-8139-5-ND	1,8 V, 750 mA LDO-Regler	1.8V, 750mA LDO Regulator	20-HTSSOP	1.90	1.53	1.19
TPS77825D	296-2791-5-ND	2,5 V, 750 mA LDO-Regler	2.5V, 750mA LDO Regulator	8-SOIC	1.90	1.53	1.19
TPS77825PWP	296-8140-5-ND	2,5 V, 750 mA LDO-Regler	2.5V, 750mA LDO Regulator	20-HTSSOP	1.90	1.53	1.19
TPS77833D	296-2792-5-ND	3,3 V, 750 mA LDO-Regler	3.3V, 750mA LDO Regulator	8-SOIC	1.90	1.53	1.19
TPS77833PWP	296-8141-5-ND	3,3 V, 750 mA LDO-Regler	3.3V, 750mA LDO Regulator	20-HTSSOP	1.90	1.53	1.19
TPS77901DGK	296-8142-5-ND	250 mA LDO-Regler, einstellb.	Adjustable, 250mA LDO Regulator	8-MSOP	1.48	1.19	.89
TPS77918DGK	296-8143-5-ND	1,8 V, 250 mA LDO-Regler	1.8V, 250mA LDO Regulator	8-MSOP	1.48	1.19	.89
TPS77925DGK	296-8144-5-ND	2,5 V, 250 mA LDO-Regler	2.5V, 250mA LDO Regulator	8-MSOP	1.48	1.19	.89
TPS77930DGK	296-8145-5-ND	3,0 V, 250 mA LDO-Regler	3.0V, 250mA LDO Regulator	8-MSOP	1.48	1.19	.89
TPS78601DCQR	296-13755-1-ND	1,2 V bis 5,5 V ultraleiser High-PSRR, Fast-RF 1,5 A LDO- Regler	1.2V to 5.5V, Ultralow Noise, High PSRR, Fast RF 1.5A LDO Regulator	SOT-223-5	2.57	2.06	1.61
TPS78601DCQR	296-13755-2-ND	1,2 V bis 5,5 V ultraleiser High-PSRR, Fast-RF 1,5 A LDO- Regler	1.2V to 5.5V, Ultralow Noise, High PSRR, Fast RF 1.5A LDO Regulator	SOT-223-5		3600.17/2,500	
TPS78601KTTT	296-14421-1-ND	1,2 V bis 5,5 V ultraleiser High-PSRR, Fast-RF 1,5 A LDO- Regler	1.2V to 5.5V, Ultralow Noise, High PSRR, Fast RF 1.5A LDO Regulator	DDPAK-5	3.05	2.44	—
TPS78601KTTT	296-14421-2-ND	1,2 V bis 5,5 V ultraleiser High-PSRR, Fast-RF 1,5 A LDO- Regler	1.2V to 5.5V, Ultralow Noise, High PSRR, Fast RF 1.5A LDO Regulator	DDPAK-5		94.82/50	
TPS78618DCQR	296-13756-1-ND	1,8 V ultraleiser High-PSRR, Fast-RF 1,5 A LDO- Regler	1.8V, Ultralow Noise, High PSRR, Fast RF 1.5A LDO Regulator	SOT-223-5	2.57	2.06	1.61
TPS78618DCQR	296-13756-2-ND	1,8 V ultraleiser High-PSRR, Fast-RF 1,5 A LDO- Regler	1.8V, Ultralow Noise, High PSRR, Fast RF 1.5A LDO Regulator	SOT-223-5		3600.17/2,500	
TPS78618KTTT	296-14422-1-ND	1,8 V ultraleiser High-PSRR, Fast-RF 1,5 A LDO- Regler	1.8V, Ultralow Noise, High PSRR, Fast RF 1.5A LDO Regulator	DDPAK-5	3.05	2.44	—
TPS78618KTTT	296-14422-2-ND	1,8 V ultraleiser High-PSRR, Fast-RF 1,5 A LDO- Regler	1.8V, Ultralow Noise, High PSRR, Fast RF 1.5A LDO Regulator	DDPAK-5		94.82/50	
TPS78625DCQR	296-13757-1-ND	2,5 V ultraleiser High-PSRR, Fast-RF 1,5 A LDO- Regler	2.5V, Ultralow Noise, High PSRR, Fast RF 1.5A LDO Regulator	SOT-223-5	2.57	2.06	1.61
TPS78625DCQR	296-13757-2-ND	2,5 V ultraleiser High-PSRR, Fast-RF 1,5 A LDO- Regler	2.5V, Ultralow Noise, High PSRR, Fast RF 1.5A LDO Regulator	SOT-223-5		3600.17/2,500	
TPS78625KTTT	296-14423-1-ND	2,5 V ultraleiser High-PSRR, Fast-RF 1,5 A LDO- Regler	2.5V, Ultralow Noise, High PSRR, Fast RF 1.5A LDO Regulator	DDPAK-5	3.05	2.44	—
TPS78625KTTT	296-14423-2-ND	2,5 V ultraleiser High-PSRR, Fast-RF 1,5 A LDO- Regler	2.5V, Ultralow Noise, High PSRR, Fast RF 1.5A LDO Regulator	DDPAK-5		94.82/50	
TPS78628DCQR	296-13758-1-ND	2,8 V ultraleiser High-PSRR, Fast-RF 1,5 A LDO- Regler	2.8V, Ultralow Noise, High PSRR, Fast RF 1.5A LDO Regulator	SOT-223-5	2.57	2.06	1.61
TPS78628DCQR	296-13758-2-ND	2,8 V ultraleiser High-PSRR, Fast-RF 1,5 A LDO- Regler	2.8V, Ultralow Noise, High PSRR, Fast RF 1.5A LDO Regulator	SOT-223-5		3600.17/2,500	
TPS78628KTTT	296-14424-1-ND	2,8 V ultraleiser High-PSRR, Fast-RF 1,5 A LDO- Regler	2.8V, Ultralow Noise, High PSRR, Fast RF 1.5A LDO Regulator	DDPAK-5	3.05	2.44	—
TPS78628KTTT	296-14424-2-ND	2,8 V ultraleiser High-PSRR, Fast-RF 1,5 A LDO- Regler	2.8V, Ultralow Noise, High PSRR, Fast RF 1.5A LDO Regulator	DDPAK-5		94.82/50	
TPS78630DCQR	296-13759-1-ND	3 V ultraleiser High-PSRR, Fast-RF 1,5 A LDO- Regler	3V, Ultralow Noise, High PSRR, Fast RF 1.5A LDO Regulator	SOT-223-5	2.57	2.06	1.61
TPS78630DCQR	296-13759-2-ND	3 V ultraleiser High-PSRR, Fast-RF 1,5 A LDO- Regler	3V, Ultralow Noise, High PSRR, Fast RF 1.5A LDO Regulator	SOT-223-5		3600.17/2,500	
TPS78630KTTT	296-14425-1-ND	3 V ultraleiser High-PSRR, Fast-RF 1,5 A LDO- Regler	3V, Ultralow Noise, High PSRR, Fast RF 1.5A LDO Regulator	DDPAK-5	3.05	2.44	—
TPS78630KTTT	296-14425-2-ND	3 V ultraleiser High-PSRR, Fast-RF 1,5 A LDO- Regler	3V, Ultralow Noise, High PSRR, Fast RF 1.5A LDO Regulator	DDPAK-5		94.82/50	
TPS78633DCQ	296-13760-5-ND	3,3 V ultraleiser High-PSRR, Fast-RF 1,5 A LDO- Regler	3.3V, Ultralow Noise, High PSRR, Fast RF 1.5A LDO Regulator	SOT-223-5	2.57	2.06	1.61
TPS78633DCQR	296-13760-1-ND	3,3 V ultraleiser High-PSRR, Fast-RF 1,5 A LDO- Regler	3.3V, Ultralow Noise, High PSRR, Fast RF 1.5A LDO Regulator	SOT-223-5	2.57	2.06	1.61
TPS78633DCQR	296-13760-2-ND	3,3 V ultraleiser High-PSRR, Fast-RF 1,5 A LDO- Regler	3.3V, Ultralow Noise, High PSRR, Fast RF 1.5A LDO Regulator	SOT-223-5		3600.17/2,500	
TPS78633KTTT	296-14426-1-ND	3,3 V ultraleiser High-PSRR, Fast-RF 1,5 A LDO- Regler	3.3V, Ultralow Noise, High PSRR, Fast RF 1.5A LDO Regulator	DDPAK-5	3.05	2.44	—
TPS78633KTTT	296-14426-2-ND	3,3 V ultraleiser High-PSRR, Fast-RF 1,5 A LDO- Regler	3.3V, Ultralow Noise, High PSRR, Fast RF 1.5A LDO Regulator	DDPAK-5		94.82/50	

(Forts.)

★ ***RUFEN SIE BITTE AN FÜR NIEDRIGERE PREISE BEI GRÖSSEREN MENGEN!*** ★

B

T. I. Teilenr.	Digi-Key Teilenr.	Beschreibung		Paket	Stückpreis★ 1	25	100
TPS78825DBVR	296-12379-1-ND	150 mA, 2,5 V geräuscharmer LDO mit Einschaltstromsteuerung	150mA, 2.5V, Low-Noise LDO with In-Rush Current Control	SOT-23-5	.97	.81	.65
TPS78825DBVR	296-12379-2-ND	150 mA, 2,5 V geräuscharmer LDO mit Einschaltstromsteuerung	150mA, 2.5V, Low-Noise LDO with In-Rush Current Control	SOT-23-5		1254.66/3,000	
TPS78833DBVR	296-12380-1-ND	150 mA, 3,3 V geräuscharmer LDO mit Einschaltstromsteuerung	150mA, 3.3V, Low-Noise LDO with In-Rush Current Control	SOT-23-5	.97	.81	.65
TPS78833DBVR	296-12380-2-ND	150 mA, 3,3 V geräuscharmer LDO mit Einschaltstromsteuerung	150mA, 3.3V, Low-Noise LDO with In-Rush Current Control	SOT-23-5		1254.66/3,000	
TPS78915DBVR	296-8146-1-ND	1,5 V, 100 mA LDO-Regler	1.5V, 100mA LDO Regulator	SOT-23-5	.76	.64	.51
TPS78915DBVR	296-8146-2-ND	1,5 V, 100 mA LDO-Regler	1.5V, 100mA LDO Regulator	SOT-23-5		990.52/3,000	
TPS78918DBVR	296-8147-1-ND	1,8 V, 100 mA LDO-Regler	1.8V, 100mA LDO Regulator	SOT-23-5	.76	.64	.51
TPS78918DBVR	296-8147-2-ND	1,8 V, 100 mA LDO-Regler	1.8V, 100mA LDO Regulator	SOT-23-5		990.52/3,000	
TPS78925DBVR	296-8148-1-ND	2,5 V, 100 mA LDO-Regler	2.5V, 100mA LDO Regulator	SOT-23-5	.76	.64	.51
TPS78925DBVR	296-8148-2-ND	2,5 V, 100 mA LDO-Regler	2.5V, 100mA LDO Regulator	SOT-23-5		990.52/3,000	
TPS78928DBVR	296-8149-1-ND	2,8 V, 100 mA LDO-Regler	2.8V, 100mA LDO Regulator	SOT-23-5	.76	.64	.51
TPS78928DBVR	296-8149-2-ND	2,8 V, 100 mA LDO-Regler	2.8V, 100mA LDO Regulator	SOT-23-5		990.52/3,000	
TPS78930DBVR	296-8150-1-ND	3,0 V, 100 mA LDO-Regler	3.0V, 100mA LDO Regulator	SOT-23-5	.76	.64	.51
TPS78930DBVR	296-8150-2-ND	3,0 V, 100 mA LDO-Regler	3.0V, 100mA LDO Regulator	SOT-23-5		990.52/3,000	
TPS79015DBVR	296-8151-1-ND	1,5 V, 50 mA LDO-Regler	1.5V, 50mA LDO Regulator	SOT-23-5	.91	.77	.61
TPS79015DBVR	296-8151-2-ND	1,5 V, 50 mA LDO-Regler	1.5V, 50mA LDO Regulator	SOT-23-5		1188.63/3,000	
TPS79018DBVR	296-8152-1-ND	1,8 V, 50 mA LDO-Regler	1.8V, 50mA LDO Regulator	SOT-23-5	.91	.77	.61
TPS79018DBVR	296-8152-2-ND	1,8 V, 50 mA LDO-Regler	1.8V, 50mA LDO Regulator	SOT-23-5		1188.63/3,000	
TPS79025DBVR	296-8153-1-ND	2,5 V, 50 mA LDO-Regler	2.5V, 50mA LDO Regulator	SOT-23-5	.91	.77	.61
TPS79025DBVR	296-8153-2-ND	2,5 V, 50 mA LDO-Regler	2.5V, 50mA LDO Regulator	SOT-23-5		1188.63/3,000	
TPS79028DBVR	296-8154-1-ND	2,8 V, 50 mA LDO-Regler	2.8V, 50mA LDO Regulator	SOT-23-5	.91	.77	.61
TPS79028DBVR	296-8154-2-ND	2,8 V, 50 mA LDO-Regler	2.8V, 50mA LDO Regulator	SOT-23-5		1188.63/3,000	
TPS79030DBVR	296-8155-1-ND	3 V, 50 mA LDO-Regler	3V, 50mA LDO Regulator	SOT-23-5	.91	.77	.61
TPS79030DBVR	296-8155-2-ND	3 V, 50 mA LDO-Regler	3V, 50mA LDO Regulator	SOT-23-5		1188.63/3,000	
TPS79101DBVR	296-11864-1-ND	100 mA LDO-Regler, einstellb.	Adj., 100mA LDO Regulator	SOT-23-6	1.02	.85	.68
TPS79101DBVR	296-11864-2-ND	100 mA LDO-Regler, einstellb.	Adj., 100mA LDO Regulator	SOT-23-6		1320.70/3,000	
TPS79101DBVRQ1	296-15302-1-ND	100 mA LDO-Regler, einstellb.	Adj., 100mA LDO Regulator	SOT-23-5	1.19	1.00	.80
TPS79101DBVRQ1	296-15302-2-ND	100 mA LDO-Regler, einstellb.	Adj., 100mA LDO Regulator	SOT-23-5		1551.82/3,000	
TPS79118DBVR	296-11865-1-ND	1,8 V, 100 mA LDO-Regler	1.8V, 100mA LDO Regulator	SOT-23-5	1.02	.85	.68
TPS79118DBVR	296-11865-2-ND	1,8 V, 100 mA LDO-Regler	1.8V, 100mA LDO Regulator	SOT-23-5		1320.70/3,000	
TPS79118DBVRQ1	296-15303-1-ND	1,8 V, 100 mA LDO-Regler	1.8V, 100mA LDO Regulator	SOT-23-5	1.19	1.00	.80
TPS79118DBVRQ1	296-15303-2-ND	1,8 V, 100 mA LDO-Regler	1.8V, 100mA LDO Regulator	SOT-23-5		1551.82/3,000	
TPS79133DBVR	296-11866-1-ND	3,3 V, 100 mA LDO-Regler	3.3V, 100mA LDO Regulator	SOT-23-5	1.02	.85	.68
TPS79133DBVR	296-11866-2-ND	3,3 V, 100 mA LDO-Regler	3.3V, 100mA LDO Regulator	SOT-23-5		1320.70/3,000	
TPS79133DBVRQ1	296-15304-1-ND	3,3 V, 100 mA LDO-Regler	3.3V, 100mA LDO Regulator	SOT-23-5	1.19	1.00	.80
TPS79133DBVRQ1	296-15304-2-ND	3,3 V, 100 mA LDO-Regler	3.3V, 100mA LDO Regulator	SOT-23-5		1551.82/3,000	
TPS79147DBVR	296-11867-1-ND	4,7 V ultraleiser High-PSRR, Fast-RF 100 mA LDO-Linearregler	4.7V, Ultralow Noise, High PSRR, Fast RF 100mA LDO Linear Regulator	SOT-23-5	1.02	.85	.68
TPS79147DBVR	296-11867-2-ND	4,7 V ultraleiser High-PSRR, Fast-RF 100 mA LDO-Linearregler	4.7V, Ultralow Noise, High PSRR, Fast RF 100mA LDO Linear Regulator	SOT-23-5		1320.70/3,000	
TPS79147DBVT	296-13707-1-ND	4,7 V ultraleiser High-PSRR, Fast-RF 100 mA LDO-Linearregler	4.7V, Ultralow Noise, High PSRR, Fast RF 100mA LDO Linear Regulator	SOT-23-5	1.02	.85	.68
TPS79147DBVT	296-13707-2-ND	4,7 V ultraleiser High-PSRR, Fast-RF 100 mA LDO-Linearregler	4.7V, Ultralow Noise, High PSRR, Fast RF 100mA LDO Linear Regulator	SOT-23-5		126.99/250	
TPS79201DBVR	296-11868-1-ND	100 mA LDO-Regler, einstellb.	Adj., 100mA LDO Regulator	SOT-23-6	1.02	.85	.68
TPS79201DBVR	296-11868-2-ND	100 mA LDO-Regler, einstellb.	Adj., 100mA LDO Regulator	SOT-23-6		1320.70/3,000	
TPS79225DBVR	296-11869-1-ND	2,5 V, 100 mA LDO-Regler	2.5V, 100mA LDO Regulator	SOT-23-5	1.02	.85	.68
TPS79225DBVR	296-11869-2-ND	2,5 V, 100 mA LDO-Regler	2.5V, 100mA LDO Regulator	SOT-23-5		1320.70/3,000	
TPS79228DBVR	296-11870-1-ND	2,8 V, 100 mA LDO-Regler	2.8V, 100mA LDO Regulator	SOT-23-5	1.02	.85	.68
TPS79228DBVR	296-11870-2-ND	2,8 V, 100 mA LDO-Regler	2.8V, 100mA LDO Regulator	SOT-23-5		1320.70/3,000	
TPS79230DBVR	296-11871-1-ND	3 V, 100 mA LDO-Regler	3V, 100mA LDO Regulator	SOT-23-5	1.02	.85	.68
TPS79230DBVR	296-11871-2-ND	3 V, 100 mA LDO-Regler	3V, 100mA LDO Regulator	SOT-23-5		1320.70/3,000	
TPS79301DBVR	296-12154-1-ND	200 mA High-PSRR RF-LDO-Regler, einstellb.	Adj., 200mA High-PSRR RF LDO Regulator	SOT-23-6	.75	.56	.42
TPS79301DBVR	296-12154-2-ND	200 mA High-PSRR RF-LDO-Regler, einstellb.	Adj., 200mA High-PSRR RF LDO Regulator	SOT-23-6		726.38/3,000	
TPS79301DBVRQ1	296-15305-1-ND	200 mA High-PSRR RF-LDO-Regler, einstellb.	Adj., 200mA High-PSRR RF LDO Regulator	SOT-23-6	.66	.56	.45
TPS79301DBVRQ1	296-15305-2-ND	200 mA High-PSRR RF-LDO-Regler, einstellb.	Adj., 200mA High-PSRR RF LDO Regulator	SOT-23-6		858.45/3,000	
TPS79318DBVR	296-12155-1-ND	1,8 V, 200 mA High-PSRR RF-LDO-Regler	1.8V, 200mA High-PSRR RF LDO Regulator	SOT-23-5	.75	.56	.42
TPS79318DBVR	296-12155-2-ND	1,8 V, 200 mA High-PSRR RF-LDO-Regler	1.8V, 200mA High-PSRR RF LDO Regulator	SOT-23-5		726.38/3,000	
TPS79318DBVRQ1	296-15306-1-ND	1,8 V, 200 mA High-PSRR RF-LDO-Regler	1.8V, 200mA High-PSRR RF LDO Regulator	SOT-23-5	.66	.56	.45
TPS79318DBVRQ1	296-15306-2-ND	1,8 V, 200 mA High-PSRR RF-LDO-Regler	1.8V, 200mA High-PSRR RF LDO Regulator	SOT-23-5		858.45/3,000	
TPS79318YEQT	296-17026-1-ND	1,8 V, 200 mA High-PSRR RF-LDO-Regler	1.8V, 200mA, High-PSRR RF LDO Regulator	5-CSP	.69	.58	.46
TPS79318YEQT	296-17026-2-ND	1,8 V, 200 mA High-PSRR RF-LDO-Regler	1.8V, 200mA, High-PSRR RF LDO Regulator	5-CSP		85.72/250	
TPS79325DBVR	296-12156-1-ND	2,5 V, 200 mA High-PSRR RF-LDO-Regler	2.5V, 200mA High-PSRR RF LDO Regulator	SOT-23-5	.75	.56	.42
TPS79325DBVR	296-12156-2-ND	2,5 V, 200 mA High-PSRR RF-LDO-Regler	2.5V, 200mA High-PSRR RF LDO Regulator	SOT-23-5		726.38/3,000	
TPS79325DBVRQ1	296-15307-1-ND	2,5 V, 200 mA High-PSRR RF-LDO-Regler	2.5V, 200mA High-PSRR RF LDO Regulator	SOT-23-5	.66	.56	.45
TPS79325DBVRQ1	296-15307-2-ND	2,5 V, 200 mA High-PSRR RF-LDO-Regler	2.5V, 200mA High-PSRR RF LDO Regulator	SOT-23-5		858.45/3,000	
TPS79325YEQT	296-17233-1-ND	2,5 V, 200 mA High-PSRR RF-LDO-Regler	2.5V, 200mA High-PSRR RF LDO Regulator	5-WCSP	1.17	.98	.78
TPS79325YEQT	296-17233-2-ND	2,5 V, 200 mA High-PSRR RF-LDO-Regler	2.5V, 200mA High-PSRR RF LDO Regulator	5-WCSP		85.72/250	
TPS79328DBVR	296-12158-1-ND	2,8 V, 200 mA High-PSRR RF-LDO-Regler	2.8V, 200mA High-PSRR RF LDO Regulator	SOT-23-5	.75	.56	.42
TPS79328DBVR	296-12158-2-ND	2,8 V, 200 mA High-PSRR RF-LDO-Regler	2.8V, 200mA High-PSRR RF LDO Regulator	SOT-23-5		726.38/3,000	
TPS79330DBVR	296-12159-1-ND	3 V, 200 mA High-PSRR RF-LDO-Regler	3V, 200mA High-PSRR RF LDO Regulator	SOT-23-5	.75	.56	.42
TPS79330DBVR	296-12159-2-ND	3 V, 200 mA High-PSRR RF-LDO-Regler	3V, 200mA High-PSRR RF LDO Regulator	SOT-23-5		726.38/3,000	
TPS79330YEQT	296-16968-1-ND	3 V, 200 mA High-PSRR RF-LDO-Regler	3V, 200mA High-PSRR, RF LDO Regulator	5-DSBGA	.69	.58	.46
TPS79330YEQT	296-16968-2-ND	3 V, 200 mA High-PSRR RF-LDO-Regler	3V, 200mA High-PSRR, RF LDO Regulator	5-DSBGA		85.72/250	
TPS79333DBVR	296-12961-1-ND	3,3 V ultraleiser High-PSRR, Fast-RF 200 mA LDO-Regler	3.3V, Ultralow Noise, High PSRR, Fast RF 200mA LDO Regulator	SOT-23-5	.75	.56	.42
TPS79333DBVR	296-12961-2-ND	3,3 V ultraleiser High-PSRR, Fast-RF 200 mA LDO-Regler	3.3V, Ultralow Noise, High PSRR, Fast RF 200mA LDO Regulator	SOT-23-5		726.38/3,000	
TPS79333DBVRQ1	296-15308-1-ND	3,3 V ultraleiser High-PSRR, Fast-RF 200 mA LDO-Regler	3.3V, Ultralow Noise, High PSRR, Fast RF 200mA LDO Regulator	SOT-23-5	.66	.56	.45
TPS79333DBVRQ1	296-15308-2-ND	3,3 V ultraleiser High-PSRR, Fast-RF 200 mA LDO-Regler	3.3V, Ultralow Noise, High PSRR, Fast RF 200mA LDO Regulator	SOT-23-5		858.45/3,000	
TPS79401DCQR	296-14427-1-ND	Ultraleiser High-PSRR, Fast-RF 250 mA LDO-Linearregler, einstellb.	Adj., Ultralow Noise, High PSRR, Fast RF 250mA, LDO Linear Regulator	SOT-223-6	1.38	1.11	.83
TPS79401DCQR	296-14427-2-ND	Ultraleiser High-PSRR, Fast-RF 250 mA LDO-Linearregler, einstellb.	Adj., Ultralow Noise, High PSRR, Fast RF 250mA, LDO Linear Regulator	SOT-223-6		1760.93/2,500	
TPS79401DGNR	296-13526-1-ND	Ultraleiser High-PSRR, Fast-RF 250 mA LDO-Linearregler, einstellb.	Adj., Ultralow Noise, High PSRR, Fast RF 250mA, LDO Linear Regulator	8-MSOP	1.38	1.11	.83
TPS79401DGNR	296-13526-2-ND	Ultraleiser High-PSRR, Fast-RF 250 mA LDO-Linearregler, einstellb.	Adj., Ultralow Noise, High PSRR, Fast RF 250mA, LDO Linear Regulator	8-MSOP		1760.93/2,500	
TPS79401DGNT	296-14428-1-ND	Ultraleiser High-PSRR, Fast-RF 250 mA LDO-Linearregler, einstellb.	Adj., Ultralow Noise, High PSRR, Fast RF 250mA, LDO Linear Regulator	8-MSOP	1.38	1.11	.83
TPS79401DGNT	296-14428-2-ND	Ultraleiser High-PSRR, Fast-RF 250 mA LDO-Linearregler, einstellb.	Adj., Ultralow Noise, High PSRR, Fast RF 250mA, LDO Linear Regulator	8-MSOP		192.60/250	
TPS79418DCQR	296-14429-1-ND	1,8 V ultraleiser High-PSRR, Fast-RF 250 mA LDO-Linearregler	1.8V, Ultralow Noise, High PSRR, Fast RF 250mA, LDO Linear Regulator	SOT-223-6	1.38	1.11	.83
TPS79418DCQR	296-14429-2-ND	1,8 V ultraleiser High-PSRR, Fast-RF 250 mA LDO-Linearregler	1.8V, Ultralow Noise, High PSRR, Fast RF 250mA, LDO Linear Regulator	SOT-223-6		1760.93/2,500	
TPS79418DGNR	296-14213-1-ND	1,8 V ultraleiser High-PSRR, Fast-RF 250 mA LDO-Linearregler	1.8V, Ultralow Noise, High PSRR, Fast RF 250mA, LDO Linear Regulator	8-MSOP	1.38	1.11	.83
TPS79418DGNR	296-14213-2-ND	1,8 V ultraleiser High-PSRR, Fast-RF 250 mA LDO-Linearregler	1.8V, Ultralow Noise, High PSRR, Fast RF 250mA, LDO Linear Regulator	8-MSOP		1760.93/2,500	
TPS79418DGNT	296-14430-1-ND	1,8 V ultraleiser High-PSRR, Fast-RF 250 mA LDO-Linearregler	1.8V, Ultralow Noise, High PSRR, Fast RF 250mA, LDO Linear Regulator	8-MSOP	1.38	1.11	.83
TPS79418DGNT	296-14430-2-ND	1,8 V ultraleiser High-PSRR, Fast-RF 250 mA LDO-Linearregler	1.8V, Ultralow Noise, High PSRR, Fast RF 250mA, LDO Linear Regulator	8-MSOP		192.60/250	
TPS79425DCQR	296-14431-1-ND	2,5 V ultraleiser High-PSRR, Fast-RF 250 mA LDO-Linearregler	2.5V, Ultralow Noise, High PSRR, Fast RF 250mA, LDO Linear Regulator	SOT-223-6	1.38	1.11	.83
TPS79425DCQR	296-14431-2-ND	2,5 V ultraleiser High-PSRR, Fast-RF 250 mA LDO-Linearregler	2.5V, Ultralow Noise, High PSRR, Fast RF 250mA, LDO Linear Regulator	SOT-223-6		1760.93/2,500	
TPS79425DGNR	296-13527-1-ND	2,5 V ultraleiser High-PSRR, Fast-RF 250 mA LDO-Linearregler	2.5V, Ultralow Noise, High PSRR, Fast RF 250mA, LDO Linear Regulator	8-MSOP	1.38	1.11	.83
TPS79425DGNR	296-13527-2-ND	2,5 V ultraleiser High-PSRR, Fast-RF 250 mA LDO-Linearregler	2.5V, Ultralow Noise, High PSRR, Fast RF 250mA, LDO Linear Regulator	8-MSOP		1760.93/2,500	
TPS79425DGNT	296-14432-1-ND	2,5 V ultraleiser High-PSRR, Fast-RF 250 mA LDO-Linearregler	2.5V, Ultralow Noise, High PSRR, Fast RF 250mA, LDO Linear Regulator	8-MSOP	1.38	1.11	.83
TPS79425DGNT	296-14432-2-ND	2,5 V ultraleiser High-PSRR, Fast-RF 250 mA LDO-Linearregler	2.5V, Ultralow Noise, High PSRR, Fast RF 250mA, LDO Linear Regulator	8-MSOP		192.60/250	
TPS79428DCQR	296-14433-1-ND	2,8 V ultraleiser High-PSRR, Fast-RF 250 mA LDO-Linearregler	2.8V, Ultralow Noise, High PSRR, Fast RF 250mA, LDO Linear Regulator	SOT-223-6	1.38	1.11	.83
TPS79428DCQR	296-14433-2-ND	2,8 V ultraleiser High-PSRR, Fast-RF 250 mA LDO-Linearregler	2.8V, Ultralow Noise, High PSRR, Fast RF 250mA, LDO Linear Regulator	SOT-223-6		1760.93/2,500	
TPS79428DGNR	296-13528-1-ND	2,8 V ultraleiser High-PSRR, Fast-RF 250 mA LDO-Linearregler	2.8V, Ultralow Noise, High PSRR, Fast RF 250mA, LDO Linear Regulator	8-MSOP	1.38	1.11	.83
TPS79428DGNR	296-13528-2-ND	2,8 V ultraleiser High-PSRR, Fast-RF 250 mA LDO-Linearregler	2.8V, Ultralow Noise, High PSRR, Fast RF 250mA, LDO Linear Regulator	8-MSOP		1760.93/2,500	
TPS79428DGNT	296-14434-1-ND	2,8 V ultraleiser High-PSRR, Fast-RF 250 mA LDO-Linearregler	2.8V, Ultralow Noise, High PSRR, Fast RF 250mA, LDO Linear Regulator	8-MSOP	1.38	1.11	.83
TPS79428DGNT	296-14434-2-ND	2,8 V ultraleiser High-PSRR, Fast-RF 250 mA LDO-Linearregler	2.8V, Ultralow Noise, High PSRR, Fast RF 250mA, LDO Linear Regulator	8-MSOP		192.60/250	
TPS79430DCQR	296-14435-1-ND	3 V ultraleiser High-PSRR, Fast-RF 250 mA LDO-Linearregler	3V, Ultralow Noise, High PSRR, Fast RF 250mA, LDO Linear Regulator	SOT-223-6	1.38	1.11	.83
TPS79430DCQR	296-14435-2-ND	3 V ultraleiser High-PSRR, Fast-RF 250 mA LDO-Linearregler	3V, Ultralow Noise, High PSRR, Fast RF 250mA, LDO Linear Regulator	SOT-223-6		1760.93/2,500	

(Forts.)

★ ***RUFEN SIE BITTE AN FÜR NIEDRIGERE PREISE BEI GRÖSSEREN MENGEN!*** ★

Alle Preisangaben in Euro und inklusive Zollgebühren.

T. I. Teilenr.	Digi-Key Teilenr.	Beschreibung		Paket	Stückpreis★ 1	25	100
TPS79430DGNR	296-13529-1-ND	3 V ultraleiser High-PSRR, Fast-RF 250 mA LDO-Linearregler	3V, Ultralow Noise, High PSRR, Fast RF 250mA, LDO Linear Regulator	8-MSOP	1.38	1.11	.83
TPS79430DGNR	296-13529-2-ND	3 V ultraleiser High-PSRR, Fast-RF 250 mA LDO-Linearregler	3V, Ultralow Noise, High PSRR, Fast RF 250mA, LDO Linear Regulator	8-MSOP		1760.93/2,500	
TPS79430DGNT	296-14436-1-ND	3 V ultraleiser High-PSRR, Fast-RF 250 mA LDO-Linearregler	3V, Ultralow Noise, High PSRR, Fast RF 250mA, LDO LinearRegulator	8-MSOP	1.38	1.11	.83
TPS79430DGNT	296-14436-2-ND	3 V ultraleiser High-PSRR, Fast-RF 250 mA LDO-Linearregler	3V, Ultralow Noise, High PSRR, Fast RF 250mA, LDO LinearRegulator	8-MSOP		192.60/250	
TPS79433DCQR	296-14437-1-ND	3,3 V ultraleiser High-PSRR, Fast-RF 250 mA LDO-Linearregler	3.3V, Ultralow Noise, High PSRR, Fast RF 250mA, LDO Linear Regulator	SOT-223-6	1.38	1.11	.83
TPS79433DCQR	296-14437-2-ND	3,3 V ultraleiser High-PSRR, Fast-RF 250 mA LDO-Linearregler	3.3V, Ultralow Noise, High PSRR, Fast RF 250mA, LDO Linear Regulator	SOT-223-6		1760.93/2,500	
TPS79433DGNR	296-13530-1-ND	3,3 V ultraleiser High-PSRR, Fast-RF 250 mA LDO-Linearregler	3.3V, Ultralow Noise, High PSRR, Fast RF 250mA, LDO Linear Regulator	8-MSOP	1.38	1.11	.83
TPS79433DGNR	296-13530-2-ND	3,3 V ultraleiser High-PSRR, Fast-RF 250 mA LDO-Linearregler	3.3V, Ultralow Noise, High PSRR, Fast RF 250mA, LDO Linear Regulator	8-MSOP		1760.93/2,500	
TPS79433DGNT	296-14438-1-ND	3,3 V ultraleiser High-PSRR, Fast-RF 250 mA LDO-Linearregler	3.3V, Ultralow Noise, High PSRR, Fast RF 250mA, LDO Linear Regulator	8-MSOP	1.38	1.11	.83
TPS79433DGNT	296-14438-2-ND	3,3 V ultraleiser High-PSRR, Fast-RF 250 mA LDO-Linearregler	3.3V, Ultralow Noise, High PSRR, Fast RF 250mA, LDO Linear Regulator	8-MSOP		192.60/250	
TPS79501DCQR	296-13806-1-ND	1,2 V bis 5,5 V ultraleiser High-PSRR, Fast-RF LDO-Linearregler	1.2V to 5.5V, Ultralow Noise, High PSRR, Fast RF LDO Linear Regulator	SOT-223-5	2.00	1.60	1.25
TPS79501DCQR	296-13806-2-ND	1,2 V bis 5,5 V ultraleiser High-PSRR, Fast-RF LDO-Linearregler	1.2V to 5.5V, Ultralow Noise, High PSRR, Fast RF LDO Linear Regulator	SOT-223-5		2800.13/2,500	
TPS79516DCQR	296-13807-1-ND	1,6 V ultraleiser High-PSRR, Fast-RF LDO-Linearregler	1.6V, Ultralow Noise, High PSRR, Fast RF LDO Linear Regulator	SOT-223-5	2.00	1.60	1.25
TPS79516DCQR	296-13807-2-ND	1,6 V ultraleiser High-PSRR, Fast-RF LDO-Linearregler	1.6V, Ultralow Noise, High PSRR, Fast RF LDO Linear Regulator	SOT-223-5		2800.13/2,500	
TPS79518DCQR	296-13808-1-ND	1,8 V ultraleiser High-PSRR, Fast-RF LDO-Linearregler	1.8V, Ultralow Noise, High PSRR, Fast RF LDO Linear Regulator	SOT-223-5	2.00	1.60	1.25
TPS79518DCQR	296-13808-2-ND	1,8 V ultraleiser High-PSRR, Fast-RF LDO-Linearregler	1.8V, Ultralow Noise, High PSRR, Fast RF LDO Linear Regulator	SOT-223-5		2800.13/2,500	
TPS79525DCQ	296-14753-5-ND	2,5 V ultraleiser High-PSRR, Fast-RF LDO-Linearregler	2.5V, Ultralow Noise, High PSRR, Fast RF LDO Linear Regulator	SOT-223-5	2.00	1.60	1.25
TPS79530DCQR	296-13809-1-ND	3 V ultraleiser High-PSRR, Fast-RF LDO-Linearregler	3V, Ultralow Noise, High PSRR, Fast RF LDO Linear Regulator	SOT-223-5	2.00	1.60	1.25
TPS79530DCQR	296-13809-2-ND	3 V ultraleiser High-PSRR, Fast-RF LDO-Linearregler	3V, Ultralow Noise, High PSRR, Fast RF LDO Linear Regulator	SOT-223-5		2800.13/2,500	
TPS79533DCQR	296-13810-1-ND	3,3 V ultraleiser High-PSRR, Fast-RF LDO-Linearregler	3.3V, Ultralow Noise, High PSRR, Fast RF LDO Linear Regulator	SOT-223-5	2.00	1.60	1.25
TPS79533DCQR	296-13810-2-ND	3,3 V ultraleiser High-PSRR, Fast-RF LDO-Linearregler	3.3V, Ultralow Noise, High PSRR, Fast RF LDO Linear Regulator	SOT-223-5		2800.13/2,500	
TPS79601DCQR	296-13761-1-ND	1,2 V bis 5,5 V ultraleiser High-PSRR, Fast-RF 1 A LDO-Regler	1.2V to 5.5V, Ultralow Noise, High PSRR, Fast RF 1A LDO Regulator	SOT-223-5	2.10	1.68	1.31
TPS79601DCQR	296-13761-2-ND	1,2 V bis 5,5 V ultraleiser High-PSRR, Fast-RF 1 A LDO-Regler	1.2V to 5.5V, Ultralow Noise, High PSRR, Fast RF 1A LDO Regulator	SOT-223-5		2933.47/2,500	
TPS79601KTTT	296-14439-1-ND	1,2 V bis 5,5 V ultraleiser High-PSRR, Fast-RF 1 A LDO-Regler	1.2V to 5.5V, Ultralow Noise, High PSRR, Fast RF 1A LDO Regulator	5-DDPAK	2.48	1.99	—
TPS79601KTTT	296-14439-2-ND	1,2 V bis 5,5 V ultraleiser High-PSRR, Fast-RF 1 A LDO-Regler	1.2V to 5.5V, Ultralow Noise, High PSRR, Fast RF 1A LDO Regulator	5-DDPAK		77.04/50	
TPS79618DCQR	296-13762-1-ND	1,8 V ultraleiser High-PSRR, Fast-RF 1 A LDO-Regler	1.8V, Ultralow Noise, High PSRR, Fast RF 1A LDO Regulator	SOT-223-5	2.10	1.68	1.31
TPS79618DCQR	296-13762-2-ND	1,8 V ultraleiser High-PSRR, Fast-RF 1 A LDO-Regler	1.8V, Ultralow Noise, High PSRR, Fast RF 1A LDO Regulator	SOT-223-5		2933.47/2,500	
TPS79618KTTT	296-16664-5-ND	1,8 V ultraleiser High-PSRR, Fast-RF 1 A LDO-Regler	1.8V, Ultralow Noise, High PSRR, Fast RF 1A LDO Regulator	5-DDPAK	2.48	1.99	1.55
TPS79625DCQR	296-13763-1-ND	2,5 V ultraleiser High-PSRR, Fast-RF 1 A LDO-Regler	2.5V, Ultralow Noise, High PSRR, Fast RF 1A LDO Regulator	SOT-223-5	2.10	1.68	1.31
TPS79625DCQR	296-13763-2-ND	2,5 V ultraleiser High-PSRR, Fast-RF 1 A LDO-Regler	2.5V, Ultralow Noise, High PSRR, Fast RF 1A LDO Regulator	SOT-223-5		2933.47/2,500	
TPS79625KTTT	296-14441-1-ND	2,5 V ultraleiser High-PSRR, Fast-RF 1 A LDO-Regler	2.5V, Ultralow Noise, High PSRR, Fast RF 1A LDO Regulator	5-DDPAK	2.48	2.21	—
TPS79625KTTT	296-14441-2-ND	2,5 V ultraleiser High-PSRR, Fast-RF 1 A LDO-Regler	2.5V, Ultralow Noise, High PSRR, Fast RF 1A LDO Regulator	5-DDPAK		99.05/50	
TPS79628DCQR	296-13764-1-ND	2,8 V ultraleiser High-PSRR, Fast-RF 1 A LDO-Regler	2.8V, Ultralow Noise, High PSRR, Fast RF 1A LDO Regulator	SOT-223-5	2.10	1.68	1.31
TPS79628DCQR	296-13764-2-ND	2,8 V ultraleiser High-PSRR, Fast-RF 1 A LDO-Regler	2.8V, Ultralow Noise, High PSRR, Fast RF 1A LDO Regulator	SOT-223-5		2933.47/2,500	
TPS79628DRBT	296-17875-1-ND	2,8 V ultraleiser High-PSRR, Fast-RF 1 A LDO-Regler	2.8V, Ultralow Noise, High PSRR, Fast RF 1A LDO Regulator	8-SON	2.29	1.83	1.43
TPS79628DRBT	296-17875-2-ND	2,8 V ultraleiser High-PSRR, Fast-RF 1 A LDO-Regler	2.8V, Ultralow Noise, High PSRR, Fast RF 1A LDO Regulator	8-SON		337.79/250	
TPS79628KTT	296-14442-5-ND	2,8 V ultraleiser High-PSRR, Fast-RF 1 A LDO-Regler	2.8V, Ultralow Noise, High PSRR, Fast RF 1A LDO Regulator	5-DDPAK	2.25	1.80	1.40
TPS79628KTTT	296-16737-1-ND	2,8 V ultraleiser High-PSRR, Fast-RF 1 A LDO-Regler	2.8V, Ultralow Noise, High PSRR, Fast RF 1A LDO Regulator	5-DDPAK	2.48	1.99	—
TPS79628KTTT	296-16737-2-ND	2,8 V ultraleiser High-PSRR, Fast-RF 1 A LDO-Regler	2.8V, Ultralow Noise, High PSRR, Fast RF 1A LDO Regulator	5-DDPAK		77.04/50	
TPS79630DCQR	296-13765-1-ND	3 V ultraleiser High-PSRR, Fast-RF 1 A LDO-Regler	3V, Ultralow Noise, High PSRR, Fast RF 1A LDO Regulator	SOT-223-5	2.10	1.68	1.31
TPS79630DCQR	296-13765-2-ND	3 V ultraleiser High-PSRR, Fast-RF 1 A LDO-Regler	3V, Ultralow Noise, High PSRR, Fast RF 1A LDO Regulator	SOT-223-5		2933.47/2,500	
TPS79630KTTT	296-14443-1-ND	3 V ultraleiser High-PSRR, Fast-RF 1 A LDO-Regler	3V, Ultralow Noise, High PSRR, Fast RF 1A LDO Regulator	5-DDPAK	2.48	1.99	—
TPS79630KTTT	296-14443-2-ND	3 V ultraleiser High-PSRR, Fast-RF 1 A LDO-Regler	3V, Ultralow Noise, High PSRR, Fast RF 1A LDO Regulator	5-DDPAK		77.04/50	
TPS79633DCQR	296-13766-1-ND	3,3 V ultraleiser High-PSRR, Fast-RF 1 A LDO-Regler	3.3V, Ultralow Noise, High PSRR, Fast RF 1A LDO Regulator	SOT-223-5	2.10	1.68	1.31
TPS79633DCQR	296-13766-2-ND	3,3 V ultraleiser High-PSRR, Fast-RF 1 A LDO-Regler	3.3V, Ultralow Noise, High PSRR, Fast RF 1A LDO Regulator	SOT-223-5		2933.47/2,500	
TPS79633KTTT	296-14444-1-ND	3,3 V ultraleiser High-PSRR, Fast-RF 1 A LDO-Regler	3.3V, Ultralow Noise, High PSRR, Fast RF 1A LDO Regulator	5-DDPAK	2.48	1.99	—
TPS79633KTTT	296-14444-2-ND	3,3 V ultraleiser High-PSRR, Fast-RF 1 A LDO-Regler	3.3V, Ultralow Noise, High PSRR, Fast RF 1A LDO Regulator	5-DDPAK		77.04/50	
TPS79718DCKR	296-11988-1-ND	1,8 V, 10 mA Micropower LDO-Spannungsregler	1.8V, 10mA Micropower LDO Voltage Regulator	SC70-5	.86	.72	.58
TPS79718DCKR	296-11988-2-ND	1,8 V, 10 mA Micropower LDO-Spannungsregler	1.8V, 10mA Micropower LDO Voltage Regulator	SC70-5		1122.59/3,000	
TPS79730DCKR	296-11989-1-ND	3 V, 10 mA Micropower LDO-Spannungsregler	3V, 10mA Micropower LDO Voltage Regulator	SC70-5	.86	.72	.58
TPS79730DCKR	296-11989-2-ND	3 V, 10 mA Micro LDO-Spannungsregler	3V, 10mA Micro LDO Voltage Reg.	SC70-5		1122.59/3,000	
TPS79733DCKR	296-11990-1-ND	3,3 V, 10 mA Micro LDO-Spannungsregler	3.3V, 10mA Micro LDO Voltage Reg.	SC70-5	.86	.72	.58
TPS79733DCKR	296-11990-2-ND	3,3 V, 10 mA Micro LDO-Spannungsregler	3.3V, 10mA Micro LDO Voltage Reg.	SC70-5		1122.59/3,000	
TPS79901DDCR	296-17776-1-ND	200 mA LDO-Linearregler, einstellb.	Adj., 200mA LDO Linear Regulator	TSOT-23-5	.74	.62	.50
TPS79901DDCR	296-17776-2-ND	200 mA LDO-Linearregler, einstellb.	Adj., 200mA LDO Linear Regulator	TSOT-23-5		957.50/3,000	
TPS79915DDCR	296-17777-1-ND	1,5 V, 200 mA LDO-Linearregler	1.5V, 200mA LDO Linear Regulator	TSOT-23-5	.74	.62	.50
TPS79915DDCR	296-17777-2-ND	1,5 V, 200 mA LDO-Linearregler	1.5V, 200mA LDO Linear Regulator	TSOT-23-5		957.50/3,000	
TPS79918DDCR	296-17778-1-ND	1,8 V, 200 mA LDO-Linearregler	1.8V, 200mA LDO Linear Regulator	TSOT-23-5	.74	.62	.50
TPS79918DDCR	296-17778-2-ND	1,8 V, 200 mA LDO-Linearregler	1.8V, 200mA LDO Linear Regulator	TSOT-23-5		957.50/3,000	
TPS79925DDCT	296-17779-1-ND	2,5 V, 200 mA LDO-Linearregler	2.5V, 200mA LDO Linear Regulator	TSOT-23-5	.74	.62	.50
TPS79925DDCT	296-17779-2-ND	2,5 V, 200 mA LDO-Linearregler	2.5V, 200mA LDO Linear Regulator	TSOT-23-5		92.07/250	
TPS79928DDCR	296-17781-1-ND	2,8 V, 200 mA LDO-Linearregler	2.8V, 200mA LDO Linear Regulator	TSOT-23-5	.74	.62	.50
TPS79928DDCR	296-17781-2-ND	2,8 V, 200 mA LDO-Linearregler	2.8V, 200mA LDO Linear Regulator	TSOT-23-5		957.50/3,000	
TPS793285DBVR	296-12157-1-ND	2,85 V, 200 mA High-PSRR RF-LDO-Regler	2.85V, 200mA High-PSRR RF LDO Regulator	SOT-23-5	.75	.56	.42
TPS793285DBVR	296-12157-2-ND	2,85 V, 200 mA High-PSRR RF-LDO-Regler	2.85V, 200mA High-PSRR RF LDO Regulator	SOT-23-5		726.38/3,000	
TPS793285YEQT	296-15725-1-ND	2,85 V, 200 mA High-PSRR RF-LDO-Regler	2.85V, 200mA High-PSRR RF LDO Regulator	5-DSBGA	.69	.58	.46
TPS793285YEQT	296-15725-2-ND	2,85 V, 200 mA High-PSRR RF-LDO-Regler	2.85V, 200mA High-PSRR RF LDO Regulator	5-DSBGA		85.72/250	
TPS793475DBVR	296-12160-1-ND	4,75 V, 200 mA High-PSRR RF-LDO-Regler	4.75V, 200mA High-PSRR RF LDO Regulator	SOT-23-5	.75	.56	.42
TPS793475DBVR	296-12160-2-ND	4,75 V, 200 mA High-PSRR RF-LDO-Regler	4.75V, 200mA High-PSRR RF LDO Regulator	SOT-23-5		726.38/3,000	
TPS799285DDCR	296-17780-1-ND	2,85 V, 200 mA LDO-Linearregler	2.85V, 200mA LDO Linear Regulator	TSOT-23-5	.74	.62	.50
TPS799285DDCR	296-17780-2-ND	2,85 V, 200 mA LDO-Linearregler	2.85V, 200mA LDO Linear Regulator	TSOT-23-5		957.50/3,000	
TPS79930DDCT	296-17782-1-ND	3 V, 200 mA LDO-Linearregler	3V, 200mA LDO Linear Regulator	TSOT-23-5	.74	.62	.50
TPS79930DDCT	296-17782-2-ND	3 V, 200 mA LDO-Linearregler	3V, 200mA LDO Linear Regulator	TSOT-23-5		92.07/250	
TPS79933DDCR	296-17783-1-ND	3,3 V, 200 mA LDO-Linearregler	3.3V, 200mA LDO Linear Regulator	TSOT-23-5	.74	.62	.50
TPS79933DDCR	296-17783-2-ND	3,3 V, 200 mA LDO-Linearregler	3.3V, 200mA LDO Linear Regulator	TSOT-23-5		957.50/3,000	
UC282T-1	296-15146-5-ND	1,5 V, Fast-LDO-Regler	1.5V, Fast LDO Regulator	TO-220-5	5.25	4.20	3.55
UC282T-2	296-15147-5-ND	2,1 V, Fast-LDO-Regler	2.1V, Fast LDO Regulator	TO-220-5	5.25	4.20	3.55
UC282T-3	296-15148-5-ND	2,5 V, Fast-LDO-Regler	2.5V, Fast LDO Regulator	TO-220-5	5.25	4.20	3.55
UC282T-ADJ	296-15149-5-ND	Fast-LDO-Regler, einstellb.	Adj, Fast LDO Regulator	TO-220-5	5.25	4.20	3.55
UC282TD-1	296-2794-5-ND	1,5 V, Fast-LDO-Regler	1.5V, Fast LDO Regulator	TO-263-5	4.74	3.80	3.21
UC282TD-3	296-2795-5-ND	2,5 V, Fast-LDO-Regler	2.5V, Fast LDO Regulator	TO-263-5	4.74	3.80	3.21
UC282TDKTTT-1	296-16011-1-ND	1,5 V, Fast-LDO-Regler	1.5V, Fast LDO Regulator	TO-263-5	5.25	4.20	—
UC282TDKTTT-1	296-16011-2-ND	1,5 V, Fast-LDO-Regler	1.5V, Fast LDO Regulator	TO-263-5		177.15/50	
UC282TDKTTT-2	296-16012-1-ND	2,1 V, Fast-LDO-Regler	2.1V, Fast LDO Regulator	TO-263-5	5.25	4.20	—
UC282TDKTTT-2	296-16012-2-ND	2,1 V, Fast-LDO-Regler	2.1V, Fast LDO Regulator	TO-263-5		177.15/50	
UC282TDKTTT-3	296-16013-5-ND	2,5 V, Fast-LDO-Regler	2.5V, Fast LDO Regulator	TO-263-5	5.25	4.20	3.55
UC282TDKTTT-ADJ	296-16014-1-ND	1,2 V, Fast-LDO-Regler, einstellb.	1.2V/Adj., Fast LDO Regulator	TO-263-5	5.25	4.20	—
UC282TDKTTT-ADJ	296-16014-2-ND	1,2 V, Fast-LDO-Regler, einstellb.	1.2V/Adj., Fast LDO Regulator	TO-263-5		177.15/50	
UC285T-1	296-15153-5-ND	1,5 V, Fast-LDO-Regler	1.5V, Fast LDO Regulator	TO-220-5	6.18	4.95	4.18
UC285T-2	296-15154-5-ND	2,1 V, Fast-LDO-Regler	2.1V, Fast LDO Regulator	TO-220-5	6.18	4.95	4.18
UC285T-3	296-15155-5-ND	2,5 V, Fast-LDO-Regler	2.5V, Fast LDO Regulator	TO-220-5	6.18	4.95	4.18
UC285T-ADJ	296-15156-5-ND	Fast-LDO-Regler, einstellb.	Adj., Fast LDO Regulator	TO-220-5	6.18	4.95	4.18
UC285TDKTTT-1	296-16015-1-ND	1,5 V, Fast-LDO-Regler	1.5V, Fast LDO Regulator	TO-263-5	6.18	4.95	—
UC285TDKTTT-1	296-16015-2-ND	1,5 V, Fast-LDO-Regler	1.5V, Fast LDO Regulator	TO-263-5		208.60/50	
UC285TDKTTT-2	296-16016-1-ND	2,1 V, Fast-LDO-Regler	2.1V, Fast LDO Regulator	TO-263-5	6.18	4.95	—
UC285TDKTTT-2	296-16016-2-ND	2,1 V, Fast-LDO-Regler	2.1V, Fast LDO Regulator	TO-263-5		208.60/50	
UC285TDKTTT-3	296-16017-1-ND	2,5 V, Fast-LDO-Regler	2.5V, Fast LDO Regulator	TO-263-5	6.18	4.95	—
UC285TDKTTT-3	296-16017-2-ND	2,5 V, Fast-LDO-Regler	2.5V, Fast LDO Regulator	TO-263-5		208.60/50	
UC285TDKTTT-ADJ	296-16018-1-ND	1,2 V, Fast-LDO-Regler, einstellb.	1.2V/Adj., Fast LDO Regulator	TO-263-5	6.18	4.95	—
UC285TDKTTT-ADJ	296-16018-2-ND	1,2 V, Fast-LDO-Regler, einstellb.	1.2V/Adj., Fast LDO Regulator	TO-263-5		208.60/50	

(Forts.)

★ ***RUFEN SIE BITTE AN FÜR NIEDRIGERE PREISE BEI GRÖSSEREN MENGEN!*** ★

B

T. I. Teilenr.	Digi-Key Teilenr.	Beschreibung		Paket	Stückpreis★ 1	25	100
UC382T-1	296-2801-5-ND	1,5 V LDO-Regler mit schnellem dynamischen Verhalten	1.5V, Fast Transient Response LDO Regulator	TO-220-5	4.57	3.66	3.09
UC382T-2	296-2802-5-ND	2,1 V LDO-Regler mit schnellem dynamischen Verhalten	2.1V, Fast Transient Response LDO Regulator	TO-220-5	4.57	3.66	3.09
UC382T-3	296-2803-5-ND	2,5 V LDO-Regler mit schnellem dynamischen Verhalten	2.5V, Fast Transient Response LDO Regulator	TO-220-5	4.57	3.66	3.09
UC382T-ADJ	296-2804-5-ND	LDO-Regler mit schnellem dynamischen Verhalten, einstellb.	Adjustable Fast Transient Response LDO Regulator	TO-220-5	4.57	3.66	3.09
UC382TDKTTT-1	296-16019-1-ND	1,5 V LDO-Regler mit schnellem dynamischen Verhalten	1.5V Fast Transient Response LDO Regulator	TO-263-5	4.65	3.72	—
UC382TDKTTT-1	296-16019-2-ND	1,5 V LDO-Regler mit schnellem dynamischen Verhalten	1.5V Fast Transient Response LDO Regulator	TO-263-5		154.29/50	
UC382TDKTTT-2	296-16020-1-ND	2,1 V LDO-Regler mit schnellem dynamischen Verhalten	2.1V Fast Transient Response LDO Regulator	TO-263-5	4.57	3.66	—
UC382TDKTTT-2	296-16020-2-ND	2,1 V LDO-Regler mit schnellem dynamischen Verhalten	2.1V Fast Transient Response LDO Regulator	TO-263-5		154.29/50	
UC382TDKTTT-3	296-16021-1-ND	2,5 V LDO-Regler mit schnellem dynamischen Verhalten	2.5V Fast Transient Response LDO Regulator	TO-263-5	4.57	3.66	—
UC382TDKTTT-3	296-16021-2-ND	2,5 V LDO-Regler mit schnellem dynamischen Verhalten	2.5V Fast Transient Response LDO Regulator	TO-263-5		154.29/50	
UC382TDKTTT-ADJ	296-16022-5-ND	1,2 V LDO-Regler mit schnellem dynamischen Verhalten, einstellb.	1.2V/Adj., Fast Transient Response LDO Regulator	TO-263-5	4.57	3.66	3.09
UC385T-1	296-2809-5-ND	1,5 V, 5 A LDO-Regler	1.5V, 5A LDO Regulator	TO-220-5	5.33	4.27	3.61
UC385T-2	296-2810-5-ND	2,1 V, 5 A LDO-Regler	2.1V, 5A LDO Regulator	TO-220-5	5.33	4.27	3.61
UC385T-3	296-2811-5-ND	2,5 V, 5 A LDO-Regler	2.5V, 5A LDO Regulator	TO-220-5	5.33	4.27	3.61
UC385T-ADJ	296-2812-5-ND	5 A LDO-Regler, einstellb.	Adjustable, 5A LDO Regulator	TO-220-5	5.33	4.27	3.61
UC385TD-2	296-2814-5-ND	2,1 V, 5 A LDO-Regler	2.1V, 5A LDO Regulator	TO-263-5	4.83	3.87	3.26
UC385TDKTTT-1	296-16023-1-ND	1,5 V, 5 A LDO-Regler	1.5V, 5A LDO Regulator	TO-263-5	5.33	4.27	—
UC385TDKTTT-1	296-16023-2-ND	1,5 V, 5 A LDO-Regler	1.5V, 5A LDO Regulator	TO-263-5		180.03/50	
UC385TDKTTT-2	296-16024-1-ND	2,1 V, 5 A LDO-Regler	2.1V, 5A LDO Regulator	TO-263-5	5.33	4.27	—
UC385TDKTTT-2	296-16024-2-ND	2,1 V, 5 A LDO-Regler	2.1V, 5A LDO Regulator	TO-263-5		180.03/50	
UC385TDKTTT-3	296-16025-1-ND	2,5 V, 5 A LDO-Regler	2.5V, 5A LDO Regulator	TO-263-5	5.33	4.27	—
UC385TDKTTT-3	296-16025-2-ND	2,5 V, 5 A LDO-Regler	2.5V, 5A LDO Regulator	TO-263-5		180.03/50	
UC385TDKTTT-ADJ	296-16026-1-ND	1,2 V, 5 A LDO-Regler, einstellb.	1.2V/Adj., 5A LDO Regulator	TO-263-5	5.33	4.27	—
UC385TDKTTT-ADJ	296-16026-2-ND	1,2 V, 5 A LDO-Regler, einstellb.	1.2V/Adj., 5A LDO Regulator	TO-263-5		180.03/50	
UC2573D	296-2793-5-ND	Buck-Pulse PWM-Spannungsregler	Buck Pulse PWM Voltage Regulator	8-SOIC	2.29	1.83	1.43
UC2577TDKTTT-ADJ	296-16010-1-ND	Step-Up-Spannungsregler	Step-Up Voltage Regulator	TO-263-5	9.17	8.26	—
UC2577TDKTTT-ADJ	296-16010-2-ND	Step-Up-Spannungsregler	Step-Up Voltage Regulator	TO-263-5		365.94/50	
UC2834DW	296-2797-5-ND	Hocheffizienter Linearregler	High-Efficiency Linear Regulator	16-SOIC	9.66	8.70	7.72
UC2835D	296-2798-5-ND	Hocheffizienter Regler-Controller	High-Efficiency Regulator Controller	8-SOIC	7.28	5.83	4.92
UC2836D	296-2799-5-ND	Hocheffizienter Regler-Controller	High-Efficiency Regulator Controller	8-SOIC	7.62	6.86	6.09
UC3832N	296-11273-5-ND	100 mA LDO-Regler, einstellb.	Adjustable, 100mA LDO Regulator	14-Dip	4.23	3.39	2.86
UC3833N	296-11274-5-ND	100 mA LDO-Regler, einstellb.	Adjustable, 100mA LDO Regulator	8-Dip	4.57	3.66	2.85
UC3834DW	296-2808-5-ND	Hocheffizienter Linearregler	High-Efficiency Linear Regulator	16-SOIC	7.97	7.18	6.37
UCC281DP-5	296-2817-5-ND	5 V, 1 A LDO-Regler	5V, 1A LDO Regulator	8-SOIC	4.19	3.36	2.61
UCC281DP-ADJ	296-2818-5-ND	1 A LDO-Regler, einstellb.	Adjustable, 1A LDO Regulator	8-SOIC	4.19	3.36	2.61
UCC283T-3	296-11413-5-ND	3,3 V, 3 A LDO-Regler	3.3V, 3A LDO Regulator	TO-220	5.25	4.20	3.55
UCC283T-5	296-11414-5-ND	5 V, 3 A LDO-Regler	5V, 3A LDO Regulator	TO-220	5.25	4.20	3.55
UCC283T-ADJ	296-15163-5-ND	3 A LDO-Regler, einstellb.	Adj., 3A LDO Regulator	TO-220	5.25	4.20	3.55
UCC283TD-3	296-15065-5-ND	3,3 V, 3 A LDO-Regler	3.3V, 3A LDO Regulator	TO-263	4.74	3.80	3.21
UCC283TD-5	296-15164-5-ND	5 V, 3 A LDO-Regler	5V, 3A LDO Regulator	TO-263	4.74	3.80	3.21
UCC283TDKTTT-ADJ	296-16027-1-ND	3 A LDO-Regler, einstellb.	Adj., 3A LDO Regulator	TO-263-5	5.25	4.20	—
UCC283TDKTTT-ADJ	296-16027-2-ND	3 A LDO-Regler, einstellb.	Adj., 3A LDO Regulator	TO-263-5		177.15/50	
UCC283TDKTTT-3	296-17787-1-ND	3,3 V, 3 A LDO-Regler	3.3V, 3A LDO Regulator	TO-263-5	5.25	4.20	—
UCC283TDKTTT-3	296-17787-2-ND	3,3 V, 3 A LDO-Regler	3.3V, 3A LDO Regulator	TO-263-5		177.15/50	
UCC284DP-12	296-11415-5-ND	12 V, 500 mA, neg. LDO-Regler	12V, 500mA Neg. LDO Regulator	8-SOIC	4.74	3.80	3.21
UCC284DP-5	296-11416-5-ND	5 V, 500 mA, neg. LDO-Regler	5V, 500mA Neg. LDO Regulator	8-SOIC	4.74	3.80	3.21
UCC284DP-ADJ	296-11417-5-ND	500 mA, neg. LDO-Regler, einstellb.	Adj., 500mA Neg. LDO Regulator	8-SOIC	4.74	3.80	3.21
UCC381DP-3	296-2819-5-ND	3,3 V, 1 A LDO-Regler	3.3V, 1A LDO Regulator	8-SOIC	3.62	2.90	2.26
UCC381DP-5	296-2820-5-ND	5 V, 1 A LDO-Regler	5V, 1A LDO Regulator	8-SOIC	3.62	2.90	2.26
UCC381DP-ADJ	296-2821-5-ND	1 A LDO-Regler, einstellb.	Adjustable, 1A LDO Regulator	8-SOIC	3.62	2.90	2.26
UCC383T-3	296-8156-5-ND	3,3 V, 3 A LDO-Linearregler	3.3V, 3A LDO Linear Regulator	TO-220	4.57	3.66	3.09
UCC383T-5	296-8157-5-ND	5 V, 3 A LDO-Linearregler	5V, 3A LDO Linear Regulator	TO-220	4.57	3.66	3.09
UCC383T-ADJ	296-8158-5-ND	3 A LDO-Linearregler, einstellb.	Adjustable, 3A LDO Linear Regulator	TO-220	4.57	3.66	3.09
UCC383TD-ADJ	296-8161-5-ND	3 A LDO-Linearregler, einstellb.	Adjustable, 3A LDO Linear Regulator	TO-263-5	4.65	3.72	2.90
UCC383TDKTTT-3	296-16028-1-ND	3,3 V, 3 A LDO-Linearregler	3.3V, 3A LDO Linear Regulator	TO-263-5	4.57	4.12	—
UCC383TDKTTT-3	296-16028-2-ND	3,3 V, 3 A LDO-Linearregler	3.3V, 3A LDO Linear Regulator	TO-263-5		154.29/50	
UCC383TDKTTT-5	296-16029-1-ND	5 V, 3 A LDO-Linearregler	5V, 3A LDO Linear Regulator	TO-263-5	4.57	3.66	—
UCC383TDKTTT-5	296-16029-2-ND	5 V, 3 A LDO-Linearregler	5V, 3A LDO Linear Regulator	TO-263-5		154.29/50	
UCC383TDKTTT-ADJ	296-16030-1-ND	3 A LDO-Linearregler, einstellb.	Adj., 3A LDO Linear Regulator	TO-263-5	4.57	3.66	—
UCC383TDKTTT-ADJ	296-16030-2-ND	3 A LDO-Linearregler, einstellb.	Adj., 3A LDO Linear Regulator	TO-263-5		154.29/50	
UCC384DP-12	296-8162-5-ND	–12 V, 0,5 A LDO-Linearregler	–12V, 0.5A LDO Linear Regulator	8-SOIC	3.72	2.98	2.32
UCC384DP-5	296-8163-5-ND	–5 V, 0,5 A LDO-Linearregler	–5V, 0.5A LDO Linear Regulator	8-SOIC	3.72	2.98	2.32
UCC384DP-ADJ	296-8164-5-ND	0,5 A neg. LDO-Linearregler, einstellb.	Neg. Adj. 0.5A LDO Linear Regulator	8-SOIC	3.72	2.98	2.32
UCC2817PW	296-15161-5-ND	BiCMOS Leistungsfaktor-Vorregler	BiCMOS Power Factor Preregulator	16-TSSOP	2.38	1.91	1.49
UCC2818PW	296-15162-5-ND	BiCMOS Leistungsfaktor-Vorregler	BiCMOS Power Factor Preregulator	16-TSSOP	2.38	1.91	1.49
UCC3817PW	296-15166-5-ND	BiCMOS Leistungsfaktor-Vorregler	BiCMOS Power Factor Preregulator	16-TSSOP	2.19	1.76	1.37
UCC3818PW	296-15167-5-ND	BiCMOS Leistungsfaktor-Vorregler	BiCMOS Power Factor Preregulator	16-TSSOP	2.19	1.76	1.37
UC3833DWTR	296-13767-1-ND	Präzisions-LDO-Linear-Controller	Precision LDO Linear Controller	16-SOIC	4.57	3.66	2.85
UC3833DWTR	296-13767-2-ND	Präzisions-LDO-Linear-Controller	Precision LDO Linear Controller	16-SOIC		5181.19/2,000	
		Spannungsregler					
LFC789D25CDR	296-17214-1-ND	Zweif. FET-Controller, linear	Dual Linear FET Controller	8-SOIC	.68	.51	.39
LFC789D25CDR	296-17214-2-ND	Zweif. FET-Controller, linear	Dual Linear FET Controller	8-SOIC		550.29/2,500	
LFC789D25CPWR	296-17215-1-ND	Zweif. FET-Controller, linear	Dual Linear FET Controller	8-TSSOP	.75	.56	.42
LFC789D25CPWR	296-17215-2-ND	Zweif. FET-Controller, linear	Dual Linear FET Controller	8-TSSOP		496.11/2,000	
LM317KTER	296-9536-1-ND	Positivspanngungsregler, 3 Anschlüsse, einstellb.	3-Term. Adj. Pos. Volt. Regulator	3-PFM	.58	.44	.33
LM317KTER	296-9536-2-ND	Positivspanngungsregler, 3 Anschlüsse, einstellb.	3-Term. Adj. Pos. Volt. Regulator	3-PFM		382.66/2,000	
LM337KC	296-9550-5-ND	1,5 A, Negativspannungsregler, einstellb.	Adj., 1.5A, Negative Volt. Regulator	TO-220AB	.79	.66	.53
LM337KTER	296-9551-1-ND	1,5 A, Negativspannungsregler, einstellb.	Adj., 1.5A, Negative Volt. Regulator	3-PFM	.79	.66	.53
LM337KTER	296-9551-2-ND	1,5 A, Negativspannungsregler, einstellb.	Adj., 1.5A, Negative Volt. Regulator	3-PFM		697.60/2,000	
MC79L05ACDR	296-1016-1-ND	5 V fixierter Negativspannungsreg.	5V Fixed Negative Voltage Regulator	8-SOIC	.42	.34	.26
MC79L05ACDR	296-1016-2-ND	5 V fixierter Negativspannungsreg.	5V Fixed Negative Voltage Regulator	8-SOIC		285.73/2,500	
MC79L05ACLP	296-9603-5-ND	5 V fixierter Negativspannungsreg.	5V Fixed Negative Voltage Reg.	TO-226AA	.34	.28	.21
MC79L12ACD	296-9604-5-ND	12 V fixierter Negativspannungsreg.	12V Fixed Negative Voltage Regulator	8-SOP	.34	.28	.21
MC79L12ACLPR	296-9605-1-ND	12 V fixierter Negativspannungsreg.	12V Fixed Negative Voltage Regulator	T0-226	.34	.28	.21
MC79L12ACLPR	296-9605-2-ND	12 V fixierter Negativspannungsreg.	12V Fixed Negative Voltage Regulator	T0-226		189.64/2,000	
MC79L12CLP	296-9606-5-ND	12 V fixierter Negativspannungsreg.	12V Fixed Negative Voltage Reg.	TO-226AA	.47	.38	.28
MC79L15ACLP	296-9607-5-ND	15 V fixierter Negativspannungsreg.	15V Fixed Negative Voltage Reg.	TO-226AA	.42	.34	.26
REG102GA-A	REG102GA-A-ND	250 mA DMOS-LDO-Regler, einstellb.	Adj., 250mA DMOS LDO Regulator	SOT-223-5	2.27	1.82	1.42
REG102GA-2.5	REG102GA-2.5-ND	2,5 V, 250 mA DMOS LDO-Reg.	2.5V, 250mA DMOS LDO Reg.	SOT-223-5	2.27	1.82	1.42
REG102GA-2.8	REG102GA-2.8-ND	2,8 V, 250 mA DMOS LDO-Reg.	2.8V, 250mA DMOS LDO Reg.	SOT-223-5	2.27	1.82	1.42
REG102GA-2.85	REG102GA-2.85-ND	2,85 V, 250 mA DMOS LDO-Reg.	2.85V, 250mA DMOS LDO Reg.	SOT-223-5	2.27	1.82	1.42
REG102GA-3	REG102GA-3-ND	3 V, 250 mA DMOS-LDO-Regler	3V, 250mA DMOS LDO Regulator	SOT-223-5	2.27	1.82	1.42
REG102GA-3.3	REG102GA-3.3-ND	3,3 V, 250 mA DMOS LDO-Reg.	3.3V, 250mA DMOS LDO Reg.	SOT-223-5	2.27	1.82	1.42
REG102GA-5	REG102GA-5-ND	5 V, 250 mA DMOS-LDO-Regler	5V, 250mA DMOS LDO Regulator	SOT-223-5	2.27	1.82	1.42
REG711EA-2.5/2K5	REG711EA2.52K5CT-ND	2,5 V, 50 mA Schaltkondensator DC/DC-Wandler	2.5V, 50mA Switched-Cap DC/DC Converter	8-MSOP	1.90	1.53	1.15
REG711EA-2.5/2K5	REG711EA2.52K5TR-ND	2,5 V, 50 mA Schaltkondensator DC/DC-Wandler	2.5V, 50mA Switched-Cap DC/DC Converter	8-MSOP		2438.21/2,500	
REG711EA-2.7/2K5	REG711EA2.72K5CT-ND	2,7 V, 50 mA Schaltkondensator DC/DC-Wandler	2.7V, 50mA Switched-Cap DC/DC Converter	8-MSOP	1.90	1.53	1.15
REG711EA-2.7/2K5	REG711EA2.72K5TR-ND	2,7 V, 50 mA Schaltkondensator DC/DC-Wandler	2.7V, 50mA Switched-Cap DC/DC Converter	8-MSOP		2438.21/2,500	
REG711EA-3/2K5	REG711EA-3/2K5CT-ND	3 V, 50 mA Schaltkondensator DC/DC-Wandler	3V, 50mA Switched-Cap DC/DC Converter	8-MSOP	1.90	1.53	1.15
REG711EA-3/2K5	REG711EA-3/2K5TR-ND	3 V, 50 mA Schaltkondensator DC/DC-Wandler	3V, 50mA Switched-Cap DC/DC Converter	8-MSOP		2438.21/2,500	

(Forts.)

★ RUFEN SIE BITTE AN FÜR NIEDRIGERE PREISE BEI GRÖSSEREN MENGEN! ★

T. I. Teilenr.	Digi-Key Teilenr.	Beschreibung		Paket	Stückpreis★ 1	25	100
REG711EA-3.3/250	REG711EA3.3250CT-ND	3,3 V, 50 mA Schaltkondensator DC/DC-Wandler	3.3V, 50mA Switched-Cap DC/DC Converter	8-MSOP	1.90	1.53	1.15
REG711EA-3.3/250	REG711EA3.3250TR-ND	3,3 V, 50 mA Schaltkondensator DC/DC-Wandler	3.3V, 50mA Switched-Cap DC/DC Converter	8-MSOP		266.68/250	
REG711EA-5/2K5	REG711EA-5/2K5CT-ND	5 V, 50 mA Schaltkondensator DC/DC-Wandler	5V, 50mA Switched-Cap DC/DC Converter	8-MSOP	1.90	1.53	1.15
REG711EA-5/2K5	REG711EA-5/2K5TR-ND	5 V, 50 mA Schaltkondensator DC/DC-Wandler	5V, 50mA Switched-Cap DC/DC Converter	8-MSOP		2438.21/2,500	
TL-SCSI285KC	296-10125-5-ND	2,85 V Festspannungsregler für SCSI	2.85V Fixed Volt. Reg. for SCSI	TO-220AB	1.27	1.02	.77
TL-SCSI285PWR	296-10126-1-ND	2,85 V Festspannungsregler für SCSI	2.85V Fixed Volt. Reg. for SCSI	20-TSSOP	1.27	1.02	.77
TL-SCSI285PWR	296-10126-2-ND	2,85 V Festspannungsregler für SCSI	2.85V Fixed Volt. Reg. for SCSI	20-TSSOP		1320.70/2,000	
TL317CD	296-11823-5-ND	Regler, 3 Anschlüsse, einstellb.	3-Terminal Adj. Regulator	8-SOIC	.34	.28	.21
TL317CLP	296-10167-5-ND	Regler, 3 Anschlüsse, einstellb.	3-Terminal Adj. Regulator	TO-92	.34	.28	.21
TL317CLPR	296-15008-1-ND	Regler, 3 Anschlüsse, einstellb.	3-Terminal Adj. Regulator	TO-226	.34	.28	.21
TL317CLPR	296-15008-2-ND	Regler, 3 Anschlüsse, einstellb.	3-Terminal Adj. Regulator	TO-226		189.64/2,000	
TL317CPWR	296-13351-1-ND	Regler, 3 Anschlüsse, einstellb.	3-Terminal Adj. Regulator	8-TSSOP	.39	.32	.22
TL317CPWR	296-13351-2-ND	Regler, 3 Anschlüsse, einstellb.	3-Terminal Adj. Regulator	8-TSSOP		213.34/2,000	
TL431ACDBZR	296-17328-1-ND	Shunt-Präzisionsregler, einstellb.	Adj. Precision Shunt Regulator	SOT-23	.38	.31	.23
TL431ACDBZR	296-17328-2-ND	Shunt-Präzisionsregler, einstellb.	Adj. Precision Shunt Regulator	SOT-23		309.86/3,000	
TL431ACDCKR	296-17863-1-ND	Shunt-Präzisionsregler, einstellb.	Adj. Precision Shunt Regulator	SC70-6	.34	.28	.21
TL431ACDCKR	296-17863-2-ND	Shunt-Präzisionsregler, einstellb.	Adj. Precision Shunt Regulator	SC70-6		274.30/3,000	
TL431AIDBZR	296-17329-1-ND	Shunt-Präzisionsregler, einstellb.	Adj. Precision Shunt Regulator	SOT-23	.42	.34	.26
TL431AIDBZR	296-17329-2-ND	Shunt-Präzisionsregler, einstellb.	Adj. Precision Shunt Regulator	SOT-23		342.87/3,000	
TL431AIDCKR	296-17864-1-ND	Shunt-Präzisionsregler, einstellb.	Adj. Precision Shunt Regulator	SC70-6	.34	.28	.21
TL431AIDCKR	296-17864-2-ND	Shunt-Präzisionsregler, einstellb.	Adj. Precision Shunt Regulator	SC70-6		274.30/3,000	
TL431AQDBVR	296-17330-1-ND	Shunt-Präzisionsregler, einstellb.	Adj. Precision Shunt Regulator	SOT-23-5	.51	.39	.29
TL431AQDBVR	296-17330-2-ND	Shunt-Präzisionsregler, einstellb.	Adj. Precision Shunt Regulator	SOT-23-5		495.26/3,000	
TL431AQDCKR	296-17865-1-ND	Shunt-Präzisionsregler, einstellb.	Adj. Precision Shunt Regulator	SC70-6	.58	.44	.33
TL431AQDCKR	296-17865-2-ND	Shunt-Präzisionsregler, einstellb.	Adj. Precision Shunt Regulator	SC70-6		561.30/3,000	
TL431BCDCKR	296-17866-1-ND	Shunt-Präzisionsregler, einstellb.	Adj. Precision Shunt Regulator	SC70-6	.44	.33	.25
TL431BCDCKR	296-17866-2-ND	Shunt-Präzisionsregler, einstellb.	Adj. Precision Shunt Regulator	SC70-6		429.23/3,000	
TL431BCLPR	296-17374-1-ND	Shunt-Präzisionsregler, einstellb.	Adj. Precision Shunt Regulator	TO-92	.44	.33	.25
TL431BCLPR	296-17374-2-ND	Shunt-Präzisionsregler, einstellb.	Adj. Precision Shunt Regulator	TO-92		292.92/2,000	
TL431BIDCKR	296-17867-1-ND	Shunt-Präzisionsregler, einstellb.	Adj. Precision Shunt Regulator	SC70-6	.51	.39	.29
TL431BIDCKR	296-17867-2-ND	Shunt-Präzisionsregler, einstellb.	Adj. Precision Shunt Regulator	SC70-6		495.26/3,000	
TL431BILPR	296-17375-1-ND	Shunt-Präzisionsregler, einstellb.	Adj. Precision Shunt Regulator	TO-92	.51	.39	.29
TL431BILPR	296-17375-2-ND	Shunt-Präzisionsregler, einstellb.	Adj. Precision Shunt Regulator	TO-92		338.64/2,000	
TL431BQDBVR	296-17311-1-ND	Shunt-Präzisionsregler, einstellb.	Adj. Precision Shunt Regulator	SOT-23-5	.71	.54	.40
TL431BQDBVR	296-17311-2-ND	Shunt-Präzisionsregler, einstellb.	Adj. Precision Shunt Regulator	SOT-23-5		693.37/3,000	
TL431BQDBZR	296-17623-1-ND	Shunt-Präzisionsregler, einstellb.	Adj. Precision Shunt Regulator	SOT-23	.71	.54	.40
TL431BQDBZR	296-17623-2-ND	Shunt-Präzisionsregler, einstellb.	Adj. Precision Shunt Regulator	SOT-23		693.37/3,000	
TL431BQDCKR	296-17868-1-ND	Shunt-Präzisionsregler, einstellb.	Adj. Precision Shunt Regulator	SC70-6	.71	.54	.40
TL431BQDCKR	296-17868-2-ND	Shunt-Präzisionsregler, einstellb.	Adj. Precision Shunt Regulator	SC70-6		693.37/3,000	
TL431BQLPR	296-17376-1-ND	Shunt-Präzisionsregler, einstellb.	Adj. Precision Shunt Regulator	TO-92	.71	.54	.40
TL431BQLPR	296-17376-2-ND	Shunt-Präzisionsregler, einstellb.	Adj. Precision Shunt Regulator	TO-92		472.40/2,000	
TL431CDBZR	296-17331-1-ND	Shunt-Präzisionsregler, einstellb.	Adj. Precision Shunt Regulator	SOT-23	.34	.28	.21
TL431CDBZR	296-17331-2-ND	Shunt-Präzisionsregler, einstellb.	Adj. Precision Shunt Regulator	SOT-23		274.30/3,000	
TL431IDBZR	296-17332-1-ND	Shunt-Präzisionsregler, einstellb.	Adj. Precision Shunt Regulator	SOT-23	.38	.31	.23
TL431IDBZR	296-17332-2-ND	Shunt-Präzisionsregler, einstellb.	Adj. Precision Shunt Regulator	SOT-23		309.86/3,000	
TL431QDBVR	296-17333-1-ND	Shunt-Präzisionsregler, einstellb.	Adj. Precision Shunt Regulator	SOT-23-5	.44	.33	.25
TL431QDBVR	296-17333-2-ND	Shunt-Präzisionsregler, einstellb.	Adj. Precision Shunt Regulator	SOT-23-5		429.23/3,000	
TL431QDBZR	296-17334-1-ND	Shunt-Präzisionsregler, einstellb.	Adj. Precision Shunt Regulator	SOT-23	.44	.33	.25
TL431QDBZR	296-17334-2-ND	Shunt-Präzisionsregler, einstellb.	Adj. Precision Shunt Regulator	SOT-23		429.23/3,000	
TL431QDCKR	296-17869-1-ND	Shunt-Präzisionsregler, einstellb.	Adj. Precision Shunt Regulator	SC70-6	.47	.36	.27
TL431QDCKR	296-17869-2-ND	Shunt-Präzisionsregler, einstellb.	Adj. Precision Shunt Regulator	SC70-6		462.24/3,000	
TL432ACDBVR	296-17335-1-ND	Shunt-Präzisionsregler, einstellb.	Adj. Precision Shunt Regulator	SOT-23-5	.34	.28	.21
TL432ACDBVR	296-17335-2-ND	Shunt-Präzisionsregler, einstellb.	Adj. Precision Shunt Regulator	SOT-23-5		274.30/3,000	
TL432ACDBZR	296-17336-1-ND	Shunt-Präzisionsregler, einstellb.	Adj. Precision Shunt Regulator	SOT-23	.38	.31	.23
TL432ACDBZR	296-17336-2-ND	Shunt-Präzisionsregler, einstellb.	Adj. Precision Shunt Regulator	SOT-23		309.86/3,000	
TL432AIDBVR	296-17337-1-ND	Shunt-Präzisionsregler, einstellb.	Adj. Precision Shunt Regulator	SOT-23-5	.42	.34	.26
TL432AIDBVR	296-17337-2-ND	Shunt-Präzisionsregler, einstellb.	Adj. Precision Shunt Regulator	SOT-23-5		342.87/3,000	
TL432AIDBZR	296-17338-1-ND	Shunt-Präzisionsregler, einstellb.	Adj. Precision Shunt Regulator	SOT-23	.47	.38	.28
TL432AIDBZR	296-17338-2-ND	Shunt-Präzisionsregler, einstellb.	Adj. Precision Shunt Regulator	SOT-23		378.43/3,000	
TL432AQDBVR	296-17339-1-ND	Shunt-Präzisionsregler, einstellb.	Adj. Precision Shunt Regulator	SOT-23-5	.58	.44	.33
TL432AQDBVR	296-17339-2-ND	Shunt-Präzisionsregler, einstellb.	Adj. Precision Shunt Regulator	SOT-23-5		561.30/3,000	
TL432AQDBZR	296-17340-1-ND	Shunt-Präzisionsregler, einstellb.	Adj. Precision Shunt Regulator	SOT-23	.61	.46	.35
TL432AQDBZR	296-17340-2-ND	Shunt-Präzisionsregler, einstellb.	Adj. Precision Shunt Regulator	SOT-23		594.31/3,000	
TL432CDBVR	296-17341-1-ND	Shunt-Präzisionsregler, einstellb.	Adj. Precision Shunt Regulator	SOT-23-5	.34	.28	.21
TL432CDBVR	296-17341-2-ND	Shunt-Präzisionsregler, einstellb.	Adj. Precision Shunt Regulator	SOT-23-5		274.30/3,000	
TL432CDBZR	296-17342-1-ND	Shunt-Präzisionsregler, einstellb.	Adj. Precision Shunt Regulator	SOT-23	.38	.31	.23
TL432CDBZR	296-17342-2-ND	Shunt-Präzisionsregler, einstellb.	Adj. Precision Shunt Regulator	SOT-23		309.86/3,000	
TL432IDBVR	296-17343-1-ND	Shunt-Präzisionsregler, einstellb.	Adj. Precision Shunt Regulator	SOT-23-5	.38	.31	.23
TL432IDBVR	296-17343-2-ND	Shunt-Präzisionsregler, einstellb.	Adj. Precision Shunt Regulator	SOT-23-5		309.86/3,000	
TL432IDBZR	296-17344-1-ND	Shunt-Präzisionsregler, einstellb.	Adj. Precision Shunt Regulator	SOT-23	.42	.34	.26
TL432IDBZR	296-17344-2-ND	Shunt-Präzisionsregler, einstellb.	Adj. Precision Shunt Regulator	SOT-23		342.87/3,000	
TL432QDBVR	296-17345-1-ND	Shunt-Präzisionsregler, einstellb.	Adj. Precision Shunt Regulator	SOT-23-5	.47	.36	.27
TL432QDBVR	296-17345-2-ND	Shunt-Präzisionsregler, einstellb.	Adj. Precision Shunt Regulator	SOT-23-5		462.24/3,000	
TL432QDBZR	296-17346-1-ND	Shunt-Präzisionsregler, einstellb.	Adj. Precision Shunt Regulator	SOT-23	.51	.39	.29
TL432QDBZR	296-17346-2-ND	Shunt-Präzisionsregler, einstellb.	Adj. Precision Shunt Regulator	SOT-23		495.26/3,000	
TL497ACD	296-10195-5-ND	1,2 V Schaltspannungsregler	1.2V Switching Voltage Regulator	14-SOIC	1.22	1.02	.82
TL497ACDR	296-10195-1-ND	1,2 V Schaltspannungsregler	1.2V Switching Voltage Regulator	14-SOIC	1.22	1.02	.82
TL497ACDR	296-10195-2-ND	1,2 V Schaltspannungsregler	1.2V Switching Voltage Regulator	14-SOIC		1320.70/2,500	
TL497ACN	296-10196-5-ND	1,2 V Schaltspannungsregler	1.2V Switching Voltage Regulator	14-Dip	1.22	1.02	.82
TL497AID	296-10197-5-ND	1,2 V Schaltspannungsregler	1.2V Switching Voltage Regulator	14-SOIC	1.13	.90	.68
TL497AIDR	296-10197-1-ND	1,2 V Schaltspannungsregler	1.2V Switching Voltage Regulator	14-SOIC	1.13	.90	.68
TL497AIDR	296-10197-2-ND	1,2 V Schaltspannungsregler	1.2V Switching Voltage Regulator	14-SOIC		1434.99/2,500	
TL497AIN	296-10198-5-ND	1,2 V Schaltspannungsregler	1.2V Switching Voltage Regulator	14-Dip	1.13	.90	.68
TL780-05CKC	296-1803-5-ND	5,0 V positiver Spannungsregler	5.0V Positive Voltage Regulator	TO-220AB	.69	.58	.46
TL780-05CKTER	296-12396-1-ND	5,0 V, 1,5 A Fest-Positivspannungsreg.	5.0V, 1.5A Fixed Positive Voltage Reg.	3-PFM	.76	.64	.51
TL780-05CKTER	296-12396-2-ND	5,0 V, 1,5 A Fest-Positivspannungsreg.	5.0V, 1.5A Fixed Positive Voltage Reg.	3-PFM		675.59/2,000	
TL780-05KCS	296-14324-5-ND	5,0 V, 1,5 A Fest-Positivspannungsreg.	5.0V, 1.5A Fixed Positive Voltage Reg.	TO-220	.61	.46	.35
TL780-12CKC	296-10227-5-ND	12 V, fixierter positiver Spannungsregler	12V, Fixed Positive Volt. Regulator	TO-220AB	.69	.58	.46
TL780-12KCS	296-14325-5-ND	12 V, fixierter positiver Spannungsregler	12V, Fixed Positive Volt. Regulator	TO-220	.61	.46	.35
TL780-15CKC	296-10228-5-ND	15 V, fixierter positiver Spannungsregler	15V, Fixed Positive Volt. Regulator	TO-220AB	.69	.58	.46
TL780-15KCS	296-14326-5-ND	15 V, fixierter positiver Spannungsregler	15V, Fixed Positive Volt. Regulator	TO-220	.61	.46	.35
TL2218-285PWR	296-10163-1-ND	2,85 V, SCSI fixierter Regler	2.85V, SCSI Fixed Regulator	20-TSSOP	2.80	2.24	1.75
TL2218-285PWR	296-10163-2-ND	2,85 V, SCSI fixierter Regler	2.85V, SCSI Fixed Regulator	20-TSSOP		3173.06/2,000	
TLV431BCDCKR	296-17794-1-ND	Niederspannungs-Shunt-Präzisionsregler, einstellb.	Low Volt. Adj. Precision Shunt Regulator	SC70-6	.75	.56	.42
TLV431BCDCKR	296-17794-2-ND	Niederspannungs-Shunt-Präzisionsregler, einstellb.	Low Volt. Adj. Precision Shunt Regulator	SC70-6		726.38/3,000	
TLV431BCLPR	296-17809-1-ND	Niederspannungs-Shunt-Präzisionsregler, einstellb.	Low Volt. Adj. Precision Shunt Regulator	TO-92	.71	.54	.40
TLV431BCLPR	296-17809-2-ND	Niederspannungs-Shunt-Präzisionsregler, einstellb.	Low Volt. Adj. Precision Shunt Regulator	TO-92		472.40/2,000	
TLV431BIDCKR	296-17795-1-ND	Niederspannungs-Shunt-Präzisionsregler, einstellb.	Low Volt. Adj. Precision Shunt Regulator	SC70-6	.81	.61	.46
TLV431BIDCKR	296-17795-2-ND	Niederspannungs-Shunt-Präzisionsregler, einstellb.	Low Volt. Adj. Precision Shunt Regulator	SC70-6		792.42/3,000	
TLV431BILPR	296-17810-1-ND	Niederspannungs-Shunt-Präzisionsregler, einstellb.	Low Volt. Adj. Precision Shunt Regulator	TO-92	.78	.59	.44
TLV431BILPR	296-17810-2-ND	Niederspannungs-Shunt-Präzisionsregler, einstellb.	Low Volt. Adj. Precision Shunt Regulator	TO-92		518.12/2,000	
TLV431BQDCKR	296-17796-1-ND	Niederspannungs-Shunt-Präzisionsregler, einstellb.	Low Volt. Adj. Precision Shunt Regulator	SC70-6	.89	.75	.60
TLV431BQDCKR	296-17796-2-ND	Niederspannungs-Shunt-Präzisionsregler, einstellb.	Low Volt. Adj. Precision Shunt Regulator	SC70-6		1155.61/3,000	
TLV431BQLPR	296-17811-1-ND	Niederspannungs-Shunt-Präzisionsregler, einstellb.	Low Volt. Adj. Precision Shunt Regulator	TO-92	.84	.70	.56
TLV431BQLPR	296-17811-2-ND	Niederspannungs-Shunt-Präzisionsregler, einstellb.	Low Volt. Adj. Precision Shunt Regulator	TO-92		743.31/2,000	

(Forts.)

★ ***RUFEN SIE BITTE AN FÜR NIEDRIGERE PREISE BEI GRÖSSEREN MENGEN!*** ★

B

T. I. Teilenr.	Digi-Key Teilenr.	Beschreibung		Paket	Stückpreis★ 1	25	100
TLVH431BCDBVR	296-17684-1-ND	Niederspannungs-Shunt-Präzisionsregler, einstellb.	Low Volt. Adj. Precision Shunt Regulator	SOT-23-5	.78	.59	.44
TLVH431BCDBVR	296-17684-2-ND	Niederspannungs-Shunt-Präzisionsregler, einstellb.	Low Volt. Adj. Precision Shunt Regulator	SOT-23-5		759.40/3,000	
TLVH431BCDBZR	296-17685-1-ND	Niederspannungs-Shunt-Präzisionsregler, einstellb.	Low Volt. Adj. Precision Shunt Regulator	SOT-23	.78	.59	.44
TLVH431BCDBZR	296-17685-2-ND	Niederspannungs-Shunt-Präzisionsregler, einstellb.	Low Volt. Adj. Precision Shunt Regulator	SOT-23		759.40/3,000	
TLVH431BCDCKR	296-17797-1-ND	Niederspannun gs-Shunt-Präzisionsregler, einstellb.	Low Volt. Adj. Precision Shunt Regulator	SC70-6	.63	.53	.43
TLVH431BCDCKR	296-17797-2-ND	Niederspannungs-Shunt-Präzisionsregler, einstellb.	Low Volt. Adj. Precision Shunt Regulator	SC70-6		825.44/3,000	
TLVH431BCLPR	296-17812-1-ND	Niederspannungs-Shunt-Präzisionsregler, einstellb.	Low Volt. Adj. Precision Shunt Regulator	TO-92	.78	.59	.44
TLVH431BCLPR	296-17812-2-ND	Niederspannungs-Shunt-Präzisionsregler, einstellb.	Low Volt. Adj. Precision Shunt Regulator	TO-92		518.12/2,000	
TLVH431BIDBVR	296-17686-1-ND	Niederspannungs-Shunt-Präzisionsregler, einstellb.	Low Volt. Adj. Precision Shunt Regulator	SOT-23-5	.63	.53	.43
TLVH431BIDBVR	296-17686-2-ND	Niederspannungs-Shunt-Präzisionsregler, einstellb.	Low Volt. Adj. Precision Shunt Regulator	SOT-23-5		825.44/3,000	
TLVH431BIDBZR	296-17687-1-ND	Niederspannungs-Shunt-Präzisionsregler, einstellb.	Low Volt. Adj. Precision Shunt Regulator	SOT-23	.63	.53	.43
TLVH431BIDBZR	296-17687-2-ND	Niederspannungs-Shunt-Präzisionsregler, einstellb.	Low Volt. Adj. Precision Shunt Regulator	SOT-23		825.44/3,000	
TLVH431BIDCKR	296-17798-1-ND	Niederspannungs-Shunt-Präzisionsregler, einstellb.	Low Volt. Adj. Precision Shunt Regulator	SC70-6	.69	.58	.46
TLVH431BIDCKR	296-17798-2-ND	Niederspannungs-Shunt-Präzisionsregler, einstellb.	Low Volt. Adj. Precision Shunt Regulator	SC70-6		891.47/3,000	
TLVH431BILPR	296-17813-1-ND	Niederspannungs-Shunt-Präzisionsregler, einstellb.	Low Volt. Adj. Precision Shunt Regulator	TO-92	.63	.53	.43
TLVH431BILPR	296-17813-2-ND	Niederspannungs-Shunt-Präzisionsregler, einstellb.	Low Volt. Adj. Precision Shunt Regulator	TO-92		563.84/2,000	
TLVH431BQDBVR	296-17688-1-ND	Niederspannungs-Shunt-Präzisionsregler, einstellb.	Low Volt. Adj. Precision Shunt Regulator	SOT-23-5	.89	.75	.60
TLVH431BQDBVR	296-17688-2-ND	Niederspannungs-Shunt-Präzisionsregler, einstellb.	Low Volt. Adj. Precision Shunt Regulator	SOT-23-5		1155.61/3,000	
TLVH431BQDBZR	296-17689-1-ND	Niederspannungs-Shunt-Präzisionsregler, einstellb.	Low Volt. Adj. Precision Shunt Regulator	SOT-23	.89	.75	.60
TLVH431BQDBZR	296-17689-2-ND	Niederspannungs-Shunt-Präzisionsregler, einstellb.	Low Volt. Adj. Precision Shunt Regulator	SOT-23		1155.61/3,000	
TLVH431BQDCKR	296-17799-1-ND	Niederspannungs-Shunt-Präzisionsregler, einstellb.	Low Volt. Adj. Precision Shunt Regulator	SC70-6	.94	.79	.63
TLVH431BQDCKR	296-17799-2-ND	Niederspannungs-Shunt-Präzisionsregler, einstellb.	Low Volt. Adj. Precision Shunt Regulator	SC70-6		1221.64/3,000	
TLVH431BQLPR	296-17814-1-ND	Niederspannungs-Shunt-Präzisionsregler, einstellb.	Low Volt. Adj. Precision Shunt Regulator	TO-92	.89	.75	.60
TLVH431BQLPR	296-17814-2-ND	Niederspannungs-Shunt-Präzisionsregler, einstellb.	Low Volt. Adj. Precision Shunt Regulator	TO-92		789.03/2,000	
UA78L02ACD	296-11116-5-ND	2,0 V, 100 mA Regler	2.0V, 100mA Regulator	8-SOP	.34	.28	.21
UA78L02ACLP	296-11117-5-ND	2,0 V, 100 mA Regler	2.0V, 100mA Regulator	TO-226AA	.34	.28	.21
UA78L05ACD	296-1364-5-ND	5,0 V, 100 mA Regler	5.0V, 100mA Regulator	8-SOIC	.34	.28	.21
UA78L05ACDR	296-1364-1-ND	5,0 V, 100 mA Regler	5.0V, 100mA Regulator	8-SOIC	.34	.28	.21
UA78L05ACDR	296-1364-2-ND	5,0 V, 100 mA Regler	5.0V, 100mA Regulator	8-SOIC		228.58/2,500	
UA78L05ACLP	296-1365-ND	5,0 V, 100 mA Regler	5.0V, 100mA Regulator	TO-92	.34	.28	.21
UA78L05ACLPR	296-1365-1-ND	5,0 V, 100 mA Regler	5.0V, 100mA Regulator	TO-92	.34	.28	.21
UA78L05ACLPR	296-1365-2-ND	5,0 V, 100 mA Regler	5.0V, 100mA Regulator	TO-92		189.64/2,000	
UA78L05ACPK	296-11118-1-ND	5,0 V, 100 mA Regler	5.0V, 100mA Regulator	SOT-89	.41	.31	.23
UA78L05ACPK	296-11118-2-ND	5,0 V, 100 mA Regler	5.0V, 100mA Regulator	SOT-89		135.46/1,000	
UA78L05AIDR	296-16903-1-ND	5,0 V, 100 mA Regler	5.0V, 100mA Regulator	8-SOIC	.44	.33	.25
UA78L05AIDR	296-16903-2-ND	5,0 V, 100 mA Regler	5.0V, 100mA Regulator	8-SOIC		357.69/2,500	
UA78L05AILP	296-11119-5-ND	5,0 V, 100 mA Regler	5.0V, 100mA Regulator	TO-92	.44	.33	.25
UA78L05AIPK	296-17759-1-ND	5,0 V, 100 mA Regler	5.0V, 100mA Regulator	SOT-89	.44	.33	.25
UA78L05AIPK	296-17759-2-ND	5,0 V, 100 mA Regler	5.0V, 100mA Regulator	SOT-89		146.46/1,000	
UA78L05CD	296-11120-5-ND	5,0 V, 100 mA Regler	5.0V, 100mA Regulator	8-SOP	.39	.32	.22
UA78L05CLP	296-11121-5-ND	5,0 V, 100 mA Regler	5.0V, 100mA Regulator	TO-226AA	.39	.32	.22
UA78L06ACLP	296-11122-5-ND	6,0 V, 100 mA Regler	6.0V, 100mA Regulator	TO-226AA	.33	.27	.19
UA78L06ACPK	296-15739-1-ND	6,0 V, 100 mA Regler	6.0V, 100mA Regulator	SOT-89	.34	.28	.21
UA78L06ACPK	296-15739-2-ND	6,0 V, 100 mA Regler	6.0V, 100mA Regulator	SOT-89		94.82/1,000	
UA78L08ACD	296-11123-5-ND	8,0 V, 100 mA Regler	8.0V, 100mA Regulator	8-SOP	.39	.32	.22
UA78L08ACLP	296-11124-5-ND	8,0 V, 100 mA Regler	8.0V, 100mA Regulator	TO-226AA	.34	.28	.21
UA78L08ACLPR	296-15052-1-ND	8,0 V, 100 mA Regler	8.0V, 100mA Regulator	TO-226	.34	.28	.21
UA78L08ACLPR	296-15052-2-ND	8,0 V, 100 mA Regler	8.0V, 100mA Regulator	TO-226		189.64/2,000	
UA78L08ACPK	296-11125-1-ND	8,0 V, 100 mA Regler	8.0V, 100mA Regulator	SOT-89	.44	.33	.25
UA78L08ACPK	296-11125-2-ND	8,0 V, 100 mA Regler	8.0V, 100mA Regulator	SOT-89		146.46/1,000	
UA78L09ACD	296-11126-5-ND	9,0 V, 100 mA Regler	9.0V, 100mA Regulator	8-SOP	.34	.28	.21
UA78L09ACDR	296-15053-1-ND	9,0 V, 100 mA Regler	9.0V, 100mA Regulator	8-SOIC	.34	.28	.21
UA78L09ACDR	296-15053-2-ND	9,0 V, 100 mA Regler	9.0V, 100mA Regulator	8-SOIC		228.58/2,500	
UA78L09ACLP	296-11127-5-ND	9,0 V, 100 mA Regler	9.0V, 100mA Regulator	TO-226AA	.34	.28	.21
UA78L09ACPK	296-14331-1-ND	9,0 V, 100 mA Regler	9.0V, 100mA Regulator	SOT-89	.38	.31	.23
UA78L09ACPK	296-14331-2-ND	9,0 V, 100 mA Regler	9.0V, 100mA Regulator	SOT-89		106.67/1,000	
UA78L10ACD	296-11129-5-ND	10,0 V, 100 mA Regler	10.0V, 100mA Regulator	8-SOP	.34	.28	.21
UA78L10ACLP	296-1996-ND	10,0 V, 100 mA Regler	10.0V, 100mA Regulator	TO-92	.34	.28	.21
UA78L10ACPK	296-15327-5-ND	10,0 V, 100 mA Regler	10.0V, 100mA Regulator	SOT-89	.38	.31	.23
UA78L12ACD	296-11130-5-ND	12,0 V, 100 mA Regler	12.0V, 100mA Regulator	8-SOP	.34	.28	.21
UA78L12ACDR	296-15054-1-ND	12,0 V, 100 mA Regler	12.0V, 100mA Regulator	8-SOIC	.34	.28	.21
UA78L12ACDR	296-15054-2-ND	12,0 V, 100 mA Regler	12.0V, 100mA Regulator	8-SOIC		228.58/2,500	
UA78L12ACLP	296-11131-5-ND	12,0 V, 100 mA Regler	12.0V, 100mA Regulator	TO-226AA	.34	.28	.21
UA78L12ACPK	296-11132-1-ND	12,0 V, 100 mA Regler	12.0V, 100mA Regulator	SOT-89	.38	.31	.23
UA78L12ACPK	296-11132-2-ND	12,0 V, 100 mA Regler	12.0V, 100mA Regulator	SOT-89		106.67/1,000	
UA78L15ACLP	296-11133-5-ND	15,0 V, 100 mA Regler	15.0V, 100mA Regulator	TO-226AA	.34	.28	.21
UA78L15ACPK	296-12002-1-ND	15,0 V, 100 mA Regler	15.0V, 100mA Regulator	SOT-89	.38	.31	.23
UA78L15ACPK	296-12002-2-ND	15,0 V, 100 mA Regler	15.0V, 100mA Regulator	SOT-89		106.67/1,000	
UA78M05CDCYR	296-12290-1-ND	5,0 V, 500 mA fixierter Positivspannungsreg.	5.0V, 500mA, Fixed Pos. Volt. Reg.	SOT-223	.47	.36	.27
UA78M05CDCYR	296-12290-2-ND	5,0 V, 500 mA fixierter Positivspannungsreg.	5.0V, 500mA, Fixed Pos. Volt. Reg.	SOT-223		385.20/2,500	
UA78M05CKC	296-11134-5-ND	5,0 V, 500 mA Regler	5.0V, 500mA Regulator	TO-220	.63	.53	.43
UA78M05CKCS	296-14000-5-ND	5,0 V, 500 mA Regler	5.0V, 500mA Regulator	TO-220	.51	.39	.29
UA78M05CKTPR	296-11135-1-ND	5,0 V, 500 mA Regler	5.0V, 500mA Regulator	2-PFM	.68	.51	.39
UA78M05CKTPR	296-11135-2-ND	5,0 V, 500 mA Regler	5.0V, 500mA Regulator	2-PFM		660.35/3,000	
UA78M05IDCYR	296-17616-1-ND	5,0 V, 500 mA Regler	5.0V, 500mA Regulator	SOT-223	.71	.54	.40
UA78M05IDCYR	296-17616-2-ND	5,0 V, 500 mA Regler	5.0V, 500mA Regulator	SOT-223		577.80/2,500	
UA78M05QDCYRQ1	296-17425-1-ND	5,0 V, 500 mA Regler	5.0V, 500mA Regulator	SOT-223	.54	.41	.31
UA78M05QDCYRQ1	296-17425-2-ND	5,0 V, 500 mA Regler	5.0V, 500mA Regulator	SOT-223		495.26/2,500	
UA78M06CKTPR	296-1366-1-ND	6,0 V, 500 mA Regler	6.0V, 500mA Regulator	2-PFM	.68	.51	.39
UA78M06CKTPR	296-1366-2-ND	6,0 V, 500 mA Regler	6.0V, 500mA Regulator	2-PFM		660.35/3,000	
UA78M08CDCYR	296-12612-1-ND	8,0 V, 500 mA Spannungsregler	8.0V, 500mA Voltage Regulator	SOT-223	.47	.36	.27
UA78M08CDCYR	296-12612-2-ND	8,0 V, 500 mA Spannungsregler	8.0V, 500mA Voltage Regulator	SOT-223		385.20/2,500	
UA78M08CKC	296-11136-5-ND	8,0 V, 500 mA Spannungsregler	8.0V, 500mA Voltage Regulator	TO-220	.63	.53	.43
UA78M08CKTPR	296-11137-1-ND	8,0 V, 500 mA Spannungsregler	8.0V, 500mA Voltage Regulator	2-PFM	.68	.51	.39
UA78M08CKTPR	296-11137-2-ND	8,0 V, 500 mA Spannungsregler	8.0V, 500mA Voltage Regulator	2-PFM		660.35/3,000	
UA78M09CKTPR	296-11138-1-ND	9,0 V, 500 mA fixierter Positivspannungsreg.	9.0V, 500mA Fixed Pos. Volt. Regulator	2-PFM	.68	.51	.39
UA78M09CKTPR	296-11138-2-ND	9,0 V, 500 mA fixierter Positivspannungsreg.	9.0V, 500mA Fixed Pos. Volt. Regulator	2-PFM		660.35/3,000	
UA78M10CKTPR	296-11140-1-ND	10,0 V, 500 mA fixierter Positivspannungsreg.	10.0V, 500mA Fixed Pos. Volt. Reg.	2-PFM	.74	.62	.50
UA78M10CKTPR	296-11140-2-ND	10,0 V, 500 mA fixierter Positivspannungsreg.	10.0V, 500mA Fixed Pos. Volt. Reg.	2-PFM		957.50/3,000	
UA78M12CKC	296-11141-5-ND	12,0 V, 500 mA fixierter Positivspannungsreg.	12.0V, 500mA Fixed Pos. Volt. Reg.	TO-220	.63	.53	.43
UA78M12CKTPR	296-11142-1-ND	12,0 V, 500 mA Regler	12.0V, 500mA Regulator	2-PFM	.68	.51	.39
UA78M12CKTPR	296-11142-2-ND	12,0 V, 500 mA Regler	12.0V, 500mA Regulator	2-PFM		660.35/3,000	
UA78M33CDCYR	296-13424-1-ND	3,3 V, 500 mA fixierter Positivspannungsreg.	3.3V, 500mA Fixed Pos. Volt. Reg.	SOT-223-4	.47	.36	.27
UA78M33CDCYR	296-13424-2-ND	3,3 V, 500 mA fixierter Positivspannungsreg.	3.3V, 500mA Fixed Pos. Volt. Reg.	SOT-223-4		385.20/2,500	
UA78M33CKC	296-12722-5-ND	3,3 V, 500 mA fixierter Positivspannungsreg.	3.3V, 500mA Fixed Pos. Volt. Reg.	TO-220	.63	.53	.43
UA78M33CKTPR	296-13425-1-ND	3,3 V, 500 mA fixierter Positivspannungsreg.	3.3V, 500mA Fixed Pos. Volt. Reg.	2-PFM	.68	.51	.39
UA78M33CKTPR	296-13425-2-ND	3,3 V, 500 mA fixierter Positivspannungsreg.	3.3V, 500mA Fixed Pos. Volt. Reg.	2-PFM		660.35/3,000	
UA79M05CKC	296-11144-5-ND	5,0 V, 500 mA Negativspannungsregler	5.0V, 500mA Neg. Volt. Regulator	TO-220	.63	.53	.43
UA79M05CKCS	296-14001-5-ND	5,0 V, 500 mA Negativspannungsregler	5.0V, 500mA Neg. Volt. Regulator	TO-220	.54	.41	.31
UA79M05CKTPR	296-11145-1-ND	5,0 V, 500 mA Negativspannungsregler	5.0V, 500mA Neg. Volt. Regulator	2-PFM	.68	.51	.39
UA79M05CKTPR	296-11145-2-ND	5,0 V, 500 mA Negativspannungsregler	5.0V, 500mA Neg. Volt. Regulator	2-PFM		660.35/3,000	
UA79M08CKTPR	296-11146-1-ND	8,0 V Negativspannungsregler	8.0V Negative Voltage Regulator	2-PFM	.68	.51	.39
UA79M08CKTPR	296-11146-2-ND	8,0 V Negativspannungsregler	8.0V Negative Voltage Regulator	2-PFM		660.35/3,000	
UA723CD	296-11102-5-ND	Präz.-Spannungsregler, einstellb.	Adjustable, Prec Voltage Regulator	14-SOIC	.64	.49	.37
UA723CDR	296-11102-1-ND	Präz.-Spannungsregler, einstellb.	Adjustable, Prec Voltage Regulator	14-SOIC	.64	.49	.37

(Forts.)

★ ***RUFEN SIE BITTE AN FÜR NIEDRIGERE PREISE BEI GRÖSSEREN MENGEN!*** ★

T. I. Teilenr.	Digi-Key Teilenr.	Beschreibung		Paket	Stückpreis★ 1	25	100
UA723CDR	296-11102-2-ND	Präz.-Spannungsregler, einstellb.	Adjustable, Prec Voltage Regulator	14-SOIC		522.78/2,500	
UA723CN	296-11104-5-ND	Präz.-Spannungsregler, einstellb.	Adjustable, Prec Voltage Regulator	14-Dip	.75	.56	.42
UA733CN	296-11105-5-ND	Differenzial-Video-Verstärker	Differential Video Amplifier	14-Dip	.74	.62	.50
UA7805CKC	296-1974-5-ND	5,0 V, 1.500 mA Regler	5.0V, 1500mA Regulator	TO-220	.69	.58	.46
UA7805CKTER	296-11108-1-ND	5,0 V, 1.500 mA Regler	5.0V, 1500mA Regulator	3-PFM	.69	.58	.46
UA7805CKTER	296-11108-2-ND	5,0 V, 1.500 mA Regler	5.0V, 1500mA Regulator	3-PFM		607.86/2,000	
UA7805CKCS	296-13996-5-ND	Positiver Spannungsregler	Positive Voltage Regulator	TO-220	.51	.39	.29
UA7808CKC	296-11109-5-ND	8,0 V, 1.500 mA Regler	8.0V, 1500mA Regulator	TO-220	.69	.58	.46
UA7808CKCS	296-13997-5-ND	Positiver Spannungsregler	Positive Voltage Regulator	TO-220	.51	.39	.29
UA7808CKTER	296-11110-1-ND	8,0 V, 1.500 mA Regler	8.0V, 1500mA Regulator	3-PFM	.69	.58	.46
UA7808CKTER	296-11110-2-ND	8,0 V, 1.500 mA Regler	8.0V, 1500mA Regulator	3-PFM		607.86/2,000	
UA7810CKC	296-1975-5-ND	10,0 V, 1.500 mA Regler	10.0V, 1500mA Regulator	TO-220	.69	.58	.46
UA7810CKTER	296-17050-1-ND	10,0 V, 1.500 mA Regler	10.0V, 1500mA Regulator	3-PFM	.69	.58	.46
UA7810CKTER	296-17050-2-ND	10,0 V, 1.500 mA Regler	10.0V, 1500mA Regulator	3-PFM		607.86/2,000	
UA7812CKC	296-11111-5-ND	12,0 V, 1.500 mA Regler	12.0V, 1500mA Regulator	TO-220	.69	.58	.46
UA7812CKCS	296-13998-5-ND	Positiver Spannungsregler	Positive Voltage Regulator	TO-220	.51	.39	.29
UA7812CKTER	296-11112-1-ND	12,0 V, 1.500 mA Regler	12.0V, 1500mA Regulator	3-PFM	.69	.58	.46
UA7812CKTER	296-11112-2-ND	12,0 V, 1.500 mA Regler	12.0V, 1500mA Regulator	3-PFM		607.86/2,000	
UA7815CKC	296-11113-5-ND	15 V, 1.500 mA positiver Spannungsregler	15V, 1500mA Positive Volt. Regulator	TO-220	.69	.58	.46
UA7815CKCS	296-13999-5-ND	Positiver Spannungsregler	Positive Voltage Regulator	TO-220	.51	.39	.29
UA7815CKTER	296-11114-1-ND	15 V, 1,5 A positiver Spannungsregler	15V, 1.5A Positive Volt. Regulator	3-PFM	.69	.58	.46
UA7815CKTER	296-11114-2-ND	15 V, 1,5 A positiver Spannungsregler	15V, 1.5A Positive Volt. Regulator	3-PFM		607.86/2,000	
UA7824CKC	296-11115-5-ND	24 V, 1,5 A positiver Spannungsregler	24V, 1.5A Positive Volt. Regulator	TO-220	.69	.58	.46
UA7905CKTER	296-17834-1-ND	-5 V, 1,5 A Negativspannungsreg.	-5V, 1.5A Negative Volt. Reg.	3-PFM	.69	.58	.46
UA7905CKTER	296-17834-2-ND	-5 V, 1,5 A Negativspannungsreg.	-5V, 1.5A Negative Volt. Reg.	3-PFM		607.86/2,000	
UC2577T-ADJ	296-11159-5-ND	Einfacher Step-Up-Spannungsregler, einstellb.	Adj., Simple Step Up Volt. Regulator	TO-220-5	9.17	8.26	7.32
UC29431D	296-11209-5-ND	Präzisions-Shunt-Regler, einstellb.	Precision Adjustable Shunt Regulator	8-SOIC	6.43	5.15	4.35
UC39431D	296-11348-5-ND	Präzisions-Shunt-Regler, einstellb.	Precision Adjustable Shunt Regulator	8-SOIC	4.66	3.74	2.91
UC39431N	296-11349-5-ND	Präzisions-Shunt-Regler, einstellb.	Precision Adjustable Shunt Regulator	8-Dip	4.66	3.74	2.91

T. I. Teilenr.	Digi-Key Teilenr.	Beschreibung		Paket	Stückpreis★ 1	25	100
TLE2425CD	296-1344-5-ND	2,5 V Präzisions-Erdreferenz	2.5V Precision Ground Reference	8-SOIC	1.21	.97	.73
TLE2425CDR	296-1344-1-ND	2,5 V Präzisions-Erdreferenz	2.5V Precision Ground Reference	8-SOIC	1.21	.97	.73
TLE2425CDR	296-1344-2-ND	2,5 V Präzisions-Erdreferenz	2.5V Precision Ground Reference	8-SOIC		1545.05/2,500	
TLE2425CLP	296-1993-ND	2,5 V Präzisions-Erdreferenz	2.5V Precision Ground Reference	TO-92	1.21	.97	.73
TLE2425ID	296-6545-5-ND	2,5 V Präzisions-Erdreferenz	2.5V Precision Ground Reference	8-SOIC	1.21	.97	.73
TLE2425ILP	296-6546-5-ND	2,5 V Präzisions-Erdreferenz	2.5V Precision Ground Reference	TO-92	1.21	.97	.73
TLE2426CD	296-6547-5-ND	1/2 Rail virtuelle Erdreferenz	1/2 Rail Virtual Ground Reference	8-SOIC	1.10	.89	.67
TLE2426CLP	296-1994-ND	1/2 Rail virtuelle Erdreferenz	1/2 Rail Virtual Ground Reference	TO-92	1.10	.89	.67
TLE2426CLPR	296-1994-1-ND	1/2 Rail virtuelle Erdreferenz	1/2 Rail Virtual Ground Reference	TO-92	1.10	.89	.67
TLE2426CLPR	296-1994-2-ND	1/2 Rail virtuelle Erdreferenz	1/2 Rail Virtual Ground Reference	TO-92		1144.60/2,000	
TLE2426CP	296-6548-5-ND	1/2 Rail virtuelle Erdreferenz	1/2 Rail Virtual Ground Reference	8-Dip	1.10	.89	.67
TLE2426ID	296-1345-5-ND	1/2 Rail virtuelle Erdreferenz	1/2 Rail Virtual Ground Reference	8-SOIC	1.10	.89	.67
TLE2426IDR	296-1345-1-ND	1/2 Rail virtuelle Erdreferenz	1/2 Rail Virtual Ground Reference	8-SOIC	1.10	.89	.67
TLE2426IDR	296-1345-2-ND	1/2 Rail virtuelle Erdreferenz	1/2 Rail Virtual Ground Reference	8-SOIC		1409.59/2,500	
TLE2426ILP	296-6549-5-ND	1/2 Rail virtuelle Erdreferenz	1/2 Rail Virtual Ground Reference	TO-92	1.10	.89	.67
TLE2426IP	296-6550-5-ND	1/2 Rail virtuelle Erdreferenz	1/2 Rail Virtual Ground Reference	8-Dip	1.10	.89	.67

T. I. Teilenr.	Digi-Key Teilenr.	Beschreibung		Paket	Stückpreis★ 1	25	100
TIBPAL16L8-10CFN	296-10082-5-ND	HP Impact-X PAL-Schaltungen	HP Impact-X PAL Circuits	20-PLCC	3.34	2.67	2.08
TIBPAL16L8-10CN	296-10083-5-ND	HP Impact-X PAL-Schaltungen	HP Impact-X PAL Circuits	20-Dip	3.34	2.67	2.08
TIBPAL16L8-25CN	296-10087-5-ND	HP Impact PAL-Schaltungen, Niedrigleistung	Low Power, HP Impact PAL Circuits	20-Dip	2.03	1.63	1.22
TIBPAL16R4-15CN	296-10090-5-ND	HP Impact PAL-Schaltungen	HP Impact PAL Circuits	20-Dip	1.96	1.57	1.23
TIBPAL16R6-15CN	296-10095-5-ND	HP Impact PAL-Schaltungen	HP Impact PAL Circuits	20-Dip	1.99	1.60	1.20
TIBPAL16R8-15CN	296-10096-5-ND	HP Impact PAL-Schaltungen	HP Impact PAL Circuits	20-Dip	2.19	1.75	1.32
TIBPAL16R8-25CN	296-10098-5-ND	HP Impact PAL-Schaltungen, Niedrigleistung	Low Power, HP Impact PAL Circuits	20-Dip	2.03	1.63	1.22
TIBPAL20L8-5CFN	296-10101-5-ND	HP Impact-X PAL-Schaltungen	HP Impact-X PAL Circuits	28-PLCC	14.35	13.40	12.44
TIBPAL20L8-5CNT	296-10102-5-ND	HP Impact-X PAL-Schaltungen	HP Impact-X PAL Circuits	24-Dip	14.35	13.40	12.44
TIBPAL20L8-15CFN	296-10100-5-ND	HP Impact PAL-Schaltungen	HP Impact PAL Circuits	28-PLCC	3.17	2.53	1.97
TIBPAL20R4-15CNT	296-10103-5-ND	HP Impact PAL-Schaltungen	HP Impact PAL Circuits	24-Dip	3.17	2.53	1.97
TIBPAL20R8-7CFN	296-10114-5-ND	HP Impact-X PAL-Schaltungen	HP Impact-X PAL Circuits	28-PLCC	8.25	6.60	5.57

T. I. Teilenr.	Digi-Key Teilenr.	Beschreibung		Paket	Stückpreis★ 1	25	100
BQ48SH-28X6NSH	296-13634-5-ND	SNAPHAT™ mit integrierter Batterie und Kristall	SNAPHAT™ with Integrated Battery and Crystal	SNAPHAT™	6.26	5.02	4.23
BQ3285EP	296-2595-5-ND	Echtzeituhr	RealTime Clock	24-Dip	4.00	3.20	2.49
BQ3285ES	296-2596-5-ND	Echtzeituhr	RealTime Clock	24-SOIC	4.00	3.20	2.49
BQ3285ESS	296-2597-5-ND	Echtzeituhr	RealTime Clock	24-SSOP	4.00	3.20	2.49
BQ3285LDSS	296-2599-5-ND	ACPI-konforme Echtzeituhr	ACPI Compliant RealTime Clock	24-SSOP	4.00	3.20	2.49
BQ3285LFSS-A1	296-6518-5-ND	ACPI-konforme Echtzeituhr mit (240 x 8) NVSRAM	ACPI Compliant RTC with (240x8) NVSRAM	24-SOP	4.00	3.20	2.49
BQ3285P-SB2	296-2601-5-ND	Echtzeituhr	RealTime Clock	24-Dip	4.00	3.20	2.49
BQ3285S-SB2	296-6519-5-ND	Echtzeituhr mit (114 x 8) NVSRAM	RTC with (114x8) NVSRAM	24-SOP	4.00	3.20	2.49
BQ3287AMT-SB2	296-6520-5-ND	Echtzeituhrmodul mit (114 x 8) NVSRAM	RTC Module with (114x8) NVSRAM	T-MOD	5.40	4.33	3.65
BQ3287EAMT	296-6521-5-ND	Echtzeituhrmodul mit (242 x 8) NVSRAM/Wecker	RTC Module with (242x8) NVSRAM/Alarm Wake-up	T-MOD	5.40	4.33	3.65
BQ3287EMT	296-6522-5-ND	Echtzeituhrmodul mit (242 x 8) NVSRAM/Wecker	RTC Module with (242x8) NVSRAM/Alarm Wake-up	T-MOD	5.40	4.33	3.65
BQ3287MT-I	296-6523-5-ND	Echtzeituhrmodul mit (114 x 8) NVSRAM	RTC Module with (114x8) NVSRAM	T-MOD	5.40	4.33	3.65
BQ3287MT-SB2	296-6524-5-ND	Echtzeituhrmodul mit (114 x 8) NVSRAM	RTC Module with (114x8) NVSRAM	T-MOD	5.40	4.33	3.65
BQ4285EP	296-6525-5-ND	Echtzeituhr mit (114 x 8) NVSRAM/Wecker	RTC with (114x8) NVSRAM Alarm Wake-up	24-Dip	4.48	3.59	2.79
BQ4285P-SB2	296-6527-5-ND	Echtzeituhr mit (114 x 8) NVSRAM/NVSRAM-Steuerung	RTC with (114x8) NVSRAM/NVSRAM Control	24-Dip	4.48	3.59	2.79
BQ4285S-SB2	296-6528-5-ND	Echtzeituhr mit (114 x 8) NVSRAM/NVSRAM-Steuerung	RTC with (114x8) NVSRAM/NVSRAM Control	24-SOP	4.48	3.59	2.79
BQ4287MT-SB2	296-6529-5-ND	Echtzeituhrmodul mit (114 x 8) NVSRAM/NVSRAM-Steuerung	RTC Module with (114x8) NVSRAM/NVSRAM Control	T-MOD	6.11	4.89	4.13
BQ4802LYDSH	296-15352-5-ND	3,3 V Parallel-Echtzeituhr mit CPU-Wächter/Ext. NVSRAM-Steuerung	Parallel 3.3V RTC with CPU Supervisor/External NVSRAM Control	SNAPHAT*	5.76	4.61	3.89
BQ4802YDSH	296-15353-5-ND	5 V Parallel-Echtzeituhr mit CPU-Wächter/Ext. NVSRAM-Steuerung	Parallel 5V RTC with CPU Supervisor/External NVSRAM Control	SNAPHAT*	5.76	4.61	3.89
BQ4802LYDWR	296-6530-1-ND	3 V Parallel-Echtzeituhr mit CPU-Wächter/Ext. NVSRAM-Steuerung	Parallel 3V RTC with CPU Supervisor/External NVSRAM Control	28-SOIC	4.77	3.81	2.97
BQ4802LYDWR	296-6530-2-ND	3 V Parallel-Echtzeituhr mit CPU-Wächter/Ext. NVSRAM-Steuerung	Parallel 3V RTC with CPU Supervisor/External NVSRAM Control	28-SOIC		2645.63/1,000	
BQ4802LYPW	296-12757-5-ND	3 V Parallel-Echtzeituhr mit CPU-Wächter/Ext. NVSRAM-Steuerung	Parallel 3V RTC with CPU Supervisor/External NVSRAM Control	28-TSSOP	4.23	3.39	2.86
BQ4802YDW	296-6531-5-ND	5 V Parallel-Echtzeituhr mit CPU-Wächter/Ext. NVSRAM-Steuerung	Parallel 5V RTC with CPU Supervisor/External NVSRAM Control	28-SOIC	4.23	3.39	2.86
BQ4802YPW	296-12758-5-ND	3 V Parallel-Echtzeituhr mit CPU-Wächter/Ext. NVSRAM-Steuerung	Parallel 3V RTC with CPU Supervisor/External NVSRAM Control	28-TSSOP	4.23	3.39	2.86
BQ4822YMA-70	296-6532-5-ND	Echtzeituhrmodul mit (8 K x 8) NVSRAM/Watchdog-Timer	RTC Module with (8Kx8)NVSRAM/Watchdog Timer	A-MOD	11.25	10.14	8.99

*SNAPHAT setzt BQ48SH-28x6 voraus, um das zweiteilige Modul zu vervollständigen.

(Forts.)

★ *RUFEN SIE BITTE AN FÜR NIEDRIGERE PREISE BEI GRÖSSEREN MENGEN!* ★

T. I. Teilenr.	Digi-Key Teilenr.	Beschreibung		Paket	Stückpreis★ 1	25	100
BQ4830YMA-85	296-6533-5-ND	Echtzeituhrmodul mit (32 K x 8) NVSRAM	RTC Module with (32Kx8) NVSRAM	A-MOD	12.44	11.21	9.94
BQ4832YMA-85	296-6534-5-ND	Echtzeituhrmodul mit (32 K x 8) NVSRAM/Watchdog-Timer	RTC Module with (32Kx8)NVSRAM/Watchdog Timer	A-MOD	13.33	12.45	11.56
BQ4842YMA-85	296-6535-5-ND	Echtzeituhrmodul mit (128 K x 8) NVSRAM/Watchdog-Timer	RTC Module with (128Kx8)NVSRAM/Watchdog Timer	A-MOD	15.47	14.44	13.41
BQ4845P-A4	296-6536-5-ND	Echtzeituhr mit NVSRAM-Steuerung/Watchdog-Timer	RTC with NVSRAM Control/Watchdog Timer	28-Dip	4.23	3.39	2.86
BQ4845S-A4	296-6537-5-ND	Echtzeituhr mit NVSRAM-Steuerung/Watchdog-Timer	RTC with NVSRAM Control/Watchdog Timer	28-SOIC	4.23	3.39	2.86
BQ4845S-A4N	296-6538-5-ND	Echtzeituhr mit NVSRAM-Steuerung/Watchdog-Timer	RTC with NVSRAM Control/Watchdog Timer	28-SOIC	4.23	3.39	2.86
BQ4845YS-A4	296-6539-5-ND	Echtzeituhr mit NVSRAM-Steuerung/Watchdog-Timer	RTC with NVSRAM Control/Watchdog Timer	28-SOIC	4.23	3.39	2.86
BQ4845YS-A4N	296-6540-5-ND	Echtzeituhr mit NVSRAM-Steuerung/Watchdog-Timer	RTC with NVSRAM Control/Watchdog Timer	28-SOIC	4.23	3.39	2.86
BQ4847MT	296-6541-5-ND	Echtzeituhr mit NVSRAM-Steuerung/Watchdog-Timer	RTC with NVSRAM Control/Watchdog Timer	T-MOD	7.04	5.64	4.76
BQ4847YMT	296-6542-5-ND	Echtzeituhr mit NVSRAM-Steuerung/Watchdog-Timer	RTC with NVSRAM Control/Watchdog Timer	T-MOD	7.04	5.64	4.76
BQ4850YMA-85	296-6543-5-ND	Echtzeituhrmodul mit (512 K x 8) NVSRAM	RTC Module with (512Kx8) NVSRAM	A-MOD	30.16	28.15	26.14
BQ4852YMC-85	296-6544-5-ND	Echtzeituhrmodul mit (512 K x 8) NVSRAM/Watchdog-Timer	RTC Module with (512Kx8) NVSRAM/Watchdog Timer	C-MOD	30.93	28.88	26.82

*SNAPHAT setzt BQ48SH-28x6 voraus, um das zweiteilige Modul zu vervollständigen.

B

T. I. Teilenr.	Digi-Key Teilenr.	Beschreibung		Paket	Stückpreis★ 1	25	100
TRF2052PW	296-1969-5-ND	2 GHz Niederspannungs-Synthesizer	2GHz Low Voltage Synthesizer	20-TSSOP	4.10	3.28	2.55
TRF3701IRHC	296-17198-ND	Vierf. 0,4 GHz-1,5 GHz Mod.	0.4GHz-1.5GHz Quad Modulator	16-QFN	7.16	6.46	5.72
TRF3702IRHC	296-17350-ND	Vierf. 1,5 GHz-2,5 GHz Mod.	1.5GHz-2.5GHz Quad Modulator	16-QFN	7.16	6.46	5.72
TRF3750IPW	296-16941-5-ND	PLL Frequenz-Synthesizer	PLL Freq. Synthesizer	16-TSSOP	4.57	3.66	3.09
TRF3750IRGP	296-17552-5-ND	Hochleistungs-Integer-N PLL Frequenz-Synthesizer	High-Performance Integer-N PLL Frequency Synthesizer	20-QFN	5.08	4.07	3.43
TRF4400PW	296-11056-5-ND	420-450 MHz Einzelchip-RF-Transmitter	420-450MHz Single-Chip RF Transmitter	24-TSSOP	3.34	2.67	2.08
TRF4900PW	296-11057-5-ND	850-950 MHz Einzelchip-RF-Transmitter	850-950MHz Single-Chip RF Transmitter	24-TSSOP	2.57	2.06	1.61
TRF4903PW	296-17876-5-ND	Einzelchip-Multiband-RF-Transmitter	Single-Chip Multiband RF Transmitter	24-TSSOP	2.57	2.06	1.61
TRF5901PTR	296-14059-1-ND	902-928 MHz Einzelchip RF-Transceiver	902-928MHz Single-Chip RF Transceiver	48-LQFP	5.42	4.34	3.66
TRF5901PTR	296-14059-2-ND	902-928 MHz Einzelchip RF-Transceiver	902-928MHz Single-Chip RF Transceiver	48-LQFP		3386.40/1,000	
TRF6900APT	296-11058-ND	850-950 MHz Einzelchip-RF-Transceiver	850-950MHz Single-Chip RF Transceiver	48-LQFP	4.57	3.66	3.09
TRF6901PT	296-12242-ND	860-930 MHz Einzelchip-RF-Transceiver	860-930MHz Single-Chip RF Transceiver	48-PQFP	4.61	3.69	3.11
TRF6903PT	296-17391-ND	Einzelchip-Multiband-RF-Transceiver	Single Chip Multiband RF Transceiver	48-PQFP	3.43	2.75	2.14

T. I. Teilenr.	Digi-Key Teilenr.	Beschreibung		Paket	Stückpreis★ 1	25	100
		Audio-Prozessoren/CODEC					
AIC111RHB	296-15335-ND	1,3 V MicroPower DSP Voice Band Audio CODEC	1.3V MicroPower DSP Voice Band Audio Codec	32-QFN	7.03	5.63	4.75
SRC4184IPAG	296-17309-ND	4-Kan. asynch. Tastratenwandler	4-Channel Async. Sample Rate Converter	64-TQFP	11.99	10.80	9.58
SRC4190IDB	296-15337-5-ND	192 KHz asynch. Stereo-Tastratenwandler	192KHz Stereo Async. Sample Rate Converter	28-SSOP	7.25	5.80	4.90
SRC4192IDB	296-15234-5-ND	192 KHz asynch. Stereo-Tastratenwandler	192KHz Stereo Async. Sample Rate Converter	28-SSOP	11.40	10.27	9.10
SRC4193IDB	296-15235-5-ND	192 KHz asynch. Stereo-Tastratenwandler	192KHz Stereo Async. Sample Rate Converter	28-SSOP	11.40	10.27	9.10
SRC4194EVM	296-17284-ND	Evaluierungsmodul für SRC4194	Evaluation Module for SRC4194	—	215.85	—	—
SRC4194IPAG	296-17310-ND	4-Kan. asynch. Tastratenwandler	4-Channel Async. Sample Rate Converter	64-TQFP	18.99	17.72	16.46
TAS1020BPFB	296-13041-5-ND	Stereo USB Audio-Schnittstelle	Stereo USB Audio Interface	48-TQFP	5.15	4.12	3.48
TAS3001CPW	296-2208-5-ND	Stereo Digital-Equalizer	Stereo Digital Equalizer	28-TSSOP	3.49	2.79	2.17
TAS3002PFB	296-9977-ND	Digital-Audio-Prozessor mit CODEC	Digital Audio Processor with CODEC	48-TQFP	5.15	4.12	3.48
TAS3004PFB	296-9978-ND	Digital-Audio-Prozessor mit CODEC	Digital Audio Processor with CODEC	48-TQFP	6.52	5.22	4.41
TAS3103DBT	296-13820-5-ND	48-Bit Digital-Audio-Prozessor	48-Bit Digital Audio Processor	38-TSSOP	7.03	5.63	4.75
TAS5001IPFB	296-12556-ND	Digital-Audio-PWM-Prozessor	Digital Audio PWM Processor	48-TQFP	4.49	3.59	3.03
TAS5001PFB	296-12212-ND	Digital-Audio-PWM-Prozessor	Digital Audio PWM Processor	48-TQFP	4.57	3.66	2.85
TAS5010IPFB	296-12557-ND	Digital-Audio-PWM-Prozessor	Digital Audio PWM Processor	48-TQFP	5.67	4.54	3.83
TAS5010PFB	296-12213-ND	Digital-Audio-PWM-Prozessor	Digital Audio PWM Processor	48-TQFP	5.08	4.07	3.43
TAS5012IPFB	296-12558-ND	Digital-Audio-PWM-Prozessor	Digital Audio PWM Processor	48-TQFP	8.75	7.88	6.99
TAS5012PFB	296-12214-ND	Digital-Audio-PWM-Prozessor	Digital Audio PWM Processor	48-TQFP	7.83	7.05	6.25
TAS5026APAG	296-14401-ND	Digital-Audio-PWM-Prozessor	Digital Audio PWM Processor	64-TQFP	8.15	7.34	6.51
TAS5028PAG	296-17116-ND	8-Kan. Digital-Audio-PWM-Prozessor	8-Ch. Digital Audio PWM Processor	64-TQFP	8.30	6.64	5.61
TAS5036APFC	296-13856-ND	6-Kan. Digital-Audio-PWM-Prozessor	6-Ch. Digital Audio PWM Processor	80-TQFP	16.58	15.47	14.37
TAS5036BPFC	296-14976-ND	6-Kan. Digital-Audio-PWM-Prozessor	6-Ch. Digital Audio PWM Processor	80-TQFP	13.28	12.40	11.52
TAS5066PAG	296-16772-ND	24-Bit, 6-Kan. Digital-PWM	24-Bit, 6-Ch., Digital PWM	64-TQFP	8.15	7.34	6.51
TAS5076PFC	296-16643-ND	24-Bit, 6-Kan. Digital-PWM	24-Bit, 6-Ch., Digital PWM	80-TQFP	15.71	14.67	13.62
TAS5086DBT	296-17808-1-ND	Audio 6-Kan. PWM-Prozessor	Audio 6-Channel PWM Processor	38-TSSOP	2.61	2.09	—
TAS5086DBT	296-17808-2-ND	Audio 6-Kan. PWM-Prozessor	Audio 6-Channel PWM Processor	38-TSSOP		81.19/50	
TAS5508APAG	296-17475-ND	8-Kan. Digital-Audio-PWM-Prozessor	8-Ch. Digital Audio PWM Processor	64-TQFP	8.47	6.35	5.63
TAS5508PAG	296-17020-ND	8-Kan. Digital-Audio-PWM-Prozessor	8-Ch. Digital Audio PWM Processor	64-TQFP	8.93	8.04	7.13
TAS5518PAG	296-17249-ND	8-Kan. Digitalimpulsbreitenmodulator	8-Ch. Digital Pulse Width Modulator	64-TQFP	11.21	10.10	8.96
TLC320AC01CPMR	296-1982-1-ND	14-Bit AIC Audio CODEC	14-Bit AIC Audio CODEC	64-LQFP	5.94	4.76	4.02
TLC320AC01CPMR	296-1982-2-ND	14-Bit AIC Audio CODEC	14-Bit AIC Audio CODEC	64-LQFP		3714.88/1,000	
TLC320AD77CDB	296-2210-5-ND	24-Bit Stereo-CODEC	24-Bit, Stereo CODEC	28-SSOP	5.33	4.27	3.61
TLC320AD545IPT	296-10276-ND	Einzelkanal-CODEC mit Hybrid-OpAmp	Single Channel CODEC with Hybrid Op Amps	48-LQFP	5.25	4.20	3.55
TLC320AD545PT	296-10277-ND	Einzelkanal-CODEC mit Hybrid-OpAmp	Single Channel CODEC with Hybrid Op Amps	48-LQFP	5.25	4.20	3.55
TLV320AIC10CPFB	296-2214-ND	3 V bis 5,5 V, 16-Bit Allzweck 22 KSPS DSP CODEC	3V to 5.5V, 16-Bit, General Purpose 22KSPS DSP CODEC	48-TQFP	4.57	3.66	2.85
TLV320AIC10IGQER	296-13374-1-ND	3 V bis 5,5 V, 16-Bit Allzweck 22 KSPS DSP CODEC	3V to 5.5V, 16-Bit, General Purpose 22KSPS DSP CODEC	80-VFBGA	4.40	3.53	2.98
TLV320AIC10IGQER	296-13374-2-ND	3 V bis 5,5 V, 16-Bit Allzweck 22 KSPS DSP CODEC	3V to 5.5V, 16-Bit, General Purpose 22KSPS DSP CODEC	80-VFBGA		6823.60/2,500	
TLV320AIC10IPFB	296-10702-ND	3 V bis 5,5 V, 16-Bit Allzweck 22 KSPS DSP CODEC	3V to 5.5V, 16-Bit, General Purpose 22KSPS DSP CODEC	48-TQFP	4.40	3.53	2.98
TLV320AIC11CPFB	296-2215-ND	16-Bit DSP CODEC, Niederspannung	16-Bit, Low Voltage DSP CODEC	48-TQFP	4.57	3.66	2.85
TLV320AIC11IPFB	296-10703-ND	16-Bit DSP CODEC, Niederspannung	16-Bit, Low Voltage DSP CODEC	48-QFP	4.40	3.53	2.98
TLV320AIC23BGQE	296-13992-5-ND	24-Bit Stereo-CODEC für tragbare Audiogeräte	24-Bit Stereo CODEC for Portable Audio	80-VFBGA	5.33	4.27	3.61
TLV320AIC23BIGQE	296-15030-ND	24-Bit Stereo-CODEC für tragbare Audiogeräte	24-Bit Stereo CODEC for Portable Audio	80-VFBGA	5.93	4.75	4.01
TLV320AIC23BIPWR	296-15031-1-ND	Stereo-Audio-CODEC	Stereo Audio Codec	28-TSSOP	5.67	4.54	3.83
TLV320AIC23BIPWR	296-15031-2-ND	Stereo-Audio-CODEC	Stereo Audio Codec	28-TSSOP		7091.12/2,000	
TLV320AIC23BIZQE	296-15342-ND	24-Bit Stereo-CODEC für tragbare Audiogeräte	24-Bit Stereo CODEC for Portable Audio	80-VFBGA	5.67	4.54	3.83
TLV320AIC23BPW	296-15635-5-ND	Stereo-Audio-CODEC, 8-96 KHz	8-96kHz, Stereo Audio CODEC	28-TSSOP	5.08	4.07	3.43
TLV320AIC23GQE	296-12026-5-ND	24-Bit Stereo-CODEC für tragbare Audiogeräte	24-Bit Stereo CODEC for Portable Audio	80-VFBGA	5.33	4.27	3.61
TLV320AIC26EVM	296-16986-ND	Audio-CODEC-Evaluierungsmodul	Audio Codec Evaluation Module	—	107.38	100.23	93.07
TLV320AIC28EVM	296-16857-ND	Audio-CODEC-Evaluierungsmodul	Audio Codec Evaluation Module	—	107.38	100.23	93.07
TLV320AIC28IRGZ	296-16847-5-ND	Stereo-Audio-CODEC	Stereo Audio Codec	48-QFN	6.69	5.36	4.52
TLV320AIC1103GQER	296-12708-1-ND	Programmierbarer PCM CODEC mit Mikrofonverstärkern und Lautsprechertreiber	Programmable PCM CODEC with Microphone Amps and Speaker Driver	80-BGA	4.74	3.80	3.21
TLV320AIC1103GQER	296-12708-2-ND	Programmierbarer PCM CODEC mit Mikrofonverstärkern und Lautsprechertreiber	Programmable PCM CODEC with Microphone Amps and Speaker Driver	80-BGA		7348.49/2,500	
TLV320AIC1103PBS	296-13001-1-ND	Programmierbarer PCM CODEC mit Mikrofonverstärkern und Lautsprechertreiber	Programmable PCM Codec with Microphone Amps and Speaker Driver	32-TQFP	4.74	3.80	3.21
TLV320AIC1103PBS	296-13001-2-ND	Programmierbarer PCM CODEC mit Mikrofonverstärkern und Lautsprechertreiber	Programmable PCM Codec with Microphone Amps and Speaker Driver	32-TQFP		770.41/250	
TLV320AIC1103PBSR	296-12748-1-ND	Programmierbarer PCM CODEC mit Mikrofonverstärkern und Lautsprechertreiber	Programmable PCM CODEC with Microphone Amps and Speaker Driver	32-TQFP	4.74	3.80	3.21

(Forts.)

★ RUFEN SIE BITTE AN FÜR NIEDRIGERE PREISE BEI GRÖSSEREN MENGEN! ★

Alle Preisangaben in Euro und inklusive Zollgebühren.

Texas Instruments — SIGNALREGLER *(Forts.)*

T. I. Teilenr.	Digi-Key Teilenr.	Beschreibung		Paket	Stückpreis★ 1	25	100
TLV320AIC1103PBSR	296-12748-2-ND	Programmierbarer PCM CODEC mit Mikrofonverstärkern und Lautsprechertreiber	Programmable PCM CODEC with Microphone Amps and Speaker Driver	32-TQFP		2963.10/1,000	
TLV320AIC1106PW	296-15634-5-ND	PCM CODEC	PCM Codec	20-TSSOP	4.57	3.66	3.09
TLV320AIC1107PWR	296-12709-1-ND	Progr. PCM CODEC mit Mikrofonverstärkern und Lautsprechertreiber	Prog. PCM CODEC with Microphone Amps and Speaker Driver	20-TSSOP	4.57	3.66	3.09
TLV320AIC1107PWR	296-12709-2-ND	Progr. PCM CODEC mit Mikrofonverstärkern und Lautsprechertreiber	Prog. PCM CODEC with Microphone Amps and Speaker Driver	20-TSSOP		5714.55/2,000	
TLV320AIC1109PBS	296-13002-1-ND	Programmierbarer PCM CODEC mit Mikrofonverstärkern und Lautsprechertreiber	Programmable PCM Codec with Microphone Amps and Speaker Driver	32-TQFP	4.74	3.80	3.21
TLV320AIC1109PBS	296-13002-2-ND	Programmierbarer PCM CODEC mit Mikrofonverstärkern und Lautsprechertreiber	Programmable PCM Codec with Microphone Amps and Speaker Driver	32-TQFP		770.41/250	
TLV320AIC1110GQER	296-12710-1-ND	Progr. PCM CODEC mit Mikrofonverstärkern und Lautsprechertreiber	Prog. PCM CODEC with Microphone Amps and Speaker Driver	80-BGA	4.83	3.87	3.26
TLV320AIC1110GQER	296-12710-2-ND	Progr. PCM CODEC mit Mikrofonverstärkern und Lautsprechertreiber	Prog. PCM CODEC with Microphone Amps and Speaker Driver	80-BGA		7479.71/2,500	
TLV320AIC1110PBS	296-13508-ND	Progr. PCM CODEC mit Mikrofonverstärkern und Lautsprechertreiber	Prog. PCM Codec with Microphone Amps and Speaker Driver	32-TQFP	4.83	3.87	3.26
TLV320DAC23GQE	296-12027-5-ND	Stereo Audio DAC, 8-96 KHz	8-96KHz Stereo Audio DAC	80-VFBGA	4.10	3.28	2.55
TLV320DAC23RHDR	296-15636-1-ND	Stereo Audio DAC, 8-96 KHz	8-96KHz Stereo Audio DAC	28-PQFP	3.81	3.05	2.38
TLV320DAC23RHDR	296-15636-2-ND	Stereo Audio DAC, 8-96 KHz	8-96KHz Stereo Audio DAC	28-PQFP		6603.48/3,000	
TLV320DAC26EVM	296-17267-ND	Eval. -Modul für TLV320DAC26	Eval. Module for TLV320DAC26	—	107.38	—	—
TLV320DAC26IRHB	296-17402-ND	NL-Stereo-Audio-DAU	Low Power Stereo Audio DAC	32-QFN	4.99	4.00	3.38
TWL1102PBS	296-13005-5-ND	Voice-Band Audio-Prozessor	Voice Band Audio Processor	32-TQFP	5.05	4.04	3.41
TWL1103GQER	296-11095-1-ND	Voice-Band Audio-Prozessor	Voice Band Audio Processor	80-VFBGA	5.50	4.41	3.72
TWL1103GQER	296-11095-2-ND	Voice-Band Audio-Prozessor	Voice Band Audio Processor	80-VFBGA		8529.50/2,500	
TWL1103TPBSQ1	296-12962-1-ND	Voice-Band Audio-Prozessor	Voice Band Audio Processor	32-TQFP	5.69	4.56	3.85
TWL1103TPBSQ1	296-12962-2-ND	Voice-Band Audio-Prozessor	Voice Band Audio Processor	32-TQFP		924.49/250	
TWL1103TPBSRQ1	296-16969-1-ND	Voice-Band Audio-Prozessor	Voice Band Audio Processor	32-TQFP	5.72	4.58	3.87
TWL1103TPBSRQ1	296-16969-2-ND	Voice-Band Audio-Prozessor	Voice Band Audio Processor	32-TQFP		3576.89/1,000	

Texas Instruments — TEMPERATUR-SENSOREN

T. I. Teilenr.	Digi-Key Teilenr.	Beschreibung		Paket	Stückpreis★ 1	25	100
TMP75AIDR	296-17838-1-ND	Digitaltemperatursensor mit zweiadriger Schnittstelle	Digital Temp. Sensor with Two-Wire Interface	8-SOIC	1.48	1.19	.89
TMP75AIDR	296-17838-2-ND	Digitaltemperatursensor mit zweiadriger Schnittstelle	Digital Temp. Sensor with Two-Wire Interface	8-SOIC		1896.38/2,500	
TMP100NA/250	296-12749-1-ND	Digitaltemperatursensor	Digital Temperature Sensor	SOT-23-6	1.59	1.27	.96
TMP100NA/250	296-12749-2-ND	Digitaltemperatursensor	Digital Temperature Sensor	SOT-23-6		222.23/250	
TMP101NA/250	296-12750-1-ND	Digitaltemperatursensor mit Alarm	Digital Temperature Sensor w/Alert	SOT-23-6	1.69	1.36	1.02
TMP101NA/250	296-12750-2-ND	Digitaltemperatursensor mit Alarm	Digital Temperature Sensor w/Alert	SOT-23-6		237.05/250	
TMP121AIDBVT	296-15177-1-ND	Digitaltemperatursensor	Digital Temperature Sensor	SOT-23-6	1.90	1.53	1.15
TMP121AIDBVT	296-15177-2-ND	Digitaltemperatursensor	Digital Temperature Sensor	SOT-23-6		266.68/250	
TMP122AIDBVT	296-15178-1-ND	Prog. Digitaltemperatursensor	Prog. Digital Temp. Sensor	SOT-23-6	2.10	1.68	1.26
TMP122AIDBVT	296-15178-2-ND	Prog. Digitaltemperatursensor	Prog. Digital Temp. Sensor	SOT-23-6		293.35/250	
TMP123AIDBVT	296-15832-1-ND	Digitaltemperatursensor mit SPI	Digital Temp. Sensor with SPI	SOT-23-6	1.90	1.53	1.15
TMP123AIDBVT	296-15832-2-ND	Digitaltemperatursensor mit SPI	Digital Temp. Sensor with SPI	SOT-23-6		266.68/250	
TMP124AID	296-16977-ND	Digitaltemperatursensor mit SPI	Digital Temp. Sensor with SPI	8-SOIC	1.48	1.19	.89
TMP125AIDBVT	296-17690-1-ND	Digitaltemperatursensor mit SPI	Digital Temp. Sensor w/SPI	SOT-23-6	1.69	1.36	1.02
TMP125AIDBVT	296-17690-2-ND	Digitaltemperatursensor mit SPI	Digital Temp. Sensor w/SPI	SOT-23-6		237.05/250	
TMP141AIDBVT	296-17922-1-ND	Ausgangs-Digitaltemperatursensor	Digital Out Temp. Sensor	SOT-23-6	1.38	1.11	.83
TMP141AIDBVT	296-17922-2-ND	Ausgangs-Digitaltemperatursensor	Digital Out Temp. Sensor	SOT-23-6		192.60/250	
TMP141AIDGKT	296-17923-1-ND	Ausgangs-Digitaltemperatursensor	Digital Out Temp. Sensor	8-MSOP	1.38	1.11	.83
TMP141AIDGKT	296-17923-2-ND	Ausgangs-Digitaltemperatursensor	Digital Out Temp. Sensor	8-MSOP		192.60/250	
TMP175AIDR	296-17837-1-ND	Digitaltemperatursensor mit zweiadriger Schnittstelle	Digital Temp. Sensor with Two-Wire Interface	8-SOIC	1.80	1.44	1.08
TMP175AIDR	296-17837-2-ND	Digitaltemperatursensor mit zweiadriger Schnittstelle	Digital Temp. Sensor with Two-Wire Interface	8-SOIC		2302.75/2,500	

Texas Instruments — TIMER

T. I. Teilenr.	Digi-Key Teilenr.	Beschreibung		Paket	Stückpreis★ 1	25	100
NE555D	296-16792-ND	Präzisons-Timer	Precision Timer	8-SOIC	.38	.31	.23
NE555DR	296-6501-1-ND	Präzisons-Timer	Precision Timer	8-SOIC	.38	.31	.23
NE555DR	296-6501-2-ND	Präzisons-Timer	Precision Timer	8-SOIC		258.21/2,500	
NE555P	296-1411-5-ND	Präzisons-Timer	Precision Timer	8-Dip	.38	.31	.23
NE555PSR	296-6502-1-ND	Präzisons-Timer	Precision Timer	8-SOP	.38	.31	.23
NE555PSR	296-6502-2-ND	Präzisons-Timer	Precision Timer	8-SOP		213.34/2,000	
NE555PW	296-15086-5-ND	Präzisons-Timer	Precision Timer	8-TSSOP	.38	.31	.23
NE556D	296-6503-5-ND	Zweif. Präzisions-Timer	Dual Precision Timer	14-SOIC	.42	.34	.26
NE556N	296-6504-5-ND	Zweif. Präzisions-Timer	Dual Precision Timer	14-Dip	.41	.31	.23
NE556NSR	296-13104-1-ND	Zweif. Präzisions-Timer	Dual Precision Timer	14-SOP	.42	.34	.26
NE556NSR	296-13104-2-ND	Zweif. Präzisions-Timer	Dual Precision Timer	14-SOP		237.05/2,000	
SA555D	296-9681-5-ND	Präzisons-Timer	Precision Timer	8-SOIC	.41	.31	.23
SA555DR	296-14635-1-ND	Präzisons-Timer	Precision Timer	8-SOIC	.41	.31	.23
SA555DR	296-14635-2-ND	Präzisons-Timer	Precision Timer	8-SOIC		330.17/2,500	
SA555P	296-9682-5-ND	Präzisons-Timer	Precision Timer	8-Dip	.41	.31	.23
SE555D	296-9683-5-ND	Präzisons-Timer	Precision Timer	8-SOIC	.71	.60	.48
SE555P	296-9684-5-ND	Präzisons-Timer	Precision Timer	8-Dip	.71	.60	.48
TLC551CD	296-11822-5-ND	CMOS-Timer	CMOS Timer	8-SOIC	.94	.79	.63
TLC551CP	296-10333-5-ND	CMOS-Timer	CMOS Timer	8-Dip	.94	.79	.63
TLC552CD	296-10334-5-ND	CMOS-Timer	CMOS Timer	14-SOIC	1.25	1.00	.75
TLC552CN	296-10335-5-ND	CMOS-Timer	CMOS Timer	14-Dip	1.25	1.00	.75
TLC555CD	296-1336-5-ND	CMOS-Timer	CMOS Timer	8-SOIC	.75	.56	.42
TLC555CDR	296-1336-1-ND	CMOS-Timer	CMOS Timer	8-SOIC	.75	.56	.42
TLC555CDR	296-1336-2-ND	CMOS-Timer	CMOS Timer	8-SOIC		605.32/2,500	
TLC555CP	296-1857-5-ND	CMOS-Timer	CMOS Timer	8-Dip	.75	.56	.42
TLC555CPWR	296-10339-1-ND	CMOS-Timer	CMOS Timer	14-TSSOP	.75	.56	.42
TLC555CPWR	296-10339-2-ND	CMOS-Timer	CMOS Timer	14-TSSOP		496.11/2,000	
TLC555ID	296-1337-5-ND	CMOS-Timer	CMOS Timer	8-SOIC	.81	.61	.46
TLC555IDR	296-1337-1-ND	CMOS-Timer	CMOS Timer	8-SOIC	.61	.51	.41
TLC555IDR	296-1337-2-ND	CMOS-Timer	CMOS Timer	8-SOIC		660.35/2,500	
TLC555IP	296-1858-5-ND	CMOS-Timer	CMOS Timer	8-Dip	.81	.61	.46
TLC555QDR	296-10341-1-ND	CMOS-Timer	CMOS Timer	8-SOIC	.63	.53	.43
TLC555QDR	296-10341-2-ND	CMOS-Timer	CMOS Timer	8-SOIC		687.86/2,500	
TLC556CD	296-1338-5-ND	Zweif. CMOS-Timer	Dual CMOS Timer	14-SOIC	.86	.72	.58
TLC556CDR	296-1338-1-ND	Zweif. CMOS-Timer	Dual CMOS Timer	14-SOIC	.86	.72	.58
TLC556CDR	296-1338-2-ND	Zweif. CMOS-Timer	Dual CMOS Timer	14-SOIC		935.49/2,500	
TLC556CN	296-1859-5-ND	Zweif. CMOS-Timer	Dual CMOS Timer	14-Dip	.86	.72	.58
TLC556ID	296-10343-5-ND	Zweif. CMOS-Timer	Dual CMOS Timer	14-SOIC	.97	.81	.65
TLC556IN	296-10344-5-ND	Zweif. CMOS-Timer	Dual CMOS Timer	14-Dip	.97	.81	.65
TLC556MD	296-10345-5-ND	Zweif. CMOS-Timer	Dual CMOS Timer	14-SOIC	1.17	.98	.78

★ RUFEN SIE BITTE AN FÜR NIEDRIGERE PREISE BEI GRÖSSEREN MENGEN! ★

B

ON Semiconductor Teilenr.	Digi-Key Teilenr.	Beschreibung		Paket	Stückpreis★ 1	25	100
CS1112YDWFR24	CS1112YDWFR24OSCT-ND	Vierf. Leistungsabgabestreiber	Quad Power Output Driver	24-SOIC	5.54	4.43	3.74
CS1112YDWFR24	CS1112YDWFR24OSTR-ND	Vierf. Leistungsabgabestreiber	Quad Power Output Driver	24-SOIC		3460.90/1,000	
CS5124XDR8	CS5124XDR8OSCT-ND	HP, IC-Modus PWM-Controller	HP, IC Mode PWM Controller	8-SOIC	1.98	1.59	1.34
CS5124XDR8	CS5124XDR8OSTR-ND	HP, IC-Modus PWM-Controller	HP, IC Mode PWM Controller	8-SOIC		3119.72/2,500	
CS5171EDR8	CS5171EDR8OSCT-ND	1,5 A, 280 kHz positiver Boost-Regler	1.5A, 280KHz Positive Boost Regulator	8-SOIC	2.00	1.60	1.35
CS5171EDR8	CS5171EDR8OSTR-ND	1,5 A, 280 kHz positiver Boost-Regler	1.5A, 280KHz Positive Boost Regulator	8-SOIC		3147.24/2,500	
CS5171GDR8	CS5171GDR8OSCT-ND	1,5 A, 280 kHz positiver Boost-Regler	1.5A, 280KHz Positive Boost Regulator	8-SOIC	1.96	1.58	1.33
CS5171GDR8	CS5171GDR8OSTR-ND	1,5 A, 280 kHz positiver Boost-Regler	1.5A, 280KHz Positive Boost Regulator	8-SOIC		3094.32/2,500	
CS5172EDR8	CS5172EDR8OSCT-ND	1,5 A, 280 kHz negativer Boost-Regler	1.5A, 280KHz Negative Boost Regulator	8-SOIC	2.00	1.60	1.35
CS5172EDR8	CS5172EDR8OSTR-ND	1,5 A, 280 kHz negativer Boost-Regler	1.5A, 280KHz Negative Boost Regulator	8-SOIC		3147.24/2,500	
CS5172GDR8	CS5172GDR8OSCT-ND	1,5 A, 280 kHz negativer Boost-Regler	1.5A, 280KHz Negative Boost Regulator	8-SOIC	1.96	1.58	1.33
CS5172GDR8	CS5172GDR8OSTR-ND	1,5 A, 280 kHz negativer Boost-Regler	1.5A, 280KHz Negative Boost Regulator	8-SOIC		3094.32/2,500	
CS5173EDR8	CS5173EDR8OSCT-ND	1,5 A, 560 kHz positiver Boost-Regler	1.5A, 560KHz Positive Boost Regulator	8-SOIC	2.00	1.60	1.35
CS5173EDR8	CS5173EDR8OSTR-ND	1,5 A, 560 kHz positiver Boost-Regler	1.5A, 560KHz Positive Boost Regulator	8-SOIC		3147.24/2,500	
CS5173GDR8	CS5173GDR8OSCT-ND	1,5 A, 560 kHz positiver Boost-Regler	1.5A, 560KHz Positive Boost Regulator	8-SOIC	1.96	1.58	1.33
CS5173GDR8	CS5173GDR8OSTR-ND	1,5 A, 560 kHz positiver Boost-Regler	1.5A, 560KHz Positive Boost Regulator	8-SOIC		3094.32/2,500	
CS5174EDR8	CS5174EDR8OSCT-ND	1,5 A, 560 kHz negativer Boost-Regler	1.5A, 560KHz Negative Boost Regulator	8-SOIC	2.00	1.60	1.35
CS5174EDR8	CS5174EDR8OSTR-ND	1,5 A, 560 kHz negativer Boost-Regler	1.5A, 560KHz Negative Boost Regulator	8-SOIC		3147.24/2,500	
CS5174GDR8	CS5174GDR8OSCT-ND	1,5 A, 560 kHz negativer Boost-Regler	1.5A, 560KHz Negative Boost Regulator	8-SOIC	1.96	1.58	1.33
CS5174GDR8	CS5174GDR8OSTR-ND	1,5 A, 560 kHz negativer Boost-Regler	1.5A, 560KHz Negative Boost Regulator	8-SOIC		3094.32/2,500	
CS5211EDR14	CS5211EDR14OSCT-ND	Synchroner Buck-Controller für niedrige Spannung	Low Volt. Sync. Buck Controller	14-SOIC	2.30	1.85	1.44
CS5211EDR14	CS5211EDR14OSTR-ND	Synchroner Buck-Controller für niedrige Spannung	Low Volt. Sync. Buck Controller	14-SOIC		3227.66/2,500	
CS5211GDR14	CS5211GDR14OSCT-ND	Synchroner Buck-Controller für niedrige Spannung	Low Volt. Sync. Buck Controller	14-SOIC	2.27	1.82	1.42
CS5211GDR14	CS5211GDR14OSTR-ND	Synchroner Buck-Controller für niedrige Spannung	Low Volt. Sync. Buck Controller	14-SOIC		3172.63/2,500	
CS5212EDR14	CS5212EDR14OSCT-ND	Synchroner Buck-Controller für niedrige Spannung	Low Volt. Sync. Buck Controller	14-SOIC	2.30	1.85	1.44
CS5212EDR14	CS5212EDR14OSTR-ND	Synchroner Buck-Controller für niedrige Spannung	Low Volt. Sync. Buck Controller	14-SOIC		3227.66/2,500	
CS5212GDR14	CS5212GDR14OSCT-ND	Synchroner Buck-Controller für niedrige Spannung	Low Volt. Sync. Buck Controller	14-SOIC	2.27	1.82	1.42
CS5212GDR14	CS5212GDR14OSTR-ND	Synchroner Buck-Controller für niedrige Spannung	Low Volt. Sync. Buck Controller	14-SOIC		3172.63/2,500	
CS5301GDWR32	CS5301GDWR32OSCT-ND	3-Phasen-Buck-Controller mit integrierten Gate-Treibern und „Power Good"	Three-Phase Buck Controller with Integrated Gate Drivers/Power Good	32-SOIC	4.32	3.89	3.45
CS5301GDWR32	CS5301GDWR32OSTR-ND	3-Phasen-Buck-Controller mit integrierten Gate-Treibern und „Power Good"	Three-Phase Buck Controller with Integrated Gate Drivers/Power Good	32-SOIC		3238.25/1,000	
CS8101YDR8	CS8101YDR8OSCT-ND	Micropower 5 V, 100 mA LDO-Reg.	Micropower 5V, 100mA LDO Reg.	8-SOIC	1.96	1.57	1.23
CS8101YDR8	CS8101YDR8OSTR-ND	Micropower 5 V, 100 mA LDO-Reg.	Micropower 5V, 100mA LDO Reg.	8-SOIC		2789.55/2,500	
CS8101YDWFR20	CS8101YDWFR20OSCT-ND	Micropower 5 V, 100 mA LDO-Reg.	Micropower 5V, 100mA LDO Reg.	20-SOIC	3.11	2.49	1.94
CS8101YDWFR20	CS8101YDWFR20OSTR-ND	Micropower 5 V, 100 mA LDO-Reg.	Micropower 5V, 100mA LDO Reg.	20-SOIC		1759.23/1,000	
CS8101YT5	CS8101YT5OS-ND	Micropower 5 V, 100 mA LDO-Reg.	Micropower 5V, 100mA LDO Reg.	TO-220	3.98	3.19	2.48
CS8101YTHA5	CS8101YTHA5OS-ND	Micropower 5 V, 100 mA LDO-Reg.	Micropower 5V, 100mA LDO Reg.	TO-220	3.83	3.07	2.39
CS8101YTVA5	CS8101YTVA5OS-ND	Micropower 5 V, 100 mA LDO-Reg.	Micropower 5V, 100mA LDO Reg.	TO-220	3.83	3.07	2.39
CS8120YDPR5	CS8120YDPR5OSCT-ND	5 V, 300 mA Linearregler	5V, 300mA Linear Regulator	D2-PAK	3.56	2.85	2.22
CS8120YDR14	CS8120YDR14OSCT-ND	5 V, 300 mA Linearregler	5V, 300mA Linear Regulator	14-SOIC	3.03	2.43	1.89
CS8120YDR14	CS8120YDR14OSTR-ND	5 V, 300 mA Linearregler	5V, 300mA Linear Regulator	14-SOIC		4239.35/2,500	
CS8120YN8	CS8120YN8OS-ND	5 V, 300 mA Linearregler	5V, 300mA Linear Regulator	8-Dip	2.94	2.35	1.83
CS8120YT5	CS8120YT5OS-ND	5 V, 300 mA Linearregler	5V, 300mA Linear Regulator	TO-220	3.79	3.04	2.36
CS8120YTHA5	CS8120YTHA5OS-ND	5 V, 300 mA Linearregler	5V, 300mA Linear Regulator	TO-220	4.31	3.45	2.68
CS8120YTVA5	CS8120YTVA5OS-ND	5 V, 300 mA Linearregler	5V, 300mA Linear Regulator	TO-220	4.31	3.45	2.68
CS8126-1YT5	CS8126-1YT5OS-ND	5 V, 750 mA LDO-Linearregler	5V, 750mA LDO Linear Regulator	TO-220	3.01	2.41	1.88
CS8151CGN8	CS8151CGN8OS-ND	5 V, 100 mA LDO-Linearregler	5V, 100mA LDO Linear Regulator	8-Dip	2.56	2.05	1.59
CS8151YDPSR7	CS8151YDPSR7OSCT-ND	5 V, 100 mA LDO-Linearregler	5V, 100mA LDO Linear Regulator	D2-PAK	4.74	3.80	3.21
CS8151YDPSR7	CS8151YDPSR7OSTR-ND	5 V, 100 mA LDO-Linearregler	5V, 100mA LDO Linear Regulator	D2-PAK		2257.88/750	
CS8151YDWFR16	CS8151YDWFR16OSCT-ND	5 V, 100 mA LDO-Linearregler	5V, 100mA LDO Linear Regulator	16-SOIC	4.16	3.33	2.59
CS8151YDWFR16	CS8151YDWFR16OSTR-ND	5 V, 100 mA LDO-Linearregler	5V, 100mA LDO Linear Regulator	16-SOIC		2353.55/1,000	
CS8151YNF16	CS8151YNF16OS-ND	5 V, 100 mA LDO-Linearregler	5V, 100mA LDO Linear Regulator	16-Dip	4.34	3.48	2.71
CS8151YT7	CS8151YT7OS-ND	5 V, 100 mA LDO-Linearregler	5V, 100mA LDO Linear Regulator	TO-220	3.78	3.02	2.35
CS8151YTHA7	CS8151YTHA7OS-ND	5 V, 100 mA LDO-Linearregler	5V, 100mA LDO Linear Regulator	TO-220	4.16	3.33	2.59
CS8151YTVA7	CS8151YTVA7OS-ND	5 V, 100 mA LDO-Linearregler	5V, 100mA LDO Linear Regulator	TO-220	4.16	3.33	2.59
CS8190ENF16	CS8190ENF16OS-ND	Air-Core Tach/Speedo Treiber	Air-Core Tach/Speedo Driver	16-Dip	2.99	2.40	1.87
CS8361YDPSR7	CS8361YDPSR7OSCT-ND	Zweif. 5 V Micropower LDO-Regler	5V Dual Micropower LDO Regulator	D2-PAK	3.56	2.85	2.22
CS8361YDPSR7	CS8361YDPSR7OSTR-ND	Zweif. 5 V Micropower LDO-Regler	5V Dual Micropower LDO Regulator	D2-PAK		1543.56/750	
CS8361YDWFR16	CS8361YDWFR16OSCT-ND	Zweif. 5 V Micropower LDO-Regler	5V Dual Micropower LDO Regulator	16-SOIC	3.56	2.85	2.22
CS8361YDWFR16	CS8361YDWFR16OSTR-ND	Zweif. 5 V Micropower LDO-Regler	5V Dual Micropower LDO Regulator	16-SOIC		2018.29/1,000	
CS9201YDFR8	CS9201YDFR8OSCT-ND	5 V, 100 mA, Micropower LDO-Linearregler	Micropower 5V, 100mA LDO Linear Regulator	8-SOIC	2.25	1.80	1.40
CS9201YDFR8	CS9201YDFR8OSTR-ND	5 V, 100 mA, Micropower LDO-Linearregler	Micropower 5V, 100mA LDO Linear Regulator	8-SOIC		3147.24/2,500	
CS9202YDFR8	CS9202YDFR8OSCT-ND	3,3 V, 100 mA LDO-Linearregler	3.3V, 100mA LDO Linear Regulator	8-SOIC	2.25	1.80	1.40
CS9202YDFR8	CS9202YDFR8OSTR-ND	3,3 V, 100 mA LDO-Linearregler	3.3V, 100mA LDO Linear Regulator	8-SOIC		3147.24/2,500	
CS51414EDR8	CS51414EDR8OSCT-ND	1,5 A, 520 kHz Buck-Regler für Niederspannung	1.5A, 520KHz Low Volt. Buck Reg.	8-SOIC	1.79	1.44	1.12
CS51414EDR8	CS51414EDR8OSTR-ND	1,5 A, 520 kHz Buck-Regler für Niederspannung	1.5A, 520KHz Low Volt. Buck Reg.	8-SOIC		2546.15/2,500	
CS59201GDR8	CS59201GDR8OSCT-ND	Winchester Servo-Vorverst.	Winchester Servo Preamp	8-SOIC	4.50	3.60	2.80
CS59201GDR8	CS59201GDR8OSTR-ND	Winchester Servo-Vorverst.	Winchester Servo Preamp	8-SOIC		6294.47/2,500	
LC03-6R2	LC03-6R2OSCT-ND	Oberflächenmontierter TVS mit niedriger Kapazität für HS-Daten-Schnittstelle	Low Capacitance Surface Mount TVS for HS Data Interface	8-SOIC	1.13	.98	.76
LC03-6R2	LC03-6R2OSTR-ND	Oberflächenmontierter TVS mit niedriger Kapazität für HS-Daten-Schnittstelle	Low Capacitance Surface Mount TVS for HS Data Interface	8-SOIC		1001.10/2,500	
LM201AN	LM201ANOS-ND	Unausgeglichener einf. OpAmp	Non-Compensated Single Op Amp	8-Dip	.63	.48	.36
LM211DR2	LM211DR2OSCT-ND	Einf. Differenzialkomparator	Single Comparator	8-SOIC	.52	.39	.29
LM211DR2	LM211DR2OSTR-ND	Einf. Differenzialkomparator	Single Comparator	8-SOIC		416.95/2,500	
LM224DR2	LM224DR2OSCT-ND	Vierf. einzelversorgter OpAmp	Single Supply Quad Op Amp	14-SOIC	.35	.28	.21
LM224DR2	LM224DR2OSTR-ND	Vierf. einzelversorgter OpAmp	Single Supply Quad Op Amp	14-SOIC		213.77/2,500	
LM224N	LM224NOS-ND	Vierf. einzelversorgter OpAmp	Single Supply Quad Op Amp	14-Dip	.47	.38	.28
LM239DR2	LM239DR2OSCT-ND	Vierf. einzelversorgter Komparator	Single Supply Quad Comparator	14-SOIC	.35	.28	.21
LM239DR2	LM239DR2OSTR-ND	Vierf. einzelversorgter Komparator	Single Supply Quad Comparator	14-SOIC		213.77/2,500	
LM239N	LM239NOS-ND	Vierf. einzelversorgter Komparator	Single Supply Quad Comparator	14-Dip	.47	.38	.28
LM2574N-005	LM2574N-005OS-ND	0,5 A, 5 V Step-Down Schaltregler	0.5A, 5V, Step-Down Switching Reg.	8-Dip	1.06	.85	.64
LM2575T-005	LM2575T-005OS-ND	1,0 A, 5 V Step-Down Schaltregler	1.0A, 5V, Step-Down Switching Reg.	TO-220-5	1.56	1.25	.94
LM2575T-ADJ	LM2575T-ADJOS-ND	1,0 A Step-Down-Schaltregler, Ausgangsspann. einstellb.	1.0A, Adj. Output Volt., Step-Down Switching Regulator	TO-220-5	1.56	1.25	.94
LM2576T-005	LM2576T-005OS-ND	3,0 A, 5 V Step-Down Schaltregler	3.0A, 5V, Step-Down Switching Reg.	TO-220-5	2.22	1.85	1.56
LM2576T-ADJ	LM2576T-ADJOS-ND	3,0 A Step-Down-Schaltregler, Ausgangsspann. einstellb.	3.0A, Adj. Output Volt., Step-Down Switching Regulator	TO-220-5	1.73	1.39	1.04
LM258DR2	LM258DR2OSCT-ND	Zweif. einzelversorgter OpAmp	Single Supply Dual Op Amp	8-SOIC	.35	.28	.21
LM258DR2	LM258DR2OSTR-ND	Zweif. einzelversorgter OpAmp	Single Supply Dual Op Amp	8-SOIC		213.77/2,500	
LM258N	LM258NOS-ND	Zweif. einzelversorgter OpAmp	Single Supply Dual Op Amp	8-Dip	.42	.34	.26
LM285D-1.2R2	LM285D-1.2R2OSCT-ND	1,235 V, Micropower Spannungsregelungsdiode	1.235V, Micropower Volt. Reg. Diode	8-SOIC	.63	.48	.36
LM285D-1.2R2	LM285D-1.2R2OSTR-ND	1,235 V, Micropower Spannungsregelungsdiode	1.235V, Micropower Volt. Reg. Diode	8-SOIC		601.09/2,500	
LM285D-2.5R2	LM285D-2.5R2OSCT-ND	2,5 V, Micropower Spannungsregelungsdiode	2.5V, Micropower Volt. Reg. Diode	8-SOIC	.63	.48	.36
LM285D-2.5R2	LM285D-2.5R2OSTR-ND	2,5 V, Micropower Spannungsregelungsdiode	2.5V, Micropower Volt. Reg. Diode	8-SOIC		514.31/2,500	
LM285Z-1.2	LM285Z-1.2OS-ND	1,235 V, Micropower Spannungsregelungsdiode	1.235V, Micropower Volt. Reg. Diode	TO-92	.63	.48	.36
LM285Z-2.5RA	LM285Z-2.5RAOSCT-ND	2,5 V, Micropower Spannungsregelungsdiode	2.5V, Micropower Volt. Reg. Diode	TO-92	.63	.48	.36
LM285Z-2.5RA	LM285Z-2.5RAOSTR-ND	2,5 V, Micropower Spannungsregelungsdiode	2.5V, Micropower Volt. Reg. Diode	TO-92		523.20/2,000	
LM293DR2	LM293DR2OSCT-ND	Zweif. Low-Offset-Spannungskomparator	Low Offset Volt Dual Comparator	8-SOIC	.35	.28	.21
LM293DR2	LM293DR2OSTR-ND	Zweif. Low-Offset-Spannungskomparator	Low Offset Volt Dual Comparator	8-SOIC		213.77/2,500	
LM301AN	LM301ANOS-ND	Unausgeglichener einf. OpAmp	Non-Compensated Single Op Amp	8-Dip	.59	.45	.34
LM311DR2	LM311DR2OSCT-ND	Einf. Differenzialkomparator	Single Comparator	8-SOIC	.45	.36	.27
LM311DR2	LM311DR2OSTR-ND	Einf. Differenzialkomparator	Single Comparator	8-SOIC		647.65/5,000	

(Forts.)

★ *RUFEN SIE BITTE AN FÜR NIEDRIGERE PREISE BEI GRÖSSEREN MENGEN!* ★

ON Semiconductor Teilenr.	Digi-Key Teilenr.	Beschreibung		Paket	Stückpreis★ 1	25	100
LM311N	LM311NOS-ND	Einf. Differenzialkomparator	Single Comparator	8-Dip	.47	.38	.29
LM317BD2TR4	LM317BD2TR4OSCT-ND	1,5 A Positivspannungsreg., Ausgang einstellb.	1.5A, Adj. Out, Positive Volt. Reg.	D2PAK-3	.75	.62	.50
LM317BD2TR4	LM317BD2TR4OSTR-ND	1,5 A Positivspannungsreg., Ausgang einstellb.	1.5A, Adj. Out, Positive Volt. Reg.	D2PAK-3		276.33/800	
LM317BT	LM317BTOS-ND	1,5 A Positivspannungsreg., Ausgang einstellb.	1.5A, Adj. Out, Positive Volt. Reg.	TO-220-3	.64	.48	.37
LM317D2TR4	LM317D2TR4OSCT-ND	1,5 A Positivspannungsreg., Ausgang einstellb.	1.5A, Adj. Out, Positive Volt. Reg.	D2PAK-3	.65	.55	.44
LM317D2TR4	LM317D2TR4OSTR-ND	1,5 A Positivspannungsreg., Ausgang einstellb.	1.5A, Adj. Out, Positive Volt. Reg.	D2PAK-3		243.14/800	
LM317LBD	LM317LBDOS-ND	100 mA Positivspannungsreg., Ausgang einstellb.	100mA, Adj. Out, Positive Volt. Reg.	8-SOIC	.43	.33	.25
LM317LBZ	LM317LBZOS-ND	100 mA Positivspannungsreg., Ausgang einstellb.	100mA, Adj. Out, Positive Volt. Reg.	TO-92	.43	.33	.25
LM317LDR2	LM317LDR2OSCT-ND	100 mA Positivspannungsreg., Ausgang einstellb.	100mA, Adj. Out, Positive Volt. Reg.	8-SOIC	.31	.24	.18
LM317LDR2	LM317LDR2OSTR-ND	100 mA Positivspannungsreg., Ausgang einstellb.	100mA, Adj. Out, Positive Volt. Reg.	8-SOIC		266.68/2,500	
LM317LZ	LM317LZOS-ND	100 mA Positivspannungsreg., Ausgang einstellb.	100mA, Adj. Out, Positive Volt. Reg.	TO-92	.37	.30	.23
LM317MBDT	LM317MBDTOS-ND	500 mA Positivspannungsreg., Ausgang einstellb.	500mA, Adj. Output, Positive Volt. Reg.	DPAK	.79	.60	.45
LM317MDTRK	LM317MDTRKOSCT-ND	500 mA Positivspannungsreg., Ausgang einstellb.	500mA, Adj. Output, Positive Volt. Reg.	DPAK	.47	.40	.32
LM317MDTRK	LM317MDTRKOSTR-ND	500 mA Positivspannungsreg., Ausgang einstellb.	500mA, Adj. Output, Positive Volt. Reg.	DPAK		620.13/2,500	
LM317MT	LM317MTOS-ND	500 mA Positivspannungsreg., Ausgang einstellb.	500mA, Adj. Output, Positive Volt. Regulator	TO-220-3	.55	.42	.32
LM317T	LM317TOS-ND	1,5 A Positivspannungsreg., Ausgang einstellb.	1.5A, Adj. Output, Positive Volt. Regulator	TO-220-3	.52	.39	.29
LM323AT	LM323ATOS-ND	3,0 A, 5 V pos. Spannungsregler	3.0A, 5V, Positive Volt. Regulator	TO-220-3	1.29	1.03	.78
LM324ADR2	LM324ADR2OSCT-ND	Vierf. einzelversorgter OpAmp	Single Supply Quad Op Amp	14-SOIC	.47	.37	.27
LM324ADR2	LM324ADR2OSTR-ND	Vierf. einzelversorgter OpAmp	Single Supply Quad Op Amp	14-SOIC		311.13/2,500	
LM324AN	LM324ANOS-ND	Vierf. einzelversorgter OpAmp	Single Supply Quad Op Amp	14-Dip	.41	.32	.24
LM324DR2	LM324DR2OSCT-ND	Vierf. einzelversorgter OpAmp	Single Supply Quad Op Amp	14-SOIC	.36	.28	.21
LM324DR2	LM324DR2OSTR-ND	Vierf. einzelversorgter OpAmp	Single Supply Quad Op Amp	14-SOIC		237.05/2,500	
LM324N	LM324NOS-ND	Vierf. einzelversorgter OpAmp	Single Supply Quad Op Amp	14-Dip	.47	.38	.28
LM337BD2TR4	LM337BD2TR4OSCT-ND	1,5 A neg. Spannungsreg., Ausgang einstellb.	1.5A, Adj. Output, Neg. Volt. Reg.	D2PAK-3	1.04	.87	.70
LM337BD2TR4	LM337BD2TR4OSTR-ND	1,5 A neg. Spannungsreg., Ausgang einstellb.	1.5A, Adj. Output, Neg. Volt. Reg.	D2PAK-3		387.40/800	
LM337BT	LM337BTOS-ND	1,5 A neg. Spannungsreg., Ausgang einstellb.	1.5A, Adj. Output, Neg. Volt. Reg.	TO-220-3	.69	.57	.46
LM337T	LM337TOS-ND	1,5 A neg. Spannungsreg., Ausgang einstellb.	1.5A, Adj. Output, Neg. Volt. Reg.	TO-220-3	.65	.55	.44
LM339DR2	LM339DR2OSCT-ND	Vierf. einzelversorgter Komparator	Single Supply Quad Comparator	14-SOIC	.36	.28	.21
LM339DR2	LM339DR2OSTR-ND	Vierf. einzelversorgter Komparator	Single Supply Quad Comparator	14-SOIC		237.05/2,500	
LM339N	LM339NOS-ND	Vierf. einzelversorgter Komparator	Single Supply Quad Comparator	14-Dip	.47	.38	.28
LM350T	LM350TOS-ND	3,0 A Positivspannungsreg., Ausgang einstellb.	3.0A, Adj. Out, Positive Volt. Reg.	TO-220-3	1.19	.95	.72
LM358DR2	LM358DR2OSCT-ND	Zweif. einzelversorgter OpAmp	Single Supply Dual Op Amp	8-SOIC	.30	.24	.18
LM358DR2	LM358DR2OSTR-ND	Zweif. einzelversorgter OpAmp	Single Supply Dual Op Amp	8-SOIC		474.10/5,000	
LM358N	LM358NOS-ND	Zweif. einzelversorgter OpAmp	Single Supply Dual Op Amp	8-Dip	.37	.30	.23
LM385BD-1.2	LM385BD-1.2OS-ND	1,235 V, Micropower Spannungsref.-Diode	1.235V, Micropower Volt. Ref. Diode	8-SOIC	.59	.45	.34
LM385BD-2.5R2	LM385BD-2.5R2OSCT-ND	2,5 V, Micropower Spannungsref.-Diode	2.5V, Micropower Volt. Ref. Diode	8-SOIC	.45	.38	.30
LM385BD-2.5R2	LM385BD-2.5R2OSTR-ND	2,5 V, Micropower Spannungsref.-Diode	2.5V, Micropower Volt. Ref. Diode	8-SOIC		482.56/2,500	
LM385BZ-1.2	LM385BZ-1.2OS-ND	1,235 V, Micropower Spannungsref.-Diode	1.235V, Micropower Volt. Ref. Diode	TO-92	.59	.45	.34
LM385BZ-2.5	LM385BZ-2.5OS-ND	2,5 V, Micropower Spannungsref.-Diode	2.5V, Micropower Volt. Ref. Diode	TO-92	.59	.45	.34
LM385D-1.2R2	LM385D-1.2R2OSCT-ND	1,235 V, Micropower Spannungsref.-Diode	1.235V, Micropower Volt. Ref. Diode	8-SOIC	.59	.45	.34
LM385D-1.2R2	LM385D-1.2R2OSTR-ND	1,235 V, Micropower Spannungsref.-Diode	1.235V, Micropower Volt. Ref. Diode	8-SOIC		482.56/2,500	
LM385Z-1.2	LM385Z-1.2OS-ND	1,235 V, Micropower Spannungsref.-Diode	1.235V, Micropower Volt. Ref. Diode	TO-92	.55	.42	.32
LM385Z-2.5	LM385Z-2.5OS-ND	2,5 V, Micropower Spannungsref.-Diode	2.5V, Micropower Volt. Ref. Diode	TO-92	.55	.42	.32
LM393DR2	LM393DR2OSCT-ND	Zweif. Low-Offset-Spannungskomparator	Low Offset Volt. Dual Comparator	8-SOIC	.30	.24	.18
LM393DR2	LM393DR2OSTR-ND	Zweif. Low-Offset-Spannungskomparator	Low Offset Volt. Dual Comparator	8-SOIC		474.10/5,000	
LM393N	LM393NOS-ND	Zweif. Low-Offset-Spannungskomparator	Low Offset Volt. Dual Comparator	8-Dip	.37	.30	.23
LM833DR2	LM833DR2OSCT-ND	Zweif. rauscharmer Audio-OpAmp	Low Noise, Audio Dual Op Amp	8-SOIC	.55	.42	.32
LM833DR2	LM833DR2OSTR-ND	Zweif. rauscharmer Audio-OpAmp	Low Noise, Audio Dual Op Amp	8-SOIC		448.70/2,500	
LM2901DR2	LM2901DR2OSCT-ND	Vierf. einzelversorgter Komparator	Single Supply Quad Comparator	14-SOIC	.32	.26	.20
LM2901DR2	LM2901DR2OSTR-ND	Vierf. einzelversorgter Komparator	Single Supply Quad Comparator	14-SOIC		249.75/2,500	
LM2901N	LM2901NOS-ND	Vierf. einzelversorgter Komparator	Single Supply Quad Comparator	14-Dip	.47	.38	.28
LM2902DR2	LM2902DR2OSCT-ND	Vierf. einzelversorgter OpAmp	Single Supply Quad Op Amp	14-SOIC	.32	.26	.20
LM2902DR2	LM2902DR2OSTR-ND	Vierf. einzelversorgter OpAmp	Single Supply Quad Op Amp	14-SOIC		516.43/5,000	
LM2902N	LM2902NOS-ND	Vierf. einzelversorgter OpAmp	Single Supply Quad Op Amp	14-Dip	.47	.38	.28
LM2903DR2	LM2903DR2OSCT-ND	Zweif. Low-Offset-Spannungskomparator	Low Offset Volt. Dual Comparator	8-SOIC	.38	.31	.22
LM2903DR2	LM2903DR2OSTR-ND	Zweif. Low-Offset-Spannungskomparator	Low Offset Volt. Dual Comparator	8-SOIC		249.75/2,500	
LM2903N	LM2903NOS-ND	Zweif. Low-Offset-Spannungskomparator	Low Offset Volt. Dual Comparator	8-Dip	.35	.28	.21
LM2904DR2	LM2904DR2OSCT-ND	Zweif. einzelversorgter OpAmp	Single Supply Dual Op Amp	8-SOIC	.32	.26	.20
LM2904DR2	LM2904DR2OSTR-ND	Zweif. einzelversorgter OpAmp	Single Supply Dual Op Amp	8-SOIC		249.75/2,500	
LM2904N	LM2904NOS-ND	Zweif. einzelversorgter OpAmp	Single Supply Dual Op Amp	8-Dip	.35	.28	.21
LM2931AD-5.0R2	LM2931AD5.0R2OSCT-ND	100 mA, 5 V, LDO-Spann.regler mit 60 V Lastschnellabgabeschutz	100mA, 5V, LDO Volt. Reg. with 60V Load Dump Protection	8-SOIC	.59	.45	.34
LM2931AD-5.0R2	LM2931AD5.0R2OSTR-ND	100 mA, 5 V, LDO-Spann.regler mit 60 V Lastschnellabgabeschutz	100mA, 5V, LDO Volt. Reg. with 60V Load Dump Protection	8-SOIC		582.04/2,500	
LM2931AT-5.0	LM2931AT-5.0OS-ND	100 mA, 5 V, LDO-Spann.regler mit 60 V Lastschnellabgabeschutz	100mA, 5V, LDO Volt. Reg. with 60V Load Dump Protection	TO-220-3	.94	.79	.63
LM2931AZ-5.0RA	LM2931AZ5.0RAOSCT-ND	100 mA, 5 V, LDO-Spann.regler mit 60 V Lastschnellabgabeschutz	100mA, 5V, LDO Volt. Reg. with 60V Load Dump Protection	TO-92	.59	.45	.34
LM2931AZ-5.0RA	LM2931AZ5.0RAOSTR-ND	100 mA, 5 V, LDO-Spann.regler mit 60 V Lastschnellabgabeschutz	100mA, 5V, LDO Volt. Reg. with 60V Load Dump Protection	TO-92		394.52/2,000	
LM2931CDR2	LM2931CDR2OSCT-ND	0,1 A LDO-Spann.regler mit 60 V Lastschnellabgabeschutz, Ausgang einstellb.	0.1A, Adj. Output, LDO Volt. Reg. with 60V Load Dump Protection	8-SOIC	.55	.42	.32
LM2931CDR2	LM2931CDR2OSTR-ND	0,1 A LDO-Spann.regler mit 60 V Lastschnellabgabeschutz, Ausgang einstellb.	0.1A, Adj. Output, LDO Volt. Reg. with 60V Load Dump Protection	8-SOIC		543.94/2,500	
LM2931CT	LM2931CTOS-ND	0,1 A LDO-Spann.regler mit 60 V Lastschnellabgabeschutz, Ausgang einstellb.	0.1A, Adj. Output, LDO Volt. Reg. with 60V Load Dump Protection	TO-220-5	.91	.80	.62
LM2931D-5.0R2	LM2931D-5.0R2OSCT-ND	100 mA, 5 V, LDO-Spann.regler mit 60 V Lastschnellabgabeschutz	100mA, 5V, LDO Volt. Reg. with 60V Load Dump Protection	8-SOIC	.55	.42	.32
LM2931D-5.0R2	LM2931D-5.0R2OSTR-ND	100 mA, 5 V, LDO-Spann.regler mit 60 V Lastschnellabgabeschutz	100mA, 5V, LDO Volt. Reg. with 60V Load Dump Protection	8-SOIC		448.70/2,500	
LM2931T-5.0	LM2931T-5.0OS-ND	100 mA, 5 V, LDO-Spann.regler mit 60 V Lastschnellabgabeschutz	100mA, 5V, LDO Volt. Reg. with 60V Load Dump Protection	TO-220-3	.77	.65	.52
LM2931Z-5.0	LM2931Z-5.0OS-ND	100 mA, 5 V, LDO-Spann.regler mit 60 V Lastschnellabgabeschutz	100mA, 5V, LDO Volt. Reg. with 60V Load Dump Protection	TO-92	.59	.45	.34
LP2950ACDT-5.0	LP2950ACDT-5.0OS-ND	100 mA, 5 V, LDO-Spannungsregler, NL	100mA, 5V, Low Power LDO Volt. Reg.	DPAK	.83	.63	.47
LP2950ACZ-5.0	LP2950ACZ-5.0OS-ND	100 mA, 5 V, LDO-Spannungsregler, NL	100mA, 5V, Low Power LDO Volt. Reg.	TO-92	.71	.54	.40
LP2950CDT-5.0	LP2950CDT-5.0OS-ND	100 mA, 5 V, LDO-Spannungsregler, NL	100mA, 5V, Low Power LDO Volt. Reg.	DPAK	.79	.60	.45
LP2950CZ-5.0	LP2950CZ-5.0OS-ND	100 mA, 5 V, LDO-Spannungsregler, NL	100mA, 5V, Low Power LDO Volt. Reg.	TO-92	.67	.51	.38
LP2951ACDR2	LP2951ACDR2OSCT-ND	100 mA , 5 V LDO-Spannungsregler, NL	100mA, 5V, LP LDO Volt. Regulator	8-SOIC	.53	.45	.36
LP2951ACDR2	LP2951ACDR2OSTR-ND	100 mA , 5 V LDO-Spannungsregler, NL	100mA, 5V, LP LDO Volt. Regulator	8-SOIC		577.80/2,500	
MAX809JTR	MAX809JTROSCT-ND	4 V, 3-Pin MPU-Reset-Monitor	4V, 3-Pin MPU Reset Monitor	SOT-23	.54	.44	.33
MAX809JTR	MAX809JTROSTR-ND	4 V, 3-Pin MPU-Reset-Monitor	4V, 3-Pin MPU Reset Monitor	SOT-23		485.10/3,000	
MAX809LTR	MAX809LTROSCT-ND	4,63 V, 3-Pin MPU-Reset-Monitor	4.63V, 3-Pin MPU Reset Monitor	SOT-23	.54	.44	.33
MAX809LTR	MAX809LTROSTR-ND	4,63 V, 3-Pin MPU-Reset-Monitor	4.63V, 3-Pin MPU Reset Monitor	SOT-23		485.10/3,000	
MAX809MTR	MAX809MTROSCT-ND	4,38 V, 3-Pin MPU-Reset-Monitor	4.38V, 3-Pin MPU Reset Monitor	SOT-23	.54	.44	.33
MAX809MTR	MAX809MTROSTR-ND	4,38 V, 3-Pin MPU-Reset-Monitor	4.38V, 3-Pin MPU Reset Monitor	SOT-23		485.10/3,000	
MAX809RTR	MAX809RTROSCT-ND	2,63 V, 3-Pin MPU-Reset-Monitor	2.63V, 3-Pin MPU Reset Monitor	SOT-23	.54	.44	.33
MAX809RTR	MAX809RTROSTR-ND	2,63 V, 3-Pin MPU-Reset-Monitor	2.63V, 3-Pin MPU Reset Monitor	SOT-23		485.10/3,000	
MAX809STR	MAX809STROSCT-ND	2,93 V, 3-Pin MPU-Reset-Monitor	2.93V, 3-Pin MPU Reset Monitor	SOT-23	.54	.44	.33
MAX809STR	MAX809STROSTR-ND	2,93 V, 3-Pin MPU-Reset-Monitor	2.93V, 3-Pin MPU Reset Monitor	SOT-23		523.20/3,000	
MAX809TTR	MAX809TTROSCT-ND	3,08 V, 3-Pin MPU-Reset-Monitor	3.08V, 3-Pin MPU Reset Monitor	SOT-23	.54	.44	.33
MAX809TTR	MAX809TTROSTR-ND	3,08 V, 3-Pin MPU-Reset-Monitor	3.08V, 3-Pin MPU Reset Monitor	SOT-23		485.10/3,000	
MAX810MTR	MAX810MTROSCT-ND	4,38 V, 3-Pin MPU-Reset-Monitor	4.38V, 3-Pin MPU Reset Monitor	SOT-23	.47	.36	.27
MAX810MTR	MAX810MTROSTR-ND	4,38 V, 3-Pin MPU-Reset-Monitor	4.38V, 3-Pin MPU Reset Monitor	SOT-23		462.24/3,000	
MAX810TTR	MAX810TTROSCT-ND	3,08 V, 3-Pin MPU-Reset-Monitor	3.08V, 3-Pin MPU Reset Monitor	SOT-23	.47	.36	.27
MAX810TTR	MAX810TTROSTR-ND	3,08 V, 3-Pin MPU-Reset-Monitor	3.08V, 3-Pin MPU Reset Monitor	SOT-23		462.24/3,000	
MC10E016FN	MC10E016FNOS-ND	5 V ECL 8-Bit synch., binärer Aufwärtszähler	5V ECL 8-Bit Sync. Binary Up Counter	28-PLCC	7.05	6.35	5.63
MC10E111FN	MC10E111FNOS-ND	5 V ECL 1:9 Diff. Takttreiber	5V ECL 1:9 Diff. Clock Driver	28-PLCC	7.53	6.03	5.09
MC10E116FN	MC10E116FNOS-ND	Fünff. 5 V ECL Diff. Leitungsempfänger	5V ECL Quint Diff. Line Receiver	28-PLCC	7.75	6.99	6.20
MC10E131FN	MC10E131FNOS-ND	5 V ECL 4-Bit D Flip-Flop	5V ECL 4-Bit D Flip-Flop	28-PLCC	7.75	6.99	6.20
MC10E141FN	MC10E141FNOS-ND	5 V ECL 8-Bit Schaltregler	5V ECL 8-Bit Shift Regulator	28-PLCC	7.75	6.99	6.20
MC10E143FN	MC10E143FNOS-ND	5 V ECL 9-Bit Halteregler	5V ECL 9-Bit Hold Regulator	28-PLCC	7.75	6.99	6.20

(Forts.)

★ ***RUFEN SIE BITTE AN FÜR NIEDRIGERE PREISE BEI GRÖSSEREN MENGEN!*** ★

B

ON Semiconductor Teilenr.	Digi-Key Teilenr.	Beschreibung		Paket	Stückpreis★ 1	25	100
MC10E151FN	MC10E151FNOS-ND	5 V ECL 6-Bit D-Regler	5V ECL 6-Bit D Regulator	28-PLCC	7.75	6.99	6.20
MC10E195FN	MC10E195FNOS-ND	5 V ECL prog. Verzögerungschip	5V ECL Prog. Delay Chip	28-PLCC	7.75	6.99	6.20
MC10E431FN	MC10E431FNOS-ND	5 V ECL 3-Bit Diff. Flip-Flop	5V ECL 3-Bit Diff. Flip-Flop	28-PLCC	7.75	6.99	6.20
MC10E1651FN	MC10E1651FNOS-ND	5 V, -5 V ECL, zweif.- ECL Ausgangskomparator mit Latch	5V, -5V ECL Dual ECL Output Comparator with Latch	20-PLCC	31.75	29.64	27.52
MC10E1652FN	MC10E1652FNOS-ND	5 V ECL, zweif.-ECL Ausgangskomparator mit Latch	5V ECL Dual ECL Output Comparator with Latch	20-PLCC	31.75	29.64	27.52
MC10EL01D	MC10EL01DOS-ND	5 V ECL OR/NOR-Gate, 4 Eingänge	5V ECL 4-In. OR/NOR Gate	8-SOIC	4.23	3.39	2.86
MC10EL04D	MC10EL04DOS-ND	5 V ECL AND/NAND-Gate, 2 Eingänge	5V ECL 2-In. AND/NAND Gate	8-SOIC	4.23	3.39	2.86
MC10EL05D	MC10EL05DOS-ND	5 V ECL Diff. AND/NAND-Gate, 2 Eingänge	5V ECL 2-In. Diff. AND/NAND Gate	8-SOIC	4.23	3.39	2.86
MC10EL07D	MC10EL07DOS-ND	5 V ECL Diff. XOR/XNOR-Gate, 2 Eingänge	5V ECL 2-In. XOR/XNOR Gate	8-SOIC	4.23	3.39	2.86
MC10EL11D	MC10EL11DOS-ND	5 V ECL 1:2 Diff. Fanout-Puffer	5V ECL 1:2 Diff. Fanout Buffer	8-SOIC	4.00	3.20	2.49
MC10EL15D	MC10EL15DOS-ND	5 V ECL 1:4 Taktdist.-Chip	5V ECL 1:4 Clock Dist. Chip	16-SOIC	4.57	3.66	2.85
MC10EL16DR2	MC10EL16DR2OSCT-ND	5 V ECL-Diff. Empfänger	5V ECL Diff. Receiver	8-SOIC	3.81	3.05	2.38
MC10EL16DR2	MC10EL16DR2OSTR-ND	5 V ECL-Diff. Empfänger	5V ECL Diff. Receiver	8-SOIC		5333.58/2,500	
MC10EL31D	MC10EL31DOS-ND	5 V ECL Diff. F/F mit Set/Reset	5V ECL Diff. F/F with Set/Reset	8-SOIC	4.66	3.73	3.15
MC10EL32D	MC10EL32DOS-ND	5 V ECL 2-Teiler	5V ECL 2 Divider	8-SOIC	4.23	3.39	2.86
MC10EL33D	MC10EL33DOS-ND	5 V ECL 4-Teiler	5V ECL 4 Divider	8-SOIC	4.23	3.39	2.86
MC10EL34D	MC10EL34DOS-ND	5 V ECL 2, 4, 8 Takterzeugungs-Chip	5V ECL 2, 4, 8 Clock Generation Chip	16-SOIC	6.10	4.88	4.12
MC10EL51D	MC10EL51DOS-ND	5 V ECL Diff. Uhr Typ D Flip-Flop	5V ECL Diff. Clock D-Type Flip-Flop	8-SOIC	4.23	3.39	2.86
MC10EL52D	MC10EL52DOS-ND	5 V ECL Diff. Daten/Uhr Typ D Flip-Flop	5V ECL Diff. Data/Clock D-Type Flip-Flop	8-SOIC	4.23	3.39	2.86
MC10EL57D	MC10EL57DOS-ND	5 V ECL 4:1 Diff. Mux	5V ECL 4:1 Diff. Mux	16-SOIC	5.93	4.75	4.01
MC10EL58D	MC10EL58DOS-ND	5 V ECL 2:1 Mux	5V ECL 2:1 Mux	8-SOIC	5.08	4.07	3.43
MC10EL89D	MC10EL89DOS-ND	5 V ECL Koaxialkabeltreiber	5V ECL Coaxial Cable Driver	8-SOIC	4.66	3.73	3.15
MC10ELT20D	MC10ELT20DOS-ND	5 V TTL an Diff. PECL Umsetzer	5V TTL to Diff. PECL Translator	8-SOIC	3.62	2.90	2.26
MC10ELT21D	MC10ELT21DOS-ND	5 V Diff. PECL an TTL Umsetzer	5V Diff. PECL to TTL Translator	8-SOIC	3.62	2.90	2.26
MC10ELT22D	MC10ELT22DOS-ND	Zweif. 5 V TTL an Diff. PECL Umsetzer	5V Dual TTL to Diff. PECL Translator	8-SOIC	3.62	2.90	2.26
MC10ELT24D	MC10ELT24DOS-ND	5 V TTL an Diff. ECL Umsetzer	5V TTL to Diff. ECL Translator	8-SOIC	3.62	2.90	2.26
MC10ELT25D	MC10ELT25DOS-ND	-5 V Diff. ECL an TTL Umsetzer	-5V Diff. ECL to TTL Translator	8-SOIC	3.62	2.90	2.26
MC10ELT28D	MC10ELT28DOS-ND	5 V TTL an Diff. PECL und Diff. PECL an TTL Umsetzer	5V TTL to Diff. PECL and Diff. PECL to TTL Translator	8-SOIC	5.08	4.07	3.43
MC10EP01D	MC10EP01DOS-ND	3,3 V/5 V ECL OR/NOR-Gate, 4 Eingänge	3.3V/5V ECL 4-In. OR/NOR Gate	8-SOIC	6.69	5.36	4.52
MC10EP05D	MC10EP05DOS-ND	3,3 V/5 V ECL AND/NAND Diff.-Gate, 2 Eingänge	3.3V/5V ECL 2-In. Diff AND/NAND Gate	8-SOIC	6.69	5.36	4.52
MC10EP05DT	MC10EP05DTOS-ND	3,3 V/5 V ECL AND/NAND Diff.-Gate, 2 Eingänge	3.3V/5V ECL 2-In. Diff AND/NAND Gate	8-TSSOP	6.69	5.36	4.52
MC10EP08D	MC10EP08DOS-ND	3,3 V/5 V ECL Diff. XOR/XNOR-Gate, 2 Eingänge	3.3V/5V ECL 2-In. Diff. XOR/XNOR Gate	8-SOIC	6.69	5.36	4.52
MC10EP11D	MC10EP11DOS-ND	3,3 V/5 V ECL 1:2 Diff. Fanout-Puffer	3.3V/5V ECL 1:2 Diff. Fanout Buffer	8-SOIC	5.84	4.68	3.95
MC10EP11DT	MC10EP11DTOS-ND	3,3 V/5 V ECL 1:2 Diff. Fanout-Puffer	3.3V/5V ECL 1:2 Diff. Fanout Buffer	8-TSSOP	5.84	4.68	3.95
MC10EP16D	MC10EP16DOS-ND	3,3 V/5 V ECL Diff. Empfänger/Treiber	3.3V/5V ECL Diff. Receiver/Driver	8-SOIC	5.08	4.07	3.43
MC10EP16DT	MC10EP16DTOS-ND	3,3 V/5 V ECL Diff. Empfänger/Treiber	3.3V/5V ECL Diff. Receiver/Driver	8-TSSOP	5.08	4.07	3.43
MC10EP17DTR2	MC10EP17DTR2OSCT-ND	Vierf. 3,3 V/5 V ECL Diff. Treiber/Empfänger	3.3V/5V ECL Quad Diff. Driver/Receiver	20-TSSOP	11.50	10.35	9.18
MC10EP17DTR2	MC10EP17DTR2OSTR-ND	Vierf. 3,3 V/5 V ECL Diff. Treiber/Empfänger	3.3V/5V ECL Quad Diff. Driver/Receiver	20-TSSOP		20957.58/2,500	
MC10EP17DWR2	MC10EP17DWR2OSCT-ND	Vierf. 3,3 V/5 V ECL Diff. Treiber/Empfänger	3.3V/5V ECL Quad Diff. Driver/Receiver	20-SOIC	11.50	10.35	9.18
MC10EP17DWR2	MC10EP17DWR2OSTR-ND	Vierf. 3,3 V/5 V ECL Diff. Treiber/Empfänger	3.3V/5V ECL Quad Diff. Driver/Receiver	20-SOIC		8521.03/1,000	
MC10EP29DTR2	MC10EP29DTR2OSCT-ND	Zweif. 3,3 V/5 V ECL Diff. Daten und Uhr D-Flip-Flop mit Set/Reset	3.3V/5V ECL Dual Diff. Data and Clock D Flip-Flop with Set/Reset	20-TSSOP	13.57	12.22	10.84
MC10EP29DTR2	MC10EP29DTR2OSTR-ND	Zweif. 3,3 V/5 V ECL Diff. Daten und Uhr D-Flip-Flop mit Set/Reset	3.3V/5V ECL Dual Diff. Data and Clock D Flip-Flop with Set/Reset	20-TSSOP		24737.65/2,500	
MC10EP32DT	MC10EP32DTOS-ND	3,3 V/5 V ECL 2-Teiler	3.3V/5V ECL 2 Divider	8-TSSOP	6.77	5.42	4.58
MC10EP33DT	MC10EP33DTOS-ND	3,3 V/5 V ECL 4-Teiler	3.3V/5V ECL 4 Divider	8-TSSOP	—	—	5.63
MC10EP35DR2	MC10EP35DR2OSCT-ND	3,3 V/5 V ECL JK Flip-Flop	3.3V/5V ECL JK Flip-Flop	8-SOIC	8.18	7.37	6.54
MC10EP35DR2	MC10EP35DR2OSTR-ND	3,3 V/5 V ECL JK Flip-Flop	3.3V/5V ECL JK Flip-Flop	8-SOIC		14914.98/2,500	
MC10EP35DTR2	MC10EP35DTR2OSCT-ND	3,3 V/5 V ECL JK Flip-Flop	3.3V/5V ECL JK Flip-Flop	8-TSSOP	8.18	7.37	6.54
MC10EP35DTR2	MC10EP35DTR2OSTR-ND	3,3 V/5 V ECL JK Flip-Flop	3.3V/5V ECL JK Flip-Flop	8-TSSOP		14914.98/2,500	
MC10EP52DT	MC10EP52DTOS-ND	3,3 V/5 V ECL Diff. Daten und Uhr Typ D Flip-Flop	3.3V/5V ECL Diff. Data and Clock D-Type Flip-Flop	8-TSSOP	6.77	5.42	4.58
MC10EP56DT	MC10EP56DTOS-ND	Zweif. 3,3 V/5 V ECL Diff. Mux 2:1	3.3V/5V ECL Dual Diff. 2:1 Mux	20-TSSOP	8.39	7.56	6.70
MC10EP57DT	MC10EP57DTOS-ND	3,3 V/5 V ECL 4:1 Diff. Mux	3.3V/5V ECL 4:1 Diff. Mux	20-TSSOP	8.39	7.56	6.70
MC10EP89D	MC10EP89DOS-ND	3,3 V/5 V ECL Koaxialkabeltreiber	3.3V/5V ECL Coaxial Cable Driver	8-SOIC	6.77	5.42	4.58
MC10EP89DT	MC10EP89DTOS-ND	3,3 V/5 V ECL Koaxialkabeltreiber	3.3V/5V ECL Coaxial Cable Driver	8-TSSOP	6.77	5.42	4.58
MC10EP90DTR2	MC10EP90DTR2OSCT-ND	Dreif. -3,3 V/-5 V ECL-Eingang an LVPECL/PECL-Ausgangsumsetzer	-3.3V/-5V Triple ECL Input to LVPECL/PECL Output Translator	20-TSSOP	13.57	12.22	10.84
MC10EP90DTR2	MC10EP90DTR2OSTR-ND	Dreif. -3,3 V/-5 V ECL-Eingang an LVPECL/PECL-Ausgangsumsetzer	-3.3V/-5V Triple ECL Input to LVPECL/PECL Output Translator	20-TSSOP		24737.65/2,500	
MC10EP016FAR2	MC10EP016FAR2OSCT-ND	3,3 V/5 V ECL 8-Bit synch., binärer Aufwärtszähler	3.3V/5V ECL 8-Bit Sync. Binary Up Counter	32-LQFP	16.51	15.41	14.31
MC10EP101FAR2	MC10EP101FAR2OSCT-ND	Vierf. 3,3 V/5 V ECL OR/NOR-Gate, 4 Eingänge	3.3V/5V ECL Quad 4-In. OR/NOR Gate	32-LQFP	13.57	12.22	10.84
MC10EP101FAR2	MC10EP101FAR2OSTR-ND	Vierf. 3,3 V/5 V ECL OR/NOR-Gate, 4 Eingänge	3.3V/5V ECL Quad 4-In. OR/NOR Gate	32-LQFP		20116.91/2,000	
MC10EP105FAR2	MC10EP105FAR2OSCT-ND	Vierf. 3,3 V/5 V ECL Diff. AND/NAND-Gate, 2 Eingänge	3.3V/5V ECL Quad 2-In. Diff. AND/NAND Gate	32-LQFP	13.57	12.22	10.84
MC10EP105FAR2	MC10EP105FAR2OSTR-ND	Vierf. 3,3 V/5 V ECL Diff. AND/NAND-Gate, 2 Eingänge	3.3V/5V ECL Quad 2-In. Diff. AND/NAND Gate	32-LQFP		20116.91/2,000	
MC10EP116FAR2	MC10EP116FAR2OSCT-ND	Sechf. 3,3 V/5 V Diff. Leitungsempfänger/Treiber	3.3V/5V Hex Diff. Line Receiver/Driver	32-LQFP	13.57	12.22	10.84
MC10EP116FAR2	MC10EP116FAR2OSTR-ND	Sechf. 3,3 V/5 V Diff. Leitungsempfänger/Treiber	3.3V/5V Hex Diff. Line Receiver/ Driver	32-LQFP		20116.91/2,000	
MC10EP131FAR2	MC10EP131FAR2OSCT-ND	Vierf. 3,3 V/5 V ECL D-Flip-Flop mit Set/Reset/Diff.Uhr	3.3V/5V ECL Quad D Flip-Flop with Set/Reset/Diff. Clock	32-LQFP	13.57	12.22	10.84
MC10EP131FAR2	MC10EP131FAR2OSTR-ND	Vierf. 3,3 V/5 V ECL D-Flip-Flop mit Set/Reset/Diff.Uhr	3.3V/5V ECL Quad D Flip-Flop with Set/Reset/Diff. Clock	32-LQFP		20116.91/2,000	
MC10EP139DTR2	MC10EP139DTR2OSCT-ND	3,3 V/5 V ECL 2/4, 4/5/6, Taktgeber-Chip	3.3V/5V ECL 2/4, 4/5/6, Clock Generation Chip	20-TSSOP	11.63	10.48	9.29
MC10EP139DTR2	MC10EP139DTR2OSTR-ND	3,3 V/5 V ECL 2/4, 4/5/6, Taktgeber-Chip	3.3V/5V ECL 2/4, 4/5/6, Clock Generation Chip	20-TSSOP		21215.80/2,500	
MC10EP139DWR2	MC10EP139DWR2OSCT-ND	3,3 V/5 V ECL 2/4, 4/5/6, Taktgeber-Chip	3.3V/5V ECL 2/4, 4/5/6, Clock Generation Chip	20-SOIC	11.63	10.48	9.29
MC10EP139DWR2	MC10EP139DWR2OSTR-ND	3,3 V/5 V ECL 2/4, 4/5/6, Taktgeber-Chip	3.3V/5V ECL 2/4, 4/5/6, Clock Generation Chip	20-SOIC		8626.01/1,000	
MC10EP142FAR2	MC10EP142FAR2OSCT-ND	3,3 V/5 V ECL 9-Bit Schieberegister	3.3V/5V ECL 9-Bit Shift Register	32-LQFP	16.07	15.00	13.93
MC10EP142FAR2	MC10EP142FAR2OSTR-ND	3,3 V/5 V ECL 9-Bit Schieberegister	3.3V/5V ECL 9-Bit Shift Register	32-LQFP		26452.86/2,000	
MC10EP195FAR2	MC10EP195FAR2OSCT-ND	3,3 V ECL Prog. Verzögerungschip	3.3V ECL Prog. Delay Chip	32-LQFP	11.99	10.80	9.58
MC10EP195FAR2	MC10EP195FAR2OSTR-ND	3,3 V ECL Prog. Verzögerungschip	3.3V ECL Prog. Delay Chip	32-LQFP		17775.21/2,000	
MC10EP445FAR2	MC10EP445FAR2OSCT-ND	3,3 V/5 V ECL 8-Bit Seriell/Parallel-Wandler	3.3V/5V ECL 8-Bit Serial/Parallel Converter	32-LQFP	16.07	15.00	13.93
MC10EP445FAR2	MC10EP445FAR2OSTR-ND	3,3 V/5 V ECL 8-Bit Seriell/Parallel-Wandler	3.3V/5V ECL 8-Bit Serial/Parallel Converter	32-LQFP		26452.86/2,000	
MC10EP446FAR2	MC10EP446FAR2OSCT-ND	3,3 V/5 V 8-Bit CMOS/ECL/TTL Dateneingang-Parallel/Seriell-Wandler	3.3V/5V 8-Bit CMOS/ECL/TTL Data Input Parallel/Serial Converter	32-LQFP	16.07	15.00	13.93
MC10EP451FAR2	MC10EP451FAR2OSCT-ND	3,3 V/5 V ECL 6-Bit Diff. Register mit Master Reset	3.3V/5V ECL 6-Bit Diff. Register with Master Reset	32-LQFP	16.07	15.00	13.93
MC10EP451FAR2	MC10EP451FAR2OSTR-ND	3,3 V/5 V ECL 6-Bit Diff. Register mit Master Reset	3.3V/5V ECL 6-Bit Diff. Register with Master Reset	32-LQFP		26452.86/2,000	
MC10EPT20D	MC10EPT20DOS-ND	3,3 V LVTTL/LVCMOS an Diff. LVPECL-Umsetzer	3.3V LVTTL/LVCMOS to Diff. LVPECL Translator	8-SOIC	6.77	5.42	4.58
MC10H016FN	MC10H016FNOS-ND	4-Bit Binärzähler	4-Bit Binary Counter	20-PLCC	17.35	16.20	15.04
MC10H016P	MC10H016POS-ND	4-Bit Binärzähler	4-Bit Binary Counter	16-Dip	13.88	12.96	12.03
MC10H115FN	MC10H115FNOS-ND	Vierf. Leitungsempfänger	Quad Line Receiver	20-PLCC	3.35	2.69	2.09
MC10H115P	MC10H115POS-ND	Vierf. Leitungsempfänger	Quad Line Receiver	16-Dip	2.84	2.28	1.77
MC10H116D	MC10H116DOS-ND	Dreif. Leitungsempfänger	Triple Line Receiver	16-SOIC	3.70	2.97	2.31
MC10H116FNR2	MC10H116FNR2OSCT-ND	Dreif. Leitungsempfänger	Triple Line Receiver	20-PLCC	3.35	2.69	2.09
MC10H116FNR2	MC10H116FNR2OSTR-ND	Dreif. Leitungsempfänger	Triple Line Receiver	20-PLCC		1043.01/500	
MC10H116P	MC10H116POS-ND	Dreif. Leitungsempfänger	Triple Line Receiver	16-Dip	2.84	2.28	1.77
MC10H124FN	MC10H124FNOS-ND	Vierf. TTL an MECL-Umsetzer mit TTL-Strobe-Eingang	Quad TTL-to-MECL Translator with TTL Strobe Input	20-PLCC	5.15	4.12	3.48
MC10H124P	MC10H124POS-ND	Vierf. TTL an MECL-Umsetzer mit TTL-Strobe-Eingang	Quad TTL-to-MECL Translator with TTL Strobe Input	16-Dip	4.72	3.78	3.19
MC10H125FNR2	MC10H125FNR2OSCT-ND	Vierf. MECL an TTL-Umsetzer	Quad MECL-to-TTL Translator	20-PLCC	5.15	4.12	3.48
MC10H125FNR2	MC10H125FNR2OSTR-ND	Vierf. MECL an TTL-Umsetzer	Quad MECL-to-TTL Translator	20-PLCC		1634.36/500	
MC10H125P	MC10H125POS-ND	Vierf. MECL an TTL-Umsetzer	Quad MECL-to-TTL Translator	16-Dip	4.72	3.78	3.19
MC10H131FNR2	MC10H131FNR2OSCT-ND	Zweif. Master-Slave Flip-Flop, Typ D	Dual D Type Master-Slave Flip-Flop	20-PLCC	5.52	4.42	3.73
MC10H131FNR2	MC10H131FNR2OSTR-ND	Zweif. Master-Slave Flip-Flop, Typ D	Dual D Type Master-Slave Flip-Flop	20-PLCC		1793.95/500	
MC10H131P	MC10H131POS-ND	Zweif. Master-Slave Flip-Flop, Typ D	Dual D Type Master-Slave Flip-Flop	16-Dip	4.72	3.78	3.19
MC10H350FN	MC10H350FNOS-ND	PECL an TTL-Umsetzer	PECL to TTL Translator	20-PLCC	10.58	9.53	8.45
MC10H350P	MC10H350POS-ND	PECL an TTL-Umsetzer	PECL to TTL Translator	16-Dip	12.83	11.98	11.12
MC10H351FN	MC10H351FNOS-ND	Vierf. TTL/NMOS an PECL-Umsetzer	Quad TTL/NMOS to PECL Translator	20-PLCC	10.58	9.53	8.45
MC10H600FN	MC10H600FNOS-ND	9-Bit TTL an ECL-Umsetzer	9-Bit TTL to ECL Translator	28-PLCC	7.90	7.12	6.31
MC10H601FN	MC10H601FNOS-ND	9Bit ECL an TTL-Umsetzer	9-Bit ECL to TTL Translator	28-PLCC	7.90	7.12	6.31
MC10H604FN	MC10H604FNOS-ND	Sechsf. reg. TTL an ECL-Umsetzer	Reg. Hex TTL to ECL Translator	28-PLCC	13.91	12.53	11.11

(Forts.)

★ *RUFEN SIE BITTE AN FÜR NIEDRIGERE PREISE BEI GRÖSSEREN MENGEN!* ★

ON Semiconductor Teilenr.	Digi-Key Teilenr.	Beschreibung		Paket	Stückpreis★ 1	25	100
MC10SX1130D	MC10SX1130DOS-ND	LED-Treiber	LED Driver	16-SOIC	8.11	7.31	6.48
MC26LS30DR2	MC26LS30DR2OSCT-ND	Zweif. Differenzial-Leitungstreiber	Dual Differential Line Driver	16-SOIC	1.08	.87	.66
MC26LS30DR2	MC26LS30DR2OSTR-ND	Zweif. Differenzial-Leitungstreiber	Dual Differential Line Driver	16-SOIC		1390.54/2,500	
MC74AC00DR2	MC74AC00DR2OSCT-ND	Vierf. NAND-Gate mit 2 Eingängen	Quad 2-In. NAND Gate	14-SOIC	.35	.28	.21
MC74AC00DR2	MC74AC00DR2OSTR-ND	Vierf. NAND-Gate mit 2 Eingängen	Quad 2-In. NAND Gate	14-SOIC		232.82/2,500	
MC74AC02DR2	MC74AC02DR2OSCT-ND	Vierf. NOR-Gate mit 2 Eingängen	Quad 2-In. NOR Gate	14-SOIC	.35	.28	.21
MC74AC02DR2	MC74AC02DR2OSTR-ND	Vierf. NOR-Gate mit 2 Eingängen	Quad 2-In. NOR Gate	14-SOIC		232.82/2,500	
MC74AC02N	MC74AC02NOS-ND	Vierf. NOR-Gate mit 2 Eingängen	Quad 2-In. NOR Gate	14-Dip	.41	.32	.24
MC74AC04DR2	MC74AC04DR2OSCT-ND	Sechsf. Inverter	Hex Inverter	14-SOIC	.35	.28	.21
MC74AC04DR2	MC74AC04DR2OSTR-ND	Sechsf. Inverter	Hex Inverter	14-SOIC		232.82/2,500	
MC74AC08DR2	MC74AC08DR2OSCT-ND	Vierf. AND-Gate mit 2 Eingängen	Quad 2-In. AND Gate	14-SOIC	.35	.28	.21
MC74AC08DR2	MC74AC08DR2OSTR-ND	Vierf. AND-Gate mit 2 Eingängen	Quad 2-In. AND Gate	14-SOIC		232.82/2,500	
MC74AC08N	MC74AC08NOS-ND	Vierf. AND-Gate mit 2 Eingängen	Quad 2-In. AND Gate	14-Dip	.41	.32	.24
MC74AC10DR2	MC74AC10DR2OSCT-ND	Dreif. NAND-Gate mit 3 Eingängen	Triple 3-In. NAND Gate	14-SOIC	.35	.28	.21
MC74AC10DR2	MC74AC10DR2OSTR-ND	Dreif. NAND-Gate mit 3 Eingängen	Triple 3-In. NAND Gate	14-SOIC		562.99/5,000	
MC74AC11D	MC74AC11DOS-ND	Dreif. AND-Gate mit 3 Eingängen	Triple 3-In. AND Gate	14-SOIC	.35	.28	.21
MC74AC14DR2	MC74AC14DR2OSCT-ND	Sechsf. Schmitt-Trigger, Inverter	Hex Inverter Schmitt-Trigger	14-SOIC	.52	.42	.32
MC74AC14DR2	MC74AC14DR2OSTR-ND	Sechsf. Schmitt-Trigger, Inverter	Hex Inverter Schmitt-Trigger	14-SOIC		395.79/2,500	
MC74AC14N	MC74AC14NOS-ND	Sechsf. Schmitt-Trigger, Inverter	Hex Inverter Schmitt-Trigger	14-Dip	.41	.32	.24
MC74AC32DR2	MC74AC32DR2OSCT-ND	Vierf. OR-Gate mit 2 Eingängen	Quad 2-In. OR Gate	14-SOIC	.35	.28	.21
MC74AC32DR2	MC74AC32DR2OSTR-ND	Vierf. OR-Gate mit 2 Eingängen	Quad 2-In. OR Gate	14-SOIC		232.82/2,500	
MC74AC32N	MC74AC32NOS-ND	Vierf. OR-Gate mit 2 Eingängen	Quad 2-In. OR Gate	14-Dip	.43	.33	.25
MC74AC74DR2	MC74AC74DR2OSCT-ND	Zweif. D-Flip-Flop mit positiver Taktflanke	Dual D-Type Positive-Edge-Triggered Flip-Flop	14-SOIC	.41	.33	.25
MC74AC74DR2	MC74AC74DR2OSTR-ND	Zweif. D-Flip-Flop mit positiver Taktflanke	Dual D-Type Positive-Edge-Triggered Flip-Flop	14-SOIC		273.03/2,500	
MC74AC74N	MC74AC74NOS-ND	Zweif. D-Flip-Flop mit positiver Taktflanke	Dual D-Type Positive-Edge-Triggered Flip-Flop	14-Dip	.46	.35	.26
MC74AC86DR2	MC74AC86DR2OSCT-ND	Vierf. Exklusiv-OR-Gate mit 2 Eingängen	Quad 2-Input Exclusive-OR Gate	14-SOIC	.40	.32	.24
MC74AC86DR2	MC74AC86DR2OSTR-ND	Vierf. Exklusiv-OR-Gate mit 2 Eingängen	Quad 2-Input Exclusive-OR Gate	14-SOIC		266.68/2,500	
MC74AC125DR2	MC74AC125DR2OSCT-ND	Vierf. Puffer, Tri-State	Tri-State Quad Buffer	14-SOIC	.36	.27	.21
MC74AC125DR2	MC74AC125DR2OSTR-ND	Vierf. Puffer, Tri-State	Tri-State Quad Buffer	14-SOIC		300.54/2,500	
MC74AC138DR2	MC74AC138DR2OSCT-ND	1-8 Dekodierer/Demux	1-8 Decoder/Demux	16-SOIC	.39	.29	.22
MC74AC138DR2	MC74AC138DR2OSTR-ND	1-8 Dekodierer/Demux	1-8 Decoder/Demux	16-SOIC		325.94/2,500	
MC74AC138N	MC74AC138NOS-ND	1-8 Dekodierer/Demux	1-8 Decoder/Demux	16-Dip	.59	.45	.34
MC74AC139DR2	MC74AC139DR2OSCT-ND	Zweif. 1-4 Dekodierer/Demux	Dual 1-4 Decoder/Demux	16-SOIC	.39	.29	.22
MC74AC139DR2	MC74AC139DR2OSTR-ND	Zweif. 1-4 Dekodierer/Demux	Dual 1-4 Decoder/Demux	16-SOIC		325.94/2,500	
MC74AC244DWR2	MC74AC244DWR2OSCT-ND	Achtf. Puffer-/Leitungstreiber, Tri-St.	Tri-St. Octal Buffer/Line Driver	20-SOIC	.55	.42	.32
MC74AC244DWR2	MC74AC244DWR2OSTR-ND	Achtf. Puffer-/Leitungstreiber, Tri-St.	Tri-St. Octal Buffer/Line Driver	20-SOIC		183.71/1,000	
MC74AC244N	MC74AC244NOS-ND	Achtf. Puffer-/Leitungstreiber, Tri-St.	Tri-St. Octal Buffer/Line Driver	20-Dip	.66	.50	.38
MC74AC245DWR2	MC74AC245DWR2OSCT-ND	Achtf. bidirektionaler Transceiver, Tri-St.	Tri-St. Octal Bi-Directional Transceiver	20-SOIC	.55	.42	.32
MC74AC245DWR2	MC74AC245DWR2OSTR-ND	Achtf. bidirektionaler Transceiver, Tri-St.	Tri-St. Octal Bi-Directional Transceiver	20-SOIC		435.15/2,000	
MC74AC273DWR2	MC74AC273DWR2OSCT-ND	Achtf. D-Flip-Flop	Octal D-Type Flip-Flop	20-SOIC	.55	.42	.32
MC74AC273DWR2	MC74AC273DWR2OSTR-ND	Achtf. D-Flip-Flop	Octal D-Type Flip-Flop	20-SOIC		183.71/1,000	
MC74AC273N	MC74AC273NOS-ND	Achtf. D-Flip-Flop	Octal D-Type Flip-Flop	20-Dip	.66	.50	.38
MC74AC373DWR2	MC74AC373DWR2OSCT-ND	Achtf. transparenter Latch, Tri-St.	Tri-St. Octal Transparent Latch	20-SOIC	.55	.42	.32
MC74AC373DWR2	MC74AC373DWR2OSTR-ND	Achtf. transparenter Latch, Tri-St.	Tri-St. Octal Transparent Latch	20-SOIC		183.71/1,000	
MC74AC373N	MC74AC373NOS-ND	Achtf. transparenter Latch, Tri-St.	Tri-St. Octal Transparent Latch	20-Dip	.84	.67	.51
MC74AC541DWR2	MC74AC541DWR2OSCT-ND	Achtf. Leitungstreiber, Tri-St.	Tri-St. Octal Line Driver	20-SOIC	.59	.45	.34
MC74AC541DWR2	MC74AC541DWR2OSTR-ND	Achtf. Leitungstreiber, Tri-St.	Tri-St. Octal Line Driver	20-SOIC		197.26/1,000	
MC74AC573DWR2	MC74AC573DWR2OSCT-ND	Achtf. Puffer-/Leitungstreiber, Tri-St.	Tri-St. Octal Buffer/Line Driver	20-SOIC	.55	.42	.32
MC74AC573DWR2	MC74AC573DWR2OSTR-ND	Achtf. Puffer-/Leitungstreiber, Tri-St.	Tri-St. Octal Buffer/Line Driver	20-SOIC		183.71/1,000	
MC74AC573N	MC74AC573NOS-ND	Achtf. Puffer-/Leitungstreiber, Tri-St.	Tri-St. Octal Buffer/Line Driver	20-Dip	.89	.72	.54
MC74AC574DWR2	MC74AC574DWR2OSCT-ND	Tri-St D-Flip-Flop	Tri-St. D-Type Flip-Flop	20-SOIC	.55	.42	.32
MC74AC574DWR2	MC74AC574DWR2OSTR-ND	Tri-St D-Flip-Flop	Tri-St. D-Type Flip-Flop	20-SOIC		183.71/1,000	
MC74ACT00DR2	MC74ACT00DR2OSCT-ND	Vierf. NAND-Gate mit 2 Eingängen	Quad 2-In. NAND Gate	14-SOIC	.35	.28	.21
MC74ACT00DR2	MC74ACT00DR2OSTR-ND	Vierf. NAND-Gate mit 2 Eingängen	Quad 2-In. NAND Gate	14-SOIC		562.99/5,000	
MC74ACT02DR2	MC74ACT02DR2OSCT-ND	Vierf. NOR-Gate mit 2 Eingängen	Quad 2-In. NOR Gate	14-SOIC	.35	.28	.21
MC74ACT02DR2	MC74ACT02DR2OSTR-ND	Vierf. NOR-Gate mit 2 Eingängen	Quad 2-In. NOR Gate	14-SOIC		232.82/2,500	
MC74ACT04DR2	MC74ACT04DR2OSCT-ND	Sechsf. Inverter	Hex Inverter	14-SOIC	.35	.28	.21
MC74ACT04DR2	MC74ACT04DR2OSTR-ND	Sechsf. Inverter	Hex Inverter	14-SOIC		562.99/5,000	
MC74ACT04N	MC74ACT04NOS-ND	Sechsf. Inverter	Hex Inverter	14-Dip	.41	.32	.24
MC74ACT05DR2	MC74ACT05DR2OSCT-ND	Sechsf. Inverter mit OD-Ausgang	Hex Inverter with OD Output	14-SOIC	.35	.28	.21
MC74ACT05DR2	MC74ACT05DR2OSTR-ND	Sechsf. Inverter mit OD-Ausgang	Hex Inverter with OD Output	14-SOIC		562.99/5,000	
MC74ACT08DR2	MC74ACT08DR2OSCT-ND	Vierf. AND-Gate mit 2 Eingängen	Quad 2-In. AND Gate	14-SOIC	.35	.28	.21
MC74ACT08DR2	MC74ACT08DR2OSTR-ND	Vierf. AND-Gate mit 2 Eingängen	Quad 2-In. AND Gate	14-SOIC		562.99/5,000	
MC74ACT08N	MC74ACT08NOS-ND	Vierf. AND-Gate mit 2 Eingängen	Quad 2-In. AND Gate	14-Dip	.41	.32	.24
MC74ACT14DR2	MC74ACT14DR2OSCT-ND	Sechsf. invertierender Schmitt-Trigger	Hex Inverter Schmitt Trigger	14-SOIC	.52	.42	.32
MC74ACT14DR2	MC74ACT14DR2OSTR-ND	Sechsf. invertierender Schmitt-Trigger	Hex Inverter Schmitt Trigger	14-SOIC		395.79/2,500	
MC74ACT14N	MC74ACT14NOS-ND	Sechsf. invertierender Schmitt-Trigger	Hex Inverter Schmitt Trigger	14-Dip	.41	.32	.24
MC74ACT32DR2	MC74ACT32DR2OSCT-ND	Vierf. OR-Gate mit 2 Eingängen	Quad 2-In. OR Gate	14-SOIC	.35	.28	.21
MC74ACT32DR2	MC74ACT32DR2OSTR-ND	Vierf. OR-Gate mit 2 Eingängen	Quad 2-In. OR Gate	14-SOIC		562.99/5,000	
MC74ACT32N	MC74ACT32NOS-ND	Vierf. OR-Gate mit 2 Eingängen	Quad 2-In. OR Gate	14-Dip	.35	.28	.21
MC74ACT74DR2	MC74ACT74DR2OSCT-ND	Zweif. D-Flip-Flop mit positiver Taktflanke	Dual D-Type Positive-Edge-Triggered Flip-Flop	14-SOIC	.41	.33	.25
MC74ACT74DR2	MC74ACT74DR2OSTR-ND	Zweif. D-Flip-Flop mit positiver Taktflanke	Dual D-Type Positive-Edge-Triggered Flip-Flop	14-SOIC		273.03/2,500	
MC74ACT86DR2	MC74ACT86DR2OSCT-ND	Vierf. Exklusiv-OR-Gate mit 2 Eing.	Quad 2-In. Exclusive OR Gate	14-SOIC	.40	.32	.24
MC74ACT86DR2	MC74ACT86DR2OSTR-ND	Vierf. Exklusiv-OR-Gate mit 2 Eing.	Quad 2-In. Exclusive OR Gate	14-SOIC		266.68/2,500	
MC74ACT125DR2	MC74ACT125DR2OSCT-ND	Vierf. Puffer, Tri-State	Tri-State Quad Buffer	14-SOIC	.34	.26	.19
MC74ACT125DR2	MC74ACT125DR2OSTR-ND	Vierf. Puffer, Tri-State	Tri-State Quad Buffer	14-SOIC		283.61/2,500	
MC74ACT138DR2	MC74ACT138DR2OSCT-ND	1-8 Dekodierer/Demux	1-8 Decoder/Demux	16-SOIC	.39	.29	.22
MC74ACT138DR2	MC74ACT138DR2OSTR-ND	1-8 Dekodierer/Demux	1-8 Decoder/Demux	16-SOIC		325.94/2,500	
MC74ACT138N	MC74ACT138NOS-ND	1-8 Dekodierer/Demux	1-8 Decoder/Demux	16-Dip	.60	.45	.34
MC74ACT157DR2	MC74ACT157DR2OSCT-ND	Vierf. Multiplexer, 2 Eing.	Quad 2-In. Multiplexer	16-SOIC	.40	.30	.23
MC74ACT157DR2	MC74ACT157DR2OSTR-ND	Vierf. Multiplexer, 2 Eing.	Quad 2-In. Multiplexer	16-SOIC		334.41/2,500	
MC74ACT244DWR2	MC74ACT244DWROSCT-ND	Achtf. Puffer-/Leitungstreiber, Tri-St.	Tri-St. Octal Buffer/Line Driver	20-SOIC	.55	.42	.32
MC74ACT244DWR2	MC74ACT244DWROSTR-ND	Achtf. Puffer-/Leitungstreiber, Tri-St.	Tri-St. Octal Buffer/Line Driver	20-SOIC		435.15/2,000	
MC74ACT244N	MC74ACT244NOS-ND	Achtf. Puffer-/Leitungstreiber, Tri-St.	Tri-St. Octal Buffer/Line Driver	20-Dip	.66	.50	.38
MC74ACT245DWR2	MC74ACT245DWROSCT-ND	Achtf. bidirektionaler Transceiver, Tri-St.	Tri-St. Octal Bi-Directional Transceiver	20-SOIC	.55	.42	.32
MC74ACT245DWR2	MC74ACT245DWROSTR-ND	Achtf. bidirektionaler Transceiver, Tri-St.	Tri-St. Octal Bi-Directional Transceiver	20-SOIC		435.15/2,000	
MC74ACT245N	MC74ACT245NOS-ND	Achtf. bidirektionaler Transceiver, Tri-St.	Tri-St. Octal Bi-Directional Transceiver	20-Dip	.84	.67	.51
MC74ACT273DWR2	MC74ACT273DWROSCT-ND	Achtf. D-Flip-Flop	Octal D-Type Flip-Flop	20-SOIC	.55	.42	.32
MC74ACT273DWR2	MC74ACT273DWROSTR-ND	Achtf. D-Flip-Flop	Octal D-Type Flip-Flop	20-SOIC		435.15/2,000	
MC74ACT273N	MC74ACT273NOS-ND	Achtf. D-Flip-Flop	Octal D-Type Flip-Flop	20-Dip	.66	.50	.38
MC74ACT373DWR2	MC74ACT373DWROSCT-ND	Achtf. transparenter Latch, Tri-St.	Tri-St. Octal Transparent Latch	20-SOIC	.55	.42	.32
MC74ACT373DWR2	MC74ACT373DWROSTR-ND	Achtf. transparenter Latch, Tri-St.	Tri-St. Octal Transparent Latch	20-SOIC		183.71/1,000	
MC74ACT374DWR2	MC74ACT374DWROSCT-ND	Achtf. D-Flip-Flop, Tri-St.	Tri-St. Octal D-Type Flip-Flop	20-SOIC	.55	.42	.32
MC74ACT374DWR2	MC74ACT374DWROSTR-ND	Achtf. D-Flip-Flop, Tri-St.	Tri-St. Octal D-Type Flip-Flop	20-SOIC		435.15/1,000	
MC74ACT374N	MC74ACT374NOS-ND	Achtf. D-Flip-Flop, Tri-St.	Tri-St. Octal D-Type Flip-Flop	20-Dip	.66	.50	.38
MC74ACT540DW	MC74ACT540DWOS-ND	Achtf. Leitungstreiber, Tri-St.	Tri-St. Octal Line Driver	20-SOIC	.59	.45	.34
MC74ACT541DT	MC74ACT541DTOS-ND	Achtf. Leitungstreiber	Octal Line Driver	20-TSSOP	.59	.45	.34
MC74ACT541DWR2	MC74ACT541DWROSCT-ND	Achtf. Leitungstreiber	Octal Line Driver	20-SOIC	.59	.45	.34
MC74ACT541DWR2	MC74ACT541DWROSTR-ND	Achtf. Leitungstreiber	Octal Line Driver	20-SOIC		197.26/1,000	
MC74ACT541N	MC74ACT541NOS-ND	Achtf. Leitungstreiber	Octal Line Driver	20-Dip	.75	.57	.43

(Forts.)

★ ***RUFEN SIE BITTE AN FÜR NIEDRIGERE PREISE BEI GRÖSSEREN MENGEN!*** ★

B

ON Semiconductor Teilenr.	Digi-Key Teilenr.	Beschreibung		Paket	Stückpreis★ 1	25	100
MC74ACT573DWR2	MC74ACT573DWROSCT-ND	Achtf. Puffer-/Leitungstreiber, Tri-St.	Tri-St. Octal Buffer/Line Driver	20-SOIC	.55	.42	.32
MC74ACT573DWR2	MC74ACT573DWROSTR-ND	Achtf. Puffer-/Leitungstreiber, Tri-St.	Tri-St. Octal Buffer/Line Driver	20-SOIC		183.71/1,000	
MC74ACT574DWR2	MC74ACT574DWROSCT-ND	Achtf. D-Flip-Flop, Tri-St.	Tri-St. Octal D-Type Flip-Flop	20-SOIC	.55	.42	.32
MC74ACT574DWR2	MC74ACT574DWROSTR-ND	Achtf. D-Flip-Flop, Tri-St.	Tri-St. Octal D-Type Flip-Flop	20-SOIC		183.71/1,000	
MC74ACT640N	MC74ACT640NOS-ND	Achtf. invertierender Transceiver, Tri-St.	Tri-St. Octal Inverting Transceiver	20-Dip	1.48	1.19	.89
MC74HC00ADR2	MC74HC00ADR2OSCT-ND	Vierf. NAND-Gate mit 2 Eingängen	Quad 2-Input NAND Gate	14-SOIC	.41	.32	.23
MC74HC00ADR2	MC74HC00ADR2OSTR-ND	Vierf. NAND-Gate mit 2 Eingängen	Quad 2-Input NAND Gate	14-SOIC		270.91/2,500	
MC74HC00AN	MC74HC00ANOS-ND	Vierf. NAND-Gate mit 2 Eingängen	Quad 2-Input NAND Gate	14-Dip	.52	.42	.31
MC74HC02ADR2	MC74HC02ADR2OSCT-ND	Vierf. NOR-Gate mit 2 Eingängen	Quad 2-Input NOR Gate	14-SOIC	.41	.32	.23
MC74HC02ADR2	MC74HC02ADR2OSTR-ND	Vierf. NOR-Gate mit 2 Eingängen	Quad 2-Input NOR Gate	14-SOIC		270.91/2,500	
MC74HC02AN	MC74HC02ANOS-ND	Vierf. NOR-Gate mit 2 Eingängen	Quad 2-Input NOR Gate	14-Dip	.52	.42	.31
MC74HC03ADR2	MC74HC03ADR2OSCT-ND	Vierf. NAND-Gate mit 2 Eingängen und OD-Ausgang	Quad 2-Input NAND Gate with OD Output	14-SOIC	.41	.32	.23
MC74HC03ADR2	MC74HC03ADR2OSTR-ND	Vierf. NAND-Gate mit 2 Eingängen und OD-Ausgang	Quad 2-Input NAND Gate with OD Output	14-SOIC		270.91/2,500	
MC74HC03AN	MC74HC03ANOS-ND	Vierf. NAND-Gate mit 2 Eingängen und OD-Ausgang	Quad 2-Input NAND Gate with OD Output	14-Dip	.52	.42	.31
MC74HC04ADR2	MC74HC04ADR2OSCT-ND	Sechsf. Inverter	Hex Inverter	14-SOIC	.41	.32	.23
MC74HC04ADR2	MC74HC04ADR2OSTR-ND	Sechsf. Inverter	Hex Inverter	14-SOIC		270.91/2,500	
MC74HC04AN	MC74HC04ANOS-ND	Sechsf. Inverter	Hex Inverter	14-Dip	.52	.42	.31
MC74HC08ADR2	MC74HC08ADR2OSCT-ND	Vierf. AND-Gate mit 2 Eingängen	Quad 2-Input AND Gate	14-SOIC	.41	.32	.23
MC74HC08ADR2	MC74HC08ADR2OSTR-ND	Vierf. AND-Gate mit 2 Eingängen	Quad 2-Input AND Gate	14-SOIC		270.91/2,500	
MC74HC08ADTR2	MC74HC08ADTR2OSCT-ND	Vierf. AND-Gate mit 2 Eingängen	Quad 2-Input AND Gate	14-TSSOP	.41	.32	.23
MC74HC08ADTR2	MC74HC08ADTR2OSTR-ND	Vierf. AND-Gate mit 2 Eingängen	Quad 2-Input AND Gate	14-TSSOP		270.91/2,500	
MC74HC08AN	MC74HC08ANOS-ND	Vierf. AND-Gate mit 2 Eingängen	Quad 2-Input AND Gate	14-Dip	.52	.42	.31
MC74HC14ADR2	MC74HC14ADR2OSCT-ND	Sechsf. Schmitt-Trigger-Inverter	Hex Schmitt-Trigger Inverter	14-SOIC	.47	.37	.27
MC74HC14ADR2	MC74HC14ADR2OSTR-ND	Sechsf. Schmitt-Trigger-Inverter	Hex Schmitt-Trigger Inverter	14-SOIC		311.13/2,500	
MC74HC14ADTR2	MC74HC14ADTR2OSCT-ND	Sechsf. Schmitt-Trigger-Inverter	Hex Schmitt-Trigger Inverter	14-TSSOP	.47	.37	.27
MC74HC14ADTR2	MC74HC14ADTR2OSTR-ND	Sechsf. Schmitt-Trigger-Inverter	Hex Schmitt-Trigger Inverter	14-TSSOP		562.40/5,000	
MC74HC14AN	MC74HC14ANOS-ND	Sechsf. Schmitt-Trigger-Inverter	Hex Schmitt-Trigger Inverter	14-Dip	.56	.45	.34
MC74HC32ADR2	MC74HC32ADR2OSCT-ND	Vierf. OR-Gate mit 2 Eingängen	Quad 2-Input OR Gate	14-SOIC	.41	.32	.23
MC74HC32ADR2	MC74HC32ADR2OSTR-ND	Vierf. OR-Gate mit 2 Eingängen	Quad 2-Input OR Gate	14-SOIC		270.91/2,500	
MC74HC32AN	MC74HC32ANOS-ND	Vierf. OR-Gate mit 2 Eingängen	Quad 2-Input OR Gate	14-Dip	.52	.42	.31
MC74HC74ADR2	MC74HC74ADR2OSCT-ND	Zweif. D-Flip-Flop	Dual D-Type Flip-Flop	14-SOIC	.47	.37	.27
MC74HC74ADR2	MC74HC74ADR2OSTR-ND	Zweif. D-Flip-Flop	Dual D-Type Flip-Flop	14-SOIC		311.13/2,500	
MC74HC74ADTR2	MC74HC74ADTR2OSCT-ND	Zweif. D-Flip-Flop	Dual D-Type Flip-Flop	14-TSSOP	.47	.37	.27
MC74HC74ADTR2	MC74HC74ADTR2OSTR-ND	Zweif. D-Flip-Flop	Dual D-Type Flip-Flop	14-TSSOP		311.13/2,500	
MC74HC74AN	MC74HC74ANOS-ND	Zweif. D-Flip-Flop	Dual D-Type Flip-Flop	14-Dip	.56	.45	.34
MC74HC86ADR2	MC74HC86ADR2OSCT-ND	Vierf. Exklusiv-OR-Gate mit 2 Eingängen	Quad 2-Input Exclusive-OR Gate	14-SOIC	.45	.35	.25
MC74HC86ADR2	MC74HC86ADR2OSTR-ND	Vierf. Exklusiv-OR-Gate mit 2 Eingängen	Quad 2-Input Exclusive-OR Gate	14-SOIC		292.08/2,500	
MC74HC86AN	MC74HC86ANOS-ND	Vierf. Exklusiv-OR-Gate mit 2 Eingängen	Quad 2-Input Exclusive-OR Gate	14-Dip	.41	.32	.24
MC74HC125ADR2	MC74HC125ADR2OSCT-ND	Vierf. nicht invertierender Puffer, Tri-St.	Tri-St. Quad Non-Inverting Buffer	14-SOIC	.40	.32	.24
MC74HC125ADR2	MC74HC125ADR2OSTR-ND	Vierf. nicht invertierender Puffer, Tri-St.	Tri-St. Quad Non-Inverting Buffer	14-SOIC		266.68/2,500	
MC74HC125AN	MC74HC125ANOS-ND	Vierf. nicht invertierender Puffer, Tri-St.	Tri-St. Quad Non-Inverting Buffer	14-Dip	.58	.47	.36
MC74HC126ADR2	MC74HC126ADR2OSCT-ND	Vierf. nicht invertierender Puffer, Tri-St.	Tri-St. Quad Non-Inverting Buffer	14-SOIC	.40	.32	.24
MC74HC126ADR2	MC74HC126ADR2OSTR-ND	Vierf. nicht invertierender Puffer, Tri-St.	Tri-St. Quad Non-Inverting Buffer	14-SOIC		266.68/2,500	
MC74HC126AN	MC74HC126ANOS-ND	Vierf. nicht invertierender Puffer, Tri-St.	Tri-St. Quad Non-Inverting Buffer	14-Dip	.58	.47	.36
MC74HC132ADR2	MC74HC132ADR2OSCT-ND	Vierf. NAND-Gate mit Schmitt-Trigger-Eingang, 2 Eing.	Quad 2-In. NAND Gate with Schmitt Trigger Input	14-SOIC	.40	.32	.24
MC74HC132ADR2	MC74HC132ADR2OSTR-ND	Vierf. NAND-Gate mit Schmitt-Trigger-Eingang, 2 Eing.	Quad 2-In. NAND Gate with Schmitt Trigger Input	14-SOIC		266.68/2,500	
MC74HC132AN	MC74HC132ANOS-ND	Vierf. NAND-Gate mit Schmitt-Trigger-Eingang, 2 Eing.	Quad 2-In. NAND Gate with Schmitt Trigger Input	14-Dip	.58	.47	.36
MC74HC138ADR2	MC74HC138ADR2OSCT-ND	1-8 Dekodierer/Demux	1-8 Decoder/Demux	16-SOIC	.31	.24	.18
MC74HC138ADR2	MC74HC138ADR2OSTR-ND	1-8 Dekodierer/Demux	1-8 Decoder/Demux	16-SOIC		266.68/2,500	
MC74HC138AN	MC74HC138ANOS-ND	1-8 Dekodierer/Demux	1-8 Decoder/Demux	16-Dip	.50	.38	.28
MC74HC139ADR2	MC74HC139ADR2OSCT-ND	Zweif. 1-4 Dekodierer/Demux	Dual 1-4 Decoder/Demux	16-SOIC	.41	.34	.25
MC74HC139ADR2	MC74HC139ADR2OSTR-ND	Zweif. 1-4 Dekodierer/Demux	Dual 1-4 Decoder/Demux	16-SOIC		534.95/5,000	
MC74HC139AN	MC74HC139ANOS-ND	Zweif. 1-4 Dekodierer/Demux	Dual 1-4 Decoder/Demux	16-Dip	.49	.38	.28
MC74HC157ADR2	MC74HC157ADR2OSCT-ND	Vierf. Datenselektor/Mux, 2 Eing.	Quad 2-In. Data Selector/Mux	16-SOIC	.31	.24	.18
MC74HC157ADR2	MC74HC157ADR2OSTR-ND	Vierf. Datenselektor/Mux, 2 Eing.	Quad 2-In. Data Selector/Mux	16-SOIC		266.68/2,500	
MC74HC157AN	MC74HC157ANOS-ND	Vierf. Datenselektor/Mux, 2 Eing.	Quad 2-In. Data Selector/Mux	16-Dip	.48	.37	.28
MC74HC161ADR2	MC74HC161ADR2OSCT-ND	Voreinstellb. Zähler	Presettable Counter	16-SOIC	.36	.28	.21
MC74HC161ADR2	MC74HC161ADR2OSTR-ND	Voreinstellb. Zähler	Presettable Counter	16-SOIC		309.01/2,500	
MC74HC161AN	MC74HC161ANOS-ND	Voreinstellb. Zähler	Presettable Counter	16-Dip	.47	.35	.27
MC74HC163AN	MC74HC163ANOS-ND	Voreinstellb. Zähler	Presettable Counter	16-Dip	.47	.35	.27
MC74HC164ADR2	MC74HC164ADR2OSCT-ND	8-Bit Seriell-Ein/Parallel-Aus Schieberegister	8-Bit Serial-In/Parallel-Out Shift Register	14-SOIC	.52	.42	.31
MC74HC164ADR2	MC74HC164ADR2OSTR-ND	8-Bit Seriell-Ein/Parallel-Aus Schieberegister	8-Bit Serial-In/Parallel-Out Shift Register	14-SOIC		385.20/2,500	
MC74HC164AN	MC74HC164ANOS-ND	8-Bit Seriell-Ein/Parallel-Aus Schieberegister	8-Bit Serial-In/Parallel-Out Shift Register	14-Dip	.58	.46	.35
MC74HC165ADR2	MC74HC165ADR2OSCT-ND	8-Bit Seriell- oder Parallel-Ein/Seriell-Aus Schieberegister	8-Bit Serial or Parallel-In/Serial-Out Shift Register	16-SOIC	.52	.42	.31
MC74HC165ADR2	MC74HC165ADR2OSTR-ND	8-Bit Seriell- oder Parallel-Ein/Seriell-Aus Schieberegister	8-Bit Serial or Parallel-In/Serial-Out Shift Register	16-SOIC		385.20/2,500	
MC74HC165AN	MC74HC165ANOS-ND	8-Bit Seriell- oder Parallel-Ein/Seriell-Aus Schieberegister	8-Bit Serial or Parallel-In/Serial-Out Shift Register	16-Dip	.58	.46	.35
MC74HC174ADR2	MC74HC174ADR2OSCT-ND	Sechsf. D-Flip-Flop mit Gleichtakt und Reset	Hex D-Type Flip-Flop with Common Clock and Reset	16-SOIC	.52	.42	.31
MC74HC174ADR2	MC74HC174ADR2OSTR-ND	Sechsf. D-Flip-Flop mit Gleichtakt und Reset	Hex D-Type Flip-Flop with Common Clock and Reset	16-SOIC		385.20/2,500	
MC74HC174AN	MC74HC174ANOS-ND	Sechsf. D-Flip-Flop mit Gleichtakt und Reset	Hex D-Type Flip-Flop with Common Clock and Reset	16-Dip	.58	.46	.35
MC74HC175ADR2	MC74HC175ADR2OSCT-ND	Vierf. D-Flip-Flop mit Gleichtakt und Reset	Quad D-Type Flip-Flop with Common Clock and Reset	16-SOIC	.52	.42	.31
MC74HC175ADR2	MC74HC175ADR2OSTR-ND	Vierf. D-Flip-Flop mit Gleichtakt und Reset	Quad D-Type Flip-Flop with Common Clock and Reset	16-SOIC		385.20/2,500	
MC74HC175AN	MC74HC175ANOS-ND	Vierf. D-Flip-Flop mit Gleichtakt und Reset	Quad D-Type Flip-Flop with Common Clock and Reset	16-Dip	.48	.36	.28
MC74HC240ADWR2	MC74HC240ADWROSCT-ND	Achtf. invertierender Puffer/Leitungstreiber/Leitungsempfänger, Tri-St.	Tri-St. Octal Inverting Buffer/Line Driver/Line Receiver	20-SOIC	.69	.52	.39
MC74HC240ADWR2	MC74HC240ADWROSTR-ND	Achtf. invertierender Puffer/Leitungstreiber/Leitungsempfänger, Tri-St.	Tri-St. Octal Inverting Buffer/Line Driver/Line Receiver	20-SOIC		551.98/2,000	
MC74HC240AN	MC74HC240ANOS-ND	Achtf. invertierender Puffer/Leitungstreiber/Leitungsempfänger, Tri-St.	Tri-St. Octal Inverting Buffer/Line Driver/Line Receiver	20-Dip	.95	.76	.57
MC74HC244ADWR2	MC74HC244ADWROSCT-ND	Achtf. nicht invertierender Puffer/Leitungstreiber/Leitungsempfänger, Tri-St.	Tri-St. Octal Non-Inverting Buffer/Line Driver/Line Receiver	20-SOIC	.69	.52	.39
MC74HC244ADWR2	MC74HC244ADWROSTR-ND	Achtf. nicht invertierender Puffer/Leitungstreiber/Leitungsempfänger, Tri-St.	Tri-St. Octal Non-Inverting Buffer/Line Driver/Line Receiver	20-SOIC		551.98/2,000	
MC74HC244AN	MC74HC244ANOS-ND	Achtf. nicht invertierender Puffer/Leitungstreiber/Leitungsempfänger, Tri-St.	Tri-St. Octal Non-Inverting Buffer/Line Driver/Line Receiver	20-Dip	.95	.76	.57
MC74HC245ADWR2	MC74HC245ADWROSCT-ND	Achtf. nicht invertierender Bus-Transceiver, Tri-St.	Tri-St. Octal Non-Inverting Bus Transceiver	20-SOIC	.69	.52	.39
MC74HC245ADWR2	MC74HC245ADWROSTR-ND	Achtf. nicht invertierender Bus-Transceiver, Tri-St.	Tri-St. Octal Non-Inverting Bus Transceiver	20-SOIC		230.28/1,000	
MC74HC245AN	MC74HC245ANOS-ND	Achtf. nicht invertierender Bus-Transceiver, Tri-St.	Tri-St. Octal Non-Inverting Bus Transceiver	20-Dip	.95	.76	.57
MC74HC273ADWR2	MC74HC273ADWROSCT-ND	Achtf. D-Flip-Flop mit Gleichtakt und Reset	Octal D-Type Flip-Flop with Common Clock and Reset	20-SOIC	.69	.52	.39
MC74HC273ADWR2	MC74HC273ADWROSTR-ND	Achtf. D-Flip-Flop mit Gleichtakt und Reset	Octal D-Type Flip-Flop with Common Clock and Reset	20-SOIC		230.28/1,000	
MC74HC273AN	MC74HC273ANOS-ND	Achtf. D-Flip-Flop mit Gleichtakt und Reset	Octal D-Type Flip-Flop with Common Clock and Reset	20-Dip	.95	.76	.57
MC74HC373ADWR2	MC74HC373ADWROSCT-ND	Achtf. nicht invertierender Transparent-Latch, Tri-St.	Tri-St. Octal Non-Inverting Transparent Latch	20-SOIC	.69	.52	.39
MC74HC373ADWR2	MC74HC373ADWROSTR-ND	Achtf. nicht invertierender Transparent-Latch, Tri-St.	Tri-St. Octal Non-Inverting Transparent Latch	20-SOIC		230.28/1,000	
MC74HC373AN	MC74HC373ANOS-ND	Achtf. nicht invertierender Transparent-Latch, Tri-St.	Tri-St. Octal Non-Inverting Transparent Latch	20-Dip	.95	.76	.57
MC74HC374ADWR2	MC74HC374ADWROSCT-ND	Achtf. nicht invertierender D-Flip-Flop, Tri-St.	Tri-St. Octal Non-Inverting D-Type Flip-Flop	20-SOIC	.69	.52	.39
MC74HC374ADWR2	MC74HC374ADWROSTR-ND	Achtf. nicht invertierender D-Flip-Flop, Tri-St.	Tri-St. Octal Non-Inverting D-Type Flip-Flop	20-SOIC		230.28/1,000	
MC74HC374AN	MC74HC374ANOS-ND	Achtf. nicht invertierender D-Flip-Flop, Tri-St.	Tri-St. Octal Non-Inverting D-Type Flip-Flop	20-Dip	.95	.76	.57
MC74HC390ADR2	MC74HC390ADR2OSCT-ND	Zweif. binärer 4-Phasen-Ripple-Zähler	Dual 4-Stage Binary Ripple Counter	16-SOIC	.43	.33	.25
MC74HC390ADR2	MC74HC390ADR2OSTR-ND	Zweif. binärer 4-Phasen-Ripple-Zähler	Dual 4-Stage Binary Ripple Counter	16-SOIC		353.46/2,500	
MC74HC390AN	MC74HC390ANOS-ND	Zweif. binärer 4-Phasen-Ripple-Zähler	Dual 4-Stage Binary Ripple Counter	16-Dip	.53	.41	.31
MC74HC393ADR2	MC74HC393ADR2OSCT-ND	Zweif. binärer 4-Phasen-Ripple-Zähler	Dual 4-Stage Binary Ripple Counter	14-SOIC	.47	.38	.28
MC74HC393ADR2	MC74HC393ADR2OSTR-ND	Zweif. binärer 4-Phasen-Ripple-Zähler	Dual 4-Stage Binary Ripple Counter	14-SOIC		349.22/2,500	
MC74HC393AN	MC74HC393ANOS-ND	Zweif. binärer 4-Phasen-Ripple-Zähler	Dual 4-Stage Binary Ripple Counter	14-Dip	.58	.46	.35
MC74HC540ADW	MC74HC540ADWOS-ND	Achtf. invertierender Puffer/Leitungstreiber/Empfänger, Tri-St.	Tri-St. Octal Inverting Buffer/Line Driver/Receiver	20-SOIC	.70	.57	.43
MC74HC540AN	MC74HC540ANOS-ND	Achtf. invertierender Puffer/Leitungstreiber/Empfänger, Tri-St.	Tri-St. Octal Inverting Buffer/Line Driver/Receiver	20-Dip	.95	.76	.57
MC74HC541ADWR2	MC74HC541ADWROSCT-ND	Achtf. nicht invertierender Puffer/Leitungstreiber/Empfänger, Tri-St.	Tri-St. Octal Non-Inverting Buffer/Line Driver/Receiver	20-SOIC	.70	.57	.43
MC74HC541ADWR2	MC74HC541ADWROSTR-ND	Achtf. nicht invertierender Puffer/Leitungstreiber/Empfänger, Tri-St.	Tri-St. Octal Non-Inverting Buffer/Line Driver/Receiver	20-SOIC		242.13/1,000	

(Forts.)

★ ***RUFEN SIE BITTE AN FÜR NIEDRIGERE PREISE BEI GRÖSSEREN MENGEN!*** ★

ON Semiconductor Teilenr.	Digi-Key Teilenr.	Beschreibung		Paket	Stückpreis★ 1	25	100
MC74HC541AN	MC74HC541ANOS-ND	Achtf. nicht invertierender Puffer/Leitungstreiber/Empfänger, Tri-St.	Tri-St. Octal Non-Inverting Buffer/Line Driver/Receiver	20-Dip	.95	.76	.57
MC74HC573ADWR2	MC74HC573ADWROSCT-ND	Achtf. nicht invertierender Transparent-Latch, Tri-St.	Tri-St. Octal Non-Inverting Transparent Latch	20-SOIC	.69	.52	.39
MC74HC573ADWR2	MC74HC573ADWROSTR-ND	Achtf. nicht invertierender Transparent-Latch, Tri-St.	Tri-St. Octal Non-Inverting Transparent Latch	20-SOIC		230.28/1,000	
MC74HC573AN	MC74HC573ANOS-ND	Achtf. nicht invertierender Transparent-Latch, Tri-St.	Tri-St. Octal Non-Inverting Transparent Latch	20-Dip	.95	.76	.57
MC74HC574ADWR2	MC74HC574ADWROSCT-ND	Achtf. nicht invertierender D-Flip-Flop, Tri-St.	Tri-St. Octal Non-Inverting D-Type Flip-Flop	20-SOIC	.69	.52	.39
MC74HC574ADWR2	MC74HC574ADWROSTR-ND	Achtf. nicht invertierender D-Flip-Flop, Tri-St.	Tri-St. Octal Non-Inverting D-Type Flip-Flop	20-SOIC		551.98/2,000	
MC74HC574AN	MC74HC574ANOS-ND	Achtf. nicht invertierender D-Flip-Flop, Tri-St.	Tri-St. Octal Non-Inverting D-Type Flip-Flop	20-Dip	.95	.76	.57
MC74HC589ADR2	MC74HC589ADR2OSCT-ND	Serielles Schieberegister, Tri-State	Tri-State Serial Shift Register	16-SOIC	.36	.27	.21
MC74HC589ADR2	MC74HC589ADR2OSTR-ND	Serielles Schieberegister, Tri-State	Tri-State Serial Shift Register	16-SOIC		634.95/5,000	
MC74HC589AN	MC74HC589ANOS-ND	Serielles Schieberegister, Tri-State	Tri-State Serial Shift Register	16-Dip	.58	.45	.34
MC74HC595ADR2	MC74HC595ADR2OSCT-ND	Schieberegister, Tri-State	Tri-State Shift Register	16-SOIC	.54	.44	.33
MC74HC595ADR2	MC74HC595ADR2OSTR-ND	Schieberegister, Tri-State	Tri-State Shift Register	16-SOIC		404.25/2,500	
MC74HC595ADTR2	MC74HC595ADTROSCT-ND	Schieberegister, Tri-State	Tri-State Shift Register	16-TSSOP	.54	.44	.33
MC74HC595ADTR2	MC74HC595ADTROSTR-ND	Schieberegister, Tri-State	Tri-State Shift Register	16-TSSOP		404.25/2,500	
MC74HC595AN	MC74HC595ANOS-ND	Schieberegister, Tri-State	Tri-State Shift Register	16-Dip	.59	.45	.34
MC74HC4020AN	MC74HC4020ANOS-ND	Binärer 14-Phasen-Ripple-Zähler	14-Stage Binary Ripple Counter	16-Dip	.52	.39	.29
MC74HC4040ADR2	MC74HC4040ADROSCT-ND	Binärer 12-Phasen-Ripple-Zähler	12-Stage Binary Ripple Counter	16-SOIC	.54	.44	.33
MC74HC4040ADR2	MC74HC4040ADROSTR-ND	Binärer 12-Phasen-Ripple-Zähler	12-Stage Binary Ripple Counter	16-SOIC		404.25/2,500	
MC74HC4040AN	MC74HC4040ANOS-ND	Binärer 12-Phasen-Ripple-Zähler	12-Stage Binary Ripple Counter	16-Dip	.53	.40	.30
MC74HC4046ADR2	MC74HC4046ADROSCT-ND	PLL, CMOS	PLL CMOS	16-SOIC	.43	.33	.25
MC74HC4046ADR2	MC74HC4046ADROSTR-ND	PLL, CMOS	PLL CMOS	16-SOIC		353.46/2,500	
MC74HC4046AN	MC74HC4046ANOS-ND	PLL, CMOS	PLL CMOS	16-Dip	.59	.45	.34
MC74HC4051ADR2	MC74HC4051ADROSCT-ND	Analoger Mux/Demux	Analog Mux/Demux	16-SOIC	.56	.45	.34
MC74HC4051ADR2	MC74HC4051ADROSTR-ND	Analoger Mux/Demux	Analog Mux/Demux	16-SOIC		421.18/2,500	
MC74HC4051ADTR2	MC74HC4051ADTOSCT-ND	Analoger Mux/Demux	Analog Mux/Demux	16-TSSOP	.56	.45	.34
MC74HC4051ADTR2	MC74HC4051ADTOSTR-ND	Analoger Mux/Demux	Analog Mux/Demux	16-TSSOP		421.18/2,500	
MC74HC4051ADWR2	MC74HC4051ADWOSCT-ND	Analoger Mux/Demux	Analog Mux/Demux	16-SOIC	.73	.59	.44
MC74HC4051ADWR2	MC74HC4051ADWOSTR-ND	Analoger Mux/Demux	Analog Mux/Demux	16-SOIC		249.75/1,000	
MC74HC4051AN	MC74HC4051ANOS-ND	Analoger Mux/Demux	Analog Mux/Demux	16-Dip	.63	.52	.39
MC74HC4052ADR2	MC74HC4052ADROSCT-ND	Zweif. analoger Mux/Demux	Dual Analog Mux/Demux	16-SOIC	.56	.45	.34
MC74HC4052ADR2	MC74HC4052ADROSTR-ND	Zweif. analoger Mux/Demux	Dual Analog Mux/Demux	16-SOIC		421.18/2,500	
MC74HC4052ADWR2	MC74HC4052ADWOSCT-ND	Zweif. analoger Mux/Demux	Dual Analog Mux/Demux	16-SOIC	.73	.59	.44
MC74HC4052ADWR2	MC74HC4052ADWOSTR-ND	Zweif. analoger Mux/Demux	Dual Analog Mux/Demux	16-SOIC		249.75/1,000	
MC74HC4052AN	MC74HC4052ANOS-ND	Zweif. analoger Mux/Demux	Dual Analog Mux/Demux	16-Dip	.63	.52	.39
MC74HC4053AD	MC74HC4053ADOS-ND	Dreif. analoger Mux/Demux	Triple Analog Mux/Demux	16-SOIC	.56	.45	.34
MC74HC4053ADTR2	MC74HC4053ADTOSCT-ND	Dreif. analoger Mux/Demux	Triple Analog Mux/Demux	16-TSSOP	.58	.47	.35
MC74HC4053ADTR2	MC74HC4053ADTOSTR-ND	Dreif. analoger Mux/Demux	Triple Analog Mux/Demux	16-TSSOP		433.88/2,500	
MC74HC4053ADWR2	MC74HC4053ADWOSCT-ND	Dreif. analoger Mux/Demux	Triple Analog Mux/Demux	16-SOIC	.73	.59	.44
MC74HC4053ADWR2	MC74HC4053ADWOSTR-ND	Dreif. analoger Mux/Demux	Triple Analog Mux/Demux	16-SOIC		256.52/1,000	
MC74HC4053AN	MC74HC4053ANOS-ND	Dreif. analoger Mux/Demux	Triple Analog Mux/Demux	16-Dip	.63	.52	.39
MC74HC4060ADR2	MC74HC4060ADROSCT-ND	14-Phasen-Binär-Ripple-Zähler mit Oszillator	14-Stage Binary Ripple Counter with Oscillator	16-SOIC	.54	.44	.33
MC74HC4060ADR2	MC74HC4060ADROSTR-ND	14-Phasen-Binär-Ripple-Zähler mit Oszillator	14-Stage Binary Ripple Counter with Oscillator	16-SOIC		404.25/2,500	
MC74HC4060AN	MC74HC4060ANOS-ND	14-Phasen-Binär-Ripple-Zähler mit Oszillator	14-Stage Binary Ripple Counter with Oscillator	16-Dip	.58	.46	.35
MC74HC4066ADR2	MC74HC4066ADROSCT-ND	Vierf. analoger Schalt/Mux/Demux	Quad Analog Switch/Mux/Demux	14-SOIC	.30	.23	.17
MC74HC4066ADR2	MC74HC4066ADROSTR-ND	Vierf. analoger Schalt/Mux/Demux	Quad Analog Switch/Mux/Demux	14-SOIC		601.09/5,000	
MC74HC4066AN	MC74HC4066ANOS-ND	Vierf. analoger Schalt/Mux/Demux	Quad Analog Switch/Mux/Demux	14-Dip	.47	.36	.27
MC74HC4316ADR2	MC74HC4316ADROSCT-ND	Vierf. analoger Schalt/Mux/Demux	Quad Analog Switch/Mux/Demux	16-SOIC	.62	.50	.37
MC74HC4316ADR2	MC74HC4316ADROSTR-ND	Vierf. analoger Schalt/Mux/Demux	Quad Analog Switch/Mux/Demux	16-SOIC		486.80/2,500	
MC74HC4538ADR2	MC74HC4538ADROSCT-ND	Zweif. monostab. Präz.-Multivibrator	Dual Precision Mono Multivibrator	16-SOIC	.54	.44	.33
MC74HC4538ADR2	MC74HC4538ADROSTR-ND	Zweif. monostab. Präz.-Multivibrator	Dual Precision Mono Multivibrator	16-SOIC		404.25/2,500	
MC74HC4538AN	MC74HC4538ANOS-ND	Zweif. monostab. Präz.-Multivibrator	Dual Precision Mono Multivibrator	16-Dip	.61	.46	.35
MC74HC4852ADR2	MC74HC4852ADROSCT-ND	Analoger Mux/Demux	Analog Mux/Demux	16-SOIC	1.00	.87	.67
MC74HC4852ADR2	MC74HC4852ADROSTR-ND	Analoger Mux/Demux	Analog Mux/Demux	16-SOIC		901.63/2,500	
MC74HC1G00DTT1	MC74HC1G00DTTOSCT-ND	Einf. NAND-Gate mit 2 Eingängen	Single 2-Input NAND Gate	SOT-23-5	.23	.19	.13
MC74HC1G00DTT1	MC74HC1G00DTTOSTR-ND	Einf. NAND-Gate mit 2 Eingängen	Single 2-Input NAND Gate	SOT-23-5		571.46/9,000	
MC74HC1G04DFT1	MC74HC1G04DFTOSCT-ND	Einf. Inverter	Single Inverter	SOT-353	.17	.14	.11
MC74HC1G04DFT1	MC74HC1G04DFTOSTR-ND	Einf. Inverter	Single Inverter	SOT-353		187.95/3,000	
MC74HC1G08DTT1	MC74HC1G08DTTOSCT-ND	Einf. AND-Gate mit 2 Eingängen	Single 2-Input AND Gate	SOT-23-5	.23	.19	.13
MC74HC1G08DTT1	MC74HC1G08DTTOSTR-ND	Einf. AND-Gate mit 2 Eingängen	Single 2-Input AND Gate	SOT-23-5		571.46/9,000	
MC74HCT04ADR2	MC74HCT04ADR2OSCT-ND	Sechsf. Inverter	Hex Inverter	14-SOIC	.41	.32	.23
MC74HCT04ADR2	MC74HCT04ADR2OSTR-ND	Sechsf. Inverter	Hex Inverter	14-SOIC		270.91/2,500	
MC74HCT04AN	MC74HCT04ANOS-ND	Sechsf. Inverter	Hex Inverter	14-Dip	.52	.42	.31
MC74HCT14ADR2	MC74HCT14ADR2OSCT-ND	Sechsf. Schmitt-Trigger-Inverter	Hex Schmitt-Trigger Inverter	14-SOIC	.47	.37	.27
MC74HCT14ADR2	MC74HCT14ADR2OSTR-ND	Sechsf. Schmitt-Trigger-Inverter	Hex Schmitt-Trigger Inverter	14-SOIC		311.13/2,500	
MC74HCT14AN	MC74HCT14ANOS-ND	Sechsf. Schmitt-Trigger-Inverter	Hex Schmitt-Trigger Inverter	14-Dip	.56	.45	.34
MC74HCT74ADR2	MC74HCT74ADR2OSCT-ND	Zweif. D-Flip-Flop mit Set/Reset	Dual D-Type Flip-Flop with Set/Reset	14-SOIC	.47	.37	.27
MC74HCT74ADR2	MC74HCT74ADR2OSTR-ND	Zweif. D-Flip-Flop mit Set/Reset	Dual D-Type Flip-Flop with Set/Reset	14-SOIC		311.13/2,500	
MC74HCT74AN	MC74HCT74ANOS-ND	Zweif. D-Flip-Flop mit Set/Reset	Dual D-Type Flip-Flop with Set/Reset	14-Dip	.56	.45	.34
MC74HCT138AD	MC74HCT138ADOS-ND	1-8 Dekodierer/Demux	1-8 Decoder/Demux	16-SOIC	.40	.32	.24
MC74HCT138AN	MC74HCT138ANOS-ND	1-8 Dekodierer/Demux	1-8 Decoder/Demux	16-Dip	.58	.47	.36
MC74HCT244ADTR2	MC74HCT244ADTOSCT-ND	Achtf. nicht invertierender Puffer/Leitungstreiber/Empfänger, Tri-St.	Tri-St. Octal Non-Inverting Buffer/Line Driver/Receiver	20-TSSOP	.60	.49	.37
MC74HCT244ADTR2	MC74HCT244ADTOSTR-ND	Achtf. nicht invertierender Puffer/Leitungstreiber/Empfänger, Tri-St.	Tri-St. Octal Non-Inverting Buffer/Line Driver/Receiver	20-TSSOP		452.93/2,500	
MC74HCT244ADWR2	MC74HCT244ADWOSCT-ND	Achtf. nicht invertierender Puffer/Leitungstreiber/Empfänger, Tri-St.	Tri-St. Octal Non-Inverting Buffer/Line Driver/Receiver	20-SOIC	.69	.52	.39
MC74HCT244ADWR2	MC74HCT244ADWOSTR-ND	Achtf. nicht invertierender Puffer/Leitungstreiber/Empfänger, Tri-St.	Tri-St. Octal Non-Inverting Buffer/Line Driver/Receiver	20-SOIC		230.28/1,000	
MC74HCT244AN	MC74HCT244ANOS-ND	Achtf. nicht invertierender Puffer/Leitungstreiber/Empfänger, Tri-St.	Tri-St. Octal Non-Inverting Buffer/Line Driver/Receiver	20-Dip	.95	.76	.57
MC74HCT245ADWR2	MC74HCT245ADWOSCT-ND	Achtf. nicht invertierender Bus-Transceiver, Tri-St.	Tri-St. Octal Non-Inverting Bus Transceiver	20-SOIC	.69	.52	.39
MC74HCT245ADWR2	MC74HCT245ADWOSTR-ND	Achtf. nicht invertierender Bus-Transceiver, Tri-St.	Tri-St. Octal Non-Inverting Bus Transceiver	20-SOIC		230.28/1,000	
MC74HCT245AN	MC74HCT245ANOS-ND	Achtf. nicht invertierender Bus-Transceiver, Tri-St.	Tri-St. Octal Non-Inverting Bus Transceiver	20-Dip	.95	.76	.57
MC74HCT273ADWR2	MC74HCT273ADWOSCT-ND	Achtf. D-Flip-Flop mit Gleichtakt und Reset	Octal D-Type Flip-Flop with Common Clock and Reset	20-SOIC	.69	.52	.39
MC74HCT273ADWR2	MC74HCT273ADWOSTR-ND	Achtf. D-Flip-Flop mit Gleichtakt und Reset	Octal D-Type Flip-Flop with Common Clock and Reset	20-SOIC		230.28/1,000	
MC74HCT273AN	MC74HCT273ANOS-ND	Achtf. D-Flip-Flop mit Gleichtakt und Reset	Octal D-Type Flip-Flop with Common Clock and Reset	20-Dip	.69	.52	.39
MC74HCT373ADWR2	MC74HCT373ADWOSCT-ND	Achtf. nicht invertierender Transparent-Latch, Tri-St.	Tri-St. Octal Non-Inverting Transparent Latch	20-SOIC	.69	.52	.39
MC74HCT373ADWR2	MC74HCT373ADWOSTR-ND	Achtf. nicht invertierender Transparent-Latch, Tri-St.	Tri-St. Octal Non-Inverting Transparent Latch	20-SOIC		230.28/1,000	
MC74HCT373AN	MC74HCT373ANOS-ND	Achtf. nicht invertierender Transparent-Latch, Tri-St.	Tri-St. Octal Non-Inverting Transparent Latch	20-Dip	.95	.76	.57
MC74HCT374ADWR2	MC74HCT374ADWOSCT-ND	Achtf. nicht invertierender D-Flip-Flop, Tri-St.	Tri-St. Octal Non-Inverting D-Type Flip-Flop	20-SOIC	.69	.52	.39
MC74HCT374ADWR2	MC74HCT374ADWOSTR-ND	Achtf. nicht invertierender D-Flip-Flop, Tri-St.	Tri-St. Octal Non-Inverting D-Type Flip-Flop	20-SOIC		551.98/2,000	
MC74HCT541ADWR2	MC74HCT541ADWOSCT-ND	Achtf. nicht invertierender Puffer/Leitungstreiber/Empfänger, Tri-St.	Tri-St. Octal Non-Inverting Buffer/Line Driver/Receiver	20-SOIC	.70	.57	.43
MC74HCT541ADWR2	MC74HCT541ADWOSTR-ND	Achtf. nicht invertierender Puffer/Leitungstreiber/Empfänger, Tri-St.	Tri-St. Octal Non-Inverting Buffer/Line Driver/Receiver	20-SOIC		497.80/2,000	
MC74HCT541AN	MC74HCT541ANOS-ND	Achtf. nicht invertierender Puffer/Leitungstreiber/Empfänger, Tri-St.	Tri-St. Octal Non-Inverting Buffer/Line Driver/Receiver	20-Dip	.95	.76	.57
MC74HCT573ADWR2	MC74HCT573ADWOSCT-ND	Achtf. nicht invertierender Transparent-Latch, Tri-St.	Tri-St. Octal Non-Inverting Transparent Latch	20-SOIC	.69	.52	.39
MC74HCT573ADWR2	MC74HCT573ADWOSTR-ND	Achtf. nicht invertierender Transparent-Latch, Tri-St.	Tri-St. Octal Non-Inverting Transparent Latch	20-SOIC		551.98/2,000	
MC74HCT573AN	MC74HCT573ANOS-ND	Achtf. nicht invertierender Transparent-Latch, Tri-St.	Tri-St. Octal Non-Inverting Transparent Latch	20-Dip	.95	.76	.57
MC74HCT574ADWR2	MC74HCT574ADWOSCT-ND	Achtf. nicht invertierender D-Flip-Flop, Tri-St.	Tri-St. Octal Non-Inverting D-Type Flip-Flop	20-SOIC	.69	.52	.39
MC74HCT574ADWR2	MC74HCT574ADWOSTR-ND	Achtf. nicht invertierender D-Flip-Flop, Tri-St.	Tri-St. Octal Non-Inverting D-Type Flip-Flop	20-SOIC		230.28/1,000	
MC74HCU04ADR2	MC74HCU04ADR2OSCT-ND	Sechsf. ungepufferter Inverter	Hex Unbuffered Inverter	14-SOIC	.41	.32	.23
MC74HCU04ADR2	MC74HCU04ADR2OSTR-ND	Sechsf. ungepufferter Inverter	Hex Unbuffered Inverter	14-SOIC		270.91/2,500	
MC74LCX00DTR2	MC74LCX00DTR2OSCT-ND	Vierf. NAND-Gate mit 2 Eingängen, CMOS, Niederspannung	Low Volt. CMOS Quad 2-In. NAND Gate	14-TSSOP	.42	.34	.26
MC74LCX00DTR2	MC74LCX00DTR2OSTR-ND	Vierf. NAND-Gate mit 2 Eingängen, CMOS, Niederspannung	Low Volt. CMOS Quad 2-In. NAND Gate	14-TSSOP		283.61/2,500	
MC74LCX04D	MC74LCX04DOS-ND	Sechsf. CMOS-Inverter, Niederspannung	Low Volt. CMOS Hex Inverter	14-SOIC	.42	.34	.26
MC74LCX04DTR2	MC74LCX04DTR2OSCT-ND	Sechsf. CMOS-Inverter, Niederspannung	Low Volt. CMOS Hex Inverter	14-TSSOP	.42	.34	.26

(Forts.)

★ *RUFEN SIE BITTE AN FÜR NIEDRIGERE PREISE BEI GRÖSSEREN MENGEN!* ★

B

ON Semiconductor Teilenr.	Digi-Key Teilenr.	Beschreibung		Paket	Stückpreis★ 1	25	100
MC74LCX04DTR2	MC74LCX04DTR2OSTR-ND	Sechsf. CMOS-Inverter, Niederspannung	Low Volt. CMOS Hex Inverter	14-TSSOP		596.85/5,000	
MC74LCX08DTR2	MC74LCX08DTR2OSCT-ND	Vierf. AND-Gate mit 2 Eingängen, CMOS, Niederspannung	Low Volt. CMOS Quad 2-In. AND Gate	14-TSSOP	.42	.34	.26
MC74LCX08DTR2	MC74LCX08DTR2OSTR-ND	Vierf. AND-Gate mit 2 Eingängen, CMOS, Niederspannung	Low Volt. CMOS Quad 2-In. AND Gate	14-TSSOP		283.61/2,500	
MC74LCX125DTR2	MC74LCX125DTROSCT-ND	Vierf. Puffer, CMOS, Niederspannung	Low Volt. CMOS Quad Buffer	14-TSSOP	.36	.27	.21
MC74LCX125DTR2	MC74LCX125DTROSTR-ND	Vierf. Puffer, CMOS, Niederspannung	Low Volt. CMOS Quad Buffer	14-TSSOP		634.95/5,000	
MC74LCX244DTR2	MC74LCX244DTROSCT-ND	Achtf. Puffer, CMOS, Niederspannung	Low Volt. CMOS Octal Buffer	20-TSSOP	.52	.39	.29
MC74LCX244DTR2	MC74LCX244DTROSTR-ND	Achtf. Puffer, CMOS, Niederspannung	Low Volt. CMOS Octal Buffer	20-TSSOP		416.95/2,500	
MC74LCX244DWR2	MC74LCX244DWROSCT-ND	Achtf. Puffer, CMOS, Niederspannung	Low Volt. CMOS Octal Buffer	20-SOIC	.73	.59	.44
MC74LCX244DWR2	MC74LCX244DWROSTR-ND	Achtf. Puffer, CMOS, Niederspannung	Low Volt. CMOS Octal Buffer	20-SOIC		249.75/1,000	
MC74LCX245DTR2	MC74LCX245DTROSCT-ND	Achtf. Transceiver, CMOS, Niederspannung	Low Volt. CMOS Octal Transceiver	20-TSSOP	.52	.39	.29
MC74LCX245DTR2	MC74LCX245DTROSTR-ND	Achtf. Transceiver, CMOS, Niederspannung	Low Volt. CMOS Octal Transceiver	20-TSSOP		465.63/2,500	
MC74LCX245DW	MC74LCX245DWOS-ND	Achtf. Transceiver, CMOS, Niederspannung	Low Volt. CMOS Octal Transceiver	20-SOIC	.73	.59	.44
MC74LCX16244DTR2	MC74LCX16244DOSCT-ND	16-Bit Puffer, CMOS, Niederspannung	Low Volt. CMOS 16-Bit Buffer	48-TSSOP	.88	.71	.53
MC74LCX16244DTR2	MC74LCX16244DOSTR-ND	16-Bit Puffer, CMOS, Niederspannung	Low Volt. CMOS 16-Bit Buffer	48-TSSOP		1140.79/2,500	
MC74LCX16245DTR2	MC74LCX16245DOSCT-ND	16-Bit Transceiver, CMOS, Niederspannung	Low Volt. CMOS 16-Bit Transceiver	48-TSSOP	.88	.71	.53
MC74LCX16245DTR2	MC74LCX16245DOSTR-ND	16-Bit Transceiver, CMOS, Niederspannung	Low Volt. CMOS 16-Bit Transceiver	48-TSSOP		1140.79/2,500	
MC74LVX4053D	MC74LVX4053DOS-ND	Analoger Mux/Demux	Analog Mux/Demux	16-SOIC	.67	.54	.40
MC74LVX4245DT	MC74LVX4245DTOS-ND	Achtf. Doppelversorgungs-Umsetzer-Transceiver, Tri-St.	Tri-St. Dual Supply Octal Translating Transceiver	24-TSSOP	1.06	.85	.64
MC74VHC1G00DFT2	MC74VHC1G00DFOSCT-ND	Einf. NAND-Gate mit 2 Eingängen	Single 2-Input NAND Gate	SOT-353	.51	.41	.31
MC74VHC1G00DFT2	MC74VHC1G00DFOSTR-ND	Einf. NAND-Gate mit 2 Eingängen	Single 2-Input NAND Gate	SOT-353		154.93/3000	
MC74VHC1G04DFT1	MC74VHC1G04DFOSCT-ND	Einf. Inverter	Single Inverter	SOT-353	.28	.22	.16
MC74VHC1G04DFT1	MC74VHC1G04DFOSTR-ND	Einf. Inverter	Single Inverter	SOT-353		187.95/3,000	
MC74VHC1G04DFT2	MC74VHC1G04DOSCT-ND	Einf. Inverter	Single Inverter	SOT-353	.28	.22	.16
MC74VHC1G04DFT2	MC74VHC1G04DOSTR-ND	Einf. Inverter	Single Inverter	SOT-353		187.95/3,000	
MC74VHC1G04DTT1	MC74VHC1G04DTOSCT-ND	Einf. Inverter	Single Inverter	SOT-23-5	.28	.22	.16
MC74VHC1G04DTT1	MC74VHC1G04DTOSTR-ND	Einf. Inverter	Single Inverter	SOT-23-5		187.95/3,000	
MC74VHC1G07DFT1	MC74VHC1G07DFOSCT-ND	Einf. nicht invertierender Puffer mit Open-Drain	Single Non-Inverting Buffer with Open Drain	SOT-353	.17	.14	.11
MC74VHC1G07DFT1	MC74VHC1G07DFOSTR-ND	Einf. nicht invertierender Puffer mit Open-Drain	Single Non-Inverting Buffer with Open Drain	SOT-353		187.95/3,000	
MC74VHC1G07DTT1	MC74VHC1G07DTOSCT-ND	Einf. nicht invertierender Puffer mit Open-Drain-Ausgang	Single Non-Inverting Buffer with Open Drain Output	SOT-23-5	.28	.22	.16
MC74VHC1G07DTT1	MC74VHC1G07DTOSTR-ND	Einf. nicht invertierender Puffer mit Open-Drain-Ausgang	Single Non-Inverting Buffer with Open Drain Output	SOT-23-5		571.46/9,000	
MC74VHC1G08DFT1	MC74VHC1G08DFOSCT-ND	Einf. AND-Gate mit 2 Eingängen	Single 2-Input AND Gate	SOT-353	.39	.27	.19
MC74VHC1G08DFT1	MC74VHC1G08DFOSTR-ND	Einf. AND-Gate mit 2 Eingängen	Single 2-Input AND Gate	SOT-353		210.80/3,000	
MC74VHC1G08DFT2	MC74VHC1G08DFOSCT-ND	Einf. AND-Gate mit 2 Eingängen	Single 2-Input AND Gate	SOT-353	.39	.27	.19
MC74VHC1G08DFT2	MC74VHC1G08DFOSTR-ND	Einf. AND-Gate mit 2 Eingängen	Single 2-Input AND Gate	SOT-353		210.80/3,000	
MC74VHC1G08DTT1	MC74VHC1G08DTOSCT-ND	Einf. AND-Gate mit 2 Eingängen	Single 2-Input AND Gate	SOT-23-5	.28	.22	.16
MC74VHC1G08DTT1	MC74VHC1G08DTOSTR-ND	Einf. AND-Gate mit 2 Eingängen	Single 2-Input AND Gate	SOT-23-5		187.95/3,000	
MC74VHC1G14DFT1	MC74VHC1G14DFOSCT-ND	Einf. Schmitt-Trigger-Inverter	Single Schmitt-Trigger Inverter	SOT-353	.28	.22	.16
MC74VHC1G14DFT1	MC74VHC1G14DFOSTR-ND	Einf. Schmitt-Trigger-Inverter	Single Schmitt-Trigger Inverter	SOT-353		571.46/9,000	
MC74VHC1G14DTT1	MC74VHC1G14DTOSCT-ND	Einf. Schmitt-Trigger-Inverter	Single Schmitt-Trigger Inverter	SOT-23-5	.28	.22	.16
MC74VHC1G14DTT1	MC74VHC1G14DTOSTR-ND	Einf. Schmitt-Trigger-Inverter	Single Schmitt-Trigger Inverter	SOT-23-5		187.95/3,000	
MC74VHC1G32DFT2	MC74VHC1G32DFOSCT-ND	Einf. OR-Gate mit 2 Eingängen	Single 2-Input OR Gate	SOT-353	.39	.27	.19
MC74VHC1G32DFT2	MC74VHC1G32DFOSTR-ND	Einf. OR-Gate mit 2 Eingängen	Single 2-Input OR Gate	SOT-353		210.80/3,000	
MC74VHC1G32DTT1	MC74VHC1G32DTOSCT-ND	Einf. OR-Gate mit 2 Eingängen	Single 2-Input OR Gate	SOT-23-5	.28	.22	.16
MC74VHC1G32DTT1	MC74VHC1G32DTOSTR-ND	Einf. OR-Gate mit 2 Eingängen	Single 2-Input OR Gate	SOT-23-5		187.95/3,000	
MC74VHC1G50DFT2	MC74VHC1G50DFOSCT-ND	HS-CMOS-Puffer	High Speed CMOS Buffer	SOT-353	.36	.27	.19
MC74VHC1G50DFT2	MC74VHC1G50DFOSTR-ND	HS-CMOS-Puffer	High Speed CMOS Buffer	SOT-353		231.12/3,000	
MC74VHC1G66DTT1	MC74VHC1G66DTOSCT-ND	Einzelversorgter Analogschalter	Single Supply Analog Switch	SOT-23-5	.34	.25	.18
MC74VHC1G66DTT1	MC74VHC1G66DTOSTR-ND	Einzelversorgter Analogschalter	Single Supply Analog Switch	SOT-23-5		571.46/9,000	
MC74VHC1G125DT2	MC74VHC1G125OSCT-ND	Nicht invertierender Puffer, Tri-State	Tri-State Non-Inverting Buffer	SOT-353	.28	.23	.16
MC74VHC1G125DT2	MC74VHC1G125OSTR-ND	Nicht invertierender Puffer, Tri-State	Tri-State Non-Inverting Buffer	SOT-353		218.42/3,000	
MC74VHC1G125DTT1	MC74VHC1G125DOSCT-ND	Nicht invertierender Puffer, Tri-State	Tri-State Non-Inverting Buffer	SOT-23-5	.28	.23	.16
MC74VHC1G125DTT1	MC74VHC1G125DOSTR-ND	Nicht invertierender Puffer, Tri-State	Tri-State Non-Inverting Buffer	SOT-23-5		231.12/3,000	
MC74VHC1G126DFT1	MC74VHC1G126DOSCT-ND	Nicht invertierender Puffer, Tri-State	Tri-State Non-Inverting Buffer	SOT-353	.21	.18	.13
MC74VHC1G126DFT1	MC74VHC1G126DOSTR-ND	Nicht invertierender Puffer, Tri-State	Tri-State Non-Inverting Buffer	SOT-353		231.12/3,000	
MC74VHC1G132DFT1	MC74VHC1G132DOSCT-ND	NAND-Schmitt-Trigger mit 2 Eingängen	2-In. NAND Schmitt-Trigger	SOT-353	.21	.18	.13
MC74VHC1G132DFT1	MC74VHC1G132DOSTR-ND	NAND-Schmitt-Trigger mit 2 Eingängen	2-In. NAND Schmitt-Trigger	SOT-353		231.12/3,000	
MC74VHC1GT04DFT1	MC74VHC1GT04DOSCT-ND	Invertierender Puffer/CMOS Logic Level Schieber	Inverting Buffer/CMOS Logic Level Shifter	SOT-353	.28	.22	.16
MC74VHC1GT04DFT1	MC74VHC1GT04DOSTR-ND	Invertierender Puffer/CMOS Logic Level Schieber	Inverting Buffer/CMOS Logic Level Shifter	SOT-353		187.95/3,000	
MC74VHC1GT08DTT1	MC74VHC1GT08DOSCT-ND	AND-Gate/CMOS Logic Level Schieber mit 2 Eing.	2-In. AND Gate/CMOS Logic Level Shifter	SOT-23-5	.28	.22	.16
MC74VHC1GT08DTT1	MC74VHC1GT08DOSTR-ND	AND-Gate/CMOS Logic Level Schieber mit 2 Eing.	2-In. AND Gate/CMOS Logic Level Shifter	SOT-23-5		187.95/3,000	
MC74VHC1GT50DFT1	MC74VHC1GT50DOSCT-ND	Nicht invertierender Puffer/CMOS Logic Level Schieber	Non-Inverting Buffer/CMOS Logic Level Shifter	SOT-353	.28	.23	.16
MC74VHC1GT50DFT1	MC74VHC1GT50DOSTR-ND	Nicht invertierender Puffer/CMOS Logic Level Schieber	Non-Inverting Buffer/CMOS Logic Level Shifter	SOT-353		571.46/9,000	
MC74VHC1GT50DTT1	MC74VHC1GT50DOSCT-ND	Nicht invertierender Puffer/CMOS Logic Level Schieber	Non-Inverting Buffer/CMOS Logic Level Shifter	SOT-23-5	.28	.23	.16
MC74VHC1GT50DTT1	MC74VHC1GT50DOSTR-ND	Nicht invertierender Puffer/CMOS Logic Level Schieber	Non-Inverting Buffer/CMOS Logic Level Shifter	SOT-23-5		571.46/9,000	
MC74VHC1GT66DTT1	MC74VHC1GT66DOSCT-ND	Analogschalter, einzelversorgt	Single Supply Analog Switch	SOT-23-5	.36	.27	.19
MC74VHC1GT66DTT1	MC74VHC1GT66DOSTR-ND	Analogschalter, einzelversorgt	Single Supply Analog Switch	SOT-23-5		231.12/3,000	
MC74VHC1GT125DF2	MC74VHC1GT12OSCT-ND	Nicht invertierender Puffer/CMOS Logic Level Schieber	Non-Inverting Buffer/CMOS Logic Level Shifter	SOT-353	.23	.19	.13
MC74VHC1GT125DF2	MC74VHC1GT12OSTR-ND	Nicht invertierender Puffer/CMOS Logic Level Schieber	Non-Inverting Buffer/CMOS Logic Level Shifter	SOT-353		571.46/9,000	
MC74VHC1GT125DT1	MC74VHC1GT125OSCT-ND	Nicht invertierender Puffer/CMOS Logic Level Schieber	Non-Inverting Buffer/CMOS Logic Level Shifter	SOT-23-5	.23	.19	.13
MC74VHC1GT125DT1	MC74VHC1GT125OSTR-ND	Nicht invertierender Puffer/CMOS Logic Level Schieber	Non-Inverting Buffer/CMOS Logic Level Shifter	SOT-23-5		187.95/3,000	
MC74VHC14DTR2	MC74VHC14DTR2OSCT-ND	Sechsf. Schmitt Inverter	Hex Schmitt Inverter	14-TSSOP	.45	.36	.27
MC74VHC14DTR2	MC74VHC14DTR2OSTR-ND	Sechsf. Schmitt Inverter	Hex Schmitt Inverter	14-TSSOP		300.54/2,500	
MC74VHC139DTR2	MC74VHC139DTROSCT-ND	Zweif. 2-4 Decoder/Demux	Dual 2-4 Decoder/Demux	16-TSSOP	.37	.29	.22
MC74VHC139DTR2	MC74VHC139DTROSTR-ND	Zweif. 2-4 Decoder/Demux	Dual 2-4 Decoder/Demux	16-TSSOP		317.48/2,500	
MC74VHC4052DR2	MC74VHC4052DROSCT-ND	Analoger Mux/Demux	Analog Mux/Demux	16-SOIC	.58	.47	.36
MC74VHC4052DR2	MC74VHC4052DROSTR-ND	Analoger Mux/Demux	Analog Mux/Demux	16-SOIC		440.23/2,500	
MC74VHC4053DTR2	MC74VHC4053DTOSCT-ND	Analoger Mux/Demux	Analog Mux/Demux	16-TSSOP	.58	.47	.36
MC74VHC4053DTR2	MC74VHC4053DTOSTR-ND	Analoger Mux/Demux	Analog Mux/Demux	16-TSSOP		440.23/2,500	
MC74VHCT244ADTR2	MC74VHCT244ADOSCT-ND	Achtf. Bus-Puffer-/Leitungstreiber, Tri-St.	Tri-St. Octal Bus Buffer/Line Driver	20-TSSOP	.47	.36	.27
MC74VHCT244ADTR2	MC74VHCT244ADOSTR-ND	Achtf. Bus-Puffer-/Leitungstreiber, Tri-St.	Tri-St. Octal Bus Buffer/Line Driver	20-TSSOP		385.20/2,500	
MC74VHCT541ADT	MC74VHCT541ADTOS-ND	Achtf. Bus-Puffer	Octal Bus Buffer	20-TSSOP	.58	.43	.33
MC78FC30HT1	MC78FC30HT1OSCT-ND	3 V, Micropower Spannungsregler	3V, Micropower Volt. Regulator	SOT-89	.65	.55	.44
MC78FC30HT1	MC78FC30HT1OSTR-ND	3 V, Micropower Spannungsregler	3V, Micropower Volt. Regulator	SOT-89		288.69/1,000	
MC78FC50HT1	MC78FC50HT1OSCT-ND	5 V, Micropower Spannungsregler	5V, Micropower Volt. Regulator	SOT-89	.65	.55	.44
MC78FC50HT1	MC78FC50HT1OSTR-ND	5 V, Micropower Spannungsregler	5V, Micropower Volt. Regulator	SOT-89		288.69/1,000	
MC78L05ABDR2	MC78L05ABDR2OSCT-ND	100 mA, 5 V, pos. Spannungsregler	100mA, 5V, Positive Volt. Regulator	8-SOIC	.30	.23	.17
MC78L05ABDR2	MC78L05ABDR2OSTR-ND	100 mA, 5 V, pos. Spannungsregler	100mA, 5V, Positive Volt. Regulator	8-SOIC		554.52/5,000	
MC78L05ABPRA	MC78L05ABPRAOSCT-ND	100 mA, 5 V, pos. Spannungsregler	100mA, 5V, Positive Volt. Regulator	TO-92	.30	.23	.17
MC78L05ABPRA	MC78L05ABPRAOSTR-ND	100 mA, 5 V, pos. Spannungsregler	100mA, 5V, Positive Volt. Regulator	TO-92		474.10/4,000	
MC78L05ACDR2	MC78L05ACDR2OSCT-ND	100 mA, 5 V, pos. Spannungsregler	100mA, 5V, Positive Volt. Regulator	8-SOIC	.29	.23	.18
MC78L05ACDR2	MC78L05ACDR2OSTR-ND	100 mA, 5 V, pos. Spannungsregler	100mA, 5V, Positive Volt. Regulator	8-SOIC		491.03/5,000	
MC78L05ACPRA	MC78L05ACPRAOSCT-ND	100 mA, 5 V, pos. Spannungsregler	100mA, 5V, Positive Volt. Regulator	TO-92	.30	.24	.18
MC78L05ACPRA	MC78L05ACPRAOSTR-ND	100 mA, 5 V, pos. Spannungsregler	100mA, 5V, Positive Volt. Regulator	TO-92		193.02/2,000	
MC78L05ACPRE	MC78L05ACPREOSCT-ND	100 mA, 5 V, pos. Spannungsregler	100mA, 5V, Positive Volt. Regulator	TO-92	.30	.24	.18
MC78L05ACPRE	MC78L05ACPREOSTR-ND	100 mA, 5 V, pos. Spannungsregler	100mA, 5V, Positive Volt. Regulator	TO-92		193.02/2,000	
MC78L08ABP	MC78L08ABPOS-ND	100 mA, 8 V, pos. Spannungsregler	100mA, 8V, Positive Volt. Regulator	TO-92	.37	.30	.23
MC78L08ACDR2	MC78L08ACDR2OSCT-ND	100 mA, 8 V, pos. Spannungsregler	100mA, 8V, Positive Volt. Regulator	8-SOIC	.30	.24	.18
MC78L08ACDR2	MC78L08ACDR2OSTR-ND	100 mA, 8 V, pos. Spannungsregler	100mA, 8V, Positive Volt. Regulator	8-SOIC		241.28/2,500	
MC78L08ACP	MC78L08ACPOS-ND	100 mA, 8 V, pos. Spannungsregler	100mA, 8V, Positive Volt. Regulator	TO-92	.35	.29	.20
MC78L12ABDR2	MC78L12ABDR2OSCT-ND	100 mA, 12 V, pos. Spannungsregler	100mA, 12V, Positive Volt. Regulator	8-SOIC	.30	.23	.17

(Forts.)

★ *RUFEN SIE BITTE AN FÜR NIEDRIGERE PREISE BEI GRÖSSEREN MENGEN!* ★

ON Semiconductor Teilenr.	Digi-Key Teilenr.	Beschreibung		Paket	Stückpreis★ 1	25	100
MC78L12ABDR2	MC78L12ABDR2OSTR-ND	100 mA, 12 V, pos. Spannungsregler	100mA, 12V, Positive Volt. Regulator	8-SOIC		249.75/2,500	
MC78L12ABP	MC78L12ABPOS-ND	100 mA, 12 V, pos. Spannungsregler	100mA, 12V, Positive Volt. Regulator	TO-92	.37	.30	.23
MC78L12ACDR2	MC78L12ACDR2OSCT-ND	100 mA, 12 V, pos. Spannungsregler	100mA, 12V, Positive Volt. Regulator	8-SOIC	.30	.24	.18
MC78L12ACDR2	MC78L12ACDR2OSTR-ND	100 mA, 12 V, pos. Spannungsregler	100mA, 12V, Positive Volt. Regulator	8-SOIC		241.28/2,500	
MC78L12ACP	MC78L12ACPOS-ND	100 mA, 12 V, pos. Spannungsregler	100mA, 12V, Positive Volt. Regulator	TO-92	.35	.29	.20
MC78L15ACDR2	MC78L15ACDR2OSCT-ND	100 mA, 15 V, pos. Spannungsregler	100mA, 15V, Positive Volt. Regulator	8-SOIC	.30	.24	.18
MC78L15ACDR2	MC78L15ACDR2OSTR-ND	100 mA, 15 V, pos. Spannungsregler	100mA, 15V, Positive Volt. Regulator	8-SOIC		241.28/2,500	
MC78L15ACP	MC78L15ACPOS-ND	100 mA, 15 V, pos. Spannungsregler	100mA, 15V, Positive Volt. Regulator	TO-92	.35	.29	.20
MC78L18ACP	MC78L18ACPOS-ND	100 mA, 18 V, pos. Spannungsregler	100mA, 18V, Positive Volt. Regulator	TO-92	.35	.29	.20
MC78L24ACP	MC78L24ACPOS-ND	100 mA, 24 V, pos. Spannungsregler	100mA, 24V, Positive Volt. Regulator	TO-92	.35	.29	.20
MC78LC30NTR	MC78LC30NTROSCT-ND	80 mA, 3 V, Micropower Spannungsreg.	80mA, 3V, Micropower Volt. Reg.	SOT-23-5	.79	.60	.45
MC78LC30NTR	MC78LC30NTROSTR-ND	80 mA, 3 V, Micropower Spannungsreg.	80mA, 3V, Micropower Volt. Reg.	SOT-23-5		769.56/3,000	
MC78LC33HT1	MC78LC33HT1OSCT-ND	80 mA, 3,3 V, Micropower Spannungsreg.	80mA, 3.3V, Micropower Volt. Reg.	SOT-89	.79	.60	.45
MC78LC33HT1	MC78LC33HT1OSTR-ND	80 mA, 3,3 V, Micropower Spannungsreg.	80mA, 3.3V, Micropower Volt. Reg.	SOT-89		262.45/1,000	
MC78LC33NTR	MC78LC33NTROSCT-ND	80 mA, 3,3 V, Micropower Spannungsreg.	80mA, 3.3V, Micropower Volt. Reg.	SOT-23-5	.53	.45	.36
MC78LC33NTR	MC78LC33NTROSTR-ND	80 mA, 3,3 V, Micropower Spannungsreg.	80mA, 3.3V, Micropower Volt. Reg.	SOT-23-5		693.37/3,000	
MC78LC50HT1	MC78LC50HT1OSCT-ND	80 mA, 5 V, Micropower Spannungsreg.	80mA, 5V, Micropower Volt. Reg.	SOT-89	.79	.60	.45
MC78LC50HT1	MC78LC50HT1OSTR-ND	80 mA, 5 V, Micropower Spannungsreg.	80mA, 5V, Micropower Volt. Reg.	SOT-89		262.45/1,000	
MC78LC50NTR	MC78LC50NTROSCT-ND	80 mA, 5 V, Micropower Spannungsreg.	80mA, 5V, Micropower Volt. Reg.	SOT-23-5	.79	.60	.45
MC78LC50NTR	MC78LC50NTROSTR-ND	80 mA, 5 V, Micropower Spannungsreg.	80mA, 5V, Micropower Volt. Reg.	SOT-23-5		769.56/3,000	
MC78M05ACDTRK	MC78M05ACDTRKOSCT-ND	500 mA, 5 V, pos. Spannungsregler	500mA, 5V, Positive Volt. Regulator	DPAK	.55	.42	.32
MC78M05ACDTRK	MC78M05ACDTRKOSTR-ND	500 mA, 5 V, pos. Spannungsregler	500mA, 5V, Positive Volt. Regulator	DPAK		448.70/2,500	
MC78M05BDTRK	MC78M05BDTRKOSCT-ND	500 mA, 5 V, pos. Spannungsregler	500mA, 5V, Positive Volt. Regulator	DPAK	.55	.42	.32
MC78M05BDTRK	MC78M05BDTRKOSTR-ND	500 mA, 5 V, pos. Spannungsregler	500mA, 5V, Positive Volt. Regulator	DPAK		448.70/2,500	
MC78M05BT	MC78M05BTOS-ND	500 mA, 5 V, pos. Spannungsregler	500mA, 5V, Positive Volt. Regulator	TO-220	.52	.39	.29
MC78M05CDTRK	MC78M05CDTRKOSCT-ND	500 mA, 5 V, pos. Spannungsregler	500mA, 5V, Positive Volt. Regulator	DPAK	.43	.33	.25
MC78M05CDTRK	MC78M05CDTRKOSTR-ND	500 mA, 5 V, pos. Spannungsregler	500mA, 5V, Positive Volt. Regulator	DPAK		436.00/2,500	
MC78M05CT	MC78M05CTOS-ND	500 mA, 5 V, pos. Spannungsregler	500mA, 5V, Positive Volt. Regulator	TO-220	.38	.29	.22
MC78M06CDT	MC78M06CDTOS-ND	500 mA, 6 V, pos. Spannungsregler	500mA, 6V, Positive Volt. Regulator	DPAK	.41	.31	.24
MC78M06CT	MC78M06CTOS-ND	500 mA, 6 V, pos. Spannungsregler	500mA, 6V, Positive Volt. Regulator	TO-220	.38	.29	.22
MC78M08BT	MC78M08BTOS-ND	500 mA, 8 V, pos. Spannungsregler	500mA, 8V, Positive Volt. Regulator	TO-220	.52	.39	.30
MC78M08CDTRK	MC78M08CDTRKOSCT-ND	500 mA, 8 V, pos. Spannungsregler	500mA, 8V, Positive Volt. Regulator	DPAK	.43	.33	.25
MC78M08CDTRK	MC78M08CDTRKOSTR-ND	500 mA, 8 V, pos. Spannungsregler	500mA, 8V, Positive Volt. Regulator	DPAK		334.41/2,500	
MC78M08CT	MC78M08CTOS-ND	500 mA, 8 V, pos. Spannungsregler	500mA, 8V, Positive Volt. Regulator	TO-220	.38	.29	.22
MC78M09CDTRK	MC78M09CDTRKOSCT-ND	500 mA, 9 V, pos. Spannungsregler	500mA, 9V, Positive Volt. Regulator	DPAK	.43	.33	.25
MC78M09CDTRK	MC78M09CDTRKOSTR-ND	500 mA, 9 V, pos. Spannungsregler	500mA, 9V, Positive Volt. Regulator	DPAK		334.41/2,500	
MC78M12BDT	MC78M12BDTOS-ND	500 mA, 12 V, pos. Spannungsregler	500mA, 12V, Positive Volt. Regulator	DPAK	.55	.42	.32
MC78M12BT	MC78M12BTOS-ND	500 mA, 12 V, Positivspannungsreg.	500mA, 12V, Positive Volt. Reg.	TO-220	.52	.39	.29
MC78M12CDTRK	MC78M12CDTRKOSCT-ND	500 mA, 12 V, pos. Spannungsregler	500mA, 12V, Positive Volt. Regulator	DPAK	.43	.33	.25
MC78M12CDTRK	MC78M12CDTRKOSTR-ND	500 mA, 12 V, pos. Spannungsregler	500mA, 12V, Positive Volt. Regulator	DPAK		436.00/2,500	
MC78M12CT	MC78M12CTOS-ND	500 mA, 12 V, Positivspannungsreg.	500mA, 12V, Positive Volt. Reg.	TO-220	.38	.29	.22
MC78M15BT	MC78M15BTOS-ND	500 mA, 15 V, Positivspannungsreg.	500mA, 15V, Positive Volt. Reg.	TO-220	.52	.39	.29
MC78M15CDTRK	MC78M15CDTRKOSCT-ND	500 mA, 15 V, pos. Spannungsregler	500mA, 15V, Positive Volt. Regulator	DPAK	.43	.33	.25
MC78M15CDTRK	MC78M15CDTRKOSTR-ND	500 mA, 15 V, pos. Spannungsregler	500mA, 15V, Positive Volt. Regulator	DPAK		436.00/2,500	
MC78M15CT	MC78M15CTOS-ND	500 mA, 15 V, Positivspannungsreg.	500mA, 15V, Positive Volt. Reg.	TO-220	.38	.29	.22
MC78M24CT	MC78M24CTOS-ND	500 mA, 24 V, Positivspannungsreg.	500mA, 24V, Positive Volt. Reg.	TO-220	.38	.29	.22
MC78PC30NTR	MC78PC30NTROSCT-ND	150 mA, 3 V, LDO-Linearspannungsreg.	150mA, 3V, LDO Linear Volt. Reg.	SOT-23-5	.53	.45	.36
MC78PC30NTR	MC78PC30NTROSTR-ND	150 mA, 3 V, LDO-Linearspannungsreg.	150mA, 3V, LDO Linear Volt. Reg.	SOT-23-5		693.37/3,000	
MC78PC33NTR	MC78PC33NTROSCT-ND	150 mA, 3,3 V, LDO-Linearspannungsreg.	150mA, 3.3V, LDO Linear Volt. Reg.	SOT-23-5	.53	.45	.36
MC78PC33NTR	MC78PC33NTROSTR-ND	150 mA, 3,3 V, LDO-Linearspannungsreg.	150mA, 3.3V, LDO Linear Volt. Reg.	SOT-23-5		693.37/3,000	
MC78T05ABT	MC78T05ABTOS-ND	3,0 A, 5 V pos. Spannungsregler	3.0A, 5V, Positive Volt. Regulator	TO-220-3	1.43	1.15	.86
MC79L05ABDR2	MC79L05ABDR2OSCT-ND	100 mA, 5 V, neg. Spannungsregler	100mA, 5V, Negative Volt. Regulator	8-SOIC	.33	.25	.19
MC79L05ABDR2	MC79L05ABDR2OSTR-ND	100 mA, 5 V, neg. Spannungsregler	100mA, 5V, Negative Volt. Regulator	8-SOIC		277.26/2,500	
MC79L05ABP	MC79L05ABPOS-ND	100 mA, 5 V, neg. Spannungsregler	100mA, 5V, Negative Volt. Regulator	TO-92	.41	.33	.25
MC79L05ACDR2	MC79L05ACDR2OSCT-ND	100 mA, 5 V, neg. Spannungsregler	100mA, 5V, Negative Volt. Regulator	8-SOIC	.30	.24	.18
MC79L05ACDR2	MC79L05ACDR2OSTR-ND	100 mA, 5 V, neg. Spannungsregler	100mA, 5V, Negative Volt. Regulator	8-SOIC		241.28/2,500	
MC79L05ACPRA	MC79L05ACPRAOSCT-ND	100 mA, 5 V, neg. Spannungsregler	100mA, 5V, Negative Volt. Regulator	TO-92	.30	.24	.18
MC79L05ACPRA	MC79L05ACPRAOSTR-ND	100 mA, 5 V, neg. Spannungsregler	100mA, 5V, Negative Volt. Regulator	TO-92		193.02/2,000	
MC79L12ACDR2	MC79L12ACDR2OSCT-ND	100 mA, 12 V, neg. Spannungsregler	100mA, 12V, Negative Volt. Regulator	8-SOIC	.30	.24	.18
MC79L12ACDR2	MC79L12ACDR2OSTR-ND	100 mA, 12 V, neg. Spannungsregler	100mA, 12V, Negative Volt. Regulator	8-SOIC		241.28/2,500	
MC79L12ACP	MC79L12ACPOS-ND	100 mA, 12 V, neg. Spannungsregler	100mA, 12V, Negative Volt. Regulator	TO-92	.35	.29	.20
MC79L15ACP	MC79L15ACPOS-ND	100 mA, 15 V, neg. Spannungsregler	100mA, 15V, Negative Volt. Regulator	TO-92	.35	.29	.20
MC79M05BDT	MC79M05BDTOS-ND	500 mA, 5 V, neg. Spannungsregler	500mA, 5V, Negative Volt. Regulator	DPAK	.55	.42	.32
MC79M05CDTRK	MC79M05CDTRKOSCT-ND	500 mA, 5 V, neg. Spannungsregler	500mA, 5V, Negative Volt. Regulator	DPAK	.43	.33	.25
MC79M05CDTRK	MC79M05CDTRKOSTR-ND	500 mA, 5 V, neg. Spannungsregler	500mA, 5V, Negative Volt. Regulator	DPAK		436.00/2,500	
MC79M05CT	MC79M05CTOS-ND	500 mA, 5 V, neg. Spannungsreg.	500mA, 5V, Negative Volt. Reg.	TO-220	.38	.29	.22
MC79M12CDTRK	MC79M12CDTRKOSCT-ND	500 mA, 12 V, neg. Spannungsregler	500mA, 12V, Negative Volt. Regulator	DPAK	.43	.33	.25
MC79M12CDTRK	MC79M12CDTRKOSTR-ND	500 mA, 12 V, neg. Spannungsregler	500mA, 12V, Negative Volt. Regulator	DPAK		436.00/2,500	
MC79M12CT	MC79M12CTOS-ND	500 mA, 12 V, neg. Spannungsreg.	500mA, 12V, Negative Volt. Reg.	TO-220	.38	.29	.22
MC79M15CDTRK	MC79M15CDTRKOSCT-ND	500 mA, 15 V, neg. Spannungsregler	500mA, 15V, Negative Volt. Regulator	DPAK	.43	.33	.25
MC79M15CDTRK	MC79M15CDTRKOSTR-ND	500 mA, 15 V, neg. Spannungsregler	500mA, 15V, Negative Volt. Regulator	DPAK		436.00/2,500	
MC79M15CT	MC79M15CTOS-ND	500 mA, 15 V, neg. Spannungsreg.	500mA, 15V, Negative Volt. Reg.	TO-220	.38	.29	.22
MC100E016FN	MC100E016FNOS-ND	5 V ECL 8-Bit synch., binärer Aufwärtszähler	5V ECL 8-Bit Sync. Binary Up Counter	28-PLCC	7.05	6.35	5.63
MC100E111FN	MC100E111FNOS-ND	5 V ECL 1:9 Diff. Takttreiber	5V ECL 1:9 Diff. Clock Driver	28-PLCC	7.53	6.03	5.09
MC100E142FN	MC100E142FNOS-ND	5 V ECL 9-Bit Schieberegister	5V ECL 9-Bit Shift Register	28-PLCC	7.75	6.99	6.20
MC100E143FN	MC100E143FNOS-ND	5 V ECL 9-Bit Halteregister	5V ECL 9-Bit Hold Register	28-PLCC	7.75	6.99	6.20
MC100E195FN	MC100E195FNOS-ND	5 V ECL prog. Verzögerungschip	5V ECL Prog. Delay Chip	28-PLCC	7.75	6.99	6.20
MC100E452FN	MC100E452FNOS-ND	5 V ECL 5-Bit Diff. Register	5V ECL 5-Bit Diff. Register	28-PLCC	7.75	6.99	6.20
MC100EL01D	MC100EL01DOS-ND	5 V ECL OR/NOR-Gate, 4 Eingänge	5V ECL 4-In. OR/NOR	8-SOIC	4.23	3.39	2.86
MC100EL05D	MC100EL05DOS-ND	5 V ECL Diff. AND/NAND, 2 Eingänge	5V ECL 2-In. Diff. AND/NAND	8-SOIC	4.23	3.39	2.86
MC100EL07D	MC100EL07DOS-ND	5 V ECL XOR/XNOR, 2 Eingänge	5V ECL 2-In. XOR/XNOR	8-SOIC	4.23	3.39	2.86
MC100EL11D	MC100EL11DOS-ND	5 V ECL 1:2 Diff. Fanout-Puffer	5V ECL 1:2 Diff. Fanout Buffer	8-SOIC	4.00	3.20	2.49
MC100EL16D	MC100EL16DOS-ND	5 V ECL-Diff. Empfänger	5V ECL Diff. Receiver	8-SOIC	3.81	3.05	2.38
MC100EL31D	MC100EL31DOS-ND	5 V ECL D-Flip-Flop mit Set/Reset	5V ECL D Flip-Flop with Set/Reset	8-SOIC	4.66	3.73	3.15
MC100EL32D	MC100EL32DOS-ND	5 V ECL 2-Teiler	5V ECL 2 Divider	8-SOIC	4.23	3.39	2.86
MC100EL33D	MC100EL33DOS-ND	5 V ECL 4-Teiler	5V ECL 4 Divider	8-SOIC	4.23	3.39	2.86
MC100EL34D	MC100EL34DOS-ND	5 V ECL 2, 4, 8 Takterzeugungs-Chip	5V ECL 2, 4, 8 Clock Generation Chip	16-SOIC	6.10	4.88	4.12
MC100EL51D	MC100EL51DOS-ND	5 V ECL Diff. Uhr D Flip-Flop	5V ECL Diff. Clock D Flip-Flop	8-SOIC	4.23	3.39	2.86
MC100EL57D	MC100EL57DOS-ND	5 V ECL 4:1 Diff. Mux	5V ECL 4:1 Diff. Mux	16-SOIC	5.93	4.75	4.01
MC100EL58D	MC100EL58DOS-ND	5 V ECL 2:1 Mux	5V ECL 2:1 Mux	8-SOIC	5.08	4.07	3.43
MC100EL90DW	MC100EL90DWOS-ND	Dreif. -3,3 V/-5 V ECL-Eingang an PECL-Ausgangsumsetzer	-3.3V/-5V Triple ECL Input to PECL Output Translator	20-SOIC	7.62	6.10	5.15
MC100EL91DW	MC100EL91DWOS-ND	Dreif. 5 V PECL Eing. an -5 V ECL Ausgangsumsetzer	5V Triple PECL Input to -5V ECL Output Translator	20-SOIC	7.62	6.10	5.15
MC100EL1648DR2	MC100EL1648DROSCT-ND	5 V ECL-Spann.gesteuerter Osz.	5V ECL Volt. Controlled Osc.	8-SOIC	7.05	6.35	5.63
MC100EL1648DR2	MC100EL1648DROSTR-ND	5 V ECL-Spann.gesteuerter Osz.	5V ECL Volt. Controlled Osc.	8-SOIC		12857.74/2,500	
MC100EL1648DTR2	MC100EL1648DTOSCT-ND	5 V ECL-Spann.gesteuerter Osz.	5V ECL Volt. Controlled Osc.	8-TSSOP	7.05	6.35	5.63
MC100EL1648DTR2	MC100EL1648DTOSTR-ND	5 V ECL-Spann.gesteuerter Osz.	5V ECL Volt. Controlled Osc.	8-TSSOP		12857.74/2,500	
MC100EL1648MEL	MC100EL1648MEOSCT-ND	5 V ECL-Spann.gesteuerter Osz.	5V ECL Volt. Controlled Osc.	14-SOIC	7.05	6.35	5.63
MC100EL1648MEL	MC100EL1648MEOSTR-ND	5 V ECL-Spann.gesteuerter Osz.	5V ECL Volt. Controlled Osc.	14-SOIC		10455.51/2,000	
MC100ELT20D	MC100ELT20DOS-ND	5 V TTL an Diff. PECL Umsetzer	5V TTL to Diff. PECL Translator	8-SOIC	3.62	2.90	2.26
MC100ELT21D	MC100ELT21DOS-ND	5 V Diff. PECL an TTL Umsetzer	5V Diff. PECL to TTL Translator	8-SOIC	3.62	2.90	2.26

(Forts.)

★ ***RUFEN SIE BITTE AN FÜR NIEDRIGERE PREISE BEI GRÖSSEREN MENGEN!*** ★

B

ON Semiconductor Teilenr.	Digi-Key Teilenr.	Beschreibung		Paket	Stückpreis★ 1	25	100
MC100ELT22D	MC100ELT22DOS-ND	Zweif. 5 V TTL an Diff. PECL Umsetzer	5V Dual TTL to Diff. PECL Translator	8-SOIC	3.62	2.90	2.26
MC100ELT23D	MC100ELT23DOS-ND	Zweif. 5 V Diff. PECL an TTL Umsetzer	5V Dual Diff. PECL to TTL Translator	8-SOIC	3.62	2.90	2.26
MC100ELT24D	MC100ELT24DOS-ND	5 V TTL an Diff. ECL Umsetzer	5V TTL to Diff. ECL Translator	8-SOIC	3.62	2.90	2.26
MC100ELT25D	MC100ELT25DOS-ND	-5 V Diff. ECL an TTL Umsetzer	-5V Diff. ECL to TTL Translator	8-SOIC	3.62	2.90	2.26
MC100EP05D	MC100EP05DOS-ND	3,3 V/5 V ECL Diff. AND/NAND-Gate, 2 Eingänge	3.3V/5V ECL 2-In. Diff. AND/NAND Gate	8-SOIC	6.69	5.36	4.52
MC100EP08DT	MC100EP08DTOS-ND	3,3 V/5 V ECL Diff. XOR/XNOR-Gate, 2 Eingänge	3.3V/5V ECL 2-In. Diff. XOR/XNOR Gate	8-TSSOP	6.69	5.36	4.52
MC100EP11D	MC100EP11DOS-ND	3,3 V/5 V ECL 1:2 Diff. Fanout-Puffer	3.3V/5V ECL 1:2 Diff. Fanout Buffer	8-SOIC	5.84	4.68	3.95
MC100EP11DT	MC100EP11DTOS-ND	3,3 V/5 V ECL 1:2 Diff. Fanout-Puffer	3.3V/5V ECL 1:2 Diff. Fanout Buffer	8-TSSOP	—	—	4.85
MC100EP14DT	MC100EP14DTOS-ND	3,3 V/5 V, 1:5 Diff. ECL/PECL/HSTL-Takttreiber	3.3V/5V, 1:5 Diff. ECL/PECL/HSTL Clock Driver	20-TSSOP	7.69	6.93	6.14
MC100EP16D	MC100EP16DOS-ND	3,3 V/5 V ECL Diff. Empfänger/Treiber	3.3V/5V ECL Diff. Receiver/Driver	8-SOIC	5.08	4.07	3.43
MC100EP16VTDR2	MC100EP16VTDROSCT-ND	3,3 V/5 V ECL Empfänger/Treiber mit variablem Ausgang	3.3V/5V ECL Diff. Receiver/Driver with Variable Output	8-SOIC	7.62	6.10	5.15
MC100EP16VTDR2	MC100EP16VTDROSTR-ND	3,3 V/5 V ECL Empfänger/Treiber mit variablem Ausgang	3.3V/5V ECL Diff. Receiver/Driver with Variable Output	8-SOIC		11810.07/2,500	
MC100EP16VTDTR2	MC100EP16VTDTOSCT-ND	3,3 V/5 V ECL Empfänger/Treiber mit variablem Ausgang	3.3V/5V ECL Diff. Receiver/Driver with Variable Output	8-TSSOP	7.62	6.10	5.15
MC100EP16VTDTR2	MC100EP16VTDTOSTR-ND	3,3 V/5 V ECL Empfänger/Treiber mit variablem Ausgang	3.3V/5V ECL Diff. Receiver/Driver with Variable Output	8-TSSOP		11810.07/2,500	
MC100EP17DTR2	MC100EP17DTR2OSCT-ND	Vierf. 3,3 V/5 V ECL Diff. Treiber/Empfänger	3.3V/5V ECL Quad Diff. Driver/Receiver	20-TSSOP	11.50	10.35	9.18
MC100EP17DTR2	MC100EP17DTR2OSTR-ND	Vierf. 3,3 V/5 V ECL Diff. Treiber/Empfänger	3.3V/5V ECL Quad Diff. Driver/Receiver	20-TSSOP		20957.58/2,500	
MC100EP17DWR2	MC100EP17DWR2OSCT-ND	Vierf. 3,3 V/5 V ECL Diff. Treiber/Empfänger	3.3V/5V ECL Quad Diff. Driver/Receiver	20-SOIC	11.50	10.35	9.18
MC100EP17DWR2	MC100EP17DWR2OSTR-ND	Vierf. 3,3 V/5 V ECL Diff. Treiber/Empfänger	3.3V/5V ECL Quad Diff. Driver/Receiver	20-SOIC		8521.03/1,000	
MC100EP29DTR2	MC100EP29DTR2OSCT-ND	Zweif. 3,3 V/5 V ECL Diff. Daten und Uhr D-Flip-Flop mit Set/Reset	3.3V/5V ECL Dual Diff. Data and Clock D Flip-Flop with Set/Reset	20-TSSOP	13.57	12.22	10.84
MC100EP29DTR2	MC100EP29DTR2OSTR-ND	Zweif. 3,3 V/5 V ECL Diff. Daten und Uhr D-Flip-Flop mit Set/Reset	3.3V/5V ECL Dual Diff. Data and Clock D Flip-Flop with Set/Reset	20-TSSOP		24737.65/2,500	
MC100EP32DT	MC100EP32DTOS-ND	3,3 V/5 V ECL 2-Teiler	3.3V/5V ECL 2 Divider	8-TSSOP	6.77	5.42	4.58
MC100EP35DR2	MC100EP35DR2OSCT-ND	3,3 V/5 V ECL JK Flip-Flop	3.3V/5V ECL JK Flip-Flop	8-SOIC	8.18	7.37	6.54
MC100EP35DR2	MC100EP35DR2OSTR-ND	3,3 V/5 V ECL JK Flip-Flop	3.3V/5V ECL JK Flip-Flop	8-SOIC		14914.98/2,500	
MC100EP35DTR2	MC100EP35DTR2OSCT-ND	3,3 V/5 V ECL JK Flip-Flop	3.3V/5V ECL JK Flip-Flop	8-TSSOP	8.18	7.37	6.54
MC100EP35DTR2	MC100EP35DTR2OSTR-ND	3,3 V/5 V ECL JK Flip-Flop	3.3V/5V ECL JK Flip-Flop	8-TSSOP		14914.98/2,500	
MC100EP40DTR2	MC100EP40DTR2OSCT-ND	3,3 V/5 V ECL Diff. Phasenfrequ.-Detektor	3.3V/5V ECL Diff. Phase-Freq. Detector	20-TSSOP	13.57	12.22	10.84
MC100EP40DTR2	MC100EP40DTR2OSTR-ND	3,3 V/5 V ECL Diff. Phasenfrequ.-Detektor	3.3V/5V ECL Diff. Phase-Freq. Detector	20-TSSOP		24737.65/2,500	
MC100EP52DT	MC100EP52DTOS-ND	3,3 V/5 V ECL Diff. Daten und Uhr D Flip-Flop	3.3V/5V ECL Diff. Data and Clock D Flip-Flop	8-TSSOP	6.77	5.42	4.58
MC100EP56DT	MC100EP56DTOS-ND	Zweif. 3,3 V/5 V ECL Diff. Mux 2:1	3.3V/5V ECL Dual Diff. 2:1 Mux	20-TSSOP	8.39	7.56	6.70
MC100EP57DT	MC100EP57DTOS-ND	3,3 V/5 V ECL 4:1 Diff. Mux	3.3V/5V ECL 4:1 Diff. Mux	20-TSSOP	8.39	7.56	6.70
MC100EP90DTR2	MC100EP90DTR2OSCT-ND	Dreif. -3,3 V/-5 V ECL-Eingang an LVPECL/PECL-Ausgangsumsetzer	-3.3V/-5V Triple ECL Input to LVPECL/PECL Output Translator	20-TSSOP	13.57	12.22	10.84
MC100EP90DTR2	MC100EP90DTR2OSTR-ND	Dreif. -3,3 V/-5 V ECL-Eingang an LVPECL/PECL-Ausgangsumsetzer	-3.3V/-5V Triple ECL Input to LVPECL/PECL Output Translator	20-TSSOP		24737.65/2,500	
MC100EP016AFAR2	MC100EP016AFAOSCT-ND	3,3 V ECL 8-Bit synch., binärer Aufwärtszähler	3.3V ECL 8-Bit Sync. Binary Up Counter	32-LQFP	16.51	15.41	14.31
MC100EP016AFAR2	MC100EP016AFAOSTR-ND	3,3 V ECL 8-Bit synch., binärer Aufwärtszähler	3.3V ECL 8-Bit Sync. Binary Up Counter	32-LQFP		27184.33/2,000	
MC100EP016FAR2	MC100EP016FAROSCT-ND	3,3 V/5 V ECL 8-Bit synch., binärer Aufwärtszähler	3.3V/5V ECL 8-Bit Sync. Binary Up Counter	32-LQFP	16.51	15.41	14.31
MC100EP016FAR2	MC100EP016FAROSTR-ND	3,3 V/5 V ECL 8-Bit synch., binärer Aufwärtszähler	3.3V/5V ECL 8-Bit Sync. Binary Up Counter	32-LQFP		27184.33/2,000	
MC100EP101FAR2	MC100EP101FAROSCT-ND	Vierf. 3,3 V/5 V ECL OR/NOR-Gate, 4 Eingänge	3.3V/5V ECL Quad 4-In. OR/NOR Gate	32-LQFP	13.57	12.22	10.84
MC100EP101FAR2	MC100EP101FAROSTR-ND	Vierf. 3,3 V/5 V ECL OR/NOR-Gate, 4 Eingänge	3.3V/5V ECL Quad 4-In. OR/NOR Gate	32-LQFP		20116.91/2,000	
MC100EP105FAR2	MC100EP105FAROSCT-ND	Vierf. 3,3 V/5 V ECL Diff. AND/NAND-Gate, 2 Eingänge	3.3V/5V ECL Quad 2-In. Diff. AND/NAND Gate	32-LQFP	13.57	12.22	10.84
MC100EP105FAR2	MC100EP105FAROSTR-ND	Vierf. 3,3 V/5 V ECL Diff. AND/NAND-Gate, 2 Eingänge	3.3V/5V ECL Quad 2-In. Diff. AND/NAND Gate	32-LQFP		20116.91/2,000	
MC100EP116FAR2	MC100EP116FAROSCT-ND	Sechf. 3,3 V/5 V Diff. Leitungsempfänger/Treiber	3.3V/5V Hex Diff. Line Recvr/Driver	32-LQFP	13.57	12.22	10.84
MC100EP116FAR2	MC100EP116FAROSTR-ND	Sechf. 3,3 V/5 V Diff. Leitungsempfänger/Treiber	3.3V/5V Hex Diff. Line Recvr/Driver	32-LQFP		20116.91/2,000	
MC100EP131FAR2	MC100EP131FAROSCT-ND	Vierf. 3,3 V/5 V ECL D Flip-Flop	3.3V/5V ECL Quad D Flip-Flop	32-LQFP	13.57	12.22	10.84
MC100EP131FAR2	MC100EP131FAROSTR-ND	Vierf. 3,3 V/5 V ECL D Flip-Flop	3.3V/5V ECL Quad D Flip-Flop	32-LQFP		20116.91/2,000	
MC100EP139DTR2	MC100EP139DTROSCT-ND	3,3 V/5 V ECL 2/4, 4/5/6 Taktgeber-Chip	3.3V/5V ECL 2/4, 4/5/6 Clock Generation Chip	20-TSSOP	11.63	10.48	9.29
MC100EP139DTR2	MC100EP139DTROSTR-ND	3,3 V/5 V ECL 2/4, 4/5/6 Taktgeber-Chip	3.3V/5V ECL 2/4, 4/5/6 Clock Generation Chip	20-TSSOP		21215.80/2,500	
MC100EP139DWR2	MC100EP139DWROSCT-ND	3,3 V/5 V ECL 2/4, 4/5/6 Taktgeber-Chip	3.3V/5V ECL 2/4, 4/5/6 Clock Generation Chip	20-SOIC	11.63	10.48	9.29
MC100EP139DWR2	MC100EP139DWROSTR-ND	3,3 V/5 V ECL 2/4, 4/5/6 Taktgeber-Chip	3.3V/5V ECL 2/4, 4/5/6 Clock Generation Chip	20-SOIC		8730.99/1,000	
MC100EP140D	MC100EP140DOS-ND	3,3 V ECL Phasenfrequ.-Detektor	3.3V ECL Phase-Freq. Detector	8-SOIC	7.75	6.99	6.20
MC100EP142FAR2	MC100EP142FAROSCT-ND	3,3 V/5 V ECL 9-Bit Schieberegister	3.3V/5V ECL 9-Bit Shift Register	32-LQFP	16.07	15.00	13.93
MC100EP142FAR2	MC100EP142FAROSTR-ND	3,3 V/5 V ECL 9-Bit Schieberegister	3.3V/5V ECL 9-Bit Shift Register	32-LQFP		26452.86/2,000	
MC100EP195FAR2	MC100EP195FAROSCT-ND	3,3 V ECL Prog. Verzögerungschip	3.3V ECL Prog. Delay Chip	32-LQFP	11.99	10.80	9.58
MC100EP195FAR2	MC100EP195FAROSTR-ND	3,3 V ECL Prog. Verzögerungschip	3.3V ECL Prog. Delay Chip	32-LQFP		17775.21/2,000	
MC100EP196FAR2	MC100EP196FAROSCT-ND	3,3 V ECL prog. Verzögerungschip mit FTUNE	3.3V ECL Prog. Delay Chip w/FTUNE	32-LQFP	11.99	10.80	9.58
MC100EP196FAR2	MC100EP196FAROSTR-ND	3,3 V ECL prog. Verzögerungschip mit FTUNE	3.3V ECL Prog. Delay Chip w/FTUNE	32-LQFP		17990.25/2,000	
MC100EP210SFAR2	MC100EP210SFAOSCT-ND	Zweif. 2,5 V, 1:5 Diff. LVDS-Treiber	2.5V, 1:5 Dual Diff. LVDS Driver	32-LQFP	14.32	13.36	12.41
MC100EP210SFAR2	MC100EP210SFAOSTR-ND	Zweif. 2,5 V, 1:5 Diff. LVDS-Treiber	2.5V, 1:5 Dual Diff. LVDS Driver	32-LQFP		23565.96/2,000	
MC100EP445FAR2	MC100EP445FAROSCT-ND	3,3 V/5 V ECL 8-Bit Seriell/Parallel-Wandler	3.3V/5V ECL 8-Bit Serial/Parallel Converter	32-LQFP	16.07	15.00	13.93
MC100EP445FAR2	MC100EP445FAROSTR-ND	3,3 V/5 V ECL 8-Bit Seriell/Parallel-Wandler	3.3V/5V ECL 8-Bit Serial/Parallel Converter	32-LQFP		26452.86/2,000	
MC100EP446FAR2	MC100EP446FAROSCT-ND	3,3 V/5 V 8-Bit CMOS/ECL/TTL Dateneingang-Parallel/Seriell-Wandler	3.3V/5V 8-Bit CMOS/ECL/TTL Data Input Parallel/Serial Converter	32-LQFP	16.07	15.00	13.93
MC100EP446FAR2	MC100EP446FAROSTR-ND	3,3 V/5 V 8-Bit CMOS/ECL/TTL Dateneingang-Parallel/Seriell-Wandler	3.3V/5V 8-Bit CMOS/ECL/TTL Data Input Parallel/Serial Converter	32-LQFP		26452.86/2,000	
MC100EP451FAR2	MC100EP451FAROSCT-ND	3,3 V/5 V ECL 6-Bit Diff. Register mit Master Reset	3.3V/5V ECL 6-Bit Diff. Register with Master Reset	32-LQFP	16.07	15.00	13.93
MC100EPT20D	MC100EPT20DOS-ND	3,3 V LVTTL/LVCMOS an Diff. LVPECL-Umsetzer	3.3V LVTTL/LVCMOS to Diff. LVPECL Translator	8-SOIC	6.77	5.42	4.58
MC100EPT21D	MC100EPT21DOS-ND	3,3 V Diff. LVPECL an LVTTL-Umsetzer	3.3V Diff. LVPECL to LVTTL Translator	8-SOIC	6.77	5.42	4.58
MC100EPT21DT	MC100EPT21DTOS-ND	3,3 V Diff. LVPECL an LVTTL-Umsetzer	3.3V Diff. LVPECL to LVTTL Translator	8-TSSOP	6.77	5.42	4.58
MC100EPT22D	MC100EPT22DOS-ND	Zweif. 3,3 V LVTTL/LVCMOS an Diff. LVPECL-Umsetzer	3.3V Dual LVTTL/LVCMOS to Diff. LVPECL Translator	8-SOIC	6.77	5.42	4.58
MC100EPT22DT	MC100EPT22DTOS-ND	Zweif. 3,3 V LVTTL/LVCMOS an Diff. LVPECL-Umsetzer	3.3V Dual LVTTL/LVCMOS to Diff. LVPECL Translator	8-TSSOP	6.77	5.42	4.58
MC100EPT23D	MC100EPT23DOS-ND	Zweif. 3,3 V Diff. LVPECL an LVTTL-Umsetzer	3.3V Dual Diff. LVPECL to LVTTL Translator	8-SOIC	6.77	5.42	4.58
MC100EPT23DT	MC100EPT23DTOS-ND	Zweif. 3,3 V Diff. LVPECL an LVTTL-Umsetzer	3.3V Dual Diff. LVPECL to LVTTL Translator	8-TSSOP	6.77	5.42	4.58
MC100EPT25D	MC100EPT25DOS-ND	-3,3 V/-5 V Diff. ECL an +3,3 V LVTTL-Umsetzer	-3.3V/-5V Diff. ECL to +3.3V LVTTL Translator	8-SOIC	6.77	5.42	4.58
MC100EPT25DT	MC100EPT25DTOS-ND	-3,3 V/-5 V Diff. ECL an +3,3 V LVTTL-Umsetzer	-3.3V/-5V Diff. ECL to +3.3V LVTTL Translator	8-TSSOP	—	—	5.63
MC100EPT26D	MC100EPT26DOS-ND	3,3 V 1:2 Fanout Diff. LVPECL an LVTTL-Umsetzer	3.3V 1:2 Fanout Diff. LVPECL to LVTTL Translator	8-SOIC	6.77	5.42	4.58
MC100EPT26DT	MC100EPT26DTOS-ND	3,3 V 1:2 Fanout Diff. LVPECL an LVTTL-Umsetzer	3.3V 1:2 Fanout Diff. LVPECL to LVTTL Translator	8-TSSOP	6.77	5.42	4.58
MC100EPT622FAR2	MC100EPT622FAOSCT-ND	3,3 V LVTTL/LVCMOS an LVPECL-Umsetzer	3.3V LVTTL/LVCMOS to LVPECL Translator	32-LQFP	13.97	13.04	12.11
MC100EPT622FAR2	MC100EPT622FAOSTR-ND	3,3 V LVTTL/LVCMOS an LVPECL-Umsetzer	3.3V LVTTL/LVCMOS to LVPECL Translator	32-LQFP		23002.12/2,000	
MC100LVE111FNR2	MC100LVE111FNOSCT-ND	3,3 V ECL 1:9 Diff. Takttreiber	3.3V ECL 1:9 Diff. Clock Driver	28-PLCC	7.53	6.03	5.09
MC100LVE111FNR2	MC100LVE111FNOSTR-ND	3,3 V ECL 1:9 Diff. Takttreiber	3.3V ECL 1:9 Diff. Clock Driver	28-PLCC		2448.79/500	
MC100LVE222FA	MC100LVE222FAOS-ND	3,3 V ECL 1:15 Halbtakttreiber	3.3V ECL 1:15 Diff. 1/2 Clock Driver	52-LQFP	8.47	7.62	6.76
MC100LVE310FN	MC100LVE310FNOS-ND	3,3 V ECL 2:8 Diff. Fanout-Puffer	3.3V ECL 2:8 Diff. Fanout Buffer	28-PLCC	6.94	5.56	4.69
MC100LVEL05D	MC100LVEL05DOS-ND	3,3 V ECL Diff. AND/NAND-Gate, 2 Eingänge	3.3V ECL 2-In. Diff. AND/NAND Gate	8-SOIC	5.08	4.07	3.43
MC100LVEL11DR2	MC100LVEL11DROSCT-ND	3,3 V ECL 1:2 Diff. Fanout-Puffer	3.3V ECL 1:2 Diff. Fanout Buffer	8-SOIC	4.00	3.20	2.49
MC100LVEL11DR2	MC100LVEL11DROSTR-ND	3,3 V ECL 1:2 Diff. Fanout-Puffer	3.3V ECL 1:2 Diff. Fanout Buffer	8-SOIC		5600.26/2,500	
MC100LVEL11DT	MC100LVEL11DTOS-ND	3,3 V ECL 1:2 Diff. Fanout-Puffer	3.3V ECL 1:2 Diff. Fanout Buffer	8-TSSOP	4.00	3.20	2.49
MC100LVEL13DW	MC100LVEL13DWOS-ND	Zweif. 3,3 V ECL 1:3 Fanout-Puffer	3.3V ECL Dual 1:3 Fanout Buffer	20-SOIC	9.07	8.17	7.24
MC100LVEL14DWR2	MC100LVEL14DWOSCT-ND	3,3 V ECL 1:5 Taktdist.-Chip	3.3V ECL 1:5 Clock Dist. Chip	20-SOIC	7.62	6.10	5.15
MC100LVEL14DWR2	MC100LVEL14DWOSTR-ND	3,3 V ECL 1:5 Taktdist.-Chip	3.3V ECL 1:5 Clock Dist. Chip	20-SOIC		4762.13/1,000	
MC100LVEL16D	MC100LVEL16DOS-ND	3,3 V ECL Diff. Empfänger	3.3V ECL Diff. Receiver	8-SOIC	3.81	3.05	2.38
MC100LVEL17DW	MC100LVEL17DWOS-ND	Vierf. 3,3 V ECL Diff. Empfänger	3.3V ECL Quad Diff. Receiver	20-SOIC	6.77	5.42	4.58
MC100LVEL29DW	MC100LVEL29DWOS-ND	Zweif. 3,3 V ECL Diff. Daten und Uhr D-Flip-Flop mit Set/Reset	3.3V ECL Dual Diff. Data/Clock D Flip-Flop with Set/Reset	20-SOIC	7.62	6.10	5.15
MC100LVEL40DW	MC100LVEL40DWOS-ND	3,3 V/5 V ECL Diff. Phasenfrequ.-Detektor	3.3V/5V ECL Diff. Phase-Freq. Detector	20-SOIC	9.07	8.17	7.24
MC100LVEL51D	MC100LVEL51DOS-ND	3,3 V ECL Diff. Uhr D Flip-Flop	3.3V ECL Diff. Clock D Flip-Flop	8-SOIC	5.08	4.07	3.43
MC100LVEL56DW	MC100LVEL56DWOS-ND	Zweif. 3,3 V ECL Diff. Mux 2:1	3.3V ECL Dual Diff. 2:1 Mux	20-SOIC	6.77	5.42	4.58
MC100LVEL90DW	MC100LVEL90DWOS-ND	Dreif. -3,3 V/-5 V ECL-Eingang an LVPECL-Ausgangsumsetzer	-3.3V/-5V Triple ECL Input to LVPECL Output Translator	20-SOIC	7.62	6.10	5.15
MC100LVEL92DW	MC100LVEL92DWOS-ND	Dreif. 5 V PECL-Eing. an LVPECL-Ausgangsumsetzer	5V Triple PECL Input to LVPECL Output Translator	20-SOIC	7.62	6.10	5.15
MC100LVELT22D	MC100LVELT22DOS-ND	Zweif. 3,3 V LVTTL/LVCMOS an Diff. LVPECL-Umsetzer	3.3V Dual LVTTL/LVCMOS to Diff. LVPECL Translator	8-SOIC	3.62	2.90	2.26
MC100LVELT22DT	MC100LVELT22DTOS-ND	Zweif. 3,3 V LVTTL/LVCMOS an Diff. LVPECL-Umsetzer	3.3V Dual LVTTL/LVCMOS to Diff. LVPECL Translator	8-TSSOP	3.62	2.90	2.26
MC100LVELT23D	MC100LVELT23DOS-ND	Zweif. 3,3 V Diff. LVPECL an LVTTL-Umsetzer	3.3V Dual Diff. LVPECL to LVTTL Translator	8-SOIC	3.62	2.90	2.26
MC100LVELT23DT	MC100LVELT23DTOS-ND	Zweif. 3,3 V Diff. LVPECL an LVTTL-Umsetzer	3.3V Dual Diff. LVPECL to LVTTL Translator	8-TSSOP	3.62	2.90	2.26
MC100LVEP11DT	MC100LVEP11DTOS-ND	2,5 V/3,3 V ECL 1:2 Diff. Fanout-Puffer	2.5V/3.3V ECL 1:2 Diff. Fanout Buffer	8-TSSOP	5.84	4.68	3.95
MC100LVEP14DT	MC100LVEP14DTOS-ND	2,5 V/3,3 V 1:5 Diff. ECL/PECL/HSTL-Takttreiber	2.5V/3.3V, 1:5 Diff. ECL/PECL/HSTL Clock Driver	20-TSSOP	7.69	6.93	6.14

(Forts.)

★ ***RUFEN SIE BITTE AN FÜR NIEDRIGERE PREISE BEI GRÖSSEREN MENGEN!*** ★

ON Semiconductor Teilenr.	Digi-Key Teilenr.	Beschreibung		Paket	Stückpreis★ 1	25	100
MC100LVEP34DR2	MC100LVEP34DROSCT-ND	2,5 V/3,3 V ECL 2, 4, 8 Taktgeber-Chip	2.5V/3.3V ECL 2, 4, 8 Clock Generation Chip	16-SOIC	13.57	12.22	10.84
MC100LVEP34DR2	MC100LVEP34DROSTR-ND	2,5 V/3,3 V ECL 2, 4, 8 Taktgeber-Chip	2.5V/3.3V ECL 2, 4, 8 Clock Generation Chip	16-SOIC		24737.65/2,500	
MC100LVEP34DTR2	MC100LVEP34DTOSCT-ND	2,5 V/3,3 V ECL 2, 4, 8 Taktgeber-Chip	2.5V/3.3V ECL 2, 4, 8 Clock Generation Chip	16-TSSOP	13.57	12.22	10.84
MC100LVEP34DTR2	MC100LVEP34DTOSTR-ND	2,5 V/3,3 V ECL 2, 4, 8 Taktgeber-Chip	2.5V/3.3V ECL 2, 4, 8 Clock Generation Chip	16-TSSOP		24737.65/2,500	
MC100LVEP111FA	MC100LVEP111FAOS-ND	2,5 V/3,3 V 1:10 Diff. ECL/PECL/HSTL-Takttreiber	2.5V/3.3V, 1:10 Diff. ECL/PECL/HSTL Clock Driver	32-LQFP	8.47	7.62	6.76
MC100LVEP210FA	MC100LVEP210FAOS-ND	Zweif. 2,5 V/3,3 V 1:5 Diff. ECL/PECL/HSTL-Takttreiber	2.5V/3.3V, 1:5 Dual Diff. ECL/PECL/HSTL Clock Driver	32-LQFP	9.80	8.83	7.83
MC1403DR2	MC1403DR2OSCT-ND	Niederspannungsreferenz	Low Voltage Reference	8-SOIC	.75	.62	.50
MC1403DR2	MC1403DR2OSTR-ND	Niederspannungsreferenz	Low Voltage Reference	8-SOIC		802.15/2,500	
MC1403P1	MC1403P10S-ND	Niederspannungsreferenz	Low Voltage Reference	8-Dip	.77	.65	.52
MC1413BDR2	MC1413BDR2OSCT-ND	Darlington Transistor Array, hohe Spannung, hoher Strom	High Volt., High Current Darlington Transistor Array	16-SOIC	.58	.46	.35
MC1413BDR2	MC1413BDR2OSTR-ND	Darlington Transistor Array, hohe Spannung, hoher Strom	High Volt., High Current Darlington Transistor Array	16-SOIC		452.93/2,500	
MC1413BP	MC1413BPOS-ND	Darlington Transistor Array, hohe Spannung, hoher Strom	High Volt., High Current Darlington Transistor Array	16-Dip	.62	.50	.37
MC1413DR2	MC1413DR2OSCT-ND	Darlington Transistor Array, hohe Spannung, hoher Strom	High Volt., High Current Darlington Transistor Array	16-SOIC	.54	.44	.33
MC1413DR2	MC1413DR2OSTR-ND	Darlington Transistor Array, hohe Spannung, hoher Strom	High Volt., High Current Darlington Transistor Array	16-SOIC		404.25/2,500	
MC1413P	MC1413POS-ND	Darlington Transistor Array, hohe Spannung, hoher Strom	High Volt., High Current Darlington Transistor Array	16-Dip	.58	.47	.36
MC1455BP1	MC1455BP10S-ND	Monolithischer Timing-Kreis	Monolithic Timing Circuit	8-Dip	.52	.39	.29
MC1455D	MC1455DOS-ND	Monolithischer Timing-Kreis	Monolithic Timing Circuit	8-SOIC	.49	.40	.30
MC1455P1	MC1455P10S-ND	Monolithischer Timing-Kreis	Monolithic Timing Circuit	8-Dip	.47	.36	.27
MC1488DR2	MC1488DR2OSCT-ND	Vierf. Leitungstreiber EIA-232D	Quad Line EIA-232D Driver	14-SOIC	.40	.30	.23
MC1488DR2	MC1488DR2OSTR-ND	Vierf. Leitungstreiber EIA-232D	Quad Line EIA-232D Driver	14-SOIC		334.41/2,500	
MC1488P	MC1488POS-ND	Vierf. Leitungstreiber EIA-232D	Quad Line EIA-232D Driver	14-Dip	.55	.42	.32
MC1489ADR2	MC1489ADR2OSCT-ND	Vierf. Leitungsempfänger EIA-232D	Quad Line EIA-232D Receiver	14-SOIC	.43	.33	.25
MC1489ADR2	MC1489ADR2OSTR-ND	Vierf. Leitungsempfänger EIA-232D	Quad Line EIA-232D Receiver	14-SOIC		353.46/2,500	
MC1489AP	MC1489APOS-ND	Vierf. Leitungsempfänger EIA-232D	Quad Line EIA-232D Receiver	14-Dip	.58	.43	.33
MC1489D	MC1489DOS-ND	Vierf. Leitungsempfänger EIA-232D	Quad Line EIA-232D Receiver	14-SOIC	.49	.40	.30
MC1489P	MC1489POS-ND	Vierf. Leitungsempfänger EIA-232D	Quad Line EIA-232D Receiver	14-Dip	.55	.42	.32
MC1496DR2	MC1496DR2OSCT-ND	Ausgeglichener Modulator/Demodulator	Balanced Modulator/Demodulator	14-SOIC	.63	.52	.42
MC1496DR2	MC1496DR2OSTR-ND	Ausgeglichener Modulator/Demodulator	Balanced Modulator/Demodulator	14-SOIC		719.61/2,500	
MC1496P	MC1496POS-ND	Ausgeglichener Modulator/Demodulator	Balanced Modulator/Demodulator	14-Dip	.83	.63	.47
MC3302P	MC3302POS-ND	Vierf. einzelversorgter Komparator	Single Supply Quad Comparator	14-Dip	.67	.51	.38
MC3303P	MC3303POS-ND	Vierf. einzelversorgter OpAmp	Single Supply Quad Op Amp	14-Dip	.63	.48	.36
MC3403DR2	MC3403DR2OSCT-ND	Vierf. einzelversorgter OpAmp	Single Supply Quad Op Amp	14-SOIC	.52	.39	.29
MC3403DR2	MC3403DR2OSTR-ND	Vierf. einzelversorgter OpAmp	Single Supply Quad Op Amp	14-SOIC		476.21/1,600	
MC3403P	MC3403POS-ND	Vierf. einzelversorgter OpAmp	Single Supply Quad Op Amp	14-Dip	.59	.45	.34
MC3423D	MC3423DOS-ND	Überspann. Barrieren-Erkennungskreis	Overvolt. Crowbar Sensing Circuit	8-SOIC	.71	.60	.48
MC3423P1	MC3423P10S-ND	Überspann. Barrieren-Erkennungskreis	Overvolt. Crowbar Sensing Circuit	8-Dip	.75	.62	.50
MC3479P	MC3479POS-ND	Schrittmotortreiber	Stepper Motor Driver	16-Dip	3.12	2.49	1.94
MC3488AP1	MC3488AP1OS-ND	Zweif. Leitungstreiber	Dual Line Driver	8-Dip	.85	.71	.57
MC7805ACD2TR4	MC7805ACD2TR4OSCT-ND	1 A, 5 V pos. Spannungsregler	1A, 5V, Positive Voltage Regulator	D2PAK	.57	.47	.38
MC7805ACD2TR4	MC7805ACD2TR4OSTR-ND	1 A, 5 V pos. Spannungsregler	1A, 5V, Positive Voltage Regulator	D2PAK		497.12/800	
MC7805ACT	MC7805ACTOS-ND	1 A, 5 V pos. Spannungsregler	1A, 5V, Positive Voltage Regulator	TO-220	.61	.49	.37
MC7805BD2TR4	MC7805BD2TR4OSCT-ND	1 A, 5 V pos. Spannungsregler	1A, 5V, Positive Voltage Regulator	D2PAK	.59	.50	.40
MC7805BD2TR4	MC7805BD2TR4OSTR-ND	1 A, 5 V pos. Spannungsregler	1A, 5V, Positive Voltage Regulator	D2PAK		218.76/800	
MC7805BDTRK	MC7805BDTRKOSCT-ND	1 A, 5 V pos. Spannungsregler	1A, 5V, Positive Voltage Regulator	DPAK	.55	.42	.32
MC7805BDTRK	MC7805BDTRKOSTR-ND	1 A, 5 V pos. Spannungsregler	1A, 5V, Positive Voltage Regulator	DPAK		448.70/2,500	
MC7805BT	MC7805BTOS-ND	1 A, 5 V pos. Spannungsregler	1A, 5V, Positive Voltage Regulator	TO-220	.61	.49	.37
MC7805CD2TR4	MC7805CD2TR4OSCT-ND	1 A, 5 V pos. Spannungsregler	1A, 5V, Positive Voltage Regulator	D2PAK	.51	.42	.34
MC7805CD2TR4	MC7805CD2TR4OSTR-ND	1 A, 5 V pos. Spannungsregler	1A, 5V, Positive Voltage Regulator	D2PAK		444.30/1,600	
MC7805CT	MC7805CTOS-ND	1 A, 5 V pos. Spannungsregler	1A, 5V, Positive Voltage Regulator	TO-220	.48	.39	.29
MC7806CT	MC7806CTOS-ND	1 A, 6 V pos. Spannungsregler	1A, 6V, Positive Voltage Regulator	TO-220	.52	.42	.32
MC7808ACT	MC7808ACTOS-ND	1 A, 8 V pos. Spannungsregler	1A, 8V, Positive Voltage Regulator	TO-220	.61	.49	.37
MC7808BT	MC7808BTOS-ND	1 A, 8 V pos. Spannungsregler	1A, 8V, Positive Voltage Regulator	TO-220	.45	.34	.26
MC7808CD2T	MC7808CD2TOS-ND	1 A, 8 V pos. Spannungsregler	1A, 8V, Positive Voltage Regulator	D2PAK	.67	.51	.38
MC7808CT	MC7808CTOS-ND	1 A, 8 V pos. Spannungsregler	1A, 8V, Positive Voltage Regulator	TO-220	.38	.29	.22
MC7809CT	MC7809CTOS-ND	1 A, 9 V pos. Spannungsregler	1A, 9V, Positive Voltage Regulator	TO-220	.52	.42	.32
MC7812ACD2T	MC7812ACD2TOS-ND	1 A, 12 V pos. Spannungsregler	1A, 12V, Positive Voltage Regulator	D2PAK	.75	.57	.43
MC7812ACT	MC7812ACTOS-ND	1 A, 12 V pos. Spannungsregler	1A, 12V, Positive Voltage Regulator	TO-220	.61	.49	.37
MC7812BT	MC7812BTOS-ND	1 A, 12 V pos. Spannungsregler	1A, 12V, Positive Voltage Regulator	TO-220	.45	.34	.26
MC7812CD2TR4	MC7812CD2TR4OSCT-ND	1 A, 12 V pos. Spannungsregler	1A, 12V, Positive Voltage Regulator	D2PAK	.51	.42	.34
MC7812CD2TR4	MC7812CD2TR4OSTR-ND	1 A, 12 V pos. Spannungsregler	1A, 12V, Positive Voltage Regulator	D2PAK		188.28/800	
MC7812CT	MC7812CTOS-ND	1 A, 12 V pos. Spannungsregler	1A, 12V, Positive Voltage Regulator	TO-220	.48	.39	.29
MC7815ACT	MC7815ACTOS-ND	1 A, 15 V pos. Spannungsregler	1A, 15V, Positive Voltage Regulator	TO-220	.61	.49	.37
MC7815BT	MC7815BTOS-ND	1 A, 15 V pos. Spannungsregler	1A, 15V, Positive Voltage Regulator	TO-220	.45	.34	.26
MC7815CD2TR4	MC7815CD2TR4OSCT-ND	1 A, 15 V pos. Spannungsregler	1A, 15V, Positive Voltage Regulator	D2PAK	.51	.42	.34
MC7815CD2TR4	MC7815CD2TR4OSTR-ND	1 A, 15 V pos. Spannungsregler	1A, 15V, Positive Voltage Regulator	D2PAK		188.28/800	
MC7815CT	MC7815CTOS-ND	1 A, 15 V pos. Spannungsregler	1A, 15V, Positive Voltage Regulator	TO-220	.38	.29	.22
MC7818CT	MC7818CTOS-ND	1 A, 18 V pos. Spannungsregler	1A, 18V, Positive Voltage Regulator	TO-220	.52	.42	.32
MC7824BT	MC7824BTOS-ND	1 A, 24 V pos. Spannungsregler	1A, 24V, Positive Voltage Regulator	TO-220	.45	.34	.26
MC7824CT	MC7824CTOS-ND	1 A, 24 V pos. Spannungsregler	1A, 24V, Positive Voltage Regulator	TO-220	.38	.29	.22
MC7905ACT	MC7905ACTOS-ND	1 A, 5 V neg. Spannungsregler	1A, 5V, Negative Voltage Regulator	TO-220	.45	.34	.26
MC7905CT	MC7905CTOS-ND	1 A, 5 V neg. Spannungsregler	1A, 5V, Negative Voltage Regulator	TO-220	.38	.29	.22
MC7905.2CT	MC7905.2CTOS-ND	1 A, 5,2 V neg. Spannungsregler	1A, 5.2V, Negative Voltage Regulator	TO-220	.47	.36	.27
MC7906CT	MC7906CTOS-ND	1 A, 6 V neg. Spannungsregler	1A, 6V, Negative Voltage Regulator	TO-220	.38	.29	.22
MC7908CT	MC7908CTOS-ND	1 A, 8 V neg. Spannungsregler	1A, 8V, Negative Voltage Regulator	TO-220	.38	.29	.22
MC7912ACT	MC7912ACTOS-ND	1 A, 12 V neg. Spannungsregler	1A, 12V, Negative Voltage Regulator	TO-220	.45	.34	.26
MC7912CT	MC7912CTOS-ND	1 A, 12 V neg. Spannungsregler	1A, 12V, Negative Voltage Regulator	TO-220	.38	.29	.22
MC7915ACT	MC7915CTOS-ND	1 A, 15 V neg. Spannungsregler	1A, 15V, Negative Voltage Regulator	TO-220	.38	.29	.22
MC7915BT	MC7915BTOS-ND	1 A, 15 V neg. Spannungsregler	1A, 15V, Negative Voltage Regulator	TO-220	.45	.34	.26
MC7915CT	MC7915CTOS-ND	1 A, 15 V neg. Spannungsregler	1A, 15V, Negative Voltage Regulator	TO-220	.38	.29	.22
MC12026AD	MC12026ADOS-ND	1,1 GHz Prescaler, Doppelmodus	1.1GHz Dual Modulus Prescaler	8-SOIC	3.62	2.90	2.26
MC12080D	MC12080DOS-ND	1,1 GHz Prescaler	1.1GHz Prescaler	8-SOIC	3.62	2.90	2.26
MC12093D	MC12093DOS-ND	2, 4, 8, 1,1 GHz NL-Prescaler mit Bereitschaftsmodus	2, 4, 8, 1.1GHz Low Power Prescaler with Stand-By Mode	8-SOIC	3.62	2.90	2.26
MC12095D	MC12095DOS-ND	2,5 GHz NL-Prescaler mit Bereitschaftsmodus	2.5GHz Low Power Prescaler with Stand-By Mode	8-SOIC	3.62	2.90	2.26
MC14001BCP	MC14001BCPOS-ND	Vierf. NOR-Gate mit 2 Eingängen	Quad 2-Input NOR Gate	14-Dip	.47	.38	.29
MC14001BDR2	MC14001BDR2OSCT-ND	Vierf. NOR-Gate mit 2 Eingängen	Quad 2-Input NOR Gate	14-SOIC	.32	.26	.20
MC14001BDR2	MC14001BDR2OSTR-ND	Vierf. NOR-Gate mit 2 Eingängen	Quad 2-Input NOR Gate	14-SOIC		520.66/5,000	
MC14001UBCP	MC14001UBCPOS-ND	Vierf. NOR-Gate mit 2 Eingängen	Quad 2-Input NOR Gate	14-Dip	.47	.38	.29
MC14007UBCP	MC14007UBCPOS-ND	Zweif. komplementäres Paar plus Inverter	Dual Complementary Pair + Inverter	14-Dip	.47	.38	.29
MC14007UBDR2	MC14007UBDR2OSCT-ND	Zweif. komplementäres Paar plus Inverter	Dual Complementary Pair + Inverter	14-SOIC	.32	.26	.20
MC14007UBDR2	MC14007UBDR2OSTR-ND	Zweif. komplementäres Paar plus Inverter	Dual Complementary Pair + Inverter	14-SOIC		273.03/2,500	
MC14011BCP	MC14011BCPOS-ND	Vierf. NAND-Gate mit 2 Eingängen	Quad 2-Input NAND Gate	14-Dip	.47	.38	.29
MC14011BDR2	MC14011BDR2OSCT-ND	Vierf. NAND-Gate mit 2 Eingängen	Quad 2-Input NAND Gate	14-SOIC	.32	.26	.20
MC14011BDR2	MC14011BDR2OSTR-ND	Vierf. NAND-Gate mit 2 Eingängen	Quad 2-Input NAND Gate	14-SOIC		273.03/2,500	
MC14011UBCP	MC14011UBCPOS-ND	Vierf. NAND-Gate mit 2 Eingängen	Quad 2-Input NAND Gate	14-Dip	.47	.38	.29
MC14012BCP	MC14012BCPOS-ND	Zweif. NAND-Gate	Dual NAND Gate	14-Dip	.49	.40	.30
MC14013BCP	MC14013BCPOS-ND	Zweif. D-Flip-Flop	Dual D-Type Flip-Flop	14-Dip	.58	.47	.35
MC14013BDR2	MC14013BDR2OSCT-ND	Zweif. D-Flip-Flop	Dual D-Type Flip-Flop	14-SOIC	.35	.28	.21
MC14013BDR2	MC14013BDR2OSTR-ND	Zweif. D-Flip-Flop	Dual D-Type Flip-Flop	14-SOIC		232.82/2,500	
MC14015BCP	MC14015BCPOS-ND	Zweif. statisches Schieberegister, 4-Bit	Dual 4-Bit Static Shift Register	16-Dip	.52	.39	.29
MC14016BCP	MC14016BCPOS-ND	Vierf. analoger Schalt/Vierf. Mux	Quad Analog Switch/Quad Mux	14-Dip	.41	.32	.24

(Forts.)

★ *RUFEN SIE BITTE AN FÜR NIEDRIGERE PREISE BEI GRÖSSEREN MENGEN!* ★

B

ON Semiconductor Teilenr.	Digi-Key Teilenr.	Beschreibung		Paket	Stückpreis★ 1	25	100
MC14016BDR2	MC14016BDR2OSCT-ND	Vierf. analoger Schalt/Vierf. Mux	Quad Analog Switch/Quad Mux	14-SOIC	.37	.30	.23
MC14016BDR2	MC14016BDR2OSTR-ND	Vierf. analoger Schalt/Vierf. Mux	Quad Analog Switch/Quad Mux	14-SOIC		601.09/5,000	
MC14017BCP	MC14017BCPOS-ND	Dekadischer Zähler	Decade Counter	16-Dip	.52	.40	.30
MC14018BD	MC14018BDOS-ND	Voreinstellbarer Division-durch-N-Zähler	Presettable Divide-by-N Counter	16-SOIC	.47	.36	.27
MC14020BCP	MC14020BCPOS-ND	14-Bit Binärzähler	14-Bit Binary Counter	16-Dip	.63	.48	.36
MC14021BCP	MC14021BCPOS-ND	8-Bit statisches Schieberegister	8-Bit Static Shift Register	16-Dip	.47	.36	.27
MC14021BD	MC14021BDOS-ND	8-Bit statisches Schieberegister	8-Bit Static Shift Register	16-SOIC	.49	.40	.30
MC14022BCP	MC14022BCPOS-ND	Achtf. Zähler	Octal Counter	16-Dip	.55	.42	.32
MC14023BCP	MC14023BCPOS-ND	Dreif. NAND-Gate mit 3 Eingängen	Triple 3-Input NAND Gate	14-Dip	.49	.40	.30
MC14023BDR2	MC14023BDR2OSCT-ND	Dreif. NAND-Gate mit 3 Eingängen	Triple 3-Input NAND Gate	14-SOIC	.35	.28	.21
MC14023BDR2	MC14023BDR2OSTR-ND	Dreif. NAND-Gate mit 3 Eingängen	Triple 3-Input NAND Gate	14-SOIC		232.82/2,500	
MC14024BCP	MC14024BCPOS-ND	7-Phasen-Ripple-Zähler	7-Stage Ripple Counter	14-Dip	.49	.38	.28
MC14024BD	MC14024BDOS-ND	7-Phasen-Ripple-Zähler	7-Stage Ripple Counter	14-SOIC	.37	.30	.23
MC14025BCP	MC14025BCPOS-ND	Dreif. NOR-Gate mit 3 Eingängen	Triple 3-Input NOR Gate	14-Dip	.49	.40	.30
MC14027BCP	MC14027BCPOS-ND	Zweif. J-K-Flip-Flop	Dual J-K Flip-Flop	16-Dip	.47	.36	.27
MC14027BD	MC14027BDOS-ND	Zweif. J-K-Flip-Flop	Dual J-K Flip-Flop	16-SOIC	.40	.32	.24
MC14028BCP	MC14028BCPOS-ND	BCD-zu-Dezimal-Decoder	BCD-to-Decimal Decoder	16-Dip	.46	.35	.26
MC14029BCP	MC14029BCPOS-ND	Binärer/dekadischer Auf-/Abwärts-Zähler	Binary/Decade Up/Down Counter	16-Dip	.55	.42	.32
MC14040BCP	MC14040BCPOS-ND	12-Bit Binärzähler	12-Bit Binary Counter	16-Dip	.54	.41	.31
MC14040BDR2	MC14040BDR2OSCT-ND	12-Bit Binärzähler	12-Bit Binary Counter	16-SOIC	.39	.30	.22
MC14040BDR2	MC14040BDR2OSTR-ND	12-Bit Binärzähler	12-Bit Binary Counter	16-SOIC		317.48/2,500	
MC14043BCP	MC14043BCPOS-ND	Vierf. R-S Latch	Quad R-S Latch	16-Dip	.55	.42	.32
MC14043BD	MC14043BDOS-ND	Vierf. R-S Latch	Quad R-S Latch	16-SOIC	.49	.40	.30
MC14044BCP	MC14044BCPOS-ND	Vierf. R-S Latch	Quad R-S Latch	16-Dip	.58	.45	.34
MC14046BCP	MC14046BCPOS-ND	Phasengesperrte Schleife	Phase Locked Loop	16-Dip	.59	.45	.34
MC14046BDWR2	MC14046BDWR2OSCT-ND	Phasengesperrte Schleife	Phase Locked Loop	16-SOIC	.65	.49	.37
MC14046BDWR2	MC14046BDWR2OSTR-ND	Phasengesperrte Schleife	Phase Locked Loop	16-SOIC		513.04/2,000	
MC14049BCP	MC14049BCPOS-ND	Sechsf. Inverter/Puffer	Hex Inverter/Buffer	16-Dip	.47	.36	.27
MC14049BDR2	MC14049BDR2OSCT-ND	Sechsf. Inverter/Puffer	Hex Inverter/Buffer	16-SOIC	.34	.26	.19
MC14049BDR2	MC14049BDR2OSTR-ND	Sechsf. Inverter/Puffer	Hex Inverter/Buffer	16-SOIC		596.85/5,000	
MC14049UBCP	MC14049UBCPOS-ND	Sechsf. Inverter/Puffer	Hex Inverter/Buffer	16-Dip	.49	.38	.28
MC14049UBDR2	MC14049UBDR2OSCT-ND	Sechsf. Inverter/Puffer	Hex Inverter/Buffer	16-SOIC	.34	.26	.19
MC14049UBDR2	MC14049UBDR2OSTR-ND	Sechsf. Inverter/Puffer	Hex Inverter/Buffer	16-SOIC		283.61/2,500	
MC14050BCP	MC14050BCPOS-ND	Sechsf. nicht invertierender Puffer	Hex Noninverting Buffer	16-Dip	.47	.36	.27
MC14050BDR2	MC14050BDR2OSCT-ND	Sechsf. nicht invertierender Puffer	Hex Noninverting Buffer	16-SOIC	.31	.24	.18
MC14050BDR2	MC14050BDR2OSTR-ND	Sechsf. nicht invertierender Puffer	Hex Noninverting Buffer	16-SOIC		562.99/5,000	
MC14051BCP	MC14051BCPOS-ND	8-Kan. analoger Mux/Demux	8-Channel, Analog Mux/Demux	16-Dip	.63	.52	.39
MC14051BDR2	MC14051BDR2OSCT-ND	8-Kan. analoger Mux/Demux	8-Channel, Analog Mux/Demux	16-SOIC	.40	.30	.23
MC14051BDR2	MC14051BDR2OSTR-ND	8-Kan. analoger Mux/Demux	8-Channel, Analog Mux/Demux	16-SOIC		702.68/5,000	
MC14052BCP	MC14052BCPOS-ND	Zweif. analoger Mux/Demux	Dual Analog Mux/Demux	16-Dip	.74	.59	.45
MC14052BDR2	MC14052BDR2OSCT-ND	Zweif. analoger Mux/Demux	Dual Analog Mux/Demux	16-SOIC	.56	.45	.34
MC14052BDR2	MC14052BDR2OSTR-ND	Zweif. analoger Mux/Demux	Dual Analog Mux/Demux	16-SOIC		433.88/2,500	
MC14053BCP	MC14053BCPOS-ND	Dreif. analoger Mux/Demux	Triple Analog Mux/Demux	16-Dip	.55	.42	.32
MC14053BDR2	MC14053BDR2OSCT-ND	Dreif. analoger Mux/Demux	Triple Analog Mux/Demux	16-SOIC	.40	.30	.23
MC14053BDR2	MC14053BDR2OSTR-ND	Dreif. analoger Mux/Demux	Triple Analog Mux/Demux	16-SOIC		702.68/5,000	
MC14060BCP	MC14060BCPOS-ND	14-Bit Binärzähler und Oszillator	14-Bit Binary Counter and Oscillator	16-Dip	.54	.41	.31
MC14060BDR2	MC14060BDR2OSCT-ND	14-Bit Binärzähler und Oszillator	14-Bit Binary Counter and Oscillator	16-SOIC	.41	.32	.24
MC14060BDR2	MC14060BDR2OSTR-ND	14-Bit Binärzähler und Oszillator	14-Bit Binary Counter and Oscillator	16-SOIC		702.68/5,000	
MC14066BCP	MC14066BCPOS-ND	Vierf. analoger Schalt/Vierf. Mux	Quad Analog Switch/Quad Mux	14-Dip	.52	.39	.29
MC14066BDR2	MC14066BDR2OSCT-ND	Vierf. analoger Schalt/Vierf. Mux	Quad Analog Switch/Quad Mux	14-SOIC	.37	.30	.23
MC14066BDR2	MC14066BDR2OSTR-ND	Vierf. analoger Schalt/Vierf. Mux	Quad Analog Switch/Quad Mux	14-SOIC		249.75/2,500	
MC14067BCP	MC14067BCPOS-ND	16-Kan. Analog-Mux/Demux	16-Ch., Analog Mux/Demux	24-Dip	1.19	.99	.80
MC14069UBCP	MC14069UBCPOS-ND	Sechsf. Inverter	Hex Inverter	14-Dip	.47	.38	.29
MC14069UBDR2	MC14069UBDR2OSCT-ND	Sechsf. Inverter	Hex Inverter	14-SOIC	.32	.26	.20
MC14069UBDR2	MC14069UBDR2OSTR-ND	Sechsf. Inverter	Hex Inverter	14-SOIC		273.03/2,500	
MC14070BCP	MC14070BCPOS-ND	Vierf. Exklusiv-OR-Gate	Quad Exclusive OR Gate	14-Dip	.41	.32	.24
MC14070BDR2	MC14070BDR2OSCT-ND	Vierf. Exklusiv-OR-Gate	Quad Exclusive OR Gate	14-SOIC	.35	.28	.21
MC14070BDR2	MC14070BDR2OSTR-ND	Vierf. Exklusiv-OR-Gate	Quad Exclusive OR Gate	14-SOIC		232.82/2,500	
MC14071BCP	MC14071BCPOS-ND	Vierf. OR-Gate mit 2 Eingängen	Quad 2-Input OR Gate	14-Dip	.49	.40	.30
MC14071BDR2	MC14071BDR2OSCT-ND	Vierf. OR-Gate mit 2 Eingängen	Quad 2-Input OR Gate	14-SOIC	.35	.28	.21
MC14071BDR2	MC14071BDR2OSTR-ND	Vierf. OR-Gate mit 2 Eingängen	Quad 2-Input OR Gate	14-SOIC		562.99/5,000	
MC14073BCP	MC14073BCPOS-ND	Dreif. AND-Gate mit 3 Eingängen	Triple 3-Input AND Gate	14-Dip	.49	.40	.30
MC14077BCP	MC14077BCPOS-ND	Vierf. Exklusiv-NOR-Gate	Quad Exclusive NOR Gate	14-Dip	.41	.32	.24
MC14077BD	MC14077BDOS-ND	Vierf. Exklusiv-NOR-Gate	Quad Exclusive NOR Gate	14-SOIC	.35	.28	.21
MC14081BCP	MC14081BCPOS-ND	Vierf. AND-Gate mit 2 Eingängen	Quad 2-Input AND Gate	14-Dip	.47	.38	.29
MC14081BDR2	MC14081BDR2OSCT-ND	Vierf. AND-Gate mit 2 Eingängen	Quad 2-Input AND Gate	14-SOIC	.35	.28	.21
MC14081BDR2	MC14081BDR2OSTR-ND	Vierf. AND-Gate mit 2 Eingängen	Quad 2-Input AND Gate	14-SOIC		232.82/2,500	
MC14082BCP	MC14082BCPOS-ND	Zweif. AND-Gate mit 4 Eingängen	Dual 4-Input AND Gate	14-Dip	.47	.38	.29
MC14082BD	MC14082BDOS-ND	Zweif. AND-Gate mit 4 Eingängen	Dual 4-Input AND Gate	14-SOIC	.35	.28	.21
MC14093BCP	MC14093BCPOS-ND	Vierf. NAND-Schmitt-Trigger mit 2 Eingängen	Quad 2-In. NAND Schmitt Trigger	14-Dip	.41	.32	.24
MC14093BDR2	MC14093BDR2OSCT-ND	Vierf. NAND-Schmitt-Trigger mit 2 Eingängen	Quad 2-In. NAND Schmitt Trigger	14-SOIC	.37	.30	.23
MC14093BDR2	MC14093BDR2OSTR-ND	Vierf. NAND-Schmitt-Trigger mit 2 Eingängen	Quad 2-In. NAND Schmitt Trigger	14-SOIC		249.75/2,500	
MC14094BCP	MC14094BCPOS-ND	8-Stufen-Shift/Store-Regler, Tri-St.	Tri-St. 8-Stage Shift/Store Regulator	16-Dip	.52	.39	.29
MC14094BDR2	MC14094BDR2OSCT-ND	8-Stufen-Shift/Store-Regler, Tri-St.	Tri-St. 8-Stage Shift/Store Regulator	16-SOIC	.36	.27	.21
MC14094BDR2	MC14094BDR2OSTR-ND	8-Stufen-Shift/Store-Regler, Tri-St.	Tri-St. 8-Stage Shift/Store Regulator	16-SOIC		300.54/2,500	
MC14099BCP	MC14099BCPOS-ND	Adressierbarer 8-Bit Latch	8-Bit Addressable Latch	16-Dip	.65	.55	.44
MC14106BCP	MC14106BCPOS-ND	Sechsf. Schmitt-Trigger	Hex Schmitt Trigger	14-Dip	.43	.33	.25
MC14106BDR2	MC14106BDR2OSCT-ND	Sechsf. Schmitt-Trigger	Hex Schmitt Trigger	14-SOIC	.40	.32	.24
MC14106BDR2	MC14106BDR2OSTR-ND	Sechsf. Schmitt-Trigger	Hex Schmitt Trigger	14-SOIC		266.68/2,500	
MC14174BCP	MC14174BCPOS-ND	Sechsf. D-Flip-Flop	Hex D-Type Flip-Flop	16-Dip	.49	.38	.28
MC14490DW	MC14490DWOS-ND	Sechsf. Kontaktaufprall-Eliminator	Hex Contact Bounce Eliminator	16-SOIC	4.33	3.47	2.70
MC14490P	MC14490POS-ND	Sechsf. Kontaktaufprall-Eliminator	Hex Contact Bounce Eliminator	16-Dip	4.33	3.47	2.70
MC14503BCP	MC14503BCPOS-ND	Sechsf. nicht invertierender Puffer, Tri-St.	Tri-St. Hex Non-Inverting Buffer	16-Dip	.61	.46	.35
MC14503BDR2	MC14503BDR2OSCT-ND	Sechsf. nicht invertierender Puffer, Tri-St.	Tri-St. Hex Non-Inverting Buffer	16-SOIC	.47	.36	.27
MC14503BDR2	MC14503BDR2OSTR-ND	Sechsf. nicht invertierender Puffer, Tri-St.	Tri-St. Hex Non-Inverting Buffer	16-SOIC		452.93/2,500	
MC14504BCP	MC14504BCPOS-ND	Sechsf. nicht invertierender Spannungspegel-Shifter	Hex Noninverting Level Shifter	16-Dip	.79	.60	.45
MC14504BDR2	MC14504BDR2OSCT-ND	Sechsf. nicht invertierender Spannungspegel-Shifter	Hex Noninverting Level Shifter	16-SOIC	.89	.75	.60
MC14504BDR2	MC14504BDR2OSTR-ND	Sechsf. nicht invertierender Spannungspegel-Shifter	Hex Noninverting Level Shifter	16-SOIC		963.01/2,500	
MC14511BCP	MC14511BCPOS-ND	BCD an 7-Segment-Latch/Dekodierer/Treiber	BCD-to-Seven Segment Latch/Decoder/Driver	16-Dip	.63	.48	.36
MC14511BD	MC14511BDOS-ND	BCD an 7-Segment-Latch/Dekodierer/Treiber	BCD-to-Seven Segment Latch/Decoder/Driver	16-SOIC	.43	.33	.25
MC14512BCP	MC14512BCPOS-ND	8-Kan. Datenselektor	8-Ch. Data Selector	16-Dip	.54	.41	.31
MC14513BCP	MC14513BCPOS-ND	BCD an 7-Segment-Latch/Dekodierer/Treiber	BCD-to-Seven Segment Latch/Decoder/Driver	18-Dip	1.35	1.09	.82
MC14516BCP	MC14516BCPOS-ND	Binärer Auf-/Abwärtszahler	Binary Up/Down Counter	16-Dip	.67	.50	.38
MC14516BD	MC14516BDOS-ND	Binärer Auf-/Abwärtszahler	Binary Up/Down Counter	16-SOIC	.75	.60	.45
MC14517BDW	MC14517BDWOS-ND	Zweif. statisches 64-Bit Schieberegister	Dual 64-Bit Static Shift Register	16-SOIC	1.24	.99	.75
MC14518BCP	MC14518BCPOS-ND	Zweif. BCD-Aufwärtszähler	Dual BCD Up Counter	16-Dip	.81	.71	.55
MC14520BCP	MC14520BCPOS-ND	Zweif. Binärzähler	Dual Binary Counter	16-Dip	.81	.71	.55
MC14521BCP	MC14521BCPOS-ND	Frequenzteiler, 24 Phasen	24-Stage Frequency Divider	16-Dip	.79	.60	.45
MC14528BCP	MC14528BCPOS-ND	Zweif. monostab. Multivibrator	Dual Mono Multivibrator	16-Dip	.67	.51	.38
MC14532BCP	MC14532BCPOS-ND	8-Bit Prioritäts-Encoder	8-Bit Priority Encoder	16-Dip	.79	.60	.45

(Forts.)

★ ***RUFEN SIE BITTE AN FÜR NIEDRIGERE PREISE BEI GRÖSSEREN MENGEN!*** ★

ON Semiconductor Teilenr.	Digi-Key Teilenr.	Beschreibung		Paket	Stückpreis★ 1	25	100
MC14536BCP	MC14536BCPOS-ND	Programmierbarer Timer	Programmable Timer	16-Dip	.64	.54	.44
MC14536BDWR2	MC14536BDWR2OSCT-ND	Programmierbarer Timer	Programmable Timer	16-SOIC	.64	.54	.44
MC14536BDWR2	MC14536BDWR2OSTR-ND	Programmierbarer Timer	Programmable Timer	16-SOIC		286.15/1,000	
MC14538BCP	MC14538BCPOS-ND	Zweif. monostabiler nachtriggerbarer, rücksetzbarer Multivibrator	Dual, Retriggerable, Resettable, Monostable Multivibrator	16-Dip	.63	.48	.36
MC14538BDR2	MC14538BDR2OSCT-ND	Zweif. monostabiler nachtriggerbarer, rücksetzbarer Multivibrator	Dual, Retriggerable, Resettable, Monostable Multivibrator	16-SOIC	.52	.39	.29
MC14538BDR2	MC14538BDR2OSTR-ND	Zweif. monostabiler nachtriggerbarer, rücksetzbarer Multivibrator	Dual, Retriggerable, Resettable, Monostable Multivibrator	16-SOIC		465.63/2,500	
MC14538BDWR2	MC14538BDWR2OSCT-ND	Zweif. monostabiler nachtriggerbarer, rücksetzbarer Multivibrator	Dual, Retriggerable, Resettable, Monostable Multivibrator	16-SOIC	.65	.49	.37
MC14538BDWR2	MC14538BDWR2OSTR-ND	Zweif. monostabiler nachtriggerbarer, rücksetzbarer Multivibrator	Dual, Retriggerable, Resettable, Monostable Multivibrator	16-SOIC		513.04/2,000	
MC14541BCP	MC14541BCPOS-ND	Programmierbarer Timer	Programmable Timer	14-Dip	.49	.38	.28
MC14541BDR2	MC14541BDR2OSCT-ND	Programmierbarer Timer	Programmable Timer	14-SOIC	.42	.34	.26
MC14541BDR2	MC14541BDR2OSTR-ND	Programmierbarer Timer	Programmable Timer	14-SOIC		283.61/2,500	
MC14543BCP	MC14543BCPOS-ND	BCD an 7-Segment-Latch/Dekodierer/Treiber für Flüssigkristallanzeige	BCD-to-Seven Segment Latch/Decoder/Driver for Liquid Crystals	16-Dip	.59	.45	.34
MC14543BD	MC14543BDOS-ND	BCD an 7-Segment-Latch/Dekodierer/Treiber für Flüssigkristallanzeige	BCD-to-Seven Segment Latch/Decoder/Driver for Liquid Crystals	16-SOIC	.49	.40	.30
MC14551BCP	MC14551BCPOS-ND	Vierf. 2-Kan. analoger Mux/Demux	Quad 2-Ch. Analog Mux/Demux	16-Dip	1.24	.99	.75
MC14551BD	MC14551BDOS-ND	Vierf. 2-Kan. analoger Mux/Demux	Quad 2-Ch. Analog Mux/Demux	16-SOIC	1.11	.89	.67
MC14553BCP	MC14553BCPOS-ND	Dreistelliger BCD-Zähler	3-Digit BCD Counter	16-Dip	1.61	1.29	.97
MC14557BCP	MC14557BCPOS-ND	1- bis 64-Bit Schieberegister mit variabler Länge	1-to-64 Bit Variable Length Shift Register	16-Dip	1.01	.84	.68
MC14569BCP	MC14569BCPOS-ND	Zweif. 4-Bit binärer, programmierbarer BCD-Abwärtszähler, Division-durch-N	Programmable Divide-By-N Dual 4-Bit Binary/BCD Down Counter	16-Dip	2.46	2.14	1.60
MC14584BCP	MC14584BCPOS-ND	Sechsf. Schmitt-Trigger	Hex Schmitt Trigger	14-Dip	.47	.36	.27
MC14584BDR2	MC14584BDR2OSCT-ND	Sechsf. Schmitt-Trigger	Hex Schmitt Trigger	14-SOIC	.47	.38	.29
MC14584BDR2	MC14584BDR2OSTR-ND	Sechsf. Schmitt-Trigger	Hex Schmitt Trigger	14-SOIC		317.48/2,500	
MC14585BCP	MC14585BCPOS-ND	4-Bit Magnitude-Comparator	4-Bit Magnitude Comparator	16-Dip	.58	.47	.35
MC33030P	MC33030POS-ND	DC-Servo-Motor-Controller/Treiber	DC Servo Motor Controller/Driver	16-Dip	3.47	2.78	2.16
MC33033DWR2	MC33033DWR2OSCT-ND	Bürstenloser DC-Motor-Controller	Brushless DC Motor Controller	20-SOIC	2.91	2.34	1.82
MC33033DWR2	MC33033DWR2OSTR-ND	Bürstenloser DC-Motor-Controller	Brushless DC Motor Controller	20-SOIC		1722.83/1,000	
MC33033P	MC33033POS-ND	Bürstenloser DC-Motor-Controller	Brushless DC Motor Controller	20-Dip	2.91	2.34	1.82
MC33035DWR2	MC33035DWR2OSCT-ND	Bürstenloser DC-Motor-Controller	Brushless DC Motor Controller	24-SOIC	2.99	2.40	1.87
MC33035DWR2	MC33035DWR2OSTR-ND	Bürstenloser DC-Motor-Controller	Brushless DC Motor Controller	24-SOIC		1767.70/1,000	
MC33035P	MC33035POS-ND	Bürstenloser DC-Motor-Controller	Brushless DC Motor Controller	24-Dip	2.99	2.40	1.87
MC33039D	MC33039DOS-ND	Bürstenloser Motoradapter, geschlossene Schleife	Closed Loop Brushless Motor Adapter	8-SOIC	1.19	1.00	.80
MC33039P	MC33039POS-ND	Bürstenloser Motoradapter, geschlossene Schleife	Closed Loop Brushless Motor Adapter	8-Dip	1.19	1.00	.80
MC33060ADR2	MC33060ADR2OSCT-ND	Festfrequenz, PWM, Spannungsmodus, Einzelende-Controller	Fixed Freq., PWM, Volt. Mode Single Ended Controller	14-SOIC	.95	.80	.64
MC33060ADR2	MC33060ADR2OSTR-ND	Festfrequenz, PWM, Spannungsmodus, Einzelende-Controller	Fixed Freq., PWM, Volt. Mode Single Ended Controller	14-SOIC		1026.50/2,500	
MC33063ADR2	MC33063ADR2OSCT-ND	DC/DC invertierender Schaltregler, 1,5 A	1.5A, DC-DC Inverting Switching Regulator	8-SOIC	.92	.74	.56
MC33063ADR2	MC33063ADR2OSTR-ND	DC/DC invertierender Schaltregler, 1,5 A	1.5A, DC-DC Inverting Switching Regulator	8-SOIC		736.54/2,500	
MC33063AP1	MC33063AP1OS-ND	DC/DC invertierender Schaltregler, 1,5 A	1.5A, DC-DC Inverting Switching Regulator	8-Dip	.92	.74	.56
MC33064D-5R2	MC33064D-5R2OSCT-ND	Unterspannungserkennungskreis	Undervoltage Sensing Circuit	8-SOIC	.59	.45	.34
MC33064D-5R2	MC33064D-5R2OSTR-ND	Unterspannungserkennungskreis	Undervoltage Sensing Circuit	8-SOIC		482.56/2,500	
MC33064P-5RA	MC33064P-5RAOSCT-ND	Unterspannungserkennungskreis	Undervoltage Sensing Circuit	TO-226AA	.59	.45	.34
MC33064P-5RA	MC33064P-5RAOSTR-ND	Unterspannungserkennungskreis	Undervoltage Sensing Circuit	TO-226AA		491.03/2,000	
MC33071D	MC33071DOS-ND	Einf. OpAmp	Single Op Amp	8-SOIC	.81	.67	.54
MC33072ADR2	MC33072ADR2OSCT-ND	Zweif. OpAmp	Dual Op Amp	8-SOIC	.54	.44	.33
MC33072ADR2	MC33072ADR2OSTR-ND	Zweif. OpAmp	Dual Op Amp	8-SOIC		706.91/2,500	
MC33072AP	MC33072APOS-ND	Zweif. OpAmp	Dual Op Amp	8-Dip	.69	.57	.46
MC33072DR2	MC33072DR2OSCT-ND	Zweif. OpAmp	Dual Op Amp	8-SOIC	.52	.42	.32
MC33072DR2	MC33072DR2OSTR-ND	Zweif. OpAmp	Dual Op Amp	8-SOIC		675.16/2,500	
MC33072P	MC33072POS-ND	Zweif. OpAmp	Dual Op Amp	8-Dip	.65	.55	.44
MC33074ADR2	MC33074ADR2OSCT-ND	Vierf. OpAmp	Quad Op Amp	14-SOIC	.92	.77	.62
MC33074ADR2	MC33074ADR2OSTR-ND	Vierf. OpAmp	Quad Op Amp	14-SOIC		994.76/2,500	
MC33074AP	MC33074APOS-ND	Vierf. OpAmp	Quad Op Amp	14-Dip	.92	.77	.62
MC33074DR2	MC33074DR2OSCT-ND	Vierf. OpAmp	Quad Op Amp	14-SOIC	.89	.75	.60
MC33074DR2	MC33074DR2OSTR-ND	Vierf. OpAmp	Quad Op Amp	14-SOIC		963.01/2,500	
MC33074P	MC33074POS-ND	Vierf. OpAmp	Quad Op Amp	14-Dip	.92	.77	.62
MC33077D	MC33077DOS-ND	Zweif. rauscharmer OpAmp	Low Noise Dual Op Amp	8-SOIC	1.07	.89	.72
MC33077P	MC33077POS-ND	Zweif. rauscharmer OpAmp	Low Noise Dual Op Amp	8-Dip	1.10	.92	.74
MC33078DR2	MC33078DR2OSCT-ND	Zweif. rauscharmer OpAmp	Low Noise Dual Op Amp	8-SOIC	.45	.38	.30
MC33078DR2	MC33078DR2OSTR-ND	Zweif. rauscharmer OpAmp	Low Noise Dual Op Amp	8-SOIC		550.29/2,500	
MC33078P	MC33078POS-ND	Zweif. rauscharmer OpAmp	Low Noise Dual Op Amp	8-Dip	.63	.48	.36
MC33079DR2	MC33079DR2OSCT-ND	Vierf. rauscharmer OpAmp	Low Noise Quad Op Amp	14-SOIC	.69	.57	.46
MC33079DR2	MC33079DR2OSTR-ND	Vierf. rauscharmer OpAmp	Low Noise Quad Op Amp	14-SOIC		738.66/2,500	
MC33079P	MC33079POS-ND	Vierf. rauscharmer OpAmp	Low Noise Quad Op Amp	14-Dip	.71	.60	.48
MC33152D	MC33152DOS-ND	Zweif. HS-MOSFET-Treiber	High-Speed Dual Mosfet Driver	8-SOIC	1.48	1.29	.99
MC33152P	MC33152POS-ND	Zweif. HS-MOSFET-Treiber	High-Speed Dual Mosfet Driver	8-Dip	1.48	1.29	.99
MC33153DR2	MC33153DR2OSCT-ND	Einf. IGBT-Gate-Treiber	Single IGBT Gate Driver	8-SOIC	1.41	1.13	.88
MC33153DR2	MC33153DR2OSTR-ND	Einf. IGBT-Gate-Treiber	Single IGBT Gate Driver	8-SOIC		2036.07/2,500	
MC33153P	MC33153POS-ND	Einf. IGBT-Gate-Treiber	Single IGBT Gate Driver	8-Dip	1.57	1.26	.94
MC33160DWR2	MC33160DWR2OSCT-ND	100 mA, 5 V Spannungsregler	100mA, 5V Voltage Regulator	16-SOIC	1.41	1.13	.88
MC33160DWR2	MC33160DWR2OSTR-ND	100 mA, 5 V Spannungsregler	100mA, 5V Voltage Regulator	16-SOIC		845.75/1,000	
MC33160P	MC33160POS-ND	100 mA, 5 V Spannungsregler	100mA, 5V Voltage Regulator	16-Dip	1.57	1.26	.94
MC33161DMR2	MC33161DMR2OSCT-ND	Universalspannungsüberwachung	Universal Voltage Monitor	8-Micro	.96	.77	.58
MC33161DMR2	MC33161DMR2OSTR-ND	Universalspannungsüberwachung	Universal Voltage Monitor	8-Micro		1981.04/4,000	
MC33161DR2	MC33161DR2OSCT-ND	Universalspannungsüberwachung	Universal Voltage Monitor	8-SOIC	.96	.77	.58
MC33161DR2	MC33161DR2OSTR-ND	Universalspannungsüberwachung	Universal Voltage Monitor	8-SOIC		1238.15/2,500	
MC33161P	MC33161POS-ND	Universalspannungsüberwachung	Universal Voltage Monitor	8-Dip	1.14	.96	.77
MC33163DWR2	MC33163DWR2OSCT-ND	Invertierender Step-Up/Down-Schaltregler, 3,4 A	3.4A Step-Up/Down/Inverting Switching Regulator	16-SOIC	2.07	1.66	1.40
MC33163DWR2	MC33163DWR2OSTR-ND	Invertierender Step-Up/Down-Schaltregler, 3,4 A	3.4A Step-Up/Down/Inverting Switching Regulator	16-SOIC		1317.31/1,000	
MC33163P	MC33163POS-ND	Invertierender Step-Up/Down-Schaltregler, 3,4 A	3.4A Step-Up/Down/Inverting Switching Regulator	16-Dip	2.33	1.86	1.45
MC33164D-3R2	MC33164D-3R2OSCT-ND	Micropower-Unterspannungserkennungskreis, 3 V	3V, Micropower Undervoltage Sensing Circuit	8-SOIC	.76	.61	.46
MC33164D-3R2	MC33164D-3R2OSTR-ND	Micropower-Unterspannungserkennungskreis, 3 V	3V, Micropower Undervoltage Sensing Circuit	8-SOIC		601.09/2,500	
MC33164D-5R2	MC33164D-5R2OSCT-ND	Micropower-Unterspannungserkennungskreis, 5 V	5V, Micropower Undervoltage Sensing Circuit	8-SOIC	.70	.57	.43
MC33164D-5R2	MC33164D-5R2OSTR-ND	Micropower-Unterspannungserkennungskreis, 5 V	5V, Micropower Undervoltage Sensing Circuit	8-SOIC		556.64/2,500	
MC33164P-005	MC33164P-005OS-ND	Micropower-Unterspannungserkennungskreis, 5 V	5V, Micropower Undervoltage Sensing Circuit	TO-92	.70	.57	.43
MC33166T	MC33166TOS-ND	Invertierender Schaltregler, 3 A	3A, Inverting Switching Regulator	TO-220-5	2.00	1.60	1.21
MC33167T	MC33167TOS-ND	Invertierender Schaltregler, 5 A	5A, Inverting Switching Regulator	TO-220-5	2.23	1.78	1.39
MC33171D	MC33171DOS-ND	Einzelversorgter NL-OpAmp	Single Supply, LP, Op Amp	8-SOIC	.79	.60	.45
MC33171P	MC33171POS-ND	Einzelversorgter NL-OpAmp	Single Supply, LP, Op Amp	8-Dip	.83	.63	.47
MC33172DR2	MC33172DR2OSCT-ND	Doppelt versorgter NL-OpAmp	Dual Supply, LP, Op Amp	8-SOIC	.59	.50	.40
MC33172DR2	MC33172DR2OSTR-ND	Doppelt versorgter NL-OpAmp	Dual Supply, LP, Op Amp	8-SOIC		734.43/2,500	
MC33172P	MC33172POS-ND	Doppelt versorgter NL-OpAmp	Dual Supply, LP, Op Amp	8-Dip	.83	.63	.47
MC33174DR2	MC33174DR2OSCT-ND	Vierfach versorgter NL-OpAmp	Quad Supply, LP, Op Amp	14-SOIC	.83	.70	.56
MC33174DR2	MC33174DR2OSTR-ND	Vierfach versorgter NL-OpAmp	Quad Supply, LP, Op Amp	14-SOIC		899.51/2,500	
MC33174P	MC33174POS-ND	Vierfach versorgter NL-OpAmp	Quad Supply, LP, Op Amp	14-Dip	.89	.75	.60
MC33178DR2	MC33178DR2OSCT-ND	Zweif. rauscharmer OpAmp, NL	Dual, LP, Low Noise, Op Amp	8-SOIC	.54	.44	.33
MC33178DR2	MC33178DR2OSTR-ND	Zweif. rauscharmer OpAmp, NL	Dual, LP, Low Noise, Op Amp	8-SOIC		721.73/2,500	
MC33178P	MC33178POS-ND	Zweif. rauscharmer OpAmp, NL	Dual, LP, Low Noise, Op Amp	8-Dip	.69	.57	.46
MC33179DR2	MC33179DR2OSCT-ND	Vierf. rauscharmer OpAmp, NL	Quad, LP, Low Noise, Op Amp	14-SOIC	.75	.60	.45
MC33179DR2	MC33179DR2OSTR-ND	Vierf. rauscharmer OpAmp, NL	Quad, LP, Low Noise, Op Amp	14-SOIC		963.01/2,500	
MC33179P	MC33179POS-ND	Vierf. rauscharmer OpAmp, NL	Quad, LP, Low Noise, Op Amp	14-Dip	.92	.77	.62
MC33201P	MC33201POS-ND	Einf. R/R-OpAmp, Niederspann.	Single, Low Voltage, R/R, Op Amp	8-Dip	.71	.60	.48
MC33202DR2	MC33202DR2OSCT-ND	Zweif. R/R-OpAmp, Niederspann.	Dual, Low Voltage, R/R, Op Amp	8-SOIC	.69	.57	.46

(Forts.)

★ ***RUFEN SIE BITTE AN FÜR NIEDRIGERE PREISE BEI GRÖSSEREN MENGEN!*** ★

B

ON Semiconductor Teilenr.	Digi-Key Teilenr.	Beschreibung		Paket	Stückpreis★ 1	25	100
MC33202DR2	MC33202DR2OSTR-ND	Zweif. R/R-OpAmp, Niederspann.	Dual, Low Voltage, R/R, Op Amp	8-SOIC		738.66/2,500	
MC33202P	MC33202POS-ND	Zweif. R/R-OpAmp, Niederspann.	Dual, Low Voltage, R/R, Op Amp	8-Dip	.88	.77	.59
MC33204DR2	MC33204DR2OSCT-ND	Vierf. R/R-OpAmp, Niederspann.	Quad, Low Voltage, R/R, Op Amp	14-SOIC	.94	.76	.57
MC33204DR2	MC33204DR2OSTR-ND	Vierf. R/R-OpAmp, Niederspann.	Quad, Low Voltage, R/R, Op Amp	14-SOIC		1219.10/2,500	
MC33204P	MC33204POS-ND	Vierf. R/R-OpAmp, Niederspann.	Quad, Low Voltage, R/R, Op Amp	14-Dip	1.13	.94	.76
MC33260DR2	MC33260DR2OSCT-ND	GreenLine™ Kompakt-Leistungsfaktor-Controller	GreenLine™ Compact Power Factor Controller	8-SOIC	1.59	1.27	.96
MC33260DR2	MC33260DR2OSTR-ND	GreenLine™ Kompakt-Leistungsfaktor-Controller	GreenLine™ Compact Power Factor Controller	8-SOIC		2031.84/2,500	
MC33260P	MC33260POS-ND	GreenLine™ Kompakt-Leistungsfaktor-Controller	GreenLine™ Compact Power Factor Controller	8-Dip	1.59	1.27	.96
MC33262DR2	MC33262DR2OSCT-ND	Leistungsfaktor-Controller	Power Factor Controller	8-SOIC	.99	.86	.67
MC33262DR2	MC33262DR2OSTR-ND	Leistungsfaktor-Controller	Power Factor Controller	8-SOIC		878.35/2,500	
MC33262P	MC33262POS-ND	Leistungsfaktor-Controller	Power Factor Controller	8-Dip	.99	.86	.67
MC33269D-3.3	MC33269D-3.3OS-ND	3,3 V, 800 mA, einstellb. Ausgang, LDO-Spannungsregler	3.3V, 800mA, Adj. Output, LDO Voltage Regulator	8-SOIC	.76	.58	.43
MC33269D-5.0	MC33269D-5.0OS-ND	5 V, 800 mA, einstellb. Ausgang, LDO-Spannungsregler	5V, 800mA, Adj. Output, LDO Voltage Regulator	8-SOIC	.76	.58	.43
MC33269DTRK	MC33269DTRKOSCT-ND	800 mA, einstellb. Ausgang, LDO-Spannungsregler	800mA, Adj. Output, LDO Voltage Reg.	D-PAK	.58	.48	.39
MC33269DTRK	MC33269DTRKOSTR-ND	800 mA, einstellb. Ausgang, LDO-Spannungsregler	800mA, Adj. Output, LDO Voltage Reg.	D-PAK		732.31/2,500	
MC33269DTRK-3.3	MC33269DTRK-3OSCT-ND	3,3 V, 800 mA, einstellb. Ausgang, LDO-Spannungsregler	3.3V, 800mA, Adj. Output, LDO Voltage Regulator	D-PAK	.63	.52	.42
MC33269DTRK-3.3	MC33269DTRK-3OSTR-ND	3,3 V, 800 mA, einstellb. Ausgang, LDO-Spannungsregler	3.3V, 800mA, Adj. Output, LDO Voltage Regulator	D-PAK		732.31/2,500	
MC33269DTRK-5.0	MC33269DTRK-5OSCT-ND	5 V, 800 mA, einstellb. Ausgang, LDO-Spannungsregler	5V, 800mA, Adj. Output, LDO Voltage Regulator	D-PAK	.58	.48	.39
MC33269DTRK-5.0	MC33269DTRK-5OSTR-ND	5 V, 800 mA, einstellb. Ausgang, LDO-Spannungsregler	5V, 800mA, Adj. Output, LDO Voltage Regulator	D-PAK		732.31/2,500	
MC33272ADR2	MC33272ADR2OSCT-ND	Zweif. einzelversorgter OpAm, hohe Anstiegsrate	Dual, Single Supply, High Slew Rate, Op Amp	8-SOIC	.94	.76	.57
MC33272ADR2	MC33272ADR2OSTR-ND	Zweif. einzelversorgter OpAm, hohe Anstiegsrate	Dual, Single Supply, High Slew Rate, Op Amp	8-SOIC		1219.10/2,500	
MC33274AD	MC33274ADOS-ND	Vierf. einzelversorgter OpAm, hohe Anstiegsrate	Quad, Single Supply, High Slew Rate, Op Amp	14-SOIC	1.06	.85	.64
MC33274AP	MC33274APOS-ND	Vierf. einzelversorgter OpAm, hohe Anstiegsrate	Quad, Single Supply, High Slew Rate, Op Amp	14-Dip	1.06	.85	.64
MC33275DT-2.5RK	MC33275DT-2.5OSCT-ND	2,5 V, 300 mA LDO-Spannungsregler	2.5V, 300mA, LDO Voltage Regulator	D-PAK	.93	.81	.62
MC33275DT-2.5RK	MC33275DT-2.5OSTR-ND	2,5 V, 300 mA LDO-Spannungsregler	2.5V, 300mA, LDO Voltage Regulator	D-PAK		823.32/2,500	
MC33362DWR2	MC33362DWR2OSCT-ND	Hochspannungs-Schaltregler	High Voltage Switching Regulator	16-SOIC	2.38	1.91	1.49
MC33362DWR2	MC33362DWR2OSTR-ND	Hochspannungs-Schaltregler	High Voltage Switching Regulator	16-SOIC		1349.48/1,000	
MC33363ADWR2	MC33363ADWR2OSCT-ND	Hochspannungs-Schaltregler	High Voltage Switching Regulator	16-SOIC	2.40	1.92	1.50
MC33363ADWR2	MC33363ADWR2OSTR-ND	Hochspannungs-Schaltregler	High Voltage Switching Regulator	16-SOIC		1418.90/1,000	
MC33363AP	MC33363APOS-ND	Hochspannungs-Schaltregler	High Voltage Switching Regulator	16-Dip	2.84	2.28	1.77
MC33363BDWR2	MC33363BDWR2OSCT-ND	Hochspannungs-Schaltregler	High Voltage Switching Regulator	16-SOIC	2.74	2.20	1.71
MC33363BDWR2	MC33363BDWR2OSTR-ND	Hochspannungs-Schaltregler	High Voltage Switching Regulator	16-SOIC		1621.24/1,000	
MC33364D1R2	MC33364D1R2OSCT-ND	Critical Conduction GreenLine™ SMPS-Controller	Critical Conduction GreenLine™ SMPS Controller	8-SOIC	1.82	1.46	1.10
MC33364D1R2	MC33364D1R2OSTR-ND	Critical Conduction GreenLine™ SMPS-Controller	Critical Conduction GreenLine™ SMPS Controller	8-SOIC		2366.25/2,500	
MC33364D2R2	MC33364D2R2OSCT-ND	Critical Conduction GreenLine™ SMPS-Controller	Critical Conduction GreenLine™ SMPS Controller	8-SOIC	1.82	1.46	1.10
MC33364D2R2	MC33364D2R2OSTR-ND	Critical Conduction GreenLine™ SMPS-Controller	Critical Conduction GreenLine™ SMPS Controller	8-SOIC		2330.27/2,500	
MC33364DR2	MC33364DR2OSCT-ND	Critical Conduction GreenLine™ SMPS-Controller	Critical Conduction GreenLine™ SMPS Controller	16-SOIC	1.82	1.46	1.10
MC33364DR2	MC33364DR2OSTR-ND	Critical Conduction GreenLine™ SMPS-Controller	Critical Conduction GreenLine™ SMPS Controller	16-SOIC		2330.27/2,500	
MC33501SNT1	MC33501SNT1OSCT-ND	Einf. 1 V, R/R OpAmp	1V, R/R, Single Op Amp	SOT-23-5	1.02	.85	.68
MC33501SNT1	MC33501SNT1OSTR-ND	Einf. 1 V, R/R OpAmp	1V, R/R, Single Op Amp	SOT-23-5		1320.70/3,000	
MC33502DR2	MC33502DR2OSCT-ND	Zweif. 1 V, R/R OpAmp	1V, R/R, Dual Op Amp	8-SOIC	1.24	1.00	.78
MC33502DR2	MC33502DR2OSTR-ND	Zweif. 1 V, R/R OpAmp	1V, R/R, Dual Op Amp	8-SOIC		1760.93/2,500	
MC33502P	MC33502POS-ND	Zweif. 1 V, R/R OpAmp	1V, R/R, Dual Op Amp	8-Dip	1.38	1.11	.83
MC33503SNT1	MC33503SNT1OSCT-ND	Einf. 1 V, R/R OpAmp	1V, R/R, Single Op Amp	SOT-23-5	1.02	.85	.68
MC33503SNT1	MC33503SNT1OSTR-ND	Einf. 1 V, R/R OpAmp	1V, R/R, Single Op Amp	SOT-23-5		1320.70/3,000	
MC33560DTBR2	MC33560DTBR2OSCT-ND	Schnittstellen-IC für Smartcard-Leser/Schreiber	Interface IC for Smartcard Reader/Writer	24-TSSOP	3.56	2.85	2.41
MC33560DTBR2	MC33560DTBR2OSTR-ND	Schnittstellen-IC für Smartcard-Leser/Schreiber	Interface IC for Smartcard Reader/Writer	24-TSSOP		5600.26/2,500	
MC33560DWR2	MC33560DWR2OSCT-ND	Schnittstellen-IC für Smartcard-Leser/Schreiber	Interface IC for Smartcard Reader/Writer	24-SOIC	3.56	2.85	2.41
MC33560DWR2	MC33560DWR2OSTR-ND	Schnittstellen-IC für Smartcard-Leser/Schreiber	Interface IC for Smartcard Reader/Writer	24-SOIC		2267.19/1,000	
MC33567D-1R2	MC33567D-1R2OSCT-ND	Zweif. 1,818 V Linear-Controller	1.818V Dual Linear Controller	8-SOIC	.67	.54	.42
MC33567D-1R2	MC33567D-1R2OSTR-ND	Zweif. 1,818 V Linear-Controller	1.818V Dual Linear Controller	8-SOIC		963.01/2,500	
MC33567D-2R2	MC33567D-2R2OSCT-ND	Zweif. 2,525 V Linear-Controller	2.525V Dual Linear Controller	8-SOIC	.67	.54	.42
MC33567D-2R2	MC33567D-2R2OSTR-ND	Zweif. 2,525 V Linear-Controller	2.525V Dual Linear Controller	8-SOIC		963.01/2,500	
MC33567D-3R2	MC33567D-3R2OSCT-ND	Zweif. 2,3 V Linear-Controller	2.3V Dual Linear Controller	8-SOIC	.67	.54	.42
MC33567D-3R2	MC33567D-3R2OSTR-ND	Zweif. 2,3 V Linear-Controller	2.3V Dual Linear Controller	8-SOIC		963.01/2,500	
MC33762DM-2525R2	MC33762DM-252OSCT-ND	Zweif. 2,5 V LDO-Spannungsregler, ultrarauscharm	2.5V Dual Ultra Low-Noise LDO Voltage Regulator	8-Micro	.91	.74	.57
MC33762DM-2525R2	MC33762DM-252OSTR-ND	Zweif. 2,5 V LDO-Spannungsregler, ultrarauscharm	2.5V Dual Ultra Low-Noise LDO Voltage Regulator	8-Micro		2113.11/4,000	
MC33762DM-2828R2	MC33762DM-282OSCT-ND	Zweif. 2,8 V LDO-Spannungsregler, ultrarauscharm	2.8V Dual Ultra Low-Noise LDO Voltage Regulator	8-Micro	.91	.74	.57
MC33762DM-2828R2	MC33762DM-282OSTR-ND	Zweif. 2,8 V LDO-Spannungsregler, ultrarauscharm	2.8V Dual Ultra Low-Noise LDO Voltage Regulator	8-Micro		2113.11/4,000	
MC33762DM-3030R2	MC33762DM-303OSCT-ND	Zweif. 3 V LDO-Spannungsregler, ultrarauscharm	3V Dual Ultra Low-Noise LDO Voltage Regulator	8-Micro	.91	.74	.57
MC33762DM-3030R2	MC33762DM-303OSTR-ND	Zweif. 3 V LDO-Spannungsregler, ultrarauscharm	3V Dual Ultra Low-Noise LDO Voltage Regulator	8-Micro		2031.84/4,000	
MC34025P	MC34025POS-ND	HS-PWM-Controller, Doppelende	High Speed Double-Ended PWM Controller	16-Dip	3.24	2.60	2.02
MC34060AP	MC34060APOS-ND	Festfrequenz, PWM, Spannungsmodus, Einzelende-Controller	Fixed Freq., PWM, Volt. Mode Single Ended Controller	14-Dip	1.04	.87	.70
MC34063ADR2	MC34063ADR2OSCT-ND	1,5 A, invertierender Schaltregler	1.5A, Inverting Switch Regulator	8-SOIC	.53	.45	.36
MC34063ADR2	MC34063ADR2OSTR-ND	1,5 A, invertierender Schaltregler	1.5A, Inverting Switch Regulator	8-SOIC		675.16/2,500	
MC34063AP1	MC34063AP1OS-ND	1,5 A, invertierender Schaltregler	1.5A, Inverting Switch Regulator	8-Dip	.84	.67	.51
MC34064D-5R2	MC34064D-5R2OSCT-ND	Unterspannungserkennungskreis	Undervoltage Sensing Circuit	8-SOIC	.66	.53	.40
MC34064D-5R2	MC34064D-5R2OSTR-ND	Unterspannungserkennungskreis	Undervoltage Sensing Circuit	8-SOIC		522.78/2,500	
MC34064P-5RA	MC34064P-5RAOSCT-ND	Unterspannungserkennungskreis	Undervoltage Sensing Circuit	TO-226AA	.66	.53	.40
MC34064P-5RA	MC34064P-5RAOSTR-ND	Unterspannungserkennungskreis	Undervoltage Sensing Circuit	TO-226AA		491.03/2,000	
MC34071AP	MC34071APOS-ND	Einzelversorgter OpAmp	Single Supply Op Amp	8-Dip	.80	.67	.54
MC34071D	MC34071DOS-ND	Einzelversorgter OpAmp	Single Supply Op Amp	8-SOIC	.65	.55	.44
MC34071P	MC34071POS-ND	Einzelversorgter OpAmp	Single Supply Op Amp	8-Dip	.65	.55	.44
MC34072AP	MC34072APOS-ND	Doppelt versorgter OpAmp	Dual Supply Op Amp	8-Dip	.71	.60	.48
MC34072DR2	MC34072DR2OSCT-ND	Doppelt versorgter OpAmp	Dual Supply Op Amp	8-SOIC	.49	.40	.30
MC34072DR2	MC34072DR2OSTR-ND	Doppelt versorgter OpAmp	Dual Supply Op Amp	8-SOIC		641.30/2,500	
MC34072P	MC34072POS-ND	Doppelt versorgter OpAmp	Dual Supply Op Amp	8-Dip	.83	.63	.47
MC34074ADR2	MC34074ADR2OSCT-ND	Vierfach versorgter OpAmp	Quad Supply Op Amp	14-SOIC	.92	.77	.62
MC34074ADR2	MC34074ADR2OSTR-ND	Vierfach versorgter OpAmp	Quad Supply Op Amp	14-SOIC		994.76/2,500	
MC34074AP	MC34074APOS-ND	Vierfach versorgter OpAmp	Quad Supply Op Amp	14-Dip	.92	.77	.62
MC34074DR2	MC34074DR2OSCT-ND	Vierfach versorgter OpAmp	Quad Supply Op Amp	14-SOIC	.77	.65	.52
MC34074DR2	MC34074DR2OSTR-ND	Vierfach versorgter OpAmp	Quad Supply Op Amp	14-SOIC		833.90/2,500	
MC34074P	MC34074POS-ND	Vierfach versorgter OpAmp	Quad Supply Op Amp	14-Dip	.80	.67	.54
MC34151D	MC34151DOS-ND	Zweif. MOSFET-Treiber, HS	HS Dual Mosfet Driver	8-SOIC	1.24	1.09	.84
MC34151P	MC34151POS-ND	Zweif. MOSFET-Treiber, HS	HS Dual Mosfet Driver	8-Dip	1.34	1.16	.90
MC34152D	MC34152DOS-ND	Zweif. MOSFET-Treiber, HS	HS Dual Mosfet Driver	8-SOIC	1.35	1.18	.91
MC34152P	MC34152POS-ND	Zweif. MOSFET-Treiber, HS	HS Dual Mosfet Driver	8-Dip	1.35	1.18	.91
MC34160DWR2	MC34160DWR2OSCT-ND	100 mA, 5 V Spannungsregler	100mA, 5V Voltage Regulator	16-SOIC	1.37	1.10	.86
MC34160DWR2	MC34160DWR2OSTR-ND	100 mA, 5 V Spannungsregler	100mA, 5V Voltage Regulator	16-SOIC		792.42/1,000	
MC34160P	MC34160POS-ND	100 mA, 5 V Spannungsregler	100mA, 5V Voltage Regulator	16-Dip	1.52	1.22	.92
MC34161DMR2	MC34161DMR2OSCT-ND	Universalspannungsüberwachung	Universal Voltage Monitor	8-Micro	.93	.75	.56
MC34161DMR2	MC34161DMR2OSTR-ND	Universalspannungsüberwachung	Universal Voltage Monitor	8-Micro		1937.02/4,000	
MC34161DR2	MC34161DR2OSCT-ND	Universalspannungsüberwachung	Universal Voltage Monitor	8-SOIC	.93	.75	.56
MC34161DR2	MC34161DR2OSTR-ND	Universalspannungsüberwachung	Universal Voltage Monitor	8-SOIC		1210.64/2,500	
MC34161P	MC34161POS-ND	Universalspannungsüberwachung	Universal Voltage Monitor	8-Dip	1.12	.94	.75
MC34163DWR2	MC34163DWR2OSCT-ND	Invertierender Step-Up/Down-Schaltregler, 3,4 A	3.4A Step-Up/Down/Inverting Switching Regulator	16-SOIC	2.29	1.83	1.43
MC34163DWR2	MC34163DWR2OSTR-ND	Invertierender Step-Up/Down-Schaltregler, 3,4 A	3.4A Step-Up/Down/Inverting Switching Regulator	16-SOIC		1295.30/1,000	
MC34163P	MC34163POS-ND	Invertierender Step-Up/Down-Schaltregler, 3,4 A	3.4A Step-Up/Down/Inverting Switching Regulator	16-Dip	2.29	1.83	1.43
MC34164D-3R2	MC34164D-3R2OSCT-ND	Micropower-Unterspannungserkennungskreis, 3 V	3V, Micropower Undervoltage Sensing Circuit	8-SOIC	.47	.40	.32
MC34164D-3R2	MC34164D-3R2OSTR-ND	Micropower-Unterspannungserkennungskreis, 3 V	3V, Micropower Undervoltage Sensing Circuit	8-SOIC		601.09/2,500	

(Forts.)

★ ***RUFEN SIE BITTE AN FÜR NIEDRIGERE PREISE BEI GRÖSSEREN MENGEN!*** ★

ON Semiconductor Teilenr.	Digi-Key Teilenr.	Beschreibung		Paket	Stückpreis★ 1	25	100
MC34164D-5R2	MC34164D-5R2OSCT-ND	Micropower-Unterspannungserkennungskreis, 5 V	5V, Micropower Undervoltage Sensing Circuit	8-SOIC	.47	.40	.32
MC34164D-5R2	MC34164D-5R2OSTR-ND	Micropower-Unterspannungserkennungskreis, 5 V	5V, Micropower Undervoltage Sensing Circuit	8-SOIC		514.31/2,500	
MC34164P-003	MC34164P-003OSCT-ND	Micropower-Unterspannungserkennungskreis, 3 V	3V, Micropower Undervoltage Sensing Circuit	TO-226AA	.76	.61	.46
MC34164P-003	MC34164P-003OSTR-ND	Micropower-Unterspannungserkennungskreis, 3 V	3V, Micropower Undervoltage Sensing Circuit	TO-226AA		419.91/2,000	
MC34164P-005	MC34164P-005OSCT-ND	Micropower-Unterspannungserkennungskreis, 5 V	5V, Micropower Undervoltage Sensing Circuit	TO-226AA	.76	.61	.46
MC34164P-005	MC34164P-005OSTR-ND	Micropower-Unterspannungserkennungskreis, 5 V	5V, Micropower Undervoltage Sensing Circuit	TO-226AA		419.91/2,000	
MC34166T	MC34166TOS-ND	Invertierender Schaltregler, 3 A	3A, Inverting Switching Regulator	TO-220-5	1.97	1.59	1.19
MC34166TV	MC34166TVOS-ND	Invertierender Schaltregler, 3 A	3A, Inverting Switching Regulator	TO-220-5	1.97	1.59	1.19
MC34167T	MC34167TOS-ND	Invertierender Schaltregler, 5 A	5A, Inverting Switching Regulator	TO-220-5	2.38	2.07	1.55
MC34167TV	MC34167TVOS-ND	Invertierender Schaltregler, 5 A	5A, Inverting Switching Regulator	TO-220-5	2.38	2.07	1.55
MC44604P	MC44604POS-ND	Äußerst sicherer GreenLine™ PWM-Standby-Controller, Takt-Modus	High Safety, Pulsed Mode Standby GreenLine™ PWM Controller	16-Dip	2.44	1.96	1.52
MC44605P	MC44605POS-ND	Äußerst sicherer GreenLine™ PWM-Controller, Latch-Modus	High Safety, Latched Mode, GreenLine™ PWM Controller	16-Dip	2.82	2.26	1.76
MC44608P40	MC44608P40OS-ND	SMPS-Controller, 40 KHz	40KHz SMPS Controller	8-Dip	1.80	1.44	1.08
MC44608P75	MC44608P75OS-ND	SMPS-Controller, 75 KHz	75KHz SMPS Controller	8-Dip	1.80	1.44	1.08
MC44608P100	MC44608P100OS-ND	SMPS-Controller, 100 KHz	100KHz SMPS Controller	8-Dip	1.80	1.44	1.08
MCH12140D	MCH12140DOS-ND	Phasenfrequenzdetektor	Phase-Frequency Detector	8-SOIC	7.05	6.35	5.63
MCK12140D	MCK12140DOS-ND	Phasenfrequenzdetektor	Phase-Frequency Detector	8-SOIC	7.05	6.35	5.63
MDC3105DMT1	MDC3105DMT1OSCT-ND	Integriertes Relais/induktiver Lasttreiber	Integrated Relay/Inductive Load Driver	SC-74	.64	.49	.37
MDC3105DMT1	MDC3105DMT1OSTR-ND	Integriertes Relais/induktiver Lasttreiber	Integrated Relay/Inductive Load Driver	SC-74		688.29/3,000	
MDC3105LT1	MDC3105LT1OSCT-ND	Integriertes Relais/induktiver Lasttreiber	Integrated Relay/Inductive Load Driver	SOT-23	.54	.41	.31
MDC3105LT1	MDC3105LT1OSTR-ND	Integriertes Relais/induktiver Lasttreiber	Integrated Relay/Inductive Load Driver	SOT-23		579.07/3,000	
MMBV105GLT1	MMBV105GLT1OSCT-ND	30 V, Silikon-Tuning-Diode	30V, Silicon Tuning Diode	SOT-23	.25	.21	.15
MMBV105GLT1	MMBV105GLT1OSTR-ND	30 V, Silikon-Tuning-Diode	30V, Silicon Tuning Diode	SOT-23		617.17/9,000	
MMBV109LT1	MMBV109LT1OSCT-ND	30 V, Silikon-Tuning-Diode	30V, Silicon Epicap Diode	SOT-23	.25	.21	.15
MMBV109LT1	MMBV109LT1OSTR-ND	30 V, Silikon-Tuning-Diode	30V, Silicon Epicap Diode	SOT-23		213.34/3,000	
MMBV432LT1	MMBV432LT1OSCT-ND	14 V, Silikon-Tuning-Diode	14V, Silicon Tuning Diode	SOT-23	.29	.24	.17
MMBV432LT1	MMBV432LT1OSTR-ND	14 V, Silikon-Tuning-Diode	14V, Silicon Tuning Diode	SOT-23		241.28/3,000	
MMBV609LT1	MMBV609LT1OSCT-ND	20 V, Silikon-Tuning-Diode	20V, Silicon Tuning Diode	SOT-23	.29	.24	.17
MMBV609LT1	MMBV609LT1OSTR-ND	20 V, Silikon-Tuning-Diode	20V, Silicon Tuning Diode	SOT-23		462.24/6,000	
MMBV809LT1	MMBV809LT1OSCT-ND	20 V, Silikon-Tuning-Diode	20V, Silicon Tuning Diode	SOT-23	.29	.24	.17
MMBV809LT1	MMBV809LT1OSTR-ND	20 V, Silikon-Tuning-Diode	20V, Silicon Tuning Diode	SOT-23		241.28/3,000	
MMBV2101LT1	MMBV2101LT1OSCT-ND	30 V, Silikon-Tuning-Diode	30V, Silicon Tuning Diode	SOT-23	.25	.21	.15
MMBV2101LT1	MMBV2101LT1OSTR-ND	30 V, Silikon-Tuning-Diode	30V, Silicon Tuning Diode	SOT-23		213.34/3,000	
MMBV2105LT1	MMBV2105LT1OSCT-ND	30 V, Silikon-Tuning-Diode	30V, Silicon Tuning Diode	SOT-23	.25	.21	.15
MMBV2105LT1	MMBV2105LT1OSTR-ND	30 V, Silikon-Tuning-Diode	30V, Silicon Tuning Diode	SOT-23		213.34/3,000	
MMBV2109LT1	MMBV2109LT1OSCT-ND	30 V, Silikon-Tuning-Diode	30V, Silicon Tuning Diode	SOT-23	.29	.24	.17
MMBV2109LT1	MMBV2109LT1OSTR-ND	30 V, Silikon-Tuning-Diode	30V, Silicon Tuning Diode	SOT-23		241.28/3,000	
MMBV3102LT1	MMBV3102LT1OSCT-ND	30 V, Silikon-Tuning-Diode	30V, Silicon Tuning Diode	SOT-23	.29	.24	.17
MMBV3102LT1	MMBV3102LT1OSTR-ND	30 V, Silikon-Tuning-Diode	30V, Silicon Tuning Diode	SOT-23		241.28/3,000	
MMBV3401LT1	MMBV3401LT1OSCT-ND	35 V, Silikon-Pin-Diode	35V, Silicon Pin Diode	SOT-23	.29	.24	.17
MMBV3401LT1	MMBV3401LT1OSTR-ND	35 V, Silikon-Pin-Diode	35V, Silicon Pin Diode	SOT-23		462.24/6,000	
MMBV3700LT1	MMBV3700LT1OSCT-ND	200 V, Hochspannungs-Silikon-Pin-Diode	200V, High Volt. Silicon Pin Diode	SOT-23	.29	.24	.17
MMBV3700LT1	MMBV3700LT1OSTR-ND	200 V, Hochspannungs-Silikon-Pin-Diode	200V, High Volt. Silicon Pin Diode	SOT-23		241.28/3,000	
MPN3700	MPN3700OS-ND	Hochspannungs-Silikon-Pin-Diode	High Voltage Silicon Pin Diode	TO-92	.43	.32	.23
MV104	MV104OS-ND	Silikon-Tuning-Diode	Silicon Tuning Diode	TO-92	.34	.28	.21
MV209	MV209OS-ND	Silikon-Epicap-Diode	Silicon Epicap Diode	TO-92	.32	.26	.18
NB100ELT23LDR2	NB100ELT23LDROSCT-ND	Zweif. 3,3 V Diff. LVPECL an LVTTL Umsetzer	3.3V Dual Diff. LVPECL to LVTTL Translator	8-SOIC	3.62	2.90	2.26
NB100ELT23LDR2	NB100ELT23LDROSTR-ND	Zweif. 3,3 V Diff. LVPECL an LVTTL Umsetzer	3.3V Dual Diff. LVPECL to LVTTL Translator	8-SOIC		5066.90/2,500	
NB100ELT23LDTR2	NB100ELT23LDTOSCT-ND	Zweif. 3,3 V Diff. LVPECL an LVTTL Umsetzer	3.3V Dual Diff. LVPECL to LVTTL Translator	8-TSSOP	3.62	2.90	2.26
NB100ELT23LDTR2	NB100ELT23LDTOSTR-ND	Zweif. 3,3 V Diff. LVPECL an LVTTL Umsetzer	3.3V Dual Diff. LVPECL to LVTTL Translator	8-TSSOP		5066.90/2,500	
NB100EP223FAR2	NB100EP223FAROSCT-ND	3,3 V, 1:2 Diff. HSTL/PECL an HSTL Takttreiber	3.3V, 1:22 Diff. HSTL/PECL to HSTL Clock Driver	64-LQFP	13.84	12.92	12.00
NB100EP223FAR2	NB100EP223FAROSTR-ND	3,3 V, 1:2 Diff. HSTL/PECL an HSTL Takttreiber	3.3V, 1:22 Diff. HSTL/PECL to HSTL Clock Driver	64-LQFP		17095.39/1,500	
NB100LVEP17DTR2	NB100LVEP17DTOSCT-ND	Vierf. 2,5 V/3,3 V/5 V ECL Diff.-Treiber/Empfänger	2.5V/3.3V/5V ECL Quad Diff. Driver/Receiver	20-TSSOP	11.50	10.35	9.18
NB100LVEP17DTR2	NB100LVEP17DTOSTR-ND	Vierf. 2,5 V/3,3 V/5 V ECL Diff.-Treiber/Empfänger	2.5V/3.3V/5V ECL Quad Diff. Driver/Receiver	20-TSSOP		20957.58/2,500	
NB100LVEP17MNR2	NB100LVEP17MNOSCT-ND	Vierf. 2,5 V/3,3 V/5 V ECL Diff.-Treiber/Empfänger	2.5V/3.3V/5V ECL Quad Diff. Driver/Receiver	24-QFN	11.50	10.35	9.18
NB100LVEP17MNR2	NB100LVEP17MNOSTR-ND	Vierf. 2,5 V/3,3 V/5 V ECL Diff.-Treiber/Empfänger	2.5V/3.3V/5V ECL Quad Diff. Driver/Receiver	24-QFN		25149.10/3,000	
NB100LVEP56DTR2	NB100LVEP56DTOSCT-ND	Zweif. 2,5 V/3,3 V/5 V ECL Diff.-Mux 2:1	2.5V/3.3V/5V ECL Dual Diff. 2:1 Mux	20-TSSOP	11.18	10.08	8.93
NB100LVEP56DTR2	NB100LVEP56DTOSTR-ND	Zweif. 2,5 V/3,3 V/5 V ECL Diff.-Mux 2:1	2.5V/3.3V/5V ECL Dual Diff. 2:1 Mux	20-TSSOP		20392.48/2,500	
NB100LVEP56MNR2	NB100LVEP56MNOSCT-ND	Zweif. 2,5 V/3,3 V/5 V ECL Diff.-Mux 2:1	2.5V/3.3V/5V ECL Dual Diff. 2:1 Mux	24-QFN	11.18	10.08	8.93
NB100LVEP56MNR2	NB100LVEP56MNOSTR-ND	Zweif. 2,5 V/3,3 V/5 V ECL Diff.-Mux 2:1	2.5V/3.3V/5V ECL Dual Diff. 2:1 Mux	24-QFN		24470.97/3,000	
NB100LVEP91DWR2	NB100LVEP91DWOSCT-ND	2,5 V/3,3 V jeder Level-Pos. Eingang an -2,5 V/-3,3 V/-5 V NECL Ausgangsumsetzer	2.5V/3.3V Any Level Pos. In to -2.5V/-3.3V/-5V NECL Out Translator	20-SOIC	13.57	12.22	10.84
NB100LVEP91DWR2	NB100LVEP91DWOSTR-ND	2,5 V/3,3 V jeder Level-Pos. Eingang an -2,5 V/-3,3 V/-5 V NECL Ausgangsumsetzer	2.5V/3.3V Any Level Pos. In to -2.5V/-3.3V/-5V NECL Out Translator	20-SOIC		10058.45/1,000	
NB100LVEP91MNR2	NB100LVEP91MNOSCT-ND	2,5 V/3,3 V jeder Level-Pos. Eingang an -2,5 V/-3,3 V/-5 V NECL Ausgangsumsetzer	2.5V/3.3V Any Level Pos. In to -2.5V/-3.3V/-5V NECL Out Translator	24-QFN	13.57	12.22	10.84
NB100LVEP91MNR2	NB100LVEP91MNOSTR-ND	2,5 V/3,3 V jeder Level-Pos. Eingang an -2,5 V/-3,3 V/-5 V NECL Ausgangsumsetzer	2.5V/3.3V Any Level Pos. In to -2.5V/-3.3V/-5V NECL Out Translator	24-QFN		29685.18/3,000	
NB100LVEP221FAR2	NB100LVEP221FOSCT-ND	2,5 V/3,3 V 1:20 Diff.-HSTL/ECL/PECL-Takttreiber	2.5V/3.3V, 1:20 Diff. HSTL/ECL/PECL Clock Driver	52-LQFP	11.99	10.80	9.58
NB100LVEP221FAR2	NB100LVEP221FOSTR-ND	2,5 V/3,3 V 1:20 Diff.-HSTL/ECL/PECL-Takttreiber	2.5V/3.3V, 1:20 Diff. HSTL/ECL/PECL Clock Driver	52-LQFP		13331.41/1,500	
NB100LVEP222FAR2	NB100LVEP222FOSCT-ND	2,5 V/3,3 V 1:15 Diff.-ECL/PECL 1/2-Takttreiber	2.5V/3.3V, 1:15 Diff. ECL/PECL 1/2 Clock Driver	52-LQFP	12.70	11.86	11.01
NB100LVEP222FAR2	NB100LVEP222FOSTR-ND	2,5 V/3,3 V 1:15 Diff.-ECL/PECL 1/2-Takttreiber	2.5V/3.3V, 1:15 Diff. ECL/PECL 1/2 Clock Driver	52-LQFP		15683.27/1,500	
NB100LVEP224FAR2	NB100LVEP224FOSCT-ND	2,5 V/3,3 V 1:24 Diff.-ECL/PECL-Takttreiber	2.5V/3.3V, 1:24 Diff. ECL/PECL Clock Driver	64-LQFP	20.32	18.97	17.61
NB100LVEP224FAR2	NB100LVEP224FOSTR-ND	2,5 V/3,3 V 1:24 Diff.-ECL/PECL-Takttreiber	2.5V/3.3V, 1:24 Diff. ECL/PECL Clock Driver	64-LQFP		25093.22/1,500	
NBC12429FAR2	NBC12429FAR2OSCT-ND	3,3 V/5 V progr. synchr. PLL-Taktgeber	3.3V/5V Prog. PLL Sync. Clock Generator	32-LQFP	8.04	7.24	6.42
NBC12429FAR2	NBC12429FAR2OSTR-ND	3,3 V/5 V progr. synchr. PLL-Taktgeber	3.3V/5V Prog. PLL Sync. Clock Generator	32-LQFP		11920.13/2,000	
NBC12429FNR2	NBC12429FNR2OSCT-ND	3,3 V/5 V progr. synchr. PLL-Taktgeber	3.3V/5V Prog. PLL Sync. Clock Generator	28-PLCC	8.04	7.24	6.42
NBC12429FNR2	NBC12429FNR2OSTR-ND	3,3 V/5 V progr. synchr. PLL-Taktgeber	3.3V/5V Prog. PLL Sync. Clock Generator	28-PLCC		3016.01/500	
NBC12430FAR2	NBC12430FAR2OSCT-ND	3,3 V/5 V progr. synchr. PLL-Taktgeber	3.3V/5V Prog. PLL Sync. Clock Generator	32-LQFP	8.04	7.24	6.42
NBC12430FAR2	NBC12430FAR2OSTR-ND	3,3 V/5 V progr. synchr. PLL-Taktgeber	3.3V/5V Prog. PLL Sync. Clock Generator	32-LQFP		11920.13/2,000	
NBC12430FNR2	NBC12430FNR2OSCT-ND	3,3 V/5 V progr. synchr. PLL-Taktgeber	3.3V/5V Prog. PLL Sync. Clock Generator	28-PLCC	8.04	7.24	6.42
NBC12430FNR2	NBC12430FNR2OSTR-ND	3,3 V/5 V progr. synchr. PLL-Taktgeber	3.3V/5V Prog. PLL Sync. Clock Generator	28-PLCC		3016.01/500	
NBC12439FNR2	NBC12439FNR2OSCT-ND	3,3 V/5 V progr. synchr. PLL-Taktgeber	3.3V/5V Prog. PLL Sync. Clock Generator	28-PLCC	9.87	8.89	7.89
NBC12439FNR2	NBC12439FNR2OSTR-ND	3,3 V/5 V progr. synchr. PLL-Taktgeber	3.3V/5V Prog. PLL Sync. Clock Generator	28-PLCC		3703.88/500	
NBSG11BAR2	NBSG11BAR2OSCT-ND	2,5 V/3,3 V SiGe 1:2 Diff.-Takttreiber mit RSECL-Ausgang	2.5V/3.3V SiGe 1:2 Diff. Clock Driver with RSECL Output	16-FCBGA	35.56	33.19	30.82
NBSG11BAR2	NBSG11BAR2OSTR-ND	2,5 V/3,3 V SiGe 1:2 Diff.-Takttreiber mit RSECL-Ausgang	2.5V/3.3V SiGe 1:2 Diff. Clock Driver with RSECL Output	16-FCBGA		14815.50/500	
NBSG11MNR2	NBSG11MNR2OSCT-ND	2,5 V/3,3 V SiGe 1:2 Diff.-Takttreiber mit RSECL-Ausgang	2.5V/3.3V SiGe 1:2 Diff. Clock Driver with RSECL Output	16-QFN	35.56	33.19	30.82
NBSG11MNR2	NBSG11MNR2OSTR-ND	2,5 V/3,3 V SiGe 1:2 Diff.-Takttreiber mit RSECL-Ausgang	2.5V/3.3V SiGe 1:2 Diff. Clock Driver with RSECL Output	16-QFN		86404.00/3,000	
NBSG14BAR2	NBSG14BAR2OSCT-ND	2,5 V/3,3 V SiGe 1:4 Diff.-Takt/Datentreiber mit RSECL-Ausgang	2.5V/3.3V SiGe Diff. 1:4 Clock/Data Driver with RSECL Output	16-FCBGA	42.67	39.83	36.98
NBSG14BAR2	NBSG14BAR2OSTR-ND	2,5 V/3,3 V SiGe 1:4 Diff.-Takt/Datentreiber mit RSECL-Ausgang	2.5V/3.3V SiGe Diff. 1:4 Clock/Data Driver with RSECL Output	16-FCBGA		17778.60/500	
NBSG14MNR2	NBSG14MNR2OSCT-ND	2,5 V/3,3 V SiGe 1:4 Diff.-Takt/Datentreiber mit RSECL-Ausgang	2.5V/3.3V SiGe Diff. 1:4 Clock/Data Driver with RSECL Output	16-QFN	42.67	39.83	36.98
NBSG14MNR2	NBSG14MNR2OSTR-ND	2,5 V/3,3 V SiGe 1:4 Diff.-Takt/Datentreiber mit RSECL-Ausgang	2.5V/3.3V SiGe Diff. 1:4 Clock/Data Driver with RSECL Output	16-QFN		103684.80/3,000	
NBSG16BAR2	NBSG16BAR2OSCT-ND	2,5 V/3,3 V SiGe Diff.-Empfänger/Treiber mit RSECL-Ausgang	2.5V/3.3V SiGe Diff. Receiver/Driver with RSECL Output	16-FCBGA	28.54	26.64	24.73
NBSG16BAR2	NBSG16BAR2OSTR-ND	2,5 V/3,3 V SiGe Diff.-Empfänger/Treiber mit RSECL-Ausgang	2.5V/3.3V SiGe Diff. Receiver/Driver with RSECL Output	16-FCBGA		11889.65/500	
NBSG16MNR2	NBSG16MNR2OSCT-ND	2,5 V/3,3 V SiGe Diff.-Empfänger/Treiber mit RSECL-Ausgang	2.5V/3.3V SiGe Diff. Receiver/Driver with RSECL Output	16-QFN	28.54	26.64	24.73
NBSG16VSBAR2	NBSG16VSBAR2OSCT-ND	2,5 V/3,3 V SiGe Diff.-Empfänger/Treiber mit variabler Ausgangsschwingung	2.5V/3.3V SiGe Diff. Receiver/Driver w/Variable Output Swing	16-FCBGA	31.71	29.60	27.49
NBSG16VSBAR2	NBSG16VSBAR2OSTR-ND	2,5 V/3,3 V SiGe Diff.-Empfänger/Treiber mit variabler Ausgangsschwingung	2.5V/3.3V SiGe Diff. Receiver/Driver w/Variable Output Swing	16-FCBGA		13212.46/500	
NBSG16VSMNR2	NBSG16VSMNR2OSCT-ND	2,5 V/3,3 V SiGe Diff.-Empfänger/Treiber mit variabler Ausgangsschwingung	2.5V/3.3V SiGe Diff. Receiver/Driver w/Variable Output Swing	16-QFN	31.71	29.60	27.49
NBSG53ABAR2	NBSG53ABAR2OSCT-ND	2,5 V/3,3 V SiGe wählbarer Diff.-Takt und Daten-D Flip-Flop/Taktunterteiler mit Reset und OLS	2.5V/3.3V SiGe Selectable Diff. Clock and Data D Flip-Flop/Clock Divider with Reset and OLS	16-FCBGA	31.39	29.30	27.21
NBSG53ABAR2	NBSG53ABAR2OSTR-ND	2,5 V/3,3 V SiGe wählbarer Diff.-Takt und Daten-D Flip-Flop/Taktunterteiler mit Reset und OLS	2.5V/3.3V SiGe Selectable Diff. Clock and Data D Flip-Flop/Clock Divider with Reset and OLS	16-FCBGA		13079.97/500	
NBSG86ABAR2	NBSG86ABAR2OSCT-ND	2,5 V/3,3 V SiGe Diff.-Smart Gate mit Ausgangs-Level-Auswahl	2.5V/3.3V SiGe Diff. Smart Gate with Output Level Select	16-FCBGA	28.54	26.64	24.73
NBSG86ABAR2	NBSG86ABAR2OSTR-ND	2,5 V/3,3 V SiGe Diff.-Smart Gate mit Ausgangs-Level-Auswahl	2.5V/3.3V SiGe Diff. Smart Gate with Output Level Select	16-FCBGA		11889.65/500	
NBSG111BAR2	NBSG111BAR2OSCT-ND	2,5 V/3,3 V SiGe Diff. 1:10 Takt/Datentreiber mit RSECL-Ausgang	2.5V/3.3V SiGe Diff. 1:10 Clock/Data Driver with RSECL Out	49-FCBGA	38.10	35.56	33.02

(Forts.)

★ *RUFEN SIE BITTE AN FÜR NIEDRIGERE PREISE BEI GRÖSSEREN MENGEN!* ★

B

ON Semiconductor Teilenr.	Digi-Key Teilenr.	Beschreibung		Paket	Stückpreis★ 1	25	100
NBSG111BAR2	NBSG111BAR2OSTR-ND	2,5 V/3,3 V SiGe Diff. 1:10 Takt/Datentreiber mit RSECL-Ausgang	2.5V/3.3V SiGe Diff. 1:10 Clock/Data Driver with RSECL Out	49-FCBGA		15873.75/500	
NCN6000DTBR2	NCN6000DTBR2OSCT-ND	Compact Smart Card Schnittstellen-IC	Compact Smart Card Interface IC	20-TSSOP	2.42	1.94	1.64
NCN6000DTBR2	NCN6000DTBR2OSTR-ND	Compact Smart Card Schnittstellen-IC	Compact Smart Card Interface IC	20-TSSOP		3813.93/2,500	
NCN6001DTBR2	NCN6001DTBR2OSCT-ND	Compact Smart Card Schnittstellen-IC	Compact Smart Card Interface IC	20-TSSOP	2.57	2.06	1.61
NCN6001DTBR2	NCN6001DTBR2OSTR-ND	Compact Smart Card Schnittstellen-IC	Compact Smart Card Interface IC	20-TSSOP		3600.17/2,500	
NCN6004AFTBR2	NCN6004AFTBR2OSCT-ND	Zweif. SAM/SIM-Schnittstellen-IC	Dual SAM/SIM Interface IC	48-TQFP	4.44	3.56	2.77
NCN6004AFTBR2	NCN6004AFTBR2OSTR-ND	Zweif. SAM/SIM-Schnittstellen-IC	Dual SAM/SIM Interface IC	48-TQFP		5030.50/2,000	
NCN6010DTBR2	NCN6010DTBR2OSCT-ND	SIM-Kartenversorgung und Level-Shifter	SIM Card Supply and Level Shifter	14-TSSOP	2.02	1.62	1.26
NCN6010DTBR2	NCN6010DTBR2OSTR-ND	SIM-Kartenversorgung und Level-Shifter	SIM Card Supply and Level Shifter	14-TSSOP		2827.64/2,500	
NCN6011DMR2	NCN6011DMR2OSCT-ND	NL-Level-Shifter	Low Power Level Shifter	10-Micro	1.62	1.30	1.01
NCN6011DMR2	NCN6011DMR2OSTR-ND	NL-Level-Shifter	Low Power Level Shifter	10-Micro		3684.40/4,000	
NCN6011DTBR2	NCN6011DTBR2OSCT-ND	NL-Level-Shifter	Low Power Level Shifter	14-TSSOP	1.62	1.30	1.01
NCN6011DTBR2	NCN6011DTBR2OSTR-ND	NL-Level-Shifter	Low Power Level Shifter	14-TSSOP		2302.75/2,500	
NCP100SNT1	NCP100SNT1OSCT-ND	Sub 1 V einstellb. Präzisions-Shunt-Regler	Sub 1V Precision Adj. Shunt Reg.	5-TSOP	.69	.58	.46
NCP100SNT1	NCP100SNT1OSTR-ND	Sub 1 V einstellb. Präzisions-Shunt-Regler	Sub 1V Precision Adj. Shunt Reg.	5-TSOP		891.47/3,000	
NCP300LSN45T1	NCP300LSN45T1OSCT-ND	Spannungserkennung, 4,5 V	4.5V, Voltage Detector	SOT-23-5	.58	.43	.33
NCP300LSN45T1	NCP300LSN45T1OSTR-ND	Spannungserkennung, 4,5 V	4.5V, Voltage Detector	SOT-23-5		558.76/3,000	
NCP301LSN27T1	NCP301LSN27T1OSCT-ND	Spannungserkennung, 2,7 V	2.7V, Voltage Detector	SOT-23-5	.58	.43	.33
NCP301LSN27T1	NCP301LSN27T1OSTR-ND	Spannungserkennung, 2,7 V	2.7V, Voltage Detector	SOT-23-5		558.76/3,000	
NCP301LSN45T1	NCP301LSN45T1OSCT-ND	Spannungserkennung, 4,5 V	4.5V, Voltage Detector	SOT-23-5	.58	.43	.33
NCP301LSN45T1	NCP301LSN45T1OSTR-ND	Spannungserkennung, 4,5 V	4.5V, Voltage Detector	SOT-23-5		586.69/3,000	
NCP303LSN27T1	NCP303LSN27T1OSCT-ND	Spannungserkennung, 2,7 V	2.7V, Voltage Detector	SOT-23-5	.58	.43	.33
NCP303LSN27T1	NCP303LSN27T1OSTR-ND	Spannungserkennung, 2,7 V	2.7V, Voltage Detector	SOT-23-5		586.69/3,000	
NCP303LSN30T1	NCP303LSN30T1OSCT-ND	Spannungserkennung, 3 V	3V, Voltage Detector	SOT-23-5	.58	.43	.33
NCP303LSN30T1	NCP303LSN30T1OSTR-ND	Spannungserkennung, 3 V	3V, Voltage Detector	SOT-23-5		586.69/3,000	
NCP303LSN45T1	NCP303LSN45T1OSCT-ND	Spannungserkennung, 4,5 V	4.5V, Voltage Detector	SOT-23-5	.58	.43	.33
NCP303LSN45T1	NCP303LSN45T1OSTR-ND	Spannungserkennung, 4,5 V	4.5V, Voltage Detector	SOT-23-5		586.69/3,000	
NCP345SNT1	NCP345SNT1OSCT-ND	Überspannungsschutzschaltkreis	Over Volt. Protection IC	SOT-23-5	1.09	.92	.73
NCP345SNT1	NCP345SNT1OSTR-ND	Überspannungsschutzschaltkreis	Over Volt. Protection IC	SOT-23-5		1419.75/3,000	
NCP500SN25T1	NCP500SN25T1OSCT-ND	2,5 V, 150 mA CMOS LDO-Spannungsreg.	2.5V, 150mA CMOS LDO Volt. Reg.	5-TSOP	.55	.42	.32
NCP500SN25T1	NCP500SN25T1OSTR-ND	2,5 V, 150 mA CMOS LDO-Spannungsreg.	2.5V, 150mA CMOS LDO Volt. Reg.	5-TSOP		538.44/3,000	
NCP500SN33T1	NCP500SN33T1OSCT-ND	3,3 V, 150 mA CMOS LDO-Spannungsreg.	3.3V, 150mA CMOS LDO Volt. Reg.	5-TSOP	.55	.42	.32
NCP500SN33T1	NCP500SN33T1OSTR-ND	3,3 V, 150 mA CMOS LDO-Spannungsreg.	3.3V, 150mA CMOS LDO Volt. Reg.	5-TSOP		568.92/3,000	
NCP502SQ15T1	NCP502SQ15T1OSCT-ND	1,5 V, 80 mA CMOS-Spannungsregler	1.5V, 80mA CMOS Voltage Regulator	SC70-5	.59	.45	.34
NCP502SQ15T1	NCP502SQ15T1OSTR-ND	1,5 V, 80 mA CMOS-Spannungsregler	1.5V, 80mA CMOS Voltage Regulator	SC70-5		579.07/3,000	
NCP502SQ18T1	NCP502SQ18T1OSCT-ND	1,8 V, 80 mA CMOS-Spannungsregler	1.8V, 80mA CMOS Voltage Regulator	SC70-5	.59	.45	.34
NCP502SQ18T1	NCP502SQ18T1OSTR-ND	1,8 V, 80 mA CMOS-Spannungsregler	1.8V, 80mA CMOS Voltage Regulator	SC70-5		579.07/3,000	
NCP502SQ25T1	NCP502SQ25T1OSCT-ND	2,5 V, 80 mA CMOS-Spannungsregler	2.5V, 80mA CMOS Voltage Regulator	SC70-5	.59	.45	.34
NCP502SQ25T1	NCP502SQ25T1OSTR-ND	2,5 V, 80 mA CMOS-Spannungsregler	2.5V, 80mA CMOS Voltage Regulator	SC70-5		579.07/3,000	
NCP502SQ27T1	NCP502SQ27T1OSCT-ND	2,7 V, 80 mA CMOS-Spannungsregler	2.7V, 80mA CMOS Voltage Regulator	SC70-5	.59	.45	.34
NCP502SQ27T1	NCP502SQ27T1OSTR-ND	2,7 V, 80 mA CMOS-Spannungsregler	2.7V, 80mA CMOS Voltage Regulator	SC70-5		632.41/3,000	
NCP502SQ28T1	NCP502SQ28T1OSCT-ND	2,8 V, 80 mA CMOS-Spannungsregler	2.8V, 80mA CMOS Voltage Regulator	SC70-5	.59	.45	.34
NCP502SQ28T1	NCP502SQ28T1OSTR-ND	2,8 V, 80 mA CMOS-Spannungsregler	2.8V, 80mA CMOS Voltage Regulator	SC70-5		579.07/3,000	
NCP502SQ30T1	NCP502SQ30T1OSCT-ND	3 V, 80 mA CMOS-Spannungsregler	3V, 80mA CMOS Voltage Regulator	SC70-5	.59	.45	.34
NCP502SQ30T1	NCP502SQ30T1OSTR-ND	3 V, 80 mA CMOS-Spannungsregler	3V, 80mA CMOS Voltage Regulator	SC70-5		579.07/3,000	
NCP502SQ33T1	NCP502SQ33T1OSCT-ND	3,3 V, 80 mA CMOS-Spannungsregler	3.3V, 80mA CMOS Voltage Regulator	SC70-5	.59	.45	.34
NCP502SQ33T1	NCP502SQ33T1OSTR-ND	3,3 V, 80 mA CMOS-Spannungsregler	3.3V, 80mA CMOS Voltage Regulator	SC70-5		632.41/3,000	
NCP502SQ50T1	NCP502SQ50T1OSCT-ND	5 V, 80 mA CMOS-Spannungsregler	5V, 80mA CMOS Voltage Regulator	SC70-5	.59	.45	.34
NCP502SQ50T1	NCP502SQ50T1OSTR-ND	5 V, 80 mA CMOS-Spannungsregler	5V, 80mA CMOS Voltage Regulator	SC70-5		632.41/3,000	
NCP511SN15T1G	NCP511SN15T1GOSCT-ND	1,5 V, 150 mA CMOS Low IQ, LDO-Spannungsregler	1.5V, 150mA CMOS Low IQ, LDO Voltage Regulator	5-TSOP	.63	.51	.38
NCP511SN15T1G	NCP511SN15T1GOSTR-ND	1,5 V, 150 mA CMOS Low IQ, LDO-Spannungsregler	1.5V, 150mA CMOS Low IQ, LDO Voltage Regulator	5-TSOP		601.93/3,000	
NCP511SN25T1G	NCP511SN25T1GOSCT-ND	2,5 V, 150 mA CMOS Low IQ, LDO-Spannungsregler	2.5V, 150mA CMOS Low IQ, LDO Voltage Regulator	5-TSOP	.63	.51	.38
NCP511SN25T1G	NCP511SN25T1GOSTR-ND	2,5 V, 150 mA CMOS Low IQ, LDO-Spannungsregler	2.5V, 150mA CMOS Low IQ, LDO Voltage Regulator	5-TSOP		601.93/3,000	
NCP511SN33T1G	NCP511SN33T1GOSCT-ND	3,3 V, 150 mA CMOS Low IQ, LDO-Spannungsregler	3.3V, 150mA CMOS Low IQ, LDO Voltage Regulator	5-TSOP	.63	.51	.38
NCP511SN33T1G	NCP511SN33T1GOSTR-ND	3,3 V, 150 mA CMOS Low IQ, LDO-Spannungsregler	3.3V, 150mA CMOS Low IQ, LDO Voltage Regulator	5-TSOP		601.93/3,000	
NCP512SQ15T1	NCP512SQ15T1OSCT-ND	1,5 V, 80 mA CMOS-Spannungsregler	1.5V, 80mA CMOS Voltage Regulator	SC70-5	.59	.45	.34
NCP512SQ15T1	NCP512SQ15T1OSTR-ND	1,5 V, 80 mA CMOS-Spannungsregler	1.5V, 80mA CMOS Voltage Regulator	SC70-5		632.41/3,000	
NCP512SQ18T1	NCP512SQ18T1OSCT-ND	1,8 V, 80 mA CMOS-Spannungsregler	1.8V, 80mA CMOS Voltage Regulator	SC70-5	.59	.45	.34
NCP512SQ18T1	NCP512SQ18T1OSTR-ND	1,8 V, 80 mA CMOS-Spannungsregler	1.8V, 80mA CMOS Voltage Regulator	SC70-5		579.07/3,000	
NCP512SQ25T1	NCP512SQ25T1OSCT-ND	2,5 V, 80 mA CMOS-Spannungsregler	2.5V, 80mA CMOS Voltage Regulator	SC70-5	.59	.45	.34
NCP512SQ25T1	NCP512SQ25T1OSTR-ND	2,5 V, 80 mA CMOS-Spannungsregler	2.5V, 80mA CMOS Voltage Regulator	SC70-5		579.07/3,000	
NCP512SQ27T1	NCP512SQ27T1OSCT-ND	2,7 V, 80 mA CMOS-Spannungsregler	2.7V, 80mA CMOS Voltage Regulator	SC70-5	.59	.45	.34
NCP512SQ27T1	NCP512SQ27T1OSTR-ND	2,7 V, 80 mA CMOS-Spannungsregler	2.7V, 80mA CMOS Voltage Regulator	SC70-5		632.41/3,000	
NCP512SQ28T1	NCP512SQ28T1OSCT-ND	2,8 V, 80 mA CMOS-Spannungsregler	2.8V, 80mA CMOS Voltage Regulator	SC70-5	.59	.45	.34
NCP512SQ28T1	NCP512SQ28T1OSTR-ND	2,8 V, 80 mA CMOS-Spannungsregler	2.8V, 80mA CMOS Voltage Regulator	SC70-5		579.07/3,000	
NCP512SQ30T1	NCP512SQ30T1OSCT-ND	3 V, 80 mA CMOS-Spannungsregler	3V, 80mA CMOS Voltage Regulator	SC70-5	.66	.54	.40
NCP512SQ30T1	NCP512SQ30T1OSTR-ND	3 V, 80 mA CMOS-Spannungsregler	3V, 80mA CMOS Voltage Regulator	SC70-5		632.41/3,000	
NCP512SQ33T1	NCP512SQ33T1OSCT-ND	3,3 V, 80 mA CMOS-Spannungsregler	3.3V, 80mA CMOS Voltage Regulator	SC70-5	.59	.45	.34
NCP512SQ33T1	NCP512SQ33T1OSTR-ND	3,3 V, 80 mA CMOS-Spannungsregler	3.3V, 80mA CMOS Voltage Regulator	SC70-5		579.07/3,000	
NCP512SQ50T1	NCP512SQ50T1OSCT-ND	5 V, 80 mA CMOS-Spannungsregler	5V, 80mA CMOS Voltage Regulator	SC70-5	.59	.45	.34
NCP512SQ50T1	NCP512SQ50T1OSTR-ND	5 V, 80 mA CMOS-Spannungsregler	5V, 80mA CMOS Voltage Regulator	SC70-5		632.41/3,000	
NCP552SQ15T1	NCP552SQ15T1OSCT-ND	1,5 V, 80 mA CMOS-Spannungsregler	1.5V, 80mA CMOS Voltage Regulator	SC70-4	.45	.38	.30
NCP552SQ15T1	NCP552SQ15T1OSTR-ND	1,5 V, 80 mA CMOS-Spannungsregler	1.5V, 80mA CMOS Voltage Regulator	SC70-4		579.07/3,000	
NCP552SQ18T1	NCP552SQ18T1OSCT-ND	1,8 V, 80 mA CMOS-Spannungsregler	1.8V, 80mA CMOS Voltage Regulator	SC70-4	.45	.38	.30
NCP552SQ18T1	NCP552SQ18T1OSTR-ND	1,8 V, 80 mA CMOS-Spannungsregler	1.8V, 80mA CMOS Voltage Regulator	SC70-4		579.07/3,000	
NCP552SQ25T1	NCP552SQ25T1OSCT-ND	2,5 V, 80 mA CMOS-Spannungsregler	2.5V, 80mA CMOS Voltage Regulator	SC70-4	.45	.38	.30
NCP552SQ25T1	NCP552SQ25T1OSTR-ND	2,5 V, 80 mA CMOS-Spannungsregler	2.5V, 80mA CMOS Voltage Regulator	SC70-4		579.07/3,000	
NCP552SQ27T1	NCP552SQ27T1OSCT-ND	2,7 V, 80 mA CMOS-Spannungsregler	2.7V, 80mA CMOS Voltage Regulator	SC70-4	.45	.38	.30
NCP552SQ27T1	NCP552SQ27T1OSTR-ND	2,7 V, 80 mA CMOS-Spannungsregler	2.7V, 80mA CMOS Voltage Regulator	SC70-4		579.07/3,000	
NCP552SQ28T1	NCP552SQ28T1OSCT-ND	2,8 V, 80 mA CMOS-Spannungsregler	2.8V, 80mA CMOS Voltage Regulator	SC70-4	.45	.38	.30
NCP552SQ28T1	NCP552SQ28T1OSTR-ND	2,8 V, 80 mA CMOS-Spannungsregler	2.8V, 80mA CMOS Voltage Regulator	SC70-4		579.07/3,000	
NCP552SQ30T1	NCP552SQ30T1OSCT-ND	3 V, 80 mA CMOS-Spannungsregler	3V, 80mA CMOS Voltage Regulator	SC70-4	.45	.38	.30
NCP552SQ30T1	NCP552SQ30T1OSTR-ND	3 V, 80 mA CMOS-Spannungsregler	3V, 80mA CMOS Voltage Regulator	SC70-4		579.07/3,000	
NCP552SQ33T1	NCP552SQ33T1OSCT-ND	3,3 V, 80 mA CMOS-Spannungsregler	3.3V, 80mA CMOS Voltage Regulator	SC70-4	.45	.38	.30
NCP552SQ33T1	NCP552SQ33T1OSTR-ND	3,3 V, 80 mA CMOS-Spannungsregler	3.3V, 80mA CMOS Voltage Regulator	SC70-4		579.07/3,000	
NCP552SQ50T1	NCP552SQ50T1OSCT-ND	5 V, 80 mA CMOS-Spannungsregler	5V, 80mA CMOS Voltage Regulator	SC70-4	.45	.38	.30
NCP552SQ50T1	NCP552SQ50T1OSTR-ND	5 V, 80 mA CMOS-Spannungsregler	5V, 80mA CMOS Voltage Regulator	SC70-4		579.07/3,000	
NCP553SQ15T1	NCP553SQ15T1OSCT-ND	1,5 V, 80 mA CMOS-Spannungsregler	1.5V, 80mA CMOS Voltage Regulator	SC70-4	.45	.38	.30
NCP553SQ15T1	NCP553SQ15T1OSTR-ND	1,5 V, 80 mA CMOS-Spannungsregler	1.5V, 80mA CMOS Voltage Regulator	SC70-4		579.07/3,000	
NCP553SQ18T1	NCP553SQ18T1OSCT-ND	1,8 V, 80 mA CMOS-Spannungsregler	1.8V, 80mA CMOS Voltage Regulator	SC70-4	.45	.38	.30
NCP553SQ18T1	NCP553SQ18T1OSTR-ND	1,8 V, 80 mA CMOS-Spannungsregler	1.8V, 80mA CMOS Voltage Regulator	SC70-4		579.07/3,000	
NCP553SQ25T1	NCP553SQ25T1OSCT-ND	2,5 V, 80 mA CMOS-Spannungsregler	2.5V, 80mA CMOS Voltage Regulator	SC70-4	.45	.38	.30
NCP553SQ25T1	NCP553SQ25T1OSTR-ND	2,5 V, 80 mA CMOS-Spannungsregler	2.5V, 80mA CMOS Voltage Regulator	SC70-4		586.69/3,000	
NCP553SQ27T1	NCP553SQ27T1OSCT-ND	2,7 V, 80 mA CMOS-Spannungsregler	2.7V, 80mA CMOS Voltage Regulator	SC70-4	.45	.38	.30
NCP553SQ27T1	NCP553SQ27T1OSTR-ND	2,7 V, 80 mA CMOS-Spannungsregler	2.7V, 80mA CMOS Voltage Regulator	SC70-4		586.69/3,000	
NCP553SQ28T1	NCP553SQ28T1OSCT-ND	2,8 V, 80 mA CMOS-Spannungsregler	2.8V, 80mA CMOS Voltage Regulator	SC70-4	.59	.45	.34
NCP553SQ28T1	NCP553SQ28T1OSTR-ND	2,8 V, 80 mA CMOS-Spannungsregler	2.8V, 80mA CMOS Voltage Regulator	SC70-4		586.69/3,000	
NCP553SQ30T1	NCP553SQ30T1OSCT-ND	3 V, 80 mA CMOS-Spannungsregler	3V, 80mA CMOS Voltage Regulator	SC70-4	.59	.45	.34
NCP553SQ30T1	NCP553SQ30T1OSTR-ND	3 V, 80 mA CMOS-Spannungsregler	3V, 80mA CMOS Voltage Regulator	SC70-4		579.07/3,000	
NCP553SQ33T1	NCP553SQ33T1OSCT-ND	3,3 V, 80 mA CMOS-Spannungsregler	3.3V, 80mA CMOS Voltage Regulator	SC70-4	.59	.45	.34

(Forts.)

★ *RUFEN SIE BITTE AN FÜR NIEDRIGERE PREISE BEI GRÖSSEREN MENGEN!* ★

ON Semiconductor Teilenr.	Digi-Key Teilenr.	Beschreibung		Paket	Stückpreis★ 1	25	100
NCP553SQ33T1	NCP553SQ33T1OSTR-ND	3,3 V, 80 mA CMOS-Spannungsregler	3.3V, 80mA CMOS Voltage Regulator	SC70-4		586.69/3,000	
NCP553SQ50T1	NCP553SQ50T1OSCT-ND	5 V, 80 mA CMOS-Spannungsregler	5V, 80mA CMOS Voltage Regulator	SC70-4	.59	.45	.34
NCP553SQ50T1	NCP553SQ50T1OSTR-ND	5 V, 80 mA CMOS-Spannungsregler	5V, 80mA CMOS Voltage Regulator	SC70-4		586.69/3,000	
NCP561SN15T1	NCP561SN15T1OSCT-ND	1,5 V, 150 mA CMOS LDO-Spannungsreg.	1.5V, 150mA CMOS LDO Volt. Reg.	5-TSOP	.45	.38	.30
NCP561SN15T1	NCP561SN15T1OSTR-ND	1,5 V, 150 mA CMOS LDO-Spannungsreg.	1.5V, 150mA CMOS LDO Volt. Reg.	5-TSOP		586.69/3,000	
NCP561SN18T1	NCP561SN18T1OSCT-ND	1,8 V, 150 mA CMOS LDO-Spannungsreg.	1.8V, 150mA CMOS LDO Volt. Reg.	5-TSOP	.45	.38	.30
NCP561SN18T1	NCP561SN18T1OSTR-ND	1,8 V, 150 mA CMOS LDO-Spannungsreg.	1.8V, 150mA CMOS LDO Volt. Reg.	5-TSOP		579.07/3,000	
NCP561SN25T1	NCP561SN25T1OSCT-ND	2,5 V, 150 mA CMOS LDO-Spannungsreg.	2.5V, 150mA CMOS LDO Volt. Reg.	5-TSOP	.45	.38	.30
NCP561SN25T1	NCP561SN25T1OSTR-ND	2,5 V, 150 mA CMOS LDO-Spannungsreg.	2.5V, 150mA CMOS LDO Volt. Reg.	5-TSOP		579.07/3,000	
NCP561SN27T1	NCP561SN27T1OSCT-ND	2,7 V, 150 mA CMOS LDO-Spannungsreg.	2.7V, 150mA CMOS LDO Volt. Reg.	5-TSOP	.45	.38	.30
NCP561SN27T1	NCP561SN27T1OSTR-ND	2,7 V, 150 mA CMOS LDO-Spannungsreg.	2.7V, 150mA CMOS LDO Volt. Reg.	5-TSOP		586.69/3,000	
NCP561SN28T1	NCP561SN28T1OSCT-ND	2,8 V, 150 mA CMOS LDO-Spannungsreg.	2.8V, 150mA CMOS LDO Volt. Reg.	5-TSOP	.45	.38	.30
NCP561SN28T1	NCP561SN28T1OSTR-ND	2,8 V, 150 mA CMOS LDO-Spannungsreg.	2.8V, 150mA CMOS LDO Volt. Reg.	5-TSOP		586.69/3,000	
NCP561SN30T1	NCP561SN30T1OSCT-ND	3 V, 150 mA CMOS LDO-Spannungsreg.	3V, 150mA CMOS LDO Volt. Reg.	5-TSOP	.45	.38	.30
NCP561SN30T1	NCP561SN30T1OSTR-ND	3 V, 150 mA CMOS LDO-Spannungsreg.	3V, 150mA CMOS LDO Volt. Reg.	5-TSOP		586.69/3,000	
NCP561SN33T1	NCP561SN33T1OSCT-ND	3,3 V, 150 mA CMOS LDO-Spannungsreg.	3.3V, 150mA CMOS LDO Volt. Reg.	5-TSOP	.45	.38	.30
NCP561SN33T1	NCP561SN33T1OSTR-ND	3,3 V, 150 mA CMOS LDO-Spannungsreg.	3.3V, 150mA CMOS LDO Volt. Reg.	5-TSOP		586.69/3,000	
NCP561SN50T1	NCP561SN50T1OSCT-ND	5 V, 150 mA CMOS LDO-Spannungsreg.	5V, 150mA CMOS LDO Volt. Reg.	5-TSOP	.45	.38	.30
NCP561SN50T1	NCP561SN50T1OSTR-ND	5 V, 150 mA CMOS LDO-Spannungsreg.	5V, 150mA CMOS LDO Volt. Reg.	5-TSOP		579.07/3,000	
NCP562SQ15T1	NCP562SQ15T1OSCT-ND	1,5 V, 80 mA CMOS LDO-Spannungsreg.	1.5V, 80mA CMOS LDO Volt. Reg.	SC70-4	.59	.45	.34
NCP562SQ15T1	NCP562SQ15T1OSTR-ND	1,5 V, 80 mA CMOS LDO-Spannungsreg.	1.5V, 80mA CMOS LDO Volt. Reg.	SC70-4		579.07/3,000	
NCP562SQ18T1	NCP562SQ18T1OSCT-ND	1,8 V, 80 mA CMOS LDO-Spannungsreg.	1.8V, 80mA CMOS LDO Volt. Reg.	SC70-4	.59	.45	.34
NCP562SQ18T1	NCP562SQ18T1OSTR-ND	1,8 V, 80 mA CMOS LDO-Spannungsreg.	1.8V, 80mA CMOS LDO Volt. Reg.	SC70-4		586.69/3,000	
NCP562SQ25T1	NCP562SQ25T1OSCT-ND	2,5 V, 80 mA CMOS LDO-Spannungsreg.	2.5V, 80mA CMOS LDO Volt. Reg.	SC70-4	.59	.45	.34
NCP562SQ25T1	NCP562SQ25T1OSTR-ND	2,5 V, 80 mA CMOS LDO-Spannungsreg.	2.5V, 80mA CMOS LDO Volt. Reg.	SC70-4		586.69/3,000	
NCP562SQ27T1	NCP562SQ27T1OSCT-ND	2,7 V, 80 mA CMOS LDO-Spannungsreg.	2.7V, 80mA CMOS LDO Volt. Reg.	SC70-4	.59	.45	.34
NCP562SQ27T1	NCP562SQ27T1OSTR-ND	2,7 V, 80 mA CMOS LDO-Spannungsreg.	2.7V, 80mA CMOS LDO Volt. Reg.	SC70-4		586.69/3,000	
NCP562SQ28T1	NCP562SQ28T1OSCT-ND	2,8 V, 80 mA CMOS LDO-Spannungsreg.	2.8V, 80mA CMOS LDO Volt. Reg.	SC70-4	.59	.45	.34
NCP562SQ28T1	NCP562SQ28T1OSTR-ND	2,8 V, 80 mA CMOS LDO-Spannungsreg.	2.8V, 80mA CMOS LDO Volt. Reg.	SC70-4		586.69/3,000	
NCP562SQ30T1	NCP562SQ30T1OSCT-ND	3 V, 80 mA CMOS LDO-Spannungsreg.	3V, 80mA CMOS LDO Volt. Reg.	SC70-4	.59	.45	.34
NCP562SQ30T1	NCP562SQ30T1OSTR-ND	3 V, 80 mA CMOS LDO-Spannungsreg.	3V, 80mA CMOS LDO Volt. Reg.	SC70-4		586.69/3,000	
NCP562SQ33T1	NCP562SQ33T1OSCT-ND	3,3 V, 80 mA CMOS LDO-Spannungsreg.	3.3V, 80mA CMOS LDO Volt. Reg.	SC70-4	.59	.45	.34
NCP562SQ33T1	NCP562SQ33T1OSTR-ND	3,3 V, 80 mA CMOS LDO-Spannungsreg.	3.3V, 80mA CMOS LDO Volt. Reg.	SC70-4		579.07/3,000	
NCP562SQ50T1	NCP562SQ50T1OSCT-ND	5 V, 80 mA CMOS LDO-Spannungsreg.	5V, 80mA CMOS LDO Volt. Reg.	SC70-4	.59	.45	.34
NCP562SQ50T1	NCP562SQ50T1OSTR-ND	5 V, 80 mA CMOS LDO-Spannungsreg.	5V, 80mA CMOS LDO Volt. Reg.	SC70-4		586.69/3,000	
NCP563SQ15T1	NCP563SQ15T1OSCT-ND	1,5 V, 80 mA CMOS LDO-Spannungsreg.	1.5V, 80mA CMOS LDO Volt. Reg.	SC70-4	.62	.50	.38
NCP563SQ15T1	NCP563SQ15T1OSTR-ND	1,5 V, 80 mA CMOS LDO-Spannungsreg.	1.5V, 80mA CMOS LDO Volt. Reg.	SC70-4		586.69/3,000	
NCP563SQ18T1	NCP563SQ18T1OSCT-ND	1,8 V, 80 mA CMOS LDO-Spannungsreg.	1.8V, 80mA CMOS LDO Volt. Reg.	SC70-4	.59	.45	.34
NCP563SQ18T1	NCP563SQ18T1OSTR-ND	1,8 V, 80 mA CMOS LDO-Spannungsreg.	1.8V, 80mA CMOS LDO Volt. Reg.	SC70-4		579.07/3,000	
NCP563SQ25T1	NCP563SQ25T1OSCT-ND	2,5 V, 80 mA CMOS LDO-Spannungsreg.	2.5V, 80mA CMOS LDO Volt. Reg.	SC70-4	.59	.45	.34
NCP563SQ25T1	NCP563SQ25T1OSTR-ND	2,5 V, 80 mA CMOS LDO-Spannungsreg.	2.5V, 80mA CMOS LDO Volt. Reg.	SC70-4		586.69/3,000	
NCP563SQ27T1	NCP563SQ27T1OSCT-ND	2,7 V, 80 mA CMOS LDO-Spannungsreg.	2.7V, 80mA CMOS LDO Volt. Reg.	SC70-4	.62	.50	.38
NCP563SQ27T1	NCP563SQ27T1OSTR-ND	2,7 V, 80 mA CMOS LDO-Spannungsreg.	2.7V, 80mA CMOS LDO Volt. Reg.	SC70-4		586.69/3,000	
NCP563SQ28T1	NCP563SQ28T1OSCT-ND	2,8 V, 80 mA CMOS LDO-Spannungsreg.	2.8V, 80mA CMOS LDO Volt. Reg.	SC70-4	.62	.50	.38
NCP563SQ28T1	NCP563SQ28T1OSTR-ND	2,8 V, 80 mA CMOS LDO-Spannungsreg.	2.8V, 80mA CMOS LDO Volt. Reg.	SC70-4		586.69/3,000	
NCP563SQ30T1	NCP563SQ30T1OSCT-ND	3 V, 80 mA CMOS LDO-Spannungsreg.	3V, 80mA CMOS LDO Volt. Reg.	SC70-4	.59	.45	.34
NCP563SQ30T1	NCP563SQ30T1OSTR-ND	3 V, 80 mA CMOS LDO-Spannungsreg.	3V, 80mA CMOS LDO Volt. Reg.	SC70-4		579.07/3,000	
NCP563SQ33T1	NCP563SQ33T1OSCT-ND	3,3 V, 80 mA CMOS LDO-Spannungsreg.	3.3V, 80mA CMOS LDO Volt. Reg.	SC70-4	.59	.45	.34
NCP563SQ33T1	NCP563SQ33T1OSTR-ND	3,3 V, 80 mA CMOS LDO-Spannungsreg.	3.3V, 80mA CMOS LDO Volt. Reg.	SC70-4		586.69/3,000	
NCP563SQ50T1	NCP563SQ50T1OSCT-ND	5 V, 80 mA CMOS LDO-Spannungsreg.	5V, 80mA CMOS LDO Volt. Reg.	SC70-4	.62	.50	.38
NCP563SQ50T1	NCP563SQ50T1OSTR-ND	5 V, 80 mA CMOS LDO-Spannungsreg.	5V, 80mA CMOS LDO Volt. Reg.	SC70-4		586.69/3,000	
NCP580SQ15T1G	NCP580SQ15T1GOSCT-ND	1,5 V, 120 mA CMOS LDO-Regler	1.5V, 120mA CMOS LDO Regulator	SC-82AB	.60	.49	.37
NCP580SQ15T1G	NCP580SQ15T1GOSTR-ND	1,5 V, 120 mA CMOS LDO-Regler	1.5V, 120mA CMOS LDO Regulator	SC-82AB		543.52/3,000	
NCP580SQ18T1G	NCP580SQ18T1GOSCT-ND	1,8 V, 120 mA CMOS LDO-Regler	1.8V, 120mA CMOS LDO Regulator	SC-82AB	.60	.49	.37
NCP580SQ18T1G	NCP580SQ18T1GOSTR-ND	1,8 V, 120 mA CMOS LDO-Regler	1.8V, 120mA CMOS LDO Regulator	SC-82AB		543.52/3,000	
NCP580SQ25T1G	NCP580SQ25T1GOSCT-ND	2,5 V, 120 mA CMOS LDO-Regler	2.5V, 120mA CMOS LDO Regulator	SC-82AB	.60	.49	.37
NCP580SQ25T1G	NCP580SQ25T1GOSTR-ND	2,5 V, 120 mA CMOS LDO-Regler	2.5V, 120mA CMOS LDO Regulator	SC-82AB		543.52/3,000	
NCP580SQ28T1G	NCP580SQ28T1GOSCT-ND	2,8 V, 120 mA CMOS LDO-Regler	2.8V, 120mA CMOS LDO Regulator	SC-82AB	.60	.49	.37
NCP580SQ28T1G	NCP580SQ28T1GOSTR-ND	2,8 V, 120 mA CMOS LDO-Regler	2.8V, 120mA CMOS LDO Regulator	SC-82AB		543.52/3,000	
NCP580SQ30T1G	NCP580SQ30T1GOSCT-ND	3 V, 120 mA CMOS-LDO-Regler	3V, 120mA CMOS LDO Regulator	SC-82AB	.60	.49	.37
NCP580SQ30T1G	NCP580SQ30T1GOSTR-ND	3 V, 120 mA CMOS-LDO-Regler	3V, 120mA CMOS LDO Regulator	SC-82AB		543.52/3,000	
NCP580SQ33T1G	NCP580SQ33T1GOSCT-ND	3,3 V, 120 mA CMOS LDO-Regler	3.3V, 120mA CMOS LDO Regulator	SC-82AB	.60	.49	.37
NCP580SQ33T1G	NCP580SQ33T1GOSTR-ND	3,3 V, 120 mA CMOS LDO-Regler	3.3V, 120mA CMOS LDO Regulator	SC-82AB		543.52/3,000	
NCP582DSQ15T1G	NCP582DSQ15T1OSCT-ND	1,5 V, 150 mA CMOS-LDO-Regler	1.5V, 150mA CMOS LDO Regulator	SC-82AB	.58	.47	.36
NCP582DSQ15T1G	NCP582DSQ15T1OSTR-ND	1,5 V, 150 mA CMOS-LDO-Regler	1.5V, 150mA CMOS LDO Regulator	SC-82AB		558.76/3,000	
NCP582DSQ18T1G	NCP582DSQ18T1OSCT-ND	1,8 V, 150 mA CMOS-LDO-Regler	1.8V, 150mA CMOS LDO Regulator	SC-82AB	.58	.47	.36
NCP582DSQ18T1G	NCP582DSQ18T1OSTR-ND	1,8 V, 150 mA CMOS-LDO-Regler	1.8V, 150mA CMOS LDO Regulator	SC-82AB		558.76/3,000	
NCP582DSQ25T1G	NCP582DSQ25T1OSCT-ND	2,5 V, 150 mA CMOS-LDO-Regler	2.5V, 150mA CMOS LDO Regulator	SC-82AB	.58	.47	.36
NCP582DSQ25T1G	NCP582DSQ25T1OSTR-ND	2,5 V, 150 mA CMOS-LDO-Regler	2.5V, 150mA CMOS LDO Regulator	SC-82AB		558.76/3,000	
NCP582DSQ28T1G	NCP582DSQ28T1OSCT-ND	2,8 V, 150 mA CMOS-LDO-Regler	2.8V, 150mA CMOS LDO Regulator	SC-82AB	.58	.47	.36
NCP582DSQ28T1G	NCP582DSQ28T1OSTR-ND	2,8 V, 150 mA CMOS-LDO-Regler	2.8V, 150mA CMOS LDO Regulator	SC-82AB		558.76/3,000	
NCP582DSQ30T1G	NCP582DSQ30T1OSCT-ND	3 V, 150 mA CMOS-LDO-Regler	3V, 150mA CMOS LDO Regulator	SC-82AB	.58	.47	.36
NCP582DSQ30T1G	NCP582DSQ30T1OSTR-ND	3 V, 150 mA CMOS-LDO-Regler	3V, 150mA CMOS LDO Regulator	SC-82AB		558.76/3,000	
NCP582DSQ33T1G	NCP582DSQ33T1OSCT-ND	3,3 V, 150 mA CMOS-LDO-Regler	3.3V, 150mA CMOS LDO Regulator	SC-82AB	.58	.47	.36
NCP582DSQ33T1G	NCP582DSQ33T1OSTR-ND	3,3 V, 150 mA CMOS-LDO-Regler	3.3V, 150mA CMOS LDO Regulator	SC-82AB		558.76/3,000	
NCP582LSQ15T1G	NCP582LSQ15T1OSCT-ND	1,5 V, 150 mA CMOS-LDO-Regler	1.5V, 150mA CMOS LDO Regulator	SC-82AB	.58	.47	.36
NCP582LSQ15T1G	NCP582LSQ15T1OSTR-ND	1,5 V, 150 mA CMOS-LDO-Regler	1.5V, 150mA CMOS LDO Regulator	SC-82AB		558.76/3,000	
NCP582LSQ18T1G	NCP582LSQ18T1OSCT-ND	1,8 V, 150 mA CMOS-LDO-Regler	1.8V, 150mA CMOS LDO Regulator	SC-82AB	.58	.47	.36
NCP582LSQ18T1G	NCP582LSQ18T1OSTR-ND	1,8 V, 150 mA CMOS-LDO-Regler	1.8V, 150mA CMOS LDO Regulator	SC-82AB		558.76/3,000	
NCP582LSQ25T1G	NCP582LSQ25T1OSCT-ND	2,5 V, 150 mA CMOS-LDO-Regler	2.5V, 150mA CMOS LDO Regulator	SC-82AB	.58	.47	.36
NCP582LSQ25T1G	NCP582LSQ25T1OSTR-ND	2,5 V, 150 mA CMOS-LDO-Regler	2.5V, 150mA CMOS LDO Regulator	SC-82AB		558.76/3,000	
NCP582LSQ28T1G	NCP582LSQ28T1OSCT-ND	2,8 V, 150 mA CMOS-LDO-Regler	2.8V, 150mA CMOS LDO Regulator	SC-82AB	.58	.47	.36
NCP582LSQ28T1G	NCP582LSQ28T1OSTR-ND	2,8 V, 150 mA CMOS-LDO-Regler	2.8V, 150mA CMOS LDO Regulator	SC-82AB		558.76/3,000	
NCP582LSQ30T1G	NCP582LSQ30T1OSCT-ND	3 V, 150 mA CMOS-LDO-Regler	3V, 150mA CMOS LDO Regulator	SC-82AB	.58	.47	.36
NCP582LSQ30T1G	NCP582LSQ30T1OSTR-ND	3 V, 150 mA CMOS-LDO-Regler	3V, 150mA CMOS LDO Regulator	SC-82AB		558.76/3,000	
NCP582LSQ33T1G	NCP582LSQ33T1OSCT-ND	3,3 V, 150 mA CMOS-LDO-Regler	3.3V, 150mA CMOS LDO Regulator	SC-82AB	.58	.47	.36
NCP582LSQ33T1G	NCP582LSQ33T1OSTR-ND	3,3 V, 150 mA CMOS-LDO-Regler	3.3V, 150mA CMOS LDO Regulator	SC-82AB		558.76/3,000	
NCP583SQ15T1G	NCP583SQ15T1GOSCT-ND	1,5 V, 150 mA CMOS-LDO-Regler	1.5V, 150mA CMOS LDO Regulator	SC-82AB	.72	.58	.44
NCP583SQ15T1G	NCP583SQ15T1GOSTR-ND	1,5 V, 150 mA CMOS-LDO-Regler	1.5V, 150mA CMOS LDO Regulator	SC-82AB		685.75/3,000	
NCP583SQ18T1G	NCP583SQ18T1GOSCT-ND	1,8 V, 150 mA CMOS-LDO-Regler	1.8V, 150mA CMOS LDO Regulator	SC-82AB	.72	.58	.44
NCP583SQ18T1G	NCP583SQ18T1GOSTR-ND	1,8 V, 150 mA CMOS-LDO-Regler	1.8V, 150mA CMOS LDO Regulator	SC-82AB		685.75/3,000	
NCP583SQ25T1G	NCP583SQ25T1GOSCT-ND	2,5 V, 150 mA CMOS-LDO-Regler	2.5V, 150mA CMOS LDO Regulator	SC-82AB	.72	.58	.44
NCP583SQ25T1G	NCP583SQ25T1GOSTR-ND	2,5 V, 150 mA CMOS-LDO-Regler	2.5V, 150mA CMOS LDO Regulator	SC-82AB		685.75/3,000	
NCP583SQ28T1G	NCP583SQ28T1GOSCT-ND	2,8 V, 150 mA CMOS-LDO-Regler	2.8V, 150mA CMOS LDO Regulator	SC-82AB	.72	.58	.44
NCP583SQ28T1G	NCP583SQ28T1GOSTR-ND	2,8 V, 150 mA CMOS-LDO-Regler	2.8V, 150mA CMOS LDO Regulator	SC-82AB		685.75/3,000	
NCP583SQ30T1G	NCP583SQ30T1GOSCT-ND	3 V, 150 mA CMOS-LDO-Regler	3V, 150mA CMOS LDO Regulator	SC-82AB	.72	.58	.44
NCP583SQ30T1G	NCP583SQ30T1GOSTR-ND	3 V, 150 mA CMOS-LDO-Regler	3V, 150mA CMOS LDO Regulator	SC-82AB		685.75/3,000	
NCP583SQ33T1G	NCP583SQ33T1GOSCT-ND	3,3 V, 150 mA CMOS-LDO-Regler	3.3V, 150mA CMOS LDO Regulator	SC-82AB	.72	.58	.44
NCP583SQ33T1G	NCP583SQ33T1GOSTR-ND	3,3 V, 150 mA CMOS-LDO-Regler	3.3V, 150mA CMOS LDO Regulator	SC-82AB		685.75/3,000	
NCP584HSN09T1	NCP584HSN09T1OSCT-ND	0,9 V, 200 mA CMOS LDO-Regler	0.9V, 200mA CMOS LDO Regulator	SOT-23-5	.58	.46	.35

(Forts.)

★ ***RUFEN SIE BITTE AN FÜR NIEDRIGERE PREISE BEI GRÖSSEREN MENGEN!*** ★

B

ON Semiconductor Teilenr.	Digi-Key Teilenr.	Beschreibung		Paket	Stückpreis★ 1	25	100
NCP584HSN09T1	NCP584HSN09T1OSTR-ND	0,9 V, 200 mA CMOS LDO-Regler	0.9V, 200mA CMOS LDO Regulator	SOT-23-5		543.52/3,000	
NCP584HSN12T1	NCP584HSN12T1OSCT-ND	1,2 V, 200 mA CMOS LDO-Regler	1.2V, 200mA CMOS LDO Regulator	SOT-23-5	.58	.46	.35
NCP584HSN12T1	NCP584HSN12T1OSTR-ND	1,2 V, 200 mA CMOS LDO-Regler	1.2V, 200mA CMOS LDO Regulator	SOT-23-5		543.52/3,000	
NCP584HSN18T1	NCP584HSN18T1OSCT-ND	1,8 V, 200 mA CMOS LDO-Regler	1.8V, 200mA CMOS LDO Regulator	SOT-23-5	.58	.46	.35
NCP584HSN18T1	NCP584HSN18T1OSTR-ND	1,8 V, 200 mA CMOS LDO-Regler	1.8V, 200mA CMOS LDO Regulator	SOT-23-5		543.52/3,000	
NCP584LSN09T1	NCP584LSN09T1OSCT-ND	0,9 V, 200 mA CMOS LDO-Regler	0.9V, 200mA CMOS LDO Regulator	SOT-23-5	.58	.46	.35
NCP584LSN09T1	NCP584LSN09T1OSTR-ND	0,9 V, 200 mA CMOS LDO-Regler	0.9V, 200mA CMOS LDO Regulator	SOT-23-5		543.52/3,000	
NCP584LSN12T1	NCP584LSN12T1OSCT-ND	1,2 V, 200 mA CMOS LDO-Regler	1.2V, 200mA CMOS LDO Regulator	SOT-23-5	.58	.46	.35
NCP584LSN12T1	NCP584LSN12T1OSTR-ND	1,2 V, 200 mA CMOS LDO-Regler	1.2V, 200mA CMOS LDO Regulator	SOT-23-5		543.52/3,000	
NCP584LSN18T1	NCP584LSN18T1OSCT-ND	1,8 V, 200 mA CMOS LDO-Regler	1.8V, 200mA CMOS LDO Regulator	SOT-23-5	.58	.46	.35
NCP584LSN18T1	NCP584LSN18T1OSTR-ND	1,8 V, 200 mA CMOS LDO-Regler	1.8V, 200mA CMOS LDO Regulator	SOT-23-5		543.52/3,000	
NCP585DSN09T1	NCP585DSN09T1OSCT-ND	0,9 V, 300 mA CMOS LDO-Regler	0.9V, 300mA CMOS LDO Regulator	SOT-23-5	.65	.52	.39
NCP585DSN09T1	NCP585DSN09T1OSTR-ND	0,9 V, 300 mA CMOS LDO-Regler	0.9V, 300mA CMOS LDO Regulator	SOT-23-5		614.63/3,000	
NCP585DSN12T1	NCP585DSN12T1OSCT-ND	1,2 V, 300 mA CMOS LDO-Regler	1.2V, 300mA CMOS LDO Regulator	SOT-23-5	.65	.52	.39
NCP585DSN12T1	NCP585DSN12T1OSTR-ND	1,2 V, 300 mA CMOS LDO-Regler	1.2V, 300mA CMOS LDO Regulator	SOT-23-5		614.63/3,000	
NCP585DSN18T1	NCP585DSN18T1OSCT-ND	1,8 V, 300 mA CMOS LDO-Regler	1.8V, 300mA CMOS LDO Regulator	SOT-23-5	.65	.52	.39
NCP585DSN18T1	NCP585DSN18T1OSTR-ND	1,8 V, 300 mA CMOS LDO-Regler	1.8V, 300mA CMOS LDO Regulator	SOT-23-5		614.63/3,000	
NCP585HSN09T1	NCP585HSN09T1OSCT-ND	0,9 V, 300 mA CMOS LDO-Regler	0.9V, 300mA CMOS LDO Regulator	SOT-23-5	.65	.52	.39
NCP585HSN09T1	NCP585HSN09T1OSTR-ND	0,9 V, 300 mA CMOS LDO-Regler	0.9V, 300mA CMOS LDO Regulator	SOT-23-5		614.63/3,000	
NCP585HSN12T1	NCP585HSN12T1OSCT-ND	1,2 V, 300 mA CMOS LDO-Regler	1.2V, 300mA CMOS LDO Regulator	SOT-23-5	.65	.52	.39
NCP585HSN12T1	NCP585HSN12T1OSTR-ND	1,2 V, 300 mA CMOS LDO-Regler	1.2V, 300mA CMOS LDO Regulator	SOT-23-5		614.63/3,000	
NCP585HSN18T1	NCP585HSN18T1OSCT-ND	1,8 V, 300 mA CMOS LDO-Regler	1.8V, 300mA CMOS LDO Regulator	SOT-23-5	.65	.52	.39
NCP585HSN18T1	NCP585HSN18T1OSTR-ND	1,8 V, 300 mA CMOS LDO-Regler	1.8V, 300mA CMOS LDO Regulator	SOT-23-5		614.63/3,000	
NCP585LSN09T1	NCP585LSN09T1OSCT-ND	0,9 V, 300 mA CMOS LDO-Regler	0.9V, 300mA CMOS LDO Regulator	SOT-23-5	.65	.52	.39
NCP585LSN09T1	NCP585LSN09T1OSTR-ND	0,9 V, 300 mA CMOS LDO-Regler	0.9V, 300mA CMOS LDO Regulator	SOT-23-5		614.63/3,000	
NCP585LSN12T1	NCP585LSN12T1OSCT-ND	1,2 V, 300 mA CMOS LDO-Regler	1.2V, 300mA CMOS LDO Regulator	SOT-23-5	.65	.52	.39
NCP585LSN12T1	NCP585LSN12T1OSTR-ND	1,2 V, 300 mA CMOS LDO-Regler	1.2V, 300mA CMOS LDO Regulator	SOT-23-5		614.63/3,000	
NCP585LSN18T1	NCP585LSN18T1OSCT-ND	1,8 V, 300 mA CMOS LDO-Regler	1.8V, 300mA CMOS LDO Regulator	SOT-23-5	.65	.52	.39
NCP585LSN18T1	NCP585LSN18T1OSTR-ND	1,8 V, 300 mA CMOS LDO-Regler	1.8V, 300mA CMOS LDO Regulator	SOT-23-5		614.63/3,000	
NCP1000P	NCP1000POS-ND	Integrierter Offline-Schaltregler, 0,5 A	0.5A Integrated Off-Line Switching Reg.	8-Dip	1.31	1.05	.79
NCP1001P	NCP1001POS-ND	Integrierter Offline-Schaltregler, 1 A	1A Integrated Off-Line Switching Reg.	8-Dip	1.59	1.27	.96
NCP1002P	NCP1002POS-ND	Integrierter Offline-Schaltregler, 1,5 A	1.5A Integrated Off-Line Switching Reg.	8-Dip	1.90	1.53	1.15
NCP1030DMR2	NCP1030DMR2OSCT-ND	PWM-Controller mit On-Chip-Stromschalter, NL	LP PWM Controller with On-Chip Power Switch	8-Micro	1.90	1.53	1.19
NCP1030DMR2	NCP1030DMR2OSTR-ND	PWM-Controller mit On-Chip-Stromschalter, NL	LP PWM Controller with On-Chip Power Switch	8-Micro		4266.86/4,000	
NCP1050P44	NCP1050P44OS-ND	Monolithischer Hochspann. Gate-Oszillator, Leistungsschaltregler, 100 mA	100mA Mono High Volt. Gated Oscillator Power Switching Regulator	8-Dip	1.14	.96	.77
NCP1050P100	NCP1050P100OS-ND	Monolithischer Hochspann. Gate-Oszillator, Leistungsschaltregler, 100 mA	100mA Mono High Volt. Gated Oscillator Power Switching Regulator	8-Dip	1.14	.96	.77
NCP1050P136	NCP1050P136OS-ND	Monolithischer Hochspann. Gate-Oszillator, Leistungsschaltregler, 100 mA	100mA Mono High Volt. Gated Oscillator Power Switching Regulator	8-Dip	1.14	.96	.77
NCP1051P44	NCP1051P44OS-ND	Monolithischer Hochspann. Gate-Oszillator, Leistungsschaltregler, 200 mA	200mA Mono High Volt. Gated Oscillator Power Switching Regulator	8-Dip	1.14	.96	.77
NCP1051P100	NCP1051P100OS-ND	Monolithischer Hochspann. Gate-Oszillator, Leistungsschaltregler, 200 mA	200mA Mono High Volt. Gated Oscillator Power Switching Regulator	8-Dip	1.14	.96	.77
NCP1051P136	NCP1051P136OS-ND	Monolithischer Hochspann. Gate-Oszillator, Leistungsschaltregler, 200 mA	200mA Mono High Volt. Gated Oscillator Power Switching Regulator	8-Dip	1.14	.96	.77
NCP1052P44	NCP1052P44OS-ND	Monolithischer Hochspann. Gate-Oszillator, Leistungsschaltregler, 300 mA	300mA Mono High Volt. Gated Oscillator Power Switching Regulator	8-Dip	1.14	.96	.77
NCP1052P100	NCP1052P100OS-ND	Monolithischer Hochspann. Gate-Oszillator, Leistungsschaltregler, 300 mA	300mA Mono High Volt. Gated Oscillator Power Switching Regulator	8-Dip	1.14	.96	.77
NCP1052P136	NCP1052P136OS-ND	Monolithischer Hochspann. Gate-Oszillator, Leistungsschaltregler, 300 mA	300mA Mono High Volt. Gated Oscillator Power Switching Regulator	8-Dip	1.14	.96	.77
NCP1052XP136	NCP1052XP136OS-ND	Monolithischer Hochspann. Gate-Oszillator, Leistungsschaltregler, 300 mA	300mA Mono High Volt. Gated Oscillator Power Switching Regulator	8-Dip	1.06	.85	.64
NCP1053P44	NCP1053P44OS-ND	Monolithischer Hochspann. Gate-Oszillator, Leistungsschaltregler, 400 mA	400mA Mono High Volt. Gated Oscillator Power Switching Regulator	8-Dip	1.22	1.02	.82
NCP1053P100	NCP1053P100OS-ND	Monolithischer Hochspann. Gate-Oszillator, Leistungsschaltregler, 400 mA	400mA Mono High Volt. Gated Oscillator Power Switching Regulator	8-Dip	1.22	1.02	.82
NCP1053P136	NCP1053P136OS-ND	Monolithischer Hochspann. Gate-Oszillator, Leistungsschaltregler, 400 mA	400mA Mono High Volt. Gated Oscillator Power Switching Regulator	8-Dip	1.22	1.02	.82
NCP1054P44	NCP1054P44OS-ND	Monolithischer Hochspann. Gate-Oszillator, Leistungsschaltregler, 530 mA	530mA Mono High Volt. Gated Oscillator Power Switching Regulator	8-Dip	1.22	1.02	.82
NCP1054P100	NCP1054P100OS-ND	Monolithischer Hochspann. Gate-Oszillator, Leistungsschaltregler, 530 mA	530mA Mono High Volt. Gated Oscillator Power Switching Regulator	8-Dip	1.22	1.02	.82
NCP1054P136	NCP1054P136OS-ND	Monolithischer Hochspann. Gate-Oszillator, Leistungsschaltregler, 530 mA	530mA Mono High Volt. Gated Oscillator Power Switching Regulator	8-Dip	1.22	1.02	.82
NCP1055P44	NCP1055P44OS-ND	Monolithischer Hochspann. Gate-Oszillator, Leistungsschaltregler, 680 mA	680mA Mono High Volt. Gated Oscillator Power Switching Regulator	8-Dip	1.22	1.02	.82
NCP1055P100	NCP1055P100OS-ND	Monolithischer Hochspann. Gate-Oszillator, Leistungsschaltregler, 680 mA	680mA Mono High Volt. Gated Oscillator Power Switching Regulator	8-Dip	1.22	1.02	.82
NCP1055P136	NCP1055P136OS-ND	Monolithischer Hochspann. Gate-Oszillator, Leistungsschaltregler, 680 mA	680mA Mono High Volt. Gated Oscillator Power Switching Regulator	8-Dip	1.22	1.02	.82
NCP1200AD40R2	NCP1200AD40R2OSCT-ND	PWM-Strom-Modus-Controller, 40 KHz	40KHz PWM Current Mode Controller	8-SOIC	1.22	1.02	.82
NCP1200AD40R2	NCP1200AD40R2OSTR-ND	PWM-Strom-Modus-Controller, 40 KHz	40KHz PWM Current Mode Controller	8-SOIC		1320.70/2,500	
NCP1200AD60R2	NCP1200AD60R2OSCT-ND	PWM-Strom-Modus-Controller, 60 KHz	60KHz PWM Current Mode Controller	8-SOIC	1.22	1.02	.82
NCP1200AD60R2	NCP1200AD60R2OSTR-ND	PWM-Strom-Modus-Controller, 60 KHz	60KHz PWM Current Mode Controller	8-SOIC		1320.70/2,500	
NCP1200AD100R2	NCP1200AD100ROSCT-ND	PWM-Strom-Modus-Controller, 100 KHz	100KHz PWM Current Mode Controller	8-SOIC	1.22	1.02	.82
NCP1200AD100R2	NCP1200AD100ROSTR-ND	PWM-Strom-Modus-Controller, 100 KHz	100KHz PWM Current Mode Controller	8-SOIC		1320.70/2,500	
NCP1200AP40	NCP1200AP40OS-ND	PWM-Strom-Modus-Controller, 40 KHz	40KHz PWM Current Mode Controller	8-Dip	1.22	1.02	.82
NCP1200AP60	NCP1200AP60OS-ND	PWM-Strom-Modus-Controller, 60 KHz	60KHz PWM Current Mode Controller	8-Dip	1.22	1.02	.82
NCP1200AP100	NCP1200AP100OS-ND	PWM-Strom-Modus-Controller, 100 KHz	100KHz PWM Current Mode Controller	8-Dip	1.22	1.02	.82
NCP1200D40R2	NCP1200D40R2OSCT-ND	PWM-Strom-Modus-Controller, 40 KHz	40KHz PWM Current Mode Controller	8-SOIC	1.15	.96	.77
NCP1200D40R2	NCP1200D40R2OSTR-ND	PWM-Strom-Modus-Controller, 40 KHz	40KHz PWM Current Mode Controller	8-SOIC		1246.62/2,500	
NCP1200D60R2G	NCP1200D60R2GOSCT-ND	PWM-Strom-Modus-Controller, 60 KHz	60KHz PWM Current Mode Controller	8-SOIC	1.15	.96	.77
NCP1200D60R2G	NCP1200D60R2GOSTR-ND	PWM-Strom-Modus-Controller, 60 KHz	60KHz PWM Current Mode Controller	8-SOIC		1246.62/2,500	
NCP1200D60R2	NCP1200D60R2OSCT-ND	PWM-Strom-Modus-Controller, 60 KHz	60KHz PWM Current Mode Controller	8-SOIC	1.15	.96	.77
NCP1200D60R2	NCP1200D60R2OSTR-ND	PWM-Strom-Modus-Controller, 60 KHz	60KHz PWM Current Mode Controller	8-SOIC		1246.62/2,500	
NCP1200D100R2	NCP1200D100R2OSCT-ND	PWM-Strom-Modus-Controller, 100 KHz	100KHz PWM Current Mode Controller	8-SOIC	1.15	.96	.77
NCP1200D100R2	NCP1200D100R2OSTR-ND	PWM-Strom-Modus-Controller, 100 KHz	100KHz PWM Current Mode Controller	8-SOIC		1246.62/2,500	
NCP1200P40	NCP1200P40OS-ND	PWM-Strom-Modus-Controller, 40 KHz	40KHz PWM Current Mode Controller	8-Dip	1.22	1.02	.82
NCP1200P60	NCP1200P60OS-ND	PWM-Strom-Modus-Controller, 60 KHz	60KHz PWM Current Mode Controller	8-Dip	1.22	1.02	.82
NCP1200P100	NCP1200P100OS-ND	PWM-Strom-Modus-Controller, 100 KHz	100KHz PWM Current Mode Controller	8-Dip	1.22	1.02	.82
NCP1203D40R2	NCP1203D40R2OSCT-ND	PWM-Strom-Modus-Controller, 40 KHz	40KHz PWM Current Mode Controller	8-SOIC	1.22	1.02	.82
NCP1203D40R2	NCP1203D40R2OSTR-ND	PWM-Strom-Modus-Controller, 40 KHz	40KHz PWM Current Mode Controller	8-SOIC		1320.70/2,500	
NCP1203D60R2	NCP1203D60R2OSCT-ND	PWM-Strom-Modus-Controller, 60 KHz	60KHz PWM Current Mode Controller	8-SOIC	1.22	1.02	.82
NCP1203D60R2	NCP1203D60R2OSTR-ND	PWM-Strom-Modus-Controller, 60 KHz	60KHz PWM Current Mode Controller	8-SOIC		1320.70/2,500	
NCP1203D100R2	NCP1203D100R2OSCT-ND	PWM-Strom-Modus-Controller, 100 KHz	100KHz PWM Current Mode Controller	8-SOIC	1.22	1.02	.82
NCP1203D100R2	NCP1203D100R2OSTR-ND	PWM-Strom-Modus-Controller, 100 KHz	100KHz PWM Current Mode Controller	8-SOIC		1320.70/2,500	
NCP1203P40	NCP1203P40OS-ND	PWM-Strom-Modus-Controller, 40 KHz	40KHz PWM Current Mode Controller	8-Dip	1.22	1.02	.82
NCP1203P60	NCP1203P60OS-ND	PWM-Strom-Modus-Controller, 60 KHz	60KHz PWM Current Mode Controller	8-Dip	1.22	1.02	.82
NCP1203P100	NCP1203P100OS-ND	PWM-Strom-Modus-Controller, 100 KHz	100KHz PWM Current Mode Controller	8-Dip	1.22	1.02	.82
NCP1207DR2	NCP1207DR2OSCT-ND	PWM-Controller, Strom-Modus für freilaufenden quasi-resonanten Betrieb	PWM Current Mode Controller for Free Running Quasi-Resonant Operation	8-SOIC	1.19	.95	.72
NCP1207DR2	NCP1207DR2OSTR-ND	PWM-Controller, Strom-Modus für freilaufenden quasi-resonanten Betrieb	PWM Current Mode Controller for Free Running Quasi-Resonant Operation	8-SOIC		1517.53/2,500	
NCP1207P	NCP1207POS-ND	PWM-Controller, Strom-Modus für freilaufenden quasi-resonanten Betrieb	PWM Current Mode Controller for Free Running Quasi-Resonant Operation	8-Dip	1.19	.95	.72
NCP1400ASN19T1	NCP1400ASN19TOSCT-ND	Festfrequenz-PWM-Step-Up -MPU Schaltregler, 1,9 V, 100 mA	1.9V, 100mA Fixed Freq. PWM Step-Up MPU Switching Regulator	SOT-23-5	.79	.66	.53
NCP1400ASN19T1	NCP1400ASN19TOSTR-ND	Festfrequenz-PWM-Step-Up -MPU Schaltregler, 1,9 V, 100 mA	1.9V, 100mA Fixed Freq. PWM Step-Up MPU Switching Regulator	SOT-23-5		1023.54/3,000	
NCP1400ASN25T1	NCP1400ASN25TOSCT-ND	Festfrequenz-PWM-Step-Up -MPU Schaltregler, 2,5 V, 100 mA	2.5V, 100mA Fixed Freq. PWM Step-Up MPU Switching Regulator	SOT-23-5	.79	.66	.53
NCP1400ASN25T1	NCP1400ASN25TOSTR-ND	Festfrequenz-PWM-Step-Up -MPU Schaltregler, 2,5 V, 100 mA	2.5V, 100mA Fixed Freq. PWM Step-Up MPU Switching Regulator	SOT-23-5		1023.54/3,000	
NCP1400ASN27T1	NCP1400ASN27TOSCT-ND	Festfrequenz-PWM-Step-Up -MPU Schaltregler, 2,7 V, 100 mA	2.7V, 100mA Fixed Freq. PWM Step-Up MPU Switching Regulator	SOT-23-5	.79	.66	.53
NCP1400ASN27T1	NCP1400ASN27TOSTR-ND	Festfrequenz-PWM-Step-Up -MPU Schaltregler, 2,7 V, 100 mA	2.7V, 100mA Fixed Freq. PWM Step-Up MPU Switching Regulator	SOT-23-5		1023.54/3,000	
NCP1400ASN30T1	NCP1400ASN30TOSCT-ND	Festfrequenz-PWM, Step-Up-MPU Schaltregler, 3 V, 100 mA	3V, 100mA Fixed Freq. PWM Step-Up MPU Switching Regulator	SOT-23-5	.79	.66	.53
NCP1400ASN30T1	NCP1400ASN30TOSTR-ND	Festfrequenz-PWM, Step-Up-MPU Schaltregler, 3 V, 100 mA	3V, 100mA Fixed Freq. PWM Step-Up MPU Switching Regulator	SOT-23-5		1046.40/3,000	
NCP1400ASN33T1	NCP1400ASN33TOSCT-ND	Festfrequenz-PWM-Step-Up -MPU Schaltregler, 3,3 V, 100 mA	3.3V, 100mA Fixed Freq. PWM Step-Up MPU Switching Regulator	SOT-23-5	.79	.66	.53
NCP1400ASN33T1	NCP1400ASN33TOSTR-ND	Festfrequenz-PWM-Step-Up -MPU Schaltregler, 3,3 V, 100 mA	3.3V, 100mA Fixed Freq. PWM Step-Up MPU Switching Regulator	SOT-23-5		1023.54/3,000	
NCP1400ASN50T1	NCP1400ASN50TOSCT-ND	Festfrequenz-PWM, Step-Up-MPU Schaltregler, 5 V, 100 mA	5V, 100mA Fixed Freq. PWM Step-Up MPU Switching Regulator	SOT-23-5	.79	.66	.53
NCP1400ASN50T1	NCP1400ASN50TOSTR-ND	Festfrequenz-PWM, Step-Up-MPU Schaltregler, 5 V, 100 mA	5V, 100mA Fixed Freq. PWM Step-Up MPU Switching Regulator	SOT-23-5		1023.54/3,000	
NCP1402SN19T1	NCP1402SN19T1OSCT-ND	PFM-Step-Up Micropower-Schaltregler, 1,9 V, 200 mA	1.9V, 200mA PFM Step-Up Micropower Switching Regulator	SOT-23-5	.89	.75	.60

(Forts.)

★ ***RUFEN SIE BITTE AN FÜR NIEDRIGERE PREISE BEI GRÖSSEREN MENGEN!*** ★

ON Semiconductor Teilenr.	Digi-Key Teilenr.	Beschreibung		Paket	Stückpreis★ 1	25	100
NCP1402SN19T1	NCP1402SN19T1OSTR-ND	PFM-Step-Up Micropower-Schaltregler, 1,9 V, 200 mA	1.9V, 200mA PFM Step-Up Micropower Switching Regulator	SOT-23-5		1155.61/3,000	
NCP1402SN27T1	NCP1402SN27T1OSCT-ND	PFM Step-Up Micropower Schaltregler, 2,7 V, 200 mA	2.7V, 200mA PFM Step-Up Micropower Switching Regulator	SOT-23-5	.89	.75	.60
NCP1402SN27T1	NCP1402SN27T1OSTR-ND	PFM Step-Up Micropower Schaltregler, 2,7 V, 200 mA	2.7V, 200mA PFM Step-Up Micropower Switching Regulator	SOT-23-5		1155.61/3,000	
NCP1402SN30T1	NCP1402SN30T1OSCT-ND	PFM-Step-Up Micropower-Schaltregler, 3 V, 200 mA	3V, 200mA PFM Step-Up Micropower Switching Regulator	SOT-23-5	.89	.75	.60
NCP1402SN30T1	NCP1402SN30T1OSTR-ND	PFM-Step-Up Micropower-Schaltregler, 3 V, 200 mA	3V, 200mA PFM Step-Up Micropower Switching Regulator	SOT-23-5		1155.61/3,000	
NCP1402SN33T1	NCP1402SN33T1OSCT-ND	PFM-Step-Up Micropower-Schaltregler, 3,3 V, 200 mA	3.3V, 200mA PFM Step-Up Micropower Switching Regulator	SOT-23-5	.89	.75	.60
NCP1402SN33T1	NCP1402SN33T1OSTR-ND	PFM-Step-Up Micropower-Schaltregler, 3,3 V, 200 mA	3.3V, 200mA PFM Step-Up Micropower Switching Regulator	SOT-23-5		1155.61/3,000	
NCP1402SN50T1	NCP1402SN50T1OSCT-ND	PFM-Step-Up Micropower Schaltregler, 5 V, 200 mA	5V, 200mA PFM Step-Up Micropower Switching Regulator	SOT-23-5	.89	.75	.60
NCP1402SN50T1	NCP1402SN50T1OSTR-ND	PFM-Step-Up Micropower Schaltregler, 5 V, 200 mA	5V, 200mA PFM Step-Up Micropower Switching Regulator	SOT-23-5		1155.61/3,000	
NCP1403SNT1	NCP1403SNT1OSCT-ND	PFM, Step-Up-DC/DC-Wandler, 15 V, 50 mA	15V, 50mA PFM Step-Up DC/DC Converter	5-TSOP	.91	.82	.73
NCP1403SNT1	NCP1403SNT1OSTR-ND	PFM, Step-Up-DC/DC-Wandler, 15 V, 50 mA	15V, 50mA PFM Step-Up DC/DC Converter	5-TSOP		1419.75/3,000	
NCP1410DMR2	NCP1410DMR2OSCT-ND	Synchron-Gleichrichter PFM-Step-Up-DC/DC-Wandler, 250 mA	250mA Sync-Rect PFM Step-Up DC/DC Converter	8-Micro	1.34	1.07	.80
NCP1410DMR2	NCP1410DMR2OSTR-ND	Synchron-Gleichrichter PFM-Step-Up-DC/DC-Wandler, 250 mA	250mA Sync-Rect PFM Step-Up DC/DC Converter	8-Micro		2729.44/4,000	
NCP1411DMR2	NCP1411DMR2OSCT-ND	Synchron-Gleichrichter PFM-Step-Up-DC/DC-Wandler	Sync-Rect PFM Step-Up DC/DC Converter	8-Micro	1.34	1.07	.80
NCP1411DMR2	NCP1411DMR2OSTR-ND	Synchron-Gleichrichter PFM-Step-Up-DC/DC-Wandler	Sync-Rect PFM Step-Up DC/DC Converter	8-Micro		2773.46/4,000	
NCP1417DMR2	NCP1417DMR2OSCT-ND	Step-Up-DC/DC-Wandler, 200 mA	200mA DC/DC Step-Up Converter	8-Micro	1.34	1.07	.80
NCP1417DMR2	NCP1417DMR2OSTR-ND	Step-Up-DC/DC-Wandler, 200 mA	200mA DC/DC Step-Up Converter	8-Micro		2729.44/4,000	
NCP1421DMR2	NCP1421DMR2OSCT-ND	Synchron-Gleichrichter PFM-Step-Up-DC/DC-Wandler, 600 mA	600mA Sync-Rect PFM Step-Up DC/DC Converter	8-Micro	2.13	1.71	1.33
NCP1421DMR2	NCP1421DMR2OSTR-ND	Synchron-Gleichrichter PFM-Step-Up-DC/DC-Wandler, 600 mA	600mA Sync-Rect PFM Step-Up DC/DC Converter	8-Micro		4778.21/4,000	
NCP1442FR4	NCP1442FR4OSCT-ND	Boost-Regler, 4 A, 280 KHz	4A, 280KHz Boost Regulator	7-PowerFLEX	4.74	3.80	3.21
NCP1442FR4	NCP1442FR4OSTR-ND	Boost-Regler, 4 A, 280 KHz	4A, 280KHz Boost Regulator	7-PowerFLEX		5926.20/2,000	
NCP1443FR4	NCP1443FR4OSCT-ND	Boost-Regler, 4 A, 280 KHz	4A, 280KHz Boost Regulator	7-PowerFLEX	4.74	3.80	3.21
NCP1443FR4	NCP1443FR4OSTR-ND	Boost-Regler, 4 A, 280 KHz	4A, 280KHz Boost Regulator	7-PowerFLEX		5926.20/2,000	
NCP1443T	NCP1443TOS-ND	Boost-Regler, 4 A, 280 KHz	4A, 280KHz Boost Regulator	TO-220-7	4.62	3.70	3.13
NCP1444FR4	NCP1444FR4OSCT-ND	Boost-Regler, 4 A, 560 KHz	4A, 560KHz Boost Regulator	7-PowerFLEX	4.74	3.80	3.21
NCP1444FR4	NCP1444FR4OSTR-ND	Boost-Regler, 4 A, 560 KHz	4A, 560KHz Boost Regulator	7-PowerFLEX		5926.20/2,000	
NCP1444T	NCP1444TOS-ND	Boost-Regler, 4 A, 560 KHz	4A, 560KHz Boost Regulator	TO-220-7	4.62	3.70	3.13
NCP1445FR4	NCP1445FR4OSCT-ND	Boost-Regler, 4 A, 560 KHz	4A, 560KHz Boost Regulator	7-PowerFLEX	4.74	3.80	3.21
NCP1445FR4	NCP1445FR4OSTR-ND	Boost-Regler, 4 A, 560 KHz	4A, 560KHz Boost Regulator	7-PowerFLEX		5926.20/2,000	
NCP1445T	NCP1445TOS-ND	Boost-Regler, 4 A, 560 KHz	4A, 560KHz Boost Regulator	TO-220-7	4.62	3.70	3.13
NCP1450ASN19T1	NCP1450ASN19TOSCT-ND	PWM-Step-Up DC/DC-Controller, 1,9 V, 180 KHz	1.9V, 180KHz PWM Step-Up DC/DC Controller	5-TSOP	.81	.68	.55
NCP1450ASN19T1	NCP1450ASN19TOSTR-ND	PWM-Step-Up DC/DC-Controller, 1,9 V, 180 KHz	1.9V, 180KHz PWM Step-Up DC/DC Controller	5-TSOP		1056.56/3,000	
NCP1450ASN27T1	NCP1450ASN27TOSCT-ND	PWM-Step-Up DC/DC-Controller, 2,7 V, 180 KHz	2.7V, 180KHz PWM Step-Up DC/DC Controller	5-TSOP	.81	.68	.55
NCP1450ASN27T1	NCP1450ASN27TOSTR-ND	PWM-Step-Up DC/DC-Controller, 2,7 V, 180 KHz	2.7V, 180KHz PWM Step-Up DC/DC Controller	5-TSOP		1056.56/3,000	
NCP1450ASN30T1	NCP1450ASN30TOSCT-ND	PWM-Step-Up DC/DC-Controller, 3 V, 180 KHz	3V, 180KHz PWM Step-Up DC/DC Controller	5-TSOP	.81	.68	.55
NCP1450ASN30T1	NCP1450ASN30TOSTR-ND	PWM-Step-Up DC/DC-Controller, 3 V, 180 KHz	3V, 180KHz PWM Step-Up DC/DC Controller	5-TSOP		1056.56/3,000	
NCP1450ASN33T1	NCP1450ASN33TOSCT-ND	PWM, Step-Up DC/DC-Controller, 3,3 V, 180 KHz	3.3V, 180KHz PWM Step-Up DC/DC Controller	5-TSOP	.81	.68	.55
NCP1450ASN33T1	NCP1450ASN33TOSTR-ND	PWM, Step-Up DC/DC-Controller, 3,3 V, 180 KHz	3.3V, 180KHz PWM Step-Up DC/DC Controller	5-TSOP		1056.56/3,000	
NCP1450ASN50T1	NCP1450ASN50TOSCT-ND	PWM-Step-Up DC/DC-Controller, 5 V, 180 KHz	5V, 180KHz PWM Step-Up DC/DC Controller	5-TSOP	.81	.68	.55
NCP1450ASN50T1	NCP1450ASN50TOSTR-ND	PWM-Step-Up DC/DC-Controller, 5 V, 180 KHz	5V, 180KHz PWM Step-Up DC/DC Controller	5-TSOP		1056.56/3,000	
NCP1500DMR2	NCP1500DMR2OSCT-ND	PWM/Linear-Buck-Wandler, Doppel-Modus	Dual Mode PWM/Linear Buck Converter	8-Micro	1.31	1.05	.79
NCP1500DMR2	NCP1500DMR2OSTR-ND	PWM/Linear-Buck-Wandler, Doppel-Modus	Dual Mode PWM/Linear Buck Converter	8-Micro		2688.80/4,000	
NCP1550SN18T1	NCP1550SN18T1OSCT-ND	PWM/PFM-Step-Down DC/DC-Controller, 1,8 V, 600 KHz	1.8V, 600KHz PWM/PFM Step-Down DC/DC Controller	5-TSOP	.87	.70	.53
NCP1550SN18T1	NCP1550SN18T1OSTR-ND	PWM/PFM-Step-Down DC/DC-Controller, 1,8 V, 600 KHz	1.8V, 600KHz PWM/PFM Step-Down DC/DC Controller	5-TSOP		1353.71/3,000	
NCP1550SN19T1	NCP1550SN19T1OSCT-ND	PWM/PFM-Step-Down DC/DC-Controller, 1,9 V, 600 KHz	1.9V, 600KHz PWM/PFM Step-Down DC/DC Controller	5-TSOP	.87	.70	.53
NCP1550SN19T1	NCP1550SN19T1OSTR-ND	PWM/PFM-Step-Down DC/DC-Controller, 1,9 V, 600 KHz	1.9V, 600KHz PWM/PFM Step-Down DC/DC Controller	5-TSOP		1353.71/3,000	
NCP1550SN25T1	NCP1550SN25T1OSCT-ND	PWM/PFM-Step-Down DC/DC-Controller, 2,5 V, 600 KHz	2.5V, 600KHz PWM/PFM Step-Down DC/DC Controller	5-TSOP	.87	.70	.53
NCP1550SN25T1	NCP1550SN25T1OSTR-ND	PWM/PFM-Step-Down DC/DC-Controller, 2,5 V, 600 KHz	2.5V, 600KHz PWM/PFM Step-Down DC/DC Controller	5-TSOP		1353.71/3,000	
NCP1550SN27T1	NCP1550SN27T1OSCT-ND	PWM/PFM-Step-Down DC/DC-Controller, 2,7 V, 600 KHz	2.7V, 600KHz PWM/PFM Step-Down DC/DC Controller	5-TSOP	.87	.70	.53
NCP1550SN27T1	NCP1550SN27T1OSTR-ND	PWM/PFM-Step-Down DC/DC-Controller, 2,7 V, 600 KHz	2.7V, 600KHz PWM/PFM Step-Down DC/DC Controller	5-TSOP		1353.71/3,000	
NCP1550SN33T1	NCP1550SN33T1OSCT-ND	PWM/PFM-Step-Down DC/DC-Controller, 3,3 V, 600 KHz	3.3V, 600KHz PWM/PFM Step-Down DC/DC Controller	5-TSOP	.87	.70	.53
NCP1550SN33T1	NCP1550SN33T1OSTR-ND	PWM/PFM-Step-Down DC/DC-Controller, 3,3 V, 600 KHz	3.3V, 600KHz PWM/PFM Step-Down DC/DC Controller	5-TSOP		1353.71/3,000	
NCP1560HDR2	NCP1560HDR2OSCT-ND	Voll ausgestatteter Spannungsmodus-PWM-Controller	Full Featured Volt. Mode PWM Controller	16-SOIC	2.86	2.29	1.78
NCP1560HDR2	NCP1560HDR2OSTR-ND	Voll ausgestatteter Spannungsmodus-PWM-Controller	Full Featured Volt. Mode PWM Controller	16-SOIC		4000.19/2,500	
NCP1571DR2	NCP1571DR2OSCT-ND	Synch. Buck-Controller, Niederspann.	LV Sync. Buck Controller	8-SOIC	2.10	1.68	1.31
NCP1571DR2	NCP1571DR2OSTR-ND	Synch. Buck-Controller, Niederspann.	LV Sync. Buck Controller	8-SOIC		2933.47/2,500	
NCP1573DR2	NCP1573DR2OSCT-ND	Synch. Buck-Controller, Niederspann.	LV Sync. Buck Controller	8-SOIC	2.10	1.68	1.31
NCP1573DR2	NCP1573DR2OSTR-ND	Synch. Buck-Controller, Niederspann.	LV Sync. Buck Controller	8-SOIC		2933.47/2,500	
NCP1575DR2	NCP1575DR2OSCT-ND	Synch. Buck Controller mit einstellb. Schaltfrequenz, Niederspann.	LV Sync. Buck Controller with Adj. Switching Freq.	8-SOIC	2.10	1.68	1.31
NCP1575DR2	NCP1575DR2OSTR-ND	Synch. Buck Controller mit einstellb. Schaltfrequenz, Niederspann.	Low Volt. Sync. Buck Controller with Adj. Switching Freq.	8-SOIC		2933.47/2,500	
NCP1650DR2	NCP1650DR2OSCT-ND	Leistungsfaktor-Controller	Power Factor Controller	16-SOIC	2.67	2.14	1.66
NCP1650DR2	NCP1650DR2OSTR-ND	Leistungsfaktor-Controller	Power Factor Controller	16-SOIC		3733.51/2,500	
NCP1729SN35T1	NCP1729SN35T1OSCT-ND	Beschalteter Kondensator-Spannungsinverter	Switched Capacitance Voltage Inverter	6-TSOP	.70	.56	.42
NCP1729SN35T1	NCP1729SN35T1OSTR-ND	Beschalteter Kondensator-Spannungsinverter	Switched Capacitance Voltage Inverter	6-TSOP		1089.57/3,000	
NCP1800DM41R2	NCP1800DM41R2OSCT-ND	Lithium-Ion-Batterielade-Controller, Einzelzelle	Single-Cell Lithium Ion Battery Charge Controller	8-Micro	1.62	1.30	1.01
NCP1800DM41R2	NCP1800DM41R2OSTR-ND	Lithium-Ion-Batterielade-Controller, Einzelzelle	Single-Cell Lithium Ion Battery Charge Controller	8-Micro		3684.40/4,000	
NCP1800DM42R2	NCP1800DM42R2OSCT-ND	Lithium-Ion-Batterielade-Controller, Einzelzelle	Single-Cell Lithium Ion Battery Charge Controller	8-Micro	1.62	1.30	1.01
NCP1800DM42R2	NCP1800DM42R2OSTR-ND	Lithium-Ion-Batterielade-Controller, Einzelzelle	Single-Cell Lithium Ion Battery Charge Controller	8-Micro		3684.40/4,000	
NCP2890DMR2	NCP2890DMR2OSCT-ND	1 W Audioleistungsverstärker	1W Audio Power Amp	8-Micro	1.02	.82	.61
NCP2890DMR2	NCP2890DMR2OSTR-ND	1 W Audioleistungsverstärker	1W Audio Power Amp	8-Micro		2113.11/4,000	
NCP3712ASNT1	NCP3712ASNT1OSCT-ND	High-Side-Schalter mit Überspannungsschutz	Over Voltage Protected High Side Switch	SOT-23-6	.51	.39	.29
NCP3712ASNT1	NCP3712ASNT1OSTR-ND	High-Side-Schalter mit Überspannungsschutz	Over Voltage Protected High Side Switch	SOT-23-6		495.26/3,000	
NCP5008DMR2	NCP5008DMR2OSCT-ND	LED-Boost-Treiber für Hintergrundbeleuchtung	Backlight LED Boost Driver	10-Micro	1.38	1.11	.83
NCP5008DMR2	NCP5008DMR2OSTR-ND	LED-Boost-Treiber für Hintergrundbeleuchtung	Backlight LED Boost Driver	10-Micro		2817.48/4,000	
NCP5009DMR2	NCP5009DMR2OSCT-ND	LED-Boost-Treiber für Hintergrundbeleuchtung	Backlight LED Boost Driver	10-Micro	1.27	1.02	.77
NCP5009DMR2	NCP5009DMR2OSTR-ND	LED-Boost-Treiber für Hintergrundbeleuchtung	Backlight LED Boost Driver	10-Micro		2600.76/4,000	
NCP5314FTR2	NCP5314FTR2OSCT-ND	Buck-CPU-Controller, 2-, 3-, 4-Phasen	Two/Three/Four-Phase Buck CPU Controller	32-LQFP	4.23	3.39	2.86
NCP5314FTR2	NCP5314FTR2OSTR-ND	Buck-CPU-Controller, 2-, 3-, 4-Phasen	Two/Three/Four-Phase Buck CPU Controller	32-LQFP		5291.25/2,000	
NCP5314MNR2	NCP5314MNR2OSCT-ND	Buck-CPU-Controller, 2-, 3-, 4-Phasen	Two/Three/Four-Phase Buck CPU Controller	32-QFN	4.23	3.39	2.86
NCP5314MNR2	NCP5314MNR2OSTR-ND	Buck-CPU-Controller, 2-, 3-, 4-Phasen	Two/Three/Four-Phase Buck CPU Controller	32-QFN		5291.25/2,000	
NCP5322ADWR2	NCP5322ADWR2OSCT-ND	Buck-Controller, 2-Phasen	Two-Phase Buck Controller	28-SOIC	7.04	5.64	4.76
NCP5322ADWR2	NCP5322ADWR2OSTR-ND	Buck-Controller, 2-Phasen	Two-Phase Buck Controller	28-SOIC		4402.32/1,000	
NCP5331FTR2	NCP5331FTR2OSCT-ND	PWM-Controller, 2-Phasen	Two-Phase PWM Controller	32-LQFP	5.05	4.04	3.41
NCP5331FTR2	NCP5331FTR2OSTR-ND	PWM-Controller, 2-Phasen	Two-Phase PWM Controller	32-LQFP		6307.17/2,000	
NCP5332ADWR2	NCP5332ADWR2OSCT-ND	Buck-Controller, 2-Phasen	Two-Phase Buck Controller	28-SOIC	7.04	5.64	4.76
NCP5332ADWR2	NCP5332ADWR2OSTR-ND	Buck-Controller, 2-Phasen	Two-Phase Buck Controller	28-SOIC		4402.32/1,000	
NCP5351DR2	NCP5351DR2OSCT-ND	Synch. Buck-Leistungs-MOSFET-Treiber, 4 A	4A Sync. Buck Power MOSFET Driver	8-SOIC	1.44	1.16	.87
NCP5351DR2	NCP5351DR2OSTR-ND	Synch. Buck-Leistungs-MOSFET-Treiber, 4 A	4A Sync. Buck Power MOSFET Driver	8-SOIC		1841.36/2,500	
NCP5355DR2	NCP5355DR2OSCT-ND	Synch. Buck-Leistungs-MOSFET-Treiber, 12 V	12V Sync. Buck Power MOSFET Driver	8-SOIC	1.80	1.44	1.08
NCP5355DR2	NCP5355DR2OSTR-ND	Synch. Buck-Leistungs-MOSFET-Treiber, 12 V	12V Sync. Buck Power MOSFET Driver	8-SOIC		2302.75/2,500	
NCP5424DR2	NCP5424DR2OSCT-ND	Zweif. synch. Buck-Controller	Dual Sync. Buck Controller	16-SOIC	4.39	3.51	2.73
NCP5424DR2	NCP5424DR2OSTR-ND	Zweif. synch. Buck-Controller	Dual Sync. Buck Controller	16-SOIC		6133.62/2,500	
NCP5426SN13T2	NCP5426SN13T2OSCT-ND	LDO-Reg./Vibrationsmotortreiber	LDO Regulator/Vibration Motor Driver	5-TSOP	.96	.83	.64
NCP5426SN13T2	NCP5426SN13T2OSTR-ND	LDO-Reg./Vibrationsmotortreiber	LDO Regulator/Vibration Motor Driver	5-TSOP		1013.38/3,000	
NCS2001SN1T1	NCS2001SN1T1OSCT-ND	Einf. OpAmp, 0,9 V, R/R	0.9V R/R Single Op Amp	SOT-23-5	1.19	.95	.72
NCS2001SN1T1	NCS2001SN1T1OSTR-ND	Einf. OpAmp, 0,9 V, R/R	0.9V R/R Single Op Amp	SOT-23-5		1821.04/3,000	
NCS2001SN2T1	NCS2001SN2T1OSCT-ND	Einf. OpAmp, 0,9 V, R/R	0.9V R/R Single Op Amp	SOT-23-5	1.19	.95	.72
NCS2001SN2T1	NCS2001SN2T1OSTR-ND	Einf. OpAmp, 0,9 V, R/R	0.9V R/R Single Op Amp	SOT-23-5		1821.04/3,000	
NCS2001SQ1T1	NCS2001SQ1T1OSCT-ND	Einf. OpAmp, 0,9 V, R/R	0.9V R/R Single Op Amp	SC70-5	.68	.55	.41
NCS2001SQ1T1	NCS2001SQ1T1OSTR-ND	Einf. OpAmp, 0,9 V, R/R	0.9V R/R Single Op Amp	SC70-5		1041.32/3,000	

(Forts.)

★ ***RUFEN SIE BITTE AN FÜR NIEDRIGERE PREISE BEI GRÖSSEREN MENGEN!*** ★

B

ON Semiconductor Teilenr.	Digi-Key Teilenr.	Beschreibung		Paket	Stückpreis★ 1	25	100
NCS2001SQ2T1	NCS2001SQ2T1OSCT-ND	Einf. OpAmp, 0,9 V, R/R	0.9V R/R Single Op Amp	SC70-5	.68	.55	.41
NCS2001SQ2T1	NCS2001SQ2T1OSTR-ND	Einf. OpAmp, 0,9 V, R/R	0.9V R/R Single Op Amp	SC70-5		1041.32/3,000	
NCS2002SN1T1	NCS2002SN1T1OSCT-ND	Sub-One Volt, R/R-OpAmp	Sub-One Volt R/R Op Amp	6-TSOP	.81	.68	.55
NCS2002SN1T1	NCS2002SN1T1OSTR-ND	Sub-One Volt, R/R-OpAmp	Sub-One Volt R/R Op Amp	6-TSOP		1056.56/3,000	
NCS2002SN2T1	NCS2002SN2T1OSCT-ND	Sub-One Volt, R/R-OpAmp	Sub-One Volt R/R Op Amp	6-TSOP	.81	.68	.55
NCS2002SN2T1	NCS2002SN2T1OSTR-ND	Sub-One Volt, R/R-OpAmp	Sub-One Volt R/R Op Amp	6-TSOP		1056.56/3,000	
NCS2200SN1T1	NCS2200SN1T1OSCT-ND	Niederspannungskomparator	Low Voltage Comparator	SOT-23-5	1.34	1.07	.80
NCS2200SN1T1	NCS2200SN1T1OSTR-ND	Niederspannungskomparator	Low Voltage Comparator	SOT-23-5		2047.08/3,000	
NCS2200SN2T1	NCS2200SN2T1OSCT-ND	Niederspannungskomparator	Low Voltage Comparator	SOT-23-5	1.34	1.07	.80
NCS2200SN2T1	NCS2200SN2T1OSTR-ND	Niederspannungskomparator	Low Voltage Comparator	SOT-23-5		2047.08/3,000	
NCS2201SN1T1	NCS2201SN1T1OSCT-ND	LV-Komparator mit Aktvierung	LV Comparator with Enable	SOT-23-6	.76	.61	.46
NCS2201SN1T1	NCS2201SN1T1OSTR-ND	LV-Komparator mit Aktvierung	LV Comparator with Enable	SOT-23-6		1170.85/3,000	
NCS2201SN2T1	NCS2201SN2T1OSCT-ND	LV-Komparator mit Aktvierung	LV Comparator with Enable	SOT-23-6	.76	.61	.46
NCS2201SN2T1	NCS2201SN2T1OSTR-ND	LV-Komparator mit Aktvierung	LV Comparator with Enable	SOT-23-6		1170.85/3,000	
NCS2202SN1T1	NCS2202SN1T1OSCT-ND	LV-Komparator mit OD	LV Comparator with OD	SOT-23-5	.76	.61	.46
NCS2202SN1T1	NCS2202SN1T1OSTR-ND	LV-Komparator mit OD	LV Comparator with OD	SOT-23-5		1170.85/3,000	
NCS2202SN2T1	NCS2202SN2T1OSCT-ND	LV-Komparator mit OD	LV Comparator with OD	SOT-23-5	.76	.61	.46
NCS2202SN2T1	NCS2202SN2T1OSTR-ND	LV-Komparator mit OD	LV Comparator with OD	SOT-23-5		1170.85/3,000	
NCS2203SN1T1	NCS2203SN1T1OSCT-ND	LV-Komparator mit OD/Aktivierung	LV Comparator with OD/Enable	SOT-23-6	.76	.61	.46
NCS2203SN1T1	NCS2203SN1T1OSTR-ND	LV-Komparator mit OD/Aktivierung	LV Comparator with OD/Enable	SOT-23-6		1170.85/3,000	
NCS2203SN2T1	NCS2203SN2T1OSCT-ND	LV-Komparator mit OD/Aktivierung	LV Comparator with OD/Enable	SOT-23-6	.76	.61	.46
NCS2203SN2T1	NCS2203SN2T1OSTR-ND	LV-Komparator mit OD/Aktivierung	LV Comparator with OD/Enable	SOT-23-6		1170.85/3,000	
NCS5000SNT1	NCS5000SNT1OSCT-ND	Integrierter RF-Schottky-Detektor	Integrated RF Schottky Detector	6-TSOP	.97	.81	.65
NCS5000SNT1	NCS5000SNT1OSTR-ND	Integrierter RF-Schottky-Detektor	Integrated RF Schottky Detector	6-TSOP		1254.66/3,000	
NCV7601P	NCV7601POS-ND	Vierf. Treiber	Quad Driver	16-Dip	2.97	2.38	1.85
NCV7701DWR2	NCV7701DWR2OSCT-ND	2 A H-Brückentreiber	2A H-Bridge Driver	20-SOIC	4.52	3.62	3.06
NCV7701DWR2	NCV7701DWR2OSTR-ND	2 A H-Brückentreiber	2A H-Bridge Driver	20-SOIC		2825.95/1,000	
NCV8509PDW18R2	NCV8509PDW18ROSCT-ND	Sequenzieller Linearregler, Doppelspannung	Sequenced Linear Dual-Volt. Reg.	16-SOIC	2.74	2.20	1.71
NCV8509PDW18R2	NCV8509PDW18ROSTR-ND	Sequenzieller Linearregler, Doppelspannung	Sequenced Linear Dual-Volt. Reg.	16-SOIC		1554.36/1,000	
NCV8509PDW25R2	NCV8509PDW25ROSCT-ND	Sequenzieller Linearregler, Doppelspannung	Sequenced Linear Dual-Volt. Reg.	16-SOIC	2.74	2.20	1.71
NCV8509PDW25R2	NCV8509PDW25ROSTR-ND	Sequenzieller Linearregler, Doppelspannung	Sequenced Linear Dual-Volt. Reg.	16-SOIC		1554.36/1,000	
NCV8509PDW26R2	NCV8509PDW26ROSCT-ND	Sequenzieller Linearregler, Doppelspannung	Sequenced Linear Dual-Volt. Reg.	16-SOIC	2.74	2.20	1.71
NCV8509PDW26R2	NCV8509PDW26ROSTR-ND	Sequenzieller Linearregler, Doppelspannung	Sequenced Linear Dual-Volt. Reg.	16-SOIC		1554.36/1,000	
NCV33033DWR2	NCV33033DWR2OSCT-ND	Bürstenloser DC-Motor-Controller	Brushless DC Motor Controller	20-SOIC	4.55	3.65	3.08
NCV33033DWR2	NCV33033DWR2OSTR-ND	Bürstenloser DC-Motor-Controller	Brushless DC Motor Controller	20-SOIC		2847.12/1,000	
NCV33035DWR2	NCV33035DWR2OSCT-ND	Bürstenloser DC-Motor-Controller	Brushless DC Motor Controller	24-SOIC	3.69	2.96	2.50
NCV33035DWR2	NCV33035DWR2OSTR-ND	Bürstenloser DC-Motor-Controller	Brushless DC Motor Controller	24-SOIC		2306.99/1,000	
NCV33163DWR2	NCV33163DWR2OSCT-ND	Step-Up/Down/invertierender Schaltregler, 2,5 A	2.5A Step-Up/Down/Inverting Switching Regulator	16-SOIC	2.56	2.05	1.59
NCV33163DWR2	NCV33163DWR2OSTR-ND	Step-Up/Down/invertierender Schaltregler, 2,5 A	2.5A Step-Up/Down/Inverting Switching Regulator	16-SOIC		1446.84/1,000	
NCV33163P	NCV33163POS-ND	Step-Up/Down/invertierender Schaltregler, 2,5 A	2.5A Step-Up/Down/Inverting Switching Regulator	16-Dip	2.56	2.05	1.59
NGD15N41CLT4	NGD15N41CLT4OSCT-ND	Zündungs-IGBT, 410 V, 15 A	410V, 15A, Ignition IGBT	D-PAK	1.56	1.25	.94
NGD15N41CLT4	NGD15N41CLT4OSTR-ND	Zündungs-IGBT, 410 V, 15 A	410V, 15A, Ignition IGBT	D-PAK		1993.74/2,500	
NIS5101E1T1	NIS5101E1T1OSCT-ND	Hot-Swap-Controller, -48 V	-48V, Hot Swap Controller	S-PAK	8.11	7.31	6.48
NIS5101E1T1	NIS5101E1T1OSTR-ND	Hot-Swap-Controller, -48 V	-48V, Hot Swap Controller	S-PAK		12023.41/2,000	
NIS5101E2T1	NIS5101E2T1OSCT-ND	Hot-Swap-Controller, -48 V	-48V, Hot Swap Controller	S-PAK	8.09	7.31	6.48
NIS5101E2T1	NIS5101E2T1OSTR-ND	Hot-Swap-Controller, -48 V	-48V, Hot Swap Controller	S-PAK		12023.41/2,000	
NL7WB66US	NL7WB66USOSCT-ND	Ultrakleiner SPST-Analogschalter	Ultra-Small SPST Analog Switch	US8-8	.50	.41	.31
NL7WB66US	NL7WB66USOSTR-ND	Ultrakleiner SPST-Analogschalter	Ultra-Small SPST Analog Switch	US8-8		452.08/3,000	
NL17SZ00DFT2	NL17SZ00DFT2OSCT-ND	Einf. NAND-Gate mit 2 Eingängen	Single 2-Input NAND Gate	SOT-353	.25	.20	.14
NL17SZ00DFT2	NL17SZ00DFT2OSTR-ND	Einf. NAND-Gate mit 2 Eingängen	Single 2-Input NAND Gate	SOT-353		203.18/3,000	
NL17SZ00XV5T2	NL17SZ00XV5T2OSCT-ND	Einf. NAND-Gate mit 2 Eingängen	Single 2-Input NAND Gate	SOT-553	.19	.16	.12
NL17SZ00XV5T2	NL17SZ00XV5T2OSTR-ND	Einf. NAND-Gate mit 2 Eingängen	Single 2-Input NAND Gate	SOT-553		548.60/8,000	
NL17SZ02DFT2	NL17SZ02DFT2OSCT-ND	NOR-Gate m. 2 Eingängen	2-Input NOR Gate	SOT-353	.32	.24	.17
NL17SZ02DFT2	NL17SZ02DFT2OSTR-ND	NOR-Gate m. 2 Eingängen	2-Input NOR Gate	SOT-353		205.72/3,000	
NL17SZ02XV5T2	NL17SZ02XV5T2OSCT-ND	NOR-Gate m. 2 Eingängen	2-Input NOR Gate	SOT-553	.19	.16	.12
NL17SZ02XV5T2	NL17SZ02XV5T2OSTR-ND	NOR-Gate m. 2 Eingängen	2-Input NOR Gate	SOT-553		270.91/4,000	
NL17SZ04DFT2	NL17SZ04DFT2OSCT-ND	Einf. Inverter	Single Inverter	SOT-353	.32	.24	.17
NL17SZ04DFT2	NL17SZ04DFT2OSTR-ND	Einf. Inverter	Single Inverter	SOT-353		205.72/3,000	
NL17SZ04XV5T2	NL17SZ04XV5T2OSCT-ND	Einf. Inverter	Single Inverter	SOT-553	.19	.16	.12
NL17SZ04XV5T2	NL17SZ04XV5T2OSTR-ND	Einf. Inverter	Single Inverter	SOT-553		548.60/8,000	
NL17SZ06DFT2	NL17SZ06DFT2OSCT-ND	Einf. Inverter, OD-Ausgang	Single Inverter with OD Output	SOT-353	.25	.20	.14
NL17SZ06DFT2	NL17SZ06DFT2OSTR-ND	Einf. Inverter, OD-Ausgang	Single Inverter with OD Output	SOT-353		203.18/3,000	
NL17SZ06XV5T2	NL17SZ06XV5T2OSCT-ND	Einf. Inverter, OD-Ausgang	Single Inverter with OD Output	SOT-553	.19	.16	.12
NL17SZ06XV5T2	NL17SZ06XV5T2OSTR-ND	Einf. Inverter, OD-Ausgang	Single Inverter with OD Output	SOT-553		548.60/8,000	
NL17SZ07DFT2	NL17SZ07DFT2OSCT-ND	Einf. Puffer mit OD-Ausgang, nicht-invertierend	Single Non-Inverting Buffer with OD Output	SOT-353	.25	.20	.14
NL17SZ07DFT2	NL17SZ07DFT2OSTR-ND	Einf. Puffer mit OD-Ausgang, nicht-invertierend	Single Non-Inverting Buffer with OD Output	SOT-353		203.18/3,000	
NL17SZ07XV5T2	NL17SZ07XV5T2OSCT-ND	Einf. Puffer mit OD-Ausgang, nicht-invertierend	Single Non-Inverting Buffer with OD Output	SOT-553	.19	.16	.12
NL17SZ07XV5T2	NL17SZ07XV5T2OSTR-ND	Einf. Puffer mit OD-Ausgang, nicht-invertierend	Single Non-Inverting Buffer with OD Output	SOT-553		548.60/8,000	
NL17SZ08DFT2	NL17SZ08DFT2OSCT-ND	Einf. AND-Gate mit 2 Eingängen	Single 2-Input AND Gate	SOT-353	.32	.24	.17
NL17SZ08DFT2	NL17SZ08DFT2OSTR-ND	Einf. AND-Gate mit 2 Eingängen	Single 2-Input AND Gate	SOT-353		205.72/3,000	
NL17SZ08XV5T2	NL17SZ08XV5T2OSCT-ND	Einf. AND-Gate mit 2 Eingängen	Single 2-Input AND Gate	SOT-553	.19	.16	.12
NL17SZ08XV5T2	NL17SZ08XV5T2OSTR-ND	Einf. AND-Gate mit 2 Eingängen	Single 2-Input AND Gate	SOT-553		270.91/4,000	
NL17SZ14DFT2	NL17SZ14DFT2OSCT-ND	Einf. Inverter mit Schmitt-Trigger	Single Inverter with Schmitt Trigger	SOT-353	.32	.24	.17
NL17SZ14DFT2	NL17SZ14DFT2OSTR-ND	Einf. Inverter mit Schmitt-Trigger	Single Inverter with Schmitt Trigger	SOT-353		205.72/3,000	
NL17SZ16DFT2	NL17SZ16DFT2OSCT-ND	Einf. Eingangspuffer	Single Input Buffer	SOT-353	.19	.16	.12
NL17SZ16DFT2	NL17SZ16DFT2OSTR-ND	Einf. Eingangspuffer	Single Input Buffer	SOT-353		203.18/3,000	
NL17SZ16XV5T2	NL17SZ16XV5T2OSCT-ND	Einf. Eingangspuffer	Single Input Buffer	SOT-553	.19	.16	.12
NL17SZ16XV5T2	NL17SZ16XV5T2OSTR-ND	Einf. Eingangspuffer	Single Input Buffer	SOT-553		270.91/4,000	
NL17SZ17DFT2	NL17SZ17DFT2OSCT-ND	Einf. Schmitt-Trigger-Puffer, nicht invertierend	Single Non-Inverting Buffer with Schmitt Trigger	SOT-353	.25	.20	.14
NL17SZ17DFT2	NL17SZ17DFT2OSTR-ND	Einf. Schmitt-Trigger-Puffer, nicht invertierend	Single Non-Inverting Buffer with Schmitt Trigger	SOT-353		203.18/3,000	
NL17SZ17XV5T2	NL17SZ17XV5T2OSCT-ND	Einf. Schmitt-Trigger-Puffer, nicht invertierend	Single Non-Inverting Buffer with Schmitt Trigger	SOT-553	.19	.16	.12
NL17SZ17XV5T2	NL17SZ17XV5T2OSTR-ND	Einf. Schmitt-Trigger-Puffer, nicht invertierend	Single Non-Inverting Buffer with Schmitt Trigger	SOT-553		270.91/4,000	
NL17SZ32DFT2	NL17SZ32DFT2OSCT-ND	Einf. OR-Gate mit 2 Eingängen	Single 2-Input OR Gate	SOT-353	.25	.20	.14
NL17SZ32DFT2	NL17SZ32DFT2OSTR-ND	Einf. OR-Gate mit 2 Eingängen	Single 2-Input OR Gate	SOT-353		586.69/9,000	
NL17SZ32XV5T2	NL17SZ32XV5T2OSCT-ND	Einf. OR-Gate mit 2 Eingängen	Single 2-Input OR Gate	SOT-553	.19	.16	.12
NL17SZ32XV5T2	NL17SZ32XV5T2OSTR-ND	Einf. OR-Gate mit 2 Eingängen	Single 2-Input OR Gate	SOT-553		548.60/8,000	
NL17SZ74US	NL17SZ74USOSCT-ND	Einf. D-Flip-Flop	Single D-Type Flip-Flop	US8-8	.39	.31	.22
NL17SZ74US	NL17SZ74USOSTR-ND	Einf. D-Flip-Flop	Single D-Type Flip-Flop	US8-8		307.32/3,000	
NL17SZ86DFT2	NL17SZ86DFT2OSCT-ND	Einf. Exklusiv-OR-Gate mit 2 Eingängen	Single 2-Input Exclusive OR Gate	SOT-353	.19	.16	.12
NL17SZ86DFT2	NL17SZ86DFT2OSTR-ND	Einf. Exklusiv-OR-Gate mit 2 Eingängen	Single 2-Input Exclusive OR Gate	SOT-353		203.18/3,000	
NL17SZ125DFT2	NL17SZ125DFT2OSCT-ND	Nicht-invertierender Puffer, Tri-State	Tri-State Non-Inverting Buffer	SOT-353	.22	.18	.14
NL17SZ125DFT2	NL17SZ125DFT2OSTR-ND	Nicht-invertierender Puffer, Tri-State	Tri-State Non-Inverting Buffer	SOT-353		462.24/6,000	
NL17SZ126DFT2	NL17SZ126DFT2OSCT-ND	Nicht-invertierender Puffer, Tri-State	Tri-State Non-Inverting Buffer	SOT-353	.22	.18	.14
NL17SZ126DFT2	NL17SZ126DFT2OSTR-ND	Nicht-invertierender Puffer, Tri-State	Tri-State Non-Inverting Buffer	SOT-353		241.28/3,000	
NL17SZU04DFT2	NL17SZU04DFT2OSCT-ND	Einf. ungepufferter Inverter	Single Unbuffered Inverter	SOT-353	.25	.20	.14
NL17SZU04DFT2	NL17SZU04DFT2OSTR-ND	Einf. ungepufferter Inverter	Single Unbuffered Inverter	SOT-353		203.18/3,000	
NL17SZU04XV5T2	NL17SZU04XV5TOSCT-ND	Einf. ungepufferter Inverter	Single Unbuffered Inverter	SOT-553	.19	.16	.12
NL17SZU04XV5T2	NL17SZU04XV5TOSTR-ND	Einf. ungepufferter Inverter	Single Unbuffered Inverter	SOT-553		270.91/4,000	
NL27WZ00US	NL27WZ00USOSCT-ND	Zweif. NAND-Gate m. 2 Eingängen	Dual 2-Input NAND Gate	US8-8	.85	.74	.57
NL27WZ00US	NL27WZ00USOSTR-ND	Zweif. NAND-Gate m. 2 Eingängen	Dual 2-Input NAND Gate	US8-8		901.63/3,000	

(Forts.)

★ ***RUFEN SIE BITTE AN FÜR NIEDRIGERE PREISE BEI GRÖSSEREN MENGEN!*** ★

ON Semiconductor Teilenr.	Digi-Key Teilenr.	Beschreibung		Paket	Stückpreis★ 1	25	100
NL27WZ04DFT2	NL27WZ04DFT2OSCT-ND	Zweif. Inverter	Dual Inverter	SOT-363	.36	.27	.21
NL27WZ04DFT2	NL27WZ04DFT2OSTR-ND	Zweif. Inverter	Dual Inverter	SOT-363		360.65/3,000	
NL27WZ07DFT2	NL27WZ07DFT2OSCT-ND	Zweif. Puffer mit OD-Ausgang	Dual Buffer with OD Output	SOT-363	.36	.27	.21
NL27WZ07DFT2	NL27WZ07DFT2OSTR-ND	Zweif. Puffer mit OD-Ausgang	Dual Buffer with OD Output	SOT-363		360.65/3,000	
NL27WZ08US	NL27WZ08USOSCT-ND	Zweif. AND-Gate m. 2 Eingängen	Dual 2-Input AND Gate	US8-8	.46	.36	.26
NL27WZ08US	NL27WZ08USOSTR-ND	Zweif. AND-Gate m. 2 Eingängen	Dual 2-Input AND Gate	US8-8		358.11/3,000	
NL27WZ14DFT2	NL27WZ14DFT2OSCT-ND	Zweif. Schmitt-Trigger-Inverter	Dual Schmitt-Trigger Inverter	SOT-363	.36	.27	.21
NL27WZ14DFT2	NL27WZ14DFT2OSTR-ND	Zweif. Schmitt-Trigger-Inverter	Dual Schmitt-Trigger Inverter	SOT-363		360.65/3,000	
NL27WZ17DFT2	NL27WZ17DFT2OSCT-ND	Zweif. Schmitt-Trigger-Puffer, nicht-invertierend	Dual Non-Inverting Schmitt-Trigger Buffer	SOT-363	.36	.27	.21
NL27WZ17DFT2	NL27WZ17DFT2OSTR-ND	Zweif. Schmitt-Trigger-Puffer, nicht-invertierend	Dual Non-Inverting Schmitt-Trigger Buffer	SOT-363		360.65/3,000	
NL27WZ32US	NL27WZ32USOSCT-ND	Zweif. OR-Gate m. 2 Eingängen	Dual 2-Input OR Gate	US8-8	.46	.36	.26
NL27WZ32US	NL27WZ32USOSTR-ND	Zweif. OR-Gate m. 2 Eingängen	Dual 2-Input OR Gate	US8-8		358.11/3,000	
NL37WZ04US	NL37WZ04USOSCT-ND	Dreif. Inverter	Triple Inverter	US8-8	.47	.39	.29
NL37WZ04US	NL37WZ04USOSTR-ND	Dreif. Inverter	Triple Inverter	US8-8		429.23/3,000	
NL37WZ06US	NL37WZ06USOSCT-ND	Dreif. Inverter mit OD-Ausgang	Triple Inverter with OD Output	US8-8	.61	.46	.35
NL37WZ06US	NL37WZ06USOSTR-ND	Dreif. Inverter mit OD-Ausgang	Triple Inverter with OD Output	US8-8		594.31/3,000	
NL37WZ07US	NL37WZ07USOSCT-ND	Dreif. Puffer mit OD-Ausgang	Triple Buffer with OD Output	US8-8	.61	.46	.35
NL37WZ07US	NL37WZ07USOSTR-ND	Dreif. Puffer mit OD-Ausgang	Triple Buffer with OD Output	US8-8		594.31/3,000	
NL37WZ14US	NL37WZ14USOSCT-ND	Dreif. Schmitt-Trigger-Inverter	Triple Schmitt-Trigger Inverter	US8-8	.47	.39	.29
NL37WZ14US	NL37WZ14USOSTR-ND	Dreif. Schmitt-Trigger-Inverter	Triple Schmitt-Trigger Inverter	US8-8		429.23/3,000	
NL37WZ16US	NL37WZ16USOSCT-ND	Dreif. Puffer	Triple Buffer	US8-8	.47	.39	.29
NL37WZ16US	NL37WZ16USOSTR-ND	Dreif. Puffer	Triple Buffer	US8-8		429.23/3,000	
NL37WZ17US	NL37WZ17USOSCT-ND	Dreif. Schmitt-Trigger-Puffer, nicht-invertierend	Triple Non-Inverting Schmitt-Trigger Buffer	US8-8	.47	.39	.29
NL37WZ17US	NL37WZ17USOSTR-ND	Dreif. Schmitt-Trigger-Puffer, nicht-invertierend	Triple Non-Inverting Schmitt-Trigger Buffer	US8-8		429.23/3,000	
NLAS323US	NLAS323USOSCT-ND	Zweif. SPST-Analogschalter	Dual SPST Analog Switch	US8-8	.76	.64	.51
NLAS323US	NLAS323USOSTR-ND	Zweif. SPST-Analogschalter	Dual SPST Analog Switch	US8-8		990.52/3,000	
NLAS324US	NLAS324USOSCT-ND	Zweif. SPST-Analogschalter	Dual SPST Analog Switch	US8-8	.76	.64	.51
NLAS324US	NLAS324USOSTR-ND	Zweif. SPST-Analogschalter	Dual SPST Analog Switch	US8-8		990.52/3,000	
NLAS325US	NLAS325USOSCT-ND	Zweif. SPST-Analogschalter	Dual SPST Analog Switch	US8-8	.76	.64	.51
NLAS325US	NLAS325USOSTR-ND	Zweif. SPST-Analogschalter	Dual SPST Analog Switch	US8-8		990.52/3,000	
NLAS1053US	NLAS1053USOSCT-ND	2:1-Mux/Demux-Analogschalter	2:1 Mux/Demux Analog Switch	US8-8	.76	.64	.51
NLAS1053US	NLAS1053USOSTR-ND	2:1-Mux/Demux-Analogschalter	2:1 Mux/Demux Analog Switch	US8-8		990.52/3,000	
NLAS2066US	NLAS2066USOSCT-ND	Zweif. SPST-Analogschalter	Dual SPST Analog Switch	US8-8	.84	.68	.51
NLAS2066US	NLAS2066USOSTR-ND	Zweif. SPST-Analogschalter	Dual SPST Analog Switch	US8-8		797.50/3,000	
NLAS4051DR2	NLAS4051DR2OSCT-ND	Analoger Mux/Demux	Analog Mux/Demux	16-SOIC	.69	.57	.46
NLAS4051DR2	NLAS4051DR2OSTR-ND	Analoger Mux/Demux	Analog Mux/Demux	16-SOIC		738.66/2,500	
NLAS4051DTR2	NLAS4051DTR2OSCT-ND	Analoger Mux/Demux	Analog Mux/Demux	16-TSSOP	.86	.76	.58
NLAS4051DTR2	NLAS4051DTR2OSTR-ND	Analoger Mux/Demux	Analog Mux/Demux	16-TSSOP		768.29/2,500	
NLAS4051QSR	NLAS4051QSROSCT-ND	Analoger Mux/Demux	Analog Mux/Demux	16-QSOP	.69	.57	.46
NLAS4051QSR	NLAS4051QSROSTR-ND	Analoger Mux/Demux	Analog Mux/Demux	16-QSOP		738.66/2,500	
NLAS4052DR2	NLAS4052DR2OSCT-ND	Analoger Mux/Demux	Analog Mux/Demux	16-SOIC	.69	.57	.46
NLAS4052DR2	NLAS4052DR2OSTR-ND	Analoger Mux/Demux	Analog Mux/Demux	16-SOIC		738.66/2,500	
NLAS4052DTR2	NLAS4052DTR2OSCT-ND	Analoger Mux/Demux	Analog Mux/Demux	16-TSSOP	.69	.57	.46
NLAS4052DTR2	NLAS4052DTR2OSTR-ND	Analoger Mux/Demux	Analog Mux/Demux	16-TSSOP		738.66/2,500	
NLAS4052QSR	NLAS4052QSROSCT-ND	Analoger Mux/Demux	Analog Mux/Demux	16-QSOP	.69	.57	.46
NLAS4052QSR	NLAS4052QSROSTR-ND	Analoger Mux/Demux	Analog Mux/Demux	16-QSOP		738.66/2,500	
NLAS4053DR2	NLAS4053DR2OSCT-ND	Dreif. analoger Mux/Demux, 2:1	Triple 2:1 Analog Mux/Demux	16-SOIC	.69	.57	.46
NLAS4053DR2	NLAS4053DR2OSTR-ND	Dreif. analoger Mux/Demux, 2:1	Triple 2:1 Analog Mux/Demux	16-SOIC		768.29/2,500	
NLAS4053DTR2	NLAS4053DTR2OSCT-ND	Dreif. analoger Mux/Demux, 2:1	Triple 2:1 Analog Mux/Demux	16-TSSOP	.69	.57	.46
NLAS4053DTR2	NLAS4053DTR2OSTR-ND	Dreif. analoger Mux/Demux, 2:1	Triple 2:1 Analog Mux/Demux	16-TSSOP		738.66/2,500	
NLAS4053QSR	NLAS4053QSROSCT-ND	Dreif. analoger Mux/Demux, 2:1	Triple 2:1 Analog Mux/Demux	16-QSOP	.69	.57	.46
NLAS4053QSR	NLAS4053QSROSTR-ND	Dreif. analoger Mux/Demux, 2:1	Triple 2:1 Analog Mux/Demux	16-QSOP		738.66/2,500	
NLAS4501DTT1	NLAS4501DTT1OSCT-ND	Einf. SPDT-Analogschalter	Single SPDT Analog Switch	SOT-23-5	.42	.34	.26
NLAS4501DTT1	NLAS4501DTT1OSTR-ND	Einf. SPDT-Analogschalter	Single SPDT Analog Switch	SOT-23-5		378.43/3,000	
NLAS4599DFT2	NLAS4599DFT2OSCT-ND	SPDT-Analogschalter, einzelversorgt, Niederspann.	Low Volt. Single Supply SPDT Analog Switch	SOT-363	.34	.26	.19
NLAS4599DFT2	NLAS4599DFT2OSTR-ND	SPDT-Analogschalter, einzelversorgt, Niederspann.	Low Volt. Single Supply SPDT Analog Switch	SOT-363		716.22/6,000	
NLAS44599DTR2	NLAS44599DTR2OSCT-ND	Zweif. DPDT-Analogschalter	Dual DPDT Analog Switch	16-TSSOP	1.06	.85	.64
NLAS44599DTR2	NLAS44599DTR2OSTR-ND	Zweif. DPDT-Analogschalter	Dual DPDT Analog Switch	16-TSSOP		1354.56/2,500	
NLAS44599MNR2	NLAS44599MNR2OSCT-ND	Zweif. DPDT-Analogschalter	Dual DPDT Analog Switch	16-QFN	1.17	.94	.70
NLAS44599MNR2	NLAS44599MNR2OSTR-ND	Zweif. DPDT-Analogschalter	Dual DPDT Analog Switch	16-QFN		1815.96/3,000	
NLAS4684MNR2	NLAS4684MNR2OSCT-ND	Zweif. SPDT-Analogschalter, ultraniedriger Widerstand	Ultra-Low Resistance Dual SPDT Analog Switch	10-QFN	1.46	1.28	.98
NLAS4684MNR2	NLAS4684MNR2OSTR-ND	Zweif. SPDT-Analogschalter, ultraniedriger Widerstand	Ultra-Low Resistance Dual SPDT Analog Switch	10-QFN		1559.44/3,000	
NLASB3157DFT2	NLASB3157DFT2OSCT-ND	2:1 Multiplexer	2:1 Multiplexer	SOT-363	.46	.36	.26
NLASB3157DFT2	NLASB3157DFT2OSTR-ND	2:1 Multiplexer	2:1 Multiplexer	SOT-363		358.11/3,000	
NLAST4051DR2	NLAST4051DR2OSCT-ND	Analoger Mux/Demux	Analog Mux/Demux	16-SOIC	.69	.57	.46
NLAST4051DR2	NLAST4051DR2OSTR-ND	Analoger Mux/Demux	Analog Mux/Demux	16-SOIC		738.66/2,500	
NLAST4051DTR2	NLAST4051DTR2OSCT-ND	Analoger Mux/Demux	Analog Mux/Demux	16-TSSOP	.69	.57	.46
NLAST4051DTR2	NLAST4051DTR2OSTR-ND	Analoger Mux/Demux	Analog Mux/Demux	16-TSSOP		880.46/2,500	
NLAST4051QSR	NLAST4051QSROSCT-ND	Analoger Mux/Demux	Analog Mux/Demux	16-QSOP	.69	.57	.46
NLAST4052DR2	NLAST4052DR2OSCT-ND	Analoger Mux/Demux	Analog Mux/Demux	16-SOIC	.69	.57	.46
NLAST4052DR2	NLAST4052DR2OSTR-ND	Analoger Mux/Demux	Analog Mux/Demux	16-SOIC		738.66/2,500	
NLAST4052DTR2	NLAST4052DTR2OSCT-ND	Analoger Mux/Demux	Analog Mux/Demux	16-TSSOP	.69	.57	.46
NLAST4052DTR2	NLAST4052DTR2OSTR-ND	Analoger Mux/Demux	Analog Mux/Demux	16-TSSOP		738.66/2,500	
NLAST4052QSR	NLAST4052QSROSCT-ND	Analoger Mux/Demux	Analog Mux/Demux	16-QSOP	.69	.57	.46
NLAST4052QSR	NLAST4052QSROSTR-ND	Analoger Mux/Demux	Analog Mux/Demux	16-QSOP		738.66/2,500	
NLAST4053DR2	NLAST4053DR2OSCT-ND	Dreif. analoger Mux/Demux, 2:1	Triple 2:1 Analog Mux/Demux	16-SOIC	.69	.57	.46
NLAST4053DR2	NLAST4053DR2OSTR-ND	Dreif. analoger Mux/Demux, 2:1	Triple 2:1 Analog Mux/Demux	16-SOIC		738.66/2,500	
NLAST4053DTR2	NLAST4053DTR2OSCT-ND	Dreif. analoger Mux/Demux, 2:1	Triple 2:1 Analog Mux/Demux	16-TSSOP	.69	.57	.46
NLAST4053DTR2	NLAST4053DTR2OSTR-ND	Dreif. analoger Mux/Demux, 2:1	Triple 2:1 Analog Mux/Demux	16-TSSOP		738.66/2,500	
NLAST4053QSR	NLAST4053QSROSCT-ND	Dreif. analoger Mux/Demux, 2:1	Triple 2:1 Analog Mux/Demux	16-QSOP	.69	.57	.46
NLAST4053QSR	NLAST4053QSROSTR-ND	Dreif. analoger Mux/Demux, 2:1	Triple 2:1 Analog Mux/Demux	16-QSOP		738.66/2,500	
NLAST44599DTR2	NLAST44599DTROSCT-ND	Zweif. DPDT-Analogschalter	Dual DPDT Analog Switch	16-TSSOP	1.06	.85	.64
NLAST44599DTR2	NLAST44599DTROSTR-ND	Zweif. DPDT-Analogschalter	Dual DPDT Analog Switch	16-TSSOP		1354.56/2,500	
NLAST44599MNR2	NLAST44599MNROSCT-ND	Zweif. DPDT-Analogschalter	Dual DPDT Analog Switch	16-QFN	1.69	1.36	1.02
NLAST44599MNR2	NLAST44599MNROSTR-ND	Zweif. DPDT-Analogschalter	Dual DPDT Analog Switch	16-QFN		2167.30/2,500	
NLAST4599DFT2	NLAST4599DFT2OSCT-ND	SPDT-Analogschalter, einzelversorgt, Niederspann.	Low Voltage Single Supply SPDT Analog Switch	SOT-363	.42	.34	.26
NLAST4599DFT2	NLAST4599DFT2OSTR-ND	SPDT-Analogschalter, einzelversorgt, Niederspann.	Low Voltage Single Supply SPDT Analog Switch	SOT-363		716.22/6,000	
NLSF595DTR2	NLSF595DTR2OSCT-ND	SPI Tri-Color LED-Driver	SPI Tri-Color LED Driver	16-TSSOP	.68	.57	.46
NLSF595DTR2	NLSF595DTR2OSTR-ND	SPI Tri-Color LED-Driver	SPI Tri-Color LED Driver	16-TSSOP		751.36/2,500	
NLSF595MNR2	NLSF595MNR2OSCT-ND	SPI Tri-Color LED-Driver	SPI Tri-Color LED Driver	16-QFN	.97	.81	.65
NLSF595MNR2	NLSF595MNR2OSTR-ND	SPI Tri-Color LED-Driver	SPI Tri-Color LED Driver	16-QFN		1254.66/3,000	
NUD3105DMT1	NUD3105DMT1OSCT-ND	Integriertes Relais/induktiver Lasttreiber	Integrated Relay, Inductive Load Driver	SC-74	.64	.49	.37
NUD3105DMT1	NUD3105DMT1OSTR-ND	Integriertes Relais/induktiver Lasttreiber	Integrated Relay, Inductive Load Driver	SC-74		688.29/3,000	
NUD3105LT1	NUD3105LT1OSCT-ND	Integriertes Relais/induktiver Lasttreiber	Integrated Relay, Inductive Load Driver	SOT-23	.47	.38	.28
NUD3105LT1	NUD3105LT1OSTR-ND	Integriertes Relais/induktiver Lasttreiber	Integrated Relay, Inductive Load Driver	SOT-23		480.02/3,000	
NUD3112DMT1	NUD3112DMT1OSCT-ND	Integriertes Relais/induktiver Lasttreiber	Integrated Relay, Inductive Load Driver	SC-74	.64	.49	.37
NUD3112DMT1	NUD3112DMT1OSTR-ND	Integriertes Relais/induktiver Lasttreiber	Integrated Relay, Inductive Load Driver	SC-74		627.33/3,000	
NUD3112LT1	NUD3112LT1OSCT-ND	Integriertes Relais/induktiver Lasttreiber	Integrated Relay, Inductive Load Driver	SOT-23	.59	.48	.36
NUD3112LT1	NUD3112LT1OSTR-ND	Integriertes Relais/induktiver Lasttreiber	Integrated Relay, Inductive Load Driver	SOT-23		480.02/3,000	
NUD3124DMT1	NUD3124DMT1OSCT-ND	Induktiver Lasttreiber für Automobile	Automotive Inductive Load Driver	SC-74	.64	.49	.37
NUD3124DMT1	NUD3124DMT1OSTR-ND	Induktiver Lasttreiber für Automobile	Automotive Inductive Load Driver	SC-74		688.29/3,000	
NUD3124LT1	NUD3124LT1OSCT-ND	Induktiver Lasttreiber für Automobile	Automotive Inductive Load Driver	SOT-23	.47	.36	.27
NUD3124LT1	NUD3124LT1OSTR-ND	Induktiver Lasttreiber für Automobile	Automotive Inductive Load Driver	SOT-23		462.24/3,000	
NUD3160DMT1	NUD3160DMT1OSCT-ND	Induktiver Lasttreiber für industrielle Anwendungen	Industrial Inductive Load Driver	SC-74	.64	.49	.37
NUD3160DMT1	NUD3160DMT1OSTR-ND	Induktiver Lasttreiber für industrielle Anwendungen	Industrial Inductive Load Driver	SC-74		688.29/3,000	

(Forts.)

★ ***RUFEN SIE BITTE AN FÜR NIEDRIGERE PREISE BEI GRÖSSEREN MENGEN!*** ★

B

ON Semiconductor Teilenr.	Digi-Key Teilenr.	Beschreibung		Paket	Stückpreis★ 1	25	100
NUD3160LT1	NUD3160LT1OSCT-ND	Induktiver Lasttreiber für industrielle Anwendungen	Industrial Inductive Load Driver	SOT-23	.54	.41	.31
NUD3160LT1	NUD3160LT1OSTR-ND	Induktiver Lasttreiber für industrielle Anwendungen	Industrial Inductive Load Driver	SOT-23		579.07/3,000	
NUD4001DR2	NUD4001DR2OSCT-ND	Hochstrom-LED-Treiber	High Current LED Driver	8-SOIC	.75	.56	.42
NUD4001DR2	NUD4001DR2OSTR-ND	Hochstrom-LED-Treiber	High Current LED Driver	8-SOIC		605.32/2,500	
NUD4011DR2	NUD4011DR2OSCT-ND	Niedrigstrom-LED-Treiber	Low Current LED Driver	8-SOIC	.75	.56	.42
NUD4011DR2	NUD4011DR2OSTR-ND	Niedrigstrom-LED-Treiber	Low Current LED Driver	8-SOIC		605.32/2,500	
NUF2101MT1	NUF2101MT1OSCT-ND	USB-Filter mit ESE-Schutz	USB Filter w/ESD Protection	6-TSOP	.68	.51	.39
NUF2101MT1	NUF2101MT1OSTR-ND	USB-Filter mit ESE-Schutz	USB Filter w/ESD Protection	6-TSOP		723.84/3,000	
NUF2221W1T2	NUF2221W1T2OSCT-ND	USB Upstream-Abschluss mit ESE-Schutz	USB Upstream Terminator with ESD Protection	SOT-363	.72	.58	.44
NUF2221W1T2	NUF2221W1T2OSTR-ND	USB Upstream-Abschluss mit ESE-Schutz	USB Upstream Terminator with ESD Protection	SOT-363		685.75/3,000	
NUF2221W1T2G	NUF2221W1T2GOSCT-ND	USB Upstream-Abschluss mit ESE-Schutz	USB Upstream Terminator with ESD Protection	SOT-363	.72	.58	.44
NUF2221W1T2G	NUF2221W1T2GOSTR-ND	USB Upstream-Abschluss mit ESE-Schutz	USB Upstream Terminator with ESD Protection	SOT-363		685.75/3,000	
NUF2441FCT1G	NUF2441FCT1GOSCT-ND	Integrierter Passivfilter mit ESE-Schutz	Integrated Passive Filter with ESD Protection	6-Flip Chip	.63	.53	.43
NUF2441FCT1G	NUF2441FCT1GOSTR-ND	Integrierter Passivfilter mit ESE-Schutz	Integrated Passive Filter with ESD Protection	6-Flip Chip		825.44/3,000	
NUF3101FCT1G	NUF3101FCT1GOSCT-ND	EMI-Filter, 3 Leitungen	3 Line EMI Filter	8-Flip Chip	.63	.53	.43
NUF3101FCT1G	NUF3101FCT1GOSTR-ND	EMI-Filter, 3 Leitungen	3 Line EMI Filter	8-Flip Chip		825.44/3,000	
NUF4105FCT1	NUF4105FCT1OSCT-ND	4-Kan., EMI-Pi-Filter-Array mit ESE-Schutz +4 ESE-Dioden	4-Ch., EMI Pi-Filter Array with ESD Prot. +4 ESD Diodes	Flip Chip	.68	.55	.41
NUF4105FCT1	NUF4105FCT1OSTR-ND	4-Kan., EMI-Pi-Filter-Array mit ESE-Schutz +4 ESE-Dioden	4-Ch., EMI Pi-Filter Array with ESD Prot. +4 ESD Diodes	Flip Chip		645.11/3,000	
NUF4107FCT1G	NUF4107FCT1GOSCT-ND	4-Kan., EMI-Pi-Filter-Array mit vollem USB-Filter	4-Ch., EMI Pi-Filter Array with Full USB Filter	Flip Chip	.76	.64	.51
NUF4107FCT1G	NUF4107FCT1GOSTR-ND	4-Kan., EMI-Pi-Filter-Array mit vollem USB-Filter	4-Ch., EMI Pi-Filter Array with Full USB Filter	Flip Chip		990.52/3,000	
NUF6105FCT1	NUF6105FCT1OSCT-ND	6-Kan., EMI-Pi-Filter-Array mit ESE-Schutz	6-Ch., EMI Pi-Filter Array with ESD Protection	Flip Chip	.59	.45	.34
NUF6105FCT1	NUF6105FCT1OSTR-ND	6-Kan., EMI-Pi-Filter-Array mit ESE-Schutz	6-Ch., EMI Pi-Filter Array with ESD Protection	Flip Chip		645.11/3,000	
NUF6106FCT1	NUF6106FCT1OSCT-ND	6-Kan., EMI-Pi-Filter-Array mit ESE-Schutz	6-Ch., EMI Pi-Filter Array with ESD Protection	Flip Chip	.76	.64	.51
NUF6106FCT1	NUF6106FCT1OSTR-ND	6-Kan., EMI-Pi-Filter-Array mit ESE-Schutz	6-Ch., EMI Pi-Filter Array with ESD Protection	Flip Chip		990.52/3,000	
NUF9001FCT1	NUF9001FCT1OSCT-ND	EMI-Filter, 10 Leitungen	10 Line EMI Filter	Flip Chip	1.06	.85	.64
NUF9001FCT1	NUF9001FCT1OSTR-ND	EMI-Filter, 10 Leitungen	10 Line EMI Filter	Flip Chip		1625.47/3,000	
NUF9001FCT1G	NUF9001FCT1GOSCT-ND	EMI-Filter, 10 Leitungen	10 Line EMI Filter	Flip Chip	1.06	.85	.64
NUF9001FCT1G	NUF9001FCT1GOSTR-ND	EMI-Filter, 10 Leitungen	10 Line EMI Filter	Flip Chip		1625.47/3,000	
NUP2201MR6T1	NUP2201MR6T1OSCT-ND	Dioden-Array für HS-Datenleitungsschutz, Niedrigkapazität	Low Capacitance Diode TVS Array for High Speed Data Line Protection	6-TSOP	.94	.82	.63
NUP2201MR6T1	NUP2201MR6T1OSTR-ND	Dioden-Array für HS-Datenleitungsschutz, Niedrigkapazität	Low Capacitance Diode TVS Array for High Speed Data Line Protection	6-TSOP		1000.68/3,000	
NUP2201MR6T1G	NUP2201MR6T1GOSCT-ND	Dioden-Array für HS-Datenleitungsschutz, Niedrigkapazität	Low Capacitance Diode TVS Array for High Speed Data Line Protection	6-TSOP	.94	.82	.63
NUP2201MR6T1G	NUP2201MR6T1GOSTR-ND	Dioden-Array für HS-Datenleitungsschutz, Niedrigkapazität	Low Capacitance Diode TVS Array for High Speed Data Line Protection	6-TSOP		1000.68/3,000	
NUP4201DR2	NUP4201DR2OSCT-ND	Oberflächenmontierte TVS, Niedrigkapazität	Low Cap. Surface Mount TVS	8-SOIC	1.51	1.26	1.06
NUP4201DR2	NUP4201DR2OSTR-ND	Oberflächenmontierte TVS, Niedrigkapazität	Low Cap. Surface Mount TVS	8-SOIC		1631.82/2,500	
NUP4201MR6T1	NUP4201MR6T1OSCT-ND	TVS Dioden-Array für HS-Datenleitungsschutz, Niedrigkapazität	Low Capacitance Diode TVS Array for High Speed Data Line Protection	6-TSOP	.94	.82	.63
NUP4201MR6T1	NUP4201MR6T1OSTR-ND	TVS Dioden-Array für HS-Datenleitungsschutz, Niedrigkapazität	Low Capacitance Diode TVS Array for High Speed Data Line Protection	6-TSOP		1000.68/3,000	
NUP4201MR6T1G	NUP4201MR6T1GOSCT-ND	TVS Dioden-Array für HS-Datenleitungsschutz, Niedrigkapazität	Low Capacitance Diode TVS Array for High Speed Data Line Protection	6-TSOP	.94	.82	.63
NUP4201MR6T1G	NUP4201MR6T1GOSTR-ND	TVS Dioden-Array für HS-Datenleitungsschutz, Niedrigkapazität	Low Capacitance Diode TVS Array for High Speed Data Line Protection	6-TSOP		1000.68/3,000	
NUP6101DMR2	NUP6101DMR2OSCT-ND	Unidirektionales TVS-Array	Unidirectional TVS Array	8-Micro	1.07	.89	.72
NUP6101DMR2	NUP6101DMR2OSTR-ND	Unidirektionales TVS-Array	Unidirectional TVS Array	8-Micro		1848.97/4,000	
NZF220DFT1	NZF220DFT1OSCT-ND	EMI-Filter mit ESE-Schutz	EMI Filter with ESD Protection	SOT-353	.47	.38	.28
NZF220DFT1	NZF220DFT1OSTR-ND	EMI-Filter mit ESE-Schutz	EMI Filter with ESD Protection	SOT-353		520.66/3,000	
NZF220TT1	NZF220TT1OSCT-ND	EMI-Filter mit ESE-Schutz	EMI Filter with ESD Protection	SOT-416	.45	.35	.25
NZF220TT1	NZF220TT1OSTR-ND	EMI-Filter mit ESE-Schutz	EMI Filter with ESD Protection	SOT-416		353.03/3,000	
NZMM7V0T4	NZMM7V0T4OSCT-ND	EMI-Filter mit ESE-Schutz	EMI Filter w/ESD Protection	24-MLF	1.44	1.16	.87
NZMM7V0T4	NZMM7V0T4OSTR-ND	EMI-Filter mit ESE-Schutz	EMI Filter w/ESD Protection	24-MLF		2946.17/4,000	
SG3525AN	SG3525ANOS-ND	PWM-Steuerkreis	PWM Control Circuit	16-Dip	1.52	1.27	1.02
SMS05T1	SMS05T1OSCT-ND	Vierf. Stoßspannungsunterdrücker, 350 W, 5 V	350W, 5V, Quad Transient Volt. Suppressor	SC-74-6	.30	.24	.18
SMS05T1	SMS05T1OSTR-ND	Vierf. Stoßspannungsunterdrücker, 350 W, 5 V	350W, 5V, Quad Transient Volt. Suppressor	SC-74-6		302.24/3,000	
STF202-22T1	STF202-22T1OSCT-ND	USB-Filter mit ESE-Schutz	USB Filter w/ESD Protection	6-TSOP	.60	.49	.37
STF202-22T1	STF202-22T1OSTR-ND	USB-Filter mit ESE-Schutz	USB Filter w/ESD Protection	6-TSOP		543.52/3,000	
STF202-22T1G	STF202-22T1GOSCT-ND	USB-Filter mit ESE-Schutz	USB Filter w/ESD Protection	6-TSOP	.60	.49	.37
STF202-22T1G	STF202-22T1GOSTR-ND	USB-Filter mit ESE-Schutz	USB Filter w/ESD Protection	6-TSOP		543.52/3,000	
TCA0372DP1	TCA0372DP1OS-ND	Zweif. Leistungs-OpAmp, 1 A	1.0A, Dual Power Op Amp	8-Dip	.83	.70	.56
TCA0372DWR2	TCA0372DWR2OSCT-ND	Zweif. Leistungs-OpAmp, 1 A	1.0A, Dual Power Op Amp	16-SOIC	.69	.57	.46
TCA0372DWR2	TCA0372DWR2OSTR-ND	Zweif. Leistungs-OpAmp, 1 A	1.0A, Dual Power Op Amp	16-SOIC		302.24/1,000	
TDA1085C	TDA1085COS-ND	Universalmotor-Geschwindigkeits-Controller	Universal Motor Speed Controller	16-Dip	1.42	1.14	.86
TL431ACDR2	TL431ACDR2OSCT-ND	Programmierbare Präzisions-Referenz, 2,5 V	2.5V, Programmable Precision Ref.	8-SOIC	.25	.20	.15
TL431ACDR2	TL431ACDR2OSTR-ND	Programmierbare Präzisions-Referenz, 2,5 V	2.5V, Programmable Precision Ref.	8-SOIC		273.03/2,500	
TL431ACLP	TL431ACLPOS-ND	Programmierbare Präzisions-Referenz, 2,5 V	2.5V, Programmable Precision Ref.	TO-92	.38	.29	.21
TL431ACLPRA	TL431ACLPRAOS-ND	Programmierbare Präzisions-Referenz, 2,5 V	2.5V, Programmable Precision Ref.	TO-92	.38	.29	.21
TL431AIDR2	TL431AIDR2OSCT-ND	Programmierbare Präzisions-Referenz, 2,5 V	2.5V, Programmable Precision Ref.	8-SOIC	.28	.22	.16
TL431AIDR2	TL431AIDR2OSTR-ND	Programmierbare Präzisions-Referenz, 2,5 V	2.5V, Programmable Precision Ref.	8-SOIC		237.05/2,500	
TL431AILP	TL431AILPOS-ND	Programmierbare Präzisions-Referenz, 2,5 V	2.5V, Programmable Precision Ref.	TO-92	.35	.29	.22
TL431AILPRA	TL431AILPRAOS-ND	Programmierbare Präzisions-Referenz, 2,5 V	2.5V, Programmable Precision Ref.	TO-92	.35	.29	.22
TL431BIDR2	TL431BIDR2OSCT-ND	Programmierbare Präzisions-Referenz, 2,5 V	2.5V, Programmable Precision Ref.	8-SOIC	.43	.33	.25
TL431BIDR2	TL431BIDR2OSTR-ND	Programmierbare Präzisions-Referenz, 2,5 V	2.5V, Programmable Precision Ref.	8-SOIC		353.46/2,500	
TL431CDR2	TL431CDR2OSCT-ND	Programmierbare Präzisions-Referenz, 2,5 V	2.5V, Programmable Precision Ref.	8-SOIC	.19	.15	.12
TL431CDR2	TL431CDR2OSTR-ND	Programmierbare Präzisions-Referenz, 2,5 V	2.5V, Programmable Precision Ref.	8-SOIC		209.53/2,500	
TL431CLP	TL431CLPOS-ND	Programmierbare Präzisions-Referenz, 2,5 V	2.5V, Programmable Precision Ref	TO-92	.32	.26	.18
TL431IDR2	TL431IDR2OSCT-ND	Programmierbare Präzisions-Referenz, 2,5 V	2.5V, Programmable Precision Ref.	8-SOIC	.27	.21	.16
TL431IDR2	TL431IDR2OSTR-ND	Programmierbare Präzisions-Referenz, 2,5 V	2.5V, Programmable Precision Ref.	8-SOIC		285.73/2,500	
TL431ILP	TL431ILPOS-ND	Programmierbare Präzisions-Referenz, 2,5 V	2.5V, Programmable Precision Ref.	TO-92	.40	.32	.24
TL431ILPRA	TL431ILPRAOS-ND	Programmierbare Präzisions-Referenz, 2,5 V	2.5V, Programmable Precision Ref.	TO-92	.40	.32	.24
TL431IP	TL431IPOS-ND	Programmierbare Präzisions-Referenz, 2,5 V	2.5V, Programmable Precision Ref.	8-Dip	.45	.36	.27
TL494CN	TL494CNOS-ND	Switchmode™ Impulsbreiten-Modulationssteuerschaltkreis	Switchmode™ Pulse Width Modulation Control Circuit	16-Dip	.79	.60	.45
UAA2016P	UAA2016POS-ND	Nullspannungsschalter-Leistungs-Controller	Zero Volt. Switch Power Controller	8-Dip	1.17	.94	.71
UC2842AN	UC2842ANOS-ND	Hochleistungs- Stromschaltungsregler	High Perf. Current Mode Controller	8-Dip	.73	.55	.42
UC2843ADR2	UC2843ADR2OSCT-ND	Hochleistungs- Stromschaltungsregler	High Perf. Current Mode Controller	14-SOIC	.49	.41	.33
UC2843ADR2	UC2843ADR2OSTR-ND	Hochleistungs- Stromschaltungsregler	High Perf. Current Mode Controller	14-SOIC		529.13/2,500	
UC2843AN	UC2843ANOS-ND	Hochleistungs- Stromschaltungsregler	High Perf. Current Mode Controller	8-Dip	.73	.55	.42
UC2844N	UC2844NOS-ND	Hochleistungs- Stromschaltungsregler	High Perf. Current Mode Controller	8-Dip	.73	.55	.42
UC2845N	UC2845NOS-ND	Hochleistungs- Stromschaltungsregler	High Perf. Current Mode Controller	8-Dip	.65	.49	.37
UC3842ADR2	UC3842ADR2OSCT-ND	Hochleistungs- Stromschaltungsregler	High Perf. Current Mode Controller	14-SOIC	.66	.53	.40
UC3842ADR2	UC3842ADR2OSTR-ND	Hochleistungs- Stromschaltungsregler	High Perf. Current Mode Controller	14-SOIC		522.78/2,500	
UC3842AN	UC3842ANOS-ND	Hochleistungs- Stromschaltungsregler	High Perf. Current Mode Controller	8-Dip	.66	.53	.40
UC3842BN	UC3842BNOS-ND	Hochleistungs- Stromschaltungsregler	High Perf. Current Mode Controller	8-Dip	.62	.50	.37
UC3843ADR2	UC3843ADR2OSCT-ND	Hochleistungs- Stromschaltungsregler	High Perf. Current Mode Controller	14-SOIC	.47	.40	.32
UC3843ADR2	UC3843ADR2OSTR-ND	Hochleistungs- Stromschaltungsregler	High Perf. Current Mode Controller	14-SOIC		601.09/2,500	
UC3843AN	UC3843ANOS-ND	Hochleistungs- Stromschaltungsregler	High Perf. Current Mode Controller	8-Dip	.63	.48	.36
UC3843BN	UC3843BNOS-ND	Hochleistungs- Stromschaltungsregler	High Perf. Current Mode Controller	8-Dip	.62	.50	.37
UC3843BVD1R2	UC3843BVD1R2OSCT-ND	Hochleistungs- Stromschaltungsregler	High Perf. Current Mode Controller	8-SOIC	1.09	.92	.73
UC3843BVD1R2	UC3843BVD1R2OSTR-ND	Hochleistungs- Stromschaltungsregler	High Perf. Current Mode Controller	8-SOIC		1183.12/2,500	
UC3843BVDR2	UC3843BVDR2OSCT-ND	Hochleistungs- Stromschaltungsregler	High Perf. Current Mode Controller	14-SOIC	1.09	.92	.73
UC3843BVDR2	UC3843BVDR2OSTR-ND	Hochleistungs- Stromschaltungsregler	High Perf. Current Mode Controller	14-SOIC		1183.12/2,500	
UC3844BD	UC3844BDOS-ND	Hochleistungs- Stromschaltungsregler	High Perf. Current Mode Controller	14-SOIC	.69	.56	.42
UC3844N	UC3844NOS-ND	Hochleistungs- Stromschaltungsregler	High Perf. Current Mode Controller	8-Dip	.59	.45	.34
UC3845DR2	UC3845DR2OSCT-ND	Hochleistungs- Stromschaltungsregler	High Perf. Current Mode Controller	14-SOIC	.43	.36	.29
UC3845DR2	UC3845DR2OSTR-ND	Hochleistungs- Stromschaltungsregler	High Perf. Current Mode Controller	14-SOIC		465.63/2,500	
UC3845N	UC3845NOS-ND	Hochleistungs- Stromschaltungsregler	High Perf. Current Mode Controller	8-Dip	.59	.45	.34

★ RUFEN SIE BITTE AN FÜR NIEDRIGERE PREISE BEI GRÖSSEREN MENGEN! ★

STMicroelectronics Teilenr.	Digi-Key Teilenr.	Beschreibung		Paket	Stückpreis★ 1	10	100
74AC02B	497-1324-5-ND	Vierf. NOR-Gate mit 2 Eingängen	Quad 2-Input NOR Gate	14-Dip	.43	.33	.24
74AC02MTR	497-1014-1-ND	Vierf. NOR-Gate mit 2 Eingängen	Quad 2-Input NOR Gate	14-SOIC	.65	.52	.39
74AC02MTR	497-1014-2-ND	Vierf. NOR-Gate mit 2 Eingängen	Quad 2-Input NOR Gate	14-SOIC		512.19/2,500	
74AC04MTR	497-1015-1-ND	Sechsf. Inverter	Hex Inverter	14-SOIC	.47	.38	.28
74AC04MTR	497-1015-2-ND	Sechsf. Inverter	Hex Inverter	14-SOIC		349.22/2,500	
74AC08B	497-1325-5-ND	Vierf. AND-Gate mit 2 Eingängen	Quad 2-Input AND Gate	14-Dip	.43	.33	.24
74AC08MTR	497-1016-1-ND	Vierf. AND-Gate mit 2 Eingängen	Quad 2-Input AND Gate	14-SOIC	.47	.38	.28
74AC08MTR	497-1016-2-ND	Vierf. AND-Gate mit 2 Eingängen	Quad 2-Input AND Gate	14-SOIC		349.22/2,500	
74AC14MTR	497-1019-1-ND	Sechsf. Schmitt Inverter	Hex Schmitt Inverter	14-SOIC	.47	.38	.28
74AC14MTR	497-1019-2-ND	Sechsf. Schmitt Inverter	Hex Schmitt Inverter	14-SOIC		349.22/2,500	
74AC32MTR	497-1026-1-ND	Vierf. OR-Gate mit 2 Eingängen	Quad 2-Input OR Gate	14-SOIC	.41	.33	.25
74AC32MTR	497-1026-2-ND	Vierf. OR-Gate mit 2 Eingängen	Quad 2-Input OR Gate	14-SOIC		302.66/2,500	
74AC74B	497-1329-5-ND	Zweif. D-Flip-Flop mit Voreinstellung und Löschen	Dual D-Type F/F with Preset and Clear	14-Dip	.43	.33	.24
74AC74MTR	497-1030-1-ND	Zweif. D-Flip-Flop mit Voreinstellung und Löschen	Dual D-Type F/F with Preset and Clear	14-SOIC	.41	.33	.25
74AC74MTR	497-1030-2-ND	Zweif. D-Flip-Flop mit Voreinstellung und Löschen	Dual D-Type F/F with Preset and Clear	14-SOIC		302.66/2,500	
74AC125MTR	497-1017-1-ND	Vierf. Bus-Puffer, Tri-State	Tri-State Quad Bus Buffer	14-SOIC	.47	.38	.28
74AC125MTR	497-1017-2-ND	Vierf. Bus-Puffer, Tri-State	Tri-State Quad Bus Buffer	14-SOIC		349.22/2,500	
74AC138MTR	497-1018-1-ND	3-8 invertierender Leitungs-Dekodierer	3-8 Inverting Line Decoder	16-SOIC	.51	.41	.28
74AC138MTR	497-1018-2-ND	3-8 invertierender Leitungs-Dekodierer	3-8 Inverting Line Decoder	16-SOIC		380.97/2,500	
74AC240MTR	497-2911-1-ND	Achtf. Bus-Puffer, Tri-State	Tri-State Octal Bus Buffer	20-SOIC	.58	.46	.35
74AC240MTR	497-2911-2-ND	Achtf. Bus-Puffer, Tri-State	Tri-State Octal Bus Buffer	20-SOIC		197.26/1,000	
74AC240TTR	497-2912-1-ND	Achtf. Bus-Puffer, Tri-State	Tri-State Octal Bus Buffer	20-TSSOP	.55	.44	.30
74AC240TTR	497-2912-2-ND	Achtf. Bus-Puffer, Tri-State	Tri-State Octal Bus Buffer	20-TSSOP		412.72/2,500	
74AC244MTR	497-1023-1-ND	Achtf. Bus-Puffer, Tri-State	Tri-State Octal Bus Buffer	20-SOIC	.55	.44	.30
74AC244MTR	497-1023-2-ND	Achtf. Bus-Puffer, Tri-State	Tri-State Octal Bus Buffer	20-SOIC		176.09/1,000	
74AC244TTR	497-2913-1-ND	Achtf. Bus-Puffer, Tri-State	Tri-State Octal Bus Buffer	20-TSSOP	.55	.44	.30
74AC244TTR	497-2913-2-ND	Achtf. Bus-Puffer, Tri-State	Tri-State Octal Bus Buffer	20-TSSOP		412.72/2,500	
74AC245B	497-1327-5-ND	Achtf. Bus-Transceiver, Tri-State	Tri-State Octal Bus Transceiver	20-Dip	.61	.49	.37
74AC245MTR	497-1024-1-ND	Achtf. Bus-Transceiver, Tri-State	Tri-State Octal Bus Transceiver	20-SOIC	.59	.48	.32
74AC245MTR	497-1024-2-ND	Achtf. Bus-Transceiver, Tri-State	Tri-State Octal Bus Transceiver	20-SOIC		189.64/1,000	
74AC245TTR	497-2914-1-ND	Achtf. Bus-Transceiver, Tri-State	Tri-State Octal Bus Transceiver	20-TSSOP	.72	.58	.39
74AC245TTR	497-2914-2-ND	Achtf. Bus-Transceiver, Tri-State	Tri-State Octal Bus Transceiver	20-TSSOP		539.71/2,500	
74AC257MTR	497-1025-1-ND	Vierf. 2-Kanal-Mux, Tri-State	Tri-State Quad 2-Channel Mux	16-SOIC	.55	.44	.30
74AC257MTR	497-1025-2-ND	Vierf. 2-Kanal-Mux, Tri-State	Tri-State Quad 2-Channel Mux	16-SOIC		412.72/2,500	
74AC374B	497-1328-5-ND	Achtf. D-Flip-Flop, Tri-State	Tri-State Octal D-Type Flip-Flop	20-Dip	.61	.49	.37
74AC374MTR	497-1027-1-ND	Achtf. D-Flip-Flop, Tri-State	Tri-State Octal D-Type Flip-Flop	20-SOIC	.69	.55	.42
74AC374MTR	497-1027-2-ND	Achtf. D-Flip-Flop, Tri-State	Tri-State Octal D-Type Flip-Flop	20-SOIC		236.20/1,000	
74AC541MTR	497-2915-1-ND	Achtf. Bus-Puffer, Tri-State	Tri-State Octal Bus Buffer	20-SOIC	.72	.58	.39
74AC541MTR	497-2915-2-ND	Achtf. Bus-Puffer, Tri-State	Tri-State Octal Bus Buffer	20-SOIC		230.28/1,000	
74AC573MTR	497-1028-1-ND	Achtf. D-Latch, Tri-State	Tri-State Octal D-Type Latch	20-SOIC	.55	.44	.30
74AC573MTR	497-1028-2-ND	Achtf. D-Latch, Tri-State	Tri-State Octal D-Type Latch	20-SOIC		176.09/1,000	
74AC574MTR	497-1029-1-ND	Achtf. D-Flip-Flop, Tri-State	Tri-State Octal D-Type Flip-Flop	20-SOIC	.55	.44	.30
74AC574MTR	497-1029-2-ND	Achtf. D-Flip-Flop, Tri-State	Tri-State Octal D-Type Flip-Flop	20-SOIC		176.09/1,000	
74AC16244TTR	497-1020-1-ND	Bus-Puffer, Tri-State, 16-Bit	Tri-State 16-Bit Bus Buffer	48-TSSOP	1.14	1.00	.77
74AC16244TTR	497-1020-2-ND	Bus-Puffer, Tri-State, 16-Bit	Tri-State 16-Bit Bus Buffer	48-TSSOP		883.85/2,000	
74ACT02B	497-1330-5-ND	Vierf. NOR-Gate mit 2 Eingängen	Quad 2-Input NOR Gate	14-Dip	.43	.33	.24
74ACT02MTR	497-1031-1-ND	Vierf. NOR-Gate mit 2 Eingängen	Quad 2-Input NOR Gate	14-SOIC	.41	.26	.20
74ACT02MTR	497-1031-2-ND	Vierf. NOR-Gate mit 2 Eingängen	Quad 2-Input NOR Gate	14-SOIC		270.91/2,500	
74ACT14MTR	497-1034-1-ND	Sechsf. Schmitt Inverter	Hex Schmitt Inverter	14-SOIC	.47	.38	.28
74ACT14MTR	497-1034-2-ND	Sechsf. Schmitt Inverter	Hex Schmitt Inverter	14-SOIC		349.22/2,500	
74ACT138MTR	497-1033-1-ND	3-8 invertierender Leitungs-Dekodierer	3-8 Inverting Line Decoder	16-SOIC	.59	.48	.36
74ACT138MTR	497-1033-2-ND	3-8 invertierender Leitungs-Dekodierer	3-8 Inverting Line Decoder	16-SOIC		444.47/2,500	
74ACT240MTR	497-1040-1-ND	Achtf. Bus-Puffer, Tri-State	Tri-State Octal Bus Buffer	20-SOIC	.63	.51	.35
74ACT240MTR	497-1040-2-ND	Achtf. Bus-Puffer, Tri-State	Tri-State Octal Bus Buffer	20-SOIC		203.18/1,000	
74ACT244B	497-1331-5-ND	Achtf. Bus-Puffer, Tri-State	Tri-State Octal Bus Buffer	20-Dip	.98	.86	.66
74ACT244MTR	497-1041-1-ND	Achtf. Bus-Puffer, Tri-State	Tri-State Octal Bus Buffer	20-SOIC	.55	.44	.30
74ACT244MTR	497-1041-2-ND	Achtf. Bus-Puffer, Tri-State	Tri-State Octal Bus Buffer	20-SOIC		176.09/1,000	
74ACT244TTR	497-2916-1-ND	Achtf. Bus-Puffer, Tri-State	Tri-State Octal Bus Buffer	20-TSSOP	.55	.44	.30
74ACT244TTR	497-2916-2-ND	Achtf. Bus-Puffer, Tri-State	Tri-State Octal Bus Buffer	20-TSSOP		412.72/2,500	
74ACT257MTR	497-1042-1-ND	Vierf. 2-Kanal-Mux, Tri-State	Tri-State Quad 2-Channel Mux	16-SOIC	.51	.41	.31
74ACT257MTR	497-1042-2-ND	Vierf. 2-Kanal-Mux, Tri-State	Tri-State Quad 2-Channel Mux	16-SOIC		380.97/2,500	
74ACT273B	497-1332-5-ND	Achtf. D-Flip-Flop mit Löschen	Octal D-Type Flip-Flop with Clear	20-Dip	.61	.49	.37
74ACT273MTR	497-1043-1-ND	Achtf. D-Flip-Flop mit Löschen	Octal D-Type Flip-Flop with Clear	20-SOIC	.68	.49	.37
74ACT273MTR	497-1043-2-ND	Achtf. D-Flip-Flop mit Löschen	Octal D-Type Flip-Flop with Clear	20-SOIC		216.73/1,000	
74ACT299TTR	497-4140-1-ND	PIPO-Schieberegister, 8-Bit	8-Bit PIPO Shift Register	20-TSSOP	.58	.46	.35
74ACT299TTR	497-4140-2-ND	PIPO-Schieberegister, 8-Bit	8-Bit PIPO Shift Register	20-TSSOP		452.93/2,500	
74ACT374TTR	497-4141-1-ND	Achtf. D-Flip-Flop, Tri-State, F/F	Tri-State Octal D-Type F/F	20-TSSOP	.58	.46	.35
74ACT374TTR	497-4141-2-ND	Achtf. D-Flip-Flop, Tri-State, F/F	Tri-State Octal D-Type F/F	20-TSSOP		452.93/2,500	
74ACT541MTR	497-1044-1-ND	Achtf. Bus-Puffer, Tri-State	Tri-State Octal Bus Buffer	20-SOIC	.76	.61	.42
74ACT541MTR	497-1044-2-ND	Achtf. Bus-Puffer, Tri-State	Tri-State Octal Bus Buffer	20-SOIC		243.82/1,000	
74ACT573B	497-1334-5-ND	Achtf. D-Latch, Tri-State	Tri-State Octal D-Type Latch	20-Dip	.61	.49	.37
74ACT573MTR	497-1045-1-ND	Achtf. D-Latch, Tri-State	Tri-State Octal D-Type Latch	20-SOIC	.55	.44	.30
74ACT573MTR	497-1045-2-ND	Achtf. D-Latch, Tri-State	Tri-State Octal D-Type Latch	20-SOIC		176.09/1,000	
74ACT1284MTR	497-1032-1-ND	HS IEEE 1284 Transceiver	High Speed IEEE 1284 Transceiver	20-SOIC	.47	.38	.28
74ACT1284MTR	497-1032-2-ND	HS IEEE 1284 Transceiver	High Speed IEEE 1284 Transceiver	20-SOIC		149.00/1,000	
74ACT16244TTR	497-1035-1-ND	Bus-Puffer, Tri-State, 16-Bit	Tri-State 16-Bit Bus Buffer	48-TSSOP	1.14	1.00	.77
74ACT16244TTR	497-1035-2-ND	Bus-Puffer, Tri-State, 16-Bit	Tri-State 16-Bit Bus Buffer	48-TSSOP		883.85/2,000	
74ACT16245TTR	497-1036-1-ND	Bus-Transceiver, Tri-State, 16-Bit	Tri-State 16-Bit Bus Transceiver	48-TSSOP	1.14	1.00	.77
74ACT16245TTR	497-1036-2-ND	Bus-Transceiver, Tri-State, 16-Bit	Tri-State 16-Bit Bus Transceiver	48-TSSOP		883.85/2,000	
74ACT16373TTR	497-1037-1-ND	D-Latch, Tri-State, 16-Bit	Tri-State 16-Bit D-Type Latch	48-TSSOP	1.14	1.00	.77
74ACT16373TTR	497-1037-2-ND	D-Latch, Tri-State, 16-Bit	Tri-State 16-Bit D-Type Latch	48-TSSOP		883.85/2,000	
74ACT16374TTR	497-1038-1-ND	D-Flip-Flop, Tri-State, 16-Bit	Tri-State 16-Bit D-Type Flip-Flop	48-TSSOP	1.14	1.00	.77
74ACT16374TTR	497-1038-2-ND	D-Flip-Flop, Tri-State, 16-Bit	Tri-State 16-Bit D-Type Flip-Flop	48-TSSOP		883.85/2,000	
74ACT16541TTR	497-1039-1-ND	Bus-Puffer, Tri-State, 16-Bit	Tri-State 16-Bit Bus Buffer	48-TSSOP	1.14	1.00	.77
74ACT16541TTR	497-1039-2-ND	Bus-Puffer, Tri-State, 16-Bit	Tri-State 16-Bit Bus Buffer	48-TSSOP		883.85/2,000	
74ALVCH16244TTR	497-1046-1-ND	Bus-Puffer, LV CMOS 16-Bit	LV CMOS 16-Bit Bus Buffer	48-TSSOP	1.57	1.32	1.11
74ALVCH16244TTR	497-1046-2-ND	Bus-Puffer, LV CMOS 16-Bit	LV CMOS 16-Bit Bus Buffer	48-TSSOP		1417.21/2,000	
74ALVCH16374TTR	497-1047-1-ND	D-Flip-Flop, LV CMOS 16-Bit	LV CMOS 16-Bit D-Type Flip-Flop	48-TSSOP	1.57	1.32	1.11
74ALVCH16374TTR	497-1047-2-ND	D-Flip-Flop, LV CMOS 16-Bit	LV CMOS 16-Bit D-Type Flip-Flop	48-TSSOP		1417.21/2,000	
74ALVCH32245LBR	497-3705-1-ND	Bus Transceiver, Tri-St. Niedersp., CMOS, 32-Bit	Tri-St. Low Volt., CMOS 32-Bit Bus Transceiver	96-LFBGA	5.36	4.89	3.87
74ALVCH32245LBR	497-3705-2-ND	Bus Transceiver, Tri-St. Niedersp., CMOS, 32-Bit	Tri-St. Low Volt., CMOS 32-Bit Bus Transceiver	96-LFBGA		5936.36/2,000	
74ALVCR162245TTR	497-2382-1-ND	3,6 V, 16-Bit Transceiver	3.6V, 16-Bit Transceiver	48-TSSOP	1.52	1.27	1.07
74ALVCR162245TTR	497-2382-2-ND	3,6 V, 16-Bit Transceiver	3.6V, 16-Bit Transceiver	48-TSSOP		1371.49/2,000	

STMicroelectronics Teilenr.	Digi-Key Teilenr.	Stückpreis		Paket	Stückpreis★ 1	10	100
M74HC00B1R	497-1745-5-ND	Vierf. NAND-Gate mit 2 Eingängen	Quad 2-Input NAND Gate	14-Dip	.47	.29	.22
M74HC00RM13TR	497-1746-1-ND	Vierf. NAND-Gate mit 2 Eingängen	Quad 2-Input NAND Gate	14-SOIC	.41	.26	.20
M74HC00RM13TR	497-1746-2-ND	Vierf. NAND-Gate mit 2 Eingängen	Quad 2-Input NAND Gate	14-SOIC		270.91/2,500	
M74HC02B1R	497-1747-5-ND	Vierf. NOR-Gate mit 2 Eingängen	Quad 2-Input NOR Gate	14-Dip	.47	.29	.22
M74HC02RM13TR	497-1748-1-ND	Vierf. NOR-Gate mit 2 Eingängen	Quad 2-Input NOR Gate	14-SOIC	.41	.26	.20

(Forts.)

★ RUFEN SIE BITTE AN FÜR NIEDRIGERE PREISE BEI GRÖSSEREN MENGEN! ★

B

STMicroelectronics Teilenr.	Digi-Key Teilenr.	Beschreibung		Paket	Stückpreis★ 1	10	100
M74HC02RM13TR	497-1748-2-ND	Vierf. NOR-Gate mit 2 Eingängen	Quad 2-Input NOR Gate	14-SOIC		270.91/2,500	
M74HC03B1R	497-1749-5-ND	Vierf. NAND-Gate mit 2 Eingängen, Open Drain	Quad 2-Input Open Drain NAND Gate	14-Dip	.47	.29	.22
M74HC03RM13TR	497-1750-1-ND	Vierf. NAND-Gate mit 2 Eingängen, Open Drain	Quad 2-Input Open Drain NAND Gate	14-SOIC	.41	.26	.20
M74HC03RM13TR	497-1750-2-ND	Vierf. NAND-Gate mit 2 Eingängen, Open Drain	Quad 2-Input Open Drain NAND Gate	14-SOIC		270.91/2,500	
M74HC04B1R	497-1751-5-ND	Sechsf. Inverter	Hex Inverter	14-Dip	.47	.29	.22
M74HC04RM13TR	497-1752-1-ND	Sechsf. Inverter	Hex Inverter	14-SOIC	.41	.26	.20
M74HC04RM13TR	497-1752-2-ND	Sechsf. Inverter	Hex Inverter	14-SOIC		270.91/2,500	
M74HC05B1R	497-1753-5-ND	Sechsf. Inverter, Open Drain	Hex Inverter, Open Drain	14-Dip	.47	.36	.26
M74HC05RM13TR	497-1754-1-ND	Sechsf. Inverter, Open Drain	Hex Inverter, Open Drain	14-SOIC	.41	.26	.20
M74HC05RM13TR	497-1754-2-ND	Sechsf. Inverter, Open Drain	Hex Inverter, Open Drain	14-SOIC		270.91/2,500	
M74HC08B1R	497-1755-5-ND	Vierf. AND-Gate mit 2 Eingängen	Quad 2-Input AND Gate	14-Dip	.47	.29	.22
M74HC08RM13TR	497-1756-1-ND	Vierf. AND-Gate mit 2 Eingängen	Quad 2-Input AND Gate	14-SOIC	.41	.26	.20
M74HC08RM13TR	497-1756-2-ND	Vierf. AND-Gate mit 2 Eingängen	Quad 2-Input AND Gate	14-SOIC		270.91/2,500	
M74HC10B1R	497-1759-5-ND	Dreif. NAND-Gate mit 3 Eingängen	Triple 3-Input NAND Gate	14-Dip	.41	.29	.22
M74HC10RM13TR	497-1760-1-ND	Dreif. NAND-Gate mit 3 Eingängen	Triple 3-Input NAND Gate	14-SOIC	.41	.26	.20
M74HC10RM13TR	497-1760-2-ND	Dreif. NAND-Gate mit 3 Eingängen	Triple 3-Input NAND Gate	14-SOIC		270.91/2,500	
M74HC11B1R	497-1761-5-ND	Dreif. AND-Gate mit 3 Eingängen	Triple 3-Input AND Gate	14-Dip	.46	.37	.28
M74HC11RM13TR	497-1762-1-ND	Dreif. AND-Gate mit 3 Eingängen	Triple 3-Input AND Gate	14-SOIC	.41	.26	.20
M74HC11RM13TR	497-1762-2-ND	Dreif. AND-Gate mit 3 Eingängen	Triple 3-Input AND Gate	14-SOIC		270.91/2,500	
M74HC14B1R	497-1777-5-ND	Sechsf. Schmitt Inverter	Hex Schmitt Inverter	14-Dip	.47	.29	.22
M74HC14RM13TR	497-1778-1-ND	Sechsf. Schmitt Inverter	Hex Schmitt Inverter	14-SOIC	.41	.26	.20
M74HC14RM13TR	497-1778-2-ND	Sechsf. Schmitt Inverter	Hex Schmitt Inverter	14-SOIC		270.91/2,500	
M74HC20B1R	497-1795-5-ND	Zweif. NAND-Gate mit 4 Eingängen	Dual 4-Input NAND Gate	14-Dip	.47	.29	.22
M74HC20RM13TR	497-1796-1-ND	Zweif. NAND-Gate mit 4 Eingängen	Dual 4-Input NAND Gate	14-SOIC	.41	.26	.20
M74HC20RM13TR	497-1796-2-ND	Zweif. NAND-Gate mit 4 Eingängen	Dual 4-Input NAND Gate	14-SOIC		270.91/2,500	
M74HC32B1R	497-1819-5-ND	Vierf. OR-Gate mit 2 Eingängen	Quad 2-Input OR Gate	14-Dip	.41	.29	.22
M74HC32RM13TR	497-1820-1-ND	Vierf. OR-Gate mit 2 Eingängen	Quad 2-Input OR Gate	14-SOIC	.41	.26	.20
M74HC32RM13TR	497-1820-2-ND	Vierf. OR-Gate mit 2 Eingängen	Quad 2-Input OR Gate	14-SOIC		270.91/2,500	
M74HC42B1R	497-1858-5-ND	BCD-zu-Dezimal-Dekodierer	BCD-to-Decimal Decoder	16-Dip	.73	.58	.44
M74HC42RM13TR	497-1859-1-ND	BCD-zu-Dezimal-Dekodierer	BCD-to-Decimal Decoder	16-SOIC	.83	.72	.56
M74HC42RM13TR	497-1859-2-ND	BCD-zu-Dezimal-Dekodierer	BCD-to-Decimal Decoder	16-SOIC		732.31/2,500	
M74HC51B1R	497-1870-5-ND	Zweif. doppelt weites AND/OR-Invert-Gate mit 2 Eingängen	Dual 2 Wide 2-In. AND/OR Invert Gate	14-Dip	.53	.43	.32
M74HC51RM13TR	497-1871-1-ND	Zweif. doppelt weites AND/OR-Invert-Gate mit 2 Eingängen	Dual 2 Wide 2-In. AND/OR Invert Gate	14-SOIC	.47	.29	.22
M74HC51RM13TR	497-1871-2-ND	Zweif. doppelt weites AND/OR-Invert-Gate mit 2 Eingängen	Dual 2 Wide 2-In. AND/OR Invert Gate	14-SOIC		306.89/2,500	
M74HC73RM13TR	497-1884-1-ND	Zweif. J-K Flip-Flop mit Voreinstellung und Löschen.	Dual J-K F/F with Preset and Clear	14-SOIC	.41	.26	.20
M74HC73RM13TR	497-1884-2-ND	Zweif. J-K Flip-Flop mit Voreinstellung und Löschen.	Dual J-K F/F with Preset and Clear	14-SOIC		270.91/2,500	
M74HC74B1R	497-1885-5-ND	Zweif. D-Flip-Flop mit Voreinstellung und Löschen.	Dual D-Type F/F w/Preset and Clear	14-Dip	.38	.31	.23
M74HC74RM13TR	497-1886-1-ND	Zweif. D-Flip-Flop mit Voreinstellung und Löschen.	Dual D-Type F/F w/Preset and Clear	14-SOIC	.47	.29	.22
M74HC74RM13TR	497-1886-2-ND	Zweif. D-Flip-Flop mit Voreinstellung und Löschen.	Dual D-Type F/F w/Preset and Clear	14-SOIC		306.89/2,500	
M74HC85B1R	497-1887-5-ND	4-Bit Größenvergleicher	4-Bit Magnitude Comparator	16-Dip	.51	.37	.28
M74HC85RM13TR	497-1888-1-ND	4-Bit Größenvergleicher	4-Bit Magnitude Comparator	16-SOIC	.47	.34	.26
M74HC85RM13TR	497-1888-2-ND	4-Bit Größenvergleicher	4-Bit Magnitude Comparator	16-SOIC		349.22/2,500	
M74HC86B1R	497-1889-5-ND	Vierf. exklusives OR-Gate	Quad Exclusive OR Gate	14-Dip	.55	.40	.30
M74HC86M1R	497-1890-5-ND	Vierf. exklusives OR-Gate	Quad Exclusive OR Gate	14-SOIC	.76	.61	.46
M74HC123B1R	497-1763-5-ND	Zweif. wieder auslösbarer Mono-Multivibrator	Dual Retriggerable Mono Multivibrator	16-Dip	.55	.40	.30
M74HC123RM13TR	497-1764-1-ND	Zweif. wieder auslösbarer Mono-Multivibrator	Dual Retriggerable Mono Multivibrator	16-SOIC	.51	.37	.28
M74HC123RM13TR	497-1764-2-ND	Zweif. wieder auslösbarer Mono-Multivibrator	Dual Retriggerable Mono Multivibrator	16-SOIC		380.97/2,500	
M74HC125B1R	497-1765-5-ND	Vierf. Bus-Puffer, Tri-State	Tri-State Quad Bus Buffer	14-Dip	.47	.29	.22
M74HC125RM13TR	497-1766-1-ND	Vierf. Bus-Puffer, Tri-State	Tri-State Quad Bus Buffer	14-SOIC	.41	.26	.20
M74HC125RM13TR	497-1766-2-ND	Vierf. Bus-Puffer, Tri-State	Tri-State Quad Bus Buffer	14-SOIC		270.91/2,500	
M74HC132B1R	497-1767-5-ND	Vierf. Schmitt NAND-Gate mit 2 Eingängen	Quad 2-Input Schmitt NAND Gate	14-Dip	.47	.34	.26
M74HC132RM13TR	497-1768-1-ND	Vierf. Schmitt NAND-Gate mit 2 Eingängen	Quad 2-Input Schmitt NAND Gate	14-SOIC	.41	.26	.20
M74HC132RM13TR	497-1768-2-ND	Vierf. Schmitt NAND-Gate mit 2 Eingängen	Quad 2-Input Schmitt NAND Gate	14-SOIC		270.91/2,500	
M74HC133B1R	497-1769-5-ND	NAND-Gate, 13 Eingänge	13-Input NAND Gate	16-Dip	.46	.37	.28
M74HC133RM13TR	497-1770-1-ND	NAND-Gate, 13 Eingänge	13-Input NAND Gate	16-SOIC	.50	.40	.30
M74HC133RM13TR	497-1770-2-ND	NAND-Gate, 13 Eingänge	13-Input NAND Gate	16-SOIC		391.55/2,500	
M74HC138B1R	497-1771-5-ND	3-zu-8-Zeilen-Dekodierer, invertierend	3-to-8 Line Decoder, Inverting	16-Dip	.51	.37	.28
M74HC138RM13TR	497-1772-1-ND	3-zu-8-Zeilen-Dekodierer, invertierend	3-to-8 Line Decoder, Inverting	16-SOIC	.41	.29	.22
M74HC138RM13TR	497-1772-2-ND	3-zu-8-Zeilen-Dekodierer, invertierend	3-to-8 Line Decoder, Inverting	16-SOIC		302.66/2,500	
M74HC139B1R	497-1773-5-ND	Zweif. 2-zu-4-Zeilen-Dekodierer/Demux	Dual 2-to-4 Decoder/Demux	16-Dip	.50	.40	.30
M74HC139RM13TR	497-1774-1-ND	Zweif. 2-zu-4-Zeilen-Dekodierer/Demux	Dual 2-to-4 Decoder/Demux	16-SOIC	.41	.29	.22
M74HC139RM13TR	497-1774-2-ND	Zweif. 2-zu-4-Zeilen-Dekodierer/Demux	Dual 2-to-4 Decoder/Demux	16-SOIC		302.66/2,500	
M74HC148RM13TR	497-1776-1-ND	8-zu-3-Zeilen-Prioritäts-Encoder	8-to-3 Line Priority Encoder	16-SOIC	.41	.29	.22
M74HC148RM13TR	497-1776-2-ND	8-zu-3-Zeilen-Prioritäts-Encoder	8-to-3 Line Priority Encoder	16-SOIC		302.66/2,500	
M74HC151B1R	497-1779-5-ND	8-Kanal-Multiplexer	8-Channel Multiplexer	16-Dip	.46	.37	.28
M74HC151RM13TR	497-1780-1-ND	8-Kanal-Multiplexer	8-Channel Multiplexer	16-SOIC	.47	.34	.26
M74HC151RM13TR	497-1780-2-ND	8-Kanal-Multiplexer	8-Channel Multiplexer	16-SOIC		349.22/2,500	
M74HC153B1R	497-1781-5-ND	Zweif. 4-Kanal-Multiplexer	Dual 4-Channel Multiplexer	16-Dip	.51	.41	.31
M74HC153RM13TR	497-1782-1-ND	Zweif. 4-Kanal-Multiplexer	Dual 4-Channel Multiplexer	16-SOIC	.47	.38	.26
M74HC153RM13TR	497-1782-2-ND	Zweif. 4-Kanal-Multiplexer	Dual 4-Channel Multiplexer	16-SOIC		349.22/2,500	
M74HC155RM13TR	497-1784-1-ND	Zweif. 2-zu-4 und 3-zu-8 Leitungs-Dekodierer	Dual 2-to-4 and 3-to-8 Line Decoder	16-SOIC	.47	.34	.26
M74HC155RM13TR	497-1784-2-ND	Zweif. 2-zu-4 und 3-zu-8 Leitungs-Dekodierer	Dual 2-to-4 and 3-to-8 Line Decoder	16-SOIC		349.22/2,500	
M74HC157RM13TR	497-1786-1-ND	Vierf. 2-Kanal-Multiplexer	Quad 2-Channel Multiplexer	16-SOIC	.41	.29	.22
M74HC157RM13TR	497-1786-2-ND	Vierf. 2-Kanal-Multiplexer	Quad 2-Channel Multiplexer	16-SOIC		302.66/2,500	
M74HC161B1R	497-1787-5-ND	Synch. voreinstellbarer 4-Bit-Zähler	Sync. Presettable 4-Bit Counter	16-Dip	.55	.40	.30
M74HC161RM13TR	497-1788-1-ND	Synch. voreinstellbarer 4-Bit-Zähler	Sync. Presettable 4-Bit Counter	16-SOIC	.41	.29	.22
M74HC161RM13TR	497-1788-2-ND	Synch. voreinstellbarer 4-Bit-Zähler	Sync. Presettable 4-Bit Counter	16-SOIC		302.66/2,500	
M74HC164B1R	497-1789-5-ND	8-Bit SIPO-Schieberegister	8-Bit SIPO Shift Register	14-Dip	.51	.37	.28
M74HC165B1R	497-1790-5-ND	8-Bit PISO-Schieberegister	8-Bit PISO Shift Register	16-Dip	.51	.37	.28
M74HC166RM13TR	497-1791-1-ND	8-Bit PISO-Schieberegister	8-Bit PISO Shift Register	16-SOIC	.41	.29	.22
M74HC166RM13TR	497-1791-2-ND	8-Bit PISO-Schieberegister	8-Bit PISO Shift Register	16-SOIC		302.66/2,500	
M74HC174B1R	497-1792-5-ND	Sechsf. D-Flip-Flop mit Löschen	Hex D-Type Flip-Flop with Clear	16-Dip	.47	.34	.26
M74HC174TTR	497-4274-1-ND	Sechsf. D-Flip-Flop mit Löschen	Hex D-Type Flip-Flop with Clear	16-TSSOP	.51	.41	.31
M74HC174TTR	497-4274-2-ND	Sechsf. D-Flip-Flop mit Löschen	Hex D-Type Flip-Flop with Clear	16-TSSOP		380.97/2,500	
M74HC175B1R	497-1793-5-ND	Vierf. D-Flip-Flop mit Löschen	Quad D-Type Flip-Flop with Clear	16-Dip	.58	.46	.35
M74HC175RM13TR	497-1794-1-ND	Vierf. D-Flip-Flop mit Löschen	Quad D-Type Flip-Flop with Clear	16-SOIC	.41	.29	.22
M74HC175RM13TR	497-1794-2-ND	Vierf. D-Flip-Flop mit Löschen	Quad D-Type Flip-Flop with Clear	16-SOIC		302.66/2,500	
M74HC221B1R	497-1797-5-ND	Zweif. monostab. Multivibrator	Dual Mono Multivibrator	16-Dip	.61	.49	.37
M74HC221RM13TR	497-1798-1-ND	Zweif. monostab. Multivibrator	Dual Mono Multivibrator	16-SOIC	.58	.46	.35
M74HC221RM13TR	497-1798-2-ND	Zweif. monostab. Multivibrator	Dual Mono Multivibrator	16-SOIC		452.93/2,500	
M74HC238B1R	497-1799-5-ND	3-zu-8 Leitungs-Dekodierer	3-to-8 Line Decoder	16-Dip	.65	.52	.39
M74HC238RM13TR	497-1800-1-ND	3-zu-8 Leitungs-Dekodierer	3-to-8 Line Decoder	16-SOIC	.41	.29	.22
M74HC238RM13TR	497-1800-2-ND	3-zu-8 Leitungs-Dekodierer	3-to-8 Line Decoder	16-SOIC		302.66/2,500	
M74HC240B1R	497-1801-5-ND	Achtf. Bus-Puffer, invertiert, Tri-State	Tri-State Octal Bus Buffer, Inverted	20-Dip	.51	.37	.28
M74HC240RM13TR	497-1802-1-ND	Achtf. Bus-Puffer, invertiert, Tri-State	Tri-State Octal Bus Buffer, Inverted	20-SOIC	.47	.38	.26
M74HC240RM13TR	497-1802-2-ND	Achtf. Bus-Puffer, invertiert, Tri-State	Tri-State Octal Bus Buffer, Inverted	20-SOIC		149.00/1,000	
M74HC244B1R	497-1803-5-ND	Achtf. Bus-Puffer, nicht-invertiert, Tri-State	Tri-State Octal Bus Buffer, Non-Inverted	20-Dip	.51	.37	.28
M74HC244RM13TR	497-1804-1-ND	Achtf. Bus-Puffer, nicht-invertiert, Tri-State	Tri-State Octal Bus Buffer, Non-Inverted	20-SOIC	.91	.74	.51
M74HC244RM13TR	497-1804-2-ND	Achtf. Bus-Puffer, nicht-invertiert, Tri-State	Tri-State Octal Bus Buffer, Non-Inverted	20-SOIC		314.94/1,000	
M74HC245B1R	497-1805-5-ND	Achtf. Bus-Transceiver, nicht-invertiert, Tri-State	Tri-State Octal Bus Transceiver, Non-Inverted	20-Dip	.51	.37	.28

(Forts.)

★ *RUFEN SIE BITTE AN FÜR NIEDRIGERE PREISE BEI GRÖSSEREN MENGEN!* ★

STMicroelectronics Teilenr.	Digi-Key Teilenr.	Beschreibung		Paket	Stückpreis★ 1	10	100
M74HC245RM13TR	497-1806-1-ND	Achtf. Bus-Transceiver, nicht-invertiert, Tri-State	Tri-State Octal Bus Transceiver, Non-Inverted	20-SOIC	.47	.38	.26
M74HC245RM13TR	497-1806-2-ND	Achtf. Bus-Transceiver, nicht-invertiert, Tri-State	Tri-State Octal Bus Transceiver, Non-Inverted	20-SOIC		149.00/1,000	
M74HC251B1R	497-1807-5-ND	8-Kanal-Mux, Tri-State	Tri-State 8-Channel Mux	16-Dip	.47	.38	.26
M74HC251RM13TR	497-1808-1-ND	8-Kanal-Mux, Tri-State	Tri-State 8-Channel Mux	16-SOIC	.47	.38	.26
M74HC251RM13TR	497-1808-2-ND	8-Kanal-Mux, Tri-State	Tri-State 8-Channel Mux	16-SOIC		349.22/2,500	
M74HC253RM13TR	497-1809-1-ND	Zweif. 4-Kanal-Mux, Tri-State	Tri-State Dual 4-Channel Mux	16-SOIC	.41	.29	.22
M74HC253RM13TR	497-1809-2-ND	Zweif. 4-Kanal-Mux, Tri-State	Tri-State Dual 4-Channel Mux	16-SOIC		302.66/2,500	
M74HC257B1R	497-1810-5-ND	Vierf. 2-Kanal-Mux, Tri-State	Tri-State Quad 2-Channel Mux	16-Dip	.58	.46	.35
M74HC257RM13TR	497-1811-1-ND	Vierf. 2-Kanal-Mux, Tri-State	Tri-State Quad 2-Channel Mux	16-SOIC	.41	.29	.22
M74HC257RM13TR	497-1811-2-ND	Vierf. 2-Kanal-Mux, Tri-State	Tri-State Quad 2-Channel Mux	16-SOIC		302.66/2,500	
M74HC259B1R	497-1812-5-ND	Adressierbarer 8-Bit Latch	8-Bit Addressable Latch	16-Dip	.89	.77	.60
M74HC273B1R	497-1813-5-ND	Achtf. D-Flip-Flop mit Löschen	Octal D-Type Flip-Flop w/Clear	20-Dip	.61	.49	.37
M74HC273RM13TR	497-1814-1-ND	Achtf. D-Flip-Flop mit Löschen	Octal D-Type Flip-Flop w/Clear	20-SOIC	.47	.34	.26
M74HC273RM13TR	497-1814-2-ND	Achtf. D-Flip-Flop mit Löschen	Octal D-Type Flip-Flop w/Clear	20-SOIC		149.00/1,000	
M74HC280B1R	497-1815-5-ND	9-Bit Paritätsgenerator	9-Bit Parity Generator	14-Dip	.89	.77	.72
M74HC280RM13TR	497-1816-1-ND	9-Bit Paritätsgenerator	9-Bit Parity Generator	14-SOIC	.41	.29	.22
M74HC280RM13TR	497-1816-2-ND	9-Bit Paritätsgenerator	9-Bit Parity Generator	14-SOIC		302.66/2,500	
M74HC299B1R	497-1817-5-ND	8-Bit PIPO-Schieberegister mit asynchr. Löschfunktion	8-Bit PIPO Shift Register with Async. Clear	20-Dip	.58	.46	.35
M74HC299RM13TR	497-1818-1-ND	8-Bit PIPO-Schieberegister mit asynchr. Löschfunktion	8-Bit PIPO Shift Register with Async. Clear	20-SOIC	.76	.61	.46
M74HC299RM13TR	497-1818-2-ND	8-Bit PIPO-Schieberegister mit asynchr. Löschfunktion	8-Bit PIPO Shift Register with Async. Clear	20-SOIC		262.45/1,000	
M74HC365B1R	497-1821-5-ND	Sechsf. Bus-Puffer, Tri-State	Tri-St. Hex Bus Buffer	16-Dip	.53	.43	.32
M74HC365RM13TR	497-1822-1-ND	Sechsf. Bus-Puffer, Tri-State	Tri-St. Hex Bus Buffer	16-SOIC	.41	.26	.20
M74HC365RM13TR	497-1822-2-ND	Sechsf. Bus-Puffer, Tri-State	Tri-St. Hex Bus Buffer	16-SOIC		270.91/2,500	
M74HC367M1R	497-1823-5-ND	Sechsf. Bus-Puffer, Tri-State	Tri-St. Hex Bus Buffer	16-SOIC	.84	.68	.51
M74HC367TTR	497-1824-1-ND	Sechsf. Bus-Puffer, Tri-State	Tri-St. Hex Bus Buffer	16-TSSOP	.63	.39	.30
M74HC367TTR	497-1824-2-ND	Sechsf. Bus-Puffer, Tri-State	Tri-St. Hex Bus Buffer	16-TSSOP		414.83/2,500	
M74HC368RM13TR	497-1826-1-ND	Sechsf. Bus-Puffer, Tri-State	Tri-St. Hex Bus Buffer	16-SOIC	.41	.26	.20
M74HC368RM13TR	497-1826-2-ND	Sechsf. Bus-Puffer, Tri-State	Tri-St. Hex Bus Buffer	16-SOIC		270.91/2,500	
M74HC373B1R	497-1827-5-ND	Achtf. D-Latch, Tri-State	Tri-St. Octal D-Type Latch	20-Dip	.58	.46	.35
M74HC373RM13TR	497-1828-1-ND	Achtf. D-Latch, Tri-State	Tri-St. Octal D-Type Latch	20-SOIC	.47	.34	.26
M74HC373RM13TR	497-1828-2-ND	Achtf. D-Latch, Tri-State	Tri-St. Octal D-Type Latch	20-SOIC		149.00/1,000	
M74HC374B1R	497-1829-5-ND	Achtf. D-Flip-Flop, Tri-State	Tri-St. Octal D-Type Flip-Flop	20-Dip	.51	.37	.28
M74HC374RM13TR	497-1830-1-ND	Achtf. D-Flip-Flop, Tri-State	Tri-St. Octal D-Type Flip-Flop	20-SOIC	.47	.38	.26
M74HC374RM13TR	497-1830-2-ND	Achtf. D-Flip-Flop, Tri-State	Tri-St. Octal D-Type Flip-Flop	20-SOIC		149.00/1,000	
M74HC377RM13TR	497-1832-1-ND	Achtf. D-Flip-Flop	Octal D-Type Flip-Flop	20-SOIC	.51	.41	.28
M74HC377RM13TR	497-1832-2-ND	Achtf. D-Flip-Flop	Octal D-Type Flip-Flop	20-SOIC		162.55/1,000	
M74HC393B1R	497-1833-5-ND	Zweif. Binärzähler	Dual Binary Counter	14-Dip	.61	.49	.37
M74HC393RM13TR	497-1834-1-ND	Zweif. Binärzähler	Dual Binary Counter	14-SOIC	.41	.29	.22
M74HC393RM13TR	497-1834-2-ND	Zweif. Binärzähler	Dual Binary Counter	14-SOIC		302.66/2,500	
M74HC541B1R	497-1873-5-ND	Achtf. Bus-Puffer, Tri-State	Tri-St. Octal Bus Buffer	20-Dip	.61	.49	.37
M74HC541RM13TR	497-1874-1-ND	Achtf. Bus-Puffer, Tri-State	Tri-St. Octal Bus Buffer	20-SOIC	.59	.48	.36
M74HC541RM13TR	497-1874-2-ND	Achtf. Bus-Puffer, Tri-State	Tri-St. Octal Bus Buffer	20-SOIC		189.64/1,000	
M74HC573B1R	497-1875-5-ND	Achtf. D-Latch, Tri-State	Tri-St. Octal D-Type Latch	20-Dip	.58	.46	.35
M74HC573RM13TR	497-1876-1-ND	Achtf. D-Latch, Tri-State	Tri-St. Octal D-Type Latch	20-SOIC	.47	.34	.26
M74HC573RM13TR	497-1876-2-ND	Achtf. D-Latch, Tri-State	Tri-St. Octal D-Type Latch	20-SOIC		149.00/1,000	
M74HC574B1R	497-1877-5-ND	Achtf. D-Flip-Flop, Tri-State	Tri-St. Octal D-Type Flip-Flop	20-Dip	.51	.37	.28
M74HC574RM13TR	497-1878-1-ND	Achtf. D-Flip-Flop, Tri-State	Tri-St. Octal D-Type Flip-Flop	20-SOIC	.51	.37	.28
M74HC574RM13TR	497-1878-2-ND	Achtf. D-Flip-Flop, Tri-State	Tri-St. Octal D-Type Flip-Flop	20-SOIC		162.55/1,000	
M74HC590B1R	497-1879-5-ND	8-binärer Zähler/Register, Tri-State	Tri-St. 8-Binary Counter Register	16-Dip	.53	.43	.32
M74HC595B1R	497-2986-5-ND	8-Bit Schieberegister, Tri-State	Tri-St. 8-Bit Shift Register	16-Dip	.58	.46	.35
M74HC595RM13TR	497-1880-1-ND	8-Bit Schieberegister, Tri-State	Tri-St. 8-Bit Shift Register	16-SOIC	.47	.38	.26
M74HC595RM13TR	497-1880-2-ND	8-Bit Schieberegister, Tri-State	Tri-St. 8-Bit Shift Register	16-SOIC		349.22/2,500	
M74HC597RM13TR	497-1881-1-ND	8-Bit Latch/Schieberegister	8-Bit Latch/Shift Register	16-SOIC	.47	.34	.26
M74HC597RM13TR	497-1881-2-ND	8-Bit Latch/Schieberegister	8-Bit Latch/Shift Register	16-SOIC		349.22/2,500	
M74HC688RM13TR	497-1882-1-ND	8-Bit Größenvergleicher	8-Bit Equality Comparator	20-SOIC	.63	.46	.35
M74HC688RM13TR	497-1882-2-ND	8-Bit Größenvergleicher	8-Bit Equality Comparator	20-SOIC		203.18/1,000	
M74HC688TTR	497-4275-1-ND	8-Bit Größenvergleicher	8-Bit Equality Comparator	20-TSSOP	.61	.49	.37
M74HC688TTR	497-4275-2-ND	8-Bit Größenvergleicher	8-Bit Equality Comparator	20-TSSOP		482.56/2,500	
M74HC4017B1R	497-1835-5-ND	Dekadischer Zähler/Teiler	Decade Counter/Divider	16-Dip	.61	.49	.37
M74HC4017RM13TR	497-1836-1-ND	Dekadischer Zähler/Teiler	Decade Counter/Divider	16-SOIC	.55	.40	.30
M74HC4017RM13TR	497-1836-2-ND	Dekadischer Zähler/Teiler	Decade Counter/Divider	16-SOIC		412.72/2,500	
M74HC4020RM13TR	497-1837-1-ND	14-Phasen-Binärzähler	14-Stage Binary Counter	16-SOIC	.41	.29	.22
M74HC4020RM13TR	497-1837-2-ND	14-Phasen-Binärzähler	14-Stage Binary Counter	16-SOIC		302.66/2,500	
M74HC4024B1R	497-1838-5-ND	7-Phasen-Binärzähler	7-Stage Binary Counter	14-Dip	.58	.46	.35
M74HC4024RM13TR	497-1839-1-ND	7-Phasen-Binärzähler	7-Stage Binary Counter	14-SOIC	.58	.46	.35
M74HC4024RM13TR	497-1839-2-ND	7-Phasen-Binärzähler	7-Stage Binary Counter	14-SOIC		452.93/2,500	
M74HC4040B1R	497-1840-5-ND	12-Phasen Binärzähler	12-Stage Binary Counter	16-Dip	.58	.46	.35
M74HC4049B1R	497-1841-5-ND	Sechsf. Puffer/Umsetzer	Hex Buffer/Converter	16-Dip	.73	.58	.44
M74HC4049RM13TR	497-1842-1-ND	Sechsf. Puffer/Umsetzer	Hex Buffer/Converter	16-SOIC	.41	.26	.20
M74HC4049RM13TR	497-1842-2-ND	Sechsf. Puffer/Umsetzer	Hex Buffer/Converter	16-SOIC		270.91/2,500	
M74HC4050B1R	497-1843-5-ND	Sechsf. Puffer/Umsetzer	Hex Buffer/Converter	16-Dip	1.34	1.16	.89
M74HC4050RM13TR	497-1844-1-ND	Sechsf. Puffer/Umsetzer	Hex Buffer/Converter	16-SOIC	.51	.37	.28
M74HC4050RM13TR	497-1844-2-ND	Sechsf. Puffer/Umsetzer	Hex Buffer/Converter	16-SOIC		380.97/2,500	
M74HC4051B1R	497-1845-5-ND	Einf. 8-Kanal-Analog-Mux/Demux	Single 8-Ch. Analog Mux/Demux	16-Dip	.65	.52	.39
M74HC4051RM13TR	497-1846-1-ND	Einf. 8-Kanal-Analog-Mux/Demux	Single 8-Ch. Analog Mux/Demux	16-SOIC	.58	.46	.35
M74HC4051RM13TR	497-1846-2-ND	Einf. 8-Kanal-Analog-Mux/Demux	Single 8-Ch. Analog Mux/Demux	16-SOIC		452.93/2,500	
M74HC4052B1R	497-1847-5-ND	Zweif. 4-Kanal-Analog-Mux/Demux	Dual 4-Ch. Analog Mux/Demux	16-Dip	.53	.43	.32
M74HC4052RM13TR	497-1848-1-ND	Zweif. 4-Kanal-Analog-Mux/Demux	Dual 4-Ch. Analog Mux/Demux	16-SOIC	.41	.29	.22
M74HC4052RM13TR	497-1848-2-ND	Zweif. 4-Kanal-Analog-Mux/Demux	Dual 4-Ch. Analog Mux/Demux	16-SOIC		302.66/2,500	
M74HC4053B1R	497-1849-5-ND	Dreif. 2-Kanal-Analog-Mux/Demux	Triple 2-Ch. Analog Mux/Demux	16-Dip	.47	.34	.26
M74HC4053RM13TR	497-1850-1-ND	Dreif. 2-Kanal-Analog-Mux/Demux	Triple 2-Ch. Analog Mux/Demux	16-SOIC	.51	.37	.28
M74HC4053RM13TR	497-1850-2-ND	Dreif. 2-Kanal-Analog-Mux/Demux	Triple 2-Ch. Analog Mux/Demux	16-SOIC		380.97/2,500	
M74HC4060RM13TR	497-1852-1-ND	14-Phasen-Binärzähler/Oszillator	14-Stage Binary Counter/Oscillator	16-SOIC	.47	.34	.26
M74HC4060RM13TR	497-1852-2-ND	14-Phasen-Binärzähler/Oszillator	14-Stage Binary Counter/Oscillator	16-SOIC		349.22/2,500	
M74HC4066B1R	497-1853-5-ND	Vierf. Bilateralschalter	Quad Bilateral Switch	14-Dip	.47	.29	.22
M74HC4066RM13TR	497-1854-1-ND	Vierf. Bilateralschalter	Quad Bilateral Switch	14-SOIC	.41	.33	.25
M74HC4066RM13TR	497-1854-2-ND	Vierf. Bilateralschalter	Quad Bilateral Switch	14-SOIC		302.66/2,500	
M74HC4075B1R	497-1855-5-ND	Dreif. OR-Gate mit 3 Eingängen	Triple 3-Input OR Gate	14-Dip	.97	.84	.65
M74HC4075RM13TR	497-1856-1-ND	Dreif. OR-Gate mit 3 Eingängen	Triple 3-Input OR Gate	14-SOIC	.58	.46	.35
M74HC4075RM13TR	497-1856-2-ND	Dreif. OR-Gate mit 3 Eingängen	Triple 3-Input OR Gate	14-SOIC		452.93/2,500	
M74HC4094B1R	497-2985-5-ND	8-Bit SIPO Schiebe-Latch-Register, Tri-State	Tri-St. 8-Bit SIPO Shift Latch Register	16-Dip	.58	.46	.35
M74HC4094RM13TR	497-1857-1-ND	8-Bit SIPO Schiebe-Latch-Register, Tri-State	Tri-St. 8-Bit SIPO Shift Latch Register	16-SOIC	.41	.29	.22
M74HC4094RM13TR	497-1857-2-ND	8-Bit SIPO Schiebe-Latch-Register, Tri-State	Tri-St. 8-Bit SIPO Shift Latch Register	16-SOIC		302.66/2,500	
M74HC4316B1R	497-1860-5-ND	Vierf. Bilateralschalter	Quad Bilateral Switch	16-Dip	.59	.48	.36
M74HC4316RM13TR	497-1861-1-ND	Vierf. Bilateralschalter	Quad Bilateral Switch	16-SOIC	.58	.46	.35
M74HC4316RM13TR	497-1861-2-ND	Vierf. Bilateralschalter	Quad Bilateral Switch	16-SOIC		452.93/2,500	
M74HC4520B1R	497-1862-5-ND	Zweif. 4-Bit Binärzähler	Dual 4-Bit Binary Counter	16-Dip	.61	.49	.37
M74HC4520RM13TR	497-1863-1-ND	Zweif. 4-Bit Binärzähler	Dual 4-Bit Binary Counter	16-SOIC	.58	.46	.35
M74HC4520RM13TR	497-1863-2-ND	Zweif. 4-Bit Binärzähler	Dual 4-Bit Binary Counter	16-SOIC		452.93/2,500	
M74HC4538B1R	497-1864-5-ND	Zweif. wieder auslösbarer Mono-Multivibrator	Dual Retriggerable Mono Multivibrator	16-Dip	.61	.49	.37

(Forts.)

★ *RUFEN SIE BITTE AN FÜR NIEDRIGERE PREISE BEI GRÖSSEREN MENGEN!* ★

B

STMicroelectronics Teilenr.	Digi-Key Teilenr.	Beschreibung		Paket	Stückpreis ★ 1	10	100
M74HC4538RM13TR	497-1865-1-ND	Zweif. wieder auslösbarer Mono-Multivibrator	Dual Retriggerable Mono Multivibrator	16-SOIC	.51	.37	.28
M74HC4538RM13TR	497-1865-2-ND	Zweif. wieder auslösbarer Mono-Multivibrator	Dual Retriggerable Mono Multivibrator	16-SOIC		380.97/2,500	
M74HC4543B1R	497-1866-5-ND	BCD-zu-7-Segment-Latch/Dekodierer/LCD-Treiber	BCD-to-7 Segment Latch/Decoder/LCD Driver	16-Dip	.55	.40	.30
M74HC4543RM13TR	497-1867-1-ND	BCD-zu-7-Segment-Latch/Dekodierer/LCD-Treiber	BCD-to-7 Segment Latch/Decoder/LCD Driver	16-SOIC	1.11	.97	.75
M74HC4543RM13TR	497-1867-2-ND	BCD-zu-7-Segment-Latch/Dekodierer/LCD-Treiber	BCD-to-7 Segment Latch/Decoder/LCD Driver	16-SOIC		986.29/2,500	
M74HC4851B1R	497-1868-5-ND	Einf. 8-Kanal-Analog-Mux/Demux	Single 8-Ch. Analog Mux/Demux	16-Dip	1.40	1.17	.98
M74HCT00B1R	497-1891-5-ND	Vierf. NAND-Gate mit 2 Eingängen	Quad 2-Input NAND Gate	14-Dip	.41	.29	.22
M74HCT02RM13TR	497-1892-1-ND	Vierf. NOR-Gate mit 2 Eingängen	Quad 2-Input NOR Gate	14-SOIC	.41	.26	.20
M74HCT02RM13TR	497-1892-2-ND	Vierf. NOR-Gate mit 2 Eingängen	Quad 2-Input NOR Gate	14-SOIC		270.91/2,500	
M74HCT04B1R	497-1893-5-ND	Sechsf. Inverter	Hex Inverter	14-Dip	.47	.29	.22
M74HCT04RM13TR	497-1894-1-ND	Sechsf. Inverter	Hex Inverter	14-SOIC	.41	.26	.20
M74HCT04RM13TR	497-1894-2-ND	Sechsf. Inverter	Hex Inverter	14-SOIC		270.91/2,500	
M74HCT08B1R	497-1895-5-ND	Vierf. AND-Gate mit 2 Eingängen	Quad 2-Input AND Gate	14-Dip	.42	.34	.26
M74HCT08RM13TR	497-1896-1-ND	Vierf. AND-Gate mit 2 Eingängen	Quad 2-Input AND Gate	14-SOIC	.41	.26	.20
M74HCT08RM13TR	497-1896-2-ND	Vierf. AND-Gate mit 2 Eingängen	Quad 2-Input AND Gate	14-SOIC		270.91/2,500	
M74HCT14B1R	497-1901-5-ND	Sechsf. Schmitt Inverter	Hex Schmitt Inverter	14-Dip	.41	.29	.22
M74HCT14RM13TR	497-1902-1-ND	Sechsf. Schmitt Inverter	Hex Schmitt Inverter	14-SOIC	.41	.26	.20
M74HCT14RM13TR	497-1902-2-ND	Sechsf. Schmitt Inverter	Hex Schmitt Inverter	14-SOIC		270.91/2,500	
M74HCT14TTR	497-4276-1-ND	Sechsf. Schmitt Inverter	Hex Schmitt Inverter	14-TSSOP	.55	.44	.34
M74HCT14TTR	497-4276-2-ND	Sechsf. Schmitt Inverter	Hex Schmitt Inverter	14-TSSOP		412.72/2,500	
M74HCT32B1R	497-1909-5-ND	Vierf. OR-Gate mit 2 Eingängen	Quad 2-Input OR Gate	14-Dip	.38	.31	.23
M74HCT32RM13TR	497-1910-1-ND	Vierf. OR-Gate mit 2 Eingängen	Quad 2-Input OR Gate	14-SOIC	.41	.26	.20
M74HCT32RM13TR	497-1910-2-ND	Vierf. OR-Gate mit 2 Eingängen	Quad 2-Input OR Gate	14-SOIC		270.91/2,500	
M74HCT74B1R	497-1922-5-ND	Zweif. D-Flip-Flop mit Voreinstellung und Löschen	Dual D-Type Flip-Flop with Preset and Clear	14-Dip	.47	.29	.22
M74HCT74RM13TR	497-1923-1-ND	Zweif. D-Flip-Flop mit Voreinstellung und Löschen	Dual D-Type Flip-Flop with Preset and Clear	14-SOIC	.41	.26	.20
M74HCT74RM13TR	497-1923-2-ND	Zweif. D-Flip-Flop mit Voreinstellung und Löschen	Dual D-Type Flip-Flop with Preset and Clear	14-SOIC		270.91/2,500	
M74HCT125B1R	497-1897-5-ND	Vierf. Bus-Puffer, Tri-State	Tri-St. Quad Bus Buffer	14-Dip	.47	.38	.28
M74HCT125RM13TR	497-1898-1-ND	Vierf. Bus-Puffer, Tri-State	Tri-St. Quad Bus Buffer	14-SOIC	.50	.31	.23
M74HCT125RM13TR	497-1898-2-ND	Vierf. Bus-Puffer, Tri-State	Tri-St. Quad Bus Buffer	14-SOIC		323.82/2,500	
M74HCT138RM13TR	497-1900-1-ND	3-zu-8 Leitungs-Dekodierer	3-to-8 Line Decoder	16-SOIC	.41	.29	.22
M74HCT138RM13TR	497-1900-2-ND	3-zu-8 Leitungs-Dekodierer	3-to-8 Line Decoder	16-SOIC		302.66/2,500	
M74HCT174TTR	497-4277-1-ND	Sechsf. D-Flip-Flop	Hex D-Type Flip-Flop	16-TSSOP	.59	.48	.36
M74HCT174TTR	497-4277-2-ND	Sechsf. D-Flip-Flop	Hex D-Type Flip-Flop	16-TSSOP		444.47/2,500	
M74HCT244RM13TR	497-1904-1-ND	Achtf. Bus-Puffer, Tri-State	Tri-St. Octal Bus Buffer	20-SOIC	.47	.38	.26
M74HCT244RM13TR	497-1904-2-ND	Achtf. Bus-Puffer, Tri-State	Tri-St. Octal Bus Buffer	20-SOIC		149.00/1,000	
M74HCT245B1R	497-1905-5-ND	Achtf. Bus-Transceiver, Tri-State	Tri-St. Octal Bus Transceiver	20-Dip	.65	.52	.39
M74HCT245RM13TR	497-1906-1-ND	Achtf. Bus-Transceiver, Tri-State	Tri-St. Octal Bus Transceiver	20-SOIC	.63	.46	.35
M74HCT245RM13TR	497-1906-2-ND	Achtf. Bus-Transceiver, Tri-State	Tri-St. Octal Bus Transceiver	20-SOIC		203.18/1,000	
M74HCT273B1R	497-1907-5-ND	Achtf. D-Flip-Flop mit Löschen	Octal D-Type Flip-Flop with Clear	20-Dip	.51	.37	.28
M74HCT273RM13TR	497-1908-1-ND	Achtf. D-Flip-Flop mit Löschen	Octal D-Type Flip-Flop with Clear	20-SOIC	.47	.38	.26
M74HCT273RM13TR	497-1908-2-ND	Achtf. D-Flip-Flop mit Löschen	Octal D-Type Flip-Flop with Clear	20-SOIC		149.00/1,000	
M74HCT367RM13TR	497-4278-1-ND	Sechsf. Bus-Puffer, Tri-State	Tri-St. Hex Bus Buffer	16-SOP	.42	.34	.26
M74HCT367RM13TR	497-4278-2-ND	Sechsf. Bus-Puffer, Tri-State	Tri-St. Hex Bus Buffer	16-SOP		317.48/2,500	
M74HCT373TTR	497-4279-1-ND	Achtf. D-Latch, Tri-State	Tri-St. Octal D-Type Latch	20-TSSOP	.59	.48	.36
M74HCT373TTR	497-4279-2-ND	Achtf. D-Latch, Tri-State	Tri-St. Octal D-Type Latch	20-TSSOP		444.47/2,500	
M74HCT374B1R	497-1911-5-ND	Achtf. D-Flip-Flop, Tri-State	Tri-St. Octal D-Type Flip-Flop	20-Dip	.53	.43	.32
M74HCT374RM13TR	497-1912-1-ND	Achtf. D-Flip-Flop, Tri-State	Tri-St. Octal D-Type Flip-Flop	20-SOIC	.51	.37	.28
M74HCT374RM13TR	497-1912-2-ND	Achtf. D-Flip-Flop, Tri-State	Tri-St. Octal D-Type Flip-Flop	20-SOIC		162.55/1,000	
M74HCT540B1R	497-1914-5-ND	Achtf. Bus-Puffer, Tri-State	Tri-St. Octal Bus Buffer	20-Dip	1.11	.97	.75
M74HCT540RM13TR	497-1915-1-ND	Achtf. Bus-Puffer, Tri-State	Tri-St. Octal Bus Buffer	20-SOIC	.45	.35	.25
M74HCT540RM13TR	497-1915-2-ND	Achtf. Bus-Puffer, Tri-State	Tri-St. Octal Bus Buffer	20-SOIC		123.60/1,000	
M74HCT541B1R	497-1916-5-ND	Achtf. Bus-Puffer, Tri-State	Tri-St. Octal Bus Buffer	20-Dip	.51	.37	.28
M74HCT573RM13TR	497-1918-1-ND	Achtf. D-Latch, Tri-State	Tri-St. Octal D-Type Latch	20-SOIC	.55	.40	.30
M74HCT573RM13TR	497-1918-2-ND	Achtf. D-Latch, Tri-State	Tri-St. Octal D-Type Latch	20-SOIC		176.09/1,000	
M74HCT574B1R	497-1919-5-ND	Achtf. D-Flip-Flop, Tri-State	Tri-St. Octal D-Type Flip-Flop	20-Dip	.61	.49	.37
M74HCT574RM13TR	497-1920-1-ND	Achtf. D-Flip-Flop, Tri-State	Tri-St. Octal D-Type Flip-Flop	20-SOIC	.55	.44	.30
M74HCT574RM13TR	497-1920-2-ND	Achtf. D-Flip-Flop, Tri-State	Tri-St. Octal D-Type Flip-Flop	20-SOIC		176.09/1,000	
M74HCT640RM13TR	497-1921-1-ND	Achtf. Bus-Transceiver, Tri-State	Tri-St. Octal Bus Transceiver	20-SOIC	.63	.46	.35
M74HCT640RM13TR	497-1921-2-ND	Achtf. Bus-Transceiver, Tri-State	Tri-St. Octal Bus Transceiver	20-SOIC		203.18/1,000	
M74HCU04B1R	497-1924-5-ND	Sechsf. Inverter	Hex Inverter	14-Dip	.47	.29	.22
M74HCU04RM13TR	497-1925-1-ND	Sechsf. Inverter	Hex Inverter	14-SOIC	.41	.26	.20
M74HCU04RM13TR	497-1925-2-ND	Sechsf. Inverter	Hex Inverter	14-SOIC		270.91/2,500	

STMicroelectronics Teilenr.	Digi-Key Teilenr.	Beschreibung		Paket	Stückpreis ★ 1	10	100
74LCX00MTR	497-1048-1-ND	Vierf. LV CMOS NAND-Gate m. 2 Eingängen	LV CMOS Quad 2-Input NAND Gate	14-SOIC	.41	.33	.25
74LCX00MTR	497-1048-2-ND	Vierf. LV CMOS NAND-Gate m. 2 Eingängen	LV CMOS Quad 2-Input NAND Gate	14-SOIC		302.66/2,500	
74LCX04MTR	497-1049-1-ND	Sechsf. LV CMOS-Inverter	LV CMOS Hex Inverter	14-SOIC	.41	.33	.25
74LCX04MTR	497-1049-2-ND	Sechsf. LV CMOS-Inverter	LV CMOS Hex Inverter	14-SOIC		302.66/2,500	
74LCX08MTR	497-1050-1-ND	Vierf. LV CMOS AND-Gate m. 2 Eingängen	LV CMOS Quad 2-Input AND Gate	14-SOIC	.41	.33	.25
74LCX08MTR	497-1050-2-ND	Vierf. LV CMOS AND-Gate m. 2 Eingängen	LV CMOS Quad 2-Input AND Gate	14-SOIC		302.66/2,500	
74LCX32MTR	497-1063-1-ND	Vierf. LV CMOS OR-Gate m. 2 Eingängen	LV CMOS Quad 2-Input OR Gate	14-SOIC	.41	.33	.25
74LCX32MTR	497-1063-2-ND	Vierf. LV CMOS OR-Gate m. 2 Eingängen	LV CMOS Quad 2-Input OR Gate	14-SOIC		302.66/2,500	
74LCX74MTR	497-1068-1-ND	Zweif. LV CMOS D-Flip-Flop	LV CMOS Dual D-Type Flip-Flop	14-SOIC	.41	.33	.25
74LCX74MTR	497-1068-2-ND	Zweif. LV CMOS D-Flip-Flop	LV CMOS Dual D-Type Flip-Flop	14-SOIC		302.66/2,500	
74LCX125MTR	497-1051-1-ND	Vierf. LV CMOS Bus-Puffer	LV CMOS Quad Bus Buffer	14-SOIC	.41	.33	.25
74LCX125MTR	497-1051-2-ND	Vierf. LV CMOS Bus-Puffer	LV CMOS Quad Bus Buffer	14-SOIC		302.66/2,500	
74LCX157MTR	497-1052-1-ND	Vierf. LV CMOS 2-Kanal-Mux,	LV CMOS Quad 2-Channel Mux	16-SOIC	.47	.34	.26
74LCX157MTR	497-1052-2-ND	Vierf. LV CMOS 2-Kanal-Mux,	LV CMOS Quad 2-Channel Mux	16-SOIC		349.22/2,500	
74LCX244MTR	497-1061-1-ND	Achtf.. LV CMOS Bus-Puffer	LV CMOS Octal Bus Buffer	20-SOIC	.59	.48	.32
74LCX244MTR	497-1061-2-ND	Achtf.. LV CMOS Bus-Puffer	LV CMOS Octal Bus Buffer	20-SOIC		189.64/1,000	
74LCX244TTR	497-2917-1-ND	Achtf.. LV CMOS Bus-Puffer	LV CMOS Octal Bus Buffer	20-TSSOP	.59	.48	.32
74LCX244TTR	497-2917-2-ND	Achtf.. LV CMOS Bus-Puffer	LV CMOS Octal Bus Buffer	20-TSSOP		444.47/2,500	
74LCX245MTR	497-1062-1-ND	Achtf. LV CMOS Bus-Transceiver	LV CMOS Octal Bus Transceiver	20-SOIC	.63	.51	.35
74LCX245MTR	497-1062-2-ND	Achtf. LV CMOS Bus-Transceiver	LV CMOS Octal Bus Transceiver	20-SOIC		203.18/1,000	
74LCX373MTR	497-1064-1-ND	Achtf. D-Latch	Octal D-Type Latch	20-SOIC	.63	.51	.35
74LCX373MTR	497-1064-2-ND	Achtf. D-Latch	Octal D-Type Latch	20-SOIC		203.18/1,000	
74LCX374MTR	497-1065-1-ND	Achtf. D-Flip-Flop	Octal D-Type Flip-Flop	20-SOIC	.59	.48	.32
74LCX374MTR	497-1065-2-ND	Achtf. D-Flip-Flop	Octal D-Type Flip-Flop	20-SOIC		189.64/1,000	
74LCX541MTR	497-1066-1-ND	Achtf.. LV CMOS Bus-Puffer	LV CMOS Octal Bus Buffer	20-SOIC	.59	.48	.32
74LCX541MTR	497-1066-2-ND	Achtf.. LV CMOS Bus-Puffer	LV CMOS Octal Bus Buffer	20-SOIC		189.64/1,000	
74LCX541TTR	497-2918-1-ND	Achtf.. LV CMOS Bus-Puffer	LV CMOS Octal Bus Buffer	20-TSSOP	.59	.48	.32
74LCX541TTR	497-2918-2-ND	Achtf.. LV CMOS Bus-Puffer	LV CMOS Octal Bus Buffer	20-TSSOP		444.47/2,500	
74LCX573MTR	497-1067-1-ND	Achtf. D-Latch	Octal D-Type Latch	20-SOIC	.59	.48	.32
74LCX573MTR	497-1067-2-ND	Achtf. D-Latch	Octal D-Type Latch	20-SOIC		189.64/1,000	
74LCX16240TTR	497-1054-1-ND	Bus-Puffer, LV CMOS 16-Bit	LV CMOS 16-Bit Bus Buffer	48-TSSOP	1.18	1.02	.79
74LCX16240TTR	497-1054-2-ND	Bus-Puffer, LV CMOS 16-Bit	LV CMOS 16-Bit Bus Buffer	48-TSSOP		909.25/2,000	
74LCX16244TTR	497-1055-1-ND	Bus-Puffer, LV CMOS 16-Bit	LV CMOS 16-Bit Bus Buffer	48-TSSOP	1.14	1.00	.77
74LCX16244TTR	497-1055-2-ND	Bus-Puffer, LV CMOS 16-Bit	LV CMOS 16-Bit Bus Buffer	48-TSSOP		883.85/2,000	
74LCX16245TTR	497-1056-1-ND	LV CMOS Bus-Transceiver, 16-Bit	LV CMOS 16-Bit Bus Transceiver	48-TSSOP	1.14	1.00	.77

(Forts.)

★ RUFEN SIE BITTE AN FÜR NIEDRIGERE PREISE BEI GRÖSSEREN MENGEN! ★

Alle Preisangaben in Euro und inklusive Zollgebühren.

STMicroelectronics Teilenr.	Digi-Key Teilenr.	Beschreibung		Paket	Stückpreis★ 1	10	100
74LCX16245TTR	497-1056-2-ND	LV CMOS Bus-Transceiver, 16-Bit	LV CMOS 16-Bit Bus Transceiver	48-TSSOP		883.85/2,000	
74LCX16373TTR	497-1058-1-ND	LV CMOS D-Latch, 16-Bit	LV CMOS 16-Bit D-Type Latch	48-TSSOP	1.14	1.00	.77
74LCX16373TTR	497-1058-2-ND	LV CMOS D-Latch, 16-Bit	LV CMOS 16-Bit D-Type Latch	48-TSSOP		883.85/2,000	
74LCX16374TTR	497-1059-1-ND	LV CMOS D-Flip-Flop, 16-Bit	LV CMOS 16-Bit D-Type F/F	48-TSSOP	1.14	1.00	.77
74LCX16374TTR	497-1059-2-ND	LV CMOS D-Flip-Flop, 16-Bit	LV CMOS 16-Bit D-Type F/F	48-TSSOP		883.85/2,000	
74LCX16541TTR	497-1060-1-ND	Bus-Puffer, LV CMOS 16-Bit	LV CMOS 16-Bit Bus Buffer	48-TSSOP	1.14	1.00	.77
74LCX16541TTR	497-1060-2-ND	Bus-Puffer, LV CMOS 16-Bit	LV CMOS 16-Bit Bus Buffer	48-TSSOP		883.85/2,000	
74LCX162244TTR	497-1053-1-ND	Bus-Puffer, LV CMOS 16-Bit	LV CMOS 16-Bit Bus Buffer	48-TSSOP	1.14	1.00	.77
74LCX162244TTR	497-1053-2-ND	CMOS Bus-Puffer, Niederspann., 16-Bit	Low Volt. CMOS 16-Bit Bus Buffer	48-TSSOP		883.85/2,000	
74LCXH16245TTR	497-1070-1-ND	CMOS Bus-Transceiver, Niederspann., 16-Bit	Low Voltage CMOS 16-Bit Bus Transceiver	48-TSSOP	1.24	1.08	.83
74LCXH16245TTR	497-1070-2-ND	CMOS Bus-Transceiver, Niederspann., 16-Bit	Low Voltage CMOS 16-Bit Bus Transceiver	48-TSSOP		958.35/2,000	
74LCXHR162245TTR	497-1071-1-ND	CMOS Bus-Transceiver, Niederspann., 16-Bit	Low Voltage CMOS 16-Bit Bus Transceiver	48-TSSOP	1.24	1.08	.83
74LCXHR162245TTR	497-1071-2-ND	CMOS Bus-Transceiver, Niederspann., 16-Bit	Low Voltage CMOS 16-Bit Bus Transceiver	48-TSSOP		958.35/2,000	
74LVC08AMTR	497-1073-1-ND	Vierf. AND-Gate mit 2 Eingängen, CMOS, Niederspannung	Low Voltage CMOS Quad 2-Input AND Gate	14-SOIC	.41	.26	.20
74LVC08AMTR	497-1073-2-ND	Vierf. AND-Gate mit 2 Eingängen, CMOS, Niederspannung	Low Voltage CMOS Quad 2-Input AND Gate	14-SOIC		270.91/2,500	
74LVC14AMTR	497-1074-1-ND	Sechsf. Inverter, CMOS, Niederspannung	Low Voltage CMOS Hex Inverter	14-SOIC	.41	.26	.20
74LVC14AMTR	497-1074-2-ND	Sechsf. Inverter, CMOS, Niederspannung	Low Voltage CMOS Hex Inverter	14-SOIC		270.91/2,500	
74LVC86AMTR	497-1078-1-ND	Vierf. Exklusiv- OR-Gate, CMOS, Niederspannung	Low Voltage CMOS Quad Exclusive OR Gate	14-SOIC	.41	.26	.20
74LVC86AMTR	497-1078-2-ND	Vierf. Exklusiv- OR-Gate, CMOS, Niederspannung	Low Voltage CMOS Quad Exclusive OR Gate	14-SOIC		270.91/2,500	
74LVC244ATTR	497-2919-1-ND	Vierf. Bus-Puffer, CMOS, Niederspannung, Tri-State	Tri-State Low Voltage CMOS Quad Bus Buffer	20-TSSOP	.63	.46	.35
74LVC244ATTR	497-2919-2-ND	Vierf. Bus-Puffer, CMOS, Niederspannung, Tri-State	Tri-State Low Voltage CMOS Quad Bus Buffer	20-TSSOP		476.21/2,500	
74LVC373AMTR	497-1076-1-ND	Achtf. D-Latch	Octal D-Type Latch	20-SOIC	.55	.40	.30
74LVC373AMTR	497-1076-2-ND	Achtf. D-Latch	Octal D-Type Latch	20-SOIC		176.09/1,000	
74LVC573AMTR	497-1077-1-ND	Achtf. D-Latch	Octal D-Type Latch	20-SOIC	.55	.40	.30
74LVC573AMTR	497-1077-2-ND	Achtf. D-Latch	Octal D-Type Latch	20-SOIC		176.09/1,000	
74LVC161284TTR	497-1075-1-ND	HS IEEE 1284 Transceiver, Niederspannung	Low Voltage High Speed IEEE 1284 Transceiver	48-TSSOP	2.51	2.10	1.77
74LVC161284TTR	497-1075-2-ND	HS IEEE 1284 Transceiver, Niederspannung	Low Voltage High Speed IEEE 1284 Transceiver	48-TSSOP		2263.81/2,000	
74LVCZ161284ATTR	497-1079-1-ND	HS IEEE 1284 Transceiver, Niederspannung	Low Voltage High Speed IEEE 1284 Transceiver	48-TSSOP	2.95	2.57	1.92
74LVCZ161284ATTR	497-1079-2-ND	HS IEEE 1284 Transceiver, Niederspannung	Low Voltage High Speed IEEE 1284 Transceiver	48-TSSOP		2905.53/2,000	
74LVTH16244TTR	497-4142-1-ND	Bus-Puffer, Niederspann., BiCMOS, 16-Bit	Low Voltage BiCMOS 16-Bit Bus Buffer	48-TSSOP	1.60	1.34	1.13
74LVTH16244TTR	497-4142-2-ND	Bus-Puffer, Niederspann., BiCMOS, 16-Bit	Low Voltage BiCMOS 16-Bit Bus Buffer	48-TSSOP		1440.91/2,000	
74LVX00MTR	497-1080-1-ND	Vierf. NAND-Gate mit 2 Eingängen, CMOS, Niederspannung	Low Voltage CMOS Quad 2-Input NAND Gate	14-SOIC	.41	.26	.20
74LVX00MTR	497-1080-2-ND	Vierf. NAND-Gate mit 2 Eingängen, CMOS, Niederspannung	Low Voltage CMOS Quad 2-Input NAND Gate	14-SOIC		270.91/2,500	
74LVX08MTR	497-1081-1-ND	Vierf. AND-Gate mit 2 Eingängen, CMOS, Niederspannung	Low Voltage CMOS Quad 2-Input AND Gate	14-SOIC	.41	.26	.20
74LVX08MTR	497-1081-2-ND	Vierf. AND-Gate mit 2 Eingängen, CMOS, Niederspannung	Low Voltage CMOS Quad 2-Input AND Gate	14-SOIC		270.91/2,500	
74LVX14MTR	497-1085-1-ND	Sechsf. CMOS-Schmitt-Inverter, Niederspannung	Low Voltage CMOS Hex Schmitt Inverter	14-SOIC	.52	.33	.25
74LVX14MTR	497-1085-2-ND	Sechsf. CMOS-Schmitt-Inverter, Niederspannung	Low Voltage CMOS Hex Schmitt Inverter	14-SOIC		342.87/2,500	
74LVX125MTR	497-1082-1-ND	Vierf. Bus-Puffer, Niederspannung	Low Voltage Quad Bus Buffer	14-SOIC	.41	.26	.20
74LVX125MTR	497-1082-2-ND	Vierf. Bus-Puffer, Niederspannung	Low Voltage Quad Bus Buffer	14-SOIC		270.91/2,500	
74LVX126MTR	497-1083-1-ND	Vierf. Bus-Puffer, CMOS, Niederspannung	Low Voltage CMOS Quad Bus Buffer	14-SOIC	.41	.26	.20
74LVX126MTR	497-1083-2-ND	Vierf. Bus-Puffer, CMOS, Niederspannung	Low Voltage CMOS Quad Bus Buffer	14-SOIC		270.91/2,500	
74LVX132MTR	497-1084-1-ND	Vierf. Schmitt NAND-Gate mit 2 Eingängen, CMOS, Niederspannung	Low Voltage CMOS Quad 2-Input Schmitt NAND Gate	14-SOIC	.41	.26	.20
74LVX132MTR	497-1084-2-ND	Vierf. Schmitt NAND-Gate mit 2 Eingängen, CMOS, Niederspannung	Low Voltage CMOS Quad 2-Input Schmitt NAND Gate	14-SOIC		270.91/2,500	
74LVX157MTR	497-4143-1-ND	Vierf. 2-Kan. Mux, Niederspannung	Low Volt. Quad 2-Ch. Mux	16-SOP	.58	.46	.35
74LVX157MTR	497-4143-2-ND	Vierf. 2-Kan. Mux, Niederspannung	Low Volt. Quad 2-Ch. Mux	16-SOP		452.93/2,500	
74LVX244MTR	497-1087-1-ND	Achtf. Bus-Puffer, CMOS, Niederspannung	Low Volt. CMOS Octal Bus Buffer	20-SOIC	.55	.40	.30
74LVX244MTR	497-1087-2-ND	Achtf. Bus-Puffer, CMOS, Niederspannung	Low Volt. CMOS Octal Bus Buffer	20-SOIC		176.09/1,000	
74LVX244TTR	497-2920-1-ND	Achtf. Bus-Puffer, CMOS, Niederspannung	Low Volt. CMOS Octal Bus Buffer	20-TSSOP	.55	.40	.30
74LVX244TTR	497-2920-2-ND	Achtf. Bus-Puffer, CMOS, Niederspannung	Low Volt. CMOS Octal Bus Buffer	20-TSSOP		412.72/2,500	
74LVX245MTR	497-1088-1-ND	Achtf. Bus-Transceiver, CMOS, Niederspannung	Low Voltage CMOS Octal Bus Transceiver	20-SOIC	.63	.46	.35
74LVX245MTR	497-1088-2-ND	Achtf. Bus-Transceiver, CMOS, Niederspannung	Low Voltage CMOS Octal Bus Transceiver	20-SOIC		203.18/1,000	
74LVX374MTR	497-1090-1-ND	Achtf. D-Flip-Flop, CMOS, Niederspannung	Low Volt. CMOS Octal D-Type F/F	20-SOIC	.59	.43	.32
74LVX374MTR	497-1090-2-ND	Achtf. D-Flip-Flop, CMOS, Niederspannung	Low Volt. CMOS Octal D-Type F/F	20-SOIC		189.64/1,000	
74LVX3245MTR	497-1089-1-ND	Achtf. doppelversorgter Bus-Transceiver	Octal Dual Supply Bus Transceiver	24-SOIC	1.46	1.27	.98
74LVX3245MTR	497-1089-2-ND	Achtf. doppelversorgter Bus-Transceiver	Octal Dual Supply Bus Transceiver	24-SOIC		564.68/1,000	
74LVX4245MTR	497-1091-1-ND	Achtf. doppelversorgter Bus-Transceiver	Octal Dual Supply Bus Transceiver	24-SOIC	1.30	1.13	.87
74LVX4245MTR	497-1091-2-ND	Achtf. doppelversorgter Bus-Transceiver	Octal Dual Supply Bus Transceiver	24-SOIC		503.73/1,000	
74LVX16373TTR	497-1086-1-ND	LV CMOS D-Latch, 16-Bit	LV CMOS 16-Bit D-Type Latch	48-TSSOP	1.11	.97	.75
74LVX16373TTR	497-1086-2-ND	LV CMOS D-Latch, 16-Bit	LV CMOS 16-Bit D-Type Latch	48-TSSOP		860.15/2,000	
74LVXC3245MTR	497-1092-1-ND	Achtf. doppelversorgter Bus-Transceiver	Octal Dual Supply Bus Transceiver	24-SOIC	1.27	1.11	.85
74LVXC3245MTR	497-1092-2-ND	Achtf. doppelversorgter Bus-Transceiver	Octal Dual Supply Bus Transceiver	24-SOIC		491.03/1,000	
74LVXU04MTR	497-1093-1-ND	Sechsf. CMOS-Inverter, Niederspannung	Low Voltage CMOS Hex Inverter	14-SOIC	.33	.25	.18
74LVXU04MTR	497-1093-2-ND	Sechsf. CMOS-Inverter, Niederspannung	Low Voltage CMOS Hex Inverter	14-SOIC		175.67/2,500	
74LX1G04CTR	497-4027-1-ND	Einf. CMOS-Inverter, Niederspannung	Low Voltage CMOS Single Inverter	SOT-323-5L	.39	.30	.22
74LX1G04CTR	497-4027-2-ND	Einf. CMOS-Inverter, Niederspannung	Low Voltage CMOS Single Inverter	SOT-323-5L		302.24/3,000	
74LX1G08CTR	497-4028-1-ND	Einf. AND-Gate mit 2 Eingängen, CMOS, Niederspannung	Low Voltage CMOS Single 2-Input AND Gate	SOT-323-5L	.39	.30	.22
74LX1G08CTR	497-4028-2-ND	Einf. AND-Gate mit 2 Eingängen, CMOS, Niederspannung	Low Voltage CMOS Single 2-Input AND Gate	SOT-323-5L		302.24/3,000	
74LX1G08STR	497-1252-1-ND	Einf. AND-Gate mit 2 Eingängen, CMOS, Niederspannung	Low Voltage CMOS Single 2-Input AND Gate	SOT-23-5L	.40	.30	.21
74LX1G08STR	497-1252-2-ND	Einf. AND-Gate mit 2 Eingängen, CMOS, Niederspannung	Low Voltage CMOS Single 2-Input AND Gate	SOT-23-5L		251.44/3,000	
74LX1G14CTR	497-4030-1-ND	Einf. Schmitt-Inverter, CMOS, Niederspannung	Low Voltage CMOS Single Schmitt Inverter	SOT-323-5L	.39	.30	.22
74LX1G14CTR	497-4030-2-ND	Einf. Schmitt-Inverter, CMOS, Niederspannung	Low Voltage CMOS Single Schmitt Inverter	SOT-323-5L		302.24/3,000	
74LX1G126CTR	497-4029-1-ND	Einf. Bus-Puffer, Tri-State	Tri-St. Single Bus Buffer	SOT-323-5L	.39	.30	.22
74LX1G126CTR	497-4029-2-ND	Einf. Bus-Puffer, Tri-State	Tri-St. Single Bus Buffer	SOT-323-5L		302.24/3,000	

STMicroelectronics Teilenr.	Digi-Key Teilenr.	Beschreibung		Paket	Stückpreis★ 1	10	100
74V1G00CTR	497-4031-1-ND	Einf. NAND-Gate mit 2 Eingängen	Single 2-In. NAND Gate	SOT-323-5L	.39	.30	.22
74V1G00CTR	497-4031-2-ND	Einf. NAND-Gate mit 2 Eingängen	Single 2-In. NAND Gate	SOT-323-5L		302.24/3,000	
74V1G04CTR	497-4032-1-ND	Einf. Inverter	Single Inverter	SOT-323-5L	.37	.29	.21
74V1G04CTR	497-4032-2-ND	Einf. Inverter	Single Inverter	SOT-323-5L		289.54/3,000	
74V1G04STR	497-1264-1-ND	Einf. Inverter	Single Inverter	SOT-23-5L	.40	.30	.21
74V1G04STR	497-1264-2-ND	Einf. Inverter	Single Inverter	SOT-23-5L		251.44/3,000	
74V1G08STR	497-1267-1-ND	Einf. AND-Gate mit 2 Eingängen	Single 2-Input AND Gate	SOT-23-5L	.39	.30	.18
74V1G08STR	497-1267-2-ND	Einf. AND-Gate mit 2 Eingängen	Single 2-Input AND Gate	SOT-23-5L		302.24/3,000	
74V1G14STR	497-1270-1-ND	Einf. Schmitt-Inverter	Single Schmitt Inverter	SOT-23-5L	.69	.55	.42
74V1G14STR	497-1270-2-ND	Einf. Schmitt-Inverter	Single Schmitt Inverter	SOT-23-5L		652.73/3,000	
74V1G32STR	497-1271-1-ND	Einf. OR-Gate mit 2 Eingängen	Single 2-Input OR Gate	SOT-23-5L	.33	.26	.16
74V1G32STR	497-1271-2-ND	Einf. OR-Gate mit 2 Eingängen	Single 2-Input OR Gate	SOT-23-5L		259.06/3,000	
74V1G66CTR	497-4035-1-ND	Einf. bilateraler Schalter	Single Bilateral Switch	SOT-323-5L	.39	.30	.22
74V1G66CTR	497-4035-2-ND	Einf. bilateraler Schalter	Single Bilateral Switch	SOT-323-5L		302.24/3,000	
74V1G66STR	497-1273-1-ND	Einf. bilateraler Schalter	Single Bilateral Switch	SOT-23-5L	.41	.26	.20
74V1G66STR	497-1273-2-ND	Einf. bilateraler Schalter	Single Bilateral Switch	SOT-23-5L		325.09/3,000	
74V1G70STR	497-1274-1-ND	Einf. Puffer	Single Buffer	SOT-23-5L	.41	.26	.20
74V1G70STR	497-1274-2-ND	Einf. Puffer	Single Buffer	SOT-23-5L		325.09/3,000	
74V1G125CTR	497-4033-1-ND	Einf. Bus-Puffer, Tri-State	Tri-St. Single Bus Buffer	SOT-323-5L	.39	.30	.39
74V1G125CTR	497-4033-2-ND	Einf. Bus-Puffer, Tri-State	Tri-St. Single Bus Buffer	SOT-323-5L		302.24/3,000	
74V1G125STR	497-1268-1-ND	Einf. Bus-Puffer, Tri-State	Tri-St. Single Bus Buffer	SOT-23-5L	.39	.30	.18
74V1G125STR	497-1268-2-ND	Einf. Bus-Puffer, Tri-State	Tri-St. Single Bus Buffer	SOT-23-5L		302.24/3,000	
74V1G384CTR	497-4034-1-ND	Einf. HS-Bus-Schalter	Single High Speed Bus Switch	SOT-323-5L	.39	.30	.22
74V1G384CTR	497-4034-2-ND	Einf. HS-Bus-Schalter	Single High Speed Bus Switch	SOT-323-5L		302.24/3,000	
74V1G384STR	497-1272-1-ND	Einf. HS-Bus-Schalter	Single High Speed Bus Switch	SOT-23-5L	.41	.26	.20

(Forts.)

★ ***RUFEN SIE BITTE AN FÜR NIEDRIGERE PREISE BEI GRÖSSEREN MENGEN!*** ★

STMicroelectronics Teilenr.	Digi-Key Teilenr.	Beschreibung		Paket	Stückpreis★ 1	10	100
74V1G384STR	497-1272-2-ND	Einf. HS-Bus-Schalter	Single High Speed Bus Switch	SOT-23-5L		325.09/3,000	
74V1T04CTR	497-4144-1-ND	Einf. Inverter	Single Inverter	SOT-323-5L	.33	.26	.19
74V1T04CTR	497-4144-2-ND	Einf. Inverter	Single Inverter	SOT-323-5L		259.06/3,000	
74V1T04STR	497-1283-1-ND	Einf. Inverter	Single Inverter	SOT-23-5L	.59	.48	.36
74V1T04STR	497-1283-2-ND	Einf. Inverter	Single Inverter	SOT-23-5L		533.36/3,000	
74V1T08CTR	497-4036-1-ND	Einf. AND-Gate m. 2 Eingängen	Single 2-In. AND Gate	SOT-323-5L	.39	.30	.22
74V1T08CTR	497-4036-2-ND	Einf. AND-Gate m. 2 Eingängen	Single 2-In. AND Gate	SOT-323-5L		302.24/3,000	
74V1T14CTR	497-4038-1-ND	Einf. Schmitt-Inverter	Single Schmitt Inverter	SOT-323-5L	.39	.30	.22
74V1T14CTR	497-4038-2-ND	Einf. Schmitt-Inverter	Single Schmitt Inverter	SOT-323-5L		302.24/3,000	
74V1T14STR	497-1289-1-ND	Einf. Schmitt-Inverter	Single Schmitt Inverter	SOT-23-5L	.33	.26	.16
74V1T14STR	497-1289-2-ND	Einf. Schmitt-Inverter	Single Schmitt Inverter	SOT-23-5L		259.06/3,000	
74V1T66CTR	497-4039-1-ND	Einf. Bilateralschalter	Single Bilateral Switch	SOT-323-5L	.39	.30	.22
74V1T66CTR	497-4039-2-ND	Einf. Bilateralschalter	Single Bilateral Switch	SOT-323-5L		302.24/3,000	
74V1T66STR	497-1292-1-ND	Einf. Bilateralschalter	Single Bilateral Switch	SOT-23-5L	.41	.26	.20
74V1T66STR	497-1292-2-ND	Einf. Bilateralschalter	Single Bilateral Switch	SOT-23-5L		325.09/3,000	
74V1T125CTR	497-4037-1-ND	Einf. Bus-Puffer, Tri-State	Tri-St. Single Bus Buffer	SOT-323-5L	.39	.30	.22
74V1T125CTR	497-4037-2-ND	Einf. Bus-Puffer, Tri-State	Tri-St. Single Bus Buffer	SOT-323-5L		302.24/3,000	
74V1T125STR	497-1287-1-ND	Einf. Bus-Buffer, Tri-State	Tri-State Single Bus Buffer	SOT-23-5L	.59	.48	.36
74V1T125STR	497-1287-2-ND	Einf. Bus-Buffer, Tri-State	Tri-State Single Bus Buffer	SOT-23-5L		533.36/3,000	
74V2G00STR	497-1298-1-ND	Zweif. NAND-Gate m. 2 Eingängen	Dual 2-Input NAND Gate	SOT-23-8L	.69	.55	.42
74V2G00STR	497-1298-2-ND	Zweif. NAND-Gate m. 2 Eingängen	Dual 2-Input NAND Gate	SOT-23-8L		652.73/3,000	
74V2G04STR	497-1300-1-ND	Dreif. Inverter	Triple Inverter	SOT-23-8L	.41	.29	.22
74V2G04STR	497-1300-2-ND	Dreif. Inverter	Triple Inverter	SOT-23-8L		363.19/3,000	
74V2G08STR	497-1303-1-ND	Zweif. AND-Gate m. 2 Eingängen	Dual 2-Input AND Gate	SOT-23-8L	.41	.29	.22
74V2G08STR	497-1303-2-ND	Zweif. AND-Gate m. 2 Eingängen	Dual 2-Input AND Gate	SOT-23-8L		363.19/3,000	
74V2G14STR	497-1306-1-ND	Dreif. Schmitt-Inverter	Triple Schmitt Inverter	SOT-23-8L	.41	.29	.22
74V2G14STR	497-1306-2-ND	Dreif. Schmitt-Inverter	Triple Schmitt Inverter	SOT-23-8L		363.19/3,000	
74V2G66STR	497-1308-1-ND	Zweif. Bilateralschalter	Dual Bilateral Switch	SOT-23-8L	.47	.34	.26
74V2G66STR	497-1308-2-ND	Zweif. Bilateralschalter	Dual Bilateral Switch	SOT-23-8L		419.07/3,000	
74V2G70STR	497-1309-1-ND	Dreif. Puffer	Triple Buffer	SOT-23-8L	.41	.29	.22
74V2G70STR	497-1309-2-ND	Dreif. Puffer	Triple Buffer	SOT-23-8L		363.19/3,000	
74V2G125STR	497-1304-1-ND	Zweif. Bus-Puffer, Tri-State	Tri-State Dual Bus Buffer	SOT-23-8L	.51	.37	.28
74V2G125STR	497-1304-2-ND	Zweif. Bus-Puffer, Tri-State	Tri-State Dual Bus Buffer	SOT-23-8L		457.16/3,000	
74V2G126STR	497-1305-1-ND	Zweif. Bus-Puffer, Tri-State	Tri-State Dual Bus Buffer	SOT-23-8L	.41	.29	.22
74V2G126STR	497-1305-2-ND	Zweif. Bus-Puffer, Tri-State	Tri-State Dual Bus Buffer	SOT-23-8L		363.19/3,000	
74V2T04STR	497-1311-1-ND	Dreif. Inverter	Triple Inverter	SOT-23-8L	.41	.29	.22
74V2T04STR	497-1311-2-ND	Dreif. Inverter	Triple Inverter	SOT-23-8L		363.19/3,000	
74V2T08STR	497-1314-1-ND	Zweif. AND-Gate m. 2 Eingängen	Dual 2-Input AND Gate	SOT-23-8L	.41	.29	.22
74V2T08STR	497-1314-2-ND	Zweif. AND-Gate m. 2 Eingängen	Dual 2-Input AND Gate	SOT-23-8L		363.19/3,000	
74V2T125STR	497-1315-1-ND	Zweif. Bus-Puffer, Tri-State	Tri-State Dual Bus Buffer	SOT-23-8L	.41	.29	.22
74V2T125STR	497-1315-2-ND	Zweif. Bus-Puffer, Tri-State	Tri-State Dual Bus Buffer	SOT-23-8L		363.19/3,000	
74V2T126STR	497-1316-1-ND	Zweif. Bus-Puffer, Tri-State	Tri-State Dual Bus Buffer	SOT-23-8L	.41	.29	.22
74V2T126STR	497-1316-2-ND	Zweif. Bus-Puffer, Tri-State	Tri-State Dual Bus Buffer	SOT-23-8L		363.19/3,000	
74VCX16244TTR	497-1095-1-ND	16-Bit Bus-Puffer, Niederspann., CMOS, Tri-State	Tri-State Low Volt. CMOS 16-Bit Bus Buffer	48-TSSOP	1.52	1.27	1.07
74VCX16244TTR	497-1095-2-ND	16-Bit Bus-Puffer, Niederspann., CMOS, Tri-State	Tri-State Low Volt. CMOS 16-Bit Bus Buffer	48-TSSOP		1371.49/2,000	
74VCX16245LBR	497-2921-1-ND	16-Bit Bus-Transceiver, Niederspann., CMOS, Tri-State	Tri-St. Low Volt. CMOS 16-Bit Bus Transceiver	54-TFBGA	2.16	1.80	1.52
74VCX16245LBR	497-2921-2-ND	16-Bit Bus-Transceiver, Niederspann., CMOS, Tri-State	Tri-St. Low Volt. CMOS 16-Bit Bus Transceiver	54-TFBGA		2806.48/3,000	
74VCX16245TTR	497-3706-1-ND	16-Bit Bus-Transceiver, Niederspann., CMOS, Tri-State	Tri-St. Low Volt. CMOS 16-Bit Bus Transceiver	48-TSSOP	1.52	1.27	1.07
74VCX16245TTR	497-3706-2-ND	16-Bit Bus-Transceiver, Niederspann., CMOS, Tri-State	Tri-St. Low Volt. CMOS 16-Bit Bus Transceiver	48-TSSOP		1371.49/2,000	
74VCX16373TTR	497-1096-1-ND	CMOS, 16-Bit D-Latch, Niederspann., Tri-State	Tri-State Low Volt. CMOS 16-Bit D-Type Latch	48-TSSOP	1.52	1.27	1.07
74VCX16373TTR	497-1096-2-ND	CMOS, 16-Bit D-Latch, Niederspann., Tri-State	Tri-State Low Volt. CMOS 16-Bit D-Type Latch	48-TSSOP		1371.49/2,000	
74VCX16374TTR	497-1097-1-ND	CMOS, 16-Bit D-Flip-Flop, Niederspann., Tri-State	Tri-State Low Volt. CMOS 16-Bit D-Type Flip-Flop	48-TSSOP	1.52	1.27	1.07
74VCX16374TTR	497-1097-2-ND	CMOS, 16-Bit D-Flip-Flop, Niederspann., Tri-State	Tri-State Low Volt. CMOS 16-Bit D-Type Flip-Flop	48-TSSOP		1371.49/2,000	
74VCX1632245LBR	497-2922-1-ND	16-Bit doppelversorgter Bus-Transceiver	16-Bit Dual Supply Bus Transceiver	54-TFBGA	2.97	2.59	1.93
74VCX1632245LBR	497-2922-2-ND	16-Bit doppelversorgter Bus-Transceiver	16-Bit Dual Supply Bus Transceiver	54-TFBGA		4226.23/3,000	
74VCX1632245TBR	497-4145-1-ND	16-Bit doppelversorgter Bus-Transceiver	16-Bit Dual Supply Bus Transceiver	42-TFBGA	2.16	1.80	1.52
74VCX1632245TBR	497-4145-2-ND	16-Bit doppelversorgter Bus-Transceiver	16-Bit Dual Supply Bus Transceiver	42-TFBGA		2806.48/3,000	
74VCX1632245TTR	497-2923-1-ND	16-Bit doppelversorgter Bus-Transceiver	16-Bit Dual Supply Bus Transceiver	48-TSSOP	2.39	1.99	1.68
74VCX1632245TTR	497-2923-2-ND	16-Bit doppelversorgter Bus-Transceiver	16-Bit Dual Supply Bus Transceiver	48-TSSOP		2148.67/2,000	
74VCXH16244TTR	497-1098-1-ND	16-Bit Bus-Puffer, Niederspann., CMOS, Tri-State	Tri-State Low Volt. CMOS 16-Bit Bus Buffer	48-TSSOP	1.52	1.27	1.07
74VCXH16244TTR	497-1098-2-ND	16-Bit Bus-Puffer, Niederspann., CMOS, Tri-State	Tri-State Low Volt. CMOS 16-Bit Bus Buffer	48-TSSOP		1371.49/2,000	
74VCXH16245TTR	497-1099-1-ND	16-Bit Bus-Transceiver, Niederspann., CMOS, Tri-State	Tri-State Low Volt. CMOS 16-Bit Bus Transceiver	48-TSSOP	1.52	1.27	1.07
74VCXH16245TTR	497-1099-2-ND	16-Bit Bus-Transceiver, Niederspann., CMOS, Tri-State	Tri-State Low Volt. CMOS 16-Bit Bus Transceiver	48-TSSOP		1371.49/2,000	
74VCXH16374TTR	497-1101-1-ND	CMOS, 16-Bit D-Flip-Flop, Niederspann., Tri-State	Tri-State Low Volt. CMOS 16-Bit D-Type Flip-Flop	48-TSSOP	1.52	1.27	1.07
74VCXH16374TTR	497-1101-2-ND	CMOS, 16-Bit D-Flip-Flop, Niederspann., Tri-State	Tri-State Low Volt. CMOS 16-Bit D-Type Flip-Flop	48-TSSOP		1371.49/2,000	
74VCXH1632245TBR	497-4146-1-ND	16-Bit doppelversorgter Bus-Transceiver, Level-Umsetzer	16-Bit Dual Supply Bus Transceiver Level Translator	42-TFBGA	2.16	1.80	1.52
74VCXH1632245TBR	497-4146-2-ND	16-Bit doppelversorgter Bus-Transceiver, Level-Umsetzer	16-Bit Dual Supply Bus Transceiver Level Translator	42-TFBGA		2806.48/3,000	
74VCXH1632245TTR	497-4147-1-ND	16-Bit doppelversorgter Bus-Transceiver, Level-Umsetzer	16-Bit Dual Supply Bus Transceiver Level Translator	48-TSSOP	2.16	1.80	1.52
74VCXH1632245TTR	497-4147-2-ND	16-Bit doppelversorgter Bus-Transceiver, Level-Umsetzer	16-Bit Dual Supply Bus Transceiver Level Translator	48-TSSOP		1943.79/2,000	
74VHC05TTR	497-4148-1-ND	Sechsf. Inverter, Open Drain	Hex Inverter, Open Drain	14-TSSOP	.55	.44	.34
74VHC05TTR	497-4148-2-ND	Sechsf. Inverter, Open Drain	Hex Inverter, Open Drain	14-TSSOP		412.72/2,500	
74VHC08MTR	497-1102-1-ND	Vierf. AND-Gate mit 2 Eingängen	Quad 2-Input AND Gate	14-SOIC	.47	.29	.22
74VHC08MTR	497-1102-2-ND	Vierf. AND-Gate mit 2 Eingängen	Quad 2-Input AND Gate	14-SOIC		306.89/2,500	
74VHC14MTR	497-1104-1-ND	Sechsf. Schmitt Inverter	Hex Schmitt Inverter	14-SOIC	.41	.26	.20
74VHC14MTR	497-1104-2-ND	Sechsf. Schmitt Inverter	Hex Schmitt Inverter	14-SOIC		270.91/2,500	
74VHC138MTR	497-1103-1-ND	3-8 Leitungs-Dekodierer	3-8 Line Decoder	16-SOIC	.47	.38	.26
74VHC138MTR	497-1103-2-ND	3-8 Leitungs-Dekodierer	3-8 Line Decoder	16-SOIC		349.22/2,500	
74VHC240MTR	497-2925-1-ND	Achtf. Bus-Puffer, Tri-State	Tri-State Octal Bus Buffer	20-SOIC	.55	.40	.30
74VHC240MTR	497-2925-2-ND	Achtf. Bus-Puffer, Tri-State	Tri-State Octal Bus Buffer	20-SOIC		176.09/1,000	
74VHC244MTR	497-2926-1-ND	Achtf. Bus-Puffer, Tri-State	Tri-State Octal Bus Buffer	20-SOIC	.55	.40	.30
74VHC244MTR	497-2926-2-ND	Achtf. Bus-Puffer, Tri-State	Tri-State Octal Bus Buffer	20-SOIC		176.09/1,000	
74VHC245MTR	497-1105-1-ND	Achtf. Bus-Transceiver, Tri-State	Tri-State Octal Bus Transceiver	20-SOIC	.63	.46	.35
74VHC245MTR	497-1105-2-ND	Achtf. Bus-Transceiver, Tri-State	Tri-State Octal Bus Transceiver	20-SOIC		203.18/1,000	
74VHC273MTR	497-1106-1-ND	Achtf. D-Flip-Flop mit Löschen	Octal D-Type Flip-Flop with Clear	20-SOIC	.55	.40	.30
74VHC273MTR	497-1106-2-ND	Achtf. D-Flip-Flop mit Löschen	Octal D-Type Flip-Flop with Clear	20-SOIC		176.09/1,000	
74VHC16240TTR	497-2924-1-ND	16-Bit Bus-Puffer, Tri-State	Tri-State 16-Bit Bus Buffer	48-TSSOP	1.14	1.00	.77
74VHC16240TTR	497-2924-2-ND	16-Bit Bus-Puffer, Tri-State	Tri-State 16-Bit Bus Buffer	48-TSSOP		883.85/2,000	
74VHCT244AMTR	497-2928-1-ND	Achtf. Bus-Puffer, Tri-State	Tri-State Octal Bus Buffer	20-SOIC	.55	.40	.30
74VHCT244AMTR	497-2928-2-ND	Achtf. Bus-Puffer, Tri-State	Tri-State Octal Bus Buffer	20-SOIC		176.09/1,000	
74VHCT541AMTR	497-2929-1-ND	Achtf. Bus-Puffer, Tri-State	Tri-State Octal Bus Buffer	20-SOIC	.59	.43	.32
74VHCT541AMTR	497-2929-2-ND	Achtf. Bus-Puffer, Tri-State	Tri-State Octal Bus Buffer	20-SOIC		189.64/1,000	
74VHCT16373ATTR	497-1107-1-ND	16-Bit D-Latch	16-Bit D-Type Latch	48-TSSOP	1.14	1.00	.77
74VHCT16373ATTR	497-1107-2-ND	16-Bit D-Latch	16-Bit D-Type Latch	48-TSSOP		883.85/2,000	

STMicroelectronics Teilenr.	Digi-Key Teilenr.	Beschreibung		Paket	Stückpreis★ 1	10	100
L78L05ABD13TRI	497-1180-1-ND	5 V Positivspannungsregler	5V, Positive Voltage Regulator	8-SOIC	.41	.33	.25
L78L05ABD13TRI	497-1180-2-ND	5 V Positivspannungsregler	5V, Positive Voltage Regulator	8-SOIC		302.66/2,500	
L78L05ABUTR	497-1181-1-ND	5 V Positivspannungsregler	5V, Positive Voltage Regulator	SOT-89	.76	.61	.46
L78L05ABUTR	497-1181-2-ND	5 V Positivspannungsregler	5V, Positive Voltage Regulator	SOT-89		603.20/2,500	
L78L05ABZ	497-1009-ND	5 V Positivspannungsregler	5V, Positive Voltage Regulator	TO-92	.59	.48	.36

(Forts.)

★ RUFEN SIE BITTE AN FÜR NIEDRIGERE PREISE BEI GRÖSSEREN MENGEN! ★

Alle Preisangaben in Euro und inklusive Zollgebühren.

STMicroelectronics Teilenr.	Digi-Key Teilenr.	Beschreibung		Paket	Stückpreis★ 1	10	100
L78L05ACD	497-2951-5-ND	5 V Positivspannungsregler	5V, Positive Voltage Regulator	8-SOIC	.41	.33	.25
L78L05ACD13TRI	497-1182-1-ND	5 V Positivspannungsregler	5V, Positive Voltage Regulator	8-SOIC	.47	.36	.22
L78L05ACD13TRI	497-1182-2-ND	5 V Positivspannungsregler	5V, Positive Voltage Regulator	8-SOIC		306.89/2,500	
L78L05ACUTR	497-1183-1-ND	5 V Positivspannungsregler	5V, Positive Voltage Regulator	SOT-89	.65	.52	.39
L78L05ACUTR	497-1183-2-ND	5 V Positivspannungsregler	5V, Positive Voltage Regulator	SOT-89		512.19/2,500	
L78L05ACZ	497-2952-5-ND	5 V Positivspannungsregler	5V, Positive Voltage Regulator	TO-92	.46	.37	.28
L78L05ACZTR	497-1184-1-ND	5 V Positivspannungsregler	5V, Positive Voltage Regulator	TO-92	.42	.34	.26
L78L05ACZTR	497-1184-2-ND	5 V Positivspannungsregler	5V, Positive Voltage Regulator	TO-92		270.91/2,000	
L78L06ABZ	497-1010-ND	6 V Positivspannungsregler	6V, Positive Voltage Regulator	TO-92	.61	.49	.37
L78L06ACD13TRI	497-1185-1-ND	6 V Positivspannungsregler	6V, Positive Voltage Regulator	8-SOIC	.69	.55	.42
L78L06ACD13TRI	497-1185-2-ND	6 V Positivspannungsregler	6V, Positive Voltage Regulator	8-SOIC		543.94/2,500	
L78L06ACZ	497-2953-5-ND	6 V Positivspannungsregler	6V, Positive Voltage Regulator	TO-92	.59	.48	.36
L78L06ACZ-TRI	497-1186-1-ND	6 V Positivspannungsregler	6V, Positive Voltage Regulator	TO-92	.61	.49	.37
L78L06ACZ-TRI	497-1186-2-ND	6 V Positivspannungsregler	6V, Positive Voltage Regulator	TO-92		419.91/2,000	
L78L08ABD13TRI	497-1187-1-ND	8 V Positivspannungsregler	8V, Positive Voltage Regulator	8-SOIC	.84	.68	.51
L78L08ABD13TRI	497-1187-2-ND	8 V Positivspannungsregler	8V, Positive Voltage Regulator	8-SOIC		664.58/2,500	
L78L08ABUTR	497-1188-1-ND	8 V Positivspannungsregler	8V, Positive Voltage Regulator	SOT-89	.76	.61	.46
L78L08ABUTR	497-1188-2-ND	8 V Positivspannungsregler	8V, Positive Voltage Regulator	SOT-89		603.20/2,500	
L78L08ABZ	497-1011-ND	8 V Positivspannungsregler	8V, Positive Voltage Regulator	TO-92	.58	.46	.35
L78L08ACD13TRI	497-1189-1-ND	8 V Positivspannungsregler	8V, Positive Voltage Regulator	8-SOIC	.47	.38	.28
L78L08ACD13TRI	497-1189-2-ND	8 V Positivspannungsregler	8V, Positive Voltage Regulator	8-SOIC		349.22/2,500	
L78L08ACZ	497-2954-5-ND	8 V Positivspannungsregler	8V, Positive Voltage Regulator	TO-92	.59	.48	.36
L78L08ACZTR	497-1190-1-ND	8 V Positivspannungsregler	8V, Positive Voltage Regulator	TO-92	.47	.38	.28
L78L08ACZTR	497-1190-2-ND	8 V Positivspannungsregler	8V, Positive Voltage Regulator	TO-92		298.00/2,000	
L78L09ACD13TRI	497-1191-1-ND	9 V Positivspannungsregler	9V, Positive Voltage Regulator	8-SOIC	.51	.41	.31
L78L09ACD13TRI	497-1191-2-ND	9 V Positivspannungsregler	9V, Positive Voltage Regulator	8-SOIC		380.97/2,500	
L78L09ACUTR	497-1192-1-ND	9 V Positivspannungsregler	9V, Positive Voltage Regulator	SOT-89	.51	.41	.31
L78L09ACUTR	497-1192-2-ND	9 V Positivspannungsregler	9V, Positive Voltage Regulator	SOT-89		380.97/2,500	
L78L09ACZ	497-1012-ND	9 V Positivspannungsregler	9V, Positive Voltage Regulator	TO-92	.51	.41	.31
L78L09CD13TRI	497-1193-1-ND	9 V Positivspannungsregler	9V, Positive Voltage Regulator	8-SOIC	.51	.41	.31
L78L09CD13TRI	497-1193-2-ND	9 V Positivspannungsregler	9V, Positive Voltage Regulator	8-SOIC		380.97/2,500	
L78L12ACD13TRI	497-1194-1-ND	12 V Positivspannungsregler	12V, Positive Voltage Regulator	8-SOIC	.55	.44	.34
L78L12ACD13TRI	497-1194-2-ND	12 V Positivspannungsregler	12V, Positive Voltage Regulator	8-SOIC		412.72/2,500	
L78L12ACUTR	497-1195-1-ND	12 V Positivspannungsregler	12V, Positive Voltage Regulator	SOT-89	.65	.52	.39
L78L12ACUTR	497-1195-2-ND	12 V Positivspannungsregler	12V, Positive Voltage Regulator	SOT-89		512.19/2,500	
L78L12ACZ	497-2955-5-ND	12 V Positivspannungsregler	12V, Positive Voltage Regulator	TO-92	.59	.48	.36
L78L12ACZ-TRI	497-1196-1-ND	12 V Positivspannungsregler	12V, Positive Voltage Regulator	TO-92	.41	.33	.25
L78L12ACZ-TRI	497-1196-2-ND	12 V Positivspannungsregler	12V, Positive Voltage Regulator	TO-92		257.37/2,000	
L78L15ACZ-TRI	497-1197-1-ND	15 V Positivspannungsregler	15V, Positive Voltage Regulator	TO-92	.47	.38	.28
L78L15ACZ-TRI	497-1197-2-ND	15 V Positivspannungsregler	15V, Positive Voltage Regulator	TO-92		298.00/2,000	
L78L15CD-TRI	497-1198-1-ND	15 V Positivspannungsregler	15V, Positive Voltage Regulator	8-SOIC	.51	.41	.31
L78L15CD-TRI	497-1198-2-ND	15 V Positivspannungsregler	15V, Positive Voltage Regulator	8-SOIC		380.97/2,500	
L78L33ACD13TRI	497-1199-1-ND	3,3 V Positivspannungsregler	3.3V, Positive Voltage Regulator	8-SOIC	.69	.55	.42
L78L33ACD13TRI	497-1199-2-ND	3,3 V Positivspannungsregler	3.3V, Positive Voltage Regulator	8-SOIC		543.94/2,500	
L78L33ACUTR	497-1200-1-ND	3,3 V Positivspannungsregler	3.3V, Positive Voltage Regulator	SOT-89	.65	.52	.39
L78L33ACUTR	497-1200-2-ND	3,3 V Positivspannungsregler	3.3V, Positive Voltage Regulator	SOT-89		512.19/2,500	
L78M05ABDT-TRI	497-1201-1-ND	5 V, 500 mA Präz.-Regler	5V, Precision 500mA Regulator	D-PAK	.84	.68	.51
L78M05ABDT-TRI	497-1201-2-ND	5 V, 500 mA Präz.-Regler	5V, Precision 500mA Regulator	D-PAK		664.58/2,500	
L78M05ABV	497-1461-5-ND	5 V, 500 mA Präz.-Regler	5V, Precision 500mA Regulator	TO-220	.73	.58	.44
L78M05ACDT-TRI	497-1202-1-ND	5 V, 500 mA Präz.-Regler	5V, Precision 500mA Regulator	D-PAK	.76	.61	.46
L78M05ACDT-TRI	497-1202-2-ND	5 V, 500 mA Präz.-Regler	5V, Precision 500mA Regulator	D-PAK		603.20/2,500	
L78M05CDT	497-2956-5-ND	5 V Positivspannungsregler	5V, Positive Voltage Regulator	D-PAK	.59	.48	.36
L78M05CDT-TRI	497-1203-1-ND	5 V Positivspannungsregler	5V, Positive Voltage Regulator	D-PAK	.59	.48	.36
L78M05CDT-TRI	497-1203-2-ND	5 V Positivspannungsregler	5V, Positive Voltage Regulator	D-PAK		444.47/2,500	
L78M05CV	497-2957-5-ND	5 V Positivspannungsregler	5V, Positive Voltage Regulator	TO-220	.76	.61	.46
L78M06ACDT-TRI	497-1204-1-ND	6 V, 500 mA Präz.-Regler	6V, Precision 500mA Regulator	D-PAK	.98	.86	.66
L78M06ACDT-TRI	497-1204-2-ND	6 V, 500 mA Präz.-Regler	6V, Precision 500mA Regulator	D-PAK		872.00/2,500	
L78M06CV	497-1462-5-ND	6 V Positivspannungsregler	6V, Positive Voltage Regulator	TO-220	.61	.49	.37
L78M08ABDT-TRI	497-1205-1-ND	8 V, 500 mA Präz.-Regler	8V, Precision 500mA Regulator	D-PAK	1.43	1.24	.96
L78M08ABDT-TRI	497-1205-2-ND	8 V, 500 mA Präz.-Regler	8V, Precision 500mA Regulator	D-PAK		1267.78/2,500	
L78M08CDT-TRI	497-1206-1-ND	8 V Positivspannungsregler	8V, Positive Voltage Regulator	D-PAK	.76	.61	.46
L78M08CDT-TRI	497-1206-2-ND	8 V Positivspannungsregler	8V, Positive Voltage Regulator	D-PAK		603.20/2,500	
L78M08CV	497-1463-5-ND	8 V Positivspannungsregler	8V, Positive Voltage Regulator	TO-220	.69	.55	.42
L78M09ACDT-TRI	497-1207-1-ND	9 V, 500 mA Präz.-Regler	9V, Precision 500mA Regulator	D-PAK	.96	.83	.64
L78M09ACDT-TRI	497-1207-2-ND	9 V, 500 mA Präz.-Regler	9V, Precision 500mA Regulator	D-PAK		844.48/2,500	
L78M09CDT-TRI	497-1208-1-ND	9 V Positivspannungsregler	9V, Positive Voltage Regulator	D-PAK	.83	.72	.56
L78M09CDT-TRI	497-1208-2-ND	9 V Positivspannungsregler	9V, Positive Voltage Regulator	D-PAK		732.31/2,500	
L78M12ABDT-TRI	497-1209-1-ND	12 V, 500 mA Präz.-Regler	12V, Precision 500mA Regulator	D-PAK	.84	.73	.57
L78M12ABDT-TRI	497-1209-2-ND	12 V, 500 mA Präz.-Regler	12V, Precision 500mA Regulator	D-PAK		745.01/2,500	
L78M12ACDT-TRI	497-1210-1-ND	12 V, 500 mA Präz.-Regler	12V, Precision 500mA Regulator	D-PAK	.73	.58	.44
L78M12ACDT-TRI	497-1210-2-ND	12 V, 500 mA Präz.-Regler	12V, Precision 500mA Regulator	D-PAK		816.97/2,500	
L78M12CDT-1	497-4228-5-ND	12 V, 500 mA Präz.-Regler	12V, Precision 500mA Reg.	I-PAK	.61	.49	.37
L78M12CDT-TRI	497-1211-1-ND	12 V, 500 mA Positivspannungsregler	12V, Positive 500mA Regulator	D-PAK	.91	.74	.55
L78M12CDT-TRI	497-1211-2-ND	12 V, 500 mA Positivspannungsregler	12V, Positive 500mA Regulator	D-PAK		723.84/2,500	
L78M12CV	497-1464-5-ND	12 V, 500 mA Positivspannungsregler	12V, Positive 500mA Regulator	TO-220	.61	.49	.37
L78M15ABV	497-1465-5-ND	15 V, 500 mA Präz.-Regler	15V, Precision 500mA Regulator	TO-220	.73	.58	.44
L78M15ACDT	497-4229-5-ND	15 V, 500 mA Präz.-Regler	15V, Precision 500mA Reg.	D-PAK	.96	.83	.64
L78M15CDT-TRI	497-1212-1-ND	15 V, 500 mA Präz.-Regler	15V, Precision 500mA Regulator	D-PAK	.91	.74	.55
L78M15CDT-TRI	497-1212-2-ND	15 V, 500 mA Präz.-Regler	15V, Precision 500mA Regulator	D-PAK		723.84/2,500	
L78M15CV	497-2958-5-ND	15 V, 500 mA Präz.-Regler	15V, Precision 500mA Regulator	TO-220	.76	.61	.46
L78M18ABDT	497-1466-5-ND	18 V, 500 mA Präz.-Regler	18V, Precision 500mA Regulator	D-PAK	1.52	1.33	1.02
L78M24CDT-TRI	497-1213-1-ND	24 V Positivspannungsregler	24V, Positive Voltage Regulator	D-PAK	.83	.72	.56
L78M24CDT-TRI	497-1213-2-ND	24 V Positivspannungsregler	24V, Positive Voltage Regulator	D-PAK		732.31/2,500	
L78M24CV	497-1467-5-ND	24 V Positivspannungsregler	24V, Positive Voltage Regulator	TO-220	.61	.49	.37
L78S05CV	497-1468-5-ND	5 V, pos. 2 A-Regler	5V, Positive 2A Regulator	TO-220	.88	.71	.53
L78S12CV	497-1469-5-ND	12 V, pos. 2 A-Regler	12V, Positive 2A Regulator	TO-220	.88	.71	.53
L78S24CV	497-1470-5-ND	24 V, pos. 2 A-Regler	24V, Positive 2A Regulator	TO-220	.88	.71	.53
L79L05ABUTR	497-1217-1-ND	-5 V Negativspannungsregler	-5V, Negative Voltage Regulator	SOT-89	.80	.64	.48
L79L05ABUTR	497-1217-2-ND	-5 V Negativspannungsregler	-5V, Negative Voltage Regulator	SOT-89		632.83/2,500	
L79L05ACD13TRI	497-1218-1-ND	-5 V Negativspannungsregler	-5V, Negative Voltage Regulator	8-SOIC	.47	.38	.28
L79L05ACD13TRI	497-1218-2-ND	-5 V Negativspannungsregler	-5V, Negative Voltage Regulator	8-SOIC		349.22/2,500	
L79L05ACUTR	497-1219-1-ND	-5 V Negativspannungsregler	-5V, Negative Voltage Regulator	SOT-89	.73	.58	.44
L79L05ACUTR	497-1219-2-ND	-5 V Negativspannungsregler	-5V, Negative Voltage Regulator	SOT-89		573.57/2,500	
L79L05ACZ	497-2960-5-ND	-5 V Negativspannungsregler	-5V, Negative Voltage Regulator	TO-92	.59	.48	.36
L79L05ACZ-TRI	497-1220-1-ND	-5 V Negativspannungsregler	-5V, Negative Voltage Regulator	TO-92	.41	.33	.25
L79L05ACZ-TRI	497-1220-2-ND	-5 V Negativspannungsregler	-5V, Negative Voltage Regulator	TO-92		257.37/2,000	
L79L12ACZ	497-1013-ND	-12 V Negativspannungsregler	-12V, Negative Voltage Regulator	TO-92	.59	.48	.36
L7805ABD2T-TRI	497-1170-1-ND	5 V Präz. 1 A-Regler	5V, Precision 1A Regulator	D2-PAK	.88	.71	.49
L7805ABD2T-TRI	497-1170-2-ND	5 V Präz. 1 A-Regler	5V, Precision 1A Regulator	D2-PAK		302.24/1,000	
L7805ABP	497-4226-5-ND	5 V Präz. 1 A-Regler	5V, Precision 1A Regulator	TO-220FP	.84	.68	.51

(Forts.)

★ ***RUFEN SIE BITTE AN FÜR NIEDRIGERE PREISE BEI GRÖSSEREN MENGEN!*** ★

B

STMicroelectronics Teilenr.	Digi-Key Teilenr.	Beschreibung		Paket	Stückpreis★ 1	10	100
L7805ABV	497-2947-5-ND	5 V Präz. 1 A-Regler	5V, Precision 1A Regulator	TO-220	.96	.83	.64
L7805ACD2T	497-1440-5-ND	5 V Präz. 1 A-Regler	5V, Precision 1A Regulator	D2-PAK	.96	.83	.64
L7805ACV	497-1441-5-ND	5 V Präz. 1 A-Regler	5V, Precision 1A Regulator	TO-220	.61	.49	.37
L7805CD2T	497-2948-5-ND	5 V Positivspannungsregler	5V, Positive Voltage Regulator	D2-PAK	.86	.75	.58
L7805CD2T-TRI	497-1171-1-ND	5 V Positivspannungsregler	5V, Positive Voltage Regulator	D2-PAK	.73	.58	.44
L7805CD2T-TRI	497-1171-2-ND	5 V Positivspannungsregler	5V, Positive Voltage Regulator	D2-PAK		249.75/1,000	
L7805CP	497-1442-5-ND	5 V Positivspannungsregler	5V, Positive Voltage Regulator	TO-220FP	.69	.55	.42
L7805CT	497-1005-ND	5 V Positivspannungsregler	5V, Positive Voltage Regulator	TO-3	1.83	1.53	1.29
L7805CV	497-1443-5-ND	5 V Positivspannungsregler	5V, Positive Voltage Regulator	TO-220	.47	.38	.28
L7806ABD2T-TRI	497-1172-1-ND	6 V Präz. 1 A-Regler	6V, Precision 1A Regulator	D2-PAK	.96	.77	.53
L7806ABD2T-TRI	497-1172-2-ND	6 V Präz. 1 A-Regler	6V, Precision 1A Regulator	D2-PAK		328.48/1,000	
L7806ABV	497-1444-5-ND	6 V Präz. 1 A-Regler	6V, Precision 1A Regulator	TO-220	.65	.52	.39
L7806CV	497-1445-5-ND	6 V Positivspannungsregler	6V, Positive Voltage Regulator	TO-220	.55	.44	.34
L7808ABD2T-TRI	497-1173-1-ND	8 V Präz. 1 A-Regler	8V, Precision 1A Regulator	D2-PAK	.96	.77	.58
L7808ABD2T-TRI	497-1173-2-ND	8 V Präz. 1 A-Regler	8V, Precision 1A Regulator	D2-PAK		328.48/1,000	
L7808ABV	497-1446-5-ND	8 V Präz. 1 A-Regler	8V, Precision 1A Regulator	TO-220	.65	.52	.39
L7808CD2T-TRI	497-1174-1-ND	8 V Positivspannungsregler	8V, Positive Voltage Regulator	D2-PAK	.91	.74	.55
L7808CD2T-TRI	497-1174-2-ND	8 V Positivspannungsregler	8V, Positive Voltage Regulator	D2-PAK		314.94/1,000	
L7808CV	497-2949-5-ND	8 V Positivspannungsregler	8V, Positive Voltage Regulator	TO-220	.59	.48	.36
L7809ABD2T	497-4227-5-ND	9 V Präz. 1 A-Regler	9V, Precision 1A Regulator	D2-PAK	1.02	.88	.68
L7809ABV	497-1447-5-ND	9 V Präz. 1 A-Regler	9V, Precision 1A Regulator	TO-220	1.05	.91	.70
L7809ACD2T-TRI	497-1175-1-ND	9 V Präz. 1 A-Regler	9V, Precision 1A Regulator	D2-PAK	.98	.86	.66
L7809ACD2T-TRI	497-1175-2-ND	9 V Präz. 1 A-Regler	9V, Precision 1A Regulator	D2-PAK		380.97/1,000	
L7809CD2T-TRI	497-1176-1-ND	9 V Positivspannungsregler	9V, Positive Voltage Regulator	D2-PAK	1.07	.86	.64
L7809CD2T-TRI	497-1176-2-ND	9 V Positivspannungsregler	9V, Positive Voltage Regulator	D2-PAK		343.72/1,000	
L7809CV	497-1448-5-ND	9 V Positivspannungsregler	9V, Positive Voltage Regulator	TO-220	.55	.44	.34
L7812ABV	497-1449-5-ND	12 V Präz. 1 A-Regler	12V, Precision 1A Regulator	TO-220	.69	.55	.42
L7812ACD2T-TRI	497-1177-1-ND	12 V Präz. 1 A-Regler	12V, Precision 1A Regulator	D2-PAK	1.03	.83	.62
L7812ACD2T-TRI	497-1177-2-ND	12 V Präz. 1 A-Regler	12V, Precision 1A Regulator	D2-PAK		354.73/1,000	
L7812ACV	497-1450-5-ND	12 V Präz. 1 A-Regler	12V, Precision 1A Regulator	TO-220	.61	.49	.37
L7812CD2T	497-2950-5-ND	12 V Positivspannungsregler	12V, Positive Voltage Regulator	D2-PAK	.86	.75	.58
L7812CD2T-TRI	497-1178-1-ND	12 V Positivspannungsregler	12V, Positive Voltage Regulator	D2-PAK	.84	.68	.51
L7812CD2T-TRI	497-1178-2-ND	12 V Positivspannungsregler	12V, Positive Voltage Regulator	D2-PAK		288.69/1,000	
L7812CP	497-1451-5-ND	12 V Positivspannungsregler	12V, Positive Voltage Regulator	TO-220FP	.83	.72	.56
L7812CT	497-1006-ND	12 V Positivspannungsregler	12V, Positive Voltage Regulator	TO-3	1.57	1.32	1.11
L7812CV	497-1452-5-ND	12 V Positivspannungsregler	12V, Positive Voltage Regulator	TO-220	.47	.38	.28
L7815ACV	497-1453-5-ND	15 V Präz. 1 A-Regler	15V, Precision 1A Regulator	TO-220	.65	.52	.39
L7815CD2T-TRI	497-1179-1-ND	15 V Positivspannungsregler	15V, Positive Voltage Regulator	D2-PAK	.84	.68	.51
L7815CD2T-TRI	497-1179-2-ND	15 V Positivspannungsregler	15V, Positive Voltage Regulator	D2-PAK		288.69/1,000	
L7815CT	497-1007-ND	15 V Positivspannungsregler	15V, Positive Voltage Regulator	TO-3	1.83	1.53	1.29
L7815CV	497-1454-5-ND	15 V Positivspannungsregler	15V, Positive Voltage Regulator	TO-220	.47	.38	.28
L7818ABV	497-1455-5-ND	18 V Präz. 1 A-Regler	18V, Precision 1A Regulator	TO-220	1.05	.91	.70
L7818CV	497-1456-5-ND	18 V Positivspannungsregler	18V, Positive Voltage Regulator	TO-220	.55	.44	.34
L7820CV	497-1457-5-ND	20 V Positivspannungsregler	20V, Positive Voltage Regulator	TO-220	.55	.44	.34
L7824ACV	497-1458-5-ND	24 V Präz. 1 A-Regler	24V, Precision 1A Regulator	TO-220	.65	.52	.39
L7824CD2T	497-1459-5-ND	24 V Positivspannungsregler	24V, Positive Voltage Regulator	D2-PAK	.89	.77	.60
L7824CT	497-1008-ND	24 V Positivspannungsregler	24V, Positive Voltage Regulator	TO-3	1.83	1.53	1.29
L7824CV	497-1460-5-ND	24 V Positivspannungsregler	24V, Positive Voltage Regulator	TO-220	.55	.44	.34
L7905ACV	497-1471-5-ND	-5 V neg. 2 % Regler	-5V, Negative 2% Regulator	TO-220	.65	.52	.39
L7905CD2T	497-2959-5-ND	-5 V Negativspannungsregler	-5V, Negative Voltage Regulator	D2-PAK	.98	.86	.66
L7905CD2T-TRI	497-1214-1-ND	-5 V Negativspannungsregler	-5V, Negative Voltage Regulator	D2-PAK	.98	.86	.66
L7905CD2T-TRI	497-1214-2-ND	-5 V Negativspannungsregler	-5V, Negative Voltage Regulator	D2-PAK		380.97/1,000	
L7905CV	497-1472-5-ND	-5 V Negativspannungsregler	-5V, Negative Voltage Regulator	TO-220	.55	.44	.34
L7906CD2T-TR	497-4230-1-ND	-6 V Negativspannungsreg.	-6V, Negative Voltage Reg.	D2-PAK	.98	.86	.66
L7906CD2T-TR	497-4230-2-ND	-6 V Negativspannungsreg.	-6V, Negative Voltage Reg.	D2-PAK		380.97/1,000	
L7906CV	497-1473-5-ND	-6 V Negativspannungsreg.	-6V, Negative Voltage Reg.	TO-220	.61	.49	.37
L7908ACV	497-4231-5-ND	-8 V Negativspannungsreg.	-8V, Negative Voltage Reg.	TO-220	.61	.49	.37
L7908CV	497-1474-5-ND	-8 V Negativspannungsreg.	-8V, Negative Voltage Reg.	TO-220	.61	.49	.37
L7912ACV	497-1475-5-ND	-12 V neg. 2 % Regler	-12V, Negative 2% Regulator	TO-220	.61	.49	.37
L7912CD2T-TRI	497-1215-1-ND	-12 V Negativspannungsregler	-12V, Negative Voltage Regulator	D2-PAK	.98	.86	.66
L7912CD2T-TRI	497-1215-2-ND	-12 V Negativspannungsregler	-12V, Negative Voltage Regulator	D2-PAK		380.97/1,000	
L7912CV	497-1476-5-ND	-12 V Negativspannungsregler	-12V, Negative Voltage Regulator	TO-220	.55	.44	.34
L7915ACV	497-1477-5-ND	-15 V Negativspannungsregler	-15V, Negative Voltage Regulator	TO-220	.61	.49	.37
L7915CD2T-TRI	497-1216-1-ND	-15 V Negativspannungsregler	-15V, Negative Voltage Regulator	D2-PAK	.98	.86	.66
L7915CD2T-TRI	497-1216-2-ND	-15 V Negativspannungsregler	-15V, Negative Voltage Regulator	D2-PAK		380.97/1,000	
L7915CV	497-1478-5-ND	-15 V Negativspannungsregler	-15V, Negative Voltage Regulator	TO-220	.55	.44	.34
L7918CV	497-1479-5-ND	-18 V Negativspannungsregler	-18V, Negative Voltage Regulator	TO-220	.55	.44	.34
L7924CV	497-1480-5-ND	-24 V Negativspannungsregler	-24V, Negative Voltage Regulator	TO-220	.58	.46	.39

STMicroelectronics Teilenr.	Digi-Key Teilenr.	Beschreibung		Paket	Stückpreis★ 1	10	100
ACS102-5TA-TR	497-3113-1-ND	AC-Leitungsschalter	AC Line Switch	TO-92	.96	.83	.64
ACS102-5TA-TR	497-3113-2-ND	AC-Leitungsschalter	AC Line Switch	TO-92		736.54/2,000	
ACS108-5SA	497-2401-ND	AC-Leitungsschalter	AC Line Switch	TO-92	1.42	1.19	1.00
ACS108-5SN	497-2448-1-ND	AC-Leitungsschalter	AC Line Switch	SOT-223	1.78	1.49	1.25
ACS108-5SN	497-2448-2-ND	AC-Leitungsschalter	AC Line Switch	SOT-223		800.04/1,000	
ACS110-7SB2	497-4149-5-ND	AC-Leitungsschalter	AC Line Switch	8-DIL	1.52	1.27	1.07
ACS120-7SFP	497-3815-5-ND	AC-Leitungsschalter	AC Line Switch	TO-220-FPAB	1.46	1.27	.98
ACS302-5T3	497-3114-5-ND	AC-Schalt-Array, 3 Leitungen	AC Switch Array, 3 Lines	20-SOIC	1.80	1.51	1.27
ACST4-7CFP	497-3820-5-ND	AC-Stromschalter	AC Power Switch	TO-220-FPAB	2.03	1.70	1.43
ACST4-7SB	497-2555-5-ND	AC-Stromschalter	AC Power Switch	D-PAK	2.03	1.70	1.43
ACST4-7SB-TR	497-2555-1-ND	AC-Stromschalter	AC Power Switch	D-PAK	1.27	1.06	.89
ACST4-7SB-TR	497-2555-2-ND	AC-Stromschalter	AC Power Switch	D-PAK		1375.73/2,500	
ACST4-7SFP	497-2568-5-ND	AC-Stromschalter	AC Power Switch	TO-220-FPAB	2.03	1.70	1.43
ACST6-7SFP	497-3789-5-ND	AC-Stromschalter mit Überspannungsschutz	Over Voltage Protected AC Power Switch	TO-220-FPAB	1.60	1.34	1.13
ACST6-7SG	497-3115-5-ND	AC-Stromschalter mit Überspannungsschutz	Over Voltage Protected AC Power Switch	D2-PAK	1.55	1.30	1.09
ACST6-7ST	497-2547-5-ND	AC-Stromschalter mit Überspannungsschutz	Over Voltage Protected AC Power Switch	TO-220AB	1.40	1.17	.98
ACST8-8CFP	497-2566-5-ND	AC-Stromschalter mit Überspannungsschutz	Over Voltage Protected AC Power Switch	TO-220-FPAB	1.96	1.63	1.37
ACST8-8CG-TR	497-4151-1-ND	AC-Stromschalter mit Überspannungsschutz	Over Voltage Protected AC Power Switch	D2-PAK	1.96	1.63	1.37
ACST8-8CG-TR	497-4151-2-ND	AC-Stromschalter mit Überspannungsschutz	Over Voltage Protected AC Power Switch	D2-PAK		880.46/1,000	
ACST8-8CT	497-3380-ND	AC-Stromschalter mit Überspannungsschutz	Over Voltage Protected AC Power Switch	TO-220AB	1.96	1.63	1.37
AVS08CB	497-2567-5-ND	Autom. Spannungsschalter	Auto Voltage Switch	TO-220AB	1.88	1.57	1.32
AVS1ACP08	497-3620-ND	Autom. Spannungsschalter	Auto Voltage Switch	8-Dip	3.20	2.79	2.08
AVS12CB	497-2564-5-ND	Autom. Spannungsschalter	Auto Voltage Switch	TO-220AB	2.31	2.01	1.50
DA108S1	497-2696-5-ND	Diodenarray	Diode Array	8-SOIC	1.21	1.05	.81
DA108S1RL	497-3399-1-ND	8-Diodenarray	8 Diode Array	8-SOIC	1.21	1.05	.81
DA108S1RL	497-3399-2-ND	8-Diodenarray	8 Diode Array	8-SOIC		1068.83/2,500	
DALC112S1	497-2695-5-ND	12-Dioden-NiedrigKapazität-Array für ESE-Schutz	12 Diode Low Cap. Array for ESD Protection	8-SOIC	1.05	.91	.70
DALC112S1RL	497-3400-1-ND	12-Dioden-NiedrigKapazität-Array für ESE-Schutz	12 Diode Low Cap. Array for ESD Protection	8-SOIC	1.05	.91	.70
DALC112S1RL	497-3400-2-ND	12-Dioden-NiedrigKapazität-Array für ESE-Schutz	12 Diode Low Cap. Array for ESD Protection	8-SOIC		929.14/2,500	
DALC208SC6	497-2525-1-ND	NiedrigKapazität-Dioden-Array	Low Cap. Diode Array	SOT-23-6	1.05	.91	.70

(Forts.)

★ *RUFEN SIE BITTE AN FÜR NIEDRIGERE PREISE BEI GRÖSSEREN MENGEN!* ★

Alle Preisangaben in Euro und inklusive Zollgebühren.

STMicroelectronics Teilenr.	Digi-Key Teilenr.	Beschreibung		Paket	Stückpreis★ 1	10	100
DALC208SC6	497-2525-2-ND	NiedrigKapazität-Dioden-Array	Low Cap. Diode Array	SOT-23-6		1114.97/3,000	
EMIF01-10005W5	497-3708-1-ND	EMI-Filter, 1 Leitung	1 Line EMI Filter	SOT-323-5	.96	.83	.64
EMIF01-10005W5	497-3708-2-ND	EMI-Filter, 1 Leitung	1 Line EMI Filter	SOT-323-5		1013.38/3,000	
EMIF02-MIC02F2	497-3782-1-ND	EMI-Filter mit ESE-Schutz, 2 Leitungen	2 Lines EMI Filter, ESD Protection	Flip Chip	.96	.83	.64
EMIF02-MIC02F2	497-3782-2-ND	EMI-Filter mit ESE-Schutz, 2 Leitungen	2 Lines EMI Filter, ESD Protection	Flip Chip		1621.24/5,000	
EMIF03-SIM01	497-3709-1-ND	EMI-Filter, 3 Leitungen	3 Lines EMI Filter	Flip Chip	.92	.80	.62
EMIF03-SIM01	497-3709-2-ND	EMI-Filter, 3 Leitungen	3 Lines EMI Filter	Flip Chip		1566.21/5,000	
EMIF06-10006F1	497-3710-1-ND	EMI-Filter, 6 Leitungen	6 Lines EMI Filter	Flip Chip	.92	.80	.62
EMIF06-10006F1	497-3710-2-ND	EMI-Filter, 6 Leitungen	6 Lines EMI Filter	Flip Chip		1566.21/5,000	
SSRP105B1	497-4303-5-ND	Zweif. assym. Überspannungsschutz für Telekomm.-Leitung	Dual Asymmetrical Overvoltage Protection for Telecom Line	8-SOIC	1.27	1.06	.89
ST1284-01A8	497-2565-5-ND	Einzel-Terminierungsnetzwerk	Single Termination Network	28-QSOP	2.41	2.02	1.69
ST1394-01SC6	497-3725-1-ND	IEEE1394 Kabelanschlussnetz mit einem Port und ESE-Schutz	IEEE1394 One Port Cable Termination Network with ESD Protection	SOT-23-6	.96	.83	.64
ST1394-01SC6	497-3725-2-ND	IEEE1394 Kabelanschlussnetz mit einem Port und ESE-Schutz	IEEE1394 One Port Cable Termination Network with ESD Protection	SOT-23-6		1013.38/3,000	
STIL02-P5	497-3174-5-ND	AC-Einschaltstrombegrenzer	AC Inrush Current Limiter	Pentawatt HV2	1.50	1.25	1.05
STIL04-P5	497-3175-5-ND	AC-Einschaltstrombegrenzer	AC Inrush Current Limiter	Pentawatt HV2	1.50	1.25	1.05
STIL04-T5	497-4359-5-ND	AC-Einschaltstrombegrenzer	AC Inrush Current Limiter	Pentawatt HV2	2.03	1.70	1.43
STIL08-T5	497-4360-5-ND	AC-Einschaltstrombegrenzer	AC Inrush Current Limiter	Pentawatt	2.29	1.91	1.61
STLD20D-C8	497-4361-1-ND	Weiße LED, Stromversorgung	White LED Power Supply	SOT-23-8L	1.90	1.59	1.34
STLD20D-C8	497-4361-2-ND	Weiße LED, Stromversorgung	White LED Power Supply	SOT-23-8L		2476.31/3,000	
STLD20D-DEF	497-4362-1-ND	Weiße LED, Stromversorgung	White LED Power Supply	8-QFN	2.03	1.70	1.43
STLD20D-DEF	497-4362-2-ND	Weiße LED, Stromversorgung	White LED Power Supply	8-QFN		2641.39/3,000	
STP08C596B1	497-3744-5-ND	8-Bit Konstantstrom-LED-Sink-Treiber	8-Bit Constant Current LED Sink Driver	16-Dip	1.42	1.19	1.00
STPAC01F2	497-4388-1-ND	RF-Detektor für Leistungsverst.-Steuerung	RF Detector for Power Amp Control	Flip Chip	1.27	1.11	.85
STPAC01F2	497-4388-2-ND	RF-Detektor für Leistungsverst.-Steuerung	RF Detector for Power Amp Control	Flip Chip		2158.83/5,000	
STPAC02F1	497-4389-1-ND	RF-Detektor für Leistungsverst.-Steuerung	RF Detector for Power Amp Control	Flip Chip	1.40	1.22	.94
STPAC02F1	497-4389-2-ND	RF-Detektor für Leistungsverst.-Steuerung	RF Detector for Power Amp Control	Flip Chip		2374.71/5,000	
TN22-1500B-TR	497-3772-1-ND	400 V, 1,8 A Startlight	400V, 1.8A Startlight	D-PAK	1.34	1.16	.89
TN22-1500B-TR	497-3772-2-ND	400 V, 1,8 A Startlight	400V, 1.8A Startlight	D-PAK		1183.12/2,500	
TPN3021RL	497-3741-1-ND	Tripolarer Überspannungsschutz für Netzwerkschnittstellen	Tripolar Overvoltage Protection for Network Interfaces	8-SOIC	1.40	1.17	.98
TPN3021RL	497-3741-2-ND	Tripolarer Überspannungsschutz für Netzwerkschnittstellen	Tripolar Overvoltage Protection for Network Interfaces	8-SOIC		1513.30/2,500	
USB6B1	497-2727-5-ND	Datenleitungsschutz	Data Line Protection	8-SOIC	1.43	1.24	.96
USB6B1RL	497-3281-1-ND	Datenleitungsschutz	Data Line Protection	8-SOIC	1.08	.94	.72
USB6B1RL	497-3281-2-ND	Datenleitungsschutz	Data Line Protection	8-SOIC		956.66/2,500	
USBDF02W5	497-3742-1-ND	EMI-Filter und Leitungsterminierung für USB-Downstream-Ports	EMI Filter and Line Termination for USB Downstream Ports	SOT-323-5	1.14	1.00	.77
USBDF02W5	497-3742-2-ND	EMI-Filter und Leitungsterminierung für USB-Downstream-Ports	EMI Filter and Line Termination for USB Downstream Ports	SOT-323-5		1216.56/3,000	
USBLC6-4SC6	497-4492-1-ND	ESE-Schutz, sehr niedrige Kapazität	Very Low Capacitance ESD Protection	SOT-23-6L	1.08	.94	.72
USBLC6-4SC6	497-4492-2-ND	ESE-Schutz, sehr niedrige Kapazität	Very Low Capacitance ESD Protection	SOT-23-6L		1147.99/3,000	
USBUF01P6	497-3282-1-ND	EMI Filter/Leitungsterminierung	EMI Filter/Line Termination	SOT-666	.76	.61	.46
USBUF01P6	497-3282-2-ND	EMI Filter/Leitungsterminierung	EMI Filter/Line Termination	SOT-666		723.84/3,000	
USBUF02W6	497-3743-1-ND	EMI-Filter und Leitungsterminierung für USB-Upstream-Ports	EMI Filter and Line Termination for USB Upstream Ports	SOT-323-6	.91	.74	.55
USBUF02W6	497-3743-2-ND	EMI-Filter und Leitungsterminierung für USB-Upstream-Ports	EMI Filter and Line Termination for USB Upstream Ports	SOT-323-6		868.61/3,000	

STMicroelectronics Teilenr.	Digi-Key Teilenr.	Beschreibung		Paket	Stückpreis★ 1	10	100
HCF4001BEY	497-1340-5-ND	Vierf. NOR-Gate mit 2 Eingängen	Quad 2-Input NOR Gate	14-Dip	.47	.36	.26
HCF4001M013TRI	497-1110-1-ND	Vierf. NOR-Gate mit 2 Eingängen	Quad 2-Input NOR Gate	14-SOIC	.47	.36	.22
HCF4001M013TRI	497-1110-2-ND	Vierf. NOR-Gate mit 2 Eingängen	Quad 2-Input NOR Gate	14-SOIC		306.89/2,500	
HCF4011BEY	497-1345-5-ND	Vierf. NAND-Gate mit 2 Eingängen	Quad 2-Input NAND Gate	14-Dip	.41	.29	.22
HCF4011M013TRI	497-1114-1-ND	Vierf. NAND-Gate mit 2 Eingängen	Quad 2-Input NAND Gate	14-SOIC	.41	.26	.20
HCF4011M013TRI	497-1114-2-ND	Vierf. NAND-Gate mit 2 Eingängen	Quad 2-Input NAND Gate	14-SOIC		270.91/2,500	
HCF4013BEY	497-1346-5-ND	Zweif. D-Flip-Flop	Dual D-Type Flip-Flop	14-Dip	.41	.29	.22
HCF4013M013TRI	497-1115-1-ND	Zweif. D-Flip-Flop	Dual D-Type Flip-Flop	14-SOIC	.47	.29	.22
HCF4013M013TRI	497-1115-2-ND	Zweif. D-Flip-Flop	Dual D-Type Flip-Flop	14-SOIC		306.89/2,500	
HCF4014BEY	497-1347-5-ND	Synch. 8-Phasen-Statik-Schieberegister, parallel oder seriell Ein/seriell Aus	Sync. Parallel or Serial In/Serial Out 8-Stage Static Shift Register	16-Dip	.53	.43	.32
HCF4014M013TRI	497-1116-1-ND	Synch. 8-Phasen-Statik-Schieberegister, parallel oder seriell Ein/seriell Aus	Sync. Parallel or Serial In/Serial Out 8-Stage Static Shift Register	16-SOIC	.47	.29	.22
HCF4014M013TRI	497-1116-2-ND	Synch. 8-Phasen-Statik-Schieberegister, parallel oder seriell Ein/seriell Aus	Sync. Parallel or Serial In/Serial Out 8-Stage Static Shift Register	16-SOIC		306.89/2,500	
HCF4015BEY	497-1348-5-ND	Zweif. statisches 4-Phasen-Schieberegister	Dual 4-Stage Static Shift Register	16-Dip	.41	.29	.22
HCF4015M013TRI	497-1117-1-ND	Zweif. statisches 4-Phasen-Schieberegister	Dual 4-Stage Static Shift Register	16-SOIC	.61	.49	.37
HCF4015M013TRI	497-1117-2-ND	Zweif. statisches 4-Phasen-Schieberegister	Dual 4-Stage Static Shift Register	16-SOIC		482.56/2,500	
HCF4016BEY	497-1349-5-ND	Vierf. Bilateralschalter	Quad Bilateral Switch	14-Dip	.55	.40	.30
HCF4016M013TRI	497-1118-1-ND	Vierf. Bilateralschalter	Quad Bilateral Switch	14-SOIC	.41	.26	.20
HCF4016M013TRI	497-1118-2-ND	Vierf. Bilateralschalter	Quad Bilateral Switch	14-SOIC		270.91/2,500	
HCF4017BEY	497-1350-5-ND	Dekadenzähler mit 10 dekodierten Ausgängen	Decade Counter w/10 Decoded Output	16-Dip	.65	.52	.39
HCF4017M013TRI	497-1119-1-ND	Dekadenzähler mit 10 dekodierten Ausgängen	Decade Counter with 10 Decoded Output	16-SOIC	.47	.29	.22
HCF4017M013TRI	497-1119-2-ND	Dekadenzähler mit 10 dekodierten Ausgängen	Decade Counter with 10 Decoded Output	16-SOIC		306.89/2,500	
HCF4020BEY	497-1351-5-ND	Ripple-Carry Binärzähler/-teiler, 14-Bit Phase	14-Stage Ripple-Carry Binary Counter/Divider	16-Dip	.51	.37	.28
HCF4021BEY	497-1352-5-ND	Asynch. 8-Phasen-Statik-Schieberegister, parallel Ein oder synch. seriell Ein/seriell Aus	Async. Parallel In or Sync. Serial In/Serial Out 8-Stage Static Shift Register	16-Dip	.41	.36	.28
HCF4021M013TRI	497-1120-1-ND	Asynch. 8-Phasen-Statik-Schieberegister, parallel Ein oder synch. seriell Ein/seriell Aus	Async. Parallel In or Sync. Serial In/Serial Out 8-Stage Static Shift Register	16-SOIC	.47	.34	.26
HCF4021M013TRI	497-1120-2-ND	Asynch. 8-Phasen-Statik-Schieberegister, parallel Ein oder synch. seriell Ein/seriell Aus	Async. Parallel In or Sync. Serial In/Serial Out 8-Stage Static Shift Register	16-SOIC		349.22/2,500	
HCF4024BEY	497-1353-5-ND	7-Phasen-Ripple-Carry Binärzähler/-teiler	7-Stage Ripply-Carry Binary Counter/Divider	14-Dip	.42	.34	.26
HCF4024M013TRI	497-1121-1-ND	7-Phasen-Ripple-Carry Binärzähler/-teiler	7-Stage Ripply-Carry Binary Counter/Divider	14-SOIC	.41	.32	.20
HCF4024M013TRI	497-1121-2-ND	7-Phasen-Ripple-Carry Binärzähler/-teiler	7-Stage Ripply-Carry Binary Counter/Divider	14-SOIC		270.91/2,500	
HCF4028BEY	497-1354-5-ND	BCD zu Dezimal-Dekodierer	BCD to Decimal Decoder	16-Dip	.55	.40	.30
HCF4028M013TRI	497-1122-1-ND	BCD zu Dezimal-Dekodierer	BCD to Decimal Decoder	16-SOIC	.41	.29	.22
HCF4028M013TRI	497-1122-2-ND	BCD zu Dezimal-Dekodierer	BCD to Decimal Decoder	16-SOIC		302.66/2,500	
HCF4030BEY	497-1355-5-ND	Vierf. Exklusiv-OR-Gate	Quad Exclusive OR Gate	14-Dip	.51	.41	.31
HCF4030M013TRI	497-1123-1-ND	Vierf. Exklusiv-OR-Gate	Quad Exclusive OR Gate	14-SOIC	.41	.26	.20
HCF4030M013TRI	497-1123-2-ND	Vierf. Exklusiv-OR-Gate	Quad Exclusive OR Gate	14-SOIC		270.91/2,500	
HCF4040BEY	497-1356-5-ND	Ripple-Carry Binärzähler/-teiler, 12-Bit Phase	12-Stage Ripple-Carry Binary Counter/Divider	16-Dip	.53	.43	.32
HCF4040M013TRI	497-1124-1-ND	Ripple-Carry Binärzähler/-teiler, 12-Bit Phase	12-Stage Ripple-Carry Binary Counter/Divider	16-SOIC	.41	.29	.22
HCF4040M013TRI	497-1124-2-ND	Ripple-Carry Binärzähler/-teiler, 12-Bit Phase	12-Stage Ripple-Carry Binary Counter/Divider	16-SOIC		302.66/2,500	
HCF4042BEY	497-1357-5-ND	Vierf. getakteter D-Latch	Quad Clocked D-Latch	16-Dip	.42	.34	.26
HCF4042M013TRI	497-1125-1-ND	Vierf. getakteter D-Latch	Quad Clocked D-Latch	16-SOIC	.44	.28	.21
HCF4042M013TRI	497-1125-2-ND	Vierf. getakteter D-Latch	Quad Clocked D-Latch	16-SOIC		287.84/2,500	
HCF4047BEY	497-1358-5-ND	Monostabiler/astabiler NL-Multivibrator	Low Power Monostable/Astable Multivibrator	14-Dip	.51	.37	.28
HCF4047M013TRI	497-1126-1-ND	Monostabiler/astabiler NL-Multivibrator	Low Power Monostable/Astable Multivibrator	14-SOIC	.55	.40	.30
HCF4047M013TRI	497-1126-2-ND	Monostabiler/astabiler NL-Multivibrator	Low Power Monostable/Astable Multivibrator	14-SOIC		412.72/2,500	
HCF4049UBEY	497-1359-5-ND	Sechsf. Puffer/Umsetzer	Hex Buffer/Converter	16-Dip	.47	.34	.26
HCF4049UM013TRI	497-1127-1-ND	Sechsf. Puffer/Umsetzer	Hex Buffer/Converter	16-SOIC	.47	.29	.22
HCF4049UM013TRI	497-1127-2-ND	Sechsf. Puffer/Umsetzer	Hex Buffer/Converter	16-SOIC		306.89/2,500	
HCF4050BEY	497-1360-5-ND	Sechsf. Puffer/Umsetzer	Hex Buffer/Converter	16-Dip	.41	.29	.22
HCF4050M013TRI	497-1128-1-ND	Sechsf. Puffer/Umsetzer	Hex Buffer/Converter	16-SOIC	.47	.29	.22
HCF4050M013TRI	497-1128-2-ND	Sechsf. Puffer/Umsetzer	Hex Buffer/Converter	16-SOIC		306.89/2,500	
HCF4051BEY	497-1361-5-ND	8-Kanal-Analog-Mux/Demux	8-Channel Analog Mux/Demux	16-Dip	.41	.29	.22
HCF4051M013TRI	497-1129-1-ND	8-Kanal-Analog-Mux/Demux	8-Channel Analog Mux/Demux	16-SOIC	.41	.29	.22
HCF4051M013TRI	497-1129-2-ND	8-Kanal-Analog-Mux/Demux	8-Channel Analog Mux/Demux	16-SOIC		302.66/2,500	
HCF4052BEY	497-1362-5-ND	Diff. 4-Kanal-Analog-Mux/Demux	Diff. 4-Ch. Analog Mux/Demux	16-Dip	.55	.40	.30

(Forts.)

★ RUFEN SIE BITTE AN FÜR NIEDRIGERE PREISE BEI GRÖSSEREN MENGEN! ★

STMicroelectronics — SERIE HCF *(Forts.)*

STMicroelectronics Teilenr.	Digi-Key Teilenr.	Beschreibung		Paket	Stückpreis★ 1	10	100
HCF4052M013TRI	497-1130-1-ND	Diff. 4-Kanal-Analog-Mux/Demux	Diff. 4-Ch. Analog Mux/Demux	16-SOIC	.41	.33	.25
HCF4052M013TRI	497-1130-2-ND	Diff. 4-Kanal-Analog-Mux/Demux	Diff. 4-Ch. Analog Mux/Demux	16-SOIC		302.66/2,500	
HCF4053BEY	497-1363-5-ND	Dreif. 2-Kanal-Analog-Mux/Demux	Triple 2-Ch. Analog Mux/Demux	16-Dip	.41	.29	.22
HCF4053BTTR	497-2383-1-ND	Dreif. 2-Kanal-Analog-Mux/Demux	Triple 2-Ch. Analog Mux/Demux	16-SOIC	.61	.49	.37
HCF4053BTTR	497-2383-2-ND	Dreif. 2-Kanal-Analog-Mux/Demux	Triple 2-Ch. Analog Mux/Demux	16-SOIC		482.56/2,500	
HCF4053M013TRI	497-1131-1-ND	Dreif. 2-Kanal-Analog-Mux/Demux	Triple 2-Ch. Analog Mux/Demux	16-SOIC	.55	.44	.30
HCF4053M013TRI	497-1131-2-ND	Dreif. 2-Kanal-Analog-Mux/Demux	Triple 2-Ch. Analog Mux/Demux	16-SOIC		412.72/2,500	
HCF4056BEY	497-1364-5-ND	BCD zu 7-Segment-Dekodierer/Treiber	BCD to 7 Segment Decoder/Driver	16-Dip	.80	.64	.48
HCF4056M013TRI	497-1132-1-ND	BCD zu 7-Segment-Dekodierer/Treiber	BCD to 7 Segment Decoder/Driver	16-SOIC	.65	.52	.39
HCF4056M013TRI	497-1132-2-ND	BCD zu 7-Segment-Dekodierer/Treiber	BCD to 7 Segment Decoder/Driver	16-SOIC		512.19/2,500	
HCF4060BEY	497-1365-5-ND	Ripple-Carry Binärzähler/Teiler und Oszillator, 14-Phasen	14-Stage Ripple Carry Binary Counter/Divider and Oscillator	16-Dip	.55	.40	.30
HCF4060M013TRI	497-1133-1-ND	Ripple-Carry Binärzähler/Teiler und Oszillator, 14-Phasen	14-Stage Ripple Carry Binary Counter/Divider and Oscillator	16-SOIC	.51	.37	.28
HCF4060M013TRI	497-1133-2-ND	Ripple-Carry Binärzähler/Teiler und Oszillator, 14-Phasen	14-Stage Ripple Carry Binary Counter/Divider and Oscillator	16-SOIC		380.97/2,500	
HCF4066BEY	497-1366-5-ND	Vierf. Bilateralschalter für Übertragung oder Multiplexing von Analog- oder Digitalsignalen	Quad Bilateral Switch for Transmission or Multiplexing of Analog or Digital Signals	14-Dip	.47	.29	.22
HCF4066M013TRI	497-1134-1-ND	Vierf. Bilateralschalter für Übertragung oder Multiplexing von Analog- oder Digitalsignalen	Quad Bilateral Switch for Transmission or Multiplexing of Analog or Digital Signals	14-SOIC	.41	.32	.20
HCF4066M013TRI	497-1134-2-ND	Vierf. Bilateralschalter für Übertragung oder Multiplexing von Analog- oder Digitalsignalen	Quad Bilateral Switch for Transmission or Multiplexing of Analog or Digital Signals	14-SOIC		270.91/2,500	
HCF4067M013TRI	497-1135-1-ND	Einf. 16-Kanal-Analog-Mux/Demux	Analog Single 16-Ch. Mux/Demux	24-SOIC	1.45	1.21	1.02
HCF4067M013TRI	497-1135-2-ND	Einf. 16-Kanal-Analog-Mux/Demux	Analog Single 16-Ch. Mux/Demux	24-SOIC		651.88/1,000	
HCF4069UBEY	497-1367-5-ND	Sechsf. Inverter	Hex Inverter	14-Dip	.38	.31	.23
HCF4069UM013TRI	497-1136-1-ND	Sechsf. Inverter	Hex Inverter	14-SOIC	.41	.32	.20
HCF4069UM013TRI	497-1136-2-ND	Sechsf. Inverter	Hex Inverter	14-SOIC		270.91/2,500	
HCF4070BEY	497-1368-5-ND	Vierf. Exklusiv-OR-Gate	Quad Exclusive OR Gate	14-Dip	.41	.29	.22
HCF4070M013TRI	497-1137-1-ND	Vierf. Exklusiv-OR-Gate	Quad Exclusive OR Gate	14-SOIC	.47	.29	.22
HCF4070M013TRI	497-1137-2-ND	Vierf. Exklusiv-OR-Gate	Quad Exclusive OR Gate	14-SOIC		306.89/2,500	
HCF4071BEY	497-1369-5-ND	Vierf. OR-Gate mit 2 Eingängen	Quad 2-Input OR Gate	14-Dip	.47	.29	.22
HCF4071M013TRI	497-1138-1-ND	Vierf. OR-Gate mit 2 Eingängen	Quad 2-Input OR Gate	14-SOIC	.41	.26	.20
HCF4071M013TRI	497-1138-2-ND	Vierf. OR-Gate mit 2 Eingängen	Quad 2-Input OR Gate	14-SOIC		270.91/2,500	
HCF4073BEY	497-1370-5-ND	Dreif. AND-Gate mit 3 Eingängen	Triple 3-Input AND Gate	14-Dip	.55	.44	.34
HCF4073M013TRI	497-1139-1-ND	Dreif. AND-Gate mit 3 Eingängen	Triple 3-Input AND Gate	14-SOIC	.55	.44	.34
HCF4073M013TRI	497-1139-2-ND	Dreif. AND-Gate mit 3 Eingängen	Triple 3-Input AND Gate	14-SOIC		412.72/2,500	
HCF4081BEY	497-1371-5-ND	Vierf. AND-Gate mit 2 Eingängen	Quad 2-Input AND Gate	14-Dip	.47	.29	.22
HCF4081M013TRI	497-1140-1-ND	Vierf. AND-Gate mit 2 Eingängen	Quad 2-Input AND Gate	14-SOIC	.41	.32	.20
HCF4081M013TRI	497-1140-2-ND	Vierf. AND-Gate mit 2 Eingängen	Quad 2-Input AND Gate	14-SOIC		270.91/2,500	
HCF4093BEY	497-1372-5-ND	Vierf. NAND-Schmitt-Trigger mit 2 Eingängen	Quad 2-Input NAND Schmitt Trigger	14-Dip	.47	.36	.26
HCF4093M013TRI	497-1141-1-ND	Vierf. NAND-Schmitt-Trigger mit 2 Eingängen	Quad 2-Input NAND Schmitt Trigger	14-SOIC	.41	.26	.20
HCF4093M013TRI	497-1141-2-ND	Vierf. NAND-Schmitt-Trigger mit 2 Eingängen	Quad 2-Input NAND Schmitt Trigger	14-SOIC		270.91/2,500	
HCF4094BEY	497-1373-5-ND	8-Phasen Shift-and-Store Bus-Register	8-Stage Shift and Store Bus Register	16-Dip	.47	.29	.22
HCF4094M013TRI	497-1142-1-ND	8-Phasen Shift-and-Store Bus-Register	8-Stage Shift and Store Bus Register	16-SOIC	.47	.29	.22
HCF4094M013TRI	497-1142-2-ND	8-Phasen Shift-and-Store Bus-Register	8-Stage Shift and Store Bus Register	16-SOIC		306.89/2,500	
HCF4099BEY	497-1374-5-ND	Adressierbarer 8-Bit Latch	8-Bit Addressable Latch	16-Dip	.61	.49	.37
HCF4099M013TRI	497-1143-1-ND	Adressierbarer 8-Bit Latch	8-Bit Addressable Latch	16-SOIC	.55	.44	.30
HCF4099M013TRI	497-1143-2-ND	Adressierbarer 8-Bit Latch	8-Bit Addressable Latch	16-SOIC		412.72/2,500	
HCF4511BEY	497-1375-5-ND	BCD an 7-Segm. Latch/Dekodierer/Treiber	BCD to 7 Seg. Latch/Decoder/Driver	16-Dip	.61	.49	.37
HCF4511M013TRI	497-1144-1-ND	BCD an 7-Segm. Latch/Dekodierer/Treiber	BCD to 7 Seg. Latch/Decoder/Driver	16-SOIC	.51	.41	.31
HCF4511M013TRI	497-1144-2-ND	BCD an 7-Segm. Latch/Dekodierer/Treiber	BCD to 7 Seg. Latch/Decoder/Driver	16-SOIC		380.97/2,500	
HCF4520BEY	497-1376-5-ND	Zweif. Binär-Aufwärtszähler	Dual Binary Up Counter	16-Dip	.58	.46	.35
HCF4520M013TRI	497-1145-1-ND	Zweif. Binär-Aufwärtszähler	Dual Binary Up Counter	16-SOIC	.92	.80	.62
HCF4520M013TRI	497-1145-2-ND	Zweif. Binär-Aufwärtszähler	Dual Binary Up Counter	16-SOIC		816.97/2,500	
HCF4536BEY	497-1377-5-ND	Programmierbarer Timer	Programmable Timer	16-Dip	.61	.49	.37
HCF4538BEY	497-1378-5-ND	Zweif. monostabiler Multivibrator	Dual Monostable Multivibrator	16-Dip	.55	.44	.30
HCF4538M013TRI	497-1146-1-ND	Zweif. monostabiler Multivibrator	Dual Monostable Multivibrator	16-SOIC	.41	.29	.22
HCF4538M013TRI	497-1146-2-ND	Zweif. monostabiler Multivibrator	Dual Monostable Multivibrator	16-SOIC		302.66/2,500	
HCF4541BEY	497-1379-5-ND	Programmierbarer Timer	Programmable Timer	14-Dip	.47	.38	.28
HCF4541M013TRI	497-1147-1-ND	Programmierbarer Timer	Programmable Timer	14-SOIC	.47	.38	.28
HCF4541M013TRI	497-1147-2-ND	Programmierbarer Timer	Programmable Timer	14-SOIC		349.22/2,500	
HCF4555BEY	497-1380-5-ND	Zweif. binär zu 1:4 Dekodierer/Demux	Dual Binary to 1-of-4 Decoder/Demux	16-Dip	.65	.52	.39
HCF4556M013TR	497-4040-1-ND	Zweif. binär zu 1:4 Dekodierer/Demux	Dual Binary to 1-of-4 Decoder/Demux	16-SOIC	.42	.34	.26
HCF4556M013TR	497-4040-2-ND	Zweif. binär zu 1:4 Dekodierer/Demux	Dual Binary to 1-of-4 Decoder/Demux	16-SOIC		317.48/2,500	
HCF40103BEY	497-1341-5-ND	Voreinstellbarer, synchroner 6-Bit Binär-Abwärtszähler, 8 Phasen	8-Stage Presettable Sync. 8-Bit Binary Down Counter	16-Dip	.89	.77	.60
HCF40106BEY	497-1342-5-ND	Sechsf. Schmitt-Trigger	Hex Schmitt Trigger	14-Dip	.47	.29	.22
HCF40106M013TRI	497-1111-1-ND	Sechsf. Schmitt-Trigger	Hex Schmitt Trigger	14-SOIC	.41	.29	.22
HCF40106M013TRI	497-1111-2-ND	Sechsf. Schmitt-Trigger	Hex Schmitt Trigger	14-SOIC		302.66/2,500	
HCF40107BEY	497-1343-5-ND	Zweif. NAND Puffer/Treiber m. 2 Eingängen	Dual 2-Input NAND Buffer/Driver	8-Dip	.42	.34	.26
HCF40107M013TRI	497-1112-1-ND	Zweif. NAND Puffer/Treiber m. 2 Eingängen	Dual 2-Input NAND Buffer/Driver	8-SOIC	.61	.49	.37
HCF40107M013TRI	497-1112-2-ND	Zweif. NAND Puffer/Treiber m. 2 Eingängen	Dual 2-Input NAND Buffer/Driver	8-SOIC		482.56/2,500	
HCF40109BEY	497-1344-5-ND	Vierf. Nieder-auf-Hochspann. Level-Shifter	Quad Low-to-High Volt. Level Shifter	16-Dip	.65	.52	.39
HCF40109M013TRI	497-1113-1-ND	Vierf. Nieder-auf-Hochspann. Level-Shifter	Quad Low-to-High Volt. Level Shifter	16-SOIC	.52	.33	.25
HCF40109M013TRI	497-1113-2-ND	Vierf. Nieder-auf-Hochspann. Level-Shifter	Quad Low-to-High Volt. Level Shifter	16-SOIC		342.87/2,500	

STMicroelectronics — EVALUIERUNGSKARTEN

STMicroelectronics Teilenr.	Digi-Key Teilenr.	Beschreibung		Paket	Stückpreis★ 1	10	100
EVAL5970D	497-4132-ND	Evaluierungskarte für L5970	Evaluation Board for L5970	—	11.01	—	—
EVAL5973AD	497-4133-ND	Evaluierungskarte für L5973	Evaluation Board for L5973	—	11.01	—	—
EVAL5973D	497-4134-ND	Evaluierungskarte für L5973	Evaluation Board for L5973	—	11.01	—	—
EVAL6206PD	497-4135-ND	Evaluierungskarte für L6206	Evaluation Board for L6206	—	27.51	—	—
EVAL6208PD	497-4136-ND	Evaluierungskarte für L6208	Evaluation Board for L6208	—	27.51	—	—
EVAL6562-250W	497-4137-ND	Evaluierungskarte für L6562-250	Evaluation Board for L6562-250	—	33.02	—	—
EVAL6574B	497-3823-ND	Evaluierungskarte für HF TL Ballast	Evaluation Board for HF TL Ballast	—	22.01	—	—
EVALPRACTISPIN	497-4138-ND	Evaluierungskarte: PractiSpin	Evaluation Board PractiSpin	—	33.02	—	—

STMicroelectronics — INTEGRIERTE SCHALTKREISE

STMicroelectronics Teilenr.	Digi-Key Teilenr.	Beschreibung		Paket	Stückpreis★ 1	10	100
74H1G66STR	497-1245-1-ND	Einf. Bilateralschalter	Single Bilateral Switch	SOT-23-5L	.51	.41	.31
74H1G66STR	497-1245-2-ND	Einf. Bilateralschalter	Single Bilateral Switch	SOT-23-5L		457.16/3,000	
DSM2150F5V-12T6	497-1320-ND	3,3 V Digitalsignal-Prozessor-Systemspeicher	3.3V, Digital Signal Processor System Memory	80-TQFP	9.35	8.54	6.75
DSM2180F3-90K6	497-1335-5-ND	5 V Digitalsignal-Prozessor-Systemspeicher	5V, Digital Signal Processor System Memory	52-PLCC	7.92	7.24	5.72
DSM2180F3-90T6	497-1321-ND	5 V Digitalsignal-Prozessor-Systemspeicher	5V, Digital Signal Processor System Memory	52-PQFP	7.92	7.24	5.72
DSM2180F3V-15K6	497-1336-5-ND	3,3 V Digitalsignal-Prozessor-Systemspeicher	3.3V, Digital Signal Processor System Memory	52-PLCC	7.92	7.24	5.72
DSM2180F3V-15T6	497-1322-ND	3,3 V Digitalsignal-Prozessor-Systemspeicher	3.3V, Digital Signal Processor System Memory	52-PQFP	7.92	7.24	5.72
DSM2190F4V-15K6	497-1337-5-ND	3,3 V Digitalsignal-Prozessor-Systemspeicher	3.3V, Digital Signal Processor System Memory	52-PLCC	8.58	7.95	6.01
DSM2190F4V-15T6	497-1323-ND	3,3 V Digitalsignal-Prozessor-Systemspeicher	3.3V, Digital Signal Processor System Memory	52-PQFP	8.58	7.95	6.01
EMIF03-SIM01F2	497-3401-1-ND	EMI-Filter mit ESE-Schutz, 3 Leitungen	3-Line EMI Filter and ESD Protection	FlipChip	.96	.83	.64

(Forts.)

★ *RUFEN SIE BITTE AN FÜR NIEDRIGERE PREISE BEI GRÖSSEREN MENGEN!* ★

Alle Preisangaben in Euro und inklusive Zollgebühren.

STMicroelectronics Teilenr.	Digi-Key Teilenr.	Beschreibung		Paket	Stückpreis★ 1	10	100
EMIF03-SIM01F2	497-3401-2-ND	EMI-Filter mit ESE-Schutz, 3 Leitungen	3-Line EMI Filter and ESD Protection	FlipChip		1621.24/5,000	
EMIF10-LCD01F2	497-3402-1-ND	EMI-Filter mit ESE-Schutz, 10 Leitungen	10-Line EMI Filter and ESD Protection	FlipChip	1.52	1.27	1.07
EMIF10-LCD01F2	497-3402-2-ND	EMI-Filter mit ESE-Schutz, 10 Leitungen	10-Line EMI Filter and ESD Protection	FlipChip		3238.25/5,000	
ETC5054D/H013TRI	497-1109-1-ND	CODEC/Filter mit serieller Schnittstelle	Serial Interface Codec/Filter	16-SOIC	1.98	1.66	1.39
ETC5054D/H013TRI	497-1109-2-ND	CODEC/Filter mit serieller Schnittstelle	Serial Interface Codec/Filter	16-SOIC		891.47/1,000	
ETC5054D-X/HTR	497-1108-1-ND	CODEC/Filter mit serieller Schnittstelle	Serial Interface Codec/Filter	16-SOIC	1.98	1.66	1.39
ETC5054D-X/HTR	497-1108-2-ND	CODEC/Filter mit serieller Schnittstelle	Serial Interface Codec/Filter	16-SOIC		891.47/1,000	
ETC5054N/H	497-1339-5-ND	CODEC/Filter mit serieller Schnittstelle	Serial Interface Codec/Filter	16-Dip	2.47	2.15	1.61
ETC5054N-X/H	497-1338-5-ND	CODEC/Filter mit serieller Schnittstelle	Serial Interface Codec/Filter	16-Dip	2.47	2.15	1.61
FL-101	497-2381-ND	Flash-Link-Kabelprogrammierer	Flash Link Cable Programmer	—	51.95	—	—
L149H	497-1381-5-ND	Lineartreiber, 4 A	4A Linear Driver	5-Pentawatt	2.40	2.09	1.56
L149V	497-3992-5-ND	Lineartreiber, 4 A	4A Linear Driver	5-Pentawatt V	2.40	2.09	1.56
L165H	497-2932-5-ND	Leistungs-OpAmp, 3 A	3A Power Op Amp	5-Pentawatt	3.24	2.83	2.11
L165V	497-2933-5-ND	Leistungs-OpAmp, 3 A	3A Power Op Amp	5-Pentawatt	3.11	2.71	2.02
L200CH	497-2934-5-ND	Einstellb. Spannungs-/Stromregler	Adj. Voltage/Current Regulator	5-Pentawatt	1.88	1.57	1.32
L200CV	497-1382-5-ND	Einstellb. Spannungs-/Stromregler	Adj. Voltage/Current Regulator	5-Pentawatt	1.78	1.49	1.25
L272	497-2935-5-ND	Zweif. Leistungs-OpAmp	Dual Power Op Amp	16-Dip	1.88	1.57	1.32
L272D	497-1386-5-ND	Zweif. Leistungs-OpAmp	Dual Power Op Amp	16-SOIC Narrow	2.03	1.70	1.43
L272M	497-1387-5-ND	Zweif. Leistungs-OpAmp	Dual Power Op Amp	8-Mini Dip	1.98	1.66	1.39
L292	497-1388-5-ND	Umschaltmodus-Treiber für DC-Motoren	Switch-Mode Driver for DC Motors	15V-Multiwatt	5.04	4.61	3.64
L293B	497-1389-5-ND	Push-Pull 4-Kanal-Treiber	Push-Pull 4-Channel Driver	16-Dip	2.51	2.19	1.63
L293D	497-2936-5-ND	Push-Pull 4-Kanal-Treiber	Push-Pull 4-Channel Driver	16-Dip	2.29	1.99	1.49
L293DD	497-1390-5-ND	Push-Pull 4-Kanal-Treiber mit Dioden	Push-Pull 4-Ch. Driver with Diodes	20-SOIC	2.51	1.99	1.49
L293DD013TR	497-2937-1-ND	Push-Pull 4-Kanal-Treiber mit Dioden	Push-Pull 4-Ch. Driver with Diodes	20-SOIC	2.51	2.19	1.63
L293DD013TR	497-2937-2-ND	Push-Pull 4-Kanal-Treiber mit Dioden	Push-Pull 4-Ch. Driver with Diodes	20-SOIC		1238.58/1,000	
L293E	497-3622-ND	Push-Pull 4-Kanal-Treiber	Push-Pull 4 Ch. Driver	20-PowerDip	2.51	2.19	1.63
L294	497-2938-5-ND	Schaltmodus-Solenoid-Treiber	Switch-Mode Solenoid Driver	11-Multiwatt	4.21	3.67	2.73
L295	497-1391-5-ND	Zweif. Schaltmodus-Solenoid-Treiber	Dual Switch-Mode Solenoid Driver	15-Multiwatt	6.33	5.78	4.57
L296	497-2939-5-ND	Schaltregler für hohen Strom	High Current Switching Reg.	15-Multiwatt	4.46	3.88	2.89
L296HT	497-3994-5-ND	Schaltregler für hohen Strom	High Current Switching Reg.	15-Multiwatt	4.87	4.45	3.52
L296P	497-1392-5-ND	Schaltregler für hohen Strom	High Current Switching Reg.	15-Multiwatt	7.31	6.67	5.28
L296PHT	497-3995-5-ND	Schaltregler für hohen Strom	High Current Switching Reg.	15-Multiwatt	7.50	6.85	5.42
L297D	497-1393-5-ND	Schrittmotor-Controller	Stepper Motor Controller	20-SOIC	6.04	5.52	4.36
L297D013TR	497-3623-1-ND	Schrittmotor-Controller	Stepper Motor Controller	20-SOIC	6.04	5.52	4.36
L297D013TR	497-3623-2-ND	Schrittmotor-Controller	Stepper Motor Controller	20-SOIC		3346.61/1,000	
L297/1	497-1394-5-ND	Schrittmotor-Controller	Stepper Motor Controller	20-Dip	5.94	5.43	4.29
L298HN	497-2940-5-ND	Zweif. Vollbrückentreiber	Dual Full-Bridge Driver	15-Multiwatt	5.26	4.58	3.41
L298N	497-1395-5-ND	Zweif. Vollbrückentreiber	Dual Full-Bridge Driver	15-Multiwatt	3.55	3.10	2.31
L298P	497-1396-5-ND	Zweif. Vollbrückentreiber	Dual Full-Bridge Driver	20-Power SOIC	4.11	3.59	2.67
L298P013TR	497-3624-1-ND	Zweif. Vollbrückentreiber	Dual Full-Bridge Driver	20-Power SOIC	4.97	4.54	3.59
L298P013TR	497-3624-2-ND	Zweif. Vollbrückentreiber	Dual Full-Bridge Driver	20-Power SOIC		1683.89/600	
L387A	497-2941-5-ND	Regler mit Rückstellung, 5 V	5V Regulator with Reset	5-Pentawatt	2.44	2.04	1.71
L482D1013TR	497-3627-1-ND	Zündungs-Controller, Hall-Effekt-Anzug	Hall-Effect Pickup Ignition Controller	16-SOIC	3.55	3.09	2.30
L482D1013TR	497-3627-2-ND	Zündungs-Controller, Hall-Effekt-Anzug	Hall-Effect Pickup Ignition Controller	16-SOIC		4199.14/2,500	
L484D1013TR	497-3628-1-ND	Zündungs-Controller, magnetischer Anzug	Magnetic Pickup Ignition Controller	16-SOIC	3.29	2.87	2.14
L484D1013TR	497-3628-2-ND	Zündungs-Controller, magnetischer Anzug	Magnetic Pickup Ignition Controller	16-SOIC		3900.71/2,500	
L603C	497-3639-ND	Darlington Array, 5 V	5V, Darlington Array	18-Dip	1.98	1.66	1.39
L2720	497-1383-5-ND	Zweif. LDO-Leistungs-OpAmp	LDO Dual Power Op Amp	16-Power Dip	1.88	1.57	1.33
L2720D13TR	497-3909-1-ND	Zweif. LDO-Leistungs-OpAmp	LDO Dual Power Op Amp	16-SOIC	2.26	1.89	1.59
L2720D13TR	497-3909-2-ND	Zweif. LDO-Leistungs-OpAmp	LDO Dual Power Op Amp	16-SOIC		2448.79/2,500	
L2722	497-1384-5-ND	Zweif. LDO-Leistungs-OpAmp	LDO Dual Power Op Amp	8-Mini Dip	2.24	1.87	1.57
L2724	497-1385-5-ND	Zweif. Leistungs-OpAmp für niedrigen Abfall	Low Drop Dual Power Op Amp	9-Sip	2.41	2.02	1.69
L3845B	497-3625-ND	Verbindungsschnittstelle	Trunk Interface	8-Mini Dip	2.03	1.70	1.43
L3845D1	497-1397-5-ND	Verbindungsschnittstelle	Trunk Interface	8-SOIC	2.86	2.49	1.86
L3845D1013TR	497-3626-1-ND	Verbindungsschnittstelle	Trunk Interface	8-SOIC	2.86	2.49	1.86
L3845D1013TR	497-3626-2-ND	Verbindungsschnittstelle	Trunk Interface	8-SOIC		3386.40/2,500	
L4936E	497-3913-5-ND	Zweif. erw. Spannungsregler	Dual Adv. Voltage Reg.	11-Multiwatt	5.26	4.80	3.80
L4938E	497-3914-5-ND	Erweiterter Spannungsregler	Advanced Voltage Regulator	16-Dip	4.12	3.59	2.67
L4938ED013TR	497-3355-1-ND	Erweiterter Spannungsregler	Advanced Voltage Regulator	20-SOIC	3.55	3.09	2.30
L4938ED013TR	497-3355-2-ND	Erweiterter Spannungsregler	Advanced Voltage Regulator	20-SOIC		1745.69/1,000	
L4938EPD13TR	497-3915-1-ND	Erw. Spannungsregler	Adv. Voltage Regulator	20-Power SOIC	5.26	4.58	3.41
L4938EPD13TR	497-3915-2-ND	Erw. Spannungsregler	Adv. Voltage Regulator	20-Power SOIC		1635.63/600	
L4938ND013TR	497-3916-1-ND	Zweif. Mehrfunktionsspannungsreg.	Dual Multifunction Volt. Reg.	20-SOIC	4.05	3.53	2.63
L4938ND013TR	497-3916-2-ND	Zweif. Mehrfunktionsspannungsreg.	Dual Multifunction Volt. Reg.	20-SOIC		1992.90/1,000	
L4938NPD013TR	497-3917-1-ND	Zweif. Mehrfunktionsspannungsregler	Dual Multifunction Voltage Regulator	20-Power SOIC	4.28	3.73	2.78
L4938NPD013TR	497-3917-2-ND	Zweif. Mehrfunktionsspannungsregler	Dual Multifunction Voltage Regulator	20-Power SOIC		1329.84/600	
L4960	497-1406-5-ND	2,5 A Stromschaltregler	2.5A Power Switching Regulator	Heptawatt	2.29	1.99	1.49
L4960H	497-2942-5-ND	2,5 A Stromschaltregler	2.5A Power Switching Regulator	7-Heptawatt	2.29	1.99	1.49
L4962/A	497-1407-5-ND	1,5 A Stromschaltregler	1.5A Power Switching Reg.	16-Power Dip	2.29	1.99	1.49
L4962E/A	497-2943-5-ND	1,5 A Stromschaltregler	1.5A Power Switching Reg.	7-Heptawatt	2.29	1.99	1.49
L4963D	497-1408-5-ND	1,5 A Schaltregler	1.5A Switching Regulator	20-SOIC	2.29	1.99	1.49
L4964	497-1409-5-ND	Schaltregler für hohen Strom	High Current Switching Reg.	15-Multiwatt	6.82	6.23	4.92
L4970A	497-1410-5-ND	10 A Schaltregler	10A Switching Regulator	15V-Multiwatt	10.33	9.56	7.23
L4971D	497-1411-5-ND	1,5 A Step Down-Schaltregler	1.5A Step Down Switching Reg.	16-SOIC	3.98	3.47	2.58
L4971D013TR	497-3357-1-ND	1,5 A Step Down-Schaltregler	1.5A Step Down Switching Reg.	16-SOIC	3.98	3.47	2.58
L4971D013TR	497-3357-2-ND	1,5 A Step Down-Schaltregler	1.5A Step Down Switching Reg.	16-SOIC		1959.03/1,000	
L4972AD	497-4206-5-ND	2 A Step Down-Schaltregler	2A Step Down Switching Reg.	20-SOIC	5.02	4.59	3.63
L4972AD013TR	497-4207-1-ND	2 A Step Down-Schaltregler	2A Step Down Switching Reg.	20-SOIC	5.02	4.59	3.63
L4972AD013TR	497-4207-2-ND	2 A Step Down-Schaltregler	2A Step Down Switching Reg.	20-SOIC		2785.31/1,000	
L4973D3.3-013TR	497-3358-1-ND	3,5 A Step Down-Schaltregler	3.5A Step Down Switching Reg.	20-SOIC	5.45	4.98	3.94
L4973D3.3-013TR	497-3358-2-ND	3,5 A Step Down-Schaltregler	3.5A Step Down Switching Reg.	20-SOIC		3022.36/1,000	
L4973D5.1	497-1412-5-ND	3,5 A Step Down-Schaltregler	3.5A Step Down Switching Reg.	20-SOIC	5.60	5.12	4.05
L4973D5.1-013TR	497-3359-1-ND	3,5 A Step Down-Schaltregler	3.5A Step Down Switching Reg.	20-SOIC	5.03	4.38	3.26
L4973D5.1-013TR	497-3359-2-ND	3,5 A Step Down-Schaltregler	3.5A Step Down Switching Reg.	20-SOIC		2477.15/1,000	
L4973V3.3	497-1413-5-ND	3,5 A Step Down-Schaltregler	3.5A Step Down Switching Reg.	18-Power Dip	5.45	4.98	3.94
L4976D013TR	497-3360-1-ND	1 A Step-Down-Schaltregler	1A Step Down Switching Reg.	16-SOIC	3.50	3.05	2.27
L4976D013TR	497-3360-2-ND	1 A Step-Down-Schaltregler	1A Step Down Switching Reg.	16-SOIC		1722.83/1,000	
L4978D013TR	497-3361-1-ND	2 A Step Down-Schaltregler	2A Step Down Switching Reg.	16-SOIC	4.14	3.61	2.69
L4978D013TR	497-3361-2-ND	2 A Step Down-Schaltregler	2A Step Down Switching Reg.	16-SOIC		2037.77/1,000	
L4981A	497-3634-ND	Leistungsfaktorkorrektor	Power Factor Corrector	20-Dip	4.39	3.82	2.85
L4981AD	497-1414-5-ND	Leistungsfaktorkorrektor	Power Factor Corrector	20-SOIC	4.57	3.98	2.97
L5970D	497-1415-5-ND	Step-Down-Schaltregler bis zu 1 A	Up to 1A Step Down Switching Reg.	8-SOIC	2.39	1.99	1.68
L5971D	497-1416-5-ND	1,5 A Step Down-Schaltregler	1.5A Step Down Switching Reg.	16-SOIC	3.98	3.47	2.58
L5973AD	497-1417-5-ND	2 A Step Down-Schaltregler	2A Step Down Switching Reg.	8-HSOP	2.87	2.49	1.86
L5991AD13TR	497-3996-1-ND	Primär-Controller mit Standby	Primary Controller w/Standby	16-SOIC	3.20	2.79	2.08
L5991AD13TR	497-3996-2-ND	Primär-Controller mit Standby	Primary Controller w/Standby	16-SOIC		3792.77/2,500	
L5991D013TR	497-3997-1-ND	Primär-Controller mit Standby	Primary Controller w/Standby	16-SOIC	3.20	2.79	2.08
L5991D013TR	497-3997-2-ND	Primär-Controller mit Standby	Primary Controller w/Standby	16-SOIC		3792.77/2,500	
L5993D	497-2387-5-ND	Konstanter Leistungs-Controller	Constant Power Controller	16-SOIC	3.20	2.79	2.08
L6201	497-1418-5-ND	DMOS-Vollbrückentreiber	DMOS Full Bridge Driver	20-SOIC	7.25	6.62	5.23
L6201PS	497-1419-5-ND	DMOS-Vollbrückentreiber	DMOS Full Bridge Driver	20-Power SOIC	7.44	6.80	5.37
L6201PSTR	497-3641-1-ND	DMOS-Vollbrückentreiber	DMOS Full Bridge Driver	20-Power SOIC	7.44	6.80	5.37
L6201PSTR	497-3641-2-ND	DMOS-Vollbrückentreiber	DMOS Full Bridge Driver	20-Power SOIC		2522.53/600	
L6202	497-1420-5-ND	DMOS-Vollbrückentreiber	DMOS Full Bridge Driver	18-Power Dip	7.31	6.67	5.28
L6203	497-1421-5-ND	DMOS-Vollbrückentreiber	DMOS Full Bridge Driver	Multiwatt	9.54	8.72	6.89

(Forts.)

★ ***RUFEN SIE BITTE AN FÜR NIEDRIGERE PREISE BEI GRÖSSEREN MENGEN!*** ★

B

STMicroelectronics Teilenr.	Digi-Key Teilenr.	Beschreibung		Paket	Stückpreis★ 1	10	100
L6204D	497-1422-5-ND	Zweif. DMOS-Vollbrückentreiber	DMOS Dual Full Bridge Driver	28-SOIC	8.76	8.00	6.33
L6205D	497-4208-5-ND	Zweif. DMOS-Vollbrückentreiber	DMOS Dual Full Bridge Driver	20-SOIC	9.21	8.41	6.65
L6205D013TR	497-3998-1-ND	Zweif. DMOS-Vollbrückentreiber	DMOS Dual Full Bridge Driver	20-SOIC	9.21	8.41	6.65
L6205D013TR	497-3998-2-ND	Zweif. DMOS-Vollbrückentreiber	DMOS Dual Full Bridge Driver	20-SOIC		5105.84/1,000	
L6205N	497-4209-5-ND	Zweif. DMOS-Vollbrückentreiber	DMOS Dual Full Bridge Driver	20-Power Dip	9.21	8.41	6.65
L6205PD	497-1423-5-ND	Zweif. DMOS-Vollbrückentreiber	DMOS Dual Full Bridge Driver	20-Power SOIC	8.55	7.91	5.99
L6205PD013TR	497-3642-1-ND	Zweif. DMOS-Vollbrückentreiber	DMOS Dual Full Bridge Driver	20-Power SOIC	8.55	7.91	5.99
L6205PD013TR	497-3642-2-ND	Zweif. DMOS-Vollbrückentreiber	DMOS Dual Full Bridge Driver	20-Power SOIC		3258.06/600	
L6206D	497-4210-5-ND	Zweif. DMOS-Vollbrückentreiber	DMOS Dual Full Bridge Driver	24-SOIC	8.18	7.47	5.91
L6206D013TR	497-3999-1-ND	Zweif. DMOS-Vollbrückentreiber	DMOS Dual Full Bridge Driver	24-SOIC	8.18	7.47	5.91
L6206D013TR	497-3999-2-ND	Zweif. DMOS-Vollbrückentreiber	DMOS Dual Full Bridge Driver	24-SOIC		4533.54/1,000	
L6206N	497-4211-5-ND	Zweif. DMOS-Vollbrückentreiber	DMOS Dual Full Bridge Driver	24-Power Dip	8.28	7.56	5.98
L6206PD013TR	497-3643-1-ND	Zweif. DMOS-Vollbrückentreiber	DMOS Dual Full Bridge Driver	36-Power SOIC	9.26	8.57	6.49
L6206PD013TR	497-3643-2-ND	Zweif. DMOS-Vollbrückentreiber	DMOS Dual Full Bridge Driver	36-Power SOIC		3528.80/600	
L6207D	497-1424-5-ND	Zweif. DMOS-Vollbrückentreiber mit PWM-Strom-Controller	DMOS Dual Full Bridge Driver with PWM Current Controller	24-SOIC	8.97	8.31	6.29
L6207D013TR	497-3644-1-ND	Zweif. DMOS-Vollbrückentreiber	DMOS Dual Full Bridge Driver	24-SOIC	8.97	8.31	6.29
L6207D013TR	497-3644-2-ND	Zweif. DMOS-Vollbrückentreiber	DMOS Dual Full Bridge Driver	24-SOIC		5608.73/1,000	
L6207PD	497-4212-5-ND	Zweif. DMOS-Vollbrückentreiber	DMOS Dual Full Bridge Driver	36-Power SOIC	9.65	8.93	6.76
L6207PD013TR	497-4000-1-ND	Zweif. DMOS-Vollbrückentreiber	DMOS Dual Full Bridge Driver	36-Power SOIC	9.65	8.93	6.76
L6207PD013TR	497-4000-2-ND	Zweif. DMOS-Vollbrückentreiber	DMOS Dual Full Bridge Driver	36-Power SOIC		3677.12/600	
L6208D	497-4213-5-ND	DMOS-Treiber für bipolaren Schrittmotor	DMOS Driver for Bipolar Stepper Motor	24-SOIC	11.26	10.42	7.89
L6208D013TR	497-4001-1-ND	DMOS-Treiber für bipolaren Schrittmotor	DMOS Driver for Bipolar Stepper Motor	24-SOIC	11.26	10.42	7.89
L6208D013TR	497-4001-2-ND	DMOS-Treiber für bipolaren Schrittmotor	DMOS Driver for Bipolar Stepper Motor	24-SOIC		7037.79/1,000	
L6208PD	497-1425-5-ND	DMOS-Treiber für bipolaren Schrittmotor	DMOS Driver for Bipolar Stepper Motor	36-Power SOIC	12.04	11.14	8.43
L6208PD013TR	497-4214-1-ND	DMOS-Treiber für bipolaren Schrittmotor	DMOS Driver for Bipolar Stepper Motor	36-Power SOIC	12.04	11.14	8.43
L6208PD013TR	497-4214-2-ND	DMOS-Treiber für bipolaren Schrittmotor	DMOS Driver for Bipolar Stepper Motor	36-Power SOIC		4586.88/600	
L6219	497-1426-5-ND	Schrittmotortreiber	Stepper Motor Driver	24-Power Dip	2.63	2.29	1.71
L6219DS	497-1427-5-ND	Schrittmotortreiber	Stepper Motor Driver	24-SOIC	2.63	2.29	1.71
L6219DS013TR	497-3647-1-ND	Schrittmotortreiber	Stepper Motor Driver	24-SOIC	2.86	2.49	1.86
L6219DS013TR	497-3647-2-ND	Schrittmotortreiber	Stepper Motor Driver	24-SOIC		1407.90/1,000	
L6219DSA13TR	497-4002-1-ND	Schrittmotortreiber	Stepper Motor Driver	24-SOIC	3.09	2.69	2.01
L6219DSA13TR	497-4002-2-ND	Schrittmotortreiber	Stepper Motor Driver	24-SOIC		1520.49/1,000	
L6219R013TR	497-4003-1-ND	Schrittmotortreiber	Stepper Motor Driver	24-SOIC	3.66	3.19	2.38
L6219R013TR	497-4003-2-ND	Schrittmotortreiber	Stepper Motor Driver	24-SOIC		1801.56/1,000	
L6220	497-1428-5-ND	Vierf. Darlington-Schalter	Quad Darlington Switch	16-Power Dip	2.34	1.95	1.64
L6221AD013TR	497-4004-1-ND	Vierf. Darlington-Schalter	Quad Darlington Switch	20-SOIC	4.00	3.49	2.60
L6221AD013TR	497-4004-2-ND	Vierf. Darlington-Schalter	Quad Darlington Switch	20-SOIC		1970.88/1,000	
L6221AS	497-1429-5-ND	Vierf. Darlington-Schalter	Quad Darlington Switch	16-Power Dip	2.16	1.80	1.52
L6225D	497-1430-5-ND	Zweif. DMOS-Vollbrückentreiber	DMOS Dual Full Bridge Driver	20-SOIC	5.15	4.48	3.34
L6225PD	497-1431-5-ND	Zweif. DMOS-Vollbrückentreiber	DMOS Dual Full Bridge Driver	20-Power SOIC	5.26	4.80	3.80
L6226DTR	497-3362-1-ND	Zweif. DMOS-Vollbrückentreiber	DMOS Dual Full Bridge Driver	24-SOIC	5.15	4.48	3.34
L6226DTR	497-3362-2-ND	Zweif. DMOS-Vollbrückentreiber	DMOS Dual Full Bridge Driver	24-SOIC		2533.87/1,000	
L6226PD	497-1432-5-ND	Zweif. DMOS-Vollbrückentreiber	DMOS Dual Full Bridge Driver	36-Power SOIC	5.26	4.80	3.80
L6227DTR	497-3363-1-ND	Zweif. DMOS-Vollbrückentreiber mit PWM-Controller	DMOS Dual Full Bridge Driver with PWM Controller	24-SOIC	6.82	6.23	4.92
L6227DTR	497-3363-2-ND	Zweif. DMOS-Vollbrückentreiber mit PWM-Controller	DMOS Dual Full Bridge Driver with PWM Controller	24-SOIC		3778.38/1,000	
L6227N	497-3648-ND	Zweif. DMOS-Vollbrückentreiber mit PWM-Strom-Controller	DMOS Dual Full Bridge Driver with PWM Current Controller	24-Dip	6.82	6.23	4.92
L6227PDTR	497-4006-1-ND	Zweif. DMOS-Vollbrückentreiber mit PWM-Strom-Controller	DMOS Dual Full Bridge Driver with PWM Current Controller	36-Power SOIC	7.59	6.94	5.49
L6227PDTR	497-4006-2-ND	Zweif. DMOS-Vollbrückentreiber mit PWM-Strom-Controller	DMOS Dual Full Bridge Driver with PWM Current Controller	36-Power SOIC		2575.36/600	
L6228DTR	497-3364-1-ND	DMOS-Treiber für bipolaren Schrittmotor	DMOS Driver for Bipolar Stepper Motor	24-SOIC	6.82	6.23	4.92
L6228DTR	497-3364-2-ND	DMOS-Treiber für bipolaren Schrittmotor	DMOS Driver for Bipolar Stepper Motor	24-SOIC		3778.38/1,000	
L6228PDTR	497-4007-1-ND	DMOS-Treiber für bipolaren Schrittmotor	DMOS Driver for Bipolar Stepper Motor	36-Power SOIC	7.59	6.94	5.49
L6228PDTR	497-4007-2-ND	DMOS-Treiber für bipolaren Schrittmotor	DMOS Driver for Bipolar Stepper Motor	36-Power SOIC		2575.36/600	
L6229DTR	497-4008-1-ND	DMOS-Treiber für bürstenlosen 3-Phasen-Motor	DMOS Driver for 3-Phase Brushless DC Motor	24-SOIC	7.59	6.94	5.49
L6229DTR	497-4008-2-ND	DMOS-Treiber für bürstenlosen 3-Phasen-Motor	DMOS Driver for 3-Phase Brushless DC Motor	24-SOIC		4210.14/1,000	
L6229PDTR	497-4215-1-ND	DMOS-Treiber für bürstenlosen 3-Phasen-Motor	DMOS Driver for 3-Phase Brushless DC Motor	36-Power SOIC	9.50	8.68	6.86
L6229PDTR	497-4215-2-ND	DMOS-Treiber für bürstenlosen 3-Phasen-Motor	DMOS Driver for 3-Phase Brushless DC Motor	36-Power SOIC		3222.50/600	
L6234PD	497-2944-5-ND	3-Phasen-Motortreiber	3-Phase Motor Driver	20-SOIC	8.76	8.00	6.33
L6235D	497-4216-5-ND	DMOS-Treiber für bürstenlosen 3-Phasen-Motor	DMOS Driver for 3-Phase Brushless DC Motor	24-SOIC	11.29	10.45	7.91
L6235D013TR	497-4009-1-ND	DMOS-Treiber für bürstenlosen 3-Phasen-Motor	DMOS Driver for 3-Phase Brushless DC Motor	24-SOIC	11.29	10.45	7.91
L6235D013TR	497-4009-2-ND	DMOS-Treiber für bürstenlosen 3-Phasen-Motor	DMOS Driver for 3-Phase Brushless DC Motor	24-SOIC		7058.53/1,000	
L6235PD013TR	497-4010-1-ND	DMOS-Treiber für bürstenlosen 3-Phasen-Motor	DMOS Driver for 3-Phase Brushless DC Motor	36-Power SOIC	11.85	10.97	8.30
L6235PD013TR	497-4010-2-ND	DMOS-Treiber für bürstenlosen 3-Phasen-Motor	DMOS Driver for 3-Phase Brushless DC Motor	36-Power SOIC		4515.76/600	
L6258E	497-1433-5-ND	PWM-gesteuerter DMOS Universal-Motortreiber f. Hochstrom	PWM Controlled, High Current DMOS Universal Motor Driver	36-Power SOIC	8.76	8.00	6.33
L6258EX	497-3702-5-ND	PWM-gesteuerter DMOS Universal-Motortreiber f. Hochstrom	PWM Controlled, High Current DMOS Universal Motor Driver	36-Power SOIC	5.16	4.72	3.73
L6370D013TR	497-4011-1-ND	2,5 A, intelligenter industrieller Stromschalter, High-Side-Treiber	2.5A High Side Driver Industrial Intelligent Power Switch	20-Power SOIC	7.59	6.94	5.49
L6370D013TR	497-4011-2-ND	2,5 A, intelligenter industrieller Stromschalter, High-Side-Treiber	2.5A High Side Driver Industrial Intelligent Power Switch	20-Power SOIC		2575.36/600	
L6374FP013TR	497-4012-1-ND	Vierf. industrieller Leitungstreiber	Industrial Quad Line Driver	20-SOIC	7.59	6.94	5.49
L6374FP013TR	497-4012-2-ND	Vierf. industrieller Leitungstreiber	Industrial Quad Line Driver	20-SOIC		4210.14/1,000	
L6375D013TR	497-4013-1-ND	0,5 A, intelligenter industrieller Stromschalter	0.5A Industrial Intelligent Power Switch	20-SOIC	3.20	2.79	2.08
L6375D013TR	497-4013-2-ND	0,5 A, intelligenter industrieller Stromschalter	0.5A Industrial Intelligent Power Switch	20-SOIC		1576.37/1,000	
L6376D013TR	497-3365-1-ND	Vierf. 0,5 A intelligenter Stromschalter, High-Side-Treiber	0.5A High-Side Driver, Quad Intelligent Power Switch	20-Power SOIC	9.06	8.38	6.35
L6376D013TR	497-3365-2-ND	Vierf. 0,5 A intelligenter Stromschalter, High-Side-Treiber	0.5A High-Side Driver, Quad Intelligent Power Switch	20-Power SOIC		3451.59/600	
L6377D	497-1434-5-ND	0,5 A intelligenter Stromschalter, High-Side-Treiber	0.5A High-Side Driver Intelligent Power Switch	14-SOIC	4.80	4.18	3.12
L6384D013TR	497-4014-1-ND	Hochspann.-Halbbrücken-Treiber	High Volt. Half Bridge Driver	8-SOIC	3.43	2.99	2.23
L6384D013TR	497-4014-2-ND	Hochspann.-Halbbrücken-Treiber	High Volt. Half Bridge Driver	8-SOIC		4063.68/2,500	
L6385D	497-1435-5-ND	Hochspann.-High-/Low-Side-Treiber	High Voltage High/Low Side Driver	8-SOIC	2.46	2.06	1.73
L6385D013TR	497-3650-1-ND	Hochspann.-High-/Low-Side-Treiber	High Voltage High/Low Side Driver	8-SOIC	2.46	2.06	1.73
L6385D013TR	497-3650-2-ND	Hochspann.-High-/Low-Side-Treiber	High Voltage High/Low Side Driver	8-SOIC		2668.91/2,500	
L6386D	497-1436-5-ND	Hochspann.-High-/Low-Side-Treiber	High Voltage High/Low Side Driver	14-SOIC	3.66	3.19	2.38
L6386D013TR	497-3651-1-ND	Hochspann.-High-/Low-Side-Treiber	High Voltage High/Low Side Driver	14-SOIC	3.66	3.19	2.38
L6386D013TR	497-3651-2-ND	Hochspann.-High-/Low-Side-Treiber	High Voltage High/Low Side Driver	14-SOIC		4334.59/2,500	
L6387DTR	497-4015-1-ND	Hochspann.-High-/Low-Side-Treiber	High Voltage High/Low Side Driver	8-SOIC	3.43	2.99	2.23
L6387DTR	497-4015-2-ND	Hochspann.-High-/Low-Side-Treiber	High Voltage High/Low Side Driver	8-SOIC		4063.68/2,500	
L6506	497-2945-5-ND	Strom-Controller für Schrittmotor	Current Controller for Stepping Motor	18-Dip	4.11	3.59	2.67
L6506D	497-1437-5-ND	Strom-Controller für Schrittmotor	Current Controller for Stepping Motor	20-SOIC	4.39	3.82	2.85
L6506D013TR	497-3652-1-ND	Strom-Controller für Schrittmotor	Current Controller for Stepping Motor	20-SOIC	4.39	3.82	2.85
L6506D013TR	497-3652-2-ND	Strom-Controller für Schrittmotor	Current Controller for Stepping Motor	20-SOIC		2162.22/1,000	
L6560AD	497-1438-5-ND	Leistungsfaktorkorrektor	Power Factor Corrector	8-SOIC	1.32	1.11	.93
L6561	497-3653-ND	Leistungsfaktorkorrektor	Power Factor Corrector	8-MiniDip	1.32	1.11	.93
L6561D	497-2946-5-ND	Leistungsfaktorkorrektor	Power Factor Corrector	8-SOIC	1.32	1.11	.93
L6561D013TRI	497-1169-1-ND	Leistungsfaktorkorrektor	Power Factor Corrector	8-SOIC	1.32	1.11	.93
L6561D013TRI	497-1169-2-ND	Leistungsfaktorkorrektor	Power Factor Corrector	8-SOIC		1430.75/2,500	
L6562DTR	497-3366-1-ND	PFC-Controller, Übergangsmodus	Transition-Mode PFC Controller	8-SOIC	1.43	1.24	.96
L6562DTR	497-3366-2-ND	PFC-Controller, Übergangsmodus	Transition-Mode PFC Controller	8-SOIC		1267.78/2,500	
L6565DTR	497-4017-1-ND	SMPS-Controller, Quasi-Resonant	Quasi-Resonant SMPS Controller	8-SOIC	2.29	1.99	1.49
L6565DTR	497-4017-2-ND	SMPS-Controller, Quasi-Resonant	Quasi-Resonant SMPS Controller	8-SOIC		2709.12/2,500	
L6569	497-4217-5-ND	HV Halbbrücken-Treiber mit Oszillator	HV Half Bridge Driver with Oscillator	8-Dip	2.16	1.80	1.52
L6569A	497-3654-ND	HV Halbbrücken-Treiber mit Oszillator	HV Half Bridge Driver with Oscillator	8-MiniDip	2.16	1.80	1.52
L6569AD	497-1439-5-ND	HV Halbbrücken-Treiber mit Oszillator	HV Half Bridge Driver with Oscillator	8-SOIC	2.16	1.80	1.52
L6571AD013TR	497-3367-1-ND	HV Halbbrücken-Treiber mit Oszillator	HV Half Bridge Driver with Oscillator	8-SOIC	2.16	1.80	1.52
L6571AD013TR	497-3367-2-ND	HV Halbbrücken-Treiber mit Oszillator	HV Half Bridge Driver with Oscillator	8-SOIC		2338.73/2,500	
L6571BD013TR	497-3655-1-ND	HV Halbbrücken-Treiber mit Oszillator	HV Half Bridge Driver with Oscillator	8-SOIC	2.16	1.80	1.52
L6571BD013TR	497-3655-2-ND	HV Halbbrücken-Treiber mit Oszillator	HV Half Bridge Driver with Oscillator	8-SOIC		2338.73/2,500	
L6574D013TR	497-4018-1-ND	CFL/TL Ballasttreiber, Vorheizung und Dimmung	CFL/TL Ballast Driver Preheat and Dimming	16-SOIC	2.38	2.07	1.55
L6574D013TR	497-4018-2-ND	CFL/TL Ballasttreiber, Vorheizung und Dimmung	CFL/TL Ballast Driver Preheat and Dimming	16-SOIC		2817.06/2,500	

(Forts.)

★ *RUFEN SIE BITTE AN FÜR NIEDRIGERE PREISE BEI GRÖSSEREN MENGEN!* ★

STMicroelectronics Teilenr.	Digi-Key Teilenr.	Beschreibung		Paket	Stückpreis★ 1	10	100
L6590D013TR	497-4019-1-ND	Voll integrierte Spannungsversorgung	Fully Integrated Power Supply	16-SOIC	3.55	3.09	2.30
L6590D013TR	497-4019-2-ND	Voll integrierte Spannungsversorgung	Fully Integrated Power Supply	16-SOIC		1745.69/1,000	
L6598D013TR	497-4020-1-ND	Hochspannungsresonanter Controller	High Voltage Resonant Controller	16-SOIC	3.66	3.19	2.38
L6598D013TR	497-4020-2-ND	Hochspannungsresonanter Controller	High Voltage Resonant Controller	16-SOIC		4334.59/2,500	
L6610DTR	497-4021-1-ND	Digital programmierbarer, sekundärer „Housekeeping"-Controller	Digitally Programmable Secondary Housekeeping Controller	24-SOIC	3.89	3.39	2.52
L6610DTR	497-4021-2-ND	Digital programmierbarer, sekundärer „Housekeeping"-Controller	Digitally Programmable Secondary Housekeeping Controller	24-SOIC		1914.16/1,000	
L6611DTR	497-4022-1-ND	Digital programmierbarer, sekundärer „Housekeeping"-Controller	Digitally Programmable Secondary Housekeeping Controller	20-SOIC	3.89	3.39	2.52
L6611DTR	497-4022-2-ND	Digital programmierbarer, sekundärer „Housekeeping"-Controller	Digitally Programmable Secondary Housekeeping Controller	20-SOIC		1914.16/1,000	
L6615D013TR	497-4023-1-ND	High/Low-Side Belastungsteilungs-Controller	High/Low Side Load Share Controller	8-SOIC	2.06	1.72	1.45
L6615D013TR	497-4023-2-ND	High/Low-Side Belastungsteilungs-Controller	High/Low Side Load Share Controller	8-SOIC		2228.67/2,500	
L6712ADTR	497-4218-1-ND	2-Phasen-verzahnter DC/DC-Controller	2-Phase Interleaved DC/DC Controller	28-SOIC	4.91	4.48	3.55
L6712ADTR	497-4218-2-ND	2-Phasen-verzahnter DC/DC-Controller	2-Phase Interleaved DC/DC Controller	28-SOIC		2720.13/1,000	
L6712QTR	497-4219-1-ND	2-Phasen-verzahnter DC/DC-Controller	2-Phase Interleaved DC/DC Controller	36-VFQFPN	5.49	4.78	3.56
L6712QTR	497-4219-2-ND	2-Phasen-verzahnter DC/DC-Controller	2-Phase Interleaved DC/DC Controller	36-VFQFPN		6501.89/2,500	
L6910	497-4220-5-ND	Einstellb. Step-Down-Controller mit synch. Gleichrichtung	Adj. Step Down Controller with Sync. Rectification	16-SOIC	2.49	2.08	1.75
L6910TR	497-3656-1-ND	Einstellb. Step-Down-Controller mit synch. Gleichrichtung	Adj. Step Down Controller with Sync. Rectification	16-SOIC	2.49	2.08	1.75
L6910TR	497-3656-2-ND	Einstellb. Step-Down-Controller mit synch. Gleichrichtung	Adj. Step Down Controller with Sync. Rectification	16-SOIC		2696.42/2,500	
L6919ETR	497-4221-1-ND	5-Bit progr. Zweiphasen-Controller	5-Bit Prog. Dual-Phase Controller	28-SOIC	5.22	4.77	3.77
L6919ETR	497-4221-2-ND	5-Bit progr. Zweiphasen-Controller	5-Bit Prog. Dual-Phase Controller	28-SOIC		2892.83/1,000	
L6920DTR	497-3368-1-ND	1 V synch. Step-Up-Wandler mit hohem Wirkungsgrad	1V High Eff. Sync. Step Up Converter	8-TSSOP	2.51	2.19	1.63
L6920DTR	497-3368-2-ND	1 V synch. Step-Up-Wandler mit hohem Wirkungsgrad	1V High Eff. Sync. Step Up Converter	8-TSSOP		4842.55/4,000	
L6925D013TR	497-3369-1-ND	Mono-synch. Step-Down-Regler mit hohem Wirkungsgrad	High Eff. Mono Sync. Step Down Regulator	8-MSOP	2.16	1.80	1.52
L6925D013TR	497-3369-2-ND	Mono-synch. Step-Down-Regler mit hohem Wirkungsgrad	High Eff. Mono Sync. Step Down Regulator	8-MSOP		3741.97/4,000	
L6926013TR	497-3370-1-ND	Batterie-Management	Battery Management	—	2.24	1.87	1.57
L6926013TR	497-3370-2-ND	Batterie-Management	Battery Management	—		3874.04/4,000	
L6928D013TR	497-4222-1-ND	Mono-synch. Step-Down-Regler mit hohem Wirkungsgrad	High Efficiency Mono Sync. Step Down Regulator	8-MSOP	2.31	1.93	1.62
L6928D013TR	497-4222-2-ND	Mono-synch. Step-Down-Regler mit hohem Wirkungsgrad	High Efficiency Mono Sync. Step Down Regulator	8-MSOP		4006.11/4,000	
L6932D1.2	497-3371-5-ND	Hochleistungs- 2 A ULDO-Linearregler	High Perf. 2A ULDO Linear Regulator	8-SOIC	2.13	1.78	1.50
L6995DTR	497-4223-1-ND	Step-Down-Controller	Step Down Controller	20-TSSOP	4.32	3.77	2.81
L6995DTR	497-4223-2-ND	Step-Down-Controller	Step Down Controller	20-TSSOP		5119.81/2,500	
L6997STR	497-4225-1-ND	Step-Down-Controller	Step Down Controller	20-TSSOP	3.20	2.79	2.08
L6997STR	497-4225-2-ND	Step-Down-Controller	Step Down Controller	20-TSSOP		3792.77/2,500	
L9222	497-3920-5-ND	Vierf. invertierender Transistorschalter	Quad Inverting Transistor Switch	16-Power Dip	2.86	2.49	1.86
L9222D013TR	497-3921-1-ND	Vierf. invertierender Transistorschalter	Quad Inverting Transistor Switch	20-SOIC	2.86	2.49	1.86
L9222D013TR	497-3921-2-ND	Vierf. invertierender Transistorschalter	Quad Inverting Transistor Switch	20-SOIC		1407.90/1,000	
L9333MD-TR	497-3923-1-ND	Vierf. Low-Side-Treiber	Quad Low Side Driver	20-SOIC	2.65	2.31	1.72
L9333MD-TR	497-3923-2-ND	Vierf. Low-Side-Treiber	Quad Low Side Driver	20-SOIC		1306.30/1,000	
L9337MD/TR	497-3924-1-ND	Dreif. Low-Side-Treiber	Triple Low Side Driver	20-SOIC	2.65	2.31	1.72
L9337MD/TR	497-3924-2-ND	Dreif. Low-Side-Treiber	Triple Low Side Driver	20-SOIC		1306.30/1,000	
L9338MD	497-1481-5-ND	Vierf. Low-Side-Treiber	Quad Low Side Driver	20-SOIC	2.65	2.31	1.72
L9338MD/TR	497-3657-1-ND	Vierf. Low-Side-Treiber	Quad Low Side Driver	20-SOIC	2.65	2.31	1.72
L9338MD/TR	497-3657-2-ND	Vierf. Low-Side-Treiber	Quad Low Side Driver	20-SOIC		1306.30/1,000	
L9339-TR	497-3925-1-ND	Vierf. Low-Side-Treiber	Quad Low Side Driver	20-SOIC	2.65	2.31	1.72
L9339-TR	497-3925-2-ND	Vierf. Low-Side-Treiber	Quad Low Side Driver	20-SOIC		1306.30/1,000	
L9339MD-TR	497-3926-1-ND	Vierf. Low-Side-Treiber	Quad Low Side Driver	20-SOIC	2.65	2.31	1.72
L9339MD-TR	497-3926-2-ND	Vierf. Low-Side-Treiber	Quad Low Side Driver	20-SOIC		1306.30/1,000	
L9347PD-TR	497-3927-1-ND	Vierf. intelligenter Low-Side-Schalter	Intelligent Quad Low Side Switch	36-Power SOIC	5.36	4.89	3.87
L9347PD-TR	497-3927-2-ND	Vierf. intelligenter Low-Side-Schalter	Intelligent Quad Low Side Switch	36-Power SOIC		1815.96/600	
L9386MD	497-3928-5-ND	Zweif. intelligenter Low-Side-Leistungsschalter	Dual Intelligent Power Low Side Switch	20-SOIC	4.46	3.88	2.89
L9613B013TR	497-3929-1-ND	Datenschnittstelle	Data Interface	8-SOIC	2.36	1.97	1.66
L9613B013TR	497-3929-2-ND	Datenschnittstelle	Data Interface	8-SOIC		2558.85/2,500	
L9615D013TR	497-3658-1-ND	CAN-Bus-Transceiver	CAN Bus Transceiver	8-SOIC	2.41	2.02	1.69
L9615D013TR	497-3658-2-ND	CAN-Bus-Transceiver	CAN Bus Transceiver	8-SOIC		2613.88/2,500	
L9616-TR	497-3930-1-ND	HS CAN Bus-Transceiver	High Speed CAN Bus Transceiver	8-SOIC	2.74	2.39	1.78
L9616-TR	497-3930-2-ND	HS CAN Bus-Transceiver	High Speed CAN Bus Transceiver	8-SOIC		3250.94/2,500	
L9637D013TR	497-3659-1-ND	ISO 9141 Schnittstelle	ISO 9141 Interface	8-SOIC	2.16	1.80	1.52
L9637D013TR	497-3659-2-ND	ISO 9141 Schnittstelle	ISO 9141 Interface	8-SOIC		2338.73/2,500	
L9638D013TR	497-3931-1-ND	LIN-Bus-Transceiver	LIN Bus Transceiver	8-SOIC	2.03	1.70	1.43
L9638D013TR	497-3931-2-ND	LIN-Bus-Transceiver	LIN Bus Transceiver	8-SOIC		2201.16/2,500	
L9651	497-3932-5-ND	Vierf. Smart-Schalter	Smart Quad Switch	20-Power SOIC	5.38	4.91	3.88
L9700D013TR	497-3372-1-ND	Sechsf. Präzisionsbegrenzer	Hex Precision Limiter	8-SOIC	3.09	2.69	2.01
L9700D013TR	497-3372-2-ND	Sechsf. Präzisionsbegrenzer	Hex Precision Limiter	8-SOIC		3657.31/2,500	
L9820D013TR	497-3934-1-ND	High-Side-Treiber	High Side Driver	8-SOIC	3.09	2.69	2.01
L9820D013TR	497-3934-2-ND	High-Side-Treiber	High Side Driver	8-SOIC		3657.31/2,500	
L9822E	497-3935-5-ND	Achtf. serieller Solenoid-Treiber	Octal Serial Solenoid Driver	15-Multiwatt	8.28	7.56	5.98
L9822EPD013TR	497-3660-1-ND	Achtf. serieller Solenoid-Treiber	Octal Serial Solenoid Driver	20-Power SOIC	5.45	4.98	3.94
L9822EPD013TR	497-3660-2-ND	Achtf. serieller Solenoid-Treiber	Octal Serial Solenoid Driver	20-Power SOIC		1991.20/600	
L9825TR	497-3936-1-ND	Achtf. Low Side-Treiberschaltkreis für Automobilanwendungen	Octal Low Side Driver Circuit for Automotive Applications	20-Power SOIC	2.86	2.49	1.86
L9825TR	497-3936-2-ND	Achtf. Low Side-Treiberschaltkreis für Automobilanwendungen	Octal Low Side Driver Circuit for Automotive Applications	20-Power SOIC		888.93/600	
L9903TR	497-3937-1-ND	Motorbrücken-Controller	Motor Bridge Controller	20-SOIC	5.65	5.16	4.08
L9903TR	497-3937-2-ND	Motorbrücken-Controller	Motor Bridge Controller	20-SOIC		3130.73/1,000	
L9925	497-3938-5-ND	Zweif. DMOS-Vollbrückentreiber	DMOS Dual Full Bridge Driver	28-SOIC	6.43	5.87	4.64
L9997ND013TR	497-3661-1-ND	Zweif. Halbbrückentreiber	Dual Half Bridge Driver	20-SOIC	2.13	1.78	1.50
L9997ND013TR	497-3661-2-ND	Zweif. Halbbrückentreiber	Dual Half Bridge Driver	20-SOIC		1102.27/1,000	
L2726013TR	497-3621-1-ND	Zweif. Leistungs-OpAmp, für niedrigen Abfall	Low Drop Dual Pwr Op Amp	14-SOIC	2.29	1.91	1.61
L2726013TR	497-3621-2-ND	Zweif. Leistungs-OpAmp, für niedrigen Abfall	Low Drop Dual Pwr Op Amp	14-SOIC		1028.62/1,000	
L4969013TR	497-3356-1-ND	Spann.regler mit Fehlertoleranz	Voltage Reg. w/Fault Tolerant	20-Power SOIC	5.16	4.72	3.73
L4969013TR	497-3356-2-ND	Spann.regler mit Fehlertoleranz	Voltage Reg. w/Fault Tolerant	20-Power SOIC		1749.92/600	
L6201013TR	497-3640-1-ND	DMOS-Vollbrückentreiber	DMOS Full Bridge Driver	20-SOIC	7.25	6.62	5.23
L6201013TR	497-3640-2-ND	DMOS-Vollbrückentreiber	DMOS Full Bridge Driver	20-SOIC		4015.42/1,000	
L6451013TR	497-4016-1-ND	28-Kan. Ink-Jet-Treiber	28-Ch. Ink Jet Driver	44-PLCC	7.38	6.74	5.33
L6451013TR	497-4016-2-ND	28-Kan. Ink-Jet-Treiber	28-Ch. Ink Jet Driver	44-PLCC		2085.60/500	
L9669013TR	497-3933-1-ND	CAN-Transceiver, fehlertolerant	Fault Tolerant CAN Transceiver	14-SOIC	3.34	2.91	2.17
L9669013TR	497-3933-2-ND	CAN-Transceiver, fehlertolerant	Fault Tolerant CAN Transceiver	14-SOIC		3955.74/2,500	
L9935013TR	497-3373-1-ND	2-Phasen-Schrittmotortreiber	2-Phase Stepper Motor Driver	20-Power SOIC	5.12	4.68	3.70
L9935013TR	497-3373-2-ND	2-Phasen-Schrittmotortreiber	2-Phase Stepper Motor Driver	20-Power SOIC		1703.32/600	
LF347DT	497-2963-1-ND	Vierf. Breitband-JFET-OpAmp	Wide Bandwidth Quad J-FET Op Amp	14-SOIC	.92	.80	.62
LF347DT	497-2963-2-ND	Vierf. Breitband-JFET-OpAmp	Wide Bandwidth Quad J-FET Op Amp	14-SOIC		816.97/2,500	
LF347N	497-2964-5-ND	Vierf. Breitband-JFET-OpAmp	Wide Bandwidth Quad J-FET Op Amp	14-Dip	.89	.77	.60
LF351D	497-2965-5-ND	Einf. Breitband-JFET-OpAmp	Wide Bandwidth Single J-FET Op Amp	8-SOIC	.88	.71	.53
LF351DT	497-4041-1-ND	Einf. Breitband-JFET-OpAmp	Wide Bandwidth Single J-FET Op Amp	8-SOIC	.76	.61	.46
LF351DT	497-4041-2-ND	Einf. Breitband-JFET-OpAmp	Wide Bandwidth Single J-FET Op Amp	8-SOIC		603.20/2,500	
LF351N	497-2966-5-ND	Einf. Breitband-JFET-OpAmp	Wide Bandwidth Single J-FET Op Amp	8-Dip	.84	.68	.51
LF353DT	497-2967-1-ND	Zweif. Breitband-JFET-OpAmp	Wide Bandwidth Dual J-FET Op Amp	8-SOIC	.91	.74	.55
LF353DT	497-2967-2-ND	Zweif. Breitband-JFET-OpAmp	Wide Bandwidth Dual J-FET Op Amp	8-SOIC		723.84/2,500	
LF353N	497-2968-5-ND	Zweif. Breitband-JFET-OpAmp	Wide Bandwidth Dual J-FET Op Amp	8-Dip	.91	.74	.55
LIS2L02AQ	497-4025-ND	Zwei-Achsen-Linearbeschleuniger	Dual Axis Linear Accelerometer	44-QFN	9.25	8.45	6.68
LIS3L02AQ	497-4026-ND	Drei-Achsen-Linearbeschleuniger, NL	Low Power Three Axis Linear Accelerometer	44-QFN	11.77	10.89	8.24
LK115D50-TR	497-1541-1-ND	5 V LDO-Spannungsregler	5V, LDO Voltage Regulator	8-SOIC	.92	.80	.62
LK115D50-TR	497-1541-2-ND	5 V LDO-Spannungsregler	5V, LDO Voltage Regulator	8-SOIC		816.97/2,500	
LM124D	497-2969-5-ND	Vierf. OpAmp, NL	Low Power Quad Op Amp	14-SOIC	1.85	1.55	1.30
LM201AD	497-4042-1-ND	Einf. OpAmp	Single Op Amp	8-SOIC	1.34	1.16	.89
LM201AD	497-4042-2-ND	Einf. OpAmp	Single Op Amp	8-SOIC		1031.16/2,000	

(Forts.)

★ ***RUFEN SIE BITTE AN FÜR NIEDRIGERE PREISE BEI GRÖSSEREN MENGEN!*** ★

B

STMicroelectronics Teilenr.	Digi-Key Teilenr.	Beschreibung		Paket	Stückpreis★ 1	10	100
LM201AN	497-2970-5-ND	Einf. OpAmp	Single Op Amp	8-Dip	1.30	1.13	.87
LM211DT	497-1542-1-ND	Spannungskomparator	Voltage Comparator	8-SOIC	.55	.44	.34
LM211DT	497-1542-2-ND	Spannungskomparator	Voltage Comparator	8-SOIC		412.72/2,500	
LM217T	497-1543-5-ND	1,2 V bis 37 V Regler	1.2V to 37V Regulator	TO-220	1.18	1.02	.79
LM219D	497-2971-5-ND	Zweif. HS-Komparator	High Speed Dual Comparator	14-SOIC	1.34	1.16	.89
LM219DT	497-1544-1-ND	Zweif. HS-Komparator	High Speed Dual Comparator	14-SOIC	1.14	1.00	.77
LM219DT	497-1544-2-ND	Zweif. HS-Komparator	High Speed Dual Comparator	14-SOIC		1013.80/2,500	
LM224ADT	497-1545-1-ND	Vierf. NL-OpAmp	Low Power Quad Op Amp	14-SOIC	.80	.64	.48
LM224ADT	497-1545-2-ND	Vierf. NL-OpAmp	Low Power Quad Op Amp	14-SOIC		632.83/2,500	
LM224AN	497-1546-5-ND	Vierf. NL-OpAmp	Low Power Quad Op Amp	14-Dip	.69	.55	.42
LM224APT	497-4043-1-ND	Vierf. NL-OpAmp	Low Power Quad Op Amp	14-TSSOP	.73	.58	.44
LM224APT	497-4043-2-ND	Vierf. NL-OpAmp	Low Power Quad Op Amp	14-TSSOP		573.57/2,500	
LM224DT	497-2972-1-ND	Vierf. NL-OpAmp	Low Power Quad Op Amp	14-SOIC	.65	.52	.39
LM224DT	497-2972-2-ND	Vierf. NL-OpAmp	Low Power Quad Op Amp	14-SOIC		512.19/2,500	
LM224N	497-1547-5-ND	Vierf. NL-OpAmp	Low Power Quad Op Amp	14-Dip	.47	.38	.28
LM224PT	497-1548-1-ND	Vierf. NL-OpAmp	Low Power Quad Op Amp	14-TSSOP	.61	.49	.37
LM224PT	497-1548-2-ND	Vierf. NL-OpAmp	Low Power Quad Op Amp	14-TSSOP		482.56/2,500	
LM234DT	497-1549-1-ND	Einstellbare Stromquelle mit 3 Anschlüssen	3-Terminal Adj. Current Source	8-SOIC	1.36	1.19	.92
LM234DT	497-1549-2-ND	Einstellbare Stromquelle mit 3 Anschlüssen	3-Terminal Adj. Current Source	8-SOIC		1210.64/2,500	
LM239ADT	497-1550-1-ND	Vierf. NL-Spannungskomparator	LP Quad Volt. Comparator	14-SOIC	.65	.52	.39
LM239ADT	497-1550-2-ND	Vierf. NL-Spannungskomparator	LP Quad Volt. Comparator	14-SOIC		512.19/2,500	
LM239AN	497-1551-5-ND	Vierf. NL-Spannungskomparator	LP Quad Volt. Comparator	14-Dip	.91	.74	.55
LM239DT	497-2973-1-ND	Vierf. NL-Spannungskomparator	LP Quad Volt. Comparator	14-SOIC	.80	.64	.48
LM239DT	497-2973-2-ND	Vierf. NL-Spannungskomparator	LP Quad Volt. Comparator	14-SOIC		632.83/2,500	
LM239N	497-1552-5-ND	Vierf. NL-Spannungskomparator	LP Quad Volt. Comparator	14-Dip	.47	.38	.28
LM239PT	497-4044-1-ND	Vierf. NL-Spannungskomparator	Low Power Quad Voltage Comparator	14-TSSOP	.55	.44	.34
LM239PT	497-4044-2-ND	Vierf. NL-Spannungskomparator	Low Power Quad Voltage Comparator	14-TSSOP		412.72/2,500	
LM258DT	497-1553-1-ND	Zweif. NL-OpAmp	Low Power Dual Op Amp	8-SOIC	.47	.36	.22
LM258DT	497-1553-2-ND	Zweif. NL-OpAmp	Low Power Dual Op Amp	8-SOIC		306.89/2,500	
LM258N	497-1554-5-ND	Zweif. NL-OpAmp	Low Power Dual Op Amp	8-Dip	.47	.38	.28
LM293ADT	497-4264-1-ND	Zweif. NL-Spannungskomparator	Low Power Dual Voltage Comparator	8-SOIC	.84	.68	.51
LM293ADT	497-4264-2-ND	Zweif. NL-Spannungskomparator	Low Power Dual Voltage Comparator	8-SOIC		664.58/2,500	
LM293DT	497-1566-1-ND	Zweif. NL-Spannungskomparator	LP Dual Voltage Comparator	8-SOIC	.47	.38	.28
LM293DT	497-1566-2-ND	Zweif. NL-Spannungskomparator	LP Dual Voltage Comparator	8-SOIC		349.22/2,500	
LM293N	497-1567-5-ND	Zweif. NL-Spannungskomparator	LP Dual Voltage Comparator	8-Dip	.47	.38	.28
LM293ST	497-4265-1-ND	Zweif. NL-Spannungskomparator	Low Power Dual Voltage Comparator	8-Mini SOIC	.61	.49	.37
LM293ST	497-4265-2-ND	Zweif. NL-Spannungskomparator	Low Power Dual Voltage Comparator	8-Mini SOIC		772.10/4,000	
LM301AN	497-1568-5-ND	Einf. OpAmp	Single Op Amp	8-Dip	.89	.77	.60
LM311DT	497-1569-1-ND	Spannungskomparator	Voltage Comparator	8-SOIC	.47	.36	.26
LM311DT	497-1569-2-ND	Spannungskomparator	Voltage Comparator	8-SOIC		306.89/2,500	
LM311N	497-1570-5-ND	Spannungskomparator	Voltage Comparator	8-Dip	.47	.36	.22
LM317D2T	497-2974-5-ND	Einstellbarer Regler, 1,2 V bis 37 V	1.2V to 37V Adjustable Regulator	D2-PAK	1.14	1.00	.77
LM317D2T-TR	497-1571-1-ND	Einstellbarer Regler, 1,2 V bis 37 V	1.2V to 37V Adjustable Regulator	D2-PAK	.84	.68	.51
LM317D2T-TR	497-1571-2-ND	Einstellbarer Regler, 1,2 V bis 37 V	1.2V to 37V Adjustable Regulator	D2-PAK		288.69/1,000	
LM317LD13TR	497-1572-1-ND	Einstellbarer Regler, 1,2 V bis 37 V	1.2V to 37V Adjustable Regulator	8-SOIC	.51	.41	.31
LM317LD13TR	497-1572-2-ND	Einstellbarer Regler, 1,2 V bis 37 V	1.2V to 37V Adjustable Regulator	8-SOIC		380.97/2,500	
LM317LZ	497-2975-5-ND	Einstellbarer Regler, 1,2 V bis 37 V	1.2V to 37V Adjustable Regulator	TO-92	.59	.48	.36
LM317LZ-AP	497-4266-1-ND	Einstellbarer Regler, 1,2 V bis 37 V	1.2V to 37V Adjustable Reg.	TO-92	.61	.49	.37
LM317LZ-AP	497-4266-3-ND	Einstellbarer Regler, 1,2 V bis 37 V	1.2V to 37V Adjustable Reg.	TO-92		419.91/2,000	
LM317LZ-TR	497-1573-1-ND	Einstellbarer Regler, 1,2 V bis 37 V	1.2V to 37V Adjustable Regulator	TO-92	.55	.44	.34
LM317LZ-TR	497-1573-2-ND	Einstellbarer Regler, 1,2 V bis 37 V	1.2V to 37V Adjustable Regulator	TO-92		352.19/2,000	
LM317MDT-TR	497-1574-1-ND	Einstellbarer Regler, 1,2 V bis 37 V	1.2V to 37V Adjustable Regulator	D-PAK	.65	.52	.39
LM317MDT-TR	497-1574-2-ND	Einstellbarer Regler, 1,2 V bis 37 V	1.2V to 37V Adjustable Regulator	D-PAK		512.19/2,500	
LM317T	497-1575-5-ND	Einstellbarer Regler, 1,2 V bis 37 V	1.2V to 37V Adjustable Regulator	TO-220	.63	.51	.35
LM319DT	497-1576-1-ND	Zweif. HS-Komparator	High Speed Dual Comparator	14-SOIC	.88	.71	.49
LM319DT	497-1576-2-ND	Zweif. HS-Komparator	High Speed Dual Comparator	14-SOIC		694.21/2,500	
LM319N	497-1577-5-ND	Zweif. HS-Komparator	High Speed Dual Comparator	14-Dip	.88	.71	.53
LM323K	497-2976-5-ND	5 V, 3 A Positivspannungsregler	5V, 3A Positive Voltage Regulator	TO-220	3.98	3.47	2.58
LM324ADT	497-1578-1-ND	Vierf. NL-OpAmp	Low Power Quad Op Amp	14-SOIC	.47	.36	.22
LM324ADT	497-1578-2-ND	Vierf. NL-OpAmp	Low Power Quad Op Amp	14-SOIC		306.89/2,500	
LM324AN	497-1579-5-ND	Vierf. NL-OpAmp	Low Power Quad Op Amp	14-Dip	.47	.29	.22
LM324DT	497-1580-1-ND	Vierf. NL-OpAmp	Low Power Quad Op Amp	14-SOIC	.41	.32	.20
LM324DT	497-1580-2-ND	Vierf. NL-OpAmp	Low Power Quad Op Amp	14-SOIC		270.91/2,500	
LM324N	497-1581-5-ND	Vierf. NL-OpAmp	Low Power Quad Op Amp	14-Dip	.47	.36	.22
LM334Z	497-1582-ND	Einstellbare Stromquelle mit 3 Anschlüssen	3-Terminal Adjustable Current Source	TO-92	1.05	.91	.70
LM335ADT	497-4047-1-ND	Präzisions-Temperatursensor	Precision Temperature Sensor	8-SOIC	1.36	1.19	.92
LM335ADT	497-4047-2-ND	Präzisions-Temperatursensor	Precision Temperature Sensor	8-SOIC		1210.64/2,500	
LM335AZ	497-2977-5-ND	Präzisions-Temperatursensor	Precision Temperature Sensor	TO-92	1.30	1.13	.87
LM335D	497-2978-5-ND	Präzisions-Temperatursensor	Precision Temperature Sensor	8-SOIC	1.24	1.08	.83
LM335DT	497-1583-1-ND	Präzisions-Temperatursensor	Precision Temperature Sensor	8-SOIC	1.13	.99	.76
LM335DT	497-1583-2-ND	Präzisions-Temperatursensor	Precision Temperature Sensor	8-SOIC		1005.34/2,500	
LM335Z	497-1584-ND	Präzisions-Temperatursensor	Precision Temperature Sensor	TO-92	1.02	.88	.68
LM337SP	497-1585-5-ND	Einstellb. Negativspannungsreg., 3 Anschlüsse	3-Terminal Adjustable Neg. Volt. Reg.	TO-220	1.14	1.00	.77
LM338K	497-2979-5-ND	Einstellb. Spannungsregler, 3 Anschlüsse, 5 A	3-Terminal 5A Adj. Volt. Regulator	TO-3	7.09	6.48	5.12
LM339ADT	497-1586-1-ND	Vierf. NL-Spannungskomparator	LP Quad Voltage Comparator	14-SOIC	.47	.38	.28
LM339ADT	497-1586-2-ND	Vierf. NL-Spannungskomparator	LP Quad Voltage Comparator	14-SOIC		349.22/2,500	
LM339AN	497-1587-5-ND	Vierf. NL-Spannungskomparator	LP Quad Voltage Comparator	14-Dip	.47	.38	.28
LM339DT	497-1588-1-ND	Vierf. NL-Spannungskomparator	LP Quad Voltage Comparator	14-SOIC	.47	.36	.26
LM339DT	497-1588-2-ND	Vierf. NL-Spannungskomparator	LP Quad Voltage Comparator	14-SOIC		306.89/2,500	
LM339N	497-1589-5-ND	Vierf. NL-Spannungskomparator	LP Quad Voltage Comparator	14-Dip	.47	.36	.22
LM339PT	497-4048-1-ND	Vierf. NL-Spannungskomparator	Low Power Quad Voltage Comparator	14-TSSOP	.42	.34	.26
LM339PT	497-4048-2-ND	Vierf. NL-Spannungskomparator	Low Power Quad Voltage Comparator	14-TSSOP		317.48/2,500	
LM346N	497-2980-5-ND	Vierf. prog. Bipolar-OpAmp	Prog. Quad Bipolar Op Amp	16-Dip	1.57	1.32	1.11
LM348DT	497-4049-1-ND	Vierf. bipolare OpAmp, vier UA741	Four UA741 Quad Bipolar Op Amp	14-SOIC	.76	.61	.46
LM348DT	497-4049-2-ND	Vierf. bipolare OpAmp, vier UA741	Four UA741 Quad Bipolar Op Amp	14-SOIC		603.20/2,500	
LM348N	497-2981-5-ND	Vierf. bipolare OpAmp, vier UA741	Four UA741 Quad Bipolar Op Amp	14-Dip	.91	.74	.55
LM350K	497-2982-5-ND	Einstellb. Spannungsregler, 3 Anschlüsse, 3 A	3-Terminal 3A Adj. Voltage Regulator	TO-3	5.55	5.07	4.01
LM358ADT	497-1590-1-ND	Zweif. NL-OpAmp	Low Power Dual Op Amp	8-SOIC	.41	.33	.25
LM358ADT	497-1590-2-ND	Zweif. NL-OpAmp	Low Power Dual Op Amp	8-SOIC		302.66/2,500	
LM358AN	497-2983-5-ND	Zweif. NL-OpAmp	Low Power Dual Op Amp	8-Dip	.73	.58	.44
LM358DT	497-1591-1-ND	Zweif. NL-OpAmp	Low Power Dual Op Amp	8-SOIC	.41	.32	.20
LM358DT	497-1591-2-ND	Zweif. NL-OpAmp	Low Power Dual Op Amp	8-SOIC		270.91/2,500	
LM358N	497-1592-5-ND	Zweif. NL-OpAmp	Low Power Dual Op Amp	8-Dip	.47	.36	.22
LM393ADT	497-4267-1-ND	Zweif. NL-Spannungskomparator	Low Power Dual Voltage Comparator	8-SOIC	.76	.61	.46
LM393ADT	497-4267-2-ND	Zweif. NL-Spannungskomparator	Low Power Dual Voltage Comparator	8-SOIC		603.20/2,500	
LM393DT	497-1593-1-ND	Zweif. NL-Spannungskomparator	LP Dual Voltage Comparator	8-SOIC	.41	.32	.20
LM393DT	497-1593-2-ND	Zweif. NL-Spannungskomparator	LP Dual Voltage Comparator	8-SOIC		270.91/2,500	
LM393N	497-1594-5-ND	Zweif. NL-Spannungskomparator	LP Dual Voltage Comparator	8-Dip	.47	.36	.22
LM723CD	497-2984-5-ND	Hochpräzisions-Spannungsregler	High Precision Voltage Regulator	14-SOIC	.73	.58	.44
LM723CD013TR	497-1595-1-ND	Hochpräzisions-Spannungsregler	High Precision Voltage Regulator	14-SOIC	.76	.61	.46

(Forts.)

★ ***RUFEN SIE BITTE AN FÜR NIEDRIGERE PREISE BEI GRÖSSEREN MENGEN!*** ★

STMicroelectronics Teilenr.	Digi-Key Teilenr.	Beschreibung		Paket	Stückpreis★ 1	10	100
LM723CD013TR	497-1595-2-ND	Hochpräzisions-Spannungsregler	High Precision Voltage Regulator	14-SOIC		603.20/2,500	
LM723CN	497-1596-5-ND	Hochpräzisions-Spannungsregler	High Precision Voltage Regulator	14-Dip	.61	.49	.37
LM723N	497-4268-5-ND	Hochpräzisions-Spannungsregler	High Precision Voltage Reg.	14-Dip	.84	.68	.51
LM833DT	497-1597-1-ND	Zweif. rauscharmer OpAmp	Low Noise Dual Op Amp	8-SOIC	.80	.69	.53
LM833DT	497-1597-2-ND	Zweif. rauscharmer OpAmp	Low Noise Dual Op Amp	8-SOIC		704.79/2,500	
LM833N	497-1598-5-ND	Zweif. rauscharmer OpAmp	Low Noise Dual Op Amp	8-Dip	.91	.74	.55
LM2901DT	497-1555-1-ND	Vierf. NL-Spannungskomparator	LP Quad Voltage Comparator	14-SOIC	.47	.36	.26
LM2901DT	497-1555-2-ND	Vierf. NL-Spannungskomparator	LP Quad Voltage Comparator	14-SOIC		306.89/2,500	
LM2901N	497-1556-5-ND	Vierf. NL-Spannungskomparator	LP Quad Voltage Comparator	14-Dip	.47	.36	.22
LM2902DT	497-1557-1-ND	Vierf. NL-OpAmp	Low Power Quad Op Amp	14-SOIC	.47	.36	.26
LM2902DT	497-1557-2-ND	Vierf. NL-OpAmp	Low Power Quad Op Amp	14-SOIC		306.89/2,500	
LM2902N	497-1558-5-ND	Vierf. NL-OpAmp	Low Power Quad Op Amp	14-Dip	.47	.36	.22
LM2902PT	497-4045-1-ND	Vierf. NL-OpAmp	Low Power Quad Op Amp	14-TSSOP	.51	.41	.31
LM2902PT	497-4045-2-ND	Vierf. NL-OpAmp	Low Power Quad Op Amp	14-TSSOP		380.97/2,500	
LM2903DT	497-1559-1-ND	Zweif. NL-Spannungskomparator	Low Power Dual Voltage Comparator	8-SOIC	.47	.36	.26
LM2903DT	497-1559-2-ND	Zweif. NL-Spannungskomparator	Low Power Dual Voltage Comparator	8-SOIC		306.89/2,500	
LM2903HDT	497-4260-1-ND	Zweif. NL-Spannungskomparator	Low Power Dual Voltage Comparator	8-SOIC	.96	.83	.64
LM2903HDT	497-4260-2-ND	Zweif. NL-Spannungskomparator	Low Power Dual Voltage Comparator	8-SOIC		844.48/2,500	
LM2903N	497-1560-5-ND	Zweif. NL-Spannungskomparator	Low Power Dual Voltage Comparator	8-Dip	.47	.36	.22
LM2904DT	497-1561-1-ND	Zweif. NL-OpAmp	Low Power Dual Op Amp	8-SOIC	.47	.36	.26
LM2904DT	497-1561-2-ND	Zweif. NL-OpAmp	Low Power Dual Op Amp	8-SOIC		306.89/2,500	
LM2904N	497-1562-5-ND	Zweif. NL-OpAmp	Low Power Dual Op Amp	8-Dip	.47	.36	.22
LM2904PT	497-4046-1-ND	Zweif. NL-OpAmp	Low Power Dual Op Amp	8-TSSOP	.36	.29	.22
LM2904PT	497-4046-2-ND	Zweif. NL-OpAmp	Low Power Dual Op Amp	8-TSSOP		491.03/4,000	
LM2904WHDT	497-4261-1-ND	Zweif. NL-OpAmp	Low Power Dual Op Amp	8-SOIC	1.14	1.00	.77
LM2904WHDT	497-4261-2-ND	Zweif. NL-OpAmp	Low Power Dual Op Amp	8-SOIC		1013.80/2,500	
LNBH21PD-TR	497-4270-1-ND	LNB Versorgungs-/Steuerungsschaltkreis	LNB Supply/Control IC	20-Power SOIC	3.66	3.19	2.38
LNBH21PD-TR	497-4270-2-ND	LNB Versorgungs-/Steuerungsschaltkreis	LNB Supply/Control IC	20-Power SOIC		1137.83/600	
LNBH221PD-TR	497-4271-1-ND	Zweif. LNB Versorgungs- und Steuerungsschaltkreis	Dual LNB Supply and Control IC	36-Power SOIC	4.92	4.28	3.19
LNBH221PD-TR	497-4271-2-ND	Zweif. LNB Versorgungs- und Steuerungsschaltkreis	Dual LNB Supply and Control IC	36-Power SOIC		1528.96/600	
LNBP21D2-TR	497-4272-1-ND	LNBP Versorgungs-/Steuerungsschaltkreis	LNBP Supply/Control IC	20-SOIC	2.74	2.39	1.78
LNBP21D2-TR	497-4272-2-ND	LNBP Versorgungs-/Steuerungsschaltkreis	LNBP Supply/Control IC	20-SOIC		1351.17/1,000	
LNBP21PD-TR	497-4273-1-ND	LNBP Versorgungs-/Steuerungsschaltkreis	LNBP Supply/Control IC	20-Power SOIC	3.55	3.09	2.30
LNBP21PD-TR	497-4273-2-ND	LNBP Versorgungs-/Steuerungsschaltkreis	LNBP Supply/Control IC	20-Power SOIC		1102.27/600	
M48T201V-85MH1	497-2839-5-ND	3,3 V Zeitnehmerwächter	3.3V, Timekeeper Supervisor	44-SOIC	9.86	9.13	6.91
M48T201Y-70MH1	497-2840-5-ND	5 V Zeitnehmerwächter	5V, Timekeeper Supervisor	44-SOIC	9.86	9.13	6.91
M48T212V-85MH1	497-2841-5-ND	3,3 V Zeitnehmerwächter	3.3V, Timekeeper Supervisor	44-SOIC	8.42	7.68	6.08
MC1458DT	497-1948-1-ND	Hochleistungs-DL-OpAmp	High Performance DL Op Amp	8-SOIC	.59	.48	.36
MC1458DT	497-1948-2-ND	Hochleistungs-DL-OpAmp	High Performance DL Op Amp	8-SOIC		444.47/2,500	
MC1458IN	497-1949-5-ND	Hochleistungs-DL-OpAmp	High Performance DL Op Amp	8-Dip	.61	.49	.37
MC1488D1013TR	497-1950-1-ND	Vierf. RS232C-Leitungstreiber	RS-232C Quad Line Driver	14-SOIC	.59	.48	.36
MC1488D1013TR	497-1950-2-ND	Vierf. RS232C-Leitungstreiber	RS-232C Quad Line Driver	14-SOIC		444.47/2,500	
MC1489D1013TR	497-1951-1-ND	Vierf. Leitungsempfänger	Quad Line Receiver	14-SOIC	.59	.48	.36
MC1489D1013TR	497-1951-2-ND	Vierf. Leitungsempfänger	Quad Line Receiver	14-SOIC		444.47/2,500	
MC3303DT	497-4050-1-ND	Vierf. bipolarer NL-OpAmp	Low Power Quad Bipolar Op Amp	14-SOIC	.86	.75	.58
MC3303DT	497-4050-2-ND	Vierf. bipolarer NL-OpAmp	Low Power Quad Bipolar Op Amp	14-SOIC		759.82/2,500	
MC3403D	497-2988-5-ND	Vierf. bipolarer NL-OpAmp	LP Quad Bipolar Op Amp	14-SOIC	.83	.72	.56
MC3403DT	497-1959-1-ND	Vierf. bipolarer NL-OpAmp	LP Quad Bipolar Op Amp	14-SOIC	.73	.58	.44
MC3403DT	497-1959-2-ND	Vierf. bipolarer NL-OpAmp	LP Quad Bipolar Op Amp	14-SOIC		573.57/2,500	
MC4558CDT	497-4051-1-ND	Zweif. bipolarer Breitband-OpAmp	Wide Bandwidth Dual Bipolar Op Amp	8-SOIC	.51	.41	.31
MC4558CDT	497-4051-2-ND	Zweif. bipolarer Breitband-OpAmp	Wide Bandwidth Dual Bipolar Op Amp	8-SOIC		380.97/2,500	
MC4558CN	497-1960-5-ND	Zweif. bipolarer Breitband-OpAmp	Wide Bandwidth Dual Bipolar Op Amp	8-Dip	.55	.44	.34
MC4558IDT	497-1961-1-ND	Zweif. bipolarer Breitband-OpAmp	Wide Bandwidth Dual Bipolar Op Amp	8-SOIC	.84	.68	.51
MC4558IDT	497-1961-2-ND	Zweif. bipolarer Breitband-OpAmp	Wide Bandwidth Dual Bipolar Op Amp	8-SOIC		664.58/2,500	
MC33078DT	497-1952-1-ND	Zweif. rauscharmer OpAmp	Low Noise Dual Op Amp	8-SOIC	.84	.68	.51
MC33078DT	497-1952-2-ND	Zweif. rauscharmer OpAmp	Low Noise Dual Op Amp	8-SOIC		664.58/2,500	
MC33078N	497-1953-5-ND	Zweif. rauscharmer OpAmp	Low Noise Dual Op Amp	8-Dip	.88	.71	.49
MC33079DT	497-1954-1-ND	Vierf. rauscharmer OpAmp	Low Noise Quad Op Amp	14-SOIC	.86	.75	.58
MC33079DT	497-1954-2-ND	Vierf. rauscharmer OpAmp	Low Noise Quad Op Amp	14-SOIC		759.82/2,500	
MC33079N	497-1955-5-ND	Vierf. rauscharmer OpAmp	Low Noise Quad Op Amp	14-Dip	1.05	.91	.70
MC33171D	497-2987-5-ND	Einf. bipolarer NL-OpAmp	LP Single Bipolar Op Amp	8-SOIC	.92	.80	.62
MC33171DT	497-1956-1-ND	Einf. bipolarer NL-OpAmp	LP Single Bipolar Op Amp	8-SOIC	.92	.80	.62
MC33171DT	497-1956-2-ND	Einf. bipolarer NL-OpAmp	LP Single Bipolar Op Amp	8-SOIC		816.97/2,500	
MC33172DT	497-1957-1-ND	Zweif. bipolarer NL-OpAmp	LP Dual Bipolar Op Amp	8-SOIC	.83	.72	.56
MC33172DT	497-1957-2-ND	Zweif. bipolarer NL-OpAmp	LP Dual Bipolar Op Amp	8-SOIC		732.31/2,500	
MC33174DT	497-1958-1-ND	Vierf. bipolarer NL-OpAmp	Low Power Quad Bipolar Op Amp	14-SOIC	.83	.72	.56
MC33174DT	497-1958-2-ND	Vierf. bipolarer NL-OpAmp	Low Power Quad Bipolar Op Amp	14-SOIC		732.31/2,500	
MC34063ACD	497-2989-5-ND	DC/DC-Wandlerregelkreis	DC/DC Converter Control Circuit	8-SOIC	1.21	1.05	.81
MC34063ECN	497-4280-5-ND	DC/DC-Wandlerregelkreis	DC/DC Converter Control Circuit	8-Dip	.65	.52	.39
NE555D	497-2990-5-ND	Einf. bipolarer Allzweck-Timer	GP Single Bipolar Timer	8-SOIC	.43	.33	.24
NE555DT	497-1962-1-ND	Einf. bipolarer Allzweck-Timer	GP Single Bipolar Timer	8-SOIC	.41	.32	.20
NE555DT	497-1962-2-ND	Einf. bipolarer Allzweck-Timer	GP Single Bipolar Timer	8-SOIC		270.91/2,500	
NE555N	497-1963-5-ND	Einf. bipolarer Allzweck-Timer	GP Single Bipolar Timer	8-Dip	.47	.36	.22
NE556DT	497-1964-1-ND	Zweif. bipolarer Allzweck-Timer	GP Dual Bipolar Timer	14-SOIC	.47	.38	.28
NE556DT	497-1964-2-ND	Zweif. bipolarer Allzweck-Timer	GP Dual Bipolar Timer	14-SOIC		349.22/2,500	
NE556N	497-1965-5-ND	Zweif. bipolarer Allzweck-Timer	GP Dual Bipolar Timer	14-Dip	.47	.38	.28
OP07CN	497-2991-5-ND	Bipolarer OpAmp	Bipolar Op Amp	8-Dip	1.21	1.05	.81
PBL3717A	497-1966-5-ND	Schrittmotortreiber	Stepper Motor Driver	16-Dip	2.03	1.70	1.43
SA555DT	497-2035-1-ND	Einf. bipolarer Allzweck-Timer	GP Single Bipolar Timer	8-SOIC	.73	.58	.44
SA555DT	497-2035-2-ND	Einf. bipolarer Allzweck-Timer	GP Single Bipolar Timer	8-SOIC		573.57/2,500	
SA555N	497-2036-5-ND	Einf. bipolarer Allzweck-Timer	GP Single Bipolar Timer	8-Dip	.65	.52	.39
SA556DT	497-2037-1-ND	Zweif. bipolarer Allzweck-Timer	GP Dual Bipolar Timer	14-SOIC	.73	.58	.44
SA556DT	497-2037-2-ND	Zweif. bipolarer Allzweck-Timer	GP Dual Bipolar Timer	14-SOIC		573.57/2,500	
SERC816	497-3662-ND	Sercos Schnittstellen-Controller	Sercos Interface Controller	100-PQFP	27.41	23.50	20.84
SERC816/TR	497-3374-ND	Sercos Schnittstellen-Controller	Sercos Interface Controller	100-PQFP	27.41	23.50	20.84
SG2525AN	497-2038-5-ND	Pulsbreiten-Reguliermodulator	Reg. Pulse Width Modulator	16-Dip	1.18	1.02	.79
SG2525AP013TR	497-2039-1-ND	Pulsbreiten-Reguliermodulator	Reg. Pulse Width Modulator	16-SOIC	1.18	1.02	.79
SG2525AP013TR	497-2039-2-ND	Pulsbreiten-Reguliermodulator	Reg. Pulse Width Modulator	16-SOIC		1041.32/2,500	
SG3524N	497-2992-5-ND	Pulsbreiten-Reguliermodulator	Reg. Pulse Width Modulator	16-Dip	1.11	.97	.75
SG3524P013TR	497-2040-1-ND	Pulsbreiten-Reguliermodulator	Reg. Pulse Width Modulator	16-SOIC	1.11	.97	.75
SG3524P013TR	497-2040-2-ND	Pulsbreiten-Reguliermodulator	Reg. Pulse Width Modulator	16-SOIC		986.29/2,500	
SG3525AN	497-2041-5-ND	Pulsbreiten-Reguliermodulator	Reg. Pulse Width Modulator	16-Dip	1.50	1.25	1.05
SG3525AP	497-2993-5-ND	Pulsbreiten-Reguliermodulator	Reg. Pulse Width Modulator	16-SOIC	1.11	.97	.75
ST1S03PMR	497-4304-1-ND	1,5 A, 1,5 MHz einstellb. Step Down-Schaltregler	1.5A, 1.5MHz Adj., Step Down Switching Reg.	6-DFN	1.63	1.36	1.14
ST1S03PMR	497-4304-2-ND	1,5 A, 1,5 MHz einstellb. Step Down-Schaltregler	1.5A, 1.5MHz Adj., Step Down Switching Reg.	6-DFN		2113.11/3,000	
ST2L01K5	497-3568-5-ND	Zweif. Spannungsregler	Dual Voltage Regulator	SPAK-5	1.96	1.63	1.37
ST2L01K5R	497-2069-1-ND	Zweif. Spannungsregler	Dual Voltage Regulator	SPAK-5L	1.96	1.63	1.37
ST2L01K5R	497-2069-2-ND	Zweif. Spannungsregler	Dual Voltage Regulator	SPAK-5L		1760.93/2,000	
ST2L05R3300K5	497-3583-1-ND	Zweif. 3,3 V/einstellb. Spannungsregler	3.3V/Adj. Dual Voltage Regulator	5-SPAK	1.63	1.36	1.14
ST2L05R3300K5	497-3583-2-ND	Zweif. 3,3 V/einstellb. Spannungsregler	3.3V/Adj. Dual Voltage Regulator	5-SPAK		1462.92/2,000	
ST3L01K7R	497-4313-1-ND	Dreif. 2,6 V, 3,3 V, 8 V Spannungsregler	2.6V, 3.3V, 8V, Triple Voltage Regulator	7-SPAK	2.74	2.39	1.78
ST3L01K7R	497-4313-2-ND	Dreif. 2,6 V, 3,3 V, 8 V Spannungsregler	2.6V, 3.3V, 8V, Triple Voltage Regulator	7-SPAK		2702.35/2,000	
ST5R25MTR	497-4314-1-ND	2,5 V Micropower VFM Step-Up-DC/DC-Wandler	2.5V, Micropower VFM Step Up DC/DC Converter	SOT-23-5L	.86	.75	.58
ST5R25MTR	497-4314-2-ND	2,5 V Micropower VFM Step-Up-DC/DC-Wandler	2.5V, Micropower VFM Step Up DC/DC Converter	SOT-23-5L		911.79/3,000	
ST26C31BDR	497-2063-1-ND	Vierf. Diff.-Leitungstreiber, CMOS, Tri-State	Tri-St. CMOS Quad Diff. Line Driver	16-SOIC	.91	.74	.55

(Forts.)

★ ***RUFEN SIE BITTE AN FÜR NIEDRIGERE PREISE BEI GRÖSSEREN MENGEN!*** ★

B

STMicroelectronics Teilenr.	Digi-Key Teilenr.	Beschreibung		Paket	Stückpreis★ 1	10	100
ST26C31BDR	497-2063-2-ND	Vierf. Diff.-Leitungstreiber, CMOS, Tri-State	Tri-St. CMOS Quad Diff. Line Driver	16-SOIC		723.84/2,500	
ST26C31BN	497-2064-5-ND	Vierf. Diff.-Leitungstreiber, CMOS, Tri-State	Tri-St. CMOS Quad Diff. Line Driver	16-Dip	.91	.74	.55
ST26C31BTR	497-2065-1-ND	Vierf. Diff.-Leitungstreiber, CMOS, Tri-State	Tri-St. CMOS Quad Diff. Line Driver	16-TSSOP	.91	.74	.55
ST26C31BTR	497-2065-2-ND	Vierf. Diff.-Leitungstreiber, CMOS, Tri-State	Tri-St. CMOS Quad Diff. Line Driver	16-TSSOP		723.84/2,500	
ST26C32ABDR	497-2066-1-ND	Vierf. Diff.-Leitungsempfänger, CMOS, Tri-State	Tri-St. CMOS Quad Diff. Line Receiver	16-SOIC	.91	.74	.55
ST26C32ABDR	497-2066-2-ND	Vierf. Diff.-Leitungsempfänger, CMOS, Tri-State	Tri-St. CMOS Quad Diff. Line Receiver	16-SOIC		723.84/2,500	
ST26C32ABN	497-2067-5-ND	Vierf. Diff.-Leitungsempfänger, CMOS, Tri-State	Tri-St. CMOS Quad Diff. Line Receiver	16-Dip	.91	.74	.55
ST26C32ABTR	497-2068-1-ND	Vierf. Diff.-Leitungstreiber, CMOS, Tri-State	Tri-St. CMOS Quad Diff. Line Recvr	16-TSSOP	.91	.74	.55
ST26C32ABTR	497-2068-2-ND	Vierf. Diff.-Leitungstreiber, CMOS, Tri-State	Tri-St. CMOS Quad Diff. Line Recvr	16-TSSOP		723.84/2,500	
ST75C176BDR	497-2125-1-ND	RS485/RS422 Transceiver, NL	LP, RS-485/RS-422 Transceiver	8-SOIC	2.40	2.09	1.56
ST75C176BDR	497-2125-2-ND	RS485/RS422 Transceiver, NL	LP, RS-485/RS-422 Transceiver	8-SOIC		2844.58/2,500	
ST75C185BDR	497-2126-1-ND	Mehrf. RS232-Treiber/Empfänger, NL	LP, Multiple RS-232 Driver/Rcvr	20-SOIC	1.42	1.19	1.00
ST75C185BDR	497-2126-2-ND	Mehrf. RS232-Treiber/Empfänger, NL	LP, Multiple RS-232 Driver/Rcvr	20-SOIC		405.52/1,000	
ST202BDR	497-2048-1-ND	5 V RS232-Multikanal-Treiber und Empfänger	5V, RS-232 Multi-Channel Driver and Receiver	16-SOIC	1.52	1.27	1.07
ST202BDR	497-2048-2-ND	5 V RS232-Multikanal-Treiber und Empfänger	5V, RS-232 Multi-Channel Driver and Receiver	16-SOIC		929.14/2,500	
ST202BTR	497-2049-1-ND	5 V RS232-Multikanal-Treiber und Empfänger	5V, RS-232 Multi-Channel Driver and Receiver	16-TSSOP	1.52	1.27	1.07
ST202BTR	497-2049-2-ND	5 V RS232-Multikanal-Treiber und Empfänger	5V, RS-232 Multi-Channel Driver and Receiver	16-TSSOP		929.14/2,500	
ST202EBD	497-2050-5-ND	5 V RS232-Transceiver	5V, RS-232 Transceiver	16-SOIC	1.43	1.24	.96
ST202EBN	497-2051-5-ND	5 V RS232-Transceiver	5V, RS-232 Transceiver	16-Dip	1.36	1.19	.92
ST202ECD	497-3008-5-ND	5 V RS232-Transceiver	5V, RS-232 Transceiver	16-SOIC	1.65	1.38	1.16
ST202ECDR	497-3727-1-ND	5 V RS232-Transceiver	5V, RS-232 Transceiver	16-SOIC	1.46	1.27	.98
ST202ECDR	497-3727-2-ND	5 V RS232-Transceiver	5V, RS-232 Transceiver	16-SOIC		1295.30/2,500	
ST202ECN	497-3009-5-ND	5 V RS232-Transceiver	5V, RS-232 Transceiver	16-Dip	1.65	1.38	1.16
ST202ECWR	497-2052-1-ND	5 V RS232-Transceiver	5V, RS-232 Transceiver	16-SOIC	1.65	1.38	1.16
ST202ECWR	497-2052-2-ND	5 V RS232-Transceiver	5V, RS-232 Transceiver	16-SOIC		528.28/1,000	
ST232ABDR	497-2054-1-ND	5 V RS232-Treiber/Empfänger	5V, RS-232 Driver/Receiver	16-SOIC	1.40	1.17	.98
ST232ABDR	497-2054-2-ND	5 V RS232-Treiber/Empfänger	5V, RS-232 Driver/Receiver	16-SOIC		1013.80/2,500	
ST232ABN	497-2055-5-ND	5 V RS232-Treiber/Empfänger	5V, RS-232 Driver/Receiver	16-Dip	1.18	1.02	.79
ST232ABWR	497-2056-1-ND	5 V RS232-Treiber/Empfänger	5V, RS-232 Driver/Receiver	16-SOIC	1.40	1.17	.98
ST232ABWR	497-2056-2-ND	5 V RS232-Treiber/Empfänger	5V, RS-232 Driver/Receiver	16-SOIC		441.93/1,000	
ST232ACD	497-3010-5-ND	5 V RS232-Treiber/Empfänger	5V, RS-232 Driver/Receiver	16-SOIC	1.49	1.29	1.00
ST232ACDR	497-3728-1-ND	5 V RS232-Treiber/Empfänger	5V, RS-232 Driver/Receiver	16-SOIC	1.46	1.27	.98
ST232ACDR	497-3728-2-ND	5 V RS232-Treiber/Empfänger	5V, RS-232 Driver/Receiver	16-SOIC		1295.30/2,500	
ST232ACN	497-3011-5-ND	5 V RS232-Treiber/Empfänger	5V, RS-232 Driver/Receiver	16-Dip	1.49	1.29	1.00
ST232ACW	497-3012-5-ND	5 V RS232-Treiber/Empfänger	5V, RS-232 Driver/Receiver	16-SOIC	1.40	1.17	.98
ST232BD	497-3013-5-ND	5 V RS232-Multikanal-Treiber/Empfänger	5V, RS-232 Multi-Channel Driver/Receiver	16-SOIC	1.65	1.38	1.16
ST232BN	497-3014-5-ND	5 V RS232-Multikanal-Treiber/Empfänger	5V, RS-232 Multi-Channel Driver/Receiver	16-Dip	1.65	1.38	1.16
ST232BTR	497-2057-1-ND	5 V RS232-Multikanal-Treiber/Empfänger	5V, RS-232 Multi-Channel Driver/Receiver	16-TSSOP	1.24	1.08	.83
ST232BTR	497-2057-2-ND	5 V RS232-Multikanal-Treiber/Empfänger	5V, RS-232 Multi-Channel Driver/Receiver	16-TSSOP		1098.46/2,500	
ST232BW	497-3015-5-ND	5 V RS232-Multikanal-Treiber/Empfänger	5V, RS-232 Multi-Channel Driver/Receiver	16-SOIC	1.78	1.49	1.25
ST232BWR	497-3729-1-ND	5 V RS232-Multikanal-Treiber/Empfänger	5V, RS-232 Multi-Channel Driver/Receiver	16-SOIC	1.78	1.49	1.25
ST232BWR	497-3729-2-ND	5 V RS232-Multikanal-Treiber/Empfänger	5V, RS-232 Multi-Channel Driver/Receiver	16-SOIC		800.04/1,000	
ST232CD	497-3016-5-ND	5 V RS232-Multikanal-Treiber/Empfänger	5V, RS-232 Multi-Channel Driver/Receiver	16-SOIC	1.65	1.38	1.16
ST232CN	497-3017-5-ND	5 V RS232-Multikanal-Treiber/Empfänger	5V, RS-232 Multi-Channel Driver/Receiver	16-Dip	1.65	1.38	1.16
ST232CW	497-3018-5-ND	5 V RS232-Multikanal-Treiber/Empfänger	5V, RS-232 Multi-Channel Driver/Receiver	16-SOIC	1.65	1.38	1.16
ST232EBDR	497-2058-1-ND	5 V RS232-Transceiver	5V, RS-232 Transceiver	16-SOIC	1.35	1.13	.95
ST232EBDR	497-2058-2-ND	5 V RS232-Transceiver	5V, RS-232 Transceiver	16-SOIC		1458.27/2,500	
ST232EBN	497-2059-5-ND	5 V RS232-Transceiver	5V, RS-232 Transceiver	16-Dip	1.68	1.46	1.13
ST232EBTR	497-2060-1-ND	5 V RS232-Transceiver	5V, RS-232 Transceiver	16-TSSOP	1.35	1.13	.95
ST232EBTR	497-2060-2-ND	5 V RS232-Transceiver	5V, RS-232 Transceiver	16-TSSOP		1458.27/2,500	
ST232EBWR	497-2061-1-ND	5 V RS232-Transceiver	5V, RS-232 Transceiver	16-SOIC	1.35	1.13	.95
ST232EBWR	497-2061-2-ND	5 V RS232-Transceiver	5V, RS-232 Transceiver	16-SOIC		606.17/1,000	
ST232ECN	497-3019-5-ND	5 V RS232-Transceiver	5V, RS-232 Transceiver	16-Dip	1.65	1.38	1.16
ST232ECWR	497-2062-1-ND	5 V RS232-Transceiver	5V, RS-232 Transceiver	16-SOIC	1.35	1.13	.95
ST232ECWR	497-2062-2-ND	5 V RS232-Transceiver	5V, RS-232 Transceiver	16-SOIC		606.17/1,000	
ST485ABDR	497-2082-1-ND	RS485/RS422-Transceiver, HS, NL	HS, LP, RS-485/RS-422 Transceiver	8-SOIC	2.86	2.49	1.86
ST485ABDR	497-2082-2-ND	RS485/RS422-Transceiver, HS, NL	HS, LP, RS-485/RS-422 Transceiver	8-SOIC		3386.40/2,500	
ST485BDR	497-3733-1-ND	5 V RS485/RS422 Transceiver, NL	5V, Low Power, RS-485/RS-422 Transceiver	8-SOIC	1.21	1.05	.81
ST485BDR	497-3733-2-ND	5 V RS485/RS422 Transceiver, NL	5V, Low Power, RS-485/RS-422 Transceiver	8-SOIC		1068.83/2,500	
ST485CDR	497-3734-1-ND	5 V RS485/RS422 Transceiver, NL	5V, Low Power, RS-485/RS-422 Transceiver	8-SOIC	1.14	1.00	.77
ST485CDR	497-3734-2-ND	5 V RS485/RS422 Transceiver, NL	5V, Low Power, RS-485/RS-422 Transceiver	8-SOIC		1013.80/2,500	
ST485EBDR	497-2083-1-ND	RS485/RS422 Transceiver, NL	LP, RS-485/RS-422 Transceiver	8-SOIC	3.32	2.89	2.15
ST485EBDR	497-2083-2-ND	RS485/RS422 Transceiver, NL	LP, RS-485/RS-422 Transceiver	8-SOIC		1183.12/2,500	
ST485EBN	497-2084-5-ND	RS485/RS422 Transceiver, NL	LP, RS-485/RS-422 Transceiver	8-Dip	1.36	1.19	.92
ST485ECDR	497-3735-1-ND	5 V RS485/RS422 Transceiver, NL, ESE-Schutz	5V, Low Power, RS-485/RS-422 Transceiver, ESD Protection	8-SOIC	2.97	2.59	1.93
ST485ECDR	497-3735-2-ND	5 V RS485/RS422 Transceiver, NL, ESE-Schutz	5V, Low Power, RS-485/RS-422 Transceiver, ESD Protection	8-SOIC		3521.86/2,500	
ST485ERBDR	497-2085-1-ND	RS485/RS422 Transceiver, NL	LP, RS-485/RS-422 Transceiver	8-SOIC	4.00	3.49	2.60
ST485ERBDR	497-2085-2-ND	RS485/RS422 Transceiver, NL	LP, RS-485/RS-422 Transceiver	8-SOIC		4740.96/2,500	
ST485ERBN	497-2086-5-ND	RS485/RS422 Transceiver, NL	LP, RS-485/RS-422 Transceiver	8-Dip	4.00	3.49	2.60
ST485ERXDR	497-2087-1-ND	RS485/RS422 Transceiver, NL	LP, RS-485/RS-422 Transceiver	8-SOIC	3.66	3.19	2.38
ST485ERXDR	497-2087-2-ND	RS485/RS422 Transceiver, NL	LP, RS-485/RS-422 Transceiver	8-SOIC		4334.59/2,500	
ST485ERXN	497-2088-5-ND	RS485/RS422 Transceiver, NL	LP, RS-485/RS-422 Transceiver	8-Dip	3.66	3.19	2.38
ST485EXDR	497-2089-1-ND	RS485/RS422 Transceiver, NL	LP, RS-485/RS-422 Transceiver	8-SOIC	3.66	3.19	2.38
ST485EXDR	497-2089-2-ND	RS485/RS422 Transceiver, NL	LP, RS-485/RS-422 Transceiver	8-SOIC		4334.59/2,500	
ST485EXN	497-2090-5-ND	RS485/RS422 Transceiver, NL	LP, RS-485/RS-422 Transceiver	8-Dip	3.66	3.19	2.38
ST490ABDR	497-2091-1-ND	RS485/RS422 Transceiver, NL	LP, HS, RS-485/RS-422 Transceiver	8-SOIC	1.78	1.49	1.25
ST490ABDR	497-2091-2-ND	RS485/RS422 Transceiver, NL	LP, HS, RS-485/RS-422 Transceiver	8-SOIC		1926.02/2,500	
ST491ACDR	497-2889-1-ND	HS RS485/RS422 Transceiver, NL	Low Power, High Speed, RS-485/RS-422 Transceiver	14-SOIC	2.03	1.70	1.43
ST491ACDR	497-2889-2-ND	HS RS485/RS422 Transceiver, NL	Low Power, High Speed, RS-485/RS-422 Transceiver	14-SOIC		2201.16/2,500	
ST619LBD	497-3880-ND	Geregelter 5 V Ladepumpen-DC/DC-Wandler	5V, DC-DC Converter Regulated Charge Pump	8-SOIC	1.75	1.46	1.23
ST619LBDR	497-3881-1-ND	Geregelter 5 V Ladepumpen-DC/DC-Wandler	5V, DC-DC Converter Regulated Charge Pump	8-SOIC	1.75	1.46	1.23
ST619LBDR	497-3881-2-ND	Geregelter 5 V Ladepumpen-DC/DC-Wandler	5V, DC-DC Converter Regulated Charge Pump	8-SOIC		1898.50/2,500	
ST619LBN	497-3882-ND	Geregelter 5 V Ladepumpen-DC/DC-Wandler	5V, DC-DC Converter Regulated Charge Pump	8-Dip	1.75	1.46	1.23
ST662ABD	497-2104-5-ND	5 V bis 12 V, 0,03 A DC/DC-Wandler	5V to 12V, .03A DC/DC Converter	8-SOIC	1.90	1.59	1.34
ST730ACDTR	497-4315-1-ND	5 V Step-Down Strommodus-PWM-DC/DC-Wandler	5V Step Down Current Mode PWM DC/DC Converter	8-SOIC	1.27	1.11	.85
ST730ACDTR	497-4315-2-ND	5 V Step-Down Strommodus-PWM-DC/DC-Wandler	5V Step Down Current Mode PWM DC/DC Converter	8-SOIC		1125.98/2,500	
ST735CD	497-2118-5-ND	-5 V invertierender PWM-Regler, Negativausgangsstrom-Modus	-5V Inverting, Negative Output Current- Mode PWM Regulator	8-SOIC	1.32	1.11	.93
ST735SCD	497-2119-5-ND	-5 V/Einstellb., invertierender PWM-Regler, Negativausgangsstrom-Modus	-5V/Adj. Inverting, Negative Output Current- Mode PWM Regulator	8-SOIC	1.32	1.11	.93
ST750ACD	497-2120-5-ND	Einstellb. Step-Down Strommodus-PWM-DC/DC-Wandler	Adj. Step-Down, Current-Mode PWM DC/DC Converter	8-SOIC	1.27	1.11	.85
ST755CD	497-2124-5-ND	Einstellb., invertierender PWM-Regler, Negativausgangsstrom-Modus	Adj. Inverting Negative Output Current- Mode PWM Regulator	8-SOIC	2.03	1.70	1.43
ST763ABDTR	497-2128-1-ND	3,3 V Step-Down PWM-DC/DC-Wandler, Strom-Modus	3.3V, Step-Down Current-Mode PWM DC/DC Converter	8-SOIC	2.01	1.68	1.41
ST763ABDTR	497-2128-2-ND	3,3 V Step-Down PWM-DC/DC-Wandler, Strom-Modus	3.3V, Step-Down Current-Mode PWM DC/DC Converter	8-SOIC		2173.65/2,500	
ST1480ABDR	497-2046-1-ND	3,3 V RS485/RS422-Transceiver	3.3V, RS-485/RS-422 Transceiver	8-SOIC	2.74	2.39	1.78
ST1480ABDR	497-2046-2-ND	3,3 V RS485/RS422-Transceiver	3.3V, RS-485/RS-422 Transceiver	8-SOIC		3250.94/2,500	
ST1480ABN	497-2047-5-ND	3,3 V RS485/RS422-Transceiver	3.3V, RS-485/RS-422 Transceiver	8-Dip	2.74	2.39	1.78
ST1480ACDR	497-3726-1-ND	3,3 V RS485/RS422-Transceiver	3.3V, RS-485/RS-422 Transceiver	8-SOIC	2.51	2.19	1.63
ST1480ACDR	497-3726-2-ND	3,3 V RS485/RS422-Transceiver	3.3V, RS-485/RS-422 Transceiver	8-SOIC		2980.03/2,500	
ST2042BD	497-4306-5-ND	Stromverteilerschalter mit Strombegrenzung	Current Limited Power Distribution Switch	8-SOIC	1.52	1.33	1.02
ST2042BDR	497-4306-1-ND	Stromverteilerschalter mit Strombegrenzung	Current Limited Power Distribution Switch	8-SOIC	1.30	1.13	.87
ST2042BDR	497-4306-2-ND	Stromverteilerschalter mit Strombegrenzung	Current Limited Power Distribution Switch	8-SOIC		1153.49/2,500	
ST2044BD	497-4308-5-ND	Stromverteilerschalter mit Strombegrenzung	Current Limited Power Distribution Switch	16-SOIC	1.52	1.33	1.02
ST2044BDR	497-4308-1-ND	Stromverteilerschalter mit Strombegrenzung	Current Limited Power Distribution Switch	16-SOIC	1.30	1.13	.87
ST2044BDR	497-4308-2-ND	Stromverteilerschalter mit Strombegrenzung	Current Limited Power Distribution Switch	16-SOIC		1153.49/2,500	
ST2052BDR	497-4309-1-ND	Stromverteilerschalter mit Strombegrenzung	Current Limited Power Distribution Switch	8-SOIC	1.30	1.13	.87
ST2052BDR	497-4309-2-ND	Stromverteilerschalter mit Strombegrenzung	Current Limited Power Distribution Switch	8-SOIC		1153.49/2,500	

(Forts.)

★ ***RUFEN SIE BITTE AN FÜR NIEDRIGERE PREISE BEI GRÖSSEREN MENGEN!*** ★

STMicroelectronics Teilenr.	Digi-Key Teilenr.	Beschreibung		Paket	Stückpreis★ 1	10	100
ST2054BD	497-4310-5-ND	Stromverteilerschalter mit Strombegrenzung	Current Limited Power Distribution Switch	16-SOIC	1.52	1.33	1.02
ST2054BDR	497-4311-1-ND	Stromverteilerschalter mit Strombegrenzung	Current Limited Power Distribution Switch	16-SOIC	1.30	1.13	.87
ST2054BDR	497-4311-2-ND	Stromverteilerschalter mit Strombegrenzung	Current Limited Power Distribution Switch	16-SOIC		1153.49/2,500	
ST2378ETTR	497-3730-1-ND	8-Bit doppelt versorgter 1,71 V-5,5 V Level-Umsetzer, ESE-Schutz	8-Bit Dual Supply 1.71V-5.5V Level Translator, ESD Protection	20-TSSOP	2.44	2.04	1.71
ST2378ETTR	497-3730-2-ND	8-Bit doppelt versorgter 1,71 V-5,5 V Level-Umsetzer, ESE-Schutz	8-Bit Dual Supply 1.71V-5.5V Level Translator, ESD Protection	20-TSSOP		2641.39/2,500	
ST3222EBDR	497-2070-1-ND	3 V - 5,5 V NL-RS232-Treiber/Empfänger	3V to 5.5V, Low Power, RS-232 Driver/Receiver	18-SOIC	2.29	1.91	1.61
ST3222EBDR	497-2070-2-ND	3 V - 5,5 V NL-RS232-Treiber/Empfänger	3V to 5.5V, Low Power, RS-232 Driver/Receiver	18-SOIC		1028.62/1,000	
ST3232CD	497-3020-5-ND	3 V - 5,5 V NL-RS232-Treiber/Empfänger	3V to 5.5V, Low Power, RS-232 Driver/Receiver	16-SOIC	2.16	1.80	1.52
ST3232CDR	497-3731-1-ND	3 V - 5,5 V NL-RS232-Treiber/Empfänger	3V to 5.5V, Low Power, RS-232 Driver/Receiver	16-SOIC	1.75	1.46	1.23
ST3232CDR	497-3731-2-ND	3 V - 5,5 V NL-RS232-Treiber/Empfänger	3V to 5.5V, Low Power, RS-232 Driver/Receiver	16-SOIC		1898.50/2,500	
ST3232EBD	497-2071-5-ND	3 V - 5,5 V NL-RS232-Treiber/Empfänger	3V to 5.5V, Low Power, RS-232 Driver/Receiver	16-SOIC	2.01	1.68	1.41
ST3232EBPR	497-4312-1-ND	3 V - 5,5 V NL-RS232-Treiber/Empfänger	3V to 5.5V, Low Power, RS-232 Driver/Receiver	16-SSOP	1.78	1.49	1.25
ST3232EBPR	497-4312-2-ND	3 V - 5,5 V NL-RS232-Treiber/Empfänger	3V to 5.5V, Low Power, RS-232 Driver/Receiver	16-SSOP		1080.05/1,350	
ST3232EBWR	497-2072-1-ND	3 V - 5,5 V NL-RS232-Treiber/Empfänger	3V to 5.5V, Low Power, RS-232 Driver/Receiver	16-SOIC	2.97	2.59	1.93
ST3232EBWR	497-2072-2-ND	3 V - 5,5 V NL-RS232-Treiber/Empfänger	3V to 5.5V, Low Power, RS-232 Driver/Receiver	16-SOIC		1463.77/1,000	
ST3232ECWR	497-2073-1-ND	3 V - 5,5 V NL-RS232-Treiber/Empfänger	3V to 5.5V, Low Power, RS-232 Driver/Receiver	16-SOIC	2.74	2.39	1.78
ST3232ECWR	497-2073-2-ND	3 V - 5,5 V NL-RS232-Treiber/Empfänger	3V to 5.5V, Low Power, RS-232 Driver/Receiver	16-SOIC		1351.17/1,000	
ST3237EBDR	497-2074-1-ND	3 V - 5,5 V, 250 KBPS RS232-Transceiver	3V to 5.5V, 250KBPS, RS-232 Transceiver	28-SOIC	3.66	3.19	2.38
ST3237EBDR	497-2074-2-ND	3 V - 5,5 V, 250 KBPS RS232-Transceiver	3V to 5.5V, 250KBPS, RS-232Transceiver	28-SOIC		1801.56/1,000	
ST3241EBDR	497-2075-1-ND	3 V - 5,5 V, 400 KBPS RS232-Transceiver	3V to 5.5V, 400KBPS, RS-232 Transceiver	28-SOIC	2.74	2.39	1.78
ST3241EBDR	497-2075-2-ND	3 V - 5,5 V, 400 KBPS RS232-Transceiver	3V to 5.5V, 400KBPS, RS-232 Transceiver	28-SOIC		1351.17/1,000	
ST3243CPR	497-3732-1-ND	3 V - 5,5 V, 400 KBPS RS232-Transceiver	3V to 5.5V, 400KBPS, RS-232 Transceiver	28-SSOP	2.29	1.99	1.49
ST3243CPR	497-3732-2-ND	3 V - 5,5 V, 400 KBPS RS232-Transceiver	3V to 5.5V, 400KBPS, RS-232 Transceiver	28-SSOP		1520.07/1,350	
ST3243EBDR	497-2076-1-ND	3 V - 5,5 V, 400 KBPS RS232-Transceiver	3V to 5.5V, 400KBPS, RS-232 Transceiver	28-SOIC	1.85	1.55	1.30
ST3243EBDR	497-2076-2-ND	3 V - 5,5 V, 400 KBPS RS232-Transceiver	3V to 5.5V, 400KBPS, RS-232 Transceiver	28-SOIC		834.75/1,000	
ST3243EBJR	497-2077-1-ND	3 V - 5,5 V, 400 KBPS RS232-Transceiver	3V to 5.5V, 400KBPS, RS-232 Transceiver	28-Flip-Chip	2.51	2.19	1.63
ST3243EBJR	497-2077-2-ND	3 V - 5,5 V, 400 KBPS RS232-Transceiver	3V to 5.5V, 400KBPS, RS-232 Transceiver	28-Flip-Chip		2980.03/2,500	
ST3243EBTR	497-2078-1-ND	3 V - 5,5 V, 400 KBPS RS232-Transceiver	3V to 5.5V, 400KBPS, RS-232 Transceiver	28-TSSOP	1.83	1.53	1.29
ST3243EBTR	497-2078-2-ND	3 V - 5,5 V, 400 KBPS RS232-Transceiver	3V to 5.5V, 400KBPS, RS-232 Transceiver	28-TSSOP		1981.04/2,500	
ST3384EBDR	497-2079-1-ND	3 V - 5,5 V bis zu 250 KBPS NL-RS232-Transceiver	3V to 5.5V, Low Power, Up to 250KBPS, RS-232 Transceiver	18-SOIC	2.29	1.91	1.61
ST3384EBDR	497-2079-2-ND	3 V - 5,5 V bis zu 250 KBPS NL-RS232-Transceiver	3V to 5.5V, Low Power, Up to 250KBPS, RS-232 Transceiver	18-SOIC		1028.62/1,000	
ST3485EBDR	497-2080-1-ND	3,3 V, bis zu 12 MBPS RS485/RS422-Transceiver	3.3V, Up to 12MBPS, RS-485/RS-422, Transceiver	8-SOIC	2.63	2.29	1.71
ST3485EBDR	497-2080-2-ND	3,3 V, bis zu 12 MBPS RS485/RS422-Transceiver	3.3V, Up to 12MBPS, RS-485/RS-422, Transceiver	8-SOIC		3115.49/2,500	
ST3485EBN	497-2081-5-ND	3,3 V, bis zu 12 MBPS RS485/RS422-Transceiver	3.3V, Up to 12MBPS, RS-485/RS-422, Transceiver	8-Dip	2.63	2.29	1.71
ST7538P013TR	497-4316-1-ND	Stromleitung-FSK-Transceiver	Power Line FSK Transceiver	44-TQFP	9.25	8.45	6.68
ST7538P013TR	497-4316-2-ND	Stromleitung-FSK-Transceiver	Power Line FSK Transceiver	44-TQFP		5127.01/1,000	
ST8004CDR	497-4318-1-ND	Schnittstelle für Smart Card	SmartCard Interface	28-SOIC	2.74	2.39	1.78
ST8004CDR	497-4318-2-ND	Schnittstelle für Smart Card	SmartCard Interface	28-SOIC		1351.17/1,000	
ST75185CDR	497-2121-1-ND	Mehrf. RS232 Treiber/Empfänger	Multiple RS-232 Driver/Receiver	20-SOIC	.65	.52	.36
ST75185CDR	497-2121-2-ND	Mehrf. RS232 Treiber/Empfänger	Multiple RS-232 Driver/Receiver	20-SOIC		223.50/1,000	
ST75185CPR	497-2122-1-ND	Mehrf. RS232 Treiber/Empfänger	Multiple RS-232 Driver/Receiver	20-SSOP	1.46	1.27	.98
ST75185CPR	497-2122-2-ND	Mehrf. RS232 Treiber/Empfänger	Multiple RS-232 Driver/Receiver	20-SSOP		762.32/1,350	
ST75285CTR	497-2123-1-ND	Mehrf. RS232 Treiber/Empfänger	Multiple RS-232 Driver/Receiver	38-TSSOP	1.78	1.49	1.25
ST75285CTR	497-2123-2-ND	Mehrf. RS232 Treiber/Empfänger	Multiple RS-232 Driver/Receiver	38-TSSOP		1926.02/2,500	
STA013$013TR	497-3939-1-ND	MPEG 2.5 Layer III Audio Dekodierer	MPEG 2.5 Layer III Audio Decoder	28-SOIC	14.51	13.43	10.16
STA013$013TR	497-3939-2-ND	MPEG 2.5 Layer III Audio Dekodierer	MPEG 2.5 Layer III Audio Decoder	28-SOIC		9069.63/1,000	
STA015$013TR	497-3940-1-ND	MPEG 2.5 Layer III Audio Dekodierer mit ADPCM-Funktion	MPEG 2.5 Layer III Audio Decoder with ADPCM Capability	28-SOIC	16.34	15.12	11.44
STA015$013TR	497-3940-2-ND	MPEG 2.5 Layer III Audio Dekodierer mit ADPCM-Funktion	MPEG 2.5 Layer III Audio Decoder with ADPCM Capability	28-SOIC		10212.54/1,000	
STA015T$	497-2141-ND	MPEG 2.5 Layer III Audio Dekodierer	MPEG 2.5 Layer III Audio Decoder	44-TQFP	16.34	15.12	11.44
STA020D	497-3941-5-ND	96 KHz Digital-Audio-Schnittstellen-Sender	96KHz Digital Audio Interface Transmitter	24-SOIC	4.23	3.69	2.75
STA120D	497-3942-5-ND	Digital-Audio-Schnittstellen-Empfänger	Digital Audio Interface Receiver	28-SOIC	4.23	3.69	2.75
STA120D13TR	497-3943-1-ND	Digital-Audio-Schnittstellen-Empfänger	Digital Audio Interface Receiver	28-SOIC	4.23	3.69	2.75
STA120D13TR	497-3943-2-ND	Digital-Audio-Schnittstellen-Empfänger	Digital Audio Interface Receiver	28-SOIC		2083.48/1,000	
STA304A	497-3944-ND	Digital-Audio-Prozessor mit Multichannel DDX™	Digital Audio Processor with Multichannel DDX™	44-TQFP	11.26	10.42	7.89
STA500	497-3947-5-ND	Vierf. 30 V, 3,5 A Strom-Halbbrücke	30V, 3.5A Quad Power Half Bridge	36-Power SOIC	7.31	6.67	5.28
STA502A	497-3950-5-ND	Vierf. 40 V, 4 A Strom-Halbbrücke	40V, 4A Double Power Half Bridge	36-Power SOIC	7.31	6.67	5.28
STA505	497-2142-ND	Vierf. 40 V, 3,5 A Strom-Halbbrücke	40V, 3.5A Quad Power Half Bridge	36-PSOIC	7.98	7.29	5.77
STA30613TR	497-3945-1-ND	Digital-Audio-Prozessor mit Multichannel DDX™	Multichannel Digital Audio Processor with DDX™	64-TQFP	7.79	7.12	5.63
STA30613TR	497-3945-2-ND	Digital-Audio-Prozessor mit Multichannel DDX™	Multichannel Digital Audio Processor with DDX™	64-TQFP		4317.66/1,000	
STA30813TR	497-3946-1-ND	Digital-Audio-Prozessor mit Multichannel DDX™	Multichannel Digital Audio Processor with DDX™	64-TQFP	8.96	8.18	6.47
STA30813TR	497-3946-2-ND	Digital-Audio-Prozessor mit Multichannel DDX™	Multichannel Digital Audio Processor with DDX™	64-TQFP		4965.31/1,000	
STA501013TR	497-3949-1-ND	Zweif. 40 V, 3,5 A Strom-Halbbrücke	40V, 3.5A Double Power Half Bridge	36-Power SOIC	7.31	6.67	5.28
STA501013TR	497-3949-2-ND	Zweif. 40 V, 3,5 A Strom-Halbbrücke	40V, 3.5A Double Power Half Bridge	36-Power SOIC		2476.31/600	
STABP01	497-3951-5-ND	BASH® Digitaler Prozessor	BASH® Digital Processor	20-Dip	6.04	5.52	4.36
STABP01D	497-3952-5-ND	BASH® Digitaler Prozessor	BASH® Digital Processor	20-SOIC	6.04	5.52	4.36
STC03DE150	497-4326-5-ND	Hybrid-Bipolar-Transistor, Emitter-Schaltung	Hybrid Emitter Switched Bipolar Transistor	TO-247-4L	5.16	4.72	3.73
STE10/100A	497-3663-ND	PCI 10/100 Ethernet-Controller	PCI 10/100 Ethernet Controller	128-PQFP	8.97	8.31	6.29
STE100P	497-2143-ND	3,3 V, 10/100 Fast-Ethernet-Transceiver	3.3V, 10/100 Fast Ethernet Transcvr	64-TQFP	6.82	6.23	4.92
STG719STR	497-3738-1-ND	4 Ohm SPDT-Schalter, Niederspann.	Low Voltage 4 Ohm SPDT Switch	SOT-23-6	.86	.75	.58
STG719STR	497-3738-2-ND	4 Ohm SPDT-Schalter, Niederspann.	Low Voltage 4 Ohm SPDT Switch	SOT-23-6		911.79/3,000	
STG3157CTR	497-2144-1-ND	SPDT, niedriger Ein-Widerstand, Niederspann.	LV, SPDT, Low On Resistance	SOT-323-6	.86	.75	.58
STG3157CTR	497-2144-2-ND	SPDT, niedriger Ein-Widerstand, Niederspann.	LV, SPDT, Low On Resistance	SOT-323-6		911.79/3,000	
STG3680QTR	497-4347-1-ND	Zweif. 0,5/0,8 Ohm SPDT-Schalter, Niederspann.	Low Volt. 0.5/0.8 Ohm Dual SPDT Switch	16-QFN	1.11	.97	.75
STG3680QTR	497-4347-2-ND	Zweif. 0,5/0,8 Ohm SPDT-Schalter, Niederspann.	Low Volt. 0.5/0.8 Ohm Dual SPDT Switch	16-QFN		1183.55/3,000	
STG3684QTR	497-3021-1-ND	Zweif. SPDT-Schalter, Niederspannung	Low Voltage, Dual SPDT Switch	16-QFN	1.50	1.25	1.05
STG3684QTR	497-3021-2-ND	Zweif. SPDT-Schalter, Niederspannung	Low Voltage, Dual SPDT Switch	16-QFN		1948.03/3,000	
STG3690QTR	497-4348-1-ND	Vierf. 5 Ohm SPDT-Schalter, Niederspann.	Low Voltage 5 Ohm Quad SPDT Switch	16-QFN	1.11	.97	.75
STG3690QTR	497-4348-2-ND	Vierf. 5 Ohm SPDT-Schalter, Niederspann.	Low Voltage 5 Ohm Quad SPDT Switch	16-QFN		1183.55/3,000	
STG3699QTR	497-3022-1-ND	Vierf. SPDT-Schalter, Niederspannung	Low Voltage, Quad SPDT Switch	16-QFN	2.51	2.19	1.63
STG3699QTR	497-3022-2-ND	Vierf. SPDT-Schalter, Niederspannung	Low Voltage, Quad SPDT Switch	16-QFN		3576.04/3,000	
STCC05-BD4	497-4328-5-ND	Haushaltsgeräte-Steuerschaltkreis	Home Appliance Control Circuit	20-Dip	2.16	1.80	1.52
STLC3055	497-2145-ND	WLL und ISDN-TA-Abonnent-Leitungsschnittstellenkreis (Subscriber Line Interface Circuit)	WLL and ISDN-TA Subscriber Line Interface Circuit	44-TQFP	9.29	8.48	6.71
STLC3055QTR	497-3664-1-ND	WLL und ISDN-TA-Abonnent-Leitungsschnittstellenkreis (Subscriber Line Interface Circuit)	WLL and ISDN-TA Subscriber Line Interface Circuit	44-TQFP	9.29	8.48	6.71
STLC3055QTR	497-3664-2-ND	WLL und ISDN-TA-Abonnent-Leitungsschnittstellenkreis (Subscriber Line Interface Circuit)	WLL and ISDN-TA Subscriber Line Interface Circuit	44-TQFP		5149.02/1,000	
STLC5046	497-3665-ND	Progr. 4-Kan. CODEC/Filter	Prog. 4-Ch. Codec/Filter	64-TQFP	6.82	6.23	4.92
STLVD111BFR	497-2146-1-ND	Programmiebare Niederspannung, 1:10 Diff. LVDS Takttreiber	Programmable Low Voltage 1:10 Diff. LVDS Clock Driver	32-TQFP	18.89	16.20	14.36
STLVD111BFR	497-2146-2-ND	Programmiebare Niederspannung, 1:10 Diff. LVDS Takttreiber	Programmable Low Voltage 1:10 Diff. LVDS Clock Driver	32-TQFP		31993.35/2,400	
STLVDS050BDR	497-2147-1-ND	Diff.-Leitungstreiber/Empfänger, HS	HS, Differential Line Driver/Receiver	16-SOIC	2.29	1.91	1.61
STLVDS050BDR	497-2147-2-ND	Diff.-Leitungstreiber/Empfänger, HS	HS, Differential Line Driver/Receiver	16-SOIC		2476.31/2,500	
STLVDS32BDR	497-2148-1-ND	Diff.-Leitungsempfänger, HS	HS, Differential Line Receiver	16-SOIC	2.16	1.80	1.52
STLVDS385BTR	497-2150-1-ND	+3,3 V progr. LVDS TX 24-Bit FPD Link-85 MHz	+3.3V, Prog. LVDS TX 24-Bit FPD Link-85MHz	56-TSSOP	6.23	5.69	4.50
STLVDS385BTR	497-2150-2-ND	+3,3 V progr. LVDS TX 24-Bit FPD Link-85 MHz	+3.3V, Prog. LVDS TX 24-Bit FPD Link-85MHz	56-TSSOP		6908.26/2,000	
STLVDS3486BDR	497-2149-1-ND	Diff.-Leitungsempfänger, HS	HS, Differential Line Receiver	16-SOIC	2.86	2.49	1.86
STLVDS3486BDR	497-2149-2-ND	Diff.-Leitungsempfänger, HS	HS, Differential Line Receiver	16-SOIC		3386.40/2,500	
STM86312	497-4363-ND	VFD-Controller/Treiber	VFD Controller/Driver	44-PQFP	2.29	1.99	1.49
STP08C596MTR	497-4367-1-ND	8-Bit Konstantstrom-LED-Sink-Treiber	8-Bit Constant Current LED Sink Driver	16-SOIC	1.42	1.19	1.00
STP08C596MTR	497-4367-2-ND	8-Bit Konstantstrom-LED-Sink-Treiber	8-Bit Constant Current LED Sink Driver	16-SOIC		1540.81/2,500	
STP08C596TTR	497-3870-1-ND	8-Bit Konstantstrom-LED-Sink-Treiber	8-Bit Constant Current LED Sink Driver	16-TSSOP	1.42	1.19	1.00
STP08C596TTR	497-3870-2-ND	8-Bit Konstantstrom-LED-Sink-Treiber	8-Bit Constant Current LED Sink Driver	16-TSSOP		1540.81/2,500	
STP08CL596B1	497-3871-ND	8-Bit Konstantstrom-LED-Sink-Treiber, Niederspann.	Low Voltage 8-Bit Constant Current LED Sink Driver	16-Dip	1.42	1.19	1.00
STP08CL596MTR	497-3872-1-ND	8-Bit Konstantstrom-LED-Sink-Treiber, Niederspann.	Low Voltage 8-Bit Constant Current LED Sink Driver	16-SOIC	1.42	1.19	1.00
STP08CL596MTR	497-3872-2-ND	8-Bit Konstantstrom-LED-Sink-Treiber, Niederspann.	Low Voltage 8-Bit Constant Current LED Sink Driver	16-SOIC		1540.81/2,500	
STP08CL596TTR	497-3873-1-ND	8-Bit Konstantstrom-LED-Sink-Treiber, Niederspann.	Low Voltage 8-Bit Constant Current LED Sink Driver	16-TSSOP	1.42	1.19	1.00
STP08CL596TTR	497-3873-2-ND	8-Bit Konstantstrom-LED-Sink-Treiber, Niederspann.	Low Voltage 8-Bit Constant Current LED Sink Driver	16-TSSOP		1540.81/2,500	
STP16C596B1R	497-3874-ND	16-Bit Konstantstrom-LED-Sink-Treiber	16-Bit Constant Current LED Sink Driver	24-Dip	2.13	1.78	1.50

(Forts.)

★ *RUFEN SIE BITTE AN FÜR NIEDRIGERE PREISE BEI GRÖSSEREN MENGEN!* ★

B

STMicroelectronics Teilenr.	Digi-Key Teilenr.	Beschreibung		Paket	Stückpreis★ 1	10	100
STP16C596M	497-3875-ND	16-Bit Konstantstrom-LED-Sink-Treiber	16-Bit Constant Current LED Sink Driver	24-SOIC	2.13	1.78	1.50
STP16C596TTR	497-3876-1-ND	16-Bit Konstantstrom-LED-Sink-Treiber	16-Bit Constant Current LED Sink Driver	24-TSSOP	2.13	1.78	1.50
STP16C596TTR	497-3876-2-ND	16-Bit Konstantstrom-LED-Sink-Treiber	16-Bit Constant Current LED Sink Driver	24-TSSOP		2311.22/2,500	
STP16C596XTTR	497-4371-1-ND	16-Bit Konstantstrom-LED-Sink-Treiber	16-Bit Constant Current LED Sink Driver	24-TSSOP	2.13	1.78	1.50
STP16C596XTTR	497-4371-2-ND	16-Bit Konstantstrom-LED-Sink-Treiber	16-Bit Constant Current LED Sink Driver	24-TSSOP		2311.22/2,500	
STP16CL596B1R	497-3877-ND	16-Bit Konstantstrom-LED-Sink-Treiber, Niederspann.	Low Voltage 16-Bit Constant Current LED Sink Driver	24-Dip	2.13	1.78	1.50
STP16CL596M	497-3878-ND	16-Bit Konstantstrom-LED-Sink-Treiber, Niederspann.	Low Voltage 16-Bit Constant Current LED Sink Driver	24-SOIC	2.13	1.78	1.50
STP16CL596TTR	497-3879-1-ND	16-Bit Konstantstrom-LED-Sink-Treiber, Niederspann.	Low Voltage 16-Bit Constant Current LED Sink Driver	24-TSSOP	2.13	1.78	1.50
STP16CL596TTR	497-3879-2-ND	16-Bit Konstantstrom-LED-Sink-Treiber, Niederspann.	Low Voltage 16-Bit Constant Current LED Sink Driver	24-TSSOP		2311.22/2,500	
STPIC6A259MTR	497-2152-1-ND	8-Bit adressierbarer Latch, Power Logic	Power Logic 8-Bit Addressable Latch	24-SOIC	1.52	1.33	1.02
STPIC6A259MTR	497-2152-2-ND	8-Bit adressierbarer Latch, Power Logic	Power Logic 8-Bit Addressable Latch	24-SOIC		589.23/1,000	
STPIC6C595M	497-2153-5-ND	8-Bit Schieberegister, Power Logic	Power Logic 8-Bit Shift Register	16-SOIC	1.78	1.49	1.25
STPIC6C595MTR	497-3023-1-ND	8-Bit Schieberegister, Power Logic	Power Logic 8-Bit Shift Register	16-SOIC	1.78	1.49	1.25
STPIC6C595MTR	497-3023-2-ND	8-Bit Schieberegister, Power Logic	Power Logic 8-Bit Shift Register	16-SOIC		1068.83/2,500	
STPIC6C595TTR	497-3024-1-ND	8-Bit Schieberegister, Power Logic	Power Logic 8-Bit Shift Register	16-TSSOP	1.78	1.49	1.25
STPIC6C595TTR	497-3024-2-ND	8-Bit Schieberegister, Power Logic	Power Logic 8-Bit Shift Register	16-TSSOP		1068.83/2,500	
STSR2PCD-TR	497-2154-1-ND	Vorwärts synch. Gleichrichter Smart Driver	Forward Sync. Rectifier Smart Driver	8-SOIC	2.39	1.99	1.68
STSR2PCD-TR	497-2154-2-ND	Vorwärts synch. Gleichrichter Smart Driver	Forward Sync. Rectifier Smart Driver	8-SOIC		2586.36/2,500	
STSR3CD	497-4400-5-ND	Synch. Gleichrichter Smart Driver für Flyback	Sync. Rectifier Smart Driver for Flyback	8-SOIC	2.39	1.99	1.68
STSR3CD-TR	497-4401-1-ND	Synch. Gleichrichter Smart Driver für Flyback	Sync. Rectifier Smart Driver for Flyback	8-SOIC	2.39	1.99	1.68
STSR3CD-TR	497-4401-2-ND	Synch. Gleichrichter Smart Driver für Flyback	Sync. Rectifier Smart Driver for Flyback	8-SOIC		2586.36/2,500	
STSR30D-TR	497-2155-1-ND	Synch. Gleichrichter Smart Driver für Flyback	Sync. Rectifier Smart Driver for Flyback	8-SOIC	3.16	2.75	2.05
STSR30D-TR	497-2155-2-ND	Synch. Gleichrichter Smart Driver für Flyback	Sync. Rectifier Smart Driver for Flyback	8-SOIC		3737.74/2,500	
STW5093CYLT	497-3375-1-ND	2,7 V, 14-Bit linearer Codec mit Hochleistung Audio-Front-Ende	2.7V, 14-Bit Linear Codec with High Perf. Audio Front-End	30-TSSOP	4.11	3.59	2.67
STW5093CYLT	497-3375-2-ND	2,7 V, 14-Bit linearer Codec mit Hochleistung Audio-Front-Ende	2.7V, 14-Bit Linear Codec with High Perf. Audio Front-End	30-TSSOP		4876.42/2,500	
TBA820M	497-3025-5-ND	1,2 W Audio-Verstärker	1.2W Audio Amp	8-Dip	1.14	1.00	.77
TD220ID	497-2156-5-ND	Gate-Treiber	Gate Driver	8-SOIC	1.43	1.24	.96
TD221ID	497-2157-5-ND	Gate-Treiber	Gate Driver	8-SOIC	1.43	1.24	.96
TD310IDT	497-4052-1-ND	Dreif. IGBT/MOS-Treiber	Triple IGBT/MOS Driver	16-SOIC	1.98	1.66	1.39
TD310IDT	497-4052-2-ND	Dreif. IGBT/MOS-Treiber	Triple IGBT/MOS Driver	16-SOIC		2146.13/2,500	
TD350IDT	497-4053-1-ND	Erweiterter IGBT/MOSFET-Treiber	Advanced IGBT/MOSFET Driver	14-SOIC	2.21	1.85	1.55
TD350IDT	497-4053-2-ND	Erweiterter IGBT/MOSFET-Treiber	Advanced IGBT/MOSFET Driver	14-SOIC		2393.76/2,500	
TD351IDT	497-4439-1-ND	Erw. IGBT/MOSFET-Treiber	Adv. IGBT/MOSFET Driver	8-SOIC	1.52	1.27	1.07
TD351IDT	497-4439-2-ND	Erw. IGBT/MOSFET-Treiber	Adv. IGBT/MOSFET Driver	8-SOIC		1650.87/2,500	
TD351IN	497-4440-5-ND	Erw. IGBT/MOSFET-Treiber	Adv. IGBT/MOSFET Driver	8-Dip	1.52	1.27	1.07
TDA0161DP	497-2158-5-ND	Proximitätsdetektor	Proximity Detector	8-Mini Dip	1.83	1.53	1.29
TDA0161FP	497-2159-5-ND	Proximitätsdetektor	Proximity Detector	8-SOIC	2.08	1.74	1.46
TDA1905	497-2160-5-ND	5 W Audioverstärker	5W, Audio Amplifier	16-Power Dip	1.78	1.49	1.25
TDA2003H	497-2161-5-ND	10 W Autoradio-Audioverstärker	10W, Car Radio Audio Amp	Pentawatt	1.78	1.49	1.25
TDA2003V	497-2162-5-ND	10 W Autoradio-Audioverstärker	10W, Car Radio Audio Amp	Pentawatt	1.78	1.49	1.25
TDA2005M	497-2163-5-ND	20 W Brückenverstärker	20W, Bridge Amplifier	11-Multiwatt	2.40	2.09	1.56
TDA2007A	497-3953-5-ND	Zweif. Stereoverst.	Dual Stereo Amp	9-SIP	2.31	1.93	1.62
TDA2009A	497-2164-5-ND	10 + 10 W Stereoverstärker	10 + 10W, Stereo Amp	11-Multiwatt	3.09	2.69	2.01
TDA2030AH	497-3667-ND	14 W Hi-Fi Audioverstärker	14W, Hi-Fi Audio Amp	Pentawatt	2.63	2.29	1.71
TDA2030AV	497-2165-5-ND	18 W Hi-Fi Amp/35 W Treiber	18W, Hi-Fi Amp/35W Driver	Pentawatt	2.51	2.19	1.63
TDA2030H	497-3026-5-ND	14 W Hi-Fi Audioverstärker	14W, Hi-Fi Audio Amp	5-Pentawatt	2.51	2.19	1.63
TDA2030V	497-3954-5-ND	14 W Hi-Fi Audioverstärker	14W, Hi-Fi Audio Amp	Pentawatt	2.42	2.11	1.58
TDA2040V	497-3027-5-ND	20 W Hi-Fi Audioverstärker	20W, Hi-Fi Audio Amp	5-Pentawatt	3.09	2.69	2.01
TDA2050V	497-3028-5-ND	32 W Hi-Fi Audioverstärker	32W, Hi-Fi Audio Amp	5-Pentawatt	3.20	2.79	2.08
TDA2052V	497-3955-5-ND	60 W Hi-Fi Audioleistungsverstärker mit Stummfunktion und Bereitschaftsmodus	60W Hi-Fi Audio Power Amp with Mute/Standby	V-Heptawatt	6.62	6.05	4.78
TDA2822	497-3956-5-ND	Zweif. Leistungsverstärker, Niederspann.	Dual Low Voltage Power Amp	16-Power Dip	1.32	1.11	.93
TDA2822D	497-2166-5-ND	Zweif. Leistungsverstärker, Niederspann.	Dual Low Voltage Power Amp	8-SOIC	1.34	1.16	.89
TDA2822D013TR	497-3376-1-ND	Zweif. Leistungsverstärker, Niederspann.	Dual Low Voltage Power Amp	8-SOIC	1.43	1.24	.96
TDA2822D013TR	497-3376-2-ND	Zweif. Leistungsverstärker, Niederspann.	Dual Low Voltage Power Amp	8-SOIC		1267.78/2,500	
TDA7233	497-3957-5-ND	1 W Audio-Verstärker mit Stummfunktion	1W, Audio Amp with Mute	8-Dip	1.40	1.17	.98
TDA7233D013TR	497-3668-1-ND	1 W Audio-Verstärker mit Stummfunktion	1W, Audio Amp with Mute	8-SOIC	1.63	1.36	1.14
TDA7233D013TR	497-3668-2-ND	1 W Audio-Verstärker mit Stummfunktion	1W, Audio Amp with Mute	8-SOIC		1760.93/2,500	
TDA7240AH	497-2167-5-ND	20 W Brückenverstärker	20W, Bridge Amp	H-Heptawatt	2.63	2.29	1.71
TDA7240AV	497-2168-5-ND	20 W Brückenverstärker	20W, Bridge Amp	V-Heptawatt	2.40	2.09	1.56
TDA7256	497-2169-5-ND	30 W Brücken-Autoradioverstärker	30W, Bridge Car Radio Amp	11-Multiwatt	4.80	4.18	3.12
TDA7263	497-3958-5-ND	AB zweif. Audio-Leistungsverstärker	AB Dual Audio Power Amp	11-Clipwatt	3.20	2.79	2.08
TDA7264	497-3959-5-ND	AB zweif. Audio-Leistungsverstärker	AB Dual Audio Power Amp	8-Multiwatt	4.23	3.69	2.75
TDA7265	497-3960-5-ND	AB zweif. Audio-Leistungsverstärker	AB Dual Audio Power Amp	11-Multiwatt	5.49	4.78	3.56
TDA7266	497-3669-ND	Zweif. 14 W Brückenverstärker	14W, Dual Bridge Amp	15-Multiwatt	5.84	5.34	4.22
TDA7266D	497-4024-5-ND	Zweif. 14 W Brückenverstärker	14W, Dual Bridge Amp	20-Power SOIC	3.39	2.95	2.20
TDA7266S	497-3670-ND	Zweif. 10 W Brückenverstärker	10W, Dual Bridge Amp	15-Multiwatt	5.75	5.25	4.15
TDA7267	497-3671-ND	2 W Mono-Verst.	2W, Mono Amp	8-MiniDip	2.03	1.70	1.43
TDA7267A	497-3962-5-ND	3 W Mono-Verst.	3W Mono Amp	16-Power Dip	2.41	2.02	1.69
TDA7268	497-3963-5-ND	2x2 W Stereo-Audio-Verstärker	2x2W Stereo Audio Amp	16-Power Dip	3.43	2.99	2.23
TDA7269A	497-3964-5-ND	AB zweif. Audio-Leistungsverstärker	AB Dual Audio Power Amp	11-Multiwatt	4.69	4.08	3.04
TDA7293V	497-2170-5-ND	120 V, 100 W DMOS Audioverstärker	120V, 100W DMOS Audio Amp	15V-Multiwatt	5.63	5.14	4.07
TDA7294V	497-2171-5-ND	100 V, 100 W DMOS Audioverstärker	100V, 100W DMOS Audio Amp	15V-Multiwatt	8.57	7.83	6.19
TDA7295	497-3965-5-ND	80 V, 80 W DMOS Audioverstärker	80V, 80W DMOS Audio Amp	15-Multiwatt	7.59	6.94	5.49
TDA7296	497-3966-5-ND	70 V, 60 W DMOS Audioverstärker	70V, 60W DMOS Audio Amp	15-Multiwatt	7.31	6.67	5.28
TDA7297	497-3967-5-ND	Zweif. Brückenverstärker	Dual Bridge Amp	15-Multiwatt	5.84	5.34	4.22
TDA7297D	497-3968-5-ND	Zweif. Brückenverstärker	Dual Bridge Amp	20-Power SOIC	6.37	5.82	4.60
TDA7309D013TR	497-3969-1-ND	Digital gesteuerter Stereo-Audio-Prozessor	Digital Controlled Stereo Audio Processor	20-SOIC	5.16	4.72	3.73
TDA7309D013TR	497-3969-2-ND	Digital gesteuerter Stereo-Audio-Prozessor	Digital Controlled Stereo Audio Processor	20-SOIC		2860.66/1,000	
TDA7319	497-3970-5-ND	Digital gesteuerter 3-Band-Audio-Prozessor	3 Band Digital Controlled Audio Processor	20-Dip	6.82	6.23	4.92
TDA7338D013TR	497-3971-1-ND	Stereo-Dekodierer	Stereo Decoder	20-SOIC	4.87	4.45	3.52
TDA7338D013TR	497-3971-2-ND	Stereo-Dekodierer	Stereo Decoder	20-SOIC		2698.96/1,000	
TDA7350A	497-3972-5-ND	22 W Brücken-Stereo-Verstärker	22W Bridge Stereo Amp	11-Multiwatt	4.57	3.98	2.97
TDA7360	497-3973-5-ND	22 W Brücken-/Stereo-Audioverstärker	22W Bridge/Stereo Audio Amp	11V-Multiwatt	4.97	4.54	3.59
TDA7375AV	497-3974-5-ND	Zweif./vierf. Leistungsverst.	Dual/Quad Power Amp	15V-Multiwatt	6.04	5.52	4.36
TDA7375V	497-2172-5-ND	Zweif./vierf. Leistungsverst., 2x35 W	2x35W Dual/Quad Power Amp	15V-Multiwatt	6.04	5.52	4.36
TDA7384A	497-2173-5-ND	Vierf. Brücken-Autoradioverstärker, 4x35 W	4x35W Quad Bridge Car Radio Amp	25-Flexiwatt	10.41	9.64	7.29
TDA7385	497-2174-5-ND	Vierf. Brücken-Autoradioverstärker, 4x30 W	4x30W Quad Bridge Car Radio Amp	25-Flexiwatt	9.31	8.62	6.52
TDA7386	497-2175-5-ND	Vierf. Brücken-Autoradioverstärker, 4x40 W	4x40W Quad Bridge Car Radio Amp	25-Flexiwatt	13.04	12.06	9.13
TDA7391	497-2176-5-ND	35 W Brücken-Autoradioverstärker	35W, Bridge Car Radio Amp	11-Multiwatt	5.26	4.80	3.80
TDA7391PD	497-3975-5-ND	35 W Brücken-Autoradioverstärker	35W, Bridge Car Radio Amp	20-Power SOIC	8.18	7.47	5.91
TDA7393	497-3976-5-ND	Zweif. Brücken-Autoradioverstärker	Dual Bridge Car Radio Amp	15-Multiwatt	5.36	4.89	3.87
TDA7396	497-2177-5-ND	45 W Brücken-Autoradioverstärker	45W, Bridge Car Radio Amp	11-Multiwatt	5.60	4.88	3.63
TDA7400DTR	497-3977-1-ND	Erw. Autosignalprozessor	Adv. Car Signal Processor	28-SOIC	8.53	7.79	6.16
TDA7400DTR	497-3977-2-ND	Erw. Autosignalprozessor	Adv. Car Signal Processor	28-SOIC		4728.26/1,000	
TDA7407	497-3979-ND	Erw. Autosignalprozessor	Adv. Car Signal Processor	44-TQFP	7.89	7.20	5.70
TDA7411TR	497-3981-1-ND	Erw. Autosignalprozessor	Adv. Car Signal Processor	44-TQFP	9.14	8.46	6.41
TDA7411TR	497-3981-2-ND	Erw. Autosignalprozessor	Adv. Car Signal Processor	44-TQFP		5714.55/1,000	
TDA7433D	497-2178-5-ND	Audioprozessor, Grundfunktion	Basic Function Audio Processor	20-SOIC	2.86	2.49	1.86
TDA7438D	497-3982-5-ND	Digital gesteuerter Audioprozessor, drei Bänder	Three Bands Digitally Controlled Audio Processor	28-SOIC	5.84	5.34	4.22
TDA7439DS13TR	497-3983-1-ND	Digital gesteuerter Audioprozessor, drei Bänder	Three Bands Digitally Controlled Audio Processor	30-SDip	7.59	6.94	5.49

(Forts.)

★ *RUFEN SIE BITTE AN FÜR NIEDRIGERE PREISE BEI GRÖSSEREN MENGEN!* ★

STMicroelectronics Teilenr.	Digi-Key Teilenr.	Beschreibung		Paket	Stückpreis★ 1	10	100
TDA7439DS13TR	497-3983-2-ND	Digital gesteuerter Audioprozessor, drei Bänder	Three Bands Digitally Controlled Audio Processor	30-SDip		4210.14/1,000	
TDA7449	497-3672-ND	Tonsteuerung, digital gesteuerter Audioprozessor	Tone Control, Digitally Controlled Audio Processor	20-Dip	2.86	2.49	1.86
TDA7454	497-2179-5-ND	Vierf. Brücken-Autoradioverst., 4x35 W, mit hoher Wirksamkeit	4x35W High Eff. Quad Bridge Car Radio Amp	25-Flexiwatt	13.12	12.14	9.19
TDA7462D013TR	497-3673-1-ND	Zweif. Audio-Prozessor mit Kompandierer	Dual Audio Processor with Compander	28-SOIC	6.33	5.78	4.57
TDA7462D013TR	497-3673-2-ND	Zweif. Audio-Prozessor mit Kompandierer	Dual Audio Processor with Compander	28-SOIC		3508.31/1,000	
TDA7482	497-3984-5-ND	25 W Mono-Verst., Klasse-D	25W Mono Class-D Amp	15-Multiwatt	7.01	6.40	5.06
TDA7490	497-3985-5-ND	Zweif. Stereo-Verst., Klasse-D	Dual Stereo Class-D Amp	25-Flexiwatt	6.33	5.78	4.57
TDA7490L	497-3986-5-ND	Zweif. Stereo-Verst., Klasse-D	Dual Stereo Class-D Amp	25-Flexiwatt	5.77	5.27	4.16
TDA7494S	497-2180-5-ND	10 W Verst.	10W, Amp	15-Multiwatt	1.75	1.46	1.23
TDA7511	497-3988-ND	AM/FM Tuner für Autoradio und HiFi-Anwendungen	AM/FM Tuner for Car Radio and Hi Fi Applications	64-TQFP	9.99	9.25	7.00
TDA7560	497-2181-5-ND	Vierf. Brücken-Autoradioverstärker, 4x45 W	4x45W Quad Bridge Car Radio Amp	25-Flexiwatt	18.15	15.56	13.80
TDA7561	497-2182-5-ND	Vierf. Stromverstärker, Mehrfunktion,	Multifunction Quad Power Amp	25-Flexiwatt	9.14	8.46	6.41
TDA7563	497-2183-5-ND	Vierf. Stromverstärker, Mehrfunktion,	Multifunction Quad Power Amp	27-Flexiwatt	11.26	10.42	7.89
TDA7575PDTR	497-3990-1-ND	Zweif. Mehrfunktions-Brücken-Leistungsverstärker	Multifunction Dual Bridge Power Amp	36-Power SOIC	9.57	8.85	6.70
TDA7575PDTR	497-3990-2-ND	Zweif. Mehrfunktions-Brücken-Leistungsverstärker	Multifunction Dual Bridge Power Amp	36-Power SOIC		3645.12/600	
TDA7401013TR	497-3978-1-ND	Digital gesteuerter Audioprozessor	Digitally Controlled Audio Processor	28-SOIC	4.57	3.98	2.97
TDA7401013TR	497-3978-2-ND	Digital gesteuerter Audioprozessor	Digitally Controlled Audio Processor	28-SOIC		2251.96/1,000	
TDA7535013TR	497-3989-1-ND	Delta/Sigma Cascade 20-Bit Stereo DAU	Delta/Sigma Cascade 20-Bit Stereo DAC	14-SOIC	4.57	3.98	2.97
TDA7535013TR	497-3989-2-ND	Delta/Sigma Cascade 20-Bit Stereo DAU	Delta/Sigma Cascade 20-Bit Stereo DAC	14-SOIC		5418.24/2,500	
TDE1707BFPT	497-3674-ND	Intelligenter Stromschalter	Intelligent Power Switch	8-SOIC	4.64	4.04	3.01
TDE1798DP	497-2184-5-ND	Intelligenter Stromschalter, 0,5 A	0.5A, Intelligent Power Switch	8-Mini Dip	5.41	4.95	3.91
TDE1897RDP	497-2185-5-ND	High-Side-Treiber intelligenter industrieller Stromschalter, 0,5 A	0.5A, High-Side Driver Industrial Intelligent Power Switch	8-Mini Dip	4.73	4.12	3.07
TDE1897RFP	497-2186-5-ND	High-Side-Treiber intelligenter industrieller Stromschalter, 0,5 A	0.5A, High-Side Driver Industrial Intelligent Power Switch	20-SOIC	4.92	4.28	3.19
TEA2025B	497-3991-5-ND	Stereo-Audioverstärker	Stereo Audio Amp	16-Dip	1.50	1.25	1.05
TEA2025D013TR	497-3675-1-ND	Stereo-Audioverstärker	Stereo Audio Amp	20-SOIC	1.73	1.44	1.21
TEA2025D013TR	497-3675-2-ND	Stereo-Audioverstärker	Stereo Audio Amp	20-SOIC		777.18/1,000	
TEA3717DP	497-2187-5-ND	Schrittmotortreiber	Stepper Motor Driver	16-Power Dip	2.16	1.80	1.52
TEA3718DP	497-2188-5-ND	Schrittmotortreiber	Stepper Motor Driver	16-Power Dip	2.29	1.91	1.61
TEA3718SDP	497-2189-5-ND	Schrittmotortreiber	Stepper Motor Driver	16-Power Dip	4.00	3.49	2.60
TEA3718SFPTR	497-2190-1-ND	Schrittmotortreiber	Stepper Motor Driver	20-SOIC	2.67	2.23	1.87
TEA3718SFPTR	497-2190-2-ND	Schrittmotortreiber	Stepper Motor Driver	20-SOIC		1200.48/1,000	
TL061ACDT	497-2191-1-ND	Einf. J-Fet-OpAmp, NL	Low Power, J-Fet Single Op Amp	8-SOIC	1.11	.97	.75
TL061ACDT	497-2191-2-ND	Einf. J-Fet-OpAmp, NL	Low Power, J-Fet Single Op Amp	8-SOIC		986.29/2,500	
TL061CDT	497-2192-1-ND	Einf. J-Fet-OpAmp, NL	Low Power, J-Fet Single Op Amp	8-SOIC	.58	.46	.35
TL061CDT	497-2192-2-ND	Einf. J-Fet-OpAmp, NL	Low Power, J-Fet Single Op Amp	8-SOIC		452.93/2,500	
TL061IDT	497-4054-1-ND	Einf. J-Fet-OpAmp, NL	Low Power, J-Fet Single Op Amp	8-SOIC	.61	.49	.37
TL061IDT	497-4054-2-ND	Einf. J-Fet-OpAmp, NL	Low Power, J-Fet Single Op Amp	8-SOIC		482.56/2,500	
TL062ACDT	497-2193-1-ND	Zweif. J-Fet-OpAmp, NL	Low Power, J-Fet Dual Op Amp	8-SOIC	.84	.68	.51
TL062ACDT	497-2193-2-ND	Zweif. J-Fet-OpAmp, NL	Low Power, J-Fet Dual Op Amp	8-SOIC		664.58/2,500	
TL062CDT	497-2194-1-ND	Zweif. J-Fet-OpAmp, NL	Low Power, J-Fet Dual Op Amp	8-SOIC	.88	.71	.53
TL062CDT	497-2194-2-ND	Zweif. J-Fet-OpAmp, NL	Low Power, J-Fet Dual Op Amp	8-SOIC		412.72/2,500	
TL062CN	497-2195-5-ND	Zweif. J-Fet-OpAmp, NL	Low Power, J-Fet Dual Op Amp	8-Dip	.59	.48	.36
TL062ID	497-3029-5-ND	Zweif. J-Fet-OpAmp, NL	Low Power, J-Fet Dual Op Amp	8-SOIC	.59	.48	.36
TL064CDT	497-2196-1-ND	Vierf. J-Fet-OpAmp, NL	Low Power, J-Fet Quad Op Amp	14-SOIC	.65	.52	.36
TL064CDT	497-2196-2-ND	Vierf. J-Fet-OpAmp, NL	Low Power, J-Fet Quad Op Amp	14-SOIC		512.19/2,500	
TL064CN	497-2197-5-ND	Vierf. J-Fet-OpAmp, NL	Low Power, J-Fet Quad Op Amp	14-Dip	.65	.52	.39
TL064IDT	497-3030-1-ND	Vierf. J-Fet-OpAmp, NL	Low Power, J-Fet Quad Op Amp	14-SOIC	1.14	1.00	.77
TL064IDT	497-3030-2-ND	Vierf. J-Fet-OpAmp, NL	Low Power, J-Fet Quad Op Amp	14-SOIC		1013.80/2,500	
TL064IN	497-2198-5-ND	Vierf. J-Fet-OpAmp, NL	Low Power, J-Fet Quad Op Amp	14-Dip	.85	.68	.51
TL071CDT	497-4055-1-ND	Einf. rauscharmer J-Fet-OpAmp	Low Noise, J-Fet Single Op Amp	8-SOIC	.55	.44	.34
TL071CDT	497-4055-2-ND	Einf. rauscharmer J-Fet-OpAmp	Low Noise, J-Fet Single Op Amp	8-SOIC		412.72/2,500	
TL071CN	497-3031-5-ND	Einf. rauscharmer J-Fet-OpAmp	Low Noise, J-Fet Single Op Amp	8-Dip	.76	.61	.46
TL071IDT	497-2199-1-ND	Einf. rauscharmer J-Fet-OpAmp	Low Noise, J-Fet Single Op Amp	8-SOIC	.92	.74	.56
TL071IDT	497-2199-2-ND	Einf. rauscharmer J-Fet-OpAmp	Low Noise, J-Fet Single Op Amp	8-SOIC		730.19/2,500	
TL072CDT	497-2200-1-ND	Zweif. rauscharmer Audio-OpAmp	Low Noise, J-Fet Dual Op Amp	8-SOIC	.91	.74	.55
TL072CDT	497-2200-2-ND	Zweif. rauscharmer Audio-OpAmp	Low Noise, J-Fet Dual Op Amp	8-SOIC		412.72/2,500	
TL072CN	497-2201-5-ND	Zweif. rauscharmer Audio-OpAmp	Low Noise, J-Fet Dual Op Amp	8-Dip	.55	.44	.34
TL072IDT	497-2202-1-ND	Zweif. rauscharmer Audio-OpAmp	Low Noise, J-Fet Dual Op Amp	8-SOIC	.86	.75	.58
TL072IDT	497-2202-2-ND	Zweif. rauscharmer Audio-OpAmp	Low Noise, J-Fet Dual Op Amp	8-SOIC		444.47/2,500	
TL074ACDT	497-2203-1-ND	Vierf. rauscharmer J-Fet-OpAmp	Low Noise, J-Fet Quad Op Amp	14-SOIC	1.02	.88	.68
TL074ACDT	497-2203-2-ND	Vierf. rauscharmer J-Fet-OpAmp	Low Noise, J-Fet Quad Op Amp	14-SOIC		901.63/2,500	
TL074CDT	497-2204-1-ND	Vierf. rauscharmer J-Fet-OpAmp	Low Noise, J-Fet Quad Op Amp	14-SOIC	.65	.52	.36
TL074CDT	497-2204-2-ND	Vierf. rauscharmer J-Fet-OpAmp	Low Noise, J-Fet Quad Op Amp	14-SOIC		512.19/2,500	
TL074CN	497-2205-5-ND	Vierf. rauscharmer J-Fet-OpAmp	Low Noise, J-Fet Quad Op Amp	14-Dip	.65	.52	.44
TL074IDT	497-4056-1-ND	Vierf. rauscharmer J-Fet-OpAmp	Low Noise, J-Fet Quad Op Amp	14-SOIC	.76	.61	.46
TL074IDT	497-4056-2-ND	Vierf. rauscharmer J-Fet-OpAmp	Low Noise, J-Fet Quad Op Amp	14-SOIC		603.20/2,500	
TL074IN	497-2206-5-ND	Vierf. rauscharmer J-Fet-OpAmp	Low Noise, J-Fet Quad Op Amp	14-Dip	.84	.68	.47
TL081ACDT	497-2207-1-ND	Einf. J-Fet-OpAmp	J-Fet Single Op Amp	8-SOIC	.96	.69	.53
TL081ACDT	497-2207-2-ND	Einf. J-Fet-OpAmp	J-Fet Single Op Amp	8-SOIC		753.47/2,500	
TL081CDT	497-2208-1-ND	Einf. J-Fet-OpAmp	J-Fet Single Op Amp	8-SOIC	.76	.61	.46
TL081CDT	497-2208-2-ND	Einf. J-Fet-OpAmp	J-Fet Single Op Amp	8-SOIC		603.20/2,500	
TL081CN	497-2209-5-ND	Einf. J-Fet-OpAmp	J-Fet Single Op Amp	8-Dip	.59	.48	.36
TL081IDT	497-2210-1-ND	Einf. J-Fet-OpAmp	J-Fet Single Op Amp	8-SOIC	.65	.52	.44
TL081IDT	497-2210-2-ND	Einf. J-Fet-OpAmp	J-Fet Single Op Amp	8-SOIC		512.19/2,500	
TL082ACDT	497-2211-1-ND	Zweif. J-Fet-OpAmp	J-Fet Dual Op Amp	8-SOIC	.73	.58	.44
TL082ACDT	497-2211-2-ND	Zweif. J-Fet-OpAmp	J-Fet Dual Op Amp	8-SOIC		573.57/2,500	
TL082CDT	497-2212-1-ND	Zweif. J-Fet-OpAmp	J-Fet Dual Op Amp	8-SOIC	.84	.68	.51
TL082CDT	497-2212-2-ND	Zweif. J-Fet-OpAmp	J-Fet Dual Op Amp	8-SOIC		412.72/2,500	
TL082CN	497-2213-5-ND	Zweif. J-Fet-OpAmp	J-Fet Dual Op Amp	8-Dip	.55	.44	.34
TL082CPT	497-4057-1-ND	Zweif. J-Fet-OpAmp	J-Fet Dual Op Amp	8-TSSOP	.69	.55	.42
TL082CPT	497-4057-2-ND	Zweif. J-Fet-OpAmp	J-Fet Dual Op Amp	8-TSSOP		870.30/4,000	
TL082IN	497-3032-5-ND	Zweif. J-Fet-OpAmp	J-Fet Dual Op Amp	8-Dip	.73	.59	.44
TL082IDT	497-2214-1-ND	Zweif. J-Fet-OpAmp	J-Fet Dual Op Amp	8-SOIC	.80	.53	.41
TL082IDT	497-2214-2-ND	Zweif. J-Fet-OpAmp	J-Fet Dual Op Amp	8-SOIC		603.20/2,500	
TL084ACDT	497-2215-1-ND	Vierf. J-Fet-OpAmp	J-Fet Quad Op Amp	14-SOIC	.86	.75	.58
TL084ACDT	497-2215-2-ND	Vierf. J-Fet-OpAmp	J-Fet Quad Op Amp	14-SOIC		759.82/2,500	
TL084ACN	497-2216-5-ND	Vierf. J-Fet-OpAmp	J-Fet Quad Op Amp	14-Dip	.86	.75	.58
TL084CD	497-3033-5-ND	Vierf. J-Fet-OpAmp	J-Fet Quad Op Amp	14-SOIC	.69	.55	.42
TL084CDT	497-2217-1-ND	Vierf. J-Fet-OpAmp	J-Fet Quad Op Amp	14-SOIC	.65	.52	.36
TL084CDT	497-2217-2-ND	Vierf. J-Fet-OpAmp	J-Fet Quad Op Amp	14-SOIC		512.19/2,500	
TL084CN	497-2218-5-ND	Vierf. J-Fet-OpAmp	J-Fet Quad Op Amp	14-Dip	.65	.52	.44
TL084CPT	497-2219-1-ND	Vierf. J-Fet-OpAmp	J-Fet Quad Op Amp	14-TSSOP	.84	.68	.51
TL084CPT	497-2219-2-ND	Vierf. J-Fet-OpAmp	J-Fet Quad Op Amp	14-TSSOP		664.58/2,500	
TL084IDT	497-2220-1-ND	Vierf. J-Fet-OpAmp	J-Fet Quad Op Amp	14-SOIC	.89	.58	.45
TL084IDT	497-2220-2-ND	Vierf. J-Fet-OpAmp	J-Fet Quad Op Amp	14-SOIC		666.70/2,500	
TL084IN	497-2221-5-ND	Vierf. J-Fet-OpAmp	J-Fet Quad Op Amp	14-Dip	.84	.68	.51
TL431ACDT	497-3034-1-ND	Programmierbare Spannungsreferenz	Programmable Voltage Reference	8-SOIC	.58	.46	.35
TL431ACDT	497-3034-2-ND	Programmierbare Spannungsreferenz	Programmable Voltage Reference	8-SOIC		452.93/2,500	
TL431ACZ	497-3035-5-ND	Programmierbare Spannungsreferenz	Programmable Voltage Reference	TO-92	.59	.48	.36
TL431AIDT	497-2225-1-ND	Programmierbare Spannungsreferenz	Programmable Voltage Reference	8-SOIC	.41	.33	.25

(Forts.)

★ ***RUFEN SIE BITTE AN FÜR NIEDRIGERE PREISE BEI GRÖSSEREN MENGEN!*** ★

B

STMicroelectronics Teilenr.	Digi-Key Teilenr.	Beschreibung		Paket	Stückpreis★ 1	10	100
TL431AIDT	497-2225-2-ND	Programmierbare Spannungsreferenz	Programmable Voltage Reference	8-SOIC		302.66/2,500	
TL431AIZT	497-2226-1-ND	Programmierbare Spannungsreferenz	Programmable Voltage Reference	TO-92	.41	.33	.25
TL431AIZT	497-2226-2-ND	Programmierbare Spannungsreferenz	Programmable Voltage Reference	TO-92		257.37/2,000	
TL431CDT	497-3036-1-ND	Programmierbare Spannungsreferenz	Programmable Voltage Reference	8-SOIC	.59	.48	.36
TL431CDT	497-3036-2-ND	Programmierbare Spannungsreferenz	Programmable Voltage Reference	8-SOIC		444.47/2,500	
TL431IDT	497-2227-1-ND	Programmierbare Spannungsreferenz	Programmable Voltage Reference	8-SOIC	.47	.29	.22
TL431IDT	497-2227-2-ND	Programmierbare Spannungsreferenz	Programmable Voltage Reference	8-SOIC		306.89/2,500	
TL431IZT	497-2228-1-ND	Programmierbare Spannungsreferenz	Programmable Voltage Reference	TO-92	.51	.41	.31
TL431IZT	497-2228-2-ND	Programmierbare Spannungsreferenz	Programmable Voltage Reference	TO-92		325.09/2,000	
TL1431ACDT	497-2222-1-ND	Programmierbare Spannungsreferenz	Programmable Voltage Reference	8-SOIC	.73	.58	.44
TL1431ACDT	497-2222-2-ND	Programmierbare Spannungsreferenz	Programmable Voltage Reference	8-SOIC		573.57/2,500	
TL1431ACZT	497-2223-1-ND	Programmierbare Spannungsreferenz	Programmable Voltage Reference	TO-92	.73	.58	.44
TL1431ACZT	497-2223-2-ND	Programmierbare Spannungsreferenz	Programmable Voltage Reference	TO-92		458.86/2,000	
TL1431AIDT	497-2224-1-ND	Programmierbare Spannungsreferenz	Programmable Voltage Reference	8-SOIC	.76	.61	.46
TL1431AIDT	497-2224-2-ND	Programmierbare Spann.-Referenz	Programmable Volt. Reference	8-SOIC		603.20/2,500	
TL1431IDT	497-4058-1-ND	Programmierbare Spann.-Referenz	Programmable Volt. Reference	8-SOIC	.73	.58	.44
TL1431IDT	497-4058-2-ND	Programmierbare Spann.-Referenz	Programmable Volt. Reference	8-SOIC		573.57/2,500	
TL7702AID1/A	497-2229-5-ND	Versorgungsspannungswächter	Supply Voltage Supervisor	8-SOIC	.96	.83	.64
TL7705ACD1013TRA	497-2230-1-ND	5 V Versorgungsspannungswächter	5V, Supply Voltage Supervisor	8-SOIC	.96	.83	.64
TL7705ACD1013TRA	497-2230-2-ND	5 V Versorgungsspannungswächter	5V, Supply Voltage Supervisor	8-SOIC		844.48/2,500	
TL7705ACP/A	497-3676-ND	5 V Versorgungsspannungswächter	5V, Supply Voltage Supervisor	8-MiniDip	.96	.83	.64
TL7705AID1013TRA	497-3677-1-ND	5 V Versorgungsspannungswächter	5V, Supply Voltage Supervisor	8-SOIC	.96	.83	.64
TL7705AID1013TRA	497-3677-2-ND	5 V Versorgungsspannungswächter	5V, Supply Voltage Supervisor	8-SOIC		844.48/2,500	
TS3V339IDT	497-2278-1-ND	Vierf. 3 V Micropower CMOS Spannungskomparator	3V, Micropower Quad CMOS Voltage Comparator	14-SOIC	.83	.72	.56
TS3V339IDT	497-2278-2-ND	Vierf. 3 V Micropower CMOS Spannungskomparator	3V, Micropower Quad CMOS Voltage Comparator	14-SOIC		732.31/2,500	
TS27L2AID	497-2250-5-ND	Zweif. CMOS-OpAmp, NL	Low Power, CMOS Dual Op Amp	8-SOIC	1.60	1.34	1.13
TS27L2IDT	497-2251-1-ND	Zweif. CMOS-OpAmp, NL	Low Power, CMOS Dual Op Amp	8-SOIC	1.02	.88	.68
TS27L2IDT	497-2251-2-ND	Zweif. CMOS-OpAmp, NL	Low Power, CMOS Dual Op Amp	8-SOIC		901.63/2,500	
TS27L4AID	497-2252-5-ND	Vierf. CMOS-OpAmp, NL	Low Power, CMOS Quad Op Amp	14-SOIC	1.65	1.38	1.16
TS27L4AIN	497-2253-5-ND	Vierf. CMOS-OpAmp, NL	Low Power, CMOS Quad Op Amp	14-Dip	1.65	1.38	1.16
TS27L4CN	497-2254-5-ND	Vierf. CMOS-OpAmp, NL	Low Power, CMOS Quad Op Amp	14-Dip	.86	.75	.58
TS27L4IDT	497-2255-1-ND	Vierf. CMOS-OpAmp, NL	Low Power, CMOS Quad Op Amp	14-SOIC	1.11	.97	.75
TS27L4IDT	497-2255-2-ND	Vierf. CMOS-OpAmp, NL	Low Power, CMOS Quad Op Amp	14-SOIC		986.29/2,500	
TS27L4IN	497-2256-5-ND	Vierf. CMOS-OpAmp, NL	Low Power, CMOS Quad Op Amp	14-Dip	1.21	1.05	.81
TS27M2AIDT	497-2257-1-ND	Zweif. CMOS-OpAmp, NL	Low Power, CMOS Dual Op Amp	8-SOIC	1.14	1.00	.77
TS27M2AIDT	497-2257-2-ND	Zweif. CMOS-OpAmp, NL	Low Power, CMOS Dual Op Amp	8-SOIC		1013.80/2,500	
TS27M2AIN	497-2258-5-ND	Zweif. CMOS-OpAmp, NL	Low Power, CMOS Dual Op Amp	8-Dip	1.43	1.24	.96
TS27M2BIDT	497-4445-1-ND	Zweif. CMOS-OpAmp, NL	Low Power, CMOS Dual Op Amp	8-SOIC	2.16	1.80	1.52
TS27M2BIDT	497-4445-2-ND	Zweif. CMOS-OpAmp, NL	Low Power, CMOS Dual Op Amp	8-SOIC		2338.73/2,500	
TS27M2IDT	497-2259-1-ND	Zweif. CMOS-OpAmp, NL	Low Power, CMOS Dual Op Amp	8-SOIC	1.11	.97	.75
TS27M2IDT	497-2259-2-ND	Zweif. CMOS-OpAmp, NL	Low Power, CMOS Dual Op Amp	8-SOIC		986.29/2,500	
TS27M2IN	497-2260-5-ND	Zweif. CMOS-OpAmp, NL	Low Power, CMOS Dual Op Amp	8-Dip	1.14	1.00	.77
TS27M4AID	497-2261-5-ND	Vierf. CMOS-OpAmp, NL	Low Power, CMOS Quad Op Amp	14-SOIC	1.32	1.11	.93
TS27M4IDT	497-2262-1-ND	Vierf. CMOS-OpAmp, NL	Low Power, CMOS Quad Op Amp	14-SOIC	1.27	1.06	.89
TS27M4IDT	497-2262-2-ND	Vierf. CMOS-OpAmp, NL	Low Power, CMOS Quad Op Amp	14-SOIC		1375.73/2,500	
TS27M4IN	497-2263-5-ND	Vierf. CMOS-OpAmp, NL	Low Power, CMOS Quad Op Amp	14-Dip	1.46	1.27	.98
TS271ACDT	497-2242-1-ND	Einf. prog. CMOS-Op Amp, NL	CMOS Prog. LP Single Op Amp	8-SOIC	1.05	.91	.70
TS271ACDT	497-2242-2-ND	Einf. prog. CMOS-Op Amp, NL	CMOS Prog. LP Single Op Amp	8-SOIC		929.14/2,500	
TS271ACN	497-2243-5-ND	Einf. prog. CMOS-Op Amp, NL	CMOS Prog. LP Single Op Amp	8-Dip	1.05	.91	.70
TS271IDT	497-2244-1-ND	Einf. prog. CMOS-Op Amp, NL	CMOS Prog. LP Single Op Amp	8-SOIC	.80	.69	.53
TS271IDT	497-2244-2-ND	Einf. prog. CMOS-Op Amp, NL	CMOS Prog. LP Single Op Amp	8-SOIC		704.79/2,500	
TS272AID	497-2245-5-ND	Zweif. CMOS-OpAmp	CMOS Dual Op Amp	8-SOIC	1.14	1.00	.77
TS272AIN	497-2246-5-ND	Zweif. CMOS-OpAmp	CMOS Dual Op Amp	8-Dip	1.27	1.11	.85
TS272CD	497-3037-5-ND	Zweif. CMOS-OpAmp	CMOS Dual Op Amp	8-SOIC	1.14	1.00	.77
TS272IDT	497-2247-1-ND	Zweif. CMOS-OpAmp	CMOS Dual Op Amp	8-SOIC	1.46	1.27	.98
TS272IDT	497-2247-2-ND	Zweif. CMOS-OpAmp	CMOS Dual Op Amp	8-SOIC		1295.30/2,500	
TS274AID	497-2248-5-ND	Vierf. CMOS-OpAmp	CMOS Quad Op Amp	14-SOIC	1.90	1.59	1.33
TS274CDT	497-4060-1-ND	Vierf. CMOS-OpAmp	CMOS Quad Op Amp	14-SOIC	.89	.77	.60
TS274CDT	497-4060-2-ND	Vierf. CMOS-OpAmp	CMOS Quad Op Amp	14-SOIC		787.34/2,500	
TS274IDT	497-2249-1-ND	Vierf. CMOS-OpAmp	CMOS Quad Op Amp	14-SOIC	1.46	1.27	.98
TS274IDT	497-2249-2-ND	Vierf. CMOS-OpAmp	CMOS Quad Op Amp	14-SOIC		1295.30/2,500	
TS321ILT	497-4061-1-ND	Einf. NL-OpAmp	Low Power Single Op Amp	SOT-23-5	.59	.48	.36
TS321ILT	497-4061-2-ND	Einf. NL-OpAmp	Low Power Single Op Amp	SOT-23-5		533.36/3,000	
TS339CPT	497-4062-1-ND	Vierf. Micropower CMOS-Spannungskomparator	Micropower Quad CMOS Voltage Comparator	14-TSSOP	.61	.49	.37
TS339CPT	497-4062-2-ND	Vierf. Micropower CMOS-Spannungskomparator	Micropower Quad CMOS Voltage Comparator	14-TSSOP		482.56/2,500	
TS339IDT	497-2264-1-ND	Vierf. Micropower CMOS-Spannungskomparator	Micropower Quad CMOS Voltage Comparator	14-SOIC	.83	.72	.56
TS339IDT	497-2264-2-ND	Vierf. Micropower CMOS-Spannungskomparator	Micropower Quad CMOS Voltage Comparator	14-SOIC		732.31/2,500	
TS339IN	497-2265-5-ND	Vierf. Micropower CMOS-Spannungskomparator	Micropower Quad CMOS Voltage Comparator	14-Dip	.92	.80	.62
TS339IPT	497-2266-1-ND	Vierf. Micropower CMOS-Spannungskomparator	Micropower Quad CMOS Voltage Comparator	14-TSSOP	1.14	1.00	.77
TS339IPT	497-2266-2-ND	Vierf. Micropower CMOS-Spannungskomparator	Micropower Quad CMOS Voltage Comparator	14-TSSOP		1013.80/2,500	
TS372IDT	497-2271-1-ND	DL CMOS-Spannungskomparator, NL	LP, DL CMOS Voltage Comparator	8-SOIC	1.11	.97	.75
TS372IDT	497-2271-2-ND	DL CMOS-Spannungskomparator, NL	LP, DL CMOS Voltage Comparator	8-SOIC		986.29/2,500	
TS372IN	497-2272-5-ND	DL CMOS-Spannungskomparator, NL	LP, DL CMOS Voltage Comparator	8-Dip	1.02	.89	.69
TS374IDT	497-2273-1-ND	Vierf. CMOS-Spannungskomparator, NL	LP, Quad CMOS Voltage Comparator	14-SOIC	.83	.72	.56
TS374IDT	497-2273-2-ND	Vierf. CMOS-Spannungskomparator, NL	LP, Quad CMOS Voltage Comparator	14-SOIC		732.31/2,500	
TS374IN	497-2274-5-ND	Vierf. CMOS-Spannungskomparator, NL	LP, Quad CMOS Volt. Comparator	14-Dip	1.62	1.41	1.08
TS391ILT	497-2275-1-ND	Einf. Spannungskomparator, NL	LP, Single Voltage Comparator	SOT-23-5L	.73	.58	.44
TS391ILT	497-2275-2-ND	Einf. Spannungskomparator, NL	LP, Single Voltage Comparator	SOT-23-5L		688.29/3,000	
TS393IDT	497-2276-1-ND	Zweif. Micropower CMOS-Spannungskomparator	Micropower Dual CMOS Voltage Comparator	8-SOIC	.84	.68	.51
TS393IDT	497-2276-2-ND	Zweif. Micropower CMOS-Spannungskomparator	Micropower Dual CMOS Voltage Comparator	8-SOIC		664.58/2,500	
TS393IN	497-2277-5-ND	Zweif. Micropower CMOS-Spannungskomparator	Micropower Dual CMOS Voltage Comparator	8-Dip	1.18	1.02	.79
TS419IDT	497-4065-1-ND	360 mW Mono-Verst.	360mW Mono Amp	8-SOIC	1.24	1.08	.83
TS419IDT	497-4065-2-ND	360 mW Mono-Verst.	360mW Mono Amp	8-SOIC		1098.46/2,500	
TS419IST	497-4448-1-ND	360 mW Mono-Verst.	360mW Mono Amp	8-Mini SOIC	1.24	1.08	.83
TS419IST	497-4448-2-ND	360 mW Mono-Verst.	360mW Mono Amp	8-Mini SOIC		1757.54/4,000	
TS421IDT	497-4066-1-ND	360 mW Mono-Verst.	360mW Mono Amp	8-SOIC	1.24	1.08	.83
TS421IDT	497-4066-2-ND	360 mW Mono-Verst.	360mW Mono Amp	8-SOIC		1098.46/2,500	
TS421IST	497-4449-1-ND	360 mW Mono-Verst.	360mW Mono Amp	8-Mini SOIC	1.24	1.08	.83
TS421IST	497-4449-2-ND	360 mW Mono-Verst.	360mW Mono Amp	8-Mini SOIC		1757.54/4,000	
TS431AILT	497-2279-1-ND	Einstellbare Shunt-Referenz, Niederspannung	Low Voltage, Adj. Shunt Reference	SOT-23-5	.96	.83	.64
TS431AILT	497-2279-2-ND	Einstellbare Shunt-Referenz, Niederspannung	Low Voltage, Adj. Shunt Reference	SOT-23-5		1013.38/3,000	
TS432AILT	497-2280-1-ND	1,24 V, einstellb. Shunt-Spannungsreferenz	1.24V, Adj. Shunt Voltage Reference	SOT-23	.89	.77	.60
TS432AILT	497-2280-2-ND	1,24 V, einstellb. Shunt-Spannungsreferenz	1.24V, Adj. Shunt Voltage Reference	SOT-23		944.81/3,000	
TS461CD	497-3039-5-ND	R/R Ausgangs-OpAmp	Output R/R Op Amp	8-SOIC	.61	.49	.37
TS461CDT	497-2281-1-ND	R/R Ausgangs-OpAmp	Output R/R Op Amp	8-SOIC	.61	.49	.37
TS461CDT	497-2281-2-ND	R/R Ausgangs-OpAmp	Output R/R Op Amp	8-SOIC		482.56/2,500	
TS461CLT	497-2282-1-ND	R/R Ausgangs-OpAmp	Output R/R Op Amp	SOT-23-5	.61	.49	.37
TS461CLT	497-2282-2-ND	R/R Ausgangs-OpAmp	Output R/R Op Amp	SOT-23-5		579.07/3,000	
TS462CDT	497-2283-1-ND	R/R Ausgangs-OpAmp	Output R/R Op Amp	8-SOIC	.80	.64	.48
TS462CDT	497-2283-2-ND	R/R Ausgangs-OpAmp	Output R/R Op Amp	8-SOIC		632.83/2,500	

(Forts.)

★ ***RUFEN SIE BITTE AN FÜR NIEDRIGERE PREISE BEI GRÖSSEREN MENGEN!*** ★

STMicroelectronics Teilenr.	Digi-Key Teilenr.	Beschreibung		Paket	Stückpreis★ 1	10	100
TS462CN	497-2284-5-ND	R/R Ausgangs-OpAmp	Output R/R Op Amp	8-Dip	.80	.64	.48
TS462CPT	497-4067-1-ND	R/R Ausgangs-OpAmp	Output R/R Op Amp	8-TSSOP	.80	.69	.53
TS462CPT	497-4067-2-ND	R/R Ausgangs-OpAmp	Output R/R Op Amp	8-TSSOP		1127.67/4,000	
TS464CD	497-3040-5-ND	R/R Ausgangs-OpAmp	Output R/R Op Amp	14-SOIC	.89	.77	.60
TS464CDT	497-2285-1-ND	R/R Ausgangs-OpAmp	Output R/R Op Amp	14-SOIC	.89	.77	.60
TS464CDT	497-2285-2-ND	R/R Ausgangs-OpAmp	Output R/R Op Amp	14-SOIC		787.34/2,500	
TS464CN	497-2286-5-ND	R/R Ausgangs-OpAmp	Output R/R Op Amp	14-Dip	.89	.77	.60
TS482IDT	497-2287-1-ND	100 mW Stereo-Kopfhörerverst.	100mW, Stereo Headphone Amp	8-SOIC	.91	.74	.55
TS482IDT	497-2287-2-ND	100 mW Stereo-Kopfhörerverst.	100mW, Stereo Headphone Amp	8-SOIC		723.84/2,500	
TS482IQT	497-2288-1-ND	100 mW Stereo-Kopfhörerverst.	100mW, Stereo Headphone Amp	8-DFN	.89	.77	.60
TS482IQT	497-2288-2-ND	100 mW Stereo-Kopfhörerverst.	100mW, Stereo Headphone Amp	8-DFN		944.81/3,000	
TS486-1IST	497-4450-1-ND	100 mW Stereo-Kopfhörerverst.	100mW, Stereo Headphone Amp	8-Mini SOIC	1.21	1.05	.81
TS486-1IST	497-4450-2-ND	100 mW Stereo-Kopfhörerverst.	100mW, Stereo Headphone Amp	8-Mini SOIC		1710.13/4,000	
TS486ID	497-3041-5-ND	100 mW Stereo-Kopfhörerverst.	100mW, Stereo Headphone Amp	8-SOIC	1.21	1.05	.81
TS486IDT	497-2289-1-ND	100 mW Stereo-Kopfhörerverst.	100mW, Stereo Headphone Amp	8-SOIC	1.21	1.05	.81
TS486IDT	497-2289-2-ND	100 mW Stereo-Kopfhörerverst.	100mW, Stereo Headphone Amp	8-SOIC		1068.83/2,500	
TS487ID	497-2291-5-ND	100 mW Stereo-Kopfhörerverst.	100mW, Stereo Headphone Amp	8-SOIC	1.43	1.24	.96
TS512AIDT	497-2295-1-ND	Zweif. OpAmp	Dual Op Amp	8-SOIC	1.27	1.11	.85
TS512AIDT	497-2295-2-ND	Zweif. OpAmp	Dual Op Amp	8-SOIC		1125.98/2,500	
TS512IDT	497-2296-1-ND	Zweif. OpAmp	Dual Op Amp	8-SOIC	.98	.86	.66
TS512IDT	497-2296-2-ND	Zweif. OpAmp	Dual Op Amp	8-SOIC		872.00/2,500	
TS514AIDT	497-4453-1-ND	Vierf. Präzisions-OpAmp	Precision Quad Op Amp	14-SOIC	1.50	1.25	1.05
TS514AIDT	497-4453-2-ND	Vierf. Präzisions-OpAmp	Precision Quad Op Amp	14-SOIC		1623.36/2,500	
TS522ID	497-3042-5-ND	Zweif. rauscharmer OpAmp	Low Noise, Dual Op Amp	8-SOIC	1.08	.94	.72
TS522IDT	497-2297-1-ND	Zweif. rauscharmer OpAmp	Low Noise, Dual Op Amp	8-SOIC	1.08	.94	.72
TS522IDT	497-2297-2-ND	Zweif. rauscharmer OpAmp	Low Noise, Dual Op Amp	8-SOIC		956.66/2,500	
TS555CDT	497-3043-1-ND	Einf. CMOS-Timer, NL	Low Power, Single CMOS Timer	8-SOIC	.76	.61	.46
TS555CDT	497-3043-2-ND	Einf. CMOS-Timer, NL	Low Power, Single CMOS Timer	8-SOIC		603.20/2,500	
TS555CN	497-3044-5-ND	Einf. CMOS-Timer, NL	Low Power, Single CMOS Timer	8-Dip	.64	.52	.39
TS555ID	497-3045-5-ND	Einf. CMOS-Timer, NL	Low Power, Single CMOS Timer	8-SOIC	.59	.48	.36
TS555IDT	497-2298-1-ND	Einf. CMOS-Timer, NL	Low Power, Single CMOS Timer	8-SOIC	.76	.61	.46
TS555IDT	497-2298-2-ND	Einf. CMOS-Timer, NL	Low Power, Single CMOS Timer	8-SOIC		412.72/2,500	
TS555IN	497-2299-5-ND	Einf. CMOS-Timer, NL	Low Power, Single CMOS Timer	8-Dip	.61	.49	.37
TS555IPT	497-4069-1-ND	Einf. CMOS-Timer, NL	Low Power, Single CMOS Timer	8-TSSOP	.76	.61	.46
TS555IPT	497-4069-2-ND	Einf. CMOS-Timer, NL	Low Power, Single CMOS Timer	8-TSSOP		965.12/4,000	
TS556IDT	497-2300-1-ND	Zweif. CMOS-Timer, NL	Low Power, Dual CMOS Timer	14-SOIC	1.05	.91	.70
TS556IDT	497-2300-2-ND	Zweif. CMOS-Timer, NL	Low Power, Dual CMOS Timer	14-SOIC		929.14/2,500	
TS556IN	497-2301-5-ND	Zweif. CMOS-Timer, NL	Low Power, Dual CMOS Timer	14-Dip	.91	.74	.55
TS613IDT	497-2302-1-ND	Zweif. Breitband-OpAmp	Dual Wide Band Op Amp	8-SOIC	4.34	3.78	2.82
TS613IDT	497-2302-2-ND	Zweif. Breitband-OpAmp	Dual Wide Band Op Amp	8-SOIC		5147.33/2,500	
TS616IDW	497-4454-5-ND	Zweif. Breitband-OpAmp	Dual Wide Band Op Amp	8-TSSOP	4.32	3.77	2.81
TS616IDWT	497-4455-1-ND	Zweif. Breitband-OpAmp	Dual Wide Band Op Amp	8-TSSOP	4.32	3.77	2.81
TS616IDWT	497-4455-2-ND	Zweif. Breitband-OpAmp	Dual Wide Band Op Amp	8-TSSOP		5119.81/2,500	
TS822ILT	497-2303-1-ND	Micropower Shunt-Spann.-Ref., 2,5 V	2.5V, Micropower Shunt Volt. Ref.	SOT-23	.88	.71	.53
TS822ILT	497-2303-2-ND	Micropower Shunt-Spann.-Ref., 2,5 V	2.5V, Micropower Shunt Volt. Ref.	SOT-23		833.05/3,000	
TS822IZT	497-2304-1-ND	Micropower Shunt-Spann.-Ref., 2,5 V	2.5V, Micropower Shunt Volt. Ref.	TO-92	.88	.71	.53
TS822IZT	497-2304-2-ND	Micropower Shunt-Spann.-Ref., 2,5 V	2.5V, Micropower Shunt Volt. Ref.	TO-92		604.47/2,000	
TS824ILT-1.2	497-2305-1-ND	Micropower Shunt-Spann.-Ref.	Micropower Shunt Volt. Reference	SOT-23	1.32	1.11	.93
TS824ILT-1.2	497-2305-2-ND	Micropower Shunt-Spann.-Ref.	Micropower Shunt Volt. Reference	SOT-23		1716.90/3,000	
TS831-3IZT	497-2306-1-ND	Micropower Spannungswächter	Micropower Voltage Supervisor	TO-92	.73	.58	.44
TS831-3IZT	497-2306-2-ND	Micropower Spannungswächter	Micropower Voltage Supervisor	TO-92		499.49/2,000	
TS831-5IDT	497-4070-1-ND	Micropower Spann.wächter Reset, aktiv, niedrig	Micropower Volt. Supervisor Reset Active Low	8-SOIC	.80	.64	.48
TS831-5IDT	497-4070-2-ND	Micropower Spann.wächter Reset, aktiv, niedrig	Micropower Volt. Supervisor Reset Active Low	8-SOIC		632.83/2,500	
TS831-5IZT	497-2307-1-ND	Micropower Spannungswächter	Micropower Voltage Supervisor	TO-92	.80	.58	.45
TS831-5IZT	497-2307-2-ND	Micropower Spannungswächter	Micropower Voltage Supervisor	TO-92		551.98/2,000	
TS834-5IDT	497-4071-1-ND	Micropower Spann.wächter Reset, aktiv, niedrig od. hoch, integrierter Timer	Micropower Volt. Supervisor Reset Active Low or High Integrated Timer	8-SOIC	.84	.68	.51
TS834-5IDT	497-4071-2-ND	Micropower Spann.wächter Reset, aktiv, niedrig od. hoch, integrierter Timer	Micropower Volt. Supervisor Reset Active Low or High Integrated Timer	8-SOIC		664.58/2,500	
TS861AILT	497-2308-1-ND	R/R, Micropower BiCMOS Komp.	R/R, Micropower BiCMOS Comp.	SOT-23-5	1.11	.97	.75
TS861AILT	497-2308-2-ND	R/R, Micropower BiCMOS Komp.	R/R, Micropower BiCMOS Comp.	SOT-23-5		1183.55/3,000	
TS861AIN	497-2309-5-ND	R/R, Micropower BiCMOS Komp.	R/R, Micropower BiCMOS Comp.	8-Dip	1.11	.97	.75
TS861IDT	497-4072-1-ND	R/R, Micropower BiCMOS Komparator	R/R, Micropower BiCMOS Comparator	8-SOIC	.98	.86	.66
TS861IDT	497-4072-2-ND	R/R, Micropower BiCMOS Komparator	R/R, Micropower BiCMOS Comparator	8-SOIC		872.00/2,500	
TS864AIDT	497-4073-1-ND	R/R, Micropower BiCMOS Komparator	R/R, Micropower BiCMOS Comparator	14-SOIC	1.83	1.53	1.29
TS864AIDT	497-4073-2-ND	R/R, Micropower BiCMOS Komparator	R/R, Micropower BiCMOS Comparator	14-SOIC		1981.04/2,500	
TS912AIDT	497-2310-1-ND	Zweif. R/R CMOS-OpAmp	R/R, CMOS Dual Op Amp	8-SOIC	1.46	1.27	.98
TS912AIDT	497-2310-2-ND	Zweif. R/R CMOS-OpAmp	R/R, CMOS Dual Op Amp	8-SOIC		1295.30/2,500	
TS914AIDT	497-2311-1-ND	Vierf. R/R CMOS-OpAmp	R/R, CMOS Quad Op Amp	14-SOIC	1.97	1.71	1.32
TS914AIDT	497-2311-2-ND	Vierf. R/R CMOS-OpAmp	R/R, CMOS Quad Op Amp	14-SOIC		1705.90/2,500	
TS914ID	497-2312-5-ND	Vierf. R/R CMOS-OpAmp	R/R, CMOS Quad Op Amp	14-SOIC	1.63	1.37	1.15
TS921IDT	497-4074-1-ND	Einf. R/R OpAmp für hohen Stromausgang	R/R, High Output Current Single Op Amp	8-SOIC	1.30	1.13	.87
TS921IDT	497-4074-2-ND	Einf. R/R OpAmp für hohen Stromausgang	R/R, High Output Current Single Op Amp	8-SOIC		1153.49/2,500	
TS921IN	497-4075-5-ND	Einf. R/R OpAmp für hohen Stromausgang	R/R, High Output Current Single Op Amp	8-Dip	1.30	1.13	.87
TS922AID	497-2313-5-ND	Zweif. R/R OpAmp für hohen Stromausgang	R/R, High Output Current Dual Op Amp	8-SOIC	1.87	1.63	1.25
TS922ID	497-3048-5-ND	Zweif. R/R OpAmp für hohen Stromausgang	R/R, High Output Current Dual Op Amp	8-SOIC	1.50	1.25	1.05
TS922IN	497-3049-5-ND	Zweif. R/R OpAmp für hohen Stromausgang	R/R, High Output Current Dual Op Amp	8-Dip	1.50	1.25	1.05
TS924AID	497-2314-5-ND	Vierf. R/R OpAmp für hohen Stromausgang	R/R, High Output Current Quad Op Amp	14-SOIC	2.36	1.97	1.66
TS925AIPT	497-4076-1-ND	Vierf. R/R OpAmp für hohen Stromausgang	R/R, High Output Current Quad Op Amp	16-TSSOP	2.51	2.10	1.77
TS925AIPT	497-4076-2-ND	Vierf. R/R OpAmp für hohen Stromausgang	R/R, High Output Current Quad Op Amp	16-TSSOP		2723.94/2,500	
TS925ID	497-3050-5-ND	Vierf. R/R OpAmp für hohen Stromausgang	R/R, High Output Current Quad Op Amp	16-SOIC	2.03	1.70	1.43
TS931ID	497-3051-5-ND	Ausgangs-R/R-OpAmp, Micropower	Output R/R Micropower Op Amp	8-SOIC	.80	.64	.48
TS931ILT	497-4077-1-ND	Ausgangs-R/R-OpAmp, Micropower	Output R/R Micropower Op Amp	SOT-23-5L	.80	.64	.48
TS931ILT	497-4077-2-ND	Ausgangs-R/R-OpAmp, Micropower	Output R/R Micropower Op Amp	SOT-23-5L		759.40/3,000	
TS932ID	497-3052-5-ND	Zweif. Ausgangs-R/R-OpAmp, Micropower	Dual Output R/R Micropower Op Amp	8-SOIC	1.11	.97	.75
TS934ID	497-3053-5-ND	Vierf. Ausgangs-R/R-OpAmp, Micropower	Quad Output R/R Micropower Op Amp	14-SOIC	1.65	1.38	1.16
TS941ID	497-3054-5-ND	Ausgangs-R/R-OpAmp, Micropower	Output R/R Micropower Op Amp	8-SOIC	1.36	1.19	.92
TS941ILT	497-4078-1-ND	Ausgangs-R/R-OpAmp, Micropower	Output R/R Micropower Op Amp	SOT-23-5L	1.36	1.19	.92
TS941ILT	497-4078-2-ND	Ausgangs-R/R-OpAmp, Micropower	Output R/R Micropower Op Amp	SOT-23-5L		1452.77/3,000	
TS942AID	497-4456-5-ND	Ausgangs-R/R-OpAmp, Micropower	Output R/R Micropower Op Amp	8-SOIC	1.50	1.25	1.05
TS942AIDT	497-4457-1-ND	Ausgangs-R/R-OpAmp, Micropower	Output R/R Micropower Op Amp	8-SOIC	1.45	1.21	1.02
TS942AIDT	497-4457-2-ND	Ausgangs-R/R-OpAmp, Micropower	Output R/R Micropower Op Amp	8-SOIC		1568.33/2,500	
TS951ID	497-3055-5-ND	E/A, R/R-OpAmp, NL	I/O, R/R, Low Power Op Amp	8-SOIC	1.14	1.00	.77
TS951ILT	497-4079-1-ND	E/A, R/R-OpAmp, NL	I/O, R/R Low Power Op Amp	SOT-23-5L	.92	.80	.62
TS951ILT	497-4079-2-ND	E/A, R/R-OpAmp, NL	I/O, R/R Low Power Op Amp	SOT-23-5L		980.36/3,000	
TS952ID	497-3056-5-ND	E/A, R/R-OpAmp, NL	I/O, R/R, Low Power Op Amp	8-SOIC	.98	.86	.66
TS952IDT	497-2315-1-ND	E/A, R/R-OpAmp, NL	I/O, R/R, Low Power Op Amp	8-SOIC	.98	.86	.66
TS952IDT	497-2315-2-ND	E/A, R/R-OpAmp, NL	I/O, R/R, Low Power Op Amp	8-SOIC		872.00/2,500	
TS954ID	497-2316-5-ND	E/A, R/R-OpAmp, NL	I/O, R/R, Low Power Op Amp	14-SOIC	1.24	1.08	.83
TS971ID	497-3057-5-ND	Rauscharmer Ausgangs-R/R-OpAmp	Output R/R Low Noise Op Amp	8-SOIC	.76	.61	.46
TS972ID	497-3058-5-ND	Rauscharmer Ausgangs-R/R-OpAmp	Output R/R Low Noise Op Amp	8-SOIC	.83	.72	.56
TS972IDT	497-2317-1-ND	Rauscharmer Ausgangs-R/R-OpAmp	Output R/R Low Noise Op Amp	8-SOIC	.83	.72	.56

(Forts.)

★ ***RUFEN SIE BITTE AN FÜR NIEDRIGERE PREISE BEI GRÖSSEREN MENGEN!*** ★

B

STMicroelectronics Teilenr.	Digi-Key Teilenr.	Beschreibung		Paket	Stückpreis★ 1	10	100
TS972IDT	497-2317-2-ND	Rauscharmer Ausgangs-R/R-OpAmp	Output R/R Low Noise Op Amp	8-SOIC		732.31/2,500	
TS974ID	497-3059-5-ND	Rauscharmer Ausgangs-R/R-OpAmp	Output R/R Low Noise Op Amp	14-SOIC	.80	.69	.53
TS974IDT	497-2318-1-ND	Rauscharmer Ausgangs-R/R-OpAmp	Output R/R Low Noise Op Amp	14-SOIC	.80	.69	.53
TS974IDT	497-2318-2-ND	Rauscharmer Ausgangs-R/R-OpAmp	Output R/R Low Noise Op Amp	14-SOIC		704.79/2,500	
TS974IPT	497-2319-1-ND	Rauscharmer Ausgangs-R/R-OpAmp	Output R/R Low Noise Op Amp	14-TSSOP	.83	.72	.56
TS974IPT	497-2319-2-ND	Rauscharmer Ausgangs-R/R-OpAmp	Output R/R Low Noise Op Amp	14-TSSOP		732.31/2,500	
TS1851ID	497-2231-5-ND	1,8 V, E/A, R/R-OpAmp, NL	1.8V, I/O, R/R, LP Op Amp	8-SOIC	1.40	1.17	.98
TS1852AIST	497-4443-1-ND	1,8 V, E/A, R/R-OpAmp, NL	1.8V, I/O, R/R, LP Op Amp	8-Mini SOIC	1.93	1.61	1.36
TS1852AIST	497-4443-2-ND	1,8 V, E/A, R/R-OpAmp, NL	1.8V, I/O, R/R, LP Op Amp	8-Mini SOIC		3345.76/4,000	
TS1852ID	497-2232-5-ND	1,8 V, E/A, R/R-OpAmp, NL	1.8V, I/O, R/R, LP Op Amp	8-SOIC	1.63	1.36	1.14
TS1852IN	497-2233-5-ND	1,8 V, E/A, R/R-OpAmp, NL	1.8V, I/O, R/R, LP Op Amp	8-Dip	1.63	1.36	1.14
TS1854ID	497-2234-5-ND	1,8 V, E/A, R/R-OpAmp, NL	1.8V, I/O, R/R, LP Op Amp	14-SOIC	2.29	1.91	1.61
TS1854IN	497-2235-5-ND	1,8 V, E/A, R/R-OpAmp, NL	1.8V, I/O, R/R, LP Op Amp	14-Dip	2.29	1.91	1.61
TS1871ID	497-2236-5-ND	1,8 V, E/A, R/R-OpAmp, NL	1.8V, I/O, R/R, LP Op Amp	8-SOIC	1.88	1.57	1.32
TS1871ILT	497-2237-1-ND	1,8 V, E/A, R/R-OpAmp, NL	1.8V, I/O, R/R, LP Op Amp	SOT-23-5	1.88	1.57	1.32
TS1871ILT	497-2237-2-ND	1,8 V, E/A, R/R-OpAmp, NL	1.8V, I/O, R/R, LP Op Amp	SOT-23-5		2443.29/3,000	
TS1872AIST	497-4444-1-ND	1,8 V, E/A, R/R-OpAmp, NL	1.8V, I/O, R/R, LP Op Amp	8-Mini SOIC	2.03	1.70	1.43
TS1872AIST	497-4444-2-ND	1,8 V, E/A, R/R-OpAmp, NL	1.8V, I/O, R/R, LP Op Amp	8-Mini SOIC		3521.86/4,000	
TS1872ID	497-2238-5-ND	1,8 V, E/A, R/R-OpAmp, NL	1.8V, I/O, R/R, LP Op Amp	8-SOIC	1.88	1.57	1.32
TS1872IN	497-2239-5-ND	1,8 V, E/A, R/R-OpAmp, NL	1.8V, I/O, R/R, LP Op Amp	8-Dip	2.01	1.68	1.41
TS1874ID	497-2240-5-ND	1,8 V, E/A, R/R-OpAmp, NL	1.8V, I/O, R/R, LP Op Amp	14-SOIC	2.49	2.08	1.75
TS1874IN	497-2241-5-ND	1,8 V, E/A, R/R-OpAmp, NL	1.8V, I/O, R/R, LP Op Amp	14-Dip	2.49	2.08	1.75
TS2431BILT	497-4059-1-ND	Progr. Shunt-Spannungsreferenz	Prog. Shunt Voltage Reference	SOT-23	1.02	.88	.68
TS2431BILT	497-4059-2-ND	Progr. Shunt-Spannungsreferenz	Prog. Shunt Voltage Reference	SOT-23		1081.95/3,000	
TS3431BILT	497-4446-1-ND	1,24 V Progr. Shunt-Spann.-Ref.	1.24V Prog. Shunt Volt. Ref.	SOT-23	.51	.41	.31
TS3431BILT	497-4446-2-ND	1,24 V Progr. Shunt-Spann.-Ref.	1.24V Prog. Shunt Volt. Ref.	SOT-23		457.16/3,000	
TS3431BIZT	497-4447-ND	1,24 V Progr. Shunt-Spann.-Ref.	1.24V Prog. Shunt Volt. Ref.	TO-92	.51	.41	.31
TS3702ID	497-3038-5-ND	Zweif. Micropower CMOS-Spannungskomparator	Micropower Dual CMOS Voltage Comparator	8-SOIC	1.18	1.02	.79
TS3702IDT	497-2267-1-ND	Zweif. Micropower CMOS-Spannungskomparator	Micropower Dual CMOS Voltage Comparator	8-SOIC	.89	.77	.64
TS3702IDT	497-2267-2-ND	Zweif. Micropower CMOS-Spannungskomparator	Micropower Dual CMOS Voltage Comparator	8-SOIC		787.34/2,500	
TS3702IN	497-2268-5-ND	Zweif. Micropower CMOS-Spannungskomparator	Micropower Dual CMOS Voltage Comparator	8-Dip	.89	.77	.60
TS3704CDT	497-4063-1-ND	Vierf. Micropower CMOS-Spannungskomparator	Micropower Quad CMOS Voltage Comparator	14-SOIC	.76	.61	.46
TS3704CDT	497-4063-2-ND	Vierf. Micropower CMOS-Spannungskomparator	Micropower Quad CMOS Voltage Comparator	14-SOIC		603.20/2,500	
TS3704IDT	497-2269-1-ND	Vierf. Micropower CMOS-Spannungskomparator	Micropower Quad CMOS Voltage Comparator	14-SOIC	.83	.72	.56
TS3704IDT	497-2269-2-ND	Vierf. Micropower CMOS-Spannungskomparator	Micropower Quad CMOS Voltage Comparator	14-SOIC		732.31/2,500	
TS3704IN	497-2270-5-ND	Vierf. Micropower CMOS-Spannungskomparator	Micropower Quad CMOS Voltage Comparator	14-Dip	.96	.83	.64
TS3704IPT	497-4064-1-ND	Vierf. Micropower CMOS-Spannungskomparator	Micropower Quad CMOS Voltage Comparator	14-TSSOP	.92	.80	.62
TS3704IPT	497-4064-2-ND	Vierf. Micropower CMOS-Spannungskomparator	Micropower Quad CMOS Voltage Comparator	14-TSSOP		816.97/2,500	
TS4871ID	497-2290-5-ND	1 W, R/R Ausgangs-Audio-Leistungsverstärker	1W, R/R Output Audio Power Amp	8-SOIC	1.56	1.35	1.04
TS4871IST	497-4068-1-ND	1 W, R/R Ausgangs-Audio-Leistungsverstärker	1W, R/R Output Audio Power Amp	8-TSSOP	1.56	1.35	1.04
TS4871IST	497-4068-2-ND	1 W, R/R Ausgangs-Audio-Leistungsverstärker	1W, R/R Output Audio Power Amp	8-TSSOP		2207.93/4,000	
TS4890ID	497-2292-5-ND	1 W, R/R Ausgangs-Audio-Leistungsverstärker	1W, R/R Output Audio Power Amp	8-SOIC	1.65	1.38	1.16
TS4900ID	497-2293-5-ND	300 mW Audio-Leistungsverstärker, 3,3 V Versorgung	300mW, 3.3V Supply Audio Power Amp	8-SOIC	.89	.77	.60
TS4902ID	497-2294-5-ND	300 mW Audio-Leistungsverstärker, 3,3 V Versorgung	300mW, 3.3V Supply Audio Power Amp	8-SOIC	.89	.77	.60
TS4990IST	497-4451-1-ND	1,2 W Audio-Leistungsverstärker	1.2W Audio Power Amp	8-Mini SOIC	1.37	1.15	.96
TS4990IST	497-4451-2-ND	1,2 W Audio-Leistungsverstärker	1.2W Audio Power Amp	8-Mini SOIC		2377.25/4,000	
TS4994IST	497-4452-1-ND	1,2 W Diff.-Eingangs-Audio-Leistungsverstärker	1.2W Diff. Input Audio Power Amp	8-Mini SOIC	2.08	1.74	1.46
TS4994IST	497-4452-2-ND	1,2 W Diff.-Eingangs-Audio-Leistungsverstärker	1.2W Diff. Input Audio Power Amp	8-Mini SOIC		3609.90/4,000	
TS7211AILT	497-3046-1-ND	BiCMOS R/R Micropower Komparator	BiCMOS R/R Micropower Comparator	SOT-23-5	1.14	1.00	.77
TS7211AILT	497-3046-2-ND	BiCMOS R/R Micropower Komparator	BiCMOS R/R Micropower Comparator	SOT-23-5		1216.56/3,000	
TS7221AILT	497-3047-1-ND	BiCMOS R/R Micropower Komparator	BiCMOS R/R Micropower Comparator	SOT-23-5	1.14	1.00	.77
TS7221AILT	497-3047-2-ND	BiCMOS R/R Micropower Komparator	BiCMOS R/R Micropower Comparator	SOT-23-5		1216.56/3,000	
TSA1203IF	497-4125-ND	2-Kan., 12-Bit, 40 MSPS, ADU	Dual-Ch., 12-Bit, 40MSPS ADC	48-TQFP	28.01	24.01	21.29
TSA1401IF	497-4458-ND	14-Bit, 20 MSPS, 85 mW ADU	14-Bit, 20MSPS, 85mW ADC	48-TQFP	42.96	36.83	32.66
TSH10ID	497-3060-5-ND	LN-OpAmp, 140 MHz Bandbreite	140MHz Bandwidth, LN, Op Amp	8-SOIC	1.43	1.24	.96
TSH11ID	497-3065-5-ND	MOS-Eingangs-OpAmp, 120 MHz Bandbreite	120MHz Bandwidth MOS Input Op Amp	8-SOIC	1.56	1.35	1.04
TSH22IDT	497-2320-1-ND	Zweif. bipolarer OpAmp	Dual Bipolar Op Amp	8-SOIC	1.40	1.17	.98
TSH22IDT	497-2320-2-ND	Zweif. bipolarer OpAmp	Dual Bipolar Op Amp	8-SOIC		929.14/2,500	
TSH24IDT	497-2321-1-ND	Vierf. bipolarer OpAmp	Quad Bipolar Op Amp	14-SOIC	1.14	1.00	.77
TSH24IDT	497-2321-2-ND	Vierf. bipolarer OpAmp	Quad Bipolar Op Amp	14-SOIC		1013.80/2,500	
TSH31ID	497-3068-5-ND	MOS-Eingangs-OpAmp, 280 MHz Bandbreite	280MHz Bandwidth MOS Input Op Amp	8-SOIC	1.70	1.42	1.20
TSH70CD	497-3070-5-ND	Breitband-OpAmp, NL	Wideband, Low Power Op Amp	8-SOIC	1.27	1.06	.89
TSH72CD	497-2324-5-ND	Zweif. Breitband-OpAmp, NL	Wideband, Low Power Dual Op Amp	8-SOIC	1.47	1.23	1.04
TSH72CPT	497-4080-1-ND	Zweif. Breitband-OpAmp, NL	Wideband, Low Power Dual Op Amp	8-TSSOP	1.47	1.23	1.04
TSH72CPT	497-4080-2-ND	Zweif. Breitband-OpAmp, NL	Wideband, Low Power Dual Op Amp	8-TSSOP		2553.35/4,000	
TSH74CD	497-2325-5-ND	Breitband-OpAmp, NL	Wideband, Low Power Op Amp	14-SOIC	2.97	2.59	1.93
TSH80ID	497-2326-5-ND	R/R Breitband-OpAmp	Wideband, R/R Op Amp	8-SOIC	1.27	1.11	.85
TSH81ID	497-2327-5-ND	R/R Breitband-OpAmp	Wideband, R/R Op Amp	8-SOIC	1.27	1.11	.85
TSH82ID	497-2328-5-ND	R/R Breitband-OpAmp	Wideband, R/R Op Amp	8-SOIC	1.37	1.15	.96
TSH93ID	497-3071-5-ND	Dreif. OpAmp, HS, NL	HS, LP Triple Op Amp	14-SOIC	2.33	2.03	1.52
TSH94ID	497-3072-5-ND	Vierf. OpAmp, HS, NL	HS, LP Quad Op Amp	16-SOIC	2.90	2.53	1.89
TSH95ID	497-2329-5-ND	Vierf. OpAmp, HS, NL	High Speed, LP Quad Op Amp	16-SOIC	2.47	2.15	1.61
TSH110ILT	497-4459-1-ND	LN-Breitband-OpAmp	Wideband, LN Op Amp	SOT-23-5	1.37	1.15	.96
TSH110ILT	497-4459-2-ND	LN-Breitband-OpAmp	Wideband, LN Op Amp	SOT-23-5		1782.94/3,000	
TSH111ID	497-3061-5-ND	Stromrückkopplungs-OpAmp	Current Feedback Op Amp	8-SOIC	1.37	1.15	.96
TSH111IPT	497-4460-1-ND	Stromrückkopplungs-OpAmp	Current Feedback Op Amp	8-TSSOP	1.37	1.15	.96
TSH111IPT	497-4460-2-ND	Stromrückkopplungs-OpAmp	Current Feedback Op Amp	8-TSSOP		2377.25/4,000	
TSH112ID	497-3062-5-ND	Zweif. Stromrückkopplungs-OpAmp	Dual, Current Feedback Op Amp	8-SOIC	1.60	1.34	1.13
TSH112IPT	497-4461-1-ND	Zweif. Stromrückkopplungs-OpAmp	Dual, Current Feedback Op Amp	8-TSSOP	1.60	1.34	1.13
TSH112IPT	497-4461-2-ND	Zweif. Stromrückkopplungs-OpAmp	Dual, Current Feedback Op Amp	8-TSSOP		2773.46/4,000	
TSH113ID	497-3063-5-ND	Dreif. Stromrückkopplungs-OpAmp	Triple, Current Feedback Op Amp	14-SOIC	2.63	2.29	1.71
TSH114ID	497-3064-5-ND	Vierf. Stromrückkopplungs-OpAmp	Quad, Current Feedback Op Amp	14-SOIC	2.70	2.35	1.75
TSH150ID	497-3066-5-ND	Bipolarer Eingangs-OpAmp, weite Bandbreite	Wide Bandwidth/Bipolar In Op Amp	8-SOIC	4.30	3.74	2.79
TSH151ID	497-3067-5-ND	MOS-Eingangs-OpAmp, weite Bandbreite	Wide Bandwidth/MOS Input Op Amp	8-SOIC	4.55	3.96	2.95
TSH310IDT	497-4462-1-ND	400 µA HS-OpAmp	400µA High Speed Op Amp	8-SOIC	1.47	1.23	1.04
TSH310IDT	497-4462-2-ND	400 µA HS-OpAmp	400µA High Speed Op Amp	8-SOIC		1595.84/2,500	
TSH310ILT	497-4463-1-ND	400 µA HS-OpAmp	400µA High Speed Op Amp	SOT-23-5	1.47	1.23	1.04
TSH310ILT	497-4463-2-ND	400 µA HS-OpAmp	400µA High Speed Op Amp	SOT-23-5		1915.01/3,000	
TSH321ID	497-3069-5-ND	MOS-Eingangs-OpAmp, weite Bandbreite	Wide Bandwidth/MOS Input Op Amp	8-SOIC	4.57	3.98	2.97
TSH330IDT	497-4464-1-ND	1,1 GHz OpAmp, rauscharm	1.1GHz Low Noise Op Amp	8-SOIC	2.29	1.99	1.49
TSH330IDT	497-4464-2-ND	1,1 GHz OpAmp, rauscharm	1.1GHz Low Noise Op Amp	8-SOIC		2709.12/2,500	
TSH350IDT	497-4465-1-ND	550 MHz rauscharmer Stromrückkopplungs-Verst.	550MHz Low Noise Current Feedback Amp	8-SOIC	1.47	1.23	1.04
TSH350IDT	497-4465-2-ND	550 MHz rauscharmer Stromrückkopplungs-Verst.	550MHz Low Noise Current Feedback Amp	8-SOIC		1595.84/2,500	
TSH350ILT	497-4466-1-ND	550 MHz rauscharmer Stromrückkopplungs-Verst.	550MHz Low Noise Current Feedback Amp	SOT-23-5	1.47	1.23	1.04
TSH350ILT	497-4466-2-ND	550 MHz rauscharmer Stromrückkopplungs-Verst.	550MHz Low Noise Current Feedback Amp	SOT-23-5		1915.01/3,000	
TSH511CF	497-2322-ND	Hi-Fi Stereo/Mono Infrarot-Empfänger, Stereo Sub-Träger Demodulator	Hi-Fi Stereo/Mono Infrared Rcvr. Stereo Sub-Carrier Demodulator	44-TQFP	3.89	3.39	2.52
TSH512CF	497-2323-ND	Hi-Fi Stereo/Mono Infrarot-Sender, Stereo Sub-Träger Gen.	Hi-Fi Stereo/Mono Infrared Transmitter Stereo Sub-Carrier Gen.	44-TQFP	3.89	3.39	2.52
TSM007IDT	497-4468-1-ND	Primärer PWM-Controller	Primary PWM Controller	8-SOIC	2.70	2.35	1.75
TSM007IDT	497-4468-2-ND	Primärer PWM-Controller	Primary PWM Controller	8-SOIC		3195.92/2,500	
TSM100IDT	497-2330-1-ND	Einf. OpAmp und einf. Komparator	Single Op Amp and Single Comp.	8-SOIC	.80	.69	.53

(Forts.)

★ ***RUFEN SIE BITTE AN FÜR NIEDRIGERE PREISE BEI GRÖSSEREN MENGEN!*** ★

STMicroelectronics Teilenr.	Digi-Key Teilenr.	Beschreibung		Paket	Stückpreis★ 1	10	100
TSM100IDT	497-2330-2-ND	Einf. OpAmp und einf. Komparator	Single Op Amp and Single Comp.	8-SOIC		704.79/2,500	
TSM101AIDT	497-2331-1-ND	Spannungs-/Strom-Controller	Voltage/Current Controller	8-SOIC	.98	.86	.66
TSM101AIDT	497-2331-2-ND	Spannungs-/Strom-Controller	Voltage/Current Controller	8-SOIC		872.00/2,500	
TSM102AIDT	497-4081-1-ND	Spannungs-/Strom-Controller	Voltage/Current Controller	16-SOIC	1.11	.97	.75
TSM102AIDT	497-4081-2-ND	Spannungs-/Strom-Controller	Voltage/Current Controller	16-SOIC		986.29/2,500	
TSM102ID	497-2332-5-ND	Spannungs-/Strom-Controller	Voltage/Current Controller	16-SOIC	1.08	.94	.72
TSM103AID	497-3104-ND	Zweif. OpAmp/Spann.-Ref.	Dual Op Amp/Volt. Ref.	8-SOIC	.98	.86	.66
TSM108ID	497-3073-5-ND	Automobil-Schaltmodus, Spannungs- und Strom-Controller	Automotive Switch Mode Voltage and Current Controller	14-SOIC	1.14	1.00	.77
TSM108IDT	497-2333-1-ND	Automobil-Schaltmodus, Spannungs- und Strom-Controller	Automotive Switch Mode Voltage and Current Controller	14-SOIC	1.14	1.00	.77
TSM108IDT	497-2333-2-ND	Automobil-Schaltmodus, Spannungs- und Strom-Controller	Automotive Switch Mode Voltage and Current Controller	14-SOIC		1013.80/2,500	
TSM109AIDT	497-4082-1-ND	Zweif. Komparator/Spannungsref.	Dual Comparator/Voltage Ref.	8-SOIC	1.34	1.16	.89
TSM109AIDT	497-4082-2-ND	Zweif. Komparator/Spannungsref.	Dual Comparator/Voltage Ref.	8-SOIC		1183.12/2,500	
TSM109ID	497-3074-5-ND	Zweif. Komparator/Spannungsref.	Dual Comparator/Voltage Ref.	8-SOIC	1.27	1.11	.85
TSM111CN	497-2334-5-ND	Dreif. Spannungs- und Stromwächter	Triple Voltage and Current Supervisor	20-Dip	1.40	1.17	.98
TSM1011AIDT	497-4470-1-ND	Konstantspannungs-/Konstantstrom-Controller	Constant Voltage/Constant Current Controller	8-SOIC	1.14	1.00	.77
TSM1011AIDT	497-4470-2-ND	Konstantspannungs-/Konstantstrom-Controller	Constant Voltage/Constant Current Controller	8-SOIC		1013.80/2,500	
TSM1011AIST	497-4471-1-ND	Konstantspannungs-/Konstantstrom-Controller	Constant Voltage/Constant Current Controller	8-Mini SOIC	1.14	1.00	.77
TSM1011AIST	497-4471-2-ND	Konstantspannungs-/Konstantstrom-Controller	Constant Voltage/Constant Current Controller	8-Mini SOIC		1622.09/4,000	
TSM1012AIDT	497-4472-1-ND	Spannungs-/Strom-Controller, Niedrigverbrauch	Low Consumption Voltage/Current Controller	8-SOIC	1.65	1.38	1.16
TSM1012AIDT	497-4472-2-ND	Spannungs-/Strom-Controller, Niedrigverbrauch	Low Consumption Voltage/Current Controller	8-SOIC		1788.44/2,500	
TSM1012AIST	497-4473-1-ND	Spannungs-/Strom-Controller, Niedrigverbrauch	Low Consumption Voltage/Current Controller	8-Mini SOIC	1.65	1.38	1.16
TSM1012AIST	497-4473-2-ND	Spannungs-/Strom-Controller, Niedrigverbrauch	Low Consumption Voltage/Current Controller	8-Mini SOIC		2861.51/4,000	
TSM1013AIDT	497-4474-1-ND	Konstantspannungs-/Konstantstrom-Controller	Constant Voltage/Constant Current Controller	8-SOIC	1.65	1.38	1.16
TSM1013AIDT	497-4474-2-ND	Konstantspannungs-/Konstantstrom-Controller	Constant Voltage/Constant Current Controller	8-SOIC		1788.44/2,500	
TSM1013AIST	497-4475-1-ND	Konstantspannungs-/Konstantstrom-Controller	Constant Voltage/Constant Current Controller	8-Mini SOIC	1.65	1.38	1.16
TSM1013AIST	497-4475-2-ND	Konstantspannungs-/Konstantstrom-Controller	Constant Voltage/Constant Current Controller	8-Mini SOIC		2861.51/4,000	
TSM1014AIDT	497-4476-1-ND	Spannungs-/Strom-Controller, Niedrigverbrauch	Low Consumption Voltage/Current Controller	8-SOIC	1.65	1.38	1.16
TSM1014AIDT	497-4476-2-ND	Spannungs-/Strom-Controller, Niedrigverbrauch	Low Consumption Voltage/Current Controller	8-SOIC		1788.44/2,500	
TSM1014AIST	497-4477-1-ND	Spannungs-/Strom-Controller, Niedrigverbrauch	Low Consumption Voltage/Current Controller	8-Mini SOIC	1.65	1.38	1.16
TSM1014AIST	497-4477-2-ND	Spannungs-/Strom-Controller, Niedrigverbrauch	Low Consumption Voltage/Current Controller	8-Mini SOIC		2861.51/4,000	
TSM1051CD	497-4478-5-ND	Konstantspannungs-/Konstantstrom-Controller	Constant Voltage/Constant Current Controller	8-SOIC	.86	.75	.58
TSM1121ID	497-2335-5-ND	3,3 V, 5 V, 12 V, „Housekeeping"-IC	3.3V, 5V, 12V Housekeeping IC	14-SOIC	1.43	1.24	.96
TSX5070FN012TR	497-2336-1-ND	Progr. CODEC/Filter Combo 2. Generation	Prog. CODEC/Filter Combo 2nd Generation	28-PLCC	5.45	4.98	3.94
TSX5070FN012TR	497-2336-2-ND	Progr. CODEC/Filter Combo 2. Generation	Prog. CODEC/Filter Combo 2nd Generation	28-PLCC		1540.81/500	
UA741CDT	497-3075-1-ND	Einf. OpAmp	Single Op Amp	8-SOIC	.58	.46	.35
UA741CDT	497-3075-2-ND	Einf. OpAmp	Single Op Amp	8-SOIC		452.93/2,500	
UA741IDT	497-2337-1-ND	Einf. OpAmp	Single Op Amp	8-SOIC	.69	.55	.42
UA741IDT	497-2337-2-ND	Einf. OpAmp	Single Op Amp	8-SOIC		543.94/2,500	
UA748CN	497-4083-5-ND	Einf. Präzisions-OpAmp	Precision Single Op Amp	8-Dip	.84	.68	.51
UA748ID	497-4084-5-ND	Einf. Präzisions-OpAmp	Precision Single Op Amp	8-SOIC	.92	.80	.62
UC2843AN	497-3076-5-ND	Strom-Modus, PWM-Controller	Current Mode PWM Controller	8-Dip	.96	.83	.64
UC2843BN	497-3678-ND	Strom-Modus, PWM-Controller	Current Mode PWM Controller	8-Mini Dip	1.02	.88	.68
UC2844AN	497-3077-5-ND	Strom-Modus, PWM-Controller	Current Mode PWM Controller	8-Dip	.96	.83	.64
UC2845BD1013TR	497-3679-1-ND	Strom-Modus, PWM-Controller	Current Mode PWM Controller	8-SOIC	1.02	.88	.68
UC2845BD1013TR	497-3679-2-ND	Strom-Modus, PWM-Controller	Current Mode PWM Controller	8-SOIC		901.63/2,500	
UC2845BN	497-3680-ND	Strom-Modus, PWM-Controller	Current Mode PWM Controller	8-Mini Dip	1.02	.88	.68
UC3842AN	497-3078-5-ND	Strom-Modus, PWM-Controller	Current Mode PWM Controller	8-Dip	.92	.80	.62
UC3842BN	497-3079-5-ND	Strom-Modus, PWM-Controller	Current Mode PWM Controller	8-Dip	.98	.86	.66
UC3843AD1	497-3080-5-ND	Strom-Modus, PWM-Controller	Current Mode PWM Controller	8-SOIC	.92	.80	.62
UC3843AD1013TR	497-2338-1-ND	Strom-Modus, PWM-Controller	Current Mode PWM Controller	8-SOIC	.92	.80	.62
UC3843AD1013TR	497-2338-2-ND	Strom-Modus, PWM-Controller	Current Mode PWM Controller	8-SOIC		816.97/2,500	
UC3843AN	497-3081-5-ND	Strom-Modus, PWM-Controller	Current Mode PWM Controller	8-Dip	.92	.80	.62
UC3843BD1013TR	497-3681-1-ND	Strom-Modus, PWM-Controller	Current Mode PWM Controller	8-SOIC	.98	.86	.66
UC3843BD1013TR	497-3681-2-ND	Strom-Modus, PWM-Controller	Current Mode PWM Controller	8-SOIC		872.00/2,500	
UC3844AD1	497-3082-5-ND	Strom-Modus, PWM-Controller	Current Mode PWM Controller	8-SOIC	.92	.80	.62
UC3844AN	497-2339-5-ND	Strom-Modus, PWM-Controller	Current Mode PWM Controller	8-Mini Dip	.92	.80	.62
UC3844BD1013TR	497-3682-1-ND	Strom-Modus, PWM-Controller	Current Mode PWM Controller	8-SOIC	.98	.86	.66
UC3844BD1013TR	497-3682-2-ND	Strom-Modus, PWM-Controller	Current Mode PWM Controller	8-SOIC		872.00/2,500	
UC3845BD1013TR	497-3683-1-ND	Strom-Modus, PWM-Controller	Current Mode PWM Controller	8-SOIC	.98	.86	.66
UC3845BD1013TR	497-3683-2-ND	Strom-Modus, PWM-Controller	Current Mode PWM Controller	8-SOIC		872.00/2,500	
ULN2001A	497-2340-5-ND	Sieben-Darlington-Array	Seven Darlington Array	16-Dip	.80	.64	.48
ULN2001D1013TR	497-2341-1-ND	Sieben-Darlington-Array	Seven Darlington Array	16-SOIC	.80	.64	.48
ULN2001D1013TR	497-2341-2-ND	Sieben-Darlington-Array	Seven Darlington Array	16-SOIC		632.83/2,500	
ULN2002A	497-2342-5-ND	Sieben-Darlington-Array	Seven Darlington Array	16-Dip	.80	.64	.48
ULN2002D1013TR	497-2343-1-ND	Sieben-Darlington-Array	Seven Darlington Array	16-SOIC	.80	.64	.48
ULN2002D1013TR	497-2343-2-ND	Sieben-Darlington-Array	Seven Darlington Array	16-SOIC		632.83/2,500	
ULN2003A	497-2344-5-ND	Sieben-Darlington-Array	Seven Darlington Array	16-Dip	.80	.64	.48
ULN2003D1013TR	497-2345-1-ND	Sieben-Darlington-Array	Seven Darlington Array	16-SOIC	.80	.64	.48
ULN2003D1013TR	497-2345-2-ND	Sieben-Darlington-Array	Seven Darlington Array	16-SOIC		632.83/2,500	
ULN2004A	497-2346-5-ND	Sieben-Darlington-Array	Seven Darlington Array	16-Dip	.80	.64	.48
ULN2004D1013TR	497-2347-1-ND	Sieben-Darlington-Array	Seven Darlington Array	16-SOIC	.80	.64	.48
ULN2004D1013TR	497-2347-2-ND	Sieben-Darlington-Array	Seven Darlington Array	16-SOIC		632.83/2,500	
ULN2064B	497-2348-5-ND	Vierf. 50 V, 1,5 A Darlington-Schalter	50V, 1.5A Quad Darlington Switch	16-Power Dip	2.41	2.02	1.69
ULN2065B	497-2349-5-ND	Vierf. 80 V, 1,5 A Darlington-Schalter	80V, 1.5A Quad Darlington Switch	16-Power Dip	2.41	2.02	1.69
ULN2067B	497-2350-5-ND	Vierf. 80 V, 1,5 A Darlington-Schalter	80V, 1.5A Quad Darlington Switch	16-Power Dip	2.41	2.02	1.69
ULN2068B	497-2351-5-ND	Vierf. 50 V, 1,5 A Darlington-Schalter	50V, 1.5A Quad Darlington Switch	16-Power Dip	2.41	2.02	1.69
ULN2069B	497-2352-5-ND	Vierf. 80 V, 1,5 A Darlington-Schalter	80V, 1.5A Quad Darlington Switch	16-Power Dip	2.41	2.02	1.69
ULN2074B	497-2353-5-ND	Vierf. 50 V, 1,5 A Darlington-Schalter	50V, 1.5A Quad Darlington Switch	16-Power Dip	2.41	2.02	1.69
ULN2075B	497-3084-5-ND	Vierf. 80 V, 1,5 A Darlington-Schalter	80V, 1.5A Quad Darlington Switch	16-Power Dip	2.41	2.02	1.69
ULN2801A	497-2354-5-ND	Acht-Darlington-Array	Eight Darlington Array	18-Dip	.89	.77	.60
ULN2802A	497-2355-5-ND	Acht-Darlington-Array	Eight Darlington Array	18-Dip	.89	.77	.60
ULN2803A	497-2356-5-ND	Acht-Darlington-Array	Eight Darlington Array	18-Dip	.89	.77	.60
ULN2804A	497-2357-5-ND	Acht-Darlington-Array	Eight Darlington Array	18-Dip	.89	.77	.60
ULQ2003A	497-2358-5-ND	Sieben-Darlington-Array	Seven Darlington Array	16-Dip	.86	.75	.58
ULQ2003D1	497-3085-5-ND	Sieben-Darlington-Array	Seven Darlington Array	16-SOIC	.86	.75	.58
ULQ2003D1013TR	497-2359-1-ND	Sieben-Darlington-Array	Seven Darlington Array	16-SOIC	.86	.75	.58
ULQ2003D1013TR	497-2359-2-ND	Sieben-Darlington-Array	Seven Darlington Array	16-SOIC		759.82/2,500	
ULQ2004A	497-2360-5-ND	Sieben-Darlington-Array	Seven Darlington Array	16-Dip	.86	.75	.58
ULQ2004D1013TR	497-2361-1-ND	Sieben-Darlington-Array	Seven Darlington Array	16-SOIC	.86	.75	.58
ULQ2004D1013TR	497-2361-2-ND	Sieben-Darlington-Array	Seven Darlington Array	16-SOIC		759.82/2,500	
ULQ2803A	497-2362-5-ND	Acht-Darlington-Array	Eight Darlington Array	18-Dip	1.27	1.11	.85
USBDF01W5	497-3086-5-ND	EMI-Filter und Leitungsterminierung	EMI Filter and Line Termination	SOT-323-5L	.67	.55	.41
USBUF01W6	497-3087-1-ND	EMI-Filter und Leitungsterminierung	EMI Filter and Line Termination	SOT-323-6L	1.14	1.00	.77
USBUF01W6	497-3087-2-ND	EMI-Filter und Leitungsterminierung	EMI Filter and Line Termination	SOT-323-6L		1216.06/3,000	
VNH3SP30TR-E	497-3565-1-ND	Voll integrierter H-Brücken-Motortreiber	Fully Integrated H-Bridge Motor Driver	30-SOIC	7.11	6.49	5.13
VNH3SP30TR-E	497-3565-2-ND	Voll integrierter H-Brücken-Motortreiber	Fully Integrated H-Bridge Motor Driver	30-SOIC		3940.08/1,000	

★ *RUFEN SIE BITTE AN FÜR NIEDRIGERE PREISE BEI GRÖSSEREN MENGEN!* ★

STMicroelectronics Teilenr.	Digi-Key Teilenr.	Beschreibung		Paket	Stückpreis★ 1	10	100
STM690AM6F	497-3824-1-ND	5 V Wächter mit Batterieumschaltung	5V Supervisor with Battery Switchover	8-SOIC	1.78	1.49	1.25
STM690AM6F	497-3824-2-ND	5 V Wächter mit Batterieumschaltung	5V Supervisor with Battery Switchover	8-SOIC		1926.02/2,500	
STM690RM6F	497-3825-1-ND	3 V Wächter mit Batterieumschaltung	3V Supervisor with Battery Switchover	8-SOIC	1.78	1.49	1.25
STM690RM6F	497-3825-2-ND	3 V Wächter mit Batterieumschaltung	3V Supervisor with Battery Switchover	8-SOIC		1926.02/2,500	
STM690SM6F	497-3826-1-ND	3 V Wächter mit Batterieumschaltung	3V Supervisor with Battery Switchover	8-SOIC	1.78	1.49	1.25
STM690SM6F	497-3826-2-ND	3 V Wächter mit Batterieumschaltung	3V Supervisor with Battery Switchover	8-SOIC		1926.02/2,500	
STM690TM6F	497-3827-1-ND	3 V Wächter mit Batterieumschaltung	3V Supervisor with Battery Switchover	8-SOIC	1.78	1.49	1.25
STM690TM6F	497-3827-2-ND	3 V Wächter mit Batterieumschaltung	3V Supervisor with Battery Switchover	8-SOIC		1926.02/2,500	
STM692AM6F	497-3828-1-ND	5 V Wächter mit Batterieumschaltung	5V Supervisor with Battery Switchover	8-SOIC	1.75	1.46	1.23
STM692AM6F	497-3828-2-ND	5 V Wächter mit Batterieumschaltung	5V Supervisor with Battery Switchover	8-SOIC		1898.50/2,500	
STM703M6F	497-3829-1-ND	5 V Wächter mit Batterieumschaltung	5V Supervisor with Battery Switchover	8-SOIC	1.73	1.44	1.21
STM703M6F	497-3829-2-ND	5 V Wächter mit Batterieumschaltung	5V Supervisor with Battery Switchover	8-SOIC		1870.99/2,500	
STM704M6F	497-3830-1-ND	5 V Wächter mit Batterieumschaltung	5V Supervisor with Battery Switchover	8-SOIC	1.73	1.44	1.21
STM704M6F	497-3830-2-ND	5 V Wächter mit Batterieumschaltung	5V Supervisor with Battery Switchover	8-SOIC		1870.99/2,500	
STM704RM6F	497-3831-1-ND	3 V Wächter mit Batterieumschaltung	3V Supervisor with Battery Switchover	8-SOIC	1.73	1.44	1.21
STM704RM6F	497-3831-2-ND	3 V Wächter mit Batterieumschaltung	3V Supervisor with Battery Switchover	8-SOIC		1870.99/2,500	
STM704SM6F	497-3832-1-ND	3 V Wächter mit Batterieumschaltung	3V Supervisor with Battery Switchover	8-SOIC	1.73	1.44	1.21
STM704SM6F	497-3832-2-ND	3 V Wächter mit Batterieumschaltung	3V Supervisor with Battery Switchover	8-SOIC		1870.99/2,500	
STM704TM6F	497-3833-1-ND	3 V Wächter mit Batterieumschaltung	3V Supervisor with Battery Switchover	8-SOIC	1.73	1.44	1.21
STM704TM6F	497-3833-2-ND	3 V Wächter mit Batterieumschaltung	3V Supervisor with Battery Switchover	8-SOIC		1870.99/2,500	
STM705M6F	497-3834-1-ND	5V Wächter mit Watchdog	5V Supervisor with Watchdog	8-SOIC	1.47	1.28	.99
STM705M6F	497-3834-2-ND	5V Wächter mit Watchdog	5V Supervisor with Watchdog	8-SOIC		1308.00/2,500	
STM706M6F	497-3835-1-ND	5V Wächter mit Watchdog	5V Supervisor with Watchdog	8-SOIC	1.47	1.28	.99
STM706M6F	497-3835-2-ND	5V Wächter mit Watchdog	5V Supervisor with Watchdog	8-SOIC		1308.00/2,500	
STM706PM6F	497-3836-1-ND	3V Wächter mit Watchdog	3V Supervisor with Watchdog	8-SOIC	1.47	1.28	.99
STM706PM6F	497-3836-2-ND	3V Wächter mit Watchdog	3V Supervisor with Watchdog	8-SOIC		1308.00/2,500	
STM706RM6F	497-3837-1-ND	3V Wächter mit Watchdog	3V Supervisor with Watchdog	8-SOIC	1.47	1.28	.99
STM706RM6F	497-3837-2-ND	3V Wächter mit Watchdog	3V Supervisor with Watchdog	8-SOIC		1308.00/2,500	
STM706SM6F	497-3838-1-ND	3V Wächter mit Watchdog	3V Supervisor with Watchdog	8-SOIC	1.47	1.28	.99
STM706SM6F	497-3838-2-ND	3V Wächter mit Watchdog	3V Supervisor with Watchdog	8-SOIC		1308.00/2,500	
STM706TM6F	497-3839-1-ND	3V Wächter mit Watchdog	3V Supervisor with Watchdog	8-SOIC	1.47	1.28	.99
STM706TM6F	497-3839-2-ND	3V Wächter mit Watchdog	3V Supervisor with Watchdog	8-SOIC		1308.00/2,500	
STM707M6F	497-3840-1-ND	5 V Wächter	5V Supervisor	8-SOIC	1.47	1.28	.99
STM707M6F	497-3840-2-ND	5 V Wächter	5V Supervisor	8-SOIC		1308.00/2,500	
STM708M6F	497-3841-1-ND	5 V Wächter	5V Supervisor	8-SOIC	1.47	1.28	.99
STM708M6F	497-3841-2-ND	5 V Wächter	5V Supervisor	8-SOIC		1308.00/2,500	
STM708RM6F	497-3842-1-ND	3 V Wächter	3V Supervisor	8-SOIC	1.47	1.28	.99
STM708RM6F	497-3842-2-ND	3 V Wächter	3V Supervisor	8-SOIC		1308.00/2,500	
STM708SM6F	497-3843-1-ND	3 V Wächter	3V Supervisor	8-SOIC	1.47	1.28	.99
STM708SM6F	497-3843-2-ND	3 V Wächter	3V Supervisor	8-SOIC		1308.00/2,500	
STM708TM6F	497-3844-1-ND	3 V Wächter	3V Supervisor	8-SOIC	1.47	1.28	.99
STM708TM6F	497-3844-2-ND	3 V Wächter	3V Supervisor	8-SOIC		1308.00/2,500	
STM795RM6F	497-3845-1-ND	3 V Wächter mit Batterieumschaltung	3V Supervisor with Battery Switchover	8-SOIC	2.26	1.89	1.59
STM795RM6F	497-3845-2-ND	3 V Wächter mit Batterieumschaltung	3V Supervisor with Battery Switchover	8-SOIC		2448.79/2,500	
STM795SM6F	497-3846-1-ND	3 V Wächter mit Batterieumschaltung	3V Supervisor with Battery Switchover	8-SOIC	2.26	1.89	1.59
STM795SM6F	497-3846-2-ND	3 V Wächter mit Batterieumschaltung	3V Supervisor with Battery Switchover	8-SOIC		2448.79/2,500	
STM795TM6F	497-3847-1-ND	3 V Wächter mit Batterieumschaltung	3V Supervisor with Battery Switchover	8-SOIC	2.26	1.89	1.59
STM795TM6F	497-3847-2-ND	3 V Wächter mit Batterieumschaltung	3V Supervisor with Battery Switchover	8-SOIC		2448.79/2,500	
STM802LM6F	497-3848-1-ND	5 V Wächter mit Batterieumschaltung	5V Supervisor with Battery Switchover	8-SOIC	2.40	2.09	1.56
STM802LM6F	497-3848-2-ND	5 V Wächter mit Batterieumschaltung	5V Supervisor with Battery Switchover	8-SOIC		2844.58/2,500	
STM802MM6F	497-3849-1-ND	5 V Wächter mit Batterieumschaltung	5V Supervisor with Battery Switchover	8-SOIC	2.40	2.09	1.56
STM802MM6F	497-3849-2-ND	5 V Wächter mit Batterieumschaltung	5V Supervisor with Battery Switchover	8-SOIC		2844.58/2,500	
STM802RM6F	497-3850-1-ND	3 V Wächter mit Batterieumschaltung	3V Supervisor with Battery Switchover	8-SOIC	2.40	2.09	1.56
STM802RM6F	497-3850-2-ND	3 V Wächter mit Batterieumschaltung	3V Supervisor with Battery Switchover	8-SOIC		2844.58/2,500	
STM802SM6F	497-3851-1-ND	3 V Wächter mit Batterieumschaltung	3V Supervisor with Battery Switchover	8-SOIC	2.40	2.09	1.56
STM802SM6F	497-3851-2-ND	3 V Wächter mit Batterieumschaltung	3V Supervisor with Battery Switchover	8-SOIC		2844.58/2,500	
STM802TM6F	497-3852-1-ND	3 V Wächter mit Batterieumschaltung	3V Supervisor with Battery Switchover	8-SOIC	2.40	2.09	1.56
STM802TM6F	497-3852-2-ND	3 V Wächter mit Batterieumschaltung	3V Supervisor with Battery Switchover	8-SOIC		2844.58/2,500	
STM804RM6F	497-3853-1-ND	3 V Wächter mit Batterieumschaltung	3V Supervisor with Battery Switchover	8-SOIC	2.40	2.09	1.56
STM804RM6F	497-3853-2-ND	3 V Wächter mit Batterieumschaltung	3V Supervisor with Battery Switchover	8-SOIC		2889.02/2,500	
STM804SM6F	497-3854-1-ND	3 V Wächter mit Batterieumschaltung	3V Supervisor with Battery Switchover	8-SOIC	2.40	2.09	1.56
STM804SM6F	497-3854-2-ND	3 V Wächter mit Batterieumschaltung	3V Supervisor with Battery Switchover	8-SOIC		2844.58/2,500	
STM804TM6F	497-3855-1-ND	3 V Wächter mit Batterieumschaltung	3V Supervisor with Battery Switchover	8-SOIC	2.40	2.09	1.56
STM804TM6F	497-3855-2-ND	3 V Wächter mit Batterieumschaltung	3V Supervisor with Battery Switchover	8-SOIC		2844.58/2,500	
STM805LM6F	497-3856-1-ND	5 V Wächter mit Batterieumschaltung	5V Supervisor with Battery Switchover	8-SOIC	2.06	1.72	1.45
STM805LM6F	497-3856-2-ND	5 V Wächter mit Batterieumschaltung	5V Supervisor with Battery Switchover	8-SOIC		2228.67/2,500	
STM805RM6F	497-3857-1-ND	3 V Wächter mit Batterieumschaltung	3V Supervisor with Battery Switchover	8-SOIC	2.06	1.72	1.45
STM805RM6F	497-3857-2-ND	3 V Wächter mit Batterieumschaltung	3V Supervisor with Battery Switchover	8-SOIC		2228.67/2,500	
STM805SM6F	497-3858-1-ND	3 V Wächter mit Batterieumschaltung	3V Supervisor with Battery Switchover	8-SOIC	1.85	1.55	1.30
STM805SM6F	497-3858-2-ND	3 V Wächter mit Batterieumschaltung	3V Supervisor with Battery Switchover	8-SOIC		2008.56/2,500	
STM805TM6F	497-3859-1-ND	3 V Wächter mit Batterieumschaltung	3V Supervisor with Battery Switchover	8-SOIC	2.06	1.72	1.45
STM805TM6F	497-3859-2-ND	3 V Wächter mit Batterieumschaltung	3V Supervisor with Battery Switchover	8-SOIC		2228.67/2,500	
STM806RM6F	497-3860-1-ND	3 V Wächter mit Batterieumschaltung	3V Supervisor with Battery Switchover	8-SOIC	2.15	1.87	1.40
STM806RM6F	497-3860-2-ND	3 V Wächter mit Batterieumschaltung	3V Supervisor with Battery Switchover	8-SOIC		2586.36/2,500	
STM806SM6F	497-3861-1-ND	3 V Wächter mit Batterieumschaltung	3V Supervisor with Battery Switchover	8-SOIC	2.15	1.87	1.40
STM806SM6F	497-3861-2-ND	3 V Wächter mit Batterieumschaltung	3V Supervisor with Battery Switchover	8-SOIC		2586.36/2,500	
STM806TM6F	497-3862-1-ND	3 V Wächter mit Batterieumschaltung	3V Supervisor with Battery Switchover	8-SOIC	2.39	1.99	1.68
STM806TM6F	497-3862-2-ND	3 V Wächter mit Batterieumschaltung	3V Supervisor with Battery Switchover	8-SOIC		2546.15/2,500	
STM813LM6F	497-3863-1-ND	5V Wächter mit Watchdog	5V Supervisor with Watchdog	8-SOIC	1.47	1.28	.99
STM813LM6F	497-3863-2-ND	5V Wächter mit Watchdog	5V Supervisor with Watchdog	8-SOIC		1308.00/2,500	
STM817LM6F	497-3864-1-ND	5 V Wächter mit Batterieumschaltung	5V Supervisor with Battery Switchover	8-SOIC	2.06	1.72	1.45
STM817LM6F	497-3864-2-ND	5 V Wächter mit Batterieumschaltung	5V Supervisor with Battery Switchover	8-SOIC		2228.67/2,500	
STM817MM6F	497-3865-1-ND	5 V Wächter mit Batterieumschaltung	5V Supervisor with Battery Switchover	8-SOIC	2.06	1.72	1.45
STM817MM6F	497-3865-2-ND	5 V Wächter mit Batterieumschaltung	5V Supervisor with Battery Switchover	8-SOIC		2228.67/2,500	
STM818LM6F	497-3866-1-ND	5 V Wächter mit Batterieumschaltung	5V Supervisor with Battery Switchover	8-SOIC	2.13	1.78	1.50
STM818LM6F	497-3866-2-ND	5 V Wächter mit Batterieumschaltung	5V Supervisor with Battery Switchover	8-SOIC		2311.22/2,500	
STM818MM6F	497-3867-1-ND	5 V Wächter mit Batterieumschaltung	5V Supervisor with Battery Switchover	8-SOIC	2.13	1.78	1.50
STM818MM6F	497-3867-2-ND	5 V Wächter mit Batterieumschaltung	5V Supervisor with Battery Switchover	8-SOIC		2311.22/2,500	
STM819LM6F	497-3868-1-ND	5 V Wächter mit Batterieumschaltung	5V Supervisor with Battery Switchover	8-SOIC	1.78	1.49	1.25
STM819LM6F	497-3868-2-ND	5 V Wächter mit Batterieumschaltung	5V Supervisor with Battery Switchover	8-SOIC		1926.02/2,500	
STM819MM6F	497-3869-1-ND	5 V Wächter mit Batterieumschaltung	5V Supervisor with Battery Switchover	8-SOIC	1.78	1.49	1.25
STM819MM6F	497-3869-2-ND	5 V Wächter mit Batterieumschaltung	5V Supervisor with Battery Switchover	8-SOIC		2311.222,500	

STMicroelectronics Teilenr.	Digi-Key Teilenr.	Beschreibung		Paket	Stückpreis★ 1	10	100
KF25BDT-TR	497-4202-1-ND	2,5 V LDO-Spannungsregler	2.5V, LDO Voltage Regulator	D-PAK	.98	.86	.66
KF25BDT-TR	497-4202-2-ND	2,5 V LDO-Spannungsregler	2.5V, LDO Voltage Regulator	D-PAK		872.00/2,500	
KF33BDT-TRI	497-1148-1-ND	3,3 V LDO-Spannungsregler	3.3V, LDO Voltage Regulator	D-PAK	1.46	1.27	.98
KF33BDT-TRI	497-1148-2-ND	3,3 V LDO-Spannungsregler	3.3V, LDO Voltage Regulator	D-PAK		1295.30/2,500	
KF50BDT-TRI	497-1149-1-ND	5 V LDO-Spannungsregler	5V, LDO Voltage Regulator	D-PAK	1.27	1.11	.85

(Forts.)

★ *RUFEN SIE BITTE AN FÜR NIEDRIGERE PREISE BEI GRÖSSEREN MENGEN!* ★

STMicroelectronics Teilenr.	Digi-Key Teilenr.	Beschreibung		Paket	Stückpreis★ 1	10	100
KF50BDT-TRI	497-1149-2-ND	5 V LDO-Spannungsregler	5V, LDO Voltage Regulator	D-PAK		1125.98/2,500	
KF80BD-TRI	497-1150-1-ND	8 V LDO-Spannungsregler	8V, LDO Voltage Regulator	8-SOIC	1.27	1.11	.85
KF80BD-TRI	497-1150-2-ND	8 V LDO-Spannungsregler	8V, LDO Voltage Regulator	8-SOIC		1125.98/2,500	
KF80BDT-TRI	497-1151-1-ND	8 V LDO-Spannungsregler	8V, LDO Voltage Regulator	D-PAK	1.27	1.11	.85
KF80BDT-TRI	497-1151-2-ND	8 V LDO-Spannungsregler	8V, LDO Voltage Regulator	D-PAK		1125.98/2,500	
L4892CV	497-3910-ND	9,2 V LDO-Spannungsregler	9.2V, LDO Voltage Regulator	TO-220	1.63	1.36	1.14
L4925	497-3911-ND	5 V LDO-Spannungsregler	5V, LDO Voltage Reg.	Pentawatt	2.39	1.99	1.68
L4925PD	497-3912-5-ND	5 V LDO-Spannungsregler	5V, LDO Voltage Reg.	20-Power SOIC	2.84	2.47	1.84
L4925PD013TRI	497-1152-1-ND	5 V LDO-Spannungsregler	5V, LDO Voltage Regulator	20-Power SOIC	2.84	2.47	1.84
L4925PD013TRI	497-1152-2-ND	5 V LDO-Spannungsregler	5V, LDO Voltage Regulator	20-Power SOIC		881.82/600	
L4931ABD15-TR	497-4203-1-ND	1,5 V LDO-Spannungsregler	1.5V, LDO Voltage Regulator	8-SOIC	1.08	.94	.72
L4931ABD15-TR	497-4203-2-ND	1,5 V LDO-Spannungsregler	1.5V, LDO Voltage Regulator	8-SOIC		956.66/2,500	
L4931ABD25-TRI	497-1154-1-ND	2,5 V LDO-Spannungsregler	2.5V, LDO Voltage Regulator	8-SOIC	1.27	1.11	.85
L4931ABD25-TRI	497-1154-2-ND	2,5 V LDO-Spannungsregler	2.5V, LDO Voltage Regulator	8-SOIC		1125.98/2,500	
L4931ABD33-TRI	497-1155-1-ND	3,3 V LDO-Spannungsregler	3.3V, LDO Voltage Regulator	8-SOIC	1.27	1.11	.85
L4931ABD33-TRI	497-1155-2-ND	3,3 V LDO-Spannungsregler	3.3V, LDO Voltage Regulator	8-SOIC		1125.98/2,500	
L4931ABD50-TRI	497-1156-1-ND	5 V LDO-Spannungsregler	5V, LDO Voltage Regulator	8-SOIC	1.27	1.11	.85
L4931ABD50-TRI	497-1156-2-ND	5 V LDO-Spannungsregler	5V, LDO Voltage Regulator	8-SOIC		1125.98/2,500	
L4931ABD120TRI	497-1153-1-ND	12 V LDO-Spannungsregler	12V, LDO Voltage Regulator	8-SOIC	1.27	1.11	.85
L4931ABD120TRI	497-1153-2-ND	12 V LDO-Spannungsregler	12V, LDO Voltage Regulator	8-SOIC		1125.98/2,500	
L4931ABDT25TRI	497-1158-1-ND	2,5 V LDO-Spannungsregler	2.5V, LDO Voltage Regulator	D-PAK	1.36	1.19	.92
L4931ABDT25TRI	497-1158-2-ND	2,5 V LDO-Spannungsregler	2.5V, LDO Voltage Regulator	D-PAK		1210.64/2,500	
L4931ABDT33-TRI	497-1159-1-ND	3,3 V LDO-Spannungsregler	3.3V, LDO Voltage Regulator	D-PAK	1.36	1.19	.92
L4931ABDT33-TRI	497-1159-2-ND	3,3 V LDO-Spannungsregler	3.3V, LDO Voltage Regulator	D-PAK		1210.64/2,500	
L4931ABDT50-TRI	497-1160-1-ND	5 V LDO-Spannungsregler	5V, LDO Voltage Regulator	D-PAK	1.36	1.19	.92
L4931ABDT50-TRI	497-1160-2-ND	5 V LDO-Spannungsregler	5V, LDO Voltage Regulator	D-PAK		1210.64/2,500	
L4931ABDT80-TRI	497-1161-1-ND	8 V LDO-Spannungsregler	8V, LDO Voltage Regulator	D-PAK	1.36	1.19	.92
L4931ABDT80-TRI	497-1161-2-ND	8 V LDO-Spannungsregler	8V, LDO Voltage Regulator	D-PAK		1210.64/2,500	
L4931ABDT120R	497-1157-1-ND	12 V LDO-Spannungsregler	12V, LDO Voltage Regulator	D-PAK	1.36	1.19	.92
L4931ABDT120R	497-1157-2-ND	12 V LDO-Spannungsregler	12V, LDO Voltage Regulator	D-PAK		1210.64/2,500	
L4931ABPT25TRI	497-1163-1-ND	2,5 V LDO-Spannungsregler	2.5V, LDO Voltage Regulator	P-PAK	1.56	1.35	1.04
L4931ABPT25TRI	497-1163-2-ND	2,5 V LDO-Spannungsregler	2.5V, LDO Voltage Regulator	P-PAK		1379.96/2,500	
L4931ABPT33-TRI	497-1164-1-ND	3,3 V LDO-Spannungsregler	3.3V, LDO Voltage Regulator	P-PAK	1.56	1.35	1.04
L4931ABPT33-TRI	497-1164-2-ND	3,3 V LDO-Spannungsregler	3.3V, LDO Voltage Regulator	P-PAK		1379.96/2,500	
L4931ABPT50TRI	497-1165-1-ND	5 V LDO-Spannungsregler	5V, LDO Voltage Regulator	P-PAK	1.56	1.35	1.04
L4931ABPT50TRI	497-1165-2-ND	5 V LDO-Spannungsregler	5V, LDO Voltage Regulator	P-PAK		1379.96/2,500	
L4931ABPT120R	497-1162-1-ND	12 V LDO-Spannungsregler	12V, LDO Voltage Regulator	P-PAK	1.36	1.19	.92
L4931ABPT120R	497-1162-2-ND	12 V LDO-Spannungsregler	12V, LDO Voltage Regulator	P-PAK		1210.64/2,500	
L4931ABV25	497-1398-5-ND	2,5 V LDO-Spannungsregler	2.5V, LDO Voltage Regulator	TO-220	1.05	.91	.70
L4931ABV33	497-1399-5-ND	3,3 V LDO-Spannungsregler	3.3V, LDO Voltage Regulator	TO-220	1.11	.97	.75
L4931ABV50	497-1400-5-ND	5 V LDO-Spannungsregler	5V, LDO Voltage Regulator	TO-220	1.11	.97	.75
L4931ABZ25	497-1001-ND	2,5 V LDO-Spannungsregler	2.5V, LDO Voltage Regulator	TO-92	1.24	1.08	.83
L4931ABZ120	497-1000-ND	12 V LDO-Spannungsregler	12V, LDO Voltage Regulator	TO-92	1.24	1.08	.83
L4931CDT50-TR	497-4204-1-ND	5 V LDO-Spannungsregler	5V, LDO Voltage Regulator	D-PAK	1.27	1.11	.85
L4931CDT50-TR	497-4204-2-ND	5 V LDO-Spannungsregler	5V, LDO Voltage Regulator	D-PAK		1125.98/2,500	
L4931CV33	497-1401-5-ND	3,3 V LDO-Spannungsregler	3.3V, LDO Voltage Regulator	TO-220	1.02	.88	.68
L4931CV50	497-1402-5-ND	5 V LDO-Spannungsregler	5V, LDO Voltage Regulator	TO-220	1.02	.88	.68
L4931CZ33	497-1003-ND	3,3 V LDO-Spannungsregler	3.3V, LDO Voltage Regulator	TO-92	1.05	.91	.70
L4931CZ50	497-1004-ND	5 V LDO-Spannungsregler	5V, LDO Voltage Regulator	TO-92	1.05	.91	.70
L4931CZ120	497-1002-ND	12 V LDO-Spannungsregler	12V, LDO Voltage Regulator	TO-92	1.18	1.02	.79
L4940D2M5-TR	497-4205-1-ND	5 V, 1,5 A LDO-Regler	5V, LDO 1.5A Regulator	D2-PAK	1.52	1.27	1.07
L4940D2M5-TR	497-4205-2-ND	5 V, 1,5 A LDO-Regler	5V, LDO 1.5A Regulator	D2-PAK		685.75/1,000	
L4940D2T5-TRI	497-1166-1-ND	5 V, 1,5 A LDO-Regler	5V, LDO 1.5A Regulator	D2-PAK	1.75	1.46	1.23
L4940D2T5-TRI	497-1166-2-ND	5 V, 1,5 A LDO-Regler	5V, LDO 1.5A Regulator	D2-PAK		789.03/1,000	
L4940D2T85-TRI	497-1167-1-ND	8,5 V, 1,5 A LDO-Regler	8.5V, LDO 1.5A Regulator	D2-PAK	1.78	1.49	1.25
L4940D2T85-TRI	497-1167-2-ND	8,5 V, 1,5 A LDO-Regler	8.5V, LDO 1.5A Regulator	D2-PAK		800.04/1,000	
L4940V5	497-1404-5-ND	5 V, 1,5 A LDO-Regler	5V, LDO 1.5A Regulator	TO-220	1.83	1.53	1.29
L4940V12	497-1403-5-ND	12 V, 1,5 A LDO-Regler	12V, LDO 1.5A Regulator	TO-220	1.83	1.53	1.29
L4941BDT-TRI	497-1168-1-ND	1 A LDO-Regler	1A LDO Regulator	D-PAK	1.78	1.49	1.25
L4941BDT-TRI	497-1168-2-ND	1 A LDO-Regler	1A LDO Regulator	D-PAK		1926.02/2,500	
L4945	497-3629-ND	5 V Spannungsregler, sehr großer Spannungabfall	5V Very Low Drop Volt. Regulator	TO-220	5.06	4.63	3.66
L4947	497-3918-5-ND	5 V, 0,5 A LDO Reg. mit Rückstellung	5V, 0.5A LDO Reg. w/Reset	Pentawatt	2.93	2.55	1.90
L4947H	497-3630-ND	5 V, 0,5 A LDO Reg. mit Rückstellung	5V, 0.5A LDO Reg. w/Reset	Pentawatt	2.93	2.55	1.90
L4947PD	497-1405-5-ND	5 V, 0,5 A LDO Reg. mit Rückstellung	5V, 0.5A LDO Reg. w/Reset	20-Power SOIC	2.74	2.39	1.78
L4949E	497-3631-ND	Mehrfunktions-Spannungsregler, sehr großer Spannungsabfall	Multifunction Very Low Drop Voltage Regulator	8-MiniDip	1.60	1.34	1.13
L4949ED013TR	497-3632-1-ND	Mehrfunktions-Spannungsregler, sehr großer Spannungsabfall	Multifunction Very Low Drop Voltage Regulator	8-SOIC	1.60	1.34	1.13
L4949ED013TR	497-3632-2-ND	Mehrfunktions-Spannungsregler, sehr großer Spannungsabfall	Multifunction Very Low Drop Voltage Regulator	8-SOIC		1733.41/2,500	
L4949EDMITTR	497-3919-1-ND	Mehrfunktions-Spannungsregler, sehr großer Spannungsabfall	Multifunction Very Low Drop Voltage Regulator	8-SOIC	1.60	1.34	1.13
L4949EDMITTR	497-3919-2-ND	Mehrfunktions-Spannungsregler, sehr großer Spannungsabfall	Multifunction Very Low Drop Voltage Regulator	8-SOIC		1733.41/2,500	
L4949EP013TR	497-3633-1-ND	Mehrfunktions-Spannungsregler, sehr großer Spannungsabfall	Multifunction Very Low Drop Voltage Regulator	20-SOIC	1.60	1.34	1.13
L4949EP013TR	497-3633-2-ND	Mehrfunktions-Spannungsregler, sehr großer Spannungsabfall	Multifunction Very Low Drop Voltage Regulator	20-SOIC		720.46/1,000	
L4981AD013TR	497-3635-1-ND	Leistungsfaktorkorrektor	Power Factor Corrector	20-SOIC	4.57	3.98	2.97
L4981AD013TR	497-3635-2-ND	Leistungsfaktorkorrektor	Power Factor Corrector	20-SOIC		2251.96/1,000	
L5970D013TR	497-3636-1-ND	Step-Down-Schaltregler bis zu 1 A	Up to 1A Step Down Switching Reg.	8-SOIC	2.39	1.99	1.68
L5970D013TR	497-3636-2-ND	Step-Down-Schaltregler bis zu 1 A	Up to 1A Step Down Switching Reg.	8-SOIC		2586.36/2,500	
L5972D013TR	497-3637-1-ND	2 A Schalter, Step-Down-Schaltregler	2A Switch Step Down Switching Reg.	8-SOIC	2.49	2.08	1.75
L5972D013TR	497-3637-2-ND	2 A Schalter, Step-Down-Schaltregler	2A Switch Step Down Switching Reg.	8-SOIC		2696.42/2,500	
L5973D013TR	497-3638-1-ND	2,5 A Schalter, Step-Down-Schaltregler	2.5A Switch Step Down Switching Regulator	8-HSOP	2.58	2.25	1.68
L5973D013TR	497-3638-2-ND	2,5 A Schalter, Step-Down-Schaltregler	2.5A Switch Step Down Switching Regulator	8-HSOP		3060.46/2,500	
L6207N	497-3645-ND	Zweif. DMOS-Vollbrückentreiber	DMOS Dual Full Bridge Driver	24-Power Dip	9.23	8.54	6.46
L6385	497-3649-ND	Hochspann.-High-/Low-Side-Treiber	High Volt. High/Low Side Driver	8-MiniDip	3.43	2.99	2.23
L6902D	497-3103-ND	Schaltregler mit einstellb. Spannungsbegrenzung	Switching Regulator with Adj. Current Limit	8-SOIC	3.20	2.79	2.08
LD1084D2M-R	497-3409-1-ND	5 A LDO-Positivspannungsreg, einstellb.	Adj., 5A LDO Positive Volt. Reg.	D2-PAK/A	2.31	1.93	1.62
LD1084D2M-R	497-3409-2-ND	5 A LDO-Positivspannungsreg, einstellb.	Adj., 5A LDO Positive Volt. Reg.	D2-PAK/A		1040.47/1,000	
LD1084D2M33	497-4235-5-ND	3,3 V, 5 A LDO-Positivspannungsreg.	3.3V, 5A LDO Positive Volt. Reg.	D2-PAK/A	1.46	1.27	.98
LD1084D2M33R	497-3410-1-ND	3,3 V, 5 A LDO-Positivspannungsreg.	3.3V, 5A LDO Positive Volt. Reg.	D2-PAK/A	2.24	1.87	1.57
LD1084D2M33R	497-3410-2-ND	3,3 V, 5 A LDO-Positivspannungsreg.	3.3V, 5A LDO Positive Volt. Reg.	D2-PAK/A		1005.76/1,000	
LD1084D2M50R	497-4236-1-ND	5 V, 5 A LDO-Positivspannungsreg.	5V, 5A LDO Positive Volt. Reg.	D2-PAK/A	1.46	1.27	.98
LD1084D2M50R	497-4236-2-ND	5 V, 5 A LDO-Positivspannungsreg.	5V, 5A LDO Positive Volt. Reg.	D2-PAK/A		564.681,000	
LD1084D2T-R	497-3411-1-ND	5 A LDO-Positivspannungsreg, einstellb.	Adj., 5A LDO Positive Volt. Reg.	D2-PAK	2.24	1.87	1.57
LD1084D2T-R	497-3411-2-ND	5 A LDO-Positivspannungsreg, einstellb.	Adj., 5A LDO Positive Volt. Reg.	D2-PAK		1005.76/1,000	
LD1084V	497-3413-5-ND	5 A LDO-Positivspannungsreg, einstellb.	Adj., 5A LDO Positive Volt. Reg.	TO-220	2.24	1.87	1.57
LD1084V18	497-3414-5-ND	1,8 V, 5 A LDO-Positivspannungsreg.	1.8V, 5A LDO Positive Volt. Reg.	TO-220	2.24	1.87	1.57
LD1084V25	497-3415-5-ND	2,5 V, 5 A LDO-Positivspannungsreg.	2.5V, 5A LDO Positive Volt. Reg.	TO-220	2.24	1.87	1.57
LD1084V33	497-3416-5-ND	3,3 V, 5 A LDO-Positivspannungsreg.	3.3V, 5A LDO Positive Volt. Reg.	TO-220	2.24	1.87	1.57
LD1084V50	497-3417-5-ND	5 V, 5 A LDO-Positivspannungsreg.	5V, 5A LDO Positive Volt. Reg.	TO-220	2.24	1.87	1.57
LD1085CDT-R	497-3418-1-ND	3 A LDO-Positivspannungsreg, einstellb.	Adj., 3A LDO Positive Volt. Reg.	D-PAK	1.65	1.38	1.16
LD1085CDT-R	497-3418-2-ND	3 A LDO-Positivspannungsreg, einstellb.	Adj., 3A LDO Positive Volt. Reg.	D-PAK		1788.44/2,500	
LD1085D2M-R	497-3419-1-ND	3 A LDO-Positivspannungsreg, einstellb.	Adj., 3A LDO Positive Volt. Reg.	D2-PAK/A	1.65	1.38	1.16
LD1085D2M-R	497-3419-2-ND	3 A LDO-Positivspannungsreg, einstellb.	Adj., 3A LDO Positive Volt. Reg.	D2-PAK/A		743.31/1,000	

(Forts.)

★ ***RUFEN SIE BITTE AN FÜR NIEDRIGERE PREISE BEI GRÖSSEREN MENGEN!*** ★

B

STMicroelectronics Teilenr.	Digi-Key Teilenr.	Beschreibung		Paket	Stückpreis★ 1	10	100
LD1085D2M12R	497-3420-1-ND	12 V, 3 A LDO-Positivspannungsreg.	12V, 3A LDO Positive Volt. Reg.	D2-PAK/A	1.65	1.38	1.16
LD1085D2M12R	497-3420-2-ND	12 V, 3 A LDO-Positivspannungsreg.	12V, 3A LDO Positive Volt. Reg.	D2-PAK/A		743.31/1,000	
LD1085D2M18R	497-3421-1-ND	1,8 V, 3 A LDO-Positivspannungsreg.	1.8V, 3A LDO Positive Volt. Reg.	D2-PAK/A	1.65	1.38	1.16
LD1085D2M18R	497-3421-2-ND	1,8 V, 3 A LDO-Positivspannungsreg.	1.8V, 3A LDO Positive Volt. Reg.	D2-PAK/A		743.31/1,000	
LD1085D2M25R	497-3422-1-ND	2,5 V, 3 A LDO-Positivspannungsreg.	2.5V, 3A LDO Positive Volt. Reg.	D2-PAK/A	1.65	1.38	1.16
LD1085D2M25R	497-3422-2-ND	2,5 V, 3 A LDO-Positivspannungsreg.	2.5V, 3A LDO Positive Volt. Reg.	D2-PAK/A		743.31/1,000	
LD1085D2M33R	497-3423-1-ND	3,3 V, 3 A LDO-Positivspannungsreg.	3.3V, 3A LDO Positive Volt. Reg.	D2-PAK/A	1.65	1.38	1.16
LD1085D2M33R	497-3423-2-ND	3,3 V, 3 A LDO-Positivspannungsreg.	3.3V, 3A LDO Positive Volt. Reg.	D2-PAK/A		743.31/1,000	
LD1085D2T-R	497-3424-1-ND	3 A LDO-Positivspannungsreg, einstellb.	Adj., 3A LDO Positive Volt. Reg.	D2-PAK	1.65	1.38	1.16
LD1085D2T-R	497-3424-2-ND	3 A LDO-Positivspannungsreg, einstellb.	Adj., 3A LDO Positive Volt. Reg.	D2-PAK		743.31/1,000	
LD1085D2T15R	497-3426-1-ND	1,5 V, 3 A LDO Positivspannungsreg.	1.5V, 3A LDO Positive Volt. Reg.	D2-PAK	1.65	1.38	1.16
LD1085D2T15R	497-3426-2-ND	1,5 V, 3 A LDO Positivspannungsreg.	1.5V, 3A LDO Positive Volt. Reg.	D2-PAK		743.31/1,000	
LD1085D2T18R	497-3427-1-ND	1,8 V, 3 A LDO-Positivspannungsreg.	1.8V, 3A LDO Positive Volt. Reg.	D2-PAK	1.65	1.38	1.16
LD1085D2T18R	497-3427-2-ND	1,8 V, 3 A LDO-Positivspannungsreg.	1.8V, 3A LDO Positive Volt. Reg.	D2-PAK		743.31/1,000	
LD1085D2T25R	497-1221-1-ND	2,5 V, 3 A LDO-Positivspannungsreg.	2.5V, 3A LDO Positive Volt. Reg.	D2-PAK	1.46	1.27	.98
LD1085D2T25R	497-1221-2-ND	2,5 V, 3 A LDO-Positivspannungsreg.	2.5V, 3A LDO Positive Volt. Reg.	D2-PAK		564.68/1,000	
LD1085D2T33R	497-1222-1-ND	3,3 V, 3 A LDO-Positivspannungsreg.	3.3V, 3A LDO Positive Volt. Reg.	D2-PAK	1.27	1.06	.89
LD1085D2T33R	497-1222-2-ND	3,3 V, 3 A LDO-Positivspannungsreg.	3.3V, 3A LDO Positive Volt. Reg.	D2-PAK		571.46/1,000	
LD1085DT-R	497-3428-1-ND	3 A LDO-Positivspannungsreg, einstellb.	Adj., 3A LDO Positive Volt. Reg.	D-PAK	1.65	1.38	1.16
LD1085DT-R	497-3428-2-ND	3 A LDO-Positivspannungsreg, einstellb.	Adj., 3A LDO Positive Volt. Reg.	D-PAK		1788.44/2,500	
LD1085DT15R	497-3429-1-ND	1,5 V, 3 A LDO Positivspannungsreg.	1.5V, 3A LDO Positive Volt. Reg.	D-PAK	1.65	1.38	1.16
LD1085DT15R	497-3429-2-ND	1,5 V, 3 A LDO Positivspannungsreg.	1.5V, 3A LDO Positive Volt. Reg.	D-PAK		1788.44/2,500	
LD1085DT18R	497-3430-1-ND	1,8 V, 3 A LDO-Positivspannungsreg.	1.8V, 3A LDO Positive Volt. Reg.	D-PAK	1.50	1.25	1.05
LD1085DT18R	497-3430-2-ND	1,8 V, 3 A LDO-Positivspannungsreg.	1.8V, 3A LDO Positive Volt. Reg.	D-PAK		1623.36/2,500	
LD1085DT25R	497-3431-1-ND	2,5 V, 3 A LDO-Positivspannungsreg.	2.5V, 3A LDO Positive Volt. Reg.	D-PAK	1.50	1.25	1.05
LD1085DT25R	497-3431-2-ND	2,5 V, 3 A LDO-Positivspannungsreg.	2.5V, 3A LDO Positive Volt. Reg.	D-PAK		1623.36/2,500	
LD1085V	497-1482-5-ND	3 A LDO-Positivspannungsreg, einstellb.	Adj., 3A LDO Positive Volt. Reg.	TO-220	1.27	1.06	.89
LD1085V12	497-3432-5-ND	12 V, 3 A LDO-Positivspannungsreg.	12V, 3A LDO Positive Volt. Reg.	TO-220	1.65	1.38	1.16
LD1085V18	497-3433-5-ND	1,8 V, 3 A LDO-Positivspannungsreg.	1.8V, 3A LDO Positive Volt. Reg.	TO-220	1.65	1.38	1.16
LD1085V25	497-3434-5-ND	2,5 V, 3 A LDO-Positivspannungsreg.	2.5V, 3A LDO Positive Volt. Reg.	TO-220	1.65	1.38	1.16
LD1085V33	497-3435-5-ND	3,3 V, 3 A LDO-Positivspannungsreg.	3.3V, 3A LDO Positive Volt. Reg.	TO-220	1.65	1.38	1.16
LD1085V50	497-3436-5-ND	5 V, 3 A LDO Positivspannungsreg.	5V, 3A LDO Positive Volt. Reg.	TO-220	1.65	1.38	1.16
LD1086D2MTR	497-3439-1-ND	1,5 A LDO-Positivspannungsreg., einstellb.	Adj., 1.5A LDO Positive Volt. Reg.	D2-PAK/A	1.52	1.33	1.02
LD1086D2MTR	497-3439-2-ND	1,5 A LDO-Positivspannungsreg., einstellb.	Adj., 1.5A LDO Positive Volt. Reg.	D2-PAK/A		589.23/1,000	
LD1086D2M18TR	497-3437-1-ND	1,8 V, 1,5 A LDO-Positivspannungsreg.	1.8V, 1.5A LDO Positive Volt. Reg.	D2-PAK/A	1.52	1.33	1.02
LD1086D2M18TR	497-3437-2-ND	1,8 V, 1,5 A LDO-Positivspannungsreg.	1.8V, 1.5A LDO Positive Volt. Reg.	D2-PAK/A		589.23/1,000	
LD1086D2M33TRI	497-1223-1-ND	3,3 V, 1,5 A LDO-Positivspannungsreg.	3.3V, 1.5A LDO Positive Volt. Reg.	D2-PAK/A	1.52	1.33	1.02
LD1086D2M33TRI	497-1223-2-ND	3,3 V, 1,5 A LDO-Positivspannungsreg.	3.3V, 1.5A LDO Positive Volt. Reg.	D2-PAK/A		589.23/1,000	
LD1086D2T12TR	497-3440-1-ND	12 V, 1,5 A LDO-Positivspannungsreg.	12V, 1.5A LDO Positive Volt. Reg.	D2-PAK	1.65	1.38	1.16
LD1086D2T12TR	497-3440-2-ND	12 V, 1,5 A LDO-Positivspannungsreg.	12V, 1.5A LDO Positive Volt. Reg.	D2-PAK		743.31/1,000	
LD1086D2T15R	497-3441-1-ND	1,5 V, 1,5 A LDO-Positivspannungsreg.	1.5V, 1.5A LDO Positive Volt. Reg.	D2-PAK	1.52	1.33	1.02
LD1086D2T15R	497-3441-2-ND	1,5 V, 1,5 A LDO-Positivspannungsreg.	1.5V, 1.5A LDO Positive Volt. Reg.	D2-PAK		589.23/1,000	
LD1086D2T18TR	497-3442-1-ND	1,8 V, 1,5 A LDO-Positivspannungsreg.	1.8V, 1.5A LDO Positive Volt. Reg.	D2-PAK	1.52	1.33	1.02
LD1086D2T18TR	497-3442-2-ND	1,8 V, 1,5 A LDO-Positivspannungsreg.	1.8V, 1.5A LDO Positive Volt. Reg.	D2-PAK		589.23/1,000	
LD1086D2T25TR	497-3443-1-ND	2,5 V, 1,5 A LDO-Positivspannungsreg.	2.5V, 1.5A LDO Positive Volt. Reg.	D2-PAK	1.52	1.33	1.02
LD1086D2T25TR	497-3443-2-ND	2,5 V, 1,5 A LDO-Positivspannungsreg.	2.5V, 1.5A LDO Positive Volt. Reg.	D2-PAK		589.23/1,000	
LD1086D2T33TRI	497-1224-1-ND	3,3 V, 1,5 A LDO-Positivspannungsreg.	3.3V, 1.5A LDO Positive Volt. Reg.	D2-PAK	1.24	1.08	.83
LD1086D2T33TRI	497-1224-2-ND	3,3 V, 1,5 A LDO-Positivspannungsreg.	3.3V, 1.5A LDO Positive Volt. Reg.	D2-PAK		479.18/1,000	
LD1086D2TTR	497-3566-1-ND	1,5 A LDO-Positivspannungsreg., einstellb.	Adj., 1.5A LDO Positive Volt. Reg.	D2-PAK	1.52	1.33	1.02
LD1086D2TTR	497-3566-2-ND	1,5 A LDO-Positivspannungsreg., einstellb.	Adj., 1.5A LDO Positive Volt. Reg.	D2-PAK		589.23/1,000	
LD1086D2T50TRI	497-1225-1-ND	5 V, 1,5 A LDO-Positivspannungsreg.	5V, 1.5A LDO Positive Volt. Reg.	D2-PAK	1.24	1.08	.83
LD1086D2T50TRI	497-1225-2-ND	5 V, 1,5 A LDO-Positivspannungsreg.	5V, 1.5A LDO Positive Volt. Reg.	D2-PAK		480.02/1,000	
LD1086DT18TR	497-3444-1-ND	1,8 V, 1,5 A LDO-Positivspannungsreg.	1.8V, 1.5A LDO Positive Volt. Reg.	D-PAK	1.52	1.33	1.02
LD1086DT18TR	497-3444-2-ND	1,8 V, 1,5 A LDO-Positivspannungsreg.	1.8V, 1.5A LDO Positive Volt. Reg.	D-PAK		1350.33/2,500	
LD1086DT25TR	497-3445-1-ND	2,5 V, 1,5 A LDO-Positivspannungsreg.	2.5V, 1.5A LDO Positive Volt. Reg.	D-PAK	1.34	1.16	.89
LD1086DT25TR	497-3445-2-ND	2,5 V, 1,5 A LDO-Positivspannungsreg.	2.5V, 1.5A LDO Positive Volt. Reg.	D-PAK		1183.12/2,500	
LD1086DT33TR	497-3446-1-ND	3,3 V, 1,5 A LDO-Positivspannungsreg.	3.3V, 1.5A LDO Positive Volt. Reg.	D-PAK	1.52	1.33	1.02
LD1086DT33TR	497-3446-2-ND	3,3 V, 1,5 A LDO-Positivspannungsreg.	3.3V, 1.5A LDO Positive Volt. Reg.	D-PAK		1350.33/2,500	
LD1086DT50TR	497-4239-1-ND	5 V, 1,5 A LDO-Positivspannungsreg.	5V, 1.5A LDO Positive Volt. Reg.	D-PAK	1.52	1.33	1.02
LD1086DT50TR	497-4239-2-ND	5 V, 1,5 A LDO-Positivspannungsreg.	5V, 1.5A LDO Positive Volt. Reg.	D-PAK		1350.33/2,500	
LD1086V	497-3447-5-ND	1,5 A LDO-Positivspannungsreg., einstellb.	Adj., 1.5A LDO Positive Volt. Reg.	TO-220	1.52	1.33	1.02
LD1086V12	497-3448-5-ND	12 V, 1,5 A LDO-Positivspannungsreg.	12V, 1.5A LDO Positive Volt. Reg.	TO-220	1.52	1.33	1.02
LD1086V18	497-3449-5-ND	1,8 V, 1,5 A LDO-Positivspannungsreg.	1.8V, 1.5A LDO Positive Volt. Reg.	TO-220	1.52	1.33	1.02
LD1086V33	497-3450-5-ND	3,3 V, 1,5 A LDO-Positivspannungsreg.	3.3V, 1.5A LDO Positive Volt. Reg.	TO-220	1.52	1.33	1.02
LD1086V50	497-3451-5-ND	5 V, 1,5 A LDO-Positivspannungsreg.	5V, 1.5A LDO Positive Volt. Reg.	TO-220	1.52	1.33	1.02
LD1117ADT-TR	497-3452-1-ND	1 A LDO-Positivspannungsreg., einstellb.	Adj., 1A LDO Positive Volt. Reg.	D-PAK	1.65	1.44	1.11
LD1117ADT-TR	497-3452-2-ND	1 A LDO-Positivspannungsreg., einstellb.	Adj., 1A LDO Positive Volt. Reg.	D-PAK		1464.62/2,500	
LD1117ADT18TR	497-3453-1-ND	1,8 V, 1 A LDO-Positivspannungsreg.	1.8V, 1A LDO Positive Volt. Reg.	D-PAK	1.27	1.11	.85
LD1117ADT18TR	497-3453-2-ND	1,8 V, 1 A LDO-Positivspannungsreg.	1.8V, 1A LDO Positive Volt. Reg.	D-PAK		1125.98/2,500	
LD1117ADT25TR	497-3454-1-ND	2,5 V, 1 A LDO-Positivspannungsreg.	2.5V, 1A LDO Positive Volt. Reg.	D-PAK	1.27	1.11	.85
LD1117ADT25TR	497-3454-2-ND	2,5 V, 1 A LDO-Positivspannungsreg.	2.5V, 1A LDO Positive Volt. Reg.	D-PAK		1125.98/2,500	
LD1117ADT33TR	497-3455-1-ND	3,3 V, 1 A LDO-Positivspannungsreg.	3.3V, 1A LDO Positive Volt. Reg.	D-PAK	1.32	1.11	.93
LD1117ADT33TR	497-3455-2-ND	3,3 V, 1 A LDO-Positivspannungsreg.	3.3V, 1A LDO Positive Volt. Reg.	D-PAK		1430.75/2,500	
LD1117AS18TRI	497-1226-1-ND	1,8 V LDO-Positivspannungsreg.	1.8V, LDO Positive Volt. Reg.	SOT-223	.88	.76	.59
LD1117AS18TRI	497-1226-2-ND	1,8 V LDO-Positivspannungsreg.	1.8V, LDO Positive Volt. Reg.	SOT-223		776.76/2,500	
LD1117AS25TRI	497-1227-1-ND	2,5 V LDO-Positivspannungsreg.	2.5V, LDO Positive Volt. Reg.	SOT-223	.88	.76	.59
LD1117AS25TRI	497-1227-2-ND	2,5 V LDO-Positivspannungsreg.	2.5V, LDO Positive Volt. Reg.	SOT-223		776.76/2,500	
LD1117AS33TRI	497-1228-1-ND	3,3 V LDO-Positivspannungsreg.	3.3V, LDO Positive Volt. Reg.	SOT-223	1.40	1.17	.98
LD1117AS33TRI	497-1228-2-ND	3,3 V LDO-Positivspannungsreg.	3.3V, LDO Positive Volt. Reg.	SOT-223		1513.30/2,500	
LD1117ASTR	497-1229-1-ND	1,25 V bis 15 V LDO-Positivspannungsreg.	1.25V to 15V LDO Positive Volt. Reg.	SOT-223	.88	.76	.59
LD1117ASTR	497-1229-2-ND	1,25 V bis 15 V LDO-Positivspannungsreg.	1.25V to 15V LDO Positive Volt. Reg.	SOT-223		776.76/2,500	
LD1117AV	497-3456-5-ND	1 A LDO-Positivspannungsreg., einstellb.	Adj., 1A LDO Positive Volt. Reg.	TO-220	.89	.77	.60
LD1117AV18	497-1483-5-ND	1,8 V LDO-Positivspannungsreg.	1.8V, LDO Positive Volt. Reg.	TO-220	.88	.76	.59
LD1117AV25	497-1484-5-ND	2,5 V LDO-Positivspannungsreg.	2.5V, LDO Positive Volt. Reg.	TO-220	.88	.76	.59
LD1117AV33	497-1485-5-ND	3,3 V LDO-Positivspannungsreg.	3.3V, LDO Positive Volt. Reg.	TO-220	.88	.76	.59
LD1117D18	497-1486-5-ND	1,8 V LDO-Positivspannungsreg.	1.8V, LDO Positive Volt. Reg.	8-SOIC	.65	.47	.36
LD1117D25	497-1487-5-ND	2,5 V LDO-Positivspannungsreg.	2.5V, LDO Positive Volt. Reg.	8-SOIC	.65	.47	.36
LD1117D33	497-1488-5-ND	3,3 V LDO-Positivspannungsreg.	3.3V, LDO Positive Volt. Reg.	8-SOIC	.65	.47	.36
LD1117D33CTR	497-1230-1-ND	3,3 V LDO-Positivspannungsreg.	3.3V, LDO Positive Volt. Reg.	8-SOIC	.65	.47	.36
LD1117D33CTR	497-1230-2-ND	3,3 V LDO-Positivspannungsreg.	3.3V, LDO Positive Volt. Reg.	8-SOIC		512.19/2,500	
LD1117D50	497-1489-5-ND	5 V LDO-Positivspannungsreg.	5V, LDO Positive Volt. Reg.	8-SOIC	.65	.47	.36
LD1117DT12TRI	497-1231-1-ND	1,2 V LDO-Positivspannungsreg.	1.2V, LDO Positive Volt. Reg.	D-PAK	.98	.86	.66
LD1117DT12TRI	497-1231-2-ND	1,2 V LDO-Positivspannungsreg.	1.2V, LDO Positive Volt. Reg.	D-PAK		872.00/2,500	
LD1117DT18TRI	497-1232-1-ND	1,8 V LDO-Positivspannungsreg.	1.8V, LDO Positive Volt. Reg.	D-PAK	.65	.47	.36
LD1117DT18TRI	497-1232-2-ND	1,8 V LDO-Positivspannungsreg.	1.8V, LDO Positive Volt. Reg.	D-PAK		512.19/2,500	
LD1117DT25CTR	497-1233-1-ND	2,5 V LDO-Positivspannungsreg.	2.5V, LDO Positive Volt. Reg.	D-PAK	.65	.47	.36
LD1117DT25CTR	497-1233-2-ND	2,5 V LDO-Positivspannungsreg.	2.5V, LDO Positive Volt. Reg.	D-PAK		512.19/2,500	
LD1117DT28TRI	497-1234-1-ND	2,85 V LDO-Positivspannungsreg.	2.85V, LDO Positive Volt. Reg.	D-PAK	.65	.47	.36
LD1117DT28TRI	497-1234-2-ND	2,85 V LDO-Positivspannungsreg.	2.85V, LDO Positive Volt. Reg.	D-PAK		512.19/2,500	
LD1117DT30	497-1490-5-ND	3 V LDO-Positivspannungsreg.	3V, LDO Positive Volt. Reg.	D-PAK	.65	.47	.36
LD1117DT33	497-2961-5-ND	3,3 V LDO-Positivspannungsreg.	3.3V, LDO Positive Volt. Reg.	D-PAK	1.32	1.11	.93
LD1117DT33CTR	497-1235-1-ND	3,3 V LDO-Positivspannungsreg.	3.3V, LDO Positive Volt. Reg.	D-PAK	.65	.47	.36
LD1117DT33CTR	497-1235-2-ND	3,3 V LDO-Positivspannungsreg.	3.3V, LDO Positive Volt. Reg.	D-PAK		512.19/2,500	
LD1117DT33TRI	497-1236-1-ND	3,3 V LDO-Positivspannungsreg.	3.3V, LDO Positive Volt. Reg.	D-PAK	.65	.47	.36
LD1117DT33TRI	497-1236-2-ND	3,3 V LDO-Positivspannungsreg.	3.3V, LDO Positive Volt. Reg.	D-PAK		512.19/2,500	

(Forts.)

★ ***RUFEN SIE BITTE AN FÜR NIEDRIGERE PREISE BEI GRÖSSEREN MENGEN!*** ★

STMicroelectronics Teilenr.	Digi-Key Teilenr.	Beschreibung		Paket	Stückpreis★ 1	10	100
LD1117DT50CTR	497-1237-1-ND	5 V LDO-Positivspannungsreg.	5V, LDO Positive Volt. Reg.	D-PAK	.65	.47	.36
LD1117DT50CTR	497-1237-2-ND	5 V LDO-Positivspannungsreg.	5V, LDO Positive Volt. Reg.	D-PAK		512.19/2,500	
LD1117DT50TRI	497-1238-1-ND	5 V LDO-Positivspannungsreg.	5V, LDO Positive Volt. Reg.	D-PAK	.65	.47	.36
LD1117DT50TRI	497-1238-2-ND	5 V LDO-Positivspannungsreg.	5V, LDO Positive Volt. Reg.	D-PAK		512.19/2,500	
LD1117DTTR	497-1239-1-ND	1,25 V bis 15 V LDO-Positivspannungsreg.	1.25V to 15V, LDO Positive Volt. Reg.	D-PAK	.65	.47	.36
LD1117DTTR	497-1239-2-ND	1,25 V bis 15 V LDO-Positivspannungsreg.	1.25V to 15V, LDO Positive Volt. Reg.	D-PAK		512.19/2,500	
LD1117S12TR	497-4240-1-ND	1,2 V LDO-Positivspannungsreg.	1.2V, LDO Positive Volt. Reg.	SOT-223	1.05	.91	.70
LD1117S12TR	497-4240-2-ND	1,2 V LDO-Positivspannungsreg.	1.2V, LDO Positive Volt. Reg.	SOT-223		929.14/2,500	
LD1117S25CTR	497-1240-1-ND	2,5 V LDO-Positivspannungsreg.	2.5V, LDO Positive Volt. Reg.	SOT-223	.65	.47	.36
LD1117S25CTR	497-1240-2-ND	2,5 V LDO-Positivspannungsreg.	2.5V, LDO Positive Volt. Reg.	SOT-223		512.19/2,500	
LD1117S33CTR	497-1241-1-ND	3,3 V LDO-Positivspannungsreg.	3.3V, LDO Positive Volt. Reg.	SOT-223	.65	.47	.36
LD1117S33CTR	497-1241-2-ND	3,3 V LDO-Positivspannungsreg.	3.3V, LDO Positive Volt. Reg.	SOT-223		512.19/2,500	
LD1117S33TRI	497-1242-1-ND	3,3 V LDO-Positivspannungsreg.	3.3V, LDO Positive Volt. Reg.	SOT-223	.65	.47	.36
LD1117S33TRI	497-1242-2-ND	3,3 V LDO-Positivspannungsreg.	3.3V, LDO Positive Volt. Reg.	SOT-223		512.19/2,500	
LD1117S50CTR	497-1243-1-ND	5 V LDO-Positivspannungsreg.	5V, LDO Positive Volt. Reg.	SOT-223	.65	.47	.36
LD1117S50CTR	497-1243-2-ND	5 V LDO-Positivspannungsreg.	5V, LDO Positive Volt. Reg.	SOT-223		512.19/2,500	
LD1117SC-R	497-4241-1-ND	LDO-Positivspannungsreg., einstellb.	Adj., LDO Positive Volt. Reg.	SOT-223	.84	.68	.51
LD1117SC-R	497-4241-2-ND	LDO-Positivspannungsreg., einstellb.	Adj., LDO Positive Volt. Reg.	SOT-223		664.58/2,500	
LD1117STR	497-1244-1-ND	1,25 V bis 15 V LDO-Positivspannungsreg.	1.25V to 15V, LDO Pos. Volt. Reg.	SOT-223	.65	.47	.36
LD1117STR	497-1244-2-ND	1,25 V bis 15 V LDO-Positivspannungsreg.	1.25V to 15V, LDO Pos. Volt. Reg.	SOT-223		512.19/2,500	
LD1117V18	497-3457-5-ND	1,8 V LDO-Positivspannungsreg.	1.8V, LDO Positive Volt. Reg.	TO-220	1.40	1.22	.94
LD1117V25	497-3458-5-ND	2,5 V LDO-Positivspannungsreg.	2.5V, LDO Positive Volt. Reg.	TO-220	1.40	1.22	.94
LD1117V25C	497-3459-5-ND	2,5 V LDO-Positivspannungsreg.	2.5V, LDO Positive Volt. Reg.	TO-220	1.27	1.11	.85
LD1117V33	497-1491-5-ND	3,3 V LDO-Positivspannungsreg.	3.3V, LDO Positive Volt. Reg.	TO-220	.65	.47	.36
LD1117V33C	497-1492-5-ND	3,3 V LDO-Positivspannungsreg.	3.3V, LDO Positive Volt. Reg.	TO-220	.65	.47	.36
LD1585CD2M-R	497-3460-1-ND	5 A LDO-Positivspannungsreg, einstellb.	Adj., 5A LDO Positive Volt. Reg.	D2-PAK/A	1.65	1.38	1.16
LD1585CD2M-R	497-3460-2-ND	5 A LDO-Positivspannungsreg, einstellb.	Adj., 5A LDO Positive Volt. Reg.	D2-PAK/A		743.31/1,000	
LD1585CD2M18R	497-3462-1-ND	1,8 V, 5 A LDO-Positivspannungsreg.	1.8V, 5A LDO Positive Volt. Reg.	D2-PAK/A	1.65	1.38	1.16
LD1585CD2M18R	497-3462-2-ND	1,8 V, 5 A LDO-Positivspannungsreg.	1.8V, 5A LDO Positive Volt. Reg.	D2-PAK/A		743.31/1,000	
LD1585CD2M33R	497-3464-1-ND	3,3 V, 5 A LDO-Positivspannungsreg.	3.3V, 5A LDO Positive Volt. Reg.	D2-PAK/A	1.65	1.38	1.16
LD1585CD2M33R	497-3464-2-ND	3,3 V, 5 A LDO-Positivspannungsreg.	3.3V, 5A LDO Positive Volt. Reg.	D2-PAK/A		743.31/1,000	
LD1585CD2T18R	497-3465-1-ND	1,8 V, 5 A LDO-Positivspannungsreg.	1.8V, 5A LDO Positive Volt. Reg.	D2-PAK	1.65	1.38	1.16
LD1585CD2T18R	497-3465-2-ND	1,8 V, 5 A LDO-Positivspannungsreg.	1.8V, 5A LDO Positive Volt. Reg.	D2-PAK		743.31/1,000	
LD1585CV	497-3466-5-ND	5 A LDO-Positivspannungsreg, einstellb.	Adj., 5A LDO Positive Volt. Reg.	TO-220	1.52	1.27	1.07
LD1585CV33	497-3467-5-ND	3,3 V, 5 A LDO-Positivspannungsreg.	3.3V, 5A LDO Pos. Volt. Reg.	TO-220	1.52	1.27	1.07
LD2979M33TR	497-1512-1-ND	3,3 V LDO-Spannungsregler	3.3V, LDO Voltage Regulator	SOT-23-5L	.91	.74	.55
LD2979M33TR	497-1512-2-ND	3,3 V LDO-Spannungsregler	3.3V, LDO Voltage Regulator	SOT-23-5L		868.61/3,000	
LD2979M50TR	497-1513-1-ND	5 V LDO-Spannungsregler	5V, LDO Voltage Regulator	SOT-23-5L	.91	.74	.55
LD2979M50TR	497-1513-2-ND	5 V LDO-Spannungsregler	5V, LDO Voltage Regulator	SOT-23-5L		868.61/3,000	
LD2980ABM25TR	497-1515-1-ND	2,5 V LDO-Spannungsregler	2.5V, LDO Voltage Regulator	SOT-23-5L	1.27	1.06	.89
LD2980ABM25TR	497-1515-2-ND	2,5 V LDO-Spannungsregler	2.5V, LDO Voltage Regulator	SOT-23-5L		1650.87/3,000	
LD2980ABM30TR	497-1516-1-ND	3 V LDO-Spannungsregler	3V, LDO Voltage Regulator	SOT-23-5L	1.21	1.05	.81
LD2980ABM30TR	497-1516-2-ND	3 V LDO-Spannungsregler	3V, LDO Voltage Regulator	SOT-23-5L		1282.60/3,000	
LD2980ABM33TR	497-1517-1-ND	3,3 V LDO-Spannungsregler	3.3V, LDO Voltage Regulator	SOT-23-5L	1.21	1.05	.81
LD2980ABM33TR	497-1517-2-ND	3,3 V LDO-Spannungsregler	3.3V, LDO Voltage Regulator	SOT-23-5L		1282.60/3,000	
LD2980ABM50TR	497-1518-1-ND	5 V LDO-Spannungsregler	5V, LDO Voltage Regulator	SOT-23-5L	1.32	1.11	.93
LD2980ABM50TR	497-1518-2-ND	5 V LDO-Spannungsregler	5V, LDO Voltage Regulator	SOT-23-5L		1716.90/3,000	
LD2981ABM18TR	497-1519-1-ND	1,8 V LDO-Spannungsregler	1.8V, LDO Voltage Regulator	SOT-23-5L	1.34	1.16	.89
LD2981ABM18TR	497-1519-2-ND	1,8 V LDO-Spannungsregler	1.8V, LDO Voltage Regulator	SOT-23-5L		1419.75/3,000	
LD2981ABM25TR	497-1520-1-ND	2,5 V LDO-Spannungsregler	2.5V, LDO Voltage Regulator	SOT-23-5L	1.27	1.06	.89
LD2981ABM25TR	497-1520-2-ND	2,5 V LDO-Spannungsregler	2.5V, LDO Voltage Regulator	SOT-23-5L		1650.87/3,000	
LD2981ABM33TR	497-1521-1-ND	3,3 V LDO-Spannungsregler	3.3V, LDO Voltage Regulator	SOT-23-5L	1.34	1.16	.89
LD2981ABM33TR	497-1521-2-ND	3,3 V LDO-Spannungsregler	3.3V, LDO Voltage Regulator	SOT-23-5L		1419.75/3,000	
LD2981ABM50TR	497-1522-1-ND	5 V LDO-Spannungsregler	5V, LDO Voltage Regulator	SOT-23-5L	1.42	1.19	1.00
LD2981ABM50TR	497-1522-2-ND	5 V LDO-Spannungsregler	5V, LDO Voltage Regulator	SOT-23-5L		1848.97/3,000	
LD2981ABU33TR	497-1524-1-ND	3,3 V LDO-Spannungsregler	3.3V, LDO Voltage Regulator	SOT-89	1.27	1.06	.89
LD2981ABU33TR	497-1524-2-ND	3,3 V LDO-Spannungsregler	3.3V, LDO Voltage Regulator	SOT-89		1375.73/2,500	
LD2981ABU50TR	497-1525-1-ND	5 V LDO-Spannungsregler	5V, LDO Voltage Regulator	SOT-89	1.27	1.06	.89
LD2981ABU50TR	497-1525-2-ND	5 V LDO-Spannungsregler	5V, LDO Voltage Regulator	SOT-89		1375.73/2,500	
LD2982AM18R	497-4253-1-ND	1,8 V LDO-Spannungsregler	1.8V, LDO Voltage Reg.	SOT-23-5L	.83	.72	.56
LD2982AM18R	497-4253-2-ND	1,8 V LDO-Spannungsregler	1.8V, LDO Voltage Reg.	SOT-23-5L		878.77/3,000	
LD3985J18R	497-1526-1-ND	1,8 V LDO-BiCMOS-Spannungsregler	1.8V, LDO BiCMOS Volt. Regulator	Flip-Chip	1.24	1.08	.83
LD3985J18R	497-1526-2-ND	1,8 V LDO-BiCMOS-Spannungsregler	1.8V, LDO BiCMOS Volt. Regulator	Flip-Chip		1757.54/4,000	
LD3985J33R	497-1527-1-ND	3,3 V LDO-BiCMOS-Spannungsregler	3.3V, LDO BiCMOS Volt. Regulator	Flip-Chip	1.24	1.08	.83
LD3985J33R	497-1527-2-ND	3,3 V LDO-BiCMOS-Spannungsregler	3.3V, LDO BiCMOS Volt. Regulator	Flip-Chip		1757.54/4,000	
LD3985M25R	497-4254-1-ND	2,5 V LDO-BiCMOS-Spannungsregler	2.5V, LDO BiCMOS Volt. Regulator	SOT-23-5L	.80	.64	.48
LD3985M25R	497-4254-2-ND	2,5 V LDO-BiCMOS-Spannungsregler	2.5V, LDO BiCMOS Volt. Regulator	SOT-23-5L		759.40/3,000	
LD29080DT25R	497-4242-1-ND	2,5 V, 800 mA LDO-Regler	2.5V, 800mA LDO Regulator	D-PAK	1.21	1.05	.81
LD29080DT25R	497-4242-2-ND	2,5 V, 800 mA LDO-Regler	2.5V, 800mA LDO Regulator	D-PAK		1068.83/2,500	
LD29080DT33R	497-4243-1-ND	3,3 V, 800 mA LDO-Regler	3.3V, 800mA LDO Regulator	D-PAK	1.21	1.05	.81
LD29080DT33R	497-4243-2-ND	3,3 V, 800 mA LDO-Regler	3.3V, 800mA LDO Regulator	D-PAK		1068.83/2,500	
LD29080DT90R	497-4244-1-ND	9 V, 800 mA LDO-Regler	9V, 800mA LDO Regulator	D-PAK	1.56	1.35	1.04
LD29080DT90R	497-4244-2-ND	9 V, 800 mA LDO-Regler	9V, 800mA LDO Regulator	D-PAK		1379.96/2,500	
LD29080PT15R	497-4245-1-ND	1,5 V, 800 mA LDO-Regler	1.5V, 800mA LDO Regulator	P-PAK	1.56	1.35	1.04
LD29080PT15R	497-4245-2-ND	1,5 V, 800 mA LDO-Regler	1.5V, 800mA LDO Regulator	P-PAK		1379.96/2,500	
LD29080PT33R	497-4246-1-ND	3,3 V, 800 mA LDO-Regler	3.3V, 800mA LDO Regulator	P-PAK	1.21	1.05	.81
LD29080PT33R	497-4246-2-ND	3,3 V, 800 mA LDO-Regler	3.3V, 800mA LDO Regulator	P-PAK		1068.83/2,500	
LD29080PTR	497-4247-1-ND	800 mA LDO-Regler, einstellb.	Adj., 800mA LDO Regulator	P-PAK	1.43	1.24	.96
LD29080PTR	497-4247-2-ND	800 mA LDO-Regler, einstellb.	Adj., 800mA LDO Regulator	P-PAK		1267.78/2,500	
LD29150DT15R	497-1493-1-ND	1,5 V, 1,5 A LDO-Spannungsreg.	1.5V, 1.5A LDO Volt. Regulator	D-PAK	1.78	1.49	1.25
LD29150DT15R	497-1493-2-ND	1,5 V, 1,5 A LDO-Spannungsreg.	1.5V, 1.5A LDO Volt. Regulator	D-PAK		1926.02/2,500	
LD29150DT18R	497-1494-1-ND	1,8 V, 1,5 A LDO-Spannungsreg.	1.8V, 1.5A LDO Volt. Regulator	D-PAK	1.78	1.49	1.25
LD29150DT18R	497-1494-2-ND	1,8 V, 1,5 A LDO-Spannungsreg.	1.8V, 1.5A LDO Volt. Regulator	D-PAK		1926.02/2,500	
LD29150DT25R	497-1495-1-ND	2,5 V, 1,5 A LDO-Spannungsreg.	2.5V, 1.5A LDO Volt. Regulator	D-PAK	1.78	1.49	1.25
LD29150DT25R	497-1495-2-ND	2,5 V, 1,5 A LDO-Spannungsreg.	2.5V, 1.5A LDO Volt. Regulator	D-PAK		1926.02/2,500	
LD29150DT33R	497-1496-1-ND	3,3 V, 1,5 A LDO-Spannungsreg.	3.3V, 1.5A LDO Volt. Regulator	D-PAK	1.78	1.49	1.25
LD29150DT33R	497-1496-2-ND	3,3 V, 1,5 A LDO-Spannungsreg.	3.3V, 1.5A LDO Volt. Regulator	D-PAK		1926.02/2,500	
LD29150DT50R	497-3468-1-ND	5 V, 1,5 A LDO-Spannungsreg.	5V, 1.5A LDO Volt. Regulator	D-PAK	1.40	1.17	.98
LD29150DT50R	497-3468-2-ND	5 V, 1,5 A LDO-Spannungsreg.	5V, 1.5A LDO Volt. Regulator	D-PAK		1513.30/2,500	
LD29150PT25R	497-1497-1-ND	2,5 V, 1,5 A LDO-Spannungsreg.	2.5V, 1.5A LDO Volt. Regulator	P-PAK	1.96	1.63	1.37
LD29150PT25R	497-1497-2-ND	2,5 V, 1,5 A LDO-Spannungsreg.	2.5V, 1.5A LDO Volt. Regulator	P-PAK		2118.62/2,500	
LD29150PT33R	497-3469-1-ND	3,3 V, 1,5 A LDO-Spannungsreg.	3.3V, 1.5A LDO Volt. Regulator	P-PAK	1.05	.91	.70
LD29150PT33R	497-3469-2-ND	3,3 V, 1,5 A LDO-Spannungsreg.	3.3V, 1.5A LDO Volt. Regulator	P-PAK		929.14/2,500	
LD29150PT50R	497-4249-1-ND	5 V, 1,5 A LDO-Spannungsreg.	5V, 1.5A LDO Volt. Regulator	P-PAK	1.43	1.24	.96
LD29150PT50R	497-4249-2-ND	5 V, 1,5 A LDO-Spannungsreg.	5V, 1.5A LDO Volt. Regulator	P-PAK		1267.78/2,500	
LD29150PTR	497-4250-1-ND	1,5 A LDO-Spannungsreg., einstellb.	Adj., 1.5A LDO Volt. Regulator	P-PAK	1.46	1.27	.98
LD29150PTR	497-4250-2-ND	1,5 A LDO-Spannungsreg., einstellb.	Adj., 1.5A LDO Volt. Regulator	P-PAK		1295.30/2,500	
LD29150V25	497-3470-5-ND	2,5 V, 1,5 A LDO-Spannungsreg.	2.5V, 1.5A LDO Volt. Regulator	TO-220	1.40	1.17	.98
LD29150V80	497-1498-5-ND	8 V, 1,5 A LDO-Spannungsregler	8V, 1.5A LDO Volt. Regulator	TO-220	1.52	1.27	1.07
LD29300D2M15R	497-1499-1-ND	1,5 V, 3 A LDO-Spannungsregler	1.5V, 3A LDO Volt. Regulator	D2-PAK/A	2.36	1.97	1.66
LD29300D2M15R	497-1499-2-ND	1,5 V, 3 A LDO-Spannungsregler	1.5V, 3A LDO Volt. Regulator	D2-PAK/A		1063.33/1,000	
LD29300D2M18R	497-1500-1-ND	1,8 V, 3 A LDO-Spannungsregler	1.8V, 3A LDO Volt. Regulator	D2-PAK/A	2.36	1.97	1.66
LD29300D2M18R	497-1500-2-ND	1,8 V, 3 A LDO-Spannungsregler	1.8V, 3A LDO Volt. Regulator	D2-PAK/A		1063.33/1,000	
LD29300D2M25R	497-1501-1-ND	2,5 V, 3 A LDO-Spannungsregler	2.5V, 3A LDO Volt. Regulator	D2-PAK/A	2.16	1.80	1.52
LD29300D2M25R	497-1501-2-ND	2,5 V, 3 A LDO-Spannungsregler	2.5V, 3A LDO Volt. Regulator	D2-PAK/A		971.90/1,000	

(Forts.)

★ ***RUFEN SIE BITTE AN FÜR NIEDRIGERE PREISE BEI GRÖSSEREN MENGEN!*** ★

B

STMicroelectronics Teilenr.	Digi-Key Teilenr.	Beschreibung		Paket	Stückpreis★ 1	10	100
LD29300D2M33R	497-1502-1-ND	3,3 V, 3 A LDO-Spannungsregler	3.3V, 3A LDO Volt. Regulator	D2-PAK/A	2.36	1.97	1.66
LD29300D2M33R	497-1502-2-ND	3,3 V, 3 A LDO-Spannungsregler	3.3V, 3A LDO Volt. Regulator	D2-PAK/A		1063.33/1,000	
LD29300D2M50R	497-3471-1-ND	5 V, 3 A LDO-Spannungsregler	5V, 3A LDO Volt. Regulator	D2-PAK/A	2.36	1.97	1.66
LD29300D2M50R	497-3471-2-ND	5 V, 3 A LDO-Spannungsregler	5V, 3A LDO Volt. Regulator	D2-PAK/A		1063.33/1,000	
LD29300D2T15R	497-1503-1-ND	1,5 V, 3 A LDO-Spannungsregler	1.5V, 3A LDO Volt. Regulator	D2-PAK	2.36	1.97	1.66
LD29300D2T15R	497-1503-2-ND	1,5 V, 3 A LDO-Spannungsregler	1.5V, 3A LDO Volt. Regulator	D2-PAK		1063.33/1,000	
LD29300D2T18R	497-1504-1-ND	1,8 V, 3 A LDO-Spannungsregler	1.8V, 3A LDO Volt. Regulator	D2-PAK	2.36	1.97	1.66
LD29300D2T18R	497-1504-2-ND	1,8 V, 3 A LDO-Spannungsregler	1.8V, 3A LDO Volt. Regulator	D2-PAK		1063.33/1,000	
LD29300D2T25R	497-1505-1-ND	2,5 V, 3 A LDO-Spannungsregler	2.5V, 3A LDO Volt. Regulator	D2-PAK	2.16	1.80	1.52
LD29300D2T25R	497-1505-2-ND	2,5 V, 3 A LDO-Spannungsregler	2.5V, 3A LDO Volt. Regulator	D2-PAK		971.90/1,000	
LD29300D2T33R	497-1506-1-ND	3,3 V, 3 A LDO-Spannungsregler	3.3V, 3A LDO Volt. Regulator	D2-PAK	2.36	1.97	1.66
LD29300D2T33R	497-1506-2-ND	3,3 V, 3 A LDO-Spannungsregler	3.3V, 3A LDO Volt. Regulator	D2-PAK		1063.33/1,000	
LD29300D2T80	497-4251-5-ND	8 V, 3 A LDO-Spannungsregler	8V, 3A LDO Volt. Regulator	D2-PAK	1.90	1.59	1.34
LD29300P2M50R	497-3476-1-ND	5 V, 3 A LDO-Spannungsregler	5V, 3A LDO Volt. Regulator	P2-PAK/A	1.93	1.61	1.36
LD29300P2M50R	497-3476-2-ND	5 V, 3 A LDO-Spannungsregler	5V, 3A LDO Volt. Regulator	P2-PAK/A		868.61/1,000	
LD29300V15	497-1507-5-ND	1,5 V, 3 A LDO-Spannungsregler	1.5V, 3A LDO Voltage Regulator	TO-220	2.16	1.80	1.52
LD29300V18	497-1508-5-ND	1,8 V, 3 A LDO-Spannungsregler	1.8V, 3A LDO Voltage Regulator	TO-220	2.16	1.80	1.52
LD29300V25	497-1509-5-ND	2,5 V, 3 A LDO-Spannungsregler	2.5V, 3A LDO Voltage Regulator	TO-220	2.16	1.80	1.52
LD29300V33	497-1510-5-ND	3,3 V, 3 A LDO-Spannungsregler	3.3V, 3A LDO Voltage Regulator	TO-220	2.16	1.80	1.52
LD29300V50	497-4252-5-ND	5 V, 3 A LDO-Spannungsregler	5V, 3A LDO Voltage Regulator	TO-220	2.16	1.80	1.52
LD29300V80	497-1511-5-ND	8 V, 3 A LDO-Spannungsregler	8V, 3A LDO Voltage Regulator	TO-220	2.16	1.80	1.52
LD2980CM18TR	497-3477-1-ND	1,8 V, 50 mA LDO-Spannungsregler	1.8V, 50mA LDO Volt. Regulator	SOT-23-5L	1.24	1.08	.83
LD2980CM18TR	497-3477-2-ND	1,8 V, 50 mA LDO-Spannungsregler	1.8V, 50mA LDO Volt. Regulator	SOT-23-5L		1318.16/3,000	
LD2980CM25TR	497-3478-1-ND	2,5 V, 50 mA LDO-Spannungsregler	2.5V, 50mA LDO Volt. Regulator	SOT-23-5L	1.11	.97	.75
LD2980CM25TR	497-3478-2-ND	2,5 V, 50 mA LDO-Spannungsregler	2.5V, 50mA LDO Volt. Regulator	SOT-23-5L		1183.55/3,000	
LD2980CM33TR	497-3479-1-ND	3,3 V, 50 mA LDO-Spannungsregler	3.3V, 50mA LDO Volt. Regulator	SOT-23-5L	1.08	.94	.72
LD2980CM33TR	497-3479-2-ND	3,3 V, 50 mA LDO-Spannungsregler	3.3V, 50mA LDO Volt. Regulator	SOT-23-5L		1147.99/3,000	
LD2980CU18TR	497-3480-1-ND	1,8 V, 50 mA LDO-Spannungsregler	1.8V, 50mA LDO Volt. Regulator	SOT-89	1.46	1.27	.98
LD2980CU18TR	497-3480-2-ND	1,8 V, 50 mA LDO-Spannungsregler	1.8V, 50mA LDO Volt. Regulator	SOT-89		1295.30/2,500	
LD2980CU50TR	497-3481-1-ND	5 V, 50 mA LDO-Spannungsregler	5V, 50mA LDO Volt. Regulator	SOT-89	1.46	1.27	.98
LD2980CU50TR	497-3481-2-ND	5 V, 50 mA LDO-Spannungsregler	5V, 50mA LDO Volt. Regulator	SOT-89		1295.30/2,500	
LD2981CM18TR	497-3482-1-ND	1,8 V, 100 mA LDO-Spannungsregler	1.8V, 100mA LDO Volt. Regulator	SOT-23-5L	1.21	1.05	.81
LD2981CM18TR	497-3482-2-ND	1,8 V, 100 mA LDO-Spannungsregler	1.8V, 100mA LDO Volt. Regulator	SOT-23-5L		1282.60/3,000	
LD2981CU33TR	497-3483-1-ND	3,3 V, 100 mA LDO-Spannungsregler	3.3V, 100mA LDO Volt. Regulator	SOT-89	1.11	.97	.75
LD2981CU33TR	497-3483-2-ND	3,3 V, 100 mA LDO-Spannungsregler	3.3V, 100mA LDO Volt. Regulator	SOT-89		986.29/2,500	
LD2981CU50TR	497-3484-1-ND	5 V, 100 mA LDO-Spannungsregler	5V, 100mA LDO Volt. Regulator	SOT-89	1.11	.97	.75
LD2981CU50TR	497-3484-2-ND	5 V, 100 mA LDO-Spannungsregler	5V, 100mA LDO Volt. Regulator	SOT-89		986.29/2,500	
LD2982AM15R	497-3485-1-ND	1,5 V, 50 mA LDO-Spannungsregler	1.5V, 50mA LDO Volt. Regulator	SOT-23-5L	1.36	1.19	.92
LD2982AM15R	497-3485-2-ND	1,5 V, 50 mA LDO-Spannungsregler	1.5V, 50mA LDO Volt. Regulator	SOT-23-5L		1452.77/3,000	
LD2982AM25R	497-3486-1-ND	2,5 V, 50 mA LDO-Spannungsregler	2.5V, 50mA LDO Volt. Regulator	SOT-23-5L	1.36	1.19	.92
LD2982AM25R	497-3486-2-ND	2,5 V, 50 mA LDO-Spannungsregler	2.5V, 50mA LDO Volt. Regulator	SOT-23-5L		1452.77/3,000	
LD2982AM33R	497-3487-1-ND	3,3 V, 50 mA LDO-Spannungsregler	3.3V, 50mA LDO Volt. Regulator	SOT-23-5L	.89	.77	.60
LD2982AM33R	497-3487-2-ND	3,3 V, 50 mA LDO-Spannungsregler	3.3V, 50mA LDO Volt. Regulator	SOT-23-5L		944.81/3,000	
LD2982AM50R	497-3488-1-ND	5 V, 50 mA LDO-Spannungsregler	5V, 50mA LDO Volt. Regulator	SOT-23-5L	1.34	1.16	.89
LD2982AM50R	497-3488-2-ND	5 V, 50 mA LDO-Spannungsregler	5V, 50mA LDO Volt. Regulator	SOT-23-5L		1419.75/3,000	
LD2982BM33R	497-3489-1-ND	3,3 V, 50 mA LDO-Spannungsregler	3.3V, 50mA LDO Volt. Regulator	SOT-23-5L	1.36	1.19	.92
LD2982BM33R	497-3489-2-ND	3,3 V, 50 mA LDO-Spannungsregler	3.3V, 50mA LDO Volt. Regulator	SOT-23-5L		1452.77/3,000	
LD2982BM50R	497-3490-1-ND	5 V, 50 mA LDO-Spannungsregler	5V, 50mA LDO Volt. Regulator	SOT-23-5L	1.34	1.16	.89
LD2982BM50R	497-3490-2-ND	5 V, 50 mA LDO-Spannungsregler	5V, 50mA LDO Volt. Regulator	SOT-23-5L		1419.75/3,000	
LD2985AM15R	497-3491-1-ND	1,5 V, 150 mA LDO-Spannungsregler	1.5V, 150mA LDO Volt. Regulator	SOT-23-5L	1.43	1.24	.96
LD2985AM15R	497-3491-2-ND	1,5 V, 150 mA LDO-Spannungsregler	1.5V, 150mA LDO Volt. Regulator	SOT-23-5L		1521.34/3,000	
LD2985AM18R	497-3492-1-ND	1,8 V, 150 mA LDO-Spannungsregler	1.8V, 150mA LDO Volt. Regulator	SOT-23-5L	1.43	1.24	.96
LD2985AM18R	497-3492-2-ND	1,8 V, 150 mA LDO-Spannungsregler	1.8V, 150mA LDO Volt. Regulator	SOT-23-5L		1521.34/3,000	
LD2985AM25R	497-3493-1-ND	2,5 V, 150 mA LDO-Spannungsregler	2.5V, 150mA LDO Volt. Regulator	SOT-23-5L	1.43	1.24	.96
LD2985AM25R	497-3493-2-ND	2,5 V, 150 mA LDO-Spannungsregler	2.5V, 150mA LDO Volt. Regulator	SOT-23-5L		1521.34/3,000	
LD2985AM33R	497-3494-1-ND	3,3 V, 150 mA LDO-Spannungsregler	3.3V, 150mA LDO Volt. Regulator	SOT-23-5L	1.43	1.24	.96
LD2985AM33R	497-3494-2-ND	3,3 V, 150 mA LDO-Spannungsregler	3.3V, 150mA LDO Volt. Regulator	SOT-23-5L		1521.34/3,000	
LD2985AM50R	497-3495-1-ND	5 V, 150 mA LDO-Spannungsregler	5V, 150mA LDO Volt. Regulator	SOT-23-5L	1.43	1.24	.96
LD2985AM50R	497-3495-2-ND	5 V, 150 mA LDO-Spannungsregler	5V, 150mA LDO Volt. Regulator	SOT-23-5L		1521.34/3,000	
LD2985BM15R	497-3496-1-ND	1,5 V, 150 mA LDO-Spannungsregler	1.5V, 150mA LDO Volt. Regulator	SOT-23-5L	1.43	1.24	.96
LD2985BM15R	497-3496-2-ND	1,5 V, 150 mA LDO-Spannungsregler	1.5V, 150mA LDO Volt. Regulator	SOT-23-5L		1521.34/3,000	
LD2985BM18R	497-3497-1-ND	1,8 V, 150 mA LDO-Spannungsregler	1.8V, 150mA LDO Volt. Regulator	SOT-23-5L	1.43	1.24	.96
LD2985BM18R	497-3497-2-ND	1,8 V, 150 mA LDO-Spannungsregler	1.8V, 150mA LDO Volt. Regulator	SOT-23-5L		1521.34/3,000	
LD2985BM25R	497-3498-1-ND	2,5 V, 150 mA LDO-Spannungsregler	2.5V, 150mA LDO Volt. Regulator	SOT-23-5L	1.43	1.24	.96
LD2985BM25R	497-3498-2-ND	2,5 V, 150 mA LDO-Spannungsregler	2.5V, 150mA LDO Volt. Regulator	SOT-23-5L		1521.34/3,000	
LD2985BM33R	497-3499-1-ND	3,3 V, 150 mA LDO-Spannungsregler	3.3V, 150mA LDO Volt. Regulator	SOT-23-5L	1.43	1.24	.96
LD2985BM33R	497-3499-2-ND	3,3 V, 150 mA LDO-Spannungsregler	3.3V, 150mA LDO Volt. Regulator	SOT-23-5L		1521.34/3,000	
LD2985BM50R	497-3500-1-ND	5 V, 150 mA LDO-Spannungsregler	5V, 150mA LDO Volt. Regulator	SOT-23-5L	1.43	1.24	.96
LD2985BM50R	497-3500-2-ND	5 V, 150 mA LDO-Spannungsregler	5V, 150mA LDO Volt. Regulator	SOT-23-5L		1521.34/3,000	
LD3985G18R	497-3501-1-ND	1,8 V, 150 mA LDO-Spannungsregler	1.8V, 150mA LDO Volt. Regulator	TSOT-23-5L	1.24	1.08	.83
LD3985G18R	497-3501-2-ND	1,8 V, 150 mA LDO-Spannungsregler	1.8V, 150mA LDO Volt. Regulator	TSOT-23-5L		1318.16/3,000	
LD3985G25R	497-3502-1-ND	2,5 V, 150 mA LDO-Spannungsregler	2.5V, 150mA LDO Volt. Regulator	TSOT-23-5L	1.24	1.08	.83
LD3985G25R	497-3502-2-ND	2,5 V, 150 mA LDO-Spannungsregler	2.5V, 150mA LDO Volt. Regulator	TSOT-23-5L		1318.16/3,000	
LD3985M18R	497-3503-1-ND	1,8 V, 150 mA LDO-Spannungsregler	1.8V, 150mA LDO Volt. Regulator	SOT-23-5L	1.24	1.08	.83
LD3985M18R	497-3503-2-ND	1,8 V, 150 mA LDO-Spannungsregler	1.8V, 150mA LDO Volt. Regulator	SOT-23-5L		1318.16/3,000	
LD3985M33R	497-3504-1-ND	3,3 V, 150 mA LDO-Spannungsregler	3.3V, 150mA LDO Volt. Regulator	SOT-23-5L	1.24	1.08	.83
LD3985M33R	497-3504-2-ND	3,3 V, 150 mA LDO-Spannungsregler	3.3V, 150mA LDO Volt. Regulator	SOT-23-5L		1318.16/3,000	
LDR1833K7-R	497-4255-1-ND	1,8 V/3,3 V LDO-Spannungsreg.	1.8V/3.3V LDO Volt. Regulator	7-SPAK	1.36	1.19	.92
LDR1833K7-R	497-4255-2-ND	1,8 V/3,3 V LDO-Spannungsreg.	1.8V/3.3V LDO Volt. Regulator	7-SPAK		1056.56/2,000	
LDR2533BPT-R	497-3505-1-ND	Zweif. 2,5 V/3,3 V LDO-Spannungsreg.	2.5V/3.3V LDO Dual Volt. Regulator	P-PAK	1.37	1.15	.96
LDR2533BPT-R	497-3505-2-ND	Zweif. 2,5 V/3,3 V LDO-Spannungsreg.	2.5V/3.3V LDO Dual Volt. Regulator	P-PAK		1485.78/2,500	
LDR2533K7-R	497-4256-1-ND	2,5 V/3,3 V LDO-Spannungsreg.	2.5V/3.3V LDO Volt. Regulator	7-SPAK	1.36	1.19	.92
LDR2533K7-R	497-4256-2-ND	2,5 V/3,3 V LDO-Spannungsreg.	2.5V/3.3V LDO Volt. Regulator	7-SPAK		1056.56/2,000	
LDS3985M33R	497-4257-1-ND	3,3 V, 300 mA LDO-Spannungsregler	3.3V, 300mA LDO Volt. Regulator	SOT-23-5L	.76	.61	.46
LDS3985M33R	497-4257-2-ND	3,3 V, 300 mA LDO-Spannungsregler	3.3V, 300mA LDO Volt. Regulator	SOT-23-5L		723.84/3,000	
LE30CZ	497-1528-ND	3 V LDO-Spannungsregler	3V, LDO Voltage Regulator	TO-92	.89	.77	.60
LE33CZ-TR	497-4258-1-ND	3,3 V LDO-Spannungsregler	3.3V, LDO Voltage Regulator	TO-92	.73	.58	.44
LE33CZ-TR	497-4258-2-ND	3,3 V LDO-Spannungsregler	3.3V, LDO Voltage Regulator	TO-92		499.49/2,000	
LE40CZ	497-1529-ND	4 V LDO-Spannungsregler	4V, LDO Voltage Regulator	TO-92	.89	.77	.60
LE45ABD-TR	497-1530-1-ND	4,5 V LDO-Spannungsregler	4.5V, LDO Voltage Regulator	8-SOIC	1.11	.97	.75
LE45ABD-TR	497-1530-2-ND	4,5 V LDO-Spannungsregler	4.5V, LDO Voltage Regulator	8-SOIC		986.29/2,500	
LE50ABZ-AP	497-1531-1-ND	5 V LDO-Spannungsregler	5V, LDO Voltage Regulator	TO-92	1.14	1.00	.77
LE50ABZ-AP	497-1531-3-ND	5 V LDO-Spannungsregler	5V, LDO Voltage Regulator	TO-92		883.85/2,000	
LF33CDT	497-2962-5-ND	3,3 V LDO-Spannungsregler	3.3V, LDO Voltage Regulator	D-PAK	1.40	1.22	.94
LF33CDT-TR	497-1532-1-ND	3,3 V LDO-Spannungsregler	3.3V, LDO Voltage Regulator	D-PAK	1.52	1.33	1.02
LF33CDT-TR	497-1532-2-ND	3,3 V LDO-Spannungsregler	3.3V, LDO Voltage Regulator	D-PAK		1350.33/2,500	
LF50ABDT	497-1533-5-ND	5 V LDO-Spannungsregler	5V, LDO Voltage Regulator	D-PAK	1.27	1.06	.89
LF50CDT-TR	497-1534-1-ND	5 V LDO-Spannungsregler	5V, LDO Voltage Regulator	D-PAK	1.52	1.33	1.02
LF50CDT-TR	497-1534-2-ND	5 V LDO-Spannungsregler	5V, LDO Voltage Regulator	D-PAK		1350.33/2,500	
LF60ABDT-TR	497-1535-1-ND	6 V LDO-Spannungsregler	6V, LDO Voltage Regulator	D-PAK	1.55	1.30	1.09
LF60ABDT-TR	497-1535-2-ND	6 V LDO-Spannungsregler	6V, LDO Voltage Regulator	D-PAK		1678.38/2,500	
LF80ABDT	497-1536-5-ND	8 V LDO-Spannungsregler	8V, LDO Voltage Regulator	D-PAK	1.27	1.06	.89
LF80CDT-TR	497-1537-1-ND	8 V LDO-Spannungsregler	8V, LDO Voltage Regulator	D-PAK	1.52	1.33	1.02
LF80CDT-TR	497-1537-2-ND	8 V LDO-Spannungsregler	8V, LDO Voltage Regulator	D-PAK		1350.33/2,500	
LF85CDT	497-1538-5-ND	8,5 V LDO-Spannungsregler	8.5V, LDO Voltage Regulator	D-PAK	1.40	1.22	.94

(Forts.)

★ RUFEN SIE BITTE AN FÜR NIEDRIGERE PREISE BEI GRÖSSEREN MENGEN! ★

STMicroelectronics Teilenr.	Digi-Key Teilenr.	Beschreibung		Paket	Stückpreis★ 1	10	100
LF90ABDT-TR	497-1539-1-ND	9 V LDO-Spannungsregler	9V, LDO Voltage Regulator	D-PAK	1.37	1.15	.96
LF90ABDT-TR	497-1539-2-ND	9 V LDO-Spannungsregler	9V, LDO Voltage Regulator	D-PAK		1485.78/2,500	
LK112SM50TR	497-4259-1-ND	5 V LDO-Spannungsregler	5V, LDO Voltage Reg.	SOT-23-5L	.73	.58	.44
LK112SM50TR	497-4259-2-ND	5 V LDO-Spannungsregler	5V, LDO Voltage Reg.	SOT-23-5L		688.29/3,000	
LK115D33-TR	497-1540-1-ND	3,3 V LDO-Spannungsregler	3.3V, LDO Voltage Regulator	8-SOIC	.86	.75	.58
LK115D33-TR	497-1540-2-ND	3,3 V LDO-Spannungsregler	3.3V, LDO Voltage Regulator	8-SOIC		759.82/2,500	
LM2931AD50R	497-1563-1-ND	5 V LDO-Spannungsregler	5V, LDO Voltage Regulator	8-SOIC	.80	.69	.53
LM2931AD50R	497-1563-2-ND	5 V LDO-Spannungsregler	5V, LDO Voltage Regulator	8-SOIC		704.79/2,500	
LM2931ADT50R	497-1564-1-ND	5 V LDO-Spannungsregler	5V, LDO Voltage Regulator	D-PAK	.80	.69	.53
LM2931ADT50R	497-1564-2-ND	5 V LDO-Spannungsregler	5V, LDO Voltage Regulator	D-PAK		704.79/2,500	
LM2931AV50	497-1565-5-ND	5 V LDO-Spannungsregler	5V, LDO Voltage Regulator	TO-220	.96	.77	.58
LM2931AZ50R	497-4262-1-ND	5 V LDO-Spannungsregler	5V, LDO Voltage Regulator	TO-92	.65	.52	.39
LM2931AZ50R	497-4262-2-ND	5 V LDO-Spannungsregler	5V, LDO Voltage Regulator	TO-92		447.00/2,000	
LM2931D	497-4263-5-ND	2,5 V/26 V LDO-Spannungsregler	2.5V/26V, LDO Voltage Reg.	8-SOIC	.89	.77	.60

STMicroelectronics Teilenr.	Digi-Key Teilenr.	Beschreibung		Paket	Stückpreis★ 1	10	100
STM809MWX6F	497-3326-1-ND	4,38 V Reset-Schaltkreis	4.38V Reset Circuit	SOT-23	.44	.35	.27
STM809MWX6F	497-3326-2-ND	4,38 V Reset-Schaltkreis	4.38V Reset Circuit	SOT-23		393.67/3,000	
STM809RWX6F	497-3327-1-ND	2,63 V Reset-Schaltkreis	2.63V Reset Circuit	SOT-23	.44	.35	.27
STM809RWX6F	497-3327-2-ND	2,63 V Reset-Schaltkreis	2.63V Reset Circuit	SOT-23		393.67/3,000	
STM809SWX6F	497-3338-1-ND	2,93 V Reset-Schaltkreis	2.93V Reset Circuit	SOT-23	.44	.35	.27
STM809SWX6F	497-3338-2-ND	2,93 V Reset-Schaltkreis	2.93V Reset Circuit	SOT-23		393.67/3,000	
STM809TWX6F	497-3339-1-ND	3,08 V Reset-Schaltkreis	3.08V Reset Circuit	SOT-23	.44	.35	.27
STM809TWX6F	497-3339-2-ND	3,08 V Reset-Schaltkreis	3.08V Reset Circuit	SOT-23		393.67/3,000	
STM810LWX6F	497-3340-1-ND	4,63 V Reset-Schaltkreis	4.63V Reset Circuit	SOT-23	.44	.35	.27
STM810LWX6F	497-3340-2-ND	4,63 V Reset-Schaltkreis	4.63V Reset Circuit	SOT-23		393.67/3,000	
STM810MWX6F	497-3341-1-ND	4,38 V Reset-Schaltkreis	4.38V Reset Circuit	SOT-23	.44	.35	.27
STM810MWX6F	497-3341-2-ND	4,38 V Reset-Schaltkreis	4.38V Reset Circuit	SOT-23		393.67/3,000	
STM810RWX6F	497-3342-1-ND	2,63 V Reset-Schaltkreis	2.63V Reset Circuit	SOT-23	.44	.35	.27
STM810RWX6F	497-3342-2-ND	2,63 V Reset-Schaltkreis	2.63V Reset Circuit	SOT-23		393.67/3,000	
STM810SWX6F	497-3343-1-ND	2,93 V Reset-Schaltkreis	2.93V Reset Circuit	SOT-23	.44	.35	.27
STM810SWX6F	497-3343-2-ND	2,93 V Reset-Schaltkreis	2.93V Reset Circuit	SOT-23		393.67/3,000	
STM810TWX6F	497-3344-1-ND	3,08 V Reset-Schaltkreis	3.08V Reset Circuit	SOT-23	.44	.35	.27
STM810TWX6F	497-3344-2-ND	3,08 V Reset-Schaltkreis	3.08V Reset Circuit	SOT-23		393.67/3,000	
STM811LW16F	497-3345-1-ND	4,63 V Reset-Schaltkreis	4.63V Reset Circuit	SOT-143-4	.66	.53	.40
STM811LW16F	497-3345-2-ND	4,63 V Reset-Schaltkreis	4.63V Reset Circuit	SOT-143-4		629.87/3,000	
STM811MW16F	497-3346-1-ND	4,38 V Reset-Schaltkreis	4.38V Reset Circuit	SOT-143-4	.66	.53	.40
STM811MW16F	497-3346-2-ND	4,38 V Reset-Schaltkreis	4.38V Reset Circuit	SOT-143-4		629.87/3,000	
STM811RW16F	497-3347-1-ND	2,63 V Reset-Schaltkreis	2.63V Reset Circuit	SOT-143-4	.66	.53	.40
STM811RW16F	497-3347-2-ND	2,63 V Reset-Schaltkreis	2.63V Reset Circuit	SOT-143-4		629.87/3,000	
STM811SW16F	497-3348-1-ND	2,93 V Reset-Schaltkreis	2.93V Reset Circuit	SOT-143-4	.66	.53	.40
STM811SW16F	497-3348-2-ND	2,93 V Reset-Schaltkreis	2.93V Reset Circuit	SOT-143-4		629.87/3,000	
STM811TW16F	497-3349-1-ND	3,08 V Reset-Schaltkreis	3.08V Reset Circuit	SOT-143-4	.66	.53	.40
STM811TW16F	497-3349-2-ND	3,08 V Reset-Schaltkreis	3.08V Reset Circuit	SOT-143-4		629.87/3,000	
STM812LW16F	497-3350-1-ND	4,63 V Reset-Schaltkreis	4.63V Reset Circuit	SOT-143-4	.66	.53	.40
STM812LW16F	497-3350-2-ND	4,63 V Reset-Schaltkreis	4.63V Reset Circuit	SOT-143-4		629.87/3,000	
STM812MW16F	497-3351-1-ND	4,38 V Reset-Schaltkreis	4.38V Reset Circuit	SOT-143-4	.66	.53	.40
STM812MW16F	497-3351-2-ND	4,38 V Reset-Schaltkreis	4.38V Reset Circuit	SOT-143-4		629.87/3,000	
STM812RW16F	497-3352-1-ND	2,63 V Reset-Schaltkreis	2.63V Reset Circuit	SOT-143-4	.66	.53	.40
STM812RW16F	497-3352-2-ND	2,63 V Reset-Schaltkreis	2.63V Reset Circuit	SOT-143-4		629.87/3,000	
STM812SW16F	497-3353-1-ND	2,93 V Reset-Schaltkreis	2.93V Reset Circuit	SOT-143-4	.66	.53	.40
STM812SW16F	497-3353-2-ND	2,93 V Reset-Schaltkreis	2.93V Reset Circuit	SOT-143-4		629.87/3,000	
STM812TW16F	497-3354-1-ND	3,08 V Reset-Schaltkreis	3.08V Reset Circuit	SOT-143-4	.66	.53	.40
STM812TW16F	497-3354-2-ND	3,08 V Reset-Schaltkreis	3.08V Reset Circuit	SOT-143-4		629.87/3,000	

STMicroelectronics Teilenr.	Digi-Key Teilenr.	Beschreibung		Paket	Stückpreis★ 1	10	100
		EPROM					
M27C64A-10F1	497-1684-5-ND	64 K-Bit (8 Kb x 8), 100 nS, UV EPROM	64K-Bit (8Kb x 8), 100nS, UV EPROM	28-FDip	4.23	3.69	2.75
M27C64A-15F1	497-1685-5-ND	64 K-Bit (8 Kb x 8), 150 nS, UV EPROM	64K-Bit (8Kb x 8), 150nS, UV EPROM	28-FDip	4.23	3.69	2.75
M27C64A-20F1	497-1686-5-ND	64 K-Bit (8 Kb x 8), 200 nS, UV EPROM	64K-Bit (8Kb x 8), 200nS, UV EPROM	28-FDip	4.23	3.69	2.75
M27C256B-10B6	497-1641-5-ND	256 K-Bit (32 Kb x 8), 100 nS, OTP EPROM	256K-Bit (32Kb x 8), 100nS, OTP EPROM	28-PDip	1.30	1.08	.91
M27C256B-10F1	497-1642-5-ND	256 K-Bit (32 Kb x 8), 100 nS, UV EPROM	256K-Bit (32Kb x 8), 100nS, UV EPROM	28-FDip	2.63	2.29	1.71
M27C256B-12B1	497-1643-5-ND	256 K-Bit (32 Kb x 8), 120 nS, OTP EPROM	256K-Bit (32Kb x 8), 120nS, OTP EPROM	28-PDip	1.30	1.08	.91
M27C256B-12C1	497-1644-5-ND	256 K-Bit (32 Kb x 8), 120 nS, OTP EPROM	256K-Bit (32Kb x 8), 120nS, OTP EPROM	32-PLCC	1.30	1.08	.91
M27C256B-12C6	497-1645-5-ND	256 K-Bit (32 Kb x 8), 120 nS, OTP EPROM	256K-Bit (32Kb x 8), 120nS, OTP EPROM	32-PLCC	1.30	1.08	.91
M27C256B-12F1	497-1646-5-ND	256 K-Bit (32 Kb x 8), 120 nS, UV EPROM	256K-Bit (32Kb x 8), 120nS, UV EPROM	28-FDip	2.63	2.29	1.71
M27C256B-12F6	497-1647-5-ND	256 K-Bit (32 Kb x 8), 120 nS, UV EPROM	256K-Bit (32Kb x 8), 120nS, UV EPROM	28-FDip	2.63	2.29	1.71
M27C256B-15B1	497-1648-5-ND	256 K-Bit (32 Kb x 8), 150 nS, OTP EPROM	256K-Bit (32Kb x 8), 150nS, OTP EPROM	28-PDip	1.30	1.08	.91
M27C256B-15C1	497-1649-5-ND	256 K-Bit (32 Kb x 8), 150 nS, OTP EPROM	256K-Bit (32Kb x 8), 150nS, OTP EPROM	32-PLCC	1.30	1.08	.91
M27C256B-15F1	497-1650-5-ND	256 K-Bit (32 Kb x 8), 150 nS, UV EPROM	256K-Bit (32Kb x 8), 150nS, UV EPROM	28-FDip	2.63	2.29	1.71
M27C256B-70C1	497-1652-5-ND	256 K-Bit (32 Kb x 8), 70 nS, OTP EPROM	256K-Bit (32Kb x 8), 70nS, OTP EPROM	32-PLCC	1.30	1.08	.91
M27C256B-90B1	497-1653-5-ND	256 K-Bit (32 Kb x 8), 90 nS, OTP EPROM	256K-Bit (32Kb x 8), 90nS, OTP EPROM	28-PDip	1.30	1.08	.91
M27C256B-90C1	497-1654-5-ND	256 K-Bit (32 Kb x 8), 90 nS, OTP EPROM	256K-Bit (32Kb x 8), 90nS, OTP EPROM	32-PLCC	1.30	1.08	.91
M27C256B-90C6	497-1655-5-ND	256 K-Bit (32 Kb x 8), 90 nS, OTP EPROM	256K-Bit (32Kb x 8), 90nS, OTP EPROM	32-PLCC	1.30	1.08	.91
M27C256B-90F6	497-1656-5-ND	256 K-Bit (32 Kb x 8), 90 nS, OTP EPROM	256K-Bit (32Kb x 8), 90nS, OTP EPROM	28-FDip	2.63	2.29	1.71
M27C512-10F1	497-1667-5-ND	512 K-Bit (64 Kb x 8), 100 nS, UV EPROM	512K-Bit (64Kb x 8), 100nS, UV EPROM	28-FDip	2.74	2.39	1.78
M27C512-12B1	497-1668-5-ND	512 K-Bit (64 Kb x 8), 120 nS, OTP EPROM	512K-Bit (64Kb x 8), 120nS, OTP EPROM	28-PDip	1.45	1.21	1.02
M27C512-12C1	497-1669-5-ND	512 K-Bit (64 Kb x 8), 120 nS, OTP EPROM	512K-Bit (64Kb x 8), 120nS, OTP EPROM	32-PLCC	1.45	1.21	1.02
M27C512-12C6	497-1670-5-ND	512 K-Bit (64 Kb x 8), 120 nS, OTP EPROM	512K-Bit (64Kb x 8), 120nS, OTP EPROM	32-PLCC	1.45	1.21	1.02
M27C512-12F1	497-1671-5-ND	512 K-Bit (64 Kb x 8), 120 nS, UV EPROM	512K-Bit (64Kb x 8), 120nS, UV EPROM	28-FDip	2.74	2.39	1.78
M27C512-15B1	497-1672-5-ND	512 K-Bit (64 Kb x 8), 150 nS, OTP EPROM	512K-Bit (64Kb x 8), 150nS, OTP EPROM	28-PDip	1.45	1.21	1.02
M27C512-15B6	497-1673-5-ND	512 K-Bit (64 Kb x 8), 150 nS, OTP EPROM	512K-Bit (64Kb x 8), 150nS, OTP EPROM	28-PDip	1.45	1.21	1.02
M27C512-15C1	497-1674-5-ND	512 K-Bit (64 Kb x 8), 150 nS, OTP EPROM	512K-Bit (64Kb x 8), 150nS, OTP EPROM	32-PLCC	1.45	1.21	1.02
M27C512-15F1	497-1675-5-ND	512 K-Bit (64 Kb x 8), 150 nS, UV EPROM	512K-Bit (64Kb x 8), 150nS, UV EPROM	28-FDip	2.74	2.39	1.78
M27C512-15F6	497-1676-5-ND	512 K-Bit (64 Kb x 8), 150 nS, UV EPROM	512K-Bit (64Kb x 8), 150nS, UV EPROM	28-FDip	2.74	2.39	1.78
M27C512-70C1	497-1677-5-ND	512 K-Bit (64 Kb x 8), 70 nS, OTP EPROM	512K-Bit (64Kb x 8), 70nS, OTP EPROM	32-PLCC	1.45	1.21	1.02
M27C512-70C6	497-1678-5-ND	512 K-Bit (64 Kb x 8), 70 nS, OTP EPROM	512K-Bit (64Kb x 8), 70nS, OTP EPROM	32-PLCC	1.45	1.21	1.02
M27C512-70XF1	497-1679-5-ND	512 K-Bit (64 Kb x 8), 70 nS, UV EPROM	512K-Bit (64Kb x 8), 70nS, UV EPROM	28-FDip	2.74	2.39	1.78
M27C512-90B1	497-1681-5-ND	512 K-Bit (64 Kb x 8), 90 nS, OTP EPROM	512K-Bit (64Kb x 8), 90nS, OTP EPROM	28-PDip	1.45	1.21	1.02
M27C512-90B6	497-1682-5-ND	512 K-Bit (64 Kb x 8), 90 nS, OTP EPROM	512K-Bit (64Kb x 8), 90nS, OTP EPROM	28-PDip	1.45	1.21	1.02
M27C512-90C6	497-1683-5-ND	512 K-Bit (64 Kb x 8), 90 nS, OTP EPROM	512K-Bit (64Kb x 8), 90nS, OTP EPROM	32-PLCC	1.45	1.21	1.02
M27C801-100B1	497-1687-5-ND	8 M-Bit (1Mb x 8), 100 nS, OTP EPROM	8M-Bit (1Mb x 8), 100nS, OTP EPROM	32-PDip	4.87	4.45	3.52
M27C801-100F1	497-1688-5-ND	8 M-Bit (1Mb x 8), 100 nS, UV EPROM	8M-Bit (1Mb x 8), 100nS, UV EPROM	32-FDip	6.82	6.23	4.92
M27C801-100N1	497-1689-5-ND	8 M-Bit (1Mb x 8), 100 nS, OTP EPROM	8M-Bit (1Mb x 8), 100nS, OTP EPROM	32-TSOP	4.87	4.45	3.52
M27C801-120B1	497-1690-5-ND	8 M-Bit (1Mb x 8), 120 nS, OTP EPROM	8M-Bit (1Mb x 8), 120nS, OTP EPROM	32-PDip	4.87	4.45	3.52
M27C1001-10B1	497-1625-5-ND	1 M-Bit (125 Kb x 8), 100 nS, OTP EPROM	1M-Bit (125Kb x 8), 100nS, OTP EPROM	32-PDip	2.16	1.80	1.52
M27C1001-10C1	497-1626-5-ND	1 M-Bit (125 Kb x 8), 100 nS, OTP EPROM	1M-Bit (125Kb x 8), 100nS, OTP EPROM	32-PLCC	2.16	1.80	1.52

(Forts.)

★ RUFEN SIE BITTE AN FÜR NIEDRIGERE PREISE BEI GRÖSSEREN MENGEN! ★

B

STMicroelectronics Teilenr.	Digi-Key Teilenr.	Beschreibung		Paket	Stückpreis★ 1	10	100
M27C1001-10F1	497-1627-5-ND	1 M-Bit (125 Kb x 8), 100 nS, UV EPROM	1M-Bit (125Kb x 8), 100nS, UV EPROM	32-FDip	3.24	2.83	2.11
M27C1001-12B1	497-1628-5-ND	1 M-Bit (125 Kb x 8), 120 nS, OTP EPROM	1M-Bit (125Kb x 8), 120nS, OTP EPROM	32-PDip	2.16	1.80	1.52
M27C1001-12C1	497-1629-5-ND	1 M-Bit (125 Kb x 8), 120 nS, OTP EPROM	1M-Bit (125Kb x 8), 120nS, OTP EPROM	32-PLCC	2.16	1.80	1.52
M27C1001-12C6	497-1630-5-ND	1 M-Bit (125 Kb x 8), 120 nS, OTP EPROM	1M-Bit (125Kb x 8), 120nS, OTP EPROM	32-PLCC	2.16	1.80	1.52
M27C1001-12F1	497-1631-5-ND	1 M-Bit (128 Kb x 8), 120 nS, UV EPROM	1M-Bit (128Kb x 8), 120nS, UV EPROM	32-FDip	3.24	2.83	2.11
M27C1001-12F6	497-1632-5-ND	1 M-Bit (128 Kb x 8), 120 nS, UV EPROM	1M-Bit (128Kb x 8), 120nS, UV EPROM	32-FDip	3.24	2.83	2.11
M27C1001-15B1	497-1633-5-ND	1 M-Bit (128 Kb x 8), 150 nS, OTP EPROM	1M-Bit (128Kb x 8), 150nS, OTP EPROM	32-PDip	2.16	1.80	1.52
M27C1001-15C1	497-1634-5-ND	1 M-Bit (128 Kb x 8), 150 nS, OTP EPROM	1M-Bit (128Kb x 8), 150nS, OTP EPROM	32-PLCC	2.16	1.80	1.52
M27C1001-15F1	497-1635-5-ND	1 M-Bit (128 Kb x 8), 150 nS, UV EPROM	1M-Bit (128Kb x 8), 150nS, UV EPROM	32-FDip	3.24	2.83	2.11
M27C1001-70C1	497-1636-5-ND	1 M-Bit (128 Kb x 8), 70 nS, OTP EPROM	1M-Bit (128Kb x 8), 70nS, OTP EPROM	32-PLCC	2.16	1.80	1.52
M27C1001-70F1	497-1637-5-ND	1 M-Bit (128 Kb x 8), 70 nS, UV EPROM	1M-Bit (128Kb x 8), 70nS, UV EPROM	32-FDip	3.24	2.83	2.11
M27C2001-10B1	497-1638-5-ND	2 M-Bit (256 Kb x 8), 100 nS, OTP EPROM	2M-Bit (256Kb x 8), 100nS, OTP EPROM	32-PDip	2.41	2.02	1.69
M27C2001-10F1	497-1639-5-ND	2 M-Bit (256 Kb x 8), 100 nS, UV EPROM	2M-Bit (256Kb x 8), 100nS, UV EPROM	32-FDip	4.46	3.88	2.89
M27C2001-55C1	497-1640-5-ND	2 M-Bit (256 Kb x 8), 55 nS, OTP EPROM	2M-Bit (256Kb x 8), 55nS, OTP EPROM	32-PLCC	2.41	2.02	1.69
M27C4001-10B1	497-1657-5-ND	4 M-Bit (512 Kb x 8), 100 nS, OTP EPROM	4M-Bit (512Kb x 8), 100nS, OTP EPROM	32-PDip	3.55	3.09	2.30
M27C4001-10F1	497-1658-5-ND	4 M-Bit (512 Kb x 8), 100 nS, UV EPROM	4M-Bit (512Kb x 8), 100nS, UV EPROM	32-FDip	5.16	4.72	3.73
M27C4001-12B1	497-1659-5-ND	4 M-Bit (512 Kb x 8), 120 nS, OTP EPROM	4M-Bit (512Kb x 8), 120nS, OTP EPROM	32-PDip	3.55	3.09	2.30
M27C4001-12C1	497-1660-5-ND	4 M-Bit (512 Kb x 8), 120 nS, OTP EPROM	4M-Bit (512Kb x 8), 120nS, OTP EPROM	32-PLCC	3.55	3.09	2.30
M27C4001-12F1	497-1661-5-ND	4 M-Bit (512 Kb x 8), 120 nS, UV EPROM	4M-Bit (512Kb x 8), 120nS, UV EPROM	32-FDip	5.16	4.72	3.73
M27C4001-15C1	497-1662-5-ND	4 M-Bit (512 Kb x 8), 150 nS, OTP EPROM	4M-Bit (512Kb x 8), 150nS, OTP EPROM	32-PLCC	3.55	3.09	2.30
M27C4001-15F1	497-1663-5-ND	4 M-Bit (512 Kb x 8), 150 nS, UV EPROM	4M-Bit (512Kb x 8), 150nS, UV EPROM	32-FDip	5.16	4.72	3.73
M27C4001-80XF1	497-1664-5-ND	4 M-Bit (512 Kb x 8), 80 nS, UV EPROM	4M-Bit (512Kb x 8), 80nS, UV EPROM	32-FDip	5.16	4.72	3.73
M27C4002-10B1	497-1665-5-ND	4 M-Bit (256 Kb x 16), 100 nS, OTP EPROM	4M-Bit (256Kb x 16), 100nS, OTP EPROM	40-PDip	3.89	3.39	2.52
M27C4002-12C1	497-1666-5-ND	4 M-Bit (256 Kb x 16), 120 nS, OTP EPROM	4M-Bit (256Kb x 16), 120nS, OTP EPROM	44-PLCC	3.89	3.39	2.52
M27W101-80K6	497-1691-5-ND	1 M-Bit (128 Kb x 8), Niederspann., 80 nS, OTP EPROM	1M-Bit (128Kb x 8), Low Voltage, 80nS, OTP EPROM	32-PLCC	2.16	1.80	1.52
M27W201-80K6	497-1692-5-ND	2 M-Bit (256 Kb x 8), Niederspann., 80 nS, OTP EPROM	2M-Bit (256Kb x 8), Low Voltage, 80nS, OTP EPROM	32-PLCC	2.41	2.02	1.69
M27W401-80K6	497-1693-5-ND	4 M-Bit (512 Kb x 8), Niederspann., 80 nS, OTP EPROM	4M-Bit (512Kb x 8), Low Voltage, 80nS, OTP EPROM	32-PLCC	3.55	3.09	2.30
		EEPROM					
M24128-BWMN6	497-1599-5-ND	5,5 V, 128 K-Bit serieller EEPROM	5.5V, 128K-Bit Serial EEPROM	8-SOIC	1.42	1.24	.96
M24256-BWMN6T	497-1601-1-ND	5,5 V, 256 K-Bit serieller EEPROM	5.5V, 256K-Bit Serial EEPROM	8-SOIC	1.65	1.38	1.16
M24256-BWMN6T	497-1601-2-ND	5,5 V, 256 K-Bit serieller EEPROM	5.5V, 256K-Bit Serial EEPROM	8-SOIC		1540.81/2,500	
M24C01-WMN6T	497-1602-1-ND	2,5 V, 1 K-Bit serieller EEPROM	2.5V, 1K-Bit Serial EEPROM	8-SOIC	.48	.39	.29
M24C01-WMN6T	497-1602-2-ND	2,5 V, 1 K-Bit serieller EEPROM	2.5V, 1K-Bit Serial EEPROM	8-SOIC		358.75/2,500	
M24C02-MN6T	497-1604-1-ND	5,5 V, 2 K-Bit serieller EEPROM	5.5V, 2K-Bit Serial EEPROM	8-SOIC	1.18	1.02	.79
M24C02-MN6T	497-1604-2-ND	5,5 V, 2 K-Bit serieller EEPROM	5.5V, 2K-Bit Serial EEPROM	8-SOIC		1041.32/2,500	
M24C02-RDW6T	497-1605-1-ND	5,5 V, 2 K-Bit serieller EEPROM	5.5V, 2K-Bit Serial EEPROM	8-TSSOP	.59	.48	.36
M24C02-RDW6T	497-1605-2-ND	5,5 V, 2 K-Bit serieller EEPROM	5.5V, 2K-Bit Serial EEPROM	8-TSSOP		711.14/4,000	
M24C02-WBN6	497-1606-5-ND	2,5 V, 2 K-Bit serieller EEPROM	2.5V, 2K-Bit Serial EEPROM	8-PDip	.50	.40	.30
M24C02-WDW6T	497-1607-1-ND	2,5 V, 2 K-Bit serieller EEPROM	2.5V, 2K-Bit Serial EEPROM	8-TSSOP	.50	.40	.30
M24C02-WDW6T	497-1607-2-ND	2,5 V, 2 K-Bit serieller EEPROM	2.5V, 2K-Bit Serial EEPROM	8-TSSOP		599.39/4,000	
M24C02-WMN6T	497-1608-1-ND	2,5 V, 2 K-Bit serieller EEPROM	2.5V, 2K-Bit Serial EEPROM	8-SOIC	.37	.33	.25
M24C04-BN6	497-1609-5-ND	5,5 V, 4 K-Bit serieller EEPROM	5.5V, 4K-Bit Serial EEPROM	8-PDip	1.21	1.05	.81
M24C04-MN6T	497-1610-1-ND	5,5 V, 4 K-Bit serieller EEPROM	5.5V, 4K-Bit Serial EEPROM	8-SOIC	1.27	1.11	.85
M24C04-MN6T	497-1610-2-ND	5,5 V, 4 K-Bit serieller EEPROM	5.5V, 4K-Bit Serial EEPROM	8-SOIC		1125.98/2,500	
M24C04-WDW6T	497-1611-1-ND	2,5 V, 4 K-Bit serieller EEPROM	2.5V, 4K-Bit Serial EEPROM	8-TSSOP	.55	.44	.33
M24C04-WDW6T	497-1611-2-ND	2,5 V, 4 K-Bit serieller EEPROM	2.5V, 4K-Bit Serial EEPROM	8-TSSOP		655.27/4,000	
M24C04-WMN6T	497-1612-1-ND	2,5 V, 4 K-Bit serieller EEPROM	2.5V, 4K-Bit Serial EEPROM	8-SOIC	.55	.44	.33
M24C04-WMN6T	497-1612-2-ND	2,5 V, 4 K-Bit serieller EEPROM	2.5V, 4K-Bit Serial EEPROM	8-SOIC		409.54/2,500	
M24C08-BN6	497-1613-5-ND	5,5 V, 8 K-Bit serieller EEPROM	5.5V, 8K-Bit Serial EEPROM	8-PDip	1.32	1.11	.93
M24C08-WMN6	497-1614-5-ND	2,5 V, 8 K-Bit serieller EEPROM	2.5V, 8K-Bit Serial EEPROM	8-SOIC	.61	.49	.37
M24C16-BN6	497-1615-5-ND	5,5 V, 16 K-Bit serieller EEPROM	5.5V, 16K-Bit Serial EEPROM	8-PDip	1.80	1.51	1.27
M24C16-WMN6T	497-1616-1-ND	2,5 V, 16 K-Bit serieller EEPROM	2.5V, 16K-Bit Serial EEPROM	8-SOIC	.60	.48	.36
M24C16-WMN6T	497-1616-2-ND	2,5 V, 16 K-Bit serieller EEPROM	2.5V, 16K-Bit Serial EEPROM	8-SOIC		473.51/2,500	
M24C32-WMN6T	497-1618-1-ND	2,5 V, 32 K-Bit serieller EEPROM	2.5V, 32K-Bit Serial EEPROM	8-SOIC	.79	.64	.48
M24C32-WMN6T	497-1618-2-ND	2,5 V, 32 K-Bit serieller EEPROM	2.5V, 32K-Bit Serial EEPROM	8-SOIC		624.32/2,500	
M24C64-WMN6T	497-1620-1-ND	2,5 V, 64 K-Bit serieller EEPROM	2.5V, 64K-Bit Serial EEPROM	8-SOIC	.82	.71	.55
M24C64-WMN6T	497-1620-2-ND	2,5 V, 64 K-Bit serieller EEPROM	2.5V, 64K-Bit Serial EEPROM	8-SOIC		726.26/2,500	
M34C02-LDW6T	497-1722-1-ND	5,5 V, 2 K-Bit serieller EEPROM	5.5V, 2K-Bit Serial EEPROM	8-TSSOP	1.52	1.22	.92
M34C02-LDW6T	497-1722-2-ND	5,5 V, 2 K-Bit serieller EEPROM	5.5V, 2K-Bit Serial EEPROM	8-TSSOP		1930.25/4,000	
M34C02-WDW6T	497-1723-1-ND	5,5 V, 2 K-Bit serieller EEPROM	5.5V, 2K-Bit Serial EEPROM	8-TSSOP	.96	.83	.64
M34C02-WDW6T	497-1723-2-ND	5,5 V, 2 K-Bit serieller EEPROM	5.5V, 2K-Bit Serial EEPROM	8-TSSOP		1351.17/4,000	
M34D64-WMN6T	497-1724-1-ND	5,5 V, 64 K-Bit serieller EEPROM	5.5V, 64K-Bit Serial EEPROM	8-SOIC	.99	.86	.67
M34D64-WMN6T	497-1724-2-ND	5,5 V, 64 K-Bit serieller EEPROM	5.5V, 64K-Bit Serial EEPROM	8-SOIC		878.26/2,500	
M93C46-BN6	497-1926-5-ND	5,5 V, 1 K-Bit Microwire serieller Zugriffs-EEPROM	5.5V, 1K-Bit Microwire Serial Access EEPROM	8-PDip	.49	.40	.30
M93C46-MN6T	497-1927-1-ND	5,5 V, 1 K-Bit Microwire serieller Zugriffs-EEPROM	5.5V, 1K-Bit Microwire Serial Access EEPROM	8-SOIC	.49	.40	.30
M93C46-MN6T	497-1927-2-ND	5,5 V, 1 K-Bit Microwire serieller Zugriffs-EEPROM	5.5V, 1K-Bit Microwire Serial Access EEPROM	8-SOIC		368.27/2,500	
M93C46-WMN6	497-1928-5-ND	5,5 V, 1 K-Bit Microwire serieller Zugriffs-EEPROM	5.5V, 1K-Bit Microwire Serial Access EEPROM	8-SOIC	.49	.40	.30
M93C46-WMN6T	497-1929-1-ND	5,5 V, 1 K-Bit Microwire serieller Zugriffs-EEPROM	5.5V, 1K-Bit Microwire Serial Access EEPROM	8-SOIC	.49	.40	.30
M93C46-WMN6T	497-1929-2-ND	5,5 V, 1 K-Bit Microwire serieller Zugriffs-EEPROM	5.5V, 1K-Bit Microwire Serial Access EEPROM	8-SOIC		368.27/2,500	
M93C56-MN6T	497-1930-1-ND	5,5 V, 2 K-Bit Microwire serieller Zugriffs-EEPROM	5.5V, 2K-Bit Microwire Serial Access EEPROM	8-SOIC	.56	.45	.34
M93C56-MN6T	497-1930-2-ND	5,5 V, 2 K-Bit Microwire serieller Zugriffs-EEPROM	5.5V, 2K-Bit Microwire Serial Access EEPROM	8-SOIC		419.07/2,500	
M93C56-WMN6T	497-1931-1-ND	5,5 V, 2 K-Bit Microwire serieller Zugriffs-EEPROM	5.5V, 2K-Bit Microwire Serial Access EEPROM	8-SOIC	.56	.45	.34
M93C56-WMN6T	497-1931-2-ND	5,5 V, 2 K-Bit Microwire serieller Zugriffs-EEPROM	5.5V, 2K-Bit Microwire Serial Access EEPROM	8-SOIC		419.07/2,500	
M93C66-MN6	497-1932-5-ND	5,5 V, 4 K-Bit Microwire serieller Zugriffs-EEPROM	5.5V, 4K-Bit Microwire Serial Access EEPROM	8-SOIC	.59	.48	.36
M93C66-MN6T	497-1933-1-ND	5,5 V, 4 K-Bit Microwire serieller Zugriffs-EEPROM	5.5V, 4K-Bit Microwire Serial Access EEPROM	8-SOIC	.59	.48	.36
M93C66-MN6T	497-1933-2-ND	5,5 V, 4 K-Bit Microwire serieller Zugriffs-EEPROM	5.5V, 4K-Bit Microwire Serial Access EEPROM	8-SOIC		467.48/2,500	
M93C66-WMN6	497-1934-5-ND	5,5 V, 4 K-Bit Microwire serieller Zugriffs-EEPROM	5.5V, 4K-Bit Microwire Serial Access EEPROM	8-SOIC	.59	.48	.36
M93C66-WMN6T	497-1935-1-ND	5,5 V, 4 K-Bit Microwire serieller Zugriffs-EEPROM	5.5V, 4K-Bit Microwire Serial Access EEPROM	8-SOIC	.59	.48	.36
M93C66-WMN6T	497-1935-2-ND	5,5 V, 4 K-Bit Microwire serieller Zugriffs-EEPROM	5.5V, 4K-Bit Microwire Serial Access EEPROM	8-SOIC		467.48/2,500	
M93C86-MN6T	497-1936-1-ND	5,5 V, 16 K-Bit Microwire serieller Zugriffs-EEPROM	5.5V, 16K-Bit Microwire Serial Access EEPROM	8-SOIC	.87	.70	.53
M93C86-MN6T	497-1936-2-ND	5,5 V, 16 K-Bit Microwire serieller Zugriffs-EEPROM	5.5V, 16K-Bit Microwire Serial Access EEPROM	8-SOIC		687.65/2,500	
M93C86-WMN6	497-1937-5-ND	5,5 V, 16 K-Bit Microwire serieller Zugriffs-EEPROM	5.5V, 16K-Bit Microwire Serial Access EEPROM	8-SOIC	.87	.70	.53
M93S46-MN6T	497-1938-1-ND	5,5 V, 1 K-Bit Microwire serieller Zugriffs-EEPROM	5.5V, 1K-Bit Microwire Serial Access EEPROM	8-SOIC	.66	.53	.40
M93S46-MN6T	497-1938-2-ND	5,5 V, 1 K-Bit Microwire serieller Zugriffs-EEPROM	5.5V, 1K-Bit Microwire Serial Access EEPROM	8-SOIC		522.78/2,500	
M93S46-WMN6	497-1939-5-ND	5,5 V, 1 K-Bit Microwire serieller Zugriffs-EEPROM	5.5V, 1K-Bit Microwire Serial Access EEPROM	8-SOIC	.66	.53	.40
M93S46-WMN6T	497-1940-1-ND	5,5 V, 1 K-Bit Microwire serieller Zugriffs-EEPROM	5.5V, 1K-Bit Microwire Serial Access EEPROM	8-SOIC	.66	.53	.40
M93S46-WMN6T	497-1940-2-ND	5,5 V, 1 K-Bit Microwire serieller Zugriffs-EEPROM	5.5V, 1K-Bit Microwire Serial Access EEPROM	8-SOIC		522.78/2,500	
M93S56-MN6	497-1941-5-ND	5,5 V, 2 K-Bit Microwire serieller Zugriffs-EEPROM	5.5V, 2K-Bit Microwire Serial Access EEPROM	8-SOIC	.75	.60	.46
M93S56-WMN6	497-1942-5-ND	5,5 V, 2 K-Bit Microwire serieller Zugriffs-EEPROM	5.5V, 2K-Bit Microwire Serial Access EEPROM	8-SOIC	.75	.60	.46
M93S56-WMN6T	497-1943-1-ND	5,5 V, 2 K-Bit Microwire serieller Zugriffs-EEPROM	5.5V, 2K-Bit Microwire Serial Access EEPROM	8-SOIC	.75	.60	.46
M93S56-WMN6T	497-1943-2-ND	5,5 V, 2 K-Bit Microwire serieller Zugriffs-EEPROM	5.5V, 2K-Bit Microwire Serial Access EEPROM	8-SOIC		594.15/2,500	
M95020-MN6	497-1944-5-ND	5,5 V, 2 K-Bit serieller SPI Bus EEPROM	5.5V, 2K-Bit Serial SPI Bus EEPROM	8-SOIC	.70	.56	.43
M95040-WMN6T	497-1945-1-ND	5,5 V, 4 K-Bit serieller SPI Bus EEPROM	5.5V, 4K-Bit Serial SPI Bus EEPROM	8-SOIC	.75	.60	.45
M95040-WMN6T	497-1945-2-ND	5,5 V, 4 K-Bit serieller SPI Bus EEPROM	5.5V, 4K-Bit Serial SPI Bus EEPROM	8-SOIC		588.12/2,500	
M95080-WMN6T	497-1946-1-ND	5,5 V, 8 K-Bit serieller SPI Bus EEPROM	5.5V, 8K-Bit Serial SPI Bus EEPROM	8-SOIC	.89	.72	.54
M95080-WMN6T	497-1946-2-ND	5,5 V, 8 K-Bit serieller SPI Bus EEPROM	5.5V, 8K-Bit Serial SPI Bus EEPROM	8-SOIC		705.75/2,500	
M95640-WMN6T	497-1947-1-ND	5,5 V, 64 K-Bit serieller SPI Bus EEPROM	5.5V, 64K-Bit Serial SPI Bus EEPROM	8-SOIC	1.18	1.02	.79
M95640-WMN6T	497-1947-2-ND	5,5 V, 64 K-Bit serieller SPI Bus EEPROM	5.5V, 64K-Bit Serial SPI Bus EEPROM	8-SOIC		1041.53/2,500	
		Flash					
M25P05-AVMN6T	497-1621-1-ND	3,6 V, 512 K-Bit serieller Flash	3.6V, 512K-Bit Serial Flash	8-SOIC	1.57	1.37	1.05
M25P05-AVMN6T	497-1621-2-ND	3,6 V, 512 K-Bit serieller Flash	3.6V, 512K-Bit Serial Flash	8-SOIC		1393.40/2,500	
M25P10-AVMN6P	497-3591-ND	3,6 V, 1 M-Bit serieller Flash	3.6V, 1M-Bit Serial Flash	8-SOIC	1.52	1.27	1.07
M25P10-AVMN6T	497-1622-1-ND	3,6 V, 1 M-Bit serieller Flash	3.6V, 1M-Bit Serial Flash	8-SOIC	1.52	1.27	1.07
M25P10-AVMN6T	497-1622-2-ND	3,6 V, 1 M-Bit serieller Flash	3.6V, 1M-Bit Serial Flash	8-SOIC		1645.37/2,500	

(Forts.)

★ RUFEN SIE BITTE AN FÜR NIEDRIGERE PREISE BEI GRÖSSEREN MENGEN! ★

STMicroelectronics Teilenr.	Digi-Key Teilenr.	Beschreibung		Paket	Stückpreis★ 1	10	100
M25P10-AVMP6T	497-3592-1-ND	3,6 V, 1 M-Bit serieller Flash	3.6V, 1M-Bit Serial Flash	8-VDFPN	2.10	1.76	1.48
M25P10-AVMP6T	497-3592-2-ND	3,6 V, 1 M-Bit serieller Flash	3.6V, 1M-Bit Serial Flash	8-VDFPN		3645.12/4,000	
M25P16-VMF6P	497-3593-ND	3,6 V, 16 M-Bit serieller Flash	3.6V, 16M-Bit Serial Flash	16-SOIC	3.86	3.36	2.51
M25P20-VMN6P	497-3594-1-ND	3,6 V, 2 M-Bit serieller Flash	3.6V, 2M-Bit Serial Flash	8-SOIC	1.75	1.46	1.23
M25P20-VMN6P	497-3594-2-ND	3,6 V, 2 M-Bit serieller Flash	3.6V, 2M-Bit Serial Flash	8-SOIC		1972.58/2,500	
M25P20-VMN6T	497-1623-1-ND	3,6 V, 2 M-Bit serieller Flash	3.6V, 2M-Bit Serial Flash	8-SOIC	1.75	1.46	1.23
M25P20-VMN6T	497-1623-2-ND	3,6 V, 2 M-Bit serieller Flash	3.6V, 2M-Bit Serial Flash	8-SOIC		1898.50/2,500	
M25P20-VMP6	497-3595-ND	3,6 V, 2 M-Bit serieller Flash	3.6V, 2M-Bit Serial Flash	8-VDFPN	2.68	2.34	1.75
M25P32-VMF6G	497-3596-ND	3,6 V, 32 M-Bit serieller Flash	3.6V, 32M-Bit Serial Flash	16-SOIC	5.42	4.95	3.92
M25P40-VMN6P	497-3598-ND	3,6 V, 4 M-Bit serieller Flash	3.6V, 4M-Bit Serial Flash	8-SOIC	2.40	2.01	1.69
M25P40-VMN6T	497-1624-1-ND	3,6 V, 4 M-Bit serieller Flash	3.6V, 4M-Bit Serial Flash	8-SOIC	2.74	2.39	1.78
M25P40-VMN6T	497-1624-2-ND	3,6 V, 4 M-Bit serieller Flash	3.6V, 4M-Bit Serial Flash	8-SOIC		3250.94/2,500	
M25P80-VMP6T	497-3600-1-ND	3,6 V, 8 M-Bit serieller Flash	3.6V, 8M-Bit Serial Flash	8-VDFPN	4.56	3.97	2.96
M25P80-VMP6T	497-3600-2-ND	3,6 V, 8 M-Bit serieller Flash	3.6V, 8M-Bit Serial Flash	8-VDFPN		8472.77/4,000	
M25P80-VMW6	497-3601-ND	3,6 V, 8 M-Bit serieller Flash	3.6V, 8M-Bit Serial Flash	8-SOIC	3.02	2.64	1.96
M28W320CB90N6	497-1694-ND	32 M-Bit (2 Mb x 16), unterer Boot, 3 V Flash-Speicher	32M-Bit (2Mb x 16), Bottom Boot, 3V Flash Memory	48-TSOP	6.23	5.69	4.50
M28W320CT90N6	497-1695-ND	32 M-Bit (2 Mb x 16), oberer Boot, 3 V Flash-Speicher	32M-Bit (2Mb x 16), Top Boot, 3V Flash Memory	48-TSOP	6.23	5.69	4.50
M28W320ECB70ZB6T	497-1696-1-ND	32 M-Bit (2 Mb x 16), unterer Boot, 3 V Flash-Speicher	32M-Bit (2Mb x 16), Bottom Boot, 3V Flash Memory	47-TFBGA	11.85	10.97	8.30
M28W320ECB70ZB6T	497-1696-2-ND	32 M-Bit (2 Mb x 16), unterer Boot, 3 V Flash-Speicher	32M-Bit (2Mb x 16), Bottom Boot, 3V Flash Memory	47-TFBGA		12000.56/2,500	
M28W320ECT70ZB6T	497-1697-1-ND	32 M-Bit (2 Mb x 16), oberer Boot, 3 V Flash-Speicher	32M-Bit (2Mb x 16), Top Boot, 3V Flash Memory	47-TFBGA	11.85	10.97	8.30
M28W320ECT70ZB6T	497-1697-2-ND	32 M-Bit (2 Mb x 16), oberer Boot, 3 V Flash-Speicher	32M-Bit (2Mb x 16), Top Boot, 3V Flash Memory	47-TFBGA		12000.56/2,500	
M29DW323DB70N6	497-1699-ND	32 M-Bit (4 Mb x 8 oder 2 MB x 16), unterer Boot, 3 V Flash-Speicher	32M-Bit (4Mb x 8 or 2Mb x 16), Bottom Boot, 3V Flash Memory	48-TSOP	7.70	7.03	5.56
M29F010B70K6T	497-1700-1-ND	Einf. 1 M-Bit (128 Kb x 8), 70 nS Flash-Speicher	1M-Bit (128Kb x 8), 70nS, Single Flash Memory	32-PLCC	2.29	1.99	1.49
M29F010B70K6T	497-1700-2-ND	Einf. 1 M-Bit (128 Kb x 8), 70 nS Flash-Speicher	1M-Bit (128Kb x 8), 70nS, Single Flash Memory	32-PLCC		888.93/750	
M29F016D70N6	497-1701-ND	16 M-Bit (2 Mb x 8), 70 nS, 5 V Flash-Speicher	16M-Bit (2Mb x 8), 70nS, 5V Flash Memory	40-TSOP	4.87	4.45	3.52
M29F032D70N6T	497-1702-1-ND	32 M-Bit (4 Mb x 8), 70 nS, 5 V Flash-Speicher	32M-bit (4Mb x 8), 70nS, 5V Flash Memory	40-TSOP	13.55	12.53	9.49
M29F032D70N6T	497-1702-2-ND	32 M-Bit (4 Mb x 8), 70 nS, 5 V Flash-Speicher	32M-Bit (4Mb x 8), 70nS, 5V Flash Memory	40-TSOP		7286.69/1,500	
M29F040B70K6T	497-1704-1-ND	Einf. 4 M-Bit (512 Kb x 8), 70 nS Flash-Speicher	4M-Bit (512Kb x 8), 70nS, Single Flash Memory	32-PLCC	2.86	2.49	1.86
M29F040B70K6T	497-1704-2-ND	Einf. 4 M-Bit (512 Kb x 8), 70 nS Flash-Speicher	4M-Bit (512Kb x 8), 70nS, Single Flash Memory	32-PLCC		1111.16/750	
M29F040B90N6	497-1706-ND	Einf. 4 M-Bit (512 Kb x 8), 90 nS Flash-Speicher	4M-Bit (512Kb x 8), 90nS, Single Flash Memory	32-TSOP	2.86	2.49	1.86
M29F200BB70N6T	497-1707-1-ND	Einf. 2 M-Bit (256 Kb x 8 oder 128 Kb x 16), 70 ns Flash-Speicher	2M-Bit (256Kb x 8 or 128Kb x 16), 70nS, Single Flash Memory	48-TSOP	6.23	5.69	4.50
M29F200BB70N6T	497-1707-2-ND	Einf. 2 M-Bit (256 Kb x 8 oder 128 Kb x 16), 70 ns Flash-Speicher	2M-Bit (256Kb x 8 or 128Kb x 16), 70nS, Single Flash Memory	48-TSOP		1942.95/1,500	
M29F400BB70N6T	497-1708-1-ND	Einf. 4 M-Bit (512 Kb x 8 oder 256 Kb x 16), 70 ns Flash-Speicher	4M-Bit (512Kb x 8 or 256Kb x 16), 70nS, Single Flash Memory	48-TSOP	7.79	7.12	5.63
M29F400BB70N6T	497-1708-2-ND	Einf. 4 M-Bit (512 Kb x 8 oder 256 Kb x 16), 70 ns Flash-Speicher	4M-Bit (512Kb x 8 or 256Kb x 16), 70nS, Single Flash Memory	48-TSOP		2111.84/1,500	
M29F400BT70N6	497-1709-ND	Einf. 4 M-Bit (512 Kb x 8 oder 256 Kb x 16), 70 ns Flash-Speicher	4M-Bit (512Kb x 8 or 256Kb x 16), 70nS, Single Flash Memory	48-TSOP	7.79	7.12	5.63
M29F800DB70N6	497-1710-ND	8 M-Bit (1 Mb x 8 oder 512 Kb x 16), 70 ns, 5 V Flash-Speicher	8M-Bit (1Mb x 8 or 512Kb x 16), 70nS, 5V Flash Memory	48-TSOP	4.23	3.69	2.75
M29W040B90K6	497-1711-5-ND	Einf. 4 M-Bit (512 Kb x 8), 90 ns Flash-Speicher, Niederspannung	4M-Bit (512Kb x 8), 90nS, Low Voltage, Single Flash Memory	32-PLCC	3.32	2.89	2.15
M29W160EB70N6E	497-3602-ND	16 M-Bit (2 Mb x 8 oder 1 MB x 16), unterer Boot, 3 V Flash-Speicher	16M-Bit (2Mb x 8 or 1Mb x 16), Bottom Boot, 3V Flash Memory	48-TSOP	4.57	3.98	2.97
M29W160EB70ZA6	497-3603-ND	16 M-Bit (2 Mb x 8 oder 1 MB x 16), unterer Boot, 3 V Flash-Speicher	16M-Bit (2Mb x 8 or 1Mb x 16), Bottom Boot, 3V Flash Memory	48-TFBGA	4.57	3.98	2.97
M29W160EB90N6	497-1712-ND	16 M-Bit (2 Mb x 8 oder 1 MB x 16), unterer Boot, 3 V Flash-Speicher	16M-Bit (2Mb x 8 or 1Mb x 16), Bottom Boot, 3V Flash Memory	48-TSOP	4.57	3.98	2.97
M29W160ET90ZA6T	497-1713-1-ND	16 M-Bit (2 Mb x 8 oder 1 MB x 16), oberer Boot, 3 V Flash-Speicher	16M-Bit (2Mb x 8 or 1Mb x 16), Top Boot, 3V Flash Memory	48-TFBGA	8.47	7.84	5.93
M29W160ET90ZA6T	497-1713-2-ND	16 M-Bit (2 Mb x 8 oder 1 MB x 16), oberer Boot, 3 V Flash-Speicher	16M-Bit (2Mb x 8 or 1Mb x 16), Top Boot, 3V Flash Memory	48-TFBGA		5418.24/2,500	
M29W320DB70N6	497-1714-ND	32 M-Bit (4 Mb x 8 oder 2 MB x 16), unterer Boot, 3 V Flash-Speicher	32M-Bit (4Mb x 8 or 2Mb x 16), Bottom Boot, 3V Flash Memory	48-TSOP	6.23	5.69	4.50
M29W320DB70N6E	497-3604-ND	32 M-Bit (4 Mb x 8 oder 2 MB x 16), unterer Boot, 3 V Flash-Speicher	32M-Bit (4Mb x 8 or 2Mb x 16), Bottom Boot, 3V Flash Memory	48-TSOP	6.23	5.69	4.50
M29W320DB70ZA6	497-3605-ND	32 M-Bit (4 Mb x 8 oder 2 MB x 16), unterer Boot, 3 V Flash-Speicher	32M-Bit (4Mb x 8 or 2Mb x 16), Bottom Boot, 3V Flash Memory	63-TFBGA	6.23	5.69	4.50
M29W320EB70N6E	497-3606-ND	32 M-Bit (4 Mb x 8 oder 2 MB x 16), unterer Boot, 3 V Flash-Speicher	32M-Bit (4Mb x 8 or 2Mb x 16), Bottom Boot, 3V Flash Memory	48-TSOP	6.23	5.69	4.50
M29W320EB70ZE6E	497-3607-ND	32 M-Bit (4 Mb x 8 oder 2 MB x 16), unterer Boot, 3 V Flash-Speicher	32M-Bit (4Mb x 8 or 2Mb x 16), Bottom Boot, 3V Flash Memory	63-TFBGA	6.23	5.69	4.50
M29W320ET70N6E	497-3608-ND	32 M-Bit (4 Mb x 8 oder 2 Mb x 16), oberer Boot, 3 V Flash-Speicher	32M-Bit (4Mb x 8 or 2Mb x 16), Top Boot, 3V Flash Memory	48-TSOP	6.23	5.69	4.50
M29W320ET70ZE6E	497-3609-ND	32 M-Bit (4 Mb x 8 oder 2 Mb x 16), oberer Boot, 3 V Flash-Speicher	32M-Bit (4Mb x 8 or 2Mb x 16), Top Boot, 3V Flash Memory	63-TFBGA	6.23	5.69	4.50
M29W400BB90N6	497-1715-ND	Einf. 4 M-Bit (512 Kb x 8 oder 256 Kb x 16), unterer Boot, Flash-Speicher, Niederspann.	4M-Bit (512Kb x 8 or 256Kb x 16), Bottom Boot Low Volt. Single Flash Memory	48-TSOP	2.86	2.49	1.86
M29W400BT70N6	497-1716-ND	Einf. 4 M-Bit (512 Kb x 8 oder 256 Kb x 16), oberer Boot, Flash-Speicher, Niederspann.	Top Boot Low Volt. Single Flash Memory	48-TSOP	2.86	2.49	1.86
M29W800DB70N6T	497-3703-1-ND	8 M-Bit (1 Mb x 8 oder 512 MB x 16), unterer Boot, 3 V Flash-Speicher	8M-Bit (1Mb x 8 or 512Kb x 16), Bottom Boot, 3V Flash Memory	48-TSOP	3.55	3.09	2.30
M29W800DB70N6T	497-3703-2-ND	8 M-Bit (1 Mb x 8 oder 512 MB x 16), unterer Boot, 3 V Flash-Speicher	8M-Bit (1Mb x 8 or 512Kb x 16), Bottom Boot, 3V Flash Memory	48-TSOP		2618.53/1,500	
M29W800DB70ZE6	497-3610-ND	8 M-Bit (1 Mb x 8 oder 512 MB x 16), unterer Boot, 3 V Flash-Speicher	8M-Bit (1Mb x 8 or 512Kb x 16), Bottom Boot, 3V Flash Memory	48-TFBGA	7.09	6.17	4.60
M30LW128D110N6	497-1719-ND	128 M-Bit (zwei 64 Mb, x 8/x16), 110 ns, 3 V Mehrfachspeicher	128M-Bit (Two 64Mb, x8/x16), 110nS, 3V Multiple Memory	56-TSOP	23.70	20.32	18.02
M30LW128D110ZA6	497-1720-ND	128 M-Bit (zwei 64 Mb, x 8/x16), 110 ns, 3 V Mehrfachspeicher	128Mbit (Two 64Mb, x8/x16), 110nS, 3V Multiple Memory	64-TBGA	23.70	20.32	18.02
M58LW032D110N6	497-1725-ND	32 M-Bit (4 Mb x 8 oder 2 Mb x 16), 110 ns, 3 V Flash-Speicher	32M-Bit (4Mb x 8 or 2Mb x 16), 110nS, 3V Flash Memory	56-TSOP	7.40	6.76	5.35
M58LW032D110ZA6	497-1726-ND	32 M-Bit (4 Mb x 8 oder 2 Mb x 16), 110 ns, 3 V Flash-Speicher	32M-Bit (4Mb x 8 or 2Mb x 16), 110nS, 3V Flash Memory	64-TBGA	7.40	6.76	5.35
M58LW064D110N6	497-1727-ND	64 M-Bit (8 Mb x 8 oder 4 Mb x 16), 110 ns, 3 V Flash-Speicher	64M-Bit (8Mb x 8 or 4Mb x 16), 110nS, 3V Flash Memory	56-TSOP	12.70	11.75	8.89
M58LW064D110ZA6	497-1728-ND	64 M-Bit (8 Mb x 8 oder 4 Mb x 16), 110 ns, 3 V Flash-Speicher	64M-Bit (8Mb x 8 or 4Mb x 16), 110nS, 3V Flash Memory	64-TBGA	12.70	11.75	8.89
NAND01GW3A0AN6E	497-3611-ND	1 G-Bit, 2,7 V-3,6 V, NAND Flash-Speicher	1G-Bit, 2.7V-3.6V, NAND Flash Memory	48-TSOP	22.22	19.05	16.89
NAND01GW3A2AN6E	497-3612-ND	1 G-Bit, 2,7 V-3,6 V, NAND Flash-Speicher	1G-Bit, 2.7V-3.6V, NAND Flash Memory	48-TSOP	22.22	19.05	16.89
NAND256W3A0AN6E	497-3613-ND	256 M-Bit, 2,7 V-3,6 V, NAND Flash-Speicher	256M-Bit, 2.7V-3.6V, NAND Flash Memory	48-TSOP	8.47	7.84	5.93
NAND256W4A0AN6E	497-3614-ND	256 M-Bit, 2,7 V-3,6 V, NAND Flash-Speicher	256M-Bit, 2.7V-3.6V, NAND Flash Memory	48-TSOP	10.16	9.40	7.12
NAND512R3A3AZA6E	497-3616-ND	512 M-Bit, 1,7 V-1,95 V, NAND Flash-Speicher	512M-Bit, 1.7V-1.95V, NAND Flash Memory	55-VFBGA	13.55	12.53	9.49
NAND512W3A0AV6E	497-3618-ND	512 M-Bit, 2,7 V-3,6 V, NAND Flash-Speicher	512M-Bit, 2.7V-3.6V, NAND Flash Memory	48-WSOP	15.24	14.10	10.67
PSD813F1A-12JI	497-1973-5-ND	5 V, 1 M-Bit Flash ISP Peripherie für 8-Bit MCU	5V, 1M-Bit Flash ISP Peripheral for 8-Bit MCU's	52-PLDCC	11.50	10.64	8.05
PSD813F1A-12UI	497-1974-ND	5 V, 1 M-Bit Flash ISP Peripherie für 8-Bit MCU	5V, 1M-Bit Flash ISP Peripheral for 8-Bit MCU's	80-TQFP	12.38	11.45	8.67
PSD813F1A-90J	497-1975-5-ND	5 V, 1 M-Bit Flash ISP Peripherie für 8-Bit MCU	5V, 1M-Bit Flash ISP Peripheral for 8-Bit MCU's	52-PLDCC	10.55	9.76	7.39
PSD813F1A-90JI	497-1976-5-ND	5 V, 1 M-Bit Flash ISP Peripherie für 8-Bit MCU	5V, 1M-Bit Flash ISP Peripheral for 8-Bit MCU's	52-PLDCC	11.50	10.64	8.05
PSD813F1A-90M	497-1977-ND	5 V, 1 M-Bit Flash ISP Peripherie für 8-Bit MCU	5V, 1M-Bit Flash ISP Peripheral for 8-Bit MCU's	52-PQFP	10.55	9.76	7.39
PSD813F1A-90MI	497-1978-ND	5 V, 1 M-Bit Flash ISP Peripherie für 8-Bit MCU	5V, 1M-Bit Flash ISP Peripheral for 8-Bit MCU's	52-PQFP	11.50	10.64	8.05
PSD813F1A-90U	497-1979-ND	5 V, 1 M-Bit Flash ISP Peripherie für 8-Bit MCU	5V, 1M-Bit Flash ISP Peripheral for 8-Bit MCU's	80-TQFP	11.43	10.58	8.01
PSD813F1A-90UI	497-1980-ND	5 V, 1 M-Bit Flash ISP Peripherie für 8-Bit MCU	5V, 1M-Bit Flash ISP Peripheral for 8-Bit MCU's	80-TQFP	12.38	11.45	8.67
PSD813F1VA-15J	497-1981-5-ND	3 V, 1 M-Bit Flash ISP Peripherie für 8-Bit MCU	3V, 1M-Bit Flash ISP Peripheral for 8-Bit MCU's	52-PLCC	11.18	10.34	7.83
PSD813F1VA-15M	497-1982-ND	3 V, 1 M-Bit Flash ISP Peripherie für 8-Bit MCU	3V, 1M-Bit Flash ISP Peripheral for 8-Bit MCU's	52-PQFP	11.18	10.34	7.83
PSD813F1VA-15U	497-1983-ND	3 V, 1 M-Bit Flash ISP Peripherie für 8-Bit MCU	3V, 1M-Bit Flash ISP Peripheral for 8-Bit MCU's	80-TQFP	12.06	11.16	8.44
PSD813F1VA-20JI	497-1984-5-ND	3 V, 1 M-Bit Flash ISP Peripherie für 8-Bit MCU	3V, 1M-Bit Flash ISP Peripheral for 8-Bit MCU's	52-PLCC	12.17	11.27	8.53
PSD813F1VA-20UI	497-1985-ND	3 V, 1 M-Bit Flash ISP Peripherie für 8-Bit MCU	3V, 1M-Bit Flash ISP Peripheral for 8-Bit MCU's	80-TQFP	13.07	12.10	9.16
PSD813F2A-70J	497-1986-5-ND	5 V, 1 M-Bit Flash ISP Peripherie für 8-Bit MCU	5V, 1M-Bit Flash ISP Peripheral for 8-Bit MCU's	52-PLCC	10.14	9.39	7.10
PSD813F2A-70M	497-1987-ND	5 V, 1 M-Bit Flash ISP Peripherie für 8-Bit MCU	5V, 1M-Bit Flash ISP Peripheral for 8-Bit MCU's	52-PQFP	10.14	9.39	7.10
PSD813F2A-90J	497-1988-5-ND	5 V, 1 M-Bit Flash ISP Peripherie für 8-Bit MCU	5V, 1M-Bit Flash ISP Peripheral for 8-Bit MCU's	52-PLCC	9.65	8.93	6.76
PSD813F2A-90JI	497-1989-5-ND	5 V, 1 M-Bit Flash ISP Peripherie für 8-Bit MCU	5V, 1M-Bit Flash ISP Peripheral for 8-Bit MCU's	52-PLCC	10.53	9.75	7.38
PSD813F2A-90M	497-1990-ND	5 V, 1 M-Bit Flash ISP Peripherie für 8-Bit MCU	5V, 1M-Bit Flash ISP Peripheral for 8-Bit MCU's	52-PQFP	9.65	8.93	6.76
PSD813F2A-90MI	497-1991-ND	5 V, 1 M-Bit Flash ISP Peripherie für 8-Bit MCU	5V, 1M-Bit Flash ISP Peripheral for 8-Bit MCU's	52-PQFP	10.53	9.75	7.38
PSD813F2A-90U	497-1992-ND	5 V, 1 M-Bit Flash ISP Peripherie für 8-Bit MCU	5V, 1M-Bit Flash ISP Peripheral for 8-Bit MCU's	80-TQFP	10.55	9.76	7.39
PSD813F2A-90UI	497-1993-ND	5 V, 1 M-Bit Flash ISP Peripherie für 8-Bit MCU	5V, 1M-Bit Flash ISP Peripheral for 8-Bit MCU's	80-TQFP	11.41	10.56	7.99
PSD813F2VA-15J	497-1994-5-ND	3 V, 1 M-Bit Flash ISP Peripherie für 8-Bit MCU	3V, 1M-Bit Flash ISP Peripheral for 8-Bit MCU's	52-PLCC	10.23	9.46	7.16
PSD813F2VA-15M	497-1995-ND	3 V, 1 M-Bit Flash ISP Peripherie für 8-Bit MCU	3V, 1M-Bit Flash ISP Peripheral for 8-Bit MCU's	52-PQFP	10.23	9.46	7.16
PSD813F2VA-15U	497-1996-ND	3 V, 1 M-Bit Flash ISP Peripherie für 8-Bit MCU	3V, 1M-Bit Flash ISP Peripheral for 8-Bit MCU's	80-TQFP	11.12	10.29	7.79
PSD813F2VA-20JI	497-1997-5-ND	3 V, 1 M-Bit Flash ISP Peripherie für 8-Bit MCU	3V, 1M-Bit Flash ISP Peripheral for 8-Bit MCU's	52-PLCC	11.16	10.33	7.82
PSD813F2VA-20MI	497-1998-ND	3 V, 1 M-Bit Flash ISP Peripherie für 8-Bit MCU	3V, 1M-Bit Flash ISP Peripheral for 8-Bit MCU's	52-PQFP	11.16	10.33	7.82
PSD813F2VA-20UI	497-1999-ND	3 V, 1 M-Bit Flash ISP Peripherie für 8-Bit MCU	3V, 1M-Bit Flash ISP Peripheral for 8-Bit MCU's	80-TQFP	12.04	11.14	8.43
PSD833F2-90J	497-2000-5-ND	5,5 V, 1 M-Bit Flash ISP Peripherie für 8-Bit MCU	5.5V, 1M-Bit Flash ISP Peripheral for 8-Bit MCU's	52-PLCC	10.80	10.00	7.57
PSD833F2-90JI	497-2001-5-ND	5,5 V, 1 M-Bit Flash ISP Peripherie für 8-Bit MCU	5.5V, 1M-Bit Flash ISP Peripheral for 8-Bit MCU's	52-PLCC	11.77	10.89	8.24
PSD833F2-90M	497-2002-ND	5,5 V, 1 M-Bit Flash ISP Peripherie für 8-Bit MCU	5.5V, 1M-Bit Flash ISP Peripheral for 8-Bit MCU's	52-PQFP	10.80	10.00	7.57
PSD833F2-90MI	497-2003-ND	5,5 V, 1 M-Bit Flash ISP Peripherie für 8-Bit MCU	5.5V, 1M-Bit Flash ISP Peripheral for 8-Bit MCU's	52-PQFP	11.77	10.89	8.24
PSD834F2-70J	497-2004-5-ND	5,5 V, 2 M-Bit Flash ISP Peripherie für 8-Bit MCU	5.5V, 2M-Bit Flash ISP Peripheral for 8-Bit MCU's	52-PLCC	13.34	12.35	9.34

(Forts.)

★ ***RUFEN SIE BITTE AN FÜR NIEDRIGERE PREISE BEI GRÖSSEREN MENGEN!*** ★

B

STMicroelectronics Teilenr.	Digi-Key Teilenr.	Beschreibung		Paket	Stückpreis★ 1	10	100
PSD834F2-70M	497-2005-ND	5,5 V, 2 M-Bit Flash ISP Peripherie für 8-Bit MCU	5.5V, 2M-Bit Flash ISP Peripheral for 8-Bit MCU's	52-PQFP	13.34	12.35	9.34
PSD834F2-90J	497-2006-5-ND	5,5 V, 2 M-Bit Flash ISP Peripherie für 8-Bit MCU	5.5V, 2M-Bit Flash ISP Peripheral for 8-Bit MCU's	52-PLCC	12.72	11.77	8.91
PSD834F2-90JI	497-2007-5-ND	5,5 V, 2 M-Bit Flash ISP Peripherie für 8-Bit MCU	5.5V, 2M-Bit Flash ISP Peripheral for 8-Bit MCU's	52-PLCC	13.85	12.82	9.70
PSD834F2-90M	497-2008-ND	5,5 V, 2 M-Bit Flash ISP Peripherie für 8-Bit MCU	5.5V, 2M-Bit Flash ISP Peripheral for 8-Bit MCU's	52-PQFP	12.72	11.77	8.91
PSD834F2-90MI	497-2009-ND	5,5 V, 2 M-Bit Flash ISP Peripherie für 8-Bit MCU	5.5V, 2M-Bit Flash ISP Peripheral for 8-Bit MCU's	52-PQFP	13.85	12.82	9.70
PSD834F2V-15J	497-2010-5-ND	3,6 V, 2 M-Bit Flash ISP Peripherie für 8-Bit MCU	3.6V, 2M-Bit Flash ISP Peripheral for 8-Bit MCU's	52-PLCC	13.48	12.47	9.44
PSD834F2V-15M	497-2011-ND	3,6 V, 2 M-Bit Flash ISP Peripherie für 8-Bit MCU	3.6V, 2M-Bit Flash ISP Peripheral for 8-Bit MCU's	52-PQFP	13.48	12.47	9.44
PSD834F2V-20JI	497-2012-5-ND	3,6 V, 2 M-Bit Flash ISP Peripherie für 8-Bit MCU	3.6V, 2M-Bit Flash ISP Peripheral for 8-Bit MCU's	52-PLCC	14.68	13.58	10.28
PSD834F2V-20MI	497-2013-ND	3,6 V, 2 M-Bit Flash ISP Peripherie für 8-Bit MCU	3.6V, 2M-Bit Flash ISP Peripheral for 8-Bit MCU's	52-PQFP	14.68	13.58	10.28
PSD835G2-70U	497-2014-ND	5 V, 4 M-Bit Konfig.-Speichersystem auf einem Chip für 8-Bit MCU	5V, 4M-Bit Config. Memory System on a Chip for 8-Bit MCU's	80-TQFP	16.22	15.01	11.36
PSD835G2-90U	497-2015-ND	5 V, 4 M-Bit Konfig.-Speichersystem auf einem Chip für 8-Bit MCU	5V, 4M-Bit Config. Memory System on a Chip for 8-Bit MCU's	80-TQFP	15.44	14.29	10.81
PSD835G2-90UI	497-2016-ND	5 V, 4 M-Bit Konfig.-Speichersystem auf einem Chip für 8-Bit MCU	5V, 4M-Bit Config. Memory System on a Chip for 8-Bit MCU's	80-TQFP	16.83	15.57	11.79
PSD835G2V-12UI	497-2017-ND	3 V, 4 M-Bit Konfig.-Speichersystem auf einem Chip für 8-Bit MCU	3V, 4M-Bit Config. Memory System on a Chip for 8-Bit MCU's	80-TQFP	16.09	13.80	12.23
PSD835G2V-90U	497-2018-ND	3 V, 4 M-Bit Konfig.-Speichersystem auf einem Chip für 8-Bit MCU	3V, 4M-Bit Config. Memory System on a Chip for 8-Bit MCU's	80-TQFP	15.04	12.89	11.43
PSD853F2-70J	497-2019-5-ND	5,5 V, 1 M-Bit Flash ISP Peripherie für 8-Bit MCU	5.5V, 1M-Bit Flash ISP Peripheral for 8-Bit MCU's	52-PLCC	15.26	14.12	10.68
PSD853F2-70M	497-2020-ND	5,5 V, 1 M-Bit Flash ISP Peripherie für 8-Bit MCU	5.5V, 1M-Bit Flash ISP Peripheral for 8-Bit MCU's	52-PQFP	14.49	13.41	10.15
PSD853F2-90J	497-2021-5-ND	5,5 V, 1 M-Bit Flash ISP Peripherie für 8-Bit MCU	5.5V, 1M-Bit Flash ISP Peripheral for 8-Bit MCU's	52-PLCC	14.53	13.44	10.17
PSD853F2-90JI	497-2022-5-ND	5,5 V, 1 M-Bit Flash ISP Peripherie für 8-Bit MCU	5.5V, 1M-Bit Flash ISP Peripheral for 8-Bit MCU's	52-PLCC	15.83	14.65	11.09
PSD853F2-90M	497-2023-ND	5,5 V, 1 M-Bit Flash ISP Peripherie für 8-Bit MCU	5.5V, 1M-Bit Flash ISP Peripheral for 8-Bit MCU's	52-PQFP	14.53	13.44	10.17
PSD853F2-90MI	497-2024-ND	5,5 V, 1 M-Bit Flash ISP Peripherie für 8-Bit MCU	5.5V, 1M-Bit Flash ISP Peripheral for 8-Bit MCU's	52-PQFP	15.83	14.65	11.09
PSD854F2-70J	497-2025-5-ND	5,5 V, 2 M-Bit Flash ISP Peripherie für 8-Bit MCU	5.5V, 2M-Bit Flash ISP Peripheral for 8-Bit MCU's	52-PLCC	15.87	14.68	11.11
PSD854F2-70M	497-2026-ND	5,5 V, 2 M-Bit Flash ISP Peripherie für 8-Bit MCU	5.5V, 2M-Bit Flash ISP Peripheral for 8-Bit MCU's	52-PQFP	15.87	14.68	11.11
PSD854F2-90J	497-2027-5-ND	5,5 V, 2 M-Bit Flash ISP Peripherie für 8-Bit MCU	5.5V, 2M-Bit Flash ISP Peripheral for 8-Bit MCU's	52-PLCC	15.12	13.99	10.59
PSD854F2-90JI	497-2028-5-ND	5,5 V, 2 M-Bit Flash ISP Peripherie für 8-Bit MCU	5.5V, 2M-Bit Flash ISP Peripheral for 8-Bit MCU's	52-PLCC	16.47	15.24	11.54
PSD854F2-90M	497-2029-ND	5,5 V, 2 M-Bit Flash ISP Peripherie für 8-Bit MCU	5.5V, 2M-Bit Flash ISP Peripheral for 8-Bit MCU's	52-PQFP	15.12	13.99	10.59
PSD854F2-90MI	497-2030-ND	5,5 V, 2 M-Bit Flash ISP Peripherie für 8-Bit MCU	5.5V, 2M-Bit Flash ISP Peripheral for 8-Bit MCU's	52-PQFP	16.47	15.24	11.54
PSD854F2V-12JI	497-2031-5-ND	3,6 V, 2 M-Bit Flash ISP Peripherie für 8-Bit MCU	3.6V, 2M-Bit Flash ISP Peripheral for 8-Bit MCU's	52-PLCC	15.27	13.10	11.61
PSD854F2V-12MI	497-2032-ND	3,6 V, 2 M-Bit Flash ISP Peripherie für 8-Bit MCU	3.6V, 2M-Bit Flash ISP Peripheral for 8-Bit MCU's	52-PQFP	15.27	13.10	11.61
PSD854F2V-90J	497-2033-5-ND	3,6 V, 2 M-Bit Flash ISP Peripherie für 8-Bit MCU	3.6V, 2M-Bit Flash ISP Peripheral for 8-Bit MCU's	52-PLCC	16.02	14.82	11.22
PSD854F2V-90M	497-2034-ND	3,6 V, 2 M-Bit Flash ISP Peripherie für 8-Bit MCU	3.6V, 2M-Bit Flash ISP Peripheral for 8-Bit MCU's	52-PQFP	16.02	14.82	11.22
PSD4235G2-70U	497-1967-ND	5,5 V, 4 M-Bit Flash ISP Peripherie für 16-Bit MCU	5.5V, 4M-Bit Flash ISP Peripheral for 16-Bit MCU's	80-TQFP	15.26	13.08	11.60
PSD4235G2-90U	497-1968-ND	5,5 V, 4 M-Bit Flash ISP Peripherie für 16-Bit MCU	5.5V, 4M-Bit Flash ISP Peripheral for 16-Bit MCU's	80-TQFP	16.61	15.37	11.63
PSD4235G2-90UI	497-1969-ND	5,5 V, 4 M-Bit Flash ISP Peripherie für 16-Bit MCU	5.5V, 4M-Bit Flash ISP Peripheral for 16-Bit MCU's	80-TQFP	15.86	13.59	12.05
PSD4235G2V-12UI	497-1970-ND	3,6 V, 4 M-Bit Flash ISP Peripherie für 16-Bit MCU	3.6V, 4M-Bit Flash ISP Peripheral for 16-Bit MCU's	80-TQFP	16.81	14.41	12.77
PSD4235G2V-90U	497-1971-ND	3,6 V, 4 M-Bit Flash ISP Peripherie für 16-Bit MCU	3.6V, 4M-Bit Flash ISP Peripheral for 16-Bit MCU's	80-TQFP	15.41	13.21	11.72
PSD4256G6V-10UI	497-1972-ND	3,6 V, 8 M-Bit Flash ISP Peripherie für 16-Bit MCU	3.6V, 8M-Bit Flash ISP Peripheral for 16-Bit MCU's	80-TQFP	20.86	17.88	15.86
		SRAM					
M4T28-BR12SH1	497-3686-5-ND	Zeitnehmer SNAPHAT zur Verwendung mit 28- und 44-Pin SOIC	Timekeeper SNAPHAT for use with 28 and 44-Pin SOIC	—	4.44	3.86	2.88
M4T32-BR12SH1	497-3687-5-ND	Zeitnehmer SNAPHAT zur Verwendung mit 28- und 44-Pin SOIC	Timekeeper SNAPHAT for use with 28 and 44-Pin SOIC	—	5.39	4.93	3.90
M4T32-BR12SH6	497-3688-5-ND	Zeitnehmer SNAPHAT zur Verwendung mit 28- und 44-Pin SOIC	Timekeeper SNAPHAT for use with 28 and 44-Pin SOIC	—	6.23	5.69	4.50
M4Z28-BR00SH1	497-3689-5-ND	ZEROPOWER® SNAPHAT Batterie für 28-Pin SOIC	ZEROPOWER® SNAPHAT Battery for 28-Pin SOIC	—	3.89	3.39	2.52
M4Z32-BR00SH1	497-3690-5-ND	ZEROPOWER® SNAPHAT Batterie für 28-Pin SOIC	ZEROPOWER® SNAPHAT Battery for 28-Pin SOIC	—	6.04	5.52	4.36
M41T11M6E	497-2813-5-ND	2 V-5,5 V, 512-Bit Zeitnehmer SRAM	2V-5.5V, 512-Bit Timekeeper SRAM	8-SOIC	2.29	1.99	1.49
M41T11MH6	497-2814-5-ND	2 V-5,5 V, 512-Bit Zeitnehmer SRAM	2V-5.5V, 512-Bit Timekeeper SRAM	28-SOIC	4.20	3.66	2.73
M41T56M6E	497-2818-5-ND	5 V, 512-Bit serieller Zeitnehmer SRAM	5V, 512-Bit Serial Timekeeper SRAM	8-SOIC	2.29	1.99	1.49
M41T56MH6	497-2819-5-ND	5 V, 512-Bit serieller Zeitnehmer SRAM	5V, 512-Bit Serial Timekeeper SRAM	28-SOIC	4.44	3.87	2.88
M41T94MH6	497-2823-5-ND	2,7 V -5,5 V, 512-Bit serieller RTC SRAM	2.7V-5.5V, 512-Bit Serial RTC SRAM	28-SOIC	4.91	4.49	3.55
M41T94MQ6E	497-3684-1-ND	2,7 V -5,5 V, 512-Bit serieller RTC SRAM	2.7V-5.5V, 512-Bit Serial RTC SRAM	16-SOIC	3.55	3.09	2.30
M41T94MQ6E	497-3684-2-ND	2,7 V -5,5 V, 512-Bit serieller RTC SRAM	2.7V-5.5V, 512-Bit Serial RTC SRAM	16-SOIC		1745.69/1,000	
M48T02-70PC1	497-2827-5-ND	5 V, 16 K-Bit Zeitnehmer SRAM	5V, 16K-Bit Timekeeper SRAM	24-Dip	13.43	12.42	9.40
M48T02-150PC1	497-2825-5-ND	5 V, 16 K-Bit Zeitnehmer SRAM	5V, 16K-Bit Timekeeper SRAM	24-Dip	13.55	12.53	9.49
M48T02-200PC1	497-2826-5-ND	5 V, 16 K-Bit Zeitnehmer SRAM	5V, 16K-Bit Timekeeper SRAM	24-Dip	13.55	12.53	9.49
M48T08-100PC1	497-2828-5-ND	5 V, 64 K-Bit Zeitnehmer SRAM	5V, 64K-Bit Timekeeper SRAM	28-Dip	14.82	12.70	11.26
M48T08-150PC1	497-2829-5-ND	5 V, 64 K-Bit Zeitnehmer SRAM	5V, 64K-Bit Timekeeper SRAM	28-Dip	14.82	12.70	11.26
M48T08Y-10MH1	497-2830-5-ND	5 V, 64 K-Bit Zeitnehmer SRAM	5V, 64K-Bit Timekeeper SRAM	28-SOIC	11.73	10.86	8.22
M48T12-70PC1	497-2833-5-ND	5 V, 16 K-Bit Zeitnehmer SRAM	5V, 16K-Bit Timekeeper SRAM	24-Dip	13.55	12.53	9.49
M48T12-150PC1	497-2831-5-ND	5 V, 16 K-Bit Zeitnehmer SRAM	5V, 16K-Bit Timekeeper SRAM	24-Dip	13.55	12.53	9.49
M48T12-200PC1	497-2832-5-ND	5 V, 16 K-Bit Zeitnehmer SRAM	5V, 16K-Bit Timekeeper SRAM	24-Dip	13.55	12.53	9.49
M48T18-100PC1	497-2837-5-ND	5 V, 64 K-Bit Zeitnehmer SRAM	5V, 64K-Bit Timekeeper SRAM	28-Dip	14.82	12.70	11.26
M48T18-150PC1	497-2838-5-ND	5 V, 64 K-Bit Zeitnehmer SRAM	5V, 64K-Bit Timekeeper SRAM	28-Dip	14.82	12.70	11.26
M48T35-70PC1	497-2845-5-ND	5 V, 256 K-Bit Zeitnehmer SRAM	5V, 256K-Bit Timekeeper SRAM	28-Dip	14.82	12.70	11.26
M48T35AV-10MH1	497-2846-5-ND	3,3 V, 256 K-Bit Zeitnehmer SRAM	3.3V, 256K-Bit Timekeeper SRAM	28-SOIC	12.24	11.33	8.58
M48T35AV-10MH6	497-2847-5-ND	3,3 V, 256 K-Bit Zeitnehmer SRAM	3.3V, 256K-Bit Timekeeper SRAM	28-SOIC	14.70	13.60	10.29
M48T35AV-10PC1	497-2848-5-ND	3,3 V, 256 K-Bit Zeitnehmer SRAM	3.3V, 256K-Bit Timekeeper SRAM	28-Dip	14.65	13.55	10.26
M48T35Y-70MH1	497-2849-5-ND	5 V, 256 K-Bit Zeitnehmer SRAM	5V, 256K-Bit Timekeeper SRAM	28-SOIC	12.24	11.33	8.58
M48T35Y-70MH6	497-2850-5-ND	5 V, 256 K-Bit Zeitnehmer SRAM	5V, 256K-Bit Timekeeper SRAM	28-SOIC	14.70	13.60	10.29
M48T35Y-70PC1	497-2851-5-ND	5 V, 256 K-Bit Zeitnehmer SRAM	5V, 256K-Bit Timekeeper SRAM	28-Dip	14.82	12.70	11.26
M48T37V-10MH1	497-2852-5-ND	3,3 V, 256 K-Bit Zeitnehmer SRAM	3.3V, 256K-Bit Timekeeper SRAM	44-SOIC	13.07	12.09	9.15
M48T37V-10MH6	497-2853-5-ND	3,3 V, 256 K-Bit Zeitnehmer SRAM	3.3V, 256K-Bit Timekeeper SRAM	44-SOIC	15.54	14.37	10.88
M48T37Y-70MH1	497-2854-5-ND	5 V, 256 K-Bit Zeitnehmer SRAM	5V, 256K-Bit Timekeeper SRAM	44-SOIC	13.07	12.09	9.15
M48T37Y-70MH6	497-2855-5-ND	5 V, 256 K-Bit Zeitnehmer SRAM	5V, 256K-Bit Timekeeper SRAM	44-SOIC	15.54	14.37	10.88
M48T58-70PC1	497-2857-5-ND	5 V, 64 K-Bit Zeitnehmer SRAM	5V, 64K-Bit Timekeeper SRAM	28-Dip	15.24	14.10	10.67
M48T58Y-70MH1	497-2858-5-ND	5 V, 64 K-Bit Zeitnehmer SRAM	5V, 64K-Bit Timekeeper SRAM	28-SOIC	8.64	7.99	6.05
M48T58Y-70PC1	497-2859-5-ND	5 V, 64 K-Bit Zeitnehmer SRAM	5V, 64K-Bit Timekeeper SRAM	28-Dip	15.24	14.10	10.67
M48T59Y-70MH1	497-2860-5-ND	5 V, 64 K-Bit Zeitnehmer SRAM	5V, 64K-Bit Timekeeper SRAM	28-SOIC	9.78	9.05	6.85
M48T59Y-70MH6	497-2861-5-ND	5 V, 64 K-Bit Zeitnehmer SRAM	5V, 64K-Bit Timekeeper SRAM	28-SOIC	12.09	11.19	8.47
M48T59Y-70PC1	497-2862-5-ND	5 V, 64 K-Bit Zeitnehmer SRAM	5V, 64K-Bit Timekeeper SRAM	28-Dip	14.82	12.70	11.26
M48T128Y-70PM1	497-2834-5-ND	5 V, 1 M-Bit Zeitnehmer SRAM	5V, 1M-Bit Timekeeper SRAM	32-Dip	26.67	22.86	20.27
M48T129V-85PM1	497-2835-5-ND	3,3 V, 1 M-Bit Zeitnehmer SRAM	3.3V, 1M-Bit Timekeeper SRAM	32-Dip	29.63	25.40	22.52
M48T129Y-70PM1	497-2836-5-ND	5 V, 1 M-Bit Zeitnehmer SRAM	5V, 1M-Bit Timekeeper SRAM	32-Dip	26.67	22.86	20.27
M48T512Y-70PM1	497-2856-5-ND	5 V, 4 M-Bit Zeitnehmer SRAM	5V, 4M-Bit Timekeeper SRAM	32-Dip	59.26	50.80	45.04
M48Z02-70PC1	497-2868-5-ND	5 V, 16 K-Bit Zeropower SRAM	5V, 16K-Bit Zeropower SRAM	24-Dip	8.76	8.00	6.33
M48Z02-150PC1	497-2865-5-ND	5 V, 16 K-Bit Zeropower SRAM	5V, 16K-Bit Zeropower SRAM	24-Dip	8.76	8.00	6.33
M48Z02-200PC1	497-2867-5-ND	5 V, 16 K-Bit Zeropower SRAM	5V, 16K-Bit Zeropower SRAM	24-Dip	8.76	8.00	6.33
M48Z08-100PC1	497-2869-5-ND	5 V, 64 K-Bit Zeropower SRAM	5V, 64K-Bit Zeropower SRAM	28-Dip	11.92	11.03	8.35
M48Z12-70PC1	497-2872-5-ND	5 V, 16 K-Bit Zeropower SRAM	5V, 16K-Bit Zeropower SRAM	24-Dip	8.47	7.84	5.93
M48Z12-150PC1	497-2870-5-ND	5 V, 16 K-Bit Zeropower SRAM	5V, 16K-Bit Zeropower SRAM	24-Dip	9.36	8.56	6.76
M48Z12-200PC1	497-2871-5-ND	5 V, 16 K-Bit Zeropower SRAM	5V, 16K-Bit Zeropower SRAM	24-Dip	8.88	8.11	6.41
M48Z18-100PC1	497-2877-5-ND	5 V, 64 K-Bit Zeropower SRAM	5V, 64K-Bit Zeropower SRAM	28-Dip	11.92	11.03	8.35
M48Z32V-35MT1	497-2878-5-ND	3,3 V, 256 K-Bit Zeropower SRAM	3.3V, 256K-Bit Zeropower SRAM	44-SOIC	8.51	7.77	6.14
M48Z35-70PC1	497-2879-5-ND	5 V, 256 K-Bit Zeropower SRAM	5V, 256K-Bit Zeropower SRAM	28-Dip	14.71	13.62	10.30
M48Z35AV-10MH1	497-2880-5-ND	3,3 V, 256 K-Bit Zeropower SRAM	3.3V, 256K-Bit Zeropower SRAM	28-SOIC	9.78	9.05	6.85
M48Z35AV-10PC1	497-2882-5-ND	3,3 V, 256 K-Bit Zeropower SRAM	3.3V, 256K-Bit Zeropower SRAM	28-Dip	10.84	10.03	7.59
M48Z35Y-70MH1	497-2883-5-ND	5 V, 256 K-Bit Zeropower SRAM	5V, 256K-Bit Zeropower SRAM	28-SOIC	9.95	9.20	6.97
M48Z35Y-70MH6	497-2884-5-ND	5 V, 256 K-Bit Zeropower SRAM	5V, 256K-Bit Zeropower SRAM	28-SOIC	11.73	10.86	8.22
M48Z35Y-70PC1	497-2885-5-ND	5 V, 256 K-Bit Zeropower SRAM	5V, 256K-Bit Zeropower SRAM	28-Dip	14.71	13.62	10.30
M48Z58-70PC1	497-2888-5-ND	5 V, 64 K-Bit Zeropower SRAM	5V, 64K-Bit Zeropower SRAM	28-Dip	9.79	9.06	6.86
M48Z58Y-70PC1	497-3685-5-ND	5,5 V, 64 K-Bit Zeropower SRAM	5.5V, 64K-Bit Zeropower SRAM	28-Dip	9.79	9.06	6.86
M48Z128-70PM1	497-2873-5-ND	5 V, 1 M-Bit Zeropower SRAM	5V, 1M-Bit Zeropower SRAM	32-Dip	19.26	16.51	14.64
M48Z128Y-70PM1	497-2874-5-ND	5 V, 1 M-Bit Zeropower SRAM	5V, 1M-Bit Zeropower SRAM	32-Dip	19.26	16.51	14.64
M48Z128Y-85PM1	497-2875-5-ND	5 V, 1 M-Bit Zeropower SRAM	5V, 1M-Bit Zeropower SRAM	32-Dip	22.22	19.05	16.89
M48Z129V-85PM1	497-2876-5-ND	3,3 V, 1 M-Bit Zeropower SRAM	3.3V, 1M-Bit Zeropower SRAM	32-Dip	21.19	18.16	16.11

(Forts.)

★ RUFEN SIE BITTE AN FÜR NIEDRIGERE PREISE BEI GRÖSSEREN MENGEN! ★

STMicroelectronics — SPEICHER (Forts.)

STMicroelectronics Teilenr.	Digi-Key Teilenr.	Beschreibung		Paket	Stückpreis★ 1	10	100
M48Z512A-70PM1	497-2886-5-ND	5 V, 4 M-Bit Zeropower SRAM	5V, 4M-Bit Zeropower SRAM	32-Dip	51.85	44.45	39.41
M48Z512AY-70PM1	497-2887-5-ND	5 V, 4 M-Bit Zeropower SRAM	5V, 4M-Bit Zeropower SRAM	32-Dip	51.85	44.45	39.41
M68AF511AL55NC6T	497-1734-1-ND	4 M-Bit (512 K x 8), 5 V asynch. SRAM	4M-Bit (512Kx8), 5V Async. SRAM	32-TSOP	8.64	7.90	6.24
M68AF511AL55NC6T	497-1734-2-ND	4 M-Bit (512 K x 8), 5 V asynch. SRAM	4M-Bit (512Kx8), 5V Async. SRAM	32-TSOP		4792.60/1,000	
M68AW031AM70N6T	497-1737-1-ND	256 K-Bit (32 K x 8), 3 V asynch. SRAM	256K-Bit (32Kx8), 3V Async. SRAM	28-TSOP	1.70	1.42	1.20
M68AW031AM70N6T	497-1737-2-ND	256 K-Bit (32 K x 8), 3 V asynch. SRAM	256K-Bit (32Kx8), 3V Async. SRAM	28-TSOP		765.75/1,000	
M68AW064FL70ZB6	497-1738-ND	1 M-Bit (64 K x 16), 3 V asynch. SRAM	1M-Bit (64Kx16), 3V Async. SRAM	48-TFBGA	3.43	2.99	2.23
M68AW128ML70ZB6	497-1739-ND	2 M-Bit (128 K x 16), 3 V asynch. SRAM	2M-Bit (128Kx16), 3V Async. SRAM	48-TFBGA	2.74	2.39	1.78
M68AW256ML70ND6T	497-1740-1-ND	4 M-Bit (256 K x 16), 3 V asynch. SRAM	4M-Bit (256Kx16), 3V Async. SRAM	44-TSOP	5.64	4.91	3.66
M68AW256ML70ND6T	497-1740-2-ND	4 M-Bit (256 K x 16), 3 V asynch. SRAM	4M-Bit (256Kx16), 3V Async. SRAM	44-TSOP		2777.79/1,000	
M68AW256ML70ZB6	497-1741-ND	4 M-Bit (256 K x 16), 3 V asynch. SRAM	4M-Bit (256Kx16), 3V Async. SRAM	48-TFBGA	5.06	4.41	3.29
M68AW512ML70ND6	497-1744-ND	8 M-Bit (512 K x 16), 3 V asynch. SRAM	8M-Bit (512Kx16), 3V Async. SRAM	44-TSOP	7.04	6.44	5.09

STMicroelectronics — NVRAM

STMicroelectronics Teilenr.	Digi-Key Teilenr.	Beschreibung		Paket	Stückpreis★ 1	10	100
M40SZ100WMQ6E	497-2798-5-ND	3 V NVRAM Wächter für LPSRAM	3V, NVRAM Supervisor for LPSRAM	16-SOIC	4.48	4.09	3.24
M40Z111MH6	497-2799-5-ND	5 V NVRAM Wächter für LPSRAM	5V, NVRAM Supervisor for LPSRAM	28-SOIC	7.56	6.91	5.46
M40Z300WMH6	497-2800-5-ND	3 V NVRAM Wächter für LPSRAM	3V, NVRAM Supervisor for LPSRAM	28-SOIC	8.22	7.61	5.76
M40Z300WMQ6E	497-2801-5-ND	3 V NVRAM Wächter für LPSRAM	3V, NVRAM Supervisor for LPSRAM	16-SOIC	5.61	5.13	4.06
M41ST84WMQ6E	497-2802-5-ND	3 V NVRAM 512-Bit serieller RTC	3V, NVRAM 512-Bit Serial RTC	16-SOIC	3.55	3.09	2.30
M41ST84YMQ6E	497-2803-5-ND	5 V NVRAM 512-Bit serieller RTC	5V, NVRAM 512-Bit Serial RTC	16-SOIC	3.55	3.09	2.30
M41ST85WMH6	497-2804-5-ND	3 V NVRAM 512-Bit serieller RTC	3V, NVRAM 512-Bit Serial RTC	28-SOIC	6.62	6.05	4.78
M41ST85WMX6	497-2805-5-ND	3 V NVRAM 512-Bit serieller RTC	3V, NVRAM 512-Bit Serial RTC	28-SOIC	5.45	4.98	3.94
M41ST85YMH6	497-2806-5-ND	5 V NVRAM 512-Bit serieller RTC	5V, NVRAM 512-Bit Serial RTC	28-SOIC	7.40	6.76	5.35
M41ST85YMX6	497-2807-5-ND	5 V NVRAM 512-Bit serieller RTC	5V, NVRAM 512-Bit Serial RTC	28-SOIC	5.45	4.98	3.94
M41ST87YMX6	497-2808-5-ND	5 V NVRAM 1280-Bit serieller RTC	5V, NVRAM 1280-Bit Serial RTC	28-SOIC	6.62	6.05	4.78
M41ST95WMX6	497-2809-5-ND	3 V NVRAM 512-Bit serieller RTC	3V, NVRAM 512-Bit Serial RTC	28-SOIC	5.84	5.34	4.22
M41T00M606E	497-2810-5-ND	Serieller Zugriffs-Zeitnehmer	Serial Access Timekeeper	8-SOIC	2.29	1.91	1.61
M41T0DS6E	497-2811-5-ND	2 V-5,5 V serieller RTC	2V-5.5V, Serial RTC	8-TSSOP	1.65	1.38	1.16
M41T0M6E	497-2812-5-ND	2 V-5,5 V serieller RTC	2V-5.5V, Serial RTC	8-SOIC	1.52	1.27	1.07
M41T60Q6F	497-3906-1-ND	1,3 V-3,6 V, serieller RTC	1.3V-3.6V, Serial RTC	16-QFN	1.50	1.25	1.05
M41T60Q6F	497-3906-2-ND	1,3 V-3,6 V, serieller RTC	1.3V-3.6V, Serial RTC	16-QFN		1948.03/3,000	
M41T62Q6F	497-3907-1-ND	1,3 V-3,6 V, serieller RTC mit Alarm	1.3V-3.6V, Serial RTC w/Alarm	16-QFN	1.74	1.45	1.22
M41T62Q6F	497-3907-2-ND	1,3 V-3,6 V, serieller RTC mit Alarm	1.3V-3.6V, Serial RTC w/Alarm	16-QFN		2252.80/3,000	
M41T65Q6F	497-3908-1-ND	1,3 V-3,6 V, serieller RTC mit Alarm	1.3V-3.6V, Serial RTC w/Alarm	16-QFN	1.74	1.45	1.22
M41T65Q6F	497-3908-2-ND	1,3 V-3,6 V, serieller RTC mit Alarm	1.3V-3.6V, Serial RTC w/Alarm	16-QFN		2252.80/3,000	
M41T80M6E	497-2820-5-ND	2 V-5,5 V serieller RTC	2V-5.5V, Serial RTC	8-SOIC	1.90	1.59	1.34
M41T81M6E	497-2821-5-ND	2 V-5,5 V serieller RTC	2V-5.5V, Serial RTC	8-SOIC	2.03	1.70	1.43
M41T81MX6	497-2822-5-ND	2 V-5,5 V serieller RTC	2V-5.5V, Serial RTC	28-SOIC	3.89	3.39	2.52
M41T256YMH7	497-2815-5-ND	5 V, 256 K-Bit serieller RTC	5V, 256K-Bit Serial RTC	44-SOIC	9.35	8.54	6.75
M41T256YMT7	497-2816-5-ND	5 V, 256 K-Bit serieller RTC	5V, 256K-Bit Serial RTC	44-SOIC	8.76	8.00	6.33
M41T315V-85MH6	497-2817-5-ND	3,3 V, 85 ns Phantom RTC Wächter	3.3V, 85nS Phantom RTC Supervisor	28-SOIC	11.73	10.86	8.22
M48T86MH1	497-2863-5-ND	5 V, PC RTC	5V, PC RTC	28-SOIC	4.57	3.98	2.97
M48T86PC1	497-2864-5-ND	5 V, PC RTC	5V, PC RTC	24-Dip	5.36	4.89	3.87

STMicroelectronics — LEISTUNGSMANAGEMENT

STMicroelectronics Teilenr.	Digi-Key Teilenr.	Beschreibung		Paket	Stückpreis★ 1	10	100
BU931T	497-2797-5-ND	400 V, 10 A NPN Darlington-Treiber	400V, 10A NPN Darlington Driver	TO-220	2.38	1.98	1.67
CLT3-4BT6-TR	497-2455-1-ND	Vierf. digitale Terminierung	Quad Digital Termination	20-TSSOP	2.72	2.37	1.77
CLT3-4BT6-TR	497-2455-2-ND	Vierf. digitale Terminierung	Quad Digital Termination	20-TSSOP		3223.43/2,500	
SMLVT3V3	497-2496-1-ND	TRANSIL™, Niederspannung	Low Voltage TRANSIL™	SMB	.61	.49	.37
SMLVT3V3	497-2496-2-ND	TRANSIL™, Niederspannung	Low Voltage TRANSIL™	SMB		482.56/2,500	
VB025MSP13TR	497-3563-1-ND	Hochspann.-Zündspulentreiber	High Volt. Ignition Coil Driver	10-SOIC	5.03	4.38	3.26
VB025MSP13TR	497-3563-2-ND	Hochspann.-Zündspulentreiber	High Volt. Ignition Coil Driver	10-SOIC		1564.52/600	
VB921ZVFI	497-2716-5-ND	Hochspann.-Zündspulentreiber	High Volt. Ignition Coil Driver	Isowatt-220	5.15	4.48	3.34
VIPER12ADIP	497-3377-5-ND	OffLine-SMPS Primärschalter, NL	LP Off Line SMPS Primary Switcher	8-Dip	1.88	1.57	1.32
VIPER12AS	497-3102-ND	OffLine-SMPS Primärschalter, NL	LP Off Line SMPS Primary Switcher	8-SOIC	1.70	1.42	1.20
VIPER22ADIP	497-3286-5-ND	OffLine-SMPS Primärschalter, NL	LP Off Line SMPS Primary Switcher	8-Dip	2.31	1.93	1.62
VIPER22AS	497-3287-5-ND	OffLine-SMPS Primärschalter, NL	LP Off Line SMPS Primary Switcher	8-SOIC	2.03	1.70	1.43
VIPER50A	497-2713-5-ND	700 V, 1,5 A Treiber	700V, 1.5A, Driver	Pentawatt HV	2.97	2.59	1.93
VIPER50A(022Y)	497-2677-5-ND	700 V, 1,5 A Treiber	700V, 1.5A, Driver	Pentawatt HV	3.09	2.69	2.01
VIPER50SP	497-2715-5-ND	620 V, 1,5 A Treiber	620V, 1.5A, Driver	PowerSO-10	2.74	2.39	1.78
VIPER53DIP	497-3288-5-ND	Offline-Primärschalter	Off Line Primary Switch	8-Dip	2.51	2.19	2.19
VIPER53SP	497-3289-5-ND	Offline-Primärschalter	Off Line Primary Switch	PowerSO-10	3.20	2.79	2.79
VIPER100	497-2714-5-ND	620 V, 3 A Treiber	620V, 3A, Driver	Pentawatt HV	3.66	3.19	2.38
VIPER100(022Y)	497-3285-5-ND	620 V, 3 A Treiber	620V, 3A, Driver	Pentawatt HV	3.78	3.29	2.45
VIPER100A	497-2712-5-ND	700 V, 3 A Treiber	700V, 3A, Driver	Pentawatt HV	3.78	3.29	2.45
VIPER100A(022Y)	497-2656-5-ND	700 V, 3 A Treiber	700V, 3A, Driver	Pentawatt HV	3.78	3.29	2.45
VIPER100SP13TR	497-3284-1-ND	620 V, 3 A Treiber	620V, 3A, Driver	PowerSO-10	3.89	3.39	2.52
VIPER100SP13TR	497-3284-2-ND	620 V, 3 A Treiber	620V, 3A, Driver	PowerSO-10		1208.94/600	
VN05N	497-3088-5-ND	HS, Smart Power SSR	HS, Smart Power SSR	5-Pentawatt	2.77	2.41	1.80
VN21(012Y)	497-3290-5-ND	7 A, ISO HS, Smart Power SSR	7A, ISO HS Smart Power SSR	Pentawatt	4.11	3.59	2.67
VN330SP	497-2705-5-ND	Vierf. 0,7 A HS Smart Pwr. SSR	0.7A, Quad HS Smart Pwr. SSR	PowerSO-10	5.60	5.12	4.05
VN340SP	497-2706-5-ND	Vierf. 0,7 A HS Smart Pwr. SSR	0.7A, Quad HS Smart Pwr. SSR	PowerSO-10	5.60	5.12	4.05
VN450P13TR	497-4493-1-ND	3-Kan. High-Side-SSR	3-Ch. High Side SSR	20-Power SOIC	5.45	4.98	3.94
VN450P13TR	497-4493-2-ND	3-Kan. High-Side-SSR	3-Ch. High Side SSR	20-Power SOIC		1848.97/600	
VN610SP	497-2660-5-ND	45 A, Ein-Kanal, HS SSR	45A, Single Ch. HS SSR	PowerSO-10	5.16	4.72	3.73
VN610SP13TR	497-3291-1-ND	45 A, Ein-Kanal, HS SSR	45A, Single Ch. HS SSR	PowerSO-10	5.16	4.72	3.73
VN610SP13TR	497-3291-2-ND	45 A, Ein-Kanal, HS SSR	45A, Single Ch. HS SSR	PowerSO-10		1749.92/600	
VN750	497-2707-5-ND	6 A High-Side-Treiber	6A, High Side Driver	Pentawatt	2.49	2.08	1.75
VN750-B5	497-2701-5-ND	6 A High-Side-Treiber	6A, High Side Driver	P2-PAK	2.29	1.99	1.49
VN750PT	497-3292-5-ND	6 A High-Side-Treiber	6A, High Side Driver	P-PAK	2.44	2.04	1.71
VN750S	497-3293-5-ND	6 A High-Side-Treiber	6A, High Side Driver	8-SOIC	2.29	1.99	1.49
VN800PT	497-3294-5-ND	0,7 A High-Side-Treiber	0.7A, High Side Driver	P-PAK	2.38	2.07	1.55
VN800S13TR	497-3295-1-ND	0,7 A High-Side-Treiber	0.7A, High Side Driver	8-SOIC	2.33	2.03	1.52
VN800S13TR	497-3295-2-ND	0,7 A High-Side-Treiber	0.7A, High Side Driver	8-SOIC		2764.15/2,500	
VN808-E	497-4494-5-ND	8-Kanal High-Side-Treiber	Octal Channel High Side Driver	36-Power SOIC	7.40	6.76	5.35
VN808CM	497-4495-5-ND	8-Kanal High-Side-Treiber	Octal Channel High Side Driver	36-Power SOIC	5.06	4.63	3.66
VN808TR-E	497-4496-1-ND	8-Kanal High-Side-Treiber	Octal Channel High Side Driver	36-Power SOIC	7.40	6.76	5.35
VN808TR-E	497-4496-2-ND	8-Kanal High-Side-Treiber	Octal Channel High Side Driver	36-Power SOIC		2509.32/600	
VN820	497-3296-5-ND	9 A High-Side-Treiber	9A, High Side Driver	Pentawatt	2.61	2.27	1.69
VN820-B513TR	497-3297-1-ND	9 A High-Side-Treiber	9A, High Side Driver	P2-PAK	2.65	2.31	1.72
VN820-B513TR	497-3297-2-ND	9 A High-Side-Treiber	9A, High Side Driver	P2-PAK		1306.30/1,000	
VN820SP13TR	497-3298-1-ND	9 A High-Side-Treiber	9A, High Side Driver	PowerSO-10	2.95	2.57	1.92
VN820SP13TR	497-3298-2-ND	9 A High-Side-Treiber	9A, High Side Driver	PowerSO-10		917.38/600	
VN920	497-2679-5-ND	30 A Ein-Kanal, HS SSR	30A, Single Ch. HS SSR	Pentawatt	4.23	3.69	2.75
VN920-B5	497-2678-5-ND	30 A Ein-Kanal, HS SSR	30A, Single Ch. HS SSR	P2-PAK	4.30	3.74	2.79

(Forts.)

★ *RUFEN SIE BITTE AN FÜR NIEDRIGERE PREISE BEI GRÖSSEREN MENGEN!* ★

STMicroelectronics

STMicroelectronics Teilenr.	Digi-Key Teilenr.	Beschreibung		Paket	Stückpreis★ 1	10	100
VN920SP13TR	497-2506-1-ND	30 A Ein-Kanal, HS SSR	30A, Single Ch. HS SSR	PowerSO-10	4.41	3.84	2.86
VN920SP13TR	497-2506-2-ND	30 A Ein-Kanal, HS SSR	30A, Single Ch. HS SSR	PowerSO-10		1372.51/600	
VNB20N07	497-2794-5-ND	70 V, 20 A vollautom. geschützter Leistungs-MOSFET	70V, 20A, Fully Auto Protected Power Mosfet	D2-PAK	2.90	2.53	1.89
VNB20N0713TR	497-2794-1-ND	70 V, 20 A vollautom. geschützter Leistungs-MOSFET	70V, 20A, Fully Auto Protected Power Mosfet	D2-PAK	2.90	2.53	1.89
VNB20N0713TR	497-2794-2-ND	70 V, 20 A vollautom. geschützter Leistungs-MOSFET	70V, 20A, Fully Auto Protected Power Mosfet	D2-PAK		1429.91/1,000	
VNB35NV04	497-2671-5-ND	40 V, 30 A vollautom. geschützter Leistungs-MOSFET	40V, 30A, Fully Protected Pwr Mosfet	D2-PAK	5.26	4.58	3.41
VND05B(012Y)	497-3300-5-ND	2-Kanal, High-Side Smart Leistungs-SSR	2-Ch., HS Smart Power SSR	Heptawatt	3.01	2.63	1.96
VND05BSP	497-3089-5-ND	ISO HS Smart Leistungs-SSR	ISO HS Smart Power SSR	PowerSO-10	3.16	2.75	2.05
VND05BSP13TR	497-3299-1-ND	ISO HS Smart Leistungs-SSR	ISO HS Smart Power SSR	PowerSO-10	3.01	2.63	1.96
VND05BSP13TR	497-3299-2-ND	ISO HS Smart Leistungs-SSR	ISO HS Smart Power SSR	PowerSO-10		938.71/600	
VND3NV0413TR	497-3301-1-ND	40 V, 3,5 A vollautom. geschützter Leistungs-MOSFET	40V, 3.5A, Fully Auto Protected Power Mosfet	D-PAK	1.56	1.35	1.04
VND3NV0413TR	497-3301-2-ND	40 V, 3,5 A vollautom. geschützter Leistungs-MOSFET	40V, 3.5A, Fully Auto Protected Power Mosfet	D-PAK		1379.96/2,500	
VND5N07	497-2481-5-ND	70 V, 5 A vollautom. geschützter Leistungs-MOSFET	70V, 5A, Fully Auto Protected Power Mosfet	D-PAK	1.52	1.27	1.07
VND7N0413TR	497-3304-1-ND	42 V, 7 A vollautom. geschützter Leistungs-MOSFET	42V, 7A, Fully Auto Protected Power Mosfet	D-PAK	1.35	1.13	.95
VND7N0413TR	497-3304-2-ND	42 V, 7 A vollautom. geschützter Leistungs-MOSFET	42V, 7A, Fully Auto Protected Power Mosfet	D-PAK		1458.27/2,500	
VND7NV04	497-2669-5-ND	40 V, 6 A vollautom. geschützter Leistungs-MOSFET	40V, 6A, Fully Auto Protected Power Mosfet	D-PAK	1.35	1.13	.95
VND10N06	497-2767-5-ND	60 V, 10 A vollautom. geschützter Leistungs-MOSFET	60V, 10A, Fully Auto Protected Power Mosfet	D-PAK	1.47	1.23	1.04
VND14NV04	497-2674-5-ND	40 V, 12 A vollautom. geschützter Leistungs-MOSFET	40V, 12A, Fully Auto Protected Power Mosfet	D-PAK	1.90	1.59	1.34
VND600	497-4497-5-ND	2-Kan. High-Side-SSR	2-Ch. High Side SSR	16-SOIC	5.03	4.38	3.26
VND60013TR	497-4498-1-ND	2-Kan. High-Side-SSR	2-Ch. High Side SSR	16-SOIC	5.03	4.38	3.26
VND60013TR	497-4498-2-ND	2-Kan. High-Side-SSR	2-Ch. High Side SSR	16-SOIC		2477.15/1,000	
VND600SP	497-2711-5-ND	36 V, 25 A Doppelkanal HS SSR	36V, 25A, Double Ch. HS SSR	PowerSO-10	4.97	4.54	3.59
VND600SP13TR	497-3303-1-ND	36 V, 25 A Doppelkanal HS SSR	36V, 25A, Double Ch. HS SSR	PowerSO-10	4.97	4.54	3.59
VND600SP13TR	497-3303-2-ND	36 V, 25 A Doppelkanal HS SSR	36V, 25A, Double Ch. HS SSR	PowerSO-10		1683.89/600	
VND810SP	497-3305-5-ND	36 V, 3,5 A Doppelkanal HS SSR	36V, 3.5A, Double Ch. HS Driver	PowerSO-10	4.92	4.28	3.19
VND830ASP13TR	497-4499-1-ND	2-Kan. High-Side-SSR	2-Ch. High Side SSR	PowerSO-10	3.01	2.63	1.96
VND830ASP13TR	497-4499-2-ND	2-Kan. High-Side-SSR	2-Ch. High Side SSR	PowerSO-10		938.71/600	
VND830SP	497-2709-5-ND	36 V, 6 A Doppelkanal HS SSR	36V, 6A, Double Ch. HS Driver	PowerSO-10	3.20	2.79	2.08
VND830SP13TR	497-3306-1-ND	36 V, 6 A Doppelkanal HS SSR	36V, 6A, Double Ch. HS Driver	PowerSO-10	3.20	2.79	2.08
VND830SP13TR	497-3306-2-ND	36 V, 6 A Doppelkanal HS SSR	36V, 6A, Double Ch. HS Driver	PowerSO-10		995.60/600	
VND920	497-2708-5-ND	36 V, 35 A Doppelkanal High-Side-SSR	36V, 35A, Double Ch. High Side SSR	28-SOIC	4.87	4.45	3.52
VND92013TR	497-3307-1-ND	36 V, 35 A Doppelkanal High-Side-SSR	36V, 35A, Double Ch. High Side SSR	28-SOIC	4.87	4.45	3.52
VND92013TR	497-3307-2-ND	36 V, 35 A Doppelkanal High-Side-SSR	36V, 35A, Double Ch. High Side SSR	28-SOIC		2698.96/1,000	
VND5N0713TR	497-2481-1-ND	70 V, 5 A vollautom. geschützter Leistungs-MOSFET	70V, 5A, Fully Auto Protected Power Mosfet	D-PAK	1.52	1.27	1.07
VND5N0713TR	497-2481-2-ND	70 V, 5 A vollautom. geschützter Leistungs-MOSFET	70V, 5A, Fully Auto Protected Power Mosfet	D-PAK		1650.87/2,500	
VNH2SP30	497-4500-5-ND	H-Brückenmotortreiber	H-Bridge Motor Driver	—	8.09	7.38	5.84
VNH2SP30TR-E	497-4501-1-ND	H-Brückenmotortreiber	H-Bridge Motor Driver	—	8.09	7.38	5.84
VNH2SP30TR-E	497-4501-2-ND	H-Brückenmotortreiber	H-Bridge Motor Driver	—		4479.36/1,000	
VNK5N07FM	497-3308-5-ND	70 V, 5 A vollautom. geschützter Leistungs-MOSFET	70V, 5A, Fully Auto Protected Power Mosfet	SOT-82-FM	1.52	1.27	1.07
VNN1NV0413TR	497-2517-1-ND	40 V, 1,7 A vollautom. geschützter Leistungs-MOSFET	40V, 1.7A, Fully Auto Protected Power Mosfet	SOT-223	.89	.77	.60
VNN1NV0413TR	497-2517-2-ND	40 V, 1,7 A vollautom. geschützter Leistungs-MOSFET	40V, 1.7A, Fully Auto Protected Power Mosfet	SOT-223		343.72/1,000	
VNN3NV0413TR	497-3309-1-ND	40 V, 3,5 A vollautom. geschützter Leistungs-MOSFET	40V, 3.5A, Fully Auto Protected Power Mosfet	SOT-223	1.27	1.11	.85
VNN3NV0413TR	497-3309-2-ND	40 V, 3,5 A vollautom. geschützter Leistungs-MOSFET	40V, 3.5A, Fully Auto Protected Power Mosfet	SOT-223		491.03/1,000	
VNN7NV0413TR	497-2519-1-ND	40 V, 6 A vollautom. geschützter Leistungs-MOSFET	40V, 6A, Fully Auto Protected Power Mosfet	SOT-223	1.30	1.08	.91
VNN7NV0413TR	497-2519-2-ND	40 V, 6 A vollautom. geschützter Leistungs-MOSFET	40V, 6A, Fully Auto Protected Power Mosfet	SOT-223		583.31/1,000	
VNP5N07	497-2791-5-ND	70 V, 5 A vollautom. geschützter Leistungs-MOSFET	70V, 5A, Fully Auto Protected Power Mosfet	TO-220	1.52	1.27	1.07
VNP5N07FI	497-3313-5-ND	70 V, 5 A vollautom. geschützter Leistungs-MOSFET	70V, 5A, Fully Auto Protected Power Mosfet	Isowatt-220	1.60	1.34	1.13
VNP10N06	497-3310-5-ND	60 V, 10 A vollautom. geschützter Leistungs-MOSFET	60V, 10A, Fully Auto Protected Power Mosfet	TO-220	1.37	1.15	.96
VNP10N07	497-2795-5-ND	70 V, 10 A vollautom. geschützter Leistungs-MOSFET	70V, 10A, Fully Auto Protected Power Mosfet	TO-220	2.01	1.68	1.41
VNP10N07FI	497-2796-5-ND	70 V, 10 A vollautom. geschützter Leistungs-MOSFET	70V, 10A, Fully Auto Protected Power Mosfet	Isowatt-220	2.08	1.74	1.46
VNP14N04	497-2661-5-ND	42 V, 14 A vollautom. geschützter Leistungs-MOSFET	42V, 14A, Fully Auto Protected Power Mosfet	TO-220	2.01	1.68	1.41
VNP20N07	497-2793-5-ND	70 V, 20 A vollautom. geschützter Leistungs-MOSFET	70V, 20A, Fully Auto Protected Power Mosfet	TO-220	2.79	2.43	1.81
VNP28N04	497-2667-5-ND	42 V, 28 A vollautom. geschützter Leistungs-MOSFET	42V, 28A, Fully Auto Protected Power Mosfet	TO-220	2.93	2.55	1.90
VNP35N07	497-2792-5-ND	70 V, 35 A vollautom. geschützter Leistungs-MOSFET	70V, 35A, Fully Auto Protected Power Mosfet	TO-220	4.23	3.69	2.75
VNP35NV04	497-3311-5-ND	40 V, 30 A vollautom. geschützter Leistungs-MOSFET	40V, 30A, Fully Auto Protected Power Mosfet	TO-220	5.19	4.52	3.37
VNP49N04	497-2649-5-ND	42 V, 49 A vollautom. geschützter Leistungs-MOSFET	42V, 49A, Fully Auto Protected Power Mosfet	Isowatt-220	3.89	3.39	2.52
VNP49N04FI	497-3312-5-ND	42 V, 49 A vollautom. geschützter Leistungs-MOSFET	42V, 49A, Fully Auto Protected Power Mosfet	Isowatt-220	4.39	3.82	2.85
VNQ600	497-3314-5-ND	36 V, 25 A vier-Kan. HS SSR	36V, 25A, Quad Ch. HS SSR	28-SOIC	6.43	5.87	4.64
VNQ660SP	497-2700-5-ND	36 V, 6 A vier-Kan. HS SSR	36V, 6A, Quad Ch. HS SSR	PowerSO-10	5.55	5.07	4.01
VNQ660SP13TR	497-3315-1-ND	36 V, 6 A vier-Kan. HS SSR	36V, 6A, Quad Ch. HS SSR	PowerSO-10	5.55	5.07	4.01
VNQ660SP13TR	497-3315-2-ND	36 V, 6 A vier-Kan. HS SSR	36V, 6A, Quad Ch. HS SSR	PowerSO-10		1881.99/600	
VNQ810	497-2703-5-ND	36 V, 3,5 A vier-Kan. High-Side-Treiber	36V, 3.5A, Quad Ch. High Side Driver	28-SOIC	5.60	4.88	3.63
VNQ81013TR	497-3316-1-ND	36 V, 3,5 A vier-Kan. High-Side-Treiber	36V, 3.5A, Quad Ch. High Side Driver	28-SOIC	5.60	4.88	3.63
VNQ81013TR	497-3316-2-ND	36 V, 3,5 A vier-Kan. High-Side-Treiber	36V, 3.5A, Quad Ch. High Side Driver	28-SOIC		2759.07/1,000	
VNQ830	497-2702-5-ND	36 V, 6 A vier-Kan. High-Side-Treiber	36V, 6A, Quad Ch. High Side Driver	28-SOIC	5.63	5.14	4.07
VNQ860	497-2704-5-ND	36 V, 0,25 A vier-Kan. High-Side-Treiber	36V, .25A, Quad Ch. High Side Driver	20-SOIC	4.71	4.10	3.06
VNQ860SP	497-4502-5-ND	36 V, 0,25 A vier-Kan. High-Side-Treiber	36V, .25A, Quad Ch. High Side Driver	PowerSO-10	5.16	4.50	3.35
VNS1NV04	497-2672-5-ND	40 V, 1,7 A vollautom. geschützter Leistungs-MOSFET, Doppel-N-Kan.	40V, 1.7A, Fully Auto Protected Power Mosfet, Dual N-Ch.	8-SOIC	.96	.83	.64
VNS1NV04D	497-2673-5-ND	40 V, 1,7 A vollautom. geschützter Leistungs-MOSFET, Doppel-N-Kan.	40V, 1.7A, Fully Auto Protected Power Mosfet, Dual N-Ch.	8-SOIC	1.32	1.11	.93
VNS3NV04D	497-3318-5-ND	40 V, 3,5 A vollautom. geschützter Leistungs-MOSFET, Doppel-N-Kan.	40V, 3.5A, Fully Auto Protected Power Mosfet, Dual N-Ch.	8-SOIC	1.45	1.21	1.02
VNS3NV04D13TR	497-3318-1-ND	40 V, 3,5 A vollautom. geschützter Leistungs-MOSFET, Doppel-N-Kan.	40V, 3.5A, Fully Auto Protected Power Mosfet, Dual N-Ch.	8-SOIC	1.45	1.21	1.02
VNS3NV04D13TR	497-3318-2-ND	40 V, 3,5 A vollautom. geschützter Leistungs-MOSFET, Doppel-N-Kan.	40V, 3.5A, Fully Auto Protected Power Mosfet, Dual N-Ch.	8-SOIC		1568.33/2,500	
VNS14NV04	497-3317-5-ND	40 V, 12 A vollautom. geschützter Leistungs-MOSFET	40V, 12A, Fully Auto Protected Power Mosfet	8-SOIC	1.93	1.61	1.36
VNS14NV0413TR	497-3317-1-ND	40 V, 12 A vollautom. geschützter Leistungs-MOSFET	40V, 12A, Fully Auto Protected Power Mosfet	8-SOIC	1.93	1.61	1.36
VNS14NV0413TR	497-3317-2-ND	40 V, 12 A vollautom. geschützter Leistungs-MOSFET	40V, 12A, Fully Auto Protected Power Mosfet	8-SOIC		2091.10/2,500	
VNV35N07	497-3319-5-ND	70 V, 35 A vollautom. geschützter Leistungs-MOSFET	70V, 35A, Fully Auto Protected Power Mosfet	PowerSO-10	4.55	3.96	2.95
VNW50N04	497-3320-5-ND	42 V, 50 A vollautom. geschützter Leistungs-MOSFET	42V, 50A, Fully Auto Protected Power Mosfet	TO-247	7.44	6.80	5.37

FAIRCHILD SEMICONDUCTOR — SERIE 7400 TTL

Digi-Key Teilenr.	Beschreibung		Paket	Stückpreis★ 1	25	100
DM74125N-ND	Vierf. Puffer, Tri-State	Tri-State Quad Buffer	14-Dip	2.58	2.04	1.65

FAIRCHILD SEMICONDUCTOR — SERIE 74LS00 TTL

Digi-Key Teilenr.	Beschreibung		Paket	Stückpreis★ 1	25	100
DM74LS151N-ND	8-Kanal-Multiplexer	8-Channel Multiplexer	16-Dip	.61	.46	.35
DM74LS157N-ND	Vierf. Multiplexer, 2 Eingänge	Quad 2-Input Multiplexer	16-Dip	.61	.46	.35
DM74LS374WM-ND	Achtf. D-Flip-Flop, Tri-State	Tri-State Octal D-Type Flip-Flop	20-SOIC	.65	.49	.37
DM74LS377N-ND	8-Bit D-Flip-Flop	8-Bit D-Type Flip-Flop	20-Dip	.82	.62	.47

FAIRCHILD SEMICONDUCTOR — SERIE 74S00 SCHOTTKY TTL

Digi-Key Teilenr.	Beschreibung		Paket	Stückpreis★ 1	25	100
DM74S51N-ND	Zweif. AND-OR-INV-Gate mit 2 Eingängen	Dual 2-Input AND-OR-INV Gate	14-Dip	.69	.52	.39
DM74S64N-ND	AND-OR-INV-Gate	AND-OR-INV Gate	14-Dip	.99	.82	.69
DM74S253N-ND	Zweif. Multiplexer (74S153N), Tri-State, mit 4 Eingängen	Tri-State Dual 4-Input Multiplexer (74S153N)	16-Dip	1.11	.92	.78
DM74S941N-ND	Achtf. Puffer, Tri-State	Tri-State Octal Buffer	20-Dip	3.08	2.49	2.02

★ RUFEN SIE BITTE AN FÜR NIEDRIGERE PREISE BEI GRÖSSEREN MENGEN! ★

Alle Preisangaben in Euro und inklusive Zollgebühren.

FAIRCHILD SEMICONDUCTOR — SERIE 74ALS

Digi-Key Teilenr.	Beschreibung		Paket	Stückpreis★ 1	25	100
DM74ALS04BM-ND	Sechsf. Inverter	Hex Inverter	14-SOIC	.46	.37	.28
DM74ALS04BN-ND	Sechsf. Inverter	Hex Inverter	14-Dip	.45	.34	.26
DM74ALS08N-ND	Vierf. AND-Gate mit 2 Eingängen	Quad 2-Input AND Gate	14-Dip	.46	.37	.28
DM74ALS10AM-ND	Dreif. NAND-Gate mit 3 Eingängen	Triple 3-Input NAND Gate	14-SOIC	.43	.34	.26
DM74ALS20AN-ND	Zweif. NAND-Gate mit 4 Eingängen	Dual 4-Input NAND Gate	14-Dip	.52	.40	.30
DM74ALS30AN-ND	NAND-Gate mit 8 Eingängen	8-Input NAND Gate	14-Dip	.57	.43	.32
DM74ALS32N-ND	Vierf. OR-Gate mit 2 Eingängen	Quad 2-Input OR Gate	14-Dip	.45	.34	.26
DM74ALS74AN-ND	DL D-Flip-Flop mit positiver Taktflanke, mit Voreinstellung und Löschen	DL D-Type Pos.-Edge-Triggered F/F w/Preset and Clear	14-Dip	.57	.43	.32
DM74ALS138M-ND	Erweiterbarer 3/8 Dekodierer	Expandable 3/8 Decoder	16-SOIC	.57	.43	.32
DM74ALS174N-ND	Sechsf. D-Flip-Flop	Hex D-Type Flip-Flop	16-Dip	.73	.55	.42
DM74ALS244AN-ND	Achtf. Leitungstreiber, Tri-State	Tri-State Octal Line Driver	20-Dip	.64	.54	.43
DM74ALS244AWM-ND	Achtf. Leitungstreiber, Tri-State	Tri-State Octal Line Driver	20-SOIC	.73	.55	.42
DM74ALS245AWM-ND	Achtf. Bus-Transceiver, Tri-State	Tri-State Octal Bus Transceiver	20-SOIC	.73	.55	.42
DM74ALS257M-ND	Vierf. 2/1 Multiplexer, Tri-State	Tri-State Quad 2/1 Multiplexer	16-SOIC	.57	.43	.32
DM74ALS258N-ND	Vierf. 2/1 Multiplexer, Tri-State	Tri-State Quad 2/1 Multiplexer	16-Dip	.69	.52	.39
DM74ALS373N-ND	Achtf. D-Latch	Octal D-Type Latch	20-Dip	.64	.54	.43
DM74ALS540AN-ND	Achtf. invertierender Puffer und Leitungstreiber	Octal Inverting Buffer and Line Driver	20-Dip	.82	.69	.55
DM74ALS541N-ND	Achtf. Puffer/Leitungstreiber m. Tri-State-Ausgang	Octal Buffer/Line Driver with Tri-State Output	20-Dip	.82	.69	.55
DM74ALS541WM-ND	Achtf. Puffer/Leitungstreiber m. Tri-State-Ausgang	Octal Buffer/Line Driver with Tri-State Output	20-SOIC	.73	.61	.49
DM74ALS574AN-ND	Achtf. D-Flip-Flop	Octal D-Type Flip-Flop	20-Dip	.82	.69	.55
DM74ALS574AWM-ND	Achtf. D-Flip-Flop	Octal D-Type Flip-Flop	20-SOIC	.73	.61	.49
DM74ALS646WM-ND	Achtf. Bus-Transceiver, Tri-State	Tri-State Octal Bus Transceiver	24-SOIC	1.65	1.33	1.00
DM74ALS5245N-ND	Achtf. Bus-Transceiver mit Schmitt Trigger	Octal Bus Transceiver with Schmitt Trigger	20-Dip	1.16	.97	.78

FAIRCHILD SEMICONDUCTOR — SERIE 74AS

Digi-Key Teilenr.	Beschreibung		Paket	Stückpreis★ 1	25	100
DM74AS02N-ND	Vierf. NOR-Gate mit 2 Eingängen	Quad 2-Input NOR Gate	14-Dip	.78	.65	.55
DM74AS10N-ND	Dreif. NAND-Gate mit 3 Eingängen	Triple 3-Input NAND Gate	14-Dip	.67	.51	.38
DM74AS20N-ND	Zweif. NAND-Gate mit 4 Eingängen	Dual 4-Input NAND Gate	14-Dip	.78	.65	.55
DM74AS30N-ND	NAND-Gate mit 8 Eingängen	8-Input NAND Gate	14-Dip	.62	.47	.35
DM74AS74N-ND	Zweif. D-Flip-Flop mit positiver Taktflanke, mit Voreinstellung und Löschen	Dual D-Type Pos.-Edge-Triggered F/F w/Preset and Clear	14-Dip	.80	.60	.45
DM74AS158N-ND	Vierf. invertierender Multiplexer mit 2 Eingängen	Quad 2-Input Multiplexer, Inverting	16-Dip	1.17	.98	.78
DM74AS258M-ND	Vierf. 2/1 Multiplexer, Tri-State	Tri-State Quad 2/1 Multiplexer	16-SOIC	1.22	1.02	.82
DM74AS258N-ND	Vierf. 2/1 Multiplexer, Tri-State	Tri-State Quad 2/1 Multiplexer	16-Dip	1.22	1.02	.82
DM74AS286M-ND	9-Bit Parity-Generator/Checker	9-Bit Parity Generator/Checker	14-SOIC	1.14	.92	.69
DM74AS286N-ND	9-Bit Parity-Generator/Checker	9-Bit Parity Generator/Checker	14-Dip	1.19	1.00	.80
DM74AS648NT-ND	Achtf. Bus-Transceiver	Octal Bus Transceiver	24-Dip .3"	4.57	3.66	2.85
DM74AS1000AM-ND	Vierf. NAND-Treiber mit 2 Eingängen	Quad 2-Input NAND Driver	14-SOIC	1.22	1.02	.82
DM74AS1032AN-ND	Vierf. OR-Treiber mit 2 Eingängen	Quad 2-Input or Driver	14-Dip	1.14	.96	.77
DM74AS1034AM-ND	Sechsf. nicht-invertierender Treiber	Hex Non-Inverting Driver	14-SOIC	1.22	1.02	.82

FAIRCHILD SEMICONDUCTOR — SERIE 74LCX

Digi-Key Teilenr.	Beschreibung		Paket	Stückpreis★ 1	25	100
74LCX08MTC-ND	Vierf. AND-Gate mit 2 Eingängen	Quad 2-Input AND Gate	14-TSSOP	.34	.28	.19
74LCX74MTC-ND	Zweif. Kanten-ausgelöster D-Flip-Flop	Dual D-Type Edge-Triggered Flip-Flop	14-TSSOP	.31	.26	.18
74LCX244MTC-ND	Puffer-/Leitungstreiber, Tri-State	Tri-State Buffer/Line Driver	20-TSSOP	.41	.33	.25
74LCX245MTC-ND	Achtf. bidirektionaler Transceiver	Bi-Directional Octal Transceiver	20-TSSOP	.41	.33	.25
74LCX541WM-ND	Achtf. Puffer-/Leitungstreiber	Octal Buffer/Line Driver	20-SOIC	.52	.40	.30
74LCX573MTC-ND	Achtf. D-Latch	Octal D-Type Latch	20-TSSOP	.52	.40	.30
74LCX16244MEA-ND	16-Bit Puffer/Leitungstreiber	16-Bit Buffer/Line Driver	48-SSOP	1.07	.89	.72
74LCX16244MTD-ND	16-Bit Puffer/Leitungstreiber	16-Bit Buffer/Line Driver	48-TSSOP	.81	.61	.46
74LCX16245MEA-ND	16-Bit bidirektionaler Transceiver	16-Bit Bidirectional Transceiver	48-SSOP	1.07	.89	.72
74LCX16245MTD-ND	16-Bit bidirektionaler Transceiver	16-Bit Bidirectional Transceiver	48-TSSOP	.81	.61	.46
74LCX16373MEA-ND	16-Bit transparenter Latch mit Tri-State-Ausgängen	16-Bit Transparent Latch with Tri-State Outputs	48-SSOP	1.07	.89	.72
74LCX16373MTD-ND	Transparenter D-Latch, Tri-State, 16-Bit	Tri-State, 16-Bit, Transparent D-Type Latch	48-TSSOP	.69	.58	.46

FAIRCHILD SEMICONDUCTOR — SERIE 74LVQ

Digi-Key Teilenr.	Beschreibung		Paket	Stückpreis★ 1	25	100
74LVQ00SC-ND	Vierf. NAND-Gate mit 2 Eingängen, Niederspannung	Low Voltage Quad 2-Input NAND Gate	14-SOIC	.67	.56	.45
74LVQ08SC-ND	Vierf. AND-Gate mit 2 Eingängen, Niederspannung	Low Voltage Quad 2-Input AND Gate	14-SOIC	.67	.56	.45
74LVQ14SC-ND	Sechsf. Schmitt-Trigger, Niederspannung	Low Voltage Hex Schmitt Trigger	14-SOIC	.67	.56	.45
74LVQ74SC-ND	Zweif. D-Flip-Flop mit positiver Taktflanke, mit Voreinstellung und Löschen für Niederspannung	Low Voltage Dual D-Type Positive-Edge-Trigger Flip Flop with Preset and Clear	14-SOIC	.82	.69	.55
74LVQ138SC-ND	Erweiterbarer 3/8 Dekodierer, Niederspannung	Low Voltage Expandable 3/8 Decoder	16-SOIC	1.14	.96	.77
74LVQ151SC-ND	Multiplexer, 8 Eingänge, Niederspannung	Low Voltage 8-Input Multiplexer	16-SOIC	1.14	.96	.77
74LVQ240QSC-ND	Achtf. Inverter-Bus/Leitungstreiber, Tri-State	Tri-State Octal Inverter Bus/Line Driver	20-SSOP	2.15	1.70	1.37
74LVQ573SC-ND	Achtf. D-Latch, Tri-State, Niederspannung	Low Voltage Tri-State Octal D-Type Latch	20-SOIC	1.38	1.11	.83

FAIRCHILD SEMICONDUCTOR — SERIE 74LVX

Digi-Key Teilenr.	Beschreibung		Paket	Stückpreis★ 1	25	100
74LVX125M-ND	Vierf. Puffer mit Tri-State-Ausgängen	Quad Buffer with Tri-State Outputs	14-SOIC	.41	.33	.25
74LVX240M-ND	Achtf. Tri-State Leitungs-Bus/Leitungsttreiber	Tri-State Octal Line Bus/Line Driver	20-SOIC	.61	.46	.35
74LVX244M-ND	Achtf. 3 V CMOS Puffer, Tri-State	3V CMOS Octal Tri-State Buffer	20-SOIC	.45	.34	.26
74LVX245M-ND	Achtf. bidirektionaler Transceiver, Niederspannung	Low Voltage Octal Bidirectional Transceiver	20-SOIC	.45	.34	.26
74LVX74M-ND	Zweif. D-Flip-Flop mit positiver Taktflanke	Dual D-Type Positive-Edge-Triggered Flip-Flop	14-SOIC	.38	.31	.23
74LVXC3245MTC-ND	Zweif. 8-Bit Transceiver, Tri-State	Tri-State 8-Bit Dual Transceiver	24-TSSOP	1.10	.92	.74

FAIRCHILD SEMICONDUCTOR — Serie 74C00 CMOS

Digi-Key Teilenr.	Beschreibung		Paket	Stückpreis★ 1	25	100
MM74C00N-ND	Vierf. NAND-Gate mit 2 Eingängen	Quad 2-Input NAND Gate	14-Dip	1.37	1.10	.83
MM74C04N-ND	Sechsf. Inverter (4069)	Hex Inverter (4069)	14-Dip	1.37	1.10	.83
MM74C14M-ND	Sechsf. Schmitt-Trigger-Inverter	Hex Schmitt Trigger Inverter	14-SOIC	.76	.64	.51
MM74C14N-ND	Sechsf. Schmitt-Trigger-Inverter (40106B)	Hex Schmitt Trigger Inverter (40106B)	14-Dip	.76	.64	.51
MM74C74M-ND	Zweif. D-Flip-Flop	Dual D-Type Flip Flop	14-SOIC	1.93	1.55	1.16

(Forts.)

★ RUFEN SIE BITTE AN FÜR NIEDRIGERE PREISE BEI GRÖSSEREN MENGEN! ★

Digi-Key Teilenr.	Beschreibung		Paket	Stückpreis★ 1	25	100
MM74C74N-ND	Zweif. D-Flip-Flop	Dual D-Type Flip Flop	14-Dip	1.93	1.55	1.16
MM74C221N-ND	Zweif. monostabil mit Schmitt Trigger	Dual Monostable with Schmitt Trigger	16-Dip	4.10	3.28	2.55
MM74C244N-ND	Achtf. Puffer, Tri-State	Tri-State Octal Buffer	20-Dip	4.05	3.24	2.52
MM74C906M-ND	Sechsf. Open Drain-Puffer	Hex Open Drain Buffer	14-SOIC	1.96	1.57	1.23
MM74C906N-ND	Open Drain-Puffer (aktives Verringern)	Open Drain Buffer (Active Pull Down)	14-Dip	2.07	1.66	1.25
MM74C914N-ND	Hex Schmitt-Trigger mit erweitertem Eingangsspannungsbereich	Hex Schmitt Trigger with Extended Input Voltage	14-Dip	2.82	2.26	1.76
MM74C922N-ND	16-Tasten-Kodierer	16-Key Encoder	18-Dip	6.30	5.04	4.26
MM74C923N-ND	20-Tasten-Kodierer	20-Key Encoder	20-Dip	6.30	5.04	4.26
MM74C923WM-ND	3 V bis 15 V, 20-Tasten-Kodierer	3V to 15V, 20-Key Encoder	20-SOIC	6.30	5.04	4.26
MM74C926N-ND	4-Stellen-Zähler mit 7-Segment-Ausgangstreiber	4-Digit Counter with 7-Segment Output Driver	18-Dip	8.97	8.08	7.17
MM74C928N-ND	4-Stellen-Zähler mit 7-Segment-Ausgangstreiber	4-Digit Counter with 7-Segment Output Driver	18-Dip	7.64	6.11	5.16
MM88C30N-ND	Zweif. CMOS Leitungstreiber	CMOS Dual Line Driver	14-Dip	4.46	3.57	3.02

B

FAIRCHILD SEMICONDUCTOR

SERIE 74HC00 CMOS

Digi-Key Teilenr.	Beschreibung		Paket	Stückpreis★ 1	25	100
MM74HC00M-ND	Vierf. NAND-Gate mit 2 Eingängen	Quad 2-Input NAND Gate	14-SOIC	.31	.26	.18
MM74HC00N-ND	Vierf. NAND-Gate mit 2 Eingängen	Quad 2-Input NAND Gate	14-Dip	.47	.36	.27
MM74HC02M-ND	Vierf. NOR-Gate mit 2 Eingängen	Quad 2-Input NOR Gate	14-SOIC	.31	.26	.18
MM74HC02N-ND	Vierf. NOR-Gate mit 2 Eingängen	Quad 2-Input NOR Gate	14-Dip	.46	.37	.28
MM74HC04M-ND	Sechsf. Inverter	Hex Inverter	14-SOIC	.31	.26	.18
MM74HC04N-ND	Sechsf. Inverter	Hex Inverter	14-Dip	.46	.37	.28
MM74HC08M-ND	Vierf. AND-Gate mit 2 Eingängen	Quad 2-Input AND Gate	14-SOIC	.31	.26	.18
MM74HC08N-ND	Vierf. AND-Gate mit 2 Eingängen	Quad 2-Input AND Gate	14-Dip	.46	.37	.28
MM74HC14M-ND	Sechsf. Schmitt-Trigger-Inverter	Hex Schmitt Trigger Inverter	14-SOIC	.33	.27	.19
MM74HC14N-ND	Sechsf. Schmitt-Trigger-Inverter	Hex Schmitt Trigger Inverter	14-Dip	.43	.35	.26
MM74HC32M-ND	Vierf. OR-Gate mit 2 Eingängen	Quad 2-Input OR Gate	14-SOIC	.31	.26	.18
MM74HC32N-ND	Vierf. OR-Gate mit 2 Eingängen	Quad 2-Input OR Gate	14-Dip	.46	.37	.28
MM74HC74AM-ND	Zweif. D-Flip-Flop mit Voreinstellung und Löschen	Dual D-Type Flip Flop with Preset and Clear	14-SOIC	.33	.27	.19
MM74HC74AN-ND	Zweif. D-Flip-Flop mit Voreinstellung und Löschen	Dual D-Type Flip Flop with Preset and Clear	14-Dip	.48	.39	.29
MM74HC86N-ND	Vierf. Exklusiv-OR-Gate mit 2 Eingängen	Quad 2-Input Exclusive OR Gate	14-Dip	.48	.39	.29
MM74HC123AM-ND	Zweif. monostabiler Multivibrator	Dual Monostable Multivibrator	16-SOIC	.36	.29	.22
MM74HC123AN-ND	Zweif. monostabiler Multivibrator	Dual Monostable Multivibrator	16-Dip	.41	.31	.23
MM74HC125M-ND	Vierf. Puffer, Tri-State	Tri-State Quad Buffer	14-SOIC	.40	.32	.22
MM74HC125N-ND	Vierf. Puffer, Tri-State	Tri-State Quad Buffer	14-Dip	.41	.31	.23
MM74HC126M-ND	Vierf. Puffer, Tri-State	Tri-State Quad Buffer	14-SOIC	.40	.32	.22
MM74HC126N-ND	Vierf. Puffer, Tri-State	Tri-State Quad Buffer	14-Dip	.41	.31	.23
MM74HC132M-ND	Vierf. NAND-Schmitt-Trigger mit 2 Eingängen	Quad 2-Input NAND Schmitt Trigger	14-SOIC	.40	.32	.22
MM74HC132N-ND	Vierf. NAND-Schmitt-Trigger mit 2 Eingängen	Quad 2-Input NAND Schmitt Trigger	14-Dip	.41	.31	.23
MM74HC138M-ND	3-zu-8 Leitungs-Dekodierer	3-to-8 Line Decoder	16-SOIC	.41	.33	.25
MM74HC138N-ND	3-zu-8 Leitungs-Dekodierer	3-to-8 Line Decoder	16-Dip	.52	.40	.30
MM74HC151N-ND	8-Kanal Multiplexer	8-Channel Multiplexer	16-Dip	.51	.39	.29
MM74HC154N-ND	4-zu-16 Leitungs-Dekodierer (0,3" Raster-Maß)	4-to-16 Line Decoder (.3" Lead Spacing)	24-Dip	.86	.72	.57
MM74HC154WM-ND	4-zu-16 Leitungs-Dekodierer	4-to-16 Line Decoder	24-SOIC	.61	.46	.35
MM74HC157N-ND	Vierf. Multiplexer mit 2 Eingängen	Quad 2-Input Multiplexer	16-Dip	.51	.39	.29
MM74HC164N-ND	8-Bit Seriell-Ein/parallel-Aus Schieberegister	8-Bit Serial-In Parallel-Out Shift Register	14-Dip	.52	.40	.30
MM74HC165M-ND	8-Bit Seriell-Ein/parallel-Aus Schieberegister	8-Bit Parallel-In Serial-Out Shift Register	16-SOIC	.41	.31	.23
MM74HC165N-ND	8-Bit Seriell-Ein/parallel-Aus Schieberegister	8-Bit Parallel-In Serial-Out Shift Register	16-Dip	.52	.40	.30
MM74HC174N-ND	Sechsf. D-Flip-Flop mit Löschen	Hex D-Type Flip-Flop with Clear	16-Dip	.52	.40	.30
MM74HC175N-ND	Vierf. D-Flip-Flop mit Löschen	Quad D-Type Flip-Flop with Clear	16-Dip	.52	.40	.30
MM74HC240N-ND	Achtf. Inverter-Bus/Leitungstreiber, Tri-State	Tri-State Octal Inverter Bus/Line Driver	20-Dip	.47	.36	.27
MM74HC244N-ND	Achtf. Leitungstreiber, Tri-State	Tri-State Octal Line Driver	20-Dip	.47	.36	.27
MM74HC244WM-ND	Achtf. Leitungstreiber, Tri-State	Tri-State Octal Line Driver	20-SOIC	.40	.32	.24
MM74HC245AN-ND	Achtf. Bus-Transceiver, Tri-State	Tri-State Octal Bus Transceiver	20-Dip	.47	.36	.27
MM74HC245AWM-ND	Achtf. Bus-Transceiver, Tri-State	Tri-State Octal Bus Transceiver	20-SOIC	.40	.32	.24
MM74HC251N-ND	8-Kanal Multiplexer, Tri-State	8-Channel Tri-State Multiplexer	16-Dip	.51	.39	.29
MM74HC259M-ND	8-Bit adressierbarer Latch/3-zu-8 Leitungs-Dekodierer	8-Bit Addressable Latch/3-to-8 Line Decoder	16-SOIC	.41	.33	.25
MM74HC259N-ND	8-Bit adressierbarer Latch/3-zu-8 Leitungs-Dekodierer	8-Bit Addressable Latch/3-to-8 Line Decoder	16-Dip	.52	.40	.30
MM74HC273N-ND	Achtf. D-Flip-Flop	Octal D-Type Flip-Flop	20-Dip	.47	.36	.27
MM74HC273WM-ND	Achtf. D-Flip-Flop	Octal D-Type Flip-Flop	20-SOIC	.40	.32	.24
MM74HC373N-ND	Achtf. D-Latch, Tri-State	Tri-State Octal D-Type Latch	20-Dip	.47	.36	.27
MM74HC373WM-ND	Achtf. D-Latch, Tri-State	Tri-State Octal D-Type Latch	20-SOIC	.40	.32	.24
MM74HC374N-ND	Achtf. D-Flip-Flop, Tri-State	Tri-State Octal D-Type Flip-Flop	20-Dip	.47	.36	.27
MM74HC374WM-ND	Achtf. D-Flip-Flop, Tri-State	Tri-State Octal D-Type Flip-Flop	20-SOIC	.40	.32	.24
MM74HC393M-ND	Zweif. 4-Bit Binärzähler	Dual 4-Bit Binary Counter	14-SOIC	.40	.32	.24
MM74HC393N-ND	Zweif. 4-Bit Binärzähler	Dual 4-Bit Binary Counter	14-Dip	.47	.36	.27
MM74HC540N-ND	Achtf. invertierender Puffer und Leitungstreiber	Octal Inverting Buffer and Line Driver	20-Dip	.51	.39	.29
MM74HC541N-ND	Achtf. Puffer, Tri-State	Tri-State Octal Buffer	20-Dip	.51	.39	.29
MM74HC541WM-ND	Achtf. Puffer, Tri-State	Tri-State Octal Buffer	20-SOIC	.46	.37	.28
MM74HC573N-ND	Achtf. D-Latch, Tri-State	Tri-State Octal D-Type Latch	20-Dip	.51	.39	.29
MM74HC573WM-ND	Achtf. D-Latch, Tri-State	Tri-State Octal D-Type Latch	20-SOIC	.46	.37	.28
MM74HC574N-ND	Achtf. D-Flip-Flop, Tri-State	Tri-State Octal D-Type Flip-Flop	20-Dip	.51	.39	.29
MM74HC574WM-ND	Achtf. D-Flip-Flop, Tri-State	Tri-State Octal D-Type Flip-Flop	20-SOIC	.46	.37	.28
MM74HC595M-ND	8-Bit Schieberegister mit Ausgangs-Latches	8-Bit Shift Register with Output Latches	16-SOIC	.43	.35	.26
MM74HC595N-ND	8-Bit Schieberegister mit Ausgangs-Latches	8-Bit Shift Register with Output Latches	16-Dip	.49	.37	.28
MM74HC688N-ND	8-Bit Größenvergleicher (Egalitätsdetektor)	8-Bit Magnitude Comparator (Equality Detector)	20-Dip	.61	.46	.35
MM74HC4040M-ND	Binärzähler, 12 Phasen	12 Stage Binary Counter	16-SOIC	.49	.37	.28
MM74HC4040N-ND	Binärzähler, 12 Phasen	12 Stage Binary Counter	16-Dip	.61	.46	.35
MM74HC4046M-ND	CMOS Phase-Lock-Loop	CMOS Phase-Lock-Loop	16-SOIC	.49	.37	.28
MM74HC4046N-ND	CMOS Phase-Lock-Loop	CMOS Phase-Lock-Loop	16-Dip	.61	.46	.35
MM74HC4049N-ND	Sechsf. invertierender Logik-Level-down-Umsetzer	Hex Inverting Logic Level Down Converter	16-Dip	.52	.40	.30
MM74HC4051M-ND	Analog-Multiplexer, 8-Kanal	8-Channel Analog Multiplexer	16-SOIC	.49	.37	.28
MM74HC4051N-ND	Analog-Multiplexer, 8-Kanal	8-Channel Analog Multiplexer	16-Dip	.69	.52	.39
MM74HC4051WM-ND	Analog-Multiplexer, 8-Kanal	8-Channel Analog Multiplexer	16-SOIC	.65	.49	.37
MM74HC4052N-ND	Zweif. Analog-Multiplexer, 4-Kanal	Dual 4-Channel Analog Multiplexer	16-Dip	.69	.52	.39
MM74HC4053M-ND	Dreif. Analog-Multiplexer, 2-Kanal	Triple 2-Channel Analog Multiplexer	16-SOIC	.49	.37	.28
MM74HC4053N-ND	Dreif. Analog-Multiplexer, 2-Kanal	Triple 2-Channel Analog Multiplexer	16-Dip	.69	.52	.39
MM74HC4053WM-ND	Dreif. Analog-Multiplexer, 2-Kanal	Triple 2-Channel Analog Multiplexer	16-SOIC	.65	.49	.37
MM74HC4060N-ND	Binärzähler, 14 Phasen	14 Stage Binary Counter	16-Dip	.69	.52	.39
MM74HC4066N-ND	Vierf. Analogschalter	Quad Analog Switch	14-Dip	.68	.51	.39
MM74HC4316N-ND	Vierf. Analogschalter	Quad Analog Switch	16-Dip	.61	.46	.35
MM74HC4316WM-ND	Vierf. Analogschalter	Quad Analog Switch	16-SOIC	.69	.52	.39
MM74HC4514N-ND	4-zu-16 Leitungs-Dekodierer mit Latch (0,3" Raster-Maß)	4-to-16 Line Decoder with Latch (.3" Lead Spacing)	24-Dip	1.01	.84	.68
MM74HC4538M-ND	Zweif. monostab. Multivibrator, wieder auslösbar	Dual Retriggerable Monostable Multivibrator	16-SOIC	.52	.40	.30
MM74HC4538N-ND	Zweif. monostab. Multivibrator, wieder auslösbar	Dual Retriggerable Monostable Multivibrator	16-Dip	.61	.46	.35

★ RUFEN SIE BITTE AN FÜR NIEDRIGERE PREISE BEI GRÖSSEREN MENGEN! ★

Alle Preisangaben in Euro und inklusive Zollgebühren.

FAIRCHILD SEMICONDUCTOR — SERIE 74HCT00 CMOS

Digi-Key Teilenr.	Beschreibung		Paket	Stückpreis★ 1	25	100
MM74HCT04N-ND	Sechsf. Inverter	Hex Inverter	14-Dip	.46	.37	.28
MM74HCT244N-ND	Achtf. Puffer, Tri-State	Tri-State Octal Buffer	20-Dip	.47	.36	.27
MM74HCT244WM-ND	Achtf. Puffer, Tri-State	Tri-State Octal Buffer	20-SOIC	.40	.32	.24
MM74HCT245N-ND	Achtf. Bus-Transceiver, Tri-State	Tri-State Octal Bus Transceiver	20-Dip	.47	.36	.27
MM74HCT245WM-ND	Achtf. Bus-Transceiver, Tri-State	Tri-State Octal Bus Transceiver	20-SOIC	.40	.32	.24
MM74HCT373N-ND	Achtf. D-Latch, Tri-State	Tri-State Octal D-Type Latch	20-Dip	.47	.36	.27
MM74HCT374N-ND	Achtf. D-Flip-Flop, Tri-State	Tri-State Octal D-Type Flip-Flop	20-Dip	.47	.36	.27
MM74HCT541N-ND	Achtf. Puffer, Tri-State	Tri-State Octal Buffer	20-Dip	.51	.39	.29

FAIRCHILD SEMICONDUCTOR — SERIE 74VHC CMOS

Digi-Key Teilenr.	Beschreibung		Paket	Stückpreis★ 1	25	100
74VHC00M-ND	Vierf. NAND-Gate mit 2 Eingängen	Quad 2-Input NAND Gate	14-SOIC	.31	.26	.18
74VHC04M-ND	Sechsf. Inverter	Hex Inverter	14-SOIC	.31	.26	.18
74VHC08M-ND	Vierf. AND-Gate mit 2 Eingängen	Quad 2-Input AND Gate	14-SOIC	.31	.26	.18
74VHC14M-ND	Sechsf. Schmitt-Trigger-Inverter	Hex Schmitt Trigger Inverter	14-SOIC	.36	.30	.21
74VHC32M-ND	Vierf. OR-Gate mit 2 Eingängen	Quad 2-Input OR Gate	14-SOIC	.31	.26	.18
74VHC74M-ND	Zweif. D-Flip-Flop	Dual D-Type Flip Flop	14-SOIC	.36	.30	.21
74VHC86M-ND	Vierf. Exklusiv-OR-Gate mit 2 Eingängen	Quad 2-Input Exclusive OR Gate	14-SOIC	.36	.30	.21
74VHC123AM-ND	Zweif. monostabiler Multivibrator	Dual Monostable Multivibrator	16-SOIC	.40	.32	.22
74VHC139M-ND	Zweif. 2-zu-4 Dekodierer/Demux	Dual 2-to-4 Decoder/Demultiplexer	16-SOIC	.45	.34	.26
74VHC157MTC-ND	Vierf. Multiplexer mit 2 Eingängen	Quad 2-Input Multiplexer	16-TSSOP	.46	.37	.28
74VHC244M-ND	Achtf. nicht-invertierender Puffer-/Leitungstreiber, Tri-State	Tri-State Octal Non-Inverting Buffer/Line Driver	20-SOIC	.38	.31	.23
74VHC373M-ND	Achtf. D-Latch, Tri-State	Tri-State Octal D-Type Latch	20-SOIC	.38	.31	.23
74VHC374MTC-ND	Achtf. D-Flip-Flop, Tri-State	Tri-State Octal D-Type Flip-Flop	20-TSSOP	.38	.31	.23
74VHC393M-ND	Zweif. 4-Bit Binärzähler	Dual 4-Bit Binary Counter	14-SOIC	.44	.33	.25
74VHC393MTC-ND	Zweif. 4-Bit Binärzähler	Dual 4-Bit Binary Counter	14-SSOP	.73	.55	.42
74VHC541MTC-ND	Achtf. Puffer-/Leitungstreiber, Tri-State	Tri-State Octal Buffer/Line Driver	20-TSSOP	.46	.37	.28
74VHC573M-ND	Achtf. D-Latch, Tri-State	Tri-State Octal D-Type Latch	20-SOIC	.46	.37	.28
74VHC574MTC-ND	Achtf. D-Flip-Flop, Tri-State	Tri-State Octal D-Type Flip-Flop	20-TSSOP	.46	.37	.28
74VHC595M-ND	8-Bit Schieberegister mit Ausgangs-Latches	8-Bit Shift Register with Output Latches	16-SOIC	.46	.37	.28

FAIRCHILD SEMICONDUCTOR — SERIE 74ABT

Digi-Key Teilenr.	Beschreibung		Paket	Stückpreis★ 1	25	100
74ABT125CSC-ND	Vierf. Puffer, Tri-State	Tri-State Quad Buffer	14-SOIC	.41	.31	.23
74ABT241CMSA-ND	Achtf. Leitungstreiber, Tri-State	Tri-State Octal Line Driver	20-SSOP	.76	.64	.51
74ABT244CMSA-ND	Achtf. Puffer-/Leitungstreiber, Tri-State	Tri-State Octal Buffer/Line Driver	20-SSOP	.76	.64	.51
74ABT244CSC-ND	Achtf. Leitungstreiber, Tri-State	Tri-State Octal Line Driver	20-SOIC	.65	.49	.37
74ABT245CSC-ND	Achtf. Bus-Transceiver, Tri-State	Tri-State Octal Bus Transceiver	20-SOIC	.65	.49	.37
74ABT273CMSA-ND	Achtf. D-Flip-Flop	Octal D-Type Flip-Flop	20-SSOP	.76	.64	.51
74ABT541CSC-ND	Achtf. Puffer-/Leitungstreiber, Tri-State	Tri-State Octal Buffer/Line Driver	20-SOIC	.76	.64	.51
74ABT16244CSSC-ND	16-Bit Puffer-/Leitungstreiber, Tri-State	16-Bit, Tri-State Buffer/Line Driver	48-SSOP	.97	.82	.66
74ABT16245CSSC-ND	16-Bit Puffer-/Leitungstreiber, Tri-State	16-Bit, Tri-State Bidirectional Transceiver	48-SSOP	.97	.82	.66
74ABT16373CSSC-ND	16-Bit D-Latch mit Tri-State-Ausgängen	16-Bit, D-Type Latch with Tri-State Outputs	48-SSOP	1.16	.97	.78
74ABT16374CSSC-ND	16-Bit D-Flip-Flop mit Tri-State-Ausgängen	16-Bit, D-Type Flip-Flop with Tri-State Outputs	48-SSOP	1.16	.97	.78
74ABT2244CMSA-ND	Achtf. Puffer/Leitungstreiber einschl. Serienwiderstand, inbegriffen	Octal Buffer Line Driver with Series Resistor Included	20-SSOP	.76	.64	.51
74ABT2244CSC-ND	Achtf. Puffer/Leitungstreiber einschl. Serienwiderstand, inbegriffen	Octal Buffer Line Driver with Series Resistor Included	20-SOIC	.65	.49	.37

FAIRCHILD SEMICONDUCTOR — FACT™ FORTGESCHR. CMOS-TECHNOLOGIE 74AC

Dies sind Hochgeschwindigkeits-CMOS-Vorrichtungen mit CMOS-Eingangsschalt-Levels und gepufferten CMOS-Ausgängen.

Digi-Key Teilenr.	Beschreibung		Paket	Stückpreis★ 1	25	100
74AC00PC-ND	Vierf. NAND-Gate mit 2 Eingängen	Quad 2-Input NAND Gate	14-Dip	.46	.37	.28
74AC00SC-ND	Vierf. NAND-Gate mit 2 Eingängen	Quad 2-Input NAND Gate	14-SOIC	.43	.35	.24
74AC02PC-ND	Vierf. NOR-Gate mit 2 Eingängen	Quad 2-Input NOR Gate	14-Dip	.46	.37	.28
74AC02SC-ND	Vierf. NOR-Gate mit 2 Eingängen	Quad 2-Input NOR Gate	14-SOIC	.43	.35	.24
74AC04PC-ND	Sechsf. Inverter	Hex Inverter	14-Dip	.41	.31	.23
74AC04SC-ND	Sechsf. Inverter	Hex Inverter	14-SOIC	.33	.27	.19
74AC08PC-ND	Vierf. AND-Gate mit 2 Eingängen	Quad 2-Input AND Gate	14-Dip	.46	.37	.28
74AC08SC-ND	Vierf. AND-Gate mit 2 Eingängen	Quad 2-Input AND Gate	14-SOIC	.43	.35	.24
74AC11SC-ND	Dreif. AND-Gate mit 3 Eingängen	Triple 3-Input AND Gate	14-SOIC	.43	.35	.24
74AC14PC-ND	Sechsf. Schmitt-Trigger-Inverter	Hex Schmitt Trigger Inverter	14-Dip	.41	.31	.23
74AC14SC-ND	Sechsf. Schmitt-Trigger-Inverter	Hex Schmitt Trigger Inverter	14-SOIC	.43	.35	.24
74AC20PC-ND	Zweif. NAND-Gate mit 4 Eingängen	Dual 4-Input NAND Gate	14-Dip	.46	.37	.28
74AC32PC-ND	Vierf. OR-Gate mit 2 Eingängen	Quad 2-Input OR Gate	14-Dip	.46	.37	.28
74AC32SC-ND	Vierf. OR-Gate mit 2 Eingängen	Quad 2-Input OR Gate	14-SOIC	.43	.35	.24
74AC74PC-ND	Zweif. D-Flip-Flop mit Set und Reset	Dual D-Type Flip-Flop with Set and Reset	14-Dip	.41	.31	.23
74AC74SC-ND	Zweif. D-Flip-Flop mit Set und Reset	Dual D-Type Flip-Flop with Set and Reset	14-SOIC	.43	.35	.24
74AC86SC-ND	Vierf. Exklusiv-OR-Gate mit 2 Eingängen	Quad 2-Input Exclusive OR Gate	14-SOIC	.43	.35	.24
74AC109SC-ND	Zweif. JK-Flip-Flop mit positiver Taktflanke	Dual JK Positive-Edge-Triggered Flip-Flop	16-SOIC	.41	.33	.25
74AC125SC-ND	Vierf. Puffer, Tri-State	Tri-State Quad Buffer	14-SOIC	.41	.33	.25
74AC138PC-ND	1-von-8 Dekodierer/Demultiplexer	1-of-8 Decoder/Demultiplexer	16-Dip	.49	.37	.28
74AC138SC-ND	1-von-8 Dekodierer/Demultiplexer	1-of-8 Decoder/Demultiplexer	16-SOIC	.48	.39	.29
74AC139SC-ND	Zweif. 1-von-4 Dekodierer/Demux	Dual 1-of-4 Decoder/Demultiplexer	16-SOIC	.48	.39	.29
74AC151PC-ND	Fact-Multiplexer mit 8 Eingängen	8-Input Fact Multiplexer	16-Dip	.49	.37	.28
74AC151SC-ND	Fact-Multiplexer mit 8 Eingängen	8-Input Fact Multiplexer	16-SOIC	.46	.37	.28
74AC161PC-ND	Voreinstellbarer 4-Bit Binärzähler, synch.	Synchronous Presettable 4-Bit Binary Counter	16-Dip	.52	.40	.30
74AC161SC-ND	Voreinstellbarer 4-Bit Binärzähler, synch.	Synchronous Presettable 4-Bit Binary Counter	16-SOIC	.41	.31	.23
74AC174SC-ND	Sechsf. D-Flip-Flop	Hex D-Type Flip-Flop	16-SOIC	.41	.31	.23
74AC175SC-ND	Vierf. D-Flip-Flop	Quad D-Type Flip-Flop	16-SOIC	.41	.31	.23
74AC244SC-ND	Achtf. Puffer-/Leitungstreiber	Octal Buffer/Line Driver	20-SOIC	.48	.39	.29
74AC245SC-ND	Achtf. bidirektionaler Transceiver	Octal Bidirectional Transceiver	20-SOIC	.48	.39	.29
74AC257SC-ND	Vierf. Multiplexer mit 2 Eingängen	Quad 2-Input Multiplexer	16-SOIC	.46	.37	.28
74AC541SC-ND	Achtf. Puffer-/Leitungstreiber	Octal Buffer/Line Driver	20-SOIC	.49	.37	.28
74AC273SC-ND	Achtf. D-Flip-Flop mit Reset	Octal D-Type Flip-Flop with Reset	20-SOIC	.48	.39	.29
74AC299SC-ND	Achtf. Schiebe/Speicher	Octal Shift/Storage	20-SOIC	.80	.60	.45
74AC373SC-ND	Achtf. D-Latch	Octal D-Type Latch	20-SOIC	.48	.39	.29
74AC521SC-ND	8-Bit Komparator	8-Bit Comparator	20-SOIC	.49	.37	.28
74AC540SC-ND	Achtf. Puffer/Leitungstreiber m. Tri-State-Ausgang	Octal Buffer/Line Driver with Tri-State Output	20-SOIC	.49	.37	.28
74AC541PC-ND	Achtf. Puffer/Leitungstreiber m. Tri-State-Ausgang	Octal Buffer/Line Driver with Tri-State Output	20-Dip	.73	.55	.42

(Forts.)

★ ***RUFEN SIE BITTE AN FÜR NIEDRIGERE PREISE BEI GRÖSSEREN MENGEN!*** ★

FAIRCHILD SEMICONDUCTOR — SERIE 74LVT

Digi-Key Teilenr.	Beschreibung		Paket	Stückpreis★ 1	25	100
74LVT245MTC-ND	Achtf. bidirektionaler Transceiver, Tri-State	Tri-State Octal Bi-Directional Transceiver	20-TSSOP	.47	.36	.27

FAIRCHILD SEMICONDUCTOR — SERIE 74LVTH

Digi-Key Teilenr.	Beschreibung		Paket	Stückpreis★ 1	25	100
74LVTH244MTC-ND	Achtf. Tri-State Puffer/Leitungstreiber, Niederspannung	Low Voltage Tri-State Octal Buffer/Line Driver	20-TSSOP	.47	.36	.27
74LVTH16244MTD-ND	16-Bit Puffer-/Leitungstreiber, Tri-State, Niederspann.	16-Bit, Tri-State, Low Voltage Buffer/Line Driver	48-TSSOP	.70	.59	.47
74LVTH16245MEA-ND	16-Bit Niederspannungs-Transceiver, Tri-State	16-Bit, Tri-State, Low Voltage Transceiver	48-SSOP	.97	.82	.66
74LVTH16245MTD-ND	16-Bit Niederspannungs-Transceiver, Tri-State	16-Bit, Tri-State, Low Voltage Transceiver	48-TSSOP	.70	.59	.47

B

FAIRCHILD SEMICONDUCTOR — SERIE 74ACQ

Digi-Key Teilenr.	Beschreibung		Paket	Stückpreis★ 1	25	100
74ACQ544SC-ND	Achtf. registrierter Transceiver, invertierend, Tri-State	Tri-State Octal Inverting Registered Transceiver	20-SOIC	4.65	3.76	3.04
74ACQ646SC-ND	Achtf. Transceiver/Register, Tri-State	Tri-State Octal Transceiver Register	24-SOIC	5.35	4.29	3.62

FAIRCHILD SEMICONDUCTOR — SERIE 74ACT_

Digi-Key Teilenr.	Beschreibung		Paket	Stückpreis★ 1	25	100
74ACT00SC-ND	Vierf. NAND-Gate mit 2 Eingängen	Quad 2-Input NAND Gate	14-SOIC	.43	.35	.24
74ACT02SC-ND	Vierf. NOR-Gate mit 2 Eingängen	Quad 2-Input NOR Gate	14-SOIC	.40	.32	.22
74ACT04PC-ND	Sechsf. Inverter	Hex Inverter	14-Dip	.41	.31	.23
74ACT04SC-ND	Sechsf. Inverter	Hex Inverter	14-SOIC	.33	.27	.19
74ACT08SC-ND	Vierf. AND-Gate mit 2 Eingängen	Quad 2-Input AND Gate	14-SOIC	.43	.35	.24
74ACT32SC-ND	Vierf. OR-Gate mit 2 Eingängen	Quad 2-Input OR Gate	14-SOIC	.43	.35	.24
74ACT74PC-ND	Zweif. D-Flip-Flop mit positiver Taktflanke	Dual D-Type Positive-Edge-Trigger Flip-Flop	14-Dip	.41	.31	.23
74ACT74SC-ND	Zweif. D-Flip-Flop mit positiver Taktflanke	Dual D-Type Positive-Edge-Trigger Flip-Flop	14-SOIC	.43	.35	.24
74ACT109SC-ND	Zweif. JK-Flip-Flop	Dual JK Flip-Flop	16-SOIC	.41	.33	.25
74ACT125SC-ND	Vierf. Puffer, Tri-State	Tri-State Quad Buffer	14-SOIC	.41	.33	.25
74ACT138SC-ND	1-von-8 Dekodierer/Demultiplexer	1-of-8 Decoder/Demultiplexer	16-SOIC	.46	.37	.28
74ACT151PC-ND	Multiplexer, 8 Eingänge	8-Input Multiplexer	16-Dip	.49	.37	.28
74ACT157PC-ND	Vierf. Multiplexer mit 2 Eingängen	Quad 2-Input Multiplexer	16-Dip	.49	.37	.28
74ACT157SC-ND	Vierf. Multiplexer mit 2 Eingängen	Quad 2-Input Multiplexer	16-SOIC	.46	.37	.28
74ACT161SC-ND	Voreinstellbarer Binärzähler, synch.	Synchronous Presettable Binary Counter	16-SOIC	.41	.31	.23
74ACT163PC-ND	4-Bit Binärzähler, Synchron-Empfänger	4-Bit Binary Counter Synchronous Receiver	16-Dip	.52	.40	.30
74ACT174SC-ND	Sechsf. D-Flip-Flop mit Master-Reset	Hex D-Type Flip-Flop with Master Reset	16-SOIC	.41	.31	.23
74ACT175SC-ND	Vierf. D-Flip-Flop	Quad D-Type Flip-Flop	16-SOIC	.41	.31	.23
74ACT244PC-ND	Achtf. Puffer-/Leitungstreiber	Octal Buffer/Line Driver	20-Dip	.52	.40	.30
74ACT244SC-ND	Achtf. Puffer-/Leitungstreiber	Octal Buffer/Line Driver	20-SOIC	.46	.37	.28
74ACT245SC-ND	Achtf. bidirektionaler Transceiver	Octal Bidirectional Transceiver	20-SOIC	.48	.39	.29
74ACT251PC-ND	8-Bit Multiplexer	8-Bit Multiplexer	16-Dip	.49	.37	.28
74ACT251SC-ND	8-Bit Multiplexer	8-Bit Multiplexer	16-SOIC	.46	.37	.28
74ACT373SC-ND	Achtf. transparenter Latch	Octal Transparent Latch	20-SOIC	.48	.39	.29
74ACT374SC-ND	Achtf. D-Flip-Flop	Octal D-Type Flip-Flop	20-SOIC	.48	.39	.29
74ACT520SC-ND	Komparator mit Resistor	Comparator with Resistor	20-SOIC	.49	.37	.28
74ACT573PC-ND	Achtf. D-Latch, Tri-State	Tri-State Octal D-Type Latch	20-Dip	.73	.55	.42
74ACT574SC-ND	Achtf. D-Flip-Flop, Tri-State	Tri-State Octal D-Type Flip-Flop	20-SOIC	.49	.37	.28
74ACT899QC-ND	9-Bit bidirektionaler Latch	9-Bit Bidirectional Latch	28-PLCC	6.42	5.14	4.34
74ACT1284MSA-ND	IEEE 1284 Transceiver	IEEE 1284 Transceiver	20-SSOP	1.22	1.02	.82
74ACT2708PC-ND	64 x 9 First-In First-Out Speicher	64x9 First-In First-Out Memory	28-Dip	12.61	11.36	10.07

FAIRCHILD SEMICONDUCTOR — SERIE NM95HS - HOHE SICHERHEITSSTUFE

Digi-Key Teilenr.	Beschreibung		Paket	Stückpreis★ 1	25	100
NM95HS01N14-ND	Rollcode-Generator (RC OSC)	Rolling Code Generator (RC OSC)	14-Dip	3.30	2.67	2.16
NM95HS02EN-ND	Rollcode-Generator, hohe Temp. (XTAL OSC)	Rolling Code Generator High Temp (XTAL OSC)	8-Dip	3.63	2.94	2.38
NM95HS02N-ND	Rollcode-Generator (XTAL OSC)	Rolling Code Generator (XTAL OSC)	8-Dip	3.30	2.67	2.16

FAIRCHILD SEMICONDUCTOR — SERIE 74ACTQ

Digi-Key Teilenr.	Beschreibung		Paket	Stückpreis★ 1	25	100
74ACTQ00SC-ND	Vierf. NAND-Gate mit 2 Eingängen, lärmarme Serie	Quad 2-Input NAND Gate, Quiet Series	14-SOIC	.86	.72	.57
74ACTQ10PC-ND	Dreif. NAND-Gate mit 3 Eingängen, lärmarme Serie	Triple 3-Input NAND Gate, Quiet Series	14-Dip	1.02	.53	.40
74ACTQ14SC-ND	Sechsf. invertierender Schmitt Trigger, lärmarme Serie	Hex Schmitt Trigger Inverting, Quiet Series	14-SOIC	.86	.72	.57
74ACTQ245SC-ND	Achtf. bidirektionaler Transceiver, lärmarme Serie	Octal Bidirectional Transceiver, Quiet Series	20-SOIC	1.60	1.28	.96
74ACTQ273SC-ND	Achtf. D-Flip-Flop	Octal D-Type Flip-Flop	20-SOIC	1.60	1.28	.96
74ACTQ16244SSC-ND	16-Bit Puffer/Leitungstreiber	16-Bit Buffer/Line Driver	48-SSOP	3.43	2.75	2.14
74ACTQ16374SSC-ND	16-Bit D-Flip-Flop	16-Bit D-Type Flip-Flop	48-SSOP	3.43	2.75	2.14

FAIRCHILD SEMICONDUCTOR — 74F – FAST™ FORTGESCHR. SCHOTTKY TTL LOGIK

Digi-Key Teilenr.	Beschreibung		Paket	Stückpreis★ 1	25	100
74F00PC-ND	Vierf. NAND-Gate mit 2 Eingängen	Quad 2-Input NAND Gate	14-Dip	.48	.39	.29
74F00SC-ND	Vierf. NAND-Gate mit 2 Eingängen	Quad 2-Input NAND Gate	14-SOIC	.43	.35	.24
74F04PC-ND	Sechsf. Inverter	Hex Inverter	14-Dip	.41	.31	.23
74F04SC-ND	Sechsf. Inverter	Hex Inverter	14-SOIC	.43	.35	.24
74F08PC-ND	Vierf. AND-Gate mit 2 Eingängen	Quad 2-Input AND Gate	14-Dip	.41	.31	.23
74F08SC-ND	Vierf. AND-Gate mit 2 Eingängen	Quad 2-Input AND Gate	14-SOIC	.43	.35	.24
74F14SC-ND	Sechsf. invertierender Schmitt-Trigger	Hex Inverter Schmitt Trigger	14-SOIC	.43	.35	.26
74F32SC-ND	Vierf. OR-Gate mit 2 Eingängen	Quad 2 Input OR Gate	14-SOIC	.36	.29	.22
74F38SC-ND	Vierf. NAND-Puffer mit 2 Eingängen	Quad 2-Input NAND Buffer	14-SOIC	.38	.31	.23
74F74PC-ND	Zweif. D-Flip-Flop mit positiver Taktflanke	Dual D-Type Positive-Edge-Triggered Flip-Flop	14-Dip	.45	.34	.26
74F74SC-ND	Zweif. D-Flip-Flop mit positiver Taktflanke	Dual D-Type Positive-Edge-Triggered Flip-Flop	14-SOIC	.38	.31	.23
74F86SC-ND	Vierf. Exklusiv-OR-Gate mit 2 Eingängen	Quad 2-Input Exclusive OR Gate	14-SOIC	.44	.34	.25
74F109PC-ND	Zweif. JK-Flip-Flop mit positiver Taktflanke	Dual JK Positive-Edge-Triggered Flip-Flop	16-Dip	.65	.49	.37
74F112PC-ND	Zweif. JK-Flip-Flop mit negativer Taktflanke	Dual JK Negative-Edge-Triggered Flip-Flop	16-Dip	.69	.52	.39
74F125PC-ND	Vierf. Puffer, Tri-State	Tri-State Quad Buffer	14-Dip	.55	.42	.31

(Forts.)

★ RUFEN SIE BITTE AN FÜR NIEDRIGERE PREISE BEI GRÖSSEREN MENGEN! ★

Alle Preisangaben in Euro und inklusive Zollgebühren.

Digi-Key Teilenr.	Beschreibung		Paket	Stückpreis★ 1	25	100
74F125SC-ND	Vierf. Puffer, Tri-State	Tri-State Quad Buffer	14-SOIC	.48	.39	.29
74F138PC-ND	1-von-8 Dekodierer/Demultiplexer	1-of-8 Decoder/Demultiplexer	16-Dip	.52	.40	.30
74F157ASC-ND	Vierf. Multiplexer mit 2 Eingängen	Quad 2-Input Multiplexer	16-SOIC	.41	.31	.23
74F161APC-ND	Voreinstellbarer 4-Bit Binärzähler, synch.	Synchronous Presettable 4-Bit Binary Counter	16-Dip	.65	.49	.37
74F175SC-ND	Vierf. Flip-Flop, Typ D	Quad D-Type Flip Flop	16-SOIC	.52	.40	.30
74F189SC-ND	64-Bit RAM-Speicher	64-Bit Random Access Memory	16-SOIC	3.39	2.74	2.22
74F244PC-ND	Achtf. Leitungstreiber, Tri-State	Tri-State Octal Line Driver	20-Dip	.69	.52	.39
74F244SC-ND	Achtf. Leitungstreiber, Tri-State	Tri-State Octal Line Driver	20-SOIC	.52	.40	.30
74F245PC-ND	Achtf. Bus-Transceiver, Tri-State	Tri-State Octal Bus Transceiver	20-Dip	.69	.52	.39
74F245SC-ND	Achtf. Bus-Transceiver, Tri-State	Tri-State Octal Bus Transceiver	20-SOIC	.52	.40	.30
74F258APC-ND	Achtf. 2/1 Multiplexer, Tri-State	Tri-State Quad 2/1 Multiplexer	16-Dip	.48	.37	.28
74F269SPC-ND	8-Bit Auf-/Abwärtszähler	8-Bit Up/Down Counter	24-Dip	1.52	1.22	.92
74F273PC-ND	Achtf. D-Flip-Flop	Octal D-Type Flip-Flop	20-Dip	.69	.52	.39
74F373PC-ND	Achtf. transparenter Latch	Octal Transparent Latch	20-Dip	.69	.59	.47
74F373SC-ND	Achtf. transparenter Latch	Octal Transparent Latch	20-SOIC	.64	.49	.37
74F374SC-ND	Achtf. D-Flip-Flop	Octal D-Type Flip-Flop	20-SOIC	.52	.40	.30
74F381PC-ND	4-Bit Arithmetik-Logikeinheit	4-Bit Arithmetic Logic Unit	16-Dip	1.00	.81	.61
74F541SC-ND	Achtf. Puffer-/Leitungstreiber	Octal Buffer/Line Driver	20-SOIC	.70	.59	.47
74F543PC-ND	Achtf. registrierter Transceiver	Octal Registered Transceiver	24-Dip	1.22	1.02	.82
74F552QC-ND	Achtf. bidirektionaler Transceiver	Octal Bidirectional Transceiver	28-PLCC	8.00	6.41	5.34
74F573SC-ND	Achtf. D-Latch	Octal D-Type Latch	20-SOIC	.70	.59	.47
74F574SC-ND	Achtf. D-Flip-Flop	Octal D-Type Flip-Flop	20-SOIC	.81	.68	.55
74F579PC-ND	8-Bit bidirektionaler Zähler	8-Bit Bidirectional Counter	20-Dip	1.98	1.59	1.19
74F620PC-ND	Achtf. invertierender Transceiver	Inverting Octal Transceiver	20-Dip	.70	.56	.42
74F646BSPC-ND	Achtf. Bus-Transceiver	Octal Bus Transceiver	24-Dip	1.82	1.46	1.09
74F675APC-ND	16-Bit Schieberegister, seriell-Ein, seriell/parallel-Aus	16-Bit Serial-In, Serial/Parallel-Out Shift Register	24-Dip	8.18	7.37	6.54
74F676PC-ND	16-Bit Schieberegister, seriell/parallel-Ein, seriell-Aus	16-Bit Serial/Parallel-In, Serial-Out Shift Register	24-Dip	4.53	3.63	3.06
74F823SC-ND	9-Bit D-Flip-Flop	9-Bit D-Type Flip-Flop	24-SOIC	1.65	1.33	1.00

Digi-Key Teilenr.	Beschreibung		Paket	Stückpreis★ 1	25	100
CD4001BCM-ND	Vierf. NOR-Gate mit 2 Eingängen	Quad 2-Input NOR Gate	14-SOIC	.37	.30	.21
CD4001BCN-ND	Vierf. NOR-Gate mit 2 Eingängen	Quad 2-Input NOR Gate	14-Dip	.41	.31	.23
CD4011BCM-ND	Vierf. NAND-Gate mit 2 Eingängen	Quad 2-Input NAND Gate	14-SOIC	.43	.35	.24
CD4011BCN-ND	Vierf. NAND-Gate mit 2 Eingängen	Quad 2-Input NAND Gate	14-Dip	.41	.31	.23
CD4013BCM-ND	Zweif. D-Flip-Flop	Dual D-Type Flip-Flop	14-SOIC	.37	.30	.23
CD4013BCN-ND	Zweif. D-Flip-Flop	Dual D-Type Flip-Flop	14-Dip	.41	.31	.23
CD4016BCM-ND	Vierf. Bilateralschalter	Quad Bilateral Switch	14-SOIC	.37	.30	.21
CD4016BCN-ND	Vierf. Bilateralschalter	Quad Bilateral Switch	14-Dip	.41	.31	.23
CD4019BCN-ND	Vierf. AND/OR-Select-Gate	Quad AND/OR Select Gate	16-Dip	.45	.34	.26
CD4047BCN-ND	Monostabiler Multivibrator	Monostable Multivibrator	14-Dip	.49	.37	.28
CD4049UBCM-ND	Sechsf. invertierender Puffer	Hex Inverting Buffer	16-SOIC	.43	.35	.24
CD4050BCN-ND	Sechsf. Puffer	Hex Buffer	16-Dip	.49	.37	.28
CD4051BCM-ND	8-Kanal Analog-Mux/Demux	8-Channel Analog Mux/Demux	16-SOIC	.48	.39	.29
CD4051BCN-ND	8-Kanal Analog-Mux/Demux	8-Channel Analog Mux/Demux	16-Dip	.61	.46	.35
CD4052BCM-ND	4-Kanal Analog-Mux/Demux	4-Channel Analog Mux/Demux	16-SOIC	.48	.39	.29
CD4052BCN-ND	4-Kanal Analog-Mux/Demux	4-Channel Analog Mux/Demux	16-Dip	.61	.46	.35
CD4053BCM-ND	Dreif. 2-Kanal Analog-Mux/Demux	Triple 2-Channel Analog Mux/Demux	16-SOIC	.48	.39	.29
CD4053BCN-ND	Dreif. 2-Kanal Analog-Mux/Demux	Triple 2-Channel Analog Mux/Demux	16-Dip	.61	.46	.35
CD4060BCM-ND	14-Bit Binärzähler/Oszillator	14-Bit Binary Counter/Oscillator	16-SOIC	.43	.35	.26
CD4060BCN-ND	14-Bit Binärzähler/Oszillator	14-Bit Binary Counter/Oscillator	16-Dip	.61	.46	.35
CD4066BCM-ND	Vierf. Bilateralschalter	Quad Bilateral Switch	14-SOIC	.41	.33	.25
CD4066BCN-ND	Vierf. Bilateralschalter	Quad Bilateral Switch	14-Dip	.41	.31	.23
CD4069UBCM-ND	Inverter-Schaltkreise	Inverter Circuits	14-SOIC	.43	.35	.24
CD4093BCM-ND	Vierf. NAND-Schmitt-Trigger mit 2 Eingängen	Quad 2-Input NAND Schmitt Trigger	14-SOIC	.36	.29	.22
CD4093BCN-ND	Vierf. NAND-Schmitt-Trigger mit 2 Eingängen	Quad 2-Input NAND Schmitt Trigger	14-Dip	.41	.31	.23
CD4094BCN-ND	8-Bit Schieberegister mit Latch	8-Bit Shift Register with Latch	16-Dip	2.80	2.24	1.75
CD4538BCN-ND	Zweif. monostabiler Multivibrator	Dual Monostable Multivibrator	16-Dip	.61	.46	.35
CD4541BCN-ND	Programmierbarer Timer	Programmable Timer	14-Dip	.49	.37	.28
CD4724BCN-ND	Adressierbarer 8-Bit Latch	8-Bit Addressable Latch	16-Dip	.61	.46	.35
CD40106BCN-ND	Sechsf. Schmitt-Trigger	Hex Schmitt Trigger	14-Dip	.41	.31	.23
CD40174BCN-ND	Sechsf. D-Flip-Flop	Hex D-Type Flip-Flop	16-Dip	2.80	2.24	1.75

Digi-Key Teilenr.	Beschreibung		Paket	Stückpreis★ 1	25	100
FAN1086M-ND	Einstellbarer 1,5 A LDO-Linearregler	Adjustable, 1.5A LDO Linear Regulator	TO-263	.80	.67	.53
FAN1086M5-ND	5 V,1,5 A fixierter LDO-Linearregler	5V, 1.5A Fixed LDO Linear Regulator	TO-263	.80	.67	.53
FAN1086M33-ND	3,3 V,1,5 A fixierter LDO-Linearregler	3.3V, 1.5A Fixed LDO Linear Regulator	TO-263	.80	.67	.53
FAN1086M285-ND	2,85 V,1,5 A fixierter LDO-Linearregler	2.85V, 1.5A Fixed LDO Linear Regulator	TO-263	.80	.67	.53
FAN2500SXCT-ND	Einstellbarer 100 mA CMOS LDO-Regler	Adjustable, 100mA, CMOS LDO Regulator	SOT-23-5	.61	.46	.35
FAN2500SXTR-ND	Einstellbarer 100 mA CMOS LDO-Regler	Adjustable, 100mA, CMOS LDO Regulator	SOT-23-5		594.31/3,000	
FAN2500S25XCT-ND	2,5 V, 100 mA CMOS LDO-Regler	2.5V, 100mA, CMOS LDO Regulator	SOT-23-5	.61	.46	.35
FAN2500S25XTR-ND	2,5 V, 100 mA CMOS LDO-Regler	2.5V, 100mA, CMOS LDO Regulator	SOT-23-5		594.31/3,000	
FAN2500S28XCT-ND	2,8 V, 100 mA CMOS LDO-Regler	2.8V, 100mA, CMOS LDO Regulator	SOT-23-5	.61	.46	.35
FAN2500S28XTR-ND	2,8 V, 100 mA CMOS LDO-Regler	2.8V, 100mA, CMOS LDO Regulator	SOT-23-5		594.31/3,000	
FAN2500S30XCT-ND	3,0 V, 100 mA CMOS LDO-Regler	3.0V, 100mA, CMOS LDO Regulator	SOT-23-5	.61	.46	.35
FAN2500S30XTR-ND	3,0 V, 100 mA CMOS LDO-Regler	3.0V, 100mA, CMOS LDO Regulator	SOT-23-5		594.31/3,000	
FAN2500S33XCT-ND	3,3 V, 100 mA CMOS LDO-Regler	3.3V, 100mA, CMOS LDO Regulator	SOT-23-5	.61	.46	.35
FAN2500S33XTR-ND	3,3 V, 100 mA CMOS LDO-Regler	3.3V, 100mA, CMOS LDO Regulator	SOT-23-5		594.31/3,000	
LF353NFS-ND	Zweif. 4 MHz JFet-OpAmp	4MHz Dual JFet Op Amp	8-Dip	.45	.34	.26
LM78L05ACZFS-ND	0-125 °C, 0,1 A Positivspannungsregler, 3 Klemmen	0-125°C, 3-Terminal 0.1A Positive Voltage Regulator	TO-92	.40	.32	.22
LM78M05CTFS-ND	0-125 °C, 0,5 A Positivspannungsregler, 3 Klemmen	0-125°C, 3-Terminal 0.5A Positive Voltage Regulator	TO-220	.41	.31	.23
LM311MFS-ND	0-70 °C Einzelkomparator	0-70°C Single Comparator	8-SOP	.50	.41	.31
LM311NFS-ND	0-70 °C Einzelkomparator	0-70°C Single Comparator	8-Dip	.50	.41	.31
LM317TFS-ND	1,5 A einstellbarer Positivspannungsregler, 3 Klemmen	1.5A, 3-Terminal Positive Adjustable Regulator	TO-220	.52	.40	.30
LM337TFS-ND	1,5 A einstellbarer Negativspannungsregler, 3 Klemmen	1.5A, 3-Terminal Negative Adjustable Regulator	TO-220	.57	.43	.32
LM339ANFS-ND	0-70 °C Vierfach-Komparator	0-70°C Quad Comparator	14-Dip	.47	.38	.28
LM339MFS-ND	0-70 °C Vierfach-Komparator	0-70°C Quad Comparator	14-SOP	.47	.38	.28
LM339NFS-ND	0-70 °C Vierfach-Komparator	0-70°C Quad Comparator	14-Dip	.47	.38	.28
LM350TFS-ND	3 A, einstellbare Positivspannung, 3 Klemmen	3A, 3-Terminal Positive Adjustable Voltage	TO-220	1.07	.89	.72
LM358AMFS-ND	Zweif. 0 bis 70 °C OpAmp	0-70°C Dual Op Amp	8-SOIC	.41	.33	.25
LM358ANFS-ND	Zweif. 0 bis 70 °C OpAmp	0-70°C Dual Op Amp	8-Dip	.41	.33	.25
LM358MFS-ND	Zweif. 0 bis 70 °C OpAmp	0-70°C Dual Op Amp	8-SOIC	.41	.33	.25
LM358NFS-ND	Zweif. 0 bis 70 °C OpAmp	0-70°C Dual Op Amp	8-Dip	.41	.33	.25
LM393AN-ND	Zweif. 0 bis 70 °C Differenzial-Komparator	0-70°C Dual Differential Comparator	8-Dip	.36	.29	.22

(Forts.)

★ ***RUFEN SIE BITTE AN FÜR NIEDRIGERE PREISE BEI GRÖSSEREN MENGEN!*** ★

Digi-Key Teilenr.	Beschreibung		Paket	Stückpreis★ 1	25	100
LM393MFS-ND	Zweif. 0-70 °C Differenzial-Komparator	0-70°C Dual Differential Comparator	8-SOP	.36	.29	.22
LM393NFS-ND	Zweif. 0-70 °C Differenzial-Komparator	0-70°C Dual Differential Comparator	8-Dip	.36	.29	.22
LM555CNFS-ND	Einf. 0-70 °C Timer	0-70°C Single Timer	8-Dip	.42	.34	.26
LM1458NFS-ND	Zweif. OpAmp	Dual Op Amp	8-Dip	.47	.38	.28
LM2901NFS-ND	Vierfach-Komparator	Quad Comparator	14-Dip	.46	.37	.28
LM2903MFS-ND	Zweif. Differenzialkomparator	Dual Differential Comparator	8-SOP	.46	.37	.28
LM2903NFS-ND	Zweif. Differenzialkomparator	Dual Differential Comparator	8-Dip	.46	.37	.28
LM2904MFS-ND	Zweif. OpAmp	Dual Op Amp	8-SOP	.46	.37	.28
LM2904NFS-ND	Zweif. OpAmp	Dual Op Amp	8-Dip	.46	.37	.28
LM7805CT-ND	0 bis 125 °C, 1 A Positivspannungsregler, 3 Klemmen	0 to 125°C, 3-Terminal 1A Positive Voltage Regulator	TO-220	.41	.31	.23
LM7905CTFS-ND	-5 V, 4 %, 1 A Negativspannungsregler, 3 Klemmen	-5V, 4% 3-Terminal 1A Negative Voltage Regulator	TO-220	.41	.31	.23
MC78L08ACPTR-ND	8 V, 4 %, 0,1 A Positivspannungsregler, 3 Klemmen	8V, 4% 3-Terminal 0.1A Positive Voltage Regulator	TO-92	.36	.29	.22
MC78M05CTFS-ND	5 V, 4 %, 0,5 A Positivspannungsregler, 3 Klemmen	5V, 4% 3-Terminal 0.5A Positive Voltage Regulator	TO-220	.41	.31	.23
MC7805CTFS-ND	5 V, 4 %, 1 A Positivspannungsregler, 3 Klemmen	5V, 4% 3-Terminal 1A Positive Voltage Regulator	TO-220	.63	.48	.36
MC7808CTFS-ND	8 V, 4 %, 1 A Positivspannungsregler, 3 Klemmen	8V, 4% 3-Terminal 1A Positive Voltage Regulator	TO-220	.41	.31	.23
MC7812CTFS-ND	12 V, 4 %, 1 A Positivspannungsregler, 3 Klemmen	12V, 4% 3-Terminal 1A Positive Voltage Regulator	TO-220	.41	.31	.23
MC7815CTFS-ND	15 V, 4 %, 1 A Positivspannungsregler, 3 Klemmen	15V, 4% 3-Terminal 1A Positive Voltage Regulator	TO-220	.41	.31	.23
MC7824CTFS-ND	24 V, 4 %, 1 A Positivspannungsregler, 3 Klemmen	24V, 4% 3-Terminal 1A Positive Voltage Regulator	TO-220	.41	.31	.23
MC7905CTFS-ND	-5 V, 4 %, 1 A Negativspannungsregler, 3 Klemmen	-5V, 4% 3-Terminal 1A Negative Voltage Regulator	TO-220	.41	.31	.23
MC7912CTFS-ND	-12 V, 4 %, 1 A Negativspannungsregler, 3 Klemmen	-12V, 4% 3-Terminal 1A Negative Voltage Regulator	TO-220	.41	.31	.23
MC7915CTFS-ND	-15 V, 4 %, 1 A Negativspannungsregler, 3 Klemmen	-15V, 4% 3-Terminal 1A Negative Voltage Regulator	TO-220	.41	.31	.23
RC1117DXCT-ND	1 A einstellbarer LDO-Linearregler	1A, Adjustable LDO Linear Regulator	TO-252	.99	.83	.67
RC1117DXTR-ND	1 A einstellbarer LDO-Linearregler	1A, Adjustable LDO Linear Regulator	TO-252		1073.07/2,500	
RC1117M-ND	1 A einstellbarer LDO-Linearregler	1A, Adjustable LDO Linear Regulator	TO-263	.68	.57	.45
RC1117M285-ND	2,85 V, 1 A, fester LDO-Linearregler	2.85V, 1A, Fixed LDO Linear Regulator	TO-263	.81	.68	.55
RC1117STCT-ND	1 A einstellbarer LDO-Linearregler	1A, Adjustable LDO Linear Regulator	SOT-223	.45	.34	.26
RC1117STTR-ND	1 A einstellbarer LDO-Linearregler	1A, Adjustable LDO Linear Regulator	SOT-223		363.19/2,500	
RC1117S33TCT-ND	3,3 V, 1 A fester LDO-Linearregler	3.3V, 1A, Fixed LDO Linear Regulator	SOT-223	.42	.32	.24
RC1117S285TCT-ND	2,85 V, 1 A fester LDO-Linearregler	2.85V, 1A, Fixed LDO Linear Regulator	SOT-223	.52	.40	.30
RC1117S285TTR-ND	2,85 V, 1 A fester LDO-Linearregler	2.85V, 1A, Fixed LDO Linear Regulator	SOT-223		429.23/2,500	
RC1584T-ND	7 A einstellbarer LDO-Linearregler	7A, Adjustable LDO Linear Regulator	TO-220	1.24	1.04	.83
RC1585M-ND	5 A einstellbarer LDO-Linearregler	5A, Adjustable LDO Linear Regulator	TO-263	.91	.77	.61
RC1585M15-ND	1,5 V, 5 A fester LDO-Linearregler	1.5V, 5A, Fixed LDO Linear Regulator	TO-263	.91	.77	.61
RC1585MTCT-ND	5 A einstellbarer LDO-Linearregler	5A, Adjustable LDO Linear Regulator	TO-263	.91	.77	.61
RC1585T-ND	5 A einstellbarer LDO-Linearregler	5A, Adjustable LDO Linear Regulator	TO-220	.91	.77	.61
RC1585T15-ND	1,5 V, 5 A fester LDO-Linearregler	1.5V, 5A, Fixed LDO Linear Regulator	TO-220	.91	.77	.61
RC1587M-ND	3 A einstellbarer LDO-Linearregler	3A, Adjustable LDO Linear Regulator	TO-263	.86	.72	.57
RC1587M15-ND	1,5 V, 3 A fester LDO-Linearregler	1.5V, 3A, Fixed LDO Linear Regulator	TO-263	.86	.72	.57
RC1587M33-ND	3,3 V, 3 A fester LDO-Linearregler	3.3V, 3A, Fixed LDO Linear Regulator	TO-263	1.17	.98	.78
RC1587T-ND	3 A einstellbarer LDO-Linearregler	3A, Adjustable LDO Linear Regulator	TO-220	.86	.72	.57
RC1587T15-ND	1,5 V, 3 A fester LDO-Linearregler	1.5V, 3A, Fixed LDO Linear Regulator	TO-220	.86	.72	.57
RC1587T33-ND	3,3 V, 3 A fester LDO-Linearregler	3.3V, 3A, Fixed LDO Linear Regulator	TO-220	.86	.72	.57
RC2951M-ND	0,1 A einstellbarer Micropower LDO-Spannungsregler	0.1A Adjustable Micropower LDO Voltage Regulator	8-SOIC	.67	.56	.45

Digi-Key Teilenr.	Beschreibung		Paket	Stückpreis★ 1	25	100
100324QC-ND	Sechsf. TTL-zu-ECL-Übersetzer, Niedrigleistung	Low Power Hex TTL-to-ECL Translator	28-PLCC	5.09	4.07	3.44
100325QC-ND	Sechsf. ECL-zu-TTL-Übersetzer, Niedrigleistung	Low Power Hex ECL-to-TTL Translator	28-PLCC	5.09	4.07	3.44

Mit TinyLogic™ können Ingenieure Designänderungen vornehmen oder Standard-VLSI-Schaltkreise modifizieren, ohne komplexe Siliziumsubkomponenten oder Leiterplatten neu entwerfen zu müssen. TinyLogic™ ist in erster Linie zur Verwendung in räumlich beengten Systemen vorgesehen, wie z.B. in tragbaren CD-Spielern, Laufwerken, Handys, Pagern, Radios, PCM-CIA-Karten und tragbaren Computern.

TinyLogic kann effiziente Systemdesigns in jeder Anwendung erleichtern. Die Platzierung von einfachen und zweifachen Gate-Logik-Funktionen genau dort, wo sie benötigt werden, vereinfacht die Signalleitung und minimiert Ausbreitungsverzögerungen und Rauschentwicklung. Die Produktreihe von Fairchild TinyLogic™ umfasst ein breites Spektrum von Hochgeschwindigkeits-, Niedrigleistungs- und CMOS Einzel-Gate-Logik-Funktionen.

Die Produkte von TinyLogic™ - die 7SZ-Teile (Serie UHS) - sind die schnellsten Logikbausteine auf dem Markt und werden innerhalb eines Vcc-Spannungsbereichs von 1,8 V bis 5,5 V betrieben.

Aufgrund ihrer Überspannungstoleranz können die Bausteine bei 3 V-Betrieb auch mit 5 V-Komponenten zusammenarbeiten. 7S-Teile (Vorrichtungen der Serie HS) sind zur Verwendung mit 5 V-Geräten vorgesehen, können aber auch in einem Spannungsbereich von 2 V bis 6 V betrieben werden.

Series	Specified Power Supply	Compatibility: Input VIL/VIH	Compatibility: Output VOL/VOH	Drive IOL/IOH	Supply Current ICC	Speed TPD
7Sxx (HS)	2V - 6V	CMOS	TTL, CMOS	2.6mA/–2.6mA	10µA	21 ns
7SZxx (UHS)	1.8V - 5.5V	CMOS	TTL, CMOS	32mA/–32mA	20µA	4.5 ns

TinyLogic™ 7Sxx (HS Series)

Features	Benefits
CMOS (HS)	Compatible with HC
Low Quiescent Power: Icc < 1 µA @ 6V Vcc	Low power supply drain-beneficial for portables
High Noise immunity-Like HCMOS and VHC	Logic Level Integrity

TinyLogic™ 7SZxx (UHS Series)

Features	Benefits
Low Voltage 1.8V-5.5V operation; 5V tolerant inputs	Battery powered applications (optimized for 3.3V). Interfaces to both 3V & 5V Components
Propagation delay typical 4nS (3.3V)	New high speed designs. Seamless revisions to existing designs.

Digi-Key Teilenr.	Beschreibung		Paket	Stückpreis★ 1	25	100
	Serie HS					
	Oberflächenmontiertes Produkt					
NC7S00M5TR-ND	Einf. NAND-Gate mit 2 Eingängen	Single 2-Input NAND Gate	SOT-23-5		202.68/1,000	
NC7S00M5XCT-ND	Einf. NAND-Gate mit 2 Eingängen	Single 2-Input NAND Gate	SOT-23-5	.29	.22	.15
NC7S00M5XTR-ND	Einf. NAND-Gate mit 2 Eingängen	Single 2-Input NAND Gate	SOT-23-5		170.67/3,000	
NC7S00P5CT-ND	NAND-Gate mit 2 Eingängen	2-Input NAND Gate	SC70-5	.61	.46	.35
NC7S00P5XCT-ND	NAND-Gate mit 2 Eingängen	2-Input NAND Gate	SC70-5	.32	.25	.17
NC7S00P5XTR-ND	NAND-Gate mit 2 Eingängen	2-Input NAND Gate	SC70-5		195.06/3,000	
NC7S02M5CT-ND	Einf. NOR-Gate mit 2 Eingängen	Single 2-Input NOR Gate	SOT-23-5	.61	.46	.35
NC7S02M5TR-ND	Einf. NOR-Gate mit 2 Eingängen	Single 2-Input NOR Gate	SOT-23-5		198.10/1,000	
NC7S02M5XCT-ND	Einf. NOR-Gate mit 2 Eingängen	Single 2-Input NOR Gate	SOT-23-5	.32	.25	.17
NC7S02M5XTR-ND	Einf. NOR-Gate mit 2 Eingängen	Single 2-Input NOR Gate	SOT-23-5		195.06/3,000	
NC7S04M5CT-ND	Einf. Inverter	Single Inverter	SOT-23-5	.61	.46	.35
NC7S04M5TR-ND	Einf. Inverter	Single Inverter	SOT-23-5		202.68/1,000	
NC7S04M5XCT-ND	Einf. Inverter	Single Inverter	SOT-23-5	.29	.22	.15
NC7S04M5XTR-ND	Einf. Inverter	Single Inverter	SOT-23-5		170.67/3,000	
NC7S08M5TR-ND	Einf. AND-Gate mit 2 Eingängen	Single 2-Input AND Gate	SOT-23-5		228.58/1,000	
NC7S08M5XCT-ND	Einf. AND-Gate mit 2 Eingängen	Single 2-Input AND Gate	SOT-23-5	.29	.22	.15
NC7S08M5XTR-ND	Einf. AND-Gate mit 2 Eingängen	Single 2-Input AND Gate	SOT-23-5		170.67/3,000	
NC7S14M5XCT-ND	Schmitt Trigger-Eingangs-Inverter	Schmitt Trigger Input Inverter	SOT-23-5	.29	.22	.15
NC7S14M5XTR-ND	Schmitt Trigger-Eingangs-Inverter	Schmitt Trigger Input Inverter	SOT-23-5		170.67/3,000	
NC7S32M5XCT-ND	Einf. OR-Gate mit 2 Eingängen	Single 2-Input OR Gate	SOT-23-5	.32	.25	.17
NC7S32M5XTR-ND	Einf. OR-Gate mit 2 Eingängen	Single 2-Input OR Gate	SOT-23-5		195.06/3,000	
NC7S86M5XCT-ND	Einf. Exklusiv-OR-Gate mit 2 Eingängen	Single 2-Input Exclusive OR Gate	SOT-23-5	.32	.25	.17
NC7S86M5XTR-ND	Einf. Exklusiv-OR-Gate mit 2 Eingängen	Single 2-Input Exclusive OR Gate	SOT-23-5		195.06/3,000	

(Forts.)

★ ***RUFEN SIE BITTE AN FÜR NIEDRIGERE PREISE BEI GRÖSSEREN MENGEN!*** ★

Digi-Key Teilenr.	Beschreibung		Paket	Stückpreis★ 1	25	100
Serie UHS						
Oberflächenmontiertes Produkt						
NC7SZ00M5CT-ND	Einf. NAND-Gate mit 2 Eingängen	Single 2-Input NAND Gate	SOT-23-5	.61	.46	.35
NC7SZ00M5TR-ND	Einf. NAND-Gate mit 2 Eingängen	Single 2-Input NAND Gate	SOT-23-5		228.58/1,000	
NC7SZ00M5XCT-ND	Einf. NAND-Gate mit 2 Eingängen	Single 2-Input NAND Gate	SOT-23-5	.29	.22	.15
NC7SZ00M5XTR-ND	Einf. NAND-Gate mit 2 Eingängen	Single 2-Input NAND Gate	SOT-23-5		170.67/3,000	
NC7SZ00P5CT-ND	NAND-Gate mit 2 Eingängen	2-Input NAND Gate	SC70-5	.61	.46	.35
NC7SZ00P5TR-ND	NAND-Gate mit 2 Eingängen	2-Input NAND Gate	SC70-5		228.58/1,000	
NC7SZ00P5XCT-ND	NAND-Gate mit 2 Eingängen	2-Input NAND Gate	SC70-5	.29	.22	.15
NC7SZ00P5XTR-ND	NAND-Gate mit 2 Eingängen	2-Input NAND Gate	SC70-5		170.67/3,000	
NC7SZ02M5CT-ND	Einf. NOR-Gate mit 2 Eingängen	Single 2-Input NOR Gate	SOT-23-5	.61	.46	.35
NC7SZ02M5TR-ND	Einf. NOR-Gate mit 2 Eingängen	Single 2-Input NOR Gate	SOT-23-5		228.58/1,000	
NC7SZ02M5XCT-ND	Einf. NOR-Gate mit 2 Eingängen	Single 2-Input NOR Gate	SOT-23-5	.32	.25	.17
NC7SZ02M5XTR-ND	Einf. NOR-Gate mit 2 Eingängen	Single 2-Input NOR Gate	SOT-23-5		195.06/3,000	
NC7SZ04M5XCT-ND	Einf. Inverter	Single Inverter	SOT-23-5	.29	.22	.15
NC7SZ04M5XTR-ND	Einf. Inverter	Single Inverter	SOT-23-5		170.67/3,000	
NC7SZ05M5XCT-ND	Einf. Inverter, OD	Single Inverter Open Drain	SOT-23-5	.29	.22	.15
NC7SZ05M5XTR-ND	Einf. Inverter, OD	Single Inverter Open Drain	SOT-23-5		170.67/3,000	
NC7SZ08M5CT-ND	Einf. AND-Gate mit 2 Eingängen	Single 2-Input AND Gate	SOT-23-5	1.15	.87	.65
NC7SZ08M5TR-ND	Einf. AND-Gate mit 2 Eingängen	Single 2-Input AND Gate	SOT-23-5		202.68/1,000	
NC7SZ08M5XCT-ND	Einf. AND-Gate mit 2 Eingängen	Single 2-Input AND Gate	SOT-23-5	.29	.22	.15
NC7SZ08M5XTR-ND	Einf. AND-Gate mit 2 Eingängen	Single 2-Input AND Gate	SOT-23-5		170.67/3,000	
NC7SZ08P5XCT-ND	AND-Gate m. 2 Eingängen	2-Input AND Gate	SC70-5	.29	.22	.15
NC7SZ08P5XTR-ND	AND-Gate m. 2 Eingängen	2-Input AND Gate	SC70-5		170.67/3,000	
NC7SZ14M5XCT-ND	Schmitt Trigger-Eingangs-Inverter	Schmitt Trigger Input Inverter	SOT-23-5	.29	.22	.15
NC7SZ14M5XTR-ND	Schmitt Trigger-Eingangs-Inverter	Schmitt Trigger Input Inverter	SOT-23-5		170.67/3,000	
NC7SZ32M5CT-ND	Einf. OR-Gate mit 2 Eingängen	Single 2-Input OR Gate	SOT-23-5	.61	.46	.35
NC7SZ32M5TR-ND	Einf. OR-Gate mit 2 Eingängen	Single 2-Input OR Gate	SOT-23-5		228.58/1,000	
NC7SZ32M5XCT-ND	Einf. OR-Gate mit 2 Eingängen	Single 2-Input OR Gate	SOT-23-5	.29	.22	.15
NC7SZ32M5XTR-ND	Einf. OR-Gate mit 2 Eingängen	Single 2-Input OR Gate	SOT-23-5		170.67/3,000	
NC7SZ38M5CT-ND	Einf. NAND-Gate (Open Drain-Ausgang), 2 Eing.	Single 2-Input NAND Gate (Open Drain Output)	SOT-23-5	.61	.46	.35
NC7SZ38M5TR-ND	Einf. NAND-Gate (Open Drain-Ausgang), 2 Eing.	Single 2-Input NAND Gate (Open Drain Output)	SOT-23-5		202.68/1,000	
NC7SZ38M5XCT-ND	Einf. NAND-Gate (Open Drain-Ausgang), 2 Eing.	Single 2-Input NAND Gate (Open Drain Output)	SOT-23-5	.32	.25	.17
NC7SZ38M5XTR-ND	Einf. NAND-Gate (Open Drain-Ausgang), 2 Eing.	Single 2-Input NAND Gate (Open Drain Output)	SOT-23-5		195.06/3,000	
NC7SZ66M5XCT-ND	Einf. Niederspannungs-SPST-Busschalter	Low Voltage Single SPST Bus Switch	SOT-23-5	.31	.25	.18
NC7SZ66M5XTR-ND	Einf. Niederspannungs-SPST-Busschalter	Low Voltage Single SPST Bus Switch	SOT-23-5		213.95/3,000	
NC7SZ86M5CT-ND	Einf. Exklusiv-OR-Gate mit 2 Eingängen	Single 2-Input Exclusive OR Gate	SOT-23-5	.61	.46	.35
NC7SZ86M5TR-ND	Einf. Exklusiv-OR-Gate mit 2 Eingängen	Single 2-Input Exclusive OR Gate	SOT-23-5		228.58/1,000	
NC7SZ86M5XCT-ND	Einf. Exklusiv-OR-Gate mit 2 Eingängen	Sinlge 2-Input Exclusive OR Gate	SOT-23-5	.34	.27	.19
NC7SZ86M5XTR-ND	Einf. Exklusiv-OR-Gate mit 2 Eingängen	Sinlge 2-Input Exclusive OR Gate	SOT-23-5		230.41/3,000	
NC7SZ125M5CT-ND	Einf. Puffer, Tri-State, OE=Niedrig	Single Tri-State Buffer OE=Low	SOT-23-5	.61	.46	.35
NC7SZ125M5TR-ND	Einf. Puffer, Tri-State, OE=Niedrig	Single Tri-State Buffer OE=Low	SOT-23-5		202.68/1,000	
NC7SZ125M5XCT-ND	Einf. Puffer, Tri-State, OE=Niedrig	Single Tri-State Buffer OE=Low	SOT-23-5	.29	.23	.16
NC7SZ125M5XTR-ND	Einf. Puffer, Tri-State, OE=Niedrig	Single Tri-State Buffer OE=Low	SOT-23-5		192.01/3,000	
NC7SZ125P5XCT-ND	Puffer, Tri-State	Tri-State Buffer	SC70-5	.29	.23	.16
NC7SZ125P5XTR-ND	Puffer, Tri-State	Tri-State Buffer	SC70-5		192.01/3,000	
NC7SZ126M5XCT-ND	Einf. Puffer, Tri-State, OE=Hoch	Single Tri-State Buffer OE=High	SOT-23-5	.29	.23	.16
NC7SZ126M5XTR-ND	Einf. Puffer, Tri-State, OE=Hoch	Single Tri-State Buffer OE=High	SOT-23-5		192.01/3,000	
NC7SZ126P5XCT-ND	Puffer, Tri-State	Tri-State Buffer	SC70-5	.29	.23	.16
NC7SZ126P5XTR-ND	Puffer, Tri-State	Tri-State Buffer	SC70-5		192.01/3,000	
NC7SZ175P6CT-ND	D-Flip-Flop mit asynch. Löschfunktion	D-Type Flip-Flop with Async. Clear	SC70-6	.61	.46	.35
NC7SZ175P6TR-ND	D-Flip-Flop mit asynch. Löschfunktion	D-Type Flip-Flop with Async. Clear	SC70-6		202.68/1,000	
NC7SZ175P6XCT-ND	D-Flip-Flop mit asynch. Löschfunktion	D-Type Flip-Flop with Async. Clear	SC70-6	.34	.27	.19
NC7SZ175P6XTR-ND	D-Flip-Flop mit asynch. Löschfunktion	D-Type Flip-Flop with Async. Clear	SC70-6		230.41/3,000	
NC7SZ384M5CT-ND	1-Bit NL-Bus-Schalter	1-Bit Low Power Bus Switch	SOT-23-5	.80	.67	.54
NC7SZ384M5TR-ND	1-Bit NL-Bus-Schalter	1-Bit Low Power Bus Switch	SOT-23-5		186.68/500	
NC7SZ384M5XCT-ND	1-Bit NL-Bus-Schalter	1-Bit Low Power Bus Switch	SOT-23-5	.36	.30	.21
NC7SZ384M5XTR-ND	1-Bit NL-Bus-Schalter	1-Bit Low Power Bus Switch	SOT-23-5		284.97/3,000	
NC7WZ16P6XCT-ND	Zweif. Puffer	Dual Buffer	SC70-6	.35	.28	.20
NC7WZ16P6XTR-ND	Zweif. Puffer	Dual Buffer	SC70-6		269.42/3,000	

FAIRCHILD SEMICONDUCTOR — **OPAMPS**

Digi-Key Teilenr.	Beschreibung		Paket	Stückpreis★ 1	25	100
KM4170IS5TR3CT-ND	5,3 V, 16 mA, Rail-to-Rail, In/Out OpAmp	5.3V, 16mA, Rail-to-Rail, In/Out Op Amp	SC70-5	.61	.46	.35
LF347NFS-ND	Vierf. 4 MHz, HS, JFet-OpAmp	4MHz, High Speed Quad JFet Op Amp	14-Dip	.64	.49	.37
LM324AMFS-ND	Vierf. OpAmp, 0 bis 70 °C	0-70°C Quad Op Amp	14-SOP	.47	.38	.28
LM324ANFS-ND	Vierf. OpAmp, 0 bis 70 °C	0-70°C Quad Op Amp	14-Dip	.47	.38	.28
LM324MFS-ND	Vierf. OpAmp, 0 bis 70 °C	0-70°C Quad Op Amp	14-SOP	.47	.38	.28
LM324NFS-ND	Vierf. OpAmp, 0 bis 70 °C	0-70°C Quad Op Amp	14-Dip	.47	.38	.28
LM348NFS-ND	Vierf. OpAmp, 0 bis 70 °C	0-70°C Quad Op Amp	14-Dip	.47	.36	.27
LM741CNFS-ND	Einf. OpAmp, 0 bis 70 °C	0-70°C Single Op Amp	8-Dip	.48	.39	.29
LM2902NFS-ND	Vierf. OpAmp, -40-85 °C	-40-85°C Quad Op Amp	14-Dip	.46	.37	.28

PERICOM Semiconductor Corporation — **SOTiny™**

Oberflächenmontiertes Produkt in Gurtabschnitt

Digi-Key Teilenr.	Beschreibung		Paket	Gurtabschnittspreis pro Stück★ 1	25	100
PI74STX1G00CXCT-ND	Einf. NAND-Gate mit 2 Eingängen	Single 2-Input NAND Gate	SC70-5	.32	.25	.19
PI74STX1G02CXCT-ND	Einf. NOR-Gate mit 2 Eingängen	Single 2-Input NOR Gate	SC70-5	.32	.25	.19
PI74STX1G04CXCT-ND	Einf. Inverter	Single Inverter	SC70-5	.32	.25	.19
PI74STX1G08CXCT-ND	Einf. AND-Gate mit 2 Eingängen	Single 2-Input AND Gate	SC70-5	.32	.25	.19
PI74STX1G125CXCT-ND	Puffer mit Tri-State-Ausgang	Buffer with Tri-State Output	SC70-5	.46	.35	.27
PI74STX1G126CXCT-ND	Puffer mit Tri-State-Ausgang	Buffer with Tri-State Output	SC70-5	.46	.35	.27
PI74STX1G14CXCT-ND	Schmitt Trigger-Inverter	Schmitt-Trigger Inverter	SC70-5	.32	.25	.19
PI74STX1G32CXCT-ND	Einf. OR-Gate mit 2 Eingängen	Single 2-Input OR Gate	SC70-5	.32	.25	.19
PI74STX1G79CXCT-ND	Einf. D-Flip-Flop mit positiver Taktflanke	Single Positive-Edge-Triggered D-Type Flip-Flop	SC70-5	.32	.25	.19
PI74STX1G86CXCT-ND	Einf. XOR-Gate m. 2 Eingängen	Single 2-Input XOR Gate	SC70-5	.32	.25	.19

Oberflächenmontiertes Produkt gegurtet auf Rolle

Digi-Key Teilenr.	Beschreibung		Paket	Preis pro Stück für Gegurtet auf Rolle★ 3,000
PI74STX1G02CXTR-ND	Einf. NOR-Gate mit 2 Eingängen	Single 2-Input NOR Gate	SC70-5	143.08/M
PI74STX1G04CXTR-ND	Einf. Inverter	Single Inverter	SC70-5	143.08/M
PI74STX1G08CXTR-ND	Einf. AND-Gate mit 2 Eingängen	Single 2-Input AND Gate	SC70-5	143.08/M
PI74STX1G125CXTR-ND	Puffer mit Tri-State-Ausgang	Buffer with Tri-State Output	SC70-5	202.34/M
PI74STX1G126CXTR-ND	Puffer mit Tri-State-Ausgang	Buffer with Tri-State Output	SC70-5	202.34/M
PI74STX1G14CXTR-ND	Schmitt Trigger-Inverter	Schmitt-Trigger Inverter	SC70-5	143.08/M
PI74STX1G32CXTR-ND	Einf. OR-Gate mit 2 Eingängen	Single 2-Input OR Gate	SC70-5	143.08/M
PI74STX1G79CXTR-ND	Einf. D-Flip-Flop mit positiver Taktflanke	Single Positive-Edge-Triggered D-Type Flip-Flop	SC70-5	143.08/M
PI74STX1G86CXTR-ND	Einf. XOR-Gate m. 2 Eingängen	Single 2-Input XOR Gate	SC70-5	143.08/M

★ RUFEN SIE BITTE AN FÜR NIEDRIGERE PREISE BEI GRÖSSEREN MENGEN! ★

PERICOM Semiconductor Corporation — 74ALVCH LOGIK (ERWEITERTER NIEDERSPANNUNGS-CMOS m. HOLD)

Digi-Key Teilenr.	Beschreibung		Paket	Stückpreis★ 1	25	100
PI74ALVCH16244A-ND	16-Bit Puffer/Leitungstreiber	16-Bit Buffer/Line Driver	48-TSSOP	2.03	1.63	1.36
PI74ALVCH16245A-ND	16-Bit bidirektionaler Bus-Transceiver	16-Bit Bidirectional Bus Transceiver	48-TSSOP	2.03	1.63	1.36
PI74ALVCH16374A-ND	16-Bit flankengesteuerter D-Flip-Flop	16-Bit Edge Triggered D-Type Flip-Flop	48-TSSOP	2.03	1.63	1.36
PI74ALVCH16823A-ND	18-Bit Bus-Schnittstellen-Flip-Flop	18-Bit Bus Interface Flip-Flop	56-TSSOP	2.01	1.62	1.35

PERICOM Semiconductor Corporation — DOPPELDICHTE 2,5 V ALVTC LOGIK MIT TOLERANTEM E/A UND BUS-HOLD

Digi-Key Teilenr.	Beschreibung		Paket	Stückpreis★ 1	25	100
PI74ALVTC16241A-ND	16-Bit Puffer/Treiber, Tri-State	Tri-State, 16-Bit Buffer/Driver	48-TSSOP	2.46	1.93	1.54
PI74ALVTC16244A-ND	16-Bit Puffer/Leitungstreiber	16-Bit Buffer/Line Driver	48-TSSOP	2.46	1.93	1.54
PI74ALVTC16244K-ND	16-Bit Puffer/Treiber, Tri-State	Tri-State, 16-Bit Buffer/Driver	48-TVSOP	2.74	2.16	1.72
PI74ALVTC16245A-ND	16-Bit bidirektionaler Transceiver	16-Bit Bidirectional Transceiver	48-TSSOP	2.46	1.93	1.54

B

PERICOM Semiconductor Corporation — DOPPELDICHTE VCX-LOGIK MIT TOLERANTEM E/A UND BUS-HOLD

Digi-Key Teilenr.	Beschreibung		Paket	Stückpreis★ 1	25	100
PI74VCX16244A-ND	16-Bit Puffer/Leitungstreiber	16-Bit Buffer/Line Driver	48-TSSOP	2.83	2.23	1.77
PI74VCX16245A-ND	16-Bit bidirektionaler Transceiver	16-Bit Bidirectional Transceiver	48-TSSOP	2.83	2.23	1.77
PI74VCX16374A-ND	16-Bit D-Flip-Flop	16-Bit D-Type Flip-Flop	48-TSSOP	2.83	2.23	1.77

PERICOM Semiconductor Corporation — LAN/ANALOG-SCHALTUNGEN

Digi-Key Teilenr.	Beschreibung		Paket	Stückpreis★ 1	25	100
PI5A100W-ND	Vierf. SPDT-Analogschalter	Quad SPDT Analog Switch	16-SOIC	1.83	1.58	1.41
PI5A126W-ND	Zweif. 7 V SPST-Analogschalter (Arbeitskontakt)	Dual SPST, 7 Volt N.O. Analog Switch	8-SOIC	.83	.76	.68
PI5A319AW-ND	Einf. SPDT-Analogschalter	Single SPDT Analog Switch	8-SOIC	1.03	.90	.80
PI5A391AP-ND	Vierf. SPST-Analogschalter	Quad SPST Analog Switch	16-Dip	1.57	1.35	1.22
PI5L200Q-ND	Vierf. SPDT-LAN-Schalter	Quad SPDT LAN Switch	16-QSOP	1.96	1.53	1.25
PI5V330W-ND	Vierf. 2/1 Multiplexer/Demultiplexer	Quad 2/1 Multiplexer/Demultiplexer	16-SOIC	1.90	1.63	1.49
PS301CSA-ND	17 V SPST-Analogschalter	SPST, 17 Volt Analog Switch	8-SOIC	1.01	.87	.78
PS302CSA-ND	17 V SPST-Analogschalter	SPST, 17 Volt Analog Switch	8-SOIC	.86	.74	.67
PS320ESA-ND	Zweif. 17 V SPST-Analogschalter (Arbeitskontakt)	Dual SPST, 17 Volt N.O. Analog Switch	8-SOIC	.86	.74	.67
PS323ESA-ND	Zweif. 17 V SPST-Analogschalter (Arbeitskontakt)	Dual SPST, 17 Volt N.O. Analog Switch	8-SOIC	.86	.74	.67
PS383ESE-ND	Zweif. 17 V SPDT-Analogschalter	Dual SPDT, 17 Volt Analog Switch	16-SOIC	2.40	2.06	1.84
PS391ESE-ND	Vierf. 17 V SPST-Analogschalter (Ruhekontakt)	Quad SPST, 17 Volt N.C. Analog Switch	16-SOIC	1.79	1.54	1.38
PS392CSE-ND	Vierf. 17 V SPST-Analogschalter (Arbeitskontakt)	Quad SPST, 17 Volt N.O. Analog Switch	16-SOIC	1.75	1.51	1.36
PS392ESE-ND	Vierf. 17 V SPST-Analogschalter (Arbeitskontakt)	Quad SPST, 17 Volt N.O. Analog Switch	16-SOIC	1.79	1.54	1.38
PS393ESE-ND	Vierf. 17 V SPST-Analogschalter (2) Arbeitskontakte, (2) Ruhekontakte	Quad SPST, 17 Volt (2)N.O., (2)N.C. Analog Switch	16-SOIC	1.79	1.54	1.38

PERICOM Semiconductor Corporation — LVDS-DATENÜBERTRAGUNG

Digi-Key Teilenr.	Beschreibung		Paket	Stückpreis★ 1	25	100
PI90LV022L-ND	LVDS 2 x 2 Mux/Rückmelder	LVDS 2x2 Mux/Repeater	16-TSSOP	4.15	3.56	3.18
PI90LV027AW-ND	Zweif. LVDS-Leitungstreiber	Dual LVDS Line Driver	8-SOIC	1.90	1.63	1.46
PI90LV028AW-ND	Zweif. LVDS-Leitungsempfänger	Dual LVDS Line Receiver	8-SOIC	1.90	1.63	1.46
PI90LV031AW-ND	Vierf. LVDS-Leitungstreiber	Quad LVDS Line Driver	16-SOIC	3.16	2.71	2.42
PI90LV032AW-ND	Vierf. LVDS-Leitungsempfänger	Quad LVDS Line Receiver	16-SOIC	3.16	2.71	2.42
PI90LV047AL-ND	Vierf. 3 V LVDS-Differenzialleitungstreiber	3V, Quad LVDS Differential Line Driver	16-TSSOP	2.32	2.12	1.93
PI90LV048AL-ND	Vierf. 3 V LVDS-Differenzial-Leitungsempfänger	3V, Quad LVDS Differential Line Receiver	16-TSSOP	2.32	2.12	1.93
PI90LV050L-ND	Zweif. LVDS-Treiber/Receiver	Dual LVDS Driver/Receiver	16-TSSOP	2.52	2.16	1.93
PI90LV051L-ND	Zweif. LVDS Transceiver (Einzel-EN)	Dual LVDS Transceiver (Single EN)	16-TSSOP	2.52	2.16	1.93
PI90LV179W-ND	Einf. LVDS Transceiver	Single LVDS Transceiver	8-SOIC	2.21	1.90	1.70
PI90LV180W-ND	Einf. LVDS Transceiver (EN)	Single LVDS Transceiver (EN)	14-SOIC	2.67	2.29	2.05
PI90LVB022L-ND	LVDS 2 x 2 Mux/Rückmelder	LVDS 2x2 Mux/Repeater	16-TSSOP	5.63	4.83	4.31
PI90LVB050L-ND	Zweif. LVDS Transceiver (EN), Hi-Drive	Dual Hi-Drive LVDS Transceiver (EN)	16-TSSOP	2.96	2.54	2.27
PI90LVB051L-ND	Zweif. LVDS Transceiver (EN), Hi-Drive	Dual Hi-Drive LVDS Transceiver (EN)	16-TSSOP	2.57	2.20	1.97
PI90LVB16L-ND	Bus LVDS 1/6 Taktpuffer	Bus LVDS 1/6 Clock Buffer	24-TSSOP	5.93	5.08	3.76
PI90LVB179W-ND	Einf. LVDS Transceiver, Hi-Drive	Single Hi-Drive LVDS Transceiver	8-SOIC	1.64	1.41	1.26
PI90LVB180W-ND	Einf. LVDS Transceiver (EN), Hi-Drive	Single Hi-Drive LVDS Transceiver (EN)	14-SOIC	2.07	1.78	1.60

PERICOM Semiconductor Corporation — 74AVC 2,5 V BUS-TREIBER UND FLIP-FLOPS

Digi-Key Teilenr.	Beschreibung		Paket	Stückpreis★ 1	25	100
PI74AVC+16244A-ND	16-Bit Puffer/Treiber, Tri-State	Tri-State, 16-Bit Buffer/Driver	48-TSSOP	2.32	2.12	1.93
PI74AVC+16244K-ND	16-Bit Puffer/Treiber, Tri-State	Tri-State, 16-Bit Buffer/Driver	48-TVSOP	2.74	2.51	2.28
PI74AVC+16245A-ND	16-Bit bidirektionaler Transceiver, Tri-State	Tri-State, 16-Bit Bidirectional Transceiver	48-TSSOP	2.32	2.12	1.93
PI74AVC+16245K-ND	16-Bit bidirektionaler Transceiver, Tri-State	Tri-State, 16-Bit Bidirectional Transceiver	48-TVSOP	2.74	2.51	2.28
PI74AVC+16268A-ND	12-Bit bis 24-Bit registrierter Bus Exchanger, Tri-State	Tri-State, 12-Bit to 24-Bit Registered Bus Exchanger	56-TSSOP	2.32	2.12	1.93
PI74AVC+16345A-ND	1-Bit bis 4-Bit registrierter Adresstreiber	Tri-State, 1-Bit to 4-Bit Registered Address Driver	56-TSSOP	3.19	2.92	2.66
PI74AVC+16374A-ND	16-Bit D-Flip-Flop, Tri-State	Tri-State, 16-Bit D-Type Flip-Flop	48-TSSOP	2.32	2.12	1.93
PI74AVC+16646A-ND	16-Bit Bus Transceiver/Register, Tri-State	Tri-State, 16-Bit Bus Transceiver and Register	56-TSSOP	2.57	2.35	2.15
PI74AVC+16721A-ND	20-Bit Flip-Flop, Tri-State	Tri-State, 20-Bit Flip-Flop	56-TSSOP	2.32	2.12	1.93
PI74AVC+16820A-ND	10-Bit Flip-Flop mit zweifachen Ausgängen, Tri-State	Tri-State, 10-Bit Flip-Flop with Dual Outputs	56-TSSOP	2.32	2.12	1.93
PI74AVC+16836A-ND	20 Bit Universal-Bustreiber, Tri-State	Tri-State, 20-Bit Universal Bus Driver	56-TSSOP	2.01	1.85	1.68
PI74AVC164245A-ND	3,3 V bis 1,8 V, 16-Bit Pegel-Shifter, Tri-State	Tri-State, 3.3V to 1.8V, 16-Bit Level Shifter	48-TSSOP	2.79	2.54	2.32
PI74AVC164245LAA-ND	3,3 V bis 1,5 V, 16-Bit Pegel-Shifter, Tri-State	Tri-State, 3.3V to 1.5V, 16-Bit Level Shifter	48-TSSOP	3.30	3.02	2.75
PI74AVC16834A-ND	18-Bit Universal-Bustreiber, Tri-State	Tri-State, 18-Bit Universal Bus Driver	56-TSSOP	2.52	2.02	1.68
PI74AVC16835A-ND	18-Bit Universal-Bustreiber, Tri-State	Tri-State, 18-Bit Universal Bus Driver	56-TSSOP	2.52	2.02	1.68

PERICOM Semiconductor Corporation — FCT LOGIK STANDARD 5 VOLT

Digi-Key Teilenr.	Beschreibung		Paket	Stückpreis★ 1	25	100
PI74FCT132ATW-ND	Vierf. NAND-Schmitt mit 2 Eingängen	Quad 2-Input NAND Schmitt	14-SOIC	1.38	1.31	1.26
PI74FCT240ATS-ND	Achtf. invertierender Puffer-/Leitungstreiber	Inverting Octal Buffer/Line Driver	20-SOIC	.63	.57	.52
PI74FCT244ATQ-ND	Achtf. Puffer-/Leitungstreiber	Octal Buffer/Line Driver	20-QSOP	.63	.57	.52
PI74FCT244ATS-ND	Achtf. Puffer-/Leitungstreiber	Octal Buffer/Line Driver	20-SOIC	.63	.57	.52
PI74FCT245ATQ-ND	Achtf. bidirektionaler Transceiver	Octal Bidirectional Transceiver	20-QSOP	.63	.57	.52

(Forts.)

★ RUFEN SIE BITTE AN FÜR NIEDRIGERE PREISE BEI GRÖSSEREN MENGEN! ★

PERICOM Semiconductor Corporation — FCT LOGIK STANDARD 5 VOLT *(Forts.)*

Digi-Key Teilenr.	Beschreibung		Paket	Stückpreis★ 1	25	100
PI74FCT245ATS-ND	Achtf. bidirektionaler Transceiver	Octal Bidirectional Transceiver	20-SOIC	.63	.57	.52
PI74FCT253ATQ-ND	Zweif. Multiplexer mit 4 Eingängen	Dual 4-Input Multiplexer	16-QSOP	.98	.90	.82
PI74FCT273ATQ-ND	Achtf. D-Flip-Flop mit Reset	Octal D-Type Flip-Flop with Reset	20-QSOP	.63	.57	.52
PI74FCT273ATS-ND	Achtf. D-Flip-Flop mit Reset	Octal D-Type Flip-Flop with Reset	20-SOIC	.63	.57	.52
PI74FCT374ATS-ND	Achtf. D-Register, Tri-State	Octal D-Type Register, Tri-State	20-SOIC	.63	.57	.52
PI74FCT541ATQ-ND	Achtf. nicht-invertierender Puffer-/Leitungstreiber	Non-Invert Octal Buffer/Line Driver	20-QSOP	.80	.73	.67
PI74FCT541ATS-ND	Achtf. nicht-invertierender Puffer-/Leitungstreiber	Non-Invert Octal Buffer/Line Driver	20-SOIC	.80	.73	.67
PI74FCT543ATS-ND	Achtf. Transceiver, nicht-invt., Latch	Non-Invert Octal Latched Transceiver	24-SOIC	1.04	.95	.87
PI74FCT574ATQ-ND	Achtf. D-Register, Tri-State	Octal D-Type Register, Tri-State	20-QSOP	.63	.57	.52
PI74FCT574ATS-ND	Achtf. D-Register, Tri-State	Octal D-Type Register, Tri-State	20-SOIC	.63	.57	.52
PI74FCT823ATS-ND	9-Bit Register mit Clear und Tri-State	9-Bit Register with Clear and Tri-State	24-SOIC	.83	.75	.69

PERICOM Semiconductor Corporation — 74FCT – STANDARD 5 VOLT FCT MIT 25 OHM SERIE AUSGANGSWIDERSTAND

Digi-Key Teilenr.	Beschreibung		Paket	Stückpreis★ 1	25	100
PI74FCT2241ATQ-ND	Achtf. invertierender Puffer-/Leitungstreiber	Inverting Octal Buffer/Line Driver	20-QSOP	.63	.57	.52
PI74FCT2244ATQ-ND	Achtf. Puffer-/Leitungstreiber	Octal Buffer/Line Driver	20-QSOP	.63	.57	.52
PI74FCT2245ATQ-ND	Achtf. bidirektionaler Transceiver	Octal Bidirectional Transceiver	20-QSOP	.63	.57	.52
PI74FCT2273ATQ-ND	Achtf. D-Flip-Flop	Octal D-Type Flip-Flop	20-QSOP	.63	.57	.52
PI74FCT2374ATQ-ND	Achtf. D-Register	Octal D-Type Register	20-QSOP	.63	.57	.52
PI74FCT2541ATQ-ND	Achtf. Transceiver, nicht-invt., Latch	Non-Invert Octal Latched Transceiver	20-QSOP	.80	.73	.67
PI74FCT2827ATQ-ND	10-Bit Puffer	10-Bit Buffer	24-QSOP	.83	.75	.69

PERICOM Semiconductor Corporation — 74FCT – DOPPELDICHTE STANDARD 5 VOLT FCT LOGIK

Digi-Key Teilenr.	Beschreibung		Paket	Stückpreis★ 1	25	100
PI74FCT16245ATA-ND	16-Bit bidirektionaler Transceiver	16-Bit Bidirectional Transceiver	48-TSSOP	1.22	1.11	1.01
PI74FCT16245ATV-ND	16-Bit bidirektionaler Transceiver	16-Bit Bidirectional Transceiver	48-SSOP	1.22	1.11	1.01
PI74FCT16373ATA-ND	16-Bit Transparent-Latch	16-Bit Transparent Latch	48-TSSOP	1.22	1.11	1.01
PI74FCT16374ATA-ND	16-Bit Register	16-Bit Register	48-TSSOP	1.22	1.11	1.01
PI74FCT16374ATV-ND	16-Bit Register	16-Bit Register	48-SSOP	1.22	1.11	1.01

PERICOM Semiconductor Corporation — 74FCT – DOPPELDICHTE 3,3 VOLT FCT LOGIK

Digi-Key Teilenr.	Beschreibung		Paket	Stückpreis★ 1	25	100
PI74FCT163244AV-ND	16-Bit Puffer/Leitungstreiber	16-Bit Buffer/Line Driver	48-SSOP	1.22	1.11	1.01

PERICOM Semiconductor Corporation — 74FCT – DOPPELDICHTE STANDARD 5 V LOGIK MIT AUSGANGSANTRIEB

Digi-Key Teilenr.	Beschreibung		Paket	Stückpreis★ 1	25	100
PI74FCT162244ATA-ND	16-Bit Puffer/Leitungstreiber	16-Bit Buffer/Line Driver	48-TSSOP	1.22	1.11	1.01
PI74FCT162244ATV-ND	16-Bit Puffer/Leitungstreiber	16-Bit Buffer/Line Driver	48-SSOP	1.22	1.11	1.01
PI74FCT162245ATA-ND	16-Bit bidirektionaler Transceiver	16-Bit Bidirectional Transceiver	48-TSSOP	1.22	1.11	1.01
PI74FCT162245ATV-ND	16-Bit bidirektionaler Transceiver	16-Bit Bidirectional Transceiver	48-SSOP	1.22	1.11	1.01
PI74FCT162374ATA-ND	16-Bit Register	16-Bit Register	48-TSSOP	1.22	1.11	1.01
PI74FCT162374ATV-ND	16-Bit Register	16-Bit Register	48-SSOP	1.22	1.11	1.01
PI74FCT162541ATV-ND	16-Bit Puffer/Leitungstreiber	16-Bit Buffer/Line Driver	48-SSOP	1.57	1.43	1.30
PI74FCT162823ATA-ND	18-Bit Register	18-Bit Register	56-TSSOP	1.45	1.33	1.20

PERICOM Semiconductor Corporation — 74LPT – STANDARD 3,3 VOLT LOGIK MIT 5 VOLT TOLERANTEM E/A

Digi-Key Teilenr.	Beschreibung		Paket	Stückpreis★ 1	25	100
PI74LPT244AQ-ND	Achtf. Puffer-/Leitungstreiber	Octal Buffer/Line Driver	20-QSOP	.66	.62	.60
PI74LPT244AS-ND	Achtf. Puffer-/Leitungstreiber	Octal Buffer/Line Driver	20-SOIC	.66	.62	.60
PI74LPT541AQ-ND	Achtf. nicht-invertierender Puffer-/Leitungstreiber	Non-Inverting Octal Buffer/Line Driver	20-QSOP	.66	.62	.60
PI74LPT541AS-ND	Achtf. nicht-invertierender Puffer-/Leitungstreiber	Non-Inverting Octal Buffer/Line Driver	20-SOIC	.66	.62	.60
PI74LPT573AQ-ND	Achtf. Transparent-Latch mit Tri-State	Octal Transparent Latch with Tri-State	20-QSOP	.66	.62	.60

PERICOM Semiconductor Corporation — 74LPT – DOPPELDICHTE 3,3 VOLT LOGIK MIT 5 VOLT TOLERANTEM E/A

Digi-Key Teilenr.	Beschreibung		Paket	Stückpreis★ 1	25	100
PI74LPT16244AA-ND	16-Bit Puffer/Leitungstreiber	16-Bit Buffer/Line Driver	48-TSSOP	1.00	.94	.91
PI74LPT16244AV-ND	16-Bit Puffer/Leitungstreiber	16-Bit Buffer/Line Driver	48-SSOP	1.00	.94	.91
PI74LPT16245AA-ND	16-Bit bidirektionaler Transceiver	16-Bit Bidirectional Transceiver	48-TSSOP	1.00	.94	.91
PI74LPT16245AV-ND	16-Bit bidirektionaler Transceiver	16-Bit Bidirectional Transceiver	48-SSOP	1.00	.94	.91
PI74LPT16374AA-ND	Achtf. 16-Bit Register	16-Bit Octal Register	48-TSSOP	1.00	.94	.91

PERICOM Semiconductor Corporation — 3,3 V BUS-SCHALTUNGEN

Digi-Key Teilenr.	Beschreibung		Paket	Stückpreis★ 1	25	100
PI3B16211A-ND	24-Bit Bus-Schalter	24-Bit Bus Switch	56-TSSOP	2.03	1.86	1.70
PI3B16212A-ND	24-Bit Bus-Exchange	24-Bit Bus Exchange	56-TSSOP	2.03	1.86	1.70
PI3B16233A-ND	16-32-Bit FET Mux/Demux Bus-Schalter	16-32-Bit FET Mux/Demux Bus Switch	56-TSSOP	2.03	1.86	1.70
PI3B16245A-ND	Hot Insertion, 16-Bit, 2-Port Bus-Schalter	Hot Insertion, 16-Bit, 2-Port Bus Switch	48-BQSOP	2.03	1.86	1.70
PI3B3251Q-ND	8-1-Bit Mux/Demux Hot Insertion Bus-Schalter	8-1 Mux/Demux Hot Insertion Bus Switch	16-QSOP	1.00	.88	.81
PI3B3257Q-ND	Vierf. 2-1-Bit Mux/Demux Hot Insertion Bus-Schalter	Quad 2-1 Mux/Demux Hot Insertion Bus Switch	16-QSOP	1.00	.88	.81
PI3B33X257B-ND	12-24 Multiplexer/Demultiplexer Bus-Schalter	12-24 Multiplexer/Demultiplexer Bus Switch	48-BQSOP	2.82	2.58	2.35
PI3C3125Q-ND	Hot Insertion, 4-Bit, 2-Port Bus-Schalter mit individueller Aktivierung	Hot Insertion, 4-Bit, 2-Port, Bus Switch with Individual Enables	16-QSOP	.92	.72	.60
PI3C3126Q-ND	Hot Insertion, 4-Bit, 2-Port Bus-Schalter mit individueller Aktivierung	Hot Insertion, 4-Bit, 2-Port, Bus Switch with Individual Enables	16-QSOP	.92	.72	.60
PI3C3245Q-ND	Hot Insertion, 8-Bit, 2-Port Bus-Schalter	Hot Insertion, 8-Bit, 2-Port Bus Switch	20-QSOP	.98	.77	.63
PI3C3384Q-ND	3,3 V hohe Bandbreite, Hot Insertion, 10-Bit, 2-Port Bus-Schalter	3.3V High Bandwidth, Hot Insertion, 10-Bit, 2-Port Bus Switch	24-QSOP	.98	.77	.63
PI3C3861Q-ND	3,3 V hohe Bandbreite, Hot Insertion, 10-Bit, 2-Port Bus-Schalter	3.3V High Bandwidth, Hot Insertion, 10-Bit, 2-Port Bus Switch	24-QSOP	.98	.77	.63
PI3C16212A-ND	3,3 V Bus-Schalter, hohe Bandbreite	3.3V, High Bandwidth Bus Switch	56-TSSOP	2.45	2.10	1.55
PI3C34X461NB-ND	3,3 V, 40-Bit Bus-Schalter (861 Funktion)	3.3V, 40-Bit Bus Switch (861 function)	96-LFBGA	3.23	2.77	2.05
PI3C34X484NB-ND	3,3 V, 40-Bit Bus-Schalter (384 Funktion)	3.3V, 40-Bit Bus Switch (384 function)	96-LFBGA	3.23	2.77	2.05

★ RUFEN SIE BITTE AN FÜR NIEDRIGERE PREISE BEI GRÖSSEREN MENGEN! ★

PERICOM Semiconductor Corporation — NIEDERSPANNUNGSÜBERSETZUNGS-BUS-SCHALTER

Digi-Key Teilenr.	Beschreibung		Paket	Stückpreis★ 1	25	100
PI3VT32X245B-ND	16-Bit Niederspannungs-Pegelverschiebeschalter	16-Bit, Low Voltage Level Shifting Switch	40-BQSOP	1.57	1.43	1.31
PI3VT34X245B-ND	32-Bit Niederspannungs-Pegelverschiebeschalter	32-Bit, Low Voltage Level Shifting Switch	80-BQSOP	2.90	2.66	2.42
PI3VT3245L-ND	8-Bit Niederspannungs-Pegelverschiebeschalter	8-Bit, Low Voltage Level Shifting Switch	20-TSSOP	.91	.83	.76
PI3VT3306L-ND	2-Bit, 2-Port Niederspannungsübersetzungs-Bus-Schalter	2-Bit, 2-Port, Low Voltage Translator Bus Switch	8-TSSOP	.98	.84	.75
PI3VT3384L-ND	10-Bit, 2-Port Niederspannungsübersetzungs-Bus-Schalter	10-Bit, 2-Port, Low Voltage Translator Bus Switch	24-TSSOP	1.28	1.10	.98
PI3VT3861L-ND	10-Bit, 2-Port Niederspannungsübersetzungs-Bus-Schalter	10-Bit, 2-Port, Low Voltage Translator Bus Switch	24-TSSOP	1.28	1.10	.98

PERICOM Semiconductor Corporation — 5 VOLT BUS-SCHALTUNGEN

Digi-Key Teilenr.	Beschreibung		Paket	Stückpreis★ 1	25	100
PI5C32X245B-ND	16-Bit Bus-Schalter	16-Bit Bus Switch	40-BQSOP	1.71	1.34	1.10
PI5C34X245B-ND	32-Bit Bus-Schalter	32-Bit Bus Switch	80-BQSOP	2.19	1.99	1.80
PI5C3125Q-ND	Vierf. Bus-Schalter mit indivueller Aktivierung	Quad Bus Switch with Individual Enable	16-QSOP	.60	.54	.49
PI5C3244S-ND	8-Bit, 2-Port Bus-Schalter (FCT244 Pinout)	8-Bit, 2-Port Bus Switch (FCT244 Pinout)	20-SOIC	.61	.54	.50
PI5C3245Q-ND	8-Bit, 2-Port Bus-Schalter (FCT245 Pinout)	8-Bit, 2-Port Bus Switch (FCT245 Pinout)	20-QSOP	.61	.54	.50
PI5C3245S-ND	8-Bit, 2-Port Bus-Schalter (FCT245 Pinout)	8-Bit, 2-Port Bus Switch (FCT245 Pinout)	20-SOIC	.61	.54	.50
PI5C3251Q-ND	8:1-Mux/Demux-Busschalter	8:1 Mux/Demux Bus Switch	16-QSOP	.61	.54	.50
PI5C3253Q-ND	Zweif. 4:1-Mux/Demux-Busschalter	Dual 4:1 Mux/Demux Bus Switch	16-QSOP	.61	.56	.51
PI5C3257Q-ND	Vierf. 2:1-Mux/Demux-Busschalter	Quad 2:1 Mux/Demux Bus Switch	16-QSOP	.61	.56	.51
PI5C3257S-ND	Vierf. 2:1-Mux/Demux-Busschalter	Quad 2:1 Mux/Demux Bus Switch	16-SOIC	.61	.56	.51
PI5C3383Q-ND	5-Bit austauschbarer Bus-Schalter, 4 Ports	5-Bit, 4-Port Swappable Bus Switch	24-QSOP	.61	.56	.51
PI5C3384Q-ND	10-Bit, 2-Port Bus-Schalter	10-Bit, 2-Port Bus Switch	24-QSOP	.61	.56	.51
PI5C3861Q-ND	10-Bit, 2-Port Bus-Schalter	10-Bit, 2-Port Bus Switch	24-QSOP	.62	.49	.43
PI5C16211A-ND	24-Bit Bus-Schalter	24-Bit, Bus Switch	56-TSSOP	1.68	1.52	1.38
PI5C16212V-ND	25-Bit Bus-Schalter	25-Bit, Bus Switch	56-SSOP	1.68	1.52	1.38
PI5C16862CA-ND	5 V, 20-Bit Bus-Schalter	5V, 20-Bit Bus Switch	48-TSSOP	1.82	1.57	1.40

PERICOM Semiconductor Corporation — VIDEO-SCHALTUNGEN

Digi-Key Teilenr.	Beschreibung		Paket	Stückpreis★ 1	25	100
PI5V330Q-ND	Vierf. 2-1 Multiplexer Videoschalter	Quad 2-1 Multiplexer Video Switch	16-QSOP	1.79	1.62	1.47
PI5V331Q-ND	Zweif. 4-Kanal Video-Multiplexer/Demultiplexer	Dual 4-Channel Video Multiplexer/Demultiplexer	16-QSOP	1.79	1.62	1.47
PI5V332Q-ND	Vierf. Videoschalter	Quad Video Switch	16-QSOP	1.79	1.62	1.47

PERICOM Semiconductor Corporation — TAKTVERTEILUNGSPRODUKTE

Digi-Key Teilenr.	Beschreibung		Paket	Stückpreis★ 1	25	100
PI49FCT804ATS-ND	Nicht-invertierender Takttreiber	Non-Inverting Clock Driver	16-SOIC	3.32	3.03	2.65
PI49FCT805ATQ-ND	Nicht-invertierender Takttreiber	Non-Inverting Clock Driver	20-QSOP	2.53	2.31	2.02
PI49FCT805ATS-ND	Nicht-invertierender Takttreiber	Non-Inverting Clock Driver	20-SOIC	2.53	2.31	2.02
PI49FCT807ATS-ND	Nicht-invertierender Takttreiber m. 10 Ausgängen	10-Output Non-Inverting Clock Driver	20-SOIC	2.53	2.31	2.02
PI49FCT3803L-ND	Nicht-invertierender Takttreiber, 156 MHz, m. 7 Ausgängen	156MHz, 7-Output Non-Inverting Clock Driver	16-TSSOP	1.26	1.16	1.06
PI49FCT3803Q-ND	Nicht-invertierender Takttreiber, 156 MHz, m. 7 Ausgängen	156MHz, 7-Output Non-Inverting Clock Driver	16-QSOP	1.26	1.16	1.06
PI49FCT3805AQ-ND	Nicht-invertierender Takttreiber	Non-Inverting Clock Driver	20-QSOP	2.53	2.31	2.02
PI49FCT3805AS-ND	Nicht-invertierender Takttreiber	Non-Inverting Clock Driver	20-SOIC	2.53	2.31	2.02
PI49FCT3807AQ-ND	Nicht-invertierender Takttreiber m. 10 Ausgängen	10-Output Non-Inverting Clock Driver	20-QSOP	2.53	2.31	2.02
PI49FCT3807AS-ND	Nicht-invertierender Takttreiber m. 10 Ausgängen	10-Output Non-Inverting Clock Driver	20-SOIC	2.53	2.31	2.02
PI49FCT3807DQ-ND	Nicht-invertierender Takttreiber, 156 MHz, m. 10 Ausgängen	156MHz, 10-Output Non-Inverting Clock Driver	20-QSOP	4.58	4.19	3.82
PI49FCT3807DS-ND	Nicht-invertierender Takttreiber, 156 MHz, m. 10 Ausgängen	156MHz, 10-Output Non-Inverting Clock Driver	20-SOIC	4.58	4.19	3.82
9269B-ND	Datenbuch auf CD-ROM	Data Book on CD-ROM		8.38	—	—

TOSHIBA — SERIE 74AC

Digi-Key Teilenr.	Beschreibung		Paket	Stückpreis★ 1	25	100
TC74AC00FN-ND	Vierf. NAND-Gate mit 2 Eingängen	Quad 2-Input NAND Gate	14-SOL	.39	.31	.24
TC74AC00FNTR-ND	Vierf. NAND-Gate mit 2 Eingängen	Quad 2-Input NAND Gate	14-SOL		260.02/2,500	
TC74AC00P-ND	Vierf. NAND-Gate mit 2 Eingängen	Quad 2-Input NAND Gate	14-Dip	.39	.31	.24
TC74AC02FNTR-ND	Vierf. NOR-Gate mit 2 Eingängen	Quad 2-Input NOR Gate	14-SOL		271.45/2,500	
TC74AC02P-ND	Vierf. NOR-Gate mit 2 Eingängen	Quad 2-Input NOR Gate	14-Dip	.41	.33	.25
TC74AC04FN-ND	Sechsf. Inverter	Hex Inverter	14-SOL	.39	.31	.24
TC74AC04FNTR-ND	Sechsf. Inverter	Hex Inverter	14-SOL		456.74/5,000	
TC74AC08FN-ND	Vierf. AND-Gate mit 2 Eingängen	Quad 2-Input AND Gate	14-SOL	.39	.31	.24
TC74AC08FNTR-ND	Vierf. AND-Gate mit 2 Eingängen	Quad 2-Input AND Gate	14-SOL		260.02/2,500	
TC74AC14FN-ND	Sechsf. Schmitt-Trigger-Inverter	Hex Schmitt Trigger Inverter	14-SOL	.47	.38	.28
TC74AC32FN-ND	Vierf. OR-Gate mit 2 Eingängen	Quad 2-Input OR Gate	14-SOL	.41	.33	.25
TC74AC32FNTR-ND	Vierf. OR-Gate mit 2 Eingängen	Quad 2-Input OR Gate	14-SOL		271.45/2,500	
TC74AC74FN-ND	Zweif. D-Flip-Flop mit Voreinstellung und Löschen	Dual D-Type Flip-Flop with Preset and Clear	14-SOL	.41	.33	.25
TC74AC74FNTR-ND	Zweif. D-Flip-Flop mit Voreinstellung und Löschen	Dual D-Type Flip-Flop with Preset and Clear	14-SOL		274.30/2,500	
TC74AC74P-ND	Zweif. D-Flip-Flop mit Voreinstellung und Löschen	Dual D-Type Flip-Flop with Preset and Clear	14-Dip	.41	.33	.25
TC74AC86FN-ND	Vierf. Exklusiv-OR-Gate	Quad Exclusive OR Gate	14-SOL	.42	.34	.26
TC74AC125FN-ND	Vierf. Bus-Puffer, Tri-State	Quad Bus Buffer, Tri-State	14-SOL	.51	.38	.29
TC74AC125FNTR-ND	Vierf. Bus-Puffer, Tri-State	Quad Bus Buffer, Tri-State	14-SOL		409.97/2,500	
TC74AC138FN-ND	3-zu-8 Leitungs-Dekodierer	3-to-8 Line Decoder	16-SOL	.47	.35	.27
TC74AC138FNTR-ND	3-zu-8 Leitungs-Dekodierer	3-to-8 Line Decoder	16-SOL		390.71/2,500	
TC74AC138P-ND	3-zu-8 Leitungs-Dekodierer	3-to-8 Line Decoder	16-Dip	.48	.37	.28
TC74AC157FN-ND	Vierf. 2-Kanal Multiplexer	Quad 2-Channel Multiplexer	16-SOL	.71	.54	.40
TC74AC244P-ND	Achtf. Bus-Puffer, Tri-State	Octal Bus Buffer, Tri-State	20-Dip	.62	.47	.35
TC74AC245FWTR-ND	Achtf. Bus-Transceiver, Tri-State	Octal Bus Transceiver, Tri-State	20-SOL		192.54/1,000	
TC74AC245P-ND	Achtf. Bus-Transceiver, Tri-State	Octal Bus Transceiver, Tri-State	20-Dip	.62	.47	.35
TC74AC373P-ND	Achtf. D-Latch, Tri-State	Octal D-Type Latch, Tri-State	20-Dip	.62	.47	.35
TC74AC573FW-ND	Achtf. D-Latch, Tri-State	Octal D-Type Latch, Tri-State	20-SOL	.65	.50	.37

TOSHIBA — SERIE 74ACT

Digi-Key Teilenr.	Beschreibung		Paket	Stückpreis★ 1	25	100
TC74ACT00FN-ND	Vierf. NAND-Gate mit 2 Eingängen	Quad 2-Input NAND Gate	14-SOL	.43	.35	.26
TC74ACT00FNTR-ND	Vierf. NAND-Gate mit 2 Eingängen	Quad 2-Input NAND Gate	14-SOL		302.66/2,500	
TC74ACT00P-ND	Vierf. NAND-Gate mit 2 Eingängen	Quad 2-Input NAND Gate	14-Dip	.43	.35	.26
TC74ACT02FN-ND	Vierf. NOR-Gate mit 2 Eingängen	Quad 2-Input NOR Gate	14-SOL	.40	.32	.24
TC74ACT02FNTR-ND	Vierf. NOR-Gate mit 2 Eingängen	Quad 2-Input NOR Gate	14-SOL		285.73/2,500	

(Forts.)

★ ***RUFEN SIE BITTE AN FÜR NIEDRIGERE PREISE BEI GRÖSSEREN MENGEN!*** ★

TOSHIBA

Digi-Key Teilenr.	Beschreibung		Paket	Stückpreis★ 1	25	100
TC74ACT04FN-ND	Sechsf. Inverter	Hex Inverter	14-SOL	.44	.35	.27
TC74ACT04FNTR-ND	Sechsf. Inverter	Hex Inverter	14-SOL		294.30/2,500	
TC74ACT08FN-ND	Vierf. AND-Gate mit 2 Eingängen	Quad 2-Input AND Gate	14-SOL	.41	.33	.25
TC74ACT14FN-ND	Sechsf. Schmitt-Trigger-Inverter	Hex Schmitt Trigger Inverter	14-SOL	.45	.36	.27
TC74ACT14FNTR-ND	Sechsf. Schmitt-Trigger-Inverter	Hex Schmitt Trigger Inverter	14-SOL		302.87/2,500	
TC74ACT32FN-ND	Vierf. OR-Gate mit 2 Eingängen	Quad 2-Input OR Gate	14-SOL	.44	.35	.27
TC74ACT32FNTR-ND	Vierf. OR-Gate mit 2 Eingängen	Quad 2-Input OR Gate	14-SOL		294.30/2,500	
TC74ACT74FN-ND	Zweif. D-Flip-Flop mit Voreinstellung und Löschen	Dual D-Type Flip-Flop with Preset and Clear	14-SOL	.42	.34	.26
TC74ACT74FNTR-ND	Zweif. D-Flip-Flop mit Voreinstellung und Löschen	Dual D-Type Flip-Flop with Preset and Clear	14-SOL		247.63/2,500	
TC74ACT138FN-ND	3-zu-8 Leitungs-Dekodierer	3-to-8 Line Decoder	16-SOL	.48	.37	.28
TC74ACT138FNTR-ND	3-zu-8 Leitungs-Dekodierer	3-to-8 Line Decoder	16-SOL		390.71/2,500	
TC74ACT138P-ND	3-zu-8 Leitungs-Dekodierer	3-to-8 Line Decoder	16-Dip	.48	.37	.28
TC74ACT139FN-ND	Zweif. 2-zu-4 Leitungs-Dekodierer	Dual 2-to-4 Line Decoder	16-SOL	.48	.37	.28
TC74ACT157FN-ND	Vierf. 2-Kanal Multiplexer	Quad 2-Channel Multiplexer	16-SOL	.62	.47	.35
TC74ACT244FW-ND	Achtf. Bus-Puffer, Tri-State	Octal Bus Buffer, Tri-State	20-SOL	.62	.47	.35
TC74ACT244FWTR-ND	Achtf. Bus-Puffer, Tri-State	Octal Bus Buffer, Tri-State	20-SOL		204.93/1,000	
TC74ACT244P-ND	Achtf. Bus-Puffer, Tri-State	Octal Bus Buffer, Tri-State	20-Dip	.62	.47	.35
TC74ACT245FW-ND	Achtf. Bus-Transceiver, Tri-State	Octal Bus Transceiver, Tri-State	20-SOL	.62	.47	.35
TC74ACT245P-ND	Achtf. Bus-Transceiver, Tri-State	Octal Bus Transceiver, Tri-State	20-Dip	.62	.47	.35
TC74ACT257FN-ND	Vierf. 2-Kanal Multiplexer	Quad 2-Channel Multiplexer	16-SOL	.75	.56	.42
TC74ACT257FNTR-ND	Vierf. 2-Kanal Multiplexer	Quad 2-Channel Multiplexer	16-SOL		489.76/2,500	
TC74ACT273FW-ND	Achtf. D-Flip-Flop mit Löschen	Octal D-Type Flip-Flop with Clear	20-SOL	.70	.59	.47
TC74ACT373FW-ND	Achtf. D-Latch, Tri-State	Octal D-Type Latch, Tri-State	20-SOL	.62	.47	.35
TC74ACT374FW-ND	Achtf. D-Flip-Flop	Octal D-Type Flip-Flop	20-SOL	.62	.47	.35
TC74ACT541FW-ND	Achtf. Bus-Puffer, Tri-State	Octal Bus Buffer, Tri-State	20-SOL	.65	.50	.37
TC74ACT541P-ND	Achtf. Bus-Puffer, Tri-State	Octal Bus Buffer, Tri-State	20-Dip	.65	.50	.37
TC74ACT573FW-ND	Achtf. D-Latch, Tri-State	Octal D-Type Latch, Tri-State	20-SOL	.65	.50	.37
TC74ACT574FW-ND	Achtf. D-Flip-Flop, Tri-State	Octal D-Type Flip-Flop, Tri-State	20-SOL	.65	.50	.37

TOSHIBA

Digi-Key Teilenr.	Beschreibung		Paket	Stückpreis★ 1	25	100
TC74HC00AFN-ND	Vierf. NAND-Gate mit 2 Eingängen	Quad 2-Input NAND Gate	14-SOL	.40	.32	.22
TC74HC00AFNTR-ND	Vierf. NAND-Gate mit 2 Eingängen	Quad 2-Input NAND Gate	14-SOL		205.72/2,500	
TC74HC00AP-ND	Vierf. NAND-Gate mit 2 Eingängen	Quad 2-Input NAND Gate	14-Dip	.30	.25	.19
TC74HC02AFN-ND	Vierf. NOR-Gate mit 2 Eingängen	Quad 2-Input NOR Gate	14-SOL	.41	.34	.23
TC74HC02AFNTR-ND	Vierf. NOR-Gate mit 2 Eingängen	Quad 2-Input NOR Gate	14-SOL		255.46/2,500	
TC74HC02AP-ND	Vierf. NOR-Gate mit 2 Eingängen	Quad 2-Input NOR Gate	14-Dip	.41	.34	.23
TC74HC03AP-ND	Vierf. NAND-Gate mit 2 Eingängen und Open Drain	Quad 2-Input NAND Gate with Open Drain	14-Dip	.47	.38	.29
TC74HC04AFN-ND	Sechsf. Inverter	Hex Inverter	14-SOL	.41	.34	.23
TC74HC04AFNTR-ND	Sechsf. Inverter	Hex Inverter	14-SOL		255.46/2,500	
TC74HC04AP-ND	Sechsf. Inverter	Hex Inverter	14-Dip	.30	.25	.19
TC74HC05AP-ND	Sechsf. Inverter mit Open Drain	Hex Inverter with Open Drain	14-Dip	.47	.38	.29
TC74HC08AFN-ND	Vierf. AND-Gate mit 2 Eingängen	Quad 2-Input AND Gate	14-SOL	.41	.34	.23
TC74HC08AFNTR-ND	Vierf. AND-Gate mit 2 Eingängen	Quad 2-Input AND Gate	14-SOL		237.47/2,500	
TC74HC08AP-ND	Vierf. AND-Gate mit 2 Eingängen	Quad 2-Input AND Gate	14-Dip	.32	.26	.20
TC74HC10AP-ND	Dreif. NAND-Gate mit 3 Eingängen	Triple 3-Input NAND Gate	14-Dip	.47	.38	.29
TC74HC14AFN-ND	Sechsf. Schmitt-Trigger-Inverter	Hex Schmitt Trigger Inverter	14-SOL	.31	.26	.19
TC74HC14AFNTR-ND	Sechsf. Schmitt-Trigger-Inverter	Hex Schmitt Trigger Inverter	14-SOL		266.26/2,500	
TC74HC14AP-ND	Sechsf. Schmitt-Trigger-Inverter	Hex Schmitt Trigger Inverter	14-Dip	.33	.27	.20
TC74HC32AFN-ND	Vierf. OR-Gate mit 2 Eingängen	Quad 2-Input OR Gate	14-SOL	.41	.34	.23
TC74HC32AFNTR-ND	Vierf. OR-Gate mit 2 Eingängen	Quad 2-Input OR Gate	14-SOL		248.27/2,500	
TC74HC32AP-ND	Vierf. OR-Gate mit 2 Eingängen	Quad 2-Input OR Gate	14-Dip	.41	.34	.23
TC74HC74AFN-ND	Zweif. D-Flip-Flop mit Voreinstellung und Löschen	Dual D-Type Flip-Flop with Preset and Clear	14-SOL	.43	.35	.24
TC74HC74AFNTR-ND	Zweif. D-Flip-Flop mit Voreinstellung und Löschen	Dual D-Type Flip-Flop with Preset and Clear	14-SOL		266.26/2,500	
TC74HC74AP-ND	Zweif. D-Flip-Flop mit Voreinstellung und Löschen	Dual D-Type Flip-Flop with Preset and Clear	14-Dip	.43	.35	.24
TC74HC86AP-ND	Vierf. Exklusiv-OR-Gate	Quad Exclusive OR Gate	14-Dip	.40	.30	.23
TC74HC123AP-ND	Zweif. monostabiler Multivibrator	Dual Monostable Multivibrator	16-Dip	.44	.33	.25
TC74HC125AFN-ND	Vierf. Bus-Puffer, Tri-State	Quad Bus Buffer, Tri-State	14-SOL	.35	.27	.20
TC74HC125AFNTR-ND	Vierf. Bus-Puffer, Tri-State	Quad Bus Buffer, Tri-State	14-SOL		282.87/2,500	
TC74HC125AP-ND	Vierf. Bus-Puffer, Tri-State	Quad Bus Buffer, Tri-State	14-Dip	.44	.35	.27
TC74HC132AFN-ND	Vierf. Schmitt NAND-Gate mit 2 Eingängen	Quad 2-Input Schmitt NAND Gate	14-SOL	.45	.34	.26
TC74HC132AP-ND	Vierf. Schmitt NAND-Gate mit 2 Eingängen	Quad 2-Input Schmitt NAND Gate	14-Dip	.48	.37	.28
TC74HC138AFN-ND	3-zu-8 Leitungs-Dekodierer	3-to-8 Line Decoder	16-SOL	.40	.32	.24
TC74HC138AFNTR-ND	3-zu-8 Leitungs-Dekodierer	3-to-8 Line Decoder	16-SOL		247.63/2,500	
TC74HC138AP-ND	3-zu-8 Leitungs-Dekodierer	3-to-8 Line Decoder	16-Dip	.44	.35	.27
TC74HC139AFN-ND	Zweif. 2-zu-4 Leitungs-Dekodierer	Dual 2-to-4 Line Decoder	16-SOL	.44	.35	.27
TC74HC139AFNTR-ND	Zweif. 2-zu-4 Leitungs-Dekodierer	Dual 2-to-4 Line Decoder	16-SOL		282.87/2,500	
TC74HC139AP-ND	Zweif. 2-zu-4 Leitungs-Dekodierer	Dual 2-to-4 Line Decoder	16-Dip	.44	.35	.27
TC74HC157AP-ND	Vierf. 2-Kanal Multiplexer	Quad 2-Channel Multiplexer	16-Dip	.47	.36	.27
TC74HC173AP-ND	Vierf. D-Register, Tri-State	Quad D-Type Register, Tri-State	16-Dip	.51	.39	.29
TC74HC175AFN-ND	Vierf. D-Flip-Flop mit Löschen	Quad D-Type Flip-Flop with Clear	16-SOL	.41	.31	.23
TC74HC175AP-ND	Vierf. D-Flip-Flop mit Löschen	Quad D-Type Flip-Flop with Clear	16-Dip	.49	.39	.30
TC74HC244AFW-ND	Achtf. Bus-Puffer, Tri-State	Octal Bus Buffer, Tri-State	20-SOL	.51	.39	.29
TC74HC244AFWTR-ND	Achtf. Bus-Puffer, Tri-State	Octal Bus Buffer, Tri-State	20-SOL		398.24/3,000	
TC74HC244AP-ND	Achtf. Bus-Puffer, Tri-State	Octal Bus Buffer, Tri-State	20-Dip	.51	.39	.29
TC74HC245AFWTR-ND	Achtf. Bus-Transceiver, Tri-State	Octal Bus Transceiver, Tri-State	20-SOL		136.30/1,000	
TC74HC245AP-ND	Achtf. Bus-Transceiver, Tri-State	Octal Bus Transceiver, Tri-State	20-Dip	.51	.39	.29
TC74HC259AP-ND	Adressierbarer 8-Bit Latch	8-Bit Addressable Latch	16-Dip	.63	.47	.36
TC74HC273AFW-ND	Achtf. D-Flip-Flop mit Löschen	Octal D-Type Flip-Flop with Clear	20-SOL	.53	.40	.30
TC74HC273AFWTR-ND	Achtf. D-Flip-Flop mit Löschen	Octal D-Type Flip-Flop with Clear	20-SOL		564.11/3,000	
TC74HC273AP-ND	Achtf. D-Flip-Flop mit Löschen	Octal D-Type Flip-Flop with Clear	20-Dip	.55	.42	.31
TC74HC367AP-ND	Sechsf. Bus-Puffer, Tri-State	Hex Bus Buffer, Tri-State	16-Dip	.52	.39	.29
TC74HC373AFW-ND	Achtf. D-Latch, Tri-State	Octal D-Type Latch, Tri-State	20-SOL	.49	.37	.28
TC74HC373AFWTR-ND	Achtf. D-Latch, Tri-State	Octal D-Type Latch, Tri-State	20-SOL		168.90/1,000	
TC74HC373AP-ND	Achtf. D-Latch, Tri-State	Octal D-Type Latch, Tri-State	20-Dip	.51	.39	.29
TC74HC374AFW-ND	Achtf. D-Flip-Flop	Octal D-Type Flip-Flop	20-SOL	.49	.37	.28
TC74HC374AFWTR-ND	Achtf. D-Flip-Flop	Octal D-Type Flip-Flop	20-SOL		132.75/1,000	
TC74HC374AP-ND	Achtf. D-Flip-Flop	Octal D-Type Flip-Flop	20-Dip	.51	.39	.29
TC74HC541AP-ND	Achtf. Bus-Puffer, Tri-State	Octal Bus Buffer, Tri-State	20-Dip	.51	.39	.29
TC74HC573AFW-ND	Achtf. D-Latch, Tri-State	Octal D-Type Latch, Tri-State	20-SOL	.49	.37	.28
TC74HC573AFWTR-ND	Achtf. D-Latch, Tri-State	Octal D-Type Latch, Tri-State	20-SOL		168.90/1,000	
TC74HC573AP-ND	Achtf. D-Latch, Tri-State	Octal D-Type Latch, Tri-State	20-Dip	.51	.39	.29
TC74HC574AP-ND	Achtf. D-Flip-Flop, Tri-State	Octal D-Type Flip-Flop, Tri-State	20-Dip	.51	.39	.29
TC74HC592AP-ND	8-Bit Register/Binärzähler	8-Bit Register/Binary Counter	16-Dip	.77	.64	.52
TC74HC595AFN-ND	8-Bit Schieberegister/Latch, Tri-State	8-Bit Shift Register/Latch, Tri-State	16-SOL	.49	.37	.28
TC74HC595AFNTR-ND	8-Bit Schieberegister/Latch, Tri-State	8-Bit Shift Register/Latch, Tri-State	16-SOL		354.94/2,500	
TC74HC595AP-ND	8-Bit Schieberegister/Latch, Tri-State	8-Bit Shift Register/Latch, Tri-State	16-Dip	.36	.31	.25
TC74HC4040AFN-ND	12-Phasen Binärzähler	12-Stage Binary Counter	16-SOL	.45	.34	.26
TC74HC4040AP-ND	12-Phasen Binärzähler	12-Stage Binary Counter	16-Dip	.48	.37	.28
TC74HC4051AP-ND	Analog-Multiplexer, 8-Kanal	8-Channel Analog Multiplexer	16-Dip	.63	.47	.36
TC74HC4052AP-ND	Zweif. Analog-Multiplexer, 4-Kanal	Dual 4-Channel Analog Multiplexer	16-Dip	.63	.47	.36

(Forts.)

★ ***RUFEN SIE BITTE AN FÜR NIEDRIGERE PREISE BEI GRÖSSEREN MENGEN!*** ★

TOSHIBA

Digi-Key Teilenr.	Beschreibung		Paket	Stückpreis★ 1	25	100
TC74HC4053AFN-ND	Dreif. Analog-Multiplexer, 2-Kanal	Triple 2-Channel Analog Multiplexer	16-SOL	.46	.35	.26
TC74HC4053AFNTR-ND	Dreif. Analog-Multiplexer, 2-Kanal	Triple 2-Channel Analog Multiplexer	16-SOL		357.69/2,500	
TC74HC4053AP-ND	Dreif. Analog-Multiplexer, 2-Kanal	Triple 2-Channel Analog Multiplexer	16-Dip	.51	.39	.29
TC74HC4066AFN-ND	Vierf. Bilateralschalter	Quad Bilateral Switch	14-SOL	.51	.41	.31
TC74HC4066AP-ND	Vierf. Bilateralschalter	Quad Bilateral Switch	14-Dip	.47	.36	.27

TOSHIBA

Digi-Key Teilenr.	Beschreibung		Paket	Stückpreis★ 1	25	100
TC74LCX00FN-ND	Vierf. NAND-Gate mit 2 Eingängen	Quad 2-Input NAND Gate	14-SOL	.43	.33	.25
TC74LCX00FTCT-ND	Vierf. NAND-Gate mit 2 Eingängen	Quad 2-Input NAND Gate	14-TSSOP	.43	.35	.26
TC74LCX00FTTR-ND	Vierf. NAND-Gate mit 2 Eingängen	Quad 2-Input NAND Gate	14-TSSOP		241.79/2,000	
TC74LCX02FN-ND	Vierf. NOR-Gate mit 2 Eingängen	Quad 2-Input NOR Gate	14-SOL	.43	.33	.25
TC74LCX02FTCT-ND	Vierf. NOR-Gate mit 2 Eingängen	Quad 2-Input NOR Gate	14-TSSOP	.43	.35	.26
TC74LCX02FTTR-ND	Vierf. NOR-Gate mit 2 Eingängen	Quad 2-Input NOR Gate	14-TSSOP		241.79/2,000	
TC74LCX04FN-ND	Sechsf. Inverter	Hex Inverter	14-SOL	.43	.33	.25
TC74LCX04FTCT-ND	Sechsf. Inverter	Hex Inverter	14-TSSOP	.43	.35	.26
TC74LCX04FTTR-ND	Sechsf. Inverter	Hex Inverter	14-TSSOP		241.79/2,000	
TC74LCX08FN-ND	Vierf. AND-Gate mit 2 Eingängen	Quad 2-Input AND Gate	14-SOL	.43	.33	.25
TC74LCX08FTCT-ND	Vierf. AND-Gate mit 2 Eingängen	Quad 2-Input AND Gate	14-TSSOP	.43	.35	.26
TC74LCX08FTTR-ND	Vierf. AND-Gate mit 2 Eingängen	Quad 2-Input AND Gate	14-TSSOP		241.79/2,000	
TC74LCX14FN-ND	Sechsf. Schmitt-Trigger-Inverter	Hex Schmitt Trigger Inverter	14-SOL	.43	.33	.25
TC74LCX14FTCT-ND	Sechsf. Schmitt Inverter	Hex Schmitt Inverter	14-TSSOP	.43	.35	.26
TC74LCX14FTTR-ND	Sechsf. Schmitt Inverter	Hex Schmitt Inverter	14-TSSOP		241.79/2,000	
TC74LCX32FN-ND	Vierf. OR-Gate mit 2 Eingängen	Quad 2-Input OR Gate	14-SOL	.43	.33	.25
TC74LCX32FTCT-ND	Vierf. OR-Gate mit 2 Eingängen	Quad 2-Input OR Gate	14-TSSOP	.43	.35	.26
TC74LCX32FTTR-ND	Vierf. OR-Gate mit 2 Eingängen	Quad 2-Input OR Gate	14-TSSOP		241.79/2,000	
TC74LCX74FN-ND	Zweif. D-Flip-Flop mit Voreinstellung und Löschen	Dual D-Type Flip-Flop with Preset and Clear	14-SOL	.43	.33	.25
TC74LCX74FTCT-ND	Zweif. D-Flip-Flop	Dual D-Type Flip-Flop	14-TSSOP	.45	.36	.27
TC74LCX74FTTR-ND	Zweif. D-Flip-Flop	Dual D-Type Flip-Flop	14-TSSOP		248.90/2,000	
TC74LCX86FN-ND	Vierf. Exklusiv-OR-Gate mit 2 Eingängen	Quad 2-Input Exclusive-OR Gate	14-SOL	.43	.33	.25
TC74LCX86FTCT-ND	Vierf. Exklusiv-OR-Gate mit 2 Eingängen	Quad 2-Input Exclusive-OR Gate	14-TSSOP	.46	.37	.28
TC74LCX86FTTR-ND	Vierf. Exklusiv-OR-Gate mit 2 Eingängen	Quad 2-Input Exclusive-OR Gate	14-TSSOP		256.01/2,000	
TC74LCX125FN-ND	Vierf. Bus-Puffer, Tri-State	Quad Bus Buffer, Tri-State	14-SOL	.47	.36	.27
TC74LCX125FTCT-ND	Vierf. Bus-Puffer, Tri-State	Quad Bus Buffer, Tri-State	14-TSSOP	.43	.35	.26
TC74LCX125FTTR-ND	Vierf. Bus-Puffer, Tri-State	Quad Bus Buffer, Tri-State	14-TSSOP		241.79/2,000	
TC74LCX138FN-ND	3-zu-8 Leitungs-Dekodierer	3-to-8 Line Decoder	16-SOL	.52	.39	.30
TC74LCX138FTCT-ND	3-zu-8 Leitungs-Dekodierer	3-to-8 Line Decoder	16-TSSOP	.41	.31	.24
TC74LCX138FTTR-ND	3-zu-8 Leitungs-Dekodierer	3-to-8 Line Decoder	16-TSSOP		274.74/2,000	
TC74LCX157FTCT-ND	Vierf. 2-Kanal Multiplexer	Quad 2-Channel Multiplexer	16-TSSOP	.50	.40	.30
TC74LCX157FTTR-ND	Vierf. 2-Kanal Multiplexer	Quad 2-Channel Multiplexer	16-TSSOP		277.35/2,000	
TC74LCX240FTCT-ND	Achtf. invertierender Bus-Puffer	Octal Inverting Bus Buffer	20-TSSOP	.44	.34	.25
TC74LCX240FTTR-ND	Achtf. invertierender Bus-Puffer	Octal Inverting Bus Buffer	20-TSSOP		295.01/2,000	
TC74LCX240FW-ND	Achtf. invertierender Bus-Puffer, Tri-State	Octal Inverting Bus Buffer, Tri-State	20-SOL	.81	.62	.46
TC74LCX244FTCT-ND	Achtf. Bus-Puffer, Tri-State	Octal Bus Buffer, Tri-State	20-TSSOP	.44	.34	.25
TC74LCX244FTTR-ND	Achtf. Bus-Puffer, Tri-State	Octal Bus Buffer, Tri-State	20-TSSOP		295.01/2,000	
TC74LCX244FW-ND	Achtf. Bus-Puffer, Tri-State	Octal Bus Buffer, Tri-State	20-SOL	.81	.62	.46
TC74LCX245FTCT-ND	Achtf. Bus-Transceiver, Tri-State	Octal Bus Transceiver, Tri-State	20-TSSOP	.49	.37	.28
TC74LCX245FTTR-ND	Achtf. Bus-Transceiver, Tri-State	Octal Bus Transceiver, Tri-State	20-TSSOP		326.53/2,000	
TC74LCX245FW-ND	Achtf. Bus-Transceiver, Tri-State	Octal Bus Transceiver, Tri-State	20-SOL	.81	.62	.46
TC74LCX257FTCT-ND	Vierf. 2-Kanal Multiplexer, Tri-State	Quad 2-Channel Multiplexer, Tri-State	16-TSSOP	.42	.32	.24
TC74LCX257FTTR-ND	Vierf. 2-Kanal Multiplexer, Tri-State	Quad 2-Channel Multiplexer, Tri-State	16-TSSOP		283.75/2,000	
TC74LCX373FTCT-ND	Achtf. D-Latch, Tri-State	Octal D-Type Latch, Tri-State	20-TSSOP	.44	.33	.25
TC74LCX373FTTR-ND	Achtf. D-Latch, Tri-State	Octal D-Type Latch, Tri-State	20-TSSOP		292.75/2,000	
TC74LCX373FW-ND	Achtf. D-Latch, Tri-State	Octal D-Type Latch, Tri-State	20-SOL	.51	.41	.31
TC74LCX374FTCT-ND	Achtf. D-Flip-Flop	Octal D-Type Flip-Flop	20-TSSOP	.46	.35	.26
TC74LCX374FTTR-ND	Achtf. D-Flip-Flop	Octal D-Type Flip-Flop	20-TSSOP		304.01/2,000	
TC74LCX374FW-ND	Achtf. D-Flip-Flop	Octal D-Type Flip-Flop	20-SOL	.81	.62	.46
TC74LCX540FTCT-ND	Achtf. invertierender Bus-Puffer	Octal Inverting Bus Buffer	20-TSSOP	.46	.35	.26
TC74LCX540FTTR-ND	Achtf. invertierender Bus-Puffer	Octal Inverting Bus Buffer	20-TSSOP		304.01/2,000	
TC74LCX540FW-ND	Achtf. invertierender Bus-Puffer	Octal Inverting Bus Buffer	20-SOL	.64	.54	.43
TC74LCX541FTCT-ND	Achtf. Bus-Puffer	Octal Bus Buffer	20-TSSOP	.51	.39	.29
TC74LCX541FTTR-ND	Achtf. Bus-Puffer	Octal Bus Buffer	20-TSSOP		304.01/2,000	
TC74LCX541FW-ND	Achtf. Bus-Puffer	Octal Bus Buffer	20-SOL	.64	.54	.43
TC74LCX573FTCT-ND	Achtf. D-Latch, Tri-State	Octal D-Type Latch, Tri-State	20-TSSOP	.46	.35	.26
TC74LCX573FTTR-ND	Achtf. D-Latch, Tri-State	Octal D-Type Latch, Tri-State	20-TSSOP		304.01/2,000	
TC74LCX573FW-ND	Achtf. D-Latch, Tri-State	Octal D-Type Latch, Tri-State	20-SOL	.64	.54	.43
TC74LCX574FTCT-ND	Achtf. D-Flip-Flop, Tri-State	Octal D-Type Flip-Flop, Tri-State	20-TSSOP	.46	.35	.26
TC74LCX574FTTR-ND	Achtf. D-Flip-Flop, Tri-State	Octal D-Type Flip-Flop, Tri-State	20-TSSOP		304.01/2,000	
TC74LCX574FW-ND	Achtf. D-Flip-Flop, Tri-State	Octal D-Type Flip-Flop, Tri-State	20-SOL	.64	.54	.43
TC74LCX16240AFTTR-ND	Invertierender 16-Bit Bus-Puffer, Tri-State	Inverting 16-Bit Bus Buffer, Tri-State	48-TSSOP		550.29/1,000	
TC74LCX16244AFTTR-ND	16-Bit Bus-Puffer, Tri-State	16-Bit Bus Buffer, Tri-State	48-TSSOP		524.71/1,000	
TC74LCX16245AFTTR-ND	16-Bit Bus-Transceiver, Tri-State	16-Bit Bus Transceiver, Tri-State	48-TSSOP		524.71/1,000	
TC74LCX16373AFTTR-ND	16-Bit D-Latch, Tri-State	16-Bit D-Type Latch, Tri-State	48-TSSOP		524.71/1,000	
TC74LCX16374AFTTR-ND	16-Bit D-Flip-Flop, Tri-State	16-Bit D-Type Flip-Flop, Tri-State	48-TSSOP		524.71/1,000	

TOSHIBA

Digi-Key Teilenr.	Beschreibung		Paket	Stückpreis★ 1	25	100
TC74LVX00FN-ND	Vierf. NAND-Gate mit 2 Eingängen	Quad 2-Input NAND Gate	14-SOL	.36	.30	.22
TC74LVX00FTTR-ND	Vierf. NAND-Gate mit 2 Eingängen	Quad 2-Input NAND Gate	14-TSSOP		203.86/2,000	
TC74LVX02FN-ND	Vierf. NOR-Gate mit 2 Eingängen	Quad 2-Input NOR Gate	14-SOL	.39	.32	.24
TC74LVX02FTTR-ND	Vierf. NOR-Gate mit 2 Eingängen	Quad 2-Input NOR Gate	14-TSSOP		203.86/2,000	
TC74LVX04FN-ND	Sechsf. Inverter	Hex Inverter	14-SOL	.36	.30	.22
TC74LVX04FTTR-ND	Sechsf. Inverter	Hex Inverter	14-TSSOP		203.86/2,000	
TC74LVX08FN-ND	Vierf. AND-Gate mit 2 Eingängen	Quad 2-Input AND Gate	14-SOL	.36	.30	.22
TC74LVX08FTTR-ND	Vierf. AND-Gate mit 2 Eingängen	Quad 2-Input AND Gate	14-TSSOP		203.86/2,000	
TC74LVX14FN-ND	Sechsf. Schmitt-Trigger-Inverter	Hex Schmitt Trigger Inverter	14-SOL	.39	.32	.24
TC74LVX14FTTR-ND	Sechsf. Schmitt-Trigger-Inverter	Hex Schmitt Trigger Inverter	14-TSSOP		236.46/2,000	
TC74LVX32FN-ND	Vierf. OR-Gate mit 2 Eingängen	Quad 2-Input OR Gate	14-SOL	.36	.30	.22
TC74LVX32FTTR-ND	Vierf. OR-Gate mit 2 Eingängen	Quad 2-Input OR Gate	14-TSSOP		203.86/2,000	
TC74LVX74FN-ND	Zweif. D-Flip-Flop mit Voreinstellung und Löschen	Dual D-Type Flip-Flop with Preset and Clear	14-SOL	.45	.36	.27
TC74LVX74FTTR-ND	Zweif. D-Flip-Flop mit Voreinstellung und Löschen	Dual D-Type Flip-Flop with Preset and Clear	14-TSSOP		248.90/2,000	
TC74LVX86FN-ND	Vierf. Exklusiv-OR-Gate	Quad Exclusive OR Gate	14-SOL	.45	.36	.27
TC74LVX86FTTR-ND	Vierf. Exklusiv-OR-Gate	Quad Exclusive OR Gate	14-TSSOP		248.90/2,000	
TC74LVX125FN-ND	Vierf. Bus-Puffer, Tri-State	Quad Bus Buffer, Tri-State	14-SOL	.58	.44	.33
TC74LVX125FTTR-ND	Vierf. Bus-Puffer, Tri-State	Quad Bus Buffer, Tri-State	14-TSSOP		308.52/2,000	
TC74LVX138FN-ND	3-zu-8 Leitungs-Dekodierer	3-to-8 Line Decoder	16-SOL	.44	.33	.25
TC74LVX138FTTR-ND	3-zu-8 Leitungs-Dekodierer	3-to-8 Line Decoder	16-TSSOP		292.75/2,000	

(Forts.)

★ RUFEN SIE BITTE AN FÜR NIEDRIGERE PREISE BEI GRÖSSEREN MENGEN! ★

Alle Preisangaben in Euro und inklusive Zollgebühren.

TOSHIBA

SERIE 74LVX *(Forts.)*

Digi-Key Teilenr.	Beschreibung		Paket	Stückpreis★ 1	25	100
TC74LVX157FN-ND	Vierf. 2-Kanal Multiplexer	Quad 2-Channel Multiplexer	16-SOL	.47	.36	.27
TC74LVX157FTTR-ND	Vierf. 2-Kanal Multiplexer	Quad 2-Channel Multiplexer	16-TSSOP		279.72/2,000	
TC74LVX174FN-ND	Sechsf. D-Flip-Flop mit Löschen	Hex D-Type Flip-Flop with Clear	16-SOL	.71	.54	.40
TC74LVX174FTTR-ND	Sechsf. D-Flip-Flop mit Löschen	Hex D-Type Flip-Flop with Clear	16-TSSOP		308.52/2,000	
TC74LVX240FTTR-ND	Achtf. invertierender Bus-Puffer, Tri-State	Octal Inverting Bus Buffer, Tri-State	20-TSSOP		385.08/2,000	
TC74LVX240FW-ND	Achtf. invertierender Bus-Puffer, Tri-State	Octal Inverting Bus Buffer, Tri-State	20-SOL	.58	.44	.33
TC74LVX244FTTR-ND	Achtf. Bus-Puffer, Tri-State	Octal Bus Buffer, Tri-State	20-TSSOP		385.08/2,000	
TC74LVX244FW-ND	Achtf. Bus-Puffer, Tri-State	Octal Bus Buffer, Tri-State	20-SOL	.58	.44	.33
TC74LVX245FTTR-ND	Achtf. Bus-Transceiver, Tri-State	Octal Bus Transceiver, Tri-State	20-TSSOP		385.08/2,000	
TC74LVX245FW-ND	Achtf. Bus-Transceiver, Tri-State	Octal Bus Transceiver, Tri-State	20-SOL	.58	.44	.33
TC74LVX273FW-ND	Achtf. D-Flip-Flop mit Löschen	Octal D-Type Flip-Flop with Clear	20-SOL	.58	.45	.34
TC74LVX373FTTR-ND	Achtf. D-Latch, Tri-State	Octal D-Type Latch, Tri-State	20-TSSOP		385.08/2,000	
TC74LVX373FW-ND	Achtf. D-Latch, Tri-State	Octal D-Type Latch, Tri-State	20-SOL	.58	.44	.33
TC74LVX374FTTR-ND	Achtf. D-Flip-Flop	Octal D-Type Flip-Flop	20-TSSOP		385.08/2,000	
TC74LVX374FW-ND	Achtf. D-Flip-Flop	Octal D-Type Flip-Flop	20-SOL	.58	.44	.33
TC74LVX573FTTR-ND	Achtf. D-Latch, Tri-State	Octal D-Type Latch, Tri-State	20-TSSOP		400.85/2,000	
TC74LVX573FW-ND	Achtf. D-Latch, Tri-State	Octal D-Type Latch, Tri-State	20-SOL	.60	.46	.34
TC74LVX4245FSTR-ND	Zweif. doppelt versorgter Bus-Transceiver	Dual Supply Octal Bus Transceiver	24-SSOP		1259.06/2,000	

B

TOSHIBA

SERIE 74VHC

Digi-Key Teilenr.	Beschreibung		Paket	Stückpreis★ 1	25	100
TC74VHC00FN-ND	Vierf. NAND-Gate mit 2 Eingängen	Quad 2-Input NAND Gate	14-SOL	.36	.30	.22
TC74VHC00FNTR-ND	Vierf. NAND-Gate mit 2 Eingängen	Quad 2-Input NAND Gate	14-SOL		245.73/2,500	
TC74VHC00FTCT-ND	Vierf. NAND-Gate mit 2 Eingängen	Quad 2-Input NAND Gate	14-TSSOP	.25	.20	.15
TC74VHC00FTTR-ND	Vierf. NAND-Gate mit 2 Eingängen	Quad 2-Input NAND Gate	14-TSSOP		180.16/2,000	
TC74VHC02FN-ND	Vierf. NOR-Gate mit 2 Eingängen	Quad 2-Input NOR Gate	14-SOL	.36	.30	.22
TC74VHC02FNTR-ND	Vierf. NOR-Gate mit 2 Eingängen	Quad 2-Input NOR Gate	14-SOL		245.73/2,500	
TC74VHC02FTTR-ND	Vierf. NOR-Gate mit 2 Eingängen	Quad 2-Input NOR Gate	14-TSSOP		237.73/2,000	
TC74VHC04FN-ND	Sechsf. Inverter	Hex Inverter	14-SOL	.36	.30	.22
TC74VHC04FNTR-ND	Sechsf. Inverter	Hex Inverter	14-SOL		245.73/2,500	
TC74VHC04FTTR-ND	Sechsf. Inverter	Hex Inverter	14-TSSOP		237.73/2,000	
TC74VHC08FN-ND	Vierf. AND-Gate mit 2 Eingängen	Quad 2-Input AND Gate	14-SOL	.36	.30	.22
TC74VHC08FTTR-ND	Vierf. AND-Gate mit 2 Eingängen	Quad 2-Input AND Gate	14-TSSOP		231.63/2,000	
TC74VHC10FN-ND	Dreif. NAND-Gate mit 3 Eingängen	Triple 3-Input NAND Gate	14-SOL	.42	.34	.26
TC74VHC10FNTR-ND	Dreif. NAND-Gate mit 3 Eingängen	Triple 3-Input NAND Gate	14-SOL		314.30/2,500	
TC74VHC11FTTR-ND	Dreif. AND-Gate mit 3 Eingängen	Triple 3-Input AND Gate	14-TSSOP		239.42/2,000	
TC74VHC14FNTR-ND	Sechsf. Schmitt-Trigger-Inverter	Hex Schmitt Trigger Inverter	14-SOL		285.73/2,500	
TC74VHC14FTTR-ND	Sechsf. Schmitt-Trigger-Inverter	Hex Schmitt Trigger Inverter	14-TSSOP		222.49/2,000	
TC74VHC20FN-ND	Zweif. NAND-Gate mit 4 Eingängen	Dual 4-Input NAND Gate	14-SOL	.40	.32	.24
TC74VHC20FTTR-ND	Zweif. NAND-Gate mit 4 Eingängen	Dual 4-Input NAND Gate	14-TSSOP		239.42/2,000	
TC74VHC21FN-ND	Zweif. AND-Gate mit 4 Eingängen	Dual 4-Input AND Gate	14-SOL	.40	.32	.24
TC74VHC21FTTR-ND	Zweif. AND-Gate mit 4 Eingängen	Dual 4-Input AND Gate	14-TSSOP		239.42/2,000	
TC74VHC32FN-ND	Vierf. OR-Gate mit 2 Eingängen	Quad 2-Input OR Gate	14-SOL	.36	.30	.22
TC74VHC32FNTR-ND	Vierf. OR-Gate mit 2 Eingängen	Quad 2-Input OR Gate	14-SOL		473.25/5,000	
TC74VHC32FTTR-ND	Vierf. OR-Gate mit 2 Eingängen	Quad 2-Input OR Gate	14-TSSOP		231.63/2,000	
TC74VHC74FN-ND	Zweif. D-Flip-Flop mit Voreinstellung und Löschen	Dual D-Type Flip-Flop with Preset and Clear	14-SOL	.45	.36	.27
TC74VHC74FNTR-ND	Zweif. D-Flip-Flop mit Voreinstellung und Löschen	Dual D-Type Flip-Flop with Preset and Clear	14-SOL		577.80/5,000	
TC74VHC74FTTR-ND	Zweif. D-Flip-Flop mit Voreinstellung und Löschen	Dual D-Type Flip-Flop with Preset and Clear	14-TSSOP		180.16/2,000	
TC74VHC86FN-ND	Vierf. Exklusiv-OR-Gate	Quad Exclusive OR Gate	14-SOL	.45	.36	.27
TC74VHC86FTTR-ND	Vierf. Exklusiv-OR-Gate	Quad Exclusive OR Gate	14-TSSOP		220.45/2,000	
TC74VHC125FN-ND	Vierf. Bus-Puffer, Tri-State	Quad Bus Buffer, Tri-State	14-SOL	.47	.38	.29
TC74VHC125FNTR-ND	Vierf. Bus-Puffer, Tri-State	Quad Bus Buffer, Tri-State	14-SOL		357.69/2,500	
TC74VHC125FTTR-ND	Vierf. Bus-Puffer, Tri-State	Quad Bus Buffer, Tri-State	14-TSSOP		258.38/2,000	
TC74VHC126FTTR-ND	Vierf. Bus-Puffer, Tri-State	Quad Bus Buffer, Tri-State	14-TSSOP		258.38/2,000	
TC74VHC138FN-ND	3-zu-8 Leitungs-Dekodierer	3-to-8 Line Decoder	16-SOL	.44	.33	.25
TC74VHC138FNTR-ND	3-zu-8 Leitungs-Dekodierer	3-to-8 Line Decoder	16-SOL		357.69/2,500	
TC74VHC138FTTR-ND	3-zu-8 Leitungs-Dekodierer	3-to-8 Line Decoder	16-TSSOP		260.75/2,000	
TC74VHC139FN-ND	Zweif. 2-zu-4 Leitungs-Dekodierer	Dual 2-to-4 Line Decoder	16-SOL	.49	.37	.28
TC74VHC139FTTR-ND	Zweif. 2-zu-4 Leitungs-Dekodierer	Dual 2-to-4 Line Decoder	16-TSSOP		253.64/2,000	
TC74VHC153FTTR-ND	Zweif. 4-Kanal Multiplexer	Dual 4-Channel Multiplexer	16-TSSOP		251.27/2,000	
TC74VHC157FN-ND	Vierf. 2-Kanal Multiplexer	Quad 2-Channel Multiplexer	16-SOL	.47	.35	.27
TC74VHC157FTTR-ND	Vierf. 2-Kanal Multiplexer	Quad 2-Channel Multiplexer	16-TSSOP		251.27/2,000	
TC74VHC164FN-ND	8-Bit SIPO-Schieberegister	8-Bit SIPO Shift Register	14-SOL	.45	.34	.26
TC74VHC164FTTR-ND	8-Bit SIPO-Schieberegister	8-Bit SIPO Shift Register	14-TSSOP		265.73/2,000	
TC74VHC165FN-ND	8-Bit PISO-Schieberegister	8-Bit PISO Shift Register	16-SOL	.49	.37	.28
TC74VHC165FTTR-ND	8-Bit PISO-Schieberegister	8-Bit PISO Shift Register	16-TSSOP		301.76/2,000	
TC74VHC174FN-ND	Sechsf. D-Flip-Flop mit Löschen	Hex D-Type Flip-Flop with Clear	16-SOL	.47	.35	.27
TC74VHC174FTTR-ND	Sechsf. D-Flip-Flop mit Löschen	Hex D-Type Flip-Flop with Clear	16-TSSOP		290.50/2,000	
TC74VHC175FN-ND	Vierf. D-Flip-Flop mit Löschen	Quad D-Type Flip-Flop with Clear	16-SOL	.47	.35	.27
TC74VHC175FTTR-ND	Vierf. D-Flip-Flop mit Löschen	Quad D-Type Flip-Flop with Clear	16-TSSOP		290.50/2,000	
TC74VHC238FN-ND	3-zu-8 Leitungs-Dekodierer	3-to-8 Line Decoder	16-SOL	.49	.37	.28
TC74VHC238FTTR-ND	3-zu-8 Leitungs-Dekodierer	3-to-8 Line Decoder	16-TSSOP		497.68/2,000	
TC74VHC240FTTR-ND	Achtf. invertierender Bus-Puffer, Tri-State	Octal Inverting Bus Buffer, Tri-State	20-TSSOP		274.74/2,000	
TC74VHC240FW-ND	Achtf. invertierender Bus-Puffer, Tri-State	Octal Inverting Bus Buffer, Tri-State	20-SOL	.51	.38	.29
TC74VHC244FTTR-ND	Achtf. Bus-Puffer, Tri-State	Octal Bus Buffer, Tri-State	20-TSSOP		274.74/2,000	
TC74VHC244FW-ND	Achtf. Bus-Puffer, Tri-State	Octal Bus Buffer, Tri-State	20-SOL	.51	.38	.29
TC74VHC245FTTR-ND	Achtf. Bus-Transceiver, Tri-State	Octal Bus Transceiver, Tri-State	20-TSSOP		301.76/2,000	
TC74VHC245FW-ND	Achtf. Bus-Transceiver, Tri-State	Octal Bus Transceiver, Tri-State	20-SOL	.58	.44	.33
TC74VHC245FWTR-ND	Achtf. Bus-Transceiver, Tri-State	Octal Bus Transceiver, Tri-State	20-SOL		191.42/1,000	
TC74VHC273FTTR-ND	Achtf. D-Flip-Flop mit Löschen	Octal D-Type Flip-Flop with Clear	20-TSSOP		274.74/2,000	
TC74VHC273FW-ND	Achtf. D-Flip-Flop mit Löschen	Octal D-Type Flip-Flop with Clear	20-SOL	.58	.44	.33
TC74VHC299FTTR-ND	8-Bit PIPO-Schieberegister	8-Bit PIPO Shift Register	20-TSSOP		637.30/2,000	
TC74VHC299FW-ND	8-Bit PIPO-Schieberegister	8-Bit PIPO Shift Register	20-SOL	1.08	.87	.65
TC74VHC367FN-ND	Sechsf. Bus-Puffer, Tri-State	Hex Bus Buffer, Tri-State	16-SOL	.47	.36	.27
TC74VHC367FNTR-ND	Sechsf. Bus-Puffer, Tri-State	Hex Bus Buffer, Tri-State	16-SOL		522.78/2,500	
TC74VHC367FTTR-ND	Sechsf. Bus-Puffer, Tri-State	Hex Bus Buffer, Tri-State	16-TSSOP		521.51/4,000	
TC74VHC373FTTR-ND	Achtf. D-Latch, Tri-State	Octal D-Type Latch, Tri-State	20-TSSOP		241.79/2,000	
TC74VHC373FW-ND	Achtf. D-Latch, Tri-State	Octal D-Type Latch, Tri-State	20-SOL	.51	.38	.29
TC74VHC373FWTR-ND	Achtf. D-Latch, Tri-State	Octal D-Type Latch, Tri-State	20-SOL		167.77/1,000	
TC74VHC374FTTR-ND	Achtf. D-Flip-Flop	Octal D-Type Flip-Flop	20-TSSOP		274.74/2,000	
TC74VHC374FW-ND	Achtf. D-Flip-Flop	Octal D-Type Flip-Flop	20-SOL	.51	.38	.29
TC74VHC374FWTR-ND	Achtf. D-Flip-Flop	Octal D-Type Flip-Flop	20-SOL		167.77/1,000	
TC74VHC393FN-ND	Zweif. Binärzähler	Dual Binary Counter	14-SOL	.51	.39	.29
TC74VHC393FTTR-ND	Zweif. Binärzähler	Dual Binary Counter	14-TSSOP		481.92/2,000	
TC74VHC540FTCT-ND	Achtf. invertierender Bus-Puffer, Tri-State	Inverting Octal Bus Buffer, Tri-State	20-TSSOP	.46	.35	.26
TC74VHC540FTTR-ND	Achtf. invertierender Bus-Puffer, Tri-State	Inverting Octal Bus Buffer, Tri-State	20-TSSOP		304.01/2,000	
TC74VHC540FW-ND	Achtf. invertierender Bus-Puffer, Tri-State	Inverting Octal Bus Buffer, Tri-State	20-SOL	.51	.38	.29
TC74VHC541FTTR-ND	Achtf. Bus-Puffer, Tri-State	Octal Bus Buffer, Tri-State	20-TSSOP		304.01/2,000	
TC74VHC541FW-ND	Achtf. Bus-Puffer, Tri-State	Octal Bus Buffer, Tri-State	20-SOL	.51	.38	.29
TC74VHC541FWTR-ND	Achtf. Bus-Puffer, Tri-State	Octal Bus Buffer, Tri-State	20-SOL		167.77/1,000	
TC74VHC573FTTR-ND	Achtf. D-Latch, Tri-State	Octal D-Type Latch, Tri-State	20-TSSOP		304.01/2,000	

(Forts.)

★ RUFEN SIE BITTE AN FÜR NIEDRIGERE PREISE BEI GRÖSSEREN MENGEN! ★

TOSHIBA

SERIE 74VHC

Digi-Key Teilenr.	Beschreibung		Paket	Stückpreis★ 1	25	100
TC74VHC573FW-ND	Achtf. D-Latch, Tri-State	Octal D-Type Latch, Tri-State	20-SOL	.51	.38	.29
TC74VHC573FWTR-ND	Achtf. D-Latch, Tri-State	Octal D-Type Latch, Tri-State	20-SOL		162.14/1,000	
TC74VHC574FTTR-ND	Achtf. D-Flip-Flop, Tri-State	Octal D-Type Flip-Flop, Tri-State	20-TSSOP		304.01/2,000	
TC74VHC574FW-ND	Achtf. D-Flip-Flop, Tri-State	Octal D-Type Flip-Flop, Tri-State	20-SOL	.51	.38	.29
TC74VHC574FWTR-ND	Achtf. D-Flip-Flop, Tri-State	Octal D-Type Flip-Flop, Tri-State	20-SOL		167.77/1,000	
TC74VHC595FN-ND	8-Bit Schieberegister/Latch, Tri-State	8-Bit Shift Register/Latch, Tri-State	16-SOL	.53	.41	.31
TC74VHC595FTTR-ND	8-Bit Schieberegister/Latch, Tri-State	8-Bit Shift Register/Latch, Tri-State	16-TSSOP		560.74/2,000	
TC74VHC4040FN-ND	12-Phasen Binärzähler	12-Stage Binary Counter	16-SOL	.54	.41	.31
TC74VHC4040FTTR-ND	12-Phasen Binärzähler	12-Stage Binary Counter	16-TSSOP		322.03/2,000	

TOSHIBA

SERIE LMOS

Digi-Key Teilenr.	Beschreibung		Paket	Gurtabschnittspreis pro Stück★ 1	25	100
	Oberflächenmontiertes Produkt in Gurtabschnitt					
TC4S01FCT-ND	NOR-Gate m. 2 Eingängen	2-Input NOR Gate	SMV-5	.39	.32	.22
TC4S66FCT-ND	Einf. Analogschalter (4066B)	Single Analog Switch (4066B)	SMV-5	.41	.34	.24
TC4S584FCT-ND	Einf. Schmitt-Trigger (4584B)	Single Schmitt Trigger (4584B)	SMV-5	.47	.38	.28
TC7S00FCT-ND	Einf. NAND-Gate (74HC00)	Single NAND Gate (74HC00)	SMV-5	.25	.20	.14
TC7S02FCT-ND	Einf. NOR-Gate (74HC02)	Single NOR Gate (74HC02)	SMV-5	.30	.24	.17
TC7S04FTCT-ND	Einf. Inverter (74HC04)	Single Inverter (74HC04)	SMV-5	.25	.20	.14
TC7S08FCT-ND	Einf. AND-Gate (74HC08)	Single AND Gate (74HC08)	SMV-5	.30	.24	.17
TC7S14FT5CT-ND	Schmitt-Inverter	Schmitt Inverter	SMV-5	.25	.20	.14
TC7S32FCT-ND	Einf. OR-Gate (74HC32)	Single OR Gate (74HC32)	SMV-5	.30	.24	.17
TC7SET00FCT-ND	Einf. NAND-Gate, TTL	Single TTL NAND Gate	SMV-5	.30	.24	.17
TC7SET00FUTCT-ND	Einf. NAND-Gate, TTL	Single TTL NAND Gate	USV-5	.30	.24	.17
TC7SET02FCT-ND	Einf. NOR-Gate, TTL	Single TTL NOR Gate	SMV-5	.30	.24	.17
TC7SET02FUTCT-ND	Einf. NOR-Gate, TTL	Single TTL NOR Gate	USV-5	.30	.24	.17
TC7SET04FCT-ND	Einf. Inverter-Gate, TTL	Single TTL Inverter Gate	SMV-5	.30	.24	.17
TC7SET04FUTCT-ND	Einf. Inverter-Gate, TTL	Single TTL Inverter Gate	USV-5	.30	.24	.17
TC7SET08FCT-ND	Einf. AND-Gate, TTL	Single TTL AND Gate	SMV-5	.30	.24	.17
TC7SET08FUTCT-ND	Einf. AND-Gate, TTL	Single TTL AND Gate	USV-5	.30	.24	.17
TC7SET32FCT-ND	Einf. OR-Gate, TTL	Single TTL OR Gate	SMV-5	.30	.24	.17
TC7SET32FUTCT-ND	Einf. OR-Gate, TTL	Single TTL OR Gate	USV-5	.30	.24	.17
TC7SH00FCT-ND	Einf. NAND-Gate, VHS	Single VHS NAND Gate	SMV-5	.25	.20	.14
TC7SH02FCT-ND	Einf. NOR-Gate, TTL	Single TTL NOR Gate	SMV-5	.30	.24	.17
TC7SH04FCT-ND	Einf. VHS-Inverter	Single VHS Inverter	SMV-5	.30	.24	.17
TC7SH32FCT-ND	Einf. OR-Gate, VHS	Single VHS OR Gate	SMV-5	.30	.24	.17
TC7SH86FCT-ND	Einf. Exklusiv-OR-Gate, VHS	Single VHS Exclusive OR Gate	SMV-5	.30	.24	.17
TC7SH86FUTCT-ND	Einf. Exklusiv-OR-Gate, VHS	Single VHS Exclusive OR Gate	USV-5	.30	.24	.17
TC7SHU04FCT-ND	Einf. Ungepufferter VHS-Inverter	Single Unbuffered VHS Inverter	SMV-5	.30	.24	.17
TC7SL00FUTCT-ND	Einf. 1 V NAND-Gate	Single 1 Volt NAND Gate	USV-5	.25	.20	.14
TC7SL02FUTCT-ND	Einf. 1 V NOR-Gate	Single 1 Volt NOR Gate	USV-5	.30	.24	.17
TC7SL04FUTCT-ND	Einf. 1 V Inverter	Single 1 Volt Inverter	USV-5	.30	.24	.17
TC7SL08FUTCT-ND	Einf. 1 V AND-Gate	Single 1 Volt AND Gate	USV-5	.30	.24	.17
TC7SL32FUTCT-ND	Einf. 1 V OR-Gate	Single 1 Volt OR Gate	USV-5	.30	.24	.17
TC7SLU04FUTCT-ND	Einf. 1 V ungepufferter Inverter	Single 1 Volt Unbuffered Inverter	USV-5	.25	.20	.14
TC7ST00FCT-ND	Einf. NAND-Gate, TTL	Single TTL NAND Gate	SMV-5	.63	.53	.43
TC7ST00FUTCT-ND	Einf. NAND-Gate, TTL	Single TTL NAND Gate	USV-5	.70	.59	.47
TC7ST02FCT-ND	Einf. NOR-Gate, TTL	Single TTL NOR Gate	SMV-5	.63	.53	.43
TC7ST08FUTCT-ND	Einf. AND-Gate, TTL	Single TTL AND Gate	USV-5	.70	.59	.47
TC7ST32FUTCT-ND	Einf. OR-Gate, TTL	Single TTL OR Gate	USV-5	.70	.59	.47
TC7SU04FCT-ND	Einf. Inverter (74HCU04)	Single Inverter (74HCU04)	SMV-5	.30	.24	.17
TC7SZ00FCT-ND	NAND-Gate mit 2 Eingängen	2-Input NAND Gate	SMV-5	.32	.25	.18
TC7SZ00FUTCT-ND	NAND-Gate mit 2 Eingängen	2-Input NAND Gate	USV-5	.26	.21	.15
TC7SZ02FCT-ND	NOR-Gate m. 2 Eingängen	2-Input NOR Gate	SMV-5	.32	.25	.18
TC7SZ02FUTCT-ND	NOR-Gate m. 2 Eingängen	2-Input NOR Gate	USV-5	.32	.25	.18
TC7SZ04FCT-ND	Einf. Inverter-Gate	Single Inverter Gate	SMV-5	.32	.25	.18
TC7SZ04FUTCT-ND	Einf. Inverter-Gate	Single Inverter Gate	USV-5	.26	.21	.15
TC7SZ05FCT-ND	Inverter (Open Drain)	Inverter (Open Drain)	SMV-5	.32	.25	.18
TC7SZ05FUTCT-ND	Inverter (Open Drain)	Inverter (Open Drain)	USV-5	.32	.25	.18
TC7SZ08FCT-ND	AND-Gate m. 2 Eingängen	2-Input AND Gate	SMV-5	.32	.25	.18
TC7SZ08FUTCT-ND	AND-Gate m. 2 Eingängen	2-Input AND Gate	USV-5	.32	.25	.18
TC7SZ32FCT-ND	OR-Gate m. 2 Eingängen	2-Input OR Gate	SMV-5	.30	.24	.17
TC7SZ32FUTCT-ND	OR-Gate m. 2 Eingängen	2-Input OR Gate	USV-5	.32	.25	.18
TC7SZ125FCT-ND	Bus-Puffer, Tri-State-Ausgang	Bus Buffer Tri-State Output	SMV-5	.32	.25	.18
TC7SZ125FUTCT-ND	Bus-Puffer, Tri-State-Ausgang	Bus Buffer Tri-State Output	USV-5	.32	.25	.18
TC7SZ126FCT-ND	Bus-Puffer, Tri-State-Ausgang	Bus Buffer Tri-State Output	SMV-5	.32	.25	.18
TC7SZ126FUTCT-ND	Bus-Puffer, Tri-State-Ausgang	Bus Buffer Tri-State Output	USV-5	.32	.25	.18
TC7SZU04FCT-ND	Inverter (ungepuffert)	Inverter (Unbuffered)	SMV-5	.30	.24	.17
TC7SZU04FUTCT-ND	Inverter (ungepuffert)	Inverter (Unbuffered)	USV-5	.32	.25	.18
TC7W00FCT-ND	Zweif. NAND-Gate m. 2 Eingängen (74HC00)	Dual 2-Input NAND Gate (74HC00)	FM8	.30	.23	.18
TC7W00FKCT-ND	Zweif. NAND-Gate m. 2 Eingängen	Dual 2-Input NAND Gate	US8-8	.30	.23	.18
TC7W00FUTCT-ND	Zweif. NAND-Gate m. 2 Eingängen	Dual 2-Input NAND Gate	SM8-8	.38	.31	.23
TC7W02FCT-ND	Zweif. NOR-Gate m. 2 Eingängen (74HC02)	Dual 2-Input NOR Gate (74HC02)	FM8	.38	.31	.23
TC7W02FKCT-ND	Zweif. NOR-Gate m. 2 Eingängen	Dual 2-Input NOR Gate	US8-8	.40	.32	.24
TC7W02FUTCT-ND	Zweif. NOR-Gate m. 2 Eingängen	Dual 2-Input NOR Gate	SM8-8	.38	.31	.23
TC7W04FCT-ND	Dreif. Inverter (74HC04)	Triple Inverter (74HC04)	FM8	.38	.31	.23
TC7W04FKCT-ND	Dreif. Inverter (74HC04)	Triple Inverter (74HC04)	US8-8	.32	.24	.18
TC7W04FUTCT-ND	Dreif. Inverter (74HC04)	Triple Inverter (74HC04)	SM8-8	.38	.31	.23
TC7W08FCT-ND	Zweif. AND-Gate m. 2 Eingängen (74HC08)	Dual 2-Input AND Gate (74HC08)	FM8	.38	.31	.23
TC7W08FKCT-ND	Zweif. AND-Gate m. 2 Eingängen (74HC08)	Dual 2-Input AND Gate (74HC08)	US8-8	.32	.24	.18
TC7W08FUTCT-ND	Zweif. AND-Gate m. 2 Eingängen (74HC08)	Dual 2-Input AND Gate (74HC08)	SM8-8	.38	.31	.23
TC7W14FKCT-ND	Schmitt-Inverter	Schmitt Inverter	US8-8	.40	.32	.24
TC7W32FCT-ND	Zweif. OR-Gate m. 2 Eingängen (74HC32)	Dual 2-Input OR Gate (74HC32)	FM8	.38	.31	.23
TC7W32FKCT-ND	Zweif. OR-Gate m. 2 Eingängen (74HC32AP/F)	Dual 2-Input OR Gate (74HC32AP/F)	US8-8	.40	.32	.24
TC7W32FUTCT-ND	Zweif. OR-Gate m. 2 Eingängen (74HC32AP/F)	Dual 2-Input OR Gate (74HC32AP/F)	SM8-8	.38	.31	.23
TC7W34FKCT-ND	Dreif. nicht-invertierender Puffer (TC7W34FU)	Triple Non-Inverting Buffer (TC7W34FU)	US8-8	.40	.32	.24
TC7W53FKCT-ND	2-Kanal Multiplexer/Demultiplexer	2-Channel Multiplexer/Demultiplexer	US8-8	.40	.32	.24
TC7W66FKCT-ND	Zweif. bilateraler Schalter	Dual Bilateral Switch	US8-8	.40	.32	.24
TC7W66FUTCT-ND	Zweif. bilateraler Schalter	Dual Bilateral Switch	SM8-8	.38	.31	.23
TC7W74FKCT-ND	D-Flip-Flop	D-Type Flip-Flop	US8-8	.40	.32	.24
TC7W74FUTCT-ND	D-Flip-Flop	D-Type Flip-Flop	SM8-8	.30	.23	.18
TC7W125FUTCT-ND	Zweif. Bus-Puffer	Dual Bus Buffer	SM8-8	.38	.31	.23
TC7W126FUTCT-ND	Zweif. Bus-Puffer	Dual Bus Buffer	SM8-8	.38	.31	.23
TC7WH00FKCT-ND	Zweif. NAND-Gate m. 2 Eingängen	Dual 2-Input NAND Gate	US8-8	.32	.24	.18
TC7WH00FUTCT-ND	Zweif. NAND-Gate m. 2 Eingängen	Dual 2-Input NAND Gate	SM8-8	.38	.31	.23
TC7WH02FKCT-ND	Zweif. NOR-Gate m. 2 Eingängen	Dual 2-Input NOR Gate	US8-8	.40	.32	.24
TC7WH02FUTCT-ND	Zweif. NOR-Gate m. 2 Eingängen	Dual 2-Input NOR Gate	SM8-8	.38	.31	.23
TC7WH04FKCT-ND	Dreif. Inverter	Triple Inverter	US8-8	.40	.32	.24

(Forts.)

★ RUFEN SIE BITTE AN FÜR NIEDRIGERE PREISE BEI GRÖSSEREN MENGEN! ★

Alle Preisangaben in Euro und inklusive Zollgebühren.

Digi-Key Teilenr.	Beschreibung		Paket	Gurtabschnittspreis pro Stück★ 1	25	100
TC7WH04FUTCT-ND	Dreif. Inverter	Triple Inverter	SM8-8	.30	.23	.18
TC7WH08FKCT-ND	Zweif. AND-Gate m. 2 Eingängen	Dual 2-Input AND Gate	US8-8	.40	.32	.24
TC7WH08FUTCT-ND	Zweif. AND-Gate m. 2 Eingängen	Dual 2-Input AND Gate	SM8-8	.38	.31	.23
TC7WH14FKCT-ND	Dreif. Schmitt-Inverter	Triple Schmitt Inverter	US8-8	.40	.32	.24
TC7WH14FUTCT-ND	Dreif. Schmitt-Inverter	Triple Schmitt Inverter	SM8-8	.38	.31	.23
TC7WH32FKCT-ND	Zweif. OR-Gate m. 2 Eingängen	Dual 2-Input OR Gate	US8-8	.40	.32	.24
TC7WH32FUTCT-ND	Zweif. OR-Gate m. 2 Eingängen	Dual 2-Input OR Gate	SM8-8	.38	.31	.23
TC7WH34FKCT-ND	Dreif. Puffer	Triple Buffer	US8-8	.40	.32	.24
TC7WH34FUTCT-ND	Dreif. Puffer	Triple Buffer	SM8-8	.38	.31	.23
TC7WH74FKCT-ND	D-Flip-Flop mit Voreinstellung und Löschen	D-Type Flip-Flop with Preset and Clear	US8-8	.40	.32	.24
TC7WH74FUTCT-ND	D-Flip-Flop mit Voreinstellung und Löschen	D-Type Flip-Flop with Preset and Clear	SM8-8	.38	.31	.23
TC7WH123FKCT-ND	Monostabiler Multivibrator	Monostable Multivibrator	US8-8	.40	.32	.24
TC7WH123FUTCT-ND	Monostabiler Multivibrator	Monostable Multivibrator	SM8-8	.38	.31	.23
TC7WH125FKCT-ND	Zweif. Bus-Puffer	Dual Bus Buffer	US8-8	.40	.32	.24
TC7WH126FKCT-ND	Zweif. Bus-Puffer	Dual Bus Buffer	US8-8	.40	.32	.24
TC7WH157FKCT-ND	2-Kanal Multiplexer	2-Channel Multiplexer	US8-8	.40	.32	.24
TC7WH157FUTCT-ND	2-Kanal Multiplexer	2-Channel Multiplexer	SM8-8	.38	.31	.23
TC7WH240FKCT-ND	Zweif. invertierter Bus-Puffer, Tri-State-Ausgang	Dual Bus Buffer Inverted, Tri-State Output	US8-8	.40	.32	.24
TC7WH240FUTCT-ND	Zweif. invertierter Bus-Puffer, Tri-State-Ausgang	Dual Bus Buffer Inverted, Tri-State Output	SM8-8	.38	.31	.23
TC7WH241FKCT-ND	Zweif. nicht-invertierter Bus-Puffer, Tri-State-Ausgang	Dual Bus Buffer Non-Inverted, Tri-State Output	US8-8	.40	.32	.24
TC7WH241FUTCT-ND	Zweif. nicht-invertierter Bus-Puffer, Tri-State-Ausgang	Dual Bus Buffer Non-Inverted, Tri-State Output	SM8-8	.38	.31	.23
TC7WH245FKCT-ND	Zweif. Bus-Transceiver	Dual Bus Transceiver	US8-8	.40	.32	.24
TC7WH245FUTCT-ND	Zweif. Bus-Transceiver	Dual Bus Transceiver	SM8-8	.38	.31	.23
TC7WHU04FKCT-ND	Dreif. Inverter	Triple Inverter	US8-8	.40	.32	.24
TC7WHU04FUTCT-ND	Dreif. Inverter	Triple Inverter	SM8-8	.38	.31	.23
TC7WT125FUTCT-ND	Zweif. Bus-Puffer	Dual Bus Buffer	SM8-8	.47	.38	.28
TC7WU04FCT-ND	Dreif. Inverter (74HCU04)	Triple Inverter (74HCU04)	FM8	.38	.31	.23
TC7WU04FKCT-ND	Dreif. Inverter	Triple Inverter	US8-8	.40	.32	.24
TC7WU04FUTCT-ND	Dreif. Inverter	Triple Inverter	SM8-8	.38	.31	.23

Digi-Key Teilenr.	Beschreibung		Paket	Preis pro Stück für Gegurtet auf Rolle★ 3.000
	Oberflächenmontiertes Produkt gegurtet auf Rolle			
TC4S01FTR-ND	NOR-Gate m. 2 Eingängen	2-Input NOR Gate	SMV-5	100.75/M
TC4S66FTR-ND	Einf. Analogschalter (4066B)	Single Analog Switch (4066B)	SMV-5	109.38/M
TC4S584FTR-ND	Einf. Schmitt-Trigger (4584B)	Single Schmitt Trigger (4584B)	SMV-5	125.72/M
TC7S00FTR-ND	Einf. NAND-Gate (74HC00)	Single NAND Gate (74HC00)	SMV-5	64.77/M
TC7S02FTR-ND	Einf. NOR-Gate (74HC02)	Single NOR Gate (74HC02)	SMV-5	68.58/M
TC7S04FTTR-ND	Einf. Inverter (74HC04)	Single Inverter (74HC04)	SMV-5	64.77/M
TC7S08FTR-ND	Einf. AND-Gate (74HC08)	Single AND Gate (74HC08)	SMV-5	68.58/M
TC7S14FT5TR-ND	Schmitt-Inverter	Schmitt Inverter	SMV-5	64.77/M
TC7S32FTR-ND	Einf. OR-Gate (74HC32)	Single OR Gate (74HC32)	SMV-5	68.58/M
TC7SET00FTR-ND	Einf. NAND-Gate, TTL	Single TTL NAND Gate	SMV-5	68.58/M
TC7SET00FUTTR-ND	Einf. NAND-Gate, TTL	Single TTL NAND Gate	USV-5	68.58/M
TC7SET02FTR-ND	Einf. NOR-Gate, TTL	Single TTL NOR Gate	SMV-5	68.58/M
TC7SET02FUTTR-ND	Einf. NOR-Gate, TTL	Single TTL NOR Gate	USV-5	68.58/M
TC7SET04FTR-ND	Einf. Inverter-Gate, TTL	Single TTL Inverter Gate	SMV-5	68.58/M
TC7SET04FUTTR-ND	Einf. Inverter-Gate, TTL	Single TTL Inverter Gate	USV-5	68.58/M
TC7SET08FTR-ND	Einf. AND-Gate, TTL	Single TTL AND Gate	SMV-5	68.58/M
TC7SET08FUTTR-ND	Einf. AND-Gate, TTL	Single TTL AND Gate	USV-5	68.58/M
TC7SET32FTR-ND	Einf. OR-Gate, TTL	Single TTL OR Gate	SMV-5	68.58/M
TC7SET32FUTTR-ND	Einf. OR-Gate, TTL	Single TTL OR Gate	USV-5	68.58/M
TC7SH00FTR-ND	Einf. NAND-Gate, VHS	Single VHS NAND Gate	SMV-5	64.77/M
TC7SH02FTR-ND	Einf. NOR-Gate, TTL	Single TTL NOR Gate	SMV-5	68.58/M
TC7SH04FTR-ND	Einf. VHS-Inverter	Single VHS Inverter	SMV-5	68.58/M
TC7SH32FTR-ND	Einf. OR-Gate, VHS	Single VHS OR Gate	SMV-5	68.58/M
TC7SH86FTR-ND	Einf. Exklusiv-OR-Gate, VHS	Single VHS Exclusive OR Gate	SMV-5	68.58/M
TC7SH86FUTTR-ND	Einf. Exklusiv-OR-Gate, VHS	Single VHS Exclusive OR Gate	USV-5	68.58/M
TC7SHU04FTR-ND	Einf. Ungepufferter VHS-Inverter	Single Unbuffered VHS Inverter	SMV-5	68.58/M
TC7SL00FUTTR-ND	Einf. 1 V NAND-Gate	Single 1 Volt NAND Gate	USV-5	64.77/M
TC7SL02FUTTR-ND	Einf. 1 V NOR-Gate	Single 1 Volt NOR Gate	USV-5	68.58/M
TC7SL04FUTTR-ND	Einf. 1 V Inverter	Single 1 Volt Inverter	USV-5	68.58/M
TC7SL08FUTTR-ND	Einf. 1 V AND-Gate	Single 1 Volt AND Gate	USV-5	68.58/M
TC7SLU04FUTTR-ND	Einf. 1 V ungepufferter Inverter	Single 1 Volt Unbuffered Inverter	USV-5	64.77/M
TC7SL32FUTTR-ND	Einf. 1 V OR-Gate	Single 1 Volt OR Gate	USV-5	68.58/M
TC7ST00FTR-ND	Einf. NAND-Gate, TTL	Single TTL NAND Gate	SMV-5	275.15/M
TC7ST00FUTTR-ND	Einf. NAND-Gate, TTL	Single TTL NAND Gate	USV-5	302.66/M
TC7ST02FTR-ND	Einf. NOR-Gate, TTL	Single TTL NOR Gate	SMV-5	275.15/M
TC7SU04FTR-ND	Einf. Inverter (74HCU04)	Single Inverter (74HCU04)	SMV-5	68.58/M
TC7SZ00FTR-ND	NAND-Gate mit 2 Eingängen	2-Input NAND Gate	SMV-5	71.63/M
TC7SZ00FUTTR-ND	NAND-Gate mit 2 Eingängen	2-Input NAND Gate	USV-5	51.73/M
TC7SZ02FTR-ND	NOR-Gate m. 2 Eingängen	2-Input NOR Gate	SMV-5	71.63/M
TC7SZ04FTR-ND	Einf. Inverter-Gate	Single Inverter Gate	SMV-5	71.63/M
TC7SZ04FUTTR-ND	Einf. Inverter-Gate	Single Inverter Gate	USV-5	51.73/M
TC7SZ05FTR-ND	Inverter (Open Drain)	Inverter (Open Drain)	SMV-5	71.63/M
TC7SZ05FUTTR-ND	Inverter (Open Drain)	Inverter (Open Drain)	USV-5	71.63/M
TC7SZ08FTR-ND	AND-Gate m. 2 Eingängen	2-Input AND Gate	SMV-5	71.63/M
TC7SZ08FUTTR-ND	AND-Gate m. 2 Eingängen	2-Input AND Gate	USV-5	71.63/M
TC7SZ32FTR-ND	OR-Gate m. 2 Eingängen	2-Input OR Gate	SMV-5	68.58/M
TC7SZ32FUTTR-ND	OR-Gate m. 2 Eingängen	2-Input OR Gate	USV-5	71.63/M
TC7SZ125FTR-ND	Bus-Puffer, 3-Zustand-Ausgang	Bus Buffer 3-State Output	SMV-5	71.63/M
TC7SZ125FUTTR-ND	Bus-Puffer, 3-Zustand-Ausgang	Bus Buffer 3-State Output	USV-5	71.63/M
TC7SZ126FTR-ND	Bus-Puffer, 3-Zustand-Ausgang	Bus Buffer 3-State Output	SMV-5	71.63/M
TC7SZ126FUTTR-ND	Bus-Puffer, 3-Zustand-Ausgang	Bus Buffer 3-State Output	USV-5	71.63/M
TC7SZU04FTR-ND	Inverter (ungepuffert)	Inverter (Unbuffered)	SMV-5	68.58/M
TC7SZU04FUTTR-ND	Inverter (ungepuffert)	Inverter (Unbuffered)	USV-5	71.63/M
TC7W00FKTR-ND	Zweif. NAND-Gate m. 2 Eingängen	Dual 2-Input NAND Gate	US8-8	99.06/M
TC7W00FTR-ND	Zweif. NAND-Gate m. 2 Eingängen (74HC00)	Dual 2-Input NAND Gate (74HC00)	FM8	101.34†
TC7W00FUTTR-ND	Zweif. NAND-Gate m. 2 Eingängen	Dual 2-Input NAND Gate	SM8-8	102.87/M
TC7W02FKTR-ND	Zweif. NOR-Gate m. 2 Eingängen	Dual 2-Input NOR Gate	US8-8	107.44/M
TC7W02FTR-ND	Zweif. NOR-Gate m. 2 Eingängen (74HC02)	Dual 2-Input NOR Gate (74HC02)	FM8	106.67/M
TC7W02FUTTR-ND	Zweif. NOR-Gate m. 2 Eingängen	Dual 2-Input NOR Gate	SM8-8	102.87/M
TC7W04FKTR-ND	Dreif. Inverter (74HC04)	Triple Inverter (74HC04)	US8-8	103.46/M
TC7W04FTR-ND	Dreif. Inverter (74HC04)	Triple Inverter (74HC04)	FM8	106.67†
TC7W04FUTTR-ND	Dreif. Inverter (74HC04)	Triple Inverter (74HC04)	SM8-8	102.87/M
TC7W08FKTR-ND	Zweif. AND-Gate m. 2 Eingängen (74HC08)	Dual 2-Input AND Gate (74HC08)	US8-8	103.46/M
TC7W08FTR-ND	Zweif. AND-Gate m. 2 Eingängen (74HC08)	Dual 2-Input AND Gate (74HC08)	FM8	106.67†
TC7W08FUTTR-ND	Zweif. AND-Gate m. 2 Eingängen (74HC08)	Dual 2-Input AND Gate (74HC08)	SM8-8	102.87/M
TC7W14FKTR-ND	Schmitt-Inverter	Schmitt Inverter	US8-8	107.44/M
TC7W32FKTR-ND	Zweif. OR-Gate m. 2 Eingängen (74HC32AP/F)	Dual 2-Input OR Gate (74HC32AP/F)	US8-8	107.44/M
TC7W32FTR-ND	Zweif. OR-Gate m. 2 Eingängen (74HC32)	Dual 2-Input OR Gate (74HC32)	FM8	106.67†
TC7W32FUTTR-ND	Zweif. OR-Gate m. 2 Eingängen (74HC32AP/F)	Dual 2-Input OR Gate (74HC32AP/F)	SM8-8	102.87/M
TC7W34FKTR-ND	Dreif. nicht-invertierender Puffer (TC7W34FU)	Triple Non-Inverting Buffer (TC7W34FU)	US8-8	107.44/M

† Rollengröße für 1.000 Stück.

(Forts.)

★ ***RUFEN SIE BITTE AN FÜR NIEDRIGERE PREISE BEI GRÖSSEREN MENGEN!*** ★

TOSHIBA

SERIE LMOS *(Forts.)*

Digi-Key Teilenr.	Beschreibung		Paket	Preisangaben für Gegurtet auf Rolle★ 3.000
TC7W53FKTR-ND	2-Kanal-Multiplexer/Demultiplexer	2-Channel Multiplexer/Demultiplexer	US8-8	107.44/M
TC7W66FKTR-ND	Zweif. bilateraler Schalter	Dual Bilateral Switch	US8-8	107.44/M
TC7W66FUTTR-ND	Zweif. bilateraler Schalter	Dual Bilateral Switch	SM8-8	102.87/M
TC7W74FKTR-ND	D-Flip-Flop	D-Type Flip-Flop	US8-8	107.44/M
TC7W74FUTTR-ND	D-Flip-Flop	D-Type Flip-Flop	SM8-8	99.06/M
TC7W125FUTTR-ND	Zweif. Bus-Puffer	Dual Bus Buffer	SM8-8	102.87/M
TC7W126FUTTR-ND	Zweif. Bus-Puffer	Dual Bus Buffer	SM8-8	102.87/M
TC7WH00FUTTR-ND	Zweif. NAND-Gate m. 2 Eingängen	Dual 2-Input NAND Gate	SM8-8	102.87/M
TC7WH02FKTR-ND	Zweif. NOR-Gate m. 2 Eingängen	Dual 2-Input NOR Gate	US8-8	107.44/M
TC7WH02FUTTR-ND	Zweif. NOR-Gate m. 2 Eingängen	Dual 2-Input NOR Gate	SM8-8	102.87/M
TC7WH04FKTR-ND	Dreif. Inverter	Triple Inverter	US8-8	107.44/M
TC7WH04FUTTR-ND	Dreif. Inverter	Triple Inverter	SM8-8	99.06/M
TC7WH08FKTR-ND	Zweif. AND-Gate m. 2 Eingängen	Dual 2-Input AND Gate	US8-8	107.44/M
TC7WH08FUTTR-ND	Zweif. AND-Gate m. 2 Eingängen	Dual 2-Input AND Gate	SM8-8	102.87/M
TC7WH14FKTR-ND	Dreif. Schmitt-Inverter	Triple Schmitt Inverter	US8-8	107.44/M
TC7WH14FUTTR-ND	Dreif. Schmitt-Inverter	Triple Schmitt Inverter	SM8-8	102.87/M
TC7WH32FKTR-ND	Zweif. OR-Gate m. 2 Eingängen	Dual 2-Input OR Gate	US8-8	107.44/M
TC7WH32FUTTR-ND	Zweif. OR-Gate m. 2 Eingängen	Dual 2-Input OR Gate	SM8-8	102.87/M
TC7WH34FKTR-ND	Dreif. Puffer	Triple Buffer	US8-8	107.44/M
TC7WH34FUTTR-ND	Dreif. Puffer	Triple Buffer	SM8-8	102.87/M
TC7WH74FKTR-ND	D-Flip-Flop mit Voreinstellung und Löschen	D-Type Flip-Flop with Preset and Clear	US8-8	107.44/M
TC7WH74FUTTR-ND	D-Flip-Flop mit Voreinstellung und Löschen	D-Type Flip Flop with Preset and Clear	SM8-8	102.87/M
TC7WH123FKTR-ND	Monostabiler Multivibrator	Monostable Multivibrator	US8-8	107.44/M
TC7WH123FUTTR-ND	Monostabiler Multivibrator	Monostable Multivibrator	SM8-8	102.87/M
TC7WH125FKTR-ND	Zweif. Bus-Puffer	Dual Bus Buffer	US8-8	107.44/M
TC7WH126FKTR-ND	Zweif. Bus-Puffer	Dual Bus Buffer	US8-8	107.44/M
TC7WH157FKTR-ND	2-Kanal-Multiplexer	2-Channel Multiplexer	US8-8	107.44/M
TC7WH157FUTTR-ND	2-Kanal-Multiplexer	2-Channel Multiplexer	SM8-8	102.87/M
TC7WH240FKTR-ND	Zweif. invertierter Bus-Puffer, 3-Zustand-Ausgang	Dual Bus Buffer Inverted, 3-State Output	US8-8	107.44/M
TC7WH241FKTR-ND	Zweif. nicht-invertierter Bus-Puffer, 3-Zustand-Ausgang	Dual Bus Buffer Non-Inverted, 3-State Output	US8-8	107.44/M
TC7WH241FUTTR-ND	Zweif. nicht-invertierter Bus-Puffer, 3-Zustand-Ausgang	Dual Bus Buffer Non-Inverted, 3-State Output	SM8-8	102.87/M
TC7WH245FKTR-ND	Zweif. Bus-Transceiver	Dual Bus Transceiver	US8-8	107.44/M
TC7WH245FUTTR-ND	Zweif. Bus-Transceiver	Dual Bus Transceiver	SM8-8	102.87/M
TC7WHU04FKTR-ND	Dreif. Inverter	Triple Inverter	US8-8	107.44/M
TC7WHU04FUTTR-ND	Dreif. Inverter	Triple Inverter	SM8-8	102.87/M
TC7WT125FUTTR-ND	Zweif. Bus-Puffer	Dual Bus Buffer	SM8-8	125.72/M
TC7WU04FKTR-ND	Dreif. Inverter	Triple Inverter	US8-8	107.44/M
TC7WU04FTR-ND	Dreif. Inverter (74HCU04)	Triple Inverter (74HCU04)	FM8	106.67†
TC7WU04FUTTR-ND	Dreif. Inverter	Triple Inverter	SM8-8	102.87/M

† Rollengröße für 1.000 Stück

TOSHIBA

SERIE LINEAR

Oberflächenmontiertes Produkt in Gurtabschnitt

Digi-Key Teilenr.	Beschreibung		Paket	Gurtabschnittspreis pro Stück★ 1	25	100
TC75S54FCT-ND	Einf. OpAmp	Single Op Amp	SMV-5	.61	.46	.35
TC75S55FTCT-ND	Einf. OpAmp	Single Op Amp	SMV-5	.61	.46	.35
TC75W51FUTCT-ND	Zweif. OpAmp	Dual Op Amp	SM8-8	.76	.64	.51
TC75W54FUTCT-ND	Zweif. OpAmp	Dual Op Amp	SM8-8	.30	.25	.18
TC75W55FUTCT-ND	Zweif. OpAmp	Dual Op Amp	SM8-8	.76	.64	.51

Oberflächenmontiertes Produkt gegurtet auf Rolle

Digi-Key Teilenr.	Beschreibung		Paket	Preisangaben für Gegurtet auf Rolle★ 3.000
TC75S54FTR-ND	Einf. OpAmp	Single Op Amp	SMV-5	199.21/M
TC75S55FTTR-ND	Einf. OpAmp	Single Op Amp	SMV-5	199.21/M
TC75W51FUTTR-ND	Zweif. OpAmp	Dual Op Amp	SM8-8	331.28/M
TC75W54FUTTR-ND	Zweif. OpAmp	Dual Op Amp	SM8-8	80.60/M
TC75W55FUTTR-ND	Zweif. OpAmp	Dual Op Amp	SM8-8	331.28/M

intersil

VERSTÄRKER

Intersil Teilenr.	Digi-Key Teilenr.	Beschreibung		Paket	Stückpreis★ 1	25	100
EL2250CS	EL2250CS-ND	Zweif. 125 MHz einzelversorgter OpAmp	125MHz Single Supply Dual Op Amp	8-SOIC	3.26	2.48	1.90
EL2386CS	EL2386CS-ND	Dreif. 250 MHz Strom-Feedback-Verst.	250MHz Triple Current Feedback Amp	16-SOIC	4.06	3.09	2.36
EL2480CS	EL2480CS-ND	Vierf. 250 MHz Strom-Feedback-Verst.	250MHz Quad Current Feedback Amp	14-SOIC	3.41	2.59	1.98
EL4501IU	EL4501IU-ND	100 MHz Video Frontende	100MHz Video Front End	24-QSOP	6.35	5.02	4.02
EL5100IS	EL5100IS-ND	200 MHz anstiegserweiterter Spann.-Feedback-Verst.	200MHz Slew Enhanced Volt. Feedback Amp	8-SOIC	2.15	1.60	1.19
EL5100IW-T7	EL5100IW-T7CT-ND	200 MHz anstiegserweiterter Spann.-Feedback-Verst.	200MHz Slew Enhanced Volt. Feedback Amp	SOT-23-6	2.05	1.52	1.13
EL5100IW-T7	EL5100IW-T7TR-ND	200 MHz anstiegserweiterter Spann.-Feedback-Verst.	200MHz Slew Enhanced Volt. Feedback Amp	SOT-23-6		2476.31/3,000	
EL5101IW-T7	EL5101IW-T7CT-ND	200 MHz anstiegserweiterter Spann.-Feedback-Verst.	200MHz Slew Enhanced Volt. Feedback Amp	SOT-23-5	1.41	1.06	.78
EL5101IW-T7	EL5101IW-T7TR-ND	200 MHz anstiegserweiterter Spann.-Feedback-Verst.	200MHz Slew Enhanced Volt. Feedback Amp	SOT-23-5		1714.37/3,000	
EL5102IS	EL5102IS-ND	400 MHz anstiegserweiterter Spann.-Feedback-Verst.	400MHz Slew Enhanced Volt. Feedback Amp	8-SOIC	1.91	1.43	1.06
EL5104IS	EL5104IS-ND	700 MHz anstiegserweiterter Spann.-Feedback-Verst.	700MHz Slew Enhanced Volt. Feedback Amp	8-SOIC	2.34	1.74	1.29
EL5104IW-T7	EL5104IW-T7CT-ND	700 MHz anstiegserweiterter Spann.-Feedback-Verst.	700MHz Slew Enhanced Volt. Feedback Amp	SOT-23-6	2.34	1.74	1.29
EL5104IW-T7	EL5104IW-T7TR-ND	700 MHz anstiegserweiterter Spann.-Feedback-Verst.	700MHz Slew Enhanced Volt. Feedback Amp	SOT-23-6		2826.80/3,000	
EL5105IW-T7	EL5105IW-T7CT-ND	700 MHz anstiegserweiterter Spann.-Feedback-Verst.	700MHz Slew Enhanced Volt. Feedback Amp	SOT-23-5	2.34	1.74	1.29
EL5105IW-T7	EL5105IW-T7TR-ND	700 MHz anstiegserweiterter Spann.-Feedback-Verst.	700MHz Slew Enhanced Volt. Feedback Amp	SOT-23-5		2826.80/3,000	
EL5106IS	EL5106IS-ND	350 MHz Verstärker m. festem V-Faktor u. Aktivierung	350MHz Fixed Gain Amp w/Enable	8-SOIC	2.02	1.50	1.11
EL5106IW-T7	EL5106IW-T7CT-ND	350 MHz Verstärker m. festem V-Faktor u. Aktivierung	350MHz Fixed Gain Amp w/Enable	SOT-23-6	2.02	1.50	1.11
EL5106IW-T7	EL5106IW-T7TR-ND	350 MHz Verstärker m. festem V-Faktor u. Aktivierung	350MHz Fixed Gain Amp w/Enable	SOT-23-6		2445.83/3,000	
EL5108IS	EL5108IS-ND	450 MHz Verstärker m. festem V-Faktor u. Aktivierung	450MHz Fixed Gain Amp w/Enable	8-SOIC	2.24	1.66	1.23
EL5108IW-T7	EL5108IW-T7CT-ND	450 MHz Verstärker m. festem V-Faktor u. Aktivierung	450MHz Fixed Gain Amp w/Enable	SOT-23-6	2.24	1.66	1.23
EL5108IW-T7	EL5108IW-T7TR-ND	450 MHz Verstärker m. festem V-Faktor u. Aktivierung	450MHz Fixed Gain Amp w/Enable	SOT-23-6		2699.81/3,000	
EL5130IS	EL5130IS-ND	500 MHz rauscharmer Verstärker	500MHz Low Noise Amp	8-SOIC	1.55	1.15	.85
EL5131IW-T7	EL5131IW-T7CT-ND	500 MHz rauscharmer Verstärker	500MHz Low Noise Amp	SOT-23-5	1.55	1.15	.85
EL5131IW-T7	EL5131IW-T7TR-ND	500 MHz rauscharmer Verstärker	500MHz Low Noise Amp	SOT-23-5		1874.37/3,000	
EL5132IS	EL5132IS-ND	670 MHz rauscharmer Verstärker	670MHz Low Noise Amp	8-SOIC	2.18	1.62	1.20
EL5133IW-T7	EL5133IW-T7CT-ND	670 MHz rauscharmer Verstärker	670MHz Low Noise Amp	SOT-23-5	2.18	1.62	1.20
EL5133IW-T7	EL5133IW-T7TR-ND	670 MHz rauscharmer Verstärker	670MHz Low Noise Amp	SOT-23-5		2636.31/3,000	
EL5134IS	EL5134IS-ND	630 MHz, V-Faktor 5, rauscharmer Verst.	630MHz, Gain of 5, Low Noise Amp	8-SOIC	2.24	1.66	1.23
EL5135IW-T7	EL5135IW-T7CT-ND	630 MHz, V-Faktor 5, rauscharmer Verst.	630MHz, Gain of 5, Low Noise Amp	SOT-23-5	2.29	1.70	1.26
EL5135IW-T7	EL5135IW-T7TR-ND	630 MHz, V-Faktor 5, rauscharmer Verst.	630MHz, Gain of 5, Low Noise Amp	SOT-23-5		2763.30/3,000	
EL5144CW-T7	EL5144CW-T7CT-ND	100 MHz einzelversorgter R/R-Verst.	100MHz Single Supply, R/R Amp	SOT-23-5	1.94	1.45	1.07
EL5144CW-T7	EL5144CW-T7TR-ND	100 MHz einzelversorgter R/R-Verst.	100MHz Single Supply R/R Amp	SOT-23-5		2412.81/3,000	
EL5146CN	EL5146CN-ND	100 MHz einzelversorgter R/R-Verst.	100MHz Single Supply R/R Amp	8-Dip	2.26	1.68	1.24
EL5146CS	EL5146CS-ND	100 MHz einzelversorgter R/R-Verst.	100MHz Single Supply R/R Amp	8-SOIC	2.26	1.68	1.24
EL5150IS	EL5150IS-ND	200 MHz Verst.	200MHz Amp	8-SOIC	2.44	1.85	1.42

(Forts.)

★ RUFEN SIE BITTE AN FÜR NIEDRIGERE PREISE BEI GRÖSSEREN MENGEN! ★

Alle Preisangaben in Euro und inklusive Zollgebühren.

Intersil Teilenr.	Digi-Key Teilenr.	Beschreibung		Paket	Stückpreis★ 1	25	100
EL5150IW-T7	EL5150IW-T7CT-ND	200 MHz Verst.	200MHz Amp	SOT-23-6	2.58	1.97	1.50
EL5150IW-T7	EL5150IW-T7TR-ND	200 MHz Verst.	200MHz Amp	SOT-23-6		3873.20/3,000	
EL5151IW-T7	EL5151IW-T7CT-ND	200 MHz Verst.	200MHz Amp	SOT-23-5	2.44	1.85	1.42
EL5151IW-T7	EL5151IW-T7TR-ND	200 MHz Verst.	200MHz Amp	SOT-23-5		3652.23/3,000	
EL5152IS	EL5152IS-ND	300 MHz Spannungsmodus-Feedback-Verst.	300MHz Volt. Mode Feedback Amp	8-SOIC	2.61	1.98	1.51
EL5152IS-T7	EL5152IS-T7CT-ND	300 MHz Spannungsmodus-Feedback-Verst.	300MHz Volt. Mode Feedback Amp	8-SOIC	2.75	2.10	1.60
EL5152IS-T7	EL5152IS-T7TR-ND	300 MHz Spannungsmodus-Feedback-Verst.	300MHz Volt. Mode Feedback Amp	8-SOIC		1386.73/1,000	
EL5153IW-T7	EL5153IW-T7CT-ND	300 MHz Spannungsmodus-Feedback-Verst.	300MHz Volt. Mode Feedback Amp	SOT-23-5	2.75	2.10	1.60
EL5153IW-T7	EL5153IW-T7TR-ND	300 MHz Spannungsmodus-Feedback-Verst.	300MHz Volt. Mode Feedback Amp	SOT-23-5		4127.18/3,000	
EL5156IS	EL5156IS-ND	600 MHz Spannungsmodus-Feedback-Verst.	600MHz Volt. Mode Feedback Amp	8-SOIC	2.75	2.10	1.60
EL5157IW-T7	EL5157IW-T7CT-ND	600 MHz Spannungsmodus-Feedback-Verst.	600MHz Volt. Mode Feedback Amp	SOT-23-5	2.75	2.10	1.60
EL5157IW-T7	EL5157IW-T7TR-ND	600 MHz Spannungsmodus-Feedback-Verst.	600MHz Volt. Mode Feedback Amp	SOT-23-5		4127.18/3,000	
EL5160IS	EL5160IS-ND	200 MHz Strom-Feedback-Verst., NL	200MHz LP Current Feedback Amp	8-SOIC	1.47	1.10	.81
EL5160IW-T7	EL5160IW-T7CT-ND	200 MHz Strom-Feedback-Verst., NL	200MHz LP Current Feedback Amp	SOT-23-6	1.46	1.08	.78
EL5160IW-T7	EL5160IW-T7TR-ND	200 MHz Strom-Feedback-Verst., NL	200MHz LP Current Feedback Amp	SOT-23-6		1490.86/3,000	
EL5161IC-T7	EL5161IC-T7CT-ND	200 MHz Strom-Feedback-Verst., NL	200MHz LP Current Feedback Amp	SC70-5	1.46	1.08	.78
EL5161IC-T7	EL5161IC-T7TR-ND	200 MHz Strom-Feedback-Verst., NL	200MHz LP Current Feedback Amp	SC70-5		1490.86/3,000	
EL5161IW-T7	EL5161IW-T7CT-ND	200 MHz Strom-Feedback-Verst., NL	200MHz LP Current Feedback Amp	SOT-23-5	1.46	1.08	.78
EL5161IW-T7	EL5161IW-T7TR-ND	200 MHz Strom-Feedback-Verst., NL	200MHz LP Current Feedback Amp	SOT-23-5		1490.86/3,000	
EL5162IS	EL5162IS-ND	500 MHz Strom-Feedback-Verst., NL	500MHz LP Current Feedback Amp	8-SOIC	2.41	1.80	1.33
EL5162IW-T7	EL5162IW-T7CT-ND	500 MHz Strom-Feedback-Verst., NL	500MHz LP Current Feedback Amp	SOT-23-6	2.41	1.80	1.33
EL5162IW-T7	EL5162IW-T7TR-ND	500 MHz Strom-Feedback-Verst., NL	500MHz LP Current Feedback Amp	SOT-23-6		2920.77/3,000	
EL5163IC-T7	EL5163IC-T7CT-ND	500 MHz Strom-Feedback-Verst., NL	500MHz LP Current Feedback Amp	SC70-5	2.41	1.80	1.33
EL5163IC-T7	EL5163IC-T7TR-ND	500 MHz Strom-Feedback-Verst., NL	500MHz LP Current Feedback Amp	SC70-5		2920.77/3,000	
EL5163IW-T7	EL5163IW-T7CT-ND	500 MHz Strom-Feedback-Verst., NL	500MHz LP Current Feedback Amp	SOT-23-5	2.41	1.80	1.33
EL5163IW-T7	EL5163IW-T7TR-ND	500 MHz Strom-Feedback-Verst., NL	500MHz LP Current Feedback Amp	SOT-23-5		2920.77/3,000	
EL5164IS	EL5164IS-ND	600 MHz Strom-Feedback-Verstärker	600MHz Current Feedback Amp	8-SOIC	2.12	1.61	1.23
EL5164IW-T7	EL5164IW-T7CT-ND	600 MHz Strom-Feedback-Verstärker	600MHz Current Feedback Amp	SOT-23-6	2.12	1.61	1.23
EL5164IW-T7	EL5164IW-T7TR-ND	600 MHz Strom-Feedback-Verstärker	600MHz Current Feedback Amp	SOT-23-6		3174.75/3,000	
EL5165IW-T7	EL5165IW-T7CT-ND	600 MHz Strom-Feedback-Verstärker	600MHz Current Feedback Amp	SOT-23-5	2.12	1.61	1.23
EL5165IW-T7	EL5165IW-T7TR-ND	600 MHz Strom-Feedback-Verstärker	600MHz Current Feedback Amp	SOT-23-5		3174.75/3,000	
EL5166IS	EL5166IS-ND	1,4 GHz Strom-Feedback-Verstärker	1.4GHz Current Feedback Amp	8-SOIC	2.29	1.74	1.33
EL5166IW-T7	EL5166IW-T7CT-ND	1,4 GHz Strom-Feedback-Verstärker	1.4GHz Current Feedback Amp	SOT-23-6	2.29	1.74	1.33
EL5166IW-T7	EL5166IW-T7TR-ND	1,4 GHz Strom-Feedback-Verstärker	1.4GHz Current Feedback Amp	SOT-23-6		3428.73/3,000	
EL5167IC-T7	EL5167IC-T7CT-ND	1,4 GHz Strom-Feedback-Verstärker	1.4GHz Current Feedback Amp	SC70-5	2.29	1.74	1.33
EL5167IC-T7	EL5167IC-T7TR-ND	1,4 GHz Strom-Feedback-Verstärker	1.4GHz Current Feedback Amp	SC70-5		3428.73/3,000	
EL5167IW-T7	EL5167IW-T7CT-ND	1,4 GHz Strom-Feedback-Verstärker	1.4GHz Current Feedback Amp	SOT-23-5	2.29	1.74	1.33
EL5167IW-T7	EL5167IW-T7TR-ND	1,4 GHz Strom-Feedback-Verstärker	1.4GHz Current Feedback Amp	SOT-23-5		3428.73/3,000	
EL5202IY	EL5202IY-ND	400 MHz anstiegserweiterter VFA	400MHz Slew Enhanced VFA	10-MSOP	2.23	1.69	1.29
EL5203IS	EL5203IS-ND	400 MHz anstiegserweiterter VFA	400MHz Slew Enhanced VFA	8-SOIC	2.23	1.69	1.29
EL5203IY	EL5203IY-ND	400 MHz anstiegserweiterter VFA	400MHz Slew Enhanced VFA	8-MSOP	2.23	1.69	1.29
EL5204IY	EL5204IY-ND	700 MHz anstiegserweiterter VFA	700MHz Slew Enhanced VFA	10-MSOP	3.33	2.53	1.93
EL5205IS	EL5205IS-ND	700 MHz anstiegserweiterter VFA	700MHz Slew Enhanced VFA	8-SOIC	3.33	2.53	1.93
EL5205IY	EL5205IY-ND	700 MHz anstiegserweiterter VFA	700MHz Slew Enhanced VFA	8-MSOP	3.33	2.53	1.93
EL5210CS	EL5210CS-ND	30 MHz R/R-OpAmp, Eingang/Ausgang	30MHz R/R Input/Output Op Amp	8-SOIC	2.96	2.26	1.72
EL5210CY	EL5210CY-ND	30 MHz R/R-OpAmp, Eingang/Ausgang	30MHz R/R Input/Output Op Amp	8-MSOP	2.96	2.26	1.72
EL5211IYE	EL5211IYE-ND	60 MHz R/R-OpAmp, Eingang/Ausgang	60MHz R/R Input/Output Op Amp	8-HMSOP	3.71	2.82	2.15
EL5228IL-T7	EL5228IL-T7CT-ND	VCOM mit zweif. Gamma-Puffer	VCOM with Dual Gamma Buffer	10-DFN	2.20	1.64	1.21
EL5228IL-T7	EL5228IL-T7TR-ND	VCOM mit zweif. Gamma-Puffer	VCOM with Dual Gamma Buffer	10-DFN		2666.79/3,000	
EL5244CN	EL5244CN-ND	100 MHz einzelversorgter R/R-Verst.	100MHz Single Supply, R/R Amp	8-Dip	2.57	1.91	1.42
EL5244CS	EL5244CS-ND	100 MHz einzelversorgter R/R-Verst.	100MHz Single Supply, R/R Amp	8-SOIC	2.57	1.91	1.42
EL5246CN	EL5246CN-ND	100 MHz einzelversorgter R/R-Verst.	100MHz Single Supply, R/R Amp	14-Dip	3.12	2.37	1.81
EL5246CS	EL5246CS-ND	100 MHz einzelversorgter R/R-Verst.	100MHz Single Supply, R/R Amp	14-SOIC	3.12	2.37	1.81
EL5250IY	EL5250IY-ND	200 MHz Spannungsmodus-Feedback-Verst.	200MHz Volt. Mode Feedback Amp	10-MSOP	3.43	2.61	1.99
EL5251IS	EL5251IS-ND	200 MHz Spannungsmodus-Feedback-Verst.	200MHz Volt. Mode Feedback Amp	8-SOIC	3.43	2.61	1.99
EL5251IY	EL5251IY-ND	200 MHz Spannungsmodus-Feedback-Verst.	200MHz Volt. Mode Feedback Amp	8-MSOP	3.43	2.61	1.99
EL5252IY	EL5252IY-ND	300 MHz Spannungsmodus-Feedback-Verst.	300MHz Volt. Mode Feedback Amp	10-MSOP	3.43	2.61	1.99
EL5256IY	EL5256IY-ND	600 MHz Spannungsmodus-Feedback-Verst.	600MHz Volt. Mode Feedback Amp	10-MSOP	—	—	2.55
EL5257IS	EL5257IS-ND	600 MHz Spannungsmodus-Feedback-Verst.	600MHz Volt. Mode Feedback Amp	8-SOIC	4.39	3.33	2.55
EL5257IY	EL5257IY-ND	600 MHz Spannungsmodus-Feedback-Verst.	600MHz Volt. Mode Feedback Amp	8-MSOP	4.39	3.33	2.55
EL5300IU	EL5300IU-ND	200 MHz anstiegserweiterter VFA	200MHz Slew Enhanced VFA	16-QSOP	3.92	2.98	2.28
EL5300IU-T7	EL5300IU-T7CT-ND	200 MHz anstiegserweiterter VFA	200MHz Slew Enhanced VFA	16-QSOP	4.09	3.11	2.37
EL5300IU-T7	EL5300IU-T7TR-ND	200 MHz anstiegserweiterter VFA	200MHz Slew Enhanced VFA	16-QSOP		2058.93/1,000	
EL5302IU	EL5302IU-ND	400 MHz anstiegserweiterter VFA	400MHz Slew Enhanced VFA	16-QSOP	5.29	4.19	3.36
EL5304IU	EL5304IU-ND	700 MHz anstiegserweiterter VFA	700MHz Slew Enhanced VFA	16-QSOP	4.94	3.91	3.14
EL5360IS	EL5360IS-ND	200 MHz Strom-Feedback-Verst., NL	200MHz LP Current Feedback Amp	16-SOIC	3.17	2.42	1.85
EL5360IU	EL5360IU-ND	200 MHz Strom-Feedback-Verst., NL	200MHz LP Current Feedback Amp	16-QSOP	3.17	2.42	1.85
EL5362IS	EL5362IS-ND	400 MHz Strom-Feedback-Verst., NL	400MHz LP Current Feedback Amp	16-SOIC	4.34	3.30	2.52
EL5362IU	EL5362IU-ND	400 MHz Strom-Feedback-Verst., NL	400MHz LP Current Feedback Amp	16-QSOP	4.34	3.30	2.52
EL5364IS	EL5364IS-ND	600 MHz Strom-Feedback-Verstärker	600MHz Current Feedback Amp	16-SOIC	3.75	2.85	2.18
EL5364IU	EL5364IU-ND	600 MHz Strom-Feedback-Verstärker	600MHz Current Feedback Amp	16-QSOP	3.75	2.85	2.18
EL5370IU	EL5370IU-ND	100 MHz Diff.-Treiber, verdrillte Leitung	100MHz Diff. Twisted-Pair Driver	24-QSOP	3.98	3.03	2.31
EL5371IU	EL5371IU-ND	250 MHz Diff.-Treiber, verdrillte Leitung	250MHz Diff. Twisted-Pair Driver	28-QSOP	3.98	3.03	2.31
EL5372IU	EL5372IU-ND	250 MHz Diff.-Leitungsempfänger	250MHz Diff. Line Receiver	24-QSOP	3.98	3.03	2.31
EL5373IU	EL5373IU-ND	450 MHz Diff.-Treiber, verdrillte Leitung	450MHz Diff. Twisted-Pair Driver	24-QSOP	4.89	3.72	2.84
EL5374IU	EL5374IU-ND	550 MHz Diff.-Treiber, verdrillte Leitung	550MHz Diff. Twisted-Pair Driver	28-QSOP	4.89	3.72	2.84
EL5375IU	EL5375IU-ND	550 MHz Diff.-Leitungsempfänger, dreif.	550MHz Triple Diff. Line Receiver	24-QSOP	4.89	3.72	2.84
EL5410CR	EL5410CR-ND	30 MHz R/R-OpAmp, Eingang/Ausgang	30MHz R/R Input/Output Op Amp	14-TSSOP	3.54	2.69	2.05
EL5410CS	EL5410CS-ND	30 MHz R/R-OpAmp, Eingang/Ausgang	30MHz R/R Input/Output Op Amp	14-SOIC	3.54	2.69	2.05
EL5411IRE	EL5411IRE-ND	60 MHz R/R-OpAmp, Eingang/Ausgang	60MHz R/R Input/Output Op Amp	14-HTSSOP	3.01	2.29	1.75
EL5444CN	EL5444CN-ND	100 MHz einzelversorgter R/R-Verst.	100MHz Single Supply, R/R Amp	14-Dip	3.68	2.80	2.14
EL5444CS	EL5444CS-ND	100 MHz einzelversorgter R/R-Verst.	100MHz Single Supply, R/R Amp	14-SOIC	3.68	2.80	2.14
EL5444CU	EL5444CU-ND	100 MHz einzelversorgter R/R-Verst.	100MHz Single Supply, R/R Amp	16-QSOP	3.68	2.80	2.14
EL5451IS	EL5451IS-ND	200 MHz Verst.	200MHz Amp	14-SOIC	4.69	3.71	2.98
EL5455IS	EL5455IS-ND	300 MHz Spannungsmodus-Feedback-Verst.	300MHz Volt. Mode Feedback Amp	14-SOIC	5.21	4.12	3.30
EL8100IS	EL8100IS-ND	200 MHz R/R-Verst.	200MHz R/R Amp	8-SOIC	2.15	1.60	1.19
EL8100IW-T7	EL8100IW-T7CT-ND	200 MHz R/R-Verst.	200MHz R/R Amp	SOT-23-6	2.15	1.60	1.19
EL8100IW-T7	EL8100IW-T7TR-ND	200 MHz R/R-Verst.	200MHz R/R Amp	SOT-23-6		2603.30/3,000	
EL8101IW-T7	EL8101IW-T7CT-ND	200 MHz R/R-Verst.	200MHz R/R Amp	SOT-23-5	2.36	1.76	1.30
EL8101IW-T7	EL8101IW-T7TR-ND	200 MHz R/R-Verst.	200MHz R/R Amp	SOT-23-5		2857.28/3,000	
EL8102IS	EL8102IS-ND	500 MHz R/R-Verst.	500MHz R/R Amp	8-SOIC	2.65	2.02	1.54
EL8102IW-T7	EL8102IW-T7CT-ND	500 MHz R/R-Verst.	500MHz R/R Amp	SOT-23-6	2.65	2.02	1.54
EL8102IW-T7	EL8102IW-T7TR-ND	500 MHz R/R-Verst.	500MHz R/R Amp	SOT-23-6		3969.71/3,000	
EL8103IW-T7	EL8103IW-T7CT-ND	500 MHz R/R-Verst.	500MHz R/R Amp	SOT-23-5	2.65	2.02	1.54
EL8103IW-T7	EL8103IW-T7TR-ND	500 MHz R/R-Verst.	500MHz R/R Amp	SOT-23-5		3969.71/3,000	
EL8200IY	EL8200IY-ND	200 MHz R/R-Verst.	200MHz R/R Amp	10-MSOP	2.50	1.90	1.45
EL8201IS	EL8201IS-ND	200 MHz R/R-Verst.	200MHz R/R Amp	8-SOIC	2.50	1.90	1.45
EL8202IY	EL8202IY-ND	500 MHz R/R-Verst.	500MHz R/R Amp	10-MSOP	4.98	3.79	2.89
EL8203IS	EL8203IS-ND	500 MHz R/R-Verst.	500MHz R/R Amp	8-SOIC	4.98	3.79	2.89
EL8203IY	EL8203IY-ND	500 MHz R/R-Verst.	500MHz R/R Amp	10-MSOP	4.98	3.79	2.89
EL8300IS	EL8300IS-ND	200 MHz R/R-Verst.	200MHz R/R Amp	16-SOIC	3.30	2.51	1.92
EL8300IU	EL8300IU-ND	200 MHz R/R-Verst.	200MHz R/R Amp	16-QSOP	3.30	2.51	1.92
EL8302IS	EL8302IS-ND	500 MHz R/R-Verst.	500MHz R/R Amp	16-SOIC	5.58	4.42	3.54
EL8302IU	EL8302IU-ND	500 MHz R/R-Verst.	500MHz R/R Amp	16-QSOP	5.58	4.42	3.54
EL8401IS	EL8401IS-ND	200 MHz R/R-Verst.	200MHz R/R Amp	14-SOIC	6.97	5.51	4.42
EL8401IU	EL8401IU-ND	200 MHz R/R-Verst.	200MHz R/R Amp	16-QSOP	6.97	5.51	4.42
EL8403IS	EL8403IS-ND	500 MHz R/R-Verst.	500MHz R/R Amp	14-SOIC	6.97	5.51	4.42
EL8403IU	EL8403IU-ND	500 MHz R/R-Verst.	500MHz R/R Amp	16-QSOP	6.97	5.51	4.42

★ *RUFEN SIE BITTE AN FÜR NIEDRIGERE PREISE BEI GRÖSSEREN MENGEN!* ★

B

Intersil Teilenr.	Digi-Key Teilenr.	Beschreibung		Paket	Stückpreis★ 1	25	100
X4043P	X4043P-ND	CPU-Wächter mit WDT, 4K I²C EE, 4,25-4,5 V Reset Low	4.25-4.5V CPU Supervisor with WDT, 4K I²C EE, Reset Low	8-Dip	4.26	2.98	2.58
X4043PI	X4043PI-ND	CPU-Wächter mit WDT, 4K I²C EE, 4,25-4,5 V Reset Low	4.25-4.5V CPU Supervisor with WDT, 4K I²C EE, Reset Low	8-Dip	4.40	3.08	2.67
X4043S8	X4043S8-ND	CPU-Wächter mit WDT, 4K I²C EE, 4,25-4,5 V Reset Low	4.25-4.5V CPU Supervisor with WDT, 4K I²C EE, Reset Low	8-SOIC	3.44	2.41	2.09
X4043S8I	X4043S8I-ND	CPU-Wächter mit WDT, 4K I²C EE, 4,25-4,5 V Reset Low	4.25-4.5V CPU Supervisor with WDT, 4K I²C EE, Reset Low	8-SOIC	3.56	2.49	2.16
X4043M8	X4043M8-ND	CPU-Wächter mit WDT, 4K I²C EE, 4,25-4,5 V Reset Low	4.25-4.5V CPU Supervisor with WDT, 4K I²C EE, Reset Low	8-MSOP	4.26	2.98	2.58
X4043M8I	X4043M8I-ND	CPU-Wächter mit WDT, 4K I²C EE, 4,25-4,5 V Reset Low	4.25-4.5V CPU Supervisor with WDT, 4K I²C EE, Reset Low	8-MSOP	4.40	3.08	2.67
X4043S8-4.5A	X4043S8-4.5A-ND	CPU-Wächter mit WDT, 4 K I²C EE, 4,5-4,75 V Reset Low	4.5-4.75V CPU Supervisor with WDT, 4K I²C EE, Reset Low	8-SOIC	3.44	2.41	2.09
X4043S8I-4.5A	X4043S8I-4.5A-ND	CPU-Wächter mit WDT, 4 K I²C EE, 4,5-4,75 V Reset Low	4.5-4.75V CPU Supervisor with WDT,4K I²C EE, Reset Low	8-SOIC	3.56	2.49	2.16
X4043M8-4.5A	X4043M8-4.5A-ND	CPU-Wächter mit WDT, 4 K I²C EE, 4,5-4,75 V Reset Low	4.5-4.75V CPU Supervisor with WDT,4K I²C EE, Reset Low	8-MSOP	4.26	2.98	2.58
X4043M8I-4.5A	X4043M8I-4.5A-ND	CPU-Wächter mit WDT, 4 K I²C EE, 4,5-4,75 V Reset Low	4.5-4.75V CPU Supervisor with WDT,4K I²C EE, Reset Low	8-MSOP	4.40	3.08	2.67
X4043S8-2.7A	X4043S8-2.7A-ND	CPU-Wächter mit WDT, 4 K I²C EE, 2,85-3,0 V Reset Low	2.85-3.0V CPU Supervisor with WDT,4K I²C EE, Reset Low	8-SOIC	3.44	2.41	2.09
X4043S8I-2.7A	X4043S8I-2.7A-ND	CPU-Wächter mit WDT, 4 K I²C EE, 2,85-3,0 V Reset Low	2.85-3.0V CPU Supervisor with WDT,4K I²C EE, Reset Low	8-SOIC	3.56	2.49	2.16
X4043M8-2.7A	X4043M8-2.7A-ND	CPU-Wächter mit WDT, 4 K I²C EE, 2,85-3,0 V Reset Low	2.85-3.0V CPU Supervisor with WDT,4K I²C EE, Reset Low	8-MSOP	4.26	2.98	2.58
X4043M8I-2.7A	X4043M8I-2.7A-ND	CPU-Wächter mit WDT, 4 K I²C EE, 2,85-3,0 V Reset Low	2.85-3.0V CPU Supervisor with WDT,4K I²C EE, Reset Low	8-MSOP	4.40	3.08	2.67
X4043P-2.7	X4043P-2.7-ND	CPU-Wächter mit WDT, 4 K I²C EE, 2,55-2,7 V Reset Low	2.55-2.7V CPU Supervisor with WDT,4K I²C EE, Reset Low	8-Dip	4.26	2.98	2.58
X4043PI-2.7	X4043PI-2.7-ND	CPU-Wächter mit WDT, 4 K I²C EE, 2,55-2,7 V Reset Low	2.55-2.7V CPU Supervisor with WDT,4K I²C EE, Reset Low	8-Dip	4.40	3.08	2.67
X4043S8-2.7	X4043S8-2.7-ND	CPU-Wächter mit WDT, 4 K I²C EE, 2,55-2,7 V Reset Low	2.55-2.7V CPU Supervisor with WDT,4K I²C EE, Reset Low	8-SOIC	3.44	2.41	2.09
X4043S8I-2.7	X4043S8I-2.7-ND	CPU-Wächter mit WDT, 4 K I²C EE, 2,55-2,7 V Reset Low	2.55-2.7V CPU Supervisor with WDT, 4K I²C EE, Reset Low	8-SOIC	3.56	2.49	2.16
X4043M8-2.7	X4043M8-2.7-ND	CPU-Wächter mit WDT, 4 K I²C EE, 2,55-2,7 V Reset Low	2.55-2.7V CPU Supervisor with WDT, 4K I²C EE, Reset Low	8-MSOP	4.26	2.98	2.58
X4043M8I-2.7	X4043M8I-2.7-ND	CPU-Wächter mit WDT, 4 K I²C EE, 2,55-2,7 V Reset Low	2.55-2.7V CPU Supervisor with WDT, 4K I²C EE, Reset Low	8-MSOP	4.40	3.08	2.67
X4045P	X4045P-ND	CPU-Wächter mit WDT, 4K I²C EE, 4,25-4,5 V Reset High	4.25-4.5V CPU Supervisor with WDT, 4K I²C EE, Reset High	8-Dip	4.26	2.98	2.58
X4045PI	X4045PI-ND	CPU-Wächter mit WDT, 4K I²C EE, 4,25-4,5 V Reset High	4.25-4.5V CPU Supervisor with WDT, 4K I²C EE, Reset High	8-Dip	4.40	3.08	2.67
X4045S8	X4045S8-ND	CPU-Wächter mit WDT, 4K I²C EE, 4,25-4,5 V Reset High	4.25-4.5V CPU Supervisor with WDT, 4K I²C EE, Reset High	8-SOIC	3.44	2.41	2.09
X4045S8I	X4045S8I-ND	CPU-Wächter mit WDT, 4K I²C EE, 4,25-4,5 V Reset High	4.25-4.5V CPU Supervisor with WDT, 4K I²C EE, Reset High	8-SOIC	3.56	2.49	2.16
X4045M8	X4045M8-ND	CPU-Wächter mit WDT, 4K I²C EE, 4,25-4,5 V Reset High	4.25-4.5V CPU Supervisor with WDT, 4K I²C EE, Reset High	8-MSOP	4.26	2.98	2.58
X4045M8I	X4045M8I-ND	CPU-Wächter mit WDT, 4K I²C EE, 4,25-4,5 V Reset High	4.25-4.5V CPU Supervisor with WDT, 4K I²C EE, Reset High	8-MSOP	4.40	3.08	2.67
X4045S8-4.5A	X4045S8-4.5A-ND	CPU-Wächter mit WDT, 4 K I²C EE, 4,5-4,75 V Reset High	4.5-4.75V CPU Supervisor with WDT, 4K I²C EE, Reset High	8-SOIC	3.44	2.41	2.09
X4045S8I-4.5A	X4045S8I-4.5A-ND	CPU-Wächter mit WDT, 4 K I²C EE, 4,5-4,75 V Reset High	4.5-4.75V CPU Supervisor with WDT, 4K I²C EE, Reset High	8-SOIC	3.56	2.49	2.16
X4045M8I-4.5A	X4045M8I-4.5A-ND	CPU-Wächter mit WDT, 4 K I²C EE, 4,5-4,75 V Reset High	4.5-4.75V CPU Supervisor with WDT, 4K I²C EE, Reset High	8-MSOP	4.40	3.08	2.67
X4045S8-2.7A	X4045S8-2.7A-ND	CPU-Wächter mit WDT, 4 K I²C EE, 2,85-3,0 V Reset High	2.85-3.0V CPU Supervisor with WDT, 4K I²C EE, Reset High	8-SOIC	3.44	2.41	2.09
X4045S8I-2.7A	X4045S8I-2.7A-ND	CPU-Wächter mit WDT, 4 K I²C EE, 2,85-3,0 V Reset High	2.85-3.0V CPU Supervisor with WDT, 4K I²C EE, Reset High	8-SOIC	3.56	2.49	2.16
X4045M8I-2.7A	X4045M8I-2.7A-ND	CPU-Wächter mit WDT, 4 K I²C EE, 2,85-3,0 V Reset High	2.85-3.0V CPU Supervisor with WDT, 4K I²C EE, Reset High	8-MSOP	4.40	3.08	2.67
X4045P-2.7	X4045P-2.7-ND	CPU-Wächter mit WDT, 4K I²C EE, 2,55-2,7 V Reset High	2.55-2.7V CPU Supervisor with WDT, 4K I²C EE, Reset High	8-Dip	4.26	2.98	2.58
X4045PI-2.7	X4045PI-2.7-ND	CPU-Wächter mit WDT, 4K I²C EE, 2,55-2,7 V Reset High	2.55-2.7V CPU Supervisor with WDT, 4K I²C EE, Reset High	8-Dip	4.40	3.08	2.67
X4045S8-2.7	X4045S8-2.7-ND	CPU-Wächter mit WDT, 4K I²C EE, 2,55-2,7 V Reset High	2.55-2.7V CPU Supervisor with WDT, 4K I²C EE, Reset High	8-SOIC	3.44	2.41	2.09
X4045S8I-2.7	X4045S8I-2.7-ND	CPU-Wächter mit WDT, 4K I²C EE, 2,55-2,7 V Reset High	2.55-2.7V CPU Supervisor with WDT, 4K I²C EE, Reset High	8-SOIC	3.56	2.49	2.16
X4045M8-2.7	X4045M8-2.7-ND	CPU-Wächter mit WDT, 4K I²C EE, 2,55-2,7 V Reset High	2.55-2.7V CPU Supervisor with WDT, 4K I²C EE, Reset High	8-MSOP	4.26	2.98	2.58
X4045M8I-2.7	X4045M8I-2.7-ND	CPU-Wächter mit WDT, 4K I²C EE, 2,55-2,7 V Reset High	2.55-2.7V CPU Supervisor with WDT, 4K I²C EE, Reset High	8-MSOP	4.40	3.08	2.67
X4163S8	X4163S8-ND	CPU-Wächter mit WDT, 16 K I²C EE, 4,25-4,5 V Reset Low	4.25-4.5V CPU Supervisor with WDT, 16K I²C EE, Reset Low	8-SOIC	3.33	2.33	2.02
X4163S8I	X4163S8I-ND	CPU-Wächter mit WDT, 16 K I²C EE, 4,25-4,5 V Reset Low	4.25-4.5V CPU Supervisor with WDT, 16K I²C EE, Reset Low	8-SOIC	3.66	2.56	2.22
X4165S8	X4165S8-ND	CPU-Wächter mit WDT, 16 K I²C EE, 4,25-4,5 V Reset High	4.25-4.5V CPU Supervisor with WDT, 16K I²C EE, Reset High	8-SOIC	3.33	2.33	2.02
X4165S8I	X4165S8I-ND	CPU-Wächter mit WDT, 16 K I²C EE, 4,25-4,5 V Reset High	4.25-4.5V CPU Supervisor with WDT, 16K I²C EE, Reset High	8-SOIC	3.66	2.56	2.22
X4283S8	X4283S8-ND	CPU-Wächter mit WDT, 128K I²C EE, 4,25-4,5 V Reset Low	4.25-4.5V CPU Supervisor with WDT, 128K I²C EE, Reset Low	8-SOIC	4.86	3.40	2.94
X4283S8I	X4283S8I-ND	CPU-Wächter mit WDT, 128K I²C EE, 4,25-4,5 V Reset Low	4.25-4.5V CPU Supervisor with WDT, 128K I²C EE, Reset Low	8-SOIC	5.19	3.62	3.14
X4283V8	X4283V8-ND	CPU-Wächter mit WDT, 128K I²C EE, 4,25-4,5 V Reset Low	4.25-4.5V CPU Supervisor with WDT, 128K I²C EE, Reset Low	8-TSSOP	5.35	3.74	3.24
X4283V8I	X4283V8I-ND	CPU-Wächter mit WDT, 128K I²C EE, 4,25-4,5 V Reset Low	4.25-4.5V CPU Supervisor with WDT, 128K I²C EE, Reset Low	8-TSSOP	5.73	4.01	3.47
X4283S8-2.7	X4283S8-2.7-ND	CPU-Wächter mit WDT, 128K I²C EE, 2,55-2,7 V Reset Low	2.55-2.7V CPU Supervisor with WDT, 128K I²C EE, Reset Low	8-SOIC	4.86	3.40	2.94
X4283S8I-2.7	X4283S8I-2.7-ND	CPU-Wächter mit WDT, 128K I²C EE, 2,55-2,7 V Reset Low	2.55-2.7V CPU Supervisor with WDT, 128K I²C EE, Reset Low	8-SOIC	5.19	3.62	3.14
X4283V8-2.7	X4283V8-2.7-ND	CPU-Wächter mit WDT, 128K I²C EE, 2,55-2,7 V Reset Low	2.55-2.7V CPU Supervisor with WDT, 128K I²C EE, Reset Low	8-TSSOP	5.35	3.74	3.24
X4285S8	X4285S8-ND	CPU-Wächter mit WDT, 128K I²C EE, 4,25-4,5 V Reset High	4.25-4.5V CPU Supervisor with WDT, 128K I²C EE, Reset High	8-SOIC	4.86	3.40	2.94
X4285S8I	X4285S8I-ND	CPU-Wächter mit WDT, 128K I²C EE, 4,25-4,5 V Reset High	4.25-4.5V CPU Supervisor with WDT, 128K I²C EE, Reset High	8-SOIC	5.19	3.62	3.14
X4285V8	X4285V8-ND	CPU-Wächter mit WDT, 128K I²C EE, 4,25-4,5 V Reset High	4.25-4.5V CPU Supervisor with WDT, 128K I²C EE, Reset High	8-TSSOP	5.35	3.74	3.24
X4285V8I	X4285V8I-ND	CPU-Wächter mit WDT, 128K I²C EE, 4,25-4,5 V Reset High	4.25-4.5V CPU Supervisor with WDT, 128K I²C EE, Reset High	8-TSSOP	5.73	4.01	3.47
X4285S8-2.7	X4285S8-2.7-ND	CPU-Wächter mit WDT, 128K I²C EE, 2,55-2,7 V Reset High	2.55-2.7V CPU Supervisor with WDT, 128K I²C EE, Reset High	8-SOIC	4.86	3.40	2.94
X4285S8I-2.7	X4285S8I-2.7-ND	CPU-Wächter mit WDT, 128K I²C EE, 2,55-2,7 V Reset High	2.55-2.7V CPU Supervisor with WDT, 128K I²C EE, Reset High	8-SOIC	5.19	3.62	3.14
X4285V8-2.7	X4285V8-2.7-ND	CPU-Wächter mit WDT, 128K I²C EE, 2,55-2,7 V Reset High	2.55-2.7V CPU Supervisor with WDT, 128K I²C EE, Reset High	8-TSSOP	5.35	3.74	3.24
X4285V8I-2.7	X4285V8I-2.7-ND	CPU-Wächter mit WDT, 128K I²C EE, 2,55-2,7 V Reset High	2.55-2.7V CPU Supervisor with WDT, 128K I²C EE, Reset High	8-TSSOP	5.73	4.01	3.47
X4323S8	X4323S8-ND	CPU-Wächter mit WDT, 32 K I²C EE, 4,25-4,5 V Reset Low	4.25-4.5V CPU Supervisor with WDT, 32K I²C EE, Reset Low	8-SOIC	3.84	2.68	2.33
X4323S8I	X4323S8I-ND	CPU-Wächter mit WDT, 32 K I²C EE, 4,25-4,5 V Reset Low	4.25-4.5V CPU Supervisor with WDT, 32K I²C EE, Reset Low	8-SOIC	4.17	2.91	2.53
X4323S8-2.7	X4323S8-2.7-ND	CPU-Wächter mit WDT, 32 K I²C EE, 2,55-2,7 V Reset Low	2.55-2.7V CPU Supervisor with WDT, 32K I²C EE, Reset Low	8-SOIC	3.84	2.68	2.33
X4323S8I-2.7	X4323S8I-2.7-ND	CPU-Wächter mit WDT, 32 K I²C EE, 2,55-2,7 V Reset Low	2.55-2.7V CPU Supervisor with WDT, 32K I²C EE, Reset Low	8-SOIC	4.17	2.91	2.53
X4643S8	X4643S8-ND	CPU-Wächter mit WDT, 64 K I²C EE, 4,25-4,5 V Reset Low	4.25-4.5V CPU Supervisor with WDT, 64K I²C EE, Reset Low	8-SOIC	4.35	3.04	2.64
X4643S8I	X4643S8I-ND	CPU-Wächter mit WDT, 64 K I²C EE, 4,25-4,5 V Reset Low	4.25-4.5V CPU Supervisor with WDT, 64K I²C EE, Reset Low	8-SOIC	4.68	3.27	2.83
X4643S8-2.7	X4643S8-2.7-ND	CPU-Wächter mit WDT, 64 K I²C EE, 2,55-2,7 V Reset Low	2.55-2.7V CPU Supervisor with WDT, 64K I²C EE, Reset Low	8-SOIC	4.35	3.04	2.64
X4643S8I-2.7	X4643S8I-2.7-ND	CPU-Wächter mit WDT, 64 K I²C EE, 2,55-2,7 V Reset Low	2.55-2.7V CPU Supervisor with WDT, 64K I²C EE, Reset Low	8-SOIC	4.68	3.27	2.83
X4645S8	X4645S8-ND	CPU-Wächter mit WDT, 64 K I²C EE, 4,25-4,5 V Reset High	4.25-4.5V CPU Supervisor with WDT, 64K I²C EE, Reset High	8-SOIC	4.35	3.04	2.64
X4645S8I	X4645S8I-ND	CPU-Wächter mit WDT, 64 K I²C EE, 4,25-4,5 V Reset High	4.25-4.5V CPU Supervisor with WDT, 64K I²C EE, Reset High	8-SOIC	4.68	3.27	2.83
X4645S8-2.7	X4645S8-2.7-ND	CPU-Wächter mit WDT, 64 K I²C EE, 2,55-2,7 V Reset High	2.55-2.7V CPU Supervisor with WDT, 64K I²C EE, Reset High	8-SOIC	4.35	3.04	2.64
X4645S8I-2.7	X4645S8I-2.7-ND	CPU-Wächter mit WDT, 64 K I²C EE, 2,55-2,7 V Reset High	2.55-2.7V CPU Supervisor with WDT, 64K I²C EE, Reset High	8-SOIC	4.68	3.27	2.83
X5001S8	X5001S8-ND	CPU-Wächter mit WDT, 4,25-4,5 V Reset Low	4.25-4.5V CPU Supervisor with WDT, Reset Low	8-SOIC	2.69	1.88	1.63
X5001S8I	X5001S8I-ND	CPU-Wächter mit WDT, 4,25-4,5 V Reset Low	4.25-4.5V CPU Supervisor with WDT, Reset Low	8-SOIC	2.91	2.04	1.77
X5001S8-2.7	X5001S8-2.7-ND	CPU-Wächter mit WDT, 2,55-2,7 V Reset Low	2.55-2.7V CPU Supervisor with WDT, Reset Low	8-SOIC	2.69	1.88	1.63
X5043P	X5043P-ND	CPU-Wächter mit WDT, 4 K SPI EE, 4,25-4,5 V Reset Low	4.25-4.5V CPU Supervisor with WDT, 4K SPI EE, Reset Low	8-Dip	3.44	2.41	2.09
X5043PI	X5043PI-ND	CPU-Wächter mit WDT, 4 K SPI EE, 4,25-4,5 V Reset Low	4.25-4.5V CPU Supervisor with WDT, 4K SPI EE, Reset Low	8-Dip	3.56	2.49	2.16
X5043S8	X5043S8-ND	CPU-Wächter mit WDT, 4 K SPI EE, 4,25-4,5 V Reset Low	4.25-4.5V CPU Supervisor with WDT, 4K SPI EE, Reset Low	8-SOIC	3.44	2.41	2.09
X5043S8I	X5043S8I-ND	CPU-Wächter mit WDT, 4 K SPI EE, 4,25-4,5 V Reset Low	4.25-4.5V CPU Supervisor with WDT, 4K SPI EE, Reset Low	8-SOIC	3.56	2.49	2.16
X5043M8	X5043M8-ND	CPU-Wächter mit WDT, 4 K SPI EE, 4,25-4,5 V Reset Low	4.25-4.5V CPU Supervisor with WDT, 4K SPI EE, Reset Low	8-MSOP	4.26	2.98	2.58
X5043M8I	X5043M8I-ND	CPU-Wächter mit WDT, 4 K SPI EE, 4,25-4,5 V Reset Low	4.25-4.5V CPU Supervisor with WDT, 4K SPI EE, Reset Low	8-MSOP	4.40	3.08	2.67
X5043V14I	X5043V14I-ND	CPU-Wächter mit WDT, 4 K SPI EE, 4,25-4,5 V Reset Low	4.25-4.5V CPU Supervisor with WDT, 4K SPI EE, Reset Low	14-TSSOP	4.40	3.08	2.67
X5043S8-4.5A	X5043S8-4.5A-ND	CPU-Wächter mit WDT, 4 K SPI EE, 4,5-4,75 V Reset Low	4.5-4.75V CPU Supervisor with WDT, 4K SPI EE, Reset Low	8-SOIC	3.44	2.41	2.09
X5043S8I-4.5A	X5043S8I-4.5A-ND	CPU-Wächter mit WDT, 4 K SPI EE, 4,5-4,75 V Reset Low	4.5-4.75V CPU Supervisor with WDT, 4K SPI EE, Reset Low	8-SOIC	3.56	2.49	2.16
X5043M8-4.5A	X5043M8-4.5A-ND	CPU-Wächter mit WDT, 4 K SPI EE, 4,5-4,75 V Reset Low	4.5-4.75V CPU Supervisor with WDT, 4K SPI EE, Reset Low	8-MSOP	4.26	2.98	2.58
X5043M8I-4.5A	X5043M8I-4.5A-ND	CPU-Wächter mit WDT, 4 K SPI EE, 4,5-4,75 V Reset Low	4.5-4.75V CPU Supervisor with WDT, 4K SPI EE, Reset Low	8-MSOP	4.40	3.08	2.67
X5043S8-2.7A	X5043S8-2.7A-ND	CPU-Wächter mit WDT, 4 K SPI EE, 2,85-3,0 V Reset Low	2.85-3.0V CPU Supervisor with WDT, 4K SPI EE, Reset Low	8-SOIC	3.44	2.41	2.09
X5043S8I-2.7A	X5043S8I-2.7A-ND	CPU-Wächter mit WDT, 4 K SPI EE, 2,85-3,0 V Reset Low	2.85-3.0V CPU Supervisor with WDT, 4K SPI EE, Reset Low	8-SOIC	3.56	2.49	2.16
X5043M8-2.7A	X5043M8-2.7A-ND	CPU-Wächter mit WDT, 4 K SPI EE, 2,85-3,0 V Reset Low	2.85-3.0V CPU Supervisor with WDT, 4K SPI EE, Reset Low	8-MSOP	4.26	2.98	2.58
X5043M8I-2.7A	X5043M8I-2.7A-ND	CPU-Wächter mit WDT, 4 K SPI EE, 2,85-3,0 V Reset Low	2.85-3.0V CPU Supervisor with WDT, 4K SPI EE, Reset Low	8-MSOP	4.40	3.08	2.67
X5043P-2.7	X5043P-2.7-ND	CPU-Wächter mit WDT, 4 K SPI EE, 2,55-2,7 V Reset Low	2.55-2.7V CPU Supervisor with WDT, 4K SPI EE, Reset Low	8-Dip	3.44	2.41	2.09
X5043PI-2.7	X5043PI-2.7-ND	CPU-Wächter mit WDT, 4 K SPI EE, 2,55-2,7 V Reset Low	2.55-2.7V CPU Supervisor with WDT, 4K SPI EE, Reset Low	8-Dip	3.56	2.49	2.16
X5043S8-2.7	X5043S8-2.7-ND	CPU-Wächter mit WDT, 4 K SPI EE, 2,55-2,7 V Reset Low	2.55-2.7V CPU Supervisor with WDT, 4K SPI EE, Reset Low	8-SOIC	3.44	2.41	2.09
X5043S8I-2.7	X5043S8I-2.7-ND	CPU-Wächter mit WDT, 4 K SPI EE, 2,55-2,7 V Reset Low	2.55-2.7V CPU Supervisor with WDT, 4K SPI EE, Reset Low	8-SOIC	3.56	2.49	2.16
X5043M8-2.7	X5043M8-2.7-ND	CPU-Wächter mit WDT, 4 K SPI EE, 2,55-2,7 V Reset Low	2.55-2.7V CPU Supervisor with WDT, 4K SPI EE, Reset Low	8-MSOP	4.26	2.98	2.58
X5043M8I-2.7	X5043M8I-2.7-ND	CPU-Wächter mit WDT, 4 K SPI EE, 2,55-2,7 V Reset Low	2.55-2.7V CPU Supervisor with WDT, 4K SPI EE, Reset Low	8-MSOP	4.40	3.08	2.67
X5043V14I-2.7	X5043V14I-2.7-ND	CPU-Wächter mit WDT, 4 K SPI EE, 2,55-2,7 V Reset Low	2.55-2.7V CPU Supervisor with WDT, 4K SPI EE, Reset Low	14-TSSOP	4.40	3.08	2.67
X5045P	X5045P-ND	CPU-Wächter mit WDT, 4 K SPI EE, 4,25-4,5 V Reset High	4.25-4.5V CPU Supervisor with WDT, 4K SPI EE, Reset High	8-Dip	3.44	2.41	2.09
X5045PI	X5045PI-ND	CPU-Wächter mit WDT, 4 K SPI EE, 4,25-4,5 V Reset High	4.25-4.5V CPU Supervisor with WDT, 4K SPI EE, Reset High	8-Dip	3.56	2.49	2.16
X5045S8	X5045S8-ND	CPU-Wächter mit WDT, 4 K SPI EE, 4,25-4,5 V Reset High	4.25-4.5V CPU Supervisor with WDT, 4K SPI EE, Reset High	8-SOIC	3.44	2.41	2.09
X5045S8I	X5045S8I-ND	CPU-Wächter mit WDT, 4 K SPI EE, 4,25-4,5 V Reset High	4.25-4.5V CPU Supervisor with WDT, 4K SPI EE, Reset High	8-SOIC	3.56	2.49	2.16
X5045M8	X5045M8-ND	CPU-Wächter mit WDT, 4 K SPI EE, 4,25-4,5 V Reset High	4.25-4.5V CPU Supervisor with WDT, 4K SPI EE, Reset High	8-MSOP	4.26	2.98	2.58
X5045M8I	X5045M8I-ND	CPU-Wächter mit WDT, 4 K SPI EE, 4,25-4,5 V Reset High	4.25-4.5V CPU Supervisor with WDT, 4K SPI EE, Reset High	8-MSOP	4.40	3.08	2.67
X5045PI-4.5A	X5045PI-4.5A-ND	CPU-Wächter mit WDT, 4 K SPI EE, 4,5-4,75 V Reset High	4.5-4.75V CPU Supervisor with WDT, 4K SPI EE, Reset High	8-Dip	3.56	2.49	2.16
X5045S8-4.5A	X5045S8-4.5A-ND	CPU-Wächter mit WDT, 4 K SPI EE, 4,5-4,75 V Reset High	4.5-4.75V CPU Supervisor with WDT, 4K SPI EE, Reset High	8-SOIC	3.44	2.41	2.09
X5045PI-2.7A	X5045PI-2.7A-ND	CPU-Wächter mit WDT, 4 K SPI EE, 2,85-3,0 V Reset High	2.85-3.0V CPU Supervisor with WDT, 4K SPI EE, Reset High	8-Dip	3.56	2.49	2.16
X5045S8-2.7A	X5045S8-2.7A-ND	CPU-Wächter mit WDT, 4 K SPI EE, 2,85-3,0 V Reset High	2.85-3.0V CPU Supervisor with WDT, 4K SPI EE, Reset High	8-SOIC	3.44	2.41	2.09
X5045S8I-2.7A	X5045S8I-2.7A-ND	CPU-Wächter mit WDT, 4 K SPI EE, 2,85-3,0 V Reset High	2.85-3.0V CPU Supervisor with WDT, 4K SPI EE, Reset High	8-SOIC	3.56	2.49	2.16

(Forts.)

★ RUFEN SIE BITTE AN FÜR NIEDRIGERE PREISE BEI GRÖSSEREN MENGEN! ★

Intersil Teilenr.	Digi-Key Teilenr.	Beschreibung		Paket	Stückpreis★ 1	25	100
X5045P-2.7	X5045P-2.7-ND	CPU-Wächter mit WDT, 4 K SPI EE, 2,55-2,7 V Reset High	2.55-2.7V CPU Supervisor with WDT, 4K SPI EE, Reset High	8-Dip	3.44	2.41	2.09
X5045PI-2.7	X5045PI-2.7-ND	CPU-Wächter mit WDT, 4 K SPI EE, 2,55-2,7 V Reset High	2.55-2.7V CPU Supervisor with WDT, 4K SPI EE, Reset High	8-Dip	3.56	2.49	2.16
X5045S8-2.7	X5045S8-2.7-ND	CPU-Wächter mit WDT, 4 K SPI EE, 2,55-2,7 V Reset High	2.55-2.7V CPU Supervisor with WDT, 4K SPI EE, Reset High	8-SOIC	3.44	2.41	2.09
X5045S8I-2.7	X5045S8I-2.7-ND	CPU-Wächter mit WDT, 4 K SPI EE, 2,55-2,7 V Reset High	2.55-2.7V CPU Supervisor with WDT, 4K SPI EE, Reset High	8-SOIC	3.56	2.49	2.16
X5045M8-2.7	X5045M8-2.7-ND	CPU-Wächter mit WDT, 4 K SPI EE, 2,55-2,7 V Reset High	2.55-2.7V CPU Supervisor with WDT, 4K SPI EE, Reset High	8-MSOP	4.26	2.98	2.58
X5045M8I-2.7	X5045M8I-2.7-ND	CPU-Wächter mit WDT, 4 K SPI EE, 2,55-2,7 V Reset High	2.55-2.7V CPU Supervisor with WDT, 4K SPI EE, Reset High	8-MSOP	4.40	3.08	2.67
X5083P	X5083P-ND	CPU-Wächter mit WDT, 8 K SPI EE, 4,25-4,5 V Reset Low	4.25-4.5V CPU Supervisor with WDT, 8K SPI EE, Reset Low	8-Dip	3.59	2.51	2.17
X5083S8	X5083S8-ND	CPU-Wächter mit WDT, 8 K SPI EE, 4,25-4,5 V Reset Low	4.25-4.5V CPU Supervisor with WDT, 8K SPI EE, Reset Low	8-SOIC	3.59	2.51	2.17
X5083S8I	X5083S8I-ND	CPU-Wächter mit WDT, 8 K SPI EE, 4,25-4,5 V Reset Low	4.25-4.5V CPU Supervisor with WDT, 8K SPI EE, Reset Low	8-SOIC	3.69	2.58	2.24
X5083S8-2.7	X5083S8-2.7-ND	CPU-Wächter mit WDT, 8 K SPI EE, 2,55-2,7 V Reset Low	2.55-2.7V CPU Supervisor with WDT, 8K SPI EE, Reset Low	8-SOIC	3.59	2.51	2.17
X5083S8I-2.7	X5083S8I-2.7-ND	CPU-Wächter mit WDT, 8 K SPI EE, 2,55-2,7 V Reset Low	2.55-2.7V CPU Supervisor with WDT, 8K SPI EE, Reset Low	8-SOIC	3.69	2.58	2.24
X5163P	X5163P-ND	CPU-Wächter mit WDT, 16 K SPI EE, 4,25-4,5 V Reset Low	4.25-4.5V CPU Supervisor with WDT, 16K SPI EE, Reset Low	8-Dip	3.72	2.60	2.25
X5163S8	X5163S8-ND	CPU-Wächter mit WDT, 16 K SPI EE, 4,25-4,5 V Reset Low	4.25-4.5V CPU Supervisor with WDT, 16K SPI EE, Reset Low	8-SOIC	3.72	2.60	2.25
X5163S8I	X5163S8I-ND	CPU-Wächter mit WDT, 16 K SPI EE, 4,25-4,5 V Reset Low	4.25-4.5V CPU Supervisor with WDT, 16K SPI EE, Reset Low	8-SOIC	3.88	2.71	2.35
X5163S8-2.7	X5163S8-2.7-ND	CPU-Wächter mit WDT, 16 K SPI EE, 2,55-2,7 V Reset Low	2.55-2.7V CPU Supervisor with WDT, 16K SPI EE, Reset Low	8-SOIC	3.72	2.60	2.25
X5163S8I-2.7	X5163S8I-2.7-ND	CPU-Wächter mit WDT, 16 K SPI EE, 2,55-2,7 V Reset Low	2.55-2.7V CPU Supervisor with WDT, 16K SPI EE, Reset Low	8-SOIC	4.15	2.90	2.51
X5165P	X5165P-ND	CPU-Wächter mit WDT, 16 K SPI EE, 4,25-4,5 V Reset High	4.25-4.5V CPU Supervisor with WDT, 16K SPI EE, Reset High	8-Dip	3.72	2.60	2.25
X5165S8	X5165S8-ND	CPU-Wächter mit WDT, 16 K SPI EE, 4,25-4,5 V Reset High	4.25-4.5V CPU Supervisor with WDT, 16K SPI EE, Reset High	8-SOIC	3.72	2.60	2.25
X5165S8I	X5165S8I-ND	CPU-Wächter mit WDT, 16 K SPI EE, 4,25-4,5 V Reset High	4.25-4.5V CPU Supervisor with WDT, 16K SPI EE, Reset High	8-SOIC	3.88	2.71	2.35
X5165S8-2.7	X5165S8-2.7-ND	CPU-Wächter mit WDT, 16 K SPI EE, 2,55-2,7 V Reset High	2.55-2.7V CPU Supervisor with WDT, 16K SPI EE, Reset High	8-SOIC	3.72	2.60	2.25
X5165S8I-2.7	X5165S8I-2.7-ND	CPU-Wächter mit WDT, 16 K SPI EE, 2,55-2,7 V Reset High	2.55-2.7V CPU Supervisor with WDT, 16K SPI EE, Reset High	8-SOIC	4.15	2.90	2.51
X5325P	X5325P-ND	CPU-Wächter mit WDT, 32 K SPI EE, 4,25-4,5 V Reset High	4.25-4.5V CPU Supervisor with WDT, 32K SPI EE, Reset High	8-Dip	4.00	2.80	2.43
X5325PI	X5325PI-ND	CPU-Wächter mit WDT, 32 K SPI EE, 4,25-4,5 V Reset High	4.25-4.5V CPU Supervisor with WDT, 32K SPI EE, Reset High	8-Dip	4.62	3.23	2.80
X5325S8	X5325S8-ND	CPU-Wächter mit WDT, 32 K SPI EE, 4,25-4,5 V Reset High	4.25-4.5V CPU Supervisor with WDT, 32K SPI EE, Reset High	8-SOIC	4.00	2.80	2.43
X5325S8I	X5325S8I-ND	CPU-Wächter mit WDT, 32 K SPI EE, 4,25-4,5 V Reset High	4.25-4.5V CPU Supervisor with WDT, 32K SPI EE, Reset High	8-SOIC	4.15	2.90	2.51
X5325S8-2.7	X5325S8-2.7-ND	CPU-Wächter mit WDT, 32 K SPI EE, 2,55-2,7 V Reset High	2.55-2.7V CPU Supervisor with WDT, 32K SPI EE, Reset High	8-SOIC	4.00	2.80	2.43
X5325S8I-2.7	X5325S8I-2.7-ND	CPU-Wächter mit WDT, 32 K SPI EE, 2,55-2,7 V Reset High	2.55-2.7V CPU Supervisor with WDT, 32K SPI EE, Reset High	8-SOIC	6.22	4.35	3.77
X5643P	X5643P-ND	CPU-Wächter mit WDT, 64 K SPI EE, 4,25-4,5 V Reset Low	4.25-4.5V CPU Supervisor with WDT, 64K SPI EE, Reset Low	8-Dip	4.46	3.12	2.70
X5643S14	X5643S14-ND	CPU-Wächter mit WDT, 64 K SPI EE, 4,25-4,5 V Reset Low	4.25-4.5V CPU Supervisor with WDT, 64K SPI EE, Reset Low	14-SOIC	4.46	3.12	2.70
X5643S14I	X5643S14I-ND	CPU-Wächter mit WDT, 64 K SPI EE, 4,25-4,5 V Reset Low	4.25-4.5V CPU Supervisor with WDT, 64K SPI EE, Reset Low	14-SOIC	4.59	3.20	2.78
X5643S14-2.7	X5643S14-2.7-ND	CPU-Wächter mit WDT, 64 K SPI EE, 2,55-2,7 V Reset Low	2.55-2.7V CPU Supervisor with WDT, 64K SPI EE, Reset Low	14-SOIC	4.46	3.12	2.70
X5643S14I-2.7	X5643S14I-2.7-ND	CPU-Wächter mit WDT, 64 K SPI EE, 2,55-2,7 V Reset Low	2.55-2.7V CPU Supervisor with WDT, 64K SPI EE, Reset Low	14-SOIC	8.30	5.80	5.02
X5645P	X5645P-ND	CPU-Wächter mit WDT, 64 K SPI EE, 4,25-4,5 V Reset High	4.25-4.5V CPU Supervisor with WDT, 64K SPI EE, Reset High	8-Dip	4.46	3.12	2.70
X5645S14	X5645S14-ND	CPU-Wächter mit WDT, 64 K SPI EE, 4,25-4,5 V Reset High	4.25-4.5V CPU Supervisor with WDT, 64K SPI EE, Reset High	14-SOIC	4.46	3.12	2.70
X5645S14-2.7	X5645S14-2.7-ND	CPU-Wächter mit WDT, 64 K SPI EE, 2,55-2,7 V Reset High	2.55-2.7V CPU Supervisor wth WDT, 64K SPI EE, Reset High	14-SOIC	4.46	3.12	2.70

Intersil Teilenr.	Digi-Key Teilenr.	Beschreibung		Paket	Stückpreis★ 1	25	100
CDP68HC68T1E	CDP68HC68T1E-ND	Serielle CMOS-Echtzeituhr	CMOS Serial Real-Time Clock	16-Dip	6.35	5.02	4.02
CDP68HC68T1M	CDP68HC68T1M-ND	Serielle CMOS-Echtzeituhr	CMOS Serial Real-Time Clock	20-SOIC	4.96	3.93	3.15
CDP68HC68T1M2	CDP68HC68T1M2-ND	Serielle CMOS-Echtzeituhr	CMOS Serial Real-Time Clock	16-SOIC	6.35	5.02	4.02
CP82C54	CP82C54-ND	8 MHz, CMOS Prog. Intervall-Timer	8MHz, CMOS Prog. Intervel Timer	24-Dip	4.87	3.70	2.83
CP82C54-10	CP82C54-10-ND	10 MHz, CMOS Prog. Intervall-Timer	10MHz, CMOS Prog. Intervel Timer	24-Dip	4.98	3.94	3.16
CP82C55A	CP82C55A-ND	8 MHz, CMOS Prog. Peripherie-Schnittstelle	8MHz, CMOS Prog. Peripheral Interface	40-Dip	4.51	3.43	2.62
CS82C54	CS82C54-ND	8 MHz, CMOS Prog. Intervall-Timer	8MHz, CMOS Prog. Intervel Timer	28-PLCC	4.62	3.66	2.93
CS82C54-10	CS82C54-10-ND	10 MHz, CMOS Prog. Intervall-Timer	10MHz, CMOS Prog. Intervel Timer	28-PLCC	5.51	4.36	3.50
CS82C55A	CS82C55A-ND	8 MHz, CMOS Prog. Peripherie-Schnittstelle	8MHz, CMOS Prog. Peripheral Interface	44-PLCC	4.55	3.60	2.89
CS82C59A	CS82C59A-ND	8 MHz, CMOS Prioritäts-Unterbrechungs-Controller	8MHz, CMOS Priority Interrupt Controller	28-PLCC	4.73	3.74	3.00

Intersil Teilenr.	Digi-Key Teilenr.	Beschreibung		Paket	Stückpreis★ 1	25	100
		Analog-Digital					
ADC0804LCN	ADC0804LCNIS-ND	8-Bit Mikroprozessor-kompatibler ADU	8-Bit Microprocessor-Compatible ADC	20-Dip	2.54	1.94	1.48
HI1175JCB	HI1175JCB-ND	8-Bit, 20 MSPS Flash-ADU	8-Bit, 20MSPS, Flash ADC	24-SOIC	6.22	4.92	3.95
HI5714/4CB	HI5714/4CB-ND	8-Bit, 40 MSPS ADU	8-Bit, 40MSPS ADC	24-SOIC	8.00	6.33	5.07
HI5746KCA	HI5746KCA-ND	10-Bit, 40 MSPS ADU	10-Bit, 40MSPS ADC	28-SSOP	12.79	11.94	11.09
HI5766KCA	HI5766KCA-ND	10-Bit, 60 MSPS ADU	10-Bit, 60MSPS ADC	28-SSOP	17.47	16.30	15.14
HI5767/2CA	HI5767/2CA-ND	10-Bit, 20 MSPS ADU mit interner Spann.-Ref.	10-Bit, 20MSPS ADC with Internal Volt. Ref.	28-SSOP	6.76	5.35	4.28
HI5767/4CA	HI5767/4CA-ND	10-Bit, 40 MSPS ADU mit interner Spann.-Ref.	10-Bit, 40MSPS ADC with Internal Volt. Ref.	28-SSOP	11.24	9.64	8.55
HI5767/6CA	HI5767/6CA-ND	10-Bit, 60 MSPS ADU mit interner Spann.-Ref.	10-Bit, 60MSPS ADC with Internal Volt. Ref.	28-SSOP	14.49	12.42	11.02
HI5805BIB	HI5805BIB-ND	12-Bit, 5 MSPS ADU	12-Bit, 5MSPS ADC	28-SOIC	14.49	12.42	11.02
ICL7106CPL	ICL7106CPLIS-ND	ADU, 3,5 stellige LCD-Anzeige	3.5 Digit LCD Display ADC	40-Dip	3.81	2.90	2.21
ICL7107CM44	ICL7107CM44-ND	ADU, 3,5 stellige LED-Anzeige	3.5 Digit LED Display ADC	44-MQFP	3.60	2.74	2.09
ICL7107CPL	ICL7107CPLIS-ND	ADU, 3,5 stellige LED-Anzeige	3.5 Digit LED Display ADC	40-Dip	4.02	3.06	2.34
ICL7107SCPL	ICL7107SCPL-ND	ADU, 3,5 stellige LED-Anzeige	3.5 Digit LED Display ADC	40-Dip	4.91	3.88	3.11
ICL7136CM44	ICL7136CM44-ND	ADU, 3,5 stellige LCD-Anzeige, NL	3.5 Digit LCD, LP Display ADC	44-MQFP	4.53	3.45	2.63
ICL7136CPL	ICL7136CPLIS-ND	ADU, 3,5 stellige LCD-Anzeige, NL	3.5 Digit LCD, LP Display ADC	44-Dip	4.69	3.71	2.98
		Digital-Analog					
HI1171JCB	HI1171JCB-ND	8-Bit, 40 MSPS HS DAU	8-Bit, 40MSPS, HS DAC	24-SOIC	5.35	4.24	3.39
HI5660/6IA	HI5660/6IA-ND	8-Bit, 60 MSPS HS DAU	8-Bit, 60MSPS HS DAC	28-TSSOP	5.58	4.42	3.54
HI5660IB	HI5660IB-ND	8-Bit, 125 MSPS HS DAU	8-Bit, 125MSPS HS DAC	28-SOIC	6.26	4.95	3.97
HI5731BIB	HI5731BIB-ND	12-Bit, 100 MSPS HS DAU	12-Bit, 100MSPS HS DAC	28-SOIC	19.10	17.83	16.56
HI5735KCB	HI5735KCB-ND	12-Bit, 80 MSPS HS Video-DAU	12-Bit, 80MSPS, HS Video DAC	28-SOIC	13.78	12.86	11.95
HI5741BIB	HI5741BIB-ND	14-Bit, 100 MSPS HS DAU	14-Bit, 100MSPS, HS DAC	28-SOIC	34.02	31.76	29.49
HI5760/6IB	HI5760/6IB-ND	10-Bit, 60 MSPS HS DAU	10-Bit, 60MSPS HS DAC	28-SOIC	6.26	4.95	3.97
HI5760BIB	HI5760BIB-ND	10-Bit, 125 MSPS HS DAU	10-Bit, 125MSPS HS DAC	28-SOIC	7.97	6.30	5.05
HI5960IB	HI5960IB-ND	14-Bit, 130 MSPS HS DAU	14-Bit, 130MSPS HS DAC	28-SOIC	9.88	8.48	7.52
ISL5727IN	ISL5727IN-ND	Zweif. 10-Bit, +3,3 V, 260+ MSPS HS DAU	Dual 10-Bit, +3.3V, 260+MSPS, High Speed, DAC	48-LQFP	19.01	17.75	16.48
ISL5757IA	ISL5757IA-ND	10-Bit, +3,3 V, 260+ MSPS HS DAU	10-Bit, +3.3V, 260+MSPS, HS DAC	28-TSSOP	—	—	6.13
ISL5761/2IB	ISL5761/2IB-ND	10-Bit, +3,3 V, 210+ MSPS HS DAU	10-Bit, +3.3V, 210+MSPS, HS DAC	28-SOIC	8.31	6.57	5.26
ISL5761IB	ISL5761IB-ND	10-Bit, +3,3 V, 130+ MSPS HS DAU	10-Bit, +3.3V, 130+MSPS, HS DAC	28-SOIC	8.03	6.36	5.09
ISL5827IN	ISL5827IN-ND	Zweif. 12-Bit, +3,3 V, 260+ MSPS HS DAU	Dual 12-Bit, +3.3V, 260+MSPS, High Speed, DAC	48-LQFP	22.17	20.70	19.22
ISL5857IA	ISL5857IA-ND	12-Bit, +3,3 V, 260+ MSPS HS DAU	12-Bit, +3.3V, 260+MSPS, HS DAC	28-TSSOP	—	—	12.82
ISL5861/2IA	ISL5861/2IA-ND	12-Bit, +3,3 V, 210+ MSPS HS DAU	12-Bit, +3.3V, 210+MSPS, HS DAC	28-TSSOP	11.50	9.86	8.74
ISL5861IA	ISL5861IA-ND	12-Bit, +3,3 V, 130+ MSPS HS DAU	12-Bit, +3.3V, 130+MSPS, HS DAC	28-TSSOP	9.88	8.48	7.52
ISL5927IN	ISL5927IN-ND	Zweif. 14-Bit, +3,3 V, 260+ MSPS HS DAU	Dual 14-Bit, +3.3V, 260+MSPS, High Speed, DAC	48-LQFP	25.35	23.66	21.97
ISL5957IA	ISL5957IA-ND	14-Bit, +3,3 V, 260+ MSPS HS DAU	14-Bit, +3.3V, 260+MSPS, HS DAC	28-TSSOP	16.89	15.77	14.64
ISL5961/2IB	ISL5961/2IB-ND	14-Bit, +3,3 V, 210+ MSPS HS DAU	14-Bit, +3.3V, 210+MSPS, HS DAC	28-SOIC	12.70	11.86	11.01
ISL5961IA	ISL5961IA-ND	14-Bit, +3,3 V, 130+ MSPS HS DAU	14-Bit, +3.3V, 130+MSPS, HS DAC	28-TSSOP	11.29	9.68	8.58
		Spannungs-Inverter					
ICL7660CBA	ICL7660CBA-ND	1,5 V-10 V CMOS-Spannungswandler	1.5V-10V CMOS Voltage Converter	8-SOIC	1.84	1.37	1.01
ICL7660CPA	ICL7660CPA-ND	1,5 V-10 V CMOS-Spannungswandler	1.5V-10V CMOS Voltage Converter	8-Dip	1.76	1.31	.97
ICL7660SCBA	ICL7660SCBA-ND	1,5 V-12 V CMOS-Spannungswandler	1.5V-12V CMOS Voltage Converter	8-SOIC	1.89	1.41	1.04
ICL7660SCPA	ICL7660SCPA-ND	1,5 V-12 V CMOS-Spannungswandler	1.5V-12V CMOS Voltage Converter	8-Dip	1.91	1.43	1.06
ICL7660SIBA	ICL7660SIBA-ND	1,5 V-12 V CMOS-Spannungswandler	1.5V-12V CMOS Voltage Converter	8-SOIC	2.24	1.66	1.23
ICL7662CPA	ICL7662CPA-ND	4,5 V-20 V CMOS-Spannungswandler	4.5V-20V CMOS Voltage Converter	8-Dip	2.26	1.68	1.24

★ RUFEN SIE BITTE AN FÜR NIEDRIGERE PREISE BEI GRÖSSEREN MENGEN! ★

intersil

DCPs FÜR LASERDIODENSTEUERUNG VON LICHTWELLENLEITERMODULEN

Intersil Teilenr.	Digi-Key Teilenr.	Beschreibung		Paket	Stückpreis★ 1	25	100
X9520V20I-A	X9520V20I-A-ND	Dreif. DCP für Laserdiodensteuerung, 2 K I²C EE, POR, 3,3 V-System	Triple DCP for Laser Diode Control, 2K I²C EE, POR, 3.3V System	20-TSSOP	7.64	5.34	4.63
X9520V20I-B	X9520V20I-B-ND	Dreif. DCP für Laserdiodensteuerung, 2 K I²C EE, POR, 5 V-System	Triple DCP for Laser Diode Control, 2K I²C EE, POR, 5V System	20-TSSOP	7.64	5.34	4.63
X9521V20I	X9521V20I-ND	Zweif. DCP für Laserdiodensteuerung, 2 K I²C EE	Dual DCP for Laser Diode Control, 2K I²C EE	20-TSSOP	7.04	5.36	4.10
X9522V20I-A	X9522V20I-A-ND	Dreif. DCP für Laserdiodensteuerung, I²C, 3,3 V System	Triple DCP for Laser Diode Control, I²C, 3.3V System	20-TSSOP	6.60	4.61	4.00
X9522V20I-B	X9522V20I-B-ND	Dreif. DCP für Laserdiodensteuerung, I²C, 5 V System	Triple DCP for Laser Diode Control, I²C, 5V System	20-TSSOP	6.60	4.61	4.00
X9523V20I-A	X9523V20I-A-ND	Zweif. DCP für Laserdiodensteuerung, I²C, POR, 3,3 V System	Dual DCP for Laser Diode Control, I²C, POR, 3.3V System	20-TSSOP	6.17	4.31	3.74
X9523V20I-B	X9523V20I-B-ND	Zweif. DCP für Laserdiodensteuerung, I²C, POR, 5 V System	Dual DCP for Laser Diode Control, I²C, POR, 5V System	20-TSSOP	6.17	4.31	3.74

intersil

DIGITAL GESTEUERTE POTENTIOMETER (XDCP™)

Intersil Teilenr.	Digi-Key Teilenr.	Beschreibung		Paket	Stückpreis★ 1	25	100
X9C102P	X9C102P-ND	Einf. DCP, 1 KΩ, 100-Tap, 3-adrig, auf/ab	Single DCP, 1KΩ, 100 Tap, 3-Wire Up/Down	8-Dip	2.68	1.87	1.62
X9C102S	X9C102S-ND	Einf. DCP, 1 KΩ, 100-Tap, 3-adrig, auf/ab	Single DCP, 1KΩ, 100 Tap, 3-Wire Up/Down	8-SOIC	2.68	1.87	1.62
X9C102SI	X9C102SI-ND	Einf. DCP, 1 KΩ, 100-Tap, 3-adrig, auf/ab	Single DCP, 1KΩ, 100 Tap, 3-Wire Up/Down	8-SOIC	3.33	2.33	2.02
X9C103P	X9C103P-ND	Einf. DCP, 10 KΩ, 100-Tap, 3-adrig, auf/ab	Single DCP, 10KΩ, 100 Tap, 3-Wire Up/Down	8-Dip	2.91	2.04	1.77
X9C103PI	X9C103PI-ND	Einf. DCP, 10 KΩ, 100-Tap, 3-adrig, auf/ab	Single DCP, 10KΩ, 100 Tap, 3-Wire Up/Down	8-Dip	3.64	2.54	2.21
X9C103S	X9C103S-ND	Einf. DCP, 10 KΩ, 100-Tap, 3-adrig, auf/ab	Single DCP, 10KΩ, 100 Tap, 3-Wire Up/Down	8-SOIC	2.91	2.04	1.77
X9C103SI	X9C103SI-ND	Einf. DCP, 10 KΩ, 100-Tap, 3-adrig, auf/ab	Single DCP, 10KΩ, 100 Tap, 3-Wire Up/Down	8-SOIC	3.64	2.54	2.21
X9C104P	X9C104P-ND	Einf. DCP, 100 KΩ, 100-Tap, 3-adrig, auf/ab	Single DCP, 100KΩ, 100 Tap, 3-Wire Up/Down	8-Dip	2.91	2.04	1.77
X9C104PI	X9C104PI-ND	Einf. DCP, 100 KΩ, 100-Tap, 3-adrig, auf/ab	Single DCP, 100KΩ, 100 Tap, 3-Wire Up/Down	8-Dip	3.64	2.54	2.21
X9C104S	X9C104S-ND	Einf. DCP, 100 KΩ, 100-Tap, 3-adrig, auf/ab	Single DCP, 100KΩ, 100 Tap, 3-Wire Up/Down	8-SOIC	2.91	2.04	1.77
X9C104SI	X9C104SI-ND	Einf. DCP, 100 KΩ, 100-Tap, 3-adrig, auf/ab	Single DCP, 100KΩ, 100 Tap, 3-Wire Up/Down	8-SOIC	3.64	2.54	2.21
X9C303P	X9C303P-ND	Einf. DCP, 32 KΩ, 100-Tap, 3-adrig, auf/ab, Log Taper	Single DCP, 32KΩ, 100 Tap, 3-Wire Up/Down, Log Taper	8-Dip	2.68	1.87	1.62
X9C303PI	X9C303PI-ND	Einf. DCP, 32 KΩ, 100-Tap, 3-adrig, auf/ab, Log Taper	Single DCP, 32KΩ, 100 Tap, 3-Wire Up/Down, Log Taper	8-Dip	3.33	2.33	2.02
X9C303S8	X9C303S8-ND	Einf. DCP, 32 KΩ, 100-Tap, 3-adrig, auf/ab, Log Taper	Single DCP, 32KΩ, 100 Tap, 3-Wire Up/Down, Log Taper	8-SOIC	2.68	1.87	1.62
X9C303S8I	X9C303S8I-ND	Einf. DCP, 32 KΩ, 100-Tap, 3-adrig, auf/ab, Log Taper	Single DCP, 32KΩ, 100 Tap, 3-Wire Up/Down, Log Taper	8-SOIC	3.33	2.33	2.02
X9C303V8	X9C303V8-ND	Einf. DCP, 32 KΩ, 100-Tap, 3-adrig, auf/ab, Log Taper	Single DCP, 32KΩ, 100 Tap, 3-Wire Up/Down, Log Taper	8-TSSOP	3.13	2.19	1.90
X9C303V8I	X9C303V8I-ND	Einf. DCP, 32 KΩ, 100-Tap, 3-adrig, auf/ab, Log Taper	Single DCP, 32KΩ, 100 Tap, 3-Wire Up/Down, Log Taper	8-TSSOP	3.91	2.74	2.37
X9C503P	X9C503P-ND	Einf. DCP, 50 KΩ, 100-Tap, 3-adrig, auf/ab	Single DCP, 50KΩ, 100 Tap, 3-Wire Up/Down	8-Dip	2.68	1.87	1.62
X9C503PI	X9C503PI-ND	Einf. DCP, 50 KΩ, 100-Tap, 3-adrig, auf/ab	Single DCP, 50KΩ, 100 Tap, 3-Wire Up/Down	8-Dip	3.33	2.33	2.02
X9C503S	X9C503S-ND	Einf. DCP, 50 KΩ, 100-Tap, 3-adrig, auf/ab	Single DCP, 50KΩ, 100 Tap, 3-Wire Up/Down	8-SOIC	3.33	2.33	2.02
X9C503SI	X9C503SI-ND	Einf. DCP, 50 KΩ, 100-Tap, 3-adrig, auf/ab	Single DCP, 50KΩ, 100 Tap, 3-Wire Up/Down	8-SOIC	3.33	2.33	2.02
X9015US8	X9015US8-ND	Einf. DCP, 5 V, 50 KΩ, 32-Tap, 3-adrig, auf/ab, flüchtig	Single DCP, 5V, 50KΩ, 32 Tap, 3-Wire Up/Down, Volatile	8-SOIC	.60	.42	.37
X9015US8I	X9015US8I-ND	Einf. DCP, 5 V, 50 KΩ, 32-Tap, 3-adrig, auf/ab, flüchtig	Single DCP, 5V, 50KΩ, 32 Tap, 3-Wire Up/Down, Volatile	8-SOIC	.75	.53	.46
X9015UM8	X9015UM8-ND	Einf. DCP, 5 V, 50 KΩ, 32-Tap, 3-adrig, auf/ab, flüchtig	Single DCP, 5V, 50KΩ, 32 Tap, 3-Wire Up/Down, Volatile	8-MSOP	.69	.49	.42
X9015UM8I	X9015UM8I-ND	Einf. DCP, 5 V, 50 KΩ, 32-Tap, 3-adrig, auf/ab, flüchtig	Single DCP, 5V, 50KΩ, 32 Tap, 3-Wire Up/Down, Volatile	8-MSOP	.87	.61	.53
X9015US8-2.7	X9015US8-2.7-ND	Einf. DCP, 2,7 V, 50 KΩ, 32-Tap, 3-adrig, auf/ab, flüchtig	Single DCP, 2.7V, 50KΩ, 32 Tap, 3-Wire Up/Down, Volatile	8-SOIC	.65	.46	.40
X9110TV14	X9110TV14-ND	Einf. DCP, 5 V, 100 KΩ, 1024-Tap, SPI, Doppelversorgung	Single DCP, 5V, 100KΩ, 1024 Tap, SPI, Dual Supply	14-TSSOP	4.94	3.45	2.99
X9110TV14I	X9110TV14I-ND	Einf. DCP, 5 V, 100 KΩ, 1024-Tap, SPI, Doppelversorgung	Single DCP, 5V, 100KΩ, 1024 Tap, SPI, Dual Supply	14-TSSOP	6.17	4.31	3.74
X9111TV14	X9111TV14-ND	Einf. DCP, 5 V, 100 KΩ, 1024-Tap, SPI, Einzelversorgung	Single DCP, 5V, 100KΩ, 1024 Tap, SPI, Single Supply	14-TSSOP	4.94	3.45	2.99
X9111TV14I	X9111TV14I-ND	Einf. DCP, 5 V, 100 KΩ, 1024-Tap, SPI, Einzelversorgung	Single DCP, 5V, 100KΩ, 1024 Tap, SPI, Single Supply	14-TSSOP	6.17	4.31	3.74
X9116WS8	X9116WS8-ND	Einf. DCP, 5 V, 10 KΩ, 16-Tap, 3-adrig, auf/ab	Single DCP, 5V, 10KΩ, 16 Tap, 3-Wire Up/Down	8-SOIC	1.20	.84	.73
X9116WS8I	X9116WS8I-ND	Einf. DCP, 5 V, 10 KΩ, 16-Tap, 3-adrig, auf/ab	Single DCP, 5V, 10KΩ, 16 Tap, 3-Wire Up/Down	8-SOIC	1.49	1.05	.91
X9116WM8	X9116WM8-ND	Einf. DCP, 5 V, 10 KΩ, 16-Tap, 3-adrig, auf/ab	Single DCP, 5V, 10KΩ, 16 Tap, 3-Wire Up/Down	8-MSOP	1.41	.98	.85
X9116WM8I	X9116WM8I-ND	Einf. DCP, 5 V, 10 KΩ, 16-Tap, 3-adrig, auf/ab	Single DCP, 5V, 10KΩ, 16 Tap, 3-Wire Up/Down	8-MSOP	1.77	1.24	1.07
X9116WS8-2.7	X9116WS8-2.7-ND	Einf. DCP, 2,7 V, 10 KΩ, 16-Tap, 3-adrig, auf/ab	Single DCP, 2.7V, 10KΩ, 16 Tap, 3-Wire Up/Down	8-SOIC	1.31	.92	.80
X9116WS8I-2.7	X9116WS8I-2.7-ND	Einf. DCP, 2,7 V, 10 KΩ, 16-Tap, 3-adrig, auf/ab	Single DCP, 2.7V, 10KΩ, 16 Tap, 3-Wire Up/Down	8-SOIC	1.64	1.15	1.00
X9118TV14	X9118TV14-ND	Einf. DCP, 5 V, 100 KΩ, 1024-Tap, I²C, Doppelversorgung	Single DCP, 5V, 100KΩ, 1024 Tap, I²C, Dual Supply	14-TSSOP	4.94	3.45	2.99
X9118TV14I	X9118TV14I-ND	Einf. DCP, 5 V, 100 KΩ, 1024-Tap, I²C, Doppelversorgung	Single DCP, 5V, 100KΩ, 1024 Tap, I²C, Dual Supply	14-TSSOP	6.17	4.31	3.74
X9119TV14	X9119TV14-ND	Einf. DCP, 5 V, 100 KΩ, 1024-Tap, I²C, Einzelversorgung	Single DCP, 5V, 100KΩ, 1024 Tap, I²C, Single Supply	14-TSSOP	4.94	3.45	2.99
X9119TV14I	X9119TV14I-ND	Einf. DCP, 5 V, 100 KΩ, 1024-Tap, I²C, Einzelversorgung	Single DCP, 5V, 100KΩ, 1024 Tap, I²C, Single Supply	14-TSSOP	6.17	4.31	3.74
X9119TV14-2.7	X9119TV14-2.7-ND	Einf. DCP, 2,7 V, 100 KΩ, 1024-Tap, I²C, Einzelversorgung	Single DCP, 2.7V, 100KΩ, 1024 Tap, I²C, Single Supply	14-TSSOP	5.43	3.79	3.28
X9119TV14I-2.7	X9119TV14I-2.7-ND	Einf. DCP, 2,7 V, 100 KΩ, 1024-Tap, I²C, Einzelversorgung	Single DCP, 2.7V, 100KΩ, 1024 Tap, I²C, Single Supply	14-TSSOP	6.79	4.74	4.11
X9221UPI	X9221UPI-ND	Zweif. DCP, 5 V, 50 KΩ, 64-Tap, I²C	Dual DCP, 5V, 50KΩ, 64 Tap, I²C	20-Dip	5.06	3.85	2.95
X9221WP	X9221WP-ND	Zweif. DCP, 5 V, 10 KΩ, 64-Tap, I²C	Dual DCP, 5V, 10KΩ, 64 Tap, I²C	20-Dip	4.04	3.07	2.35
X9241AUP	X9241AUP-ND	Vierf. DCP, 5 V, 50 KΩ, 64-Tap, I²C	Quad DCP, 5V, 50KΩ, 64 Tap, I²C	20-Dip	6.41	4.47	3.88
X9241AWS	X9241AWS-ND	Vierf. DCP, 5 V, 10 KΩ, 64-Tap, I²C	Quad DCP, 5V, 10KΩ, 64 Tap, I²C	20-SOIC	6.41	4.47	3.88
X9241AWVI	X9241AWVI-ND	Vierf. DCP, 5 V, 10 KΩ, 64-Tap, I²C	Quad DCP, 5V, 10KΩ, 64 Tap, I²C	20-TSSOP	9.45	6.60	5.72
X9241UVI	X9241UVI-ND	Vierf. DCP, 5 V, 50 KΩ, 64-Tap, I²C	Quad DCP, 5V, 50KΩ, 64 Tap, I²C	20-TSSOP	9.45	6.60	5.72
X9250TS24	X9250TS24-ND	Vierf. DCP, 5 V, 100 KΩ, 256-Tap, SPI, Doppelversorgung	Quad DCP, 5V, 100KΩ, 256 Tap, SPI, Dual Supply	24-SOIC	8.99	6.28	5.44
X9250TS24I	X9250TS24I-ND	Vierf. DCP, 5 V, 100 KΩ, 256-Tap, SPI, Doppelversorgung	Quad DCP, 5V, 100KΩ, 256 Tap, SPI, Dual Supply	24-SOIC	11.25	7.85	6.81
X9250TS24-2.7	X9250TS24-2.7-ND	Vierf. DCP, 2,7 V, 100 KΩ, 256-Tap, SPI, Doppelversorgung	Quad DCP, 2.7V, 100KΩ, 256 Tap, SPI, Dual Supply	24-SOIC	9.91	6.91	5.99
X9250TS24I-2.7	X9250TS24I-2.7-ND	Vierf. DCP, 2,7 V, 100 KΩ, 256-Tap, SPI, Doppelversorgung	Quad DCP, 2.7V, 100KΩ, 256 Tap, SPI, Dual Supply	24-SOIC	12.38	8.64	7.49
X9250US24	X9250US24-ND	Vierf. DCP, 5 V, 50 KΩ, 256-Tap, SPI, Doppelversorgung	Quad DCP, 5V, 50KΩ, 256 Tap, SPI, Dual Supply	24-SOIC	8.99	6.28	5.44
X9250US24I	X9250US24I-ND	Vierf. DCP, 5 V, 50 KΩ, 256-Tap, SPI, Doppelversorgung	Quad DCP, 5V, 50KΩ, 256 Tap, SPI, Dual Supply	24-SOIC	11.25	7.85	6.81
X9250US24-2.7	X9250US24-2.7-ND	Vierf. DCP, 2,7 V, 50 KΩ, 256-Tap, SPI, Doppelversorgung	Quad DCP, 2.7V, 50KΩ, 256 Tap, SPI, Dual Supply	24-SOIC	9.91	6.91	5.99
X9250US24I-2.7	X9250US24I-2.7-ND	Vierf. DCP, 2,7 V, 50 KΩ, 256-Tap, SPI, Doppelversorgung	Quad DCP, 2.7V, 50KΩ, 256 Tap, SPI, Dual Supply	24-SOIC	12.38	8.64	7.49
X9251TS24	X9251TS24-ND	Vierf. DCP, 5 V, 100 KΩ, 256-Tap, SPI, Einzelversorgung	Quad DCP, 5V, 100KΩ, 256 Tap, SPI, Single Supply	24-SOIC	8.99	6.28	5.44
X9251TS24I	X9251TS24I-ND	Vierf. DCP, 5 V, 100 KΩ, 256-Tap, SPI, Einzelversorgung	Quad DCP, 5V, 100KΩ, 256 Tap, SPI, Single Supply	24-SOIC	11.25	7.85	6.81
X9251TS24-2.7	X9251TS24-2.7-ND	Vierf. DCP, 2,7 V, 100 KΩ, 256-Tap, SPI, Einzelversorgung	Quad DCP, 2.7V, 100KΩ, 256 Tap, SPI, Single Supply	24-SOIC	9.88	6.90	5.98
X9251TS24I-2.7	X9251TS24I-2.7-ND	Vierf. DCP, 2,7 V, 100 KΩ, 256-Tap, SPI, Einzelversorgung	Quad DCP, 2.7V, 100KΩ, 256 Tap, SPI, Single Supply	24-SOIC	12.38	8.64	7.49
X9251US24	X9251US24-ND	Vierf. DCP, 5 V, 50 KΩ, 256-Tap, SPI, Einzelversorgung	Quad DCP, 5V, 50KΩ, 256 Tap, SPI, Single Supply	24-SOIC	8.99	6.28	5.44
X9251US24I	X9251US24I-ND	Vierf. DCP, 5 V, 50 KΩ, 256-Tap, SPI, Einzelversorgung	Quad DCP, 5V, 50KΩ, 256 Tap, SPI, Single Supply	24-SOIC	11.25	7.85	6.81
X9251US24-2.7	X9251US24-2.7-ND	Vierf. DCP, 2,7 V, 50 KΩ, 256-Tap, SPI, Einzelversorgung	Quad DCP, 2.7V, 50KΩ, 256 Tap, SPI, Single Supply	24-SOIC	9.88	6.90	5.98
X9251US24I-2.7	X9251US24I-2.7-ND	Vierf. DCP, 2,7 V, 50 KΩ, 256-Tap, SPI, Einzelversorgung	Quad DCP, 2.7V, 50KΩ, 256 Tap, SPI, Single Supply	24-SOIC	12.38	8.64	7.49
X9252TV24I-2.7	X9252TV24I-2.7-ND	Vierf. DCP, 2,7 V, 100 KΩ, 256-Tap, 2-adrig, auf/ab	Quad DCP, 2.7V, 100KΩ, 256 Tap, 2-Wire Up/Down	24-TSSOP	4.62	3.23	2.80
X9252UV24I-2.7	X9252UV24I-2.7-ND	Vierf. DCP, 2,7 V, 50 KΩ, 256-Tap, 2-adrig, auf/ab	Quad DCP, 2.7V, 50KΩ, 256 Tap, 2-Wire Up/Down	24-TSSOP	4.62	3.23	2.80
X9252WV24I-2.7	X9252WV24I-2.7-ND	Vierf. DCP, 2,7 V, 10 KΩ, 256-Tap, 2-adrig, auf/ab	Quad DCP, 2.7V, 10KΩ, 256 Tap, 2-Wire Up/Down	24-TSSOP	4.62	3.23	2.80
X9252YV24I-2.7	X9252YV24I-2.7-ND	Vierf. DCP, 2,7 V, 2,8 KΩ, 256-Tap, 2-adrig, auf/ab	Quad DCP, 2.7V, 2.8KΩ, 256 Tap, 2-Wire Up/Down	24-TSSOP	4.62	3.23	2.80
X9258TS24	X9258TS24-ND	Vierf. DCP, 5 V, 100 KΩ, 256-Tap, I²C, Doppelversorgung	Quad DCP, 5V, 100KΩ, 256 Tap, I²C, Dual Supply	24-SOIC	8.25	5.76	4.99
X9258TS24I	X9258TS24I-ND	Vierf. DCP, 5 V, 100 KΩ, 256-Tap, I²C, Doppelversorgung	Quad DCP, 5V, 100KΩ, 256 Tap, I²C, Dual Supply	24-SOIC	10.32	7.21	6.25
X9258TS24-2.7	X9258TS24-2.7-ND	Vierf. DCP, 2,7 V, 100 KΩ, 256-Tap, I²C, Doppelversorgung	Quad DCP, 2.7V, 100KΩ, 256 Tap, I²C, Dual Supply	24-SOIC	9.08	6.34	5.50
X9258TS24I-2.7	X9258TS24I-2.7-ND	Vierf. DCP, 2,7 V, 100 KΩ, 256-Tap, I²C, Doppelversorgung	Quad DCP, 2.7V, 100KΩ, 256 Tap, I²C, Dual Supply	24-SOIC	11.36	7.93	6.87
X9258US24	X9258US24-ND	Vierf. DCP, 5 V, 50 KΩ, 256-Tap, I²C, Doppelversorgung	Quad DCP, 5V, 50KΩ, 256 Tap, I²C, Dual Supply	24-SOIC	8.25	5.76	4.99
X9258US24I	X9258US24I-ND	Vierf. DCP, 5 V, 50 KΩ, 256-Tap, I²C, Doppelversorgung	Quad DCP, 5V, 50KΩ, 256 Tap, I²C, Dual Supply	24-SOIC	10.32	7.21	6.25
X9258US24-2.7	X9258US24-2.7-ND	Vierf. DCP, 2,7 V, 50 KΩ, 256-Tap, I²C, Doppelversorgung	Quad DCP, 2.7V, 50KΩ, 256 Tap, I²C, Dual Supply	24-SOIC	9.08	6.34	5.50
X9258US24I-2.7	X9258US24I-2.7-ND	Vierf. DCP, 2,7 V, 50 KΩ, 256-Tap, I²C, Doppelversorgung	Quad DCP, 2.7V, 50KΩ, 256 Tap, I²C, Dual Supply	24-SOIC	11.36	7.93	6.87
X9259TS24	X9259TS24-ND	Vierf. DCP, 5 V, 100 KΩ, 256-Tap, I²C, Einzelversorgung	Quad DCP, 5V, 100KΩ, 256 Tap, I²C, Single Supply	24-SOIC	8.99	6.28	5.44
X9259TS24I	X9259TS24I-ND	Vierf. DCP, 5 V, 100 KΩ, 256-Tap, I²C, Einzelversorgung	Quad DCP, 5V, 100KΩ, 256 Tap, I²C, Single Supply	24-SOIC	11.25	7.85	6.81
X9259TS24-2.7	X9259TS24-2.7-ND	Vierf. DCP, 2,7 V, 100 KΩ, 256-Tap, I²C, Einzelversorgung	Quad DCP, 2.7V, 100KΩ, 256 Tap, I²C, Single Supply	24-SOIC	9.88	6.90	5.98
X9259TS24I-2.7	X9259TS24I-2.7-ND	Vierf. DCP, 2,7 V, 100 KΩ, 256-Tap, I²C, Einzelversorgung	Quad DCP, 2.7V, 100KΩ, 256 Tap, I²C, Single Supply	24-SOIC	12.38	8.64	7.49
X9259US24	X9259US24-ND	Vierf. DCP, 5 V, 50 KΩ, 256-Tap, I²C, Einzelversorgung	Quad DCP, 5V, 50KΩ, 256 Tap, I²C, Single Supply	24-SOIC	8.99	6.28	5.44
X9259US24I	X9259US24I-ND	Vierf. DCP, 5 V, 50 KΩ, 256-Tap, I²C, Einzelversorgung	Quad DCP, 5V, 50KΩ, 256 Tap, I²C, Single Supply	24-SOIC	11.25	7.85	6.81
X9259US24-2.7	X9259US24-2.7-ND	Vierf. DCP, 2,7 V, 50 KΩ, 256-Tap, I²C, Einzelversorgung	Quad DCP, 2.7V, 50KΩ, 256 Tap, I²C, Single Supply	24-SOIC	9.88	6.90	5.98
X9259US24I-2.7	X9259US24I-2.7-ND	Vierf. DCP, 2,7 V, 50 KΩ, 256-Tap, I²C, Einzelversorgung	Quad DCP, 2.7V, 50KΩ, 256 Tap, I²C, Single Supply	24-SOIC	12.38	8.64	7.49
X9260TS24	X9260TS24-ND	Zweif. DCP, 5 V, 100 KΩ, 256-Tap, SPI, Doppelversorgung	Dual DCP, 5V, 100KΩ, 256 Tap, SPI, Dual Supply	24-SOIC	6.19	4.32	3.75
X9260US24	X9260US24-ND	Zweif. DCP, 5 V, 50 KΩ, 256-Tap, SPI, Doppelversorgung	Dual DCP, 5V, 50KΩ, 256 Tap, SPI, Dual Supply	24-SOIC	6.19	4.32	3.75
X9261TS24	X9261TS24-ND	Zweif. DCP, 5 V, 100 KΩ, 256-Tap, SPI, Einzelversorgung	Dual DCP, 5V, 100KΩ, 256 Tap, SPI, Single Supply	24-SOIC	6.19	4.32	3.75
X9261US24	X9261US24-ND	Zweif. DCP, 5 V, 50 KΩ, 256-Tap, SPI, Einzelversorgung	Dual DCP, 5V, 50KΩ, 256 Tap, SPI, Single Supply	24-SOIC	6.19	4.32	3.75
X9268TS24	X9268TS24-ND	Zweif. DCP, 5 V, 100 KΩ, 256-Tap, I²C, Doppelversorgung	Dual DCP, 5V, 100KΩ, 256 Tap, I²C, Dual Supply	24-SOIC	6.19	4.32	3.75
X9268US24	X9268US24-ND	Zweif. DCP, 5 V, 50 KΩ, 256-Tap, I²C, Doppelversorgung	Dual DCP, 5V, 50KΩ, 256 Tap, I²C, Dual Supply	24-SOIC	6.19	4.32	3.75

(Forts.)

★ *RUFEN SIE BITTE AN FÜR NIEDRIGERE PREISE BEI GRÖSSEREN MENGEN!* ★

Alle Preisangaben in Euro und inklusive Zollgebühren.

Intersil Teilenr.	Digi-Key Teilenr.	Beschreibung		Paket	Stückpreis★ 1	25	100
X9269TS24	X9269TS24-ND	Zweif. DCP, 5 V, 100 KΩ, 256-Tap, I²C, Einzelversorgung	Dual DCP, 5V, 100KΩ, 256 Tap, I²C, Single Supply	24-SOIC	6.19	4.32	3.75
X9269US24	X9269US24-ND	Zweif. DCP, 5 V, 50 KΩ, 256-Tap, I²C, Einzelversorgung	Dual DCP, 5V, 50KΩ, 256 Tap, I²C, Single Supply	24-SOIC	6.19	4.32	3.75
X9271TV14	X9271TV14-ND	Einf. DCP, 5 V, 100 KΩ, 256-Tap, SPI	Single DCP, 5V, 100KΩ, 256 Tap, SPI	14-TSSOP	4.95	3.46	3.00
X9271TV14-2.7	X9271TV14-2.7-ND	Einf. DCP, 2,7 V, 100 KΩ, 256-Tap, SPI	Single DCP, 2.7V, 100KΩ, 256 Tap, SPI	14-TSSOP	5.46	3.81	3.31
X9271UV14	X9271UV14-ND	Einf. DCP, 5 V, 50 KΩ, 256-Tap, SPI	Single DCP, 5V, 50KΩ, 256 Tap, SPI	14-TSSOP	4.95	3.46	3.00
X9271UV14-2.7	X9271UV14-2.7-ND	Einf. DCP, 2,7 V, 50 KΩ, 256-Tap, SPI	Single DCP, 2.7V, 50KΩ, 256 Tap, SPI	14-TSSOP	5.46	3.81	3.31
X9279TV14	X9279TV14-ND	Einf. DCP, 5 V, 100 KΩ, 256-Tap, I²C	Single DCP, 5V, 100KΩ, 256 Tap, I²C	14-TSSOP	4.95	3.46	3.00
X9279TV14-2.7	X9279TV14-2.7-ND	Einf. DCP, 2,7 V, 100 KΩ, 256-Tap, I²C	Single DCP, 2.7V, 100KΩ, 256 Tap, I²C	14-TSSOP	5.46	3.81	3.31
X9279UV14	X9279UV14-ND	Einf. DCP, 5 V, 50 KΩ, 256-Tap, I²C	Single DCP, 5V, 50KΩ, 256 Tap, I²C	14-TSSOP	4.95	3.46	3.00
X9279UV14-2.7	X9279UV14-2.7-ND	Einf. DCP, 2,7 V, 50 KΩ, 256-Tap, I²C	Single DCP, 2.7V, 50KΩ, 256 Tap, I²C	14-TSSOP	5.46	3.81	3.31
X9312WS	X9312WS-ND	Einf. DCP, 5 V, 10 KΩ, 100-Tap, 3-adrig, auf/ab	Single DCP, 5V, 10KΩ, 100 Tap, 3-Wire Up/Down	8-SOIC	2.44	1.86	1.42
X9313TS	X9313TS-ND	Einf. DCP, 5 V, 100 KΩ, 32-Tap, 3-adrig, auf/ab	Single DCP, 5V, 100KΩ, 32 Tap, 3-Wire Up/Down	8-SOIC	1.93	1.35	1.17
X9313US	X9313US-ND	Einf. DCP, 5 V, 50 KΩ, 32-Tap, 3-adrig, auf/ab	Single DCP, 5V, 50KΩ, 32 Tap, 3-Wire Up/Down	8-SOIC	1.79	1.25	1.08
X9313USI	X9313USI-ND	Einf. DCP, 5 V, 50 KΩ, 32-Tap, 3-adrig, auf/ab	Single DCP, 5V, 50KΩ, 32 Tap, 3-Wire Up/Down	8-SOIC	2.22	1.55	1.35
X9313UMI	X9313UMI-ND	Einf. DCP, 5 V, 50 KΩ, 32-Tap, 3-adrig, auf/ab	Single DCP, 5V, 50KΩ, 32 Tap, 3-Wire Up/Down	8-MSOP	2.62	1.83	1.59
X9313WS	X9313WS-ND	Einf. DCP, 5 V, 10 KΩ, 32-Tap, 3-adrig, auf/ab	Single DCP, 5V, 10KΩ, 32 Tap, 3-Wire Up/Down	8-SOIC	1.79	1.25	1.08
X9313WSI	X9313WSI-ND	Einf. DCP, 5 V, 10 KΩ, 32-Tap, 3-adrig, auf/ab	Single DCP, 5V, 10KΩ, 32 Tap, 3-Wire Up/Down	8-SOIC	2.22	1.55	1.35
X9313ZS	X9313ZS-ND	Einf. DCP, 5 V, 1 KΩ, 32-Tap, 3-adrig, auf/ab	Single DCP, 5V, 1KΩ, 32 Tap, 3-Wire Up/Down	8-SOIC	1.79	1.25	1.08
X9313ZSI	X9313ZSI-ND	Einf. DCP, 5 V, 1 KΩ, 32-Tap, 3-adrig, auf/ab	Single DCP, 5V, 1KΩ, 32 Tap, 3-Wire Up/Down	8-SOIC	2.22	1.55	1.35
X9314WS	X9314WS-ND	Einf. DCP, 5 V, 10 KΩ, 32-Tap, Log Taper, 3-adrig, auf/ab	Single DCP, 5V, 10KΩ, 32 Tap, Log Taper, 3-Wire Up/Down	8-SOIC	1.79	1.25	1.08
X9315TS	X9315TS-ND	Einf. DCP, 5 V, 100 KΩ, 32-Tap, 3-adrig, auf/ab	Single DCP, 5V, 100KΩ, 32 Tap, 3-Wire Up/Down	8-SOIC	1.79	1.25	1.08
X9315TSI	X9315TSI-ND	Einf. DCP, 5 V, 100 KΩ, 32-Tap, 3-adrig, auf/ab	Single DCP, 5V, 100KΩ, 32 Tap, 3-Wire Up/Down	8-SOIC	2.22	1.55	1.35
X9315TS-2.7	X9315TS-2.7-ND	Einf. DCP, 2,7 V, 100 KΩ, 32-Tap, 3-adrig, auf/ab	Single DCP, 2.7V, 100KΩ, 32 Tap, 3-Wire Up/Down	8-SOIC	2.17	1.52	1.31
X9315TSI-2.7	X9315TSI-2.7-ND	Einf. DCP, 2,7 V, 100 KΩ, 32-Tap, 3-adrig, auf/ab	Single DCP, 2.7V, 100KΩ, 32 Tap, 3-Wire Up/Down	8-SOIC	2.50	1.74	1.51
X9315US	X9315US-ND	Einf. DCP, 5 V, 50 KΩ, 32-Tap, 3-adrig, auf/ab	Single DCP, 5V, 50KΩ, 32 Tap, 3-Wire Up/Down	8-SOIC	1.79	1.25	1.08
X9315USI	X9315USI-ND	Einf. DCP, 5 V, 50 KΩ, 32-Tap, 3-adrig, auf/ab	Single DCP, 5V, 50KΩ, 32 Tap, 3-Wire Up/Down	8-SOIC	2.22	1.55	1.35
X9315UM	X9315UM-ND	Einf. DCP, 5 V, 50 KΩ, 32-Tap, 3-adrig, auf/ab	Single DCP, 5V, 50KΩ, 32 Tap, 3-Wire Up/Down	8-MSOP	2.07	1.45	1.26
X9315UMI	X9315UMI-ND	Einf. DCP, 5 V, 50 KΩ, 32-Tap, 3-adrig, auf/ab	Single DCP, 5V, 50KΩ, 32 Tap, 3-Wire Up/Down	8-MSOP	2.39	1.67	1.45
X9315US-2.7	X9315US-2.7-ND	Einf. DCP, 2,7 V, 50 KΩ, 32-Tap, 3-adrig, auf/ab	Single DCP, 2.7V, 50KΩ, 32 Tap, 3-Wire Up/Down	8-SOIC	2.17	1.52	1.31
X9315USI-2.7	X9315USI-2.7-ND	Einf. DCP, 2,7 V, 50 KΩ, 32-Tap, 3-adrig, auf/ab	Single DCP, 2.7V, 50KΩ, 32 Tap, 3-Wire Up/Down	8-SOIC	2.50	1.74	1.51
X9315UM-2.7	X9315UM-2.7-ND	Einf. DCP, 2,7 V, 50 KΩ, 32-Tap, 3-adrig, auf/ab	Single DCP, 2.7V, 50KΩ, 32 Tap, 3-Wire Up/Down	8-MSOP	2.29	1.60	1.39
X9315UMI-2.7	X9315UMI-2.7-ND	Einf. DCP, 2,7 V, 50 KΩ, 32-Tap, 3-adrig, auf/ab	Single DCP, 2.7V, 50KΩ, 32 Tap, 3-Wire Up/Down	8-MSOP	2.62	1.83	1.59
X9315WP	X9315WP-ND	Einf. DCP, 5 V, 10 KΩ, 32-Tap, 3-adrig, auf/ab	Single DCP, 5V, 10KΩ, 32 Tap, 3-Wire Up/Down	8-Dip	1.79	1.25	1.08
X9315WPI	X9315WPI-ND	Einf. DCP, 5 V, 10 KΩ, 32-Tap, 3-adrig, auf/ab	Single DCP, 5V, 10KΩ, 32 Tap, 3-Wire Up/Down	8-Dip	2.22	1.55	1.35
X9315WS	X9315WS-ND	Einf. DCP, 5 V, 10 KΩ, 32-Tap, 3-adrig, auf/ab	Single DCP, 5V, 10KΩ, 32 Tap, 3-Wire Up/Down	8-SOIC	1.79	1.25	1.08
X9315WSI	X9315WSI-ND	Einf. DCP, 5 V, 10 KΩ, 32-Tap, 3-adrig, auf/ab	Single DCP, 5V, 10KΩ, 32 Tap, 3-Wire Up/Down	8-SOIC	2.22	1.55	1.35
X9315WM	X9315WM-ND	Einf. DCP, 5 V, 10 KΩ, 32-Tap, 3-adrig, auf/ab	Single DCP, 5V, 10KΩ, 32 Tap, 3-Wire Up/Down	8-MSOP	2.62	1.83	1.59
X9315WMI	X9315WMI-ND	Einf. DCP, 5 V, 10 KΩ, 32-Tap, 3-adrig, auf/ab	Single DCP, 5V, 10KΩ, 32 Tap, 3-Wire Up/Down	8-MSOP	2.62	1.83	1.59
X9315WS-2.7	X9315WS-2.7-ND	Einf. DCP, 2,7 V, 10 KΩ, 32-Tap, 3-adrig, auf/ab	Single DCP, 2.7V, 10KΩ, 32 Tap, 3-Wire Up/Down	8-SOIC	1.96	1.38	1.19
X9315WSI-2.7	X9315WSI-2.7-ND	Einf. DCP, 2,7 V, 10 KΩ, 32-Tap, 3-adrig, auf/ab	Single DCP, 2.7V, 10KΩ, 32 Tap, 3-Wire Up/Down	8-SOIC	2.44	1.71	1.48
X9315WM-2.7	X9315WM-2.7-ND	Einf. DCP, 2,7 V, 10 KΩ, 32-Tap, 3-adrig, auf/ab	Single DCP, 2.7V, 10KΩ, 32 Tap, 3-Wire Up/Down	8-MSOP	2.29	1.60	1.39
X9315WMI-2.7	X9315WMI-2.7-ND	Einf. DCP, 2,7 V, 10 KΩ, 32-Tap, 3-adrig, auf/ab	Single DCP, 2.7V, 10KΩ, 32 Tap, 3-Wire Up/Down	8-MSOP	2.90	2.02	1.75
X9317US8	X9317US8-ND	Einf. DCP, 5 V, 50 KΩ, 100-Tap, 3-adrig, auf/ab	Single DCP, 5V, 50KΩ, 100 Tap, 3-Wire Up/Down	8-SOIC	2.68	1.87	1.62
X9317US8I	X9317US8I-ND	Einf. DCP, 5 V, 50 KΩ, 100-Tap, 3-adrig, auf/ab	Single DCP, 5V, 50KΩ, 100 Tap, 3-Wire Up/Down	8-SOIC	3.33	2.33	2.02
X9317UM8	X9317UM8-ND	Einf. DCP, 5 V, 50 KΩ, 100-Tap, 3-adrig, auf/ab	Single DCP, 5V, 50KΩ, 100 Tap, 3-Wire Up/Down	8-MSOP	3.13	2.19	1.90
X9317UM8I	X9317UM8I-ND	Einf. DCP, 5 V, 50 KΩ, 100-Tap, 3-adrig, auf/ab	Single DCP, 5V, 50KΩ, 100 Tap, 3-Wire Up/Down	8-MSOP	3.91	2.74	2.37
X9317UV8	X9317UV8-ND	Einf. DCP, 5 V, 50 KΩ, 100-Tap, 3-adrig, auf/ab	Single DCP, 5V, 50KΩ, 100 Tap, 3-Wire Up/Down	8-TSSOP	3.13	2.19	1.90
X9317UV8I	X9317UV8I-ND	Einf. DCP, 5 V, 50 KΩ, 100-Tap, 3-adrig, auf/ab	Single DCP, 5V, 50KΩ, 100 Tap, 3-Wire Up/Down	8-TSSOP	3.91	2.74	2.37
X9317US8-2.7	X9317US8-2.7-ND	Einf. DCP, 2,7 V, 50 KΩ, 100-Tap, 3-adrig, auf/ab	Single DCP, 2.7V, 50KΩ, 100 Tap, 3-Wire Up/Down	8-SOIC	2.93	2.05	1.78
X9317US8I-2.7	X9317US8I-2.7-ND	Einf. DCP, 2,7 V, 50 KΩ, 100-Tap, 3-adrig, auf/ab	Single DCP, 2.7V, 50KΩ, 100 Tap, 3-Wire Up/Down	8-SOIC	3.66	2.56	2.22
X9317UM8-2.7	X9317UM8-2.7-ND	Einf. DCP, 2,7 V, 50 KΩ, 100-Tap, 3-adrig, auf/ab	Single DCP, 2.7V, 50KΩ, 100 Tap, 3-Wire Up/Down	8-MSOP	3.46	2.42	2.10
X9317UM8I-2.7	X9317UM8I-2.7-ND	Einf. DCP, 2,7 V, 50 KΩ, 100-Tap, 3-adrig, auf/ab	Single DCP, 2.7V, 50KΩ, 100 Tap, 3-Wire Up/Down	8-MSOP	4.33	3.03	2.62
X9317UV8-2.7	X9317UV8-2.7-ND	Einf. DCP, 2,7 V, 50 KΩ, 100-Tap, 3-adrig, auf/ab	Single DCP, 2.7V, 50KΩ, 100 Tap, 3-Wire Up/Down	8-TSSOP	3.46	2.42	2.10
X9317UV8I-2.7	X9317UV8I-2.7-ND	Einf. DCP, 2,7 V, 50 KΩ, 100-Tap, 3-adrig, auf/ab	Single DCP, 2.7V, 50KΩ, 100 Tap, 3-Wire Up/Down	8-TSSOP	4.33	3.03	2.62
X9317WP	X9317WP-ND	Einf. DCP, 5 V, 10 KΩ, 100-Tap, 3-adrig, auf/ab	Single DCP, 5V, 10KΩ, 100 Tap, 3-Wire Up/Down	8-Dip	2.68	1.87	1.62
X9317WS8	X9317WS8-ND	Einf. DCP, 5 V, 10 KΩ, 100-Tap, 3-adrig, auf/ab	Single DCP, 5V, 10KΩ, 100 Tap, 3-Wire Up/Down	8-SOIC	2.68	1.87	1.62
X9317WS8I	X9317WS8I-ND	Einf. DCP, 5 V, 10 KΩ, 100-Tap, 3-adrig, auf/ab	Single DCP, 5V, 10KΩ, 100 Tap, 3-Wire Up/Down	8-SOIC	3.33	2.33	2.02
X9317WM8	X9317WM8-ND	Einf. DCP, 5 V, 10 KΩ, 100-Tap, 3-adrig, auf/ab	Single DCP, 5V, 10KΩ, 100 Tap, 3-Wire Up/Down	8-MSOP	3.13	2.19	1.90
X9317WM8I	X9317WM8I-ND	Einf. DCP, 5 V, 10 KΩ, 100-Tap, 3-adrig, auf/ab	Single DCP, 5V, 10KΩ, 100 Tap, 3-Wire Up/Down	8-MSOP	3.91	2.74	2.37
X9317WV8	X9317WV8-ND	Einf. DCP, 5 V, 10 KΩ, 100-Tap, 3-adrig, auf/ab	Single DCP, 5V, 10KΩ, 100 Tap, 3-Wire Up/Down	8-TSSOP	3.13	2.19	1.90
X9317WV8I	X9317WV8I-ND	Einf. DCP, 5 V, 10 KΩ, 100-Tap, 3-adrig, auf/ab	Single DCP, 5V, 10KΩ, 100 Tap, 3-Wire Up/Down	8-TSSOP	3.91	2.74	2.37
X9317WS8-2.7	X9317WS8-2.7-ND	Einf. DCP, 2,7 V, 10 KΩ, 100-Tap, 3-adrig, auf/ab	Single DCP, 2.7V, 10KΩ, 100 Tap, 3-Wire Up/Down	8-SOIC	2.93	2.05	1.78
X9317WS8I-2.7	X9317WS8I-2.7-ND	Einf. DCP, 2,7 V, 10 KΩ, 100-Tap, 3-adrig, auf/ab	Single DCP, 2.7V, 10KΩ, 100 Tap, 3-Wire Up/Down	8-SOIC	3.66	2.56	2.22
X9317WM8-2.7	X9317WM8-2.7-ND	Einf. DCP, 2,7 V, 10 KΩ, 100-Tap, 3-adrig, auf/ab	Single DCP, 2.7V, 10KΩ, 100 Tap, 3-Wire Up/Down	8-MSOP	3.46	2.42	2.10
X9317WM8I-2.7	X9317WM8I-2.7-ND	Einf. DCP, 2,7 V, 10 KΩ, 100-Tap, 3-adrig, auf/ab	Single DCP, 2.7V, 10KΩ, 100 Tap, 3-Wire Up/Down	8-MSOP	4.33	3.03	2.62
X9317WV8-2.7	X9317WV8-2.7-ND	Einf. DCP, 2,7 V, 10 KΩ, 100-Tap, 3-adrig, auf/ab	Single DCP, 2.7V, 10KΩ, 100 Tap, 3-Wire Up/Down	8-TSSOP	3.46	2.42	2.10
X9317WV8I-2.7	X9317WV8I-2.7-ND	Einf. DCP, 2,7 V, 10 KΩ, 100-Tap, 3-adrig, auf/ab	Single DCP, 2.7V, 10KΩ, 100 Tap, 3-Wire Up/Down	8-TSSOP	4.33	3.03	2.62
X9317ZS8	X9317ZS8-ND	Einf. DCP, 5 V, 1 KΩ, 100-Tap, 3-adrig, auf/ab	Single DCP, 5V, 1KΩ, 100 Tap, 3-Wire Up/Down	8-SOIC	2.68	1.87	1.62
X9317ZS8I	X9317ZS8I-ND	Einf. DCP, 5 V, 1 KΩ, 100-Tap, 3-adrig, auf/ab	Single DCP, 5V, 1KΩ, 100 Tap, 3-Wire Up/Down	8-SOIC	3.33	2.33	2.02
X9319UP8I	X9319UP8I-ND	Einf. DCP, 5 V, 50 KΩ, 100-Tap, 3-adrig, auf/ab	Single DCP, 5V, 50KΩ, 100 Tap, 3-Wire Up/Down	8-Dip	2.20	1.54	1.34
X9319WP8I	X9319WP8I-ND	Einf. DCP, 5 V, 10 KΩ, 100-Tap, 3-adrig, auf/ab	Single DCP, 5V, 10KΩ, 100 Tap, 3-Wire Up/Down	8-Dip	2.20	1.54	1.34
X9319US8I	X9319US8I-ND	Einf. DCP, 5 V, 50 KΩ, 100-Tap, 3-adrig, auf/ab	Single DCP, 5V, 50KΩ, 100 Tap, 3-Wire Up/Down	8-SOIC	2.20	1.54	1.34
X9319WS8I	X9319WS8I-ND	Einf. DCP, 5 V, 10 KΩ, 100-Tap, 3-adrig, auf/ab	Single DCP, 5V, 10KΩ, 100 Tap, 3-Wire Up/Down	8-SOIC	2.20	1.54	1.34
X9400WP24	X9400WP24-ND	Vierf. DCP, 5 V, 10 KΩ, 64-Tap, SPI, Doppelversorgung	Quad DCP, 5V, 10KΩ, 64 Tap, SPI, Dual Supply	24-Dip	7.12	4.97	4.31
X9400WS24	X9400WS24-ND	Vierf. DCP, 5 V, 10 KΩ, 64-Tap, SPI, Doppelversorgung	Quad DCP, 5V, 10KΩ, 64 Tap, SPI, Dual Supply	24-SOIC	6.41	4.47	3.88
X9400WS24I	X9400WS24I-ND	Vierf. DCP, 5 V, 10 KΩ, 64-Tap, SPI, Doppelversorgung	Quad DCP, 5V, 10KΩ, 64 Tap, SPI, Dual Supply	24-SOIC	7.99	5.58	4.84
X9400WV24	X9400WV24-ND	Vierf. DCP, 5 V, 10 KΩ, 64-Tap, SPI, Doppelversorgung	Quad DCP, 5V, 10KΩ, 64 Tap, SPI, Dual Supply	24-TSSOP	7.99	5.58	4.84
X9400WV24I	X9400WV24I-ND	Vierf. DCP, 5 V, 10 KΩ, 64-Tap, SPI, Doppelversorgung	Quad DCP, 5V, 10KΩ, 64 Tap, SPI, Dual Supply	24-TSSOP	9.99	6.98	6.05
X9400WS24-2.7	X9400WS24-2.7-ND	Vierf. DCP, 2,7 V, 10 KΩ, 64-Tap, SPI, Doppelversorgung	Quad DCP, 2.7V, 10KΩ, 64 Tap, SPI, Dual Supply	24-SOIC	7.04	4.92	4.26
X9400WS24I-2.7	X9400WS24I-2.7-ND	Vierf. DCP, 2,7 V, 10 KΩ, 64-Tap, SPI, Doppelversorgung	Quad DCP, 2.7V, 10KΩ, 64 Tap, SPI, Dual Supply	24-SOIC	8.79	6.14	5.32
X9400WV24-2.7	X9400WV24-2.7-ND	Vierf. DCP, 2,7 V, 10 KΩ, 64-Tap, SPI, Doppelversorgung	Quad DCP, 2.7V, 10KΩ, 64 Tap, SPI, Dual Supply	24-TSSOP	8.79	6.14	5.32
X9400WV24I-2.7	X9400WV24I-2.7-ND	Vierf. DCP, 2,7 V, 10 KΩ, 64-Tap, SPI, Doppelversorgung	Quad DCP, 2.7V, 10KΩ, 64 Tap, SPI, Dual Supply	24-TSSOP	11.00	7.67	6.65
X9401WS24	X9401WS24-ND	Vierf. DCP, 5 V, 10 KΩ, 64-Tap, SPI, Einzelversorgung	Quad DCP, 5V, 10KΩ, 64 Tap, SPI, Single Supply	24-SOIC	6.41	4.47	3.88
X9401WS24I	X9401WS24I-ND	Vierf. DCP, 5 V, 10 KΩ, 64-Tap, SPI, Einzelversorgung	Quad DCP, 5V, 10KΩ, 64 Tap, SPI, Single Supply	24-SOIC	7.99	5.58	4.84
X9401WV24	X9401WV24-ND	Vierf. DCP, 5 V, 10 KΩ, 64-Tap, SPI, Einzelversorgung	Quad DCP, 5V, 10KΩ, 64 Tap, SPI, Single Supply	24-TSSOP	7.99	5.58	4.84
X9401WV24I	X9401WV24I-ND	Vierf. DCP, 5 V, 10 KΩ, 64-Tap, SPI, Einzelversorgung	Quad DCP, 5V, 10KΩ, 64 Tap, SPI, Single Supply	24-TSSOP	9.99	6.98	6.05
X9401WS24-2.7	X9401WS24-2.7-ND	Vierf. DCP, 2,7 V, 10 KΩ, 64-Tap, SPI, Einzelversorgung	Quad DCP, 2.7V, 10KΩ, 64 Tap, SPI, Single Supply	24-SOIC	7.04	4.92	4.26
X9401WS24I-2.7	X9401WS24I-2.7-ND	Vierf. DCP, 2,7 V, 10 KΩ, 64-Tap, SPI, Einzelversorgung	Quad DCP, 2.7V, 10KΩ, 64 Tap, SPI, Single Supply	24-SOIC	8.79	6.14	5.32
X9401WV24-2.7	X9401WV24-2.7-ND	Vierf. DCP, 2,7 V, 10 KΩ, 64-Tap, SPI, Einzelversorgung	Quad DCP, 2.7V, 10KΩ, 64 Tap, SPI, Single Supply	24-TSSOP	8.79	6.14	5.32
X9401WV24I-2.7	X9401WV24I-2.7-ND	Vierf. DCP, 2,7 V, 10 KΩ, 64-Tap, SPI, Einzelversorgung	Quad DCP, 2.7V, 10KΩ, 64 Tap, SPI, Single Supply	24-TSSOP	11.00	7.67	6.65
X9408WS24	X9408WS24-ND	Vierf. DCP, 5 V, 10 KΩ, 64-Tap, I²C, Doppelversorgung	Quad DCP, 5V, 10KΩ, 64 Tap, I²C, Dual Supply	24-SOIC	6.41	4.47	3.88
X9408WS24I	X9408WS24I-ND	Vierf. DCP, 5 V, 10 KΩ, 64-Tap, I²C, Doppelversorgung	Quad DCP, 5V, 10KΩ, 64 Tap, I²C, Dual Supply	24-SOIC	7.99	5.58	4.84
X9408WV24	X9408WV24-ND	Vierf. DCP, 5 V, 10 KΩ, 64-Tap, I²C, Doppelversorgung	Quad DCP, 5V, 10KΩ, 64 Tap, I²C, Dual Supply	24-TSSOP	7.99	5.58	4.84
X9408WV24I	X9408WV24I-ND	Vierf. DCP, 5 V, 10 KΩ, 64-Tap, I²C, Doppelversorgung	Quad DCP, 5V, 10KΩ, 64 Tap, I²C, Dual Supply	24-TSSOP	9.99	6.98	6.05
X9408WS24-2.7	X9408WS24-2.7-ND	Vierf. DCP, 2,7 V, 10 KΩ, 64-Tap, I²C, Doppelversorgung	Quad DCP, 2.7V, 10KΩ, 64 Tap, I²C, Dual Supply	24-SOIC	7.04	4.92	4.26
X9408WS24I-2.7	X9408WS24I-2.7-ND	Vierf. DCP, 2,7 V, 10 KΩ, 64-Tap, I²C, Doppelversorgung	Quad DCP, 2.7V, 10KΩ, 64 Tap, I²C, Dual Supply	24-SOIC	8.79	6.14	5.32
X9408WV24-2.7	X9408WV24-2.7-ND	Vierf. DCP, 2,7 V, 10 KΩ, 64-Tap, I²C, Doppelversorgung	Quad DCP, 2.7V, 10KΩ, 64 Tap, I²C, Dual Supply	24-TSSOP	8.79	6.14	5.32
X9408WV24I-2.7	X9408WV24I-2.7-ND	Vierf. DCP, 2,7 V, 10 KΩ, 64-Tap, I²C, Doppelversorgung	Quad DCP, 2.7V, 10KΩ, 64 Tap, I²C, Dual Supply	24-TSSOP	11.00	7.67	6.65
X9409WS24	X9409WS24-ND	Vierf. DCP, 5 V, 10 KΩ, 64-Tap, I²C, Einzelversorgung	Quad DCP, 5V, 10KΩ, 64 Tap, I²C, Single Supply	24-SOIC	5.79	4.04	3.50
X9409WS24I	X9409WS24I-ND	Vierf. DCP, 5 V, 10 KΩ, 64-Tap, I²C, Einzelversorgung	Quad DCP, 5V, 10KΩ, 64 Tap, I²C, Single Supply	24-SOIC	7.25	5.06	4.39

(Forts.)

★ ***RUFEN SIE BITTE AN FÜR NIEDRIGERE PREISE BEI GRÖSSEREN MENGEN!*** ★

intersil — DIGITAL GESTEUERTE POTENTIOMETER (XDCP™) *(Forts.)*

Intersil Teilenr.	Digi-Key Teilenr.	Beschreibung		Paket	Stückpreis★ 1	25	100
X9409WV24	X9409WV24-ND	Vierf. DCP, 5 V, 10 KΩ, 64-Tap, I²C, Einzelversorgung	Quad DCP, 5V, 10KΩ, 64 Tap, I²C, Single Supply	24-TSSOP	7.99	5.58	4.84
X9409WV24I	X9409WV24I-ND	Vierf. DCP, 5 V, 10 KΩ, 64-Tap, I²C, Einzelversorgung	Quad DCP, 5V, 10KΩ, 64 Tap, I²C, Single Supply	24-TSSOP	9.99	6.98	6.05
X9409WS24-2.7	X9409WS24-2.7-ND	Vierf. DCP, 2,7 V, 10 KΩ, 64-Tap, I²C, Einzelversorgung	Quad DCP, 2.7V, 10KΩ, 64 Tap, I²C, Single Supply	24-SOIC	6.37	4.45	3.86
X9409WS24I-2.7	X9409WS24I-2.7-ND	Vierf. DCP, 2,7 V, 10 KΩ, 64-Tap, I²C, Einzelversorgung	Quad DCP, 2.7V, 10KΩ, 64 Tap, I²C, Single Supply	24-SOIC	7.96	5.55	4.81
X9409WV24-2.7	X9409WV24-2.7-ND	Vierf. DCP, 2,7 V, 10 KΩ, 64-Tap, I²C, Einzelversorgung	Quad DCP, 2.7V, 10KΩ, 64 Tap, I²C, Single Supply	24-TSSOP	8.79	6.14	5.32
X9409WV24I-2.7	X9409WV24I-2.7-ND	Vierf. DCP, 2,7 V, 10 KΩ, 64-Tap, I²C, Einzelversorgung	Quad DCP, 2.7V, 10KΩ, 64 Tap, I²C, Single Supply	24-TSSOP	11.00	7.67	6.65
X9410WS24	X9410WS24-ND	Zweif. DCP, 5 V, 10 KΩ, 64-Tap, SPI, Doppelversorgung	Dual DCP, 5V, 10KΩ, 64 Tap, SPI, Dual Supply	24-SOIC	4.42	3.09	2.68
X9410WS24I	X9410WS24I-ND	Zweif. DCP, 5 V, 10 KΩ, 64-Tap, SPI, Doppelversorgung	Dual DCP, 5V, 10KΩ, 64 Tap, SPI, Dual Supply	24-SOIC	5.51	3.85	3.34
X9410WV24	X9410WV24-ND	Zweif. DCP, 5 V, 10 KΩ, 64-Tap, SPI, Doppelversorgung	Dual DCP, 5V, 10KΩ, 64 Tap, SPI, Dual Supply	24-TSSOP	5.51	3.85	3.34
X9410WV24I	X9410WV24I-ND	Zweif. DCP, 5 V, 10 KΩ, 64-Tap, SPI, Doppelversorgung	Dual DCP, 5V, 10KΩ, 64 Tap, SPI, Dual Supply	24-TSSOP	6.88	4.81	4.17
X9410WS24-2.7	X9410WS24-2.7-ND	Zweif. DCP, 2,7 V, 10 KΩ, 64-Tap, SPI, Doppelversorgung	Dual DCP, 2.7V, 10KΩ, 64 Tap, SPI, Dual Supply	24-SOIC	4.84	3.38	2.93
X9410WS24I-2.7	X9410WS24I-2.7-ND	Zweif. DCP, 2,7 V, 10 KΩ, 64-Tap, SPI, Doppelversorgung	Dual DCP, 2.7V, 10KΩ, 64 Tap, SPI, Dual Supply	24-SOIC	6.04	4.22	3.66
X9410WV24-2.7	X9410WV24-2.7-ND	Zweif. DCP, 2,7 V, 10 KΩ, 64-Tap, SPI, Doppelversorgung	Dual DCP, 2.7V, 10KΩ, 64 Tap, SPI, Dual Supply	24-TSSOP	6.04	4.22	3.66
X9410WV24I-2.7	X9410WV24I-2.7-ND	Zweif. DCP, 2,7 V, 10 KΩ, 64-Tap, SPI, Doppelversorgung	Dual DCP, 2.7V, 10KΩ, 64 Tap, SPI, Dual Supply	24-TSSOP	7.57	5.29	4.58
X9418WS24	X9418WS24-ND	Zweif. DCP, 5 V, 10 KΩ, 64-Tap, I²C, Doppelversorgung	Dual DCP, 5V, 10KΩ, 64 Tap, I²C, Dual Supply	24-SOIC	4.81	3.36	2.91
X9418WS24I	X9418WS24I-ND	Zweif. DCP, 5 V, 10 KΩ, 64-Tap, I²C, Doppelversorgung	Dual DCP, 5V, 10KΩ, 64 Tap, I²C, Dual Supply	24-SOIC	6.01	4.20	3.64
X9418WV24	X9418WV24-ND	Zweif. DCP, 5 V, 10 KΩ, 64-Tap, I²C, Doppelversorgung	Dual DCP, 5V, 10KΩ, 64 Tap, I²C, Dual Supply	24-TSSOP	6.01	4.20	3.64
X9418WV24I	X9418WV24I-ND	Zweif. DCP, 5 V, 10 KΩ, 64-Tap, I²C, Doppelversorgung	Dual DCP, 5V, 10KΩ, 64 Tap, I²C, Dual Supply	24-TSSOP	7.50	5.24	4.54
X9418WV24-2.7	X9418WV24-2.7-ND	Zweif. DCP, 2,7 V, 10 KΩ, 64-Tap, I²C, Doppelversorgung	Dual DCP, 2.7V, 10KΩ, 64 Tap, I²C, Dual Supply	24-TSSOP	6.59	4.60	3.99
X9418WS24I-2.7	X9418WS24I-2.7-ND	Zweif. DCP, 2,7 V, 10 KΩ, 64-Tap, I²C, Doppelversorgung	Dual DCP, 2.7V, 10KΩ, 64 Tap, I²C, Dual Supply	24-SOIC	6.59	4.60	3.99
X9420WS16	X9420WS16-ND	Einf. DCP, 5 V, 10 KΩ, 64-Tap, SPI, Doppelversorgung	Single DCP, 5V, 10KΩ, 64 Tap, SPI, Dual Supply	16-SOIC	2.93	2.05	1.78
X9420WS16I	X9420WS16I-ND	Einf. DCP, 5 V, 10 KΩ, 64-Tap, SPI, Doppelversorgung	Single DCP, 5V, 10KΩ, 64 Tap, SPI, Dual Supply	16-SOIC	3.67	2.57	2.23
X9420WV14	X9420WV14-ND	Einf. DCP, 5 V, 10 KΩ, 64-Tap, SPI, Doppelversorgung	Single DCP, 5V, 10KΩ, 64 Tap, SPI, Dual Supply	14-TSSOP	3.46	2.42	2.10
X9420WV14I	X9420WV14I-ND	Einf. DCP, 5 V, 10 KΩ, 64-Tap, SPI, Doppelversorgung	Single DCP, 5V, 10KΩ, 64 Tap, SPI, Dual Supply	14-TSSOP	4.33	3.03	2.62
X9420WS16-2.7	X9420WS16-2.7-ND	Einf. DCP, 2,7 V, 10 KΩ, 64-Tap, SPI, Doppelversorgung	Single DCP, 2.7V, 10KΩ, 64 Tap, SPI, Dual Supply	16-SOIC	3.23	2.25	1.95
X9420WS16I-2.7	X9420WS16I-2.7-ND	Einf. DCP, 2,7 V, 10 KΩ, 64-Tap, SPI, Doppelversorgung	Single DCP, 2.7V, 10KΩ, 64 Tap, SPI, Dual Supply	16-SOIC	4.04	2.82	2.45
X9420WV14-2.7	X9420WV14-2.7-ND	Einf. DCP, 2,7 V, 10 KΩ, 64-Tap, SPI, Doppelversorgung	Single DCP, 2.7V, 10KΩ, 64 Tap, SPI, Dual Supply	14-TSSOP	3.80	2.66	2.31
X9420WV14I-2.7	X9420WV14I-2.7-ND	Einf. DCP, 2,7 V, 10 KΩ, 64-Tap, SPI, Doppelversorgung	Single DCP, 2.7V, 10KΩ, 64 Tap, SPI, Dual Supply	14-TSSOP	4.75	3.32	2.88
X9421WS16	X9421WS16-ND	Einf. DCP, 5 V, 10 KΩ, 64-Tap, SPI, Einzelversorgung	Single DCP, 5V, 10KΩ, 64 Tap, SPI, Single Supply	16-SOIC	2.93	2.05	1.78
X9421WS16I	X9421WS16I-ND	Einf. DCP, 5 V, 10 KΩ, 64-Tap, SPI, Einzelversorgung	Single DCP, 5V, 10KΩ, 64 Tap, SPI, Single Supply	16-SOIC	3.67	2.57	2.23
X9421WV14	X9421WV14-ND	Einf. DCP, 5 V, 10 KΩ, 64-Tap, SPI, Einzelversorgung	Single DCP, 5V, 10KΩ, 64 Tap, SPI, Single Supply	14-TSSOP	3.46	2.42	2.10
X9421WV14I	X9421WV14I-ND	Einf. DCP, 5 V, 10 KΩ, 64-Tap, SPI, Einzelversorgung	Single DCP, 5V, 10KΩ, 64 Tap, SPI, Single Supply	14-TSSOP	4.33	3.03	2.62
X9421WS16-2.7	X9421WS16-2.7-ND	Einf. DCP, 2,7 V, 10 KΩ, 64-Tap, SPI, Einzelversorgung	Single DCP, 2.7V, 10KΩ, 64 Tap, SPI, Single Supply	16-SOIC	3.23	2.25	1.95
X9421WS16I-2.7	X9421WS16I-2.7-ND	Einf. DCP, 2,7 V, 10 KΩ, 64-Tap, SPI, Einzelversorgung	Single DCP, 2.7V, 10KΩ, 64 Tap, SPI, Single Supply	16-SOIC	4.04	2.82	2.45
X9421WV14-2.7	X9421WV14-2.7-ND	Einf. DCP, 2,7 V, 10 KΩ, 64-Tap, SPI, Einzelversorgung	Single DCP, 2.7V, 10KΩ, 64 Tap, SPI, Single Supply	14-TSSOP	3.80	2.66	2.31
X9421WV14I-2.7	X9421WV14I-2.7-ND	Einf. DCP, 2,7 V, 10 KΩ, 64-Tap, SPI, Einzelversorgung	Single DCP, 2.7V, 10KΩ, 64 Tap, SPI, Single Supply	14-TSSOP	4.75	3.32	2.88
X9428WS16	X9428WS16-ND	Einf. DCP, 5 V, 10 KΩ, 64-Tap, I²C, Doppelversorgung	Single DCP, 5V, 10KΩ, 64 Tap, I²C, Dual Supply	16-SOIC	2.93	2.05	1.78
X9428WS16I	X9428WS16I-ND	Einf. DCP, 5 V, 10 KΩ, 64-Tap, I²C, Doppelversorgung	Single DCP, 5V, 10KΩ, 64 Tap, I²C, Dual Supply	16-SOIC	3.67	2.57	2.23
X9428WV14	X9428WV14-ND	Einf. DCP, 5 V, 10 KΩ, 64-Tap, I²C, Doppelversorgung	Single DCP, 5V, 10KΩ, 64 Tap, I²C, Dual Supply	14-TSSOP	3.46	2.42	2.10
X9428WV14I	X9428WV14I-ND	Einf. DCP, 5 V, 10 KΩ, 64-Tap, I²C, Doppelversorgung	Single DCP, 5V, 10KΩ, 64 Tap, I²C, Dual Supply	14-TSSOP	4.33	3.03	2.62
X9428WS16-2.7	X9428WS16-2.7-ND	Einf. DCP, 2,7 V, 10 KΩ, 64-Tap, I²C, Doppelversorgung	Single DCP, 2.7V, 10KΩ, 64 Tap, I²C, Dual Supply	16-SOIC	3.23	2.25	1.95
X9428WS16I-2.7	X9428WS16I-2.7-ND	Einf. DCP, 2,7 V, 10 KΩ, 64-Tap, I²C, Doppelversorgung	Single DCP, 2.7V, 10KΩ, 64 Tap, I²C, Dual Supply	16-SOIC	4.04	2.82	2.45
X9428WV14-2.7	X9428WV14-2.7-ND	Einf. DCP, 2,7 V, 10 KΩ, 64-Tap, I²C, Doppelversorgung	Single DCP, 2.7V, 10KΩ, 64 Tap, I²C, Dual Supply	14-TSSOP	3.80	2.66	2.31
X9428WV14I-2.7	X9428WV14I-2.7-ND	Einf. DCP, 2,7 V, 10 KΩ, 64-Tap, I²C, Doppelversorgung	Single DCP, 2.7V, 10KΩ, 64 Tap, I²C, Dual Supply	14-TSSOP	4.75	3.32	2.88
X9429WS16	X9429WS16-ND	Einf. DCP, 5 V, 10 KΩ, 64-Tap, I²C, Einzelversorgung	Single DCP, 5V, 10KΩ, 64 Tap, I²C, Single Supply	16-SOIC	2.93	2.05	1.78
X9429WS16I	X9429WS16I-ND	Einf. DCP, 5 V, 10 KΩ, 64-Tap, I²C, Einzelversorgung	Single DCP, 5V, 10KΩ, 64 Tap, I²C, Single Supply	16-SOIC	3.67	2.57	2.23
X9429WV14	X9429WV14-ND	Einf. DCP, 5 V, 10 KΩ, 64-Tap, I²C, Einzelversorgung	Single DCP, 5V, 10KΩ, 64 Tap, I²C, Single Supply	14-TSSOP	3.46	2.42	2.10
X9429WV14I	X9429WV14I-ND	Einf. DCP, 5 V, 10 KΩ, 64-Tap, I²C, Einzelversorgung	Single DCP, 5V, 10KΩ, 64 Tap, I²C, Single Supply	14-TSSOP	4.33	3.03	2.62
X9429WS16-2.7	X9429WS16-2.7-ND	Einf. DCP, 2,7 V, 10 KΩ, 64-Tap, I²C, Einzelversorgung	Single DCP, 2.7V, 10KΩ, 64 Tap, I²C, Single Supply	16-SOIC	3.23	2.25	1.95
X9429WS16I-2.7	X9429WS16I-2.7-ND	Einf. DCP, 2,7 V, 10 KΩ, 64-Tap, I²C, Einzelversorgung	Single DCP, 2.7V, 10KΩ, 64 Tap, I²C, Single Supply	16-SOIC	4.04	2.82	2.45
X9429WV14-2.7	X9429WV14-2.7-ND	Einf. DCP, 2,7 V, 10 KΩ, 64-Tap, I²C, Einzelversorgung	Single DCP, 2.7V, 10KΩ, 64 Tap, I²C, Single Supply	14-TSSOP	3.80	2.66	2.31
X9429WV14I-2.7	X9429WV14I-2.7-ND	Einf. DCP, 2,7 V, 10 KΩ, 64-Tap, I²C, Einzelversorgung	Single DCP, 2.7V, 10KΩ, 64 Tap, I²C, Single Supply	14-TSSOP	3.66	2.56	2.22
X9455TV24I-2.7	X9455TV24I-2.7-ND	Zweif. DCP, 2,7 V, 100 KΩ, 256-Tap, doppelter Wischkontakt	Dual DCP, 2.7V, 100KΩ, 256 Tap, Two-Wiper	24-TSSOP	4.99	3.48	3.02
X9455UV24I-2.7	X9455UV24I-2.7-ND	Zweif. DCP, 2,7 V, 50 KΩ, 256-Tap, doppelter Wischkontakt	Dual DCP, 2.7V, 50KΩ, 256 Tap, Two-Wiper	24-TSSOP	4.99	3.48	3.02
X9455WV24I-2.7	X9455WV24I-2.7-ND	Zweif. DCP, 2,7 V, 10 KΩ, 256-Tap, doppelter Wischkontakt	Dual DCP, 2.7V, 10KΩ, 256 Tap, Two-Wiper	24-TSSOP	4.99	3.48	3.02
X9455YV24I-2.7	X9455YV24I-2.7-ND	Zweif. DCP, 2,7 V, 2,8 KΩ, 256-Tap, doppelter Wischkontakt	Dual DCP, 2.7V, 2.8KΩ, 256 Tap,Two-Wiper	24-TSSOP	4.99	3.48	3.02
X9511WP	X9511WP-ND	Einf. DCP, 5 V, 10 KΩ, 32-Tap, „Pushpot"	Single DCP, 5V, 10KΩ, 32 Tap, Pushpot	8-Dip	1.79	1.25	1.08
X9511WPI	X9511WPI-ND	Einf. DCP, 5 V, 10 KΩ, 32-Tap, „Pushpot"	Single DCP, 5V, 10KΩ, 32 Tap, Pushpot	8-Dip	2.22	1.55	1.35
X9511WS	X9511WS-ND	Einf. DCP, 5 V, 10 KΩ, 32-Tap, „Pushpot"	Single DCP, 5V, 10KΩ, 32 Tap, Pushpot	8-SOIC	1.79	1.25	1.08
X9511WSI	X9511WSI-ND	Einf. DCP, 5 V, 10 KΩ, 32-Tap, „Pushpot"	Single DCP, 5V, 10KΩ, 32 Tap, Pushpot	8-SOIC	2.22	1.55	1.35

intersil — DIGITAL GESTEUERTE POTENTIOMETER MIT OPAMP

Intersil Teilenr.	Digi-Key Teilenr.	Beschreibung		Paket	Stückpreis★ 1	25	100
X9430WS24	X9430WS24-ND	Zweif. DCP, zweif. OpAmp, 5 V, 10 KΩ, 64-Tap, SPI	Dual DCP, Dual Op Amp, 5V, 10KΩ, 64 Tap, SPI	24-SOIC	4.21	2.94	2.55
X9430WS24I	X9430WS24I-ND	Zweif. DCP, zweif. OpAmp, 5 V, 10 KΩ, 64-Tap, SPI	Dual DCP, Dual Op Amp, 5V, 10KΩ, 64 Tap, SPI	24-SOIC	4.42	3.09	2.68
X9430WV24	X9430WV24-ND	Zweif. DCP, zweif. OpAmp, 5 V, 10 KΩ, 64-Tap, SPI	Dual DCP, Dual Op Amp, 5V, 10KΩ, 64 Tap, SPI	24-TSSOP	4.21	2.94	2.55
X9430WS24-2.7	X9430WS24-2.7-ND	Zweif. DCP, zweif. OpAmp, 2,7 V, 10 KΩ, 64-Tap, SPI	Dual DCP, Dual Op Amp, 2.7V, 10KΩ, 64 Tap, SPI	24-SOIC	7.74	5.40	4.68
X9430WS24I-2.7	X9430WS24I-2.7-ND	Zweif. DCP, zweif. OpAmp, 2,7 V, 10 KΩ, 64-Tap, SPI	Dual DCP, Dual Op Amp, 2.7V, 10KΩ, 64 Tap, SPI	24-SOIC	4.42	3.09	2.68
X9430WV24-2.7	X9430WV24-2.7-ND	Zweif. DCP, zweif. OpAmp, 2,7 V, 10 KΩ, 64-Tap, SPI	Dual DCP, Dual Op Amp, 2.7V, 10KΩ, 64 Tap, SPI	24-TSSOP	4.21	2.94	2.55
X9438WV24	X9438WV24-ND	Zweif. DCP, zweif. OpAmp, 5 V, 10 KΩ, 64-Tap, I²C	Dual DCP, Dual Op Amp, 5V, 10KΩ, 64 Tap, I²C	24-TSSOP	4.21	2.94	2.55
X9438WV24I	X9438WV24I-ND	Zweif. DCP, zweif. OpAmp, 5 V, 10 KΩ, 64-Tap, I²C	Dual DCP, Dual Op Amp, 5V, 10KΩ, 64 Tap, I²C	24-TSSOP	4.42	3.09	2.68
X9438WV24-2.7	X9438WV24-2.7-ND	Zweif. DCP, zweif. OpAmp, 2,7 V, 10 KΩ, 64-Tap, I²C	Dual DCP, Dual Op Amp, 2.7V, 10KΩ, 64 Tap, I²C	24-TSSOP	4.21	2.94	2.55

intersil — LEITUNGSTREIBER/EMPFÄNGER

Intersil Teilenr.	Digi-Key Teilenr.	Beschreibung		Paket	Stückpreis★ 1	25	100
EL5170IS	EL5170IS-ND	100 MHz Diff.-Treiber, verdrillte Leitung	100MHz Diff. Twisted-Pair Driver	8-SOIC	1.41	1.06	.78
EL5170IY	EL5170IY-ND	100 MHz Diff.-Treiber, verdrillte Leitung	100MHz Diff. Twisted-Pair Driver	8-MSOP	1.41	1.06	.78
EL5171IS	EL5171IS-ND	250 MHz Diff.-Treiber, verdrillte Leitung	250MHz Diff. Twisted-Pair Driver	8-SOIC	1.81	1.35	1.00
EL5172IS	EL5172IS-ND	250 MHz Diff.-Leitungsempfänger	250MHz Diff. Line Receiver	8-SOIC	1.41	1.06	.78
EL5172IY	EL5172IY-ND	250 MHz Diff.-Leitungsempfänger	250MHz Diff. Line Receiver	8-MSOP	1.41	1.06	.78
EL5173IS	EL5173IS-ND	450 MHz Diff.-Treiber, verdrillte Leitung	450MHz Diff. Twisted-Pair Driver	8-SOIC	2.65	2.02	1.54
EL5173IY	EL5173IY-ND	450 MHz Diff.-Treiber, verdrillte Leitung	450MHz Diff. Twisted-Pair Driver	8-MSOP	2.65	2.02	1.54
EL5174IS	EL5174IS-ND	550 MHz Diff.-Treiber, verdrillte Leitung	550MHz Diff. Twisted-Pair Driver	8-SOIC	2.44	1.85	1.42
EL5175IS	EL5175IS-ND	550 MHz Diff.-Leitungsempfänger	550MHz Diff. Line Receiver	8-SOIC	2.44	1.85	1.42
EL5175IY	EL5175IY-ND	550 MHz Diff.-Leitungsempfänger	550MHz Diff. Line Receiver	8-MSOP	2.44	1.85	1.42
EL5176IY	EL5176IY-ND	250 MHz Diff.-Treiber, verdrillte Leitung	250MHz Diff. Twisted-Pair Driver	10-MSOP	1.41	1.06	.78
EL5177IY	EL5177IY-ND	550 MHz Diff.-Treiber, verdrillte Leitung	550MHz Diff. Twisted-Pair Driver	10-MSOP	2.18	1.62	1.20
EL9110IU	EL9110IU-ND	Differenzialempfänger/Equalizer	Differential Receiver/Equalizer	16-QSOP	8.52	7.31	6.48
HIN202CBN	HIN202CBN-ND	5 V RS232-Sender/Empfänger	5V, RS-232 Transmitter/Receiver	16-SOIC	1.21	.89	.65
HIN202CP	HIN202CP-ND	5 V RS232-Sender/Empfänger	5V, RS-232 Transmitter/Receiver	16-Dip	1.21	.89	.65
HIN202ECBN	HIN202ECBN-ND	5 V RS232-Sender/Empfänger, ESE-geschützt	5V, RS-232 Transmitter/Receiver, ESD Protected	16-SOIC	1.21	.89	.65
HIN202ECP	HIN202ECP-ND	5 V RS232-Sender/Empfänger, ESE-geschützt	5V, RS-232 Transmitter/Receiver, ESD Protected	16-Dip	1.52	1.12	.82
HIN202EIBN	HIN202EIBN-ND	5 V RS232-Sender/Empfänger, ESE-geschützt	5V, RS-232 Transmitter/Receiver, ESD Protected	16-SOIC	1.21	.89	.65
HIN202IBN	HIN202IBN-ND	5 V RS232-Sender/Empfänger	5V, RS-232 Transmitter/Receiver	16-SOIC	1.47	1.10	.81
HIN206CB	HIN206CB-ND	5 V RS232-Sender/Empfänger	5V, RS-232 Transmitter/Receiver	24-SOIC	2.52	1.92	1.47

(Forts.)

★ RUFEN SIE BITTE AN FÜR NIEDRIGERE PREISE BEI GRÖSSEREN MENGEN! ★

Alle Preisangaben in Euro und inklusive Zollgebühren.

Intersil Teilenr.	Digi-Key Teilenr.	Beschreibung		Paket	Stückpreis★ 1	25	100
HIN208EIA	HIN208EIA-ND	5 V RS232-Sender/Empfänger, ESE-geschützt	5V, RS-232 Transmitter/Receiver, ESD Protected	24-SSOP	3.07	2.34	1.78
HIN211ECA	HIN211ECA-ND	5 V RS232-Sender/Empfänger, ESE-geschützt	5V, RS-232 Transmitter/Receiver, ESD Protected	28-SSOP	2.46	1.84	1.36
HIN211EIA	HIN211EIA-ND	5 V RS232-Sender/Empfänger, ESE-geschützt	5V, RS-232 Transmitter/Receiver, ESD Protected	28-SSOP	1.89	1.41	1.04
HIN232ACBN	HIN232ACBN-ND	5 V RS232-Sender/Empfänger, HS	5V RS-232 Transmitter/Receiver, HS	16-SOIC	1.21	.89	.65
HIN232ACP	HIN232ACP-ND	5 V RS232-Sender/Empfänger, HS	5V RS-232 Transmitter/Receiver, HS	16-Dip	1.27	.94	.68
HIP2100IB	HIP2100IB-ND	100 V, 2 A Spitze, HF-Halbbrückentreiber	100V, 2A Peak, High Freq. Half Bridge Driver	8-SOIC	2.82	2.14	1.64
HIP2100IR	HIP2100IR-ND	100 V, 2 A Spitze, HF-Halbbrückentreiber	100V, 2A Peak, High Freq. Half Bridge Driver	16-QFN	3.07	2.34	1.78
HIP2101IB	HIP2101IB-ND	100 V, 2 A Spitze, HF-Halbbrückentreiber	100V, 2A Peak, High Freq. Half Bridge Driver	8-SOIC	2.82	2.14	1.64
HIP4080AIB	HIP4080AIB-ND	80 V, 2,5 A Spitze, HF-Vollbrücken-FET-Treiber	80V, 2.5A Peak, High Freq. Full Bridge FET Driver	20-SOIC	4.66	3.54	2.71
HIP4080AIP	HIP4080AIP-ND	80 V, 2,5 A Spitze, HF-Vollbrücken-FET-Treiber	80V, 2.5A Peak, High Freq. Full Bridge FET Driver	20-Dip	4.70	3.58	2.73
HIP4081AIB	HIP4081AIB-ND	80 V, 2,5 A Spitze, HF-Vollbrücken-FET-Treiber	80V, 2.5A Peak, High Freq. Full Bridge FET Driver	20-SOIC	4.66	3.54	2.71
HIP4081AIP	HIP4081AIP-ND	80 V, 2,5 A Spitze, HF-Vollbrücken-FET-Treiber	80V, 2.5A Peak, High Freq. Full Bridge FET Driver	20-Dip	5.08	3.87	2.95
HIP4082IB	HIP4082IB-ND	80 V, 1,25 A Spitzenstrom, H-Brücken FET-Treiber	80V, 1.25A Peak Current H-Bridge FET Driver	16-SOIC	3.50	2.66	2.03
HIP4082IP	HIP4082IP-ND	80 V, 1,25 A Spitzenstrom, H-Brücken FET-Treiber	80V, 1.25A Peak Current H-Bridge FET Driver	16-Dip	3.60	2.74	2.09
HIP4086AB	HIP4086AB-ND	80 V, 0,5 A Dreiphasentreiber	80V, 0.5A Three Phase Driver	24-SOIC	5.33	4.22	3.38
HIP6601BCB	HIP6601BCB-ND	Zweif. synch. gleichgerichteter Buck-MOSFET-Treiber	Sync. Rectified Buck Dual MOSFET Driver	8-SOIC	2.50	1.90	1.45
ICL3217ECB	ICL3217ECB-ND	3 V-5,5 V RS232-Sender/Empfänger, ESE-geschützt	3V-5.5V, RS-232 Transmitter/Receiver, ESD Protected	24-SOIC	4.94	3.75	2.87
ICL3217EIB	ICL3217EIB-ND	3 V-5,5 V RS232-Sender/Empfänger, ESE-geschützt	3V-5.5V, RS-232 Transmitter/Receiver, ESD Protected	24-SOIC	4.75	3.76	3.01
ICL3221ECA	ICL3221ECA-ND	3 V-5,5 V RS232-Sender/Empfänger, ESE-geschützt	3V-5.5V, RS-232 Transmitter/Receiver, ESD Protected	16-SSOP	1.50	1.11	.83
ICL3221EIA	ICL3221EIA-ND	3 V-5,5 V RS232-Sender/Empfänger, ESE-geschützt	3V-5.5V, RS-232 Transmitter/Receiver, ESD Protected	16-SSOP	1.89	1.41	1.04
ICL3222EIB	ICL3222EIB-ND	3 V-5,5 V RS232-Sender/Empfänger, ESE-geschützt	3V-5.5V, RS-232 Transmitter/Receiver, ESD Protected	18-SOIC	2.55	1.89	1.40
ICL3224EIA	ICL3224EIA-ND	3 V-5,5 V RS232-Sender/Empfänger, ESE-geschützt	3V-5.5V, RS-232 Transmitter/Receiver, ESD Protected	20-SSOP	3.37	2.56	1.96
ICL3225ECA	ICL3225ECA-ND	3 V-5,5 V RS232-Sender/Empfänger, ESE-geschützt	3V-5.5V, RS-232 Transmitter/Receiver, ESD Protected	20-SSOP	2.31	1.76	1.34
ICL3225EIA	ICL3225EIA-ND	3 V-5,5 V RS232-Sender/Empfänger, ESE-geschützt	3V-5.5V, RS-232 Transmitter/Receiver, ESD Protected	20-SSOP	3.39	2.58	1.97
ICL3226ECA	ICL3226ECA-ND	3 V-5,5 V RS232-Sender/Empfänger, ESE-geschützt	3V-5.5V, RS-232 Transmitter/Receiver, ESD Protected	16-SSOP	2.14	1.63	1.24
ICL3227ECA	ICL3227ECA-ND	3 V-5,5 V RS232-Sender/Empfänger, ESE-geschützt	3V-5.5V, RS-232 Transmitter/Receiver, ESD Protected	16-SSOP	2.50	1.85	1.37
ICL3227EIA	ICL3227EIA-ND	3 V-5,5 V RS232-Sender/Empfänger, ESE-geschützt	3V-5.5V, RS-232 Transmitter/Receiver, ESD Protected	16-SSOP	2.46	1.87	1.43
ICL3232CBN	ICL3232CBN-ND	3 V-5,5 V RS232-Sender/Empfänger	3V-5.5V, RS-232 Transmitter/Rcvr	16-SOIC	1.31	.98	.72
ICL3232CP	ICL3232CP-ND	3 V-5,5 V RS232-Sender/Empfänger	3V-5.5V, RS-232 Transmitter/Rcvr	16-Dip	1.31	.98	.72
ICL3232ECBN	ICL3232ECBN-ND	3 V-5,5 V RS232-Sender/Empfänger, ESE-geschützt	3V-5.5V, RS-232 Transmitter/Recvr, ESD Protected	16-SOIC	2.24	1.66	1.23
ICL3232IBN	ICL3232IBN-ND	3 V-5,5 V RS232-Sender/Empfänger	3V-5.5V, RS-232 Transmitter/Rcvr	16-SOIC	1.31	.98	.72
ICL3243ECA	ICL3243ECA-ND	3 V-5,5 V RS232-Sender/Empfänger, ESE-geschützt	3V-5.5V, RS-232 Transmitter/Receiver, ESD Protected	28-SSOP	1.86	1.39	1.03
ICL3243EIA	ICL3243EIA-ND	3 V-5,5 V RS232-Sender/Empfänger, ESE-geschützt	3V-5.5V, RS-232 Transmitter/Receiver, ESD Protected	28-SSOP	2.44	1.82	1.34
ISL4221EIR	ISL4221EIR-ND	2,7 V-5,5 V RS232-Sender/Empfänger, ESE-geschützt	2.7V-5.5V, RS-232 Transmitter/Receiver, ESD Protected	16-QFN	2.88	2.19	1.67
ISL4223EIR	ISL4223EIR-ND	2,7 V-5,5 V RS232-Sender/Empfänger, ESE-geschützt	2.7V-5.5V, RS-232 Transmitter/Receiver, ESD Protected	20-QFN	4.26	3.24	2.47
ISL4243EIR	ISL4243EIR-ND	2,7 V-5,5 V RS232-Transceiver, ESE-geschützt	2.7V-5.5V, RS-232 Transceiver, ESD Protected	32-QFN	5.04	3.83	2.93
ISL4485EIB	ISL4485EIB-ND	5 V RS485/RS422-Transceiver, ESE-geschützt	5V, RS-485/RS-422 Transceiver, ESD Protected	8-SOIC	2.10	1.56	1.16
ISL4489EIB	ISL4489EIB-ND	5 V RS485/RS422-Transceiver, ESE-geschützt	5V, RS-485/RS-422 Transceiver, ESD Protected	14-SOIC	1.84	1.37	1.01
ISL4491EIB	ISL4491EIB-ND	5 V RS485/RS422-Transceiver, ESE-geschützt	5V, RS-485/RS-422 Transceiver, ESD Protected	14-SOIC	1.84	1.37	1.01
ISL6605IB	ISL6605IB-ND	Synch. gleichgerichteter MOSFET-Treiber	Sync. Rectified MOSFET Driver	8-SOIC	2.26	1.68	1.24
ISL6608IB	ISL6608IB-ND	Synch. gleichgerichteter MOSFET-Treiber	Sync. Rectified MOSFET Driver	8-SOIC	3.22	2.45	1.87
ISL6612IB	ISL6612IB-ND	Erw. synch. gleichgerichteter Buck-MOSFET-Treiber	Adv. Sync. Rectified Buck MOSFET Driver	8-SOIC	2.79	2.13	1.63
ISL6614ACB	ISL6614ACB-ND	Zweif. erw. synch. gleichgerichteter Buck-MOSFET-Treiber	Dual Adv. Sync. Rectified Buck MOSFET Driver	14-SOIC	4.91	3.74	2.85
ISL6614ACR	ISL6614ACR-ND	Zweif. erw. synch. gleichgerichteter Buck-MOSFET-Treiber	Dual Adv. Sync. Rectified Buck MOSFET Driver	16-QFN	5.02	3.82	2.91
ISL6614AIB	ISL6614AIB-ND	Zweif. erw. synch. gleichgerichteter Buck-MOSFET-Treiber	Dual Adv. Sync. Rectified Buck MOSFET Driver	14-SOIC	5.12	3.90	2.98
ISL6614AIR	ISL6614AIR-ND	Zweif. erw. synch. gleichgerichteter Buck-MOSFET-Treiber	Dual Adv. Sync. Rectified Buck MOSFET Driver	16-QFN	5.23	3.98	3.04
ISL6614CB	ISL6614CB-ND	Zweif. erw. synch. gleichgerichteter Buck-MOSFET-Treiber	Dual Adv. Sync. Rectified Buck MOSFET Driver	14-SOIC	4.91	3.74	2.85
ISL6614CR	ISL6614CR-ND	Zweif. erw. synch. gleichgerichteter Buck-MOSFET-Treiber	Dual Adv. Sync. Rectified Buck MOSFET Driver	16-QFN	5.02	3.82	2.91
ISL6614IB	ISL6614IB-ND	Zweif. erw. synch. gleichgerichteter Buck-MOSFET-Treiber	Dual Adv. Sync. Rectified Buck MOSFET Driver	14-SOIC	5.12	3.90	2.98
ISL6614IR	ISL6614IR-ND	Zweif. erw. synch. gleichgerichteter Buck-MOSFET-Treiber	Dual Adv. Sync. Rectified Buck MOSFET Driver	16-QFN	5.23	3.98	3.04
ISL6700IB	ISL6700IB-ND	80 V, 1,25 A Spitze, Mittelfrequ., Halbbrückentreiber	80V, 1.25A Peak, Medium Freq., Half Bridge Driver	8-SOIC	2.36	1.76	1.30
ISL6700IR	ISL6700IR-ND	80 V, 1,25 A Spitze, Mittelfrequ., Halbbrückentreiber	80V, 1.25A Peak, Medium Freq., Half Bridge Driver	12-QFN	2.39	1.78	1.31
ISL6801AB	ISL6801AB-ND	Hochspann. Bootstrap-High-Side-Treiber	High Volt. Bootstrap High Side Driver	8-SOIC	3.56	2.71	2.07
ISL81486IB	ISL81486IB-ND	5 V, Ultra-HS, PROFIBUS® RS485/RS422 Transceiver	5V, Ultra High Speed, PROFIBUS®RS-485/RS-422 Transceiver	8-SOIC	1.84	1.37	1.01
ISL81487EIB	ISL81487EIB-ND	5 V RS485/RS422-Transceiver, ESE-geschützt	5V, RS-485/RS-422 Transceiver, ESD Protected	8-SOIC	2.34	1.74	1.29
ISL81487EIP	ISL81487EIP-ND	5 V RS485/RS422-Transceiver, ESE-geschützt	5V, RS-485/RS-422 Transceiver, ESD Protected	8-Dip	2.34	1.74	1.29
ISL81487LIB	ISL81487LIB-ND	5 V RS485/RS422-Transceiver, ESE-geschützt	5V, RS-485/RS-422 Transceiver, ESD Protected	8-SOIC	1.84	1.37	1.01
ISL81487LIP	ISL81487LIP-ND	5 V RS485/RS422-Transceiver, ESE-geschützt	5V, RS-485/RS-422 Transceiver, ESD Protected	8-Dip	1.84	1.37	1.01
ISL83080EIB	ISL83080EIB-ND	5 V RS485/RS422-Transceiver, ESE-geschützt	5V, RS-485/RS-422 Transceiver, ESD Protected	14-SOIC	2.67	2.03	1.55
ISL83082EIB	ISL83082EIB-ND	5 V RS485/RS422-Transceiver, ESE-geschützt	5V, RS-485/RS-422 Transceiver, ESD Protected	8-SOIC	2.67	2.03	1.55
ISL83083EIB	ISL83083EIB-ND	5 V RS485/RS422-Transceiver, ESE-geschützt	5V, RS-485/RS-422 Transceiver, ESD Protected	14-SOIC	2.67	2.03	1.55
ISL83085EIB	ISL83085EIB-ND	5 V RS485/RS422-Transceiver, ESE-geschützt	5V, RS-485/RS-422 Transceiver, ESD Protected	8-SOIC	2.67	2.03	1.55
ISL83086EIB	ISL83086EIB-ND	5 V RS485/RS422-Transceiver, ESE-geschützt	5V, RS-485/RS-422 Transceiver, ESD Protected	14-SOIC	2.67	2.03	1.55
ISL83088EIB	ISL83088EIB-ND	5 V RS485/RS422-Transceiver, ESE-geschützt	5V, RS-485/RS-422 Transceiver, ESD Protected	8-SOIC	2.67	2.03	1.55
ISL83387EIV	ISL83387EIV-ND	3 V-5,5 V RS232-Transceiver, ESE-geschützt	3V-5.5V, RS-232 Transceiver, ESD Protected	24-TSSOP	3.56	2.71	2.07
ISL83483IB	ISL83483IB-ND	3,3 V RS485/RS422 Transceiver, mit begenzter Anstiegserweiterung, NL	3.3V, Low Power, Slew Rate Limited, RS-485/RS-422 Transceiver	8-SOIC	2.41	1.80	1.33
ISL83485IB	ISL83485IB-ND	3,3 V, HS RS485/RS422 Transceiver, NL	3.3V, Low Power, HS, RS-485/RS-422 Transceiver	8-SOIC	2.20	1.64	1.21
ISL83488IB	ISL83488IB-ND	3,3 V RS485/RS422 Transceiver, mit begenzter Anstiegserweiterung, NL	3.3V, Low Power, Slew Rate Limited, RS-485/RS-422 Transceiver	8-SOIC	2.20	1.64	1.21
ISL83491IB	ISL83491IB-ND	3,3 V, HS RS485/RS422 Transceiver, NL	3.3V, Low Power, HS, RS-485/RS-422 Transceiver	14-SOIC	1.97	1.47	1.08
ISL8483EIB	ISL8483EIB-ND	5 V RS485/RS422-Transceiver, ESE-geschützt	5V, RS-485/RS-422 Transceiver, ESD Protected	8-SOIC	2.24	1.66	1.23
ISL8483EIP	ISL8483EIP-ND	5 V RS485/RS422-Transceiver, ESE-geschützt	5V, RS-485/RS-422 Transceiver, ESD Protected	8-Dip	2.24	1.66	1.23
ISL8485EIB	ISL8485EIB-ND	5 V RS485/RS422-Transceiver, ESE-geschützt	5V, RS-485/RS-422 Transceiver, ESD Protected	8-SOIC	2.10	1.56	1.16
ISL8485EIP	ISL8485EIP-ND	5 V RS485/RS422-Transceiver, ESE-geschützt	5V, RS-485/RS-422 Transceiver, ESD Protected	8-Dip	2.10	1.56	1.16
ISL8487EIB	ISL8487EIB-ND	5 V RS485/RS422-Transceiver, ESE-geschützt	5V, RS-485/RS-422 Transceiver, ESD Protected	8-SOIC	2.50	1.85	1.37
ISL8487EIP	ISL8487EIP-ND	5 V RS485/RS422-Transceiver, ESE-geschützt	5V, RS-485/RS-422 Transceiver, ESD Protected	8-Dip	2.50	1.85	1.37
ISL8488IB	ISL8488IB-ND	5 V RS485/RS422-Transceiver	5V, RS-485/RS-422 Transceiver	8-SOIC	1.71	1.27	.94
ISL8488IP	ISL8488IP-ND	5 V RS485/RS422-Transceiver	5V, RS-485/RS-422 Transceiver	8-Dip	1.71	1.27	.94
ISL8489IB	ISL8489IB-ND	5 V RS485/RS422-Transceiver	5V, RS-485/RS-422 Transceiver	14-SOIC	1.71	1.27	.94
ISL8489IP	ISL8489IP-ND	5 V RS485/RS422-Transceiver	5V, RS-485/RS-422 Transceiver	14-Dip	1.71	1.27	.94

Intersil Teilenr.	Digi-Key Teilenr.	Beschreibung		Paket	Stückpreis★ 1	25	100
DG406DY	DG406DY-ND	Einf. 16-Kan. CMOS-Analog-Mux	Single 16-Ch., CMOS Analog Mux	28-SOIC	4.66	3.54	2.71
DG407DY	DG407DY-ND	Diff. 8-Kan. CMOS-Analog-Mux	Diff. 8-Ch., CMOS Analog Mux	28-SOIC	4.72	3.73	2.99
DG408DY	DG408DY-ND	Einf. 8-Kan. CMOS-Analog-Mux	Single 8-Ch., CMOS Analog Mux	16-SOIC	1.55	1.15	.85
DG409DY	DG409DYIS-ND	Diff. 4-Kan. CMOS-Analog-Mux	Diff. 4-Ch., CMOS Analog Mux	16-SOIC	1.94	1.45	1.07
HI3-0506-5	HI3-0506-5-ND	Einf. 16-Kan. CMOS-Analog-Mux	Single 16-Ch. CMOS Analog Mux	28-Dip	6.87	5.43	4.35
HI3-0507-5	HI3-0507-5-ND	8-Kan. Diff. CMOS-Analog-Mux	8-Ch. Diff. CMOS Analog Mux	28-Dip	8.67	7.43	6.59
HI3-0508-5	HI3-0508-5-ND	Einf. 8-Kan. CMOS-Analog-Mux	Single 8-Ch. CMOS Analog Mux	16-Dip	2.58	1.97	1.50
HI3-0509-5	HI3-0509-5-ND	4-Kan. Diff. CMOS-Analog-Mux	4-Ch. Differential CMOS Analog Mux	16-Dip	5.12	3.90	2.98
HIP6006CB-T	HIP6006CB-CT-ND	PWM Buck/Synch.-Gleichrichter-Controller	PWM Buck/Sync.-Rectifier Controller	14-SOIC	2.57	1.91	1.42
HIP6006CB-T	HIP6006CB-TR-ND	PWM Buck/Synch.-Gleichrichter-Controller	PWM Buck/Sync.-Rectifier Controller	14-SOIC		2592.71/2,500	
HIP6013CB	HIP6013CB-ND	PWM-Buck-Controller	PWM Buck Controller	14-SOIC	2.26	1.68	1.24
HIP6301CB-T	HIP6301CB-CT-ND	Mikroprozessor CORE Spannungsregler, Multiphase Buck-PWM Controller	Microprocessor CORE Volt. Reg., Multi-Phase Buck PWM Controller	20-SOIC	3.94	3.00	2.29
HIP6301CB-T	HIP6301CB-TR-ND	Mikroprozessor CORE Spannungsregler, Multiphase Buck-PWM Controller	Microprocessor CORE Volt. Reg., Multi-Phase Buck PWM Controller	20-SOIC		1984.43/1,000	
HIP6302CB-T	HIP6302CB-CT-ND	Mikroprozessor CORE Spannungsregler, Multiphase Buck-PWM Controller	Microprocessor CORE Volt. Reg., Multi-Phase Buck PWM Controller	16-SOIC	3.56	2.71	2.07
HIP6302CB-T	HIP6302CB-TR-ND	Mikroprozessor CORE Spannungsregler, Multiphase Buck-PWM Controller	Microprocessor CORE Volt. Reg., Multi-Phase Buck PWM Controller	16-SOIC		4444.65/2,500	

(Forts.)

★ *RUFEN SIE BITTE AN FÜR NIEDRIGERE PREISE BEI GRÖSSEREN MENGEN!* ★

intersil — SCHNITTSTELLE *(Forts.)*

Intersil Teilenr.	Digi-Key Teilenr.	Beschreibung		Paket	Stückpreis★ 1	25	100
ISL43681IR	ISL43681IR-ND	Einzelversorgter 8-zu-1 Mux, Niederspannung	Low-Volt., Single Supply, 8-to-1 Mux	20-QFN	2.50	1.85	1.37
ISL43741IR	ISL43741IR-ND	Doppelversorgter Diff. 4-zu-1 Mux, Niederspannung	Low-Volt., Dual Supply, Diff. 4-to-1 Mux	20-QFN	2.50	1.85	1.37
ISL6224CA	ISL6224CA-ND	Mobilfreundlicher PWM-Controller, ein Ausgang	Single Output Mobile-Friendly PWM Controller	16-SSOP	3.51	2.67	2.04
ISL6401CB	ISL6401CB-ND	PWM-Strom-Modus-Controller, NL, einstellb. Frequenz	Adj. Freq., Low Power, PWM Current Mode Controller	14-SOIC	4.89	3.72	2.84
ISL6402IR	ISL6402IR-ND	Zweif. 300 KHz Step-Down-PWM/Einzel-Linear-Controller	300KHz Dual Step-Down PWM/Single Linear Controller	28-QFN	4.83	3.67	2.80
ISL6410AIR	ISL6410AIR-ND	Einf. 5 V synch. Buck-Regler mit integriertem FET	5V Single Sync. Buck Reg. with Integrated FET	16-QFN	2.27	1.73	1.32
ISL6410AIU	ISL6410AIU-ND	Einf. 5 V synch. Buck-Regler mit integriertem FET	5V Single Sync. Buck Reg. with Integrated FET	10-MSOP	2.50	1.90	1.45
ISL6410IR	ISL6410IR-ND	Einf. 3,3 V synch. Buck-Regler mit integriertem FET	3.3V Single Sync. Buck Reg. with Integrated FET	16-QFN	2.27	1.73	1.32
ISL6410IU	ISL6410IU-ND	Einf. 3,3 V synch. Buck-Regler mit integriertem FET	3.3V Single Sync. Buck Reg. with Integrated FET	10-MSOP	2.50	1.90	1.45
ISL6431CB	ISL6431CB-ND	Hoch wirksamer, synch. Buck-PWM-Controller, Festfrequenz	High Eff., Fixed Freq., Sync. Buck PWM Controller	8-SOIC	2.44	1.82	1.34
ISL6439CB	ISL6439CB-ND	Einf. synch. Buck-PWM-Controller	Single Sync. Buck PWM Controller	14-SOIC	2.35	1.79	1.37
ISL6444CA	ISL6444CA-ND	Zweif. PWM-Controller mit DDR-Speicheroption	Dual PWM Controller with DDR Memory Option	28-SSOP	4.06	3.09	2.36
ISL6520ACB-T	ISL6520ACB-CT-ND	Einf. synch. Buck-PWM-Controller	Single Sync. Buck PWM Controller	8-SOIC	1.97	1.47	1.08
ISL6520ACB-T	ISL6520ACB-TR-ND	Einf. synch. Buck-PWM-Controller	Single Sync. Buck PWM Controller	8-SOIC		1985.28/2,500	
ISL6520CB-T	ISL6520CB-CT-ND	Einf. synch. Buck-PWM-Controller	Single Sync. Buck PWM Controller	8-SOIC	2.15	1.60	1.19
ISL6520CB-T	ISL6520CB-TR-ND	Einf. synch. Buck-PWM-Controller	Single Sync. Buck PWM Controller	8-SOIC		2169.41/2,500	
ISL6521CB	ISL6521CB-ND	PWM Buck DC/DC und dreif. Linearleistungs-Controller	PWM Buck DC/DC and Triple Linear Power Controller	16-SOIC	5.01	3.97	3.18
ISL6526AIR	ISL6526AIR-ND	Einf. synch. Buck-PWM-Controller	Single Sync. PWM Controller	16-QFN	2.14	1.63	1.24
ISL6526CB-T	ISL6526CB-CT-ND	Einf. synch. Buck-PWM-Controller	Single Sync. PWM Controller	14-SOIC	2.40	1.82	1.39
ISL6526CB-T	ISL6526CB-TR-ND	Einf. synch. Buck-PWM-Controller	Single Sync. PWM Controller	14-SOIC		2990.61/2,500	
ISL6527CB	ISL6527CB-ND	Einf. synch. Buck-PWM-Controller	Single Sync. Buck PWM Controller	14-SOIC	2.65	2.02	1.55
ISL6528CB-T	ISL6528CB-CT-ND	Zweif. reg. Standard-Buck PWM/Linearleistungs-Controller	Dual Reg. Standard Buck PWM/Linear Power Controller	8-SOIC	4.22	3.21	2.45
ISL6528CB-T	ISL6528CB-TR-ND	Zweif. reg. Standard-Buck PWM/Linearleistungs-Controller	Dual Reg. Standard Buck PWM/Linear Power Controller	8-SOIC		5291.25/2,500	
ISL6530CB-T	ISL6530CB-CT-ND	Zweif. 5 V synch. Buck-PWM-Controller	Dual 5V Sync. Buck PWM Controller	24-SOIC	3.30	2.51	1.92
ISL6530CB-T	ISL6530CB-TR-ND	Zweif. 5 V synch. Buck-PWM-Controller	Dual 5V Sync. Buck PWM Controller	24-SOIC		1664.42/1,000	
ISL6531CB	ISL6531CB-ND	Zweif. 5 V synch. Buck-PWM-Controller	Dual 5V Sync. Buck PWM Controller	24-SOIC	3.77	2.87	2.19
ISL6539IA	ISL6539IA-ND	Zweif. PWM-Controller, weiter Eingangsbereich	Wide Input, Dual PWM Controller	28-SSOP	4.57	3.62	2.90
ISL6539IAZ	ISL6539IAZ-ND	Zweif. PWM-Controller, weiter Eingangsbereich	Wide Input, Dual PWM Controller	28-SSOP	4.57	3.62	2.90
ISL6551IB	ISL6551IB-ND	ZVS-Vollbrücken-PWM-Controller	ZVS Full Bridge PWM Controller	28-SOIC	6.01	4.75	3.81
ISL6558CB	ISL6558CB-ND	Multiphasen-PWM-Controller, Mehrzweck, Präzision	Multi-Purpose Precision Multi-Phase PWM Controller	16-SOIC	3.16	2.40	1.83
ISL6563IR	ISL6563IR-ND	Buck-PWM-Controller, 2 Phasen	2-Phase Buck PWM Controller	24-QFN	5.04	3.83	2.93
ISL6744AB	ISL6744AB-ND	Bus-PWM-Controller zur Verbindung	Intermediate Bus PWM Controller	8-SOIC	2.54	1.94	1.48
ISL6840IB	ISL6840IB-ND	PWM-Strom-Modus-Controller, NL, einstellb. Frequenz	Adj. Freq., Low Power, PWM Current Mode Controller	8-SOIC	2.46	1.84	1.36
ISL6841IB	ISL6841IB-ND	PWM-Strom-Modus-Controller, NL, einstellb. Frequenz	Adj. Freq., Low Power, PWM Current Mode Controller	8-SOIC	2.46	1.84	1.36
ISL6842IB	ISL6842IB-ND	PWM-Strom-Modus-Controller, NL, einstellb. Frequenz	Adj. Freq., Low Power, PWM Current Mode Controller	8-SOIC	2.24	1.66	1.23
ISL6843IB	ISL6843IB-ND	PWM-Strom-Modus-Controller, NL, einstellb. Frequenz	Adj. Freq., Low Power, PWM Current Mode Controller	8-SOIC	2.24	1.66	1.23
ISL6844IB	ISL6844IB-ND	PWM-Strom-Modus-Controller, NL, einstellb. Frequenz	Adj. Freq., Low Power, PWM Current Mode Controller	8-SOIC	2.24	1.66	1.23
ISL6845IB	ISL6845IB-ND	PWM-Strom-Modus-Controller, NL, einstellb. Frequenz	Adj. Freq., Low Power, PWM Current Mode Controller	8-SOIC	2.24	1.66	1.23

intersil — PARALLELE EEPROMS

Intersil Teilenr.	Digi-Key Teilenr.	Beschreibung		Paket	Stückpreis★ 1	25	100
X28HC64D-90	X28HC64D-90-ND	64 K (8 K x 8) CMOS-EEPROM, 90 ns	64K (8Kx8) CMOS EEPROM 90nS	28-CDip	22.76	12.43	11.76
X28HC64P-90	X28HC64P-90-ND	64 K (8 K x 8) CMOS-EEPROM, 90 ns	64K (8Kx8) CMOS EEPROM 90nS	28-Dip	8.20	5.72	4.96
X28HC64PI-90	X28HC64PI-90-ND	64 K (8 K x 8) CMOS-EEPROM, 90 ns	64K (8Kx8) CMOS EEPROM 90nS	28-Dip	9.18	6.57	5.62
X28HC64D-12	X28HC64D-12-ND	64 K (8 K x 8) CMOS-EEPROM, 120 ns	64K (8Kx8) CMOS EEPROM 120nS	28-CDip	21.39	11.70	11.06
X28HC64DI-12	X28HC64DI-12-ND	64 K (8 K x 8) CMOS-EEPROM, 120 ns	64K (8Kx8) CMOS EEPROM 120nS	28-CDip	22.30	12.19	11.53
X28HC64P-12	X28HC64P-12-ND	64 K (8 K x 8) CMOS-EEPROM, 120 ns	64K (8Kx8) CMOS EEPROM 120nS	28-Dip	3.73	2.68	2.29
X28HC64PI-12	X28HC64PI-12-ND	64 K (8 K x 8) CMOS-EEPROM, 120 ns	64K (8Kx8) CMOS EEPROM 120nS	28-Dip	5.77	4.13	3.53
X28HC64J-12	X28HC64J-12-ND	64 K (8 K x 8) CMOS-EEPROM, 120 ns	64K (8Kx8) CMOS EEPROM 120nS	32-PLCC	6.33	4.54	3.88
X28HC256JI-90	X28HC256JI-90-ND	256 K (32 K x 8) CMOS-EEPROM, 90 ns	256K (32Kx8) CMOS EEPROM 90nS	32-PLCC	10.92	7.82	6.69
X28HC256J-12	X28HC256J-12-ND	256 K (32 K x 8) CMOS-EEPROM, 120 ns	256K (32Kx8) CMOS EEPROM 120nS	32-PLCC	7.77	5.61	4.80
X28HC256P-12	X28HC256P-12-ND	256 K (32 K x 8) CMOS-EEPROM, 120 ns	256K (32Kx8) CMOS EEPROM 120nS	28-Dip	10.92	7.82	6.69
X28HC256PI-12	X28HC256PI-12-ND	256 K (32 K x 8) CMOS-EEPROM, 120 ns	256K (32Kx8) CMOS EEPROM 120nS	28-Dip	12.74	9.12	7.81
X28HC256J-15	X28HC256J-15-ND	256 K (32 K x 8) CMOS-EEPROM, 150 ns	256K (32Kx8) CMOS EEPROM 150nS	32-PLCC	6.37	4.56	3.90
X28HC256JI-15	X28HC256JI-15-ND	256 K (32 K x 8) CMOS-EEPROM, 150 ns	256K (32Kx8) CMOS EEPROM 150nS	32-PLCC	7.28	5.21	4.46
X28HC256P-15	X28HC256P-15-ND	256 K (32 K x 8) CMOS-EEPROM, 150 ns	256K (32Kx8) CMOS EEPROM 150nS	28-Dip	9.10	6.52	5.57
X28HC256PI-15	X28HC256PI-15-ND	256 K (32 K x 8) CMOS-EEPROM, 150 ns	256K (32Kx8) CMOS EEPROM 150nS	28-Dip	10.02	7.17	6.13

intersil — LEISTUNGSMANAGEMENT

Intersil Teilenr.	Digi-Key Teilenr.	Beschreibung		Paket	Stückpreis★ 1	25	100
ICL7665SACPA	ICL7665SACPA-ND	CMOS MPU Über-/Unterspann.-Detektor	CMOS MPU Over/Under Volt. Detector	8-Dip	2.54	1.94	1.48
ICL7665SCPA	ICL7665SCPA-ND	CMOS MPU Über-/Unterspann.-Detektor	CMOS MPU Over/Under Volt. Detector	8-Dip	2.33	1.77	1.36
ISL6115CB	ISL6115CB-ND	Hot-Swap-Leistungs-Controller	Hot-Swap Power Controller	8-SOIC	3.34	2.55	1.94
ISL6116CB	ISL6116CB-ND	Hot-Swap-Leistungs-Controller	Hot-Swap Power Controller	8-SOIC	3.45	2.63	2.01
ISL6123IR	ISL6123IR-ND	Leistungssequenzierungs-Controller, 4-Kan.	4-Ch. Power Sequencing Controller	24-QFN	4.85	3.84	3.08
ISL6125IR	ISL6125IR-ND	Leistungssequenzierungs-Controller, 4-Kan.	4-Ch. Power Sequencing Controller	24-QFN	4.85	3.84	3.08
ISL6127IR	ISL6127IR-ND	Leistungssequenzierungs-Controller, 4-Kan.	4-Ch. Power Sequencing Controller	24-QFN	4.85	3.84	3.08
ISL6131IR	ISL6131IR-ND	Mehrfacher Spannungswächter, 4 Versorgungen	4-Supply Multiple Volt. Supervisor	24-QFN	4.61	3.51	2.68
ISL6132IR	ISL6132IR-ND	2 V Wächterüberwachung UV/OV Konditionen	2V Supervisor Monitoring UV/OV Conditions	24-QFN	4.61	3.51	2.68
ISL6140CB	ISL6140CB-ND	Hot-Plug-Controller, negative Spannung	Negative Voltage Hot Plug Controller	8-SOIC	3.39	2.58	1.97
ISL6141CB	ISL6141CB-ND	Hot-Plug-Controller, negative Spannung	Negative Voltage Hot Plug Controller	8-SOIC	4.23	3.22	2.46
ISL6142CB	ISL6142CB-ND	Hot-Plug-Controller, negative Spannung	Negative Voltage Hot Plug Controller	14-SOIC	6.08	4.81	3.86
ISL6150CB	ISL6150CB-ND	Hot-Plug-Controller, negative Spannung	Negative Voltage Hot Plug Controller	8-SOIC	3.39	2.58	1.97
ISL6151CB	ISL6151CB-ND	Hot-Plug-Controller, negative Spannung	Negative Voltage Hot Plug Controller	8-SOIC	4.23	3.22	2.46
ISL6152CB	ISL6152CB-ND	Hot-Plug-Controller, negative Spannung	Negative Voltage Hot Plug Controller	14-SOIC	6.08	4.81	3.86
ISL6291-2CR	ISL6291-2CR-ND	Li-Ion/Li-Pol lineares Batterieladegerät	Li-Ion/Li-Pol Linear Battery Charger	16-QFN	1.97	1.47	1.08
ISL6292-1CR3	ISL6292-1CR3-ND	2,4 V, Li-Ion/Li-Pol Batterieladegerät	2.4V, Li-Ion/Li-Pol Battery Charger	10-DFN	1.84	1.37	1.01
ISL6292-2CR3	ISL6292-2CR3-ND	2,4 V, Li-Ion/Li-Pol Batterieladegerät	2.4V, Li-Ion/Li-Pol Battery Charger	10-DFN	1.84	1.37	1.01

intersil — ECHTZEITUHREN

Echtzeituhren/-Kalender mit Doppelalarm (programmierbarer Frequenzausgang, nur X1227 und X1228) und auf dem Chip integrierter Oszillatorausgleich. X1227 und X1228 sind außerdem CPU-Wächterschaltungen mit zwei Abrufalarmen. Durch die Kombination Uhr/Alarmregister kann die Uhr selbst während Lese- und Schreibvorgängen ohne Präzisionsverlust betrieben werden. Uhr/Kalendar bietet eine Funktionalität, die über einen Satz Register kontrollierbar und ablesbar ist. Die Uhr verwendet einen preisgünstigen 32,768 kHz-Kristalleingang und gibt Sekunden, Minuten, Stunden, Datum, Tag, Monat und Jahr präzise an. 2-adrige Schnittstelle kombinierbar mit I2C-EEprom, 512 x 8 Bit. Die Wächterschaltungen sind in 4 Reset-Spannungen erhältlich.

Intersil Teilenr.	Digi-Key Teilenr.	Beschreibung		Paket	Stückpreis★ 1	25	100
X1226S8	X1226S8-ND	RTC, Uhr/Kalender mit Ausgangsfrequenz und 4 K EE	RTC, Clock/Calendar with Output Freq. and 4K EE	8-SOIC	3.88	2.71	2.35
X1227S8	X1227S8-ND	CPU-Wächter mit WDT, 4 K EE, 4,25-4,51 V RTC, Reset Low	RTC, 4.25-4.51V CPU Supervisor with WDT 4K EE, Reset Low	8-SOIC	5.79	4.04	3.50
X1227S8-2.7	X1227S8-2.7-ND	CPU-Wächter mit WDT, 4 K EE, 2,57-2,73 V RTC, Reset Low	RTC, 2.57-2.73V CPU Supervisor with WDT 4K EE, Reset Low	8-SOIC	5.79	4.04	3.50
X1227S8-2.7A	X1227S8-2.7A-ND	CPU-Wächter mit WDT, 4 K EE, 2,76-2,94 V RTC, Reset Low	RTC, 2.76-2.94V CPU Supervisor with WDT 4K EE, Reset Low	8-SOIC	5.79	4.04	3.50
X1227S8-4.5A	X1227S8-4.5A-ND	CPU-Wächter mit WDT, 4 K EE, 4,49-4,77 V RTC, Reset Low	RTC, 4.49-4.77V CPU Supervisor with WDT 4K EE, Reset Low	8-SOIC	5.79	4.04	3.50
X1228S14	X1228S14-ND	CPU-Wächter mit WDT, 4 K EE, 4,25-4,51 V RTC, Reset Low	RTC, 4.25-4.51V CPU Supervisor withWDT 4K EE, Reset Low	14-SOIC	6.04	4.22	3.66
X1228S14-2.7	X1228S14-2.7-ND	CPU-Wächter mit WDT, 4 K EE, 2,57-2,73 V RTC, Reset Low	RTC, 2.57-2.73V CPU Supervisor with WDT 4K EE, Reset Low	14-SOIC	6.04	4.22	3.66
X1228S14-2.7A	X1228S14-2.7A-ND	CPU-Wächter mit WDT, 4 K EE, 2,76-2,94 V RTC, Reset Low	RTC, 2.76-2.94V CPU Supervisor with WDT 4K EE, Reset Low	14-SOIC	6.04	4.22	3.66
X1228S14-4.5A	X1228S14-4.5A-ND	CPU-Wächter mit WDT, 4 K EE, 4,49-4,77 V RTC, Reset Low	RTC, 4.49-4.77V CPU Supervisor with WDT 4K EE, Reset Low	14-SOIC	6.04	4.22	3.66

★ RUFEN SIE BITTE AN FÜR NIEDRIGERE PREISE BEI GRÖSSEREN MENGEN! ★

Alle Preisangaben in Euro und inklusive Zollgebühren.

intersil

Intersil Teilenr.	Digi-Key Teilenr.	Beschreibung		Paket	Stückpreis★ 1	25	100
X80200V20I	X80200V20I-ND	Stromversorgungs-Ablaufsteuerung, 0,9 V	0.9V Power Supply Sequencer	20-TSSOP	4.15	2.90	2.51
X80201V20I	X80201V20I-ND	Stromversorgungs-Ablaufsteuerung, 0,9 V	0.9V Power Supply Sequencer	20-TSSOP	4.15	2.90	2.51
X80202V20I	X80202V20I-ND	Stromversorgungs-Ablaufsteuerung, 1,7 V	1.7V Power Supply Sequencer	20-TSSOP	4.15	2.90	2.51
X80203V20I	X80203V20I-ND	Stromversorgungs-Ablaufsteuerung, 0,9 V	0.9V Power Supply Sequencer	20-TSSOP	4.15	2.90	2.51
X80204V20I	X80204V20I-ND	Stromversorgungs-Ablaufsteuerung, 0,9 V	0.9V Power Supply Sequencer	20-TSSOP	4.15	2.90	2.51
X96012V14I	X96012V14I-ND	Sensor-Aufbereiter mit DAU	Sensor Conditioner with DAC	14-TSSOP	4.17	2.91	2.53

intersil — SCHALTER, ARRAYS

Intersil Teilenr.	Digi-Key Teilenr.	Beschreibung		Paket	Stückpreis★ 1	25	100
DG441DY	DG441DYIS-ND	Vierf. SPST-CMOS-Mono-Analogschalter	Mono, Quad SPST, CMOS Analog Switch	16-SOIC	1.65	1.23	.91
DG442DY	DG442DYIS-ND	Vierf. SPST-CMOS-Mono-Analogschalter	Mono, Quad SPST, CMOS Analog Switch	16-SOIC	1.65	1.23	.91
DG444DY	DG444DYIS-ND	Vierf. SPST-CMOS-Mono-Analogschalter	Mono, Quad SPST, CMOS Analog Switch	16-SOIC	1.57	1.17	.87
DG445DY	DG445DYIS-ND	Vierf. SPST-CMOS-Mono-Analogschalter	Mono, Quad SPST, CMOS Analog Switch	16-SOIC	1.65	1.23	.91
HA456CM	HA456CM-ND	120 MHz 8 x 8 Video-Crosspoint-Schalter, NL	120MHz, Low Power, 8x8 Video Crosspoint Switch	44-PLCC	18.10	16.89	15.69
HFA3046B	HFA3046B-ND	NPN Transistor-Array, ultra-hohe Frequ.	NPN Ultra High Freq. Transistor Array	14-SOIC	4.02	3.06	2.34
HFA3096B	HFA3096B-ND	NPN/PNP Transistor-Array, ultra-hohe Frequ.	NPN/PNP Ultra High Freq. Transistor Array	16-SOIC	2.69	2.05	1.56
HFA3101B	HFA3101B-ND	Gilbert Zellmultiplizierer, ultra-hohe Frequ.	Gilbert Cell Multiplier, Ultra High Freq.	8-SOIC	3.62	2.76	2.10
HFA3127B	HFA3127B-ND	NPN Transistor-Array, ultra-hohe Frequ.	NPN Ultra High Freq. Transistor Array	16-SOIC	3.62	2.76	2.10
HFA3128B	HFA3128B-ND	PNP Transistor-Array, ultra-hohes Frequ.	PNP Ultra High Freq. Transistor Array	16-SOIC	3.62	2.76	2.10
HI1-5047-5	HI1-5047-5-ND	CMOS-Analogschalter, 4PST	4PST CMOS Analog Switch	16-Dip	8.02	6.34	5.08
HI3-0201-5	HI3-0201-5IS-ND	Vierf. SPST-CMOS-Analogschalter	Quad SPST, CMOS Analog Switch	16-Dip	3.12	2.37	1.81
HI3-0201HS-5	HI3-0201HS-5IS-ND	Vierf. SPST-HS-CMOS-Analogschalter	Quad SPST, HS, CMOS Analog Switch	16-Dip	4.69	3.71	2.98
HI3-5043-5	HI3-5043-5-ND	Zweif. SPDT-CMOS-Analogschalter	Dual SPDT CMOS Analog Switch	16-Dip	4.85	3.69	2.82
HI3-5051-5	HI3-5051-5-ND	Zweif. SPDT-CMOS-Analogschalter	Dual SPDT CMOS Analog Switch	16-Dip	8.46	7.26	6.43
ISL43L120IR	ISL43L120IR-ND	Zweif. SPDT-Analogschalter, einzelversorgt, Arbeitskontakt	Single Supply, Dual SPST Analog Switch, N/O	8-DFN	2.50	1.85	1.37
ISL43L120IU	ISL43L120IU-ND	Zweif. SPDT-Analogschalter, einzelversorgt, Arbeitskontakt	Single Supply, Dual SPST Analog Switch, N/O	8-MSOP	2.36	1.76	1.30
ISL43L121IR	ISL43L121IR-ND	Zweif. SPST-Analogschalter, einzelversorgt, Ruhekontakt	Single Supply, Dual SPST Analog Switch, N/C	8-DFN	2.50	1.85	1.37
ISL43L121IU	ISL43L121IU-ND	Zweif. SPST-Analogschalter, einzelversorgt, Ruhekontakt	Single Supply, Dual SPST Analog Switch, N/C	8-MSOP	2.36	1.76	1.30
ISL43L122IR	ISL43L122IR-ND	Zweif. SPST-Analogschalter, einzelversorgt, Arbeitskontakt, Ruhekontakt	Single Supply, Dual SPST Analog Switch, N/O, N/C	8-DFN	2.50	1.85	1.37
ISL43L122IU	ISL43L122IU-ND	Zweif. SPST-Analogschalter, einzelversorgt, Arbeitskontakt, Ruhekontakt	Single Supply, Dual SPST Analog Switch, N/O, N/C	8-MSOP	2.36	1.76	1.30
ISL43L220IR	ISL43L220IR-ND	Zweif. SPDT-Analogschalter, einzelversorgt, Niederspann.	Low Volt., Single Supply, Dual SPDT Analog Switch	10-DFN	2.52	1.92	1.47
ISL43L710IR	ISL43L710IR-ND	Diff.-SPST-Analogschalter, einzelversorgt, Arbeitskontakt	Single Supply, Diff. SPST Analog Switch, N/O	8-DFN	2.50	1.85	1.37
ISL43L710IU	ISL43L710IU-ND	Diff.-SPST-Analogschalter, einzelversorgt, Arbeitskontakt	Single Supply, Diff. SPST Analog Switch, N/O	8-MSOP	2.36	1.76	1.30
ISL43L711IR	ISL43L711IR-ND	Diff.-SPST-Analogschalter, einzelversorgt, Ruhekontakt	Single Supply, Diff. SPST Analog Switch, N/C	8-DFN	2.50	1.85	1.37
ISL43L711IU	ISL43L711IU-ND	Diff.-SPST-Analogschalter, einzelversorgt, Ruhekontakt	Single Supply, Diff. SPST Analog Switch, N/C	8-MSOP	2.36	1.76	1.30
ISL43L712IR	ISL43L712IR-ND	Diff.-SPST-Analogschalter, einzelversorgt, Arbeitskontakt, Ruhekontakt	Single Supply, Diff. SPST Analog Switch, N/O, N/C	8-DFN	2.50	1.85	1.37
ISL43L712IU	ISL43L712IU-ND	Diff.-SPST-Analogschalter, einzelversorgt, Arbeitskontakt, Ruhekontakt	Single Supply, Diff. SPST Analog Switch, N/O, N/C	8-MSOP	2.36	1.76	1.30
ISL43110IB	ISL43110IB-ND	Einzelversorgter SPST- Analogschalter, hohe Leistung, Niederspannung	Low-Volt. Single Supply, SPST, High Perf. Analog Switch	8-SOIC	1.36	1.02	.75
ISL43110IH-T	ISL43110IH-CT-ND	Einzelversorgter SPST- Analogschalter, hohe Leistung, Niederspannung	Low-Volt. Single Supply, SPST, High Perf. Analog Switch	SOT-23-5	1.56	1.15	.83
ISL43110IH-T	ISL43110IH-TR-ND	Einzelversorgter SPST- Analogschalter, hohe Leistung, Niederspannung	Low-Volt. Single Supply, SPST, High Perf. Analog Switch	SOT-23-5		1587.38/3,000	
ISL43111IB	ISL43111IB-ND	Einzelversorgter SPST- Analogschalter, hohe Leistung, Niederspannung	Low-Volt. Single Supply, SPST, High Perf. Analog Switch	8-SOIC	1.36	1.02	.75
ISL43111IH-T	ISL43111IH-CT-ND	Einzelversorgter SPST- Analogschalter, hohe Leistung, Niederspannung	Low-Volt. Single Supply, SPST, High Perf. Analog Switch	SOT-23-5	1.56	1.15	.83
ISL43111IH-T	ISL43111IH-TR-ND	Einzelversorgter SPST- Analogschalter, hohe Leistung, Niederspannung	Low-Volt. Single Supply, SPST, High Perf. Analog Switch	SOT-23-5		1587.38/3,000	
ISL43112IB	ISL43112IB-ND	Doppelversorgter SPST- Analogschalter, hohe Leistung, Niederspannung	Low-Volt. Dual Supply, SPST, High Perf. Analog Switch	8-SOIC	1.52	1.13	.84
ISL43112IH-T	ISL43112IH-CT-ND	Doppelversorgter SPST- Analogschalter, hohe Leistung, Niederspannung	Low-Volt. Dual Supply, SPST, High Perf. Analog Switch	SOT-23-5	1.41	1.06	.78
ISL43112IH-T	ISL43112IH-TR-ND	Doppelversorgter SPST- Analogschalter, hohe Leistung, Niederspannung	Low-Volt. Dual Supply, SPST, High Perf. Analog Switch	SOT-23-5		1714.37/3,000	
ISL43113IB	ISL43113IB-ND	Doppelversorgter SPST- Analogschalter, hohe Leistung, Niederspannung	Low-Volt. Dual Supply, SPST, High Perf. Analog Switch	8-SOIC	1.52	1.13	.84
ISL43120IH-T	ISL43120IH-CT-ND	Einzelversorgter zweif. SPST, SPDT-Analogschalter, Niederspann.	Low-Volt. Single Supply, Dual SPST, SPDT Analog Switch	SOT-23-8	1.49	1.10	.80
ISL43120IH-T	ISL43120IH-TR-ND	Einzelversorgter zweif. SPST, SPDT-Analogschalter, Niederspann.	Low-Volt. Single Supply, Dual SPST, SPDT Analog Switch	SOT-23-8		1521.34/3,000	
ISL43140IB	ISL43140IB-ND	Vierf. SPST-Analogschalter, Niederspannung	Low-Volt. Quad SPST Analog Switch	16-SOIC	1.45	1.08	.80
ISL43143IR	ISL43143IR-ND	Vierf. SPST- Analogschalter, hohe Leistung, Niederspannung	Low-Volt. Quad SPST High Perf. Analog Switch	16-QFN	1.71	1.27	.94
ISL43144IR	ISL43144IR-ND	Vierf. SPST- Analogschalter, hohe Leistung, Niederspannung	Low-Volt. Quad SPST High Perf. Analog Switch	16-QFN	1.71	1.27	.94
ISL43210IH-T	ISL43210IH-CT-ND	Einzelversorgter zweif. SPST, SPDT-Analogschalter, Niederspann.	Low-Volt. Single Supply, Dual SPST, SPDT Analog Switch	SOT-23-6	1.49	1.10	.80
ISL43210IH-T	ISL43210IH-TR-ND	Einzelversorgter zweif. SPST, SPDT-Analogschalter, Niederspann.	Low-Volt. Single Supply, Dual SPST, SPDT Analog Switch	SOT-23-6		1521.34/3,000	
ISL43231IR	ISL43231IR-ND	Dreif. einzel- und doppelversorgter SPDT-Analogschalter, Niederspannung	Low-Volt. Single and Dual Supply, Triple SPDT Analog Switch	20-QFN	2.50	1.85	1.37
ISL43240IR	ISL43240IR-ND	Vierf. einzel- und doppelversorgter SPDT- Analogschalter, hohe Leistung, Niederspannung	Low-Volt. Single and Dual Supply, Quad SPDT, High Perf. Analog Switch	20-QFN	2.96	2.26	1.72
ISL43410IR	ISL43410IR-ND	Einzelversorgter DPDT-Analogschalter, hohe Leistung, Niederspannung	Low-Volt. Single Supply, DPDT High Perf. Analog Switch	16-QFN	1.94	1.45	1.07
ISL43640IR	ISL43640IR-ND	Einzelversorgter 4-zu-1 Mux Analogschalter, hohe Leistung, Niederspannung	Low-Volt., Single Supply, 4-to-1 Mux, High Perf. Analog Switch	16-QFN	1.94	1.45	1.07
ISL83699IV	ISL83699IV-ND	Vierf. einzelversorgter SPDT-Analogschalter, Niederspann.	Low-Volt., Single Supply, Quad SPDT Analog Switch	16-TSSOP	2.52	1.92	1.47
ISL84514IH-T	ISL84514IH-CT-ND	Einzelversorgter SPST-Analogschalter, Niederspann.	Low-Volt. Single Supply, SPST Analog Switch	SOT-23-5	1.50	1.11	.83
ISL84514IH-T	ISL84514IH-TR-ND	Einzelversorgter SPST-Analogschalter, Niederspann.	Low-Volt. Single Supply, SPST Analog Switch	SOT-23-5		1810.88/3,000	
ISL84515IH-T	ISL84515IH-CT-ND	Einzelversorgter SPST-Analogschalter, Niederspann.	Low-Volt. Single Supply, SPST Analog Switch	SOT-23-5	1.50	1.11	.83
ISL84515IH-T	ISL84515IH-TR-ND	Einzelversorgter SPST-Analogschalter, Niederspann.	Low-Volt. Single Supply, SPST Analog Switch	SOT-23-5		1810.88/3,000	
ISL84516IH-T	ISL84516IH-CT-ND	Doppelversorgter SPST-Analogschalter, Niederspann.	Low-Volt. Dual Supply, SPST Analog Switch	SOT-23-5	1.50	1.11	.83
ISL84516IH-T	ISL84516IH-TR-ND	Doppelversorgter SPST-Analogschalter, Niederspann.	Low-Volt. Dual Supply, SPST Analog Switch	SOT-23-5		1810.88/3,000	
ISL84517IH-T	ISL84517IH-CT-ND	Doppelversorgter SPST-Analogschalter, Niederspann.	Low-Volt. Dual Supply, SPST Analog Switch	SOT-23-5	1.50	1.11	.83
ISL84517IH-T	ISL84517IH-TR-ND	Doppelversorgter SPST-Analogschalter, Niederspann.	Low-Volt. Dual Supply, SPST Analog Switch	SOT-23-5		1810.88/3,000	
ISL84544IH-T	ISL84544IH-CT-ND	Einzelversorgter zweif. SPST, SPDT-Analogschalter, Niederspann.	Low-Volt. Single Supply, Dual SPST, SPDT Analog Switch	SOT-23-6	1.45	1.08	.80
ISL84544IH-T	ISL84544IH-TR-ND	Einzelversorgter zweif. SPST, SPDT-Analogschalter, Niederspann.	Low-Volt. Single Supply, Dual SPST, SPDT Analog Switch	SOT-23-6		1747.38/3,000	
ISL84684IR	ISL84684IR-ND	Einzelversorgter zweif. SPDT-Analogschalter, Niederspannung, ultra-niedriger EIN-Widerstand	Ultra Low ON-Resistance, Single Supply, Dual SPDT Analog Switch	10-DFN	2.10	1.56	1.16
ISL84714IH-T	ISL84714IH-CT-ND	Einzelversorgter SPDT-Analogschalter, Niederspannung, ultra-niedriger EIN-Widerstand	Ultra Low ON-Resistance, Low-Volt., Single Supply, SPDT Analog Switch	SC70-6	1.36	1.01	.73
ISL84714IH-T	ISL84714IH-TR-ND	Einzelversorgter SPDT-Analogschalter, Niederspannung, ultra-niedriger EIN-Widerstand	Ultra Low ON-Resistance, Low-Volt., Single Supply, SPDT Analog Switch	SC70-6		1391.81/3,000	
ISL84715IH-T	ISL84715IH-CT-ND	Einzelversorgter SPST-Analogschalter, Niederspannung, ultra-niedriger EIN-Widerstand	Ultra Low ON-Resistance, Low-Volt., Single Supply, SPST Analog Switch	SC70-5	1.36	1.01	.73
ISL84715IH-T	ISL84715IH-TR-ND	Einzelversorgter SPST-Analogschalter, Niederspannung, ultra-niedriger EIN-Widerstand	Ultra Low ON-Resistance, Low-Volt., Single Supply, SPST Analog Switch	SC70-5		1391.81/3,000	
ISL84716IH-T	ISL84716IH-CT-ND	Einzelversorgter SPST-Analogschalter, Niederspannung, ultra-niedriger EIN-Widerstand	Ultra Low ON-Resistance, Low-Volt., Single Supply, SPST Analog Switch	SC70-5	1.36	1.01	.73
ISL84716IH-T	ISL84716IH-TR-ND	Einzelversorgter SPST-Analogschalter, Niederspannung, ultra-niedriger EIN-Widerstand	Ultra Low ON-Resistance, Low-Volt., Single Supply, SPST Analog Switch	SC70-5		1391.81/3,000	

intersil — VIDEOKOMMUNIKATION

Intersil Teilenr.	Digi-Key Teilenr.	Beschreibung		Paket	Stückpreis★ 1	25	100
EL1881CN	EL1881CN-ND	Video-Synch.-Separator, NL	Low Power Video Sync. Separator	8-Dip	2.24	1.66	1.23
EL1881CS	EL1881CS-ND	Video-Synch.-Separator, NL	Low Power Video Sync. Separator	8-SOIC	2.24	1.66	1.23
EL1883IS	EL1883IS-ND	Video-Synch.-Separator	Video Sync. Separator	8-SOIC	2.55	1.89	1.40
EL4511CU	EL4511CU-ND	Super-Synch.-Separator	Super Sync. Separator	24-QSOP	6.35	5.02	4.02
EL4581CN	EL4581CN-ND	Synch.-Separator, 50 % Slice, S-H, Filter	Sync. Separator, 50% Slice, S-H, Filter	8-Dip	5.19	3.95	3.01
EL4581CS	EL4581CS-ND	Synch.-Separator, 50 % Slice, S-H, Filter	Sync. Separator, 50% Slice, S-H, Filter	8-SOIC	5.19	3.95	3.01
EL4583CN	EL4583CN-ND	Synch.-Separator, 50 % Slice, S-H, Filter	Sync. Separator, 50% Slice, S-H, Filter	16-Dip	7.03	5.56	4.45
EL4583CS	EL4583CS-ND	Synch.-Separator, 50 % Slice, S-H, Filter	Sync. Separator, 50% Slice, S-H, Filter	16-SOIC	7.47	5.91	4.73
EL4584CN	EL4584CN-ND	36 MHz Allzweck-PLL	36MHz General Purpose PLL	16-Dip	8.80	6.96	5.58
EL4584CS	EL4584CS-ND	36 MHz Allzweck-PLL	36MHz General Purpose PLL	16-SOIC	7.70	6.61	5.86
EL4585CN	EL4585CN-ND	36 MHz Allzweck-PLL	36MHz General Purpose PLL	16-Dip	8.80	6.96	5.58
EL4585CS	EL4585CS-ND	36 MHz Allzweck-PLL	36MHz General Purpose PLL	16-SOIC	7.70	6.61	5.86
HA4314BCB	HA4314BCB-ND	400 MHzm 4 x 1 Video-Koordinatenschalter	400MHz, 4x1 Video Crosspoint Switch	14-SOIC	3.92	2.98	2.28
HA4344BCB	HA4344BCB-ND	350 MHzm 4 x 1 Video-Koordinatenschalter	350MHz, 4x1 Video Crosspoint Switch	16-SOIC	4.89	3.72	2.84

★ *RUFEN SIE BITTE AN FÜR NIEDRIGERE PREISE BEI GRÖSSEREN MENGEN!* ★

intersil — SPANNUNGSREFERENZ

Intersil Teilenr.	Digi-Key Teilenr.	Beschreibung		Paket	Stückpreis★ 1	25	100
X60008CIS8-50	X60008CIS8-50-ND	5 V, 5 ppm FGA™ Präzisions-Spannungsreferenz	Precision 5V, 5ppm FGA™ Volt. Ref.	8-SOIC	8.32	5.81	5.04
X60008DIS8-50	X60008DIS8-50-ND	5 V, 10 ppm FGA™ Präzisions-Spannungsreferenz	Precision 5V, 10ppm FGA™ Volt. Ref.	8-SOIC	5.76	4.02	3.49

National Semiconductor™ — SERIE LINEAR

Digi-Key Teilenr.	Beschreibung		Paket	Stückpreis★ 1	25	100
CGS74CT2524M-ND	1:4 Mindest-Skew (300 ps) Takttreiber	1-to-4 Minimum Skew (300ps) Clock Driver	8-SOIC	2.33	1.85	1.58
CGS74LCT2524M-ND	1:4 Mindest-Skew (300 ps) 3 V Takttreiber	1-to-4 Minimum Skew (300ps) 3V Clock Driver	8-SOIC	2.69	2.14	1.82
CGS74LCT2524MXTR-ND	1:4 Mindest-Skew (300 ps) 3 V Takttreiber	1-to-4 Minimum Skew (300ps) 3V Clock Driver	8-SOIC		3900.00/2,500	
CLC001AJE-ND	Serieller digitaler Kabeltreiber	Serial Digital Cable Driver	8-SOIC	3.37	3.20	3.04
CLC005AJE-ND	ITU-T G.703 Kabeltreiber	ITU-T G.703 Cable Driver	8-SOIC	18.08	14.38	12.29
CLC006AJE-ND	Serieller digitaler Kabeltreiber mit einstellbaren Ausgängen	Serial Digital Cable Driver with Adj. Outputs	8-SOIC	7.96	7.56	7.18
CLC007AJE-ND	Serieller digitaler Kabeltreiber	Serial Digital Cable Driver	8-SOIC	7.08	6.72	6.39
CLC011BCQ-ND	Serieller Digital-Video-Dekodierer	Serial Digital Video Decoder	28-PLCC	11.94	11.34	10.77
CLC012AJE-ND	Adaptiver Kabelentzerrer für ITU-T G.703-Datenwiederherstellung	Adaptive Cable Equalizer for ITU-T G.703 Data Recovery	14-SOIC	31.03	24.67	21.08
CLC014AJE-ND	Adaptiver Kabelentzerrer für HS-Wiederherstellung	Adaptive Cable Equalizer for High-Speed Recovery	14-SOIC	16.73	15.89	15.10
CLC016ACQ-ND	Daten-Retiming-PLL mit automatischer Frequenzwahl	Data Retiming PLL with Automatic Rate Selection	28-PLCC	27.94	26.54	25.21
CLC016AJQ-ND	Daten-Retiming-PLL mit automatischer Frequenzwahl	Data Retiming PLL with Automatic Rate Selection	28-PLCC	31.15	29.60	28.12
CLC016MTC-ND	Daten-Retiming-PLL mit automatischer Frequenzwahl	Data Retiming PLL with Automatic Rate Selection	28-TSSOP	49.23	39.15	33.45
CLC018AJVJQ-ND	8 x 8-Crosspoint-Digitalschalter	8 x 8 Digital Cross Point Switch	68-PQFP	53.11	42.23	36.08
CLC021AVGZ-3.3-ND	SMPTE 259M digitaler Video-Serialisierer mit EDH-Generation/Insertion	SMPTE 259M Digital Video Serializer with EDH Generation/Insertion	44-PQFP	44.19	41.98	39.88
CLC030VEC-ND	SMPTE 292M/259M digitaler Video-Serialisierer mit Video und Zusatzdaten-FIFOs und integriertem Kabeltreiber	SMPTE 292M/259M Digital Video Serializer with Video and Ancilliary Data FIFOs and Integrated Cable Driver	64-TQFP	56.38	53.56	50.89
CLC031AVEC-ND	SMPTE 292M/259M Digital-Video-Deserialisierer	SMPTE 292M/259M Digital Video Deserializer	64-TQFP	99.35	79.00	67.51
CLC5903SM-ND	Zweif. digitaler Tuner/AGC	Dual Digital Tuner/AGC	128-FBGA	54.00	42.94	36.69
CLC5903VLA-ND	Zweif. digitaler Tuner/AGC	Dual Digital Tuner/AGC	128-PQFP	54.00	42.94	36.69
CLC730027-ND	Evaluierungskarte zur Unterstützung der monolithischen Verstärkercharakterisierung für SOIC-Pakete	Eval Board Designed to Aid Monolithic Amplifier Characterization for SOIC Packages	—	8.95	7.12	6.08
CLC730031-ND	Evaluierungskarte für vierf. OpAmps in SOIC-Paketen	Eval Board for Quad Op Amps in SOIC Packages	—	8.95	7.12	6.08
CLC730033-ND	Evaluierungskarte für 14-SOIC-Pakete	Eval Board for 14-SOIC Packages	—	8.95	7.12	6.08
CLC730036-ND	Evaluierungskarte zur Unterstützung der Charakterisierung von zweif. monolithischen Verstärkern in SOIC-Paketen	Eval Board Designed to Aid in the Characterization of Dual Monolithic Amplifiers in SOIC Packages	—	8.95	7.12	6.08
CLC730066-ND	Evaluierungskarte für CLC5523	Evaluation Board for CLC5523	—	8.95	7.12	6.08
CLC730116-ND	Evaluierungskarte zur Unterstützung der Charakterisierung von 6-Pin monolithischen Verstärkern in STO23-6-Paketen	Eval Board Designed to Aid in the Characterization of 6-Pin Monolithic Amps in SOT23-6 Packages	—	8.95	7.12	6.08
CLC730121-ND	Evaluierungskarte zur Unterstützung der Charakterisierung von zweif. 8-Pin OpAmps in PSOP-Paketen	Eval Board Designed to Aid in the Characterization of 8-Pin Dual Op Amps in PSOP Packages	—	8.95	7.12	6.08
CLC730123-ND	Evaluierungskarte zur Unterstützung der Charakterisierung von zweif. 8-Pin OpAmps in MSOP-Paketen	Eval Board Designed to Aid in the Characterization of 8-Pin Dual Op Amps in MSOP Packages	—	8.95	7.12	6.08
CLC730131-ND	Vierf. TSSOP-OpAmp-Evaluierungskarte	Quad TSSOP Op Amp Evaluation Board	—	8.95	7.12	6.08
CLC730132-ND	Vierf. TSSOP-HS-Puffer-Evaluierungskarte	Quad TSSOP High Speed Buffer Evaluation Board	—	8.95	7.12	6.08
CLC730136-ND	Einf. SOT-23-HS-Puffer-Evaluierungskarte	Single SOT-23 High Speed Buffer Evaluation Board	—	8.95	7.12	6.08
CLC730145-ND	Vierf. SOIC-HS-Puffer-Evaluierungskarte	Quad SOIC High Speed Buffer Evaluation Board	—	8.95	7.12	6.08
CLC730216-ND	Einf. SOT-HS-OpAmp-Evaluierungskarte	Single SOT High Speed Op Amp Evaluation Board	—	8.95	7.12	6.08
CLC730227-ND	Einf. SOIC-HS-OpAmp-Evaluierungskarte	Single SOIC High Speed Op Amp Evaluation Board	—	8.95	7.12	6.08
CLC730231-ND	Vierf. SOIC-HS-OpAmp-Evaluierungskarte	Quad SOIC High Speed Op Amp Evaluation Board	—	8.95	7.12	6.08
CLC730245-ND	Einf. SOIC-HS-Puffer-Evaluierungskarte	Single SOIC High Speed Buffer Evaluation Board	—	8.95	7.12	6.08
COP8AME9EMW8-ND	8-Bit Mikrocontroller mit 8K Flash, Temperatursensor 10-Bit A/D	8-Bit Microcontroller with 8K Flash, Temperature Sensor 10-Bit A/D	28-SOIC	15.78	12.55	10.72
COP8CBE9IMT9-ND	8-Bit Mikrocontroller mit 8K Flash, 10-Bit A/D	8-Bit Microcontroller with 8K Flash, 10-Bit A/D	48-TSSOP	13.28	10.56	9.02
COP8CBR9HLQ8CT-ND	8-Bit Mikrocontroller mit 32K Flash, 10-Bit A/D	8-Bit Microcontroller with 32K Flash, 10-Bit A/D	44-LLP	17.04	13.55	11.58
COP8CBR9HLQ8TR-ND	8-Bit Mikrocontroller mit 32K Flash, 10-Bit A/D	8-Bit Microcontroller with 32K Flash, 10-Bit A/D	44-LLP		24775.00/2,500	
COP8CBR9HVA8-ND	8-Bit Mikrocontroller mit 32K Flash, 10-Bit A/D	8-Bit Microcontroller with 32K Flash, 10-Bit A/D	44-PLCC	17.72	14.09	12.04
COP8CBR9IMT8-ND	8-Bit Mikrocontroller mit 32K Flash, 10-Bit A/D	8-Bit Microcontroller with 32K Flash, 10-Bit A/D	48-TSSOP	16.32	12.98	11.09
COP8CBR9KMT8-ND	8-Bit Mikrocontroller mit 32K Flash, 10-Bit A/D	8-Bit Microcontroller with 32K Flash, 10-Bit A/D	56-TSSOP	14.77	11.74	10.03
COP8CBR9LVA8-ND	8-Bit Mikrocontroller mit 32K Flash, 10-Bit A/D	8-Bit Microcontroller with 32K Flash, 10-Bit A/D	68-PLCC	8.41	7.99	7.59
COP8CCE9IMT9-ND	8-Bit Mikrocontroller mit 8K Flash, 10-Bit A/D	8-Bit Microcontroller with 8K Flash, 10-Bit A/D	48-TSSOP	15.54	12.36	10.56
COP8CCR9IMT7-ND	8-Bit Mikrocontroller mit 32K Flash, 10-Bit A/D	8-Bit Microcontroller with 32K Flash, 10-Bit A/D	48-TSSOP	20.47	16.28	13.91
COP8CCR9KMT8-ND	8-Bit Mikrocontroller mit 32K Flash, 10-Bit A/D	8-Bit Microcontroller with 32K Flash, 10-Bit A/D	56-TSSOP	14.77	11.74	10.03
COP8CDE9IMT9-ND	8-Bit Mikrocontroller mit 8K Flash, 10-Bit A/D	8-Bit Microcontroller with 8K Flash, 10-Bit A/D	48-TSSOP	8.15	6.48	5.53
COP8CDR9KMT8-ND	8-Bit Mikrocontroller mit 32K Flash, 10-Bit A/D	8-Bit Microcontroller with 32K Flash, 10-Bit A/D	56-TSSOP	14.77	11.74	10.03
COP8CFE9HVA9-ND	8-Bit Mikrocontroller mit 8K Flash, 10-Bit A/D	8-Bit Microcontroller with 8K Flash, 10-Bit A/D	44-PLCC	7.52	5.98	5.11
COP8CFE9IMT9-ND	8-Bit Mikrocontroller mit 8K Flash, 10-Bit A/D	8-Bit Microcontroller with 8K Flash, 10-Bit A/D	48-TSSOP	7.79	6.19	5.29
COP8SAA7SLB8CT-ND	8-Bit OTP-Mikrocontroller 1K POR	8-Bit OTP Microcontroller 1K POR	28-Laminate CSP	9.07	7.21	6.16
COP8SAA7SLB8TR-ND	8-Bit OTP-Mikrocontroller 1K POR	8-Bit OTP Microcontroller 1K POR	28-Laminate CSP		13200.00/2,500	
COP8SAA7SLB9CT-ND	8-Bit OTP-Mikrocontroller 1K POR	8-Bit OTP Microcontroller 1K POR	28-Laminate CSP	8.80	7.00	5.98
COP8SAA7SLB9TR-ND	8-Bit OTP-Mikrocontroller 1K POR	8-Bit OTP Microcontroller 1K POR	28-Laminate CSP		12800.00/2,500	
COP8SAA716M7-ND	8-Bit OTP-Mikrocontroller 1K POR	8-Bit OTP Microcontroller 1K POR	16-SOIC	5.97	4.74	4.05
COP8SAA716M9-ND	8-Bit OTP-Mikrocontroller mit 1K Speicher	8-Bit OTP Microcontroller with 1K Memory	16-SOIC	3.22	3.06	2.90
COP8SAA720M7-ND	8-Bit OTP-Mikrocontroller 1K POR	8-Bit OTP Microcontroller 1K POR	20-SOIC	6.24	4.96	4.24
COP8SAA720M8-ND	8-Bit OTP-Mikrocontroller 1K POR	8-Bit OTP Microcontroller 1K POR	20-SOIC	3.54	3.36	3.19
COP8SAB7SLB8CT-ND	8-Bit OTP-Mikrocontroller 2K POR	8-Bit OTP Microcontroller 2K POR	28-Laminate CSP	8.50	6.76	5.78
COP8SAB7SLB8TR-ND	8-Bit OTP-Mikrocontroller 2K POR	8-Bit OTP Microcontroller 2K POR	28-Laminate CSP		12375.00/2,500	
COP8SAB7SLB9CT-ND	8-Bit OTP-Mikrocontroller 2K POR	8-Bit OTP Microcontroller 2K POR	28-Laminate CSP	8.80	7.00	5.98
COP8SAB7SLB9TR-ND	8-Bit OTP-Mikrocontroller 2K POR	8-Bit OTP Microcontroller 2K POR	28-Laminate CSP		12800.00/2,500	
COP8SAB720M8-ND	8-Bit OTP-Mikrocontroller 2K POR	8-Bit OTP Microcontroller 2K POR	20-SOIC	4.99	4.75	4.51
COP8SAB728M8-ND	8-Bit OTP-Mikrocontroller 2K POR	8-Bit OTP Microcontroller 2K POR	28-SOIC	5.32	5.05	4.80
COP8SAB728N8-ND	8-Bit OTP-Mikrocontroller 2K POR	8-Bit OTP Microcontroller 2K POR	28-Dip	5.06	4.81	4.57
COP8SAC7SLB8CT-ND	8-Bit OTP-Mikrocontroller 4K POR	8-Bit OTP Microcontroller 4K POR	28-Laminate CSP	10.77	8.56	7.32
COP8SAC7SLB8TR-ND	8-Bit OTP-Mikrocontroller 4K POR	8-Bit OTP Microcontroller 4K POR	28-Laminate CSP		15675.00/2,500	
COP8SAC7SLB9CT-ND	8-Bit OTP-Mikrocontroller 4K POR	8-Bit OTP Microcontroller 4K POR	28-Laminate CSP	10.50	8.35	7.14
COP8SAC7SLB9TR-ND	8-Bit OTP-Mikrocontroller 4K POR	8-Bit OTP Microcontroller 4K POR	28-Laminate CSP		15275.00/2,500	
COP8SAC720N9-ND	8-Bit OTP-Mikrocontroller mit 4K Speicher	8-Bit OTP Microcontroller with 4K Memory	20-Dip	5.79	5.50	5.23
COP8SAC728N9-ND	8-Bit OTP-Mikrocontroller mit 4K Speicher	8-Bit OTP Microcontroller with 4K Memory	28-Dip	5.79	5.50	5.23
COP8SAC740N8-ND	8-Bit OTP-Mikrocontroller mit 4K Speicher	8-Bit OTP Microcontroller with 4K Memory	40-Dip	10.50	8.35	7.14
COP8SAC740N9-ND	8-Bit OTP-Mikrocontroller mit 4K Speicher	8-Bit OTP Microcontroller with 4K Memory	40-Dip	4.42	3.78	3.59
COP8SBE9IMT9-ND	8-Bit Mikrocontroller mit 8K Flash	8-Bit Microcontroller with 8K Flash	48-TSSOP	15.01	11.93	10.20

(Forts.)

★ *RUFEN SIE BITTE AN FÜR NIEDRIGERE PREISE BEI GRÖSSEREN MENGEN!* ★

Digi-Key Teilenr.	Beschreibung		Paket	Stückpreis★ 1	25	100
COP8SBR9IMT8-ND	8-Bit Mikrocontroller mit 32K Flash	8-Bit Microcontroller with 32K Flash	48-TSSOP	16.32	12.98	11.09
COP8SBR9KMT8-ND	8-Bit Mikrocontroller mit 32K Flash	8-Bit Microcontroller with 32K Flash	56-TSSOP	15.28	12.15	10.38
COP8SCE9IMT9-ND	8-Bit Mikrocontroller mit 8K Flash	8-Bit Microcontroller with 8K Flash	48-TSSOP	15.57	12.38	10.58
COP8SCR9IMT7-ND	8-Bit Mikrocontroller mit 32K Flash	8-Bit Microcontroller with 32K Flash	48-TSSOP	20.44	16.25	13.89
COP8SCR9IMT8-ND	8-Bit Mikrocontroller mit 32K Flash	8-Bit Microcontroller with 32K Flash	48-TSSOP	15.90	12.65	10.81
COP8SCR9KMT7-ND	8-Bit Mikrocontroller mit 32K Flash	8-Bit Microcontroller with 32K Flash	56-TSSOP	20.32	16.16	13.81
COP8SCR9KMT8-ND	8-Bit Mikrocontroller mit 32K Flash	8-Bit Microcontroller with 32K Flash	56-TSSOP	15.57	12.38	10.58
COP8SDE9IMT9-ND	8-Bit Mikrocontroller mit 8K Flash	8-Bit Microcontroller with 8K Flash	48-TSSOP	7.67	6.10	5.21
COP8SDR9IMT8-ND	8-Bit Mikrocontroller mit 32K Flash	8-Bit Microcontroller with 32K Flash	48-TSSOP	15.96	12.69	10.85
COP8SDR9KMT8-ND	8-Bit Mikrocontroller mit 32K Flash	8-Bit Microcontroller with 32K Flash	56-TSSOP	15.51	12.34	10.54
COP8SGE7HLQ8CT-ND	8-Bit OTP-Mikrocontroller mit 8K Flash	8-Bit OTP Microcontroller with 8K Flash	44-LLP	12.38	9.85	8.41
COP8SGE7HLQ8TR-ND	8-Bit OTP-Mikrocontroller mit 8K Flash	8-Bit OTP Microcontroller with 8K Flash	44-LLP		18000.00/2,500	
COP8SGE7VEJ8-ND	8-Bit OTP Mikrocontroller, 8K Speicher, 2 Komparatoren USART	8-Bit OTP Microcontroller, 8K Memory, 2 Comparators USART	44-LQFP	8.28	7.87	7.47
COP8SGE728M8-ND	8-Bit OTP Mikrocontroller, 8K Speicher, 2 Komparatoren USART	8-Bit OTP Microcontroller, 8K Memory, 2 Comparators USART	28-SOIC	6.71	6.37	6.05
COP8SGE728N8-ND	8-Bit OTP Mikrocontroller, 8K Speicher, 2 Komparatoren USART	8-Bit OTP Microcontroller, 8K Memory, 2 Comparators USART	28-Dip	11.81	9.40	8.03
COP8SGE740N8-ND	8-Bit OTP Mikrocontroller, 8K Speicher, 2 Komparatoren USART	8-Bit OTP Microcontroller, 8K Memory, 2 Comparators USART	40-Dip	6.71	6.37	6.05
COP8SGE744V8-ND	8-Bit OTP Mikrocontroller, 8K Speicher, 2 Komparatoren USART	8-Bit OTP Microcontroller, 8K Memory, 2 Comparators USART	44-PLCC	6.81	6.47	6.14
COP8SGR7HLQ8CT-ND	8-Bit OTP-Mikrocontroller mit 32K Flash	8-Bit OTP Microcontroller with 32K Flash	44-LLP	16.65	13.24	11.31
COP8SGR7HLQ8TR-ND	8-Bit OTP-Mikrocontroller mit 32K Flash	8-Bit OTP Microcontroller with 32K Flash	44-LLP		24200.00/2,500	
COP8SGR728M8-ND	8-Bit OTP Mikrocontroller, 32K Speicher, 2 Komparatoren USART	8-Bit OTP Microcontroller, 32K Memory, 2 Comparators USART	28-SOIC	7.35	6.98	6.63
COP8SGR728N8-ND	8-Bit OTP Mikrocontroller, 32K Speicher, 2 Komparatoren USART	8-Bit OTP Microcontroller, 32K Memory, 2 Comparators USART	28-Dip	16.65	13.24	11.31
COP8SGR740N8-ND	8-Bit OTP Mikrocontroller, 32K Speicher, 2 Komparatoren USART	8-Bit OTP Microcontroller, 32K Memory, 2 Comparators USART	40-Dip	16.65	13.24	11.31
COP8SGR744V8-ND	8-Bit OTP Mikrocontroller, 32K Speicher, 2 Komparatoren USART	8-Bit OTP Microcontroller, 32K Memory, 2 Comparators USART	44-PLCC	12.95	10.30	8.80
CR16MAS9VJE9-ND	16-Bit CAN CompactRISC™ Flash Mikrocontroller	16-Bit, CAN CompactRISC™ Flash Microcontroller	80-PQFP	20.32	19.30	18.34
CR16MCS9VJE9-ND	16-Bit CAN CompactRISC™ Flash Mikrocontroller	16-Bit, CAN CompactRISC™ Flash Microcontroller	80-PQFP	20.32	19.30	18.34
LF156H-ND	Mono-JFET-OpAmp	Mono JFET In Op Amp	TO-5	7.13	5.67	4.85
LF256H-ND	Breitband-JFET-OpAmp	Wideband JFET Op Amp	TO-5	6.41	5.10	4.36
LF298M-ND	Monolithische Sample-And-Hold-Schaltung	Monolithic Sample and Hold Circuit	14-SOIC	2.10	1.99	1.89
LF347BN-ND	Vierf. Bi-FET-OpAmp	Quad Bi-FET Op Amp	14-Dip	1.76	1.25	.89
LF347M-ND	Vierf. Bi-FET-OpAmp	Quad Bi-FET Op Amp	14-SOIC	1.17	1.11	1.05
LF347MXTR-ND	Vierf. Bi-FET-OpAmp	Quad Bi-FET Op Amp	14-SOIC		3000.00/2,500	
LF347NNS-ND	Vierf. Bi-FET-OpAmp	Quad Bi-FET Op Amp	14-Dip	1.18	1.12	1.07
LF353M-ND	Zweif. Breitband-JFET-OpAmp	Wideband Dual JFET Op Amp	8-SOIC	.55	.52	.49
LF353MXTR-ND	Zweif. Breitband-JFET-OpAmp	Wideband Dual JFET Op Amp	8-SOIC		1400.00/2,500	
LF353NNS-ND	Zweif. Breitband-JFET-Eingangs-OpAmp	Wideband Dual JFET Input Op Amp	8-Dip	.60	.57	.55
LF356H-ND	Monolithischer JFET-Eingangs-OpAmp	Monolithic JFET Input Op Amp	TO-5	2.37	2.25	2.14
LF356M-ND	Monolithischer JFET-Eingangs-OpAmp	Monolithic JFET Input Op Amp	8-SOIC	.44	.38	.32
LF356N-ND	Monolithischer JFET-Eingangs-OpAmp	Monolithic JFET Input Op Amp	8-Dip	.44	.38	.36
LF398AN-ND	Monolithische Sample-And-Hold-Schaltung	Monolithic Sample and Hold Circuit	8-Dip	3.64	2.89	2.47
LF398H-ND	Monolithische Sample-And-Hold-Schaltung	Monolithic Sample and Hold Circuit	TO-5	2.77	2.22	2.11
LF398M-ND	Monolithische Sample-And-Hold-Schaltung	Monolithic Sample and Hold Circuit	14-SOIC	1.12	1.07	1.01
LF398N-ND	Monolithische Sample-And-Hold-Schaltung	Monolithic Sample and Hold Circuit	8-Dip	1.19	.88	.81
LF411ACH-ND	Low-Offset-, Low-Drift-OpAmp mit JFET-Eingang	Low Offset Low Drift JFET Input Op Amp	TO-5	12.17	9.68	8.27
LF411ACN-ND	Low-Offset-, Low-Drift-OpAmp mit JFET-Eingang	Low Offset Low Drift JFET Input Op Amp	8-Dip	3.17	3.01	2.86
LF411CN-ND	Low-Offset-, Low-Drift-OpAmp mit JFET-Eingang	Low Offset Low Drift JFET Input Op Amp	8-Dip	.71	.51	.47
LF412ACN-ND	Zweif. Low-Offset-, Low-Drift-JFET-OpAmp	Low Offset Low Drift JFET Dual Op Amp	8-Dip	3.37	3.20	3.04
LF412CN-ND	Zweif. Low-Offset-, Low-Drift-JFET-OpAmp	Low Offset Low Drift JFET Dual Op Amp	8-Dip	.75	.71	.68
LF412MH-ND	Zweif. Low-Offset-, Low-Drift-JFET-OpAmp	Low Offset Low Drift JFET Dual Op Amp	TO-5	12.89	10.25	8.76
LF442ACN-ND	Zweif. JFET-OpAmp, NL	Dual Low Power JFET Op Amp	8-Dip	3.81	3.62	3.44
LF442AMH-ND	Zweif. JFET-OpAmp, NL	Dual Low Power JFET Op Amp	TO-5	34.61	27.52	23.52
LF442CN-ND	Zweif. JFET-OpAmp, NL	Dual Low Power JFET Op Amp	8-Dip	.77	.73	.69
LF444ACN-ND	Vierf. JFET-OpAmp, NL	Quad Low Power JFET Op Amp	14-Dip	2.24	2.12	2.02
LF444CM-ND	Vierf. JFET-OpAmp, NL	Quad Low Power JFET Op Amp	14-SOIC	1.05	1.00	.95
LF444CN-ND	Vierf. JFET-OpAmp, NL	Quad Low Power JFET Op Amp	14-Dip	.88	.84	.79
LM10CH-ND	OpAmp und Spannungsreferenz	Op Amp and Voltage Reference	TO-5	8.74	6.95	5.94
LM10CLN-ND	OpAmp und Spannungsreferenz	Op Amp and Voltage Reference	8-Dip	2.20	1.50	1.25
LM10CN-ND	OpAmp und Spannungsreferenz	Op Amp and Voltage Reference	8-Dip	2.80	1.90	1.59
LM10CWM-ND	OpAmp und Spannungsreferenz	Op Amp and Voltage Reference	14-SOIC	1.91	1.82	1.73
LM12CLK-ND	4-Pin OpAmp, 80 W Leistung	80W Power Op Amp 4-Pin	TO-3	15.77	14.98	14.23
LM12H458CIV-ND	12-Bit + Sign DAS mit Selbstkalibrierung	12-Bit + Sign DAS with Self-Calibration	44-PQFP	23.20	22.04	20.94
LM12H458CIVF-ND	12-Bit + Sign DAS mit Selbstkalibrierung	12-Bit + Sign DAS with Self-Calibration	44-PQFP	23.20	22.04	20.94
LM12L458CIV-ND	12-Bit + Sign DAS mit Selbstkalibrierung	12-Bit + Sign DAS with Self-Calibration	44-PQFP	23.20	22.04	20.94
LM19CIZ-ND	2,4 V, 10 µA Temperatursensor, -55 °C bis 130 °C	2.4V, 10µA Temperature Sensor, -55° to 130°C	TO-92	.24	.23	.22
LM20BIM7CT-ND	Micro SMD Temperatursensor, ±2,5 °C	Micro SMD Temperature Sensor, ±2.5°C	SC-70-5	.42	.40	.38
LM20BIM7TR-ND	Micro SMD Temperatursensor, ±2,5 °C	Micro SMD Temperature Sensor, ±2.5°C	SC-70-5		340.00/1,000	
LM20CIM7CT-ND	Micro SMD Temperatursensor, ±5 °C	Micro SMD Temperature Sensor, ±5°C	SC-70-5	.49	.47	.44
LM20CIM7TR-ND	Micro SMD Temperatursensor, ±5 °C	Micro SMD Temperature Sensor, ±5°C	SC-70-5		400.00/1,000	
LM20SIBPCT-ND	Micro SMD Temperatursensor	Micro SMD Temperature Sensor	4-microSMD	.49	.47	.44
LM20SIBPTR-ND	Micro SMD Temperatursensor	Micro SMD Temperature Sensor	4-microSMD		100.00/250	
LM26CIM5-NPACT-ND	Werkseitig voreingestellter Thermostat, ±3 °C Genauigkeit	±3°C Accurate, Factory Preset Thermostat	SOT-23-5	.49	.47	.44
LM26CIM5-NPATR-ND	Werkseitig voreingestellter Thermostat, ±3 °C Genauigkeit	±3°C Accurate, Factory Preset Thermostat	SOT-23-5		420.00/1,000	
LM26CIM5-RPACT-ND	Werkseitig voreingestellter Thermostat, ±3 °C Genauigkeit	±3°C Accurate, Factory Preset Thermostat	SOT-23-5	1.13	.90	.77
LM26CIM5-RPATR-ND	Werkseitig voreingestellter Thermostat, ±3 °C Genauigkeit	±3°C Accurate, Factory Preset Thermostat	SOT-23-5		660.00/1,000	
LM26CIM5-SHACT-ND	Werkseitig voreingestellter Thermostat, ±3 °C Genauigkeit	±3°C Accurate, Factory Preset Thermostat	SOT-23-5	1.13	.90	.77
LM26CIM5-SHATR-ND	Werkseitig voreingestellter Thermostat, ±3 °C Genauigkeit	±3°C Accurate, Factory Preset Thermostat	SOT-23-5		660.00/1,000	
LM26CIM5-SPACT-ND	Werkseitig voreingestellter Thermostat, ±3 °C Genauigkeit	±3°C Accurate, Factory Preset Thermostat	SOT-23-5	1.13	.90	.77
LM26CIM5-SPATR-ND	Werkseitig voreingestellter Thermostat, ±3 °C Genauigkeit	±3°C Accurate, Factory Preset Thermostat	SOT-23-5		660.00/1,000	
LM26CIM5-TPACT-ND	Werkseitig voreingestellter Thermostat, ±3 °C Genauigkeit	±3°C Accurate, Factory Preset Thermostat	SOT-23-5	.70	.49	.47
LM26CIM5-TPATR-ND	Werkseitig voreingestellter Thermostat, ±3 °C Genauigkeit	±3°C Accurate, Factory Preset Thermostat	SOT-23-5		390.00/1,000	
LM26CIM5-VHACT-ND	Werkseitig voreingestellter Thermostat, ±3 °C Genauigkeit	±3°C Accurate, Factory Preset Thermostat	SOT-23-5	1.13	.90	.77
LM26CIM5-VHATR-ND	Werkseitig voreingestellter Thermostat, ±3 °C Genauigkeit	±3°C Accurate, Factory Preset Thermostat	SOT-23-5		660.00/1,000	
LM26CIM5-VPACT-ND	Werkseitig voreingestellter Thermostat, ±3 °C Genauigkeit	±3°C Accurate, Factory Preset Thermostat	SOT-23-5	1.13	.90	.77
LM26CIM5-VPATR-ND	Werkseitig voreingestellter Thermostat, ±3 °C Genauigkeit	±3°C Accurate, Factory Preset Thermostat	SOT-23-5		660.00/1,000	
LM26CIM5-XHACT-ND	Werkseitig voreingestellter Thermostat, ±3 °C Genauigkeit	±3°C Accurate, Factory Preset Thermostat	SOT-23-5	1.13	.90	.77
LM26CIM5-XHATR-ND	Werkseitig voreingestellter Thermostat, ±3 °C Genauigkeit	±3°C Accurate, Factory Preset Thermostat	SOT-23-5		660.00/1,000	
LM26CIM5-XPACT-ND	Werkseitig voreingestellter Thermostat, ±3 °C Genauigkeit	±3°C Accurate, Factory Preset Thermostat	SOT-23-5	.70	.49	.47
LM26CIM5-XPATR-ND	Werkseitig voreingestellter Thermostat, ±3 °C Genauigkeit	±3°C Accurate, Factory Preset Thermostat	SOT-23-5		390.00/1,000	
LM26CIM5-YHACT-ND	Werkseitig voreingestellter Thermostat, ±3 °C Genauigkeit	±3°C Accurate, Factory Preset Thermostat	SOT-23-5	1.13	.90	.77
LM26CIM5-YHATR-ND	Werkseitig voreingestellter Thermostat, ±3 °C Genauigkeit	±3°C Accurate, Factory Preset Thermostat	SOT-23-5		660.00/1,000	
LM26CIM5-YPACT-ND	Werkseitig voreingestellter Thermostat, ±3 °C Genauigkeit	±3°C Accurate, Factory Preset Thermostat	SOT-23-5	.70	.49	.47
LM26CIM5-YPATR-ND	Werkseitig voreingestellter Thermostat, ±3 °C Genauigkeit	±3°C Accurate, Factory Preset Thermostat	SOT-23-5		390.00/1,000	
LM26CIM5-ZHACT-ND	Werkseitig voreingestellter Thermostat, ±3 °C Genauigkeit	±3°C Accurate, Factory Preset Thermostat	SOT-23-5	.70	.49	.47
LM26CIM5-ZHATR-ND	Werkseitig voreingestellter Thermostat, ±3 °C Genauigkeit	±3°C Accurate, Factory Preset Thermostat	SOT-23-5		390.00/1,000	
LM27CIM5-1HJCT-ND	Werkseitig voreingestellter Thermostat, 120 °C-150 °C, ±3 °C Genauigkeit	±3°C Accurate, 120°C-150°C Factory Preset Thermostat	SOT-23-5	2.24	1.78	1.52
LM27CIM5-1HJTR-ND	Werkseitig voreingestellter Thermostat, 120 °C-150 °C, ±3 °C Genauigkeit	±3°C Accurate, 120°C-150°C Factory Preset Thermostat	SOT-23-5		1300.00/1,000	
LM27CIM5-2HJCT-ND	Werkseitig voreingestellter Thermostat, 120 °C-150 °C, ±3 °C Genauigkeit	±3°C Accurate, 120°C-150°C Factory Preset Thermostat	SOT-23-5	2.24	1.78	1.52
LM27CIM5-2HJTR-ND	Werkseitig voreingestellter Thermostat, 120 °C-150 °C, ±3 °C Genauigkeit	±3°C Accurate, 120°C-150°C Factory Preset Thermostat	SOT-23-5		1300.00/1,000	
LM32CIMT-ND	Zweif. Thermaldioden-Temperatursensor	Dual Thermal Diode Temperature Sensor	14-TSSOP	2.10	1.99	1.89
LM34AH-ND	Präzisions-Fahrenheit-Temperatursensor, -50 °F ~ 300 °F	Precision F. Temperature Sensor, -50°F to 300°F	TO-46	23.63	18.79	16.06
LM34CAH-ND	Präzisions-Fahrenheit-Temperatursensor, -40 °F ~ 230 °F	Precision F. Temperature Sensor, -40°F to 230°F	TO-46	19.69	15.66	13.38
LM34CAZ-ND	Präzisions-Fahrenheit-Temperatursensor, -40 °F ~ 230 °F	Precision F. Temperature Sensor, -40°F to 230°F	TO-92	5.76	5.47	5.20
LM34CH-ND	Präzisions-Fahrenheit-Temperatursensor, -40 °F ~ 230 °F	Precision F. Temperature Sensor, -40°F to 230°F	TO-46	16.23	12.91	11.03
LM34CZ-ND	Präzisions-Fahrenheit-Temperatursensor, -40 °F ~ 230 °F	Precision F. Temperature Sensor, -40°F to 230°F	TO-92	3.38	3.21	3.05
LM34DM-ND	Präzisions-Fahrenheit-Temperatursensor, +32 °F ~ 212 °F	Precision F. Temperature Sensor, +32°F to 212°F	8-SOIC	1.22	1.16	1.10
LM35DT-ND	Präzisions-Temperatursensor, Celsius	Precision Celsius Temperature Sensor	TO-220	1.54	1.46	1.39

(Forts.)

★ *RUFEN SIE BITTE AN FÜR NIEDRIGERE PREISE BEI GRÖSSEREN MENGEN!* ★

B

Digi-Key Teilenr.	Beschreibung		Paket	Stückpreis★ 1	25	100
LM34DZ-ND	Präzisions-Fahrenheit- Temperatursensor, +32 °F ~ 212 °F	Precision F. Temperature Sensor, +32°F to 212°F	TO-92	1.37	1.30	1.24
LM35AH-ND	Präzisions-Temperatursensor, Celsius, -55 °C ~ 150 °C	Precision Celsius Temperature Sensor, -55°C to 150°C	TO-46	18.96	18.02	17.11
LM35CAH-ND	Präzisions-Temperatursensor, Celsius, -40 °C ~ 110 °C	Precision Celsius Temperature Sensor, -40°C to 110°C	TO-46	11.18	10.62	10.09
LM35CAZ-ND	Präzisions-Temperatursensor, Celsius, -40 °C ~ 110 °C	Precision Celsius Temperature Sensor, -40°C to 110°C	TO-92	5.09	3.47	3.30
LM35CH-ND	Präzisions-Temperatursensor, Celsius, -40 °C ~ 110 °C	Precision Celsius Temperature Sensor, -40°C to 110°C	TO-46	15.40	12.24	10.46
LM35CZ-ND	Präzisions-Temperatursensor, Celsius, -40 °C ~ 110 °C	Precision Celsius Temperature Sensor, -40°C to 110°C	TO-92	3.44	3.27	3.10
LM35DH-ND	Präzisions-Temperatursensor, Celsius, -0 °C ~ 100 °C	Precision Celsius Temperature Sensor, 0°C to 100°C	TO-46	3.76	2.45	2.33
LM35DM-ND	Präzisions-Temperatursensor, Celsius, -0 °C ~ 100 °C	Precision Celsius Temperature Sensor, 0°C to 100°C	8-SOIC	2.51	1.66	1.23
LM35DMXTR-ND	Präzisions-Temperatursensor, Celsius, -0 °C ~ 100 °C	Precision Celsius Temperature Sensor, 0°C to 100°C	8-SOIC		2550.00/2,500	
LM35DZ-ND	Präzisions-Temperatursensor, Celsius, -0 °C ~ 100 °C	Precision Celsius Temperature Sensor, 0°C to 100°C	TO-92	1.02	.82	.68
LM40CIMT-ND	Hardware-Monitor mit zweif. Thermaldioden und SensorPath™ Bus	Hardware Monitor with Dual Thermal Diodes and SensorPath™ Bus	14-TSSOP	2.66	2.53	2.40
LM41CIMT-ND	Hardware-Monitor mit Thermaldiodeneingängen und SensorPath™ Bus	Hardware Monitor with Thermal Diode Inputs and SensorPath™ Bus	14-TSSOP	2.57	2.44	2.32
LM45BIM3CT-ND	Präzisions-Temperatursensor, Celsius	Precision Celsius Temperature Sensor	SOT-23	.81	.60	.57
LM45BIM3TR-ND	Präzisions-Temperatursensor, Celsius	Precision Celsius Temperature Sensor	SOT-23		520.00/1,000	
LM45CIM3CT-ND	Präzisions-Temperatursensor, Celsius	Precision Celsius Temperature Sensor	SOT-23	.51	.30	.29
LM45CIM3TR-ND	Präzisions-Temperatursensor, Celsius	Precision Celsius Temperature Sensor	SOT-23		250.00/1,000	
LM50BIM3CT-ND	Einzelversorgter Celsius-Temperatursensor	Single Supply Centigrade Temperature Sensor	SOT-23	1.25	.82	.57
LM50BIM3TR-ND	Einzelversorgter Celsius-Temperatursensor	Single Supply Centigrade Temperature Sensor	SOT-23		570.00/1,000	
LM50CIM3CT-ND	Einzelversorgter Celsius-Temperatursensor	Single Supply Centigrade Temperature Sensor	SOT-23	.70	.47	.33
LM50CIM3TR-ND	Einzelversorgter Celsius-Temperatursensor	Single Supply Centigrade Temperature Sensor	SOT-23		290.00/1,000	
LM56BIM-ND	NL-Thermostat mit Doppelausgang	Dual Output Low Power Thermostat	8-SOIC	1.36	.98	.93
LM56BIMMCT-ND	NL-Thermostat mit Doppelausgang	Dual Output Low Power Thermostat	8-MSOP	1.36	.98	.93
LM56BIMMTR-ND	NL-Thermostat mit Doppelausgang	Dual Output Low Power Thermostat	8-MSOP		870.00/1,000	
LM56CIM-ND	NL-Thermostat mit Doppelausgang	Dual Output Low Power Thermostat	8-SOIC	1.06	.65	.62
LM56CIMMCT-ND	NL-Thermostat mit Doppelausgang	Dual Output Low Power Thermostat	8-MSOP	1.94	1.54	1.32
LM56CIMMTR-ND	NL-Thermostat mit Doppelausgang	Dual Output Low Power Thermostat	8-MSOP		1130.00/1,000	
LM60BIM3CT-ND	2,7 V Temperatursensor, -40 °C ~ 125 °C	2.7V, Temperature Sensor, -40°C to 125°C	SOT-23	.48	.46	.43
LM60BIM3TR-ND	2,7 V Temperatursensor, -40 °C ~ 125 °C	2.7V, Temperature Sensor, -40°C to 125°C	SOT-23		360.00/1,000	
LM60BIZ-ND	2,7 V Temperatursensor, -40 °C ~ 125 °C	2.7V, Temperature Sensor, -40°C to 125°C	TO-92-3	.43	.41	.39
LM60CIM3CT-ND	2,7 V Temperatursensor, -40 °C ~ 125 °C	2.7V, Temperature Sensor, -40°C to 125°C	SOT-23	.81	.52	.38
LM60CIM3TR-ND	2,7 V Temperatursensor, -40 °C ~ 125 °C	2.7V, Temperature Sensor, -40°C to 125°C	SOT-23		260.00/1,000	
LM60CIZ-ND	2,7 V Temperatursensor, -40 °C ~ 125 °C	2.7V, Temperature Sensor, -40°C to 125°C	TO-92	.29	.28	.26
LM61BIM3CT-ND	2,7 V Temperatursensor, -30 °C ~ 100 °C	2.7V, Temperature Sensor, -30°C to 100°C	SOT-23	.76	.52	.43
LM61BIM3TR-ND	2,7 V Temperatursensor, -30 °C ~ 100 °C	2.7V, Temperature Sensor, -30°C to 100°C	SOT-23		430.00/1,000	
LM61CIM3CT-ND	2,7 V Temperatursensor, -30 °C ~ 100 °C	2.7V, Temperature Sensor, -30°C to 100°C	SOT-23	.39	.29	.28
LM61CIM3TR-ND	2,7 V Temperatursensor, -30 °C ~ 100 °C	2.7V, Temperature Sensor, -30°C to 100°C	SOT-23		250.00/1,000	
LM61CIZ-ND	2,7 V Temperatursensor, -30 °C ~ 100 °C	2.7V, Temperature Sensor, -30°C to 100°C	TO-92	.34	.32	.31
LM62BIM3CT-ND	2,7 V Temperatursensor, 0 °C ~ 100 °C	2.7V, Temperature Sensor, 0°C to 100°C	SOT-23	.64	.61	.58
LM62BIM3TR-ND	2,7 V Temperatursensor, 0 °C ~ 100 °C	2.7V, Temperature Sensor, 0°C to 100°C	SOT-23		490.00/1,000	
LM62CIM3CT-ND	2,7 V Temperatursensor, 0 °C ~ 100 °C	2.7V, Temperature Sensor, 0°C to 100°C	SOT-23	.45	.43	.41
LM62CIM3TR-ND	2,7 V Temperatursensor, 0 °C ~ 100 °C	2.7V, Temperature Sensor, 0°C to 100°C	SOT-23		350.00/1,000	
LM63CIMA-ND	Digitaltemperatursensor mit integrierter Gebläsesteuerung	Digital Temperature Sensor with Integrated Fan Control	8-SOIC	3.13	2.49	2.13
LM63DIMA-ND	Digitaltemperatursensor mit integrierter Gebläsesteuerung	Digital Temperature Sensor with Integrated Fan Control	8-SOIC	2.98	2.37	2.02
LM70CILD-3CT-ND	10-Bit Pluszeichen-Digitaltemperatursensor	10-Bit Plus Sign Digital Temperature Sensor	8-LLP	1.93	1.53	1.31
LM70CILD-3TR-ND	10-Bit Pluszeichen-Digitaltemperatursensor	10-Bit Plus Sign Digital Temperature Sensor	8-LLP		1120.00/1,000	
LM70CILD-5CT-ND	10-Bit Pluszeichen-Digitaltemperatursensor	10-Bit Plus Sign Digital Temperature Sensor	8-LLP	1.93	1.53	1.31
LM70CILD-5TR-ND	10-Bit Pluszeichen-Digitaltemperatursensor	10-Bit Plus Sign Digital Temperature Sensor	8-LLP		1120.00/1,000	
LM70CIMM-3CT-ND	10-Bit Pluszeichen-Digitaltemperatursensor	10-Bit Plus Sign Digital Temperature Sensor	8-MSOP	1.01	.96	.92
LM70CIMM-3TR-ND	10-Bit Pluszeichen-Digitaltemperatursensor	10-Bit Plus Sign Digital Temperature Sensor	8-MSOP		790.00/1,000	
LM70CIMM-5CT-ND	SPI/Microwire™ 10-Bit Plus-Digitaltemperatursensor	SPI/Microwire™ 10-Bit plus Digital Temp. Sensor	8-MSOP	.75	.71	.68
LM70CIMM-5TR-ND	SPI/Microwire™ 10-Bit Plus-Digitaltemperatursensor	SPI/Microwire™ 10-Bit plus Digital Temp. Sensor	8-MSOP		620.00/1,000	
LM70CIMMX-3CT-ND	10-Bit Pluszeichen-Digitaltemperatursensor	10-Bit plus Sign Digital Temperature Sensor	8-MSOP	1.01	.96	.92
LM70CIMMX-3TR-ND	10-Bit Pluszeichen-Digitaltemperatursensor	10-Bit plus Sign Digital Temperature Sensor	8-MSOP		2660.00/3,500	
LM71CIMFCT-ND	SPI/Microwire™ 13-Bit Pluszeichen-Temperatursensor	SPI/Microwire™ 13-Bit plus Sign Temp. Sensor	SOT-23-5	1.98	1.58	1.35
LM71CIMFTR-ND	SPI/Microwire™ 13-Bit Pluszeichen-Temperatursensor	SPI/Microwire™ 13-Bit plus Sign Temp. Sensor	SOT-23-5		1150.00/1,000	
LM71CISDCT-ND	SPI/Microwire™ 13-Bit Pluszeichen-Temperatursensor	SPI/Microwire™ 13-Bit plus Sign Temp. Sensor	6-LLP	1.98	1.58	1.35
LM71CISDTR-ND	SPI/Microwire™ 13-Bit Pluszeichen-Temperatursensor	SPI/Microwire™ 13-Bit plus Sign Temp. Sensor	6-LLP		1150.00/1,000	
LM74CIBP-3CT-ND	12-Bit, 3 V Digitaltemperatursensor	3V, 12-Bit Digital Temperature Sensor	5-microSMD	1.37	1.30	1.23
LM74CIBP-3TR-ND	12-Bit, 3 V Digitaltemperatursensor	3V, 12-Bit Digital Temperature Sensor	5-microSMD		.00/1,000	
LM74CIBP-5CT-ND	12-Bit, 5 V Digitaltemperatursensor	5V, 12-Bit Digital Temperature Sensor	5-microSMD	2.41	1.92	1.64
LM74CIBP-5TR-ND	12-Bit, 5 V Digitaltemperatursensor	5V, 12-Bit Digital Temperature Sensor	5-microSMD		1400.00/1,000	
LM74CIM-3-ND	12-Bit, 3 V Digitaltemperatursensor	3V, 12-Bit Digital Temperature Sensor	8-SOIC	1.05	.99	.94
LM74CIM-5-ND	12-Bit, 5 V Digitaltemperatursensor	5V, 12-Bit Digital Temperature Sensor	8-SOIC	1.05	.99	.94
LM75CIM-3-ND	3 V Digitaltemperatursensor	3V, Digital Temperature Sensor	8-SOIC	1.83	1.40	1.08
LM75CIM-5-ND	5 V Digitaltemperatursensor und Thermal-Watchdog mit zweiadriger Schnittstelle	5V, Digital Temperature Sensor and Thermal Watchdog with Two-Wire Interface	8-SOIC	1.83	1.43	1.06
LM75CIMX-5TR-ND	5 V Digitaltemperatursensor und Thermal-Watchdog mit zweiadriger Schnittstelle	5V, Digital Temperature Sensor and Thermal Watchdog with Two-Wire Interface	8-SOIC		2300.00/2,500	
LM75CIMM-3CT-ND	3,3 V Digitaltemperatursensor und Thermal-Watchdog mit zweiadriger Schnittstelle	3.3V, Digital Temperature Sensor and Thermal Watchdog with Two-Wire Interface	8-MSOP	1.19	1.13	1.07
LM75CIMM-3TR-ND	3,3 V Digitaltemperatursensor und Thermal-Watchdog mit zweiadriger Schnittstelle	3.3V, Digital Temperature Sensor and Thermal Watchdog with Two-Wire Interface	8-MSOP		920.00/1,000	
LM75CIMM-5CT-ND	5 V Digitaltemperatursensor und Thermal-Watchdog mit zweiadriger Schnittstelle	5V, Digital Temperature Sensor and Thermal Watchdog with Two-Wire Interface	8-MSOP	1.19	1.13	1.07
LM75CIMM-5TR-ND	5 V Digitaltemperatursensor und Thermal-Watchdog mit zweiadriger Schnittstelle	5V, Digital Temperature Sensor and Thermal Watchdog with Two-Wire Interface	8-MSOP		920.00/1,000	
LM76CHM-5-ND	5 V Digitaltemperatursensor und Thermal-Window-Komparator mit zweiadriger Schnittstelle	5V, Digital Temperature Sensor and Thermal Window Comparator with Two-Wire Interface	8-SOIC	1.64	1.18	1.12
LM77CIM-3-ND	3 V Digitaltemperatursensor und Thermal-Window-Komparator mit zweiadriger Schnittstelle	3V, Digital Temperature Sensor and Thermal Window Comparator with Two-Wire Interface	8-SOIC	.95	.90	.86
LM77CIM-5-ND	5 V Digitaltemperatursensor und Thermal-Window-Komparator mit zweiadriger Schnittstelle	5V, Digital Temperature Sensor and Thermal Window Comparator with Two-Wire Interface	8-SOIC	.95	.90	.86
LM77CIMM-3CT-ND	3 V Digitaltemperatursensor und Thermal-Window-Komparator mit zweiadriger Schnittstelle	3V, Digital Temperature Sensor and Thermal Window Comparator with Two-Wire Interface	8-MSOP	1.15	1.09	1.04
LM77CIMM-3TR-ND	3 V Digitaltemperatursensor und Thermal-Window-Komparator mit zweiadriger Schnittstelle	3V, Digital Temperature Sensor and Thermal Window Comparator with Two-Wire Interface	8-MSOP		710.00/1,000	
LM77CIMM-5CT-ND	5 V Digitaltemperatursensor und Thermal-Window-Komparator mit zweiadriger Schnittstelle	5V, Digital Temperature Sensor and Thermal Window Comparator with Two-Wire Interface	8-MSOP	2.03	1.61	1.38
LM77CIMM-5TR-ND	5 V Digitaltemperatursensor und Thermal-Window-Komparator mit zweiadriger Schnittstelle	5V, Digital Temperature Sensor and Thermal Window Comparator with Two-Wire Interface	8-MSOP		1180.00/1,000	
LM78L05ACM-ND	5 V, 100 mA Positivregler	5V, 100mA Positive Regulator	8-SOIC	.26	.25	.23
LM78L05ACMX-ND	5 V, 100 mA Positivregler	5V, 100mA Positive Regulator	8-SOIC		675.00/2,500	
LM78L05ACZNS-ND	5 V, 100 mA Positivregler	5V, 100mA Positive Regulator	TO-92	.26	.25	.23
LM78L05IBPCT-ND	Positivregler, 3 Klemmen	3-Terminal Positive Regulator	8-microSMD	.45	.36	.30
LM78L05IBPTR-ND	Positivregler, 3 Klemmen	3-Terminal Positive Regulator	8-microSMD		72.50/250	
LM78L09ACZ-ND	9 V, 100 mA Positivregler	9V, 100mA Positive Regulator	TO-92	.26	.25	.23
LM78L12ACM-ND	12 V, 100 mA Positivregler	12V, 100mA Positive Regulator	8-SOIC	.26	.25	.23
LM78L12ACMXTR-ND	12 V, 100 mA Positivregler	12V, 100mA Positive Regulator	8-SOIC		675.00/2,500	
LM78L12ACZ-ND	12 V, 0,1 A Spannungsregler	12V, 0.1 Amp Voltage Regulator	TO-92	.26	.25	.23
LM78L15ACM-ND	15 V, 100 mA Positivregler	15V, 100mA Positive Regulator	8-SOIC	.26	.25	.23
LM78L15ACMXTR-ND	15 V, 100 mA Positivregler	15V, 100mA Positive Regulator	8-SOIC		675.00/2,500	
LM78L15ACZ-ND	15 V, 0,1 A Positivregler	15V, 0.1 Amp Positive Regulator	TO-92	.26	.25	.23
LM78L62ACZ-ND	6,2 V, 100 mA Positivregler	6.2V, 100mA Positive Regulator	TO-92	.56	.53	.51
LM78M05CTNS-ND	5 V, 500 mA Positivregler	5V, 500mA Positive Regulator	TO-220	.73	.70	.66
LM78M05CDT-ND	Positivregler, 3 Klemmen	3-Terminal Positive Regulator	TO-252	.66	.63	.60
LM78M12CH-ND	12 V, 500 mA Positivregler	12V, 500mA Positive Regulator	TO-39	4.48	3.56	3.04
LM78M12CT-ND	12 V Positivregler	12V, Positive Regulator	TO-220	.78	.74	.70
LM78M15CT-ND	15 V Positivregler	15V, Positive Regulator	TO-220	1.37	1.09	.93

(Forts.)

★ RUFEN SIE BITTE AN FÜR NIEDRIGERE PREISE BEI GRÖSSEREN MENGEN! ★

Alle Preisangaben in Euro und inklusive Zollgebühren.

Digi-Key Teilenr.	Beschreibung		Paket	Stückpreis★ 1	25	100
LM78M15CH-ND	15 V, 500 mA Positivregler	15V, 500mA Positive Regulator	TO-39	4.48	3.56	3.04
LM78S40CN-ND	Universal-Schaltregler-Subsystem	Universal Switching Regulator Subsystem	16-Dip	2.56	1.80	1.47
LM78S40N-ND	Universal-Schaltregler-Subsystem, industrielle Temperatur	Universal Switching Regulator Subsystem, Ind. Temp.	16-Dip	2.57	2.04	1.74
LM79L05ACM-ND	5 V, 100 mA Negativregler	5V, 100mA Negative Regulator	8-SOIC	.39	.37	.35
LM79L05ACMXTR-ND	5 V, 100 mA Negativregler	5V, 100mA Negative Regulator	8-SOIC		1000.00/2,500	
LM79L12ACM-ND	2 V, 100 mA Negativregler	12V, 100mA Negative Regulator	8-SOIC	.42	.28	.27
LM79L12ACMXTR-ND	12 V, 100 mA Negativregler	12V, 100mA Negative Regulator	8-SOIC		1000.00/2,500	
LM79M05CT-ND	5 V, 500 mA Negativspannungsregler,	5V, 500mA Negative Voltage Regulator	TO-220	.83	.79	.75
LM79M12CT-ND	12 V, 500 mA Negativspannungsregler,	12V, 500mA Negative Voltage Regulator	TO-220	.83	.79	.75
LM79M15CT-ND	15 V, 500 mA Negativspannungsregler,	15V, 500mA Negative Voltage Regulator	TO-220	.83	.79	.75
LM80CIMT-3-ND	2,8 V - 5,75 V Hardware-Monitor, ACPI-kompatibles Mikroprozessorsystem, serielle Schnittstelle	Serial Interface ACPI-Compatible Microprocessor System Hardware Monitor, 2.8V-5.75V	24-TSSOP	7.37	5.86	5.01
LM80CIMT-5-ND	2,8 V - 5,75 V Hardware-Monitor, ACPI-kompatibles Mikroprozessorsystem, serielle Schnittstelle	Serial Interface ACPI-Compatible Microprocessor System Hardware Monitor, 2.8V-5.75V	24-TSSOP	7.37	5.86	5.01
LM81BIMT-3-ND	2,8 V - 3,8 V Hardware-Monitor, ACPI-kompatibles Mikroprozessorsystem, serielle Schnittstelle	Serial Interface ACPI-Compatible Microprocessor System Hardware Monitor, 2.8V-3.8V	24-TSSOP	4.68	3.72	3.18
LM81CIMT-3-ND	2,8 V - 3,8 V Hardware-Monitor, ACPI-kompatibles Mikroprozessorsystem, serielle Schnittstelle	Serial Interface ACPI-Compatible Microprocessor System Hardware Monitor, 2.8V-3.8V	24-TSSOP	4.68	3.72	3.18
LM82CIMQA-ND	Dreifach-Diodeneingang und lokaler Digitaltemperatursensor mit zweiadriger Schnittstelle	Triple-Diode Input and Local Digital Temp. Sensor with Two-Wire Interface	16-SSOP	4.56	3.63	3.10
LM83CIMQA-ND	Dreifach-Diodeneingang und lokaler Digitaltemperatursensor mit zweiadriger Schnittstelle	Triple-Diode Input and Local Digital Temp. Sensor with Two-Wire Interface	16-SSOP	4.03	3.83	3.64
LM84BIMQA-ND	Diodeneingangstemperatursensor mit zweiadriger Schnittstelle	Diode Input Temperature Sensor with 2-Wire Interface	16-SSOP	2.42	2.30	2.19
LM86CIMMCT-ND	Ferndiode und Digitaltemperatursensor mit zweiadriger Schnittstelle	Remote Diode and Digital Temperature Sensor with Two-Wire Interface	8-MSOP	2.42	1.92	1.64
LM86CIMMTR-ND	Ferndiode und Digitaltemperatursensor mit zweiadriger Schnittstelle	Remote Diode and Digital Temperature Sensor with Two-Wire Interface	8-MSOP		1410.00/1,000	
LM87CIMT-ND	System-Hardware-Monitor mit serieller Schnittstelle, Ferndioden-Temperaturmessung	Serial Interface System Hardware Monitor with Remote Diode Temperature Sensing	24-TSSOP	3.74	3.55	3.38
LM88CIMM-ACT-ND	Im Werk programmierbarer zweif. Ferndioden-Thermostat	Factory Programmable Dual Remote-Diode Thermostat	8-MSOP	1.46	1.01	.96
LM88CIMM-ATR-ND	Im Werk programmierbarer zweif. Ferndioden-Thermostat	Factory Programmable Dual Remote-Diode Thermostat	8-MSOP		820.00/1,000	
LM90CIMMCT-ND	Ferndiode und Digitaltemperatursensor mit zweiadriger Schnittstelle	Remote Diode and Digital Temperature Sensor with Two-Wire Interface	8-MSOP	2.83	2.25	1.93
LM90CIMMTR-ND	Ferndiode und Digitaltemperatursensor mit zweiadriger Schnittstelle	Remote Diode and Digital Temperature Sensor with Two-Wire Interface	8-MSOP		1650.00/1,000	
LM92CIM-ND	Temperatursensor und Thermal-Window-Komparator mit zweiadriger Schnittstelle	Temp. Sensor and Thermal Window Comparator with Two-Wire Interface	8-SOIC	2.03	1.93	1.83
LM93CIMT-ND	Hardware-Monitor mit integrierter Lüftersteuerung zum Server-Management	Hardware Monitor with Integrated Fan Control for Server Management	56-TSSOP	8.04	7.64	7.26
LM99CIMMCT-ND	Präziser Ferndiodentemperatursensor mit zweiadriger Schnittstelle für hohe Temperaturen	Accurate, High Temperature, Remote Diode Temperature Sensor with Two-Wire Interface	8-MSOP	3.13	2.49	2.13
LM99CIMMTR-ND	Präziser Ferndiodentemperatursensor mit zweiadriger Schnittstelle für hohe Temperaturen	Accurate, High Temperature, Remote Diode Temperature Sensor with Two-Wire Interface	8-MSOP		1820.00/1,000	
LM108AH-ND	Präzisions-OpAmp	Precision Op Amp	TO-5	9.37	7.45	6.37
LM111H-ND	Spannungskomparator	Voltage Comparator	TO-5	3.58	3.15	2.23
LM111J-8-ND	Spannungskomparator	Voltage Comparator	8-CDip	8.06	6.41	5.47
LM113H-ND	Referenzdiode	Reference Diode	TO-46	15.40	12.24	10.46
LM117H-ND	Einstellb. 500 mA Positivspannungsregler	500mA Positive Adjustable Voltage Regulator	TO-39	6.25	5.25	4.46
LM117K STEEL-ND	Einstellb. Positivspannungsregler	Positive Adjustable Voltage Regulator	TO-3	12.68	10.08	8.62
LM120H-5.0-ND	1,5 A, Negativspannungsregler, 3 Anschlüsse	1.5A, 3-Terminal Negative Voltage Regulator	TO-39	15.75	12.53	10.70
LM124AJ-ND	Vierf. OpAmp, NL	Low Power Quad Op Amp	14-CDip	8.65	6.88	5.88
LM124J-ND	Vierf. OpAmp, NL	Low Power Quad Op Amp	14-CDip	1.96	1.86	1.77
LM135AH-ND	Präzisions-Temperatursensor	Precision Temperature Sensor	TO-46	28.28	22.49	19.22
LM135H-ND	Präzisions-Temperatursensor	Precision Temperature Sensor	TO-46	5.99	5.69	5.41
LM136AH-2.5-ND	2,5 V Referenzdiode	2.5V, Reference Diode	TO-46	17.24	13.71	11.72
LM136H-2.5-ND	2,5 V Referenzdiode	2.5V, Reference Diode	TO-46	13.55	10.77	9.20
LM136H-5.0-ND	5 V Referenzdiode	5V, Reference Diode	TO-46	13.55	10.77	9.20
LM137H-ND	0,5 A Negativspannungsregler, 3 Anschlüsse	.5A, 3-Terminal Negative Voltage Regulator	TO-39	15.40	12.24	10.46
LM139J-ND	Vierf. Low-Offset-Komparator, NL	Low Power Low Offset Quad Comp	14-CDip	3.56	2.79	2.03
LM140K-5.0-ND	0,5 V, Ser. Positivregler, 3 Klemmen	.5V, Ser. 3-Terminal Positive Regulator	TO-3	10.35	8.23	7.03
LM140K-12-ND	12 V, 1,5 A Positivspannungsregler	12V, 1.5A Positive Voltage Regulator	TO-3	10.35	8.23	7.03
LM140LAH-5.0-ND	5 V Ser. Positivspannungsregler, 3 Anschlüsse	5V, Ser., 3-Terminal Positive Regulator	TO-39	7.88	6.26	5.35
LM140LAH-12-ND	12 V, 100 mA Positivspannungsregler	12V, 100mA Positive Voltage Regulator	TO-39	4.13	3.00	2.85
LM148J-ND	Vierf. 741-OpAmp	Quad 741 Op Amp	14-CDip	5.37	4.27	3.65
LM150K STEEL-ND	3 A einstellb. Positivspannungsregler	3A, Positive Adjustable Voltage Regulator	TO-3	23.87	18.98	16.22
LM158AH-ND	Zweif. OpAmp, NL	Low Power Dual Op Amp	TO-5	11.07	8.80	7.52
LM158H-ND	Zweif. OpAmp, NL	Low Power Dual Op Amp	TO-5	4.58	3.20	2.40
LM185BH-ND	Einstellbare Micropower-Spannungsreferenz	Adjustable Micropower Voltage Reference	TO-46	19.06	15.16	12.95
LM185H-2.5-ND	Micropower-Spannungsreferenzdiode	Micropower Voltage Reference Diode	TO-46	13.31	10.58	9.04
LM193H-ND	Zweif. Offset-Spannungskomparator, NL	Low Power Offset Voltage Dual Comparator	TO-5	6.41	5.10	4.36
LM219J-ND	Zweif. HS-Komparator	High Speed Dual Comparator	14-CDip	13.43	10.68	9.12
LM224J-ND	Vierf. OpAmp, NL	Low Power Quad Op Amp	14-CDip	2.37	2.25	2.14
LM231AN-ND	Spann.-in-Frequenz-Präzisionswandler	Precision Voltage-to-Frequency Converter	8-Dip	6.48	6.16	5.85
LM231N-ND	Spann.-in-Frequenz-Präzisionswandler	Precision Voltage-to-Frequency Converter	8-Dip	4.81	4.57	4.34
LM234Z-3-ND	Einstellbarer Stromquellen-/Temperatursensor	Adjustable Current Source/Temperature Sensor	TO-92	1.96	1.87	1.77
LM234Z-6-ND	Einstellbarer Stromquellen-/Temperatursensor	Adjustable Current Source/Temperature Sensor	TO-92	.92	.88	.83
LM235AH-ND	Präzisions-Temperatursensor	Precision Temperature Sensor	TO-46	17.90	14.23	12.16
LM235H-ND	Präzisions-Temperatursensor	Precision Temperature Sensor	TO-46	11.07	8.80	7.52
LM236AH-2.5-ND	2,5 V, (1 %) Spannungsreferenz	2.5V, (1%) Voltage Reference	TO-46	10.08	8.02	6.85
LM236AH-5.0-ND	5 V Referenzdiode	5V, Reference Diode	TO-46	10.08	8.02	6.85
LM236H-2.5-ND	2,5 V Referenzdiode	2.5V, Reference Diode	TO-46	8.65	6.88	5.88
LM239J-ND	Vierf. Hochleistungs-Komparator	High Performance Quad Comparator	14-CDip	1.41	.95	.90
LM285BXZ-ND	Einstellbare Micropower-Spannungsreferenz	Adjustable Micropower Voltage Reference	TO-92	1.49	1.27	1.21
LM285BYM-ND	Einstellbare Micropower-Spannungsreferenz	Adjustable Micropower Voltage Reference	8-SOIC	1.11	1.05	1.00
LM285BYZ-ND	Micropower-Spannungsreferenzdiode, einstellb.	Micropower Adjustable Voltage Reference	TO-92	1.11	.95	.90
LM285BYZ-1.2-ND	1,2 V Micropower Spannungsreferenz	1.2V, Micropower Voltage Reference	TO-92	1.41	1.34	1.27
LM285BYZ-2.5-ND	2,5 V Referenzdiode	2.5V, Reference Diode	TO-92	1.41	1.34	1.27
LM285M-ND	Micropower-Spannungsreferenzdiode, einstellb.	Micropower Adjustable Voltage Reference	8-SOIC	.45	.38	.36
LM285MXTR-ND	Micropower-Spannungsreferenzdiode, einstellb.	Micropower Adjustable Voltage Reference	8-SOIC		1350.00/2,500	
LM285M-1.2-ND	1,2 V Referenzdiode	1.2V, Reference Diode	8-SOIC	.55	.52	.49
LM285M-2.5-ND	Micropower-Spannungsreferenzdiode	Micropower Voltage Reference Diode	8-SOIC	.96	.77	.65
LM285MX-2.5TR-ND	Micropower-Spannungsreferenzdiode	Micropower Voltage Reference Diode	8-SOIC		1400.00/2,500	
LM285Z-ND	Einstellbare Micropower-Spannungsreferenz	Adjustable Micropower Voltage Reference	TO-92	.45	.38	.36
LM285Z-1.2NS-ND	Micropower-Spannungsreferenzdiode	Micropower Voltage Reference Diode	TO-92	.91	.73	.62
LM285Z-2.5-ND	2,5 V Referenzdiode	2.5V, Reference Diode	TO-92	.91	.73	.62
LM301AH-ND	Mehrzweck-OpAmp	General Purpose Op Amp	TO-5	2.44	1.67	1.59
LM301ANNS-ND	Mehrzweck-OpAmp	General Purpose Op Amp	8-Dip	.47	.38	.36
LM308AH-ND	Mehrzweck-OpAmp	General Purpose Op Amp	TO-5	2.24	2.13	2.02
LM308H-ND	Super-Gain-OpAmp	Super Gain Op Amp	TO-5	2.54	2.41	2.29
LM309H-ND	5 V Spannungsregler	5V Voltage Regulator	TO-39	3.46	3.29	3.12
LM309K STEEL-ND	+5 V, 1,5 A Spannungsregler	+5V, 1.5A Voltage Regulator	TO-3	7.40	5.88	5.03
LM311H-ND	Spannungskomparator	Voltage Comparator	TO-99	1.69	1.61	1.53
LM311MNS-ND	Spannungskomparator	Voltage Comparator	8-SOIC	.22	.21	.20
LM311MXTR-ND	Spannungskomparator	Voltage Comparator	8-SOIC		800.00/2,500	
LM311NNS-ND	Hochleistungs-Spannungskomparator	High Performance Voltage Comparator	8-Dip	.36	.34	.33
LM313H-ND	Präzisionsreferenz, 2-Pin	Precision Reference, 2-Pin	TO-18	10.08	8.02	6.85
LM317AEMPCT-ND	Einstellbarer Regler mit 3 Anschlüssen	3-Terminal Adjustable Regulator	SOT-223	.70	.67	.63
LM317AEMPTR-ND	Einstellbarer Regler mit 3 Anschlüssen	3-Terminal Adjustable Regulator	SOT-223		570.00/1,000	
LM317AEMPXTR-ND	Einstellbarer Regler mit 3 Anschlüssen	3-Terminal Adjustable Regulator	SOT-223		1940.00/2,000	

(Forts.)

★ RUFEN SIE BITTE AN FÜR NIEDRIGERE PREISE BEI GRÖSSEREN MENGEN! ★

B

Digi-Key Teilenr.	Beschreibung		Paket	Stückpreis★ 1	25	100
LM317AH-ND	500 mA einstellb. Positivspannungsregler	500mA Positive Adjustable Voltage Regulator	TO-39	6.03	4.79	4.10
LM317AT-ND	1,5 A einstellb. Positivspannungsregler	1.5A, Positive Adjustable Voltage Regulator	TO-220	.97	.73	.63
LM317EMPCT-ND	1 A einstellb. Positivspannungsregler	1A, Positive Adjustable Voltage Regulator	SOT-223	.66	.63	.60
LM317EMPTR-ND	1 A einstellb. Positivspannungsregler	1A, Positive Adjustable Voltage Regulator	SOT-223		520.00/1,000	
LM317H-ND	500 mA einstellb. Positivspannungsregler	500mA, Positive Adjustable Voltage Regulator	TO-39	5.32	3.81	2.79
LM317HVH-ND	500 mA einstellb. Spannungsregler, Hochspannung	High Voltage 500mA, Adjustable Voltage Regulator	TO-39	6.96	5.17	4.91
LM317HVK STEEL-ND	1,5 A einstellb. Spannungsregler, Hochspannung	High Voltage 1.5A, Adjustable Voltage Regulator	TO-3	11.07	8.80	7.52
LM317HVT-ND	1,5 A einstellb. Spannungsregler, Hochspannung	High Voltage 1.5A, Adjustable Voltage Regulator	TO-220	2.01	1.41	1.10
LM317K STEEL-ND	1,5 A einstellb. Positivspannungsregler	1.5A, Positive Adjustable Voltage Regulator	TO-3	8.65	6.88	5.88
LM317LIBPCT-ND	Einstellbarer Regler mit 3 Anschlüssen	3-Terminal Adjustable Regulator	8-microSMD	.72	.57	.49
LM317LIBPTR-ND	Einstellbarer Regler mit 3 Anschlüssen	3-Terminal Adjustable Regulator	8-microSMD		115.00/250	
LM317LM-ND	100 mA Einstellb. Positivspannungsregler,	100mA, Positive Adjustable Voltage Regulator	8-SOIC	.32	.30	.29
LM317LMXTR-ND	100 mA Einstellb. Positivspannungsregler,	100mA, Positive Adjustable Voltage Regulator	8-SOIC		800.00/2,500	
LM317LZNS-ND	100 mA Einstellb. Positivspannungsregler,	100mA, Positive Adjustable Voltage Regulator	TO-92	.30	.29	.27
LM317MDT-ND	Einstellbarer Regler mit 3 Anschlüssen	3-Terminal Adjustable Regulator	TO-252	.73	.70	.66
LM317S-ND	Einstellbarer Regler mit 3 Anschlüssen	3-Terminal Adjustable Regulator	TO-263	.97	.92	.88
LM317SXTR-ND	Einstellbarer Regler mit 3 Anschlüssen	3-Terminal Adjustable Regulator	TO-263		550.00/500	
LM317TNS-ND	1,5 A einstellb. Positivspannungsregler	1.5A, Positive Adjustable Voltage Regulator	TO-220	.98	.93	.88
LM318H-ND	OpAmp mit hoher Anstiegsrate	High Slew Rate Op Amp	TO-5	2.52	2.40	2.28
LM318M-ND	OpAmp mit hoher Anstiegsrate	High Slew Rate Op Amp	8-SOIC	1.78	1.32	.95
LM318N-ND	OpAmp mit hoher Anstiegsrate	High Slew Rate Op Amp	8-Dip	.47	.45	.42
LM319AM-ND	Zweif. HS-Komparator	High Speed Dual Comparator	14-SOIC	.83	.79	.75
LM319H-ND	Zweif. HS-Komparator	High Speed Dual Comparator	TO-5	4.56	3.63	3.10
LM319M-ND	Zweif. HS-Komparator	High Speed Dual Comparator	14-SOIC	.56	.53	.51
LM319MXTR-ND	Zweif. HS-Komparator	High Speed Dual Comparator	14-SOIC		1450.00/2,500	
LM319NNS-ND	Zweif. HS-Komparator	High Speed Dual Comparator	14-Dip	.61	.51	.45
LM320H-5.0-ND	0,5 A Negativspannungsregler, 3 Anschlüsse	.5A, 3-Terminal Negative Voltage Regulator	TO-39	8.83	7.02	6.00
LM320K-15-ND	-15 V, 1,5 A Spannungsregler	–15V, 1.5A Voltage Regulator	TO-3	10.04	7.09	5.25
LM320LZ-5.0-ND	5 V, 0,1 A Negativspannungsregler	5V, 0.1A Negative Voltage Regulator	TO-92	.66	.52	.45
LM320LZ-12-ND	12 V, 0,1 A Negativspannungsregler	12V, 0.1A Negative Voltage Regulator	TO-92	.66	.52	.45
LM320LZ-15-ND	15 V, 0,1 A Negativspannungsregler	15V, 0.1A Negative Voltage Regulator	TO-92	.66	.52	.45
LM320T-5.0-ND	5 V, 1,5 A Negativregler, 3 Anschlüsse	5V, 1.5A 3-Terminal Negative Regulator	TO-220	1.26	.92	.77
LM320T-12-ND	12 V, 1,5 A Negativspannungsregler, 3 Anschlüsse	12V, 1.5A 3-Terminal Negative Voltage Regulator	TO-220	.88	.64	.61
LM320T-15-ND	15 V, 1,5 A Negativspannungsregler, 3 Anschlüsse	15V, 1.5A 3-Terminal Negative Voltage Regulator	TO-220	.97	.92	.87
LM321MFCT-ND	Einf. OpAmp, NL	Low Power Single Op Amp	SOT-23-5	.29	.20	.16
LM321MFTR-ND	Einf. OpAmp, NL	Low Power Single Op Amp	SOT-23-5		160.00/1,000	
LM323AK STEEL-ND	5 V, 3 A Positivspannungsregler	5V, 3A Positive Voltage Regulator	TO-3	8.62	6.86	5.86
LM323K STEELNS-ND	5 V, 3 A Positivspannungsregler	5V, 3A Positive Voltage Regulator	TO-3	8.95	7.12	6.08
LM324AMNS-ND	Vierf. OpAmp, NL	Low Power Quad Op Amp	14-SOIC	.91	.54	.47
LM324AMXTR-ND	Vierf. OpAmp, NL	Low Power Quad Op Amp	14-SOIC		1225.00/2,500	
LM324ANNS-ND	Vierf. OpAmp, NL	Low Power Quad Op Amp	14-Dip	.75	.60	.49
LM324MNS-ND	Vierf. OpAmp, NL	Low Power Quad Op Amp	14-SOIC	.46	.44	.42
LM324MT-ND	Vierf. OpAmp, NL	Low Power Quad Op Amp	14-TSSOP	.60	.57	.55
LM324MX-ND	Vierf. OpAmp, NL	Low Power Quad Op Amp	14-SOIC		1175.00/2,500	
LM324NNS-ND	Vierf. OpAmp, NL	Low Power Quad Op Amp	14-Dip	.53	.51	.48
LM329DZ-ND	6,9 V Zener-Präzision, 100 ppm/°C	6.9V Precision Zener 100ppm/°C	TO-92	.69	.47	.45
LM330T-5.0-ND	Positivregler, 3 Klemmen	3-Terminal Positive Regulator	TO-220	.78	.74	.70
LM331AN-ND	Spann.-in-Frequenz-Präzisionswandler	Precision Voltage-to-Frequency Converter	8-Dip	5.13	4.18	3.97
LM331N-ND	Spann.-in-Frequenz-Präzisionswandler	Precision Voltage-to-Frequency Converter	8-Dip	2.33	2.02	1.72
LM333K STEEL-ND	3 A einstellbarer Negativspannungsregler	3A Negative Adjustable Voltage Regulator	TO-3	16.98	13.50	11.54
LM334H-ND	Einstellbare Stromquelle mit 3 Anschlüssen	3-Terminal Adjustable Current Source	TO-46	1.77	1.68	1.60
LM334M-ND	Einstellbare Stromquelle mit 3 Anschlüssen	3-Terminal Adjustable Current Source	8-SOIC	1.09	.75	.58
LM334MXTR-ND	Einstellbare Stromquelle mit 3 Anschlüssen	3-Terminal Adjustable Current Source	8-SOIC		1400.00/2,500	
LM334SM-ND	Einstellbare Stromquelle mit 3 Anschlüssen	3-Terminal Adjustable Current Source	8-SOIC	1.79	1.71	1.62
LM334ZNS-ND	Einstellbare Stromquelle mit 3 Anschlüssen	3-Terminal Adjustable Current Source	TO-92	1.11	.79	.63
LM335AH-ND	Präzisions-Temperatursensor	Precision Temperature Sensor	TO-46	9.91	7.88	6.73
LM335AM-ND	Präzisions-Temperatursensor	Precision Temperature Sensor	8-SOIC	1.50	1.19	1.02
LM335AZNS-ND	Präzisions-Temperatursensor	Precision Temperature Sensor	TO-92	.85	.81	.77
LM335H-ND	Präzisions-Temperatursensor	Precision Temperature Sensor	TO-46	2.88	2.73	2.60
LM335M-ND	Präzisions-Temperatursensor	Precision Temperature Sensor	8-SOIC	.55	.52	.49
LM335ZNS-ND	Temperatursensor, Spannungsmodus	Voltage Mode Temperature Sensor	TO-92	1.00	.61	.50
LM336BM-2.5-ND	2,5 V Referenzdiode	2.5V, Reference Diode	8-SOIC	.72	.68	.65
LM336BM-5.0-ND	5 V Referenzdiode	5V, Reference Diode	8-SOIC	1.53	.91	.79
LM336BZ-2.5-ND	2,5 V Referenzdiode	2.5V, Reference Diode	TO-92	.99	.63	.57
LM336BZ-5.0-ND	5 V Referenzdiode	5V, Reference Diode	TO-92	1.32	.95	.69
LM336M-2.5-ND	2,5 V Referenzdiode	2.5V, Reference Diode	8-SOIC	.50	.38	.28
LM336MX-2.5TR-ND	2,5 V Referenzdiode	2.5V, Reference Diode	8-SOIC		1100.00/2,500	
LM336M-5.0-ND	5 V Referenzdiode	5.0V, Reference Diode	8-SOIC	.43	.41	.39
LM336Z-2.5NS-ND	2,5 V Referenzdiode	2.5V, Reference Diode	TO-92	.51	.37	.35
LM336Z-5.0-ND	5 V Referenzdiode	5.0V, Reference Diode	TO-92	.51	.37	.35
LM337H-ND	500 mA einstellb. Negativspannungsregler	500mA Negative Adjustable Voltage Regulator	TO-39	5.37	4.27	3.65
LM337HVH-ND	500 mA einstellb. Negativregler (Hochspann.)	500mA Negative Adjustable Regulator (High Volt)	TO-39	14.53	11.55	9.87
LM337HVK STEEL-ND	1,5 mA einstellb. Negativspannungsregler (Hochspann.)	1.5A Negative Adjustable Regulator (High Volt)	TO-3	19.06	15.16	12.95
LM337IMPCT-ND	1 A einstellbarer Negativspannungsregler	1A Negative Adjustable Voltage Regulator	SOT-223	.69	.66	.63
LM337IMPTR-ND	1 A einstellbarer Negativspannungsregler	1A Negative Adjustable Voltage Regulator	SOT-223		540.00/1,000	
LM337K STEEL-ND	1,5 A einstellbarer Negativspannungsregler	1.5A Negative Adjustable Voltage Regulator	TO-3	7.13	5.67	4.85
LM337LM-ND	100 mA einstellbarer Negativspannungsregler	100mA Negative Adjustable Voltage Regulator	8-SOIC	.64	.52	.43
LM337LMXTR-ND	100 mA einstellbarer Negativspannungsregler	100mA Negative Adjustable Voltage Regulator	8-SOIC		1000.00/2,500	
LM337LZ-ND	100 mA einstellbarer Negativspannungsregler	100mA Negative Adjustable Voltage Regulator	TO-92	.64	.52	.43
LM337TNS-ND	1,5 A einstellbarer Negativspannungsregler	1.5A Negative Adjustable Voltage Regulator	TO-220	1.12	1.07	1.01
LM338K STEEL-ND	5 A Einstellbarer Positivregler	5A Adjustable Positive Regulator	TO-3	11.93	9.49	8.11
LM338T-ND	5 A Einstellbarer Positivregler	5A Adjustable Positive Regulator	TO-220	1.28	1.22	1.16
LM339AMXTR-ND	Vierf. Low-Offset-Spannungskomparator, NL	Low Power Low Offset Voltage Quad Comparator	14-SOIC		1025.00/2,500	
LM339ANNS-ND	Vierf. Low-Offset-Spannungskomparator, NL	Low Power Low Offset Voltage Quad Comparator	14-Dip	.45	.42	.40
LM339AM-ND	Vierf. Low-Offset-Spannungskomparator, NL	Low Power Low Offset Voltage Quad Comparator	14-SOIC	.40	.38	.36
LM339MNS-ND	Vierf. Low-Offset-Spannungskomparator, NL	Low Power Low Offset Voltage Quad Comparator	14-SOIC	.64	.55	.47
LM339MX-ND	Vierf. Low-Offset-Spannungskomparator, NL	Low Power Low Offset Voltage Quad Comparator	14-SOIC		1000.00/2,500	
LM339NNS-ND	Vierf. Hochleistungs-Komparator	High Performance Quad Comparator	14-Dip	.42	.40	.38
LM340AT-5.0-ND	5 V, 1 A Positivspannungsregler	5V, 1.0A Positive Voltage Regulator	TO-220	1.24	.79	.63
LM340K-5.0-ND	5 V, 1 A Positivspannungsregler	5V, 1.0A Positive Voltage Regulator	TO-3	5.04	3.51	3.33
LM340K-12-ND	12 V, 1 A Positivspannungsregler	12V, 1.0A Positive Voltage Regulator	TO-3	5.04	3.51	3.33
LM340K-15-ND	15 V, 1 A Positivspannungsregler	15V, 1.0A Positive Voltage Regulator	TO-3	5.04	3.51	3.33
LM340LAH-5.0-ND	5 V, 100 mA Positivspannungsregler	5V, 100mA Positive Voltage Regulator	TO-39	4.77	3.80	3.24
LM340LAH-12-ND	12 V, 100 mA Positivspannungsregler	12V, 100mA Positive Voltage Regulator	TO-39	4.77	3.80	3.24
LM340LAZ-5.0-ND	5 V, 100 mA Positivspannungsregler	5V, 100mA Positive Voltage Regulator	TO-92	.78	.59	.42
LM340LAZ-12-ND	12 V, 100 mA Positivspannungsregler	12V, 100mA Positive Voltage Regulator	TO-92	.76	.60	.52
LM340MP-5.0CT-ND	5 V, 1 A Sannungsregler	5V, 1A Voltage Regulator	SOT-223	.47	.45	.43
LM340MP-5.0TR-ND	5 V, 1 A Sannungsregler	5V, 1A Voltage Regulator	SOT-223		370.00/1,000	
LM340S-5.0-ND	5 V Positivregler, Serie mit 3 Anschlüssen	5V, Series 3-Terminal Positive Regulator	TO-263	.87	.83	.79
LM340SX-5.0TR-ND	5 V Positivregler, Serie mit 3 Anschlüssen	5V, Series 3-Terminal Positive Regulator	TO-263		500.00/500	
LM340S-12-ND	12 V Positivregler, Serie mit 3 Anschlüssen	12V, Series 3-Terminal Positive Regulator	TO-263	.87	.83	.79
LM340T-5.0-ND	5 V, 1 A Positivspannungsregler (7805)	5V, 1.0A Positive Voltage Regulator (7805)	TO-220	1.00	.83	.64
LM340T-12-ND	12 V, 1 A Positivspannungsregler (7812),	12V, 1.0A Positive Voltage Regulator (7812)	TO-220	.78	.74	.70
LM340T-15-ND	15 V, 1 A Positivspannungsregler (7815)	15V, 1.0A Positive Voltage Regulator (7815)	TO-220	.78	.74	.70
LM341T-5.0-ND	5 V, 500 mA Spannungsregler	5V, 500mA Voltage Regulator	TO-220	.73	.70	.66

(Forts.)

★ RUFEN SIE BITTE AN FÜR NIEDRIGERE PREISE BEI GRÖSSEREN MENGEN! ★

Alle Preisangaben in Euro und inklusive Zollgebühren.

Digi-Key Teilenr.	Beschreibung		Paket	Stückpreis★ 1	25	100
LM341T-15-ND	15 V 500 mA Spannungsregler,	15V, 500mA Voltage Regulator	TO-220	1.37	1.09	.93
LM348M-ND	Vierf. 741-OpAmp	Quad 741 Operational Amp	14-SOIC	.40	.38	.36
LM348NNS-ND	Vierf. 741-OpAmp	Quad 741 Operational Amp	14-Dip	.59	.56	.53
LM350AT-ND	3 A einstellbarer Positivspannungsregler, 3 Anschlüsse	3A, 3-Terminal Positive Adjustable Voltage Regulator	TO-220	1.93	1.83	1.74
LM350K STEELNS-ND	3 A einstellbarer Positivspannungsregler, 3 Anschlüsse	3A, 3-Terminal Positive Adjustable Voltage Regulator	TO-3	9.85	7.83	6.69
LM350TNS-ND	3 A einstellbarer Positivspannungsregler, 3 Anschlüsse	3A, 3-Terminal Positive Adjustable Voltage Regulator	TO-220	2.04	1.41	1.04
LM358AMNS-ND	Zweif. OpAmp, NL	Low Power Dual Op Amp	8-SOIC	.43	.36	.28
LM358AMXTR-ND	Zweif. OpAmp, NL	Low Power Dual Op Amp	8-SOIC		1025.00/2,500	
LM358ANNS-ND	Zweif. OpAmp, NL (Elektr. Verb.)	Low Power Dual Op Amp (Elect. Improv.)	8-Dip	.58	.47	.33
LM358BPCT-ND	Zweif. OpAmp, NL	Low Power Dual Op Amp	8-microSMD	.45	.36	.30
LM358BPTR-ND	Zweif. OpAmp, NL	Low Power Dual Op Amp	8-microSMD		72.50/250	
LM358MNS-ND	Zweif. OpAmp, NL	Low Power Dual Op Amp	8-SOIC	.39	.37	.35
LM358MX-ND	Zweif. OpAmp, NL	Low Power Dual Op Amp	8-SOIC		1000.00/2,500	
LM358NNS-ND	Zweif. OpAmp, NL	Low Power Dual Op Amp	8-Dip	.42	.40	.38
LM359M-ND	Zweif. HS-Verstärker mit programmierbarem Strommodus (Norton) -Verstärker	Dual, High Speed Prog. Current Mode (Norton) Amp	14-SOIC	1.90	1.80	1.71
LM359N-ND	HS-Norton-OpAmp	High Speed Norton Op Amp	14-Dip	1.58	1.50	1.43
LM360H-ND	HS-Differenzialkomparator	High Speed Differential Comparator	TO-5	6.92	5.50	4.70
LM360M-ND	HS-Differenzialkomparator	High Speed Differential Comparator	8-SOIC	2.96	2.81	2.67
LM360N-ND	HS-Differenzialkomparator	High Speed Differential Comparator	8-Dip	2.32	2.20	2.09
LM361H-ND	HS-Differenzialkomparator	High Speed Differential Comparator	H10C	5.67	4.51	3.85
LM361M-ND	HS-Differenzialkomparator	High Speed Differential Comparator	14-SOIC	1.64	1.56	1.48
LM361N-ND	HS-Differenzialkomparator	High Speed Differential Comparator	14-Dip	1.39	1.09	1.04
LM380N-ND	2,5 W Audio-Leistungsverstärker	2.5 Watt Audio Power Amplifier	14-Dip	.86	.82	.78
LM380N-8-ND	2,5 W Audioverstärker	2.5 Watt Audio Amplifier	8-Dip	.55	.52	.50
LM384N-ND	5 W Audioverstärker	5 Watt Audio Amplifier	14-Dip	2.13	1.58	1.15
LM385BM-ND	Einstellbare Micropower-Spannungsreferenz	Adj. Micropower Voltage Reference	8-SOIC	.56	.47	.38
LM385BM-1.2-ND	1,2 V Referenzdiode, 150 ppm/°C	1.2V, Reference Diode 150ppm/°C	8-SOIC	.48	.45	.43
LM385BMX-1.2TR-ND	1,2 V Referenzdiode, 150 ppm/°C	1.2V, Reference Diode 150ppm/°C	8-SOIC		1225.00/2,500	
LM385BM-2.5-ND	2,5 V Referenzdiode, 150 ppm/°C	2.5V, Reference Diode 150ppm/°C	8-SOIC	.48	.45	.43
LM385BMX-2.5TR-ND	2,5 V Referenzdiode, 150 ppm/°C	2.5V, Reference Diode 150ppm/°C	8-SOIC		1225.00/2,500	
LM385BXM-2.5-ND	2,5 V Micropower Spannungsreferenzdiode	2.5V, Micropower Voltage Reference Diode	8-SOIC	2.84	2.26	1.93
LM385BXZ-ND	Einstellbare Micropower-Spannungsreferenzdiode	Adjustable Micropower Voltage Reference Diode	TO-92	2.20	1.50	1.20
LM385BXZ-2.5-ND	2,5 V Referenzdiode, 30 ppm/°C	2.5V, Reference Diode 30ppm/°C	TO-92	1.57	1.49	1.42
LM385BYM-1.2-ND	1,2 V Micropower Spannungsreferenzdiode	1.2V, Micropower Voltage Reference Diode	8-SOIC	2.21	1.76	1.50
LM385BYZ-1.2-ND	1,2 V Präzisions-Spannungsreferenz, 50 ppm/°C	1.2V, Precision Voltage Reference 50ppm/°C	TO-92	1.22	1.16	1.10
LM385BYZ-2.5-ND	2,5 V Präzisions-Spannungsreferenz, 50 ppm/°C	2.5V, Precision Voltage Reference 50ppm/°C	TO-92	1.22	1.16	1.10
LM385BYZ-ND	Einstellb. Referenzdiode	Adjustable Reference Diode	TO-92	.84	.80	.76
LM385BZ-ND	Einstellbare Micropower-Spannungsreferenzdiode	Adjustable Micropower Voltage Reference Diode	TO-92	.56	.47	.38
LM385BZ-1.2NS-ND	Micropower-Spannungsreferenzdiode	Micropower Voltage Reference Diode	TO-92	.76	.60	.52
LM385BZ-2.5NS-ND	2,5 V Spannungsreferenzdiode	2.5V, Voltage Reference Diode	TO-92	.43	.41	.39
LM385M-ND	Einstellbare Spannungsreferenzdiode	Adjustable Voltage Reference Diode	8-SOIC	.61	.38	.31
LM385MXTR-ND	Einstellbare Spannungsreferenzdiode	Adjustable Voltage Reference Diode	8-SOIC		825.00/2,500	
LM385M-1.2-ND	1,2 V Spannungsreferenzdiode	1.2V, Voltage Reference Diode	8-SOIC	.28	.27	.25
LM385MX-1.2TR-ND	1,2 V Spannungsreferenzdiode	1.2V, Voltage Reference Diode	8-SOIC		950.00/2,500	
LM385M-2.5-ND	2,5 V Spannungsreferenzdiode, 150 ppm/°C	2.5V, Voltage Reference Diode 150ppm/°C	8-SOIC	.37	.36	.34
LM385MX-2.5TR-ND	2,5 V Spannungsreferenzdiode, 150 ppm/°C	2.5V, Voltage Reference Diode 150ppm/°C	8-SOIC		950.00/2,500	
LM385M3-2.5CT-ND	2,5 V Micropower Spannungsreferenzdiode	2.5V, Micropower Voltage Reference Diode	SOT-23	.61	.38	.36
LM385M3-2.5TR-ND	2,5 V Micropower Spannungsreferenzdiode	2.5V, Micropower Voltage Reference Diode	SOT-23		330.00/1,000	
LM385M3X-2.5CT-ND	2,5 V Spannungsreferenzdiode	2.5V, Voltage Reference Diode	SOT-23	.95	.76	.65
LM385M3X-2.5TR-ND	2,5 V Spannungsreferenzdiode	2.5V, Voltage Reference Diode	SOT-23		1680.00/3,000	
LM385Z-ND	Einstellbare Spannungsreferenzdiode	Adjustable Voltage Reference Diode	TO-92	.77	.54	.47
LM385Z-1.2NS-ND	1,2 V Spannungsreferenzdiode	1.2V, Voltage Reference Diode	TO-92	.77	.54	.47
LM385Z-2.5NS-ND	2,5 V Spannungsreferenzdiode	2.5V, Voltage Reference Diode	TO-92	.77	.54	.45
LM386M-1-ND	Niederspannungs-Audio-Leistungsverstärker	Low Voltage Audio Power Amp	8-SOIC	.26	.25	.23
LM386N-1-ND	Niederspannungs-Audio-Leistungsverstärker, Vs=6 V	Low Voltage Audio Power Amp, Vs=6V	8-Dip	.39	.37	.35
LM386N-3-ND	Niederspannungs-Audio-Leistungsverstärker, Vs=9 V	Low Voltage Audio Power Amp, Vs=9V	8-Dip	.29	.28	.26
LM386N-4-ND	Niederspannungs-Audio-Leistungsverstärker, Vs=16 V	Low Voltage Audio Power Amp, Vs=16V	8-Dip	.40	.32	.30
LM392M-ND	Einf. OpAmp und Komparator	Single Op Amp and Comparator	8-SOIC	.63	.60	.57
LM392MXTR-ND	Einf. OpAmp und Komparator	Single Op Amp and Comparator	8-SOIC		2175.00/2,500	
LM392N-ND	OpAmp und Komparator	Op Amp and Comparator	8-Dip	.63	.60	.57
LM393MNS-ND	Zweif. Low-Offset-Spannungskomparator, NL	Low Power Low Offset Voltage Dual Comparator	8-SOIC	.39	.37	.35
LM393MXTR-ND	Zweif. Low-Offset-Spannungskomparator, NL	Low Power Low Offset Voltage Dual Comparator	8-SOIC		775.00/2,500	
LM393NNS-ND	Zweif. Komparator	Dual Comparator	8-Dip	.42	.40	.38
LM394CH-ND	Super Matched NPN-Paare	Super Matched NPN Pairs	TO-5	4.00	3.80	3.61
LM395T-ND	Ultrazuverlässiger Leistungstransistor mit hoher Verstärkung	Ultra Reliable High Gain Power Transistor	TO-220	1.76	1.67	1.59
LM399H-ND	Präzisionsreferenz	Precision Reference	TO-46	4.74	3.48	2.63
LM431ACM-ND	Einstellbarer Zener-Shunt-Präzisionsregler	Adjustable Precision Zener Shunt Regulator	8-SOIC	.26	.25	.23
LM431ACMXTR-ND	Einstellbarer Zener-Shunt-Präzisionsregler	Adjustable Precision Zener Shunt Regulator	8-SOIC		675.00/2,500	
LM431ACM3XCT-ND	Einstellbarer Zener-Shunt-Präzisionsregler	Adjustable Precision Zener Shunt Regulator	SOT-23	.27	.26	.25
LM431ACM3XTR-ND	Einstellbarer Zener-Shunt-Präzisionsregler	Adjustable Precision Zener Shunt Regulator	SOT-23		660.00/3,000	
LM431ACZ-ND	Einstellbarer Zener-Shunt-Präzisionsregler	Adjustable Precision Zener Shunt Regulator	TO-92	.21	.20	.19
LM431AIBPCT-ND	Einstellbarer Zener-Shunt-Präzisionsregler	Adjustable Precision Zener Shunt Regulator	4-microSMD	.30	.24	.20
LM431AIBPTR-ND	Einstellbarer Zener-Shunt-Präzisionsregler	Adjustable Precision Zener Shunt Regulator	4-microSMD		47.50/250	
LM431AIM3CT-ND	Einstellbarer Zener-Shunt-Präzisionsregler	Adjustable Precision Zener Shunt Regulator	SOT-23	.38	.27	.15
LM431AIM3TR-ND	Einstellbarer Zener-Shunt-Präzisionsregler	Adjustable Precision Zener Shunt Regulator	SOT-23		150.00/1,000	
LM431AIMXCT-ND	Einstellbarer Zener-Shunt-Präzisionsregler	Adjustable Precision Zener Shunt Regulator	8-SOIC	.46	.36	.31
LM431AIMXTR-ND	Einstellbarer Zener-Shunt-Präzisionsregler	Adjustable Precision Zener Shunt Regulator	8-SOIC		675.00/2,500	
LM431AIZ-ND	Einstellbarer Zener-Shunt-Präzisionsregler, industrielle Temp.	Adjustable Precision Zener Shunt Regulator, Ind. Temp.	TO-92	.25	.23	.22
LM431BCM-ND	Einstellbarer Zener-Shunt-Präzisionsregler	Adjustable Precision Zener Shunt Regulator	SOT-8	.38	.28	.27
LM431BCM3CT-ND	Einstellbarer Zener-Shunt-Präzisionsregler	Adjustable Precision Zener Shunt Regulator	SOT-23	.38	.28	.27
LM431BCM3TR-ND	Einstellbarer Zener-Shunt-Präzisionsregler	Adjustable Precision Zener Shunt Regulator	SOT-23		230.00/1,000	
LM431BCZ-ND	Einstellbarer Zener-Shunt-Präzisionsregler	Adjustable Precision Zener Shunt Regulator	TO-92	.43	.34	.29
LM431BIM-ND	Einstellbarer Zener-Shunt-Präzisionsregler	Adjustable Precision Zener Shunt Regulator	8-SOIC	.27	.24	.17
LM431BIM3CT-ND	Einstellbarer Zener-Shunt-Präzisionsregler	Adjustable Precision Zener Shunt Regulator	SOT-23	.27	.24	.17
LM431BIM3TR-ND	Einstellbarer Zener-Shunt-Präzisionsregler	Adjustable Precision Zener Shunt Regulator	SOT-23		170.00/1,000	
LM431BIZ-ND	Einstellbarer Zener-Shunt-Präzisionsregler	Adjustable Precision Zener Shunt Regulator	TO-92	.43	.34	.29
LM431CCM3CT-ND	Einstellbarer Zener-Shunt-Präzisionsregler	Adjustable Precision Zener Shunt Regulator	SOT-23	.84	.67	.57
LM431CCM3TR-ND	Einstellbarer Zener-Shunt-Präzisionsregler	Adjustable Precision Zener Shunt Regulator	SOT-23		490.00/1,000	
LM431CCZ-ND	Einstellbarer Zener-Shunt-Präzisionsregler	Adjustable Precision Zener Shunt Regulator	TO-92	.79	.63	.54
LM431CIM-ND	Einstellbarer Zener-Shunt-Präzisionsregler	Adjustable Precision Zener Shunt Regulator	8-SOIC	.50	.48	.46
LM431CIM3CT-ND	Einstellbarer Zener-Shunt-Präzisionsregler	Adjustable Precision Zener Shunt Regulator	SOT-23	.50	.47	.45
LM431CIM3TR-ND	Einstellbarer Zener-Shunt-Präzisionsregler	Adjustable Precision Zener Shunt Regulator	SOT-23		380.00/1,000	
LM431CIZ-ND	Einstellbarer Zener-Shunt-Präzisionsregler	Adjustable Precision Zener Shunt Regulator	TO-92	.89	.71	.60
LM555CM-ND	Timer	Timer	8-SOIC	.32	.30	.29
LM555CMXTR-ND	Timer	Timer	8-SOIC		800.00/2,500	
LM555CMMCT-ND	Timer	Timer	8-MSOP	.30	.29	.28
LM555CMMTR-ND	Timer	Timer	8-MSOP		240.00/1,000	
LM555CNNS-ND	Timer	Timer	8-Dip	.39	.37	.35
LM556CM-ND	Doppel-Timer	Dual Timer	14-SOIC	.58	.55	.52
LM556CMXTR-ND	Doppel-Timer	Dual Timer	14-SOIC		1475.00/2,500	
LM556CN-ND	Timer	Timer	14-Dip	.65	.62	.59
LM565CN-ND	Phasen-Sperrschleife	Phase Lock Loop	14-Dip	.84	.80	.76
LM567CM-ND	Ton-Dekodierer-Phasen-Sperrschleife	Tone Decoder Phase Lock Loop	8-SOIC	.40	.38	.36
LM567CMXTR-ND	Ton-Dekodierer-Phasen-Sperrschleife	Tone Decoder Phase Lock Loop	8-SOIC		1025.00/2,500	
LM567CN-ND	Ton-Dekodierer-Phasen-Sperrschleife	Tone Decoder Phase Lock Loop	8-Dip	.46	.44	.42

(Forts.)

★ RUFEN SIE BITTE AN FÜR NIEDRIGERE PREISE BEI GRÖSSEREN MENGEN! ★

B

Digi-Key Teilenr.	Beschreibung		Paket	Stückpreis★ 1	25	100
LM611CM-ND	OpAmp und einstellbare Referenz	Op Amp and Adjustable Reference	14-SOIC	1.22	1.16	1.10
LM611IM-ND	OpAmp und einstellbare Referenz	Op Amp and Adjustable Reference	14-SOIC	1.37	1.30	1.24
LM613IWM-ND	Zweif. OpAmp, zweif. Komparator und einstellbare Referenz	Dual Op Amp, Dual Comparator and Adj. Reference	16-SOIC	1.95	1.85	1.76
LM614CWM-ND	Vierf. OpAmp mit einstellbarer Referenz	Quad Op Amp with Adjustable Reference	16-SOIC	1.31	1.24	1.18
LM628N-6-ND	Präzisions-Antriebsstromrichter, 6 MHz	Precision Motion Controller, 6MHz	28-Dip	27.94	26.54	25.21
LM628N-8-ND	Präzisions-Antriebsstromrichter, 8 MHz	Precision Motion Controller, 8MHz	28-Dip	85.33	67.85	57.98
LM629M-6-ND	Präzisions-Antriebsstromrichter, 6 MHz	Precision Motion Controller, 6MHz	24-SOIC	20.62	19.59	18.61
LM629M-8-ND	Präzisions-Antriebsstromrichter, 8 MHz	Precision Motion Controller, 8MHz	24-SOIC	48.43	46.00	43.70
LM629N-6-ND	Präzisions-Antriebsstromrichter, 6 MHz	Precision Motion Controller, 6MHz	28-Dip	49.23	39.15	33.45
LM629N-8-ND	8-Bit PWM-Antriebsstromrichter	8-Bit PWM Motion Controller	28-Dip	85.33	67.85	57.98
LM675T-ND	Leistungs-OpAmp	Power Operational Amplifier	TO-220-5	3.86	3.08	2.93
LM709CH-ND	Mehrzweck-OpAmp	General Purpose Op Amp	TO-5	2.43	1.92	1.82
LM709H-ND	Mehrzweck-OpAmp	General Purpose Op Amp	TO-5	5.91	4.70	4.01
LM723CH-ND	150 mA einstellb. Positivspannungsregler	150mA Positive Adjustable Voltage Regulator	TO-5	1.48	1.41	1.34
LM723CNNS-ND	Präzisionsspannungsregler	Precision Voltage Regulator	14-Dip	.46	.40	.33
LM723H-ND	2 V-37 V einstellb. Spannungsregler	2V-37V, Adjustable Voltage Regulator	TO-5	4.05	2.80	2.05
LM725CH-ND	Instrumentierungs-OpAmp	Instrumentation Op Amp	TO-5	6.15	4.89	4.18
LM725CN-ND	Instrumentierungs-OpAmp	Instrumentation Op Amp	8-Dip	1.50	1.43	1.35
LM741CH-ND	18 V Hochleistungs-OpAmp.	18V, High Performance Op Amp	TO-5	2.24	1.55	1.47
LM741CNNS-ND	18 V Hochleistungs-OpAmp.	18V, High Performance Op Amp	8-Dip	.32	.30	.29
LM741H-ND	Hochleistungs-OpAmp für Hochtemperaturen	High Performance Op Amp High Temp	TO-5	2.70	1.88	1.79
LM747H-ND	Zweif. Hochleistungs-OpAmp, Low-Offset	Dual High Performance Op Amp Low Offset	TO-5	5.16	4.10	3.51
LM809M3-2.63CT-ND	3-Pin Mikroprozessor Rückstellschaltkreise, 2,63 V	3-Pin Microprocessor Reset Circuits, 2.63V	SOT-23	.32	.30	.29
LM809M3-2.63TR-ND	3-Pin Mikroprozessor Rückstellschaltkreise, 2,63 V	3-Pin Microprocessor Reset Circuits, 2.63V	SOT-23		250.00/1,000	
LM809M3-2.93CT-ND	3-Pin Mikroprozessor Rückstellschaltkreise, 2,93 V	3-Pin Microprocessor Reset Circuits, 2.93V	SOT-23	.32	.30	.29
LM809M3-2.93TR-ND	3-Pin Mikroprozessor Rückstellschaltkreise, 2,93 V	3-Pin Microprocessor Reset Circuits, 2.93V	SOT-23		250.00/1,000	
LM809M3-3.08CT-ND	3-Pin Mikroprozessor Rückstellschaltkreise, 3,08 V	3-Pin Microprocessor Reset Circuits, 3.08V	SOT-23	.32	.30	.29
LM809M3-3.08TR-ND	3-Pin Mikroprozessor Rückstellschaltkreise, 3,08 V	3-Pin Microprocessor Reset Circuits, 3.08V	SOT-23		250.00/1,000	
LM809M3-4.00CT-ND	3-Pin Mikroprozessor Rückstellschaltkreise, 4,00 V	3-Pin Microprocessor Reset Circuits, 4.00V	SOT-23	.33	.25	.22
LM809M3-4.00TR-ND	3-Pin Mikroprozessor Rückstellschaltkreise, 4,00 V	3-Pin Microprocessor Reset Circuits, 4.00V	SOT-23		220.00/1,000	
LM809M3-4.38CT-ND	3-Pin Mikroprozessor Rückstellschaltkreise, 4,38 V	3-Pin Microprocessor Reset Circuits, 4.38V	SOT-23	.32	.30	.29
LM809M3-4.38TR-ND	3-Pin Mikroprozessor Rückstellschaltkreise, 4,38 V	3-Pin Microprocessor Reset Circuits, 4.38V	SOT-23		250.00/1,000	
LM809M3-4.63CT-ND	3-Pin Mikroprozessor Rückstellschaltkreise, 4,63 V	3-Pin Microprocessor Reset Circuits, 4.63V	SOT-23	.32	.25	.22
LM809M3-4.63TR-ND	3-Pin Mikroprozessor Rückstellschaltkreise, 4,63 V	3-Pin Microprocessor Reset Circuits, 4.63V	SOT-23		220.00/1,000	
LM810M3-2.63CT-ND	3-Pin Mikroprozessor Rückstellschaltkreise, 2,63 V	3-Pin Microprocessor Reset Circuits, 2.63V	SOT-23	.56	.44	.38
LM810M3-2.63TR-ND	3-Pin Mikroprozessor Rückstellschaltkreise, 2,63 V	3-Pin Microprocessor Reset Circuits, 2.63V	SOT-23		320.00/1,000	
LM810M3-2.93CT-ND	3-Pin Mikroprozessor Rückstellschaltkreise, 2,93 V	3-Pin Microprocessor Reset Circuits, 2.93V	SOT-23	.56	.44	.38
LM810M3-2.93TR-ND	3-Pin Mikroprozessor Rückstellschaltkreise, 2,93 V	3-Pin Microprocessor Reset Circuits, 2.93V	SOT-23		320.00/1,000	
LM810M3-3.08CT-ND	3-Pin Mikroprozessor Rückstellschaltkreise, 3,08 V	3-Pin Microprocessor Reset Circuits, 3.08V	SOT-23	.56	.44	.38
LM810M3-3.08TR-ND	3-Pin Mikroprozessor Rückstellschaltkreise, 3,08 V	3-Pin Microprocessor Reset Circuits, 3.08V	SOT-23		320.00/1,000	
LM810M3-4.00CT-ND	3-Pin Mikroprozessor Rückstellschaltkreise, 4,00 V	3-Pin Microprocessor Reset Circuits, 4.00V	SOT-23	.32	.25	.22
LM810M3-4.00TR-ND	3-Pin Mikroprozessor Rückstellschaltkreise, 4,00 V	3-Pin Microprocessor Reset Circuits, 4.00V	SOT-23		220.00/1,000	
LM810M3-4.38CT-ND	3-Pin Mikroprozessor Rückstellschaltkreise, 4,38 V	3-Pin Microprocessor Reset Circuits, 4.38V	SOT-23	.56	.44	.38
LM810M3-4.38TR-ND	3-Pin Mikroprozessor Rückstellschaltkreise, 4,38 V	3-Pin Microprocessor Reset Circuits, 4.38V	SOT-23		320.00/1,000	
LM810M3-4.63CT-ND	3-Pin Mikroprozessor Rückstellschaltkreise, 4,63 V	3-Pin Microprocessor Reset Circuits, 4.63V	SOT-23	.32	.25	.22
LM810M3-4.63TR-ND	3-Pin Mikroprozessor Rückstellschaltkreise, 4,63 V	3-Pin Microprocessor Reset Circuits, 4.63V	SOT-23		220.00/1,000	
LM828M5CT-ND	Schaltkondensator-Spannungswandler	Switched Capacitor Voltage Converter	SOT-23-5	.39	.37	.35
LM828M5TR-ND	Schaltkondensator-Spannungswandler	Switched Capacitor Voltage Converter	SOT-23-5		300.00/1,000	
LM828M5XTR-ND	Schaltkondensator-Spannungswandler	Switched Capacitor Voltage Converter	SOT-23-5		1200.00/3,000	
LM833M-ND	Zweif. Audio-OpAmp	Dual Audio Op Amp	8-SOIC	.35	.33	.31
LM833MXTR-ND	Zweif. Audio-OpAmp	Dual Audio Op Amp	8-SOIC		650.00/2,500	
LM833MMCT-ND	Zweif. Audio-OpAmp	Dual Audio Op Amp	8-MSOP	.35	.33	.31
LM833MMTR-ND	Zweif. Audio-OpAmp	Dual Audio Op Amp	8-MSOP		260.00/1,000	
LM833NNS-ND	Zweif. Audio-OpAmp	Dual Audio Op Amp	8-Dip	.52	.42	.31
LM837M-ND	Vierf. rauscharmer OpAmp	Low Noise Quad Op Amp	14-SOIC	.85	.80	.76
LM837MXTR-ND	Vierf. rauscharmer OpAmp	Low Noise Quad Op Amp	14-SOIC		2175.00/2,500	
LM837N-ND	Vierf. rauscharmer OpAmp	Low Noise Quad Op Amp	14-Dip	1.73	1.50	1.11
LM1036M-ND	Ton-/Lautstärke-/Balance-Schaltkreis	Tone/Volume/Balance Circuit	20-SOIC	1.68	1.59	1.51
LM1036N-ND	Zweif. Klang/Lautstärke/Balance-Schaltkreis, DC-Betrieb	Dual DC Oper. Tone/Volume/Balance Circuit	20-Dip	1.73	1.64	1.56
LM1084IS-ADJ-ND	Einstellbarer 5 V Positivspannungsregler, Low-Dropout	Adjustable Voltage 5A Low Dropout Positive Regulator	TO-263	2.13	2.03	1.93
LM1084IS-3.3-ND	3,3 V, 5 A LDO-Positivregler	3.3V, 5A LDO Positive Regulator	TO-263	3.76	2.99	2.55
LM1084IS-5.0-ND	5 V, 5 A LDO-Positivregler	5V, 5A LDO Positive Regulator	TO-263	2.13	2.03	1.93
LM1084IS-12-ND	12 V, 5 A LDO-Positivregler	12V, 5A LDO Positive Regulator	TO-263	3.76	2.99	2.55
LM1084IT-ADJ-ND	Einstellbarer LDO-Positivregler, 5A	Adjustable Voltage 5A LDO Positive Regulator	TO-220	2.12	2.01	1.91
LM1084IT-3.3-ND	LDO-Positivregler, 3,3 V, 5 A	3.3V, 5A LDO Positive Regulator	TO-220	2.12	2.01	1.91
LM1084IT-5.0-ND	5 V, 5 A LDO-Positivregler	5V, 5A LDO Positive Regulator	TO-220	2.12	2.01	1.91
LM1084IT-12-ND	12 V, 5 A LDO-Positivregler	12V, 5A LDO Positive Regulator	TO-220	2.12	2.01	1.91
LM1085IS-ADJ-ND	Einstellbarer 3 A Low-Dropout-Positivspannungsregler	Adjustable Voltage 3A Low Dropout Positive Regulator	TO-263	1.64	1.56	1.48
LM1085IS-3.3-ND	3,3 V, 3 A LDO-Positivregler	3.3V, 3A LDO Positive Regulator	TO-263	1.64	1.56	1.48
LM1085IS-5.0-ND	5 V, 3 A LDO-Positivregler	5V, 3A LDO Positive Regulator	TO-263	1.64	1.56	1.48
LM1085IS-12-ND	12 V, 3 A LDO-Positivregler	12V, 3A LDO Positive Regulator	TO-263	2.89	2.30	1.96
LM1085IT-ADJ-ND	Einstellbarer 3A LDO-Positivspannungsregler	Adjustable Voltage 3A LDO Positive Regulator	TO-220	1.63	1.55	1.47
LM1085IT-3.3-ND	3,3 V, 3 A LDO-Positivregler	3.3V, 3A LDO Positive Regulator	TO-220	1.63	1.55	1.47
LM1085IT-5.0-ND	5 V, 3 A LDO-Positivregler	5V, 3A LDO Positive Regulator	TO-220	1.63	1.55	1.47
LM1085IT-12-ND	12 V, 3 A LDO-Positivregler	12V, 3A LDO Positive Regulator	TO-220	2.87	2.28	1.95
LM1086CS-ADJ-ND	Einstellbarer 1,5A LDO-Positivspannungsregler	Adjustable Voltage 1.5A LDO Positive Regulator	TO-263	1.32	1.26	1.19
LM1086CS-2.5-ND	2,5 V, 1,5 A LDO-Positivregler	2.5V, 1.5A LDO Positive Regulator	TO-263	1.32	1.26	1.19
LM1086CS-2.85-ND	2,85 V, 1,5 A LDO-Positivregler	2.85V, 1.5A LDO Positive Regulator	TO-263	2.33	1.86	1.59
LM1086CS-3.3-ND	3,3 V, 1,5 A LDO-Positivregler	3.3V, 1.5A LDO Positive Regulator	TO-263	1.32	1.26	1.19
LM1086CS-5.0-ND	5 V, 1,5 A LDO-Positivregler	5V, 1.5A LDO Positive Regulator	TO-263	1.32	1.26	1.19
LM1086CT-ADJ-ND	Einstellbarer 1,5A LDO-Positivspannungsregler	Adjustable Voltage 1.5A LDO Positive Regulator	TO-220	1.32	1.26	1.19
LM1086CT-2.85-ND	2,85 V, 1,5 A LDO-Positivregler	2.85V, 1.5A LDO Positive Regulator	TO-220	2.33	1.86	1.59
LM1086CT-3.3-ND	3,3 V, 1,5 A LDO-Positivregler	3.3V, 1.5A LDO Positive Regulator	TO-220	1.32	1.26	1.19
LM1086CT-5.0-ND	5 V, 1,5 A LDO-Positivregler	5V, 1.5A LDO Positive Regulator	TO-220	1.32	1.26	1.19
LM1086IS-ADJ-ND	Einstellbarer 1,5A LDO-Positivspannungsregler	Adjustable Voltage 1.5A LDO Positive Regulator	TO-263	1.32	1.26	1.19
LM1086IS-3.3-ND	3,3 V, 1,5 A LDO-Positivregler	3.3V, 1.5A LDO Positive Regulator	TO-263	1.32	1.26	1.19
LM1086IS-5.0-ND	5 V, 1,5 A LDO-Positivregler	5V, 1.5A LDO Positive Regulator	TO-263	1.32	1.26	1.19
LM1086IT-ADJ-ND	Einstellbarer 1,5A LDO-Positivspannungsregler	Adjustable Voltage 1.5A LDO Positive Regulator	TO-220	1.32	1.26	1.19
LM1086IT-2.85-ND	2,85 V, 1,5 A LDO-Positivregler	2.85V, 1.5A LDO Positive Regulator	TO-220	2.33	1.86	1.59
LM1086IT-3.3-ND	3,3 V, 1,5 A LDO-Positivregler	3.3V, 1.5A LDO Positive Regulator	TO-220	2.33	1.86	1.59
LM1086IT-5.0-ND	5 V, 1,5 A LDO-Positivregler	5V, 1.5A LDO Positive Regulator	TO-220	2.33	1.86	1.59
LM1117DT-ADJ-ND	Einstellbarer 800 mA LDO-Linearspannungsregler	Adjustable Voltage 800mA LDO Linear Regulator	TO-252	.56	.53	.51
LM1117DT-2.5-ND	2,5 V, 800 mA LDO-Linearregler	2.5V, 800mA LDO Linear Regulator	TO-252	.72	.68	.65
LM1117DT-2.85-ND	2,85 V, 800 mA LDO-Linearregler	2.85V, 800mA LDO Linear Regulator	TO-252	.56	.53	.51
LM1117DT-3.3-ND	3,3 V, 800 mA LDO-Linearregler	3.3V, 800mA LDO Linear Regulator	TO-252	.56	.53	.51
LM1117DT-5.0-ND	5 V, 800 mA LDO-Linearregler	5V, 800mA LDO Linear Regulator	TO-252	.56	.53	.51
LM1117DTX-3.3TR-ND	3,3 V, 800 mA LDO-Linearregler	3.3V, 800mA LDO Linear Regulator	TO-252		1850.00/2,500	
LM1117IDT-3.3-ND	3,3 V, 800 mA LDO-Linearregler	3.3V, 800mA LDO Linear Regulator	TO-252	1.27	1.01	.86
LM1117IDT-5.0-ND	5 V, 800 mA LDO-Linearregler	5.0V, 800mA LDO Linear Regulator	TO-252	1.27	1.01	.86
LM1117IMP-ADJCT-ND	Einstellbarer 800 mA LDO-Linearspannungsregler	Adjustable Voltage 800mA LDO Linear Regulator	SOT-223	.56	.53	.51
LM1117IMP-ADJTR-ND	Einstellbarer 800 mA LDO-Linearspannungsregler	Adjustable Voltage 800mA LDO Linear Regulator	SOT-223		440.00/1,000	
LM1117IMP-3.3CT-ND	3,3 V, 800 mA LDO-Linearregler	3.3V, 800mA LDO Linear Regulator	SOT-223	.56	.53	.51
LM1117IMP-3.3TR-ND	3,3 V, 800 mA LDO-Linearregler	3.3V, 800mA LDO Linear Regulator	SOT-223		440.00/1,000	
LM1117IMP-5.0CT-ND	5 V, 800 mA LDO-Linearregler	5.0V, 800mA LDO Linear Regulator	SOT-223	.56	.53	.51
LM1117IMP-5.0TR-ND	5 V, 800 mA LDO-Linearregler	5.0V, 800mA LDO Linear Regulator	SOT-223		440.00/1,000	

(Forts.)

★ RUFEN SIE BITTE AN FÜR NIEDRIGERE PREISE BEI GRÖSSEREN MENGEN! ★

Alle Preisangaben in Euro und inklusive Zollgebühren.

Digi-Key Teilenr.	Beschreibung		Paket	Stückpreis★ 1	25	100
LM1117MP-ADJCT-ND	Einstellbarer 800 mA LDO-Linearspannungsregler	Adjustable Voltage 800mA LDO Linear Regulator	SOT-223	.49	.40	.37
LM1117MP-ADJTR-ND	Einstellbarer 800 mA LDO-Linearspannungsregler	Adjustable Voltage 800mA LDO Linear Regulator	SOT-223		370.00/1,000	
LM1117MP-1.8CT-ND	1,8 V, 800 mA LDO-Linearregler	1.8V, 800mA LDO Linear Regulator	SOT-223	.56	.53	.51
LM1117MP-1.8TR-ND	1,8 V, 800 mA LDO-Linearregler	1.8V, 800mA LDO Linear Regulator	SOT-223		440.00/1,000	
LM1117MP-2.85CT-ND	2,85 V, 800 mA LDO-Linearregler	2.85V, 800mA LDO Linear Regulator	SOT-223	.99	.79	.67
LM1117MP-2.85TR-ND	2,85 V, 800 mA LDO-Linearregler	2.85V, 800mA LDO Linear Regulator	SOT-223		580.00/1,000	
LM1117MP-3.3CT-ND	3,3 V, 800 mA Low-Dropout-Regler	3.3V, 800mA Low Dropout Regulator	SOT-223	.49	.40	.37
LM1117MP-3.3TR-ND	3,3 V, 800 mA Low-Dropout-Regler	3.3V, 800mA Low Dropout Regulator	SOT-223		370.00/1,000	
LM1117MP-5.0CT-ND	5 V, 800 mA LDO-Linearregler	5V, 800mA LDO Linear Regulator	SOT-223	.49	.40	.37
LM1117MP-5.0TR-ND	5 V, 800 mA LDO-Linearregler	5V, 800mA LDO Linear Regulator	SOT-223		370.00/1,000	
LM1117MPX-2.5CT-ND	2,5 V, 800 mA LDO-Linearregler	2.5V, 800mA LDO Linear Regulator	SOT-223	.31	.29	.28
LM1117MPX-2.5TR-ND	2,5 V, 800 mA LDO-Linearregler	2.5V, 800mA LDO Linear Regulator	SOT-223		620.00/2,000	
LM1117MPX-3.3TR-ND	3,3 V, 800 mA LDO-Linearregler	3.3V, 800mA LDO Linear Regulator	SOT-223		680.00/2,000	
LM1117MPX-5.0CT-ND	5 V, 800 mA LDO-Linearregler	5V, 800mA LDO Linear Regulator	SOT-223	.56	.53	.51
LM1117MPX-5.0TR-ND	5 V, 800 mA LDO-Linearregler	5V, 800mA LDO Linear Regulator	SOT-223		880.00/2,000	
LM1117S-ADJ-ND	Einstellbarer 800 mA LDO-Linearspannungsregler	Adjustable Voltage 800mA LDO Linear Regulator	TO-263	.63	.60	.57
LM1117T-ADJ-ND	Einstellbarer 800 mA LDO-Linearspannungsregler	Adjustable Voltage 800mA LDO Linear Regulator	TO-220	.91	.86	.82
LM1117T-2.85-ND	2,85 V, 800 mA LDO-Linearregler	2.85V, 800mA LDO Linear Regulator	TO-220	1.60	1.27	1.09
LM1117T-3.3-ND	3,3 V, 800 mA Low-Dropout-Regler	3.3V, 800mA LDO Linear Regulator	TO-220	.91	.86	.82
LM1117T-5.0-ND	5 V, 800 mA LDO-Linearregler	5V, 800mA LDO Linear Regulator	TO-220	.91	.86	.82
LM1247AAG/NA-ND	150 MHz I2C Vorverstärker, 512 Zeichen OSD ROM, 512 Zeichen RAM	150MHz I2C Preamplifier, 512 Character OSD ROM, 512 Character RAM	24-Dip	2.69	2.14	1.82
LM1279AN-ND	110 MHz RGB Videoverstärkersystem mit OSD	110MHz RGB Video Amp System with OSD	20-Dip	1.61	1.28	1.09
LM1283N-ND	140 MHz RGB Videoverstärkersystem mit OSD	140MHz RGB Video Amp System with OSD	28-Dip	1.49	1.28	1.22
LM1458M-ND	Zweif. OpAmp	Dual Op Amp	8-SOIC	.39	.37	.35
LM1458MXTR-ND	Zweif. OpAmp	Dual Op Amp	8-SOIC		1000.00/2,500	
LM1458NNS-ND	Zweif. OpAmp	Dual Op Amp	8-Dip	.45	.42	.40
LM1572MTC-3.3-ND	1,5 A, 500 kHz Step-Down Spannungsregler	1.5A, 500kHz Step-Down Voltage Regulator	16-TSSOP	4.21	3.35	2.86
LM1572MTC-5.0-ND	1,5 A, 500 kHz Step-Down Spannungsregler	1.5A, 500kHz Step-Down Voltage Regulator	16-TSSOP	4.21	3.35	2.86
LM1572MTC-ADJ-ND	1,5 A, 500 kHz Step-Down Spannungsregler	1.5A, 500kHz Step-Down Voltage Regulator	16-TSSOP	4.21	3.35	2.86
LM1815N-ND	Adaptiver Sensorverstärker, variable Reluktanz	Adaptive Variable Reluctance Sensor Amplifier	14-Dip	3.03	2.17	1.68
LM1875T-ND	20 W Audio-Leistungsverstärker	20W Audio Power Amp	TO-220-5	1.50	1.43	1.35
LM1876T-ND	Zweif. 20 W Audio-Leistungsverstärker mit Stummfunktion und Bereitschaftsmodus	Dual 20W Audio Power Amp with Mute/Standby	TO-220-15	4.18	3.97	3.77
LM1876TF-ND	Zweif. 20 W Audio-Leistungsverstärker mit Stummfunktion und Bereitschaftsmodus	Dual 20W Audio Power Amp with Mute/Standby	TO-220-15	4.35	4.13	3.93
LM1877M-9-ND	Zweif. Audio-Leistungsverstärker	Dual Audio Power Amplifier	14-SOIC	.81	.77	.73
LM1877N-9-ND	Zweif. Audio-Leistungsverstärker	Dual Audio Power Amplifier	14-Dip	1.02	.97	.92
LM1881M-ND	Video-Synch.-Separator	Video Sync. Separator	8-SOIC	1.82	1.48	1.31
LM1881MXTR-ND	Video-Synch.-Separator	Video Sync. Separator	8-SOIC		5075.00/2,500	
LM1881N-ND	Video-Synch.-Separator	Video Sync. Separator	8-Dip	1.85	1.43	1.36
LM1894M-ND	Dynamisches Lärmreduzierungssystem	Dynamic Noise Reduction System	14-SOIC	2.30	1.83	1.56
LM1949N-ND	476 KB Injektor-Laufwerk-Controller	476Kbytes, Injector Drive Controller	8-Dip	2.95	2.80	2.66
LM1971M-ND	Digital gesteuerter 62 dB Audio-Dämpfer mit Stummfunktion	Digitally Controlled 62dB Audio Attenuator with Mute	8-SOIC	2.24	1.52	1.06
LM1971N-ND	Digital gesteuerter 62 dB Audio-Dämpfer mit Stummfunktion	Digitally Controlled 62dB Audio Attenuator with Mute	8-Dip	3.16	2.51	2.15
LM1972M-ND	78 dB Audio-Dämpfer mit Stummfunktion, 2 Kanäle	2-Channel 78dB Audio Attenuator with Mute	20-SOIC	2.88	2.73	2.60
LM1972N-ND	78 dB Audio-Dämpfer mit Stummfunktion, 2 Kanäle	2-Channel 78dB Audio Attenuator with Mute	20-Dip	5.14	3.35	2.55
LM1973M-ND	76 dB Audio-Dämpfer mit Stummfunktion, MicroPot™, 3 Kanäle	MicroPot™ 3-Channel 76dB Audio Attenuator with Mute	20-SOIC	3.03	2.88	2.74
LM1973N-ND	Audio-Dämpfer mit Stummfunktion, MicroPot™, 3 Kanäle	MicroPot™ 3-Channel Audio Attenuator with Mute	20-Dip	2.35	2.23	2.12
LM2202M-ND	230 MHz Videoverstärkersystem	230MHz Video Amp System	20-SOIC	11.34	9.02	7.70
LM2402T-ND	Dreif. monolithischer CRT-Treiber, 3 ns	Monolithic Triple 3nS CRT Driver	TO-220-11	8.23	6.55	5.60
LM2407T-ND	Dreif. CRT-Treiber, 50 MHz	Triple 50MHz CRT Driver	TO-220	6.41	5.10	4.36
LM2409T-ND	Dreif. monolithischer CRT-Treiber, 9,5 ns	Monolithic Triple 9.5nS CRT Driver	TO-220-11	3.94	2.68	1.86
LM2412T-ND	Dreif. monolithischer CRT-Treiber, 2,8 ns	Monolithic Triple 2.8nS CRT Driver	TO-220-11	8.12	6.45	5.51
LM2413T-ND	Dreif. monolithischer CRT-Treiber, 4 ns	Monolithic Triple 4nS CRT Driver	TO-220-11	6.65	5.29	4.52
LM2415T-ND	Dreif. monolithischer CRT-Treiber, 5,5 ns	Monolithic Triple 5.5nS CRT Driver	TO-220-11	5.31	4.22	3.61
LM2426TE-ND	Dreif. monolithischer DTV-Treiber, 30 MHz	Monolithic Triple 30MHz DTV Driver	TO-220-11	11.76	9.35	7.99
LM2435T-ND	Dreif. monolithischer CRT-Treiber, 5,5 ns	Monolithic Triple 5.5nS CRT Driver	TO-220-9	4.92	3.91	3.34
LM2437T-ND	Dreif. monolithischer CRT-Treiber, 7,5 ns	Monolithic Triple 7.5nS CRT Driver	TO-220-9	2.83	2.25	1.93
LM2438T-ND	Dreif. monolithischer CRT-Treiber, 13 ns	Monolithic Triple 13nS CRT Driver	TO-220-9	2.12	1.68	1.44
LM2439T-ND	Dreif. monolithischer CRT-Treiber, 9,5 ns	Monolithic Triple 9.5nS CRT Driver	TO-220-9	2.36	1.87	1.60
LM2445TA-ND	Dreif. monolithischer CRT-Treiber, 7,5 ns	Monolithic Triple 7.5ns CRT Driver	TO-220-9	2.36	1.87	1.60
LM2467TA-ND	Dreif. monolithischer CRT-Treiber, 7,5 ns	Monolithic Triple 7.5nS CRT Driver	TO-220-9	3.97	3.16	2.70
LM2469TA-ND	Dreif. monolithischer CRT-Treiber, 9 ns, hohe Verstärkung	Monolithic Triple 9nS High Gain CRT Driver	TO-220-9	2.83	2.25	1.93
LM2524DN-ND	Regelimpulsbreitenmodul (Regulator Pulse Width Module - PWM)	Regulator Pulse Width Module (PWM)	16-Dip	1.61	1.28	1.09
LM2574HVM-ADJ-ND	0,5 A Step-Down-Spannungsregler, einf. Umschalter	Simple Switcher 0.5A Step Down Voltage Regulator	14-SOIC	2.86	2.72	2.58
LM2574HVM-3.3-ND	3,3 V, 0,5 A Step-Down-Spannungsregler, einf. Umschalter	3.3V, Simple Switcher 0.5A Step Down Volt. Regulator	14-SOIC	5.04	4.01	3.43
LM2574HVM-5.0-ND	5 V, 500 mA Step-Down-Schaltregler	5V, 500mA Step Down Switch Regulator	14-SOIC	2.86	2.72	2.58
LM2574HVM-12-ND	12 V, 0,5 A Step-Down-Spannungsregler, einf. Umschalter	12V, Simple Switcher 0.5A Step Down Volt. Regulator	14-SOIC	5.04	4.01	3.43
LM2574HVN-ADJ-ND	Einstellb. 500 mA Step-Down-Schaltspannungsregler	Adjustable Voltage 500mA Step Down Switch Regulator	8-Dip	1.91	1.81	1.72
LM2574HVN-3.3-ND	3,3 V, 0,5 A Step-Down-Spannungsregler, einf. Umschalter	3.3V, Simple Switcher 0.5A Step Down Volt. Regulator	8-Dip	5.04	4.01	3.43
LM2574HVN-5.0-ND	5 V, 500 mA Step-Down-Schaltregler	5V, 500mA Step Down Switch Regulator	8-Dip	1.91	1.81	1.72
LM2574HVN-12-ND	12 V, 500 mA Step-Down-Schaltregler	12V, 500mA Step Down Switch Regulator	8-Dip	2.86	2.72	2.58
LM2574M-3.3-ND	3,3 V, 500 mA Step-Down-Schaltregler	3.3V, 500mA Step Down Switch Regulator	14-SOIC	1.09	1.04	.99
LM2574M-5.0-ND	5 V, 500 mA Step-Down-Schaltregler	5V, 500mA Step Down Switch Regulator	14-SOIC	1.09	1.04	.99
LM2574MX-5.0TR-ND	5 V, 500 mA Step-Down-Schaltregler	5V, 500mA Step Down Switch Regulator	14-SOIC		1120.00/1,000	
LM2574M-12-ND	12 V, 500 mA Step-Down-Schaltregler	12V, 500mA Step Down Switch Regulator	14-SOIC	1.93	1.53	1.31
LM2574MX-ADJTR-ND	Einstellb. 500 mA Step-Down-Schaltregler	Adjustable 500mA Step Down Switch Regulator	14-SOIC		1120.00/1,000	
LM2574N-ADJ-ND	Einstellb. 500 mA Step-Down-Schaltregler	Adjustable 500mA Step Down Switch Regulator	8-Dip	1.26	.96	.81
LM2574N-5.0-ND	5 V, 500 mA Step-Down-Schaltregler	5V, 500mA Step Down Switch Regulator	8-Dip	1.09	1.04	.99
LM2574N-12-ND	12 V, 500 mA Step-Down-Schaltregler	12V, 500mA Step Down Switch Regulator	8-Dip	1.00	.81	.77
LM2574N-15-ND	15 V, 500 mA Step-Down-Schaltregler	15V, 500mA Step Down Switch Regulator	8-Dip	1.09	1.04	.99
LM2575HVM-ADJ-ND	Einstellb. 1 A Step-Down-Schaltregler	Adjustable 1A Step Down Switch Regulator	24-SOIC	5.67	4.51	3.85
LM2575HVM-12-ND	12 V, 1 A Step-Down-Spannungsregler, einf. Umschalter	12V, Simple Switcher 1A Step Down Volt. Regulator	24-SOIC	5.67	4.51	3.85
LM2575HVN-5.0-ND	5 V, 1 A Step-Down-Schaltregler	5V, 1A Step Down Switch Regulator	16-Dip	5.67	4.51	3.85
LM2575HVS-ADJ-ND	Einstellb. V, 1 A Step-Down-Spannungsregler, einf. Umschalter	Adj. V, Simple Switcher 1A Step Down Volt. Regulator	TO-263-5	3.22	3.06	2.90
LM2575HVS-3.3-ND	3,3 V, 1 A Step-Down-Spannungsregler, einf. Umschalter	3.3V, Simple Switcher 1A Step Down Volt. Regulator	TO-263-5	5.67	4.51	3.85
LM2575HVS-5.0-ND	5 V, 1 A Step-Down-Spannungsregler, einf. Umschalter	5V, Simple Switcher 1A Step Down Volt. Regulator	TO-263-5	3.22	3.06	2.90
LM2575HVS-12-ND	12 V, 1 A Step-Down-Spannungsregler, einf. Umschalter	12V, Simple Switcher 1A Step Down Volt. Regulator	TO-263-5	5.67	4.51	3.85
LM2575HVS-15-ND	15 V, 1 A Step-Down-Spannungsregler, einf. Umschalter	15V, Simple Switcher 1A Step Down Volt. Regulator	TO-263-5	5.67	4.51	3.85
LM2575HVT-ADJ-ND	Einstellb. 1 A Step-Down-Schaltregler	Adjustable 1A Step Down Switch Regulator	TO-220	2.39	2.27	2.16
LM2575HVT-3.3-ND	3,3 V, 1 A Step-Down-Spannungsregler, einf. Umschalter	3.3V, Simple Switcher 1A Step Down Volt. Regulator	TO-220-5	5.67	4.51	3.85
LM2575HVT-5.0-ND	5 V, 1 A Step-Down-Schaltregler, hohe Spannung	5V, 1A Step Down Switch Regulator, High Volt.	TO-220	2.39	2.27	2.16
LM2575HVT-12-ND	12 V, 1 A Step-Down-Schaltregler	12V, 1A Step Down Switch Regulator	TO-220	2.39	2.27	2.16
LM2575HVT-15-ND	15 V, 1 A Step-Down-Schaltregler	15V, 1A Step Down Switch Regulator	TO-220	2.39	2.27	2.16
LM2575M-3.3-ND	3,3 V, 1 A Step-Down-Spannungsregler, einf. Umschalter	3.3V, Simple Switcher 1A Step Down Volt. Regulator	24-SOIC	2.64	2.10	1.79
LM2575M-5.0-ND	5 V, 1 A Step-Down-Schaltregler	5V, 1A Step Down Switch Regulator	24-SOIC	2.03	1.64	1.36
LM2575M-12-ND	12 V, 1 A Step-Down-Spannungsregler, einf. Umschalter	12V, Simple Switcher 1A Step Down Volt. Regulator	24-SOIC	2.64	2.10	1.79
LM2575M-15-ND	15 V, 1 A Step-Down-Spannungsregler, einf. Umschalter	15V, Simple Switcher 1A Step Down Volt. Regulator	24-SOIC	2.64	2.10	1.79
LM2575N-ADJ-ND	Einstellb. 1 A Step-Down-Schaltregler	Adjustable 1A Step Down Switch Regulator	16-Dip	3.52	2.80	2.39
LM2575N-5.0-ND	5 V, 1 A Step-Down-Schaltregler	5V, 1A Step Down Switch Regulator	16-Dip	1.87	1.59	1.37
LM2575N-12-ND	12 V, 1 A Step-Down-Schaltregler	12V, 1A Step Down Switch Regulator	16-Dip	3.52	2.80	2.39
LM2575S-ADJ-ND	Einstellb. V, 1 A Step-Down-Spannungsregler, einf. Umschalter	Adj. V, Simple Switcher 1A Step Down Volt. Regulator	TO-263-5	1.67	1.59	1.51
LM2575S-3.3-ND	3,3 V, 1 A Step-Down-Spannungsregler, einf. Umschalter	3.3V, Simple Switcher 1A Step Down Volt. Regulator	TO-263-5	1.67	1.59	1.51
LM2575S-5.0-ND	5 V, 1 A Step-Down-Spannungsregler, einf. Umschalter	5V, Simple Switcher 1A Step Down Volt. Regulator	TO-263-5	1.67	1.59	1.51
LM2575S-12-ND	12 V, 1 A Step-Down-Spannungsregler, einf. Umschalter	12V, Simple Switcher 1A Step Down Volt. Regulator	TO-263-5	2.94	2.34	2.00
LM2575T-ADJNS-ND	Einstellb. 1 A Step-Down-Schaltregler	Adjustable 1A Step Down Switch Regulator	TO-220	1.46	1.36	1.32
LM2575T-3.3-ND	3,3 V, 1 A Step-Down-Schaltregler	3.3V, 1A Step Down Switch Regulator	TO-220	1.50	1.42	1.35

(Forts.)

★ RUFEN SIE BITTE AN FÜR NIEDRIGERE PREISE BEI GRÖSSEREN MENGEN! ★

B

Digi-Key Teilenr.	Beschreibung		Paket	Stückpreis★ 1	25	100
LM2575T-5.0-ND	5 V, 1 A Step-Down-Schaltregler	5V, 1A Step Down Switch Regulator	TO-220	1.92	1.28	1.02
LM2575T-12-ND	12 V, 1 A Step-Down-Schaltregler	12V, 1A Step Down Switch Regulator	TO-220	2.78	2.32	1.66
LM2575T-15-ND	15 V, 1 A Step-Down-Schaltregler	15V, 1A Step Down Switch Regulator	TO-220	2.78	2.32	1.66
LM2576HVS-ADJ-ND	Einstellb. 3 A Step-Down-Schaltregler	Adjustable 3A Step Down Switch Regulator	TO-263	4.17	3.96	3.76
LM2576HVS-3.3-ND	3,3 V, 3 A Step-Down-Spannungsregler, einf. Umschalter	3.3V, Simple Switcher 3A Step Down Volt. Regulator	TO-263-5	7.34	5.84	4.99
LM2576HVS-5.0-ND	5 V, 3 A Step-Down-Spannungsregler, einf. Umschalter	5V, Simple Switcher 3A Step Down Volt. Regulator	TO-263-5	4.17	3.96	3.76
LM2576HVT-ADJ-ND	Einstellb. 3 A Step-Down-Schaltregler	Adjustable 3A Step Down Switch Regulator	TO-220-5	4.17	3.96	3.76
LM2576HVT-3.3-ND	3,3 V, 3 A Step-Down-Spannungsregler, einf. Umschalter	3.3V, Simple Switcher 3A Step Down Volt. Regulator	TO-220-5	7.34	5.84	4.99
LM2576HVT-5.0-ND	5 V, 3 A Step-Down-Regler, hohe Spannung	5V, 3A Step Down Regulator (High Volt.)	TO-220	4.17	3.96	3.76
LM2576HVT-12-ND	12 V, 3 A Step-Down-Regler, hohe Spannung	12V, 3A Step Down Regulator (High Volt.)	TO-220	4.17	3.96	3.76
LM2576HVT-15-ND	15 V, 3 A Step-Down-Regler, hohe Spannung	15V, 3A Step Down Regulator (High Volt.)	TO-220	4.17	3.96	3.76
LM2576S-ADJ-ND	Einstellb. 3 A Step-Down-Spannungsregler, einf. Umschalter	Adj. Simple Switcher 3A Step Down Voltage Regulator	TO-263-5	2.18	2.08	1.97
LM2576S-3.3-ND	3,3 V, 3 A Step-Down-Spannungsregler, einf. Umschalter	3.3V, Simple Switcher 3A Step Down Voltage Regulator	TO-263-5	2.18	2.08	1.97
LM2576S-5.0-ND	5 V, 3 A Step-Down-Spannungsregler, einf. Umschalter	5V, Simple Switcher 3A Step Down Voltage Regulator	TO-263-5	2.18	2.08	1.97
LM2576S-12-ND	12 V, 3 A Step-Down-Spannungsregler, einf. Umschalter	12V, Simple Switcher 3A Step Down Voltage Regulator	TO-263-5	3.85	3.06	2.62
LM2576S-15-ND	15 V, 3 A Step-Down-Spannungsregler, einf. Umschalter	15V, Simple Switcher 3A Step Down Voltage Regulator	TO-263-5	3.85	3.06	2.62
LM2576T-ADJNS-ND	Einstellb. 3 A Step-Down-Spannungsregler	Adjustable 3A Step Down Voltage Regulator	TO-220-5	2.29	1.78	1.45
LM2576T-3.3FS-ND	3,3 V, 3 A Step-Down-Spannungsregler, einf. Umschalter	3.3V, Simple Switcher 3A Step Down Volt. Regulator	TO-220-5	2.17	2.06	1.96
LM2576T-5.0-ND	5 V, 3 A Step-Down-Schaltregler	5V, 3A Step Down Switch Regulator	TO-220	2.17	2.06	1.96
LM2576T-12-ND	Einf. 12 V, 3 A Step-Down-Schaltregler	12V, 3A Step Down Simple Switch Regulator	TO-220	3.22	2.95	2.21
LM2576T-15-ND	15 V, 3 A Step-Down-Spannungsregler, einf. Umschalter	15V, Simple Switcher 3A Step Down Voltage Regulator	TO-220-5	2.49	1.96	1.66
LM2577M-ADJ-ND	Einstellb. 3 A Step-Up-Schaltregler	Adjustable 3A Step Up Switch Regulator	24-SOIC	4.49	4.26	4.05
LM2577N-ADJ-ND	Einstellb. 3 A Step-Up-Schaltregler	Adjustable 3A Step Up Switch Regulator	16-Dip	4.49	4.26	4.05
LM2577N-12-ND	12 V, 3 A Step-Up-Schaltregler	12V, 3A Step Up Switch Regulator	16-Dip	7.91	6.29	5.37
LM2577N-15-ND	15 V, 3 A Step-Up-Schaltregler	15V, 3A Step Up Switch Regulator	16-Dip	7.91	6.29	5.37
LM2577S-ADJ-ND	Einstellb. Step-Up-Spannungsregler, einf. Umschalter	Adj. Simple Switcher Step Up Voltage Regulator	TO-263-5	4.49	4.26	4.05
LM2577S-12-ND	12 V Step-Up-Spannungsregler, einf. Umschalter	12V, Simple Switcher Step Up Voltage Regulator	TO-263-5	4.49	4.26	4.05
LM2577S-15-ND	15 V Step-Up-Spannungsregler, einf. Umschalter	15V, Simple Switcher Step Up Voltage Regulator	TO-263-5	7.91	6.29	5.37
LM2577T-ADJ-ND	Einstellb. 3 A Step-Up-Schaltspannungsregler	Adjustable 3A Step Up Switch Voltage Regulator	TO-220-5	4.49	4.26	4.05
LM2577T-12-ND	12 V, 3 A Step-Up-Schaltregler	12V, 3A Step Up Switch Regulator	TO-220	3.22	3.06	2.91
LM2577T-15-ND	15 V, 3 A Step-Up-Schaltregler	15V, 3A Step Up Switch Regulator	TO-220	3.22	3.06	2.91
LM2578AM-ND	750 mA Schaltregler	750mA Switching Regulator	8-SOIC	2.05	1.95	1.85
LM2578AN-ND	750 mA Schaltregler	750mA Switching Regulator	8-Dip	2.05	1.95	1.85
LM2585S-ADJ-ND	Einstellb. 3 A Flyback-Regler, einf. Umschalter	Adj. Simple Switcher 3A Flyback Regulator	TO-263-5	5.10	4.84	4.60
LM2585S-3.3-ND	3,3 V, 3 A Flyback-Regler, einf. Umschalter	3.3V, Simple Switcher 3A Flyback Regulator	TO-263-5	5.10	4.84	4.60
LM2585S-5.0-ND	5 V, 3 A Flyback-Regler, einf. Umschalter	5V, Simple Switcher 3A Flyback Regulator	TO-263-5	5.10	4.84	4.60
LM2585S-12-ND	12 V, 3 A Flyback-Regler, einf. Umschalter	12V, Simple Switcher 3A Flyback Regulator	TO-263-5	5.10	4.84	4.60
LM2585T-ADJ-ND	Einstellb. 3 A Flyback-Spannungsregler, einf. Umschalter	Adj. Simple Switcher 3A Flyback Voltage Regulator	TO-220-5	3.73	3.54	3.37
LM2585T-3.3-ND	3,3 V, 3 A Flyback-Regler, einf. Umschalter	3.3V, Simple Switcher 3A Flyback Regulator	TO-220-5	5.10	4.84	4.60
LM2585T-5.0-ND	5 V, 3 A Flyback-Regler, einf. Umschalter	5V, Simple Switcher 3A Flyback Regulator	TO-220-5	5.10	4.84	4.60
LM2585T-12-ND	12 V, 3 A Flyback-Regler, einf. Umschalter	12V, Simple Switcher 3A Flyback Regulator	TO-220-5	5.10	4.84	4.60
LM2586S-ADJ-ND	Einstellb. 3 A Flyback-Regler mit Abschaltfunktion, einf. Umschalter	Adj. Simple Switcher 3A Flyback Reg. with Shutdown	TO-263-7	5.27	5.00	4.75
LM2586S-3.3-ND	3,3 V, 3 A Flyback-Regler mit Abschaltfunktion, einf. Umschalter	3.3V Simple Switcher 3A Flyback Reg. with Shutdown	TO-263-7	9.28	7.38	6.30
LM2586S-5.0-ND	5 V, 3 A Flyback-Regler mit Abschaltfunktion, einf. Umschalter	5V, Simple Switcher 3A Flyback Reg. with Shutdown	TO-263-7	5.27	5.00	4.75
LM2586S-12-ND	12 V, 3 A Flyback-Regler mit Abschaltfunktion, einf. Umschalter	12V, Simple Switcher 3A Flyback Reg. with Shutdown	TO-263-7	5.27	5.00	4.75
LM2586T-ADJ-ND	Einstellb. 3 A Flyback-Regler mit Abschaltfunktion, einf. Umschalter	Adj. Simple Switcher 3A Flyback Reg. with Shutdown	TO-220-7	5.27	5.00	4.75
LM2586T-3.3-ND	3,3 V, 3 A Flyback-Regler mit Abschaltfunktion, einf. Umschalter	3.3V, Simple Switcher 3A Flyback Reg. with Shutdown	TO-220-7	5.27	5.00	4.75
LM2586T-5.0-ND	5 V, 3 A Flyback-Regler mit Abschaltfunktion, einf. Umschalter	5V, Simple Switcher 3A Flyback Reg. with Shutdown	TO-220-7	9.28	7.38	6.30
LM2586T-12-ND	12 V, 3 A Flyback-Regler mit Abschaltfunktion, einf. Umschalter	12V, Simple Switcher 3A Flyback Reg. with Shutdown	TO-220-7	9.28	7.38	6.30
LM2587EVAL-ND	Evaluierungskarte für LM2587	Evaluation Board for LM2587	—	87.12	—	—
LM2587S-ADJ-ND	Einstellb. 5 A Flyback-Regler, einf. Umschalter	Adj. Simple Switcher 5A Flyback Regulator	TO-263-5	4.97	4.72	4.49
LM2587S-3.3-ND	3,3 V, 5 A Flyback-Regler, einf. Umschalter	3.3V, Simple Switcher 5A Flyback Regulator	TO-263-5	6.71	6.37	6.05
LM2587S-5.0-ND	5 V, 5 A Flyback-Regler, einf. Umschalter	5V, Simple Switcher 5A Flyback Regulator	TO-263-5	4.97	4.72	4.49
LM2587T-ADJ-ND	Einstellb. 5 A Flyback-Regler, einf. Umschalter	Adj. Simple Switcher 5A Flyback Regulator	TO-220-5	5.27	5.01	4.76
LM2587T-3.3-ND	3,3 V, 5 A Flyback-Regler, einf. Umschalter	3.3V, Simple Switcher 5A Flyback Regulator	TO-220-5	11.81	9.40	8.03
LM2587T-5.0-ND	5 V, 5 A Flyback-Regler, einf. Umschalter	5V, Simple Switcher 5A Flyback Regulator	TO-220-5	6.71	6.37	6.05
LM2587T-12-ND	12 V, 5 A Flyback-Regler, einf. Umschalter	12V, Simple Switcher 5A Flyback Regulator	TO-220-5	6.71	6.37	6.05
LM2588S-ADJ-ND	Einstellbarer, einf. Umschalter, Flyback-Regler, 5 A	Adjustable Volt. 5A Simple Switcher, Flyback Regulator	TO-263	7.25	6.88	6.54
LM2588S-12-ND	12 V, 5 A Flyback-Regler, einf. Umschalter	12V, Simple Switcher 5A Flyback Regulator	TO-263	7.25	6.88	6.54
LM2588T-ADJ-ND	Einstellb. 5 A Flyback-Regler, einf. Umschalter	Adj. Simple Switcher 5A Flyback Regulator	TO-220-7	5.02	4.77	4.53
LM2588T-5.0-ND	5 V, 5 A Flyback-Regler, einf. Umschalter	5V, Simple Switcher 5A Flyback Regulator	TO-220-7	5.09	4.84	4.59
LM2588T-12-ND	12 V, 5 A Flyback-Regler, einf. Umschalter	12V, Simple Switcher 5A Flyback Regulator	TO-220-7	5.09	4.84	4.59
LM2590HVS-ADJ-ND	Einstellb. 150 kHz, 1 A Stromwandler, Step-Down-Spannungsregler, einf. Umschalter	Adj., Simple Switcher Power Converter, 150kHz, 1A, Step Down Voltage Regulator	TO-263-7	3.64	3.46	3.29
LM2590HVS-3.3-ND	3,3 V, 150 kHz, 1 A Stromwandler, Step-Down-Spannungsregler, einf. Umschalter	3.3V, Simple Switcher Power Converter, 150kHz, 1A, Step Down Voltage Regulator	TO-263-7	3.64	3.46	3.29
LM2590HVS-5.0-ND	5 V, 150 kHz, 1 A Stromwandler, Step-Down-Spannungsregler, einf. Umschalter	5V, Simple Switcher Power Converter, 150kHz, 1A, Step Down Voltage Regulator	TO-263-7	3.64	3.46	3.29
LM2590HVT-ADJ-ND	Einstellb. 150 kHz, 1 A Stromwandler, Step-Down-Spannungsregler, einf. Umschalter	Adj., Simple Switcher Power Converter, 150kHz, 1A, Step Down Voltage Regulator	TO-220-7	2.69	2.56	2.43
LM2590HVT-3.3-ND	3,3 V, 150 kHz, 1 A Stromwandler, Step-Down-Spannungsregler, einf. Umschalter	3.3V, Simple Switcher Power Converter, 150kHz, 1A, Step Down Voltage Regulator	TO-220-7	2.69	2.56	2.43
LM2590HVT-5.0-ND	5 V, 150 kHz, 1 A Stromwandler, Step-Down-Spannungsregler, einf. Umschalter	5V, Simple Switcher Power Converter, 150kHz, 1A, Step Down Voltage Regulator	TO-220-7	2.69	2.56	2.43
LM2591HVS-ADJ-ND	Einstellb. 150 kHz, 1 A Stromwandler, Step-Down-Spannungsregler, einf. Umschalter	Adj., Simple Switcher Power Converter, 150kHz, 1A, Step Down Voltage Regulator	TO-263-5	3.45	3.28	3.12
LM2591HVS-3.3-ND	3,3 V, 150 kHz, 1 A Stromwandler, Step-Down-Spannungsregler, einf. Umschalter	3.3V, Simple Switcher Power Converter, 150kHz, 1A, Step Down Voltage Regulator	TO-263-5	3.45	3.28	3.12
LM2591HVS-5.0-ND	5 V, 150 kHz, 1 A Stromwandler, Step-Down-Spannungsregler, einf. Umschalter	5V, Simple Switcher Power Converter, 150kHz, 1A, Step Down Voltage Regulator	TO-263-5	3.45	3.28	3.12
LM2591HVT-ADJ-ND	Einstellb. 150 kHz, 1 A Stromwandler, Step-Down-Spannungsregler, einf. Umschalter	Adj., Simple Switcher Power Converter, 150kHz, 1A, Step Down Voltage Regulator	TO-220-5	2.57	2.44	2.32
LM2591HVT-3.3-ND	3,3 V, 150 kHz, 1 A Stromwandler, Step-Down-Spannungsregler, einf. Umschalter	3.3V, Simple Switcher Power Converter, 150kHz, 1A, Step Down Voltage Regulator	TO-220-5	2.57	2.44	2.32
LM2591HVT-5.0-ND	5 V, 150 kHz, 1 A Stromwandler, Step-Down-Spannungsregler, einf. Umschalter	5V, Simple Switcher Power Converter, 150kHz, 1A, Step Down Voltage Regulator	TO-220-5	2.57	2.44	2.32
LM2592HVS-ADJ-ND	Einstellb. 150 kHz, 2 A Stromwandler, Step-Down-Spannungsregler, einf. Umschalter	Adj. Simple Switcher Power Converter, 150kHz, 2A, Step Down Voltage Regulator	TO-263-5	4.13	3.92	3.73
LM2592HVS-3.3-ND	3,3 V, 150 kHz, 2 A Stromwandler, Step-Down-Spannungsregler, einf. Umschalter	3.3V, Simple Switcher Power Converter, 150kHz, 2A, Step Down Voltage Regulator	TO-263-5	4.13	3.92	3.73
LM2592HVS-5.0-ND	5 V, 150 kHz, 2 A Stromwandler, Step-Down-Spannungsregler, einf. Umschalter	5V, Simple Switcher Power Converter, 150kHz, 2A, Step Down Voltage Regulator	TO-263-5	4.13	3.92	3.73
LM2592HVT-ADJ-ND	Einstellb. 150 kHz, 2 A Stromwandler, Step-Down-Spannungsregler, einf. Umschalter	Adj. Simple Switcher Power Converter, 150kHz, 2A, Step Down Voltage Regulator	TO-220-5	3.05	2.90	2.75
LM2592HVT-3.3-ND	3,3 V, 150 kHz, 2 A Stromwandler, Step-Down-Spannungsregler, einf. Umschalter	3.3V, Simple Switcher Power Converter, 150kHz, 2A, Step Down Voltage Regulator	TO-220-5	3.05	2.90	2.75
LM2592HVT-5.0-ND	5 V, 150 kHz, 2 A Stromwandler, Step-Down-Spannungsregler, einf. Umschalter	5V, Simple Switcher Power Converter, 150kHz, 2A, Step Down Voltage Regulator	TO-220-5	3.05	2.90	2.75
LM2593HVS-ADJ-ND	Einstellb. 150 kHz, 2 A Stromwandler, Step-Down-Spannungsregler, einf. Umschalter	Adj. Simple Switcher Power Converter, 150kHz 2A, Step Down Voltage Regulator	TO-263-7	4.33	4.12	3.91
LM2593HVS-3.3-ND	3,3 V, 150 kHz, 2 A Stromwandler, Step-Down-Spannungsregler, einf. Umschalter	3.3V, Simple Switcher Power Converter, 150kHz, 2A, Step Down Voltage Regulator	TO-263-7	4.33	4.12	3.91

(Forts.)

★ RUFEN SIE BITTE AN FÜR NIEDRIGERE PREISE BEI GRÖSSEREN MENGEN! ★

Alle Preisangaben in Euro und inklusive Zollgebühren.

Digi-Key Teilenr.	Beschreibung		Paket	Stückpreis★ 1	25	100
LM2593HVS-5.0-ND	5 V, 150 kHz, 2 A Stromwandler, Step-Down-Spannungsregler, einf. Umschalter	5V, Simple Switcher Power Converter, 150kHz, 2A, Step Down Voltage Regulator	TO-263-7	4.33	4.12	3.91
LM2593HVT-ADJ-ND	Einstellb. 150 kHz, 2 A Stromwandler, Step-Down-Spannungsregler, einf. Umschalter	Adj. Simple Switcher Power Converter, 150kHz, 2A, Step Down Voltage Regulator	TO-220-7	3.21	3.05	2.90
LM2593HVT-3.3-ND	3,3 V, 150 kHz, 2 A Stromwandler, Step-Down-Spannungsregler, einf. Umschalter	3.3V, Simple Switcher Power Converter, 150kHz, 2A, Step Down Voltage Regulator	TO-220-7	3.21	3.05	2.90
LM2593HVT-5.0-ND	5 V, 150 kHz, 2 A Stromwandler, Step-Down-Spannungsregler, einf. Umschalter	5V, Simple Switcher Power Converter, 150kHz, 2A, Step Down Voltage Regulator	TO-220-7	3.21	3.05	2.90
LM2594HVM-ADJ-ND	Einstellb. 150 kHz, 0,5 A Stromwandler, Step-Down-Spannungsregler, einf. Umschalter	Adj. Simple Switcher Power Converter, 150kHz, 0.5A, Step Down Voltage Regulator	8-SOIC	3.13	2.98	2.83
LM2594HVM-3.3-ND	3,3 V, 150 kHz, 0,5 A Stromwandler, Step-Down-Spannungsregler, einf. Umschalter	3.3V, Simple Switcher Power Converter, 150kHz, 0.5A, Step Down Voltage Regulator	8-SOIC	3.13	2.98	2.83
LM2594HVM-5.0-ND	5 V, 150 kHz, 0,5 A Stromwandler, Step-Down-Spannungsregler, einf. Umschalter	5V, Simple Switcher Power Converter, 150kHz, 0.5A, Step Down Voltage Regulator	8-SOIC	3.13	2.98	2.83
LM2594HVM-12-ND	12 V, 150 kHz, 0,5 A Stromwandler, Step-Down-Spannungsregler, einf. Umschalter	12V, Simple Switcher Power Converter, 150kHz, 0.5A, Step Down Voltage Regulator	8-SOIC	3.13	2.98	2.83
LM2594HVN-ADJ-ND	Einstellb. 150 kHz, 0,5 A Stromwandler, Step-Down-Spannungsregler, einf. Umschalter	Adj. Simple Switcher Power Converter, 150kHz, 0.5A, Step Down Voltage Regulator	8-Dip	3.13	2.98	2.83
LM2594HVN-3.3-ND	3,3 V, 150 kHz, 0,5 A Stromwandler, Step-Down-Spannungsregler, einf. Umschalter	3.3V, Simple Switcher Power Converter, 150kHz, 0.5A, Step Down Voltage Regulator	8-Dip	3.13	2.98	2.83
LM2594HVN-5.0-ND	5 V, 150 kHz, 0,5 A Stromwandler, Step-Down-Spannungsregler, einf. Umschalter	5V, Simple Switcher Power Converter, 150kHz, 0.5A, Step Down Voltage Regulator	8-Dip	3.13	2.98	2.83
LM2594HVN-12-ND	12 V, 150 kHz, 0,5 A Stromwandler, Step-Down-Spannungsregler, einf. Umschalter	12V, Simple Switcher Power Converter, 150kHz, 0.5A, Step Down Voltage Regulator	8-Dip	3.13	2.98	2.83
LM2594M-ADJ-ND	Einstellb. 150 kHz, 0,5 A Stromwandler, Step-Down-Spannungsregler, einf. Umschalter	Adj. Simple Switcher Power Converter, 150kHz, 0.5A, Step Down Voltage Regulator	8-SOIC	1.58	1.50	1.43
LM2594M-3.3-ND	3,3 V, 150 kHz, 0,5 A Stromwandler, Step-Down-Spannungsregler, einf. Umschalter	3.3V, Simple Switcher Power Converter, 150kHz, 0.5A, Step Down Voltage Regulator	8-SOIC	1.73	1.44	1.37
LM2594M-5.0-ND	5 V, 150 kHz, 0,5 A Stromwandler, Step-Down-Spannungsregler, einf. Umschalter	5V, Simple Switcher Power Converter, 150kHz, 0.5A, Step Down Voltage Regulator	8-SOIC	1.53	1.45	1.38
LM2594M-12-ND	12 V, 150 kHz, 0,5 A Stromwandler, Step-Down-Spannungsregler, einf. Umschalter	12V, Simple Switcher Power Converter, 150kHz, Step Down Voltage Regulator	8-SOIC	2.07	1.96	1.86
LM2594MX-5.0TR-ND	5 V, 150 kHz, 0,5 A Stromwandler, Step-Down-Spannungsregler, einf. Umschalter	5V, Simple Switcher Power Converter, 150kHz, 0.5A , Step Down Voltage Regulator	8-SOIC		5300.00/2,500	
LM2594N-ADJ-ND	Einstellb. 150 kHz, 0,5 A Stromwandler, Step-Down-Spannungsregler, einf. Umschalter	Adj. Simple Switcher Power Converter, 150kHz, 0.5A, Step Down Voltage Regulator	8-Dip	1.62	1.54	1.46
LM2594N-3.3-ND	3,3 V, 150 kHz, 0,5 A Stromwandler, Step-Down-Spannungsregler, einf. Umschalter	3.3V, Simple Switcher Power Converter, 150kHz, 0.5A, Step Down Voltage Regulator	8-Dip	2.07	1.96	1.86
LM2594N-5.0-ND	5 V, 150 kHz, 0,5 A Stromwandler, Step-Down-Spannungsregler, einf. Umschalter	5V, Simple Switcher Power Converter, 150kHz, 0.5A, Step Down Voltage Regulator	8-Dip	1.62	1.54	1.46
LM2594N-12-ND	12 V, 150 kHz, 0,5 A Stromwandler, Step-Down-Spannungsregler, einf. Umschalter	12V, Simple Switcher Power Converter, 150kHz, 0.5A, Step Down Voltage Regulator	8-Dip	1.58	1.50	1.43
LM2595S-ADJ-ND	Einstellb. 150 kHz, 0,5 A Stromwandler, Step-Down-Spannungsregler, einf. Umschalter	Adj., Simple Switcher Power Converter, 150kHz, 0.5A, Step Down Voltage Regulator	TO-263-5	2.59	2.46	2.34
LM2595S-3.3-ND	3,3 V, 150 kHz, 1 A Stromwandler, Step-Down-Spannungsregler, einf. Umschalter	3.3V, Simple Switcher Power Converter, 150kHz, 1A, Step Down Voltage Regulator	TO-263-5	1.94	1.84	1.75
LM2595S-5.0-ND	5 V, 150 kHz, 1 A Stromwandler, Step-Down-Spannungsregler, einf. Umschalter	5V, Simple Switcher Power Converter, 150kHz, 1A, Step Down Voltage Regulator	TO-263-5	2.59	2.46	2.34
LM2595S-12-ND	12 V, 150 kHz, 1 A Stromwandler, Step-Down-Spannungsregler, einf. Umschalter	12V, Simple Switcher Power Converter, 150kHz, 1A, Step Down Voltage Regulator	TO-263-5	2.61	2.48	2.35
LM2595T-ADJ-ND	Einstellb. 150 kHz, 1 A Stromwandler, Step-Down-Spannungsregler	Adj. Power Converter, 150kHz, 1A, Step Down Volt. Reg.	TO-220	2.08	1.98	1.88
LM2595T-3.3-ND	3.3 V, 150 kHz, 1 A Stromwandler, Step-Down-Spannungsregler, einf. Umschalter	3.3V, Simple Switcher Power Converter, 150kHz, 1A, Step Down Voltage Regulator	TO-220-5	1.94	1.84	1.75
LM2595T-5.0-ND	5 V, 150 kHz, 1 A Stromwandler, Step-Down-Spannungsregler, einf. Umschalter	5V, Simple Switcher Power Converter, 150kHz, 1A, Step Down Voltage Regulator	TO-220-5	2.08	1.98	1.88
LM2595T-12-ND	12 V, 150 kHz, 1 A Stromwandler, Step-Down-Spannungsregler, einf. Umschalter	12V, Simple Switcher Power Converter, 150kHz, 1A, Step Down Voltage Regulator	TO-220-5	1.94	1.84	1.75
LM2596S-ADJ-ND	Einstellb. 150 kHz, 3 A Stromwandler, Step-Down-Spannungsregler, einf. Umschalter	Adj. Simple Switcher Power Converter, 150kHz, 3A, Step Down Voltage Regulator	TO-263-5	2.90	2.76	2.62
LM2596S-3.3-ND	3,3 V, 150 kHz, 3 A Stromwandler, Step-Down-Spannungsregler, einf. Umschalter	3.3V, Simple Switcher Power Converter, 150kHz, 3A, Step Down Voltage Regulator	TO-263-5	2.91	2.77	2.63
LM2596S-5.0-ND	5 V, 150 kHz, 3 A Stromwandler, Step-Down-Spannungsregler	5V, Power Converter 150kHz 3A Step Down Volt. Reg.	TO-263	2.91	2.77	2.63
LM2596S-12-ND	12 V, 150 kHz, 3 A Stromwandler, Step-Down-Spannungsregler, einf. Umschalter	12V, Simple Switcher Power Converter, 150kHz, 3A, Step Down Voltage Regulator	TO-263-5	2.15	2.04	1.94
LM2596SX-5.0TR-ND	5 V, 150 kHz, 3 A Stromwandler, Step-Down-Spannungsregler	5V, Power Converter 150kHz 3A Step Down Volt. Reg.	TO-263		1125.00/500	
LM2596T-ADJ-ND	Einstellb. 150 kHz, 3 A Stromwandler, Step-Down-Spannungsregler, einf. Umschalter	Adj. Simple Switcher Power Converter, 150kHz, 3A, Step Down Voltage Regulator	TO-220-5	2.45	2.33	2.21
LM2596T-3.3-ND	3,3 V, 150 kHz, 3 A Stromwandler, Step-Down-Spannungsregler, einf. Umschalter	3.3V, Simple Switcher Power Converter, 150kHz, 3A, Step Down Voltage Regulator	TO-220-5	2.91	2.77	2.63
LM2596T-5.0-ND	5 V, 150 kHz, 3 A Stromwandler, Step-Down-Spannungsregler, einf. Umschalter	5V, Simple Switcher Power Converter, 150kHz, 3A, Step Down Voltage Regulator	TO-220-5	2.45	2.33	2.21
LM2596T-12-ND	12 V, 150 kHz, 3 A Stromwandler, Step-Down-Spannungsregler, einf. Umschalter	12V, Simple Switcher Power Converter, 150kHz, 3A, Step Down Voltage Regulator	TO-220-5	2.15	2.04	1.94
LM2597HVM-ADJ-ND	Einstellb. 150 kHz, 0,5 A Stromwandler, Step-Down-Spannungsregler, einf. Umschalter	Adj. Simple Switcher Power Converter, 150kHz, 0.5A, Step Down Voltage Regulator	8-SOIC	3.22	3.06	2.90
LM2597HVM-3.3-ND	3,3 V, 150 kHz, 0,5 A Stromwandler, Step-Down-Spannungsregler, einf. Umschalter	3.3V, Simple Switcher Power Converter, 150kHz, 0.5A, Step Down Voltage Regulator	8-SOIC	5.67	4.51	3.85
LM2597HVM-5.0-ND	5 V, 150 kHz, 0,5 A Stromwandler, Step-Down-Spannungsregler, einf. Umschalter	5V, Simple Switcher Power Converter, 150kHz, 0.5A, Step Down Voltage Regulator	8-SOIC	3.22	3.06	2.90
LM2597HVM-12-ND	12 V, 150 kHz, 0,5 A Stromwandler, Step-Down-Spannungsregler, einf. Umschalter	12V, Simple Switcher Power Converter, 150kHz, 0.5A, Step Down Voltage Regulator	8-SOIC	5.67	4.51	3.85
LM2597HVN-ADJ-ND	Einstellb. 150 kHz, 0,5 A Stromwandler, Step-Down-Spannungsregler, einf. Umschalter	Adj. Simple Switcher Power Converter, 150kHz, 0.5A, Step Down Voltage Regulator	8-Dip	3.22	3.06	2.90
LM2597HVN-3.3-ND	3,3 V, 150 kHz, 0,5 A Stromwandler, Step-Down-Spannungsregler, einf. Umschalter	3.3V, Simple Switcher Power Converter, 150kHz, 0.5A, Step Down Voltage Regulator	8-Dip	5.67	4.51	3.85
LM2597HVN-5.0-ND	5 V, 150 kHz, 0,5 A Stromwandler, Step-Down-Spannungsregler, einf. Umschalter	5V, Simple Switcher Power Converter, 150kHz, 0.5A, Step Down Voltage Regulator	8-Dip	5.67	4.51	3.85
LM2597HVN-12-ND	12 V, 150 kHz, 0,5 A Stromwandler, Step-Down-Spannungsregler, einf. Umschalter	12V, Simple Switcher Power Converter, 150kHz, 0.5A, Step Down Voltage Regulator	8-Dip	5.67	4.51	3.85
LM2597M-ADJ-ND	Einstellb. 150 kHz, 0,5 A Stromwandler, Step-Down-Spannungsregler, einf. Umschalter	Adj. Simple Switcher Power Converter, 150kHz, 0.5A, Step Down Voltage Regulator	8-SOIC	1.89	1.80	1.71
LM2597M-3.3-ND	3,3 V, 150 kHz, 0,5 A Stromwandler, Step-Down-Spannungsregler, einf. Umschalter	3.3V, Simple Switcher Power Converter, 150kHz, 0.5A, Step Down Voltage Regulator	8-SOIC	1.89	1.80	1.71
LM2597M-5.0-ND	5 V, 150 kHz, 0,5 A Stromwandler, Step-Down-Spannungsregler, einf. Umschalter	5V, Simple Switcher Power Converter, 150kHz, 0.5A, Step Down Voltage Regulator	8-SOIC	2.54	2.41	2.29
LM2597M-12-ND	12 V, 150 kHz, 0,5 A Stromwandler, Step-Down-Spannungsregler, einf. Umschalter	12V, Simple Switcher Power Converter, 150kHz, 0.5A, Step Down Voltage Regulator	8-SOIC	2.56	2.43	2.31
LM2597N-ADJ-ND	Einstellb. 150 kHz, 0,5 A Stromwandler, Step-Down-Spannungsregler, einf. Umschalter	Adj. Simple Switcher Power Converter, 150kHz, 0.5A, Step Down Voltage Regulator	8-Dip	2.49	2.37	2.25
LM2597N-3.3-ND	3,3 V, 150 kHz, 0,5 A Stromwandler, Step-Down-Spannungsregler, einf. Umschalter	3.3V, Simple Switcher Power Converter, 150kHz, 0.5A, Step Down Voltage Regulator	8-Dip	2.56	2.43	2.31
LM2597N-5.0-ND	5 V, 150 kHz, 0,5 A Stromwandler, Step-Down-Spannungsregler, einf. Umschalter	5V, Simple Switcher Power Converter, 150kHz, 0.5A, Step Down Voltage Regulator	8-Dip	2.49	2.37	2.25
LM2597N-12-ND	12 V, 150 kHz, 0,5 A Stromwandler, Step-Down-Spannungsregler, einf. Umschalter	12V, Simple Switcher Power Converter, 150kHz, 0.5A, Step Down Voltage Regulator	8-Dip	1.89	1.80	1.71

(Forts.)

★ RUFEN SIE BITTE AN FÜR NIEDRIGERE PREISE BEI GRÖSSEREN MENGEN! ★

B

Digi-Key Teilenr.	Beschreibung		Paket	Stückpreis★ 1	25	100
LM2598S-ADJ-ND	Einstellb. 150 kHz, 1 A Stromwandler, Step-Down-Spannungsregler, einf. Umschalter	Adj. Simple Switcher Power Converter, 150kHz 1A, Step Down Voltage Regulator	TO-263-7	3.01	2.86	2.72
LM2598S-3.3-ND	3,3 V, 150 kHz, 1 A Stromwandler, Step-Down-Spannungsregler, einf. Umschalter	3.3V, Simple Switcher Power Converter, 150kHz, 1A, Step Down Voltage Regulator	TO-263-7	3.01	2.86	2.72
LM2598S-5.0-ND	5 V, 150 kHz, 1 A Stromwandler, Step-Down-Spannungsregler	5V, Pwr. Converter, 150KHz, 1A, Step Down Voltage Regulator	TO-263	3.01	2.86	2.72
LM2598S-12-ND	12 V, 150 kHz, 1 A Stromwandler, Step-Down-Spannungsregler, einf. Umschalter	12V, Simple Switcher Power Converter, 150kHz, 1A, Step Down Voltage Regulator	TO-263-7	5.31	4.22	3.61
LM2598T-ADJ-ND	Einstellb. 150 kHz, 1 A Stromwandler, Step-Down-Spannungsregler, einf. Umschalter	Adj. Simple Switcher Power Converter, 150kHz, 1A, Step Down Voltage Regulator	TO-220-7	3.01	2.86	2.72
LM2598T-3.3-ND	3,3 V, 150 kHz, 1 A Stromwandler, Step-Down-Spannungsregler, einf. Umschalter	3.3V, Simple Switcher Power Converter, 150kHz, 1A, Step Down Voltage Regulator	TO-220-7	3.01	2.86	2.72
LM2598T-5.0-ND	5 V, 150 kHz, 1 A Stromwandler, Step-Down-Spannungsregler, einf. Umschalter	5V, Simple Switcher Power Converter, 150kHz, 1A, Step Down Voltage Regulator	TO-220-7	5.31	4.22	3.61
LM2598T-12-ND	12 V, 150 kHz, 1 A Stromwandler, Step-Down-Spannungsregler, einf. Umschalter	12V, Simple Switcher Power Converter, 150kHz, 1A, Step Down Voltage Regulator	TO-220-7	3.01	2.86	2.72
LM2599S-ADJ-ND	Einstellb. 150 kHz, 3 A Stromwandler, Step-Down-Spannungsregler, einf. Umschalter	Adj. Simple Switcher Power Converter, 150kHz, 3A, Step Down Voltage Regulator	TO-263-7	3.47	3.30	3.13
LM2599S-3.3-ND	3,3 V, 150 kHz, 3 A Stromwandler, Step-Down-Spannungsregler, einf. Umschalter	3.3V, Simple Switcher Power Converter, 150kHz, 3A, Step Down Voltage Regulator	TO-263-7	2.41	2.29	2.18
LM2599S-5.0-ND	5 V, 150 kHz, 3 A Stromwandler, Step-Down-Spannungsregler, einf. Umschalter	5V, Simple Switcher Power Converter, 150kHz, 3A, Step Down Voltage Regulator	TO-263-7	3.47	3.30	3.13
LM2599S-12-ND	12 V, 150 kHz, 3 A Stromwandler, Step-Down-Spannungsregler, einf. Umschalter	12V, Simple Switcher Power Converter, 150kHz, 3A, Step Down Voltage Regulator	TO-263-7	2.41	2.29	2.18
LM2599T-ADJ-ND	Einstellb. 150 kHz, 3 A Stromwandler, Step-Down-Spannungsregler, einf. Umschalter	Adj. Simple Switcher Power Converter, 150kHz, 3A, Step Down Voltage Regulator	TO-220-7	2.57	2.44	2.32
LM2599T-3.3-ND	3,3 V, 150 kHz, 3 A Stromwandler, Step-Down-Spannungsregler, einf. Umschalter	3.3V, Simple Switcher Power Converter, 150kHz 3A, Step Down Voltage Regulator	TO-220-7	3.47	3.30	3.13
LM2599T-5.0-ND	5 V, 150 kHz, 3 A Stromwandler, Step-Down-Spannungsregler, einf. Umschalter	5V, Simple Switcher Power Converter, 150kHz, 3A, Step Down Voltage Regulator	TO-220-7	2.57	2.44	2.32
LM2599T-12-ND	12 V, 150 kHz, 3 A Stromwandler, Step-Down-Spannungsregler, einf. Umschalter	12V, Simple Switcher Power Converter, 150kHz, 3A, Step Down Voltage Regulator	TO-220-7	2.57	2.44	2.32
LM2608ATL-1.3CT-ND	400 mA Sub-Miniatur, programmierbarer Step-Down DC/DC-Wandler	400mA Sub-Miniature, Programmable Step Down DC-DC Converter	10-microSMD	3.97	3.16	2.70
LM2608ATL-1.3TR-ND	400 mA Sub-Miniatur, programmierbarer Step-Down DC/DC-Wandler	400mA Sub-Miniature, Programmable Step Down DC-DC Converter	10-microSMD		635.00/250	
LM2608ATL-1.8CT-ND	400 mA Sub-Miniatur, programmierbarer Step-Down DC/DC-Wandler	400mA Sub-Miniature, Programmable Step Down DC-DC Converter	10-microSMD	3.97	3.16	2.70
LM2608ATL-1.8TR-ND	400 mA Sub-Miniatur, programmierbarer Step-Down DC/DC-Wandler	400mA Sub-Miniature, Programmable Step Down DC-DC Converter	10-microSMD		635.00/250	
LM2611AMFCT-ND	1,4 MHz Cuk-Wandler	1.4MHz Cuk Converter	SOT-23-5	1.53	1.45	1.38
LM2611AMFTR-ND	1,4 MHz Cuk-Wandler	1.4MHz Cuk Converter	SOT-23-5		1240.00/1,000	
LM2611BMFCT-ND	1,4 MHz Cuk-Wandler	1.4MHz Cuk Converter	SOT-23-5	1.78	1.69	1.60
LM2611BMFTR-ND	1,4 MHz Cuk-Wandler	1.4MHz Cuk Converter	SOT-23-5		1370.00/1,000	
LM2612ABLCT-ND	400 mA Sub-Miniatur, programmierbarer Step-Down DC/DC-Wandler	400mA Sub-Miniature, Programmable, Step Down DC-DC Converter	10-microSMD	3.97	3.16	2.70
LM2612ABLTR-ND	400 mA Sub-Miniatur, programmierbarer Step-Down DC/DC-Wandler	400mA Sub-Miniature, Programmable, Step Down DC-DC Converter	10-microSMD		635.00/250	
LM2612ABPCT-ND	400 mA Sub-Miniatur, programmierbarer Step-Down DC/DC-Wandler	400mA Sub-Miniature, Programmable, Step Down DC-DC Converter	10-microSMD	3.97	3.16	2.70
LM2612ABPTR-ND	400 mA Sub-Miniatur, programmierbarer Step-Down DC/DC-Wandler	400mA Sub-Miniature, Programmable, Step Down DC-DC Converter	10-microSMD		635.00/250	
LM2612ATLCT-ND	400 mA Sub-Miniatur, programmierbarer Step-Down DC/DC-Wandler	400mA Sub-Miniature, Programmable, Step Down DC-DC Converter	10-microSMD	3.97	3.16	2.70
LM2612ATLTR-ND	400 mA Sub-Miniatur, programmierbarer Step-Down DC/DC-Wandler	400mA Sub-Miniature, Programmable, Step Down DC-DC Converter	10-microSMD		635.00/250	
LM2612BBLCT-ND	400 mA Sub-Miniatur, programmierbarer Step-Down DC/DC-Wandler	400mA Sub-Miniature, Programmable, Step Down DC-DC Converter	10-microSMD	3.40	2.70	2.31
LM2612BBLTR-ND	400 mA Sub-Miniatur, programmierbarer Step-Down DC/DC-Wandler	400mA Sub-Miniature, Programmable, Step Down DC-DC Converter	10-microSMD		545.00/250	
LM2612BBPCT-ND	400 mA Sub-Miniatur, programmierbarer Step-Down DC/DC-Wandler	400mA Sub-Miniature, Programmable, Step Down DC-DC Converter	10-microSMD	3.40	2.70	2.31
LM2612BBPTR-ND	400 mA Sub-Miniatur, programmierbarer Step-Down DC/DC-Wandler	400mA Sub-Miniature, Programmable, Step Down DC-DC Converter	10-microSMD		545.00/250	
LM2612BTLCT-ND	400 mA Sub-Miniatur, programmierbarer Step-Down DC/DC-Wandler	400mA Sub-Miniature, Programmable, Step Down DC-DC Converter	10-microSMD	3.40	2.70	2.31
LM2612BTLTR-ND	400 mA Sub-Miniatur, programmierbarer Step-Down DC/DC-Wandler	400mA Sub-Miniature, Programmable, Step Down DC-DC Converter	10-microSMD		545.00/250	
LM2614ATLCT-ND	Einstellbarer 400 mA DC/DC-Wandler für RF-Leistungsverstärker	400mA Adjustable DC-DC Converter for RF Power Amp	10-microSMD	3.97	3.16	2.70
LM2614ATLTR-ND	Einstellbarer 400 mA DC/DC-Wandler für RF-Leistungsverstärker	400mA Adjustable DC-DC Converter for RF Power Amp	10-microSMD		635.00/250	
LM2614BTLCT-ND	Einstellbarer 400 mA DC/DC-Wandler für RF-Leistungsverstärker	400mA Adjustable DC-DC Converter for RF Power Amp	10-microSMD	3.40	2.70	2.31
LM2614BTLTR-ND	Einstellbarer 400 mA DC/DC-Wandler für RF-Leistungsverstärker	400mA Adjustable DC-DC Converter for RF Power Amp	10-microSMD		545.00/250	
LM2618ATLCT-ND	Äußerst effizienter, synchroner 400 mA PWM- und PFM-programmierbarer DC/DC-Wandler	400mA, High Efficiency Sync. PWM and PFM Programmable DC-DC Converter	10-microSMD	3.97	3.16	2.70
LM2618ATLTR-ND	Äußerst effizienter, synchroner 400 mA PWM- und PFM-programmierbarer DC/DC-Wandler	400mA, High Efficiency Sync. PWM and PFM Programmable DC-DC Converter	10-microSMD		635.00/250	
LM2618BTLCT-ND	Äußerst effizienter, synchroner 400 mA PWM- und PFM-programmierbarer DC/DC-Wandler	400mA, High Efficiency Sync. PWM and PFM Programmable DC-DC Converter	10-microSMD	3.40	2.70	2.31
LM2618BTLTR-ND	Äußerst effizienter, synchroner 400 mA PWM- und PFM-programmierbarer DC/DC-Wandler	400mA, High Efficiency Sync. PWM and PFM Programmable DC-DC Converter	10-microSMD		545.00/250	
LM2619ATLCT-ND	500 mA Step-Down DC/DC-Wandler	500mA Step Down DC-DC Converter	10-microSMD	3.40	2.70	2.31
LM2619ATLTR-ND	500 mA Step-Down DC/DC-Wandler	500mA Step Down DC-DC Converter	10-microSMD		545.00/250	
LM2619MTC-ND	500 mA Step-Down DC/DC-Wandler	500mA Step-Down DC-DC Converter	14-TSSOP	3.97	3.16	2.70
LM2621MMCT-ND	Step-Up DC/DC-Wandler für niedrigen Eingang	Low Input Step Up DC-DC Converter	8-MSOP	2.12	1.46	1.17
LM2621MMTR-ND	Step-Up DC/DC-Wandler für niedrigen Eingang	Low Input Step Up DC-DC Converter	8-MSOP		1170.00/1,000	
LM2622MM-ADJCT-ND	600 kHz/1,3 MHz Step-Up PWM DC/DC-Wandler	600kHz/1.3MHz Step-up PWM DC-DC Converter	8-MSOP	1.60	1.36	1.29
LM2622MM-ADJTR-ND	600 kHz/1,3 MHz Step-Up PWM DC/DC-Wandler	600kHz/1.3MHz Step-up PWM DC-DC Converter	8-MSOP		1110.00/1,000	
LM2623ALDCT-ND	DC/DC-Boost-Wandler, proportional anpassbar	Ratio Adaptive DC-DC Boost Converter	14-LLP	3.10	2.47	2.11
LM2623ALDTR-ND	DC/DC-Boost-Wandler, proportional anpassbar	Ratio Adaptive DC-DC Boost Converter	14-LLP		1800.00/1,000	
LM2623AMMCT-ND	Niedrig-Ripple-DC/DC-Boost-Wandler, Mehrzweck, niedr. Eingangsspann.	General Purpose Low Vin, Low Ripple DC-DC Boost Converter	8-MSOP	1.76	1.67	1.59
LM2623AMMTR-ND	Niedrig-Ripple-DC/DC-Boost-Wandler, Mehrzweck, niedr. Eingangsspann.	General Purpose Low Vin, Low Ripple DC-DC Boost Converter	8-MSOP		1380.00/1,000	
LM2623LDCT-ND	Niedrig-Ripple-DC/DC-Boost-Wandler, Mehrzweck, niedr. Eingangsspann.	General Purpose Low Vin, Low Ripple DC-DC Boost Converter	14-LLP	2.47	1.96	1.68
LM2623LDTR-ND	Niedrig-Ripple-DC/DC-Boost-Wandler, Mehrzweck, niedr. Eingangsspann.	General Purpose Low Vin, Low Ripple DC-DC Boost Converter	14-LLP		1440.00/1,000	
LM2623MMCT-ND	Niedrig-Ripple-DC/DC-Boost-Wandler, Mehrzweck, niedr. Eingangsspann.	General Purpose Low Vin, Low Ripple DC-DC Boost Converter	8-MSOP	1.40	1.33	1.26
LM2623MMTR-ND	Niedrig-Ripple-DC/DC-Boost-Wandler, Mehrzweck, niedr. Eingangsspann.	GP Low Vin, Low Ripple DC-DC Boost Converter	8-MSOP		1080.00/1,000	
LM2633MTD-ND	2-Phasen, synch. dreif. Regler-Controller	2 Phase Sync. Triple Reg. Controller	48-TSSOP	5.06	3.47	2.79
LM2635M-ND	5-Bit, programmierbarer, synchroner Buck-Regler-Controller	5-Bit Programmable Sync. Buck Reg. Controller	20-SOIC	4.59	3.65	3.12
LM2635MXTR-ND	5-Bit, programmierbarer, synchroner Buck-Regler-Controller	5-Bit Programmable Sync. Buck Reg. Controller	20-SOIC		2670.00/1,000	
LM2636M-ND	5-Bit, programmierbarer, synchroner Buck-Regler-Controller	5-Bit Programmable Sync. Buck Reg. Controller	20-SOIC	2.56	2.43	2.31
LM2636MTC-ND	5-Bit, programmierbarer, synchroner Buck-Regler-Controller	5-Bit Programmable Sync. Buck Reg. Controller	20-TSSOP	2.56	2.43	2.31
LM2637M-ND	Mutterplatinen-Stromversorgungslösung	Motherboard Power Supply Solution	24-SOIC	5.34	4.25	3.63
LM2638M-ND	Mutterplatinen-Stromversorgungslösung	Motherboard Power Supply Solution	24-SOIC	5.34	4.25	3.63
LM2639M-ND	5-Bit programmierbarer HF-Multiphasen-PWM-Controller	5-Bit Program, Hi Freq. Multiphase PWM Controller	24-SOIC	7.22	5.74	4.91
LM2640MTC-ADJ-ND	Zweif. einstellb. Step-Down-Schaltstromversorgungs-Controller, Schalt. Frequ. (200 kHz)	Dual Adj. Step Down Switching Power Supply Controller, Switch. Freq. 200kHz	28-TSSOP	9.64	7.66	6.55
LM2641MTC-ADJ-ND	Zweif., einstellb. Step-Down-Schaltstromversorgungs-Controller, Schalt. Frequ. (300 kHz)	Dual Adj. Step Down Switching Power Supply Controller, Switch. Freq. 300kHz	28-TSSOP	5.76	5.47	5.20
LM2642MTC-ND	Synch. Step-Down-Schaltregler, 2-Phasen	2-Phase Sync. Step Down Switching Controller	28-TSSOP	2.90	2.75	2.61
LM2645MTD-ND	Schaltregler, zwei Ausgänge, 2 Phasen	Dual Output 2-Phase Switching Controller	48-TSSOP	4.22	2.90	2.76
LM2647LQCT-ND	Zweif. synchroner Buck-Regler	Dual Sync. Buck Regulator	28-LLP	5.67	4.51	3.85
LM2647LQTR-ND	Zweif. synchroner Buck-Regler	Dual Sync. Buck Regulator	28-LLP		3300.00/1,000	
LM2647MTC-ND	Zweif. synchroner Buck-Regler	Dual Sync. Buck Regulator	28-TSSOP	5.67	4.51	3.85
LM2650EVAL-ND	Evaluierungskarte für LM2650X	Evaluation Board for LM2650X	—	50.72	—	—
LM2650M-ADJ-ND	Synchroner Step-Down DC/DC-Wandler	Synchronous Step Down DC-DC Converter	24-SOIC	4.18	3.97	3.77
LM2651MTC-ADJ-ND	Einstellbarer synchroner 1,5 A Schaltregler, hoher Wirkungsgrad, hoher Wirkungsgrad	Adj. 1.5A, High Efficiency Sync. Switching Reg.	16-TSSOP	4.71	2.58	2.12
LM2651MTC-1.8-ND	Synchroner 1,8 V, 1,5 A Schaltregler, hoher Wirkungsgrad	1.8V, 1.5A, High Efficiency Sync. Switching Reg.	16-TSSOP	2.71	2.57	2.44
LM2651MTC-2.5-ND	Synchroner 2,5 V, 1,5 A Schaltregler, hoher Wirkungsgrad	2.5V, 1.5A, High Efficiency Sync. Switching Reg.	16-TSSOP	2.62	2.49	2.36
LM2651MTC-3.3-ND	Synchroner 3,3 V, 1,5 A Schaltregler, hoher Wirkungsgrad	3.3V, 1.5A, High Efficiency Sync. Switching Reg.	16-TSSOP	2.71	2.57	2.44
LM2653MTC-ADJ-ND	Einstellbarer synchroner 1,5 A Schaltregler, hoher Wirkungsgrad	Adj. 1.5A, High Efficiency Sync. Switching Reg.	16-TSSOP	3.13	2.98	2.83
LM2655MTC-ADJ-ND	Einstellbarer synchroner 2,5 A Schaltregler, hoher Wirkungsgrad	Adj. 2.5A, High Efficiency Sync. Switching Reg.	16-TSSOP	4.77	3.80	3.24
LM2655MTC-3.3-ND	Synchroner 3,3 V, 2,5 A Schaltregler, hoher Wirkungsgrad	3.3V, 2.5A, High Efficiency Sync. Switching Reg.	16-TSSOP	4.77	3.80	3.24
LM2657MTC-ND	Zweif. synchroner Buck-Regler-Controller	Dual Sync. Buck Regulator Controller	28-TSSOP	7.79	6.19	5.29
LM2660M-ND	100 mA Schaltkondensator-Wandler	100mA, Switched Capacitor Converter	8-SOIC	1.11	.88	.84
LM2661M-ND	100 mA Schaltkondensator-Wandler mit Abschaltfunktion	100mA, Switched Capacitor Converter with Shutdown	8-SOIC	1.12	1.06	1.01
LM2662M-ND	Schaltkondensator-Spannungswandler	Switched Capacitor Voltage Converter	8-SOIC	1.85	1.46	1.10
LM2663M-ND	Schaltkondensator-Spannungswandler	Switched Capacitor Voltage Converter	8-SOIC	1.44	1.37	1.30
LM2664M6CT-ND	Schaltkondensator-Spannungswandler, 91 % Effizienz	Switched Capacitor Voltage Converter, 91% Eff.	SOT-23-6	.63	.42	.37

(Forts.)

★ RUFEN SIE BITTE AN FÜR NIEDRIGERE PREISE BEI GRÖSSEREN MENGEN! ★

Alle Preisangaben in Euro und inklusive Zollgebühren.

Digi-Key Teilenr.	Beschreibung		Paket	Stückpreis★ 1	25	100
LM2664M6TR-ND	Schaltkondensator-Spannungswandler, 91 % Effizienz	Switched Capacitor Voltage Converter, 91% Eff.	SOT-23-6		370.00/1,000	
LM2665M6CT-ND	Schaltkondensator-Spannungswandler, 90 % Effizienz	Switched Capacitor Voltage Converter, 90% Eff.	SOT-23-6	.56	.53	.50
LM2665M6TR-ND	Schaltkondensator-Spannungswandler, 90 % Effizienz	Switched Capacitor Voltage Converter, 90% Eff.	SOT-23-6		430.00/1,000	
LM2670S-ADJ-ND	Einstellbarer 3 A Step-Down-Regler mit Synch., einf. Umschalter, hoher Wirkungsgrad	Adj. Simple Switcher High Efficiency 3A Step Down Regulator with Sync.	TO-263-7	3.18	3.02	2.87
LM2670S-3.3-ND	3,3 V,3 A Step-Down-Spannungsregler mit Synch., einf. Umschalter, hoher Wirkungsgrad	3.3V, Simple Switcher High Efficiency 3A Step Down Voltage Regulator with Sync.	TO-263-7	5.61	4.46	3.81
LM2670S-5.0-ND	5 V, 3 A Step-Down-Spannungsregler mit Synch., einf. Umschalter, hoher Wirkungsgrad,	5V, Simple Switcher High Efficiency 3A Step Down Voltage Regulator with Sync.	TO-263-7	3.18	3.02	2.87
LM2670S-12-ND	12 V, 3 A Step-Down-Spannungsregler mit Synch., einf. Umschalter, hoher Wirkungsgrad,	12V, Simple Switcher High Efficiency 3A Step Down Voltage Regulator with Sync.	TO-263-7	5.61	4.46	3.81
LM2670SD-3.3CT-ND	3,3 V, 3 A Step-Down-Spannungsregler mit Synch., einf. Umschalter, hoher Wirkungsgrad,	3.3V, Simple Switcher High Efficiency 3A Step Down Voltage Regulator with Sync.	14-LLP	5.61	4.46	3.81
LM2670SD-3.3TR-ND	3,3 V, 3 A Step-Down-Spannungsregler mit Synch., einf. Umschalter, hoher Wirkungsgrad	3.3V, Simple Switcher High Efficiency 3A Step Down Voltage Regulator with Sync.	14-LLP		897.50/250	
LM2670SD-5.0CT-ND	5 V, 3 A Step-Down-Spannungsregler mit Synch., einf. Umschalter, hoher Wirkungsgrad	5V, Simple Switcher High Efficiency 3A Step Down Voltage Regulator with Sync.	14-LLP	5.61	4.46	3.81
LM2670SD-5.0TR-ND	5 V, 3 A Step-Down-Spannungsregler mit Synch., einf. Umschalter, hoher Wirkungsgrad	5V, Simple Switcher High Efficiency 3A Step Down Voltage Regulator with Sync.	14-LLP		897.50/250	
LM2670SD-12CT-ND	12 V, einf. Umschalter, hoher Wirkungsgrad, 3 A Step-Down-Spannungsregler mit Synch., einf. Umschalter, hoher Wirkungsgrad	12V, Simple Switcher High Efficiency 3A Step Down Voltage Regulator with Sync.	14-LLP	5.61	4.46	3.81
LM2670SD-12TR-ND	12 V, 3 A Step-Down-Spannungsregler mit Synch., einf. Umschalter, hoher Wirkungsgrad	12V, Simple Switcher High Efficiency 3A Step Down Voltage Regulator with Sync.	14-LLP		897.50/250	
LM2670SD-ADJCT-ND	Enstellb. 3 A Step-Down-Spannungsregler mit Synch., einf. Umschalter, hoher Wirkungsgrad	Adj., Simple Switcher High Efficiency 3A Step Down Voltage Regulator with Sync.	14-LLP	5.61	4.46	3.81
LM2670SD-ADJTR-ND	Enstellb. 3 A Step-Down-Spannungsregler mit Synch., einf. Umschalter, hoher Wirkungsgrad	Adj., Simple Switcher High Efficiency 3A Step Down Voltage Regulator with Sync.	14-LLP		897.50/250	
LM2670T-ADJ-ND	Einstellb. 3 A Step-Down-Spannungsregler mit Synch., einf. Umschalter, hoher Wirkungsgrad	Adj. Simple Switcher High Efficiency 3A Step Down Regulator with Sync.	TO-220-7	5.61	4.46	3.81
LM2670T-3.3-ND	3,3 V, 3 A Step-Down-Regler mit Synch., einf. Umschalter, hoher Wirkungsgrad	3.3V, Simple Switcher High Efficiency 3A Step Down Regulator with Sync.	TO-220-7	5.61	4.46	3.81
LM2670T-5.0-ND	5 V, 3 A Step-Down-Regler mit Synch., einf. Umschalter, hoher Wirkungsgrad	5V, Simple Switcher High Efficiency 3A Step Down Regulator with Sync.	TO-220-7	5.61	4.46	3.81
LM2670T-12-ND	12 V, 3 A Step-Down-Regler mit Synch., einf. Umschalter, hoher Wirkungsgrad	12V, Simple Switcher High Efficiency 3A Step Down Regulator with Sync.	TO-220-7	5.61	4.46	3.81
LM2671LD-ADJCT-ND	Einstellb. 500 mA Step-Down-Spannungsregler, einf. Umschalter, hoher Wirkungsgrad	Adj. Simple Switcher High Efficiency 500mA Step Down Voltage Regulator	16-LLP	2.22	2.11	2.00
LM2671LD-ADJTR-ND	Einstellb. 500 mA Step-Down-Spannungsregler, einf. Umschalter, hoher Wirkungsgrad	Adj. Simple Switcher High Efficiency 500mA Step Down Voltage Regulator	16-LLP		1720.00/1,000	
LM2671LD-3.3CT-ND	3,3 V, 500 mA Step-Down-Spannungsregler, einf. Umschalter, hoher Wirkungsgrad	3.3V, Simple Switcher High Efficiency 500mA Step Down Voltage Regulator	16-LLP	3.91	3.11	2.66
LM2671LD-3.3TR-ND	3,3 V, 500 mA Step-Down-Spannungsregler, einf. Umschalter, hoher Wirkungsgrad	3.3V, Simple Switcher High Efficiency 500mA Step Down Voltage Regulator	16-LLP		2270.00/1,000	
LM2671LD-5.0CT-ND	5 V, 500 mA Step-Down-Spannungsregler, einf. Umschalter, hoher Wirkungsgrad	5V, Simple Switcher High Efficiency 500mA Step Down Voltage Regulator	16-LLP	3.91	3.11	2.66
LM2671LD-5.0TR-ND	5 V, 500 mA Step-Down-Spannungsregler, einf. Umschalter, hoher Wirkungsgrad	5V, Simple Switcher High Efficiency 500mA Step Down Voltage Regulator	16-LLP		2270.00/1,000	
LM2671LD-12CT-ND	12 V, 500 mA Step-Down-Spannungsregler, einf. Umschalter, hoher Wirkungsgrad	12V, Simple Switcher High Efficiency 500mA Step Down Voltage Regulator	16-LLP	3.91	3.11	2.66
LM2671LD-12TR-ND	12 V, 500 mA Step-Down-Spannungsregler, einf. Umschalter, hoher Wirkungsgrad	12V, Simple Switcher High Efficiency 500mA Step Down Voltage Regulator	16-LLP		2270.00/1,000	
LM2671M-ADJ-ND	Einstellbarer 500 mA Stromwandler, Step-Down-Spannungsregler. einf. Umschalter, hoher Wirkungsgrad	Adj. Simple Switcher Power Converter High Efficiency 500mA Step Down Voltage Regulator	8-SOIC	2.22	2.11	2.00
LM2671M-3.3-ND	3,3 V, 500 mA Stromwandler, Step-Down-Spannungsregler, einf. Umschalter, hoher Wirkungsgrad	3.3V, Simple Switcher Power Converter High Efficiency 500mA Step Down Voltage Regulator	8-SOIC	2.22	2.11	2.00
LM2671M-5.0-ND	5 V, 500 mA Stromwandler, Step-Down-Spannungsregler, einf. Umschalter, hoher Wirkungsgrad	5V, Simple Switcher Power Converter High Efficiency 500mA Step Down Voltage Regulator	8-SOIC	2.22	2.11	2.00
LM2671M-12-ND	12 V, 500 mA Stromwandler, Step-Down-Spannungsregler, einf. Umschalter, hoher Wirkungsgrad	12V, Simple Switcher Power Converter High Efficiency 500mA Step Down Voltage Regulator	8-SOIC	2.22	2.11	2.00
LM2671N-ADJ-ND	Einstellbarer 500 mA Stromwandler, Step-Down-Spannungsregler. einf. Umschalter, hoher Wirkungsgrad	Adj. Simple Switcher Power Converter High Effiecency 500mA Step Down Voltage Regulator	8-Dip	3.91	3.11	2.66
LM2671N-3.3-ND	3,3 V, 500 mA Stromwandler, Step-Down-Spannungsregler, einf. Umschalter, hoher Wirkungsgrad	3.3V, Simple Switcher Power Converter High Efficiency 500mA Step Down Voltage Regulator	8-Dip	1.50	1.43	1.35
LM2671N-5.0-ND	5 V, 500 mA Stromwandler, Step-Down-Spannungsregler, einf. Umschalter, hoher Wirkungsgrad	5V, Simple Switcher Power Converter High Efficiency 500mA Step Down Voltage Regulator	8-Dip	2.22	2.11	2.00
LM2671N-12-ND	12 V, 500 mA Stromwandler, Step-Down-Spannungsregler, einf. Umschalter, hoher Wirkungsgrad	12V, Simple Switcher Power Converter High Efficiency 500mA Step Down Voltage Regulator	8-Dip	3.91	3.11	2.66
LM2672LD-ADJCT-ND	Einstellbarer 1 A Stromwandler, Step-Down-Spannungsregler. einf. Umschalter, hoher Wirkungsgrad	Adj. Simple Switcher Power Converter High Efficiency 1A Step Down Voltage Regulator	16-LLP	4.98	3.96	3.39
LM2672LD-ADJTR-ND	Einstellbarer 1 A Stromwandler, Step-Down-Spannungsregler. einf. Umschalter, hoher Wirkungsgrad	Adj. Simple Switcher Power Converter High Efficiency 1A Step Down Voltage Regulator	16-LLP		2900.00/1,000	
LM2672LD-3.3CT-ND	3,3 V, 1 A Stromwandler, Step-Down-Spannungsregler, einf. Umschalter, hoher Wirkungsgrad	3.3V, Simple Switcher Power Converter High Efficiency 1A Step Down Voltage Regulator	16-LLP	4.98	3.96	3.39
LM2672LD-3.3TR-ND	3,3 V, 1 A Stromwandler, Step-Down-Spannungsregler, einf. Umschalter, hoher Wirkungsgrad	3.3V, Simple Switcher Power Converter High Efficiency 1A Step Down Voltage Regulator	16-LLP		2900.00/1,000	
LM2672LD-5.0CT-ND	5 V, 1 A Stromwandler, Step-Down-Spannungsregler, einf. Umschalter, hoher Wirkungsgrad	5V, Simple Switcher Power Converter High Efficiency 1A Step Down Voltage Regulator	16-LLP	2.83	2.69	2.55
LM2672LD-5.0TR-ND	5 V, 1 A Stromwandler, Step-Down-Spannungsregler, einf. Umschalter, hoher Wirkungsgrad	5V, Simple Switcher Power Converter High Efficiency 1A Step Down Voltage Regulator	16-LLP		2190.00/1,000	
LM2672LD-12CT-ND	12 V, 1 A Stromwandler, Step-Down-Spannungsregler, einf. Umschalter, hoher Wirkungsgrad	12V, Simple Switcher Power Converter High Efficiency 1A Step Down Voltage Regulator	16-LLP	4.98	3.96	3.39
LM2672LD-12TR-ND	12 V, 1 A Stromwandler, Step-Down-Spannungsregler, einf. Umschalter, hoher Wirkungsgrad	12V, Simple Switcher Power Converter High Efficiency 1A Step Down Voltage Regulator	16-LLP		2900.00/1,000	
LM2672M-ADJ-ND	Einstellbarer 1 A Stromwandler, Step-Down-Spannungsregler. einf. Umschalter, hoher Wirkungsgrad	Adj. Simple Switcher Power Converter High Efficiency 1A Step Down Voltage Regulator	8-SOIC	3.02	2.07	1.97
LM2672M-3.3-ND	3,3 V, 1 A Stromwandler, Step-Down-Spannungsregler, einf. Umschalter, hoher Wirkungsgrad	3.3V, Simple Switcher Power Converter High Efficiency 1A Step Down Voltage Regulator	8-SOIC	2.83	2.69	2.55
LM2672M-5.0-ND	5 V, 1 A Stromwandler, Step-Down-Spannungsregler, einf. Umschalter, hoher Wirkungsgrad	5V, Simple Switcher Power Converter High Efficiency 1A Step Down Voltage Regulator	8-SOIC	3.02	2.07	1.97
LM2672M-12-ND	12 V, 1 A Stromwandler, Step-Down-Spannungsregler, einf. Umschalter, hoher Wirkungsgrad	12V, Simple Switcher Power Converter High Efficiency 1A Step Down Voltage Regulator	8-SOIC	2.83	2.69	2.55
LM2672N-ADJ-ND	Einstellbarer 1 A Stromwandler, Step-Down-Spannungsregler. einf. Umschalter, hoher Wirkungsgrad	Adj. Simple Switcher Power Converter High Efficiency 1A Step Down Voltage Regulator	8-Dip	3.02	2.07	1.97
LM2672N-3.3-ND	3,3 V, 1 A Stromwandler, Step-Down-Spannungsregler, einf. Umschalter, hoher Wirkungsgrad	3.3V, Simple Switcher Power Converter High Efficiency 1A Step Down Voltage Regulator	8-Dip	2.83	2.69	2.55
LM2672N-5.0-ND	5 V, 1 A Stromwandler, Step-Down-Spannungsregler, einf. Umschalter, hoher Wirkungsgrad	5V, Simple Switcher Power Converter High Efficiency 1A Step Down Voltage Regulator	8-Dip	3.02	2.07	1.97
LM2672N-12-ND	12 V, 1 A Stromwandler, Step-Down-Spannungsregler, einf. Umschalter, hoher Wirkungsgrad	12V, Simple Switcher Power Converter High Efficiency 1A Step Down Voltage Regulator	8-Dip	4.98	3.96	3.39
LM2673S-ADJ-ND	Einstellb. 3 A Step-Down-Spannungsregler mit einstellb. Stromgrenze, einf. Umschalter	Adj. Simple Switcher 3A Step Down Voltage Regulator with Adj. Current Limit	TO-263-7	4.95	3.11	2.63
LM2673S-3.3-ND	3,3 V, 3 A Step-Down-Spannungsregler mit einstellb. Stromgrenze, einf. Umschalter	3.3V, Simple Switcher 3A Step Down Voltage Regulator with Adj. Current Limit	TO-263-7	3.18	3.02	2.87
LM2673S-5.0-ND	5 V, 3 A Step-Down-Spannungsregler mit einstellb. Stromgrenze, einf. Umschalter	5V, Simple Switcher 3A Step Down Voltage Regulator with Adj. Current Limit	TO-263-7	4.95	3.11	2.63
LM2673S-12-ND	12 V, 3 A Step-Down-Spannungsregler mit einstellb. Stromgrenze, einf. Umschalter	12V, Simple Switcher 3A Step Down Voltage Regulator with Adj. Current Limit	TO-263-7	3.64	2.51	2.38
LM2673SD-3.3CT-ND	3,3 V, 3 A Step-Down-Spannungsregler mit einstellb. Stromgrenze, einf. Umschalter	3.3V, Simple Switcher 3A Step Down Voltage Regulator with Adj. Current Limit	14-LLP	5.61	4.46	3.81
LM2673SD-3.3TR-ND	3,3 V, 3 A Step-Down-Spannungsregler mit einstellb. Stromgrenze, einf. Umschalter	3.3V, Simple Switcher 3A Step Down Voltage Regulator with Adj. Current Limit	14-LLP		897.50/250	
LM2673SD-5.0CT-ND	5 V, 3 A Step-Down-Spannungsregler mit einstellb. Stromgrenze, einf. Umschalter	5V, Simple Switcher 3A Step Down Voltage Regulator with Adj. Current Limit	14-LLP	5.61	4.46	3.81

(Forts.)

★ RUFEN SIE BITTE AN FÜR NIEDRIGERE PREISE BEI GRÖSSEREN MENGEN! ★

B

Digi-Key Teilenr.	Beschreibung		Paket	Stückpreis★ 1	25	100
LM2673SD-5.0TR-ND	5 V, 3 A Step-Down-Spannungsregler mit einstellb. Stromgrenze, einf. Umschalter	5V, Simple Switcher 3A Step Down Voltage Regulator with Adj. Current Limit	14-LLP		897.50/250	
LM2673SD-12CT-ND	12 V, 3 A Step-Down-Spannungsregler mit einstellb. Stromgrenze, einf. Umschalter	12V, Simple Switcher 3A Step Down Voltage Regulator with Adj. Current Limit	14-LLP	5.61	4.46	3.81
LM2673SD-12TR-ND	12 V, 3 A Step-Down-Spannungsregler mit einstellb. Stromgrenze, einf. Umschalter	12V, Simple Switcher 3A Step Down Voltage Regulator with Adj. Current Limit	14-LLP		897.50/250	
LM2673SD-ADJCT-ND	Einstellb. 3 A Step-Down-Spannungsregler mit einstellb. Stromgrenze, einf. Umschalter	Adj., Simple Switcher 3A Step Down Voltage Regulator with Adj. Current Limit	14-LLP	5.61	4.46	3.81
LM2673SD-ADJTR-ND	Einstellb. 3 A Step-Down-Spannungsregler mit einstellb. Stromgrenze, einf. Umschalter	Adj., Simple Switcher 3A Step Down Voltage Regulator with Adj. Current Limit	14-LLP		897.50/250	
LM2673T-ADJ-ND	Einstellb. 3 A Step-Down-Spannungsregler mit einstellb. Stromgrenze, einf. Umschalter	Adj. Simple Switcher 3A Step Down Voltage Regulator with Adj. Current Limit	TO-220-7	3.64	2.51	2.38
LM2673T-3.3-ND	3,3 V, 3 A Step-Down-Spannungsregler mit einstellb. Stromgrenze, einf. Umschalter	3.3V, Simple Switcher 3A Step Down Voltage Regulator with Adj. Current Limit	TO-220-7	5.61	4.46	3.81
LM2673T-5.0-ND	5 V, 3 A Step-Down-Spannungsregler mit einstellb. Stromgrenze, einf. Umschalter	5V, Simple Switcher 3A Step Down Voltage Regulator with Adj. Current Limit	TO-220-7	3.64	2.51	2.38
LM2673T-12-ND	12 V, 3 A Step-Down-Spannungsregler mit einstellb. Stromgrenze, einf. Umschalter	12V, Simple Switcher 3A Step Down Voltage Regulator with Adj. Current Limit	TO-220-7	3.64	2.51	2.38
LM2674LD-ADJCT-ND	Einstellbarer 500 mA Stromwandler, Step-Down-Spannungsregler. einf. Umschalter, hoher Wirkungsgrad	Adj. Simple Switcher Power Converter High Efficiency 500mA Step Down Voltage Regulator	16-LLP	3.70	2.94	2.51
LM2674LD-ADJTR-ND	Einstellbarer 500 mA Stromwandler, Step-Down-Spannungsregler. einf. Umschalter, hoher Wirkungsgrad	Adj. Simple Switcher Power Converter High Efficiency 500mA Step Down Voltage Regulator	16-LLP		2150.00/1,000	
LM2674LD-3.3CT-ND	3,3 V, 500 mA Stromwandler, Step-Down-Spannungsregler, einf. Umschalter, hoher Wirkungsgrad	3.3V, Simple Switcher Power Converter High Efficiency 500mA Step Down Voltage Regulator	16-LLP	3.70	2.94	2.51
LM2674LD-3.3TR-ND	3,3 V, 500 mA Stromwandler, Step-Down-Spannungsregler, einf. Umschalter, hoher Wirkungsgrad	3.3V, Simple Switcher Power Converter High Efficiency 500mA Step Down Voltage Regulator	16-LLP		2150.00/1,000	
LM2674LD-5.0CT-ND	5 V, 500 mA Stromwandler, Step-Down-Spannungsregler, einf. Umschalter, hoher Wirkungsgrad	5V, Simple Switcher Power Converter High Efficiency 500mA Step Down Voltage Regulator	16-LLP	3.70	2.94	2.51
LM2674LD-5.0TR-ND	5 V, 500 mA Stromwandler, Step-Down-Spannungsregler, einf. Umschalter, hoher Wirkungsgrad	5V, Simple Switcher Power Converter High Efficiency 500mA Step Down Voltage Regulator	16-LLP		2150.00/1,000	
LM2674LD-12CT-ND	12 V, 500 mA Stromwandler, Step-Down-Spannungsregler, einf. Umschalter, hoher Wirkungsgrad	12V, Simple Switcher Power Converter High Efficiency 500mA Step Down Voltage Regulator	16-LLP	3.70	2.94	2.51
LM2674LD-12TR-ND	12 V, 500 mA Stromwandler, Step-Down-Spannungsregler, einf. Umschalter, hoher Wirkungsgrad	12V, Simple Switcher Power Converter High Efficiency 500mA Step Down Voltage Regulator	16-LLP		2150.00/1,000	
LM2674M-ADJ-ND	Einstellbarer 500 mA Stromwandler, Step-Down-Spannungsregler. einf. Umschalter, hoher Wirkungsgrad	Adj. Simple Switcher Power Converter High Efficiency 500mA Step Down Voltage Regulator	8-SOIC	1.66	1.58	1.50
LM2674M-3.3-ND	3,3 V, 500 mA Stromwandler, Step-Down-Spannungsregler, einf. Umschalter, hoher Wirkungsgrad	3.3V, Simple Switcher Power Converter High Efficiency 500mA Step Down Voltage Regulator	8-SOIC	2.10	1.99	1.89
LM2674M-5.0-ND	5 V, 500 mA Stromwandler, Step-Down-Spannungsregler, einf. Umschalter, hoher Wirkungsgrad	5V, Simple Switcher Power Converter High Efficiency 500mA Step Down Voltage Regulator	8-SOIC	2.08	1.98	1.88
LM2674M-12-ND	12 V, 500 mA Stromwandler, Step-Down-Spannungsregler, einf. Umschalter, hoher Wirkungsgrad	12V, Simple Switcher Power Converter High Efficiency 500mA Step Down Voltage Regulator	8-SOIC	2.10	1.99	1.89
LM2674N-ADJ-ND	Einstellbarer 500 mA Stromwandler, Step-Down-Spannungsregler. einf. Umschalter, hoher Wirkungsgrad	Adj. Simple Switcher Power Converter High Efficiency 500mA Step Down Voltage Regulator	8-Dip	2.10	1.99	1.89
LM2674N-3.3-ND	3,3 V, 500 mA Stromwandler, Step-Down-Spannungsregler, einf. Umschalter, hoher Wirkungsgrad	3.3V, Simple Switcher Power Converter High Efficiency 500mA Step Down Voltage Regulator	8-Dip	2.10	1.99	1.89
LM2674N-5.0-ND	5 V, 500 mA Stromwandler, Step-Down-Spannungsregler, einf. Umschalter, hoher Wirkungsgrad	5V, Simple Switcher Power Converter High Efficiency 500mA Step Down Voltage Regulator	8-Dip	2.10	1.99	1.89
LM2674N-12-ND	12 V, 500 mA Stromwandler, Step-Down-Spannungsregler, einf. Umschalter, hoher Wirkungsgrad	12V, Simple Switcher Power Converter High Efficiency 500mA Step Down Voltage Regulator	8-Dip	3.70	2.94	2.51
LM2675LD-ADJCT-ND	Einstellbarer 1 A Stromwandler, Step-Down-Spannungsregler. einf. Umschalter, hoher Wirkungsgrad	Adj. Simple Switcher Power Converter High Efficiency 1A Step Down Voltage Regulator	16-LLP	2.71	2.57	2.44
LM2675LD-ADJTR-ND	Einstellbarer 1 A Stromwandler, Step-Down-Spannungsregler. einf. Umschalter, hoher Wirkungsgrad	Adj. Simple Switcher Power Converter High Efficiency 1A Step Down Voltage Regulator	16-LLP		2090.00/1,000	
LM2675LD-3.3CT-ND	3,3 V, 1 A Stromwandler, Step-Down-Spannungsregler, einf. Umschalter, hoher Wirkungsgrad	3.3V, Simple Switcher Power Converter High Efficiency 1A Step Down Voltage Regulator	16-LLP	4.77	3.80	3.24
LM2675LD-3.3TR-ND	3,3 V, 1 A Stromwandler, Step-Down-Spannungsregler, einf. Umschalter, hoher Wirkungsgrad	3.3V, Simple Switcher Power Converter High Efficiency 1A Step Down Voltage Regulator	16-LLP		2780.00/1,000	
LM2675LD-5.0CT-ND	5 V, 1 A Stromwandler, Step-Down-Spannungsregler, einf. Umschalter, hoher Wirkungsgrad	5V, Simple Switcher Power Converter High Efficiency 1A Step Down Voltage Regulator	16-LLP	2.71	2.57	2.44
LM2675LD-5.0TR-ND	5 V, 1 A Stromwandler, Step-Down-Spannungsregler, einf. Umschalter, hoher Wirkungsgrad	5V, Simple Switcher Power Converter High Efficiency 1A Step Down Voltage Regulator	16-LLP		2090.00/1,000	
LM2675LD-12CT-ND	12 V, 1 A Stromwandler, Step-Down-Spannungsregler, einf. Umschalter, hoher Wirkungsgrad	12V, Simple Switcher Power Converter High Efficiency 1A Step Down Voltage Regulator	16-LLP	4.77	3.80	3.24
LM2675LD-12TR-ND	12 V, 1 A Stromwandler, Step-Down-Spannungsregler, einf. Umschalter, hoher Wirkungsgrad	12V, Simple Switcher Power Converter High Efficiency 1A Step Down Voltage Regulator	16-LLP		2780.00/1,000	
LM2675M-ADJ-ND	Einstellbarer 1 A Stromwandler, Step-Down-Spannungsregler. einf. Umschalter, hoher Wirkungsgrad	Adj. Simple Switcher Power Converter High Efficiency 1A Step Down Voltage Regulator	8-SOIC	2.72	1.87	1.78
LM2675M-3.3-ND	5 V, 1 A Step-Down-Spannungsregler, Umschalter, hoher Wirkungsgrad	3.3V, Simple Switcher Power Converter High Efficiency 1A Step Down Voltage Regulator	8-SOIC	2.72	1.87	1.78
LM2675M-5.0-ND	5 V, 1 A Step-Down-Spannungsregler, einf. Umschalter	5V, High-Efficiency Switcher, 1A, Step-Down Voltage Regulator	8-SOIC	2.72	1.87	1.78
LM2675M-12-ND	12 V, 1 A Stromwandler, Step-Down-Spannungsregler, einf. Umschalter, hoher Wirkungsgrad	12V, Simple Switcher Power Converter High Efficiency 1A Step Down Voltage Regulator	8-SOIC	2.71	2.57	2.44
LM2675N-ADJ-ND	Einstellbarer 1 A Stromwandler, Step-Down-Spannungsregler. einf. Umschalter, hoher Wirkungsgrad	Adj. Simple Switcher Power Converter High Efficiency 1A Step Down Voltage Regulator	8-Dip	2.71	2.57	2.44
LM2675N-3.3-ND	3,3 V, 1 A Stromwandler, Step-Down-Spannungsregler, einf. Umschalter, hoher Wirkungsgrad	3.3V, Simple Switcher Power Converter High Efficiency 1A Step Down Voltage Regulator	8-Dip	2.71	2.57	2.44
LM2675N-5.0-ND	5 V, 1 A Stromwandler, Step-Down-Spannungsregler, einf. Umschalter, hoher Wirkungsgrad	5V, Simple Switcher Power Converter High Efficiency 1A Step Down Voltage Regulator	8-Dip	2.69	1.85	1.76
LM2675N-12-ND	12 V, 1 A Stromwandler, Step-Down-Spannungsregler, einf. Umschalter, hoher Wirkungsgrad	12V, Simple Switcher Power Converter High Efficiency 1A Step Down Voltage Regulator	8-Dip	2.71	2.57	2.44
LM2676S-ADJ-ND	Einstellb. 3 A Step-Down-Spannungsregler, einf. Umschalter, hoher Wirkungsgrad,	Adj. Simple Switcher High Efficiency 3A Step Down Voltage Regulator	TO-263-7	3.03	2.88	2.74
LM2676S-3.3-ND	3,3 V, 3 A Step-Down-Spannungsregler, einf. Umschalter, hoher Wirkungsgrad	3.3V, Simple Switcher High Efficiency 3A Step Down Voltage Regulator	TO-263-7	3.03	2.88	2.74
LM2676S-5.0-ND	5 V, 3 A Step-Down-Spannungsregler, einf. Umschalter, hoher Wirkungsgrad	5V, Simple Switcher High Efficiency 3A Step Down Voltage Regulator	TO-263-7	3.03	2.88	2.74
LM2676S-12-ND	12 V, 3 A Step-Down-Spannungsregler, einf. Umschalter, hoher Wirkungsgrad	12V, Simple Switcher High Efficiency 3A Step Down Voltage Regulator	TO-263-7	3.03	2.88	2.74
LM2676SD-3.3CT-ND	3,3 V, 3 A Step-Down-Spannungsregler, einf. Umschalter, hoher Wirkungsgrad	3.3V, Simple Switcher High Efficiency 3A Step Down Voltage Regulator	14-LLP	5.34	4.25	3.63
LM2676SD-3.3TR-ND	3,3 V, 3 A Step-Down-Spannungsregler, einf. Umschalter, hoher Wirkungsgrad	3.3V, Simple Switcher High Efficiency 3A Step Down Voltage Regulator	14-LLP		855.00/250	
LM2676SD-5.0CT-ND	5 V, 3 A Step-Down-Spannungsregler, einf. Umschalter, hoher Wirkungsgrad	5V, Simple Switcher High Efficiency 3A Step Down Voltage Regulator	14-LLP	5.34	4.25	3.63
LM2676SD-5.0TR-ND	5 V, 3 A Step-Down-Spannungsregler, einf. Umschalter, hoher Wirkungsgrad	5V, Simple Switcher High Efficiency 3A Step Down Voltage Regulator	14-LLP		855.00/250	
LM2676SD-12CT-ND	12 V, 3 A Step-Down-Spannungsregler, einf. Umschalter, hoher Wirkungsgrad	12V, Simple Switcher High Efficiency 3A Step Down Voltage Regulator	14-LLP	5.34	4.25	3.63
LM2676SD-12TR-ND	12 V, 3 A Step-Down-Spannungsregler, einf. Umschalter, hoher Wirkungsgrad	12V, Simple Switcher High Efficiency 3A Step Down Voltage Regulator	14-LLP		855.00/250	
LM2676SD-ADJCT-ND	Einstellb. 3 A Step-Down-Spannungsregler, einf. Umschalter, hoher Wirkungsgrad,	Adj., Simple Switcher High Efficiency 3A Step Down Voltage Regulator	14-LLP	5.34	4.25	3.63
LM2676SD-ADJTR-ND	Einstellb. 3 A Step-Down-Spannungsregler, einf. Umschalter, hoher Wirkungsgrad,	Adj., Simple Switcher High Efficiency 3A Step Down Voltage Regulator	14-LLP		855.00/250	
LM2676T-ADJ-ND	Einstellb. 3 A Step-Down-Spannungsregler, einf. Umschalter, hoher Wirkungsgrad,	Adj. Simple Switcher High Efficiency 3A Step Down Voltage Regulator	TO-220-7	3.96	2.90	2.40
LM2676T-3.3-ND	3,3 V, 3 A Step-Down-Spannungsregler, einf. Umschalter, hoher Wirkungsgrad	3.3V, Simple Switcher High Efficiency 3A Step Down Voltage Regulator	TO-220-7	3.03	2.88	2.74
LM2676T-5.0-ND	5 V, 3 A Step-Down-Spannungsregler, einf. Umschalter, hoher Wirkungsgrad	5V, Simple Switcher High Efficiency 3A Step Down Voltage Regulator	TO-220-7	3.96	2.90	2.40
LM2676T-12-ND	12 V, 3 A Step-Down-Spannungsregler, einf. Umschalter, hoher Wirkungsgrad	12V, Simple Switcher High Efficiency 3A Step Down Voltage Regulator	TO-220-7	3.96	2.90	2.40
LM2677S-ADJ-ND	Einstellb. 5 A Step-Down-Spannungsregler mit Synch., einf. Umschalter, hoher Wirkungsgrad	Adj. Simple Switcher High Efficiency 5A Step Down Voltage Regulator with Sync.	TO-263-7	6.04	5.74	5.46
LM2677S-3.3-ND	3,3 V, 5 A Step-Down-Spannungsregler mit Synch., einf. Umschalter, hoher Wirkungsgrad	3.3V, Simple Switcher High Efficiency 5A Step Down Voltage Regulator with Sync.	TO-263-7	10.65	8.47	7.24
LM2677S-5.0-ND	5 V, 5 A Step-Down-Spannungsregler mit Synch., einf. Umschalter, hoher Wirkungsgrad	5V, Simple Switcher High Efficiency 5A Step Down Voltage Regulator with Sync.	TO-263-7	10.65	8.47	7.24
LM2677S-12-ND	12 V, 5 A Step-Down-Spannungsregler mit Synch., einf. Umschalter, hoher Wirkungsgrad	12V, Simple Switcher High Efficiency 5A Step Down Voltage Regulator with Sync.	TO-263-7	10.65	8.47	7.24

(Forts.)

★ RUFEN SIE BITTE AN FÜR NIEDRIGERE PREISE BEI GRÖSSEREN MENGEN! ★

Alle Preisangaben in Euro und inklusive Zollgebühren.

Digi-Key Teilenr.	Beschreibung		Paket	Stückpreis★ 1	25	100
LM2677SD-3.3CT-ND	3,3 V, 5 A Step-Down-Spannungsregler mit Synch., einf. Umschalter, hoher Wirkungsgrad	3.3V, Simple Switcher High Efficiency 5A Step Down Voltage Regulator with Sync.	14-LLP	10.65	8.47	7.24
LM2677SD-3.3TR-ND	3,3 V, 5 A Step-Down-Spannungsregler mit Synch., einf. Umschalter, hoher Wirkungsgrad	3.3V, Simple Switcher High Efficiency 5A Step Down Voltage Regulator with Sync.	14-LLP		1705.00/250	
LM2677SD-5.0CT-ND	5 V, 5 A Step-Down-Spannungsregler mit Synch., einf. Umschalter, hoher Wirkungsgrad	5V, Simple Switcher High Efficiency 5A Step Down Voltage Regulator with Sync.	14-LLP	10.65	8.47	7.24
LM2677SD-5.0TR-ND	5 V, 5 A Step-Down-Spannungsregler mit Synch., einf. Umschalter, hoher Wirkungsgrad	5V, Simple Switcher High Efficiency 5A Step Down Voltage Regulator with Sync.	14-LLP		1705.00/250	
LM2677SD-12CT-ND	12 V, 5 A Step-Down-Spannungsregler mit Synch., einf. Umschalter, hoher Wirkungsgrad	12V, Simple Switcher High Efficiency 5A Step Down Voltage Regulator with Sync.	14-LLP	10.65	8.47	7.24
LM2677SD-12TR-ND	12 V, 5 A Step-Down-Spannungsregler mit Synch., einf. Umschalter, hoher Wirkungsgrad	12V, Simple Switcher High Efficiency 5A Step Down Voltage Regulator with Sync.	14-LLP		1705.00/250	
LM2677SD-ADJCT-ND	Einstellb. 5 A Step-Down-Spannungsregler mit Synch., einf. Umschalter, hoher Wirkungsgrad	Adj., Simple Switcher High Efficiency 5A Step Down Voltage Regulator with Sync.	14-LLP	10.65	8.47	7.24
LM2677SD-ADJTR-ND	Einstellb. 5 A Step-Down-Spannungsregler mit Synch., einf. Umschalter, hoher Wirkungsgrad	Adj., Simple Switcher High Efficiency 5A Step Down Voltage Regulator with Sync.	14-LLP		1705.00/250	
LM2677T-ADJ-ND	Einstellb. 5 A Step-Down-Spannungsregler mit Synch., einf. Umschalter, hoher Wirkungsgrad	Adj. Simple Switcher High Efficiency 5A Step Down Voltage Regulator with Sync.	TO-220-7	6.04	5.74	5.46
LM2677T-3.3-ND	3,3 V, 5 A Step-Down-Spannungsregler mit Synch., einf. Umschalter, hoher Wirkungsgrad	3.3V, Simple Switcher High Efficiency 5A Step Down Voltage Regulator with Sync.	TO-220-7	10.65	8.47	7.24
LM2677T-5.0-ND	5 V, 5 A Step-Down-Spannungsregler mit Synch., einf. Umschalter, hoher Wirkungsgrad	5V, Simple Switcher High Efficiency 5A Step Down Voltage Regulator with Sync.	TO-220-7	10.65	8.47	7.24
LM2677T-12-ND	12 V, 5 A Step-Down-Spannungsregler mit Synch., einf. Umschalter, hoher Wirkungsgrad	12V, Simple Switcher High Efficiency 5A Step Down Voltage Regulator with Sync.	TO-220-7	10.65	8.47	7.24
LM2678S-ADJ-ND	Einstellb. einf. Umschalter, hoher Wirkungsgrad, 5 A Step-Down-Spannungsregler	Adj. Simple Switcher High Efficiency 5A Step Down Voltage Regulator	TO-263-7	5.03	4.78	4.54
LM2678S-3.3-ND	3,3 V, 5 A Step-Down-Spannungsregler, einf. Umschalter, hoher Wirkungsgrad	3.3V, Simple Switcher High Efficiency 5A Step Down Voltage Regulator	TO-263-7	5.03	4.78	4.54
LM2678S-5.0-ND	5 V, 5 A Step-Down-Spannungsregler, einf. Umschalter, hoher Wirkungsgrad	5V, Simple Switcher High Efficiency 5A Step Down Voltage Regulator	TO-263-7	5.03	4.78	4.54
LM2678S-12-ND	12 V, 5 A Step-Down-Spannungsregler, einf. Umschalter, hoher Wirkungsgrad	12V, Simple Switcher High Efficiency 5A Step Down Voltage Regulator	TO-263-7	5.03	4.78	4.54
LM2678SD-3.3CT-ND	3,3 V, 5 A Step-Down-Spannungsregler, einf. Umschalter, hoher Wirkungsgrad	3.3V, Simple Switcher High Efficiency 5A Step Down Voltage Regulator	14-LLP	8.86	7.05	6.02
LM2678SD-3.3TR-ND	3,3 V, 5 A Step-Down-Spannungsregler, einf. Umschalter, hoher Wirkungsgrad	3.3V, Simple Switcher High Efficiency 5A Step Down Voltage Regulator	14-LLP		1420.00/250	
LM2678SD-5.0CT-ND	5 V, 5 A Step-Down-Spannungsregler, einf. Umschalter, hoher Wirkungsgrad	5V, Simple Switcher High Efficiency 5A Step Down Voltage Regulator	14-LLP	8.86	7.05	6.02
LM2678SD-5.0TR-ND	5 V, 5 A Step-Down-Spannungsregler, einf. Umschalter, hoher Wirkungsgrad	5V, Simple Switcher High Efficiency 5A Step Down Voltage Regulator	14-LLP		1420.00/250	
LM2678SD-12CT-ND	12 V, 5 A Step-Down-Spannungsregler, einf. Umschalter, hoher Wirkungsgrad	12V, Simple Switcher High Efficiency 5A Step Down Voltage Regulator	14-LLP	8.86	7.05	6.02
LM2678SD-12TR-ND	12 V, 5 A Step-Down-Spannungsregler, einf. Umschalter, hoher Wirkungsgrad	12V, Simple Switcher High Efficiency 5A Step Down Voltage Regulator	14-LLP		1420.00/250	
LM2678SD-ADJCT-ND	Einstellb. 5 A Step-Down-Spannungsregler, einf. Umschalter, hoher Wirkungsgrad	Adj., Simple Switcher High Efficiency 5A Step Down Voltage Regulator	14-LLP	8.86	7.05	6.02
LM2678SD-ADJTR-ND	Einstellb. 5 A Step-Down-Spannungsregler, einf. Umschalter, hoher Wirkungsgrad	Adj., Simple Switcher High Efficiency 5A Step Down Voltage Regulator	14-LLP		1420.00/250	
LM2678T-ADJ-ND	Einstellb. 5 A Step-Down-Spannungsregler, einf. Umschalter, hoher Wirkungsgrad	Adj. Simple Switcher High Efficiency 5A Step Down Voltage Regulator	TO-220-7	4.36	3.27	3.11
LM2678T-3.3-ND	3,3 V, 5 A Step-Down-Spannungsregler, einf. Umschalter, hoher Wirkungsgrad	3.3V, Simple Switcher High Efficiency 5A Step Down Voltage Regulator	TO-220-7	5.03	4.78	4.54
LM2678T-5.0-ND	5V, 5 A Step-Down-Spannungsregler, einf. Umschalter, hoher Wirkungsgrad	5V, Simple Switcher High Efficiency 5A Step Down Voltage Regulator	TO-220-7	4.36	3.27	3.11
LM2678T-12-ND	12 V, 5 A Step-Down-Spannungsregler, einf. Umschalter, hoher Wirkungsgrad	12V, Simple Switcher High Efficiency 5A Step Down Voltage Regulator	TO-220-7	4.16	3.95	3.75
LM2679S-ADJ-ND	Einstellb. 5 A Step-Down-Regler mit einstellb. Stromgrenze, einf. Umschalter, hoher Wirkungsgrad	Adj. Simple Switcher High Efficiency 5A Step Down Regulator with Adj. Current Limit	TO-263-7	9.37	7.45	6.37
LM2679S-3.3-ND	3,3 V, 5 A Step-Down-Regler mit einstellb. Stromgrenze, einf. Umschalter, hoher Wirkungsgrad	3.3V, Simple Switcher High Efficiency 5A Step Down Regulator with Adj. Current Limit	TO-263-7	5.32	5.05	4.80
LM2679S-5.0-ND	5 V, 5 A Step-Down-Regler mit einstellb. Stromgrenze, einf. Umschalter, hoher Wirkungsgrad	5V, Simple Switcher High Efficiency 5A Step Down Regulator with Adj. Current Limit	TO-263-7	5.71	3.61	3.43
LM2679S-12-ND	12 V, 5 A Step-Down-Regler mit einstellb. Stromgrenze, einf. Umschalter, hoher Wirkungsgrad	12V, Simple Switcher High Efficiency 5A Step Down Regulator with Adj. Current Limit	TO-263-7	9.37	7.45	6.37
LM2679SD-3.3CT-ND	3,3 V, 5 A Step-Down-Regler mit einstellb. Stromgrenze, einf. Umschalter, hoher Wirkungsgrad	3.3V, Simple Switcher High Efficiency 5A Step Down Regulator with Adj. Current Limit	14-LLP	9.37	7.45	6.37
LM2679SD-3.3TR-ND	3,3 V, 5 A Step-Down-Regler mit einstellb. Stromgrenze, einf. Umschalter, hoher Wirkungsgrad	3.3V, Simple Switcher High Efficiency 5A Step Down Regulator with Adj. Current Limit	14-LLP		1500.00/250	
LM2679SD-5.0CT-ND	5 V, 5 A Step-Down-Regler mit einstellb. Stromgrenze, einf. Umschalter, hoher Wirkungsgrad	5V, Simple Switcher High Efficiency 5A Step Down Regulator with Adj. Current Limit	14-LLP	9.37	7.45	6.37
LM2679SD-5.0TR-ND	5 V, 5 A Step-Down-Regler mit einstellb. Stromgrenze, einf. Umschalter, hoher Wirkungsgrad	5V, Simple Switcher High Efficiency 5A Step Down Regulator with Adj. Current Limit	14-LLP		1500.00/250	
LM2679SD-12CT-ND	12 V, 5 A Step-Down-Regler mit einstellb. Stromgrenze, einf. Umschalter, hoher Wirkungsgrad	12V, Simple Switcher High Efficiency 5A Step Down Regulator with Adj. Current Limit	14-LLP	9.37	7.45	6.37
LM2679SD-12TR-ND	12 V, 5 A Step-Down-Regler mit einstellb. Stromgrenze, einf. Umschalter, hoher Wirkungsgrad	12V, Simple Switcher High Efficiency 5A Step Down Regulator with Adj. Current Limit	14-LLP		1500.00/250	
LM2679SD-ADJCT-ND	Einstellb. 5 A Step-Down-Regler mit einstellb. Stromgrenze, einf. Umschalter, hoher Wirkungsgrad	Adj., Simple Switcher High Efficiency 5A Step Down Regulator with Adj. Current Limit	14-LLP	9.37	7.45	6.37
LM2679SD-ADJTR-ND	Einstellb. 5 A Step-Down-Regler mit einstellb. Stromgrenze, einf. Umschalter, hoher Wirkungsgrad	Adj., Simple Switcher High Efficiency 5A Step Down Regulator with Adj. Current Limit	14-LLP		1500.00/250	
LM2679T-ADJ-ND	Einstellb. 5 A Step-Down-Regler mit einstellb. Stromgrenze, einf. Umschalter, hoher Wirkungsgrad	Adj. Simple Switcher High Efficiency 5A Step Down Regulator with Adj. Current Limit	TO-220-7	4.39	4.17	3.96
LM2679T-3.3-ND	3,3 V, 5 A Step-Down-Regler mit einstellb. Stromgrenze, einf. Umschalter, hoher Wirkungsgrad	3.3V, Simple Switcher High Efficiency 5A Step Down Regulator with Adj. Current Limit	TO-220-7	9.37	7.45	6.37
LM2679T-5.0-ND	5 V, 5 A Step-Down-Regler mit einstellb. Stromgrenze, einf. Umschalter, hoher Wirkungsgrad	5V, Simple Switcher High Efficiency 5A Step Down Regulator with Adj. Current Limit	TO-220-7	5.32	5.05	4.80
LM2679T-12-ND	12 V, 5 A Step-Down-Regler mit einstellb. Stromgrenze, einf. Umschalter, hoher Wirkungsgrad	12V, Simple Switcher High Efficiency 5A Step Down Regulator with Adj. Current Limit	TO-220-7	5.32	5.05	4.80
LM2681M6CT-ND	Schaltkondensator-Spannungswandler	Switched Capacitor Volt Converter	SOT-23-6	.90	.71	.61
LM2681M6TR-ND	Schaltkondensator-Spannungswandler	Switched Capacitor Volt Converter	SOT-23-6		520.00/1,000	
LM2682M-ND	Schaltkondensator-Spannungsdopplungs-Inverter	Switched Capacitor Volt Doubling Inverter	8-SOIC	1.61	1.28	1.09
LM2682MMCT-ND	Schaltkondensator-Spannungsdopplungs-Inverter	Switched Capacitor Volt Doubling Inverter	8-MSOP	.91	.87	.83
LM2682MMTR-ND	Schaltkondensator-Spannungsdopplungs-Inverter	Switched Capacitor Volt Doubling Inverter	8-MSOP		710.00/1,000	
LM2685MTC-ND	Geregelter Schaltkondensator-Spannungswandler, zwei Ausgänge	Dual Out Reg. Switched Capacitor Volt. Converter	14-TSSOP	1.91	1.82	1.73
LM2686MTC-ND	Geregelter Schaltkondensator-Spannungswandler	Regulated Switched Capacitor Voltage Converter	14-TSSOP	1.91	1.82	1.73
LM2687LDCT-ND	Rauscharmer geregelter Schaltkondensator-Spannungsinverter	Low Noise Regulated Switched Capacitor Volt. Inverter	8-LLP	1.64	1.30	1.11
LM2687LDTR-ND	Rauscharmer geregelter Schaltkondensator-Spannungsinverter	Low Noise Regulated Switched Capacitor Volt. Inverter	8-LLP		950.00/1,000	
LM2687MMCT-ND	Rauscharmer geregelter Schaltkondensator-Spannungsinverter	Low Noise Regulated Switched Capacitor Volt. Inverter	8-MSOP	.95	.66	.63
LM2687MMTR-ND	Rauscharmer geregelter Schaltkondensator-Spannungsinverter	Low Noise Regulated Switched Capacitor Volt. Inverter	8-MSOP		570.00/1,000	
LM2698MM-ADJCT-ND	Einstellbarer 1,35 A Boost-Regler, einf. Umschalter	Adj. 1.35A Simple Switcher Boost Regulator	8-MSOP	2.95	2.80	2.66
LM2698MM-ADJTR-ND	Einstellbarer 1,35 A Boost-Regler, einf. Umschalter	Adj. 1.35A Simple Switcher Boost Regulator	8-MSOP		2290.00/1,000	
LM2700LD-ADJCT-ND	600 kHz/1,25 MHz, 2,5 A Step-Up PWM DC/DC-Wandler	600kHz/1.25MHz, 2.5A, Step-Up PWM DC-DC Converter	14-LLP	5.46	4.34	3.71
LM2700LD-ADJTR-ND	600 kHz/1,25 MHz, 2,5 A Step-Up PWM DC/DC-Wandler	600kHz/1.25MHz, 2.5A, Step-Up PWM DC-DC Converter	14-LLP		3180.00/1,000	
LM2700MT-ADJ-ND	600 kHz/1,25 MHz, 2,5 A Step-Up PWM DC/DC-Wandler	600kHz/1.25MHz, 2.5A, Step-Up PWM DC-DC Converter	14-TSSOP	2.62	2.49	2.36
LM2702MT-ADJ-ND	TFT-Plattenmodul	TFT Panel Module	16-TSSOP	3.97	3.16	2.70
LM2703MF-ADJCT-ND	Einstellb. Micropower-Step-Up-DC/DC-Wandler	Adj. Micropower Step-Up DC-DC Converter	SOT-23-5	1.37	1.30	1.23
LM2703MF-ADJTR-ND	Einstellb. Micropower-Step-Up-DC/DC-Wandler	Adj. Micropower Step-Up DC-DC Converter	SOT-23-5		1050.00/1,000	
LM2704MF-ADJCT-ND	Einstellb. Micropower-Step-Up-DC/DC-Wandler	Adj. Micropower Step-Up DC-DC Converter	SOT-23-5	1.45	1.38	1.31
LM2704MF-ADJTR-ND	Einstellb. Micropower-Step-Up-DC/DC-Wandler	Adj. Micropower Step-Up DC-DC Converter	SOT-23-5		1130.00/1,000	
LM2705MF-ADJCT-ND	Step-Up-DC/DC-Wandler mit 150 mA, Stromspitzengrenze	Step-Up DC-DC Converter w/150mA Peak Current Limit	SOT-23-5	1.32	1.25	1.19
LM2705MF-ADJTR-ND	Step-Up-DC/DC-Wandler mit 150 mA, Stromspitzengrenze	Step-Up DC-DC Converter w/150mA Peak Current Limit	SOT-23-5		1020.00/1,000	
LM2715MT-ADJ-ND	TFT-Plattenmodul	TFT Panel Module	16-TSSOP	3.70	2.94	2.51
LM2716MT-ND	Zweif. PWM-DC/DC-Wandler	Dual PWM DC-DC Converter	24-TSSOP	3.86	3.67	3.48
LM2722M-ND	Synch./Asynch. MOSFET-Treiber, HS	High Speed Sync./Async. MOSFET Driver	8-SOIC	2.10	1.99	1.89
LM2724ALDCT-ND	3 A synch. MOSFET-Treiber, HS	High Speed 3A Sync. MOSFET Driver	8-LLP	3.70	2.94	2.51
LM2724ALDTR-ND	3 A synch. MOSFET-Treiber, HS	High Speed 3A Sync. MOSFET Driver	8-LLP		2150.00/1,000	
LM2724AM-ND	3 A synch. MOSFET-Treiber, HS	High Speed 3A Sync. MOSFET Driver	8-SOIC	2.10	1.99	1.89
LM2724ASDCT-ND	3 A synch. MOSFET-Treiber, HS	High Speed 3A Sync. MOSFET Driver	8-SOIC	3.70	2.94	2.51
LM2724ASDTR-ND	3 A synch. MOSFET-Treiber, HS	High Speed 3A Sync. MOSFET Driver	8-SOIC		2150.00/1,000	

(Forts.)

★ RUFEN SIE BITTE AN FÜR NIEDRIGERE PREISE BEI GRÖSSEREN MENGEN! ★

B

Digi-Key Teilenr.	Beschreibung		Paket	Stückpreis★ 1	25	100
LM2724LDCT-ND	3 A synch. MOSFET-Treiber, HS	High Speed 3A Sync. MOSFET Driver	8-LLP	3.70	2.94	2.51
LM2724LDTR-ND	3 A synch. MOSFET-Treiber, HS	High Speed 3A Sync. MOSFET Driver	8-LLP		2150.00/1,000	
LM2724M-ND	3 A synch. MOSFET-Treiber, HS	High Speed 3A Sync. MOSFET Driver	8-SOIC	3.70	2.94	2.51
LM2725M-ND	Synch. MOSFET-Treiber, HS	High Speed Synchronous MOSFET Driver	8-SOIC	3.40	2.70	2.31
LM2726M-ND	Synch. MOSFET-Treiber, HS	High Speed Synchronous MOSFET Driver	8-SOIC	3.85	3.06	2.62
LM2727MTC-ND	N-Kanal, FET synchroner Buck-Regler-Controller	N-Ch. FET Sync. Buck Regulator Controller	14-TSSOP	2.01	1.91	1.82
LM2731XMFCT-ND	0,6/1,6 MHz Boost-Wandler mit 22 V internem FET-Schalter	0.6/1.6MHz Boost Converter with 22V Internal FET Switch	SOT-23-5	1.74	1.66	1.57
LM2731XMFTR-ND	0,6/1,6 MHz Boost-Wandler mit 22 V internem FET-Schalter	0.6/1.6MHz Boost Converter with 22V Internal FET Switch	SOT-23-5		1350.00/1,000	
LM2731YMFCT-ND	0,6/1,6 MHz Boost-Wandler mit 22 V internem FET-Schalter	0.6/1.6MHz Boost Converter with 22V Internal FET Switch	SOT-23-5	1.74	1.66	1.57
LM2731YMFTR-ND	0,6/1,6 MHz Boost-Wandler mit 22 V internem FET-Schalter	0.6/1.6MHz Boost Converter with 22V Internal FET Switch	SOT-23-5		1350.00/1,000	
LM2733XMFCT-ND	0,6/1,6 MHz Boost-Wandler mit 40 V internem FET-Schalter	0.6/1.6MHz Boost Converter with 40V Internal FET Switch	SOT-23-5	1.74	1.66	1.57
LM2733XMFTR-ND	0,6/1,6 MHz Boost-Wandler mit 40 V internem FET-Schalter	0.6/1.6MHz Boost Converter with 40V Internal FET Switch	SOT-23-5		1350.00/1,000	
LM2733YMFCT-ND	0,6/1,6 MHz Boost-Wandler mit 40 V internem FET-Schalter	0.6/1.6MHz Boost Converter with 40V Internal FET Switch	SOT-23-5	1.74	1.66	1.57
LM2733YMFTR-ND	0,6/1,6 MHz Boost-Wandler mit 40 V internem FET-Schalter	0.6/1.6MHz Boost Converter with 40V Internal FET Switch	SOT-23-5		1350.00/1,000	
LM2734XMKCT-ND	1 A Last-Step-Down DC/DC-Schaltregler	1A Load Step Down DC/DC Regulator	SOT-23-6	6.65	5.29	4.52
LM2734XMKTR-ND	1 A Last-Step-Down DC/DC-Schaltregler	1A Load Step Down DC/DC Regulator	SOT-23-6		3870.00/1,000	
LM2734YMKCT-ND	1 A Last-Step-Down DC/DC-Schaltregler	1A Load Step Down DC/DC Regulator	SOT-23-6	5.40	4.29	3.67
LM2734YMKTR-ND	1 A Last-Step-Down DC/DC-Schaltregler	1A Load Step Down DC/DC Regulator	SOT-23-6		3140.00/1,000	
LM2734ZMKCT-ND	1 A Last-Step-Down DC/DC-Schaltregler	1A Load Step Down DC/DC Regulator	6-TSOT	8.35	6.64	5.68
LM2734ZMKTR-ND	1 A Last-Step-Down DC/DC-Schaltregler	1A Load Step Down DC/DC Regulator	6-TSOT		4860.00/1,000	
LM2734ZSDCT-ND	1 A Last-Step-Down DC/DC-Schaltregler	1A Load Step Down DC/DC Regulator	6-LLP	8.35	6.64	5.68
LM2734ZSDTR-ND	1 A Last-Step-Down DC/DC-Schaltregler	1A Load Step Down DC/DC Regulator	6-LLP		4860.00/1,000	
LM2736XMKCT-ND	750 mA Last-Step-Down DC/DC-Schaltregler	750mA Load Step Down DC/DC Regulator	SOT-23-6	4.12	3.27	2.80
LM2736XMKTR-ND	750 mA Last-Step-Down DC/DC-Schaltregler	750mA Load Step Down DC/DC Regulator	SOT-23-6		2400.00/1,000	
LM2736YMKCT-ND	750 mA Last-Step-Down DC/DC-Schaltregler	750mA Load Step Down DC/DC Regulator	SOT-23-6	3.97	3.16	2.70
LM2736YMKTR-ND	750 mA Last-Step-Down DC/DC-Schaltregler	750mA Load Step Down DC/DC Regulator	SOT-23-6		2310.00/1,000	
LM2737MTC-ND	N-Kanal, FET synchroner Buck-Regler-Controller	N-Ch. FET Sync. Buck Regulator Controller	14-TSSOP	3.55	2.82	2.41
LM2742MTC-ND	N-Kanal, FET synchroner Buck-Regler-Controller	N-Ch. FET Sync. Buck Regulator Controller	14-TSSOP	2.42	2.30	2.19
LM2743MTC-ND	N-Kanal, FET synchroner Buck-Regler-Controller	N-Ch. FET Sync. Buck Regulator Controller	14-TSSOP	2.10	1.99	1.89
LM2744MTC-ND	N-Kanal, MOSFET synchroner Buck-Regler-Controller, Niederspann.	Low Voltage N-Ch. MOSFET Sync. Buck Regulator Controller	14-TSSOP	3.40	2.70	2.31
LM2745MTC-ND	Synch. Buck Controller mit Pre-Bias Startup	Sync. Buck Controller with Pre-Bias Startup	14-TSSOP	4.53	3.61	3.08
LM2748MTC-ND	Synch. Buck Controller mit Pre-Bias Startup	Sync. Buck Controller with Pre-Bias Startup	14-TSSOP	4.27	3.39	2.90
LM2750LD-5.0CT-ND	5 V geregelter Schaltkondensator-Spannungswandler, rauscharm	LN, 5.0V Reg. Switched Capacitor Volt. Converter	10-LLP	1.78	1.69	1.60
LM2750LD-5.0TR-ND	5 V geregelter Schaltkondensator-Spannungswandler, rauscharm	LN, 5.0V Reg. Switched Capacitor Volt. Converter	10-LLP		1370.00/1,000	
LM2750LD-ADJCT-ND	Geregelter Schaltkondensator-Spannungswandler, rauscharm, einstellb.	LN, Adj. Reg., Switched Capacitor Volt. Converter	10-LLP	3.13	2.49	2.13
LM2750LD-ADJTR-ND	Geregelter Schaltkondensator-Spannungswandler, rauscharm, einstellb.	LN, Adj. Reg., Switched Capacitor Volt. Converter	10-LLP		1820.00/1,000	
LM2760M5CT-ND	3,3 V geregelter Schaltkondensator-Spannungswandler,	3.3V, Reg. Switched Capacitor Voltage Converter	SOT-23-5	2.78	2.21	1.89
LM2760M5TR-ND	3,3 V geregelter Schaltkondensator-Spannungswandler,	3.3V, Reg. Switched Capacitor Voltage Converter	SOT-23-5		1620.00/1,000	
LM2765M6CT-ND	Schaltkondensator-Spannungswandler	Switched Capacitor Voltage Converter	SOT-23-6	.91	.72	.62
LM2765M6TR-ND	Schaltkondensator-Spannungswandler	Switched Capacitor Voltage Converter	SOT-23-6		530.00/1,000	
LM2766M6CT-ND	Schaltkondensator-Spannungswandler	Switched Capacitor Volt. Converter	SOT-23-6	.91	.72	.62
LM2766M6TR-ND	Schaltkondensator-Spannungswandler	Switched Capacitor Volt. Converter	SOT-23-6		530.00/1,000	
LM2767M5CT-ND	Schaltkondensator-Spannungswandler	Switched Capacitor Volt. Converter	SOT-23-6	.82	.65	.56
LM2767M5TR-ND	Schaltkondensator-Spannungswandler	Switched Capacitor Volt. Converter	SOT-23-6		480.00/1,000	
LM2770SD-1215CT-ND	1,2 V/1,5 V, Schaltkondensator Step Down DC/DC Regler, hoher Wirkungsgrad	1.2V/1.5V, High Efficiency Switched Capacitor Step Down DC/DC Regulator	10-LLP	3.97	3.16	2.70
LM2770SD-1215TR-ND	1,2 V/1,5 V, Schaltkondensator Step Down DC/DC Regler, hoher Wirkungsgrad	1.2V/1.5V, High Efficiency Switched Capacitor Step Down DC/DC Regulator	10-LLP		2310.00/1,000	
LM2770SD-12157CT-ND	1,2 V/1,575 V, Schaltkondensator Step Down DC/DC Regler, hoher Wirkungsgrad	1.2V/1.575V, High Efficiency Switched Capacitor Step Down DC/DC Regulator	10-LLP	3.97	3.16	2.70
LM2770SD-12157TR-ND	1,2 V/1,575 V, Schaltkondensator Step Down DC/DC Regler, hoher Wirkungsgrad	1.2V/1.575V, High Efficiency Switched Capacitor Step Down DC/DC Regulator	10-LLP		2310.00/1,000	
LM2780TPCT-ND	Ultra-niedriger Mischstrom-Schaltkondensator-Spannungsinverter	Ultra-Low Ripple Switched Capacitor Volt. Inverter	8-microSMD	1.50	1.20	1.02
LM2780TPTR-ND	Ultra-niedriger Mischstrom-Schaltkondensator-Spannungsinverter	Ultra-Low Ripple Switched Capacitor Volt. Inverter	8-microSMD		240.00/250	
LM2781TPCT-ND	Ultra-niedriger Mischstrom-Schaltkondensator-Spannungsinverter	Ultra-Low Ripple Switched Capacitor Volt. Inverter	8-microSMD	1.50	1.20	1.02
LM2781TPTR-ND	Ultra-niedriger Mischstrom-Schaltkondensator-Spannungsinverter	Ultra-Low Ripple Switched Capacitor Volt. Inverter	8-microSMD		240.00/250	
LM2787BPCT-ND	Rauscharmer, geregelter Schaltkondensator-Spannungsinverter	LN Regulated Switched Cap. Volt. Inverter	8-microSMD	2.69	2.14	1.83
LM2787BPTR-ND	Rauscharmer, geregelter Schaltkondensator-Spannungsinverter	LN Regulated Switched Cap. Volt. Inverter	8-microSMD		432.50/250	
LM2787TP-ND	Rauscharmer, geregelter Schaltkondensator-Spannungsinverter	LN Regulated Switched Cap. Volt. Inverter	8-microSMD	2.55	2.03	1.73
LM2788MM-1.5CT-ND	1,5 V, 120 mA Step-Down Schaltkondensator-Spannungswandler, hoher Wirkungsgrad	1.5V, 120mA High Efficiency Step Down Switched Capacitor Voltage Converter	8-MSOP	2.64	2.10	1.79
LM2788MM-1.5TR-ND	1,5 V, 120 mA Step-Down Schaltkondensator-Spannungswandler, hoher Wirkungsgrad	1.5V, 120mA High Efficiency Step Down Switched Capacitor Voltage Converter	8-MSOP		1530.00/1,000	
LM2788MM-1.8CT-ND	1,8 V, 120 mA Step-Down Schaltkondensator-Spannungswandler, hoher Wirkungsgrad	1.8V, 120mA High Efficiency Step Down Switched Capacitor Voltage Converter	8-MSOP	2.64	2.10	1.79
LM2788MM-1.8TR-ND	1,8 V, 120 mA Step-Down Schaltkondensator-Spannungswandler, hoher Wirkungsgrad	1.8V, 120mA High Efficiency Step Down Switched Capacitor Voltage Converter	8-MSOP		1530.00/1,000	
LM2788MM-2.0CT-ND	2 V, 120 mA Step-Down Schaltkondensator-Spannungswandler, hoher Wirkungsgrad	2V, 120mA High Efficiency Step Down Switched Capacitor Voltage Converter	8-MSOP	2.64	2.10	1.79
LM2788MM-2.0TR-ND	2 V, 120 mA Step-Down Schaltkondensator-Spannungswandler, hoher Wirkungsgrad	2V, 120mA High Efficiency Step Down Switched Capacitor Voltage Converter	8-MSOP		1530.00/1,000	
LM2791LD-HCT-ND	Stromgeregelter Schaltkondensator-LED-Treiber, analoge Helligkeitssteuerung	Current Regulated Switched Capacitor LED Driver with Analog Brightness Control	10-LLP	3.37	2.68	2.29
LM2791LD-HTR-ND	Stromgeregelter Schaltkondensator-LED-Treiber, analoge Helligkeitssteuerung	Current Regulated Switched Capacitor LED Driver with Analog Brightness Control	10-LLP		1960.00/1,000	
LM2791LD-LCT-ND	Stromgeregelter Schaltkondensator-LED-Treiber, analoge Helligkeitssteuerung	Current Regulated Switched Capacitor LED Driver with Analog Brightness Control	10-LLP	3.37	2.68	2.29
LM2791LD-LTR-ND	Stromgeregelter Schaltkondensator-LED-Treiber, analoge Helligkeitssteuerung	Current Regulated Switched Capacitor LED Driver with Analog Brightness Control	10-LLP		1960.00/1,000	
LM2792LD-HCT-ND	Stromgeregelter Schaltkondensator-LED-Treiber, analoge Helligkeitssteuerung	Current Regulated Switched Capacitor LED Driver	10-LLP	3.37	2.68	2.29
LM2792LD-HTR-ND	Stromgeregelter Schaltkondensator-LED-Treiber, analoge Helligkeitssteuerung	Current Regulated Switched Capacitor LED Driver	10-LLP		1960.00/1,000	
LM2792LD-LCT-ND	Stromgeregelter Schaltkondensator-LED-Treiber, analoge Helligkeitssteuerung	Current Regulated Switched Capacitor LED Driver	10-LLP	3.37	2.68	2.29
LM2792LD-LTR-ND	Stromgeregelter Schaltkondensator-LED-Treiber, analoge Helligkeitssteuerung	Current Regulated Switched Capacitor LED Driver	10-LLP		1960.00/1,000	
LM2793LDCT-ND	Rauscharme Konstantstromversorgung für weiße LED	LN White LED Constant Current Supply	10-LLP	3.46	2.75	2.35
LM2793LDTR-ND	Rauscharme Konstantstromversorgung für weiße LED	LN White LED Constant Current Supply	10-LLP		2010.00/1,000	
LM2794BLCT-ND	Stromgeregelter Schaltkondensator, LED-Versorgung mit analoger Helligkeitssteuerung	Current Regulated Switched Capacitor LED Supply with Analog Brightness Control	14-microSMD	2.55	2.03	1.73
LM2794BLTR-ND	Stromgeregelter Schaltkondensator, LED-Versorgung mit analoger Helligkeitssteuerung	Current Regulated Switched Capacitor LED Supply with Analog Brightness Control	14-microSMD		407.50/250	
LM2794TLCT-ND	Stromgeregelter Schaltkondensator, LED-Versorgung mit analoger Helligkeitssteuerung	Current Regulated Switched Capacitor LED Supply with Analog Brightness Control	14-microSMD	2.55	2.03	1.73
LM2794TLTR-ND	Stromgeregelter Schaltkondensator, LED-Versorgung mit analoger Helligkeitssteuerung	Current Regulated Switched Capacitor LED Supply with Analog Brightness Control	14-microSMD		407.50/250	
LM2795BLCT-ND	Stromgeregelter Schaltkondensator, LED-Versorgung mit analoger Helligkeitssteuerung	Current Regulated Switched Capacitor LED Supply with Analog Brightness Control	14-microSMD	2.55	2.03	1.73
LM2795BLTR-ND	Stromgeregelter Schaltkondensator, LED-Versorgung mit analoger Helligkeitssteuerung	Current Regulated Switched Capacitor LED Supply with Analog Brightness Control	14-microSMD		407.50/250	
LM2795BLXCT-ND	Stromgeregelter Schaltkondensator, LED-Versorgung mit analoger Helligkeitssteuerung	Current Regulated Switched Capacitor LED Supply with Analog Brightness Control	14-microSMD	2.55	2.03	1.73
LM2795BLXTR-ND	Stromgeregelter Schaltkondensator, LED-Versorgung mit analoger Helligkeitssteuerung	Current Regulated Switched Capacitor LED Supply with Analog Brightness Control	14-microSMD		4440.00/3,000	
LM2795TLCT-ND	Stromgeregelter Schaltkondensator, LED-Versorgung mit analoger Helligkeitssteuerung	Current Regulated Switched Capacitor LED Supply with Analog Brightness Control	14-microSMD	2.55	2.03	1.73

(Forts.)

★ RUFEN SIE BITTE AN FÜR NIEDRIGERE PREISE BEI GRÖSSEREN MENGEN! ★

Alle Preisangaben in Euro und inklusive Zollgebühren.

Digi-Key Teilenr.	Beschreibung		Paket	Stückpreis★ 1	25	100
LM2795TLTR-ND	Stromgeregelter Schaltkondensator, LED-Versorgung mit analoger Helligkeitssteuerung	Current Regulated Switched Capacitor LED Supply with Analog Brightness Control	14-microSMD		407.50/250	
LM2796TLCT-ND	Treiber, weiße LED, Doppelanzeige	Dual Display White LED Driver	18-microSMD	2.83	2.69	2.55
LM2796TLTR-ND	Treiber, weiße LED, Doppelanzeige	Dual Display White LED Driver	18-microSMD		547.50/250	
LM2797MM-1.8CT-ND	1,8 V, 120 mA Step-Down Schaltkondensator-Spannungswandler mit Spannungsüberwachung, hoher Wirkungsgrad	1.8V, 120mA, High Efficiency Step Down Switched Capacitor Voltage Converter with Voltage Monitoring	10-MSOP	2.95	2.34	2.00
LM2797MM-1.8TR-ND	1,8 V, 120 mA Step-Down Schaltkondensator-Spannungswandler mit Spannungsüberwachung, hoher Wirkungsgrad	1.8V, 120mA, High Efficiency Step Down Switched Capacitor Voltage Converter with Voltage Monitoring	10-MSOP		1710.00/1,000	
LM2798MM-1.5CT-ND	1,5 V, 120 mA Step-Down Schaltkondensator-Spannungswandler mit Spannungsüberwachung, hoher Wirkungsgrad	1.5V, 120mA, High Efficiency Step Down Switched Capacitor Voltage Converter with Voltage Monitoring	10-MSOP	2.95	2.34	2.00
LM2798MM-1.5TR-ND	1,5 V, 120 mA Step-Down Schaltkondensator-Spannungswandler mit Spannungsüberwachung, hoher Wirkungsgrad	1.5V, 120mA, High Efficiency Step Down Switched Capacitor Voltage Converter with Voltage Monitoring	10-MSOP		1710.00/1,000	
LM2798MM-1.8CT-ND	1,8 V, 120 mA Step-Down Schaltkondensator-Spannungswandler mit Spannungsüberwachung, hoher Wirkungsgrad	1.8V, 120mA, High Efficiency Step Down Switched Capacitor Voltage Converter with Voltage Monitoring	10-MSOP	2.95	2.34	2.00
LM2798MM-1.8TR-ND	1,8 V, 120 mA Step-Down Schaltkondensator-Spannungswandler mit Spannungsüberwachung, hoher Wirkungsgrad	1.8V, 120mA, High Efficiency Step Down Switched Capacitor Voltage Converter with Voltage Monitoring	10-MSOP		1710.00/1,000	
LM2798MM-2.0CT-ND	2 V, 120 mA Step-Down Schaltkondensator-Spannungswandler mit Spannungsüberwachung, hoher Wirkungsgrad	2V, 120mA, High Efficiency Step Down Switched Capacitor Voltage Converter with Voltage Monitoring	10-MSOP	2.95	2.34	2.00
LM2798MM-2.0TR-ND	2 V, 120 mA Step-Down Schaltkondensator-Spannungswandler mit Spannungsüberwachung, hoher Wirkungsgrad	2V, 120mA, High Efficiency Step Down Switched Capacitor Voltage Converter with Voltage Monitoring	10-MSOP		1710.00/1,000	
LM2825HN-ADJ-ND	Einstellbarer 1 A DC/DC-Wandler, integrierte Stromversorgung	Adjustable Integrated Power Supply 1A DC/DC Converter	24-Dip	33.86	32.17	30.56
LM2825N-ADJ-ND	Einstellbarer DC/DC-Wandler	Adjustable DC/DC Converter	24-Dip	33.86	32.17	30.56
LM2825N-3.3-ND	3,3 V, 1 A DC/DC-Wandler, integrierte Stromversorgung	3.3V, Integrated Power Supply 1A DC/DC Converter	24-Dip	33.86	32.17	30.56
LM2825N-5.0-ND	5 V, 1 A DC/DC-Wandler, integrierte Stromversorgung	5V, Integrated Power Supply 1A DC/DC Converter	24-Dip	33.86	32.17	30.56
LM2825N-12-ND	12 V, 1 A DC/DC-Wandler, integrierte Stromversorgung	12V, Integrated Power Supply 1A DC/DC Converter	24-Dip	33.86	32.17	30.56
LM2852YMXA-0.8-ND	0,8 V, 2 A SIMPLE SYNCHRONOUS™ Buck-Reg.	0.8V, 2A SIMPLE SYNCHRONOUS™ Buck Reg.	14-TSSOP	8.92	7.09	6.06
LM2852YMXA-1.0-ND	1,0 V, 2 A SIMPLE SYNCHRONOUS™ Buck-Reg.	1.0V, 2A SIMPLE SYNCHRONOUS™ Buck Reg.	14-TSSOP	8.92	7.09	6.06
LM2852YMXA-1.2-ND	1,2 V, 2 A SIMPLE SYNCHRONOUS™ Buck-Reg.	1.2V, 2A SIMPLE SYNCHRONOUS™ Buck Reg.	14-TSSOP	8.92	7.09	6.06
LM2852YMXA-1.5-ND	1,5 V, 2 A SIMPLE SYNCHRONOUS™ Buck-Reg.	1.5V, 2A SIMPLE SYNCHRONOUS™ Buck Reg.	14-TSSOP	8.92	7.09	6.06
LM2852YMXA-1.8-ND	1,8 V, 2 A SIMPLE SYNCHRONOUS™ Buck-Reg.	1.8V, 2A SIMPLE SYNCHRONOUS™ Buck Reg.	14-TSSOP	8.92	7.09	6.06
LM2852YMXA-2.5-ND	2,5 V, 2 A SIMPLE SYNCHRONOUS™ Buck-Reg.	2.5V, 2A SIMPLE SYNCHRONOUS™ Buck Reg.	14-TSSOP	8.92	7.09	6.06
LM2852YMXA-3.3-ND	3,3 V, 2 A SIMPLE SYNCHRONOUS™ Buck-Reg.	3.3V, 2A SIMPLE SYNCHRONOUS™ Buck Reg.	14-TSSOP	8.92	7.09	6.06
LM2876T-ND	40 W Audio-Hochleistungsverstärker mit Stummfunktion	High Performance 40W Audio Power Amp with Mute	TO-220-11	2.47	2.03	1.93
LM2876TF-ND	40 W Audio-Hochleistungsverstärker mit Stummfunktion	High Performance 40W Audio Power Amp with Mute	TO-220-11	3.50	3.33	3.16
LM2901M-ND	Vierf. Spannungskomparator	Quad Voltage Comparator	14-SOIC	.39	.37	.35
LM2901MXTR-ND	Vierf. Spannungskomparator	Quad Voltage Comparator	14-SOIC		1000.00/2,500	
LM2901NNS-ND	Vierf. Spannungskomparator	Quad Voltage Comparator	14-Dip	.42	.40	.38
LM2902M-ND	Vierf. OpAmp, NL	Low Power Quad Op Amp	14-SOIC	.46	.44	.42
LM2902MXTR-ND	Vierf. OpAmp, NL	Low Power Quad Op Amp	14-SOIC		1175.00/2,500	
LM2902NNS-ND	Vierf. OpAmp, NL	Low Power Quad Op Amp	14-Dip	.53	.51	.48
LM2903MNS-ND	Zweif. Komparator	Dual Comparator	8-SOIC	.33	.32	.30
LM2903MXTR-ND	Zweif. Komparator	Dual Comparator	8-SOIC		850.00/2,500	
LM2903NNS-ND	Zweif. Komparator	Dual Comparator	8-Dip	.37	.36	.34
LM2904MNS-ND	Zweif. OpAmp, NL	Low Power Dual Op Amp	8-SOIC	.33	.32	.30
LM2904NNS-ND	Zweif. OpAmp	Dual Op Amp	8-Dip	.37	.36	.34
LM2907M-8-ND	Frequenz-Spannung-Wandler	Frequency-to-Voltage Converter	8-SOIC	1.02	.97	.92
LM2907N-ND	Frequenz-Spannung-Wandler	Frequency-to-Voltage Converter	14-Dip	3.07	2.47	1.79
LM2907N-8-ND	Frequenz-Spannung-Wandler	Frequency-to-Voltage Converter	8-Dip	3.07	2.47	1.79
LM2917M-ND	Frequenz-Spannung-Wandler	Frequency-to-Voltage Converter	14-SOIC	1.10	1.05	.99
LM2917M-8-ND	Frequenz-Spannung-Wandler	Frequency-to-Voltage Converter	8-SOIC	1.10	1.05	.99
LM2917N-ND	Frequenz-Spannung-Wandler	Frequency-to-Voltage Converter	14-Dip	2.14	1.83	1.44
LM2917N-8-ND	Frequenz-Spannung-Wandler	Frequency-to-Voltage Converter	8-Dip	1.15	.95	.77
LM2930S-5.0-ND	5 V positiver Regler, 3 Anschlüsse	5V, 3-Terminal Positive Regulator	TO-263	1.28	.94	.75
LM2930S-8.0-ND	8 V positiver Regler, 3 Anschlüsse	8V, 3-Terminal Positive Regulator	TO-263	.85	.81	.77
LM2930T-5.0-ND	5 V, 150 mA positiver Regler	5V, 150mA Positive Regulator	TO-220	.68	.58	.51
LM2930T-8.0-ND	8 V, 150 mA positiver Regler	8V, 150mA Positive Regulator	TO-220	.60	.57	.54
LM2931AM-5.0-ND	5 V Low-Dropout-Regler (0,6 V)	5V, Low Dropout (0.6V) Regulator	8-SOIC	.40	.38	.36
LM2931AMX-5.0TR-ND	5 V Low-Dropout-Regler (0,6 V)	5V, Low Dropout (0.6V) Regulator	8-SOIC		1025.00/2,500	
LM2931AS-5.0-ND	5 V Low-Dropout-Regler (0,6 V)	5V, Low Dropout (0.6V) Regulator	TO-263	1.07	1.01	.96
LM2931AT-5.0NS-ND	5 V Low-Dropout-Regler (0,6 V)	5V, Low Dropout (0.6V) Regulator	TO-220	1.27	1.01	.86
LM2931AZ-5.0-ND	5 V Low-Dropout-Regler (0,6 V)	5V, Low Dropout (0.6V) Regulator	TO-92	.38	.32	.29
LM2931CM-ND	Einstellb. Low-Dropout-Regler (0,6 V)	Adjustable, Low Dropout (0.6V) Regulator	8-SOIC	.40	.32	.25
LM2931CMXTR-ND	Einstellb. Low-Dropout-Regler (0,6 V)	Adjustable, Low Dropout (0.6V) Regulator	8-SOIC		550.00/2,500	
LM2931CS-ND	Einstellb. Low-Dropout-Regler (0,6 V)	Adjustable, Low Dropout (0.6V) Regulator	TO-263-5	1.88	1.49	1.28
LM2931CTNS-ND	Einstellb. Low-Dropout-Regler (0,6 V)	Adjustable, Low Dropout (0.6V) Regulator	TO-220-5	.76	.58	.50
LM2931IBP-3.3CT-ND	3,3 V Low-Dropout-Regler (0,6 V)	3.3V, Low Dropout (0.6V) Regulator	6-microSMD	.92	.74	.63
LM2931IBP-3.3TR-ND	3,3 V Low-Dropout-Regler (0,6 V)	3.3V, Low Dropout (0.6V) Regulator	6-microSMD		147.50/250	
LM2931IBP-5.0CT-ND	5 V Low-Dropout-Regler (0,6 V)	5V, Low Dropout (0.6V) Regulator	6-microSMD	.92	.74	.63
LM2931IBP-5.0TR-ND	5 V Low-Dropout-Regler (0,6 V)	5V, Low Dropout (0.6V) Regulator	6-microSMD		147.50/250	
LM2931M-5.0-ND	5 V Low-Dropout-Regler (0,6 V)	5V, Low Dropout (0.6V) Regulator	8-SOIC	.40	.32	.27
LM2931MX-5.0TR-ND	5 V Low-Dropout-Regler (0,6 V)	5V, Low Dropout (0.6V) Regulator	8-SOIC		1000.00/2,500	
LM2931S-5.0-ND	5 V Low-Dropout-Regler (0,6 V)	5V, Low Dropout (0.6V) Regulator	TO-263	1.88	1.49	1.28
LM2931T-5.0NS-ND	5 V Low-Dropout-Regler (0,6 V)	5V, Low Dropout (0.6V) Regulator	TO-220	.57	.54	.51
LM2931Z-5.0NS-ND	5 V Low-Dropout-Regler (0,6 V)	5V, Low Dropout (0.6V) Regulator	TO-92	.30	.29	.27
LM2936BM-3.3-ND	3,3 V ultraleiser Ruhestromregler	3.3V, Ultra Low Quiescent Current Regulator	8-SOIC	1.30	1.24	1.18
LM2936BM-5.0-ND	5 V ultraleiser Ruhestromregler	5V, Ultra Low Quiescent Current Regulator	8-SOIC	1.30	1.24	1.18
LM2936DT-3.0-ND	3 V ultraleiser Ruhestromregler	3V, Ultra Low Quiescent Current Regulator	TO-252	2.55	2.03	1.73
LM2936DT-3.3-ND	3,3 V ultraleiser Ruhestromregler	3.3V, Ultra Low Quiescent Current Regulator	TO-252	2.55	2.03	1.73
LM2936DT-5.0-ND	5 V ultraleiser Ruhestromregler	5V, Ultra Low Quiescent Current Regulator	TO-252	1.45	1.38	1.31
LM2936HVBMA-3.0-ND	3 V ultraleiser Ruhestromregler	3V, Ultra Low Quiescent Current Regulator	8-SOIC	2.55	2.03	1.73
LM2936HVBMA-3.3-ND	3,3 V ultraleiser Ruhestromregler	3.3V, Ultra Low Quiescent Current Regulator	8-SOIC	2.55	2.03	1.73
LM2936HVBMA-5.0-ND	5 V ultraleiser Ruhestromregler	5V, Ultra Low Quiescent Current Regulator	8-SOIC	2.55	2.03	1.73
LM2936HVMA-5.0-ND	5 V ultraleiser Ruhestromregler	5V, Ultra Low Quiescent Current Regulator	8-SOIC	1.45	1.38	1.31
LM2936M-3.0-ND	3 V ultraleiser Ruhestromregler	3V, Ultra Low Quiescent Current Regulator	8-SOIC	2.24	1.78	1.52
LM2936M-3.3-ND	3,3 V ultraleiser Ruhestromregler	3.3V, Ultra Low Quiescent Current Regulator	8-SOIC	1.27	1.21	1.15
LM2936M-5.0-ND	5 V ultraleiser Ruhestromregler	5V, Ultra Low Quiescent Current Regulator	8-SOIC	1.08	.93	.82
LM2936MM-3.0CT-ND	3 V ultraleiser Ruhestromregler	3V, Ultra Low Quiescent Current Regulator	8-MSOP	2.24	1.78	1.52
LM2936MM-3.0TR-ND	3 V ultraleiser Ruhestromregler	3V, Ultra Low Quiescent Current Regulator	8-MSOP		1300.00/1,000	
LM2936MM-3.3CT-ND	3,3 V ultraleiser Ruhestromregler	3.3V, Ultra Low Quiescent Current Regulator	8-MSOP	1.27	1.21	1.15
LM2936MM-3.3TR-ND	3,3 V ultraleiser Ruhestromregler	3.3V, Ultra Low Quiescent Current Regulator	8-MSOP		980.00/1,000	
LM2936MM-5.0CT-ND	5 V ultraleiser Ruhestromregler	5V, Ultra Low Quiescent Current Regulator	8-MSOP	2.24	1.78	1.52
LM2936MM-5.0TR-ND	5 V ultraleiser Ruhestromregler	5V, Ultra Low Quiescent Current Regulator	8-MSOP		1300.00/1,000	
LM2936MP-3.0CT-ND	3 V ultraleiser Ruhestromregler	3V, Ultra Low Quiescent Current Regulator	SOT-223-4	2.55	2.03	1.73
LM2936MP-3.0TR-ND	3 V ultraleiser Ruhestromregler	3V, Ultra Low Quiescent Current Regulator	SOT-223-4		1480.00/1,000	
LM2936MP-3.3CT-ND	3,3 V ultraleiser Ruhestromregler	3.3V, Ultra Low Quiescent Current Regulator	SOT-223-4	1.45	1.38	1.31
LM2936MP-3.3TR-ND	3,3 V ultraleiser Ruhestromregler	3.3V, Ultra Low Quiescent Current Regulator	SOT-223-4		1130.00/1,000	
LM2936MP-5.0CT-ND	5 V ultraleiser Ruhestromregler	5V, Ultra Low Quiescent Current Regulator	SOT-223	1.02	.97	.92
LM2936MP-5.0TR-ND	5 V ultraleiser Ruhestromregler	5V, Ultra Low Quiescent Current Regulator	SOT-223		1130.00/1,000	
LM2936MX-5.0TR-ND	5 V ultraleiser Ruhestromregler	5V, Ultra Low Quiescent Current Regulator	8-SOIC		3250.00/2,500	
LM2936Z-3.0-ND	3 V ultraleiser Ruhestromregler	3V, Ultra Low Quiescent Current Regulator	TO-92	2.55	2.03	1.73
LM2936Z-3.3-ND	3,3 V ultraleiser Ruhestromregler	3.3V, Ultra Low Quiescent Current Regulator	TO-92	1.45	1.38	1.31
LM2936Z-5.0-ND	5 V ultraleiser Ruhestromregler	5V, Ultra Low Quiescent Current Regulator	TO-92	1.45	1.38	1.31
LM2937ES-2.5-ND	2,5 V, 500 mA Low-Dropout-Regler	2.5V, 500mA Low Dropout Regulator	TO-263	1.20	1.14	1.08

(Forts.)

★ RUFEN SIE BITTE AN FÜR NIEDRIGERE PREISE BEI GRÖSSEREN MENGEN! ★

B

Digi-Key Teilenr.	Beschreibung		Paket	Stückpreis★ 1	25	100
LM2937ES-3.3-ND	3,3 V, 500 mA Low-Dropout-Regler	3.3V, 500mA Low Dropout Regulator	TO-263	1.20	1.14	1.08
LM2937ES-5.0-ND	5 V, 500 mA Low-Dropout-Regler	5V, 500mA Low Dropout Regulator	TO-263	1.20	1.14	1.08
LM2937ES-8.0-ND	8 V, 500 mA Low-Dropout-Regler	8V, 500mA Low Dropout Regulator	TO-263	1.20	1.14	1.08
LM2937ES-10-ND	10 V, 500 mA Low-Dropout-Regler	10V, 500mA Low Dropout Regulator	TO-263	1.20	1.14	1.08
LM2937ES-12-ND	12 V, 500 mA Low-Dropout-Regler	12V, 500mA Low Dropout Regulator	TO-263	1.20	1.14	1.08
LM2937ES-15-ND	15 V, 500 mA Low-Dropout-Regler	15V, 500mA Low Dropout Regulator	TO-263	1.20	1.14	1.08
LM2937ESX-5.0TR-ND	5 V, 500 mA Low-Dropout-Regler	5V, 500mA Low Dropout Regulator	TO-263		655.00/500	
LM2937ET-2.5-ND	2,5 V, 500 mA Low-Dropout-Regler	2.5V, 500mA Low Dropout Regulator	TO-220	1.98	1.57	1.34
LM2937ET-3.3-ND	3,3 V, 500 mA Low-Dropout-Regler	3.3V, 500mA Low Dropout Regulator	TO-220	1.12	1.07	1.01
LM2937ET-5.0-ND	5 V, 500 mA Hochtemperaturregler	5V, 500mA High Temp Regulator	TO-220	.90	.86	.81
LM2937ET-8.0-ND	8 V, 500 mA Hochtemperatur-Spannungsregler	8V, 500mA High Temp Voltage Regulator	TO-220	1.12	1.07	1.01
LM2937ET-10-ND	10 V, 500 mA Hochtemperatur-Spannungsregler	10V, 500mA High Temp Voltage Regulator	TO-220	1.98	1.57	1.34
LM2937ET-12-ND	12 V, 500 mA Hochtemperatur-Spannungsregler	12V, 500mA High Temp Voltage Regulator	TO-220	.94	.77	.73
LM2937IMP-2.5CT-ND	2,5 V, 500 mA Low-Dropout-Regler	2.5V, 500mA Low Dropout Regulator	SOT-223	.72	.68	.65
LM2937IMP-2.5TR-ND	2,5 V, 500 mA Low-Dropout-Regler	2.5V, 500mA Low Dropout Regulator	SOT-223		770.00/1,000	
LM2937IMP-3.3CT-ND	3,3 V, 500 mA Low-Dropout-Regler	3.3V, 500mA Low Dropout Regulator	SOT-223	1.00	.95	.90
LM2937IMP-3.3TR-ND	3,3 V, 500 mA Low-Dropout-Regler	3.3V, 500mA Low Dropout Regulator	SOT-223		770.00/1,000	
LM2937IMP-5.0CT-ND	5 V, 400 mA Low-Dropout-Regler	5V, 400mA Low Dropout Regulator	SOT-223	1.00	.95	.90
LM2937IMP-5.0TR-ND	5 V, 400 mA Low-Dropout-Regler	5V, 400mA Low Dropout Regulator	SOT-223		770.00/1,000	
LM2937IMP-8.0CT-ND	8 V, 500 mA Low-Dropout-Regler	8V, 500mA Low Dropout Regulator	SOT-223	1.00	.95	.90
LM2937IMP-8.0TR-ND	8 V, 500 mA Low-Dropout-Regler	8V, 500mA Low Dropout Regulator	SOT-223		770.00/1,000	
LM2937IMP-10CT-ND	10 V, 500 mA Low-Dropout-Regler	10V, 500mA Low Dropout Regulator	SOT-223	1.00	.95	.90
LM2937IMP-10TR-ND	10 V, 500 mA Low-Dropout-Regler	10V, 500mA Low Dropout Regulator	SOT-223		770.00/1,000	
LM2937IMP-12CT-ND	12 V, 500 mA Low-Dropout-Regler	12V, 500mA Low Dropout Regulator	SOT-223	1.76	1.40	1.20
LM2937IMP-12TR-ND	12 V, 500 mA Low-Dropout-Regler	12V, 500mA Low Dropout Regulator	SOT-223		1020.00/1,000	
LM2937IMP-15CT-ND	15 V, 500 mA Low-Dropout-Regler	15V, 500mA Low Dropout Regulator	SOT-223	1.76	1.40	1.20
LM2937IMP-15TR-ND	15 V, 500 mA Low-Dropout-Regler	15V, 500mA Low Dropout Regulator	SOT-223		1020.00/1,000	
LM2940CS-5.0-ND	5 V, 1 A Low-Dropout-Spannungsregler	5V, 1A Low Dropout Voltage Regulator	TO-263	1.06	.77	.73
LM2940CS-9.0-ND	9 V, 1 A Low-Dropout-Regler	9V, 1A Low Dropout Regulator	TO-263	1.15	1.09	1.04
LM2940CS-12-ND	12 V, 1 A Low-Dropout-Regler	12V, 1A Low Dropout Regulator	TO-263	1.15	1.09	1.04
LM2940CS-15-ND	15 V, 1 A Low-Dropout-Regler	15V, 1A Low Dropout Regulator	TO-263	1.15	1.09	1.04
LM2940CSX-5.0TR-ND	5 V, 1 A Low-Dropout-Spannungsregler	5V, 1A Low Dropout Voltage Regulator	TO-263		630.00/500	
LM2940CT-5.0-ND	5 V, 1 A Low-Dropout-Spannungsregler	5V, 1A Low Dropout Voltage Regulator	TO-220	.69	.66	.62
LM2940CT-9.0-ND	9 V, 1 A Low-Dropout-Regler	9V, 1A Low Dropout Regulator	TO-220	1.75	1.39	1.19
LM2940CT-12-ND	12 V, 1 A Low-Dropout-Spannungsregler	12V, 1A Low Dropout Voltage Regulator	TO-220	.93	.88	.84
LM2940CT-15-ND	15 V, 1 A Low-Dropout-Spannungsregler	15V, 1A Low Dropout Voltage Regulator	TO-220	.93	.88	.84
LM2940IMP-5.0CT-ND	5 V, 1 A Low-Dropout-Regler	5V, 1A Low Dropout Regulator	SOT-223	1.12	1.06	1.01
LM2940IMP-5.0TR-ND	5 V, 1 A Low-Dropout-Regler	5V, 1A Low Dropout Regulator	SOT-223		860.00/1,000	
LM2940IMP-8.0CT-ND	8 V, 1 A Low-Dropout-Regler	8V, 1A Low Dropout Regulator	SOT-223	1.97	1.57	1.34
LM2940IMP-8.0TR-ND	8 V, 1 A Low-Dropout-Regler	8V, 1A Low Dropout Regulator	SOT-223		1150.00/1,000	
LM2940IMP-9.0CT-ND	9 V, 1 A Low-Dropout-Regler	9V, 1A Low Dropout Regulator	SOT-223	1.97	1.57	1.34
LM2940IMP-9.0TR-ND	9 V, 1 A Low-Dropout-Regler	9V, 1A Low Dropout Regulator	SOT-223		1150.00/1,000	
LM2940IMP-10CT-ND	10 V, 1 A Low-Dropout-Regler	10V, 1A Low Dropout Regulator	SOT-223	1.12	1.06	1.01
LM2940IMP-10TR-ND	10 V, 1 A Low-Dropout-Regler	10V, 1A Low Dropout Regulator	SOT-223		860.00/1,000	
LM2940IMP-12CT-ND	12 V, 1 A Low-Dropout-Regler	12V, 1A Low Dropout Regulator	SOT-223	1.12	1.06	1.01
LM2940IMP-12TR-ND	12 V, 1 A Low-Dropout-Regler	12V, 1A Low Dropout Regulator	SOT-223		860.00/1,000	
LM2940IMP-15CT-ND	15 V, 1 A Low-Dropout-Regler	15V, 1A Low Dropout Regulator	SOT-223	1.97	1.57	1.34
LM2940IMP-15TR-ND	15 V, 1 A Low-Dropout-Regler	15V, 1A Low Dropout Regulator	SOT-223		1150.00/1,000	
LM2940S-5.0-ND	5 V, 1 A Low-Dropout-Spannungsregler	5V, 1A Low Dropout Voltage Regulator	TO-263	1.42	.87	.83
LM2940S-8.0-ND	8 V, 1 A Low-Dropout-Regler	8V, 1A Low Dropout Regulator	TO-263	.93	.88	.84
LM2940S-9.0-ND	9 V, 1 A Low-Dropout-Regler	9V, 1A Low Dropout Regulator	TO-263	.93	.88	.84
LM2940S-10-ND	10 V, 1 A Low-Dropout-Regler	10V, 1A Low Dropout Regulator	TO-263	1.15	1.09	1.04
LM2940S-12-ND	12 V, 1 A Low-Dropout-Regler	12V, 1A Low Dropout Regulator	TO-263	1.15	1.09	1.04
LM2940SX-5.0TR-ND	5 V, 1 A Low-Dropout-Spannungsregler	5V, 1A Low Dropout Voltage Regulator	TO-263		630.00/500	
LM2940T-5.0-ND	5 V, 1 A Low-Dropout-Spannungsregler	5V, 1A Low Dropout Voltage Regulator	TO-220	1.41	.86	.82
LM2940T-8.0-ND	8 V, 1 A Low-Dropout-Spannungsregler	8V, 1A Low Dropout Voltage Regulator	TO-220	1.41	.86	.82
LM2940T-9.0-ND	9 V, 1 A Low-Dropout-Spannungsregler	9V, 1A Low Dropout Voltage Regulator	TO-220	1.41	.86	.82
LM2940T-10.0-ND	10 V, 1 A Low-Dropout-Spannungsregler	10V, 1A Low Dropout Voltage Regulator	TO-220	1.41	.86	.82
LM2940T-12.0-ND	12 V, 1 A Low-Dropout-Spannungsregler	12V, 1A Low Dropout Voltage Regulator	TO-220	1.41	.86	.82
LM2941CS-ND	Einstellb. 1 A Low-Dropout-Spannungsregler	Adjustable 1A Low Dropout Voltage Regulator	TO-263-5	1.08	1.03	.98
LM2941CSXTR-ND	Einstellb. 1 A Low-Dropout-Spannungsregler	Adjustable 1A Low Dropout Voltage Regulator	TO-263-5		595.00/500	
LM2941CT-ND	Einstellb. 1 A Low-Dropout-Spannungsregler	Adjustable 1A Low Dropout Voltage Regulator	TO-220-5	1.03	.86	.74
LM2941S-ND	Einstellb. 1 A Low-Dropout-Spannungsregler	Adjustable 1A Low Dropout Voltage Regulator	TO-263-5	1.11	1.05	1.00
LM2941SXTR-ND	Einstellb. 1 A Low-Dropout-Spannungsregler	Adjustable 1A Low Dropout Voltage Regulator	TO-263-5		630.00/500	
LM2941T-ND	Einstellb. 1 A Low-Dropout-Spannungsregler	Adjustable 1A Low Dropout Voltage Regulator	TO-220-5	.99	.94	.90
LM2990S-5.0-ND	5 V negativer Low-Dropout-Regler	5V, Negative Low Dropout Regulator	TO-263	1.95	1.85	1.76
LM2990S-12-ND	12 V negativer Low-Dropout-Regler	12V, Negative Low Dropout Regulator	TO-263	1.95	1.85	1.76
LM2990S-15-ND	15 V negativer Low-Dropout-Regler	15V, Negative Low Dropout Regulator	TO-263	1.95	1.85	1.76
LM2990T-5.0-ND	5 V negativer Low-Dropout-Spannungsregler	5V, Negative Low Dropout Voltage Regulator	TO-220	1.36	1.29	1.23
LM2990T-5.2-ND	5,2 V negativer Low-Dropout-Spannungsregler	5.2V, Negative Low Dropout Voltage Regulator	TO-220	1.39	1.32	1.25
LM2990T-12-ND	12 V negativer Low-Dropout-Spannungsregler	12V, Negative Low Dropout Voltage Regulator	TO-220	1.43	1.36	1.29
LM2990T-15-ND	15 V negativer Low-Dropout-Spannungsregler	15V, Negative Low Dropout Voltage Regulator	TO-220	2.06	1.77	1.53
LM2991S-ND	Neg. einstellbarer Low-Dropout-Spannungsregler	Neg. Adjustable Low Dropout Voltage Regulator	TO-263-5	1.65	1.37	1.30
LM2991T-ND	1 A neg. einstellbarer Low-Dropout-Spannungsregler	1A Neg. Adjustable Low Dropout Voltage Regulator	TO-220	2.05	1.63	1.34
LM3211MT-ADJ-ND	Step-Up PWM, DC/DC-Wandler	Step Up PWM DC/DC Converter	20-TSSOP	4.71	3.75	3.20
LM3224MM-ADJCT-ND	Einstellb. 615 kHz/1,25 MHz Step-Up PWM DC/DC-Wandler	Adj., 615KHz/1.25MHz Step Up PWM DC/DC Converter	8-MSOP	2.13	1.69	1.45
LM3224MM-ADJTR-ND	Einstellb. 615 kHz/1,25 MHz Step-Up PWM DC/DC-Wandler	Adj., 615KHz/1.25MHz Step Up PWM DC/DC Converter	8-MSOP		1240.00/1,000	
LM3302N-ND	Vierf. Komparator	Quad Comparator	14-Dip	.34	.32	.31
LM3350MMCT-ND	Schaltkondensator-Spannungswandler, 90 % Effizienz	Switched Capacitor Voltage Converter, 90% Eff.	8-MSOP	1.10	1.05	.99
LM3350MMTR-ND	Schaltkondensator-Spannungswandler, 90 % Effizienz	Switched Capacitor Voltage Converter, 90% Eff.	8-MSOP		850.00/1,000	
LM3351MMCT-ND	Schaltkondensator-Spannungswandler, 95 % Effizienz	Switched Capacitor Voltage Converter, 95% Eff.	8-MSOP	1.94	1.54	1.32
LM3351MMTR-ND	Schaltkondensator-Spannungswandler, 95 % Effizienz	Switched Capacitor Voltage Converter, 95% Eff.	8-MSOP		1130.00/1,000	
LM3352MTC-2.5-ND	Regulierter 2,5 V, 200 mA Buck-Boost Schaltkondensator-DC/DC-Wandler	2.5V, Regulated 200mA Buck-Boost Switched Capacitor DC-DC Converter	16-TSSOP	2.15	2.04	1.94
LM3352MTC-3.0-ND	Regulierter 3 V, 200 mA Buck-Boost Schaltkondensator-DC/DC-Wandler	3V, Regulated 200mA Buck-Boost Switched Capacitor DC-DC Converter	16-TSSOP	2.15	2.04	1.94
LM3352MTC-3.3-ND	Regulierter 3,3 V, 200 mA Buck-Boost Schaltkondensator-DC/DC-Wandler	3.3V, Regulated 200mA Buck-Boost Switched Capacitor DC-DC Converter	16-TSSOP	2.15	2.04	1.94
LM3354MM-1.8CT-ND	Regulierter 1,8 V, 90 mA Buck-Boost Schaltkondensator-DC/DC-Wandler	1.8V, Regulated 90mA Buck-Boost Switched Capacitor DC-DC Converter	10-MSOP	3.58	2.85	2.43
LM3354MM-1.8TR-ND	Regulierter 1,8 V, 90 mA Buck-Boost Schaltkondensator-DC/DC-Wandler	1.8V, Regulated 90mA Buck-Boost Switched Capacitor DC-DC Converter	10-MSOP		2080.00/1,000	
LM3354MM-3.3CT-ND	Regulierter 3,3 V, 90 mA Buck-Boost Schaltkondensator-DC/DC-Wandler	3.3V, Regulated 90mA Buck-Boost Switched Capacitor DC-DC Converter	10-MSOP	2.03	1.93	1.83
LM3354MM-3.3TR-ND	Regulierter 3,3 V, 90 mA Buck-Boost Schaltkondensator-DC/DC-Wandler	3.3V, Regulated 90mA Buck-Boost Switched Capacitor DC-DC Converter	10-MSOP		1580.00/1,000	
LM3354MM-3.7CT-ND	Regulierter 3,7 V, 90 mA Buck-Boost Schaltkondensator-DC/DC-Wandler	3.7V, Regulated 90mA Buck-Boost Switched Capacitor DC-DC Converter	10-MSOP	3.58	2.85	2.43
LM3354MM-3.7TR-ND	Regulierter 3,7 V, 90 mA Buck-Boost Schaltkondensator-DC/DC-Wandler	3.7V, Regulated 90mA Buck-Boost Switched Capacitor DC-DC Converter	10-MSOP		2080.00/1,000	
LM3354MM-4.1CT-ND	Regulierter 4,1 V, 90 mA Buck-Boost Schaltkondensator-DC/DC-Wandler	4.1V, Regulated 90mA Buck-Boost Switched Capacitor DC-DC Converter	10-MSOP	2.03	1.93	1.83
LM3354MM-4.1TR-ND	Regulierter 4,1 V, 90 mA Buck-Boost Schaltkondensator-DC/DC-Wandler	4.1V, Regulated 90mA Buck-Boost Switched Capacitor DC-DC Converter	10-MSOP		1570.00/1,000	
LM3354MM-5.0CT-ND	Regulierter 5 V, 90 mA Buck-Boost Schaltkondensator-DC/DC-Wandler	5V, Regulated 90mA Buck-Boost Switched Capacitor DC-DC Converter	10-MSOP	2.03	1.93	1.83
LM3354MM-5.0TR-ND	Regulierter 5 V, 90 mA Buck-Boost Schaltkondensator-DC/DC-Wandler	5V, Regulated 90mA Buck-Boost Switched Capacitor DC-DC Converter	10-MSOP		1570.00/1,000	
LM3355MM-4.1CT-ND	4,1 V, 50 mA Buck-Boost Schaltkondensator-DC/DC-Wandler	4.1V, 50mA Buck-Boost Switched Capacitor DC-DC Converter	10-MSOP	2.83	2.25	1.93
LM3355MM-4.1TR-ND	4,1 V, 50 mA Buck-Boost Schaltkondensator-DC/DC-Wandler	4.1V, 50mA Buck-Boost Switched Capacitor DC-DC Converter	10-MSOP		1650.00/1,000	
LM3411AM5-3.3CT-ND	3,3 V Präzisions-Sekundärregler/Treiber, Klasse A	3.3V, Precision Secondary Regulator/Driver, A Grade	SOT-23-5	1.79	1.42	1.22
LM3411AM5-3.3TR-ND	3,3 V Präzisions-Sekundärregler/Treiber, Klasse A	3.3V, Precision Secondary Regulator/Driver, A Grade	SOT-23-5		1040.00/1,000	
LM3411AM5-5.0CT-ND	5 V Präzisions-Sekundärregler/Treiber, Klasse A	5V, Precision Secondary Regulator/Driver, A Grade	SOT-23-5	1.79	1.42	1.22
LM3411AM5-5.0TR-ND	5 V Präzisions-Sekundärregler/Treiber, Klasse A	5V, Precision Secondary Regulator/Driver, A Grade	SOT-23-5		1040.00/1,000	
LM3411M5-3.3CT-ND	3,3 V Präzisions-Sekundärregler/Treiber	3.3V, Precision Secondary Regulator/Driver	SOT-23-5	1.34	1.07	.91
LM3411M5-3.3TR-ND	3,3 V Präzisions-Sekundärregler/Treiber	3.3V, Precision Secondary Regulator/Driver	SOT-23-5		780.00/1,000	
LM3411M5-5.0CT-ND	5 V Präzisions-Sekundärregler/Treiber	5V, Precision Secondary Regulator/Driver	SOT-23-5	.76	.72	.69
LM3411M5-5.0TR-ND	5 V Präzisions-Sekundärregler/Treiber	5V, Precision Secondary Regulator/Driver	SOT-23-5		590.00/1,000	

(Forts.)

★ RUFEN SIE BITTE AN FÜR NIEDRIGERE PREISE BEI GRÖSSEREN MENGEN! ★

Alle Preisangaben in Euro und inklusive Zollgebühren.

Digi-Key Teilenr.	Beschreibung		Paket	Stückpreis★ 1	25	100
LM3420AM5-8.2CT-ND	8,2 V Lithium-Ionen-Batterielade-Controller, Klasse A	8.2V, Lithium-Ion Battery Charge Controller, A Grade	SOT-23-5	2.36	1.87	1.60
LM3420AM5-8.2TR-ND	8,2 V Lithium-Ionen-Batterielade-Controller, Klasse A	8.2V, Lithium-Ion Battery Charge Controller, A Grade	SOT-23-5		1370.00/1,000	
LM3420AM5-8.4CT-ND	8,4 V Lithium-Ionen-Batterielade-Controller, Klasse A	8.4V, Lithium-Ion Battery Charge Controller, A Grade	SOT-23-5	2.36	1.87	1.60
LM3420AM5-8.4TR-ND	8,4 V Lithium-Ionen-Batterielade-Controller, Klasse A	8.4V, Lithium-Ion Battery Charge Controller, A Grade	SOT-23-5		1370.00/1,000	
LM3420AM5-16.8CT-ND	16,8 V Lithium-Ionen-Batterielade-Controller, Klasse A	16.8V, Lithium-Ion Battery Charge Controller, A Grade	SOT-23-5	2.36	1.87	1.60
LM3420AM5-16.8TR-ND	16,8 V Lithium-Ionen-Batterielade-Controller, Klasse A	16.8V, Lithium-Ion Battery Charge Controller, A Grade	SOT-23-5		1370.00/1,000	
LM3420M5-8.2CT-ND	8,2 V Lithium-Ionen-Batterielade-Controller	8.2V, Lithium-Ion Battery Charge Controller	SOT-23-5	2.06	1.64	1.40
LM3420M5-8.2TR-ND	8,2 V Lithium-Ionen-Batterielade-Controller	8.2V, Lithium-Ion Battery Charge Controller	SOT-23-5		1200.00/1,000	
LM3420M5-16.8CT-ND	16,8 V Lithium-Ionen-Batterielade-Controller	16.8V, Lithium-Ion Battery Charge Controller	SOT-23-5	2.06	1.64	1.40
LM3420M5-16.8TR-ND	16,8 V Lithium-Ionen-Batterielade-Controller	16.8V, Lithium-Ion Battery Charge Controller	SOT-23-5		1200.00/1,000	
LM3460M5-1.2CT-ND	1,2 V Präzisions-Controller für GTLp und GTL Bus-Anschluss	1.2V, Precision Controller for GTLp and GTL Bus Termination	SOT-23-5	2.12	1.68	1.44
LM3460M5-1.2TR-ND	1,2 V Präzisions-Controller für GTLp und GTL Bus-Anschluss	1.2V, Precision Controller for GTLp and GTL Bus Termination	SOT-23-5		1230.00/1,000	
LM3460M5-1.5CT-ND	1,5 V Präzisions-Controller für GTLp und GTL Bus-Anschluss	1.5V, Precision Controller for GTLp and GTL Bus Termination	SOT-23-5	2.12	1.68	1.44
LM3460M5-1.5TR-ND	1,5 V Präzisions-Controller für GTLp und GTL Bus-Anschluss	1.5V, Precision Controller for GTLp and GTL Bus Termination	SOT-23-5		1230.00/1,000	
LM3475MFCT-ND	Hysterese-PFET-Buck-Controller	Hysteretic PFET Buck Controller	SOT-23-5	1.55	1.23	1.05
LM3475MFTR-ND	Hysterese-PFET-Buck-Controller	Hysteretic PFET Buck Controller	SOT-23-5		900.00/1,000	
LM3477AMMCT-ND	N-Kanal-Controller für Schaltregler, High Side, hoher Wirkungsgrad	High Efficiency High Side N-Channel Controller for Switching Regulator	8-MSOP	2.55	2.03	1.73
LM3477AMMTR-ND	N-Kanal-Controller für Schaltregler, High Side, hoher Wirkungsgrad	High Efficiency High Side N-Channel Controller for Switching Regulator	8-MSOP		1480.00/1,000	
LM3477MMCT-ND	N-Kanal-Controller für Schaltregler, High Side, hoher Wirkungsgrad	High Efficiency High Side N-Channel Controller for Switching Regulator	8-MSOP	1.97	1.36	1.09
LM3477MMTR-ND	N-Kanal-Controller für Schaltregler, High Side, hoher Wirkungsgrad	High Efficiency High Side N-Channel Controller for Switching Regulator	8-MSOP		1090.00/1,000	
LM3478MMCT-ND	N-Kanal-Controller für Schaltregler, Low-Side, hoher Wirkungsgrad	High Eff. Low-Side N-Ch. Controller for Switching Reg.	8-MSOP	1.45	1.38	1.31
LM3478MMTR-ND	N-Kanal-Controller für Schaltregler, Low-Side, hoher Wirkungsgrad	High Eff. Low-Side N-Ch. Controller for Switching Reg.	8-MSOP		1120.00/1,000	
LM3480IM3X-12CT-ND	12 V, 100 mA Low-Dropout-Spannungsregler	12V, 100mA Low Dropout Voltage Regulator	SOT-23	.90	.71	.61
LM3480IM3X-12TR-ND	12 V, 100 mA Low-Dropout-Spannungsregler	12V, 100mA Low Dropout Voltage Regulator	SOT-23		1560.00/3,000	
LM3480IM3-3.3CT-ND	3,3 V, 100 mA Low-Dropout-Spannungsregler	3.3V, 100mA Low Dropout Voltage Regulator	SOT-23	.90	.71	.61
LM3480IM3-3.3TR-ND	3,3 V, 100 mA Low-Dropout-Spannungsregler	3.3V, 100mA Low Dropout Voltage Regulator	SOT-23		520.00/1,000	
LM3480IM3-5.0CT-ND	5,0 V, 100 mA Low-Dropout-Spannungsregler	5.0V, 100mA Low Dropout Voltage Regulator	SOT-23	.51	.48	.46
LM3480IM3-5.0TR-ND	5,0 V, 100 mA Low-Dropout-Spannungsregler	5.0V, 100mA Low Dropout Voltage Regulator	SOT-23		390.00/1,000	
LM3485MMCT-ND	Hysterese-PFET-Buck-Controller	Hysteric PFET Buck Controller	8-MSOP	.85	.81	.77
LM3485MMTR-ND	Hysterese-PFET-Buck-Controller	Hysteric PFET Buck Controller	8-MSOP		660.00/1,000	
LM3488MMCT-ND	N-Kanal-Controller für Schaltregler, Low-Side, hoher Wirkungsgrad	High Eff. Low Side N-Ch. Controller for Switching Reg.	8-MSOP	2.92	2.12	1.78
LM3488MMTR-ND	N-Kanal-Controller für Schaltregler, Low-Side, hoher Wirkungsgrad	High Eff. Low Side N-Ch. Controller for Switching Reg.	8-MSOP		1780.00/1,000	
LM3490IM5-3.3CT-ND	3,3 V, 100 mA Quasi-LDO-Linearregler mit logikgesteuerter EIN/AUS-Funktion	3.3V, 100mA Quasi LDO Linear Voltage Regulator with Logic-Controlled ON/OFF	SOT-23-5	.92	.74	.63
LM3490IM5-3.3TR-ND	3,3 V, 100 mA Quasi-LDO-Linearregler mit logikgesteuerter EIN/AUS-Funktion	3.3V, 100mA Quasi LDO Linear Voltage Regulator with Logic-Controlled ON/OFF	SOT-23-5		540.00/1,000	
LM3490IM5-5.0CT-ND	5 V, 100 mA Quasi-LDO-Linearregler mit logikgesteuerter EIN/AUS-Funktion	5V, 100mA Quasi LDO Linear Voltage Regulator with Logic-Controlled ON/OFF	SOT-23-5	.92	.74	.63
LM3490IM5-5.0TR-ND	5 V, 100 mA Quasi-LDO-Linearregler mit logikgesteuerter EIN/AUS-Funktion	5V, 100mA Quasi LDO Linear Voltage Regulator with Logic-Controlled ON/OFF	SOT-23-5		540.00/1,000	
LM3490IM5-12CT-ND	12 V, 100 mA Quasi-LDO-Linearregler mit logikgesteuerter EIN/AUS-Funktion	12V, 100mA Quasi LDO Linear Voltage Regulator with Logic-Controlled ON/OFF	SOT-23-5	.92	.74	.63
LM3490IM5-12TR-ND	12 V, 100 mA Quasi-LDO-Linearregler mit logikgesteuerter EIN/AUS-Funktion	12V, 100mA Quasi LDO Linear Voltage Regulator with Logic-Controlled ON/OFF	SOT-23-5		540.00/1,000	
LM3490IM5-15CT-ND	15 V, 100 mA Quasi-LDO-Linearregler mit logikgesteuerter EIN/AUS-Funktion	15V, 100mA Quasi LDO Linear Voltage Regulator with Logic-Controlled ON/OFF	SOT-23-5	.92	.74	.63
LM3490IM5-15TR-ND	15 V, 100 mA Quasi-LDO-Linearregler mit logikgesteuerter EIN/AUS-Funktion	15V, 100mA Quasi LDO Linear Voltage Regulator with Logic-Controlled ON/OFF	SOT-23-5		540.00/1,000	
LM3500TL-16-ND	Synch. Step-Up-DC/DC-Wandler	Sync. Step-Up DC-DC Converter	8-microSMD	2.25	2.14	2.03
LM3500TL-21CT-ND	Synch. Step-Up-DC/DC-Wandler	Sync. Step Up DC/DC Converter	8-microSMD	4.18	3.32	2.84
LM3500TL-21TR-ND	Synch. Step-Up-DC/DC-Wandler	Sync. Step Up DC/DC Converter	8-microSMD		670.00/250	
LM3501TL-16CT-ND	Synch. Step-Up-DC/DC-Wandler für weiße LED	Sync. Step-Up DC/DC Converter for White LED	8-SMD	2.42	2.30	2.19
LM3501TL-16TR-ND	Synch. Step-Up-DC/DC-Wandler für weiße LED	Sync. Step-Up DC/DC Converter for White LED	8-SMD		1880.00/1,000	
LM3524DM-ND	Impulsbreiten-Regulierungsmodulator	Regulating Pulse Width Modulator	16-SOIC	.86	.82	.78
LM3524DN-ND	Impulsbreiten-Regulierungsmodulator	Regulating Pulse Width Modulator	16-Dip	1.66	1.14	.85
LM3525M-H-ND	USB-Leistungsschalter und Überstromschutz, einf. Port	Single Port USB Power Switch/Over-Current Protection	8-SOIC	.89	.85	.80
LM3525M-L-ND	USB-Leistungsschalter und Überstromschutz, einf. Port	Single Port USB Power Switch/Over-Current Protection	8-SOIC	.89	.85	.80
LM3526M-H-ND	USB-Leistungsschalter und Überstromschutz, zweif. Port	Dual Port USB Power Switch/Over-Current Protection	8-SOIC	1.24	1.17	1.12
LM3526M-L-ND	USB-Leistungsschalter und Überstromschutz, zweif. Port	Dual Port USB Power Switch/Over-Current Protection	8-SOIC	1.24	1.17	1.12
LM3544M-H-ND	USB-Leistungsschalter und Überstromschutz, vierf. Port	Quad Port USB Power Switch/Over-Current Protection	16-SOIC	4.56	3.63	3.10
LM3570SDCT-ND	Treibersystem für weiße LED, rauscharm	Low Noise White LED Driver System	14-LLP	3.97	3.16	2.70
LM3570SDTR-ND	Treibersystem für weiße LED, rauscharm	Low Noise White LED Driver System	14-LLP		2310.00/1,000	
LM3578AM-ND	Schaltregler	Switching Regulator	8-SOIC	1.50	1.07	.91
LM3578AMXTR-ND	Schaltregler	Switching Regulator	8-SOIC		2950.00/2,500	
LM3578AN-ND	Schaltregler	Switching Regulator	8-Dip	1.22	.94	.75
LM3590MFCT-ND	Dreif. LED-Treiber, weiß	Triple White LED Driver	SOT-23-5	.64	.61	.58
LM3590MFTR-ND	Dreif. LED-Treiber, weiß	Triple White LED Driver	SOT-23-5		500.00/1,000	
LM3595LDCT-ND	Vierf. LED-Treiber, parallel, weiß	Quad Parallel White LED Driver	10-LLP	1.45	1.38	1.31
LM3595LDTR-ND	Vierf. LED-Treiber, parallel, weiß	Quad Parallel White LED Driver	10-LLP		1130.001,000	
LM3620M5-4CT-ND	4 V Lithium-Ionen-Batterielade-Controller	4V, Lithium-Ion Battery Charger Controller	SOT-23-5	2.00	1.59	1.36
LM3620M5-4TR-ND	4 V Lithium-Ionen-Batterielade-Controller	4V, Lithium-Ion Battery Charger Controller	SOT-23-5		1160.00/1,000	
LM3620M5-8CT-ND	8 V Lithium-Ionen-Batterielade-Controller	8V, Lithium-Ion Battery Charger Controller	SOT-23-5	2.00	1.59	1.36
LM3620M5-8TR-ND	8 V Lithium-Ionen-Batterielade-Controller	8V, Lithium-Ion Battery Charger Controller	SOT-23-5		1160.00/1,000	
LM3621M-ND	Lithium-Ionen-Batterielade-Controller, Einzelzelle	Single Cell Lithium-Ion Battery Charger Controller	16-SOIC	3.55	2.82	2.41
LM3622AM-4.1-ND	4,1 V Lithium-Ionen-Batterielade-Controller	4.1V, Lithium-Ion Battery Charger Controller	8-SOIC	3.31	2.63	2.25
LM3622AM-4.2-ND	4,2 V Lithium-Ionen-Batterielade-Controller	4.2V, Lithium-Ion Battery Charger Controller	8-SOIC	3.31	2.63	2.25
LM3622AM-8.2-ND	8,2 V Lithium-Ionen-Batterielade-Controller	8.2V, Lithium-Ion Battery Charger Controller	8-SOIC	3.31	2.63	2.25
LM3622AM-8.4-ND	8,4 V Lithium-Ionen-Batterielade-Controller	8.4V, Lithium-Ion Battery Charger Controller	8-SOIC	3.31	2.63	2.25
LM3622M-4.1-ND	4,1 V Lithium-Ionen-Batterielade-Controller	4.1V, Lithium-Ion Battery Charger Controller	8-SOIC	2.54	2.02	1.72
LM3622M-4.2-ND	4,2 V Lithium-Ionen-Batterielade-Controller	4.2V, Lithium-Ion Battery Charger Controller	8-SOIC	2.54	2.02	1.72
LM3622M-8.2-ND	8,2 V Lithium-Ionen-Batterielade-Controller	8.2V, Lithium-Ion Battery Charger Controller	8-SOIC	2.54	2.02	1.72
LM3622M-8.4-ND	8,4 V Lithium-Ionen-Batterielade-Controller	8.4V, Lithium-Ion Battery Charger Controller	8-SOIC	2.54	2.02	1.72
LM3647IM-ND	Universal-Batterieladegerät für Li-Ion, Ni-MH und Ni-Cd-Batterien	Universal Battery Charger for Li-Ion, Ni-MH, and Ni-Cd Batteries	20-SOIC	4.87	3.28	3.12
LM3655TLCT-ND	Ladesteuerungs- und Schutzschaltkreis für eingebettete Einzelzell-Li-Ion/Polymerbatterien	Charge Control and Protection IC for Embedded Single Cell Li-Ion/Polymer Batteries	25-microSMD	5.01	3.99	3.41
LM3655TLTR-ND	Ladesteuerungs- und Schutzschaltkreis für eingebettete Einzelzell-Li-Ion/Polymerbatterien	Charge Control and Protection IC for Embedded Single Cell Li-Ion/Polymer Batteries	25-microSMD		802.50/250	
LM3670MF-1.8CT-ND	1,8 V Mini-Step-Down-DC/DC-Wandler	1.8V, Mini Step Down DC/DC Converter	SOT-23-5	3.82	3.04	2.59
LM3670MF-1.8TR-ND	1,8 V Mini-Step-Down-DC/DC-Wandler	1.8V, Mini Step Down DC/DC Converter	SOT-23-5		2220.00/1,000	
LM3670MF-ADJCT-ND	Einstellb. Mini-Step-Down-DC/DC-Wandler	Adj., Mini Step Down DC/DC Converter	SOT-23-5	3.82	3.04	2.59
LM3670MF-ADJTR-ND	Einstellb. Mini-Step-Down-DC/DC-Wandler	Adj., Mini Step Down DC/DC Converter	SOT-23-5		2220.00/1,000	
LM3671MF-ADJCT-ND	Einstellb. 600 mA Step-Down-DC/DC-Wandler	Adj., 600mA Step Down DC/DC Converter	SOT-23-5	4.27	3.39	2.90
LM3671MF-ADJTR-ND	Einstellb. 600 mA Step-Down-DC/DC-Wandler	Adj., 600mA Step Down DC/DC Converter	SOT-23-5		2480.00/1,000	
LM3671MF-1.2CT-ND	1,2 V, 600 mA Step-Down-DC/DC-Wandler	1.2V, 600mA Step Down DC/DC Converter	SOT-23-5	4.27	3.39	2.90
LM3671MF-1.2TR-ND	1,2 V, 600 mA Step-Down-DC/DC-Wandler	1.2V, 600mA Step Down DC/DC Converter	SOT-23-5		2480.00/1,000	
LM3671MF-1.25CT-ND	1,25 V, 600 mA Step-Down-DC/DC-Wandler	1.25V, 600mA Step Down DC/DC Converter	SOT-23-5	4.27	3.39	2.90
LM3671MF-1.25TR-ND	1,25 V, 600 mA Step-Down-DC/DC-Wandler	1.25V, 600mA Step Down DC/DC Converter	SOT-23-5		2480.00/1,000	
LM3671MF-1.5CT-ND	1,5 V, 600 mA Step-Down-DC/DC-Wandler	1.5V, 600mA Step Down DC/DC Converter	SOT-23-5	4.27	3.39	2.90
LM3671MF-1.5TR-ND	1,5 V, 600 mA Step-Down-DC/DC-Wandler	1.5V, 600mA Step Down DC/DC Converter	SOT-23-5		2480.00/1,000	
LM3671MF-1.6CT-ND	1,6 V, 600 mA Step-Down-DC/DC-Wandler	1.6V, 600mA Step Down DC/DC Converter	SOT-23-5	4.27	3.39	2.90
LM3671MF-1.6TR-ND	1,6 V, 600 mA Step-Down-DC/DC-Wandler	1.6V, 600mA Step Down DC/DC Converter	SOT-23-5		2480.00/1,000	
LM3671MF-1.8CT-ND	1,8 V, 600 mA Step-Down-DC/DC-Wandler	1.8V, 600mA Step Down DC/DC Converter	SOT-23-5	4.27	3.39	2.90
LM3671MF-1.8TR-ND	1,8 V, 600 mA Step-Down-DC/DC-Wandler	1.8V, 600mA Step Down DC/DC Converter	SOT-23-5		2480.00/1,000	
LM3700XBBP-270CT-ND	2,7 V Mikroprozessor-Wächterschaltkreis	2.7V, Microprocessor Supervisory Circuit	9-microSMD	1.13	.90	.77
LM3700XBBP-270TR-ND	2,7 V Mikroprozessor-Wächterschaltkreis	2.7V, Microprocessor Supervisory Circuit	9-microSMD		182.50/250	
LM3700XCBP-290CT-ND	2,9 V Mikroprozessor-Wächterschaltkreis	2.9V, Microprocessor Supervisory Circuit	9-microSMD	1.13	.90	.77
LM3700XCBP-290TR-ND	2,9 V Mikroprozessor-Wächterschaltkreis	2.9V, Microprocessor Supervisory Circuit	9-microSMD		182.50/250	
LM3700XCBP-308CT-ND	3,08 V Mikroprozessor-Wächterschaltkreis	3.08V, Microprocessor Supervisory Circuit	9-microSMD	1.13	.90	.77

(Forts.)

★ RUFEN SIE BITTE AN FÜR NIEDRIGERE PREISE BEI GRÖSSEREN MENGEN! ★

B

Digi-Key Teilenr.	Beschreibung		Paket	Stückpreis★ 1	25	100
LM3700XCBP-308TR-ND	3,08 V Mikroprozessor-Wächterschaltkreis	3.08V, Microprocessor Supervisory Circuit	9-microSMD		182.50/250	
LM3701XBBP-420CT-ND	4,2 V Mikroprozessor-Wächterschaltkreis	4.2V, Microprocessor Supervisory Circuit	9-microSMD	1.13	.90	.77
LM3701XBBP-420TR-ND	4,2 V Mikroprozessor-Wächterschaltkreis	4.2V, Microprocessor Supervisory Circuit	9-microSMD		182.50/250	
LM3701XCBP-308CT-ND	3,08 V Mikroprozessor-Wächterschaltkreis	3.08V, Microprocessor Supervisory Circuit	9-microSMD	1.13	.90	.77
LM3701XCBP-308TR-ND	3,08 V Mikroprozessor-Wächterschaltkreis	3.08V, Microprocessor Supervisory Circuit	9-microSMD		182.50/250	
LM3702XCBP-308CT-ND	3,08 V Mikroprozessor-Wächterschaltkreis mit manuellem Reset	3.08V, Microprocessor Supervisory Circuit with Manual Reset	9-microSMD	1.28	1.02	.87
LM3702XCBP-308TR-ND	3,08 V Mikroprozessor-Wächterschaltkreis mit manuellem Reset	3.08V, Microprocessor Supervisory Circuit with Manual Reset	9-microSMD		205.00/250	
LM3702YABP-290CT-ND	2,9 V Mikroprozessor-Wächterschaltkreis mit manuellem Reset	2.9V, Microprocessor Supervisory Circuit with Manual Reset	9-microSMD	1.28	1.02	.87
LM3702YABP-290TR-ND	2,9 V Mikroprozessor-Wächterschaltkreis mit manuellem Reset	2.9V, Microprocessor Supervisory Circuit with Manual Reset	9-microSMD		205.00/250	
LM3702YABP-308CT-ND	3,08 V Mikroprozessor-Wächterschaltkreis mit manuellem Reset	3.08V, Microprocessor Supervisory Circuit with Manual Reset	9-microSMD	1.28	1.02	.87
LM3702YABP-308TR-ND	3,08 V Mikroprozessor-Wächterschaltkreis mit manuellem Reset	3.08V, Microprocessor Supervisory Circuit with Manual Reset	9-microSMD		205.00/250	
LM3702YCBP-220CT-ND	2.2 V Mikroprozessor-Wächterschaltkreis mit manuellem Reset	2.2V, Microprocessor Supervisory Circuit with Manual Reset	9-microSMD	1.28	1.02	.87
LM3702YCBP-220TR-ND	2.2 V Mikroprozessor-Wächterschaltkreis mit manuellem Reset	2.2V, Microprocessor Supervisory Circuit with Manual Reset	9-microSMD		205.00/250	
LM3703XCBP-308CT-ND	3,08 V Mikroprozessor-Wächterschaltkreis mit manuellem Reset	3.08V, Microprocessor Supervisory Circuit with Manual Reset	9-microSMD	1.28	1.02	.87
LM3703XCBP-308TR-ND	3,08 V Mikroprozessor-Wächterschaltkreis mit manuellem Reset	3.08V, Microprocessor Supervisory Circuit with Manual Reset	9-microSMD		205.00/250	
LM3704XBBP-232CT-ND	2,32 V Mikroprozessor-Wächterschaltkreis mit Stromausfallseingang	2.32V, Microprocessor Supervisory Circuit with Power Fail Input	9-microSMD	2.55	2.03	1.73
LM3704XBBP-232TR-ND	2,32 V Mikroprozessor-Wächterschaltkreis mit Stromausfallseingang	2.32V, Microprocessor Supervisory Circuit with Power Fail Input	9-microSMD		407.50/250	
LM3704XBBP-463CT-ND	4,63 V Mikroprozessor-Wächterschaltkreis mit Stromausfallseingang	4.63V, Microprocessor Supervisory Circuit with Power Fail Input	9-microSMD	2.55	2.03	1.73
LM3704XBBP-463TR-ND	4,63 V Mikroprozessor-Wächterschaltkreis mit Stromausfallseingang	4.63V, Microprocessor Supervisory Circuit with Power Fail Input	9-microSMD		407.50/250	
LM3704XBMM-232CT-ND	2,32 V Mikroprozessor-Wächterschaltkreis mit Stromausfallseingang	2.32V, Microprocessor Supervisory Circuit with Power Fail Input	10-MSOP	2.41	1.92	1.64
LM3704XBMM-232TR-ND	2,32 V Mikroprozessor-Wächterschaltkreis mit Stromausfallseingang	2.32V, Microprocessor Supervisory Circuit with Power Fail Input	10-MSOP		1400.00/1,000	
LM3704XBMM-463CT-ND	4,63 V Mikroprozessor-Wächterschaltkreis mit Stromausfallseingang	4.63V, Microprocessor Supervisory Circuit with Power Fail Input	10-MSOP	2.41	1.92	1.64
LM3704XBMM-463TR-ND	4,63 V Mikroprozessor-Wächterschaltkreis mit Stromausfallseingang	4.63V, Microprocessor Supervisory Circuit with Power Fail Input	10-MSOP		1400.00/1,000	
LM3704XCBP-308CT-ND	3,08 V Mikroprozessor-Wächterschaltkreis mit Stromausfallseingang	3.08V, Microprocessor Supervisory Circuit with Power Fail Input	9-microSMD	2.55	2.03	1.73
LM3704XCBP-308TR-ND	3,08 V Mikroprozessor-Wächterschaltkreis mit Stromausfallseingang	3.08V, Microprocessor Supervisory Circuit with Power Fail Input	9-microSMD		407.50/250	
LM3704XCMM-263CT-ND	2,63 V Mikroprozessor-Wächterschaltkreis mit Stromausfallseingang	2.63V, Microprocessor Supervisory Circuit with Power Fail Input	10-MSOP	2.41	1.92	1.64
LM3704XCMM-263TR-ND	2,63 V Mikroprozessor-Wächterschaltkreis mit Stromausfallseingang	2.63V, Microprocessor Supervisory Circuit with Power Fail Input	10-MSOP		1400.00/1,000	
LM3704XCMM-308CT-ND	3,08 V Mikroprozessor-Wächterschaltkreis mit Stromausfallseingang	3.08V, Microprocessor Supervisory Circuit with Power Fail Input	10-MSOP	2.41	1.92	1.64
LM3704XCMM-308TR-ND	3,08 V Mikroprozessor-Wächterschaltkreis mit Stromausfallseingang	3.08V, Microprocessor Supervisory Circuit with Power Fail Input	10-MSOP		1400.00/1,000	
LM3704XDBP-232CT-ND	2,32 V Mikroprozessor-Wächterschaltkreis mit Stromausfallseingang	2.32V, Microprocessor Supervisory Circuit with Power Fail Input	9-microSMD	2.55	2.03	1.73
LM3704XDBP-232TR-ND	2,32 V Mikroprozessor-Wächterschaltkreis mit Stromausfallseingang	2.32V, Microprocessor Supervisory Circuit with Power Fail Input	9-microSMD		407.50/250	
LM3704XDBP-463CT-ND	4,63 V Mikroprozessor-Wächterschaltkreis mit Stromausfallseingang	4.63V, Microprocessor Supervisory Circuit with Power Fail Input	9-microSMD	2.55	2.03	1.73
LM3704XDBP-463TR-ND	4,63 V Mikroprozessor-Wächterschaltkreis mit Stromausfallseingang	4.63V, Microprocessor Supervisory Circuit with Power Fail Input	9-microSMD		407.50/250	
LM3704XDMM-220CT-ND	2,2 V Mikroprozessor-Wächterschaltkreis mit Stromausfallseingang	2.2V, Microprocessor Supervisory Circuit with Power Fail Input	10-MSOP	2.41	1.92	1.64
LM3704XDMM-220TR-ND	2,2 V Mikroprozessor-Wächterschaltkreis mit Stromausfallseingang	2.2V, Microprocessor Supervisory Circuit with Power Fail Input	10-MSOP		1400.00/1,000	
LM3704XDMM-232CT-ND	2,32 V Mikroprozessor-Wächterschaltkreis mit Stromausfallseingang	2.32V, Microprocessor Supervisory Circuit with Power Fail Input	10-MSOP	2.41	1.92	1.64
LM3704XDMM-232TR-ND	2,32 V Mikroprozessor-Wächterschaltkreis mit Stromausfallseingang	2.32V, Microprocessor Supervisory Circuit with Power Fail Input	10-MSOP		1400.00/1,000	
LM3704XDMM-463CT-ND	4,63 V Mikroprozessor-Wächterschaltkreis mit Stromausfallseingang	4.63V, Microprocessor Supervisory Circuit with Power Fail Input	10-MSOP	2.41	1.92	1.64
LM3704XDMM-463TR-ND	4,63 V Mikroprozessor-Wächterschaltkreis mit Stromausfallseingang	4.63V, Microprocessor Supervisory Circuit with Power Fail Input	10-MSOP		1400.00/1,000	
LM3704YAMM-308CT-ND	3,08 V Mikroprozessor-Wächterschaltkreis mit Stromausfallseingang	3.08V, Microprocessor Supervisory Circuit with Power Fail Input	10-MSOP	2.41	1.92	1.64
LM3704YAMM-308TR-ND	3,08 V Mikroprozessor-Wächterschaltkreis mit Stromausfallseingang	3.08V, Microprocessor Supervisory Circuit with Power Fail Input	10-MSOP		1400.00/1,000	
LM3704YBMM-360CT-ND	3,60 V Mikroprozessor-Wächterschaltkreis mit Stromausfallseingang	3.60V, Microprocessor Supervisory Circuit with Power Fail Input	10-MSOP	2.41	1.92	1.64
LM3704YBMM-360TR-ND	3,60 V Mikroprozessor-Wächterschaltkreis mit Stromausfallseingang	3.60V, Microprocessor Supervisory Circuit with Power Fail Input	10-MSOP		1400.00/1,000	
LM3704YCMM-232CT-ND	2,32 V Mikroprozessor-Wächterschaltkreis mit Stromausfallseingang	2.32V, Microprocessor Supervisory Circuit with Power Fail Input	10-MSOP	2.41	1.92	1.64
LM3704YCMM-232TR-ND	2,32 V Mikroprozessor-Wächterschaltkreis mit Stromausfallseingang	2.32V, Microprocessor Supervisory Circuit with Power Fail Input	10-MSOP		1400.00/1,000	
LM3704YCMM-308CT-ND	3,08 V Mikroprozessor-Wächterschaltkreis mit Stromausfallseingang	3.08V, Microprocessor Supervisory Circuit with Power Fail Input	10-MSOP	2.41	1.92	1.64
LM3704YCMM-308TR-ND	3,08 V Mikroprozessor-Wächterschaltkreis mit Stromausfallseingang	3.08V, Microprocessor Supervisory Circuit with Power Fail Input	10-MSOP		1400.00/1,000	
LM3705XBBP-232CT-ND	2,32 V Mikroprozessor-Wächterschaltkreis mit Stromausfallseingang	2.32V, Microprocessor Supervisory Circuit with Power Fail Input	9-microSMD	2.55	2.03	1.73
LM3705XBBP-232TR-ND	2,32 V Mikroprozessor-Wächterschaltkreis mit Stromausfallseingang	2.32V, Microprocessor Supervisory Circuit with Power Fail Input	9-microSMD		407.50/250	
LM3705XBBP-463CT-ND	4,63 V Mikroprozessor-Wächterschaltkreis mit Stromausfallseingang	4.63V, Microprocessor Supervisory Circuit with Power Fail Input	9-microSMD	2.55	2.03	1.73
LM3705XBBP-463TR-ND	4,63 V Mikroprozessor-Wächterschaltkreis mit Stromausfallseingang	4.63V, Microprocessor Supervisory Circuit with Power Fail Input	9-microSMD		407.50/250	
LM3705XBMM-232CT-ND	2,32 V Mikroprozessor-Wächterschaltkreis mit Stromausfallseingang	2.32V, Microprocessor Supervisory Circuit with Power Fail Input	10-MSOP	2.41	1.92	1.64
LM3705XBMM-232TR-ND	2,32 V Mikroprozessor-Wächterschaltkreis mit Stromausfallseingang	2.32V, Microprocessor Supervisory Circuit with Power Fail Input	10-MSOP		1400.00/1,000	
LM3705XBMM-463CT-ND	4,63 V Mikroprozessor-Wächterschaltkreis mit Stromausfallseingang	4.63V, Microprocessor Supervisory Circuit with Power Fail Input	10-MSOP	2.41	1.92	1.64
LM3705XBMM-463TR-ND	4,63 V Mikroprozessor-Wächterschaltkreis mit Stromausfallseingang	4.63V, Microprocessor Supervisory Circuit with Power Fail Input	10-MSOP		1400.00/1,000	
LM3705XCBP-308CT-ND	3,08 V Mikroprozessor-Wächterschaltkreis mit Stromausfallseingang	3.08V, Microprocessor Supervisory Circuit with Power Fail Input	9-microSMD	2.55	2.03	1.73
LM3705XCBP-308TR-ND	3,08 V Mikroprozessor-Wächterschaltkreis mit Stromausfallseingang	3.08V, Microprocessor Supervisory Circuit with Power Fail Input	9-microSMD		407.50/250	
LM3705XCMM-308CT-ND	3,08 V Mikroprozessor-Wächterschaltkreis mit Stromausfallseingang	3.08V, Microprocessor Supervisory Circuit with Power Fail Input	10-MSOP	2.41	1.92	1.64
LM3705XCMM-308TR-ND	3,08 V Mikroprozessor-Wächterschaltkreis mit Stromausfallseingang	3.08V, Microprocessor Supervisory Circuit with Power Fail Input	10-MSOP		1400.00/1,000	
LM3705XDBP-232CT-ND	2,32 V Mikroprozessor-Wächterschaltkreis mit Stromausfallseingang	2.32V, Microprocessor Supervisory Circuit with Power Fail Input	9-microSMD	2.55	2.03	1.73
LM3705XDBP-232TR-ND	2,32 V Mikroprozessor-Wächterschaltkreis mit Stromausfallseingang	2.32V, Microprocessor Supervisory Circuit with Power Fail Input	9-microSMD		407.50/250	
LM3705XDBP-463CT-ND	4,63 V Mikroprozessor-Wächterschaltkreis mit Stromausfallseingang	4.63V, Microprocessor Supervisory Circuit with Power Fail Input	9-microSMD	2.55	2.03	1.73
LM3705XDBP-463TR-ND	4,63 V Mikroprozessor-Wächterschaltkreis mit Stromausfallseingang	4.63V, Microprocessor Supervisory Circuit with Power Fail Input	9-microSMD		407.50/250	
LM3705XDMM-232CT-ND	2,32 V Mikroprozessor-Wächterschaltkreis mit Stromausfallseingang	2.32V, Microprocessor Supervisory Circuit with Power Fail Input	10-MSOP	2.41	1.92	1.64
LM3705XDMM-232TR-ND	2,32 V Mikroprozessor-Wächterschaltkreis mit Stromausfallseingang	2.32V, Microprocessor Supervisory Circuit with Power Fail Input	10-MSOP		1400.00/1,000	
LM3705XDMM-463CT-ND	4,63 V Mikroprozessor-Wächterschaltkreis mit Stromausfallseingang	4.63V, Microprocessor Supervisory Circuit with Power Fail Input	10-MSOP	2.41	1.92	1.64
LM3705XDMM-463TR-ND	4,63 V Mikroprozessor-Wächterschaltkreis mit Stromausfallseingang	4.63V, Microprocessor Supervisory Circuit with Power Fail Input	10-MSOP		1400.00/1,000	
LM3706XQBP-308CT-ND	3,08 V Mikroprozessor-Wächterschaltkreis mit niedrigem Leitungsausgang	3.08V, Microprocessor Supervisory Circuit with Low Line Output	9-microSMD	2.69	2.14	1.83
LM3706XQBP-308TR-ND	3,08 V Mikroprozessor-Wächterschaltkreis mit niedrigem Leitungsausgang	3.08V, Microprocessor Supervisory Circuit with Low Line Output	9-microSMD		432.50/250	
LM3707XQBP-308CT-ND	3,08 V Mikroprozessor-Wächterschaltkreis mit niedrigem Leitungsausgang	3.08V, Microprocessor Supervisory Circuit with Low Line Output	9-microSMD	2.69	2.14	1.83
LM3707XQBP-308TR-ND	3,08 V Mikroprozessor-Wächterschaltkreis mit niedrigem Leitungsausgang	3.08V, Microprocessor Supervisory Circuit with Low Line Output	9-microSMD		432.50/250	
LM3708XQBP-308CT-ND	3,08 V Mikroprozessor-Wächterschaltkreis mit niedrigem Leitungsausgang	3.08V, Microprocessor Supervisory Circuit with Low Line Output	9-microSMD	2.83	2.25	1.93
LM3708XQBP-308TR-ND	3,08 V Mikroprozessor-Wächterschaltkreis mit niedrigem Leitungsausgang	3.08V, Microprocessor Supervisory Circuit with Low Line Output	9-microSMD		455.00/250	
LM3709XQBP-308CT-ND	3,08 V Mikroprozessor-Wächterschaltkreis mit niedrigem Leitungsausgang	3.08V, Microprocessor Supervisory Circuit with Low Line Output	9-microSMD	2.83	2.25	1.93
LM3709XQBP-308TR-ND	3,08 V Mikroprozessor-Wächterschaltkreis mit niedrigem Leitungsausgang	3.08V, Microprocessor Supervisory Circuit with Low Line Output	9-microSMD		455.00/250	
LM3710XKBP-232CT-ND	2,32 V Mikroprozessor-Wächterschaltkreis mit Stromausfallseingang	2.32V, Microprocessor Supervisory Circuit with Power Fail Input	9-microSMD	3.40	2.70	2.31
LM3710XKBP-232TR-ND	2,32 V Mikroprozessor-Wächterschaltkreis mit Stromausfallseingang	2.32V, Microprocessor Supervisory Circuit with Power Fail Input	9-microSMD		545.00/250	
LM3710XKBP-463CT-ND	4,63 V Mikroprozessor-Wächterschaltkreis mit Stromausfallseingang	4.63V, Microprocessor Supervisory Circuit with Power Fail Input	9-microSMD	3.40	2.70	2.31
LM3710XKBP-463TR-ND	4,63 V Mikroprozessor-Wächterschaltkreis mit Stromausfallseingang	4.63V, Microprocessor Supervisory Circuit with Power Fail Input	9-microSMD		545.00/250	
LM3710XKMM-232CT-ND	2,32 V Mikroprozessor-Wächterschaltkreis mit Stromausfallseingang	2.32V, Microprocessor Supervisory Circuit with Power Fail Input	10-MSOP	3.13	2.49	2.13
LM3710XKMM-232TR-ND	2,32 V Mikroprozessor-Wächterschaltkreis mit Stromausfallseingang	2.32V, Microprocessor Supervisory Circuit with Power Fail Input	10-MSOP		1820.00/1,000	
LM3710XKMM-463CT-ND	4,63 V Mikroprozessor-Wächterschaltkreis mit Stromausfallseingang	4.63V, Microprocessor Supervisory Circuit with Power Fail Input	10-MSOP	3.13	2.49	2.13
LM3710XKMM-463TR-ND	4,63 V Mikroprozessor-Wächterschaltkreis mit Stromausfallseingang	4.63V, Microprocessor Supervisory Circuit with Power Fail Input	10-MSOP		1820.00/1,000	
LM3710XNMM-450CT-ND	4,5 V Mikroprozessor-Wächterschaltkreis mit Stromausfallseingang	4.5V, Microprocessor Supervisory Circuit with Power Fail Input	10-MSOP	3.13	2.49	2.13
LM3710XNMM-450TR-ND	4,5 V Mikroprozessor-Wächterschaltkreis mit Stromausfallseingang	4.5V, Microprocessor Supervisory Circuit with Power Fail Input	10-MSOP		1820.00/1,000	
LM3710XNMM-470CT-ND	4,70 V Mikroprozessor-Wächterschaltkreis mit Stromausfallseingang	4.70V, Microprocessor Supervisory Circuit with Power Fail Input	10-MSOP	3.13	2.49	2.13
LM3710XNMM-470TR-ND	4,70 V Mikroprozessor-Wächterschaltkreis mit Stromausfallseingang	4.70V, Microprocessor Supervisory Circuit with Power Fail Input	10-MSOP		1820.00/1,000	
LM3710XQBP-308CT-ND	3,08 V Mikroprozessor-Wächterschaltkreis mit Stromausfallseingang	3.08V, Microprocessor Supervisory Circuit with Power Fail Input	9-microSMD	3.40	2.70	2.31
LM3710XQBP-308TR-ND	3,08 V Mikroprozessor-Wächterschaltkreis mit Stromausfallseingang	3.08V, Microprocessor Supervisory Circuit with Power Fail Input	9-microSMD		545.00/250	
LM3710XQMM-308CT-ND	3,08 V Mikroprozessor-Wächterschaltkreis mit Stromausfallseingang	3.08V, Microprocessor Supervisory Circuit with Power Fail Input	10-MSOP	3.13	2.49	2.13
LM3710XQMM-308TR-ND	3,08 V Mikroprozessor-Wächterschaltkreis mit Stromausfallseingang	3.08V, Microprocessor Supervisory Circuit with Power Fail Input	10-MSOP		1820.00/1,000	
LM3710YQMM-232CT-ND	2,32 V Mikroprozessor-Wächterschaltkreis mit Stromausfallseingang	2.32V, Microprocessor Supervisory Circuit with Power Fail Input	10-MSOP	3.13	2.49	2.13
LM3710YQMM-232TR-ND	2,32 V Mikroprozessor-Wächterschaltkreis mit Stromausfallseingang	2.32V, Microprocessor Supervisory Circuit with Power Fail Input	10-MSOP		1820.00/1,000	
LM3711XKBP-232CT-ND	2,32 V Mikroprozessor-Wächterschaltkreis mit Stromausfallseingang	2.32V, Microprocessor Supervisory Circuit with Power Fail Input	9-microSMD	3.40	2.70	2.31
LM3711XKBP-232TR-ND	2,32 V Mikroprozessor-Wächterschaltkreis mit Stromausfallseingang	2.32V, Microprocessor Supervisory Circuit with Power Fail Input	9-microSMD		545.00/250	
LM3711XKBP-463CT-ND	4,63 V Mikroprozessor-Wächterschaltkreis mit Stromausfallseingang	4.63V, Microprocessor Supervisory Circuit with Power Fail Input	9-microSMD	3.40	2.70	2.31
LM3711XKBP-463TR-ND	4,63 V Mikroprozessor-Wächterschaltkreis mit Stromausfallseingang	4.63V, Microprocessor Supervisory Circuit with Power Fail Input	9-microSMD		545.00/250	
LM3711XKMM-232CT-ND	2,32 V Mikroprozessor-Wächterschaltkreis mit Stromausfallseingang	2.32V, Microprocessor Supervisory Circuit with Power Fail Input	10-MSOP	3.13	2.49	2.13
LM3711XKMM-232TR-ND	2,32 V Mikroprozessor-Wächterschaltkreis mit Stromausfallseingang	2.32V, Microprocessor Supervisory Circuit with Power Fail Input	10-MSOP		1820.00/1,000	
LM3711XKMM-463CT-ND	4,63 V Mikroprozessor-Wächterschaltkreis mit Stromausfallseingang	4.63V, Microprocessor Supervisory Circuit with Power Fail Input	10-MSOP	3.13	2.49	2.13

(Forts.)

★ RUFEN SIE BITTE AN FÜR NIEDRIGERE PREISE BEI GRÖSSEREN MENGEN! ★

Alle Preisangaben in Euro und inklusive Zollgebühren.

Digi-Key Teilenr.	Beschreibung		Paket	Stückpreis★ 1	25	100
LM3711XKMM-463TR-ND	4,63 V Mikroprozessor-Wächterschaltkreis mit Stromausfallseingang	4.63V, Microprocessor Supervisory Circuit with Power Fail Input	10-MSOP		1820.00/1,000	
LM3711XQBP-308CT-ND	3,08 V Mikroprozessor-Wächterschaltkreis mit Stromausfallseingang	3.08V, Microprocessor Supervisory Circuit with Power Fail Input	9-microSMD	3.40	2.70	2.31
LM3711XQBP-308TR-ND	3,08 V Mikroprozessor-Wächterschaltkreis mit Stromausfallseingang	3.08V, Microprocessor Supervisory Circuit with Power Fail Input	9-microSMD		545.00/250	
LM3711XQMM-308CT-ND	3,08 V Mikroprozessor-Wächterschaltkreis mit Stromausfallseingang	3.08V, Microprocessor Supervisory Circuit with Power Fail Input	10-MSOP	3.13	2.49	2.13
LM3711XQMM-308TR-ND	3,08 V Mikroprozessor-Wächterschaltkreis mit Stromausfallseingang	3.08V, Microprocessor Supervisory Circuit with Power Fail Input	10-MSOP		1820.00/1,000	
LM3712XQBP-308CT-ND	3,08 V Mikroprozessor-Wächterschaltkreis mit Stromausfallseingang	3.08V, Microprocessor Supervisory Circuit with Power Fail Input	9-microSMD	3.40	2.70	2.31
LM3712XQBP-308TR-ND	3,08 V Mikroprozessor-Wächterschaltkreis mit Stromausfallseingang	3.08V, Microprocessor Supervisory Circuit with Power Fail Input	9-microSMD		545.00/250	
LM3713XQBP-308CT-ND	3,08 V Mikroprozessor-Wächterschaltkreis mit Stromausfallseingang	3.08V, Microprocessor Supervisory Circuit with Power Fail Input	9-microSMD	3.40	2.70	2.31
LM3713XQBP-308TR-ND	3,08 V Mikroprozessor-Wächterschaltkreis mit Stromausfallseingang	3.08V, Microprocessor Supervisory Circuit with Power Fail Input	9-microSMD		545.00/250	
LM3722EM5-2.32CT-ND	2,32 V Mikroprozessor-Reset-Schaltkreis	2.32V, Microprocessor Reset Circuit	SOT-23-5	2.69	2.14	1.83
LM3722EM5-2.32TR-ND	2,32 V Mikroprozessor-Reset-Schaltkreis	2.32V, Microprocessor Reset Circuit	SOT-23-5		1570.00/1,000	
LM3722EM5-3.08CT-ND	3,08 V Mikroprozessor-Reset-Schaltkreis	3.08V, Microprocessor Reset Circuit	SOT-23-5	1.53	1.45	1.38
LM3722EM5-3.08TR-ND	3,08 V Mikroprozessor-Reset-Schaltkreis	3.08V, Microprocessor Reset Circuit	SOT-23-5		1180.00/1,000	
LM3722EM5-4.63CT-ND	4,63 V Mikroprozessor-Reset-Schaltkreis	4.63V, Microprocessor Reset Circuit	SOT-23-5	2.69	2.14	1.83
LM3722EM5-4.63TR-ND	4,63 V Mikroprozessor-Reset-Schaltkreis	4.63V, Microprocessor Reset Circuit	SOT-23-5		1570.00/1,000	
LM3722IM5-2.32CT-ND	2,32 V Mikroprozessor-Reset-Schaltkreis	2.32V, Microprocessor Reset Circuit	SOT-23-5	.95	.90	.86
LM3722IM5-2.32TR-ND	2,32 V Mikroprozessor-Reset-Schaltkreis	2.32V, Microprocessor Reset Circuit	SOT-23-5		770.00/1,000	
LM3722IM5-3.08CT-ND	3,08 V Mikroprozessor-Reset-Schaltkreis	3.08V, Microprocessor Reset Circuit	SOT-23-5	.95	.90	.86
LM3722IM5-3.08TR-ND	3,08 V Mikroprozessor-Reset-Schaltkreis	3.08V, Microprocessor Reset Circuit	SOT-23-5		770.00/1,000	
LM3722IM5-4.63CT-ND	4,63 V Mikroprozessor-Reset-Schaltkreis	4.63V, Microprocessor Reset Circuit	SOT-23-5	.95	.90	.86
LM3722IM5-4.63TR-ND	4,63 V Mikroprozessor-Reset-Schaltkreis	4.63V, Microprocessor Reset Circuit	SOT-23-5		770.00/1,000	
LM3723EM5-2.32CT-ND	2,32 V Mikroprozessor-Reset-Schaltkreis	2.32V, Microprocessor Reset Circuit	SOT-23-5	2.69	2.14	1.83
LM3723EM5-2.32TR-ND	2,32 V Mikroprozessor-Reset-Schaltkreis	2.32V, Microprocessor Reset Circuit	SOT-23-5		1570.00/1,000	
LM3723EM5-3.08CT-ND	3,08 V Mikroprozessor-Reset-Schaltkreis	3.08V, Microprocessor Reset Circuit	SOT-23-5	2.69	2.14	1.83
LM3723EM5-3.08TR-ND	3,08 V Mikroprozessor-Reset-Schaltkreis	3.08V, Microprocessor Reset Circuit	SOT-23-5		1570.00/1,000	
LM3723EM5-4.63CT-ND	4,63 V Mikroprozessor-Reset-Schaltkreis	4.63V, Microprocessor Reset Circuit	SOT-23-5	2.69	2.14	1.83
LM3723EM5-4.63TR-ND	4,63 V Mikroprozessor-Reset-Schaltkreis	4.63V, Microprocessor Reset Circuit	SOT-23-5		1570.00/1,000	
LM3723IM5-2.32CT-ND	2,32 V Mikroprozessor-Reset-Schaltkreis	2.32V, Microprocessor Reset Circuit	SOT-23-5	.95	.90	.86
LM3723IM5-2.32TR-ND	2,32 V Mikroprozessor-Reset-Schaltkreis	2.32V, Microprocessor Reset Circuit	SOT-23-5		770.00/1,000	
LM3723IM5-3.08CT-ND	3,08 V Mikroprozessor-Reset-Schaltkreis	3.08V, Microprocessor Reset Circuit	SOT-23-5	.95	.90	.86
LM3723IM5-3.08TR-ND	3,08 V Mikroprozessor-Reset-Schaltkreis	3.08V, Microprocessor Reset Circuit	SOT-23-5		770.00/1,000	
LM3723IM5-4.63CT-ND	4,63 V Mikroprozessor-Reset-Schaltkreis	4.63V, Microprocessor Reset Circuit	SOT-23-5	.95	.90	.86
LM3723IM5-4.63TR-ND	4,63 V Mikroprozessor-Reset-Schaltkreis	4.63V, Microprocessor Reset Circuit	SOT-23-5		770.00/1,000	
LM3724EM5-2.32CT-ND	2,32 V Mikroprozessor-Reset-Schaltkreis	2.32V, Microprocessor Reset Circuit	SOT-23-5	1.53	1.45	1.38
LM3724EM5-2.32TR-ND	2,32 V Mikroprozessor-Reset-Schaltkreis	2.32V, Microprocessor Reset Circuit	SOT-23-5		840.00/1,000	
LM3724EM5-3.08CT-ND	3,08 V Mikroprozessor-Reset-Schaltkreis	3.08V, Microprocessor Reset Circuit	SOT-23-5	1.53	1.45	1.38
LM3724EM5-3.08TR-ND	3,08 V Mikroprozessor-Reset-Schaltkreis	3.08V, Microprocessor Reset Circuit	SOT-23-5		840.00/1,000	
LM3724EM5-4.63CT-ND	4,63 V Mikroprozessor-Reset-Schaltkreis	4.63V, Microprocessor Reset Circuit	SOT-23-5	2.69	2.14	1.83
LM3724EM5-4.63TR-ND	4,63 V Mikroprozessor-Reset-Schaltkreis	4.63V, Microprocessor Reset Circuit	SOT-23-5		1570.00/1,000	
LM3724IM5-2.32CT-ND	2,32 V Mikroprozessor-Reset-Schaltkreis	2.32V, Microprocessor Reset Circuit	SOT-23-5	.95	.90	.86
LM3724IM5-2.32TR-ND	2,32 V Mikroprozessor-Reset-Schaltkreis	2.32V, Microprocessor Reset Circuit	SOT-23-5		770.00/1,000	
LM3724IM5-3.08CT-ND	3,08 V Mikroprozessor-Reset-Schaltkreis	3.08V, Microprocessor Reset Circuit	SOT-23-5	.95	.90	.86
LM3724IM5-3.08TR-ND	3,08 V Mikroprozessor-Reset-Schaltkreis	3.08V, Microprocessor Reset Circuit	SOT-23-5		770.00/1,000	
LM3724IM5-4.63CT-ND	4,63 V Mikroprozessor-Reset-Schaltkreis	4.63V, Microprocessor Reset Circuit	SOT-23-5	.95	.90	.86
LM3724IM5-4.63TR-ND	4,63 V Mikroprozessor-Reset-Schaltkreis	4.63V, Microprocessor Reset Circuit	SOT-23-5		770.00/1,000	
LM3812M-1.0-ND	Präzisionsstrommessgerät-IC mit ultrageringem Verlustfühlelement und PWM-Ausgang, High-Side	Precision Current Gauge IC with Ultra Low Loss Sense Element and PWM Output, High Side	8-SOIC	4.27	3.39	2.90
LM3812M-7.0-ND	Präzisionsstrommessgerät-IC mit ultrageringem Verlustfühlelement und PWM-Ausgang, High-Side	Precision Current Gauge IC with Ultra Low Loss Sense Element and PWM Output, High Side	8-SOIC	4.27	3.39	2.90
LM3813M-1.0-ND	Präzisionsstrommessgerät-IC mit ultrageringem Verlustfühlelement und PWM-Ausgang, Low-Side	Precision Current Gauge IC with Ultra Low Loss Sense Element and PWM Output, Low Side	8-SOIC	4.27	3.39	2.90
LM3813M-7.0-ND	Präzisionsstrommessgerät-IC mit ultrageringem Verlustfühlelement und PWM-Ausgang, Low-Side	Precision Current Gauge IC with Ultra Low Loss Sense Element and PWM Output, Low Side	8-SOIC	4.27	3.39	2.90
LM3814M-1.0-ND	Schnellstrommessgerät-IC mit ultrageringem Verlustfühlelement und PWM-Ausgang, High-Side	Fast Current Gauge IC with Ultra Low Loss Sense Element and PWM Output, High Side	8-SOIC	4.27	3.39	2.90
LM3814M-7.0-ND	Schnellstrommessgerät-IC mit ultrageringem Verlustfühlelement und PWM-Ausgang, High-Side	Fast Current Gauge IC with Ultra Low Loss Sense Element and PWM Output, High Side	8-SOIC	4.27	3.39	2.90
LM3815M-1.0-ND	Schnellstrommessgerät-IC mit ultrageringem Verlustfühlelement und PWM-Ausgang, Low-Side	Fast Current Gauge IC with Ultra Low Loss Sense Element and PWM Output, Low Side	8-SOIC	4.27	3.39	2.90
LM3815M-7.0-ND	Schnellstrommessgerät-IC mit ultrageringem Verlustfühlelement und PWM-Ausgang, Low-Side	Fast Current Gauge IC with Ultra Low Loss Sense Element and PWM Output, Low Side	8-SOIC	4.27	3.39	2.90
LM3822MM-1.0CT-ND	Präzisionsstrommessgerät-IC mit integriertem Null-Ohm-Fühlelement und PWM-Ausgang, High-Side	Precision Current Gauge IC with Internal Zero Ohm Sense Element and PWM Output, High Side	8-MSOP	1.64	1.56	1.48
LM3822MM-1.0TR-ND	Präzisionsstrommessgerät-IC mit integriertem Null-Ohm-Fühlelement und PWM-Ausgang, High-Side	Precision Current Gauge IC with Internal Zero Ohm Sense Element and PWM Output, High Side	8-MSOP		1270.00/1,000	
LM3822MM-2.0CT-ND	Präzisionsstrommessgerät-IC mit integriertem Null-Ohm-Fühlelement und PWM-Ausgang, High-Side	Precision Current Gauge IC with Internal Zero Ohm Sense Element and PWM Output, High Side	8-MSOP	3.58	2.85	2.43
LM3822MM-2.0TR-ND	Präzisionsstrommessgerät-IC mit integriertem Null-Ohm-Fühlelement und PWM-Ausgang, High-Side	Precision Current Gauge IC with Internal Zero Ohm Sense Element and PWM Output, High Side	8-MSOP		2080.00/1,000	
LM3824MM-1.0CT-ND	Präzisionsstrommessgerät-IC mit integriertem Null-Ohm-Fühlelement und PWM-Ausgang, Low-Side	Precision Current Gauge IC with Internal Zero Ohm Sense Element and PWM Output, Low Side	8-MSOP	3.58	2.85	2.43
LM3824MM-1.0TR-ND	Präzisionsstrommessgerät-IC mit integriertem Null-Ohm-Fühlelement und PWM-Ausgang, Low-Side	Precision Current Gauge IC with Internal Zero Ohm Sense Element and PWM Output, Low Side	8-MSOP		2080.00/1,000	
LM3824MM-2.0CT-ND	Präzisionsstrommessgerät-IC mit integriertem Null-Ohm-Fühlelement und PWM-Ausgang, Low-Side	Precision Current Gauge IC with Internal Zero Ohm Sense Element and PWM Output, Low Side	8-MSOP	3.58	2.85	2.43
LM3824MM-2.0TR-ND	Präzisionsstrommessgerät-IC mit integriertem Null-Ohm-Fühlelement und PWM-Ausgang, Low-Side	Precision Current Gauge IC with Internal Zero Ohm Sense Element and PWM Output, Low Side	8-MSOP		2080.00/1,000	
LM3875T-ND	56 W Audio-Hochleistungsverstärker	High Performance 56W Audio Power Amp	TO-220-11	2.77	2.63	2.50
LM3875TF-ND	56 W Audio-Hochleistungsverstärker	High Performance 56W Audio Power Amp	TO-220-11	4.18	3.97	3.77
LM3876T-ND	56 W Audio-Hochleistungsverstärker mit Stummfunktion	High Performance 56W Audio Power Amp with Mute	TO-220-11	2.89	2.36	2.24
LM3876TF-ND	56 W Audio-Hochleistungsverstärker mit Stummfunktion	High Performance 56W Audio Power Amp with Mute	TO-220-11	6.89	5.48	4.68
LM3886T-ND	68 W Audio-Hochleistungsverstärker mit Stummfunktion	High Performance 68W Audio Power Amp with Mute	TO-220-11	4.67	4.44	4.22
LM3886TF-ND	68 W Audio-Hochleistungsverstärker mit Stummfunktion	High Performance 68W Audio Power Amp with Mute	TO-220-11	4.83	4.58	4.36
LM3914N-1-ND	Punkt-/Balkendiagramm-Display-Treiber	Dot/Bar Display Driver	18-Dip	1.86	1.21	1.15
LM3914V-ND	Punkt-Balkendiagramm-Grafikdisplay-Treiber	Dot/Bar Graph Display Driver	20-PLCC	2.35	2.24	2.12
LM3915N-1-ND	Punkt-/Balkendiagramm-Display-Treiber	Dot/Bar Display Driver	18-Dip	1.89	1.27	1.02
LM3916N-1-ND	Punkt-/Balkendiagramm-Display-Treiber	Dot/Bar Display Driver	18-Dip	1.93	1.30	1.09
LM3940IMP-3.3CT-ND	1A Low-Dropout-Regler für 5 V bis 3,3 V Wandlung	1A Low Dropout Regulator for 5V to 3.3V Conversion	SOT-223	.84	.80	.76
LM3940IMP-3.3TR-ND	1A Low-Dropout-Regler für 5 V bis 3,3 V Wandlung	1A Low Dropout Regulator for 5V to 3.3V Conversion	SOT-223		650.00/1,000	
LM3940IS-3.3-ND	1A Low-Dropout-Regler für 5 V bis 3,3 V Wandlung	1A Low Dropout Regulator for 5V to 3.3V Conversion	TO-263	1.43	1.02	.91
LM3940ISX-3.3TR-ND	1A Low-Dropout-Regler für 5 V bis 3,3 V Wandlung	1A Low Dropout Regulator for 5V to 3.3V Conversion	TO-263		630.00/500	
LM3940IT-3.3-ND	1A Low-Dropout-Regler für 5 V bis 3,3 V Wandlung	1A Low Dropout Regulator for 5V to 3.3V Conversion	TO-220	1.43	1.02	.91
LM4040AIM3-2.5CT-ND	2,5 V Präzisions-Micropower-Shunt-Spannungsreferenz ±0,1 %	2.5V, Prec. Micropower Shunt Volt. Reference ±.1%	SOT-23	1.30	1.23	1.17
LM4040AIM3-2.5TR-ND	2,5 V Präzisions-Micropower-Shunt-Spannungsreferenz ±0,1 %	2.5V, Prec. Micropower Shunt Volt. Reference ±.1%	SOT-23		990.00/1,000	
LM4040AIM3-4.1CT-ND	4,1 V Präzisions-Micropower-Shunt-Spannungsreferenz ±0,1 %	4.1V, Prec. Micropower Shunt Volt. Reference ±.1%	SOT-23	1.30	1.23	1.17
LM4040AIM3-4.1TR-ND	4,1 V Präzisions-Micropower-Shunt-Spannungsreferenz ±0,1 %	4.1V, Prec. Micropower Shunt Volt. Reference ±.1%	SOT-23		1000.00/1,000	
LM4040AIM3-5.0CT-ND	5 V Präzisions-Micropower-Shunt-Spannungsreferenz ±0,1 %	5V, Prec. Micropower Shunt Volt. Reference ±.1%	SOT-23	1.30	1.23	1.17
LM4040AIM3-5.0TR-ND	5 V Präzisions-Micropower-Shunt-Spannungsreferenz ±0,1 %	5V, Prec. Micropower Shunt Volt. Reference ±.1%	SOT-23		990.00/1,000	
LM4040AIM3-8.2CT-ND	8,2 V Präzisions-Micropower-Shunt-Spannungsreferenz ±0,1 %	8.2V, Prec. Micropower Shunt Volt. Reference ±.1%	SOT-23	2.28	1.81	1.55
LM4040AIM3-8.2TR-ND	8,2 V Präzisions-Micropower-Shunt-Spannungsreferenz ±0,1 %	8.2V, Prec. Micropower Shunt Volt. Reference ±.1%	SOT-23		1330.00/1,000	
LM4040AIM3-10.0CT-ND	10 V Präzisions-Micropower-Shunt-Spannungsreferenz ±0,1 %	10V, Prec. Micropower Shunt Volt. Reference ±.1%	SOT-23	1.30	1.23	1.17
LM4040AIM3-10.0TR-ND	10 V Präzisions-Micropower-Shunt-Spannungsreferenz ±0,1 %	10V, Prec. Micropower Shunt Volt. Reference ±.1%	SOT-23		2030.00/1,000	
LM4040AIM3X-10CT-ND	10 V Präzisions-Micropower-Shunt-Spannungsreferenz ±0,1 %	10V, Prec. Micropower Shunt Volt. Reference ±.1%	SOT-23	2.28	1.81	1.55
LM4040AIM3X-10TR-ND	10 V Präzisions-Micropower-Shunt-Spannungsreferenz ±0,1 %	10V, Prec. Micropower Shunt Volt. Reference ±.1%	SOT-23		3990.00/3,000	
LM4040AIZ-2.5-ND	2,5 V Präzisions-Micropower-Shunt-Spannungsreferenz ±0,1 %	2.5V, Prec. Micropower Shunt Volt. Reference ±.1%	TO-92	2.28	1.81	1.55

(Forts.)

★ RUFEN SIE BITTE AN FÜR NIEDRIGERE PREISE BEI GRÖSSEREN MENGEN! ★

B

Digi-Key Teilenr.	Beschreibung		Paket	Stückpreis★ 1	25	100
LM4040AIZ-4.1-ND	4,1 V Präzisions-Micropower-Shunt-Spannungsreferenz ±0,1 %	4.1V, Prec. Micropower Shunt Volt. Reference ±.1%	TO-92	1.30	1.23	1.17
LM4040AIZ-5.0-ND	5 V Präzisions-Micropower-Shunt-Spannungsreferenz ±0,1 %	5V, Prec. Micropower Shunt Volt. Reference ±.1%	TO-92	1.30	1.23	1.17
LM4040AIZ-10.0-ND	10 V Präzisions-Micropower-Shunt-Spannungsreferenz ±0,1 %	10V, Prec. Micropower Shunt Volt. Reference ±.1%	TO-92	2.28	1.81	1.55
LM4040BIM3-2.5CT-ND	2,5 V Präzisions-Micropower-Shunt-Spannungsreferenz ±0,2 %	2.5V, Prec. Micropower Shunt Volt. Reference ±.2%	SOT-23	.89	.85	.81
LM4040BIM3-2.5TR-ND	2,5 V Präzisions-Micropower-Shunt-Spannungsreferenz ±0,2 %	2.5V, Prec. Micropower Shunt Volt. Reference ±.2%	SOT-23		690.00/1,000	
LM4040BIM3-4.1CT-ND	4,1 V Präzisions-Micropower-Shunt-Spannungsreferenz ±0,2 %	4.1V, Prec. Micropower Shunt Volt. Reference ±.2%	SOT-23	.89	.85	.81
LM4040BIM3-4.1TR-ND	4,1 V Präzisions-Micropower-Shunt-Spannungsreferenz ±0,2 %	4.1V, Prec. Micropower Shunt Volt. Reference ±.2%	SOT-23		690.00/1,000	
LM4040BIM3-5.0CT-ND	5 V Präzisions-Micropower-Shunt-Spannungsreferenz ±0,2 %	5V, Prec. Micropower Shunt Volt. Reference ±.2%	SOT-23	.89	.85	.81
LM4040BIM3-5.0TR-ND	5 V Präzisions-Micropower-Shunt-Spannungsreferenz ±0,2 %	5V, Prec. Micropower Shunt Volt. Reference ±.2%	SOT-23		690.00/1,000	
LM4040BIM3-8.2CT-ND	8,2 V Präzisions-Micropower-Shunt-Spannungsreferenz ±0,2 %	8.2V, Prec. Micropower Shunt Volt. Reference ±.2%	SOT-23	1.57	1.25	1.07
LM4040BIM3-8.2TR-ND	8,2 V Präzisions-Micropower-Shunt-Spannungsreferenz ±0,2 %	8.2V, Prec. Micropower Shunt Volt. Reference ±.2%	SOT-23		910.00/1,000	
LM4040BIM3-10.0CT-ND	10 V Präzisions-Micropower-Shunt-Spannungsreferenz ±0,2 %	10V, Prec. Micropower Shunt Volt. Reference ±.2%	SOT-23	.89	.85	.81
LM4040BIM3-10.0TR-ND	10 V Präzisions-Micropower-Shunt-Spannungsreferenz ±0,2 %	10V, Prec. Micropower Shunt Volt. Reference ±.2%	SOT-23		690.00/1,000	
LM4040BIM7-2.5CT-ND	2,5 V Präzisions-Micropower-Shunt-Spannungsreferenz ±0,2 %	2.5V, Prec. Micropower Shunt Volt. Reference ±.2%	SC-70-5	.70	.59	.56
LM4040BIM7-2.5TR-ND	2,5 V Präzisions-Micropower-Shunt-Spannungsreferenz ±0,2 %	2.5V, Prec. Micropower Shunt Volt. Reference ±.2%	SC-70-5		690.00/1,000	
LM4040BIM7-4.1CT-ND	4,1 V Präzisions-Micropower-Shunt-Spannungsreferenz ±0,2 %	4.1V, Prec. Micropower Shunt Volt. Reference ±.2%	SC-70-5	1.57	1.25	1.07
LM4040BIM7-4.1TR-ND	4,1 V Präzisions-Micropower-Shunt-Spannungsreferenz ±0,2 %	4.1V, Prec. Micropower Shunt Volt. Reference ±.2%	SC-70-5		910.00/1,000	
LM4040BIZ-2.5-ND	2,5 V Präzisions-Micropower-Shunt-Spannungsreferenz ±0,2 %	2.5V, Prec. Micropower Shunt Volt. Reference ±.2%	TO-92	.89	.85	.81
LM4040BIZ-4.1-ND	4,1 V Präzisions-Micropower-Shunt-Spannungsreferenz ±0,2 %	4.1V, Prec. Micropower Shunt Volt. Reference ±.2%	TO-92	1.57	1.25	1.07
LM4040BIZ-5.0-ND	5 V Präzisions-Micropower-Shunt-Spannungsreferenz ±0,2 %	5V, Prec. Micropower Shunt Volt. Reference ±.2%	TO-92	.89	.85	.81
LM4040CIM3-2.5CT-ND	2,5 V Präzisions-Micropower-Shunt-Spannungsreferenz ±0,5 %	2.5V, Prec. Micropower Shunt Volt. Reference ±.5%	SOT-23	.52	.49	.47
LM4040CIM3-2.5TR-ND	2,5 V Präzisions-Micropower-Shunt-Spannungsreferenz ±0,5 %	2.5V, Prec. Micropower Shunt Volt. Reference ±.5%	SOT-23		400.00/1,000	
LM4040CIM3-4.1CT-ND	4,1 V Präzisions-Micropower-Shunt-Spannungsreferenz ±0,5 %	4.1V, Prec. Micropower Shunt Volt. Reference ±.5%	SOT-23	.52	.49	.47
LM4040CIM3-4.1TR-ND	4,1 V Präzisions-Micropower-Shunt-Spannungsreferenz ±0,5 %	4.1V, Prec. Micropower Shunt Volt. Reference ±.5%	SOT-23		400.00/1,000	
LM4040CIM3-5.0CT-ND	5 V Präzisions-Micropower-Shunt-Spannungsreferenz ±0,5 %	5V, Prec. Micropower Shunt Volt. Reference ±.5%	SOT-23	.52	.49	.47
LM4040CIM3-5.0TR-ND	5 V Präzisions-Micropower-Shunt-Spannungsreferenz ±0,5 %	5V, Prec. Micropower Shunt Volt. Reference ±.5%	SOT-23		400.00/1,000	
LM4040CIM3-8.2CT-ND	8,2 V Präzisions-Micropower-Shunt-Spannungsreferenz ±0,5 %	8.2V, Prec. Micropower Shunt Volt. Reference ±.5%	SOT-23	.91	.73	.62
LM4040CIM3-8.2TR-ND	8,2 V Präzisions-Micropower-Shunt-Spannungsreferenz ±0,5 %	8.2V, Prec. Micropower Shunt Volt. Reference ±.5%	SOT-23		530.00/1,000	
LM4040CIM3-10.0CT-ND	10 V Präzisions-Micropower-Shunt-Spannungsreferenz ±0,5 %	10V, Prec. Micropower Shunt Volt. Reference ±.5%	SOT-23	.52	.49	.47
LM4040CIM3-10.0TR-ND	10 V Präzisions-Micropower-Shunt-Spannungsreferenz ±0,5 %	10V, Prec. Micropower Shunt Volt. Reference ±.5%	SOT-23		400.00/1,000	
LM4040CIM3X-10CT-ND	10 V Präzisions-Micropower-Shunt-Spannungsreferenz ±0,5 %	10V, Prec. Micropower Shunt Volt. Reference ±.5%	SOT-23	.91	.73	.62
LM4040CIM3X-10TR-ND	10 V Präzisions-Micropower-Shunt-Spannungsreferenz ±0,5 %	10V, Prec. Micropower Shunt Volt. Reference ±.5%	SOT-23		1590.00/3,000	
LM4040CIM7-2.5CT-ND	2,5 V Präzisions-Micropower-Shunt-Spannungsreferenz ±0,5 %	2.5V, Prec. Micropower Shunt Volt. Reference ±.5%	SC-70-5	.91	.73	.62
LM4040CIM7-2.5TR-ND	2,5 V Präzisions-Micropower-Shunt-Spannungsreferenz ±0,5 %c	2.5V, Prec. Micropower Shunt Volt. Reference ±.5%	SC-70-5		530.00/1,000	
LM4040CIZ-2.5-ND	2,5 V Präzisions-Micropower-Shunt-Spannungsreferenz ±0,5 %	2.5V, Prec. Micropower Shunt Volt. Reference ±.5%	TO-92	.91	.73	.62
LM4040CIZ-4.1-ND	4,1 V Präzisions-Micropower-Shunt-Spannungsreferenz ±0,5 %	4.1V, Prec. Micropower Shunt Volt. Reference ±.5%	TO-92	.52	.49	.47
LM4040CIZ-5.0-ND	5 V Präzisions-Micropower-Shunt-Spannungsreferenz ±0,5 %	5V, Prec. Micropower Shunt Volt. Reference ±.5%	TO-92	.52	.49	.47
LM4040CIZ-8.2-ND	8,2 V Präzisions-Micropower-Shunt-Spannungsreferenz ±0,5 %	8.2V, Prec. Micropower Shunt Volt. Reference ±.5%	TO-92	.91	.73	.62
LM4040CIZ-10.0-ND	10 V Präzisions-Micropower-Shunt-Spannungsreferenz ±0,5 %	10V, Prec. Micropower Shunt Volt. Reference ±.5%	TO-92	.91	.73	.62
LM4040DEM3-2.5CT-ND	2,5 V Präzisions-Micropower-Shunt-Spannungsreferenz ±1 %	2.5V, Prec. Micropower Shunt Volt. Reference ±1%	SOT-23	.92	.74	.63
LM4040DEM3-2.5TR-ND	2,5 V Präzisions-Micropower-Shunt-Spannungsreferenz ±1 %	2.5V, Prec. Micropower Shunt Volt. Reference ±1%	SOT-23		540.00/1,000	
LM4040DEM3-5.0CT-ND	5 V Präzisions-Micropower-Shunt-Spannungsreferenz ±1 %	5V, Prec. Micropower Shunt Volt. Reference ±1%	SOT-23	.92	.74	.63
LM4040DEM3-5.0TR-ND	5 V Präzisions-Micropower-Shunt-Spannungsreferenz ±1 %	5V, Prec. Micropower Shunt Volt. Reference ±1%	SOT-23		540.00/1,000	
LM4040DIM3-2.5CT-ND	2,5 V Präzisions-Micropower-Shunt-Spannungsreferenz ±1 %	2.5V, Prec. Micropower Shunt Volt. Reference ±1%	SOT-23	.37	.31	.29
LM4040DIM3-2.5TR-ND	2,5 V Präzisions-Micropower-Shunt-Spannungsreferenz ±1 %	2.5V, Prec. Micropower Shunt Volt. Reference ±1%	SOT-23		260.00/1,000	
LM4040DIM3-4.1CT-ND	4,1 V Präzisions-Micropower-Shunt-Spannungsreferenz ±1 %	4.1V, Prec. Micropower Shunt Volt. Reference ±1%	SOT-23	.45	.42	.40
LM4040DIM3-4.1TR-ND	4,1 V Präzisions-Micropower-Shunt-Spannungsreferenz ±1 %	4.1V, Prec. Micropower Shunt Volt. Reference ±1%	SOT-23		340.00/1,000	
LM4040DIM3-5.0CT-ND	5 V Präzisions-Micropower-Shunt-Spannungsreferenz ±1 %	5V, Prec. Micropower Shunt Volt. Reference ±1%	SOT-23	.37	.31	.29
LM4040DIM3-5.0TR-ND	5 V Präzisions-Micropower-Shunt-Spannungsreferenz ±1 %	5V, Prec. Micropower Shunt Volt. Reference ±1%	SOT-23		260.00/1,000	
LM4040DIM3-10.0CT-ND	10 V Präzisions-Micropower-Shunt-Spannungsreferenz ±1 %	10V, Prec. Micropower Shunt Volt. Reference ±1%	SOT-23	.45	.42	.40
LM4040DIM3-10.0TR-ND	10 V Präzisions-Micropower-Shunt-Spannungsreferenz ±1 %	10V, Prec. Micropower Shunt Volt. Reference ±1%	SOT-23		340.00/1,000	
LM4040DIM3X-10CT-ND	10 V Präzisions-Micropower-Shunt-Spannungsreferenz ±1 %	10V, Prec. Micropower Shunt Volt. Reference ±1%	SOT-23	.79	.63	.54
LM4040DIM3X-10TR-ND	10 V Präzisions-Micropower-Shunt-Spannungsreferenz ±1 %	10V, Prec. Micropower Shunt Volt. Reference ±1%	SOT-23		1380.00/3,000	
LM4040DIZ-2.5-ND	2,5 V Präzisions-Micropower-Shunt-Spannungsreferenz ±1 %	2.5V, Prec. Micropower Shunt Volt. Reference ±1%	TO-92	.37	.31	.29
LM4040DIZ-4.1-ND	4,1 V Präzisions-Micropower-Shunt-Spannungsreferenz ±1 %	4.1V, Prec. Micropower Shunt Volt. Reference ±1%	TO-92	.37	.31	.29
LM4040DIZ-5.0-ND	5 V Präzisions-Micropower-Shunt-Spannungsreferenz ±1 %	5V, Prec. Micropower Shunt Volt. Reference ±1%	TO-92	.37	.31	.29
LM4040DIZ-8.2-ND	8,2 V Präzisions-Micropower-Shunt-Spannungsreferenz ±1 %	8.2V, Prec. Micropower Shunt Volt. Reference ±1%	TO-92	.79	.63	.54
LM4040DIZ-10.0-ND	10 V Präzisions-Micropower-Shunt-Spannungsreferenz ±1 %	10V, Prec. Micropower Shunt Volt. Reference ±1%	TO-92	.37	.31	.29
LM4040EEM3-2.5CT-ND	2,5 V Präzisions-Micropower-Shunt-Spannungsreferenz ±2 %	2.5V, Prec. Micropower Shunt Volt. Reference ±2%	SOT-23	.75	.59	.51
LM4040EEM3-2.5TR-ND	2,5 V Präzisions-Micropower-Shunt-Spannungsreferenz ±2 %	2.5V, Prec. Micropower Shunt Volt. Reference ±2%	SOT-23		430.00/1,000	
LM4040EIM3-2.5CT-ND	2,5 V Präzisions-Micropower-Shunt-Spannungsreferenz ±2 %	2.5V, Prec. Micropower Shunt Volt. Reference ±2%	SOT-23	.37	.36	.34
LM4040EIM3-2.5TR-ND	2,5 V Präzisions-Micropower-Shunt-Spannungsreferenz ±2 %	2.5V, Prec. Micropower Shunt Volt. Reference ±2%	SOT-23		290.00/1,000	
LM4040EIZ-2.5-ND	2,5 V Präzisions-Micropower-Shunt-Spannungsreferenz ±2 %	2.5V, Prec. Micropower Shunt Volt. Reference ±2%	TO-92	.66	.52	.45
LM4041AIM3-1.2CT-ND	1,2 V Präzisions-Micropower-Shunt-Spannungsreferenz ±0,1 %	1.2V, Prec. Micropower Shunt Volt. Reference ±.1%	SOT-23	1.30	1.23	1.17
LM4041AIM3-1.2TR-ND	1,2 V Präzisions-Micropower-Shunt-Spannungsreferenz ±0,1 %	1.2V, Prec. Micropower Shunt Volt. Reference ±.1%	SOT-23		1000.00/1,000	
LM4041AIZ-1.2-ND	1,2 V Präzisions-Micropower-Shunt-Spannungsreferenz ±0,1 %	1.2V, Prec. Micropower Shunt Volt. Reference ±.1%	TO-92	2.28	1.81	1.55
LM4041BIZ-1.2-ND	1,2 V Präzisions-Micropower-Shunt-Spannungsreferenz ±0,2 %	1.2V, Prec. Micropower Shunt Volt. Reference ±.2%	TO-92	1.57	1.25	1.07
LM4041BIM3-1.2CT-ND	1,2 V Präzisions-Micropower-Shunt-Spannungsreferenz ±0,2 %	1.2V, Prec. Micropower Shunt Volt. Reference ±.2%	SOT-23	.89	.85	.81
LM4041BIM3-1.2TR-ND	1,2 V Präzisions-Micropower-Shunt-Spannungsreferenz ±0,2 %	1.2V, Prec. Micropower Shunt Volt. Reference ±.2%	SOT-23		690.00/1,000	
LM4041CEM3-ADJCT-ND	Einstellb. Präzisions-Micropower-Shunt-Spannungsreferenz ±0,5 %	Adj. Prec. Micropower Shunt Volt. Reference ±.5%	SOT-23	1.16	.93	.79
LM4041CEM3-ADJTR-ND	Einstellb. Präzisions-Micropower-Shunt-Spannungsreferenz ±0,5 %	Adj. Prec. Micropower Shunt Volt. Reference ±.5%	SOT-23		680.00/1,000	
LM4041CEM3-1.2CT-ND	1,2 V Präzisions-Micropower-Shunt-Spannungsreferenz ±0,5 %	1.2V, Prec. Micropower Shunt Volt. Reference ±.5%	SOT-23	1.16	.93	.79
LM4041CEM3-1.2TR-ND	1,2 V Präzisions-Micropower-Shunt-Spannungsreferenz ±0,5 %	1.2V, Prec. Micropower Shunt Volt. Reference ±.5%	SOT-23		680.00/1,000	
LM4041CIM3-1.2CT-ND	1,2 V Präzisions-Micropower-Shunt-Spannungsreferenz ±0,5 %	1.2V, Prec. Micropower Shunt Volt. Reference ±.5%	SOT-23	.52	.49	.47
LM4041CIM3-1.2TR-ND	1,2 V Präzisions-Micropower-Shunt-Spannungsreferenz ±0,5 %	1.2V, Prec. Micropower Shunt Volt. Reference ±.5%	SOT-23		400.00/1,000	
LM4041CIM3-ADJCT-ND	Einstellb. Präzisions-Micropower-Shunt-Spannungsreferenz ±0,5 %	Adj. Prec. Micropower Shunt Volt. Reference ±.5%	SOT-23	.52	.49	.47
LM4041CIM3-ADJTR-ND	Einstellb. Präzisions-Micropower-Shunt-Spannungsreferenz ±0,5 %	Adj. Prec. Micropower Shunt Volt. Reference ±.5%	SOT-23		400.00/1,000	
LM4041CIM7-ADJCT-ND	Einstellb. Präzisions-Micropower-Shunt-Spannungsreferenz ±0,5 %	Adj., Prec. Micropower Shunt Volt. Reference ±.5%	SC-70-5	.91	.73	.62
LM4041CIM7-ADJTR-ND	Einstellb. Präzisions-Micropower-Shunt-Spannungsreferenz ±0,5 %	Adj., Prec. Micropower Shunt Volt. Reference ±.5%	SC-70-5		530.00/1,000	
LM4041CIM7-1.2CT-ND	1,2 V Präzisions-Micropower-Shunt-Spannungsreferenz ±0,5 %	1.2V, Prec. Micropower Shunt Volt. Reference ±.5%	SC-70-5	.91	.73	.62
LM4041CIM7-1.2TR-ND	1,2 V Präzisions-Micropower-Shunt-Spannungsreferenz ±0,5 %	1.2V, Prec. Micropower Shunt Volt. Reference ±.5%	SC-70-5		530.00/1,000	
LM4041CIZ-1.2-ND	1,2 V Präzisions-Micropower-Shunt-Spannungsreferenz ±0,5 %	1.2V, Prec. Micropower Shunt Volt. Reference ±.5%	TO-92	.52	.49	.47
LM4041CIZ-ADJ-ND	Einstellb. Präzisions-Micropower-Shunt-Spannungsreferenz ±0,5 %	Adj., Prec. Micropower Shunt Volt. Reference ±.5%	TO-92	.91	.73	.62
LM4041DEM3-ADJCT-ND	Einstellb. Präzisions-Micropower-Shunt-Spannungsreferenz ±1,0 %	Adj., Prec. Micropower Shunt Volt. Reference ±1.0%	SOT-23	.92	.74	.63
LM4041DEM3-ADJTR-ND	Einstellb. Präzisions-Micropower-Shunt-Spannungsreferenz ±1,0 %	Adj., Prec. Micropower Shunt Volt. Reference ±1.0%	SOT-23		540.00/1,000	
LM4041DEM3-1.2CT-ND	1,2 V Präzisions-Micropower-Shunt-Spannungsreferenz ±1,0 %	1.2V, Prec. Micropower Shunt Volt. Reference ±1.0%	SOT-23	.92	.74	.63
LM4041DEM3-1.2TR-ND	1,2 V Präzisions-Micropower-Shunt-Spannungsreferenz ±1,0 %	1.2V, Prec. Micropower Shunt Volt. Reference ±1.0%	SOT-23		540.00/1,000	
LM4041DIM3-1.2CT-ND	1,2 V Präzisions-Micropower-Shunt-Spannungsreferenz ±1,0 %	1.2V, Prec. Micropower Shunt Volt. Reference ±1.0%	SOT-23	.37	.31	.29
LM4041DIM3-1.2TR-ND	1,2 V Präzisions-Micropower-Shunt-Spannungsreferenz ±1,0 %	1.2V, Prec. Micropower Shunt Volt. Reference ±1.0%	SOT-23		260.00/1,000	
LM4041DIM3-ADJCT-ND	Einstellb. Präzisions-Micropower-Shunt-Spannungsreferenz ±1,0 %	Adj., Prec. Micropower Shunt Volt. Reference ±1.0%	SOT-23	.45	.42	.40
LM4041DIM3-ADJTR-ND	Einstellb. Präzisions-Micropower-Shunt-Spannungsreferenz ±1,0 %	Adj., Prec. Micropower Shunt Volt. Reference ±1.0%	SOT-23		340.00/1,000	
LM4041DIZ-ADJ-ND	Einstellb. Präzisions-Micropower-Shunt-Spannungsreferenz ±1,0 %	Adj., Prec. Micropower Shunt Volt. Reference ±1.0%	TO-92	.37	.31	.29
LM4041DIZ-1.2-ND	1,2 V Präzisions-Micropower-Shunt-Spannungsreferenz ±1,0 %	1.2V, Prec. Micropower Shunt Volt. Reference ±1.0%	TO-92	.42	.31	.29
LM4041EEM3-1.2CT-ND	1,2 V Präzisions-Micropower-Shunt-Spannungsreferenz ±2 %	1.2V, Prec. Micropower Shunt Volt. Reference ±2%	SOT-23	.75	.59	.51
LM4041EEM3-1.2TR-ND	1,2 V Präzisions-Micropower-Shunt-Spannungsreferenz ±2 %	1.2V, Prec. Micropower Shunt Volt. Reference ±2%	SOT-23		430.00/1,000	
LM4041EIM3-1.2CT-ND	1,2 V Präzisions-Micropower-Shunt-Spannungsreferenz ±2 %	1.2V, Prec. Micropower Shunt Volt. Reference ±2%	SOT-23	.37	.36	.34
LM4041EIM3-1.2TR-ND	1,2 V Präzisions-Micropower-Shunt-Spannungsreferenz ±2 %	1.2V, Prec. Micropower Shunt Volt. Reference ±2%	SOT-23		290.00/1,000	
LM4041EIZ-1.2-ND	1,2 V Präzisions-Micropower-Shunt-Spannungsreferenz ±2 %	1.2V, Prec. Micropower Shunt Volt. Reference ±2%	TO-92	.66	.52	.45
LM4050AEM3-2.5CT-ND	2,5 V Präzisions-Micropower Shunt-Spannungsref.	2.5V, Precision Micropower Shunt Volt. Ref.	SOT-23	3.55	2.82	2.41
LM4050AEM3-2.5TR-ND	2,5 V Präzisions-Micropower Shunt-Spannungsref.	2.5V, Precision Micropower Shunt Volt. Ref.	SOT-23		2070.00/1,000	
LM4050AEM3-4.1CT-ND	4,1 V Präzisions-Micropower Shunt-Spannungsref.	4.1V, Precision Micropower Shunt Volt. Ref.	SOT-23	3.55	2.82	2.41
LM4050AEM3-4.1TR-ND	4,1 V Präzisions-Micropower Shunt-Spannungsref.	4.1V, Precision Micropower Shunt Volt. Ref.	SOT-23		2070.00/1,000	
LM4050AEM3-5.0CT-ND	5 V Präzisions-Micropower Shunt-Spannungsref.	5V, Precision Micropower Shunt Volt. Ref.	SOT-23	3.55	2.82	2.41
LM4050AEM3-5.0TR-ND	5 V Präzisions-Micropower Shunt-Spannungsref.	5V, Precision Micropower Shunt Volt. Ref.	SOT-23		2070.00/1,000	
LM4050AEM3-8.2CT-ND	8,2 V Präzisions-Micropower Shunt-Spannungsref.	8.2V, Precision Micropower Shunt Volt. Ref.	SOT-23	3.55	2.82	2.41

(Forts.)

★ RUFEN SIE BITTE AN FÜR NIEDRIGERE PREISE BEI GRÖSSEREN MENGEN! ★

Alle Preisangaben in Euro und inklusive Zollgebühren.

Digi-Key Teilenr.	Beschreibung		Paket	Stückpreis★ 1	25	100
LM4050AEM3-8.2TR-ND	8,2 V Präzisions-Micropower Shunt-Spannungsref.	8.2V, Precision Micropower Shunt Volt. Ref.	SOT-23		2070.00/1,000	
LM4050AEM3-10CT-ND	10 V Präzisions-Micropower Shunt-Spannungsref.	10V, Precision Micropower Shunt Volt. Ref.	SOT-23	3.55	2.82	2.41
LM4050AEM3-10TR-ND	10 V Präzisions-Micropower Shunt-Spannungsref.	10V, Precision Micropower Shunt Volt. Ref.	SOT-23		2070.00/1,000	
LM4050AIM3-2.5CT-ND	2,5 V Präzisions-Micropower Shunt-Spannungsref.	2.5V, Precision Micropower Shunt Volt. Ref.	SOT-23	1.79	1.71	1.62
LM4050AIM3-2.5TR-ND	2,5 V Präzisions-Micropower Shunt-Spannungsref.	2.5V, Precision Micropower Shunt Volt. Ref.	SOT-23		1390.00/1,000	
LM4050AIM3-4.1CT-ND	4,1 V Präzisions-Micropower Shunt-Spannungsref.	4.1V, Precision Micropower Shunt Volt. Ref.	SOT-23	1.79	1.71	1.62
LM4050AIM3-4.1TR-ND	4,1 V Präzisions-Micropower Shunt-Spannungsref.	4.1V, Precision Micropower Shunt Volt. Ref.	SOT-23		1390.00/1,000	
LM4050AIM3-5.0CT-ND	5 V Präzisions-Micropower Shunt-Spannungsref.	5V, Precision Micropower Shunt Volt. Ref.	SOT-23	1.79	1.71	1.62
LM4050AIM3-5.0TR-ND	5 V Präzisions-Micropower Shunt-Spannungsref.	5V, Precision Micropower Shunt Volt. Ref.	SOT-23		1390.00/1,000	
LM4050AIM3-8.2CT-ND	8,2 V Präzisions-Micropower Shunt-Spannungsref.	8.2V, Precision Micropower Shunt Volt. Ref.	SOT-23	3.16	2.51	2.15
LM4050AIM3-8.2TR-ND	8,2 V Präzisions-Micropower Shunt-Spannungsref.	8.2V, Precision Micropower Shunt Volt. Ref.	SOT-23		1840.00/1,000	
LM4050AIM3-10CT-ND	10 V Präzisions-Micropower Shunt-Spannungsref.	10V, Precision Micropower Shunt Volt. Ref.	SOT-23	3.16	2.51	2.15
LM4050AIM3-10TR-ND	10 V Präzisions-Micropower Shunt-Spannungsref.	10V, Precision Micropower Shunt Volt. Ref.	SOT-23		1840.00/1,000	
LM4050BEM3-2.5CT-ND	2,5 V Präzisions-Micropower Shunt-Spannungsref.	2.5V, Precision Micropower Shunt Volt. Ref.	SOT-23	2.48	1.97	1.68
LM4050BEM3-2.5TR-ND	2,5 V Präzisions-Micropower Shunt-Spannungsref.	2.5V, Precision Micropower Shunt Volt. Ref.	SOT-23		1440.00/1,000	
LM4050BEM3-4.1CT-ND	4,1 V Präzisions-Micropower Shunt-Spannungsref.	4.1V, Precision Micropower Shunt Volt. Ref.	SOT-23	2.48	1.97	1.68
LM4050BEM3-4.1TR-ND	4,1 V Präzisions-Micropower Shunt-Spannungsref.	4.1V, Precision Micropower Shunt Volt. Ref.	SOT-23		1440.00/1,000	
LM4050BEM3-5.0CT-ND	5 V Präzisions-Micropower Shunt-Spannungsref.	5V, Precision Micropower Shunt Volt. Ref.	SOT-23	2.48	1.97	1.68
LM4050BEM3-5.0TR-ND	5 V Präzisions-Micropower Shunt-Spannungsref.	5V, Precision Micropower Shunt Volt. Ref.	SOT-23		1440.00/1,000	
LM4050BEM3-8.2CT-ND	8,2 V Präzisions-Micropower Shunt-Spannungsref.	8.2V, Precision Micropower Shunt Volt. Ref.	SOT-23	2.48	1.97	1.68
LM4050BEM3-8.2TR-ND	8,2 V Präzisions-Micropower Shunt-Spannungsref.	8.2V, Precision Micropower Shunt Volt. Ref.	SOT-23		1440.00/1,000	
LM4050BEM3-10CT-ND	10 V Präzisions-Micropower Shunt-Spannungsref.	10V, Precision Micropower Shunt Volt. Ref.	SOT-23	2.48	1.97	1.68
LM4050BEM3-10TR-ND	10 V Präzisions-Micropower Shunt-Spannungsref.	10V, Precision Micropower Shunt Volt. Ref.	SOT-23		1440.00/1,000	
LM4050BIM3-2.5CT-ND	2,5 V Präzisions-Micropower Shunt-Spannungsref.	2.5V, Precision Micropower Shunt Volt. Ref.	SOT-23	1.19	1.13	1.07
LM4050BIM3-2.5TR-ND	2,5 V Präzisions-Micropower Shunt-Spannungsref.	2.5V, Precision Micropower Shunt Volt. Ref.	SOT-23		920.00/1,000	
LM4050BIM3-4.1CT-ND	4,1 V Präzisions-Micropower Shunt-Spannungsref.	4.1V, Precision Micropower Shunt Volt. Ref.	SOT-23	1.19	1.13	1.07
LM4050BIM3-4.1TR-ND	4,1 V Präzisions-Micropower Shunt-Spannungsref.	4.1V, Precision Micropower Shunt Volt. Ref.	SOT-23		920.00/1,000	
LM4050BIM3-5.0CT-ND	5 V Präzisions-Micropower Shunt-Spannungsref.	5V, Precision Micropower Shunt Volt. Ref.	SOT-23	1.19	1.13	1.07
LM4050BIM3-5.0TR-ND	5 V Präzisions-Micropower Shunt-Spannungsref.	5V, Precision Micropower Shunt Volt. Ref.	SOT-23		920.00/1,000	
LM4050BIM3-8.2CT-ND	8,2 V Präzisions-Micropower Shunt-Spannungsref.	8.2V, Precision Micropower Shunt Volt. Ref.	SOT-23	2.09	1.66	1.42
LM4050BIM3-8.2TR-ND	8,2 V Präzisions-Micropower Shunt-Spannungsref.	8.2V, Precision Micropower Shunt Volt. Ref.	SOT-23		1210.00/1,000	
LM4050BIM3-10CT-ND	10 V Präzisions-Micropower Shunt-Spannungsref.	10V, Precision Micropower Shunt Volt. Ref.	SOT-23	2.09	1.66	1.42
LM4050BIM3-10TR-ND	10 V Präzisions-Micropower Shunt-Spannungsref.	10V, Precision Micropower Shunt Volt. Ref.	SOT-23		1210.00/1,000	
LM4050CEM3-2.5CT-ND	2,5 V Präzisions-Micropower Shunt-Spannungsref.	2.5V, Precision Micropower Shunt Volt. Ref.	SOT-23	2.24	1.78	1.52
LM4050CEM3-2.5TR-ND	2,5 V Präzisions-Micropower Shunt-Spannungsref.	2.5V, Precision Micropower Shunt Volt. Ref.	SOT-23		1300.00/1,000	
LM4050CEM3-4.1CT-ND	4,1 V Präzisions-Micropower Shunt-Spannungsref.	4.1V, Precision Micropower Shunt Volt. Ref.	SOT-23	2.24	1.78	1.52
LM4050CEM3-4.1TR-ND	4,1 V Präzisions-Micropower Shunt-Spannungsref.	4.1V, Precision Micropower Shunt Volt. Ref.	SOT-23		1300.00/1,000	
LM4050CEM3-5.0CT-ND	5 V Präzisions-Micropower Shunt-Spannungsref.	5V, Precision Micropower Shunt Volt. Ref.	SOT-23	2.24	1.78	1.52
LM4050CEM3-5.0TR-ND	5 V Präzisions-Micropower Shunt-Spannungsref.	5V, Precision Micropower Shunt Volt. Ref.	SOT-23		1300.00/1,000	
LM4050CEM3-8.2CT-ND	8,2 V Präzisions-Micropower Shunt-Spannungsref.	8.2V, Precision Micropower Shunt Volt. Ref.	SOT-23	2.24	1.78	1.52
LM4050CEM3-8.2TR-ND	8,2 V Präzisions-Micropower Shunt-Spannungsref.	8.2V, Precision Micropower Shunt Volt. Ref.	SOT-23		1300.00/1,000	
LM4050CEM3-10CT-ND	10 V Präzisions-Micropower Shunt-Spannungsref.	10V, Precision Micropower Shunt Volt. Ref.	SOT-23	2.24	1.78	1.52
LM4050CEM3-10TR-ND	10 V Präzisions-Micropower Shunt-Spannungsref.	10V, Precision Micropower Shunt Volt. Ref.	SOT-23		1300.00/1,000	
LM4050CIM3-2.5CT-ND	2,5 V Präzisions-Micropower Shunt-Spannungsref.	2.5V, Precision Micropower Shunt Volt. Ref.	SOT-23	.95	.90	.86
LM4050CIM3-2.5TR-ND	2,5 V Präzisions-Micropower Shunt-Spannungsref.	2.5V, Precision Micropower Shunt Volt. Ref.	SOT-23		730.00/1,000	
LM4050CIM3-4.1CT-ND	4,1 V Präzisions-Micropower Shunt-Spannungsref.	4.1V, Precision Micropower Shunt Volt. Ref.	SOT-23	1.67	1.33	1.14
LM4050CIM3-4.1TR-ND	4,1 V Präzisions-Micropower Shunt-Spannungsref.	4.1V, Precision Micropower Shunt Volt. Ref.	SOT-23		970.00/1,000	
LM4050CIM3-5.0CT-ND	5 V Präzisions-Micropower Shunt-Spannungsref.	5V, Precision Micropower Shunt Volt. Ref.	SOT-23	.95	.90	.86
LM4050CIM3-5.0TR-ND	5 V Präzisions-Micropower Shunt-Spannungsref.	5V, Precision Micropower Shunt Volt. Ref.	SOT-23		730.00/1,000	
LM4050CIM3-8.2CT-ND	8,2 V Präzisions-Micropower Shunt-Spannungsref.	8.2V, Precision Micropower Shunt Volt. Ref.	SOT-23	1.67	1.33	1.14
LM4050CIM3-8.2TR-ND	8,2 V Präzisions-Micropower Shunt-Spannungsref.	8.2V, Precision Micropower Shunt Volt. Ref.	SOT-23		970.00/1,000	
LM4050CIM3-10CT-ND	10 V Präzisions-Micropower Shunt-Spannungsref.	10V, Precision Micropower Shunt Volt. Ref.	SOT-23	1.67	1.33	1.14
LM4050CIM3-10TR-ND	10 V Präzisions-Micropower Shunt-Spannungsref.	10V, Precision Micropower Shunt Volt. Ref.	SOT-23		970.00/1,000	
LM4051AEM3-ADJCT-ND	Einstellb. Präzisions-Micropower Shunt-Spannungsref.	Adj. Precision Micropower Shunt Volt. Ref.	SOT-23	3.55	2.82	2.41
LM4051AEM3-ADJTR-ND	Einstellb. Präzisions-Micropower Shunt-Spannungsref.	Adj. Precision Micropower Shunt Volt. Ref.	SOT-23		2070.00/1,000	
LM4051AEM3-1.2CT-ND	1,2 V Präzisions-Micropower Shunt-Spannungsref.	1.2V, Precision Micropower Shunt Volt. Ref.	SOT-23	3.55	2.82	2.41
LM4051AEM3-1.2TR-ND	1,2 V Präzisions-Micropower Shunt-Spannungsref.	1.2V, Precision Micropower Shunt Volt. Ref.	SOT-23		2070.00/1,000	
LM4051AIM3-ADJCT-ND	Einstellb. Präzisions-Micropower Shunt-Spannungsref.	Adj., Precision Micropower Shunt Volt. Ref.	SOT-23	1.32	1.25	1.19
LM4051AIM3-ADJTR-ND	Einstellb. Präzisions-Micropower Shunt-Spannungsref.	Adj., Precision Micropower Shunt Volt. Ref.	SOT-23		1090.00/1,000	
LM4051AIM3-1.2CT-ND	1,2 V Präzisions-Micropower Shunt-Spannungsref.	1.2V, Precision Micropower Shunt Volt. Ref.	SOT-23	1.75	1.66	1.58
LM4051AIM3-1.2TR-ND	1,2 V Präzisions-Micropower Shunt-Spannungsref.	1.2V, Precision Micropower Shunt Volt. Ref.	SOT-23		1350.00/1,000	
LM4051BEM3-ADJCT-ND	Einstellb. Präzisions-Micropower Shunt-Spannungsref.	Adj. Precision Micropower Shunt Volt. Ref.	SOT-23	2.48	1.97	1.68
LM4051BEM3-ADJTR-ND	Einstellb. Präzisions-Micropower Shunt-Spannungsref.	Adj. Precision Micropower Shunt Volt. Ref.	SOT-23		1440.00/1,000	
LM4051BEM3-1.2CT-ND	1,2 V Präzisions-Micropower Shunt-Spannungsref.	1.2V, Precision Micropower Shunt Volt. Ref.	SOT-23	2.48	1.97	1.68
LM4051BEM3-1.2TR-ND	1,2 V Präzisions-Micropower Shunt-Spannungsref.	1.2V, Precision Micropower Shunt Volt. Ref.	SOT-23		1440.00/1,000	
LM4051BIM3-ADJCT-ND	Einstellb. Präzisions-Micropower Shunt-Spannungsref.	Adj., Precision Micropower Shunt Volt. Ref.	SOT-23	.83	.79	.75
LM4051BIM3-ADJTR-ND	Einstellb. Präzisions-Micropower Shunt-Spannungsref.	Adj., Precision Micropower Shunt Volt. Ref.	SOT-23		710.00/1,000	
LM4051BIM3-1.2CT-ND	1,2 V Präzisions-Micropower Shunt-Spannungsref.	1.2V, Precision Micropower Shunt Volt. Ref.	SOT-23	.83	.79	.75
LM4051BIM3-1.2TR-ND	1,2 V Präzisions-Micropower Shunt-Spannungsref.	1.2V, Precision Micropower Shunt Volt. Ref.	SOT-23		710.00/1,000	
LM4051CEM3-ADJCT-ND	Einstellb. Präzisions-Micropower Shunt-Spannungsref.	Adj. Precision Micropower Shunt Volt. Ref.	SOT-23	2.24	1.78	1.52
LM4051CEM3-ADJTR-ND	Einstellb. Präzisions-Micropower Shunt-Spannungsref.	Adj. Precision Micropower Shunt Volt. Ref.	SOT-23		1300.00/1,000	
LM4051CEM3-1.2CT-ND	1,2 V Präzisions-Micropower Shunt-Spannungsref.	1.2V, Precision Micropower Shunt Volt. Ref.	SOT-23	2.24	1.78	1.52
LM4051CEM3-1.2TR-ND	1,2 V Präzisions-Micropower Shunt-Spannungsref.	1.2V, Precision Micropower Shunt Volt. Ref.	SOT-23		1300.00/1,000	
LM4051CIM3-ADJCT-ND	Einstellb. Präzisions-Micropower Shunt-Spannungsref.	Adj., Precision Micropower Shunt Volt. Ref.	SOT-23	.83	.79	.75
LM4051CIM3-ADJTR-ND	Einstellb. Präzisions-Micropower Shunt-Spannungsref.	Adj., Precision Micropower Shunt Volt. Ref.	SOT-23		710.00/1,000	
LM4051CIM3-1.2CT-ND	1,2 V Präzisions-Micropower Shunt-Spannungsref.	1.2V, Precision Micropower Shunt Volt. Ref.	SOT-23	.83	.79	.75
LM4051CIM3-1.2TR-ND	1,2 V Präzisions-Micropower Shunt-Spannungsref.	1.2V, Precision Micropower Shunt Volt. Ref.	SOT-23		710.00/1,000	
LM4120AIM5-1.8CT-ND	1,8 V Präzisions-Micropower-LDO-Spannungsreferenz	1.8V, Precision Micropower LDO Reference	SOT-23-5	1.61	1.53	1.45
LM4120AIM5-1.8TR-ND	1,8 V Präzisions-Micropower-LDO-Spannungsreferenz	1.8V, Precision Micropower LDO Reference	SOT-23-5		1240.00/1,000	
LM4120AIM5-2.0TR-ND	2 V Präzisions-Micropower-LDO-Spannungsreferenz	2V, Precision Micropower LDO Reference	SOT-23-5		1240.00/1,000	
LM4120AIM5-2.5CT-ND	2,5 V Präzisions-Micropower-LDO-Spannungsreferenz	2.5V, Precision Micropower LDO Reference	SOT-23-5	1.61	1.53	1.45
LM4120AIM5-2.5TR-ND	2,5 V Präzisions-Micropower-LDO-Spannungsreferenz	2.5V, Precision Micropower LDO Reference	SOT-23-5		1240.00/1,000	
LM4120AIM5-3.0CT-ND	3 V Präzisions-Micropower-LDO-Spannungsreferenz	3V, Precision Micropower LDO Reference	SOT-23-5	1.61	1.53	1.45
LM4120AIM5-3.0TR-ND	3 V Präzisions-Micropower-LDO-Spannungsreferenz	3V, Precision Micropower LDO Reference	SOT-23-5		1240.00/1,000	
LM4120AIM5-3.3CT-ND	3,3 V Präzisions-Micropower-LDO-Spannungsreferenz	3.3V, Precision Micropower LDO Reference	SOT-23-5	1.61	1.53	1.45
LM4120AIM5-3.3TR-ND	3,3 V Präzisions-Micropower-LDO-Spannungsreferenz	3.3V, Precision Micropower LDO Reference	SOT-23-5		1240.00/1,000	
LM4120AIM5-4.1CT-ND	4,1 V Präzisions-Micropower-LDO-Spannungsreferenz	4.1V, Precision Micropower LDO Reference	SOT-23-5	1.61	1.53	1.45
LM4120AIM5-4.1TR-ND	4,1 V Präzisions-Micropower-LDO-Spannungsreferenz	4.1V, Precision Micropower LDO Reference	SOT-23-5		1240.00/1,000	
LM4120AIM5-5.0CT-ND	5 V Präzisions-Micropower-LDO-Spannungsreferenz	5V, Precision Micropower LDO Reference	SOT-23-5	1.61	1.53	1.45
LM4120AIM5-5.0TR-ND	5 V Präzisions-Micropower-LDO-Spannungsreferenz	5V, Precision Micropower LDO Reference	SOT-23-5		1240.00/1,000	
LM4120IM5-1.8CT-ND	1,8 V Präzisions-Micropower-LDO-Spannungsreferenz	1.8V, Precision Micropower LDO Reference	SOT-23-5	2.41	1.92	1.64
LM4120IM5-1.8TR-ND	1,8 V Präzisions-Micropower-LDO-Spannungsreferenz	1.8V, Precision Micropower LDO Reference	SOT-23-5		1400.00/1,000	
LM4120IM5-2.0CT-ND	2 V Präzisions-Micropower-LDO-Spannungsreferenz	2V, Precision Micropower LDO Reference	SOT-23-5	2.41	1.92	1.64
LM4120IM5-2.0TR-ND	2 V Präzisions-Micropower-LDO-Spannungsreferenz	2V, Precision Micropower LDO Reference	SOT-23-5		1400.00/1,000	
LM4120IM5-2.5CT-ND	2,5 V Präzisions-Micropower-LDO-Spannungsreferenz	2.5V, Precision Micropower LDO Reference	SOT-23-5	1.37	1.30	1.23
LM4120IM5-2.5TR-ND	2,5 V Präzisions-Micropower-LDO-Spannungsreferenz	2.5V, Precision Micropower LDO Reference	SOT-23-5		1050.00/1,000	
LM4120IM5-3.0CT-ND	3 V Präzisions-Micropower-LDO-Spannungsreferenz	3V, Precision Micropower LDO Reference	SOT-23-5	2.41	1.92	1.64
LM4120IM5-3.0TR-ND	3 V Präzisions-Micropower-LDO-Spannungsreferenz	3V, Precision Micropower LDO Reference	SOT-23-5		1400.00/1,000	
LM4120IM5-3.3CT-ND	3,3 V Präzisions-Micropower-LDO-Spannungsreferenz	3.3V, Precision Micropower LDO Reference	SOT-23-5	2.41	1.92	1.64
LM4120IM5-3.3TR-ND	3,3 V Präzisions-Micropower-LDO-Spannungsreferenz	3.3V, Precision Micropower LDO Reference	SOT-23-5		1400.00/1,000	

(Forts.)

★ RUFEN SIE BITTE AN FÜR NIEDRIGERE PREISE BEI GRÖSSEREN MENGEN! ★

B

Digi-Key Teilenr.	Beschreibung		Paket	Stückpreis★ 1	25	100
LM4120IM5-4.1CT-ND	4,1 V Präzisions-Micropower-LDO-Spannungsreferenz	4.1V, Precision Micropower LDO Reference	SOT-23-5	1.37	1.30	1.23
LM4120IM5-4.1TR-ND	4,1 V Präzisions-Micropower-LDO-Spannungsreferenz	4.1V, Precision Micropower LDO Reference	SOT-23-5		1020.00/1,000	
LM4120IM5-5.0CT-ND	5 V Präzisions-Micropower-LDO-Spannungsreferenz	5V, Precision Micropower LDO Reference	SOT-23-5	2.41	1.92	1.64
LM4120IM5-5.0TR-ND	5 V Präzisions-Micropower-LDO-Spannungsreferenz	5V, Precision Micropower LDO Reference	SOT-23-5		1400.00/1,000	
LM4121AIM5-ADJCT-ND	Einstellb. Präzisions-Micropower-LDO-Spannungsreferenz	Adj., Precision Micropower LDO Volt. Reference	SOT-23-5	2.83	2.25	1.93
LM4121AIM5-ADJTR-ND	Einstellb. Präzisions-Micropower-LDO-Spannungsreferenz	Adj., Precision Micropower LDO Volt. Reference	SOT-23-5		1650.00/1,000	
LM4121AIM5-1.2CT-ND	1,2 V Präzisions-Micropower-LDO-Spannungsreferenz	1.2V, Precision Micropower LDO Volt. Reference	SOT-23-5	2.83	2.25	1.93
LM4121AIM5-1.2TR-ND	1,2 V Präzisions-Micropower-LDO-Spannungsreferenz	1.2V, Precision Micropower LDO Volt. Reference	SOT-23-5		1650.00/1,000	
LM4121IM5-ADJCT-ND	Einstellb. Präzisions-Micropower-LDO-Spannungsreferenz	Adj., Precision Micropower LDO Volt. Reference	SOT-23-5	2.41	1.92	1.64
LM4121IM5-ADJTR-ND	Einstellb. Präzisions-Micropower-LDO-Spannungsreferenz	Adj., Precision Micropower LDO Volt. Reference	SOT-23-5		1400.00/1,000	
LM4121IM5-1.2CT-ND	1,2 V Präzisions-Micropower-LDO-Spannungsreferenz	1.2V, Precision Micropower LDO Volt. Reference	SOT-23-5	2.41	1.92	1.64
LM4121IM5-1.2TR-ND	1,2 V Präzisions-Micropower-LDO-Spannungsreferenz	1.2V, Precision Micropower LDO Volt. Reference	SOT-23-5		1400.00/1,000	
LM4125AIM5-2.0CT-ND	2 V Präzisions-Micropower-LDO-Spannungsreferenz	2V, Precision Micropower LDO Volt. Reference	SOT-23-5	2.66	2.53	2.40
LM4125AIM5-2.0TR-ND	2 V Präzisions-Micropower-LDO-Spannungsreferenz	2V, Precision Micropower LDO Volt. Reference	SOT-23-5		2060.00/1,000	
LM4125AIM5-2.5CT-ND	2,5 V Präzisions-Micropower-LDO-Spannungsreferenz	2.5V, Precision Micropower LDO Volt. Reference	SOT-23-5	2.66	2.53	2.40
LM4125AIM5-2.5TR-ND	2,5 V Präzisions-Micropower-LDO-Spannungsreferenz	2.5V, Precision Micropower LDO Volt. Reference	SOT-23-5		2060.00/1,000	
LM4125AIM5-4.1CT-ND	4,1 V Präzisions-Micropower-LDO-Spannungsreferenz	4.1V, Precision Micropower LDO Volt. Reference	SOT-23-5	2.66	2.53	2.40
LM4125AIM5-4.1TR-ND	4,1 V Präzisions-Micropower-LDO-Spannungsreferenz	4.1V, Precision Micropower LDO Volt. Reference	SOT-23-5		2060.00/1,000	
LM4125IM5-2.0CT-ND	2 V Präzisions-Micropower-LDO-Spannungsreferenz	2V, Precision Micropower LDO Volt. Reference	SOT-23-5	2.44	2.32	2.20
LM4125IM5-2.0TR-ND	2 V Präzisions-Micropower-LDO-Spannungsreferenz	2V, Precision Micropower LDO Volt. Reference	SOT-23-5		2060.00/1,000	
LM4125IM5-2.5CT-ND	2,5 V Präzisions-Micropower-LDO-Spannungsreferenz	2.5V, Precision Micropower LDO Volt. Reference	SOT-23-5	2.44	2.32	2.20
LM4125IM5-2.5TR-ND	2,5 V Präzisions-Micropower-LDO-Spannungsreferenz	2.5V, Precision Micropower LDO Volt. Reference	SOT-23-5		2060.00/1,000	
LM4125IM5-4.1CT-ND	4,1 V Präzisions-Micropower-LDO-Spannungsreferenz	4.1V, Precision Micropower LDO Volt. Reference	SOT-23-5	2.44	2.32	2.20
LM4125IM5-4.1TR-ND	4,1 V Präzisions-Micropower-LDO-Spannungsreferenz	4.1V, Precision Micropower LDO Volt. Reference	SOT-23-5		2060.00/1,000	
LM4130AIM5-2.5CT-ND	2,5 V Präzisions-Micropower-LDO-Spannungsreferenz	2.5V, Precision Micropower LDO Volt. Reference	SOT-23-5	9.94	7.90	6.75
LM4130AIM5-2.5TR-ND	2,5 V Präzisions-Micropower-LDO-Spannungsreferenz	2.5V, Precision Micropower LDO Volt. Reference	SOT-23-5		5780.00/1,000	
LM4130AIM5-4.1CT-ND	4,1 V Präzisions-Micropower-LDO-Spannungsreferenz	4.1V, Precision Micropower LDO Volt. Reference	SOT-23-5	9.94	7.90	6.75
LM4130AIM5-4.1TR-ND	4,1 V Präzisions-Micropower-LDO-Spannungsreferenz	4.1V, Precision Micropower LDO Volt. Reference	SOT-23-5		5780.00/1,000	
LM4130BIM5-2.5CT-ND	2,5 V Präzisions-Micropower-LDO-Spannungsreferenz	2.5V, Precision Micropower LDO Volt. Reference	SOT-23-5	6.80	5.41	4.62
LM4130BIM5-2.5TR-ND	2,5 V Präzisions-Micropower-LDO-Spannungsreferenz	2.5V, Precision Micropower LDO Volt. Reference	SOT-23-5		3960.00/1,000	
LM4130BIM5-4.1CT-ND	4,1 V Präzisions-Micropower-LDO-Spannungsreferenz	4.1V, Precision Micropower LDO Volt. Reference	SOT-23-5	6.80	5.41	4.62
LM4130BIM5-4.1TR-ND	4,1 V Präzisions-Micropower-LDO-Spannungsreferenz	4.1V, Precision Micropower LDO Volt. Reference	SOT-23-5		3960.00/1,000	
LM4130CIM5-2.5CT-ND	2,5 V Präzisions-Micropower-LDO-Spannungsreferenz	2.5V, Precision Micropower LDO Volt. Reference	SOT-23-5	5.67	4.51	3.85
LM4130CIM5-2.5TR-ND	2,5 V Präzisions-Micropower-LDO-Spannungsreferenz	2.5V, Precision Micropower LDO Volt. Reference	SOT-23-5		3300.00/1,000	
LM4130CIM5-4.1CT-ND	4,1 V Präzisions-Micropower-LDO-Spannungsreferenz	4.1V, Precision Micropower LDO Volt. Reference	SOT-23-5	5.67	4.51	3.85
LM4130CIM5-4.1TR-ND	4,1 V Präzisions-Micropower-LDO-Spannungsreferenz	4.1V, Precision Micropower LDO Volt. Reference	SOT-23-5		3300.00/1,000	
LM4130DIM5-2.5CT-ND	2,5 V Präzisions-Micropower-LDO-Spannungsreferenz	2.5V, Precision Micropower LDO Volt. Reference	SOT-23-5	4.30	3.42	2.92
LM4130DIM5-2.5TR-ND	2,5 V Präzisions-Micropower-LDO-Spannungsreferenz	2.5V, Precision Micropower LDO Volt. Reference	SOT-23-5		2500.00/1,000	
LM4130DIM5-4.1CT-ND	4,1 V Präzisions-Micropower-LDO-Spannungsreferenz	4.1V, Precision Micropower LDO Volt. Reference	SOT-23-5	4.30	3.42	2.92
LM4130DIM5-4.1TR-ND	4,1 V Präzisions-Micropower-LDO-Spannungsreferenz	4.1V, Precision Micropower LDO Volt. Reference	SOT-23-5		2500.00/1,000	
LM4130EIM5-2.5CT-ND	2,5 V Präzisions-Micropower-LDO-Spannungsreferenz	2.5V, Precision Micropower LDO Volt. Reference	SOT-23-5	3.82	3.04	2.59
LM4130EIM5-2.5TR-ND	2,5 V Präzisions-Micropower-LDO-Spannungsreferenz	2.5V, Precision Micropower LDO Volt. Reference	SOT-23-5		2220.00/1,000	
LM4130EIM5-4.1CT-ND	4,1 V Präzisions-Micropower-LDO-Spannungsreferenz	4.1V, Precision Micropower LDO Volt. Reference	SOT-23-5	3.82	3.04	2.59
LM4130EIM5-4.1TR-ND	4,1 V Präzisions-Micropower-LDO-Spannungsreferenz	4.1V, Precision Micropower LDO Volt. Reference	SOT-23-5		2220.00/1,000	
LM4140ACM-1.0-ND	1 V Präzisions-Micropower-LDO-Spannungsreferenz	1V, Precision Micropower LDO Volt. Reference	8-SOIC	11.34	9.02	7.70
LM4140ACM-1.2-ND	1,2 V Präzisions-Micropower-LDO-Spannungsreferenz	1.2V, Precision Micropower LDO Volt. Reference	8-SOIC	11.34	9.02	7.70
LM4140ACM-2.0-ND	2 V Präzisions-Micropower-LDO-Spannungsreferenz	2V, Precision Micropower LDO Volt. Reference	8-SOIC	11.34	9.02	7.70
LM4140ACM-2.5-ND	2,5 V Präzisions-Micropower-LDO-Spannungsreferenz	2.5V, Precision Micropower LDO Volt. Reference	8-SOIC	11.34	9.02	7.70
LM4140BCM-1.0-ND	1 V Präzisions-Micropower-LDO-Spannungsreferenz	1V, Precision Micropower LDO Volt. Reference	8-SOIC	8.09	6.43	5.49
LM4140BCM-1.2-ND	1,2 V Präzisions-Micropower-LDO-Spannungsreferenz	1.2V, Precision Micropower LDO Volt. Reference	8-SOIC	8.09	6.43	5.49
LM4140BCM-2.0-ND	2 V Präzisions-Micropower-LDO-Spannungsreferenz	2V, Precision Micropower LDO Volt. Reference	8-SOIC	8.09	6.43	5.49
LM4140BCM-2.5-ND	2,5 V Präzisions-Micropower-LDO-Spannungsreferenz	2.5V, Precision Micropower LDO Volt. Reference	8-SOIC	8.09	6.43	5.49
LM4140BCM-4.1-ND	4,1 V Präzisions-Micropower-LDO-Spannungsreferenz	4.1V, Precision Micropower LDO Volt. Reference	8-SOIC	8.09	6.43	5.49
LM4140CCM-1.0-ND	1 V Präzisions-Micropower-LDO-Spannungsreferenz	1V, Precision Micropower LDO Volt. Reference	8-SOIC	4.27	3.39	2.90
LM4140CCM-1.2-ND	1,2 V Präzisions-Micropower-LDO-Spannungsreferenz	1.2V, Precision Micropower LDO Voltage Reference	8-SOIC	4.27	3.39	2.90
LM4140CCM-2.0-ND	2 V Präzisions-Micropower-LDO-Spannungsreferenz	2V, Precision Micropower LDO Voltage Reference	8-SOIC	4.27	3.39	2.90
LM4140CCM-2.5-ND	2,5 V Präzisions-Micropower-LDO-Spannungsreferenz	2.5V, Precision Micropower LDO Voltage Reference	8-SOIC	4.27	3.39	2.90
LM4140CCM-4.1-ND	4,1 V Präzisions-Micropower-LDO-Spannungsreferenz	4.1V, Precision Micropower LDO Voltage Reference	8-SOIC	4.27	3.39	2.90
LM4250CM-ND	Programmierbarer OpAmp	Programmable Op Amp	8-SOIC	.60	.57	.55
LM4250CMXTR-ND	Programmierbarer OpAmp	Programmable Op Amp	8-SOIC		1550.00/2,500	
LM4250CN-ND	Programmierbarer OpAmp	Programmable Op Amp	8-Dip	.63	.54	.45
LM4431M3-2.5CT-ND	Micropower-Shunt-Präzisions-Spannungsreferenz	Precision Voltage Micropower Shunt Voltage Reference	SOT-23	.38	.36	.34
LM4431M3-2.5TR-ND	Micropower-Shunt-Präzisions-Spannungsreferenz	Precision Voltage Micropower Shunt Voltage Reference	SOT-23		300.00/1,000	
LM4550VH-ND	AC´97 Rev 2.1 Multi-Kan. Audio-CODEC mit Stereokopfhörerverstärker, Sample-Rate-Wandlung und National 3D Sound	AC '97 Rev 2.1 Multi-Ch. Audio Codec w/Stereo Headphone Amp, Sample Rate Conversion and National 3D Sound	48-LQFP	2.76	2.62	2.49
LM4651N-ND	170 W Audioleistungsverstärker, Klasse D	170W Class D Audio Power Amp Solution	28-Dip	3.76	3.57	3.39
LM4652TA-ND	170 W Audioleistungsverstärker, Klasse D	170W Class D Audio Power Amp Solution	TO-220-15	3.17	3.01	2.86
LM4652TF-ND	170 W Audioleistungsverstärker, Klasse D	170W Class D Audio Power Amp Solution	TO-220-15	4.55	3.10	2.95
LM4663MT-ND	2 W Stereo-Audioleistungsverstärker mit Stereokopfhörerverstärker, Klasse D	2W Stereo Class D Audio Power Amp with Stereo Headphone Amp	24-TSSOP	2.05	1.48	1.41
LM4666SDCT-ND	1,2 W Audioschaltverstärker	1.2W Switching Audio Amp	14-LLP	2.55	2.03	1.73
LM4666SDTR-ND	1,2 W Audioschaltverstärker	1.2W Switching Audio Amp	14-LLP		1480.00/1,000	
LM4667ITL-ND	1,3 W Audioschaltverstärker	1.3W Switching Audio Amp	9-microSMD	.77	.73	.70
LM4667MMCT-ND	1,3 W Audioschaltverstärker	1.3W Switching Audio Amp	10-MSOP	.74	.70	.67
LM4667MMTR-ND	1,3 W Audioschaltverstärker	1.3W Switching Audio Amp	10-MSOP		580.00/1,000	
LM4668LDCT-ND	10 W Mono BTL Audioleistungsverstärker, hoher Wirkungsgrad	10W High Eff. Mono BTL Audio Power Amp	14-LLP	3.22	3.06	2.90
LM4668LDTR-ND	10 W Mono BTL Audioleistungsverstärker, hoher Wirkungsgrad	10W High Eff. Mono BTL Audio Power Amp	14-LLP		622.50/250	
LM4668MH-ND	10 W Mono BTL Audioleistungsverstärker, hoher Wirkungsgrad	10W High Eff. Mono BTL Audio Power Amp	20-TSSOP	5.67	4.51	3.85
LM4680SDCT-ND	10 W Mono BTL Audioleistungsverstärker, hoher Wirkungsgrad	10W High Efficiency Mono BTL Audio Power Amp	14-LLP	5.82	4.63	3.95
LM4680SDTR-ND	10 W Mono BTL Audioleistungsverstärker, hoher Wirkungsgrad	10W High Efficiency Mono BTL Audio Power Amp	14-LLP		932.50/250	
LM4700T-ND	30 W Audioleistungsverstärker mit Stummfunktion/Bereitschaftsmodus	30W Audio Power Amp with Mute/Standby Modes	TO-220-11	3.52	2.85	2.61
LM4700TF-ND	30 W Overture-Audioleistungsverstärker mit Stummfunktion/Bereitschaftsmodus	Overture 30W Audio Power Amp with Mute/Standby	TO-220	2.45	1.98	1.82
LM4701T-ND	30 W Audioleistungsverstärker mit Stummfunktion/Bereitschaftsmodus	30W Audio Pwr Amp with Mute/Standby Modes	TO-220-9	1.81	1.72	1.64
LM4731TA-ND	25 W Stereo-Audioleistungsverstärker mit Stummfunktion/Bereitschaftsmodus	Stereo 25W Audio Power Amp with Mute/Standby	TO-220-15	7.37	5.86	5.01
LM4752T-ND	11 W Stereo-Audio-Verstärker	11W Stereo Audio Amp	TO-220-7	1.41	1.34	1.27
LM4752TS-ND	11 W Stereo-Audio-Verstärker	11W Stereo Audio Amp	TO-263-7	1.54	1.46	1.39
LM4755T-ND	11 W Stereo-Audio-Verstärker mit Stummfunktion	11W Stereo Audio Amp with Mute	TO-220-9	1.41	1.34	1.27
LM4755TS-ND	11 W Stereo-Audio-Verstärker mit Stummfunktion	11W Stereo Audio Amp with Mute	TO-263-9	2.48	1.97	1.68
LM4765T-ND	30 W Audioleistungsverstärker mit Stummfunktion/Bereitschaftsmodus	30W Audio Power Amp with Mute/Standby Modes	TO-220-15	6.15	4.89	4.18
LM4766T-ND	Zweif. 40 W Audioleistungsverstärker mit Stummfunktion	Dual 40W Audio Power Amp with Mute	TO-220-15	4.67	4.44	4.22
LM4766TF-ND	Zweif. 30 W Audioleistungsverstärker mit Stummfunktion	Dual 30W Audio Power Amp with Mute	TO-220-15	7.40	5.88	5.03
LM4780TA-ND	60 W Stereo-Audioleistungsverstärker mit Stummfunktion	Stereo 60W Audio Power Amp with Mute	TO-220	9.18	8.72	8.28
LM4781TA-ND	3-Kan. 35 W Audioleistungsverstärker mit Stummfunktion	3-Channel 35W Audio Power Amp with Mute	TO-220-27	14.74	11.72	10.01
LM4782TA-ND	3-Kan. 25 W Audioleistungsverstärker mit Stummfunktion	3-Channel 25W Audio Power Amp with Mute	TO-220	11.90	9.47	8.09
LM4802BLQCT-ND	Audioleistungsverstärker mit Boost-Wandler	Audio Power Amp with Boost Converter	28-LLP	5.10	4.06	3.47
LM4802BLQTR-ND	Audioleistungsverstärker mit Boost-Wandler	Audio Power Amp with Boost Converter	28-LLP		2970.00/1,000	
LM4808LDCT-ND	Zweif. 105 mW Kopfhörerverstärker	Dual 105mW Headphone Amp	8-LLP	.63	.50	.43
LM4808LDTR-ND	Zweif. 105 mW Kopfhörerverstärker	Dual 105mW Headphone Amp	8-LLP		360.00/1,000	
LM4808M-ND	Zweif. 105 mW Kopfhörerverstärker	Dual 105mW Headphone Amp	8-SOIC	.48	.38	.33
LM4808MMCT-ND	Zweif. 105 mW Kopfhörerverstärker	Dual 105mW Headphone Amp	8-MSOP	.48	.38	.33
LM4808MMTR-ND	Zweif. 105 mW Kopfhörerverstärker	Dual 105mW Headphone Amp	8-MSOP		280.00/1,000	
LM4809LDCT-ND	Zweif. 105 mW Kopfhörerverstärker	Dual 105mW Headphone Amp	8-LLP	.98	.78	.67
LM4809LDTR-ND	Zweif. 105 mW Kopfhörerverstärker	Dual 105mW Headphone Amp	8-LLP		570.00/1,000	
LM4809MA-ND	Zweif. 105 mW Kopfhörerverstärker	Dual 105mW Headphone Amp	8-SOIC	.57	.45	.39
LM4809MMCT-ND	Zweif. 105 mW Kopfhörerverstärker	Dual 105mW Headphone Amp	8-MSOP	.57	.45	.39
LM4809MMTR-ND	Zweif. 105 mW Kopfhörerverstärker	Dual 105mW Headphone Amp	8-MSOP		330.00/1,000	

(Forts.)

★ RUFEN SIE BITTE AN FÜR NIEDRIGERE PREISE BEI GRÖSSEREN MENGEN! ★

Alle Preisangaben in Euro und inklusive Zollgebühren.

Digi-Key Teilenr.	Beschreibung		Paket	Stückpreis★ 1	25	100
LM4810LDCT-ND	Zweif. 105 mW Kopfhörerverstärker mit Abschaltmodus	Dual 105mW Headphone Amp with Shutdown	8-LLP	.87	.69	.59
LM4810LDTR-ND	Zweif. 105 mW Kopfhörerverstärker mit Abschaltmodus	Dual 105mW Headphone Amp with Shutdown	8-LLP		500.00/1,000	
LM4810MA-ND	Zweif. 105 mW Kopfhörerverstärker mit Abschaltmodus	Dual 105mW Headphone Amp with Shutdown	8-SOIC	.57	.45	.39
LM4810MMCT-ND	Zweif. 105 mW Kopfhörerverstärker mit Abschaltmodus	Dual 105mW Headphone Amp with Shutdown	8-MSOP	.57	.45	.39
LM4810MMTR-ND	Zweif. 105 mW Kopfhörerverstärker mit Abschaltmodus	Dual 105mW Headphone Amp with Shutdown	8-MSOP		330.00/1,000	
LM4811LDCT-ND	Zweif. 105 mW Kopfhörerverstärker mit Digital-Lautstärkeregler und Abschaltmodus	Dual 105mW Headphone Amp with Digital Volume Control and Shutdown Mode	10-LLP	1.42	1.13	.96
LM4811LDTR-ND	Zweif. 105 mW Kopfhörerverstärker mit Digital-Lautstärkeregler und Abschaltmodus	Dual 105mW Headphone Amp with Digital Volume Control and Shutdown Mode	10-LLP		820.00/1,000	
LM4811MMCT-ND	Zweif. 105 mW Kopfhörerverstärker mit Digital-Lautstärkeregler und Abschaltmodus	Dual 105mW Headphone Amp with Digital Volume Control and Shutdown Mode	10-MSOP	.70	.67	.63
LM4811MMTR-ND	Zweif. 105 mW Kopfhörerverstärker mit Digital-Lautstärkeregler und Abschaltmodus	Dual 105mW Headphone Amp with Digital Volume Control and Shutdown Mode	10-MSOP		540.00/1,000	
LM4820IBP-6CT-ND	1 W Audioleistungsverstärker	1W Audio Power Amp	8-microSMD	1.70	1.35	1.16
LM4820IBP-6TR-ND	1 W Audioleistungsverstärker	1W Audio Power Amp	8-microSMD		272.50/250	
LM4820ITP-6CT-ND	1 W Audioleistungsverstärker	1W Audio Power Amp	8-microSMD	1.70	1.35	1.16
LM4820ITP-6TR-ND	1 W Audioleistungsverstärker	1W Audio Power Amp	8-microSMD		272.50/250	
LM4820M-6-ND	1 W Audioleistungsverstärker	1W Audio Power Amp	8-SOIC	1.70	1.35	1.16
LM4832M-ND	Klang und Lautstärkeschaltkreis mit Stereo-Audioleistungsverstärker, Digitalsteuerung	Digital Controlled Tone and Volume Circuit with Stereo Audio Power Amp	28-SOIC	6.71	5.34	4.56
LM4832MT-ND	Klang und Lautstärkeschaltkreis mit Stereo-Audioleistungsverstärker, Digitalsteuerung	Digitally Controlled Tone and Volume Circuit with Stereo Audio Power Amp	28-TSSOP	5.04	4.01	3.43
LM4832MTXCT-ND	Klang und Lautstärkeschaltkreis mit Stereo-Audioleistungsverstärker, Digitalsteuerung	Digitally Controlled Tone and Volume Circuit with Stereo Audio Power Amp	28-TSSOP	5.04	4.01	3.43
LM4832MTXTR-ND	Klang und Lautstärkeschaltkreis mit Stereo-Audioleistungsverstärker, Digitalsteuerung	Digitally Controlled Tone and Volume Circuit with Stereo Audio Power Amp	28-TSSOP		7325.00/2,500	
LM4832N-ND	Klang und Lautstärkeschaltkreis mit Stereo-Audioleistungsverstärker, Digitalsteuerung	Digital Controlled Tone and Volume Circuit with Stereo Audio Power Amp	28-Dip	3.94	3.74	3.56
LM4834MS-ND	1,75 W Audioleistungsverstärker mit DC-Lautstärkeregler und Mikrofon-Vorverstärker	1.75W Audio Power Amp with DC Volume Control and Microphone Preamp	28-SSOP	2.88	2.73	2.60
LM4835LQCT-ND	2 W Stereo-Audioleistungsverstärker mit DC-Lautstärkeregler und wählbarer Verstärkung	Stereo 2W Audio Power Amp with DC Volume Control and Selectable Gain	28-LLP	3.64	2.89	2.47
LM4835LQTR-ND	2 W Stereo-Audioleistungsverstärker mit DC-Lautstärkeregler und wählbarer Verstärkung	Stereo 2W Audio Power Amp with DC Volume Control and Selectable Gain	28-LLP		2120.00/1,000	
LM4835MT-ND	2 W Stereo-Audioleistungsverstärker mit DC-Lautstärkeregler und wählbarer Verstärkung	Stereo 2W Audio Power Amp with DC Volume Control and Selectable Gain	28-TSSOP	2.99	2.33	1.85
LM4835MTE-ND	2 W Stereo-Audioleistungsverstärker mit DC-Lautstärkeregler und wählbarer Verstärkung	Stereo 2W Audio Power Amp with DC Volume Control and Selectable Gain	28-TSSOP	2.46	2.33	2.22
LM4836LQCT-ND	2 W Stereo-Audioleistungsverstärker mit Bass-Boost	Stereo 2W Audio Power Amp with Bass Boost	28-LLP	2.32	2.20	2.09
LM4836LQTR-ND	2 W Stereo-Audioleistungsverstärker mit Bass-Boost	Stereo 2W Audio Power Amp with Bass Boost	28-LLP		1790.00/1,000	
LM4836MT-ND	2 W Stereo-Audioleistungsverstärker mit Bass-Boost	Stereo 2W Audio Power Amp with Bass Boost	28-TSSOP	2.37	2.25	2.14
LM4836MTE-ND	2 W Stereo-Audioleistungsverstärker mit Bass-Boost	Stereo 2W Audio Power Amp with Bass Boost	28-TSSOP	4.83	3.84	3.28
LM4838GRCT-ND	2 W Stereo-Audioleistungsverstärker mit wählbarer Verstärkung	Stereo 2W Audio Power Amp w/Selectable Gain	49-UBGA	5.40	4.29	3.67
LM4838GRTR-ND	2 W Stereo-Audioleistungsverstärker mit wählbarer Verstärkung	Stereo 2W Audio Power Amp w/Selectable Gain	49-UBGA		3140.00/1,000	
LM4838ITLCT-ND	2 W Stereo-Audioleistungsverstärker mit wählbarer Verstärkung	Stereo 2W Audio Power Amp w/Selectable Gain	36-microSMD	5.10	4.06	3.47
LM4838ITLTR-ND	2 W Stereo-Audioleistungsverstärker mit wählbarer Verstärkung	Stereo 2W Audio Power Amp w/Selectable Gain	36-microSMD		817.50/250	
LM4838LQCT-ND	2 W Stereo-Audioleistungsverstärker mit wählbarer Verstärkung	Stereo 2W Audio Power Amp w/Selectable Gain	28-LLP	4.09	3.25	2.78
LM4838LQTR-ND	2 W Stereo-Audioleistungsverstärker mit wählbarer Verstärkung	Stereo 2W Audio Power Amp w/Selectable Gain	28-LLP		2380.00/1,000	
LM4838MT-ND	2 W Stereo-Audioleistungsverstärker mit wählbarer Verstärkung	Stereo 2W Audio Power Amp w/Selectable Gain	28-TSSOP	3.97	3.16	2.70
LM4838MTE-ND	2 W Stereo-Audioleistungsverstärker mit wählbarer Verstärkung	Stereo 2W Audio Power Amp w/Selectable Gain	28-TSSOP	2.57	2.04	1.74
LM4839LQCT-ND	2 W Stereo-Audioleistungsverstärker mit Bass-Boost	Stereo 2W Audio Power Amp with Bass Boost	28-LLP	4.09	3.25	2.78
LM4839LQTR-ND	2 W Stereo-Audioleistungsverstärker mit Bass-Boost	Stereo 2W Audio Power Amp with Bass Boost	28-LLP		2380.00/1,000	
LM4839MT-ND	2 W Stereo-Audioleistungsverstärker mit Bass-Boost	Stereo 2W Audio Power Amp with Bass Boost	28-TSSOP	5.10	4.06	3.47
LM4839MTE-ND	2 W Stereo-Audioleistungsverstärker mit Bass-Boost	Stereo 2W Audio Power Amp with Bass Boost	28-TSSOP	4.83	3.84	3.28
LM4845ITLCT-ND	Ausgangs-Audio-Subsystem ohne Kondensator	Output Capacitorless Audio Subsystem	25-USMD	7.10	5.65	4.82
LM4845ITLTR-ND	Ausgangs-Audiosubsystem ohne Kondensator	Output Capacitorless Audio Subsystem	25-USMD		1137.50/250	
LM4852ITL-ND	1,1 W integrierter Audioverstärker	1.1W Integrated Audio Amp	18-microSMD	2.10	1.99	1.89
LM4852LQCT-ND	1,1 W integrierter Audioverstärker	1.1W Integrated Audio Amp	24-LLP	2.10	1.99	1.89
LM4852LQTR-ND	1,1 W integrierter Audioverstärker	1.1W Integrated Audio Amp	24-LLP		1620.00/1,000	
LM4853MMCT-ND	1,5 W Mono-/300 mW Stereo-Leistungsverstärker	Mono 1.5W/Stereo 300mW Power Amp	10-MSOP	2.83	2.25	1.93
LM4853MMTR-ND	1,5 W Mono-/300 mW Stereo-Leistungsverstärker	Mono 1.5W/Stereo 300mW Power Amp	10-MSOP		1650.00/1,000	
LM4856ITL-ND	1,1 W integrierter Audioverstärker	1.1W Integrated Audio Amp	18-microSMD	2.10	1.99	1.89
LM4856LQCT-ND	1,1 W integrierter Audioverstärker	1.1W Integrated Audio Amp	18-LLP	2.10	1.99	1.89
LM4856LQTR-ND	1,1 W integrierter Audioverstärker	1.1W Integrated Audio Amp	18-LLP		1630.00/1,000	
LM4857GRCT-ND	1,2 W Stereo-Audio-Subsystem	1.2W Stereo Audio Subsystem	49-UBGA	6.53	5.20	4.44
LM4857GRTR-ND	1,2 W Stereo-Audio-Subsystem	1.2W Stereo Audio Subsystem	49-UBGA		3800.00/1,000	
LM4857ITL-ND	1,2 W Stereo-Audio-Subsystem	1.2W Stereo Audio Subsystem	30-microSMD	3.54	3.36	3.19
LM4857SPCT-ND	1,2 W Stereo-Audio-Subsystem	1.2W Stereo Audio Subsystem	28-LLP	6.09	4.84	4.14
LM4857SPTR-ND	1,2 W Stereo-Audio-Subsystem	1.2W Stereo Audio Subsystem	28-LLP		3540.00/1,000	
LM4860M-ND	Serie 1 W Audioleistungsverstärker mit Abschaltmodus	Series 1W Audio Power Amp with Shutdown Mode	16-SOIC	1.29	1.05	.88
LM4861M-ND	1,1 W Audioleistungsverstärker mit Abschaltmodus	1.1W Audio Power Amp with Shutdown Mode	8-SOIC	1.27	1.06	.89
LM4861MXTR-ND	1,1 W Audioleistungsverstärker mit Abschaltmodus	1.1W Audio Power Amp with Shutdown Mode	8-SOIC		2175.00/2,500	
LM4862M-ND	675 mW Audioleistungsverstärker mit Abschaltmodus	675mW Audio Power Amp with Shutdown Mode	8-SOIC	.81	.77	.73
LM4863LQCT-ND	Zweif. 2,2 W Audioverstärker plus Kopfhörerfunktion	Dual 2.2W Audio Amp Plus Headphone Function	24-LLP	4.00	3.18	2.72
LM4863LQTR-ND	Zweif. 2,2 W Audioverstärker plus Kopfhörerfunktion	Dual 2.2W Audio Amp Plus Headphone Function	24-LLP		2330.00/1,000	
LM4863M-ND	Zweif. 2,2 W Audioverstärker plus Kopfhörerfunktion	Dual 2.2W Audio Amp Plus Headphone Function	16-SOIC	1.75	1.66	1.58
LM4863MT-ND	Zweif. 2,2 W Audioverstärker plus Kopfhörerfunktion	Dual 2.2W Audio Amp + Headphone Function	20-TSSOP	1.75	1.66	1.58
LM4863MTE-ND	Zweif. 2,2 W Audioverstärker plus Kopfhörerfunktion	Dual 2.2W Audio Amp + Headphone Function	20-TSSOP	2.10	1.99	1.89
LM4864LDCT-ND	725 mW Audioleistungsverstärker mit Abschaltmodus	725mW Audio Power Amp with Shutdown Mode	10-LLP	1.25	1.00	.85
LM4864LDTR-ND	725 mW Audioleistungsverstärker mit Abschaltmodus	725mW Audio Power Amp with Shutdown Mode	10-LLP		730.00/1,000	
LM4864M-ND	300 mW Audioleistungsverstärker mit Abschaltmodus	300mW Audio Power Amp with Shutdown Mode	8-SOIC	.71	.68	.64
LM4864MMCT-ND	300 mW Audioleistungsverstärker mit Abschaltmodus	300mW Audio Power Amp with Shutdown Mode	8-MSOP	.73	.69	.66
LM4864MMTR-ND	300 mW Audioleistungsverstärker mit Abschaltmodus	300mW Audio Power Amp with Shutdown Mode	8-MSOP		560.00/1,000	
LM4864MMXTR-ND	300 mW Audioleistungsverstärker mit Abschaltmodus	300mW Audio Power Amp with Shutdown Mode	8-MSOP		2625.00/3,500	
LM4865IBPCT-ND	750 mW Audioleistungsverstärker mit DC-Lautstärkeregler und Kopfhörerschalter	750mW Audio Power Amp with DC Volume Control and Headphone Switch	8-microSMD	1.97	1.57	1.34
LM4865IBPTR-ND	750 mW Audioleistungsverstärker mit DC-Lautstärkeregler und Kopfhörerschalter	750mW Audio Power Amp with DC Volume Control and Headphone Switch	8-microSMD		315.00/250	
LM4865M-ND	750 mW Audioleistungsverstärker mit DC-Lautstärkeregler und Kopfhörerschalter	750mW Audio Power Amp with DC Volume Control and Headphone Switch	8-SOIC	1.02	.97	.92
LM4865MMCT-ND	750 mW Audioleistungsverstärker mit DC-Lautstärkeregler und Kopfhörerschalter	750mW Audio Power Amp with DC Volume Control and Headphone Switch	8-MSOP	1.79	1.42	1.22
LM4865MMTR-ND	750 mW Audioleistungsverstärker mit DC-Lautstärkeregler und Kopfhörerschalter	750mW Audio Power Amp with DC Volume Control and Headphone Switch	8-MSOP		1040.00/1,000	
LM4867LQCT-ND	Ausgangs-transientfreier zweif. 2,1 W Audioverstärker	Output-Transient-Free Dual 2.1W Audio Amp	24-LLP	4.09	3.25	2.78
LM4867LQTR-ND	Ausgangs-transientfreier zweif. 2,1 W Audioverstärker	Output-Transient-Free Dual 2.1W Audio Amp	24-LLP		2380.00/1,000	
LM4867MT-ND	Ausgangs-transientfreier zweif. 2,1 W Audioverstärker	Output-Transient-Free Dual 2.1W Audio Amp	20-TSSOP	3.91	3.11	2.66
LM4867MTE-ND	Ausgangs-transientfreier zweif. 2,1 W Audioverstärker	Output-Transient-Free Dual 2.1W Audio Amp	20-TSSOP	4.06	3.23	2.76
LM4868LQCT-ND	Ausgangs-transientfreier zweif. 2,1 W Audioverstärker	Output-Transient-Free Dual 2.1W Audio Amp	24-LLP	4.33	3.44	2.94
LM4868LQTR-ND	Ausgangs-transientfreier zweif. 2,1 W Audioverstärker	Output-Transient-Free Dual 2.1W Audio Amp	24-LLP		2520.00/1,000	
LM4868MT-ND	Ausgangs-transientfreier zweif. 2,1 W Audioverstärker	Output-Transient-Free Dual 2.1W Audio Amp	20-TSSOP	4.09	3.25	2.78
LM4868MTE-ND	Ausgangs-transientfreier zweif. 2,1 W Audioverstärker	Output-Transient Free Dual 2.1W Audio Amp	20-TSSOP	4.59	3.65	3.12
LM4871LDCT-ND	3 W Audioleistungsverstärker mit Abschaltmodus	3W Audio Power Amp with Shutdown Mode	8-LLP	.83	.79	.75
LM4871LDTR-ND	3 W Audioleistungsverstärker mit Abschaltmodus	3W Audio Power Amp with Shutdown Mode	8-LLP		640.00/1,000	
LM4871M-ND	3 W Audioleistungsverstärker mit Abschaltmodus	3W Audio Power Amp with Shutdown Mode	8-SOIC	.58	.55	.52
LM4871MMCT-ND	3 W Audioleistungsverstärker mit Abschaltmodus	3W Audio Power Amp with Shutdown Mode	8-MSOP	1.13	.90	.77
LM4871MMTR-ND	3 W Audioleistungsverstärker mit Abschaltmodus	3W Audio Power Amp with Shutdown Mode	8-MSOP		660.00/1,000	
LM4871N-ND	3 W Audioleistungsverstärker mit Abschaltmodus	3W Audio Power Amp with Shutdown Mode	8-Dip	1.70	1.35	1.16
LM4872IBPCT-ND	1 W Audioleistungsverstärker	1W Audio Power Amp	8-microSMD	1.61	1.28	1.09
LM4872IBPTR-ND	1 W Audioleistungsverstärker	1W Audio Power Amp	8-microSMD		257.50/250	
LM4872ITPCT-ND	1 W Audioleistungsverstärker	1W Audio Power Amp	8-microSMD	1.84	1.47	1.25
LM4872ITPTR-ND	1 W Audioleistungsverstärker	1W Audio Power Amp	8-microSMD		295.00/250	
LM4873IBLCT-ND	Zweif. 2,1 W Audioverstärker plus Stereokopfhörerfunktion	Dual 2.1W Audio Amp + Stereo Headphone Function	20-microSMD	3.85	3.06	2.62
LM4873IBLTR-ND	Zweif. 2,1 W Audioverstärker plus Stereokopfhörerfunktion	Dual 2.1W Audio Amp + Stereo Headphone Function	20-microSMD		257.50/250	
LM4873LQCT-ND	Zweif. 2,1 W Audioverstärker plus Stereokopfhörerfunktion	Dual 2.1W Audio Amp + Stereo Headphone Function	24-LLP	3.73	2.97	2.53
LM4873LQTR-ND	Zweif. 2,1 W Audioverstärker plus Stereokopfhörerfunktion	Dual 2.1W Audio Amp + Stereo Headphone Function	24-LLP		2170.00/1,000	
LM4873MT-ND	Zweif. 2,1 W Audioverstärker plus Stereokopfhörerfunktion	Dual 2.1W Audio Amp + Stereo Headphone Function	20-TSSOP	3.04	2.42	2.07
LM4873MTE-ND	Zweif. 2,1 W Audioverstärker plus Stereokopfhörerfunktion	Dual 2.1W Audio Amp + Stereo Headphone Function	20-TSSOP	3.55	2.82	2.41
LM4873MTE-1-ND	Zweif. 2,1 W Audioverstärker plus Stereokopfhörerfunktion	Dual 2.1W Audio Amp + Stereo Headphone Function	28-TSSOP	5.70	4.53	3.87

(Forts.)

★ RUFEN SIE BITTE AN FÜR NIEDRIGERE PREISE BEI GRÖSSEREN MENGEN! ★

B

Digi-Key Teilenr.	Beschreibung		Paket	Stückpreis★ 1	25	100
LM4876M-ND	1,1 W Audioleistungsverstärker mit Abschaltmodus bei Logikabfall	1.1W Audio Power Amp with Logic Low Shutdown	8-SOIC	1.10	.88	.75
LM4876MMCT-ND	1,1 W Audioleistungsverstärker mit Abschaltmodus bei Logikabfall	1.1W Audio Power Amp with Logic Low Shutdown	10-MSOP	1.28	1.02	.87
LM4876MMTR-ND	1,1 W Audioleistungsverstärker mit Abschaltmodus bei Logikabfall	1.1W Audio Power Amp with Logic Low Shutdown	10-MSOP		750.00/1,000	
LM4877IBPCT-ND	1 W Audioleistungsverstärker mit Abschaltmodus bei Logikabfall	1W Audio Power Amp with Logic Low Shutdown	8-microSMD	1.79	1.42	1.22
LM4877IBPTR-ND	1 W Audioleistungsverstärker mit Abschaltmodus bei Logikabfall	1W Audio Power Amp with Logic Low Shutdown	8-microSMD		287.50/250	
LM4877ITPCT-ND	1 W Audioleistungsverstärker mit Abschaltmodus bei Logikabfall	1W Audio Power Amp with Logic Low Shutdown	8-microSMD	1.70	1.35	1.16
LM4877ITPTR-ND	1 W Audioleistungsverstärker mit Abschaltmodus bei Logikabfall	1W Audio Power Amp with Logic Low Shutdown	8-microSMD		272.50/250	
LM4878IBPCT-ND	1 W Audioleistungsverstärker mit Abschaltmodus bei Logikabfall	1W Audio Power Amp with Logic Low Shutdown	8-microSMD	1.79	1.42	1.22
LM4878IBPTR-ND	1 W Audioleistungsverstärker mit Abschaltmodus bei Logikabfall	1W Audio Power Amp with Logic Low Shutdown	8-microSMD		287.50/250	
LM4878ITPCT-ND	1 W Audioleistungsverstärker mit Abschaltmodus bei Logikabfall	1W Audio Power Amp with Logic Low Shutdown	8-microSMD	1.70	1.35	1.16
LM4878ITPTR-ND	1 W Audioleistungsverstärker mit Abschaltmodus bei Logikabfall	1W Audio Power Amp with Logic Low Shutdown	8-microSMD		272.50/250	
LM4879IBLCT-ND	1,1 W Audioleistungsverstärker mit Abschaltmodus	1.1W Audio Power Amp with Shutdown Mode	9-microSMD	1.84	1.47	1.25
LM4879IBLTR-ND	1,1 W Audioleistungsverstärker mit Abschaltmodus	1.1W Audio Power Amp with Shutdown Mode	9-microSMD		295.00/250	
LM4879IBPCT-ND	1,1 W Audioleistungsverstärker mit Abschaltmodus	1.1W Audio Power Amp with Shutdown Mode	8-microSMD	1.84	1.47	1.25
LM4879IBPTR-ND	1,1 W Audioleistungsverstärker mit Abschaltmodus	1.1W Audio Power Amp with Shutdown Mode	8-microSMD		295.00/250	
LM4879MMCT-ND	1,1 W Audioleistungsverstärker mit Abschaltmodus	1.1W Audio Power Amp with Shutdown Mode	10-MSOP	1.42	1.13	.96
LM4879MMTR-ND	1,1 W Audioleistungsverstärker mit Abschaltmodus	1.1W Audio Power Amp with Shutdown Mode	10-MSOP		820.00/1,000	
LM4879SDCT-ND	1,1 W Audioleistungsverstärker mit Abschaltmodus	1.1W Audio Power Amp with Shutdown Mode	8-LLP	1.56	1.24	1.06
LM4879SDTR-ND	1,1 W Audioleistungsverstärker mit Abschaltmodus	1.1W Audio Power Amp with Shutdown Mode	8-LLP		910.00/1,000	
LM4880M-ND	Zweif. 250 mW Audioleistungsverstärker mit Abschaltmodus	Dual 250mW Audio Power Amp with Shutdown Mode	8-SOIC	.95	.81	.70
LM4881M-ND	Zweif. 200 mW Audioleistungsverstärker mit Abschaltmodus	Dual 200mW Headphone Amp with Shutdown Mode	8-SOIC	1.52	1.21	1.03
LM4881MMTR-ND	Zweif. 200 mW Audioleistungsverstärker mit Abschaltmodus	Dual 200mW Headphone Amp with Shutdown Mode	8-MSOP		890.00/1,000	
LM4881N-ND	Zweif. 200 mW Audioleistungsverstärker mit Abschaltmodus	Dual 200mW Headphone Amp with Shutdown Mode	8-Dip	.97	.92	.87
LM4882M-ND	Zweif. 250 mW Audioleistungsverstärker mit Abschaltmodus	Dual 250mW Audio Power Amp with Shutdown Mode	8-SOIC	.60	.42	.40
LM4882MMCT-ND	Zweif. 250 mW Audioleistungsverstärker mit Abschaltmodus	Dual 250mW Audio Power Amp with Shutdown Mode	8-MSOP	.58	.55	.52
LM4882MMTR-ND	Zweif. 250 mW Audioleistungsverstärker mit Abschaltmodus	Dual 250mW Audio Power Amp with Shutdown Mode	8-MSOP		440.00/1,000	
LM4890IBLCT-ND	1 W Audioleistungsverstärker mit Abschaltmodus	1W Audio Power Amp with Shutdown Mode	9-microSMD	1.56	1.24	1.06
LM4890IBLTR-ND	1 W Audioleistungsverstärker mit Abschaltmodus	1W Audio Power Amp with Shutdown Mode	9-microSMD		250.00/250	
LM4890IBPCT-ND	1 W Audioleistungsverstärker mit Abschaltmodus	1W Audio Power Amp with Shutdown Mode	8-microSMD	1.56	1.24	1.06
LM4890IBPTR-ND	1 W Audioleistungsverstärker mit Abschaltmodus	1W Audio Power Amp with Shutdown Mode	8-microSMD		250.00/250	
LM4890ITLCT-ND	1 W Audioleistungsverstärker mit Abschaltmodus	1W Audio Power Amp with Shutdown Mode	9-microSMD	1.42	1.13	.96
LM4890ITLTR-ND	1 W Audioleistungsverstärker mit Abschaltmodus	1W Audio Power Amp with Shutdown Mode	9-microSMD		227.50/250	
LM4890ITPCT-ND	1 W Audioleistungsverstärker mit Abschaltmodus	1W Audio Power Amp with Shutdown Mode	8-microSMD	1.56	1.24	1.06
LM4890ITPTR-ND	1 W Audioleistungsverstärker mit Abschaltmodus	1W Audio Power Amp with Shutdown Mode	8-microSMD		250.00/250	
LM4890LDCT-ND	1 W Audioleistungsverstärker mit Abschaltmodus	1W Audio Power Amp with Shutdown Mode	10-LLP	1.56	1.24	1.06
LM4890LDTR-ND	1 W Audioleistungsverstärker mit Abschaltmodus	1W Audio Power Amp with Shutdown Mode	10-LLP		910.00/1,000	
LM4890M-ND	1 W Audioleistungsverstärker mit Abschaltmodus	1W Audio Power Amp with Shutdown Mode	8-SOIC	.89	.84	.80
LM4890MMCT-ND	1 W Audioleistungsverstärker mit Abschaltmodus	1W Audio Power Amp with Shutdown Mode	8-MSOP	1.56	1.24	1.06
LM4890MMTR-ND	1 W Audioleistungsverstärker mit Abschaltmodus	1W Audio Power Amp with Shutdown Mode	8-MSOP		910.00/1,000	
LM4890MXTR-ND	1 W Audioleistungsverstärker mit Abschaltmodus	1W Audio Power Amp with Shutdown Mode	8-SOIC		2275.00/2,500	
LM4891IBPCT-ND	1 W Audioleistungsverstärker mit Abschaltmodus	1W Audio Power Amp with Shutdown Mode	8-microSMD	1.13	1.07	1.02
LM4891IBPTR-ND	1 W Audioleistungsverstärker mit Abschaltmodus	1W Audio Power Amp with Shutdown Mode	8-microSMD		217.50/250	
LM4891ITPCT-ND	1 W Audioleistungsverstärker mit Abschaltmodus	1W Audio Power Amp with Shutdown Mode	8-microSMD	1.98	1.58	1.35
LM4891ITPTR-ND	1 W Audioleistungsverstärker mit Abschaltmodus	1W Audio Power Amp with Shutdown Mode	8-microSMD		317.50/250	
LM4891LDCT-ND	1 W Audioleistungsverstärker mit Abschaltmodus	1W Audio Power Amp with Shutdown Mode	10-LLP	1.98	1.58	1.35
LM4891LDTR-ND	1 W Audioleistungsverstärker mit Abschaltmodus	1W Audio Power Amp with Shutdown Mode	10-LLP		1150.00/1,000	
LM4891M-ND	1 W Audioleistungsverstärker mit Abschaltmodus	1W Audio Power Amp with Shutdown Mode	8-SOIC	1.70	1.35	1.16
LM4891MMCT-ND	1 W Audioleistungsverstärker mit Abschaltmodus	1W Audio Power Amp with Shutdown Mode	8-MSOP	1.70	1.35	1.16
LM4891MMTR-ND	1 W Audioleistungsverstärker mit Abschaltmodus	1W Audio Power Amp with Shutdown Mode	8-MSOP		990.00/1,000	
LM4892IBPCT-ND	1 W Audioleistungsverstärker mit Kopfhörer-Fühler	1W Audio Power Amp with Headphone Sense	8-microSMD	1.98	1.58	1.35
LM4892IBPTR-ND	1 W Audioleistungsverstärker mit Kopfhörer-Fühler	1W Audio Power Amp with Headphone Sense	8-microSMD		317.50/250	
LM4892LDCT-ND	1 W Audioleistungsverstärker mit Kopfhörer-Fühler	1W Audio Power Amp with Headphone Sense	10-LLP	1.98	1.58	1.35
LM4892LDTR-ND	1 W Audioleistungsverstärker mit Kopfhörer-Fühler	1W Audio Power Amp with Headphone Sense	10-LLP		1150.00/1,000	
LM4892M-ND	1 W Audioleistungsverstärker mit Kopfhörer-Fühler	1W Audio Power Amp with Headphone Sense	8-SOIC	1.70	1.35	1.16
LM4892MMCT-ND	1 W Audioleistungsverstärker mit Kopfhörer-Fühler	1W Audio Power Amp with Headphone Sense	8-MSOP	1.70	1.35	1.16
LM4892MMTR-ND	1 W Audioleistungsverstärker mit Kopfhörer-Fühler	1W Audio Power Amp with Headphone Sense	8-MSOP		990.00/1,000	
LM4894IBPCT-ND	1 W Volldifferenzial-Audio-Leistungsverstärker mit Abschaltfunktion	1W Fully Diff. Audio Power Amp with Shutdown	9-microSMD	2.27	1.80	1.54
LM4894IBPTR-ND	1 W Volldifferenzial-Audio-Leistungsverstärker mit Abschaltfunktion	1W Fully Diff. Audio Power Amp with Shutdown	9-microSMD		362.50/250	
LM4894ITLCT-ND	1 W Volldifferenzial-Audio-Leistungsverstärker mit Abschaltfunktion	1W Fully Diff. Audio Power Amp with Shutdown	9-microSMD	2.27	1.80	1.54
LM4894ITLTR-ND	1 W Volldifferenzial-Audio-Leistungsverstärker mit Abschaltfunktion	1W Fully Diff. Audio Power Amp with Shutdown	9-microSMD		362.50/250	
LM4894ITPCT-ND	1 W Volldifferenzial-Audio-Leistungsverstärker mit Abschaltfunktion	1W Fully Diff. Audio Power Amp with Shutdown	9-microSMD	2.27	1.80	1.54
LM4894ITPTR-ND	1 W Volldifferenzial-Audio-Leistungsverstärker mit Abschaltfunktion	1W Fully Diff. Audio Power Amp with Shutdown	9-microSMD		362.50/250	
LM4894LDCT-ND	1 W Volldifferenzial-Audio-Leistungsverstärker mit Abschaltfunktion	1W Fully Diff. Audio Power Amp with Shutdown	10-LLP	2.27	1.80	1.54
LM4894LDTR-ND	1 W Volldifferenzial-Audio-Leistungsverstärker mit Abschaltfunktion	1W Fully Diff. Audio Power Amp with Shutdown	10-LLP		1320.00/1,000	
LM4894MMCT-ND	1 W Volldifferenzial-Audio-Leistungsverstärker mit Abschaltfunktion	1W Fully Diff. Audio Power Amp with Shutdown	10-MSOP	1.29	1.22	1.16
LM4894MMTR-ND	1 W Volldifferenzial-Audio-Leistungsverstärker mit Abschaltfunktion	1W Fully Diff. Audio Power Amp with Shutdown	10-MSOP		990.00/1,000	
LM4895IBP-ND	1 W Volldifferenzial-Audio-Leistungsverstärker mit fester 6 dB Verstärkung	1W Fully Diff. Audio Power Amp with Fixed 6dB Gain	9-microSMD	2.35	1.87	1.60
LM4895ITPCT-ND	1 W Volldifferenzial-Audio-Leistungsverstärker mit fester 6 dB Verstärkung	1W Fully Diff. Audio Power Amp with Fixed 6dB Gain	9-microSMD	2.35	1.87	1.60
LM4895ITPTR-ND	1 W Volldifferenzial-Audio-Leistungsverstärker mit fester 6 dB Verstärkung	1W Fully Diff. Audio Power Amp with Fixed 6dB Gain	9-microSMD		377.50/250	
LM4895LDCT-ND	1 W Volldifferenzial-Audio-Leistungsverstärker mit fester 6 dB Verstärkung	1W Fully Diff. Audio Power Amp with Fixed 6dB Gain	10-LLP	2.35	1.87	1.60
LM4895LDTR-ND	1 W Volldifferenzial-Audio-Leistungsverstärker mit fester 6 dB Verstärkung	1W Fully Diff. Audio Power Amp with Fixed 6dB Gain	10-LLP		1370.00/1,000	
LM4895MMCT-ND	1 W Volldifferenzial-Audio-Leistungsverstärker mit fester 6 dB Verstärkung	1W Fully Diff. Audio Power Amp with Fixed 6dB Gain	10-MSOP	2.35	1.87	1.60
LM4895MMTR-ND	1 W Volldifferenzial-Audio-Leistungsverstärker mit fester 6 dB Verstärkung	1W Fully Diff. Audio Power Amp with Fixed 6dB Gain	10-MSOP		1370.00/1,000	
LM4897MMCT-ND	1,1 W Audioleistungsverstärker	1.1W Audio Power Amp	10-MSOP	1.43	1.14	.97
LM4897MMTR-ND	1,1 W Audioleistungsverstärker	1.1W Audio Power Amp	10-MSOP		830.00/1,000	
LM4898ITL-ND	1 W Volldifferenzial-Audio-Leistungsverstärker	1W Fully Diff. Audio Power Amp	9-microSMD	1.28	1.02	.87
LM4898LDCT-ND	1 W Volldifferenzial-Audio-Leistungsverstärker	1W Fully Diff. Audio Power Amp	10-LLP	1.28	1.02	.87
LM4898LDTR-ND	1 W Volldifferenzial-Audio-Leistungsverstärker	1W Fully Diff. Audio Power Amp	10-LLP		740.00/1,000	
LM4898MMCT-ND	1 W Volldifferenzial-Audio-Leistungsverstärker	1W Fully Diff. Audio Power Amp	10-MSOP	1.28	1.02	.87
LM4898MMTR-ND	1 W Volldifferenzial-Audio-Leistungsverstärker	1W Fully Diff. Audio Power Amp	10-MSOP		740.00/1,000	
LM4899ITL-ND	1 W Volldifferenzial-Audio-Leistungsverstärker	1W Fully Diff. Audio Power Amp	9-microSMD	1.42	1.13	.96
LM4899LDCT-ND	1 W Volldifferenzial-Audio-Leistungsverstärker	1W Fully Diff. Audio Power Amp	10-LLP	1.42	1.13	.96
LM4899LDTR-ND	1 W Volldifferenzial-Audio-Leistungsverstärker	1W Fully Diff. Audio Power Amp	10-LLP		820.00/1,000	
LM4899MMCT-ND	1 W Volldifferenzial-Audio-Leistungsverstärker	1W Fully Diff. Audio Power Amp	10-MSOP	1.42	1.13	.96
LM4899MMTR-ND	1 W Volldifferenzial-Audio-Leistungsverstärker	1W Fully Diff. Audio Power Amp	10-MSOP		820.00/1,000	
LM4900LDCT-ND	3,3 V Audioverstärker mit Abschaltmodus	3.3V, Audio Amp with Shutdown	8-LLP	1.13	.90	.77
LM4900LDTR-ND	3,3 V Audioverstärker mit Abschaltmodus	3.3V, Audio Amp with Shutdown	8-LLP		660.00/1,000	
LM4900M-ND	3,3 V Audioverstärker mit Abschaltmodus	3.3V, Audio Amp with Shutdown	8-SOIC	1.13	.90	.77
LM4900MMCT-ND	265 mW Audioleistungsverstärker bei 3,3 V Versorgung, mit Abschaltfunktion	265mW at 3.3V Supply Audio Power Amp w/Shutdown	8-MSOP	1.13	.90	.77
LM4900MMTR-ND	265 mW Audioleistungsverstärker bei 3,3 V Versorgung, mit Abschaltfunktion	265mW at 3.3V Supply Audio Power Amp w/Shutdown	8-MSOP		660.00/1,000	
LM4901LDCT-ND	1,6 W Audio-Leistungsverstärker mit auswählbarem Abschalt-Logik-Level	1.6W Audio Power Amp with Selectable Shutdown Logic Level	10-LLP	1.70	1.35	1.16
LM4901LDTR-ND	1,6 W Audio-Leistungsverstärker mit auswählbarem Abschalt-Logik-Level	1.6W Audio Power Amp with Selectable Shutdown Logic Level	10-LLP		990.00/1,000	
LM4901MMCT-ND	1,6 W Audio-Leistungsverstärker mit auswählbarem Abschalt-Logik-Level	1.6W Audio Power Amp with Selectable Shutdown Logic Level	10-MSOP	1.70	1.35	1.16
LM4901MMTR-ND	1,6 W Audio-Leistungsverstärker mit auswählbarem Abschalt-Logik-Level	1.6W Audio Power Amp with Selectable Shutdown Logic Level	10-MSOP		990.00/1,000	
LM4902LDCT-ND	Audioleistungsverstärker mit 3,3 V Versorgung und Abschaltfunktion	3.3V, Supply Audio Power Amp with Shutdown	8-LLP	1.13	.90	.77
LM4902LDTR-ND	Audioleistungsverstärker mit 3,3 V Versorgung und Abschaltfunktion	3.3V, Supply Audio Power Amp with Shutdown	8-LLP		660.00/1,000	
LM4902MMCT-ND	Audioleistungsverstärker mit 3,3 V Versorgung und Abschaltfunktion	3.3V, Supply Audio Power Amp with Shutdown	8-MSOP	1.13	.90	.77
LM4902MMTR-ND	Audioleistungsverstärker mit 3,3 V Versorgung und Abschaltfunktion	3.3V, Supply Audio Power Amp with Shutdown	8-MSOP		660.00/1,000	
LM4905LDCT-ND	1 W Audioleistungsverstärker	1W Audio Power Amp	8-LLP	1.56	1.24	1.06
LM4905LDTR-ND	1 W Audioleistungsverstärker	1W Audio Power Amp	8-LLP		910.00/1,000	
LM4905LQCT-ND	1 W Audioleistungsverstärker	1W Audio Power Amp	8-LLP	1.56	1.24	1.06
LM4905LQTR-ND	1 W Audioleistungsverstärker	1W Audio Power Amp	8-LLP		910.00/1,000	
LM4905MMCT-ND	1 W Audioleistungsverstärker	1W Audio Power Amp	8-MSOP	1.56	1.24	1.06
LM4905MMTR-ND	1 W Audioleistungsverstärker	1W Audio Power Amp	8-MSOP		910.00/1,000	
LM4906LDCT-ND	1 W Audioleistungsverstärker mit wählbarer Verstärkung	1W Audio Amp with Selectable Gain	10-LLP	1.43	1.14	.97

(Forts.)

★ RUFEN SIE BITTE AN FÜR NIEDRIGERE PREISE BEI GRÖSSEREN MENGEN! ★

Alle Preisangaben in Euro und inklusive Zollgebühren.

Digi-Key Teilenr.	Beschreibung		Paket	Stückpreis★ 1	25	100
LM4906LDTR-ND	1 W Audioleistungsverstärker mit wählbarer Verstärkung	1W Audio Amp with Selectable Gain	10-LLP		830.00/1,000	
LM4906MMCT-ND	1 W Audioleistungsverstärker mit wählbarer Verstärkung	1W Audio Amp with Selectable Gain	8-MSOP	1.43	1.14	.97
LM4906MMTR-ND	1 W Audioleistungsverstärker mit wählbarer Verstärkung	1W Audio Amp with Selectable Gain	8-MSOP		830.00/1,000	
LM4910LQCT-ND	35 mW Stereokopfhörerverstärker, Ausgang ohne Kondensator	Output Capacitor-less Stereo 35mW Headphone Amp	8-LLP	1.13	.90	.77
LM4910LQTR-ND	35 mW Stereokopfhörerverstärker, Ausgang ohne Kondensator	Output Capacitor-less Stereo 35mW Headphone Amp	8-LLP		660.00/1,000	
LM4910MA-ND	35 mW Stereokopfhörerverstärker, Ausgang ohne Kondensator	Output Capacitor-less Stereo 35mW Headphone Amp	8-SOIC	1.13	.90	.77
LM4910MMCT-ND	35 mW Stereokopfhörerverstärker, Ausgang ohne Kondensator	Output Capacitor-less Stereo 35mW Headphone Amp	8-MSOP	1.13	.90	.77
LM4910MMTR-ND	35 mW Stereokopfhörerverstärker, Ausgang ohne Kondensator	Output Capacitor-less Stereo 35mW Headphone Amp	8-MSOP		660.00/1,000	
LM4911LDCT-ND	40 mW rauscharmer Stereokopfhörerverstärker mit wählbarem kapazitativ gekoppeltem Ausgang	Stereo 40mW Low Noise Headphone Amp with Selectable Capacitive Coupled Output	10-LLP	1.42	1.13	.96
LM4911LDTR-ND	40 mW rauscharmer Stereokopfhörerverstärker mit wählbarem kapazitativ gekoppeltem Ausgang	Stereo 40mW Low Noise Headphone Amp with Selectable Capacitive Coupled Output	10-LLP		820.00/1,000	
LM4911MMCT-ND	40 mW rauscharmer Stereokopfhörerverstärker mit wählbarem kapazitativ gekoppeltem Ausgang	Stereo 40mW Low Noise Headphone Amp with Selectable Capacitive Coupled Output	10-MSOP	1.42	1.13	.96
LM4911MMTR-ND	40 mW rauscharmer Stereokopfhörerverstärker mit wählbarem kapazitativ gekoppeltem Ausgang	Stereo 40mW Low Noise Headphone Amp with Selectable Capacitive Coupled Output	10-MSOP		820.00/1,000	
LM4912MMCT-ND	40 mW rauscharmer Stereokopfhörerverstärker, rauscharm	Stereo 40mW Low Noise Headphone Amp	10-MSOP	1.70	1.35	1.16
LM4912MMTR-ND	40 mW rauscharmer Stereokopfhörerverstärker, rauscharm	Stereo 40mW Low Noise Headphone Amp	10-MSOP		990.00/1,000	
LM4921ITLCT-ND	16-Bit Stereo DAU, Niederspannung, I²S	Low Voltage I²S 16-Bit Stereo DAC	20-microSMD	1.53	1.45	1.38
LM4921ITLTR-ND	16-Bit Stereo DAU, Niederspannung, I²S	Low Voltage I²S 16-Bit Stereo DAC	20-microSMD		297.50/250	
LM4923LQCT-ND	1,1 W Volldifferenzial-Audio-Leistungsverstärker	1.1W Fully Diff. Audio Power Amp	8-LLP	1.28	1.02	.87
LM4923LQTR-ND	1,1 W Volldifferenzial-Audio-Leistungsverstärker	1.1W Fully Diff. Audio Power Amp	8-LLP		740.00/1,000	
LM4924MMCT-ND	Stereokopfhörerverstärker, Ausgang ohne Kondensator	Output Capacitor-Less Stereo Headphone Amp	10-MSOP	2.78	2.21	1.89
LM4924MMTR-ND	Stereokopfhörerverstärker, Ausgang ohne Kondensator	Output Capacitor-Less Stereo Headphone Amp	10-MSOP		1620.00/1,000	
LM4924SDCT-ND	Stereokopfhörerverstärker, Ausgang ohne Kondensator	Output Capacitor-Less Stereo Headphone Amp	10-LLP	2.78	2.21	1.89
LM4924SDTR-ND	Stereokopfhörerverstärker, Ausgang ohne Kondensator	Output Capacitor-Less Stereo Headphone Amp	10-LLP		1620.00/1,000	
LM4925MMCT-ND	40 mW Stereokopfhörer-Audioverstärker, 2-Zellen-Einzelnendeausgang,	2 Cell, Single Ended Output, 40mW Stereo Headphone Audio Amp	10-MSOP	2.78	2.21	1.89
LM4925MMTR-ND	40 mW Stereokopfhörer-Audioverstärker, 2-Zellen-Einzelnendeausgang,	2 Cell, Single Ended Output, 40mW Stereo Headphone Audio Amp	10-MSOP		1620.00/1,000	
LM4925SDCT-ND	40 mW Stereokopfhörer-Audioverstärker, 2-Zellen-Einzelnendeausgang,	2 Cell, Single Ended Output, 40mW Stereo Headphone Audio Amp	10-LLP	2.78	2.21	1.89
LM4925SDTR-ND	40 mW Stereokopfhörer-Audioverstärker, 2-Zellen-Einzelnendeausgang,	2 Cell, Single Ended Output, 40mW Stereo Headphone Audio Amp	10-LLP		1620.00/1,000	
LM4929MMCT-ND	40 mW rauscharmer Stereokopfhörerverstärker, rauscharm	Stereo 40mW Low Noise Headphone Amp	10-MSOP	1.98	1.58	1.35
LM4929MMTR-ND	40 mW rauscharmer Stereokopfhörerverstärker, rauscharm	Stereo 40mW Low Noise Headphone Amp	10-MSOP		1150.00/1000	
LM4930ITLCT-ND	Audio-Subsystem mit Stereokopfhörer- und Mono-Lautsprecherverstärker	Audio Subsystem with Stereo Headphone and Mono Speaker Amp	36-microSMD	11.19	8.90	7.60
LM4930ITLTR-ND	Audio-Subsystem mit Stereokopfhörer- und Mono-Lautsprecherverstärker	Audio Subsystem with Stereo Headphone and Mono Speaker Amp	36-microSMD		1792.50/250	
LM4930LQCT-ND	Audio-Subsystem mit Stereokopfhörer- und Mono-Lautsprecherverstärker	Audio Subsystem with Stereo Headphone and Mono Speaker Amp	44-LLP	11.19	8.90	7.60
LM4930LQTR-ND	Audio-Subsystem mit Stereokopfhörer- und Mono-Lautsprecherverstärker	Audio Subsystem with Stereo Headphone and Mono Speaker Amp	44-LLP		1792.50/250	
LM4938MH-ND	2 W Stereo-Audio-Leistungsverst.	Stereo 2W Audio Power Amp	28-TSSOP	2.41	1.92	1.64
LM4950TA-ND	7,5 W Mono BTL oder 3,1 W Stereo-Audio-Leistungsverstärker	7.5W Mono BTL or 3.1W Stereo Audio Power Amp	TO-220-5	1.78	1.69	1.60
LM4950TS-ND	7,5 W Mono BTL oder 3,1 W Stereo-Audio-Leistungsverstärker	7.5W Mono BTL or 3.1W Stereo Audio Power Amp	TO-263-5	1.78	1.69	1.60
LM4951SDCT-ND	1,8 W Audio-Verst., breiter Spannungsbereich	Wide Voltage Range 1.8W Audio Amp	10-LLP	3.25	2.59	2.21
LM4951SDTR-ND	1,8 W Audio-Verst., breiter Spannungsbereich	Wide Voltage Range 1.8W Audio Amp	10-LLP		1890.00/1,000	
LM4960SQCT-ND	Piezoelektrischer Lautsprechertreiber	Piezoelectric Speaker Driver	28-LLP	7.10	5.65	4.82
LM4960SQTR-ND	Piezoelektrischer Lautsprechertreiber	Piezoelectric Speaker Driver	28-LLP		4130.00/1,000	
LM4961LQCT-ND	Keramiklautsprechertreiber	Ceramic Speaker Driver	28-LLP	5.97	4.74	4.05
LM4961LQTR-ND	Keramiklautsprechertreiber	Ceramic Speaker Driver	28-LLP		3470.00/1,000	
LM4970SDCT-ND	Audio-Synch. Color-LED-Driver	Audio Sync. Color LED Driver	14-LLP	2.55	2.03	1.73
LM4970SDTR-ND	Audio-Synch. Color-LED-Driver	Audio Sync. Color LED Driver	14-LLP		1480.00/1,000	
LM4992SDCT-ND	420 mW Handy-Stereo-Audioverstärker	420mW Stereo Cell Phone Audio Amp	14-LLP	1.98	1.58	1.35
LM4992SDTR-ND	420 mW Handy-Stereo-Audioverstärker	420mW Stereo Cell Phone Audio Amp	14-LLP		317.50/250	
LM5000-3MTC-ND	Schaltmodus-Regler für hohe Spannung	High Voltage Switch Mode Regulator	16-TSSOP	3.22	3.06	2.90
LM5000EVAL-ND	Evaluierungskarte für LM5000	Evaluation Board for LM5000	—	64.85	—	—
LM5000SD-3CT-ND	Schaltmodus-Regler für hohe Spannung	High Voltage Switch Mode Regulator	16-LLP	5.67	4.51	3.85
LM5000SD-3TR-ND	Schaltmodus-Regler für hohe Spannung	High Voltage Switch Mode Regulator	16-LLP		3300.00/1,000	
LM5000SD-6CT-ND	Schaltmodus-Regler für hohe Spannung	High Voltage Switch Mode Regulator	16-LLP	5.67	4.51	3.85
LM5000SD-6TR-ND	Schaltmodus-Regler für hohe Spannung	High Voltage Switch Mode Regulator	16-LLP		3300.00/1,000	
LM5007EVAL-ND	Evaluierungskarte für LM5007	Evaluation Board for LM5007	—	43.18	—	—
LM5007MMCT-ND	80 V Step-Down Schaltregler	80V Step-Down Switching Regulator	8-MSOP	1.69	1.61	1.53
LM5007MMTR-ND	80 V Step-Down Schaltregler	80V Step-Down Switching Regulator	8-MSOP		1320.00/1,000	
LM5007SDCT-ND	80 V Step-Down Schaltregler	80V Step-Down Switching Regulator	8-LLP	2.98	2.37	2.03
LM5007SDTR-ND	80 V Step-Down Schaltregler	80V Step-Down Switching Regulator	8-LLP		1740.00/1,000	
LM5007SDEVAL-ND	Evaluierungskarte für LM5007SD	Evaluation Board for LM5007SD	—	75.48	—	—
LM5008EVAL-ND	Evaluierungskarte für LM5008	Evaluation Board for LM5008	—	76.08	—	—
LM5008MMCT-ND	100 V Step-Down Schaltregler	100V Step-Down Switching Regulator	8-MSOP	1.93	1.83	1.74
LM5008MMTR-ND	100 V Step-Down Schaltregler	100V Step-Down Switching Regulator	8-MSOP		1500.00/1,000	
LM5008SDCT-ND	100 V Step-Down Schaltregler	100V Step-Down Switching Regulator	8-LLP	3.40	2.70	2.31
LM5008SDTR-ND	100 V Step-Down Schaltregler	100V Step-Down Switching Regulator	8-LLP		1980.00/1,000	
LM5010SDCT-ND	75 V, 1 A Step-Down Schaltregler	75V, 1A Step-Down Switching Regulator	8-LLP	3.82	3.04	2.59
LM5010SDTR-ND	75 V, 1 A Step-Down Schaltregler	75V, 1A Step-Down Switching Regulator	8-LLP		2220.00/1,000	
LM5020EVAL-ND	Evaluierungskarte für LM5020	Evaluation Board for LM5020	—	152.16	—	—
LM5020MM-1CT-ND	100 V Strommodus-PWM-Controller	100V Current Mode PWM Controller	10-MSOP	1.69	1.60	1.52
LM5020MM-1TR-ND	100 V Strommodus-PWM-Controller	100V Current Mode PWM Controller	10-MSOP		1310.00/1,000	
LM5020MM-2CT-ND	100 V Strommodus-PWM-Controller	100V Current Mode PWM Controller	10-MSOP	1.69	1.60	1.52
LM5020MM-2TR-ND	100 V Strommodus-PWM-Controller	100V Current Mode PWM Controller	10-MSOP		1310.00/1,000	
LM5020SD-1CT-ND	100 V Strommodus-PWM-Controller	100V Current Mode PWM Controller	10-LLP	2.97	2.37	2.02
LM5020SD-1TR-ND	100 V Strommodus-PWM-Controller	100V Current Mode PWM Controller	10-LLP		1730.00/1,000	
LM5020SD-2CT-ND	100 V Strommodus-PWM-Controller	100V Current Mode PWM Controller	10-LLP	2.97	2.37	2.02
LM5020SD-2TR-ND	100 V Strommodus-PWM-Controller	100V Current Mode PWM Controller	10-LLP		1730.00/1,000	
LM5025AMTC-ND	Spannungsmodus-PWM-Controller, Aktivklemme	Active Clamp Voltage Mode PWM Controller	16-TSSOP	3.70	2.94	2.51
LM5025ASDCT-ND	Spannungsmodus-PWM-Controller, Aktivklemme	Active Clamp Voltage Mode PWM Controller	16-LLP	3.70	2.94	2.51
LM5025ASDTR-ND	Spannungsmodus-PWM-Controller, Aktivklemme	Active Clamp Voltage Mode PWM Controller	16-LLP		2150.00/1,000	
LM5025EVAL-ND	Evaluierungskarte für LM5025	Evaluation Board for LM5025	—	228.24	—	—
LM5025MTC-ND	Spannungsmodus-PWM-Controller, Aktivklemme	Active Clamp Voltage Mode PWM Controller	16-TSSOP	2.10	1.99	1.89
LM5025SDCT-ND	Spannungsmodus-PWM-Controller, Aktivklemme	Active Clamp Voltage Mode PWM Controller	16-LLP	3.70	2.94	2.51
LM5025SDTR-ND	Spannungsmodus-PWM-Controller, Aktivklemme	Active Clamp Voltage Mode PWM Controller	16-LLP		2150.00/1,000	
LM5030EVAL-ND	Evaluierungskarte für LM5030	Evaluation Board for LM5030	—	151.20	—	—
LM5030MMCT-ND	100 V Push-Pull PWM-Controller	100V Push-Pull PWM Controller	10-MSOP	1.93	1.83	1.74
LM5030MMTR-ND	100 V Push-Pull PWM-Controller	100V Push-Pull PWM Controller	10-MSOP		1500.00/1,000	
LM5032MTC-ND	Zweif. verzahnter Hochleistungs-Controller, Strom-Modus	High Voltage Dual Interleaved Current Mode Controller	16-TSSOP	4.39	3.49	2.98
LM5033SDCT-ND	100 V Push-Pull PWM-Controller, Spannungsmodus	100V Push-Pull Voltage Mode PWM Controller	10-LLP	3.13	2.49	2.13
LM5033SDTR-ND	100 V Push-Pull PWM-Controller, Spannungsmodus	100V Push-Pull Voltage Mode PWM Controller	10-LLP		1820.00/1,000	
LM5034MTC-ND	Zweif. verzahnter Hochleistungs-Controller, Strom-Modus	High Voltage Dual Interleaved Current Mode Controller	20-TSSOP	5.40	4.29	3.67
LM5041AMTC-ND	Kaskaden-PWM-Controller	Cascaded PWM Controller	16-TSSOP	6.09	4.84	4.14
LM5041ASDCT-ND	Kaskaden-PWM-Controller	Cascaded PWM Controller	16-LLP	6.09	4.84	4.14
LM5041ASDTR-ND	Kaskaden-PWM-Controller	Cascaded PWM Controller	16-LLP		3540.00/1,000	
LM5041MTC-ND	Kaskaden-PWM-Controller	Cascaded PWM Controller	16-TSSOP	3.45	3.28	3.12
LM5041SDCT-ND	Kaskaden-PWM-Controller	Cascaded PWM Controller	16-LLP	3.45	3.28	3.12
LM5041SDTR-ND	Kaskaden-PWM-Controller	Cascaded PWM Controller	16-LLP		2680.00/1,000	
LM5068EVAL-ND	Evaluierungskarte für LM5068	Evaluation Board for LM5068	—	133.07	—	—
LM5068MM-1CT-ND	Hot-Swap-Controller, negative Spannung	Negative Voltage Hot Swap Controller	8-MSOP	3.82	3.04	2.59
LM5068MM-1TR-ND	Hot-Swap-Controller, negative Spannung	Negative Voltage Hot Swap Controller	8-MSOP		2220.00/1,000	
LM5068MM-2CT-ND	Hot-Swap-Controller, negative Spannung	Negative Voltage Hot Swap Controller	8-MSOP	2.17	2.06	1.96

(Forts.)

★ RUFEN SIE BITTE AN FÜR NIEDRIGERE PREISE BEI GRÖSSEREN MENGEN! ★

B

Digi-Key Teilenr.	Beschreibung		Paket	Stückpreis★ 1	25	100
LM5068MM-2TR-ND	Hot-Swap-Controller, negative Spannung	Negative Voltage Hot Swap Controller	8-MSOP		1680.00/1,000	
LM5068MM-3CT-ND	Hot-Swap-Controller, negative Spannung	Negative Voltage Hot Swap Controller	8-MSOP	3.82	3.04	2.59
LM5068MM-3TR-ND	Hot-Swap-Controller, negative Spannung	Negative Voltage Hot Swap Controller	8-MSOP		2220.00/1,000	
LM5068MM-4CT-ND	Hot-Swap-Controller, negative Spannung	Negative Voltage Hot Swap Controller	8-MSOP	3.82	3.04	2.59
LM5068MM-4TR-ND	Hot-Swap-Controller, negative Spannung	Negative Voltage Hot Swap Controller	8-MSOP		2220.00/1,000	
LM5070MTC-50-ND	Integrierte Leistung-über-Ethernet PD-Schnittstelle und PWM-Controller, No Slope	Integrated Power Over Ethernet PD Interface and PWM Controller, So Slope	16-TSSOP	3.22	3.06	2.90
LM5070MTC-80-ND	Integrierte Leistung-über-Ethernet PD-Schnittstelle und PWM-Controller, Slope	Integrated Power Over Ethernet PD Interface and PWM Controller, Slope	16-TSSOP	3.22	3.06	2.90
LM5070SD-50CT-ND	Integrierte Leistung-über-Ethernet PD-Schnittstelle und PWM-Controller, No Slope	Integrated Power Over Ethernet PD Interface and PWM Controller, No Slope	16-LLP	4.95	3.94	3.37
LM5070SD-50TR-ND	Integrierte Leistung-über-Ethernet PD-Schnittstelle und PWM-Controller, No Slope	Integrated Power Over Ethernet PD Interface and PWM Controller, No Slope	16-LLP		2880.00/1,000	
LM5070SD-80CT-ND	Integrierte Leistung-über-Ethernet PD-Schnittstelle und PWM-Controller, Slope	Integrated Power Over Ethernet PD Interface and PWM Controller, Slope	16-LLP	4.95	3.94	3.37
LM5070SD-80TR-ND	Integrierte Leistung-über-Ethernet PD-Schnittstelle und PWM-Controller, Slope	Integrated Power Over Ethernet PD Interface and PWM Controller, Slope	16-LLP		2880.00/1,000	
LM5100AM-ND	High-Side- und Low-Side-Gate-Treiber, Hochspannung	High Voltage, High Side and Low Side Gate Driver	8-SOIC	3.82	3.04	2.59
LM5100ASDCT-ND	High-Side- und Low-Side-Gate-Treiber, Hochspannung	High Voltage, High Side and Low Side Gate Driver	10-LLP	3.82	3.04	2.59
LM5100ASDTR-ND	High-Side- und Low-Side-Gate-Treiber, Hochspannung	High Voltage, High Side and Low Side Gate Driver	10-LLP		2220.00/1,000	
LM5100M-ND	High-Side- und Low-Side-Gate-Treiber, Hochspannung	High Voltage, High Side and Low Side Gate Driver	8-SOIC	1.93	1.83	1.74
LM5100SDCT-ND	High-Side- und Low-Side-Gate-Treiber, Hochspannung	High Voltage, High Side and Low Side Gate Driver	10-LLP	3.40	2.70	2.31
LM5100SDTR-ND	High-Side- und Low-Side-Gate-Treiber, Hochspannung	High Voltage, High Side and Low Side Gate Driver	10-LLP		1980.00/1,000	
LM5101AM-ND	High-Side- und Low-Side-Gate-Treiber, Hochspannung	High Voltage, High Side and Low Side Gate Driver	8-SOIC	3.82	3.04	2.59
LM5101ASDCT-ND	High-Side- und Low-Side-Gate-Treiber, Hochspannung	High Voltage, High Side and Low Side Gate Driver	10-LLP	3.82	3.04	2.59
LM5101ASDTR-ND	High-Side- und Low-Side-Gate-Treiber, Hochspannung	High Voltage, High Side and Low Side Gate Driver	10-LLP		2220.00/1,000	
LM5101M-ND	High-Side- und Low-Side-Gate-Treiber, Hochspannung	High Voltage, High Side and Low Side Gate Driver	8-SOIC	1.93	1.83	1.74
LM5101SDCT-ND	High-Side- und Low-Side-Gate-Treiber, Hochspannung	High Voltage, High Side and Low Side Gate Driver	10-LLP	3.40	2.70	2.31
LM5101SDTR-ND	High-Side- und Low-Side-Gate-Treiber, Hochspannung	High Voltage, High Side and Low Side Gate Driver	10-LLP		1980.00/1,000	
LM5102MMCT-ND	Halbbrücken-Gate-Treiber, Hochspannung	High Voltage Half-Bridge Gate Driver	10-MSOP	2.17	2.06	1.96
LM5102MMTR-ND	Halbbrücken-Gate-Treiber, Hochspannung	High Voltage Half-Bridge Gate Driver	10-MSOP		1680.00/1,000	
LM5102SDCT-ND	Halbbrücken-Gate-Treiber, Hochspannung	High Voltage Half-Bridge Gate Driver	10-LLP	3.82	3.04	2.59
LM5102SDTR-ND	Halbbrücken-Gate-Treiber, Hochspannung	High Voltage Half-Bridge Gate Driver	10-LLP		2220.00/1,000	
LM5104M-ND	Halbbrücken-Gate-Treiber, Hochspannung	High Voltage Half-Bridge Gate Driver	8-SOIC	2.17	2.06	1.96
LM5104SDCT-ND	Halbbrücken-Gate-Treiber, Hochspannung	High Voltage Half-Bridge Gate Driver	10-LLP	3.82	3.04	2.59
LM5104SDTR-ND	Halbbrücken-Gate-Treiber, Hochspannung	High Voltage Half-Bridge Gate Driver	10-LLP		2220.00/1,000	
LM5105SDCT-ND	100 V Halbbrücken-Gate-Treiber	100V Half-Bridge Gate Driver	10-LLP	2.83	2.25	1.93
LM5105SDTR-ND	100 V Halbbrücken-Gate-Treiber	100V Half-Bridge Gate Driver	10-LLP		1650.00/1,000	
LM5107MA-ND	100 V Halbbrücken-Gate-Treiber, 1,4 A Spitze	100V, 1.4A Peak Half-Bridge Gate Driver	8-SOIC	2.69	2.14	1.83
LM5107SDCT-ND	100 V Halbbrücken-Gate-Treiber, 1,4 A Spitze	100V, 1.4A Peak Half-Bridge Gate Driver	8-LLP	2.55	2.03	1.73
LM5107SDTR-ND	100 V Halbbrücken-Gate-Treiber, 1,4 A Spitze	100V, 1.4A Peak Half-Bridge Gate Driver	8-LLP		1480.00/1,000	
LM5110-1M-ND	Zweif. 5 A Compound-Gate-Treiber mit neg. Ausgangsspannung	Dual 5A Compound Gate Driver with Neg. Output Voltage	8-SOIC	1.05	.99	.94
LM5110-1SDCT-ND	Zweif. 5 A Compound-Gate-Treiber mit neg. Ausgangsspannung	Dual 5A Compound Gate Driver with Negative Output Voltage	10-LLP	1.84	1.47	1.25
LM5110-1SDTR-ND	Zweif. 5 A Compound-Gate-Treiber mit neg. Ausgangsspannung	Dual 5A Compound Gate Driver with Negative Output Voltage	10-LLP		1070.00/1,000	
LM5110-2M-ND	Zweif. 5 A Compound-Gate-Treiber mit neg. Ausgangsspannung	Dual 5A Compound Gate Driver with Neg. Output Voltage	8-SOIC	1.05	.99	.94
LM5110-2SDCT-ND	Zweif. 5 A Compound-Gate-Treiber mit neg. Ausgangsspannung	Dual 5A Compound Gate Driver with Negative Output Voltage	10-LLP	1.84	1.47	1.25
LM5110-2SDTR-ND	Zweif. 5 A Compound-Gate-Treiber mit neg. Ausgangsspannung	Dual 5A Compound Gate Driver with Negative Output Voltage	10-LLP		1070.00/1,000	
LM5110-3M-ND	Zweif. 5 A Compound-Gate-Treiber mit neg. Ausgangsspannung	Dual 5A Compound Gate Driver with Neg. Output Voltage	8-SOIC	1.05	.99	.94
LM5110-3SDCT-ND	Zweif. 5 A Compound-Gate-Treiber mit neg. Ausgangsspannung	Dual 5A Compound Gate Driver with Negative Output Voltage	10-LLP	1.84	1.47	1.25
LM5110-3SDTR-ND	Zweif. 5 A Compound-Gate-Treiber mit neg. Ausgangsspannung	Dual 5A Compound Gate Driver with Negative Output Voltage	10-LLP		1070.00/1,000	
LM5111-1M-ND	Zweif. 5 A Compound-Gate-Treiber	Dual 5A Compound Gate Driver	8-SOIC	1.05	.99	.94
LM5111-2M-ND	Zweif. 5 A Compound-Gate-Treiber	Dual 5A Compound Gate Driver	8-SOIC	1.05	.99	.94
LM5111-3M-ND	Zweif. 5 A Compound-Gate-Treiber	Dual 5A Compound Gate Driver	8-SOIC	1.05	.99	.94
LM5112SDCT-ND	7 A Kleinst-MOSFET-Gate-Treiber	Tiny 7A MOSFET Gate Driver	6-LLP	1.42	1.13	.96
LM5112SDTR-ND	7 A Kleinst-MOSFET-Gate-Treiber	Tiny 7A MOSFET Gate Driver	6-LLP		820.00/1,000	
LM5115MTC-ND	Nachregler-Controller, Sekundärseite	Secondary Side Post Regulator Controller	16-TSSOP	4.27	3.39	2.90
LM5642MTC-ND	Zweif. synchroner Buck-Wandler, Hochspannung	High Voltage, Dual Sync. Buck Converter	28-TSSOP	2.90	2.75	2.61
LM6132AIM-ND	Zweif. 7 MHz Rail-to-Rail-OpAmp, HS/NL	Dual High Speed/Low Power 7MHz, Rail-to-Rail Op Amp	8-SOIC	1.95	1.85	1.76
LM6132AIN-ND	Zweif. 7 MHz Rail-to-Rail-OpAmp, HS/NL	Dual High Speed/Low Power 7MHz, Rail-to-Rail Op Amp	8-Dip	4.53	3.61	3.08
LM6132BIM-ND	Zweif. 7 MHz Rail-to-Rail-OpAmp, HS/NL	Dual High Speed/Low Power 7MHz, Rail-to-Rail Op Amp	8-SOIC	1.48	1.41	1.34
LM6132BIN-ND	Zweif. 7 MHz Rail-to-Rail-OpAmp, HS/NL	Dual High Speed/Low Power 7MHz, Rail-to-Rail Op Amp	8-Dip	1.82	1.25	1.19
LM6134AIM-ND	Vierf. 7 MHz Rail-to-Rail-OpAmp, HS/NL	Quad High Speed/Low Power 7MHz, Rail-to-Rail Op Amp	14-SOIC	2.12	2.01	1.91
LM6134AIN-ND	Vierf. 7 MHz Rail-to-Rail-OpAmp, HS/NL	Quad High Speed/Low Power 7MHz, Rail-to-Rail Op Amp	14-Dip	5.07	4.03	3.45
LM6134BIM-ND	Vierf. 10 MHz R/R-OpAmp, E/A, NL	Quad Low Power 10MHz, R/R, I/O, Op Amp	14-SOIC	1.71	1.62	1.54
LM6134BIMXTR-ND	Vierf. 10 MHz R/R-OpAmp, E/A, NL	Quad Low Power 10MHz, R/R, I/O, Op Amp	14-SOIC		5825.00/2,500	
LM6134BIN-ND	Vierf. 7 MHz Rail-to-Rail-OpAmp, HS/NL	Quad High Speed/Low Power, 7MHz, Rail-to-Rail Op Amp	14-Dip	2.35	1.62	1.54
LM6142AIM-ND	Zweif. Rail-to-Rail-OpAmp, HS/NL	Dual High Speed/Low Power Rail-to-Rail Op Amp	8-SOIC	4.58	3.31	2.58
LM6142BIM-ND	Zweif. Rail-to-Rail-OpAmp, HS/NL	Dual High Speed/Low Power Rail-to-Rail Op Amp	8-SOIC	2.82	2.68	2.55
LM6144BIM-ND	Vierf. 17 MHz Rail-to-Rail-OpAmp, HS/NL	Quad High Speed/Low Power 17MHz R-R Op Amp	14-SOIC	4.23	4.02	3.82
LM6152ACM-ND	Zweif. 75 MHz R/R-OpAmp, E/A, HS, Vos = 4 mV	Dual High Speed 75MHz, R-R, I/O, Op Amp, Vos = 4mV	8-SOIC	2.66	2.53	2.40
LM6152BCM-ND	Zweif. 75 MHz R/R-OpAmp, E/A, HS, Vos = 4 mV	Dual High Speed 75MHz, R-R, I/O, Op Amp, Vos = 4mV	8-SOIC	3.79	3.01	2.57
LM6154BCM-ND	Vierf. 75 MHz R/R-OpAmp, E/A, HS, Vos = 7 mV	Quad High Speed 75MHz, R-R, I/O, Op Amp, Vos = 7mV	14-SOIC	4.61	4.38	4.16
LM6171AIM-ND	NL-OpAmp, Spannungsrückkopplung, geringe Verzerrung	Voltage Feedback Low Distortion, Low Power Op Amp	8-SOIC	2.24	2.12	2.02
LM6171BIM-ND	NL-OpAmp, Spannungsrückkopplung, geringe Verzerrung	Voltage Feedback Low Distortion, Low Power Op Amp	8-SOIC	2.05	1.64	1.56
LM6171BIN-ND	NL-OpAmp, Spannungsrückkopplung, geringe Verzerrung	Voltage Feedback Low Distortion, Low Power Op Amp	8-Dip	2.05	1.64	1.56
LM6172IM-ND	Zweif. verzerrungsarmer Spannungs-Feedback-OpAmp, HS, NL	Dual HS LP, Low Distortion, Volt. Feedback Op Amp	8-SOIC	2.57	2.44	2.32
LM6172IMXCT-ND	Zweif. verzerrungsarmer Spannungs-Feedback-OpAmp, HS, NL	Dual HS LP, Low Distortion, Volt. Feedback Op Amp	8-SOIC	2.57	2.44	2.32
LM6172IMXTR-ND	Zweif. verzerrungsarmer Spannungs-Feedback-OpAmp, HS, NL	Dual HS LP, Low Distortion, Volt. Feedback Op Amp	8-SOIC		4975.00/2,500	
LM6172IN-ND	Zweif. verzerrungsarmer Spannungs-Feedback-OpAmp, HS, NL	Dual HS LP, Low Distortion, Volt. Feedback Op Amp	8-Dip	2.57	2.44	2.32
LM6181IM-8-ND	100 mA, 100 MHz Strom-Feedback-Verstärker	100mA, 100MHz Current Feedback Amp	8-SOIC	3.16	2.51	2.15
LM6181IN-ND	100 MHz Strom-Feedback-Verstärker	Current Feedback Amp, 100MHz	8-Dip	1.57	1.38	1.20
LM6511IM-ND	180 ns, 3 V Komparator	180nS, 3V, Comparator	8-SOIC	3.16	2.51	2.15
LM6588MA-ND	Vierf. TFT-LCD, 16 V RRIO-OpAmp für hohen Stromausgang	TFT-LCD Quad, 16V RRIO High Output Current Op Amp	14-SOIC	2.92	2.33	1.99
LM6588MT-ND	Vierf. TFT-LCD, 16 V RRIO-OpAmp für hohen Stromausgang	TFT-LCD Quad, 16V RRIO High Output Current Op Amp	14-TSSOP	2.92	2.33	1.99
LM7121IM-ND	235 MHz NL-Spannungs-Feedback-OpAmp, winzig	235MHz Tiny Low Power Voltage Feedback Amp	8-SOIC	1.52	1.09	1.04
LM7121IM5CT-ND	235 MHz NL-Spannungs-Feedback-OpAmp, winzig	235MHz Tiny Low Power Voltage Feedback Amp	SOT-23-5	1.52	1.09	1.04
LM7121IM5TR-ND	235 MHz NL-Spannungs-Feedback-OpAmp, winzig	235MHz Tiny Low Power Voltage Feedback Amp	SOT-23-5		990.00/1,000	
LM7171AIM-ND	Besonders schneller Spannungs-Feedback-Verstärker mit hoher Ausgangsspannung, Grad A	Very High Speed High Out Volt. Feedback Amp, A Grade	8-SOIC	1.95	1.85	1.76
LM7171AIN-ND	Besonders schneller Spannungs-Feedback-Verstärker mit hoher Ausgangsspannung, Grad A	Very High Speed High Out Volt. Feedback Amp, A Grade	8-Dip	3.43	2.73	2.33
LM7171BIM-ND	Besonders schneller Spannungs-Feedback-Verstärker mit hoher Ausgangsspannung	Very High Speed High Out Voltage Feedback Amp	8-SOIC	1.71	1.62	1.54
LM7171BIMXTR-ND	Besonders schneller Spannungs-Feedback-Verstärker mit hoher Ausgangsspannung	Very High Speed High Out Voltage Feedback Amp	8-SOIC		4375.00/2,500	
LM7171BIN-ND	Besonders schneller Spannungs-Feedback-Verstärker mit hoher Ausgangsspannung	Very High Speed High Out Voltage Feedback Amp	8-Dip	1.86	1.26	1.20
LM7301IM-ND	4 MHz E/A-OpAmp in TinyPak, NL, GBW, R/R	Low Power, 4MHz GBW, R/R, I/O Op Amp in TinyPak	8-SOIC	1.18	1.12	1.06
LM7301IM5CT-ND	4 MHz E/A-OpAmp, NL, GBW, R/R	Low Power, 4MHz GBW, R/R, I/O Op Amp	SOT-23-5	1.18	1.12	1.06
LM7301IM5TR-ND	4 MHz E/A-OpAmp, NL, GBW, R/R	Low Power, 4MHz GBW Rail-to-Rail, I/O Op Amp	SOT-23-5		910.00/1,000	
LM7372ILDCT-ND	Zweif. HS-OpAmp, hohe Ausgangsspannung	Dual High Speed, High Output Current Op Amp	8-LLP	5.61	4.46	3.81
LM7372ILDTR-ND	Zweif. HS-OpAmp, hohe Ausgangsspannung	Dual High Speed, High Output Current Op Amp	8-LLP		3260.00/1,000	
LM7372IMA-ND	Zweif. HS-OpAmp, hohe Ausgangsspannung	Dual High Speed, High Output Current Op Amp	16-SOIC	5.61	4.46	3.81
LM7372MR-ND	Zweif. HS-OpAmp, hohe Ausgangsspannung	Dual High Speed, High Output Current Op Amp	8-PSOP	3.18	3.02	2.87
LM7808CT-ND	8 V, 1 A Positivspannungsregler	8V, 1.0A Positive Voltage Regulator	TO-220	.95	.66	.57
LM7905CTNS-ND	5 V, 1,5 A Negativspannungsregler	5V, 1.5A Negative Voltage Regulator	TO-220	.82	.78	.74
LM7912CT-ND	12 V, 1,5 A Negativspannungsregler	12V, 1.5A Negative Voltage Regulator	TO-220	.82	.78	.74
LM7915CT-ND	15 V, 1,5 A Negativspannungsregler	15V, 1.5A Negative Voltage Regulator	TO-220	.82	.78	.74
LM8261M5CT-ND	RRIO, OpAmp für hohen Betriebsstrom und unbegrenzte Kondensatorlast	RRIO, High Op Current and Unlimited Cap Load Op Amp	SOT-23-5	1.20	1.14	1.08
LM8261M5TR-ND	RRIO, OpAmp für hohen Betriebsstrom und unbegrenzte Kondensatorlast	RRIO, High Op Current and Unlimited Cap Load Op Amp	SOT-23-5		920.00/1,000	
LM8262MMCT-ND	RRIO, OpAmp für hohen Betriebsstrom und unbegrenzte Kondensatorlast	RRIO, High Op Current and Unlimited Cap Load Op Amp	8-MSOP	2.83	2.25	1.93
LM8262MMTR-ND	RRIO, OpAmp für hohen Betriebsstrom und unbegrenzte Kondensatorlast	RRIO, High Op Current and Unlimited Cap Load Op Amp	8-MSOP		1650.00/1,000	
LM8272MMCT-ND	RRIO, OpAmp für hohen Stromausgang und unbegrenzte Kondensatorlast	RRIO, High Output, Unlimited Cap Load Op Amp	8-MSOP	1.51	1.43	1.36
LM8272MMTR-ND	RRIO, OpAmp für hohen Stromausgang und unbegrenzte Kondensatorlast	RRIO, High Output, Unlimited Cap Load Op Amp	8-MSOP		1270.00/1,000	
LM8300HLQ9CT-ND	4-adriger resistiver Touchscreen-Controller	Four Wire Resistive Touchscreen Controller	44-LLP	17.48	13.90	11.88
LM8300HLQ9TR-ND	4-adriger resistiver Touchscreen-Controller	Four Wire Resistive Touchscreen Controller	44-LLP		25425.00/2,500	

(Forts.)

★ RUFEN SIE BITTE AN FÜR NIEDRIGERE PREISE BEI GRÖSSEREN MENGEN! ★

Alle Preisangaben in Euro und inklusive Zollgebühren.

Digi-Key Teilenr.	Beschreibung		Paket	Stückpreis★ 1	25	100
LM8300HVA9-ND	4-adriger resistiver Touchscreen-Controller	Four Wire Resistive Touchscreen Controller	44-PLCC	18.62	14.80	12.65
LM8300IMT9-ND	4-adriger resistiver Touchscreen-Controller	Four Wire Resistive Touchscreen Controller	48-TSSOP	16.29	12.95	11.07
LM8364BALMF20CT-ND	Micropower Unterspannungserkennungskreis	Micropower Undervoltage Sensing Circuit	SOT-23-5	.24	.23	.21
LM8364BALMF20TR-ND	Micropower Unterspannungserkennungskreis	Micropower Undervoltage Sensing Circuit	SOT-23-5		180.00/1,000	
LM8364BALMF30CT-ND	Micropower Unterspannungserkennungskreis	Micropower Undervoltage Sensing Circuit	SOT-23-5	.24	.23	.21
LM8364BALMF30TR-ND	Micropower Unterspannungserkennungskreis	Micropower Undervoltage Sensing Circuit	SOT-23-5		180.00/1,000	
LM8364BALMF45CT-ND	Micropower Unterspannungserkennungskreis	Micropower Undervoltage Sensing Circuit	SOT-23-5	.24	.23	.21
LM8364BALMF45TR-ND	Micropower Unterspannungserkennungskreis	Micropower Undervoltage Sensing Circuit	SOT-23-5		180.00/1,000	
LM8365BALMF22CT-ND	Micropower Unterspannungserkennungskreis	Micropower Undervoltage Sensing Circuit	SOT-23-5	.24	.23	.21
LM8365BALMF22TR-ND	Micropower Unterspannungserkennungskreis	Micropower Undervoltage Sensing Circuit	SOT-23-5		180.00/1,000	
LM8365BALMF27CT-ND	Micropower Unterspannungserkennungskreis	Micropower Undervoltage Sensing Circuit	SOT-23-5	.24	.23	.21
LM8365BALMF27TR-ND	Micropower Unterspannungserkennungskreis	Micropower Undervoltage Sensing Circuit	SOT-23-5		180.00/1,000	
LM8365BALMF45CT-ND	Micropower Unterspannungserkennungskreis	Micropower Undervoltage Sensing Circuit	SOT-23-5	.24	.23	.21
LM8365BALMF45TR-ND	Micropower Unterspannungserkennungskreis	Micropower Undervoltage Sensing Circuit	SOT-23-5		180.00/1,000	
LM8365BCLMF30CT-ND	Micropower Unterspannungserkennungskreis	Micropower Undervoltage Sensing Circuit	SOT-23-5	.24	.23	.21
LM8365BCLMF30TR-ND	Micropower Unterspannungserkennungskreis	Micropower Undervoltage Sensing Circuit	SOT-23-5		180.00/1,000	
LM8500HLQ9CT-ND	4-adriger resistiver Touchscreen-Controller	Four Wire Resistive Touchscreen Controller	44-LLP	17.48	13.90	11.88
LM8500HLQ9TR-ND	4-adriger resistiver Touchscreen-Controller	Four Wire Resistive Touchscreen Controller	44-LLP		25425.00/2,500	
LM8500HVA9-ND	4-adriger resistiver Touchscreen-Controller	Four Wire Resistive Touchscreen Controller	44-PLCC	18.62	14.80	12.65
LM8500IMT9-ND	4-adriger resistiver Touchscreen-Controller	Four Wire Resistive Touchscreen Controller	48-TSSOP	16.29	12.95	11.07
LM9022M-ND	Vakuum-Leuchtstoffanzeige, Filamenttreiber	Vacuum Fluorescent Display Filament Driver	8-SOIC	1.66	1.32	1.13
LM9040M-ND	Zweif. Lambda Sensor-Schnittstellen-Verstärker	Dual Lambda Sensor Interface Amplifier	14-SOIC	6.98	5.55	4.74
LM9044V-ND	Lambda Sensor-Schnittstellen-Verstärker	Lambda Sensor Interface Amplifier	20-PLCC	4.53	3.61	3.08
LM9061M-ND	MOSFET-Treiber mit Verlustverhütung	MOSFET Driver with Loss Protection	8-SOIC	1.85	1.47	1.26
LM9070T-ND	LDO-Spannungsregler mit EIN/AUS-Steuerung und Keep-Alive-Funktion	LDO Voltage Regulator with Keep-Alive ON/OFF Control	TO-220-7	2.69	2.14	1.82
LM9071T-ND	LDO-Spannungsregler mit verzögerter Rückstellung	LDO Voltage Regulator with Delayed Reset	TO-220-5	2.39	1.90	1.62
LM9076BMA-5.0-ND	150 mA ultraniedriger Ruhestrom-LDO-Regler	150mA Ultra-Low Quiescent Current LDO Regulator	8-SOIC	1.43	1.36	1.29
LM9076S-5.0-ND	150 mA ultraniedriger Ruhestrom-LDO-Regler	150mA Ultra-Low Quiescent Current LDO Regulator	TO-263	1.53	1.45	1.38
LM9822CCWM-ND	42-Bit Color Scanner Analog-Front-Ende, 3 Kanäle	3-Channel, 42-Bit, Color Scanner Analog Front End	28-SOIC	12.68	10.08	8.62
LM9830VJD-ND	36-Bit Color Dokument-Scanner	36-Bit, Color Document Scanner	100-TQFP	20.29	16.13	13.79
LM9833CCVJD-ND	48-Bit Color 1200 dpi USB Bild-Scanner	48-Bit, Color 1200dpi USB Image Scanner	100-TQFP	21.57	17.15	14.66
LM12454CIV-ND	12-Bit+ Datenerfassungssystem, selbstkalibrierend	12-Bit+ Data Acquisition System with Self-Calibration	44-PLCC	36.40	28.94	24.73
LM12458CIV-ND	12-Bit+ Datenerfassung	12-Bit+ Data Acquisition	44-PLCC	36.40	28.94	24.73
LM12458CIVF-ND	12-Bit+ Datenerfassungssystem, selbstkalibrierend	12-Bit+ Data Acquisition System with Self-Calibration	44-PQFP	38.49	30.61	26.15
LM13700N-ND	Zweif. Transkonduktanz-OpAmp	Dual Operational Transconductance Amp	16-Dip	1.14	.91	.78
LM27953TLCT-ND	Treiber, weiße LED	White LED Driver	18-microSMD	3.40	2.70	2.31
LM27953TLTR-ND	Treiber, weiße LED	White LED Driver	18-microSMD		545.00/250	
LM27961TLCT-ND	Treiber, weiße LED, Doppelanzeige	Dual Display White LED Driver	18-microSMD	4.27	3.39	2.90
LM27961TLTR-ND	Treiber, weiße LED, Doppelanzeige	Dual Display White LED Driver	18-microSMD		682.50/250	
LM34910SDCT-ND	40 V, 1,25 A Step Down-Schaltreger, Hochspannung	40V, 1.25A, High Volt. Step Down Switching Reg.	10-LLP	3.25	2.59	2.21
LM34910SDTR-ND	40 V, 1,25 A Step Down-Schaltreger, Hochspannung	40V, 1.25A, High Volt. Step Down Switching Reg.	10-LLP		1890.00/1,000	
LM94021BIMGCT-ND	Multi-Gain Analogtemperatursensor	Multi-Gain Analog Temperature Sensor	SC70-5	.49	.47	.44
LM94021BIMGTR-ND	Multi-Gain Analogtemperatursensor	Multi-Gain Analog Temperature Sensor	SC70-5		390.00/1,000	
LM95071CIMFCT-ND	SPI/Microwire 13-Bit Pluszeichen-Temperatursensor	SPI/Microwire 13-Bit Plus Sign Temp. Sensor	SOT-23-5	1.98	1.58	1.35
LM95071CIMFTR-ND	SPI/Microwire 13-Bit Pluszeichen-Temperatursensor	SPI/Microwire 13-Bit Plus Sign Temp. Sensor	SOT-23-5		1150.00/1,000	
LMC555CBPCT-ND	CMOS-Timer	CMOS Timer	8-microSMD	.66	.52	.45
LMC555CBPTR-ND	CMOS-Timer	CMOS Timer	8-microSMD		105.00/250	
LMC555CM-ND	CMOS-Timer	CMOS Timer	8-SOIC	.66	.45	.37
LMC555CMXTR-ND	CMOS-Timer	CMOS Timer	8-SOIC		850.00/2,500	
LMC555CMMCT-ND	CMOS-Timer in kleinem Paket	CMOS Timer, In Small Package	8-MSOP	.66	.45	.37
LMC555CMMTR-ND	CMOS-Timer in kleinem Paket	CMOS Timer, In Small Package	8-MSOP		370.00/1,000	
LMC555CN-ND	CMOS-Timer	CMOS Timer	8-Dip	.31	.29	.28
LMC567CM-ND	CMOS Ton-Decoder, Phase Lock Loop	CMOS Tone Decoder Phase Lock Loop	8-SOIC	1.03	.98	.93
LMC567CMXTR-ND	CMOS Ton-Decoder, Phase Lock Loop	CMOS Tone Decoder Phase Lock Loop	8-SOIC		2650.00/2,500	
LMC567CN-ND	CMOS Ton-Decoder, Phase Lock Loop	CMOS Tone Decoder Phase Lock Loop	8-Dip	1.27	.85	.71
LMC660AIM-ND	Vierf. CMOS-OpAmp, industrielle Temperatur	Quad CMOS Op Amp, Industrial Temperature	14-SOIC	1.24	1.17	1.12
LMC660AIMXTR-ND	Vierf. CMOS-OpAmp, industrielle Temperatur	Quad CMOS Op Amp, Industrial Temperature	14-SOIC		3175.00/2,500	
LMC660AIN-ND	Vierf. CMOS-OpAmp, industrielle Temperatur	Quad CMOS Op Amp, Industrial Temperature	14-Dip	1.70	1.23	.86
LMC660CM-ND	Vierf. CMOS-OpAmp	Quad CMOS Op Amp	14-SOIC	.77	.73	.69
LMC660CMXTR-ND	Vierf. CMOS-OpAmp	Quad CMOS Op Amp	14-SOIC		2600.00/2,500	
LMC660CN-ND	Vierf. CMOS-OpAmp	Quad CMOS Op Amp	14-Dip	1.00	.77	.73
LMC662AIM-ND	Zweif. CMOS-OpAmp, industrielle Temperatur	Dual CMOS Op Amp, Industrial Temperature	8-SOIC	1.05	.86	.82
LMC662AIMXTR-ND	Zweif. CMOS-OpAmp, industrielle Temperatur	Dual CMOS Op Amp, Industrial Temperature	8-SOIC		2950.00/2,500	
LMC662AIN-ND	Zweif. CMOS-OpAmp	Dual CMOS Op Amp	8-Dip	1.06	1.01	.96
LMC662CM-ND	Zweif. CMOS-OpAmp	Dual CMOS Op Amp	8-SOIC	.79	.75	.71
LMC662CMXTR-ND	Zweif. CMOS-OpAmp	Dual CMOS Op Amp	8-SOIC		2725.00/2,500	
LMC662CN-ND	Zweif. CMOS-OpAmp	Dual CMOS Op Amp	8-Dip	.84	.78	.74
LMC6001AIN-ND	Ultra-ultra-niedriger Eingangsstromverstärker	Ultra Ultra-Low Input Current Amp	8-Dip	13.61	12.93	12.29
LMC6001BIN-ND	Ultra-ultra-niedriger Eingangsstromverstärker	Ultra Ultra-Low Input Current Amp	8-Dip	14.62	11.63	9.93
LMC6001CIN-ND	Ultra-ultra-niedriger Eingangsstromverstärker	Ultra Ultra-Low Input Current Amp	8-Dip	3.21	2.02	1.71
LMC6024IM-ND	Vierf. Micropower CMOS-OpAmp	Micropower Quad CMOS Op Amp	14-SOIC	.91	.87	.83
LMC6032IM-ND	Zweif. CMOS-OpAmp, industrielle Temperatur	Dual CMOS Op Amp, Industrial Temperature	8-SOIC	.53	.51	.48
LMC6032IN-ND	Zweif. CMOS-OpAmp, industrielle Temperatur	Dual CMOS Op Amp, Industrial Temperature	8-Dip	.59	.56	.53
LMC6034IM-ND	Vierf. CMOS-OpAmp	Quad CMOS Op Amp	14-SOIC	.82	.78	.74
LMC6035IBPCT-ND	Einzelversorgter CMOS-OpAmp, 2,7 V, NL	Low Power 2.7V, Single Supply CMOS Op Amp	8-microSMD	.68	.49	.47
LMC6035IBPTR-ND	Einzelversorgter CMOS-OpAmp, 2,7 V, NL	Low Power 2.7V, Single Supply CMOS Op Amp	8-microSMD		110.00/250	
LMC6035IBPXCT-ND	Einzelversorgter CMOS-OpAmp, 2,7 V, NL	Low Power 2.7V, Single Supply CMOS Op Amp	8-microSMD	.73	.69	.66
LMC6035IBPXTR-ND	Einzelversorgter CMOS-OpAmp, 2,7 V, NL	Low Power 2.7V, Single Supply CMOS Op Amp	8-microSMD		1680.00/3,000	
LMC6035IM-ND	Einzelversorgter CMOS-OpAmp, 2,7 V, NL	Low Power 2.7V, Single Supply CMOS Op Amp	8-SOIC	.75	.48	.46
LMC6035IMXTR-ND	Einzelversorgter CMOS-OpAmp, 2,7 V, NL	Low Power 2.7V, Single Supply CMOS Op Amp	8-SOIC		1875.00/2,500	
LMC6035IMMCT-ND	Einzelversorgter CMOS-OpAmp, 2,7 V, NL	Low Power 2.7V, Single Supply CMOS Op Amp	8-MSOP	1.15	1.09	1.04
LMC6035IMMTR-ND	Einzelversorgter CMOS-OpAmp, 2,7 V, NL	Low Power 2.7V, Single Supply CMOS Op Amp	8-MSOP		910.00/1,000	
LMC6035IMMXCT-ND	Einzelversorgter CMOS-OpAmp, 2,7 V, NL	Low Power 2.7V, Single Supply CMOS Op Amp	8-MSOP	2.03	1.61	1.38
LMC6035IMMXTR-ND	Einzelversorgter CMOS-OpAmp, 2,7 V, NL	Low Power 2.7V, Single Supply CMOS Op Amp	8-MSOP		4130.00/3,500	
LMC6035ITLCT-ND	Einzelversorgter CMOS-OpAmp, 2,7 V, NL	Low Power 2.7V, Single Supply CMOS Op Amp	8-microSMD	1.40	1.12	.95
LMC6035ITLTR-ND	Einzelversorgter CMOS-OpAmp, 2,7 V, NL	Low Power 2.7V, Single Supply CMOS Op Amp	8-microSMD		225.00/250	
LMC6036IM-ND	Einzelversorgter CMOS-OpAmp, 2,7 V, NL	Low Power 2.7V, Single Supply CMOS Op Amp	14-SOIC	1.20	1.14	1.08
LMC6036IMXTR-ND	Einzelversorgter CMOS-OpAmp, 2,7 V, NL	Low Power 2.7V, Single Supply CMOS Op Amp	14-SOIC		3075.00/2,500	
LMC6041AIM-ND	Einf. CMOS-Micropower-OpAmp	Single CMOS Micropower Op Amp	8-SOIC	.82	.78	.74
LMC6041AIN-ND	Einf. CMOS-Micropower-OpAmp	Single CMOS Micropower Op Amp	8-Dip	2.33	1.85	1.58
LMC6041IM-ND	Einf. CMOS-Micropower-OpAmp	Single CMOS Micropower Op Amp	8-SOIC	1.14	1.08	1.03
LMC6041IN-ND	Einf. CMOS-Micropower-OpAmp	Single CMOS Micropower Op Amp	8-Dip	1.09	1.04	.99
LMC6042AIM-ND	Zweif. CMOS-Micropower-OpAmp	Dual CMOS Micropower Op Amp	8-SOIC	1.50	1.43	1.35
LMC6042AIN-ND	Zweif. CMOS-Micropower-OpAmp	Dual CMOS Micropower Op Amp	8-Dip	1.71	1.62	1.54
LMC6042IM-ND	Zweif. CMOS-Micropower-OpAmp	Dual CMOS Micropower Op Amp	8-SOIC	1.17	.95	.90
LMC6042IN-ND	Zweif. CMOS-Micropower-OpAmp	Dual CMOS Micropower Op Amp	8-Dip	1.17	.95	.90
LMC6044AIM-ND	Vierf. CMOS-Micropower-OpAmp	Quad CMOS Micropower Op Amp	14-SOIC	1.30	1.24	1.17
LMC6044AIN-ND	Vierf. CMOS-Micropower-OpAmp	Quad CMOS Micropower Op Amp	14-Dip	3.46	2.75	2.35
LMC6044IM-ND	Vierf. CMOS-Micropower-OpAmp	Quad CMOS Micropower Op Amp	14-SOIC	1.32	1.08	1.03
LMC6044IN-ND	Vierf. CMOS-Micropower-OpAmp	Quad CMOS Micropower Op Amp	14-Dip	1.30	1.01	.96

(Forts.)

★ RUFEN SIE BITTE AN FÜR NIEDRIGERE PREISE BEI GRÖSSEREN MENGEN! ★

B

Digi-Key Teilenr.	Beschreibung		Paket	Stückpreis★ 1	25	100
LMC6061AIM-ND	Einf. Präzisions-CMOS-OpAmp, Micropower	Precision Single CMOS Micropower Op Amp	8-SOIC	1.20	.97	.79
LMC6061IM-ND	Einf. Präzisions-CMOS-OpAmp, Micropower	Precision Single CMOS Micropower Op Amp	8-SOIC	.83	.79	.75
LMC6062AIM-ND	Zweif. Präzisions-CMOS-OpAmp, Micropower	Precision Dual CMOS Micropower Op Amp	8-SOIC	2.32	2.20	2.09
LMC6062AIN-ND	Zweif. Präzisions-CMOS-OpAmp, Micropower	Precision Dual CMOS Micropower Op Amp	8-Dip	2.10	1.61	1.53
LMC6062IM-ND	Zweif. Präzisions-CMOS-OpAmp, Micropower	Precision Dual CMOS Micropower Op Amp	8-SOIC	1.32	1.12	1.06
LMC6062IN-ND	Zweif. Präzisions-CMOS-OpAmp, Micropower	Precision Dual CMOS Micropower Op Amp	8-Dip	1.23	1.17	1.11
LMC6064AIM-ND	Vierf. Präzisions-CMOS-OpAmp, Micropower	Precision Quad CMOS Micropower Op Amp	14-SOIC	3.67	3.49	3.32
LMC6064AIN-ND	Vierf. Präzisions-CMOS-OpAmp, Micropower	Precision Quad CMOS Micropower Op Amp	14-Dip	3.53	3.04	2.89
LMC6064IM-ND	Vierf. Präzisions-CMOS-OpAmp, Micropower	Precision Quad CMOS Micropower Op Amp	14-SOIC	2.71	2.57	2.44
LMC6064IN-ND	Vierf. Präzisions-CMOS-OpAmp, Micropower	Precision Quad CMOS Micropower Op Amp	14-Dip	2.90	2.37	1.98
LMC6081AIM-ND	Einf. Präzisions-CMOS-OpAmp	Precision Single CMOS Op Amp	8-SOIC	2.53	1.78	1.69
LMC6081AIN-ND	Einf. Präzisions-CMOS-OpAmp	Precision Single CMOS Op Amp	8-Dip	3.64	2.60	2.08
LMC6081IM-ND	Einf. Präzisions-CMOS-OpAmp, Micropower	Precision Single CMOS Micropower Op Amp	8-SOIC	1.85	1.75	1.67
LMC6081IN-ND	Einf. Präzisions-CMOS-OpAmp	Precision Single CMOS Op Amp	8-Dip	3.25	2.59	2.21
LMC6082AIM-ND	Zweif. Präzisions-CMOS-OpAmp	Precision Dual CMOS Op Amp	8-SOIC	3.48	2.44	2.32
LMC6082AIN-ND	Zweif. Präzisions-CMOS-OpAmp	Precision Dual CMOS Op Amp	8-Dip	3.37	2.43	2.31
LMC6082IM-ND	Zweif. Präzisions-CMOS-OpAmp	Precision Dual CMOS Op Amp	8-SOIC	2.17	1.66	1.58
LMC6082IN-ND	Zweif. Präzisions-CMOS-OpAmp	Precision Dual CMOS Op Amp	8-Dip	1.98	1.88	1.79
LMC6084AIM-ND	Zweif. Präzisions-CMOS-OpAmp, Micropower	Precision Dual CMOS Micropower Op Amp	14-SOIC	5.06	3.57	3.39
LMC6084AIN-ND	Zweif. Präzisions-OpAmp	Precision Dual Op Amp	14-Dip	6.12	4.72	3.98
LMC6084IN-ND	Zweif. Präzisions-OpAmp	Precision Dual Op Amp	14-Dip	2.10	2.00	1.90
LMC6442AIM-ND	Zweif. einzelversorgter Ausgangs-OpAmp R/R Micropower	Dual Micropower R/R, Output Single Supply Op Amp	8-SOIC	1.47	1.40	1.33
LMC6442IM-ND	Zweif. einzelversorgter Ausgangs-OpAmp R/R Micropower	Dual Micropower R/R, Output Single Supply Op Amp	8-SOIC	1.47	1.40	1.33
LMC6442IN-ND	Zweif. einzelversorgter Ausgangs-OpAmp R/R Micropower	Dual Micropower R/R, Output Single Supply Op Amp	8-Dip	1.47	1.40	1.33
LMC6462AIM-ND	Zweif. CMOS R/R E/A-OpAmp, Micropower	Dual CMOS Micropower, R/R, Input/Output Op Amp	8-SOIC	2.79	2.17	1.82
LMC6462AIN-ND	Zweif. CMOS R/R E/A-OpAmp, Micropower	Dual CMOS Micropower, R/R, Input/Output Op Amp	8-Dip	1.76	1.67	1.59
LMC6462BIM-ND	Zweif. CMOS R/R E/A-OpAmp, Micropower	Dual CMOS Micropower, R/R, Input/Output Op Amp	8-SOIC	1.63	1.54	1.47
LMC6462BIN-ND	Zweif. CMOS R/R E/A-OpAmp, Micropower	Dual CMOS Micropower, R/R, Input/Output Op Amp	8-Dip	1.46	1.18	1.12
LMC6464AIM-ND	Vierf. CMOS Rail-to-Rail Eingangs-/ Ausgangs-OpAmp, Micropower	Quad CMOS Micropower, R/R, Input/Output Op Amp	14-SOIC	3.25	3.09	2.93
LMC6464AIN-ND	Vierf. CMOS Rail-to-Rail Eingangs-/ Ausgangs-OpAmp, Micropower	Quad CMOS Micropower, R/R, Input/Output Op Amp	14-Dip	2.77	2.39	2.27
LMC6464BIM-ND	Vierf. CMOS Rail-to-Rail Eingangs-/ Ausgangs-OpAmp, Micropower	Quad CMOS Micropower, R/R, Input/Output Op Amp	14-SOIC	4.89	3.89	3.32
LMC6464BIN-ND	Vierf. CMOS Rail-to-Rail Eingangs-/ Ausgangs-OpAmp, Micropower	Quad CMOS Micropower, R/R, Input/Output Op Amp	14-Dip	2.47	2.05	1.95
LMC6482AIM-ND	Zweif. CMOS Rail-to-Rail E/A-OpAmp	Dual CMOS Rail-to-Rail, Input/Output Op Amp	8-SOIC	2.77	2.07	1.63
LMC6482AIN-ND	Zweif. CMOS Rail-to-Rail E/A-OpAmp	Dual CMOS Rail-to-Rail, Input/Output Op Amp	8-Dip	1.78	1.46	1.25
LMC6482IM-ND	Zweif. CMOS Rail-to-Rail E/A-OpAmp	Dual CMOS Rail-to-Rail, Input/Output Op Amp	8-SOIC	2.16	1.64	1.25
LMC6482IMMCT-ND	Zweif. CMOS R/R Eingangs- u. Ausgangs-OpAmp	Dual CMOS R/R, Input and Output Op Amp	8-MSOP	.99	.94	.90
LMC6482IMMTR-ND	Zweif. CMOS R/R Eingangs- u. Ausgangs-OpAmp	Dual CMOS R/R, Input and Output Op Amp	8-MSOP		770.00/1,000	
LMC6482IN-ND	Zweif. CMOS R/R Eingangs- u. Ausgangs-OpAmp	Dual CMOS R/R, Input and Output Op Amp	8-Dip	.98	.75	.68
LMC6484AIM-ND	Vierf. CMOS Rail-to-Rail Eingangs-/ Ausgangs-OpAmp	Quad CMOS Rail-to-Rail, Input/Output Op Amp	14-SOIC	4.17	2.99	2.31
LMC6484AIMXTR-ND	Vierf. CMOS Rail-to-Rail E/A-OpAmp, Micropower	Quad CMOS Micropower, Rail-to-Rail, I/O Op Amp	14-SOIC		5675.00/2,500	
LMC6484AIN-ND	Vierf. CMOS Rail-to-Rail Eingangs-/ Ausgangs-OpAmp	Quad CMOS Rail-to-Rail, Input/Output Op Amp	14-Dip	3.55	2.92	2.21
LMC6484IM-ND	Vierf. CMOS Rail-to-Rail Eingangs-/ Ausgangs-OpAmp	Quad CMOS Rail-to-Rail, Input/Output Op Amp	14-SOIC	2.90	2.37	1.85
LMC6484IMXTR-ND	Vierf. CMOS Rail-to-Rail Eingangs-/ Ausgangs-OpAmp	Quad CMOS Rail-to-Rail, Input/Output Op Amp	14-SOIC		4425.00/2,500	
LMC6484IN-ND	Vierf. CMOS Rail-to-Rail Eingangs-/ Ausgangs-OpAmp	Quad CMOS Rail-to-Rail, Input/Output Op Amp	14-Dip	2.03	1.60	1.35
LMC6492AEM-ND	Zweif. CMOS Rail-to-Rail E/A-OpAmp	Dual CMOS Rail-to-Rail, Input/Output Op Amp	8-SOIC	1.79	1.71	1.62
LMC6492BEM-ND	Zweif. CMOS Rail-to-Rail E/A-OpAmp	Dual CMOS Rail-to-Rail, Input/Output Op Amp	8-SOIC	1.44	1.37	1.30
LMC6494AEM-ND	Vierf. CMOS Rail-to-Rail Eingangs-/ Ausgangs-OpAmp	Quad CMOS Rail-to-Rail, Input/Output Op Amp	14-SOIC	4.15	3.94	3.74
LMC6494BEM-ND	Vierf. CMOS Rail-to-Rail Eingangs-/ Ausgangs-OpAmp	Quad CMOS Rail-to-Rail, Input/Output Op Amp	14-SOIC	2.65	1.89	1.80
LMC6762AIM-ND	CMOS Rail-to-Rail-Komparator, Micropower	CMOS Micropower Rail-to-Rail Comparator	8-SOIC	1.69	1.61	1.53
LMC6762BIM-ND	CMOS Rail-to-Rail-Komparator, Micropower	CMOS Micropower Rail-to-Rail Comparator	8-SOIC	1.59	1.51	1.44
LMC6762BIMXTR-ND	CMOS Rail-to-Rail-Komparator, Micropower	CMOS Micropower Rail-to-Rail Comparator	8-SOIC		4075.00/2,500	
LMC6772AIM-ND	Zweif. R/R-Eingangs-CMOS-Komp. mit Open Drain, Micropower	Dual Micropower R/R Input CMOS Comp. w/Open Drain	8-SOIC	1.94	1.84	1.75
LMC6772AIMMCT-ND	Zweif. R/R-Eingangs-CMOS-Komp. mit Open Drain, Micropower	Dual Micropower R/R Input CMOS Comp. w/Open Drain	8-MSOP	1.93	1.83	1.74
LMC6772AIMMTR-ND	Zweif. R/R-Eingangs-CMOS-Komp. mit Open Drain, Micropower	Dual Micropower R/R Input CMOS Comp. w/Open Drain	8-MSOP		1490.00/1,000	
LMC6772AIN-ND	Zweif. R/R-Eingangs-CMOS-Komp. mit Open Drain, Micropower	Dual Micropower R/R Input CMOS Comp. w/Open Drain	8-Dip	1.71	1.47	1.40
LMC6772BIM-ND	Zweif. R/R-Eingangs-CMOS-Komp. mit Open Drain, Micropower	Dual Micropower R/R Input CMOS Comp. w/Open Drain	8-SOIC	1.59	1.51	1.44
LMC6772BIN-ND	Zweif. R/R-Eingangs-CMOS-Komp. mit Open Drain, Micropower	Dual Micropower R/R Input CMOS Comp. w/Open Drain	8-Dip	1.39	1.32	1.25
LMC6953CM-ND	Lokaler PCI-Bus Stromwächter	PCI Local Bus Power Supervisor	8-SOIC	2.13	2.03	1.93
LMC7101AIM5XCT-ND	Kleinst-OpAmp mit R/R Eingang/Ausgang, NL	Tiny Low Power Op Amp with R/R Input/Output	SOT-23-5	1.32	1.05	.90
LMC7101AIM5XTR-ND	Kleinst-OpAmp mit R/R Eingang/Ausgang, NL	Tiny Low Power Op Amp with R/R Input/Output	SOT-23-5		2310.00/3,000	
LMC7101BIM5CT-ND	Kleinst-OpAmp mit R/R Eingang/Ausgang, NL	Tiny Low Power Op Amp with R/R Input/Output	SOT-23-5	.61	.52	.47
LMC7101BIM5TR-ND	Kleinst-OpAmp mit R/R Eingang/Ausgang, NL	Tiny Low Power Op Amp with R/R Input/Output	SOT-23-5		470.00/1,000	
LMC7111AIN-ND	Kleinst-CMOS-OpAmp mit Rail-to-Rail Eingang/Ausgang	Tiny CMOS Op Amp with Rail-to-Rail, Input/Output	8-Dip	.64	.56	.53
LMC7111BIM5XTR-ND	Kleinst-CMOS-OpAmp mit Rail-to-Rail Eingang/Ausgang	Tiny CMOS Op Amp with Rail-to-Rail, Input/Output	SOT-23-5		1200.00/3,000	
LMC7111BIN-ND	Kleinst-CMOS-OpAmp mit Rail-to-Rail Eingang/Ausgang	Tiny CMOS Op Amp with Rail-to-Rail, Input/Output	8-Dip	.89	.60	.53
LMC7211AIM-ND	Kleinst-CMOS-Komparator mit Rail-to-Rail-Eingang	Tiny CMOS Comparator with Rail-to-Rail Input	8-SOIC	.86	.82	.78
LMC7211AIM5CT-ND	Kleinst-CMOS-Komparator mit Rail-to-Rail-Eingang	Tiny CMOS Comparator with Rail-to-Rail Input	SOT-23-5	.88	.58	.58
LMC7211AIM5TR-ND	Kleinst-CMOS-Komparator mit Rail-to-Rail-Eingang	Tiny CMOS Comparator with Rail-to-Rail Input	SOT-23-5		520.00/1,000	
LMC7211BIM-ND	Kleinst-CMOS-Komparator mit Rail-to-Rail-Eingang	Tiny CMOS Comparator with Rail-to-Rail Input	8-SOIC	.63	.51	.46
LMC7211BIM5CT-ND	Kleinst-CMOS-Komparator mit Rail-to-Rail-Eingang	Tiny CMOS Comparator with Rail-to-Rail Input	SOT-23-5	.63	.51	.46
LMC7211BIM5TR-ND	Kleinst-CMOS-Komparator mit Rail-to-Rail-Eingang	Tiny CMOS Comparator with Rail-to-Rail Input	SOT-23-5		410.00/1,000	
LMC7215IM-ND	Rail-to-Rail-CMOS-Komparator mit Open Drain/Push-Pull-Ausgang, Micropower	Micropower Rail-to-Rail CMOS Comparator with Open-Drain/Push-Pull Output	8-SOIC	1.04	.63	.54
LMC7215IMXTR-ND	Rail-to-Rail-CMOS-Komparator mit Open Drain/Push-Pull-Ausgang, Micropower	Micropower Rail-to-Rail CMOS Comparator with Open-Drain/Push-Pull Output	8-SOIC		2000.00/2,500	
LMC7215IM5CT-ND	Rail-to-Rail-CMOS-Komparator mit Open Drain/Push-Pull-Ausgang, Micropower	Micropower Rail-to Rail CMOS Comparator with Push-Pull/Open-Drain Outputs	SOT-23-5	.78	.74	.70
LMC7215IM5TR-ND	Rail-to-Rail-CMOS-Komparator mit Open Drain/Push-Pull-Ausgang, Micropower	Micropower Rail-to Rail CMOS Comparator with Push-Pull/Open-Drain Outputs	SOT-23-5		470.00/1,000	
LMC7221AIM-ND	Kleinst-CMOS-Komp. mit R/R-Eingang/Open Drain	Tiny CMOS Comp. with R/R Input/Open Drain	8-SOIC	1.02	.97	.92
LMC7221AIM5CT-ND	Kleinst-CMOS-Komp. mit R/R-Eingang/Open Drain	Tiny CMOS Comp. with R/R Input/Open Drain	SOT-23-5	1.10	.69	.66
LMC7221AIM5TR-ND	Kleinst-CMOS-Komp. mit R/R-Eingang/Open Drain	Tiny CMOS Comp. with R/R Input/Open Drain	SOT-23-5		840.00/1,000	
LMC7221BIM-ND	Kleinst-CMOS-Komp. mit R/R-Eingang/Open Drain	Tiny CMOS Comp. with Rail-to-Rail Input/Open Drain	8-SOIC	.72	.52	.49
LMC7221BIM5CT-ND	Kleinst-CMOS-Komp. mit Rail-to-Rail-E/A, Drain-Ausgang	Tiny CMOS Comp. with Rail-to-Rail I/O Drain Output	SOT-23-5	.80	.76	.72
LMC7221BIM5TR-ND	Kleinst-CMOS-Komp. mit Rail-to-Rail-E/A, Drain-Ausgang	Tiny CMOS Comp. with Rail-to-Rail I/O Drain Output	SOT-23-5		610.00/1,000	
LMC7225IM5CT-ND	CMOS-Komparator mit Rail-to-Rail, Open-Drain/Push-Pull-Ausgang, Micropower	Micropower CMOS Comparator with Rail-to-Rail, Open-Drain/Push-Pull Output	SOT-23-5	.78	.74	.70
LMC7225IM5TR-ND	CMOS-Komparator mit Rail-to-Rail, Open-Drain/Push-Pull-Ausgang, Micropower	Micropower CMOS Comparator with Rail-to-Rail, Open-Drain/Push-Pull Output	SOT-23-5		610.00/1,000	
LMC7660IM-ND	Schaltkondensator-Spannungswandler	Switched Capacitor Voltage Converter	8-SOIC	.59	.56	.53
LMC7660IMXTR-ND	Schaltkondensator-Spannungswandler	Switched Capacitor Voltage Converter	8-SOIC		1525.00/2,500	
LMC7660IN-ND	Schaltkondensator-Spannungswandler	Switched Capacitor Voltage Converter	8-Dip	.59	.56	.53
LMC8101BPCT-ND	2,7 V OpAmp, R/R, Eingang u. Ausgang	R/R, Input and Output, 2.7V, Op Amp	8-microSMD	1.22	.97	.83
LMC8101BPTR-ND	2,7 V OpAmp, Rail-to-Rail, Eingang/Ausgang	Rail-to-Rail, Input/Output, 2.7V, Op Amp	8-microSMD		195.00/250	
LMC8101BPXTR-ND	2,7 V OpAmp, Rail-to-Rail, Eingang/Ausgang	Rail-to-Rail, Input/Output, 2.7V, Op Amp	8-microSMD		2130.00/3,000	
LMC8101MMCT-ND	2,7 V OpAmp, Rail-to-Rail, Eingang/Ausgang	Rail-to-Rail, Input/Output, 2.7V, Op Amp	8-microSMD	1.22	.97	.83
LMC8101MMTR-ND	2,7 V OpAmp, Rail-to-Rail, Eingang/Ausgang	Rail-to-Rail, Input/Output, 2.7V, Op Amp	8-microSMD		710.00/1,000	
LMC8101TPCT-ND	2,7 V OpAmp, Rail-to-Rail, Eingang/Ausgang	Rail-to-Rail, Input/Output, 2.7V Op Amp	8-microSMD	.69	.66	.63
LMC8101TPTR-ND	2,7 V OpAmp, Rail-to-Rail, Eingang/Ausgang	Rail-to-Rail, Input/Output, 2.7V Op Amp	8-microSMD		135.00/250	
LMD18200T-ND	55 V, 3 A H-Brücke	55V, 3A H Bridge	TO-220	9.75	7.87	7.48
LMD18201T-ND	55 V, 3 A H-Brücke	55V, 3A H Bridge	TO-220	13.39	12.72	12.09
LMD18245T-ND	55 V, 3 A DMOS H-Brücken-Motortreiber	55V, 3A DMOS H Bridge Motor Driver	TO-220	12.61	11.98	11.38
LMD18400N-ND	Vierf. 60 V, 3 A DMOS High-Side-Treiber	60V, 3A DMOS Quad High Side Driver	20-Dip	9.43	8.96	8.51
LMF100CCN-ND	Doppelschaltkondensatorfilter	Dual Switched Capacitor Filter	20-Dip	4.91	4.66	4.43
LMF100CIWM-ND	Hochleistungs-Doppelschaltkondensatorfilter	High Performance Dual Switched Capacitor Filter	20-SOIC	3.49	3.31	3.15
LMH6502MA-ND	Breitbandverst., NL, Linear-in-dB variable Verstärkung	Wideband, Low Power, Linear-in-dB Variable Gain Amp	14-SOIC	5.60	5.32	5.06
LMH6502MT-ND	Breitbandverst., NL, Linear-in-dB variable Verstärkung	Wideband, Low Power, Linear-in-dB Variable Gain Amp	14-TSSOP	5.60	5.32	5.06
LMH6503MA-ND	Breitbandverst., NL, lineare variable Verstärkung	Wideband, Low Power, Linear Variable Gain Amp	14-SOIC	5.60	5.32	5.06
LMH6503MT-ND	Breitbandverst., NL, lineare variable Verstärkung	Wideband, Low Power, Linear Variable Gain Amp	14-TSSOP	5.60	5.32	5.06
LMH6504MA-ND	Breitbandverst., NL, variable Verstärkung	Wideband, Low Power, Variable Gain Amp	8-SOIC	4.06	3.86	3.67
LMH6504MMCT-ND	Breitbandverst., NL, variable Verstärkung	Wideband, Low Power, Variable Gain Amp	8-MSOP	4.06	3.86	3.67

(Forts.)

★ RUFEN SIE BITTE AN FÜR NIEDRIGERE PREISE BEI GRÖSSEREN MENGEN! ★

Alle Preisangaben in Euro und inklusive Zollgebühren.

Digi-Key Teilenr.	Beschreibung		Paket	Stückpreis★ 1	25	100
LMH6504MMTR-ND	Breitbandverst., NL, variable Verstärkung	Wideband, Low Power, Variable Gain Amp	8-MSOP		3150.00/1,000	
LMH6550MA-ND	HS-OpAmp, Differenzial	Differential, High Speed Op Amp	8-SOIC	6.50	5.17	4.42
LMH6551MA-ND	HS-OpAmp, Differenzial	Differential, High Speed Op Amp	8-SOIC	4.53	3.61	3.08
LMH6551MMCT-ND	HS-OpAmp, Differenzial	Differential, High Speed Op Amp	8-MSOP	4.53	3.61	3.08
LMH6551MMTR-ND	HS-OpAmp, Differenzial	Differential, High Speed Op Amp	8-MSOP		2640.00/1,000	
LMH6559MA-ND	HS-Puffer, geschlossener Regelkreis	High Speed, Closed Loop Buffer	8-SOIC	1.13	1.07	1.02
LMH6559MFCT-ND	HS-Puffer, geschlossener Regelkreis	High Speed, Closed Loop Buffer	SOT-23-5	1.13	1.07	1.02
LMH6559MFTR-ND	HS-Puffer, geschlossener Regelkreis	High Speed, Closed Loop Buffer	SOT-23-5		920.00/1,000	
LMH6560MA-ND	Vierf. HS-Puffer, geschlossener Regelkreis	Quad, High Speed, Closed Loop Buffer	14-SOIC	2.70	2.57	2.44
LMH6560MT-ND	Vierf. HS-Puffer, geschlossener Regelkreis	Quad, High Speed, Closed Loop Buffer	14-TSSOP	2.70	2.57	2.44
LMH6572MQ-ND	Dreif. 2:1 HS Video-Mux	Triple 2:1 High Speed Video Mux	16-SSOP	5.64	5.36	5.09
LMH6574MA-ND	4:1 HS Video-Mux	4:1 High Speed Video Mux	14-SOIC	6.53	5.20	4.44
LMH6609MA-ND	900 MHz Spann.-Feedback-OpAmp	900MHz Voltage Feedback Op Amp	8-SOIC	2.83	2.69	2.55
LMH6609MFCT-ND	900 MHz Spann.-Feedback-OpAmp	900MHz Voltage Feedback Op Amp	SOT-23-5	2.83	2.69	2.55
LMH6609MFTR-ND	900 MHz Spann.-Feedback-OpAmp	900MHz Voltage Feedback Op Amp	SOT-23-5		2190.00/1,000	
LMH6622MA-ND	Zweif. rauscharmer Breitband-OpAmp, 160 MHz	Dual Wideband, Low Noise, 160MHz Op Amp	8-SOIC	5.25	4.18	3.57
LMH6622MMCT-ND	Zweif. rauscharmer Breitband-OpAmp, 160 MHz	Dual Wideband, Low Noise, 160MHz Op Amp	8-MSOP	5.25	4.18	3.57
LMH6622MMTR-ND	Zweif. rauscharmer Breitband-OpAmp, 160 MHz	Dual Wideband, Low Noise, 160MHz Op Amp	8-MSOP		3050.00/1,000	
LMH6624MA-ND	Einf. ultrarauscharmer Breitband-OpAmp	Single Wideband, Ultra Low Noise Op Amp	8-SOIC	2.69	2.56	2.43
LMH6624MFCT-ND	Einf. ultrarauscharmer Breitband-OpAmp	Single Wideband, Ultra Low Noise Op Amp	SOT-23-5	2.69	2.56	2.43
LMH6624MFTR-ND	Einf. ultrarauscharmer Breitband-OpAmp	Single Wideband, Ultra Low Noise Op Amp	SOT-23-5		2080.00/1,000	
LMH6626MA-ND	Zweif. ultrarauscharmer Breitband-OpAmp	Dual Wideband, Ultra Low Noise Op Amp	8-SOIC	3.30	3.14	2.98
LMH6626MMCT-ND	Zweif. ultrarauscharmer Breitband-OpAmp	Dual Wideband, Ultra Low Noise Op Amp	8-MSOP	5.82	4.63	3.95
LMH6626MMTR-ND	Zweif. ultrarauscharmer Breitband-OpAmp	Dual Wideband, Ultra Low Noise Op Amp	8-MSOP		3380.00/1,000	
LMH6628MA-ND	Zweif. rauscharmer Breitband-OpAmp, Spann.-Feedback	Dual Wideband, Low Noise, Volt. Feedback Op Amp	8-SOIC	2.61	2.22	1.78
LMH6639MA-ND	190 MHz R/R-Ausgangs-OpAmp, mit Deaktivierung	190MHz R/R Output Amp with Disable	8-SOIC	2.00	1.59	1.36
LMH6639MFCT-ND	190 MHz R/R-Ausgangs-OpAmp, mit Deaktivierung	190MHz R/R Output Amp with Disable	SOT-23-6	2.00	1.59	1.36
LMH6639MFTR-ND	190 MHz R/R-Ausgangs-OpAmp, mit Deaktivierung	190MHz R/R Output Amp with Disable	SOT-23-6		1160.00/1,000	
LMH6640MFCT-ND	Einf. 16 V R/R OpAmp für hohen Stromausgang, TFT-LCD	TFT-LCD Single, 16V R/R Out High Op Amp	SOT-23-5	1.86	1.77	1.68
LMH6640MFTR-ND	Einf. 16 V R/R OpAmp für hohen Stromausgang, TFT-LCD	TFT-LCD Single, 16V R/R Out High Op Amp	SOT-23-5		1440.00/1,000	
LMH6642MA-ND	3 V, 130 MHz, 75 mA einzelversorgter R/R-OpAmp, LP	3V, LP, 130MHz, 75mA Single Supply, R/R Op Amp	8-SOIC	.88	.84	.79
LMH6642MFCT-ND	3 V, 130 MHz, 75 mA einzelversorgter R/R-OpAmp, LP	3V, LP, 130MHz, 75mA Single Supply, R/R Op Amp	SOT-23-5	1.07	1.01	.96
LMH6642MFTR-ND	3 V, 130 MHz, 75 mA einzelversorgter R/R-OpAmp, LP	3V, LP, 130MHz, 75mA Single Supply, R/R Op Amp	SOT-23-5		820.00/1,000	
LMH6643MA-ND	3 V, 130 MHz R/R-Ausgangsverstärker, NL	3V, Low Power, 130MHz, R/R Output Amp	8-SOIC	1.13	1.08	1.02
LMH6643MMCT-ND	3 V, 130 MHz R/R-Ausgangsverstärker, NL	3V, Low Power, 130MHz, R/R Output Amp	8-MSOP	2.00	1.59	1.36
LMH6643MMTR-ND	3 V, 130 MHz R/R-Ausgangsverstärker, NL	3V, Low Power, 130MHz, R/R Output Amp	8-MSOP		1160.00/1,000	
LMH6644MA-ND	3 V, 130 MHz, 75 mA R/R-Ausgangsverstärker, NL	3V, Low Power, 130MHz, 75mA R/R Output Amp	14-SOIC	2.10	1.99	1.89
LMH6644MT-ND	3 V, 130 MHz, 75 mA R/R-Ausgangsverstärker, NL	3V, Low Power, 130MHz, 75mA R/R Output Amp	14-TSSOP	3.70	2.94	2.51
LMH6645MA-ND	2,7 V R/R E/A-Verstärker mit Abschaltf.	2.7V, Rail-to-Rail, In/Out Amp with Shutdown	8-SOIC	1.22	1.16	1.10
LMH6645MFCT-ND	2,7 V R/R E/A-Verstärker mit Abschaltf.	2.7V, Rail-to-Rail, In/Out Amp with Shutdown	SOT-23-5	1.22	1.16	1.10
LMH6645MFTR-ND	2,7 V R/R E/A-Verstärker mit Abschaltf.	2.7V, Rail-to-Rail, In/Out Amp with Shutdown	SOT-23-5		940.00/1,000	
LMH6646MA-ND	2,7 V R/R E/A-Verstärker mit Abschaltf.	2.7V, Rail-to-Rail, In/Out Amp with Shutdown	8-SOIC	1.69	1.61	1.53
LMH6646MMCT-ND	2,7 V R/R E/A-Verstärker mit Abschaltf.	2.7V, Rail-to-Rail, In/Out Amp with Shutdown	8-MSOP	2.98	2.37	2.03
LMH6646MMTR-ND	2,7 V R/R E/A-Verstärker mit Abschaltf.	2.7V, Rail-to-Rail, In/Out Amp with Shutdown	8-MSOP		1740.00/1,000	
LMH6647MA-ND	2,7 V R/R E/A-Verstärker mit Abschaltf.	2.7V, Rail-to-Rail, In/Out Amp with Shutdown	8-SOIC	1.37	1.30	1.24
LMH6647MFCT-ND	2,7 V R/R E/A-Verstärker mit Abschaltf.	2.7V, Rail-to-Rail, In/Out Amp with Shutdown	SOT-23-6	2.42	1.92	1.64
LMH6647MFTR-ND	2,7 V R/R E/A-Verstärker mit Abschaltf.	2.7V, Rail-to-Rail, In/Out Amp with Shutdown	SOT-23-6		1410.00/1,000	
LMH6654MA-ND	Einf. rauscharmer Verstärker, NL, 250 MHz	Single, Low Power, 250MHz, Low Noise Amp	8-SOIC	1.46	1.38	1.31
LMH6654MFCT-ND	Einf. rauscharmer Verstärker, NL, 250 MHz	Single, Low Power, 250MHz, Low Noise Amp	SOT-23-5	1.46	1.38	1.31
LMH6654MFTR-ND	Einf. rauscharmer Verstärker, NL, 250 MHz	Single, Low Power, 250MHz, Low Noise Amp	SOT-23-5		1120.00/1,000	
LMH6655MA-ND	Zweif. rauscharmer Verstärker, NL, 250 MHz	Dual, Low Power, 250MHz, Low Noise Amp	8-SOIC	2.07	1.96	1.86
LMH6655MMCT-ND	Zweif. rauscharmer Verstärker, NL, 250 MHz	Dual, Low Power, 250MHz, Low Noise Amp	8-MSOP	3.64	2.89	2.47
LMH6655MMTR-ND	Zweif. rauscharmer Verstärker, NL, 250 MHz	Dual, Low Power, 250MHz, Low Noise Amp	8-MSOP		2120.00/1,000	
LMH6657MFCT-ND	Einzelversorgter Verstärker,270 MHz	270MHz, Single Supply Amp	SOT-23-5	1.22	1.16	1.10
LMH6657MFTR-ND	Einzelversorgter Verstärker,270 MHz	270MHz, Single Supply Amp	SOT-23-5		940.00/1,000	
LMH6657MGCT-ND	Einzelversorgter Verstärker,270 MHz	270MHz, Single Supply Amp	SC70-5	1.22	1.16	1.10
LMH6657MGTR-ND	Einzelversorgter Verstärker,270 MHz	270MHz, Single Supply Amp	SC70-5		940.00/1,000	
LMH6658MA-ND	Zweif. rauscharmer HS-OpAmp, 270 MHz	270MHz, Dual, High Speed, Low Noise Op Amp	8-SOIC	1.59	1.51	1.44
LMH6658MMCT-ND	Zweif. rauscharmer HS-OpAmp, 270 MHz	270MHz, Dual, High Speed, Low Noise Op Amp	8-MSOP	1.59	1.51	1.44
LMH6658MMTR-ND	Zweif. rauscharmer HS-OpAmp, 270 MHz	270MHz, Dual, High Speed, Low Noise Op Amp	8-MSOP		1230.00/1,000	
LMH6672LDCT-ND	Zweif. HS-OpAmp mit hohem Ausgangsstrom	Dual, High Output Current, High Speed Op Amp	8-LLP	3.03	2.88	2.74
LMH6672LDTR-ND	Zweif. HS-OpAmp mit hohem Ausgangsstrom	Dual, High Output Current, High Speed Op Amp	8-LLP		2350.00/1,000	
LMH6672MA-ND	Zweif. HS-OpAmp mit hohem Ausgangsstrom	Dual, High Output Current, High Speed Op Amp	8-SOIC	2.33	2.21	2.10
LMH6672MR-ND	Zweif. HS-OpAmp mit hohem Ausgangsstrom	Dual, High Output Current, High Speed Op Amp	8-PSOP	2.57	2.44	2.32
LMH6678LQCT-ND	2-Kan. Central-Office XDSL-Treiber, NL	Low Power 2-Ch. Central-Office XDSL Driver	24-LLP	2.54	2.41	2.29
LMH6678LQTR-ND	2-Kan. Central-Office XDSL-Treiber, NL	Low Power 2-Ch. Central-Office XDSL Driver	24-LLP		1730.00/1,000	
LMH6682MA-ND	Zweif. einzelversorgter OpAmp, 190 MHz	Dual, 190MHz Single Supply Op Amp	8-SOIC	2.54	2.02	1.72
LMH6682MMCT-ND	Zweif. einzelversorgter OpAmp, 190 MHz	Dual, 190MHz Single Supply Op Amp	8-MSOP	2.54	2.02	1.72
LMH6682MMTR-ND	Zweif. einzelversorgter OpAmp, 190 MHz	Dual, 190MHz Single Supply Op Amp	8-MSOP		1480.00/1,000	
LMH6683MA-ND	Dreif. einzelversorgter OpAmp, 190 MHz	Triple, 190MHz Single Supply Op Amp	14-SOIC	2.25	2.14	2.03
LMH6683MT-ND	Dreif. einzelversorgter OpAmp, 190 MHz	Triple, 190MHz Single Supply Op Amp	14-TSSOP	2.25	2.14	2.03
LMH6702MA-ND	Ultraverzerrungsarmer Breitband-OpAmp, 720 MHz	720MHz, Ultra Low Distortion, Wideband Op Amp	8-SOIC	4.24	3.37	2.88
LMH6702MFCT-ND	Ultraverzerrungsarmer Breitband-OpAmp, 720 MHz	720MHz, Ultra Low Distortion, Wideband Op Amp	SOT-23-5	2.40	2.28	2.17
LMH6702MFTR-ND	Ultraverzerrungsarmer Breitband-OpAmp, 720 MHz	720MHz, Ultra Low Distortion, Wideband Op Amp	SOT-23-5		1850.00/1,000	
LMH6703MA-ND	Verzerrungsarmer OpAmp, 1,2 GHz	1.2GHz, Low Distortion Op Amp	8-SOIC	4.24	3.37	2.88
LMH6704MA-ND	Programmierbarer Verstärkungspuffer mit Deaktivierung, 650 MHz	650MHz Programmable Gain Buffer with Disable	8-SOIC	4.24	3.37	2.88
LMH6704MFCT-ND	Programmierbarer Verstärkungspuffer mit Deaktivierung, 650 MHz	650MHz Programmable Gain Buffer with Disable	SOT-23-6	4.24	3.37	2.88
LMH6704MFTR-ND	Programmierbarer Verstärkungspuffer mit Deaktivierung, 650 MHz	650MHz Programmable Gain Buffer with Disable	SOT-23-6		2460.00/1,000	
LMH6714MA-ND	Einf. Breitband-Video-OpAmp mit Ausschaltung, 400 MHz	Single, 400MHz, Wideband Video Op Amp w/Shutdown	8-SOIC	1.61	1.53	1.45
LMH6714MFCT-ND	Einf. Breitband-Video-OpAmp mit Ausschaltung, 400 MHz	Single, 400MHz, Wideband Video Op Amp w/Shutdown	SOT-23-5	1.61	1.53	1.45
LMH6714MFTR-ND	Einf. Breitband-Video-OpAmp mit Ausschaltung, 400 MHz	Single, 400MHz, Wideband Video Op Amp w/Shutdown	SOT-23-5		1240.00/1,000	
LMH6715MA-ND	Zweif. Breitband Video-OpAmp	Dual, Wideband Video Op Amp	8-SOIC	2.73	2.59	2.46
LMH6718MA-ND	Zweif. programmierbarer Verstärkerpuffer, hohe Ausgangsleistung	Dual, High Output Programmable Gain Buffer	8-SOIC	3.03	2.88	2.74
LMH6720MA-ND	Einf. Breitband-Video-OpAmp mit Ausschaltung, 400 MHz	Single, 400MHz, Wideband Video Op Amp w/Shutdown	8-SOIC	1.69	1.61	1.53
LMH6720MFCT-ND	Einf. Breitband-Video-OpAmp mit Ausschaltung, 400 MHz	Single, 400MHz, Wideband Video Op Amp w/Shutdown	SOT-23-6	1.69	1.61	1.53
LMH6720MFTR-ND	Einf. Breitband-Video-OpAmp mit Ausschaltung, 400 MHz	Single, 400MHz, Wideband Video Op Amp w/Shutdown	SOT-23-6		1310.00/1,000	
LMH6722MA-ND	Vierf. Breitband-Video-Verst.	Quad, Wideband Video Amp	14-SOIC	3.47	3.30	3.13
LMH6723MA-ND	Strom-Feedback-OpAmp, 370 MHz, 1 mA	370MHz, 1mA Current Feedback Op Amp	8-SOIC	2.01	1.91	1.82
LMH6723MFCT-ND	Strom-Feedback-OpAmp, 370 MHz, 1 mA	370MHz, 1mA Current Feedback Op Amp	SOT-23-5	2.01	1.91	1.82
LMH6723MFTR-ND	Strom-Feedback-OpAmp, 370 MHz, 1 mA	370MHz, 1mA Current Feedback Op Amp	SOT-23-5		1560.00/1,000	
LMH6724MA-ND	Zweif. Strom-Feedback-OpAmp, 370 MHz, 1 mA	Dual, 370MHz, 1mA Current Feedback Op Amp	8-SOIC	2.83	2.69	2.55
LMH6725MA-ND	Vierf. Strom-Feedback-OpAmp, 370 MHz, 1 mA	Quad, 370MHz, 1mA Current Feedback Op Amp	14-SOIC	4.03	3.83	3.64
LMH6732MA-ND	HS-OpAmp mit verstellbarer Bandbreite	High Speed Op Amp with Adj. Bandwidth	8-SOIC	4.62	4.39	4.17
LMH6732MFCT-ND	HS-OpAmp mit verstellbarer Bandbreite	High Speed Op Amp with Adj. Bandwidth	SOT-23-6	4.62	4.39	4.17
LMH6732MFTR-ND	HS-OpAmp mit verstellbarer Bandbreite	High Speed Op Amp with Adj. Bandwidth	SOT-23-6		3580.00/1,000	
LMH6738MQ-ND	Dreif. VWB-OpAmp, verzerrungsarm	Very Wideband, Low Distortion Triple Op Amp	16-SSOP	4.03	3.83	3.64
LMH6739MQ-ND	Dreif. VWB-Videopuffer, verzerrungsarm	Very Wideband, Low Distortion Triple Video Buffer	16-SSOP	4.35	4.13	3.93
LMH730151-ND	Dreif. 2:1 Multiplexer-Evaluierungskarte	Triple 2:1 Multiplexer Evaluation Board	—	8.95	—	—
LMH730154-ND	HS-Differenzialverstärker-Evaluierungskarte	High Speed Differential Amp Evaluation Board	—	8.95	—	—
LMH730275-ND	Dreif. HS SSOP OpAmp-Evaluierungskarte	Triple High Speed SSOP Op Amp Evaluation Board	—	8.95	—	—
LMH730276-ND	4:1 Multiplexer-Evaluierungskarte	4:1 Multiplexer Evaluation Board	—	8.95	—	—
LMP2011MA-ND	Einf. hochpräziser R/R-Ausgangs-OpAmp	Single High Precision, R/R Output Op Amp	8-SOIC	2.98	2.37	2.03
LMP2011MFCT-ND	Einf. hochpräziser R/R-Ausgangs-OpAmp	Single High Precision, R/R Output Op Amp	SOT-23-5	2.98	2.37	2.03
LMP2011MFTR-ND	Einf. hochpräziser R/R-Ausgangs-OpAmp	Single High Precision, R/R Output Op Amp	SOT-23-5		1740.00/1,000	
LMP2012MMCT-ND	Zweif. hochpräziser R/R-Ausgangs-OpAmp	Dual, High Precision, R/R Output Op Amp	8-MSOP	4.68	3.72	3.18

(Forts.)

★ RUFEN SIE BITTE AN FÜR NIEDRIGERE PREISE BEI GRÖSSEREN MENGEN! ★

B

Digi-Key Teilenr.	Beschreibung		Paket	Stückpreis★ 1	25	100
LMP2012MMTR-ND	Zweif. hochpräziser R/R-Ausgangs-OpAmp	Dual, High Precision, R/R Output Op Amp	8-MSOP		2720.00/1,000	
LMP2014MT-ND	Vierf. hochpräziser R/R-Ausgangs-OpAmp	Quad, High Precision, R/R Output Op Amp	14-TSSOP	7.82	6.22	5.31
LMS1585ACS-ADJ-ND	Einstellb. 5 A LDO-Regler, schnelle Reaktion	Adj. 5A LDO Fast Response Regulator	TO-263	1.73	1.64	1.56
LMS1585ACS-3.3-ND	3,3 V, 5 A LDO-Regler, schnelle Reaktion	3.3V, 5A LDO Fast Response Regulator	TO-263	1.73	1.64	1.56
LMS1585ACT-ADJ-ND	Einstellb. 5 A LDO-Regler, schnelle Reaktion	Adj. 5A LDO Fast Response Regulator	TO-220	1.73	1.64	1.56
LMS1585ACT-3.3-ND	3,3 V, 5 A LDO-Regler, schnelle Reaktion	3.3V, 5A LDO Fast Response Regulator	TO-220	1.73	1.64	1.56
LMS1585AIS-ADJ-ND	Einstellb. 5 A LDO-Regler, schnelle Reaktion, ind. Temp.	Adj. 5A LDO Fast Response Regulator, Ind. Temp.	TO-263	3.04	2.42	2.07
LMS1585AIS-3.3-ND	3,3 V, 5 A LDO-Regler, schnelle Reaktion, ind. Temp.	3.3V, 5A LDO Fast Response Regulator, Ind. Temp.	TO-263	3.04	2.42	2.07
LMS1585AIT-ADJ-ND	Einstellb. 5 A LDO-Regler, schnelle Reaktion, ind. Temp.	Adj. 5A LDO Fast Response Regulator, Ind. Temp.	TO-220	3.04	2.42	2.07
LMS1585AIT-1.5-ND	1,5 V, 5 A LDO-Regler, schnelle Reaktion, ind. Temp.	1.5V, 5A, LDO Fast Response Regulator, Ind. Temp.	TO-220	3.04	2.42	2.07
LMS1585AIT-3.3-ND	3,3 V, 5 A LDO-Regler, schnelle Reaktion, ind. Temp.	3.3V, 5A LDO Fast Response Regulator, Ind. Temp.	TO-220	3.04	2.42	2.07
LMS1587CS-ADJ-ND	Einstellb. 3 A LDO-Regler, schnelle Reaktion	Adj. 3A LDO Fast Response Regulator	TO-263	1.73	1.64	1.56
LMS1587CS-1.5-ND	1,5 V, 3 A LDO-Regler, schnelle Reaktion	1.5V, 3A LDO Fast Response Regulator	TO-263	1.73	1.64	1.56
LMS1587CT-ADJ-ND	Einstellb. 3 A LDO-Regler, schnelle Reaktion	Adj. 3A LDO Fast Response Regulator	TO-220	1.73	1.64	1.56
LMS1587CT-3.3-ND	3,3 V, 3 A LDO-Regler, schnelle Reaktion	3.3V, 3A LDO Fast Response Regulator	TO-220	3.04	2.42	2.07
LMS1587IS-ADJ-ND	Einstellb. 3 A LDO-Regler, schnelle Reaktion, ind. Temp.	Adj. 3A LDO Fast Response Regulator, Ind. Temp.	TO-263	3.04	2.42	2.07
LMS1587IS-3.3-ND	3,3 V, 3 A LDO-Regler, schnelle Reaktion, ind. Temp.	3.3V, 3A LDO Fast Response Regulator, Ind. Temp.	TO-263	3.04	2.42	2.07
LMS1587IT-ADJ-ND	Einstellb. 3 A LDO-Regler, schnelle Reaktion, ind. Temp.	Adj. 3A LDO Fast Response Regulator, Ind. Temp.	TO-220	3.04	2.42	2.07
LMS1587IT-3.3-ND	3,3 V, 3 A LDO-Regler, schnelle Reaktion, ind. Temp.	3.3V, 3A LDO Fast Response Regulator, Ind. Temp.	TO-220	3.04	2.42	2.07
LMS5213IM7-3.3CT-ND	80 mA LDO-Spannungsregler	80mA, LDO Voltage Regulator	SC-70-5	1.10	.88	.75
LMS5213IM7-3.3TR-ND	80 mA LDO-Spannungsregler	80mA, LDO Voltage Regulator	SC-70-5		640.00/1,000	
LMS8117ADT-1.8-ND	1,8 V, 1 A LDO-Linearregler	1.8V, 1A LDO Linear Regulator	TO-252	1.37	1.09	.93
LMV115MGCT-ND	30 MHz 2,8 V Oszillatorpuffer, GSM Baseband	GSM Baseband 30MHz, 2.8V Oscillator Buffer	SC70-6	.95	.76	.65
LMV115MGTR-ND	30 MHz 2,8 V Oszillatorpuffer, GSM Baseband	GSM Baseband 30MHz, 2.8V Oscillator Buffer	SC70-6		560.00/1,000	
LMV116MFCT-ND	45 MHz R/R-Ausgang-OpAmp, Niederspannung	Low Volt, 45MHz, R/R Output Op Amp	SOT-23-5	.91	.87	.83
LMV116MFTR-ND	45 MHz R/R-Ausgang-OpAmp, Niederspannung	Low Volt, 45MHz, R/R Output Op Amp	SOT-23-5		710.00/1,000	
LMV118MFCT-ND	45 MHz R/R-Ausgang-OpAmp, Niederspannung, mit Abschaltfunktion	Low Volt, 45MHz, R/R Output Op Amp with Shutdown	SOT-23-6	.95	.90	.86
LMV118MFTR-ND	45 MHz R/R-Ausgang-OpAmp, Niederspannung, mit Abschaltfunktion	Low Volt, 45MHz, R/R Output Op Amp with Shutdown	SOT-23-6		740.00/1,000	
LMV225TLCT-ND	HF-Stromdetektor für CDMA und WCDMA	RF Power Detector for CDMA and WCDMA	4-microSMD	1.28	1.02	.87
LMV225TLTR-ND	HF-Stromdetektor für CDMA und WCDMA	RF Power Detector for CDMA and WCDMA	4-microSMD		205.00/250	
LMV226TLCT-ND	HF-Stromdetektor für CDMA und WCDMA	RF Power Detector for CDMA and WCDMA	4-microSMD	1.52	1.21	1.03
LMV226TLTR-ND	HF-Stromdetektor für CDMA und WCDMA	RF Power Detector for CDMA and WCDMA	4-microSMD		242.50/250	
LMV228TLCT-ND	HF-Stromdetektor für CDMA und WCDMA	RF Power Detector for CDMA and WCDMA	4-microSMD	.73	.69	.66
LMV228TLTR-ND	HF-Stromdetektor für CDMA und WCDMA	RF Power Detector for CDMA and WCDMA	4-microSMD		142.50/250	
LMV242LDCT-ND	Vierband-GSM/GPRS Leistungsverst.-Regler, zweif. Ausgang	Dual Output, Quad-Band GSM/GPRS Power Amp Controller	10-LLP	.93	.88	.84
LMV242LDTR-ND	Vierband-GSM/GPRS Leistungsverst.-Regler, zweif. Ausgang	Dual Output, Quad-Band GSM/GPRS Power Amp Controller	10-LLP		720.00/1,000	
LMV243BLCT-ND	Vierband-GSM-Leistungsregler, Ein-Kanal	Single-Channel, Quad Band GSM Power Controller	8-microSMD	2.48	1.97	1.68
LMV243BLTR-ND	Vierband-GSM-Leistungsregler, Ein-Kanal	Single-Channel, Quad Band GSM Power Controller	8-microSMD		397.50/250	
LMV248LQCT-ND	Zweiband-GSM-Leistungsregler	Dual Band GSM Power Controller	16-LLP	2.72	2.16	1.84
LMV248LQTR-ND	Zweiband-GSM-Leistungsregler	Dual Band GSM Power Controller	16-LLP		1580.00/1,000	
LMV301MGCT-ND	OpAmp 1,8 V, niedrige Eingangsvorspannung, R/R-Ausgang	Op Amp 1.8V, Low Input Bias, R/R Output	SC-70-5	.84	.66	.57
LMV301MGTR-ND	OpAmp 1,8 V, niedrige Eingangsvorspannung, R/R-Ausgang	Op Amp 1.8V, Low Input Bias, R/R Output	SC-70-5		490.00/1,000	
LMV321M5CT-ND	OpAmp, Niederspannung	Op Amp Low Voltage	SOT-23-5	.36	.28	.27
LMV321M5TR-ND	OpAmp, Niederspannung	Op Amp Low Voltage	SOT-23-5		250.00/1,000	
LMV321M7CT-ND	OpAmp, Niederspannung (2/3 der Größe von SOT-23)	Op Amp Low Voltage (2/3 the size of SOT-23)	SC-70-5	.37	.35	.34
LMV321M7TR-ND	OpAmp, Niederspannung (2/3 der Größe von SOT-23)	Op Amp Low Voltage (2/3 the size of SOT-23)	SC-70-5		290.00/1,000	
LMV324M-ND	Vierf. NL-OpAmp, Niederspannung	Low Power Quad Op Amp Low Voltage	14-SOIC	.36	.34	.32
LMV324MXTR-ND	Vierf. NL-OpAmp, Niederspannung	Low Power Quad Op Amp Low Voltage	14-SOIC		1175.00/2,500	
LMV324MT-ND	Vierf. NL-OpAmp, Niederspannung	Low Power Quad Op Amp Low Voltage	14-TSSOP	.49	.47	.44
LMV331M5CT-ND	Einf. Allzweck-Komparator, Niederspannung, TinyPack	Single General Purpose, Low Volt, TinyPack Comp.	SOT-23-5	.35	.27	.26
LMV331M5TR-ND	Einf. Allzweck-Komparator, Niederspannung, TinyPack	Single General Purpose, Low Volt, TinyPack Comp.	SOT-23-5		250.00/1,000	
LMV331M5XCT-ND	Allzweck-Komparator, Niederspannung, TinyPack	General Purpose Low Volt. TinyPack Comparator	SOT-23-5	.41	.39	.37
LMV331M5XTR-ND	Allzweck-Komparator, Niederspannung, TinyPack	General Purpose Low Volt. TinyPack Comparator	SOT-23-5		930.00/3,000	
LMV331M7TR-ND	Allzweck-Komparator, Niederspannung, TinyPack	General Purpose Low Volt. TinyPack Comparator	SC-70-5		320.00/1,000	
LMV331M7XCT-ND	Allzweck-Komparator, Niederspannung, TinyPack	General Purpose Low Volt. TinyPack Comparator	SC-70-5	.75	.59	.51
LMV331M7XTR-ND	Allzweck-Komparator, Niederspannung, TinyPack	General Purpose Low Volt. TinyPack Comparator	SC-70-5		1290.00/3,000	
LMV339M-ND	Vierf. Allzweck-Komparator, Niederspannung, TinyPack	Quad General Purpose, Low Volt, TinyPack Comp.	14-SOIC	.56	.53	.50
LMV339MT-ND	Vierf. Allzweck-Komparator, Niederspannung, TinyPack	Quad General Purpose, Low Volt, TinyPack Comp.	14-TSSOP	.59	.56	.53
LMV341MGCT-ND	Einf. R/R-OpAmp, 2,7 V	Single, 2.7V, Rail-to-Rail Op Amp	SC70-6	.78	.62	.53
LMV341MGTR-ND	Einf. R/R-OpAmp, 2,7 V	Single, 2.7V, Rail-to-Rail Op Amp	SC70-6		450.00/1,000	
LMV342MA-ND	Zweif. R/R-OpAmp, 2,7 V	Dual, 2.7V, Rail-to-Rail, Op Amp	8-SOIC	.47	.45	.43
LMV342MMCT-ND	Zweif. R/R-OpAmp, 2,7 V	Dual, 2.7V, Rail-to-Rail, Op Amp	8-MSOP	.49	.47	.44
LMV342MMTR-ND	Zweif. R/R-OpAmp, 2,7 V	Dual, 2.7V, Rail-to-Rail, Op Amp	8-MSOP		380.00/1,000	
LMV344MA-ND	Vierf. R/R-OpAmp, 2,7 V	Quad, 2.7V, Rail-to-Rail, Op Amp	14-SOIC	.52	.50	.47
LMV344MT-ND	Vierf. R/R-OpAmp, 2,7 V	Quad, 2.7V, Rail-to-Rail, Op Amp	14-TSSOP	.95	.76	.65
LMV358M-ND	Zweif. NL-OpAmp, Niederspannung	Low Power Dual Op Amp, Low Voltage	8-SOIC	.36	.28	.27
LMV358MXTR-ND	Zweif. NL-OpAmp, Niederspannung	Low Power Dual Op Amp, Low Voltage	8-SOIC		1000.00/2,500	
LMV358MMCT-ND	Zweif. NL-OpAmp, Niederspannung	Low Power Dual Op Amp, Low Voltage	8-MSOP	.39	.37	.35
LMV358MMTR-ND	Zweif. NL-OpAmp, Niederspannung	Low Power Dual Op Amp, Low Voltage	8-MSOP		300.00/1,000	
LMV393M-ND	Zweif. Allzweck-Komparator, Niederspannung, TinyPack	Dual General Purpose Low Volt, TinyPack Comp.	8-SOIC	.35	.33	.32
LMV393MMCT-ND	Zweif. Allzweck-Komparator, Niederspannung, TinyPack	Dual General Purpose Low Volt, TinyPack Comp.	8-MSOP	.46	.43	.41
LMV393MMTR-ND	Zweif. Allzweck-Komparator, Niederspannung, TinyPack	Dual General Purpose Low Volt, TinyPack Comp.	8-MSOP		350.00/1,000	
LMV393MMXCT-ND	Zweif. Allzweck-Komparator, Niederspannung, TinyPack	Dual General Purpose Low Volt, TinyPack Comp.	8-MSOP	.81	.64	.55
LMV393MMXTR-ND	Allzweck-Komparator, Niederspannung, TinyPack	General Purpose Low Volt. TinyPack Comparator	8-MSOP		1645.00/3,500	
LMV422MMCT-ND	Zweif. OpAmp, Rail-to-Rail-Ausgang	Dual Rail-to-Rail Output Op Amp	10-MSOP	3.40	2.70	2.31
LMV422MMTR-ND	Zweif. OpAmp, Rail-to-Rail-Ausgang	Dual Rail-to-Rail Output Op Amp	10-MSOP		1980.00/1,000	
LMV431ACM5CT-ND	Einstellb. Präzisions-Shunt-Regler, NL (1,24 V)	Low-Volt (1.24V) Adj. Precision Shunt Regulator	SOT-23-5	.29	.21	.20
LMV431ACM5TR-ND	Einstellb. Präzisions-Shunt-Regler, NL (1,24 V)	Low-Volt (1.24V) Adj. Precision Shunt Regulator	SOT-23-5		150.00/1,000	
LMV431ACZ-ND	Einstellb. Präzisions-Shunt-Regler, NL (1,24 V)	Low-Volt (1.24V) Adj. Precision Shunt Regulator	TO-92	.29	.21	.20
LMV431AIM5CT-ND	Einstellb. Präzisions-Shunt-Regler, NL (1,24 V)	Low-Volt (1.24V) Adj. Precision Shunt Regulator	SOT-23-5	.32	.30	.29
LMV431AIM5TR-ND	Einstellb. Präzisions-Shunt-Regler, NL (1,24 V)	Low-Volt (1.24V) Adj. Precision Shunt Regulator	SOT-23-5		240.00/1,000	
LMV431AIZ-ND	Einstellb. Präzisions-Shunt-Regler, NL (1,24 V)	Low-Volt (1.24V) Adj. Precision Shunt Regulator	TO-92	.56	.44	.38
LMV431CM5CT-ND	Einstellb. Präzisions-Shunt-Regler, NL (1,24 V)	Low-Volt (1.24V) Adj. Precision Shunt Regulator	SOT-23-5	.36	.24	.23
LMV431CM5TR-ND	Einstellb. Präzisions-Shunt-Regler, NL (1,24 V)	Low-Volt (1.24V) Adj. Precision Shunt Regulator	SOT-23-5		150.00/1,000	
LMV431CZ-ND	Einstellb. Präzisions-Shunt-Regler, NL (1,24 V)	Low-Volt (1.24V) Adj. Precision Shunt Regulator	TO-92	.36	.24	.23
LMV431IM5CT-ND	Einstellb. Präzisions-Shunt-Regler, NL (1,24 V)	Low-Volt (1.24V) Adj. Precision Shunt Regulator	SOT-23-5	.29	.21	.20
LMV431IM5TR-ND	Einstellb. Präzisions-Shunt-Regler, NL (1,24 V)	Low-Volt (1.24V) Adj. Precision Shunt Regulator	SOT-23-5		190.00/1,000	
LMV431IZ-ND	Einstellb. Präzisions-Shunt-Regler, NL (1,24 V)	Low-Volt (1.24V) Adj. Precision Shunt Regulator	TO-92	.50	.30	.23
LMV710M5CT-ND	R/R E/A-OpAmp mit hohem Ausgangsstromtreiber und Abschaltoption, NL	Low Power, R/R, I/O Op Amp with High Output Current Drive and Shutdown Option	SOT-23-5	.76	.72	.69
LMV710M5TR-ND	R/R E/A-OpAmp mit hohem Ausgangsstromtreiber und Abschaltoption, NL	Low Power, R/R, I/O Op Amp with High Output Current Drive and Shutdown Option	SOT-23-5		590.00/1,000	
LMV711M6CT-ND	R/R E/A-OpAmp mit hohem Ausgangsstromtreiber und Abschaltoption, NL	Low Power, R/R, I/O Op Amp with High Output Current Drive and Shutdown Option	SOT-23-6	.81	.58	.55
LMV711M6TR-ND	R/R E/A-OpAmp mit hohem Ausgangsstromtreiber und Abschaltoption, NL	Low Power, R/R, I/O Op Amp with High Output Current Drive and Shutdown Option	SOT-23-6		500.00/1,000	
LMV712BLCT-ND	Zweif. rauscharmer E/A-Op Amp, hohe Ausgangsleistung, NL, R/R, mit unabhängiger Abschaltfunktion	Low Power, Low Noise, High Output, R/R, In/Out Dual Op Amp w/Independent Shutdown	10-microSMD	1.19	1.13	1.07
LMV712BLTR-ND	Zweif. rauscharmer E/A-Op Amp, hohe Ausgangsleistung, NL, R/R, mit unabhängiger Abschaltfunktion	Low Power, Low Noise, High Output, R/R, In/Out Dual Op Amp w/Independent Shutdown	10-microSMD		230.00/250	
LMV712LDCT-ND	Zweif. rauscharmer E/A-Op Amp, hohe Ausgangsleistung, NL, R/R, mit unabhängiger Abschaltfunktion	Low Power, Low Noise, High Output, R/R, In/Out Dual Op Amp w/Independent Shutdown	10-LLP	2.15	1.71	1.46

(Forts.)

★ RUFEN SIE BITTE AN FÜR NIEDRIGERE PREISE BEI GRÖSSEREN MENGEN! ★

Alle Preisangaben in Euro und inklusive Zollgebühren.

Digi-Key Teilenr.	Beschreibung		Paket	Stückpreis★ 1	25	100
LMV712LDTR-ND	Zweif. rauscharmer E/A-Op Amp, hohe Ausgangsleistung, NL, R/R, mit unabhängiger Abschaltfunktion	Low Power, Low Noise, High Output, R/R, In/Out Dual Op Amp w/Independent Shutdown	10-LLP		1250.00/1,000	
LMV712MMCT-ND	Zweif. rauscharmer E/A-Op Amp, hohe Ausgangsleistung, NL, R/R, mit unabhängiger Abschaltfunktion	Low Power, Low Noise, High Output, R/R, In/Out Dual Op Amp w/Independent Shutdown	10-MSOP	1.00	.95	.90
LMV712MMTR-ND	Zweif. rauscharmer E/A-Op Amp, hohe Ausgangsleistung, NL, R/R, mit unabhängiger Abschaltfunktion	Low Power, Low Noise, High Output, R/R, In/Out Dual Op Amp w/Independent Shutdown	10-MSOP		770.00/1,000	
LMV715MFCT-ND	R/R E/A-OpAmp mit hohem Ausgangsstromtreiber und Abschaltoption, NL	Low Power, R/R, In/Out Op Amp with High Output Current Drive and Shutdown Option	SOT-23-6	1.46	1.16	.99
LMV715MFTR-ND	R/R E/A-OpAmp mit hohem Ausgangsstromtreiber und Abschaltoption, NL	Low Power, R/R, In/Out Op Amp with High Output Current Drive and Shutdown Option	SOT-23-6		850.00/1,000	
LMV721M5CT-ND	Rauscharmer 10 MHz Niederspannungs-OpAmp, NL	Low Noise, Low Volt, 10MHz, Low Power Op Amp	SOT-23-5	.86	.60	.57
LMV721M5TR-ND	Rauscharmer 10 MHz Niederspannungs-OpAmp, NL	Low Noise, Low Volt, 10MHz, Low Power Op Amp	SOT-23-5		450.00/1,000	
LMV721M7CT-ND	Rauscharmer 10 MHz Niederspannungs-OpAmp, NL	Low Noise, Low Volt, 10MHz, Low Power Op Amp	SC-70-5	.79	.58	.55
LMV721M7TR-ND	Rauscharmer 10 MHz Niederspannungs-OpAmp, NL	Low Noise, Low Volt, 10MHz, Low Power Op Amp	SC-70-5		450.00/1,000	
LMV722M-ND	Rauscharmer 10 MHz Niederspannungs-OpAmp, NL	10MHz Low Noise, Low Voltage, Low Power Op Amp	8-SOIC	1.20	.71	.63
LMV722MMCT-ND	Rauscharmer 10 MHz Niederspannungs-OpAmp, NL	10MHz Low Noise, Low Voltage, Low Power Op Amp	8-MSOP	1.02	.74	.70
LMV722MMTR-ND	Rauscharmer 10 MHz Niederspannungs-OpAmp, NL	10MHz Low Noise, Low Voltage, Low Power Op Amp	8-MSOP		580.00/1,000	
LMV751M5CT-ND	Einf. rauscharmer Niederspannungs-OpAmp	Low Noise, Low Voltage, Single Op Amp	SOT-23-5	1.25	1.19	1.13
LMV751M5TR-ND	Einf. rauscharmer Niederspannungs-OpAmp	Low Noise, Low Voltage, Single Op Amp	SOT-23-5		970.00/1,000	
LMV761MA-ND	Niederspannungs-Präzisionskomparator mit Push-Pull-Ausgang	Low Volt. Prec. Comparator with Push-Pull Output	8-SOIC	.86	.82	.78
LMV761MFCT-ND	Niederspannungs-Präzisionskomparator mit Push-Pull-Ausgang	Low Volt. Prec. Comparator with Push-Pull Output	SOT-23-6	.86	.82	.78
LMV761MFTR-ND	Niederspannungs-Präzisionskomparator mit Push-Pull-Ausgang	Low Volt. Prec. Comparator with Push-Pull Output	SOT-23-6		670.00/1,000	
LMV762MA-ND	Niederspannungs-Präzisionskomparator mit Push-Pull-Ausgang	Low Volt. Prec. Comparator with Push-Pull Output	8-SOIC	.82	.78	.74
LMV762MMCT-ND	Niederspannungs-Präzisionskomparator mit Push-Pull-Ausgang	Low Volt. Prec. Comparator with Push-Pull Output	8-MSOP	.82	.78	.74
LMV762MMTR-ND	Niederspannungs-Präzisionskomparator mit Push-Pull-Ausgang	Low Volt. Prec. Comparator with Push-Pull Output	8-MSOP		720.00/1,000	
LMV771MGCT-ND	Rauscharmer R/R-Ausgang-OpAmp, niedr. Offset	Low Offset, Low Noise, R/R Output Op Amp	SC70-5	.83	.79	.75
LMV771MGTR-ND	Rauscharmer R/R-Ausgang-OpAmp, niedr. Offset	Low Offset, Low Noise, R/R Output Op Amp	SC70-5		650.00/1,000	
LMV772MA-ND	Zweif. rauscharmer OpAmp, niedr. Offset	Dual Low Offset, Low Noise Op Amp	8-SOIC	.97	.92	.87
LMV772MMCT-ND	Zweif. rauscharmer OpAmp, niedr. Offset	Dual Low Offset, Low Noise Op Amp	8-MSOP	.97	.92	.87
LMV772MMTR-ND	Zweif. rauscharmer OpAmp, niedr. Offset	Dual Low Offset, Low Noise Op Amp	8-MSOP		750.00/1,000	
LMV774MT-ND	Vierf. rauscharmer OpAmp, niedr. Offset	Quad Low Offset, Low Noise Op Amp	14-TSSOP	1.19	1.13	1.07
LMV821M5CT-ND	5 MHz R/R-Ausgang-OpAmp, NL, Niederspannung	Low Voltage, 5MHz, Low Power, R/R, Output Op Amp	SOT-23-5	.61	.58	.55
LMV821M5TR-ND	5 MHz R/R-Ausgang-OpAmp, NL, Niederspannung	Low Voltage, 5MHz, Low Power, R/R, Output Op Amp	SOT-23-5		470.00/1,000	
LMV821M7CT-ND	5 MHz R/R-Ausgang-OpAmp, NL, Niederspannung	Low Voltage, 5MHz, Low Power, R/R, Output Op Amp	SC-70-5	.63	.60	.57
LMV821M7TR-ND	5 MHz R/R-Ausgang-OpAmp, NL, Niederspannung	Low Voltage, 5MHz, Low Power, R/R, Output Op Amp	SC-70-5		490.00/1,000	
LMV822M-ND	5 MHz R/R-Ausgang-OpAmp, NL, Niederspannung	Low Voltage, 5MHz, Low Power, R/R, Output Op Amp	8-SOIC	.68	.64	.61
LMV822MMCT-ND	Zweif. 5 MHz R/R-Ausgang-OpAmp, NL, Niederspannung	Dual Low Volt, 5MHz, Low Power, R/R, Output Op Amp	8-MSOP	.71	.68	.64
LMV822MMTR-ND	Zweif. 5 MHz R/R-Ausgang-OpAmp, NL, Niederspannung	Dual Low Volt, 5MHz, Low Power, R/R, Output Op Amp	8-MSOP		550.00/1,000	
LMV822MXCT-ND	5 MHz R/R-Ausgang-OpAmp, NL, Niederspannung	Low Volt, 5MHz, Low Power, R/R, Output Op Amp	8-SOIC	1.19	.95	.81
LMV822MXTR-ND	5 MHz R/R-Ausgang-OpAmp, NL, Niederspannung	Low Volt, 5MHz, Low Power, R/R, Output Op Amp	8-SOIC		1725.00/2,500	
LMV822MMXTR-ND	5 MHz R/R-Ausgang-OpAmp, NL, Niederspannung	Low Volt, 5MHz, Low Power, R/R, Output Op Amp	8-MSOP		2555.00/3,500	
LMV824M-ND	Vierf. 5 MHz R/R-Ausgang-OpAmp, NL, Niederspannung	Quad Low Volt, 5MHz, Low Pwr, R/R, Output Op Amp	14-SOIC	.78	.74	.70
LMV824MT-ND	Vierf. 5 MHz R/R-Ausgang-OpAmp, NL, Niederspannung	Quad Low Volt, 5MHz, Low Pwr, R/R, Output Op Amp	14-TSSOP	.80	.76	.72
LMV931MFCT-ND	Einf. 1,8 V R/R E/A-Op Amp	Single 1.8V R/R, In/Out, Op Amp	SOT-23-5	1.10	.88	.75
LMV931MFTR-ND	Einf. 1,8 V R/R E/A-Op Amp	Single 1.8V R/R, In/Out, Op Amp	SOT-23-5		640.00/1,000	
LMV931MGCT-ND	Einf. 1,8 V R/R E/A-Op Amp	Single 1.8V R/R, In/Out, Op Amp	SC-70-5	.63	.60	.57
LMV931MGTR-ND	Einf. 1,8 V R/R E/A-Op Amp	Single 1.8V R/R, In/Out, Op Amp	SC-70-5		490.00/1,000	
LMV932MA-ND	Zweif. 1,8 V R/R E/A-Op Amp	Dual 1.8V R/R, In/Out, Op Amp	8-SOIC	.69	.66	.63
LMV932MMCT-ND	Zweif. 1,8 V R/R E/A-Op Amp	Dual 1.8V R/R, In/Out, Op Amp	8-MSOP	.69	.66	.63
LMV932MMTR-ND	Zweif. 1,8 V R/R E/A-Op Amp	Dual 1.8V R/R, In/Out, Op Amp	8-MSOP		540.00/1,000	
LMV934MA-ND	Vierf. 1,8 V R/R E/A-Op Amp	Quad 1.8V R/R, In/Out, Op Amp	14-SOIC	.97	.92	.87
LMV934MT-ND	Vierf. 1,8 V R/R E/A-Op Amp	Quad 1.8V R/R, In/Out, Op Amp	14-TSSOP	.97	.92	.87
LMV981BLCT-ND	1,8 V R/R, E/A-Op Amp, mit Abschaltfunktion	1.8V R/R, In/Out, Op Amp with Shutdown	6-microSMD	1.28	1.02	.87
LMV981BLTR-ND	1,8 V R/R, E/A-Op Amp, mit Abschaltfunktion	1.8V R/R, In/Out, Op Amp with Shutdown	6-microSMD		205.00/250	
LMV981MFCT-ND	1,8 V R/R, E/A-Op Amp, mit Abschaltfunktion	1.8V R/R, In/Out, Op Amp with Shutdown	SOT-23-6	1.28	1.02	.87
LMV981MFTR-ND	1,8 V R/R, E/A-Op Amp, mit Abschaltfunktion	1.8V R/R, In/Out, Op Amp with Shutdown	SOT-23-6		750.00/1,000	
LMV981MGCT-ND	1,8 V R/R, E/A-Op Amp, mit Abschaltfunktion	1.8V R/R, In/Out, Op Amp with Shutdown	SC-70-6	1.28	1.02	.87
LMV981MGTR-ND	1,8 V R/R, E/A-Op Amp, mit Abschaltfunktion	1.8V R/R, In/Out, Op Amp with Shutdown	SC-70-6		750.00/1,000	
LMV982MMCT-ND	Zweif. 1,8 V R/R, E/A-Op Amp, mit Abschaltfunktion	Dual, 1.8V, R/R In/Out Op Amp with Shutdown	10-MSOP	1.55	1.23	1.05
LMV982MMTR-ND	Zweif. 1,8 V R/R, E/A-Op Amp, mit Abschaltfunktion	Dual, 1.8V, R/R In/Out Op Amp with Shutdown	10-MSOP		900.00/1,000	
LMV1012TP-07CT-ND	Analog-Vorverstärker für Hochverstärkungsmikrofon	Analog Pre-Amp for High Gain Microphone	4-microSMD	1.13	.90	.77
LMV1012TP-07TR-ND	Analog-Vorverstärker für Hochverstärkungsmikrofon	Analog Pre-Amp for High Gain Microphone	4-microSMD		182.50/250	
LMV1012TP-15CT-ND	Analog-Vorverstärker für Hochverstärkungsmikrofon	Analog Pre-Amp for High Gain Microphone	4-microSMD	1.16	.93	.79
LMV1012TP-15TR-ND	Analog-Vorverstärker für Hochverstärkungsmikrofon	Analog Pre-Amp for High Gain Microphone	4-microSMD		187.50/250	
LMV1012TP-25CT-ND	Analog-Vorverstärker für Hochverstärkungsmikrofon	Analog Pre-Amp for High Gain Microphone	4-microSMD	1.16	.93	.79
LMV1012TP-25TR-ND	Analog-Vorverstärker für Hochverstärkungsmikrofon	Analog Pre-Amp for High Gain Microphone	4-microSMD		187.50/250	
LMV1012UP-07CT-ND	Analog-Vorverstärker für Hochverstärkungsmikrofon	Analog Pre-Amp for High Gain Microphone	4-microSMD	.64	.61	.58
LMV1012UP-07TR-ND	Analog-Vorverstärker für Hochverstärkungsmikrofon	Analog Pre-Amp for High Gain Microphone	4-microSMD		122.50/250	
LMV1012UP-15CT-ND	Analog-Vorverstärker für Hochverstärkungsmikrofon	Analog Pre-Amp for High Gain Microphone	4-microSMD	1.13	.90	.77
LMV1012UP-15TR-ND	Analog-Vorverstärker für Hochverstärkungsmikrofon	Analog Pre-Amp for High Gain Microphone	4-microSMD		182.50/250	
LMV1012UP-20CT-ND	Analog-Vorverstärker für Hochverstärkungsmikrofon	Analog Pre-Amp for High Gain Microphone	4-microSMD	.64	.61	.58
LMV1012UP-20TR-ND	Analog-Vorverstärker für Hochverstärkungsmikrofon	Analog Pre-Amp for High Gain Microphone	4-microSMD		122.50/250	
LMV1012UP-25CT-ND	Analog-Vorverstärker für Hochverstärkungsmikrofon	Analog Pre-Amp for High Gain Microphone	4-MSOP	.64	.61	.58
LMV1012UP-25TR-ND	Analog-Vorverstärker für Hochverstärkungsmikrofon	Analog Pre-Amp for High Gain Microphone	4-MSOP		122.50/250	
LMV1012XP-15CT-ND	Analog-Vorverstärker für Hochverstärkungsmikrofon	Analog Pre-Amp for High Gain Microphone	4-microSMD	1.40	1.12	.95
LMV1012XP-15TR-ND	Analog-Vorverstärker für Hochverstärkungsmikrofon	Analog Pre-Amp for High Gain Microphone	4-microSMD		225.00/250	
LMV1012XP-25CT-ND	Analog-Vorverstärker für Hochverstärkungsmikrofon	Analog Pre-Amp for High Gain Microphone	4-MicroSMD	1.46	1.16	.99
LMV1012XP-25TR-ND	Analog-Vorverstärker für Hochverstärkungsmikrofon	Analog Pre-Amp for High Gain Microphone	4-MicroSMD		235.00/250	
LMV1015UR-15CT-ND	Eingebauter Verst.-Schaltkreis für hoch empfindliches 2-adriges Mikrofon	Built-in Gain IC for High Sensitivity 2-Wire Microphone	4-USMD	1.01	.81	.69
LMV1015UR-15TR-ND	Eingebauter Verst.-Schaltkreis für hoch empfindliches 2-adriges Mikrofon	Built-in Gain IC for High Sensitivity 2-Wire Microphone	4-USMD		162.50/250	
LMV1015UR-25CT-ND	Eingebauter Verst.-Schaltkreis für hoch empfindliches 2-adriges Mikrofon	Built-in Gain IC for High Sensitivity 2-Wire Microphone	4-USMD	1.10	.88	.75
LMV1015UR-25TR-ND	Eingebauter Verst.-Schaltkreis für hoch empfindliches 2-adriges Mikrofon	Built-in Gain IC for High Sensitivity 2-Wire Microphone	4-USMD		177.50/250	
LMV1015XR-15CT-ND	Eingebauter Verst.-Schaltkreis für hoch empfindliches 2-adriges Mikrofon	Built-in Gain IC for High Sensitivity 2-Wire Microphone	4-USMD	1.22	.97	.83
LMV1015XR-15TR-ND	Eingebauter Verst.-Schaltkreis für hoch empfindliches 2-adriges Mikrofon	Built-in Gain IC for High Sensitivity 2-Wire Microphone	4-USMD		195.00/250	
LMV1015XR-25CT-ND	Eingebauter Verst.-Schaltkreis für hoch empfindliches 2-adriges Mikrofon	Built-in Gain IC for High Sensitivity 2-Wire Microphone	4-USMD	1.25	1.00	.85
LMV1015XR-25TR-ND	Eingebauter Verst.-Schaltkreis für hoch empfindliches 2-adriges Mikrofon	Built-in Gain IC for High Sensitivity 2-Wire Microphone	4-USMD		200.00/250	
LMV1032UP-06CT-ND	Verstärker für 3-adriges Analog-Electret-Mikrofon	Amp for 3 Wire Analog Electret Microphone	4-MSOP	.80	.76	.72
LMV1032UP-06TR-ND	Verstärker für 3-adriges Analog-Electret-Mikrofon	Amp for 3 Wire Analog Electret Microphone	4-MSOP		122.50/250	
LMV1032UP-15CT-ND	Verstärker für 3-adriges Analog-Electret-Mikrofon	Amp for 3 Wire Analog Electret Microphone	4-MSOP	.80	.76	.72
LMV1032UP-15TR-ND	Verstärker für 3-adriges Analog-Electret-Mikrofon	Amp for 3 Wire Analog Electret Microphone	4-MSOP		122.50/250	
LMV1032UP-25CT-ND	Verstärker für 3-adriges Analog-Electret-Mikrofon	Amp for 3 Wire Analog Electret Microphone	4-MSOP	.80	.76	.72
LMV1032UP-25TR-ND	Verstärker für 3-adriges Analog-Electret-Mikrofon	Amp for 3 Wire Analog Electret Microphone	4-MSOP		122.50/250	
LMV2011MA-ND	Hochpräziser R/R-Ausgangs-OpAmp	High Precision, R/R Output Op Amp	8-SOIC	2.42	1.92	1.64
LMV2011MFCT-ND	Hochpräziser R/R-Ausgangs-OpAmp	High Precision, R/R Output Op Amp	SOT-23-5	2.42	1.92	1.64
LMV2011MFTR-ND	Hochpräziser R/R-Ausgangs-OpAmp	High Precision, R/R Output Op Amp	SOT-23-5		1410.00/1,000	
LMV7219M5CT-ND	7 ns, 2,7 V - 5 V Komparator mit R/R-Ausgang	7nS, 2.7V to 5V Comparator with R/R, Output	SOT-23-5	1.78	1.69	1.60
LMV7219M5TR-ND	7 ns, 2,7 V - 5 V Komparator mit R/R-Ausgang	7nS, 2.7V to 5V Comparator with R/R, Output	SOT-23-5		1370.00/1,000	
LMV7219M7CT-ND	7 ns, 2,7 V - 5 V Komparator mit R/R-Ausgang	7nS, 2.7V to 5V Comparator with R/R, Output	SC-70-5	1.78	1.69	1.60
LMV7219M7TR-ND	7 ns, 2,7 V - 5 V Komparator mit R/R-Ausgang	7nS, 2.7V to 5V Comparator with R/R, Output	SC-70-5		1370.00/1,000	
LMV7235M5CT-ND	R/R-Eingangskomparator mit Open Drain/Push Pull-Ausgang, Ultra-Niedrigstrom, Niederspannung	Ultra Low Power, Low Voltage, R/R Input Comparator with Open Drain/Push Pull Ouput	SOT-23-5	.66	.63	.60

(Forts.)

★ RUFEN SIE BITTE AN FÜR NIEDRIGERE PREISE BEI GRÖSSEREN MENGEN! ★

B

Digi-Key Teilenr.	Beschreibung		Paket	Stückpreis★ 1	25	100
LMV7235M5TR-ND	R/R-Eingangskomparator mit Open Drain/Push Pull-Ausgang, Ultra-Niedrigstrom, Niederspannung	Ultra Low Power, Low Voltage, R/R Input Comparator with Open Drain/Push Pull Ouput	SOT-23-5		570.00/1,000	
LMV7235M7CT-ND	R/R-Eingangskomparator mit Open Drain/Push Pull-Ausgang, Ultra-Niedrigstrom, Niederspannung	Ultra Low Power, Low Voltage, R/R Input Comparator with Open Drain/Push Pull Ouput	SC-70-5	1.67	1.33	1.14
LMV7235M7TR-ND	R/R-Eingangskomparator mit Open Drain/Push Pull-Ausgang, Ultra-Niedrigstrom, Niederspannung	Ultra Low Power, Low Voltage, R/R Input Comparator with Open Drain/Push Pull Ouput	SC-70-5		970.00/1,000	
LMV7239M5CT-ND	R/R-Eingangskomparator mit Open Drain/Push Pull-Ausgang, Ultra-Niedrigstrom, Niederspannung	Ultra Low Power, Low Volt., R/R Input Comparator with Open Drain/Push Pull Output	SOT-23-5	.66	.63	.60
LMV7239M5TR-ND	R/R-Eingangskomparator mit Open Drain/Push Pull-Ausgang, Ultra-Niedrigstrom, Niederspannung	Ultra Low Power, Low Volt., R/R Input Comparator with Open Drain/Push Pull Output	SOT-23-5		730.00/1,000	
LMV7239M7CT-ND	R/R-Eingangskomparator mit Open Drain/Push Pull-Ausgang, Ultra-Niedrigstrom, Niederspannung	Ultra Low Power, Low Volt., R/R Input Comparator with Open Drain/Push Pull Ouput	SC-70-5	.95	.90	.86
LMV7239M7TR-ND	R/R-Eingangskomparator mit Open Drain/Push Pull-Ausgang, Ultra-Niedrigstrom, Niederspannung	Ultra Low Power, Low Volt., R/R Input Comparator with Open Drain/Push Pull Ouput	SC-70-5		730.00/1,000	
LMV7271MFCT-ND	Einf. 1,8 V NL-Komparator mit R/R-Eingang	Single, 1.8V Low Power Comparator with R/R Input	SOT-23-5	.64	.61	.58
LMV7271MFTR-ND	Einf. 1,8 V NL-Komparator mit R/R-Eingang	Single, 1.8V Low Power Comparator with R/R Input	SOT-23-5		490.00/1,000	
LMV7271MGCT-ND	Einf. 1,8 V NL-Komparator mit R/R-Eingang	Single, 1.8V Low Power Comparator with R/R Input	SC-70-5	1.13	.90	.77
LMV7271MGTR-ND	Einf. 1,8 V NL-Komparator mit R/R-Eingang	Single, 1.8V Low Power Comparator with R/R Input	SC-70-5		660.00/1,000	
LMV7272TLCT-ND	Zweif. 1,8 V NL-Komparator mit R/R-Eingang	Dual, 1.8V Low Power Comparator with R/R Input	microSMD	1.61	1.28	1.09
LMV7272TLTR-ND	Zweif. 1,8 V NL-Komparator mit R/R-Eingang	Dual, 1.8V Low Power Comparator with R/R Input	microSMD		257.50/250	
LMV7275MFCT-ND	1,8 V NL-Komparator mit R/R-Eingang	1.8V Low Power Comparator with R/R Input	SOT-23-5	1.13	.90	.77
LMV7275MFTR-ND	1,8 V NL-Komparator mit R/R-Eingang	1.8V Low Power Comparator with R/R Input	SOT-23-5		660.00/1,000	
LMV7275MGCT-ND	1,8 V NL-Komparator mit R/R-Eingang	1.8V Low Power Comparator with R/R Input	SC-70-5	1.13	.90	.77
LMV7275MGTR-ND	1,8 V NL-Komparator mit R/R-Eingang	1.8V Low Power Comparator with R/R Input	SC-70-5		660.00/1,000	
LMV7291MGCT-ND	1,8 V NL-Komparator mit R/R-Eingang	1.8V Low Power Comparator with R/R Input	SC-70-5	.64	.61	.58
LMV7291MGTR-ND	1,8 V NL-Komparator mit R/R-Eingang	1.8V Low Power Comparator with R/R Input	SC-70-5		490.00/1,000	
LMX1600SLBXCT-ND	Preiswerter 2,0 GHz Doppelfrequenz-Synthesizer	2.0GHz Low Cost Dual Frequency Synthesizer	16-Laminate CSP	2.03	1.61	1.38
LMX1600SLBXTR-ND	Preiswerter 2,0 GHz Doppelfrequenz-Synthesizer	2.0GHz Low Cost Dual Frequency Synthesizer	16-Laminate CSP		2950.00/2,500	
LMX1600TM-ND	Preiswerter 2,0 GHz Doppelfrequenz-Synthesizer	2.0GHz Low Cost Dual Frequency Synthesizer	16-TSSOP	1.91	1.52	1.30
LMX1601SLBXCT-ND	Preiswerter PLLatinum™ Doppelfrequenz-Synthesizer	PLLatinum™ Low Cost Dual Freq. Synthesizer	16-Laminate CSP	1.76	1.40	1.20
LMX1601SLBXTR-ND	Preiswerter PLLatinum™ Doppelfrequenz-Synthesizer	PLLatinum™ Low Cost Dual Freq. Synthesizer	16-Laminate CSP		2550.00/2,500	
LMX1601TM-ND	Preiswerter PLLatinum™ Doppelfrequenz-Synthesizer	PLLatinum™ Low Cost Dual Frequency Synthesizer	16-TSSOP	.93	.88	.84
LMX1601TMXTR-ND	Preiswerter PLLatinum™ Doppelfrequenz-Synthesizer	PLLatinum™ Low Cost Dual Frequency Synthesizer	16-TSSOP		2375.00/2,500	
LMX1602TM-ND	Preiswerter 1,1 GHz Doppelfrequenz-Synthesizer	1.1GHz Low Cost Dual Freq. Synthesizer	16-TSSOP	1.76	1.40	1.20
LMX2306SLBXCT-ND	550 MHz NL-Frequenz-Synthesizer für HF-Personenkommunikation	550MHz Low Power Frequency Synthesizer for RF Personal Communications	16-Laminate CSP	1.69	1.61	1.53
LMX2306SLBXTR-ND	550 MHz NL-Frequenz-Synthesizer für HF-Personenkommunikation	550MHz Low Power Frequency Synthesizer for RF Personal Communications	16-Laminate CSP		3275.00/2,500	
LMX2306TM-ND	550 MHz NL-Frequenz-Synthesizer für HF-Personenkommunikation	550MHz Low Power Frequency Synthesizer for RF Personal Communications	16-TSSOP	1.75	1.20	1.14
LMX2306TMXTR-ND	550 MHz NL-Frequenz-Synthesizer für HF-Personenkommunikation	550MHz Low Power Frequency Synthesizer for RF Personal Communications	16-TSSOP		4175.00/2,500	
LMX2525LQ1321CT-ND	PLLatinum™ Doppelfrequenz-Synthesizer	PLLatinum™ Dual Freq. Synthesizer System	24-LLP	5.84	5.55	5.27
LMX2525LQ1321TR-ND	PLLatinum™ Doppelfrequenz-Synthesizer	PLLatinum™ Dual Freq. Synthesizer System	24-LLP		4530.00/1,000	
LMX2542LQ2121CT-ND	PLLatinum™ Cellular und GPS-Frequenz-Synthesizer	PLLatinum™ Cellular and GPS Frequency Synthesizer System	28-LLP	4.94	4.70	4.46
LMX2542LQ2121TR-ND	PLLatinum™ Cellular und GPS-Frequenz-Synthesizer	PLLatinum™ Cellular and GPS Frequency Synthesizer System	28-LLP		3860.00/1,000	
LMX2310USLDXCT-ND	2,5 GHz Frequenz-Synthesizer für HF-Personenkommunikation, Ultraniedrigleistung	2.5GHz Ultra Low Power Frequency Synthesizer for RF Personal Comm.	20-Laminate TCSP	4.03	3.20	2.74
LMX2310USLDXTR-ND	2,5 GHz Frequenz-Synthesizer für HF-Personenkommunikation, Ultraniedrigleistung	2.5GHz Ultra Low Power Frequency Synthesizer for RF Personal Comm.	20-Laminate TCSP		5850.00/2,500	
LMX2311USLDXCT-ND	2,0 GHz Frequenz-Synthesizer für HF-Personenkommunikation, Ultraniedrigleistung	2.0GHz Ultra Low Power Frequency Synthesizer for RF Personal Comm.	20-Laminate TCSP	3.88	3.08	2.64
LMX2311USLDXTR-ND	2,0 GHz Frequenz-Synthesizer für HF-Personenkommunikation, Ultraniedrigleistung	2.0GHz Ultra Low Power Frequency Synthesizer for RF Personal Comm.	20-Laminate TCSP		5650.00/2,500	
LMX2312USLDXCT-ND	1,2 GHz Frequenz-Synthesizer für HF-Personenkommunikation, Ultraniedrigleistung	1.2GHz Ultra Low Power Frequency Synthesizer for RF Personal Comm	20-Laminate TCSP	3.70	2.94	2.51
LMX2312USLDXTR-ND	1,2 GHz Frequenz-Synthesizer für HF-Personenkommunikation, Ultraniedrigleistung	1.2GHz Ultra Low Power Frequency Synthesizer for RF Personal Comm.	20-Laminate TCSP		5375.00/2,500	
LMX2313USLDXCT-ND	600 MHz Frequenz-Synthesizer für HF-Personenkommunikation, Ultraniedrigleistung	600MHz Ultra Low Power Frequency Synthesizer for RF Personal Comm.	20-Laminate TCSP	3.58	2.85	2.43
LMX2313USLDXTR-ND	600 MHz Frequenz-Synthesizer für HF-Personenkommunikation, Ultraniedrigleistung	600MHz Ultra Low Power Frequency Synthesizer for RF Personal Comm.	20-Laminate TCSP		5200.00/2,500	
LMX2316SLBXCT-ND	1,2 GHz NL-Frequenz-Synthesizer für HF-Personenkommunikation	1.2GHz Low Power Frequency Synthesizer for RF Personal Communications	16-Laminate CSP	1.74	1.66	1.57
LMX2316SLBXTR-ND	1,2 GHz NL-Frequenz-Synthesizer für HF-Personenkommunikation	1.2GHz Low Power Frequency Synthesizer for RF Personal Communications	16-Laminate CSP		3375.00/2,500	
LMX2316TM-ND	1,2 GHz NL-Frequenz-Synthesizer für HF-Personenkommunikation	1.2GHz Low Power Frequency Synthesizer for RF Personal Communications	16-TSSOP	1.92	1.32	1.06
LMX2324SLBXCT-ND	2,0 GHz Frequenz-Synthesizer für HF-Personenkommunikation	2.0GHz Frequency Synthesizer for RF Personal Communications	16-Laminate CSP	3.04	2.42	2.07
LMX2324SLBXTR-ND	2,0 GHz Frequenz-Synthesizer für HF-Personenkommunikation	2.0GHz Frequency Synthesizer for RF Personal Communications	16-Laminate CSP		4425.00/2,500	
LMX2324TM-ND	2,0 GHz Frequenz-Synthesizer für HF-Personenkommunikation	2.0GHz Freq. Synthesizer for RF Personal Comm.	16-TSSOP	2.95	2.35	2.01
LMX2326SLBXCT-ND	2,8 GHz Platinum-Frequenz-Synthesizer für HF-Kommunikation	2.8GHz Platinum Frequency Synthesizer for RF Communications	16-Laminate CSP	2.25	2.14	2.03
LMX2326SLBXTR-ND	2,8 GHz Platinum-Frequenz-Synthesizer für HF-Kommunikation	2.8GHz Platinum Frequency Synthesizer for RF Communications	16-Laminate CSP		4350.00/2,500	
LMX2326TM-ND	2,8 GHz Platinum-Frequenz-Synthesizer für HF-Kommunikation	2.8GHz Platinum Frequency Synthesizer for RF Communications	16-TSSOP	2.10	1.44	1.37
LMX2330LTM-ND	NL-Doppelfrequenz-Synthesizer für HF-Personenkommunikation	Low Power Dual Frequency Synthesizer for RF Personal Communications	20-TSSOP	2.05	1.95	1.85
LMX2330UTM-ND	NL-Doppelfrequenz-Synthesizer für HF-Personenkommunikation	Low Power Dual Frequency Synthesizer for RF Personal Communications	20-TSSOP	4.56	3.63	3.10
LMX2330USLBXCT-ND	NL-Doppelfrequenz-Synthesizer für HF-Personenkommunikation	Low Power Dual Frequency Synthesizer for RF Personal Communications	24-Laminate CSP	4.74	3.77	3.22
LMX2330USLBXTR-ND	NL-Doppelfrequenz-Synthesizer für HF-Personenkommunikation	Low Power Dual Frequency Synthesizer for RF Personal Communications	24-Laminate CSP		6900.00/2,500	
LMX2330USLEXCT-ND	NL-Doppelfrequenz-Synthesizer für HF-Personenkommunikation	Low Power Dual Frequency Synthesizer for RF Personal Communications	20-Laminate CSP	4.92	3.91	3.34
LMX2330USLEXTR-ND	NL-Doppelfrequenz-Synthesizer für HF-Personenkommunikation	Low Power Dual Frequency Synthesizer for RF Personal Communications	20-Laminate CSP		7150.00/2,500	
LMX2331LTM-ND	NL-Doppelfrequenz-Synthesizer für HF-Personenkommunikation	Low Power Dual Frequency Synthesizer for RF Personal Communications	20-TSSOP	3.13	2.49	2.13
LMX2331USLBXCT-ND	NL-Doppelfrequenz-Synthesizer für HF-Personenkommunikation	Low Power Dual Frequency Synthesizer for RF Personal Communications	24-Laminate CSP	4.12	3.27	2.80
LMX2331USLBXTR-ND	NL-Doppelfrequenz-Synthesizer für HF-Personenkommunikation	Low Power Dual Frequency Synthesizer for RF Personal Communications	24-Laminate CSP		6000.00/2,500	
LMX2331USLEXCT-ND	NL-Doppelfrequenz-Synthesizer für HF-Personenkommunikation	Low Power Dual Frequency Synthesizer for RF Personal Communications	20-Laminate CSP	4.30	3.42	2.92
LMX2331USLEXTR-ND	NL-Doppelfrequenz-Synthesizer für HF-Personenkommunikation	Low Power Dual Frequency Synthesizer for RF Personal Communications	20-Laminate CSP		6250.00/2,500	
LMX2331UTM-ND	NL-Doppelfrequenz-Synthesizer für HF-Personenkommunikation	Low Power Dual Frequency Synthesizer for RF Personal Communications	20-TSSOP	4.00	3.18	2.72
LMX2332LSLBXCT-ND	NL-Doppelfrequenz-Synthesizer für HF-Personenkommunikation	Low Power Dual Frequency Synthesizer for RF Personal Communications	24-CSP	3.22	2.56	2.19
LMX2332LSLBXTR-ND	NL-Doppelfrequenz-Synthesizer für HF-Personenkommunikation	Low Power Dual Frequency Synthesizer for RF Personal Communications	24-CSP		4675.00/2,500	
LMX2332LTM-ND	NL-Doppelfrequenz-Synthesizer für HF-Personenkommunikation	Low Power Dual Frequency Synthesizer for RF Personal Communications	20-TSSOP	1.76	1.67	1.59
LMX2332USLBXCT-ND	NL-Doppelfrequenz-Synthesizer für HF-Personenkommunikation	Low Power Dual Frequency Synthesizer for RF Personal Communications	24-Laminate CSP	3.55	2.82	2.41
LMX2332USLBXTR-ND	NL-Doppelfrequenz-Synthesizer für HF-Personenkommunikation	Low Power Dual Frequency Synthesizer for RF Personal Communications	24-Laminate CSP		5175.00/2,500	
LMX2332USLEXCT-ND	NL-Doppelfrequenz-Synthesizer für HF-Personenkommunikation	Low Power Dual Frequency Synthesizer for RF Personal Communications	20-Laminate CSP	3.70	2.94	2.51
LMX2332USLEXTR-ND	NL-Doppelfrequenz-Synthesizer für HF-Personenkommunikation	Low Power Dual Frequency Synthesizer for RF Personal Communications	20-Laminate CSP		5375.00/2,500	
LMX2332UTM-ND	NL-Doppelfrequenz-Synthesizer für HF-Personenkommunikation	Low Power Dual Frequency Synthesizer for RF Personal Communications	20-TSSOP	3.40	2.70	2.31
LMX2335LTM-ND	NL-Doppelfrequenz-Synthesizer für HF-Personenkommunikation	Low Power Dual Frequency Synthesizer for RF Personal Communications	16-TSSOP	2.94	2.33	1.99
LMX2335LTMXTR-ND	1,1 GHz Doppelfrequenz-Synthesizer für RF-Kommunikation	1.1GHz Dual Freq. Synthesizer for RF Communications	16-TSSOP		4275.00/2,500	
LMX2335USLBXCT-ND	NL-Doppelfrequenz-Synthesizer für HF-Personenkommunikation	Low Power Dual Frequency Synthesizer for RF Personal Communications	16-Laminate CSP	3.85	3.06	2.62
LMX2335USLBXTR-ND	NL-Doppelfrequenz-Synthesizer für HF-Personenkommunikation	Low Power Dual Frequency Synthesizer for RF Personal Communications	16-Laminate CSP		5600.00/2,500	
LMX2335UTM-ND	NL-Doppelfrequenz-Synthesizer für HF-Personenkommunikation	Low Power Dual Frequency Synthesizer for RF Personal Communications	16-TSSOP	3.70	2.94	2.51
LMX2336LTM-ND	NL-Doppelfrequenz-Synthesizer für HF-Personenkommunikation	Low Power Dual Frequency Synthesizer for RF Personal Communications	20-TSSOP	3.40	2.70	2.31
LMX2336USLBXCT-ND	NL-Doppelfrequenz-Synthesizer für HF-Personenkommunikation	Low Power Dual Frequency Synthesizer for RF Personal Communications	24-Laminate CSP	4.48	3.56	3.04
LMX2336USLBXTR-ND	NL-Doppelfrequenz-Synthesizer für HF-Personenkommunikation	Low Power Dual Frequency Synthesizer for RF Personal Communications	24-Laminate CSP		6500.00/2,500	
LMX2336USLEXCT-ND	NL-Doppelfrequenz-Synthesizer für HF-Personenkommunikation	Low Power Dual Frequency Synthesizer for RF Personal Communications	20-Laminate CSP	4.65	3.70	3.16
LMX2336USLEXTR-ND	NL-Doppelfrequenz-Synthesizer für HF-Personenkommunikation	Low Power Dual Frequency Synthesizer for RF Personal Communications	20-Laminate CSP		6775.00/2,500	
LMX2336UTM-ND	NL-Doppelfrequenz-Synthesizer für HF-Personenkommunikation	Low power Dual Frequency Synthesizer for RF Personal Communications	20-TSSOP	4.30	3.42	2.92
LMX2346SLBXCT-ND	2,0 GHz Frequenz-Synthesizer für HF-Personenkommunikation	2.0GHz Frequency Synthesizer for RF Personal Communications	16-Laminate CSP	4.33	3.44	2.94
LMX2346SLBXTR-ND	2,0 GHz Frequenz-Synthesizer für HF-Personenkommunikation	2.0GHz Frequency Synthesizer for RF Personal Communications	16-Laminate CSP		6300.00/2,500	
LMX2346TM-ND	2,0 GHz Frequenz-Synthesizer für HF-Personenkommunikation	2.0GHz Frequency Synthesizer for RF Personal Communications	16-TSSOP	4.27	3.39	2.90
LMX2347SLBXCT-ND	2,5 GHz Frequenz-Synthesizer für HF-Personenkommunikation	2.5GHz Frequency Synthesizer for RF Personal Communications	16-Laminate CSP	4.45	3.54	3.02
LMX2347SLBXTR-ND	2,5 GHz Frequenz-Synthesizer für HF-Personenkommunikation	2.5GHz Frequency Synthesizer for RF Personal Communications	16-Laminate CSP		6475.00/2,500	
LMX2347TM-ND	2,5 GHz Frequenz-Synthesizer für HF-Personenkommunikation	2.5GHz Frequency Synthesizer for RF Personal Communications	16-TSSOP	4.33	3.44	2.94
LMX2350SLBXCT-ND	NL-Doppelfrequenz-Synthesizer, N-HF fraktionell/N-IF ganzzahlig	Fractional N RF/ Integer N IF Dual Low Power Frequency Synthesizer	24-Laminate	7.46	5.93	5.07
LMX2350SLBXTR-ND	NL-Doppelfrequenz-Synthesizer, N-HF fraktionell/N-IF ganzzahlig	Fractional N RF/ Integer N IF Dual Low Power Frequency Synthesizer	24-Laminate		10850.00/2,500	
LMX2350TM-ND	NL-Doppelfrequenz-Synthesizer, N-HF fraktionell/N-IF ganzzahlig	Fractional N RF/ Integer N IF Dual Low Power Frequency Synthesizer	24-TSSOP	7.28	5.79	4.95
LMX2352SLBXCT-ND	1,2 GHz NL-Doppelfrequenz-Synthesizer, N-HF fraktionell/N-IF ganzzahlig	1.2GHz Fractional N RF/ Integer N IF Dual Low Power Frequency Synthesizer	24-Laminate CSP	6.77	5.39	4.60
LMX2352SLBXTR-ND	1,2 GHz NL-Doppelfrequenz-Synthesizer, N-HF fraktionell/N-IF ganzzahlig	1.2GHz Fractional N RF/ Integer N IF Dual Low Power Frequency Synthesizer	24-Laminate CSP		9850.00/2,500	
LMX2352TM-ND	1,2 GHz NL-Doppelfrequenz-Synthesizer, N-HF fraktionell/N-IF ganzzahlig	1.2GHz Fractional N RF/ Integer N IF Dual Low Power Frequency Synthesizer	24-TSSOP	3.74	3.55	3.38

(Forts.)

★ RUFEN SIE BITTE AN FÜR NIEDRIGERE PREISE BEI GRÖSSEREN MENGEN! ★

Alle Preisangaben in Euro und inklusive Zollgebühren.

Digi-Key Teilenr.	Beschreibung		Paket	Stückpreis★ 1	25	100
LMX2352TMXCT-ND	1,2 GHz NL-Doppelfrequenz-Synthesizer, N-HF fraktionell/N-IF ganzzahlig	1.2GHz Fractional N RF/ Integer N IF Dual Low Power Frequency Synthesizer	24-TSSOP	6.59	5.24	4.48
LMX2352TMXTR-ND	1,2 GHz NL-Doppelfrequenz-Synthesizer, N-HF fraktionell/N-IF ganzzahlig	1.2GHz Fractional N RF/ Integer N IF Dual Low Power Frequency Synthesizer	24-TSSOP		9600.00/2,500	
LMX2353SLBXCT-ND	2,5 GHz NL-Einzelfrequenz-Synthesizer. N fraktionell	2.5GHz Fractional N Single Low Power Frequency Synthesizer	16-Laminate CSP	5.40	4.29	3.67
LMX2353SLBXTR-ND	2,5 GHz NL-Einzelfrequenz-Synthesizer. N fraktionell	2.5GHz Fractional N Single Low Power Frequency Synthesizer	16-Laminate CSP		7850.00/2,500	
LMX2353TM-ND	2,5 GHz NL-Einzelfrequenz-Synthesizer. N fraktionell	2.5GHz Fractional N Single Low Power Frequency Synthesizer	16-TSSOP	2.21	2.10	1.99
LMX2354SLBXCT-ND	2,5 GHz NL-Doppelfrequenz-Synthesizer, N-HF fraktionell/N-IF ganzzahlig	2.5GHz Fractional N RF/ Integer N IF Dual Low Power Frequency Synthesizer	24-Laminate CSP	5.01	3.99	3.41
LMX2354SLBXTR-ND	2,5 GHz NL-Doppelfrequenz-Synthesizer, N-HF fraktionell/N-IF ganzzahlig	2.5GHz Fractional N RF/ Integer N IF Dual Low Power Frequency Synthesizer	24-Laminate CSP		7300.00/2,500	
LMX2354TM-ND	2,5 GHz NL-Doppelfrequenz-Synthesizer, N-HF fraktionell/N-IF ganzzahlig	2.5GHz Fractional N RF/ Integer N IF Dual Low Power Frequency Synthesizer	24-TSSOP	3.34	2.28	1.83
LMX2364SLEXCT-ND	2,6 GHz Frequenz-Synthesizer, fraktionell HF	2.6GHz Fractional RF Frequency Synthesizer	24-Laminate CSP	5.49	4.37	3.73
LMX2364SLEXTR-ND	2,6 GHz Frequenz-Synthesizer, fraktionell HF	2.6GHz Fractional RF Frequency Synthesizer	24-Laminate CSP		7975.00/2,500	
LMX2364TM-ND	2,6 GHz Frequenz-Synthesizer, fraktionell HF	2.6GHz Fractional RF Frequency Synthesizer	24-TSSOP	5.34	4.25	3.63
LMX2370SLBXCT-ND	Doppelfrequenz-Synthesizer für HF-Personenkommunikation	Dual Frequency Synthesizer for RF Personal Communications	24-Laminate	4.51	3.58	3.06
LMX2370SLBXTR-ND	Doppelfrequenz-Synthesizer für HF-Personenkommunikation	Dual Frequency Synthesizer for RF Personal Communications	24-Laminate		6550.00/2,500	
LMX2370SLDXCT-ND	Doppelfrequenz-Synthesizer für HF-Personenkommunikation	Dual Frequency Synthesizer for RF Personal Communications	24-Laminate TCSP	4.71	3.75	3.20
LMX2370SLDXTR-ND	Doppelfrequenz-Synthesizer für HF-Personenkommunikation	Dual Frequency Synthesizer for RF Personal Communications	24-Laminate TCSP		6850.00/2,500	
LMX2370TM-ND	Doppelfrequenz-Synthesizer für HF-Personenkommunikation	Dual Frequency Synthesizer for RF Personal Communications	20-TSSOP	4.33	3.44	2.94
LMX2377USLBXCT-ND	2,5 GHz Doppelfrequenz-Synthesizer für HF-Personenkommunikation, Ultraniedrigleistung	2.5GHz, Ultra Low Power Dual Frequency Synthesizer for RF Personal Communications	24-Laminate CSP	4.98	3.96	3.39
LMX2377USLBXTR-ND	2,5 GHz Doppelfrequenz-Synthesizer für HF-Personenkommunikation, Ultraniedrigleistung	2.5GHz, Ultra Low Power Dual Frequency Synthesizer for RF Personal Communications	24-Laminate CSP		7250.00/2,500	
LMX2377USLEXCT-ND	2,5 GHz Doppelfrequenz-Synthesizer für HF-Personenkommunikation, Ultraniedrigleistung	2.5GHz, Ultra Low Power Dual Frequency Synthesizer for RF Personal Communications	20-Laminate UCSP	5.13	4.08	3.49
LMX2377USLEXTR-ND	2,5 GHz Doppelfrequenz-Synthesizer für HF-Personenkommunikation, Ultraniedrigleistung	2.5GHz, Ultra Low Power Dual Frequency Synthesizer for RF Personal Communications	20-Laminate UCSP		7475.00/2,500	
LMX2377UTM-ND	2,5 GHz Doppelfrequenz-Synthesizer für HF-Personenkommunikation, Ultraniedrigleistung	2.5GHz, Ultra Low Power Dual Frequency Synthesizer for RF Personal Communications	20-TSSOP	4.83	3.84	3.28
LMX2430EVAL-ND	Evaluierungskarte für LMX2430	Evaluation Board for LMX2430	—	447.53	—	—
LMX2430SLEXCT-ND	3,0 GHz Doppel-Hochfrequenz-Synthesizer für HF-Personenkommunikation	3.0GHz, Dual High Frequency Synthesizer for RF Personal Communications	20-Laminate UCSP	2.86	2.72	2.58
LMX2430SLEXTR-ND	3,0 GHz Doppel-Hochfrequenz-Synthesizer für HF-Personenkommunikation	3.0GHz, Dual High Frequency Synthesizer for RF Personal Communications	20-Laminate UCSP		5525.00/2,500	
LMX2430TM-ND	3,0 GHz Doppel-Hochfrequenz-Synthesizer für HF-Personenkommunikation	3.0GHz, Dual High Frequency Synthesizer for RF Personal Communications	20-TSSOP	2.73	2.59	2.46
LMX2433EVAL-ND	Evaluierungskarte für LMX2433	Evaluation Board for LMX2433	—	447.53	—	—
LMX2433SLEXCT-ND	3,6 GHz Doppel-Hochfrequenz-Synthesizer für HF-Personenkommunikation	3.6GHz, Dual High Frequency Synthesizer for RF Personal Communications	20-Laminate UCSP	3.03	2.88	2.74
LMX2433SLEXTR-ND	3,6 GHz Doppel-Hochfrequenz-Synthesizer für HF-Personenkommunikation	3.6GHz, Dual High Frequency Synthesizer for RF Personal Communications	20-Laminate UCSP		5875.00/2,500	
LMX2433TM-ND	3,6 GHz Doppel-Hochfrequenz-Synthesizer für HF-Personenkommunikation	3.6GHz, Dual High Frequency Synthesizer for RF Personal Communications	20-TSSOP	2.84	2.70	2.57
LMX2434EVAL-ND	Evaluierungskarte für LMX2434	Evaluation Board for LMX2434	—	447.53	—	—
LMX2434SLEXCT-ND	5,0 GHz Doppel-Hochfrequenz-Synthesizer für HF-Personenkommunikation	5.0GHz, Dual High Frequency Synthesizer for RF Personal Communications	20-Laminate UCSP	3.12	2.96	2.81
LMX2434SLEXTR-ND	5,0 GHz Doppel-Hochfrequenz-Synthesizer für HF-Personenkommunikation	5.0GHz, Dual High Frequency Synthesizer for RF Personal Communications	20-Laminate UCSP		6025.00/2,500	
LMX2434TM-ND	5,0 GHz Doppel-Hochfrequenz-Synthesizer für HF-Personenkommunikation	5.0GHz, Dual High Frequency Synthesizer for RF Personal Communications	20-TSSOP	3.00	2.85	2.70
LMX2470EVAL-ND	Evaluierungskarte für LMX2470	Evaluation Board for LMX2470	—	447.53	—	—
LMX2470SLEXCT-ND	2,6 GHz, Delta-Sigma PLL	2.6GHz, Delta-Sigma PLL	24-Laminate UCSP	5.97	4.74	4.05
LMX2470SLEXTR-ND	2,6 GHz, Delta-Sigma PLL	2.6GHz, Delta-Sigma PLL	24-Laminate UCSP		8675.00/2,500	
LMX2471SLEXCT-ND	3,6 GHz Delta-Sigma PLL N fraktionell mit 1,7 GHz PLL N ganzzahlig	3.6GHz Delta-Sigma Fractional-N PLL with 1.7GHz Integer-N PLL	24-CSP	6.74	5.36	4.58
LMX2471SLEXTR-ND	3,6 GHz Delta-Sigma PLL N fraktionell mit 1,7 GHz PLL N ganzzahlig	3.6GHz Delta-Sigma Fractional-N PLL with 1.7GHz Integer-N PLL	24-CSP		9800.00/2,500	
LMX25021635EVAL-ND	Evaluierungskarte für LMX25021635	Evaluation Board for LMX25021635	—	447.53	—	—
LMX2502LQ1635CT-ND	Frequenz-Synthesizer mit integriertem VCO	Frequency Synthesizer with Integrated VCO	28-LLP	4.28	4.07	3.87
LMX2502LQ1635TR-ND	Frequenz-Synthesizer mit integriertem VCO	Frequency Synthesizer with Integrated VCO	28-LLP		3320.00/1,000	
LMX25051321EVAL-ND	Evaluierungskarte für LMX25051321	Evaluation Board for LMX25051321	—	447.53	—	—
LMX2505LQ1321CT-ND	Doppelfrequenz-Synthesizer mit integriertem VCO	Dual Frequency Synthesizer with Integrated VCO	28-LLP	5.71	5.42	5.15
LMX2505LQ1321TR-ND	Doppelfrequenz-Synthesizer mit integriertem VCO	Dual Frequency Synthesizer with Integrated VCO	28-LLP		4420.00/1,000	
LMX25120967EVAL-ND	Evaluierungskarte für LMX25120967	Evaluation Board for LMX25120967	—	447.53	—	—
LMX2512LQ0967CT-ND	Frequenz-Synthesizer mit integriertem VCO	Frequency Synthesizer with Integrated VCO	28-LLP	4.28	4.07	3.87
LMX2512LQ0967TR-ND	Frequenz-Synthesizer mit integriertem VCO	Frequency Synthesizer with Integrated VCO	28-LLP		3320.00/1,000	
LMX25121065EVAL-ND	Evaluierungskarte für LMX25121065	Evaluation Board for LMX25121065	—	447.53	—	—
LMX2512LQ1065CT-ND	Frequenz-Synthesizer mit integriertem VCO	Frequency Synthesizer with Integrated VCO	28-LLP	4.28	4.07	3.87
LMX2512LQ1065TR-ND	Frequenz-Synthesizer mit integriertem VCO	Frequency Synthesizer with Integrated VCO	28-LLP		3320.00/1,000	
LMX2515LQ0701CT-ND	PLL Frequenz-Synthesizer mit integriertem VCO	PLL Freq. Synthesizer with Integrated VCO	28-LLP	4.83	4.58	4.36
LMX2515LQ0701TR-ND	PLL Frequenz-Synthesizer mit integriertem VCO	PLL Freq. Synthesizer with Integrated VCO	28-LLP		3740.00/1,000	
LMX2515LQ1321CT-ND	PLL Frequenz-Synthesizer mit integriertem VCO	PLL Freq. Synthesizer with Integrated VCO	28-LLP	4.83	4.58	4.36
LMX2515LQ1321TR-ND	PLL Frequenz-Synthesizer mit integriertem VCO	PLL Freq. Synthesizer with Integrated VCO	28-LLP		3740.00/1,000	
LMX25221635EVAL-ND	Evaluierungskarte für LMX2522XXXX	Evaluation Board for LMX2522XXXX	—	447.53	—	—
LMX2522LQ1635CT-ND	Frequenz-Synthesizer mit integriertem VCO	Frequency Synthesizer with Integrated VCO	28-LLP	5.13	4.87	4.63
LMX2522LQ1635TR-ND	Frequenz-Synthesizer mit integriertem VCO	Frequency Synthesizer with Integrated VCO	28-LLP		3980.00/1,000	
LMX25320967EVAL-ND	Evaluierungskarte für LMX2532XXXX	Evaluation Board for LMX2532XXXX	—	447.53	—	—
LMX2532LQ0967CT-ND	Frequenz-Synthesizer mit integriertem VCO	Frequency Synthesizer with Integrated VCO	28-LLP	5.13	4.87	4.63
LMX2532LQ0967TR-ND	Frequenz-Synthesizer mit integriertem VCO	Frequency Synthesizer with Integrated VCO	28-LLP		3980.00/1,000	
LMX25321065EVAL-ND	Evaluierungskarte für LMX2532XXXX	Evaluation Board for LMX2532XXXX	—	447.53	—	—
LMX2532LQ1065CT-ND	Frequenz-Synthesizer mit integriertem VCO	Frequency Synthesizer with Integrated VCO	28-LLP	5.13	4.87	4.63
LMX2532LQ1065TR-ND	Frequenz-Synthesizer mit integriertem VCO	Frequency Synthesizer with Integrated VCO	28-LLP		3980.00/1,000	
LMX3305SLBXCT-ND	Dreif. PLL für HF-Personenkommunikation	Triple PLL for RF Personal Comm.	24-Laminate CSP	7.22	5.74	4.91
LMX3305SLBXTR-ND	Dreif. PLL für HF-Personenkommunikation	Triple PLL for RF Personal Comm.	24-Laminate CSP		10500.00/2,500	
LMX9820ASM-ND	Bluetooth® serielles Port-Modul	Bluetooth® Serial Port Module	116-BGA	49.23	39.15	33.45
LP324M-ND	Vierf. OpAmp, Micropower	Micropower Quad Op Amp	14-SOIC	.64	.50	.38
LP324MT-ND	Vierf. OpAmp, Micropower	Micropower Quad Op Amp	14-TSSOP	.92	.74	.63
LP324MXTR-ND	Vierf. OpAmp, Micropower	Micropower Quad Op Amp	14-SOIC		1225.00/2,500	
LP324N-ND	Vierf. OpAmp, Micropower	Micropower Quad Op Amp	14-Dip	.52	.39	.37
LP339M-ND	Vierf. Ultra-Niedrigleistungs-Komparator	Ultra-Low Power Quad Comparator	14-SOIC	.48	.42	.38
LP339MXTR-ND	Vierf. Ultra-Niedrigleistungs-Komparator	Ultra-Low Power Quad Comparator	14-SOIC		1150.00/2,500	
LP339NNS-ND	Vierf. Ultra-Niedrigleistungs-Komparator	Ultra-Low Power Quad Comparator	14-Dip	.48	.42	.38
LP395Z-ND	Ultrazuverlässiger Leistungstransistor	Ultra Reliable Power Transistor	TO-92	.75	.56	.53
LP2902M-ND	Vierf. OpAmp, Micropower	Micropower Quad Operational Amplifier	14-SOIC	.75	.71	.68
LP2902MXTR-ND	Vierf. OpAmp, Micropower	Micropower Quad Operational Amplifier	14-SOIC		1925.00/2,500	
LP2902N-ND	Vierf. OpAmp, Micropower	Micropower Quad Operational Amplifier	14-Dip	1.46	1.16	.99
LP2950ACZ-3.0-ND	3 V einstellbare Spannungsreglerserie, Micropower	3V, Series Adjustable Micropower Voltage Regulator	TO-92	.84	.67	.57
LP2950ACZ-3.3-ND	3.3 V einstellbare Spannungsreglerserie, Micropower	3.3V, Series Adjustable Micropower Voltage Regulator	TO-92	.84	.67	.57
LP2950ACZ-5.0NS-ND	5 V Spannungsregler, Micropower	5V, Micropower Voltage Regulator	TO-92	.54	.47	.39
LP2950CDT-3.3-ND	3,3 V Spannungsregler, Micropower	3.3V, Micropower Voltage Regulator	TO-252	1.01	.81	.69
LP2950CDT-5.0NS-ND	Einstellbare Spannungsregler, Micropower	Adjustable Micropower Voltage Regulator	D-Pak	.58	.55	.52
LP2950CZ-3.0-ND	3 V einstellbare Spannungsreglerserie, Micropower	3V, Series Adjustable Micropower Voltage Regulator	TO-92	.70	.44	.38
LP2950CZ-3.3-ND	3,3 V einstellb. Spannungsregler, Micropower	3.3V, Adj. Micropower Voltage Regulator	TO-92	.69	.55	.47
LP2950CZ-5.0NS-ND	5 V Spannungsregler, Micropower	5V, Micropower Voltage Regulator	TO-92	1.41	1.01	.73
LP2951ACM-ND	1,24-29 V einstellbarer Spannungsregler	1.24-29V, Adjustable Voltage Regulator	8-SOIC	.68	.60	.52
LP2951ACMXTR-ND	1,24-29 V einstellbarer Spannungsregler	1.24-29V, Adjustable Voltage Regulator	8-SOIC		1025.00/2,500	
LP2951ACM-3.0-ND	3 V einstellbare Spannungsreglerserie, Micropower	3V, Series Adj. Micropower Voltage Regulator	8-SOIC	.71	.56	.48
LP2951ACM-3.3-ND	3.3 V einstellbare Spannungsreglerserie, Micropower	3.3V, Series Adj. Micropower Voltage Regulator	8-SOIC	.40	.38	.36
LP2951ACMM-3.0CT-ND	3 V einstellbare Spannungsreglerserie, Micropower	3V, Series Adj. Micropower Voltage Regulator	8-MSOP	.74	.59	.50
LP2951ACMM-3.0TR-ND	3 V einstellbare Spannungsreglerserie, Micropower	3V, Series Adj. Micropower Voltage Regulator	8-MSOP		430.00/1,000	
LP2951ACMM-3.3CT-ND	3.3 V einstellbare Spannungsreglerserie, Micropower	3.3V, Series Adj. Micropower Voltage Regulator	8-MSOP	.74	.59	.50
LP2951ACMM-3.3TR-ND	3.3 V einstellbare Spannungsreglerserie, Micropower	3.3V, Series Adj. Micropower Voltage Regulator	8-MSOP		430.00/1,000	
LP2951ACMMCT-ND	Einstellbare Spannungsreglerserie, Micropower	Series Adj. Micropower Voltage Regulator	8-MSOP	.42	.40	.38

(Forts.)

★ RUFEN SIE BITTE AN FÜR NIEDRIGERE PREISE BEI GRÖSSEREN MENGEN! ★

B

Digi-Key Teilenr.	Beschreibung		Paket	Stückpreis★ 1	25	100
LP2951ACMMTR-ND	Einstellbare Spannungsreglerserie, Micropower	Series Adj. Micropower Voltage Regulator	8-MSOP		320.00/1,000	
LP2951ACN-ND	1,24-29 V einstellbarer Spannungsregler, Micropower	1.24-29V, Adjustable Micropower Voltage Regulator	8-Dip	.68	.54	.49
LP2951ACN-3.3-ND	3.3 V einstellbare Spannungsreglerserie, Micropower	3.3V, Series Adj. Micropower Voltage Regulator	8-Dip	1.24	.99	.85
LP2951CM-ND	1,24-29 V einstellbarer Spannungsregler, Micropower	1.24-29V, Adjustable Micropower Voltage Regulator	8-SOIC	.53	.43	.32
LP2951CMXTR-ND	1,24-29 V einstellbarer Spannungsregler, Micropower	1.24-29V, Adjustable Micropower Voltage Regulator	8-SOIC		1000.00/2,500	
LP2951CM-3.0-ND	3 V einstellbare Spannungsreglerserie, Micropower	3V, Series Adj. Micropower Voltage Regulator	8-SOIC	.69	.55	.47
LP2951CM-3.3-ND	3.3 V einstellbare Spannungsreglerserie, Micropower	3.3V, Series Adj. Micropower Voltage Regulator	8-SOIC	.39	.37	.35
LP2951CMM-3.0CT-ND	3 V einstellbare Spannungsreglerserie, Micropower	3V, Series Adj. Micropower Voltage Regulator	8-MSOP	.74	.59	.50
LP2951CMM-3.0TR-ND	3 V einstellbare Spannungsreglerserie, Micropower	3V, Series Adj. Micropower Voltage Regulator	8-MSOP		430.00/1,000	
LP2951CMM-3.3CT-ND	3.3 V einstellbare Spannungsreglerserie, Micropower	3.3V, Series Adj. Micropower Voltage Regulator	8-MSOP	.74	.59	.50
LP2951CMM-3.3TR-ND	3.3 V einstellbare Spannungsreglerserie, Micropower	3.3V, Series Adj. Micropower Voltage Regulator	8-MSOP		430.00/1,000	
LP2951CMMCT-ND	Einstellbare Spannungsreglerserie, Micropower	Series Adj. Micropower Voltage Regulator	8-MSOP	.42	.40	.38
LP2951CMMTR-ND	Einstellbare Spannungsreglerserie, Micropower	Series Adj. Micropower Voltage Regulator	8-MSOP		320.00/1,000	
LP2951CN-ND	Einstellbare Spannungsregler, Micropower	Adjustable Micropower Voltage Regulator	8-Dip	.73	.63	.57
LP2951CN-3.0-ND	3 V einstellbare Spannungsreglerserie, Micropower	3V, Series Adj. Micropower Voltage Regulator	8-Dip	.61	.51	.48
LP2951CN-3.3-ND	3.3 V einstellbare Spannungsreglerserie, Micropower	3.3V, Series Adj. Micropower Voltage Regulator	8-Dip	1.24	.99	.85
LP2952AIM-3.3-ND	3,3 V einstellb. LDO-Spannungsregler	3.3V, Adj. LDO Voltage Regulator	16-SOIC	2.57	2.44	2.32
LP2952AIM-ND	Einstellb. LDO-Spannungsregler	Adj. LDO Voltage Regulator	16-SOIC	2.57	2.44	2.32
LP2952AIN-3.3-ND	3,3 V einstellb. LDO-Spannungsregler	3.3V, Adj. LDO Voltage Regulator	14-Dip	2.57	2.44	2.32
LP2952IM-ND	250 mA einstellb. NL-Spannungsregler	250mA Low Power Adjustable Voltage Regulator	16-SOIC	1.18	1.12	1.06
LP2952IM-3.3-ND	3,3 V einstellb. LDO-Spannungsregler	3.3V, Adj. LDO Voltage Regulator	16-SOIC	1.52	1.45	1.38
LP2952IN-3.3-ND	3,3 V einstellb. LDO-Spannungsregler	3.3V, Adj. LDO Voltage Regulator	14-Dip	1.18	1.12	1.06
LP2953AIM-ND	250 mA einstellb. NL-Spannungsregler (elektr. erweitert)	250mA Low Power Adj. Voltage Reg. (Elect. Improved)	16-SOIC	3.10	2.94	2.80
LP2953IM-ND	250 mA einstellb. NL-Spannungsregler	250mA Low Power Adjustable Voltage Regulator	16-SOIC	1.71	1.62	1.54
LP2953IN-ND	250 mA einstellb. NL-Spannungsregler	250mA Low Power Adjustable Voltage Regulator	16-Dip	1.71	1.62	1.54
LP2954AIS-ND	Einstellb. LDO-Spannungsregler, Micropower	Adj. Micropower LDO Voltage Regulator	TO-263	3.42	3.25	3.09
LP2954AIT-ND	5,0 V Low-Dropout-Spannungsregler, Micropower	5.0V, Micropower Low Dropout Voltage Regulator	TO-220	3.42	3.25	3.09
LP2954IS-ND	5 A LDO-Spannungsregler, Micropower	5A Micropower LDO Voltage Regulator	TO-263	2.17	2.06	1.96
LP2954IT-ND	5 V NL-Spannungsregler	5.0V, Low Power Voltage Regulator	TO-220	2.12	2.01	1.91
LP2956AIM-ND	Zweif. LDO-Spannungsregler, Micropower	Dual Micropower LDO Voltage Regulator	16-SOIC	5.58	4.44	3.79
LP2956AIN-ND	Zweif. LDO-Spannungsregler, Micropower	Dual Micropower LDO Voltage Regulator	16-Dip	3.17	3.01	2.86
LP2956IM-ND	Zweif. LDO-Spannungsregler, Micropower	Dual Micropower LDO Voltage Regulator	16-SOIC	2.34	2.22	2.11
LP2957AIS-ND	5 V LDO-Reg. für Micropower-Anwendung	5.0V, LDO Regulator for Micropower Application	TO-263-5	2.88	2.73	2.60
LP2957AIT-ND	5 V LDO-Reg. für Micropower-Anwendung	5.0V, LDO Regulator for Micropower Application	TO-220-5	2.88	2.73	2.60
LP2957IS-ND	5 V LDO-Reg. für Micropower-Anwendung	5.0V, LDO Regulator for Micropower Application	TO-263-5	2.22	2.11	2.00
LP2960IM-3.3-ND	3,3 V, 0,5 A LDO-Regler, Micropower	3.3V, .5A Micropower LDO Regulator	16-SOIC	1.28	1.22	1.16
LP2960IM-5.0-ND	5 V, 0,5 A LDO-Regler, Micropower, 160 ppm	5.0V, .5A Micropower LDO Regulator, 160ppm	16-SOIC	1.69	1.61	1.53
LP2966IMM-1818CT-ND	Zweif. 150 mA Ultra-LDO-Regler, 1,8 V/1,8 V	Dual 150mA Ultra LDO Regulator, 1.8V/1.8V	8-MSOP	.95	.90	.86
LP2966IMM-1818TR-ND	Zweif. 150 mA Ultra-LDO-Regler, 1,8 V/1,8 V	Dual 150mA Ultra LDO Regulator, 1.8V/1.8V	8-MSOP		770.00/1,000	
LP2966IMM-1828CT-ND	Zweif. 150 mA Ultra-LDO-Regler, 1,8 V/2,8 V	Dual 150mA Ultra LDO Regulator, 1.8V/2.8V	8-MSOP	2.24	1.78	1.52
LP2966IMM-1828TR-ND	Zweif. 150 mA Ultra-LDO-Regler, 1,8 V/2,8 V	Dual 150mA Ultra LDO Regulator, 1.8V/2.8V	8-MSOP		1300.00/1,000	
LP2966IMM-1830CT-ND	Zweif. 150 mA Ultra-LDO-Regler, 1,8 V/3 V	Dual 150mA Ultra LDO Regulator, 1.8V/3V	8-MSOP	1.27	1.21	1.15
LP2966IMM-1830TR-ND	Zweif. 150 mA Ultra-LDO-Regler, 1,8 V/3 V	Dual 150mA Ultra LDO Regulator, 1.8V/3V	8-MSOP		980.00/1,000	
LP2966IMM-1833CT-ND	Zweif. 150 mA Ultra-LDO-Regler, 1,8 V/3,3 V	Dual 150mA Ultra LDO Regulator, 1.8V/3.3V	8-MSOP	2.24	1.78	1.52
LP2966IMM-1833TR-ND	Zweif. 150 mA Ultra-LDO-Regler, 1,8 V/3,3 V	Dual 150mA Ultra LDO Regulator, 1.8V/3.3V	8-MSOP		1300.00/1,000	
LP2966IMM-2518CT-ND	Zweif. 150 mA Ultra-LDO-Regler, 2,5 V/1,8 V	Dual 150mA Ultra LDO Regulator, 2.5V/1.8V	8-SOIC	2.24	1.78	1.52
LP2966IMM-2518TR-ND	Zweif. 150 mA Ultra-LDO-Regler, 2,5 V/1,8 V	Dual 150mA Ultra LDO Regulator, 2.5V/1.8V	8-SOIC		1300.00/1,000	
LP2966IMM-2525CT-ND	Zweif. 150 mA Ultra-LDO-Regler, 2,5 V/2,5 V	Dual 150mA Ultra LDO Regulator, 2.5V/2.5V	8-MSOP	.95	.90	.86
LP2966IMM-2525TR-ND	Zweif. 150 mA Ultra-LDO-Regler, 2,5 V/2,5 V	Dual 150mA Ultra LDO Regulator, 2.5V/2.5V	8-MSOP		770.00/1,000	
LP2966IMM-2828CT-ND	Zweif. 150 mA Ultra-LDO-Regler, 2,8 V/2,8 V	Dual 150mA Ultra LDO Regulator, 2.8V/2.8V	8-MSOP	.95	.90	.86
LP2966IMM-2828TR-ND	Zweif. 150 mA Ultra-LDO-Regler, 2,8 V/2,8 V	Dual 150mA Ultra LDO Regulator, 2.8V/2.8V	8-MSOP		770.00/1,000	
LP2966IMM-2830CT-ND	Zweif. 150 mA Ultra-LDO-Regler, 2,8 V/3 V	Dual 150mA Ultra LDO Regulator, 2.8V/3V	8-MSOP	2.24	1.78	1.52
LP2966IMM-2830TR-ND	Zweif. 150 mA Ultra-LDO-Regler, 2,8 V/3 V	Dual 150mA Ultra LDO Regulator, 2.8V/3V	8-MSOP		1300.00/1,000	
LP2966IMM-3030CT-ND	Zweif. 150 mA Ultra-LDO-Regler, 3 V/3 V	Dual 150mA Ultra LDO Regulator, 3V/3V	8-MSOP	.95	.90	.86
LP2966IMM-3030TR-ND	Zweif. 150 mA Ultra-LDO-Regler, 3 V/3 V	Dual 150mA Ultra LDO Regulator, 3V/3V	8-MSOP		770.00/1,000	
LP2966IMM-3325CT-ND	Zweif. 150 mA Ultra-LDO-Regler, 3,3 V/2,5 V	Dual 150mA Ultra LDO Regulator, 3.3V/2.5V	8-MSOP	2.24	1.78	1.52
LP2966IMM-3325TR-ND	Zweif. 150 mA Ultra-LDO-Regler, 3,3 V/2,5 V	Dual 150mA Ultra LDO Regulator, 3.3V/2.5V	8-MSOP		1300.00/1,000	
LP2966IMM-3333CT-ND	Zweif. 150 mA Ultra-LDO-Regler, 3,3 V/3,3 V	Dual 150mA Ultra LDO Regulator, 3.3V/3.3V	8-MSOP	.95	.90	.86
LP2966IMM-3333TR-ND	Zweif. 150 mA Ultra-LDO-Regler, 3,3 V/3,3 V	Dual 150mA Ultra LDO Regulator, 3.3V/3.3V	8-MSOP		770.00/1,000	
LP2966IMM-3336CT-ND	Zweif. 150 mA Ultra-LDO-Regler, 3,3 V/3,6 V	Dual 150mA Ultra LDO Regulator, 3.3V/3.6V	8-MSOP	.95	.90	.86
LP2966IMM-3336TR-ND	Zweif. 150 mA Ultra-LDO-Regler, 3,3 V/3,6 V	Dual 150mA Ultra LDO Regulator, 3.3V/3.6V	8-MSOP		770.00/1,000	
LP2966IMM-3636CT-ND	Zweif. 150 mA Ultra-LDO-Regler, 3,6 V/3,6 V	Dual 150mA Ultra LDO Regulator, 3.6V/3.6V	8-MSOP	.95	.90	.86
LP2966IMM-3636TR-ND	Zweif. 150 mA Ultra-LDO-Regler, 3,6 V/3,6 V	Dual 150mA Ultra LDO Regulator, 3.6V/3.6V	8-MSOP		770.00/1,000	
LP2966IMM-5050CT-ND	Zweif. 150 mA Ultra-LDO-Regler, 5 V/5 V	Dual 150mA Ultra LDO Regulator, 5V/5V	8-MSOP	.95	.90	.86
LP2966IMM-5050TR-ND	Zweif. 150 mA Ultra-LDO-Regler, 5 V/5 V	Dual 150mA Ultra LDO Regulator, 5V/5V	8-MSOP		770.00/1,000	
LP2967IBP-1825CT-ND	Zweif. 150 mA LDO-Regler, Micropower	Dual Micropower 150mA LDO Regulator	8-microSMD	3.70	2.94	2.51
LP2967IBP-1825TR-ND	Zweif. 150 mA LDO-Regler, Micropower	Dual Micropower 150mA LDO Regulator	8-microSMD		592.50/250	
LP2967IBP-1833CT-ND	Zweif. 150 mA LDO-Regler, Micropower	Dual Micropower 150mA LDO Regulator	8-microSMD	3.70	2.94	2.51
LP2967IBP-1833TR-ND	Zweif. 150 mA LDO-Regler, Micropower	Dual Micropower 150mA LDO Regulator	8-microSMD		592.50/250	
LP2967IBP-2528CT-ND	Zweif. 150 mA LDO-Regler, Micropower	Dual Micropower 150mA LDO Regulator	8-microSMD	3.70	2.94	2.51
LP2967IBP-2528TR-ND	Zweif. 150 mA LDO-Regler, Micropower	Dual Micropower 150mA LDO Regulator	8-microSMD		592.50/250	
LP2967IBP-2533CT-ND	Zweif. 150 mA LDO-Regler, Micropower	Dual Micropower 150mA LDO Regulator	8-microSMD	2.10	1.99	1.89
LP2967IBP-2533TR-ND	Zweif. 150 mA LDO-Regler, Micropower	Dual Micropower 150mA LDO Regulator	8-microSMD		405.00/250	
LP2967IBP-2626CT-ND	Zweif. 150 mA LDO-Regler, Micropower	Dual Micropower 150mA LDO Regulator	8-microSMD	3.70	2.94	2.51
LP2967IBP-2626TR-ND	Zweif. 150 mA LDO-Regler, Micropower	Dual Micropower 150mA LDO Regulator	8-microSMD		592.50/250	
LP2967IBP-2828CT-ND	Zweif. 150 mA LDO-Regler, Micropower	Dual Micropower 150mA LDO Regulator	8-microSMD	3.70	2.94	2.51
LP2967IBP-2828TR-ND	Zweif. 150 mA LDO-Regler, Micropower	Dual Micropower 150mA LDO Regulator	8-microSMD		592.50/250	
LP2967IBP-2833CT-ND	Zweif. 150 mA LDO-Regler, Micropower	Dual Micropower 150mA LDO Regulator	8-microSMD	3.70	2.94	2.51
LP2967IBP-2833TR-ND	Zweif. 150 mA LDO-Regler, Micropower	Dual Micropower 150mA LDO Regulator	8-microSMD		592.50/250	
LP2967IMM-2528CT-ND	Zweif. 150 mA LDO-Regler, Micropower	Dual Micropower 150mA LDO Regulator	8-MSOP	2.86	2.28	1.95
LP2967IMM-2528TR-ND	Zweif. 150 mA LDO-Regler, Micropower	Dual Micropower 150mA LDO Regulator	8-MSOP		1670.00/1,000	
LP2967IMM-2533CT-ND	Zweif. 150 mA LDO-Regler, Micropower	Dual Micropower 150mA LDO Regulator	8-MSOP	1.63	1.54	1.47
LP2967IMM-2533TR-ND	Zweif. 150 mA LDO-Regler, Micropower	Dual Micropower 150mA LDO Regulator	8-MSOP		1260.00/1,000	
LP2967IMM-2626CT-ND	Zweif. 150 mA LDO-Regler, Micropower	Dual Micropower 150mA LDO Regulator	8-MSOP	2.86	2.28	1.95
LP2967IMM-2626TR-ND	Zweif. 150 mA LDO-Regler, Micropower	Dual Micropower 150mA LDO Regulator	8-MSOP		1670.00/1,000	
LP2967IMM-2828CT-ND	Zweif. 150 mA LDO-Regler, Micropower	Dual Micropower 150mA LDO Regulator	8-MSOP	2.86	2.28	1.95
LP2967IMM-2828TR-ND	Zweif. 150 mA LDO-Regler, Micropower	Dual Micropower 150mA LDO Regulator	8-MSOP		1670.00/1,000	
LP2967IMM-2833CT-ND	Zweif. 150 mA LDO-Regler, Micropower	Dual Micropower 150mA LDO Regulator	8-MSOP	2.86	2.28	1.95
LP2967IMM-2833TR-ND	Zweif. 150 mA LDO-Regler, Micropower	Dual Micropower 150mA LDO Regulator	8-MSOP		1670.00/1,000	
LP2975AIMM-12CT-ND	12 V MOSFET LDO-Treiber/Controller	12V, MOSFET LDO Driver/Controller	8-MSOP	1.20	1.14	1.08
LP2975AIMM-12TR-ND	12 V MOSFET LDO-Treiber/Controller	12V, MOSFET LDO Driver/Controller	8-MSOP		740.00/1,000	
LP2975AIMM-3.3CT-ND	3,3 V MOSFET LDO-Treiber/Controller	3.3V, MOSFET LDO Driver/Controller	8-MSOP	1.20	1.14	1.08
LP2975AIMM-3.3TR-ND	3,3 V MOSFET LDO-Treiber/Controller	3.3V, MOSFET LDO Driver/Controller	8-MSOP		920.00/1,000	
LP2975AIMM-5.0CT-ND	5 V MOSFET LDO-Treiber/Controller	5V, MOSFET LDO Driver/Controller	8-MSOP	1.20	1.14	1.08
LP2975AIMM-5.0TR-ND	5 V MOSFET LDO-Treiber/Controller	5V, MOSFET LDO Driver/Controller	8-MSOP		920.00/1,000	
LP2975IMM-12CT-ND	12 V MOSFET LDO-Treiber/Controller	12V, MOSFET LDO Driver/Controller	8-MSOP	1.08	1.03	.98
LP2975IMM-12TR-ND	12 V MOSFET LDO-Treiber/Controller	12V, MOSFET LDO Driver/Controller	8-MSOP		840.00/1,000	
LP2975IMM-3.3CT-ND	3,3 V MOSFET LDO-Treiber/Controller	3.3V, MOSFET LDO Driver/Controller	8-MSOP	1.91	1.52	1.30
LP2975IMM-3.3TR-ND	3,3 V MOSFET LDO-Treiber/Controller	3.3V, MOSFET LDO Driver/Controller	8-MSOP		1110.00/1,000	
LP2975IMM-5.0CT-ND	5 V MOSFET LDO-Treiber/Controller	5V, MOSFET LDO Driver/Controller	8-MSOP	1.08	1.03	.98

(Forts.)

★ RUFEN SIE BITTE AN FÜR NIEDRIGERE PREISE BEI GRÖSSEREN MENGEN! ★

Alle Preisangaben in Euro und inklusive Zollgebühren.

Digi-Key Teilenr.	Beschreibung		Paket	Stückpreis★ 1	25	100
LP2975IMM-5.0TR-ND	5 V MOSFET LDO-Treiber/Controller	5V, MOSFET LDO Driver/Controller	8-MSOP		840.00/1,000	
LP2980AIBP-3.3CT-ND	3,3 V, 50 mA Ultra-LDO-Regler, Micropower	3.3V, Micropower 50mA Ultra LDO Regulator	5-microSMD	1.07	.85	.73
LP2980AIBP-3.3TR-ND	3,3 V, 50 mA Ultra-LDO-Regler, Micropower	3.3V, Micropower 50mA Ultra LDO Regulator	5-microSMD		172.50/250	
LP2980AIBP-5.0CT-ND	5 V, 50 mA Ultra-LDO-Regler, Micropower	5V, Micropower 50mA Ultra LDO Regulator	5-microSMD	1.07	.85	.73
LP2980AIBP-5.0TR-ND	5 V, 50 mA Ultra-LDO-Regler, Micropower	5V, Micropower 50mA Ultra LDO Regulator	5-microSMD		172.50/250	
LP2980AIM5-1.8CT-ND	1,8 V, 50 mA Ultra-LDO-Regler, Micropower, Klasse A	1.8V, Micropower 50mA Ultra LDO Regulator, A Grade	SOT-23-5	.56	.44	.38
LP2980AIM5-1.8TR-ND	1,8 V, 50 mA Ultra-LDO-Regler, Micropower, Klasse A	1.8V, Micropower 50mA Ultra LDO Regulator, A Grade	SOT-23-5		320.00/1,000	
LP2980AIM5-2.5CT-ND	2,5 V, 50 mA Ultra-LDO-Regler, Micropower, Klasse A	2.5V, Micropower 50mA Ultra LDO Regulator, A Grade	SOT-23-5	.32	.30	.29
LP2980AIM5-2.5TR-ND	2,5 V, 50 mA Ultra-LDO-Regler, Micropower, Klasse A	2.5V, Micropower 50mA Ultra LDO Regulator, A Grade	SOT-23-5		250.00/1,000	
LP2980AIM5-3.0CT-ND	3 V, 50 mA Ultra-LDO-Regler, Micropower, Klasse A	3V, Micropower 50mA Ultra LDO Regulator, A Grade	SOT-23-5	.46	.30	.26
LP2980AIM5-3.0TR-ND	3 V, 50 mA Ultra-LDO-Regler, Micropower, Klasse A	3V, Micropower 50mA Ultra LDO Regulator, A Grade	SOT-23-5		260.00/1,000	
LP2980AIM5-3.3CT-ND	3,3 V, 50 mA Ultra-LDO-Regler, Micropower, Klasse A	3.3V, Micropower 50mA Ultra LDO Regulator, A Grade	SOT-23-5	.46	.30	.26
LP2980AIM5-3.3TR-ND	3,3 V, 50 mA Ultra-LDO-Regler, Micropower, Klasse A	3.3V, Micropower 50mA Ultra LDO Regulator, A Grade	SOT-23-5		260.00/1,000	
LP2980AIM5-4.0CT-ND	4 V, 50 mA Ultra-LDO-Regler, Micropower, Klasse A	4V, Micropower 50mA Ultra LDO Regulator, A Grade	SOT-23-5	.56	.44	.38
LP2980AIM5-4.0TR-ND	4 V, 50 mA Ultra-LDO-Regler, Micropower, Klasse A	4V, Micropower 50mA Ultra LDO Regulator, A Grade	SOT-23-5		320.00/1,000	
LP2980AIM5-5.0CT-ND	5 V, 50 mA Ultra-LDO-Regler, Micropower, Klasse A	5V, Micropower 50mA Ultra LDO Regulator, A Grade	SOT-23-5	.46	.30	.26
LP2980AIM5-5.0TR-ND	5 V, 50 mA Ultra-LDO-Regler, Micropower, Klasse A	5V, Micropower 50mA Ultra LDO Regulator, A Grade	SOT-23-5		220.00/1,000	
LP2980IBP-3.3CT-ND	3,3 V, 50 mA Ultra-LDO-Regler, Micropower	3.3V, Micropower 50mA Ultra LDO Regulator	5-microSMD	1.04	.83	.71
LP2980IBP-3.3TR-ND	3,3 V, 50 mA Ultra-LDO-Regler, Micropower	3.3V, Micropower 50mA Ultra LDO Regulator	5-microSMD		167.50/250	
LP2980IBP-5.0CT-ND	5 V, 50 mA Ultra-LDO-Regler, Micropower	5V, Micropower 50mA Ultra LDO Regulator	5-microSMD	.65	.41	.39
LP2980IBP-5.0TR-ND	5 V, 50 mA Ultra-LDO-Regler, Micropower	5V, Micropower 50mA Ultra LDO Regulator	5-microSMD		.00/250	
LP2980IBPX-3.3TR-ND	3,3 V, 50 mA Ultra-LDO-Regler, Micropower	3.3V, Micropower 50mA Ultra LDO Regulator	5-microSMD		1830.00/3,000	
LP2980IM5-ADJCT-ND	Einstellb. 50 mA Ultra-LDO-Regler, Micropower	Adj., Micropower 50mA Ultra LDO Regulator	SOT-23-5	.32	.30	.29
LP2980IM5-ADJTR-ND	Einstellb. 50 mA Ultra-LDO-Regler, Micropower	Adj., Micropower 50mA Ultra LDO Regulator	SOT-23-5		250.00/1,000	
LP2980IM5-1.8CT-ND	1,8 V, 50 mA Ultra-LDO-Regler, Micropower	1.8V, Micropower 50mA Ultra LDO Regulator	SOT-23-5	.56	.44	.38
LP2980IM5-1.8TR-ND	1,8 V, 50 mA Ultra-LDO-Regler, Micropower	1.8V, Micropower 50mA Ultra LDO Regulator	SOT-23-5		320.00/1,000	
LP2980IM5-2.5CT-ND	2,5 V, 50 mA Ultra-LDO-Regler, Micropower	2.5V, Micropower 50mA Ultra LDO Regulator	SOT-23-5	.56	.44	.38
LP2980IM5-2.5TR-ND	2,5 V, 50 mA Ultra-LDO-Regler, Micropower	2.5V, Micropower 50mA Ultra LDO Regulator	SOT-23-5		320.00/1,000	
LP2980IM5-3.0CT-ND	3 V, 50 mA Ultra-LDO-Regler, Micropower	3V, Micropower 50mA Ultra LDO Regulator	SOT-23-5	.45	.29	.26
LP2980IM5-3.0TR-ND	3 V, 50 mA Ultra-LDO-Regler, Micropower	3V, Micropower 50mA Ultra LDO Regulator	SOT-23-5		220.00/1,000	
LP2980IM5-3.3CT-ND	3,3 V, 50 mA Ultra-LDO-Regler, Micropower	3.3V, Micropower 50mA Ultra LDO Regulator	SOT-23-5	.41	.26	.22
LP2980IM5-3.3TR-ND	3,3 V, 50 mA Ultra-LDO-Regler, Micropower	3.3V, Micropower 50mA Ultra LDO Regulator	SOT-23-5		220.00/1,000	
LP2980IM5-5.0CT-ND	5 V, 50 mA Ultra-LDO-Regler, Micropower	5V, Micropower 50mA Ultra LDO Regulator	SOT-23-5	.45	.29	.26
LP2980IM5-5.0TR-ND	5 V, 50 mA Ultra-LDO-Regler, Micropower	5V, Micropower 50mA Ultra LDO Regulator	SOT-23-5		220.00/1,000	
LP2981AIBP-2.5CT-ND	2,5 V, 100 mA Ultra-LDO-Regler, Micropower, Klasse A	2.5V, Micropower 100mA Ultra LDO Reg., A Grade	5-microSMD	.90	.71	.61
LP2981AIBP-2.5TR-ND	2,5 V, 100 mA Ultra-LDO-Regler, Micropower, Klasse A	2.5V, Micropower 100mA Ultra LDO Reg., A Grade	5-microSMD		142.50/250	
LP2981AIBP-3.2CT-ND	3,2 V, 100 mA Ultra-LDO-Regler, Micropower, Klasse A	3.2V, Micropower 100mA Ultra LDO Reg., A Grade	5-microSMD	.90	.71	.61
LP2981AIBP-3.2TR-ND	3,2 V, 100 mA Ultra-LDO-Regler, Micropower, Klasse A	3.2V, Micropower 100mA Ultra LDO Reg., A Grade	5-microSMD		142.50/250	
LP2981AIBP-3.3CT-ND	3,3 V, 100 mA Ultra-LDO-Regler, Micropower, Klasse A	3.3V, Micropower 100mA Ultra LDO Reg., A Grade	5-microSMD	.90	.71	.61
LP2981AIBP-3.3TR-ND	3,3 V, 100 mA Ultra-LDO-Regler, Micropower, Klasse A	3.3V, Micropower 100mA Ultra LDO Reg., A Grade	5-microSMD		142.50/250	
LP2981AIM5-2.5CT-ND	2,5 V, 100 mA Ultra-LDO-Regler, Micropower, Klasse A	2.5V, Micropower 100mA Ultra LDO Reg., A Grade	SOT-23-5	.51	.48	.46
LP2981AIM5-2.5TR-ND	2,5 V, 100 mA Ultra-LDO-Regler, Micropower, Klasse A	2.5V, Micropower 100mA Ultra LDO Reg., A Grade	SOT-23-5		390.00/1,000	
LP2981AIM5-2.7CT-ND	2,7 V, 100 mA Ultra-LDO-Regler, Micropower, Klasse A	2.7V, Micropower 100mA Ultra LDO Reg., A Grade	SOT-23-5	.90	.71	.61
LP2981AIM5-2.7TR-ND	2,7 V, 100 mA Ultra-LDO-Regler, Micropower, Klasse A	2.7V, Micropower 100mA Ultra LDO Reg., A Grade	SOT-23-5		520.00/1,000	
LP2981AIM5-2.8CT-ND	2,8 V, 100 mA Ultra-LDO-Regler, Micropower, Klasse A	2.8V, Micropower 100mA Ultra LDO Reg., A Grade	SOT-23-5	.90	.71	.61
LP2981AIM5-2.8TR-ND	2,8 V, 100 mA Ultra-LDO-Regler, Micropower, Klasse A	2.8V, Micropower 100mA Ultra LDO Reg., A Grade	SOT-23-5		520.00/1,000	
LP2981AIM5-2.9CT-ND	2,9 V, 100 mA Ultra-LDO-Regler, Micropower, Klasse A	2.9V, Micropower 100mA Ultra LDO Reg., A Grade	SOT-23-5	.90	.71	.61
LP2981AIM5-2.9TR-ND	2,9 V, 100 mA Ultra-LDO-Regler, Micropower, Klasse A	2.9V, Micropower 100mA Ultra LDO Reg., A Grade	SOT-23-5		520.00/1,000	
LP2981AIM5-3.0CT-ND	3 V, 100 mA Ultra-LDO-Regler, Micropower, Klasse A	3V, Micropower 100mA Ultra LDO Reg., A Grade	SOT-23-5	.51	.48	.46
LP2981AIM5-3.0TR-ND	3 V, 100 mA Ultra-LDO-Regler, Micropower, Klasse A	3V, Micropower 100mA Ultra LDO Reg., A Grade	SOT-23-5		390.00/1,000	
LP2981AIM5-3.1CT-ND	3,1 V, 100 mA Ultra-LDO-Regler, Micropower, Klasse A	3.1V, Micropower 100mA Ultra LDO Reg., A Grade	SOT-23-5	.90	.71	.61
LP2981AIM5-3.1TR-ND	3,1 V, 100 mA Ultra-LDO-Regler, Micropower, Klasse A	3.1V, Micropower 100mA Ultra LDO Reg., A Grade	SOT-23-5		520.00/1,000	
LP2981AIM5-3.2CT-ND	3,2 V, 100 mA Ultra-LDO-Regler, Micropower, Klasse A	3.2V, Micropower 100mA Ultra LDO Reg., A Grade	SOT-23-5	.90	.71	.61
LP2981AIM5-3.2TR-ND	3,2 V, 100 mA Ultra-LDO-Regler, Micropower, Klasse A	3.2V, Micropower 100mA Ultra LDO Reg., A Grade	SOT-23-5		520.00/1,000	
LP2981AIM5-3.3CT-ND	3,3 V, 100 mA Ultra-LDO-Regler, Micropower, Klasse A	3.3V, Micropower 100mA Ultra LDO Reg., A Grade	SOT-23-5	.90	.71	.61
LP2981AIM5-3.3TR-ND	3,3 V, 100 mA Ultra-LDO-Regler, Micropower, Klasse A	3.3V, Micropower 100mA Ultra LDO Reg., A Grade	SOT-23-5		520.00/1,000	
LP2981AIM5-3.6CT-ND	3,6 V, 100 mA Ultra-LDO-Regler, Micropower, Klasse A	3.6V, Micropower 100mA Ultra LDO Reg., A Grade	SOT-23-5	.90	.71	.61
LP2981AIM5-3.6TR-ND	3,6 V, 100 mA Ultra-LDO-Regler, Micropower, Klasse A	3.6V, Micropower 100mA Ultra LDO Reg., A Grade	SOT-23-5		520.00/1,000	
LP2981AIM5-3.8CT-ND	3,8 V, 100 mA Ultra-LDO-Regler, Micropower, Klasse A	3.8V, Micropower 100mA Ultra LDO Reg., A Grade	SOT-23-5	.90	.71	.61
LP2981AIM5-3.8TR-ND	3,8 V, 100 mA Ultra-LDO-Regler, Micropower, Klasse A	3.8V, Micropower 100mA Ultra LDO Reg., A Grade	SOT-23-5		520.00/1,000	
LP2981AIM5-4.0CT-ND	4 V, 100 mA Ultra-LDO-Regler, Micropower, Klasse A	4V, Micropower 100mA Ultra LDO Reg., A Grade	SOT-23-5	.90	.71	.61
LP2981AIM5-4.0TR-ND	4 V, 100 mA Ultra-LDO-Regler, Micropower, Klasse A	4V, Micropower 100mA Ultra LDO Reg., A Grade	SOT-23-5		520.00/1,000	
LP2981AIM5-4.7CT-ND	4,7 V, 100 mA Ultra-LDO-Regler, Micropower, Klasse A	4.7V, Micropower 100mA Ultra LDO Reg., A Grade	SOT-23-5	.90	.71	.61
LP2981AIM5-4.7TR-ND	4,7 V, 100 mA Ultra-LDO-Regler, Micropower, Klasse A	4.7V, Micropower 100mA Ultra LDO Reg., A Grade	SOT-23-5		520.00/1,000	
LP2981AIM5-5.0CT-ND	5 V, 100 mA Ultra-LDO-Regler, Micropower, Klasse A	5V, Micropower 100mA Ultra LDO Reg., A Grade	SOT-23-5	.53	.50	.48
LP2981AIM5-5.0TR-ND	5 V, 100 mA Ultra-LDO-Regler, Micropower, Klasse A	5V, Micropower 100mA Ultra LDO Reg., A Grade	SOT-23-5		410.00/1,000	
LP2981IBP-2.5CT-ND	2,5 V, 100 mA Ultra-LDO-Regler, Micropower	2.5V, Micropower 100mA Ultra LDO Regulator	5-microSMD	.87	.69	.59
LP2981IBP-2.5TR-ND	2,5 V, 100 mA Ultra-LDO-Regler, Micropower	2.5V, Micropower 100mA Ultra LDO Regulator	5-microSMD		137.50/250	
LP2981IBP-3.2CT-ND	3,2 V, 100 mA Ultra-LDO-Regler, Micropower	3.2V, Micropower 100mA Ultra LDO Regulator	5-microSMD	.87	.69	.59
LP2981IBP-3.2TR-ND	3,2 V, 100 mA Ultra-LDO-Regler, Micropower	3.2V, Micropower 100mA Ultra LDO Regulator	5-microSMD		137.50/250	
LP2981IBP-3.3CT-ND	3,3 V, 100 mA Ultra-LDO-Regler, Micropower	3.3V, Micropower 100mA Ultra LDO Regulator	5-microSMD	.87	.69	.59
LP2981IBP-3.3TR-ND	3,3 V, 100 mA Ultra-LDO-Regler, Micropower	3.3V, Micropower 100mA Ultra LDO Regulator	5-microSMD		137.50/250	
LP2981IM5-2.5CT-ND	2,5 V, 100 mA Ultra-LDO-Regler, Micropower	2.5V, Micropower 100mA Ultra LDO Regulator	SOT-23-5	.49	.47	.44
LP2981IM5-2.5TR-ND	2,5 V, 100 mA Ultra-LDO-Regler, Micropower	2.5V, Micropower 100mA Ultra LDO Regulator	SOT-23-5		370.00/1,000	
LP2981IM5-2.7CT-ND	2,7 V, 100 mA Ultra-LDO-Regler, Micropower	2.7V, Micropower 100mA Ultra LDO Regulator	SOT-23-5	.87	.69	.59
LP2981IM5-2.7TR-ND	2,7 V, 100 mA Ultra-LDO-Regler, Micropower	2.7V, Micropower 100mA Ultra LDO Regulator	SOT-23-5		500.00/1,000	
LP2981IM5-2.8CT-ND	2,8 V, 100 mA Ultra-LDO-Regler, Micropower	2.8V, Micropower 100mA Ultra LDO Regulator	SOT-23-5	.87	.69	.59
LP2981IM5-2.8TR-ND	2,8 V, 100 mA Ultra-LDO-Regler, Micropower	2.8V, Micropower 100mA Ultra LDO Regulator	SOT-23-5		500.00/1,000	
LP2981IM5-2.9CT-ND	2,9 V, 100 mA Ultra-LDO-Regler, Micropower	2.9V, Micropower 100mA Ultra LDO Regulator	SOT-23-5	.87	.69	.59
LP2981IM5-2.9TR-ND	2,9 V, 100 mA Ultra-LDO-Regler, Micropower	2.9V, Micropower 100mA Ultra LDO Regulator	SOT-23-5		500.00/1,000	
LP2981IM5-3.0CT-ND	3 V, 100 mA Ultra-LDO-Regler, Micropower	3V, Micropower 100mA Ultra LDO Regulator	SOT-23-5	.81	.59	.42
LP2981IM5-3.0TR-ND	3 V, 100 mA Ultra-LDO-Regler, Micropower	3V, Micropower 100mA Ultra LDO Regulator	SOT-23-5		310.00/1,000	
LP2981IM5-3.1CT-ND	3,1 V, 100 mA Ultra-LDO-Regler, Micropower	3.1V, Micropower 100mA Ultra LDO Regulator	SOT-23-5	.87	.69	.59
LP2981IM5-3.1TR-ND	3,1 V, 100 mA Ultra-LDO-Regler, Micropower	3.1V, Micropower 100mA Ultra LDO Regulator	SOT-23-5		500.00/1,000	
LP2981IM5-3.2CT-ND	3,2 V, 100 mA Ultra-LDO-Regler, Micropower	3.2V, Micropower 100mA Ultra LDO Regulator	SOT-23-5	.87	.69	.59
LP2981IM5-3.2TR-ND	3,2 V, 100 mA Ultra-LDO-Regler, Micropower	3.2V, Micropower 100mA Ultra LDO Regulator	SOT-23-5		500.00/1,000	
LP2981IM5-3.6CT-ND	3,6 V, 100 mA Ultra-LDO-Regler, Micropower	3.6V, Micropower 100mA Ultra LDO Regulator	SOT-23-5	.87	.69	.59
LP2981IM5-3.6TR-ND	3,6 V, 100 mA Ultra-LDO-Regler, Micropower	3.6V, Micropower 100mA Ultra LDO Regulator	SOT-23-5		500.00/1,000	
LP2981IM5-3.8CT-ND	3,8 V, 100 mA Ultra-LDO-Regler, Micropower	3.8V, Micropower 100mA Ultra LDO Regulator	SOT-23-5	.87	.69	.59
LP2981IM5-3.8TR-ND	3,8 V, 100 mA Ultra-LDO-Regler, Micropower	3.8V, Micropower 100mA Ultra LDO Regulator	SOT-23-5		500.00/1,000	
LP2981IM5-4.0CT-ND	4 V, 100 mA Ultra-LDO-Regler, Micropower	4V, Micropower 100mA Ultra LDO Regulator	SOT-23-5	.87	.69	.59
LP2981IM5-4.0TR-ND	4 V, 100 mA Ultra-LDO-Regler, Micropower	4V, Micropower 100mA Ultra LDO Regulator	SOT-23-5		500.00/1,000	
LP2981IM5-4.7CT-ND	4,7 V, 100 mA Ultra-LDO-Regler, Micropower	4.7V, Micropower 100mA Ultra LDO Regulator	SOT-23-5	.87	.69	.59
LP2981IM5-4.7TR-ND	4,7 V, 100 mA Ultra-LDO-Regler, Micropower	4.7V, Micropower 100mA Ultra LDO Regulator	SOT-23-5		500.00/1,000	
LP2981IM5-5.0CT-ND	5 V, 100 mA Ultra-LDO-Regler, Micropower	5V, Micropower 100mA Ultra LDO Regulator	SOT-23-5	.81	.60	.42
LP2981IM5-5.0TR-ND	5 V, 100 mA Ultra-LDO-Regler, Micropower	5V, Micropower 100mA Ultra LDO Regulator	SOT-23-5		310.00/1,000	
LP2982AIBP-2.8CT-ND	2,8 V, 50 mA Ultra-LDO-Regler, Micropower, Klasse A	2.8V, Micropower 50mA Ultra LDO Reg., A Grade	5-microSMD	.90	.71	.61
LP2982AIBP-2.8TR-ND	2,8 V, 50 mA Ultra-LDO-Regler, Micropower, Klasse A	2.8V, Micropower 50mA Ultra LDO Reg., A Grade	5-microSMD		520.00/1,000	
LP2982AIBP-3.0CT-ND	3 V, 50 mA Ultra-LDO-Regler, Micropower, Klasse A	3V, Micropower 50mA Ultra LDO Reg., A Grade	5-microSMD	.90	.71	.61
LP2982AIBP-3.0TR-ND	3 V, 50 mA Ultra-LDO-Regler, Micropower, Klasse A	3V, Micropower 50mA Ultra LDO Reg., A Grade	5-microSMD		142.50/250	

(Forts.)

★ RUFEN SIE BITTE AN FÜR NIEDRIGERE PREISE BEI GRÖSSEREN MENGEN! ★

B

Digi-Key Teilenr.	Beschreibung		Paket	Stückpreis★ 1	25	100
LP2982AIM5-2.5CT-ND	2,5 V, 50 mA Ultra-LDO-Regler, Micropower, Klasse A	2.5V, Micropower 50mA Ultra LDO Regulator, A Grade	SOT-23-5	.90	.71	.61
LP2982AIM5-2.5TR-ND	2,5 V, 50 mA Ultra-LDO-Regler, Micropower, Klasse A	2.5V, Micropower 50mA Ultra LDO Regulator, A Grade	SOT-23-5		520.00/1,000	
LP2982AIM5-3.0CT-ND	3 V, 50 mA Ultra-LDO-Regler, Micropower, Klasse A	3V, Micropower 50mA Ultra LDO Regulator, A Grade	SOT-23-5	.51	.48	.46
LP2982AIM5-3.0TR-ND	3 V, 50 mA Ultra-LDO-Regler, Micropower, Klasse A	3V, Micropower 50mA Ultra LDO Regulator, A Grade	SOT-23-5		390.00/1,000	
LP2982AIM5-3.3CT-ND	3,3 V, 50 mA Ultra-LDO-Regler, Micropower, Klasse A	3.3V, Micropower 50mA Ultra LDO Regulator, A Grade	SOT-23-5	.51	.48	.46
LP2982AIM5-3.3TR-ND	3,3 V, 50 mA Ultra-LDO-Regler, Micropower, Klasse A	3.3V, Micropower 50mA Ultra LDO Regulator, A Grade	SOT-23-5		390.00/1,000	
LP2982AIM5-5.0CT-ND	5 V, 50 mA Ultra-LDO-Regler, Micropower, Klasse A	5V, Micropower 50mA Ultra LDO Regulator, A Grade	SOT-23-5	.51	.48	.46
LP2982AIM5-5.0TR-ND	5 V, 50 mA Ultra-LDO-Regler, Micropower, Klasse A	5V, Micropower 50mA Ultra LDO Regulator, A Grade	SOT-23-5		390.00/1,000	
LP2982IBP-2.8CT-ND	2,8 V, 50 mA Ultra-LDO-Regler, Micropower	2.8V, Micropower 50mA Ultra LDO Regulator	5-microSMD	.87	.69	.59
LP2982IBP-2.8TR-ND	2,8 V, 50 mA Ultra-LDO-Regler, Micropower	2.8V, Micropower 50mA Ultra LDO Regulator	5-microSMD		137.50/250	
LP2982IBP-3.0CT-ND	3 V, 50 mA Ultra-LDO-Regler, Micropower	3V, Micropower 50mA Ultra LDO Regulator	5-microSMD	.87	.69	.59
LP2982IBP-3.0TR-ND	3 V, 50 mA Ultra-LDO-Regler, Micropower	3V, Micropower 50mA Ultra LDO Regulator	5-microSMD		137.50/250	
LP2982IM5-2.5CT-ND	2,5 V, 50 mA Ultra-LDO-Regler, Micropower	2.5V, Micropower 50mA Ultra LDO Regulator	SOT-23-5	.87	.69	.59
LP2982IM5-2.5TR-ND	2,5 V, 50 mA Ultra-LDO-Regler, Micropower	2.5V, Micropower 50mA Ultra LDO Regulator	SOT-23-5		500.00/1,000	
LP2982IM5-3.0CT-ND	3 V, 50 mA Ultra-LDO-Regler, Micropower	3V, Micropower 50mA Ultra LDO Regulator	SOT-23-5	.53	.33	.31
LP2982IM5-3.0TR-ND	3 V, 50 mA Ultra-LDO-Regler, Micropower	3V, Micropower 50mA Ultra LDO Regulator	SOT-23-5		270.00/1,000	
LP2982IM5-3.3CT-ND	3,3 V, 50 mA Ultra-LDO-Regler, Micropower	3.3V, Micropower 50mA Ultra LDO Regulator	SOT-23-5	.87	.69	.59
LP2982IM5-3.3TR-ND	3,3 V, 50 mA Ultra-LDO-Regler, Micropower	3.3V, Micropower 50mA Ultra LDO Regulator	SOT-23-5		500.00/1,000	
LP2982IM5-4.0CT-ND	4 V, 50 mA Ultra-LDO-Regler, Micropower	4V, Micropower 50mA Ultra LDO Regulator	SOT-23-5	.87	.69	.59
LP2982IM5-4.0TR-ND	4 V, 50 mA Ultra-LDO-Regler, Micropower	4V, Micropower 50mA Ultra LDO Regulator	SOT-23-5		500.00/1,000	
LP2982IM5-5.0CT-ND	5 V, 50 mA Ultra-LDO-Regler, Micropower	5V, Micropower 50mA Ultra LDO Regulator	SOT-23-5	.54	.34	.32
LP2982IM5-5.0TR-ND	5 V, 50 mA Ultra-LDO-Regler, Micropower	5V, Micropower 50mA Ultra LDO Regulator	SOT-23-5		280.00/1,000	
LP2983AIM5-0.9CT-ND	0,9 V, 150 mA Spannungsregler, Micropower	0.9V, Micropower 150mA Voltage Regulator	SOT-23-5	1.28	1.02	.87
LP2983AIM5-0.9TR-ND	0,9 V, 150 mA Spannungsregler, Micropower	0.9V, Micropower 150mA Voltage Regulator	SOT-23-5		750.00/1,000	
LP2983AIM5-1.0CT-ND	1,0 V, 150 mA Spannungsregler, Micropower	1.0V, Micropower 150mA Voltage Regulator	SOT-23-5	1.28	1.02	.87
LP2983AIM5-1.0TR-ND	1,0 V, 150 mA Spannungsregler, Micropower	1.0V, Micropower 150mA Voltage Regulator	SOT-23-5		750.00/1,000	
LP2983AIM5-1.2CT-ND	1,2 V, 150 mA Spannungsregler, Micropower	1.2V, Micropower 150mA Voltage Regulator	SOT-23-5	1.28	1.02	.87
LP2983AIM5-1.2TR-ND	1,2 V, 150 mA Spannungsregler, Micropower	1.2V, Micropower 150mA Voltage Regulator	SOT-23-5		750.00/1,000	
LP2983IM5-0.9CT-ND	0,9 V, 150 mA Spannungsregler, Micropower	0.9V, Micropower 150mA Voltage Regulator	SOT-23-5	1.25	1.00	.85
LP2983IM5-0.9TR-ND	0,9 V, 150 mA Spannungsregler, Micropower	0.9V, Micropower 150mA Voltage Regulator	SOT-23-5		730.00/1,000	
LP2983IM5-1.0CT-ND	1 V, 150 mA Spannungsregler, Micropower	1V, Micropower 150mA Voltage Regulator	SOT-23-5	1.25	1.00	.85
LP2983IM5-1.0TR-ND	1 V, 150 mA Spannungsregler, Micropower	1V, Micropower 150mA Voltage Regulator	SOT-23-5		730.00/1,000	
LP2983IM5-1.2CT-ND	1,2 V, 150 mA Spannungsregler, Micropower	1.2V, Micropower 150mA Voltage Regulator	SOT-23-5	1.25	1.00	.85
LP2983IM5-1.2TR-ND	1,2 V, 150 mA Spannungsregler, Micropower	1.2V, Micropower 150mA Voltage Regulator	SOT-23-5		730.00/1,000	
LP2985AIBL-1.8CT-ND	1,8 V, 150 mA rauscharmer Ultra-LDO-Regler, Micropower	1.8V, Micropower 150mA LN Ultra LDO Regulator	microSMD	.69	.55	.47
LP2985AIBL-1.8TR-ND	1,8 V, 150 mA rauscharmer Ultra-LDO-Regler, Micropower	1.8V, Micropower 150mA LN Ultra LDO Regulator	microSMD		110.00/250	
LP2985AIBL-285CT-ND	2,85 V, 150 mA rauscharmer Ultra-LDO-Regler, Micropower	2.85V, Micropower 150mA LN Ultra LDO Regulator	5-microSMD	.69	.55	.47
LP2985AIBL-285TR-ND	2,85 V, 150 mA rauscharmer Ultra-LDO-Regler, Micropower	2.85V, Micropower 150mA LN Ultra LDO Regulator	5-microSMD		110.00/250	
LP2985AIBL-3.0CT-ND	3 V, 150 mA rauscharmer Ultra-LDO-Regler, Micropower	3V, Micropower 150mA LN Ultra LDO Regulator	5-microSMD	.69	.55	.47
LP2985AIBL-3.0TR-ND	3 V, 150 mA rauscharmer Ultra-LDO-Regler, Micropower	3V, Micropower 150mA LN Ultra LDO Regulator	5-microSMD		110.00/250	
LP2985AIBL-3.3CT-ND	3,3 V, 150 mA rauscharmer Ultra-LDO-Regler, Micropower	3.3V, Micropower 150mA LN Ultra LDO Regulator	5-microSMD	.69	.55	.47
LP2985AIBL-3.3TR-ND	3,3 V, 150 mA rauscharmer Ultra-LDO-Regler, Micropower	3.3V, Micropower 150mA LN Ultra LDO Regulator	5-microSMD		110.00/250	
LP2985AIBP-2.4CT-ND	2,4 V, 150 mA rauscharmer Ultra-LDO-Regler, Micropower, Klasse A	2.4V, Micropwr. 150mA LN Ultra LDO Reg., A Grade	5-microSMD	.69	.55	.47
LP2985AIBP-2.4TR-ND	2,4 V, 150 mA rauscharmer Ultra-LDO-Regler, Micropower, Klasse A	2.4V, Micropwr. 150mA LN Ultra LDO Reg., A Grade	5-microSMD		110.00/250	
LP2985AIBP-2.5CT-ND	2,5 V, 150 mA rauscharmer Ultra-LDO-Regler, Micropower, Klasse A	2.5V, Micropwr. 150mA LN Ultra LDO Reg., A Grade	5-microSMD	.69	.55	.47
LP2985AIBP-2.5TR-ND	2,5 V, 150 mA rauscharmer Ultra-LDO-Regler, Micropower, Klasse A	2.5V, Micropwr. 150mA LN Ultra LDO Reg., A Grade	5-microSMD		110.00/250	
LP2985AIBP-2.8CT-ND	2,8 V, 150 mA rauscharmer Ultra-LDO-Regler, Micropower, Klasse A	2.8V, Micropwr. 150mA LN Ultra LDO Reg., A Grade	5-microSMD	.69	.55	.47
LP2985AIBP-2.8TR-ND	2,8 V, 150 mA rauscharmer Ultra-LDO-Regler, Micropower, Klasse A	2.8V, Micropwr. 150mA LN Ultra LDO Reg., A Grade	5-microSMD		110.00/250	
LP2985AIBP-2.9CT-ND	2,9 V, 150 mA rauscharmer Ultra-LDO-Regler, Micropower, Klasse A	2.9V, Micropwr. 150mA LN Ultra LDO Reg., A Grade	5-microSMD	.69	.55	.47
LP2985AIBP-2.9TR-ND	2,9 V, 150 mA rauscharmer Ultra-LDO-Regler, Micropower, Klasse A	2.9V, Micropwr. 150mA LN Ultra LDO Reg., A Grade	5-microSMD		110.00/250	
LP2985AIBP-3.0CT-ND	3 V, 150 mA rauscharmer Ultra-LDO-Regler, Micropower, Klasse A	3V, Micropower 150mA LN Ultra LDO Reg., A Grade	5-microSMD	.69	.55	.47
LP2985AIBP-3.0TR-ND	3 V, 150 mA rauscharmer Ultra-LDO-Regler, Micropower, Klasse A	3V, Micropower 150mA LN Ultra LDO Reg., A Grade	5-microSMD		110.00/250	
LP2985AIBP-3.3CT-ND	3,3 V, 150 mA rauscharmer Ultra-LDO-Regler, Micropower, Klasse A	3.3V, Micropwr. 150mA LN Ultra LDO Reg., A Grade	5-microSMD	.69	.55	.47
LP2985AIBP-3.3TR-ND	3,3 V, 150 mA rauscharmer Ultra-LDO-Regler, Micropower, Klasse A	3.3V, Micropwr. 150mA LN Ultra LDO Reg., A Grade	5-microSMD		110.00/250	
LP2985AIBP-3.6CT-ND	3,6 V, 150 mA rauscharmer Ultra-LDO-Regler, Micropower, Klasse A	3.6V, Micropwr. 150mA LN Ultra LDO Reg., A Grade	5-microSMD	.69	.55	.47
LP2985AIBP-3.6TR-ND	3,6 V, 150 mA rauscharmer Ultra-LDO-Regler, Micropower, Klasse A	3.6V, Micropwr. 150mA LN Ultra LDO Reg., A Grade	5-microSMD		110.00/250	
LP2985AIBP-4.0CT-ND	4 V, 150 mA rauscharmer Ultra-LDO-Regler, Micropower, Klasse A	4V, Micropwr. 150mA LN Ultra LDO Reg., A Grade	5-microSMD	.69	.55	.47
LP2985AIBP-4.0TR-ND	4 V, 150 mA rauscharmer Ultra-LDO-Regler, Micropower, Klasse A	4V, Micropwr. 150mA LN Ultra LDO Reg., A Grade	5-microSMD		110.00/250	
LP2985AIBP-5.0CT-ND	5 V, 150 mA rauscharmer Ultra-LDO-Regler, Micropower, Klasse A	5V, Micropwr. 150mA LN Ultra LDO Reg., A Grade	5-microSMD	.69	.55	.47
LP2985AIBP-5.0TR-ND	5 V, 150 mA rauscharmer Ultra-LDO-Regler, Micropower, Klasse A	5V, Micropwr. 150mA LN Ultra LDO Reg., A Grade	5-microSMD		110.00/250	
LP2985AIM5-135CT-ND	1,35 V, 150 mA rauscharmer Ultra-LDO-Regler, Micropower, Klasse A	1.35V, Micropower 150mA LN Ultra LDO Reg., A Grade	SOT-23-5	.69	.55	.47
LP2985AIM5-135TR-ND	1,35 V, 150 mA rauscharmer Ultra-LDO-Regler, Micropower, Klasse A	1.35V, Micropower 150mA LN Ultra LDO Reg., A Grade	SOT-23-5		400.00/1,000	
LP2985AIM5-1.5CT-ND	1,5 V, 150 mA rauscharmer Ultra-LDO-Regler, Micropower, Klasse A	1.5V, Micropower 150mA LN Ultra LDO Reg., A Grade	SOT-23-5	.69	.55	.47
LP2985AIM5-1.5TR-ND	1,5 V, 150 mA rauscharmer Ultra-LDO-Regler, Micropower, Klasse A	1.5V, Micropower 150mA LN Ultra LDO Reg., A Grade	SOT-23-5		400.00/1,000	
LP2985AIM5-1.8CT-ND	1,8 V, 150 mA rauscharmer Ultra-LDO-Regler, Micropower, Klasse A	1.8V, Micropower 150mA LN Ultra LDO Reg., A Grade	SOT-23-5	.39	.37	.35
LP2985AIM5-1.8TR-ND	1,8 V, 150 mA rauscharmer Ultra-LDO-Regler, Micropower, Klasse A	1.8V, Micropower 150mA LN Ultra LDO Reg., A Grade	SOT-23-5		300.00/1,000	
LP2985AIM5-2.0CT-ND	2 V, 150 mA rauscharmer Ultra-LDO-Regler, Micropower, Klasse A	2V, Micropower 150mA LN Ultra LDO Reg., A Grade	SOT-23-5	.69	.55	.47
LP2985AIM5-2.0TR-ND	2 V, 150 mA rauscharmer Ultra-LDO-Regler, Micropower, Klasse A	2V, Micropower 150mA LN Ultra LDO Reg., A Grade	SOT-23-5		400.00/1,000	
LP2985AIM5-2.5CT-ND	2,5 V, 150 mA rauscharmer Ultra-LDO-Regler, Micropower, Klasse A	2.5V, Micropower 150mA LN Ultra LDO Reg., A Grade	SOT-23-5	.68	.38	.35
LP2985AIM5-2.5TR-ND	2,5 V, 150 mA rauscharmer Ultra-LDO-Regler, Micropower, Klasse A	2.5V, Micropower 150mA LN Ultra LDO Reg., A Grade	SOT-23-5		350.00/1,000	
LP2985AIM5-2.6CT-ND	2,6 V, 150 mA rauscharmer Ultra-LDO-Regler, Micropower, Klasse A	2.6V, Micropower 150mA LN Ultra LDO Reg., A Grade	SOT-23-5	.69	.55	.47
LP2985AIM5-2.6TR-ND	2,6 V, 150 mA rauscharmer Ultra-LDO-Regler, Micropower, Klasse A	2.6V, Micropower 150mA LN Ultra LDO Reg., A Grade	SOT-23-5		400.00/1,000	
LP2985AIM5-2.7CT-ND	2,7 V, 150 mA rauscharmer Ultra-LDO-Regler, Micropower, Klasse A	2.7V, Micropower 150mA LN Ultra LDO Reg., A Grade	SOT-23-5	.69	.55	.47
LP2985AIM5-2.7TR-ND	2,7 V, 150 mA rauscharmer Ultra-LDO-Regler, Micropower, Klasse A	2.7V, Micropower 150mA LN Ultra LDO Reg., A Grade	SOT-23-5		400.00/1,000	
LP2985AIM5-2.8CT-ND	2,8 V, 150 mA rauscharmer Ultra-LDO-Regler, Micropower, Klasse A	2.8V, Micropower 150mA LN Ultra LDO Reg., A Grade	SOT-23-5	.69	.55	.47
LP2985AIM5-2.8TR-ND	2,8 V, 150 mA rauscharmer Ultra-LDO-Regler, Micropower, Klasse A	2.8V, Micropower 150mA LN Ultra LDO Reg., A Grade	SOT-23-5		400.00/1,000	
LP2985AIM5-2.9CT-ND	2,9 V, 150 mA rauscharmer Ultra-LDO-Regler, Micropower, Klasse A	2.9V, Micropower 150mA LN Ultra LDO Reg., A Grade	SOT-23-5	.69	.55	.47
LP2985AIM5-2.9TR-ND	2,9 V, 150 mA rauscharmer Ultra-LDO-Regler, Micropower, Klasse A	2.9V, Micropower 150mA LN Ultra LDO Reg., A Grade	SOT-23-5		400.00/1,000	
LP2985AIM5-3.0CT-ND	3 V, 150 mA rauscharmer Ultra-LDO-Regler, Micropower, Klasse A	3V, Micropower 150mA LN Ultra LDO Reg., A Grade	SOT-23-5	.68	.46	.38
LP2985AIM5-3.0TR-ND	3 V, 150 mA rauscharmer Ultra-LDO-Regler, Micropower, Klasse A	3V, Micropower 150mA LN Ultra LDO Reg., A Grade	SOT-23-5		380.00/1,000	
LP2985AIM5-3.1CT-ND	3,1 V, 150 mA rauscharmer Ultra-LDO-Regler, Micropower, Klasse A	3.1V, Micropower 150mA LN Ultra LDO Reg., A Grade	SOT-23-5	.69	.55	.47
LP2985AIM5-3.1TR-ND	3,1 V, 150 mA rauscharmer Ultra-LDO-Regler, Micropower, Klasse A	3.1V, Micropower 150mA LN Ultra LDO Reg., A Grade	SOT-23-5		400.00/1,000	
LP2985AIM5-3.2CT-ND	3,2 V, 150 mA rauscharmer Ultra-LDO-Regler, Micropower, Klasse A	3.2V, Micropower 150mA LN Ultra LDO Reg., A Grade	SOT-23-5	.69	.55	.47
LP2985AIM5-3.2TR-ND	3,2 V, 150 mA rauscharmer Ultra-LDO-Regler, Micropower, Klasse A	3.2V, Micropower 150mA LN Ultra LDO Reg., A Grade	SOT-23-5		400.00/1,000	
LP2985AIM5-3.3CT-ND	3,3 V, 150 mA Ultra-LDO-Regler, Micropower, rauscharm, Klasse A	3.3V, Micropower 150mA LN Ultra LDO Reg., A Grade.	SOT-23-5	.68	.46	.38
LP2985AIM5-3.3TR-ND	3,3 V, 150 mA Ultra-LDO-Regler, Micropower, rauscharm, Klasse A	3.3V, Micropower 150mA LN Ultra LDO Reg., A Grade.	SOT-23-5		380.00/1,000	
LP2985AIM5-3.5CT-ND	3,5 V, 150 mA rauscharmer Ultra-LDO-Regler, Micropower, Klasse A	3.5V, Micropower 150mA LN Ultra LDO Reg., A Grade	SOT-23-5	.69	.55	.47
LP2985AIM5-3.5TR-ND	3,5 V, 150 mA rauscharmer Ultra-LDO-Regler, Micropower, Klasse A	3.5V, Micropower 150mA LN Ultra LDO Reg., A Grade	SOT-23-5		400.00/1,000	
LP2985AIM5-3.6CT-ND	3,6 V, 150 mA rauscharmer Ultra-LDO-Regler, Micropower, Klasse A	3.6V, Micropower 150mA LN Ultra LDO Reg., A Grade	SOT-23-5	.69	.55	.47
LP2985AIM5-3.6TR-ND	3,6 V, 150 mA rauscharmer Ultra-LDO-Regler, Micropower, Klasse A	3.6V, Micropower 150mA LN Ultra LDO Reg., A Grade	SOT-23-5		400.00/1,000	
LP2985AIM5-3.8CT-ND	3,8 V, 150 mA rauscharmer Ultra-LDO-Regler, Micropower, Klasse A	3.8V, Micropower 150mA LN Ultra LDO Reg., A Grade	SOT-23-5	.69	.55	.47
LP2985AIM5-3.8TR-ND	3,8 V, 150 mA rauscharmer Ultra-LDO-Regler, Micropower, Klasse A	3.8V, Micropower 150mA LN Ultra LDO Reg., A Grade	SOT-23-5		400.00/1,000	
LP2985AIM5-4.0CT-ND	4,0 V, 150 mA rauscharmer Ultra-LDO-Regler, Micropower, Klasse A	4.0V, Micropower 150mA LN Ultra LDO Reg., A Grade	SOT-23-5	.69	.55	.47
LP2985AIM5-4.0TR-ND	4,0 V, 150 mA rauscharmer Ultra-LDO-Regler, Micropower, Klasse A	4.0V, Micropower 150mA LN Ultra LDO Reg., A Grade	SOT-23-5		400.00/1,000	
LP2985AIM5-4.5CT-ND	4,5 V, 150 mA rauscharmer Ultra-LDO-Regler, Micropower, Klasse A	4.5V, Micropower 150mA LN Ultra LDO Reg., A Grade	SOT-23-5	.69	.55	.47
LP2985AIM5-4.5TR-ND	4,5 V, 150 mA rauscharmer Ultra-LDO-Regler, Micropower, Klasse A	4.5V, Micropower 150mA LN Ultra LDO Reg., A Grade	SOT-23-5		400.00/1,000	
LP2985AIM5-4.7CT-ND	4,7 V, 150 mA rauscharmer Ultra-LDO-Regler, Micropower, Klasse A	4.7V, Micropower 150mA LN Ultra LDO Reg., A Grade	SOT-23-5	.69	.55	.47
LP2985AIM5-4.7TR-ND	4,7 V, 150 mA rauscharmer Ultra-LDO-Regler, Micropower, Klasse A	4.7V, Micropower 150mA LN Ultra LDO Reg., A Grade	SOT-23-5		400.00/1,000	
LP2985AIM5-4.8CT-ND	4,8 V, 150 mA rauscharmer Ultra-LDO-Regler, Micropower, Klasse A	4.8V, Micropower 150mA LN Ultra LDO Reg., A Grade	SOT-23-5	.69	.55	.47
LP2985AIM5-4.8TR-ND	4,8 V, 150 mA rauscharmer Ultra-LDO-Regler, Micropower, Klasse A	4.8V, Micropower 150mA LN Ultra LDO Reg., A Grade	SOT-23-5		400.00/1,000	
LP2985AIM5-5.0CT-ND	5 V, 150 mA rauscharmer Ultra-LDO-Regler, Micropower, Klasse A	5V, Micropower 150mA LN Ultra LDO Reg., A Grade	SOT-23-5	.68	.38	.35
LP2985AIM5-5.0TR-ND	5 V, 150 mA rauscharmer Ultra-LDO-Regler, Micropower, Klasse A	5V, Micropower 150mA LN Ultra LDO Reg., A Grade	SOT-23-5		350.00/1,000	
LP2985AIM5-5.3CT-ND	5,3 V, 150 mA rauscharmer Ultra-LDO-Regler, Micropower, Klasse A	5.3V, Micropower 150mA LN Ultra LDO Reg., A Grade	SOT-23-5	.69	.55	.47
LP2985AIM5-5.3TR-ND	5,3 V, 150 mA rauscharmer Ultra-LDO-Regler, Micropower, Klasse A	5.3V, Micropower 150mA LN Ultra LDO Reg., A Grade	SOT-23-5		400.00/1,000	
LP2985AIM5-6.1CT-ND	6,1 V, 150 mA rauscharmer Ultra-LDO-Regler, Micropower, Klasse A	6.1V, Micropower 150mA LN Ultra LDO Reg., A Grade	SOT-23-5	.69	.55	.47

(Forts.)

★ RUFEN SIE BITTE AN FÜR NIEDRIGERE PREISE BEI GRÖSSEREN MENGEN! ★

Alle Preisangaben in Euro und inklusive Zollgebühren.

Digi-Key Teilenr.	Beschreibung		Paket	Stückpreis★ 1	25	100
LP2985AIM5-6.1TR-ND	6,1 V, 150 mA rauscharmer Ultra-LDO-Regler, Micropower, Klasse A	6.1V, Micropower 150mA LN Ultra LDO Reg., A Grade	SOT-23-5		400.00/1,000	
LP2985AITP-1.8CT-ND	1,8 V, 150 mA rauscharmer Ultra-LDO-Regler, Micropower, Klasse A	1.8V, Micropower 150mA LN Ultra LDOReg., A Grade	microSMD	.69	.55	.47
LP2985AITP-1.8TR-ND	1,8 V, 150 mA rauscharmer Ultra-LDO-Regler, Micropower, Klasse A	1.8V, Micropower 150mA LN Ultra LDO Reg., A Grade	microSMD		110.00/250	
LP2985AITP-2.5CT-ND	2,5 V, 150 mA rauscharmer Ultra-LDO-Regler, Micropower, Klasse A	2.5V, Micropower 150mA LN Ultra LDO Reg., A Grade	microSMD	.69	.55	.47
LP2985AITP-2.5TR-ND	2,5 V, 150 mA rauscharmer Ultra-LDO-Regler, Micropower, Klasse A	2.5V, Micropower 150mA LN Ultra LDO Reg., A Grade	microSMD		110.00/250	
LP2985AITP-2.7CT-ND	2,7 V, 150 mA rauscharmer Ultra-LDO-Regler, Micropower, Klasse A	2.7V, Micropower 150mA LN Ultra LDO Reg., A Grade	microSMD	.69	.55	.47
LP2985AITP-2.7TR-ND	2,7 V, 150 mA rauscharmer Ultra-LDO-Regler, Micropower, Klasse A	2.7V, Micropower 150mA LN Ultra LDO Reg., A Grade	microSMD		110.00/250	
LP2985IBL-1.8CT-ND	1,8 V, 150 mA rauscharmer Ultra-LDO-Regler, Micropower, Klasse A	1.8V, Micropwr. 150mA LN Ultra LDO Reg., A Grade	5-microSMD	.66	.52	.45
LP2985IBL-1.8TR-ND	1,8 V, 150 mA rauscharmer Ultra-LDO-Regler, Micropower, Klasse A	1.8V, Micropwr. 150mA LN Ultra LDO Reg., A Grade	5-microSMD		105.00/250	
LP2985IBL-285CT-ND	2,85 V, 150 mA rauscharmer Ultra-LDO-Regler, Micropower, Klasse A	2.85V, Micropower 150mA LN Ultra LDO Reg., A Grade	5-microSMD	.66	.52	.45
LP2985IBL-285TR-ND	2,85 V, 150 mA rauscharmer Ultra-LDO-Regler, Micropower, Klasse A	2.85V, Micropower 150mA LN Ultra LDO Reg., A Grade.	5-microSMD		105.00/250	
LP2985IBL-3.0CT-ND	3 V, 150 mA rauscharmer Ultra-LDO-Regler, Micropower, Klasse A	3V, Micropower 150mA LN Ultra LDO Reg., A Grade	5-microSMD	.66	.52	.45
LP2985IBL-3.0TR-ND	3 V, 150 mA rauscharmer Ultra-LDO-Regler, Micropower, Klasse A	3V, Micropower 150mA LN Ultra LDO Reg., A Grade	5-microSMD		105.00/250	
LP2985IBL-3.3CT-ND	3,3 V, 150 mA rauscharmer Ultra-LDO-Regler, Micropower, Klasse A	3.3V, Micropwr. 150mA LN Ultra LDO Reg., A Grade	5-microSMD	.66	.52	.45
LP2985IBL-3.3TR-ND	3,3 V, 150 mA rauscharmer Ultra-LDO-Regler, Micropower, Klasse A	3.3V, Micropwr. 150mA LN Ultra LDO Reg., A Grade	5-microSMD		105.00/250	
LP2985IBP-1.8CT-ND	1,8 V, 150 mA rauscharmer Ultra-LDO-Regler, Micropower	1.8V, Micropower 150mA LN Ultra LDO Regulator	5-microSMD	.66	.52	.45
LP2985IBP-1.8TR-ND	1,8 V, 150 mA rauscharmer Ultra-LDO-Regler, Micropower	1.8V, Micropower 150mA LN Ultra LDO Regulator	5-microSMD		105.00/250	
LP2985IBP-2.4CT-ND	2,4 V, 150 mA rauscharmer Ultra-LDO-Regler, Micropower	2.4V, Micropower 150mA LN Ultra LDO Regulator	5-microSMD	.66	.52	.45
LP2985IBP-2.4TR-ND	2,4 V, 150 mA rauscharmer Ultra-LDO-Regler, Micropower	2.4V, Micropower 150mA LN Ultra LDO Regulator	5-microSMD		105.00/250	
LP2985IBP-2.5CT-ND	2,5 V, 150 mA rauscharmer Ultra-LDO-Regler, Micropower	2.5V, Micropower 150mA LN Ultra LDO Regulator	5-microSMD	.66	.52	.45
LP2985IBP-2.5TR-ND	2,5 V, 150 mA rauscharmer Ultra-LDO-Regler, Micropower	2.5V, Micropower 150mA LN Ultra LDO Regulator	5-microSMD		105.00/250	
LP2985IBP-2.8CT-ND	2,8 V, 150 mA rauscharmer Ultra-LDO-Regler, Micropower	2.8V, Micropower 150mA LN Ultra LDO Regulator	5-microSMD	.66	.52	.45
LP2985IBP-2.8TR-ND	2,8 V, 150 mA rauscharmer Ultra-LDO-Regler, Micropower	2.8V, Micropower 150mA LN Ultra LDO Regulator	5-microSMD		105.00/250	
LP2985IBP-2.9CT-ND	2,9 V, 150 mA rauscharmer Ultra-LDO-Regler, Micropower	2.9V, Micropower 150mA LN Ultra LDO Regulator	5-microSMD	.66	.52	.45
LP2985IBP-2.9TR-ND	2,9 V, 150 mA rauscharmer Ultra-LDO-Regler, Micropower	2.9V, Micropower 150mA LN Ultra LDO Regulator	5-microSMD		105.00/250	
LP2985IBP-3.0CT-ND	3 V, 150 mA rauscharmer Ultra-LDO-Regler, Micropower	3V, Micropower 150mA LN Ultra LDO Regulator	5-microSMD	.66	.52	.45
LP2985IBP-3.0TR-ND	3 V, 150 mA rauscharmer Ultra-LDO-Regler, Micropower	3V, Micropower 150mA LN Ultra LDO Regulator	5-microSMD		105.00/250	
LP2985IBP-3.3CT-ND	3,3 V, 150 mA rauscharmer Ultra-LDO-Regler, Micropower	3.3V, Micropower 150mA LN Ultra LDO Regulator	5-microSMD	.66	.52	.45
LP2985IBP-3.3TR-ND	3,3 V, 150 mA rauscharmer Ultra-LDO-Regler, Micropower	3.3V, Micropower 150mA LN Ultra LDO Regulator	5-microSMD		105.00/250	
LP2985IBP-3.6CT-ND	3,6 V, 150 mA rauscharmer Ultra-LDO-Regler, Micropower	3.6V, Micropower 150mA LN Ultra LDO Regulator	5-microSMD	.66	.52	.45
LP2985IBP-3.6TR-ND	3,6 V, 150 mA rauscharmer Ultra-LDO-Regler, Micropower	3.6V, Micropower 150mA LN Ultra LDO Regulator	5-microSMD		105.00/250	
LP2985IBP-4.0CT-ND	4 V, 150 mA rauscharmer Ultra-LDO-Regler, Micropower	4V, Micropower 150mA LN Ultra LDO Regulator	5-microSMD	.66	.52	.45
LP2985IBP-4.0TR-ND	4 V, 150 mA rauscharmer Ultra-LDO-Regler, Micropower	4V, Micropower 150mA LN Ultra LDO Regulator	5-microSMD		105.00/250	
LP2985IBP-5.0CT-ND	5 V, 150 mA rauscharmer Ultra-LDO-Regler, Micropower	5V, Micropower 150mA LN Ultra LDO Regulator	5-microSMD	.66	.52	.45
LP2985IBP-5.0TR-ND	5 V, 150 mA rauscharmer Ultra-LDO-Regler, Micropower	5V, Micropower 150mA LN Ultra LDO Regulator	5-microSMD		105.00/250	
LP2985IM5-135CT-ND	1,35 V, 150 mA rauscharmer Ultra-LDO-Regler, Micropower	1.35V, Micropower 150mA LN Ultra LDO Regulator	SOT-23-5	.66	.52	.45
LP2985IM5-135TR-ND	1,35 V, 150 mA rauscharmer Ultra-LDO-Regler, Micropower	1.35V, Micropower 150mA LN Ultra LDO Regulator	SOT-23-5		380.00/1,000	
LP2985IM5-1.5CT-ND	1,5 V, 150 mA rauscharmer Ultra-LDO-Regler, Micropower	1.5V, Micropower 150mA LN Ultra LDO Regulator	SOT-23-5	.66	.52	.45
LP2985IM5-1.5TR-ND	1,5 V, 150 mA rauscharmer Ultra-LDO-Regler, Micropower	1.5V, Micropower 150mA LN Ultra LDO Regulator	SOT-23-5		380.00/1,000	
LP2985IM5-1.8CT-ND	1,8 V, 150 mA rauscharmer Ultra-LDO-Regler, Micropower	1.8V, Micropower 150mA LN Ultra LDO Regulator	SOT-23-5	.27	.26	.24
LP2985IM5-1.8TR-ND	1,8 V, 150 mA rauscharmer Ultra-LDO-Regler, Micropower	1.8V, Micropower 150mA LN Ultra LDO Regulator	SOT-23-5		270.00/1,000	
LP2985IM5-2.0CT-ND	2,0 V, 150 mA rauscharmer Ultra-LDO-Regler, Micropower	2.0V, Micropower 150mA LN Ultra LDO Regulator	SOT-23-5	.66	.52	.45
LP2985IM5-2.0TR-ND	2,0 V, 150 mA rauscharmer Ultra-LDO-Regler, Micropower	2.0V, Micropower 150mA LN Ultra LDO Regulator	SOT-23-5		380.00/1,000	
LP2985IM5-2.5CT-ND	2,5 V, 150 mA rauscharmer Ultra-LDO-Regler, Micropower	2.5V, Micropower 150mA LN Ultra LDO Regulator	SOT-23-5	.66	.58	.41
LP2985IM5-2.5TR-ND	2,5 V, 150 mA rauscharmer Ultra-LDO-Regler, Micropower	2.5V, Micropower 150mA LN Ultra LDO Regulator	SOT-23-5		410.00/1,000	
LP2985IM5-2.6CT-ND	2,6 V, 150 mA rauscharmer Ultra-LDO-Regler, Micropower	2.6V, Micropower 150mA LN Ultra LDO Regulator	SOT-23-5	.66	.52	.45
LP2985IM5-2.6TR-ND	2,6 V, 150 mA rauscharmer Ultra-LDO-Regler, Micropower	2.6V, Micropower 150mA LN Ultra LDO Regulator	SOT-23-5		380.00/1,000	
LP2985IM5-2.7CT-ND	2,7 V, 150 mA rauscharmer Ultra-LDO-Regler, Micropower	2.7V, Micropower 150mA LN Ultra LDO Regulator	SOT-23-5	.66	.52	.45
LP2985IM5-2.7TR-ND	2,7 V, 150 mA rauscharmer Ultra-LDO-Regler, Micropower	2.7V, Micropower 150mA LN Ultra LDO Regulator	SOT-23-5		380.00/1,000	
LP2985IM5-2.8CT-ND	2,8 V, 150 mA rauscharmer Ultra-LDO-Regler, Micropower	2.8V, Micropower 150mA LN Ultra LDO Regulator	SOT-23-5	.66	.52	.45
LP2985IM5-2.8TR-ND	2,8 V, 150 mA rauscharmer Ultra-LDO-Regler, Micropower	2.8V, Micropower 150mA LN Ultra LDO Regulator	SOT-23-5		380.00/1,000	
LP2985IM5-2.9CT-ND	2,9 V, 150 mA rauscharmer Ultra-LDO-Regler, Micropower	2.9V, Micropower 150mA LN Ultra LDO Regulator	SOT-23-5	.66	.52	.45
LP2985IM5-2.9TR-ND	2,9 V, 150 mA rauscharmer Ultra-LDO-Regler, Micropower	2.9V, Micropower 150mA LN Ultra LDO Regulator	SOT-23-5		380.00/1,000	
LP2985IM5-3.0CT-ND	3 V, 150 mA rauscharmer Ultra-LDO-Regler, Micropower	3V, Micropower 150mA LN Ultra LDO Regulator	SOT-23-5	.66	.58	.41
LP2985IM5-3.0TR-ND	3 V, 150 mA rauscharmer Ultra-LDO-Regler, Micropower	3V, Micropower 150mA LN Ultra LDO Regulator	SOT-23-5		410.00/1,000	
LP2985IM5-3.1CT-ND	3,1 V, 150 mA rauscharmer Ultra-LDO-Regler, Micropower	3.1V, Micropower 150mA LN Ultra LDO Regulator	SOT-23-5	.66	.52	.45
LP2985IM5-3.1TR-ND	3,1 V, 150 mA rauscharmer Ultra-LDO-Regler, Micropower	3.1V, Micropower 150mA LN Ultra LDO Regulator	SOT-23-5		380.00/1,000	
LP2985IM5-3.2CT-ND	3,2 V, 150 mA rauscharmer Ultra-LDO-Regler, Micropower	3.2V, Micropower 150mA LN Ultra LDO Regulator	SOT-23-5	.66	.52	.45
LP2985IM5-3.2TR-ND	3,2 V, 150 mA rauscharmer Ultra-LDO-Regler, Micropower	3.2V, Micropower 150mA LN Ultra LDO Regulator	SOT-23-5		380.00/1,000	
LP2985IM5-3.3CT-ND	3,3 V, 150 mA rauscharmer Ultra-LDO-Regler, Micropower	3.3V, Micropower 150mA LN Ultra LDO Regulator	SOT-23-5	.66	.58	.41
LP2985IM5-3.3TR-ND	3,3 V, 150 mA rauscharmer Ultra-LDO-Regler, Micropower	3.3V, Micropower 150mA LN Ultra LDO Regulator	SOT-23-5		410.00/1,000	
LP2985IM5-3.5CT-ND	3,5 V, 150 mA rauscharmer Ultra-LDO-Regler, Micropower	3.5V, Micropower 150mA LN Ultra LDO Regulator	SOT-23-5	.66	.52	.45
LP2985IM5-3.5TR-ND	3,5 V, 150 mA rauscharmer Ultra-LDO-Regler, Micropower	3.5V, Micropower 150mA LN Ultra LDO Regulator	SOT-23-5		380.00/1,000	
LP2985IM5-3.6CT-ND	3,6 V, 150 mA rauscharmer Ultra-LDO-Regler, Micropower	3.6V, Micropower 150mA LN Ultra LDO Regulator.	SOT-23-5	.66	.52	.45
LP2985IM5-3.6TR-ND	3,6 V, 150 mA rauscharmer Ultra-LDO-Regler, Micropower	3.6V, Micropower 150mA LN Ultra LDO Regulator	SOT-23-5		380.00/1,000	
LP2985IM5-3.8CT-ND	3,8 V, 150 mA rauscharmer Ultra-LDO-Regler, Micropower	3.8V, Micropower 150mA LN Ultra LDO Regulator	SOT-23-5	.66	.52	.45
LP2985IM5-3.8TR-ND	3,8 V, 150 mA rauscharmer Ultra-LDO-Regler, Micropower	3.8V, Micropower 150mA LN Ultra LDO Regulator	SOT-23-5		380.00/1,000	
LP2985IM5-4.0CT-ND	4 V, 150 mA rauscharmer Ultra-LDO-Regler, Micropower	4V, Micropower 150mA LN Ultra LDO Regulator	SOT-23-5	.66	.52	.45
LP2985IM5-4.0TR-ND	4 V, 150 mA rauscharmer Ultra-LDO-Regler, Micropower	4V, Micropower 150mA LN Ultra LDO Regulator	SOT-23-5		380.00/1,000	
LP2985IM5-4.5CT-ND	4,5 V, 150 mA rauscharmer Ultra-LDO-Regler, Micropower	4.5V, Micropower 150mA LN Ultra LDO Regulator	SOT-23-5	.66	.52	.45
LP2985IM5-4.5TR-ND	4,5 V, 150 mA rauscharmer Ultra-LDO-Regler, Micropower	4.5V, Micropower 150mA LN Ultra LDO Regulator	SOT-23-5		380.00/1,000	
LP2985IM5-4.7CT-ND	4,7 V, 150 mA rauscharmer Ultra-LDO-Regler, Micropower	4.7V, Micropower 150mA LN Ultra LDO Regulator	SOT-23-5	.66	.52	.45
LP2985IM5-4.7TR-ND	4,7 V, 150 mA rauscharmer Ultra-LDO-Regler, Micropower	4.7V, Micropower 150mA LN Ultra LDO Regulator	SOT-23-5		380.00/1,000	
LP2985IM5-4.8CT-ND	4,8 V, 150 mA rauscharmer Ultra-LDO-Regler, Micropower	4.8V, Micropower 150mA LN Ultra LDO Regulator	SOT-23-5	.66	.52	.45
LP2985IM5-4.8TR-ND	4,8 V, 150 mA rauscharmer Ultra-LDO-Regler, Micropower	4.8V, Micropower 150mA LN Ultra LDO Regulator	SOT-23-5		380.00/1,000	
LP2985IM5-5.0CT-ND	5 V, 150 mA rauscharmer Ultra-LDO-Regler, Micropower	5V, Micropower 150mA LN Ultra LDO Regulator	SOT-23-5	.78	.56	.45
LP2985IM5-5.0TR-ND	5 V, 150 mA rauscharmer Ultra-LDO-Regler, Micropower	5V, Micropower 150mA LN Ultra LDO Regulator	SOT-23-5		450.00/1,000	
LP2985IM5-5.3CT-ND	5,3 V, 150 mA rauscharmer Ultra-LDO-Regler, Micropower	5.3V, Micropower 150mA LN Ultra LDO Regulator	SOT-23-5	.66	.52	.45
LP2985IM5-5.3TR-ND	5,3 V, 150 mA rauscharmer Ultra-LDO-Regler, Micropower	5.3V, Micropower 150mA LN Ultra LDO Regulator	SOT-23-5		380.00/1,000	
LP2985IM5-6.1CT-ND	6,1 V, 150 mA rauscharmer Ultra-LDO-Regler, Micropower	6.1V, Micropower 150mA LN Ultra LDO Regulator	SOT-23-5	.66	.52	.45
LP2985IM5-6.1TR-ND	6,1 V, 150 mA rauscharmer Ultra-LDO-Regler, Micropower	6.1V, Micropower 150mA LN Ultra LDO Regulator	SOT-23-5		380.00/1,000	
LP2985ITP-1.8CT-ND	1,8 V, 150 mA rauscharmer Ultra-LDO-Regler, Micropower	1.8V, Micropower 150mA LN Ultra LDO Regulator	microSMD	.66	.52	.45
LP2985ITP-1.8TR-ND	1,8 V, 150 mA rauscharmer Ultra-LDO-Regler, Micropower	1.8V, Micropower 150mA LN Ultra LDO Regulator	microSMD		105.00/250	
LP2985ITP-2.5CT-ND	2,5 V, 150 mA rauscharmer Ultra-LDO-Regler, Micropower	2.5V, Micropower 150mA LN Ultra LDO Regulator	microSMD	.66	.52	.45
LP2985ITP-2.5TR-ND	2,5 V, 150 mA rauscharmer Ultra-LDO-Regler, Micropower	2.5V, Micropower 150mA LN Ultra LDO Regulator	microSMD		105.00/250	
LP2985ITP-2.7CT-ND	2,7 V, 150 mA rauscharmer Ultra-LDO-Regler, Micropower	2.7V, Micropower 150mA LN Ultra LDO Regulator	microSMD	.66	.52	.45
LP2985ITP-2.7TR-ND	2,7 V, 150 mA rauscharmer Ultra-LDO-Regler, Micropower	2.7V, Micropower 150mA LN Ultra LDO Regulator	microSMD		105.00/250	
LP2986AILD-3.0CT-ND	3 V, 200 mA fester oder einstellb. Ultra-LDO-Spannungs- reg., Micropower	3V, Micropower 200mA Ultra LDO Fixed or Adj. V. Reg	8-LLP	2.27	1.80	1.54
LP2986AILD-3.0TR-ND	3 V, 200 mA fester oder einstellb. Ultra-LDO-Spannungs- reg., Micropower	3V, Micropower 200mA Ultra LDO Fixed or Adj. V. Reg	8-LLP		1320.00/1,000	
LP2986AILD-3.3CT-ND	3,3 V, 200 mA fester oder einstellb. Ultra-LDO-Spannungs- reg., Micropower	3.3V, Micropower 200mA Ultra LDO Fixed or Adj. V. Reg	8-LLP	2.27	1.80	1.54
LP2986AILD-3.3TR-ND	3,3 V, 200 mA fester oder einstellb. Ultra-LDO-Spannungs- reg., Micropower	3.3V, Micropower 200mA Ultra LDO Fixed or Adj. V. Reg	8-LLP		1320.00/1,000	
LP2986AILD-5.0CT-ND	5 V, 200 mA fester oder einstellb. Ultra-LDO-Spannungs- reg., Micropower	5V, Micropower 200mA Ultra LDO Fixed or Adj. V. Reg	8-LLP	2.27	1.80	1.54
LP2986AILD-5.0TR-ND	5 V, 200 mA fester oder einstellb. Ultra-LDO-Spannungs- reg., Micropower	5V, Micropower 200mA Ultra LDO Fixed or Adj. V. Reg	8-LLP		1320.00/1,000	
LP2986AIM-3.0-ND	3 V, 200 mA fester oder einstellb. Ultra-LDO-Spannungs- regler, Micropower, 0,5 %	3V, Micropower 200mA Ultra LDO Fixed or Adj. V. Reg .5%	8-SOIC	1.15	1.09	1.04
LP2986AIM-3.3-ND	3,3 V, 200 mA fester oder einstellb. Ultra-LDO-Spannungs- regler, Micropower, 0,5 %	3.3V, Micropwr 200mA Ultra LDO Fixed or Adj. V. Reg .5%	8-SOIC	1.27	.80	.76
LP2986AIM-5.0-ND	5 V, 200 mA fester oder einstellb. Ultra-LDO-Spannungs- regler, Micropower, 0,5 %	5V, Micropwr 200mA Ultra LDO Fixed or Adj. V. Reg .5%	8-SOIC	1.27	.81	.77
LP2986AIMM-3.0CT-ND	3 V, 200 mA fester oder einstellb. Ultra-LDO-Spannungs- regler, Micropower, 0,5 %	3V, Micropwr 200mA Ultra LDO Fixed or Adj. V. Reg .5%	8-MSOP	1.41	.91	.86
LP2986AIMM-3.0TR-ND	3 V, 200 mA fester oder einstellb. Ultra-LDO-Spannungs- regler, Micropower, 0,5 %	3V, Micropwr 200mA Ultra LDO Fixed or Adj. V. Reg .5%	8-MSOP		740.00/1,000	
LP2986AIMM-3.3CT-ND	3,3 V, 200 mA fester oder einstellb. Ultra-LDO-Spannungs- regler, Micropower, 0,5 %	3.3V, Micropwr 200mA Ultra LDO Fix or Adj. V. Reg .5%	8-MSOP	1.41	.91	.86
LP2986AIMM-3.3TR-ND	3,3 V, 200 mA fester oder einstellb. Ultra-LDO-Spannungs- regler, Micropower, 0,5 %	3.3V, Micropwr 200mA Ultra LDO Fix or Adj. V. Reg .5%	8-MSOP		740.00/1,000	
LP2986AIMM-5.0CT-ND	5 V, 200 mA fester oder einstellb. Ultra-LDO-Spannungs- regler, Micropower, 0,5 %	5V, Micropwr 200mA Ultra LDO Fixed or Adj. V. Reg .5%	8-MSOP	1.27	1.21	1.15
LP2986AIMM-5.0TR-ND	5 V, 200 mA fester oder einstellb. Ultra-LDO-Spannungs- regler, Micropower, 0,5 %	5V, Micropwr 200mA Ultra LDO Fixed or Adj. V. Reg .5%	8-MSOP		980.00/1,000	
LP2986ILD-3.0CT-ND	3 V, 200 mA fester oder einstellb. Ultra-LDO-Spannungs- reg., Micropower	3V, Micropower 200mA Ultra LDO Fixed or Adj. V. Reg.	8-LLP	1.22	1.16	1.10
LP2986ILD-3.0TR-ND	3 V, 200 mA fester oder einstellb. Ultra-LDO-Spannungs- reg., Micropower	3V, Micropower 200mA Ultra LDO Fixed or Adj. V. Reg.	8-LLP		960.00/1,000	
LP2986ILD-3.3CT-ND	3,3 V, 200 mA fester oder einstellb. Ultra-LDO-Spannungs- reg., Micropower	3.3V, Micropower 200mA Ultra LDO Fixed or Adj. V. Reg.	8-LLP	1.22	1.16	1.10

(Forts.)

★ RUFEN SIE BITTE AN FÜR NIEDRIGERE PREISE BEI GRÖSSEREN MENGEN! ★

B

Digi-Key Teilenr.	Beschreibung		Paket	Stückpreis★ 1	25	100
LP2986ILD-3.3TR-ND	3,3 V, 200 mA fester oder einstellb. Ultra-LDO-Spannungs- reg., Micropower	3.3V, Micropower 200mA Ultra LDO Fixed or Adj. V. Reg.	8-LLP		960.00/1,000	
LP2986ILD-5.0CT-ND	5 V, 200 mA fester oder einstellb. Ultra-LDO-Spannungs- reg., Micropower	5V, Micropower 200mA Ultra LDO Fixed or Adj. V. Reg.	8-LLP	1.22	1.16	1.10
LP2986ILD-5.0TR-ND	5 V, 200 mA fester oder einstellb. Ultra-LDO-Spannungs- reg., Micropower	5V, Micropower 200mA Ultra LDO Fixed or Adj. V. Reg.	8-LLP		960.00/1,000	
LP2986IM-3.0-ND	3 V, 200 mA Ultra-LDO-Regler, Micropower, 1 %	3V, Micropower 200mA Ultra LDO Regulator, 1%	8-SOIC	1.08	1.03	.98
LP2986IM-3.3-ND	3,3 V, 200 mA Ultra-LDO-Regler, Micropower, 1 %	3.3V, Micropower 200mA Ultra LDO Regulator, 1%	8-SOIC	1.16	.77	.73
LP2986IM-5.0-ND	5 V, 200 mA Ultra-LDO-Regler, Micropower, 1 %	5V, Micropower 200mA Ultra LDO Regulator, 1%	8-SOIC	1.08	1.03	.98
LP2986IMM-3.0CT-ND	3 V, 200 mA fester oder einstellb. Ultra-LDO-Spannungs- regler, Micropower,1 %	3V, Micropwr 200mA Ultra LDO Fixed or Adj. V. Reg, 1%	8-MSOP	1.20	1.14	1.08
LP2986IMM-3.0TR-ND	3 V, 200 mA fester oder einstellb. Ultra-LDO-Spannungs- regler, Micropower,1 %	3V, Micropwr 200mA Ultra LDO Fixed or Adj. V. Reg, 1%	8-MSOP		940.00/1,000	
LP2986IMM-3.3CT-ND	3,3 V, 200 mA fester oder einstellb. Ultra-LDO-Spannungs- regler, Micropower,1 %	3.3V, Micropwr 200mA Ultra LDO Fix or Adj. V. Reg, 1%	8-MSOP	1.20	1.14	1.08
LP2986IMM-3.3TR-ND	3,3 V, 200 mA fester oder einstellb. Ultra-LDO-Spannungs- regler, Micropower,1 %	3.3V, Micropwr 200mA Ultra LDO Fix or Adj. V. Reg, 1%	8-MSOP		940.00/1,000	
LP2986IMM-5.0CT-ND	5 V, 200 mA fester oder einstellb. Ultra-LDO-Spannungs- regler, Micropower,1 %	5V, Micropwr 200mA Ultra LDO Fixed or Adj. V. Reg, 1%	8-MSOP	1.20	1.14	1.08
LP2986IMM-5.0TR-ND	5 V, 200 mA fester oder einstellb. Ultra-LDO-Spannungs- regler, Micropower,1 %	5V, Micropwr 200mA Ultra LDO Fixed or Adj. V. Reg, 1%	8-MSOP		940.00/1,000	
LP2987AILD-3.0CT-ND	3 V, 200 mA LDO-Spannungsregler, Micropower	3V, Micropower 200mA LDO Voltage Regulator	8-LLP	2.27	1.80	1.54
LP2987AILD-3.0TR-ND	3 V, 200 mA LDO-Spannungsregler, Micropower	3V, Micropower 200mA LDO Voltage Regulator	8-LLP		1320.00/1,000	
LP2987AILD-3.3CT-ND	3,3 V, 200 mA LDO-Spannungsregler, Micropower	3.3V, Micropower 200mA LDO Voltage Regulator	8-LLP	2.27	1.80	1.54
LP2987AILD-3.3TR-ND	3,3 V, 200 mA LDO-Spannungsregler, Micropower	3.3V, Micropower 200mA LDO Voltage Regulator	8-LLP		1320.00/1,000	
LP2987AILD-5.0CT-ND	5 V, 200 mA LDO-Spannungsregler, Micropower	5V, Micropower 200mA LDO Voltage Regulator	8-LLP	2.27	1.80	1.54
LP2987AILD-5.0TR-ND	5 V, 200 mA LDO-Spannungsregler, Micropower	5V, Micropower 200mA LDO Voltage Regulator	8-LLP		1320.00/1,000	
LP2987AIM-2.5-ND	2,5 V, 200 mA Ultra-LDO-Spannungsregler mit Reset-Verzögerung der Strom-Ein-Funktion (Power-On), Micropower, 0,5 %	2.5V, Micropower 200mA, Ultra LDO Voltage Regulator with Program Power-On Reset Delay, .5%	8-SOIC	2.03	1.61	1.38
LP2987AIM-2.8-ND	2,8 V, 200 mA Ultra-LDO-Spannungsregler mit Reset-Verzögerung der Strom-Ein-Funktion (Power-On), Micropower, 0,5 %	2.8V, Micropower 200mA, Ultra LDO Voltage Regulator with Program Power-On Reset Delay, .5%	8-SOIC	2.03	1.61	1.38
LP2987AIM-3.0-ND	3 V, 200 mA Ultra-LDO-Spannungsregler mit Reset-Verzögerung der Strom-Ein-Funktion (Power-On), Micropower, 0,5 %	3V, Micropower 200mA Ultra LDO Voltage Regulator with Program Power-On Reset Delay, .5%	8-SOIC	2.03	1.61	1.38
LP2987AIM-3.2-ND	3,2 V, 200 mA Ultra-LDO-Spannungsregler mit Reset-Verzögerung der Strom-Ein-Funktion (Power-On), Micropower, 0,5 %	3.2V, Micropower 200mA, Ultra LDO Voltage Regulator with Program Power-On Reset Delay, .5%	8-SOIC	2.03	1.61	1.38
LP2987AIM-3.3-ND	3,3 V, 200 mA Ultra-LDO-Regler, Micropower, 0,5 % Genauigkeit	3.3V, Micropower 200mA Ultra LDO Reg., .5% Accuracy	8-SOIC	1.15	1.09	1.04
LP2987AIM-3.8-ND	3,8 V, 200 mA Ultra-LDO-Spannungsregler mit Reset-Verzögerung der Strom-Ein-Funktion (Power-On), Micropower, 0,5 %	3.8V, Micropower 200mA, Ultra LDO Voltage Regulator with Program Power-On Reset Delay, .5%	8-SOIC	2.03	1.61	1.38
LP2987AIM-5.0-ND	5,0 V, 200 mA Ultra-LDO-Regler, Micropower, 0,5 % Genauigkeit	5.0V, Micropower 200mA Ultra LDO Reg., .5% Accuracy	8-SOIC	1.15	1.09	1.04
LP2987AIMM-2.5CT-ND	2,5 V, 200 mA Ultra-LDO-Regler, Micropower, 0,5 % Genauigkeit	2.5V, Micropower 200mA Ultra LDO Reg., .5% Accuracy	8-MSOP	2.24	1.78	1.52
LP2987AIMM-2.5TR-ND	2,5 V, 200 mA Ultra-LDO-Regler, Micropower, 0,5 % Genauigkeit	2.5V, Micropower 200mA Ultra LDO Reg., .5% Accuracy	8-MSOP		1300.00/1,000	
LP2987AIMM-3.0CT-ND	3 V, 200 mA Ultra-LDO-Regler, Micropower, 0,5 % Genauigkeit	3V, Micropower 200mA Ultra LDO Reg., .5% Accuracy	8-MSOP	2.24	1.78	1.52
LP2987AIMM-3.0TR-ND	3 V, 200 mA Ultra-LDO-Regler, Micropower, 0,5 % Genauigkeit	3V, Micropower 200mA Ultra LDO Reg., .5% Accuracy	8-MSOP		1300.00/1,000	
LP2987AIMM-3.2CT-ND	3,2 V, 200 mA Ultra-LDO-Regler, Micropower, 0,5 % Genauigkeit	3.2V, Micropower 200mA Ultra LDO Reg., .5% Accuracy	8-MSOP	2.24	1.78	1.52
LP2987AIMM-3.2TR-ND	3,2 V, 200 mA Ultra-LDO-Regler, Micropower, 0,5 % Genauigkeit	3.2V, Micropower 200mA Ultra LDO Reg., .5% Accuracy	8-MSOP		1300.00/1,000	
LP2987AIMM-3.8CT-ND	3,8 V, 200 mA Ultra-LDO-Regler, Micropower, 0,5 % Genauigkeit	3.8V, Micropower 200mA Ultra LDO Reg., .5% Accuracy	8-MSOP	2.24	1.78	1.52
LP2987AIMM-3.8TR-ND	3,8 V, 200 mA Ultra-LDO-Regler, Micropower, 0,5 % Genauigkeit	3.8V, Micropower 200mA Ultra LDO Reg., .5% Accuracy	8-MSOP		1300.00/1,000	
LP2987ILD-3.0CT-ND	3 V, 200 mA LDO-Spannungsregler, Micropower	3V, Micropower 200mA LDO Voltage Regulator	8-LLP	2.15	1.71	1.46
LP2987ILD-3.0TR-ND	3 V, 200 mA LDO-Spannungsregler, Micropower	3V, Micropower 200mA LDO Voltage Regulator	8-LLP		1250.00/1,000	
LP2987ILD-3.3CT-ND	3,3 V, 200 mA LDO-Spannungsregler, Micropower	3.3V, Micropower 200mA LDO Voltage Regulator	8-LLP	2.15	1.71	1.46
LP2987ILD-3.3TR-ND	3,3 V, 200 mA LDO-Spannungsregler, Micropower	3.3V, Micropower 200mA LDO Voltage Regulator	8-LLP		1250.00/1,000	
LP2987ILD-5.0CT-ND	5 V, 200 mA LDO-Spannungsregler, Micropower	5V, Micropower 200mA LDO Voltage Regulator	8-LLP	1.22	1.16	1.10
LP2987ILD-5.0TR-ND	5 V, 200 mA LDO-Spannungsregler, Micropower	5V, Micropower 200mA LDO Voltage Regulator	8-LLP		960.00/1,000	
LP2987IM-2.5-ND	2,5 V, 200 mA LDO-Spannungsregler, Micropower, 1 % Genauigkeit	2.5V, Micropower 200mA, LDO Voltage Reg. 1% Accuracy	8-SOIC	1.91	1.52	1.30
LP2987IM-2.8-ND	2,8 V, 200 mA LDO-Spannungsregler, Micropower, 1 % Genauigkeit	2.8V, Micropower 200mA, LDO Voltage Reg. 1% Accuracy	8-SOIC	1.30	1.52	1.30
LP2987IM-3.0-ND	3 V, 200 mA Ultra-LDO-Regler, Micropower, 1 % Genauigkeit	3V, Micropower 200mA Ultra LDO Reg., 1% Accuracy	8-SOIC	1.91	1.52	1.30
LP2987IM-3.2-ND	3,2 V, 200 mA Ultra-LDO-Regler, Micropower, 1 % Genauigkeit	3.2V, Micropower 200mA, Ultra LDO Reg., 1% Accuracy	8-SOIC	1.91	1.52	1.30
LP2987IM-3.3-ND	3,3 V, 200 mA Ultra-LDO-Regler, Micropower, 1 % Genauigkeit	3.3V, Micropower 200mA Ultra LDO Reg., 1% Accuracy	8-SOIC	1.08	1.03	.98
LP2987IM-3.8-ND	3,8 V, 200 mA Ultra-LDO-Regler, Micropower, 1 % Genauigkeit	3.8V, Micropower 200mA, Ultra LDO Reg., 1% Accuracy	8-SOIC	1.91	1.52	1.30
LP2987IM-5.0-ND	5,0 V, 200 mA Ultra-LDO-Regler, Micropower, 1 % Genauigkeit	5.0V, Micropower 200mA Ultra LDO Reg., 1% Accuracy	8-SOIC	1.08	1.03	.98
LP2987IMM-2.5CT-ND	2,5 V, 200 mA Ultra-LDO-Regler, Micropower, 1 % Genauigkeit	2.5V, Micropower 200mA Ultra LDO Reg., 1% Accuracy	8-MSOP	2.12	1.68	1.44
LP2987IMM-2.5TR-ND	2,5 V, 200 mA Ultra-LDO-Regler, Micropower, 1 % Genauigkeit	2.5V, Micropower 200mA Ultra LDO Reg., 1% Accuracy	8-MSOP		1230.00/1,000	
LP2987IMM-2.8CT-ND	2,8 V, 200 mA Ultra-LDO-Regler, Micropower, 1 % Genauigkeit	2.8V, Micropower 200mA Ultra LDO Reg., 1% Accuracy	8-MSOP	2.12	1.68	1.44
LP2987IMM-2.8TR-ND	2,8 V, 200 mA Ultra-LDO-Regler, Micropower, 1 % Genauigkeit	2.8V, Micropower 200mA Ultra LDO Reg., 1% Accuracy	8-MSOP		1230.00/1,000	
LP2987IMM-3.0CT-ND	3 V, 200 mA Ultra-LDO-Regler, Micropower, 1 % Genauigkeit	3V, Micropower 200mA Ultra LDO Reg., 1% Accuracy	8-MSOP	2.12	1.68	1.44
LP2987IMM-3.0TR-ND	3 V, 200 mA Ultra-LDO-Regler, Micropower, 1 % Genauigkeit	3V, Micropower 200mA Ultra LDO Reg., 1% Accuracy	8-MSOP		1230.00/1,000	
LP2987IMM-3.2CT-ND	3,2 V, 200 mA Ultra-LDO-Regler, Micropower, 1 % Genauigkeit	3.2V, Micropower 200mA Ultra LDO Reg., 1% Accuracy	8-MSOP	2.12	1.68	1.44
LP2987IMM-3.2TR-ND	3,2 V, 200 mA Ultra-LDO-Regler, Micropower, 1 % Genauigkeit	3.2V, Micropower 200mA Ultra LDO Reg., 1% Accuracy	8-MSOP		1230.00/1,000	
LP2987IMM-3.8CT-ND	3,8 V, 200 mA Ultra-LDO-Regler, Micropower, 1 % Genauigkeit	3.8V, Micropower 200mA Ultra LDO Reg., 1% Accuracy	8-MSOP	2.12	1.68	1.44
LP2987IMM-3.8TR-ND	3,8 V, 200 mA Ultra-LDO-Regler, Micropower, 1 % Genauigkeit	3.8V, Micropower 200mA Ultra LDO Reg., 1% Accuracy	8-MSOP		1230.00/1,000	
LP2987IMM-5.0CT-ND	5,0 V, 200 mA Ultra-LDO-Regler, Micropower, 1 % Genauigkeit	5.0V, Micropower 200mA Ultra LDO Reg., 1% Accuracy	8-MSOP	1.20	1.14	1.08
LP2987IMM-5.0TR-ND	5,0 V, 200 mA Ultra-LDO-Regler, Micropower, 1 % Genauigkeit	5.0V, Micropower 200mA Ultra LDO Reg., 1% Accuracy	8-MSOP		740.00/1,000	
LP2988AILD-2.5CT-ND	2,5 V, 200 mA LDO-Spannungsregler, Micropower	2.5V, Micropower 200mA LDO Voltage Regulator	8-LLP	2.36	1.87	1.60
LP2988AILD-2.5TR-ND	2,5 V, 200 mA LDO-Spannungsregler, Micropower	2.5V, Micropower 200mA LDO Voltage Regulator	8-LLP		1370.00/1,000	
LP2988AILD-3.0CT-ND	3 V, 200 mA LDO-Spannungsregler, Micropower	3V, Micropower 200mA LDO Voltage Regulator	8-LLP	2.36	1.87	1.60
LP2988AILD-3.0TR-ND	3 V, 200 mA LDO-Spannungsregler, Micropower	3V, Micropower 200mA LDO Voltage Regulator	8-LLP		1370.00/1,000	
LP2988AILD-3.3CT-ND	3,3 V, 200 mA LDO-Spannungsregler, Micropower	3.3V, Micropower 200mA LDO Voltage Regulator	8-LLP	1.34	1.27	1.21
LP2988AILD-3.3TR-ND	3,3 V, 200 mA LDO-Spannungsregler, Micropower	3.3V, Micropower 200mA LDO Voltage Regulator	8-LLP		1040.00/1,000	
LP2988AILD-5.0CT-ND	5 V, 200 mA LDO-Spannungsregler, Micropower	5V, Micropower 200mA LDO Voltage Regulator	8-LLP	2.36	1.87	1.60
LP2988AILD-5.0TR-ND	5 V, 200 mA LDO-Spannungsregler, Micropower	5V, Micropower 200mA LDO Voltage Regulator	8-LLP		1370.00/1,000	
LP2988AIM-2.5-ND	2,5 V, 200 mA Ultra-LDO-Regler, Micropower, 0,5 % Genauigkeit	2.5V, Micropower 200mA Ultra LDO Reg., .5% Accuracy	8-SOIC	2.12	1.68	1.44
LP2988AIM-2.8-ND	2,8 V, 200 mA Ultra-LDO-Regler, Micropower, 0,5 % Genauigkeit	2.8V, Micropower 200mA Ultra LDO Reg., .5% Accuracy	8-SOIC	2.12	1.68	1.44
LP2988AIM-3.0-ND	3 V, 200 mA Ultra-LDO-Regler, Micropower, 0,5 % Genauigkeit	3V, Micropower 200mA Ultra LDO Reg., .5% Accuracy	8-SOIC	1.20	1.14	1.08
LP2988AIM-3.3-ND	3,3 V, 200 mA Ultra-LDO-Regler, Micropower, 0,5 % Genauigkeit	3.3V, Micropower 200mA Ultra LDO Reg., .5% Accuracy	8-SOIC	1.20	1.14	1.08
LP2988AIM-3.8-ND	3,8 V, 200 mA Ultra-LDO-Regler, Micropower, 0,5 % Genauigkeit	3.8V, Micropower 200mA Ultra LDO Reg., .5% Accuracy	8-SOIC	2.12	1.68	1.44
LP2988AIM-5.0-ND	5 V, 200 mA Ultra-LDO-Regler, Micropower, 0,5 % Genauigkeit	5V, Micropower 200mA Ultra LDO Reg., .5% Accuracy	8-SOIC	1.20	1.14	1.08
LP2988AIMM-2.5CT-ND	2,5 V, 200 mA Ultra-LDO-Regler, Micropower, 0,5 % Genauigkeit	2.5V, Micropower 200mA Ultra LDO Reg., .5% Accuracy	8-MSOP	2.27	1.80	1.54
LP2988AIMM-2.5TR-ND	2,5 V, 200 mA Ultra-LDO-Regler, Micropower, 0,5 % Genauigkeit	2.5V, Micropower 200mA Ultra LDO Reg., .5% Accuracy	8-MSOP		1320.00/1,000	
LP2988AIMM-2.7CT-ND	2,7 V, 200 mA Ultra-LDO-Regler, Micropower, 0,5 % Genauigkeit	2.7V, Micropower 200mA Ultra LDO Reg., .5% Accuracy	8-MSOP	2.27	1.80	1.54
LP2988AIMM-2.7TR-ND	2,7 V, 200 mA Ultra-LDO-Regler, Micropower, 0,5 % Genauigkeit	2.7V, Micropower 200mA Ultra LDO Reg., .5% Accuracy	8-MSOP		1320.00/1,000	
LP2988AIMM-2.8CT-ND	2,8 V, 200 mA Ultra-LDO-Regler, Micropower, 0,5 % Genauigkeit	2.8V, Micropower 200mA Ultra LDO Reg., .5% Accuracy	8-MSOP	2.27	1.80	1.54
LP2988AIMM-2.8TR-ND	2,8 V, 200 mA Ultra-LDO-Regler, Micropower, 0,5 % Genauigkeit	2.8V, Micropower 200mA Ultra LDO Reg., .5% Accuracy	8-MSOP		1320.00/1,000	
LP2988AIMM-3.0CT-ND	3 V, 200 mA Ultra-LDO-Regler, Micropower, 0,5 % Genauigkeit	3V, Micropower 200mA Ultra LDO Reg., .5% Accuracy	8-MSOP	2.27	1.80	1.54
LP2988AIMM-3.0TR-ND	3 V, 200 mA Ultra-LDO-Regler, Micropower, 0,5 % Genauigkeit	3V, Micropower 200mA Ultra LDO Reg., .5% Accuracy	8-MSOP		1320.00/1,000	
LP2988AIMM-3.2CT-ND	3,2 V, 200 mA Ultra-LDO-Regler, Micropower, 0,5 % Genauigkeit	3.2V, Micropower 200mA Ultra LDO Reg., .5% Accuracy	8-MSOP	2.27	1.80	1.54
LP2988AIMM-3.2TR-ND	3,2 V, 200 mA Ultra-LDO-Regler, Micropower, 0,5 % Genauigkeit	3.2V, Micropower 200mA Ultra LDO Reg., .5% Accuracy	8-MSOP		1320.00/1,000	
LP2988AIMM-3.8CT-ND	3,8 V, 200 mA Ultra-LDO-Regler, Micropower, 0,5 % Genauigkeit	3.8V, Micropower 200mA Ultra LDO Reg., .5% Accuracy	8-MSOP	2.27	1.80	1.54
LP2988AIMM-3.8TR-ND	3,8 V, 200 mA Ultra-LDO-Regler, Micropower, 0,5 % Genauigkeit	3.8V, Micropower 200mA Ultra LDO Reg., .5% Accuracy	8-MSOP		1320.00/1,000	
LP2988AIMM-5.7CT-ND	5,7 V, 200 mA Ultra-LDO-Regler, Micropower, 0,5 % Genauigkeit	5.7V, Micropower 200mA Ultra LDO Reg., .5% Accuracy	8-MSOP	2.27	1.80	1.54
LP2988AIMM-5.7TR-ND	5,7 V, 200 mA Ultra-LDO-Regler, Micropower, 0,5 % Genauigkeit	5.7V, Micropower 200mA Ultra LDO Reg., .5% Accuracy	8-MSOP		1320.00/1,000	
LP2988ILD-2.5CT-ND	2,5 V, 200 mA LDO-Spannungsregler, Micropower	2.5V, Micropower 200mA LDO Voltage Regulator	8-LLP	2.30	1.83	1.56
LP2988ILD-2.5TR-ND	2,5 V, 200 mA LDO-Spannungsregler, Micropower	2.5V, Micropower 200mA LDO Voltage Regulator	8-LLP		1340.00/1,000	
LP2988ILD-3.0CT-ND	3 V, 200 mA LDO-Spannungsregler, Micropower	3V, Micropower 200mA LDO Voltage Regulator	8-LLP	2.30	1.83	1.56
LP2988ILD-3.0TR-ND	3 V, 200 mA LDO-Spannungsregler, Micropower	3V, Micropower 200mA LDO Voltage Regulator	8-LLP		1340.00/1,000	
LP2988ILD-3.3CT-ND	3,3 V, 200 mA LDO-Spannungsregler, Micropower	3.3V, Micropower 200mA LDO Voltage Regulator	8-LLP	2.30	1.83	1.56
LP2988ILD-3.3TR-ND	3,3 V, 200 mA LDO-Spannungsregler, Micropower	3.3V, Micropower 200mA LDO Voltage Regulator	8-LLP		1340.00/1,000	
LP2988ILD-5.0CT-ND	5 V, 200 mA LDO-Spannungsregler, Micropower	5V, Micropower 200mA LDO Voltage Regulator	8-LLP	2.30	1.83	1.56
LP2988ILD-5.0TR-ND	5 V, 200 mA LDO-Spannungsregler, Micropower	5V, Micropower 200mA LDO Voltage Regulator	8-LLP		1340.00/1,000	
LP2988IM-2.5-ND	2,5 V, 200 mA Ultra-LDO-Regler, Micropower, 1 % Genauigkeit	2.5V, Micropower 200mA Ultra LDO Reg., 1% Accuracy	8-SOIC	2.06	1.64	1.40
LP2988IM-2.8-ND	2,8 V, 200 mA Ultra-LDO-Regler, Micropower, 1 % Genauigkeit	2.8V, Micropower 200mA Ultra LDO Reg., 1% Accuracy	8-SOIC	2.06	1.64	1.40

(Forts.)

★ ***RUFEN SIE BITTE AN FÜR NIEDRIGERE PREISE BEI GRÖSSEREN MENGEN!*** ★

Digi-Key Teilenr.	Beschreibung		Paket	Stückpreis★ 1	25	100
LP2988IM-3.0-ND	3 V, 200 mA Ultra-LDO-Regler, Micropower, 1 % Genauigkeit	3V, Micropower 200mA Ultra LDO Reg., 1% Accuracy	8-SOIC	2.06	1.64	1.40
LP2988IM-3.2-ND	3,2 V, 200 mA Ultra-LDO-Regler, Micropower, 1 % Genauigkeit	3.2V, Micropower 200mA Ultra LDO Reg., 1% Accuracy	8-SOIC	2.06	1.64	1.40
LP2988IM-3.3-ND	3,3 V, 200 mA Ultra-LDO-Regler, Micropower, 1 % Genauigkeit	3.3V, Micropower 200mA Ultra LDO Reg., 1% Accuracy	8-SOIC	1.17	1.11	1.05
LP2988IM-3.8-ND	3,8 V, 200 mA Ultra-LDO-Regler, Micropower, 1 % Genauigkeit	3.8V, Micropower 200mA Ultra LDO Reg., 1% Accuracy	8-SOIC	2.06	1.64	1.40
LP2988IM-5.0-ND	5,0 V, 200 mA Ultra-LDO-Regler, Micropower, 1 % Genauigkeit	5.0V, Micropower 200mA Ultra LDO Reg., 1% Accuracy	8-SOIC	1.17	1.11	1.05
LP2988IMM-2.5CT-ND	2,5 V, 200 mA Ultra-LDO-Regler, Micropower, 1 % Genauigkeit	2.5V, Micropower 200mA Ultra LDO Reg., 1% Accuracy	8-MSOP	2.21	1.76	1.50
LP2988IMM-2.5TR-ND	2,5 V, 200 mA Ultra-LDO-Regler, Micropower, 1 % Genauigkeit	2.5V, Micropower 200mA Ultra LDO Reg., 1% Accuracy	8-MSOP		1280.00/1,000	
LP2988IMM-2.8CT-ND	2,8 V, 200 mA Ultra-LDO-Regler, Micropower, 1 % Genauigkeit	2.8V, Micropower 200mA Ultra LDO Reg., 1% Accuracy	8-MSOP	2.21	1.76	1.50
LP2988IMM-2.8TR-ND	2,8 V, 200 mA Ultra-LDO-Regler, Micropower, 1 % Genauigkeit	2.8V, Micropower 200mA Ultra LDO Reg., 1% Accuracy	8-MSOP		1280.00/1,000	
LP2988IMM-3.0CT-ND	3 V, 200 mA Ultra-LDO-Regler, Micropower, 1 % Genauigkeit	3V, Micropower 200mA Ultra LDO Reg., 1% Accuracy	8-MSOP	2.21	1.76	1.50
LP2988IMM-3.0TR-ND	3 V, 200 mA Ultra-LDO-Regler, Micropower, 1 % Genauigkeit	3V, Micropower 200mA Ultra LDO Reg., 1% Accuracy	8-MSOP		1280.00/1,000	
LP2988IMM-3.2CT-ND	3,2 V, 200 mA Ultra-LDO-Regler, Micropower, 1 % Genauigkeit	3.2V, Micropower 200mA Ultra LDO Reg., 1% Accuracy	8-MSOP	2.21	1.76	1.50
LP2988IMM-3.2TR-ND	3,2 V, 200 mA Ultra-LDO-Regler, Micropower, 1 % Genauigkeit	3.2V, Micropower 200mA Ultra LDO Reg., 1% Accuracy	8-MSOP		1280.00/1,000	
LP2988IMM-3.8CT-ND	3,8 V, 200 mA Ultra-LDO-Regler, Micropower, 1 % Genauigkeit	3.8V, Micropower 200mA Ultra LDO Reg., 1% Accuracy	8-MSOP	2.21	1.76	1.50
LP2988IMM-3.8TR-ND	3,8 V, 200 mA Ultra-LDO-Regler, Micropower, 1 % Genauigkeit	3.8V, Micropower 200mA Ultra LDO Reg., 1% Accuracy	8-MSOP		1280.00/1,000	
LP2988IMM-5.7CT-ND	5,7 V, 200 mA Ultra-LDO-Regler, Micropower, 1 % Genauigkeit	5.7V, Micropower 200mA Ultra LDO Reg., 1% Accuracy	8-MSOP	2.21	1.76	1.50
LP2988IMM-5.7TR-ND	5,7 V, 200 mA Ultra-LDO-Regler, Micropower, 1 % Genauigkeit	5.7V, Micropower 200mA Ultra LDO Reg., 1% Accuracy	8-MSOP		1280.00/1,000	
LP2989AILD-1.8CT-ND	1,8 V, 500 mA rauscharmer Ultra-LDO-Regler für Anwendungen mit Ausgangsspannung, Micropower	1.8V, Micropower 500mA LN Ultra LDO Regulator for Applications with Output Volts	8-LLP	1.52	1.45	1.38
LP2989AILD-1.8TR-ND	1,8 V, 500 mA rauscharmer Ultra-LDO-Regler für Anwendungen mit Ausgangsspannung, Micropower	1.8V, Micropower 500mA LN Ultra LDO Regulator for Applications with Output Volts	8-LLP		930.00/1,000	
LP2989AILD-2.5CT-ND	2,5 V, 500 mA rauscharmer Ultra-LDO-Regler für Anwendungen mit Ausgangsspannung, Micropower	2.5V, Micropower 500mA LN Ultra LDO Regulator for Applications with Output Volts.	8-LLP	2.69	2.14	1.82
LP2989AILD-2.5TR-ND	2,5 V, 500 mA rauscharmer Ultra-LDO-Regler für Anwendungen mit Ausgangsspannung, Micropower	2.5V, Micropower 500mA LN Ultra LDO Regulator for Applications with Output Volts.	8-LLP		1560.00/1,000	
LP2989AILD-2.8CT-ND	2,8 V, 500 mA rauscharmer Ultra-LDO-Regler für Anwendungen mit Ausgangsspannung, Micropower	2.8V, Micropower 500mA LN Ultra LDO Regulator for Applications with Output Volts	8-LLP	2.69	2.14	1.82
LP2989AILD-2.8TR-ND	2,8 V, 500 mA rauscharmer Ultra-LDO-Regler für Anwendungen mit Ausgangsspannung, Micropower	2.8V, Micropower 500mA LN Ultra LDO Regulator for Applications with Output Volts	8-LLP		1560.00/1,000	
LP2989AILD-285CT-ND	2,85 V, 500 mA rauscharmer Ultra-LDO-Regler für Anwendungen mit Ausgangsspannung, Micropower	2.85V, Micropower 500mA LN Ultra LDO Regulator for Applications with Output Volts	8-LLP	2.69	2.14	1.82
LP2989AILD-285TR-ND	2,85 V, 500 mA rauscharmer Ultra-LDO-Regler für Anwendungen mit Ausgangsspannung, Micropower	2.85V, Micropower 500mA LN Ultra LDO Regulator for Applications with Output Volts	8-LLP		1560.00/1,000	
LP2989AILD-3.0CT-ND	3 V, 500 mA rauscharmer Ultra-LDO-Regler für Anwendungen mit Ausgangsspannung, Micropower	3V, Micropower 500mA LN Ultra LDO Regulator for Applications with Output Volts	8-LLP	1.52	1.45	1.38
LP2989AILD-3.0TR-ND	3 V, 500 mA rauscharmer Ultra-LDO-Regler für Anwendungen mit Ausgangsspannung, Micropower	3V, Micropower 500mA LN Ultra LDO Regulator for Applications with Output Volts	8-LLP		1180.00/1,000	
LP2989AILD-3.3CT-ND	3,3 V, 500 mA rauscharmer Ultra-LDO-Regler für Anwendungen mit Ausgangsspannung, Micropower	3.3V, Micropower 500mA LN Ultra LDO Regulator for Applications with Output Volts	8-LLP	1.52	1.45	1.38
LP2989AILD-3.3TR-ND	3,3 V, 500 mA rauscharmer Ultra-LDO-Regler für Anwendungen mit Ausgangsspannung, Micropower	3.3V, Micropower 500mA LN Ultra LDO Regulator for Applications with Output Volts	8-LLP		1180.00/1,000	
LP2989AILD-3.6CT-ND	3,6 V, 500 mA rauscharmer Ultra-LDO-Regler für Anwendungen mit Ausgangsspannung, Micropower	3.6V, Micropower 500mA LN Ultra LDO Regulator for Applications with Output Volts	8-LLP	2.69	2.14	1.82
LP2989AILD-3.6TR-ND	3,6 V, 500 mA rauscharmer Ultra-LDO-Regler für Anwendungen mit Ausgangsspannung, Micropower	3.6V, Micropower 500mA LN Ultra LDO Regulator for Applications with Output Volts	8-LLP		1560.00/1,000	
LP2989AILD-4.0CT-ND	4 V, 500 mA rauscharmer Ultra-LDO-Regler für Anwendungen mit Ausgangsspannung, Micropower	4V, Micropower 500mA LN Ultra LDO Regulator for Applications with Output Volts	8-LLP	2.69	2.14	1.82
LP2989AILD-4.0TR-ND	4 V, 500 mA rauscharmer Ultra-LDO-Regler für Anwendungen mit Ausgangsspannung, Micropower	4V, Micropower 500mA LN Ultra LDO Regulator for Applications with Output Volts	8-LLP		1560.00/1,000	
LP2989AILD-5.0CT-ND	5 V, 500 mA rauscharmer Ultra-LDO-Regler für Anwendungen mit Ausgangsspannung, Micropower	5V, Micropower 500mA LN Ultra LDO Regulator for Applications with Output Volts	8-LLP	1.52	1.45	1.38
LP2989AILD-5.0TR-ND	5 V, 500 mA rauscharmer Ultra-LDO-Regler für Anwendungen mit Ausgangsspannung, Micropower	5V, Micropower 500mA LN Ultra LDO Regulator for Applications with Output Volts	8-LLP		1180.00/1,000	
LP2989AIM-1.8-ND	1,8 V, 500 mA rauscharmer Ultra-LDO-Regler für Anwendungen mit Ausgangsspannung, Micropower	1.8V, Micropower 500mA LN Ultra LDO Regulator for Applications with Output Volts	8-SOIC	2.45	1.95	1.66
LP2989AIM-2.5-ND	2,5 V, 500 mA rauscharmer Ultra-LDO-Regler für Anwendungen mit Ausgangsspannung, Micropower	2.5V, Micropower 500mA LN Ultra LDO Regulator for Applications with Output Volts	8-SOIC	1.39	1.32	1.25
LP2989AIM-3.0-ND	3 V, 500 mA rauscharmer Ultra-LDO-Regler für Anwendungen mit Ausgangsspannung, Micropower	3V, Micropower 500mA LN Ultra LDO Regulator for Applications with Output Volts	8-SOIC	2.45	1.95	1.66
LP2989AIM-3.3-ND	3,3 V, 500 mA rauscharmer Ultra-LDO-Regler für Anwendungen mit Ausgangsspannung, Micropower	3.3V, Micropower 500mA LN Ultra LDO Regulator for Applications with Output Volts	8-SOIC	2.45	1.95	1.66
LP2989AIM-5.0-ND	5 V, 500 mA rauscharmer Ultra-LDO-Regler für Anwendungen mit Ausgangsspannung, Micropower	5V, Micropower 500mA LN Ultra LDO Regulator for Applications with Output Volts	8-SOIC	1.39	1.32	1.25
LP2989AIMM-1.8CT-ND	1,8 V, 500 mA rauscharmer Ultra-LDO-Regler für Anwendungen mit Ausgangsspannung, Micropower	1.8V, Micropower 500mA LN Ultra LDO Regulator for Applications with Output Volts	8-MSOP	2.69	2.14	1.82
LP2989AIMM-1.8TR-ND	1,8 V, 500 mA rauscharmer Ultra-LDO-Regler für Anwendungen mit Ausgangsspannung, Micropower	1.8V, Micropower 500mA LN Ultra LDO Regulator for Applications with Output Volts	8-MSOP		1560.00/1,000	
LP2989AIMM-2.5CT-ND	2,5 V, 500 mA rauscharmer Ultra-LDO-Regler für Anwendungen mit Ausgangsspannung, Micropower	2.5V, Micropower 500mA LN Ultra LDO Regulator for Applications with Output Volts	8-MSOP	2.69	2.14	1.82
LP2989AIMM-2.5TR-ND	2,5 V, 500 mA rauscharmer Ultra-LDO-Regler für Anwendungen mit Ausgangsspannung, Micropower	2.5V, Micropower 500mA LN Ultra LDO Regulator for Applications with Output Volts	8-MSOP		1560.00/1,000	
LP2989AIMM-2.8CT-ND	2,8 V, 500 mA rauscharmer Ultra-LDO-Regler für Anwendungen mit Ausgangsspannung, Micropower	2.8V, Micropower 500mA LN Ultra LDO Regulator for Applications with Output Volts	8-MSOP	2.69	2.14	1.82
LP2989AIMM-2.8TR-ND	2,8 V, 500 mA rauscharmer Ultra-LDO-Regler für Anwendungen mit Ausgangsspannung, Micropower	2.8V, Micropower 500mA LN Ultra LDO Regulator for Applications with Output Volts	8-MSOP		1560.00/1,000	
LP2989AIMM-3.0CT-ND	3 V, 500 mA rauscharmer Ultra-LDO-Regler für Anwendungen mit Ausgangsspannung, Micropower	3V, Micropower 500mA LN Ultra LDO Regulator for Applications with Output Volts	8-MSOP	2.69	2.14	1.82
LP2989AIMM-3.0TR-ND	3 V, 500 mA rauscharmer Ultra-LDO-Regler für Anwendungen mit Ausgangsspannung, Micropower	3V, Micropower 500mA LN Ultra LDO Regulator for Applications with Output Volts	8-MSOP		1560.00/1,000	
LP2989AIMM-3.3CT-ND	3,3 V, 500 mA rauscharmer Ultra-LDO-Regler für Anwendungen mit Ausgangsspannung, Micropower	3.3V, Micropower 500mA LN Ultra LDO Regulator for Applications with Output Volts	8-MSOP	2.69	2.14	1.82
LP2989AIMM-3.3TR-ND	3,3 V, 500 mA rauscharmer Ultra-LDO-Regler für Anwendungen mit Ausgangsspannung, Micropower	3.3V, Micropower 500mA LN Ultra LDO Regulator for Applications with Output Volts	8-MSOP		1560.00/1,000	
LP2989AIMM-5.0CT-ND	5 V, 500 mA rauscharmer Ultra-LDO-Regler für Anwendungen mit Ausgangsspannung, Micropower	5V, Micropower 500mA LN Ultra LDO Regulator for Applications with Output Volts	8-MSOP	2.69	2.14	1.82
LP2989AIMM-5.0TR-ND	5 V, 500 mA rauscharmer Ultra-LDO-Regler für Anwendungen mit Ausgangsspannung, Micropower	5V, Micropower 500mA LN Ultra LDO Regulator for Applications with Output Volts	8-MSOP		1560.00/1,000	
LP2989ILD-1.8CT-ND	1,8 V, 500 mA rauscharmer Ultra-LDO-Regler für Anwendungen mit Ausgangsspannung, Micropower	1.8V, Micropower 500mA LN Ultra LDO Regulator for Applications with Output Volts	8-MSOP	1.44	1.37	1.30
LP2989ILD-1.8TR-ND	1,8 V, 500 mA rauscharmer Ultra-LDO-Regler für Anwendungen mit Ausgangsspannung, Micropower	1.8V, Micropower 500mA LN Ultra LDO Regulator for Applications with Output Volts	8-MSOP		1110.00/1,000	
LP2989ILD-285CT-ND	2,85 V, 500 mA rauscharmer Ultra-LDO-Regler für Anwendungen mit Ausgangsspannung, Micropower	2.85V, Micropower 500mA LN Ultra LDO Regulator for Applications with Output Volts	8-LLP	2.54	2.02	1.72
LP2989ILD-285TR-ND	2,85 V, 500 mA rauscharmer Ultra-LDO-Regler für Anwendungen mit Ausgangsspannung, Micropower	2.85V, Micropower 500mA LN Ultra LDO Regulator for Applications with Output Volts	8-LLP		1480.00/1,000	
LP2989ILD-2.5CT-ND	2,5 V, 500 mA rauscharmer Ultra-LDO-Regler für Anwendungen mit Ausgangsspannung, Micropower	2.5V, Micropower 500mA LN Ultra LDO Regulator for Applications with Output Volts	8-LLP	1.44	1.37	1.30
LP2989ILD-2.5TR-ND	2,5 V, 500 mA rauscharmer Ultra-LDO-Regler für Anwendungen mit Ausgangsspannung, Micropower	2.5V, Micropower 500mA LN Ultra LDO Regulator for Applications with Output Volts	8-LLP		1110.00/1,000	
LP2989ILD-2.8CT-ND	2,8 V, 500 mA rauscharmer Ultra-LDO-Regler für Anwendungen mit Ausgangsspannung, Micropower	2.8V, Micropower 500mA LN Ultra LDO Regulator for Applications with Output Volts	8-LLP	2.54	2.02	1.72
LP2989ILD-2.8TR-ND	2,8 V, 500 mA rauscharmer Ultra-LDO-Regler für Anwendungen mit Ausgangsspannung, Micropower	2.8V, Micropower 500mA LN Ultra LDO Regulator for Applications with Output Volts	8-LLP		1480.00/1,000	
LP2989ILD-3.0CT-ND	3 V, 500 mA rauscharmer Ultra-LDO-Regler für Anwendungen mit Ausgangsspannung, Micropower	3V, Micropower 500mA LN Ultra LDO Regulator for Applications with Output Volts	8-LLP	2.54	2.02	1.72

(Forts.)

★ ***RUFEN SIE BITTE AN FÜR NIEDRIGERE PREISE BEI GRÖSSEREN MENGEN!*** ★

B

Digi-Key Teilenr.	Beschreibung		Paket	Stückpreis★ 1	25	100
LP2989ILD-3.0TR-ND	3 V, 500 mA rauscharmer Ultra-LDO-Regler für Anwendungen mit Ausgangsspannung, Micropower	3V, Micropower 500mA LN Ultra LDO Regulator for Applications with Output Volts	8-LLP		1480.00/1,000	
LP2989ILD-3.3CT-ND	3,3 V, 500 mA rauscharmer Ultra-LDO-Regler für Anwendungen mit Ausgangsspannung, Micropower	3.3V, Micropower 500mA LN Ultra LDO Regulator for Applications with Output Volts	8-LLP	1.44	1.37	1.30
LP2989ILD-3.3TR-ND	3,3 V, 500 mA rauscharmer Ultra-LDO-Regler für Anwendungen mit Ausgangsspannung, Micropower	3.3V, Micropower 500mA LN Ultra LDO Regulator for Applications with Output Volts	8-LLP		1110.00/1,000	
LP2989ILD-3.6CT-ND	3,6 V, 500 mA rauscharmer Ultra-LDO-Regler für Anwendungen mit Ausgangsspannung, Micropower	3.6V, Micropower 500mA LN Ultra LDO Regulator for Applications with Output Volts	8-LLP	2.54	2.02	1.72
LP2989ILD-3.6TR-ND	3,6 V, 500 mA rauscharmer Ultra-LDO-Regler für Anwendungen mit Ausgangsspannung, Micropower	3.6V, Micropower 500mA LN Ultra LDO Regulator for Applications with Output Volts	8-LLP		1480.00/1,000	
LP2989ILD-4.0CT-ND	4 V, 500 mA rauscharmer Ultra-LDO-Regler für Anwendungen mit Ausgangsspannung, Micropower	4V, Micropower 500mA LN Ultra LDO Regulator for Applications with Output Volts	8-LLP	2.54	2.02	1.72
LP2989ILD-4.0TR-ND	4 V, 500 mA rauscharmer Ultra-LDO-Regler für Anwendungen mit Ausgangsspannung, Micropower	4V, Micropower 500mA LN Ultra LDO Regulator for Applications with Output Volts	8-LLP		1480.00/1,000	
LP2989ILD-5.0CT-ND	5 V, 500 mA rauscharmer Ultra-LDO-Regler für Anwendungen mit Ausgangsspannung, Micropower	5V, Micropower 500mA LN Ultra LDO Regulator for Applications with Output Volts	8-LLP	1.44	1.37	1.30
LP2989ILD-5.0TR-ND	5 V, 500 mA rauscharmer Ultra-LDO-Regler für Anwendungen mit Ausgangsspannung, Micropower	5V, Micropower 500mA LN Ultra LDO Regulator for Applications with Output Volts	8-LLP		1110.00/1,000	
LP2989IM-1.8-ND	1,8 V, 500 mA rauscharmer Ultra-LDO-Regler für Anwendungen mit Ausgangsspannung, Micropower	1.8V, Micropower 500mA LN Ultra LDO Regulator for Applications with Output Volts	8-SOIC	2.33	1.85	1.58
LP2989IM-2.5-ND	2,5 V, 500 mA rauscharmer Ultra-LDO-Regler für Anwendungen mit Ausgangsspannung, Micropower	2.5V, Micropower 500mA LN Ultra LDO Regulator for Applications with Output Volts	8-SOIC	1.45	.89	.85
LP2989IM-3.0-ND	3 V, 500 mA rauscharmer Ultra-LDO-Regler für Anwendungen mit Ausgangsspannung, Micropower	3V, Micropower 500mA LN Ultra LDO Regulator for Applications with Output Volts	8-SOIC	2.33	1.85	1.58
LP2989IM-3.3-ND	3,3 V, 500 mA rauscharmer Ultra-LDO-Regler für Anwendungen mit Ausgangsspannung, Micropower	3.3V, Micropower 500mA LN Ultra LDO Regulator for Applications with Output Volts	8-SOIC	2.33	1.85	1.58
LP2989IM-5.0-ND	5 V, 500 mA rauscharmer Ultra-LDO-Regler für Anwendungen mit Ausgangsspannung, Micropower	5V, Micropower 500mA LN Ultra LDO Regulator for Applications with Output Volts	8-SOIC	2.33	1.85	1.58
LP2989IMM-1.8CT-ND	1,8 V, 500 mA rauscharmer Ultra-LDO-Regler für Anwendungen mit Ausgangsspannung, Micropower	1.8V, Micropower 500mA LN Ultra LDO Regulator for Applications with Output Volts	8-MSOP	2.54	2.02	1.72
LP2989IMM-1.8TR-ND	1,8 V, 500 mA rauscharmer Ultra-LDO-Regler für Anwendungen mit Ausgangsspannung, Micropower	1.8V, Micropower 500mA LN Ultra LDO Regulator for Applications with Output Volts	8-MSOP		1480.00/1,000	
LP2989IMM-2.5CT-ND	2,5 V, 500 mA rauscharmer Ultra-LDO-Regler für Anwendungen mit Ausgangsspannung, Micropower	2.5V, Micropower 500mA LN Ultra LDO Regulator for Applications with Output Volts	8-MSOP	2.54	2.02	1.72
LP2989IMM-2.5TR-ND	2,5 V, 500 mA rauscharmer Ultra-LDO-Regler für Anwendungen mit Ausgangsspannung, Micropower	2.5V, Micropower 500mA LN Ultra LDO Regulator for Applications with Output Volts	8-MSOP		1480.00/1,000	
LP2989IMM-2.8CT-ND	2,8 V, 500 mA rauscharmer Ultra-LDO-Regler für Anwendungen mit Ausgangsspannung, Micropower	2.8V, Micropower 500mA LN Ultra LDO Regulator for Applications with Output Volts	8-MSOP	2.54	2.02	1.72
LP2989IMM-2.8TR-ND	2,8 V, 500 mA rauscharmer Ultra-LDO-Regler für Anwendungen mit Ausgangsspannung, Micropower	2.8V, Micropower 500mA LN Ultra LDO Regulator for Applications with Output Volts	8-MSOP		1480.00/1,000	
LP2989IMM-3.0CT-ND	3 V, 500 mA rauscharmer Ultra-LDO-Regler für Anwendungen mit Ausgangsspannung, Micropower	3V, Micropower 500mA LN Ultra LDO Regulator for Applications with Output Volts	8-MSOP	2.54	2.02	1.72
LP2989IMM-3.0TR-ND	3 V, 500 mA rauscharmer Ultra-LDO-Regler für Anwendungen mit Ausgangsspannung, Micropower	3V, Micropower 500mA LN Ultra LDO Regulator for Applications with Output Volts	8-MSOP		1480.00/1,000	
LP2989IMM-3.3CT-ND	3,3 V, 500 mA rauscharmer Ultra-LDO-Regler für Anwendungen mit Ausgangsspannung, Micropower	3.3V, Micropower 500mA LN Ultra LDO Regulator for Applications with Output Volts	8-MSOP	2.54	2.02	1.72
LP2989IMM-3.3TR-ND	3,3 V, 500 mA rauscharmer Ultra-LDO-Regler für Anwendungen mit Ausgangsspannung, Micropower	3.3V, Micropower 500mA LN Ultra LDO Regulator for Applications with Output Volts	8-MSOP		1480.00/1,000	
LP2989IMM-5.0CT-ND	5 V, 500 mA rauscharmer Ultra-LDO-Regler für Anwendungen mit Ausgangsspannung, Micropower	5V, Micropower 500mA LN Ultra LDO Regulator for Applications with Output Volts	8-MSOP	2.54	2.02	1.72
LP2989IMM-5.0TR-ND	5 V, 500 mA rauscharmer Ultra-LDO-Regler für Anwendungen mit Ausgangsspannung, Micropower	5V, Micropower 500mA LN Ultra LDO Regulator for Applications with Output Volts	8-MSOP		1480.00/1,000	
LP2992AILD-1.5CT-ND	1,5 V, 250 mA rauscharmer Ultra-LDO-Regler, Micropower	1.5V, Micropower 250mA LN Ultra LDO Regulator	6-LLP	1.28	1.02	.87
LP2992AILD-1.5TR-ND	1,5 V, 250 mA rauscharmer Ultra-LDO-Regler, Micropower	1.5V, Micropower 250mA LN Ultra LDO Regulator	6-LLP		740.00/1,000	
LP2992AILD-1.8CT-ND	1,8 V, 250 mA rauscharmer Ultra-LDO-Regler, Micropower	1.8V, Micropower 250mA LN Ultra LDO Regulator	6-LLP	1.28	1.02	.87
LP2992AILD-1.8TR-ND	1,8 V, 250 mA rauscharmer Ultra-LDO-Regler, Micropower	1.8V, Micropower 250mA LN Ultra LDO Regulator	6-LLP		740.00/1,000	
LP2992AILD-2.5CT-ND	2,5 V, 250 mA rauscharmer Ultra-LDO-Regler, Micropower	2.5V, Micropower 250mA LN Ultra LDO Regulator	6-LLP	1.28	1.02	.87
LP2992AILD-2.5TR-ND	2,5 V, 250 mA rauscharmer Ultra-LDO-Regler, Micropower	2.5V, Micropower 250mA LN Ultra LDO Regulator	6-LLP		740.00/1,000	
LP2992AILD-3.3CT-ND	3,3 V, 250 mA rauscharmer Ultra-LDO-Regler, Micropower	3.3V, Micropower 250mA LN Ultra LDO Regulator	6-LLP	1.28	1.02	.87
LP2992AILD-3.3TR-ND	3,3 V, 250 mA rauscharmer Ultra-LDO-Regler, Micropower	3.3V, Micropower 250mA LN Ultra LDO Regulator	6-LLP		740.00/1,000	
LP2992AILD-5.0CT-ND	5 V, 250 mA rauscharmer Ultra-LDO-Regler, Micropower	5V, Micropower 250mA LN Ultra LDO Regulator	6-LLP	1.28	1.02	.87
LP2992AILD-5.0TR-ND	5 V, 250 mA rauscharmer Ultra-LDO-Regler, Micropower	5V, Micropower 250mA LN Ultra LDO Regulator	6-LLP		740.00/1,000	
LP2992AIM5-1.5CT-ND	1,5 V, 250 mA rauscharmer Ultra-LDO-Regler, Micropower	1.5V, Micropower 250mA LN Ultra LDO Regulator	SOT-23-5	.64	.61	.58
LP2992AIM5-1.5TR-ND	1,5 V, 250 mA rauscharmer Ultra-LDO-Regler, Micropower	1.5V, Micropower 250mA LN Ultra LDO Regulator	SOT-23-5		490.00/1,000	
LP2992AIM5-1.8CT-ND	1,8 V, 250 mA rauscharmer Ultra-LDO-Regler, Micropower	1.8V, Micropower 250mA LN Ultra LDO Regulator	SOT-23-5	1.13	.90	.77
LP2992AIM5-1.8TR-ND	1,8 V, 250 mA rauscharmer Ultra-LDO-Regler, Micropower	1.8V, Micropower 250mA LN Ultra LDO Regulator	SOT-23-5		660.00/1,000	
LP2992AIM5-2.5CT-ND	2,5 V, 250 mA rauscharmer Ultra-LDO-Regler, Micropower	2.5V, Micropower 250mA LN Ultra LDO Regulator	SOT-23-5	1.13	.90	.77
LP2992AIM5-2.5TR-ND	2,5 V, 250 mA rauscharmer Ultra-LDO-Regler, Micropower	2.5V, Micropower 250mA LN Ultra LDO Regulator	SOT-23-5		660.00/1,000	
LP2992AIM5-3.0CT-ND	3 V, 250 mA rauscharmer Ultra-LDO-Regler, Micropower	3V, Micropower 250mA LN Ultra LDO Regulator	SOT-23-5	1.13	.90	.77
LP2992AIM5-3.0TR-ND	3 V, 250 mA rauscharmer Ultra-LDO-Regler, Micropower	3V, Micropower 250mA LN Ultra LDO Regulator	SOT-23-5		660.00/1,000	
LP2992AIM5-3.3CT-ND	3,3 V, 250 mA rauscharmer Ultra-LDO-Regler, Micropower	3.3V, Micropower 250mA LN Ultra LDO Regulator	SOT-23-5	.64	.61	.58
LP2992AIM5-3.3TR-ND	3,3 V, 250 mA rauscharmer Ultra-LDO-Regler, Micropower	3.3V, Micropower 250mA LN Ultra LDO Regulator	SOT-23-5		490.00/1,000	
LP2992AIM5-5.0CT-ND	5 V, 250 mA rauscharmer Ultra-LDO-Regler, Micropower	5V, Micropower 250mA LN Ultra LDO Regulator	SOT-23-5	1.13	.90	.77
LP2992AIM5-5.0TR-ND	5 V, 250 mA rauscharmer Ultra-LDO-Regler, Micropower	5V, Micropower 250mA LN Ultra LDO Regulator	SOT-23-5		660.00/1,000	
LP2992ILD-1.5CT-ND	1,5 V, 250 mA rauscharmer Ultra-LDO-Regler, Micropower	1.5V, Micropower 250mA LN Ultra LDO Regulator	6-LLP	1.25	.99	.85
LP2992ILD-1.5TR-ND	1,5 V, 250 mA rauscharmer Ultra-LDO-Regler, Micropower	1.5V, Micropower 250mA LN Ultra LDO Regulator	6-LLP		730.00/1,000	
LP2992ILD-1.8CT-ND	1,8 V, 250 mA rauscharmer Ultra-LDO-Regler, Micropower	1.8V, Micropower 250mA LN Ultra LDO Regulator	6-LLP	1.25	.99	.85
LP2992ILD-1.8TR-ND	1,8 V, 250 mA rauscharmer Ultra-LDO-Regler, Micropower	1.8V, Micropower 250mA LN Ultra LDO Regulator	6-LLP		730.00/1,000	
LP2992ILD-2.5CT-ND	2,5 V, 250 mA rauscharmer Ultra-LDO-Regler, Micropower	2.5V, Micropower 250mA LN Ultra LDO Regulator	6-LLP	1.25	.99	.85
LP2992ILD-2.5TR-ND	2,5 V, 250 mA rauscharmer Ultra-LDO-Regler, Micropower	2.5V, Micropower 250mA LN Ultra LDO Regulator	6-LLP		730.00/1,000	
LP2992ILD-3.3CT-ND	3,3 V, 250 mA rauscharmer Ultra-LDO-Regler, Micropower	3.3V, Micropower 250mA LN Ultra LDO Regulator	6-LLP	1.25	.99	.85
LP2992ILD-3.3TR-ND	3,3 V, 250 mA rauscharmer Ultra-LDO-Regler, Micropower	3.3V, Micropower 250mA LN Ultra LDO Regulator	6-LLP		730.00/1,000	
LP2992ILD-5.0CT-ND	5 V, 250 mA rauscharmer Ultra-LDO-Regler, Micropower	5V, Micropower 250mA LN Ultra LDO Regulator	6-LLP	1.25	.99	.85
LP2992ILD-5.0TR-ND	5 V, 250 mA rauscharmer Ultra-LDO-Regler, Micropower	5V, Micropower 250mA LN Ultra LDO Regulator	6-LLP		730.00/1,000	
LP2992IM5-1.8CT-ND	1,8 V, 250 mA rauscharmer Ultra-LDO-Regler, Micropower	1.8V, Micropower 250mA LN Ultra LDO Regulator	SOT-23-5	.63	.60	.57
LP2992IM5-1.5CT-ND	1,5 V, 250 mA rauscharmer Ultra-LDO-Regler, Micropower	1.5V, Micropower 250mA LN Ultra LDO Regulator	SOT-23-5	1.11	.88	.75
LP2992IM5-1.5TR-ND	1,5 V, 250 mA rauscharmer Ultra-LDO-Regler, Micropower	1.5V, Micropower 250mA LN Ultra LDO Regulator	SOT-23-5		640.00/1,000	
LP2992IM5-1.8TR-ND	1,8 V, 250 mA rauscharmer Ultra-LDO-Regler, Micropower	1.8V, Micropower 250mA LN Ultra LDO Regulator	SOT-23-5		570.00/1,000	
LP2992IM5-2.5CT-ND	2,5 V, 250 mA rauscharmer Ultra-LDO-Regler, Micropower	2.5V, Micropower 250mA LN Ultra LDO Regulator	SOT-23-5	1.11	.88	.75
LP2992IM5-2.5TR-ND	2,5 V, 250 mA rauscharmer Ultra-LDO-Regler, Micropower	2.5V, Micropower 250mA LN Ultra LDO Regulator	SOT-23-5		640.00/1,000	
LP2992IM5-3.0CT-ND	3 V, 250 mA rauscharmer Ultra-LDO-Regler, Micropower	3V, Micropower 250mA LN Ultra LDO Regulator	SOT-23-5	1.11	.88	.75
LP2992IM5-3.0TR-ND	3 V, 250 mA rauscharmer Ultra-LDO-Regler, Micropower	3V, Micropower 250mA LN Ultra LDO Regulator	SOT-23-5		640.00/1,000	
LP2992IM5-3.3CT-ND	3,3 V, 250 mA rauscharmer Ultra-LDO-Regler, Micropower	3.3V, Micropower 250mA LN Ultra LDO Regulator	SOT-23-5	.63	.60	.57
LP2992IM5-3.3TR-ND	3,3 V, 250 mA rauscharmer Ultra-LDO-Regler, Micropower	3.3V, Micropower 250mA LN Ultra LDO Regulator	SOT-23-5		480.00/1,000	
LP2992IM5-5.0CT-ND	5 V, 250 mA rauscharmer Ultra-LDO-Regler, Micropower	5V, Micropower 250mA LN Ultra LDO Regulator	SOT-23-5	.63	.60	.57
LP2992IM5-5.0TR-ND	5 V, 250 mA rauscharmer Ultra-LDO-Regler, Micropower	5V, Micropower 250mA LN Ultra LDO Regulator	SOT-23-5		480.00/1,000	
LP2994M-ND	DDR-Terminierungsregler	DDR Termination Regulator	8-SOIC	1.42	1.13	.96
LP2995LQCT-ND	DDR-Terminierungsregler	DDR Termination Regulator	16-LLP	1.59	1.26	1.08
LP2995LQTR-ND	DDR-Terminierungsregler	DDR Termination Regulator	16-LLP		920.00/1,000	
LP2995M-ND	DDR-Terminierungsregler	DDR Termination Regulator	8-SOIC	.90	.86	.81
LP2995MR-ND	DDR-Terminierungsregler	DDR Termination Regulator	8-PSOP	1.59	1.26	1.08
LP2996LQCT-ND	DDR-Terminierungsregler	DDR Termination Regulator	16-LLP	1.76	1.40	1.19
LP2996LQTR-ND	DDR-Terminierungsregler	DDR Termination Regulator	16-LLP		1020.00/1,000	

(Forts.)

★ RUFEN SIE BITTE AN FÜR NIEDRIGERE PREISE BEI GRÖSSEREN MENGEN! ★

Alle Preisangaben in Euro und inklusive Zollgebühren.

Digi-Key Teilenr.	Beschreibung		Paket	Stückpreis★ 1	25	100
LP2996M-ND	DDR-Terminierungsregler	DDR Termination Regulator	8-SOIC	1.00	.95	.90
LP2996MR-ND	DDR-Terminierungsregler	DDR Termination Regulator	8-PSOP	1.00	.95	.90
LP2997M-ND	DDR-II-Terminierungsregler	DDR-II Termination Regulator	8-SOIC	1.76	1.40	1.19
LP2997MR-ND	DDR-II-Terminierungsregler	DDR-II Termination Regulator	8-PSOP	1.76	1.40	1.19
LP3470IM5-2.63CT-ND	2,63 V Kleinst-Reset-Schaltkreis (bei Einschaltung), ind. Temp.	2.63V, Tiny Power-On Reset Circuit, Ind. Temp.	SOT-23-5	1.49	1.19	1.01
LP3470IM5-2.63TR-ND	2,63 V Kleinst-Reset-Schaltkreis (bei Einschaltung), ind. Temp.	2.63V, Tiny Power-On Reset Circuit, Ind. Temp	SOT-23-5		870.00/1,000	
LP3470IM5-2.93CT-ND	2,93 V Kleinst-Reset-Schaltkreis (bei Einschaltung), ind. Temp.	2.93V, Tiny Power-On Reset Circuit, Ind. Temp	SOT-23-5	.85	.80	.76
LP3470IM5-2.93TR-ND	2,93 V Kleinst-Reset-Schaltkreis (bei Einschaltung), ind. Temp.	2.93V, Tiny Power-On Reset Circuit, Ind. Temp	SOT-23-5		650.00/1,000	
LP3470IM5-3.08CT-ND	3,08 V Kleinst-Reset-Schaltkreis (bei Einschaltung), ind. Temp.	3.08V, Tiny Power-On Reset Circuit, Ind. Temp	SOT-23-5	1.49	1.19	1.01
LP3470IM5-3.08TR-ND	3,08 V Kleinst-Reset-Schaltkreis (bei Einschaltung), ind. Temp.	3.08V, Tiny Power-On Reset Circuit, Ind. Temp	SOT-23-5		870.00/1,000	
LP3470IM5-3.65CT-ND	3,65 V Kleinst-Reset-Schaltkreis (bei Einschaltung), ind. Temp.	3.65V, Tiny Power-On Reset Circuit, Ind. Temp.	SOT-23-5	1.49	1.19	1.01
LP3470IM5-3.65TR-ND	3,65 V Kleinst-Reset-Schaltkreis (bei Einschaltung), ind. Temp.	3.65V, Tiny Power-On Reset Circuit, Ind. Temp.	SOT-23-5		870.00/1,000	
LP3470IM5-4.00CT-ND	4 V Kleinst-Reset-Schaltkreis (bei Einschaltung), ind. Temp.	4V, Tiny Power-On Reset Circuit, Ind. Temp	SOT-23-5	1.49	1.19	1.01
LP3470IM5-4.00TR-ND	4 V Kleinst-Reset-Schaltkreis (bei Einschaltung), ind. Temp.	4V, Tiny Power-On Reset Circuit, Ind. Temp	SOT-23-5		870.00/1,000	
LP3470IM5-4.38CT-ND	4,38 V Kleinst-Reset-Schaltkreis (bei Einschaltung), ind. Temp.	4.38V, Tiny Power-On Reset Circuit, Ind. Temp	SOT-23-5	1.49	1.19	1.01
LP3470IM5-4.38TR-ND	4,38 V Kleinst-Reset-Schaltkreis (bei Einschaltung), ind. Temp.	4.38V, Tiny Power-On Reset Circuit, Ind. Temp	SOT-23-5		870.00/1,000	
LP3470IM5-4.63CT-ND	4,63 V Kleinst-Reset-Schaltkreis (bei Einschaltung), ind. Temp.	4.63V, Tiny Power-On Reset Circuit, Ind. Temp	SOT-23-5	.85	.80	.76
LP3470IM5-4.63TR-ND	4,63 V Kleinst-Reset-Schaltkreis (bei Einschaltung), ind. Temp.	4.63V, Tiny Power-On Reset Circuit, Ind. Temp	SOT-23-5		650.00/1,000	
LP3470M5-2.63CT-ND	2,63 V Kleinst-Reset-Schaltkreis (bei Einschaltung)	2.63V, Tiny Power-On Reset Circuit	SOT-23-5	.78	.74	.70
LP3470M5-2.63TR-ND	2,63 V Kleinst-Reset-Schaltkreis (bei Einschaltung)	2.63V, Tiny Power-On Reset Circuit	SOT-23-5		650.00/1,000	
LP3470M5-2.83CT-ND	2,83 V Kleinst-Reset-Schaltkreis (bei Einschaltung)	2.83V, Tiny Power-On Reset Circuit	SOT-23-5	.78	.74	.70
LP3470M5-2.83TR-ND	2,83 V Kleinst-Reset-Schaltkreis (bei Einschaltung)	2.83V, Tiny Power-On Reset Circuit	SOT-23-5		650.00/1,000	
LP3470M5-2.93CT-ND	2,93 V Kleinst-Reset-Schaltkreis (bei Einschaltung)	2.93V, Tiny Power-On Reset Circuit	SOT-23-5	.78	.74	.70
LP3470M5-2.93TR-ND	2,93 V Kleinst-Reset-Schaltkreis (bei Einschaltung)	2.93V, Tiny Power-On Reset Circuit	SOT-23-5		650.00/1,000	
LP3470M5-3.08CT-ND	3,08 V Kleinst-Reset-Schaltkreis (bei Einschaltung)	3.08V, Tiny Power-On Reset Circuit	SOT-23-5	.78	.74	.70
LP3470M5-3.08TR-ND	3,08 V Kleinst-Reset-Schaltkreis (bei Einschaltung)	3.08V, Tiny Power-On Reset Circuit	SOT-23-5		650.00/1,000	
LP3470M5-3.65CT-ND	3,65 V Kleinst-Reset-Schaltkreis (bei Einschaltung)	3.65V, Tiny Power-On Reset Circuit	SOT-23-5	1.37	1.09	.93
LP3470M5-3.65TR-ND	3,65 V Kleinst-Reset-Schaltkreis (bei Einschaltung)	3.65V, Tiny Power-On Reset Circuit	SOT-23-5		800.00/1,000	
LP3470M5-4.00CT-ND	5 V Spannungsüberwachung mit Reset	5V, Voltage Monitor with Reset	SOT-23-5	1.37	1.09	.93
LP3470M5-4.00TR-ND	5 V Spannungsüberwachung mit Reset	5V, Voltage Monitor with Reset	SOT-23-5		800.00/1,000	
LP3470M5-4.38CT-ND	4,38 V Kleinst-Reset-Schaltkreis (bei Einschaltung)	4.38V, Tiny Power-On Reset Circuit	SOT-23-5	.78	.74	.70
LP3470M5-4.38TR-ND	4,38 V Kleinst-Reset-Schaltkreis (bei Einschaltung)	4.38V, Tiny Power-On Reset Circuit	SOT-23-5		650.00/1,000	
LP3470M5-4.63CT-ND	4,63 V Kleinst-Reset-Schaltkreis (bei Einschaltung)	4.63V, Tiny Power-On Reset Circuit	SOT-23-5	.78	.74	.70
LP3470M5-4.63TR-ND	4,63 V Kleinst-Reset-Schaltkreis (bei Einschaltung)	4.63V, Tiny Power-On Reset Circuit	SOT-23-5		650.00/1,000	
LP3852EMP-1.8CT-ND	1,8 V, 1,5 A Ultra-LDO-Linearregler, schnell reagierend	1.8V, 1.5A, Fast Ultra LDO Linear Regulator	SOT-223-5	4.95	3.94	3.37
LP3852EMP-1.8TR-ND	1,8 V, 1,5 A Ultra-LDO-Linearregler, schnell reagierend	1.8V, 1.5A, Fast Ultra LDO Linear Regulator	SOT-223-5		2880.00/1,000	
LP3852EMP-2.5CT-ND	2,5 V, 1,5 A Ultra-LDO-Linearregler, schnell reagierend	2.5V, 1.5A, Fast Ultra LDO Linear Regulator	SOT-223-5	2.81	2.67	2.54
LP3852EMP-2.5TR-ND	2,5 V, 1,5 A Ultra-LDO-Linearregler, schnell reagierend	2.5V, 1.5A, Fast Ultra LDO Linear Regulator	SOT-223-5		2180.00/1,000	
LP3852EMP-3.3CT-ND	3,3 V, 1,5 A Ultra-LDO-Linearregler, schnell reagierend	3.3V, 1.5A, Fast Ultra LDO Linear Regulator	SOT-223-5	2.81	2.67	2.54
LP3852EMP-3.3TR-ND	3,3 V, 1,5 A Ultra-LDO-Linearregler, schnell reagierend	3.3V, 1.5A, Fast Ultra LDO Linear Regulator	SOT-223-5		2180.00/1,000	
LP3852EMP-5.0CT-ND	5 V, 1,5 A Ultra-LDO-Linearregler, schnell reagierend	5V, 1.5A, Fast Ultra LDO Linear Regulator	SOT-223-5	2.81	2.67	2.54
LP3852EMP-5.0TR-ND	5 V, 1,5 A Ultra-LDO-Linearregler, schnell reagierend	5V, 1.5A, Fast Ultra LDO Linear Regulator	SOT-223-5		2180.00/1,000	
LP3852ES-1.8-ND	1,8 V, 1,5 A Ultra-LDO-Linearregler, schnell reagierend	1.8V, 1.5A, Fast Ultra LDO Linear Regulator	TO-263-5	3.03	2.88	2.74
LP3852ES-2.5-ND	2,5 V, 1,5 A Ultra-LDO-Linearregler, schnell reagierend	2.5V, 1.5A Fast Ultra LDO Linear Regulator	TO-263-5	3.03	2.88	2.74
LP3852ES-3.3-ND	3,3 V, 1,5 A Ultra-LDO-Linearregler, schnell reagierend	3.3V, 1.5A Fast Ultra LDO Linear Regulator	TO-263-5	3.03	2.88	2.74
LP3852ES-5.0-ND	5 V, 1,5 A Ultra-LDO-Linearregler, schnell reagierend	5V, 1.5A Fast Ultra LDO Linear Regulator	TO-263-5	3.03	2.88	2.74
LP3852ET-1.8-ND	1,8 V, 1,5 A Ultra-LDO-Linearregler, schnell reagierend	1.8V, 1.5A Fast Ultra LDO Linear Regulator	TO-220-5	3.03	2.88	2.74
LP3852ET-2.5-ND	2,5 V, 1,5 A Ultra-LDO-Linearregler, schnell reagierend	2.5V, 1.5A Fast Ultra LDO Linear Regulator	TO-220-5	3.03	2.88	2.74
LP3852ET-3.3-ND	3,3 V, 1,5 A Ultra-LDO-Linearregler, schnell reagierend	3.3V, 1.5A Fast Ultra LDO Linear Regulator	TO-220-5	3.03	2.88	2.74
LP3852ET-5.0-ND	5 V, 1,5 A Ultra-LDO-Linearregler, schnell reagierend	5V, 1.5A Fast Ultra LDO Linear Regulator	TO-220-5	3.03	2.88	2.74
LP3853ES-1.8-ND	1,8 V, 3 A Ultra-LDO-Linearregler, schnell reagierend	1.8V, 3A Fast Ultra LDO Linear Regulator	TO-263-5	4.55	4.33	4.11
LP3853ES-2.5-ND	2,5 V, 3 A Ultra-LDO-Linearregler, schnell reagierend	2.5V, 3A Fast Ultra LDO Linear Regulator	TO-263-5	4.55	4.33	4.11
LP3853ES-3.3-ND	3,3 V, 3 A Ultra-LDO-Linearregler, schnell reagierend	3.3V, 3A Fast Ultra LDO Linear Regulator	TO-263-5	4.55	4.33	4.11
LP3853ES-5.0-ND	5 V, 3 A Ultra-LDO-Linearregler, schnell reagierend	5V, 3A Fast Ultra LDO Linear Regulator	TO-263-5	4.55	4.33	4.11
LP3853ET-1.8-ND	1,8 V, 3 A Ultra-LDO-Linearregler, schnell reagierend	1.8V, 3A Fast Ultra LDO Linear Regulator	TO-220-5	4.55	4.33	4.11
LP3853ET-2.5-ND	2,5 V, 3 A Ultra-LDO-Linearregler, schnell reagierend	2.5V, 3A Fast Ultra LDO Linear Regulator	TO-220-5	4.55	4.33	4.11
LP3853ET-3.3-ND	3,3 V, 3 A Ultra-LDO-Linearregler, schnell reagierend	3.3V, 3A Fast Ultra LDO Linear Regulator	TO-220-5	4.55	4.33	4.11
LP3853ET-5.0-ND	5 V, 3 A Ultra-LDO-Linearregler, schnell reagierend	5V, 3A Fast Ultra LDO Linear Regulator	TO-220-5	4.55	4.33	4.11
LP3855EMP-1.8CT-ND	1,8 V, 1,5 A Ultra-LDO-Linearregler, schnell reagierend	1.8V, 1.5A, Fast Ultra LDO Linear Regulator	SOT-223-5	2.81	2.67	2.54
LP3855EMP-1.8TR-ND	1,8 V, 1,5 A Ultra-LDO-Linearregler, schnell reagierend	1.8V, 1.5A, Fast Ultra LDO Linear Regulator	SOT-223-5		2180.00/1,000	
LP3855EMP-2.5CT-ND	2,5 V, 1,5 A Ultra-LDO-Linearregler, schnell reagierend	2.5V, 1.5A, Fast Ultra LDO Linear Regulator	SOT-223-5	2.81	2.67	2.54
LP3855EMP-2.5TR-ND	2,5 V, 1,5 A Ultra-LDO-Linearregler, schnell reagierend	2.5V, 1.5A, Fast Ultra LDO Linear Regulator	SOT-223-5		2180.00/1,000	
LP3855EMP-3.3CT-ND	3,3 V, 1,5 A Ultra-LDO-Linearregler, schnell reagierend	3.3V, 1.5A, Fast Ultra LDO Linear Regulator	SOT-223-5	4.95	3.94	3.37
LP3855EMP-3.3TR-ND	3,3 V, 1,5 A Ultra-LDO-Linearregler, schnell reagierend	3.3V, 1.5A, Fast Ultra LDO Linear Regulator	SOT-223-5		2880.00/1,000	
LP3855EMP-5.0CT-ND	5 V, 1,5 A Ultra-LDO-Linearregler, schnell reagierend	5V, 1.5A, Fast Ultra LDO Linear Regulator	SOT-223-5	2.81	2.67	2.54
LP3855EMP-5.0TR-ND	5 V, 1,5 A Ultra-LDO-Linearregler, schnell reagierend	5V, 1.5A, Fast Ultra LDO Linear Regulator	SOT-223-5		2180.00/1,000	
LP3855EMP-ADJCT-ND	Einstellb. 1,5 A Ultra-LDO-Linearregler, schnell reagierend	Adj., 1.5A, Fast Ultra LDO Linear Regulator	SOT-223-5	2.81	2.67	2.54
LP3855EMP-ADJTR-ND	Einstellb. 1,5 A Ultra-LDO-Linearregler, schnell reagierend	Adj., 1.5A, Fast Ultra LDO Linear Regulator	SOT-223-5		2180.00/1,000	
LP3855ES-1.8-ND	1,8 V, 1,5 A Ultra-LDO-Linearregler, schnell reagierend	1.8V, 1.5A Fast Ultra LDO Linear Regulator	TO-263-5	3.03	2.88	2.74
LP3855ES-2.5-ND	2,5 V, 1,5 A Ultra-LDO-Linearregler, schnell reagierend	2.5V, 1.5A Fast Ultra LDO Linear Regulator	TO-263-5	3.03	2.88	2.74
LP3855ES-3.3-ND	3,3 V, 1,5 A Ultra-LDO-Linearregler, schnell reagierend	3.3V, 1.5A Fast Ultra LDO Linear Regulator	TO-263-5	3.03	2.88	2.74
LP3855ES-5.0-ND	5 V, 1,5 A Ultra-LDO-Linearregler, schnell reagierend	5V, 1.5A Fast Ultra LDO Linear Regulator	TO-263-5	3.03	2.88	2.74
LP3855ES-ADJ-ND	Einstellb. 1,5 A Ultra-LDO-Linearregler, schnell reagierend	Adj., 1.5A Fast Ultra LDO Linear Regulator	TO-263-5	3.03	2.88	2.74
LP3855ET-1.8-ND	1,8 V, 1,5 A Ultra-LDO-Linearregler, schnell reagierend	1.8V, 1.5A Fast Ultra LDO Linear Regulator	TO-220-5	3.03	2.88	2.74
LP3855ET-2.5-ND	2,5 V, 1,5 A Ultra-LDO-Linearregler, schnell reagierend	2.5V, 1.5A Fast Ultra LDO Linear Regulator	TO-220-5	3.03	2.88	2.74
LP3855ET-3.3-ND	3,3 V, 1,5 A Ultra-LDO-Linearregler, schnell reagierend	3.3V, 1.5A Fast Ultra LDO Linear Regulator	TO-220-5	3.03	2.88	2.74
LP3855ET-5.0-ND	5 V, 1,5 A Ultra-LDO-Linearregler, schnell reagierend	5V, 1.5A Fast Ultra LDO Linear Regulator	TO-220-5	3.03	2.88	2.74
LP3855ET-ADJ-ND	Einstellb. 1,5 A Ultra-LDO-Linearregler, schnell reagierend	Adj., 1.5A Fast Ultra LDO Linear Regulator	TO-220-5	3.03	2.88	2.74
LP3856ES-1.8-ND	1,8 V, 3 A Ultra-LDO-Linearregler, schnell reagierend	1.8V, 3A Fast Ultra LDO Linear Regulator	TO-263-5	4.55	4.33	4.11
LP3856ES-2.5-ND	2,5 V, 3 A Ultra-LDO-Linearregler, schnell reagierend	2.5V, 3A Fast Ultra LDO Linear Regulator	TO-263-5	4.55	4.33	4.11
LP3856ES-3.3-ND	3,3 V, 3 A Ultra-LDO-Linearregler, schnell reagierend	3.3V, 3A Fast Ultra LDO Linear Regulator	TO-263-5	4.55	4.33	4.11
LP3856ES-5.0-ND	5 V, 3 A Ultra-LDO-Linearregler, schnell reagierend	5V, 3A Fast Ultra LDO Linear Regulator	TO-263-5	4.55	4.33	4.11
LP3856ES-ADJ-ND	Einstellb. 3 A Ultra-LDO-Linearregler, schnell reagierend	Adj., 3A Fast Ultra LDO Linear Regulator	TO-263-5	4.55	4.33	4.11
LP3856ET-1.8-ND	1,8 V, 3 A Ultra-LDO-Linearregler, schnell reagierend	1.8V, 3A Fast Ultra LDO Linear Regulator	TO-220-5	4.55	4.33	4.11
LP3856ET-2.5-ND	2,5 V, 3 A Ultra-LDO-Linearregler, schnell reagierend	2.5V, 3A Fast Ultra LDO Linear Regulator	TO-220-5	4.55	4.33	4.11
LP3856ET-3.3-ND	3,3 V, 3 A Ultra-LDO-Linearregler, schnell reagierend	3.3V, 3A Fast Ultra LDO Linear Regulator	TO-220-5	4.55	4.33	4.11
LP3856ET-5.0-ND	5 V, 3 A Ultra-LDO-Linearregler, schnell reagierend	5V, 3A Fast Ultra LDO Linear Regulator	TO-220-5	4.55	4.33	4.11
LP3856ET-ADJ-ND	Einstellb. 3 A Ultra-LDO-Linearregler, schnell reagierend	Adj., 3A Fast Ultra LDO Linear Regulator	TO-220-5	4.55	4.33	4.11
LP3871EMP-1.8CT-ND	1,8 V, 0,8 A Ultra-LDO-Linearregler, schnell reagierend	1.8V, 0.8A, Fast Ultra LDO Linear Regulator	SOT-223-5	1.63	1.54	1.47
LP3871EMP-1.8TR-ND	1,8 V, 0,8 A Ultra-LDO-Linearregler, schnell reagierend	1.8V, 0.8A, Fast Ultra LDO Linear Regulator	SOT-223-5		1260.00/1,000	
LP3871EMP-2.5CT-ND	2,5 V, 0,8 A Ultra-LDO-Linearregler, schnell reagierend	2.5V, 0.8A, Fast Ultra LDO Linear Regulator	SOT-223-5	1.63	1.54	1.47
LP3871EMP-2.5TR-ND	2,5 V, 0,8 A Ultra-LDO-Linearregler, schnell reagierend	2.5V, 0.8A, Fast Ultra LDO Linear Regulator	SOT-223-5		1260.00/1,000	
LP3871EMP-3.3CT-ND	3,3 V, 0,8 A Ultra-LDO-Linearregler, schnell reagierend	3.3V, 0.8A, Fast Ultra LDO Linear Regulator	SOT-223-5	1.63	1.54	1.47
LP3871EMP-3.3TR-ND	3,3 V, 0,8 A Ultra-LDO-Linearregler, schnell reagierend	3.3V, 0.8A, Fast Ultra LDO Linear Regulator	SOT-223-5		1260.00/1,000	
LP3871EMP-5.0CT-ND	5 V, 0,8 A Ultra-LDO-Linearregler, schnell reagierend	5V, 0.8A, Fast Ultra LDO Linear Regulator	SOT-223-5	2.86	2.28	1.95
LP3871EMP-5.0TR-ND	5 V, 0,8 A Ultra-LDO-Linearregler, schnell reagierend	5V, 0.8A, Fast Ultra LDO Linear Regulator	SOT-223-5		1670.00/1,000	
LP3871ES-1.8-ND	1,8 V, 0,8 A Ultra-LDO-Linearregler, schnell reagierend	1.8V, 0.8A Fast Ultra LDO Linear Regulator	TO-263-5	1.85	1.75	1.67
LP3871ES-2.5-ND	2,5 V, 0,8 A Ultra-LDO-Linearregler, schnell reagierend	2.5V, 0.8A Fast Ultra LDO Linear Regulator	TO-263-5	1.85	1.75	1.67
LP3871ES-3.3-ND	3,3 V, 0,8 A Ultra-LDO-Linearregler, schnell reagierend	3.3V, 0.8A Fast Ultra LDO Linear Regulator	TO-263-5	1.85	1.75	1.67
LP3871ES-5.0-ND	5 V, 0,8 A Ultra-LDO-Linearregler, schnell reagierend	5V, 0.8A Fast Ultra LDO Linear Regulator	TO-263-5	1.85	1.75	1.67
LP3871ET-1.8-ND	1,8 V, 0,8 A Ultra-LDO-Linearregler, schnell reagierend	1.8V, 0.8A Fast Ultra LDO Linear Regulator	TO-220-5	1.85	1.75	1.67
LP3871ET-2.5-ND	2,5 V, 0,8 A Ultra-LDO-Linearregler, schnell reagierend	2.5V, 0.8A Fast Ultra LDO Linear Regulator	TO-220-5	1.85	1.75	1.67
LP3871ET-3.3-ND	3,3 V, 0,8 A Ultra-LDO-Linearregler, schnell reagierend	3.3V, 0.8A Fast Ultra LDO Linear Regulator	TO-220-5	1.85	1.75	1.67
LP3871ET-5.0-ND	5 V, 0,8 A Ultra-LDO-Linearregler, schnell reagierend	5V, 0.8A Fast Ultra LDO Linear Regulator	TO-220-5	1.85	1.75	1.67
LP3872EMP-1.8CT-ND	1,8 V, 1,5 A Ultra-LDO-Linearregler, schnell reagierend	1.8V, 1.5A Fast Ultra LDO Linear Regulator	SOT-223-5	1.95	1.85	1.76

(Forts.)

★ RUFEN SIE BITTE AN FÜR NIEDRIGERE PREISE BEI GRÖSSEREN MENGEN! ★

B

Digi-Key Teilenr.	Beschreibung		Paket	Stückpreis★ 1	25	100
LP3872EMP-1.8TR-ND	1,8 V, 1,5 A Ultra-LDO-Linearregler, schnell reagierend	1.8V, 1.5A Fast Ultra LDO Linear Regulator	SOT-223-5		1510.00/1,000	
LP3872EMP-2.5CT-ND	2,5 V, 1,5 A Ultra-LDO-Linearregler, schnell reagierend	2.5V, 1.5A Fast Ultra LDO Linear Regulator	SOT-223-5	3.43	2.73	2.33
LP3872EMP-2.5TR-ND	2,5 V, 1,5 A Ultra-LDO-Linearregler, schnell reagierend	2.5V, 1.5A Fast Ultra LDO Linear Regulator	SOT-223-5		2000.00/1,000	
LP3872EMP-3.3CT-ND	3,3 V, 1,5 A Ultra-LDO-Linearregler, schnell reagierend	3.3V, 1.5A Fast Ultra LDO Linear Regulator	SOT-223-5	1.95	1.85	1.76
LP3872EMP-3.3TR-ND	3,3 V, 1,5 A Ultra-LDO-Linearregler, schnell reagierend	3.3V, 1.5A Fast Ultra LDO Linear Regulator	SOT-223-5		1510.00/1,000	
LP3872EMP-5.0CT-ND	5 V, 1,5 A Ultra-LDO-Linearregler, schnell reagierend	5V, 1.5A Fast Ultra LDO Linear Regulator	SOT-223-5	1.95	1.85	1.76
LP3872EMP-5.0TR-ND	5 V, 1,5 A Ultra-LDO-Linearregler, schnell reagierend	5V, 1.5A Fast Ultra LDO Linear Regulator	SOT-223-5		1510.00/1,000	
LP3872ES-1.8-ND	1,8 V, 1,5 A Ultra-LDO-Linearregler, schnell reagierend	1.8V, 1.5A Fast Ultra LDO Linear Regulator	TO-263-5	2.20	2.09	1.99
LP3872ES-2.5-ND	2,5 V, 1,5 A Ultra-LDO-Linearregler, schnell reagierend	2.5V, 1.5A Fast Ultra LDO Linear Regulator	TO-263-5	2.20	2.09	1.99
LP3872ES-3.3-ND	3,3 V, 1,5 A Ultra-LDO-Linearregler, schnell reagierend	3.3V, 1.5A Fast Ultra LDO Linear Regulator	TO-263-5	2.20	2.09	1.99
LP3872ES-5.0-ND	5 V, 1,5 A Ultra-LDO-Linearregler, schnell reagierend	5V, 1.5A Fast Ultra LDO Linear Regulator	TO-263-5	2.20	2.09	1.99
LP3872ET-1.8-ND	1,8 V, 1,5 A Ultra-LDO-Linearregler, schnell reagierend	1.8V, 1.5A Fast Ultra LDO Linear Regulator	TO-220-5	2.20	2.09	1.99
LP3872ET-2.5-ND	2,5 V, 1,5 A Ultra-LDO-Linearregler, schnell reagierend	2.5V, 1.5A Fast Ultra LDO Linear Regulator	TO-220-5	2.20	2.09	1.99
LP3872ET-3.3-ND	3,3 V, 1,5 A Ultra-LDO-Linearregler, schnell reagierend	3.3V, 1.5A Fast Ultra LDO Linear Regulator	TO-220-5	2.20	2.09	1.99
LP3872ET-5.0-ND	5 V, 1,5 A Ultra-LDO-Linearregler, schnell reagierend	5V, 1.5A Fast Ultra LDO Linear Regulator	TO-220-5	2.20	2.09	1.99
LP3873ES-1.8-ND	1,8 V, 3 A Ultra-LDO-Linearregler, schnell reagierend	1.8V, 3A Fast Ultra LDO Linear Regulator	TO-263-5	2.79	2.65	2.52
LP3873ES-2.5-ND	2,5 V, 3 A Ultra-LDO-Linearregler, schnell reagierend	2.5V, 3A Fast Ultra LDO Linear Regulator	TO-263-5	2.79	2.65	2.52
LP3873ES-3.3-ND	3,3 V, 3 A Ultra-LDO-Linearregler, schnell reagierend	3.3V, 3A Fast Ultra LDO Linear Regulator	TO-263-5	2.79	2.65	2.52
LP3873ES-5.0-ND	5 V, 3 A Ultra-LDO-Linearregler, schnell reagierend	5V, 3A Fast Ultra LDO Linear Regulator	TO-263-5	2.79	2.65	2.52
LP3873ET-1.8-ND	1,8 V, 3 A Ultra-LDO-Linearregler, schnell reagierend	1.8V, 3A Fast Ultra LDO Linear Regulator	TO-220-5	2.79	2.65	2.52
LP3873ET-2.5-ND	2,5 V, 3 A Ultra-LDO-Linearregler, schnell reagierend	2.5V, 3A Fast Ultra LDO Linear Regulator	TO-220-5	2.79	2.65	2.52
LP3873ET-3.3-ND	3,3 V, 3 A Ultra-LDO-Linearregler, schnell reagierend	3.3V, 3A Fast Ultra LDO Linear Regulator	TO-220-5	2.79	2.65	2.52
LP3873ET-5.0-ND	5 V, 3 A Ultra-LDO-Linearregler, schnell reagierend	5V, 3A Fast Ultra LDO Linear Regulator	TO-220-5	2.79	2.65	2.52
LP3874EMP-1.8CT-ND	1,8 V, 0,8 A Ultra-LDO-Linearregler, schnell reagierend	1.8V, 0.8A Fast Ultra LDO Linear Regulator	SOT-223-5	1.63	1.54	1.47
LP3874EMP-1.8TR-ND	1,8 V, 0,8 A Ultra-LDO-Linearregler, schnell reagierend	1.8V, 0.8A Fast Ultra LDO Linear Regulator	SOT-223-5		1260.00/1,000	
LP3874EMP-2.5CT-ND	2,5 V, 0,8 A Ultra-LDO-Linearregler, schnell reagierend	2.5V, 0.8A Fast Ultra LDO Linear Regulator	SOT-223-5	2.86	2.28	1.95
LP3874EMP-2.5TR-ND	2,5 V, 0,8 A Ultra-LDO-Linearregler, schnell reagierend	2.5V, 0.8A Fast Ultra LDO Linear Regulator	SOT-223-5		1670.00/1,000	
LP3874EMP-3.3CT-ND	3,3 V, 0,8 A Ultra-LDO-Linearregler, schnell reagierend	3.3V, 0.8A Fast Ultra LDO Linear Regulator	SOT-223-5	1.63	1.54	1.47
LP3874EMP-3.3TR-ND	3,3 V, 0,8 A Ultra-LDO-Linearregler, schnell reagierend	3.3V, 0.8A Fast Ultra LDO Linear Regulator	SOT-223-5		1260.00/1,000	
LP3874EMP-5.0CT-ND	5 V, 0,8 A Ultra-LDO-Linearregler, schnell reagierend	5V, 0.8A Fast Ultra LDO Linear Regulator	SOT-223-5	1.63	1.54	1.47
LP3874EMP-5.0TR-ND	5 V, 0,8 A Ultra-LDO-Linearregler, schnell reagierend	5V, 0.8A Fast Ultra LDO Linear Regulator	SOT-223-5		1260.00/1,000	
LP3874EMP-ADJCT-ND	Einstellb. 0,8 A Ultra-LDO-Linearregler, schnell reagierend	Adj., 0.8A Fast Ultra LDO Linear Regulator	SOT-223-5	1.63	1.54	1.47
LP3874EMP-ADJTR-ND	Einstellb. 0,8 A Ultra-LDO-Linearregler, schnell reagierend	Adj., 0.8A Fast Ultra LDO Linear Regulator	SOT-223-5		1260.00/1,000	
LP3874ES-1.8-ND	1,8 V, 0,8 A Ultra-LDO-Linearregler, schnell reagierend	1.8V, 0.8A Fast Ultra LDO Linear Regulator	TO-263-5	1.85	1.75	1.67
LP3874ES-2.5-ND	2,5 V, 0,8 A Ultra-LDO-Linearregler, schnell reagierend	2.5V, 0.8A Fast Ultra LDO Linear Regulator	TO-263-5	1.85	1.75	1.67
LP3874ES-3.3-ND	3,3 V, 0,8 A Ultra-LDO-Linearregler, schnell reagierend	3.3V, 0.8A Fast Ultra LDO Linear Regulator	TO-263-5	1.85	1.75	1.67
LP3874ES-5.0-ND	5 V, 0,8 A Ultra-LDO-Linearregler, schnell reagierend	5V, 0.8A Fast Ultra LDO Linear Regulator	TO-263-5	1.85	1.75	1.67
LP3874ES-ADJ-ND	Einstellb. 0,8 A Ultra-LDO-Linearregler, schnell reagierend	Adj., 0.8A Fast Ultra LDO Linear Regulator	TO-263-5	1.85	1.75	1.67
LP3874ET-1.8-ND	1,8 V, 0,8 A Ultra-LDO-Linearregler, schnell reagierend	1.8V, 0.8A Fast Ultra LDO Linear Regulator	TO-220-5	1.85	1.75	1.67
LP3874ET-2.5-ND	2,5 V, 0,8 A Ultra-LDO-Linearregler, schnell reagierend	2.5V, 0.8A Fast Ultra LDO Linear Regulator	TO-220-5	1.85	1.75	1.67
LP3874ET-3.3-ND	3,3 V, 0,8 A Ultra-LDO-Linearregler, schnell reagierend	3.3V, 0.8A Fast Ultra LDO Linear Regulator	TO-220-5	1.85	1.75	1.67
LP3874ET-5.0-ND	5 V, 0,8 A Ultra-LDO-Linearregler, schnell reagierend	5V, 0.8A Fast Ultra LDO Linear Regulator	TO-220-5	1.85	1.75	1.67
LP3874ET-ADJ-ND	Einstellb. 0,8 A Ultra-LDO-Linearregler, schnell reagierend	Adj., 0.8A Fast Ultra LDO Linear Regulator	TO-220-5	1.85	1.75	1.67
LP3875EMP-1.8CT-ND	1,8 V, 1,5 A Ultra-LDO-Linearregler, schnell reagierend	1.8V, 1.5A Fast Ultra LDO Linear Regulator	SOT-223-5	1.95	1.85	1.76
LP3875EMP-1.8TR-ND	1,8 V, 1,5 A Ultra-LDO-Linearregler, schnell reagierend	1.8V, 1.5A Fast Ultra LDO Linear Regulator	SOT-223-5		1510.00/1,000	
LP3875EMP-2.5CT-ND	2,5 V, 1,5 A Ultra-LDO-Linearregler, schnell reagierend	2.5V, 1.5A Fast Ultra LDO Linear Regulator	SOT-223-5	1.95	1.85	1.76
LP3875EMP-2.5TR-ND	2,5 V, 1,5 A Ultra-LDO-Linearregler, schnell reagierend	2.5V, 1.5A Fast Ultra LDO Linear Regulator	SOT-223-5		1510.00/1,000	
LP3875EMP-3.3CT-ND	3,3 V, 1,5 A Ultra-LDO-Linearregler, schnell reagierend	3.3V, 1.5A Fast Ultra LDO Linear Regulator	SOT-223-5	1.95	1.85	1.76
LP3875EMP-3.3TR-ND	3,3 V, 1,5 A Ultra-LDO-Linearregler, schnell reagierend	3.3V, 1.5A Fast Ultra LDO Linear Regulator	SOT-223-5		1510.00/1,000	
LP3875EMP-5.0CT-ND	5 V, 1,5 A Ultra-LDO-Linearregler, schnell reagierend	5V, 1.5A Fast Ultra LDO Linear Regulator	SOT-223-5	1.95	1.85	1.76
LP3875EMP-5.0TR-ND	5 V, 1,5 A Ultra-LDO-Linearregler, schnell reagierend	5V, 1.5A Fast Ultra LDO Linear Regulator	SOT-223-5		1510.00/1,000	
LP3875EMP-ADJCT-ND	Einstellb. 1,5 A Ultra-LDO-Linearregler, schnell reagierend	Adj., 1.5A Fast Ultra LDO Linear Regulator	SOT-223-5	1.95	1.85	1.76
LP3875EMP-ADJTR-ND	Einstellb. 1,5 A Ultra-LDO-Linearregler, schnell reagierend	Adj., 1.5A Fast Ultra LDO Linear Regulator	SOT-223-5		1510.00/1,000	
LP3875ES-1.8-ND	1,8 V, 1,5 A Ultra-LDO-Linearregler, schnell reagierend	1.8V, 1.5A Fast Ultra LDO Linear Regulator	TO-263-5	2.20	2.09	1.99
LP3875ES-2.5-ND	2,5 V, 1,5 A Ultra-LDO-Linearregler, schnell reagierend	2.5V, 1.5A Fast Ultra LDO Linear Regulator	TO-263-5	2.20	2.09	1.99
LP3875ES-3.3-ND	3,3 V, 1,5 A Ultra-LDO-Linearregler, schnell reagierend	3.3V, 1.5A Fast Ultra LDO Linear Regulator	TO-263-5	2.20	2.09	1.99
LP3875ES-5.0-ND	5 V, 1,5 A Ultra-LDO-Linearregler, schnell reagierend	5V, 1.5A Fast Ultra LDO Linear Regulator	TO-263-5	2.20	2.09	1.99
LP3875ES-ADJ-ND	Einstellb. 1,5 A Ultra-LDO-Linearregler, schnell reagierend	Adj., 1.5A Fast Ultra LDO Linear Regulator	TO-263-5	2.20	2.09	1.99
LP3875ET-1.8-ND	1,8 V, 1,5 A Ultra-LDO-Linearregler, schnell reagierend	1.8V, 1.5A Fast Ultra LDO Linear Regulator	TO-220-5	2.20	2.09	1.99
LP3875ET-2.5-ND	2,5 V, 1,5 A Ultra-LDO-Linearregler, schnell reagierend	2.5V, 1.5A Fast Ultra LDO Linear Regulator	TO-220-5	2.20	2.09	1.99
LP3875ET-3.3-ND	3,3 V, 1,5 A Ultra-LDO-Linearregler, schnell reagierend	3.3V, 1.5A Fast Ultra LDO Linear Regulator	TO-220-5	2.20	2.09	1.99
LP3875ET-5.0-ND	5 V, 1,5 A Ultra-LDO-Linearregler, schnell reagierend	5V, 1.5A Fast Ultra LDO Linear Regulator	TO-220-5	2.20	2.09	1.99
LP3875ET-ADJ-ND	Einstellb. 1,5 A Ultra-LDO-Linearregler, schnell reagierend	Adj., 1.5A Fast Ultra LDO Linear Regulator	TO-220-5	2.20	2.09	1.99
LP3876ES-1.8-ND	1,8 V, 3 A Ultra-LDO-Linearregler, schnell reagierend	1.8V, 3A Fast Ultra LDO Linear Regulator	TO-263-5	2.79	2.65	2.52
LP3876ES-2.5-ND	2,5 V, 3 A Ultra-LDO-Linearregler, schnell reagierend	2.5V, 3A Fast Ultra LDO Linear Regulator	TO-263-5	2.79	2.65	2.52
LP3876ES-3.3-ND	3,3 V, 3 A Ultra-LDO-Linearregler, schnell reagierend	3.3V, 3A Fast Ultra LDO Linear Regulator	TO-263-5	2.79	2.65	2.52
LP3876ES-5.0-ND	5 V, 3 A Ultra-LDO-Linearregler, schnell reagierend	5V, 3A Fast Ultra LDO Linear Regulator	TO-263-5	2.79	2.65	2.52
LP3876ES-ADJ-ND	Einstellb. 3 A Ultra-LDO-Linearregler, schnell reagierend	Adj., 3A Fast Ultra LDO Linear Regulator	TO-263-5	2.79	2.65	2.52
LP3876ET-1.8-ND	1,8 V, 3 A Ultra-LDO-Linearregler, schnell reagierend	1.8V, 3A Fast Ultra LDO Linear Regulator	TO-220-5	2.79	2.65	2.52
LP3876ET-2.5-ND	2,5 V, 3 A Ultra-LDO-Linearregler, schnell reagierend	2.5V, 3A Fast Ultra LDO Linear Regulator	TO-220-5	2.79	2.65	2.52
LP3876ET-3.3-ND	3,3 V, 3 A Ultra-LDO-Linearregler, schnell reagierend	3.3V, 3A Fast Ultra LDO Linear Regulator	TO-220-5	2.79	2.65	2.52
LP3876ET-5.0-ND	5 V, 3 A Ultra-LDO-Linearregler, schnell reagierend	5V, 3A Fast Ultra LDO Linear Regulator	TO-220-5	2.79	2.65	2.52
LP3876ET-ADJ-ND	Einstellb. 3 A Ultra-LDO-Linearregler, schnell reagierend	Adj., 3A Fast Ultra LDO Linear Regulator	TO-220-5	2.79	2.65	2.52
LP3881EMR-1.2-ND	1,2 V, 0,8 A LDO-Linearregler, schnell reagierend	1.2V, 0.8A Fast Response LDO Linear Regulator	8-PSOP	5.31	4.22	3.61
LP3881EMR-1.5-ND	1,5 V, 0,8 A LDO-Linearregler, schnell reagierend	1.5V, 0.8A Fast Response LDO Linear Regulator	8-PSOP	5.31	4.22	3.61
LP3881EMR-1.8-ND	1,8 V, 0,8 A LDO-Linearregler, schnell reagierend	1.8V, 0.8A Fast Response LDO Linear Regulator	8-PSOP	5.31	4.22	3.61
LP3881ES-1.2-ND	1,2 V, 0,8 A Ultra-LDO-Linearregler, schnell reagierend	1.2V, 0.8A Fast Ultra LDO Linear Regulator	TO-263-5	3.01	2.86	2.72
LP3881ES-1.5-ND	1,5 V, 0,8 A Ultra-LDO-Linearregler, schnell reagierend	1.5V, 0.8A Fast Ultra LDO Linear Regulator	TO-263-5	3.01	2.86	2.72
LP3881ES-1.8-ND	1,8 V, 0,8 A Ultra-LDO-Linearregler, schnell reagierend	1.8V, 0.8A Fast Ultra LDO Linear Regulator	TO-263-5	3.01	2.86	2.72
LP3881ET-1.2-ND	1,2 V, 0,8 A Ultra-LDO-Linearregler, schnell reagierend	1.2V, 0.8A Fast Ultra LDO Linear Regulator	TO-220-5	3.01	2.86	2.72
LP3881ET-1.5-ND	1,5 V, 0,8 A Ultra-LDO-Linearregler, schnell reagierend	1.5V, 0.8A Fast Ultra LDO Linear Regulator	TO-220-5	3.01	2.86	2.72
LP3881ET-1.8-ND	1,8 V, 0,8 A Ultra-LDO-Linearregler, schnell reagierend	1.8V, 0.8A Fast Ultra LDO Linear Regulator	TO-220-5	3.01	2.86	2.72
LP3882EMR-1.2-ND	1,2 V, 1,5 A LDO-Linearregler, schnell reagierend	1.2V, 1.5A Fast Response LDO Linear Regulator	8-PSOP	5.55	4.41	3.77
LP3882EMR-1.5-ND	1,5 V, 1,5 A LDO-Linearregler, schnell reagierend	1.5V, 1.5A Fast Response LDO Linear Regulator	8-PSOP	5.55	4.41	3.77
LP3882EMR-1.8-ND	1,8 V, 1,5 A LDO-Linearregler, schnell reagierend	1.8V, 1.5A Fast Response LDO Linear Regulator	8-PSOP	5.55	4.41	3.77
LP3882ES-1.2-ND	1,2 V, 1,5 A Ultra-LDO-Linearregler, schnell reagierend	1.2V, 1.5A Fast Ultra LDO Linear Regulator	TO-263-5	3.15	2.99	2.84
LP3882ES-1.5-ND	1,5 V, 1,5 A Ultra-LDO-Linearregler, schnell reagierend	1.5V, 1.5A Fast Ultra LDO Linear Regulator	TO-263-5	3.15	2.99	2.84
LP3882ES-1.8-ND	1,8 V, 1,5 A Ultra-LDO-Linearregler, schnell reagierend	1.8V, 1.5A Fast Ultra LDO Linear Regulator	TO-263-5	3.15	2.99	2.84
LP3882ET-1.2-ND	1,2 V, 1,5 A Ultra-LDO-Linearregler, schnell reagierend	1.2V, 1.5A Fast Ultra LDO Linear Regulator	TO-220-5	3.15	2.99	2.84
LP3882ET-1.5-ND	1,5 V, 1,5 A Ultra-LDO-Linearregler, schnell reagierend	1.5V, 1.5A Fast Ultra LDO Linear Regulator	TO-220-5	3.15	2.99	2.84
LP3882ET-1.8-ND	1,8 V, 1,5 A Ultra-LDO-Linearregler, schnell reagierend	1.8V, 1.5A Fast Ultra LDO Linear Regulator	TO-220-5	3.15	2.99	2.84
LP3883ES-1.2-ND	1,2 V, 3 A Ultra-LDO-Linearregler, schnell reagierend	1.2V, 3A Fast Ultra LDO Linear Regulator	TO-263-5	3.88	3.68	3.50
LP3883ES-1.5-ND	1,5 V, 3 A Ultra-LDO-Linearregler, schnell reagierend	1.5V, 3A Fast Ultra LDO Linear Regulator	TO-263-5	3.88	3.68	3.50
LP3883ES-1.8-ND	1,8 V, 3 A Ultra-LDO-Linearregler, schnell reagierend	1.8V, 3A Fast Ultra LDO Linear Regulator	TO-263-5	3.88	3.68	3.50
LP3883ET-1.2-ND	1,2 V, 3 A Ultra-LDO-Linearregler, schnell reagierend	1.2V, 3A Fast Ultra LDO Linear Regulator	TO-220-5	3.88	3.68	3.50
LP3883ET-1.5-ND	1,5 V, 3 A Ultra-LDO-Linearregler, schnell reagierend	1.5V, 3A Fast Ultra LDO Linear Regulator	TO-220-5	3.88	3.68	3.50
LP3883ET-1.8-ND	1,8 V, 3 A Ultra-LDO-Linearregler, schnell reagierend	1.8V, 3A Fast Ultra LDO Linear Regulator	TO-220-5	3.88	3.68	3.50
LP3891ES-1.2-ND	1,2 V, 0,8 A Ultra-LDO-Linearregler, schnell reagierend	1.2V, 0.8A Fast Ultra LDO Linear Regulator	TO-263-5	3.40	2.70	2.31
LP3891ES-1.5-ND	1,5 V, 0,8 A Ultra-LDO-Linearregler, schnell reagierend	1.5V, 0.8A Fast Ultra LDO Linear Regulator	TO-263-5	3.40	2.70	2.31
LP3891ES-1.8-ND	1,8 V, 0,8 A Ultra-LDO-Linearregler, schnell reagierend	1.8V, 0.8A Fast Ultra LDO Linear Regulator	TO-263-5	3.40	2.70	2.31
LP3891ET-1.2-ND	1,2 V, 0,8 A Ultra-LDO-Linearregler, schnell reagierend	1.2V, 0.8A Fast Ultra LDO Linear Regulator	TO-220-5	3.40	2.70	2.31
LP3891ET-1.5-ND	1,5 V, 0,8 A Ultra-LDO-Linearregler, schnell reagierend	1.5V, 0.8A Fast Ultra LDO Linear Regulator	TO-220-5	3.40	2.70	2.31
LP3891ET-1.8-ND	1,8 V, 0,8 A Ultra-LDO-Linearregler, schnell reagierend	1.8V, 0.8A Fast Ultra LDO Linear Regulator	TO-220-5	3.40	2.70	2.31
LP3892ES-1.2-ND	1,2 V, 1,5 A Ultra-LDO-Linearregler, schnell reagierend	1.2V, 1.5A Fast Ultra LDO Linear Regulator	TO-263-5	3.97	3.16	2.70
LP3892ES-1.5-ND	1,5 V, 1,5 A Ultra-LDO-Linearregler, schnell reagierend	1.5V, 1.5A Fast Ultra LDO Linear Regulator	TO-263-5	2.25	2.14	2.03

(Forts.)

★ RUFEN SIE BITTE AN FÜR NIEDRIGERE PREISE BEI GRÖSSEREN MENGEN! ★

Alle Preisangaben in Euro und inklusive Zollgebühren.

Digi-Key Teilenr.	Beschreibung		Paket	Stückpreis★ 1	25	100
LP3892ES-1.8-ND	1,8 V, 1,5 A Ultra-LDO-Linearregler, schnell reagierend	1.8V, 1.5A Fast Ultra LDO Linear Regulator	TO-263-5	3.97	3.16	2.70
LP3892ET-1.2-ND	1,2 V, 1,5 A Ultra-LDO-Linearregler, schnell reagierend	1.2V, 1.5A Fast Ultra LDO Linear Regulator	TO-220-5	3.97	3.16	2.70
LP3892ET-1.5-ND	1,5 V, 1,5 A Ultra-LDO-Linearregler, schnell reagierend	1.5V, 1.5A Fast Ultra LDO Linear Regulator	TO-220-5	3.97	3.16	2.70
LP3892ET-1.8-ND	1,8 V, 1,5 A Ultra-LDO-Linearregler, schnell reagierend	1.8V, 1.5A Fast Ultra LDO Linear Regulator	TO-220-5	3.97	3.16	2.70
LP3893ES-1.2-ND	1,2 V, 3 A Ultra-LDO-Linearregler, schnell reagierend	1.2V, 3A Fast Ultra LDO Linear Regulator	TO-263-5	4.95	3.94	3.37
LP3893ES-1.5-ND	1,5 V, 3 A Ultra-LDO-Linearregler, schnell reagierend	1.5V, 3A Fast Ultra LDO Linear Regulator	TO-263-5	4.95	3.94	3.37
LP3893ES-1.8-ND	1,8 V, 3 A Ultra-LDO-Linearregler, schnell reagierend	1.8V, 3A Fast Ultra LDO Linear Regulator	TO-263-5	4.95	3.94	3.37
LP3893ET-1.2-ND	1,2 V, 3 A Ultra-LDO-Linearregler, schnell reagierend	1.2V, 3A Fast Ultra LDO Linear Regulator	TO-220-5	4.95	3.94	3.37
LP3893ET-1.5-ND	1,5 V, 3 A Ultra-LDO-Linearregler, schnell reagierend	1.5V, 3A Fast Ultra LDO Linear Regulator	TO-220-5	4.95	3.94	3.37
LP3893ET-1.8-ND	1,8 V, 3 A Ultra-LDO-Linearregler, schnell reagierend	1.8V, 3A Fast Ultra LDO Linear Regulator	TO-220-5	4.95	3.94	3.37
LP3927ILQ-AHCT-ND	Mobil-/PCS-System-Leistungmanagement	Cellular/PCS System Power Management	28-LLP	5.79	4.60	3.93
LP3927ILQ-AHTR-ND	Mobil-/PCS-System-Leistungmanagement	Cellular/PCS System Power Management	28-LLP		3370.00/1,000	
LP3927ILQ-AJCT-ND	Mobil-/PCS-System-Leistungmanagement	Cellular/PCS System Power Management	28-LLP	5.79	4.60	3.93
LP3927ILQ-AJTR-ND	Mobil-/PCS-System-Leistungmanagement	Cellular/PCS System Power Management	28-LLP		3370.00/1,000	
LP3928TL-1828CT-ND	2,85 V bidirektionaler Spannungspegel-Shifter, HS	2.85V, High Speed Bi-Directional Level Shifter	16-microSMD	4.12	3.27	2.80
LP3928TL-1828TR-ND	2,85 V bidirektionaler Spannungspegel-Shifter, HS	2.85V, High Speed Bi-Directional Level Shifter	16-microSMD		660.00/250	
LP3931ISQCT-ND	Zweif. RGB LED-Treiber mit Hochstrom-Boost-DC/DC-Wandler	Dual RGB LED Driver with High Current Boost DC/DC Converter	24-LLP	4.53	3.61	3.08
LP3931ISQTR-ND	Zweif. RGB LED-Treiber mit Hochstrom-Boost-DC/DC-Wandler	Dual RGB LED Driver with High Current Boost DC/DC Converter	24-LLP		2640.00/1,000	
LP3933SLCT-ND	Komplettes Beleuchtungs-Managementsystem	Complete Lighting Management System	32-CSP	2.90	2.75	2.61
LP3933SLTR-ND	Komplettes Beleuchtungs-Managementsystem	Complete Lighting Management System	32-CSP		2240.00/1,000	
LP3936SLCT-ND	Komplettes Beleuchtungs-Managementsystem	Complete Lighting Management System	32-CSP	2.90	2.75	2.61
LP3936SLTR-ND	Komplettes Beleuchtungs-Managementsystem	Complete Lighting Management System	32-CSP		2440.00/1,000	
LP3943ISQEV-ND	Evaluierungskarte für LP3943 Fun-Lichttreiber	Evaluation Board for LP3943 Funlight Driver	—	253.60	—	—
LP3943ISQCT-ND	16-LED Fun-Lichttreiber	16-LED Fun Light Driver	24-LLP	2.57	2.44	2.32
LP3943ISQTR-ND	16-LED Fun-Lichttreiber	16-LED Fun Light Driver	24-LLP		1570.00/1,000	
LP3944ISQCT-ND	8-LED Fun-Lichttreiber	8-LED Fun Light Driver	24-LLP	2.42	2.30	2.19
LP3944ISQTR-ND	8-LED Fun-Lichttreiber	8-LED Fun Light Driver	24-LLP		1880.00/1,000	
LP3945LDCT-ND	Batterielade-Managementsystem	Battery Charge Management System	14-LLP	1.93	1.83	1.74
LP3945LDTR-ND	Batterielade-Managementsystem	Battery Charge Management System	14-LLP		1490.00/1,000	
LP3946LDCT-ND	Batterielade-Managementsystem	Battery Charge Management System	14-LLP	1.85	1.75	1.67
LP3946LDTR-ND	Batterielade-Managementsystem	Battery Charge Management System	14-LLP		1490.00/1,000	
LP3947ISD-09CT-ND	USB/AC-Adapter, Li-Ion-Batterieladegerät, Einzelzelle	USB/AC Adaptor, Single Cell Li-Ion Battery Charger	14-LLP	2.98	2.37	2.02
LP3947ISD-09TR-ND	USB/AC-Adapter, Li-Ion-Batterieladegerät, Einzelzelle	USB/AC Adaptor, Single Cell Li-Ion Battery Charger	14-LLP		1730.00/1,000	
LP3947ISD-51CT-ND	USB/AC-Adapter, Li-Ion-Batterieladegerät, Einzelzelle	USB/AC Adaptor, Single Cell Li-Ion Battery Charger	14-LLP	2.98	2.37	2.02
LP3947ISD-51TR-ND	USB/AC-Adapter, Li-Ion-Batterieladegerät, Einzelzelle	USB/AC Adaptor, Single Cell Li-Ion Battery Charger	14-LLP		1730.00/1,000	
LP3961EMP-1.8CT-ND	1,8 V, 800 mA Ultra-LDO-Linearregler, schnell reagierend	1.8V, 800mA Fast Ultra LDO Linear Regulator	SOT-223-5	1.19	1.13	1.07
LP3961EMP-1.8TR-ND	1,8 V, 800 mA Ultra-LDO-Linearregler, schnell reagierend	1.8V, 800mA Fast Ultra LDO Linear Regulator	SOT-223-5		920.00/1,000	
LP3961EMP-2.5CT-ND	2,5 V, 800 mA Ultra-LDO-Linearregler, schnell reagierend	2.5V, 800mA Fast Ultra LDO Linear Regulator	SOT-223-5	1.20	1.14	1.08
LP3961EMP-2.5TR-ND	2,5 V, 800 mA Ultra-LDO-Linearregler, schnell reagierend	2.5V, 800mA Fast Ultra LDO Linear Regulator	SOT-223-5		910.00/1,000	
LP3961EMP-3.3CT-ND	3,3 V, 800 mA Ultra-LDO-Linearregler, schnell reagierend	3.3V, 800mA Fast Ultra LDO Linear Regulator	SOT-223-5	1.20	1.14	1.08
LP3961EMP-3.3TR-ND	3,3 V, 800 mA Ultra-LDO-Linearregler, schnell reagierend	3.3V, 800mA Fast Ultra LDO Linear Regulator	SOT-223-5		910.00/1,000	
LP3961EMP-5.0CT-ND	5 V, 800 mA Ultra-LDO-Linearregler, schnell reagierend	5V, 800mA Fast Ultra LDO Linear Regulator	SOT-223-5	1.19	1.13	1.07
LP3961EMP-5.0TR-ND	5 V, 800 mA Ultra-LDO-Linearregler, schnell reagierend	5V, 800mA Fast Ultra LDO Linear Regulator	SOT-223-5		910.00/1,000	
LP3961ES-1.8-ND	1,8 V, 800 mA Ultra-LDO-Linearregler, schnell reagierend	1.8V, 800mA Fast Ultra LDO Linear Regulator	SOT-263-5	1.36	1.29	1.23
LP3961ES-2.5-ND	2,5 V, 800 mA Ultra-LDO-Linearregler, schnell reagierend	2.5V, 800mA Fast Ultra LDO Linear Regulator	SOT-263-5	1.36	1.29	1.23
LP3961ES-3.3-ND	3,3 V, 800 mA Ultra-LDO-Linearregler, schnell reagierend	3.3V, 800mA Fast Ultra LDO Linear Regulator	SOT-263-5	1.36	1.29	1.23
LP3961ES-5.0-ND	5 V, 800 mA Ultra-LDO-Linearregler, schnell reagierend	5V, 800mA Fast Ultra LDO Linear Regulator	SOT-263-5	2.92	2.33	1.99
LP3961ET-1.8-ND	1,8 V, 800 mA Ultra-LDO-Linearregler, schnell reagierend	1.8V, 800mA Fast Ultra LDO Linear Regulator	TO-220-5	1.36	1.29	1.23
LP3961ET-2.5-ND	2,5 V, 800 mA Ultra-LDO-Linearregler, schnell reagierend	2.5V, 800mA Fast Ultra LDO Linear Regulator	TO-220-5	1.36	1.29	1.23
LP3961ET-3.3-ND	3,3 V, 800 mA Ultra-LDO-Linearregler, schnell reagierend	3.3V, 800mA Fast Ultra LDO Linear Regulator	TO-220-5	1.36	1.29	1.23
LP3961ET-5.0-ND	5 V, 800 mA Ultra-LDO-Linearregler, schnell reagierend	5V, 800mA Fast Ultra LDO Linear Regulator	TO-220-5	2.92	2.33	1.99
LP3962EMP-1.8CT-ND	1,8 V, 1,5 A Ultra-LDO-Linearregler, schnell reagierend	1.8V, 1.5A Fast Ultra LDO Linear Regulator	SOT-223-5	1.43	1.36	1.29
LP3962EMP-1.8TR-ND	1,8 V, 1,5 A Ultra-LDO-Linearregler, schnell reagierend	1.8V, 1.5A Fast Ultra LDO Linear Regulator	SOT-223-5		1100.00/1,000	
LP3962EMP-2.5CT-ND	2,5 V, 1,5 A Ultra-LDO-Linearregler, schnell reagierend	2.5V, 1.5A Fast Ultra LDO Linear Regulator	SOT-223-5	1.74	1.66	1.57
LP3962EMP-2.5TR-ND	2,5 V, 1,5 A Ultra-LDO-Linearregler, schnell reagierend	2.5V, 1.5A Fast Ultra LDO Linear Regulator	SOT-223-5		1350.00/1,000	
LP3962EMP-3.3CT-ND	3,3 V, 1,5 A Ultra-LDO-Linearregler, schnell reagierend	3.3V, 1.5A Fast Ultra LDO Linear Regulator	SOT-223-5	1.74	1.66	1.57
LP3962EMP-3.3TR-ND	3,3 V, 1,5 A Ultra-LDO-Linearregler, schnell reagierend	3.3V, 1.5A Fast Ultra LDO Linear Regulator	SOT-223-5		1350.00/1,000	
LP3962EMP-5.0CT-ND	5 V, 1,5 A Ultra-LDO-Linearregler, schnell reagierend	5V, 1.5A Fast Ultra LDO Linear Regulator	SOT-223-5	1.74	1.66	1.57
LP3962EMP-5.0TR-ND	5 V, 1,5 A Ultra-LDO-Linearregler, schnell reagierend	5V, 1.5A Fast Ultra LDO Linear Regulator	SOT-223-5		1350.00/1,000	
LP3962ES-1.8-ND	1,8 V, 1,5 A Ultra-LDO-Linearregler, schnell reagierend	1.8V, 1.5A Fast Ultra LDO Linear Regulator	TO-263-5	1.96	1.87	1.77
LP3962ES-2.5-ND	2,5 V, 1,5 A Ultra-LDO-Linearregler, schnell reagierend	2.5V, 1.5A Fast Ultra LDO Linear Regulator	TO-263-5	1.96	1.87	1.77
LP3962ES-3.3-ND	3,3 V, 1,5 A Ultra-LDO-Linearregler, schnell reagierend	3.3V, 1.5A Fast Ultra LDO Linear Regulator	TO-263-5	1.96	1.87	1.77
LP3962ES-5.0-ND	5 V, 1,5 A Ultra-LDO-Linearregler, schnell reagierend	5V, 1.5A Fast Ultra LDO Linear Regulator	TO-263-5	3.46	2.75	2.35
LP3962ET-1.8-ND	1,8 V, 1,5 A Ultra-LDO-Linearregler, schnell reagierend	1.8V, 1.5A Fast Ultra LDO Linear Regulator	TO-220-5	3.46	2.75	2.35
LP3962ET-2.5-ND	2,5 V, 1,5 A Ultra-LDO-Linearregler, schnell reagierend	2.5V, 1.5A Fast Ultra LDO Linear Regulator	TO-220-5	3.46	2.75	2.35
LP3962ET-3.3-ND	3,3 V, 1,5 A Ultra-LDO-Linearregler, schnell reagierend	3.3V, 1.5A Fast Ultra LDO Linear Regulator	TO-220-5	3.46	2.75	2.35
LP3962ET-5.0-ND	5 V, 1,5 A Ultra-LDO-Linearregler, schnell reagierend	5V, 1.5A Fast Ultra LDO Linear Regulator	TO-220-5	3.46	2.75	2.35
LP3963ES-1.8-ND	1,8 V, 3 A Ultra-LDO-Linearregler, schnell reagierend	1.8V, 3A Fast Ultra LDO Linear Regulator	TO-263-5	2.51	2.38	2.26
LP3963ES-2.5-ND	2,5 V, 3 A Ultra-LDO-Linearregler, schnell reagierend	2.5V, 3A Fast Ultra LDO Linear Regulator	TO-263-5	2.51	2.38	2.26
LP3963ES-3.3-ND	3,3 V, 3 A Ultra-LDO-Linearregler, schnell reagierend	3.3V, 3A Fast Ultra LDO Linear Regulator	TO-263-5	2.51	2.38	2.26
LP3963ES-5.0-ND	5 V, 3 A Ultra-LDO-Linearregler, schnell reagierend	5V, 3A Fast Ultra LDO Linear Regulator	TO-263-5	2.51	2.38	2.26
LP3963ET-1.8-ND	1,8 V, 3 A Ultra-LDO-Linearregler, schnell reagierend	1.8V, 3A Fast Ultra LDO Linear Regulator	TO-220-5	4.42	3.51	3.00
LP3963ET-2.5-ND	2,5 V, 3 A Ultra-LDO-Linearregler, schnell reagierend	2.5V, 3A Fast Ultra LDO Linear Regulator	TO-220-5	4.42	3.51	3.00
LP3963ET-3.3-ND	3,3 V, 3 A Ultra-LDO-Linearregler, schnell reagierend	3.3V, 3A Fast Ultra LDO Linear Regulator	TO-220-5	4.42	3.51	3.00
LP3963ET-5.0-ND	5 V, 3 A Ultra-LDO-Linearregler, schnell reagierend	5V, 3A Fast Ultra LDO Linear Regulator	TO-220-5	4.42	3.51	3.00
LP3964EMP-1.8CT-ND	1,8 V, 800 mA Ultra-LDO-Linearregler, schnell reagierend	1.8V, 800mA Fast Ultra LDO Linear Regulator	SOT-223-5	1.20	1.14	1.08
LP3964EMP-1.8TR-ND	1,8 V, 800 mA Ultra-LDO-Linearregler, schnell reagierend	1.8V, 800mA Fast Ultra LDO Linear Regulator	SOT-223-5		920.00/1,000	
LP3964EMP-2.5CT-ND	2,5 V, 800 mA Ultra-LDO-Linearregler, schnell reagierend	2.5V, 800mA Fast Ultra LDO Linear Regulator	SOT-223-5	1.20	1.14	1.08
LP3964EMP-2.5TR-ND	2,5 V, 800 mA Ultra-LDO-Linearregler, schnell reagierend	2.5V, 800mA Fast Ultra LDO Linear Regulator	SOT-223-5		920.00/1,000	
LP3964EMP-3.3CT-ND	3,3 V, 800 mA Ultra-LDO-Linearregler, schnell reagierend	3.3V, 800mA Fast Ultra LDO Linear Regulator	SOT-223-5	1.20	1.14	1.08
LP3964EMP-3.3TR-ND	3,3 V, 800 mA Ultra-LDO-Linearregler, schnell reagierend	3.3V, 800mA Fast Ultra LDO Linear Regulator	SOT-223-5		920.00/1,000	
LP3964EMP-5.0CT-ND	5 V, 800 mA Ultra-LDO-Linearregler, schnell reagierend	5V, 800mA Fast Ultra LDO Linear Regulator	SOT-223-5	2.57	2.04	1.74
LP3964EMP-5.0TR-ND	5 V, 800 mA Ultra-LDO-Linearregler, schnell reagierend	5V, 800mA Fast Ultra LDO Linear Regulator	SOT-223-5		1490.00/1,000	
LP3964EMP-ADJCT-ND	Einstellb. 800 mA Ultra-LDO-Linearregler, schnell reagierend	Adj., 800mA Fast Ultra LDO Linear Regulator	SOT-223-5	1.20	1.14	1.08
LP3964EMP-ADJTR-ND	Einstellb. 800 mA Ultra-LDO-Linearregler, schnell reagierend	Adj., 800mA Fast Ultra LDO Linear Regulator	SOT-223-5		1490.00/1,000	
LP3964ES-1.8-ND	1,8 V, 800 mA Ultra-LDO-Linearregler, schnell reagierend	1.8V, 800mA Fast Ultra LDO Linear Regulator	TO-263-5	1.36	1.29	1.23
LP3964ES-2.5-ND	2,5 V, 800 mA Ultra-LDO-Linearregler, schnell reagierend	2.5V, 800mA Fast Ultra LDO Linear Regulator	TO-263-5	1.36	1.29	1.23
LP3964ES-3.3-ND	3,3 V, 800 mA Ultra-LDO-Linearregler, schnell reagierend	3.3V, 800mA Fast Ultra LDO Linear Regulator	TO-263-5	1.36	1.29	1.23
LP3964ES-5.0-ND	5 V, 800 mA Ultra-LDO-Linearregler, schnell reagierend	5V, 800mA Fast Ultra LDO Linear Regulator	TO-263-5	2.92	2.33	1.99
LP3964ES-ADJ-ND	Einstellb. 800 mA Ultra-LDO-Linearregler, schnell reagierend	Adj., 800mA Fast Ultra LDO Linear Regulator	TO-263-5	1.36	1.29	1.23
LP3964ET-1.8-ND	1,8 V, 800 mA Ultra-LDO-Linearregler, schnell reagierend	1.8V, 800mA Fast Ultra LDO Linear Regulator	TO-220-5	1.36	1.29	1.23
LP3964ET-2.5-ND	2,5 V, 800 mA Ultra-LDO-Linearregler, schnell reagierend	2.5V, 800mA Fast Ultra LDO Linear Regulator	TO-220-5	1.36	1.29	1.23
LP3964ET-3.3-ND	3,3 V, 800 mA Ultra-LDO-Linearregler, schnell reagierend	3.3V, 800mA Fast Ultra LDO Linear Regulator	TO-220-5	1.36	1.29	1.23
LP3964ET-5.0-ND	5 V, 800 mA Ultra-LDO-Linearregler, schnell reagierend	5V, 800mA Fast Ultra LDO Linear Regulator	TO-220-5	2.92	2.33	1.99
LP3964ET-ADJ-ND	Einstellb. 800 mA Ultra-LDO-Linearregler, schnell reagierend	Adj., 800mA Fast Ultra LDO Linear Regulator	TO-220-5	2.92	2.33	1.99
LP3965EMP-ADJCT-ND	Einstellb. 1,5 A Ultra-LDO-Linearregler, schnell reagierend	Adj., 1.5A Fast Ultra LDO Linear Regulator	SOT-223-5	1.74	1.66	1.57
LP3965EMP-ADJTR-ND	Einstellb. 1,5 A Ultra-LDO-Linearregler, schnell reagierend	Adj., 1.5A Fast Ultra LDO Linear Regulator	SOT-223-5		1350.00/1,000	
LP3965EMP-1.8CT-ND	1,8 V, 1,5 A Ultra-LDO-Linearregler, schnell reagierend	1.8V, 1.5A Fast Ultra LDO Linear Regulator	SOT-223-5	1.74	1.66	1.57
LP3965EMP-1.8TR-ND	1,8 V, 1,5 A Ultra-LDO-Linearregler, schnell reagierend	1.8V, 1.5A Fast Ultra LDO Linear Regulator	SOT-223-5		1350.00/1,000	
LP3965EMP-2.5CT-ND	2,5 V, 1,5 A Ultra-LDO-Linearregler, schnell reagierend	2.5V, 1.5A Fast Ultra LDO Linear Regulator	SOT-223-5	1.74	1.66	1.57
LP3965EMP-2.5TR-ND	2,5 V, 1,5 A Ultra-LDO-Linearregler, schnell reagierend	2.5V, 1.5A Fast Ultra LDO Linear Regulator	SOT-223-5		1350.00/1,000	
LP3965EMP-3.3CT-ND	3,3 V, 1,5 A Ultra-LDO-Linearregler, schnell reagierend	3.3V, 1.5A Fast Ultra LDO Linear Regulator	SOT-223-5	1.74	1.66	1.57
LP3965EMP-3.3TR-ND	3,3 V, 1,5 A Ultra-LDO-Linearregler, schnell reagierend	3.3V, 1.5A Fast Ultra LDO Linear Regulator	SOT-223-5		1350.00/1,000	
LP3965EMP-5.0CT-ND	5 V, 1,5 A Ultra-LDO-Linearregler, schnell reagierend	5V, 1.5A Fast Ultra LDO Linear Regulator	SOT-223-5	1.74	1.66	1.57
LP3965EMP-5.0TR-ND	5 V, 1,5 A Ultra-LDO-Linearregler, schnell reagierend	5V, 1.5A Fast Ultra LDO Linear Regulator	SOT-223-5		1350.00/1,000	

(Forts.)

★ RUFEN SIE BITTE AN FÜR NIEDRIGERE PREISE BEI GRÖSSEREN MENGEN! ★

B

Digi-Key Teilenr.	Beschreibung		Paket	Stückpreis★ 1	25	100
LP3965ES-1.8-ND	1,8 V, 1,5 A Ultra-LDO-Linearregler, schnell reagierend	1.8V, 1.5A Fast Ultra LDO Linear Regulator	TO-263-5	1.96	1.87	1.77
LP3965ES-2.5-ND	2,5 V, 1,5 A Ultra-LDO-Linearregler, schnell reagierend	2.5V, 1.5A Fast Ultra LDO Linear Regulator	TO-263-5	1.96	1.87	1.77
LP3965ES-3.3-ND	3,3 V, 1,5 A Ultra-LDO-Linearregler, schnell reagierend	3.3V, 1.5A Fast Ultra LDO Linear Regulator	TO-263-5	1.96	1.87	1.77
LP3965ES-5.0-ND	5 V, 1,5 A Ultra-LDO-Linearregler, schnell reagierend	5V, 1.5A Fast Ultra LDO Linear Regulator	TO-263-5	3.46	2.75	2.35
LP3965ES-ADJ-ND	Einstellb. 1,5 A Ultra-LDO-Linearregler, schnell reagierend	Adj., 1.5A Fast Ultra LDO Linear Regulator	TO-263-5	1.96	1.87	1.77
LP3965ET-ADJ-ND	Einstellb. 1,5 A Ultra-LDO-Linearregler, schnell reagierend	Adj., 1.5A Fast Ultra LDO Linear Regulator	TO-220-5	3.46	2.75	2.35
LP3965ET-1.8-ND	1,8 V, 1,5 A Ultra-LDO-Linearregler, schnell reagierend	1.8V, 1.5A Fast Ultra LDO Linear Regulator	TO-220-5	3.46	2.75	2.35
LP3965ET-2.5-ND	2,5 V, 1,5 A Ultra-LDO-Linearregler, schnell reagierend	2.5V, 1.5A Fast Ultra LDO Linear Regulator	TO-220-5	3.46	2.75	2.35
LP3965ET-3.3-ND	3,3 V, 1,5 A Ultra-LDO-Linearregler, schnell reagierend	3.3V, 1.5A Fast Ultra LDO Linear Regulator	TO-220-5	3.46	2.75	2.35
LP3965ET-5.0-ND	5 V, 1,5 A Ultra-LDO-Linearregler, schnell reagierend	5V, 1.5A Fast Ultra LDO Linear Regulator	TO-220-5	3.46	2.75	2.35
LP3966ES-ADJ-ND	Einstellb. 3 A Ultra-LDO-Linearregler, schnell reagierend	Adj., 3A Fast Ultra LDO Linear Regulator	TO-263-5	2.51	2.38	2.26
LP3966ES-1.8-ND	1,8 V, 3 A Ultra-LDO-Linearregler, schnell reagierend	1.8V, 3A Fast Ultra LDO Linear Regulator	TO-263-5	2.51	2.38	2.26
LP3966ES-2.5-ND	2,5 V, 3 A Ultra-LDO-Linearregler, schnell reagierend	2.5V, 3A Fast Ultra LDO Linear Regulator	TO-263-5	2.51	2.38	2.26
LP3966ES-3.3-ND	3,3 V, 3 A Ultra-LDO-Linearregler, schnell reagierend	3.3V, 3A Fast Ultra LDO Linear Regulator	TO-263-5	2.51	2.38	2.26
LP3966ES-5.0-ND	5 V, 3 A Ultra-LDO-Linearregler, schnell reagierend	5V, 3A Fast Ultra LDO Linear Regulator	TO-263-5	4.42	3.51	3.00
LP3966ET-ADJ-ND	Einstellb. 3 A Ultra-LDO-Linearregler, schnell reagierend	Adj., 3A Fast Ultra LDO Linear Regulator	TO-220-5	4.42	3.51	3.00
LP3966ET-1.8-ND	1,8 V, 3 A Ultra-LDO-Linearregler, schnell reagierend	1.8V, 3A Fast Ultra LDO Linear Regulator	TO-220-5	4.42	3.51	3.00
LP3966ET-2.5-ND	2,5 V, 3 A Ultra-LDO-Linearregler, schnell reagierend	2.5V, 3A Fast Ultra LDO Linear Regulator	TO-220-5	4.42	3.51	3.00
LP3966ET-3.3-ND	3,3 V, 3 A Ultra-LDO-Linearregler, schnell reagierend	3.3V, 3A Fast Ultra LDO Linear Regulator	TO-220-5	4.42	3.51	3.00
LP3966ET-5.0-ND	5 V, 3 A Ultra-LDO-Linearregler, schnell reagierend	5V, 3A Fast Ultra LDO Linear Regulator	TO-220-5	4.42	3.51	3.00
LP3981ILD-2.5CT-ND	2,5 V, 300 mA Ultra-CMOS-LDO-Spannungsregler, Micropower	2.5V, Micropower 300mA Ultra LDO CMOS Volt. Reg.	6-LLP	.88	.70	.60
LP3981ILD-2.5TR-ND	2,5 V, 300 mA Ultra-CMOS-LDO-Spannungsregler, Micropower	2.5V, Micropower 300mA Ultra LDO CMOS Volt. Reg.	6-LLP		510.00/1,000	
LP3981ILD-2.7CT-ND	2,7 V, 300 mA Ultra-CMOS-LDO-Spannungsregler, Micropower	2.7V, Micropower 300mA Ultra LDO CMOS Volt. Reg.	6-LLP	.88	.70	.60
LP3981ILD-2.7TR-ND	2,7 V, 300 mA Ultra-CMOS-LDO-Spannungsregler, Micropower	2.7V, Micropower 300mA Ultra LDO CMOS Volt. Reg.	6-LLP		510.00/1,000	
LP3981ILD-2.8CT-ND	2,8 V, 300 mA Ultra-CMOS-LDO-Spannungsregler, Micropower	2.8V, Micropower 300mA Ultra LDO CMOS Volt. Reg.	6-LLP	.88	.70	.60
LP3981ILD-2.8TR-ND	2,8 V, 300 mA Ultra-CMOS-LDO-Spannungsregler, Micropower	2.8V, Micropower 300mA Ultra LDO CMOS Volt. Reg.	6-LLP		510.00/1,000	
LP3981ILD-2.83CT-ND	2,83 V, 300 mA Ultra-CMOS-LDO-Spannungsregler, Micropower	2.83V, Micropower 300mA Ultra LDO CMOS Volt. Reg.	6-LLP	.88	.70	.60
LP3981ILD-2.83TR-ND	2,83 V, 300 mA Ultra-CMOS-LDO-Spannungsregler, Micropower	2.83V, Micropower 300mA Ultra LDO CMOS Volt. Reg.	6-LLP		510.00/1,000	
LP3981ILD-3.0CT-ND	3 V, 300 mA Ultra-CMOS-LDO-Spannungsregler, Micropower	3V, Micropower 300mA Ultra LDO CMOS Volt. Reg.	6-LLP	.88	.70	.60
LP3981ILD-3.0TR-ND	3 V, 300 mA Ultra-CMOS-LDO-Spannungsregler, Micropower	3V, Micropower 300mA Ultra LDO CMOS Volt. Reg.	6-LLP		510.00/1,000	
LP3981ILD-3.03CT-ND	3,03 V, 300 mA Ultra-CMOS-LDO-Spannungsregler, Micropower	3.03V, Micropower 300mA Ultra LDO CMOS Volt. Reg.	6-LLP	.88	.70	.60
LP3981ILD-3.03TR-ND	3,03 V, 300 mA Ultra-CMOS-LDO-Spannungsregler, Micropower	3.03V, Micropower 300mA Ultra LDO CMOS Volt. Reg.	6-LLP		510.00/1,000	
LP3981ILD-3.3CT-ND	3,3 V, 300 mA Ultra-CMOS-LDO-Spannungsregler, Micropower	3.3V, Micropower 300mA Ultra LDO CMOS Volt. Reg.	6-LLP	.88	.70	.60
LP3981ILD-3.3TR-ND	3,3 V, 300 mA Ultra-CMOS-LDO-Spannungsregler, Micropower	3.3V, Micropower 300mA Ultra LDO CMOS Volt. Reg.	6-LLP		510.00/1,000	
LP3981IMM-2.5CT-ND	2,5 V, 300 mA Ultra-CMOS-LDO-Spannungsregler, Micropower	2.5V, Micropower 300mA Ultra LDO CMOS Volt. Reg.	8-MSOP	.88	.70	.60
LP3981IMM-2.5TR-ND	2,5 V, 300 mA Ultra-CMOS-LDO-Spannungsregler, Micropower	2.5V, Micropower 300mA Ultra LDO CMOS Volt. Reg.	8-MSOP		510.00/1,000	
LP3981IMM-2.7CT-ND	2,7 V, 300 mA Ultra-CMOS-LDO-Spannungsregler, Micropower	2.7V, Micropower 300mA Ultra LDO CMOS Volt. Reg.	8-MSOP	.88	.70	.60
LP3981IMM-2.7TR-ND	2,7 V, 300 mA Ultra-CMOS-LDO-Spannungsregler, Micropower	2.7V, Micropower 300mA Ultra LDO CMOS Volt. Reg.	8-MSOP		510.00/1,000	
LP3981IMM-2.8CT-ND	2,8 V, 300 mA Ultra-CMOS-LDO-Spannungsregler, Micropower	2.8V, Micropower 300mA Ultra LDO CMOS Volt. Reg.	8-MSOP	.88	.70	.60
LP3981IMM-2.8TR-ND	2,8 V, 300 mA Ultra-CMOS-LDO-Spannungsregler, Micropower	2.8V, Micropower 300mA Ultra LDO CMOS Volt. Reg.	8-MSOP		510.00/1,000	
LP3981IMM-2.83CT-ND	2,83 V, 300 mA Ultra-CMOS-LDO-Spannungsregler, Micropower	2.83V, Micropower 300mA Ultra LDO CMOS Volt. Reg.	8-MSOP	.88	.70	.60
LP3981IMM-2.83TR-ND	2,83 V, 300 mA Ultra-CMOS-LDO-Spannungsregler, Micropower	2.83V, Micropower 300mA Ultra LDO CMOS Volt. Reg.	8-MSOP		510.00/1,000	
LP3981IMM-3.0CT-ND	3 V, 300 mA Ultra-CMOS-LDO-Spannungsregler, Micropower	3V, Micropower 300mA Ultra LDO CMOS Volt. Reg.	8-MSOP	.88	.70	.60
LP3981IMM-3.0TR-ND	3 V, 300 mA Ultra-CMOS-LDO-Spannungsregler, Micropower	3V, Micropower 300mA Ultra LDO CMOS Volt. Reg.	8-MSOP		510.00/1,000	
LP3981IMM-3.03CT-ND	3,03 V, 300 mA Ultra-CMOS-LDO-Spannungsregler, Micropower	3.03V, Micropower 300mA Ultra LDO CMOS Volt. Reg.	8-MSOP	.88	.70	.60
LP3981IMM-3.03TR-ND	3,03 V, 300 mA Ultra-CMOS-LDO-Spannungsregler, Micropower	3.03V, Micropower 300mA Ultra LDO CMOS Volt. Reg.	8-MSOP		510.00/1,000	
LP3981IMM-3.3CT-ND	3,3 V, 300 mA Ultra-CMOS-LDO-Spannungsregler, Micropower	3.3V, Micropower 300mA Ultra LDO CMOS Volt. Reg.	8-MSOP	.88	.70	.60
LP3981IMM-3.3TR-ND	3,3 V, 300 mA Ultra-CMOS-LDO-Spannungsregler, Micropower	3.3V, Micropower 300mA Ultra LDO CMOS Volt. Reg.	8-MSOP		510.00/1,000	
LP3982ILD-ADJCT-ND	Einstellb. 300 mA Ultra-CMOS-LDO-Regler, rauscharm, Micropower	Adj., Micropower 300mA Ultra LDO Low Noise CMOS Reg.	8-LLP	.87	.69	.59
LP3982ILD-ADJTR-ND	Einstellb. 300 mA Ultra-CMOS-LDO-Regler, rauscharm, Micropower	Adj., Micropower 300mA Ultra LDO Low Noise CMOS Reg.	8-LLP		500.00/1,000	
LP3982ILD-1.8CT-ND	1,8 V, 300 mA Ultra-CMOS-LDO-Regler, rauscharm, Micropower	1.8V, Micropower 300mA Ultra LDO Low Noise CMOS Reg.	8-LLP	.87	.69	.59
LP3982ILD-1.8TR-ND	1,8 V, 300 mA Ultra-CMOS-LDO-Regler, rauscharm, Micropower	1.8V, Micropower 300mA Ultra LDO Low Noise CMOS Reg.	8-LLP		500.00/1,000	
LP3982ILD-2.5CT-ND	2,5 V, 300 mA Ultra-CMOS-LDO-Regler, rauscharm, Micropower	2.5V, Micropower 300mA Ultra LDO Low Noise CMOS Reg	8-LLP	.87	.69	.59
LP3982ILD-2.5TR-ND	2,5 V, 300 mA Ultra-CMOS-LDO-Regler, rauscharm, Micropower	2.5V, Micropwr 300mA Ultra LDO Low Noise CMOS Reg	8-LLP		500.00/1,000	
LP3982ILD-2.77CT-ND	2,77 V, 300 mA Ultra-CMOS-LDO-Regler, rauscharm, Micropower	2.77V, Micropwr 300mA Ultra LDO Low Noise CMOS Reg	8-LLP	.87	.69	.59
LP3982ILD-2.77TR-ND	2,77 V, 300 mA Ultra-CMOS-LDO-Regler, rauscharm, Micropower	2.77V, Micropwr 300mA Ultra LDO Low Noise CMOS Reg	8-LLP		500.00/1,000	
LP3982ILD-2.82CT-ND	2,82 V, 300 mA Ultra-CMOS-LDO-Regler, rauscharm, Micropower	2.82V, Micropwr 300mA Ultra LDO Low Noise CMOS Reg	8-LLP	.87	.69	.59
LP3982ILD-2.82TR-ND	2,82 V, 300 mA Ultra-CMOS-LDO-Regler, rauscharm, Micropower	2.82V, Micropwr 300mA Ultra LDO Low Noise CMOS Reg	8-LLP		500.00/1,000	
LP3982ILD-3.0CT-ND	3 V, 300 mA Ultra-CMOS-LDO-Regler, rauscharm, Micropower	3V, Micropower 300mA Ultra LDO Low Noise CMOS Reg	8-LLP	.87	.69	.59
LP3982ILD-3.0TR-ND	3 V, 300 mA Ultra-CMOS-LDO-Regler, rauscharm, Micropower	3V, Micropower 300mA Ultra LDO Low Noise CMOS Reg	8-LLP		500.00/1,000	
LP3982ILD-3.3CT-ND	3,3 V, 300 mA Ultra-CMOS-LDO-Regler, rauscharm, Micropower	3.3V, Micropwr 300mA Ultra LDO Low Noise CMOS Reg	8-LLP	.87	.69	.59
LP3982ILD-3.3TR-ND	3,3 V, 300 mA Ultra-CMOS-LDO-Regler, rauscharm, Micropower	3.3V, Micropwr 300mA Ultra LDO Low Noise CMOS Reg	8-LLP		500.00/1,000	
LP3982IMM-ADJCT-ND	Einstellb. 300 mA Ultra-CMOS-LDO-Regler, rauscharm, Micropower	Adj., Micropwr 300mA Ultra LDO Low Noise CMOS Reg	8-MSOP	.84	.66	.57
LP3982IMM-ADJTR-ND	Einstellb. 300 mA Ultra-CMOS-LDO-Regler, rauscharm, Micropower	Adj., Micropwr 300mA Ultra LDO Low Noise CMOS Reg	8-MSOP		490.00/1,000	
LP3982IMM-1.8CT-ND	1,8 V, 300 mA Ultra-CMOS-LDO-Regler, rauscharm, Micropower	1.8V, Micropwr 300mA Ultra LDO Low Noise CMOS Reg	8-MSOP	.84	.66	.57
LP3982IMM-1.8TR-ND	1,8 V, 300 mA Ultra-CMOS-LDO-Regler, rauscharm, Micropower	1.8V, Micropwr 300mA Ultra LDO Low Noise CMOS Reg	8-MSOP		490.00/1,000	
LP3982IMM-2.5CT-ND	2,5 V, 300 mA Ultra-CMOS-LDO-Regler, rauscharm, Micropower	2.5V, Micropwr 300mA Ultra LDO Low Noise CMOS Reg	8-MSOP	.47	.45	.43
LP3982IMM-2.5TR-ND	2,5 V, 300 mA Ultra-CMOS-LDO-Regler, rauscharm, Micropower	2.5V, Micropwr 300mA Ultra LDO Low Noise CMOS Reg	8-MSOP		360.00/1,000	
LP3982IMM-2.77CT-ND	2,77 V, 300 mA Ultra-CMOS-LDO-Regler, rauscharm, Micropower	2.77V, Micropower 300mA Ultra LDO Low Noise CMOS Reg	8-MSOP	.84	.66	.57
LP3982IMM-2.77TR-ND	2,77 V, 300 mA Ultra-CMOS-LDO-Regler, rauscharm, Micropower	2.77V, Micropower 300mA Ultra LDO Low Noise CMOS Reg	8-MSOP		490.00/1,000	
LP3982IMM-2.82CT-ND	2,82 V, 300 mA Ultra-CMOS-LDO-Regler, rauscharm, Micropower	2.82V, Micropower 300mA Ultra LDO Low Noise CMOS Reg	8-MSOP	.84	.66	.57
LP3982IMM-2.82TR-ND	2,82 V, 300 mA Ultra-CMOS-LDO-Regler, rauscharm, Micropower	2.82V, Micropower 300mA Ultra LDO Low Noise CMOS Reg	8-MSOP		490.00/1,000	
LP3982IMM-3.0CT-ND	3 V, 300 mA Ultra-CMOS-LDO-Regler, rauscharm, Micropower	3V, Micropwr 300mA Ultra LDO Low Noise CMOS Reg	8-MSOP	.47	.45	.43
LP3982IMM-3.0TR-ND	3 V, 300 mA Ultra-CMOS-LDO-Regler, rauscharm, Micropower	3V, Micropwr 300mA Ultra LDO Low Noise CMOS Reg	8-MSOP		360.00/1,000	
LP3982IMM-3.3CT-ND	3,3 V, 300 mA Ultra-CMOS-LDO-Regler, rauscharm, Micropower	3.3V, Micropwr 300mA Ultra LDO Low Noise CMOS Reg	8-MSOP	.47	.45	.43
LP3982IMM-3.3TR-ND	3,3 V, 300 mA Ultra-CMOS-LDO-Regler, rauscharm, Micropower	3.3V, Micropwr 300mA Ultra LDO Low Noise CMOS Reg	8-MSOP		360.00/1,000	
LP3983ITL-1.6CT-ND	1,6 V, 5 mA CMOS-Spannungsregler, Micropower	1.6V, Micropower 5mA CMOS Volt. Regulator	5-microSMD	.50	.47	.45
LP3983ITL-1.6TR-ND	1,6 V, 5 mA CMOS-Spannungsregler, Micropower	1.6V, Micropower 5mA CMOS Volt. Regulator	5-microSMD		90.00/250	
LP3983ITL-1.8CT-ND	1,8 V, 5 mA CMOS-Spannungsregler, Micropower	1.8V, Micropower 5mA CMOS Volt. Regulator	5-microSMD	.50	.47	.45
LP3983ITL-1.8TR-ND	1,8 V, 5 mA CMOS-Spannungsregler, Micropower	1.8V, Micropower 5mA CMOS Volt. Regulator	5-microSMD		90.00/250	
LP3983ITL-2.5CT-ND	2,5 V, 5 mA CMOS-Spannungsregler, Micropower	2.5V, Micropower 5mA CMOS Volt. Regulator	5-microSMD	.50	.47	.45
LP3983ITL-2.5TR-ND	2,5 V, 5 mA CMOS-Spannungsregler, Micropower	2.5V, Micropower 5mA CMOS Volt. Regulator	5-microSMD		90.00/250	
LP3984IBP-1.5CT-ND	1,5 V, 150 mA Ultra-CMOS-LDO-Spannungsregler, Micropower	1.5V, Micropower 150mA Ultra LDO CMOS Volt. Reg	4-microSMD	.71	.56	.48
LP3984IBP-1.5TR-ND	1,5 V, 150 mA Ultra-CMOS-LDO-Spannungsregler, Micropower	1.5V, Micropower 150mA Ultra LDO CMOS Volt. Reg	4-microSMD		112.50/250	
LP3984IBP-1.8CT-ND	1,8 V, 150 mA Ultra-CMOS-LDO-Spannungsregler, Micropower	1.8V, Micropower 150mA Ultra LDO CMOS Volt. Reg	4-microSMD	.71	.56	.48
LP3984IBP-1.8TR-ND	1,8 V, 150 mA Ultra-CMOS-LDO-Spannungsregler, Micropower	1.8V, Micropower 150mA Ultra LDO CMOS Volt. Reg	4-microSMD		112.50/250	
LP3984IBP-2.0CT-ND	2 V, 150 mA Ultra-CMOS-LDO-Spannungsregler, Micropower	2V, Micropower 150mA Ultra LDO CMOS Volt. Reg	4-microSMD	.71	.56	.48
LP3984IBP-2.0TR-ND	2 V, 150 mA Ultra-CMOS-LDO-Spannungsregler, Micropower	2V, Micropower 150mA Ultra LDO CMOS Volt. Reg	4-microSMD		112.50/250	
LP3984IBP-3.1CT-ND	3,1 V, 150 mA Ultra-CMOS-LDO-Spannungsregler, Micropower	3.1V, Micropwr 150mA Ultra LDO CMOS Volt. Reg	4-microSMD	.71	.56	.48
LP3984IBP-3.1TR-ND	3,1 V, 150 mA Ultra-CMOS-LDO-Spannungsregler, Micropower	3.1V, Micropwr 150mA Ultra LDO CMOS Volt. Reg	4-microSMD		112.50/250	
LP3984IMF-1.5CT-ND	1,5 V, 150 mA Ultra-CMOS-LDO-Spannungsregler, Micropower	1.5V, Micropower 150mA Ultra LDO CMOS Volt. Reg.	SOT-23-5	.68	.54	.46
LP3984IMF-1.5TR-ND	1,5 V, 150 mA Ultra-CMOS-LDO-Spannungsregler, Micropower	1.5V, Micropower 150mA Ultra LDO CMOS Volt. Reg.	SOT-23-5		400.00/1,000	
LP3984IMF-1.8CT-ND	1,8 V, 150 mA Ultra-CMOS-LDO-Spannungsregler, Micropower	1.8V, Micropower 150mA Ultra LDO CMOS Volt. Reg.	SOT-23-5	.39	.37	.35
LP3984IMF-1.8TR-ND	1,8 V, 150 mA Ultra-CMOS-LDO-Spannungsregler, Micropower	1.8V, Micropower 150mA Ultra LDO CMOS Volt. Reg.	SOT-23-5		330.00/1,000	
LP3984IMF-2.0CT-ND	2 V, 150 mA Ultra-CMOS-LDO-Spannungsregler, Micropower	2V, Micropower 150mA Ultra LDO CMOS Volt. Reg.	SOT-23-5	.68	.54	.46
LP3984IMF-2.0TR-ND	2 V, 150 mA Ultra-CMOS-LDO-Spannungsregler, Micropower	2V, Micropower 150mA Ultra LDO CMOS Volt. Reg.	SOT-23-5		400.00/1,000	
LP3984IMF-3.1CT-ND	3,1 V, 150 mA Ultra-CMOS-LDO-Spannungsregler, Micropower	3.1V, Micropower 150mA Ultra LDO CMOS Volt. Reg.	SOT-23-5	.68	.54	.46
LP3984IMF-3.1TR-ND	3,1 V, 150 mA Ultra-CMOS-LDO-Spannungsregler, Micropower	3.1V, Micropower 150mA Ultra LDO CMOS Volt. Reg.	SOT-23-5		400.00/1,000	
LP3984ITP-1.8CT-ND	1,8 V, 150 mA Ultra-CMOS-LDO-Spannungsregler, rauscharm, Micropower	1.8V, Micropower 150mA Ultra LDO CMOS Voltage Regulator	4-microSMD	.81	.65	.55
LP3984ITP-1.8TR-ND	1,8 V, 150 mA Ultra-CMOS-LDO-Spannungsregler, rauscharm, Micropower	1.8V, Micropower 150mA Ultra LDO CMOS Voltage Regulator	4-microSMD		130.00/250	

(Forts.)

★ RUFEN SIE BITTE AN FÜR NIEDRIGERE PREISE BEI GRÖSSEREN MENGEN! ★

Alle Preisangaben in Euro und inklusive Zollgebühren.

Digi-Key Teilenr.	Beschreibung		Paket	Stückpreis★ 1	25	100
LP3984ITP-2.9CT-ND	2,9 V, 150 mA Ultra-CMOS-LDO-Spannungsregler, Micropower	2.9V, Micropower 150mA Ultra LDO CMOS Voltage Regulator	4-microSMD	.81	.65	.55
LP3984ITP-2.9TR-ND	2,9 V, 150 mA Ultra-CMOS-LDO-Spannungsregler, Micropower	2.9V, Micropower 150mA Ultra LDO CMOS Voltage Regulator	4-microSMD		130.00/250	
LP3985IBL-2.5CT-ND	2,5 V, 150 mA Ultra-CMOS-LDO-Spannungsregler, rauscharm, Micropower	2.5V, Micropower 150mA Low Noise Ultra LDO CMOS Voltage Regulator	5-microSMD	.81	.64	.55
LP3985IBL-2.5TR-ND	2,5 V, 150 mA Ultra-CMOS-LDO-Spannungsregler, rauscharm, Micropower	2.5V, Micropower 150mA Low Noise Ultra LDO CMOS Voltage Regulator	5-microSMD		130.00/250	
LP3985IBL-2.6CT-ND	2,6 V, 150 mA Ultra-CMOS-LDO-Spannungsregler, rauscharm, Micropower	2.6V, Micropower 150mA Low Noise Ultra LDO CMOS Voltage Regulator	5-microSMD	.81	.64	.55
LP3985IBL-2.6TR-ND	2,6 V, 150 mA Ultra-CMOS-LDO-Spannungsregler, rauscharm, Micropower	2.6V, Micropower 150mA Low Noise Ultra LDO CMOS Voltage Regulator	5-microSMD		130.00/250	
LP3985IBL-2.7CT-ND	2,7 V, 150 mA Ultra-CMOS-LDO-Spannungsregler, rauscharm, Micropower	2.7V, Micropower 150mA Low Noise Ultra LDO CMOS Voltage Regulator	5-microSMD	.81	.64	.55
LP3985IBL-2.7TR-ND	2,7 V, 150 mA Ultra-CMOS-LDO-Spannungsregler, rauscharm, Micropower	2.7V, Micropower 150mA Low Noise Ultra LDO CMOS Voltage Regulator	5-microSMD		130.00/250	
LP3985IBL-2.8CT-ND	2,8 V, 150 mA Ultra-CMOS-LDO-Spannungsregler, rauscharm, Micropower	2.8V, Micropower 150mA Low Noise Ultra LDO CMOS Voltage Regulator	5-microSMD	.81	.64	.55
LP3985IBL-2.8TR-ND	2,8 V, 150 mA Ultra-CMOS-LDO-Spannungsregler, rauscharm, Micropower	2.8V, Micropower 150mA Low Noise Ultra LDO CMOS Voltage Regulator	5-microSMD		130.00/250	
LP3985IBL-285CT-ND	2,85 V, 150 mA Ultra-CMOS-LDO-Spannungsregler, rauscharm, Micropower	2.85V, Micropower 150mA Low Noise Ultra LDO CMOS Voltage Regulator	5-microSMD	.81	.64	.55
LP3985IBL-285TR-ND	2,85 V, 150 mA Ultra-CMOS-LDO-Spannungsregler, rauscharm, Micropower	2.85V, Micropower 150mA Low Noise Ultra LDO CMOS Voltage Regulator	5-microSMD		130.00/250	
LP3985IBL-2.9CT-ND	2,9 V, 150 mA Ultra-CMOS-LDO-Spannungsregler, rauscharm, Micropower	2.9V, Micropower 150mA Low Noise Ultra LDO CMOS Voltage Regulator	5-microSMD	.81	.64	.55
LP3985IBL-2.9TR-ND	2,9 V, 150 mA Ultra-CMOS-LDO-Spannungsregler, rauscharm, Micropower	2.9V, Micropower 150mA Low Noise Ultra LDO CMOS Voltage Regulator	5-microSMD		130.00/250	
LP3985IBL-3.0CT-ND	3 V, 150 mA Ultra-CMOS-LDO-Spannungsregler, rauscharm, Micropower	3V, Micropower 150mA Low Noise Ultra LDO CMOS Voltage Regulator	5-microSMD	.81	.64	.55
LP3985IBL-3.0TR-ND	3 V, 150 mA Ultra-CMOS-LDO-Spannungsregler, rauscharm, Micropower	3V, Micropower 150mA Low Noise Ultra LDO CMOS Voltage Regulator	5-microSMD		130.00/250	
LP3985IBL-3.1CT-ND	3,1 V, 150 mA Ultra-CMOS-LDO-Spannungsregler, rauscharm, Micropower	3.1V, Micropower 150mA Low Noise Ultra LDO CMOS Voltage Regulator	5-microSMD	.81	.64	.55
LP3985IBL-3.1TR-ND	3,1 V, 150 mA Ultra-CMOS-LDO-Spannungsregler, rauscharm, Micropower	3.1V, Micropower 150mA Low Noise Ultra LDO CMOS Voltage Regulator	5-microSMD		130.00/250	
LP3985IBL-3.2CT-ND	3,2 V, 150 mA Ultra-CMOS-LDO-Spannungsregler, rauscharm, Micropower	3.2V, Micropower 150mA Low Noise Ultra LDO CMOS Voltage Regulator	5-microSMD	.81	.64	.55
LP3985IBL-3.2TR-ND	3,2 V, 150 mA Ultra-CMOS-LDO-Spannungsregler, rauscharm, Micropower	3.2V, Micropower 150mA Low Noise Ultra LDO CMOS Voltage Regulator	5-microSMD		130.00/250	
LP3985IBL-3.3CT-ND	3,3 V, 150 mA Ultra-CMOS-LDO-Spannungsregler, rauscharm, Micropower	3.3V, Micropower 150mA Low Noise Ultra LDO CMOS Voltage Regulator	5-microSMD	.81	.64	.55
LP3985IBL-3.3TR-ND	3,3 V, 150 mA Ultra-CMOS-LDO-Spannungsregler, rauscharm, Micropower	3.3V, Micropower 150mA Low Noise Ultra LDO CMOS Voltage Regulator	5-microSMD		130.00/250	
LP3985IBL-4.8CT-ND	4,8 V, 150 mA Ultra-CMOS-LDO-Spannungsregler, rauscharm, Micropower	4.8V, Micropower 150mA Low Noise Ultra LDO CMOS Voltage Regulator	5-microSMD	.81	.64	.55
LP3985IBL-4.8TR-ND	4,8 V, 150 mA Ultra-CMOS-LDO-Spannungsregler, rauscharm, Micropower	4.8V, Micropower 150mA Low Noise Ultra LDO CMOS Voltage Regulator	5-microSMD		130.00/250	
LP3985IBL-5.0CT-ND	5 V, 150 mA Ultra-CMOS-LDO-Spannungsregler, rauscharm, Micropower	5V, Micropower 150mA Low Noise Ultra LDO CMOS Voltage Regulator	5-microSMD	.81	.64	.55
LP3985IBL-5.0TR-ND	5 V, 150 mA Ultra-CMOS-LDO-Spannungsregler, rauscharm, Micropower	5V, Micropower 150mA Low Noise Ultra LDO CMOS Voltage Regulator	5-microSMD		130.00/250	
LP3985IBP-2.5CT-ND	2,5 V, 150 mA Ultra-CMOS-LDO-Spannungsregler, rauscharm, Micropower	2.5V, Micropower 150mA Low Noise Ultra LDO CMOS Voltage Regulator	5-microSMD	.78	.62	.53
LP3985IBP-2.5TR-ND	2,5 V, 150 mA Ultra-CMOS-LDO-Spannungsregler, rauscharm, Micropower	2.5V, Micropower 150mA Low Noise Ultra LDO CMOS Voltage Regulator	5-microSMD		125.00/250	
LP3985IBP-2.6CT-ND	2,6 V, 150 mA Ultra-CMOS-LDO-Spannungsregler, rauscharm, Micropower	2.6V, Micropower 150mA Low Noise Ultra LDO CMOS Voltage Regulator	5-microSMD	.78	.62	.53
LP3985IBP-2.6TR-ND	2,6 V, 150 mA Ultra-CMOS-LDO-Spannungsregler, rauscharm, Micropower	2.6V, Micropower 150mA Low Noise Ultra LDO CMOS Voltage Regulator	5-microSMD		125.00/250	
LP3985IBP-2.7CT-ND	2,7 V, 150 mA Ultra-CMOS-LDO-Spannungsregler, rauscharm, Micropower	2.7V, Micropower 150mA Low Noise Ultra LDO CMOS Voltage Regulator	5-microSMD	.78	.62	.53
LP3985IBP-2.7TR-ND	2,7 V, 150 mA Ultra-CMOS-LDO-Spannungsregler, rauscharm, Micropower	2.7V, Micropower 150mA Low Noise Ultra LDO CMOS Voltage Regulator	5-microSMD		125.00/250	
LP3985IBP-2.8CT-ND	2,8 V, 150 mA Ultra-CMOS-LDO-Spannungsregler, rauscharm, Micropower	2.8V, Micropower 150mA Low Noise Ultra LDO CMOS Voltage Regulator	5-microSMD	.78	.62	.53
LP3985IBP-2.8TR-ND	2,8 V, 150 mA Ultra-CMOS-LDO-Spannungsregler, rauscharm, Micropower	2.8V, Micropower 150mA Low Noise Ultra LDO CMOS Voltage Regulator	5-microSMD		125.00/250	
LP3985IBP-285CT-ND	2,85 V, 150 mA Ultra-CMOS-LDO-Spannungsregler, rauscharm, Micropower	2.85V, Micropower 150mA Low Noise Ultra LDO CMOS Voltage Regulator	5-microSMD	.78	.62	.53
LP3985IBP-285TR-ND	2,85 V, 150 mA Ultra-CMOS-LDO-Spannungsregler, rauscharm, Micropower	2.85V, Micropower 150mA Low Noise Ultra LDO CMOS Voltage Regulator	5-microSMD		125.00/250	
LP3985IBP-2.9CT-ND	2,9 V, 150 mA Ultra-CMOS-LDO-Spannungsregler, rauscharm, Micropower	2.9V, Micropower 150mA Low Noise Ultra LDO CMOS Voltage Regulator	5-microSMD	.78	.62	.53
LP3985IBP-2.9TR-ND	2,9 V, 150 mA Ultra-CMOS-LDO-Spannungsregler, rauscharm, Micropower	2.9V, Micropower 150mA Low Noise Ultra LDO CMOS Voltage Regulator	5-microSMD		125.00/250	
LP3985IBP-3.0CT-ND	3 V, 150 mA Ultra-CMOS-LDO-Spannungsregler, rauscharm, Micropower	3V, Micropower 150mA Low Noise Ultra LDO CMOS Voltage Regulator	5-microSMD	.78	.62	.53
LP3985IBP-3.0TR-ND	3 V, 150 mA Ultra-CMOS-LDO-Spannungsregler, rauscharm, Micropower	3V, Micropower 150mA Low Noise Ultra LDO CMOS Voltage Regulator	5-microSMD		125.00/250	
LP3985IBP-3.1CT-ND	3,1 V, 150 mA Ultra-CMOS-LDO-Spannungsregler, rauscharm, Micropower	3.1V, Micropower 150mA Low Noise Ultra LDO CMOS Voltage Regulator	5-microSMD	.78	.62	.53
LP3985IBP-3.1TR-ND	3,1 V, 150 mA Ultra-CMOS-LDO-Spannungsregler, rauscharm, Micropower	3.1V, Micropower 150mA Low Noise Ultra LDO CMOS Voltage Regulator	5-microSMD		125.00/250	
LP3985IBP-3.2CT-ND	3,2 V, 150 mA Ultra-CMOS-LDO-Spannungsregler, rauscharm, Micropower	3.2V, Micropower 150mA Low Noise Ultra LDO CMOS Voltage Regulator	5-microSMD	.78	.62	.53
LP3985IBP-3.2TR-ND	3,2 V, 150 mA Ultra-CMOS-LDO-Spannungsregler, rauscharm, Micropower	3.2V, Micropower 150mA Low Noise Ultra LDO CMOS Voltage Regulator	5-microSMD		125.00/250	
LP3985IBP-3.3CT-ND	3,3 V, 150 mA Ultra-CMOS-LDO-Spannungsregler, rauscharm, Micropower	3.3V, Micropower 150mA Low Noise Ultra LDO CMOS Voltage Regulator	5-microSMD	.44	.42	.40
LP3985IBP-3.3TR-ND	3,3 V, 150 mA Ultra-CMOS-LDO-Spannungsregler, rauscharm, Micropower	3.3V, Micropower 150mA Low Noise Ultra LDO CMOS Voltage Regulator	5-microSMD		130.00/250	
LP3985IBP-4.7CT-ND	4,7 V, 150 mA Ultra-CMOS-LDO-Spannungsregler, rauscharm, Micropower	4.7V, Micropower 150mA Low Noise Ultra LDO CMOS Voltage Regulator	5-microSMD	.78	.62	.53
LP3985IBP-4.7TR-ND	4,7 V, 150 mA Ultra-CMOS-LDO-Spannungsregler, rauscharm, Micropower	4.7V, Micropower 150mA Low Noise Ultra LDO CMOS Voltage Regulator	5-microSMD		125.00/250	
LP3985IBP-5.0CT-ND	5 V, 150 mA Ultra-CMOS-LDO-Spannungsregler, rauscharm, Micropower	5V, Micropower 150mA Low Noise Ultra LDO CMOS Voltage Regulator	5-microSMD	.78	.62	.53
LP3985IBP-5.0TR-ND	5 V, 150 mA Ultra-CMOS-LDO-Spannungsregler, rauscharm, Micropower	5V, Micropower 150mA Low Noise Ultra LDO CMOS Voltage Regulator	5-microSMD		125.00/250	
LP3985IBPX-285CT-ND	2,85 V, 150 mA Ultra-CMOS-LDO-Spannungsregler, rauscharm, Micropower	2.85V, Micropower 150mA Low Noise Ultra LDO CMOS Voltage Regulator	5-microSMD	.78	.62	.53
LP3985IBPX-285TR-ND	2,85 V, 150 mA Ultra-CMOS-LDO-Spannungsregler, rauscharm, Micropower	2.85V, Micropower 150mA Low Noise Ultra LDO CMOS Voltage Regulator	5-microSMD		1350.00/3,000	
LP3985IBPX-3.1CT-ND	3,1 V, 150 mA Ultra-CMOS-LDO-Spannungsregler, rauscharm, Micropower	3.1V, Micropower 150mA Low Noise Ultra LDO CMOS Voltage Regulator	5-microSMD	.78	.62	.53
LP3985IBPX-3.1TR-ND	3,1 V, 150 mA Ultra-CMOS-LDO-Spannungsregler, rauscharm, Micropower	3.1V, Micropower 150mA Low Noise Ultra LDO CMOS Voltage Regulator	5-microSMD		1350.00/3,000	
LP3985IM5-2.5CT-ND	2,5 V, 150 mA Ultra-CMOS-LDO-Spannungsregler, rauscharm, Micropower	2.5V, Micropower 150mA Low Noise Ultra LDO CMOS Voltage Regulator	SOT-23-5	.37	.35	.34
LP3985IM5-2.5TR-ND	2,5 V, 150 mA Ultra-CMOS-LDO-Spannungsregler, rauscharm, Micropower	2.5V, Micropower 150mA Low Noise Ultra LDO CMOS Voltage Regulator	SOT-23-5		320.00/1,000	
LP3985IM5-2.6CT-ND	2,6 V, 150 mA Ultra-CMOS-LDO-Spannungsregler, rauscharm, Micropower	2.6V, Micropower 150mA Low Noise Ultra LDO CMOS Voltage Regulator	SOT-23-5	.66	.52	.45
LP3985IM5-2.6TR-ND	2,6 V, 150 mA Ultra-CMOS-LDO-Spannungsregler, rauscharm, Micropower	2.6V, Micropower 150mA Low Noise Ultra LDO CMOS Voltage Regulator	SOT-23-5		380.00/1,000	
LP3985IM5-2.7CT-ND	2,7 V, 150 mA Ultra-CMOS-LDO-Spannungsregler, rauscharm, Micropower	2.7V, Micropower 150mA Low Noise Ultra LDO CMOS Voltage Regulator	SOT-23-5	.66	.52	.45
LP3985IM5-2.7TR-ND	2,7 V, 150 mA Ultra-CMOS-LDO-Spannungsregler, rauscharm, Micropower	2.7V, Micropower 150mA Low Noise Ultra LDO CMOS Voltage Regulator	SOT-23-5		380.00/1,000	
LP3985IM5-2.8CT-ND	2,8 V, 150 mA Ultra-CMOS-LDO-Spannungsregler, rauscharm, Micropower	2.8V, Micropower 150mA Low Noise Ultra LDO CMOS Voltage Regulator	SOT-23-5	.66	.52	.45
LP3985IM5-2.8TR-ND	2,8 V, 150 mA Ultra-CMOS-LDO-Spannungsregler, rauscharm, Micropower	2.8V, Micropower 150mA Low Noise Ultra LDO CMOS Voltage Regulator	SOT-23-5		380.00/1,000	
LP3985IM5-285CT-ND	2,85 V, 150 mA Ultra-CMOS-LDO-Spannungsregler, rauscharm, Micropower	2.85V, Micropower 150mA Low Noise Ultra LDO CMOS Voltage Regulator	SOT-23-5	.66	.52	.45
LP3985IM5-285TR-ND	2,85 V, 150 mA Ultra-CMOS-LDO-Spannungsregler, rauscharm, Micropower	2.85V, Micropower 150mA Low Noise Ultra LDO CMOS Voltage Regulator	SOT-23-5		380.00/1,000	
LP3985IM5-2.9CT-ND	2,9 V, 150 mA Ultra-CMOS-LDO-Spannungsregler, rauscharm, Micropower	2.9V, Micropower 150mA Low Noise Ultra LDO CMOS Voltage Regulator	SOT-23-5	.66	.52	.45
LP3985IM5-2.9TR-ND	2,9 V, 150 mA Ultra-CMOS-LDO-Spannungsregler, rauscharm, Micropower	2.9V, Micropower 150mA Low Noise Ultra LDO CMOS Voltage Regulator	SOT-23-5		380.00/1,000	
LP3985IM5-3.0CT-ND	3 V, 150 mA Ultra-CMOS-LDO-Spannungsregler, rauscharm, Micropower	3V, Micropower 150mA Low Noise Ultra LDO CMOS Voltage Regulator	SOT-23-5	.37	.35	.34
LP3985IM5-3.0TR-ND	3 V, 150 mA Ultra-CMOS-LDO-Spannungsregler, rauscharm, Micropower	3V, Micropower 150mA Low Noise Ultra LDO CMOS Voltage Regulator	SOT-23-5		320.00/1,000	
LP3985IM5-3.1CT-ND	3,1 V, 150 mA Ultra-CMOS-LDO-Spannungsregler, rauscharm, Micropower	3.1V, Micropower 150mA Low Noise Ultra LDO CMOS Voltage Regulator	SOT-23-5	.66	.52	.45
LP3985IM5-3.1TR-ND	3,1 V, 150 mA Ultra-CMOS-LDO-Spannungsregler, rauscharm, Micropower	3.1V, Micropower 150mA Low Noise Ultra LDO CMOS Voltage Regulator	SOT-23-5		380.00/1,000	
LP3985IM5-3.2CT-ND	3,2 V, 150 mA Ultra-CMOS-LDO-Spannungsregler, rauscharm, Micropower	3.2V, Micropower 150mA Low Noise Ultra LDO CMOS Voltage Regulator	SOT-23-5	.66	.52	.45
LP3985IM5-3.2TR-ND	3,2 V, 150 mA Ultra-CMOS-LDO-Spannungsregler, rauscharm, Micropower	3.2V, Micropower 150mA Low Noise Ultra LDO CMOS Voltage Regulator	SOT-23-5		380.00/1,000	
LP3985IM5-3.3CT-ND	3,3 V, 150 mA Ultra-CMOS-LDO-Spannungsregler, rauscharm, Micropower	3.3V, Micropower 150mA Low Noise Ultra LDO CMOS Voltage Regulator	SOT-23-5	.37	.35	.34
LP3985IM5-3.3TR-ND	3,3 V, 150 mA Ultra-CMOS-LDO-Spannungsregler, rauscharm, Micropower	3.3V, Micropower 150mA Low Noise Ultra LDO CMOS Voltage Regulator	SOT-23-5		300.00/1,000	
LP3985IM5-4.7CT-ND	4,7 V, 150 mA Ultra-CMOS-LDO-Spannungsregler, rauscharm, Micropower	4.7V, Micropower 150mA Low Noise Ultra LDO CMOS Voltage Regulator	SOT-23-5	.37	.35	.34
LP3985IM5-4.7TR-ND	4,7 V, 150 mA Ultra-CMOS-LDO-Spannungsregler, rauscharm, Micropower	4.7V, Micropower 150mA Low Noise Ultra LDO CMOS Voltage Regulator	SOT-23-5		300.00/1,000	
LP3985IM5-5.0CT-ND	5 V, 150 mA Ultra-CMOS-LDO-Spannungsregler, rauscharm, Micropower	5V, Micropower 150mA Low Noise Ultra LDO CMOS Voltage Regulator	SOT-23-5	.37	.35	.34
LP3985IM5-5.0TR-ND	5 V, 150 mA Ultra-CMOS-LDO-Spannungsregler, rauscharm, Micropower	5V, Micropower 150mA Low Noise Ultra LDO CMOS Voltage Regulator	SOT-23-5		300.00/1,000	
LP3985ITL-2.5CT-ND	2,5 V, 150 mA Ultra-CMOS-LDO-Spannungsregler, rauscharm, Micropower	2.5V, Micropower 150mA Low Noise Ultra LDO CMOS Voltage Regulator	5-microSMD	.66	.52	.45
LP3985ITL-2.5TR-ND	2,5 V, 150 mA Ultra-CMOS-LDO-Spannungsregler, rauscharm, Micropower	2.5V, Micropower 150mA Low Noise Ultra LDO CMOS Voltage Regulator	5-microSMD		105.00/250	
LP3985ITL-2.6CT-ND	2,6 V, 150 mA Ultra-CMOS-LDO-Spannungsregler, rauscharm, Micropower	2.6V, Micropower 150mA Low Noise Ultra LDO CMOS Voltage Regulator	5-microSMD	.66	.52	.45
LP3985ITL-2.6TR-ND	2,6 V, 150 mA Ultra-CMOS-LDO-Spannungsregler, rauscharm, Micropower	2.6V, Micropower 150mA Low Noise Ultra LDO CMOS Voltage Regulator	5-microSMD		105.00/250	
LP3985ITL-2.7CT-ND	2,7 V, 150 mA Ultra-CMOS-LDO-Spannungsregler, rauscharm, Micropower	2.7V, Micropower 150mA Low Noise Ultra LDO CMOS Voltage Regulator	5-microSMD	.66	.52	.45
LP3985ITL-2.7TR-ND	2,7 V, 150 mA Ultra-CMOS-LDO-Spannungsregler, rauscharm, Micropower	2.7V, Micropower 150mA Low Noise Ultra LDO CMOS Voltage Regulator	5-microSMD		105.00/250	
LP3985ITL-2.8CT-ND	2,8 V, 150 mA Ultra-CMOS-LDO-Spannungsregler, rauscharm, Micropower	2.8V, Micropower 150mA Low Noise Ultra LDO CMOS Voltage Regulator	5-microSMD	.66	.52	.45
LP3985ITL-2.8TR-ND	2,8 V, 150 mA Ultra-CMOS-LDO-Spannungsregler, rauscharm, Micropower	2.8V, Micropower 150mA Low Noise Ultra LDO CMOS Voltage Regulator	5-microSMD		105.00/250	
LP3985ITL-285CT-ND	2,85 V, 150 mA Ultra-CMOS-LDO-Spannungsregler, rauscharm, Micropower	2.85V, Micropower 150mA Low Noise Ultra LDO CMOS Voltage Regulator	5-microSMD	.66	.52	.45
LP3985ITL-285TR-ND	2,85 V, 150 mA Ultra-CMOS-LDO-Spannungsregler, rauscharm, Micropower	2.85V, Micropower 150mA Low Noise Ultra LDO CMOS Voltage Regulator	5-microSMD		105.00/250	
LP3985ITL-2.9CT-ND	2,9 V, 150 mA Ultra-CMOS-LDO-Spannungsregler, rauscharm, Micropower	2.9V, Micropower 150mA Low Noise Ultra LDO CMOS Voltage Regulator	5-microSMD	.66	.52	.45
LP3985ITL-2.9TR-ND	2,9 V, 150 mA Ultra-CMOS-LDO-Spannungsregler, rauscharm, Micropower	2.9V, Micropower 150mA Low Noise Ultra LDO CMOS Voltage Regulator	5-microSMD		105.00/250	
LP3985ITL-3.0CT-ND	3 V, 150 mA Ultra-CMOS-LDO-Spannungsregler, rauscharm, Micropower	3V, Micropower 150mA Low Noise Ultra LDO CMOS Voltage Regulator	5-microSMD	.66	.52	.45
LP3985ITL-3.0TR-ND	3 V, 150 mA Ultra-CMOS-LDO-Spannungsregler, rauscharm, Micropower	3V, Micropower 150mA Low Noise Ultra LDO CMOS Voltage Regulator	5-microSMD		105.00/250	
LP3985ITL-3.1CT-ND	3,1 V, 150 mA Ultra-CMOS-LDO-Spannungsregler, rauscharm, Micropower	3.1V, Micropower 150mA Low Noise Ultra LDO CMOS Voltage Regulator	5-microSMD	.66	.52	.45
LP3985ITL-3.1TR-ND	3,1 V, 150 mA Ultra-CMOS-LDO-Spannungsregler, rauscharm, Micropower	3.1V, Micropower 150mA Low Noise Ultra LDO CMOS Voltage Regulator	5-microSMD		105.00/250	
LP3985ITL-3.2CT-ND	3,2 V, 150 mA Ultra-CMOS-LDO-Spannungsregler, rauscharm, Micropower	3.2V, Micropower 150mA Low Noise Ultra LDO CMOS Voltage Regulator	5-microSMD	.66	.52	.45
LP3985ITL-3.2TR-ND	3,2 V, 150 mA Ultra-CMOS-LDO-Spannungsregler, rauscharm, Micropower	3.2V, Micropower 150mA Low Noise Ultra LDO CMOS Voltage Regulator	5-microSMD		105.00/250	
LP3985ITL-3.3CT-ND	3,3 V, 150 mA Ultra-CMOS-LDO-Spannungsregler, rauscharm, Micropower	3.3V, Micropower 150mA Low Noise Ultra LDO CMOS Voltage Regulator	5-microSMD	.66	.52	.45
LP3985ITL-3.3TR-ND	3,3 V, 150 mA Ultra-CMOS-LDO-Spannungsregler, rauscharm, Micropower	3.3V, Micropower 150mA Low Noise Ultra LDO CMOS Voltage Regulator	5-microSMD		105.00/250	
LP3985ITL-4.8CT-ND	4,8 V, 150 mA Ultra-CMOS-LDO-Spannungsregler, rauscharm, Micropower	4.8V, Micropower 150mA Low Noise Ultra LDO CMOS Voltage Regulator	5-microSMD	.66	.52	.45
LP3985ITL-4.8TR-ND	4,8 V, 150 mA Ultra-CMOS-LDO-Spannungsregler, rauscharm, Micropower	4.8V, Micropower 150mA Low Noise Ultra LDO CMOS Voltage Regulator	5-microSMD		105.00/250	

(Forts.)

★ RUFEN SIE BITTE AN FÜR NIEDRIGERE PREISE BEI GRÖSSEREN MENGEN! ★

B

Digi-Key Teilenr.	Beschreibung		Paket	Stückpreis★ 1	25	100
LP3985ITL-5.0CT-ND	5 V, 150 mA Ultra-CMOS-LDO-Spannungsregler, rauscharm, Micropower	5V, Micropower 150mA Low Noise Ultra LDO CMOS Voltage Regulator	5-microSMD	.66	.52	.45
LP3985ITL-5.0TR-ND	5 V, 150 mA Ultra-CMOS-LDO-Spannungsregler, rauscharm, Micropower	5V, Micropower 150mA Low Noise Ultra LDO CMOS Voltage Regulator	5-microSMD		105.00/250	
LP3986BL-2518CT-ND	Zweif. 150 mA Ultra-CMOS-LDO-Spannungsregler, Micropower	Dual Micropower 150mA Ultra LDO CMOS Voltage Regulator	8-microSMD	1.45	1.15	.98
LP3986BL-2518TR-ND	Zweif. 150 mA Ultra-CMOS-LDO-Spannungsregler, Micropower	Dual Micropower 150mA Ultra LDO CMOS Voltage Regulator	8-microSMD		232.50/250	
LP3986BL-2525CT-ND	Zweif. 150 mA Ultra-CMOS-LDO-Spannungsregler, Micropower	Dual Micropower 150mA Ultra LDO CMOS Voltage Regulator	8-microSMD	1.45	1.15	.98
LP3986BL-2525TR-ND	Zweif. 150 mA Ultra-CMOS-LDO-Spannungsregler, Micropower	Dual Micropower 150mA Ultra LDO CMOS Voltage Regulator	8-microSMD		232.50/250	
LP3986BL-2528CT-ND	Zweif. 150 mA Ultra-CMOS-LDO-Spannungsregler, Micropower	Dual Micropower 150mA Ultra LDO CMOS Voltage Regulator	8-microSMD	1.45	1.15	.98
LP3986BL-2528TR-ND	Zweif. 150 mA Ultra-CMOS-LDO-Spannungsregler, Micropower	Dual Micropower 150mA Ultra LDO CMOS Voltage Regulator	8-microSMD		232.50/250	
LP3986BL-2626CT-ND	Zweif. 150 mA Ultra-CMOS-LDO-Spannungsregler, Micropower	Dual Micropower 150mA Ultra LDO CMOS Voltage Regulator	8-microSMD	1.45	1.15	.98
LP3986BL-2626TR-ND	Zweif. 150 mA Ultra-CMOS-LDO-Spannungsregler, Micropower	Dual Micropower 150mA Ultra LDO CMOS Voltage Regulator	8-microSMD		232.50/250	
LP3986BL-2828CT-ND	Zweif. 150 mA Ultra-CMOS-LDO-Spannungsregler, Micropower	Dual Micropower 150mA Ultra LDO CMOS Voltage Regulator	8-microSMD	1.45	1.15	.98
LP3986BL-2828TR-ND	Zweif. 150 mA Ultra-CMOS-LDO-Spannungsregler, Micropower	Dual Micropower 150mA Ultra LDO CMOS Voltage Regulator	8-microSMD		232.50/250	
LP3986BL-285285CT-ND	Zweif. 150 mA Ultra-CMOS-LDO-Spannungsregler, Micropower	Dual Micropower 150mA Ultra LDO CMOS Voltage Regulator	8-microSMD	1.45	1.15	.98
LP3986BL-285285TR-ND	Zweif. 150 mA Ultra-CMOS-LDO-Spannungsregler, Micropower	Dual Micropower 150mA Ultra LDO CMOS Voltage Regulator	8-microSMD		232.50/250	
LP3986BL-2929CT-ND	Zweif. 150 mA Ultra-CMOS-LDO-Spannungsregler, Micropower	Dual Micropower 150mA Ultra LDO CMOS Voltage Regulator	8-microSMD	1.45	1.15	.98
LP3986BL-2929TR-ND	Zweif. 150 mA Ultra-CMOS-LDO-Spannungsregler, Micropower	Dual Micropower 150mA Ultra LDO CMOS Voltage Regulator	8-microSMD		232.50/250	
LP3986BL-3028CT-ND	Zweif. 150 mA Ultra-CMOS-LDO-Spannungsregler, Micropower	Dual Micropower 150mA Ultra LDO CMOS Voltage Regulator	8-microSMD	1.45	1.15	.98
LP3986BL-3028TR-ND	Zweif. 150 mA Ultra-CMOS-LDO-Spannungsregler, Micropower	Dual Micropower 150mA Ultra LDO CMOS Voltage Regulator	8-microSMD		232.50/250	
LP3986BL-3030CT-ND	Zweif. 150 mA Ultra-CMOS-LDO-Spannungsregler, Micropower	Dual Micropower 150mA Ultra LDO CMOS Voltage Regulator	8-microSMD	1.45	1.15	.98
LP3986BL-3030TR-ND	Zweif. 150 mA Ultra-CMOS-LDO-Spannungsregler, Micropower	Dual Micropower 150mA Ultra LDO CMOS Voltage Regulator	8-microSMD		232.50/250	
LP3986BL-3131CT-ND	Zweif. 150 mA Ultra-CMOS-LDO-Spannungsregler, Micropower	Dual Micropower 150mA Ultra LDO CMOS Voltage Regulator	8-microSMD	1.45	1.15	.98
LP3986BL-3131TR-ND	Zweif. 150 mA Ultra-CMOS-LDO-Spannungsregler, Micropower	Dual Micropower 150mA Ultra LDO CMOS Voltage Regulator	8-microSMD		232.50/250	
LP3986BL-3133CT-ND	Zweif. 150 mA Ultra-CMOS-LDO-Spannungsregler, Micropower	Dual Micropower 150mA Ultra LDO CMOS Voltage Regulator	8-microSMD	1.45	1.15	.98
LP3986BL-3133TR-ND	Zweif. 150 mA Ultra-CMOS-LDO-Spannungsregler, Micropower	Dual Micropower 150mA Ultra LDO CMOS Voltage Regulator	8-microSMD		232.50/250	
LP3986BL-3333CT-ND	Zweif. 150 mA Ultra-CMOS-LDO-Spannungsregler, Micropower	Dual Micropower 150mA Ultra LDO CMOS Voltage Regulator	8-microSMD	1.45	1.15	.98
LP3986BL-3333TR-ND	Zweif. 150 mA Ultra-CMOS-LDO-Spannungsregler, Micropower	Dual Micropower 150mA Ultra LDO CMOS Voltage Regulator	8-microSMD		232.50/250	
LP3986TL-2518CT-ND	Zweif. 150 mA Ultra-CMOS-LDO-Spannungsregler, Micropower	Dual Micropower 150mA Ultra LDO CMOS Voltage Regulator	8-microSMD	1.45	1.15	.98
LP3986TL-2518TR-ND	Zweif. 150 mA Ultra-CMOS-LDO-Spannungsregler, Micropower	Dual Micropower 150mA Ultra LDO CMOS Voltage Regulator	8-microSMD		232.50/250	
LP3986TL-2525CT-ND	Zweif. 150 mA Ultra-CMOS-LDO-Spannungsregler, Micropower	Dual Micropower 150mA Ultra LDO CMOS Voltage Regulator	8-microSMD	1.45	1.15	.98
LP3986TL-2525TR-ND	Zweif. 150 mA Ultra-CMOS-LDO-Spannungsregler, Micropower	Dual Micropower 150mA Ultra LDO CMOS Voltage Regulator	8-microSMD		232.50/250	
LP3986TL-2528CT-ND	Zweif. 150 mA Ultra-CMOS-LDO-Spannungsregler, Micropower	Dual Micropower 150mA Ultra LDO CMOS Voltage Regulator	8-microSMD	1.45	1.15	.98
LP3986TL-2528TR-ND	Zweif. 150 mA Ultra-CMOS-LDO-Spannungsregler, Micropower	Dual Micropower 150mA Ultra LDO CMOS Voltage Regulator	8-microSMD		232.50/250	
LP3986TL-2626CT-ND	Zweif. 150 mA Ultra-CMOS-LDO-Spannungsregler, Micropower	Dual Micropower 150mA Ultra LDO CMOS Voltage Regulator	8-microSMD	1.45	1.15	.98
LP3986TL-2626TR-ND	Zweif. 150 mA Ultra-CMOS-LDO-Spannungsregler, Micropower	Dual Micropower 150mA Ultra LDO CMOS Voltage Regulator	8-microSMD		232.50/250	
LP3986TL-2828CT-ND	Zweif. 150 mA Ultra-CMOS-LDO-Spannungsregler, Micropower	Dual Micropower 150mA Ultra LDO CMOS Voltage Regulator	8-microSMD	1.45	1.15	.98
LP3986TL-2828TR-ND	Zweif. 150 mA Ultra-CMOS-LDO-Spannungsregler, Micropower	Dual Micropower 150mA Ultra LDO CMOS Voltage Regulator	8-microSMD		232.50/250	
LP3986TL-285285CT-ND	Zweif. 150 mA Ultra-CMOS-LDO-Spannungsregler, Micropower	Dual Micropower 150mA Ultra LDO CMOS Voltage Regulator	8-microSMD	1.45	1.15	.98
LP3986TL-285285TR-ND	Zweif. 150 mA Ultra-CMOS-LDO-Spannungsregler, Micropower	Dual Micropower 150mA Ultra LDO CMOS Voltage Regulator	8-microSMD		232.50/250	
LP3986TL-2929CT-ND	Zweif. 150 mA Ultra-CMOS-LDO-Spannungsregler, Micropower	Dual Micropower 150mA Ultra LDO CMOS Voltage Regulator	8-microSMD	1.45	1.15	.98
LP3986TL-2929TR-ND	Zweif. 150 mA Ultra-CMOS-LDO-Spannungsregler, Micropower	Dual Micropower 150mA Ultra LDO CMOS Voltage Regulator	8-microSMD		232.50/250	
LP3986TL-3028CT-ND	Zweif. 150 mA Ultra-CMOS-LDO-Spannungsregler, Micropower	Dual Micropower 150mA Ultra LDO CMOS Voltage Regulator	8-microSMD	1.45	1.15	.98
LP3986TL-3028TR-ND	Zweif. 150 mA Ultra-CMOS-LDO-Spannungsregler, Micropower	Dual Micropower 150mA Ultra LDO CMOS Voltage Regulator	8-microSMD		232.50/250	
LP3986TL-3030CT-ND	Zweif. 150 mA Ultra-CMOS-LDO-Spannungsregler, Micropower	Dual Micropower 150mA Ultra LDO CMOS Voltage Regulator	8-microSMD	1.45	1.15	.98
LP3986TL-3030TR-ND	Zweif. 150 mA Ultra-CMOS-LDO-Spannungsregler, Micropower	Dual Micropower 150mA Ultra LDO CMOS Voltage Regulator	8-microSMD		232.50/250	
LP3986TL-3131CT-ND	Zweif. 150 mA Ultra-CMOS-LDO-Spannungsregler, Micropower	Dual Micropower 150mA Ultra LDO CMOS Voltage Regulator	8-microSMD	1.45	1.15	.98
LP3986TL-3131TR-ND	Zweif. 150 mA Ultra-CMOS-LDO-Spannungsregler, Micropower	Dual Micropower 150mA Ultra LDO CMOS Voltage Regulator	8-microSMD		232.50/250	
LP3986TL-3133CT-ND	Zweif. 150 mA Ultra-CMOS-LDO-Spannungsregler, Micropower	Dual Micropower 150mA Ultra LDO CMOS Voltage Regulator	8-microSMD	1.45	1.15	.98
LP3986TL-3133TR-ND	Zweif. 150 mA Ultra-CMOS-LDO-Spannungsregler, Micropower	Dual Micropower 150mA Ultra LDO CMOS Voltage Regulator	8-microSMD		232.50/250	
LP3986TL-3333CT-ND	Zweif. 150 mA Ultra-CMOS-LDO-Spannungsregler, Micropower	Dual Micropower 150mA Ultra LDO CMOS Voltage Regulator	8-microSMD	1.45	1.15	.98
LP3986TL-3333TR-ND	Zweif. 150 mA Ultra-CMOS-LDO-Spannungsregler, Micropower	Dual Micropower 150mA Ultra LDO CMOS Voltage Regulator	8-microSMD		232.50/250	
LP3987IBL-2.6CT-ND	2,6 V, 150 mA Ultra-LDO-Spannungsregler mit Schlaffunktion	2.6V, 150mA Ultra LDO Volt. Reg. with Sleep	5-microSMD	.91	.72	.62
LP3987IBL-2.6TR-ND	2,6 V, 150 mA Ultra-LDO-Spannungsregler mit Schlaffunktion	2.6V, 150mA Ultra LDO Volt. Reg. with Sleep	5-microSMD		145.00/250	
LP3987IBL-2.8CT-ND	2,8 V, 150 mA Ultra-LDO-Spannungsregler mit Schlaffunktion	2.8V, 150mA Ultra LDO Volt. Reg. with Sleep	5-microSMD	.91	.72	.62
LP3987IBL-2.8TR-ND	2,8 V, 150 mA Ultra-LDO-Spannungsregler mit Schlaffunktion	2.8V, 150mA Ultra LDO Volt. Reg. with Sleep	5-microSMD		145.00/250	
LP3987IBL-2.85CT-ND	2,85 V, 150 mA Ultra-LDO-Spannungsregler mit Schlaffunktion	2.85V, 150mA Ultra LDO Volt. Reg. with Sleep	5-microSMD	.91	.72	.62
LP3987IBL-2.85TR-ND	2,85 V, 150 mA Ultra-LDO-Spannungsregler mit Schlaffunktion	2.85V, 150mA Ultra LDO Volt. Reg. with Sleep	5-microSMD		145.00/250	
LP3987ITL-2.5CT-ND	2,5 V, 150 mA Ultra-LDO-Spannungsregler mit Schlaffunktion	2.5V, 150mA Ultra LDO Volt. Reg. with Sleep	5-microSMD	.91	.72	.62
LP3987ITL-2.5TR-ND	2,5 V, 150 mA Ultra-LDO-Spannungsregler mit Schlaffunktion	2.5V, 150mA Ultra LDO Volt. Reg. with Sleep	5-microSMD		145.00/250	
LP3987ITL-2.6CT-ND	2,6 V, 150 mA Ultra-LDO-Spannungsregler mit Schlaffunktion	2.6V, 150mA Ultra LDO Volt. Reg. with Sleep	5-microSMD	.91	.72	.62
LP3987ITL-2.6TR-ND	2,6 V, 150 mA Ultra-LDO-Spannungsregler mit Schlaffunktion	2.6V, 150mA Ultra LDO Volt. Reg. with Sleep	5-microSMD		145.00/250	
LP3987ITL-2.8CT-ND	2,8 V, 150 mA Ultra-LDO-Spannungsregler mit Schlaffunktion	2.8V, 150mA Ultra LDO Volt. Reg. with Sleep	5-microSMD	.91	.72	.62
LP3987ITL-2.8TR-ND	2,8 V, 150 mA Ultra-LDO-Spannungsregler mit Schlaffunktion	2.8V, 150mA Ultra LDO Volt. Reg. with Sleep	5-microSMD		145.00/250	
LP3987ITL-2.85CT-ND	2,85 V, 150 mA Ultra-LDO-Spannungsregler mit Schlaffunktion	2.85V, 150mA Ultra LDO Volt. Reg. with Sleep	5-microSMD	.91	.72	.62
LP3987ITL-2.85TR-ND	2,85 V, 150 mA Ultra-LDO-Spannungsregler mit Schlaffunktion	2.85V, 150mA Ultra LDO Volt. Reg. with Sleep	5-microSMD		145.00/250	
LP3987ITL-3.0CT-ND	3 V, 150 mA Ultra-LDO-Spannungsregler mit Schlaffunktion	3V, 150mA Ultra LDO Volt. Reg. with Sleep	5-microSMD	.91	.72	.62
LP3987ITL-3.0TR-ND	3 V, 150 mA Ultra-LDO-Spannungsregler mit Schlaffunktion	3V, 150mA Ultra LDO Volt. Reg. with Sleep	5-microSMD		145.00/250	
LP3988IMF-2.5CT-ND	2,5 V, 150 mA Ultra-CMOS-LDO-Spannungsregler mit „Power Good", Micropower	2.5V, Micropower 150mA Ultra LDO CMOS Voltage Regulator with Power Good	SOT-23-5	.77	.61	.52
LP3988IMF-2.5TR-ND	2,5 V, 150 mA Ultra-CMOS-LDO-Spannungsregler mit „Power Good", Micropower	2.5V, Micropower 150mA Ultra LDO CMOS Voltage Regulator with Power Good	SOT-23-5		450.00/1,000	
LP3988IMF-2.6CT-ND	2,6 V, 150 mA Ultra-CMOS-LDO-Spannungsregler mit „Power Good", Micropower	2.6V, Micropower 150mA Ultra LDO CMOS Voltage Regulator with Power Good	SOT-23-5	.77	.61	.52
LP3988IMF-2.6TR-ND	2,6 V, 150 mA Ultra-CMOS-LDO-Spannungsregler mit „Power Good", Micropower	2.6V, Micropower 150mA Ultra LDO CMOS Voltage Regulator with Power Good	SOT-23-5		450.00/1,000	
LP3988IMF-2.85CT-ND	2,85 V, 150 mA Ultra-CMOS-LDO-Spannungsregler mit „Power Good", Micropower	2.85V, Micropower 150mA Ultra LDO CMOS Voltage Regulator with Power Good	SOT-23-5	.77	.61	.52
LP3988IMF-2.85TR-ND	2,85 V, 150 mA Ultra-CMOS-LDO-Spannungsregler mit „Power Good", Micropower	2.85V, Micropower 150mA Ultra LDO CMOS Voltage Regulator with Power Good	SOT-23-5		450.00/1,000	
LP3988IMF-3.0CT-ND	3 V, 150 mA Ultra-CMOS-LDO-Spannungsregler mit „Power Good", Micropower	3V, Micropower 150mA Ultra LDO CMOS Voltage Regulator with Power Good	SOT-23-5	.77	.61	.52
LP3988IMF-3.0TR-ND	3 V, 150 mA Ultra-CMOS-LDO-Spannungsregler mit „Power Good", Micropower	3V, Micropower 150mA Ultra LDO CMOS Voltage Regulator with Power Good	SOT-23-5		450.00/1,000	
LP3988IMF-3.3CT-ND	3,3 V, 150 mA Ultra-CMOS-LDO-Spannungsregler mit „Power Good", Micropower	3.3V, Micropower 150mA Ultra LDO CMOS Voltage Regulator with Power Good	SOT-23-5	.77	.61	.52
LP3988IMF-3.3TR-ND	3,3 V, 150 mA Ultra-CMOS-LDO-Spannungsregler mit „Power Good", Micropower	3.3V, Micropower 150mA Ultra LDO CMOS Voltage Regulator with Power Good	SOT-23-5		450.00/1,000	
LP3988ITL-1.85CT-ND	1,85 V, 150 mA Ultra-CMOS-LDO-Spannungsregler mit „Power Good", Micropower	1.85V, Micropower 150mA Ultra LDO CMOS Voltage Regulator with Power Good	5-microSMD	.85	.68	.58
LP3988ITL-1.85TR-ND	1,85 V, 150 mA Ultra-CMOS-LDO-Spannungsregler mit „Power Good", Micropower	1.85V, Micropower 150mA Ultra LDO CMOS Voltage Regulator with Power Good	5-microSMD		135.00/250	
LP3988ITL-2.6CT-ND	2,6 V, 150 mA Ultra-CMOS-LDO-Spannungsregler mit „Power Good", Micropower	2.6V, Micropower 150mA Ultra LDO CMOS Voltage Regulator with Power Good	5-microSMD	.85	.68	.58
LP3988ITL-2.6TR-ND	2,6 V, 150 mA Ultra-CMOS-LDO-Spannungsregler mit „Power Good", Micropower	2.6V, Micropower 150mA Ultra LDO CMOS Voltage Regulator with Power Good	5-microSMD		135.00/250	
LP3988ITL-2.85CT-ND	2,85 V, 150 mA Ultra-CMOS-LDO-Spannungsregler mit „Power Good", Micropower	2.85V, Micropower 150mA Ultra LDO CMOS Voltage Regulator with Power Good	5-microSMD	.85	.68	.58
LP3988ITL-2.85TR-ND	2,85 V, 150 mA Ultra-CMOS-LDO-Spannungsregler mit „Power Good", Micropower	2.85V, Micropower 150mA Ultra LDO CMOS Voltage Regulator with Power Good	5-microSMD		135.00/250	
LP3990SD-0.8CT-ND	0,8 V, 150 mA Linearspannungsregler	0.8V, 150mA, Linear Voltage Regulator	6-LLP	.89	.71	.61
LP3990SD-0.8TR-ND	0,8 V, 150 mA Linearspannungsregler	0.8V, 150mA, Linear Voltage Regulator	6-LLP		520.00/1,000	
LP3990SD-1.5CT-ND	1,5 V, 150 mA Linearspannungsregler	1.5V, 150mA, Linear Voltage Regulator	6-LLP	.89	.71	.61
LP3990SD-1.5TR-ND	1,5 V, 150 mA Linearspannungsregler	1.5V, 150mA, Linear Voltage Regulator	6-LLP		520.00/1,000	
LP3990SD-1.8CT-ND	1,8 V, 150 mA Linearspannungsregler	1.8V, 150mA, Linear Voltage Regulator	6-LLP	.89	.71	.61
LP3990SD-1.8TR-ND	1,8 V, 150 mA Linearspannungsregler	1.8V, 150mA, Linear Voltage Regulator	6-LLP		520.00/1,000	
LP3990SD-2.5CT-ND	2,5 V, 150 mA Linearspannungsregler	2.5V, 150mA, Linear Voltage Regulator	6-LLP	.89	.71	.61
LP3990SD-2.5TR-ND	2,5 V, 150 mA Linearspannungsregler	2.5V, 150mA, Linear Voltage Regulator	6-LLP		520.00/1,000	
LP3990SD-2.8CT-ND	2,8 V, 150 mA Linearspannungsregler	2.8V, 150mA Linear Voltage Regulator	6-LLP	.89	.71	.61
LP3990SD-2.8TR-ND	2,8 V, 150 mA Linearspannungsregler	2.8V, 150mA Linear Voltage Regulator	6-LLP		520.00/1,000	
LP3990TL-0.8CT-ND	0,8 V, 150 mA Linearspannungsregler	0.8V, 150mA, Linear Voltage Regulator	4-microSMD	.85	.68	.58
LP3990TL-0.8TR-ND	0,8 V, 150 mA Linearspannungsregler	0.8V, 150mA, Linear Voltage Regulator	4-microSMD		135.00/250	
LP3990TL-1.2CT-ND	1,2 V, 150 mA Linearspannungsregler	1.2V, 150mA Linear Voltage Regulator	4-microSMD	.85	.68	.58
LP3990TL-1.2TR-ND	1,2 V, 150 mA Linearspannungsregler	1.2V, 150mA Linear Voltage Regulator	4-microSMD		135.00/250	
LP3990TL-1.35CT-ND	1,35 V, 150 mA Linearspannungsregler	1.35V, 150mA, Linear Voltage Regulator	4-microSMD	.85	.68	.58
LP3990TL-1.35TR-ND	1,35 V, 150 mA Linearspannungsregler	1.35V, 150mA, Linear Voltage Regulator	4-microSMD		135.00/250	
LP3990TL-1.5CT-ND	1,5 V, 150 mA Linearspannungsregler	1.5V, 150mA, Linear Voltage Regulator	4-microSMD	.85	.68	.58
LP3990TL-1.5TR-ND	1,5 V, 150 mA Linearspannungsregler	1.5V, 150mA, Linear Voltage Regulator	4-microSMD		135.00/250	

(Forts.)

★ RUFEN SIE BITTE AN FÜR NIEDRIGERE PREISE BEI GRÖSSEREN MENGEN! ★

Alle Preisangaben in Euro und inklusive Zollgebühren.

Digi-Key Teilenr.	Beschreibung		Paket	Stückpreis★ 1	25	100
LP3990TL-1.8CT-ND	1,8 V, 150 mA Linearspannungsregler	1.8V, 150mA, Linear Voltage Regulator	4-microSMD	.85	.68	.58
LP3990TL-1.8TR-ND	1,8 V, 150 mA Linearspannungsregler	1.8V, 150mA, Linear Voltage Regulator	4-microSMD		135.00/250	
LP3990TL-2.8CT-ND	2,8 V, 150 mA Linearspannungsregler	2.8V, 150mA, Linear Voltage Regulator	4-microSMD	.85	.68	.58
LP3990TL-2.8TR-ND	2,8 V, 150 mA Linearspannungsregler	2.8V, 150mA, Linear Voltage Regulator	4-microSMD		135.00/250	
LP3992IMF-1.5CT-ND	1,5 V Spannungsregler mit Abschaltfunktion	1.5V, Voltage Regulator with Shutdown	SOT-23-5	.99	.79	.68
LP3992IMF-1.5TR-ND	1,5 V Spannungsregler mit Abschaltfunktion	1.5V, Voltage Regulator with Shutdown	SOT-23-5		580.00/1,000	
LP3995ILD-1.5CT-ND	1,5 V, 150 mA CMOS-Spannungsregler mit Abschaltfunktion, Micropower	1.5V, Micropower 150mA CMOS Volt. Reg. with SD	6-LLP	.99	.79	.68
LP3995ILD-1.5TR-ND	1,5 V, 150 mA CMOS-Spannungsregler mit Abschaltfunktion, Micropower	1.5V, Micropower 150mA CMOS Volt. Reg. with SD	6-LLP		580.00/1,000	
LP3995ILD-1.6CT-ND	1,6 V, 150 mA CMOS-Spannungsregler mit Abschaltfunktion, Micropower	1.6V, Micropower 150mA CMOS Volt. Reg. with SD	6-LLP	.99	.79	.68
LP3995ILD-1.6TR-ND	1,6 V, 150 mA CMOS-Spannungsregler mit Abschaltfunktion, Micropower	1.6V, Micropower 150mA CMOS Volt. Reg. with SD	6-LLP		580.00/1,000	
LP3995ILD-1.8CT-ND	1,8 V, 150 mA CMOS-Spannungsregler mit Abschaltfunktion, Micropower	1.8V, Micropower 150mA CMOS Volt. Reg. with SD	6-LLP	.99	.79	.68
LP3995ILD-1.8TR-ND	1,8 V, 150 mA CMOS-Spannungsregler mit Abschaltfunktion, Micropower	1.8V, Micropower 150mA CMOS Volt. Reg. with SD	6-LLP		580.00/1,000	
LP3995ILD-2.8CT-ND	2,8 V, 150 mA CMOS-Spannungsregler mit Abschaltfunktion, Micropower	2.8V, Micropower 150mA CMOS Volt. Reg. with SD	6-LLP	.99	.79	.68
LP3995ILD-2.8TR-ND	2,8 V, 150 mA CMOS-Spannungsregler mit Abschaltfunktion, Micropower	2.8V, Micropower 150mA CMOS Volt. Reg. with SD	6-LLP		580.00/1,000	
LP3995ILD-3.0CT-ND	3 V, 150 mA CMOS-Spannungsregler mit Abschaltfunktion, Micropower	3V, Micropower 150mA CMOS Volt. Reg. with SD	6-LLP	.56	.54	.51
LP3995ILD-3.0TR-ND	3 V, 150 mA CMOS-Spannungsregler mit Abschaltfunktion, Micropower	3V, Micropower 150mA CMOS Volt. Reg. with SD	6-LLP		440.00/1,000	
LP3995ITL-1.5CT-ND	1,5 V, 150 mA CMOS-Spannungsregler mit Abschaltfunktion, Micropower	1.5V, Micropower 150mA CMOS Volt. Reg. with SD	5-microSMD	.48	.46	.44
LP3995ITL-1.5TR-ND	1,5 V, 150 mA CMOS-Spannungsregler mit Abschaltfunktion, Micropower	1.5V, Micropower 150mA CMOS Volt. Reg. with SD	5-microSMD		95.00/250	
LP3995ITL-1.6CT-ND	1,6 V, 150 mA CMOS-Spannungsregler mit Abschaltfunktion, Micropower	1.6V, Micropower 150mA CMOS Volt. Reg. with SD	5-microSMD	.48	.46	.44
LP3995ITL-1.6TR-ND	1,6 V, 150 mA CMOS-Spannungsregler mit Abschaltfunktion, Micropower	1.6V, Micropower 150mA CMOS Volt. Reg. with SD	5-microSMD		95.00/250	
LP3995ITL-1.8CT-ND	1,8 V, 150 mA CMOS-Spannungsregler mit Abschaltfunktion, Micropower	1.8V, Micropwr 150mA CMOS Volt. Reg. w/Shutdown	microSMD	.48	.46	.44
LP3995ITL-1.8TR-ND	1,8 V, 150 mA CMOS-Spannungsregler mit Abschaltfunktion, Micropower	1.8V, Micropwr 150mA CMOS Volt. Reg. w/Shutdown	microSMD		95.00/250	
LP3995ITL-1.9CT-ND	1,9 V, 150 mA CMOS-Spannungsregler mit Abschaltfunktion, Micropower	1.9V, Micropwr 150mA CMOS Volt. Reg. w/Shutdown	microSMD	.48	.46	.44
LP3995ITL-1.9TR-ND	1,9 V, 150 mA CMOS-Spannungsregler mit Abschaltfunktion, Micropower	1.9V, Micropwr 150mA CMOS Volt. Reg. w/Shutdown	microSMD		95.00/250	
LP3995ITL-2.1CT-ND	2,1 V, 150 mA CMOS-Spannungsregler mit Abschaltfunktion, Micropower	2.1V, Micropower 150mA CMOS Volt. Reg. with SD	5-microSMD	.48	.46	.44
LP3995ITL-2.1TR-ND	2,1 V, 150 mA CMOS-Spannungsregler mit Abschaltfunktion, Micropower	2.1V, Micropower 150mA CMOS Volt. Reg. with SD	5-microSMD		95.00/250	
LP3995ITL-2.5CT-ND	2,5 V, 150 mA CMOS-Spannungsregler mit Abschaltfunktion, Micropower	2.5V, Micropwr 150mA CMOS Volt. Reg. w/Shutdown	microSMD	.48	.46	.44
LP3995ITL-2.5TR-ND	2,5 V, 150 mA CMOS-Spannungsregler mit Abschaltfunktion, Micropower	2.5V, Micropwr 150mA CMOS Volt. Reg. w/Shutdown	microSMD		95.00/250	
LP3995ITL-2.8CT-ND	2,8 V, 150 mA CMOS-Spannungsregler mit Abschaltfunktion, Micropower	2.8V, Micropwr 150mA CMOS Volt. Reg. w/Shutdown	microSMD	.48	.46	.44
LP3995ITL-2.8TR-ND	2,8 V, 150 mA CMOS-Spannungsregler mit Abschaltfunktion, Micropower	2.8V, Micropwr 150mA CMOS Volt. Reg. w/Shutdown	microSMD		95.00/250	
LP3995ITL-2.85CT-ND	2,85 V, 150 mA CMOS-Spannungsregler mit Abschaltfunktion, Micropower	2.85V, Micropwr 150mA CMOS Volt. Reg. w/Shutdown	5-microSMD	.85	.68	.58
LP3995ITL-2.85TR-ND	2,85 V, 150 mA CMOS-Spannungsregler mit Abschaltfunktion, Micropower	2.85V, Micropwr 150mA CMOS Volt. Reg. w/Shutdown	5-microSMD		135.00/250	
LP3995ITL-3.0CT-ND	3 V, 150 mA CMOS-Spannungsregler mit Abschaltfunktion, Micropower	3V, Micropwr 150mA CMOS Volt. Reg. w/Shutdown	5-microSMD	.48	.46	.44
LP3995ITL-3.0TR-ND	3 V, 150 mA CMOS-Spannungsregler mit Abschaltfunktion, Micropower	3V, Micropwr 150mA CMOS Volt. Reg. w/Shutdown	5-microSMD		95.00/250	
LP3999ITL-1.5CT-ND	1,5 V, 150 mA Linearregler mit Abschaltfunktion	1.5V, 150mA Voltage Regulator with Shutdown	5-microSMD	.40	.38	.36
LP3999ITL-1.5TR-ND	1,5 V, 150 mA Linearregler mit Abschaltfunktion	1.5V, 150mA Voltage Regulator with Shutdown	5-microSMD		77.50/250	
LP3999ITL-1.8CT-ND	1,8 V, 150 mA Linearregler mit Abschaltfunktion	1.8V, 150mA Voltage Regulator with Shutdown	5-microSMD	.40	.38	.36
LP3999ITL-1.8TR-ND	1,8 V, 150 mA Linearregler mit Abschaltfunktion	1.8V, 150mA Voltage Regulator with Shutdown	5-microSMD		77.50/250	
LP3999ITL-1875CT-ND	1,875 V, 150 mA Linearregler mit Abschaltfunktion	1.875V, 150mA Voltage Regulator with Shutdown	5-microSMD	.40	.38	.36
LP3999ITL-1875TR-ND	1,875 V, 150 mA Linearregler mit Abschaltfunktion	1.875V, 150mA Voltage Regulator with Shutdown	5-microSMD		77.50/250	
LP3999ITL-2.4CT-ND	2,4 V, 150 mA Linearregler mit Abschaltfunktion	2.4V, 150mA Voltage Regulator with Shutdown	5-microSMD	.40	.38	.36
LP3999ITL-2.4TR-ND	2,4 V, 150 mA Linearregler mit Abschaltfunktion	2.4V, 150mA Voltage Regulator with Shutdown	5-microSMD		77.50/250	
LP3999ITL-2.5CT-ND	2,5 V, 150 mA Linearregler mit Abschaltfunktion	2.5V, 150mA Voltage Regulator with Shutdown	5-microSMD	.40	.38	.36
LP3999ITL-2.5TR-ND	2,5 V, 150 mA Linearregler mit Abschaltfunktion	2.5V, 150mA Voltage Regulator with Shutdown	5-microSMD		77.50/250	
LP3999ITL-2.8CT-ND	2,8 V, 150 mA Linearregler mit Abschaltfunktion	2.8V, 150mA Voltage Regulator with Shutdown	5-microSMD	.40	.38	.36
LP3999ITL-2.8TR-ND	2,8 V, 150 mA Linearregler mit Abschaltfunktion	2.8V, 150mA Voltage Regulator with Shutdown	5-microSMD		77.50/250	
LP3999ITL-3.3CT-ND	3,3 V, 150 mA Linearregler mit Abschaltfunktion	3.3V, 150mA Voltage Regulator with Shutdown	5-microSMD	.40	.38	.36
LP3999ITL-3.3TR-ND	3,3 V, 150 mA Linearregler mit Abschaltfunktion	3.3V, 150mA Voltage Regulator with Shutdown	5-microSMD		77.50/250	
LP8340CDT-1.8-ND	1,8 V, 1,0 A CMOS-LDO-Linearregler, niedriger Ruhestrom	1.8V, LDO, Low IQ, 1.0A CMOS Linear Regulator	3-DPAK	.69	.66	.63
LP8340CDT-2.5-ND	2,5 V, 1,0 A CMOS-LDO-Linearregler, niedriger Ruhestrom	2.5V, LDO, Low IQ, 1.0A CMOS Linear Regulator	3-DPAK	.69	.66	.63
LP8340CDT-3.3-ND	3,3 V, 1,0 A CMOS-LDO-Linearregler, niedriger Ruhestrom	3.3V, LDO, Low IQ, 1.0A CMOS Linear Regulator	3-DPAK	.69	.66	.63
LP8340CDT-5.0-ND	5 V, 1,0 A CMOS-LDO-Linearregler, niedriger Ruhestrom	5V, LDO, Low IQ, 1.0A CMOS Linear Regulator	3-DPAK	.69	.66	.63
LP8340CLD-1.8CT-ND	1,8 V, 1,0 A CMOS-LDO-Linearregler, niedriger Ruhestrom	1.8V, LDO, Low IQ, 1.0A CMOS Linear Regulator	6-LLP	1.16	.93	.79
LP8340CLD-1.8TR-ND	1,8 V, 1,0 A CMOS-LDO-Linearregler, niedriger Ruhestrom	1.8V, LDO, Low IQ, 1.0A CMOS Linear Regulator	6-LLP		680.00/1,000	
LP8340CLD-2.5CT-ND	2,5 V, 1,0 A CMOS-LDO-Linearregler, niedriger Ruhestrom	2.5V, LDO, Low IQ, 1.0A CMOS Linear Regulator	6-LLP	1.16	.93	.79
LP8340CLD-2.5TR-ND	2,5 V, 1,0 A CMOS-LDO-Linearregler, niedriger Ruhestrom	2.5V, LDO, Low IQ, 1.0A CMOS Linear Regulator	6-LLP		680.00/1,000	
LP8340CLD-3.3CT-ND	3,3 V, 1,0 A CMOS-LDO-Linearregler, niedriger Ruhestrom	3.3V, LDO, Low IQ, 1.0A CMOS Linear Regulator	6-LLP	1.16	.93	.79
LP8340CLD-3.3TR-ND	3,3 V, 1,0 A CMOS-LDO-Linearregler, niedriger Ruhestrom	3.3V, LDO, Low IQ, 1.0A CMOS Linear Regulator	6-LLP		680.00/1,000	
LP8340CLD-5.0CT-ND	5 V, 1,0 A CMOS-LDO-Linearregler, niedriger Ruhestrom	5V, LDO, Low IQ, 1.0A CMOS Linear Regulator	6-LLP	1.16	.93	.79
LP8340CLD-5.0TR-ND	5 V, 1,0 A CMOS-LDO-Linearregler, niedriger Ruhestrom	5V, LDO, Low IQ, 1.0A CMOS Linear Regulator	6-LLP		680.00/1,000	
LP8340CLD-ADJCT-ND	Einstellb. 1,0 A CMOS-LDO-Linearregler, niedriger Ruhestrom	Adj., LDO, Low IQ, 1.0A CMOS Linear Regulator	6-LLP	1.16	.93	.79
LP8340CLD-ADJTR-ND	Einstellb. 1,0 A CMOS-LDO-Linearregler, niedriger Ruhestrom	Adj., LDO, Low IQ, 1.0A CMOS Linear Regulator	6-LLP		680.00/1,000	
LP8345CDT-1.8-ND	1,8 V, 500 mA CMOS-LDO-Linearregler, niedriger Ruhestrom	1.8V, LDO, Low IQ, 500mA CMOS Linear Regulator	3-DPAK	.63	.60	.57
LP8345CDT-2.5-ND	2,5 V, 500 mA CMOS-LDO-Linearregler, niedriger Ruhestrom	2.5V, LDO, Low IQ, 500mA CMOS Linear Regulator	3-DPAK	.63	.60	.57
LP8345CDT-3.3-ND	3,3 V, 500 mA CMOS-LDO-Linearregler, niedriger Ruhestrom	3.3V, LDO, Low IQ, 500mA CMOS Linear Regulator	3-DPAK	.63	.60	.57
LP8345CDT-5.0-ND	5 V, 500 mA CMOS-LDO-Linearregler, niedriger Ruhestrom	5V, LDO, Low IQ, 500mA CMOS Linear Regulator	3-DPAK	.63	.60	.57
LP8345CLD-1.8CT-ND	1,8 V, 500 mA CMOS-LDO-Linearregler, niedriger Ruhestrom	1.8V, LDO, Low IQ, 500mA CMOS Linear Regulator	6-LLP	1.01	.81	.69
LP8345CLD-1.8TR-ND	1,8 V, 500 mA CMOS-LDO-Linearregler, niedriger Ruhestrom	1.8V, LDO, Low IQ, 500mA CMOS Linear Regulator	6-LLP		590.00/1,000	
LP8345CLD-2.5CT-ND	2,5 V, 500 mA CMOS-LDO-Linearregler, niedriger Ruhestrom	2.5V, LDO, Low IQ, 500mA CMOS Linear Regulator	6-LLP	1.01	.81	.69
LP8345CLD-2.5TR-ND	2,5 V, 500 mA CMOS-LDO-Linearregler, niedriger Ruhestrom	2.5V, LDO, Low IQ, 500mA CMOS Linear Regulator	6-LLP		590.00/1,000	
LP8345CLD-3.3CT-ND	3,3 V, 500 mA CMOS-LDO-Linearregler, niedriger Ruhestrom	3.3V, LDO, Low IQ, 500mA CMOS Linear Regulator	6-LLP	1.01	.81	.69
LP8345CLD-3.3TR-ND	3,3 V, 500 mA CMOS-LDO-Linearregler, niedriger Ruhestrom	3.3V, LDO, Low IQ, 500mA CMOS Linear Regulator	6-LLP		590.00/1,000	
LP8345CLD-5.0CT-ND	5 V, 500 mA CMOS-LDO-Linearregler, niedriger Ruhestrom	5V, LDO, Low IQ, 500mA CMOS Linear Regulator	6-LLP	1.01	.81	.69
LP8345CLD-5.0TR-ND	5 V, 500 mA CMOS-LDO-Linearregler, niedriger Ruhestrom	5V, LDO, Low IQ, 500mA CMOS Linear Regulator	6-LLP		590.00/1,000	
LP8345CLD-ADJCT-ND	Einstellb. 500 mA CMOS-LDO-Linearregler, niedriger Ruhestrom	Adj., LDO, Low IQ, 500mA CMOS Linear Regulator	6-LLP	1.01	.81	.69
LP8345CLD-ADJTR-ND	Einstellb. 500 mA CMOS-LDO-Linearregler, niedriger Ruhestrom	Adj., LDO, Low IQ, 500mA CMOS Linear Regulator	6-LLP		590.00/1,000	
LP8358MF-1.2CT-ND	1,2 V, 150 mA LDO-Spannungsregler mit „Power Good“	1.2V, 150mA LDO Volt. Regulator with Power Good	SOT-23-5	.37	.35	.34
LP8358MF-1.2TR-ND	1,2 V, 150 mA LDO-Spannungsregler mit „Power Good“	1.2V, 150mA LDO Volt. Regulator with Power Good	SOT-23-5		290.00/1,000	
LP38690DT-1.8-ND	1,8 V, 1 A CMOS-LDO-Linearregler	1.8V, 1A LDO CMOS Linear Regulator	TO-252	1.36	1.08	.92
LP38690DT-2.5-ND	2,5 V, 1 A CMOS-LDO-Linearregler	2.5V, 1A LDO CMOS Linear Regulator	TO-252	1.36	1.08	.92
LP38690DT-3.3-ND	3,3 V, 1 A CMOS-LDO-Linearregler	3.3V, 1A LDO CMOS Linear Regulator	TO-252	1.36	1.08	.92
LP38690DT-5.0-ND	5 V, 1 A CMOS-LDO-Linearregler	5V, 1A LDO CMOS Linear Regulator	TO-252	1.36	1.08	.92
LP38690SD-1.8CT-ND	1,8 V, 1 A CMOS-LDO-Linearregler	1.8V, 1A LDO CMOS Linear Regulator	6-LLP	1.28	1.02	.87
LP38690SD-1.8TR-ND	1,8 V, 1 A CMOS-LDO-Linearregler	1.8V, 1A LDO CMOS Linear Regulator	6-LLP		740.00/1,000	
LP38690SD-2.5CT-ND	2,5 V, 1 A CMOS-LDO-Linearregler	2.5V, 1A LDO CMOS Linear Regulator	6-LLP	1.28	1.02	.87
LP38690SD-2.5TR-ND	2,5 V, 1 A CMOS-LDO-Linearregler	2.5V, 1A LDO CMOS Linear Regulator	6-LLP		740.00/1,000	
LP38690SD-3.3CT-ND	3,3 V, 1 A CMOS-LDO-Linearregler	3.3V, 1A LDO CMOS Linear Regulator	6-LLP	1.28	1.02	.87
LP38690SD-3.3TR-ND	3,3 V, 1 A CMOS-LDO-Linearregler	3.3V, 1A LDO CMOS Linear Regulator	6-LLP		740.00/1,000	
LP38690SD-5.0CT-ND	5 V, 1 A CMOS-LDO-Linearregler	5V, 1A LDO CMOS Linear Regulator	6-LLP	1.28	1.02	.87
LP38690SD-5.0TR-ND	5 V, 1 A CMOS-LDO-Linearregler	5V, 1A LDO CMOS Linear Regulator	6-LLP		740.00/1,000	
LP38690SD-ADJCT-ND	Einstellb. 1 A CMOS-LDO-Linearregler	Adj., 1A LDO CMOS Linear Regulator	6-LLP	1.28	1.02	.87
LP38690SD-ADJTR-ND	Einstellb. 1 A CMOS-LDO-Linearregler	Adj., 1A LDO CMOS Linear Regulator	6-LLP		740.00/1,000	
LP38691DT-1.8-ND	1,8 V, 500 mA CMOS-LDO-Linearregler	1.8V, 500mA LDO CMOS Linear Regulator	TO-252	1.22	.97	.83
LP38691DT-2.5-ND	2,5 V, 500 mA CMOS-LDO-Linearregler	2.5V, 500mA LDO CMOS Linear Regulator	TO-252	1.22	.97	.83
LP38691DT-3.3-ND	3,3 V, 500 mA CMOS-LDO-Linearregler	3.3V, 500mA LDO CMOS Linear Regulator	TO-252	1.22	.97	.83
LP38691DT-5.0-ND	5,0 V, 500 mA CMOS-LDO-Linearregler	5.0V, 500mA LDO CMOS Linear Regulator	TO-252	1.22	.97	.83
LP38691SD-1.8CT-ND	1,8 V, 500 mA CMOS-LDO-Linearregler	1.8V, 500mA LDO CMOS Linear Regulator	6-LLP	1.13	.90	.77
LP38691SD-1.8TR-ND	1,8 V, 500 mA CMOS-LDO-Linearregler	1.8V, 500mA LDO CMOS Linear Regulator	6-LLP		660.00/1,000	
LP38691SD-2.5CT-ND	2,5 V, 500 mA CMOS-LDO-Linearregler	2.5V, 500mA LDO CMOS Linear Regulator	6-LLP	1.13	.90	.77
LP38691SD-2.5TR-ND	2,5 V, 500 mA CMOS-LDO-Linearregler	2.5V, 500mA LDO CMOS Linear Regulator	6-LLP		660.00/1,000	
LP38691SD-3.3CT-ND	3,3 V, 500 mA CMOS-LDO-Linearregler	3.3V, 500mA LDO CMOS Linear Regulator	6-LLP	1.13	.90	.77
LP38691SD-3.3TR-ND	3,3 V, 500 mA CMOS-LDO-Linearregler	3.3V, 500mA LDO CMOS Linear Regulator	6-LLP		660.00/1,000	
LP38691SD-5.0CT-ND	5,0 V, 500 mA CMOS-LDO-Linearregler	5.0V, 500mA LDO CMOS Linear Regulator	6-LLP	1.13	.90	.77
LP38691SD-5.0TR-ND	5,0 V, 500 mA CMOS-LDO-Linearregler	5.0V, 500mA LDO CMOS Linear Regulator	6-LLP		660.00/1,000	
LP38691SD-ADJCT-ND	Einstellb. 500 mA CMOS-LDO-Linearregler	Adj., 500mA LDO CMOS Linear Regulator	6-LLP	1.13	.90	.77

(Forts.)

★ RUFEN SIE BITTE AN FÜR NIEDRIGERE PREISE BEI GRÖSSEREN MENGEN! ★

B

Digi-Key Teilenr.	Beschreibung		Paket	Stückpreis★ 1	25	100
LP38691SD-ADJTR-ND	Einstellb. 500 mA CMOS-LDO-Linearregler	Adj., 500mA LDO CMOS Linear Regulator	6-LLP		660.00/1,000	
LP38692MP-1.8CT-ND	1,8 V, 1 A CMOS-LDO-Linearregler	1.8V, 1A LDO CMOS Linear Regulator	SOT-223-5	1.42	1.13	.96
LP38692MP-1.8TR-ND	1,8 V, 1 A CMOS-LDO-Linearregler	1.8V, 1A LDO CMOS Linear Regulator	SOT-223-5		820.00/1,000	
LP38692MP-2.5CT-ND	2,5 V, 1 A CMOS-LDO-Linearregler	2.5V, 1A LDO CMOS Linear Regulator	SOT-223-5	1.42	1.13	.96
LP38692MP-2.5TR-ND	2,5 V, 1 A CMOS-LDO-Linearregler	2.5V, 1A LDO CMOS Linear Regulator	SOT-223-5		820.00/1,000	
LP38692MP-3.3CT-ND	3,3 V, 1 A CMOS-LDO-Linearregler	3.3V, 1A LDO CMOS Linear Regulator	SOT-223-5	1.42	1.13	.96
LP38692MP-3.3TR-ND	3,3 V, 1 A CMOS-LDO-Linearregler	3.3V, 1A LDO CMOS Linear Regulator	SOT-223-5		820.00/1,000	
LP38692MP-5.0CT-ND	5 V, 1 A CMOS-LDO-Linearregler	5V, 1A LDO CMOS Linear Regulator	SOT-223-5	1.42	1.13	.96
LP38692MP-5.0TR-ND	5 V, 1 A CMOS-LDO-Linearregler	5V, 1A LDO CMOS Linear Regulator	SOT-223-5		820.00/1,000	
LP38692MP-ADJCT-ND	Einstellb. 1 A CMOS-LDO-Linearregler	Adj., 1A LDO CMOS Linear Regulator	SOT-223-5	1.42	1.13	.96
LP38692MP-ADJTR-ND	Einstellb. 1 A CMOS-LDO-Linearregler	Adj., 1A LDO CMOS Linear Regulator	SOT-223-5		820.00/1,000	
LP38692SD-1.8CT-ND	1,8 V, 1 A CMOS-LDO-Linearregler	1.8V, 1A LDO CMOS Linear Regulator	6-LLP	1.42	1.13	.96
LP38692SD-1.8TR-ND	1,8 V, 1 A CMOS-LDO-Linearregler	1.8V, 1A LDO CMOS Linear Regulator	6-LLP		820.00/1,000	
LP38692SD-2.5CT-ND	2,5 V, 1 A CMOS-LDO-Linearregler	2.5V, 1A LDO CMOS Linear Regulator	6-LLP	1.42	1.13	.96
LP38692SD-2.5TR-ND	2,5 V, 1 A CMOS-LDO-Linearregler	2.5V, 1A LDO CMOS Linear Regulator	6-LLP		820.00/1,000	
LP38692SD-3.3CT-ND	3,3 V, 1 A CMOS-LDO-Linearregler	3.3V, 1A LDO CMOS Linear Regulator	6-LLP	1.42	1.13	.96
LP38692SD-3.3TR-ND	3,3 V, 1 A CMOS-LDO-Linearregler	3.3V, 1A LDO CMOS Linear Regulator	6-LLP		820.00/1,000	
LP38692SD-5.0CT-ND	5 V, 1 A CMOS-LDO-Linearregler	5V, 1A LDO CMOS Linear Regulator	6-LLP	1.42	1.13	.96
LP38692SD-5.0TR-ND	5 V, 1 A CMOS-LDO-Linearregler	5V, 1A LDO CMOS Linear Regulator	6-LLP		820.00/1,000	
LP38692SD-ADJCT-ND	Einstellb. 1 A CMOS-LDO-Linearregler	Adj., 1A LDO CMOS Linear Regulator	6-LLP	1.42	1.13	.96
LP38692SD-ADJTR-ND	Einstellb. 1 A CMOS-LDO-Linearregler	Adj., 1A LDO CMOS Linear Regulator	6-LLP		820.00/1,000	
LP38693MP-1.8CT-ND	1,8 V, 500 mA CMOS-LDO-Linearregler	1.8V, 500mA LDO CMOS Linear Regulator	SOT-223	1.28	1.02	.87
LP38693MP-1.8TR-ND	1,8 V, 500 mA CMOS-LDO-Linearregler	1.8V, 500mA LDO CMOS Linear Regulator	SOT-223		740.00/1,000	
LP38693MP-2.5CT-ND	2,5 V, 500 mA CMOS-LDO-Linearregler	2.5V, 500mA LDO CMOS Linear Regulator	SOT-223	1.28	1.02	.87
LP38693MP-2.5TR-ND	2,5 V, 500 mA CMOS-LDO-Linearregler	2.5V, 500mA LDO CMOS Linear Regulator	SOT-223		740.00/1,000	
LP38693MP-3.3CT-ND	3,3 V, 500 mA CMOS-LDO-Linearregler	3.3V, 500mA LDO CMOS Linear Regulator	SOT-223	1.28	1.02	.87
LP38693MP-3.3TR-ND	3,3 V, 500 mA CMOS-LDO-Linearregler	3.3V, 500mA LDO CMOS Linear Regulator	SOT-223		740.00/1,000	
LP38693MP-5.0CT-ND	5,0 V, 500 mA CMOS-LDO-Linearregler	5.0V, 500mA LDO CMOS Linear Regulator	SOT-223	1.28	1.02	.87
LP38693MP-5.0TR-ND	5,0 V, 500 mA CMOS-LDO-Linearregler	5.0V, 500mA LDO CMOS Linear Regulator	SOT-223		740.00/1,000	
LP38693MP-ADJCT-ND	Einstellb. 500 mA CMOS-LDO-Linearregler	Adj., 500mA LDO CMOS Linear Regulator	SOT-223	1.28	1.02	.87
LP38693MP-ADJTR-ND	Einstellb. 500 mA CMOS-LDO-Linearregler	Adj., 500mA LDO CMOS Linear Regulator	SOT-223		740.00/1,000	
LP38693SD-1.8CT-ND	1,8 V, 500 mA CMOS-LDO-Linearregler	1.8V, 500mA LDO CMOS Linear Regulator	6-LLP	1.28	1.02	.87
LP38693SD-1.8TR-ND	1,8 V, 500 mA CMOS-LDO-Linearregler	1.8V, 500mA LDO CMOS Linear Regulator	6-LLP		740.00/1,000	
LP38693SD-2.5CT-ND	2,5 V, 500 mA CMOS-LDO-Linearregler	2.5V, 500mA LDO CMOS Linear Regulator	6-LLP	1.28	1.02	.87
LP38693SD-2.5TR-ND	2,5 V, 500 mA CMOS-LDO-Linearregler	2.5V, 500mA LDO CMOS Linear Regulator	6-LLP		740.00/1,000	
LP38693SD-3.3CT-ND	3,3 V, 500 mA CMOS-LDO-Linearregler	3.3V, 500mA LDO CMOS Linear Regulator	6-LLP	1.28	1.02	.87
LP38693SD-3.3TR-ND	3,3 V, 500 mA CMOS-LDO-Linearregler	3.3V, 500mA LDO CMOS Linear Regulator	6-LLP		740.00/1,000	
LP38693SD-5.0CT-ND	5,0 V, 500 mA CMOS-LDO-Linearregler	5.0V, 500mA LDO CMOS Linear Regulator	6-LLP	1.28	1.02	.87
LP38693SD-5.0TR-ND	5,0 V, 500 mA CMOS-LDO-Linearregler	5.0V, 500mA LDO CMOS Linear Regulator	6-LLP		740.00/1,000	
LP38693SD-ADJCT-ND	Einstellb. 500 mA CMOS-LDO-Linearregler	Adj., 500mA LDO CMOS Linear Regulator	6-LLP	1.28	1.02	.87
LP38693SD-ADJTR-ND	Einstellb. 500 mA CMOS-LDO-Linearregler	Adj., 500mA LDO CMOS Linear Regulator	6-LLP		740.00/1,000	
LP38841MR-ADJ-ND	Einstellb. 0,8 A LDO-Linearregler	Adj., 0.8A, LDO Linear Regulator	8-PSOP	5.91	4.70	4.01
LP38841S-0.8-ND	0,8 V, 0,8 A LDO-Linearregler	0.8V, 0.8A, LDO Linear Regulator	TO-263-5	5.91	4.70	4.01
LP38841S-1.2-ND	1,2 V, 0,8 A LDO-Linearregler	1.2V, 0.8A, LDO Linear Regulator	TO-263-5	5.91	4.70	4.01
LP38841S-1.5-ND	1,5 V, 0,8 A LDO-Linearregler	1.5V, 0.8A, LDO Linear Regulator	TO-263-5	5.91	4.70	4.01
LP38841T-0.8-ND	0,8 V, 0,8 A LDO-Linearregler	0.8V, 0.8A, LDO Linear Regulator	TO-220-5	5.91	4.70	4.01
LP38841T-1.2-ND	1,2 V, 0,8 A LDO-Linearregler	1.2V, 0.8A, LDO Linear Regulator	TO-220-5	5.91	4.70	4.01
LP38841T-1.5-ND	1,5 V, 0,8 A LDO-Linearregler	1.5V, 0.8A, LDO Linear Regulator	TO-220-5	5.91	4.70	4.01
LP38842MR-ADJ-ND	Einstellb. 1,5 A LDO-Linearregler	Adj., 1.5A, LDO Linear Regulator	8-PSOP	6.18	4.91	4.20
LP38842S-0.8-ND	0,8 V, 1,5 A LDO-Linearregler	0.8V, 1.5A, LDO Linear Regulator	TO-263-5	6.18	4.91	4.20
LP38842S-1.2-ND	1,2 V, 1,5 A LDO-Linearregler	1.2V, 1.5A, LDO Linear Regulator	TO-263-5	6.18	4.91	4.20
LP38842S-1.5-ND	1,5 V, 1,5 A LDO-Linearregler	1.5V, 1.5A, LDO Linear Regulator	TO-263-5	6.18	4.91	4.20
LP38842T-0.8-ND	0,8 V, 1,5 A LDO-Linearregler	0.8V, 1.5A, LDO Linear Regulator	TO-220-5	6.18	4.91	4.20
LP38842T-1.2-ND	1,2 V, 1,5 A LDO-Linearregler	1.2V, 1.5A, LDO Linear Regulator	TO-220-5	6.18	4.91	4.20
LP38842T-1.5-ND	1,5 V, 1,5 A LDO-Linearregler	1.5V, 1.5A, LDO Linear Regulator	TO-220-5	6.18	4.91	4.20
LP38843S-0.8-ND	0,8 V, 3 A LDO-Linearregler	0.8V, 3A, LDO Linear Regulator	TO-263-5	7.61	6.05	5.17
LP38843S-1.2-ND	1,2 V, 3 A LDO-Linearregler	1.2V, 3A, LDO Linear Regulator	TO-263-5	7.61	6.05	5.17
LP38843S-1.5-ND	1,5 V, 3 A LDO-Linearregler	1.5V, 3A, LDO Linear Regulator	TO-263-5	7.61	6.05	5.17
LP38843T-0.8-ND	0,8 V, 3 A LDO-Linearregler	0.8V, 3A, LDO Linear Regulator	TO-220-5	7.61	6.05	5.17
LP38843T-1.2-ND	1,2 V, 3 A LDO-Linearregler	1.2V, 3A, LDO Linear Regulator	TO-220-5	7.61	6.05	5.17
LP38843T-1.5-ND	1,5 V, 3 A LDO-Linearregler	1.5V, 3A, LDO Linear Regulator	TO-220-5	7.61	6.05	5.17
LPC660AIM-ND	Vierf. CMOS-OpAmp, NL, Klasse A	Low Power Quad CMOS Op Amp, A Grade	14-SOIC	2.07	1.96	1.86
LPC660IM-ND	Vierf. CMOS-OpAmp, NL	Low Power Quad CMOS Op Amp	14-SOIC	1.63	1.54	1.47
LPC661IM-ND	Vierf. CMOS-OpAmp, NL	Low Power CMOS Op Amp	8-SOIC	2.00	1.59	1.36
LPC662AIM-ND	Vierf. CMOS-OpAmp, NL, Klasse A	Low Power Dual CMOS Op Amp, A Grade	8-SOIC	1.73	1.64	1.56
LPC662IM-ND	Vierf. CMOS-OpAmp, NL	Low Power Quad CMOS Op Amp	8-SOIC	1.35	1.29	1.22
LPV321M5CT-ND	Einf. Mehrzweck-R/R-Ausgangs-OpAmp, Niederspannung, NL	Single General Purpose Low Volt, LP, R/R Out Op Amp	SOT-23-5	.47	.45	.43
LPV321M5TR-ND	Einf. Mehrzweck-R/R-Ausgangs-OpAmp, Niederspannung, NL	Single General Purpose Low Volt, LP, R/R Out Op Amp	SOT-23-5		360.00/1,000	
LPV321M7CT-ND	Einf. Mehrzweck-R/R-Ausgangs-OpAmp, Niederspannung, NL	Single General Purpose Low Volt, LP, R/R Out Op Amp	SC-70-5	.47	.45	.43
LPV321M7TR-ND	Einf. Mehrzweck-R/R-Ausgangs-OpAmp, Niederspannung, NL	Single General Purpose Low Volt, LP, R/R Out Op Amp	SC-70-5		360.00/1,000	
LPV324M-ND	Vierf. Mehrzweck-R/R-Ausgangs-OpAmp, Niederspannung, NL	Quad General Purpose Low Volt, LP, R/R Out Op Amp	14-SOIC	1.13	.90	.77
LPV324MT-ND	Vierf. Mehrzweck-R/R-Ausgangs-OpAmp, Niederspannung, NL	Quad General Purpose Low Volt, LP, R/R Out Op Amp	14-TSSOP	1.16	.93	.79
LPV358M-ND	Zweif. Mehrzweck-R/R-Ausgangs-OpAmp, Niederspannung, NL	Dual General Purpose Low Volt, LP, R/R Out Op Amp	8-SOIC	.54	.51	.49
LPV358MMCT-ND	Zweif. Mehrzweck-R/R-Ausgangs-OpAmp, Niederspannung, NL	Dual General Purpose Low Volt, LP, R/R Out Op Amp	8-MSOP	.54	.51	.49
LPV358MMTR-ND	Zweif. Mehrzweck-R/R-Ausgangs-OpAmp, Niederspannung, NL	Dual General Purpose Low Volt, LP, R/R Out Op Amp	8-MSOP		420.00/1,000	
MAX660M-ND	Schaltkondensator-Spannungswandler	Switch Capacitor Volt Converter	8-SOIC	1.01	.79	.60
MCP809M3-4.63CT-ND	4,63 V Mikroprozessor-Reset-Schaltung	4.63V, Microprocessor Reset Circuit	SOT-23	.56	.44	.38
MCP809M3-4.63TR-ND	4,63 V Mikroprozessor-Reset-Schaltung	4.63V, Microprocessor Reset Circuit	SOT-23		320.00/1,000	
MF10ACN-ND	Mehrzweck-Doppelaktivfilter, Klasse A	General Purpose Dual Active Filter, A Grade	20-Dip	5.16	4.10	3.51
MF10CCN-ND	Mehrzweck-Doppelaktivfilter	General Purpose Dual Active Filter	20-Dip	2.16	2.05	1.95
MF10CCWM-ND	Zweif. monolithischer Univeral-Schaltkondensatorfilter	Universal Monolithic Dual Switched Capacitor Filter	20-SOIC	4.15	3.30	2.82
MM5452V-ND	Flüssigkristallanzeige-Treiber, 32 Segmente	Liquid Crystal Display Driver, 32 Segments	44-PLCC	3.41	3.24	3.08
MM5453V-ND	Flüssigkristallanzeige-Treiber, 32 Segmente	Liquid Crystal Display Driver, 32 Segments	44-PLCC	5.73	4.56	3.89
MM5483N-ND	Flüssigkristallanzeige-Treiber, 31 Segmente	Liquid Crystal Display Driver, 31 Segments	40-Dip	6.68	5.31	4.54
MM145453V-ND	Flüssigkristallanzeige-Treiber, 33 Segmente	Liquid Crystal Display Driver, 33 Segments	44-PLCC	3.61	3.43	3.25
PC87360-ICK/VLA-ND	LPC Super E/A mit Schutz und GPIO-Support	LPC SuperI/O, Protection and GPIO Support	128-PQFP	4.69	3.73	3.18
PC87363-IBW/VLA-ND	LPC Super E/A mit MIDI- und Game Ports, erweiterter Weckfunktion und Schutz	LPC SuperI/O, with MIDI and Game Ports, Extended Wake-Up and Protection	128-PQFP	5.76	4.58	3.92
PC87364-ICK/VLA-ND	LPC Super E/A mit erweiterter Weckfunktion und Schutz	LPC SuperI/O, Extended Wake-Up/Protection	128-PQFP	5.68	4.52	3.86
PC87366-ICK/VLA-ND	LPC Super E/A mit Hardware-Überwachung, MIDI- und Game Ports	LPC SuperI/O, Hardware Monitoring, MIDI and Game Ports	128-PQFP	5.68	4.52	3.86
PC87373-IBW/VLA-ND	LPC Super E/A mit Klebefunktionen	LPC SuperI/O with Glue Functions	128-PQFP	5.31	4.22	3.61
PC87373-ICG/VLA-ND	LPC Super E/A mit Klebefunktionen	LPC SuperI/O with Glue Functions	128-PQFP	9.63	7.66	6.54
PC87435-VPC-ND	Erweiterter IPMI Baseboard Management-Controller	Enhanced IPMI Baseboard Mgmt Controller	128-LQFP	28.40	22.58	19.30
PC97338VLJ-ND	Super E/A erfüllt die Anforderungen von ACPI 1.0 und PC98/99	ACPI 1.0 and PC98/99 Super I/O	100-PQFP	9.71	7.72	6.60
SCAN92LV090SLC-ND	9-Kan. LVDS-Transceiver mit Boundary SCAN	9 Ch. LVDS Transceiver with Boundary SCAN	64-FBGA	14.14	11.25	9.61
SCAN92LV090VEH-ND	9-Kan. LVDS-Transceiver mit Boundary SCAN	9 Ch. LVDS Transceiver with Boundary SCAN	64-LQFP	14.14	11.25	9.61
SCAN16512ASM-ND	Universal 16-Bit IEEE 1149.1 Bus-Transceiver, Niederspannung,Tri-State	Tri-St. Low Voltage Universal 16-Bit IEEE 1149.1 Bus Transceiver	64-FBGA	8.23	6.55	5.60
SCAN16602SM-ND	Universal 16-Bit IEEE 1149.1 Bus-Transceiver, Niederspannung	LV Universal 16-Bit IEEE 1149.1 Bus Transceiver	64-FBGA	7.79	6.19	5.29
SCAN162512ASM-ND	Universal 16-Bit IEEE 1149.1 Bus-Transceiver, Niederspannung,Tri-State	Tri-St. Low Voltage Universal 16-Bit IEEE 1149.1 Bus Transceiver	64-FBGA	8.23	6.55	5.60
SCAN162602SM-ND	Universal 16-Bit IEEE 1149.1 Bus-Transceiver, Niederspannung	LV Universal 16-Bit IEEE 1149.1 Bus Transceiver	64-FBGA	7.79	6.19	5.29
SCAN921023SLC-ND	20-66 MHz 10-Bit Serialisierer mit IEEE 1149.1 JTAG und BIST	20-66MHz, 10-Bit Serializer with IEEE 1149.1 JTAG and BIST	49-FBGA	15.31	12.17	10.40

(Forts.)

★ RUFEN SIE BITTE AN FÜR NIEDRIGERE PREISE BEI GRÖSSEREN MENGEN! ★

Alle Preisangaben in Euro und inklusive Zollgebühren.

Microsemi

Microsemi Integrated Products Group, früher Linfinity, entwickelt und produziert Analog- und Mischsignalhalbleiter speziell für Licht-, Leistungs-, Audio- und Kommunikationsprodukte.

Neu: Die neuesten CCFL-Invertermodule: PanelMatch™ (fettgedruckte Elemente) Programmierbarer Ausgangsstrom, preiswert, leistungsfähiger, kleinere Modulgröße, industrielle Temperaturen und breiteste auf dem Markt erhältliche Dimmung.

Digitale und analoge Dimm/Automatik-Strike-Spannungsgenerierung/Offen- und Kurzschlussfehlererkennung mit autom. Abschaltung 3,3 V, 5 V und 12 V-Eingänge

Modul	IC	Ausgang	Eingangs-spannung	Ausgangsleistung (W)	Dimm-Verhältnis	Beschreibung
			Einf. Ausgangs-Inverter			
LXM1612-vv-Wc	LX1686	Einf.	5V, 12V	4	100:1+	Standard-Dimmung, Direktantrieb
LXM1614-14-11	LX1686	Einf.	13.5V	6	150:1+	Breite Temperatur-, Analog- und Digital-Dimmung mit gesteuertem Boost
LXM1615-vv-Wc	LX1686	Einf.	3.6V, 5V	2	100:1+	3,6 V/5 V, 2 W Hochleistungs-Digitaldimmung
LXM1617-03-2c	**LX1689**	**Einf.**	**3.3V**	**2**	**50:1+**	**3 V, Mini-Version, voll ausgestattet, hohe Effizienz**
LXM1617-05-Wc	**LX1689**	**Einf.**	**5V**	**2, 4, 6**	**50:1+**	**5 V, Mini-Version, voll ausgestattet, hohe Effizienz**
LXM1617-12-Wc	**LX1689**	**Einf.**	**12V**	**4, 6**	**50:1+**	**12 V, Mini-Version, voll ausgestattet, hohe Effizienz**
LXM1618-03-2c	**LX1689**	**Einf.**	**3V**	**2**	**3:1+**	**3,3 V, preiswerte Standard-Dimmung**
LXM1618-05-Wc	**LX1689**	**Einf.**	**5V**	**2, 4, 6**	**3:1+**	**5 V, preiswerte Standard-Dimmung**
LXM1618-12-Wc	**LX1689**	**Einf.**	**12V**	**4, 6**	**3:1+**	**12 V, preiswerte Standard-Dimmung**
			Zweif. Ausgangs-Inverter			
LXM1621-01	LX1585	Zweif.	12V	3-5	100:1+	Digitale Dimmung, 2 Lampen
LXM1621-02	LX1585	Zweif.	12V	3-5	100:1+	Digitale Dimmung, 2 Lampen
LXM1621-03	LX1585	Zweif.	12V	3-5	100:1+	Digitale Dimmung, 2 Lampen
LXM1621-04	LX1585	Zweif.	12V	3-5	100:1+	Digitale Dimmung, 2 Lampen
LXM1623-05-Wc	**LX1689**	**Zweif.**	**5V**	**4, 6**	**50:1+**	**Kleine Version, voll ausgestattet, hohe Effizienz, 2 Lampen**
LXM1623-05-44	**LX1689**	**Zweif.**	**5V**	**4**	**50:1+**	**Kleine Version, voll ausgestattet, hohe Effizienz: 2 Ausgänge auf einer Seite, 2 Lampen**
LXM1623-12-44	**LX1689**	**Zweif.**	**12V**	**4**	**50:1+**	**Kleine Version, voll ausgestattet, hohe Effizienz: 2 Ausgänge auf einer Seite, 2 Lampen**
LXM1623-12-Wc	**LX1689**	**Zweif.**	**12V**	**4, 6**	**50:1+**	**Kleine Version, voll ausgestattet, hohe Effizienz, 2 Lampen**
LXM1624-12-Wc	**LX1689**	**Zweif.**	**12V**	**4, 6**	**3:1+**	**12 V, preiswerte Standard-Dimmung, 2 Lampen**
LXM1626-12-64	**LX1691**	**Zweif.**	**12V**	**6**	**100:1+**	**Kleine Version, voll ausgestattet, hohe Effizienz: 2 Ausgänge auf einer Seite, 2 Lampen**
			Vierf. Ausgangs-Inverter			
LXM1643-12-6c	**LX1689**	**Vierf.**	**12V**	**6**	**50:1+**	**Kleine Version, voll ausgestattet, hohe Effizienz, 4 Lampen**
LXM1644-12-6c	**LX1689**	**Vierf.**	**12V**	**6**	**3:1+**	**Standard-Dimmung, 4 Lampen**

Bauen Sie Ihren eigenen CCFL-Inverter

Microsemi CCFL Controller bieten branchenweit die höchste Effizienz und den breitesten Dimmbereich und enthält die geringste Zahl von Controller-Komponenten überhaupt!
TSSOP Paket: **LX1689, LX1688 oder LX1691**

Kompletter BOM, Inverter

1x	LX1689
1x	Transformator
1x	Zweif. FET
2x	Steckverbinder
7x	Widerstände
10x	Kondensatoren
22	**Gesamtkomponenten**

Sichtbare Lichtsensoren

Die Lichtsensoren erkennen nur Licht, das mit dem menschlichen Auge erkennbar ist, sind preiswert und benötigen nur wenige Komponenten.
Automatische Helligkeitssteuerung für CCFL von LEDs, winziges MSOP 8 Paket.
VERLÄNGERN SIE DIE HALTBARKEIT IHRER LAMPEN — VERLÄNGERN SIE DIE HALTBARKEIT IHRER BATTERIEN!

- **LX1970**
- **LX1971**— Breiter dynamischer Bereich
- **LX1972**— Preiswert, ultrakleines 1206-Paket

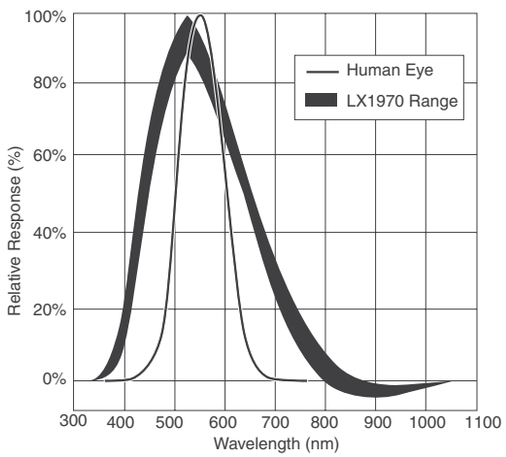

LED-Treiber

Hohe Effizienz, paralleler und serieller Antrieb, Stromsenken-LED-Treiber, perfekt für Geräte im Handformat und mit Batteriebetrieb

- **LX1990** — Zweif. Ausgang, 6 LEDs
- **LX1991** — 6. Ausgänge, 100 LEDs
- **LX1992** — Serienantrieb, 80 % Eff. 10 LEDs
- **LX1993** — Serienantrieb, 82 % Eff. 10 LEDs
- **LX1994** — Doppelmodus, 82 % Eff. ext. MOSFET, 10 LEDs
- **LX1995** — Doppelmodus, 85 % Eff. int. MOSFET, 10 LEDs, TSOT-5

Multi-Ausgangs-PWMs

Hoch integrierter Spannungversorgungs-Controller

- **LX1671** — 3 PWM, 1 LDO Ausgang, 300 kHz, bis zu 12 Vin
- **LX1672** — 2 PWM, 1 LDO, 300/500/600 kHz, bis zu 12 Vin
- **LX1673** — 1 PWM, 1 LDO, 300/600/900 kHz, bis zu 12 Vin

Hauptmerkmale:

• Bi-Phasen-Stromteilung • Programmierbarer Soft-Start • Leistungssequenzierung • Keine Stromsensorwiderstände • Niedrige Ausgangsspannung bis auf 0,8 V hinab • Einst. und feste Ausgangskombinationen

Anwendungen:

• DDR- Speicherterminierung • FPGA, CPU, MCU Netzteil • Videokarten-Stromversorgung • PC-Peripherals • Computer-Ergänzungskarten

Was noch?

• Lithium-Ionen-Batterieladegerät? • SCSI-Anschlüsse? • PWMs? • LDOs? • Audio-Verst., Klasse D? • WLAN 802.11a/b/g?

www.Microsemi.com

Zertifiziert gemäß QS9000 und ISO9000

National Semiconductor™ — SERIE LINEAR *(Forts.)*

Digi-Key Teilenr.	Beschreibung		Paket	Stückpreis★ 1	25	100
SCAN921025SLC-ND	30-80 MHz 10-Bit Serialisierer mit IEEE 1149.1 JTAG und BIST	30-80MHz 10-Bit Serializer with IEEE 1149.1 JTAG and BIST	49-FBGA	15.87	12.62	10.78
SCAN921224SLC-ND	20-66 MHz 10-Bit Deserialisierer mit IEEE 1149.1 JTAG und BIST	20-66MHz, 10-Bit Deserializer with IEEE 1149.1 JTAG and BIST	49-FBGA	15.31	12.17	10.40
SCAN921226SLC-ND	30-80 MHz 10-Bit Deserialisierer mit IEEE 1149.1 JTAG und BIST	30-80MHz 10-Bit Deserializer with IEEE 1149.1 JTAG and BIST	49-FBGA	15.87	12.62	10.78
SCAN921260UJB-ND	x6 1:10 Deserialisierer mit IEEE 1149.1 JTAG und BIST	X6 1:10 Deserializer with IEEE 1149.1 JTAG and BIST	196-LBGA	56.69	45.08	38.52
SCAN926260TUF-ND	x6 1:10 Bus LVDS Deserialisierer mit IEEE 1149.1 und BIST	X6 1:10 Bus LVDS Deserializer w/IEEE 1149.1 and BIST	196-LBGA	56.69	45.08	38.52
SCANH16602SM-ND	Universal 16-Bit IEEE 1149.1 Bus-Transceiver, Niederspannung	LV Universal 16-Bit IEEE 1149.1 Bus Transceiver	64-FBGA	7.79	6.19	5.29
SCANH162602SM-ND	Universal 16-Bit IEEE 1149.1 Bus-Transceiver, Niederspannung	LV Universal 16-Bit IEEE 1149.1 Bus Transceiver	64-FBGA	7.79	6.19	5.29
SCANSTA101SM-ND	IEEE 1149.1 STA Master, Niederspannung	Low Voltage IEEE 1149.1 STA Master	49-FBGA	25.51	20.28	17.33
SCANSTA111MT-ND	Erweiterter adressierbarer SCAN Bridge Multidrop IEEE 1149.1 JTAG-Port	Enhanced SCAN Bridge, Multidrop Addressable IEEE 1149.1 JTAG Port	48-TSSOP	14.02	11.15	9.53
SCANSTA111SM-ND	Erweiterter adressierbarer SCAN Bridge Multidrop IEEE 1149.1 JTAG-Port	Enhanced SCAN Bridge, Multidrop Addressable IEEE 1149.1 JTAG Port	49-FBGA	14.02	11.15	9.53
SCANSTA112SM-ND	Multidrop IEEE 1149.1 JTAG-Multiplexer, 7 Ports	7-Port Multidrop IEEE 1149.1 JTAG Mux	100-FBGA	17.72	14.09	12.04
SCANSTA112VS-ND	Multidrop IEEE 1149.1 JTAG-Multiplexer, 7 Ports	7-Port Multidrop IEEE 1149.1 JTAG Mux	100-TQFP	17.72	14.09	12.04
TL082CM-ND	Zweif. Breitband-OpAmp, JFET-Eingang	Wide Bandwidth Dual JFET Input Op Amp	8-SOIC	.55	.52	.49
TL082CMXTR-ND	Zweif. Breitband-OpAmp, JFET-Eingang	Wide Bandwidth Dual JFET Input Op Amp	8-SOIC		1400.00/2,500	
TL082CPNS-ND	Zweif. Bi-FET-OpAmp	Bi-FET Dual Op Amp	8-Dip	1.07	.85	.72
USBN9603-28M-ND	Universal Serial Bus Vollgeschwindigkeits-Knoten-Controller mit erweitertem DMA-Support	Universal Serial Bus Full Speed Node Controller with Enhanced DMA Support	28-SOIC	4.32	4.10	3.90
USBN9603SLBXCT-ND	Universal Serial Bus Vollgeschwindigkeits-Knoten-Controller mit erweitertem DMA-Support	Universal Serial Bus Full Speed Node Controller with Enhanced DMA Support	28-Laminate	8.92	7.09	6.06
USBN9603SLBXTR-ND	Universal Serial Bus Vollgeschwindigkeits-Knoten-Controller mit erweitertem DMA-Support	Universal Serial Bus Full Speed Node Controller with Enhanced DMA Support	28-Laminate		12975.00/2,500	
USBN9604SLBXCT-ND	Universal Serial Bus Vollgeschwindigkeits-Knoten-Controller mit erweitertem DMA-Support	Universal Serial Bus Full Speed Node Controller with Enhanced DMA Support	28-CSP	8.50	6.76	5.78
USBN9604SLBXTR-ND	Universal Serial Bus Vollgeschwindigkeits-Knoten-Controller mit erweitertem DMA-Support	Universal Serial Bus Full Speed Node Controller with Enhanced DMA Support	28-CSP		12375.00/2,500	

Microsemi INTEGRATED PRODUCTS — ANWENDUNGSSPEZIFISCHE INTEGRIERTE SCHALTUNGEN

Digi-Key Teilenr.	Beschreibung		Paket	Stückpreis★ 1	25	100
LX1554CM-ND	16 V ultraniedriger Start-Up-Strom, Strom-Modus-PWM	16V, Ultra-Low Start-Up Current, Current-Mode PWM	8-Dip	1.75	1.60	1.49
LX1562IM-ND	13,1 V Leistungsfaktor-Controller, 2. Generation	13.1V, Second Generation Power Factor Controller	8-Dip	1.75	1.60	1.49
LX1563IDM-ND	9,8 V Leistungsfaktor-Controller, 2. Generation	9.8V, Second Generation Power Factor Controller	8-SOIC	1.85	1.69	1.57
LX1671CLQ-ND	LoadSHARE™ PWM, mehrere Ausgänge	Multiple Output LoadSHARE™ PWM	38-MLPQ	4.81	4.40	4.08
LX1672-03CPW-ND	LoadSHARE™ PWM, mehrere Ausgänge	Multiple Output LoadSHARE™ PWM	28-TSSOP	3.80	3.47	3.22
LX1672-05CPW-ND	LoadSHARE™ PWM, mehrere Ausgänge	Multiple Output LoadSHARE™ PWM	28-TSSOP	3.80	3.47	3.22
LX1676CPW-ND	Mobile AMD Athlon™ VRM Controller	Mobile AMD Athlon™ VRM Controller	38-TSSOP	5.37	4.82	4.13
LX1688CPW-ND	CCFL Controller für mehrere Lampen	Multiple Lamp CCFL Controller	24-TSSOP	3.27	2.94	2.52
LX1688IPW-ND	CCFL Controller für mehrere Lampen	Multiple Lamp CCFL Controller	24-TSSOP	3.91	3.52	3.01
LX1722CDB-ND	Stereo-Leistungsverst.-Controller, Klasse D	Class-D Stereo Power Amp Controller	44-QSOP	7.61	6.83	5.86
LX1741CDU-ND	Hochspannungs-Boost-Controller mit hohem Wirkungsgrad	High Efficiency High Voltage Boost Controller	8-MSOP	1.17	1.06	.91
LX1742CDU-ND	Hochspannungs-Boost-Controller mit hohem Wirkungsgrad	High Efficiency High Voltage Boost Controller	8-MSOP	1.62	1.46	1.25
LX2201CLQ-ND	USB Li-Ion Batterieladegerät	USB Li-Ion Battery Charger	20-MLP	2.12	1.90	1.63
LX5250CDBCT-ND	Multimode SCSI Abschluss, 9 Leitungen	9-Line Multimode SCSI Terminator	36-QSOP	3.30	2.97	2.54
LX5250CDBTR-ND	Multimode SCSI Abschluss, 9 Leitungen	9-Line Multimode SCSI Terminator	36-QSOP		2201.16/1,000	
LX5250CPW-ND	Multimode SCSI Abschluss, 9 Leitungen	9-Line Multimode SCSI Terminator	28-TSSOP	3.30	2.97	2.54
LX5251CPW-ND	Multimode SCSI Abschluss, 9 Leitungen	9-Line Multimode SCSI Terminator	24-TSSOP	3.30	2.97	2.54
LX5255CPW-ND	LVD SCSI Abschluss, 9 Leitungen	9-Line LVD SCSI Terminator	24-TSSOP	3.30	2.97	2.54
LX5261CDP-ND	LVD SCSI Quelle/Senke-Regler, 27 Leitungen	27-Line LVD SCSI Source/Sink Regulator	16-SOIC	3.89	3.56	3.31
LX6431ACDM-ND	Progr. Präzisionsreferenz	Precision Programmable Reference	8-SOIC	.76	.70	.65
LX7001CDM-ND	Unterspannungserkennungskreis, transiente Immunität	Transient Immune Undervoltage Sensing Circuit	8-SOIC	.97	.89	.83
LX9501-ND	Eingangssteckverbinderkabel-Bausatz	Input-Connector Cable Assembly	—	4.13	3.71	3.18
MC33064DMCT-ND	Unterspannungserkennungskreis	Undervoltage Sensing Circuit	8-SOIC	.91	.82	.70
MC33064DMTR-ND	Unterspannungserkennungskreis	Undervoltage Sensing Circuit	8-SOIC		1513.30/2,500	
SG2524BDW-ND	Impulsbreiten-Regulierungsmodulator	Regulating Pulse Width Modulator	16-SOIC	4.39	4.01	3.72
SG2543DW-ND	Stromversorgungs-Ausgangswächter	Power Supply Output Supervisory Circuit	16-SOIC	10.23	9.34	8.67
SG2842DM-ND	Strommodus-PWM-Controller	Current Mode PWM Controller	8-SOIC	3.22	2.94	2.73
SG3524BDW-ND	Impulsbreiten-Regulierungsmodulator	Regulating Pulse Width Modulator	16-SOIC	3.89	3.56	3.31
SG3543DW-ND	Stromversorgungs-Ausgangswächter	Power Supply Output Supervisory Circuit	16-SOIC	4.77	4.36	4.05
SG3842DM-ND	Strommodus-PWM-Controller	Current Mode PWM Controller	8-SOIC	1.36	1.25	1.16
TL431ACDM-ND	Progr. Präzisionsreferenz	Precision Programmable Reference	8-SOIC	.58	.54	.50
UC2842AD-ND	Strommodus-PWM-Controller	Current Mode PWM Controller	14-SOIC	3.41	3.12	2.89

Microsemi INTEGRATED PRODUCTS — CCFL-MODULE UND CONTROLLER

Digi-Key Teilenr.	Beschreibung		Paket	Stückpreis★ 1	25	100
LX1686ECPW-ND	Digitaler Dimm-CCFL-Controller	Digital Dimming CCFL Controller	24-TSSOP	4.97	—	—
LX1689CPW-ND	CCFL-Controller, 3. Generation	Third Generation CCFL Controller	20-TSSOP	3.77	—	—
LX9506-ND	Eingangskabel-Bausatz	Input Cable Assembly	—	4.13	—	—
LX9507-ND	Eingangskabel-Bausatz	Input Cable Assembly	—	4.13	—	—
LX9508-ND	Eingangskabel-Bausatz	Input Cable Assembly	—	8.67	—	—
LXM1612-05-02-ND	5 V digitales Dimm-CCFL-Invertermodul	5V, Digital Dimming CCFL Inverter Module	—	40.89	—	—
LXM1612-12-01-ND	12 V digitales Dimm-CCFL-Invertermodul	12V, Digital Dimming CCFL Inverter Module	—	40.89	—	—
LXM1612-12-02-ND	12 V digitales Dimm-CCFL-Invertermodul	12V, Digital Dimming CCFL Inverter Module	—	40.89	—	—
LXM1614E-14-11-ND	CCFL-Invertermodul, Doppeldimmung, erweiterter Temperaturbereich	Dual Dimming, Extended Temp. CCFL Inverter Module	—	49.56	—	—
LXM1615-03-01-ND	3,6 V/5 V, 2 W digitales Dimm-CCFL-Invertermodul	3.6V/5V, 2W, Digital Dimming CCFL Inverter Module	—	29.11	—	—
LXM1615-03-02-ND	3,6 V/5 V, 2 W digitales Dimm-CCFL-Invertermodul	3.6V/5V, 2W, Digital Dimming CCFL Inverter Module	—	29.11	—	—
LXM1617-03-21-ND	3,3 V, 2,2 W progr. CCFL-Invertermodul	3.3V, 2.2W CCFL Programmable Inverter Module	—	30.78	—	—
LXM1617-03-22-ND	3,3 V, 2,2 W progr. CCFL-Invertermodul	3.3V, 2.2W CCFL Programmable Inverter Module	—	30.78	—	—
LXM1617-05-21-ND	5 V, 2,2 W progr. CCFL-Invertermodul	5V, 2.2W CCFL Programmable Inverter Module	—	30.78	—	—
LXM1617-05-22-ND	5 V, 2,2 W progr. CCFL-Invertermodul	5V, 2.2W CCFL Programmable Inverter Module	—	30.78	—	—
LXM1617-05-41-ND	5 V, 4 W progr. CCFL-Invertermodul	5V, 4W CCFL Programmable Inverter Module	—	30.78	—	—
LXM1617-05-42-ND	5 V, 4 W progr. CCFL-Invertermodul	5V, 4W CCFL Programmable Inverter Module	—	30.78	—	—
LXM1617-05-61-ND	5 V, 6 W progr. CCFL-Invertermodul	5V, 6W CCFL Programmable Inverter Module	—	30.78	—	—
LXM1617-05-62-ND	5 V, 6 W progr. CCFL-Invertermodul	5V, 6W CCFL Programmable Inverter Module	—	30.78	—	—
LXM1617-12-41-ND	12 V, 4 W progr. CCFL-Invertermodul	12V, 4W CCFL Programmable Inverter Module	—	30.78	—	—
LXM1617-12-42-ND	12 V, 4 W progr. CCFL-Invertermodul	12V, 4W CCFL Programmable Inverter Module	—	30.78	—	—
LXM1617-12-61-ND	12 V, 6 W progr. CCFL-Invertermodul	12V, 6W CCFL Programmable Inverter Module	—	30.78	—	—
LXM1617-12-62-ND	12 V, 6 W progr. CCFL-Invertermodul	12V, 6W CCFL Programmable Inverter Module	—	30.78	—	—
LXM1618-03-21-ND	3,3 V, 2,2 W progr. CCFL-Invertermodul	3.3V, 2.2W CCFL Programmable Inverter Module	—	28.12	—	—
LXM1618-03-22-ND	3,3 V, 2,2 W progr. CCFL-Invertermodul	3.3V, 2.2W CCFL Programmable Inverter Module	—	28.12	—	—
LXM1618-05-21-ND	5 V, 2,2 W progr. CCFL-Invertermodul	5V, 2.2W CCFL Programmable Inverter Module	—	28.12	—	—
LXM1618-05-22-ND	5 V, 2,2 W progr. CCFL-Invertermodul	5V, 2.2W CCFL Programmable Inverter Module	—	28.12	—	—
LXM1618-05-41-ND	5 V, 4 W progr. CCFL-Invertermodul	5V, 4W CCFL Programmable Inverter Module	—	28.12	—	—
LXM1618-05-42-ND	5 V, 4 W progr. CCFL-Invertermodul	5V, 4W CCFL Programmable Inverter Module	—	28.12	—	—
LXM1618-05-61-ND	5 V, 6 W progr. CCFL-Invertermodul	5V, 6W CCFL Programmable Inverter Module	—	28.12	—	—
LXM1618-05-62-ND	5 V, 6 W progr. CCFL-Invertermodul	5V, 6W CCFL Programmable Inverter Module	—	28.12	—	—
LXM1618-12-41-ND	12 V, 4 W progr. CCFL-Invertermodul	12V, 4W CCFL Programmable Inverter Module	—	28.12	—	—
LXM1618-12-42-ND	12 V, 4 W progr. CCFL-Invertermodul	12V, 4W CCFL Programmable Inverter Module	—	28.12	—	—
LXM1618-12-43-ND	12 V, 4 W progr. CCFL-Invertermodul	12V, 4W CCFL Programmable Inverter Module	—	28.12	—	—
LXM1618-12-61-ND	12 V, 6 W progr. CCFL-Invertermodul	12V, 6W CCFL Programmable Inverter Module	—	28.12	—	—

(Forts.)

★ ***RUFEN SIE BITTE AN FÜR NIEDRIGERE PREISE BEI GRÖSSEREN MENGEN!*** ★

Digi-Key Teilenr.	Beschreibung		Paket	Stückpreis★ 1	25	100
LXM1618-12-62-ND	12 V, 6 W progr. CCFL-Invertermodul	12V, 6W CCFL Programmable Inverter Module	—	28.12	—	—
LXM1621-02-ND	6 mA digitales Dimm-CCFL-Invertermodul f. zwei Lampen	6mA, Digital Dimming Dual Lamp CCFL Inverter Module	—	66.20	—	—
LXM1621-04-ND	5 mA digitales Dimm-CCFL-Invertermodul f. zwei Lampen	5mA, Digital Dimming Dual Lamp CCFL Inverter Module	—	66.20	—	—
LXM1623-05-41-ND	Zweif. 5 V, 4 W progr. CCFL-Invertermodul	5V, Dual 4W CCFL Programmable Inverter Module	—	50.36	—	—
LXM1623-05-42-ND	Zweif. 5 V, 4 W progr. CCFL-Invertermodul	5V, Dual 4W CCFL Programmable Inverter Module	—	47.69	—	—
LXM1623-05-61-ND	Zweif. 5 V, 6 W progr. CCFL-Invertermodul	5V, Dual 6W CCFL Programmable Inverter Module	—	47.69	—	—
LXM1623-05-62-ND	Zweif. 5 V, 6 W progr. CCFL-Invertermodul	5V, Dual 6W CCFL Programmable Inverter Module	—	47.69	—	—
LXM1623-12-41-ND	Zweif. 12 V, 4 W progr. CCFL-Invertermodul	12V, Dual 4W CCFL Programmable Inverter Module	—	50.36	—	—
LXM1623-12-42-ND	Zweif. 12 V, 4 W progr. CCFL-Invertermodul	12V, Dual 4W CCFL Programmable Inverter Module	—	47.69	—	—
LXM1623-12-44-ND	Zweif. 12 V, 4 W progr. CCFL-Invertermodul	12V, Dual 4W CCFL Programmable Inverter Module	—	47.69	—	—
LXM1623-12-61-ND	Zweif. 12 V, 6 W progr. CCFL-Invertermodul	12V, Dual 6W CCFL Programmable Inverter Module	—	47.69	—	—
LXM1623-12-62-ND	Zweif. 12 V, 6 W progr. CCFL-Invertermodul	12V, Dual 6W CCFL Programmable Inverter Module	—	47.69	—	—
LXM1624-12-41-ND	Zweif. 12 V, 4 W progr. CCFL-Invertermodul	12V, Dual 4W CCFL Programmable Inverter Module	—	47.69	—	—
LXM1624-12-61-ND	Zweif. 12 V, 6 W progr. CCFL-Invertermodul	12V, Dual 6W CCFL Programmable Inverter Module	—	50.36	—	—
LXM1624-12-62-ND	Zweif. 12 V, 6 W progr. CCFL-Invertermodul	12V, Dual 6W CCFL Programmable Inverter Module	—	50.36	—	—
LXM1626-12-64-ND	Zweif. 12 V, 6 W progr. CCFL-Invertermodul	12V, Dual 6W CCFL Programmable Inverter Module	—	47.69	—	—
LXM1643-12-61-ND	Vierf. 12 V, 6 W progr. CCFL-Invertermodul	12V, Quad 6W CCFL Programmable Inverter Module	—	71.89	—	—
LXM1643-12-62IPG-ND	Vierf. 12 V, 6 W progr. CCFL-Invertermodul	12V, Quad 6W CCFL Programmable Inverter Module	—	71.89	—	—
LXM1644-12-61-ND	Vierf. 12 V, 6 W progr. CCFL-Invertermodul	12V, Quad 6W CCFL Programmable Inverter Module	—	64.71	—	—

Digi-Key Teilenr.	Beschreibung		Paket	Stückpreis★ 1	25	100
LX1970IDU-ND	Lichtsensor, sichtbar	Visible Light Sensor	8-MSOP	1.98	1.78	1.53
LX1970MINI EVAL-ND	Mini-Steuerkarte	Mini Control Board	—	9.91	8.89	7.62
LX1971IDU-ND	Lichtsensor, weit sichtbar	Wide Range Visible Light Sensor	8-MSOP	3.55	3.19	2.74
LX1990-02 EVAL-ND	Zweif. progr. Evaluierungskarte für LED-Treiber	Dual Programmable LED Driver Evaluation Board	—	41.27	—	—
LX1990-03EVAL-ND	Zweif. progr. Evaluierungskarte für LED-Treiber	Dual Programmable LED Driver Evaluation Board	—	33.02	—	—
LX1990ILM-ND	Zweif. progr. LED-Stromsenke	Dual Programmable LED Current Sink	6-MLP	.69	.63	.54
LX1991-02EVAL-ND	LED-Treiber-Evaluierungskarte f. sechs Ausgänge	Six Output LED Driver Evaluation Board	—	33.02	—	—
LX1991-03EVAL-ND	LED-Treiber-Evaluierungskarte f. sechs Ausgänge	Six Output LED Driver Evaluation Board	—	33.02	—	—
LX1991ILQ-ND	Progr. LED-Stromsenke f. sechs Ausgänge	Six Output Programmable LED Current Sink	16-MLPQ	1.79	1.60	1.38
LX1992CLM-ND	LED-Treiber, hoher Wirkungsgrad	High Efficiency LED Driver	8-MLP	1.17	1.06	.91
LX1993CDU-ND	LED-Treiber, hoher Wirkungsgrad	High Efficiency LED Driver	8-MSOP	1.62	1.46	1.25
LX1995-1-CSG-ND	Miniatur-LED-Treiber	Miniature LED Driver	5-TSOT	1.37	1.23	1.06
LXE1991-01EVALKIT-ND	LED-Treiber-Evaluierungskarte f. sechs Ausgänge	Six Output LED Driver Evaluation Board	—	41.27	—	—

Digi-Key Teilenr.	Beschreibung		Paket	Stückpreis★ 1	25	100
LX7001CLP-ND	Unterspannungserkennungskreis, transiente Immunität	Transient Immune Undervoltage Sensing Circuit	TO-92	.88	.80	.75
LX7001IDM-ND	Unterspannungserkennungskreis, transiente Immunität	Transient Immune Undervoltage Sensing Circuit	8-SOIC	1.08	.98	.91
LX7001ILP-ND	Unterspannungserkennungskreis, transiente Immunität	Transient Immune Undervoltage Sensing Circuit	TO-92	.97	.89	.83
LX7201-15ISF-ND	EMI-Filter und ESE-Schutz für Down Stream USB-Ports	EMI Filter and ESD Protection for Down Stream USB Ports	SOT-23-6	.78	.70	.60
LX7202-15ISF-ND	EMI-Filter und ESE-Schutz für UP Stream USB-Ports	EMI Filter and ESD Protection for Up Stream USB Ports	SOT-23-6	.78	.70	.60
LX7202-22ISF-ND	EMI-Filter und ESE-Schutz für UP Stream USB-Ports	EMI Filter and ESD Protection for Up Stream USB Ports	SOT-23-6	.78	.70	.60
LX7203-15ISM-ND	EMI-Filter und ESE-Schutz für UP Stream USB-Ports	EMI Filter and ESD Protection for Up Stream USB Ports	SC70-6L	1.01	.91	.78
LX7203-22ISM-ND	EMI-Filter und ESE-Schutz für UP Stream USB-Ports	EMI Filter and ESD Protection for Up Stream USB Ports	SC70-6L	1.01	.91	.78
MC33064LP-ND	Unterspannungserkennungskreis	Undervoltage Sensing Circuit	TO-92	.83	.75	.64
MC33164-3DM-ND	3 V Unterspannungserkennungskreis	3V, Undervoltage Sensing Circuit	8-SOIC	.83	.75	.64
MC33164-3LP-ND	3 V Unterspannungserkennungskreis	3V, Undervoltage Sensing Circuit	TO-92	.91	.82	.70
MC33164DM-ND	5 V Unterspannungserkennungskreis	5V, Undervoltage Sensing Circuit	8-SOIC	1.08	.97	.83
MC33164LP-ND	5 V Unterspannungserkennungskreis	5V, Undervoltage Sensing Circuit	TO-92	.99	.89	.77
MC34064DM-ND	Unterspannungserkennungskreis	Undervoltage Sensing Circuit	8-SOIC	.83	.75	.64
MC34064LP-ND	Unterspannungserkennungskreis	Undervoltage Sensing Circuit	TO-92	.75	.67	.58
MC34164-3DM-ND	3 V Unterspannungserkennungskreis	3V, Undervoltage Sensing Circuit	8-SOIC	.83	.75	.64
MC34164-3LP-ND	3 V Unterspannungserkennungskreis	3V, Undervoltage Sensing Circuit	TO-92	.75	.67	.58
MC34164DM-ND	Unterspannungserkennungskreis	Undervoltage Sensing Circuit	8-SOIC	.99	.89	.77
MC34164LP-ND	Unterspannungserkennungskreis	Undervoltage Sensing Circuit	TO-92	.91	.82	.70

Digi-Key Teilenr.	Beschreibung		Paket	Stückpreis★ 1	25	100
SRM4010-ND	40 A synchrones Gleichrichtermodul	40A Synchronous Rectifier Module	SMD	33.73	30.36	25.30

Digi-Key Teilenr.	Beschreibung		Paket	Stückpreis★ 1	25	100
LX432CSC-ND	Einstellbarer Niederspannungs-Shunt-Präzisionsregler	Low Voltage Adj. Precision Shunt Regulator	SOT-23	.51	.47	.43
LX432ISC-ND	Einstellbarer Niederspannungs-Shunt-Präzisionsregler	Low Voltage Adj. Precision Shunt Regulator	SOT-23	.88	.80	.75
LX6431ACLP-ND	Einstellb. Shunt-Spannungspräzisionsregler, drei Anschlüsse	Precision Adj. Three Terminal Shunt Volt. Regulator	TO-92	.72	.66	.62
LX6431AIDM-ND	Einstellb. Shunt-Spannungspräzisionsregler, drei Anschlüsse	Precision Adj. Three Terminal Shunt Volt. Regulator	8-SOIC	.93	.86	.80
LX6431AILP-ND	Einstellb. Shunt-Spannungspräzisionsregler, drei Anschlüsse	Precision Adj. Three Terminal Shunt Volt. Regulator	TO-92	.90	.82	.76
LX6431BCDM-ND	Einstellb. Shunt-Spannungspräzisionsregler, drei Anschlüsse	Precision Adj. Three Terminal Shunt Volt. Regulator	8-SOIC	.88	.80	.75
LX6431BCLP-ND	Einstellb. Shunt-Spannungspräzisionsregler, drei Anschlüsse	Precision Adj. Three Terminal Shunt Volt. Regulator	TO-92	.84	.77	.71
LX6431BIDM-ND	Einstellb. Shunt-Spannungspräzisionsregler, drei Anschlüsse	Precision Adj. Three Terminal Shunt Volt. Regulator	8-SOIC	1.08	.98	.91
LX6431BILP-ND	Einstellb. Shunt-Spannungspräzisionsregler, drei Anschlüsse	Precision Adj. Three Terminal Shunt Volt. Regulator	TO-92	1.03	.95	.88
LX6431CDM-ND	Einstellb. Shunt-Spannungspräzisionsregler, drei Anschlüsse	Precision Adj. Three Terminal Shunt Volt. Regulator	8-SOIC	.63	.57	.53
LX6431CLP-ND	Einstellb. Shunt-Spannungspräzisionsregler, drei Anschlüsse	Precision Adj. Three Terminal Shunt Volt. Regulator	TO-92	.58	.54	.50
LX6431IDM-ND	Einstellb. Shunt-Spannungspräzisionsregler, drei Anschlüsse	Precision Adj. Three Terminal Shunt Volt. Regulator	8-SOIC	.76	.70	.65
LX6431ILP-ND	Einstellb. Shunt-Spannungspräzisionsregler, drei Anschlüsse	Precision Adj. Three Terminal Shunt Volt. Regulator	TO-92	.72	.66	.62
LX8117-00CST-ND	Einstellb. 0,8 A LDO-Positivregler	Adj., 0.8A LDO Positive Regulator	SOT-223	1.66	1.52	1.41
LX8117-25CST-ND	2,5 V, 0,8 A LDO-Positivregler	2.5V, 0.8A LDO Positive Regulator	SOT-223	1.66	1.52	1.41
LX8117-28CST-ND	2,85 V, 0,8 A LDO-Positivregler	2.85V, 0.8A LDO Positive Regulator	SOT-223	1.66	1.52	1.41
LX8117-33CDD-ND	3,3 V, 0,8 A LDO-Positivregler	3.3V, 0.8A LDO Positive Regulator	TO-263	2.44	2.23	2.07
LX8117-33CDT-ND	3,3 V, 0,8 A LDO-Positivregler	3.3V, 0.8A LDO Positive Regulator	D-Pak	1.66	1.52	1.41
LX8117-33CST-ND	3,3 V, 0,8 A LDO-Positivregler	3.3V, 0.8A LDO Positive Regulator	SOT-223	1.66	1.52	1.41
LX8117A-00CDD-ND	Einstellbarer 1 A LDO-Positivregler	Adj., 1A LDO Positive Regulator	TO-263	2.44	2.23	2.07
LX8117A-00CST-ND	Einstellbarer 1 A LDO-Positivregler	Adj., 1A LDO Positive Regulator	SOT-223	1.66	1.52	1.41
LX8117A-25CST-ND	2,5 V, 1 A LDO-Positivregler	2.5V, 1A LDO Positive Regulator	SOT-223	1.66	1.52	1.41
LX8117A-28CDT-ND	2,85 V, 1 A LDO-Positivregler	2.85V, 1A LDO Positive Regulator	D-Pak	1.66	1.52	1.41
LX8117A-28CST-ND	2,85 V, 1 A LDO-Positivregler	2.85V, 1A LDO Positive Regulator	SOT-223	1.66	1.52	1.41
LX8117A-33CDD-ND	3,3 V, 1 A LDO-Positivregler	3.3V, 1A LDO Positive Regulator	TO-263	2.44	2.23	2.07

(Forts.)

★ RUFEN SIE BITTE AN FÜR NIEDRIGERE PREISE BEI GRÖSSEREN MENGEN! ★

B

Digi-Key Teilenr.	Beschreibung		Paket	Stückpreis★ 1	25	100
LX8117A-33CST-ND	3,3 V, 1 A LDO-Positivregler	3.3V, 1A LDO Positive Regulator	SOT-223	1.66	1.52	1.41
LX8117B-00CDD-ND	Einstellb. 1,2 A LDO-Positivregler	Adj., 1.2A LDO Positive Regulator	TO-263	2.63	2.41	2.23
LX8117B-00CST-ND	Einstellb. 1,2 A LDO-Positivregler	Adj., 1.2A LDO Positive Regulator	SOT-223	1.85	1.69	1.57
LX8211-00ISECT-ND	Einstellb. 150 mA CMOS-LDO-Regler	Adj., 150mA CMOS LDO Regulator	SOT-23-5	.51	.46	.40
LX8211-00ISETR-ND	Einstellb. 150 mA CMOS-LDO-Regler	Adj., 150mA CMOS LDO Regulator	SOT-23-5		1023.54/3,000	
LX8211-25ISE-ND	2,5 V, 150 mA CMOS-LDO-Regler	2.5V, 150mA CMOS LDO Regulator	SOT-23-5	.47	.42	.36
LX8211-30ISE-ND	3 V, 150 mA CMOS-LDO-Regler	3V, 150mA CMOS LDO Regulator	SOT-23-5	.47	.42	.36
LX8221-DIDU-ND	2,7 V/einstellb. zweif. 150 mA CMOS-LDO-Regler	2.7V/Adj., Dual 150mA CMOS LDO Regulator	10-MSOP	1.02	.92	.79
LX8221-GIDU-ND	3 V/einstellb. zweif. 150 mA CMOS-LDO-Regler	3V/Adj., Dual 150mA CMOS LDO Regulator	10-MSOP	1.02	.92	.79
LX8384-00CDD-ND	Einstellb. 5 A LDO-Positivregler	Adj., 5A LDO Positive Regulator	TO-263	4.39	4.01	3.72
LX8554-00CDD-ND	Einstellb. 5 A LDO-Positivregler	Adj., 5A LDO Positive Regulator	TO-263	6.33	5.78	5.37
LX8580A-00CDD-ND	Einstellb. 7,5 A LDO-Positivregler	Adj., 7.5A LDO Positive Regulator	TO-263-5	1.27	1.16	1.08
LX8585-15CDD-ND	1,5 V, 4,6 A LDO-Positivregler	1.5V, 4.6A LDO Positive Regulator	TO-263	4.87	4.45	4.13
LX8817-25CDF-ND	2,5 V/einstellb. 2,5 A LDO-Regler, Doppelkanal	2.5V/Adj., Dual Channel 2.5A LDO Regulator	7-SPAK	1.30	1.18	1.01
SG2524BN-ND	Impulsbreiten-Regulierungsmodulator	Regulating Pulse Width Modulator	16-Dip	3.50	3.21	2.98
SG2524D-ND	Impulsbreiten-Regulierungsmodulator	Regulating Pulse Width Modulator	16-SOIC	3.12	2.85	2.65
SG2524N-ND	Impulsbreiten-Regulierungsmodulator	Regulating Pulse Width Modulator	16-Dip	3.31	3.03	2.81
SG2525ADW-ND	Impulsbreiten-Regulierungsmodulator	Regulating Pulse Width Modulator	16-SOIC	5.84	5.34	4.96
SG2525AN-ND	Impulsbreiten-Regulierungsmodulator	Regulating Pulse Width Modulator	16-Dip	6.33	5.78	5.37
SG2526BDW-ND	Impulsbreiten-Regulierungsmodulator	Regulating Pulse Width Modulator	18-SOIC	8.57	7.83	7.27
SG2526BN-ND	Impulsbreiten-Regulierungsmodulator	Regulating Pulse Width Modulator	18-Dip	8.28	7.56	7.02
SG2526DW-ND	Impulsbreiten-Regulierungsmodulator	Regulating Pulse Width Modulator	18-SOIC	12.17	11.12	10.32
SG2526N-ND	Impulsbreiten-Regulierungsmodulator	Regulating Pulse Width Modulator	18-Dip	7.79	7.12	6.61
SG2543N-ND	Stromversorgungs-Ausgangswächter	Power Supply Output Supervisory Circuit	16-Dip	6.82	6.23	5.78
SG2842M-ND	Strommodus-PWM-Controller	Current Mode PWM Controller	8-Dip	3.22	2.94	2.73
SG2843DM-ND	Strommodus-PWM-Controller	Current Mode PWM Controller	8-SOIC	3.22	2.94	2.73
SG2843M-ND	Strommodus-PWM-Controller	Current Mode PWM Controller	8-Dip	3.22	2.94	2.73
SG2844DM-ND	Strommodus-PWM-Controller	Current Mode PWM Controller	8-SOIC	3.22	2.94	2.73
SG2844M-ND	Strommodus-PWM-Controller	Current Mode PWM Controller	8-Dip	3.22	2.94	2.73
SG2845DM-ND	Strommodus-PWM-Controller	Current Mode PWM Controller	8-SOIC	3.22	2.94	2.73
SG2845M-ND	Strommodus-PWM-Controller	Current Mode PWM Controller	8-Dip	3.22	2.94	2.73
SG2846DW-ND	Strommodus-PWM-Controller	Current Mode PWM Controller	16-SOIC	6.23	5.69	5.29
SG2846N-ND	Strommodus-PWM-Controller	Current Mode PWM Controller	16-Dip	6.04	5.52	5.12
SG3524D-ND	Impulsbreiten-Regulierungsmodulator	Regulating Pulse Width Modulator	16-SOIC	1.56	1.43	1.33
SG3524N-ND	Impulsbreiten-Regulierungsmodulator	Regulating Pulse Width Modulator	16-Dip	.97	.89	.83
SG3525ADW-ND	Impulsbreiten-Regulierungsmodulator	Regulating Pulse Width Modulator	16-SOIC	1.75	1.60	1.49
SG3525AN-ND	Impulsbreiten-Regulierungsmodulator	Regulating Pulse Width Modulator	16-Dip	1.56	1.43	1.33
SG3526BDW-ND	Impulsbreiten-Regulierungsmodulator	Regulating Pulse Width Modulator	18-SOIC	3.80	3.47	3.22
SG3526BN-ND	Impulsbreiten-Regulierungsmodulator	Regulating Pulse Width Modulator	18-Dip	3.61	3.29	3.06
SG3526DW-ND	Impulsbreiten-Regulierungsmodulator	Regulating Pulse Width Modulator	18-SOIC	3.50	3.21	2.98
SG3526BN-ND	Impulsbreiten-Regulierungsmodulator	Regulating Pulse Width Modulator	18-Dip	3.61	3.29	3.06
SG3526N-ND	Impulsbreiten-Regulierungsmodulator	Regulating Pulse Width Modulator	18-Dip	3.31	3.03	2.81
SG3543N-ND	Stromversorgungs-Ausgangswächter	Power Supply Output Supervisory Circuit	16-Dip	4.39	4.01	3.72
SG3842M-ND	Strommodus-PWM-Controller	Current Mode PWM Controller	8-Dip	1.17	1.07	1.00
SG3843DM-ND	Strommodus-PWM-Controller	Current Mode PWM Controller	8-SOIC	1.36	1.25	1.16
SG3843M-ND	Strommodus-PWM-Controller	Current Mode PWM Controller	8-Dip	1.17	1.07	1.00
SG3844DM-ND	Strommodus-PWM-Controller	Current Mode PWM Controller	8-SOIC	1.36	1.25	1.16
SG3844M-ND	Strommodus-PWM-Controller	Current Mode PWM Controller	8-Dip	1.17	1.07	1.00
SG3845DM-ND	Strommodus-PWM-Controller	Current Mode PWM Controller	8-SOIC	1.36	1.25	1.16
SG3845M-ND	Strommodus-PWM-Controller	Current Mode PWM Controller	8-Dip	1.17	1.07	1.00
SG3846DW-ND	Strommodus-PWM-Controller	Current Mode PWM Controller	16-SOIC	3.50	3.21	2.98
TL431ACLP-ND	Progr. Präzisionsreferenz	Precision Programmable Reference	TO-92	.52	.48	.45
TL431AIDM-ND	Progr. Präzisionsreferenz	Precision Programmable Reference	8-SOIC	.72	.66	.62
TL431AILP-ND	Progr. Präzisionsreferenz	Precision Programmable Reference	TO-92	.64	.59	.55
TL431BCDM-ND	Progr. Präzisionsreferenz	Precision Programmable Reference	8-SOIC	1.23	1.12	1.04
TL431BCLP-ND	Progr. Präzisionsreferenz	Precision Programmable Reference	TO-92	1.17	1.07	1.00
TL431BIDM-ND	Progr. Präzisionsreferenz	Precision Programmable Reference	8-SOIC	1.50	1.37	1.28
TL431BILP-ND	Progr. Präzisionsreferenz	Precision Programmable Reference	TO-92	1.44	1.32	1.23
TL431CDM-ND	Progr. Präzisionsreferenz	Precision Programmable Reference	8-SOIC	.49	.45	.42
TL431IDM-ND	Progr. Präzisionsreferenz	Precision Programmable Reference	8-SOIC	.60	.56	.52
TL431ILP-ND	Progr. Präzisionsreferenz	Precision Programmable Reference	TO-92	.86	.78	.73
UC2842ADM-ND	16 V Strommodus-PWM-Controller	16V, Current Mode PWM Controller	8-SOIC	3.41	3.12	2.89
UC2842AM-ND	16 V Strommodus-PWM-Controller	16V, Current Mode PWM Controller	8-Dip	3.31	3.03	2.81
UC2843AD-ND	8,4 V Strommodus-PWM-Controller	8.4V, Current Mode PWM Controller	14-SOIC	3.41	3.12	2.89
UC2843ADM-ND	8,4 V Strommodus-PWM-Controller	8.4V, Current Mode PWM Controller	8-SOIC	3.41	3.12	2.89
UC2843AM-ND	8,4 V Strommodus-PWM-Controller	8.4V, Current Mode PWM Controller	8-Dip	3.31	3.03	2.81
UC2844AD-ND	16 V Strommodus-PWM-Controller	16V, Current Mode PWM Controller	14-SOIC	3.41	3.12	2.89
UC2844ADM-ND	16 V Strommodus-PWM-Controller	16V, Current Mode PWM Controller	8-SOIC	3.41	3.12	2.89
UC2844AM-ND	16 V Strommodus-PWM-Controller	16V, Current Mode PWM Controller	8-Dip	3.31	3.03	2.81
UC2845AD-ND	8,4 V Strommodus-PWM-Controller	8.4V, Current Mode PWM Controller	14-SOIC	3.41	3.12	2.89
UC2845ADM-ND	8,4 V Strommodus-PWM-Controller	8.4V, Current Mode PWM Controller	8-SOIC	3.41	3.12	2.89
UC2845AM-ND	8,4 V Strommodus-PWM-Controller	8.4V, Current Mode PWM Controller	8-Dip	3.31	3.03	2.81
UC3842AD-ND	16 V Strommodus-PWM-Controller	16V, Current Mode PWM Controller	14-SOIC	1.36	1.25	1.16
UC3842ADM-ND	16 V Strommodus-PWM-Controller	16V, Current Mode PWM Controller	8-SOIC	1.46	1.34	1.24
UC3842AM-ND	16 V Strommodus-PWM-Controller	16V, Current Mode PWM Controller	8-Dip	1.17	1.07	1.00
UC3843ADCT-ND	8,4 V Strommodus-PWM-Controller	8.4V, Current Mode PWM Controller	14-SOIC	1.16	1.04	.89
UC3843ADTR-ND	8,4 V Strommodus-PWM-Controller	8.4V, Current Mode PWM Controller	14-SOIC		1926.02/2,500	
UC3843ADM-ND	8,4 V Strommodus-PWM-Controller	8.4V, Current Mode PWM Controller	8-SOIC	1.46	1.34	1.24
UC3843AM-ND	8,4 V Strommodus-PWM-Controller	8.4V, Current Mode PWM Controller	8-Dip	1.17	1.07	1.00
UC3844AD-ND	16 V Strommodus-PWM-Controller	16V, Current Mode PWM Controller	14-SOIC	1.36	1.25	1.16
UC3844ADM-ND	16 V Strommodus-PWM-Controller	16V, Current Mode PWM Controller	8-SOIC	1.46	1.34	1.24
UC3844AM-ND	16 V Strommodus-PWM-Controller	16V, Current Mode PWM Controller	8-Dip	1.17	1.07	1.00
UC3845AD-ND	8,4 V Strommodus-PWM-Controller	8.4V, Current Mode PWM Controller	14-SOIC	1.36	1.25	1.16
UC3845ADM-ND	8,4 V Strommodus-PWM-Controller	8.4V, Current Mode PWM Controller	8-SOIC	1.46	1.34	1.24
UC3845AM-ND	8,4 V Strommodus-PWM-Controller	8.4V, Current Mode PWM Controller	8-Dip	1.17	1.07	1.00

National Semiconductor™

TELEKOMMUNIKATIONS-SCHALTKREISE

Digi-Key Teilenr.	Beschreibung		Paket	Stückpreis★ 1	25	100
TP3054N-ND	Erweiterter CODEC-Filter mit serieller Schnittstelle	Enhanced Serial Interface CODEC Filter	16-Dip	3.58	2.85	2.43
TP3054WM-ND	Erweiterter CODEC-Filter mit serieller Schnittstelle	Enhanced Serial Interface CODEC Filter	16-SOIC	1.95	1.85	1.76
TP3410J304-ND	ISDN Basic Access 2B1Q U Transceiver mit Echo-Unterdrückung	ISDN Basic Access Echo-Cancelling 2B1Q U Transceiver	28-Dip	16.07	15.27	14.50
TP3420AV308-ND	ISDN S/T-Schnittstellen-Baustein	ISDN S/T Interface Device	20-PLCC	10.13	9.62	9.14

★ RUFEN SIE BITTE AN FÜR NIEDRIGERE PREISE BEI GRÖSSEREN MENGEN! ★

Panasonic® — ANALOGE ICs

Digi-Key Teilenr.	Beschreibung		Paket	Stückpreis★ 1	25	100
AN1101SSMTXLCT-ND	CMOS-Einzelstromversorgung, 2,5 V bis 5,5 V	2.5V to 5.5V CMOS Single Power Supply	SSMINI-5	1.04	.87	.70
AN1101SSMTXLTR-ND	CMOS-Einzelstromversorgung, 2,5 V bis 5,5 V	2.5V to 5.5V CMOS Single Power Supply	SSMINI-5		1351.17/3,000	
AN1201SMTXLCT-ND	Polarität-invertierender Ladepumpen-DC/DC-Wandler	Polarity Inverting Charge Pump DC/DC Converter	SMINI-5	1.15	.93	.70
AN1201SMTXLTR-ND	Polarität-invertierender Ladepumpen-DC/DC-Wandler	Polarity Inverting Charge Pump DC/DC Converter	SMINI-5		1772.78/3,000	
AN1281SSMTXLCT-ND	Glättungsfilter	Ripple Filter	SSMINI-5	1.15	.93	.70
AN1281SSMTXLTR-ND	Glättungsfilter	Ripple Filter	SSMINI-5		1772.78/3,000	
AN6123MSTXLCT-ND	Sprachnetzwerk mit ALC	Speech Network with ALC	MINI-5	.91	.76	.61
AN6123MSTXLTR-ND	Sprachnetzwerk mit ALC	Speech Network with ALC	MINI-5		1173.39/3,000	
AN8001FHKV-ND	Abgestufte Spannungsgenerierung für Flüssigkristallanzeige	Gradation Voltage Generation for Liquid Crystal Display	TQFP048	3.12	2.50	1.95
AN8495SBE1VCT-ND	Schrittmotortreiber	Stepping Motor Drive	HSOP042	3.90	3.12	2.43
AN8495SBE1VTR-ND	Schrittmotortreiber	Stepping Motor Drive	HSOP042		2209.63/1,000	
AN8955SSMTXLCT-ND	Kristalloszillator-IC, 13 MHz, 2,3 V bis 5,5 V	13MHz, 2.3V to 5.5V Crystal Oscillator IC	SSMINI-5	.69	.58	.47
AN8955SSMTXLTR-ND	Kristalloszillator-IC, 13 MHz, 2,3 V bis 5,5 V	13MHz, 2.3V to 5.5V Crystal Oscillator IC	SSMINI-5		901.63/3,000	
AN8956SSMTXLCT-ND	Kristalloszillator-IC, 26 MHz, 2,3 V bis 5,5 V	26MHz, 2.3V to 5.5V Crystal Oscillator IC	SSMINI-5	.69	.58	.47
AN8956SSMTXLTR-ND	Kristalloszillator-IC, 26 MHz, 2,3 V bis 5,5 V	26MHz, 2.3V to 5.5V Crystal Oscillator IC	SSMINI-5		901.63/3,000	
AN8957SSMTXLCT-ND	Kristalloszillator-IC, 19 MHz, 2,6 V bis 5,5 V	19MHz, 2.6V to 5.5V Crystal Oscillator IC	SSMINI-5	.69	.58	.47
AN8957SSMTXLTR-ND	Kristalloszillator-IC, 19 MHz, 2,6 V bis 5,5 V	19MHz, 2.6V to 5.5V Crystal Oscillator IC	SSMINI-5		901.63/3,000	
AN8958SSMTXLCT-ND	Kristalloszillator-IC, 26 MHz, 2,6 V bis 5,5 V	26MHz, 2.6V to 5.5V Crystal Oscillator IC	SSMINI-5	.69	.58	.47
AN8958SSMTXLTR-ND	Kristalloszillator-IC, 26 MHz, 2,6 V bis 5,5 V	26MHz, 2.6V to 5.5V Crystal Oscillator IC	SSMINI-5		901.63/3,000	

Panasonic® — AUDIO/VIDEO ICs

Digi-Key Teilenr.	Beschreibung		Paket	Stückpreis★ 1	25	100
AN2906FJMEBVCT-ND	Audio E/A-Verstärker	Audio I/O Amplifier	QUAD-44	3.12	2.50	1.95
AN2906FJMEBVTR-ND	Audio E/A-Verstärker	Audio I/O Amplifier	QUAD-44		3537.09/2,000	
AN5272-ND	2-Kanal-Audio-Verstärker mit Kühlrippen, 4 W	4W, 2 Channel Audio Amp with Fin	SIL-12	1.90	1.52	1.14
AN5273-ND	2-Kanal-Audio-Verstärker mit Kühlrippen, 4 W	4W, 2 Channel Audio Amp with Fin	SIL-12	1.90	1.52	1.14
AN5274-ND	2-Kanal-Audio-Verstärker mit Kühlrippen, 4 W	4W, 2 Channel Audio Amp with Fin	SIL-12	2.03	1.63	1.22
AN5275-ND	Zweif. Audio-Verstärker mit Kühlrippen, 15 W	15W, Dual Audio Amp with Fin	SIL-12	2.44	1.96	1.52
AN5276-ND	2-Kanal-Audio-Verstärker mit Kühlrippen, 5 W	5W, 2 Channel Audio Amp with Fin	SIL-12	1.90	1.52	1.14
AN5277-ND	2-Kanal-Audio-Verstärker mit Kühlrippen, 10 W	10W, 2 Channel Audio Amp with Fin	SIL-12	1.95	1.57	1.22
AN5278-ND	1-Kanal-Audio-Verstärker mit Kühlrippen, 4,8 W	4.8W, 1 Channel Audio Amp with Fin	SIL-9	1.35	1.09	.82
AN5279-ND	1-Kanal-Audio-Verstärker mit Kühlrippen, 5 W	5W, 1 Channel Audio Amp with Fin	SIL-9	1.35	1.09	.82
AN5870K-ND	Analogschalter mit Verstärker und 75 Ohm Treiber für Display	Analog Switch with Amp and 75 Ohm Driver for Display	DIL-30	4.27	3.42	2.66
AN7125-ND	2-Kanal-Audio-Verstärker mit Kühlrippen, 10 W	10W, 2 Channel Audio Amp with Fin	SIL-12	2.93	2.35	1.83
AN7510-ND	2-Kanal-Audio-Verstärker mit Kühlrippen, 1 W	1W, 2 Channel Audio Amp with Fin	16-Dip	1.35	1.09	.82
AN7511-ND	1-Kanal-Audio-Verstärker mit Kühlrippen, 1 W	1W, 1 Channel Audio Amp with Fin	8-Dip	.97	.82	.66
AN7512-ND	2-Kanal-Audio-Verstärker mit Kühlrippen, 1 W	1W, 2 Channel Audio Amp with Fin	16-Dip	1.63	1.31	.98
AN7513-ND	1-Kanal-Audio-Verstärker, 1 W	1W, 1 Channel Audio Amp	8-Dip	1.08	.87	.66
AN7522N-ND	2-Kanal-Audio-Verstärker mit Kühlrippen, 5 W	5W, 2 Channel Audio Amp with Fin	SIL-12	1.95	1.57	1.22
AN7523N-ND	1-Kanal-Audio-Verstärker mit Kühlrippen, 4 W	4W, 1 Channel Audio Amp with Fin	SIL-9	1.35	1.09	.82
AN7586-ND	1-Kanal-Audio-Verstärker mit Kühlrippen, 10 W	10W, 1 Channel Audio Amp with Fin	SIL-7	1.63	1.31	.98
AN15851ACT-ND	AV-Schalter mit RGB-YUV, 4 Eingänge	4-Input AV Switch with RGB-YUV	36-USO	2.95	2.37	1.84
AN15851ATR-ND	AV-Schalter mit RGB-YUV, 4 Eingänge	4-Input AV Switch with RGB-YUV	36-USO		1673.73/1,000	
AN15852A-VT-ND	AV-Schalter mit I2C-Schnittstelle	AV Switch with I2C Interface	QFH-80	6.33	5.07	4.28
AN15853BCT-ND	AV-Schalter für Color-TV, 4 Eingänge	4-Input AV Switch for Color TV	36-USO	2.14	1.72	1.34
AN15853BTR-ND	AV-Schalter für Color-TV, 4 Eingänge	4-Input AV Switch for Color TV	36-USO		1213.18/1,000	
AN17000ABFCT-ND	Audio-Verstärker für Notebook	Audio Amplifier for Notebook	56-SOIC	2.93	2.35	1.83
AN17000ABFTR-ND	Audio-Verstärker für Notebook	Audio Amplifier for Notebook	56-SOIC		4914.51/3,000	
AN17020AVBCT-ND	Audio-Verstärker für Kopfhörer	Audio Amplifier for Headphone	QUAD-16	1.68	1.35	1.01
AN17020AVBTR-ND	Audio-Verstärker für Kopfhörer	Audio Amplifier for Headphone	QUAD-16-SOIC		1747.38/2,000	
AN17880AE1CT-ND	Audio-Verstärker für Kopfhörer	Audio Amplifier for Headphone	16-SOIC	1.45	1.16	.87
AN17880AE1TR-ND	Audio-Verstärker für Kopfhörer	Audio Amplifier for Headphone	16-SOIC		1501.87/2,000	

Panasonic® — DC/DC-WANDLER ICs

Digi-Key Teilenr.	Beschreibung		Paket	Stückpreis★ 1	25	100
AN8011SE1VCT-ND	2-Kanal DC/DC-Wandler	2 Channel DC/DC Converter	16-SOIC	1.44	1.15	.87
AN8011SE1VTR-ND	2-Kanal DC/DC-Wandler	2 Channel DC/DC Converter	16-SOIC		1493.40/2,000	
AN8013SHE1CT-ND	1-Kanal DC/DC-Wandler	1 Channel DC/DC Converter	SSONF-10D	1.13	.91	.68
AN8013SHE1TR-ND	1-Kanal DC/DC-Wandler	1 Channel DC/DC Converter	SSONF-10D		1175.08/2,000	
AN8014SE1CT-ND	1-Kanal DC/DC-Wandler	1 Channel DC/DC Converter	16-SOIC	1.32	1.06	.80
AN8014SE1TR-ND	1-Kanal DC/DC-Wandler	1 Channel DC/DC Converter	16-SOIC		1371.49/2,000	
AN8015SHE1CT-ND	1-Kanal DC/DC-Wandler	1 Channel DC/DC Converter	SSONF-10D	1.13	.91	.68
AN8015SHE1TR-ND	1-Kanal DC/DC-Wandler	1 Channel DC/DC Converter	SSONF-10D		1175.08/2,000	
AN8016NSHE1CT-ND	1-Kanal DC/DC-Wandler	1 Channel DC/DC Converter	SSONF-10D	1.13	.91	.68
AN8016NSHE1TR-ND	1-Kanal DC/DC-Wandler	1 Channel DC/DC Converter	SSONF-10D		1175.08/2,000	
AN8017SAE1CT-ND	2-Kanal DC/DC-Wandler	2 Channel DC/DC Converter	SSONF-16D	1.58	1.27	.95
AN8017SAE1TR-ND	2-Kanal DC/DC-Wandler	2 Channel DC/DC Converter	SSONF-16D		1642.40/2,000	
AN8018SAE1VCT-ND	2-Kanal DC/DC-Wandler	2 Channel DC/DC Converter	SSONF-16D	1.58	1.27	.95
AN8018SAE1VTR-ND	2-Kanal DC/DC-Wandler	2 Channel DC/DC Converter	SSONF-16D		1642.40/2,000	
AN8049FHNEBCT-ND	3-Kanal DC/DC-Wandler	3 Channel DC/DC Converter	QFN-24	2.55	2.04	1.59
AN8049FHNEBTR-ND	3-Kanal DC/DC-Wandler	3 Channel DC/DC Converter	QFN-24		2885.21/2,000	
AN8049SHE1CT-ND	3-Kanal DC/DC-Wandler	3 Channel DC/DC Converter	SSOP-24D	1.95	1.57	1.22
AN8049SHE1TR-ND	3-Kanal DC/DC-Wandler	3 Channel DC/DC Converter	SSOP-24D		1105.66/1,000	

Panasonic® — SPANNUNGSREGLER

Digi-Key Teilenr.	Beschreibung		Paket	Stückpreis★ 1	25	100
AN78L04-ND	Positiver Mehrzweck-Spannungsregler, 4 V, 100 mA	4V, 100mA, Positive General Purpose Voltage Regulator	TO-92	.45	.34	.26
AN78L05-ND	Positiver Mehrzweck-Spannungsregler, 5 V, 100 mA	5V, 100mA, Positive General Purpose Voltage Regulator	TO-92	.45	.34	.26
AN78L06-ND	Positiver Mehrzweck-Spannungsregler, 6 V, 100 mA	6V, 100mA, Positive General Purpose Voltage Regulator	TO-92	.45	.34	.26
AN78L07-ND	Positiver Mehrzweck-Spannungsregler, 7 V, 100 mA	7V, 100mA, Positive General Purpose Voltage Regulator	TO-92	.45	.34	.26
AN78L08-ND	Positiver Mehrzweck-Spannungsregler, 8 V, 100 mA	8V, 100mA, Positive General Purpose Voltage Regulator	TO-92	.45	.34	.26
AN78L09-ND	Positiver Mehrzweck-Spannungsregler, 9 V, 100 mA	9V, 100mA, Positive General Purpose Voltage Regulator	TO-92	.45	.34	.26
AN78L10-ND	Positiver Mehrzweck-Spannungsregler, 10 V, 100 mA	10V, 100mA, Positive General Purpose Voltage Regulator	TO-92	.45	.34	.26
AN78L12-ND	Positiver Mehrzweck-Spannungsregler, 12 V, 100 mA	12V, 100mA, Positive General Purpose Voltage Regulator	TO-92	.45	.34	.26
AN78L15-ND	Positiver Mehrzweck-Spannungsregler, 15 V, 100 mA	15V, 100mA, Positive General Purpose Voltage Regulator	TO-92	.45	.34	.26
AN78L18-ND	Positiver Mehrzweck-Spannungsregler, 18 V, 100 mA	18V, 100mA, Positive General Purpose Voltage Regulator	TO-92	.45	.34	.26
AN78L20-ND	Positiver Mehrzweck-Spannungsregler, 20 V, 100 mA	20V, 100mA, Positive General Purpose Voltage Regulator	TO-92	.45	.34	.26
AN78L24-ND	Positiver Mehrzweck-Spannungsregler, 24 V, 100 mA	24V, 100mA, Positive General Purpose Voltage Regulator	TO-92	.45	.34	.26
AN79L04-ND	Negativer Mehrzweck-Spannungsregler, 4 V, 100 mA	4V, 100mA, Negative General Purpose Voltage Regulator	TO-92	.44	.33	.25
AN79L05-ND	Negativer Mehrzweck-Spannungsregler, 5 V, 100 mA	5V, 100mA, Negative General Purpose Voltage Regulator	TO-92	.44	.33	.25
AN79L06-ND	Negativer Mehrzweck-Spannungsregler, 6 V, 100 mA	6V, 100mA, Negative General Purpose Voltage Regulator	TO-92	.44	.33	.25
AN79L07-ND	Negativer Mehrzweck-Spannungsregler, 7 V, 100 mA	7V, 100mA, Negative General Purpose Voltage Regulator	TO-92	.44	.33	.25
AN79L08-ND	Negativer Mehrzweck-Spannungsregler, 8 V, 100 mA	8V, 100mA, Negative General Purpose Voltage Regulator	TO-92	.44	.33	.25
AN79L09-ND	Negativer Mehrzweck-Spannungsregler, 9 V, 100 mA	9V, 100mA, Negative General Purpose Voltage Regulator	TO-92	.44	.33	.25
AN79L10-ND	Negativer Mehrzweck-Spannungsregler, 10 V, 100 mA	10V, 100mA, Negative General Purpose Voltage Regulator	TO-92	.44	.33	.25
AN79L12-ND	Negativer Mehrzweck-Spannungsregler, 12 V, 100 mA	12V, 100mA, Negative General Purpose Voltage Regulator	TO-92	.44	.33	.25

(Forts.)

★ RUFEN SIE BITTE AN FÜR NIEDRIGERE PREISE BEI GRÖSSEREN MENGEN! ★

B

Digi-Key Teilenr.	Beschreibung		Paket	Stückpreis★ 1	25	100
AN79L15-ND	Negativer Mehrzweck-Spannungsregler, 15 V, 100 mA	15V, 100mA, Negative General Purpose Voltage Regulator	TO-92	.44	.33	.25
AN79L18-ND	Negativer Mehrzweck-Spannungsregler, 18 V, 100 mA	18V, 100mA, Negative General Purpose Voltage Regulator	TO-92	.44	.33	.25
AN79L20-ND	Negativer Mehrzweck-Spannungsregler, 20 V, 100 mA	20V, 100mA, Negative General Purpose Voltage Regulator	TO-92	.44	.33	.25
AN79L24-ND	Negativer Mehrzweck-Spannungsregler, 24 V, 100 mA	24V, 100mA, Negative General Purpose Voltage Regulator	TO-92	.44	.33	.25
AN78L04M-ND	Positiver Mehrzweck-Spannungsregler, 4 V, 100 mA	4V, 100mA, Positive General Purpose Voltage Regulator	TO-243	.45	.34	.26
AN78L04ME1TR-ND	Positiver Mehrzweck-Spannungsregler, 4 V, 100 mA	4V, 100mA, Positive General Purpose Voltage Regulator	TO-243		149.85/1,000	
AN78L05M-ND	Positiver Mehrzweck-Spannungsregler, 5 V, 100 mA	5V, 100mA, Positive General Purpose Voltage Regulator	TO-243	.45	.34	.26
AN78L05ME1TR-ND	Positiver Mehrzweck-Spannungsregler, 5 V, 100 mA	5V, 100mA, Positive General Purpose Voltage Regulator	TO-243		149.85/1,000	
AN78L06M-ND	Positiver Mehrzweck-Spannungsregler, 6 V, 100 mA	6V, 100mA, Positive General Purpose Voltage Regulator	TO-243	.45	.34	.26
AN78L06ME1TR-ND	Positiver Mehrzweck-Spannungsregler, 6 V, 100 mA	6V, 100mA, Positive General Purpose Voltage Regulator	TO-243		149.85/1,000	
AN78L07M-ND	Positiver Mehrzweck-Spannungsregler, 7 V, 100 mA	7V, 100mA, Positive General Purpose Voltage Regulator	TO-243	.45	.34	.26
AN78L07ME1TR-ND	Positiver Mehrzweck-Spannungsregler, 7 V, 100 mA	7V, 100mA, Positive General Purpose Voltage Regulator	TO-243		149.85/1,000	
AN78L08M-ND	Positiver Mehrzweck-Spannungsregler, 8 V, 100 mA	8V, 100mA, Positive General Purpose Voltage Regulator	TO-243	.45	.34	.26
AN78L08ME1TR-ND	Positiver Mehrzweck-Spannungsregler, 8 V, 100 mA	8V, 100mA, Positive General Purpose Voltage Regulator	TO-243		149.85/1,000	
AN78L09M-ND	Positiver Mehrzweck-Spannungsregler, 9 V, 100 mA	9V, 100mA, Positive General Purpose Voltage Regulator	TO-243	.45	.34	.26
AN78L09ME1TR-ND	Positiver Mehrzweck-Spannungsregler, 9 V, 100 mA	9V, 100mA, Positive General Purpose Voltage Regulator	TO-243		149.85/1,000	
AN78L10M-ND	Positiver Mehrzweck-Spannungsregler, 10 V, 100 mA	10V, 100mA, Positive General Purpose Voltage Regulator	TO-243	.45	.34	.26
AN78L10ME1TR-ND	Positiver Mehrzweck-Spannungsregler, 10 V, 100 mA	10V, 100mA, Positive General Purpose Voltage Regulator	TO-243		149.85/1,000	
AN78L12M-ND	Positiver Mehrzweck-Spannungsregler, 12 V, 100 mA	12V, 100mA, Positive General Purpose Voltage Regulator	TO-243	.45	.34	.26
AN78L12ME1TR-ND	Positiver Mehrzweck-Spannungsregler, 12 V, 100 mA	12V, 100mA, Positive General Purpose Voltage Regulator	TO-243		149.85/1,000	
AN78L15M-ND	Positiver Mehrzweck-Spannungsregler, 15 V, 100 mA	15V, 100mA, Positive General Purpose Voltage Regulator	TO-243	.45	.34	.26
AN78L15ME1TR-ND	Positiver Mehrzweck-Spannungsregler, 15 V, 100 mA	15V, 100mA, Positive General Purpose Voltage Regulator	TO-243		149.85/1,000	
AN78L18M-ND	Pos. Mehrzweck-Spannungsregler, 18 V, 100 mA	18V, 100mA, Pos. General Purpose Voltage Regulator	TO-243	.42	.32	.24
AN78L18ME1TR-ND	Pos. Mehrzweck-Spannungsregler, 18 V, 100 mA	18V, 100mA, Pos. General Purpose Voltage Regulator	TO-243		139.69/1,000	
AN78L20M-ND	Pos. Mehrzweck-Spannungsregler, 20 V, 100 mA	20V, 100mA, Pos. General Purpose Voltage Regulator	TO-243	.42	.32	.24
AN78L20ME1TR-ND	Pos. Mehrzweck-Spannungsregler, 20 V, 100 mA	20V, 100mA, Pos. General Purpose Voltage Regulator	TO-243		139.69/1,000	
AN78L24M-ND	Positiver Mehrzweck-Spannungsregler, 24 V, 100 mA	24V, 100mA, Positive General Purpose Voltage Regulator	TO-243	.45	.34	.26
AN78L24ME1TR-ND	Positiver Mehrzweck-Spannungsregler, 24 V, 100 mA	24V, 100mA, Positive General Purpose Voltage Regulator	TO-243		149.85/1,000	
AN79L04M-ND	Neg. Mehrzweck-Spannungsregler, 4 V, 100 mA	4V, 100mA, Neg. General Purpose Voltage Regulator	TO-243	.41	.31	.23
AN79L04ME1TR-ND	Neg. Mehrzweck-Spannungsregler, 4 V, 100 mA	4V, 100mA, Neg. General Purpose Voltage Regulator	TO-243		135.46/1,000	
AN79L05M-ND	Negativer Mehrzweck-Spannungsregler, 5 V, 100 mA	5V, 100mA, Negative General Purpose Voltage Regulator	TO-243	.44	.33	.25
AN79L05ME1TR-ND	Negativer Mehrzweck-Spannungsregler, 5 V, 100 mA	5V, 100mA, Negative General Purpose Voltage Regulator	TO-243		145.62/1,000	
AN79L06M-ND	Neg. Mehrzweck-Spannungsregler, 6 V, 100 mA	6V, 100mA, Neg. General Purpose Voltage Regulator	TO-243	.41	.31	.23
AN79L06ME1TR-ND	Neg. Mehrzweck-Spannungsregler, 6 V, 100 mA	6V, 100mA, Neg. General Purpose Voltage Regulator	TO-243		135.46/1,000	
AN79L07M-ND	Neg. Mehrzweck-Spannungsregler, 7 V, 100 mA	7V, 100mA, Neg. General Purpose Voltage Regulator	TO-243	.41	.31	.23
AN79L07ME1TR-ND	Neg. Mehrzweck-Spannungsregler, 7 V, 100 mA	7V, 100mA, Neg. General Purpose Voltage Regulator	TO-243		135.46/1,000	
AN79L08M-ND	Negativer Mehrzweck-Spannungsregler, 8 V, 100 mA	8V, 100mA, Negative General Purpose Voltage Regulator	TO-243	.44	.33	.25
AN79L08ME1TR-ND	Negativer Mehrzweck-Spannungsregler, 8 V, 100 mA	8V, 100mA, Negative General Purpose Voltage Regulator	TO-243		145.62/1,000	
AN79L09M-ND	Negativer Mehrzweck-Spannungsregler, 9 V, 100 mA	9V, 100mA, Negative General Purpose Voltage Regulator	TO-243	.44	.33	.25
AN79L09ME1TR-ND	Negativer Mehrzweck-Spannungsregler, 9 V, 100 mA	9V, 100mA, Negative General Purpose Voltage Regulator	TO-243		145.62/1,000	
AN79L10M-ND	Negativer Mehrzweck-Spannungsregler, 10 V, 100 mA	10V, 100mA, Negative General Purpose Voltage Regulator	TO-243	.44	.33	.25
AN79L10ME1TR-ND	Negativer Mehrzweck-Spannungsregler, 10 V, 100 mA	10V, 100mA, Negative General Purpose Voltage Regulator	TO-243		145.62/1,000	
AN79L12M-ND	Negativer Mehrzweck-Spannungsregler, 12 V, 100 mA	12V, 100mA, Negative General Purpose Voltage Regulator	TO-243	.44	.33	.25
AN79L12ME1TR-ND	Negativer Mehrzweck-Spannungsregler, 12 V, 100 mA	12V, 100mA, Negative General Purpose Voltage Regulator	TO-243		145.62/1,000	
AN79L15M-ND	Negativer Mehrzweck-Spannungsregler, 15 V, 100 mA	15V, 100mA, Negative General Purpose Voltage Regulator	TO-243	.44	.33	.25
AN79L15ME1TR-ND	Negativer Mehrzweck-Spannungsregler, 15 V, 100 mA	15V, 100mA, Negative General Purpose Voltage Regulator	TO-243		145.62/1,000	
AN79L18M-ND	Neg. Mehrzweck-Spannungsregler, 18 V, 100 mA	18V, 100mA, Neg. General Purpose Voltage Regulator	TO-243	.41	.31	.23
AN79L18ME1TR-ND	Neg. Mehrzweck-Spannungsregler, 18 V, 100 mA	18V, 100mA, Neg. General Purpose Voltage Regulator	TO-243		135.46/1,000	
AN79L20M-ND	Neg. Mehrzweck-Spannungsregler, 20 V, 100 mA	20V, 100mA, Neg. General Purpose Voltage Regulator	TO-243	.41	.31	.23
AN79L20ME1TR-ND	Neg. Mehrzweck-Spannungsregler, 20 V, 100 mA	20V, 100mA, Neg. General Purpose Voltage Regulator	TO-243		135.46/1,000	
AN79L24M-ND	Neg. Mehrzweck-Spannungsregler, 24 V, 100 mA	24V, 100mA, Neg. General Purpose Voltage Regulator	TO-243	.41	.31	.23
AN79L24ME1TR-ND	Neg. Mehrzweck-Spannungsregler, 24 V, 100 mA	24V, 100mA, Neg. General Purpose Voltage Regulator	TO-243		135.46/1,000	
AN78M05NSP-ND	Spannungsregler mit positivem Ausgang, 5 V, 0,5 A	5V, 0.5A, Positive Output Voltage Regulator	SP3SU	.91	.76	.61
AN78M05NSPE1TR-ND	Spannungsregler mit positivem Ausgang, 5 V, 0,5 A	5V, 0.5A, Positive Output Voltage Regulator	SP3SU		1175.93/3,000	
AN78M08NSP-ND	Spannungsregler mit positivem Ausgang, 8 V, 0,5 A	8V, 0.5A, Positive Output Voltage Regulator	SP3SU	.91	.76	.61
AN78M08NSPE1TR-ND	Spannungsregler mit positivem Ausgang, 8 V, 0,5 A	8V, 0.5A, Positive Output Voltage Regulator	SP3SU		1175.93/3,000	
AN77L03-ND	Positiver LDO-Spannungsregler, 3 V, 100 mA	3V, 100mA, Positive LDO Voltage Regulator	TO-92	1.24	1.04	.83
AN77L035-ND	Positiver LDO-Spannungsregler, 3,5 V, 100 mA	3.5V, 100mA, Positive LDO Voltage Regulator	TO-92	1.24	1.04	.83
AN77L04-ND	Positiver LDO-Spannungsregler, 4 V, 100 mA	4V, 100mA, Positive LDO Voltage Regulator	TO-92	1.24	1.04	.83
AN77L045-ND	Positiver LDO-Spannungsregler, 4,5 V, 100 mA	4.5V, 100mA, Positive LDO Voltage Regulator	TO-92	1.16	.97	.78
AN77L05-ND	Positiver LDO-Spannungsregler, 5 V, 100 mA	5V, 100mA, Positive LDO Voltage Regulator	TO-92	1.24	1.04	.83
AN77L06-ND	Positiver LDO-Spannungsregler, 6 V, 100 mA	6V, 100mA, Positive LDO Voltage Regulator	TO-92	1.24	1.04	.83
AN77L07-ND	Positiver LDO-Spannungsregler, 7 V, 100 mA	7V, 100mA, Positive LDO Voltage Regulator	TO-92	1.24	1.04	.83
AN77L08-ND	Positiver LDO-Spannungsregler, 8 V, 100 mA	8V, 100mA, Positive LDO Voltage Regulator	TO-92	1.24	1.04	.83
AN77L09-ND	Positiver LDO-Spannungsregler, 9 V, 100 mA	9V, 100mA, Positive LDO Voltage Regulator	TO-92	1.24	1.04	.83
AN77L10-ND	Positiver LDO-Spannungsregler, 10 V, 100 mA	10V, 100mA, Positive LDO Voltage Regulator	TO-92	1.24	1.04	.83
AN77L12-ND	Positiver LDO-Spannungsregler, 12 V, 100 mA	12V, 100mA, Positive LDO Voltage Regulator	TO-92	1.24	1.04	.83
AN77035SP-ND	Positiver Spannungsregler mit geringem Leistungsverlust, 3,5 V, 1,2 A	3.5V, 1.2A, Positive Low Power Loss Voltage Regulator	SP3SU	1.95	1.57	1.22
AN77035SPE1TR-ND	Positiver Spannungsregler mit geringem Leistungsverlust, 3,5 V, 1,2 A	3.5V, 1.2A, Positive Low Power Loss Voltage Regulator	SP3SU		3276.34/3,000	
AN7705SP-ND	Positiver Spannungsregler mit geringem Leistungsverlust, 5 V, 1,2 A	5V, 1.2A, Positive Low Power Loss Voltage Regulator	SP3SU	1.95	1.57	1.22
AN7705SPE1TR-ND	Positiver Spannungsregler mit geringem Leistungsverlust, 5 V, 1,2 A	5V, 1.2A, Positive Low Power Loss Voltage Regulator	SP3SU		3276.34/3,000	
AN7706SP-ND	Positiver Spannungsregler mit geringem Leistungsverlust, 6 V, 1,2 A	6V, 1.2A, Positive Low Power Loss Voltage Regulator	SP3SU	1.95	1.57	1.22
AN7706SPE1TR-ND	Positiver Spannungsregler mit geringem Leistungsverlust, 6 V, 1,2 A	6V, 1.2A, Positive Low Power Loss Voltage Regulator	SP3SU		3276.34/3,000	
AN7707SP-ND	Positiver Spannungsregler mit geringem Leistungsverlust, 7 V, 1,2 A	7V, 1.2A, Positive Low Power Loss Voltage Regulator	SP3SU	1.95	1.57	1.22
AN7707SPE1TR-ND	Positiver Spannungsregler mit geringem Leistungsverlust, 7 V, 1,2 A	7V, 1.2A, Positive Low Power Loss Voltage Regulator	SP3SU		3276.34/3,000	
AN7708SP-ND	Positiver Spannungsregler mit geringem Leistungsverlust, 8 V, 1,2 A	8V, 1.2A, Positive Low Power Loss Voltage Regulator	SP3SU	1.95	1.57	1.22
AN7708SPE1TR-ND	Positiver Spannungsregler mit geringem Leistungsverlust, 8 V, 1,2 A	8V, 1.2A, Positive Low Power Loss Voltage Regulator	SP3SU		3276.34/3,000	
AN7709SP-ND	Positiver Spannungsregler mit geringem Leistungsverlust, 9 V, 1,2 A	9V, 1.2A, Positive Low Power Loss Voltage Regulator	SP3SU	1.95	1.57	1.22
AN7709SPE1TR-ND	Positiver Spannungsregler mit geringem Leistungsverlust, 9 V, 1,2 A	9V, 1.2A, Positive Low Power Loss Voltage Regulator	SP3SU		3276.34/3,000	
AN7710SP-ND	Positiver Spannungsregler mit geringem Leistungsverlust, 10 V, 1,2 A	10V, 1.2A, Positive Low Power Loss Voltage Regulator	SP3SU	1.95	1.57	1.22
AN7710SPE1TR-ND	Positiver Spannungsregler mit geringem Leistungsverlust, 10 V, 1,2 A	10V, 1.2A, Positive Low Power Loss Voltage Regulator	SP3SU		3276.34/3,000	
AN7712SP-ND	Positiver Spannungsregler mit geringem Leistungsverlust, 12 V, 1,2 A	12V, 1.2A, Positive Low Power Loss Voltage Regulator	SP3SU	1.95	1.57	1.22
AN7712SPE1TR-ND	Positiver Spannungsregler mit geringem Leistungsverlust, 12 V, 1,2 A	12V, 1.2A, Positive Low Power Loss Voltage Regulator	SP3SU		3276.34/3,000	
AN7715SP-ND	Positiver Spannungsregler mit geringem Leistungsverlust, 15 V, 1,2 A	15V, 1.2A, Positive Low Power Loss Voltage Regulator	SP3SU	1.95	1.57	1.22
AN7715SPE1TR-ND	Positiver Spannungsregler mit geringem Leistungsverlust, 15 V, 1,2 A	15V, 1.2A, Positive Low Power Loss Voltage Regulator	SP3SU		3276.34/3,000	
AN77L03M-ND	Positiver LDO-Spannungsregler, 3 V, 100 mA	3V, 100mA, Positive LDO Voltage Regulator	TO-243	1.24	1.04	.83
AN77L03ME1TR-ND	Positiver LDO-Spannungsregler, 3 V, 100 mA	3V, 100mA, Positive LDO Voltage Regulator	TO-243		550.29/1,000	
AN77L035M-ND	Positiver LDO-Spannungsregler, 3,5 V, 100 mA	3.5V, 100mA, Positive LDO Voltage Regulator	TO-243	1.24	1.04	.83
AN77L035ME1TR-ND	Positiver LDO-Spannungsregler, 3,5 V, 100 mA	3.5V, 100mA, Positive LDO Voltage Regulator	TO-243		550.29/1,000	
AN77L04M-ND	Positiver LDO-Spannungsregler, 4 V, 100 mA	4V, 100mA, Positive LDO Voltage Regulator	TO-243	1.24	1.04	.83
AN77L04ME1TR-ND	Positiver LDO-Spannungsregler, 4 V, 100 mA	4V, 100mA, Positive LDO Voltage Regulator	TO-243		550.29/1,000	
AN77L045M-ND	Positiver LDO-Spannungsregler, 4,5 V, 100 mA	4.5V, 100mA, Positive LDO Voltage Regulator	TO-243	1.24	1.04	.83
AN77L045ME1TR-ND	Positiver LDO-Spannungsregler, 4,5 V, 100 mA	4.5V, 100mA, Positive LDO Voltage Regulator	TO-243		550.29/1,000	
AN77L05M-ND	Positiver LDO-Spannungsregler, 5 V, 100 mA	5V, 100mA, Positive LDO Voltage Regulator	TO-243	1.24	1.04	.83
AN77L05ME1TR-ND	Positiver LDO-Spannungsregler, 5 V, 100 mA	5V, 100mA, Positive LDO Voltage Regulator	TO-243		550.29/1,000	
AN77L06M-ND	Positiver LDO-Spannungsregler, 6 V, 100 mA	6V, 100mA, Positive LDO Voltage Regulator	TO-243	1.24	1.04	.83
AN77L06ME1TR-ND	Positiver LDO-Spannungsregler, 6 V, 100 mA	6V, 100mA, Positive LDO Voltage Regulator	TO-243		550.29/1,000	
AN77L07M-ND	Positiver LDO-Spannungsregler, 7 V, 100 mA	7V, 100mA, Positive LDO Voltage Regulator	TO-243	1.24	1.04	.83
AN77L07ME1TR-ND	Positiver LDO-Spannungsregler, 7 V, 100 mA	7V, 100mA, Positive LDO Voltage Regulator	TO-243		550.29/1,000	
AN77L08M-ND	Positiver LDO-Spannungsregler, 8 V, 100 mA	8V, 100mA, Positive LDO Voltage Regulator	TO-243	1.24	1.04	.83

(Forts.)

★ ***RUFEN SIE BITTE AN FÜR NIEDRIGERE PREISE BEI GRÖSSEREN MENGEN!*** ★

Digi-Key Teilenr.	Beschreibung		Paket	Stückpreis★ 1	25	100
AN77L08ME1TR-ND	Positiver LDO-Spannungsregler, 8 V, 100 mA	8V, 100mA, Positive LDO Voltage Regulator	TO-243		550.29/1,000	
AN77L09M-ND	Positiver LDO-Spannungsregler, 9 V, 100 mA	9V, 100mA, Positive LDO Voltage Regulator	TO-243	1.24	1.04	.83
AN77L09ME1TR-ND	Positiver LDO-Spannungsregler, 9 V, 100 mA	9V, 100mA, Positive LDO Voltage Regulator	TO-243		550.29/1,000	
AN77L10M-ND	Positiver LDO-Spannungsregler, 10 V, 100 mA	10V, 100mA, Positive LDO Voltage Regulator	TO-243	1.24	1.04	.83
AN77L10ME1TR-ND	Positiver LDO-Spannungsregler, 10 V, 100 mA	10V, 100mA, Positive LDO Voltage Regulator	TO-243		550.29/1,000	
AN77L12M-ND	Positiver LDO-Spannungsregler, 12 V, 100 mA	12V, 100mA, Positive LDO Voltage Regulator	TO-243	1.24	1.04	.83
AN77L12ME1TR-ND	Positiver LDO-Spannungsregler, 12 V, 100 mA	12V, 100mA, Positive LDO Voltage Regulator	TO-243		550.29/1,000	
AN8002-ND	Positiver LDO-Spannungsregler, 2 V, 50 mA	2V, 50mA, Positive LDO Voltage Regulator	TO-92	.81	.68	.55
AN8025-ND	Positiver LDO-Spannungsregler, 2,5 V, 50 mA	2.5V, 50mA, Positive LDO Voltage Regulator	TO-92	.81	.68	.55
AN8003-ND	Positiver LDO-Spannungsregler, 3 V, 50 mA	3V, 50mA, Positive LDO Voltage Regulator	TO-92	.81	.68	.55
AN8035-ND	Positiver LDO-Spannungsregler, 3,5 V, 50 mA	3.5V, 50mA, Positive LDO Voltage Regulator	TO-92	.81	.68	.55
AN8004-ND	Positiver LDO-Spannungsregler, 4 V, 50 mA	4V, 50mA, Positive LDO Voltage Regulator	TO-92	.81	.68	.55
AN8045-ND	Positiver LDO-Spannungsregler, 4,5 V, 50 mA	4.5V, 50mA, Positive LDO Voltage Regulator	TO-92	.81	.68	.55
AN8005-ND	Positiver LDO-Spannungsregler, 5 V, 50 mA	5V, 50mA, Positive LDO Voltage Regulator	TO-92	.81	.68	.55
AN8006-ND	Positiver LDO-Spannungsregler, 6 V, 50 mA	6V, 50mA, Positive LDO Voltage Regulator	TO-92	.81	.68	.55
AN8007-ND	Positiver LDO-Spannungsregler, 7 V, 50 mA	7V, 50mA, Positive LDO Voltage Regulator	TO-92	.81	.68	.55
AN8008-ND	Positiver LDO-Spannungsregler, 8 V, 50 mA	8V, 50mA, Positive LDO Voltage Regulator	TO-92	.81	.68	.55
AN8085-ND	Positiver LDO-Spannungsregler, 8,5 V, 50 mA	8.5V, 50mA, Positive LDO Voltage Regulator	TO-92	.76	.64	.51
AN8009-ND	Positiver LDO-Spannungsregler, 9 V, 50 mA	9V, 50mA, Positive LDO Voltage Regulator	TO-92	.81	.68	.55
AN8010-ND	Positiver LDO-Spannungsregler, 10 V, 50 mA	10V, 50mA, Positive LDO Voltage Regulator	TO-92	.81	.68	.55
AN8002M-ND	Positiver LDO-Spannungsregler, 2 V, 50 mA	2V, 50mA, Positive LDO Voltage Regulator	TO-243	.90	.75	.60
AN8002M-E1TR-ND	Positiver LDO-Spannungsregler, 2 V, 50 mA	2V, 50mA, Positive LDO Voltage Regulator	TO-243		396.21/1,000	
AN8025M-ND	Positiver LDO-Spannungsregler, 2,5 V, 50 mA	2.5V, 50mA, Positive LDO Voltage Regulator	TO-243	.90	.75	.60
AN8025M-E1TR-ND	Positiver LDO-Spannungsregler, 2,5 V, 50 mA	2.5V, 50mA, Positive LDO Voltage Regulator	TO-243		396.21/1,000	
AN8003M-ND	Positiver LDO-Spannungsregler, 3 V, 50 mA	3V, 50mA, Positive LDO Voltage Regulator	TO-243	.90	.75	.60
AN8003M-E1TR-ND	Positiver LDO-Spannungsregler, 3 V, 50 mA	3V, 50mA, Positive LDO Voltage Regulator	TO-243		396.21/1,000	
AN8004M-ND	Positiver LDO-Spannungsregler, 4 V, 50 mA	4V, 50mA, Positive LDO Voltage Regulator	TO-243	.90	.75	.60
AN8004M-E1TR-ND	Positiver LDO-Spannungsregler, 4 V, 50 mA	4V, 50mA, Positive LDO Voltage Regulator	TO-243		396.21/1,000	
AN8045M-ND	Positiver LDO-Spannungsregler, 4,5 V, 50 mA	4.5V, 50mA, Positive LDO Voltage Regulator	TO-243	.90	.75	.60
AN8045M-E1TR-ND	Positiver LDO-Spannungsregler, 4,5 V, 50 mA	4.5V, 50mA, Positive LDO Voltage Regulator	TO-243		396.21/1,000	
AN8005M-ND	Positiver LDO-Spannungsregler, 5 V, 50 mA	5V, 50mA, Positive LDO Voltage Regulator	TO-243	.90	.75	.60
AN8005M-E1TR-ND	Positiver LDO-Spannungsregler, 5 V, 50 mA	5V, 50mA, Positive LDO Voltage Regulator	TO-243		396.21/1,000	
AN8006M-ND	Positiver LDO-Spannungsregler, 6 V, 50 mA	6V, 50mA, Positive LDO Voltage Regulator	TO-243	.90	.75	.60
AN8006M-E1TR-ND	Positiver LDO-Spannungsregler, 6 V, 50 mA	6V, 50mA, Positive LDO Voltage Regulator	TO-243		396.21/1,000	
AN8007M-ND	Positiver LDO-Spannungsregler, 7 V, 50 mA	7V, 50mA, Positive LDO Voltage Regulator	TO-243	.90	.75	.60
AN8007M-E1TR-ND	Positiver LDO-Spannungsregler, 7 V, 50 mA	7V, 50mA, Positive LDO Voltage Regulator	TO-243		396.21/1,000	
AN8008M-ND	Positiver LDO-Spannungsregler, 8 V, 50 mA	8V, 50mA, Positive LDO Voltage Regulator	TO-243	.90	.75	.60
AN8008M-E1TR-ND	Positiver LDO-Spannungsregler, 8 V, 50 mA	8V, 50mA, Positive LDO Voltage Regulator	TO-243		396.21/1,000	
AN8085M-ND	Positiver LDO-Spannungsregler, 8,5 V, 50 mA	8.5V, 50mA, Positive LDO Voltage Regulator	TO-243	.90	.75	.60
AN8085M-E1TR-ND	Positiver LDO-Spannungsregler, 8,5 V, 50 mA	8.5V, 50mA, Positive LDO Voltage Regulator	TO-243		396.21/1,000	
AN8009M-ND	Positiver LDO-Spannungsregler, 9 V, 50 mA	9V, 50mA, Positive LDO Voltage Regulator	TO-243	.90	.75	.60
AN8009M-E1TR-ND	Positiver LDO-Spannungsregler, 9 V, 50 mA	9V, 50mA, Positive LDO Voltage Regulator	TO-243		396.21/1,000	
AN8010M-ND	Positiver LDO-Spannungsregler, 10 V, 50 mA	10V, 50mA, Positive LDO Voltage Regulator	TO-243	.90	.75	.60
AN8010M-E1TR-ND	Positiver LDO-Spannungsregler, 10 V, 50 mA	10V, 50mA, Positive LDO Voltage Regulator	TO-243		396.21/1,000	
AN80L18RMS-ND	Positiver LDO-Spannungsregler mit Reset, 1,8 V, 150 mA	1.8V, 150mA, with Reset, Positive LDO Voltage Regulator	MINI5D	1.24	1.04	.83
AN80L18RMSTXTR-ND	Positiver LDO-Spannungsregler mit Reset, 1,8 V, 150 mA	1.8V, 150mA, with Reset, Positive LDO Voltage Regulator	MINI5D		1615.31/3,000	
AN80L19RMS-ND	Positiver LDO-Spannungsregler mit Reset, 1,9 V, 150 mA	1.9V, 150mA, with Reset, Positive LDO Voltage Regulator	MINI5D	1.24	1.04	.83
AN80L20RMS-ND	Positiver LDO-Spannungsregler mit Reset, 2 V, 150 mA	2V, 150mA, with Reset, Positive LDO Voltage Regulator	MINI5D	1.24	1.04	.83
AN80L20RMSTXTR-ND	Positiver LDO-Spannungsregler mit Reset, 2 V, 150 mA	2V, 150mA, with Reset, Positive LDO Voltage Regulator	MINI5D		1615.31/3,000	
AN80L21RMS-ND	Positiver LDO-Spannungsregler mit Reset, 2,1 V, 150 mA	2.1V, 150mA, with Reset, Positive LDO Voltage Regulator	MINI5D	1.24	1.04	.83
AN80L21RMSTXTR-ND	Positiver LDO-Spannungsregler mit Reset, 2,1 V, 150 mA	2.1V, 150mA, with Reset, Positive LDO Voltage Regulator	MINI5D		1615.31/3,000	
AN80L22RMS-ND	Positiver LDO-Spannungsregler mit Reset, 2,2 V, 150 mA	2.2V, 150mA, with Reset, Positive LDO Voltage Regulator	MINI5D	1.24	1.04	.83
AN80L22RMSTXTR-ND	Positiver LDO-Spannungsregler mit Reset, 2,2 V, 150 mA	2.2V, 150mA, with Reset, Positive LDO Voltage Regulator	MINI5D		1615.31/3,000	
AN80L25RMS-ND	Positiver LDO-Spannungsregler mit Reset, 2,5 V, 150 mA	2.5V, 150mA, with Reset, Positive LDO Voltage Regulator	MINI5D	1.24	1.04	.83
AN80L25RMSTXTR-ND	Positiver LDO-Spannungsregler mit Reset, 2,5 V, 150 mA	2.5V, 150mA, with Reset, Positive LDO Voltage Regulator	MINI5D		1615.31/3,000	
AN80L28RMS-ND	Positiver LDO-Spannungsregler mit Reset, 2,8 V, 150 mA	2.8V, 150mA, with Reset, Positive LDO Voltage Regulator	MINI5D	1.24	1.04	.83
AN80L28RMSTXTR-ND	Positiver LDO-Spannungsregler mit Reset, 2,8 V, 150 mA	2.8V, 150mA, with Reset, Positive LDO Voltage Regulator	MINI5D		1615.31/3,000	
AN80L29RMS-ND	Positiver LDO-Spannungsregler mit Reset, 2,9 V, 150 mA	2.9V, 150mA, with Reset, Positive LDO Voltage Regulator	MINI5D	1.24	1.04	.83
AN80L29RMSTXTR-ND	Positiver LDO-Spannungsregler mit Reset, 2,9 V, 150 mA	2.9V, 150mA, with Reset, Positive LDO Voltage Regulator	MINI5D		1615.31/3,000	
AN80L30RMS-ND	Positiver LDO-Spannungsregler mit Reset, 3 V, 150 mA	3V, 150mA, with Reset, Positive LDO Voltage Regulator	MINI5D	1.24	1.04	.83
AN80L30RMSTXTR-ND	Positiver LDO-Spannungsregler mit Reset, 3 V, 150 mA	3V, 150mA, with Reset, Positive LDO Voltage Regulator	MINI5D		1615.31/3,000	
AN80L31RMS-ND	Positiver LDO-Spannungsregler mit Reset, 3,1 V, 150 mA	3.1V, 150mA, with Reset, Positive LDO Voltage Regulator	MINI5D	1.24	1.04	.83
AN80L31RMSTXTR-ND	Positiver LDO-Spannungsregler mit Reset, 3,1 V, 150 mA	3.1V, 150mA, with Reset, Positive LDO Voltage Regulator	MINI5D		1615.31/3,000	
AN80L32RMS-ND	Positiver LDO-Spannungsregler mit Reset, 3,2 V, 150 mA	3.2V, 150mA, with Reset, Positive LDO Voltage Regulator	MINI5D	1.24	1.04	.83
AN80L32RMSTXTR-ND	Positiver LDO-Spannungsregler mit Reset, 3,2 V, 150 mA	3.2V, 150mA, with Reset, Positive LDO Voltage Regulator	MINI5D		1615.31/3,000	
AN80L33RMS-ND	Positiver LDO-Spannungsregler mit Reset, 3,3 V, 150 mA	3.3V, 150mA, with Reset, Positive LDO Voltage Regulator	MINI5D	1.24	1.04	.83
AN80L33RMSTXTR-ND	Positiver LDO-Spannungsregler mit Reset, 3,3 V, 150 mA	3.3V, 150mA, with Reset, Positive LDO Voltage Regulator	MINI5D		1615.31/3,000	
AN80L34RMS-ND	Positiver LDO-Spannungsregler mit Reset, 3,4 V, 150 mA	3.4V, 150mA, with Reset, Positive LDO Voltage Regulator	MINI5D	1.24	1.04	.83
AN80L34RMSTXTR-ND	Positiver LDO-Spannungsregler mit Reset, 3,4 V, 150 mA	3.4V, 150mA, with Reset, Positive LDO Voltage Regulator	MINI5D		1615.31/3,000	
AN80L35RMS-ND	Positiver LDO-Spannungsregler mit Reset, 3,5 V, 150 mA	3.5V, 150mA, with Reset, Positive LDO Voltage Regulator	MINI5D	1.24	1.04	.83
AN80L35RMSTXTR-ND	Positiver LDO-Spannungsregler mit Reset, 3,5 V, 150 mA	3.5V, 150mA, with Reset, Positive LDO Voltage Regulator	MINI5D		1615.31/3,000	
AN80L36RMS-ND	Positiver LDO-Spannungsregler mit Reset, 3,6 V, 150 mA	3.6V, 150mA, with Reset, Positive LDO Voltage Regulator	MINI5D	1.24	1.04	.83
AN80L36RMSTXTR-ND	Positiver LDO-Spannungsregler mit Reset, 3,6 V, 150 mA	3.6V, 150mA, with Reset, Positive LDO Voltage Regulator	MINI5D		1615.31/3,000	
AN80L48RMS-ND	Positiver LDO-Spannungsregler mit Reset, 4,8 V, 150 mA	4.8V, 150mA, with Reset, Positive LDO Voltage Regulator	MINI5D	1.24	1.04	.83
AN80L48RMSTXTR-ND	Positiver LDO-Spannungsregler mit Reset, 4,8 V, 150 mA	4.8V, 150mA, with Reset, Positive LDO Voltage Regulator	MINI5D		1615.31/3,000	
AN80L49RMS-ND	Positiver LDO-Spannungsregler mit Reset, 4,9 V, 150 mA	4.9V, 150mA, with Reset, Positive LDO Voltage Regulator	MINI5D	1.24	1.04	.83
AN80L49RMSTXTR-ND	Positiver LDO-Spannungsregler mit Reset, 4,9 V, 150 mA	4.9V, 150mA, with Reset, Positive LDO Voltage Regulator	MINI5D		1615.31/3,000	
AN80L50RMS-ND	Positiver LDO-Spannungsregler mit Reset, 5 V, 150 mA	5V, 150mA, with Reset, Positive LDO Voltage Regulator	MINI5D	1.24	1.04	.83
AN80L50RMSTXTR-ND	Positiver LDO-Spannungsregler mit Reset, 5 V, 150 mA	5V, 150mA, with Reset, Positive LDO Voltage Regulator	MINI5D		1615.31/3,000	
AN80L51RMS-ND	Positiver LDO-Spannungsregler mit Reset, 5,1 V, 150 mA	5.1V, 150mA, with Reset, Positive LDO Voltage Regulator	MINI5D	1.24	1.04	.83
AN80L51RMSTXTR-ND	Positiver LDO-Spannungsregler mit Reset, 5,1 V, 150 mA	5.1V, 150mA, with Reset, Positive LDO Voltage Regulator	MINI5D		1615.31/3,000	
AN80L52RMS-ND	Positiver LDO-Spannungsregler mit Reset, 5,2 V, 150 mA	5.2V, 150mA, with Reset, Positive LDO Voltage Regulator	MINI5D	1.24	1.04	.83
AN80L52RMSTXTR-ND	Positiver LDO-Spannungsregler mit Reset, 5,2 V, 150 mA	5.2V, 150mA, with Reset, Positive LDO Voltage Regulator	MINI5D		1615.31/3,000	
AN80M27RSP-ND	Positiver Spannungsregler mit geringem Leistungsverlust, Ein-Aus, 2,7 V, 500 mA	2.7V, 500mA, with On-Off, Low Power Loss, Positive Voltage Regulator	SP5SU	1.97	1.58	1.19
AN80M27RSPTXTR-ND	Positiver Spannungsregler mit geringem Leistungsverlust, Ein-Aus, 2,7 V, 500 mA	2.7V, 500mA, with On-Off, Low Power Loss, Positive Voltage Regulator	SP5SU		3029.98/3,000	
AN1431M-ND	Positiver Shuntregler mit variablem Ausgang, 2,5-36 V	2.5-36V, Positive Variable Output Shunt Regulator	TO-243	.74	.62	.50
AN1431M-E1TR-ND	Positiver Shuntregler mit variablem Ausgang, 2,5-36 V	2.5-36V, Positive Variable Output Shunt Regulator	TO-243		326.79/1,000	
AN1431T-ND	Positiver Shuntregler mit variablem Ausgang, 2,5-36 V	2.5-36V, Positive Variable Output Shunt Regulator	TO-92	.74	.62	.50
AN1433SSMTXLCT-ND	Positiver Shuntregler mit variablem Ausgang, 7-14 V	7-14V, Positive, Variable Output Shunt Regulator	SSMINI5D	.91	.76	.61
AN1433SSMTXLTR-ND	Positiver Shuntregler mit variablem Ausgang, 7-14 V	7-14V, Positive, Variable Output Shunt Regulator	SSMINI5D		1181.01/3,000	

JRC / NJR Corporation

VERSTÄRKER

Digi-Key Teilenr.	Beschreibung		Paket	Stückpreis★ 1	25	100
NJG1101F-TE1CT-ND	Breitband-AGC-Verst., GaAs MMIC	Wideband AGC Amp, GaAs MMIC	6-MTP	1.96	1.63	1.31
NJG1101F-TE1TR-ND	Breitband-AGC-Verst., GaAs MMIC	Wideband AGC Amp, GaAs MMIC	6-MTP		3422.38/3,000	
NJG1103F1-TE1CT-ND	Rauscharmer Verst., GaAs MMIC, 1,5/1,9 GHz	1.5/1.9GHz Low Noise Amp, GaAs MMIC	6-MTP	.79	.66	.53
NJG1103F1-TE1TR-ND	Rauscharmer Verst., GaAs MMIC, 1,5/1,9 GHz	1.5/1.9GHz Low Noise Amp, GaAs MMIC	6-MTP		1377.84/3,000	
NJG1105F-TE1CT-ND	Rauscharmer Verst., GaAs MMIC, 1,8/1,9/2,1 GHz-Band	1.8/1.9/2.1GHz Band Low Noise Amp, GaAs MMIC	6-MTP	2.31	1.93	1.55

* Bleifrei/RoHS-konform

(Forts.)

★ ***RUFEN SIE BITTE AN FÜR NIEDRIGERE PREISE BEI GRÖSSEREN MENGEN!*** ★

B

Wireless LAN, DPDT, GaAS MMIC Schalter

IEEE802.11 a/b/g GaAs MMIC Schalter

Merkmale:
- Niederspannungsbetrieb
- Geringer Stromverbrauch
- Geringer Einfügungsverlust
- Hohe Isolierung
- Ultrakleines und ultradünnes Paket

Anwendung:
- Drahtlose LAN

NJG1544HC3 Pin-Konfiguration

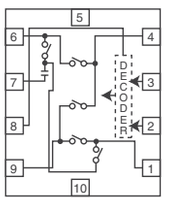

1. ANT1
2. CTL1
3. CTL2
4. ANT2
5. GND
6. TX
7. GND
8. VDD
9. RX
10. GND

NJR Teilenr.	Funktion	Anwendung
NJG1544HC3	2x2 Antennenschalter	IEEE802.11 b/g
NJG1617K11	DPDT-Schalter	IEEE802.11 a/b/g
NJG1617HE3	DPDT-Schalter	IEEE802.11 a/b/g

Schaltregler

Der NJU7600 ist ein hochschneller Schaltkreis für Niederspannungsbetriebsschaltregler. Er bietet einen Totempfahltreiber, der einen externen MOS-FET direkt treiben kann. Interne Soft-Start-Funktion. Totzeitsteuerung und Timer-Latch-Funktion sind inbegriffen, ohne dass externe Bauteile erforderlich sind. Alle Parameter können durch zusätzliche externe Bausteine auf flexible Weise optimiert werden.

Merkmale:
- 2,2 V bis 8 V Betriebsspannung
- 800 µA (typ.) Verbrauchsstrom
- Hohe Effizienz n=80 bis 90 %
- Schaltfrequenz: 300 kHz bis 1 MHz
- Evaluierungskarte erhältlich

Anwendungen:
- Alle mobilen Produkte
- LCD-Leistungsmodule

Boost-Anwendungen
(V+=3.3V, V_{OUT}=9V, I_{OUT}=150mA (typ.))

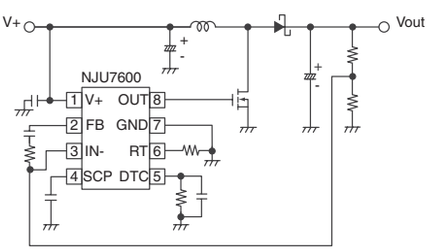

NJR Teilenr.	Paket
NJU7600M	8-DMP
NJU7600RB1	8-TVSP

Treiber, weiße LED, hohe Effizienz

Merkmale:
- Treibt bis zu 4 weiße LEDs in Reihe I_{OUT} = 20 mA (typ.)
- Verwendet kleinen Induktor und Kondensatoren
- 1,7 V bis 6,5 V Betriebsspannung für Step-Up-Schaltkreise
- Niedrige RDS (EIN)
- Überspannungsschutz
- SOT-23-5 Paket

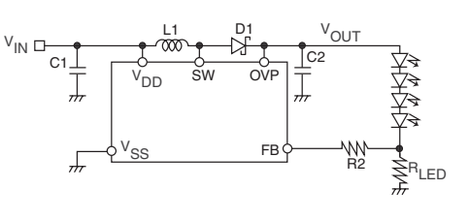

Digi-Key Teilenr.	Beschreibung
NJU6048F-TE1CT-ND	Treiber für weiße LED

Audiobegrenzer

Der NJM2761 ist der Audiobegrenzer für Lautsprecherschutz. Das Grenzniveau kann über einen externen Widerstand eingestellt werden. Er eignet sich für PC, tragbare Audiogeräte usw.

Merkmale:
- 2,7 V bis 13 V Betriebsspannung
- Grenzniveau 0,2 bis 1 Vrms
- Ausgangsrauschen -90 dBV
- Bipolar-Technologie
- TVSP10 Paket

Anwendungen:
- LCD-Monitor
- Notebook PC
- DVD-Player
- Kleines Lautsprechersystem

Funktion:
- Audiobegrenzer zum Lautsprecherschutz

1) Under limit level!

2) Over limit level!

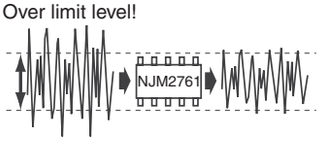

Optimize the Signal level
and keep the wave shape

Low Dropout-Spannungsregler

Merkmale:
• Maximaler Ausgangsstrom: 800 mA • Niedrige Abfallspannung: 0,18 V (typ.) • Hoch präziser Ausgang: ±1,0 % • Hohe Mischstromabweisung: 75 dB (typ.) • Geräuscharme niedrige Spannung: 45 µVrms • Niedriger Ruhestrom: 200 µA

Anwendungen:
• DVD-Player • Kfz-Audio • TV • Drucker

Vergleich von NJM2845/46 mit xx1117

	NJM2845/46	xx1117
Abfallspannung	0,18 V (typ.)	1,1 V (typ.)
Ruhestrom	200 µA	5mA
Ausgangskondensator	2,2 µF Keramik	10 µF Tantalum
Ausgangsspannungsbereich	1,8 V bis 5 V	1,2 V bis 5 V und einstellb.

NJR Teilenr.	Spannung	Paket
NJM2845DL1-18	1.8	TO252-3
NJM2845DL1-23	2.3	TO252-3
NJM2845DL1-25	2.5	TO252-3
NJM2845DL1-03	3.0	TO252-3
NJM2845DL1-33	3.3	TO252-3
NJM2845DL1-05	5.0	TO252-3
NJM2846DL2-18	1.8	TO252-5
NJM2846DL2-23	2.3	TO252-5
NJM2846DL2-25	2.5	TO252-5
NJM2846DL2-03	3.0	TO252-5
NJM2846DL2-33	3.3	TO252-5
NJM2846DL2-05	5.0	TO252-5

Verstärker der Klasse D für Digital-Audio

Sowohl der NJU8721 als auch der NJU8725 bietet eine komplette digitale Lösung, einschließlich Digital-Audio-Daten I/F, 8 fs über Abtast-Digitalfilter und dem 6. ΔΣModulator. Beide wandeln serielle Digitalquellen, z. B. das weltweite Standard-I²S-Format, in 1-Bit-PWM-Signale und schließlich über externe Filter in ein Analogsignal um.

Anwendungen:
• Geräte im Handformat • MP3-Player • PDAs

Typ. Leistung des NJU8721V

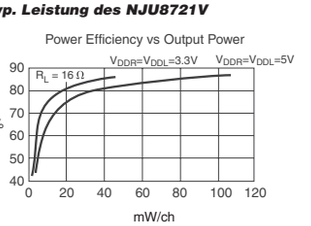

Digi-Key Teilenr.	Beschreibung	Paket
NJU8721V-TE1CT-ND	Stereo-Kopfhörerverst.	20-SSOP
NJU8725V-TE1CT-ND	Leistungsverst., Klasse D	24-SSOP

Informationen über neue NJR-Produkte sowie Datenblätter finden Sie unter http://www.njr.com

Alle Preisangaben in Euro und inklusive Zollgebühren.

Digi-Key Teilenr.	Beschreibung		Paket	Stückpreis★ 1	25	100
NJG1105F-TE1TR-ND	Rauscharmer Verst., GaAs MMIC, 1,8/1,9/2,1 GHz-Band	1.8/1.9/2.1GHz Band Low Noise Amp, GaAs MMIC	6-MTP		4044.63/3,000	
NJG1302V-TE1CT-ND	Mittlerer Leistungsverstärker, GaAs MMIC	Medium Power Amp, GaAs MMIC	14-SSOP	5.33	4.45	3.56
NJG1302V-TE1TR-ND	Mittlerer Leistungsverstärker, GaAs MMIC	Medium Power Amp, GaAs MMIC	14-SSOP		6222.51/2,000	
NJG1307R-TE1CT-ND	Treiberverst., GaAs MMIC	Driver Amp, GaAs MMIC	8-VSP	2.49	2.08	1.66
NJG1307R-TE1TR-ND	Treiberverst., GaAs MMIC	Driver Amp, GaAs MMIC	8-VSP		2903.84/2,000	
NJM064D-ND	J-Fet-Eingangs-OpAmp	J-Fet Input Op Amp	14-Dip	.79	.66	.53
NJM072BD-ND	Zweif. J-Fet-Eingangs-OpAmp	Dual J-Fet Input Op Amp	8-Dip	.43	.36	.29
NJM072D-ND	Zweif. J-Fet-Eingangs-OpAmp	Dual J-Fet Input Op Amp	8-Dip	.38	.32	.26
NJM072M-ND	Zweif. J-Fet-Eingangs-OpAmp	Dual J-Fet Input Op Amp	8-DMP	.46	.39	.31
NJM074D-ND	Vierf. J-Fet-Eingangs-OpAmp	Quad J-Fet Input Op Amp	14-Dip	.89	.75	.60
NJM074M-ND	Vierf. J-Fet-Eingangs-OpAmp	Quad J-Fet Input Op Amp	14-DMP	.89	.75	.60
NJM082D-ND	Zweif. J-Fet-Eingangs-OpAmp	Dual J-Fet Input Op Amp	8-Dip	.41	.34	.28
NJM082M-ND	Zweif. J-Fet-Eingangs-OpAmp	Dual J-Fet Input Op Amp	8-DMP	.86	.72	.58
NJM084D-ND	Vierf. J-Fet-Eingangs-OpAmp	Quad J-Fet Input Op Amp	14-Dip	.99	.83	.67
NJM318D-ND	High-Speed OpAmp	High Speed Op Amp	8-Dip	.46	.39	.31
NJM319D-ND	HS-Präzisions-Doppelspannungskomparator	Precision, High Speed, Dual Voltage Comparator	14-Dip	.89	.75	.60
NJM#319M-ND	HS-Präzisions-Doppelspannungskomparator*	Precision, High Speed, Dual Voltage Comparator*	14-DMP	.89	.75	.60
NJM592D-ND	Videoverstärker	Video Amplifier	14-Dip	.51	.43	.34
NJM592D8-ND	Videoverstärker	Video Amplifier	8-Dip	.33	.28	.23
NJM592M8-ND	Videoverstärker	Video Amplifier	8-DMP	.30	.26	.21
NJM2059D-ND	Vierf. OpAmp	Quad Op Amp	14-Dip	.61	.51	.41
NJM2059M-ND	Vierf. OpAmp	Quad Op Amp	14-DMP	.51	.43	.34
NJM2060D-ND	Vierf. Breitband-OpAmp, hohe Verstärkung	High-Gain, Wide-Bandwidth, Quad Op Amp	14-Dip	.51	.43	.34
NJM2060M-ND	Vierf. Breitband-OpAmp, hohe Verstärkung	High-Gain, Wide-Bandwidth, Quad Op Amp	14-DMP	.53	.45	.36
NJM2068D-ND	Zweif. rauscharmer OpAmp	Low-Noise Dual Op Amp	8-Dip	.33	.28	.23
NJM2068M-ND	Zweif. rauscharmer OpAmp	Low-Noise Dual Op Amp	8-DMP	—	—	.26
NJM2070D-ND	Leistungsverstärker, Niederspann.	Low Voltage Power Amp	8-Dip	.71	.60	.48
NJM#2073D-ND	Zweif. Leistungsverstärker, Niederspann.*	Dual Low Voltage Power Amp*	8-Dip	.71	.60	.48
NJM#2073M-ND	Zweif. Leistungsverstärker, Niederspann.*	Dual Low Voltage Power Amp*	8-DMP	.71	.60	.48
NJM2076D-ND	Zweif. Leistungsverstärker, Niederspann.	Dual Low Voltage Power Amp	8-Dip	1.17	.98	.78
NJM2076M-ND	Zweif. Leistungsverstärker, Niederspann.	Dual Low Voltage Power Amp	8-DMP	1.17	.98	.78
NJM#2082D-ND	Zweif. J-Fet-Eingangs-OpAmp*	Dual J-Fet Input Op Amp*	8-Dip	.46	.39	.31
NJM2082M-ND	Zweif. J-Fet-Eingangs-OpAmp	Dual J-Fet Input Op Amp	8-DMP	.43	.36	.29
NJM#2100D-ND	Zweif. OpAmp*	Dual Op Amp*	8-Dip	.51	.43	.34
NJM2113D-ND	Niederspannungs-Audio-Leistungsverstärker	Low Voltage Audio Power Amp	8-Dip	.56	.47	.38
NJM#2113M-ND	Niederspannungs-Audio-Leistungsverstärker*	Low Voltage Audio Power Amp*	8-DMP	.43	.36	.29
NJM#2119M-ND	Zweif. einzelversorgter OpAmp*	Dual Single Supply Op Amp*	8-DMP	.97	.81	.65
NJM2120D-ND	OpAmp, 2-Eingänge/1-Ausgang, Analogschalter	Op Amp, 2-Input/1-Output Analog Switch	8-Dip	.56	.47	.38
NJM2120M-ND	OpAmp, 2-Eingänge/1-Ausgang, Analogschalter	Op Amp, 2-Input/1-Output Analog Switch	8-DMP	.56	.47	.38
NJM2121D-ND	Zweif. OpAmp, 2-Eingänge/1-Ausgang, Analogschalter	Dual Op Amp, 2-Input/1-Output Analog Switch	8-Dip	.46	.39	.31
NJM2121M-ND	Zweif. OpAmp, 2-Eingänge/1-Ausgang, Analogschalter	Dual Op Amp, 2-Input/1-Output Analog Switch	8-DMP	.46	.39	.31
NJM2122D-ND	Zweif. ultra-rauscharmer OpAmp	Ultra Low Noise Dual Op Amp	8-Dip	.99	.83	.67
NJM2122M-ND	Zweif. ultra-rauscharmer OpAmp	Ultra Low Noise Dual Op Amp	8-DMP	.91	.77	.61
NJM#2125F-TE1CT-ND	Einzelversorgter OpAmp*	Single Supply Op Amp*	5-MTP	.53	.45	.36
NJM#2125F-TE1TR-ND	Einzelversorgter OpAmp*	Single Supply Op Amp*	5-MTP		933.38/3,000	
NJM2132D-ND	Zweif. einzelversorgter NL-Verstärker	Single Supply Low Power Dual Op Amp	8-Dip	.51	.43	.34
NJM2132M-ND	Zweif. einzelversorgter NL-Verstärker	Single Supply Low Power Dual Op Amp	8-DMP	.51	.43	.34
NJM2135D-ND	Niederspannungs-Audio-Leistungsverstärker	Low Voltage Audio Power Amp	8-Dip	.53	.45	.36
NJM2135M-ND	Niederspannungs-Audio-Leistungsverstärker	Low Voltage Audio Power Amp	8-DMP	.41	.34	.28
NJM2135M-TE2CT-ND	Niederspannungs-Audio-Leistungsverstärker	Low Voltage Audio Power Amp	8-DMP	.53	.45	.36
NJM2135M-TE2TR-ND	Niederspannungs-Audio-Leistungsverstärker	Low Voltage Audio Power Amp	8-DMP		622.25/2,000	
NJM2136M-ND	Einf. OpAmp, hohe Anstiegsrate, Ultrabreitband	Ultra Wideband, High Slew Rate, Single Op Amp	8-DMP	1.27	1.06	.85
NJM2137M-ND	Zweif. OpAmp, hohe Anstiegsrate, Ultrabreitband	Ultra Wideband, High Slew Rate, Dual Op Amp	8-DMP	1.07	.89	.72
NJM2138M-ND	Vierf. OpAmp, hohe Anstiegsrate, Ultrabreitband	Ultra Wideband, High Slew Rate, Quad Op Amp	14-DMP	2.13	1.78	1.43
NJM#2140R-TE1CT-ND	Zweif. OpAmp*, niedrige Sättigung	Low Saturation Dual Op Amp*	8-VSP	.53	.45	.36
NJM#2140R-TE1TR-ND	Zweif. OpAmp*, niedrige Sättigung	Low Saturation Dual Op Amp*	8-VSP		622.25/2,000	
NJM#2143R-TE1CT-ND	Einzelversorgter zweif. OpAmp*	Single Supply Dual Op Amp*	8-VSP	.38	.32	.26
NJM#2143R-TE1TR-ND	Einzelversorgter zweif. OpAmp*	Single Supply Dual Op Amp*	8-VSP		444.47/2,000	
NJM2149D-ND	Niederspannungs-Audio-Leistungsverstärker	Low Voltage Audio Power Amp	8-Dip	.74	.62	.50
NJM#2149M-ND	Niederspannungs-Audio-Leistungsverstärker*	Low Voltage Audio Power Amp*	8-DMP	.74	.62	.50
NJM2171AR-TE1CT-ND	Niederspannungs-Kopfhörerverstärker für tragbare Audiogeräte	Low Voltage Headphone Amp for Portable Audio	10-VSP	.76	.64	.51
NJM2171AR-TE1TR-ND	Niederspannungs-Kopfhörerverstärker für tragbare Audiogeräte	Low Voltage Headphone Amp for Portable Audio	10-VSP		888.93/2,000	
NJM#2172V-TE1CT-ND	OpAmp mit elektrischem variablen Widerstand*	Op Amp with Electric Variable Resistor*	14-SSOP	1.57	1.32	1.05
NJM#2172V-TE1TR-ND	OpAmp mit elektrischem variablen Widerstand*	Op Amp with Electric Variable Resistor*	14-SSOP		1837.12/2,000	
NJM2174V-TE2CT-ND	Audioleitungsverstärker mit Stummfunktion	Audio Line Amp with Mute Function	14-SSOP	1.24	1.04	.83
NJM2174V-TE2TR-ND	Audioleitungsverstärker mit Stummfunktion	Audio Line Amp with Mute Function	14-SSOP		1451.92/2,000	
NJM2204AD-ND	Integrierter spannungsbegrenzender IF-Verstänker	Integrated IF Limiting Amp	16-Dip	2.13	1.78	1.43
NJM2267D-ND	Zweif. 6-dB Videoverstärker mit 75 Ω Treiber	Dual Video 6dB Amp with 75Ω Driver	8-Dip	.58	.49	.39
NJM#2267M-ND	Zweif. 6-dB Videoverstärker mit 75 Ω Treiber*	Dual Video 6dB Amp with 75Ω Driver*	8-DMP	.53	.45	.36
NJM2268D-ND	Zweif. 6-dB Videoverstärker	Dual Video 6dB Amplifier	8-Dip	.79	.66	.53
NJM2268M-ND	Zweif. 6-dB Videoverstärker	Dual Video 6dB Amplifier	8-DMP	.48	.41	.33
NJM2274R-TE1CT-ND	Video-OpAmp, Niedrigstrom, Y-C-Mixer	Low Power Video Amp with Y-C Mixer	8-VSP	1.24	1.04	.83
NJM2274R-TE1TR-ND	Video-OpAmp, Niedrigstrom, Y-C-Mixer	Low Power Video Amp with Y-C Mixer	8-VSP		1451.92/2,000	
NJM2403D-ND	Zweif. einzelversorgter Komparator	Single Supply Dual Comparator	8-Dip	.46	.39	.31
NJM#2406F-TE1CT-ND	Einzelkomparator*	Single Comparator*	5-MTP	.36	.30	.24
NJM#2406F-TE1TR-ND	Einzelkomparator*	Single Comparator*	5-MTP		622.25/3,000	
NJM#2407R-TE1CT-ND	Zweif. einzelversorgter Komparator*	Single Supply Dual Comparator*	8-VSP	.38	.32	.26
NJM#2407R-TE1TR-ND	Zweif. einzelversorgter Komparator*	Single Supply Dual Comparator*	8-VSP		444.47/2,000	
NJM2538V-TE1CT-ND	Videoverstärker mit 75 Ω Treiber	Video Amp with 75Ω Driver	20-SSOP	2.49	2.08	1.66
NJM2538V-TE1TR-ND	Videoverstärker mit 75 Ω Treiber	Video Amp with 75Ω Driver	20-SSOP		2903.84/2,000	
NJM#2574RB1-TE1CT-ND	Videoverstärker, Niederspannung mit LPF*	Low Voltage Video Amp with LPF*	8-TVSP	.81	.68	.55
NJM#2574RB1-TE1TR-ND	Videoverstärker, Niederspannung mit LPF*	Low Voltage Video Amp with LPF*	8-TVSP		948.19/2,000	
NJM#2575F1-TE1CT-ND	Videoverstärker, Niederspannung mit LPF*	Low Voltage Video Amp with LPF*	6-MTP	.71	.60	.48
NJM#2575F1-TE1TR-ND	Videoverstärker, Niederspannung mit LPF*	Low Voltage Video Amp with LPF*	6-MTP		1244.50/3,000	
NJM#2576RB1-TE1CT-ND	Videoverstärker, Niederspannung mit LPF*	Low Voltage Video Amp with LPF*	8-TVSP	.99	.83	.67
NJM#2576RB1-TE1TR-ND	Videoverstärker, Niederspannung mit LPF*	Low Voltage Video Amp with LPF*	8-TVSP		1155.61/2,000	
NJM2580D-ND	Einzelversorgter 3-Kan. Breitband-Video-Verstärker	Single Supply Wideband 3-Channel Video Amp	14-Dip	2.13	1.78	1.43
NJM2580M-ND	Einzelversorgter 3-Kan. Breitband-Video-Verstärker	Single Supply Wideband 3-Channel Video Amp	14-DMP	1.78	1.49	1.19
NJM2710V-TE1CT-ND	Sechsf. Ultra-HS-OpAmp	Ultra High Speed Hex Op Amp	20-SSOP	2.06	1.72	1.38
NJM2710V-TE1TR-ND	Sechsf. Ultra-HS-OpAmp	Ultra High Speed Hex Op Amp	20-SSOP		2400.11/2,000	
NJM#2711F-TE1CT-ND	Einf. Ultra-HS-OpAmp,*	Ultra High Speed Single Op Amp*	5-MTP	2.06	1.72	1.38
NJM#2711F-TE1TR-ND	Einf. Ultra-HS-OpAmp,*	Ultra High Speed Single Op Amp*	5-MTP		3600.17/3,000	
NJM2716F-TE1CT-ND	Einf. einzelversorgter OpAm, hohe Anstiegsrate	Single Supply Hi-Slew Rate Single Op Amp	5-MTP	1.07	.89	.72
NJM2716F-TE1TR-ND	Einf. einzelversorgter OpAm, hohe Anstiegsrate	Single Supply Hi-Slew Rate Single Op Amp	5-MTP		1866.75/3,000	
NJM#2730F-TE1CT-ND	Einf. OpAmp*, niedrige Versorgungsspannung	Low Supply Voltage Single Op Amp*	5-MTP	.71	.60	.48
NJM#2730F-TE1TR-ND	Einf. OpAmp*, niedrige Versorgungsspannung	Low Supply Voltage Single Op Amp*	5-MTP		1244.50/3,000	
NJM2732M-ND	Zweif. E/A-OpAmp, Full-Swing	Full-Swing Input and Output Type Dual Op Amp	8-DMP	1.78	1.49	1.19
NJM#2732RB1-TE1CT-ND	Zweif. E/A-OpAmp, Full-Swing*	Full-Swing Input and Output Type Dual Op Amp*	8-TVSP	1.78	1.49	1.19
NJM#2732RB1-TE1TR-ND	Zweif. E/A-OpAmp, Full-Swing*	Full-Swing Input and Output Type Dual Op Amp*	8-TVSP		2074.17/2,000	
NJM2737D-ND	Zweif. rauscharmer OpAmp, niedrige Versorgungsspannung	Low Noise, Low Supply Voltage Dual Op Amp	8-Dip	1.96	1.63	1.31

* Bleifrei/RoHS-konform

(Forts.)

★ ***RUFEN SIE BITTE AN FÜR NIEDRIGERE PREISE BEI GRÖSSEREN MENGEN!*** ★

Digi-Key Teilenr.	Beschreibung		Paket	Stückpreis★ 1	25	100
NJM2737RB1-TE1CT-ND	Zweif. rauscharmer OpAmp, niedrige Versorgungsspannung	Low Noise, Low Supply Voltage Dual Op Amp	8-TVSP	1.96	1.63	1.31
NJM2737RB1-TE1TR-ND	Zweif. rauscharmer OpAmp, niedrige Versorgungsspannung	Low Noise, Low Supply Voltage Dual Op Amp	8-TVSP		2281.59/2,000	
NJM2770RB1-TE1CT-ND	Niederspannungs-Audio-Leistungsverstärker mit hoher Leistung	High Power and Low Voltage Audio Power Amp	8-TVSP	1.02	.85	.68
NJM2770RB1-TE1TR-ND	Niederspannungs-Audio-Leistungsverstärker mit hoher Leistung	High Power and Low Voltage Audio Power Amp	8-TVSP		1185.24/2,000	
NJM2772V-TE1CT-ND	Niederspannungs-Kopfhörerverstärker für tragbare Audiogeräte	Low Voltage Headphone Amp for Portable Audio	14-SSOP	1.14	.96	.77
NJM2772V-TE1TR-ND	Niederspannungs-Kopfhörerverstärker für tragbare Audiogeräte	Low Voltage Headphone Amp for Portable Audio	14-SSOP		1333.40/2,000	
NJM2904D-ND	Zweif. einzelversorgter OpAmp	Single Supply Dual Op Amp	8-Dip	.30	.26	.21
NJM2904M-ND	Zweif. einzelversorgter OpAmp	Single Supply Dual Op Amp	8-DMP	.33	.28	.23
NJM#4556AD-ND	Zweif. Hochstrom-OpAmp*	Dual High Current Op Amp*	8-Dip	.41	.34	.28
NJM4556AM-ND	Zweif. Hochstrom-OpAmp	Dual High Current Op Amp	8-DMP	.41	.34	.28
NJM#4558D-ND	Zweif. OpAmp*	Dual Op Amp*	8-Dip	.30	.26	.21
NJM#4558M-ND	Zweif. OpAmp*	Dual Op Amp*	8-DMP	.23	.20	.16
NJM4559D-ND	Zweif. OpAmp, hohe Verstärkung	Dual High Gain Op Amp	8-Dip	.36	.30	.24
NJM4559M-ND	Zweif. OpAmp, hohe Verstärkung	Dual High Gain Op Amp	8-DMP	.36	.30	.24
NJM#4560D-ND	Zweif. OpAmp, hohe Verstärkung, hohe Bandbreite*	High Gain, Wide-Bandwidth, Dual Op Amp*	8-Dip	.33	.28	.23
NJM4560M-ND	Zweif. OpAmp, hohe Verstärkung, hohe Bandbreite	High Gain, Wide-Bandwidth, Dual Op Amp	8-DMP	.36	.30	.24
NJM4562D-ND	Zweif. rauscharmer OpAmp, hohe Verstärkung, hohe Bandbreite	High Gain, Wide-Bandwidth, Low Noise, Dual Op Amp	8-Dip	.41	.34	.28
NJM4562M-ND	Zweif. rauscharmer OpAmp, hohe Verstärkung, hohe Bandbreite	High Gain, Wide-Bandwidth, Low Noise, Dual Op Amp	8-DMP	.43	.36	.29
NJM#4565D-ND	Zweif. rauscharmer OpAmp, hohe Verstärkung, hohe Bandbreite*	High Gain, Wide-Bandwidth, Low Noise, Dual Op Amp*	8-Dip	.30	.26	.21
NJM4565M-ND	Zweif. rauscharmer OpAmp, hohe Verstärkung, hohe Bandbreite	High Gain, Wide-Bandwidth, Low Noise, Dual Op Amp	8-DMP	.30	.26	.21
NJM#4580D-ND	Zweif. geräuschloser Breitband-OpAmp, hohe Verstärkung*	Noiseless, High Gain Bandwidth, Dual Op Amp*	8-Dip	.38	.32	.26
NJM#4580E-ND	Zweif. geräuschloser Breitband-OpAmp, hohe Verstärkung*	Noiseless, High Gain Bandwidth, Dual Op Amp*	8-EMP	.38	.32	.26
NJM4741D-ND	Vierf. Allzweck-OpAmp	General Purpose Quad Op Amp	14-Dip	.74	.62	.50
NJM4741M-ND	Vierf. Allzweck-OpAmp	General Purpose Quad Op Amp	14-DMP	1.22	1.02	.82
NJM5532D-ND	Zweif. rauscharmer Hochleistungs-OpAmp	High Performance Low Noise Dual Op Amp	8-Dip	.76	.64	.51
NJM5532M-ND	Zweif. rauscharmer Hochleistungs-OpAmp	High Performance Low Noise Dual Op Amp	8-DMP	.63	.53	.43
NJM5534D-ND	Rauscharmer Hochleistungs-OpAmp	High Performance Low Noise Op Amp	8-Dip	.41	.34	.28
NJM5534M-ND	Rauscharmer Hochleistungs-OpAmp	High Performance Low Noise Op Amp	8-DMP	.41	.34	.28
NJM12901M-ND	Vierf. einzelversorgter Komparator	Single Supply Quad Comparator	14-DMP	.63	.53	.43
NJM12902M-ND	Vierf. einzelversorgter OpAmp	Single Supply Quad Op Amp	14-DMP	.69	.58	.46
NJM12903D-ND	Zweif. einzelversorgter Komparator	Single Supply Dual Comparator	8-Dip	.33	.28	.23
NJM12903M-ND	Zweif. einzelversorgter Komparator	Single Supply Dual Comparator	8-DMP	.33	.28	.23
NJM12904D-ND	Zweif. einzelversorgter OpAmp	Single Supply Dual Amp	8-Dip	.33	.28	.23
NJM12904M-ND	Zweif. einzelversorgter OpAmp	Single Supply Dual Amp	8-DMP	.33	.28	.23
NJM#12904M-TE1CT-ND	Einzelversorgter zweif. OpAmp*	Single Supply Dual Amp*	8-DMP	.33	.28	.23
NJM#12904M-TE1TR-ND	Einzelversorgter zweif. OpAmp*	Single Supply Dual Amp*	8-DMP		385.20/2,000	
NJM#13403M-ND	Vierf. einzelversorgter OpAmp*	Single Supply Quad Op Amp*	14-DMP	.81	.68	.55
NJM13404D-ND	Zweif. einzelversorgter OpAmp	Single Supply Dual Op Amp	8-Dip	.56	.47	.38
NJM13404M-ND	Zweif. einzelversorgter OpAmp	Single Supply Dual Op Amp	8-DMP	.56	.47	.38
NJM13600D-ND	Zweif. Transkonduktanz-OpAmp	Dual Op Transconductance Amp	16-Dip	.69	.58	.46
NJM13600M-ND	Zweif. Transkonduktanz-OpAmp	Dual Op Transconductance Amp	16-DMP	.69	.58	.46
NJM13700D-ND	Zweif. Transkonduktanz-OpAmp	Dual Op Transconductance Amp	16-Dip	.84	.70	.56
NJM13700M-ND	Zweif. Transkonduktanz-OpAmp	Dual Op Transconductance Amp	16-DMP	.69	.58	.46
NJM#14558D-ND	Zweif. OpAmp*	Dual Op Amp*	8-Dip	.43	.36	.29
NJM14558M-ND	Zweif. OpAmp	Dual Op Amp	8-DMP	.43	.36	.29
NJMOP-07D-ND	OpAmp mit niedriger Offsetspannung, Low-Drift	Low Offset Voltage, Low Drift Op Amp	8-Dip	.84	.70	.56
NJMOP-07M-ND	OpAmp mit niedriger Offsetspannung, Low-Drift	Low Offset Voltage, Low Drift Op Amp	8-DMP	.94	.79	.63
NJU7001D-ND	Niederspannungs-CMOS-OpAmp	Low Voltage CMOS Op Amp	8-Dip	.61	.51	.41
NJU7001M-ND	Niederspannungs-CMOS-OpAmp	Low Voltage CMOS Op Amp	8-DMP	.58	.49	.39
NJU7002D-ND	Zweif. Niederspannungs-CMOS-OpAmp	Dual Low Voltage CMOS Op Amp	8-Dip	.86	.72	.58
NJU7002M-ND	Zweif. Niederspannungs-CMOS-OpAmp	Dual Low Voltage CMOS Op Amp	8-DMP	.86	.72	.58
NJU7004D-ND	Vierf. Niederspannungs-CMOS-OpAmp	Quad Low Voltage CMOS Op Amp	14-Dip	1.70	1.42	1.14
NJU7004M-ND	Vierf. Niederspannungs-CMOS-OpAmp	Quad Low Voltage CMOS Op Amp	14-DMP	1.70	1.42	1.14
NJU7006F-TE1CT-ND	Einf. CMOS-Kleinst-OpAmp für super-niedrigen Betriebsstrom, niedrige Offset-Spannung	Super Low Operating Current and Low Offset Voltage, Tiny Single CMOS Op Amp	5-MTP	1.57	1.32	1.05
NJU7006F-TE1TR-ND	Einf. CMOS-Kleinst-OpAmp für super-niedrigen Betriebsstrom, niedrige Offset-Spannung	Super Low Operating Current and Low Offset Voltage, Tiny Single CMOS Op Amp	5-MTP		2755.68/3,000	
NJU7007F3-TE1CT-ND	Besonders kleiner, einf. CMOS-OpAmp, NL, niedrige Offset-Spannung	Low Power, Low Offset Voltage Super Small Sized Single CMOS Op Amp	SC88A	.71	.60	.48
NJU7007F3-TE1TR-ND	Besonders kleiner, einf. CMOS-OpAmp, NL, niedrige Offset-Spannung	Low Power, Low Offset Voltage Super Small Sized Single CMOS Op Amp	SC88A		1244.50/3,000	
NJU7008F3-TE1CT-ND	Besonders kleiner, einf. CMOS-OpAmp, NL, niedrige Offset-Spannung	Low Power, Low Offset Voltage Super Small Sized Single CMOS Op Amp	SC88A	.71	.60	.48
NJU7008F3-TE1TR-ND	Besonders kleiner, einf. CMOS-OpAmp, NL, niedrige Offset-Spannung	Low Power, Low Offset Voltage Super Small Sized Single CMOS Op Amp	SC88A		1244.50/3,000	
NJU7011F-TE1CT-ND	Einf. CMOS-Kleinst-OpAmp, NL	Low Power Tiny Single CMOS Op Amp	5-MTP	.46	.39	.31
NJU7011F-TE1TR-ND	Einf. CMOS-Kleinst-OpAmp, NL	Low Power Tiny Single CMOS Op Amp	5-MTP		800.04/3,000	
NJU7014D-ND	Zweif. CMOS-OpAmp, NL	Low Power Dual CMOS Op Amp	8-Dip	.99	.83	.67
NJU7014M-ND	Zweif. CMOS-OpAmp, NL	Low Power Dual CMOS Op Amp	8-DMP	.99	.83	.67
NJU7015D-ND	Zweif. CMOS-OpAmp, NL	Low Power Dual CMOS Op Amp	8-Dip	.99	.83	.67
NJU7015M-ND	Zweif. CMOS-OpAmp, NL	Low Power Dual CMOS Op Amp	8-DMP	.99	.83	.67
NJU7016D-ND	Zweif. CMOS-OpAmp, NL	Low Power Dual CMOS Op Amp	8-Dip	1.02	.85	.68
NJU7016M-ND	Zweif. CMOS-OpAmp, NL	Low Power Dual CMOS Op Amp	8-DMP	.56	.47	.38
NJU7021D-ND	Einf. Niederspannungs-CMOS-OpAmp	Single Low Voltage CMOS Op Amp	8-Dip	1.17	.98	.78
NJU7021M-ND	Einf. Niederspannungs-CMOS-OpAmp	Single Low Voltage CMOS Op Amp	8-DMP	.61	.51	.41
NJU7022D-ND	Zweif. Niederspannungs-CMOS-OpAmp	Dual Low Voltage CMOS Op Amp	8-Dip	.74	.62	.50
NJU7022M-ND	Zweif. Niederspannungs-CMOS-OpAmp	Dual Low Voltage CMOS Op Amp	8-DMP	.74	.62	.50
NJU7024D-ND	Vierf. Niederspannungs-CMOS-OpAmp	Quad Low Voltage CMOS Op Amp	14-Dip	1.80	1.51	1.21
NJU7024M-ND	Vierf. Niederspannungs-CMOS-OpAmp	Quad Low Voltage CMOS Op Amp	14-DMP	1.90	1.59	1.27
NJU7031D-ND	Niederspannungs-CMOS-OpAmp	Low Voltage CMOS Op Amp	8-Dip	.63	.53	.43
NJU7031M-ND	Niederspannungs-CMOS-OpAmp	Low Voltage CMOS Op Amp	8-DMP	.63	.53	.43
NJU7032D-ND	Zweif. Niederspannungs-CMOS-OpAmp	Dual Low Voltage CMOS Op Amp	8-Dip	.79	.66	.53
NJU#7032M-ND	Zweif. Niederspannungs-CMOS-OpAmp*	Dual Low Voltage CMOS Op Amp*	8-DMP	.79	.66	.53
NJU7034D-ND	Vierf. Niederspannungs-CMOS-OpAmp	Quad Low Voltage CMOS Op Amp	14-Dip	1.45	1.21	.97
NJU7034M-ND	Vierf. Niederspannungs-CMOS-OpAmp	Quad Low Voltage CMOS Op Amp	14-DMP	1.24	1.04	.83
NJU7051D-ND	CMOS-OpAmp, Offset für niedrige Eingangsspannung	Low Input Offset Voltage CMOS Op Amp	8-Dip	1.17	.98	.78
NJU7051M-ND	CMOS-OpAmp, Offset für niedrige Eingangsspannung	Low Input Offset Voltage CMOS Op Amp	8-DMP	.89	.75	.60
NJU7054D-ND	CMOS-OpAmp, Offset für niedrige Eingangsspannung	Low Input Offset Voltage CMOS Op Amp	14-Dip	1.30	1.08	.87
NJU7054M-ND	Vierf. CMOS-OpAmp, Offset für niedrige Eingangsspannung	Quad Low Input Offset Voltage CMOS Op Amp	14-DMP	1.24	1.04	.83
NJU7061D-ND	Einf. CMOS-OpAmp, Offset für niedrige Eingangsspannung	Single Low Input Offset Voltage CMOS Op Amp	8-Dip	.86	.72	.58
NJU7061M-ND	Einf. CMOS-OpAmp, Offset für niedrige Eingangsspannung	Single Low Input Offset Voltage CMOS Op Amp	8-DMP	.86	.72	.58
NJU7062D-ND	Zweif. CMOS-OpAmp, Offset für niedrige Eingangsspannung	Dual Low Input Offset Voltage CMOS Op Amp	8-Dip	.84	.70	.56
NJU7062M-ND	Zweif. CMOS-OpAmp, Offset für niedrige Eingangsspannung	Dual Low Input Offset Voltage CMOS Op Amp	8-DMP	1.07	.89	.72
NJU7072D-ND	Zweif. CMOS-OpAmp, Offset für niedrige Eingangsspannung	Dual Low Input Offset Voltage CMOS Op Amp	8-Dip	1.42	1.19	.95
NJU7072M-ND	Zweif. CMOS-OpAmp, Offset für niedrige Eingangsspannung	Dual Low Input Offset Voltage CMOS Op Amp	8-DMP	1.42	1.19	.95
NJU7074D-ND	Vierf. CMOS-OpAmp, Offset für niedrige Eingangsspannung	Quad Low Input Offset Voltage CMOS Op Amp	14-Dip	2.31	1.93	1.55
NJU7074M-ND	Vierf. CMOS-OpAmp, Offset für niedrige Eingangsspannung	Quad Low Input Offset Voltage CMOS Op Amp	14-DMP	1.78	1.49	1.19
NJU7081R-TE1CT-ND	Einf. Niederspannungs-CMOS-OpAmp	Single Low Voltage CMOS Power Amp	8-VSP	.53	.45	.36
NJU7081R-TE1TR-ND	Einf. Niederspannungs-CMOS-OpAmp	Single Low Voltage CMOS Power Amp	8-VSP		622.25/2,000	
NJU7082BV-TE1CT-ND	Zweif. Niederspannungs-CMOS-OpAmp	Dual Low Voltage CMOS Power Amp	8-SSOP	.61	.51	.41
NJU7082BV-TE1TR-ND	Zweif. Niederspannungs-CMOS-OpAmp	Dual Low Voltage CMOS Power Amp	8-SSOP		711.14/2,000	
NJU7091AF-TE1CT-ND	Einf. CMOS-Kleinst-OpAmp, NL, niedrige Offsetspannung	Low Power/Low Offset Voltage Tiny Single CMOS Op Amp	5-MTP	.43	.36	.29
NJU7091AF-TE1TR-ND	Einf. CMOS-Kleinst-OpAmp, NL, niedrige Offsetspannung	Low Power/Low Offset Voltage Tiny Single CMOS Op Amp	5-MTP		755.59/3,000	
NJU7092AF-TE1CT-ND	Einf. CMOS-Kleinst-OpAmp, NL, niedrige Offsetspannung	Low Power/Low Offset Voltage Tiny Single CMOS Op Amp	5-MTP	.33	.28	.23
NJU7092AF-TE1TR-ND	Einf. CMOS-Kleinst-OpAmp, NL, niedrige Offsetspannung	Low Power/Low Offset Voltage Tiny Single CMOS Op Amp	5-MTP		577.80/3,000	
NJU#7093AF-TE1CT-ND	Einf. CMOS-Kleinst-OpAmp*, NL, niedrige Offsetspannung	Low Power/Low Offset Voltage Tiny Single CMOS Op Amp*	5-MTP	.81	.68	.55

* Bleifrei/RoHS-konform

(Forts.)

★ ***RUFEN SIE BITTE AN FÜR NIEDRIGERE PREISE BEI GRÖSSEREN MENGEN!*** ★

JRC / NJR Corporation — VERSTÄRKER (Forts.)

Digi-Key Teilenr.	Beschreibung		Paket	Stückpreis★ 1	25	100
NJU#7093AF-TE1TR-ND	Einf. CMOS-Kleinst-OpAmp*, NL, niedrige Offsetspannung	Low Power/Low Offset Voltage Tiny Single CMOS Op Amp*	5-MTP		1422.29/3,000	
NJU7094D-ND	Zweif. CMOS-OpAmp, NL, niedrige Offsetspannung	Low Power/Low Offset Voltage Dual CMOS Op Amp	8-Dip	1.12	.94	.75
NJU7094M-ND	Zweif. CMOS-OpAmp, NL, niedrige Offsetspannung	Low Power/Low Offset Voltage Dual CMOS Op Amp	8-DMP	1.12	.94	.75
NJU7094R-TE1CT-ND	Zweif. CMOS-OpAmp, NL, niedrige Offsetspannung	Low Power/Low Offset Voltage Dual CMOS Op Amp	8-VSP	2.31	1.93	1.55
NJU7094R-TE1TR-ND	Zweif. CMOS-OpAmp, NL, niedrige Offsetspannung	Low Power/Low Offset Voltage Dual CMOS Op Amp	8-VSP		2696.42/2,000	
NJU#7094RB1-TE1CT-ND	Zweif. CMOS-OpAmp*, NL, niedrige Offsetspannung	Low Power/Low Offset Voltage Dual CMOS Op Amp*	8-TVSP	2.31	1.93	1.55
NJU#7094RB1-TE1TR-ND	Zweif. CMOS-OpAmp*, NL, niedrige Offsetspannung	Low Power/Low Offset Voltage Dual CMOS Op Amp*	8-TVSP		2696.42/2,000	
NJU7094V-TE1CT-ND	Zweif. CMOS-OpAmp, NL, niedrige Offsetspannung	Low Power/Low Offset Voltage Dual CMOS Op Amp	8-SSOP	1.24	1.04	.83
NJU7094V-TE1TR-ND	Zweif. CMOS-OpAmp, NL, niedrige Offsetspannung	Low Power/Low Offset Voltage Dual CMOS Op Amp	8-SSOP		1451.92/2,000	
NJU7095D-ND	Zweif. CMOS-OpAmp, NL, niedrige Offsetspannung	Low Power/Low Offset Voltage Dual CMOS Op Amp	8-Dip	1.07	.89	.72
NJU7095M-ND	Zweif. CMOS-OpAmp, NL, niedrige Offsetspannung	Low Power/Low Offset Voltage Dual CMOS Op Amp	8-DMP	1.07	.89	.72
NJU7095R-TE1CT-ND	Zweif. CMOS-OpAmp, NL, niedrige Offsetspannung	Low Power/Low Offset Voltage Dual CMOS Op Amp	8-VSP	2.31	1.93	1.55
NJU7095R-TE1TR-ND	Zweif. CMOS-OpAmp, NL, niedrige Offsetspannung	Low Power/Low Offset Voltage Dual CMOS Op Amp	8-VSP		2696.42/2,000	
NJU7095RB1-TE1CT-ND	Zweif. CMOS-OpAmp, NL, niedrige Offsetspannung	Low Power/Low Offset Voltage Dual CMOS Op Amp	8-TVSP	2.31	1.93	1.55
NJU7095RB1-TE1TR-ND	Zweif. CMOS-OpAmp, NL, niedrige Offsetspannung	Low Power/Low Offset Voltage Dual CMOS Op Amp	8-TVSP		2696.42/2,000	
NJU7095V-TE1CT-ND	Zweif. CMOS-OpAmp, NL, niedrige Offsetspannung	Low Power/Low Offset Voltage Dual CMOS Op Amp	8-SSOP	2.31	1.93	1.55
NJU7095V-TE1TR-ND	Zweif. CMOS-OpAmp, NL, niedrige Offsetspannung	Low Power/Low Offset Voltage Dual CMOS Op Amp	8-SSOP		2696.42/2,000	
NJU7096D-ND	Zweif. CMOS-OpAmp, NL, niedrige Offsetspannung	Low Power/Low Offset Voltage Dual CMOS Op Amp	8-Dip	.81	.68	.55
NJU7096M-ND	Zweif. CMOS-OpAmp, NL, niedrige Offsetspannung	Low Power/Low Offset Voltage Dual CMOS Op Amp	8-DMP	.81	.68	.55
NJU#7096R-TE1CT-ND	Zweif. CMOS-OpAmp*, NL, niedrige Offsetspannung	Low Power/Low Offset Voltage Dual CMOS Op Amp*	8-VSP	2.31	1.93	1.55
NJU#7096R-TE1TR-ND	Zweif. CMOS-OpAmp*, NL, niedrige Offsetspannung	Low Power/Low Offset Voltage Dual CMOS Op Amp*	8-VSP		2696.42/2,000	
NJU7096RB1-TE1CT-ND	Zweif. CMOS-OpAmp, NL, niedrige Offsetspannung	Low Power/Low Offset Voltage Dual CMOS Op Amp	8-TVSP	2.31	1.93	1.55
NJU7096RB1-TE1TR-ND	Zweif. CMOS-OpAmp, NL, niedrige Offsetspannung	Low Power/Low Offset Voltage Dual CMOS Op Amp	8-TVSP		2696.42/2,000	
NJU7096V-TE2CT-ND	Zweif. CMOS-OpAmp, NL, niedrige Offsetspannung	Low Power/Low Offset Voltage Dual CMOS Op Amp	8-SSOP	2.31	1.93	1.55
NJU7096V-TE2TR-ND	Zweif. CMOS-OpAmp, NL, niedrige Offsetspannung	Low Power/Low Offset Voltage Dual CMOS Op Amp	8-SSOP		2696.42/2,000	
NJU7102AD-ND	CMOS-Komparator mit CMOS-Ausgang	CMOS Comparator with CMOS Output	8-Dip	2.67	2.23	1.78
NJU7102AM-ND	CMOS-Komparator mit CMOS-Ausgang	CMOS Comparator with CMOS Output	8-DMP	2.67	2.23	1.78
NJU8721V-TE1CT-ND	Kopfhörerverstärker für Digital-Audio, Klasse D	Class D Headphone Amplifier for Digital Audio	20-SSOP	3.56	2.97	2.38
NJU8721V-TE1TR-ND	Kopfhörerverstärker für Digital-Audio, Klasse D	Class D Headphone Amplifier for Digital Audio	20-SSOP		4148.34/2,000	
NJU8725V-TE1CT-ND	Verstärker für Digital-Audio, Klasse D	Class D Amp for Digital Audio	24-SSOP	5.33	4.45	3.56
NJU8725V-TE1TR-ND	Verstärker für Digital-Audio, Klasse D	Class D Amp for Digital Audio	24-SSOP		6222.51/2,000	
NJU#8752V-TE1CT-ND	Analogsignaleingangsverst. Klasse D, für Piezo-Lautsprecher*	Analog Signal Input Class D Amp for Piezo Speaker*	14-SSOP	4.62	3.86	3.09
NJU#8752V-TE1TR-ND	Analogsignaleingangsverst. Klasse D, für Piezo-Lautsprecher*	Analog Signal Input Class D Amp for Piezo Speaker*	14-SSOP		5392.84/2,000	
NJU#8754V-TE2CT-ND	Analogsignaleingangs-Leistungsverst.* Klasse D, monaural	Analog Signal Input Monaural Class D Power Amp*	10-SSOP	1.85	1.55	1.24
NJU#8754V-TE2TR-ND	Analogsignaleingangs-Leistungsverst.* Klasse D, monaural	Analog Signal Input Monaural Class D Power Amp*	10-SSOP		2163.06/2,000	
NJU#8755V-TE1CT-ND	Analogsignaleingangs-Leistungsverst.* Klasse D, Stereo	Analog Signal Input Stereo Class D Power Amp*	20-SSOP	4.27	3.56	2.85
NJU#8755V-TE1TR-ND	Analogsignaleingangs-Leistungsverst.* Klasse D, Stereo	Analog Signal Input Stereo Class D Power Amp*	20-SSOP		4978.01/2,000	
NJW1105D-ND	Zweif. Audio-Leistungsverstärker	Dual Audio Power Amplifier	16-Dip	2.95	2.46	1.97
NJW1105M-ND	Zweif. Audio-Leistungsverstärker	Dual Audio Power Amplifier	30-SDMP	2.95	2.46	1.97

JRC / NJR Corporation — TREIBER

Digi-Key Teilenr.	Beschreibung		Paket	Stückpreis★ 1	25	100
NJM#2577M-TE2CT-ND	Vierf. Videotreiber*	Quad Video Driver*	20-DMP	2.84	2.38	1.90
NJM#2577M-TE2TR-ND	Vierf. Videotreiber*	Quad Video Driver*	20-DMP		3318.67/2,000	
NJM3517D2-ND	Schrittmotor-Controller/Treiber	Stepper Motor Controller/Driver	16-Dip	4.29	3.58	2.87
NJM3517E2-ND	Schrittmotor-Controller/Treiber	Stepper Motor Controller/Driver	16-EMP	4.75	3.96	3.17
NJM3717D2-ND	Schrittmotortreiber	Stepper Motor Driver	16-Dip	1.78	1.49	1.19
NJM3717FM2-ND	Schrittmotortreiber	Stepper Motor Driver	28-PLCC	4.57	3.81	3.05
NJM3770AD3-ND	Schrittmotortreiber	Stepper Motor Driver	16-Dip (Batwing)	—	3.18	—
NJM3770AFM2-ND	Schrittmotortreiber	Stepper Motor Driver	28-PLCC	6.40	5.34	4.27
NJM3771D2-ND	Zweif. Schrittmotortreiber	Dual Stepper Motor Driver	22-Dip	4.98	4.15	3.32
NJM3771FM2-ND	Zweif. Schrittmotortreiber	Dual Stepper Motor Driver	28-PLCC	4.98	4.15	3.32
NJM3772D2-ND	Zweif. Schrittmotortreiber	Dual Stepper Motor Driver	22-Dip	4.62	3.86	3.09
NJM3772FM2-ND	Zweif. Schrittmotortreiber	Dual Stepper Motor Driver	28-PLCC	4.62	3.86	3.09
NJM3773D2-ND	Zweif. Schrittmotortreiber	Dual Stepper Motor Driver	22-Dip	4.27	3.56	2.85
NJM3773FM2-ND	Zweif. Schrittmotortreiber	Dual Stepper Motor Driver	28-PLCC	4.27	3.56	2.85
NJM3774D2-ND	Zweif. Schrittmotortreiber	Dual Stepper Motor Driver	22-Dip	4.62	3.86	3.09
NJM3774FM2-ND	Zweif. Schrittmotortreiber	Dual Stepper Motor Driver	28-PLCC	4.62	3.86	3.09
NJM3775D2-ND	Zweif. Schrittmotortreiber	Dual Stepper Motor Driver	22-Dip	4.27	3.56	2.85
NJM3775FM2-ND	Zweif. Schrittmotortreiber	Dual Stepper Motor Driver	28-PLCC	4.27	3.56	2.85
NJM3777E3-ND	Zweif. Schrittmotortreiber	Dual Stepper Motor Driver	24-EMP	3.99	3.33	2.66
NJM37717D2-ND	Schrittmotortreiber	Stepper Motor Driver	16-Dip	4.27	3.56	2.85
NJM37717E3-ND	Schrittmotortreiber	Stepper Motor Driver	24-EMP	4.27	3.56	2.85
NJM37770D3-ND	Schrittmotortreiber	Stepper Motor Driver	16-Dip	6.65	5.55	4.44
NJU6048F-TE1CT-ND	Treiber, weiße LED, hoher Wirkungsgrad	High Efficiency White LED Driver	SOT-23-5	1.42	1.19	.95
NJU6048F-TE1TR-ND	Treiber, weiße LED, hoher Wirkungsgrad	High Efficiency White LED Driver	SOT-23-5		2489.00/3,000	
NJU#6050F-TE2CT-ND	Treiber, weiße LED, hoher Wirkungsgrad*	High Efficiency White LED Driver*	SOT-23-5	1.78	1.49	1.19
NJU#6050F-TE2TR-ND	Treiber, weiße LED, hoher Wirkungsgrad*	High Efficiency White LED Driver*	SOT-23-5		3111.26/3,000	
NJU#6060V-TE1CT-ND	LED-Controller-Treiber, gesamter Farbbereich, mit PWM-Steuerung*	Full Color LED Controller Driver with PWM Control*	10-SSOP	1.24	1.04	.83
NJU#6060V-TE1TR-ND	LED-Controller-Treiber, gesamter Farbbereich, mit PWM-Steuerung*	Full Color LED Controller Driver with PWM Control*	10-SSOP		1451.92/2,000	
NJU6416FC1-ND	Dot-Matrix-LCD Segment-Treiber, 8 Ausg.	Dot Matrix LCD 8-Out Segment Driver	100-QFP	5.21	4.34	3.48
NJU7325R-TE1CT-ND	Bürstenloser DC-Motortreiber, einphasig	Single-Phase DC Brushless Motor Driver	8-VSP	.89	.75	.60
NJU7325R-TE1TR-ND	Bürstenloser DC-Motortreiber, einphasig	Single-Phase DC Brushless Motor Driver	8-VSP		1037.09/2,000	
NJU#8711V-TE2CT-ND	3 V Betriebsschalttreiber f. Verstärker d. Klasse D*	3V Operation Switching Driver for Class D Amp*	10-SSOP	2.13	1.78	1.43
NJU#8711V-TE2TR-ND	3 V Betriebsschalttreiber f. Verstärker d. Klasse D*	3V Operation Switching Driver for Class D Amp*	10-SSOP		2489.00/2,000	
NJU#8713V-TE1CT-ND	2 V Betriebsschalttreiber f. Verstärker d. Klasse D*	2V Operation Switching Driver for Class D Amp*	14-SSOP	2.31	1.93	1.55
NJU#8713V-TE1TR-ND	2 V Betriebsschalttreiber f. Verstärker d. Klasse D*	2V Operation Switching Driver for Class D Amp*	14-SSOP		2696.42/2,000	
NJW4301D-ND	2-Kanal-Brückentreiber	2-Channel Bridge Driver	16-Dip	2.95	2.46	1.97
NJW4301M-ND	2-Kanal-Brückentreiber	2-Channel Bridge Driver	30-SDMP	2.95	2.46	1.97

JRC / NJR Corporation — MULTIPLEXER

Digi-Key Teilenr.	Beschreibung		Paket	Stückpreis★ 1	25	100
NJU4051BD-ND	Einf. 8-Kanal-Mux	Single 8-Channel Mux	16-Dip	.76	.64	.51
NJU4051BM-ND	Einf. 8-Kanal-Mux	Single 8-Channel Mux	16-DMP	.79	.66	.53
NJU4052BD-ND	Zweif. 4-Kanal-Mux	Dual 4-Channel Mux	16-Dip	.76	.64	.51
NJU4052BM-ND	Zweif. 4-Kanal-Mux	Dual 4-Channel Mux	16-DMP	.89	.75	.60
NJU4053BD-ND	Dreif. 2-Kanal-Mux	Triple 2-Channel Mux	16-Dip	.81	.68	.55
NJU4053BM-ND	Dreif. 2-Kanal-Mux	Triple 2-Channel Mux	16-DMP	.81	.68	.55

* Bleifrei/RoHS-konform

★ RUFEN SIE BITTE AN FÜR NIEDRIGERE PREISE BEI GRÖSSEREN MENGEN! ★

B

Digi-Key Teilenr.	Beschreibung		Paket	Stückpreis★ 1	25	100
NJM78L05A-ND	5 V, 100 mA Positivspannungsregler	5V, 100mA, Positive Voltage Regulator	TO-92	.30	.26	.21
NJM#78L05L2A-ND	5 V, 100 mA Positivspannungsregler*	5V, 100mA, Positive Voltage Regulator*	TO-92	.30	.26	.21
NJM78L06A-ND	6 V, 100 mA Positivspannungsregler	6V, 100mA, Positive Voltage Regulator	TO-92	.30	.26	.21
NJM#78L06L2A-ND	6 V, 100 mA Positivspannungsregler*	6V, 100mA, Positive Voltage Regulator*	TO-92	.30	.26	.21
NJM#78L08L2A-ND	8 V, 100 mA Positivspannungsregler*	8V, 100mA, Positive Voltage Regulator*	TO-92	.30	.26	.21
NJM78L12A-ND	12 V,100 mA Positivspannungsregler	12V, 100mA, Positive Voltage Regulator	TO-92	.30	.26	.21
NJM#78L12L2A-ND	12 V,100 mA Positivspannungsregler*	12V, 100mA, Positive Voltage Regulator*	TO-92	.30	.26	.21
NJM78L15A-ND	15 V,100 mA Positivspannungsregler	15V, 100mA, Positive Voltage Regulator	TO-92	.30	.26	.21
NJM78LR05BD-ND	Serienregler mit Reset-Funktion	Series Regulator with Reset Function	8-Dip	.61	.51	.41
NJM78LR05BM-ND	Serienregler mit Reset-Funktion	Series Regulator with Reset Function	8-DMP	.38	.32	.26
NJM78L20A-ND	20 V,100 mA Positivspannungsregler	20V, 100mA, Positive Voltage Regulator	TO-92	.30	.26	.21
NJM78L24A-ND	24 V,100 mA Positivspannungsregler	24V, 100mA, Positive Voltage Regulator	TO-92	.30	.26	.21
NJM#78L24L2A-ND	24 V,100 mA Positivspannungsregler*	24V, 100mA, Positive Voltage Regulator*	TO-92	.30	.26	.21
NJM78L02UA-ND	2,6 V, 100 mA Positivspannungsregler	2.6V, 100mA, Positive Voltage Regulator	SOT-89	.33	.28	.23
NJM78L05UA-ND	5 V, 100 mA Positivspannungsregler	5V, 100mA, Positive Voltage Regulator	SOT-89	.33	.28	.23
NJM78L06UA-ND	6 V, 100 mA, Positivspannungsregler	6V, 100mA, Positive Voltage Regulator	SOT-89	.33	.28	.23
NJM78L08UA-ND	8 V, 100 mA Positivspannungsregler	8V, 100mA, Positive Voltage Regulator	SOT-89	.33	.28	.23
NJM78L09UA-ND	9 V, 100 mA Positivspannungsregler	9V, 100mA, Positive Voltage Regulator	SOT-89	.33	.28	.23
NJM78L12UA-ND	12 V,100 mA Positivspannungsregler	12V, 100mA, Positive Voltage Regulator	SOT-89	.33	.28	.23
NJM78L15UA-ND	15 V,100 mA Positivspannungsregler	15V, 100mA, Positive Voltage Regulator	SOT-89	.33	.28	.23
NJM78L18UA-ND	18 V, 100 mA Positivspannungsregler	18V, 100mA, Positive Voltage Regulator	SOT-89	.33	.28	.23
NJM78L20UA-ND	20 V,100 mA Positivspannungsregler	20V, 100mA, Positive Voltage Regulator	SOT-89	.33	.28	.23
NJM78L24UA-ND	24 V,100 mA Positivspannungsregler	24V, 100mA, Positive Voltage Regulator	SOT-89	.33	.28	.23
NJM#78LR05BUTE1CT-ND	Serienregler mit Reset-Funktion*	Series Regulator with Reset Function*	SOT-89-5	.51	.43	.34
NJM#78LR05BUTE1TR-ND	Serienregler mit Reset-Funktion*	Series Regulator with Reset Function*	SOT-89-5		296.31/1,000	
NJM78LR05DD-ND	Serienregler mit Reset-Funktion	Series Regulator with Reset Function	8-Dip	.61	.51	.41
NJM78LR05DU-TE1CT-ND	Serienregler mit Reset-Funktion	Series Regulator with Reset Function	SOT-89-5	.51	.43	.34
NJM78LR05DU-TE1TR-ND	Serienregler mit Reset-Funktion	Series Regulator with Reset Function	SOT-89-5		296.31/1,000	
NJM78M05FA-ND	5 V, 500 mA Positivspannungsregler mit isolierten Ösen	5V, 500mA, Positive Voltage Regulator with Isolated Tab	TO-220F	.46	.39	.31
NJM78M06FA-ND	6 V, 500 mA Positivspannungsregler mit isolierten Ösen	6V, 500mA, Positive Voltage Regulator with Isolated Tab	TO-220F	.46	.39	.31
NJM78M08FA-ND	8 V, 500 mA Positivspannungsregler mit isolierten Ösen	8V, 500mA, Positive Voltage Regulator with Isolated Tab	TO-220F	.46	.39	.31
NJM78M09FA-ND	9 V, 500 mA Positivspannungsregler mit isolierten Ösen	9V, 500mA, Positive Voltage Regulator with Isolated Tab	TO-220F	.46	.39	.31
NJM78M12FA-ND	12 V, 500 mA Positivspannungsregler mit isolierten Ösen	12V, 500mA, Positive Voltage Regulator with Isolated Tab	TO-220F	.46	.39	.31
NJM78M15FA-ND	15 V, 500 mA Positivspannungsregler mit isolierten Ösen	15V, 500mA, Positive Voltage Regulator with Isolated Tab	TO-220F	.46	.39	.31
NJM78M18FA-ND	18 V, 500 mA Positivspannungsregler mit isolierten Ösen	18V, 500mA, Positive Voltage Regulator with Isolated Tab	TO-220F	.46	.39	.31
NJM78M20FA-ND	20 V, 500 mA Positivspannungsregler mit isolierten Ösen	20V, 500mA, Positive Voltage Regulator with Isolated Tab	TO-220F	.46	.39	.31
NJM78M24FA-ND	24 V, 500 mA Positivspannungsregler mit isolierten Ösen	24V, 500mA, Positive Voltage Regulator with Isolated Tab	TO-220F	.46	.39	.31
NJM79L05A-ND	5 V, 100 mA Negativspannungsregler	5V, 100mA, Negative Voltage Regulator	TO-92	.36	.30	.24
NJM#79L05L2A-ND	5 V, 100 mA Negativspannungsregler*	5V, 100mA, Negative Voltage Regulator*	TO-92	.36	.30	.24
NJM79L06A-ND	6 V, 100 mA Negativspannungsregler	6V, 100mA, Negative Voltage Regulator	TO-92	.36	.30	.24
NJM79L08A-ND	8 V, 100 mA Negativspannungsregler	8V, 100mA, Negative Voltage Regulator	TO-92	.36	.30	.24
NJM79L09A-ND	9 V, 100 mA Negativspannungsregler	9V, 100mA, Negative Voltage Regulator	TO-92	.36	.30	.24
NJM79L12A-ND	12 V, 100 mA Negativspannungsregler	12V, 100mA, Negative Voltage Regulator	TO-92	.36	.30	.24
NJM79L15A-ND	15 V, 100 mA Negativspannungsregler	15V, 100mA, Negative Voltage Regulator	TO-92	.36	.30	.24
NJM79L18A-ND	18 V, 100 mA Negativspannungsregler	18V, 100mA, Negative Voltage Regulator	TO-92	.36	.30	.24
NJM79L24A-ND	24 V, 100 mA Negativspannungsregler	24V, 100mA, Negative Voltage Regulator	TO-92	.36	.30	.24
NJM79L05UA-ND	5 V, 100 mA Negativspannungsregler	5V, 100mA, Negative Voltage Regulator	SOT-89	.58	.49	.39
NJM79L06UA-ND	6 V, 100 mA Negativspannungsregler	6V, 100mA, Negative Voltage Regulator	SOT-89	.58	.49	.39
NJM79L08UA-ND	8 V, 100 mA Negativspannungsregler	8V, 100mA, Negative Voltage Regulator	SOT-89	.58	.49	.39
NJM79L09UA-ND	9 V, 100 mA Negativspannungsregler	9V, 100mA, Negative Voltage Regulator	SOT-89	.58	.49	.39
NJM79L12UA-ND	12 V, 100 mA Negativspannungsregler	12V, 100mA, Negative Voltage Regulator	SOT-89	.58	.49	.39
NJM79L15UA-ND	15 V, 100 mA Negativspannungsregler	15V, 100mA, Negative Voltage Regulator	SOT-89	.58	.49	.39
NJM79L18UA-ND	18 V, 100 mA Negativspannungsregler	18V, 100mA, Negative Voltage Regulator	SOT-89	.58	.49	.39
NJM79L24UA-ND	24 V, 100 mA Negativspannungsregler	24V, 100mA, Negative Voltage Regulator	SOT-89	.58	.49	.39
NJM79M05FA-ND	5 V, 500 mA Negativspannungsregler mit isolierten Ösen	5V, 500mA, Negative Voltage Regulator with Isolated Tab	TO-220F	.58	.49	.39
NJM79M06FA-ND	6 V, 500 mA Negativspannungsregler mit isolierten Ösen	6V, 500mA, Negative Voltage Regulator with Isolated Tab	TO-220F	.58	.49	.39
NJM79M08FA-ND	8 V, 500 mA Negativspannungsregler mit isolierten Ösen	8V, 500mA, Negative Voltage Regulator with Isolated Tab	TO-220F	.58	.49	.39
NJM79M09FA-ND	9 V, 500 mA Negativspannungsregler mit isolierten Ösen	9V, 500mA, Negative Voltage Regulator with Isolated Tab	TO-220F	.58	.49	.39
NJM79M12FA-ND	12 V, 500 mA Negativspannungsregler mit isolierten Ösen	12V, 500mA, Negative Voltage Regulator with Isolated Tab	TO-220F	.58	.49	.39
NJM79M15FA-ND	15 V, 500 mA Negativspannungsregler mit isolierten Ösen	15V, 500mA, Negative Voltage Regulator with Isolated Tab	TO-220F	.58	.49	.39
NJM79M18FA-ND	18 V, 500 mA Negativspannungsregler mit isolierten Ösen	18V, 500mA, Negative Voltage Regulator with Isolated Tab	TO-220F	.58	.49	.39
NJM79M24FA-ND	24 V, 500 mA Negativspannungsregler mit isolierten Ösen	24V, 500mA, Negative Voltage Regulator with Isolated Tab	TO-220F	.58	.49	.39
NJM317DL1-TE1CT-ND	Einstellbarer Positivspannungsregler, 3 Anschlüsse	Adjustable 3-Terminal Positive Voltage Regulator	TO-252	.76	.64	.51
NJM317DL1-TE1TR-ND	Einstellbarer Positivspannungsregler, 3 Anschlüsse	Adjustable 3-Terminal Positive Voltage Regulator	TO-252		1333.40/3,000	
NJM317F-ND	Einstellbarer 1,5 A Spannungsregler mit isolierter Öse	Adjustable 1.5A, Voltage Regulator with Isolated Tab	TO-220F	.79	.66	.53
NJM431D-ND	Einstellbarer Shunt-Präzisionsregler	Adjustable Precision Shunt Regulator	8-Dip	.41	.34	.28
NJM431E-ND	Einstellbarer Shunt-Präzisionsregler	Adjustable Precision Shunt Regulator	8-SOIC	.36	.30	.24
NJM431L-ND	Einstellbarer Shunt-Präzisionsregler	Adjustable Precision Shunt Regulator	TO-92	.36	.30	.24
NJM431M-ND	Einstellbarer Shunt-Präzisionsregler	Adjustable Precision Shunt Regulator	8-DMP	.46	.39	.31
NJM431U-ND	Einstellbarer Shunt-Präzisionsregler	Adjustable Precision Shunt Regulator	SOT-89	.46	.39	.31
NJM723M-ND	Präzisionsspannungsregler	Precision Voltage Regulator	14-DMP	.46	.39	.31
NJM2352D-ND	NL-Schaltregler mit Low-Battery-Erkennung	Low Power Switching Regulator with Low Battery Detection	8-Dip	.56	.47	.38
NJM2352M-ND	NL-Schaltregler	Low Power Switching Regulator	8-DMP	.56	.47	.38
NJM#2355D-ND	Hochspannungs-Schaltregler*, 2 Ausgänge	2-Output High Voltage Switching Regulator*	18-Dip	2.13	1.78	1.43
NJM2360D-ND	DC/DC-Wandlersteuerungs-IC	DC/DC Converter Control IC	8-Dip	.69	.58	.46
NJM2370R02-TE1CT-ND	2,0 V Low-Dropout-Spannungsregler mit Ein/Aus-Steuerung	2.0V, Low Dropout Voltage Regulator with On/Off Control	8-VSP	.51	.43	.34
NJM2370R02-TE1TR-ND	2,0 V Low-Dropout-Spannungsregler mit Ein/Aus-Steuerung	2.0V, Low Dropout Voltage Regulator with On/Off Control	8-VSP		592.62/2,000	
NJM2370R03-TE1CT-ND	3,0 V Low-Dropout-Spannungsregler mit Ein/Aus-Steuerung	3.0V, Low Dropout Voltage Regulator with On/Off Control	8-VSP	.51	.43	.34
NJM2370R03-TE1TR-ND	3,0 V Low-Dropout-Spannungsregler mit Ein/Aus-Steuerung	3.0V, Low Dropout Voltage Regulator with On/Off Control	8-VSP		592.62/2,000	
NJM2370R37-TE1CT-ND	3,7 V Low-Dropout-Spannungsregler mit Ein/Aus-Steuerung	3.7V, Low Dropout Voltage Regulator with On/Off Control	8-VSP	.51	.43	.34
NJM2370R37-TE1TR-ND	3,7 V Low-Dropout-Spannungsregler mit Ein/Aus-Steuerung	3.7V, Low Dropout Voltage Regulator with On/Off Control	8-VSP		592.62/2,000	
NJM2370U03-TE1CT-ND	3 V Low-Dropout-Spannungsregler mit Ein/Aus-Steuerung	3V, Low Dropout Voltage Regulator with On/Off Control	SOT-89-5	.51	.43	.34
NJM2370U03-TE1TR-ND	3 V Low-Dropout-Spannungsregler mit Ein/Aus-Steuerung	3V, Low Dropout Voltage Regulator with On/Off Control	SOT-89-5		296.31/1,000	
NJM#2370U05-TE1CT-ND	5 V Low-Dropout-Spannungsregler mit Ein/Aus-Steuerung*	5V, Low Dropout Voltage Regulator with On/Off Control*	SOT-89-5	.51	.43	.34
NJM#2370U05-TE1TR-ND	5 V Low-Dropout-Spannungsregler mit Ein/Aus-Steuerung*	5V, Low Dropout Voltage Regulator with On/Off Control*	SOT-89-5		296.31/1,000	
NJM2370U47-TE1CT-ND	4,7 V Low-Dropout-Spannungsregler mit Ein/Aus-Steuerung	4.7V, Low Dropout Voltage Regulator with On/Off Control	SOT-89-5	.51	.43	.34
NJM2370U47-TE1TR-ND	4,7 V Low-Dropout-Spannungsregler mit Ein/Aus-Steuerung	4.7V, Low Dropout Voltage Regulator with On/Off Control	SOT-89-5		296.31/1,000	
NJM2373AF-TE1CT-ND	Einstellbarer Shuntregler, hohe Genauigkeit	Adjustable High Precision Shunt Regulator	5-MTP	.56	.47	.38
NJM2373AF-TE1TR-ND	Einstellbarer Shuntregler, hohe Genauigkeit	Adjustable High Precision Shunt Regulator	5-MTP		977.82/3,000	
NJM2373AU-TE1CT-ND	Einstellbarer Shuntregler, hohe Genauigkeit	Adjustable High Precision Shunt Regulator	SOT-89	.71	.60	.48
NJM2373AU-TE1TR-ND	Einstellbarer Shuntregler, hohe Genauigkeit	Adjustable High Precision Shunt Regulator	SOT-89		414.83/1,000	
NJM2374AD-ND	PWM-DC/DC-Wandler	PWM DC/DC Converter	8-Dip	1.24	1.04	.83
NJM2374AM-ND	PWM-DC/DC-Wandler	PWM DC/DC Converter	8-DMP	1.24	1.04	.83
NJM2384D-ND	DC/DC-Wandlersteuerung	DC/DC Converter Control	14-Dip	1.78	1.49	1.19
NJM2391DL103TE1CT-ND	3 V Low-Dropout-Spannungsregler	3V, Low Dropout Voltage Regulator	TO-252	.71	.60	.48
NJM2391DL103TE1TR-ND	3 V Low-Dropout-Spannungsregler	3V, Low Dropout Voltage Regulator	TO-252		1244.50/3,000	
NJM2396F05-ND	Low-Dropout-Spannungsregler	Low Dropout Voltage Regulator	TO-220F-4	.97	.81	.65
NJM2396F33-ND	Low-Dropout-Spannungsregler	Low Dropout Voltage Regulator	TO-220F-4	.89	.75	.60
NJM2396F63-ND	Low-Dropout-Spannungsregler	Low Dropout Voltage Regulator	TO-220F-4	.89	.75	.60
NJM2397F-ND	Einstellbarer Low-Dropout-Spannungsregler	Adjustable Low Dropout Voltage Regulator	TO-220F-4	.97	.81	.65

* Bleifrei/RoHS-konform

(Forts.)

★ RUFEN SIE BITTE AN FÜR NIEDRIGERE PREISE BEI GRÖSSEREN MENGEN! ★

Digi-Key Teilenr.	Beschreibung		Paket	Stückpreis★ 1	25	100
NJM2800F3342TE1CT-ND	3,3 V Low-Dropout-Spannungsregler mit Reset-Funktion	3.3V, Low Dropout Voltage Regulator with Reset	5-MTP	.89	.75	.60
NJM2800F3342TE1TR-ND	3,3 V Low-Dropout-Spannungsregler mit Reset-Funktion	3.3V, Low Dropout Voltage Regulator with Reset	5-MTP		1555.63/3,000	
NJM2800U3342TE1CT-ND	3,3 V Low-Dropout-Spannungsregler mit Reset-Funktion	3.3V, Low Dropout Voltage Regulator with Reset	SOT-89-5	.89	.75	.60
NJM2800U3342TE1TR-ND	3,3 V Low-Dropout-Spannungsregler mit Reset-Funktion	3.3V, Low Dropout Voltage Regulator with Reset	SOT-89-5		518.54/1,000	
NJM2845DL118TE1CT-ND	1,8 V-5 V Low-Dropout-Spannungsregler	1.8V-5V, Low Dropout Voltage Regulator	TO-252	.53	.45	.36
NJM2845DL118TE1TR-ND	1,8 V-5 V Low-Dropout-Spannungsregler	1.8V-5V, Low Dropout Voltage Regulator	TO-252		933.38/3,000	
NJM2845DL123TE1CT-ND	2,3 V-5 V Low-Dropout-Spannungsregler	2.3V-5V, Low Dropout Voltage Regulator	TO-252	.53	.45	.36
NJM2845DL123TE1TR-ND	2,3 V-5 V Low-Dropout-Spannungsregler	2.3V-5V, Low Dropout Voltage Regulator	TO-252		933.38/3,000	
NJM2845DL125TE1CT-ND	2,5 V-5 V Low-Dropout-Spannungsregler	2.5V-5V, Low Dropout Voltage Regulator	TO-252	.53	.45	.36
NJM2845DL125TE1TR-ND	2,5 V-5 V Low-Dropout-Spannungsregler	2.5V-5V, Low Dropout Voltage Regulator	TO-252		933.38/3,000	
NJM2845DL103TE1CT-ND	3 V-5 V Low-Dropout-Spannungsregler	3V-5V, Low Dropout Voltage Regulator	TO-252	.53	.45	.36
NJM2845DL103TE1TR-ND	3 V-5 V Low-Dropout-Spannungsregler	3V-5V, Low Dropout Voltage Regulator	TO-252		933.38/3,000	
NJM2845DL133TE1CT-ND	3,3 V-5 V Low-Dropout-Spannungsregler	3.3V-5V, Low Dropout Voltage Regulator	TO-252	.53	.45	.36
NJM2845DL133TE1TR-ND	3,3 V-5 V Low-Dropout-Spannungsregler	3.3V-5V, Low Dropout Voltage Regulator	TO-252		933.38/3,000	
NJM2846DL303TE1CT-ND	3 V-5 V Low-Dropout-Spannungsregler	3V-5V, Low Dropout Voltage Regulator	TO-252-5	.69	.58	.46
NJM2846DL303TE1TR-ND	3 V-5 V Low-Dropout-Spannungsregler	3V-5V, Low Dropout Voltage Regulator	TO-252-5		1200.06/3,000	
NJM2846DL305TE1CT-ND	5 V Low-Dropout-Spannungsregler	5V, Low Dropout Voltage Regulator	TO-252-5	.69	.58	.46
NJM2846DL305TE1TR-ND	5 V Low-Dropout-Spannungsregler	5V, Low Dropout Voltage Regulator	TO-252-5		1200.06/3,000	
NJM2846DL318TE1CT-ND	1,8 V-5 V Low-Dropout-Spannungsregler	1.8V-5V, Low Dropout Voltage Regulator	TO-252-5	.69	.58	.46
NJM2846DL318TE1TR-ND	1,8 V-5 V Low-Dropout-Spannungsregler	1.8V-5V, Low Dropout Voltage Regulator	TO-252-5		1200.06/3,000	
NJM2846DL323TE1CT-ND	2,3 V-5 V Low-Dropout-Spannungsregler	2.3V-5V, Low Dropout Voltage Regulator	TO-252-5	.69	.58	.46
NJM2846DL323TE1TR-ND	2,3 V-5 V Low-Dropout-Spannungsregler	2.3V-5V, Low Dropout Voltage Regulator	TO-252-5		1200.06/3,000	
NJM2846DL333TE1CT-ND	3,3 V-5 V Low-Dropout-Spannungsregler	3.3V-5V, Low Dropout Voltage Regulator	TO-252-5	.69	.58	.46
NJM2846DL333TE1TR-ND	3,3 V-5 V Low-Dropout-Spannungsregler	3.3V-5V, Low Dropout Voltage Regulator	TO-252-5		1200.06/3,000	
NJM2860F3-25TE1CT-ND	Low-Dropout-Spannungsregler	Low Dropout Voltage Regulator	SC-88A	.38	.32	.26
NJM2860F3-25TE1TR-ND	Low-Dropout-Spannungsregler	Low Dropout Voltage Regulator	SC-88A		666.70/3,000	
NJM2860F3-33TE1CT-ND	Low-Dropout-Spannungsregler	Low Dropout Voltage Regulator	SC-88A	.38	.32	.26
NJM2860F3-33TE1TR-ND	Low-Dropout-Spannungsregler	Low Dropout Voltage Regulator	SC-88A		666.70/3,000	
NJM2860F3-47TE1CT-ND	Low-Dropout-Spannungsregler	Low Dropout Voltage Regulator	SC-88A	.38	.32	.26
NJM2860F3-47TE1TR-ND	Low-Dropout-Spannungsregler	Low Dropout Voltage Regulator	SC-88A		666.70/3,000	
NJM2863F03-TE1CT-ND	3 V Low-Dropout-Spannungsregler, ultra-rauscharm	3V, Ultra Low Noise Low Dropout Voltage Regulator	5-MTP	.38	.32	.26
NJM2863F03-TE1TR-ND	3 V Low-Dropout-Spannungsregler, ultra-rauscharm	3V, Ultra Low Noise Low Dropout Voltage Regulator	5-MTP		666.70/3,000	
NJM2863F28-TE1CT-ND	2,8 V Low-Dropout-Spannungsregler, ultra-rauscharm	2.8V, Ultra Low Noise Low Dropout Voltage Regulator	5-MTP	.38	.32	.26
NJM2863F28-TE1TR-ND	2,8 V Low-Dropout-Spannungsregler, ultra-rauscharm	2.8V, Ultra Low Noise Low Dropout Voltage Regulator	5-MTP		666.70/3,000	
NJM2863F29-TE1CT-ND	2,9 V Low-Dropout-Spannungsregler, ultra-rauscharm	2.9V, Ultra Low Noise Low Dropout Voltage Regulator	5-MTP	.38	.32	.26
NJM2863F29-TE1TR-ND	2,9 V Low-Dropout-Spannungsregler, ultra-rauscharm	2.9V, Ultra Low Noise Low Dropout Voltage Regulator	5-MTP		666.70/3,000	
NJM2864F03-TE1CT-ND	3 V Low-Dropout-Spannungsregler, ultra-rauscharm	3V, Ultra Low Noise Low Dropout Voltage Regulator	5-MTP	.38	.32	.26
NJM2864F03-TE1TR-ND	3 V Low-Dropout-Spannungsregler, ultra-rauscharm	3V, Ultra Low Noise Low Dropout Voltage Regulator	5-MTP		666.70/3,000	
NJM#2865F333TE1CT-ND	3,3 V Low-Dropout-Spannungsregler*	3.3V, Low Dropout Voltage Regulator*	SC88A	.36	.30	.24
NJM#2865F333TE1TR-ND	3,3 V Low-Dropout-Spannungsregler*	3.3V, Low Dropout Voltage Regulator*	SC88A		622.25/3,000	
NJM2870F21-TE1CT-ND	2,1 V Low-Dropout-Spannungsregler	2.1V, Low Dropout Voltage Regulator	5-MTP	.36	.30	.24
NJM2870F21-TE1TR-ND	2,1 V Low-Dropout-Spannungsregler	2.1V, Low Dropout Voltage Regulator	5-MTP		622.25/3,000	
NJM#2870F33-TE1CT-ND	3,3 V Low-Dropout-Spannungsregler*	3.3V, Low Dropout Voltage Regulator*	5-MTP	.36	.30	.24
NJM#2870F33-TE1TR-ND	3,3 V Low-Dropout-Spannungsregler*	3.3V, Low Dropout Voltage Regulator*	5-MTP		622.25/3,000	
NJM2870F48-TE1CT-ND	4,8 V Low-Dropout-Spannungsregler	4.8V, Low Dropout Voltage Regulator	5-MTP	.36	.30	.24
NJM2870F48-TE1TR-ND	4,8 V Low-Dropout-Spannungsregler	4.8V, Low Dropout Voltage Regulator	5-MTP		622.25/3,000	
NJM#2871AF25TE1CT-ND	2,5 V Low-Dropout-Spannungsregler*	2.5V, Low Dropout Voltage Regulator*	5-MTP	.36	.30	.24
NJM#2871AF25TE1TR-ND	2,5 V Low-Dropout-Spannungsregler*	2.5V, Low Dropout Voltage Regulator*	5-MTP		622.25/3,000	
NJM2880U21-TE1CT-ND	2,1 V Low-Dropout-Spannungsregler	2.1V, Low Dropout Voltage Regulator	SOT-89-5	.63	.53	.43
NJM2880U21-TE1TR-ND	2,1 V Low-Dropout-Spannungsregler	2.1V, Low Dropout Voltage Regulator	SOT-89-5		370.39/1,000	
NJM2881F18-TE1CT-ND	1,8 V Low-Dropout-Spannungsregler	1.8V, Low Dropout Voltage Regulator	SOT-23-5	.46	.39	.31
NJM2881F18-TE1TR-ND	1,8 V Low-Dropout-Spannungsregler	1.8V, Low Dropout Voltage Regulator	SOT-23-5		800.04/3,000	
NJM#2881F28-TE1CT-ND	2,8 V Low-Dropout-Spannungsregler*	2.8V, Low Dropout Voltage Regulator*	SOT-23-5	.46	.39	.31
NJM#2881F28-TE1TR-ND	2,8 V Low-Dropout-Spannungsregler*	2.8V, Low Dropout Voltage Regulator*	SOT-23-5		800.04/3,000	
NJM2886DL233TE1CT-ND	3,3 V Low-Dropout-Spannungsregler	3.3V, Low Dropout Voltage Regulator	TO-252-5	.81	.68	.55
NJM2886DL233TE1TR-ND	3,3 V Low-Dropout-Spannungsregler	3.3V, Low Dropout Voltage Regulator	TO-252-5		1422.29/3,000	
NJM2930F05-ND	5 V Low-Dropout-Spannungsregler	5V, Low Dropout Voltage Regulator	TO-220F	.61	.51	.41
NJM2930F85-ND	8,5 V Low-Dropout-Spannungsregler	8.5V, Low Dropout Voltage Regulator	TO-220F	.61	.51	.41
NJM2930L85-ND	8,5 V Low-Dropout-Spannungsregler	8.5V, Low Dropout Voltage Regulator	TO-92	.46	.39	.31
NJM7905FA-ND	5 V, 1,5 A Negativspannungsregler mit isolierten Ösen	5V, 1.5A, Negative Voltage Regulator with Isolated Tab	TO-220F	.79	.66	.53
NJM7906FA-ND	6 V, 1,5 A Negativspannungsregler mit isolierten Ösen	6V, 1.5A, Negative Voltage Regulator with Isolated Tab	TO-220F	.79	.66	.53
NJM7908FA-ND	8 V, 1,5 A Negativspannungsregler mit isolierten Ösen	8V, 1.5A, Negative Voltage Regulator with Isolated Tab	TO-220F	.79	.66	.53
NJM7909FA-ND	9 V, 1,5 A Negativspannungsregler mit isolierten Ösen	9V, 1.5A, Negative Voltage Regulator with Isolated Tab	TO-220F	.79	.66	.53
NJM7912FA-ND	12 V, 1,5 A Negativspannungsregler mit isolierten Ösen	12V, 1.5A, Negative Voltage Regulator with Isolated Tab	TO-220F	.61	.51	.41
NJM7915FA-ND	15 V, 1,5 A Negativspannungsregler mit isolierten Ösen	15V, 1.5A, Negative Voltage Regulator with Isolated Tab	TO-220F	.79	.66	.53
NJM7918FA-ND	18 V, 1,5 A Negativspannungsregler mit isolierten Ösen	18V, 1.5A, Negative Voltage Regulator with Isolated Tab	TO-220F	.79	.66	.53
NJM7924FA-ND	24 V, 1,5 A Negativspannungsregler mit isolierten Ösen	24V, 1.5A, Negative Voltage Regulator with Isolated Tab	TO-220F	.79	.66	.53
NJU7201L12-ND	1,2 V CMOS-Positivspannungsregler, 3 Anschlüsse	1.2V, CMOS 3-Terminal Positive Voltage Regulator	TO-92	.51	.43	.34
NJU7201L32-ND	3,2 V CMOS-Positivspannungsregler, 3 Anschlüsse	3.2V, CMOS 3-Terminal Positive Voltage Regulator	TO-92	.51	.43	.34
NJU7201L55-ND	5,5 V CMOS-Positivspannungsregler, 3 Anschlüsse	5.5V, CMOS 3-Terminal Positive Voltage Regulator	TO-92	.53	.45	.36
NJU#7201U32-ND	3,2 V CMOS-Positivspannungsregler, 3 Anschlüsse*	3.2V, CMOS 3-Terminal Positive Voltage Regulator*	SOT-89	.71	.60	.48
NJU7201U55-ND	5,5 V CMOS-Positivspannungsregler, 3 Anschlüsse	5.5V, CMOS 3-Terminal Positive Voltage Regulator	SOT-89	.74	.62	.50
NJU7211L30-ND	-3,0 V CMOS-Negativspannungsregler, 3 Anschlüsse	-3.0V, CMOS 3-Terminal Negative Voltage Regulator	TO-92	.61	.51	.41
NJU7211L50-ND	-5,0 V CMOS-Negativspannungsregler, 3 Anschlüsse	-5.0V, CMOS 3-Terminal Negative Voltage Regulator	TO-92	.61	.51	.41
NJU7222L30-ND	3 V CMOS-Spannungsregler, hohe Genauigkeit/hoher Ausgangsstrom, mit 3 Anschlüssen	3V, High Precision/High Output Current CMOS 3-Terminal Voltage Regulator	TO-92	.71	.60	.48
NJU7222L50-ND	5 V CMOS-Spannungsregler, hohe Genauigkeit/hoher Ausgangsstrom, mit 3 Anschlüssen	5V, High Precision/High Output Current CMOS 3-Terminal Voltage Regulator	TO-92	.71	.60	.48
NJU7222U30-ND	3 V CMOS-Spannungsregler, hohe Genauigkeit/hoher Ausgangsstrom, mit 3 Anschlüssen	3V, High Precision/High Output Current CMOS 3-Terminal Voltage Regulator	SOT-89	.56	.47	.38
NJU7222U50-ND	5 V CMOS-Spannungsregler, hohe Genauigkeit/hoher Ausgangsstrom, mit 3 Anschlüssen	5V, High Precision/High Output Current CMOS 3-Terminal Voltage Regulator	SOT-89	.56	.47	.38
NJU7223F18-ND	1,8 V, 500 mA Low-Dropout-Spannungsregler	1.8V, 500mA Low Dropout Voltage Regulator	TO-220F	.79	.66	.53
NJU#7223F50-ND	5 V, 500 mA Low-Dropout-Spannungsregler*	5V, 500mA Low Dropout Voltage Regulator*	TO-220F	.79	.66	.53
NJU7231F12-TE1CT-ND	1,2 V CMOS-Spannungsregler, 3 Anschlüsse, hohe Genauigkeit	1.2V, High Precision CMOS 3-Terminal Voltage Regulator	5-MTP	.51	.43	.34
NJU7231F12-TE1TR-ND	1,2 V CMOS-Spannungsregler, 3 Anschlüsse, hohe Genauigkeit	1.2V, High Precision CMOS 3-Terminal Voltage Regulator	5-MTP		888.93/3,000	
NJU7231F28-TE1CT-ND	2,8 V CMOS-Spannungsregler, 3 Anschlüsse, hohe Genauigkeit	2.8V, High Precision CMOS 3-Terminal Voltage Regulator	5-MTP	.51	.43	.34
NJU7231F28-TE1TR-ND	2,8 V CMOS-Spannungsregler, 3 Anschlüsse, hohe Genauigkeit	2.8V, High Precision CMOS 3-Terminal Voltage Regulator	5-MTP		888.93/3,000	
NJU7231F52-TE1CT-ND	5,2 V CMOS-Spannungsregler, 3 Anschlüsse, hohe Genauigkeit	5.2V, High Precision CMOS 3-Terminal Voltage Regulator	5-MTP	.51	.43	.34
NJU7231F52-TE1TR-ND	5,2 V CMOS-Spannungsregler, 3 Anschlüsse, hohe Genauigkeit	5.2V, High Precision CMOS 3-Terminal Voltage Regulator	5-MTP		888.93/3,000	
NJU7231L12-ND	1,2 V CMOS-Spannungsregler, 3 Anschlüsse, hohe Genauigkeit	1.2V, High Precision CMOS 3-Terminal Voltage Regulator	TO-92	.63	.53	.43
NJU7231L28-ND	2,8 V CMOS-Spannungsregler, 3 Anschlüsse, hohe Genauigkeit	2.8V, High Precision CMOS 3-Terminal Voltage Regulator	TO-92	.63	.53	.43
NJU7231L52-ND	5,2 V CMOS-Spannungsregler, 3 Anschlüsse, hohe Genauigkeit	5.2V, High Precision CMOS 3-Terminal Voltage Regulator	TO-92	.63	.53	.43
NJU7231U12-TE1CT-ND	1,2 V CMOS-Spannungsregler, 3 Anschlüsse, hohe Genauigkeit	1.2V, High Precision CMOS 3-Terminal Voltage Regulator	SOT-89	.51	.43	.34
NJU7231U12-TE1TR-ND	1,2 V CMOS-Spannungsregler, 3 Anschlüsse, hohe Genauigkeit	1.2V, High Precision CMOS 3-Terminal Voltage Regulator	SOT-89		296.31/1,000	
NJU7231U18-TE1CT-ND	1,8 V CMOS-Spannungsregler, 3 Anschlüsse, hohe Genauigkeit	1.8V, High Precision CMOS 3-Terminal Voltage Regulator	SOT-89	.51	.43	.34
NJU7231U18-TE1TR-ND	1,8 V CMOS-Spannungsregler, 3 Anschlüsse, hohe Genauigkeit	1.8V, High Precision CMOS 3-Terminal Voltage Regulator	SOT-89		296.31/1,000	
NJU7231U30-TE1CT-ND	3 V CMOS-Spannungsregler, 3 Anschlüsse, hohe Genauigkeit	3V, High Precision CMOS 3-Terminal Voltage Regulator	SOT-89	.51	.43	.34
NJU7231U30-TE1TR-ND	3 V CMOS-Spannungsregler, 3 Anschlüsse, hohe Genauigkeit	3V, High Precision CMOS 3-Terminal Voltage Regulator	SOT-89		296.31/1,000	
NJU7231U50-TE1CT-ND	5 V CMOS-Spannungsregler, 3 Anschlüsse, hohe Genauigkeit	5V, High Precision CMOS 3-Terminal Voltage Regulator	SOT-89	.51	.43	.34
NJU7231U50-TE1TR-ND	5 V CMOS-Spannungsregler, 3 Anschlüsse, hohe Genauigkeit	5V, High Precision CMOS 3-Terminal Voltage Regulator	SOT-89		296.31/1,000	
NJU7241F18-TE1CT-ND	1,8 V, 60 mA LDO-CMOS-Spannungsegler, hohe Genauigkeit	1.8V, High Precision LDO 60mA CMOS Voltage Regulator	5-MTP	.58	.49	.39
NJU7241F18-TE1TR-ND	1,8 V, 60 mA LDO-CMOS-Spannungsegler, hohe Genauigkeit	1.8V, High Precision LDO 60mA CMOS Voltage Regulator	5-MTP		1022.27/3,000	
NJU7241F28-TE1CT-ND	2,8 V 60 mA LDO-CMOS-Spannungsegler, hohe Genauigkeit	2.8V, High Precision LDO 60mA CMOS Voltage Regulator	5-MTP	.58	.49	.39

* Bleifrei/RoHS-konform

(Forts.)

★ ***RUFEN SIE BITTE AN FÜR NIEDRIGERE PREISE BEI GRÖSSEREN MENGEN!*** ★

B

Digi-Key Teilenr.	Beschreibung		Paket	Stückpreis★ 1	25	100
NJU7241F28-TE1TR-ND	2,8 V, 60 mA CMOS-Spannungsregler, hohe Präzision	2.8V, High Precision LDO 60mA CMOS Voltage Regulator	5-MTP		1022.27/3,000	
NJU7241F40-TE1CT-ND	4 V, 60 mA CMOS-Spannungsregler, hohe Präzision	4V, High Precision LDO 60mA CMOS Voltage Regulator	5-MTP	.58	.49	.39
NJU7241F40-TE1TR-ND	4 V, 60 mA CMOS-Spannungsregler, hohe Präzision	4V, High Precision LDO 60mA CMOS Voltage Regulator	5-MTP		1022.27/3,000	
NJU7241F50-TE1CT-ND	5 V, 60 mA CMOS-Spannungsregler, hohe Präzision	5V, High Precision LDO 60mA CMOS Voltage Regulator	5-MTP	.58	.49	.39
NJU7241F50-TE1TR-ND	5 V, 60 mA CMOS-Spannungsregler, hohe Präzision	5V, High Precision LDO 60mA CMOS Voltage Regulator	5-MTP		1022.27/3,000	
NJU7250F25-TE1CT-ND	2,5 V Low-Dropout-Spannungsregler	2.5V, Low Dropout Voltage Regulator	5-MTP	.58	.49	.39
NJU7250F25-TE1TR-ND	2,5 V Low-Dropout-Spannungsregler	2.5V, Low Dropout Voltage Regulator	5-MTP		1022.27/3,000	
NJU7250F33-TE1CT-ND	3,3 V Low-Dropout-Spannungsregler	3.3V, Low Dropout Voltage Regulator	5-MTP	.58	.49	.39
NJU7250F33-TE1TR-ND	3,3 V Low-Dropout-Spannungsregler	3.3V, Low Dropout Voltage Regulator	5-MTP		1022.27/3,000	
NJU7261U30-TE1CT-ND	3 V CMOS-Step-Up Schaltregler	3V, CMOS Step-Up Switching Regulator	SOT-89-5	.81	.68	.55
NJU7261U30-TE1TR-ND	3 V CMOS-Step-Up Schaltregler	3V, CMOS Step-Up Switching Regulator	SOT-89-5		474.10/1,000	
NJU7261U33-TE1CT-ND	3,3 V CMOS-Step-Up Schaltregler	3.3V, CMOS Step-Up Switching Regulator	SOT-89-5	.81	.68	.55
NJU7261U33-TE1TR-ND	3,3 V CMOS-Step-Up Schaltregler	3.3V, CMOS Step-Up Switching Regulator	SOT-89-5		474.10/1,000	
NJU7261U50-TE1CT-ND	5 V CMOS-Step-Up Schaltregler	5V, CMOS Step-Up Switching Regulator	SOT-89-5	.81	.68	.55
NJU7261U50-TE1TR-ND	5 V CMOS-Step-Up Schaltregler	5V, CMOS Step-Up Switching Regulator	SOT-89-5		474.10/1,000	
NJU7600M-ND	PWM Control Boost/Flyback-Schaltregler	PWM Control Boost/Flyback Switching Regulator	8-DMP	1.07	.89	.72
NJU7660D-ND	DC/DC-Spannungswandler	DC/DC Voltage Converter	8-Dip	.61	.51	.41
NJU7662D-ND	DC/DC-Spannungswandler	DC/DC Voltage Converter	8-Dip	1.24	1.04	.83
NJU7665AF-TE1CT-ND	Spannungswandler, kleines Paket	Small Package Voltage Inverter	5-MTP	1.07	.89	.72
NJU7665AF-TE1TR-ND	Spannungswandler, kleines Paket	Small Package Voltage Inverter	5-MTP		1866.75/3,000	
NJU7665BF-TE1CT-ND	Spannungswandler, kleines Paket	Small Package Voltage Inverter	5-MTP	1.07	.89	.72
NJU#7665CF-TE1CT-ND	Spannungswandler*, kleines Paket	Small Package Voltage Inverter*	5-MTP	1.07	.89	.72
NJU#7665CF-TE1TR-ND	Spannungswandler*, kleines Paket	Small Package Voltage Inverter*	5-MTP		1866.75/3,000	
NJU7670D-ND	Spannungs-Verdreifacher	Voltage Tripler	14-Dip	2.49	2.08	1.66
NJU7670M-ND	Spannungs-Verdreifacher	Voltage Tripler	14-DMP	2.49	2.08	1.66
NJU7670V-TE1CT-ND	Spannungs-Verdreifacher	Voltage Tripler	14-SSOP	2.57	2.14	1.72
NJU7670V-TE1TR-ND	Spannungs-Verdreifacher	Voltage Tripler	14-SSOP		2992.73/2,000	
NJU7700F25-TE1CT-ND	2,5 V Spannungsdetektor, N-Kanal, Open Drain	2.5V, N-Channel Open Drain Voltage Detector	SOT-23-5	.36	.30	.24
NJU7700F25-TE1TR-ND	2,5 V Spannungsdetektor, N-Kanal, Open Drain	2.5V, N-Channel Open Drain Voltage Detector	SOT-23-5		622.25/3,000	
NJU7700F27-TE1CT-ND	2,7 V Spannungsdetektor, N-Kanal, Open Drain	2.7V, N-Channel Open Drain Voltage Detector	SOT-23-5	.36	.30	.24
NJU7700F27-TE1TR-ND	2,7 V Spannungsdetektor, N-Kanal, Open Drain	2.7V, N-Channel Open Drain Voltage Detector	SOT-23-5		622.25/3,000	
NJU7701F06-TE1CT-ND	6 V CMOS-Ausgangsspannungsdetektor	6V, CMOS Output Voltage Detector	SOT-23-5	.36	.30	.24
NJU7701F06-TE1TR-ND	6 V CMOS-Ausgangsspannungsdetektor	6V, CMOS Output Voltage Detector	SOT-23-5		622.25/3,000	
NJU7701F28-TE1CT-ND	2,8 V CMOS-Ausgangsspannungsdetektor	2.8V, CMOS Output Voltage Detector	SOT-23-5	.36	.30	.24
NJU7701F28-TE1TR-ND	2,8 V CMOS-Ausgangsspannungsdetektor	2.8V, CMOS Output Voltage Detector	SOT-23-5		622.25/3,000	
NJU7701F44-TE1CT-ND	4,4 V CMOS-Ausgangsspannungsdetektor	4.4V, CMOS Output Voltage Detector	SOT-23-5	.36	.30	.24
NJU7701F44-TE1TR-ND	4,4 V CMOS-Ausgangsspannungsdetektor	4.4V, CMOS Output Voltage Detector	SOT-23-5		622.25/3,000	
NJU7771F03-TE1CT-ND	3 V Low-Dropout-Spannungsregler	3V, Low Dropout Voltage Regulator	5-MTP	.38	.32	.26
NJU7771F03-TE1TR-ND	3 V Low-Dropout-Spannungsregler	3V, Low Dropout Voltage Regulator	5-MTP		666.70/3,000	
NJU7771F05-TE1CT-ND	5 V Low-Dropout-Spannungsregler	5V, Low Dropout Voltage Regulator	5-MTP	.38	.32	.26
NJU7771F05-TE1TR-ND	5 V Low-Dropout-Spannungsregler	5V, Low Dropout Voltage Regulator	5-MTP		666.70/3,000	
NJU7772F03-TE1CT-ND	3 V Low-Dropout-Spannungsregler	3V, Low Dropout Voltage Regulator	5-MTP	.36	.30	.24
NJU7772F03-TE1TR-ND	3 V Low-Dropout-Spannungsregler	3V, Low Dropout Voltage Regulator	5-MTP		622.25/3,000	
NJU#7772F15-TE1CT-ND	1,5 V Low-Dropout-Spannungsregler*	1.5V, Low Dropout Voltage Regulator*	5-MTP	.36	.30	.24
NJU#7772F15-TE1TR-ND	1,5 V Low-Dropout-Spannungsregler*	1.5V, Low Dropout Voltage Regulator*	5-MTP		622.25/3,000	
NJU7773F25-TE1CT-ND	2,5 V Low-Dropout-Spannungsregler	2.5V, Low Dropout Voltage Regulator	5-MTP	.38	.32	.26
NJU7773F25-TE1TR-ND	2,5 V Low-Dropout-Spannungsregler	2.5V, Low Dropout Voltage Regulator	5-MTP		666.70/3,000	
NJU7773F33-TE1CT-ND	3,3 V Low-Dropout-Spannungsregler	3.3V, Low Dropout Voltage Regulator	5-MTP	.38	.32	.26
NJU7773F33-TE1TR-ND	3,3 V Low-Dropout-Spannungsregler	3.3V, Low Dropout Voltage Regulator	5-MTP		666.70/3,000	
NJU7774F03-TE1CT-ND	3 V Low-Dropout-Spannungsregler	3V, Low Dropout Voltage Regulator	5-MTP	.38	.32	.26
NJU7774F03-TE1TR-ND	3 V Low-Dropout-Spannungsregler	3V, Low Dropout Voltage Regulator	5-MTP		666.70/3,000	
NJU7774F15-TE1CT-ND	1,5 V Low-Dropout-Spannungsregler	1.5V, Low Dropout Voltage Regulator	5-MTP	.38	.32	.26
NJU7774F15-TE1TR-ND	1,5 V Low-Dropout-Spannungsregler	1.5V, Low Dropout Voltage Regulator	5-MTP		666.70/3,000	
NJU7774F28-TE1CT-ND	2,8 V Low-Dropout-Spannungsregler	2.8V, Low Dropout Voltage Regulator	5-MTP	.38	.32	.26
NJU7774F28-TE1TR-ND	2,8 V Low-Dropout-Spannungsregler	2.8V, Low Dropout Voltage Regulator	5-MTP		666.70/3,000	
NJU7775F05-TE1CT-ND	5 V Low-Dropout-Spannungsregler	5V, Low Dropout Voltage Regulator	5-MTP	.38	.32	.26
NJU7775F05-TE1TR-ND	5 V Low-Dropout-Spannungsregler	5V, Low Dropout Voltage Regulator	5-MTP		666.70/3,000	
NJU7775F33-TE1CT-ND	3,3 V Low-Dropout-Spannungsregler	3.3V, Low Dropout Voltage Regulator	5-MTP	.38	.32	.26
NJU7775F33-TE1TR-ND	3,3 V Low-Dropout-Spannungsregler	3.3V, Low Dropout Voltage Regulator	5-MTP		666.70/3,000	
NJU7776F25-TE1CT-ND	2,5 V Low-Dropout-Spannungsregler	2.5V, Low Dropout Voltage Regulator	5-MTP	.38	.32	.26
NJU7776F25-TE1TR-ND	2,5 V Low-Dropout-Spannungsregler	2.5V, Low Dropout Voltage Regulator	5-MTP		666.70/3,000	
NJU7776F33-TE1CT-ND	3,3 V Low-Dropout-Spannungsregler	3.3V, Low Dropout Voltage Regulator	5-MTP	.38	.32	.26
NJU7776F33-TE1TR-ND	3,3 V Low-Dropout-Spannungsregler	3.3V, Low Dropout Voltage Regulator	5-MTP		666.70/3,000	

Digi-Key Teilenr.	Beschreibung		Paket	Stückpreis★ 1	25	100
NJM1496D-ND	Doppelt ausgeglichener Modulator/Demodulator	Double Balanced Modulator/Demodulator	14-Dip	1.40	1.17	.94
NJM1496M-ND	Doppelt ausgeglichener Modulator/Demodulator	Double Balanced Modulator/Demodulator	14-DMP	1.40	1.17	.94
NJM2207D-ND	Video-Superimposer	Video Superimposer	14-Dip	1.02	.85	.68
NJM2207M-ND	Video-Superimposer	Video Superimposer	14-DMP	.77	.64	.51
NJM2211D-ND	FSK-Demodulator/Tone-Decoder	FSK Demodulator/Tone Decoder	14-Dip	.79	.66	.53
NJM2211M-ND	FSK-Demodulator/Tone-Decoder	FSK Demodulator/Tone Decoder	14-SOIC	1.37	1.15	.92
NJM2229M-ND	Synch. Trennung mit AFC	Sync. Separation with AFC	16-DMP	1.42	1.19	.95
NJM2230M-ND	Video-Synch.-Detektor	Video Sync. Detector	8-DMP	.63	.53	.43
NJM2232AM-ND	FM IF mit LogAmp	FM IF with Log Amp	24-DMP	3.33	2.78	2.22
NJM2240D-ND	Video-Subträger-Signalquadrupler	Video Sub-Carrier Signal Quadrupler	8-Dip	1.60	1.34	1.07
NJM2240M-ND	Video-Subträger-Signalquadrupler	Video Sub-Carrier Signal Quadrupler	8-DMP	1.60	1.34	1.07
NJM2247AM-ND	Video-Color-Superimposer	Video Color Superimposer	20-DMP	1.78	1.49	1.19
NJM2248D-ND	Video-Superimposer, 3 Eingänge	3-Input Video Superimposer	8-Dip	.89	.75	.60
NJM2255M-ND	Chroma Signal Hue Tint Controller	Chroma Signal Hue Tint Controller	8-DMP	1.42	1.19	.95
NJM2257D-ND	Synch. Separator mit AFC	Sync. Separator with AFC	16-Dip	2.41	2.02	1.61
NJM2257M-ND	Synch. Separator mit AFC	Sync. Separator with AFC	16-DMP	2.01	1.68	1.34
NJM2259M-ND	RF-Modulator für UHF-Band	RF Modulator for UHF Band	16-DMP	1.60	1.34	1.07
NJM2264D-ND	Video-Superimposer mit 75 Ω Treiber, 3 Eingänge	3-Input Video Superimposer with 75 Ohm Driver	8-Dip	.61	.51	.41
NJM2265D-ND	Video-Superimposer, 3 Eingänge	3-Input Video Superimposer	8-Dip	.46	.39	.31
NJM2266D-ND	Video-Superimpser mit 6 dB Verst., 3 Eingänge	3-Input Video Superimposer with 6dB Amp	8-Dip	.58	.49	.39
NJM2292V-TE1CT-ND	Schmalband FM IF IC	Narrow Band FM IF IC	20-SSOP	1.24	1.04	.83
NJM2292V-TE1TR-ND	Schmalband FM IF IC	Narrow Band FM IF IC	20-SSOP		1451.92/2,000	
NJM2294V-TE1CT-ND	FM IF IC für Pager	FM IF IC for Pager	16-SSOP	3.38	2.82	2.26
NJM2294V-TE1TR-ND	FM IF IC für Pager	FM IF IC for Pager	16-SSOP		3111.26/2,000	
NJM2295AV-TE1CT-ND	FM IF IC für tastenloses Ferneingabesystem	FM IF IC for Remote Keyless Entry System	20-SSOP	2.95	2.46	1.97
NJM2295AV-TE1TR-ND	FM IF IC für tastenloses Ferneingabesystem	FM IF IC for Remote Keyless Entry System	20-SSOP		3437.20/2,000	
NJM#2509V-TE1CT-ND	Video-Superimposer mit Y-C-Mixer*	Video Superimposer with Y-C Mixer*	8-SSOP	1.42	1.19	.95
NJM#2509V-TE1TR-ND	Video-Superimposer mit Y-C-Mixer*	Video Superimposer with Y-C Mixer*	8-SSOP		1659.34/2,000	
NJM2519AM-ND	RF-Modulator für VHF-Band	RF Modulator for VHF Band	8-DMP	1.07	.89	.72
NJM2590V-TE1CT-ND	FM IF Demodulator, 455 KHz Eingang	455KHz Input FM IF Demodulator	14-SSOP	1.78	1.49	1.19
NJM2590V-TE1TR-ND	FM IF Demodulator, 455 KHz Eingang	455KHz Input FM IF Demodulator	14-SSOP		2074.17/2,000	
NJM2592V-TE1CT-ND	455 Khz FM IF Demodulator, 470 MHz Eingangsmixer	470MHz Input Mixer 455KHz FM IF Demodulator	20-SSOP	2.67	2.23	1.78
NJM2592V-TE1TR-ND	455 Khz FM IF Demodulator, 470 MHz Eingangsmixer	470MHz Input Mixer 455KHz FM IF Demodulator	20-SSOP		3111.26/2,000	
NJM2594V-TE1CT-ND	Doppelt ausgeglichene Modulation/Demodulation	Double Balanced Modulation/Demodulation	8-SSOP	2.49	2.08	1.66
NJM2594V-TE1TR-ND	Doppelt ausgeglichene Modulation/Demodulation	Double Balanced Modulation/Demodulation	8-SSOP		2903.84/2,000	

* Bleifrei/RoHS-konform

(Forts.)

★ RUFEN SIE-BitTE AN FÜR NIEDRIGERE PREISE BEI GRÖSSEREN MENGEN! ★

Alle Preisangaben in Euro und inklusive Zollgebühren.

Digi-Key Teilenr.	Beschreibung		Paket	Stückpreis★ 1	25	100
NJM2606AD-ND	DC-Motor-Controller für niedrige Spannung	Low Voltage DC Motor Controller	8-Dip	.58	.49	.39
NJM2611D-ND	Servomotor-Controller	Servo Motor Controller	16-Dip	1.50	1.25	1.00
NJM2611M-ND	Servomotor-Controller	Servo Motor Controller	16-DMP	1.78	1.49	1.19
NJM2624AD-ND	Bürstenloser DC-Motor, Vor-Treiber	Brushless DC Motor Pre-Driver	16-Dip	1.50	1.25	1.00
NJM2624AM-ND	Bürstenloser DC-Motor, Vor-Treiber	Brushless DC Motor Pre-Driver	16-DMP	1.50	1.25	1.00
NJM2750M-ND	Stereo-Audio-Selektor, 4 Eingänge,1 Ausgang	4-Input, 1-Output Stereo Audio Selector	16-DMP	1.24	1.04	.83
NJM2761RB2-TE1CT-ND	Audio-Begrenzer für Lautsprecherschutz	Audio Limiter for Speaker Protection	10-TVSP	1.27	1.06	.85
NJM2761RB2-TE1TR-ND	Audio-Begrenzer für Lautsprecherschutz	Audio Limiter for Speaker Protection	10-TVSP		1481.55/2,000	
NJM3357D-ND	Schmalband FM IF, NL	Low Power Narrow Band FM IF	16-Dip	1.22	1.02	.82
NJM3357M-ND	Schmalband FM IF, NL	Low Power Narrow Band FM IF	16-DMP	1.22	1.02	.82
NJM3524D-ND	Schaltregler-Steuerschaltkreis	Switching Regulator Control Circuit	16-Dip	.99	.83	.67
NJM3524M-ND	Schaltregler-Steuerschaltkreis	Switching Regulator Control Circuit	16-DMP	.99	.83	.67
NJM4151D-ND	Spannung-Frequenz/Frequenz-Spannung-Wandler	Voltage-to-Frequency/Frequency-to-Voltage Converter	8-Dip	1.96	1.63	1.31
NJM7805FA-ND	Pos. Spannungsregler mit isolierten Ösen, 5 V,1 A	5V, 1 Amp Pos. Voltage Regulator with Isolated Tab	TO-220F	.51	.43	.34
NJM7806FA-ND	Pos. Spannungsregler mit isolierten Ösen, 6 V,1 A	6V, 1 Amp Pos. Voltage Regulator with Isolated Tab	TO-220F	.51	.43	.34
NJM7808FA-ND	Pos. Spannungsregler mit isolierten Ösen, 8 V,1 A	8V, 1 Amp Pos. Voltage Regulator with Isolated Tab	TO-220F	.51	.43	.34
NJM7809FA-ND	Pos. Spannungsregler mit isolierten Ösen, 9 V,1 A	9V, 1 Amp Pos. Voltage Regulator with Isolated Tab	TO-220F	.51	.43	.34
NJM7812FA-ND	Pos. Spannungsregler mit isolierten Ösen,12 V,1 A	12V, 1 Amp Pos. Voltage Regulator with Isolated Tab	TO-220F	.51	.43	.34
NJM7815FA-ND	Pos. Spannungsregler mit isolierten Ösen,15 V,1 A	15V, 1 Amp Pos. Voltage Regulator with Isolated Tab	TO-220F	.51	.43	.34
NJM7818FA-ND	Pos. Spannungsregler mit isolierten Ösen,18 V,1 A	18V, 1 Amp Pos. Voltage Regulator with Isolated Tab	TO-220F	.51	.43	.34
NJM7820FA-ND	Pos. Spannungsregler mit isolierten Ösen, 20 V,1 A	20V, 1 Amp Pos. Voltage Regulator with Isolated Tab	TO-220F	.51	.43	.34
NJM7824FA-ND	Pos. Spannungsregler mit isolierten Ösen, 24 V,1 A	24V, 1 Amp Pos. Voltage Regulator with Isolated Tab	TO-220F	.51	.43	.34
NJU3711D-ND	8-Bit Seriell-zu-Parallel-Wandler	8-Bit Serial to Parallel Converter	14-Dip	.99	.83	.67
NJU3712D-ND	8-Bit Seriell-zu-Parallel-Output-Expander, 25 mA	8-Bit, 25mA, Serial to Parallel Output Expander	16-Dip	1.52	1.27	1.02
NJU3712M-ND	8-Bit Seriell-zu-Parallel-Output-Expander, 25 mA	8-Bit, 25mA, Serial to Parallel Output Expander	16-SOIC	1.42	1.19	.95
NJU3715G-ND	16-Bit Seriell-zu-Parallel-Wandler	16-Bit Serial to Parallel Converter	22-SOP	2.13	1.78	1.43
NJU3716L-ND	16-Bit Seriell-zu-Parallel-Output-Expander, 25 mA	16-Bit, 25mA, Serial to Parallel Output Expander	24-SDip	1.75	1.47	1.17
NJU3716M-ND	16-Bit Seriell-zu-Parallel-Output-Expander, 25 mA	16-Bit, 25mA, Serial to Parallel Output Expander	24-SOIC	1.75	1.47	1.17
NJU3718G-ND	20-Bit Seriell-zu-Parallel-Output-Expander, 25 mA	20-Bit, 25mA, Serial to Parallel Output Expander	28-SOIC	1.90	1.59	1.27
NJU6355ED-ND	Serielle E/A-Echtzeituhr	Serial I/O Real Time Clock	8-Dip	1.47	1.23	.99
NJU39610D2-ND	Micro-Schrittmotor-Controller mit zweif. DAU	Microstepping Motor Controller with Dual DAC	22-Dip	7.11	5.93	4.75
NJU39610FM2-ND	Micro-Schrittmotor-Controller mit zweif. DAU	Microstepping Motor Controller with Dual DAC	28-PLCC	7.11	5.93	4.75
NJW1150M-ND	Elektronische 6-Kanal-Lautstärke	6-Channel Electronic Volume	30-SDMP	4.98	4.15	3.32
NJW1151M-ND	Elektronische 6-Kanal-Lautstärke	6-Channel Electronic Volume	30-SDMP	7.11	5.93	4.75
NJW1503AV-TE1CT-ND	PLL-Synthesizer mit 3-adrigem Bus für TV-Tuner	PLL Synthesizer with 3-Wire Bus for TV Tuner	16-SSOP	2.13	1.78	1.43
NJW1503AV-TE1TR-ND	PLL-Synthesizer mit 3-adrigem Bus für TV-Tuner	PLL Synthesizer with 3-Wire Bus for TV Tuner	16-SSOP		2489.00/2,000	
NJW1504V-TE1CT-ND	PLL-Synthesizer mit I2C-Bus für TV-Tuner	PLL Synthesizer with I2C Bus for TV Tuner	16-SSOP	2.13	1.78	1.43
NJW1504V-TE1TR-ND	PLL-Synthesizer mit I2C-Bus für TV-Tuner	PLL Synthesizer with I2C Bus for TV Tuner	16-SSOP		2489.00/2,000	
NJW1508V-TE1CT-ND	PLL-Synthesizer mit I2C-Bus für TV-Tuner	PLL Synthesizer with I2C Bus for TV Tuner	16-SSOP	1.50	1.25	1.00
NJW1508V-TE1TR-ND	PLL-Synthesizer mit I2C-Bus für TV-Tuner	PLL Synthesizer with I2C Bus for TV Tuner	16-SSOP		1748.23/2,000	

Digi-Key Teilenr.	Beschreibung		Paket	Stückpreis★ 1	25	100
NJG1505R-TE1CT-ND	SPDT-Schalter, GaAs MMIC	SPDT Switch, GaAs MMIC	8-VSP	1.60	1.34	1.07
NJG1505R-TE1TR-ND	SPDT-Schalter, GaAs MMIC	SPDT Switch, GaAs MMIC	8-VSP		1866.75/2,000	
NJG1506R-TE2CT-ND	SPDT-Schalter, GaAs MMIC	SPDT Switch, GaAs MMIC	8-VSP	1.24	1.04	.83
NJG1506R-TE2TR-ND	SPDT-Schalter, GaAs MMIC	SPDT Switch, GaAs MMIC	8-VSP		1451.92/2,000	
NJG1507R-TE1CT-ND	SPDT-Schalter, GaAs MMIC	SPDT Switch, GaAs MMIC	8-VSP	.99	.83	.67
NJG1507R-TE1TR-ND	SPDT-Schalter, GaAs MMIC	SPDT Switch, GaAs MMIC	8-VSP		1155.61/2,000	
NJG1512V-TE1CT-ND	SPDT-Schalter, GaAs MMIC	SPDT Switch, GaAs MMIC	14-SSOP	1.93	1.61	1.29
NJG1512V-TE1TR-ND	SPDT-Schalter, GaAs MMIC	SPDT Switch, GaAs MMIC	14-SSOP		2251.96/2,000	
NJG1516R-TE1CT-ND	SPDT-Schalter, GaAs MMIC	SPDT Switch, GaAs MMIC	8-VSP	1.78	1.49	1.19
NJG1516R-TE1TR-ND	SPDT-Schalter, GaAs MMIC	SPDT Switch, GaAs MMIC	8-VSP		2074.17/2,000	
NJG1519KC1-TE3CT-ND	SP4T-Schalter, GaAs MMIC	SP4T Switch, GaAs MMIC	10-FLP	2.31	1.93	1.55
NJG1519KC1-TE3TR-ND	SP4T-Schalter, GaAs MMIC	SP4T Switch, GaAs MMIC	10-FLP		4044.63/3,000	
NJG1522KB2-TE1CT-ND	SPDT-Schalter, GaAs MMIC	SPDT Switch, GaAs MMIC	6-FLP	1.07	.89	.72
NJG1522KB2-TE1TR-ND	SPDT-Schalter, GaAs MMIC	SPDT Switch, GaAs MMIC	6-FLP		1866.75/3,000	
NJG1524APC1-TE1CT-ND	DPDT-Schalter, GaAs MMIC	DPDT Switch, GaAs MMIC	16-FFP	2.49	2.08	1.66
NJG1524APC1-TE1TR-ND	DPDT-Schalter, GaAs MMIC	DPDT Switch, GaAs MMIC	16-FFP		5807.68/4,000	
NJG1528KC1-TE3CT-ND	DPDT-Schalter, GaAs MMIC	DPDT Switch, GaAs MMIC	10-FLP	2.95	2.46	1.97
NJG1528KC1-TE3TR-ND	DPDT-Schalter, GaAs MMIC	DPDT Switch, GaAs MMIC	10-FLP		5155.79/3,000	
NJG#1532KB2-TE2CT-ND	SPDT-Schalter, GaAs MMIC*	SPDT Switch, GaAs MMIC*	6-FLP	1.07	.89	.72
NJG#1532KB2-TE2TR-ND	SPDT-Schalter, GaAs MMIC*	SPDT Switch, GaAs MMIC*	6-FLP		1866.75/3,000	
NJG1544HC3-TE1CT-ND	2x2 Antennenschalter, GaAs MMIC	2x2 Antenna Switch GaAs MMIC	10-USB	1.24	1.04	.83
NJG1544HC3-TE1TR-ND	2x2 Antennenschalter, GaAs MMIC	2x2 Antenna Switch GaAs MMIC	10-USB		2177.88/3,000	
NJG1602HE3-TE1CT-ND	DPDT-Schalter, GaAs MMIC	DPDT Switch, GaAs MMIC	12-USB	1.96	1.63	1.31
NJG1602HE3-TE1TR-ND	DPDT-Schalter, GaAs MMIC	DPDT Switch, GaAs MMIC	12-USB		3422.38/3,000	
NJG1617K11-TE1CT-ND	Drahloser LAN DPDT GaAs MMIC Schalter	Wireless LAN DPDT GaAs MMIC Switch	12-QFN	1.17	.98	.78
NJG1617K11-TE1TR-ND	Drahloser LAN DPDT GaAs MMIC Schalter	Wireless LAN DPDT GaAs MMIC Switch	12-QFN		2044.54/3,000	
NJM2233BD-ND	Einf. Videoschalter, 2 Eingänge	2-Input Single Video Switch	8-Dip	.36	.30	.24
NJM2234D-ND	Video-Schalter, 3 Eingänge	3-Input Video Switch	8-Dip	.43	.36	.29
NJM#2234M-ND	Video-Schalter*, 3 Eingänge	3-Input Video Switch*	8-DMP	.30	.26	.21
NJM2244D-ND	Video-Schalter, 3 Eingänge	3-Input Video Switch	8-Dip	.41	.34	.28
NJM2244M-ND	Video-Schalter, 3 Eingänge	3-Input Video Switch	8-DMP	.33	.28	.23
NJM2246M-ND	Video-Schalter mit 6 dB Verst., 3 Eingänge	3-Input Video Switch with 6dB Amp	8-DMP	.38	.32	.26
NJM2249D-ND	Video-Schalter, 3 Eingänge	3-Input Video Switch	8-Dip	.89	.75	.60
NJM2249M-ND	Video-Schalter, 3 Eingänge	3-Input Video Switch	8-DMP	.89	.75	.60
NJM#2279D-ND	Video-Schalter für AV-Satz*, 3-Eingänge/2-Ausgänge	3-Input/2-Output Video Switch for AV-Set*	14-Dip	1.24	1.04	.83
NJM2283D-ND	3-Kanal-Videoschalter, 2 Eingänge	2-Input, 3-Channel Video Switch	16-Dip	1.27	1.06	.85
NJM2283M-ND	3-Kanal-Videoschalter, 2 Eingänge	2-Input, 3-Channel Video Switch	16-DMP	1.14	.96	.77
NJM2284V-TE1CT-ND	3-Kanal-Videoschalter, 2 Eingänge	2-Input, 3-Channel Video Switch	16-SSOP	.97	.81	.65
NJM2284V-TE1TR-ND	3-Kanal-Videoschalter, 2 Eingänge	2-Input, 3-Channel Video Switch	16-SSOP		1125.98/2,000	
NJM2285M-ND	3-Kanal-Videoschalter, 2 Eingänge	2-Input, 3-Channel Video Switch	16-DMP	.99	.83	.67
NJM2285V-TE2CT-ND	3-Kanal-Videoschalter, 2 Eingänge	2-Input, 3-Channel Video Switch	16-SSOP	.99	.83	.67
NJM2285V-TE2TR-ND	3-Kanal-Videoschalter, 2 Eingänge	2-Input, 3-Channel Video Switch	16-SSOP		1155.61/2,000	
NJM2286D-ND	3-Kanal-Videoschalter, 2 Eingänge	2-Input, 3-Channel Video Switch	16-Dip	1.27	1.06	.85
NJM#2286V-TE1CT-ND	3-Kanal-Videoschalter, 2 Eingänge*	2-Input, 3-Channel Video Switch*	16-SSOP	.76	.64	.51
NJM#2286V-TE1TR-ND	3-Kanal-Videoschalter, 2 Eingänge*	2-Input, 3-Channel Video Switch*	16-SSOP		888.93/2,000	
NJM2296D-ND	Videoschalter, 5 Eingänge, 3 Ausgänge	5-Input, 3-Output Video Switch	16-Dip	1.85	1.55	1.24
NJM2296M-ND	Videoschalter, 5 Eingänge, 3 Ausgänge	5-Input, 3-Output Video Switch	16-DMP	1.68	1.40	1.12
NJM2506M-ND	Videoschalter, 3 Eingänge, 2-Eingänge	3-Input, 2-Input Video Switch	16-DMP	.91	.77	.61
NJM2508M-ND	Videoschalter, 3 Eingänge, 2-Eingänge	3-Input, 2-Input Video Switch	16-DMP	1.07	.89	.72
NJM2513M-ND	Videoschalter, 3 Eingänge, 2-Eingänge	3-Input, 2-Input Video Switch	16-DMP	1.14	.96	.77
NJM2520D-ND	Audio-Schalter, 2 Eingänge,1 Ausgang	2-Input, 1-Output Audio Switch	8-Dip	.38	.32	.26
NJM2520M-ND	Audio-Schalter, 2 Eingänge,1 Ausgang	2-Input, 1-Output Audio Switch	8-DMP	.41	.34	.28
NJM2521D-ND	Audio-Schalter, 3 Eingänge,1 Ausgang	3-Input, 1-Output Audio Switch	8-Dip	.56	.47	.38
NJM2521M-ND	Audio-Schalter, 3 Eingänge,1 Ausgang	3-Input, 1-Output Audio Switch	8-DMP	.56	.47	.38
NJM2533D-ND	Videoschalter, 2 Eingänge,1 Ausgang	2-Input, 1-Output Video Switch	8-Dip	.43	.36	.29

* Bleifrei/RoHS-konform

(Forts.)

★ *RUFEN SIE BITTE AN FÜR NIEDRIGERE PREISE BEI GRÖSSEREN MENGEN!* ★

JRC / NJR Corporation

SCHALTER *(Forts.)*

Digi-Key Teilenr.	Beschreibung		Paket	Stückpreis★ 1	25	100
NJM2533M-ND	Videoschalter, 2 Eingänge,1 Ausgang	2-Input, 1-Output Video Switch	8-DMP	.43	.36	.29
NJM2534D-ND	Videoschalter, 3 Eingänge,1 Ausgang	3-Input, 1-Output Video Switch	8-Dip	.56	.47	.38
NJM2534M-ND	Videoschalter, 3 Eingänge,1 Ausgang	3-Input, 1-Output Video Switch	8-DMP	.56	.47	.38
NJM2535D-ND	Videoschalter, 3 Eingänge,1 Ausgang	3-Input, 1-Output Video Switch	8-Dip	.56	.47	.38
NJM2535M-ND	Videoschalter, 3 Eingänge,1 Ausgang	3-Input, 1-Output Video Switch	8-DMP	.56	.47	.38
NJM2536AM-ND	RF-Modulator für VHF-Band	RF Modulator for VHF Band	14-DMP	.89	.75	.60
NJM2537V-TE1CT-ND	FM IF IC für Pager	FM IF IC for Pagers	20-SSOP	2.29	1.91	1.53
NJM2537V-TE1TR-ND	FM IF IC für Pager	FM IF IC for Pagers	20-SSOP		2666.79/2,000	
NJM2542V-TE1CT-ND	VIF/SIF Demodulator	VIF/SIF Demodulator	20-SSOP	1.50	1.25	1.00
NJM2542V-TE1TR-ND	VIF/SIF Demodulator	VIF/SIF Demodulator	20-SSOP		1748.23/2,000	
NJM2584D-ND	Breitband-Videoschalter, 3 Schaltkreise	Wideband 3 Circuits Video Switch	16-Dip	1.42	1.19	.95
NJM2584M-ND	Breitband-Videoschalter, 3 Schaltkreise	Wideband 3 Circuits Video Switch	16-DMP	1.17	.98	.78
NJM2595M-ND	Videoschalter, 5 Eingänge, 3 Ausgänge	5-Input, 3-Output Video Switch	16-DMP	1.50	1.25	1.00
NJM2596M-ND	Videoschalter, 5 Eingänge, 3 Ausgänge, für S2	5-Input, 3-Output Video Switch for S2	24-DMP	2.84	2.38	1.90
NJM2670D2-ND	Zweif. Halbbrückentreiber	Dual H Bridge Driver	22-Dip	4.09	3.41	2.73
NJM2670E3-ND	Zweif. Halbbrückentreiber	Dual H Bridge Driver	24-EMP	4.09	3.41	2.73
NJM#2902M-ND	Vierf. einzelversorgter OpAmp*	Quad Single Supply Op Amp*	14-DMP	.91	.77	.61
NJM#2902N-ND	Vierf. einzelversorgter OpAmp*	Quad Single Supply Op Amp*	14-Dip	.61	.51	.41
NJM3359D-ND	Schmalband FM IF, NL	Low Power Narrow Band FM IF	18-Dip	1.24	1.04	.83
NJM#3403AD-ND	Vierf. einzelversorgter OpAmp*	Single Supply Quad Op Amp*	14-Dip	.81	.68	.55
NJM3403AM-ND	Vierf. einzelversorgter OpAmp	Single Supply Quad Op Amp	14-DMP	.81	.68	.55
NJM#3404AD-ND	Zweif. einzelversorgter OpAmp*	Single Supply Dual Op Amp*	8-Dip	.41	.34	.28
NJM3404AM-ND	Zweif. einzelversorgter OpAmp	Single Supply Dual Op Amp	8-DMP	.46	.39	.31
NJU201AD-ND	Vierf. SPST-CMOS-Analogschalter	CMOS Quad SPST Analog Switch	16-Dip	1.24	1.04	.83
NJU#201AM-ND	Vierf. SPST-CMOS-Analogschalter*	CMOS Quad SPST Analog Switch*	16-DMP	1.09	.92	.73
NJU211D-ND	Vierf. SPST-CMOS-Analogschalter	CMOS Quad SPST Analog Switch	16-Dip	1.17	.98	.78
NJU211M-ND	Vierf. SPST-CMOS-Analogschalter	CMOS Quad SPST Analog Switch	16-DMP	.99	.83	.67
NJU4066BD-ND	Vierf. CMOS-Analogschalter	CMOS Quad Analog Switch	14-Dip	.53	.45	.36
NJU4066BM-ND	Vierf. CMOS-Analogschalter	CMOS Quad Analog Switch	14-DMP	.61	.51	.41
NJU7301D-ND	Vierf. SPST-CMOS-Analogschalter	CMOS Quad SPST Analog Switch	16-Dip	2.31	1.93	1.55
NJU7301M-ND	Vierf. SPST-CMOS-Analogschalter	CMOS Quad SPST Analog Switch	16-DMP	1.22	1.02	.82
NJU7311AM-ND	Analogfunktionsschalter	Analog Function Switch	30-DMP	2.84	2.38	1.90
NJU7312AM-ND	Analogfunktionsschalter	Analog Function Switch	30-DMP	1.98	1.66	1.33
NJU7313AM-ND	Analogfunktionsschalter	Analog Function Switch	30-DMP	2.62	2.18	1.75
NJU7600RB1-TE1CT-ND	OpAmp-Schaltregler, HS, Niederspannung	High Speed, Low Voltage Op Switching Regulator	8-TVSP	1.07	.89	.72
NJU7600RB1-TE1TR-ND	OpAmp-Schaltregler, HS, Niederspannung	High Speed, Low Voltage Op Switching Regulator	8-TVSP		1244.50/2,000	
NJU7660M-ND	Spannungswandler	Voltage Converter	8-DMP	.46	.39	.31
NJU7662M-ND	Spannungswandler	Voltage Converter	8-DMP	1.24	1.04	.83

* Bleifrei/RoHS-konform

SHARP MICROELECTRONICS

LDO-REGLER

Sharp Teilenr.	Digi-Key Teilenr.	Beschreibung		Paket	Stückpreis ★ 1	25	100
PQ1K253M2ZP	425-1643-1-ND	LDO-Regler mit EIN/AUS-Steuerung, 2,5 V, 300 mA	2.5V, 300mA, LDO Reg. with ON/OFF Control	SOT-23L	.61	.45	.28
PQ1K253M2ZP	425-1643-2-ND	LDO-Regler mit EIN/AUS-Steuerung, 2,5 V, 300 mA	2.5V, 300mA, LDO Reg. with ON/OFF Control	SOT-23L		948.19/5,000	
PQ1K303M2ZP	425-1644-1-ND	LDO-Regler mit EIN/AUS-Steuerung, 3,0 V, 300 mA	3.0V, 300mA, LDO Reg. with ON/OFF Control	SOT-23L	.61	.45	.28
PQ1K303M2ZP	425-1644-2-ND	LDO-Regler mit EIN/AUS-Steuerung, 3,0 V, 300 mA	3.0V, 300mA, LDO Reg. with ON/OFF Control	SOT-23L		948.19/5,000	
PQ1K333M2ZP	425-1645-1-ND	LDO-Regler mit EIN/AUS-Steuerung, 3,3 V, 300 mA	3.3V, 300mA, LDO Reg. with ON/OFF Control	SOT-23L	.61	.45	.28
PQ1K333M2ZP	425-1645-2-ND	LDO-Regler mit EIN/AUS-Steuerung, 3,3 V, 300 mA	3.3V, 300mA, LDO Reg. with ON/OFF Control	SOT-23L		948.19/5,000	
PQ1K503M2ZP	425-1650-1-ND	LDO-Regler mit EIN/AUS-Steuerung, 5,0 V, 300 mA	5.0V, 300mA, LDO Reg. with ON/OFF Control	SOT-23L	.61	.45	.28
PQ1K503M2ZP	425-1650-2-ND	LDO-Regler mit EIN/AUS-Steuerung, 5,0 V, 300 mA	5.0V, 300mA, LDO Reg. with ON/OFF Control	SOT-23L		948.19/5,000	
PQ1L253M2SP	425-1651-1-ND	LDO-Regler mit EIN/AUS-Steuerung, 2,5 V, 300 mA	2.5V, 300mA, LDO Reg. with ON/OFF Control	SOT-89	.58	.42	.26
PQ1L253M2SP	425-1651-2-ND	LDO-Regler mit EIN/AUS-Steuerung, 2,5 V, 300 mA	2.5V, 300mA, LDO Reg. with ON/OFF Control	SOT-89		177.79/1,000	
PQ1L303M2SP	425-1652-1-ND	LDO-Regler mit EIN/AUS-Steuerung, 3,0 V, 300 mA	3.0V, 300mA, LDO Reg. with ON/OFF Control	SOT-89	.58	.42	.26
PQ1L303M2SP	425-1652-2-ND	LDO-Regler mit EIN/AUS-Steuerung, 3,0 V, 300 mA	3.0V, 300mA, LDO Reg. with ON/OFF Control	SOT-89		177.79/1,000	
PQ1L333M2SP	425-1653-1-ND	LDO-Regler mit EIN/AUS-Steuerung, 3,3 V, 300 mA	3.3V, 300mA, LDO Reg. with ON/OFF Control	SOT-89	.58	.42	.26
PQ1L333M2SP	425-1653-2-ND	LDO-Regler mit EIN/AUS-Steuerung, 3,3 V, 300 mA	3.3V, 300mA, LDO Reg. with ON/OFF Control	SOT-89		177.79/1,000	
PQ1L503M2SP	425-1654-1-ND	LDO-Regler mit EIN/AUS-Steuerung, 5,0 V, 300 mA	5.0V, 300mA, LDO Reg. with ON/OFF Control	SOT-89	.58	.42	.26
PQ1L503M2SP	425-1654-2-ND	LDO-Regler mit EIN/AUS-Steuerung, 5,0 V, 300 mA	5.0V, 300mA, LDO Reg. with ON/OFF Control	SOT-89		177.79/1,000	
PQ1R18	425-1655-1-ND	LDO-Regler mit EIN/AUS-Steuerung,1,8 V, 240 mA	1.8V, 240mA, LDO Reg. with ON/OFF Control	SOT-23L	.76	.56	.34
PQ1R18	425-1655-2-ND	LDO-Regler mit EIN/AUS-Steuerung,1,8 V, 240 mA	1.8V, 240mA, LDO Reg. with ON/OFF Control	SOT-23L		1185.24/5,000	
PQ1R23	425-1656-1-ND	LDO-Regler mit EIN/AUS-Steuerung, 2,3 V, 240 mA	2.3V, 240mA, LDO Reg. with ON/OFF Control	SOT-23L	.76	.56	.34
PQ1R23	425-1656-2-ND	LDO-Regler mit EIN/AUS-Steuerung, 2,3 V, 240 mA	2.3V, 240mA, LDO Reg. with ON/OFF Control	SOT-23L		1185.24/5,000	
PQ1R25	425-1657-1-ND	LDO-Regler mit EIN/AUS-Steuerung, 2,5 V, 240 mA	2.5V, 240mA, LDO Reg. with ON/OFF Control	SOT-23L	.80	.58	.36
PQ1R25	425-1657-2-ND	LDO-Regler mit EIN/AUS-Steuerung, 2,5 V, 240 mA	2.5V, 240mA, LDO Reg. with ON/OFF Control	SOT-23L		1244.50/5,000	
PQ1R27	425-1658-1-ND	LDO-Regler mit EIN/AUS-Steuerung, 2,7 V, 240 mA	2.7V, 240mA, LDO Reg. with ON/OFF Control	SOT-23L	.80	.58	.36
PQ1R27	425-1658-2-ND	LDO-Regler mit EIN/AUS-Steuerung, 2,7 V, 240 mA	2.7V, 240mA, LDO Reg. with ON/OFF Control	SOT-23L		1244.50/5,000	
PQ1R28	425-1659-1-ND	LDO-Regler mit EIN/AUS-Steuerung, 2,8 V, 240 mA	2.8V, 240mA, LDO Reg. with ON/OFF Control	SOT-23L	.80	.58	.36
PQ1R28	425-1659-2-ND	LDO-Regler mit EIN/AUS-Steuerung, 2,8 V, 240 mA	2.8V, 240mA, LDO Reg. with ON/OFF Control	SOT-23L		1244.50/5,000	
PQ1R30	425-1660-1-ND	LDO-Regler mit EIN/AUS-Steuerung, 3,0 V, 240 mA	3.0V, 240mA, LDO Reg. with ON/OFF Control	SOT-23L	.80	.58	.36
PQ1R30	425-1660-2-ND	LDO-Regler mit EIN/AUS-Steuerung, 3,0 V, 240 mA	3.0V, 240mA, LDO Reg. with ON/OFF Control	SOT-23L		1244.50/5,000	
PQ1R33	425-1661-1-ND	LDO-Regler mit EIN/AUS-Steuerung, 3,3 V, 240 mA	3.3V, 240mA, LDO Reg. with ON/OFF Control	SOT-23L	.80	.58	.36
PQ1R33	425-1661-2-ND	LDO-Regler mit EIN/AUS-Steuerung, 3,3 V, 240 mA	3.3V, 240mA, LDO Reg. with ON/OFF Control	SOT-23L		1244.50/5,000	
PQ1R38	425-1662-1-ND	LDO-Regler mit EIN/AUS-Steuerung, 3,8 V, 240 mA	3.8V, 240mA, LDO Reg. with ON/OFF Control	SOT-23L	.80	.58	.36
PQ1R38	425-1662-2-ND	LDO-Regler mit EIN/AUS-Steuerung, 3,8 V, 240 mA	3.8V, 240mA, LDO Reg. with ON/OFF Control	SOT-23L		1244.50/5,000	
PQ1R47	425-1664-1-ND	LDO-Regler mit EIN/AUS-Steuerung, 4,7 V, 240 mA	4.7V, 240mA, LDO Reg. with ON/OFF Control	SOT-23L	.83	.66	.43
PQ1R47	425-1664-2-ND	LDO-Regler mit EIN/AUS-Steuerung, 4,7 V, 240 mA	4.7V, 240mA, LDO Reg. with ON/OFF Control	SOT-23L		1540.81/5,000	
PQ1R50	425-1665-1-ND	LDO-Regler mit EIN/AUS-Steuerung, 5,0 V, 240 mA	5.0V, 240mA, LDO Reg. with ON/OFF Control	SOT-23L	.80	.58	.36
PQ1R50	425-1665-2-ND	LDO-Regler mit EIN/AUS-Steuerung, 5,0 V, 240 mA	5.0V, 240mA, LDO Reg. with ON/OFF Control	SOT-23L		1244.50/5,000	
PQ1T251M2ZP	425-1670-2-ND	LDO-Regler mit EIN/AUS-Steuerung, 2,5 V, 400 mA	2.5V, 400mA, LDO Reg. with ON/OFF Control	SOT-23-5		858.45/3,000	
PQ1T301M2ZP	425-1674-1-ND	LDO-Regler mit EIN/AUS-Steuerung, 3,0 V, 400 mA	3.0V, 400mA, LDO Reg. with ON/OFF Control	SOT-23-5	.77	.61	.40
PQ1T501M2ZP	425-1686-1-ND	LDO-Regler mit EIN/AUS-Steuerung, 5,0 V, 400 mA	5.0V, 400mA, LDO Reg. with ON/OFF Control	SOT-23-5	.77	.61	.40
PQ1U181M2ZP	425-1688-1-ND	LDO-Regler mit EIN/AUS-Steuerung,1,8 V, 300 mA	1.8V, 300mA, LDO Reg. with ON/OFF Control	SOT-23-5	.69	.50	.31
PQ1U181M2ZP	425-1688-2-ND	LDO-Regler mit EIN/AUS-Steuerung,1,8 V, 300 mA	1.8V, 300mA, LDO Reg. with ON/OFF Control	SOT-23-5		640.03/3,000	
PQ1U251M2ZP	425-1692-1-ND	LDO-Regler mit EIN/AUS-Steuerung, 2,5 V, 300 mA	2.5V, 300mA, LDO Reg. with ON/OFF Control	SOT-23-5	.69	.50	.31
PQ1U251M2ZP	425-1692-2-ND	LDO-Regler mit EIN/AUS-Steuerung, 2,5 V, 300 mA	2.5V, 300mA, LDO Reg. with ON/OFF Control	SOT-23-5		640.03/3,000	
PQ1U281M2ZP	425-1694-1-ND	LDO-Regler mit EIN/AUS-Steuerung, 2,8 V, 300 mA	2.8V, 300mA, LDO Reg. with ON/OFF Control	SOT-23-5	.69	.50	.31
PQ1U281M2ZP	425-1694-2-ND	LDO-Regler mit EIN/AUS-Steuerung, 2,8 V, 300 mA	2.8V, 300mA, LDO Reg. with ON/OFF Control	SOT-23-5		640.03/3,000	
PQ1U301M2ZP	425-1696-1-ND	LDO-Regler mit EIN/AUS-Steuerung, 3,0 V, 300 mA	3.0V, 300mA, LDO Reg. with ON/OFF Control	SOT-23-5	.69	.50	.31
PQ1U301M2ZP	425-1696-2-ND	LDO-Regler mit EIN/AUS-Steuerung, 3,0 V, 300 mA	3.0V, 300mA, LDO Reg. with ON/OFF Control	SOT-23-5		640.03/3,000	
PQ1U351M2ZP	425-1701-1-ND	LDO-Regler mit EIN/AUS-Steuerung, 3,5 V, 300 mA	3.5V, 300mA, LDO Reg. with ON/OFF Control	SOT-23-5	.69	.50	.31
PQ1U351M2ZP	425-1701-2-ND	LDO-Regler mit EIN/AUS-Steuerung, 3,5 V, 300 mA	3.5V, 300mA, LDO Reg. with ON/OFF Control	SOT-23-5		640.03/3,000	
PQ1U501M2ZP	425-1708-1-ND	LDO-Regler mit EIN/AUS-Steuerung, 5,0 V, 300 mA	5.0V, 300mA, LDO Reg. with ON/OFF Control	SOT-23-5	.69	.50	.31
PQ1U501M2ZP	425-1708-2-ND	LDO-Regler mit EIN/AUS-Steuerung, 5,0 V, 300 mA	5.0V, 300mA, LDO Reg. with ON/OFF Control	SOT-23-5		640.03/3,000	
PQ1X251M2ZP	425-1710-1-ND	LDO-Regler mit EIN/AUS-Steuerung, 2,5 V, 300 mA	2.5V, 300mA, LDO Reg. with ON/OFF Control	SOT-23-5	.58	.42	.26
PQ1X251M2ZP	425-1710-2-ND	LDO-Regler mit EIN/AUS-Steuerung, 2,5 V, 300 mA	2.5V, 300mA, LDO Reg. with ON/OFF Control	SOT-23-5		533.36/3,000	
PQ1X281M2ZP	425-1711-1-ND	LDO-Regler mit EIN/AUS-Steuerung, 2,8 V, 300 mA	2.8V, 300mA, LDO Reg. with ON/OFF Control	SOT-23-5	.58	.42	.26
PQ1X281M2ZP	425-1711-2-ND	LDO-Regler mit EIN/AUS-Steuerung, 2,8 V, 300 mA	2.8V, 300mA, LDO Reg. with ON/OFF Control	SOT-23-5		533.36/3,000	
PQ1X291M2ZP	425-1712-1-ND	LDO-Regler mit EIN/AUS-Steuerung, 2,9 V, 300 mA	2.9V, 300mA, LDO Reg. with ON/OFF Control	SOT-23-5	.58	.42	.26
PQ1X291M2ZP	425-1712-2-ND	LDO-Regler mit EIN/AUS-Steuerung, 2,9 V, 300 mA	2.9V, 300mA, LDO Reg. with ON/OFF Control	SOT-23-5		533.36/3,000	
PQ1X301M2ZP	425-1713-1-ND	LDO-Regler mit EIN/AUS-Steuerung, 3,0 V, 300 mA	3.0V, 300mA, LDO Reg. with ON/OFF Control	SOT-23-5	.58	.42	.26
PQ1X301M2ZP	425-1713-2-ND	LDO-Regler mit EIN/AUS-Steuerung, 3,0 V, 300 mA	3.0V, 300mA, LDO Reg. with ON/OFF Control	SOT-23-5		533.36/3,000	
PQ1X331M2ZP	425-1714-1-ND	LDO-Regler mit EIN/AUS-Steuerung, 3,3 V, 300 mA	3.3V, 300mA, LDO Reg. with ON/OFF Control	SOT-23-5	.58	.42	.26

† Leiterform

(Forts.)

★ *RUFEN SIE BitTE AN FÜR NIEDRIGERE PREISE BEI GRÖSSEREN MENGEN!* ★

Sharp Teilenr.	Digi-Key Teilenr.	Beschreibung		Paket	Stückpreis ★ 1	25	100
PQ1X331M2ZP	425-1714-2-ND	LDO-Regler mit EIN/AUS-Steuerung, 3,3 V, 300 mA	3.3V, 300mA, LDO Reg. with ON/OFF Control	SOT-23-5		533.36/3,000	
PQ1X451M2ZP	425-1719-1-ND	LDO-Regler mit EIN/AUS-Steuerung, 4,5 V, 300 mA	4.5V, 300mA, LDO Reg. with ON/OFF Control	SOT-23-5	.58	.42	.26
PQ1X451M2ZP	425-1719-2-ND	LDO-Regler mit EIN/AUS-Steuerung, 4,5 V, 300 mA	4.5V, 300mA, LDO Reg. with ON/OFF Control	SOT-23-5		533.36/3,000	
PQ1X501M2ZP	425-1720-1-ND	LDO-Regler mit EIN/AUS-Steuerung, 5,0 V, 300 mA	5.0V, 300mA, LDO Reg. with ON/OFF Control	SOT-23-5	.58	.42	.26
PQ1X501M2ZP	425-1720-2-ND	LDO-Regler mit EIN/AUS-Steuerung, 5,0 V, 300 mA	5.0V, 300mA, LDO Reg. with ON/OFF Control	SOT-23-5		533.36/3,000	
PQ3DZ13	425-1728-5-ND	LDO-Regler mit EIN/AUS-Steuerung, 3,3 V,1,0 A	3.3V, 1.0A, LDO Reg. with ON/OFF Control	SC-63	1.22	.96	.70
PQ3DZ13U	425-1728-1-ND	LDO-Regler mit EIN/AUS-Steuerung, 3,3 V,1,0 A	3.3V, 1.0A, LDO Reg. with ON/OFF Control	SC-63	1.22	.96	.63
PQ3DZ13U	425-1728-2-ND	LDO-Regler mit EIN/AUS-Steuerung, 3,3 V,1,0 A	3.3V, 1.0A, LDO Reg. with ON/OFF Control	SC-63		1353.71/3,000	
PQ3DZ53	425-1729-5-ND	LDO-Regler mit EIN/AUS-Steuerung, 3,3 V, 0,5 A	3.3V, 0.5A, LDO Reg. with ON/OFF Control	SC-63	1.22	.96	.70
PQ3DZ53U	425-1729-2-ND	LDO-Regler mit EIN/AUS-Steuerung, 3,3 V, 0,5 A	3.3V, 0.5A, LDO Reg. with ON/OFF Control	SC-63		1353.71/3,000	
PQ3RD13	425-1732-5-ND	LDO-Regler mit EIN/AUS-Steuerung, 3,3 V,1,0 A	3.3V, 1.0A, LDO Reg. with ON/OFF Control	TO-220	1.19	.94	.68
PQ3RD13B	425-1733-5-ND	LDO-Regler mit EIN/AUS-Steuerung, 3,3 V,1,0 A	3.3V, 1.0A, LDO Reg. with ON/OFF Control	TO-220†	1.28	1.01	.73
PQ3RD23	425-1734-5-ND	LDO-Regler mit EIN/AUS-Steuerung, 3,3 V, 2,0 A	3.3V, 2.0A, LDO Reg. with ON/OFF Control	TO-220	1.45	1.21	.85
PQ3RD083	425-1731-5-ND	LDO-Regler mit EIN/AUS-Steuerung, 3,3 V, 0,8 A	3.3V, 0.8A, LDO Reg. with ON/OFF Control	TO-220	1.19	.94	.68
PQ3RF33	425-1735-5-ND	LDO-Regler mit EIN/AUS-Steuerung, 3,3 V, 3,5 A	3.3V, 3.5A, LDO Reg. with ON/OFF Control	TO-220	2.40	1.59	1.30
PQ3TR5M3BZZ	425-1738-5-ND	LDO-Regler mit Reset bei 4,3 V; 3,3 V, 0,5 A	3.3V, 0.5A, LDO Reg. with Reset at 4.3V	SC-63	1.13	.89	.65
PQ3TR5M4AZZ	425-1741-5-ND	LDO-Regler mit Reset, 3,3 V, 0,5 A	3.3V, 0.5A, LDO Reg. with Reset	SC-63	1.13	.89	.65
PQ5EV3	425-1742-5-ND	Einstellbarer LDO-Regler mit EIN/AUS-Steuerung, 3,5 A	Adj., 3.5A, LDO Reg. with ON/OFF Control	TO-220	2.41	2.02	1.41
PQ5EV5	425-1743-5-ND	Einstellbarer LDO-Regler mit EIN/AUS-Steuerung, 5,0 A	Adj., 5.0A, LDO Reg. with ON/OFF Control	TO-220	2.16	1.44	1.17
PQ5EV7	425-1744-5-ND	Einstellbarer LDO-Regler mit EIN/AUS-Steuerung, 7,5 A	Adj., 7.5A, LDO Reg. with ON/OFF Control	TO-220	2.41	1.61	1.31
PQ5RS1A	425-1745-5-ND	LDO-Regler mit Reset bei 4,7; 5 V, 0,15 A	5V, 0.15A, LDO Reg. with Reset at 4.7	TO-220	1.10	.87	.63
PQ6RD083	425-1752-5-ND	LDO-Regler mit EIN/AUS-Steuerung, 6,3 V, 0,8 A	6.3V, 0.8A, LDO Reg. with ON/OFF Control	TO-220	1.19	.94	.68
PQ6RD83B	425-1753-5-ND	LDO-Regler mit EIN/AUS-Steuerung, 6,3 V, 0,8 A	6.3V, 0.8A, LDO Reg. with ON/OFF Control	TO-220†	1.22	.96	.70
PQ7DV5	425-1756-5-ND	Einstellbarer LDO-Regler mit EIN/AUS-Steuerung, 5 A	Adj., 5A, LDO Reg. with ON/OFF Control	TO-3P	4.32	2.87	2.34
PQ7DV10	425-1754-5-ND	Einstellbarer LDO-Regler mit EIN/AUS-Steuerung,10 A	Adj., 10A, LDO Reg. with ON/OFF Control	TO-3P	6.56	4.36	3.55
PQ7DV10B	425-1755-5-ND	Einstellbarer LDO-Regler mit EIN/AUS-Steuerung,10 A	Adj., 10A, LDO Reg. with ON/OFF Control	TO-3P†	6.46	4.29	3.49
PQ7RV4	425-1757-5-ND	Einstellb. LDO-Regler, 4,6 A	Adj., 4.6A, LDO Reg.	TO-220	2.88	1.92	1.56
PQ05DZ11	425-1589-5-ND	LDO-Regler mit EIN/AUS-Steuerung, 5,0 V,1,0 A	5.0V, 1.0A, LDO Reg. with ON/OFF Control	SC-63	1.22	.96	.70
PQ05DZ51	425-1590-5-ND	LDO-Regler mit EIN/AUS-Steuerung, 5,0 V, 0,5 A	5.0V, 0.5A, LDO Reg. with ON/OFF Control	SC-63	1.19	.94	.68
PQ05RA1	425-1591-5-ND	LDO-Regler mit EIN/AUS-Steuerung, 5,0 V,1,0 A	5.0V, 1.0A, LDO Reg. with ON/OFF Control	TO-220	1.50	1.25	.88
PQ05RA11	425-1592-5-ND	LDO-Regler mit EIN/AUS-Steuerung, 5,0 V,1,0 A	5.0V, 1.0A, LDO Reg. with ON/OFF Control	TO-220	1.65	1.38	.97
PQ05RD08	425-1593-5-ND	LDO-Regler mit EIN/AUS-Steuerung, 5,0 V, 0,8 A	5.0V, 0.8A, LDO Reg. with ON/OFF Control	TO-220	1.19	.94	.68
PQ05RD11	425-1594-5-ND	LDO-Regler mit EIN/AUS-Steuerung, 5,0 V,1,0 A	5.0V, 1.0A, LDO Reg. with ON/OFF Control	TO-220	1.30	1.03	.75
PQ05RD1B	425-1595-5-ND	LDO-Regler mit EIN/AUS-Steuerung, 5,0 V,1,0 A	5.0V, 1.0A, LDO Reg. with ON/OFF Control	TO-220†	1.22	.96	.70
PQ05RD21	425-1596-5-ND	LDO-Regler mit EIN/AUS-Steuerung, 5,0 V, 2,0 A	5.0V, 2.0A, LDO Reg. with ON/OFF Control	TO-220	1.45	1.21	.85
PQ05RR1	425-1597-5-ND	LDO-Regler mit Reset, 5 %; 5,0 V,1,0 A	5.0V, 1.0A, LDO Reg. with Reset, 5%	TO-220	1.60	1.34	.94
PQ05RR12	425-1599-5-ND	LDO-Regler mit Reset, 5 %; 5,0 V,1,0 A	5.0V, 1.0A, LDO Reg. with Reset, 5%	TO-220	1.73	1.44	1.01
PQ05RR13	425-1600-5-ND	LDO-Regler mit Reset, 2,5 %; 5,0 V,1,0 A	5.0V, 1.0A, LDO Reg. with Reset, 2.5%	TO-220	1.80	1.51	1.06
PQ05VY3H3ZZ	425-1602-5-ND	LDO-Regler mit EIN/AUS-Steuerung, 5,0 V, 3,5 A	5.0V, 3.5A, LDO Reg. with ON/OFF Control	TO-263	2.44	2.04	1.43
PQ05VY053ZZ	425-1601-5-ND	LDO-Regler mit EIN/AUS-Steuerung, 5,0 V, 5,0 A	5.0V, 5.0A, LDO Reg. with ON/OFF Control	TO-263	2.16	1.44	1.17
PQ07RX11	425-1609-5-ND	Einstellbarer LDO-Regler mit EIN/AUS-Steuerung,1,0 A	Adj., 1.0A, LDO Reg. with ON/OFF Control	TO-220	1.30	1.08	.76
PQ07VR5MAZZ	425-1610-5-ND	Einstellbarer LDO-Regler mit Reset bei 4,2 V; 0,5 A	Adj., 0.5A, LDO Reg. with Reset @ 4.2V	SC-63	1.07	.84	.61
PQ07VZ012ZZ	425-1614-5-ND	Einstellbarer LDO-Regler mit EIN/AUS-Steuerung,1,0 A	Adj., 1.0A, LDO Reg. with ON/OFF Control	SC-63	1.46	1.15	.83
PQ09DZ11	425-1616-5-ND	LDO-Regler mit EIN/AUS-Steuerung, 9 V,1,0 A	9V, 1.0A, LDO Reg. with ON/OFF Control	SC-63	1.22	.96	.70
PQ09DZ1U	425-1616-2-ND	LDO-Regler mit EIN/AUS-Steuerung, 9 V,1,0 A	9V, 1.0A, LDO Reg. with ON/OFF Control	SC-63		1353.71/3,000	
PQ09DZ51	425-1617-5-ND	LDO-Regler mit EIN/AUS-Steuerung, 9,0 V, 0,5 A	9V, 0.5A, LDO Reg. with ON/OFF Control	SC-63	1.22	.96	.70
PQ09DZ51	425-1617-2-ND	LDO-Regler mit EIN/AUS-Steuerung, 9,0 V, 0,5 A	9V, 0.5A, LDO Reg. with ON/OFF Control	SC-63		1254.66/3,000	
PQ09RA1	425-1618-5-ND	LDO-Regler mit EIN/AUS-Steuerung, 5 %; 9 V,1,0 A	9V, 1.0A, LDO Reg. with ON/OFF Control, 5%	TO-220	1.50	1.25	.88
PQ09RA11	425-1619-5-ND	LDO-Regler mit EIN/AUS-Steuerung, 2,5 %; 9 V,1,0 A	9V, 1.0A, LDO Reg. with ON/OFF Control, 2.5%	TO-220	1.65	1.38	.97
PQ09RD08	425-1620-5-ND	LDO-Regler mit EIN/AUS-Steuerung, 9,0 V, 0,8 A	9V, 0.8A, LDO Reg. with ON/OFF Control	TO-220	1.19	.94	.68
PQ09RD11	425-1621-5-ND	LDO-Regler mit EIN/AUS-Steuerung, 9 V,1,0 A	9V, 1.0A, LDO Reg. with ON/OFF Control	TO-220	1.34	1.05	.77
PQ09RD1B	425-1622-5-ND	LDO-Regler mit EIN/AUS-Steuerung, 9 V,1,0 A	9V, 1.0A, LDO Reg. with ON/OFF Control	TO-220†	1.24	.98	.72
PQ09RD21	425-1623-5-ND	LDO-Regler mit EIN/AUS-Steuerung, 9 V, 2,0 A	9V, 2.0A, LDO Reg. with ON/OFF Control	TO-220	1.45	1.21	.85
PQ12DZ11	425-1624-5-ND	LDO-Regler mit EIN/AUS-Steuerung,12 V,1,0 A	12V, 1.0A, LDO Reg. with ON/OFF Control	SC-63	1.22	.96	.70
PQ12DZ11	425-1624-2-ND	LDO-Regler mit EIN/AUS-Steuerung,12 V,1,0 A	12V, 1.0A, LDO Reg. with ON/OFF Control	SC-63		1386.73/3,000	
PQ12DZ51	425-1625-5-ND	LDO-Regler mit EIN/AUS-Steuerung,12,0 V, 0,5 A	12V, 0.5A, LDO Reg. with ON/OFF Control	SC-63	1.22	.96	.70
PQ12DZ51	425-1625-2-ND	LDO-Regler mit EIN/AUS-Steuerung,12,0 V, 0,5 A	12V, 0.5A, LDO Reg. with ON/OFF Control	SC-63		1221.64/3,000	
PQ12RA1	425-1626-5-ND	LDO-Regler mit EIN/AUS-Steuerung, 5 %; 12 V,1,0 A	12V, 1.0A, LDO Reg. with ON/OFF Control, 5%	TO-220	1.50	1.25	.88
PQ12RA11	425-1627-5-ND	LDO-Regler mit EIN/AUS-Steuerung, 2,5 %; 12 V,1,0 A	12V, 1.0A, LDO Reg. with ON/OFF Control, 2.5%	TO-220	1.65	1.38	.97
PQ12RD8S	425-1632-5-ND	LDO-Regler mit EIN/AUS-Steuerung,12,0 V, 0,8 A	12V, 0.8A, LDO Reg. with ON/OFF Control	TO-220†	.95	.75	.55
PQ12RD08	425-1628-5-ND	LDO-Regler mit EIN/AUS-Steuerung,12,0 V, 0,8 A	12V, 0.8A, LDO Reg. with ON/OFF Control	TO-220	1.19	.94	.68
PQ12RD11	425-1629-5-ND	LDO-Regler mit EIN/AUS-Steuerung,12 V,1,0 A	12V, 1.0A, LDO Reg. with ON/OFF Control	TO-220	1.30	1.03	.75
PQ12RD1B	425-1630-5-ND	LDO-Regler mit EIN/AUS-Steuerung,12 V,1,0 A	12V, 1.0A, LDO Reg. with ON/OFF Control	TO-220†	1.48	1.17	.85
PQ12RD21	425-1631-5-ND	LDO-Regler mit EIN/AUS-Steuerung,12 V, 2,0 A	12V, 2.0A, LDO Reg. with ON/OFF Control	TO-220	1.45	1.21	.85
PQ15RF15	425-1633-5-ND	LDO-Regler mit EIN/AUS-Steuerung, 5 %; 15 V,1,0 A	15V, 1.0A, LDO Reg. with ON/OFF Control, 5%	TO-220	1.63	1.36	.95
PQ15RF1G	425-1635-5-ND	LDO-Regler mit EIN/AUS-Steuerung,15 V,1,0 A	15V, 1.0A, LDO Reg. with ON/OFF Control	TO-220†	1.83	1.53	1.07
PQ15RF2	425-1636-5-ND	LDO-Regler mit EIN/AUS-Steuerung,15 V, 2,0 A	15V, 2.0A, LDO Reg. with ON/OFF Control	TO-220	1.90	1.59	1.12
PQ15RW08	425-1638-5-ND	Einstellb. 0,8 A LDO-Regler	Adj., 0.8A, LDO Regulator	TO-220	1.19	.94	.68
PQ15RW11	425-1639-5-ND	Einstellb. 1,0 A LDO-Regler	Adj., 1.0A, LDO Regulator	TO-220	1.19	.94	.68
PQ15RW1B	425-1640-5-ND	Einstellb. 1,0 A LDO-Regler	Adj., 1.0A, LDO Regulator	TO-220†	1.34	1.05	.77
PQ15RW21	425-1641-5-ND	Einstellb. 2,0 A LDO-Regler	Adj., 2.0A, LDO Regulator	TO-220	1.47	1.23	.86
PQ010FZ5MZZ	425-1551-5-ND	LDO-Regler mit EIN/AUS-Steuerung,1,0 V, 0,5 A	1.0V, 0.5A, LDO Reg. with ON/OFF Control	SC-63	.98	.77	.56
PQ010FZ01ZZ	425-1550-5-ND	LDO-Regler mit EIN/AUS-Steuerung,1,0 V,1,0 A	1.0V, 1.0A, LDO Reg. with ON/OFF Control	SC-63	1.10	.87	.63
PQ012FZ5MZZ	425-1553-5-ND	LDO-Regler mit EIN/AUS-Steuerung,1,2 V, 0,5 A	1.2V, 0.5A, LDO Reg. with ON/OFF Control	SC-63	.98	.77	.56
PQ012FZ01ZZ	425-1552-5-ND	LDO-Regler mit EIN/AUS-Steuerung,1,2 V,1,0 A	1.2V, 1.0A, LDO Reg. with ON/OFF Control	SC-63	1.10	.87	.63
PQ015EF01SZ	425-1554-5-ND	LDO-Regler mit EIN/AUS-Steuerung,1,5 V,1,0 A	1.5V, 1.0A, LDO Reg. with ON/OFF Control	TO-220	.95	.75	.55
PQ015EH01ZZ	425-1555-5-ND	LDO-Regler mit EIN/AUS-Steuerung,1,5 V,1,0 A	1.5V, 1.0A, LDO Reg. with ON/OFF Control	TO-263	1.24	.98	.72
PQ015EH02ZZ	425-1556-5-ND	LDO-Regler mit EIN/AUS-Steuerung,15 V, 2,0 A	1.5V, 2.0A, LDO Reg. with ON/OFF Control	TO-263	1.35	1.13	.79
PQ015EZ01ZZ	425-1557-5-ND	LDO-Regler mit EIN/AUS-Steuerung,1,5 V,1,0 A	1.5V, 1.0A, LDO Reg. with ON/OFF Control	SC-63	1.24	.98	.72
PQ015EZ1HZZ	425-1558-5-ND	LDO-Regler mit EIN/AUS-Steuerung,1,5 V,1,5 A	1.5V, 1.5A, LDO Reg. with ON/OFF Control	SC-63	1.42	1.12	.82
PQ015EZ5MZZ	425-1559-5-ND	LDO-Regler mit EIN/AUS-Steuerung,1,5 V, 0,5 A	1.5V, 0.5A, LDO Reg. with ON/OFF Control	SC-63	1.19	.94	.68
PQ015Y3H3ZZ	425-1561-5-ND	LDO-Regler mit EIN/AUS-Steuerung,1,5 V, 3,5 A	1.5V, 3.5A, LDO Reg. with ON/OFF Control	SC-63	2.41	2.02	1.41
PQ015YZ01ZZ	425-1562-5-ND	Einstellbarer LDO-Regler mit EIN/AUS-Steuerung,1,0 A	Adj., 1.0A, LDO Reg. with ON/OFF Control	SC-63	1.10	.87	.63
PQ015YZ5MZZ	425-1563-5-ND	LDO-Regler mit EIN/AUS-Steuerung,1,5 V, 0,5 A	1.5V, 0.5A, LDO Reg. with ON/OFF Control	SC-63	.98	.77	.56
PQ018EF01SZ	425-1564-5-ND	LDO-Regler mit EIN/AUS-Steuerung,1,8 V,1,0 A	1.8V, 1.0A, LDO Reg. with ON/OFF Control	TO-220	.95	.75	.55
PQ018EH01ZZ	425-1565-5-ND	LDO-Regler mit EIN/AUS-Steuerung,1,8 V,1,0 A	1.8V, 1.0A, LDO Reg. with ON/OFF Control	TO-263	1.24	.98	.72
PQ018EH02ZZ	425-1566-5-ND	LDO-Regler mit EIN/AUS-Steuerung,1,8 V, 2,0 A	1.8V, 2.0A, LDO Reg. with ON/OFF Control	TO-263	1.35	1.13	.79
PQ018EZ1HZZ	425-1568-5-ND	LDO-Regler mit EIN/AUS-Steuerung,1,8 V,1,5 A	1.8V, 1.5A, LDO Reg. with ON/OFF Control	SC-63	1.42	1.12	.82
PQ018EZ5MZZ	425-1569-5-ND	LDO-Regler mit EIN/AUS-Steuerung,1,8 V, 0,5 A	1.8V, 0.5A, LDO Reg. with ON/OFF Control	SC-63	1.19	.94	.68
PQ018EZ01ZZ	425-1567-5-ND	LDO-Regler mit EIN/AUS-Steuerung,1,8 V,1,0 A	1.8V, 1.0A, LDO Reg. with ON/OFF Control	SC-63	1.24	.98	.72
PQ025EF01SZ	425-1570-5-ND	LDO-Regler mit EIN/AUS-Steuerung, 2,5 V,1,0 A	2.5V, 1.0A, LDO Reg. with ON/OFF Control	TO-220	.95	.75	.55
PQ025EH01ZZ	425-1571-5-ND	LDO-Regler mit EIN/AUS-Steuerung, 2,5 V,1,0 A	2.5V, 1.0A, LDO Reg. with ON/OFF Control	TO-263	1.24	.98	.72
PQ025EH02ZZ	425-1572-5-ND	LDO-Regler mit EIN/AUS-Steuerung, 2,5 V, 2,0 A	2.5V, 2.0A, LDO Reg. with ON/OFF Control	TO-263	1.35	1.13	.79
PQ025EZ1HZZ	425-1574-5-ND	LDO-Regler mit EIN/AUS-Steuerung, 2,5 V,1,5 A	2.5V, 1.5A, LDO Reg. with ON/OFF Control	SC-63	1.42	1.12	.82
PQ025EZ5MZZ	425-1575-5-ND	LDO-Regler mit EIN/AUS-Steuerung, 2,5 V, 0,5 A	2.5V, 0.5A, LDO Reg. with ON/OFF Control	SC-63	1.19	.94	.68
PQ025EZ01ZZ	425-1573-5-ND	LDO-Regler mit EIN/AUS-Steuerung, 2,5 V,1,0 A	2.5V, 1.0A, LDO Reg. with ON/OFF Control	SC-63	1.24	.98	.72
PQ025Y3H3ZZ	425-1577-5-ND	LDO-Regler mit EIN/AUS-Steuerung, 2,5 V, 3,5 A	2.5V, 3.5A, LDO Reg. with ON/OFF Control	SC-63	2.41	2.02	1.41
PQ030EZ01ZZ	425-1578-5-ND	LDO-Regler mit EIN/AUS-Steuerung, 3,0 V,1,0 A	3.0V, 1.0A, LDO Reg. with ON/OFF Control	SC-63	1.24	.98	.72
PQ030EZ1HZZ	425-1579-5-ND	LDO-Regler mit EIN/AUS-Steuerung, 3,0 V,1,5 A	3.0V, 1.5A, LDO Reg. with ON/OFF Control	SC-63	1.42	1.12	.82
PQ030EZ5MZZ	425-1580-5-ND	LDO-Regler mit EIN/AUS-Steuerung, 3,0 V, 0,5 A	3.0V, 0.5A, LDO Reg. with ON/OFF Control	SC-63	1.19	.94	.68
PQ033EF01SZ	425-1581-5-ND	LDO-Regler mit EIN/AUS-Steuerung, 3,3 V,1,0 A	3.3V, 1.0A, LDO Reg. with ON/OFF Control	TO-220	.95	.75	.55
PQ033EZ01ZZ	425-1583-5-ND	LDO-Regler mit EIN/AUS-Steuerung, 3,3 V,1,0 A	3.3V, 1.0A, LDO Reg. with ON/OFF Control	SC-63	1.24	.98	.72
PQ033EZ1HZZ	425-1584-5-ND	LDO-Regler mit EIN/AUS-Steuerung, 3,3 V,1,5 A	3.3V, 1.5A, LDO Reg. with ON/OFF Control	SC-63	1.42	1.12	.82
PQ033EZ5MZZ	425-1585-5-ND	LDO-Regler mit EIN/AUS-Steuerung, 3,3 V, 0,5 A	3.3V, 0.5A, LDO Reg. with ON/OFF Control	SC-63	1.19	.94	.68
PQ033Y3H3ZZ	425-1587-5-ND	LDO-Regler mit EIN/AUS-Steuerung, 3,3 V, 3,5 A	3.3V, 3.5A, LDO Reg. with ON/OFF Control	SC-63	2.41	2.02	1.41

† Lead Form

(Forts.)

★ *RUFEN SIE-BitTE AN FÜR NIEDRIGERE PREISE BEI GRÖSSEREN MENGEN!* ★

SHARP MICROELECTRONICS — LDO-REGLER *(Forts.)*

Sharp Teilenr.	Digi-Key Teilenr.	Beschreibung		Paket	Stückpreis ★ 1	25	100
PQ033Y053ZZ	425-1586-5-ND	LDO-Regler mit EIN/AUS-Steuerung, 3,3 V, 5,0 A	3.3V, 5.0A, LDO Reg. with ON/OFF Control	SC-63	2.16	1.44	1.17
PQ070XH01ZZ	425-1604-5-ND	Einstellbarer LDO-Regler mit EIN/AUS-Steuerung,1,0 A	Adj., 1.0A, LDO Reg. with ON/OFF Control	TO-263	1.24	.98	.72
PQ070XH02ZZ	425-1605-5-ND	Einstellbarer LDO-Regler mit EIN/AUS-Steuerung, 2,0 A	Adj., 2.0A, LDO Reg. with ON/OFF Control	TO-263	1.35	1.13	.79
PQ070XZ1HZZ	425-1607-5-ND	Einstellbarer LDO-Regler mit EIN/AUS-Steuerung,1,5 A	Adj., 1.5A, LDO Reg. with ON/OFF Control	SC-63	1.42	1.12	.82
PQ070XZ01ZZ	425-1606-5-ND	Einstellbarer LDO-Regler mit EIN/AUS-Steuerung,1,0 A	Adj., 1.0A, LDO Reg. with ON/OFF Control	SC-63	1.24	.98	.72
PQ070XZ5MZZ	425-1608-5-ND	Einstellbarer LDO-Regler mit EIN/AUS-Steuerung, 0,5 A	Adj., 0.5A, LDO Reg. with ON/OFF Control	SC-63	1.19	.94	.68
PQ20RX05	425-1721-5-ND	Einstellbarer LDO-Regler mit EIN/AUS-Steuerung, 0,5 A	Adj., 0.5A, LDO Reg. with ON/OFF Control	TO-220	1.36	1.08	.78
PQ20RX11	425-1722-5-ND	Einstellbarer LDO-Regler mit EIN/AUS-Steuerung,1,0 A	Adj., 1.0A, LDO Reg. with ON/OFF Control	TO-220	1.42	1.12	.82
PQ20WZ11	425-1723-5-ND	Einstellbarer LDO-Regler mit EIN/AUS-Steuerung,1,0 A	Adj., 1.0A, LDO Reg. with ON/OFF Control	SC-63	1.22	.96	.70
PQ20WZ1U	425-1723-2-ND	Einstellbarer LDO-Regler mit EIN/AUS-Steuerung,1,0 A	Adj., 1.0A, LDO Reg. with ON/OFF Control	SC-63		1353.71/3,000	
PQ20WZ51	425-1724-5-ND	Einstellbarer LDO-Regler mit EIN/AUS-Steuerung, 0,5 A	Adj., 0.5A, LDO Reg. with ON/OFF Control	SC-63	1.19	.94	.68
PQ20WZ5U	425-1724-2-ND	Einstellbarer LDO-Regler mit EIN/AUS-Steuerung, 0,5 A	Adj., 0.5A, LDO Reg. with ON/OFF Control	SC-63		1221.64/3,000	
PQ25VB012FZ	425-1725-5-ND	Einstellbarer LDO-Regler mit EIN/AUS-Steuerung,1,0 A	Adj., 1.0A, LDO Reg. with ON/OFF Control	TO-220	1.50	1.25	.88
PQ25VB8M2FZ	425-1726-5-ND	Einstellbarer LDO-Regler mit EIN/AUS-Steuerung, 0,8 A	Adj., 0.8A, LDO Reg. with ON/OFF Control	SC-63	1.42	1.19	.83
PQ30RV31	425-1727-5-ND	Einstellb. 3,0 A LDO-Regler	Adj., 3.0A, LDO Regulator	TO-220	2.61	1.73	1.41

† Lead Form

SHARP MICROELECTRONICS — CHOPPER-REGLER

Sharp Teilenr.	Digi-Key Teilenr.	Beschreibung		Paket	Stückpreis ★ 1	25	100
PQ1CG2032FZ	425-1759-5-ND	Einstellbarer Chopper-Regler mit EIN/AUS-Steuerung, 3,5 A	Adj., 3.5A, Chopper Regulator with ON/OFF Control	TO-220	1.93	1.61	1.13
PQ1CG2032RZ	425-1760-5-ND	Einstellbarer Chopper-Regler mit EIN/AUS-Steuerung, 3,5 A	Adj., 3.5A, Chopper Regulator with ON/OFF Control	TO-220	1.93	1.61	1.13
PQ1CG21H2FZ	425-1761-5-ND	Einstellbarer Chopper-Regler mit EIN/AUS-Steuerung,1,5 A	Adj., 1.5A, Chopper Regulator with ON/OFF Control	TO-220	1.73	1.44	1.01
PQ1CG21H2RZ	425-1762-5-ND	Einstellbarer Chopper-Regler mit EIN/AUS-Steuerung,1,5 A	Adj., 1.5A, Chopper Regulator with ON/OFF Control	TO-220	1.63	1.36	.95
PQ1CG38M2FZ	425-1765-5-ND	Einstellbarer Chopper-Regler mit EIN/AUS-Steuerung, 0,8 A	Adj., 0.8A, Chopper Regulator with ON/OFF Control	TO-220	1.40	1.17	.82
PQ1CG38M2RZ	425-1766-5-ND	Einstellbarer Chopper-Regler mit EIN/AUS-Steuerung, 0,8 A	Adj., 0.8A, Chopper Regulator with ON/OFF Control	TO-220	1.40	1.17	.82
PQ1CG3032FZ	425-1763-5-ND	Einstellbarer Chopper-Regler mit EIN/AUS-Steuerung, 3,5 A	Adj., 3.5A, Chopper Regulator with ON/OFF Control	TO-220	1.93	1.61	1.13
PQ1CG3032RZ	425-1764-5-ND	Einstellbarer Chopper-Regler mit EIN/AUS-Steuerung, 3,5 A	Adj., 3.5A, Chopper Regulator with ON/OFF Control	TO-220	1.93	1.61	1.13
PQ1CY1032ZZ	425-1767-5-ND	Einstellbarer Chopper-Regler mit EIN/AUS-Steuerung, 3,5 A	Adj., 3.5A, Chopper Regulator with ON/OFF Control	TO-263	2.13	1.78	1.25
PQ1CZ21H2ZZ	425-1768-5-ND	Einstellbarer Chopper-Regler mit EIN/AUS-Steuerung,1,5 A	Adj., 1.5A, Chopper Regulator with ON/OFF Control	SC-63	2.06	1.72	1.21
PQ1CZ38M2ZZ	425-1769-5-ND	Einstellbarer Chopper-Regler mit EIN/AUS-Steuerung, 0,8 A	Adj., 0.8A, Chopper Regulator with ON/OFF Control	SC-63	1.46	1.15	.83
PQ2CF1	425-1770-5-ND	Einstellbarer Chopper-Regler, 2,5 A	Adj., 2.5A, Chopper Regulator	TO-220	3.03	2.01	1.64

National Semiconductor™ — UARTs

Digi-Key Teilenr.	Beschreibung		Paket	Stückpreis★ 1	25	100
PC16550DN-ND	UART	UART	40-Dip	4.23	4.02	3.82
PC16550DV-ND	UART	UART	44-PLCC	4.27	4.05	3.85
PC16552DV-ND	Zweifacher UART	Dual UART	44-PLCC	5.84	3.93	3.73
PC16552DVXTR-ND	Zweifacher UART	Dual UART	44-PLCC		3110.00/500	

National Semiconductor™ — A/D- UND D/A-WANDLER

Digi-Key Teilenr.	Beschreibung		Paket	Stückpreis★ 1	25	100
		A/D-Wandler				
ADC08L060CIMT-ND	8-Bit A/D-Wandler, 60 MSPS	8-Bit, 60 MSPS, A/D Converter	24-TSSOP	8.50	6.76	5.78
ADC10D020CIVS-ND	Zweif. 10-Bit A/D-Wandler, 20 MSPS,150 mW	Dual 10-Bit, 20MSPS, 150mW A/D Converter	48-TQFP	13.46	10.70	9.14
ADC10D040CIVS-ND	Zweif. 10-Bit A/D-Wandler, 40 MSPS, 267 mW	Dual 10-Bit, 40MSPS, 267mW A/D Converter	48-TQFP	18.44	14.66	12.53
ADC11DL066CIVS-ND	Zweif. 11-Bit A/D-Wandler, 66 MSPS, 450 MHz Eingangsbandbreite	Dual 11-Bit, 66MSPS, 450MHz Input Bandwidth A/D Converter	64-TQFP	20.20	19.19	18.23
ADC12D040CIVS-ND	Zweif. 12-Bit A/D-Wandler, 40 MSPS	Dual 12-Bit, 40MSPS, A/D Converter	64-TQFP	21.00	19.95	18.95
ADC12DL040CIVS-ND	Zweif. 12-Bit A/D-Wandler, 40 MSPS, 3 V	Dual 12-Bit, 40MSPS, 3V A/D Converter	64-TQFP	42.66	33.93	28.99
ADC12DL066CIVS-ND	Zweif. 12-Bit A/D-Wandler, 66 MSPS, 450 MHz Eingangsbandbreite	Dual 12-Bit, 66MSPS, 450MHz Input Bandwidth A/D Converter	64-TQFP	30.65	29.11	27.66
ADC12H030CIWM-ND	12-Bit A/D-Wandler, konfig.	12-Bit, A/D Converter, Configurable	16-SOIC	9.64	7.66	6.55
ADC12H038CIWM-ND	12-Bit A/D-Wandler, 8-Kanal	12-Bit, A/D Converter, 8-Channel	28-SOIC	9.91	7.88	6.73
ADC12L030CIWM-ND	3,3 V,12-Bit serieller E/A A/D-Wandler	3.3V, 12-Bit Serial I/O A/D Converter	16-SOIC	5.18	4.92	4.68
ADC12L034CIWM-ND	3,3 V,12-Bit serieller E/A A/D-Wandler	3.3V, 12-Bit Serial I/O A/D Converter	24-SOIC	9.13	7.26	6.20
ADC12L038CIWM-ND	12-Bit A/D-Wandler, 8-Kanal	12-Bit, A/D Converter, 8-Channel	24-SOIC	9.40	7.47	6.39
ADC12L063CIVY-ND	12-Bit A/D-Wandler, 62 MSPS, 354 mW, mit internem Sample/Hold	12-Bit, 62MSPS, 354mW A/D Converterwith Internal Sample and Hold	32-LQFP	45.65	36.30	31.02
ADC12L066CIVY-ND	12-Bit A/D-Wandler, 66 MSPS, 450 mW, mit internem Sample/Hold	12-Bit, 66MSPS, 450 Bandwidth A/D Converter with Internal Sample and Hold	32-LQFP	48.63	38.67	33.04
ADC12L080CIVY-ND	12-Bit Bandbreiten-ADU, 80 MSPS, 450 MHz	12-Bit, 80MSPS, 450MHz Bandwidth ADC	32-LQFP	49.53	39.38	33.65
ADC78H89CIMT-ND	12-Bit A/D-Wandler, 7-Kan., 500-KSPS,	12-Bit, 7-Ch., 500KSPS, A/D Converter	16-TSSOP	2.90	2.75	2.61
ADC78H90CIMT-ND	12-Bit A/D-Wandler, 8-Kan., 500-KSPS,	12-Bit, 8-Ch., 500KSPS, A/D Converter	16-TSSOP	2.90	2.75	2.61
ADC081S101CIMFCT-ND	8-Bit A/D-Wandler,1 MSPS	8-Bit, 1MSPS, A/D Converter	SOT-23-6	1.86	1.77	1.68
ADC081S101CIMFTR-ND	8-Bit A/D-Wandler,1 MSPS	8-Bit, 1MSPS, A/D Converter	SOT-23-6		1440.00/1,000	
ADC081S101CISDCT-ND	8-Bit A/D-Wandler,1 MSPS	8-Bit, 1MSPS A/D Converter	6-LLP	3.28	2.61	2.23
ADC081S101CISDTR-ND	8-Bit A/D-Wandler,1 MSPS	8-Bit, 1MSPS A/D Converter	6-LLP		1910.00/1,000	
ADC101S101CIMFCT-ND	10-Bit A/D-Wandler,1 MSPS	10-Bit, 1MSPS, A/D Converter	SOT-23-6	1.55	1.47	1.40
ADC101S101CIMFTR-ND	10-Bit A/D-Wandler,1 MSPS	10-Bit, 1MSPS, A/D Converter	SOT-23-6		1380.00/1,000	
ADC102S021CIMMCT-ND	10-Bit A/D-Wandler, 200 KSPS, 2-Kan.	10-Bit, 200KSPS, 2-Channel A/D Converter	8-MSOP	1.34	1.27	1.21
ADC102S021CIMMTR-ND	10-Bit A/D-Wandler, 200 KSPS, 2-Kan.	10-Bit, 200KSPS, 2-Channel A/D Converter	8-MSOP		1200.00/1,000	
ADC102S051CIMMCT-ND	10-Bit A/D-Wandler, 500 KSPS, 2-Kan.	10-Bit, 500KSPS, 2-Channel A/D Converter	8-MSOP	1.73	1.64	1.56
ADC102S051CIMMTR-ND	10-Bit A/D-Wandler, 500 KSPS, 2-Kan.	10-Bit, 500KSPS, 2-Channel A/D Converter	8-MSOP		1550.00/1,000	
ADC102S101CIMMCT-ND	10-Bit A/D-Wandler,1 MSPS, 2-Kan.	10-Bit, 1MSPS, 2-Channel A/D Converter	8-MSOP	2.18	2.07	1.97
ADC102S101CIMMTR-ND	10-Bit A/D-Wandler,1 MSPS, 2-Kan.	10-Bit, 1MSPS, 2-Channel A/D Converter	8-MSOP		1960.00/1,000	
ADC104S021CIMMCT-ND	10-Bit A/D-Wandler, 200 KSPS, 4-Kan.	10-Bit, 200KSPS, 4-Channel A/D Converter	10-MSOP	1.53	1.45	1.38
ADC104S021CIMMTR-ND	10-Bit A/D-Wandler, 200 KSPS, 4-Kan.	10-Bit, 200KSPS, 4-Channel A/D Converter	10-MSOP		1370.00/1,000	
ADC104S051CIMMCT-ND	10-Bit A/D-Wandler, 500 KSPS, 4-Kan.	10-Bit, 500KSPS, 4-Channel A/D Converter	10-MSOP	1.96	1.86	1.77
ADC104S051CIMMTR-ND	10-Bit A/D-Wandler, 500 KSPS, 4-Kan.	10-Bit, 500KSPS, 4-Channel A/D Converter	10-MSOP		1750.00/1,000	
ADC104S101CIMMCT-ND	10-Bit A/D-Wandler,1 MSPS, 4-Kan.	10-Bit, 1MSPS, 4-Channel A/D Converter	10-MSOP	2.48	2.36	2.24
ADC104S101CIMMTR-ND	10-Bit A/D-Wandler,1 MSPS, 4-Kan.	10-Bit, 1MSPS, 4-Channel A/D Converter	10-MSOP		2210.00/1,000	
ADC121S101CIMFCT-ND	12-Bit A/D-Wandler,1 MSPS	12-Bit, 1MSPS, A/D Converter	SOT-23-6	1.99	1.89	1.80
ADC121S101CIMFTR-ND	12-Bit A/D-Wandler,1 MSPS	12-Bit, 1MSPS, A/D Converter	SOT-23-6		1790.00/1,000	
ADC122S021CIMMCT-ND	12-Bit A/D-Wandler, 200 KSPS, 2-Kan.	12-Bit, 200KSPS, 2-Channel A/D Converter	8-MSOP	1.70	1.62	1.53
ADC122S021CIMMTR-ND	12-Bit A/D-Wandler, 200 KSPS, 2-Kan.	12-Bit, 200KSPS, 2-Channel A/D Converter	8-MSOP		1510.00/1,000	
ADC122S051CIMMCT-ND	12-Bit A/D-Wandler, 500 KSPS, 2-Kan.	12-Bit, 500KSPS, 2-Channel A/D Converter	8-MSOP	2.16	2.05	1.95
ADC122S051CIMMTR-ND	12-Bit A/D-Wandler, 500 KSPS, 2-Kan.	12-Bit, 500KSPS, 2-Channel A/D Converter	8-MSOP		1940.00/1,000	
ADC122S101CIMMCT-ND	12-Bit A/D-Wandler,1 MSPS, 2-Kan.	12-Bit, 1MSPS, 2-Channel A/D Converter	8-MSOP	2.62	2.49	2.36
ADC122S101CIMMTR-ND	12-Bit A/D-Wandler,1 MSPS, 2-Kan.	12-Bit, 1MSPS, 2-Channel A/D Converter	8-MSOP		2350.00/1,000	
ADC124S021CIMMCT-ND	12-Bit A/D-Wandler, 200 KSPS, 4-Kan.	12-Bit, 200KSPS, 4-Channel A/D Converter	10-MSOP	1.96	1.86	1.77
ADC124S021CIMMTR-ND	12-Bit A/D-Wandler, 200 KSPS, 4-Kan.	12-Bit, 200KSPS, 4-Channel A/D Converter	10-MSOP		1740.00/1,000	
ADC124S051CIMMCT-ND	12-Bit A/D-Wandler, 500 KSPS, 4-Kan.	12-Bit, 500KSPS, 4-Channel A/D Converter	10-MSOP	6.44	5.12	4.38
ADC124S051CIMMTR-ND	12-Bit A/D-Wandler, 500 KSPS, 4-Kan.	12-Bit, 500KSPS, 4-Channel A/D Converter	10-MSOP		3750.00/1,000	
ADC124S101CIMMCT-ND	12-Bit A/D-Wandler,1 MSPS, 4-Kan.	12-Bit, 1MSPS, 4-Channel A/D Converter	10-MSOP	2.97	2.82	2.68
ADC124S101CIMMTR-ND	12-Bit A/D-Wandler,1 MSPS, 4-Kan.	12-Bit, 1MSPS, 4-Channel A/D Converter	10-MSOP		2670.00/1,000	
ADC0801LCN-ND	8-Bit µP-kompatible A/D-Wandler,1/4 LSB	8-Bit, µP Compatible A/D Converters, 1/4 LSB	20-Dip	9.30	8.83	8.39

(Forts.)

★ RUFEN SIE-BitTE AN FÜR NIEDRIGERE PREISE BEI GRÖSSEREN MENGEN! ★

Alle Preisangaben in Euro und inklusive Zollgebühren.

Digi-Key Teilenr.	Beschreibung		Paket	Stückpreis★ 1	25	100
ADC0802LCN-ND	8-Bit µP-kompatible A/D-Wandler,1/2 LSB	8-Bit, µP Compatible A/D Converters, 1/2 LSB	20-Dip	5.03	4.78	4.54
ADC0802LCWM-ND	8-Bit kompatibler A/D-Wandler,1/2 LSB	8-Bit, Compatible A/D Converter, 1/2 LSB	20-SOIC	8.65	6.88	5.88
ADC0803LCN-ND	8-Bit A/D-Wandler,1/2 LSB	8-Bit, A/D Converter, 1/2 LSB	20-Dip	3.62	2.95	2.47
ADC0804LCJ-ND	8-Bit A/D-Wandler,1 LSB	8-Bit, A/D Converter, 1 LSB	20-CDip	17.30	13.76	11.76
ADC0804LCN-ND	8-Bit A/D-Wandler,1 LSB	8-Bit, A/D Converter, 1 LSB	20-Dip	1.91	1.53	1.25
ADC0804LCWM-ND	8-Bit A/D-Wandler,1 LSB	8-Bit, A/D Converter, 1 LSB	20-SOIC	1.88	1.50	1.21
ADC0805LCN-ND	8-Bit A/D-Wandler,1 LSB	8-Bit, A/D Converter, 1 LSB	20-Dip	5.85	4.65	3.97
ADC0808CCN-ND	8-Bit µP-kompatible A/D-Wandler, 8-Kan. Mux,1/2 LSB	8-Bit, µP Compatible A/D Conv. with 8-Ch. Mux., 1/2 LSB.	28-Dip	3.31	2.86	2.72
ADC0808CCV-ND	8-Bit A/D-Wandler mit 8-Kanal-Multiplexer,1/2 LSB	8-Bit, A/D Converter with 8-Channel Multiplexer, 1/2 LSB	28-PLCC	7.07	5.62	4.80
ADC0809CCN-ND	8-Bit A/D-Wandler mit 8-Kanal-Multiplexer,1 LSB	8-Bit, A/D Converter with 8-Channel Multiplexer, 1 LSB.	28-Dip	2.49	2.05	1.95
ADC0809CCV-ND	8-Bit A/D-Wandler mit 8-Kanal-Multiplexer,1 LSB	8-Bit, A/D Converter with 8-Channel Multiplexer, 1 LSB	28-PLCC	7.25	5.77	4.93
ADC0816CCN-ND	8-Bit A/D-Wandler mit 16-Kanal-Multiplexer,1/2 LSB	8-Bit, A/D Converter with 16-Channel Multiplexer, 1/2 LSB	40-Dip	12.58	11.95	11.35
ADC0817CCN-ND	8-Bit A/D-Wandler mit 16-Kanal-Multiplexer,1/2 LSB	8-Bit, A/D Converter with 16-Channel Multiplexer, 1/2 LSB.	40-Dip	8.96	7.17	5.90
ADC0820BCWM-ND	8-Bit A/D-Wandler,1/2 LSB	8-Bit, A/D Converter, 1/2 LSB	20-SOIC	8.12	6.45	5.51
ADC0820CCN-ND	8-Bit HS MPU-kompatibler A/D-Wandler,1 LSB	8-Bit, High Speed MPU Comp. A/D, 1 LSB	20-Dip	4.74	3.77	3.22
ADC0820CCWM-ND	8-Bit HS-A/D-Wandler,1 LSB	8-Bit, High Speed A/D Converter, 1 LSB	20-SOIC	2.56	2.43	2.31
ADC0831CCN-ND	8-Bit serieller E/A A/D-Wandler mit Multiplex-Optionen	8-Bit, Serial I/O A/D Converter with Multiplex Options	8-Dip	3.63	2.70	2.03
ADC0831CCWM-ND	8-Bit serieller E/A A/D-Wandler mit Multiplex-Optionen	8-Bit, Serial I/O A/D Converter with Multiplex Options	14-SOIC	1.85	1.75	1.67
ADC0832CCWM-ND	8-Bit serieller E/A A/D-Wandler mit Multiplex-Optionen, 2-Kan.	8-Bit, Serial I/O A/D Converter with Multiplex Options, 2-Ch	14-SOIC	3.28	2.61	2.23
ADC0832CIWM-ND	8-Bit serieller E/A A/D-Wandler mit Multiplex-Optionen, 2-Kan.	8-Bit, Serial I/O A/D Converter with Multiplex Options, 2-Ch.	14-SOIC	4.06	3.23	2.76
ADC0834BCN-ND	8-Bit serieller E/A A/D-Wandler mit Multiplex-Optionen, 4-Kan.	8-Bit, Serial I/O A/D Converter with Multiplex Options, 4-Ch.	14-Dip	2.46	2.33	2.22
ADC0834CCWM-ND	8-Bit serieller E/A A/D-Wandler mit Multiplex-Optionen, 4-Kan.	8-Bit, Serial I/O A/D Converter with Multiplex Options, 4-Ch.	14-SOIC	2.12	2.01	1.91
ADC0838CCN-ND	8-Bit serieller E/A A/D-Wandler mit Multiplex-Optionen, 8-Kan.	8-Bit, Serial I/O A/D Converter with Multiplex Options, 8-Ch.	20-Dip	4.19	3.15	2.21
ADC0838CCV-ND	8-Bit serieller E/A A/D-Wandler mit Multiplex-Optionen, 8-Kan.	8-Bit, Serial I/O A/D Converter with Multiplex Options, 8-Ch.	20-PLCC	3.58	2.85	2.43
ADC0838CCWM-ND	8-Bit serieller E/A A/D-Wandler mit Multiplex-Optionen, 8-Kan.	8-Bit, Serial I/O A/D Converter with Multiplex Options, 8-Ch.	20-SOIC	3.22	2.56	2.19
ADC0844CCJ-ND	8-Bit A/D-Wandler, MPU-kompatibel, 4-Kan.	8-Bit, A/D Converter, MPU Compatible 4-Channel	20-CDip	7.44	5.74	5.45
ADC0844CCN-ND	8-Bit A/D-Wandler, MPU-kompatibel, 4-Kan.	8-Bit, A/D Converter, MPU Compatible 4-Channel	20-Dip	2.69	2.56	2.43
ADC0848BCV-ND	8-Bit µP-kompatible A/D-Wandler mit Mux-Optionen,1/2 LSB	8-Bit, µP Compatible A/D Conv. with Mux. Options, 1/2 LSB	28-PLCC	7.30	6.93	6.59
ADC0848BCN-ND	8-Bit µP-kompatible A/D-Wandler mit Mux-Optionen,1/2 LSB	8-Bit, µP Compatible A/D Conv. with Mux. Options, 1/2 LSB	24-Dip	4.88	4.63	4.40
ADC0848CCN-ND	8-Bit µP-kompatible A/D-Wandler mit Mux-Optionen,1 LSB	8-Bit, µP Compatible A/D Conv. with Mux. Options, 1 LSB	24-Dip	5.26	4.10	2.89
ADC0848CCV-ND	8-Bit µP-kompatible A/D-Wandler mit Mux-Optionen,1 LSB	8-Bit, µP Compatible A/D Conv. with Mux. Options, 1 LSB	28-PLCC	5.43	4.34	3.10
ADC1001CCJ-ND	10-Bit A/D-Wandler, Mikroprozessor-kompatibel, ind. Temp.	10-Bit, A/D Conv., Microprocessor Compatible, Ind. Temp.	20-CDip	22.85	19.60	18.62
ADC1001CCJ-1-ND	10-Bit A/D-Wandler, Mikroprozessor-kompatibel	10-Bit, A/D Converter, Microprocessor Compatible	20-CDip	13.99	11.70	11.12
ADC1005BCJ-1-ND	10-Bit A/D-Wandler,1/2 LSB	10-Bit, A/D Converter, 1/2 LSB	20-CDip	14.40	12.30	11.69
ADC1005CCJ-1-ND	10-Bit A/D-Wandler,1 LSB	10-Bit, A/D Converter, 1 LSB	20-CDip	10.93	9.39	8.92
ADC1061CIN-ND	10-Bit µP-kompatibler A/D-Wandler, HS, mit Track	10-Bit, High Speed µP Compat A/D Converter with Track	20-Dip	8.23	6.55	5.60
ADC1173CIJM-ND	8-Bit A/D-Wandler, 3 V,15 MSPS	8-Bit, 3V, 15MSPS, A/D Converter	SOP-24	4.68	2.94	2.38
ADC1173CIMTC-ND	8-Bit A/D-Wandler, 3 V,15 MSPS	8-Bit, 3V, 15MSPS, A/D Converter	24-TSSOP	1.83	1.42	1.35
ADC1241CIJ-ND	12-Bit A/D mit Sample- und Hold-Vorzeichen	12-Bit, A/D with Sample and Hold Sign	28-CDip	22.08	17.56	15.00
ADC1251CIJ-ND	12-Bit selbstkalibrierender Pluszeichen-µP-kompatibler A/D	12-Bit, Self-Calibrating Plus Sign µP Compatible A/D	24-CDip	24.38	19.38	16.56
ADC08031CIWM-ND	8-Bit A/D-Wandler, Ein-Kanal mit Track/Hold	8-Bit, A/D Converter Single Channel with Track and Hold	14-SOIC	6.50	5.17	4.42
ADC08038CIWM-ND	8-Bit A/D-Wandler, 8-Kanal mit T/H	8-Bit, A/D Converter 8-Channel w/T/H	20-SOIC	4.11	3.91	3.71
ADC08060CIMT-ND	8-Bit A/D-Wandler, 20-60 MSPS,1,3 mW/MSPS	8-Bit, 20-60MSPS, 1.3mW/MSPS A/D Converter	24-TSSOP	4.83	3.84	3.28
ADC08062CIWM-ND	8-Bit A/D-Wandler, 2-Kanal mit S/H	8-Bit, A/D Converter 2-Channel with S/H	20-SOIC	5.25	4.18	3.57
ADC08100CIMTC-ND	8-Bit A/D-Wandler,100 MSPS,1,3 mW	8-Bit, A/D Converter, 100MSPS, 1.3mW	24-TSSOP	5.35	5.08	4.83
ADC08131CIWM-ND	8-Bit A/D-Wandler, HS	8-Bit, High Speed A/D Converter	14-SOIC	6.50	5.17	4.42
ADC08134CIWM-ND	8-Bit A/D-Wandler, HS, serieller E/A, mit Mux.-Option	8-Bit, High Speed Serial In/Out A/D Converter with Mux Option	14-SOIC	6.50	5.17	4.42
ADC08200CIMT-ND	8-Bit A/D-Wandler, 20-200 MSPS,1,05 mW/MSPS	8-Bit, 20-200MSPS, 1.05mW MSPS A/D Converter	24-TSSOP	10.73	10.20	9.69
ADC08351CILQCT-ND	8-Bit A/D-Wandler	8-Bit, A/D Converter	24-LLP	6.38	5.08	4.34
ADC08351CILQTR-ND	8-Bit A/D-Wandler	8-Bit, A/D Converter	24-LLP		3710.00/1,000	
ADC08351CIMTC-ND	8-Bit A/D-Wandler	8-Bit, A/D Converter	20-TSSOP	6.06	4.82	4.12
ADC08831IM-ND	8-Bit A/D-Wandler, serieller E/A,1 Eingang	8-Bit, Serial I/O A/D Converter, 1 Input	8-SOIC	2.42	1.92	1.64
ADC08831IMMCT-ND	8-Bit A/D-Wandler, serieller E/A,1 Eingang	8-Bit, Serial I/O A/D Converter, 1 Input	8-MSOP	2.42	1.92	1.64
ADC08831IMMTR-ND	8-Bit A/D-Wandler, serieller E/A,1 Eingang	8-Bit, Serial I/O A/D Converter, 1 Input	8-MSOP		1410.00/1,000	
ADC08831IN-ND	8-Bit A/D-Wandler, serieller E/A,1 Eingang	8-Bit, Serial I/O A/D Converter, 1 Input	8-Dip	2.42	1.92	1.64
ADC08831IWM-ND	8-Bit A/D-Wandler, serieller E/A,1 Eingang	8-Bit, Serial I/O A/D Converter, 1 Input	14-SOIC	2.42	1.92	1.64
ADC08832IM-ND	8-Bit A/D-Wandler, serieller E/A, 2 Eingänge	8-Bit, Serial I/O A/D Converter, 2 Input	8-SOIC	2.42	1.92	1.64
ADC08832IMMCT-ND	8-Bit A/D-Wandler, serieller E/A, 2 Eingänge	8-Bit, Serial I/O A/D Converter, 2 Input	8-MSOP	2.42	1.92	1.64
ADC08832IMMTR-ND	8-Bit A/D-Wandler, serieller E/A, 2 Eingänge	8-Bit, Serial I/O A/D Converter, 2 Input	8-MSOP		1410.00/1,000	
ADC08832IN-ND	8-Bit A/D-Wandler, serieller E/A, 2 Eingänge	8-Bit, Serial I/O A/D Converter, 2 Input	8-Dip	2.42	1.92	1.64
ADC08832IWM-ND	8-Bit A/D-Wandler, serieller E/A	8-Bit, Serial I/O A/D Converter	14-SOIC	2.42	1.92	1.64
ADC10030CIVT-ND	10-Bit A/D-Wandler	10-Bit, A/D Converter	32-LQFP	10.86	8.64	7.38
ADC10040CIMT-ND	10-Bit A/D-Wandler	10-Bit, A/D Converter	28-TSSOP	6.03	5.73	5.44
ADC10062CIWM-ND	10-Bit A/D-Wandler	10-Bit, A/D Converter	24-SOIC	8.86	7.05	6.02
ADC10065CIMT-ND	10-Bit A/D-Wandler	10-Bit, A/D Converter	28-TSSOP	6.71	6.37	6.05
ADC10080CIMT-ND	10-Bit A/D-Wandler	10-Bit, A/D Converter	28-TSSOP	7.25	6.88	6.54
ADC10158CIN-ND	10-Bit 4 µS-Pluszeichen-ADU mit 4- oder 8-Kanal-Mux, Track	10-Bit, Plus Sign 4µS ADC with 4 or 8-Channel Mux, Track	28-Dip	4.47	4.25	4.03
ADC10158CIWM-ND	10-Bit 4 µS-Pluszeichen-ADU mit 4- oder 8-Kanal-Mux, Track	10-Bit, Plus Sign 4µS ADC with 4 or 8-Channel Mux, Track	28-SOIC	4.69	4.46	4.23
ADC10321CIVT-ND	10-Bit A/D-Wandler	10-Bit, A/D Converter	32-LQFP	8.38	6.67	5.70
ADC10461CIWM-ND	10-Bit A/D-Wandler	10-Bit, A/D Converter	20-SOIC	8.62	6.86	5.86
ADC10464CIWM-ND	10-Bit A/D-Wandler, 600 ns, mit Eingangs-Multiplexer	10-Bit, 600nS A/D Converter with Input Mux	28-SOIC	9.04	7.19	6.14
ADC10662CIWM-ND	10-Bit A/D-Wandler, 360 ns, mit Eingangs-Multiplexer	10-Bit, 360nS A/D Converter with Input Mux	24-SOIC	6.86	5.46	4.66
ADC10664CIWM-ND	10-Bit A/D-Wandler, 360 ns, mit Eingangs-Multiplexer	10-Bit, 360nS A/D Converter with Input Mux	28-SOIC	7.37	5.86	5.01
ADC10738CIWM-ND	10-Bit serieller E/A A/D-Wandler	10-Bit, Serial I/O A/D Converter	24-SOIC	6.09	4.84	4.14
ADC1175-50CIJM-ND	8-Bit A/D-Wandler	8-Bit, A/D Converter	24-SOIC	6.24	4.96	4.24
ADC1175-50CILQCT-ND	8-Bit A/D-Wandler, 50 MSPS	8-Bit, 50MSPS, A/D Converter	24-LLP	5.58	4.44	3.79
ADC1175-50CILQTR-ND	8-Bit A/D-Wandler, 50 MSPS	8-Bit, 50MSPS, A/D Converter	24-LLP		3250.00/1,000	
ADC1175-50CIMT-ND	8-Bit A/D-Wandler, 50 MSPS	8-Bit, 50MSPS, A/D Converter	24-SSOP	5.58	4.44	3.79
ADC12010CIVY-ND	12-Bit A/D-Wandler,10 MSPS	12-Bit, 10MSPS, A/D Converter	32-LQFP	16.59	13.19	11.27
ADC12010EVAL-ND	Evaluierungskarte	Evaluation Board	—	587.76	—	—
ADC12020CIVY-ND	12-Bit A/D-Wandler, 20 MSPS	12-Bit, 20MSPS, A/D Converter	32-LQFP	24.29	19.31	16.50
ADC12020EVAL-ND	Evaluierungskarte	Evaluation Board	—	722.02	—	—
ADC12030CIWM-ND	12-Bit serieller E/A A/D-Wandler	12-Bit, Serial I/O A/D Converter	16-SOIC	8.89	7.07	6.04
ADC12032CIWM-ND	12-Bit A/D-Wandler	12-Bit, A/D Converter	20-SOIC	8.89	7.07	6.04
ADC12034CIN-ND	12-Bit A/D-Wandler	12-Bit, A/D Converter	24-Dip	13.96	11.10	9.49
ADC12034CIWM-ND	12-Bit A/D-Wandler	12-Bit, A/D Converter	24-SOIC	9.25	7.35	6.28
ADC12038CIWM-ND	12-Bit A/D-Wandler	12-Bit, A/D Converter	28-SOIC	9.25	7.35	6.28
ADC12040CIVY-ND	12-Bit A/D-Wandler, 40 MSPS	12-Bit, 40MSPS, A/D Converter	32-LQFP	14.48	13.75	13.07
ADC12041CIV-ND	12-Bit ADU, Pluszeichen, parallel	ADC 12-Bit +Sign Parallel	28-PLCC	8.62	6.86	5.86
ADC12130CIN-ND	12-Bit selbstkalibrierender A/D-Wandler, Pluszeichen, serieller E/A	12-Bit, Self-Calibrating A/D Converter Plus Sign Serial I/O	16-Dip	4.63	4.40	4.18
ADC12138CIN-ND	12-Bit selbstkalibrierender A/D-Wandler, Pluszeichen, serieller E/A	12-Bit, Self-Calibrating A/D Converter Plus Sign Serial I/O	28-Dip	6.53	4.61	3.56
ADC12138CIWM-ND	12-Bit selbstkalibrierender A/D-Wandler, Pluszeichen, serieller E/A	12-Bit, Self-Calibrating A/D Converter Plus Sign Serial I/O	28-SOIC	5.33	5.07	4.81
ADC12441CIJ-ND	12-Bit dynam. getester, selbstkalibrierender A/D-Wandler, Pluszeichen	12-Bit, Dynam. Tested Self-Calibrating Plus Sign A/D Converter	28-CDip	22.08	17.56	15.00
ADC12451CIJ-ND	12-Bit dynam. getester, selbstkalibrierender A/D-Wandler, Pluszeichen	12-Bit, Dynam. Tested Self-Calibrating Plus Sign A/D Converter	24-CDip	24.38	19.38	16.56
ADCS7476AIMFCT-ND	12-Bit A/D-Wandler,1 MSPS	12-Bit, 1MSPS, A/D Converter	SOT-23-6	2.98	2.83	2.69
ADCS7476AIMFTR-ND	12-Bit A/D-Wandler,1 MSPS	12-Bit, 1MSPS, A/D Converter	SOT-23-6		2310.00/1,000	
ADCS7477AIMFCT-ND	10-Bit A/D-Wandler,1 MSPS	10-Bit, 1MSPS, A/D Converter	SOT-23-6	2.29	2.17	2.06
ADCS7477AIMFTR-ND	10-Bit A/D-Wandler,1 MSPS	10-Bit, 1MSPS, A/D Converter	SOT-23-6		2020.00/1,000	
ADCS7478AIMFCT-ND	8-Bit A/D-Wandler,1 MSPS	8-Bit, 1MSPS, A/D Converter	SOT-23-6	1.86	1.77	1.68
ADCS7478AIMFTR-ND	8-Bit A/D-Wandler,1 MSPS	8-Bit, 1MSPS, A/D Converter	SOT-23-6		1440.00/1,000	
ADCS9888CVH-140-ND	140 MSPS Video, analoges Front-Ende	140MSPS Video Analog Front End	128-PQFP	13.68	13.00	12.35
ADCS9888CVH-170-ND	170 MSPS Video, analoges Front-Ende	170MSPS Video Analog Front End	128-PQFP	18.29	17.37	16.50
ADCS9888CVH-205-ND	205 MSPS Video, analoges Front-Ende	205MSPS Video Analog Front End	128-PQFP	25.57	24.29	23.07
ADCV08832CIM-ND	8-Bit A/D-Wandler, serieller E/A, Niederspann.	LV, 8-Bit Serial I/O A/D Converter	8-SOIC	2.07	1.96	1.86

(Forts.)

★ ***RUFEN SIE-BitTE AN FÜR NIEDRIGERE PREISE BEI GRÖSSEREN MENGEN!*** ★

Digi-Key Teilenr.	Beschreibung		Paket	Stückpreis★ 1	25	100
		D/A-Wandler				
DAC0800LCM-ND	8-Bit D/A-Wandler	8-Bit, D/A Converter	16-SOIC	.75	.71	.67
DAC0800LCMXTR-ND	8-Bit D/A-Wandler	8-Bit, D/A Converter	16-SOIC		1900.00/2,500	
DAC0800LCN-ND	8-Bit D/A-Wandler, 0,19 % Lin.	8-Bit, D/A Converter 0.19% Linearity	16-Dip	.96	.81	.65
DAC0802LCM-ND	8-Bit D/A-Wandler	8-Bit, D/A Converter	16-SOIC	.80	.76	.72
DAC0802LCN-ND	8-Bit D/A-Wandler	8-Bit, D/A Converter	16-Dip	.89	.85	.81
DAC0808LCM-ND	8-Bit D/A-Wandler	8-Bit, D/A Converter	16-SOIC	.90	.85	.81
DAC0808LCN-ND	8-Bit D/A-Wandler, 0,19 % Lin.	8-Bit, D/A Converter 0.19% Linearity	16-Dip	2.40	1.76	1.42
DAC0830LCN-ND	8-Bit µP-kompatibler, doppelt gepufferter D/A-Wandler	8-Bit, µP Compatible Double Buffered D/A Converter	20-Dip	4.76	4.52	4.29
DAC0832LCN-ND	8-Bit µP-kompatibler D/A-Wandler, 0,20 % Lin.	8-Bit, µP Compatible D/A Converter 0.20% Linearity	20-Dip	3.82	3.04	2.59
DAC0832LCWM-ND	8-Bit µP-kompatibler D/A-Wandler	8-Bit, µP Compatible D/A Converter	20-SOIC	3.73	2.97	2.53
DAC14135MT-ND	14-Bit,135 MSPS D/A-Wandler	14-Bit, 135MSPS D/A Converter	48-TSSOP	12.95	10.30	8.80

B

EPSON ELECTRONICS AMERICA, INC. — **ECHTZEIT-UHRMODULE**

Epson Teilenr.	Digi-Key Teilenr.	Beschreibung		Paket	Stückpreis★ 1	10	50
RTC-4543SA-A0	SE3245CT-ND	Echtzeituhr, 5 ±10 ppm	Real Time Clock, 5±10ppm	14-SOP	4.27	3.66	3.05
RTC-4543SA-A0	SE3245TR-ND	Echtzeituhr, 5 ±10 ppm	Real Time Clock, 5±10ppm	14-SOP		2031.84/1,000	
RTC-62421A	SE3247-ND	Echtzeituhr, ±10 ppm	Real Time Clock, ±10ppm	18-Dip	7.26	6.06	4.29
RTC-62421B	SE3248-ND	Echtzeituhr, ±50 ppm	Real Time Clock, ±50ppm	18-Dip	6.55	5.47	3.87
RTC-62423A3	SE3249CT-ND	Echtzeituhr, ±20 ppm	Real Time Clock, ±20ppm	24-SOP	10.37	8.89	7.41
RTC-62423A3	SE3249TR-ND	Echtzeituhr, ±20 ppm	Real Time Clock, ±20ppm	24-SOP		1233.92/250	
RTC-72421A	SE3231-ND	Echtzeituhr, ±10 ppm	Real Time Clock, ±10ppm	18-Dip	6.45	5.38	3.82
RTC-72421B	SE3232-ND	Echtzeituhr, ±50 ppm	Real Time Clock, ±50ppm	18-Dip	5.97	4.98	3.54
RTC-72423A	SE3241-ND	Echtzeituhr, ±20 ppm	Real Time Clock, ±20ppm	24-SOP	7.24	6.04	4.30
RTC-72423A3	SE3241TR-ND	Echtzeituhr, ±20 ppm	Real Time Clock, ±20ppm	24-SOP		1005.34/250	
RTC-72423B	SE3242-ND	Echtzeituhr, ±50 ppm	Real Time Clock, ±50ppm	24-SOP	6.35	5.30	3.76
RTC-72423B3	SE3242TR-ND	Echtzeituhr, ±50 ppm	Real Time Clock, ±50ppm	24-SOP		881.88/250	
RTC-8564JE3	SE3252CT-ND	Echtzeituhr, 5 ±23 ppm	Real Time Clock, 5±23ppm	20-VSOJ	4.98	4.27	3.56
RTC-8564JE3	SE3252TR-ND	Echtzeituhr, 5 ±23 ppm	Real Time Clock, 5±23ppm	20-VSOJ		590.50/250	
RX-8581SAB	SE3253-ND	Echtzeituhr, 5 ±23 ppm	Real Time Clock, 5±23ppm	14-SOP	2.96	2.54	2.12

National Semiconductor™ — **SCHNITTSTELLEN-CHIPS**

Digi-Key Teilenr.	Beschreibung		Paket	Stückpreis★ 1	25	100
CLC020BCQ-ND	SMPTE 292M Digital-Video-Serialisierer	SMPTE 259M Digital Video Serializer	28-PLCC	35.39	33.62	31.94
CLC021AVGZ-5.0-ND	SMPTE 292M Digital-Video-Serialisierer	SMPTE 259M Digital Video Serializer	44-PQFP	77.87	61.92	52.91
DP83223V-ND	Twister HS Networking Transceiver-Bauteil	Twister High-Speed Networking Transceiver Device	28-PLCC	27.15	21.59	18.45
DP83815DUJB-ND	Integrierter PCI Ethernet Media Access Controller	Integrated PCI Ethernet Media Access Controller	160-LBGA	14.02	13.32	12.65
DP83815DVNG-ND	Integr. PCI Ethernet Media Access Controller u. Physical Layer,10/100 Mb,	10/100Mb, Integrated PCI Ethernet Media Access Controller and Physical Layer	144-LQFP	11.89	11.29	10.73
DP83816AVNG-ND	PCI Ethernet Media Access Controller (MacPHYTER-II™),10/100 Mb/s	10/100Mb/s PCI Ethernet Media Access Controller (MacPHYTER-II™)	144-LQFP	6.28	5.97	5.67
DP83843BVJE-ND	Phyter mit integrierten PMD-Subschichten	Phyter with Integrated PMD Sublayers	80-PQFP	14.26	13.54	12.87
DP83846AVHG-ND	Einf. DSPhyter II,10/100 Ethernet Transceiver	DsPHYTER, Single 10/100 Ethernet Transceiver	80-LQFP	8.09	7.69	7.30
DP83847ALQA56A-ND	Einf. 10/100 Ethernet Transceiver	Single 10/100 Ethernet Transceiver	56-LLP	3.86	3.67	3.48
DP83865DVH-ND	10/100/1000 Ethernet Physical Layer (Gig PHYTER®V)	10/100/1000 Ethernet Physical Layer (Gig PHYTER®V)	128-PQFP	16.09	15.28	14.52
DP83902AV-ND	Serieller Netzwerkschnittstellen-Controller für verdrillte Doppelleitung	Serial Network Interface Controller for Twisted Pair	84-PLCC	16.07	15.27	14.50
DP83902AVLJ-ND	Serieller Netzwerkschnittstellen-Controller für verdrillte Doppelleitung	Serial Network Interface Controller for Twisted Pair	100-PQFP	27.48	21.85	18.67
DP8573AN-ND	Echtzeituhr	RealTime Clock	24-Dip	9.22	8.76	8.32
DS14C88M-ND	Vierf. CMOS-Leitungstreiber	Quad CMOS Line Driver	14-SOIC	.94	.89	.85
DS14C88MXTR-ND	Vierf. CMOS-Leitungstreiber	Quad CMOS Line Driver	14-SOIC		2400.00/2,500	
DS14C88N-ND	Vierf. CMOS-Leitungstreiber	Quad CMOS Line Driver	14-Dip	1.08	1.03	.97
DS14C89AM-ND	Vierf. CMOS-Leitungsempfänger	Quad CMOS Line Receiver	14-SOIC	.94	.89	.85
DS14C89AMXTR-ND	Vierf. CMOS-Leitungsempfänger	Quad CMOS Line Receiver	14-SOIC		2400.00/2,500	
DS14C89AN-ND	Vierf. CMOS-Leitungsempfänger	Quad CMOS Line Receiver	14-Dip	1.08	1.03	.97
DS14C232CM-ND	Zweif. +5 V Power TIA/EIA-232 Treiber/Empfänger, NL	Low Power +5V, Power TIA/EIA-232 Dual Driver/Receiver	16-SOIC	1.90	1.80	1.71
DS14C232CMXTR-ND	Zweif. +5 V Power TIA/EIA-232 Treiber/Empfänger, NL	Low Power +5V, Power TIA/EIA-232 Dual Driver/Receiver	16-SOIC		4850.00/2,500	
DS14C232CN-ND	Zweif. EIA232 Treiber/Empfänger, NL	EIA232 Dual Driver/Receiver Low Power	16-Dip	2.07	1.96	1.86
DS14C232TM-ND	Zweif. EIA232 Treiber/Empfänger, NL	EIA232 Dual Driver/Receiver Low Power	16-SOIC	1.54	1.46	1.39
DS14C238WM-ND	Einzelversorgter TIA/EIA-232 4x4 Treiber/Empfänger	Single Supply TIA/EIA-232 4x4 Driver/Receiver	24-SOIC	5.47	5.20	4.94
DS14C238WMXTR-ND	Einzelversorgter TIA/EIA-232 4x4 Treiber/Empfänger	Single Supply TIA/EIA-232 4x4 Driver/Receiver	24-SOIC		5610.00/1,000	
DS14C241WM-ND	Einzelversorgter TIA/EIA-232 4x5 Treiber/Empfänger	Single Supply TIA/EIA-232 4x5 Driver/Receiver	28-SOIC	8.09	6.43	5.49
DS14C335MSA-ND	3,3 V Versorgungs-TIA/EIA-232 3x5 Treiber/Empfänger	3.3V, Supply TIA/EIA-232 3x5 Driver/Receiver	28-SSOP	6.54	6.21	5.90
DS14C535MSA-ND	5 V Versorgungs-EIA/TIA-232 3x5 Treiber/Empfänger	5V, Supply EIA/TIA-232 3x5 Driver/Receiver	28-SSOP	4.69	4.46	4.23
DS26C31TM-ND	Vierf. CMOS-Differenzial-Leitungstreiber, Tri-State	CMOS Quad Tri-State Differential Line Driver	16-SOIC	.59	.56	.53
DS26C31TMXTR-ND	Vierf. CMOS-Differenzial-Leitungstreiber, Tri-State	CMOS Quad Tri-State Differential Line Driver	16-SOIC		2075.00/2,500	
DS26C31TN-ND	Vierf. CMOS-RS422-Leitungstreiber	CMOS Quad RS422 Line Driver	16-Dip	.97	.92	.87
DS26C32ATM-ND	Vierf. CMOS-RS422-Empfänger	CMOS Quad RS422 Receiver	16-SOIC	.97	.92	.87
DS26C32ATMXTR-ND	Vierf. CMOS-RS422-Empfänger	CMOS Quad RS422 Receiver	16-SOIC		2475.00/2,500	
DS26C32ATN-ND	Vierf. Differenzial-Leitungsempfänger	Quad Differential Line Receiver	16-Dip	1.11	1.05	1.00
DS26LS31CM-ND	Vierf. Hochgeschwindigkeits-Differenzial-Leitungstreiber	Quad High Speed Differential Line Driver	16-SOIC	.78	.74	.70
DS26LS31CMXTR-ND	Vierf. Hochgeschwindigkeits-Differenzial-Leitungstreiber	Quad High Speed Differential Line Driver	16-SOIC		2000.00/2,500	
DS26LS31CN-ND	Vierf. HS-Differenzial	Quad High Speed Differential	16-Dip	.94	.89	.85
DS26LS32ACM-ND	Vierf. Differenzial-Leitungsempfänger	Quad Differential Line Receiver	16-SOIC	.81	.77	.73
DS26LS32ACMXTR-ND	Vierf. Differenzial-Leitungsempfänger	Quad Differential Line Receiver	16-SOIC		2075.00/2,500	
DS26LS32ACN-ND	Vierf. Differenzial-Leitungsempfänger	Quad Differential Line Receiver	16-Dip	.82	.64	.61
DS26LS32CM-ND	Vierf. Differenzial-Leitungsempfänger	Quad Differential Line Receiver	16-SOIC	.69	.66	.63
DS26LS32CN-ND	Vierf. Differenzial-Leitungsempfänger	Quad Differential Line Receiver	16-Dip	.56	.53	.51
DS26LV31TM-ND	Vierf. erweiterter 3 V CMOS-Differenzial-Leitungstreiber	3V, Enhanced Quad CMOS Differential Line Driver	16-SOIC	1.04	.98	.94
DS26LV32ATM-ND	Vierf. erweiterter 3 V CMOS-Differenzial-Leitungsempfänger	3V, Enhanced Quad CMOS Differential Line Receiver	16-SOIC	1.04	.98	.94
DS34C86TM-ND	Vierf. CMOS-Differenzial-Leitungsempfänger	Quad CMOS Differential Line Receiver	16-SOIC	1.00	.67	.64
DS34C86TMXTR-ND	Vierf. CMOS-Differenzial-Leitungsempfänger	Quad CMOS Differential Line Receiver	16-SOIC		2475.00/2,500	
DS34C86TN-ND	Vierf. CMOS-Differenzial-Leitungsempfänger	Quad CMOS Differential Line Receiver	16-Dip	1.10	1.05	.99
DS34C87TM-ND	Vierf. CMOS-Differenzial-Leitungstreiber, Tri-State	CMOS Quad Tri-State Differential Line Driver	16-SOIC	1.04	.68	.61
DS34C87TMXTR-ND	Vierf. CMOS-Differenzial-Leitungstreiber, Tri-State	CMOS Quad Tri-State Differential Line Driver	16-SOIC		2175.00/2,500	
DS34C87TN-ND	Vierf. CMOS-Differenzial-Leitungstreiber, Tri-State	CMOS Quad Tri-State Differential Line Driver	16-Dip	1.00	.67	.64
DS34LV86TM-ND	Vierf. erweiterter 3 V CMOS-Differenzial-Leitungsempfänger	3V, Enhanced Quad CMOS Differential Line Receiver	16-SOIC	1.41	1.34	1.27
DS34LV87TM-ND	Vierf. erweiterter CMOS-Differenzial-Leitungstreiber	Enhanced Quad CMOS Differential Line Driver	16-SOIC	1.41	1.34	1.27
DS36C200M-ND	Zweif. bidirektionaler Diff.-Transceiver, HS	Dual High Speed Bi-Directional Diff. Transceiver	14-SOIC	1.36	1.29	1.23
DS36C278M-ND	Mehrpunkt-EIA/RS485-Transceiver, NL	Low Power Multipoint EIA-RS-485 Transceiver	8-SOIC	2.60	2.06	1.76
DS36C278N-ND	Mehrpunkt-EIA/RS485-Transceiver, NL	Low Power Multipoint EIA-RS-485 Transceiver	8-Dip	2.72	2.16	1.84
DS36C278TM-ND	Mehrpunkt-EIA-Transceiver, NL	Multipoint EIA Low Power Transceiver	8-SOIC	1.69	1.04	.99
DS36C279M-ND	EIA-RS485-Transceiver mit Schlafmodus, NL	Low Power EIA-RS-485 Transceiver with Sleep Mode	8-SOIC	3.07	2.44	2.09
DS36C280M-ND	Anstiegsraten-gesteuerter CMOS EIA-RS485-Transceiver	Slew Rate Controlled CMOS EIA-RS-485 Transceiver	8-SOIC	3.07	2.44	2.09
DS36F95M-ND	Mehrpunkt-RS485/422-Transceiver, HS	High Speed Multipoint RS485/422 Transceiver	8-SOIC	2.49	2.36	2.25
DS89C21TM-ND	Differenzial-CMOS-Leitungstreiber/Empfänger-Paar	Differential CMOS Line Driver/Receiver Pair	8-SOIC	.88	.83	.79

(Forts.)

★ RUFEN SIE-BitTE AN FÜR NIEDRIGERE PREISE BEI GRÖSSEREN MENGEN! ★

Digi-Key Teilenr.	Beschreibung		Paket	Stückpreis★ 1	25	100
DS89C386TMEA-ND	CMOS-Differenzial-Leitungsempfänger,12 Kanäle	12-Channel CMOS Differential Line Receiver	48-SSOP	7.06	6.71	6.37
DS89C387TMEA-ND	CMOS-Differenzial-Leitungstreiber,12 Kanäle	12-Channel CMOS Differential Line Driver	48-SSOP	7.06	6.71	6.37
DS90C031BTM-ND	Vierf. LVDS CMOS-Differenzial-Leitungstreiber	LVDS Quad CMOS Differential Line Driver	16-SOIC	2.29	2.17	2.06
DS90C031TM-ND	Vierf. LVDS CMOS-Differenzial-Leitungstreiber	LVDS Quad CMOS Differential Line Driver	16-SOIC	2.51	1.73	1.64
DS90C031TMXTR-ND	Vierf. LVDS CMOS-Differenzial-Leitungstreiber	LVDS Quad CMOS Differential Line Driver	16-SOIC		5850.00/2,500	
DS90C032BTM-ND	Vierf. LVDS CMOS-Differenzial-Leitungsempfänger	LVDS Quad CMOS Differential Line Receiver	16-SOIC	2.10	1.99	1.89
DS90C032TM-ND	Vierf. LVDS CMOS-Differenzial-Leitungsempfänger	LVDS Quad CMOS Differential Line Receiver	16-SOIC	2.51	1.73	1.39
DS90C032TMXTR-ND	Vierf. LVDS CMOS-Differenzial-Leitungsempfänger	LVDS Quad CMOS Differential Line Receiver	16-SOIC		5375.00/2,500	
DS90C383MTD-ND	LVDS 3,3 V FPD Link, 24-Bit Transmitter	LVDS 3.3V, FPD Link 24-Bit, Transmitter	56-TSSOP	5.05	4.79	4.55
DS90C385AMT-ND	+3,3 V Prog. LVDS-Transmitter, 24-Bit Flachbildschirm-Link, 85 MHz	+3.3V Prog. LVDS Transmitter 24-Bit Flat Panel Display Link, 85MHz	56-TSSOP	4.42	4.20	3.99
DS90C387AVJD-ND	Zweif. Pixel LVDS Display-Schnittstelle	Dual Pixel LVDS Display Interface	100-TQFP	15.60	12.41	10.60
DS90C387RVJD-ND	Zweif. 85 MHz,12-Bit LDI-Transmitter (VGA/UXGA)	85MHz Dual 12-Bit LDI Transmitter (VGA/UXGA)	100-TQFP	14.17	11.27	9.63
DS90C387VJD-ND	Zweif. LVDS Pixel-Display-Interface (LDI), SVGA-OXGA	LVDS Dual Pixel Display Interface (LDI)-SVGA-OXGA	100-TQFP	8.86	8.41	7.99
DS90C401M-ND	Zweif. LVDS Niederspannungs-Differenzial-Signaltreiber	LVDS Dual Low Volt Differential Signaling Driver	8-SOIC	1.69	1.61	1.53
DS90C402M-ND	Zweif. LVDS Niederspannungs-Differenzial-Signalempfänger	LVDS Dual Low Volt Differential Signaling Receiver	8-SOIC	1.69	1.61	1.53
DS90C2501SLBCT-ND	Transmitter für LVDS Display-Schnittstelle	Transmitter for LVDS Display Interface	Laminate CSP	29.42	23.39	19.99
DS90C2501SLBTR-ND	Transmitter für LVDS Display-Schnittstelle	Transmitter for LVDS Display Interface	Laminate CSP		9155.00/500	
DS90CF364MTD-ND	LVDS 3,3 V FPD Link,18-Bit Empfänger	LVDS 3.3V, FPD Link 18-Bit, Receiver	48-TSSOP	3.96	3.76	3.58
DS90CF364AMTD-ND	LVDS 3,3 V FPD Link, 65 MHz,18-Bit Empfänger	LVDS 3.3V, FPD Link-65MHz, 18-Bit, Receiver	48-TSSOP	4.42	4.20	3.99
DS90CF366MTD-ND	LVDS 3,3 V FPD Link, 85 MHz,18-Bit Empfänger	LVDS 3.3V, FPD Link-85MHz, 18-Bit, Receiver	48-TSSOP	9.94	7.90	6.75
DS90CF384AMTD-ND	LVDS 3,3 V FPD Link, 65 MHz, 24-Bit Empfänger	LVDS 3.3V, FPD Link-65MHz, 24-Bit, Receiver	56-TSSOP	4.83	4.58	4.36
DS90CF384ASLC-ND	LVDS 3,3 V FPD Link, 65 MHz, 24-Bit Empfänger	LVDS 3.3V, FPD Link-65MHz, 24-Bit, Receiver	64-FBGA	11.34	9.02	7.70
DS90CF383MTD-ND	LVDS 3,3 V FPD Link, 24-Bit Empfänger	LVDS 3.3V, FPD Link 24-Bit, Receiver	56-TSSOP	5.05	4.79	4.55
DS90CF384MTD-ND	LVDS 3,3 V FPD Link, 24-Bit Empfänger	LVDS 3.3V, FPD Link 24-Bit, Receiver	56-TSSOP	4.32	4.10	3.90
DS90CF386MTD-ND	LVDS 3,3 V FPD Link, 85 MHz, 24-Bit Empfänger	LVDS 3.3V, FPD Link-85MHz, 24-Bit, Receiver	56-TSSOP	9.94	7.90	6.75
DS90CF388AVJD-ND	Zweif. LVDS Pixel-Display-Interface/FDP-Link	LVDS Dual Pixel Display Interface/FPD-Link	100-TQFP	15.60	12.41	10.60
DS90CF388VJD-ND	Zweif. LVDS Pixel-Display-Interface (LDI), SVGA-OXGA	LVDS Dual Pixel Display Interface (LDI)-SVGA/QXGA	100-TQFP	8.86	8.41	7.99
DS90CF561MTD-ND	LVDS 18-Bit Color FPD Link	LVDS 18-Bit, Color, FPD Link	48-TSSOP	13.96	11.10	9.49
DS90CF562MTD-ND	LVDS 18-Bit Color FPD Link	LVDS 18-Bit, Color, FPD Link	48-TSSOP	12.68	10.08	8.62
DS90CF563MTD-ND	LVDS 5 V FPD Link,18-Bit Transmitter	LVDS 5V, FPD Link 18-Bit, Transmitter	48-TSSOP	13.96	11.10	9.49
DS90CF564MTD-ND	LVDS 5 V FPD Link,18-Bit Empfänger	LVDS 5V, FPD Link 18-Bit, Receiver	48-TSSOP	12.68	10.08	8.62
DS90CF584MTD-ND	LVDS 5 V FPD Link, 24-Bit Empfänger	LVDS 5V, FPD Link 24-Bit, Receiver	56-TSSOP	7.20	6.84	6.49
DS90CP04TLQCT-ND	4x4 NL 2,5 Gb/s LVDS Digital-Crosspoint-Schalter	4x4 Low Power 2.5 Gb/s LVDS Digital Cross-Point Switch	32-LLP	9.24	8.78	8.34
DS90CP04TLQTR-ND	4x4 NL 2,5 Gb/s LVDS Digital-Crosspoint-Schalter	4x4 Low Power 2.5 Gb/s LVDS Digital Cross-Point Switch	32-LLP		1792.50/250	
DS90CP22M-8-ND	2x2 800 MBPS LVDS Crosspoint-Schalter	2x2 800MBPS LVDS Crosspoint Switch	16-SOIC	9.34	7.43	6.35
DS90CP22MT-ND	2x2 800 MBPS LVDS Crosspoint-Schalter	2x2 800MBPS LVDS Crosspoint Switch	16-TSSOP	9.34	7.43	6.35
DS90CR211MTD-ND	21-Bit Kanal-Link, Transmitter, 40 MHz	21-Bit, Channel Link, Transmitter, 40MHz	48-TSSOP	14.59	11.60	9.91
DS90CR212MTD-ND	21-Bit Kanal-Link, Empfänger, 40 MHz	21-Bit, Channel Link, Receiver, 40MHz	48-TSSOP	14.59	11.60	9.91
DS90CR213MTD-ND	21-Bit Kanal-Link, Transmitter, 66 MHz	21-Bit, Channel Link-66MHz, Transmitter	48-TSSOP	15.34	12.19	10.42
DS90CR214MTD-ND	21-Bit Kanal-Link, Empfänger, 66 MHz	21-Bit, Channel Link-66MHz, Receiver	48-TSSOP	15.34	12.19	10.42
DS90CR215MTD-ND	LVDS 3,3 V, Steigrand-Daten-Strobe 21-Bit Kanal-Link, Transmitter, 66 MHz	LVDS 3.3V, Rising Edge Data Strobe 21-Bit, Channel Link-66MHz, Transmitter	48-TSSOP	5.96	5.66	5.38
DS90CR216AMTD-ND	LVDS 3,3 V, Steigrand-Daten-Strobe 21-Bit Kanal-Link, Empfänger, 66 MHz	LVDS 3.3V, Rising Edge Data Strobe 21-Bit, Channel Link-66MHz, Receiver	48-TSSOP	3.53	3.35	3.19
DS90CR217MTD-ND	LVDS 3,3 V, Steigrand-Daten-Strobe 21-Bit Kanal-Link, 85 MHz	LVDS 3.3V, Rising Edge Data Strobe 21-Bit, Channel Link-85MHz	48-TSSOP	5.77	4.95	4.70
DS90CR218AMTD-ND	LVDS 3,3 V, Steigrand-Daten-Strobe 21-Bit Kanal-Link, 85 MHz	LVDS 3.3V, Rising Edge Data Strobe 21-Bit, Channel Link-85MHz	48-TSSOP	8.04	7.64	7.26
DS90CR218MTD-ND	LVDS 3,3 V, Steigrand-Daten-Strobe 21-Bit Kanal-Link, 75 MHz	LVDS 3.3V, Rising Edge Data Strobe 21-Bit, Channel Link-75MHz	48-TSSOP	7.21	5.29	5.03
DS90CR281MTD-ND	28-Bit Kanal-Link, Transmitter	28-Bit, Channel Link, Transmitter	56-TSSOP	16.41	13.05	11.15
DS90CR282MTD-ND	28-Bit Kanal-Link, Empfänger	28-Bit, Channel Link, Receiver	56-TSSOP	16.41	13.05	11.15
DS90CR283MTD-ND	28-Bit, 66 MHz Kanal-Link, Transmitter, 66 MHz	28-Bit, Channel Link-66MHz, Transmitter	56-TSSOP	17.01	13.52	11.56
DS90CR284MTD-ND	28-Bit, 66 MHz Kanal-Link, Empfänger, 66 MHz	28-Bit, Channel Link-66MHz, Receiver	56-TSSOP	17.01	13.52	11.56
DS90CR285MTD-ND	LVDS 3,3 V, Steigrand-Daten-Strobe 28-Bit Kanal-Link, Transmitter, 66 MHz	LVDS 3.3V, Rising Edge Data Strobe 28-Bit, Channel Link-66MHz, Transmitter	56-TSSOP	5.33	5.07	4.81
DS90CR285SLC-ND	LVDS 3,3 V, Steigrand-Daten-Strobe 28-Bit Kanal-Link, Transmitter, 66 MHz	LVDS 3.3V, Rising Edge Data Strobe 28-Bit, Channel Link-66MHz, Transmitter	64-FBGA	10.50	8.35	7.14
DS90CR286AMTD-ND	LVDS 3,3 V, Steigrand-Daten-Strobe 28-Bit Kanal-Link, Empfänger, 66 MHz	3.3V, Data Strobe LVDS Receiver 28-Bit Channel Link-66MHz	56-TSSOP	4.41	4.19	3.98
DS90CR286MTD-ND	LVDS 3,3 V, Daten-Strobe 28-Bit Kanal-Link, 66 MHz	LVDS 3.3V, Data Strobe 28-Bit, Channel Link-66MHz	56-TSSOP	5.05	4.79	4.55
DS90CR287MTD-ND	LVDS 3,3 V, Steigrand-Daten-Strobe 28-Bit Kanal-Link, 75 MHz	LVDS 3.3V, Rising Edge Data Strobe 28-Bit Channel Link-75MHz	56-TSSOP	8.46	8.04	7.64
DS90CR287SLC-ND	LVDS 3,3 V, Steigrand-Daten-Strobe 28-Bit Kanal-Link, 75 MHz	LVDS 3.3V, Rising Edge Data Strobe 28-Bit Channel Link-75MHz	64-FBGA	19.12	15.21	12.99
DS90CR288AMTD-ND	LVDS 3,3 V, Steigrand-Daten-Strobe 28-Bit Kanal-Link, 85 MHz	LVDS 3.3V, Rising Edge Data Strobe 28-Bit Channel Link-85MHz	56-TSSOP	11.43	10.86	10.31
DS90CR288ASLC-ND	LVDS 3,3 V, Steigrand-Daten-Strobe 28-Bit Kanal-Link, 85 MHz	LVDS 3.3V, Rising Edge Data Strobe 28-Bit Channel Link-85MHz	64-FBGA	20.14	16.01	13.68
DS90CR288MTD-ND	LVDS 3,3 V, Steigrand-Daten-Strobe 28-Bit Kanal-Link, 75 MHz	LVDS 3.3V, Rising Edge Data Strobe 28-Bit Channel-75MHz	56-TSSOP	12.24	9.17	8.71
DS90CR481VJD-ND	48-Bit LVDS Kan.-Link SER/DES 65-112 MHz	48-Bit LVDS Ch. Link SER/DES, 65-112MHz	100-TQFP	30.43	24.20	20.68
DS90CR482VS-ND	48-Bit LVDS Kan.-Link SER/DES 65-112 MHz	48-Bit LVDS Ch. Link SER/DES, 65-112MHz	100-TQFP	31.33	24.91	21.29
DS90CR483VJD-ND	48-Bit LVDS Kan.-Link SER/DES 33-112 MHz	48-Bit LVDS Ch. Link SER/DES, 33-112MHz	100-TQFP	16.90	16.05	15.25
DS90CR484VJD-ND	48-Bit LVDS Kan.-Link SER/DES 33-112 MHz	48-Bit LVDS Ch. Link SER/DES, 33-112MHz	100-TQFP	17.78	16.89	16.05
DS90CR485VS-ND	48-Bit Kanal-Link-Serialisierer (6,384 Gbps),133 MHz	133MHz, 48-Bit Channel Link Serializer (6.384 Gbps)	100-TQFP	36.70	29.18	24.94
DS90CR486VS-ND	48-Bit Kanal-Link-Deserialisierer (6,384 Gbps),133 MHz	133MHz, 48-Bit Channel Link Deserializer (6.384 Gbps)	100-TQFP	36.70	29.18	24.94
DS90CR562MTD-ND	LVDS 18-Bit FPD Link	LVDS 18-Bit, FPD Link	48-TSSOP	16.86	13.40	11.45
DS90CR581MTD-ND	LVDS-Transmitter, 24-Bit FPD Link	LVDS Transmitter 24-Bit, FPD Link	56-TSSOP	12.92	10.27	8.78
DS90CF386SLC-ND	3,3 V LVDS-Empfänger, 24-Bit Flat Panel Display	3.3V, LVDS Receiver, 24-Bit Flat Panel Display	64-FBGA	11.34	9.02	7.70
DS90LV001TLDCT-ND	3,3 V LVDS-LVDS Puffer	3.3V LVDS-LVDS Buffer	8-LLP	1.29	1.22	1.16
DS90LV001TLDTR-ND	3,3 V LVDS-LVDS Puffer	3.3V LVDS-LVDS Buffer	8-LLP		1000.00/1,000	
DS90LV001TM-ND	3,3 V LVDS-LVDS Puffer	3.3V, LVDS-LVDS Buffer	8-SOIC	1.29	1.22	1.16
DS90LV011ATLDCT-ND	Einf. 3 V LVDS-HS-Differenzialtreiber	3V, LVDS Single High Speed Differential Driver	8-LLP	1.42	1.13	.96
DS90LV011ATLDTR-ND	Einf. 3 V LVDS-HS-Differenzialtreiber	3V, LVDS Single High Speed Differential Driver	8-LLP		820.00/1,000	
DS90LV011ATMFCT-ND	Einf. 3 V LVDS-HS-Differenzialtreiber	3V, LVDS Single High Speed Differential Driver	SOT-23	.61	.58	.55
DS90LV011ATMFTR-ND	Einf. 3 V LVDS-HS-Differenzialtreiber	3V, LVDS Single High Speed Differential Driver	SOT-23		470.00/1,000	
DS90LV017ATM-ND	Einf. LVDS HS-Differenzialtreiber	LVDS Single High Speed Differential Driver	8-SOIC	1.03	.98	.93
DS90LV017M-ND	Einf. LVDS HS-Differenzialtreiber	LVDS Single High Speed Differential Driver	8-SOIC	.90	.85	.81
DS90LV018ATM-ND	Einf. LVDS 3 V CMOS-Differenzial-Leitungsempfänger	LVDS 3V, Single CMOS Differential Line Receiver	8-SOIC	.78	.68	.65
DS90LV019TM-ND	3,3 V oder 5 V LVDS-Treiber/Empfänger	LVDS 3.3V, or 5V, Driver/Receiver	14-SOIC	1.85	1.75	1.67
DS90LV019TMTC-ND	3,3 V oder 5 V LVDS-Treiber/Empfänger	3.3V or 5V, LVDS Driver/Receiver	14-TSSOP	1.79	1.71	1.62
DS90LV027ATM-ND	LVDS HS-Differenzialtreiber	LVDS Dual High Speed Differential Driver	8-SOIC	1.56	1.48	1.41
DS90LV027M-ND	LVDS HS-Differenzialtreiber	LVDS Dual High Speed Differential Driver	8-SOIC	1.59	1.51	1.44
DS90LV028ATLDCT-ND	Zweif. LVDS 3 V CMOS-Differenzial-Leitungsempfänger	LVDS 3V, Dual CMOS Differential Line Receiver	8-LLP	2.74	2.18	1.87
DS90LV028ATLDTR-ND	Zweif. LVDS 3 V CMOS-Differenzial-Leitungsempfänger	LVDS 3V, Dual CMOS Differential Line Receiver	8-LLP		1600.00/1,000	
DS90LV028ATM-ND	Zweif. LVDS 3 V CMOS-Differenzial-Leitungsempfänger	LVDS 3V, Dual CMOS Differential Line Receiver	8-SOIC	1.49	1.27	1.14
DS90LV031ATM-ND	Vierf. LVDS 3 V CMOS-Differenzial-Leitungstreiber	LVDS 3V, Quad CMOS Differential Line Driver	16-SOIC	2.08	1.98	1.88
DS90LV031ATMTC-ND	Vierf. LVDS 3 V CMOS-Differenzial-Leitungstreiber	LVDS 3V, Quad CMOS Differential Line Driver	16-TSSOP	2.08	1.98	1.88
DS90LV031ATMXTR-ND	Vierf. LVDS 3 V CMOS-Differenzial-Leitungstreiber	LVDS 3V, Quad CMOS Differential Line Driver	16-SOIC		5325.00/2,500	
DS90LV031BTM-ND	Vierf. LVDS 3 V CMOS-Differenzial-Leitungstreiber	LVDS 3V, Quad CMOS Differential Line Driver	16-SOIC	2.08	1.98	1.88
DS90LV032ATM-ND	Vierf. LVDS 3 V CMOS-Differenzial-Leitungsempfänger	LVDS 3V, Quad CMOS Differential Line Receiver	16-SOIC	1.93	1.83	1.74
DS90LV032ATMTC-ND	Vierf. LVDS 3 V CMOS-Differenzial-Leitungsempfänger	LVDS 3V, Quad CMOS Differential Line Receiver	16-TSSOP	1.93	1.83	1.74
DS90LV047ATM-ND	Vierf. LVDS 3 V CMOS-Differenzial-Leitungstreiber	LVDS 3V, Quad CMOS Differential Line Driver	16-SOIC	2.55	2.18	1.78
DS90LV047ATMTC-ND	Vierf. LVDS 3 V CMOS-Differenzial-Leitungstreiber	LVDS 3V, Quad CMOS Differential Line Driver	16-TSSOP	2.60	2.19	1.73
DS90LV048ATM-ND	Vierf. LVDS 3 V CMOS-Differenzial-Leitungsempfänger	LVDS 3V, Quad CMOS Differential Line Receiver	16-SOIC	2.55	2.18	1.78
DS90LV048ATMTC-ND	Vierf. LVDS 3 V CMOS-Differenzial-Leitungsempfänger	LVDS 3V, Quad CMOS Differential Line Receiver	16-TSSOP	2.60	2.19	1.73
DS90LV049TMT-ND	Zweif. 3 V LVDS-Leitungstreiber mit zweif. Leitungsempfänger	3V LVDS Dual Line Driver w/Dual Line Receiver	16-TSSOP	2.83	2.25	1.93
DS90LV110ATMT-ND	1:10 LVDS Daten/Takt-Distributor mit Ausfallsicherung	1-to-10 LVDS Data/Clock Distributor w/Failsafe	28-TSSOP	14.86	11.82	10.10
DS90LV110TMTC-ND	1:10 LVDS Daten/Takt-Distributor	1-to-10 LVDS Data/Clock Distributor	28-TSSOP	8.43	8.01	7.61
DS92CK16TMTC-ND	BLVDS 3 V,1:6 Taktpuffer/Bus-Transceiver	BLVDS 3V, 1 to 6 Clock Buffer/Bus Transceiver	24-TSSOP	8.47	6.74	5.76
DS92LV010ATM-ND	Einf. LVDS 3,3/5 V Bus-Transceiver	Bus LVDS 3.3/5.0V, Single Transceiver	8-SOIC	3.69	2.37	2.02
DS92LV040ATLQACT-ND	LVDS 4-Kanal Bus-Transceiver	LVDS 4-Channel Bus Transceiver	44-LLP	5.62	5.34	5.07

(Forts.)

★ ***RUFEN SIE-BitTE AN FÜR NIEDRIGERE PREISE BEI GRÖSSEREN MENGEN!*** ★

B

Digi-Key Teilenr.	Beschreibung		Paket	Stückpreis★ 1	25	100
DS92LV040ATLQATR-ND	LVDS 4-Kanal Bus-Transceiver	LVDS 4-Channel Bus Transceiver	44-LLP		1090.00/250	
DS92LV090ATVEH-ND	LVDS 9-Kanal-Transceiver	LVDS 9-Channel Transceiver	64-LQFP	10.45	6.70	6.02
DS92LV16TVHG-ND	16-Bit Bus LVDS Serialisierer/Deserialisierer	16-Bit, Bus LVDS Serializer/Deserializer	80-LQFP	13.51	12.84	12.19
DS92LV18TVV-ND	18-Bit Bus LVDS Serialisierer/Deserialisierer	18-Bit, Bus LVDS Serializer/Deserializer	80-PQFP	16.00	15.20	14.44
DS92LV1021TMSA-ND	10-Bit Serialisierer,16 MHz-40 MHz	16MHz-40MHz 10-Bit, Serializer	28-SSOP	10.97	8.50	7.24
DS92LV1023TMSA-ND	10-Bit Serialisierer, 40 MHz-66 MHz	40MHz-66MHz 10-Bit, Serializer	28-SSOP	14.74	11.72	10.01
DS92LV1210TMSA-ND	10-Bit Deserialisierer,16 MHz-40 MHz	16MHz-40MHz 10-Bit, Deserializer	28-SSOP	7.70	7.32	6.95
DS92LV1212AMSA-ND	10-Bit Bus LVDS Zufalls-Sperr-Deserialisierer,16 MHz-40 MHz, mit eingebetteter Taktwiederherstellung	Bus LVDS 16MHz-40MHz 10-Bit, Random Lock Deserializer with Embedded Clock Recovery	28-SSOP	8.04	7.64	7.26
BLVDS04-ND	Evaluierungskarte für DS92LV1023/1224	Evaluation Board for DS92LV1023/1224	EVAL BOARD	441.56	351.13	300.03
PC87200VUL-ND	PCI an ISA-Brücke	PCI to ISA Bridge	160-PQFP	16.39	13.03	11.13
DS92LV1224TMSA-ND	10-Bit Deserialisierer, 40 MHz-66 MHz	40MHz-66MHz, 10-Bit, Deserializer	28-SSOP	14.74	11.72	10.01
DS92LV1260TUJB-ND	10-Bit BLVDS Deserialisierer, 6 Kanäle	6-Channel 10-Bit BLVDS Deserializer	196-LBGA	63.85	50.77	43.38
DS92LV222ATM-ND	Bus LVDS Multiplexer-Rückmelder, 2 Kanäle	Bus LVDS Two Channel Multiplexer Repeater	16-SOIC	5.08	3.08	2.80
DS92LV8028TUF-ND	10:1 Serialisierer, 8 Kanäle	8-Channel 10:1 Serializer	196-LBGA	63.85	50.77	43.38
DS92UT16TUF-ND	UTOPIA-LVDS Brücke für 1,6 Gbps bidirektionale Datenübertragungen	UTOPIA-LVDS Bridge for 1.6 Gbps Bi-Directional Data Transfers	196-LBGA	62.36	49.59	42.37
DS96F174CJ-ND	Vierf. RS485/422 Treiber	RS485/422 Quad Driver	16-CDip	8.89	7.07	6.04
DS485M-ND	Mehrpunkt-RS485/422-Transceiver, NL	Low Power Multipoint RS485/RS422 Transceiver	8-SOIC	1.34	1.27	1.21
DS485N-ND	Mehrpunkt-RS485/422-Transceiver, NL	Low Power Multipoint RS485/RS422 Transceiver	8-Dip	1.41	1.34	1.27
DS485TM-ND	Mehrpunkt-RS485/422-Transceiver, NL	Low Power Multipoint RS485/RS422 Transceiver	8-SOIC	1.34	1.27	1.21
DS485TN-ND	Mehrpunkt-RS485/422-Transceiver, NL	Low Power Multipoint RS485/RS422 Transceiver	8-Dip	2.49	1.98	1.69
DS1487N-ND	Mehrpunkt RS485 1/4-Einheit Last-Transceiver, NL	Low Power Multipoint RS485 1/4 Unit Load Transceiver	8-Dip	2.49	1.98	1.69
DS2003CM-ND	Darlington-Treiber mit internem Widerstand, Hochstrom/Hochspannung	High Current/High Voltage Darlington Driver with Internal Resistor	16-SOIC	.43	.41	.39
DS2003CMXTR-ND	Darlington-Treiber mit internem Widerstand, Hochstrom/Hochspannung	High Current/High Voltage Darlington Driver with Internal Resistor	16-SOIC		1450.00/2,500	
DS2003CN-ND	Darlington-Treiber mit internem Widerstand, Hochstrom/Hochspannung	High Current/High Voltage Darlington Driver with Internal Resistor	16-Dip	.43	.41	.39
DS3486M-ND	Vierf. RS422/423-Leitungsempfänger	RS422/423 Quad Line Receiver	16-SOIC	.65	.62	.59
DS3486N-ND	Vierf. RS422/423-Leitungsempfänger	RS422/423 Quad Line Receiver	16-Dip	.81	.77	.73
DS3487M-ND	Vierf. Differenzial-Leitungstreiber	Quad Differential Line Driver	16-SOIC	.78	.74	.70
DS3487N-ND	Vierf. Differenzial-Leitungstreiber	Quad Differential Line Driver	16-Dip	.94	.89	.85
DS3658N-ND	Vierf. Peripherietreiber, Hoch-Niedrigstrom	Quad High Low Current Peripheral Driver	16-Dip	2.57	2.44	—
DS3668N-ND	Vierf. fehlersicherer Peripherietreiber	Quad Fault Protect Peripheral Driver	16-Dip	2.79	2.65	—
DS3691M-ND	RS422/423-Leitungstreiber	RS422/423 Line Driver	16-SOIC	.97	.92	.88
DS3691N-ND	RS422/423-Leitungstreiber	RS422/423 Line Driver	16-Dip	1.03	.98	.93
DS3695AM-ND	Mehrpunkt-RS485/422-Transceiver/Rückmelder	Multipoint RS485/RS422 Transceiver/Repeater	8-SOIC	1.17	.94	.90
DS3695AMXTR-ND	Mehrpunkt-RS485/422-Transceiver/Rückmelder	Multipoint RS485/RS422 Transceiver/Repeater	8-SOIC		2775.00/2,500	
DS3695ATM-ND	Mehrpunkt-RS485/422-Transceiver/Rückmelder	Multipoint RS485/422 Transceiver/Repeater	8-SOIC	1.47	1.40	1.33
DS3695N-ND	Mehrpunkt-RS485/422-Transceiver/Rückmelder	Multipoint RS485/422 Transceiver/Repeater	8-Dip	.78	.74	.70
DS3695TN-ND	Mehrpunkt-RS485/422-Transceiver/Rückmelder	Multipoint RS485/422 Transceiver/Repeater	8-Dip	1.05	1.00	.95
DS3696N-ND	Mehrpunkt-RS485/422-Transceiver/Rückmelder	Multipoint RS485/422 Transceiver/Repeater	8-Dip	3.63	2.68	2.00
DS36950V-ND	Vierf. RS485-Differenzialempfänger	RS485 Quad Differential Receiver	20-PLCC	15.34	12.19	—
DS36954V-ND	Vierf. Differenzialbus-Transceiver	Quad Differential Bus Transceiver	20-PLCC	15.96	12.69	10.85
DS8921AM-ND	Differenzial-Leitungstreiber/Empfänger-Paar	Differential Line Driver/Receiver Pair	8-SOIC	.97	.92	.87
DS8921AN-ND	Differenzial-Leitungstreiber/Empfänger-Paar	Differential Line Driver/Receiver Pair	8-Dip	1.70	1.35	1.16
DS8921ATM-ND	Differenzial-Leitungstreiber/Empfänger-Paar	Differential Line Driver/Receiver Pair	8-SOIC	.97	.92	.87
DS8921M-ND	Differenzial-Leitungstreiber/Empfänger-Paar	Differential Line Driver/Receiver Pair	8-SOIC	.88	.84	.79
DS8921N-ND	Differenzial-Leitungstreiber/Empfänger-Paar	Differential Line Driver/Receiver Pair	8-Dip	.82	.78	.74
DS8922AM-ND	Zweif. RS422-Treiber/Empfänger-Paar	RS422 Dual Driver/Receiver Pair	16-SOIC	1.09	1.04	.99
DS8922AN-ND	Zweif. RS422-Treiber/Empfänger-Paar	RS422 Dual Driver/Receiver Pair	16-Dip	1.34	1.27	1.21
DS8922M-ND	Zweif. RS422-Treiber/Empfänger-Paar	RS422 Dual Driver/Receiver Pair	16-SOIC	1.09	1.04	.99
DS8922N-ND	Zweif. RS422-Treiber/Empfänger-Paar	RS422 Dual Driver/Receiver Pair	16-Dip	1.18	.77	.67
DS8923AM-ND	Zweif. RS422-Differenzial-Leitungstreiber/Empfänger	RS422 Dual Differential Line Driver/Receiver	16-SOIC	1.09	1.04	.99
DS8923AMXTR-ND	Zweif. RS422-Differenzial-Leitungstreiber/Empfänger	RS422 Dual Differential Line Driver/Receiver	16-SOIC		2800.00/2,500	
DS8923AN-ND	Zweif. RS422-Differenzial-Leitungstreiber/Empfänger	RS422 Dual Differential Line Driver/Receiver	16-Dip	1.34	1.27	1.21
DS9637ACM-ND	Zweif. RS423-Empfänger	RS423 Dual Receiver	8-SOIC	.71	.68	.64
DS9637ACN-ND	Zweif. RS423-Empfänger	RS423 Dual Receiver	8-Dip	1.36	1.02	.79
DS9638CM-ND	Zweifacher RS422 HS-Differenzial-Leitungstreiber	RS422 Dual High Speed Differential Line Driver	8-SOIC	.71	.68	.64
DS9638CN-ND	Zweif. RS422-HS-Differenzialtreiber	RS422 Dual High Speed Differential Driver	8-Dip	1.32	.86	.72
DS14185WM-ND	EIA/TIA-232 3 Treiber x 5 Empfänger	EIA/TIA-232 3 Driver x 5 Receiver	20-SOIC	.97	.92	.87
DS14196WM-ND	EIA/TIA-232 5 Treiber x 3 Empfänger	EIA/TIA-232 5 Driver x 3 Receiver	20-SOIC	.81	.52	.49
DS36276M-ND	Ausfallsicherer Mehrpunkt-Transceiver	Failsafe Multipoint Transceiver	8-SOIC	1.64	1.56	1.48
DS36277TM-ND	Multipunkt-Transceiver, Dominant-Modus	Dominant Mode Multipoint Transceiver	8-SOIC	1.54	1.46	1.39
DS36277TMXTR-ND	Multipunkt-Transceiver, Dominant-Modus	Dominant Mode Multipoint Transceiver	8-SOIC		3950.00/2,500	
DS36277TN-ND	Multipunkt-Transceiver, Dominant-Modus	Dominant Mode Multipoint Transceiver	8-Dip	2.83	2.25	1.93
DS36954M-ND	Vierf. Differenzialbus-Transceiver	Quad Differential Bus Transceiver	20-SOIC	9.36	8.90	8.45
DS75176BM-ND	Mehrpunkt-RS485/422-Transceiver	Multipoint RS485/422 Transceiver	8-SOIC	.75	.71	.68
DS75176BMXTR-ND	Mehrpunkt-RS485/422-Transceiver	Multipoint RS485/422 Transceiver	8-SOIC		1925.00/2,500	
DS75176BN-ND	Mehrpunkt-RS485/422-Transceiver	Multipoint RS485/422 Transceiver	8-Dip	.58	.55	.52
DS75176BTM-ND	Mehrpunkt-RS485/422-Transceiver	Multipoint RS485/422 Transceiver	8-SOIC	.75	.71	.68
DS75176BTN-ND	Mehrpunkt-RS485/422-Transceiver	Multipoint RS485/422 Transceiver	8-Dip	.56	.53	.51
DS96173CN-ND	Vierf. EIA422/485 Empfänger	EIA422/485 Quad Receiver	16-Dip	1.46	1.39	1.32
DS92001TLDCT-ND	3,3 V B/LVDS-BLVDS Puffer	3.3V B/LVDS-BLVDS Buffer	8-LLP	2.41	1.92	1.64
DS92001TLDTR-ND	3,3 V B/LVDS-BLVDS Puffer	3.3V B/LVDS-BLVDS Buffer	8-LLP		1400.00/1,000	
DS92001TMA-ND	3,3 V B/LVDS-BLVDS Puffer	3.3V B/LVDS-BLVDS Buffer	8-SOIC	2.41	1.92	1.64
DS96174CN-ND	Vierf. RS485/422-Differenzialtreiber	RS485/422 Quad Differential Driver	16-Dip	2.05	1.41	1.34
DS96175CN-ND	Vierf. RS485/422-Differenzialempfänger	RS485/422 Quad Differential Receiver	16-Dip	2.05	1.95	1.85
DS96176CN-ND	RS485-Transceiver	RS485 Transceiver	8-Dip	1.81	1.72	1.64
DSV14196TWM-ND	3,3 V Versorgungs-EIA/TIA-232 5 Treiber x 3 Empfänger	3-3V, Supply EIA/TIA-232 5 Driver x3 Receiver	20-SOIC	2.03	1.61	1.38
DSV14196WM-ND	3,3 V Versorgungs-EIA/TIA-232 5 Treiber x 3 Empfänger	3-3V, Supply EIA/TIA-232 5 Driver x3 Receiver	20-SOIC	1.55	1.23	1.05

ROHM — INTEGRIERTE SCHALTKREISE

Digi-Key Teilenr.	Beschreibung		Paket	Stückpreis★ 1	25	100
BA00BC0WT-ND	Einstellb. 1 A LDO-SpannungsRegler, niedrige Sättigung und Abschaltfunktion	Adj., 1A LDO Volt. Regulator with Low Saturation and Shutdown	TO-220FP-5	1.07	.89	.72
BA00CC0WT-ND	Einstellb. 1 A LDO-Spannungsregler	Adj., 1A LDO Voltage Regulator	TO-220FP-5	1.13	.90	.68
BA03CC0T-ND	3 V,1 A LDO-Spannungsregler	3V, 1A LDO Voltage Regulator	TO-220FP	1.19	1.00	.80
BA03CC0WT-ND	3 V,1 A LDO-Spannungsregler mit Abschaltfunktion	3V, 1A LDO Voltage Regulator with Shutdown	TO-220-FP-5	1.22	1.02	.82
BA05CC0T-ND	5 V,1 A LDO-Spannungsregler	5V, 1A LDO Voltage Regulator	TO-220FP	1.19	1.00	.80
BA05CC0WT-ND	5 V,1 A LDO-Spannungsregler mit Abschaltfunktion	5V, 1A LDO Voltage Regulator with Shutdown	TO-220FP-5	1.22	1.02	.82
BA07CC0T-ND	7 V,1 A LDO-Spannungsregler	7V, 1A LDO Voltage Regulator	TO-220FP	1.19	1.00	.80
BA07CC0WT-ND	7 V,1 A LDO-Spannungsregler mit Abschaltfunktion	7V, 1A LDO Voltage Regulator with Shutdown	TO-220FP-5	1.22	1.02	.82
BA08CC0T-ND	8 V,1 A LDO-Spannungsregler	8V, 1A LDO Voltage Regulator	TO-220FP	1.19	1.00	.80
BA08CC0WT-ND	8 V,1 A LDO-Spannungsregler mit Abschaltfunktion	8V, 1A LDO Voltage Regulator with Shutdown	TO-220FP-5	1.22	1.02	.82
BA09CC0T-ND	9 V,1 A LDO-Spannungsregler	9V, 1A LDO Voltage Regulator	TO-220FP	1.19	1.00	.80
BA09CC0WT-ND	9 V,1 A LDO-Spannungsregler mit Abschaltfunktion	9V, 1A LDO Voltage Regulator with Shutdown	TO-220FP-5	1.22	1.02	.82
BA15BC0T-ND	1,5 V,1 A LDO-SpannungsRegler, niedrige Sättigung	1.5V, 1A LDO Volt. Regulator with Low Saturation	TO-220FP	.86	.72	.58
BA15BC0WT-ND	1,5 V,1 A LDO-SpannungsRegler, niedrige Sättigung u. Abschaltfunktion	1.5V, 1A LDO Volt. Regulator with Low Saturation and Shutdown	TO-220FP-5	1.07	.89	.72
BA18BC0T-ND	1,8 V,1 A LDO-SpannungsRegler, niedrige Sättigung	1.8V, 1A LDO Volt. Regulator with Low Saturation	TO-220FP	.86	.72	.58
BA18BC0WT-ND	1,5 V,1 A LDO-SpannungsRegler, niedrige Sättigung u. Abschaltfunktion	1.5V, 1A LDO Volt. Regulator with Low Saturation with Shutdown	TO-220FP-5	1.07	.89	.72
BA25BC0T-ND	2,5 V,1 A LDO-SpannungsRegler, niedrige Sättigung	2.5V, 1A LDO Volt. Regulator with Low Saturation	TO-220FP	.86	.72	.58
BA25BC0WT-ND	2,5 V,1 A LDO-SpannungsRegler, niedrige Sättigung u. Abschaltfunktion	2.5V, 1A LDO Volt. Regulator with Low Saturation with Shutdown	TO-220FP-5	1.07	.89	.72
BA30BC0T-ND	3 V,1 A LDO-SpannungsRegler, niedrige Sättigung	3V, 1A LDO Volt. Regulator with Low Saturation	TO-220FP	.86	.72	.58
BA30BC0WT-ND	3 V,1 A LDO-SpannungsRegler, niedrige Sättigung u. Abschaltfunktion	3V, 1A LDO Volt. Regulator with Low Saturation with Shutdown	TO-220FP-5	1.07	.89	.72

(Forts.)

★ RUFEN SIE BiTE AN FÜR NIEDRIGERE PREISE BEI GRÖSSEREN MENGEN! ★

Alle Preisangaben in Euro und inklusive Zollgebühren.

Digi-Key Teilenr.	Beschreibung		Paket	Stückpreis★ 1	25	100
BA33BC0T-ND	3,3 V,1 A LDO-SpannungsRegler, niedrige Sättigung	3.3V, 1A LDO Volt. Regulator with Low Saturation	TO-220FP	.86	.72	.58
BA33BC0WT-ND	3,3 V,1 A LDO-SpannungsRegler, niedrige Sättigung u. Abschaltfunktion	3.3V, 1A LDO Volt. Regulator with Low Saturation with Shutdown	TO-220FP-5	1.07	.89	.72
BA50BC0T-ND	5 V,1 A LDO-SpannungsRegler, niedrige Sättigung	5V, 1A LDO Volt. Regulator with Low Saturation	TO-220FP	.86	.72	.58
BA50BC0WT-ND	5 V,1 A LDO-SpannungsRegler, niedrige Sättigung u. Abschaltfunktion	5V, 1A LDO Volt. Regulator with Low Saturation with Shutdown	TO-220FP-5	1.07	.89	.72
BA60BC0T-ND	6 V,1 A LDO-SpannungsRegler, niedrige Sättigung	6V, 1A LDO Volt. Regulator with Low Saturation	TO-220FP	.86	.72	.58
BA60BC0WT-ND	6 V,1 A LDO-SpannungsRegler, niedrige Sättigung u. Abschaltfunktion	6V, 1A LDO Volt. Regulator with Low Saturation with Shutdown	TO-220FP-5	1.07	.89	.72
BA70BC0T-ND	7 V,1 A LDO-SpannungsRegler, niedrige Sättigung	7V, 1A LDO Volt. Regulator with Low Saturation	TO-220FP	.86	.72	.58
BA70BC0WT-ND	7 V,1 A LDO-SpannungsRegler, niedrige Sättigung u. Abschaltfunktion	7V, 1A LDO Volt. Regulator with Low Saturation with Shutdown	TO-220FP-5	1.07	.89	.72
BA80BC0T-ND	8 V,1 A LDO-SpannungsRegler, niedrige Sättigung	8V, 1A LDO Volt. Regulator with Low Saturation	TO-220FP	.86	.72	.58
BA80BC0WT-ND	8 V,1 A LDO-SpannungsRegler, niedrige Sättigung u. Abschaltfunktion	8V, 1A LDO Volt. Regulator with Low Saturation with Shutdown	TO-220FP-5	1.07	.89	.72
BA90BC0T-ND	9 V,1 A LDO-SpannungsRegler, niedrige Sättigung	9V, 1A LDO Volt. Regulator with Low Saturation	TO-220FP	.86	.72	.58
BA90BC0WT-ND	9 V,1 A LDO-SpannungsRegler, niedrige Sättigung u. Abschaltfunktion	9V, 1A LDO Volt. Regulator with Low Saturation with Shutdown	TO-220FP-5	1.07	.89	.72
BA028LBSG2-CT-ND	2,8 V,150 mA Regler, niedrige Sättigung	2.8V, 150mA Low Saturation Regulator	5-SSOP	.68	.51	.39
BA028LBSG2-TR-ND	2,8 V,150 mA Regler, niedrige Sättigung	2.8V, 150mA Low Saturation Regulator	5-SSOP		660.35/3,000	
BA029LBSG2-CT-ND	2,9 V,150 mA Regler, niedrige Sättigung	2.9V, 150mA Low Saturation Regulator	5-SSOP	.68	.51	.39
BA029LBSG2-TR-ND	2,9 V,150 mA Regler, niedrige Sättigung	2.9V, 150mA Low Saturation Regulator	5-SSOP		660.35/3,000	
BA030LBSG2-CT-ND	3 V,150 mA Regler, niedrige Sättigung	3V, 150mA Low Saturation Regulator	5-SSOP	.68	.51	.39
BA030LBSG2-TR-ND	3 V,150 mA Regler, niedrige Sättigung	3V, 150mA Low Saturation Regulator	5-SSOP		660.35/3,000	
BA032LBSG2-CT-ND	3,2 V,150 mA Regler, niedrige Sättigung	3.2V, 150mA Low Saturation Regulator	5-SSOP	.68	.51	.39
BA032LBSG2-TR-ND	3,2 V,150 mA Regler, niedrige Sättigung	3.2V, 150mA Low Saturation Regulator	5-SSOP		660.35/3,000	
BA033CC0T-ND	3,3 V,1 A Regler, niedrige Sättigung	3.3V, 1A Low Saturation Regulator	TO-220FP	1.19	1.00	.80
BA033CC0WT-ND	3,3 V,1 A Regler, niedrige Sättigung m. Abschaltf.	3.3V, 1A Low Saturation Regulator w/Shutdown	TO-220FP-5	1.22	1.02	.82
BA033LBSG2-CT-ND	3,3 V,150 mA Regler, niedrige Sättigung	3.3V, 150mA Low Saturation Regulator	5-SMP	.68	.51	.39
BA033LBSG2-TR-ND	3,3 V,150 mA Regler, niedrige Sättigung	3.3V, 150mA Low Saturation Regulator	5-SMP		660.35/3,000	
BA036LBSG2-CT-ND	3,6 V,150 mA Regler, niedrige Sättigung	3.6V, 150mA Low Saturation Regulator	5-SSOP	.68	.51	.39
BA036LBSG2-TR-ND	3,6 V,150 mA Regler, niedrige Sättigung	3.6V, 150mA Low Saturation Regulator	5-SSOP		660.35/3,000	
BA038LBSG2-CT-ND	3,8 V,150 mA Regler, niedrige Sättigung	3.8V, 150mA Low Saturation Regulator	5-SSOP	.68	.51	.39
BA038LBSG2-TR-ND	3,8 V,150 mA Regler, niedrige Sättigung	3.8V, 150mA Low Saturation Regulator	5-SSOP		660.35/3,000	
BA040LBSG2-CT-ND	4 V,150 mA Regler, niedrige Sättigung	4V, 150mA Low Saturation Regulator	5-SSOP	.63	.53	.43
BA040LBSG2-TR-ND	4 V,150 mA Regler, niedrige Sättigung	4V, 150mA Low Saturation Regulator	5-SSOP		825.44/3,000	
BA050LBSG2-CT-ND	5 V,150 mA Regler, niedrige Sättigung	5V, 150mA Low Saturation Regulator	5-SMP	.68	.51	.39
BA050LBSG2-TR-ND	5 V,150 mA Regler, niedrige Sättigung	5V, 150mA Low Saturation Regulator	5-SMP		660.35/3,000	
BA178M05T-ND	5 V, 0,5 A Spannungsregler mit fixiertem positiven Ausgang	5V, 0.5A Fixed Positive Output Voltage Regulator	TO-220FP	.68	.51	.39
BA178M06T-ND	6 V, 0,5 A Spannungsregler mit fixiertem positiven Ausgang	6V, 0.5A Fixed Positive Output Voltage Regulator	TO-220FP	.68	.51	.39
BA178M07T-ND	7 V, 0,5 A Spannungsregler mit fixiertem positiven Ausgang	7V, 0.5A Fixed Positive Output Voltage Regulator	TO-220FP	.68	.51	.39
BA178M08T-ND	8 V, 0,5 A Spannungsregler mit fixiertem positiven Ausgang	8V, 0.5A Fixed Positive Output Voltage Regulator	TO-220FP	.68	.51	.39
BA178M09T-ND	9 V, 0,5 A Spannungsregler mit fixiertem positiven Ausgang	9V, 0.5A Fixed Positive Output Voltage Regulator	TO-220FP	.68	.51	.39
BA178M10T-ND	10 V, 0,5 A Spannungsregler mit fixiertem positiven Ausgang	10V, 0.5A Fixed Positive Output Voltage Regulator	TO-220FP	.68	.51	.39
BA178M12T-ND	12 V, 0,5 A Spannungsregler mit fixiertem positiven Ausgang	12V, 0.5A Fixed Positive Output Voltage Regulator	TO-220FP	.68	.51	.39
BA178M15T-ND	15 V, 0,5 A Spannungsregler mit fixiertem positiven Ausgang	15V, 0.5A Fixed Positive Output Voltage Regulator	TO-220FP	.68	.51	.39
BA178M18T-ND	18 V, 0,5 A Spannungsregler mit fixiertem positiven Ausgang	18V, 0.5A Fixed Positive Output Voltage Regulator	TO-220FP	.68	.51	.39
BA178M20T-ND	20 V, 0,5 A Spannungsregler mit fixiertem positiven Ausgang	20V, 0.5A Fixed Positive Output Voltage Regulator	TO-220FP	.68	.51	.39
BA178M24T-ND	24 V, 0,5 A Spannungsregler mit fixiertem positiven Ausgang	24V, 0.5A Fixed Positive Output Voltage Regulator	TO-220FP	.68	.51	.39
BA4116FV-E2CT-ND	FM IF Detektor für Handys	FM IF Detector for Cordless Phones	B16-SSOP	1.07	.89	.72
BA4116FV-E2TR-ND	FM IF Detektor für Handys	FM IF Detector for Cordless Phones	B16-SSOP		1155.61/2,500	
BA4558F-E2CT-ND	Zweif. 18 V OpAmp	18V, Dual Op Amp	8-SOP	.47	.38	.28
BA4558F-E2TR-ND	Zweif. 18 V OpAmp	18V, Dual Op Amp	8-SOP		315.36/2,500	
BA4560-ND	Zweif. 18 V OpAm, hohe Anstiegsrate	18V, Dual High Slew Rate Op Amp	8-Dip	.42	.34	.26
BA4560F-E2CT-ND	Zweif. 18 V OpAm, hohe Anstiegsrate	18V, Dual High Slew Rate Op Amp	8-SOP	.42	.34	.26
BA4560F-E2TR-ND	Zweif. 18 V OpAm, hohe Anstiegsrate	18V, Dual High Slew Rate Op Amp	8-SOP		285.73/2,500	
BA6845FS-E2CT-ND	Schrittmotortreiber	Stepping Motor Driver	A16-SSOP	1.22	1.02	.82
BA6845FS-E2TR-ND	Schrittmotortreiber	Stepping Motor Driver	A16-SSOP		1320.70/2,500	
BA10358F-E2CT-ND	Zweif. 32 V Erdfühler-OpAmp	32V, Dual Ground Sense Op Amp	8-SOP	.42	.34	.26
BA10358F-E2TR-ND	Zweif. 32 V Erdfühler-OpAmp	32V, Dual Ground Sense Op Amp	8-SOP		285.73/2,500	
BA10393F-E2CT-ND	Zweif. Komparator	Dual Comparator	8-SOP	.38	.31	.23
BA10393F-E2TR-ND	Zweif. Komparator	Dual Comparator	8-SOP		258.21/2,500	
BA17805T-ND	5 V,1 A Spannungsregler mit positivem Ausgang	5V, 1A Positive Output Voltage Regulator	TO-220FP	.71	.54	.40
BA17806T-ND	6 V,1 A Spannungsregler mit positivem Ausgang	6V, 1A Positive Output Voltage Regulator	TO-220FP	.71	.54	.40
BA17807T-ND	7 V,1 A Spannungsregler mit positivem Ausgang	7V, 1A Positive Output Voltage Regulator	TO-220FP	.71	.54	.40
BA17808T-ND	8 V,1 A Spannungsregler mit positivem Ausgang	8V, 1A Positive Output Voltage Regulator	TO-220FP	.71	.54	.40
BA17809T-ND	9 V,1 A Spannungsregler mit positivem Ausgang	9V, 1A Positive Output Voltage Regulator	TO-220FP	.71	.54	.40
BA17810T-ND	10 V,1 A Spannungsregler mit positivem Ausgang	10V, 1A Positive Output Voltage Regulator	TO-220FP	.71	.54	.40
BA17812T-ND	12 V,1 A Spannungsregler mit positivem Ausgang	12V, 1A Positive Output Voltage Regulator	TO-220FP	.71	.54	.40
BA17815T-ND	15 V,1 A Spannungsregler mit positivem Ausgang	15V, 1A Positive Output Voltage Regulator	TO-220FP	.71	.54	.40
BA17818T-ND	18 V,1 A Spannungsregler mit positivem Ausgang	18V, 1A Positive Output Voltage Regulator	TO-220FP	.71	.54	.40
BA17820T-ND	20 V,1 A Spannungsregler mit positivem Ausgang	20V, 1A Positive Output Voltage Regulator	TO-220FP	.71	.54	.40
BA17824T-ND	24 V,1 A Spannungsregler mit positivem Ausgang	24V, 1A Positive Output Voltage Regulator	TO-220FP	.71	.54	.40
BAJ0BC0T-ND	10 V,1 A LDO-Spannungsregler	10V, 1A LDO Voltage Regulator	TO-220FP	.86	.72	.58
BAJ0BC0WT-ND	10 V,1 A LDO-Spannungsregler mit Abschaltfunktion	10V, 1A LDO Voltage Regulator with Shutdown	TO-220FP-5	1.07	.89	.72
BAJ0CC0T-ND	10 V,1 A LDO-Spannungsregler	10V, 1A LDO Voltage Regulator	TO-220FP	1.19	1.00	.80
BAJ0CC0WT-F-ND	10 V,1 A LDO-Spannungsregler mit Abschaltfunktion	10V, 1A LDO Voltage Regulator with Shutdown	TO-220FP-5	1.22	1.02	.82
BAJ2CC0T-ND	12 V,1 A LDO-Spannungsregler	12V, 1A LDO Voltage Regulator	TO-220FP	1.19	1.00	.80
BAJ2CC0WT-ND	12 V,1 A LDO-Spannungsregler mit Abschaltfunktion	12V, 1A LDO Voltage Regulator with Shutdown	TO-220FP-5	1.22	1.02	.82
BAJ5CC0T-ND	15 V,1 A LDO-Spannungsregler	15V, 1A LDO Voltage Regulator	TO-220FP	1.19	1.00	.80
BD7851FP-E2CT-ND	LED-Treiber-IC mit integriertem 16-Bit Schieberegister	LED Driver IC with Built-In 16-Bit Shift Register	25-HSOP	1.72	1.38	1.03
BD7851FP-E2TR-ND	LED-Treiber-IC mit integriertem 16-Bit Schieberegister	LED Driver IC with Built-In 16-Bit Shift Register	25-HSOP		1782.94/2,000	
BH1JLB1WHFV-CT-ND	1,85 V LDO-Linearregler mit Abschaltfunktion	1.85V, LDO Regulator with Shutdown	5-HVSOF	.58	.44	.33
BH1JLB1WHFV-TR-ND	1,85 V LDO-Linearregler mit Abschaltfunktion	1.85V, LDO Regulator with Shutdown	5-HVSOF		561.30/3,000	
BH2JNB1WHFV-CT-ND	2,85 V,150 mA CMOS-Regler mit Abschaltfunktion	2.85V, 150mA CMOS Regulator with Shutdown	5-HVSOF	.58	.44	.33
BH2JNB1WHFV-TR-ND	2,85 V,150 mA CMOS-Regler mit Abschaltfunktion	2.85V, 150mA CMOS Regulator with Shutdown	5-HVSOF		561.30/3,000	
BH15LB1WG-CT-ND	1,5 V,150 mA CMOS-Regler mit Abschaltfunktion	1.5V, 150mA CMOS Regulator with Shutdown	5-SSOP	.58	.44	.33
BH15LB1WG-TR-ND	1,5 V,150 mA CMOS-Regler mit Abschaltfunktion	1.5V, 150mA CMOS Regulator with Shutdown	5-SSOP		561.30/3,000	
BH15LB1WHFV-CT-ND	1,5 V,150 mA CMOS-Regler mit Abschaltfunktion	1.5V, 150mA CMOS Regulator with Shutdown	5-HVSOF	.58	.44	.33
BH15LB1WHFV-TR-ND	1,5 V,150 mA CMOS-Regler mit Abschaltfunktion	1.5V, 150mA CMOS Regulator with Shutdown	5-HVSOF		561.30/3,000	
BH15MA3WHFV-CT-ND	1,5 V, 300 mA CMOS-Regler mit Abschaltfunktion	1.5V, 300mA CMOS Regulator with Shutdown	6-HVSOF	.58	.44	.33
BH15MA3WHFV-TR-ND	1,5 V, 300 mA CMOS-Regler mit Abschaltfunktion	1.5V, 300mA CMOS Regulator with Shutdown	6-HVSOF		561.30/3,000	
BH18LB1WG-CT-ND	1,8 V,150 mA CMOS-Regler mit Abschaltfunktion	1.8V, 150mA CMOS Regulator with Shutdown	5-SSOP	.58	.44	.33
BH18LB1WG-TR-ND	1,8 V,150 mA CMOS-Regler mit Abschaltfunktion	1.8V, 150mA CMOS Regulator with Shutdown	5-SSOP		561.30/3,000	
BH18LB1WHFV-CT-ND	1,8 V,150 mA CMOS-Regler mit Abschaltfunktion	1.8V, 150mA CMOS Regulator with Shutdown	5-HVSOF	.58	.44	.33
BH18LB1WHFV-TR-ND	1,8 V,150 mA CMOS-Regler mit Abschaltfunktion	1.8V, 150mA CMOS Regulator with Shutdown	5-HVSOF		561.30/3,000	
BH18MA3WHFV-CT-ND	1,8 V, 300 mA CMOS-Regler mit Abschaltfunktion	1.8V, 300mA CMOS Regulator with Shutdown	6-HVSOF	.58	.44	.33
BH18MA3WHFV-TR-ND	1,8 V, 300 mA CMOS-Regler mit Abschaltfunktion	1.8V, 300mA CMOS Regulator with Shutdown	6-HVSOF		561.30/3,000	
BH25FB1WG-CT-ND	2,5 V,150 mA CMOS-Regler mit Abschaltfunktion	2.5V, 150mA CMOS Regulator with Shutdown	5-SSOP	.58	.44	.33
BH25FB1WG-TR-ND	2,5 V,150 mA CMOS-Regler mit Abschaltfunktion	2.5V, 150mA CMOS Regulator with Shutdown	5-SSOP		561.30/3,000	
BH25FB1WHFV-CT-ND	2,5 V,150 mA CMOS-Regler mit Abschaltfunktion	2.5V, 150mA CMOS Regulator with Shutdown	5-HVSOF	.58	.44	.33
BH25FB1WHFV-TR-ND	2,5 V,150 mA CMOS-Regler mit Abschaltfunktion	2.5V, 150mA CMOS Regulator with Shutdown	5-HVSOF		561.30/3,000	
BH25MA3WHFV-CT-ND	2,5 V, 300 mA CMOS-Regler mit Abschaltfunktion	2.5V, 300mA CMOS Regulator with Shutdown	6-HVSOF	.58	.44	.33
BH25MA3WHFV-TR-ND	2,5 V, 300 mA CMOS-Regler mit Abschaltfunktion	2.5V, 300mA CMOS Regulator with Shutdown	6-HVSOF		561.30/3,000	
BH25NB1WHFV-CT-ND	2,5 V,150 mA CMOS-Regler mit Abschaltfunktion	2.5V, 150mA CMOS Regulator with Shutdown	5-HVSOF	.58	.44	.33
BH25NB1WHFV-TR-ND	2,5 V,150 mA CMOS-Regler mit Abschaltfunktion	2.5V, 150mA CMOS Regulator with Shutdown	5-HVSOF		561.30/3,000	

(Forts.)

★ *RUFEN SIE BITTE AN FÜR NIEDRIGERE PREISE BEI GRÖSSEREN MENGEN!* ★

B

Digi-Key Teilenr.	Beschreibung		Paket	Stückpreis★ 1	25	100
BH28FB1WG-CT-ND	2,8 V,150 mA CMOS-Regler mit Abschaltfunktion	2.8V, 150mA CMOS Regulator with Shutdown	5-SSOP	.58	.44	.33
BH28FB1WG-TR-ND	2,8 V,150 mA CMOS-Regler mit Abschaltfunktion	2.8V, 150mA CMOS Regulator with Shutdown	5-SSOP		561.30/3,000	
BH28FB1WHFV-CT-ND	2,8 V,150 mA CMOS-Regler mit Abschaltfunktion	2.8V, 150mA CMOS Regulator with Shutdown	5-HVSOF	.58	.44	.33
BH28FB1WHFV-TR-ND	2,8 V,150 mA CMOS-Regler mit Abschaltfunktion	2.8V, 150mA CMOS Regulator with Shutdown	5-HVSOF		561.30/3,000	
BH28MA3WHFV-CT-ND	2,8 V, 300 mA CMOS-Regler mit Abschaltfunktion	2.8V, 300mA CMOS Regulator with Shutdown	6-HVSOF	.58	.44	.33
BH28MA3WHFV-TR-ND	2,8 V, 300 mA CMOS-Regler mit Abschaltfunktion	2.8V, 300mA CMOS Regulator with Shutdown	6-HVSOF		561.30/3,000	
BH28NB1WHFV-CT-ND	2,8 V,150 mA CMOS-Regler mit Abschaltfunktion	2.8V, 150mA CMOS Regulator with Shutdown	5-HVSOF	.58	.44	.33
BH28NB1WHFV-TR-ND	2,8 V,150 mA CMOS-Regler mit Abschaltfunktion	2.8V, 150mA CMOS Regulator with Shutdown	5-HVSOF		561.30/3,000	
BH29FB1WG-CT-ND	2,9 V,150 mA CMOS-Regler mit Abschaltfunktion	2.9V, 150mA CMOS Regulator with Shutdown	5-SSOP	.58	.44	.33
BH29FB1WG-TR-ND	2,9 V,150 mA CMOS-Regler mit Abschaltfunktion	2.9V, 150mA CMOS Regulator with Shutdown	5-SSOP		561.30/3,000	
BH29FB1WHFV-CT-ND	2,9 V,150 mA CMOS-Regler mit Abschaltfunktion	2.9V, 150mA CMOS Regulator with Shutdown	5-HVSOF	.58	.44	.33
BH29FB1WHFV-TR-ND	2,9 V,150 mA CMOS-Regler mit Abschaltfunktion	2.9V, 150mA CMOS Regulator with Shutdown	5-HVSOF		561.30/3,000	
BH29MA3WHFV-CT-ND	2,9 V, 300 mA CMOS-Regler mit Abschaltfunktion	2.9V, 300mA CMOS Regulator with Shutdown	6-HVSOF	.58	.44	.33
BH29MA3WHFV-TR-ND	2,9 V, 300 mA CMOS-Regler mit Abschaltfunktion	2.9V, 300mA CMOS Regulator with Shutdown	6-HVSOF		561.30/3,000	
BH29NB1WHFV-CT-ND	2,9 V,150 mA CMOS-Regler mit Abschaltfunktion	2.9V, 150mA CMOS Regulator with Shutdown	5-HVSOF	.58	.44	.33
BH29NB1WHFV-TR-ND	2,9 V,150 mA CMOS-Regler mit Abschaltfunktion	2.9V, 150mA CMOS Regulator with Shutdown	5-HVSOF		561.30/3,000	
BH30FB1WG-CT-ND	3 V,150 mA CMOS-Regler mit Abschaltfunktion	3V, 150mA CMOS Regulator with Shutdown	5-SSOP	.58	.44	.33
BH30FB1WG-TR-ND	3 V,150 mA CMOS-Regler mit Abschaltfunktion	3V, 150mA CMOS Regulator with Shutdown	5-SSOP		561.30/3,000	
BH30FB1WHFV-CT-ND	3 V,150 mA CMOS-Regler mit Abschaltfunktion	3V, 150mA CMOS Regulator with Shutdown	5-HVSOF	.58	.44	.33
BH30FB1WHFV-TR-ND	3 V,150 mA CMOS-Regler mit Abschaltfunktion	3V, 150mA CMOS Regulator with Shutdown	5-HVSOF		561.30/3,000	
BH30MA3WHFV-CT-ND	3 V, 300 mA CMOS-Regler mit Abschaltfunktion	3V, 300mA CMOS Regulator with Shutdown	6-HVSOF	.58	.44	.33
BH30MA3WHFV-TR-ND	3 V, 300 mA CMOS-Regler mit Abschaltfunktion	3V, 300mA CMOS Regulator with Shutdown	6-HVSOF		561.30/3,000	
BH30NB1WHFV-CT-ND	3 V, 150 mA CMOS-Regler mit Abschaltfunktion	3V, 150mA CMOS Regulator with Shutdown	5-HVSOF	.58	.44	.33
BH30NB1WHFV-TR-ND	3 V, 150 mA CMOS-Regler mit Abschaltfunktion	3V, 150mA CMOS Regulator with Shutdown	5-HVSOF		561.30/3,000	
BH31FB1WG-CT-ND	3,1 V,150 mA CMOS-Regler mit Abschaltfunktion	3.1V, 150mA CMOS Regulator with Shutdown	5-SSOP	.58	.44	.33
BH31FB1WG-TR-ND	3,1 V,150 mA CMOS-Regler mit Abschaltfunktion	3.1V, 150mA CMOS Regulator with Shutdown	5-SSOP		561.30/3,000	
BH31FB1WHFV-CT-ND	3,1 V,150 mA CMOS-Regler mit Abschaltfunktion	3.1V, 150mA CMOS Regulator with Shutdown	5-HVSOF	.58	.44	.33
BH31FB1WHFV-TR-ND	3,1 V,150 mA CMOS-Regler mit Abschaltfunktion	3.1V, 150mA CMOS Regulator with Shutdown	5-HVSOF		561.30/3,000	
BH31MA3WHFV-CT-ND	3,1 V, 300 mA CMOS-Regler mit Abschaltfunktion	3.1V, 300mA CMOS Regulator with Shutdown	6-HVSOF	.58	.44	.33
BH31MA3WHFV-TR-ND	3,1 V, 300 mA CMOS-Regler mit Abschaltfunktion	3.1V, 300mA CMOS Regulator with Shutdown	6-HVSOF		561.30/3,000	
BH31NB1WHFV-CT-ND	3,1 V,150 mA CMOS-Regler mit Abschaltfunktion	3.1V, 150mA CMOS Regulator with Shutdown	5-HVSOF	.58	.44	.33
BH31NB1WHFV-TR-ND	3,1 V,150 mA CMOS-Regler mit Abschaltfunktion	3.1V, 150mA CMOS Regulator with Shutdown	5-HVSOF		561.30/3,000	
BH33FB1WG-CT-ND	3,3 V,150 mA CMOS-Regler mit Abschaltfunktion	3.3V, 150mA CMOS Regulator with Shutdown	5-SSOP	.58	.44	.33
BH33FB1WG-TR-ND	3,3 V,150 mA CMOS-Regler mit Abschaltfunktion	3.3V, 150mA CMOS Regulator with Shutdown	5-SSOP		561.30/3,000	
BH33FB1WHFV-CT-ND	3,3 V,150 mA CMOS-Regler mit Abschaltfunktion	3.3V, 150mA CMOS Regulator with Shutdown	5-HVSOF	.58	.44	.33
BH33FB1WHFV-TR-ND	3,3 V,150 mA CMOS-Regler mit Abschaltfunktion	3.3V, 150mA CMOS Regulator with Shutdown	5-HVSOF		561.30/3,000	
BH33MA3WHFV-CT-ND	3,3 V, 300 mA CMOS-Regler mit Abschaltfunktion	3.3V, 300mA CMOS Regulator with Shutdown	6-HVSOF	.58	.44	.33
BH33MA3WHFV-TR-ND	3,3 V, 300 mA CMOS-Regler mit Abschaltfunktion	3.3V, 300mA CMOS Regulator with Shutdown	6-HVSOF		561.30/3,000	
BH33NB1WHFV-CT-ND	3,3 V,150 mA CMOS-Regler mit Abschaltfunktion	3.3V, 150mA CMOS Regulator with Shutdown	5-HVSOF	.58	.44	.33
BH33NB1WHFV-TR-ND	3,3 V,150 mA CMOS-Regler mit Abschaltfunktion	3.3V, 150mA CMOS Regulator with Shutdown	5-HVSOF		561.30/3,000	
BH1415F-E2CT-ND	FM-Stereo Transmitter-IC	FM Stereo Transmitter IC	22-SOP	3.18	2.55	1.98
BH1415F-E2TR-ND	FM-Stereo Transmitter-IC	FM Stereo Transmitter IC	22-SOP		3604.82/2,000	
BH1417F-E2CT-ND	FM-Stereo Transmitter-IC	FM Stereo Transmitter IC	22-SOP	3.32	2.66	2.07
BH1417F-E2TR-ND	FM-Stereo Transmitter-IC	FM Stereo Transmitter IC	22-SOP		3757.21/2,000	
BH4127FV-E2CT-ND	IF Detektor für 900 MHz Spread-Spectrum-Handys	IF Detector for 900MHz Spread Spectrum Cordless Phone	B16-SSOP	1.38	1.11	.83
BH4127FV-E2TR-ND	IF Detektor für 900 MHz Spread-Spectrum-Handys	IF Detector for 900MHz Spread Spectrum Cordless Phone	B16-SSOP		1760.93/2,500	
BP5029-ND	5 V, 300 mA DC/DC-Wandler	5V, 300mA DC/DC Converter	6-SIP	2.74	2.20	1.71
BP5034B20-ND	20 V, 80 mA AC/DC-Wandler	20V, 80mA AC/DC Converter	10-SIP	2.67	2.14	1.66
BP5034D5-ND	5 V,100 mA AC/DC-Wandler	5V, 100mA AC/DC Converter	10-SIP	3.24	2.60	2.02
BP5034D12-ND	12 V,100 mA AC/DC-Wandler	12V, 100mA AC/DC Converter	10-SIP	2.67	2.14	1.66
BP5034D15-ND	15 V, 80 mA AC/DC-Wandler	15V, 80mA AC/DC Converter	10-SIP	3.24	2.60	2.02
BP5034D24-ND	24 V, 50 mA AC/DC-Wandler	24V, 50mA AC/DC Converter	10-SIP	3.78	3.02	2.35
BP5035A5-ND	-5 V, 200 mA AC/DC-Wandler	-5V, 200mA AC/DC Converter	10-SIP	4.33	3.47	2.93
BP5035A12-ND	-12 V, 200 mA AC/DC-Wandler	-12V, 200mA AC/DC Converter	10-SIP	3.52	2.82	2.20
BP5037B12-ND	12 V, 200 mA AC/DC-Wandler	12V, 200mA AC/DC Converter	10-SIP	2.67	2.14	1.66
BP5037B15-ND	15 V,170 mA AC/DC-Wandler	15V, 170mA AC/DC Converter	10-SIP	2.67	2.14	1.66
BP5038A-ND	12 V, 30 mA AC/DC-Wandler	12V, 30mA AC/DC Converter	6-SIP	4.28	3.43	2.67
BP5038A1-ND	5 V, 30 mA AC/DC-Wandler	5V, 30mA AC/DC Converter	6-SIP	4.28	3.43	2.67
BP5039-15-ND	15 V, 200 mA AC/DC-Wandler	15V, 200mA AC/DC Converter	12-SIP	3.58	2.87	2.23
BP5039B12-ND	12 V, 300 mA AC/DC-Wandler	12V, 300mA AC/DC Converter	12-SIP	3.37	2.70	2.10
BP5041A-ND	12 V,100 mA AC/DC-Wandler	12V, 100mA AC/DC Converter	10-SIP	4.35	3.49	2.94
BP5041A5-ND	5 V,100 mA AC/DC-Wandler	5V, 100mA AC/DC Converter	10-SIP	4.35	3.49	2.94
BP5045A-ND	-12 V, 200 mA AC/DC-Wandler	-12V, 200mA AC/DC Converter	10-SIP	3.81	3.05	2.38
BP5047A24-ND	24 V,150 mA AC/DC-Wandler	24V, 150mA AC/DC Converter	12-SIP	4.54	3.63	2.83
BP5048-ND	12 V, 300 mA AC/DC-Wandler	12V, 300mA AC/DC Converter	12-SIP	3.81	3.05	2.38
BP5048-15-ND	15 V, 200 mA AC/DC-Wandler	15V, 200mA AC/DC Converter	12-SIP	3.96	3.17	2.47
BP5048-24-ND	24 V, 200 mA AC/DC-Wandler	24V, 200mA AC/DC Converter	12-SIP	4.35	3.49	2.94
BP5061-ND	-12 V, 300 mA AC/DC-Wandler	-12V, 300mA AC/DC Converter	12-SIP	4.31	3.45	2.68
BP5061-5-ND	-5 V, 350 mA AC/DC-Wandler	-5V, 350mA AC/DC Converter	12-SIP	4.16	3.33	2.59
BP5062A-ND	-12 V, 500 mA AC/DC-Wandler	-12V, 500mA AC/DC Converter	12-SIP	4.83	3.87	3.26
BP5062A5-ND	-5 V, 500 mA AC/DC-Wandler	-5V, 500mA AC/DC Converter	12-SIP	4.69	3.75	2.92
BP5063-5-ND	5 V, 200 mA AC/DC-Wandler	5V, 200mA AC/DC Converter	10-SIP	5.69	4.56	3.85
BP5065C-ND	-12 V, 90 mA AC/DC-Wandler	-12V, 90mA AC/DC Converter	9-SIP	4.19	3.36	2.61
BP5065C5-ND	-5 V,100 mA AC/DC-Wandler	-5V, 100mA AC/DC Converter	9-SIP	2.94	2.35	1.83
BP5067-12-ND	12 V, 350 mA AC/DC-Wandler	12V, 350mA AC/DC Converter	12-SIP	4.48	3.59	2.79
BP5067-15-ND	15 V, 300 mA AC/DC-Wandler	15V, 300mA AC/DC Converter	12-SIP	4.44	3.56	2.77
BP5068A-ND	-12 V, 800 mA AC/DC-Wandler	-12V, 800mA AC/DC Converter	12-SIP	5.15	4.12	3.48
BP5068A24-ND	-24 V, 600 mA AC/DC-Wandler	-24V, 600mA AC/DC Converter	12-SIP	4.83	3.87	3.26
BP5081A15-ND	15/5 V, 80 mA/350 mA, zweif. AC/DC-Wandler	15V/5V, 80mA/350mA, Dual AC/DC Converter	14-SIP	5.35	4.29	3.62
BP5085-15-ND	15/5 V, 80 mA/350 mA, zweif. AC/DC-Wandler	15V/5V, 80mA/350mA, Dual AC/DC Converter	16-SIP	6.77	5.42	4.58
BP5220A-ND	5 V,1 A DC/DC-Wandler	5V, 1A DC/DC Converter	9-Sip	4.39	3.51	2.97
BP5221A-ND	5 V, 0,5 A DC/DC-Wandler	5V, 0.5A DC/DC Converter	9-Sip	4.31	3.45	2.68
BP5222A-ND	12 V, 500 mA DC/DC-Wandler	12V, 500mA DC/DC Converter	9-SIP	4.36	3.49	2.72
BP5223-ND	5 V,150 mA DC/DC-Wandler	5V, 150mA DC/DC Converter	5-SIP	2.06	1.65	1.29
BP5302A-ND	-24 V, 30 mA DC/DC-Wandler für LCDs	-24V, 30mA DC/DC Converter for LCDs	9-SIP	3.66	2.93	2.28
BP5302XA-ND	-24 V, 30 mA DC/DC-Wandler für LCDs	-24V, 30mA DC/DC Converter for LCDs	9LF-SIP	5.44	4.35	3.67
BP5310A-ND	12, V, PCMCIA/Flash-Speicher-Stromversorgung	12V, PCMCIA/Flash Memory Power Supply	9-SIP	4.93	3.95	3.33
BP5311XA-ND	30 V, 25 mA DC/DC-Wandler für LCDs	30V, 25mA DC/DC Converter for LCDs	9LF-SIP	5.91	4.73	3.99
BP5313A-ND	40 V, 60 mA DC/DC-Wandler für LCDs	40V, 60mA DC/DC Converter for LCDs	11-SIP	5.67	4.54	3.83
BP5319-ND	-24 V, 30 mA DC/DC-Wandlerfür LCDs	-24V, 30mA DC/DC Converter for LCDs	9-SIP	3.85	3.08	2.40
BP5319X-ND	-24 V, 30 mA DC/DC-Wandlerfür LCDs	-24V, 30mA DC/DC Converter for LCDs	9LF-SIP	3.85	3.08	2.40
BP5450-ND	1,5 V auf 5 V,1,2 A DC/DC-Wandler	1.5 to 5V, 1.2A DC/DC Converter	18-SIP	10.44	9.40	8.34
BP5801-ND	Motortreiber, hoch effiziente Schaltung	High Efficiency Switching Type Motor Driver	9-SIP	4.50	3.60	2.80
BP5807-ND	Motortreiber, hoch effiziente Schaltung	High Efficiency Switching Type Motor Driver	17-SIP	7.69	6.15	5.19
BU2092F-E2CT-ND	12-Bit Treiber, serieller Eingang/paralleler Ausgang	12-Bit, Serial Input, Parallel Output Driver	18-SOP	1.14	.96	.77
BU2092F-E2TR-ND	12-Bit Treiber, serieller Eingang/paralleler Ausgang	12-Bit, Serial Input, Parallel Output Driver	18-SOP		1014.23/2,000	
		Speicher				
BR24L01A-W-ND	128x8-Bit serieller EEPROM	128x8-Bit Serial EEPROM	8-Dip	.68	.51	.39
BR24L01AF-WE2CT-ND	128x8-Bit serieller EEPROM	128x8-Bit Serial EEPROM	8-SOP	.47	.38	.28
BR24L01AF-WE2TR-ND	128x8-Bit serieller EEPROM	128x8-Bit Serial EEPROM	8-SOP		315.36/2,500	
BR24L01AFV-WE2CT-ND	128x8-Bit serieller EEPROM	128x8-Bit Serial EEPROM	B8-SSOP	.41	.31	.23
BR24L01AFV-WE2TR-ND	128x8-Bit serieller EEPROM	128x8-Bit Serial EEPROM	B8-SSOP		330.17/2,500	

(Forts.)

★ RUFEN SIE-BitTE AN FÜR NIEDRIGERE PREISE BEI GRÖSSEREN MENGEN! ★

Digi-Key Teilenr.	Beschreibung		Paket	Stückpreis★ 1	25	100
BR24L01AFVM-WCT-ND	128x8-Bit serieller EEPROM	128x8-Bit Serial EEPROM	8-MSOP	.44	.33	.25
BR24L01AFVM-WTR-ND	128x8-Bit serieller EEPROM	128x8-Bit Serial EEPROM	8-MSOP		429.23/3,000	
BR24L02-W-ND	256x8-Bit serieller EEPROM	256x8-Bit Serial EEPROM	8-Dip	.68	.51	.39
BR24L02F-WE2CT-ND	256x8-Bit serieller EEPROM	256x8-Bit Serial EEPROM	8-SOP	.41	.31	.23
BR24L02F-WE2TR-ND	256x8-Bit serieller EEPROM	256x8-Bit Serial EEPROM	8-SOP		330.17/2,500	
BR24L02FV-WE2CT-ND	256x8-Bit serieller EEPROM	256x8-Bit Serial EEPROM	B8-SSOP	.47	.38	.28
BR24L02FV-WE2TR-ND	256x8-Bit serieller EEPROM	256x8-Bit Serial EEPROM	B8-SSOP		315.36/2,500	
BR24L02FVM-WCT-ND	256x8-Bit serieller EEPROM	256x8-Bit Serial EEPROM	8-MSOP	.44	.33	.25
BR24L02FVM-WTR-ND	256x8-Bit serieller EEPROM	256x8-Bit Serial EEPROM	8-MSOP		429.23/3,000	
BR24L04-W-ND	512x8-Bit serieller EEPROM	512x8-Bit Serial EEPROM	8-Dip	.75	.56	.42
BR24L04F-WE2CT-ND	512x8-Bit serieller EEPROM	512x8-Bit Serial EEPROM	8-SOP	.61	.46	.35
BR24L04F-WE2TR-ND	512x8-Bit serieller EEPROM	512x8-Bit Serial EEPROM	8-SOP		495.26/2,500	
BR24L04FV-WE2CT-ND	512x8-Bit serieller EEPROM	512x8-Bit Serial EEPROM	B8-SSOP	.61	.46	.35
BR24L04FV-WE2TR-ND	512x8-Bit serieller EEPROM	512x8-Bit Serial EEPROM	B8-SSOP		495.26/2,500	
BR24L04FVM-WCT-ND	512x8-Bit serieller EEPROM	512x8-Bit Serial EEPROM	8-MSOP	.61	.46	.35
BR24L04FVM-WTR-ND	512x8-Bit serieller EEPROM	512x8-Bit Serial EEPROM	8-MSOP		594.31/3,000	
BR24L08-W-ND	1024x8-Bit serieller EEPROM	1024x8-Bit Serial EEPROM	8-Dip	.81	.61	.46
BR24L08F-WE2CT-ND	1024x8-Bit serieller EEPROM	1024x8-Bit Serial EEPROM	8-SOP	.61	.46	.35
BR24L08F-WE2TR-ND	1024x8-Bit serieller EEPROM	1024x8-Bit Serial EEPROM	8-SOP		495.26/2,500	
BR24L08FV-WE2CT-ND	1024x8-Bit serieller EEPROM	1024x8-Bit Serial EEPROM	B8-SSOP	.61	.46	.35
BR24L08FV-WE2TR-ND	1024x8-Bit serieller EEPROM	1024x8-Bit Serial EEPROM	B8-SSOP		495.26/2,500	
BR24L08FVM-WCT-ND	1024x8-Bit serieller EEPROM	1024x8-Bit Serial EEPROM	8-MSOP	.61	.46	.35
BR24L08FVM-WTR-ND	1024x8-Bit serieller EEPROM	1024x8-Bit Serial EEPROM	8-MSOP		594.31/3,000	
BR24L16-W-ND	2Kx8-Bit serieller EEPROM	2Kx8-Bit Serial EEPROM	8-Dip	.66	.56	.45
BR24L16F-WE2CT-ND	2Kx8-Bit serieller EEPROM	2Kx8-Bit Serial EEPROM	8-SOP	.71	.54	.40
BR24L16F-WE2TR-ND	2Kx8-Bit serieller EEPROM	2Kx8-Bit Serial EEPROM	8-SOP		577.80/2,500	
BR24L16FV-WE2CT-ND	2Kx8-Bit serieller EEPROM	2Kx8-Bit Serial EEPROM	B8-SSOP	.71	.54	.40
BR24L16FV-WE2TR-ND	2Kx8-Bit serieller EEPROM	2Kx8-Bit Serial EEPROM	B8-SSOP		577.80/2,500	
BR24L16FVM-WCT-ND	2Kx8-Bit serieller EEPROM	2Kx8-Bit Serial EEPROM	8-MSOP	.71	.54	.40
BR24L16FVM-WTR-ND	2Kx8-Bit serieller EEPROM	2Kx8-Bit Serial EEPROM	8-MSOP		693.37/3,000	
BR24L32-W-ND	4Kx8-Bit serieller EEPROM	4Kx8-Bit Serial EEPROM	8-Dip	1.22	1.02	.82
BR24L32F-WE2CT-ND	4Kx8-Bit serieller EEPROM	4Kx8-Bit Serial EEPROM	8-SOP	.86	.72	.58
BR24L32F-WE2TR-ND	4Kx8-Bit serieller EEPROM	4Kx8-Bit Serial EEPROM	8-SOP		935.49/2,500	
BR24L32FV-WE2CT-ND	4Kx8-Bit serieller EEPROM	4Kx8-Bit Serial EEPROM	B8-SSOP	.86	.72	.58
BR24L32FV-WE2TR-ND	4Kx8-Bit serieller EEPROM	4Kx8-Bit Serial EEPROM	B8-SSOP		935.49/2,500	
BR24L64-W-ND	8Kx8-Bit serieller EEPROM	8Kx8-Bit Serial EEPROM	8-Dip	1.24	1.04	.83
BR24L64F-WE2CT-ND	8Kx8-Bit serieller EEPROM	8Kx8-Bit Serial EEPROM	8-SOP	1.12	.94	.75
BR24L64F-WE2TR-ND	8Kx8-Bit serieller EEPROM	8Kx8-Bit Serial EEPROM	8-SOP		1210.64/2,500	
BR34L02FV-WE2CT-ND	256x8-Bit serieller EEPROM	256x8-Bit Serial EEPROM	B8-SSOP	.41	.31	.23
BR34L02FV-WE2TR-ND	256x8-Bit serieller EEPROM	256x8-Bit Serial EEPROM	B8-SSOP		330.17/2,500	
BR93L46-W-ND	64x16-Bit serieller EEPROM	64x16-Bit Serial EEPROM	8-Dip	.61	.46	.35
BR93L46F-WE2CT-ND	64x16-Bit serieller EEPROM	64x16-Bit Serial EEPROM	8-SOP	.54	.41	.31
BR93L46F-WE2TR-ND	64x16-Bit serieller EEPROM	64x16-Bit Serial EEPROM	8-SOP		440.23/2,500	
BR93L46FV-WE2CT-ND	64x16-Bit serieller EEPROM	64x16-Bit Serial EEPROM	B8-SSOP	.54	.41	.31
BR93L46FV-WE2TR-ND	64x16-Bit serieller EEPROM	64x16-Bit Serial EEPROM	B8-SSOP		440.23/2,500	
BR93L46RFVM-WCT-ND	64x16-Bit serieller EEPROM	64x16-Bit Serial EEPROM	8-MSOP	.54	.41	.31
BR93L46RFVM-WTR-ND	64x16-Bit serieller EEPROM	64x16-Bit Serial EEPROM	8-MSOP		528.28/3,000	
BR93L56-W-ND	128x16-Bit serieller EEPROM	128x16-Bit Serial EEPROM	8-Dip	.75	.56	.42
BR93L56F-WE2CT-ND	128x16-Bit serieller EEPROM	128x16-Bit Serial EEPROM	8-SOP	.54	.41	.31
BR93L56F-WE2TR-ND	128x16-Bit serieller EEPROM	128x16-Bit Serial EEPROM	8-SOP		440.23/2,500	
BR93L56FV-WE2CT-ND	128x16-Bit serieller EEPROM	128x16-Bit Serial EEPROM	B8-SSOP	.54	.41	.31
BR93L56FV-WE2TR-ND	128x16-Bit serieller EEPROM	128x16-Bit Serial EEPROM	B8-SSOP		440.23/2,500	
BR93L56RFVM-WCT-ND	128x16-Bit serieller EEPROM	128x16-Bit Serial EEPROM	8-MSOP	.54	.41	.31
BR93L56RFVM-WTR-ND	128x16-Bit serieller EEPROM	128x16-Bit Serial EEPROM	8-MSOP		528.28/3,000	
BR93L66-W-ND	256x16-Bit serieller EEPROM	256x16-Bit Serial EEPROM	8-Dip	.63	.53	.43
BR93L66F-WE2CT-ND	256x16-Bit serieller EEPROM	256x16-Bit Serial EEPROM	8-SOP	.68	.51	.39
BR93L66F-WE2TR-ND	256x16-Bit serieller EEPROM	256x16-Bit Serial EEPROM	8-SOP		550.29/2,500	
BR93L66FV-WE2CT-ND	256x16-Bit serieller EEPROM	256x16-Bit Serial EEPROM	B8-SSOP	.68	.51	.39
BR93L66FV-WE2TR-ND	256x16-Bit serieller EEPROM	256x16-Bit Serial EEPROM	B8-SSOP		550.29/2,500	
BR93L66RFVM-WCT-ND	256x16-Bit serieller EEPROM	256x16-Bit Serial EEPROM	8-MSOP	.68	.51	.39
BR93L66RFVM-WTR-ND	256x16-Bit serieller EEPROM	256x16-Bit Serial EEPROM	8-MSOP		660.35/3,000	
BR93L76-W-ND	512Kx16-Bit serieller EEPROM	512Kx16-Bit Serial EEPROM	8-Dip	.79	.66	.53
BR93L76F-WE2CT-ND	512Kx16-Bit serieller EEPROM	512Kx16-Bit Serial EEPROM	8-SOP	.68	.51	.39
BR93L76F-WE2TR-ND	512Kx16-Bit serieller EEPROM	512Kx16-Bit Serial EEPROM	8-SOP		550.29/2,500	
BR93L76RFV-WE2CT-ND	512Kx16-Bit serieller EEPROM	512Kx16-Bit Serial EEPROM	B8-SSOP	.75	.56	.42
BR93L76RFV-WE2TR-ND	512Kx16-Bit serieller EEPROM	512Kx16-Bit Serial EEPROM	B8-SSOP		605.32/2,500	
BR93L76RFVM-WCT-ND	512Kx16-Bit serieller EEPROM	512Kx16-Bit Serial EEPROM	8-MSOP	.75	.56	.42
BR93L76RFVM-WTR-ND	512Kx16-Bit serieller EEPROM	512Kx16-Bit Serial EEPROM	8-MSOP		726.38/3,000	
BR93L86-W-ND	1Kx16-Bit serieller EEPROM	1Kx16-Bit Serial EEPROM	8-Dip	1.07	.89	.72
BR93L86F-WE2CT-ND	1Kx16-Bit serieller EEPROM	1Kx16-Bit Serial EEPROM	8-SOP	.75	.56	.42
BR93L86F-WE2TR-ND	1Kx16-Bit serieller EEPROM	1Kx16-Bit Serial EEPROM	8-SOP		605.32/2,500	
BR93L86RFV-WE2CT-ND	1Kx16-Bit serieller EEPROM	1Kx16-Bit Serial EEPROM	B8-SSOP	.63	.53	.43
BR93L86RFV-WE2TR-ND	1Kx16-Bit serieller EEPROM	1Kx16-Bit Serial EEPROM	B8-SSOP		687.86/2,500	
BR93L86RFVM-WCT-ND	1Kx16-Bit serieller EEPROM	1Kx16-Bit Serial EEPROM	8-MSOP	.63	.53	.43
BR93L86RFVM-WTR-ND	1Kx16-Bit serieller EEPROM	1Kx16-Bit Serial EEPROM	8-MSOP		825.44/3,000	

Digi-Key Teilenr.	Beschreibung		Paket	Stückpreis★ 1	25	100
		Treiber-ICs				
IP1001-ND	20A, Full Function Sync. Buck Power Block	20A, Full Function Sync. Buck Power Block	14x14mm BGA	22.59	18.64	15.82
IP1001TR-ND	20A, Full Function Sync. Buck Power Block	20A, Full Function Sync. Buck Power Block	14x14mm BGA		10841.77/750	
IP1201-ND	30A, Dual Out Full Function 2-Phase Sync. Buck Power Block	30A, Dual Out Full Function 2-Phase Sync. Buck Power Block	15.5x9.25x2.6mm BGA	17.02	13.62	11.07
IP1201TR-ND	30A, Dual Out Full Function 2-Phase Sync. Buck Power Block	30A, Dual Out Full Function 2-Phase Sync. Buck Power Block	15.5x9.25x2.6mm BGA		8136.25/750	
IP1202-ND	30A, Dual Out Full Function 2-Phase Sync. Buck Power Block	30A, Dual Out Full Function 2-Phase Sync. Buck Power Block	15.5x9.25x2.6mm BGA	17.02	13.62	11.07
IP1202TR-ND	30A, Dual Out Full Function 2-Phase Sync. Buck Power Block	30A, Dual Out Full Function 2-Phase Sync. Buck Power Block	15.5x9.25x2.6mm BGA		8136.25/750	
IP2001-ND	20A, Sync. Buck Multiphase Optimized BGA Power Block	20A, Sync. Buck Multiphase Optimized BGA Power Block	144-BGA	11.31	8.93	8.04
IP2002-ND	30A, Sync. Buck Multiphase Optimized BGA Power Block	30A, Sync. Buck Multiphase Optimized BGA Power Block	8-BGA	13.76	10.16	9.34
IP2002TR-ND	30A, Sync. Buck Multiphase Optimized BGA Power Block	30A, Sync. Buck Multiphase Optimized BGA Power Block	8-BGA		8355.10/1,000	
IP2003-ND	40A, Sync. Buck Multiphase Optimized LGA Power Block	40A, Sync. Buck Multiphase Optimized LGA Power Block	11x11mm LGA	15.15	10.77	9.76
IPS031S-ND	Low-Side Treiber	Low Side Driver	D2-PAK	3.05	2.44	1.76
IPS512G-ND	High-Side-Treiber	High Side Driver	16-SOIC	3.85	3.09	2.22
IPS5551T-ND	High-Side-Treiber	High Side Driver	TO-220	7.62	6.10	4.39
IR51H224-ND	Selbstschwingender Halbbrückentreiber	Self-Oscillating Half-Bridge Driver	9-Sip	3.71	2.97	2.29
IR51H310-ND	Selbstschwingender Halbbrückentreiber	Self-Oscillating Half-Bridge Driver	9-Sip	3.50	2.80	2.16
IR51H420-ND	Selbstschwingender Halbbrückentreiber	Self-Oscillating Half-Bridge Driver	9-Sip	4.13	3.31	2.54
IR53HD420-ND	Selbstschwingender Halbbrückentreiber	Self-Oscillating Half-Bridge Driver	9-Sip	4.22	3.37	2.60
IR1176-ND	Synchroner Gleichrichter-Treiber, 5 V, 4 A	5V, 4A, Synchronous Rectifier Driver	20-PDip	6.46	4.43	3.88
IR1176S-ND	Synchroner Gleichrichter-Treiber, 5 V, 4 A	5V, 4A, Synchronous Rectifier Driver	20-SSOP	6.56	4.51	3.94
IR2085S-ND	Selbstschwingender Halbbrückentreiber	Self-Oscillating Half-Bridge Driver	8-SOIC	3.38	2.21	1.94

(Forts.)

★ ***RUFEN SIE-BitTE AN FÜR NIEDRIGERE PREISE BEI GRÖSSEREN MENGEN!*** ★

B

Digi-Key Teilenr.	Beschreibung		Paket	Stückpreis★ 1	25	100
IR2085STRTR-ND	Selbstschwingender Halbbrückentreiber	Self-Oscillating Half-Bridge Driver	8-SOIC		4050.98/2,500	
IR2101-ND	High- und Low-Side-Treiber	High and Low Side Driver	8-Dip	1.93	1.40	1.33
IR2101S-ND	High- und Low-Side-Treiber	High and Low Side Driver	8-SOIC	2.03	1.63	1.26
IR2102-ND	High- und Low-MOS-Treiber	High and Low MOS Driver	8-Dip	2.54	2.04	1.57
IR2102S-ND	High- und Low-MOS-Treiber	High and Low MOS Driver	8-SOIC	2.82	2.26	1.74
IR2103-ND	High- und Low-Side-Treiber	High and Low Side Driver	8-Dip	2.54	2.04	1.57
IR2103S-ND	High- und Low-MOS-Treiber	High and Low MOS Driver	8-SOIC	2.03	1.63	1.26
IR2104-ND	High- und Low-Side-Treiber	High and Low Side Driver	8-Dip	2.63	1.63	1.44
IR2104S-ND	High- und Low-Side-Treiber	High and Low Side Driver	8-SOIC	1.35	1.09	.84
IR2104STR-ND	High- und Low-Side-Treiber	High and Low Side Driver	8-SOIC		1828.66/2,500	
IR2106-ND	High- und Low-Side-Treiber	High and Low Side Driver	8-Dip	2.50	1.82	1.72
IR2106S-ND	High- und Low-Side-Treiber	High and Low Side Driver	8-SOIC	2.86	2.29	1.76
IR2107-ND	High- und Low-Side-Treiber	High and Low Side Driver	8-Dip	2.51	2.02	1.51
IR2108-ND	High- und Low-Side-Treiber	High and Low Side Driver	8-Dip	2.50	1.82	1.72
IR2108S-ND	High- und Low-Side-Treiber	High and Low Side Driver	8-SOIC	2.86	2.29	1.76
IR2109-ND	Halbbrückentreiber	Half-Bridge Driver	8-Dip	2.79	2.24	1.72
IR2109S-ND	Halbbrückentreiber	Half-Bridge Driver	8-SOIC	2.86	2.29	1.76
IR2109STR-ND	Halbbrückentreiber	Half-Bridge Driver	8-SOIC		1858.29/2,500	
IR2110-ND	High- und Low-Side-Treiber	High and Low Side Driver	14-Dip	4.35	2.82	2.52
IR2110-1PBF-ND	High- und Low-Side-Treiber	High and Low Side Driver	14-Dip	4.74	2.77	2.37
IR2110S-ND	High- und Low-Side-Treiber	High and Low Side Driver	16-SOIC	3.39	2.71	2.09
IR2110STR-ND	High- und Low-Side-Treiber	High and Low Side Driver	16-SOIC		1769.04/1,000	
IR2111-ND	Halbbrückentreiber	Half-Bridge Driver	8-Dip	2.18	1.36	1.20
IR2111S-ND	Halbbrückentreiber	Half-Bridge Driver	8-SOIC	1.59	1.27	.98
IR2111STR-ND	Halbbrückentreiber	Half-Bridge Driver	8-SOIC		2144.01/2,500	
IR2112-ND	High- und Low-Side-Treiber	High and Low Side Driver	14-Dip	2.08	1.51	1.44
IR2112S-ND	High- und Low-Side-Treiber	High and Low Side Driver	16-SOIC	2.54	2.04	1.57
IR2112STR-ND	High- und Low-Side-Treiber	High and Low Side Driver	16-SOIC		1810.03/1,000	
IR2113-ND	High- und Low-Side-Treiber	High and Low Side Driver	14-Dip	4.75	3.12	2.79
IR2113S-ND	High- und Low-Side-Treiber	High and Low Side Driver	16-SOIC	3.71	2.97	2.28
IR2117-ND	1-Kanal-Treiber	Single-Channel Driver	8-Dip	1.59	1.16	1.10
IR2117S-ND	1-Kanal-Treiber	Single-Channel Driver	8-SOIC	1.98	1.59	1.22
IR2117STR-ND	1-Kanal-Treiber	Single-Channel Driver	8-SOIC		3714.46/2,500	
IR2118-ND	High-Side-Treiber	High Side Driver	8-Dip	2.03	1.63	1.25
IR2118S-ND	High-Side-Treiber	High Side Driver	8-SOIC	2.18	1.74	1.34
IR2121-ND	Low-Side-Treiber mit Strombegrenzer	Current Limiting Low Side Driver	8-Dip	2.87	2.29	1.77
IR2122-ND	High-Side-Treiber	High Side Driver	8-Dip	4.02	3.22	2.49
IR2125-ND	1-Kanal-Treiber mit Strombegrenzer	Current Limiting Single-Channel Driver	8-Dip	3.16	2.29	2.18
IR2125S-ND	1-Kanal-Treiber mit Strombegrenzer	Current Limiting Single-Channel Driver	16-SOIC	4.06	3.26	2.51
IR2127-ND	1-Kanal-Treiber mit Stromsensor	Current Sensing Single-Channel Driver	8-Dip	3.22	2.32	2.22
IR2127S-ND	1-Kanal-Treiber mit Stromsensor	Current Sensing Single-Channel Driver	8-SOIC	2.01	1.61	1.25
IR2127STR-ND	1-Kanal-Treiber mit Stromsensor	Current Sensing Single-Channel Driver	8-SOIC		2715.47/2,500	
IR2128-ND	High-Side-Treiber	High Side Driver	8-Dip	3.60	2.88	2.22
IR2128S-ND	High-Side-Treiber	High Side Driver	8-SOIC	4.02	3.22	2.49
IR2130-ND	3-phasiger Brückentreiber	3-Phase Bridge Driver	28-Dip	10.10	7.29	6.96
IR2130J-ND	3-phasiger Brückentreiber	3-Phase Bridge Driver	44-PLCC	12.06	9.66	7.44
IR2130S-ND	3-phasiger Brückentreiber	3-Phase Bridge Driver	28-SOIC	9.17	7.34	5.66
IR2131-ND	Dreifacher High- und Low-Side-Treiber	Triple High and Low Side Driver	28-Dip	11.30	9.05	6.96
IR2131J-ND	Dreifacher High- und Low-Side-Treiber	Triple High and Low Side Driver	44-PLCC	12.06	9.66	7.44
IR2131S-ND	Dreifacher High- und Low-Side-Treiber	Triple High and Low Side Driver	28-SOIC	12.06	9.66	7.44
IR2132-ND	3-phasiger Brückentreiber	3-Phase Bridge Driver	28-Dip	11.30	9.05	6.96
IR2132S-ND	3-phasiger Brückentreiber	3-Phase Bridge Driver	28-SOIC	12.06	9.66	7.44
IR2133-ND	3-phasiger Brückentreiber	3-Phase Bridge Driver	28-Dip	12.06	9.66	7.44
IR2133J-ND	3-phasiger Brückentreiber	3-Phase Bridge Driver	44-PLCC	11.16	8.07	7.70
IR2133S-ND	3-phasiger Brückentreiber	3-Phase Bridge Driver	28-SOIC	12.06	9.66	7.44
IR2135-ND	3-phasiger Brückentreiber	3-Phase Bridge Driver	28-Dip	12.06	9.66	7.44
IR2135J-ND	3-phasiger Brückentreiber	3-Phase Bridge Driver	44-PLCC	12.49	9.99	7.70
IR2135S-ND	3-phasiger Brückentreiber	3-Phase Bridge Driver	28-SOIC	12.06	9.66	7.44
IR2136-ND	3-phasiger Brückentreiber	3-Phase Bridge Driver	28-Dip	6.43	4.65	4.44
IR2136J-ND	3-phasiger Brückentreiber	3-Phase Bridge Driver	44-PLCC	7.41	5.93	4.57
IR2136S-ND	3-phasiger Brückentreiber	3-Phase Bridge Driver	28-SOIC	7.20	5.76	4.44
IR2151-ND	Halbbrückentreiber	Half-Bridge Driver	8-Dip	2.54	2.04	1.57
IR2151S-ND	Halbbrückentreiber	Half-Bridge Driver	8-SOIC	2.82	2.26	1.74
IR2151STR-ND	Halbbrückentreiber	Half-Bridge Driver	8-SOIC		3943.04/2,500	
IR2153-ND	Selbstschwingender Halbbrückentreiber	Self-Oscillating Half-Bridge Driver	8-Dip	2.14	1.33	1.18
IR2153D-ND	Selbstschwingender Halbbrückentreiber	Self-Oscillating Half-Bridge Driver	8-Dip	2.80	1.97	1.58
IR2153S-ND	Halbbrückentreiber	Half-Bridge Driver	8-SOIC	1.42	1.14	.88
IR2153STR-ND	Halbbrückentreiber	Half-Bridge Driver	8-SOIC		3943.04/2,500	
IR2155-ND	Halbbrückentreiber	Half-Bridge Driver	8-Dip	2.80	2.24	1.73
IR2172-ND	Motor-Treiber mit Stromsensor	Current Sensing Motor Drive	8-Dip	5.93	4.75	3.56
IR2172S-ND	Motor-Treiber mit Stromsensor	Current Sensing Motor Drive	8-SOIC	6.04	4.83	3.63
IR2182-ND	High- und Low-Side-Treiber	High and Low Side Driver	8-Dip	2.86	2.29	1.72
IR2184-ND	High- und Low-Side-Treiber	High and Low Side Driver	8-Dip	2.86	2.29	1.72
IR2184S-ND	High- und Low-Side-Treiber	High and Low Side Driver	8-SOIC	2.95	2.37	1.78
IR2213S-ND	High- und Low-Side-Treiber	High and Low Side Driver	16-SOIC	7.62	6.10	4.70
IR2214SS-ND	Halbbrücken-Gate-Treiber	Half-Bridge Gate Driver	24-SSOP	8.76	6.10	5.72
IR2233-ND	3-phasiger Brückentreiber	3-Phase Bridge Driver	28-Dip	31.75	25.40	19.56
IR2233J-ND	3-phasiger Brückentreiber	3-Phase Bridge Driver	44-PLCC	22.70	16.42	15.65
IR2233S-ND	3-phasiger Brückentreiber	3-Phase Bridge Driver	28-SOIC	25.40	20.32	15.65
IR2235-ND	3-phasiger Brückentreiber	3-Phase Bridge Driver	28-Dip	31.75	25.40	19.56
IR2235J-ND	3-phasiger Brückentreiber	3-Phase Bridge Driver	44-PLCC	31.75	25.40	19.56
IR2235S-ND	3-phasiger Brückentreiber	3-Phase Bridge Driver	28-SOIC	31.75	25.40	19.56
IR2301-ND	High- und Low-Side-Treiber	High and Low Side Driver	8-Dip	2.54	1.57	1.38
IR2301S-ND	High- und Low-Side-Treiber	High and Low Side Driver	8-SOIC	2.59	1.60	1.41
IR2301STRTR-ND	High- und Low-Side-Treiber	High and Low Side Driver	8-SOIC		3005.43/2,500	
IR2302-ND	Halbbrückentreiber	Half-Bridge Driver	8-Dip	2.54	1.57	1.38
IR2302S-ND	Halbbrückentreiber	Half-Bridge Driver	8-SOIC	2.59	1.60	1.41
IR3080M-ND	XPHASE™ VRD10 Controller	XPHASE™ VRD10 Controller	32-MLPQ	3.20	2.09	1.86
IR3081M-ND	XPHASE™ VRD10 Controller	XPHASE™ VR10.0 Controller	28-MLPQ	3.30	2.14	1.90
IR3086M-ND	XPHASE™ Controller	XPHASE™ Controller	20-MLPQ	2.36	1.45	1.26
IR3087M-ND	XPHASE™ mit OPTI-PHASE™, OVP, Übertemperatur	XPHASE™ with OPTI-PHASE™, OVP, Over Temperature	20-MLPQ	2.39	1.40	1.23
IR3092M-ND	2-Phasen Opteron, Athlon oder VR10.X Steuerungs-IC	2-Phase Opteron, Athlon, or VR10.X Control IC	48-MLPQ	5.38	3.33	2.98
IR3101-ND	1,6 A, 500 V Halbbrücken-FredFet-Treiber	1.6A, 500V, Half-Bridge FredFet Driver	9-Sip	5.29	3.50	3.18
IR3220S-ND	Voll geschützte H-Brücke für DC-Motor	Fully Protected H-Bridge for DC Motor	20-SOIC	6.14	4.18	3.69
IR4426-ND	Low-Side Treiber	Low Side Driver	8-Dip	1.51	1.21	.81
IR4426S-ND	Low-Side Treiber	Low Side Driver	8-SOIC	1.62	1.30	.98
IR4427-ND	Low-Side Treiber	Low Side Driver	8-Dip	1.52	1.22	.92
IR4427S-ND	Low-Side Treiber	Low Side Driver	8-SOIC	1.62	1.30	.98
IR4428-ND	Low-Side Treiber	Low Side Driver	8-Dip	1.52	1.22	.92
IR4428S-ND	Low-Side Treiber	Low Side Driver	8-SOIC	1.62	1.30	.98
IR6210-ND	High-Side-Treiber	High Side Driver	TO-220-5	4.22	3.37	2.60
IR6210S-ND	High-Side-Treiber	High Side Driver	TO-220-5	3.72	2.97	2.29
IR6216-ND	High-Side-Treiber	High Side Driver	TO-220-5	4.22	3.37	2.60
IR6220S-ND	High-Side-Treiber	High Side Driver	TO-220-5	2.96	2.38	1.83
IR6220STRL-ND	High-Side-Treiber	High Side Driver	TO-220-5		1280.06/800	

(Forts.)

★ RUFEN SIE-BitTE AN FÜR NIEDRIGERE PREISE BEI GRÖSSEREN MENGEN! ★

Alle Preisangaben in Euro und inklusive Zollgebühren.

Digi-Key Teilenr.	Beschreibung		Paket	Stückpreis★ 1	25	100
IR21064-ND	High- und Low-Side-Treiber	High and Low Side Driver	14-Dip	2.86	2.29	1.77
IR21064S-ND	High- und Low-Side-Treiber	High and Low Side Driver	14-SOIC	2.90	2.32	1.79
IR21074-ND	High- und Low-Side-Treiber	High and Low Side Driver	14-Dip	2.92	2.34	1.80
IR21084-ND	High- und Low-Side-Treiber	High and Low Side Driver	14-Dip	2.86	2.29	1.77
IR21084S-ND	High- und Low-Side-Treiber	High and Low Side Driver	14-SOIC	2.90	2.32	1.79
IR21094-ND	Halbbrückentreiber	Half-Bridge Driver	14-Dip	1.80	1.44	1.11
IR21094S-ND	Halbbrückentreiber	Half-Bridge Driver	14-SOIC	1.63	1.31	1.01
IR21271-ND	1-Kanal-Treiber mit Stromsensor, 600 V, 200/420 mA	600V, 200/420mA Current Sensing Single Channel Driver	8-Dip	4.03	2.60	2.34
IR21271S-ND	1-Kanal-Treiber mit Stromsensor, 600 V, 200/420 mA	600V, 200/420mA Current Sensing Single Channel Driver	8-SOIC	4.43	2.90	2.58
IR21362-ND	3-phasiger Brückentreiber	3-Phase Bridge Driver	28-Dip	7.20	5.76	4.44
IR21362S-ND	3-phasiger Brückentreiber	3-Phase Bridge Driver	28-SOIC	7.20	5.76	4.44
IR21531-ND	Halbbrückentreiber	Half-Bridge Driver	8-Dip	2.65	2.12	1.64
IR21531D-ND	Selbstschwingender Halbbrückentreiber	Self-Oscillating Half-Bridge Driver	8-Dip	2.46	1.97	1.48
IR21531S-ND	Halbbrückentreiber	Half-Bridge Driver	8-SOIC	2.69	2.16	1.66
IR21571-ND	Lampenvorschaltglied-Steuerung	Ballast Control	16-Dip	3.81	3.05	2.35
IR21571S-ND	Lampenvorschaltglied-Steuerung	Ballast Control	16-SOIC	3.92	3.14	2.42
IR21592-ND	Dimmer-Lampenvorschaltglied-Steuerung	Dimming Ballast Control	16-Dip	4.99	3.14	2.92
IR21593-ND	Dimmer-Lampenvorschaltglied-Steuerung	Dimming Ballast Control	16-Dip	4.99	3.14	2.92
IR21593S-ND	Dimmer-Lampenvorschaltglied-Steuerung	Dimming Ballast Control	16-SOIC	5.10	3.21	2.99
IR21824-ND	High- und Low-Side-Treiber	High and Low Side Driver	14-Dip	2.95	2.37	1.78
IR21824S-ND	High- und Low-Side-Treiber	High and Low Side Driver	14-SOIC	3.05	2.44	1.83
IR21844-ND	High- und Low-Side-Treiber	High and Low Side Driver	14-Dip	2.95	2.37	1.78
IR21844S-ND	High- und Low-Side-Treiber	High and Low Side Driver	14-SOIC	3.05	2.44	1.83
IR22141SS-ND	Halbbrücken-Gate-Treiber	Half-Bridge Gate Driver	24-SSOP	8.76	6.10	5.72
IRAMS06UP60A-ND	Plug-N-Drive™, 600 V, 6 A integriertes Leistungsmodul für Haushaltsgeräte-Motorenantriebe	600V, 6A Plug N Drive™ Integrated Power Module for Appliance Motor Drive	Module	18.05	13.75	12.04
IRAMS06UP60B-ND	Plug-N-Drive™, 600 V, 6 A integriertes Leistungsmodul für Haushaltsgeräte-Motorenantriebe	600V, 6A Plug N Drive™ Integrated Power Module for Appliance Motor Drive	Module	18.85	13.91	12.75
IRAMS10UP60A-ND	Plug-N-Drive™, 600 V,10 A integriertes Leistungsmodul für Haushaltsgeräte-Motorenantriebe	600V, 10A Plug N Drive™ Integrated Power Module for Appliance Motor Drive	Module	19.83	14.64	13.41
IRAMS10UP60B-ND	Plug-N-Drive™, 600 V,10 A integriertes Leistungsmodul für Haushaltsgeräte-Motorenantriebe	600V, 10A Plug N Drive™ Integrated Power Module for Appliance Motor Drive	Module	19.81	15.16	13.87
IRAMX16UP60A-ND	Plug-N-Drive™, 600 V,16 A integriertes Leistungsmodul für Haushaltsgeräte-Motorenantriebe	600V, 16A Plug N Drive™ Integrated Power Module for Appliance Motor Drive	Module	26.84	21.47	18.79
IRSF3011-ND	Low-Side Treiber	Low Side Driver	TO-220AB	3.71	2.97	2.29
IRSF3011L-ND	Low-Side Treiber	Low Side Driver	SOT-223	2.96	2.38	1.83
IRSF3021-ND	Low-Side Treiber	Low Side Driver	TO-220AB	3.50	2.80	2.16
IRSF3031-ND	Low-Side Treiber	Low Side Driver	TO-220AB	3.50	2.80	2.16
	Schaltende ICs					
IPS021-ND	Voll geschützter MOSFET-Leistungsschalter	Fully Protected Power MOSFET Switch	TO-220AB	1.69	1.36	.98
IPS021L-ND	Voll geschützter MOSFET-Leistungsschalter	Fully Protected Power MOSFET Switch	SOT-223	1.18	.99	.76
IPS021S-ND	Voll geschützter MOSFET-Leistungsschalter	Fully Protected Power MOSFET Switch	SMD-220	2.03	1.63	1.17
IPS022G-ND	Zweif. voll geschützter MOSFET-Leistungsschalter	Dual Fully Protected Power MOSFET Switch	8-SOIC	2.12	1.70	1.22
IPS022GTR-ND	Zweif. voll geschützter MOSFET-Leistungsschalter	Dual Fully Protected Power MOSFET Switch	8-SOIC		3428.73/2,500	
IPS024G-ND	Low-Side Treiber	Low Side Driver	16-SOIC	4.21	3.37	2.42
IPS031-ND	Voll geschützter MOSFET-Leistungsschalter	Fully Protected Power MOSFET Switch	TO-220	2.57	2.16	1.66
IPS031G-ND	Einf./zweif. voll geschützter MOSFET-Leistungsschalter	Single/Dual Fully Protected Power MOSFET Switch	8-SOIC	2.13	1.71	1.29
IPS032G-ND	Einf./zweif. voll geschützter MOSFET-Leistungsschalter	Single/Dual Fully Protected Power MOSFET Switch	16-SOIC	3.45	2.76	2.07
IPS041L-ND	Voll geschützter MOSFET-Leistungsschalter	Fully Protected Power MOSFET Switch	SOT-223	.97	.78	.57
IPS042G-ND	Zweif. voll geschützter MOSFET-Leistungsschalter	Dual Fully Protected Power MOSFET Switch	8-SOIC	2.16	1.73	1.25
IPS511-ND	Voll geschützter High-Side-MOSFET-Leistungsschalter	Fully Protected High-Side Power MOSFET Switch	TO-220-5	2.54	2.04	1.47
IPS511G-ND	Voll geschützter High-Side-MOSFET-Leistungsschalter	Fully Protected High-Side Power MOSFET Switch	8-SOIC	1.72	1.04	.92
IPS511GTR-ND	Voll geschützter High-Side-MOSFET-Leistungsschalter	Fully Protected High-Side Power MOSFET Switch	8-SOIC		1837.12/2,500	
IPS511S-ND	Voll geschützter High-Side-MOSFET-Leistungsschalter	Fully Protected High-Side Power MOSFET Switch	SMD-220-5	2.71	2.17	1.56
IPS521-ND	Voll geschützter High-Side-MOSFET-Leistungsschalter	Fully Protected High-Side Power MOSFET Switch	TO-220	3.17	2.67	2.05
IPS521F-ND	Voll geschützter High-Side-MOSFET-Leistungsschalter	Fully Protected High-Side Power MOSFET Switch	TO-220-5	3.89	3.12	2.34
IPS521G-ND	Voll geschützter High-Side-MOSFET-Leistungsschalter	Fully Protected High-Side Power MOSFET Switch	8-SOIC	3.05	2.44	1.83
IPS521S-ND	Voll geschützter High-Side-MOSFET-Leistungsschalter	Fully Protected High-Side Power MOSFET Switch	D2-PAK	4.08	2.84	2.31
IPS0151-ND	Voll geschützter MOSFET-Leistungsschalter	Fully Protected Power MOSFET Switch	TO-220AB	3.56	2.85	2.05
IPS0151S-ND	Voll geschützter MOSFET-Leistungsschalter	Fully Protected Power MOSFET Switch	D2-PAK	3.73	2.98	2.24
IPS0551T-ND	Voll geschützter MOSFET-Leistungsschalter	Fully Protected Power MOSFET Switch	TO-220	6.77	5.42	4.07
IPS5451-ND	Voll geschützter High-Side-MOSFET-Leistungsschalter	Fully Protected High-Side Power MOSFET Switch	TO-220-5	4.23	3.39	2.44
IR1150SCT-ND	Steuerungs-PFC IC, ein Zyklus	One Cycle Control PFC IC	8-SOIC	2.92	1.76	1.56
IR1150STR-ND	Steuerungs-PFC IC, ein Zyklus	One Cycle Control PFC IC	8-SOIC		3164.17/2,500	
IR2156-ND	Vorschaltgerät-Steuerungs-IC, 600 V, 0,5 A	600V, 0.5A Ballast Control IC	14-PDip	2.79	1.80	1.62
IR2156S-ND	Vorschaltgerät-Steuerungs-IC, 600 V, 0,5 A	600V, 0.5A Ballast Control IC	14-SOIC	2.84	1.83	1.65
IR2166-ND	PFC- und Vorschaltgerät-Steuerungs-IC, 600 V, 500 mA	600V, 500mA PFC and Ballast Control IC	16-Dip	3.07	2.46	1.97
IR2166S-ND	PFC- und Vorschaltgerät-Steuerungs-IC, 600 V, 500 mA	600V, 500mA PFC and Ballast Control IC	16-SOIC	3.12	2.49	2.00
IR2170-ND	Überstromsensor-IC, 600 V,1 mA	600V, 1mA Over Current Sensing IC	8-PDip	4.77	3.27	2.87
IR2170S-ND	Überstromsensor-IC, 600 V,1 mA	600V, 1mA Over Current Sensing IC	8-SOIC	4.87	3.34	2.93
IR2171-ND	Linearstromsensor-IC, 600 V,1 mA	600V, 1mA Linear Current Sensing IC	8-PDip	5.29	3.63	3.18
IR2171S-ND	Linearstromsensor-IC, 600 V,1 mA	600V, 1mA Linear Current Sensing IC	8-SOIC	5.40	3.71	3.24
IR2181-ND	High- und Low-Side-Treiber, 600 V,1,7 A	600V, 1.7A High and Low Side Driver	8-PDip	3.56	2.29	2.06
IR21814-ND	High- und Low-Side-Treiber, 600 V,1,7 A	600V, 1.7A High and Low Side Driver	14-PDip	3.67	2.37	2.13
IR21814S-ND	High- und Low-Side-Treiber, 600 V,1,7 A	600V, 1.7A High and Low Side Driver	14-SOIC	3.79	2.44	2.20
IR2183-ND	Halbbrückentreiber, 600 V	600V, Half Bridge Driver	8-PDip	3.56	2.29	2.06
IR2183S-ND	Halbbrückentreiber, 600 V	600V, Half Bridge Driver	8-SOIC	3.67	2.37	2.13
IR2304-ND	Halbbrückentreiber	Half Bridge Driver	8-PDip	2.73	1.61	1.41
IR3310-ND	Programmierbarer, stromfühlender High-Side-Schalter	Programmable, Current Sensing, High Side Switch	TO-220-5	4.55	3.10	2.74
IR3310S-ND	Intelligenter Leistungsschalter, High-Side-Treiber,1-Kanal	1-Channel, Intelligent Power Switch, High Side Driver	D2-PAK-5	4.87	3.32	2.93
IR3311-ND	Programmierbarer, stromfühlender High-Side-Schalter	Programmable, Current Sensing, High Side Switch	TO-220-5	4.44	3.03	2.67
IR3311S-ND	Programmierbarer, stromfühlender High-Side-Schalter	Programmable, Current Sensing, High Side Switch	D2-PAK	5.00	3.10	2.92
IR3312-ND	Programmierbarer, stromfühlender High-Side-Schalter	Programmable, Current Sensing, High Side Switch	TO-220-5	4.07	2.60	2.38
IR3312S-ND	Programmierbarer, stromfühlender High-Side-Schalter	Programmable, Current Sensing, High Side Switch	D2-PAK	4.19	2.60	2.44
IR6224-ND	Intelligenter High-Side-MOSFET-Leistungsschalter	Intelligent High Side MOSFET Power Switch	TO-220	4.77	3.81	2.86
IR6224S-ND	Intelligenter High-Side-MOSFET-Leistungsschalter	Intelligent High Side MOSFET Power Switch	D2-PAK	4.98	3.98	2.99
IR21834SCT-ND	Halbbrückentreiber, 600 V	600V, Half Bridge Driver	14-SOIC	3.91	2.80	2.45
IR21834STR-ND	Halbbrückentreiber, 600 V	600V, Half Bridge Driver	14-SOIC		4609.74/2,500	
IRDCIP1001-A-ND	Einphasiger synchroner Buck-Wandler, 3,3 V bis 4,5 V	Single Phase Synchronous Buck Converter, 3.3V to 4.5V	—	312.18	—	—
IRIS4007-ND	Integrierter Leistungsschalter, 200 V, 4 A	Integrated Power Switch, 200V, 4A	TO-220-5	4.69	3.01	2.70
IRIS4007K-ND	Integrierter Leistungsschalter, 200 V, 4 A	Integrated Power Switch, 200V, 4A	TO-262-5	4.57	2.93	2.63
IRIS4011-ND	Integrierter Leistungsschalter, 650 V, 2,7 A	Integrated Power Switch, 650V, 2.7A	TO-220-5	4.69	3.01	2.70
IRIS4013-ND	Integrierter Leistungsschalter, 650 V, 5,1 A	Integrated Power Switch, 650V, 5.1A	TO-220-5	5.05	3.24	2.92
IRIS4013K-ND	Integrierter Leistungsschalter, 650 V, 5,1 A	Integrated Power Switch, 650V, 5.1A	TO-262-5	4.94	3.17	2.85
IRIS4015-ND	Integrierter Leistungsschalter, 650 V, 8 A	Integrated Power Switch, 650V, 8A	TO-220-5	5.45	3.63	3.29
IRMCK201-ND	Konfigurierbare Hochleistungs-Digital-AC-Servosteuerung	High Performance Configurable Digital AC Servo Control	100-QFP	13.35	10.54	9.49
IRMCK203-ND	Sensorlose Hochleistungs-Bewegungssteuerungs-IC	High Performance Sensorless Motion Control IC	80-QFP	17.69	13.28	11.51
IRMCS2011-ND	iMOTION™ Entwicklungssystem, Codierer-basierte Servo-Antriebsdesign-Plattform	iMOTION™ Development System, Encoder Based Servo Drive Design Platform	—	2030.82	—	—
IRMCS2031-ND	iMOTION™ Entwicklungssystem, fühlerlose Antriebsdesign-Plattform	iMOTION™ Development System, Sensorless Drive Design Platform	—	2116.51	—	—
IRPLLNR3-ND	Lineares Leuchtstofflampen-Vorschaltgerät mit Universaleingang unter Verwendung von IR2167	Universal Input Linear Fluorescent Ballast using the IR2167	—	211.65	—	—
IRPLLNR4-ND	Lineares Leuchtstofflampen-Vorschaltgerät mit Universaleingang unter Verwendung von IR2166	Universal Input Linear Fluorescent Ballast using the IR2166	—	296.31	—	—
IRSF3010S-ND	Voll geschützter MOSFET-Leistungsschalter	Fully Protected Power MOSFET Switch	D2-PAK	4.02	3.22	2.42
IRSF3012L-ND	Voll geschützter MOSFET-Leistungsschalter	Fully Protected Power MOSFET Switch	SOT-223	2.96	2.38	1.78
IRSF3012-ND	Voll geschützter MOSFET-Leistungsschalter	Fully Protected Power MOSFET Switch	TO-220	3.71	2.97	2.23
IRSF3021L-ND	Low-Side MOSFET-Leistungsschalter	Low Side Power MOSFET Switch	SOT-223	2.48	1.99	1.49
IRU1502-33CHCT-ND	Micropower LD PMOS-Spannungsregler,1A	Micropower LD PMOS Voltage Regulator, 1A	6-MLPM	.89	.67	.52
IRU1502-33CHTR-ND	Micropower LD PMOS-Spannungsregler,1A	Micropower LD PMOS Voltage Regulator, 1A	6-MLPM		1244.50/3,000	

(Forts.)

★ ***RUFEN SIE BITTE AN FÜR NIEDRIGERE PREISE BEI GRÖSSEREN MENGEN!*** ★

B

Digi-Key Teilenr.	Beschreibung		Paket	Stückpreis★ 1	25	100
		Referenzdesignkits				
IRAC5001-HS100A-ND	OR-ing Demokarte zeigt die IR5001-Funktionen	OR-ing Demo Board Demonstrates the IR5001 Functions	—	211.65	—	—
IRDC5001-LS48V-ND	OR-ing Demokarte zeigt die IR5001-Funktionen	OR-ing Demo Board Demonstrates the IR5001 Functions	—	211.65	—	—
IRADK10-ND	Referenzdesignkit 0,5 HP Motortreiber, 3-phasig,115-230 V	3-Phase, 115-230V, 0.5HP Motor Drive Reference Design Kit	—	295.46	—	—
IRAUDAMP1-ND	Leistungsstarker Audio-Leistungsverstärker, Klasse D, mit IR2011S	High Power Class D Audio Power Amp using IR2011S	—	423.30	—	—
IRDC3037-ND	Designkit mit synch. IRU3037 PWM-Controller, 200 kHz	Design Kit with IRU3037 Sync. PWM Controller, 200KHz	—	271.34	—	—
IRDC3037A-ND	Designkit mit synch. IRU3037A PWM-Controller, 400 kHz	Design Kit with IRU3037A Sync. PWM Controller, 400KHz	—	271.34	—	—
IRDC3038-ND	Designkit mit synch. IRU3038 PWM-Controller, DDR, 200 kHz	Design Kit with IRU3038 Sync. PWM Controller, DDR, 200KHz	—	271.34	—	—
IRDC3046-ND	Designkit mit zweif. IRU3046 PWM-LDO-Controller, 200 kHz	Design Kit with IRU3046 Dual PWM LDO Controller, 200KHz	—	271.34	—	—
IRDC3048-ND	Designkit mit zweif. IRU3048 PWM-LDO-Controller, 200 kHz	Design Kit with IRU3048 Dual PWM LDO Controller, 200KHz	—	271.34	—	—
IRDC3055-ND	Designkit mit IRU3055 5-Bit programmierbarem 3-Phasen-Synchron-Buck-Controller	Design Kit with IRU3055 5-Bit Prog. 3-Phase Sync. Buck Controller	—	271.34	—	—
IRDC3073-ND	Designkit mit synch. IRU3073 PWM-LDO-Controller, 200 kHz	Design Kit w/IRU3073 Sync. PWM LDO Controller, 200KHz	—	237.05	—	—
IRDC3137-ND	IRU3137 Evaluierungskarte	IRU3137 Evaluation Board	—	386.18	—	—
IRDC3138-ND	IRU3138 Evaluierungskarte	IRU3138 Evaluation Board	—	211.65	—	—
IRDC3146-ND	Referenzdesignkit mit IRU3146	Reference Design Kit with IRU3146	—	211.65	—	—
IRDCIP1201-A-ND	2-phasiger 30 A, 3,14-5,5 VEIN, 0,8-3,3 VAUS 2-phasiges synch. Buck-Wandler-Referenzdesign mit IP1201	2-Phase, 30A, 3.14-5.5VIN, 0.8-3.3VOUT 2-Phase Sync. Buck Converter Reference Design with IP1201	—	249.75	—	—
IRDCIP1202-A-ND	2-phasiger 30 A, 5,5-13,2 VEIN, 0,8-5 VAUS 2-phasiger synch. Buck Wandler-Referenzdesidn mit IP1202	2-Phase, 30A, 5.5-13.2VIN, 0.8-5VOUT 2-Phase Sync. Buck Converter Reference Design with IP1202	—	249.75	—	—
IRDCIP2001-B-ND	3-phasiger 60 A, 5-12 VEIN,1,1-1,85 VAUS Mehrphasen-Buckwandler-Referenzdesign mit IP2001	3-Phase, 60A, 5-12VIN, 1.1-1.85VOUT Multiphase Buck Converter Reference Design with IP2001	—	361.61	—	—
IRDCIP2001-C-ND	4-phasiger 80 A, 5-12 VEIN,1,1-1,85 VAUS Mehrphasen-Buckwandler-Referenzdesign mit IP2001	4-Phase, 80A, 5-12VIN, 1.1-1.85VOUT Multiphase Buck Converter Reference Design with IP2001	—	380.97	—	—
IRDCIP2002-C-ND	4-phasiger 120 A, 6,5-12 VEIN, 0,8-3,3 VAUS synch. Buck-Wandler mit IP2002	4-Phase, 120A, 6.5-12VIN, 0.8-3.3VOUT Synchronous Buck Converter using IP2002	—	334.41	—	—
IRISMPS1-ND	48 V, 30 W Referenzdesignkit mit IRIS4007	48V, 30W Reference Design Kit with IRIS4007	—	260.75	—	—
IRISMPS2-ND	1-12 V, 30 W Referenzdesignkit mit IRIS4011	1-12V, 30W Reference Design Kit with IRIS4011	—	232.82	—	—
IRISMPS3-ND	15 V, 4 A Referenzdesignkit mit IRIS4013	15V, 4A Reference Design Kit with IRIS4013	—	260.75	—	—
IRISMPS4-ND	Referenzdesignkit,12 V-Stromversorgung	12V Power Supply Reference Design Kit	—	260.75	—	—
IRISMPS5-ND	Referenzdesignkit,15 V-Stromversorgung	15V Power Supply Reference Design Kit	—	237.05	—	—
IRMCS2013-ND	Komplette AC-Servomotor-Steuerungs-IC, Einzelchiplösung für komplett geschlossene Regelkreise und Geschwindigkeitssteuerung für ein Hochleistungs-Servoantriebssystem.	Complete AC servo motor control IC one-chip solution for complete closed loop current control and velocity control for a high performance servo drive system.	—	1058.25	—	—
IRMCS2033-ND	Kompletter Hochleistungs-Digital-Bewegungssteuerungsschaltkreis ohne Sensor für Dauermagnet-AC-Motoren.	Complete sensorless high performance digital motion control IC for Permanent Magnet AC motors.	—	1191.17	—	—
IRMD2214SS-ND	Evaluierungskarte für IR2214SS	Evaluation Board for IR2214SS	—	253.98	—	—
IRMD22141SS-ND	Evaluierungskarte für IR22141SS	Evaluation Board for IR22141SS	—	253.98	—	—
IRPLCFL2-ND	Referenzdesignkit für 42-Watt-Kompakt-Leuchtstofflampen-Vorschaltgerät	42 Watt Compact Fluorescent Ballast Reference Design Kit	—	151.18	—	—
IRPLCFL3-ND	Designkit für CFL-Triac-Vorschaltgerät mit Dimmer	CFL Triac Dimming Ballast Design Kit	—	160.85	—	—
IRPLCFL4-ND	3-Wege-CFL-Vorschaltgerät mit Dimmer	3-Way Dimming CFL Ballast	—	160.85	—	—
IRPLCFL5E-ND	Designkit für CFL-Vorschaltgerät, 220 V AC	220VAC, CFL Ballast Design Kit	—	105.83	—	—
IRPLCFL5U-ND	Designkit für CFL-Vorschaltgerät,120 V AC	120VAC, CFL Ballast Design Kit	—	105.83	—	—
IRPLDIM1E-ND	Designkit für Vorschaltgerät-Steuerungs-IC mit Dimmer	Dimming Ballast Control IC Design Kit	—	282.20	—	—
IRPLDIM1U-ND	Designkit für Vorschaltgerät-Steuerungs-IC mit Dimmer	Dimming Ballast Control IC Design Kit	—	253.98	—	—
IRPLDIM2E-ND	Referenzdesignkit für digital adressierbares DALI-Vorschaltgerät mit Dimmer	Digitally Addressable DALI Dimming Ballast Reference Design Kit	—	302.35	—	—
IRPLDIM2U-ND	Designkit für digital adressierbares DALI-Vorschaltgerät mit Dimmer	Digitally Addressable DALI Dimming Ballast Reference Design Kit	—	332.60	—	—
IRPLHALO1E-ND	100 VA dimmbares elektronisches Wandlerkit	100VA Dimmable Electronic Convertor Kit	—	148.16	—	—
IRPLLNR2E-ND	Designkit für Vorschaltgerät-Steuerungs-IC	Ballast Control IC Design Kit	—	423.30	—	—
IRPLLNR2U-ND	Designkit für Vorschaltgerät-Steuerungs-IC	Ballast Control IC Design Kit	—	423.30	—	—
IRPLMB1E-ND	Designkit für Vorschaltgerät-Steuerungs-IC, 220 V AC	220VAC Ballast Control IC Design Kit	—	105.83	—	—

Digi-Key Teilenr.	Beschreibung		Paket	Stückpreis★ 1	25	100
IR2167S-ND	PFC-Vorschaltgerät-Steuerungs-IC	PFC Ballast Control IC	20-SOIC	5.78	3.91	3.52
IR21592S-ND	Vorschaltgerät-Steuerungs-IC mit Dimmer	Dimming Ballast Control IC	16-SOIC	4.82	3.25	2.93
IR21592STR-ND	Vorschaltgerät-Steuerungs-IC mit Dimmer	Dimming Ballast Control IC	16-SOIC		6224.63/2,500	
IR3088AMCT-ND	XPHASE™ IC mit Fehler- und Überhitzungserkennung	XPHASE™ IC with Fault and Overtemp Detect	20L-MLPQ	3.72	2.29	1.95
IR3088AMTR-ND	XPHASE™ IC mit Fehler- und Überhitzungserkennung	XPHASE™ IC with Fault and Overtemp Detect	20L-MLPQ		4594.50/3,000	
IR3088M-ND	XPHASE™ IC mit Fehler- und Überhitzungserkennung	XPHASE™ IC with Fault and Overtemp Detect	20L-MLPQ	3.17	1.95	1.66
IR5001S-ND	Universal-Controller, Active OR-ing	Universal Active OR-ing Controller	8-SOIC	2.04	1.26	1.07
IR5001SCT-ND	Universal-Controller, Active OR-ing	Universal Active OR-ing Controller	8-SOIC	2.04	1.26	1.07
IR5001STR-ND	Universal-Controller, Active OR-ing	Universal Active OR-ing Controller	8-SOIC		2154.60/2,500	
IRDC2085S-DF-ND	DC-Bus-Evaluierungskarte	DC Bus Evaluation Board	—	186.25	—	—
IRDC2085S-S-ND	DC-Bus-Evaluierungskarte	DC Bus Evaluation Board	—	186.25	—	—
IRDC3039-ND	Evaluierungskarte PWM-Controller	Evaluation Board PWM Controller	—	235.84	—	—
IRU431ALCL3CT-ND	Einstellbarer Niederspannungs-Shunt-Präzisionsregler	Low Voltage Adjustable Precision Shunt Regulator	SOT-23	.65	.32	.26
IRU431LCL3CT-ND	Einstellbarer Niederspannungs-Shunt-Präzisionsregler	Low Voltage Adjustable Precision Shunt Regulator	SOT-23	.55	.28	.23
IRU431LCL3TR-ND	Einstellbarer Niederspannungs-Shunt-Präzisionsregler	Low Voltage Adjustable Precision Shunt Regulator	SOT-23		495.26/3,000	
IRU431LCL5CT-ND	Einstellbarer Niederspannungs-Shunt-Präzisionsregler	Low Voltage Adjustable Precision Shunt Regulator	SOT-23-5	.97	.47	.39
IRU431LCL5TR-ND	Einstellbarer Niederspannungs-Shunt-Präzisionsregler	Low Voltage Adjustable Precision Shunt Regulator	SOT-23-5		873.69/3,000	
IRU1010CD-ND	Einstellbarer LDO-Regler,1,0 A	1.0 Amp, Adjustable LDO Regulator	D-PAK	1.07	.95	.85
IRU1010CP-ND	Einstellbarer LDO-Regler,1,0 A	1.0 Amp, Adjustable LDO Regulator	2-Pin Power Flex	1.46	.81	.66
IRU1010CS-ND	Einstellbarer LDO-Regler,1,0 A	1.0 Amp, Adjustable LDO Regulator	8-SOIC	1.05	.59	.49
IRU1010CY-ND	Einstellbarer LDO-Regler,1,0 A	1.0 Amp, Adjustable LDO Regulator	SOT-223	.76	.42	.35
IRU1010-18CD-ND	LDO-Regler,1,8 Volt,1,0 A	1.8 Volt, 1.0 Amp LDO Regulator	D-PAK	1.07	.95	.82
IRU1010-18CP-ND	LDO-Regler,1,8 Volt,1,0 A	1.8 Volt, 1.0 Amp LDO Regulator	2-Pin Power Flex	1.46	.81	.66
IRU1010-18CS-ND	LDO-Regler,1,8 Volt,1,0 A	1.8 Volt, 1.0 Amp LDO Regulator	8-SOIC	1.05	.59	.49
IRU1010-18CY-ND	LDO-Regler,1,8 Volt,1,0 A	1.8 Volt, 1.0 Amp LDO Regulator	SOT-223	.76	.42	.35
IRU1010-25CD-ND	LDO-Regler, 2,5 Volt,1,0 A	2.5 Volt, 1.0 Amp LDO Regulator	D-PAK	1.07	.95	.83
IRU1010-25CP-ND	LDO-Regler, 2,5 Volt,1,0 A	2.5 Volt, 1.0 Amp LDO Regulator	2-Pin Power Flex	1.46	.81	.67
IRU1010-25CS-ND	LDO-Regler, 2,5 Volt,1,0 A	2.5 Volt, 1.0 Amp LDO Regulator	8-SOIC	1.05	.59	.49
IRU1010-25CY-ND	LDO-Regler, 2,5 Volt,1,0 A	2.5 Volt, 1.0 Amp LDO Regulator	SOT-223	.76	.42	.35
IRU1010-33CD-ND	LDO-Regler, 3,3 Volt,1,0 A	3.3 Volt, 1.0 Amp LDO Regulator	D-PAK	.59	.53	.46
IRU1010-33CP-ND	LDO-Regler, 3,3 Volt,1,0 A	3.3 Volt, 1.0 Amp LDO Regulator	2-Pin Power Flex	1.46	.81	.66
IRU1010-33CS-ND	LDO-Regler, 3,3 Volt,1,0 A	3.3 Volt, 1.0 Amp LDO Regulator	8-SOIC	.73	.41	.34
IRU1010-33CY-ND	LDO-Regler, 3,3 Volt,1,0 A	3.3 Volt, 1.0 Amp LDO Regulator	SOT-223	.76	.42	.35
IRU1010-33CYTR-ND	LDO-Regler, 3,3 Volt,1,0 A	3.3 Volt, 1.0 Amp LDO Regulator	SOT-223		675.16/2,500	
IRU1015CD-ND	Einstellbarer LDO-Regler,1,5 A	1.5 Amp, Adjustable LDO Regulator	D-PAK	1.21	1.08	.92
IRU1015CM-ND	Einstellbarer LDO-Regler,1,5 A	1.5 Amp, Adjustable LDO Regulator	TO-263	.89	.80	.72
IRU1015CMCT-ND	Positiver einstellbarer LDO-Regler,1,5 A	1.5A LDO Positive Adjustable Regulator	TO-263	2.01	1.10	.98
IRU1015CMTR-ND	Positiver einstellbarer LDO-Regler,1,5 A	1.5A LDO Positive Adjustable Regulator	TO-263		647.65/750	
IRU1015CT-ND	Einstellbarer LDO-Regler,1,5 A	1.5 Amp, Adjustable LDO Regulator	TO-220	1.49	1.33	1.14
IRU1015-33CD-ND	LDO-Regler, 3,3 Volt,1,5 A	3.3 Volt, 1.5 Amp LDO Regulator	D-PAK	.70	.63	.54
IRU1015-33CM-ND	LDO-Regler, 3,3 Volt,1,5 A	3.3 Volt, 1.5 Amp LDO Regulator	TO-263	1.44	1.29	1.10
IRU1015-33CP-ND	LDO-Regler, 3,3 Volt,1,5 A	3.3 Volt, 1.5 Amp LDO Regulator	Ultra Thin-PAK	1.08	.97	.83
IRU1015-33CT-ND	LDO-Regler, 3,3 Volt,1,5 A	3.3 Volt, 1.5 Amp LDO Regulator	TO-220	1.31	1.17	1.00
IRU1030CD-ND	Einstellbarer Regler, 3,0 A	3.0 Amp, Adjustable Regulator	D-PAK	1.17	1.04	.89
IRU1030CM-ND	Einstellbarer Regler, 3,0 A	3.0 Amp, Adjustable Regulator	TO-263	1.45	1.44	1.16

(Forts.)

★ RUFEN SIE-BitTE AN FÜR NIEDRIGERE PREISE BEI GRÖSSEREN MENGEN! ★

Digi-Key Teilenr.	Beschreibung		Paket	Stückpreis★ 1	25	100
IRU1030CT-ND	Einstellbarer Regler, 3,0 A	3.0 Amp, Adjustable Regulator	TO-220	1.50	1.49	1.20
IRU1030-33CD-ND	LDO-Regler, 3,3 Volt, 3,0 A	3.3 Volt, 3.0 Amp LDO Regulator	D-PAK	1.27	1.14	1.01
IRU1030-33CM-ND	LDO-Regler, 3,3 Volt, 3,0 A	3.3 Volt, 3.0 Amp LDO Regulator	TO-263	.90	.89	.72
IRU1030-33CP-ND	LDO-Regler, 3,3 Volt, 3,0 A	3.3 Volt, 3.0 Amp LDO Regulator	2-Pin Power Flex	1.08	.97	.84
IRU1030-33CT-ND	LDO-Regler, 3,3 Volt, 3,0 A	3.3 Volt, 3.0 Amp LDO Regulator	TO-220	1.14	1.02	.88
IRU1050CD-ND	Einstellbarer Regler, 5,0 A	5.0 Amp, Adjustable Regulator	D-PAK	.76	.68	.61
IRU1050CM-ND	Einstellbarer Regler, 5,0 A	5.0 Amp, Adjustable Regulator	TO-263	1.46	1.44	1.17
IRU1050CP-ND	Einstellbarer Regler, 5,0 A	5.0 Amp, Adjustable Regulator	2-Pin Power Flex	1.08	.98	.87
IRU1050CT-ND	Einstellbarer Regler, 5,0 A	5.0 Amp, Adjustable Regulator	TO-220	1.51	1.34	1.21
IRU1050-33CD-ND	Low-Dropout-Regler, 3,3 Volt, 5,0 A	3.3 Volt, 5.0 Amp Low Dropout Regulator	D-PAK	1.27	1.14	.96
IRU1050-33CM-ND	Low-Dropout-Regler, 3,3 Volt, 5,0 A	3.3 Volt, 5.0 Amp Low Dropout Regulator	TO-263	1.44	1.29	1.11
IRU1050-33CP-ND	Low-Dropout-Regler, 3,3 Volt, 5,0 A	3.3 Volt, 5.0 Amp Low Dropout Regulator	2-Pin Power Flex	1.08	.98	.83
IRU1050-33CT-ND	Low-Dropout-Regler, 3,3 Volt, 5,0 A	3.3 Volt, 5.0 Amp Low Dropout Regulator	TO-220	1.49	1.33	1.14
IRU1075CM-ND	Einstellbarer LDO-Regler, 7,5 A	7.5 Amp, Adjustable LDO Regulator	TO-263	2.10	1.89	1.69
IRU1075CMTR-ND	Einstellbarer LDO-Regler, 7,5 A	7.5 Amp, Adjustable LDO Regulator	TO-263		568.92/750	
IRU1075CP-ND	Einstellbarer LDO-Regler, 7,5 A	7.5 Amp, Adjustable LDO Regulator	3-Pin Power Flex	2.15	1.94	1.73
IRU1075CT-ND	Einstellbarer LDO-Regler, 7,5 A	7.5 Amp, Adjustable LDO Regulator	TO-220	2.14	1.93	1.72
IRU1117CD-ND	Positiver einstellbarer LDO-Regler, 800 mA	800mA LDO Positive Adjustable Regulator	TO-252	1.70	.90	.78
IRU1117CY-ND	Positiver einstellbarer LDO-Regler, 800 mA	800mA LDO Positive Adjustable Regulator	SOT-223	.63	.34	.28
IRU1117-18CD-ND	Positiver fixierter LDO-Regler,1,8 V, 800 mA	800mA LDO Positive Fixed 1.8V Regulator	TO-252	1.70	.90	.78
IRU1117-18CP-ND	Positiver fixierter LDO-Regler,1,8 V, 800 mA	800mA LDO Positive Fixed 1.8V Regulator	Ultra Thin-Pak	1.46	.79	.66
IRU1117-18CS-ND	Positiver fixierter LDO-Regler,1,8 V, 800 mA	800mA LDO Positive Fixed 1.8V Regulator	8-SOIC	1.10	.60	.49
IRU1117-18CY-ND	Positiver fixierter LDO-Regler,1,8 V, 800 mA	800mA LDO Positive Fixed 1.8V Regulator	SOT-223	.63	.34	.28
IRU1117-25CD-ND	Positiver fixierter LDO-Regler, 2,5 V, 800 mA	800mA LDO Positive Fixed 2.5V Regulator	TO-252	1.70	.90	.78
IRU1117-25CP-ND	Positiver fixierter LDO-Regler, 2,5 V, 800 mA	800mA LDO Positive Fixed 2.5V Regulator	Ultra Thin-Pak	1.29	.69	.58
IRU1117-25CS-ND	Positiver fixierter LDO-Regler, 2,5 V, 800 mA	800mA LDO Positive Fixed 2.5V Regulator	8-SOIC	1.10	.60	.49
IRU1117-33CD-ND	Positiver fixierter LDO-Regler, 3,3 V, 800 mA	800mA LDO Positive Fixed 3.3V Regulator	TO-252	.95	.50	.44
IRU1117-33CP-ND	Positiver fixierter LDO-Regler, 3,3 V, 800 mA	800mA LDO Positive Fixed 3.3V Regulator	Ultra Thin-Pak	1.29	.70	.59
IRU1117-33CS-ND	Positiver fixierter LDO-Regler, 3,3 V, 800 mA	800mA LDO Positive Fixed 3.3V Regulator	8-SOIC	1.04	.56	.46
IRU1117-33CY-ND	Positiver fixierter LDO-Regler, 3,3 V, 800 mA	800mA LDO Positive Fixed 3.3V Regulator	SOT-223	.63	.34	.28
IRU1150CM-ND	Einstellbarer positiver Spannungsregler 4 A	4A, Adjustable Positive Voltage Regulator	TO-263-5	1.26	1.12	1.00
IRU1150CMCT-ND	Einstellbarer positiver Spannungsregler 4 A	4A, Adjustable Positive Voltage Regulator	TO-263-5	1.07	.81	.63
IRU1150CMTR-ND	Einstellbarer positiver Spannungsregler 4 A	4A, Adjustable Positive Voltage Regulator	TO-263-5		360.02/750	
IRU1150CPTR-ND	Einstellbarer Extra-LDO-Regler 4,0 A	4.0 Amp, Adjustable Very LDO Regulator	5-Pin Power Flex		960.04/2,000	
IRU1150CSTR-ND	Einstellbarer Extra-Low-Dropout-Regler 4,0 A	4.0 Amp, Adjustable Very Low Dropout Regulator	8-SOIC		742.89/2,500	
IRU1160CM-ND	Einstellbarer Regler, 6,0 A	6.0 Amp, Adjustable Regulator	TO-263-5	1.72	1.54	1.38
IRU1160CPTR-ND	Einstellbarer Regler, 6,0 A	6.0 Amp, Adjustable Regulator	5-Pin Power Flex		2263.81/2,000	
IRU1175CMCT-ND	Einstellbarer positiver Spannungsregler 7,5 A	7.5A, Adjustable Positive Voltage Regulator	TO-263-5	2.96	2.23	1.73
IRU1175CMTR-ND	Einstellbarer positiver Spannungsregler 7,5 A	7.5A, Adjustable Positive Voltage Regulator	TO-263-5		1074.43/750	
IRU1176CM-ND	Einstellbarer Ultra-Low-Dropout-Regler 7,5 A	7.5 Amp, Adjustable Ultra Low Dropout Regulator	TO-263-7	2.78	2.48	2.22
IRU1176CPTR-ND	Einstellbarer Ultra-LDO-Regler, 7,5 A	7.5 Amp, Adjustable Ultra LDO Regulator	5-Pin Power Flex		1645.79/2,000	
IRU1205CLCT-ND	Einstellbarer Extra-Low-Dropout-Regler 0,3 A	0.3 Amp, Adjustable Very Low Dropout Regulator	SOT-23-5	.56	.42	.33
IRU1205CLTR-ND	Einstellbarer Extra-Low-Dropout-Regler 0,3 A	0.3 Amp, Adjustable Very Low Dropout Regulator	SOT-23-5		754.32/3,000	
IRU1205-25CLTR-ND	Extra-Low-Dropout-Regler, 2,5 Volt, 0,3 A	2.5 Volt, 0.3 Amp Very Low Dropout Regulator	SOT-23-5		995.60/3,000	
IRU1205-28CLCT-ND	Positiver fixierter Ultra-LDO-Regler, 2,8 V, 300 mA	300mA Ultra LDO Positive Fixed 2.8V Regulator	SOT-23-5	.78	.43	.35
IRU1205-28CLTR-ND	Positiver fixierter Ultra-LDO-Regler, 2,8 V, 300 mA	300mA Ultra LDO Positive Fixed 2.8V Regulator	SOT-23-5		838.13/3,000	
IRU1205-30CLTR-ND	Extra-Low-Dropout-Regler 3,0 Volt, 0,3 A	3.0 Volt, 0.3 Amp Very Low Dropout Regulator	SOT-23-5		995.60/3,000	
IRU1205-33CLTR-ND	Extra-Low-Dropout-Regler 3,3 Volt, 0,3 A	3.3 Volt, 0.3 Amp Very Low Dropout Regulator	SOT-23-5		754.32/3,000	
IRU1205-36CLTR-ND	Extra-Low-Dropout-Regler 3,6 Volt, 0,3 A	3.6 Volt, 0.3 Amp Very Low Dropout Regulator	SOT-23-5		754.32/3,000	
IRU1206-18CD-ND	Extra-Low-Dropout-Regler 1,8 Volt,1,0 A	1.8 Volt, 1.0 Amp Very Low Dropout Regulator	D-PAK	1.59	1.42	1.17
IRU1206-18CY-ND	Extra-Low-Dropout-Regler 1,8 Volt,1,0 A	1.8 Volt, 1.0 Amp Very Low Dropout Regulator	SOT-223	.85	.76	.62
IRU1206-25CD-ND	Extra-Low-Dropout-Regler, 2,5 Volt,1,0 A	2.5 Volt, 1.0 Amp Very Low Dropout Regulator	D-PAK	1.08	.97	.80
IRU1206-25CY-ND	Extra-Low-Dropout-Regler, 2,5 Volt,1,0 A	2.5 Volt, 1.0 Amp Very Low Dropout Regulator	SOT-223	.85	.76	.62
IRU1206-33CD-ND	Extra-Low-Dropout-Regler, 3,3 Volt,1,0 A	3.3 Volt, 1.0 Amp Very Low Dropout Regulator	D-PAK	1.08	.97	.80
IRU1206-33CY-ND	Extra-Low-Dropout-Regler, 3,3 Volt,1,0 A	3.3 Volt, 1.0 Amp Very Low Dropout Regulator	SOT-223	.85	.76	.62
IRU1207-18CS-ND	Extra-Low-Dropout-Regler 1,8 Volt,1,0 A	1.8 Volt, 1.0 Amp Very Low Dropout Regulator	8-SOIC	1.17	1.05	.86
IRU1207-25CS-ND	Extra-Low-Dropout-Regler, 2,5 Volt,1,0 A	2.5 Volt, 1.0 Amp Very Low Dropout Regulator	8-SOIC	1.17	1.05	.86
IRU1207-33CS-ND	Extra-Low-Dropout-Regler, 3,3 Volt,1,0 A	3.3 Volt, 1.0 Amp Very Low Dropout Regulator	8-SOIC	1.17	1.05	.86
IRU1208CS-ND	Einstellbarer Extra-Low-Dropout-Regler, 1,0 A	1.0 Amp Adjustable Very Low Dropout Regulator	8-SOIC	1.17	1.05	.86
IRU1209CS-ND	Einstellbarer Extra-Low-Dropout-Regler, 1,0 A	1.0 Amp Adjustable Very Low Dropout Regulator	8-SOIC	.85	.76	.62
IRU1209CSTR-ND	Einstellbarer Extra-Low-Dropout-Regler, 1,0 A	1.0 Amp Adjustable Very Low Dropout Regulator	8-SOIC		1578.91/2,500	
IRU1260CMTR-ND	Zweif. einstellbarer LDO-Regler, 6 A/1 A	Dual Adjustable 6 Amp/1 Amp LDO Regulator	TO-263-7		1111.43/750	
IRU1260CPTR-ND	Zweif. einstellbarer LDO-Regler, 6 A/1 A	Dual Adjustable 6 Amp/1 Amp LDO Regulator	7-Pin Power Flex		2272.27/2,000	
IRU1261CMTR-ND	Zweif. LDO-Reg.,1,5 V/6 A und 2,5 V/1 A	Dual LDO Reg. 1.5 V/6 Amp and 2.5 V/1 Amp	TO-263-5		1111.43/750	
IRU1261CPTR-ND	Zweif. LDO-Reg.,1,5 V/6 A und 2,5 V/1 A	Dual LDO Reg. 1.5 V/6 Amp and 2.5 V/1 Amp	Ultra Thin-PAK-5		2272.27/2,000	
IRU3004CW-ND	Prog. synch. 5-Bit Buck-Controller m/zweif. LDO-Controller	5-Bit Prog. Sync. Buck Controller with Dual LDO Controller	20-SOIC(W)	3.89	3.47	2.89
IRU3007CW-ND	Prog. synch. 5-Bit Buck-Controller m/zweif. LDO-Controller	5-Bit Prog. Sync. Buck Controller with Dual LDO Controller	28-SOIC(W)	5.49	4.88	4.06
IRU3011CW-ND	Prog. synch. 5-Bit Buck-Controller	5-Bit Prog. Sync. Buck Controller	20-SOIC(W)	3.89	3.48	2.89
IRU3018CW-ND	Prog. synch. 5-Bit Buck-Controller m/zweif. LDO-Controller	5-Bit Prog. Sync. Buck Controller with Dual LDO Controller	24-SOIC(W)	5.15	4.58	3.81
IRU3021MCW-ND	Prog. synch. 5-Bit Buck-Controller m/dreif. LDO-Controller	5-Bit Prog. Sync. Buck Controller with Triple LDO Controller	28-SOIC(W)	3.67	3.26	2.71
IRU3021MCWTR-ND	Prog. synch. 5-Bit Buck-Controller m/dreif. LDO-Controller	5-Bit Prog. Sync. Buck Controller with Triple LDO Controller	28-SOIC(W)		1990.05/1,000	
IRU3027CW-ND	Prog. synch. 5-Bit Buck-Controller m/dreif. LDO-Controller	5-Bit Prog. Sync. Buck Controller with Triple LDO Controller	28-SOIC(W)	3.67	3.26	2.71
IRU3027CWTR-ND	Prog. synch. 5-Bit Buck-Controller m/dreif. LDO-Controller	5-Bit Prog. Sync. Buck Controller with Triple LDO Controller	28-SOIC(W)		1990.05/1,000	
IRU3033CS-ND	Impulsbreiten-Modulationsumschalter und linearer Controller	Pulse Width Modulation Switcher and Linear Controller	8-SOIC(N)	1.86	1.66	1.38
IRU3033CSTR-ND	Impulsbreiten-Modulationsumschalter und linearer Controller	Pulse Width Modulation Switcher and Linear Controller	8-SOIC(N)		2571.55/2,500	
IRU3034CS-ND	PWM-Umschalter/Controller mit Kurzschlussschutz	PWM Switcher/Controller with Short Circuit Protection	8-SOIC	3.89	3.48	2.89
IRU3034CSTR-ND	PWM-Umschalter/Controller mit Kurzschlussschutz	PWM Switcher/Controller with Short Circuit Protection	8-SOIC		2666.79/2,500	
IRU3037ACF-ND	Synchroner PWM-Controller	Synchronous PWM Controller	8-TSSOP	1.79	1.04	.89
IRU3037CF-ND	Synchroner PWM-Controller	Synchronous PWM Controller	8-TSSOP	1.79	1.02	.89
IRU3037CFTR-ND	Synchroner PWM-Controller	Synchronous PWM Controller	8-TSSOP		2696.42/2,500	
IRU3037CS-ND	Synchroner PWM-Controller	Synchronous PWM Controller	8-SOIC	1.95	1.32	1.04
IRU3038CF-ND	Synchroner PWM-Controller	Synchronous PWM Controller	14-TSSOP	1.93	1.12	.95
IRU3038CS-ND	Synchroner PWM-Controller	Synchronous PWM Controller	14-SOIC	1.66	.96	.82
IRU3038CSTR-ND	Synchroner PWM-Controller	Synchronous PWM Controller	14-SOIC		2044.54/2,500	
IRU3039CHTRCT-ND	Synchroner PWM-Controller	Synchronous PWM Controller	20-MLPQ	2.40	1.81	1.41
IRU3039CHTRTR-ND	Synchroner PWM-Controller	Synchronous PWM Controller	20-MLPQ		3174.75/3,000	
IRU3046CFCT-ND	Zweif. synchroner PWM-Controller	Dual Synchronous PWM Controller	24-TSSOP	3.02	2.02	1.72
IRU3046CFTR-ND	Zweif. synchroner PWM-Controller	Dual Synchronous PWM Controller	24-TSSOP		3325.02/2,500	
IRU3047CWCT-ND	Zweif. synchroner PWM-Controller	Dual Synchronous PWM Controller	20-SOIC	2.77	1.85	1.57
IRU3047CWTR-ND	Zweif. synchroner PWM-Controller	Dual Synchronous PWM Controller	20-SOIC		1301.22/1,000	
IRU3048CFCT-ND	Zweif. synchroner PWM-Controller	Dual Synchronous PWM Controller	16-TSSOP	3.06	1.79	1.56
IRU3048CFTR-ND	Zweif. synchroner PWM-Controller	Dual Synchronous PWM Controller	16-TSSOP		3147.24/2,500	
IRU3048CSCT-ND	Zweif. synchroner PWM-Controller	Dual Synchronous PWM Controller	16-SOIC	2.64	1.77	1.50
IRU3048CSTR-ND	Zweif. synchroner PWM-Controller	Dual Synchronous PWM Controller	16-SOIC		2905.95/2,500	
IRU3055CQCT-ND	Programmierbarer, 3-phasiger, synch. 5-Bit Buck-Controller	5-Bit Programmable 3-Phase Sync. Buck Controller	36-QSOP	3.99	2.66	2.26
IRU3055CQTR-ND	Programmierbarer, 3-phasiger, synch. 5-Bit Buck-Controller	5-Bit Programmable 3-Phase Sync. Buck Controller	36-QSOP		2671.87/1,500	
IRU3073CQCT-ND	Synch. PWM-Controller mit LDO	Synchronous PWM Controller with LDO	16-QSOP	1.62	1.22	.95
IRU3073CQTR-ND	Synch. PWM-Controller mit LDO	Synchronous PWM Controller with LDO	16-QSOP		1820.19/2,500	
IRU3137CSCT-ND	Synchroner PWM-Controller	Synchronous PWM Controller	8-SOIC	1.49	.88	.77
IRU3137CSTR-ND	Synchroner PWM-Controller	Synchronous PWM Controller	8-SOIC		1532.35/2,500	
IRU3138CSCT-ND	Synchroner PWM-Controller	Synchronous PWM Controller	14-SOIC	2.23	1.31	1.10
IRU3138CSTR-ND	Synchroner PWM-Controller	Synchronous PWM Controller	14-SOIC		2258.31/2,500	
IRU3146CFCT-ND	Zweif. synchroner PWM-Controller	Dual Synchronous PWM Controller	28-TSSOP	4.31	2.82	2.51
IRU3146CFTR-ND	Zweif. synchroner PWM-Controller	Dual Synchronous PWM Controller	28-TSSOP		5090.18/2,500	

★ *RUFEN SIE BITTE AN FÜR NIEDRIGERE PREISE BEI GRÖSSEREN MENGEN!* ★

TOSHIBA — 4-KANAL DARLINGTON SINK-TREIBER

Digi-Key Teilenr.	Beschreibung		Paket	Stückpreis★ 1	25	100
TD62064AF-ND	TTL, 5 V CMOS-Eingang - 1,5 A @ 50 V, Vce-Ausgang	TTL, 5V, CMOS Input - 1.5A @ 50V, Vce Output	HSOP-16	1.19	.95	.72
TD62064AP-ND	TTL, 5 V CMOS-Eingang - 1,5 A @ 50 V, Vce-Ausgang	TTL, 5V, CMOS Input - 1.5A @ 50V, Vce Output	16-Dip	1.02	.85	.68
TD62064BP-1-ND	TTL, 5 V CMOS-Eingang - 1,5 A @ 80 V, Vce-Ausgang	TTL, 5V, CMOS Input - 1.5A @ 80V, Vce Output	16-Dip	1.02	.85	.68

TOSHIBA — 7-KANAL DARLINGTON SINK-TREIBER

Digi-Key Teilenr.	Beschreibung		Paket	Stückpreis★ 1	25	100
TD62001AFELCT-ND	Mehrzweck-Eingang - 0,5 A @ 50 V, Vce-Ausgang	General Purpose Input - 0.5A @ 50V, Vce Output	16-SOP	.71	.54	.40
TD62001AFELTR-ND	Mehrzweck-Eingang - 0,5 A @ 50 V, Vce-Ausgang	General Purpose Input - 0.5A @ 50V, Vce Output	16-SOP		462.24/2,000	
TD62001AP-ND	Mehrzweck-Eingang - 0,5 A @ 50 V, Vce-Ausgang	General Purpose Input - 0.5A @ 50V, Vce Output	16-Dip	.54	.41	.31
TD62002AF-ND	14-25 V PMOS-Eingang - 0,5 A @ 50 V, Vce-Ausgang	14-25V, PMOS Input - 0.5A @ 50V, Vce Output	16-SOP	.61	.46	.35
TD62002AFELTR-ND	14-25 V PMOS-Eingang - 0,5 A @ 50 V, Vce-Ausgang	14-25V, PMOS Input - 0.5A @ 50V, Vce Output	16-SOP		462.24/2,000	
TD62002AP-ND	14-25 V PMOS-Eingang - 0,5 A @ 50 V, Vce-Ausgang	14-25V, PMOS Input - 0.5A @ 50V, Vce Output	16-Dip	.54	.41	.31
TD62003AFCT-ND	TTL, 5 V CMOS-Eingang - 0,5 A @ 50 V, Vce-Ausgang	TTL, 5V, CMOS Input - 0.5A @ 50V, Vce Output	16-SOP	.54	.41	.31
TD62003AFTR-ND	TTL, 5 V CMOS-Eingang - 0,5 A @ 50 V, Vce-Ausgang	TTL, 5V, CMOS Input - 0.5A @ 50V, Vce Output	16-SOP		352.19/2,000	
TD62003AP-ND	TTL, 5 V CMOS-Eingang - 0,5 A @ 50 V, Vce-Ausgang	TTL, 5V, CMOS Input - 0.5A @ 50V, Vce Output	16-Dip	.47	.36	.27
TD62004AF-ND	6-15 V PMOS-Eingang - 0,5 A @ 50 V, Vce-Ausgang	6-15V, PMOS Input - 0.5A @ 50V, Vce Output	16-SOP	.54	.41	.31
TD62004AP-ND	6-15 V PMOS-Eingang - 0,5 A @ 50 V, Vce-Ausgang	6-15V, PMOS Input - 0.5A @ 50V, Vce Output	16-Dip	.47	.36	.27
ULN2003AFW-ND	TTL, 5 V CMOS - 0,5 A @ 50 V, Vce-Ausgang	TTL, 5V CMOS 0.5A @ 50V, Vce Output	16-SOL	.47	.36	.27
ULN2003AP-ND	TTL, 5 V CMOS - 0,5 A @ 50 V, Vce-Ausgang	TTL, 5V CMOS 0.5A @ 50V, Vce Output	16-Dip	.41	.31	.23
ULN2004AFW-ND	6-15 V PMOS, CMOS 0,5 A @ 50 V, Vce-Ausgang	6-15V PMOS, CMOS 0.5A @ 50V, Vce Output	16-SOL	.47	.36	.27
ULN2004AP-ND	6-15 V PMOS, CMOS 0,5 A @ 50 V, Vce-Ausgang	6-15V PMOS, CMOS 0.5A @ 50V, Vce Output	16-Dip	.41	.31	.23

TOSHIBA — 8-KANAL DARLINGTON SINK-TREIBER

Digi-Key Teilenr.	Beschreibung		Paket	Stückpreis★ 1	25	100
TD62081AF-ND	Mehrzweck-Eingang, 0,5 A @ 50 V, Vce-Ausgang	General Purpose Input, 0.5A @ 50V, Vce Output	SOP-18	.75	.56	.42
TD62081AP-ND	Mehrzweck-Eingang, 0,5 A @ 50 V, Vce-Ausgang	General Purpose Input, 0.5A @ 50V, Vce Output	18-Dip	.64	.49	.37
TD62082AF-ND	14-25 V PMOS-Eingang, 0,5 A @ 50 V, Vce-Ausgang	14-25V, PMOS Input, 0.5A @ 50V, Vce Output	SOP-18	.75	.56	.42
TD62082AFTR-ND	14-25 V PMOS-Eingang, 0,5 A @ 50 V, Vce-Ausgang	14-25V, PMOS Input, 0.5A @ 50V, Vce Output	18-SOP		247.72/1,000	
TD62082AP-ND	14-25 V PMOS-Eingang, 0,5 A @ 50 V, Vce-Ausgang	14-25V, PMOS Input, 0.5A @ 50V, Vce Output	18-Dip	.64	.49	.37
TD62083AF-ND	TTL, 5 V CMOS-Eingang, 0,5 A @ 50 V, Vce-Ausgang	TTL, 5V, CMOS Input, 0.5A @ 50V, Vce Output	18-SOP	.71	.54	.40
TD62083AFG5S-ND	TTL, 5 V CMOS-Eingang, 0,5 A @ 50 V, Vce-Ausgang	TTL, 5V, CMOS Input, 0.5A @ 50V, Vce Output	18-SOP	.71	.54	.40
TD62083AFN-ND	TTL, 5 V CMOS-Eingang, 0,5 A @ 50 V, Vce-Ausgang	TTL, 5V, CMOS Input, 0.5A @ 50V, Vce Output	SSOP-18	.74	.62	.50
TD62083AP-ND	TTL, 5 V CMOS-Eingang, 0,5 A @ 50 V, Vce-Ausgang	TTL, 5V, CMOS Input, 0.5A @ 50V, Vce Output	18-Dip	.61	.46	.35
TD62084AF-ND	6-15 V PMOS, CMOS-Eingang, 0,5 A @ 50 V, Vce-Ausgang	6-15V PMOS, CMOS Input, 0.5A @ 50V, Vce Output	SOP-18	.71	.54	.40
TD62084AFTR-ND	6-15 V PMOS, CMOS-Eingang, 0,5 A @ 50 V, Vce-Ausgang	6-15V PMOS, CMOS Input, 0.5A @ 50V, Vce Output	18-SOP		264.14/1,000	
TD62084AFNCT-ND	6-15 V PMOS, CMOS-Eingang, 0,5 A @ 50 V, Vce-Ausgang	6-15V PMOS, CMOS Input, 0.5A @ 50V, Vce Output	18-SSOP	.81	.68	.55
TD62084AFNTR-ND	6-15 V PMOS, CMOS-Eingang, 0,5 A @ 50 V, Vce-Ausgang	6-15V PMOS, CMOS Input, 0.5A @ 50V, Vce Output	18-SSOP		704.37/2,000	
TD62084AP-ND	6-15 V PMOS, CMOS-Eingang, 0,5 A @ 50 V, Vce-Ausgang	6-15V PMOS, CMOS Input, 0.5A @ 50V, Vce Output	18-Dip	.64	.49	.37
ULN2803AFW-ND	TTL, 5 V CMOS-Eingang, 0,5 A @ 50 V, Vce-Ausgang	TTL, 5V CMOS Input, 0.5A @ 50V, Vce Output	18-SOL	.71	.54	.40
ULN2803AP-ND	TTL, 5 V CMOS-Eingang, 0,5 A @ 50 V, Vce-Ausgang	TTL, 5V CMOS Input, 0.5A @ 50V, Vce Output	18-Dip	.61	.46	.35
ULN2804AFW-ND	6-15 V PMOS, CMOS-Eingang, 0,5 A @ 50 V, Vce-Ausgang	6-15V PMOS, CMOS Input, 0.5A @ 50V, Vce Output	18-SOL	.71	.54	.40
ULN2804AP-ND	6-15 V PMOS, CMOS-Eingang, 0,5 A @ 50 V, Vce-Ausgang	6-15V PMOS, CMOS Input, 0.5A @ 50V, Vce Output	18-Dip	.64	.49	.37

TOSHIBA — 8-KANAL DARLINGTON SOURCE-TREIBER

Digi-Key Teilenr.	Beschreibung		Paket	Stückpreis★ 1	25	100
TD62783AF-ND	TTL, 5 V CMOS-Eingang, 0,5 A @ 50 V, Vce-Ausgang	TTL, 5V, CMOS Input, 0.5A @ 50V, Vce Output	SOP-18	1.21	.97	.73
TD62783AFN-ND	TTL, 5 V CMOS-Eingang, 0,5 A @ 50 V, Vce-Ausgang	TTL, 5V, CMOS Input, 0.5A @ 50V, Vce Output	SSOP-18	1.48	1.19	.89
TD62783AP-ND	TTL, 5 V CMOS-Eingang, 0,5 A @ 50 V, Vce-Ausgang	TTL, 5V, CMOS Input, 0.5A @ 50V, Vce Output	18-Dip	1.04	.83	.63
TD62784AF-ND	6-15 V PMOS-, CMOS-Eingang, 0,5 A @ 50 V, Vce-Ausgang	6-15V, PMOS, CMOS Input, 0.5A @ 50V, Vce Output	SOP-18	1.21	.97	.73
TD62784AP-ND	6-15 V PMOS-, CMOS-Eingang, 0,5 A @ 50 V, Vce-Ausgang	6-15V, PMOS, CMOS Input, 0.5A @ 50V, Vce Output	18-Dip	1.04	.83	.63

EPSON — ANWENDUNGSSPEZIFISCHE INTEGRIERTE SCHALTUNGEN

Unsere LCD-Controller bieten Hochleistung bei geringem Stromverbrauch. Diese LCD-Controller können mit vielen verschieden CPUs verwendet werden. Die Produktanordnung unterstützt eine Vielzahl von LCD-Platten, sowohl kleine bis große Größen als auch Monochrom zu Farbe.

Digi-Key Teilenr.	Beschreibung		Paket	Stückpreis★ 1	25	100
		Grafiken				
S1D13506F00A200-ND	Color CRT/LCD/TV Controller, 64 K Farben	Color CRT/LCD/TV Controller, 64K Colors	128-QFP	11.80	10.63	9.43
S1D13706F00A200-ND	LCD-Controller mit 80 KB eingebettetem Speicher	80K Byte Embedded Memory LCD Controller	100-TQFP	12.27	11.05	9.80
S1D13A03B00B200-ND	LCD/USB-Companion mit 112 KB eingebettetem Speicher	112K Byte Embedded Memory LCD/USB Companion	121-PFBGA	13.13	12.26	11.37
S1D13A04B00B200-ND	LCD/USB-Companion mit 112 KB eingebettetem Speicher	112K Byte Embedded Memory LCD/USB Companion	121-PFBGA	14.22	13.28	12.33
S1D13A04F00A100-ND	LCD/USB-Companion mit 112 KB eingebettetem Speicher	112K Byte Embedded Memory LCD/USB Companion	128-TQFP	13.40	12.51	11.62
S1D13A05B00B200-ND	LCD/USB-Companion mit 256 KB eingebettetem Speicher	256K Byte Embedded Memory LCD/USB Companion	121-PFBGA	11.61	10.84	10.06
S1D13700F01A100-ND	B/W STN LCDC mit 32 KB eingebettetem Speicher	32K Byte Embedded Memory B/W STN LCDC	64-QFP	7.62	6.10	5.15
S1D13701F00A100-ND	OLED Controller mit eingebettetem Speicher	OLED Controller with Embedded Memory	64-QFP	8.75	7.88	6.99
		Grafische Evaluierungen				
S5U13706P00C000-ND	SED1376F0A Evaluierungskarte	SED1376F0A Evaluation Board	—	488.91	—	—
S5U13A03P00C000-ND	SED13A3F0A Evaluierungskarte	SED13A3F0A Evaluation Board	—	488.91	—	—

Das anwendungsspezifische Standardproduktsortiment umfasst integrierte Schaltkreise für serielle HS-Schnittstellen, z.B. IEEE 1394, USB 2.0 und USB OTG und die Netzwerk-Controller-Gruppe, die das TCP/IP-Protokoll zur Überwachung und Kommunikation zwischen verschiedenen Hubs benutzt.

Digi-Key Teilenr.	Beschreibung		Paket	Stückpreis★ 1	25	100
		ASSP				
		IEEE 1394 Controller				
S1R72803F00A200-ND	1394 Link Controller IDE-66	1394 Link Controller IDE-66	184-QFP	12.91	11.63	10.31
S1R72805F00A2-ND	1394 Link Controller IDE-100	1394 Link Controller IDE-100	100-QFP	12.15	10.94	9.71
S1R72901F00A-ND	1394 Link Controller und PHY	1394 Link Controller and PHY	100-QFP	13.98	12.59	11.17
		USB OTG Controller				
S1R72005F00A100-ND	USB OTG Controller und PHY	USB OTG Controller and PHY	64-QFP	8.40	6.72	5.67
		USB 2.0 Controller				
S1R720G0F00A000-ND	USB 2.0 PHY	USB 2.0 PHY	64-QFP	9.59	8.64	7.66
		Netzwerk-Controller				
S1S65000F00A100-ND	Web-Camera-IC	Web Camera IC	128-QFP	15.24	14.23	13.21

(Forts.)

★ RUFEN SIE BITTE AN FÜR NIEDRIGERE PREISE BEI GRÖSSEREN MENGEN! ★

Zu den Stromversorgungs-ICs gehören DC/DC-Wandler, DC/DC-Wandler und Spannungsregler, hochpräzise Spannungsdetektoren und Regler, Stromversorgungs-ICs für passive und aktive LCDs, Stromversorgungs-ICs für Logik-Schaltregler.

Digi-Key Teilenr.	Beschreibung		Paket	Stückpreis★ 1	25	100
		Leistungs-ICs				
S1F75510M0A010BCT-ND	Ladepumpen-DC/DC-Wandler und Spannungsregler	Charge Pump DC/DC Converter and Voltage Regulator	24-SSOP	3.78	3.02	2.35
S1F75510M0A010BTR-ND	Ladepumpen-DC/DC-Wandler und Spannungsregler	Charge Pump DC/DC Converter and Voltage Regulator	24-SSOP		6336.29/3,000	
S1F75540F5A0000-ND	Ladepumpen-DC/DC-Wandler und Spannungsregler	Charge Pump DC/DC Converter and Voltage Regulator	64-QFN	4.63	3.70	3.13
S1F77500M0A0100-ND	Li-Ion-Lade/Entlade-Controller mit Kraftstoffmesser, Einzelzelle	Single Cell Li-Ion Charge/Discharge Controller with Fuel Gauge	24-SSOP	3.36	2.69	2.10
S1F77600Y0A000L-ND	Batterieleckverhütungs- und Schutzkreis-IC	Battery Liquid Leak Prevention and Protection Circuit IC	SOT-89	1.10	.92	.73
S1F77601Y0A000L-ND	Batterieleckverhütungs- und Schutzkreis-IC	Battery Liquid Leak Prevention and Protection Circuit IC	SOT-89	1.10	.92	.73
S1F77602Y0A000L-ND	Batterieleckverhütungs- und Schutzkreis-IC	Battery Liquid Leak Prevention and Protection Circuit IC	SOT-89	1.10	.92	.73
S1F77603Y0A000L-ND	Batterieleckverhütungs- und Schutzkreis-IC	Battery Liquid Leak Prevention and Protection Circuit IC	SOT-89	1.10	.92	.73
S1F78520M0A0100-ND	Ladepumpen-Step-Down-Regler mit Stromsparmodus	Charge Pump Step Down Regulator with Power Saving Mode	24-SSOP	3.59	2.87	2.24
S1F81100F0R2000-ND	System-Stromversorgung - 4-Kanal-Regler, geeignet für Intel Xscale	System Power Supply - 4 Channel Regulator, Suitable for Intel Xscale	48-QFP	4.81	3.86	3.26
S1F81150F0A2000-ND	System-Stromversorgung - 6-Kanal-Regler, geeignet für Intel Xscale	System Power Supply - 6 Channel Regulator, Suitable for Intel Xscale	48-QFP	6.01	4.81	4.06

Digi-Key Teilenr.	Beschreibung		Paket	Stückpreis★ 1	25	100
DG201ACJ-ND	Vierf. SPST-CMOS-Ruhekontakt-Analogschalter	Quad SPST CMOS Normally Closed Analog Switch	16-Dip	4.11	3.10	2.22
DG211CJ-ND	Vierf. SPST-CMOS-Ruhekontakt-Analogschalter	Quad SPST CMOS Normally Closed Analog Switch	16-Dip	2.92	2.21	1.57
DG211CSE-ND	Vierf. SPST-CMOS-Ruhekontakt-Analogschalter	Quad SPST CMOS Normally Closed Analog Switch	16-SOIC	2.34	1.77	1.37
DG212CJ-ND	Vierf. SPST-CMOS-Arbeitskontakt-Analogschalter	Quad SPST CMOS Normally Open Analog Switch	16-Dip	2.92	2.21	1.57
DG303ACWE-ND	Zweif. CMOS-Analogschalter	Dual Analog CMOS Switch	16-SOIC	10.03	7.57	4.46
DG305ACJ-ND	SPDT-CMOS-Analogschalter, NL	SPDT Low Power Analog CMOS Switch	14-Dip	5.48	4.14	2.43
DG403DJ-ND	Zweif. SPDT-CMOS-Analogschalter	SPDT Dual Analog CMOS Switch	16-Dip	7.07	5.34	3.81
DG403DY-ND	Zweif. SPDT-CMOS-Analogschalter	SPDT Dual Analog CMOS Switch	16-SOIC	8.48	6.41	4.58
DG406DJ-ND	16-Kanal Analog-CMOS-Multiplexer	16-Channel CMOS Analog Multiplexer	28-Dip	10.46	7.90	5.64
DG413DY-ND	Vierf. SPST-CMOS-Analogschalter, 2 Ruhekontakte, 2 Arbeitskontakte	SPST, Quad Two Normally Closed and Two Normally Open Analog CMOS Switch	16-SOIC	6.12	4.63	3.31
DG417CY-ND	SPST-CMOS-Analogschalter, Ruhekontakt	SPST, Normally Closed Analog CMOS Switch	8-SOIC	2.60	1.97	1.41
DG418DY-ND	CMOS-Präzisions-Analogschalter	Precision CMOS Analog Switch	8-SOIC	2.76	2.09	1.49
DG419CJ-ND	SPDT-CMOS-Analogschalter, ein Ruhekontakt, ein Arbeitskontakt	SPDT, One Normally Closed and One Normally Open Analog CMOS Switch	8-Dip	3.05	2.31	1.65
DG419CY-ND	SPDT-CMOS-Analogschalter, ein Ruhekontakt, ein Arbeitskontakt	SPDT, One Normally Closed and One Normally Open Analog CMOS Switch	8-SOIC	3.66	2.76	1.98
DG419DJ-ND	SPDT-CMOS-Analogschalter, ein Ruhekontakt, ein Arbeitskontakt	SPDT, One Normally Closed and One Normally Open Analog CMOS Switch	8-Dip	3.21	2.43	1.73
DG419DY-ND	SPDT-CMOS-Analogschalter, ein Ruhekontakt, ein Arbeitskontakt	SPDT, One Normally Closed and One Normally Open Analog CMOS Switch	8-SOIC	3.86	2.92	2.08
DG508ACJ-ND	Monolithischer Analog-CMOS-Multiplexer, 1-bis-8	Monolithic CMOS Analog 1-to-8 Multiplexer	16-Dip	4.83	3.65	2.60
DG509ACJ-ND	Monolithischer Analog-CMOS-Multiplexer, 2-bis-8	Monolithic CMOS Analog 2-to-8 Multiplexer	16-Dip	4.83	3.65	2.60
HI3-0201-5-ND	Vierf. SPST-CMOS-Analogschalter	Quad SPST CMOS Analog Switch	16-Dip	4.77	3.61	2.40
HI3-0201HS-5-ND	Vierf. High-Speed SPST-CMOS-Analogschalter	High Speed Quad SPST CMOS Analog Switch	16-Dip	5.36	4.05	2.71
HI6-0201-5-ND	Vierf. SPST-CMOS-Analogschalter	Quad SPST CMOS Analog Switch	16-SOIC	5.43	4.10	2.73
HI6-0201HS-5-ND	Vierf. High-Speed SPST-CMOS-Analogschalter	High Speed Quad SPST CMOS Analog Switch	16-SOIC	7.56	5.71	3.81
ICL7107CPL-ND	3-1/2-stelliger ADU	3-1/2 Digit ADC	40-Dip	10.29	7.78	4.58
ICL7109CPL-ND	12-Bit ADU mit Tri-State Binär-Ausgängen	12-Bit ADC with Tri-State Binary Outputs	40-Dip	11.04	8.34	7.58
ICL7129ACPL-ND	4-1/2-stelliger ADU-Multiplexer-Treiber	4-1/2 Digit ADC Multiplexer Driver	40-Dip	16.74	12.64	8.43
ICL7129ACPL-2-ND	4-1/2-stelliger ADU-Multiplexer-Treiber	4-1/2 Digit ADC Multiplexer Driver	40-Dip	13.15	9.93	6.62
ICL7137CPL-ND	3-1/2-stelliger ADU, NL	Low Power, 3-1/2 Digit ADC	40-Dip	10.29	7.78	4.58
ICL7641ECPD-ND	Vierf. CMOS-OpAmp, NL	Quad, Low Power, CMOS Op Amp	14-Dip	3.61	2.73	1.61
ICL7642ECPD-ND	Vierf. CMOS-OpAmp, NL	Quad, Low Power, CMOS Op Amp	14-Dip	4.04	3.05	1.80
ICL7660CSA-ND	CMOS-Schaltkondensator-Spannungswandler	CMOS Switch Capacitor Voltage Converter	8-SOIC	2.42	1.83	1.31
ICL7665ACPA-ND	Unter/Überspannungsdetektor	Under/Over Volt Detector	8-Dip	4.17	3.15	2.26
ICL7665ACSA-ND	Unter/Überspannungsdetektor	Under/Over Volt Detector	8-SOIC	4.60	3.48	2.49
ICL7667CPA-ND	Zweif. MOSFET-Leistungstreiber	Dual Power MOSFET Driver	8-Dip	2.51	1.90	1.12
ICM7212AMIPL-ND	4-stelliger Display-Dekodierer/Treiber	Four Digit Display Decoder/Driver	40-Dip	4.87	3.68	2.15
ICM7217AIPI-ND	4-stelliger, voreinstellbarer Auf-/Abwärtszähler	4-Digit Presettable Up/Down Counter	28-Dip	11.73	8.86	5.21
ICM7217CIPI-ND	4-stelliger, voreinstellbarer Auf-/Abwärtszähler	4-Digit Presettable Up/Down Counter	28-Dip	11.73	8.86	5.21
ICM7218AIPI-ND	8-stelliger Multiplexer-LED-Dekodierer/Treiber	8-Digit Multiplexer LED Decoder/Driver	28-Dip	9.94	7.51	5.08
ICM7218BIPI-ND	8-stelliger LED-Display-Treiber	8-Digit LED Display Driver	28-Dip	9.94	7.51	4.39
ICM7224IPL-ND	4-1/2-stelliger Zähler/Dekodierer/Treiber	4-1/2 Digit Counter/Decoder/Driver	40-Dip	15.43	11.65	6.82
ICM7242IPA-ND	Fester Timer/Zähler	Fixed Timer/Counter	8-Dip	3.21	2.43	1.68
ICM7250IPE-ND	Programmierbarer RC-Timer	Programmable RC Timer	16-Dip	4.58	3.46	2.31
ICM7250IWE-ND	Programmierbarer RC-Timer	Programmable RC Timer	16-SOIC	5.03	3.80	2.53
ICM7556IPD-ND	Zweif. Allzweck-RC-Timer	Dual General Purpose RC Timer	14-Dip	3.18	2.41	1.42
ICM7556ISD-ND	Zweif. Allzweck-RC-Timer	Dual General Purpose RC Timer	14-SOIC	2.87	2.17	1.28
ICMAX7555IPA-ND	CMOS-Allzweck-Timer	CMOS General Purpose Timer	8-Dip	2.11	1.60	1.06
IH5043CPE-ND	Zweif. SPDT-Allzweck-CMOS-Analogschalter	Dual SPDT General Purpose CMOS Analog Switch	16-Dip	6.01	4.54	2.67
IH5144CPE-ND	Schneller DPST-CMOS-Analogschalter, NL	DPST, Low Power, Fast CMOS Analog Switch	16-Dip	8.21	6.20	3.65
IH5352CPE-ND	Vierf. RF/Videoschalter, SPST	SPST, Quad RF/Video Switch	16-Dip	11.91	9.00	5.30
MAX038CPP-ND	IC-Funktionsgenerator, 20 MHz	IC 20MHz Function Generator	20-Dip	19.79	14.94	9.58
MAX038CWP-ND	IC-Funktionsgenerator, 20 MHz	IC 20MHz Function Generator	20-SOIC	19.79	14.94	8.78
MAX110ACPE-ND	Serieller 2-Kanal ±14-Bit ADU	2-Channel ±14-Bit Serial ADC	16-Dip	14.02	10.59	6.78
MAX110ACWE-ND	Serieller 2-Kanal ±14-Bit ADU	2-Channel ±14-Bit Serial ADC	16-SOIC	14.02	10.59	6.78
MAX110BCPE-ND	Serieller 2-Kanal ±14-Bit ADU	2-Channel ±14-Bit Serial ADC	16-Dip	10.77	8.13	5.22
MAX110BCWE-ND	Serieller 2-Kanal ±14-Bit ADU	2-Channel ±14-Bit Serial ADC	16-SOIC	10.77	8.13	5.22
MAX117CPI-ND	8-Kanal 8-Bit ADU mit parallelem Ausgang, 3 V	3V 8-Channel 8-Bit Parallel Output ADC	28-Dip	8.46	6.39	4.10
MAX118CPI-ND	8-Kanal 8-Bit ADU mit parallelem Ausgang, 5 V	5V 8-Channel 8-Bit Parallel Output ADC	28-Dip	8.12	6.13	3.93
MAX120CNG-ND	500 KSPS, 12-Bit ADU mit Track/Hold und Ref.	500 KSPS, 12-Bit ADC with Track/Hold and Reference	24-Dip	33.92	25.61	16.41
MAX121CPE-ND	308 KSPS ADU mit DSP 78 dB Schnittst./seriellem A/D	308 KSPS ADC with DSP 78dB Interface/Serial A/D	16-Dip	26.92	20.32	13.03
MAX121CWE-ND	308 KSPS ADU mit DSP 78 dB Schnittst./seriellem A/D	308 KSPS ADC with DSP 78dB Interface/Serial A/D	16-SOIC	26.92	20.32	13.03
MAX132CNG-ND	ADU mit serieller Schnittstelle	ADC with Serial Interface	24-Dip	16.94	12.79	8.20
MAX132CWG-ND	ADU mit serieller Schnittstelle	ADC with Serial Interface	24-SOIC	16.94	12.79	8.20
MAX133CPL-ND	3-3/4-stelliger DMM-Schaltkreis	3-3/4 Digit DMM Circuit	40-Dip	18.96	14.31	9.17
MAX133CQH-ND	3-3/4-stelliger DMM-Schaltkreis	3-3/4 Digit DMM Circuit	44-PLCC	22.75	17.17	11.01
MAX135CPI-ND	15-Bit ADU, NL mit paralleler Schnittstelle	15-Bit Low Power ADC with Parallel Interface	28-Dip	16.94	12.79	8.20
MAX135CWI-ND	15-Bit ADU, NL mit paralleler Schnittstelle	15-Bit Low Power ADC with Parallel Interface	28-SOIC	16.94	12.79	8.20
MAX138CPL-ND	3-1/2-stelliger ADU mit Bandgap-Ref. und Ladepumpen-Spannungswandler und LCD-Treiber	3-1/2 Digit ADC with Bandgap Ref. and Charge Pump Volt Converter and LCD Driver	40-Dip	16.40	12.38	7.94
MAX146ACAP-ND	2,7-3,6 V, serieller 12-Bit 8-Kanal-ADU, NL	2.7-3.6V, Low Power 12-Bit, 8-Ch. Serial ADC	20-SSOP	19.36	14.62	8.60
MAX146ACPP-ND	2,7-3,6 V, serieller 12-Bit 8-Kanal-ADU, NL	2.7-3.6V, Low Power 12-Bit, 8-Ch. Serial ADC	20-Dip	19.36	14.62	8.60
MAX146BEAP-ND	2,7-3,6 V, serieller 12-Bit 8-Kanal-ADU, NL	2.7-3.6V, Low Power 12-Bit, 8-Ch. Serial ADC	20-SSOP	19.36	14.62	8.60
MAX147BCAP-ND	Serieller 12-Bit 8-Kanal-ADU, NL, 2,7 V	2.7V Low Power 12-Bit 8-Channel Serial ADC	20-SSOP	13.01	9.83	6.30
MAX147BCPP-ND	Serieller 12-Bit 8-Kanal-ADU, NL, 2,7 V	2.7V Low Power 12-Bit 8-Channel Serial ADC	20-Dip	13.01	9.83	6.30
MAX148BCAP-ND	Serieller 10-Bit 8-Kanal-ADU, NL, 2,7 V	2.7V Low Power 10-Bit 8-Channel Serial ADC	20-SSOP	6.80	5.14	3.29
MAX148BCPP-ND	Serieller 10-Bit 8-Kanal-ADU, NL, 2,7 V	2.7V Low Power 10-Bit 8-Channel Serial ADC	20-Dip	7.41	5.59	3.58
MAX150BCPP-ND	8-Bit CMOS-ADU mit VREF, Track/Hold	CMOS 8-Bit ADC with VREF Track and Hold	20-Dip	18.98	14.33	9.19
MAX153CPP-ND	1 MSPS, 8-Bit ADU mit Abschaltung, µP-kompatibel	1MSPS, µP-Compatible, 8-Bit ADC with Power Down	20-Dip	14.07	10.62	6.81
MAX154ACNG-ND	4-Kanal-ADU mit Track/Hold	4-Channel ADC with Track and Hold	24-Dip	27.55	20.80	13.33
MAX154ACWG-ND	4-Kanal-ADU mit Track/Hold	4-Channel ADC with Track and Hold	24-SOIC	27.55	20.80	13.33
MAX154BCNG-ND	4-Kanal-ADU mit Track/Hold	4-Channel ADC with Track and Hold	24-Dip	19.92	15.04	9.64
MAX154BCWG-ND	4-Kanal-ADU mit Track/Hold	4-Channel ADC with Track and Hold	24-SOIC	19.92	15.04	9.64
MAX158ACPI-ND	8-Kanal-ADU mit Track/Hold	8-Channel ADC with Track and Hold	28-Dip	28.51	21.53	13.80
MAX158ACWI-ND	8-Kanal-ADU mit Track/Hold	8-Channel ADC with Track and Hold	28-SOIC	28.51	21.53	13.80
MAX158BCPI-ND	8-Kanal-ADU mit Track/Hold	8-Channel ADC with Track and Hold	28-Dip	20.89	15.77	10.11
MAX158BCWI-ND	8-Kanal-ADU mit Track/Hold	8-Channel ADC with Track and Hold	28-SOIC	20.89	15.77	10.11
MAX165ACPN-ND	CMOS µP-kompatibler 5 µS 8-Bit ADU	CMOS µP Compatible 5µS 8-Bit ADC	18-Dip	11.24	8.49	5.45

(Forts.)

★ RUFEN SIE BITTE AN FÜR NIEDRIGERE PREISE BEI GRÖSSEREN MENGEN! ★

B

Digi-Key Teilenr.	Beschreibung		Paket	Stückpreis★ 1	25	100
MAX165BCPN-ND	CMOS µP-kompatibler 5 µS 8-Bit ADU mit Track Hold und Referenz	CMOS µP Compatible 5µS 8-Bit ADC with Track Hold and Ref.	18-Dip	8.66	6.54	4.20
MAX165BCWN-ND	CMOS µP-kompatibler 5 µS 8-Bit ADU	CMOS µP Compatible 5µS 8-Bit ADC	18-SOIC	8.66	6.54	4.20
MAX166BCPP-ND	Differenzial-Eingang, 5 µS, 8-Bit ADU mit Track Hold und Referenz	Diff. Input, 5µS, 8-Bit ADC with Track Hold and Reference	20-Dip	9.22	6.96	4.46
MAX172BCNG-ND	Kompletter 10 µS CMOS 12-Bit ADU	Complete 10µS CMOS 12-Bit ADC	24-Dip	22.88	17.28	11.08
MAX174CCPI-ND	12-Bit ADU mit Referenz	12-Bit ADC with Reference	28-Dip	67.06	50.61	36.16
MAX176BCPA-ND	Serieller Ausgang, 12-Bit 250 KSPS ADU	Serial Output, 12-Bit 250 KSPS ADC	8-Dip	27.98	21.12	13.54
MAX180ACQH-D-ND	12-Bit 8-Kanal-Datenerfassungssystem	8-Channel 12-Bit Data Acquisition System	44-PLCC	46.83	35.34	20.80
MAX180BCPL-ND	12-Bit 8-Kanal-Datenerfassungssystem	8-Channel 12-Bit Data Acquisition System	40-Dip	41.42	31.26	20.04
MAX186BCPP-ND	Serieller 12-Bit 8-Kanal-ADU, NL, mit Referenz	Low Power 8-Channel Serial 12-Bit ADC with Reference	20-Dip	27.55	20.80	13.33
MAX186BCWP-ND	Serieller 12-Bit 8-Kanal-ADU, NL, mit Referenz	Low Power 8-Channel Serial 12-Bit ADC with Reference	20-SOIC	27.55	20.80	13.33
MAX186DCPP-ND	Serieller 12-Bit 8-Kanal-ADU, NL, mit Referenz	Low Power 8-Channel Serial 12-Bit ADC with Reference	20-Dip	18.18	13.72	8.79
MAX186DCWP-ND	Serieller 12-Bit 8-Kanal-ADU, NL, mit Referenz	Low Power 8-Channel Serial 12-Bit ADC with Reference	20-SOIC	18.18	13.72	8.79
MAX187BCPA-ND	Serieller 12-Bit ADU, NL, mit Track/Hold	Low Power 12-Bit Serial ADC with Track and Hold	8-Dip	16.76	12.65	8.11
MAX187BCWE-ND	Serieller 12-Bit ADU, NL, mit Track/Hold	Low Power 12-Bit Serial ADC with Track and Hold	16-SOIC	16.76	12.65	8.11
MAX188BCPP-ND	Serieller 12-Bit 8-Kanal-ADU, NL, mit Referenz	Low Power 8-Channel Serial 12-Bit ADC with Reference	20-Dip	25.19	19.02	12.19
MAX188BCWP-ND	Serieller 12-Bit 8-Kanal-ADU, NL, mit Referenz	Low Power 8-Channel Serial 12-Bit ADC with Reference	20-SOIC	25.19	19.02	12.19
MAX188DCPP-ND	Serieller 12-Bit 8-Kanal-ADU, NL, externe Ref. erforderlich	LP 8-Channel Serial 12-Bit ADC, External Ref. Required	20-Dip	17.14	12.94	8.30
MAX188DCWP-ND	Serieller 12-Bit 8-Kanal-ADU, NL, mit Referenz	Low Power 8-Channel Serial 12-Bit ADC with Reference	20-SOIC	17.14	12.94	8.30
MAX189CCPA-ND	Serieller 12-Bit A/D-Wandler, 5 V, NL	5V Low Power 12-Bit Serial A/D Converter	8-Dip	14.11	10.66	6.83
MAX191BCNG-ND	12-Bit Sampling ADU mit interner Ref. und Abschaltfunktion, NL	LP, 12-Bit Sampling ADC with Internal Ref. and Power Down	24-Dip	20.35	15.36	9.85
MAX191BCWG-ND	12-Bit Sampling ADU mit interner Ref. und Abschaltfunktion, NL	LP, 12-Bit Sampling ADC with Internal Ref. and Power Down	24-SOIC	20.35	15.36	9.85
MAX191BEWG-ND	12-Bit Sampling ADU mit interner Ref. und Abschaltfunktion, NL	LP, 12-Bit Sampling ADC with Internal Ref. and Power Down	24-SOIC	26.45	19.97	11.75
MAX192BCAP-ND	10-Bit 8-Kanal-ADU, NL	Low Power 8-Channel 10-Bit ADC	20-SSOP	14.36	10.84	6.96
MAX192BCPP-ND	10-Bit 8-Kanal-ADU, NL	Low Power 8-Channel 10-Bit ADC	20-Dip	13.05	9.86	6.32
MAX192BCWP-ND	10-Bit 8-Kanal-ADU, NL	Low Power 8-Channel 10-Bit ADC	20-SOIC	13.05	9.86	6.32
MAX194BCWE-ND	14-Bit ADU mit 10 µA Abschaltung, 85 KSPS	14-Bit 85KSPS ADC with 10µA Shutdown	16-SOIC	31.05	23.44	15.02
MAX195BCPE-ND	16-Bit ADU mit 10 µA Abschaltung, 85 KSPS	16-Bit 85KSPS ADC with 10µA Shutdown	16-Dip	57.23	43.20	27.69
MAX195BCWE-ND	16-Bit ADU mit 10 µA Abschaltung, 85 KSPS	16-Bit 85KSPS ADC with 10µA Shutdown	16-SOIC	57.23	43.20	27.69
MAX195BEWE-ND	16-Bit ADU mit 10 µA Abschaltung, 85 KSPS	16-Bit 85KSPS ADC with 10µA Shutdown	16-SOIC	74.39	56.15	33.02
MAX196BCAI-ND	12-Bit 6-Kanal-Mehrbereichs-ADU, parallele Schnittst.	6-Channel Multi-Range 12-Bit ADC Parallel Interface	28-SSOP	23.94	18.07	11.59
MAX196BCNI-ND	12-Bit 6-Kanal-Mehrbereichs-ADU, parallele Schnittst.	6-Channel Multi-Range 12-Bit ADC Parallel Interface	28-Dip	23.04	17.39	11.15
MAX197ACWI-ND	12-Bit 8-Kanal-Mehrbereichs-DAS, parallele Schnittst.	8-Channel Multi-Range 12-Bit DAS Parallel Interface	28-SOIC	29.93	22.59	13.56
MAX197BCAI-ND	12-Bit 8-Kanal-Mehrbereichs-DAS, parallele Schnittst.	8-Channel Multi-Range 12-Bit DAS Parallel Interface	28-SSOP	23.94	18.07	11.59
MAX197BCNI-ND	12-Bit 8-Kanal-Mehrbereichs-DAS, parallele Schnittst.	8-Channel Multi-Range 12-Bit DAS Parallel Interface	28-Dip	23.04	17.39	11.15
MAX200CPP-ND	Fünf RS232-Trans. mit Stromabschaltung und externen 0,1-uF-Kondensatoren, +5 V getrieben	+5V Powered, Five RS-232 Trans. with Power Shutdown and .1µF External Capacitors	20-Dip	6.98	5.27	3.38
MAX201CPD-ND	Zweif. RS232-Transceiver mit externen 0,1 µF Kondensatoren, +5 V/+9 V bis +13,2 V	+5V/+9V to +13.2V, Dual RS-232 Transceiver with .1µF External Capacitors	14-Dip	2.80	2.12	1.36
MAX201CWE-ND	Zweif. RS232-Transceiver mit externen 0,1 µF Kondensatoren, +5 V/+9 V bis +13,2 V	+5V/+9V to +13.2V, Dual RS-232 Transceiver with .1µF External Capacitors	16-SOIC	2.80	2.12	1.36
MAX202CPE-ND	Zweif. RS232-Transceiver mit externen 0,1 µF Kondens., +5 V	+5V Dual RS-232 Transceiver with .1µF External Caps	16-Dip	2.80	2.12	1.36
MAX202CSE-ND	Zweif. RS232-Transceiver mit externen 0,1 µF Kondens., +5 V	+5V Dual RS-232 Transceiver with .1µF External Caps	16-SOIC	2.80	2.12	1.36
MAX202CWE-ND	Zweif. RS232-Transceiver mit externen 0,1 µF Kondens., +5 V	+5V Dual RS-232 Transceiver with .1µF External Caps	16-SOIC	2.80	2.12	1.36
MAX202ECPE-ND	+5 V, RS232-Transceiver, ESE-geschützt	+5V RS-232 Transceiver, ESD Protected	16-Dip	3.55	2.68	1.72
MAX202ECSE-ND	+5 V, RS232-Transceiver, ESE-geschützt	+5V RS-232 Transceiver, ESD Protected	16-SOIC	3.55	2.68	1.72
MAX202ECWE-ND	+5 V, RS232-Transceiver, ESE-geschützt	+5V RS-232 Transceiver, ESD Protected	16-SOIC	3.55	2.68	1.72
MAX202EESE-ND	+5 V, RS232-Transceiver, ESE-geschützt	+5V RS-232 Transceiver, ESD Protected	16-SOIC	4.58	3.46	2.22
MAX202ESE-ND	Zweif. RS232-Transceiver mit externen 0,1 µF Kondens., +5 V	+5V Dual RS-232 Transceiver with .1µF External Caps	16-SOIC	3.37	2.54	1.63
MAX203CPP-ND	Kompletter, zweif. RS232-Transceiver, +5 V	Complete, +5V Powered, Dual RS-232 Transceiver	20-Dip	6.31	4.76	3.05
MAX203CWP-ND	Zweif. RS232-Transceiver, +5 V	+5V Powered, Dual RS-232 Transceiver	20-SOIC	6.31	4.76	3.05
MAX203ECWP-ND	+5 V, RS232-Transceiver, ESE-geschützt	+5V RS-232 Transceiver, ESD Protected	20-SOIC	6.89	5.20	3.33
MAX203EEWP-ND	+5 V, RS232-Transceiver, ESE-geschützt	+5V RS-232 Transceiver, ESD Protected	20-SOIC	9.83	7.42	4.75
MAX204CPE-ND	Vierf. RS232-Transceiver mit externen 0,1 µF Kondensatoren, +5 V	+5V Quad RS-232 Transceiver with .1µF External Capacitors	16-Dip	4.98	3.76	2.42
MAX205CPG-ND	Kompletter +5 V RS232-Transceiver, 5-Kanal	Complete, +5V Pwrd, 5-Channel RS-232 Transceiver	24-Dip	13.87	10.47	6.71
MAX206CNG-ND	5 V RS232-Transc. mit ext. 0,1 µF Kond., 4 Treibern/3 Empf.	5V RS-232 Transceiver with .1µF External Caps, 4 Drivers/3 Receivers	24-Dip	6.39	4.83	3.10
MAX206CWG-ND	5 V RS232-Transc. mit ext. 0,1 µF Kond., 4 Treibern/3 Empf.	5V RS-232 Transceiver with .1µF External Caps, 4 Drivers/3 Receivers	24-SOIC	6.39	4.83	3.10
MAX207CNG-ND	5 V RS232-Transc. mit ext. 0,1 µF Kond., 5 Treibern/3 Empf.	5V RS-232 Transceiver with .1µF External Caps, 5 Drivers/3 Receivers	24-Dip	6.39	4.83	3.10
MAX207CWG-ND	5 V RS232-Transc. mit ext. 0,1 µF Kond., 5 Treibern/3 Empf.	5V RS-232 Transceiver with .1µF External Caps, 5 Drivers/3 Receivers	24-SOIC	6.39	4.83	3.10
MAX208CAG-ND	5 V RS232-Transc. mit ext. 0,1 µF Kond., 4 Treibern/4 Empf.	5V RS-232 Transceiver with .1µF External Caps, 4 Drivers/4 Receivers	24-SSOP	6.73	5.08	3.26
MAX208CNG-ND	5 V RS232-Transc. mit ext. 0,1 µF Kond., 4 Treibern/4 Empf.	5V RS-232 Transceiver with .1µF External Caps, 4 Drivers/4 Receivers	24-Dip	6.39	4.83	3.10
MAX208CWG-ND	5 V RS232-Transc. mit ext. 0,1 µF Kond., 4 Treibern/4 Empf.	5V RS-232 Transceiver with .1µF External Caps, 4 Drivers/4 Receivers	24-SOIC	6.39	4.83	3.10
MAX209CNG-ND	3 RS232-Transmitter und 5 RS232-Empfänger, mit Empfänger aktiviert u. externen 0,1 µF Kond., +5 V und +12 V getrieben	+5V and +12V Pwrd., 3 RS-232 Transmitters and 5 RS-232 Receivers with Receiver Enable and .1µF External Caps.	24-Dip	6.39	4.83	3.10
MAX209CWG-ND	3 RS232-Transmitter und 5 RS232-Empfänger, mit Empfänger aktiviert u. externen 0,1 µF Kond., +5 V und +12 V getrieben	+5V and +12V Pwrd., 3 RS-232 Transmitters and 5 RS-232 Receivers with Receiver Enable and .1µF External Caps.	24-SOIC	6.39	4.83	3.10
MAX211CAI-ND	4 RS232-Transmitter und 5 RS232-Empfänger, mit externen 0,1 µF Kond., +5 V getrieben	+5V Powered, 4 RS-232 Transmitters and 5 RS-232 Receivers with .1µF External Caps.	28-SSOP	6.73	5.08	3.26
MAX211CWI-ND	4 RS232-Transmitter und 5 RS232-Empfänger, mit externen 0,1 µF Kond., +5 V getrieben	+5V Powered, 4 RS-232 Transmitters and 5 RS-232 Receivers with .1µF External Caps.	28-SOIC	6.39	4.83	3.10
MAX211ECAI-ND	4 RS232-Transmitter und 5 RS232-Empfänger, +5 V getrieben, mit externen 0,1 µF Kondensatoren, 15-Kv-ESE	+5V Powered, 4 RS-232 Transmitters and 5 RS-232 Receivers with .1µF Ext. Caps., 15Kv ESD	28-SSOP	7.76	5.86	3.76
MAX213CAI-ND	4 RS232-Transmitter und RS232-Empfänger (2 mit aktiver Abschaltung), mit ext. 0,1 µF Kond., +5 V getrieben	+5V Powered, 4 RS-232 Transmitters and RS-232 Receivers (2 active in shutdown) with 0.1µF External Caps	28-SSOP	6.73	5.08	3.26
MAX213CWI-ND	4 RS232-Transmitter und 5 RS232-Empfänger (2 mit aktiver Abschaltung), mit ext. 0,1 µF Kond., +5 V getrieben	+5V Powered, 4 RS-232 Transmitters and 5 RS-232 Receivers (2 active in shutdown) with 0.1µF External Caps.	28-SOIC	6.39	4.83	3.10
MAX214CPI-ND	Programmierbare DTE/DCE, RS232-Transceiver, 5 V	Programmable DTE/DCE, 5V RS-232 Transceiver	28-Dip	8.36	6.32	4.06
MAX214CWI-ND	Programmierbare DTE/DCE, RS232-Transceiver, 5 V	Programmable DTE/DCE, 5V RS-232 Transceiver	28-SOIC	7.67	5.80	3.72
MAX218CPP-ND	Zweif. True RS232-Transceiver, 1,8 V - 4,25 V getrieben	1.8V - 4.25V Powered True RS-232 Dual Transceiver	20-Dip	4.01	3.04	1.95
MAX218CWP-ND	Zweif. True RS232-Transceiver, 1,8 V - 4,25 V getrieben	1.8V - 4.25V Powered True RS-232 Dual Transceiver	20-SOIC	4.01	3.04	1.95
MAX222CPN-ND	HS-RS232-Treiber/Empfänger mit Abschaltung, 5 V	5V High Speed RS-232 Driver Receiver with Shutdown	18-Dip	4.13	3.12	2.08
MAX222CWN-ND	HS-RS232-Treiber/Empfänger mit Abschaltung, 5 V	5V High Speed RS-232 Driver Receiver with Shutdown	18-SOIC	4.13	3.12	2.08
MAX222EWN-ND	HS-RS232-Treiber/Empfänger mit Abschaltung, 5 V	5V High Speed RS-232 Driver Receiver with Shutdown	18-SOIC	4.94	3.73	2.49
MAX223CWI-ND	4 RS232-Transmitter und 5 RS232-Empfänger (2 mit aktiver Abschaltung), +5 V getrieben	+5V Powered, 4 RS-232 Transmitters and 5 RS-232 Receivers (2 Active in Shutdown)	28-SOIC	6.98	5.27	3.38
MAX225CWI-ND	+5 V Multikanal-RS232-Treiber/Empfänger	+5V Multichannel RS-232 Driver/Receiver	28-SOIC	16.06	12.13	7.13
MAX230CPP-ND	5 RS232-Transmitter mit Stromabschaltung, +5 V getrieben	+5V Powered, 5 RS-232 Transmitters with Power Shutdown	20-Dip	6.98	5.27	3.38
MAX230CWP-ND	5 RS232-Transmitter mit Stromabschaltung, +5 V getrieben	+5V Powered, 5 RS-232 Transmitters with Power Shutdown	20-SOIC	6.39	4.83	3.10
MAX231CPD-ND	Zweif. RS232-Transmitter/Empfänger, +5 V und +12 V getrieben	+5V and +12V Powered Dual RS-232 Transmitters/Receivers	14-Dip	2.80	2.12	1.36
MAX231EPD-ND	Zweif. RS232-Transmitter/Empfänger, +5 V und +12 V getrieben	+5V and +12V Powered Dual RS-232 Transmitters /Receivers	14-Dip	3.37	2.54	1.63
MAX232ACPE-ND	Zweif. HS-RS232-Transmitter und -Empfänger, +5 V getrieben	+5V Powered, HS Dual RS-232 Transmitters and Receivers	16-Dip	4.66	3.53	2.35
MAX232ACSE-ND	Zweif. HS-RS232-Transmitter und -Empfänger, +5 V getrieben	+5V Powered, HS Dual RS-232 Transmitters and Receivers	16-SOIC	4.66	3.53	2.35
MAX232ACWE-ND	Zweif. HS-RS232-Transmitter und -Empfänger, +5 V getrieben	+5V Powered, HS Dual RS-232 Transmitters and Receivers	16-SOIC	4.13	3.12	2.08
MAX232AESE-ND	Zweif. HS-RS232-Transmitter und -Empfänger, +5 V getrieben	+5V Powered, HS Dual RS-232 Transmitters and Receivers	16-SOIC	5.59	4.22	2.49
MAX232AEWE-ND	Zweif. HS-RS232-Transmitter und -Empfänger, +5 V getrieben	+5V Powered, HS Dual RS-232 Transmitters and Receivers	16-SOIC	4.94	3.73	2.49
MAX232CPE-ND	Zweif. RS232-Transmitter und -Empfänger, +5 V getrieben	+5V Powered, Dual RS-232 Transmitters and Receivers	16-Dip	2.80	2.12	1.36
MAX232CWE-ND	Zweif. RS232-Transmitter und -Empfänger, +5 V getrieben	+5V Powered, Dual RS-232 Transmitters and Receivers	16-SOIC	2.80	2.12	1.36
MAX232ECPE-ND	Zweif. RS232-Transmitter und -Empfänger, +5 V getrieben, ESE-Schutz	+5V Powered, Dual RS-232 Transmitters and Receivers, ESD Protected	16-Dip	3.55	2.68	1.72
MAX232ECSE-ND	Zweif. RS232-Transmitter und -Empfänger, +5 V getrieben, ESE-Schutz	+5V Powered, Dual RS-232 Transmitters and Receivers, ESD Protected	16-SOIC	3.55	2.68	1.72
MAX232ECWE-ND	Zweif. RS232-Transmitter und -Empfänger, +5 V getrieben, ESE-Schutz	+5V Powered, Dual RS-232 Transmitters and Receivers, ESD Protected	16-SOIC	3.55	2.68	1.72
MAX232EEPE-ND	Zweif. RS232-Transmitter und -Empfänger, +5 V getrieben, ESE-Schutz	+5V Powered, Dual RS-232 Transmitters and Receivers, ESD Protected	16-Dip	4.58	3.46	2.22
MAX232EESE-ND	Zweif. RS232-Transmitter und -Empfänger, +5 V getrieben, ESE-Schutz	+5V Powered, Dual RS-232 Transmitters and Receivers, ESD Protected	16-SOIC	4.58	3.46	2.22
MAX232EPE-ND	Zweif. RS232-Transmitter und -Empfänger, +5 V getrieben	+5V Powered, Dual RS-232 Transmitters and Receivers	16-Dip	3.37	2.54	1.63
MAX232EWE-ND	Zweif. RS232-Transmitter und -Empfänger, +5 V getrieben	+5V Powered, Dual RS-232 Transmitters and Receivers	16-SOIC	3.37	2.54	1.63
MAX233ACPP-ND	Zweif. RS232-Transmitter/Empfänger, keine ext. Komponenten, +5 V getrieben	+5V Powered, Dual RS-232 No External Components Transmitters/Receivers	20-Dip	9.11	6.88	4.41
MAX233ACWP-ND	Zweif. RS232-Transmitter/Empfänger, keine ext. Komponenten, +5 V getrieben	+5V Powered, Dual RS-232 No External Components Transmitters/Receivers	20-SOIC	9.11	6.88	4.41

(Forts.)

★ ***RUFEN SIE BITTE AN FÜR NIEDRIGERE PREISE BEI GRÖSSEREN MENGEN!*** ★

Alle Preisangaben in Euro und inklusive Zollgebühren.

Digi-Key Teilenr.	Beschreibung		Paket	Stückpreis★ 1	25	100
MAX233AEPP-ND	Zweif. RS232-Transmitter/Empfänger, keine ext. Komponenten, +5 V getrieben	+5V Powered, Dual RS-232 No External Components Transmitters/Receivers	20-Dip	12.39	9.35	6.00
MAX233AEWP-ND	Zweif. RS232-Transmitter/Empfänger, keine ext. Komponenten, +5 V getrieben	+5V Powered, Dual RS-232 No External Components Transmitters/Receivers	20-SOIC	12.39	9.35	6.00
MAX233CPP-ND	Zweif. RS232-Transmitter/Empfänger, keine ext. Komponenten, +5 V getrieben	+5V Powered, Dual RS-232 No External Components Transmitters/Receivers	20-Dip	6.31	4.76	3.05
MAX233EPP-ND	Zweif. RS232-Transmitter/Empfänger, keine ext. Komponenten, +5 V getrieben	+5V Powered, Dual RS-232 No External Components Transmitters/Receivers	20-Dip	7.56	5.71	3.66
MAX234CPE-ND	Vierf. RS232-Transmitter, +5 V getrieben	+5V Powered Quad RS-232,Transmitters	16-Dip	4.98	3.76	2.42
MAX234CWE-ND	Vierf. RS232-Transmitter, +5 V getrieben	+5V Powered Quad RS-232, Transmitters	16-SOIC	4.98	3.76	2.42
MAX235CPG-ND	5 RS232-Transmitter und -Empfänger mit Stromabschaltung und Tri-State, keine ext. Komponenten, +5 V getrieben	+5V Powered, 5 RS-232 No External Comp. Transmitters and Receivers with Power Shutdown and Tri-State	24-Dip	13.87	10.47	6.71
MAX236CNG-ND	4 RS232-Transmitter und 3 RS232-Empfänger, +5 V getrieben, mit Stromabschaltung und Tri-State	+5V Powered, 4 RS-232 Transmitters and 3 RS-232 Receivers with Power Shutdown and Tri-State	24-Dip	6.39	4.83	3.10
MAX236CWG-ND	4 RS232-Transmitter und 3 RS232-Empfänger, +5 V getrieben, mit Stromabschaltung und Tri-State	+5V Powered, 4 RS-232 Xmitters and 3 RS-232 Receivers with Power Shutdown and Tri-State	24-SOIC	6.39	4.83	3.10
MAX237CNG-ND	5 RS232-Transmitter, 3 RS232-Empfänger, +5 V getrieben	+5V Powered, 5 RS-232 Transmitters, 3 RS-232 Receivers	24-Dip	6.39	4.83	3.10
MAX237CWG-ND	5 RS232-Transmitter, 3 RS232-Empfänger, +5 V getrieben	+5V Powered, 5 RS-232 Transmitters, 3 RS-232 Receivers	24-SOIC	6.39	4.83	3.10
MAX237ENG-ND	5 RS232-Transmitter, 3 RS232-Empfänger, +5 V getrieben	+5V Powered, 5 RS-232 Transmitters, 3 RS-232 Receivers	24-Dip	7.67	5.80	3.71
MAX238CNG-ND	Vierf. RS232-Transmitter und -Empfänger, +5 V getrieben	+5V Powered, Quad RS-232 Transmitters and Receivers	24-Dip	6.39	4.83	3.10
MAX238CWG-ND	Vierf. RS232-Transmitter und -Empfänger, +5 V getrieben	+5V Powered, Quad RS-232 Transmitters and Receivers	24-SOIC	6.39	4.83	3.10
MAX239CNG-ND	3 RS232-Transmitter und 5 RS232-Empfänger mit Empfänger aktiviert, +5 V und +12 V getrieben	+5V and +12V Powered, 3 RS-232 Transmitters and 5 RS-232 Receivers w/Receiver Enable	24-Dip	6.39	4.83	3.10
MAX240CMH-ND	5 RS232-Transmitter und -Empfänger mit Stromabschaltung und Tri-State, +5 V getrieben	+5V Powered, 5 RS-232 Transmitters and Receivers with Power Shutdown and Tri-State	44-MQFP	10.50	7.93	5.08
MAX241CWI-ND	4 RS232-Transmitter, 5 Empfänger mit Stromabschaltung und Empfänger Tri-State aktiviert, +5 V getrieben	+5V Powered, 4 RS-232 Transmitters, 5 Receivers with Power Shutdown and Receiver 3-State Enable	28-SOIC	10.50	7.93	5.08
MAX242CPN-ND	Zweif. HS-RS232-Treiber/Empfänger, 5 V	High Speed 5V Dual RS-232 Driver/Receiver	18-Dip	4.13	3.12	2.08
MAX242CWN-ND	Zweif. HS-RS232-Treiber/Empfänger, 5 V	High Speed 5V Dual RS-232 Driver/Receiver	18-SOIC	4.13	3.12	2.08
MAX242EPN-ND	Zweif. HS-RS232-Treiber/Empfänger, 5 V	High Speed 5V Dual RS-232 Driver/Receiver	18-Dip	4.94	3.73	2.49
MAX242EWN-ND	Zweif. HS-RS232-Treiber/Empfänger, 5 V	High Speed 5V Dual RS-232 Driver/Receiver	18-SOIC	4.94	3.73	2.49
MAX243CPE-ND	Zweif. RS232-Treiber/Empfänger, 5 V getrieben	5V Powered Dual RS-232 Driver/Receiver	16-Dip	4.66	3.53	2.35
MAX243CSE-ND	Zweif. RS232-Treiber/Empfänger, 5 V getrieben	5V Powered Dual RS-232 Driver/Receiver	16-SOIC	4.66	3.53	2.35
MAX248EQH-D-ND	5 V RS232-Transceiver	5V RS-232 Transceiver	44-PLCC	22.32	16.85	9.91
MAX249CQH-ND	5 V Multikanal-RS232-Treiber/Empfänger	5V, Multi-Channel RS-232 Driver/Receiver	44-PLCC	17.16	12.96	8.64
MAX250CPD-ND	+5 V RS232-Treiber/Empfänger, isoliert	+5V, Isolated RS-232 Driver/Receiver	14-Dip	6.48	4.90	2.88
MAX250CSD-ND	+5 V RS232-Treiber/Empfänger, isoliert	+5V, Isolated RS-232 Driver/Receiver	14-SOIC	7.14	5.39	3.17
MAX250ESD-ND	+5 V RS232-Treiber/Empfänger, isoliert	+5V, Isolated RS-232 Driver/Receiver	14-SOIC	10.18	7.69	4.53
MAX251CPD-ND	+5 V RS232-Treiber/Empfänger, isoliert	+5V, Isolated RS-232 Driver/Receiver	14-Dip	6.48	4.90	2.88
MAX251CSD-ND	+5 V RS232-Treiber/Empfänger, isoliert	+5V, Isolated RS-232 Driver/Receiver	14-SOIC	7.14	5.39	3.17
MAX251EPD-ND	+5 V RS232-Treiber/Empfänger, isoliert	+5V, Isolated RS-232 Driver/Receiver	14-Dip	9.26	7.00	4.12
MAX251ESD-ND	+5 V RS232-Treiber/Empfänger, isoliert	+5V, Isolated RS-232 Driver/Receiver	14-SOIC	10.18	7.69	4.53
MAX253CPA-ND	Transformatortreiber für isolierte RS485-Schnittstelle	Transformer Driver for Isolated RS-485 Interface	8-Dip	2.38	1.80	1.16
MAX253CSA-ND	Transformatortreiber für isolierte RS485-Schnittstelle	Transformer Driver for Isolated RS-485 Interface	8-SOIC	2.38	1.80	1.16
MAX253CUA-ND	Transformatortreiber für isolierte RS485-Schnittstelle	Transformer Driver for Isolated RS-485 Interface	8-µMAX	2.60	1.97	1.16
MAX253EPA-ND	Transformatortreiber für isolierte RS485-Schnittstelle	Transformer Driver for Isolated RS-485 Interface	8-Dip	3.37	2.54	1.50
MAX274ACWI-ND	Analog-Filter 8. Ordnung	8th-Order Analog Filter	28-SOIC	11.53	8.71	5.58
MAX261BCNG-ND	µP-programmierbarer Universalfilter mit Schaltkondensator	µP Programmable Universal Switched Cap Filter	24-Dip	14.60	11.03	7.07
MAX274BCNG-ND	Analog-Filter 8. Ordnung	8th-Order Analog Filter	24-Dip	10.50	7.93	5.08
MAX274BCWI-ND	Analog-Filter 8. Ordnung	8th-Order Analog Filter	28-SOIC	10.50	7.93	5.08
MAX275BCPP-ND	Analog-Filter 4. Ordnung	4th-Order Analog Filter	20-Dip	6.55	4.95	3.17
MAX275BCWP-ND	Analog-Filter 4. Ordnung	4th-Order Analog Filter	20-SOIC	6.55	4.95	3.17
MAX280CPA-ND	Null-Fehler-Filter 5. Ordnung, Butterworth-Schaltkondensator mit Tiefpass	5th-Order Zero-Error, Butterworth Switched Cap LP Filter	8-Dip	8.86	6.69	4.29
MAX280CWE-ND	Null-Fehler-Filter 5. Ordnung, Butterworth-Schaltkondensator mit Tiefpass	5th Order Zero-Error, Butterworth Switched Cap LP Filter	16-SOIC	8.86	6.69	4.29
MAX281ACPA-ND	Null-Fehler-Filter 5. Ordnung, Bessel-Schaltkondensator mit Tiefpass	5th-Order Zero Error, Bessel Switched Cap LP Filter	8-Dip	10.79	8.15	5.23
MAX281ACWE-ND	Null-Fehler-Filter 5. Ordnung, Bessel-Schaltkondensator mit Tiefpass	5th-Order Zero Error, Bessel Switched Cap LP Filter	16-SOIC	10.79	8.15	5.23
MAX301CPE-ND	Zweif. Präz.-CMOS-Schalter (SPST), für niederohmige Ein-Widerstände passend	Prec. Dual Low On Resistance Matched CMOS Switch (SPST)	16-Dip	3.88	2.93	2.09
MAX301CSE-ND	Zweif. Präz.-CMOS-Schalter (SPST), für niederohmige Ein-Widerstände passend	Prec. Dual Low On Resistance Matched CMOS Switch (SPST)	16-SOIC	4.66	3.53	2.51
MAX303CPE-ND	Zweif. Präz.-CMOS-Schalter (SPDT), für niederohmige Ein-Widerstände passend	Prec. Dual Low On Resistance Matched CMOS Switch (SPDT)	16-Dip	8.17	6.17	4.42
MAX303CSE-ND	Zweif. Präz.-CMOS-Schalter (SPDT), für niederohmige Ein-Widerstände passend	Precision Dual Low On Resistance Matched CMOS Switch (SPDT)	16-SOIC	9.78	7.39	5.28
MAX303ESE-ND	Zweif. Präz.-CMOS-Schalter (SPDT), für niederohmige Ein-Widerstände passend	Precision Dual Low On Resistance Matched CMOS Switch (SPDT)	16-SOIC	10.29	7.78	4.58
MAX305CPE-ND	Passende zweif. Präzisions-CMOS-Schalter (DPST, Arbeitskontakt)	Precision Dual, Matched CMOS Switches (DPST, NO)	16-Dip	8.17	6.17	4.42
MAX305CSE-ND	Passende zweif. Präzisions-CMOS-Schalter (DPST, Arbeitskontakt)	Precision Dual, Matched CMOS Switches (DPST, NO)	16-SOIC	9.78	7.39	5.28
MAX306CPI-ND	Hochleistungs-Präzisions-CMOS-Analog-Mux, 16-Kanal	Precision 16-Channel High Perform CMOS Analog Mux	28-Dip	9.76	7.37	5.26
MAX306CWI-ND	Hochleistungs-Präzisions-CMOS-Analog-Mux, 16-Kanal	Precision 16-Channel High Perform CMOS Analog Mux	28-SOIC	13.46	10.16	7.26
MAX307CPI-ND	Zweif. Hochleistungs-Präzisions-CMOS-Analog-Mux, 8-Kanal	Precision Dual 8-Ch. High Performance CMOS Analog Mux	28-Dip	9.76	7.37	5.26
MAX307CWI-ND	Zweif. Hochleistungs-Präzisions-CMOS-Analog-Mux, 8-Kanal	Precision Dual 8-Ch. High Performance CMOS Analog Mux	28-SOIC	13.46	10.16	7.26
MAX308CPE-ND	Präzisions-8-Kanal., Hochleistung CMOS-Analog-Mux	Precision 8-Ch., High Perf. CMOS Analog Mux	16-Dip	6.32	4.78	3.42
MAX308CSE-ND	Präzisions-8-Kanal., Hochleistung CMOS-Analog-Mux	Precision 8-Ch., High Perf. CMOS Analog Mux	16-SOIC	7.59	5.73	4.10
MAX308ESE-ND	Präzisions-8-Kanal., Hochleistung CMOS-Analog-Mux	Precision 8-Ch., High Perf. CMOS Analog Mux	16-SOIC	7.90	5.96	3.51
MAX309CPE-ND	Zweif. Hochleistungs-Präzisions-CMOS-Analog-Mux, 4-Kanal	Precision Dual 4-Ch. High Performance CMOS Analog Mux	16-Dip	6.32	4.78	3.42
MAX309CSE-ND	Zweif. Hochleistungs-Präzisions-CMOS-Analog-Mux, 4-Kanal	Precision Dual 4-Ch. High Performance CMOS Analog Mux	16-SOIC	7.59	5.73	4.10
MAX310CPE-ND	CMOS RF/Video Mux	CMOS RF/Video Mux	16-Dip	14.60	11.03	6.49
MAX313CSE-ND	Vierf. SPST-CMOS-Analogschalter	CMOS Analog Switch, Quad, SPST	16-SOIC	9.07	6.85	4.03
MAX317CPA-ND	Präzisions-CMOS-Analogschalter, SPST-Ruhekontakt	Precision SPST Normally Closed CMOS Analog Switch	8-Dip	2.72	2.05	1.47
MAX317CSA-ND	Präzisions-CMOS-Analogschalter, SPST-Ruhekontakt	Precision SPST Normally Closed CMOS Analog Switch	8-SOIC	3.17	2.39	1.71
MAX318CPA-ND	Präzisions-Analogschalter, SPST-Arbeitskontakt	Precision SPST Normally Open Analog Switch	8-Dip	2.72	2.05	1.47
MAX318CSA-ND	Präzisions-Analogschalter, SPST-Arbeitskontakt	Precision SPST Normally Open Analog Switch	8-SOIC	3.17	2.39	1.71
MAX319CPA-ND	Präzisions-SPDT-CMOS-Analogschalter	Precision SPDT CMOS Analog Switch	8-Dip	3.63	2.75	1.96
MAX319CSA-ND	Präzisions-SPDT-CMOS-Analogschalter	Precision SPDT CMOS Analog Switch	8-SOIC	4.01	3.04	2.17
MAX319ESA-ND	Präzisions-SPDT-CMOS-Analogschalter	Precision SPDT CMOS Analog Switch	8-SOIC	4.66	3.53	2.08
MAX323CPA-ND	Einzelversorgter Präzisions-SPST-Analogschalter	Precision, Single Supply, SPST Analog Switch	8-Dip	2.51	1.90	1.22
MAX323CSA-ND	Einzelversorgter Präzisions-SPST-Analogschalter	Precision, Single Supply, SPST Analog Switch	8-SOIC	2.76	2.09	1.33
MAX326CPE-ND	Vierf. SPST-CMOS-Analogschalter mit ultraniedrigem Leckstrom	Quad SPST, Ultra-Low Leakage, CMOS Analog Switch	16-Dip	7.36	5.56	3.70
MAX326CSE-ND	Vierf. SPST-CMOS-Analogschalter mit ultraniedrigem Leckstrom	Quad SPST, Ultra-Low Leakage, CMOS Analog Switch	16-SOIC	8.08	6.10	4.07
MAX328CPE-ND	Monolithischer 8-Kanal-CMOS-Multiplexer mit ultraniedrigem Leckstrom	8-Channel, Ultra-Low Leakage Monolithic CMOS Multiplexer	16-Dip	9.58	7.23	4.82
MAX328CWE-ND	Monolithischer 8-Kanal-CMOS-Multiplexer mit ultraniedrigem Leckstrom	8-Channel, Ultra-Low Leakage Monolithic CMOS Multiplexer	16-SOIC	10.52	7.95	5.30
MAX329CPE-ND	Monolithischer 4-Kanal Diff.-CMOS-Mux mit ultraniedrigem Leckstrom	Diff. 4-Ch., Ultra-Low Leakage Monolithic CMOS Mux	16-Dip	9.58	7.23	4.82
MAX329CWE-ND	Monolithischer 4-Kanal Diff.-CMOS-Mux mit ultraniedrigem Leckstrom	Diff. 4-Ch., Ultra-Low Leakage Monolithic CMOS Mux	16-SOIC	10.52	7.95	5.30
MAX333ACPP-ND	Vierf. SPDT-CMOS-Analogschalter	Quad SPDT CMOS Analog Switch	20-Dip	6.77	5.12	3.42
MAX333ACUP-ND	Vierf. SPDT-CMOS-Analogschalter	Quad SPDT CMOS Analog Switch	20-TSSOP	8.01	6.05	4.04
MAX333ACWP-ND	Vierf. SPDT-CMOS-Analogschalter	Quad SPDT CMOS Analog Switch	20-SOIC	8.75	6.61	4.41
MAX333AEUP-ND	Vierf. SPDT-CMOS-Analogschalter	Quad SPDT CMOS Analog Switch	20-TSSOP	8.81	6.66	4.44
MAX333AEWP-ND	Vierf. SPDT-CMOS-Analogschalter	Quad SPDT CMOS Analog Switch	20-SOIC	11.12	8.40	5.60
MAX333CPP-ND	Vierf. SPDT-CMOS-Analogschalter	Quad SPDT CMOS Analog Switch	20-Dip	6.10	4.61	3.08
MAX333CWP-ND	Vierf. SPDT-CMOS-Analogschalter	Quad SPDT CMOS Analog Switch	20-SOIC	7.87	5.95	3.97
MAX335CNG-ND	Seriell gesteuerter 8-Kanal-SPST-Schalter	Serial Controlled, 8-Channel SPST Switch	24-Dip	6.01	4.54	2.91
MAX335CWG-ND	Seriell gesteuerter 8-Kanal-SPST-Schalter	Serial Controlled, 8-Channel SPST Switch	24-SOIC	6.60	4.98	3.20
MAX335EWG-ND	Seriell gesteuerter 8-Kanal-SPST-Schalter	Serial Controlled, 8-Channel SPST Switch	24-SOIC	7.27	5.49	3.30
MAX336CAI-ND	CMOS-Analog-Mux, 16-Kan.	16-Ch., Low-Leakage, CMOS Analog Mux	28-SSOP	9.45	7.13	4.20
MAX349CAP-ND	Seriell gesteuerter, Niederspann.-Mux, 8-Kan.	8-Ch., Serially Controlled, Low-Voltage Mux	20-SSOP	6.96	5.25	3.09
MAX350CPN-ND	Zweif. seriell gesteuerter Niederspann.-Mux, 4-Kan.	Dual 4-Ch., Serially Controlled, Low-Voltage Mux	18-Dip	6.31	4.76	2.81
MAX351CPE-ND	Vierf. Präzisionsanalogschalter, SPST-Ruhekontakt	Precision Quad SPST Analog Switch Normally Closed	16-Dip	5.59	4.22	3.02
MAX351CSE-ND	Vierf. Präzisionsanalogschalter, SPST-Ruhekontakt	Precision Quad SPST Analog Switch Normally Closed	16-SOIC	7.25	5.47	3.91
MAX352CPE-ND	Vierf. Präzisionsanalogschalter, SPST-Arbeitskontakt	Precision Quad SPST Analog Switch Normally Open	16-Dip	5.59	4.22	3.02

(Forts.)

★ ***RUFEN SIE BITTE AN FÜR NIEDRIGERE PREISE BEI GRÖSSEREN MENGEN!*** ★

B

Digi-Key Teilenr.	Beschreibung		Paket	Stückpreis★ 1	25	100
MAX352CSE-ND	Vierf. Präzisionsanalogschalter, SPST-Arbeitskontakt	Precision Quad SPST Analog Switch Normally Open	16-SOIC	7.25	5.47	3.91
MAX352ESE-ND	Vierf. Präzisionsanalogschalter, SPST-Arbeitskontakt	Precision Quad SPST Analog Switch Normally Open	16-SOIC	7.45	5.63	3.31
MAX353CPE-ND	Vierf. SPST-Präzisionsanalogschalter, 2 Ruhekontakte u. 2 Arbeitskontakte	Precision Quad SPST Analog Switch 2 Normally Closed and 2 Normally Open	16-Dip	5.59	4.22	3.02
MAX353CSE-ND	Vierf. SPST-Präzisionsanalogschalter, 2 Ruhekontakte u. 2 Arbeitskontakte	Precision Quad SPST Analog Switch 2 Normally Closed and 2 Normally Open	16-SOIC	7.25	5.47	3.91
MAX354CPE-ND	Einf. 8-Kanal-Analog-Mux, fehlersicher	Single 8-Channel Fault Protected Analog Mux	16-Dip	9.18	6.93	4.45
MAX354CWE-ND	Einf. 8-Kanal-Analog-Mux, fehlersicher	Single 8-Channel Fault Protected Analog Mux	16-SOIC	9.18	6.93	4.45
MAX354EWE-ND	Einf. 8-Kanal-Analog-Mux, fehlersicher	Single 8-Channel Fault Protected Analog Mux	16-SOIC	10.10	7.62	4.48
MAX355CPE-ND	Zweif. 4-Kanal-Analog-Mux, fehlersicher	Dual 4-Channel Fault Protected Analog Mux	16-Dip	9.18	6.93	4.45
MAX355CWE-ND	Zweif. 4-Kanal-Analog-Mux, fehlersicher	Dual 4-Channel Fault Protected Analog Mux	16-SOIC	9.18	6.93	4.45
MAX358CPE-ND	8-Kanal-Multiplexer, fehlersicher	Fault Protected 8-Channel Multiplexer	16-Dip	9.18	6.93	4.45
MAX358CWE-ND	8-Kanal-Multiplexer, fehlersicher	Fault Protected 8-Channel Multiplexer	16-SOIC	9.18	6.93	4.45
MAX359CPE-ND	4-Kanal-Differenzial-Multiplexer, fehlersicher	Fault Protected Differential 4-Channel Multiplexer	16-Dip	9.18	6.93	4.45
MAX359CWE-ND	4-Kanal-Differenzial-Multiplexer, fehlersicher	Fault Protected Differential 4-Channel Multiplexer	16-SOIC	9.18	6.93	4.45
MAX361CSE-ND	Vierf. SPST-Präzisionsanalogschalter, Ruhekontakt, 3 Ω Toleranz	Precision Quad SPST Analog Switch N/C 3Ω Tolerance	16-SOIC	5.93	4.47	3.21
MAX362CPE-ND	Vierf. SPST-Präzisionsanalogschalter, Arbeitskontakt, 3 Ω Toleranz	Precision Quad SPST Analog Switch N/O 3Ω Tolerance	16-Dip	4.91	3.71	2.65
MAX362CSE-ND	Vierf. SPST-Präzisionsanalogschalter, Arbeitskontakt, 3 Ω Toleranz	Precision Quad SPST Analog Switch N/O 3Ω Tolerance	16-SOIC	5.93	4.47	3.21
MAX364CPE-ND	Vierf. SPST-Präzisionsanalogschalter, Ruhekontakt, 2 Ω Toleranz	Precision Quad SPST Analog Switch N/C 2Ω Tolerance	16-Dip	2.90	2.19	1.57
MAX364CSE-ND	Vierf. SPST-Präzisionsanalogschalter, Ruhekontakt, 2 Ω Toleranz	Precision Quad SPST Analog Switch N/C 2Ω Tolerance	16-SOIC	2.90	2.19	1.57
MAX365CPE-ND	Vierf. SPST-Präzisionsanalogschalter, Arbeitskontakt, 2 Ω Toleranz	Precision Quad SPST Analog Switch N/O 2Ω Tolerance	16-Dip	2.90	2.19	1.57
MAX365CSE-ND	Vierf. SPST-Präzisionsanalogschalter, Arbeitskontakt, 2 Ω Toleranz	Precision Quad SPST Analog Switch N/O 2Ω Tolerance	16-SOIC	2.90	2.19	1.57
MAX367CWN-ND	8 Signalleitungs-Überstromsicherungen	8-Signal Line Circuit Protectors	18-SOIC	5.67	4.29	2.75
MAX378CPE-ND	Hochspannungs-Analog-Multiplexer, fehlersicher	High Voltage, Fault Protected Analog Multiplexer	16-Dip	13.46	10.16	6.52
MAX378CWG-ND	Hochspannungs-Analog-Multiplexer, fehlersicher	High Voltage, Fault Protected Analog Multiplexer	24-SOIC	13.46	10.16	6.52
MAX388CPN-ND	Hochspannungs-Multiplexer, 8-Kanal, fehlersicher	8-Channel, High Volt, Fault-Protected Multiplexer	18-Dip	14.67	11.08	7.10
MAX391CSE-ND	Vierf. SPST-Präzisionsanalogschalter, 4 Ruhekontakte	Prec., Quad, SPST Analog Four Normally Closed Switches	16-SOIC	3.63	2.75	1.77
MAX393CSE-ND	Vierf. SPST-Präzisionsanalogschalter, 2 Arbeitskontakte,/2 Ruhekontakte	Prec., Quad, SPST Analog Two Normally Open and Two Normally Closed Switches	16-SOIC	3.63	2.75	1.77
MAX394CPP-ND	Vierf. SPDT-CMOS-Analogschalter, Niederspannung	Low Voltage Quad SPDT, CMOS Analog Switch	20-Dip	7.70	5.81	3.88
MAX394CWP-ND	Vierf. SPDT-CMOS-Analogschalter, Niederspannung	Low Voltage Quad SPDT CMOS Analog Switch	20-SOIC	9.91	7.49	4.99
MAX396CAI-ND	Präzisions-CMOS-Analog-Mux, 16-Kanal, Niederspannung	Precision, 16-Channel, Low-Voltage, CMOS Analog Mux	28-SSOP	13.42	10.13	7.23
MAX400CPA-ND	Spannungs-OpAmp, ultraniedriges Offset	Ultra-Low Offset Voltage Op Amp	8-Dip	11.45	8.64	5.08
MAX407CPA-ND	Zweif. OpAmp, einzelversorgt, max. 1,2 µA	1.2µA Max., Dual, Single Supply Op Amp	8-Dip	6.69	5.05	3.38
MAX407CSA-ND	Zweif. OpAmp, einzelversorgt, max. 1,2 µA	1.2µA Max., Dual Single Supply Op Amp	8-SOIC	6.69	5.05	3.38
MAX409BCPA-ND	OpAmp, einzelversorgt, 1,2 µA	1.2µA Single Supply Op Amp	8-Dip	4.13	3.12	2.01
MAX409BCSA-ND	OpAmp, einzelversorgt, 1,2 µA	1.2µA Single Supply Op Amp	8-SOIC	4.13	3.12	2.01
MAX410CPA-ND	Rauscharmer Niederspannungs-Präzisions-OpAmp, 28 MHz	28MHz Low-Noise Low Voltage Precision Op Amp	8-Dip	4.91	3.71	2.38
MAX410CSA-ND	Rauscharmer Niederspannungs-Präzisions-OpAmp, 28 MHz	28MHz Low Noise Low Voltage Precision Op Amp	8-SOIC	4.91	3.71	2.38
MAX414CPD-ND	Vierf. rauscharmer OpAmp	Low Noise Quad Op Amp	14-Dip	10.50	7.93	5.08
MAX414CSD-ND	Vierf. rauscharmer OpAmp	Low Noise Quad Op Amp	14-SOIC	10.50	7.93	5.08
MAX418CPD-ND	Vierf. OpAmp, einzelversorgt, 1,2 µA	1.2µA Quad Single Supply Op Amp	14-Dip	8.43	6.37	4.08
MAX418CSD-ND	Vierf. OpAmp, einzelversorgt, 1,2 µA	1.2µA Quad Single Supply Op Amp	14-SOIC	8.43	6.37	4.08
MAX420CPA-ND	Chopperstabilisierter OpAmp, 15 V	15V Chopper Stabilized Op Amp	8-Dip	7.60	5.74	3.71
MAX427CPA-ND	Ultra-rauscharmer Präzisions-OpAmp	Ultra Low Noise Precision Op Amp	8-Dip	3.73	2.82	1.81
MAX427CSA-ND	Ultra-rauscharmer Präzisions-OpAmp	Ultra Low Noise Precision Op Amp	8-SOIC	4.66	3.53	2.26
MAX435CPD-ND	Breitband-Transkonduktanzverstärker mit Differenzialausgang, 275 MHz	275MHz, Differential Out, Wideband Transconductance Amp	14-Dip	5.77	4.36	2.79
MAX435CSD-ND	Breitband-Transkonduktanzverstärker mit Differenzialausgang, 275 MHz	275MHz, Differential Out, Wideband Transconductance Amp	14-SOIC	5.77	4.36	2.79
MAX436CPD-ND	Breitband-Transkonduktanzverstärker	Wideband Transconductance Amplifier	14-Dip	5.77	4.36	2.79
MAX436CSD-ND	Breitband-Transkonduktanzverstärker	Wideband Transconductance Amplifier	14-SOIC	5.77	4.36	2.79
MAX437CPA-ND	Ultra-rauscharmer Präzisions-OpAmp	Ultra Low Noise Precision Op Amplifier	8-Dip	3.73	2.82	1.81
MAX437CSA-ND	Ultra-rauscharmer Präzisions-OpAmp	Ultra Low Noise Precision Op Amp	8-SOIC	4.66	3.53	2.26
MAX452CPA-ND	CMOS-Videoverstärker, 50 MHz	50MHz CMOS Video Amplifier	8-Dip	5.72	4.32	2.88
MAX453CPA-ND	2-Kanal Video-Multiplexer/Verst., 50 MHz	2-Channel 50MHz Video Multiplexer/Amp.	8-Dip	7.98	6.03	4.03
MAX454CPD-ND	4-Kanal Video-Multiplexer/Verstärker, 50 MHz	4-Channel 50MHz Video Multiplexer/Amplifier	14-Dip	10.66	8.05	5.37
MAX454CSD-ND	4-Kanal Video-Multiplexer/Verstärker, 50 MHz	4-Channel 50MHz Video Multiplexer/Amplifier	14-SOIC	11.73	8.86	5.91
MAX455CPP-ND	8-Kanal Video-Multiplexer/Verstärker, 50 MHz	8-Channel 50MHz Video Multiplexer/Amplifier	20-Dip	17.74	13.40	8.94
MAX455CWP-ND	8-Kanal Video-Multiplexer/Verstärker, 50 MHz	8-Channel 50MHz Video Multiplexer/Amplifier	20-SOIC	19.52	14.74	9.83
MAX456CPL-ND	8 x 8 Crosspoint-Videoschalter	8x8 Crosspoint Video Switch	40-Dip	42.36	31.97	20.49
MAX471CPA-ND	High-Side Präzisionsverst. mit Stromsensor	High-Side Current-Sense Precision Amp	8-Dip	5.25	3.97	2.33
MAX471CSA-ND	High-Side Präzisionsverst. mit Stromsensor	High-Side Current-Sense Precision Amp	8-SOIC	5.25	3.97	2.33
MAX471EPA-ND	High-Side Präzisionsverst. mit Stromsensor	High-Side Current-Sense Precision Amp	8-Dip	6.48	4.90	2.88
MAX471ESA-ND	High-Side Präzisionsverst. mit Stromsensor	High-Side Current-Sense Precision Amp	8-SOIC	6.48	4.90	2.88
MAX472CPA-ND	High-Side Präzisionsverst. mit Stromsensor	High-Side Current-Sense Precision Amp	8-Dip	4.31	3.26	1.91
MAX472CSA-ND	High-Side Präzisionsverst. mit Stromsensor	High-Side Current-Sense Precision Amp	8-SOIC	4.31	3.26	1.91
MAX472EPA-ND	High-Side Präzisionsverst. mit Stromsensor	High-Side Current-Sense Precision Amp	8-Dip	5.61	4.24	2.49
MAX472ESA-ND	High-Side Präzisionsverst. mit Stromsensor	High-Side Current-Sense Precision Amp	8-SOIC	5.61	4.24	2.49
MAX473CPA-ND	Einzelversorgter OpAmp, 10 MHz	Single Supply 10MHz Op Amp	8-Dip	3.03	2.29	1.47
MAX473CSA-ND	Einzelversorgter OpAmp, 10 MHz	Single Supply 10MHz Op Amp	8-SOIC	3.03	2.29	1.47
MAX474CPA-ND	Zweif. einzelversorgter OpAmp, 10 MHz	Single Supply 10MHz Dual Op Amp	8-Dip	4.72	3.56	2.28
MAX474CSA-ND	Zweif. einzelversorgter OpAmp, 10 MHz	Single Supply 10MHz Dual Op Amp	8-SOIC	4.72	3.56	2.28
MAX475CPD-ND	Vierf. einzelversorgter OpAmp, 10 MHz	Single Supply 10MHz Quad Op Amp	14-Dip	7.56	5.71	3.66
MAX475CSD-ND	Vierf. einzelversorgter OpAmp, 10 MHz	Single Supply 10MHz Quad Op Amp	14-SOIC	7.56	5.71	3.66
MAX477EPA-ND	HS-OpAmp, 300 MHz	300MHz High-Speed Op Amp	8-Dip	5.38	4.07	2.39
MAX479CPD-ND	Vierf. einzelversorgter Präzisions-OpAmp, max. 17 µA	17µA Max Quad Single Supply Precision Op Amp	14-Dip	6.69	5.05	3.24
MAX479CSD-ND	Vierf. einzelversorgter Präzisions-OpAmp, max. 17 µA	17µA Max Quad Single Supply Precision Op Amp	14-SOIC	6.69	5.05	3.24
MAX480CPA-ND	Hochpräziser Niederspannungs-OpAmp, Micropower	High-Precision, Low-Volt., Micropower Op Amp	8-Dip	7.25	5.47	3.21
MAX481CPA-ND	RS485-Transceiver mit Abschaltung bei geringer Leistung/Anstiegsrate, 500 µA	RS-485 Transceiver with Low I Shutdown Slew-Rate Ltd, 500µA	8-Dip	2.34	1.77	1.13
MAX483CPA-ND	RS485/RS422-Transceiver, NL	RS-485/RS-422 Transceiver, Low Power	8-Dip	2.34	1.77	1.13
MAX483ECSA-ND	RS485/RS422-Transceiver, NL, ESE-Schutz	RS-485/RS-422 Transceiver, Low Power, ESD Prot.	8-SOIC	2.90	2.19	1.41
MAX485CPA-ND	RS485-Transceiver, NL	RS-485 Low Power Transceiver	8-Dip	2.34	1.77	1.13
MAX485CSA-ND	RS485-Transceiver, NL	RS-485 Low Power Transceiver	8-SOIC	2.34	1.77	1.13
MAX487CPA-ND	RS485/RS422-Transceiver mit Abschaltung bei NL	RS-485/RS-422 Transceiver with Low Power Shutdown	8-Dip	2.38	1.80	1.16
MAX487CSA-ND	RS485/RS422-Transceiver mit Abschaltung bei NL	RS-485/RS-422 Transceiver with Low Power Shutdown	8-SOIC	2.38	1.80	1.16
MAX487EESA-ND	RS485/RS422-Transceiver mit Abschaltung bei NL	RS-485/RS-422 Transceiver with Low Power Shutdown	8-SOIC	4.17	3.15	2.02
MAX488CPA-ND	RS485/RS422-Transceiver mit NL/geringem Anstieg	RS-485/RS-422 Transceiver with Low Power Low Slew	8-Dip	2.38	1.80	1.16
MAX488CSA-ND	RS485/RS422-Transceiver mit NL/geringem Anstieg	RS-485/RS-422 Transceiver with Low Power Low Slew	8-SOIC	2.38	1.80	1.16
MAX488ECSA-ND	RS485/RS422-Transceiver mit NL/geringem Anstieg	RS-485/RS-422 Transceiver with Low Power Low Slew	8-SOIC	2.90	2.19	1.41
MAX488EESA-ND	RS485/RS422-Transceiver mit NL/geringem Anstieg	RS-485/RS-422 Transceiver with Low Power Low Slew	8-SOIC	4.17	3.15	2.02
MAX489CPD-ND	RS485/RS422-Transceiver mit Treiberaktivierung	RS-485/RS-422 Transceiver with Drive Enable	14-Dip	2.38	1.80	1.16
MAX489CSD-ND	RS485/RS422-Transceiver mit Treiberaktivierung	RS-485/RS-422 Transceiver with Drive Enable	14-SOIC	2.38	1.80	1.16
MAX489EPD-ND	RS485/RS422-Transceiver mit Treiberaktivierung	RS-485/RS-422 Transceiver with Drive Enable	14-Dip	2.98	2.26	1.44
MAX490CPA-ND	RS485/RS422-Transceiver mit Vollduplex	RS-485/RS-422 Transceiver with Full Duplex	8-Dip	2.38	1.80	1.16
MAX490CSA-ND	RS485/RS422-Transceiver mit Vollduplex	RS-485/RS-422 Transceiver with Full Duplex	8-SOIC	2.38	1.80	1.16
MAX490ECPA-ND	RS485/RS422-Transceiver mit Vollduplex, ESE-Schutz	RS-485/RS-422 Transceiver with Full Duplex, ESD Prot.	8-Dip	2.90	2.19	1.41
MAX491CPD-ND	RS485/RS422-Transceiver, NL	RS-485/RS-422 Transceiver, Low Power	14-Dip	2.38	1.80	1.16
MAX491ECSD-ND	RS485/RS422-Transceiver, NL, ESE-Schutz	RS-485/RS-422 Transceiver, Low Power, ESD Prot.	14-SOIC	2.90	2.19	1.41
MAX492CPA-ND	Zweif. einzelversorgter OpAmp	Single Supply Dual Op Amp	8-Dip	4.72	3.56	2.28
MAX492CSA-ND	Zweif. einzelversorgter OpAmp	Single Supply Dual Op Amp	8-SOIC	4.72	3.56	2.28
MAX494CPD-ND	Vierf. einzelversorgter OpAmp	Single Supply Quad Op Amp	14-Dip	7.56	5.71	3.66
MAX494CSD-ND	Vierf. einzelversorgter OpAmp	Single Supply Quad Op Amp	14-SOIC	7.56	5.71	3.66
MAX495CPA-ND	Einzelversorgter OpAmp	Single Supply Op Amp	8-Dip	3.03	2.29	1.47
MAX495CSA-ND	Einzelversorgter OpAmp	Single Supply Op Amp	8-SOIC	3.03	2.29	1.47
MAX496CPE-ND	Vierf. 375 MHz Video-Puffer, Regelkreis	375MHz Quad Closed-Loop Video Buffer	16-Dip	11.11	8.39	4.93
MAX497CSE-ND	Vierf. 375 MHz Video-Puffer, Regelkreis	375MHz Quad Closed-Loop Video Buffer	16-SOIC	11.11	8.39	4.93
MAX500BCPE-ND	Vierf. 8-Bit D/A-Wandler, serieller Eingang	Quad Serial Input 8-Bit D/A Converter	16-Dip	11.45	8.64	5.54
MAX500BCWE-ND	Vierf. 8-Bit D/A-Wandler, serieller Eingang	Quad Serial Input 8-Bit D/A Converter	16-SOIC	11.45	8.64	5.54

(Forts.)

★ ***RUFEN SIE BITTE AN FÜR NIEDRIGERE PREISE BEI GRÖSSEREN MENGEN!*** ★

Digi-Key Teilenr.	Beschreibung		Paket	Stückpreis★ 1	25	100
MAX501BCNG-ND	12-Bit Multiplexer-DAU, (8+4) Spannungsausgang	12-Bit Multiplexer DAC (8+4) Voltage Output	24-Dip	11.98	9.05	5.80
MAX502BCNG-ND	12-Bit Multiplexer-DAU, paralleler Spannungsausgang	Parallel Voltage Output 12-Bit Multiplexer DAC	24-Dip	11.98	9.05	5.80
MAX502BCWG-ND	12-Bit Multiplexer-DAU, paralleler Spannungsausgang	Parallel Voltage Output 12-Bit Multiplexer DAC	24-SOIC	11.98	9.05	5.80
MAX503CNG-ND	10-Bit NL-DAU, 5 V, paralleler Eingang/Spannungsausgang	5V Low Power Parallel Input Voltage Output 10-Bit DAC	24-Dip	7.04	5.32	3.41
MAX503CWG-ND	10-Bit NL-DAU, 5 V, paralleler Eingang/Spannungsausgang	5V Low Power Parallel Input Voltage Output 10-Bit DAC	24-SOIC	7.04	5.32	3.41
MAX504CPD-ND	10-Bit NL-DAU, 5 V, serieller Spannungsausgang	5V Low Power Voltage Output Serial 10-Bit DAC	14-Dip	6.69	5.05	3.24
MAX504CSD-ND	10-Bit NL-DAU, 5 V, serieller Spannungsausgang	5V Low Power Voltage Output Serial 10-Bit DAC	14-SOIC	6.69	5.05	3.24
MAX505ACWG-ND	Vierf. CMOS, +5 V, 8-Bit D/A-Wandler mit Rail-to-Rail-Ausgängen und 4 separaten Referenz-Eingängen	CMOS, +5V, Quad, 8-Bit D/A Converter with Rail-to-Rail Outputs and 4 Separate Reference Inputs	24-SOIC	19.63	14.82	9.51
MAX505BCNG-ND	Vierf. CMOS, +5 V, 8-Bit D/A-Wandler mit Rail-to-Rail-Ausgängen und 4 separaten Referenz-Eingängen	CMOS, +5V, Quad, 8-Bit D/A Converter with Rail-to-Rail Outputs and 4 Separate Reference Inputs	24-Dip	15.12	11.42	7.32
MAX506BCPP-ND	Vierf. CMOS, +5 V, 8-Bit D/A-Wandler mit Rail-to-Rail-Ausgängen und 1 Referenz-Eingang	CMOS, +5V, Quad, 8-Bit D/A Converter with Rail-to-Rail Outputs and 1 Reference Input	20-Dip	13.26	10.01	6.42
MAX506BCWP-ND	Vierf. CMOS, +5 V, 8-Bit D/A-Wandler mit Rail-to-Rail-Ausgängen und 1 Referenz-Eingang	CMOS, +5V, Quad, 8-Bit D/A Converter with Rail-to-Rail Outputs and 1 Reference Input	20-SOIC	13.26	10.01	6.42
MAX507BCNG-ND	12-Bit DAU mit interner Referenz, paralleler Spannungsausgang	Parallel Volt Output, 12-Bit DAC with Internal Reference	24-Dip	16.89	12.75	8.19
MAX507BCWG-ND	12-Bit DAU mit interner Referenz, paralleler Spannungsausgang	Parallel Volt Output, 12-Bit DAC with Internal Reference	24-SOIC	15.50	11.70	7.51
MAX508BCPP-ND	12-Bit DAU mit interner Referenz, (8+4) Spannungsausgang	12-Bit DAC with Internal Reference, (8+4) Volt Output	20-Dip	16.89	12.75	8.19
MAX508BCWP-ND	12-Bit DAU mit interner Referenz, (8+4) Spannungsausgang	12 Bit DAC with Internal Reference, (8+4) Volt Output	20-SOIC	16.89	12.75	8.19
MAX509BCPP-ND	Vierf. 8-Bit D/A-Wandler, serieller Eingang	Quad Serial Input 8-Bit D/A Converter	20-Dip	11.60	8.76	5.62
MAX509BCWP-ND	Vierf. 8-Bit D/A-Wandler, serieller Eingang	Quad Serial Input 8-Bit D/A Converter	20-SOIC	11.60	8.76	5.62
MAX510ACPE-ND	Vierf. 8-Bit D/A-Wandler, serieller Eingang	Quad Serial Input 8-Bit D/A Converter	16-Dip	13.50	10.20	6.54
MAX510BCPE-ND	Vierf. 8-Bit D/A-Wandler, serieller Eingang	Quad Serial Input 8-Bit D/A Converter	16-Dip	11.24	8.49	5.45
MAX510BCWE-ND	Vierf. 8-Bit D/A-Wandler, serieller Eingang	Quad Serial Input 8-Bit D/A Converter	16-SOIC	11.24	8.49	5.45
MAX512CPD-ND	8-Bit D/A-Wandler, Spannungsausgang	8-Bit Voltage Out D/A Converter	14-Dip	6.37	4.81	3.09
MAX512CSD-ND	8-Bit D/A-Wandler, Spannungsausgang	8-Bit Voltage Out D/A Converter	14-SOIC	6.37	4.81	3.09
MAX514BCNG-ND	Vierf. CMOS, 12-Bit, serieller Eingang, Mult. D/A-Wandler	Quad CMOS 12-Bit Serial Input Mult. D/A Converter	24-Dip	30.20	22.80	14.61
MAX514BCWI-ND	Vierf. CMOS, 12-Bit, serieller Eingang, Mult. D/A-Wandler	Quad CMOS 12-Bit Serial Input Mult. D/A Converter	28-SOIC	30.20	22.80	14.61
MAX517BCPA-ND	Einf. 8-Bit Rail-to-Rail-DAU mit 2-adriger serieller Schnittstelle	Single 8-Bit Rail-to-Rail DAC with 2-Wire Serial Interface	8-Dip	4.77	3.61	2.32
MAX517BCSA-ND	Einf. 8-Bit Rail-to-Rail-DAU mit 2-adriger serieller Schnittstelle	Single 8-Bit Rail-to-Rail DAC with 2-Wire Serial Interface	8-SOIC	4.77	3.61	2.32
MAX518BCPA-ND	Zweif. 8-Bit Rail-to-Rail-DAU mit 2-adriger serieller Schnittstelle	Dual 8-Bit Rail-to-Rail DAC with 2-Wire Serial Interface	8-Dip	5.11	3.87	2.48
MAX518BCSA-ND	Zweif. 8-Bit Rail-to-Rail-DAU mit 2-adriger serieller Schnittstelle	Dual 8-Bit Rail-to-Rail DAC with 2-Wire Serial Interface	8-SOIC	5.11	3.87	2.48
MAX520BCPE-ND	Vierf. 8-Bit DAU mit 2-adriger Schnittstelle, serieller ungepufferter Ausgang	Quad 8-Bit DAC with 2-Wire Interface Serial Unbuffered Output	16-Dip	7.86	5.93	3.81
MAX520BCWE-ND	Vierf. 8-Bit DAU mit 2-adriger Schnittstelle, serieller ungepufferter Ausgang	Quad 8-Bit DAC w/2-Wire Interface Serial Unbuffered Output	16-SOIC	7.86	5.93	3.81
MAX521ACAG-ND	Achtf. 8-Bit R/R-DAU mit 2-adriger serieller Schnittstelle	Octal 8-Bit Rail-to-Rail DAC with 2-Wire Serial Interface	24-SSOP	15.01	11.33	6.67
MAX521AEAG-ND	Achtf. 8-Bit R/R-DAU mit 2-adriger serieller Schnittstelle	Octal 8-Bit Rail-to-Rail DAC with 2-Wire Serial Interface	24-SSOP	19.52	14.74	8.67
MAX521BCPP-ND	Achtf. 8-Bit R/R-DAU mit 2-adriger serieller Schnittstelle	Octal 8-Bit Rail-to-Rail DAC with 2-Wire Serial Interface	20-Dip	11.11	8.39	5.38
MAX522CPA-ND	Zweif. 8-Bit D/A-Wandler, serieller Spannungsausgang	Dual 8-Bit Voltage Out Serial D/A Converter	8-Dip	5.11	3.87	2.48
MAX522CSA-ND	Zweif. 8-Bit D/A-Wandler, serieller Spannungsausgang	Dual 8-Bit Voltage Out Serial D/A Converter	8-SOIC	5.11	3.87	2.48
MAX525ACAP-ND	Vierf. 5 V, 12-Bit D/A-Wandler, serieller Spannungsausgang	5V Quad 12-Bit Voltage Out Serial D/A Converter	20-SSOP	37.04	27.96	16.45
MAX525BCAP-ND	Vierf. 5 V, 12-Bit D/A-Wandler, serieller Spannungsausgang	5V Quad 12-Bit Voltage Out Serial D/A Converter	20-SSOP	28.50	21.51	13.79
MAX525BCPP-ND	Vierf. 5 V, 12-Bit D/A-Wandler, serieller Spannungsausgang	5V Quad 12-Bit Voltage Out Serial D/A Converter	20-Dip	28.50	21.51	13.79
MAX526DCNG-ND	Vierf. 12-Bit D/A-Wandler, Spannungsausgang, 0,3" (7,62 mm)	Quad 12-Bit Voltage Output D/A Converter, .3"	24-Dip	41.21	31.11	19.94
MAX526DCWG-ND	Vierf. 12-Bit D/A-Wandler, Spannungsausgang	Quad 12-Bit Voltage Output D/A Converter	24-SOIC	41.21	31.11	19.94
MAX527DCNG-ND	Vierf. kalibrierter 12-Bit D/A-Wandler, Spannungsausg., 0,3" (7,62 mm)	Calibrated Quad 12-Bit Voltage Output D/A Converter, .3"	24-Dip	35.09	26.49	16.98
MAX527DCWG-ND	Vierf. kalibrierter 12-Bit D/A-Wandler, Spannungsausg.	Calibrated Quad 12-Bit Voltage Output D/A Converter	24-SOIC	35.09	26.49	16.98
MAX528CPP-ND	Achtf. 8-Bit D/A-Wandler, seriell mit Ausgangspuffer	Octal 8-Bit Serial D/A Converter with Output Buffer	20-Dip	14.32	10.81	6.93
MAX529CPP-ND	Achtf. 8-Bit DAU, ±5 V, seriell mit Ausgangspuffer	±5V Octal 8-Bit Serial DAC with Output Buffer	20-Dip	11.98	9.05	6.03
MAX529CWG-ND	Achtf. 8-Bit DAU, ±5 V, seriell mit Ausgangspuffer	±5V Octal 8-Bit Serial DAC with Output Buffer	24-SOIC	11.98	9.05	6.03
MAX530BCNG-ND	12-Bit NL-DAU, 5 V Spannungsausgang	5V Low Power Voltage Out 12-Bit DAC	24-Dip	12.07	9.11	5.85
MAX530BCWG-ND	12-Bit NL-DAU, 5 V Spannungsausgang	5V Low Power Voltage Out 12-Bit DAC	24-SOIC	12.07	9.11	5.85
MAX531BCPD-ND	12-Bit serieller DAU, 5 V Spannungsausgang	5V Voltage Out 12-Bit Serial DAC	14-Dip	12.07	9.11	5.85
MAX531BCSD-ND	12-Bit serieller DAU, 5 V Spannungsausgang	5V Voltage Out 12-Bit Serial DAC	14-SOIC	12.07	9.11	5.85
MAX532BCPE-ND	Zweif. multiplikativer 12-Bit DAU, serieller Eingang, Spannungsausgang	Dual, Serial Input, Voltage Output, 12-Bit Multiplying DAC	16-Dip	18.74	14.14	9.08
MAX532BCWE-ND	Zweif. multiplikativer 12-Bit DAU, serieller Eingang, Spannungsausgang	Dual, Serial Input Volt Output, 12-Bit Multiplying DAC	16-SOIC	18.74	14.14	9.08
MAX533BCEE-ND	Vierf. 8-Bit NL-DAU, 2,7 V, serieller Spannungsausgang	2.7V Low Power Quad Serial Voltage Out 8-Bit DAC	16-QSOP	6.69	5.05	3.24
MAX533BCPE-ND	Vierf. 8-Bit NL-DAU, 2,7 V, serieller Spannungsausgang	2.7V Low Power Quad Serial Voltage Out 8-Bit DAC	16-Dip	6.69	5.05	3.24
MAX534ACEE-ND	Vierf. 8-Bit NL-DAU, 5 V, serieller Spannungsausgang	5V Low Power Quad Serial Voltage Out 8-Bit DAC	16-QSOP	8.69	6.56	3.86
MAX534BCEE-ND	Vierf. 8-Bit NL-DAU, 5 V, serieller Spannungsausgang	5V Low Power Quad Serial Voltage Out 8-Bit DAC	16-QSOP	6.69	5.05	3.24
MAX534BCPE-ND	Vierf. 8-Bit NL-DAU, 5 V, serieller Spannungsausgang	5V Low Power Quad Serial Voltage Out 8-Bit DAC	16-Dip	6.69	5.05	3.24
MAX535BCPA-ND	13-Bit D/A-Wandler, 5 V, serieller Spannungsausgang	5V 13-Bit Voltage Out Serial D/A Converter	8-Dip	11.80	8.91	5.71
MAX535BCUA-ND	13-Bit D/A-Wandler, 5 V, serieller Spannungsausgang	5V 13-Bit Voltage Out Serial D/A Converter	8-µMAX	11.80	8.91	5.71
MAX536BCPE-ND	Vierf. 12-Bit D/A-Wandler, serieller Spannungsausgang	Quad 12-Bit Voltage Out Serial D/A Converter	16-Dip	38.03	28.70	18.41
MAX536BCWE-ND	Vierf. 12-Bit D/A-Wandler, serieller Spannungsausgang	Quad 12-Bit Voltage Out Serial D/A Converter	16-SOIC	38.03	28.70	18.41
MAX538BCPA-ND	12-Bit serieller D/A-Wandler, 5 V, NL	Low Power 5V 12-Bit Serial D/A Converter	8-Dip	10.77	8.13	5.21
MAX538BCSA-ND	12-Bit serieller D/A-Wandler, 5 V, NL	Low Power 5V 12-Bit Serial D/A Converter	8-SOIC	10.77	8.13	5.21
MAX539BCPA-ND	12-Bit serieller D/A-Wandler, 5 V, NL	Low Power 5V 12-Bit Serial D/A Converter	8-Dip	10.77	8.13	5.21
MAX539BCSA-ND	12-Bit serieller D/A-Wandler, 5 V, NL	Low Power 5V 12-Bit Serial D/A Converter	8-SOIC	10.77	8.13	5.21
MAX541CCPA-ND	16-Bit D/A-Wandler, 5 V, serieller Spannungsausgang	5V 16-Bit Serial Voltage Out D/A Converter	8-Dip	23.71	17.90	11.48
MAX541CCSA-ND	16-Bit D/A-Wandler, 5 V, serieller Spannungsausgang	5V 16-Bit Serial Voltage Out D/A Converter	8-SOIC	21.77	16.43	10.54
MAX543BCPA-ND	Multiplikativer CMOS-12-Bit D/A-Wandler, seriell	CMOS 12-Bit Serial Multiplying D/A Converter	8-Dip	16.22	12.25	7.85
MAX543BCSA-ND	Multiplikativer CMOS-12-Bit D/A-Wandler, seriell	CMOS 12-Bit Serial Multiplying D/A Converter	8-SOIC	12.99	9.81	6.29
MAX544BCPA-ND	14-Bit D/A-Wandler, 5 V, serieller Spannungsausgang	5V 14-Bit Serial Voltage Out D/A Converter	Dip-8	18.82	14.21	9.12
MAX544BCSA-ND	14-Bit D/A-Wandler, 5 V, serieller Spannungsausgang	5V 14-Bit Serial Voltage Out D/A Converter	8-SOIC	18.82	14.21	9.12
MAX547BCQH-ND	Achtf. 13-Bit DAU, Spannungsausgang/parallele Schnittstelle	Octal 13-Bit Voltage Out DAC/Parallel Interface	44-PLCC	65.67	49.56	31.77
MAX548ACPA-ND	Zweif. 8-Bit D/A-Wandler, 2,5 V – 5,5 V, Spannungsausgang	2.5V – 5.5V Dual 8-Bit Voltage Out D/A Converter	8-Dip	3.93	2.97	1.90
MAX548ACUA-ND	Zweif. 8-Bit D/A-Wandler, 2,5 V – 5,5 V, Spannungsausgang	2.5V – 5.5V Dual 8-Bit Voltage Out D/A Converter	8-µMAX	4.13	3.12	2.00
MAX549ACPA-ND	Zweif. 8-Bit D/A-Wandler, 2,5 V – 5,5 V, Spannungsausgang	2.5V – 5.5V Dual 8-Bit Voltage Out D/A Converter	8-Dip	3.93	2.97	1.75
MAX560CAI-ND	+3,3 V Transceiver mit 2 EIA/TIA-562-Empfängern, bei Shutdown aktiv	+3.3V Transceiver with 2 EIA/TIA-562 Receivers Active in Shutdown	28-SSOP	7.34	5.54	3.26
MAX560CWI-ND	+3,3 V Transceiver mit 2 EIA/TIA-562-Empfängern, bei Shutdown aktiv	+3.3V Transceiver with 2 EIA/TIA-562 Receivers Active in Shutdown	28-SOIC	6.98	5.27	3.38
MAX562CAI-ND	2,7 V – 5,25 V serielle Schnittstelle	2.7V – 5.25V, Serial Interface	28-SSOP	6.62	5.00	2.94
MAX563CWN-ND	Zweif. 3,3 V EIA/TIA-562-Transceiver	3.3V, EIA/TIA-562 Dual Transceiver	18-SOIC	4.66	3.53	2.08
MAX603CPA-ND	5 V oder einstellb. 500 mA, LDO-Linearregler, niedriger Ruhestrom	5V or Adj., LDO, Low IQ, 500mA Linear Regulator	8-Dip	3.68	2.78	1.63
MAX603CSA-ND	5 V oder einstellb. 500 mA, LDO-Linearregler, niedriger Ruhestrom	5V or Adj., LDO, Low IQ, 500mA Linear Regulator	8-SOIC	4.04	3.05	1.80
MAX603ESA-ND	5 V oder einstellb. 500 mA, LDO-Linearregler, niedriger Ruhestrom	5V or Adj., LDO, Low IQ, 500mA Linear Regulator	8-SOIC	5.14	3.88	2.28
MAX604CPA-ND	Einstellbarer Low-Dropout-Regler	Adjustable Low Dropout Regulator	8-Dip	3.68	2.78	1.63
MAX604CSA-ND	Einstellbarer Low-Dropout-Regler	Adjustable Low Dropout Regulator	8-SOIC	4.04	3.05	1.80
MAX604ESA-ND	Einstellbarer Low-Dropout-Regler	Adjustable Low Dropout Regulator	8-SOIC	5.14	3.88	2.28
MAX619CSA-ND	Geregelter Ladepumpen-DC/DC-Wandler, 5 V	Regulated 5V Charge-Pump DC/DC Converter	8-SOIC	3.77	2.85	1.67
MAX619ESA-ND	Geregelter Ladepumpen-DC/DC-Wandler, 5 V	Regulated 5V Charge-Pump DC/DC Converter	8-SOIC	5.10	3.85	2.26
MAX627CSA-ND	Zweif. MOSFET-Stromtreiber, nicht-invertierend	Dual Non-Inverting Power MOSFET Driver	8-SOIC	3.28	2.48	1.66
MAX629ESA-ND	Hochspannungs-DC-DC-Wandler, Boost oder invertierend	High Voltage, Boost or Inverting DC/DC Converter	8-SOIC	6.24	4.71	2.76
MAX630CSA-ND	CMOS Step-Up Schaltregler	CMOS Step Up Switching Regulator	8-SOIC	6.73	5.08	3.26
MAX631ACPA-ND	CMOS Step-Up Schaltregler, +5 V/einstellbarer Ausgang	+5V/Adjustable Output CMOS Step-Up Switching Regulator	8-Dip	5.81	4.39	2.81
MAX631ACSA-ND	CMOS Step-Up Schaltregler, +5 V/einstellbarer Ausgang	+5V/Adjustable Output CMOS Step-Up Switching Regulator	8-SOIC	6.01	4.54	2.91
MAX632ACPA-ND	CMOS Step-Up Schaltregler, +12 V/einstellbarer Ausgang	+12V/Adjustable Output CMOS Step-Up Switching Regulator	8-Dip	5.81	4.39	2.81
MAX632ACSA-ND	CMOS Step-Up Schaltregler, +12 V/einstellbarer Ausgang	+12V/Adjustable Output CMOS Step-Up Switching Regulator	8-SOIC	6.01	4.54	2.91
MAX634CPA-ND	CMOS Micropower-Schaltregler, invertierend	CMOS Micropower Inverting Switching Regulator	8-Dip	5.52	4.17	2.68
MAX634CSA-ND	CMOS Micropower-Schaltregler, invertierend	CMOS Micropower Inverting Switching Regulator	8-SOIC	6.08	4.59	2.94
MAX635ACPA-ND	CMOS-Schaltregler, invertierend, -5 V/einstellbarer Ausgang	-5V/Adjustable Output CMOS Inverting Switching Regulator	8-Dip	5.81	4.39	2.81
MAX635ACSA-ND	CMOS Schaltregler, invertierend, -5 V/einst. Ausgang	-5V/Adj Output CMOS Inverting Switching Regulator	8-SOIC	6.01	4.54	2.91

(Forts.)

★ ***RUFEN SIE BITTE AN FÜR NIEDRIGERE PREISE BEI GRÖSSEREN MENGEN!*** ★

B

Digi-Key Teilenr.	Beschreibung		Paket	Stückpreis★ 1	25	100
MAX636ACPA-ND	CMOS-Schaltregler, invertierend, -12 V/einstellbarer Ausgang	-12V/Adjustable Output CMOS Inverting Switching Regulator	8-Dip	5.81	4.39	2.81
MAX636ACSA-ND	CMOS-Schaltregler, invertierend, -12 V/einstellbarer Ausgang	-12V/Adjustable Output CMOS Inverting Switching Regulator	8-SOIC	6.01	4.54	2.91
MAX637ACPA-ND	CMOS-Schaltregler, invertierend, -15 V/einstellbarer Ausgang	-15V/Adjustable Output CMOS Inverting Switching Regulator	8-Dip	5.81	4.39	2.81
MAX637ACSA-ND	CMOS-Schaltregler, invertierend, -15 V/einstellbarer Ausgang	-15V/Adjustable Output CMOS Inverting Switching Regulator	8-SOIC	6.01	4.54	2.91
MAX638ACPA-ND	CMOS Step-Down-Schaltregler, 5 V, einstellbarer Ausgang	5V Adjustable Output CMOS Step Down Switching Regulator	8-Dip	5.81	4.39	2.81
MAX638ACSA-ND	CMOS Step-Down-Schaltregler, 5 V, einstellbarer Ausgang	5V Adjustable Output CMOS Step Down Switching Regulator	8-SOIC	6.01	4.54	2.91
MAX641ACSA-ND	10 W CMOS Step-Up Schaltregler, Festausgang	Fixed Output 10W CMOS Step-Up Switching Regulator	8-SOIC	6.01	4.54	2.67
MAX660CPA-ND	Monolithischer CMOS-Spannungswandler, 100 mA	100mA CMOS Monolithic Voltage Converter	8-Dip	5.88	4.44	2.97
MAX660CSA-ND	Monolithischer CMOS-Spannungswandler, 100 mA	100mA CMOS Monolithic Voltage Converter	8-SOIC	6.17	4.66	3.12
MAX662ACPA-ND	Stromversorgung für Flash Memory, 12 V	12V Supply for Flash Memory	8-Dip	4.06	3.07	1.97
MAX662ACSA-ND	Stromversorgung für Flash Memory, 12 V	12V Supply for Flash Memory	8-SOIC	4.15	3.14	2.01
MAX663CPA-ND	CMOS +5 V/einstellbarer positiver Micropower-Spannungsregler	CMOS +5V/Adjustable Micropower Positive Voltage Regulator	8-Dip	3.56	2.70	1.72
MAX663CSA-ND	CMOS +5 V/einstellbarer positiver Micropower-Spannungsregler	CMOS +5V/Adjustable Micropower Positive Voltage Regulator	8-SOIC	3.93	2.97	1.90
MAX664CSA-ND	Doppelbetrieb™ 5 V/programmierbarer Micropower-Spannungsregler	Dual Mode™ 5V/Programmable Micropower Voltage Regulator	8-SOIC	4.77	3.61	2.32
MAX665CPA-ND	CMOS +8 V/Schalterkondensator-Spannungswandler	CMOS +8V/Switched-Capacitor Voltage Converter	8-Dip	8.42	6.35	4.07
MAX666CPA-ND	CMOS +5 V/einstellbarer Spannungsregler mit Low-Battery-Erkennung	CMOS +5V/Adjustable Volt. Reg. with Low Battery Detector	8-Dip	4.13	3.12	2.00
MAX666CSA-ND	CMOS +5 V/einstellbarer Spannungsregler mit Low-Battery-Erkennung	CMOS +5V/Adjustable Volt. Reg. with Low Battery Detector	8-SOIC	4.53	3.43	2.20
MAX666ESA-ND	CMOS +5 V/einstellbarer Spannungsregler mit Low-Battery-Erkennung	CMOS +5V/Adjustable Volt. Reg. with Low Battery Detector	8-SOIC	7.04	5.32	3.41
MAX667CPA-ND	+ 5 V/programmierbarer Low-Dropout-Spannungsregler	+5V/Programmable Low Dropout Voltage Regulator	8-Dip	4.65	3.51	2.34
MAX667CSA-ND	+ 5 V/programmierbarer Low-Dropout-Spannungsregler	+5V/Programmable Low Dropout Voltage Regulator	8-SOIC	4.84	3.66	2.44
MAX667EPA-ND	+ 5 V/programmierbarer Low-Dropout-Spannungsregler	+5V/Programmable Low Dropout Voltage Regulator	8-Dip	6.04	4.56	3.04
MAX667ESA-ND	+ 5 V/programmierbarer Low-Dropout-Spannungsregler	+5V/Programmable Low Dropout Voltage Regulator	8-SOIC	6.26	4.73	3.15
MAX668EUB-ND	1,8 V bis 28 V Eingang, Step-Up-PWM-Controller	1.8V to 28V Input, PWM Step-Up Controller	10-µMAX	4.60	3.48	2.09
MAX680CPA-ND	Spannungswandler, +5 V bis ±10 V	+5V to ±10V Voltage Converter	8-Dip	3.79	2.87	1.84
MAX680CSA-ND	Spannungswandler, +5 V bis ±10 V	+5V to ±10V Voltage Converter	8-SOIC	4.15	3.14	2.01
MAX687CSA-ND	3,3 V Low-Dropout-Regler, hohe Genauigkeit, mit automatischer Ausschaltung	3.3V High Accuracy Low Dropout Reg. with Auto Shutdown	8-SOIC	3.68	2.78	1.78
MAX688CSA-ND	3,3 V Low-Dropout-Regler, hohe Genauigkeit	3.3V High Accuracy Low Dropout Regulator	8-SOIC	3.68	2.78	1.78
MAX690ACPA-ND	Mikroprozessor-WDT Reset-Schaltung	Microprocessor WDT Reset Circuit	8-Dip	5.88	4.44	2.85
MAX690ACSA-ND	Mikroprozessor-WDT Reset-Schaltung	Microprocessor WDT Reset Circuit	8-SOIC	6.17	4.66	2.99
MAX690CPA-ND	Mikroprozessor-WDT Reset-Schaltung	Microprocessor WDT Reset Circuit	8-Dip	6.12	4.63	2.97
MAX690EPA-ND	Mikroprozessor-WDT Reset-Schaltung	Microprocessor WDT Reset Circuit	8-Dip	8.88	6.71	4.31
MAX691ACPE-ND	Mikroprozessor-WDT Batterieumschaltung/Reset-Gen., 200 ns	Microprocessor WDT Battery Switchover/Reset Gen., 200nS	16-Dip	6.64	5.02	3.22
MAX691CPE-ND	Mikroprozessor-WDT Batterieumschaltung/Reset-Gen., 200 ns	Microprocessor WDT Battery Switchover/Reset Gen., 200nS	16-Dip	6.64	5.02	3.22
MAX691CWE-ND	Mikroprozessor-WDT Batterieumschaltung/Reset-Gen., 200 ns	Microprocessor WDT Battery Switchover/Reset Gen., 200nS	16-SOIC	7.31	5.52	3.54
MAX691EWE-ND	Mikroprozessor-WDT Batterieumschaltung/Reset-Gen., 200 ns	Microprocessor WDT Battery Switchover/Reset Gen., 200nS	16-SOIC	10.61	8.01	5.14
MAX692ACPA-ND	Mikroprozessor-Überwachungsschaltung	Microprocessor Supervisory Circuit	8-Dip	5.88	4.44	2.85
MAX692ACSA-ND	Mikroprozessor-Überwachungsschaltung	Microprocessor Supervisory Circuit	8-SOIC	6.17	4.66	2.99
MAX692CPA-ND	Mikroprozessor-Überwachungsschaltung	Microprocessor Supervisory Circuit	8-Dip	6.12	4.63	2.97
MAX693ACPE-ND	Mikroprozessor-Überwachungsschaltung	Microprocessor Supervisory Circuit	16-Dip	6.64	5.02	3.22
MAX693CPE-ND	Mikroprozessor-Überwachungsschaltung	Microprocessor Supervisory Circuit	16-Dip	6.64	5.02	3.22
MAX693CWE-ND	Mikroprozessor-Überwachungsschaltung	Microprocessor Supervisory Circuit	16-SOIC	7.31	5.52	3.54
MAX694CPA-ND	Mikroprozessor-WDT/Batterieumschaltung/Reset-Gen., Min. Reset-Impulsbreite, 140 ms	Microprocessor WDT/Battery Switchover/ Reset Gen., Min. Reset Pulse Width, 140ms	8-Dip	6.12	4.63	2.97
MAX695CPE-ND	Mikroprozessor-WDT/Batterieumschaltung/Reset-Gen.	Microprocessor WDT/Battery Switchover/Reset Gen	16-Dip	6.64	5.02	3.22
MAX695CWE-ND	Mikroprozessor-WDT/Batterieumschaltung/Reset-Gen.	Microprocessor WDT/Battery Switchover/Reset Gen.	16-SOIC	7.31	5.52	3.54
MAX696CPE-ND	Mikroprozessor-Überwachungsschaltung mit Batterieumschaltung	Microprocessor Supervise Circuit with Battery Switchover	16-Dip	6.64	5.02	3.21
MAX699CPA-ND	Preiswerte Power-On Reset und WDT-Controller	Low Cost Power-On Reset and WDT Controller	8-Dip	4.17	3.15	2.02
MAX699CWE-ND	Preiswerte Power-On Reset und WDT-Controller	Low Cost Power-On Reset and WDT Controller	16-SOIC	4.51	3.41	2.19
MAX700CSA-ND	Stromversorgungsüberwachung mit einstellbarem Schwellenwert und Reset	Adjustable-Threshold Power-Supply Monitor with Reset	8-SOIC	4.39	3.32	2.22
MAX701CPA-ND	Stromversorgungsüberwachung mit Reset	Power Supply Monitor with Reset	8-Dip	4.00	3.02	2.01
MAX701CSA-ND	Stromversorgungsüberwachung mit Reset	Power Supply Monitor with Reset	8-SOIC	4.00	3.02	2.01
MAX701EPA-ND	Stromversorgungsüberwachung mit Reset	Power Supply Monitor with Reset	8-Dip	5.18	3.92	2.31
MAX701ESA-ND	Stromversorgungsüberwachung mit Reset	Power Supply Monitor with Reset	8-SOIC	5.18	3.92	2.61
MAX703CPA-ND	Preiswerte Mikroprozessor-Überwachungsschaltung mit Batteriesicherung, 4,65 V Reset	Low Cost, Microprocessor Supervisory Circuit with Battery Backup, 4.65V Reset	8-Dip	5.16	3.90	2.50
MAX703CSA-ND	Preiswerte Mikroprozessor-Überwachungsschaltung mit Batteriesicherung, 4,65 V Reset	Low Cost, Microprocessor Supervisory Circuit with Battery Backup, 4.65V Reset	8-SOIC	5.16	3.90	2.50
MAX704CPA-ND	Preiswerte µP-Überwachungsschaltung mit Batteriesicherung, 4,4 V Reset	Low Cost, µP Supervisory Circuit with Battery Backup, 4.4V Reset	8-Dip	5.16	3.90	2.50
MAX704CSA-ND	Preiswerte µP-Überwachungsschaltung mit Batteriesicherung, 4,4 V Reset	Low Cost, µP Supervisory Circuit with Battery Backup, 4.4V Reset	8-SOIC	5.16	3.90	2.50
MAX705CPA-ND	Preiswerte µP-Überwachungsschaltung mit Batteriesicherung, WDT-Ausgang, 4,65 V Reset	Low Cost, µP Supervisory Circuit with Battery Backup, WDT Output, 4.65V Reset	8-Dip	4.62	3.49	2.24
MAX705CSA-ND	Preiswerte µP-Überwachungsschaltung mit Batteriesicherung, WDT-Ausgang, 4,65 V Reset	Low Cost, µP Supervisory Circuit with Battery Backup, WDT Output, 4.65V Reset	8-SOIC	4.62	3.49	2.24
MAX705ESA-ND	Preiswerte µP-Überwachungsschaltung mit Batteriesicherung, WDT-Ausgang, 4,65 V Reset	Low Cost, µP Supervisory Circuit with Battery Backup, WDT Output, 4.65V Reset	8-SOIC	6.01	4.54	2.91
MAX706CPA-ND	Mikroprozessor-Überwachungsschaltung	Microprocessor Supervisory Circuit	8-Dip	4.62	3.49	2.24
MAX706CSA-ND	Mikroprozessor-Überwachungsschaltung	Microprocessor Supervisory Circuit	8-SOIC	4.62	3.49	2.24
MAX706SCPA-ND	Mikroprozessor-Überwachungsschaltung	Microprocessor Supervisory Circuit	8-Dip	5.00	3.78	2.43
MAX706SCSA-ND	Mikroprozessor-Überwachungsschaltung	Microprocessor Supervisory Circuit	8-SOIC	5.00	3.78	2.43
MAX706PCSA-ND	Mikroprozessor-Überwachungsschaltung	Microprocessor Supervisory Circuit	8-SOIC	5.00	3.78	2.43
MAX707CPA-ND	Preiswerte Mikroprozessor-Überwachungsschaltung, Active-High-Reset, 4,65 V Reset	Low-Cost, Microprocessor Supervisory Circuit, Active-High Reset, 4.65V Reset	8-Dip	4.15	3.14	2.01
MAX707CSA-ND	Preiswerte Mikroprozessor-Überwachungsschaltung, Active-High-Reset, 4,65 V Reset	Low-Cost, Microprocessor Supervisory Circuit, Active-High Reset, 4.65V Reset	8-SOIC	4.15	3.14	2.01
MAX708CPA-ND	Preiswerte Mikroprozessor-Überwachungsschaltung, Active-High-Reset, 4,4 V Reset	Low-Cost, Microprocessor Supervisory Circuit, Active-High Reset, 4.4V Reset	8-Dip	4.15	3.14	2.01
MAX708CSA-ND	Preiswerte Mikroprozessor-Überwachungsschaltung, Active-High-Reset, 4,4 V Reset	Low-Cost, Microprocessor Supervisory Circuit, Active-High Reset, 4.4V Reset	8-SOIC	4.15	3.14	2.01
MAX709RCSA-ND	Stromversorgungsüberwachung, 2,63 V Reset	Power Supply Monitor, 2.63V Reset	8-SOIC	2.42	1.83	1.18
MAX709MCPA-ND	Stromversorgungsüberwachung, 4,40 V Reset	Power Supply Monitor, 4.40V Reset	8-Dip	2.24	1.70	1.09
MAX709LCPA-ND	Stromversorgungsüberwachung, 4,65 V Reset	Power Supply Monitor, 4.65V Reset	8-Dip	2.24	1.70	1.09
MAX709LCSA-ND	Stromversorgungsüberwachung, 4,65 V Reset	Power Supply Monitor, 4.65V Reset	8-SOIC	2.42	1.83	1.18
MAX709TCPA-ND	Stromversorgungsüberwachung, 3,08 V Reset	Power Supply Monitor, 3.08V Reset	8-Dip	2.24	1.70	1.09
MAX710ESE-ND	3,3 V oder 5 V, Ausgangs-DC/DC-Wandler-Step-Up/Down	3.3V or 5V Output Step Up/Down DC/DC Converter	16-SOIC	6.44	4.86	2.87
MAX712CPE-ND	Batterie-Schnellade-Controller für NIMH-Batterien	Battery Fast Charge Controller for NIMH Battery	16-Dip	6.53	4.93	3.16
MAX712CSE-ND	Batterie-Schnellade-Controller für NIMH-Batterien	Battery Fast Charge Controller for NIMH Battery	16-SOIC	6.84	5.17	3.32
MAX713CPE-ND	Batterie-Schnellade-Controller für NiCad/NIMH-Batterien, 3 Ausg.	3-Out Battery Fast Charge Controller for NiCad/NIMH Battery	16-Dip	6.53	4.93	3.16
MAX713CSE-ND	Batterie-Schnellade-Controller für NiCad/NIMH-Batterien, 3 Ausg.	3-Out Battery Fast Charge Controller for NiCad/NIMH Battery	16-SOIC	6.84	5.17	3.32
MAX722CSE-ND	+3,3 V LCD-Stromversorgungsregler	+3.3V LCD Power Supply Regulator	16-SOIC	9.78	7.39	4.74
MAX724CCK-ND	5 A Step-Down, PWM, Umschaltmodus-DC/DC-Regler	5A, Step Down, PWM, Switch Mode DC/DC Regulator	TO-220-5	9.91	7.49	5.35
MAX730ACSA-ND	5 V Step-Down, Strommodus-PWM-DC/DC-Wandler	5V, Step Down, Current Mode PWM DC/DC Converter	8-SOIC	4.72	3.56	2.10
MAX732CPA-ND	+12 V Step-Up Strommodus-PWM-Reg. für Flash Memory	+12V Step Up Current Mode PWM Regulator for Flash Memory	8-Dip	5.52	4.17	2.68
MAX732CWE-ND	+12 V Step-Up Strommodus-PWM-Reg. für Flash Memory	+12V Step-Up Current Mode PWM Regulator for Flash Memory	16-SOIC	5.79	4.37	2.81
MAX734CPA-ND	+12 V, 120 mA Netzteil für Flash Memory	+12V, 120mA Supply for Flash Memory	8-Dip	4.24	3.20	2.05
MAX734CSA-ND	+12 V, 120 mA Netzteil für Flash Memory	+12V, 120mA Supply for Flash Memory	8-SOIC	4.69	3.54	2.27
MAX738ACWE-ND	5 V Step-Down, PWM, DC/DC-Wandler	5V, Step-Down, PWM, DC/DC Converter	16-SOIC	5.67	4.29	2.53
MAX749CPA-ND	Digital verstellbares LCD-Vorspannungsnetzteil	Digitally Adjustable LCD Bias Supply	8-Dip	5.49	4.15	2.66
MAX749CSA-ND	Digital verstellbares LCD-Vorspannungsnetzteil	Digitally Adjustable LCD Bias Supply	8-SOIC	5.72	4.32	2.77
MAX750ACSA-ND	Einstellbarer Step-Down Strommodus-PWM-Regler	Adjustable Step-Down Current Mode PWM Regulator	8-SOIC	4.72	3.56	2.28
MAX751CPA-ND	+5 V Step-Up Strommodus-PWM-DC/DC-Wandler	+5V Step Up Current Mode PWM DC/DC Converter	8-Dip	4.66	3.53	2.26
MAX752CPA-ND	Einstellbarer Step-Up Strommodus-PWM-Regler	Adjustable Step-Up Current Mode PWM Regulator	8-Dip	6.24	4.71	3.02
MAX755CPA-ND	Einstellbarer Strommodus-PWM-Regler, neg. Ausgang, invertierend	Adj., Neg. Output, Inverting, Current Mode PWM Regulator	8-Dip	4.11	3.10	1.99
MAX756CPA-ND	Step-Up DC/DC-Wandler, hoher Wirkungsgrad	High-Efficiency Step-Up DC/DC Converter	8-Dip	4.06	3.07	1.97
MAX756CSA-ND	Step-Up DC/DC-Wandler, hoher Wirkungsgrad	High-Efficiency Step-Up DC/DC Converter	8-SOIC	4.55	3.44	2.20
MAX758ACPA-ND	Einstellbarer Step-Down Strommodus-PWM-Regler	Adjustable Step-Down Current Mode PWM Regulator	8-Dip	5.43	4.10	2.63
MAX759CWE-ND	Einstellbarer invertierender Strommodus-PWM	Adjustable Inverting Current Mode PWM	16-SOIC	6.01	4.54	2.91
MAX759CPD-ND	Einstellbarer invertierender Strommodus-PWM	Adjustable Inverting Current Mode PWM	14-Dip	5.74	4.34	2.77
MAX761CPA-ND	12 V einstellb. Step-Up DC/DC-Wandler, hoher Wirkungsgrad	12V Adj. High-Efficiency Step-Up DC/DC Converter	8-Dip	4.60	3.48	2.23
MAX761CSA-ND	12 V einstellb. Step-Up DC/DC-Wandler, hoher Wirkungsgrad	12V Adj. High-Efficiency Step-Up DC/DC Converter	8-SOIC	5.07	3.83	2.45
MAX761ESA-ND	12 V einstellb. Step-Up DC/DC-Wandler, hoher Wirkungsgrad	12V Adj. High-Efficiency Step-Up DC/DC Converter	8-SOIC	6.89	5.20	3.12
MAX764CSA-ND	DC/DC Inverter, hoher Wirkungsgrad, niedriger Ruhestrom	High-Efficiency, Low IQ, DC/DC Inverter	8-SOIC	5.16	3.90	2.29
MAX765CPA-ND	–12 V oder einstellb. DC/DC-Inverter, hoher Wirkungsgrad, niedr. Ruhestrom	–12V or Adj., High-Eff., Low IQ DC/DC Inverter	8-Dip	5.07	3.83	2.45
MAX765ESA-ND	–12 V oder einstellb. DC/DC-Inverter, hoher Wirkungsgrad, niedr. Ruhestrom	–12V or Adj., High-Eff., Low IQ DC/DC Inverter	8-SOIC	7.45	5.63	3.32
MAX766CPA-ND	–15 V DC/DC-Inverter	–15V DC/DC Inverter	8-Dip	5.07	3.83	2.45

(Forts.)

★ ***RUFEN SIE BITTE AN FÜR NIEDRIGERE PREISE BEI GRÖSSEREN MENGEN!*** ★

Digi-Key Teilenr.	Beschreibung		Paket	Stückpreis★ 1	25	100
MAX786CAI-ND	Zweif. Ausgangs-Spannungversorgungs-Controller	Dual Output Power Supply Controller	28-SSOP	9.35	7.07	4.17
MAX791CPE-ND	Hochleistungs-Mikroprozessor-Überwachungsschaltung	High Perform Microprocessor Supervisory Circuit	16-Dip	7.18	5.42	3.48
MAX791CSE-ND	Hochleistungs-Mikroprozessor-Überwachungsschaltung	High Perform Microprocessor Supervisory Circuit	16-SOIC	7.53	5.69	3.65
MAX793TCSE-ND	3 V Mikroprozessor-Überwachungsschaltung	3V, Microprocessor Supervisory Circuit	16-SOIC	7.25	5.47	3.21
MAX797CSE-ND	Step-Down PWM-Controller mit Synchrongleichrichter für CPU, rauscharm	Step Down, PWM Controller with Sync. Rectifier for CPU with Low Noise	16-SOIC	7.97	6.02	3.86
MAX800LCPE-ND	µP-Überwachungsschaltung mit 4,65 V Reset, Chipaktivierung, Watchdog	µP Supervisory Circuit with 4.65V Reset, Chip Enable, WD	16-Dip	7.86	5.93	3.81
MAX809LEUR-TCT-ND	4,63 V Mikroprozessor Reset-Schaltung	4.63V, Microprocessor Reset Circuit	SOT-23	1.79	1.36	1.19
MAX809LEUR-TTR-ND	4,63 V Mikroprozessor Reset-Schaltung	4.63V, Microprocessor Reset Circuit	SOT-23		2709.12/2,500	
MAX811LEUS-TCT-ND	4,63 V Spannungsüberwachung	4.63V, Voltage Monitor	SOT-143-4	1.82	1.38	1.21
MAX811LEUS-TTR-ND	4,63 V Spannungsüberwachung	4.63V, Voltage Monitor	SOT-143-4		2742.98/2,500	
MAX811REUS-TCT-ND	2,63 V Spannungsüberwachung	2.63V, Voltage Monitor	SOT-143-4	1.82	1.38	1.21
MAX811REUS-TTR-ND	2,63 V Spannungsüberwachung	2.63V, Voltage Monitor	SOT-143-4		2742.98/2,500	
MAX811SEUS-TCT-ND	2,93 V Spannungsüberwachung	2.93V, Voltage Monitor	SOT-143-4	1.82	1.38	1.21
MAX811SEUS-TTR-ND	2,93 V Spannungsüberwachung	2.93V, Voltage Monitor	SOT-143-4		2742.98/2,500	
MAX811TEUS-TCT-ND	3,08 V Spannungsüberwachung	3.08V, Voltage Monitor	SOT-143-4	1.82	1.38	1.21
MAX811TEUS-TTR-ND	3,08 V Spannungsüberwachung	3.08V, Voltage Monitor	SOT-143-4		2742.98/2,500	
MAX813LCPA-ND	Preiswerte Mikroprozessor-Überwachungsschaltung	Low Cost Microprocessor Supervisor Circuit	8-Dip	2.94	2.22	1.52
MAX813LCSA-ND	Preiswerte Mikroprozessor-Überwachungsschaltung	Low Cost Microprocessor Supervisor Circuit	8-SOIC	2.94	2.22	1.52
MAX825LEUK-TCT-ND	4,63 V Mikroprozessor-Überwachungsschaltung	4.63V, Microprocessor Supervisory Circuit	SOT-23-5	2.34	1.77	1.55
MAX825LEUK-TTR-ND	4,63 V Mikroprozessor-Überwachungsschaltung	4.63V, Microprocessor Supervisory Circuit	SOT-23-5		3521.86/2,500	
MAX837EUS-TCT-ND	4-Pin Micropower-Spannungsüberwachung	4-Pin Micropower Voltage Monitor	SOT-143-4	1.82	1.38	1.21
MAX837EUS-TTR-ND	4-Pin Micropower-Spannungsüberwachung	4-Pin Micropower Voltage Monitor	SOT-143-4		2742.98/2,500	
MAX856CSA-ND	Step-Up-DC/DC-Wandler, 3,3 V/5 V oder mit einstellb. Ausgangs	3.3V/5V or Adj. Output, Step-Up DC/DC Converter	8-SOIC	3.50	2.65	1.55
MAX860ISA-ND	50 mA Schaltkond.-Spannungswandler mit wählbarer Frequenz	50mA, Frequency Selectable, Switched-Cap Volt. Converter	8-SOIC	3.17	2.39	1.41
MAX865EUA-ND	Kompakte Ladepumpe, zweif. Ausgang	Compact, Dual-Output Charge Pump	8-µMAX	3.05	2.31	1.36
MAX872CPA-ND	10 µA, Low-Dropout, +2,5 V Präzisions-Spannungsreferenz	10µA, Low Dropout, +2.5V Precision Volt. Ref	8-Dip	4.31	3.26	2.08
MAX872ESA-ND	10 µA, Low-Dropout, +2,5 V Präzisions-Spannungsreferenz	10µA, Low Dropout, +2.5V Precision Volt. Ref.	8-SOIC	5.61	4.24	2.49
MAX873ACSA-ND	2,5 V NL, Low-Drift, Präzisions-Spannungsreferenz	2.5V, Low-Power, Low-Drift, Precision Volt. Ref.	8-SOIC	11.73	8.86	5.21
MAX874CPA-ND	10 µA, Low-Dropout, +4,096 V Präzisions-Spannungsreferenz	10µA, Low Dropout, +4.096V Precision Volt. Ref	8-Dip	4.31	3.26	2.08
MAX876BCPA-ND	Low-Drift, +10 V Präzisions-Spannungsreferenz, NL	Low Power, Low-Drift, +10V Precision Volt. Ref	8-Dip	6.26	4.73	3.03
MAX882CSA-ND	Low-Dropout-Linearregler, 5 V/3,3 V (einstellbar)	5V/3.3V Adjustable Low Dropout Linear Regulator	8-SOIC	3.48	2.63	1.55
MAX882ESA-ND	Low-Dropout-Linearregler, 5 V/3,3 V (einstellbar)	5V/3.3V Adjustable Low Dropout Linear Regulator	8-SOIC	4.42	3.34	2.14
MAX883CSA-ND	5 V oder einstellb. 200 mA Linearregler, niedriger Ruhestrom	5V or Adj., LDO, Low IQ, 200mA Linear Regulator	8-SOIC	3.48	2.63	1.55
MAX901BCSE-ND	Vierf. Spannungskomparator, High-Speed, NL	Quad High Speed Low Power, Voltage Comp	16-SOIC	10.50	7.93	5.08
MAX902CSD-ND	Zweif. Spannungskomparator, High-Speed, NL	Dual High Speed Low Power, Voltage Comp	14-SOIC	8.69	6.56	4.20
MAX907CPA-ND	Zweif. TTL-Komparator, High-Speed, Ultra-NL, einzelversorgt, +5 V	Dual High Speed Ultra Low Power, Single +5V, TTL Comp	8-Dip	3.61	2.73	1.75
MAX907CSA-ND	Zweif. TTL-Komparator, High-Speed, Ultra-NL, einzelversorgt, +5 V	Dual High Speed Ultra Low Power, Single +5V, TTL Comp	8-SOIC	3.61	2.73	1.75
MAX908CPD-ND	Vierf. TTL-Komparator, High-Speed, Ultra-NL, einzelversorgt, +5 V	Quad, High Speed, Ultra LP, Single +5V, TTL Comp	14-Dip	6.28	4.75	3.05
MAX913CPA-ND	Ultraschneller Präzisions-TTL-Komparator, NL	Ultra-Fast, Low Power Precision TTL Comparator	8-Dip	5.41	4.09	2.40
MAX913CSA-ND	Ultraschneller Präzisions-TTL-Komparator, NL	Ultra-Fast, Low Power Precision TTL Comparator	8-SOIC	5.38	4.07	2.40
MAX921CSA-ND	NL-Komparator mit Referenz	Low Power Comparator with Reference	8-SOIC	3.37	2.54	1.63
MAX921ESA-ND	NL-Komparator mit Referenz	Low Power Comparator with Reference	8-SOIC	3.90	2.95	1.89
MAX922CSA-ND	Zweif. einzelversorgter Ultra-NL-Komparator	Dual Ultra Low Power, Single Supply Comparator	8-SOIC	3.18	2.41	1.55
MAX923CSA-ND	Zweif. einzelversorgter Ultra-NL-Komparator, mit 1 % Präzision mit Referenz	Dual Ultra LP Single Supply Comparator with 1% Precision with Reference	8-SOIC	4.13	3.12	2.01
MAX924CSE-ND	Vierf. einzelversorgter Ultra-NL-Komparator, mit 1 % Präzision mit Referenz	Quad Ultra LP Single Supply Comparator with 1% Precision with Reference	16-SOIC	4.77	3.61	2.32
MAX931CPA-ND	Ultra-NL-Komparator	Ultra Low Power Comparator	8-Dip	2.08	1.58	1.01
MAX932CSA-ND	Zweif. einzelversorgter Ultra-NL-Komparator, mit 2 % Präzision mit Referenz	Dual Ultra LP Single Supply Comparator with 2% Precision with Reference	8-SOIC	2.67	2.02	1.30
MAX934CSE-ND	Vierf. einzelversorgter Ultra-NL-Komparator, mit 2 % Präzision mit Referenz	Quad Ultra LP Single Supply Comparator with 2% Precision with Reference	16-SOIC	2.53	1.92	1.23
MAX941CSA-ND	Einf. einzelversorgter 75-ns R/R-Eingangskomparator, 3 V/5 V	Single, 3V/5V, Single Supply, 75nS, Rail-to-Rail Input Comparator	8-SOIC	2.92	2.21	1.42
MAX942CSA-ND	Zweif. einzelversorgter 75-ns R/R-Eingangskomparator, 3 V/5 V	Dual, 3V/5V, Single Supply, 75nS, Rail-to-Rail Input Comparator	8-SOIC	3.14	2.38	1.52
MAX944CSD-ND	Vierf. einzelversorgter 75-ns R/R-Eingangskomparator, 3 V/5 V	Quad, 3V/5V, Single Supply, 75nS, Rail-to-Rail Input Comparator	14-SOIC	5.21	3.93	2.52
MAX961ESA-ND	Beyond-the-Rails-Komparator, +3 V/+5 V	+3V/+5V, Beyond-the-Rails Comparator	8-SOIC	5.61	4.24	2.49
MAX964EEE-ND	Vierf. Beyond-the-Rails-Komparator, Ultra-HS, +3 V/+5 V	Quad, Ultra HS, +3V/+5V, Beyond-the-Rails Comparator	16-QSOP	12.81	9.67	5.69
MAX971CSA-ND	Einf. Ultra-LP-Komparator, offene Ausgänge, mit 1 % Präzision	Single, Ultra LP, Open-Output Comparator with 1% Accuracy	8-SOIC	3.34	2.53	1.62
MAX975ESA-ND	Komparator mit Auto-Standby, zweif. Geschw., +3 V/+5 V	+3V/+5V Dual Speed Comparator with Auto Standby	8-SOIC	4.38	3.31	2.12
MAX975EUA-ND	Komparator mit Auto-Standby, zweif. Geschw., +3 V/+5 V	+3V/+5V Dual Speed Comparator with Auto Standby	8-µMAX	4.38	3.31	2.12
MAX987EUK-TCT-ND	HS-Micropower-R/R E/A-Komparator, Niederspannung	HS, Micropower, Low Volt., R/R I/O Comparator	SOT-23-5	2.13	1.61	1.41
MAX987EUK-TTR-ND	HS-Micropower-R/R E/A-Komparator, Niederspannung	HS, Micropower, Low Volt., R/R I/O Comparator	SOT-23-5		3217.08/2,500	
MAX1044CPA-ND	CMOS-Schaltkondensator-Spannungswandler	CMOS Switchcap Voltage Converter	8-Dip	2.27	1.71	1.15
MAX1110CAP-ND	2,7 V, serieller 8-Bit 8-Kanal-ADU mit Referenz	2.7V, 8-Bit 8-Channel Serial ADC with Reference	20-SSOP	4.55	3.44	2.21
MAX1110CPP-ND	2,7 V, serieller 8-Bit 8-Kanal-ADU mit Referenz	2.7V, 8-Bit 8-Channel Serial ADC with Reference	20-Dip	4.55	3.44	2.21
MAX1202BCAP-ND	5 V, 12-Bit 8-Kanal-ADU mit 3 V-Digitalschnittstelle	5V, 12-Bit 8-Channel Serial ADC with 3V Digital Interface	20-SSOP	15.50	11.70	7.51
MAX1202BCPP-ND	5 V, 12-Bit 8-Kanal-ADU mit 3 V-Digitalschnittstelle	5V, 12-Bit 8-Channel Serial ADC with 3V Digital Interface	20-Dip	15.50	11.70	7.51
MAX1232CPA-ND	Mikroprozessorüberwachung	Microprocessor Monitor	8-Dip	2.98	2.26	1.55
MAX1232CSA-ND	Mikroprozessorüberwachung	Microprocessor Monitor	8-SOIC	2.98	2.26	1.55
MAX1232EPA-ND	Mikroprozessorüberwachung, Hochtemperatur	Microprocessor Monitor High Temperature	8-Dip	3.73	2.82	1.94
MAX1232ESA-ND	Mikroprozessorüberwachung, Hochtemperatur	Microprocessor Monitor High Temperature	8-SOIC	3.88	2.93	2.01
MAX1241ACSA-ND	2,7 V serieller 12-Bit 1-Kanal-ADU, NL	2.7V Low Power 12-Bit Single Channel Serial ADC	8-SOIC	11.91	9.00	5.29
MAX1241AESA-ND	2,7 V serieller 12-Bit 1-Kanal-ADU, NL	2.7V Low Power 12-Bit Single Channel Serial ADC	8-SOIC	14.29	10.79	6.35
MAX1241BCPA-ND	2,7 V serieller 12-Bit 1-Kanal-ADU, NL	2.7V Low Power 12-Bit Single Channel Serial ADC	8-Dip	9.94	7.51	4.81
MAX1241BCSA-ND	2,7 V serieller 12-Bit 1-Kanal-ADU, NL	2.7V Low Power 12-Bit Single Channel Serial ADC	8-SOIC	9.94	7.51	4.81
MAX1243BCPA-ND	2,7 V serieller 10-Bit 1-Kanal-ADU, NL	2.7V Low Power 10-Bit Single Channel Serial ADC	8-Dip	5.99	4.53	2.90
MAX1243BCSA-ND	2,7 V serieller 10-Bit 1-Kanal-ADU, NL	2.7V Low Power 10-Bit Single Channel Serial ADC	8-SOIC	5.99	4.53	2.90
MAX1247ACEE-ND	2,7 V serieller 12-Bit 4-Kanal-ADU, NL	2.7V Low Power 12-Bit, 4-Channel Serial ADC	16-QSOP	19.36	14.62	8.60
MAX1247BEEE-ND	2,7 V serieller 12-Bit 4-Kanal-ADU, NL	2.7V Low Power 12-Bit, 4-Channel Serial ADC	16-QSOP	16.49	12.45	7.99
MAX1247BCEE-ND	2,7 V serieller 12-Bit 4-Kanal-ADU, NL	2.7V Low Power 12-Bit, 4-Channel Serial ADC	16-QSOP	12.70	9.59	6.14
MAX1247BCPE-ND	2,7 V serieller 12-Bit 4-Kanal-ADU, NL	2.7V Low Power 12-Bit, 4-Channel Serial ADC	16-Dip	12.70	9.59	6.14
MAX1249BCEE-ND	2,7 V serieller 10-Bit 4-Kanal-ADU, NL	2.7V Low Power 10-Bit, 4-Channel Serial ADC	16-QSOP	8.64	6.52	4.19
MAX1249BCPE-ND	2,7 V serieller 10-Bit 4-Kanal-ADU, NL	2.7V Low Power 10-Bit, 4-Channel Serial ADC	16-Dip	9.42	7.12	4.57
MAX1270ACNG-ND	Multibereich, +5 V, 8-Kanal serieller 12-Bit ADU	Multirange, +5V, 8-Channel Serial 12-Bit ADC	24-Dip	26.05	19.66	11.56
MAX1270BCAI-ND	Multibereich, +5 V, 8-Kanal serieller 12-Bit ADU	Multirange, +5V, 8-Channel Serial 12-Bit ADC	28-SSOP	20.84	15.73	9.44
MAX1406CPE-ND	230 KBPS, 3 Sender/3 Empfänger, ESE-Schutz	230KBPS, 3 Transmitters/3 Receivers, ESD Protected	16-Dip	2.60	1.97	1.16
MAX1406CWE-ND	230 KBPS, 3 Sender/3 Empfänger, ESE-Schutz	230KBPS, 3 Transmitters/3 Receivers, ESD Protected	16-SOIC	2.60	1.97	1.16
MAX1480ACPI-ND	Isolierte RS485/RS422-Datenschnittstelle	Isolated RS-485/RS-422 Data Interface	28-Dip	22.16	16.73	9.59
MAX1480BCPI-ND	Isolierte RS485/RS422-Datenschnittstelle	Isolated RS-485/RS-422 Data Interface	28-Dip	21.18	15.99	9.99
MAX1480BEPI-ND	Isolierte RS485/RS422-Datenschnittstelle	Isolated RS-485/RS-422 Data Interface	28-Dip	27.51	20.76	12.99
MAX1482CPD-ND	RS485-Transceiver, Vollduplex, begrenzte Anstiegsrate, NL	Full Duplex, Slew Rate Ltd, LP RS-485 Transceiver	14-Dip	2.38	1.80	1.16
MAX1482CSD-ND	RS485-Transceiver, Vollduplex, begrenzte Anstiegsrate, NL	Full Duplex, Slew Rate Ltd, LP RS-485 Transceiver	14-SOIC	2.38	1.80	1.16
MAX1487CPA-ND	RS485/RS422-Transceiver, 2,5 MBPS	2.5 MBPS RS-485/RS-422 Transceiver	8-Dip	2.38	1.80	1.16
MAX1487CSA-ND	RS485/RS422-Transceiver, 2,5 MBPS	2.5 MBPS RS-485/RS-422 Transceiver	8-SOIC	2.38	1.80	1.16
MAX1488ECSD-ND	Vierf. RS232-Treiber, ESE-Schutz	RS-232 Quad Driver, ESD-Protected	14-SOIC	1.84	1.39	.89
MAX1488EEPD-ND	Vierf. RS232-Treiber, ESE-Schutz	RS-232 Quad Driver, ESD-Protected	14-Dip	2.62	1.99	1.27
MAX1490ACPG-ND	Komplette, isolierte RS485/RS422-Datenschnittstelle	Complete, Isolated RS-485/RS-422 Data Interface	24-Dip	22.16	16.73	9.79
MAX1490BCPG-ND	Komplette, isolierte RS485/RS422-Datenschnittstelle	Complete, Isolated RS-485/RS-422 Data Interface	24-Dip	21.18	15.99	9.36
MAX1490BEPG-ND	Komplette, isolierte RS485/RS422-Datenschnittstelle	Complete, Isolated RS-485/RS-422 Data Interface	24-Dip	27.53	20.78	12.16
MAX1602EEE-ND	Ein-Kanal-, CardBus- und Leistungsschaltungsnetz	Single-Ch., CardBus and Power Switching Network	16-QSOP	4.89	3.70	2.18
MAX1617AMEE-ND	Fern-/Lokaltemperatursensor mit serieller SMBus Schnittstelle	Remote/Local Temp. Sensor with SMBus Serial Interface	16-QSOP	8.57	6.47	3.81
MAX1617MEE-ND	Fern-/Lokaltemperatursensor mit serieller SMBus Schnittstelle	Remote/Local Temp. Sensor with SMBus Serial Interface	16-QSOP	8.57	6.47	3.81
MAX1623EAP-ND	Step-Down-Regler, synch. Gleichrichtung, niedrige Spannung	Sync. Rectification, Low Voltage, Step-Down Regulator	20-SSOP	9.94	7.51	4.41
MAX1626ESA-ND	3,3 V/5 V, Step-Down DC/DC-Controller mit hohem Wirkungsgrad	3.3V/5V, High-Eff. Step-Down DC/DC Controller	8-SOIC	3.90	2.95	1.75
MAX1627ESA-ND	Einstellb. Step-Down DC/DC-Controller mit hohem Wirkungsgrad	Adj., High-Eff. Step-Down DC/DC Controller	8-SOIC	3.90	2.95	1.75
MAX1644EAE-ND	Step-Down-Regler, synch. Gleichrichtung	Sync. Rectification, Step-Down Regulator	16-SSOP	8.48	6.41	3.77
MAX1649CSA-ND	5 V, LDO-Step-Down DC/DC-Controller mit hohem Wirkungsgrad	5V, High-Eff. LDO Step-Down DC/DC Controller	8-SOIC	4.20	3.17	1.86
MAX1649ESA-ND	5 V, LDO-Step-Down DC/DC-Controller mit hohem Wirkungsgrad	5V, High-Eff. LDO Step-Down DC/DC Controller	8-SOIC	5.27	3.98	2.35
MAX1655EEE-ND	PWM-Step-Down DC/DC-Controller mit hohem Wirkungsgrad	High-Eff., PWM Step-Down DC/DC Controller	16-QSOP	8.08	6.10	3.59

(Forts.)

★ ***RUFEN SIE BITTE AN FÜR NIEDRIGERE PREISE BEI GRÖSSEREN MENGEN!*** ★

B

B

Digi-Key Teilenr.	Beschreibung		Paket	Stückpreis★ 1	25	100
MAX1658ESA-ND	350 mA, 16,5 V Eingang, LDO-Linearregler	350mA, 16.5V Input, LDO Linear Regulator	8-SOIC	4.28	3.24	1.95
MAX1659ESA-ND	Linearregler mit Low-Dropout	Low Dropout Linear Regulator	8-SOIC	4.28	3.24	1.90
MAX1660EEE-ND	Digital gesteuerte Kraftstoffmessschnittstelle	Digitally Controlled Fuel-Gauge Interface	16-QSOP	6.12	4.63	2.72
MAX1668MEE-ND	Multi-Kanal-Fern/Lokaltemperatursensor	Multi Channel Remote/Local Temperature Sensor	16-QSOP	8.35	6.30	3.70
MAX1672EEE-ND	Step-Up/Down-DC/DC-Wandler	Step-Up/Down DC/DC Converter	16-QSOP	5.79	4.37	2.57
MAX1673ESA-ND	Reg., 125 mA Ausgang, Ladepumpe DC/DC-Inverter	Regulator, 125mA Output, Charge-Pump DC/DC Inverter	8-SOIC	4.51	3.41	2.00
MAX1674EUA-ND	Kompakter Step-Up-DC/DC-Wandler mit hohem Wirkungsgrad	Compact, High-Eff., Step-Up DC/DC Converter	8-µMAX	4.28	3.24	1.90
MAX1675EUA-ND	Step-Up-DC/DC-Wandler	Step-Up DC/DC Converter	8-UMAX	4.28	3.24	1.90
MAX1676EUB-ND	Kompakter Step-Up-DC/DC-Wandler mit hohem Wirkungsgrad	Compact, High-Eff., Step-Up DC/DC Converter	10-µMAX	4.60	3.48	2.05
MAX1681ESA-ND	125 mA Schalterkondensator-Spannungswandler	125mA, Switched-Capacitor Voltage Converter	8-SOIC	4.51	3.41	2.00
MAX1684EEE-ND	300 kHz, 14 V Eingang, 1 A, PWM Step-Down-Wandler	300KHz, 14V Input, 1A, PWM Step-Down Converter	16-QSOP	7.25	5.47	3.21
MAX1685EEE-ND	600 kHz, 14 V Eingang, 1 A, PWM Step-Down-Wandler	600KHz, 14V Input, 1A, PWM Step-Down Converter	16-QSOP	7.25	5.47	3.21
MAX1692EUB-ND	Step-Down-Regler	Step-Down Regulator	10-UMAX	5.34	4.03	2.38
MAX1709ESE-ND	4 V Step-Up-DC/DC Converter, rauscharm, hohe Frequenz	4A, Low-Noise, High-Freq. Step-Up DC/DC Converter	16-SOIC	8.24	6.22	3.66
MAX1724EZK50-TCT-ND	5 V Step-Up-DC/DC-Wandler	5V, Step-Up DC/DC Converter	SOT-23-5	3.07	2.32	2.03
MAX1724EZK50-TTR-ND	5 V Step-Up-DC/DC-Wandler	5V, Step-Up DC/DC Converter	SOT-23-5		4639.37/2,500	
MAX1737EEI-ND	Stand-Alone Lithium-Ionen-Batterieladegerät-Controller, Schaltmodus	Stand-Alone Switch-Mode Lithium-Ion Battery Charger Controller	28-QSOP	6.57	4.97	2.93
MAX1758EAI-ND	Stand-Alone Lithium-Ionen-Batterieladegerät-Controller, Schaltmodus mit internem 28 V Schalter	Stand-Alone Switch-Mode Lithium-Ion Battery Charger with Internal 28V Switch	28-SSOP	8.12	6.13	3.61
MAX1759EUB-ND	Buck/Boost-Reglerladepumpe	Buck/Boost Regulating Charge Pump	10-µMAX	5.36	4.05	2.38
MAX1760EUB-ND	0,8 A Step-Up-DC/DC Converter, rauscharm, 1MHz	0.8A, Low-Noise, 1MHz, Step-Up DC/DC Converter	10-µMAX	5.90	4.46	2.62
MAX1771CPA-ND	12 V oder einstellb. Ausgangs-Step-Up-DC/DC-Wandler, 90 % wirksam	12V or Adj. Out Step-Up DC/DC Converter 90% Efficient	8-Dip	3.77	2.85	1.82
MAX1771CSA-ND	12 V oder einstellb. Ausgangs-Step-Up-DC/DC-Wandler, 90 % wirksam	12V or Adj. Out Step-Up DC/DC Converter 90% Efficient	8-SOIC	4.13	3.12	1.83
MAX1771ESA-ND	12 V oder einstellb. Ausgangs-Step-Up-DC/DC-Wandler, 90 % wirksam	12V or Adj. Out Step-Up DC/DC Converter 90% Efficient	8-SOIC	5.63	4.25	2.50
MAX1775EEE-ND	Zweif. Ausgangs-Step-Down-DC/DC-Wandler	Dual Output Step-Down DC/DC Converter	16-QSOP	7.04	5.32	3.13
MAX1790EUA-ND	Rauscharmer Step-Up-DC/DC-Wandler	Low Noise Step-Up DC/DC Converter	8-µMAX	5.81	4.39	2.59
MAX1792EUA15-ND	1,5 V oder einstellb. 500 mA LDO-Linearregler	1.5V or Adj., 500mA LDO Linear Regulator	8-µMAX	2.69	2.04	1.20
MAX1797EUA-ND	Step-Up-DC/DC-Wandler, niedriger Versorgungsstrom	Low Supply Current, Step-Up DC/DC Converter	8-µMAX	8.43	6.37	3.75
MAX1818EUT33-TCT-ND	3,3 V oder einstellb. 500 mA LDO-Linearregler	3.3V or Adj., 500mA LDO Linear Regulator	SOT-23-6	2.67	2.02	1.77
MAX1818EUT33-TTR-ND	3,3 V oder einstellb. 500 mA LDO-Linearregler	3.3V or Adj., 500mA LDO Linear Regulator	SOT-23-6		4029.82/2,500	
MAX1831EEE-ND	3 A, 1 MHz Niederspannungs-Step-Down-Regler	3A, 1MHz, Low-Voltage Step-Down Regulator	16-QSOP	9.56	7.22	4.25
MAX1856EUB-ND	Sync. PWM SLIC Stromversorgung, breiter Eingangsbereich	Wide Input Range, Sync. PWM SLIC Power Supply	10-µMAX	3.61	2.73	1.61
MAX3082CPA-ND	HS-RS485/RS422 Transceiver mit begrenzter Anstiegsrate, 10 MBPS	10Mbps, High Speed, Slew-Rate Limited RS-485/RS-422 Transceiver	8-Dip	2.53	1.92	1.13
MAX3082CSA-ND	HS-RS485/RS422 Transceiver mit begrenzter Anstiegsrate, 10 MBPS	10Mbps, High Speed, Slew-Rate Limited RS-485/RS-422 Transceiver	8-SOIC	2.53	1.92	1.13
MAX3082ESA-ND	HS-RS485/RS422 Transceiver mit begrenzter Anstiegsrate, 10 MBPS	10Mbps, High Speed, Slew-Rate Limited RS-485/RS-422 Transceiver	8-SOIC	3.17	2.39	1.41
MAX3086CSD-ND	HS-RS485/RS422 Transceiver mit begrenzter Anstiegsrate, 10 MBPS	10Mbps, High Speed, Slew-Rate Limited RS-485/RS-422 Transceiver	14-SOIC	2.53	1.92	1.13
MAX3088CSA-TCT-ND	HS-RS485/RS422 Transceiver mit begrenzter Anstiegsrate, 10 MBPS	10Mbps, High Speed, Slew-Rate Limited RS-485/RS-422 Transceiver	8-SOIC	2.69	2.04	1.78
MAX3088CSA-TTR-ND	HS-RS485/RS422 Transceiver mit begrenzter Anstiegsrate, 10 MBPS	10Mbps, High Speed, Slew-Rate Limited RS-485/RS-422 Transceiver	8-SOIC		4063.68/2,500	
MAX3094ECSE-ND	Vierf. 3 V RS422/RS485 Empfänger, 10 MBPS, NL	10Mbps, 3V, LP Quad RS-422/RS-485 Receiver	16-SOIC	2.56	1.94	1.14
MAX3095CPE-ND	Vierf. 5 V RS422/RS485 Empfänger, 10 MBPS, ESE-Schutz	10Mbps, 5V, Quad RS-422/RS-485 Receiver, ESD Protected	16-Dip	2.56	1.94	1.14
MAX3095EPE-ND	Vierf. 5 V RS422/RS485 Empfänger, 10 MBPS, ESE-Schutz	10Mbps, 5V, Quad RS-422/RS-485 Receiver, ESD Protected	16-Dip	3.63	2.75	1.62
MAX3096CEE-ND	Vierf. 3 V RS422/RS485 Empfänger, 10 MBPS, ESE-Schutz	10Mbps, 3V, Quad RS-422/RS-485 Receiver, ESD Protected	16-QSOP	2.56	1.94	1.14
MAX3096CSE-ND	Vierf. 3 V RS422/RS485 Empfänger, 10 MBPS, ESE-Schutz	10Mbps, 3V, Quad RS-422/RS-485 Receiver, ESD Protected	16-SOIC	2.56	1.94	1.14
MAX3097ECSE-ND	Dreif. 3-5,5 V RS422/RS485 Empfänger, 32 MBPS, ESE-Schutz	32Mbps, 3V-5.5V, Triple RS-422/RS-485 Receiver, ESD Protected	16-SOIC	7.41	5.59	3.30
MAX3100CEE-ND	SPI/Microwire-kompatible UART	SPI/Microwire-Compatible UART	16-QSOP	5.93	4.47	2.63
MAX3100CPD-ND	SPI/Microwire-kompatible UART	SPI/Microwire-Compatible UART	14-Dip	5.93	4.47	2.63
MAX3100EEE-ND	SPI/Microwire-kompatible UART	SPI/Microwire-Compatible UART	16-QSOP	8.46	6.39	3.76
MAX3100EPD-ND	SPI/Microwire-kompatible UART	SPI/Microwire-Compatible UART	14-Dip	8.46	6.39	3.76
MAX3110ECNI-ND	SPI/Microwire-kompatible UART und RS232-Transceiver mit ESE-Schutz	SPI/Microwire-Compatible UART and ESD Protected RS-232 Transceiver	28-Dip	9.83	7.42	4.37
MAX3110ECWI-ND	SPI/Microwire-kompatible UART und RS232-Transceiver mit ESE-Schutz	SPI/Microwire-Compatible UART and ESD Protected RS-232 Transceiver	28-SOIC	9.83	7.42	4.37
MAX3111ECWI-ND	SPI/Microwire-kompatible UART und RS232-Transceiver mit ESE-Schutz	SPI/Microwire-Compatible UART and ESD Protected RS-232 Transceiver	28-SOIC	9.83	7.42	4.37
MAX3111EEWI-ND	SPI/Microwire-kompatible UART und RS232-Transceiver mit ESE-Schutz	SPI/Microwire-Compatible UART and ESD Protected RS-232 Transceiver	28-SOIC	14.07	10.62	6.24
MAX3140CEI-ND	SPI/Microwire-kompatible UART mit integriertem, echt ausfallsicherem RS485/RS422-Transceiver	SPI/Microwire-Compatible UART with Integrated True Fail-Safe RS-485/RS-422 Transceiver	28-QSOP	8.46	6.39	3.76
MAX3162EAI-ND	3 V bis 5,5 V, zwei Transceiver zwei Empfänger RS232 Schnittstelle und Einzel-RS485/422-Transceiver	3V to 5.5V, Two Transceiver Two Receiver RS-232 Interface and Single RS-485/422 Transceiver	28-SSOP	16.33	12.33	7.26
MAX3209ECUU-ND	Zweif. 12 V serieller RS232 Port mit NL-Standby für Mutterplatinen/Desktops	12V, Dual RS-232 Serial Port with Low-Power Standby for Motherboards/Desktops	38-TSSOP	4.84	3.66	2.35
MAX3218CAP-ND	1,8 V - 4,25 V RS232-Transceiver mit AutoShutdown	1.8V to 4.25V, RS-232 Transceiver with AutoShutdown	20-SSOP	4.01	3.04	1.78
MAX3221CAE-ND	3 V - 5,5 V RS232-Transceiver mit AutoShutdown	3V to 5.5V, RS-232 Transceiver with AutoShutdown	16-SSOP	2.40	1.82	1.16
MAX3221EAE-ND	3 V - 5,5 V RS232-Transceiver mit AutoShutdown	3V to 5.5V, RS-232 Transceiver with AutoShutdown	16-SSOP	3.43	2.60	1.66
MAX3221ECAE-ND	3 V - 5,5 V, 250 KBPS RS232-Transceiver mit AutoShutdown, ESE-Schutz	3V to 5.5V, 250kbps, RS-232 Transceiver w/AutoShutdown, ESD Protected	16-SSOP	2.76	2.09	1.34
MAX3221EEAE-ND	3 V - 5,5 V, 250 KBPS RS232-Transceiver mit AutoShutdown, ESE-Schutz	3V to 5.5V, 250kbps, RS-232 Transceiver w/AutoShutdown, ESD Protected	16-SSOP	3.95	2.98	1.92
MAX3222CPN-ND	3 V - 5,5 V True RS232-Treiber/Empfänger, NL	3V to 5.5V, Low Power, True RS-232 Transceiver	18-Dip	3.55	2.68	1.72
MAX3223EAP-ND	3 V - 5,5 V RS232-Transceiver mit AutoShutdown	3V to 5.5V, RS-232 Transceiver w/AutoShutdown	20-SSOP	4.58	3.46	2.22
MAX3223EEAP-ND	3 V - 5,5 V, 250 KBPS RS232-Transceiver mit AutoShutdown, ESE-Schutz	3V to 5.5V, 250kbps, RS-232 Transceiver w/AutoShutdown, ESD Protected	20-SSOP	6.10	4.61	2.96
MAX3223EEPP-ND	3 V - 5,5 V, 250 KBPS RS232-Transceiver mit AutoShutdown, ESE-Schutz	3V to 5.5V, 250kbps, RS-232 Transceiver w/AutoShutdown, ESD Protected	20-Dip	6.10	4.61	2.96
MAX3224CAP-ND	3 V - 5,5 V, 1 MBPS RS232-Transceiver mit AutoShutdown	3V to 5.5V, 1Mbps, RS-232 Transceiver with AutoShutdown	20-SSOP	3.55	2.68	1.72
MAX3224ECAP-ND	3 V - 5,5 V, 1 MBPS RS232-Transceiver mit AutoShutdown, ESE-Schutz	3V to 5.5V, 1Mbps, RS-232 Transceiver with AutoShutdown, ESD Protected	20-SSOP	4.27	3.22	2.07
MAX3226EEAE-ND	3 V - 5,5 V, 1 MBPS RS232-Transceiver mit AutoShutdown, ESE-Schutz	3V to 5.5V, 1Mbps, RS-232 Transceiver with AutoShutdown, ESD Protected	16-SSOP	3.95	2.98	1.92
MAX3232CSE-ND	3 V - 5,5 V True RS232-Transceiver bis zu 1 MBPS	3V to 5.5V, True RS-232 Transceiver up to 1Mbps	16-SOIC	3.55	2.68	1.72
MAX3232CUE-ND	3 V - 5,5 V True RS232-Transceiver bis zu 1 MBPS	3V to 5.5V, True RS-232 Transceiver up to 1Mbps	16-TSSOP	3.52	2.66	1.57
MAX3232ECAE-ND	3 V - 5,5 V True RS232-Transceiver, ESE-Schutz	3V to 5.5V, True RS-232 Transceiver, ESD Protected	16-SSOP	4.27	3.22	2.07
MAX3232ECPE-ND	3 V - 5,5 V True RS232-Transceiver, ESE-Schutz	3V to 5.5V, True RS-232 Transceiver, ESD Protected	16-Dip	4.27	3.22	2.07
MAX3232ECWE-ND	3 V - 5,5 V True RS232-Transceiver, ESE-Schutz	3V to 5.5V, True RS-232 Transceiver, ESD Protected	16-SOIC	4.27	3.22	2.07
MAX3232EEAE-ND	3 V - 5,5 V True RS232-Transceiver, ESE-Schutz	3V to 5.5V, True RS-232 Transceiver, ESD Protected	16-SSOP	6.10	4.61	2.96
MAX3233ECPP-ND	Zweif. 3 V - 3,6 V, 250 KBPS RS232-Transceiver ESE-Schutz	3V to 3.6V, 250kbps, Dual RS-232 Transceiver, ESD Protected	20-Dip	7.45	5.63	3.60
MAX3233ECWP-ND	Zweif. 3 V - 3,6 V, 250 KBPS RS232-Transceiver ESE-Schutz	3V to 3.6V, 250kbps, Dual RS-232 Transceiver, ESD Prot.	20-SOIC	7.45	5.63	3.60
MAX3233EEWP-ND	Zweif. 3 V - 3,6 V, 250 KBPS RS232-Transceiver ESE-Schutz	3V to 3.6V, 250kbps, Dual RS-232 Transceiver, ESD Prot.	20-SOIC	10.35	7.81	5.01
MAX3235ECWP-ND	Zweif. 4,5 V - 5,5 V, 250 KBPS RS232-Transceiver ESE-Schutz	4.5V to 5.5V, 250kbps, Dual RS-232 Transceiver, ESD Prot.	20-SOIC	6.87	5.19	3.32
MAX3235EEWP-ND	Zweif. 4,5 V - 5,5 V, 250 KBPS RS232-Transceiver ESE-Schutz	4.5V to 5.5V, 250kbps, Dual RS-232 Transceiver, ESD Prot.	20-SOIC	9.52	7.18	4.61
MAX3237CAI-ND	3 V - 5,5 V True RS232-Transceiver	3V to 5.5V, True RS-232 Transceiver	28-SSOP	6.37	4.81	3.10
MAX3237EAI-ND	3 V - 5,5 V True RS232-Transceiver	3V to 5.5V, True RS-232 Transceiver	28-SSOP	9.11	6.88	4.42
MAX3237EEAI-ND	3 V - 5,5 V True RS232-Transceiver, ESE-Schutz	3V to 5.5V, True RS-232 Transceiver, ESD Prot.	28-SSOP	10.14	7.66	4.91
MAX3238ECAI-ND	3 V - 5,5 V, 250 KBPS RS232-Transceiver, ESE-Schutz	3V to 5.5V, 250kbps RS-232 Transceiver, ESD Prot.	28-SSOP	7.41	5.59	3.59
MAX3241CAI-ND	3 V - 5,5 V True RS232-Transceiver, NL	3V to 5.5V, LP True RS-232 Transceiver	28-SSOP	6.37	4.81	3.10
MAX3241EAI-ND	3 V - 5,5 V True RS232-Transceiver, NL	3V to 5.5V, LP True RS-232 Transceiver	28-SSOP	9.11	6.88	4.42
MAX3241ECAI-ND	3 V - 5,5 V True RS232-Transceiver, ESE-Schutz, NL	3V to 5.5V, LP True RS-232 Transceiver, ESD Prot.	28-SSOP	7.41	5.59	3.59
MAX3241EEAI-ND	3 V - 5,5 V True RS232-Transceiver, ESE-Schutz, NL	3V to 5.5V, LP True RS-232 Transceiver, ESD Prot.	28-SSOP	10.14	7.66	4.91
MAX3243CAI-ND	3 V - 5,5 V RS232-Transceiver mit AutoShutdown	3V to 5.5V, RS-232 Transceiver with AutoShutdown	28-SSOP	6.37	4.81	3.10
MAX3243EAI-ND	3 V - 5,5 V RS232-Transceiver mit AutoShutdown	3V to 5.5V, RS-232 Transceiver with AutoShutdown	28-SSOP	9.11	6.88	4.42
MAX3243ECAI-ND	3 V - 5,5 V RS232-Transceiver mit AutoShutdown, ESE-Schutz	3V to 5.5V, RS-232 Transceiver with AutoShutdown, ESD Protection	28-SSOP	7.41	5.59	3.59
MAX3244ECAI-ND	3 V - 5,5 V RS232-Transceiver mit AutoShutdown, ESE-Schutz	3V to 5.5V, RS-232 Transceiver with AutoShutdown, ESD Protection	28-SSOP	7.41	5.59	3.59
MAX3244ECWI-ND	3 V - 5,5 V RS232-Transceiver mit AutoShutdown, ESE-Schutz	3V to 5.5V, RS-232 Transceiver with AutoShutdown, ESD Protection	28-SOIC	7.41	5.59	3.59
MAX3245ECAI-ND	3 V - 5,5 V RS232-Transceiver mit AutoShutdown, ESE-Schutz	3V to 5.5V, RS-232 Transceiver with AutoShutdown, ESD Protection	28-SSOP	8.08	6.10	3.59
MAX3245EEWI-ND	3 V - 5,5 V RS232-Transceiver mit AutoShutdown, ESE-Schutz	3V to 5.5V, RS-232 Transceiver with AutoShutdown, ESD Protection	28-SOIC	11.06	8.35	4.91
MAX3291EPD-ND	5 MBPS bis 10 MBPS, RS485/RS422 Transceiver	5Mbps to 10Mbps, RS-485/RS-422 Transceiver	14-Dip	8.05	6.08	3.58
MAX3292ESD-ND	Progr. bis 10 MBPS, RS485/RS422 Transceiver	Prog. up to 10Mbps, RS-485/RS-422 Transceiver	14-SOIC	8.05	6.08	3.58
MAX3311CUB-ND	460 KBPS, 1 µA Versorgungsstrom, RS232 Transceiver	460kbps, 1µA Supply Current RS-232 Transceiver	10-µMAX	2.20	1.66	.98
MAX3311ECUB-ND	460 KBPS, 1 µA Versorgungsstrom, RS232 Transceiver, ESE-Schutz	460kbps, 1µA Supply Current RS-232 Transceiver, ESD Prot.	10-µMAX	2.47	1.87	1.10
MAX3311EEUB-ND	460 KBPS, 1 µA Versorgungsstrom, RS232 Transceiver, ESE-Schutz	460kbps, 1µA Supply Current RS-232 Transceiver, ESD Prot.	10-µMAX	3.21	2.43	1.43
MAX3313CUB-ND	460 KBPS, 1 µA Versorgungsstrom, RS232 Transceiver	460kbps, 1µA Supply Current RS-232 Transceiver	10-µMAX	2.20	1.66	.98
MAX3313ECUB-ND	460 KBPS, 1 µA Versorgungsstrom, RS232 Transceiver, ESE-Schutz	460kbps, 1µA Supply Current RS-232 Transceiver, ESD Prot,	10-µMAX	2.47	1.87	1.10
MAX3319ECAE-ND	2,5 V, 1 µA, 460 KBPS RS232-Transceiver	2.5V, 1µA, 460kbps, RS-232 Transceiver	16-SSOP	4.65	3.51	2.07
MAX3320TEAP-ND	3 V - 5,5 V, True RS232-Transceiver mit AutoShutdown	3V to 5.5V, True RS-232 Transceiver with AutoShutdown	20-SSOP	5.49	4.15	2.45
MAX3371EXT-TCT-ND	1 µA, 2MBPS Niederspannungspegel-Übersetzer	1µA, 2Mbps, Low Voltage Level Translator	SC70-6	1.86	1.41	1.23
MAX3371EXT-TTR-ND	1 µA, 2MBPS Niederspannungspegel-Übersetzer	1µA, 2Mbps, Low Voltage Level Translator	SC70-6		2810.71/2,500	

(Forts.)

★ ***RUFEN SIE BITTE AN FÜR NIEDRIGERE PREISE BEI GRÖSSEREN MENGEN!*** ★

Digi-Key Teilenr.	Beschreibung		Paket	Stückpreis★ 1	25	100
MAX3386ECUP-ND	3 V, 250 KBPS RS232-Transceiver, ESE-Schutz	3V, 250kbps, RS-232 Transceiver, ESD Protected	20-TSSOP	4.83	3.65	2.33
MAX3387ECUG-ND	3 V, 250 KBPS RS232-Transceiver, AutoShutdown, ESE-Schutz	3V, 250kbps, RS-232 Transceiver, Auto Shutdown, ESD Protected	24-TSSOP	6.21	4.69	2.76
MAX3387EEUG-ND	3 V, 250 KBPS RS232-Transceiver, AutoShutdown, ESE-Schutz	3V, 250kbps, RS-232 Transceiver, AutoShutdown, ESD Protected	24-TSSOP	7.41	5.59	3.29
MAX3471EUA-ND	1,6 µA, RS485/RS422, Halb-Duplex Differenzial-Transceiver	1.6µA, RS-485/RS-422, Half-Duplex Differential Transceiver	8-µMAX	4.39	3.32	1.96
MAX3483ECSA-ND	3 V - 3,6 V, 250 KBPS, True RS485/RS422 Transceiver, ESE-Schutz, begrenzte Anstiegsrate	3V to 3.6V, 250kbps and Slew Rate Limited True RS-485/RS-422 Transceiver, ESD Protected	8-SOIC	3.66	2.76	1.77
MAX3483EESA-ND	3 V - 3,6 V, 250 KBPS, True RS485/RS422 Transceiver, ESE-Schutz, begrenzte Anstiegsrate	3V to 3.6V, 250kbps and Slew Rate Limited True RS-485/RS-422 Transceiver, ESD Protected	8-SOIC	4.62	3.49	2.24
MAX3490CSA-ND	RS485/422-Transceiver, 3,3 V getrieben	3.3V Powered RS-485/422 Transceiver	8-SOIC	3.23	2.44	1.56
MAX3491ECSD-ND	3 V - 3,6 V, 12 MBPS True RS485/RS422 Transceiver, ESE-Schutz, begrenzte Anstiegsrate	3V to 3.6V, 12Mbps and Slew Rate Limited True RS-485/RS-422 Transceiver, ESD Protected	14-SOIC	3.66	2.76	1.77
MAX3491EESD-ND	3 V - 3,6 V, 12 MBPS True RS485/RS422 Transceiver, ESE-Schutz, begrenzte Anstiegsrate	3V to 3.6V, 12Mbps and Slew Rate Limited True RS-485/RS-422 Transceiver, ESD Protected	14-SOIC	4.62	3.49	2.24
MAX4003EUA-ND	100 MHz bis 2500 MHz RF-Detektor, 45 dB	100MHz to 2500MHz, 45dB RF Detector	8-µMAX	2.08	1.58	.93
MAX4018EEE-ND	Dreif. HS-OpAmp mit R/R-Ausgang	High Speed, Triple Op Amp with Rail-to-Rail Output	16-QSOP	4.04	3.05	1.80
MAX4020ESD-ND	Vierf. HS-OpAmp mit R/R-Ausgang	High Speed, Quad Op Amp with Rail-to-Rail Output	14-SOIC	4.60	3.48	2.05
MAX4051ACPE-ND	8-Kanal CMOS-Analog-Mux, Niederspannung	8-Ch., Low-Voltage, CMOS Analog Mux	16-Dip	3.70	2.80	1.79
MAX4051ACSE-ND	8-Kanal CMOS-Analog-Mux, Niederspannung	8-Ch., Low-Voltage, CMOS Analog Mux	16-SOIC	3.43	2.60	1.66
MAX4052ACEE-ND	Zweif. 4-Kanal CMOS-Analog-Mux/Schalter, Niederspannung	Dual 4-Ch., Low-Voltage, CMOS Analog Mux/Switch	16-QSOP	4.08	3.09	1.99
MAX4052AEEE-ND	Zweif. 4-Kanal CMOS-Analog-Mux/Schalter, Niederspannung	Dual 4-Ch., Low-Voltage, CMOS Analog Mux/Switch	16-QSOP	5.32	4.02	2.58
MAX4066CPD-ND	Vierf. SPST-CMOS-Analogschalter, Niederspannung	Low-Voltage, Quad, SPST, CMOS Analog Switch	14-Dip	1.93	1.46	.94
MAX4107ESA-ND	300 MHz OpAmp, ultra-rauscharmer	300MHz, Ultra-Low Noise Op Amp	8-SOIC	3.18	2.41	1.42
MAX4109ESA-ND	225 MHz OpAmp, geringe Verzerrung	225MHz, Ultra-Low Distortion Op Amp	8-SOIC	3.18	2.41	1.42
MAX4121CSA-ND	330 MHz Multiplexer/Crosspoint-Baustein-IC	330MHz Multiplexer/Crosspoint Building Block IC	8-SOIC	4.44	3.36	2.15
MAX4123ESA-ND	Einf. einzelversorgter 5-MHz OpAmp mit Ausschaltung	Single, 5MHz, Single Supply Op Amp with Shutdown	8-SOIC	2.20	1.66	1.07
MAX4125ESA-ND	Einf. einzelversorgter 10 V/µs OpAmp mit Ausschaltung	Single, 10 V/µs, Single Supply Op Amp with Shutdown	8-SOIC	2.20	1.66	1.07
MAX4126ESA-ND	Zweif. einzelversorgter 5-MHz OpAmp	Dual, 5MHz, Single Supply Op Amp	8-SOIC	3.17	2.39	1.53
MAX4127ESD-ND	Zweif. einzelversorgter 5-MHz OpAmp mit Ausschaltung	Dual, 5MHz, Single Supply Op Amp with Shutdown	14-SOIC	3.75	2.83	1.82
MAX4128ESA-ND	Zweif. einzelversorgter 10-V/µs OpAmp	Dual, 10 V/µs, Single Supply Op Amp	8-SOIC	3.17	2.39	1.53
MAX4128EUA-ND	Zweif. einzelversorgter 10-V/µs OpAmp	Dual, 10 V/µs, Single Supply Op Amp	8-µMAX	3.37	2.54	1.50
MAX4129ESD-ND	Vierf. einzelversorgter 5-MHz OpAmp	Quad, 5MHz, Single Supply Op Amp	14-SOIC	5.38	4.07	2.61
MAX4131ESA-ND	Einf. einzelversorgter 10-MHz OpAmp mit Ausschaltung	Single, 10MHz, Single Supply Op Amp with Shutdown	8-SOIC	2.20	1.66	1.07
MAX4132ESA-ND	Zweif. einzelversorgter 10-MHz OpAmp	Dual, 10MHz, Single Supply Op Amp	8-SOIC	3.17	2.39	1.53
MAX4134ESD-ND	Vierf. einzelversorgter 10-MHz OpAmp	Quad, 10MHz, Single Supply Op Amp	14-SOIC	5.38	4.07	2.61
MAX4144ESD-ND	HS-Diff.-Leitungsempfänger, verzerrungsarm	HS, Low-Distortion, Diff. Line Receiver	14-SOIC	5.38	4.07	2.40
MAX4145ESD-ND	HS-Diff.-Leitungsempfänger, verzerrungsarm	HS, Low-Distortion, Diff. Line Receiver	14-SOIC	5.38	4.07	2.40
MAX4147ESD-ND	300 MHz Diff.-Leitungstreiber, hoher Ausgangsstrom, NL	300MHz, Low Power, High Output Current, Diff. Line Driver	14-SOIC	5.61	4.24	2.49
MAX4162ESA-ND	10 V R/R-E/A-OpAmp, Micropower	10V, Micropower, R/R I/O Op Amp	8-SOIC	2.24	1.70	1.00
MAX4163ESA-ND	Zweif. 10 V R/R-E/A-OpAmp, Micropower	10V, Micropower, R/R I/O Dual Op Amp	8-SOIC	2.80	2.12	1.25
MAX4172ESA-ND	High-Side Verstärker mit Stromsensor	High-Side Current Sense Amplifier	8-SOIC	3.25	2.46	1.58
MAX4172EUA-ND	High-Side Verstärker mit Stromsensor	High-Side Current Sense Amplifier	8-µMAX	2.98	2.26	1.45
MAX4173FESA-ND	High-Side Stromsensorverstärker, Spannungsausgang	Voltage-Output, High-Side Current-Sense Amp	8-SOIC	1.59	1.21	.71
MAX4173HESA-ND	High-Side Stromsensorverstärker, Spannungsausgang	Voltage-Output, High-Side Current-Sense Amp	8-SOIC	1.59	1.21	.71
MAX4173TESA-ND	High-Side Stromsensorverstärker, Spannungsausgang	Voltage-Output, High-Side Current-Sense Amp	8-SOIC	1.59	1.21	.71
MAX4194ESA-ND	Präzisions-Instrumentierungsverstärker, variable Verstärkung	Variable-Gain Precision Instrumentation Amp	8-SOIC	3.41	2.58	1.51
MAX4218ESD-ND	Dreif. 300 MHz einzelversorgter R/R-OpAmp	Triple, 300MHz, Single Supply, Rail-to-Rail Op Amp	14-SOIC	6.69	5.05	3.03
MAX4220EEE-ND	Vierf. einzelversorgter Rail-to-Rail-High-Speed-OpAmp	High-Speed Single Supply Rail-to-Rail Quad Op Amp	16-QSOP	8.88	6.71	4.30
MAX4220ESD-ND	Vierf. einzelversorgter Rail-to-Rail-High-Speed-OpAmp	High-Speed Single Supply Rail-to-Rail Quad Op Amp	14-SOIC	8.88	6.71	4.30
MAX4222ESD-ND	Einzelversorger Regelkreis-R/R-Puffer, Verst.faktor 2, HS	HS, Single Supply, Gain of 2, Closed-Loop R/R Buffer	14-SOIC	7.63	5.76	3.39
MAX4242ESA-ND	Zweif. 1,8 V Beyond-the-Rails Op Amp	Dual 1.8V, Beyond-the-Rails Op Amp	8-SOIC	2.92	2.21	1.30
MAX4310ESA-ND	Zweif. Video-Mux-Amp, HS, NL	HS, LP, Dual Video Mux Amp	8-SOIC	4.66	3.53	2.08
MAX4311ESD-ND	Vierf. Video-Mux-Amp, HS, NL	HS, LP, Quad Video Mux Amp	14-SOIC	6.26	4.73	2.78
MAX4314ESD-ND	Vierf. Video-Mux-Amp, HS, NL	HS, LP, Quad Video Mux Amp	14-SOIC	6.26	4.73	2.78
MAX4372TEUK-TCT-ND	High Side Stromsensorverstärker, Micropower	Micropower, High-Side Current-Sense Amp	SOT-23-5	1.59	1.21	1.06
MAX4372TEUK-TTR-ND	High Side Stromsensorverstärker, Micropower	Micropower, High-Side Current-Sense Amp	SOT-23-5		2404.34/2,500	
MAX4373FEUA-ND	High Side Stromsensorverstärker/Komparator/Referenz, Micropower	Micropower, High-Side Current-Sense Amp/Comparator/Ref.	8-µMAX	2.49	1.88	1.11
MAX4373TESA-ND	High Side Stromsensorverstärker/Komparator/Referenz, Micropower	Micropower, High-Side Current-Sense Amp/Comparator/Ref.	8-SOIC	2.49	1.88	1.11
MAX4373TEUA-ND	High Side Stromsensorverstärker/Komparator/Referenz, Micropower	Micropower, High-Side Current-Sense Amp/Comparator/Ref.	8-µMAX	2.49	1.88	1.11
MAX4374HEUB-ND	High Side Stromsensorverstärker/Komparator/Referenz, Micropower	Micropower, High-Side Current-Sense Amp/Comparator/Ref.	10-µMAX	3.25	2.46	1.44
MAX4420CPA-ND	High-Speed 6 A MOSFET-Treiber, nicht-invertierend	High-Speed 6A MOSFET Driver, Non-Inverting	8-Dip	2.87	2.17	1.55
MAX4420ESA-ND	High-Speed 6 A MOSFET-Treiber, nicht-invertierend	High-Speed 6A MOSFET Driver, Non-Inverting	8-SOIC	3.88	2.93	2.10
MAX4429CPA-ND	High-Speed 6 A MOSFET-Treiber, invertierend	High-Speed 6A MOSFET Driver, Inverting	8-Dip	2.87	2.17	1.55
MAX4515CSA-ND	CMOS-Analog-Schalter, Ruhekontakt, SPST, mit niedrigem Einschaltwiderstand, Niederspannung	Low-Volt., Low-On Res., SPST, CMOS Analog N/C Switch	8-SOIC	1.24	.94	.56
MAX4521CPE-ND	4 Ruhekontakt-Analogschalter, SPST, Niederspannung,	Low-Volt., SPST, 4 Normally Closed Analog Switches	16-Dip	1.46	1.11	.66
MAX4523CEE-ND	SPST-Analogschalter, 2 Öffner u. 2 Schließer, Niederspannung	Low-Volt., SPST, 2 N/C and 2 N/O Analog Switches	16-QSOP	1.89	1.43	.84
MAX4526CSA-ND	Phasen-Umkehrungs-Analogschalter	Phase-Reversal Analog Switch	8-SOIC	4.83	3.65	2.15
MAX4533CAP-ND	Vierf. SPDT-Analogschalter, R/R, Fehlerschutz	Quad, R/R, Fault-Protected SPDT Analog Switch	20-SSOP	7.20	5.44	3.21
MAX4537ESE-ND	Vierf. SPST-Analogschalter, Niederspannung	Quad, Low-Voltage, SPST Analog Switch	16-SOIC	2.40	1.82	1.06
MAX4542EUA-ND	Zweif. SPST-Ruhekontakt-Analogschalter	Dual SPST Normally Closed Analog Switch	8-µMAX	1.39	1.05	.62
MAX4544CPA-ND	Zweif. SPDT-Analogschalter, Niederspannung	Dual SPDT Low-Voltage Analog Switch	8-Dip	1.32	1.00	.59
MAX4544CSA-ND	Zweif. SPDT-Analogschalter, Niederspannung	Dual SPDT Low-Voltage Analog Switch	8-SOIC	1.32	1.00	.59
MAX4544EPA-ND	Zweif. SPDT-Analogschalter, Niederspannung	Dual SPDT Low-Voltage Analog Switch	8-Dip	1.32	1.00	.59
MAX4544ESA-ND	Zweif. SPDT-Analogschalter, Niederspannung	Dual SPDT Low-Voltage Analog Switch	8-SOIC	1.32	1.00	.59
MAX4544EUT-TCT-ND	Zweif. SPDT-Analogschalter, Niederspannung	Dual SPDT Low-Voltage Analog Switch	SOT-23-6	1.41	1.07	.94
MAX4544EUT-TTR-ND	Zweif. SPDT-Analogschalter, Niederspannung	Dual SPDT Low-Voltage Analog Switch	SOT-23-6		2133.43/2,500	
MAX4567CSE-ND	Zweif. bidirektionaler SPDT-RF/Video-Schalter, Niederspannung	Dual SPDT Low-Volt., Bidirectional RF/Video Switch	16-SOIC	3.73	2.82	1.66
MAX4614CSD-ND	Vierf. SPST-CMOS-Analogschalter, HS, Niederspannung	Quad SPST Low-Volt., HS CMOS Analog Switch	14-SOIC	1.97	1.49	.89
MAX4617CUE-ND	8-Kanal CMOS-Analog-Mux, HS, Niederspannung	8-Ch., High Speed, Low-Volt., CMOS Analog Mux	16-TSSOP	2.29	1.73	1.04
MAX4618CSE-ND	Zweif. 4-Kanal CMOS-Analog-Mux, HS, Niederspannung	Dual 4-Ch. High Speed, Low-Volt., CMOS Analog Mux	16-SOIC	2.02	1.53	.90
MAX4619CPE-ND	Dreif. SPDT-CMOS-Analogschalter, HS, Niederspannung	Triple SPDT, HS, Low-Volt., CMOS Analog Switch	16-Dip	2.02	1.53	.90
MAX4619CSE-ND	Dreif. SPDT-CMOS-Analogschalter, HS, Niederspannung	Triple SPDT, HS, Low-Volt., CMOS Analog Switch	16-SOIC	2.02	1.53	.92
MAX4622CSE-ND	Zweif. 5 Ω SPDT-Analogschalter	SPDT Dual 5 Ohm Analog Switch	16-SOIC	4.44	3.36	1.98
MAX4622ESE-ND	Zweif. 5 Ω SPDT-Analogschalter	SPDT Dual 5 Ohm Analog Switch	16-SOIC	4.89	3.70	2.22
MAX4624EUT-TCT-ND	1 Ω einzelversorgter SPDT-Analogschalter, Niederspannung	1 Ohm, Low-Volt. Single-Supply SPDT Analog Switch	SOT-23-6	2.24	1.70	1.49
MAX4624EUT-TTR-ND	1 Ω einzelversorgter SPDT-Analogschalter, Niederspannung	1 Ohm, Low-Volt. Single-Supply SPDT Analog Switch	SOT-23-6		3386.40/2,500	
MAX4625EUT-TCT-ND	1 Ω einzelversorgter SPDT-Analogschalter, Niederspannung	1 Ohm, Low-Volt. Single-Supply SPDT Analog Switch	SOT-23-6	2.24	1.70	1.49
MAX4625EUT-TTR-ND	1 Ω einzelversorgter SPDT-Analogschalter, Niederspannung	1 Ohm, Low-Volt. Single-Supply SPDT Analog Switch	SOT-23-6		3386.40/2,500	
MAX4626EUK-TCT-ND	0,5 Ω, einzelversorgter SPDT-Analogschalter, Niederspannung	0.5 Ohm, Low-Volt. Single-Supply SPST Analog Switch	SOT-23-5	2.13	1.61	1.41
MAX4626EUK-TTR-ND	0,5 Ω, einzelversorgter SPDT-Analogschalter, Niederspannung	0.5 Ohm, Low-Volt. Single-Supply SPST Analog Switch	SOT-23-5		3217.08/2,500	
MAX4634EUB-ND	4 Ω, 4-Kanal CMOS-Analog-Mux, Niederspannung	4 Ohm, Low-Volt. 4-Ch., CMOS Analog Mux	10-µMAX	2.45	1.85	1.09
MAX4636EUB-ND	4 Ω SPDT-CMOS-Analogschalter, Niederspannung	4 Ohm, Low-Volt. SPDT CMOS Analog Switch	10-µMAX	2.34	1.77	1.04
MAX4644EUT-TCT-ND	4 Ω SPDT-CMOS-Analogschalter, Niederspannung	4 Ohm, Low-Volt. SPDT CMOS Analog Switch	SOT-23-6	1.55	1.17	1.03
MAX4644EUT-TTR-ND	4 Ω SPDT-CMOS-Analogschalter, Niederspannung	4 Ohm, Low-Volt. SPDT CMOS Analog Switch	SOT-23-6		2336.62/2,500	
MAX4648EUT-TCT-ND	25 Ω SPST-Analogschalter	25 Ohm, SPST Analog Switch	SOT-23-6	2.62	1.99	1.74
MAX4648EUT-TTR-ND	25 Ω SPST-Analogschalter	25 Ohm, SPST Analog Switch	SOT-23-6		3962.09/2,500	
MAX4661CAE-ND	Vierf. 2,5 Ω SPST-CMOS-Analogschalter	2.5 Ohm, Quad, SPST, CMOS Analog Switch	16-SSOP	8.39	6.34	3.73
MAX4685EUB-ND	Zweif. 0,8 Ω SPDT-Analogschalter, Niederspannung	0.8 Ohm, Low Volt., Dual SPDT Analog Switch	10-µMAX	2.96	2.24	1.32
MAX4691EGE-TCT-ND	8-Kanal CMOS-Analog-Mux, Niederspannung	Low-Voltage, CMOS Analog 8-Ch. Mux	16-QFN	3.50	2.65	2.32
MAX4691EGE-TTR-ND	8-Kanal CMOS-Analog-Mux, Niederspannung	Low-Voltage, CMOS Analog 8-Ch. Mux	16-QFN		5282.78/2,500	
MAX5100AEUP-ND	Vierf. 2,7 ~ 5,5 V paralleler 8-Bit DAU mit R/R-Spannungsausgang, NL	2.7 to 5.5V, LP, Quad, Parallel 8-Bit DAC with R/R Voltage Output	20-TSSOP	7.42	5.61	3.37
MAX5102AEUE-ND	Zweif. 2,7 ~ 5,5 V paralleler 8-Bit DAU mit R/R-Spannungsausgang, NL	2.7 to 5.5V, LP, Dual, Parallel 8-Bit DAC with R/R Voltage Output	16-TSSOP	5.97	4.51	2.65

(Forts.)

★ *RUFEN SIE BITTE AN FÜR NIEDRIGERE PREISE BEI GRÖSSEREN MENGEN!* ★

B

Digi-Key Teilenr.	Beschreibung		Paket	Stückpreis★ 1	25	100
MAX5102BEUE-ND	Zweif. 2,7 ~ 5,5 V paralleler 8-Bit DAU mit R/R-Spannungsausgang, NL	2.7 to 5.5V, LP, Dual, Parallel 8-Bit DAC with R/R Voltage Output	16-TSSOP	4.98	3.76	2.21
MAX5190BEEG-ND	8-Bit, 40 MHz DAU mit Strom/Spannungsausgang	8-Bit, 40MHz, Current/Voltage Output DAC	24-QSOP	6.53	4.93	2.89
MAX5250BCAP-ND	Vierf. 5 V, 10-Bit serieller DAU mit Spannungsausgang	5V 10-Bit Quad VOUT Serial DAC	20-SSOP	11.80	8.91	5.71
MAX5250BCPP-ND	Vierf. 5 V, 10-Bit serieller DAU mit Spannungsausgang	5V 10-Bit Quad VOUT Serial DAC	20-Dip	11.80	8.91	5.71
MAX5250BEAP-ND	Vierf. 5 V, 10-Bit serieller DAU mit Spannungsausgang	5V 10-Bit Quad VOUT Serial DAC	20-SSOP	15.32	11.57	6.81
MAX5251BCAP-ND	Vierf. 3 V, 10-Bit serieller DAU mit Spannungsausgang	3V 10-Bit Quad VOUT Serial DAC	20-SSOP	11.80	8.91	5.71
MAX5253BCAP-ND	Vierf. 3 V, 12-Bit serieller DAU mit Spannungsausgang	3V 12-Bit Quad VOUT Serial DAC	20-SSOP	27.08	20.44	13.10
MAX5258EEE-ND	Achtf. 5 V, 8-Bit DAU, NL, mit R/R-Ausgangspuffer	5V, Low Power, 8-Bit Octal DAC with R/R Output Buffer	16-QSOP	6.69	5.05	2.97
MAX5259EEE-ND	Achtf. 3 V, 8-Bit DAU, NL, mit R/R-Ausgangspuffer	3V, Low Power, 8-Bit Octal DAC with R/R Output Buffer	16-QSOP	6.69	5.05	2.97
MAX5352BCPA-ND	5 V, 12-Bit serieller DAU mit Spannungsausgang	5V 12-Bit VOUT Serial DAC	8-Dip	10.03	7.57	4.85
MAX5352BCUA-ND	5 V, 12-Bit serieller DAU mit Spannungsausgang	5V 12-Bit VOUT Serial DAC	8-µMAX	10.03	7.57	4.85
MAX5353BCUA-ND	3,3 V, 12-Bit serieller DAU mit Spannungsausgang	3.3V 12-Bit VOUT Serial DAC	8-µMAX	10.03	7.57	4.85
MAX5354CPA-ND	5 V, 10-Bit serieller DAU mit Spannungsausgang	5V 10-Bit VOUT Serial DAC	8-Dip	6.44	4.86	3.13
MAX5354CUA-ND	5 V, 10-Bit serieller DAU mit Spannungsausgang	5V 10-Bit VOUT Serial DAC	8-µMAX	6.44	4.86	3.13
MAX5355CUA-ND	3,3 V, 10-Bit serieller DAU mit Spannungsausgang	3.3V 10-Bit VOUT Serial DAC	8-µMAX	6.91	5.22	3.35
MAX5401EKA-TCT-ND	Digitales Potentiometer, 256-Tap SOT-PoT, driftarm	256-Tap SOT-PoT, Low Drift Digital Potentiometer	SOT-23-8	2.08	1.58	1.38
MAX5401EKA-TTR-ND	Digitales Potentiometer, 256-Tap SOT-PoT, driftarm	256-Tap SOT-PoT, Low Drift Digital Potentiometer	SOT-23-8		3149.35/2,500	
MAX5402EUA-ND	Digitales Potentiometer, 256-Tap	256-Tap, Digital Potentiometer	8-µMAX	2.31	1.75	1.03
MAX6002EUR-TCT-ND	2,5 V LDO-Spannungsreferenz, NL	2.5V, Low-Power, LDO Voltage Reference	SOT-23	.97	.73	.64
MAX6002EUR-TTR-ND	2,5 V LDO-Spannungsreferenz, NL	2.5V, Low-Power, LDO Voltage Reference	SOT-23		1456.15/2,500	
MAX6012AEUR-TCT-ND	1,247 V Präzisions-LDO-Spannungsreferenz, NL	1.247V, Precision, Low-Power, LDO Voltage Ref.	SOT-23	3.70	2.80	2.45
MAX6012AEUR-TTR-ND	1,247 V Präzisions-LDO-Spannungsreferenz, NL	1.247V, Precision, Low-Power, LDO Voltage Ref.	SOT-23		5587.56/2,500	
MAX6120ESA-ND	Preiswerte 1,2 V Präzisions-Spannungsreferenz, 3 Anschlüsse, Micropower	Low-Cost, Micropower, 1.2V Precision, 3-Terminal Volt. Ref.	8-SOIC	2.13	1.61	1.04
MAX6192AESA-ND	2,5 V Präzisions-LDO-Spannungsreferenz, Micropower	2.5V, Precision, Micropower, LDO Voltage Ref.	8-SOIC	5.32	4.02	2.36
MAX6225AEPA-ND	Driftarme, rauscharme 2,5 V Präzisions-Spannungsreferenz	Low-Drift, Low-Noise, 2.5V Precision Voltage Ref.	8-Dip	11.60	8.76	5.62
MAX6225AESA-ND	Driftarme, rauscharme 2,5 V Präzisions-Spannungsreferenz	Low-Drift, Low-Noise, 2.5V Precision Voltage Ref.	8-SOIC	11.60	8.76	5.62
MAX6225BCSA-ND	Driftarme, rauscharme 2,5 V Präzisions-Spannungsreferenz	Low-Drift, Low-Noise, 2.5V Precision Voltage Ref.	8-SOIC	5.07	3.83	2.25
MAX6225BEPA-ND	Driftarme, rauscharme 2,5 V Präzisions-Spannungsreferenz	Low-Drift, Low-Noise, 2.5V Precision Voltage Ref.	8-Dip	5.34	4.03	2.59
MAX6225BESA-ND	Driftarme, rauscharme 2,5 V Präzisions-Spannungsreferenz	Low-Drift, Low-Noise, 2.5V Precision Voltage Ref.	8-SOIC	5.34	4.03	2.59
MAX6241ACPA-ND	Driftarme, rauscharme 4,096 V Präzisions-Spannungsreferenz	Low-Drift, Low-Noise, 4.096V Precision Voltage Ref.	8-Dip	10.43	7.88	4.64
MAX6241AEPA-ND	Driftarme, rauscharme 4,096 V Präzisions-Spannungsreferenz	Low-Drift, Low-Noise, 4.096V Precision Voltage Ref.	8-Dip	11.60	8.76	5.62
MAX6241AESA-ND	Driftarme, rauscharme 4,096 V Präzisions-Spannungsreferenz	Low-Drift, Low-Noise, 4.096V Precision Voltage Ref.	8-SOIC	11.60	8.76	5.62
MAX6241BEPA-ND	Driftarme, rauscharme 4,096 V Präzisions-Spannungsreferenz	Low-Drift, Low-Noise, 4.096V Precision Voltage Ref.	8-Dip	5.34	4.03	2.59
MAX6241BESA-ND	Driftarme, rauscharme 4,096 V Präzisions-Spannungsreferenz	Low-Drift, Low-Noise, 4.096V Precision Voltage Ref.	8-SOIC	5.34	4.03	2.59
MAX6250ACSA-ND	Driftarme, rauscharme 5,0 V Präzisions-Spannungsreferenz	Low-Drift, Low-Noise, 5.0V Precision Voltage Ref.	8-SOIC	10.43	7.88	4.64
MAX6250AEPA-ND	Driftarme, rauscharme 5,0 V Präzisions-Spannungsreferenz	Low-Drift, Low-Noise, 5.0V Precision Voltage Ref.	8-Dip	11.60	8.76	5.62
MAX6250AESA-ND	Driftarme, rauscharme 5,0 V Präzisions-Spannungsreferenz	Low-Drift, Low-Noise, 5.0V Precision Voltage Ref.	8-SOIC	11.60	8.76	5.62
MAX6250BCPA-ND	Driftarme, rauscharme 5,0 V Präzisions-Spannungsreferenz	Low-Drift, Low-Noise, 5.0V Precision Voltage Ref.	8-Dip	5.07	3.83	2.25
MAX6250BCSA-ND	Driftarme, rauscharme 5,0 V Präzisions-Spannungsreferenz	Low-Drift, Low-Noise, 5.0V Precision Voltage Ref.	8-SOIC	5.07	3.83	2.25
MAX6250BEPA-ND	Driftarme, rauscharme 5,0 V Präzisions-Spannungsreferenz	Low-Drift, Low-Noise, 5.0V Precision Voltage Reference	8-Dip	5.34	4.03	2.59
MAX6250BESA-ND	Driftarme, rauscharme 5,0 V Präzisions-Spannungsreferenz	Low-Drift, Low-Noise, 5.0V Precision Voltage Reference	8-SOIC	5.34	4.03	2.59
MAX6301CSA-ND	5 V Wächterschaltkreis, NL, Micropower	5V, Low Power, Micropower, Supervisory Circuit	8-SOIC	3.23	2.44	1.44
MAX6303CSA-ND	5 V Wächterschaltkreis, NL, Micropower	5V, Low Power, Micropower, Supervisory Circuit	8-SOIC	3.23	2.44	1.44
MAX6314US46D3-TCT-ND	4,63 V Reset-Schaltkreis	4.63V Reset Circuit	SOT-143	2.00	1.51	1.32
MAX6314US46D3-TTR-ND	4,63 V Reset-Schaltkreis	4.63V Reset Circuit	SOT-143		3013.90/2,500	
MAX6315US29D2-TCT-ND	2,93 V Open-Drain Reset-Schaltkreis	2.93V Open-Drain Reset Circuit	SOT-143	2.00	1.51	1.32
MAX6315US29D2-TTR-ND	2,93 V Open-Drain Reset-Schaltkreis	2.93V Open-Drain Reset Circuit	SOT-143		3013.90/2,500	
MAX6315US44D1-TCT-ND	4,39 V Open-Drain Reset-Schaltkreis	4.39V Open-Drain Reset Circuit	SOT-143	1.82	1.38	1.21
MAX6315US44D1-TTR-ND	4,39 V Open-Drain Reset-Schaltkreis	4.39V Open-Drain Reset Circuit	SOT-143		2742.98/2,500	
MAX6320PUK29CYTCT-ND	2,93 V Mikroprozessor-Überwachungsschaltung	2.93V Microprocessor Supervisory Circuit	SOT-23-5	2.34	1.77	1.55
MAX6320PUK29CYTTR-ND	2,93 V Mikroprozessor-Überwachungsschaltung	2.93V Microprocessor Supervisory Circuit	SOT-23-5		3521.86/2,500	
MAX6320PUK46CYTCT-ND	4,63 V Mikroprozessor-Überwachungsschaltung	4.63V Microprocessor Supervisory Circuit	SOT-23-5	2.34	1.77	1.55
MAX6320PUK46CYTTR-ND	4,63 V Mikroprozessor-Überwachungsschaltung	4.63V Microprocessor Supervisory Circuit	SOT-23-5		3521.86/2,500	
MAX6336US23D3-TCT-ND	2,3 V Reset-Schaltkreis, NL, Ultra-Niederspann.	2.3V, Ultra Low-Volt., LP, Reset Circuit	SOT-143-4	2.13	1.61	1.41
MAX6336US23D3-TTR-ND	2,3 V Reset-Schaltkreis, NL, Ultra-Niederspann.	2.3V, Ultra Low-Volt., LP, Reset Circuit	SOT-143-4		3217.08/2,500	
MAX6338KUB-ND	Vierf. Spannungsmonitor	Quad Voltage Monitor	10-µMAX	5.49	4.15	2.43
MAX6338LUB-ND	Vierf. Spannungsmonitor	Quad Voltage Monitor	10-µMAX	5.49	4.15	2.43
MAX6338OUB-ND	Vierf. Spannungsmonitor	Quad Voltage Monitor	10-µMAX	5.49	4.15	2.43
MAX6348UR46-TCT-ND	4,63 V Mikroprozessor-Reset-Schaltkreis, Ultra-Niedrigleistung	4.63V, Ultra Low-Power Microprocessor Reset Circuit	SOT-23	2.00	1.51	1.32
MAX6348UR46-TTR-ND	4,63 V Mikroprozessor-Reset-Schaltkreis, Ultra-Niedrigleistung	4.63V, Ultra Low-Power Microprocessor Reset Circuit	SOT-23		3013.90/2,500	
MAX6369KA-TCT-ND	Watchdog-Timer, wählbarer Pin	Pin-Selectable Watchdog Timer	SOT-23-8	1.97	1.49	1.31
MAX6369KA-TTR-ND	Watchdog-Timer, wählbarer Pin	Pin-Selectable Watchdog Timer	SOT-23-8		2980.03/2,500	
MAX6373KA-TCT-ND	Watchdog-Timer, wählbarer Pin	Pin-Selectable Watchdog Timer	SOT-23-8	1.97	1.49	1.31
MAX6373KA-TTR-ND	Watchdog-Timer, wählbarer Pin	Pin-Selectable Watchdog Timer	SOT-23-8		2980.03/2,500	
MAX6651EEE-ND	SMBus/I2C-kompatible Schnittstelle	SMBus/I2C Compatible Interface	16-QSOP	6.60	4.98	2.87
MAX6954AAX-ND	2,7 V ~ 5,5 V LED-Display-Treiber mit E/A-Expander und Key-Scan, 4-adrige Schnittstelle	4-Wire Interfaced, 2.7V to 5.5V, LED Display Driver with I/O Expander and Key Scan	36-SSOP	20.35	15.36	9.60
MAX6954APL-ND	2,7 V ~ 5,5 V LED-Display-Treiber mit E/A-Expander und Key-Scan, 4-adrige Schnittstelle	4-Wire Interfaced, 2.7V to 5.5V, LED Display Driver with I/O Expander and Key Scan	40-Dip	20.35	15.36	9.60
MAX6955AAX-ND	2,7 V ~ 5,5 V, LED-Display-Treiber mit E/A-Expander und Key-Scan, 2-adrige Schnittstelle	2-Wire Interfaced, 2.7V to 5.5V, LED Display Driver with I/O Expander and Key Scan	36-SSOP	20.35	15.36	9.60
MAX6955APL-ND	2,7 V ~ 5,5 V, LED-Display-Treiber mit E/A-Expander und Key-Scan, 2-adrige Schnittstelle	2-Wire Interfaced, 2.7V to 5.5V, LED Display Driver with I/O Expander and Key Scan	40-Dip	20.35	15.36	9.60
MAX6956ANI-ND	2,5 V ~ 5,5 V 20-Port oder 28-Port LED-Display-Treiber und E/A-Expander, 2-adrige Schnittstelle	2-Wire Interfaced, 2.5V to 5.5V, 20-Port or 28-Port, LED Display Driver and I/O Expander	28-Dip	6.91	5.22	3.26
MAX6956AAI-ND	2,5 V ~ 5,5 V 20-Port oder 28-Port LED-Display-Treiber und E/A-Expander, 2-adrige Schnittstelle	2-Wire Interfaced, 2.5V to 5.5V, 20-Port or 28-Port, LED Display Driver and I/O Expander	28-SSOP	6.91	5.22	3.26
MAX6957ANI-ND	2,5 V ~ 5,5 V 20-Port oder 28-Port LED-Display-Treiber und E/A-Expander, 4-adrige Schnittstelle	4-Wire Interfaced, 2.5V to 5.5V, 20-Port and 28-Port, LED Display Driver and I/O Expander	28-Dip	6.91	5.22	3.26
MAX6957AAI-ND	2,5 V ~ 5,5 V 20-Port oder 28-Port LED-Display-Treiber und E/A-Expander, 4-adrige Schnittstelle	4-Wire Interfaced, 2.5V to 5.5V, 20-Port and 28-Port, LED Display Driver and I/O Expander	28-SSOP	6.91	5.22	3.26
MAX7219CNG-ND	Gemultiplexter 8-stelliger LED-Treiber, serieller Eingang	Serial Input 8-Digit LED Driver Multiplexed	24-Dip	9.15	6.91	4.61
MAX7219CWG-ND	Gemultiplexter 8-stelliger LED-Treiber, serieller Eingang	Serial Input 8-Digit LED Driver Multiplexed	24-SOIC	9.15	6.91	4.61
MAX7219EWG-ND	Gemultiplexter 8-stelliger LED-Treiber, serieller Eingang	Serial Input 8-Digit LED Driver Multiplexed	24-SOIC	11.89	8.98	5.25
MAX7221CWG-ND	8-stelliger LED-Display-Treiber, serielle Schnittstelle	Serially Interfaced, 8-Digit LED Display Driver	24-SOIC	9.15	6.91	4.61
MAX7645BCPP-ND	Gepufferter, multiplikativer 12-Bit CMOS-DAU	CMOS 12-Bit Buffered Multiplying DAC	20-Dip	13.35	10.08	6.46
MAX8211CPA-ND	Programmierbarer Spannungsdetektor, nicht-invertierend	Programmable Voltage Detector, Non-Inverting	8-Dip	2.92	2.21	1.42
MAX8211CSA-ND	Programmierbarer Spannungsdetektor, nicht-invertierend	Programmable Voltage Detector, Non-Inverting	8-SOIC	2.96	2.24	1.44
MAX8211ESA-ND	Programmierbarer Spannungsdetektor, nicht-invertierend	Programmable Voltage Detector, Non-Inverting	8-SOIC	4.46	3.37	2.17
MAX8212CPA-ND	Programmierbarer Spannungsdetektor, invertierend	Programmable Voltage Detector, Inverting	8-Dip	2.92	2.21	1.47
MAX8212CSA-ND	Programmierbarer Spannungsdetektor, invertierend	Programmable Voltage Detector, Inverting	8-SOIC	2.56	1.94	1.29
MAX8213ACPE-ND	Fünf Universalspannungsüberwachungen mit Open-Drain-Ausgängen	Five Universal Voltage Monitors with Open-Drain Outputs	16-Dip	6.12	4.63	2.96
MAX8214ACPE-ND	Fünf Universalspannungsüberwachungen mit aktiven Pullup-Widerständen	Five Universal Voltage Monitors with Active Pull-Ups	16-Dip	6.12	4.63	2.96
MAX8881EUT50-TCT-ND	12 V LDO-Linearregler mit POK, ultraniedriger Ruhestrom	12V, Ultra Low IQ, LDO Linear Regulator with POK	SOT-23-6	3.55	2.68	2.35
MAX8881EUT50-TTR-ND	12 V LDO-Linearregler mit POK, ultraniedriger Ruhestrom	12V, Ultra Low IQ, LDO Linear Regulator with POK	SOT-23-6		5350.51/2,500	
MX574AJN-ND	Komplette 12-Bit ADU, Industrie-Standard	Industry-Standard, Complete 12-Bit ADC	28-Dip	26.85	20.27	14.48
MX7226KN-ND	Vierf. 8-Bit CMOS-DAU mit Spannungsausgangsverst.	CMOS, Quad, 8-Bit DAC with Voltage Output Amp	20-Dip	23.17	17.50	12.49
MX7524JN-ND	8-Bit CMOS-DAU, gepuffert	CMOS 8-Bit Buffer DAC	16-Dip	4.96	3.75	2.67
MX7528JCWP-ND	Zweif. 8-Bit CMOS-DAU, gepuffert	CMOS Dual DAC 8-Bit Buffered	20-SOIC	7.45	5.63	4.02
MX7533JCWE-ND	10-Bit CMOS-D/A-Wandler	CMOS 10-Bit D/A Converter	16-SOIC	5.59	4.22	3.01
MX7548BQ-ND	12-Bit Stromausgang, CMOS-DAU, multiplizierend	CMOS 12-Bit Current-Output, Multiplying DAC	20-Dip	20.10	15.18	8.93
MXD1210CSA-ND	Nicht-flüchtiger RAM-Controller	Nonvolatile RAM Controller	8-SOIC	4.94	3.73	2.49
MAXOP07EP-ND	Low-Offset-Spannungs-OpAmp	Low Offset Voltage Op Amp	8-Dip	4.77	3.61	2.58

★ RUFEN SIE BITTE AN FÜR NIEDRIGERE PREISE BEI GRÖSSEREN MENGEN! ★

Alle Preisangaben in Euro und inklusive Zollgebühren.

Digi-Key Teilenr.	Beschreibung		Paket	Stückpreis★ 1	25
DS12C887-ND	Echtzeituhr mit RAM, 128 Byte	Real Time Clock with RAM, 128 Byte	24-Dip	7.59	5.73
DS18B20-ND	1-Wire® Digitalthermometer, programmierbare Auflösung	Programmable Resolution 1-Wire® Digital Thermometer	TO-92	4.27	3.22
DS18B20Z-ND	1-Wire® Digitalthermometer, programmierbare Auflösung	Programmable Resolution 1-Wire® Digital Thermometer	8-SOIC	4.27	3.22
DS18S20-ND	1-Wire® Digitalthermometer, hohe Genauigkeit	High Precision 1-Wire® Digital Thermometer	TO-92	4.27	3.22
DS18S20Z-ND	1-Wire® Digitalthermometer, hohe Genauigkeit	High Precision 1-Wire® Digital Thermometer	8-SOIC	4.27	3.22
DS21Q43AT-ND	Vierf. E1-Framer, 5 V	5V, Quad E1 Framer	128-TQFP	125.75	94.91
DS21Q352-ND	3,3 V T1-Transceiver	3.3V, T1 Transceiver	256-BGA	160.12	120.85
DS21Q352N-ND	3,3 V T1-Transceiver, Ind.-Temp.	3.3V, T1 Transceiver, Ind. Temp.	256-BGA	184.14	138.98
DS21S07AE-ND	SCSI-Abschlusswiderstand	SCSI Terminator	20-TSSOP	3.48	2.63
DS21S07AS-ND	SCSI-Abschlusswiderstand	SCSI Terminator	16-SOIC	3.18	2.41
DS21T07E-ND	SCSI-Abschlusswiderstand	SCSI Terminator	20-TSSOP	3.10	2.34
DS21T09S-ND	Plug-and-Play SCSI-Terminator, 2 %	Plug and Play SCSI Terminator, 2%	28-SOIC	5.38	4.07
DS32KHZ/DIP-ND	TCXO, 32,768 kHz	32.768kHz TCXO	14-Dip	8.59	6.49
DS32KHZN/DIP-ND	TCXO, 32,768 kHz, Ind.-Temp.	32.768kHz TCXO, Ind. Temp.	14-Dip	9.90	7.47
DS32KHZ/WBGA/CT-ND	TCXO, 32,768 kHz	32.768kHz TCXO	36-BGA	8.69	6.56
DS32KHZ/WBGA/TR-ND	TCXO, 32,768 kHz	32.768kHz TCXO	36-BGA		2889.02/750
DS56S-ND	Zweif. analoger Temperatur-Sensor, 3 V/5 V	Dual 3V/5V, Analog Temperature Sensor	8-SOIC	1.55	1.17
DS75S-ND	2-adriger digitaler Temperatur-Sensor, LM75-kompatibel	2-Wire Digital Temperature Sensor, LM75-Compatible	8-SOIC	1.70	1.29
DS1100LZ-20-ND	5-Tap-Verzögerungsleitung, 20 ns	5-Tap Delay Line, 20nS	8-SOIC	5.90	4.46
DS1100LZ-75-ND	5-Tap-Verzögerungsleitung, 75 ns	5-Tap Delay Line, 75nS	8-SOIC	5.90	4.46
DS1100LZ-100-ND	5-Tap-Verzögerungsleitung, 100 ns	5-Tap Delay Line, 100nS	8-SOIC	5.90	4.46
DS1100M-25-ND	5-Tap-Verzögerungsleitung, 25 ns	5-Tap Delay Line, 25nS	8-Dip	4.77	3.61
DS1100M-50-ND	5-Tap-Verzögerungsleitung, 50 ns	5-Tap Delay Line, 50nS	8-Dip	4.77	3.61
DS1100Z-20-ND	5-Tap-Verzögerungsleitung, 20 ns	5-Tap Delay Line, 20nS	8-SOIC	5.36	4.05
DS1100Z-35-ND	5-Tap-Verzögerungsleitung, 35 ns	5-Tap Delay Line, 35nS	8-SOIC	5.36	4.05
DS1100Z-40-ND	5-Tap-Verzögerungsleitung, 40 ns	5-Tap Delay Line, 40nS	8-SOIC	5.36	4.05
DS1100Z-50-ND	5-Tap-Verzögerungsleitung, 50 ns	5-Tap Delay Line, 50nS	8-SOIC	5.36	4.05
DS1100Z-100-ND	5-Tap-Verzögerungsleitung, 100 ns	5-Tap Delay Line, 100nS	8-SOIC	5.36	4.05
DS1100Z-200-ND	5-Tap-Verzögerungsleitung, 200 ns	5-Tap Delay Line, 200nS	8-SOIC	5.36	4.05
DS1100Z-250-ND	5-Tap-Verzögerungsleitung, 250 ns	5-Tap Delay Line, 250nS	8-SOIC	5.36	4.05
DS1210-ND	Nicht-flüchtiger Controller-Chip	Nonvolatile Controller Chip	8-Dip	4.11	3.10
DS1210N-ND	Nicht-flüchtiger Controller-Chip, Ind.-Temp.	Nonvolatile Controller Chip, Ind. Temp.	8-Dip	4.83	3.65
DS1210S-ND	Nicht-flüchtiger Controller-Chip	Nonvolatile Controller Chip	16-SOIC	4.42	3.34
DS1210SN-ND	Nicht-flüchtiger Controller-Chip, Ind.-Temp.	Nonvolatile Controller Chip, Ind. Temp.	16-SOIC	5.43	4.10
DS1211-ND	Nicht-flüchtiger Controller x 8 Chip	Nonvolatile Controller x 8 Chip	20-Dip	28.38	21.42
DS1211S-ND	Nicht-flüchtiger Controller x 8 Chip	Nonvolatile Controller x 8 Chip	20-SOIC	31.97	24.13
DS1213B-ND	SmartSocket 16 K/64 K	SmartSocket 16K/64K	28-Dip	19.18	14.48
DS1213C-ND	SmartSocket 256 K	SmartSocket 256K	28-Dip	19.18	14.48
DS1213D-ND	SmartSocket 256 K/1 M	SmartSocket 256K/1M	32-Dip	22.37	16.89
DS1216C-ND	SmartWatch/RAM, 64 K/256 K 5 V	SmartWatch/RAM, 64K/256K 5V	28-Dip	32.35	24.42
DS1216D-ND	SmartWatch/RAM, 256 K/1 M 5 V	SmartWatch/RAM, 256K/1M 5V	32-Dip	35.47	26.77
DS1216E-ND	SmartWatch/ROM, 64 K, 256 K, 1 M 5 V	SmartWatch/ROM, 64K, 256K, 1M 5V	28-Dip	32.35	24.42
DS1218S-ND	Nicht-flüchtiger Controller-Chip	Nonvolatile Controller Chip	8-SOIC	11.18	8.44
DS1220AB-120-ND	Nicht-flüchtiger SRAM, 16 K, 5 %, 120 ns	Nonvolatile SRAM, 16K, 5%, 120nS	24-Dip	13.69	10.33
DS1220AB-150-ND	Nicht-flüchtiger SRAM, 16 K, 5 %, 150 ns	Nonvolatile SRAM, 16K, 5%, 150nS	24-Dip	13.35	10.08
DS1220AB-200-ND	Nicht-flüchtiger SRAM, 16 K, 5 %, 200 ns	Nonvolatile SRAM, 16K, 5%, 200nS	24-Dip	11.78	8.89
DS1220AD-120-ND	Nicht-flüchtiger SRAM, 16 K, 10 %, 120 ns	Nonvolatile SRAM, 16K, 10%, 120nS	24-Dip	13.69	10.33
DS1225AB-85-ND	Nicht-flüchtiger SRAM, 64 K, 5 %, 85 ns	Nonvolatile SRAM, 64K, 5%, 85nS	28-Dip	17.09	12.91
DS1225AB-150-ND	Nicht-flüchtiger SRAM, 64 K, 5 %, 150 ns	Nonvolatile SRAM, 64K, 5%, 150nS	28-Dip	16.69	12.60
DS1225AB-200-ND	Nicht-flüchtiger SRAM, 64 K, 5 %, 200 ns	Nonvolatile SRAM, 64K, 5%, 200nS	28-Dip	12.45	9.40
DS1225AD-85-ND	Nicht-flüchtiger SRAM, 64 K, 10 %, 85 ns	Nonvolatile SRAM, 64K, 10%, 85nS	28-Dip	17.09	12.91
DS1225AD-150-ND	Nicht-flüchtiger SRAM, 64 K, 10 %, 150 ns	Nonvolatile SRAM, 64K, 10%, 150nS	28-Dip	16.69	12.60
DS1225AD-200-ND	Nicht-flüchtiger SRAM, 64 K, 10 %, 200 ns	Nonvolatile SRAM, 64K, 10%, 200nS	28-Dip	16.69	12.60
DS1230AB-70-ND	Nicht-flüchtiger SRAM, 256 K, 5 %, 70 ns	Nonvolatile SRAM, 256K, 5%, 70nS	28-Dip	23.09	17.43
DS1230AB-100-ND	Nicht-flüchtiger SRAM, 256 K, 5 %, 100 ns	Nonvolatile SRAM, 256K, 5%, 100nS	28-Dip	22.54	17.02
DS1230AB-120-ND	Nicht-flüchtiger SRAM, 256 K, 5 %, 120 ns	Nonvolatile SRAM, 256K, 5%, 120nS	28-Dip	22.54	17.02
DS1230AB-200-ND	Nicht-flüchtiger SRAM, 256 K, 5 %, 200 ns	Nonvolatile SRAM, 256K, 5%, 200nS	28-Dip	22.54	17.02
DS1230Y-70-ND	Nicht-flüchtiger SRAM, 256 K, 10 %, 70 ns	Nonvolatile SRAM, 256K, 10%, 70nS	28-Dip	23.09	17.43
DS1230Y-70IND-ND	Nicht-flüchtiger SRAM, 256 K, 10 %, 70 nS, Ind.-Temp.	Nonvolatile SRAM, 256K, 10%, 70nS, Ind. Temp.	28-Dip	18.74	14.14
DS1230Y-100-ND	Nicht-flüchtiger SRAM, 256 K, 10 %, 100 ns	Nonvolatile SRAM, 256K, 10%, 100nS	28-Dip	17.61	13.30
DS1230Y-120-ND	Nicht-flüchtiger SRAM, 256 K, 10 %, 120 ns	Nonvolatile SRAM, 256K, 10%, 120nS	28-Dip	17.61	13.30
DS1230Y-150-ND	Nicht-flüchtiger SRAM, 256 K, 10 %, 150 ns	Nonvolatile SRAM, 256K, 10%, 150nS	28-Dip	22.54	17.02
DS1230Y-200-ND	Nicht-flüchtiger SRAM, 256 K, 10 %, 200 ns	Nonvolatile SRAM, 256K, 10%, 200nS	28-Dip	17.61	13.30
DS1231S-20-ND	Leistungsüberwachungschip, 20 ns	Power Monitor Chip, 20nS	16-SOIC	8.53	6.44
DS1231-20N-ND	Leistungsüberwachungschip, 20 nS, Ind.-Temp.	Power Monitor Chip, 20nS, Ind. Temp.	8-Dip	8.08	6.10
DS1231-35-ND	Leistungsüberwachungschip, 35 ns	Power Monitor Chip, 35nS	8-Dip	7.02	5.30
DS1232-ND	MicroMonitor-Chip	MicroMonitor Chip	8-Dip	1.77	1.34
DS1232N-ND	MicroMonitor-Chip, Ind.-Temp.	MicroMonitor Chip, Ind. Temp.	8-Dip	2.20	1.66
DS1232LP-ND	MicroMonitor-Chip, NL	Low Power MicroMonitor Chip	8-Dip	1.90	1.44
DS1232LPS-ND	MicroMonitor-Chip, NL	Low Power MicroMonitor Chip	16-SOIC	2.34	1.77
DS1232LPS-2-ND	MicroMonitor-Chip, NL	Low Power MicroMonitor Chip	8-SOIC	1.90	1.44
DS1232LPSN-2-ND	MicroMonitor-Chip, Low-Power, Ind.-Temp.	Low Power MicroMonitor Chip, Ind. Temp.	8-SOIC	2.20	1.66
DS1232S-ND	MicroMonitor-Chip	MicroMonitor Chip	16-SOIC	2.34	1.77
DS1232SN-ND	MicroMonitor-Chip, Ind.-Temp.	MicroMonitor Chip, Ind. Temp.	16-SOIC	2.69	2.04
DS1233-5-ND	EconoReset, 5 V, 5 %	5V, EconoReset, 5%	TO-92	1.17	.89
DS1233-10-ND	EconoReset, 5 V, 10 %	5V, EconoReset, 10%	TO-92	1.17	.89
DS1233A-10-ND	EconoReset, 3,3 V, 10 %	3.3V, EconoReset, 10%	TO-92	1.17	.89
DS1233A-15-ND	EconoReset, 3,3 V, 15 %	3.3V, EconoReset, 15%	TO-92	1.17	.89
DS1233AZ-10-ND	EconoReset, 3,3 V, 10 %	3.3V, EconoReset, 10%	SOT-223	1.90	1.44
DS1233AZ-15-ND	EconoReset, 3,3 V, 15 %	3.3V, EconoReset, 15%	SOT-223	2.04	1.55
DS1233D-5-ND	EconoReset, 5 V, kein Drucktasten-Reset, 5 %	5V, EconoReset, No Pushbutton Reset, 5%	TO-92	1.17	.89
DS1233D-10-ND	EconoReset, 5 V, kein Drucktasten-Reset, 10 %	5V, EconoReset, No Pushbutton Reset, 10%	TO-92	1.17	.89
DS1233D-15-ND	EconoReset, 5 V, kein Drucktasten-Reset, 15 %	5V, EconoReset, No Pushbutton Reset, 15%	TO-92	1.17	.89
DS1233DZ-5-ND	EconoReset, 5 V, kein Drucktasten-Reset, 5 %	5V, EconoReset, No Pushbutton Reset, 5%	SOT-223	1.90	1.44
DS1233DZ-10-ND	EconoReset, 5 V, kein Drucktasten-Reset, 10 %	5V, EconoReset, No Pushbutton Reset, 10%	SOT-223	1.90	1.44
DS1233DZ-15-ND	EconoReset, 5 V, kein Drucktasten-Reset, 15 %	5V, EconoReset, No Pushbutton Reset, 15%	SOT-223	2.04	1.55
DS1233M-55-ND	EconoReset, 5 V	5V, EconoReset	TO-92	1.17	.89
DS1233MS-3-ND	EconoReset, 3,3 V	3.3V, EconoReset	8-SOIC	2.45	1.85
DS1233MS-5-ND	EconoReset, 5 V	5V, EconoReset	8-SOIC	2.45	1.85
DS1233Z-5-ND	EconoReset, 5 %	EconoReset, 5%	SOT-223	1.90	1.44
DS1233Z-10-ND	EconoReset, 10 %	EconoReset, 10%	SOT-223	2.04	1.55
DS1233Z-15-ND	EconoReset, 15 %	EconoReset, 15%	SOT-223	2.04	1.55
DS1236-5-ND	MicroManager™ Chip, 5 %	MicroManager™ Chip, 5%	16-Dip	8.95	6.76
DS1236-10-ND	MicroManager™ Chip, 10 %	MicroManager™ Chip, 10%	16-Dip	8.95	6.76
DS1236AS-5-ND	MicroManager™ Chip, 5 %	MicroManager™ Chip, 5%	16-SOIC	10.46	7.90
DS1236AS-10-ND	MicroManager™ Chip, 10 %	MicroManager™ Chip, 10%	16-SOIC	10.46	7.90
DS1236S-10-ND	MicroManager™ Chip, 10 %	MicroManager™ Chip, 10%	16-SOIC	10.46	7.90
DS1238-10-ND	MicroManager™ Chip, 10 %	MicroManager™ Chip, 10%	16-Dip	8.95	6.76
DS1238AS-5-ND	MicroManager™ Chip, 5 %	MicroManager™ Chip, 5%	16-SOIC	10.46	7.90
DS1239S-5-ND	MicroManager™ Chip, 5 %	MicroManager™ Chip, 5%	16-SOIC	10.46	7.90

★ DS9034PCX Leistungskond. erforderlich; Bestellung DS9034PCX-ND

(Forts.)

★ *RUFEN SIE BITTE AN FÜR NIEDRIGERE PREISE BEI GRÖSSEREN MENGEN!* ★

B

Digi-Key Teilenr.	Beschreibung		Paket	Stückpreis★ 1	25
DS1243Y-120-ND	Nicht-flüchtiger SRAM mit Phantomuhr, 64 K, 120 ns	Nonvolatile SRAM with Phantom Clock, 64K, 120nS	28-Dip	37.51	28.32
DS1244Y-70-ND	Nicht-flüchtiger SRAM mit Phantomuhr, 256 K, 70 ns	Nonvolatile SRAM with Phantom Clock, 256K, 70nS	28-Dip	44.11	33.29
DS1245AB-120-ND	Nicht-flüchtiger SRAM, 1024 K, 5 %, 120 ns	Nonvolatile SRAM, 1024K, 5%, 120nS	32-Dip	31.70	23.93
DS1245Y-100-ND	Nicht-flüchtiger SRAM, 1024 K, 10 %, 100 ns	Nonvolatile SRAM, 1024K, 10%, 100nS	32-Dip	31.70	23.93
DS1245Y-120-ND	Nicht-flüchtiger SRAM, 1024 K, 10 %, 120 ns	Nonvolatile SRAM, 1024K, 10%, 120nS	32-Dip	31.70	23.93
DS1245Y-70IND-ND	Nicht-flüchtiger SRAM, 1024 K, 10 %, 70 nS, Ind.-Temp.	Nonvolatile SRAM, 1024K, 10%, 70nS, Ind. Temp.	32-Dip	33.97	25.64
DS1245YP-100-ND	Nicht-flüchtiger SRAM, 1024 K, 10 %, 100 ns	Nonvolatile SRAM, 1024K, 10%, 100nS	34-PCM	25.29	19.09
DS1249Y-70-ND	Nicht-flüchtiger SRAM, 2048 K, 10 %, 70 ns	Nonvolatile SRAM, 2048K, 10%, 70nS	32-Dip	57.30	43.25
DS1250WP-150-ND	Nicht-flüchtiger SRAM, 4096 K, 150 ns, 3,3 V	3.3V, Nonvolatile SRAM, 4096K, 150nS	34-PCM	93.40	70.49
DS1250Y-100-ND	Nicht-flüchtiger SRAM, 4096 K, 100 ns	Nonvolatile SRAM, 4096K, 100nS	32-Dip	99.81	75.34
DS1259-ND	Batterie-Manager-Chip	Battery Manager Chip	16-Dip	10.01	7.56
DS1259S-ND	Batterie-Manager-Chip	Battery Manager Chip	16-SOIC	12.02	9.08
DS1260-100-ND	Intelligente Batterie, 1000 MAH @ 3 V	Smart Battery, 1000MAH @ 3V	16-Dip	20.46	15.45
DS1267-010-ND	Zweif. digitaler Potentiometer-Chip, 10 K	Dual Digital Potentiometer Chip, 10K	14-Dip	7.04	5.32
DS1267-050-ND	Zweif. digitaler Potentiometer-Chip, 50 K	Dual Digital Potentiometer Chip, 50K	14-Dip	7.04	5.32
DS1267-100-ND	Zweif. digitaler Potentiometer-Chip, 100 K	Dual Digital Potentiometer Chip, 100K	14-Dip	7.04	5.32
DS1267E-10-ND	Zweif. digitaler Potentiometer-Chip, 10 K	Dual Digital Potentiometer Chip, 10K	20-TSSOP	8.75	6.61
DS1267E-100-ND	Zweif. digitaler Potentiometer-Chip, 100 K	Dual Digital Potentiometer Chip, 100K	20-TSSOP	8.75	6.61
DS1267S-010-ND	Zweif. digitaler Potentiometer-Chip, 10 K	Dual Digital Potentiometer Chip, 10K	16-SOIC	8.10	6.12
DS1267S-050-ND	Zweif. digitaler Potentiometer-Chip, 50 K	Dual Digital Potentiometer Chip, 50K	16-SOIC	8.10	6.12
DS1267S-100-ND	Zweif. digitaler Potentiometer-Chip, 100 K	Dual Digital Potentiometer Chip, 100K	16-SOIC	8.10	6.12
DS1283S-ND	Watchdog Zeitnehmer-Chip	Watchdog Timekeeper Chip	28-SOIC	9.31	7.03
DS1283SN-ND	Watchdog Zeitnehmer-Chip, Ind.-Temp.	Watchdog Timekeeper Chip, Ind. Temp.	28-SOIC	10.73	8.10
DS1284-ND	Watchdog Zeitnehmer-Chip	Watchdog Timekeeper Chip	28-Dip	11.12	8.40
DS1284Q-ND	Watchdog Zeitnehmer-Chip	Watchdog Timekeeper Chip	28-PLCC	11.94	9.01
DS1284QN-ND	Watchdog Zeitnehmer-Chip, Ind.-Temp.	Watchdog Timekeeper Chip, Ind. Temp.	28-PLCC	12.36	9.33
DS1286-ND	Watchdog Zeitnehmer-Chip	Watchdog Timekeeper Chip	28-Dip	22.27	16.82
DS1302-ND	Zeitnehmer-Chip, Erhaltungsladung, 300 mil.	Trickle Charge Timekeeping Chip, 300mil.	8-Dip	2.80	2.12
DS1302N-ND	Zeitnehmer-Chip, Erhaltungsladung, Ind.-Temp.	Trickle Charge Timekeeping Chip, Ind. Temp.	8-Dip	3.50	2.65
DS1302S-16-ND	Zeitnehmer-Chip, Erhaltungsladung, 300 mil.	Trickle Charge Timekeeping Chip, 300mil.	16-SOIC	5.77	4.36
DS1302SN-ND	Zeitnehmer-Chip, Erhaltungsladung, Ind.-Temp.	Trickle Charge Timekeeping Chip, Ind. Temp.	8-SOIC	3.50	2.65
DS1302Z-ND	Zeitnehmer-Chip, Erhaltungsladung, 150 mil.	Trickle Charge Timekeeping Chip, 150mil.	8-SOIC	2.80	2.12
DS1305-ND	Serielle Alarm-Echtzeituhr, 300 mil.	Serial Alarm Real-Time Clock, 300mil.	16-Dip	4.28	3.24
DS1305E-ND	Serielle Alarm-Echtzeituhr, 173 mil.	Serial Alarm Real-Time Clock, 173mil.	20-TSSOP	4.28	3.24
DS1305EN-ND	Serielle Alarm-Echtzeituhr, Ind.-Temp.	Serial Alarm Real-Time Clock, Ind. Temp.	20-TSSOP	4.73	3.58
DS1306E-ND	Serielle Alarm-Echtzeituhr, 4,4 mil.	Serial Alarm Real-Time Clock, 4.4mil.	20-TSSOP	4.28	3.24
DS1306EN-ND	Serielle Alarm-Echtzeituhr, Ind.-Temp.	Serial Alarm Real-Time Clock, Ind. Temp.	20-TSSOP	4.73	3.58
DS1307-ND	Serielle Alarm-Echtzeituhr, 64 x 8, 100 mil.	Serial Real-Time Clock, 64 x 8, 100mil.	8-Dip	3.17	2.39
DS1307Z-ND	Serielle Alarm-Echtzeituhr, 64 x 8, 150 mil.	Serial Real-Time Clock, 64 x 8, 150mil.	8-SOIC	2.79	2.10
DS1307ZN-ND	Serielle Alarm-Echtzeituhr, 64 x 8, Ind.-Temp.	Serial Real-Time Clock, 64 x 8, Ind. Temp.	8-SOIC	3.50	2.65
DS1312S-ND	Nicht-flüchtiger Controller mit Lithium-Batterie-Monitor, 300 mil.	Nonvolatile Controller with Lithium Battery Monitor, 300mil.	16-SOIC	12.97	9.79
DS1312S-2-ND	Nicht-flüchtiger Controller mit Lithium-Batterie-Monitor, 150 mil.	Nonvolatile Controller with Lithium Battery Monitor, 150mil.	8-SOIC	10.32	7.79
DS1314S-ND	Nicht-flüchtiger Inh. mit Lithium-Batterieüberwachung, 3 V, 300 mil.	Nonvolatile Controller with Lithium Battery Monitor, 3V, 300mil.	16-SOIC	10.59	8.00
DS1314S-2-ND	Nicht-flüchtiger Inh. mit Lithium-Batterieüberwachung, 3 V, 150 mil.	Nonvolatile Controller with Lithium Battery Monitor, 3V, 150mil.	8-SOIC	13.55	10.23
DS1315-5-ND	Phantom-Zeitchip, 5 V, 300 mil.	5V, Phantom Time Chip, 300mil.	16-Dip	13.22	9.98
DS1315EN-33-ND	Phantom-Zeitchip, 3,3 V, Ind.-Temp.	3.3V, Phantom Time Chip, Ind. Temp.	20-TSSOP	17.36	13.11
DS1315S-5-ND	Phantom-Zeitchip, 5 V, 300 mil.	5V, Phantom Time Chip, 300mil.	16-SOIC	15.35	11.59
DS1315SN-5-ND	Phantom-Zeitchip, 5 V, Ind.-Temp. +B200	5V, Phantom Time Chip, Ind. Temp. +B200	16-SOIC	17.36	13.11
DS1321-ND	Flexibler nicht-flücht. Controller mit Lithium-Batterieüberwachung, 5 V	Flexible Nonvolatile Controller with Lithium Battery Monitor, 5V	16-Dip	8.59	6.49
DS1321S-ND	Flexibler nicht-flücht. Controller mit Lithium-Batterieüberwachung, 5 V	Flexible Nonvolatile Controller with Lithium Battery Monitor, 5V	16-SOIC	8.59	6.49
DS1345WP-150-ND	Nicht-flüchtiger SRAM mit Batterieüberwachung, 3,3 V, 1024 K	3.3V, Nonvolatile SRAM with Battery Monitor, 1024K	34-PCM	27.82	21.00
DS1384FP-12-ND	Watchdog Zeitnehmer-Steuerung, 120 ns	Watchdog Timekeeping Controller, 120nS	44-PQFP	14.98	11.32
DS1386-32-120-ND	RAMifizierter Watchdog-Zeitnehmer, 256 K	RAMified Watchdog Timekeeper, 256K	32-Dip	44.62	33.68
DS1486-120-ND	RAMifizierter Watchdog-Zeitnehmer, 1024 K	RAMified Watchdog Timekeeper, 1024K	32-Dip	54.85	41.40
DS1501WE-ND	Y2KC-Watchdog-Echtzeituhr, 3,3 V	3.3V, Y2KC Watchdog Real-Time Clock	28-TSOP	10.23	7.73
DS1501WEN-ND	Y2KC-Watchdog-Echtzeituhr, 3,3 V, Ind.-Temp.	3.3V, Y2KC Watchdog Real-Time Clock, Ind. Temp.	28-TSOP	11.76	8.88
DS1511W-ND	Y2KC-Watchdog-Echtzeituhr, 3,3 V	3.3V, Y2KC Watchdog Real-Time Clock	28-Dip	17.66	13.33
DS1602-ND	Betriebsstundenzähler	Elapsed Time Counter	8-Dip	4.39	3.32
DS1602S-ND	Betriebsstundenzähler	Elapsed Time Counter	8-SOIC	5.00	3.78
DS1603-ND	Betriebsstundenzählermodul	Elapsed Time Counter Module	7-SIP	12.02	9.08
DS1609S-50-ND	Doppelport-RAM, 50 ns	Dual Port RAM, 50nS	24-SOIC	7.47	5.64
DS1620-ND	Digitalthermometer und Thermostat, 300 mil.	Digital Thermometer and Thermostat, 300mil.	8-Dip	5.90	4.46
DS1620S-ND	Digitalthermometer und Thermostat, 208 mil.	Digital Thermometer and Thermostat, 208mil.	8-SOIC	5.90	4.46
DS1621-ND	Digitalthermometer und Thermostat, 300 mil.	Digital Thermometer and Thermostat, 300mil.	8-Dip	3.90	2.95
DS1621S-ND	Digitalthermometer und Thermostat, 150 mil.	Digital Thermometer and Thermostat, 150mil.	8-SOIC	3.90	2.95
DS1624-ND	Digitalthermometer und Speicher, 300 mil.	Digital Thermometer and Memory, 300mil.	8-Dip	7.65	5.78
DS1624S-ND	Digitalthermometer und Speicher, 208 mil.	Digital Thermometer and Memory, 208mil.	8-SOIC	7.65	5.78
DS1629S-ND	Digitalthermometer und Echtzeituhr, 2-adrig, 150 mil.	2-Wire Digital Thermometer and Real Time Clock, 150mil.	8-SOIC	6.57	4.97
DS1642-100-ND	Nicht-flüchtiger Zeitnehmer-RAM, 100 ns	Nonvolatile Timekeeping RAM, 100nS	24-Dip	20.37	15.38
DS1643-100-ND	Nicht-flüchtiger Zeitnehmer-RAM, 100 ns, 700 mil.	Nonvolatile Timekeeping RAM, 100nS, 700mil.	28-Dip	21.20	16.01
DS1644-120-ND	Nicht-flüchtiger Zeitnehmer-RAM, 120 ns	Nonvolatile Timekeeping RAM, 120nS	28-Dip	29.26	22.08
DS1644P-120-ND	Nicht-flüchtiger Zeitnehmer-RAM, 120 ns	Nonvolatile Timekeeping RAM, 120nS	34-PCM*	30.44	22.98
DS1646-120-ND	Nicht-flüchtiger Zeitnehmer-RAM, 120 ns	Nonvolatile Timekeeping RAM, 120nS	32-Dip	46.50	35.10
DS1646P-120-ND	Nicht-flüchtiger Zeitnehmer-RAM+B228, 120 ns	Nonvolatile Timekeeping RAM+B228, 120nS	34-PCM*	31.05	23.44
DS1666S-10-ND	Audio-Digitalwiderstand	Audio Digital Resistor	16-SOIC	4.00	3.02
DS1669-10-ND	Dallastat™ elektronischer Digital-Regelwiderstand, 10 K	Dallastat™ Electronic Digital Rheostat, 10K	8-Dip	5.77	4.36
DS1669-100-ND	Dallastat™ elektronischer Digital-Regelwiderstand, 100 K	Dallastat™ Electronic Digital Rheostat, 100K	8-Dip	5.77	4.36
DS1669S-10-ND	Dallastat™ elektronischer Digital-Regelwiderstand, 10 K	Dallastat™ Electronic Digital Rheostat, 10K	8-SOIC	6.08	4.59
DS1669S-50-ND	Dallastat™ elektronischer Digital-Regelwiderstand, 50 K	Dallastat™ Electronic Digital Rheostat, 50K	8-SOIC	6.08	4.59
DS1669S-100-ND	Dallastat™ elektronischer Digital-Regelwiderstand, 100 K	Dallastat™ Electronic Digital Rheostat, 100K	8-SOIC	6.08	4.59
DS1672S-33-ND	3,3 V serieller Zeitnehmer-Chip	3.3V, Serial Timekeeping Chip	8-SOIC	2.60	1.97
DS1682S-ND	Gesamtbetriebszeit-Aufzeichner mit Alarm	Total-Elapsed-Time Recorder with Alarm	8-SOIC	4.20	3.17
DS1685-5-ND	Echtzeituhr, 5 V	5V, Real-Time Clock	24-Dip	5.14	3.88
DS1685E-3-ND	Echtzeituhr, 3 V/5 V	3V/5V, Real-Time Clock	24-TSSOP	5.45	4.12
DS1685QN-5-ND	Echtzeituhr, 5 V, Ind.-Temp.	5V, Real-Time Clock, Ind. Temp.	28-PLCC	6.69	5.05
DS1685S-5-ND	Echtzeituhr, 5 V	5V, Real-Time Clock	24-SOIC	5.43	4.10
DS1687-5-ND	Echtzeituhr, 5 V	5V, Real-Time Clock	24-Dip	7.94	6.00
DS1688S-ND	Serielle Echtzeituhr mit NV RAM-Steuerung, 3 V/5 V	3V/5V, Serialized Real-Time Clock with NV RAM Control	28-SOIC	7.94	6.00
DS1689S-ND	Serielle Echtzeituhr mit NV RAM-Steuerung, 3 V/5 V	3V/5V, Serialized Real-Time Clock with NV RAM Control	28-SOIC	7.94	6.00
DS1693-ND	Serielles Echtzeituhrmodul mit nicht-flüchtiger RAM-Steuerung, 3 V/5 V	3V/5V, Serialized Real-Time Clock Module with NV RAM Control	28-Dip	16.78	12.67
DS1705EPA-ND	MicroMonitor, 5 V, 5 %	5V, MicroMonitor, 5%	8-Dip	1.90	1.44
DS1705ESA-ND	MicroMonitor, 5 V, 10 %	5V, MicroMonitor, 10%	8-SOIC	1.90	1.44
DS1706ESA-ND	MicroMonitor, 5 V, 10 %	5V, MicroMonitor, 10%	8-SOIC	1.90	1.44
DS1706LEPA-ND	MicroMonitor, 5 V, 5 %	5V, MicroMonitor, 5%	8-Dip	1.90	1.44
DS1706LESA-ND	MicroMonitor, 5 V, 5 %	5V, MicroMonitor, 5%	8-SOIC	1.90	1.44
DS1706SESA-ND	MicroMonitor, 3,3 V, 10 %	3.3V, MicroMonitor, 10%	8-SOIC	1.90	1.44
DS1706TESA-ND	MicroMonitor, 3,3 V, 5 %	3.3V, MicroMonitor, 5%	8-SOIC	1.90	1.44
DS1707ESA-ND	MicroMonitor, 5 V, 5 %	5V, MicroMonitor, 5%	8-SOIC	1.73	1.31
DS1708ESA-ND	MicroMonitor, 5 V, 5 %	5V, MicroMonitor, 5%	8-SOIC	1.90	1.44
DS1708SESA-ND	MicroMonitor, 3,3 V, 10 %	3.3V, MicroMonitor, 10%	8-SOIC	1.90	1.44

★DS9034PCX Leistungskond. erforderlich; Bestellung DS9034PCX-ND

(Forts.)

★ RUFEN SIE BITTE AN FÜR NIEDRIGERE PREISE BEI GRÖSSEREN MENGEN! ★

Digi-Key Teilenr.	Beschreibung		Paket	Stückpreis★ 1	25
DS1708TESA-ND	MicroMonitor, 3,3 V, 5 %	3.3V, MicroMonitor, 5%	8-SOIC	1.90	1.44
DS1721S-ND	Digitalthermometer und Thermostat, 2-adrig	2-Wire Digital Thermometer and Thermostat	8-SOIC	3.28	2.48
DS1721U-ND	Digitalthermometer und Thermostat, 2-adrig	2-Wire Digital Thermometer and Thermostat	8-SOP	3.28	2.48
DS1722S-ND	Digitalthermometer und Thermostat, 2-adrig	2-Wire Digital Thermometer and Thermostat	8-SOIC	2.20	1.66
DS1722U-ND	Digitalthermometer und Thermostat, 2-adrig	2-Wire Digital Thermometer and Thermostat	8-MSOP	2.24	1.70
DS1742W-120-ND	Nicht-flüchtiger Zeitnehmer-Y2KC-RAM, 3,3 V, 120 ns	3.3V, Y2KC Nonvolatile Timekeeping RAM, 120nS	24-Dip	21.63	16.33
DS1742W-150-ND	Nicht-flüchtiger Zeitnehmer-Y2KC-RAM, 3,3 V, 150 ns	3.3V, Y2KC Nonvolatile Timekeeping RAM, 150nS	24-Dip	20.55	15.51
DS1743-70-ND	Nicht-flüchtiger Zeitnehmer-Y2KC-RAM, 5 V, 70 ns	5V, Y2KC Nonvolatile Timekeeping RAM, 70nS	28-Dip	22.66	17.11
DS1743-100-ND	Nicht-flüchtiger Zeitnehmer-Y2KC-RAM, 5 V, 100 ns	5V, Y2KC Nonvolatile Timekeeping RAM, 100nS	28-Dip	32.66	24.66
DS1743P-100-ND	Nicht-flüchtiger Zeitnehmer-Y2KC-RAM, 5 V, 100 ns	5V, Y2KC Nonvolatile Timekeeping RAM, 100nS	34-PCM*	24.32	18.36
DS1743WP-120-ND	Nicht-flüchtiger Zeitnehmer-Y2KC-RAM, 3,3 V, 120 ns	3.3V, Y2KC Nonvolatile Timekeeping RAM, 120nS	34-PCM*	26.25	19.82
DS1744-70-ND	Nicht-flüchtiger Zeitnehmer-Y2KC-RAM, 5 V, 70 ns	5V, Y2KC Nonvolatile Timekeeping RAM, 70nS	28-Dip	40.87	30.85
DS1746WP-120-ND	Nicht-flüchtiger Zeitnehmer-Y2KC-RAM, 3,3 V, 120 ns	3.3V, Y2KC Nonvolatile Timekeeping RAM, 120nS	34-PCM*	44.45	33.55
DS1780E-ND	CPU-Peripheriemonitor	CPU Peripheral Monitor	24-TSSOP	4.27	3.22
DS1801E-014-ND	Zweif. Potentiometer, Audioverhalten	Dual Audio Taper Potentiometer	14-TSSOP	6.35	4.80
DS1803E-010-ND	Zweif. adressierbares digitales Potentiometer	Addressable Dual Digital Potentiometer	14-TSSOP	5.81	4.39
DS1803Z-010-ND	Zweif. adressierbares digitales Potentiometer, 10 K, 150 mil.	Addressable Dual Digital Potentiometer, 10K, 150mil.	16-SOIC	5.41	4.09
DS1803Z-050-ND	Zweif. adressierbares digitales Potentiometer, 50 K, 150 mil.	Addressable Dual Digital Potentiometer, 50K, 150mil.	16-SOIC	5.41	4.09
DS1803Z-100-ND	Zweif. adressierbares digitales Potentiometer, 100 K, 150 mil.	Addressable Dual Digital Potentiometer, 100K, 150mil.	16-SOIC	5.41	4.09
DS1804-010-ND	Nicht-flüchtiger Trimmpotentiometer, 10 K, 300 mil.	Nonvolatile Trimmer Potentiometer, 10K, 300mil.	8-Dip	2.62	1.99
DS1804-100-ND	Nicht-flüchtiger Trimmpotentiometer, 100 K, 300 mil.	Nonvolatile Trimmer Potentiometer, 100K, 300mil.	8-Dip	2.62	1.99
DS1804Z-010-ND	Nicht-flüchtiger Trimmpotentiometer, 10 K, 150 mil.	Nonvolatile Trimmer Potentiometer, 10K, 150mil.	8-SOIC	2.73	2.07
DS1804Z-050-ND	Nicht-flüchtiger Trimmpotentiometer, 50 K, 150 mil.	Nonvolatile Trimmer Potentiometer, 50K, 150mil.	8-SOIC	2.73	2.07
DS1804Z-100-ND	Nicht-flüchtiger Trimmpotentiometer, 100 K, 150 mil.	Nonvolatile Trimmer Potentiometer, 100K, 150mil.	8-SOIC	2.73	2.07
DS1806E-050-ND	Digitales Sextett-Potentiometer, 50 K	Digital Sextet Potentiometer, 50K	20-TSSOP	10.23	7.73
DS1810-5-ND	EconoReset mit Push-Pull-Ausgang, 5 V, 5 %	5V, EconoReset with Push-Pull Output, 5%	TO-92	.94	.72
DS1810-10-ND	EconoReset mit Push-Pull-Ausgang, 5 V, 10 %	5V, EconoReset with Push-Pull Output, 10%	TO-92	.94	.72
DS1811-5-ND	EconoReset mit Open-Drain-Ausgang, 5 V, 5 %	5V, EconoReset with Open Drain Output, 5%	TO-92	.94	.72
DS1811-10-ND	EconoReset mit Open-Drain-Ausgang, 5 V, 10 %	5V, EconoReset with Open Drain Output, 10%	TO-92	.94	.72
DS1811-15-ND	EconoReset mit Open-Drain-Ausgang, 5 V, 15 %	5V, EconoReset with Open Drain Output, 15%	TO-92	.94	.72
DS1812-5-ND	EconoReset mit Active-High Push-Pull-Ausgang, 5 V, 5 %	5V, EconoReset with Active High Push-Pull Output, 5%	TO-92	.94	.72
DS1812-10-ND	EconoReset mit Active-High Push-Pull-Ausgang, 5 V, 10 %	5V, EconoReset with Active High Push-Pull Output, 10%	TO-92	.94	.72
DS1813-5-ND	EconoReset mit Drucktaste, 5 V, 5 %	5V, EconoReset with Pushbutton, 5%	TO-92	.94	.72
DS1813-10-ND	EconoReset mit Drucktaste, 5 V, 10 %	5V, EconoReset with Pushbutton, 10%	TO-92	.94	.72
DS1815-10-ND	EconoReset mit Push-Pull-Ausgang, 3,3 V, 10 %	3.3V, EconoReset with Push-Pull Output, 10%	TO-92	.94	.72
DS1818-10-ND	EconoReset mit Drucktaste, 3,3 V, 10 %	3.3V, EconoReset with Pushbutton, 10%	TO-92	.94	.72
DS1821-ND	Programmierbares digitales Thermostat und Thermometer	Programmable Digital Thermostat and Thermometer	3-PR35	4.87	3.68
DS1821S-ND	Programmierbares digitales Thermostat und Thermometer	Programmable Digital Thermostat and Thermometer	8-SOIC	4.87	3.68
DS1822-ND	Econo 1-Wire® Digitalthermometer	Econo 1-Wire® Digital Thermometer	TO-92	3.28	2.48
DS1831S-ND	Micromonitor, Mehrstromversorgung	Multi-Supply Micromonitor	16-SOIC	5.72	4.32
DS1832S-ND	MicroMonitor-Chip, 3,3 V	3.3V, MicroMonitor Chip	8-SOIC	1.57	1.19
DS1833-5-ND	Mikroprozessor EconoReset, 5 V, 5 %	5V, Microprocessor EconoReset, 5%	TO-92	1.52	1.16
DS1833-10-ND	Mikroprozessor EconoReset, 5 V, 10 %	5V, Microprocessor EconoReset, 10%	TO-92	1.52	1.16
DS1833Z-5-ND	Mikroprozessor EconoReset, 5 V, 5 %	5V, Microprocessor EconoReset, 5%	SOT-223	2.67	2.02
DS1833Z-10-ND	Mikroprozessor EconoReset, 5 V, 10 %	5V, Microprocessor EconoReset, 10%	SOT-223	2.67	2.02
DS1834AS-ND	Zweif. Mikroprozessor EconoReset mit Drucktaste	Dual Microprocessor EconoReset with Pushbutton	8-Dip	2.04	1.55
DS1834AU-ND	Zweif. Mikroprozessor EconoReset mit Drucktaste	Dual Microprocessor EconoReset with Pushbutton	8-MSOP	2.20	1.66
DS1834S-ND	Zweif. Mikroprozessor EconoReset mit Drucktaste	Dual Microprocessor EconoReset with Pushbutton	8-SOIC	2.04	1.55
DS1844S-010-ND	Vierf. digitales Potentiometer	Quad Digital Potentiometer	20-SOIC	4.89	3.70
DS1845E-010-ND	Zweif. nicht-flüchtiges Potentiometer und Speicher, 10 K	Dual Nonvolatile Potentiometer and Memory, 10K	14-TSSOP	3.23	2.44
DS1845E-100-ND	Zweif. nicht-flüchtiges Potentiometer und Speicher, 100 K	Dual Nonvolatile Potentiometer and Memory, 100K	14-TSSOP	3.23	2.44
DS1866Z-ND	Log-Trimmerpotentiometer, 2,7-5,5 V	2.7-5.5V, Log Trimmer Potentiometer	8-Dip	2.49	1.88
DS1867-10-ND	Zweif. digitales Potentiometer mit EEPROM, 10 K	Dual Digital Potentiometer with EEPROM, 10K	14-Dip	7.45	5.63
DS1867-50-ND	Zweif. digitales Potentiometer mit EEPROM, 50 K	Dual Digital Potentiometer with EEPROM, 50K	14-Dip	7.45	5.63
DS1867-100-ND	Zweif. digitales Potentiometer mit EEPROM, 100 K	Dual Digital Potentiometer with EEPROM, 100K	14-Dip	7.45	5.63
DS1867E-10-ND	Zweif. digitales Potentiometer mit EEPROM, 10 K	Dual Digital Potentiometer with EEPROM, 10K	20-TSSOP	8.46	6.39
DS1867S-10-ND	Zweif. digitales Potentiometer mit EEPROM, 10 K	Dual Digital Potentiometer with EEPROM, 10K	16-SOIC	8.24	6.22
DS1868-10-ND	Zweif. digitaler Potentiometer-Chip, 10 K	Dual Digital Potentiometer Chip, 10K	14-Dip	4.73	3.58
DS1868E-10-ND	Zweif. digitaler Potentiometer-Chip, 10 K	Dual Digital Potentiometer Chip, 10K	20-TSSOP	5.74	4.34
DS1868S-10-ND	Zweif. digitaler Potentiometer-Chip, 10 K	Dual Digital Potentiometer Chip, 10K	16-SOIC	4.98	3.76
DS1869-10-ND	Dallastat™ elektronischer Digital-Regelwiderstand, 3 V, 10 K	3V, Dallastat™ Electronic Digital Rheostat, 10K	8-Dip	4.77	3.61
DS1869S-10-ND	Dallastat™ elektronischer Digital-Regelwiderstand, 3 V, 10 K	3V, Dallastat™ Electronic Digital Rheostat, 10K	8-SOIC	4.98	3.76
DS1869S-50-ND	Dallastat™ elektronischer Digital-Regelwiderstand, 3 V, 50 K	3V, Dallastat™ Electronic Digital Rheostat, 50K	8-SOIC	4.98	3.76
DS2016-100-ND	RAM, statischer Betrieb, 3 V/5 V, 2 K x 8	3V/5V, 2K x 8, Operation Static RAM	24-Dip	9.42	7.12
DS2108S-ND	Umschaltbarer Differenzial-SCSI-Terminator	Differential SCSI Switchable Terminator	24-SOIC	12.43	9.39
DS2118MB-ND	Ultra2 LVD/SE-SCSI-Terminator	Ultra2 LVD/SE SCSI Terminator	36-SSOP	6.31	4.76
DS2119ME-ND	Ultra3 LVD/SE-SCSI-Terminator	Ultra3 LVD/SE SCSI Terminator	28-TSSOP	2.65	2.00
DS2141AQ-ND	T1-Framer-Controller, 5 V	5V, T1 Framer Controller	44-PLCC	43.17	32.58
DS2143Q-ND	E1-Framer-Controller, 5 V	5V, E1 Framer Controller	44-PLCC	43.17	32.58
DS2151QB-ND	T1-Einzelchip-Transceiver, 5 V	5V, T1 Single Chip Transceiver	44-PLCC	65.74	49.62
DS2151QNB-ND	T1-Einzelchip-Transceiver, 5 V, Ind.-Temp.	5V, T1 Single Chip Transceiver, Ind. Temp.	44-PLCC	75.61	57.07
DS2152L-ND	Verbesserter T1-Einzelchip-Transceiver	Enhanced T1 Single-Chip Transceiver	100-LQFP	58.40	44.08
DS2152LN-ND	Verbesserter T1-Einzelchip-Transceiver, Ind.-Temp.	Enhanced T1 Single-Chip Transceiver, Ind. Temp.	100-LQFP	67.10	50.65
DS2153Q-A7-ND	E1-Einzelchip-Transceiver, 5 V	5V, E1 Single-Chip Transceiver	44-PLCC	65.74	49.62
DS2154L-ND	Verbesserter E1-Einzelchip-Transceiver, 5 V	5V, Enhanced E1 Single Chip Transceiver	100-LQFP	58.40	44.08
DS2165Q-ND	ADPCM-Prozessor 16/24/32 KPBS, 5 V	5V, ADPCM Processor 16/24/32kpbs	24-PLCC	35.18	26.55
DS2172T-ND	Bit-Fehlerratentester (BERT), 8-Bit	Bit Error Rate Tester (BERT), 8-Bit	32-TQFP	15.46	11.67
DS2175-ND	T1/CEPT-Elastischer Speicher	T1/CEPT Elastic Store	16-Dip	20.67	15.60
DS2175S-ND	T1/CEPT-Elastischer Speicher	T1/CEPT Elastic Store	16-SOIC	22.71	17.14
DS2176-ND	T1-Empfangspuffer	T1 Receive Buffer	24-Dip	23.98	18.11
DS2176Q-ND	T1-Empfangspuffer	T1 Receive Buffer	28-PLCC	26.36	19.90
DS2180A-ND	T1-Transceiver	T1 Transceiver	40-Dip	28.34	21.39
DS2180AQ-ND	T1-Transceiver	T1 Transceiver	44-PLCC	32.48	24.52
DS2180AQN-ND	T1-Transceiver, Ind.-Temp.	T1 Transceiver, Ind. Temp.	44-PLCC	37.80	28.54
DS2181A-ND	CEPT Primary-Rate-Transceiver	CEPT Primary Rate Transceiver	40-Dip	49.76	37.56
DS2181AQ-ND	CEPT Primary-Rate-Transceiver	CEPT Primary Rate Transceiver	44-PLCC	54.67	41.27
DS2187-ND	Empfangsleitungsschnittstelle	Receive Line Interface	18-Dip	29.41	22.20
DS2187S-ND	Empfangsleitungsschnittstelle	Receive Line Interface	20-SOIC	32.28	24.37
DS2188-ND	T1/CEPT-Jitterdämpfer	T1/CEPT Jitter Attenuator	16-Dip	13.44	10.15
DS2188S-ND	T1/CEPT-Jitterdämpfer	T1/CEPT Jitter Attenuator	16-SOIC	14.92	11.26
DS2252T-128-16-ND	Sicheres Mikrocontroller-Modul, 128 K	Secure Microcontroller Module, 128K	40-SIMM	170.51	128.69
DS2282/8722282000-ND	T1 FDL-Controller/Monitor-Stik	T1 FDL Controller/Monitor Stik	30-SIP	100.60	75.93
DS2401-ND	Silizium-Seriennummer, 48-Bit, 1-adrig	Silicon Serial Number, 48-Bit, One-Wire	TO-92	1.57	1.19
DS2401P-ND	Silizium-Seriennummer, 48-Bit, 1-adrig	Silicon Serial Number, 48-Bit, One-Wire	6-TSOC	1.70	1.29
DS2401X1CT-ND	Silizium-Seriennummer, 48-Bit, 1-adrig	Silicon Serial Number, 48-Bit, One-Wire	6-CSP	.87	.80
DS2401X1TR-ND	Silizium-Seriennummer, 48-Bit, 1-adrig	Silicon Serial Number, 48-Bit, One-Wire	6-CSP	4952.61/10,000	
DS2401Z-ND	Silizium-Seriennummer, 48-Bit, 1-adrig	Silicon Serial Number, 48-Bit, One-Wire	SOT-223	1.93	1.46
DS2404B-ND	EconoRAM Zeitchip	EconoRAM Time Chip	16-SSOP	9.38	7.08
DS2404S-001-ND	EconoRAM Zeitchip	EconoRAM Time Chip	16-SOIC	8.95	6.76
DS2405-ND	Adressierbarer Schalter, Open Drain	Addressable Switch, Open Drain	TO-92	1.89	1.43
DS2405Z-ND	Adressierbarer Schalter, Open Drain	Addressable Switch, Open Drain	SOT-223-4	2.04	1.55
DS2406P-ND	Zweif. adressierbarer Schalter Plus 1 KBit Speicher	Dual Addressable Switch Plus 1K-Bit Memory	6-TSOC	5.74	4.34

★DS9034PCX Leistungskond. erforderlich; Bestellung DS9034PCX-ND

(Forts.)

★ ***RUFEN SIE BITTE AN FÜR NIEDRIGERE PREISE BEI GRÖSSEREN MENGEN!*** ★

DALLAS SEMICONDUCTOR

SPEZIALISIERTE INTEGRIERTE SCHALTUNGEN *(Forts.)*

Digi-Key Teilenr.	Beschreibung		Paket	Stückpreis★ 1	25
DS2417P-ND	1-Wire™ Zeitchip mit Unterbrecher	1-Wire™ Time Chip with Interrupt	6-TSOC	2.29	1.73
DS2430A-ND	256-Bit 1-Wire™ EEPROM	256-Bit 1-Wire™ EEPROM	TO-92	2.87	2.17
DS2430AP-ND	256-Bit 1-Wire™ EEPROM	256-Bit 1-Wire™ EEPROM	6-TSOC	2.98	2.26
DS2432P-ND	1 KBit geschützter 1-Wire™ EEPROM	1K-Bit Protected 1-Wire™ EEPROM	6-TSOC	5.29	4.00
DS2436B-ND	Batterie-Identifikation/Überwachungschip	Battery Identification/Monitor Chip	TO-92	3.17	2.39
DS2436Z-ND	Batterie-Identifikation/Überwachungschip	Battery Identification/Monitor Chip	8-SOIC	3.17	2.39
DS2438Z-ND	Intelligente Batterieüberwachung	Smart Battery Monitor	8-SOIC	3.28	2.48
DS2450S-ND	Vierf. 1-Wire™ A/D-Wandler	1-Wire™ Quad A/D Converter	8-SOIC	7.38	5.58
DS2480B-ND	Serieller 1-Wire™ Leitungstreiber mit Lastsensor	Serial 1-Wire™ Line Driver with Load Sensor	8-SOIC	5.79	4.37
DS2502S-ND	1 KBit Add-Only-Speicher	1K-Bit Add-Only Memory	8-SOIC	3.90	2.95
DS2505-ND	16 KBit Add-Only-Speicher	16K-Bit Add-Only Memory	TO-92	3.70	2.80
DS2505P-ND	16 KBit Add-Only-Speicher	16K-Bit Add-Only Memory	6-TSOC	3.70	2.80
DS5001FP-16-ND	128 K Soft-Mikroprozessor-Chip	128K Soft Microprocessor Chip	80-MQFP	29.84	22.52
DS9034PC-ND	Leistungskond.-Modul ohne Kristall	PowerCap Module without Crystal	Powercap Module	6.42	4.85
DS9034PCX-ND	Leistungskond.-Modul mit Kristall	PowerCap Module with Crystal	Powercap Module	8.35	6.30
DS9502P-ND	ESE-Schutzdiode	ESD Protection Diode	6-TSOC	.87	.67
DS9503P-ND	ESE-Schutzdiode mit Widerstand	ESD Protection Diode with Resistor	6-TSOC	.94	.72
DS12885Q-ND	Echtzeituhr mit RAM, 128 Byte	Real-Time Clock with RAM, 128 Byte	28-PLCC	6.80	5.14
DS12885S-ND	Echtzeituhr mit RAM, 128 Byte	Real-Time Clock with RAM, 128 Byte	24-SOIC	6.55	4.95
DS12887-ND	Echtzeituhr mit RAM, 128 Byte	Real-Time Clock with RAM, 128 Byte	24-Dip	7.59	5.73
DS12887A-ND	Echtzeituhr mit RAM, 128 Byte	Real-Time Clock with RAM, 128 Byte	24-Dip	7.59	5.73
DS14285Q-ND	Echtzeituhr mit NV RAM-Steuerung	Real-Time Clock with NV RAM Control	28-PLCC	6.80	5.14
DS14287-ND	Echtzeituhr mit NV RAM-Steuerung	Real-Time Clock with NV RAM Control	24-Dip	9.53	7.20
DS17285S-3-ND	Echtzeituhr-Chip, 3 V	3V, Real-Time Clock Chip	24-SOIC	7.63	5.76
DS17287-5-ND	Echtzeituhr mit Batterie und Kristall, 5 V	5V, Real-Time Clock with Battery and Crystal	24-Dip	12.52	9.45
DS17887-5-ND	Echtzeituhr, 5 V	5V, Real-Time Clock	24-Dip	18.91	14.28
DS18030-010-ND	Zweif. adressierbares digitales Potentiometer	Addressable Dual Digital Potentiometer	16-Dip	4.98	3.76
DS21352L-ND	Einf. T1-Chip-Transceiver, 3,3 V	3.3V, T1 Single Chip Transceiver	100-LQFP	46.60	35.17
DS21352LN-ND	Einf. T1-Chip-Transceiver, 3,3 V	3.3V, T1 Single Chip Transceiver	100-LQFP	53.51	40.39
DS21354L-ND	Einf. E1-Chip-Transceiver, 3,3 V	3.3V, E1 Single Chip Transceiver	100-LQFP	46.60	35.17

★DS9034PCX Leistungskond. erforderlich; Bestellung DS9034PCX-ND

RAYMING corporation

RF-TRANSMITTER- UND EMPFÄNGERKARTEN

Digi-Key Teilenr.	Beschreibung			Stückpreis★ 1	25	100
RE-01-ND	Dekodierer-Mutterplatine mit HT-12D Dekodierer-Schaltkreis; 3,2" x 2,4" (81,28 mm x 60,96 mm). Zur Verwendung mit dem RE-66 Empfänger. Betriebsspannung: 12 V DC	Decoder Motherboard utilizing the HT-12D Decoder IC; 3.2" x 2.4" (81.28mm x 60.96mm). Designed for use with the RE-66 Receiver. Operating Voltage: 12 VDC	—	17.78	15.88	10.80
RE-66-ND	Serieller Datenausgang 310 MHz LC AM Empfängerkarte. 1,188" x 2,375" (30,18 mm x 60,33 mm). Betriebsspannung: 5 V DC	Serial Data Output 310 MHz LC AM Receiver Board. 1.188" x 2.375" (30.18mm x 60.33mm). Operating Voltage: 5VDC	—	11.85	10.59	7.20

Jelight Company, Inc.

CHIPhERASER®

• Betriebsintensität ist mindestens um 25 % höher als bei Konkurrenzsystemen für erhöhten Durchsatz • Hervorragende Einheitlichkeit garantiert schnelles und vollständiges Löschen • Schnell zu ladende/auszuladende Tabletts für EPROMs • Ganzmetallgehäuse • Extrastabile Bauweise für hohe Beanspruchung • Die Einheiten können platzsparend gestapelt werden • Sicherheitssperre, um zufällige UV-Aussetzung zu verhindern • Tiefe Schublade zur Verarbeitung beladener Leiterplatten

JEL10-ND (Für 12 ICs) **98.21**

JEL20-ND (Für 20 ICs, mit 60-Minuten-Dreh-Timer) **156.62**

Micron

DRAM

Micron Technology Teilenr.	Digi-Key Teilenr.	Beschreibung		Paket	Stückpreis★ 1	25	100
		SDRAM					
MT48H8M16LFB4-8 IT TR	557-1051-1-ND	Mobiler SDRAM, 128 Mb	Mobile SDRAM, 128Mb	54-VFBGA	6.15	4.53	4.21
MT48H8M16LFB4-8 IT TR	557-1051-2-ND	Mobiler SDRAM, 128 Mb	Mobile SDRAM, 128Mb	54-VFBGA		3880.81/1,000	
MT48H8M16LFB4-8 TR	557-1052-1-ND	Mobiler SDRAM, 128 Mb	Mobile SDRAM, 128Mb	54-VFBGA	5.60	4.13	3.83
MT48H8M16LFB4-8 TR	557-1052-2-ND	Mobiler SDRAM, 128 Mb	Mobile SDRAM, 128Mb	54-VFBGA		3535.40/1,000	
MT48H8M32LFB5-8 IT TR	557-1053-1-ND	Mobiler SDRAM, 256 Mb	Mobile SDRAM, 256Mb	90-VFBGA	16.12	12.81	11.86
MT48H8M32LFB5-8 IT TR	557-1053-2-ND	Mobiler SDRAM, 256 Mb	Mobile SDRAM, 256Mb	90-VFBGA		11093.85/1,000	
MT48H8M32LFB5-8 TR	557-1054-1-ND	Mobiler SDRAM, 256 Mb	Mobile SDRAM, 256Mb	90-VFBGA	13.96	11.09	10.27
MT48H8M32LFB5-8 TR	557-1054-2-ND	Mobiler SDRAM, 256 Mb	Mobile SDRAM, 256Mb	90-VFBGA		9608.06/1,000	
MT48LC2M32B2P-6:G TR	557-1071-1-ND	SDRAM, 64 Mb	SDRAM, 64Mb	86-TSOP	5.25	3.63	3.33
MT48LC2M32B2P-6:G TR	557-1071-2-ND	SDRAM, 64 Mb	SDRAM, 64Mb	86-TSOP		3059.61/1,000	
MT48LC2M32B2P-7 IT:G TR	557-1072-1-ND	SDRAM, 64 Mb	SDRAM, 64Mb	86-TSOP	5.74	3.97	3.64
MT48LC2M32B2P-7 IT:G TR	557-1072-2-ND	SDRAM, 64 Mb	SDRAM, 64Mb	86-TSOP		3350.00/1,000	
MT48LC2M32B2P-7:G TR	557-1073-1-ND	SDRAM, 64 Mb	SDRAM, 64Mb	86-TSOP	5.25	3.63	3.33
MT48LC2M32B2P-7:G TR	557-1073-2-ND	SDRAM, 64 Mb	SDRAM, 64Mb	86-TSOP		3059.61/1,000	
MT48LC2M32B2TG-6:G TR	557-1074-1-ND	SDRAM, 64 Mb	SDRAM, 64Mb	86-TSOP	5.25	3.63	3.33
MT48LC2M32B2TG-6:G TR	557-1074-2-ND	SDRAM, 64 Mb	SDRAM, 64Mb	86-TSOP		3059.61/1,000	
MT48LC2M32B2TG-7 IT:G TR	557-1075-1-ND	SDRAM, 64 Mb	SDRAM, 64Mb	86-TSOP	5.74	3.97	3.64
MT48LC2M32B2TG-7 IT:G TR	557-1075-2-ND	SDRAM, 64 Mb	SDRAM, 64Mb	86-TSOP		3350.00/1,000	
MT48LC2M32B2TG-7:G TR	557-1076-1-ND	SDRAM, 64 Mb	SDRAM, 64Mb	86-TSOP	5.25	3.63	3.33
MT48LC2M32B2TG-7:G TR	557-1076-2-ND	SDRAM, 64 Mb	SDRAM, 64Mb	86-TSOP		3059.61/1,000	
MT48LC4M16A2P-7E:G TR	557-1089-1-ND	SDRAM, 64 Mb	SDRAM, 64Mb	54-TSOP	4.82	3.33	3.06
MT48LC4M16A2P-7E:G TR	557-1089-2-ND	SDRAM, 64 Mb	SDRAM, 64Mb	54-TSOP		2810.71/1,000	
MT48LC4M16A2P-75 IT:G TR	557-1087-1-ND	SDRAM, 64 Mb	SDRAM, 64Mb	54-TSOP	5.40	3.74	3.43
MT48LC4M16A2P-75 IT:G TR	557-1087-2-ND	SDRAM, 64 Mb	SDRAM, 64Mb	54-TSOP		3152.74/1,000	
MT48LC4M16A2P-75:G TR	557-1088-1-ND	SDRAM, 64 Mb	SDRAM, 64Mb	54-TSOP	4.73	3.27	3.00
MT48LC4M16A2P-75:G TR	557-1088-2-ND	SDRAM, 64 Mb	SDRAM, 64Mb	54-TSOP		2759.07/1,000	
MT48LC4M16A2TG-7E:G TR	557-1092-1-ND	SDRAM, 64 Mb	SDRAM, 64Mb	54-TSOP	4.82	3.33	3.06
MT48LC4M16A2TG-7E:G TR	557-1092-2-ND	SDRAM, 64 Mb	SDRAM, 64Mb	54-TSOP		2810.71/1,000	
MT48LC4M16A2TG-75 IT:G TR	557-1090-1-ND	SDRAM, 64 Mb	SDRAM, 64Mb	54-TSOP	5.40	3.74	3.43
MT48LC4M16A2TG-75 IT:G TR	557-1090-2-ND	SDRAM, 64 Mb	SDRAM, 64Mb	54-TSOP		3152.74/1,000	
MT48LC4M16A2TG-75:G TR	557-1091-1-ND	SDRAM, 64 Mb	SDRAM, 64Mb	54-TSOP	4.73	3.27	3.00
MT48LC4M16A2TG-75:G TR	557-1091-2-ND	SDRAM, 64 Mb	SDRAM, 64Mb	54-TSOP		2759.07/1,000	
MT48LC4M32B2F5-7 IT:G TR	557-1093-1-ND	SDRAM, 128 Mb	SDRAM, 128Mb	90-VFBGA	9.63	7.10	6.60
MT48LC4M32B2F5-7 IT:G TR	557-1093-2-ND	SDRAM, 128 Mb	SDRAM, 128Mb	90-VFBGA		6085.36/1,000	
MT48LC4M32B2F5-7:G TR	557-1094-1-ND	SDRAM, 128 Mb	SDRAM, 128Mb	90-VFBGA	8.56	6.31	5.86
MT48LC4M32B2F5-7:G TR	557-1094-2-ND	SDRAM, 128 Mb	SDRAM, 128Mb	90-VFBGA		5404.69/1,000	
MT48LC4M32B2TG-6:G TR	557-1095-1-ND	SDRAM, 128 Mb	SDRAM, 128Mb	86-TSOP	8.53	5.90	5.41
MT48LC4M32B2TG-6:G TR	557-1095-2-ND	SDRAM, 128 Mb	SDRAM, 128Mb	86-TSOP		4978.01/1,000	
MT48LC4M32B2TG-7 IT:G TR	557-1096-1-ND	SDRAM, 128 Mb	SDRAM, 128Mb	86-TSOP	8.86	6.54	6.07
MT48LC4M32B2TG-7 IT:G TR	557-1096-2-ND	SDRAM, 128 Mb	SDRAM, 128Mb	86-TSOP		5597.72/1,000	

(Forts.)

★ RUFEN SIE BITTE AN FÜR NIEDRIGERE PREISE BEI GRÖSSEREN MENGEN! ★

Alle Preisangaben in Euro und inklusive Zollgebühren.

Micron Technology Teilenr.	Digi-Key Teilenr.	Beschreibung		Paket	Stückpreis★ 1	25	100
MT48LC8M8A2TG-7E:G TR	557-1106-1-ND	SDRAM, 64 Mb	SDRAM, 64Mb	54-TSOP	4.82	3.33	3.06
MT48LC8M8A2TG-7E:G TR	557-1106-2-ND	SDRAM, 64 Mb	SDRAM, 64Mb	54-TSOP		2810.71/1,000	
MT48LC8M8A2TG-75:G TR	557-1105-1-ND	SDRAM, 64 Mb	SDRAM, 64Mb	54-TSOP	4.73	3.27	3.00
MT48LC8M8A2TG-75:G TR	557-1105-2-ND	SDRAM, 64 Mb	SDRAM, 64Mb	54-TSOP		2759.07/1,000	
MT48LC8M16A2P-7E:G TR	557-1100-1-ND	SDRAM, 128 Mb	SDRAM, 128Mb	54-TSOP	7.86	5.43	4.98
MT48LC8M16A2P-7E:G TR	557-1100-2-ND	SDRAM, 128 Mb	SDRAM, 128Mb	54-TSOP		4584.34/1,000	
MT48LC8M16A2P-75 IT:G TR	557-1099-1-ND	SDRAM, 128 Mb	SDRAM, 128Mb	54-TSOP	8.11	5.98	5.55
MT48LC8M16A2P-75 IT:G TR	557-1099-2-ND	SDRAM, 128 Mb	SDRAM, 128Mb	54-TSOP		5120.24/1,000	
MT48LC8M16A2TG-7E:G TR	557-1102-1-ND	SDRAM, 128 Mb	SDRAM, 128Mb	54-TSOP	7.86	5.43	4.98
MT48LC8M16A2TG-7E:G TR	557-1102-2-ND	SDRAM, 128 Mb	SDRAM, 128Mb	54-TSOP		4584.34/1,000	
MT48LC8M16A2TG-75 IT:G TR	557-1101-1-ND	SDRAM, 128 Mb	SDRAM, 128Mb	54-TSOP	8.11	5.98	5.55
MT48LC8M16A2TG-75 IT:G TR	557-1101-2-ND	SDRAM, 128 Mb	SDRAM, 128Mb	54-TSOP		5120.24/1,000	
MT48LC8M32LFB5-8 IT TR	557-1103-1-ND	Mobiler SDRAM, 256 Mb	Mobile SDRAM, 256Mb	90-VFBGA	15.69	12.46	11.54
MT48LC8M32LFB5-8 IT TR	557-1103-2-ND	Mobiler SDRAM, 256 Mb	Mobile SDRAM, 256Mb	90-VFBGA		10796.69/1,000	
MT48LC8M32LFB5-8 TR	557-1104-1-ND	Mobiler SDRAM, 256 Mb	Mobile SDRAM, 256Mb	90-VFBGA	14.08	11.26	10.46
MT48LC8M32LFB5-8 TR	557-1104-2-ND	Mobiler SDRAM, 256 Mb	Mobile SDRAM, 256Mb	90-VFBGA		9651.24/1,000	
MT48LC16M4A2TG-75:G TR	557-1066-1-ND	SDRAM, 64 Mb	SDRAM, 64Mb	54-TSOP	4.73	3.27	3.00
MT48LC16M4A2TG-75:G TR	557-1066-2-ND	SDRAM, 64 Mb	SDRAM, 64Mb	54-TSOP		2759.07/1,000	
MT48LC16M8A2FB-75 IT:G TR	557-1067-1-ND	SDRAM, 128 Mb	SDRAM, 128Mb	60-FBGA	9.63	7.10	6.60
MT48LC16M8A2FB-75 IT:G TR	557-1067-2-ND	SDRAM, 128 Mb	SDRAM, 128Mb	60-FBGA		6085.36/1,000	
MT48LC16M8A2FB-75:G TR	557-1068-1-ND	SDRAM, 128 Mb	SDRAM, 128Mb	60-FBGA	9.09	6.70	6.22
MT48LC16M8A2FB-75:G TR	557-1068-2-ND	SDRAM, 128 Mb	SDRAM, 128Mb	60-FBGA		5739.95/1,000	
MT48LC16M8A2TG-75 IT:G TR	557-1069-1-ND	SDRAM, 128 Mb	SDRAM, 128Mb	54-TSOP	8.11	5.98	5.55
MT48LC16M8A2TG-75 IT:G TR	557-1069-2-ND	SDRAM, 128 Mb	SDRAM, 128Mb	54-TSOP		5120.24/1,000	
MT48LC16M8A2TG-75:G TR	557-1070-1-ND	SDRAM, 128 Mb	SDRAM, 128Mb	54-TSOP	7.86	5.43	4.98
MT48LC16M8A2TG-75:G TR	557-1070-2-ND	SDRAM, 128 Mb	SDRAM, 128Mb	54-TSOP		4584.34/1,000	
MT48LC16M16A2FG-75 IT:D TR	557-1056-1-ND	SDRAM, 256 Mb	SDRAM, 256Mb	54-VFBGA	11.83	9.46	8.79
MT48LC16M16A2FG-75 IT:D TR	557-1056-2-ND	SDRAM, 256 Mb	SDRAM, 256Mb	54-VFBGA		8107.04/1,000	
MT48LC16M16A2FG-75:D TR	557-1057-1-ND	SDRAM, 256 Mb	SDRAM, 256Mb	54-VFBGA	10.70	7.89	7.32
MT48LC16M16A2FG-75:D TR	557-1057-2-ND	SDRAM, 256 Mb	SDRAM, 256Mb	54-VFBGA		6755.87/1,000	
MT48LC16M16A2P-7E:D TR	557-1060-1-ND	SDRAM, 256 Mb	SDRAM, 256Mb	54-TSOP	9.63	7.10	6.60
MT48LC16M16A2P-7E:D TR	557-1060-2-ND	SDRAM, 256 Mb	SDRAM, 256Mb	54-TSOP		6085.36/1,000	
MT48LC16M16A2P-75 IT:D TR	557-1058-1-ND	SDRAM, 256 Mb	SDRAM, 256Mb	54-TSOP	10.70	7.89	7.32
MT48LC16M16A2P-75 IT:D TR	557-1058-2-ND	SDRAM, 256 Mb	SDRAM, 256Mb	54-TSOP		6755.87/1,000	
MT48LC16M16A2P-75:D TR	557-1059-1-ND	SDRAM, 256 Mb	SDRAM, 256Mb	54-TSOP	9.63	7.10	6.60
MT48LC16M16A2P-75:D TR	557-1059-2-ND	SDRAM, 256 Mb	SDRAM, 256Mb	54-TSOP		6085.36/1,000	
MT48LC16M16A2TG-75 IT:D TR	557-1061-1-ND	SDRAM, 256 Mb	SDRAM, 256Mb	54-TSOP	10.70	7.89	7.32
MT48LC16M16A2TG-75 IT:D TR	557-1061-2-ND	SDRAM, 256 Mb	SDRAM, 256Mb	54-TSOP		6755.87/1,000	
MT48LC16M16A2TG-75 L:D TR	557-1062-1-ND	SDRAM, 256 Mb	SDRAM, 256Mb	54-TSOP	10.70	7.89	7.32
MT48LC16M16A2TG-75 L:D TR	557-1062-2-ND	SDRAM, 256 Mb	SDRAM, 256Mb	54-TSOP		6755.87/1,000	
MT48LC16M16A2TG-75:D TR	557-1063-1-ND	SDRAM, 256 Mb	SDRAM, 256Mb	54-TSOP	9.63	7.10	6.60
MT48LC16M16A2TG-75:D TR	557-1063-2-ND	SDRAM, 256 Mb	SDRAM, 256Mb	54-TSOP		6085.36/1,000	
MT48LC16M16A2TG-7E IT:D TR	557-1064-1-ND	SDRAM, 256 Mb	SDRAM, 256Mb	54-TSOP	11.31	8.34	7.74
MT48LC16M16A2TG-7E IT:D TR	557-1064-2-ND	SDRAM, 256 Mb	SDRAM, 256Mb	54-TSOP		7141.92/1,000	
MT48LC16M16A2TG-7E:D TR	557-1065-1-ND	SDRAM, 256 Mb	SDRAM, 256Mb	54-TSOP	9.63	7.10	6.60
MT48LC16M16A2TG-7E:D TR	557-1065-2-ND	SDRAM, 256 Mb	SDRAM, 256Mb	54-TSOP		6085.36/1,000	
MT48LC32M4A2TG-75:G TR	557-1081-1-ND	SDRAM, 128 Mb	SDRAM, 128Mb	54-TSOP	7.92	5.47	5.02
MT48LC32M4A2TG-75:G TR	557-1081-2-ND	SDRAM, 128 Mb	SDRAM, 128Mb	54-TSOP		4615.03/1,000	
MT48LC32M8A2FB-7E:D TR	557-1084-1-ND	SDRAM, 256 Mb	SDRAM, 256Mb	60-FBGA	11.47	8.46	7.85
MT48LC32M8A2FB-7E:D TR	557-1084-2-ND	SDRAM, 256 Mb	SDRAM, 256Mb	60-FBGA		7243.51/1,000	
MT48LC32M8A2FB-75 L:D TR	557-1082-1-ND	SDRAM, 256 Mb	SDRAM, 256Mb	60-FBGA	12.83	9.46	8.79
MT48LC32M8A2FB-75 L:D TR	557-1082-2-ND	SDRAM, 256 Mb	SDRAM, 256Mb	60-FBGA		8107.04/1,000	
MT48LC32M8A2FB-75:D TR	557-1083-1-ND	SDRAM, 256 Mb	SDRAM, 256Mb	60-FBGA	10.70	7.89	7.32
MT48LC32M8A2FB-75:D TR	557-1083-2-ND	SDRAM, 256 Mb	SDRAM, 256Mb	60-FBGA		6755.87/1,000	
MT48LC32M8A2TG-7E:D TR	557-1086-1-ND	SDRAM, 256 Mb	SDRAM, 256Mb	54-TSOP	9.63	7.10	6.60
MT48LC32M8A2TG-7E:D TR	557-1086-2-ND	SDRAM, 256 Mb	SDRAM, 256Mb	54-TSOP		6085.36/1,000	
MT48LC32M8A2TG-75:D TR	557-1085-1-ND	SDRAM, 256 Mb	SDRAM, 256Mb	54-TSOP	9.63	7.10	6.60
MT48LC32M8A2TG-75:D TR	557-1085-2-ND	SDRAM, 256 Mb	SDRAM, 256Mb	54-TSOP		6085.36/1,000	
MT48LC32M16A2P-75 IT:C TR	557-1077-1-ND	SDRAM, 512 Mb	SDRAM, 512Mb	54-TSOP	41.32	34.66	32.66
MT48LC32M16A2P-75 IT:C TR	557-1077-2-ND	SDRAM, 512 Mb	SDRAM, 512Mb	54-TSOP		30392.09/1,000	
MT48LC32M16A2P-75:C TR	557-1078-1-ND	SDRAM, 512 Mb	SDRAM, 512Mb	54-TSOP	32.11	25.31	24.33
MT48LC32M16A2P-75:C TR	557-1078-2-ND	SDRAM, 512 Mb	SDRAM, 512Mb	54-TSOP		22188.54/1,000	
MT48LC32M16A2TG-75 IT:C TR	557-1079-1-ND	SDRAM, 512 Mb	SDRAM, 512Mb	54-TSOP	41.32	34.66	32.66
MT48LC32M16A2TG-75 IT:C TR	557-1079-2-ND	SDRAM, 512 Mb	SDRAM, 512Mb	54-TSOP		30392.09/1,000	
MT48LC32M16A2TG-75:C TR	557-1080-1-ND	SDRAM, 512 Mb	SDRAM, 512Mb	54-TSOP	32.11	25.31	24.33
MT48LC32M16A2TG-75:C TR	557-1080-2-ND	SDRAM, 512 Mb	SDRAM, 512Mb	54-TSOP		22188.54/1,000	
MT48LC64M4A2TG-75:D TR	557-1097-1-ND	SDRAM, 256 Mb	SDRAM, 256Mb	54-TSOP	9.63	7.10	6.60
MT48LC64M4A2TG-75:D TR	557-1097-2-ND	SDRAM, 256 Mb	SDRAM, 256Mb	54-TSOP		6085.36/1,000	
MT48LC64M8A2TG-75:C TR	557-1098-1-ND	SDRAM, 512 Mb	SDRAM, 512Mb	54-TSOP	32.11	25.31	24.33
MT48LC64M8A2TG-75:C TR	557-1098-2-ND	SDRAM, 512 Mb	SDRAM, 512Mb	54-TSOP		22188.54/1,000	
MT48LC128M4A2TG-75:C TR	557-1055-1-ND	SDRAM, 512 Mb	SDRAM, 512Mb	54-TSOP	32.11	25.31	24.33
MT48LC128M4A2TG-75:C TR	557-1055-2-ND	SDRAM, 512 Mb	SDRAM, 512Mb	54-TSOP		22188.54/1,000	
MT48V8M32LFB5-8 IT TR	557-1107-1-ND	Mobiler SDRAM, 256 Mb	Mobile SDRAM, 256Mb	90-VFBGA	15.69	12.46	11.54
MT48V8M32LFB5-8 IT TR	557-1107-2-ND	Mobiler SDRAM, 256 Mb	Mobile SDRAM, 256Mb	90-VFBGA		10796.69/1,000	
MT48V8M32LFB5-8 TR	557-1108-1-ND	Mobiler SDRAM, 256 Mb	Mobile SDRAM, 256Mb	90-VFBGA	14.08	11.26	10.46
MT48V8M32LFB5-8 TR	557-1108-2-ND	Mobiler SDRAM, 256 Mb	Mobile SDRAM, 256Mb	90-VFBGA		9651.24/1,000	
DDR							
MT46V8M16TG-6T IT:D TR	557-1041-1-ND	DDR SDRAM, 128 Mb	DDR SDRAM, 128Mb	66-TSOP	6.65	4.90	4.55
MT46V8M16TG-6T IT:D TR	557-1041-2-ND	DDR SDRAM, 128 Mb	DDR SDRAM, 128Mb	66-TSOP		4195.75/1,000	
MT46V8M16TG-6T L:D TR	557-1042-1-ND	DDR SDRAM, 128 Mb	DDR SDRAM, 128Mb	66-TSOP	6.11	4.51	4.19
MT46V8M16TG-6T L:D TR	557-1042-2-ND	DDR SDRAM, 128 Mb	DDR SDRAM, 128Mb	66-TSOP		3860.50/1,000	
MT46V8M16TG-6T:D TR	557-1043-1-ND	DDR SDRAM, 128 Mb	DDR SDRAM, 128Mb	66-TSOP	5.87	4.06	3.72
MT46V8M16TG-6T:D TR	557-1043-2-ND	DDR SDRAM, 128 Mb	DDR SDRAM, 128Mb	66-TSOP		3422.80/1,000	
MT46V16M8TG-6T IT:D TR	557-1021-1-ND	DDR SDRAM, 128 Mb	DDR SDRAM, 128Mb	66-TSOP	6.65	4.90	4.55
MT46V16M8TG-6T IT:D TR	557-1021-2-ND	DDR SDRAM, 128 Mb	DDR SDRAM, 128Mb	66-TSOP		4195.75/1,000	
MT46V16M8TG-6T L:D TR	557-1022-1-ND	DDR SDRAM, 128 Mb	DDR SDRAM, 128Mb	66-TSOP	6.11	4.51	4.19
MT46V16M8TG-6T L:D TR	557-1022-2-ND	DDR SDRAM, 128 Mb	DDR SDRAM, 128Mb	66-TSOP		3860.50/1,000	
MT46V16M8TG-6T:D TR	557-1023-1-ND	DDR SDRAM, 128 Mb	DDR SDRAM, 128Mb	66-TSOP	5.92	4.09	3.75
MT46V16M8TG-6T:D TR	557-1023-2-ND	DDR SDRAM, 128 Mb	DDR SDRAM, 128Mb	66-TSOP		3453.28/1,000	
MT46V16M16FG-5B:F TR	557-1015-1-ND	DDR SDRAM, 256 Mb	DDR SDRAM, 256Mb	60-FBGA	7.88	6.31	5.86
MT46V16M16FG-5B:F TR	557-1015-2-ND	DDR SDRAM, 256 Mb	DDR SDRAM, 256Mb	60-FBGA		5404.69/1,000	
MT46V16M16FG-6:F TR	557-1016-1-ND	DDR SDRAM, 256 Mb	DDR SDRAM, 256Mb	60-FBGA	7.53	6.03	5.60
MT46V16M16FG-6:F TR	557-1016-2-ND	DDR SDRAM, 256 Mb	DDR SDRAM, 256Mb	60-FBGA		5160.87/1,000	
MT46V16M16TG-5B:F TR	557-1017-1-ND	DDR SDRAM, 256 Mb	DDR SDRAM, 256Mb	66-TSOP	6.50	4.79	4.45
MT46V16M16TG-5B:F TR	557-1017-2-ND	DDR SDRAM, 256 Mb	DDR SDRAM, 256Mb	66-TSOP		4104.32/1,000	
MT46V16M16TG-6T IT:F TR	557-1018-1-ND	DDR SDRAM, 256 Mb	DDR SDRAM, 256Mb	66-TSOP	7.64	5.63	5.23
MT46V16M16TG-6T IT:F TR	557-1018-2-ND	DDR SDRAM, 256 Mb	DDR SDRAM, 256Mb	66-TSOP		4825.62/1,000	

(Forts.)

★ RUFEN SIE BITTE AN FÜR NIEDRIGERE PREISE BEI GRÖSSEREN MENGEN! ★

Micron — DRAM (Forts.)

Micron Technology Teilenr.	Digi-Key Teilenr.	Beschreibung		Paket	Stückpreis★ 1	25	100
MT46V16M16TG-6T:F TR	557-1020-1-ND	DDR SDRAM, 256 Mb	DDR SDRAM, 256Mb	66-TSOP	6.11	4.51	4.19
MT46V16M16TG-6T:F TR	557-1020-2-ND	DDR SDRAM, 256 Mb	DDR SDRAM, 256Mb	66-TSOP		3860.50/1,000	
MT46V16M16TG-6T L:F TR	557-1019-1-ND	DDR SDRAM, 256 Mb	DDR SDRAM, 256Mb	66-TSOP	7.03	5.18	4.81
MT46V16M16TG-6T L:F TR	557-1019-2-ND	DDR SDRAM, 256 Mb	DDR SDRAM, 256Mb	66-TSOP		4439.57/1,000	
MT46V32M4TG-6T:D TR	557-1024-1-ND	DDR SDRAM, 128 Mb	DDR SDRAM, 128Mb	66-TSOP	5.92	4.09	3.75
MT46V32M4TG-6T:D TR	557-1024-2-ND	DDR SDRAM, 128 Mb	DDR SDRAM, 128Mb	66-TSOP		3453.28/1,000	
MT46V32M8FG-5B:G TR	557-1025-1-ND	DDR SDRAM, 256 Mb	DDR SDRAM, 256Mb	60-FBGA	7.25	5.80	5.39
MT46V32M8FG-5B:G TR	557-1025-2-ND	DDR SDRAM, 256 Mb	DDR SDRAM, 256Mb	60-FBGA		4967.85/1,000	
MT46V32M8FG-6:G TR	557-1026-1-ND	DDR SDRAM, 256 Mb	DDR SDRAM, 256Mb	60-FBGA	6.83	5.47	5.08
MT46V32M8FG-6:G TR	557-1026-2-ND	DDR SDRAM, 256 Mb	DDR SDRAM, 256Mb	60-FBGA		4683.39/1,000	
MT46V32M8TG-5B:G TR	557-1027-1-ND	DDR SDRAM, 256 Mb	DDR SDRAM, 256Mb	66-TSOP	5.50	4.06	3.77
MT46V32M8TG-5B:G TR	557-1027-2-ND	DDR SDRAM, 256 Mb	DDR SDRAM, 256Mb	66-TSOP		3474.45/1,000	
MT46V32M8TG-6T IT:G TR	557-1028-1-ND	DDR SDRAM, 256 Mb	DDR SDRAM, 256Mb	66-TSOP	6.88	5.08	4.72
MT46V32M8TG-6T IT:G TR	557-1028-2-ND	DDR SDRAM, 256 Mb	DDR SDRAM, 256Mb	66-TSOP		4348.14/1,000	
MT46V32M8TG-6T L:G TR	557-1029-1-ND	DDR SDRAM, 256 Mb	DDR SDRAM, 256Mb	66-TSOP	5.84	4.67	4.34
MT46V32M8TG-6T L:G TR	557-1029-2-ND	DDR SDRAM, 256 Mb	DDR SDRAM, 256Mb	66-TSOP		4002.72/1,000	
MT46V32M8TG-6T:G TR	557-1030-1-ND	DDR SDRAM, 256 Mb	DDR SDRAM, 256Mb	66-TSOP	5.50	4.06	3.77
MT46V32M8TG-6T:G TR	557-1030-2-ND	DDR SDRAM, 256 Mb	DDR SDRAM, 256Mb	66-TSOP		3474.45/1,000	
MT46V64M4FG-5B:G TR	557-1031-1-ND	DDR SDRAM, 256 Mb	DDR SDRAM, 256Mb	60-FBGA	7.25	5.80	5.39
MT46V64M4FG-5B:G TR	557-1031-2-ND	DDR SDRAM, 256 Mb	DDR SDRAM, 256Mb	60-FBGA		4967.85/1,000	
MT46V64M4FG-6:G TR	557-1032-1-ND	DDR SDRAM, 256 Mb	DDR SDRAM, 256Mb	60-FBGA	6.83	5.47	5.08
MT46V64M4FG-6:G TR	557-1032-2-ND	DDR SDRAM, 256 Mb	DDR SDRAM, 256Mb	60-FBGA		4683.39/1,000	
MT46V64M4TG-5B:G TR	557-1033-1-ND	DDR SDRAM, 256 Mb	DDR SDRAM, 256Mb	66-TSOP	5.81	4.28	3.98
MT46V64M4TG-5B:G TR	557-1033-2-ND	DDR SDRAM, 256 Mb	DDR SDRAM, 256Mb	66-TSOP		3667.47/1,000	
MT46V64M4TG-6T:G TR	557-1034-1-ND	DDR SDRAM, 256 Mb	DDR SDRAM, 256Mb	66-TSOP	5.50	4.06	3.77
MT46V64M4TG-6T:G TR	557-1034-2-ND	DDR SDRAM, 256 Mb	DDR SDRAM, 256Mb	66-TSOP		3474.45/1,000	
MT46V64M8FN-5B:D TR	557-1035-1-ND	DDR SDRAM, 512 Mb	DDR SDRAM, 512Mb	60-FBGA	15.04	11.95	11.06
MT46V64M8FN-5B:D TR	557-1035-2-ND	DDR SDRAM, 512 Mb	DDR SDRAM, 512Mb	60-FBGA		10351.38/1,000	
MT46V64M8FN-6:D TR	557-1036-1-ND	DDR SDRAM, 512 Mb	DDR SDRAM, 512Mb	60-FBGA	14.22	11.30	10.46
MT46V64M8FN-6:D TR	557-1036-2-ND	DDR SDRAM, 512 Mb	DDR SDRAM, 512Mb	60-FBGA		9786.70/1,000	
MT46V64M8TG-5B:D TR	557-1037-1-ND	DDR SDRAM, 512 Mb	DDR SDRAM, 512Mb	66-TSOP	9.58	7.61	7.04
MT46V64M8TG-5B:D TR	557-1037-2-ND	DDR SDRAM, 512 Mb	DDR SDRAM, 512Mb	66-TSOP		6587.39/1,000	
MT46V64M8TG-6T IT:D TR	557-1038-1-ND	DDR SDRAM, 512 Mb	DDR SDRAM, 512Mb	66-TSOP	11.61	9.15	8.80
MT46V64M8TG-6T IT:D TR	557-1038-2-ND	DDR SDRAM, 512 Mb	DDR SDRAM, 512Mb	66-TSOP		8463.46/1,000	
MT46V64M8TG-6T:D TR	557-1039-1-ND	DDR SDRAM, 512 Mb	DDR SDRAM, 512Mb	66-TSOP	9.58	7.61	7.04
MT46V64M8TG-6T:D TR	557-1039-2-ND	DDR SDRAM, 512 Mb	DDR SDRAM, 512Mb	66-TSOP		6587.39/1,000	
MT46V64M8TG-75 L:D TR	557-1040-1-ND	DDR SDRAM, 512 Mb	DDR SDRAM, 512Mb	66-TSOP	18.21	14.46	13.39
MT46V64M8TG-75 L:D TR	557-1040-2-ND	DDR SDRAM, 512 Mb	DDR SDRAM, 512Mb	66-TSOP		12530.53/1,000	
MT46V128M4FN-5B:D TR	557-1011-1-ND	DDR SDRAM, 512 Mb	DDR SDRAM, 512Mb	60-FBGA	16.75	13.31	12.32
MT46V128M4FN-5B:D TR	557-1011-2-ND	DDR SDRAM, 512 Mb	DDR SDRAM, 512Mb	60-FBGA		11529.85/1,000	
MT46V128M4FN-6:D TR	557-1012-1-ND	DDR SDRAM, 512 Mb	DDR SDRAM, 512Mb	60-FBGA	15.93	12.66	11.72
MT46V128M4FN-6:D TR	557-1012-2-ND	DDR SDRAM, 512 Mb	DDR SDRAM, 512Mb	60-FBGA		10965.16/1,000	
MT46V128M4TG-5B:D TR	557-1013-1-ND	DDR SDRAM, 512 Mb	DDR SDRAM, 512Mb	66-TSOP	13.27	10.54	9.76
MT46V128M4TG-5B:D TR	557-1013-2-ND	DDR SDRAM, 512 Mb	DDR SDRAM, 512Mb	66-TSOP		9132.27/1,000	
MT46V128M4TG-6T:D TR	557-1014-1-ND	DDR SDRAM, 512 Mb	DDR SDRAM, 512Mb	66-TSOP	12.58	9.99	9.25
MT46V128M4TG-6T:D TR	557-1014-2-ND	DDR SDRAM, 512 Mb	DDR SDRAM, 512Mb	66-TSOP		8657.33/1,000	
DDR2							
MT47H16M16BG-3:B TR	557-1046-1-ND	DDR2 SDRAM, 256 Mb	DDR2 SDRAM, 256Mb	84-FBGA	6.60	5.24	4.85
MT47H16M16BG-3:B TR	557-1046-2-ND	DDR2 SDRAM, 256 Mb	DDR2 SDRAM, 256Mb	84-FBGA		4536.93/1,000	
MT47H16M16BG-37E:B TR	557-1045-1-ND	DDR2 SDRAM, 256 Mb	DDR2 SDRAM, 256Mb	84-FBGA	7.03	5.18	4.81
MT47H16M16BG-37E:B TR	557-1045-2-ND	DDR2 SDRAM, 256 Mb	DDR2 SDRAM, 256Mb	84-FBGA		4439.57/1,000	
MT47H32M16BT-3:A TR	557-1048-1-ND	DDR2 SDRAM, 512 Mb	DDR2 SDRAM, 512Mb	92-FBGA	38.32	32.14	30.29
MT47H32M16BT-3:A TR	557-1048-2-ND	DDR2 SDRAM, 512 Mb	DDR2 SDRAM, 512Mb	92-FBGA		8203.55/1,000	
MT47H32M16BT-37E:A TR	557-1047-1-ND	DDR2 SDRAM, 512 Mb	DDR2 SDRAM, 512Mb	92-FBGA	8.28	6.58	6.09
MT47H32M16BT-37E:A TR	557-1047-2-ND	DDR2 SDRAM, 512 Mb	DDR2 SDRAM, 512Mb	92-FBGA		5695.50/1,000	
MT47H32M8BP-3:B TR	557-1050-1-ND	DDR2 SDRAM, 256 Mb	DDR2 SDRAM, 256Mb	60-FBGA	23.75	18.86	17.47
MT47H32M8BP-3:B TR	557-1050-2-ND	DDR2 SDRAM, 256 Mb	DDR2 SDRAM, 256Mb	60-FBGA		16343.61/1,000	
MT47H32M8BP-37E:B TR	557-1049-1-ND	DDR2 SDRAM, 256 Mb	DDR2 SDRAM, 256Mb	60-FBGA	7.03	5.18	4.81
MT47H32M8BP-37E:B TR	557-1049-2-ND	DDR2 SDRAM, 256 Mb	DDR2 SDRAM, 256Mb	60-FBGA		4439.57/1,000	
MT47H128M4BT-37E:A TR	557-1044-1-ND	DDR2 SDRAM, 512 Mb	DDR2 SDRAM, 512Mb	92-FBGA	22.45	17.83	16.51
MT47H128M4BT-37E:A TR	557-1044-2-ND	DDR2 SDRAM, 512 Mb	DDR2 SDRAM, 512Mb	92-FBGA		15452.14/1,000	

Micron — FLASH

Micron Technology Teilenr.	Digi-Key Teilenr.	Beschreibung		Paket	Stückpreis★ 1	25	100
NOR Flash							
MT28F128J3FS-12 ET TR	557-1000-1-ND	Q-Flash Speicher (128 Mb)	Q-Flash Memory, 128Mb	64-FBGA	11.34	9.07	8.42
MT28F128J3FS-12 ET TR	557-1000-2-ND	Q-Flash Speicher (128 Mb)	Q-Flash Memory, 128Mb	64-FBGA		7771.79/1,000	
MT28F128J3RG-12 ET TR	557-1001-1-ND	Q-Flash Speicher (128 Mb)	Q-Flash Memory, 128Mb	56-TSOP	11.34	9.07	8.42
MT28F128J3RG-12 ET TR	557-1001-2-ND	Q-Flash Speicher (128 Mb)	Q-Flash Memory, 128Mb	56-TSOP		7771.79/1,000	
MT28F320J3FS-11 ET TR	557-1002-1-ND	Q-Flash Speicher (32 Mb)	Q-Flash Memory, 32Mb	64-FBGA	3.38	2.34	2.14
MT28F320J3FS-11 ET TR	557-1002-2-ND	Q-Flash Speicher (32 Mb)	Q-Flash Memory, 32Mb	64-FBGA		1970.88/1,000	
MT28F320J3RG-11 ET TR	557-1003-1-ND	Q-Flash Speicher (32 Mb)	Q-Flash Memory, 32Mb	56-TSOP	3.38	2.34	2.14
MT28F320J3RG-11 ET TR	557-1003-2-ND	Q-Flash Speicher (32 Mb)	Q-Flash Memory, 32Mb	56-TSOP		1970.88/1,000	
MT28F640J3FS-115 ET TR	557-1004-1-ND	Q-Flash Speicher (64 Mb)	Q-Flash Memory, 64Mb	64-FBGA	5.87	4.06	3.72
MT28F640J3FS-115 ET TR	557-1004-2-ND	Q-Flash Speicher (64 Mb)	Q-Flash Memory, 64Mb	64-FBGA		3422.80/1,000	
MT28F640J3RG-115 ET TR	557-1005-1-ND	Q-Flash Speicher (64 Mb)	Q-Flash Memory, 64Mb	56-TSOP	5.87	4.06	3.72
MT28F640J3RG-115 ET TR	557-1005-2-ND	Q-Flash Speicher (64 Mb)	Q-Flash Memory, 64Mb	56-TSOP		3422.80/1,000	

Micron — PSRAM

Micron Technology Teilenr.	Digi-Key Teilenr.	Beschreibung		Paket	Stückpreis★ 1	25	100
MT45W1MW16BABB-706 WT TR	557-1006-1-ND	Asynch./Page/Burst CellularRAM, 16 Mb	Async/Page/Burst CellularRAM, 16Mb	54-VFBGA	4.27	2.95	2.71
MT45W1MW16BABB-706 WT TR	557-1006-2-ND	Asynch./Page/Burst CellularRAM, 16 Mb	Async/Page/Burst CellularRAM, 16Mb	54-VFBGA		4978.01/2,000	
MT45W2MW16BABB-706 WT TR	557-1007-1-ND	Asynch./Page/Burst CellularRAM, 32 Mb	Async/Page/Burst CellularRAM, 32Mb	54-VFBGA	5.07	3.50	3.21
MT45W2MW16BABB-706 WT TR	557-1007-2-ND	Asynch./Page/Burst CellularRAM, 32 Mb	Async/Page/Burst CellularRAM, 32Mb	54-VFBGA		5910.96/2,000	
MT45W4MW16BBB-706 WT TR	557-1008-1-ND	Asynch./Page/Burst CellularRAM, 64 Mb	Async/Page/Burst CellularRAM, 64Mb	54-VFBGA	8.04	5.93	5.51
MT45W4MW16BBB-706 WT TR	557-1008-2-ND	Asynch./Page/Burst CellularRAM, 64 Mb	Async/Page/Burst CellularRAM, 64Mb	54-VFBGA		10159.20/2,000	
MT45W4MW16BBB-708 WT TR	557-1009-1-ND	Asynch./Page/Burst CellularRAM, 64 Mb	Async/Page/Burst CellularRAM, 64Mb	54-VFBGA	8.04	5.93	5.51
MT45W4MW16BBB-708 WT TR	557-1009-2-ND	Asynch./Page/Burst CellularRAM, 64 Mb	Async/Page/Burst CellularRAM, 64Mb	54-VFBGA		10159.20/2,000	
MT45W8MW16BGX-708 WT TR	557-1010-1-ND	Asynch./Page/Burst CellularRAM, 128 Mb	Async/Page/Burst CellularRAM, 128Mb	54-VFBGA	7.60	6.09	5.65
MT45W8MW16BGX-708 WT TR	557-1010-2-ND	Asynch./Page/Burst CellularRAM, 128 Mb	Async/Page/Burst CellularRAM, 128Mb	54-VFBGA		10206.61/2,000	

★ RUFEN SIE BITTE AN FÜR NIEDRIGERE PREISE BEI GRÖSSEREN MENGEN! ★

Alle Preisangaben in Euro und inklusive Zollgebühren.

FLASH-SPEICHER

Digi-Key Teilenr.	Beschreibung		Paket	Stückpreis★ 1	25	100
		Toshiba				
TC58FVT160AFT-70-ND	16 M-Bit, 3 V CMOS (2 M x 8/1 M x 16) oberer Boot-Block	16M-Bit 3V CMOS (2M x 8 / 1M x 16) Top Boot Block	48-TSOP	3.34	2.67	2.08
TC58FVB160AFT-70-ND	16 M-Bit, 3 V CMOS (2 M x 8/1 M x 16) unterer Boot-Block	16M-Bit 3V CMOS (2M x 8 / 1M x 16) Bottom Boot Block	48-TSOP	3.34	2.67	2.08
TC58V64BFT-ND	64 M-Bit, 3 V NAND (8 M x 8)	64M-Bit 3V NAND (8M x 8)	44-TSOP	7.62	6.10	5.15
TC58FVM6B2ATG-65-ND	64 M-Bit, 3 V NOR CMOS (8 M x 8/4 M x 16) unterer Boot-Block	64M-Bit 3V NOR CMOS (8M x 8 / 4M x 16) Bottom Boot Block	48-TSOP	7.96	6.37	5.38
TC58FVM6T2ATG-65-ND	64 M-Bit, 3 V NOR CMOS (8 M x 8/4 M x 16) oberer Boot-Block	64M-Bit 3V NOR CMOS (8M x 8 / 4M x 16) Top Boot Block	48-TSOP	7.96	6.37	5.38
TC58DVM72A1FT-ND	128 M-Bit, 3,3 V NAND (16 M x 8)	128M-Bit 3.3V NAND (16M x 8)	48-TSOP	7.20	5.76	4.86
TC58FVM7B2ATG-65-ND	128 M-Bit, 3 V NOR CMOS (16 M x 8/8 M x 16) unterer Boot-Block	128M-Bit 3V NOR CMOS (16M x 8 / 8M x 16) Bottom Boot Block	56-TSOP	9.17	8.26	7.32
TC58FVM7T2ATG-65-ND	128 M-Bit, 3 V NOR CMOS (16 M x 8/8 M x 16) oberer Boot-Block	128M-Bit 3V NOR CMOS (16M x 8 / 8M x 16) Top Boot Block	56-TSOP	9.87	8.89	7.89

SRAM

Digi-Key Teilenr.	Beschreibung		Paket	Stückpreis★ 1	25	100
		Toshiba				
TC554001AFT-70L-ND	4 M-Bit SRAM (512 K x 8)	4M-Bit SRAM (512K x 8)	32-TSOP	3.73	2.98	2.52
TC55NEM208AFGN55L-ND	4 M-Bit SRAM (512 K x 8)	4M-Bit SRAM (512K x 8)	32-SOP	4.39	3.51	2.73
TC55NEM208ATGN55L-ND	4 M-Bit SRAM (512 K x 8)	4M-Bit SRAM (512K x 8)	32-TSOP	4.19	3.36	2.61
TC55NEM216ASGV70L-ND	4 M-Bit SRAM (256 K x 16)	4M-Bit SRAM (256K x 16)	44-TSOP	6.77	5.42	4.58
TC55NEM216ATGN55L-ND	4 M-Bit SRAM (256 K x 16)	4M-Bit SRAM (256K x 16)	54-TSOP	6.77	5.42	4.58
TC55W800FT55M-ND	8 M-Bit SRAM (512 K x 16)	8M-Bit SRAM (512K x 16)	48-TSOP	5.98	5.76	4.86
TC55VBM416AFTN55-ND	16 M-Bit SRAM (1 M x 16)	16M-Bit SRAM (1M x 16)	48-TSOP	10.86	9.78	8.67
TC55VEM416AXGN55-ND	16 M-Bit SRAM (1 M x 16)	16M-Bit SRAM (1M x 16)	48-BGA	13.97	13.04	12.11

EPROMS OTP (einmal programmierbar)

Digi-Key Teilenr.	Beschreibung		Paket	Stückpreis★ 1	25	100
		Fairchild Semiconductor				
NM27LV010T250-ND	1 MB (128 K x 8) Niederspannungs-EPROM OTP, 250 ns	1Meg (128Kx8) Low Voltage Eprom 250nS OTP	32-TSOP	8.45	7.12	6.45

SERIELLE EEPROMs

Digi-Key Teilenr.	Beschreibung		Paket	Stückpreis★ 1	25	100
		Microchip Technology				
AC812001-ND	PICSEE™ Einführungsdesignkit	PICSEE™ Introduction Design Kit	—	279.38	—	—
DV243002-ND	SEEPROM Designer-Entwicklungskit	SEEPROM Designer's Development Kit	—	84.65	—	—
SEEPROM1-KIT-ND	Digi- Key® Serielle EEPROM-Kits, niedrige Dichte	Digi-Key® Low-Density Serial EEPROM Kit	—	15.20	—	—
SEEPROM2-KIT-ND	Digi- Key® Serielle EEPROM-Kits, mittlere Dichte	Digi-Key® Mid-Density Serial EEPROM Kit	—	15.20	—	—
SEEPROM3-KIT-ND	Digi- Key® Serielle EEPROM-Kits, hohe Dichte	Digi-Key® High-Density Serial EEPROM Kit	—	16.89	—	—
SEEPROM4-KIT-ND	Digi- Key® Serielle EEPROM-Kits, Kombi-Dichte	Digi-Key® Combo-Density Serial EEPROM Kit	—	25.36	—	—
		2-adrige Schnittstelle				
24LC00/P-ND	16 x 8 CMOS-EEPROM, seriell, 2,5 V	16x8 CMOS Serial EEPROM 2.5V	8-Dip	.30	.28	.23
24LC00/SN-ND	16 x 8 CMOS-EEPROM, seriell, 2,5 V	16x8 CMOS Serial EEPROM 2.5V	8-SOIC	.32	.28	.23
24C00/P-ND	16 x 8 CMOS-EEPROM, seriell, 5 V	16x8 CMOS Serial EEPROM 5V	8-Dip	.30	.28	.23
24LC00-I/P-ND	16 x 8 CMOS-EEPROM, seriell, Ind.-Temp. 5 V	16x8 CMOS Serial EEPROM, Ind. Temp. 5V	8-Dip	.30	.28	.23
24LC00-I/SN-ND	16 x 8 CMOS-EEPROM, seriell, Ind.-Temp. 5 V	16x8 CMOS Serial EEPROM, Ind. Temp. 5V	8-SOIC	.32	.28	.23
24LC00-I/ST-ND	16 x 8 CMOS-EEPROM, seriell, Ind.-Temp. 5 V	16x8 CMOS Serial EEPROM, Ind. Temp. 5V	8-TSSOP	.36	.33	.28
24LC01B/P-ND	1 K (128 x 8) CMOS-EEPROM, seriell, 2,5 V	1K (128x8) CMOS Serial EEPROM 2.5V	8-Dip	.38	.30	.26
24LC01B-I/P-ND	1 K (128 x 8) CMOS-EEPROM, seriell, Ind.-Temp. 2,5 V	1K (128x8) CMOS Serial EEPROM, Ind. Temp. 2.5V	8-Dip	.38	.30	.26
24LC01B/SN-ND	1 K (128 x 8) CMOS-EEPROM, seriell, 2,5 V	1K (128x8) CMOS Serial EEPROM 2.5V	8-SOIC	.41	.30	.26
24LC01B-I/SN-ND	1 K (128 x 8) CMOS-EEPROM, seriell, Ind.-Temp. 2,5 V	1K (128x8) CMOS Serial EEPROM, Ind. Temp. 2.5V	8-SOIC	.41	.30	.26
24LC01BT-I/OTCT-ND	1 K (128 x 8) CMOS-EEPROM, seriell, Ind.-Temp. 2,5 V	1K (128x8) CMOS Serial EEPROM, Ind. Temp. 2.5V	SOT-23-5	.45	.41	.37
24LC01BT-I/OTTR-ND	1 K (128 x 8) CMOS-EEPROM, seriell, Ind.-Temp. 2,5 V	1K (128x8) CMOS Serial EEPROM, Ind. Temp. 2.5V	SOT-23-5		761.94/3,000	
24LC01BT-I/SNCT-ND	1 K (128 x 8) CMOS-EEPROM, seriell, Ind.-Temp. 2,5 V	1K (128x8) CMOS Serial EEPROM, Ind. Temp. 2.5V	8-SOIC	.45	.41	.37
24LC01BT-I/SNTR-ND	1 K (128 x 8) CMOS-EEPROM, seriell, Ind.-Temp. 2,5 V	1K (128x8) CMOS Serial EEPROM, Ind. Temp. 2.5V	8-SOIC		838.13/3,300	
24C01C/P-ND	1 K (128 x 8) CMOS-EEPROM, seriell, 5 V (Fast Byte Write)	1K (128x8) CMOS Serial EEPROM 5V (fast byte write)	8-Dip	.53	.39	.33
24C01C/SN-ND	1 K (128 x 8) CMOS-EEPROM, seriell, 5 V (Fast Byte Write)	1K (128x8) CMOS Serial EEPROM 5V (fast byte write)	8-SOIC	.55	.39	.33
24LCS52T-I/MCCT-ND	2 K (256 x 8) CMOS-EEPROM, seriell, Ind.-Temp. 2,2 V	2K (256x8) CMOS Serial EEPROM, Ind. Temp. 2.2V	8-DFN	.78	.70	.63
24LCS52T-I/MCTR-ND	2 K (256 x 8) CMOS-EEPROM, seriell, Ind.-Temp. 2,2 V	2K (256x8) CMOS Serial EEPROM, Ind. Temp. 2.2V	8-DFN		1536.58/3,300	
24LC02B/P-ND	2 K (256 x 8) CMOS-EEPROM, seriell, 2,5 V	2K (256x8) CMOS Serial EEPROM 2.5V	8-Dip	.42	.39	.33
24LC02B-I/P-ND	2 K (256 x 8) CMOS-EEPROM, seriell, Ind.-Temp. 2,5 V	2K (256x8) CMOS Serial EEPROM, Ind. Temp. 2.5V	8-Dip	.42	.36	.30
24LC02B/SN-ND	2 K (256 x 8) CMOS-EEPROM, seriell, 2,5 V	2K (256x8) CMOS Serial EEPROM 2.5V	8-SOIC	.46	.36	.30
24LC02B-I/SN-ND	2 K (256 x 8) CMOS-EEPROM, seriell, Ind.-Temp. 2,5 V	2K (256x8) CMOS Serial EEPROM, Ind. Temp. 2.5V	8-SOIC	.46	.36	.30
24LC02B/ST-ND	2 K (256 x 8) CMOS-EEPROM, seriell, 2,5 V	2K (256x8) CMOS Serial EEPROM 2.5V	8-TSSOP	.47	.41	.35
24LC02B-I/ST-ND	2 K (256 x 8) CMOS-EEPROM, seriell, Ind.-Temp. 2,5 V	2K (256x8) CMOS Serial EEPROM, Ind. Temp. 2.5V	8-TSSOP	.47	.41	.35
24C02C/P-ND	2 K (256 x 8) CMOS-EEPROM, seriell, 5 V (Fast Byte Write)	2K (256x8) CMOS Serial EEPROM 5V (fast byte write)	8-Dip	.58	.39	.33
24C02C/SN-ND	2 K (256 x 8) CMOS-EEPROM, seriell, 5 V (Fast Byte Write)	2K (256x8) CMOS Serial EEPROM 5V (fast byte write)	8-SOIC	.59	.39	.33
24LC04B/P-ND	4 K (512 x 8) CMOS-EEPROM seriell, 2,5 V	4K (512x8) CMOS Serial EEPROM 2.5V	8-Dip	.46	.36	.30
24LC04B-I/P-ND	4 K (512 x 8) CMOS-EEPROM, seriell, Ind.-Temp. 2,5 V	4K (512x8) CMOS Serial EEPROM, Ind. Temp. 2.5V	8-Dip	.46	.36	.30
24LC04B/SN-ND	4 K (512 x 8) CMOS-EEPROM seriell, 2,5 V	4K (512x8) CMOS Serial EEPROM 2.5V	8-SOIC	.47	.36	.30
24LC04B-I/SN-ND	4 K (512 x 8) CMOS-EEPROM, seriell, Ind.-Temp. 2,5 V	4K (512x8) CMOS Serial EEPROM, Ind. Temp. 2.5V	8-SOIC	.47	.36	.30
24LC04B/ST-ND	4 K (512 x 8) CMOS-EEPROM seriell, 2,5 V	4K (512x8) CMOS Serial EEPROM 2.5V	8-TSSOP	.50	.41	.35
24LC04B-I/ST-ND	4 K (512 x 8) CMOS-EEPROM, seriell, Ind.-Temp. 2,5 V	4K (512x8) CMOS Serial EEPROM, Ind. Temp. 2.5V	8-TSSOP	.50	.41	.35
24LC08B/P-ND	8 K (1 K x 8) CMOS-EEPROM, seriell, 2,5 V	8K (1Kx8) CMOS Serial EEPROM 2.5V	8-Dip	.53	.41	.35
24LC08B-I/P-ND	8 K (1 K x 8) CMOS, EEPROM, seriell, Ind.-Temp. 2,5 V	8K (1Kx8) CMOS Serial EEPROM, Ind. Temp. 2.5V	8-Dip	.53	.41	.35
24LC08B/SN-ND	8 K (1 K x 8) CMOS-EEPROM, seriell, 2,5 V	8K (1Kx8) CMOS Serial EEPROM 2.5V	8-SOIC	.55	.41	.35
24LC08B-I/SN-ND	8 K (1 K x 8) CMOS, EEPROM, seriell, Ind.-Temp. 2,5 V	8K (1Kx8) CMOS Serial EEPROM, Ind. Temp. 2.5V	8-SOIC	.55	.41	.35
24LC08B/ST-ND	8 K (1 K x 8) CMOS-EEPROM, seriell, 2,5 V	8K (1Kx8) CMOS Serial EEPROM 2.5V	8-TSSOP	.58	.47	.39
24LC08B-I/ST-ND	8 K (1 K x 8) CMOS, EEPROM, seriell, Ind.-Temp. 2,5 V	8K (1Kx8) CMOS Serial EEPROM, Ind. Temp. 2.5V	8-TSSOP	.58	.47	.39
24LC16B/P-ND	16 K (2 K x 8) CMOS-EEPROM, seriell, 2,5 V	16K (2Kx8) CMOS Serial EEPROM 2.5V	8 Dip	.53	.44	.38
24LC16B-I/P-ND	16 K (2 K x 8) CMOS-EEPROM, seriell, Ind.-Temp. 2,5 V	16K (2Kx8) CMOS Serial EEPROM, Ind. Temp. 2.5V	8-Dip	.53	.44	.38
24LC16B-I/ST-ND	16 K (2 K x 8) CMOS-EEPROM, seriell, Ind.-Temp. 2,5 V	16K (2Kx8) CMOS Serial EEPROM, Ind. Temp. 2.5V	8-TSSOP	.59	.50	.42
24LC16B/SN-ND	16 K (2 K x 8) CMOS-EEPROM, seriell, 2,5 V	16K (2Kx8) CMOS Serial EEPROM 2.5V	8-SOIC	.55	.44	.38
24LC16B-E/SN-ND	16 K (2 K x 8) CMOS-EEPROM, seriell, 2,5 V	16K (2Kx8) CMOS Serial EEPROM 2.5V	8-SOIC	.69	.52	.45
24LC16B-I/SN-ND	16 K (2 K x 8) CMOS-EEPROM, seriell, Ind.-Temp. 2,5 V	16K (2Kx8) CMOS Serial EEPROM, Ind. Temp. 2.5V	8-SOIC	.55	.44	.38
24LC32A/P-ND	32 K (4 K x 8) CMOS-EEPROM, seriell, 2,5 V	32K (4Kx8) CMOS Serial EEPROM 2.5V	8-Dip	.73	.58	.49
24LC32A-I/P-ND	32 K (4 K x 8) CMOS-EEPROM, seriell, Ind.-Temp. 2,5 V	32K (4Kx8) CMOS Serial EEPROM, Ind. Temp. 2.5V	8-Dip	.73	.58	.49
24LC32A-I/SM-ND	32 K (4 K x 8) CMOS-EEPROM, seriell, Ind.-Temp. 2,5 V	32K (4Kx8) CMOS Serial EEPROM, Ind. Temp. 2.5V	8-SOIC	.76	.58	.49
24LC32A/SN-ND	32 K (4 K x 8) CMOS-EEPROM, seriell, 2,5 V	32K (4Kx8) CMOS Serial EEPROM 2.5V	8-SOIC	.75	.58	.49
24LC32A-I/SN-ND	32 K (4 K x 8) CMOS-EEPROM, seriell, Ind.-Temp. 2,5 V	32K (4Kx8) CMOS Serial EEPROM, Ind. Temp. 2.5V	8-SOIC	.75	.58	.49
24LC32A-I/ST-ND	32 K (4 K x 8) CMOS-EEPROM, seriell, Ind.-Temp. 2,5 V	32K (4Kx8) CMOS Serial EEPROM, Ind. Temp. 2.5V	8-TSSOP	.78	.63	.53
24AA65/P-ND	64 K (8 K x 8) Smart CMOS-EEPROM, seriell, 1,8 V	64K (8Kx8) Smart CMOS Serial EEPROM 1.8V	8-Dip	2.34	2.16	1.83
24AA65/SM-ND	64 K (8 K x 8) Smart CMOS-EEPROM, seriell, 1,8 V	64K (8Kx8) Smart CMOS Serial EEPROM 1.8V	8-SOIC	2.19	2.16	1.83

(Forts.)

★ ***RUFEN SIE BITTE AN FÜR NIEDRIGERE PREISE BEI GRÖSSEREN MENGEN!*** ★

B

SERIELLE EEPROMs *(Forts)*

Digi-Key Teilenr.	Beschreibung		Paket	Stückpreis★ 1	25	100
24LC64-I/P-ND	64 K (8 K x 8) CMOS-EEPROM, seriell, Ind.-Temp. 2,5 V	64K (8Kx8) CMOS Serial EEPROM, Ind Temp. 2.5V	8-Dip	.84	.68	.58
24LC64-I/SM-ND	64 K (8 K x 8) CMOS-EEPROM, seriell, Ind.-Temp. 2,5 V	64K (8Kx8) CMOS Serial EEPROM, Ind. Temp. 2.5V	8-SOIC	.88	.68	.58
24LC64-I/SN-ND	64 K (8 K x 8) CMOS-EEPROM, seriell, Ind.-Temp. 2,5 V	64K (8Kx8) CMOS Serial EEPROM, Ind. Temp. 2.5V	8-SOIC	.86	.68	.58
24LC64-I/ST-ND	64 K (8 K x 8) CMOS-EEPROM, seriell, Ind.-Temp. 2,5 V	64K (8Kx8) CMOS Serial EEPROM, Ind. Temp. 2.5V	8-TSSOP	.91	.74	.63
24LC65/P-ND	64 K (8 K x 8) Smart CMOS-EEPROM, seriell, 2,5 V	64K (8Kx8) Smart CMOS Serial EEPROM 2.5V	8-Dip	2.29	2.16	1.83
24LC65-I/P-ND	64 K (8 K x 8) Smart CMOS-EEPROM, seriell, Ind.-Temp. 2,5 V	64K (8Kx8) Smart CMOS Serial EEPROM, Ind. Temp 2.5V	8-Dip	2.29	2.18	1.85
24LC65/SM-ND	64 K (8 K x 8) Smart CMOS-EEPROM, seriell, 2,5 V	64K (8Kx8) Smart CMOS Serial EEPROM 2.5V	8-SOIC	2.34	2.16	1.83
24LC65-I/SM-ND	64 K (8 K x 8) Smart CMOS-EEPROM, seriell, Ind.-Temp. 2,5 V	64K (8Kx8) Smart CMOS Serial EEPROM, Ind. Temp 2.5V	8-SOIC	2.34	2.16	1.83
24C65/P-ND	64 K (8 K x 8) Smart CMOS-EEPROM, seriell, 5 V	64K (8Kx8) Smart CMOS Serial EEPROM 5V	8-Dip	2.34	2.16	1.83
24C65/SM-ND	64 K (8 K x 8) Smart CMOS-EEPROM, seriell, 5 V	64K (8Kx8) Smart CMOS Serial EEPROM 5V	8-SOIC	2.19	2.16	1.83
24LC128-I/P-ND	128 K (16 K x 8) CMOS-EEPROM, seriell, Ind.-Temp. 2,5 V	128K (16Kx8) CMOS Serial EEPROM, Ind. Temp. 2.5V	8-Dip	1.31	1.04	.89
24LC128-I/SN-ND	128 K (16 K x 8) CMOS-EEPROM, seriell, Ind.-Temp. 2,5 V	128K (16Kx8) CMOS Serial EEPROM, Ind. Temp. 2.5V	8-SOIC	1.35	1.04	.89
24LC128-I/ST-ND	128 K (16 K x 8) CMOS-EEPROM, seriell, Ind.-Temp. 2,5 V	128K (16Kx8) CMOS Serial EEPROM, Ind. Temp. 2.5V	8-TSSOP	1.45	1.15	.98
24LC256-E/P-ND	256 K (32 K x 8) CMOS-EEPROM, seriell, 2,5 V	256K (32Kx8) CMOS Serial EEPROM 2.5V	8-Dip	2.06	1.55	1.32
24LC256-I/P-ND	256 K (32 K x 8) CMOS-EEPROM, seriell, Ind.-Temp. 2,5 V	256K (32Kx8) CMOS Serial EEPROM, Ind. Temp. 2.5V	8-Dip	1.90	1.48	1.25
24LC256-I/SM-ND	256 K (32 K x 8) CMOS-EEPROM, seriell, Ind.-Temp. 2,5 V	256K (32Kx8) CMOS Serial EEPROM, Ind. Temp. 2.5V	8-SOIC	1.95	1.48	1.25
24LC256-I/SN-ND	256 K (32 K x 8) CMOS-EEPROM, seriell, Ind.-Temp. 2,5 V	256K (32Kx8) CMOS Serial EEPROM, Ind. Temp. 2.5V	8-SOIC	1.92	1.48	1.25
24LC256-I/ST-ND	256 K (32 K x 8) CMOS-EEPROM, seriell, Ind.-Temp. 2,5 V	256K (32Kx8) CMOS Serial EEPROM, Ind. Temp. 2.5V	8-TSSOP	2.10	1.53	1.43
24LC256-I/MF-ND	256 K (32 K x 8) CMOS-EEPROM, seriell, Ind.-Temp. 2,5 V	256K (32Kx8) CMOS Serial EEPROM, Ind. Temp. 2.5V	8-DFN	2.33	1.94	1.65
24LC256T-I/SNCT-ND	256 K (32 K x 8) CMOS-EEPROM, seriell, Ind.-Temp. 2,5 V	256K (32Kx8) CMOS Serial EEPROM, Ind. Temp. 2.5V	8-SOIC	2.40	2.14	1.93
24LC256T-I/SNTR-ND	256 K (32 K x 8) CMOS-EEPROM, seriell, Ind.-Temp. 2,5 V	256K (32Kx8) CMOS Serial EEPROM, Ind. Temp. 2.5V	8-SOIC		4106.87/3,300	
24FC515-I/P-ND	512 K (64 K x 8) CMOS-EEPROM, seriell, 2,5 V	512K (64Kx8) CMOS Serial EEPROM 2.5V	8-Dip	3.96	3.87	3.28
24FC515-I/SM-ND	512 K (64 K x 8) CMOS-EEPROM, seriell, 2,5 V	512K (64Kx8) CMOS Serial EEPROM 2.5V	8-SOIC	4.00	3.87	3.28
24LC515-I/P-ND	512 K (64 x 8) CMOS-EEPROM seriell, 2,5 V	512K (64x8) CMOS Serial EEPROM 2.5V	8-Dip	3.91	3.81	3.24
24LC515-I/SM-ND	512 K (64 x 8) CMOS-EEPROM seriell, 2,5 V	512K (64x8) CMOS Serial EEPROM 2.5V	8-SOIC	3.96	3.81	3.24
24LC21/P-ND	1 K DDC™/DDC2™ für Monitore, Doppelbetrieb	1K Dual Mode DDC™/DDC2™ for Monitors	8-Dip	.55	.52	.45
24LC21/SN-ND	1 K DDC™/DDC2™ für Monitore, Doppelbetrieb	1K Dual Mode DDC™/DDC2™ for Monitors	8-SOIC	.52	.48	.40
	SPI-EEPROMS, seriell					
25LC040/P-ND	4 K (512 x 8) CMOS-EEPROM seriell, 2,5 V	4K (512x8) CMOS Serial EEPROM 2.5V	8-Dip	.67	.66	.56
25LC040/SN-ND	4 K (512 x 8) CMOS-EEPROM seriell, 2,5 V	4K (512x8) CMOS Serial EEPROM 2.5V	8-SOIC	.69	.66	.56
25C040/SN-ND	4 K (512 x 8) CMOS-EEPROM seriell, 5 V	4K (512x8) CMOS Serial EEPROM 5V	8-SOIC	.69	.66	.56
25AA080/P-ND	8 K (1 K x 8) CMOS-EEPROM, seriell, 1,8 V	8K (1Kx8) CMOS Serial EEPROM 1.8V	8-Dip	1.12	1.06	.90
25AA080/SN-ND	8 K (1 K x 8) CMOS-EEPROM, seriell, 1,8 V	8K (1Kx8) CMOS Serial EEPROM 1.8V	8-SOIC	1.08	1.04	.89
25AA080A-I/MS-ND	8 K (1 K x 8) CMOS, EEPROM, seriell, Ind.-Temp. 1,8 V	8K (1Kx8) CMOS Serial EEPROM, Ind. Temp. 1.8V	8-MSOP	.93	.74	.63
25AA080A-I/P-ND	8 K (1 K x 8) CMOS, EEPROM, seriell, Ind.-Temp. 1,8 V	8K (1Kx8) CMOS Serial EEPROM, Ind. Temp. 1.8V	8-Dip	.84	.72	.61
25AA080A-I/SN-ND	8 K (1 K x 8) CMOS, EEPROM, seriell, Ind.-Temp. 1,8 V	8K (1Kx8) CMOS Serial EEPROM, Ind. Temp. 1.8V	8-SOIC	.88	.68	.58
25AA080A-I/ST-ND	8 K (1 K x 8) CMOS, EEPROM, seriell, Ind.-Temp. 1,8 V	8K (1Kx8) CMOS Serial EEPROM, Ind. Temp. 1.8V	8-TSSOP	.93	.74	.63
25AA080B-I/MS-ND	8 K (1 K x 8) CMOS, EEPROM, seriell, Ind.-Temp. 1,8 V	8K (1Kx8) CMOS Serial EEPROM, Ind. Temp. 1.8V	8-MSOP	.93	.74	.63
25AA080B-I/P-ND	8 K (1 K x 8) CMOS, EEPROM, seriell, Ind.-Temp. 1,8 V	8K (1Kx8) CMOS Serial EEPROM, Ind. Temp. 1.8V	8-Dip	.84	.72	.61
25AA080B-I/SN-ND	8 K (1 K x 8) CMOS, EEPROM, seriell, Ind.-Temp. 1,8 V	8K (1Kx8) CMOS Serial EEPROM, Ind. Temp. 1.8V	8-SOIC	.88	.68	.58
25AA080B-I/ST-ND	8 K (1 K x 8) CMOS, EEPROM, seriell, Ind.-Temp. 1,8 V	8K (1Kx8) CMOS Serial EEPROM, Ind. Temp. 1.8V	8-TSSOP	.93	.74	.63
25LC080/P-ND	8 K (1 K x 8) CMOS-EEPROM, seriell, 2,5 V	8K (1Kx8) CMOS Serial EEPROM 2.5V	8-Dip	1.02	.96	.81
25LC080/SN-ND	8 K (1 K x 8) CMOS-EEPROM, seriell, 2,5 V	8K (1Kx8) CMOS Serial EEPROM 2.5V	8-SOIC	1.08	.96	.81
25LC080A-I/MS-ND	8 K (1 K x 8) CMOS, EEPROM, seriell, Ind.-Temp. 2,5 V	8K (1Kx8) CMOS Serial EEPROM, Ind. Temp. 2.5V	8-MSOP	.93	.74	.63
25LC080A-I/P-ND	8 K (1 K x 8) CMOS, EEPROM, seriell, Ind.-Temp. 2,5 V	8K (1Kx8) CMOS Serial EEPROM, Ind. Temp. 2.5V	8-Dip	.84	.72	.61
25LC080A-I/SN-ND	8 K (1 K x 8) CMOS, EEPROM, seriell, Ind.-Temp. 2,5 V	8K (1Kx8) CMOS Serial EEPROM, Ind. Temp. 2.5V	8-SOIC	.88	.68	.58
25LC080A-I/ST-ND	8 K (1 K x 8) CMOS, EEPROM, seriell, Ind.-Temp. 2,5 V	8K (1Kx8) CMOS Serial EEPROM, Ind. Temp. 2.5V	8-TSSOP	.93	.74	.63
25C080/P-ND	8 K (1 K x 8) CMOS-EEPROM, seriell, 5 V	8K (1Kx8) CMOS Serial EEPROM 5V	8-Dip	1.02	.96	.81
25C080/SN-ND	8 K (1 K x 8) CMOS-EEPROM, seriell, 5 V	8K (1Kx8) CMOS Serial EEPROM 5V	8-SOIC	1.08	.96	.81
25C080-I/SN-ND	8 K (1 K x 8) CMOS, EEPROM, seriell, Ind.-Temp. 5 V	8K (1Kx8) CMOS Serial EEPROM, Ind. Temp. 5V	8-SOIC	1.08	.96	.81
25AA160A-I/MS-ND	16 K (2 K x 8) CMOS-EEPROM, seriell, Ind.-Temp. 1,8 V	16K (2Kx8) CMOS Serial EEPROM, Ind. Temp. 1.8V	8-MSOP	.93	.77	.65
25AA160A-I/P-ND	16 K (2 K x 8) CMOS-EEPROM, seriell, Ind.-Temp. 1,8 V	16K (2Kx8) CMOS Serial EEPROM, Ind. Temp. 1.8V	8-Dip	.84	.74	.63
25AA160A-I/SN-ND	16 K (2 K x 8) CMOS-EEPROM, seriell, Ind.-Temp. 1,8 V	16K (2Kx8) CMOS Serial EEPROM, Ind. Temp. 1.8V	8-SOIC	.88	.72	.61
25AA160A-I/ST-ND	16 K (2 K x 8) CMOS-EEPROM, seriell, Ind.-Temp. 1,8 V	16K (2Kx8) CMOS Serial EEPROM, Ind. Temp. 1.8V	8-TSSOP	.93	.77	.65
25AA160B-I/MS-ND	16 K (2 K x 8) CMOS-EEPROM, seriell, Ind.-Temp. 1,8 V	16K (2Kx8) CMOS Serial EEPROM, Ind. Temp. 1.8V	8-MSOP	.93	.77	.65
25AA160B-I/P-ND	16 K (2 K x 8) CMOS-EEPROM, seriell, Ind.-Temp. 1,8 V	16K (2Kx8) CMOS Serial EEPROM, Ind. Temp. 1.8V	8-Dip	.84	.74	.63
25AA160B-I/SN-ND	16 K (2 K x 8) CMOS-EEPROM, seriell, Ind.-Temp. 1,8 V	16K (2Kx8) CMOS Serial EEPROM, Ind. Temp. 1.8V	8-SOIC	.88	.72	.61
25AA160B-I/ST-ND	16 K (2 K x 8) CMOS-EEPROM, seriell, Ind.-Temp. 1,8 V	16K (2Kx8) CMOS Serial EEPROM, Ind. Temp. 1.8V	8-TSSOP	.93	.77	.65
25LC160/P-ND	16 K (2 K x 8) CMOS-EEPROM, seriell, 2,5 V	16K (2Kx8) CMOS Serial EEPROM 2.5V	8-Dip	.97	.96	.81
25LC160/SN-ND	16 K (2 K x 8) CMOS-EEPROM, seriell, 2,5 V	16K (2Kx8) CMOS Serial EEPROM 2.5V	8-SOIC	1.19	1.06	.90
25LC160A-I/MS-ND	16 K (2 K x 8) CMOS-EEPROM, seriell, Ind.-Temp. 2,5 V	16K (2Kx8) CMOS Serial EERPOM, Ind. Temp. 2.5V	8-MSOP	.93	.77	.65
25LC160A-I/P-ND	16 K (2 K x 8) CMOS-EEPROM, seriell, Ind.-Temp. 2,5 V	16K (2Kx8) CMOS Serial EERPOM, Ind. Temp. 2.5V	8-Dip	.84	.74	.63
25LC160A-I/SN-ND	16 K (2 K x 8) CMOS-EEPROM, seriell, Ind.-Temp. 2,5 V	16K (2Kx8) CMOS Serial EERPOM, Ind. Temp. 2.5V	8-SOIC	.88	.72	.61
25LC160A-I/ST-ND	16 K (2 K x 8) CMOS-EEPROM, seriell, Ind.-Temp. 2,5 V	16K (2Kx8) CMOS Serial EERPOM, Ind. Temp. 2.5V	8-TSSOP	.93	.77	.65
25LC160B-I/MS-ND	16 K (2 K x 8) CMOS-EEPROM, seriell, Ind.-Temp. 2,5 V	16K (2Kx8) CMOS Serial EERPOM, Ind. Temp. 2.5V	8-MSOP	.93	.77	.65
25LC160B-I/P-ND	16 K (2 K x 8) CMOS-EEPROM, seriell, Ind.-Temp. 2,5 V	16K (2Kx8) CMOS Serial EERPOM, Ind. Temp. 2.5V	8-Dip	.84	.74	.63
25LC160B-I/SN-ND	16 K (2 K x 8) CMOS-EEPROM, seriell, Ind.-Temp. 2,5 V	16K (2Kx8) CMOS Serial EERPOM, Ind. Temp. 2.5V	8-SOIC	.88	.72	.61
25LC160B-I/ST-ND	16 K (2 K x 8) CMOS-EEPROM, seriell, Ind.-Temp. 2,5 V	16K (2Kx8) CMOS Serial EERPOM, Ind. Temp. 2.5V	8-TSSOP	.93	.77	.65
25C160/P-ND	16 K (2 K x 8) CMOS-EEPROM, seriell, 5 V	16K (2Kx8) CMOS Serial EEPROM 5V	8-Dip	.97	.96	.81
25C160/SN-ND	16 K (2 K x 8) CMOS-EEPROM, seriell, 5 V	16K (2Kx8) CMOS Serial EEPROM 5V	8-SOIC	1.00	.96	.81
25C160-I/P-ND	16 K (2 K x 8) CMOS-EEPROM, seriell, Ind.-Temp. 5 V	16K (2Kx8) CMOS Serial EEPROM, Ind. Temp. 5V	8-Dip	.97	.96	.81
25AA256-I/MF-ND	256 K (32 K x 8) CMOS-EEPROM, seriell, Ind.-Temp. 1,8 V	256K (32Kx8) CMOS Serial EEPROM, Ind. Temp. 1.8V	8-DFN	3.09	2.78	2.36
25AA256-I/P-ND	256 K (32 K x 8) CMOS-EEPROM, seriell, Ind.-Temp. 1,8 V	256K (32Kx8) CMOS Serial EEPROM, Ind. Temp. 1.8V	8-Dip	2.44	2.16	1.83
25AA256-I/SN-ND	256 K (32 K x 8) CMOS-EEPROM, seriell, Ind.-Temp. 1,8 V	256K (32Kx8) CMOS Serial EEPROM, Ind. Temp. 1.8V	8-SOIC	2.46	2.13	1.81
25AA256-I/ST-ND	256 K (32 K x 8) CMOS-EEPROM, seriell, Ind.-Temp. 1,8 V	256K (32Kx8) CMOS Serial EEPROM, Ind. Temp. 1.8V	8-TSSOP	2.67	2.18	1.85
25LC256-I/MF-ND	256 K (32 K x 8) CMOS-EEPROM, seriell, Ind.-Temp. 2,5 V	256K (32Kx8) CMOS Serial EEPROM, Ind. Temp. 2.5V	8-DFN	3.09	2.78	2.36
25LC256-I/P-ND	256 K (32 K x 8) CMOS-EEPROM, seriell, Ind.-Temp. 2,5 V	256K (32Kx8) CMOS Serial EEPROM, Ind. Temp. 2.5V	8-Dip	2.44	2.16	1.83
25LC256-I/ST-ND	256 K (32 K x 8) CMOS-EEPROM, seriell, Ind.-Temp. 2,5 V	256K (32Kx8) CMOS Serial EEPROM, Ind. Temp. 2.5V	8-TSSOP	2.67	2.18	1.85
25AA320-I/SN-ND	32 K (4 K x 8) CMOS-EEPROM, seriell, Ind.-Temp. 1,8 V	32K (4Kx8) CMOS Serial EEPROM Ind. Temp. 1.8V	8-SOIC	.91	.79	.67
25LC320/P-ND	32 K (4 K x 8) CMOS-EEPROM, seriell, 2,5 V	32K (4Kx8) CMOS Serial EEPROM 2.5V	8-Dip	.88	.79	.67
25LC320/SN-ND	32 K (4 K x 8) CMOS-EEPROM, seriell, 2,5 V	32K (4Kx8) CMOS Serial EEPROM 2.5V	8-SOIC	.90	.79	.67
25C320/P-ND	32 K (4 K x 8) CMOS-EEPROM, seriell, 5 V	32K (4Kx8) CMOS Serial EEPROM 5V	8-Dip	1.22	.79	.67
25C320/SN-ND	32 K (4 K x 8) CMOS-EEPROM, seriell, 5 V	32K (4Kx8) CMOS Serial EEPROM 5V	8-SOIC	1.24	.79	.67
25LC640-I/P-ND	64 K (8 K x 8) CMOS-SPI-EEPROM, seriell, Ind.-Temp. 2,5 V	64K (8Kx8) CMOS SPI Serial EEPROM, Ind. Temp. 2.5V	8-Dip	.91	.82	.70
25LC640-I/SN-ND	64 K (8 K x 8) CMOS-SPI-EEPROM, seriell, Ind.-Temp. 2,5 V	64K (8Kx8) CMOS SPI Serial EEPROM, Ind. Temp. 2.5V	8-SOIC	.93	.79	.67
25LC640T-I/SNCT-ND	64 K (8 K x 8) CMOS-SPI-EEPROM, seriell, Ind.-Temp. 2,5 V	64K (8Kx8) CMOS SPI Serial EEPROM, Ind. Temp. 2.5V	8-SOIC	1.16	1.04	.94
25LC640T-I/SNTR-ND	64 K (8 K x 8) CMOS-SPI-EEPROM, seriell, Ind.-Temp. 2,5 V	64K (8Kx8) CMOS SPI Serial EEPROM, Ind. Temp. 2.5V	8-SOIC		2207.08/3,300	
25AA1024-I/MF-ND	1 M (128 K x 8) CMOS-EEPROM, seriell, Ind.-Temp. 1,8 V	1M (128Kx8) CMOS Serial EEPROM, Ind. Temp. 1.8V	8-DFN	5.68	4.91	4.16
25AA1024-I/P-ND	1 M (128 K x 8) CMOS-EEPROM, seriell, Ind.-Temp. 1,8 V	1M (128Kx8) CMOS Serial EEPROM, Ind. Temp. 1.8V	8-Dip	4.89	4.28	3.63
25AA1024-I/SM-ND	1 M (128 K x 8) CMOS-EEPROM, seriell, Ind.-Temp. 1,8 V	1M (128Kx8) CMOS Serial EEPROM, Ind. Temp. 1.8V	8-SOIC	4.89	4.28	3.63
25LC1024-I/MF-ND	1 M (128 K x 8) CMOS-EEPROM, seriell, Ind.-Temp. 2,5 V	1M (128Kx8) CMOS Serial EEPROM, Ind. Temp. 2.5V	8-DFN	6.31	4.71	4.00
25LC1024-I/P-ND	1 M (128 K x 8) CMOS-EEPROM, seriell, Ind.-Temp. 2,5 V	1M (128Kx8) CMOS Serial EEPROM, Ind. Temp. 2.5V	8-Dip	5.44	4.28	3.63
25LC1024-I/SM-ND	1 M (128 K x 8) CMOS-EEPROM, seriell, Ind.-Temp. 2,5 V	1M (128Kx8) CMOS Serial EEPROM, Ind. Temp. 2.5V	8-SOIC	5.44	4.28	3.63
	3-adrige Schnittstelle					
93AA46/P-ND	1 K (128 x 8 oder 64 x 16) CMOS-EEPROM, seriell, 1,8 V-5,5 V	1K (128x8 or 64x16) CMOS Serial EEPROM 1.8V-5.5V	8-Dip	.66	.61	.51
93AA46/SN-ND	1 K (128 x 8 oder 64 x 16) CMOS-EEPROM, seriell, 1,8 V-5,5 V	1K (128x8 or 64x16) CMOS Serial EEPROM 1.8V-5.5V	8-SOIC	.71	.61	.51
93AA46-I/SN-ND	1 K (128 x 8 oder 64 x 16) CMOS-EEPROM, seriell, Ind.-Temp. 1,8 V - 5,5 V	1K (128x8 or 64x16) CMOS Serial EEPROM, Ind. Temp. 1.8V-5.5V	8-SOIC	.71	.61	.51

(Forts.)

★ RUFEN SIE BITTE AN FÜR NIEDRIGERE PREISE BEI GRÖSSEREN MENGEN! ★

Alle Preisangaben in Euro und inklusive Zollgebühren.

SERIELLE EEPROMs *(Forts.)*

Digi-Key Teilenr.	Beschreibung		Paket	Stückpreis★ 1	25	100
93AA46A-I/MS-ND	1 K (128 x 8) CMOS-EEPROM, seriell, 1,8 V-5,5 V	1K (128x8) CMOS Serial EEPROM 1.8V-5.5V	8-MSOP	.41	.39	.33
93AA46A-I/P-ND	1 K (128 x 8) CMOS-EEPROM, seriell, 1,8 V-5,5 V	1K (128x8) CMOS Serial EEPROM 1.8V-5.5V	8-Dip	.37	.36	.30
93AA46A-I/SN-ND	1 K (128 x 8) CMOS-EEPROM, seriell, 1,8 V-5,5 V	1K (128x8) CMOS Serial EEPROM 1.8V-5.5V	8-SOIC	.36	.33	.28
93AA46A-I/ST-ND	1 K (128 x 8) CMOS-EEPROM, seriell, 1,8 V-5,5 V	1K (128x8) CMOS Serial EEPROM 1.8V-5.5V	8-TSSOP	.41	.39	.33
93AA46B-I/P-ND	1 K (64 x 16) CMOS-EEPROM, seriell, 1,8 V-5,5 V	1K (64x16) CMOS Serial EEPROM 1.8V-5.5V	8-Dip	.36	.33	.28
93LC46/P-ND	1 K (128 x 8) CMOS-EEPROM, seriell, 2,5 V-5,5 V	1K (128x8) CMOS Serial EEPROM 2.5V-5.5V	8-Dip	.66	.61	.51
93LC46A/P-ND	1 K (128 x 8) CMOS-EEPROM, seriell, 2,5 V-5,5 V	1K (128x8) CMOS Serial EEPROM 2.5V-5.5V	8-Dip	.38	.33	.28
93LC46A/SN-ND	1 K (128 x 8) CMOS-EEPROM, seriell, 2,5 V-5,5 V	1K (128x8) CMOS Serial EEPROM 2.5V-5.5V	8-SOIC	.40	.33	.28
93LC46A-I/MS-ND	1 K (128 x 8) CMOS-EEPROM, seriell, 2,5 V-5,5 V	1K (128x8) CMOS Serial EEPROM 2.5V-5.5V	8-MSOP	.41	.39	.33
93LC46B/P-ND	1 K (64 x 16) CMOS-EEPROM, seriell, 2,5 V-5,5 V	1K (64x16) CMOS Serial EEPROM 2.5V-5.5V	8-Dip	.36	.33	.28
93LC46B/SN-ND	1 K (64 x 16) CMOS-EEPROM, seriell, 2,5 V-5,5 V	1K (64x16) CMOS Serial EEPROM 2.5V-5.5V	8-SOIC	.38	.33	.28
93LC46BT-I/SNCT-ND	1 K (64 x 16) CMOS-EEPROM, seriell, 2,5 V-5,5 V	1K (64x16) CMOS Serial EEPROM 2.5V-5.5V	8-SOIC	.47	.43	.39
93LC46BT-I/SNTR-ND	1 K (64 x 16) CMOS-EEPROM, seriell, 2,5 V-5,5 V	1K (64x16) CMOS Serial EEPROM 2.5V-5.5V	8-SOIC		921.95/3,300	
93LC46-I/SN-ND	1 K (128 x 8 oder 64 x 16) CMOS-EEPROM, seriell, Ind.-Temp. 2,5 V-5,5 V	1K (128x8 or 64x16) CMOS Serial EEPROM, Ind. Temp, 2.5V-5.5V	8-SOIC	.71	.61	.51
93LC46A-I/P-ND	1 K (128 x 8) CMOS-EEPROM, seriell, Ind.-Temp. 2,5 V-5,5 V	1K (128x8) CMOS Serial EEPROM, Ind. Temp 2.5V-5.5V	8-Dip	.38	.33	.28
93LC46A-I/SN-ND	1 K (128 x 8) CMOS-EEPROM, seriell, Ind.-Temp. 2,5 V-5,5 V	1K (128x8) CMOS Serial EEPROM, Ind. Temp 2.5V-5.5V	8-SOIC	.40	.33	.28
93LC46B-I/P-ND	1 K (64 x 16) CMOS-EEPROM, seriell, Ind.-Temp. 2,5 V-5,5 V	1K (64x16) CMOS Serial EEPROM, Ind. Temp. 2.5V-5.5V	8-Dip	.36	.33	.28
93LC46B-I/SN-ND	1 K (64 x 16) CMOS-EEPROM, seriell, Ind.-Temp. 2,5 V-5,5 V	1K (64x16) CMOS Serial EEPROM, Ind. Temp. 2.5V-5.5V	8-SOIC	.38	.33	.28
93C46A-I/MS-ND	1 K (128 x 8) CMOS-EEPROM, seriell, 4,5 V-5,5 V	1K (128x8) CMOS Serial EEPROM 4.5V-5.5V	8-MSOP	.41	.39	.33
93C46A-I/P-ND	1 K (128 x 8) CMOS-EEPROM, seriell, 4,5 V-5,5 V	1K (128x8) CMOS Serial EEPROM 4.5V-5.5V	8-Dip	.36	.33	.28
93C46A-I/SN-ND	1 K (128 x 8) CMOS-EEPROM, seriell, 4,5 V-5,5 V	1K (128x8) CMOS Serial EEPROM 4.5V-5.5V	8-SOIC	.36	.33	.28
93C46A-I/ST-ND	1 K (128 x 8) CMOS-EEPROM, seriell, 4,5 V-5,5 V	1K (128x8) CMOS Serial EEPROM 4.5V-5.5V	8-TSSOP	.41	.39	.33
93C46AX-I/SN-ND	1 K (128 x 8) CMOS-EEPROM, seriell, 4,5 V-5,5 V	1K (128x8) CMOS Serial EEPROM 4.5V-5.5V	8-SOIC	.36	.33	.28
93AA56/SN-ND	2 K (256 x 8 oder 128 x 16) CMOS-EEPROM, seriell, 1,8 V	2K (256x8 or 128x16) CMOS Serial EEPROM 1.8V	8-SOIC	.86	.68	.58
93LC56/P-ND	2 K (256 x 8 oder 128 x 16) CMOS-EEPROM, seriell, 2,5 V	2K (256x8 or 128x16) CMOS Serial EEPROM 2.5V	8-Dip	.81	.68	.58
93LC56/SN-ND	2 K (256 x 8 oder 128 x 16) CMOS-EEPROM, seriell, 2,5 V	2K (256x8 or 128x16) CMOS Serial EEPROM 2.5V	8-SOIC	.86	.68	.58
93LC56A/P-ND	2 K (256 x 8) CMOS-EEPROM, seriell, 2,5 V	2K (256x8) CMOS Serial EEPROM 2.5V	8-Dip	.40	.36	.30
93LC56A/SN-ND	2 K (256 x 8) CMOS-EEPROM, seriell, 2,5 V	2K (256x8) CMOS Serial EEPROM 2.5V	8-SOIC	.42	.36	.30
93LC56B/P-ND	2 K (128 x 16) CMOS-EEPROM seriell, 2,5 V	2K (128x16) CMOS Serial EEPROM 2.5V	8-Dip	.40	.36	.30
93LC56B/SN-ND	2 K (128 x 16) CMOS-EEPROM seriell, 2,5 V	2K (128x16) CMOS Serial EEPROM 2.5V	8-SOIC	.42	.36	.30
93LC56-I/P-ND	2 K (256 x 8 oder 128 x 16) CMOS-EEPROM, seriell, Ind.-Temp. 2,5 V	2K (256x8 or 128x16) CMOS Serial EEPROM, Ind. Temp. 2.5V	8-Dip	.81	.68	.58
93LC56-I/SN-ND	2 K (256 x 8 oder 128 x 16) CMOS-EEPROM, seriell, Ind.-Temp. 2,5 V	2K (256x8 or 128x16) CMOS Serial EEPROM, Ind. Temp. 2.5V	8-SOIC	.86	.68	.58
93LC56A-I/P-ND	2 K (256 x 8) CMOS-EEPROM, seriell, Ind.-Temp. 2,5 V	2K (256x8) CMOS Serial EEPROM, Ind. Temp. 2.5V	8-Dip	.40	.36	.30
93LC56B-I/P-ND	2 K (128 x 16) CMOS-EEPROM, seriell, Ind.-Temp. 2,5 V	2K (128x16) CMOS Serial EEPROM, Ind. Temp. 2.5V	8-Dip	.45	.36	.30
93LC56B-I/SN-ND	2 K (128 x 16) CMOS-EEPROM, seriell, Ind.-Temp. 2,5 V	2K (128x16) CMOS Serial EEPROM, Ind. Temp. 2.5V	8-SOIC	.42	.36	.30
93LC56B-I/ST-ND	2 K (128 x 16) CMOS-EEPROM, seriell, Ind.-Temp. 2,5 V	2K (128x16) CMOS Serial EEPROM, Ind. Temp. 2.5V	8-TSSOP	.46	.41	.35
93AA66/P-ND	4 K (512 x 8 oder 256 x 16) CMOS-EEPROM, seriell, 1,8 V	4K (512x8 or 256x16) CMOS Serial EEPROM 1.8V	8-Dip	.81	.68	.58
93AA66/SN-ND	4 K (512 x 8 oder 256 x 16) CMOS-EEPROM, seriell, 1,8 V	4K (512x8 or 256x16) CMOS Serial EEPROM 1.8V	8-SOIC	.86	.68	.58
93LC66/P-ND	4 K (512 x 8 oder 256 x 16) CMOS-EEPROM, seriell, 2,5 V	4K (512x8 or 256x16) CMOS Serial EEPROM 2.5V	8-Dip	.81	.68	.58
93LC66/SN-ND	4 K (512 x 8 oder 256 x 16) CMOS-EEPROM, seriell, 2,5 V	4K (512x8 or 256x16) CMOS Serial EEPROM 2.5V	8-SOIC	.84	.68	.58
93LC66A/P-ND	4 K (512 x 8) CMOS-EEPROM seriell, 2,5 V	4K (512x8) CMOS Serial EEPROM 2.5V	8-Dip	.47	.39	.33
93LC66A/SN-ND	4 K (512 x 8) CMOS-EEPROM seriell, 2,5 V	4K (512x8) CMOS Serial EEPROM 2.5V	8-SOIC	.50	.39	.33
93LC66A/ST-ND	4 K (512 x 8) CMOS-EEPROM seriell, 2,5 V	4K (512x8) CMOS Serial EEPROM 2.5V	8-TSSOP	.52	.44	.38
93LC66B/P-ND	4 K (256 x 16) CMOS-EEPROM seriell, 2,5 V	4K (256x16) CMOS Serial EEPROM 2.5V	8-Dip	.47	.39	.33
93LC66B/SN-ND	4 K (256 x 16) CMOS-EEPROM seriell, 2,5 V	4K (256x16) CMOS Serial EEPROM 2.5V	8-SOIC	.50	.39	.33
93LC66A-I/P-ND	4 K (512 x 8) CMOS-EEPROM, seriell, Ind.-Temp. 2,5 V	4K (512x8) CMOS Serial EEPROM, Ind. Temp. 2.5V	8-Dip	.47	.39	.33
93LC66A-I/SN-ND	4 K (512 x 8) CMOS-EEPROM, seriell, Ind.-Temp. 2,5 V	4K (512x8) CMOS Serial EEPROM, Ind. Temp. 2.5V	8-SOIC	.50	.39	.33
93LC66B-I/P-ND	4 K (256 x 16) CMOS-EEPROM seriell, Ind.-Temp. 2,5 V	4K (256x16) CMOS Serial EEPROM, Ind. Temp. 2.5V	8-Dip	.47	.39	.33
93LC66B-I/SN-ND	4 K (256 x 16) CMOS-EEPROM seriell, Ind.-Temp. 2,5 V	4K (256x16) CMOS Serial EEPROM, Ind. Temp. 2.5V	8-SOIC	.50	.39	.33
93AA76C-I/MS-ND	8 K (1 K x 8) CMOS, EEPROM, seriell, Ind.-Temp. 1,8 V	8K (1Kx8) CMOS Serial EEPROM, Ind. Temp. 1.8V	8-MSOP	.69	.58	.49
93AA76C-I/P-ND	8 K (1 K x 8) CMOS, EEPROM, seriell, Ind.-Temp. 1,8 V	8K (1Kx8) CMOS Serial EEPROM, Ind. Temp. 1.8V	8-Dip	.68	.55	.47
93AA76C-I/SN-ND	8 K (1 K x 8) CMOS, EEPROM, seriell, Ind.-Temp. 1,8 V	8K (1Kx8) CMOS Serial EEPROM, Ind. Temp. 1.8V	8-SOIC	.61	.52	.45
93AA76C-I/ST-ND	8 K (1 K x 8) CMOS, EEPROM, seriell, Ind.-Temp. 1,8 V	8K (1Kx8) CMOS Serial EEPROM, Ind. Temp. 1.8V	8-TSSOP	.69	.58	.49
93LC76C-I/MS-ND	8 K (1 K x 8) CMOS, EEPROM, seriell, Ind.-Temp. 2,5 V	8K (1Kx8) CMOS Serial EEPROM, Ind. Temp. 2.5V	8-MSOP	.69	.58	.49
93LC76C-I/P-ND	8 K (1 K x 8) CMOS, EEPROM, seriell, Ind.-Temp. 2,5 V	8K (1Kx8) CMOS Serial EEPROM, Ind. Temp. 2.5V	8-Dip	.68	.55	.47
93LC76C-I/SN-ND	8 K (1 K x 8) CMOS, EEPROM, seriell, Ind.-Temp. 2,5 V	8K (1Kx8) CMOS Serial EEPROM, Ind. Temp. 2.5V	8-SOIC	.61	.52	.45
93LC76C-I/ST-ND	8 K (1 K x 8) CMOS, EEPROM, seriell, Ind.-Temp. 2,5 V	8K (1Kx8) CMOS Serial EEPROM, Ind. Temp. 2.5V	8-TSSOP	.69	.58	.49
93C76C-I/MS-ND	8 K (1 K x 8) CMOS, EEPROM, seriell, Ind.-Temp. 4,5 V	8K (1Kx8) CMOS Serial EEPROM, Ind. Temp. 4.5V	8-MSOP	.69	.58	.49
93C76C-I/P-ND	8 K (1 K x 8) CMOS, EEPROM, seriell, Ind.-Temp. 4,5 V	8K (1Kx8) CMOS Serial EEPROM, Ind. Temp. 4.5V	8-Dip	.68	.55	.47
93C76C-I/SN-ND	8 K (1 K x 8) CMOS, EEPROM, seriell, Ind.-Temp. 4,5 V	8K (1Kx8) CMOS Serial EEPROM, Ind. Temp. 4.5V	8-SOIC	.61	.52	.45
93C76C-I/ST-ND	8 K (1 K x 8) CMOS, EEPROM, seriell, Ind.-Temp. 4,5 V	8K (1Kx8) CMOS Serial EEPROM, Ind. Temp. 4.5V	8-TSSOP	.69	.58	.49
93AA86C-I/MS-ND	16 K (2 K x 8 oder 1 K x 16) CMOS-EEPROM, seriell, Ind.-Temp. 1,8 V	16K (2Kx8 or 1Kx16) CMOS Serial EEPROM, Ind. Temp. 1.8V	8-MSOP	.83	.63	.54
93AA86C-I/P-ND	16 K (2 K x 8 oder 1 K x 16) CMOS-EEPROM, seriell, Ind.-Temp. 1,8 V	16K (2Kx8 or 1Kx16) CMOS Serial EEPROM, Ind. Temp. 1.8V	8-Dip	.76	.61	.51
93AA86C-I/SN-ND	16 K (2 K x 8 oder 1 K x 16) CMOS-EEPROM, seriell, Ind.-Temp. 1,8 V	16K (2Kx8 or 1Kx16) CMOS Serial EEPROM, Ind. Temp. 1.8V	8-SOIC	.76	.58	.49
93AA86C-I/ST-ND	16 K (2 K x 8 oder 1 K x 16) CMOS-EEPROM, seriell, Ind.-Temp. 1,8 V	16K (2Kx8 or 1Kx16) CMOS Serial EEPROM, Ind. Temp. 1.8V	8-TSSOP	.75	.63	.54
93LC86-I/SN-ND	16 K (2 K x 8 oder 1 K x 16) CMOS-EEPROM, seriell, Ind.-Temp. 2,5 V	16K (2Kx8 or 1Kx16) CMOS Serial EEPROM, Ind. Temp. 2.5V	8-SOIC	1.30	1.10	.93
93LC86C-I/MS-ND	16 K (2 K x 8 oder 1 K x 16) CMOS-EEPROM, seriell, Ind.-Temp. 2,5 V	16K (2Kx8 or 1Kx16) CMOS Serial EEPROM, Ind. Temp. 2.5V	8-MSOP	.75	.63	.54
93LC86C-I/P-ND	16 K (2 K x 8 oder 1 K x 16) CMOS-EEPROM, seriell, Ind.-Temp. 2,5 V	16K (2Kx8 or 1Kx16) CMOS Serial EEPROM, Ind. Temp. 2.5V	8-Dip	.69	.61	.51
93LC86C-I/SN-ND	16 K (2 K x 8 oder 1 K x 16) CMOS-EEPROM, seriell, Ind.-Temp. 2,5 V	16K (2Kx8 or 1Kx16) CMOS Serial EEPROM, Ind. Temp. 2.5V	8-SOIC	.69	.58	.49
93LC86C-I/ST-ND	16 K (2 K x 8 oder 1 K x 16) CMOS-EEPROM, seriell, Ind.-Temp. 2,5 V	16K (2Kx8 or 1Kx16) CMOS Serial EEPROM, Ind. Temp. 2.5V	8-TSSOP	.75	.63	.54
93C86C-I/MS-ND	16 K (2 K x 8 oder 1 K x 16) CMOS-EEPROM, seriell, Ind.-Temp. 4,5 V	16K (2Kx8 or 1Kx16) CMOS Serial EEPROM, Ind. Temp. 4.5V	8-MSOP	.75	.63	.54
93C86C-I/P-ND	16 K (2 K x 8 oder 1 K x 16) CMOS-EEPROM, seriell, Ind.-Temp. 4,5 V	16K (2Kx8 or 1Kx16) CMOS Serial EEPROM, Ind. Temp. 4.5V	8-Dip	.69	.61	.51
93C86C-I/SN-ND	16 K (2 K x 8 oder 1 K x 16) CMOS-EEPROM, seriell, Ind.-Temp. 4,5 V	16K (2Kx8 or 1Kx16) CMOS Serial EEPROM, Ind. Temp. 4.5V	8-SOIC	.69	.58	.49
93C86C-I/ST-ND	16 K (2 K x 8 oder 1 K x 16) CMOS-EEPROM, seriell, Ind.-Temp. 4,5 V	16K (2Kx8 or 1Kx16) CMOS Serial EEPROM, Ind. Temp. 4.5V	8-TSSOP	.75	.63	.54
Fairchild Semiconductor						
2-adrige Schnittstelle						
NM24C08M-ND	8-KBit CMOS-EEPROM, seriell	8K-Bit CMOS Serial EEPROM	14-SOIC	1.42	1.14	.86
3-adrige Schnittstelle						
NM93C13M8-ND	256-Bit CMOS-EEPROM, seriell	256-Bit CMOS Serial EEPROM	8-SOIC	.83	.68	.58
NM93C13N-ND	256-Bit CMOS-EEPROM, seriell	256-Bit CMOS Serial EEPROM	8-Dip	.83	.68	.58
NM93C14N-ND	1-KBit CMOS-EEPROM, seriell	1K-Bit CMOS Serial EEPROM	8-Dip	.89	.75	.60
NM93C56M-ND	2-KBit CMOS-EEPROM, seriell	2K-Bit CMOS Serial EEPROM	14-SOIC	1.38	1.11	.83
NM93CS06LN-ND	256-Bit CMOS-EEPROM, seriell, 2,5 V, mit Sicherheit	256-Bit CMOS Serial EEPROM 2.5V with Security	8-Dip	1.29	1.06	.90
NM93CS06M-ND	256-Bit CMOS-EEPROM, seriell, mit Sicherheit	256-Bit CMOS Serial EEPROM with Security	14-SOIC	.96	.79	.67
NM95C12N-ND	1-KBit CMOS-EEPROM, seriell	1K-Bit CMOS Serial EEPROM	14-Dip	1.48	1.19	.89

HOCHTEMPERATUR-EEPROMS, SERIELL

Digi-Key Teilenr.	Beschreibung		Paket	Stückpreis★ 1	25	100
Fairchild Semiconductor						
3-adrige Schnittstelle						
NM93C56EM-ND	2-KBit CMOS-EEPROM, seriell	2K-Bit CMOS Serial EEPROM	14-SOIC	1.38	1.11	.83

★ RUFEN SIE BITTE AN FÜR NIEDRIGERE PREISE BEI GRÖSSEREN MENGEN! ★

B

B

Cypress Teilenr.	Digi-Key Teilenr.	Beschreibung		Paket	Stückpreis ★ 1	25	100
			Asynchroner SRAM				
CY7C109B-20ZC	428-1036-ND	1 M-Bit, 128 K x 8, Power-Down, 20 ns	1M-Bit, 128Kx8, Power Down, 20nS	32-TSOP	2.61	2.09	1.63
CY7C128A-15PC	428-1039-ND	16 K-Bit, 2 K x 8, Power-Down, 15 ns	16K-Bit, 2Kx8, Power Down, 15nS	24-SDip	4.20	3.36	2.61
CY7C128A-15VC	428-1040-ND	16 K-Bit, 2 K x 8, Power-Down, 15 ns	16K-Bit, 2Kx8, Power Down, 15nS	24-SOJ	3.98	3.19	2.48
CY7C128A-25PC	428-1043-ND	16 K-Bit, 2 K x 8, Power-Down, 25 ns	16K-Bit, 2Kx8, Power Down, 25nS	24-SDip	3.62	2.90	2.26
CY7C185-25VC	428-1056-ND	64 K-Bit, 8 K x 8, Power-Down, 25 ns	64K-Bit, 8Kx8, Power Down, 25nS	28-SOJ	2.67	2.14	1.66
CY7C185-35VC	428-1058-ND	64 K-Bit, 8 K x 8, Power-Down, 35 ns	64K-Bit, 8Kx8, Power Down, 35nS	28-SOJ	2.13	1.71	1.33
CY7C1009B-12VC	428-1000-ND	1 M-Bit, 125 K x 8, Power-Down, 12 ns	1M-Bit, 125Kx8, Power Down, 12nS	32-SOJ	3.78	3.02	2.35
CY7C1009B-15VC	428-1001-ND	1 M-Bit, 128 K x 8, Power-Down, 15 ns	1M-Bit, 128Kx8, Power Down, 15nS	32-SOJ	3.58	2.87	2.23
CY7C1009B-20VC	428-1002-ND	1 M-Bit, 128 K x 8, Power-Down, 20 ns	1M-Bit, 128Kx8, Power Down, 20nS	32-SOJ	3.39	2.72	2.11
CY7C1019B-15VC	428-1004-ND	1 M-Bit, 128 K x 8, Power-Down, 15 ns	1M-Bit, 128Kx8, Power Down, 15nS	Wide 32-SOJ	2.35	1.88	1.46
CY7C1019CV33-12VC	428-1476-ND	1 M-Bit, 128 K x 8, 3,3 V, Power-Down, 12 ns	1M-Bit, 128Kx8, 3.3V, Power Down, 12nS	32-SOJ	2.57	2.06	1.61
CY7C1020CV33-15ZC	428-1477-ND	512 K-Bit, 32 K x 16, 3,3 V, Power-Down, 15 ns	512K-Bit, 32Kx16, 3.3V, Power Down, 15nS	44-TSOP2	2.76	2.21	1.72
CY7C1021B-15ZC	428-1011-ND	1 M-Bit, 64 K x 16, Power-Down, 15 ns	1M-Bit, 64Kx16, Power Down, 15nS	44-TSOP2	2.61	2.09	1.63
CY7C1021BV33L-15ZC	428-1018-ND	1 M-Bit, 64 K x 16, 3,3 V, Power-Down, 15 ns	1M-Bit, 64Kx16, 3.3V, Power Down, 15nS	44-TSOP2	4.57	3.66	2.85
CY7C1021CV33-10ZC	428-1479-ND	1 M-Bit, 64 K x 16, 3,3 V, Power-Down, 10 ns	1M-Bit, 64Kx16, 3.3V, Power Down, 10nS	44-TSOP2	2.65	2.12	1.65
CY7C1021CV33-12VC	428-1480-ND	1 M-Bit, 64 K x 16, 3,3 V, Power-Down, 12 ns	1M-Bit, 64Kx16, 3.3V, Power Down, 12nS	44-SOJ	2.40	1.92	1.50
CY7C1021CV33-15ZC	428-1482-ND	1 M-Bit, 64 K x 16, 3,3 V, Power-Down, 15 ns	1M-Bit, 64Kx16, 3.3V, Power Down, 15nS	44-TSOP2	2.40	1.92	1.50
CY7C1041B-15ZC	428-1020-ND	4 M-Bit (256 K x 16) Power-Down, NL, 15 ns	4M-Bit, 256Kx16, Low Power, Power Down, 15nS	44-TSOP2	4.44	4.01	3.55
CY7C1041CV33-12ZC	428-1484-ND	4 M-Bit (256 K x 16) 3,3 V Power-Down, NL, 12 ns	4M-Bit, 256Kx16, 3.3V, Low Power, Power Down, 12nS	44-TSOP2	5.01	4.52	4.01
CY7C1041CV33-15VC	428-1483-ND	4 M-Bit (256 K x 16) 3,3 V Power-Down, NL, 15 ns	4M-Bit, 256Kx16, 3.3V, Low Power, Power Down, 15nS	44-SOJ	3.53	3.18	2.82
CY7C1041CV33-15ZC	428-1485-ND	4 M-Bit (256 K x 16) 3,3 V Power-Down, NL, 15 ns	4M-Bit, 256Kx16, 3.3V, Low Power, Power Down, 15nS	44-TSOP2	3.73	3.37	2.99
CY7C1041CV33-20ZC	428-1486-ND	4 M-Bit (256 K x 16) 3,3 V Power-Down, NL, 20 ns	4M-Bit, 256Kx16, 3.3V, Low Power, Power Down, 20nS	44-TSOP2	3.60	3.24	2.88
CY7C1049B-15VC	428-1025-ND	4 M-Bit, 512 K x 8, Power-Down, NL, 15 nS	4M-Bit, 512Kx8, Low Power, Power Down, 15nS	36-SOJ	4.84	3.88	3.27
CY7C1049B-20VC	428-1027-ND	4 M-Bit, 512 K x 8, Power-Down, NL, 20 nS	4M-Bit, 512Kx8, Low Power, Power Down, 20nS	36-SOJ	4.40	3.53	2.98
CY7C1049BL-17VC	428-1028-ND	4 M-Bit, 512 K x 8, Power-Down,NL, 17 nS	4M-Bit, 512Kx8, Low Power, Power Down, 17nS	36-SOJ	12.06	10.86	9.63
CY7C1049CV33-15VC	428-1487-5-ND	4 M-Bit, 512 K x 8, 3,3 V Power-Down, NL, 15 ns	4M-Bit, 512Kx8, 3.3V, Low Power, Power Down, 15nS	36-SOJ	4.50	4.06	3.60
CY7C1049CV33-20VC	428-1488-5-ND	4 M-Bit, 512 K x 8, 3,3 V Power-Down, NL, 20 ns	4M-Bit, 512Kx8, 3.3V, Low Power, Power Down, 20nS	36-SOJ	4.06	3.26	2.75
CY7C1399B-12VC	428-1048-ND	256 K-Bit, 32 K x 8, 3,3 V, Power-Down, 12 ns	256K-Bit, 32Kx8, 3.3V, Power Down, 12nS	28-SOJ	1.78	1.43	1.07
CY7C1399B-12ZC	428-1049-ND	256 K-Bit, 32 K x 8, 3,3 V, Power-Down, 12 ns	256K-Bit, 32Kx8, 3.3V, Power Down, 12nS	28-TSOP	2.13	1.71	1.33
CY7C1399B-15VC	428-1050-ND	256 K-Bit, 32 K x 8, 3,3 V, Power-Down, 15 ns	256K-Bit, 32Kx8, 3.3V, Power Down, 15nS	28-SOJ	1.60	1.28	1.00
CY7C1399B-15ZC	428-1051-ND	256 K-Bit, 32 K x 8, 3,3 V, Power-Down, 15 ns	256K-Bit, 32Kx8, 3.3V, Power Down, 15nS	28-TSOP	2.16	1.73	1.35
			Synchroner SRAM				
CY7C1339F-100AC	428-1498-ND	128 K x 32, 3,3 V synch. Pipe-SRAM	128Kx32, 3.3V Sync. Pipe SRAM	100-TQFP	5.22	4.70	4.17
CY7C1347F-133AC	428-1540-ND	128 K x 36, 3,3 V synch. Pipe-SRAM	128Kx36, 3.3V Sync. Pipe SRAM	100-TQFP	5.71	5.15	4.57
CY7C1350B-143AC	428-1100-ND	4 M-Bit, 128 K x 36, 3,3 V synch. Pipe-SRAM	4M-Bit, 128Kx36, 3.3V Sync. Pipe SRAM	100-TQFP	8.25	7.43	6.59
CY7C1351F-100AC	428-1496-ND	128 K x 36, 3,3 V NoBL™ synch. Flow-Through-SRAM	128Kx36, 3.3V NoBL™ Sync. Flow Through SRAM	100-TQFP	5.71	5.15	4.57
CY7C1352F-133AC	428-1500-ND	256 K x 18, 3,3 V NoBL™ synch. Pipe-SRAM	256Kx18, 3.3V NoBL™ Sync. Pipe SRAM	100-TQFP	5.99	5.40	4.79
CY7C1355B-100AC	428-1501-ND	256 K x 36, 3,3 V NoBL™ synch. Flow-Through-SRAM	256Kx36, 3.3V NoBL™ Sync. Flow Through SRAM	100-TQFP	12.09	10.89	9.65
CY7C1355B-117AC	428-1502-ND	256 K x 36, 3,3 V NoBL™ synch. Flow-Through-SRAM	256Kx36, 3.3V NoBL™ Sync. Flow Through SRAM	100-TQFP	11.30	10.55	9.80
CY7C1355C-100AXC	428-1628-ND	256 K x 36, 3,3 V NoBL™ synch. Flow-Through-SRAM	256Kx36, 3.3V NoBL™ Sync. Flow Through SRAM	100-TQFP	12.27	11.05	9.80
CY7C1360B-166AC	428-1542-ND	256 K x 36, 3,3 V synch. Pipe-SRAM	256Kx36, 3.3V Sync. Pipe SRAM	100-TQFP	12.09	10.89	9.65
CY7C1361B-117AC	428-1505-ND	256 K x 36, 3,3 V synch. Flow-Through-SRAM	256Kx36, 3.3V Sync. Flow Through SRAM	100-TQFP	12.56	11.31	10.03
CY7C1370CV25-167AC	428-1508-ND	512 K x 36, 2,5 V NoBL™ synch. Pipe-SRAM	512Kx36, 2.5V NoBL™ Sync. Pipe SRAM	100-TQFP	22.22	20.75	19.27
CY7C1370DV25-167AXC	428-1633-ND	512 K x 36, 2,5 V NoBL™ synch. Pipe-SRAM	512Kx36, 2.5V NoBL™ Sync. Pipe SRAM	100-TQFP	19.88	18.55	17.23
CY7C1371D-100AXC	428-1631-ND	512 K x 36, 3,3 V NoBL™ synch. Flow-Through-SRAM	512Kx36, 3.3V NoBL™ Sync. Flow Through SRAM	100-TQFP	19.88	18.55	17.23
CY7C1380D-167AXC	428-1629-ND	512 K x 36, 3,3 V synch. Pipe-SRAM	512Kx36, 3.3V Sync. Pipe SRAM	100-TQFP	19.88	18.55	17.23
CY7C1382C-167AC	428-1543-ND	512 K x 36, 3,3 V synch. Pipe-SRAM	512Kx36, 3.3V Sync. Pipe SRAM	100-TQFP	24.26	22.64	21.03
CY7C1382D-167AXC	428-1632-ND	512 K x 36, 3,3 V synch. Pipe-SRAM	512Kx36, 3.3V Sync. Pipe SRAM	100-TQFP	19.88	18.55	17.23
CY7C1383C-100AC	428-1494-5-ND	18 M-Bit, 1024 K x 18, 3,3 V synch. Standard-Flow-Through-SRAM	18M-Bit, 1024Kx18, 3.3V Standard Sync. Flow Through SRAM	100-TQFP	23.87	22.29	20.70
CY7C1383D-100AXC	428-1630-ND	18 M-Bit, 1024 K x 18, 3,3 V synch. Standard-Flow-Through-SRAM	18M-Bit, 1024Kx18, 3.3V Standard Sync. Flow Through SRAM	100-TQFP	19.88	18.55	17.23
			Doppelport-SRAM				
CY7C006A-20JC	428-1142-ND	128 K-Bit, 16 K x 8, asynch. Power-Down, 20 ns	128K-Bit, 16Kx8, Async. Power Down, 20nS	68-PLCC	18.67	17.43	16.18
CY7C008V-15AC	428-1147-ND	512 K-Bit, 64 K x 8, 3,3 V asynch. Power-Down, 15 ns	512K-Bit, 64Kx8, 3.3V Async. Power Down, 15nS	100-TQFP	44.31	41.36	38.40
CY7C009-15AC	428-1148-ND	1 M-Bit, 128 K x 8, asynch. Power-Down, 15 ns	1M-Bit, 128Kx8, Async. Power Down, 15nS	100-TQFP	63.98	59.72	55.45
CY7C009V-15AC	428-1149-ND	1 M-Bit, 128 K x 8, 3,3 V asynch. Power-Down, 15 ns	1M-Bit, 128Kx8, 3.3V Async. Power Down, 15nS	100-TQFP	63.98	59.72	55.45
CY7C024-15AC	428-1154-ND	64 K-Bit, 4 K x 16, 5 V asynch. Power-Down, 15 ns	64K-Bit, 4Kx16, 5V Async. Power Down, 15nS	100-TQFP	20.13	18.79	17.45
CY7C024AV-25AC	428-1155-ND	64 K-Bit, 4 K x 16, 3,3 V asynch. Power-Down, 25 ns	64K-Bit, 4Kx16, 3.3V Async. Power Down, 25nS	100-TQFP	13.84	12.92	12.00
CY7C025-15AC	428-1157-ND	128 K-Bit, 8 K x 16, asynch. Power-Down-Unterbrecher, Busy, 15 ns	128K-Bit, 8Kx16, Async. Power Down Interrupt, Busy, 15nS	100-TQFP	24.07	22.47	20.86
CY7C025AV-20AC	428-1161-ND	128 K-Bit, 8 K x 8, 3,3 V asynch. Power-Down-Unterbrecher, Busy, 20 ns	128K-Bit, 8Kx16, 3.3V Async. Power Down Interrupt, Busy, 20nS	100-TQFP	21.36	19.94	18.52
CY7C026A-20AC	428-1162-ND	256 K-Bit, 16 K x 16, asynch. Power-Down, 20 ns	256K-Bit, 16Kx16, Async. Power Down, 20nS	100-TQFP	22.93	21.40	19.87
CY7C027V-15AC	428-1164-ND	512 K-Bit, 32 K x 16, 3,3 V asynch. Power-Down, 15 ns	512K-Bit, 32Kx16, 3.3V Async. Power Down, 15nS	100-TQFP	41.77	38.99	36.20
CY7C028-15AC	428-1443-ND	SRAM 64 K x 16, asynch. Power-Down, 12 ns	SRAM 64Kx16, Async. Power Down, 12nS	100-TQFP	61.20	57.12	53.04
CY7C028V-15AC	428-1165-ND	1 M-Bit, 64 K x 16, 3,3 V asynch. Power-Down, 15 ns	1M-Bit, 64Kx16, 3.3V Async. Power Down, 15nS	100-TQFP	61.20	57.12	53.04
CY7C131-25NC	428-1194-ND	8 K-Bit, 1 K x 8, asynch. Power-Down, Master 25 ns	8K-Bit, 1Kx8, Async. Power Down Master 25nS	52-TQFP	7.76	6.99	6.20
CY7C131-55JC	428-1196-ND	8 K-Bit, 1 K x 8, asynch. Power-Down-Master 55 ns	8K-Bit, 1Kx8, Async. Power Down Master 55nS	52-PLCC	5.84	4.68	3.95
CY7C138-25JC	428-1445-ND	32 K-Bit, 4 K x 8, asynch. Master/Slave-Power-Down, 25 ns	32K-Bit, 4Kx8, Async. Master/Slave Power Down, 25nS	68-PLCC	25.34	23.65	21.96
CY7C09269V-12AC	428-1183-ND	256 K-Bit, 16 K x 16, 3,3 V synch. 3-Modus-Power-Down, 12 ns	256K-Bit, 16Kx16, 3.3V Sync. 3-Mode Power Down, 12nS	100-TQFP	25.42	23.73	22.04
CY7C09279-12AC	428-1184-ND	512 K-Bit, 32 K x 16, synch. 3-Modus-Power-Down, 12 ns	512K-Bit, 32Kx16, Sync. 3-Mode Power Down, 12nS	100-TQFP	32.13	29.99	27.85
CY7C09289V-12AC	428-1187-ND	1 M-Bit, 64 K x 16, 3,3 V synch. 3-Modus-Power-Down, 12 ns	1M-Bit, 64Kx16, 3.3V Sync. 3-Mode Power Down, 12nS	100-TQFP	46.06	42.99	39.92
CY7C09349A-12AC	428-1446-ND	64 K-Bit, 4 K x 18, synch. Power-Down, 12 ns	64K-Bit, 4Kx18, Sync., Power Down, 12nS	100-TQFP	13.97	13.04	12.11
CY7C09449PV-AC	428-1188-ND	128 K-Bit, 4 K x 32, 3,3 V synch. SRAM PCI-Controller	128K-Bit, 4Kx32, 3.3V Sync. SRAM PCI Controller	160-TQFP	26.52	24.75	22.99
			Niedrigleistungs-SRAM				
CY6264-70SNC	428-1085-ND	64 K-Bit, 8 K x 8, Power-Down SRAM	64K-Bit, 8Kx8, Power Down SRAM	28-SOIC	3.01	2.41	1.88
CY62128BLL-70SC	428-1071-ND	1 M-Bit, 128 K x 8, Power-Down SRAM, NL	1M-Bit, 128Kx8, Low Power, Power Down SRAM	Wide 32-SOIC	2.53	2.03	1.58
CY62128BLL-70ZC	428-1072-ND	1 M-Bit, 128 K x 8, Power-Down SRAM, NL	1M-Bit, 128Kx8, Low Power, Power Down SRAM	32-TSOP	2.91	2.34	1.82
CY62128BLL-70ZXI	428-1648-ND	1 M-Bit, 128 K x 8, Power-Down SRAM, NL	1M-Bit, 128Kx8, Low Power, Power Down SRAM	32-TSOP	3.51	2.46	2.25
CY62128DV30LL-70SI	428-1564-ND	1 M-Bit, 128 K x 8, 3 V Power-Down SRAM, NL	1M-Bit, 128Kx8, 3.0V, Low Power, Power Down SRAM	32-SOIC	5.25	4.20	3.55
CY62128DV30LL-70ZI	428-1565-5-ND	1 M-Bit, 128 K x 8, 3 V Power-Down SRAM, NL	1M-Bit, 128Kx8, 3.0V, Low Power, Power Down SRAM	32-TSOP	2.71	2.17	1.69
CY62148BLL-70SC	428-1075-ND	4 M-Bit, 512 K x 8, Power-Down SRAM, NL	4M-Bit, 512Kx8, Low Power, Power Down SRAM	Wide 32-SOIC	4.99	4.00	3.38
CY62148BLL-70ZI	428-1493-ND	4 M-Bit, 512 K x 8, Power-Down SRAM, NL	4M-Bit, 512Kx8, Low Power, Power Down SRAM	32-TSOP	5.84	4.68	3.95
CY62256L-70PC	428-1078-ND	256 K-Bit (32 K x 8) Power-Down SRAM, NL	256K-Bit, 32Kx8, Low Power, Power Down SRAM	28-Dip	2.88	2.31	1.79
CY62256L-70SNC	428-1079-ND	256 K-Bit (32 K x 8) Power-Down SRAM, NL	256K-Bit, 32Kx8, Low Power, Power Down SRAM	28-SOIC	2.61	2.09	1.63
CY62256LL-70PC	428-1080-ND	256 K-Bit (32 K x 8) Power-Down SRAM, NL	256K-Bit, 32Kx8, Low Power, Power Down SRAM	28-Dip	2.88	2.31	1.79
CY62256LL-70SNC	428-1081-ND	256 K-Bit (32 K x 8) Power-Down SRAM, NL	256K-Bit, 32Kx8, Low Power, Power Down SRAM	28-SOIC	2.88	2.31	1.79
CY62256LL-70ZC	428-1082-ND	256 K-Bit (32 K x 8) Power-Down SRAM, NL	256K-Bit, 32Kx8, Low Power, Power Down SRAM	28-TSOP	2.88	2.31	1.79
CY62256VLL-70SNC	428-1083-ND	256 K-Bit, 32 K x 8, 3 V Power-Down SRAM, NL	256K-Bit, 32Kx8, 3.0V Low Power, Power Down SRAM	28-SOIC	2.07	1.67	1.30
CY62256VLL-70ZC	428-1084-ND	256 K-Bit, 32 K x 8, 3 V Power-Down SRAM, NL	256K-Bit, 32Kx8, 3.0V Low Power, Power Down SRAM	28-TSOP	2.07	1.67	1.30

Cypress Teilenr.	Digi-Key Teilenr.	Beschreibung	Paket	Stückpreis ★ 1	25	100
CY7C419-10JC	428-1203-ND	256 x 9, asynch. Parallelkaskaden-FIFO, 10 ns	256x9, Async. Parallel-Cascade FIFO, 10nS	32-PLCC	5.74	4.60	3.88
CY7C425-10JC	428-1227-ND	1 K x 9, asynch. Parallelkaskaden-FIFO, 10 ns	1Kx9, Async. Parallel-Cascade FIFO, 10nS	32-PLCC	7.92	6.34	5.35
CY7C433-10JC	428-1246-ND	4 K x 9, asynch. Parallelkaskaden-FIFO, 10 ns	4Kx9, Async. Parallel-Cascade FIFO, 10nS	32-PLCC	9.57	8.61	7.64
CY7C460A-10JC	428-1251-ND	8 K x 9, asynch. Kaskaden-FIFO, 10 ns	8Kx9, Async. Cascade FIFO, 10nS	32-PLCC	14.09	13.15	12.21
CY7C464A-15JC	428-1254-ND	32 K x 9, asynch. Kaskaden-FIFO, 15 ns	32Kx9, Async. Cascade FIFO, 15nS	32-PLCC	23.18	21.64	20.09

(Forts.)

★ RUFEN SIE BITTE AN FÜR NIEDRIGERE PREISE BEI GRÖSSEREN MENGEN! ★

CYPRESS — FIFO (Forts.)

Cypress Teilenr.	Digi-Key Teilenr.	Beschreibung		Paket	Stückpreis ★ 1	25	100
CY7C466A-10JC	428-1255-ND	64 K x 9, asynch. Kaskaden-FIFO, 10 ns	64Kx9, Async. Cascade FIFO, 10nS	32-PLCC	36.70	34.26	31.81
CY7C4201V-15AC	428-1206-ND	256 x 9, 3,3 V Sync. FIFO, 15 ns	256x9, 3.3V Sync. FIFO, 15nS	32-TQFP	9.06	8.16	7.23
CY7C4205-10AC	428-1207-ND	256 x 18, Sync. FIFO, 10 ns	256x18, Sync. FIFO, 10nS	64-TQFP	14.04	13.10	12.17
CY7C4211-15AC	428-1211-ND	512 x 9, Sync. FIFO, 10 ns	512x9, Sync. FIFO, 10nS	32-TQFP	9.59	8.64	7.66
CY7C4225-15AC	428-1217-ND	1 K x 18, Sync. FIFO, 15 ns	1Kx18, Sync. FIFO, 15nS	64-TQFP	14.15	13.21	12.27
CY7C4225V-15ASC	428-1218-ND	1 K x 18, 3,3 V Sync. FIFO, 15 ns	1Kx18, 3.3V Sync. FIFO, 15nS	64-STQFP	14.15	13.21	12.27
CY7C4231V-15JC	428-1220-ND	2 K x 9, 3,3 V Sync. FIFO, 15 ns	2Kx9, 3.3V Sync. FIFO, 15nS	32-PLCC	12.94	11.66	10.34
CY7C4235V-15ASC	428-1222-ND	2 K x 18, 3,3 V Sync. FIFO, 15 ns	2Kx18, 3.3V Sync. FIFO, 15nS	64-STQFP	16.74	15.63	14.51
CY7C4241V-15JC	428-1224-ND	4 K x 9, 3,3 V Sync. FIFO, 15 ns	4Kx9, 3.3V Sync. FIFO, 15nS	32-PLCC	13.82	12.90	11.98
CY7C4245V-15ASC	428-1226-ND	4 K x 18, 3,3 V Sync. FIFO, 15 ns	4Kx18, 3.3V Sync. FIFO, 15nS	64-STQFP	19.03	17.77	16.50
CY7C4251-15AC	428-1228-ND	8 K x 9, Sync. FIFO, 10 ns	8Kx9, Sync. FIFO, 10nS	32-TQFP	15.69	14.64	13.60
CY7C4251V-15AC	428-1229-ND	8 K x 9, 3,3 V Sync. FIFO, 15 ns	8Kx9, 3.3V Sync. FIFO, 15nS	32-TQFP	15.69	14.64	13.60
CY7C4255-10AC	428-1230-ND	8 K x 18, Deep Sync. FIFO, 10 ns	8Kx18, Deep Sync. FIFO, 10nS	64-TQFP	38.60	36.04	33.46
CY7C4261-15JC	428-1233-ND	16 K x 9, Deep Sync. FIFO, 15 ns	16Kx9, Deep Sync. FIFO, 15nS	32-PLCC	31.87	29.75	27.63
CY7C4261V-10JC	428-1234-ND	16 K x 9, 3,3 V Deep Sync. FIFO, 10 ns	16Kx9, 3.3V Deep Sync. FIFO, 10nS	32-PLCC	39.87	37.22	34.56
CY7C4271V-10JC	428-1238-ND	32 K x 9, 3,3 V Deep Sync. FIFO, 10 ns	32Kx9, 3.3V Deep Sync. FIFO, 10nS	32-PLCC	51.20	47.79	44.38
CY7C4275-10ASC	428-1239-ND	32 K x 18, Deep Sync. FIFO, 10 ns	32Kx18, Deep Sync. FIFO, 10nS	64-STQFP	72.51	67.68	62.85
CY7C4275V-10ASC	428-1240-ND	32 K x 18, 3,3 V Deep Sync. FIFO, 10 ns	32Kx18, 3.3V Deep Sync. FIFO, 10nS	64-STQFP	72.51	67.68	62.85
CY7C4285V-10ASC	428-1242-ND	64 K x 18, 3,3 V Deep Sync. FIFO, 10 ns	64Kx18, 3.3V Deep Sync. FIFO, 10nS	64-STQFP	96.16	89.75	83.34
CY7C4291-10JC	428-1244-ND	128 K x 9, Deep Sync. FIFO, 10 ns	128Kx9, Deep Sync. FIFO, 10nS	32-PLCC	120.20	112.19	104.17
CY7C4291V-10JC	428-1245-ND	128 K x 9, 3,3 V Deep Sync. FIFO, 10 ns	128Kx9, 3.3V Deep Sync. FIFO, 10nS	32-PLCC	114.29	106.68	99.06

CYPRESS — PUFFER

Cypress Teilenr.	Digi-Key Teilenr.	Beschreibung	Paket		Stückpreis ★ 1	25	100
CY2305SC-1	428-1346-ND	Nullverzögerungs-Puffer, 3,3 V, internes Feedback	Zero Delay Buffer 3.3V Internal Feedback	8-SOIC	1.38	1.11	.83
CY2305SC-1H	428-1348-ND	Nullverzögerungs-Puffer, 3,3 V, internes Feedback	Zero Delay Buffer 3.3V Internal Feedback	8-SOIC	1.37	1.10	.86
CY2305SI-1	428-1347-ND	Nullverzögerungs-Puffer, 3,3 V, internes Feedback	Zero Delay Buffer 3.3V Internal Feedback	8-SOIC	1.66	1.33	1.04
CY2305SI-1H	428-1349-ND	Nullverzögerungs-Puffer, 3,3 V, internes Feedback	Zero Delay Buffer 3.3V Internal Feedback	8-SOIC	1.93	1.55	1.16
CY2308SC-1	428-1350-ND	Nullverzögerungs-Puffer, 3,3 V, externes Feedback	Zero Delay Buffer 3.3V External Feedback	16-SOIC	2.33	1.86	1.45
CY2308SC-2	428-1356-ND	Nullverzögerungs-Puffer, 3,3 V, externes Feedback	Zero Delay Buffer 3.3V External Feedback	16-SOIC	2.13	1.71	1.33
CY2308SC-1H	428-1352-ND	Nullverzögerungs-Puffer, 3,3 V, externes Feedback	Zero Delay Buffer 3.3V External Feedback	16-SOIC	2.27	1.82	1.42
CY2308SI-1	428-1351-ND	Nullverzögerungs-Puffer, 3,3 V, externes Feedback	Zero Delay Buffer 3.3V External Feedback	16-SOIC	7.06	5.65	4.77
CY2308SI-2	428-1357-ND	Nullverzögerungs-Puffer, 3,3 V, externes Feedback	Zero Delay Buffer 3.3V External Feedback	16-SOIC	7.06	5.65	4.77
CY2308SI-3	428-1359-ND	Nullverzögerungs-Puffer, 3,3 V, externes Feedback	Zero Delay Buffer 3.3V External Feedback	16-SOIC	7.06	5.65	4.77
CY2308SI-4	428-1361-ND	Nullverzögerungs-Puffer, 3,3 V, externes Feedback	Zero Delay Buffer 3.3V External Feedback	16-SOIC	7.06	5.65	4.77
CY2308SI-1H	428-1353-ND	Nullverzögerungs-Puffer, 3,3 V, externes Feedback	Zero Delay Buffer 3.3V External Feedback	16-SOIC	1.66	1.33	1.13
CY2308ZI-1H	428-1355-ND	Nullverzögerungs-Puffer, 3,3 V, externes Feedback	Zero Delay Buffer 3.3V External Feedback	16-TSSOP	3.81	3.05	2.38
CY2309SC-1	428-1365-ND	Nullverzögerungs-Puffer, 3,3 V, internes Feedback	Zero Delay Buffer 3.3V Internal Feedback	16-SOIC	2.30	1.85	1.44
CY2309SC-1H	428-1367-ND	Nullverzögerungs-Puffer, 3,3 V, internes Feedback	Zero Delay Buffer 3.3V Internal Feedback	16-SOIC	1.77	1.42	1.11
CY2309SI-1H	428-1368-ND	Nullverzögerungs-Puffer, 3,3 V, internes Feedback	Zero Delay Buffer 3.3V Internal Feedback	16-SOIC	5.93	4.75	4.01
CY2309ZC-1H	428-1369-ND	Nullverzögerungs-Puffer, 3,3 V, internes Feedback	Zero Delay Buffer 3.3V Internal Feedback	16-TSSOP	2.33	1.86	1.45
CY2309ZI-1H	428-1370-ND	Nullverzögerungs-Puffer, 3,3 V, internes Feedback	Zero Delay Buffer 3.3V Internal Feedback	16-TSSOP	4.13	3.31	2.58
CY7B9910-2SC	428-1371-ND	Taktpuffer TTL-Aus	Clock Buffer TTL Out	24-SOIC	9.67	8.74	7.76
CY7B9910-7SC	428-1373-ND	Taktpuffer TTL-Aus	Clock Buffer TTL Out	24-SOIC	8.00	6.41	5.41
CY7B991-2JC	428-1374-ND	Taktpuffer TTL-Aus	Clock Buffer TTL Out	32-PLCC	14.06	12.67	11.23
CY7B991-5JC	428-1375-ND	Taktpuffer TTL-Aus	Clock Buffer TTL Out	32-PLCC	8.68	7.81	6.93
CY7B991-7JC	428-1376-ND	Taktpuffer TTL-Aus	Clock Buffer TTL Out	32-PLCC	7.70	6.94	6.15
CY7B992-2JC	428-1379-ND	Taktpuffer CMOS-Aus	Clock Buffer CMOS Out	32-PLCC	14.05	12.65	11.22
CY7B992-5JC	428-1380-ND	Taktpuffer CMOS-Aus	Clock Buffer CMOS Out	32-PLCC	11.25	10.13	8.99
CY7B991V-2JC	428-1382-ND	Taktpuffer 3,3 V	Clock Buffer 3.3V	32-PLCC	12.64	11.38	10.09
CY7B991V-7JC	428-1384-ND	Taktpuffer 3,3 V	Clock Buffer 3.3V	32-PLCC	8.26	7.45	6.60
CY7B993V-2AC	428-1385-ND	Taktpuffer 3,3 V	Clock Buffer 3.3V	100-TQFP	27.30	25.49	23.67
CY7B9920-5SC	428-1378-ND	Taktpuffer CMOS-Aus	Clock Buffer CMOS Out	24-SOIC	7.58	6.82	6.05
W256H	428-1399-ND	Taktpuffer 3,3 V 12 Aus DIMM-SDRAM	Clock Buffer 3.3V 12 Out DIMM 3SDRAM	28-SSOP	2.57	2.06	1.61

CYPRESS — TAKTGEBER

Cypress Teilenr.	Digi-Key Teilenr.	Beschreibung		Paket	Stückpreis ★ 1	25	100
CY2292F	428-1393-ND	Taktgeb. synch., im Feld programmierbar, 3PLL 3,3 V	Clock Generator Sync. Field Programmable 3PLL 3.3V	16-SOIC	2.57	2.06	1.61
CY22150FC	428-1387-ND	Taktgeb. synch. Seriell/Flash 1PLL 3,3 V	Clock Generator Sync. Serial/Flash 1PLL 3.3V	16-TSSOP	2.57	2.06	1.61
CY22381FC	428-1388-ND	Taktgeb. synch., Flash-programmierbar, 3PLL 3,3 V	Clock Generator Sync. Flash Programmable 3PLL 3.3V	8-SOIC	4.50	3.60	2.80
CY22392FC	428-1389-ND	Taktgeb. synch., Flash-programmierbar, 3PLL 3,3 V	Clock Generator Sync. Flash Programmable 3PLL 3.3V	16-TSSOP	3.56	2.85	2.41
CY22393FC	428-1390-ND	Taktgeb. synch. Seriell/Flash 3PLL 3,3 V	Clock Generator Sync. Serial/Flash 3PLL 3.3V	16-TSSOP	5.79	4.64	3.91
CY22394FC	428-1391-ND	Taktgeb. synch. Seriell/Flash 3PLL 3,3 V	Clock Generator Sync. Serial/Flash 3PLL 3.3V	16-TSSOP	4.35	3.49	2.94
W40S01-04H	428-1400-ND	Spread-Spectrum-Taktgeber-SDRAM	Spread Spectrum Clock Generator SDRAM	8-SOIC	4.11	3.30	2.57
W42C31-03G	428-1397-ND	Frequenzgen. Spektrum-SSCG, EMI-Reduzierung	Frequency Generator Spectrum EMI Reduction SSCG	8-SOIC	3.43	2.75	2.14
W48C111-16H	428-1402-ND	Taktgeb.-Freq-Mod.-SSCG, Celeron, PIII	Clock Generator Frequency Mod. SSCG, Celeron, PIII	28-SSOP	6.52	5.22	4.41
W181-01G	428-1395-ND	Taktgeb. EMI-Reduzierung, 3,3 V-5,0 V SSCG	Clock Generator EMI Reduction 3.3V-5.0V SSCG	8-SOIC	1.90	1.53	1.19
W234X	428-1398-ND	Zweif. Taktgeb. Direct Rambus™, 3,3 V	Clock Generator Direct Rambus™ 3.3V Dual	28-TSSOP	9.02	8.13	7.21

ATMEL — SERIELLE EEPROMs

Digi-Key Teilenr.	Beschreibung		Paket	Stückpreis★ 1	25	100
EEPROMs, 2-adrig, serielle Schnittstelle						
AT24C01A-10PI-1.8-ND	1 K (128 x 8) serieller EEPROM, 1,8 V bis 5,5 V	1K (128x8) Serial EEPROM, 1.8V to 5.5V	8-Dip	.71	.70	.63
AT24C01A-10PI-2.7-ND	1 K (128 x 8) serieller EEPROM, 2,7 V bis 5,5 V	1K (128x8) Serial EEPROM, 2.7V to 5.5V	8-Dip	.63	.62	.56
AT24C01A-10TI-1.8-ND	1 K (128 x 8) serieller EEPROM, 1,8 V bis 5,5 V	1K (128x8) Serial EEPROM, 1.8V to 5.5V	8-TSSOP	.76	.75	.69
AT24C01A-10TI-2.7-ND	1 K (128 x 8) serieller EEPROM, 2,7 V bis 5,5 V	1K (128x8) Serial EEPROM, 2.7V to 5.5V	8-TSSOP	.69	.67	.62
AT24C11-10TI-1.8-ND	1 K (128 x 8) serieller EEPROM, 1,8 V bis 5,5 V	1K (128x8) Serial EEPROM, 1.8V to 5.5V	8-TSSOP	.69	.35	.29
AT24C11-10TI-2.7-ND	1 K (128 x 8) serieller EEPROM, 2,7 V bis 5,5 V	1K (128x8) Serial EEPROM, 2.7V to 5.5V	8-TSSOP	.66	.36	.28
AT24C01-10SI-1.8-ND	1 K (128 x 8) serieller EEPROM, 1,8 V bis 5,5 V	1K (128x8) Serial EEPROM, 1.8V to 5.5V	8-SOIC	.84	.64	.58
AT24C01-10SI-2.7-ND	1 K (128 x 8) serieller EEPROM, 2,7 V bis 5,5 V	1K (128x8) Serial EEPROM, 2.7V to 5.5V	8-SOIC	.60	.39	.33
AT24C01A-10SI-1.8-ND	1 K (128 x 8) serieller EEPROM, 1,8 V bis 5,5 V	1K (128x8) Serial EEPROM, 1.8V to 5.5V	8-SOIC	.71	.70	.63
AT24C01A-10SI-2.7-ND	1 K (128 x 8) serieller EEPROM, 2,7 V bis 5,5 V	1K (128x8) Serial EEPROM, 2.7V to 5.5V	8-SOIC	.63	.62	.56
AT24C11N-10SI-1.8-ND	1 K (128 x 8) serieller EEPROM, 1,8 V bis 5,5 V	1K (128x8) Serial EEPROM, 1.8V to 5.5V	8-SOIC	.66	.36	.28
AT24C11N-10SI-2.7-ND	1 K (128 x 8) serieller EEPROM, 2,7 V bis 5,5 V	1K (128x8) Serial EEPROM, 2.7V to 5.5V	8-SOIC	.63	.34	.26
AT24C01AY110YI1.8-ND	1 K (128 x 8) serieller EEPROM, 1,8 V bis 5,5 V	1K (128x8) Serial EEPROM, 1.8V to 5.5V	8-MAP	.41	.32	.29
AT24C01AY110YI2.7-ND	1 K (128 x 8) serieller EEPROM, 2,7 V bis 5,5 V	1K (128x8) Serial EEPROM, 2.7V to 5.5V	8-MAP	.36	.28	.26
AT24C02-10PI-1.8-ND	2 K (256 x 8) serieller EEPROM, volles Daten-Array, Schreibschutz, 1,8 V bis 5,5 V	2K (256x8) Serial EEPROM, Full Data Array Write Protect, 1.8V to 5.5V	8-Dip	.69	.35	.29
AT24C02-10PC-2.7-ND	2 K (256 x 8) serieller EEPROM, volles Daten-Array, Schreibschutz, 2,7 V	2K (256x8) Serial EEPROM, Full Data Array Write Protect, 2.7V	8-Dip	.81	.43	.36
AT24C02A-10PI-1.8-ND	2 K (256 x 8) serieller EEPROM, 1,8 V bis 5,5 V	2K (256x8) Serial EEPROM, 1.8V to 5.5V	8-Dip	.88	.86	.78
AT24C02A-10PI-2.7-ND	2 K (256 x 8) serieller EEPROM, 2,7 V bis 5,5 V	2K (256x8) Serial EEPROM, 2.7V to 5.5V	8-Dip	.78	.77	.69
AT24C02-10TI-1.8-ND	2 K (256 x 8) serieller EEPROM, 1,8 V bis 5,5 V	2K (256x8) Serial EEPROM, 1.8V to 5.5V	8-TSSOP	.72	.37	.31
AT24C02-10TI-2.7-ND	2 K (256 x 8) serieller EEPROM, 2,7 V bis 5,5 V	2K (256x8) Serial EEPROM, 2.7V to 5.5V	8-TSSOP	.69	.35	.29
AT24C02A-10TI-1.8-ND	2 K (256 x 8) serieller EEPROM, 1,8 V bis 5,5 V	2K (256x8) Serial EEPROM, 1.8V to 5.5V	8-TSSOP	.34	.26	.24
AT24C02A-10TI-2.7-ND	2 K (256 x 8) serieller EEPROM, 2,7 V bis 5,5 V	2K (256x8) Serial EEPROM, 2.7V to 5.5V	8-TSSOP	.85	.83	.75

(Forts.)

★ RUFEN SIE BITTE AN FÜR NIEDRIGERE PREISE BEI GRÖSSEREN MENGEN! ★

Digi-Key Teilenr.	Beschreibung		Paket	Stückpreis★ 1	25	100
AT24C02AN-10SI1.8-ND	2 K (256 x 8) serieller EEPROM, 1,8 V bis 5,5 V	2K (256x8) Serial EEPROM, 1.8V to 5.5V	8-SOIC	.88	.86	.78
AT24C02AN-10SI2.7-ND	2 K (256 x 8) serieller EEPROM, 2,7 V bis 5,5 V	2K (256x8) Serial EEPROM, 2.7V to 5.5V	8-SOIC	.56	.42	.32
AT24C02N-10SI-1.8-ND	2 K (256 x 8) serieller EEPROM, volles Daten-Array, Schreibschutz, 1,8 V bis 5,5 V	2K (256x8) Serial EEPROM, Full Data Array Write Protect, 1.8V to 5.5V	8-SOIC	.69	.35	.29
AT24C02N-10SI-2.7-ND	2 K (256 x 8) serieller EEPROM, volles Daten-Array, Schreibschutz, 2,7 V	2K (256x8) Serial EEPROM, Full data Array Write Protect, 2.7V	8-SOIC	.66	.58	.28
AT24C02Y1-10YI2.7-ND	2 K (256 x 8) serieller EEPROM, 2,7 V bis 5,5 V	2K (256x8) Serial EEPROM, 2.7V to 5.5V	8-MAP	.40	.31	.28
AT24C04A-10PI-1.8-ND	4 K (512 x 8) serieller EEPROM, 1,8 V bis 5,5 V	4K (512x8) Serial EEPROM, 1.8V to 5.5V	8-Dip	.99	.96	.88
AT24C04A-10PI-2.7-ND	4 K (512 x 8) serieller EEPROM, 2,7 V bis 5,5 V	4K (512x8) Serial EEPROM, 2.7V to 5.5V	8-Dip	.87	.85	.77
AT24C04A-10TI-1.8-ND	4 K (512 x 8) serieller EEPROM, 1,8 V bis 5,5 V	4K (512x8) Serial EEPROM, 1.8V to 5.5V	8-TSSOP	1.06	1.04	.94
AT24C04A-10TI-2.7-ND	4 K (512 x 8) serieller EEPROM, 2,7 V bis 5,5 V	4K (512x8) Serial EEPROM, 2.7V to 5.5V	8-TSSOP	.95	.92	.84
AT24C04AN-10SI1.8-ND	4 K (512 x 8) serieller EEPROM, 1,8 V bis 5,5 V	4K (512x8) Serial EEPROM, 1.8V to 5.5V	8-SOIC	.99	.96	.88
AT24C04AN-10SI2.7-ND	4 K (512 x 8) serieller EEPROM, 2,7 V bis 5,5 V	4K (512x8) Serial EEPROM, 2.7V to 5.5V	8-SOIC	.87	.85	.77
AT24C04N-10SI-1.8-ND	4 K (512 x 8) serieller EEPROM, volles Daten-Array, Schreibschutz, 1,8 V bis 5,5 V	4K (512x8) Serial EEPROM, Full Data Array Write Protect, 1.8 to 5.5V	8-SOIC	.76	.39	.33
AT24C04N-10SI-2.7-ND	4 K (512 x 8) serieller EEPROM, volles Daten-Array, Schreibschutz, 2,7 V	4K (512x8) Serial EEPROM, Full Data Array Write Protect, 2.7V	8-SOIC	.73	.37	.32
AT24C04Y1-10YI1.8-ND	4 K (512 x 8) serieller EEPROM, 1,8 V bis 5,5 V	4K (512x8) Serial EEPROM, 1.8V to 5.5V	8-MAP	.49	.39	.35
AT24C04Y1-10YI2.7-ND	4 K (512 x 8) serieller EEPROM, 2,7 V bis 5,5 V	4K (512x8) Serial EEPROM, 2.7V to 5.5V	8-MAP	.44	.34	.31
AT24C08-10PI-1.8-ND	8 K (1 K x 8) serieller EEPROM, 1,8 V bis 5,5 V	8K (1Kx8) Serial EEPROM, 1.8V to 5.5V	8-Dip	1.79	1.54	1.36
AT24C08A-10PI-1.8-ND	8 K (1 K x 8) serieller EEPROM, 1,8 V bis 5,5 V	8K (1Kx8) Serial EEPROM, 1.8V to 5.5V	8-Dip	.35	.33	.31
AT24C08-10PC-2.7-ND	8 K (1 K x 8) serieller EEPROM, 2,7 V bis 5,5 V	8K (1Kx8) Serial EEPROM, 2.7V to 5.5V	8-Dip	1.12	.62	.53
AT24C08A-10PI-2.7-ND	8 K (1 K x 8) serieller EEPROM, 2,7 V bis 5,5 V	8K (1Kx8) Serial EEPROM, 2.7V to 5.5V	8-Dip	.30	.29	.28
AT24C08-10PI-ND	8 K (1 K x 8) serieller EEPROM, 5 V	8K (1Kx8) Serial EEPROM, 5V	8-Dip	1.21	.68	.59
AT24C08A-10TI-1.8-ND	8 K (1 K x 8) serieller EEPROM, 1,8 V bis 5,5 V	8K (1Kx8) Serial EEPROM, 1.8V to 5.5V	8-TSSOP	.38	.37	.34
AT24C08A-10TI-2.7-ND	8 K (1 K x 8) serieller EEPROM, 2,7 V bis 5,5 V	8K (1Kx8) Serial EEPROM, 2.7V to 5.5V	8-TSSOP	.34	.33	.31
AT24C08AN-10SI1.8-ND	8 K (1 K x 8) serieller EEPROM, 1,8 V bis 5,5 V	8K (1Kx8) Serial EEPROM, 1.8V to 5.5V	8-SOIC	.35	.33	.31
AT24C08AN-10SI2.7-ND	8 K (1 K x 8) serieller EEPROM, 2,7 V bis 5,5 V	8K (1Kx8) Serial EEPROM, 2.7V to 5.5V	8-SOIC	.30	.29	.28
AT24C08AY110YI1.8-ND	8 K (1 K x 8) serieller EEPROM, 1,8 V bis 5,5 V	8K (1Kx8) Serial EEPROM, 1.8V to 5.5V	8-MAP	.55	.43	.39
AT24C08AY110YI2.7-ND	8 K (1 K x 8) serieller EEPROM, 2,7 V bis 5,5 V	8K (1Kx8) Serial EEPROM, 2.7V to 5.5V	8-MAP	.49	.39	.35
AT24C16A-10PI-1.8-ND	16 K (2 K x 8) serieller EEPROM, 1,8 V bis 5,5 V	16K (2Kx8) Serial EEPROM, 1.8V to 5.5V	8-Dip	.41	.32	.29
AT24C16A-10PI-2.7-ND	16 K (2 K x 8) serieller EEPROM, 2,7 V bis 5,5 V	16K (2Kx8) Serial EEPROM, 2.7V to 5.5V	8-Dip	.40	.32	.29
AT24C16A-10TI-1.8-ND	16 K (2 K x 8) serieller EEPROM, 1,8 V bis 5,5 V	16K (2Kx8) Serial EEPROM, 1.8V to 5.5V	8-TSSOP	.44	.34	.31
AT24C16A-10TI-2.7-ND	16 K (2 K x 8) serieller EEPROM, 2,7 V bis 5,5 V	16K (2Kx8) Serial EEPROM, 2.7V to 5.5V	8-TSSOP	.41	.32	.29
AT24C16AN-10SI1.8-ND	16 K (2 K x 8) serieller EEPROM, 1,8 V bis 5,5 V	16K (2Kx8) Serial EEPROM, 1.8V to 5.5V	8-SOIC	.40	.39	.35
AT24C16AN-10SI2.7-ND	16 K (2 K x 8) serieller EEPROM, 2,7 V bis 5,5 V	16K (2Kx8) Serial EEPROM, 2.7V to 5.5V	8-SOIC	.35	.34	.31
AT24C16AY110YI1.8-ND	16 K (2 K x 8) serieller EEPROM, 1,8 V bis 5,5 V	16K (2Kx8) Serial EEPROM, 1.8V to 5.5V	8-MAP	.60	.46	.43
AT24C16AY110YI2.7-ND	16 K (2 K x 8) serieller EEPROM, 2,7 V bis 5,5 V	16K (2Kx8) Serial EEPROM, 2.7V to 5.5V	8-MAP	.55	.42	.39
AT24C164-10PI-1.8-ND	16 K (2 K x 8) serieller EEPROM, 1,8 V bis 5,5 V	16K (2Kx8) Serial EEPROM, 1.8V to 5.5V	8-Dip	1.72	1.68	1.52
AT24C164-10PI-2.7-ND	16 K (2 K x 8) serieller EEPROM, 2,7 V bis 5,5 V	16K (2Kx8) Serial EEPROM, 2.7V to 5.5V	8-Dip	1.52	1.48	1.35
AT24C164-10SI-1.8-ND	16 K (2 K x 8) serieller EEPROM, 1,8 V bis 5,5 V	16K (2Kx8) Serial EEPROM, 1.8V to 5.5V	8-SOIC	1.72	1.68	1.52
AT24C164-10SI-2.7-ND	16 K (2 K x 8) serieller EEPROM, 2,7 V bis 5,5 V	16K (2Kx8) Serial EEPROM, 2.7V to 5.5V	8-SOIC	1.52	1.48	1.35
AT24C32A-10PI-1.8-ND	32 K (4 K x 8) serieller EEPROM, 1,8 V bis 5,5 V	32K (4Kx8) Serial EEPROM, 1.8V to 5.5V	8-Dip	.78	.61	.55
AT24C32A-10PI-2.7-ND	32 K (4 K x 8) serieller EEPROM, 2,7 V bis 5,5 V	32K (4Kx8) Serial EEPROM, 2.7V to 5.5V	8-Dip	.43	.42	.38
AT24C32A-10TI-1.8-ND	32 K (4 K x 8) serieller EEPROM, 1,8 V bis 5,5 V	32K (4Kx8) Serial EEPROM, 1.8V to 5.5V	8-TSSOP	.52	.41	.37
AT24C32A-10TI-2.7-ND	32 K (4 K x 8) serieller EEPROM, 2,7 V bis 5,5 V	32K (4Kx8) Serial EEPROM, 2.7V to 5.5V	8-TSSOP	.51	.40	.36
AT24C32AN-10SI1.8-ND	32 K (4 K x 8) serieller EEPROM, 1,8 V bis 5,5 V	32K (4Kx8) Serial EEPROM, 1.8V to 5.5V	8-SOIC	.48	.47	.43
AT24C32N-10SI-1.8-ND	32 K (4 K x 8) serieller EEPROM, 1,8 V bis 5,5 V	32K (4Kx8) Serial EEPROM, 1.8V to 5.5V	8-SOIC	3.91	3.00	2.73
AT24C32AN-10SI2.7-ND	32 K (4 K x 8) serieller EEPROM, 2,7 V bis 5,5 V	32K (4Kx8) Serial EEPROM, 2.7V to 5.5V	8-SOIC	.43	.42	.38
AT24C32W-10SI-1.8-ND	32 K (4 K x 8) serieller EEPROM, 1,8 V bis 5,5 V	32K (4Kx8) Serial EEPROM, 1.8V to 5.5V	8-SOIC	4.66	3.67	3.31
AT24C32W-10SC-2.7-ND	32 K (4 K x 8) serieller EEPROM, 2,7 V bis 5,5 V	32K (4Kx8) Serial EEPROM, 2.7V to 5.5V	8-SOIC*	2.27	1.39	1.22
AT24C32W-10SI-2.7-ND	32 K (4 K x 8) serieller EEPROM, 2,7 V bis 5,5 V	32K (4Kx8) Serial EEPROM, 2.7V to 5.5V	8-SOIC*	1.73	1.50	1.32
AT24C32W-10SI-ND	32 K (4 K x 8) serieller EEPROM, 5 V	32K (4Kx8) Serial EEPROM, 5V	8-SOIC*	2.35	1.44	1.27
AT24C32AW-10SI2.7-ND	32 K (4 K x 8) serieller EEPROM, 2,7 V bis 5,5 V	32K (4Kx8) Serial EEPROM, 2.7V to 5.5V	8-SOIC	.91	.51	.43
AT24C32AY110YI1.8-ND	32 K (4 K x 8) serieller EEPROM, 1,8 V bis 5,5 V	32K (4Kx8) Serial EEPROM, 1.8V to 5.5V	8-MAP	.91	.70	.63
AT24C32AY110YI2.7-ND	32 K (4 K x 8) serieller EEPROM, 2,7 V bis 5,5 V	32K (4Kx8) Serial EEPROM, 2.7V to 5.5V	8-MAP	.82	.63	.57
AT24C64A-10PI-1.8-ND	64 K (8 K x 8) serieller EEPROM, 1,8 V bis 5,5 V	64K (8Kx8) Serial EEPROM, 1.8V to 5.5V	8-Dip	.58	.45	.41
AT24C64A-10PI-2.7-ND	64 K (8 K x 8) serieller EEPROM, 2,7 V bis 5,5 V	64K (8Kx8) Serial EEPROM, 2.7V to 5.5V	8-Dip	.47	.46	.42
AT24C64A-10TI-1.8-ND	64 K (8 K x 8) serieller EEPROM, 1,8 V bis 5,5 V	64K (8Kx8) Serial EEPROM, 1.8V to 5.5V	8-TSSOP	.60	.46	.42
AT24C64A-10TI-2.7-ND	64 K (8 K x 8) serieller EEPROM, 2,7 V bis 5,5 V	64K (8Kx8) Serial EEPROM, 2.7V to 5.5V	8-TSSOP	.54	.53	.49
AT24C64AN-10SI1.8-ND	64 K (8 K x 8) serieller EEPROM, 1,8 V bis 5,5 V	64K (8Kx8) Serial EEPROM, 1.8V to 5.5V	8-SOIC	.54	.53	.49
AT24C64AN-10SI2.7-ND	64 K (8 K x 8) serieller EEPROM, 2,7 V bis 5,5 V	64K (8Kx8) Serial EEPROM, 2.7V to 5.5V	8-SOIC	.48	.47	.43
AT24C64AW-10SI2.7-ND	64 K (8 K x 8) serieller EEPROM, 2,7 V bis 5,5 V	64K (8Kx8) Serial EEPROM, 2.7V to 5.5V	8-SOIC*	.57	.44	.40
AT24C64W-10SI-1.8-ND	64 K (8 K x 8) serieller EEPROM, 1,8 V bis 5,5 V	64K (8Kx8) Serial EEPROM, 1.8V to 5.5V	8-SOIC	6.24	4.80	4.36
AT24C64AW-10SI1.8-ND	64 K (8 K x 8) serieller EEPROM, 1,8 V bis 5,5 V	64K (8Kx8) Serial EEPROM, 1.8V to 5.5V	8-SOIC	.58	.45	.41
AT24C64AY110YI1.8-ND	64 K (8 K x 8) serieller EEPROM, 1,8 V bis 5,5 V	64K (8Kx8) Serial EEPROM, 1.8V to 5.5V	8-MAP	1.09	.84	.77
AT24C64AY110YI2.7-ND	64 K (8 K x 8) serieller EEPROM, 2,7 V bis 5,5 V	64K (8Kx8) Serial EEPROM, 2.7V to 5.5V	8-MAP	.98	.76	.69
AT24C128-10PI-1.8-ND	128 K (16 K x 8) serieller EEPROM, 1,8 V bis 5,5 V	128K (16Kx8) Serial EEPROM, 1.8V to 5.5V	8-Dip	2.06	2.00	1.82
AT24C128-10PI-2.7-ND	128 K (16 K x 8) serieller EEPROM, 2,7 V bis 5,5 V	128K (16Kx8) Serial EEPROM, 2.7V to 5.5V	8-Dip	1.80	1.75	1.59
AT24C128-10TI-1.8-ND	128 K (16 K x 8) serieller EEPROM, 1,8 V bis 5,5 V	128K (16Kx8) Serial EEPROM, 1.8V to 5.5V	8-TSSOP	.82	.63	.58
AT24C128-10TI-2.7-ND	128 K (16 K x 8) serieller EEPROM, 2,7 V bis 5,5 V	128K (16Kx8) Serial EEPROM, 2.7V to 5.5V	8-TSSOP	2.06	2.00	1.82
AT24C128N-10SI1.8-ND	128 K (16 K x 8) serieller EEPROM, 1,8 V bis 5,5 V	128K (16Kx8) Serial EEPROM, 1.8V to 5.5V	8-SOIC	2.06	2.00	1.82
AT24C128N-10SI2.7-ND	128 K (16 K x 8) serieller EEPROM, 2,7 V bis 5,5 V	128K (16Kx8) Serial EEPROM, 2.7V to 5.5V	8-SOIC	1.80	1.75	1.59
AT24C128W-10SI1.8-ND	128 K (16 K x 8) serieller EEPROM, 1,8 V bis 5,5 V	128K (16Kx8) Serial EEPROM, 1.8V to 5.5V	8-SOIC	2.37	2.31	2.10
AT24C128W-10SC2.7-ND	128 K (16 K x 8) serieller EEPROM, 2,7 V bis 5,5 V	128K (16Kx8) Serial EEPROM, 2.7V to 5.5V	8-SOIC*	2.60	1.61	1.43
AT24C128W-10SI2.7-ND	128 K (16 K x 8) serieller EEPROM, 2,7 V bis 5,5 V	128K (16Kx8) Serial EEPROM, 2.7V to 5.5V	8-SOIC*	1.78	1.73	1.57
AT24C128W-10SC-ND	128 K (16 K x 8) serieller EEPROM, 5 V	128K (16Kx8) Serial EEPROM, 5V	8-SOIC*	2.50	1.54	1.36
AT24C128W-10SI-ND	128 K (16 K x 8) serieller EEPROM, 5 V	128K (16Kx8) Serial EEPROM, 5V	8-SOIC*	2.70	1.68	1.49
AT24C128Y110YI1.8-ND	128 K (16 K x 8) serieller EEPROM, 1,8 V bis 5,5 V	128K (16Kx8) Serial EEPROM, 1.8V to 5.5V	8-MAP	1.36	1.05	.96
AT24C128Y110YI2.7-ND	128 K (16 K x 8) serieller EEPROM, 2,7 V bis 5,5 V	128K (16Kx8) Serial EEPROM, 2.7V to 5.5V	8-MAP	1.24	.94	.86
AT24C256-10PI-1.8-ND	256 K (32 K x 8) serieller EEPROM, 1,8 V bis 5,5 V	256K (32Kx8) Serial EEPROM, 1.8V to 5.5V	8-Dip	1.33	.85	.78
AT24C256-10PI-2.7-ND	256 K (32 K x 8) serieller EEPROM, 2,7 V bis 5,5 V	256K (32Kx8) Serial EEPROM, 2.7V to 5.5V	8-Dip	3.00	2.92	2.66
AT24C256-10TI-1.8-ND	256 K (32 K x 8) serieller EEPROM, 1,8 V bis 5,5 V	256K (32Kx8) Serial EEPROM, 1.8V to 5.5V	8-TSSOP	7.26	5.58	5.08
AT24C256-10TI-2.7-ND	256 K (32 K x 8) serieller EEPROM, 2,7 V bis 5,5 V	256K (32Kx8) Serial EEPROM, 2.7V to 5.5V	8-TSSOP	6.76	5.18	4.71
AT24C256N-10SI1.8-ND	256 K (32 K x 8) serieller EEPROM, 1,8 V bis 5,5 V	256K (32Kx8) Serial EEPROM, 1.8V to 5.5V	8-SOIC	1.33	.85	.78
AT24C256N-10SI2.7-ND	256 K (32 K x 8) serieller EEPROM, 2,7 V bis 5,5 V	256K (32Kx8) Serial EEPROM, 2.7V to 5.5V	8-SOIC	1.30	.83	.76
AT24C256W-10SI1.8-ND	256 K (32 K x 8) serieller EEPROM, 1,8 V bis 5,5 V	256K (32Kx8) Serial EEPROM, 1.8V to 5.5V	8-SOIC	1.33	.85	.78
AT24C256W-10SI2.7-ND	256 K (32 K x 8) serieller EEPROM, 2,7 V bis 5,5 V	256K (32Kx8) Serial EEPROM, 2.7V to 5.5V	8-SOIC*	1.30	.83	.76
AT24C512-10PI-1.8-ND	512 K (64 K x 8) serieller EEPROM, 1,8 V bis 5,5 V	512K (64Kx8) Serial EEPROM, 1.8V to 5.5V	8-Dip	1.73	1.33	1.21
AT24C512-10PI-2.7-ND	512 K (64 K x 8) serieller EEPROM, 2,7 V bis 5,5 V	512K (64Kx8) Serial EEPROM, 2.7V to 5.5V	8-Dip	2.16	2.10	1.91
AT24C512-10TI-1.8-ND	512 K (64 K x 8) serieller EEPROM, 1,8 V bis 5,5 V	512K (64Kx8) Serial EEPROM, 1.8V to 5.5V	8-TSSOP	2.66	2.59	2.35
AT24C512-10TI-2.7-ND	512 K (64 K x 8) serieller EEPROM, 2,7 V bis 5,5 V	512K (64Kx8) Serial EEPROM, 2.7V to 5.5V	8-TSSOP	2.46	2.39	2.17
AT24C512C110CI1.8-ND	512 K (64 K x 8) serieller EEPROM, 1,8 V bis 5,5 V	512K (64Kx8) Serial EEPROM, 1.8V to 5.5V	8-LAP	6.82	5.25	4.77
AT24C512C110CI2.7-ND	512 K (64 K x 8) serieller EEPROM, 2,7 V bis 5,5 V	512K (64Kx8) Serial EEPROM, 2.7V to 5.5V	8-LAP	5.70	4.37	3.98
AT24C512N-10SI1.8-ND	512 K (64 K x 8) serieller EEPROM, 1,8 V bis 5,5 V	512K (64Kx8) Serial EEPROM, 1.8V to 5.5V	8-SOIC	2.46	2.39	2.17
AT24C512N-10SI2.7-ND	512 K (64 K x 8) serieller EEPROM, 2,7 V bis 5,5 V	512K (64Kx8) Serial EEPROM, 2.7V to 5.5V	8-SOIC	2.16	2.10	1.91
AT24C512W-10SI2.7-ND	512 K (64 K x 8) serieller EEPROM, 2,7 V bis 5,5 V	512K (64Kx8) Serial EEPROM, 2.7V to 5.5V	8-SOIC	1.71	1.32	1.20
AT24C512W110SI1.8-ND	512 K (64 K x 8) serieller EEPROM, 1,8 V bis 5,5 V	512K (64Kx8) Serial EEPROM, 1.8V to 5.5V	20-SOIC	5.92	4.54	4.14
AT24C512W110SI2.7-ND	512 K (64 K x 8) serieller EEPROM, 2,7 V bis 5,5 V	512K (64Kx8) Serial EEPROM, 2.7V to 5.5V	20-SOIC	5.24	4.02	3.65
AT24C1024102CI2.7-ND	1 M (128 K x 8) serieller EEPROM, 2,7 V bis 5,5 V	1M (128Kx8) Serial EEPROM, 2.7V to 5.5V	8-LAP	7.39	5.68	5.16
AT24C1024-10PI2.7-ND	1 M (128 K x 8) serieller EEPROM, 2,7 V bis 5,5 V	1M (128Kx8) Serial EEPROM, 2.7V to 5.5V	8-Dip	6.81	5.23	4.75
AT24C1024W10SI2.7-ND	1 M (128 K x 8) serieller EEPROM, 2,7 V bis 5,5 V	1M (128Kx8) Serial EEPROM, 2.7V to 5.5V	8-SOIC	3.45	3.36	3.05
		EEPROMs, SPI, serielle Schnittstelle				
AT25010A-10PI-1.8-ND	1 K (128 x 8) serieller EEPROM, 1,8 V bis 5,5 V	1K (128x8) Serial EEPROM, 1.8V to 5.5V	8-Dip	.35	.33	.30
AT25010A-10PI-2.7-ND	1 K (128 x 8) serieller EEPROM, 2,7 V bis 5,5 V	1K (128x8) Serial EEPROM, 2.7V to 5.5V	8-Dip	.31	.30	.26
AT25010A-10TI-1.8-ND	1 K (128 x 8) serieller EEPROM, 1,8 V bis 5,5 V	1K (128x8) Serial EEPROM, 1.8V to 5.5V	8-TSSOP	.39	.37	.34
AT25010A-10TI-2.7-ND	1 K (128 x 8) serieller EEPROM, 2,7 V bis 5,5 V	1K (128x8) Serial EEPROM, 2.7V to 5.5V	8-TSSOP	.35	.33	.30
AT25010AN-10SI1.8-ND	1 K (128 x 8) serieller EEPROM, 1,8 V bis 5,5 V	1K (128x8) Serial EEPROM, 1.8V to 5.5V	8-SOIC	.35	.33	.30
AT25010AN-10SI2.7-ND	1 K (128 x 8) serieller EEPROM, 2,7 V bis 5,5 V	1K (128x8) Serial EEPROM, 2.7V to 5.5V	8-SOIC	.31	.30	.26
AT25010AY110YI1.8-ND	1 K (128 x 8) serieller EEPROM, 1,8 V bis 5,5 V	1K (128x8) Serial EEPROM, 1.8V to 5.5V	8-MAP	.55	.40	.36
AT25010AY110YI2.7-ND	1 K (128 x 8) serieller EEPROM, 2,7 V bis 5,5 V	1K (128x8) Serial EEPROM, 2.7V to 5.5V	8-MAP	.49	.36	.33

* 0,200" Körperbreite

(Forts.)

★ RUFEN SIE BITTE AN FÜR NIEDRIGERE PREISE BEI GRÖSSEREN MENGEN! ★

Digi-Key Teilenr.	Beschreibung		Paket	Stückpreis★ 1	25	100
AT25020A-10PI-1.8-ND	2 K (256 x 8) serieller EEPROM, 1,8 V bis 5,5 V	2K (256x8) Serial EEPROM, 1.8V to 5.5V	8-Dip	.38	.36	.33
AT25020A-10PI-2.7-ND	2 K (256 x 8) serieller EEPROM, 2,7 V bis 5,5 V	2K (256x8) Serial EEPROM, 2.7V to 5.5V	8-Dip	.34	.32	.29
AT25020A-10TI-1.8-ND	2 K (256 x 8) serieller EEPROM, 1,8 V bis 5,5 V	2K (256x8) Serial EEPROM, 1.8V to 5.5V	8-TSSOP	.43	.41	.37
AT25020A-10TI-2.7-ND	2 K (256 x 8) serieller EEPROM, 2,7 V bis 5,5 V	2K (256x8) Serial EEPROM, 2.7V to 5.5V	8-TSSOP	.38	.37	.34
AT25020AN-10SI1.8-ND	2 K (256 x 8) serieller EEPROM, 1,8 V bis 5,5 V	2K (256x8) Serial EEPROM, 1.8V to 5.5V	8-SOIC	.38	.36	.33
AT25020AN-10SI2.7-ND	2 K (256 x 8) serieller EEPROM, 2,7 V bis 5,5 V	2K (256x8) Serial EEPROM, 2.7V to 5.5V	8-SOIC	.34	.32	.29
AT25020AY110YI1.8-ND	2 K (256 x 8) serieller EEPROM, 1,8 V bis 5,5 V	2K (256x8) Serial EEPROM, 1.8V to 5.5V	8-MAP	.52	.38	.35
AT25020AY110YI2.7-ND	2 K (256 x 8) serieller EEPROM, 2,7 V bis 5,5 V	2K (256x8) Serial EEPROM, 2.7V to 5.5V	8-MAP	.51	.37	.34
AT25040A-10PI-1.8-ND	4 K (512 x 8) serieller EEPROM, 1,8 V bis 5,5 V	4K (512x8) Serial EEPROM, 1.8V to 5.5V	8-Dip	.37	.35	.32
AT25040A-10PI-2.7-ND	4 K (512 x 8) serieller EEPROM, 2,7 V bis 5,5 V	4K (512x8) Serial EEPROM, 2.7V to 5.5V	8-Dip	.33	.31	.28
AT25040-10PC-ND	4 K (512 x 8) serieller EEPROM, 5 V	4K (512x8) Serial EEPROM, 5V	8-Dip	1.10	.61	.52
AT25040A-10TI-1.8-ND	4 K (512 x 8) serieller EEPROM, 1,8 V bis 5,5 V	4K (512x8) Serial EEPROM, 1.8V to 5.5V	8-TSSOP	.41	.38	.35
AT25040A-10TI-2.7-ND	4 K (512 x 8) serieller EEPROM, 2,7 V bis 5,5 V	4K (512x8) Serial EEPROM, 2.7V to 5.5V	8-TSSOP	.36	.34	.31
AT25040AN-10SI1.8-ND	4 K (512 x 8) serieller EEPROM, 1,8 V bis 5,5 V	4K (512x8) Serial EEPROM, 1.8V to 5.5V	8-SOIC	.37	.35	.32
AT25040AN-10SI2.7-ND	4 K (512 x 8) serieller EEPROM, 2,7 V bis 5,5 V	4K (512x8) Serial EEPROM, 2.7V to 5.5V	8-SOIC	.33	.31	.28
AT25040AY110YI1.8-ND	4 K (512 x 8) serieller EEPROM, 1,8 V bis 5,5 V	4K (512x8) Serial EEPROM, 1.8V to 5.5V	8-MAP	.71	.51	.47
AT25040AY110YI2.7-ND	4 K (512 x 8) serieller EEPROM, 2,7 V bis 5,5 V	4K (512x8) Serial EEPROM, 2.7V to 5.5V	8-MAP	.63	.46	.42
AT25080-10PI-1.8-ND	8 K (1 K x 8) serieller EEPROM, 1,8 V bis 5,5 V	8K (1Kx8) Serial EEPROM, 1.8V to 5.5V	8-Dip	2.24	1.89	1.68
AT25080A-10PI-1.8-ND	8 K (1 K x 8) serieller EEPROM, 1,8 V bis 5,5 V	8K (1Kx8) Serial EEPROM, 1.8V to 5.5V	8-Dip	.49	.46	.43
AT25080-10PI-ND	8 K (1 K x 8) serieller EEPROM, 5 V	8K (1Kx8) Serial EEPROM, 5V	8-Dip	1.35	.78	.67
AT25080A-10PI-2.7-ND	8 K (1 K x 8) serieller EEPROM, 2,7 V bis 5,5 V	8K (1Kx8) Serial EEPROM, 2.7V to 5.5V	8-Dip	.43	.41	.37
AT25080A-10TI-1.8-ND	8 K (1 K x 8) serieller EEPROM, 1,8 V bis 5,5 V	8K (1Kx8) Serial EEPROM, 1.8V to 5.5V	8-TSSOP	.53	.50	.46
AT25080A-10TI-2.7-ND	8 K (1 K x 8) serieller EEPROM, 2,7 V bis 5,5 V	8K (1Kx8) Serial EEPROM, 2.7V to 5.5V	8-TSSOP	.47	.45	.41
AT25080AN-10SI1.8-ND	8 K (1 K x 8) serieller EEPROM, 1,8 V bis 5,5 V	8K (1Kx8) Serial EEPROM, 1.8V to 5.5V	8-SOIC	.49	.46	.43
AT25080N-10SI-1.8-ND	8 K (1 K x 8) serieller EEPROM, 1,8 V bis 5,5 V	8K (1Kx8) Serial EEPROM, 1.8V to 5.5V	8-SOIC	2.24	1.89	1.68
AT25080AN-10SI2.7-ND	8 K (1 K x 8) serieller EEPROM, 2,7 V bis 5,5 V	8K (1Kx8) Serial EEPROM, 2.7V to 5.5V	8-SOIC	.43	.41	.37
AT25080AY110YI1.8-ND	8 K (1 K x 8) serieller EEPROM, 1,8 V bis 5,5 V	8K (1Kx8) Serial EEPROM, 1.8V to 5.5V	8-MAP	.82	.60	.54
AT25080AY110YI2.7-ND	8 K (1 K x 8) serieller EEPROM, 2,7 V bis 5,5 V	8K (1Kx8) Serial EEPROM, 2.7V to 5.5V	8-MAP	.75	.54	.49
AT25160-10PI-1.8-ND	16 K (2 K x 8) serieller EEPROM, 1,8 V bis 5,5 V	16K (2Kx8) Serial EEPROM, 1.8V to 5.5V	8-Dip	2.79	2.30	2.05
AT25160A-10PI-1.8-ND	16 K (2 K x 8) serieller EEPROM, 1,8 V bis 5,5 V	16K (2Kx8) Serial EEPROM, 1.8V to 5.5V	8-Dip	.52	.49	.44
AT25160A-10PI-2.7-ND	16 K (2 K x 8) serieller EEPROM, 2,7 V bis 5,5 V	16K (2Kx8) Serial EEPROM, 2.7V to 5.5V	8-Dip	.46	.44	.39
AT25160A-10TI-1.8-ND	16 K (2 K x 8) serieller EEPROM, 1,8 V bis 5,5 V	16K (2Kx8) Serial EEPROM, 1.8V to 5.5V	8-TSSOP	.58	.42	.38
AT25160A-10TI-2.7-ND	16 K (2 K x 8) serieller EEPROM, 2,7 V bis 5,5 V	16K (2Kx8) Serial EEPROM, 2.7V to 5.5V	8-TSSOP	.57	.41	.37
AT25160AN-10SI1.8-ND	16 K (2 K x 8) serieller EEPROM, 1,8 V bis 5,5 V	16K (2Kx8) Serial EEPROM, 1.8V to 5.5V	8-SOIC	.52	.49	.44
AT25160N-10SI-1.8-ND	16 K (2 K x 8) serieller EEPROM, 1,8 V bis 5,5 V	16K (2Kx8) Serial EEPROM, 1.8V to 5.5V	8-SOIC	2.79	2.30	2.05
AT25160AN-10SI2.7-ND	16 K (2 K x 8) serieller EEPROM, 2,7 V bis 5,5 V	16K (2Kx8) Serial EEPROM, 2.7V to 5.5V	8-SOIC	.46	.44	.39
AT25160N-10SC-2.7-ND	16 K (2 K x 8) serieller EEPROM, 2,7 V bis 5,5 V	16K (2Kx8) Serial EEPROM, 2.7V to 5.5V	8-SOIC	1.67	.98	.86
AT25160AY110YI1.8-ND	16 K (2 K x 8) serieller EEPROM, 1,8 V bis 5,5 V	16K (2Kx8) Serial EEPROM, 1.8V to 5.5V	8-MAP	.93	.67	.61
AT25160AY110YI2.7-ND	16 K (2 K x 8) serieller EEPROM, 2,7 V bis 5,5 V	16K (2Kx8) Serial EEPROM, 2.7V to 5.5V	8-MAP	.84	.61	.55
AT25320A-10PI-1.8-ND	32 K (4 K x 8) serieller EEPROM, 1,8 V bis 5,5 V	32K (4Kx8) Serial EEPROM, 1.8V to 5.5V	8-Dip	.60	.57	.52
AT25320-10PC-2.7-ND	32 K (4 K x 8) serieller EEPROM, 2,7 V bis 5,5 V	32K (4Kx8) Serial EEPROM, 2.7V to 5.5V	8-Dip	2.72	1.69	1.50
AT25320A-10PI-2.7-ND	32 K (4 K x 8) serieller EEPROM, 2,7 V bis 5,5 V	32K (4Kx8) Serial EEPROM, 2.7V to 5.5V	8-Dip	.53	.50	.45
AT25320-10PI-ND	32 K (4 K x 8) serieller EEPROM, 5 V	32K (4Kx8) Serial EEPROM, 5V	8-Dip	2.62	1.62	1.44
AT25320A-10TI-1.8-ND	32 K (4 K x 8) serieller EEPROM, 1,8 V bis 5,5 V	32K (4Kx8) Serial EEPROM, 1.8V to 5.5V	8-TSSOP	.65	.62	.56
AT25320A-10TI-2.7-ND	32 K (4 K x 8) serieller EEPROM, 2,7 V bis 5,5 V	32K (4Kx8) Serial EEPROM, 2.7V to 5.5V	8-TSSOP	.57	.54	.48
AT25320AN-10SI1.8-ND	32 K (4 K x 8) serieller EEPROM, 1,8 V bis 5,5 V	32K (4Kx8) Serial EEPROM, 1.8V to 5.5V	8-SOIC	.60	.57	.52
AT25320AN-10SI2.7-ND	32 K (4 K x 8) serieller EEPROM, 2,7 V bis 5,5 V	32K (4Kx8) Serial EEPROM, 2.7V to 5.5V	8-SOIC	.53	.50	.45
AT25320AY110YI1.8-ND	32 K (4 K x 8) serieller EEPROM, 1,8 V bis 5,5 V	32K (4Kx8) Serial EEPROM, 1.8V to 5.5V	8-MAP	1.09	.79	.72
AT25320AY110YI2.7-ND	32 K (4 K x 8) serieller EEPROM, 2,7 V bis 5,5 V	32K (4Kx8) Serial EEPROM, 2.7V to 5.5V	8-MAP	.98	.72	.65
AT25640-10PI-1.8-ND	64 K (8 K x 8) serieller EEPROM, 1,8 V bis 5,5 V	64K (8Kx8) Serial EEPROM, 1.8V to 5.5V	8-Dip	7.37	5.60	5.09
AT25640A-10PI-1.8-ND	64 K (8 K x 8) serieller EEPROM, 1,8 V bis 5,5 V	64K (8Kx8) Serial EEPROM, 1.8V to 5.5V	8-Dip	.63	.61	.55
AT25640A-10PI-2.7-ND	64 K (8 K x 8) serieller EEPROM, 2,7 V bis 5,5 V	64K (8Kx8) Serial EEPROM, 2.7V to 5.5V	8-Dip	.56	.53	.48
AT25640A-10TI-1.8-ND	64 K (8 K x 8) serieller EEPROM, 1,8 V bis 5,5 V	64K (8Kx8) Serial EEPROM, 1.8V to 5.5V	8-TSSOP	.69	.65	.59
AT25640A-10TI-2.7-ND	64 K (8 K x 8) serieller EEPROM, 2,7 V bis 5,5 V	64K (8Kx8) Serial EEPROM, 2.7V to 5.5V	8-TSSOP	.80	.58	.53
AT25640AN-10SI1.8-ND	64 K (8 K x 8) serieller EEPROM, 1,8 V bis 5,5 V	64K (8Kx8) Serial EEPROM, 1.8V to 5.5V	8-SOIC	.63	.60	.54
AT25640AN-10SI2.7-ND	64 K (8 K x 8) serieller EEPROM, 2,7 V bis 5,5 V	64K (8Kx8) Serial EEPROM, 2.7V to 5.5V	8-SOIC	.56	.53	.48
AT25640AY110YI1.8-ND	64 K (8 K x 8) serieller EEPROM, 1,8 V bis 5,5 V	64K (8Kx8) Serial EEPROM, 1.8V to 5.5V	8-MAP	1.20	.87	.78
AT25128-10PI-1.8-ND	128 K (16 K x 8) serieller EEPROM, 1,8 V bis 5,5 V	128K (16Kx8) Serial EEPROM, 1.8V to 5.5V	8-Dip	10.79	7.96	7.28
AT25128A-10PI-1.8-ND	128 K (16 K x 8) serieller EEPROM, 1,8 V bis 5,5 V	128K (16Kx8) Serial EEPROM, 1.8V to 5.5V	8-Dip	.85	.81	.73
AT25128A-10PI-2.7-ND	128 K (16 K x 8) serieller EEPROM, 2,7 V bis 5,5 V	128K (16Kx8) Serial EEPROM, 2.7V to 5.5V	8-Dip	.75	.71	.64
AT25128A-10TI-1.8-ND	128 K (16 K x 8) serieller EEPROM, 1,8 V bis 5,5 V	128K (16Kx8) Serial EEPROM, 1.8V to 5.5V	8-TSSOP	1.06	.77	.69
AT25128A-10TI-2.7-ND	128 K (16 K x 8) serieller EEPROM, 2,7 V bis 5,5 V	128K (16Kx8) Serial EEPROM, 2.7V to 5.5V	8-TSSOP	1.04	.76	.68
AT25128AN-10SI1.8-ND	128 K (16 K x 8) serieller EEPROM, 1,8 V bis 5,5 V	128K (16Kx8) Serial EEPROM, 1.8V to 5.5V	8-SOIC	.85	.81	.73
AT25128AN-10SI2.7-ND	128 K (16 K x 8) serieller EEPROM, 2,7 V bis 5,5 V	128K (16Kx8) Serial EEPROM, 2.7V to 5.5V	8-SOIC	.75	.71	.64
AT25256A-10PI-1.8-ND	256 K (32 K x 8) serieller EEPROM, 1,8 V bis 5,5 V	256K (32Kx8) Serial EEPROM, 1.8V to 5.5V	8-Dip	1.15	1.09	.99
AT25256A-10PI-2.7-ND	256 K (32 K x 8) serieller EEPROM, 2,7 V bis 5,5 V	256K (32Kx8) Serial EEPROM, 2.7V to 5.5V	8-Dip	1.02	.96	.87
AT25256A-10TI-1.8-ND	256 K (32 K x 8) serieller EEPROM, 1,8 V bis 5,5 V	256K (32Kx8) Serial EEPROM, 1.8V to 5.5V	8-TSSOP	1.37	1.29	1.17
AT25256A-10TI-2.7-ND	256 K (32 K x 8) serieller EEPROM, 2,7 V bis 5,5 V	256K (32Kx8) Serial EEPROM, 2.7V to 5.5V	8-TSSOP	1.41	1.05	.95
AT25256AN-10SI1.8-ND	256 K (32 K x 8) serieller EEPROM, 1,8 V bis 5,5 V	256K (32Kx8) Serial EEPROM, 1.8V to 5.5V	8-SOIC	1.15	1.09	.99
AT25256AN-10SI2.7-ND	256 K (32 K x 8) serieller EEPROM, 2,7 V bis 5,5 V	256K (32Kx8) Serial EEPROM, 2.7V to 5.5V	8-SOIC	1.02	.96	.87
AT25256AW-10SI1.8-ND	256 K (32 K x 8) serieller EEPROM, 1,8 V bis 5,5 V	256K (32Kx8) Serial EEPROM, 1.8V to 5.5V	8-SOIC	1.35	1.23	1.15
AT25256AW-10SI2.7-ND	256 K (32 K x 8) serieller EEPROM, 2,7 V bis 5,5 V	256K (32Kx8) Serial EEPROM, 2.7V to 5.5V	8-SOIC	1.06	.97	.90
AT25HP256-10PI1.8-ND	256 K (32 K x 8) serieller EEPROM, 1,8 V bis 5,5 V	256K (32Kx8) Serial EEPROM, 1.8V to 5.5V	8-Dip	6.21	3.94	3.68
AT25HP256-10PI2.7-ND	256 K (32 K x 8) serieller EEPROM, 2,7 V bis 5,5 V	256K (32Kx8) Serial EEPROM, 2.7V to 5.5V	8-Dip	5.21	3.31	3.09
AT25HP256W10SI2.7-ND	256 K (32 K x 8) serieller EEPROM, 2,7 V bis 5,5 V	256K (32Kx8) Serial EEPROM, 2.7V to 5.5V	8-SOIC	4.37	3.05	2.85
AT25HP512C10CI1.8-ND	512 K (64 K x 8) serieller EEPROM, 1,8 V bis 5,5 V	512K (64Kx8) Serial EEPROM, 1.8V to 5.5V	8-LAP	9.32	5.91	5.52
AT25HP512C10CI2.7-ND	512 K (64 K x 8) serieller EEPROM, 2,7 V bis 5,5 V	512K (64Kx8) Serial EEPROM, 2.7V to 5.5V	8-LAP	7.81	4.96	4.63
AT25HP512-10PI1.8-ND	512 K (64 K x 8) serieller EEPROM, 1,8 V bis 5,5 V	512K (64Kx8) Serial EEPROM, 1.8V to 5.5V	8-Dip	7.10	5.13	4.63
AT25HP512-10PI2.7-ND	512 K (64 K x 8) serieller EEPROM, 2,7 V bis 5,5 V	512K (64Kx8) Serial EEPROM, 2.7V to 5.5V	8-Dip	6.28	4.53	4.09
AT25HP512W10SI2.7-ND	512 K (64 K x 8) serieller EEPROM, 2,7 V bis 5,5 V	512K (64Kx8) Serial EEPROM, 2.7V to 5.5V	16-SOIC	3.29	2.09	1.95
AT25P1024C10CI2.7-ND	1 M (128 K x 8) serieller EEPROM, 2,7 V bis 5,5 V	1M (128Kx8) Serial EEPROM, 2.7V to 5.5V	8-LAP	13.27	8.43	7.86
AT25P1024W10SI2.7-ND	1 M (128 K x 8) serieller EEPROM, 2,7 V bis 5,5 V	1M (128Kx8) Serial EEPROM, 2.7V to 5.5V	20-SOIC	12.76	8.10	7.57
	EEPROMs, 3-adrig, serielle Schnittstelle					
AT93C46A-10PI-1.8-ND	1 K (64 x 16) serieller EEPROM, 1,8 V bis 5,5 V	1K (64x16) Serial EEPROM, 1.8V to 5.5V	8-Dip	.66	.34	.29
AT93C46A-10PI-2.7-ND	1 K (64 x 16) serieller EEPROM, 2,7 V bis 5,5 V	1K (64x16) Serial EEPROM, 2.7V to 5.5V	8-Dip	.62	.60	.55
AT93C46A-10PC-ND	1 K (64 x 16) serieller EEPROM, 5 V	1K (64x16) Serial EEPROM, 5V	8-Dip	.94	.51	.44
AT93C46A-10PI-ND	1 K (64 x 16) serieller EEPROM, 5 V	1K (64x16) Serial EEPROM, 5V	8-Dip	1.04	.58	.49
AT93C46A-10SI-1.8-ND	1 K (64 x 16) serieller EEPROM, 1,8 V bis 5,5 V	1K (64x16) Serial EEPROM, 1.8V to 5.5V	8-SOIC	.84	.64	.58
AT93C46A-10SI-2.7-ND	1 K (64 x 16) serieller EEPROM, 2,7 V	1K (64x16) Serial EEPROM, 2.7V	8-SOIC	.64	.33	.27
AT93C46A-10TI-1.8-ND	1 K (64 x 16) serieller EEPROM, 1,8 V bis 5,5 V	1K (64x16) Serial EEPROM, 1.8V to 5.5V	8-TSSOP	.89	.69	.63
AT93C46A-10TI-2.7-ND	1 K (64 x 16) serieller EEPROM, 2,7 V bis 5,5 V	1K (64x16) Serial EEPROM, 2.7V to 5.5V	8-TSSOP	.63	.61	.56
AT93C46-10PI-1.8-ND	1 K (128 x 8 oder 64 x 16) serieller EEPROM, 1,8 V bis 5,5 V	1K (128x8 or 64x16) Serial EEPROM, 1.8V to 5.5V	8-Dip	.68	.34	.29
AT93C46-10PI-2.7-ND	1 K (128 x 8 oder 64 x 16) serieller EEPROM, 2,7 V bis 5,5 V	1K (128x8 or 64x16) Serial EEPROM, 2.7V to 5.5V	8-Dip	.64	.33	.27
AT93C46-10SI-1.8-ND	1 K (128 x 8 oder 64 x 16) serieller EEPROM, 1,8 V bis 5,5 V	1K (128x8 or 64x16) Serial EEPROM, 1.8V to 5.5V	8-SOIC	.68	.34	.29
AT93C46-10SI-2.7-ND	1 K (128 x 8 oder 64 x 16) serieller EEPROM, 2,7 V bis 5,5 V	1K (128x8 or 64x16) Serial EEPROM, 2.7V to 5.5V	8-SOIC	.64	.33	.27
AT93C46-10TI-1.8-ND	1 K (128 x 8 oder 64 x 16) serieller EEPROM, 1,8 V bis 5,5 V	1K (128x8 or 64x16) Serial EEPROM, 1.8V to 5.5V	8-TSSOP	.70	.36	.30
AT93C46-10TI-2.7-ND	1 K (128 x 8 oder 64 x 16) serieller EEPROM, 2,7 V bis 5,5 V	1K (128x8 or 64x16) Serial EEPROM, 2.7V to 5.5V	8-TSSOP	.68	.34	.29
AT93C46Y1-10YI1.8-ND	1 K (128 x 8 oder 64 x 16) serieller EEPROM, 1,8 V bis 5,5 V	1K (128x8 or 64x16) Serial EEPROM, 1.8V to 5.5V	8-MAP	.46	.35	.32
AT93C46Y1-10YI2.7-ND	1 K (128 x 8 oder 64 x 16) serieller EEPROM, 2,7 V bis 5,5 V	1K (128x8 or 64x16) Serial EEPROM, 2.7V to 5.5V	8-MAP	.41	.32	.30
AT93C56-10PI-1.8-ND	2 K (256 x 8 oder 128 x 16) serieller EEPROM, 1,8 V bis 5,5 V	2K (256x8 or 128x16) Serial EEPROM, 1.8V to 5.5V	8-Dip	.75	.38	.33
AT93C56-10PI-2.7-ND	2 K (256 x 8 oder 128 x 16) serieller EEPROM, 2,7 V bis 5,5 V	2K (256x8 or 128x16) Serial EEPROM, 2.7V to 5.5V	8-Dip	.88	.86	.78
AT93C56A-10PI-1.8-ND	2 K (256 x 8 oder 128 x 16) serieller EEPROM, 1,8 V bis 5,5 V	2K (256x8 or 128x16) Serial EEPROM, 1.8V to 5.5V	8-Dip	.36	.28	.25
AT93C56A-10PI-2.7-ND	2 K (256 x 8 oder 128 x 16) serieller EEPROM, 2,7 V bis 5,5 V	2K (256x8 or 128x16) Serial EEPROM, 2.7V to 5.5V	8-Dip	.34	.26	.23
AT93C56-10SI-1.8-ND	2 K (256 x 8 oder 128 x 16) serieller EEPROM, 1,8 V bis 5,5 V	2K (256x8 or 128x16) Serial EEPROM, 1.8V to 5.5V	8-SOIC	.75	.38	.33
AT93C56A-10SI-1.8-ND	2 K (256 x 8 oder 128 x 16) serieller EEPROM, 1,8 V bis 5,5 V	2K (256x8 or 128x16) Serial EEPROM, 1.8V to 5.5V	8-SOIC	.36	.28	.25

* 0,200" Körperbreite

(Forts.)

★ RUFEN SIE BITTE AN FÜR NIEDRIGERE PREISE BEI GRÖSSEREN MENGEN! ★

SERIELLE EEPROMs *(Forts)*

Digi-Key Teilenr.	Beschreibung		Paket	Stückpreis★ 1	25	100
AT93C56AW-10SI1.8-ND	2 K (256 x 8 oder 128 x 16) serieller EEPROM, 1,8 V bis 5,5 V	2K (256x8 or 128x16) Serial EEPROM, 1.8V to 5.5V	8-SOIC	.41	.33	.29
AT93C56A-10SI-2.7-ND	2 K (256 x 8 oder 128 x 16) serieller EEPROM, 2,7 V bis 5,5 V	2K (256x8 or 128x16) Serial EEPROM, 2.7V to 5.5V	8-SOIC	.34	.26	.23
AT93C56AW-10SI2.7-ND	2 K (256 x 8 oder 128 x 16) serieller EEPROM, 2,7 V bis 5,5 V	2K (256x8 or 128x16) Serial EEPROM, 2.7V to 5.5V	8-SOIC	.35	.27	.24
AT93C56A-10TI-1.8-ND	2 K (256 x 8 oder 128 x 16) serieller EEPROM, 1,8 V bis 5,5 V	2K (256x8 or 128x16) Serial EEPROM, 1.8V to 5.5V	8-TSSOP	.37	.29	.27
AT93C56A-10TI-2.7-ND	2 K (256 x 8 oder 128 x 16) serieller EEPROM, 2,7 V bis 5,5 V	2K (256x8 or 128x16) Serial EEPROM, 2.7V to 5.5V	8-TSSOP	.36	.28	.26
AT93C56AY110YI1.8-ND	2 K (256 x 8 oder 128 x 16) serieller EEPROM, 1,8 V bis 5,5 V	2K (256x8 or 128x16) Serial EEPROM, 1.8V to 5.5V	8-MAP	.51	.39	.36
AT93C56AY110YI2.7-ND	2 K (256 x 8 oder 128 x 16) serieller EEPROM, 2,7 V bis 5,5 V	2K (256x8 or 128x16) Serial EEPROM, 2.7V to 5.5V	8-MAP	.47	.37	.34
AT93C66A-10PI-1.8-ND	4 K (512 x 8 oder 256 x 16) serieller EEPROM, 1,8 V bis 5,5 V	4K (512x8 or 256x16) Serial EEPROM, 1.8V to 5.5V	8-Dip	.34	.32	.31
AT93C66A-10PI-2.7-ND	4 K (512 x 8 oder 256 x 16) serieller EEPROM, 2,7 V bis 5,5 V	4K (512x8 or 256x16) Serial EEPROM, 2.7V to 5.5V	8-Dip	.30	.29	.27
AT93C66A-10SI-1.8-ND	4 K (512 x 8 oder 256 x 16) serieller EEPROM, 1,8 V bis 5,5 V	4K (512x8 or 256x16) Serial EEPROM, 1.8V to 5.5V	8-SOIC	.34	.32	.31
AT93C66AW-10SI1.8-ND	4 K (512 x 8 oder 256 x 16) serieller EEPROM, 1,8 V bis 5,5 V	4K (512x8 or 256x16) Serial EEPROM, 1.8V to 5.5V	8-SOIC	.49	.39	.35
AT93C66A-10SI-2.7-ND	4 K (512 x 8 oder 256 x 16) serieller EEPROM, 2,7 V bis 5,5 V	4K (512x8 or 256x16) Serial EEPROM, 2.7V to 5.5V	8-SOIC	.30	.29	.27
AT93C66AW-10SI2.7-ND	4 K (512 x 8 oder 256 x 16) serieller EEPROM, 2,7 V bis 5,5 V	4K (512x8 or 256x16) Serial EEPROM, 2.7V to 5.5V	8-SOIC	.40	.31	.28
AT93C66A-10TI-1.8-ND	4 K (512 x 8 oder 256 x 16) serieller EEPROM, 1,8 V bis 5,5 V	4K (512x8 or 256x16) Serial EEPROM, 1.8V to 5.5V	8-TSSOP	.40	.31	.28
AT93C66A-10TI-2.7-ND	4 K (512 x 8 oder 256 x 16) serieller EEPROM, 2,7 V bis 5,5 V	4K (512x8 or 256x16) Serial EEPROM, 2.7V to 5.5V	8-TSSOP	.33	.32	.30
AT93C66AY110YI1.8-ND	4 K (512 x 8 oder 256 x 16) serieller EEPROM, 1,8 V bis 5,5 V	4K (512x8 or 256x16) Serial EEPROM, 1.8V to 5.5V	8-MAP	.60	.46	.43
AT93C66AY110YI2.7-ND	4 K (512 x 8 oder 256 x 16) serieller EEPROM, 2,7 V bis 5,5 V	4K (512x8 or 256x16) Serial EEPROM, 2.7V to 5.5V	8-MAP	.55	.43	.39
AT93C86A-10PI-1.8-ND	16 K (2048 x 8 oder 1024 x 16) serieller EEPROM, 1,8 V bis 5,5 V	16K (2048x8 or 1024x16) Serial EEPROM, 1.8V to 5.5V	8-Dip	.46	.35	.32
AT93C86A-10PI-2.7-ND	16 K (2048 x 8 oder 1024 x 16) serieller EEPROM, 2,7 V bis 5,5 V	16K (2048x8 or 1024x16) Serial EEPROM, 2.7V to 5.5V	8-Dip	.44	.33	.31
AT93C86A-10SI-1.8-ND	16 K (2048 x 8 oder 1024 x 16) serieller EEPROM, 1,8 V bis 5,5 V	16K (2048x8 or 1024x16) Serial EEPROM, 1.8V to 5.5V	8-SOIC	.46	.35	.32
AT93C86A-10SI-2.7-ND	16 K (2048 x 8 oder 1024 x 16) serieller EEPROM, 2,7 V bis 5,5 V	16K (2048x8 or 1024x16) Serial EEPROM, 2.7V to 5.5V	8-SOIC	.38	.37	.34
AT93C86A-10TI-1.8-ND	16 K (2048 x 8 oder 1024 x 16) serieller EEPROM, 1,8 V bis 5,5 V	16K (2048x8 or 1024x16) Serial EEPROM, 1.8V to 5.5V	8-TSSOP	.47	.37	.34
AT93C86A-10TI-2.7-ND	16 K (2048 x 8 oder 1024 x 16) serieller EEPROM, 2,7 V bis 5,5 V	16K (2048x8 or 1024x16) Serial EEPROM, 2.7V to 5.5V	8-TSSOP	.40	.39	.36
AT93C86AY110YI1.8-ND	16 K (2048 x 8 oder 1024 x 16) serieller EEPROM, 1,8 V bis 5,5 V	16K (2048x8 or 1024x16) Serial EEPROM, 1.8V to 5.5V	8-MAP	.75	.58	.53
AT93C86AY110YI2.7-ND	16 K (2048 x 8 oder 1024 x 16) serieller EEPROM, 2,7 V bis 5,5 V	16K (2048x8 or 1024x16) Serial EEPROM, 2.7V to 5.5V	8-MAP	.69	.53	.48

GESICHERTER SPEICHER

Digi-Key Teilenr.	Beschreibung		Paket	Stückpreis★ 1	25	100
	Cryptomemory					
AT88SC0104C-PI-ND	1 K (128 x 8) serieller EEPROM, 2,7 V bis 5,5 V	1K (128x8) Serial EEPROM, 2.7V to 5.5V	8-Dip	.38	.29	.27
AT88SC0104C-SI-ND	1 K (128 x 8) serieller EEPROM, 2,7 V bis 5,5 V	1K (128x8) Serial EEPROM, 2.7V to 5.5V	8-SOIC	.38	.29	.27
AT88SC0104C-Y4I-ND	1 K (128 x 8) serieller EEPROM, 2,7 V bis 5,5 V	1K (128x8) Serial EEPROM, 2.7V to 5.5V	8-SAP	.60	.47	.43
AT88SC0204C-PI-ND	2 K (256 x 8) serieller EEPROM, 2,7 V bis 5,5 V	2K (256x8) Serial EEPROM, 2.7V to 5.5V	8-Dip	.41	.33	.30
AT88SC0204C-SI-ND	2 K (256 x 8) serieller EEPROM, 2,7 V bis 5,5 V	2K (256x8) Serial EEPROM, 2.7V to 5.5V	8-SOIC	.41	.33	.30
AT88SC0204C-Y4I-ND	2 K (256 x 8) serieller EEPROM, 2,7 V bis 5,5 V	2K (256x8) Serial EEPROM, 2.7V to 5.5V	8-SAP	.65	.50	.46
AT88SC0404C-PI-ND	4 K (512 x 8) serieller EEPROM, 2,7 V bis 5,5 V	4K (512x8) Serial EEPROM, 2.7V to 5.5V	8-Dip	.51	.40	.36
AT88SC0404C-SI-ND	4 K (512 x 8) serieller EEPROM, 2,7 V bis 5,5 V	4K (512x8) Serial EEPROM, 2.7V to 5.5V	8-SOIC	.51	.40	.36
AT88SC0404C-Y4I-ND	4 K (512 x 8) serieller EEPROM, 2,7 V bis 5,5 V	4K (512x8) Serial EEPROM, 2.7V to 5.5V	8-SAP	.75	.58	.52
AT88SC0808C-PI-ND	8 K (1 K x 8) serieller EEPROM, 2,7 V bis 5,5 V	8K (1Kx8) Serial EEPROM, 2.7V to 5.5V	8-Dip	.58	.45	.41
AT88SC0808C-SI-ND	8 K (1 K x 8) serieller EEPROM, 2,7 V bis 5,5 V	8K (1Kx8) Serial EEPROM, 2.7V to 5.5V	8-SOIC	.58	.45	.41
AT88SC0808C-Y4I-ND	8 K (1 K x 8) serieller EEPROM, 2,7 V bis 5,5 V	8K (1Kx8) Serial EEPROM, 2.7V to 5.5V	8-SAP	.82	.63	.57
AT88SC1616C-PI-ND	16 K (2 K x 8) serieller EEPROM, 2,7 V bis 5,5 V	16K (2Kx8) Serial EEPROM, 2.7V to 5.5V	8-Dip	.68	.53	.48
AT88SC1616C-PIA-ND	16 K (2 K x 8) serieller EEPROM, 2,7 V bis 5,5 V	16K (2Kx8) Serial EEPROM, 2.7V to 5.5V	8-Dip	1.08	.83	.76
AT88SC1616C-SI-ND	16 K (2 K x 8) serieller EEPROM, 2,7 V bis 5,5 V	16K (2Kx8) Serial EEPROM, 2.7V to 5.5V	8-SOIC	.68	.53	.48
AT88SC1616C-Y4I-ND	16 K (2 K x 8) serieller EEPROM, 2,7 V bis 5,5 V	16K (2Kx8) Serial EEPROM, 2.7V to 5.5V	8-SAP	.91	.71	.64
AT88SC3216C-PI-ND	32 K (4 K x 8) serieller EEPROM, 2,7 V bis 5,5 V	32K (4Kx8) Serial EEPROM, 2.7V to 5.5V	8-Dip	.82	.63	.57
AT88SC3216C-SI-ND	32 K (4 K x 8) serieller EEPROM, 2,7 V bis 5,5 V	32K (4Kx8) Serial EEPROM, 2.7V to 5.5V	8-SOIC	.82	.63	.57
AT88SC3216C-Y4I-ND	32 K (4 K x 8) serieller EEPROM, 2,7 V bis 5,5 V	32K (4Kx8) Serial EEPROM, 2.7V to 5.5V	8-SAP	1.06	.81	.73
AT88SC6416C-PI-ND	64 K (8 K x 8) serieller EEPROM, 2,7 V bis 5,5 V	64K (8Kx8) Serial EEPROM, 2.7V to 5.5V	8-Dip	.98	.76	.69
AT88SC6416C-SI-ND	64 K (8 K x 8) serieller EEPROM, 2,7 V bis 5,5 V	64K (8Kx8) Serial EEPROM, 2.7V to 5.5V	8-SOIC	.98	.76	.69
AT88SC6416C-Y4I-ND	64 K (8 K x 8) serieller EEPROM, 2,7 V bis 5,5 V	64K (8Kx8) Serial EEPROM, 2.7V to 5.5V	8-SAP	1.22	.94	.85
AT88SC12816C-PI-ND	128 K (16 K x 8) serieller EEPROM, 2,7 V bis 5,5 V	128K (16Kx8) Serial EEPROM, 2.7V to 5.5V	8-Dip	1.17	.90	.82
AT88SC12816C-SI-ND	128 K (16 K x 8) serieller EEPROM, 2,7 V bis 5,5 V	128K (16Kx8) Serial EEPROM, 2.7V to 5.5V	8-SOIC	1.17	.90	.82
AT88SC12816C-Y4I-ND	128 K (16 K x 8) serieller EEPROM, 2,7 V bis 5,5 V	128K (16Kx8) Serial EEPROM, 2.7V to 5.5V	8-SAP	1.41	1.08	.98
AT88SC25616C-PI-ND	256 K (32 K x 8) serieller EEPROM, 2,7 V bis 5,5 V	256K (32Kx8) Serial EEPROM, 2.7V to 5.5V	8-Dip	1.55	1.19	1.08
AT88SC25616C-SI-ND	256 K (32 K x 8) serieller EEPROM, 2,7 V bis 5,5 V	256K (32Kx8) Serial EEPROM, 2.7V to 5.5V	8-SOIC	1.55	1.19	1.08
AT88SC25616C-Y4I-ND	256 K (32 K x 8) serieller EEPROM, 2,7 V bis 5,5 V	256K (32Kx8) Serial EEPROM, 2.7V to 5.5V	8-SAP	1.77	1.37	1.24
AT88SC25616C-DK-ND	Cryptomemory Smartcard-Entwicklungskit	Cryptomemory Smartcard Development Kit	—	249.75	—	—
AT88SC25616C-EK-ND	Cryptomemory-Evaluierungskit	Cryptomemory Evaluation Kit	—	83.60	—	—

EPROMS

Digi-Key Teilenr.	Beschreibung		Paket	Stückpreis★ 1	25	100
	EPROMS, Niedrigleistungs-Batteriespannung					
AT27BV256-70JI-ND	256 K (32 K x 8) CMOS-EPROM, 2,7 V, 70 ns, OTP	256K (32Kx8) CMOS EPROM 2.7V 70nS OTP	32-PLCC	3.37	2.59	2.25
AT27BV256-90JC-ND	256 K (32 K x 8) CMOS-EPROM, 2,7 V, 90 ns, OTP	256K (32Kx8) CMOS EPROM 2.7V 90nS OTP	32-PLCC	2.64	2.04	1.74
AT27BV256-12JC-ND	256 K (32 K x 8) CMOS-EPROM, 2,7 V, 120 ns, OTP	256K (32Kx8) CMOS EPROM 2.7V 120nS OTP	32-PLCC	2.46	1.91	1.66
AT27BV256-70RI-ND	256 K (32 K x 8) CMOS-EPROM, 2,7 V, 70 ns, OTP	256K (32Kx8) CMOS EPROM 2.7V 70nS OTP	28-SOIC	3.91	3.01	2.59
AT27BV256-70TI-ND	256 K (32 K x 8) CMOS-EPROM, 2,7 V, 70 ns, OTP	256K (32Kx8) CMOS EPROM 2.7V 70nS OTP	28-TSOP	3.91	3.01	2.59
AT27BV512-70JI-ND	512 K (64 K x 8) CMOS-EPROM, 2,7 V, 70 ns, OTP	512K (64Kx8) CMOS EPROM 2.7V 70nS OTP	32-PLCC	3.28	2.59	2.21
AT27BV512-12JC-ND	512 K (64 K x 8) CMOS-EPROM, 2,7 V, 120 ns, OTP	512K (64Kx8) CMOS EPROM 2.7V 120nS OTP	32-PLCC	2.64	2.04	1.74
AT27BV512-70RI-ND	512 K (64 K x 8) CMOS-EPROM, 2,7 V, 70 ns, OTP	512K (64Kx8) CMOS EPROM 2.7V 70nS OTP	28-SOIC	4.10	3.22	2.76
AT27BV512-70TI-ND	512 K (64 K x 8) CMOS-EPROM, 2,7 V, 70 ns, OTP	512K (64Kx8) CMOS EPROM 2.7V 70nS OTP	28-TSOP	4.46	3.48	2.97
AT27BV010-90JC-ND	1 M (128 K x 8) CMOS-EPROM, 2,7 V, 90 ns, OTP	1M (128Kx8) CMOS EPROM 2.7V 90nS OTP	32-PLCC	4.00	3.09	2.67
AT27BV010-90JI-ND	1 M (128 K x 8) CMOS-EPROM, 2,7 V, 90 ns, OTP	1M (128Kx8) CMOS EPROM 2.7V 90nS OTP	32-PLCC	4.00	3.14	2.67
AT27BV010-12JC-ND	1 M (128 K x 8) CMOS-EPROM, 2,7 V, 120 ns, OTP	1M (128Kx8) CMOS EPROM 2.7V 120nS OTP	32-PLCC	3.46	2.67	2.29
AT27BV010-90TI-ND	1 M (128 K x 8) CMOS-EPROM, 2,7 V, 90 ns, OTP	1M (128Kx8) CMOS EPROM 2.7V 90nS OTP	32-TSOP	4.55	3.56	3.05
AT27BV010-90VI-ND	1 M (128 K x 8) CMOS-EPROM, 2,7 V, 90 ns, OTP	1M (128Kx8) CMOS EPROM 2.7V 90nS OTP	32-VSOP	4.55	3.56	3.05
AT27BV1024-90JI-ND	1 M (64 K x 16) CMOS-EPROM, 2,7 V, 90 ns, OTP	1M (64Kx16) CMOS EPROM 2.7V 90nS OTP	44-PLCC	4.73	3.68	3.15
AT27BV1024-12JI-ND	1 M (64 K x 16) CMOS-EPROM, 2,7 V, 120 ns, OTP	1M (64Kx16) CMOS EPROM 2.7V 120nS OTP	44-PLCC	4.28	3.32	2.85
AT27BV1024-90VI-ND	1 M (64 K x 16) CMOS-EPROM, 2,7 V, 90 ns, OTP	1M (64Kx16) CMOS EPROM 2.7V 90nS OTP	40-VSOP	5.65	4.39	3.76
AT27BV1024-12VI-ND	1 M (64 K x 16) CMOS-EPROM, 2,7 V, 120 ns, OTP	1M (64Kx16) CMOS EPROM 2.7V 120nS OTP	40-VSOP	5.19	4.03	3.46
AT27BV020-90JI-ND	2 M (256 K x 8) CMOS-EPROM, 2,7 V, 90 ns, OTP	2M (256Kx8) CMOS EPROM 2.7V 90nS OTP	32-PLCC	5.55	4.31	3.70
AT27BV020-90TI-ND	2 M (256 K x 8) CMOS-EPROM, 2,7 V, 90 ns, OTP	2M (256Kx8) CMOS EPROM 2.7V 90nS OTP	32-TSOP	6.10	4.74	4.06
AT27BV020-90VI-ND	2 M (256 K x 8) CMOS-EPROM, 2,7 V, 90 ns, OTP	2M (256Kx8) CMOS EPROM 2.7V 90nS OTP	32-VSOP	6.10	4.74	4.06
AT27BV040-12JC-ND	4 M (512 K x 8) CMOS-EPROM, 2,7 V, 120 ns, OTP	4M (512Kx8) CMOS EPROM 2.7V 120nS OTP	32-PLCC	7.01	5.45	4.67
AT27BV040-12JI-ND	4 M (512 K x 8) CMOS-EPROM, 2,7 V, 120 ns, OTP	4M (512Kx8) CMOS EPROM 2.7V 120nS OTP	32-PLCC	7.28	5.66	4.85
AT27BV040-12TI-ND	4 M (512 K x 8) CMOS-EPROM, 2,7 V, 120 ns, OTP	4M (512Kx8) CMOS EPROM 2.7V 120nS OTP	32-TSOP	7.83	6.08	5.21
AT27BV040-12VI-ND	4 M (512 K x 8) CMOS-EPROM, 2,7 V, 120 ns, OTP	4M (512Kx8) CMOS EPROM 2.7V 120nS OTP	32-VSOP	7.83	6.08	5.21
AT27BV4096-12JI-ND	4 M (256 K x 16) CMOS-EPROM, 2,7 V, 120 ns, OTP	4M (256Kx16) CMOS EPROM 2.7V 120nS OTP	44-PLCC	8.20	6.37	5.46
AT27BV4096-12VI-ND	4 M (256 K x 16) CMOS-EPROM, 2,7 V, 120 ns, OTP	4M (256Kx16) CMOS EPROM 2.7V 120nS OTP	40-VSOP	9.10	7.07	6.06
	EPROMS, NL, Niederspannung					
AT27LV256A-55JC-ND	256 K (32 K x 8) CMOS-EPROM, 3,0 V, 55 ns, OTP	256K (32Kx8) CMOS EPROM 3.0V 55nS OTP	32-PLCC	3.10	2.38	2.04
AT27LV256A-55JI-ND	256 K (32 K x 8) CMOS-EPROM, 3,0 V, 55 ns, OTP	256K (32Kx8) CMOS EPROM 3.0V 55nS OTP	32-PLCC	3.28	2.50	2.16
AT27LV256A-70JC-ND	256 K (32 K x 8) CMOS-EPROM, 3,0 V, 70 ns, OTP	256K (32Kx8) CMOS EPROM 3.0V 70nS OTP	32-PLCC	2.82	2.21	1.87
AT27LV256A-70JI-ND	256 K (32 K x 8) CMOS-EPROM, 3,0 V, 70 ns, OTP	256K (32Kx8) CMOS EPROM 3.0V 70nS OTP	32-PLCC	3.01	2.33	1.99
AT27LV256A-90JI-ND	256 K (32 K x 8) CMOS-EPROM, 3,0 V, 90 ns, OTP	256K (32Kx8) CMOS EPROM 3.0V 90nS OTP	32-PLCC	2.64	2.04	1.74

* .0,200" Körperbreite

(Forts.)

★ RUFEN SIE BITTE AN FÜR NIEDRIGERE PREISE BEI GRÖSSEREN MENGEN! ★

Alle Preisangaben in Euro und inklusive Zollgebühren.

Digi-Key Teilenr.	Beschreibung		Paket	Stückpreis★ 1	25	100
AT27LV256A-55RI-ND	256 K (32 K x 8) CMOS-EPROM, 3,0 V, 55 ns, OTP	256K (32Kx8) CMOS EPROM 3.0V 55nS OTP	28-SOIC	3.46	2.67	2.29
AT27LV256A-70RC-ND	256 K (32 K x 8) CMOS-EPROM, 3,0 V, 70 ns, OTP	256K (32Kx8) CMOS EPROM 3.0V 70nS OTP	28-SOIC	3.01	2.33	1.99
AT27LV256A-70RI-ND	256 K (32 K x 8) CMOS-EPROM, 3,0 V, 70 ns, OTP	256K (32Kx8) CMOS EPROM 3.0V 70nS OTP	28-SOIC	3.18	2.50	2.12
AT27LV256A-90RI-ND	256 K (32 K x 8) CMOS-EPROM, 3,0 V, 90 ns, OTP	256K (32Kx8) CMOS EPROM 3.0V 90nS OTP	28-SOIC	2.82	2.21	1.87
AT27LV256A-55TI-ND	256 K (32 K x 8) CMOS-EPROM, 3,0 V, 55 ns, OTP	256K (32Kx8) CMOS EPROM 3.0V 55nS OTP	28-TSOP	3.73	2.88	2.46
AT27LV256A-70TI-ND	256 K (32 K x 8) CMOS-EPROM, 3,0 V, 70 ns, OTP	256K (32Kx8) CMOS EPROM 3.0V 70nS OTP	28-TSOP	3.46	2.71	2.29
AT27LV256A-90TI-ND	256 K (32 K x 8) CMOS-EPROM, 3,0 V, 90 ns, OTP	256K (32Kx8) CMOS EPROM 3.0V 90nS OTP	28-TSOP	3.10	2.42	2.08
AT27LV512A-70JI-ND	512 K (64 K x 8) CMOS-EPROM, 3,0 V, 70 ns, OTP	512K (64Kx8) CMOS EPROM 3.0V 70nS OTP	32-PLCC	3.28	2.54	2.16
AT27LV512A-90JC-ND	512 K (64 K x 8) CMOS-EPROM, 3,0 V, 90 ns, OTP	512K (64Kx8) CMOS EPROM 3.0V 90nS OTP	32-PLCC	2.64	2.04	1.74
AT27LV512A-70RI-ND	512 K (64 K x 8) CMOS-EPROM, 3,0 V, 70 ns, OTP	512K (64Kx8) CMOS EPROM 3.0V 70nS OTP	28-SOIC	3.46	2.67	2.29
AT27LV512A-90RC-ND	512 K (64 K x 8) CMOS-EPROM, 3,0 V, 90 ns, OTP	512K (64Kx8) CMOS EPROM 3.0V 90nS OTP	28-SOIC	2.82	2.21	1.87
AT27LV512A-90RI-ND	512 K (64 K x 8) CMOS-EPROM, 3,0 V, 90 ns, OTP	512K (64Kx8) CMOS EPROM 3.0V 90nS OTP	28-SOIC	3.01	2.33	1.99
AT27LV512A-90TI-ND	512 K (64 K x 8) CMOS-EPROM, 3,0 V, 90 ns, OTP	512K (64Kx8) CMOS EPROM 3.0V 90nS OTP	28-TSOP	3.28	2.54	2.16
AT27LV010A-70JI-ND	1 M (128 K x 8) CMOS-EPROM, 3,0 V, 70 ns, OTP	1M (128Kx8) CMOS EPROM 3.0V 70nS OTP	32-PLCC	4.37	3.35	2.88
AT27LV010A-90JI-ND	1 M (128 K x 8) CMOS-EPROM, 3,0 V, 90 ns, OTP	1M (128Kx8) CMOS EPROM 3.0V 90nS OTP	32-PLCC	4.00	3.14	2.67
AT27LV010A-70TI-ND	1 M (128 K x 8) CMOS-EPROM, 3,0 V, 70 ns, OTP	1M (128Kx8) CMOS EPROM 3.0V 70nS OTP	32-TSOP	4.92	3.77	3.26
AT27LV010A-90TI-ND	1 M (128 K x 8) CMOS-EPROM, 3,0 V, 90 ns, OTP	1M (128Kx8) CMOS EPROM 3.0V 90nS OTP	32-TSOP	4.55	3.56	3.05
AT27LV010A-90VI-ND	1 M (128 K x 8) CMOS-EPROM, 3,0 V, 90 ns, OTP	1M (128Kx8) CMOS EPROM 3.0V 90nS OTP	32-VSOP	4.55	3.56	3.05
AT27LV020A-12JI-ND	2 M (256 K x 8) CMOS-EPROM, 3,0 V, 120 ns, OTP	2M (256Kx8) CMOS EPROM 3.0V 120nS OTP	32-PLCC	4.73	3.68	3.15
AT27LV020A-90TI-ND	2 M (256 K x 8) CMOS-EPROM, 3,0 V, 90 ns, OTP	2M (256Kx8) CMOS EPROM 3.0V 90nS OTP	32-TSOP	5.73	4.46	3.81
AT27LV020A-12TI-ND	2 M (256 K x 8) CMOS-EPROM, 3,0 V, 120 ns, OTP	2M (256Kx8) CMOS EPROM 3.0V 120nS OTP	32-TSOP	5.28	4.10	3.52
AT27LV020A-90VI-ND	2 M (256 K x 8) CMOS-EPROM, 3,0 V, 90 ns, OTP	2M (256Kx8) CMOS EPROM 3.0V 90nS OTP	32-VSOP	5.73	4.46	3.81
AT27LV020A-12VI-ND	2 M (256 K x 8) CMOS-EPROM, 3,0 V, 120 ns, OTP	2M (256Kx8) CMOS EPROM 3.0V 120nS OTP	32-VSOP	5.28	4.10	3.52
AT27LV040A-90JI-ND	4 M (512 K x 8) CMOS-EPROM, 3,0 V, 90 ns, OTP	4M (512Kx8) CMOS EPROM 3.0V 90nS OTP	32-PLCC	7.10	5.52	4.73
AT27LV040A-12JI-ND	4 M (512 K x 8) CMOS-EPROM, 3,0 V, 120 ns, OTP	4M (512Kx8) CMOS EPROM 3.0V 120nS OTP	32-PLCC	6.74	5.24	4.48
AT27LV040A-12TI-ND	4 M (512 K x 8) CMOS-EPROM, 3,0 V, 120 ns, OTP	4M (512Kx8) CMOS EPROM 3.0V 120nS OTP	32-TSOP	7.28	5.66	4.85
AT27LV040A-90VI-ND	4 M (512 K x 8) CMOS-EPROM, 3,0 V, 90 ns, OTP	4M (512Kx8) CMOS EPROM 3.0V 90nS OTP	32-VSOP	7.64	5.94	5.09
AT27LV040A-12VI-ND	4 M (512 K x 8) CMOS-EPROM, 3,0 V, 120 ns, OTP	4M (512Kx8) CMOS EPROM 3.0V 120nS OTP	32-VSOP	7.28	5.66	4.85
	EPROMS, 5 V					
AT27C256R-45JI-ND	256 K (32 K x 8) CMOS-EPROM, 45 ns, OTP	256K (32Kx8) CMOS EPROM 45nS OTP	32-PLCC	1.09	.85	.73
AT27C256R-70JI-ND	256 K (32 K x 8) CMOS-EPROM, 70 ns, OTP	256K (32Kx8) CMOS EPROM 70nS OTP	32-PLCC	.97	.75	.65
AT27C256R-45PI-ND	256 K (32 K x 8) CMOS-EPROM, 45 ns, OTP	256K (32Kx8) CMOS EPROM 45nS OTP	28-Dip	1.09	.85	.73
AT27C256R-70PI-ND	256 K (32 K x 8) CMOS-EPROM, 70 ns, OTP	256K (32Kx8) CMOS EPROM 70nS OTP	28-Dip	.97	.75	.65
AT27C256R-45RI-ND	256 K (32 K x 8) CMOS-EPROM, 45 ns, OTP	256K (32Kx8) CMOS EPROM 45nS OTP	28-SOIC	2.88	2.24	1.92
AT27C256R-70RI-ND	256 K (32 K x 8) CMOS-EPROM, 70 ns, OTP	256K (32Kx8) CMOS EPROM 70nS OTP	28-SOIC	2.42	1.88	1.61
AT27C256R-45TC-ND	256 K (32 K x 8) CMOS-EPROM, 45 ns, OTP	256K (32Kx8) CMOS EPROM 45nS OTP	28-TSOP	1.09	.85	.73
AT27C256R-45TI-ND	256 K (32 K x 8) CMOS-EPROM, 45 ns, OTP	256K (32Kx8) CMOS EPROM 45nS OTP	28-TSOP	1.09	.85	.73
AT27C256R-70TI-ND	256 K (32 K x 8) CMOS-EPROM, 70 ns, OTP	256K (32Kx8) CMOS EPROM 70nS OTP	28-TSOP	.97	.75	.65
AT27C512R-45JC-ND	512 K (64 K x 8) CMOS-EPROM, 45 ns, OTP	512K (64Kx8) CMOS EPROM 45nS OTP	32-PLCC	1.09	.85	.73
AT27C512R-45JI-ND	512 K (64 K x 8) CMOS-EPROM, 45 ns, OTP	512K (64Kx8) CMOS EPROM 45nS OTP	32-PLCC	1.09	.85	.73
AT27C512R-70JI-ND	512 K (64 K x 8) CMOS-EPROM, 70 ns, OTP	512K (64Kx8) CMOS EPROM 70nS OTP	32-PLCC	1.09	.85	.73
AT27C512R-45PC-ND	512 K (64 K x 8) CMOS-EPROM, 45 ns, OTP	512K (64Kx8) CMOS EPROM 45nS OTP	28-Dip	1.09	.85	.73
AT27C512R-45PI-ND	512 K (64 K x 8) CMOS-EPROM, 45 ns, OTP	512K (64Kx8) CMOS EPROM 45nS OTP	28-Dip	1.09	.85	.73
AT27C512R-70PI-ND	512 K (64 K x 8) CMOS-EPROM, 70 ns, OTP	512K (64Kx8) CMOS EPROM 70nS OTP	28-Dip	1.09	.85	.73
AT27C512R-45RC-ND	512 K (64 K x 8) CMOS-EPROM, 45 ns, OTP	512K (64Kx8) CMOS EPROM 45nS OTP	28-SOIC	2.88	2.24	1.92
AT27C512R-45RI-ND	512 K (64 K x 8) CMOS-EPROM, 45 ns, OTP	512K (64Kx8) CMOS EPROM 45nS OTP	28-SOIC	3.06	2.38	2.04
AT27C512R-70RI-ND	512 K (64 K x 8) CMOS-EPROM, 70 ns, OTP	512K (64Kx8) CMOS EPROM 70nS OTP	28-SOIC	2.60	2.03	1.73
AT27C512R-45TC-ND	512 K (64 K x 8) CMOS-EPROM, 45 ns, OTP	512K (64Kx8) CMOS EPROM 45nS OTP	28-TSOP	1.09	.85	.73
AT27C512R-45TI-ND	512 K (64 K x 8) CMOS-EPROM, 45 ns, OTP	512K (64Kx8) CMOS EPROM 45nS OTP	28-TSOP	1.09	.85	.73
AT27C512R-70TI-ND	512 K (64 K x 8) CMOS-EPROM, 70 ns, OTP	512K (64Kx8) CMOS EPROM 70nS OTP	28-TSOP	1.09	.85	.73
AT27C516-45JI-ND	512 K (32 K x 16) CMOS-EPROM, 45 ns, OTP	512K (32Kx16) CMOS EPROM 45nS OTP	44-PLCC	1.28	.99	.85
AT27C516-70JI-ND	512 K (32 K x 16) CMOS-EPROM, 70 ns, OTP	512K (32Kx16) CMOS EPROM 70nS OTP	44-PLCC	1.28	.99	.85
AT27C516-45VC-ND	512 K (32 K x 16) CMOS-EPROM, 45 ns, OTP	512K (32Kx16) CMOS EPROM 45nS OTP	40-VSOP	4.37	3.40	2.91
AT27C516-45VI-ND	512 K (32 K x 16) CMOS-EPROM, 45 ns, OTP	512K (32Kx16) CMOS EPROM 45nS OTP	40-VSOP	4.55	3.54	3.04
AT27C520-90SC-ND	512 K (64 K x 8) CMOS-EPROM mit Addressen-Latch, 90 ns, OTP	512K (64Kx8) CMOS EPROM with Address Latch 90nS OTP	20-SOIC	2.37	1.46	1.28
AT27C010-45JC-ND	1 M (128 K x 8) CMOS-EPROM, 45 ns, OTP	1M (128Kx8) CMOS EPROM 45nS OTP	32-PLCC	1.41	1.10	.94
AT27C010-45JI-ND	1 M (128 K x 8) CMOS-EPROM, 45 ns, OTP	1M (128Kx8) CMOS EPROM 45nS OTP	32-PLCC	3.95	3.07	2.63
AT27C010L-45JI-ND	1 M (128 K x 8) CMOS-EPROM, 45 ns, OTP	1M (128Kx8) CMOS EPROM 45nS OTP	32-PLCC	4.40	3.43	2.93
AT27C010-70JC-ND	1 M (128 K x 8) CMOS-EPROM, 70 ns, OTP	1M (128Kx8) CMOS EPROM 70nS OTP	32-PLCC	1.28	.99	.85
AT27C010-70JI-ND	1 M (128 K x 8) CMOS-EPROM, 70 ns, OTP	1M (128Kx8) CMOS EPROM 70nS OTP	32-PLCC	1.28	.99	.85
AT27C010-45PI-ND	1 M (128 K x 8) CMOS-EPROM, 45 ns, OTP	1M (128Kx8) CMOS EPROM 45nS OTP	32-Dip	3.95	3.07	2.63
AT27C010-70PI-ND	1 M (128 K x 8) CMOS-EPROM, 70 ns, OTP	1M (128Kx8) CMOS EPROM 70nS OTP	32-Dip	1.28	.99	.85
AT27C010-45TC-ND	1 M (128 K x 8) CMOS-EPROM, 45 ns, OTP	1M (128Kx8) CMOS EPROM 45nS OTP	32-TSOP	4.22	3.28	2.82
AT27C010L-45TC-ND	1 M (128 K x 8) CMOS-EPROM, 45 ns, OTP	1M (128Kx8) CMOS EPROM 45nS OTP	32-TSOP	4.68	3.64	3.12
AT27C010-45TI-ND	1 M (128 K x 8) CMOS-EPROM, 45 ns, OTP	1M (128Kx8) CMOS EPROM 45nS OTP	32-TSOP	4.50	3.49	2.99
AT27C010-70TI-ND	1 M (128 K x 8) CMOS-EPROM, 70 ns, OTP	1M (128Kx8) CMOS EPROM 70nS OTP	32-TSOP	1.28	.99	.85
AT27C1024-45JI-ND	1 M (64 K x 16) CMOS-EPROM, 45 ns OTP	1M (64Kx16) CMOS EPROM 45nS OTP	44-PLCC	1.53	1.19	1.02
AT27C1024-70JI-ND	1 M (64 K x 16) CMOS-EPROM, 70 ns OTP	1M (64Kx16) CMOS EPROM 70nS OTP	44-PLCC	1.46	1.13	.97
AT27C1024-45PI-ND	1 M (64 K x 16) CMOS-EPROM, 45 ns OTP	1M (64Kx16) CMOS EPROM 45nS OTP	40-Dip	1.53	1.19	1.02
AT27C1024-70PI-ND	1 M (64 K x 16) CMOS-EPROM, 70 ns OTP	1M (64Kx16) CMOS EPROM 70nS OTP	40-Dip	1.46	1.14	.97
AT27C1024-45VC-ND	1 M (64 K x 16) CMOS-EPROM, 45 ns OTP	1M (64Kx16) CMOS EPROM 45nS OTP	40-VSOP	5.06	3.93	3.37
AT27C1024-45VI-ND	1 M (64 K x 16) CMOS-EPROM, 45 ns OTP	1M (64Kx16) CMOS EPROM 45nS OTP	40-VSOP	5.33	4.14	3.55
AT27C1024-70VI-ND	1 M (64 K x 16) CMOS-EPROM, 70 ns OTP	1M (64Kx16) CMOS EPROM 70nS OTP	40-VSOP	4.70	3.65	3.13
AT27C020-55JI-ND	2 M (256 K x 8) CMOS-EPROM, 55 ns, OTP	2M (256Kx8) CMOS EPROM 55nS OTP	32-PLCC	1.77	1.38	1.18
AT27C020-90JI-ND	2 M (256 K x 8) CMOS-EPROM, 90 ns, OTP	2M (256Kx8) CMOS EPROM 90nS OTP	32-PLCC	1.66	1.29	1.11
AT27C020-55PI-ND	2 M (256 K x 8) CMOS-EPROM, 55 ns, OTP	2M (256Kx8) CMOS EPROM 55nS OTP	32-Dip	1.77	1.38	1.18
AT27C020-90PI-ND	2 M (256 K x 8) CMOS-EPROM, 90 ns, OTP	2M (256Kx8) CMOS EPROM 90nS OTP	32-Dip	1.66	1.29	1.11
AT27C020-55TC-ND	2 M (256 K x 8) CMOS-EPROM, 55 ns, OTP	2M (256Kx8) CMOS EPROM 55nS OTP	32-TSOP	1.77	1.38	1.18
AT27C020-55TI-ND	2 M (256 K x 8) CMOS-EPROM, 55 ns, OTP	2M (256Kx8) CMOS EPROM 55nS OTP	32-TSOP	1.77	1.38	1.18
AT27C020-90TI-ND	2 M (256 K x 8) CMOS-EPROM, 90 ns, OTP	2M (256Kx8) CMOS EPROM 90nS OTP	32-TSOP	1.66	1.29	1.11
AT27C2048-55JC-ND	2 M (128 K x 16) CMOS-EPROM, 55 ns, OTP	2M (128Kx16) CMOS EPROM 55nS OTP	44-PLCC	2.95	2.30	1.97
AT27C2048-55JI-ND	2 M (128 K x 16) CMOS-EPROM, 55 ns, OTP	2M (128Kx16) CMOS EPROM 55nS OTP	44-PLCC	2.95	2.30	1.97
AT27C2048-90JI-ND	2 M (128 K x 16) CMOS-EPROM, 90 ns, OTP	2M (128Kx16) CMOS EPROM 90nS OTP	44-PLCC	2.68	2.09	1.78
AT27C2048-55PC-ND	2 M (128 K x 16) CMOS-EPROM, 55 ns, OTP	2M (128Kx16) CMOS EPROM 55nS OTP	40-Dip	2.95	2.30	1.97
AT27C2048-55PI-ND	2 M (128 K x 16) CMOS-EPROM, 55 ns, OTP	2M (128Kx16) CMOS EPROM 55nS OTP	40-Dip	2.95	2.30	1.96
AT27C2048-90PI-ND	2 M (128 K x 16) CMOS-EPROM, 90 ns, OTP	2M (128Kx16) CMOS EPROM 90nS OTP	40-Dip	2.68	2.08	1.78
AT27C2048-55VC-ND	2 M (128 K x 16) CMOS-EPROM, 55 ns, OTP	2M (128Kx16) CMOS EPROM 55nS OTP	40-VSOP	6.10	4.74	4.06
AT27C2048-55VI-ND	2 M (128 K x 16) CMOS-EPROM, 55 ns, OTP	2M (128Kx16) CMOS EPROM 55nS OTP	40-VSOP	6.37	4.96	4.25
AT27C2048-90VI-ND	2 M (128 K x 16) CMOS-EPROM, 90 ns, OTP	2M (128Kx16) CMOS EPROM 90nS OTP	40-VSOP	5.73	4.46	3.81
AT27C040-70JC-ND	4 M (512 K x 8) CMOS-EPROM, 70 ns, OTP	4M (512Kx8) CMOS EPROM 70nS OTP	32-PLCC	2.91	2.27	1.94
AT27C040-70JI-ND	4 M (512 K x 8) CMOS-EPROM, 70 ns, OTP	4M (512Kx8) CMOS EPROM 70nS OTP	32-PLCC	2.91	2.27	1.94
AT27C040-90JC-ND	4 M (512 K x 8) CMOS-EPROM, 90 ns, OTP	4M (512Kx8) CMOS EPROM 90nS OTP	32-PLCC	2.51	1.96	1.68
AT27C040-90JI-ND	4 M (512 K x 8) CMOS-EPROM, 90 ns, OTP	4M (512Kx8) CMOS EPROM 90nS OTP	32-PLCC	2.51	1.96	1.67
AT27C040-70PI-ND	4 M (512 K x 8) CMOS-EPROM, 70 ns, OTP	4M (512Kx8) CMOS EPROM 70nS OTP	32-Dip	2.91	2.27	1.94
AT27C040-90PC-ND	4 M (512 K x 8) CMOS-EPROM, 90 ns, OTP	4M (512Kx8) CMOS EPROM 90nS OTP	32-Dip	2.51	1.95	1.68
AT27C040-90PI-ND	4 M (512 K x 8) CMOS-EPROM, 90 ns, OTP	4M (512Kx8) CMOS EPROM 90nS OTP	32-Dip	2.51	1.95	1.68
AT27C040-70TC-ND	4 M (512 K x 8) CMOS-EPROM, 70 ns, OTP	4M (512Kx8) CMOS EPROM 70nS OTP	32-TSOP	2.91	2.27	1.94
AT27C040-70TI-ND	4 M (512 K x 8) CMOS-EPROM, 70 ns, OTP	4M (512Kx8) CMOS EPROM 70nS OTP	32-TSOP	2.91	2.27	1.94
AT27C040-90TI-ND	4 M (512 K x 8) CMOS-EPROM, 90 ns, OTP	4M (512Kx8) CMOS EPROM 90nS OTP	32-TSOP	2.51	1.95	1.68
AT27C400-90JC-ND	4 M (512 K x 8 oder 256 x 16) CMOS-EPROM, 90 ns, OTP	4M (512Kx8) or (256x16) CMOS EPROM 90nS OTP	44-PLCC	6.49	4.45	4.04

* .0,200" Körperbreite

(Forts.)

★ ***RUFEN SIE BITTE AN FÜR NIEDRIGERE PREISE BEI GRÖSSEREN MENGEN!*** ★

Digi-Key Teilenr.	Beschreibung		Paket	Stückpreis★ 1	25	100
AT27C4096-55JC-ND	4 M (256 K x 16) CMOS-EPROM, 55 ns, OTP	4M (256Kx16) CMOS EPROM 55nS OTP	44-PLCC	3.01	2.34	2.00
AT27C4096-55JI-ND	4 M (256 K x 16) CMOS-EPROM, 55 ns, OTP	4M (256Kx16) CMOS EPROM 55nS OTP	44-PLCC	3.01	2.34	2.00
AT27C4096-90JI-ND	4 M (256 K x 16) CMOS-EPROM, 90 ns, OTP	4M (256Kx16) CMOS EPROM 90nS OTP	44-PLCC	2.86	2.23	1.91
AT27C4096-55PC-ND	4 M (256 K x 16) CMOS-EPROM, 55 ns, OTP	4M (256Kx16) CMOS EPROM 55nS OTP	40-Dip	3.01	2.34	2.00
AT27C4096-55PI-ND	4 M (256 K x 16) CMOS-EPROM, 55 ns, OTP	4M (256Kx16) CMOS EPROM 55nS OTP	40-Dip	3.01	2.34	2.00
AT27C4096-55VC-ND	4 M (256 K x 16) CMOS-EPROM, 55 ns, OTP	4M (256Kx16) CMOS EPROM 55nS OTP	40-VSOP	7.64	5.94	5.09
AT27C4096-55VI-ND	4 M (256 K x 16) CMOS-EPROM, 55 ns, OTP	4M (256Kx16) CMOS EPROM 55nS OTP	40-VSOP	7.92	6.15	5.27
AT27C4096-90VI-ND	4 M (256 K x 16) CMOS-EPROM, 90 ns, OTP	4M (256Kx16) CMOS EPROM 90nS OTP	40-VSOP	7.28	5.66	4.85
AT27C080-90JI-ND	8 M (1 M x 8) CMOS-EPROM, 90 ns, OTP	8M (1Mx8) CMOS EPROM 90nS OTP	32-PLCC	4.73	3.68	3.15
AT27C080-90JC-ND	8 M (1 M x 8) CMOS-EPROM, 90 ns, OTP	8M (1Mx8) CMOS EPROM 90nS OTP	32-PLCC	4.73	3.68	3.15
AT27C080-90PC-ND	8 M (1 M x 8) CMOS-EPROM, 90 ns, OTP	8M (1Mx8) CMOS EPROM 90nS OTP	32-Dip	4.73	3.68	3.15
AT27C080-90PI-ND	8 M (1 M x 8) CMOS-EPROM, 90 ns, OTP	8M (1Mx8) CMOS EPROM 90nS OTP	32-Dip	4.73	3.68	3.15
AT27C080-90TI-ND	8 M (1 M x 8) CMOS-EPROM, 90 ns, OTP	8M (1Mx8) CMOS EPROM 90nS OTP	32-TSOP	4.73	3.68	3.15

PARALLELER EEPROM

Digi-Key Teilenr.	Beschreibung		Paket	Stückpreis★ 1	25	100
Paralleler EEPROM: Batteriespannung (2,7 bis 3,6 V)						
AT28BV16-25JC-ND	16 K (2 K x 8) 2,7 V EEPROM, 250 ns	16K (2Kx8) 2.7V EEPROM, 250nS	32-PLCC	3.28	2.21	1.99
AT28BV16-25JI-ND	16 K (2 K x 8) 2,7 V EEPROM, 250 ns	16K (2Kx8) 2.7V EEPROM, 250nS	32-PLCC	3.73	2.54	2.29
AT28BV16-25PC-ND	16 K (2 K x 8) 2,7 V EEPROM, 250 ns	16K (2Kx8) 2.7V EEPROM, 250nS	24-Dip	3.28	2.21	1.99
AT28BV16-25PI-ND	16 K (2 K x 8) 2,7 V EEPROM, 250 ns	16K (2Kx8) 2.7V EEPROM, 250nS	24-Dip	3.73	2.54	2.29
AT28BV16-25SC-ND	16 K (2 K x 8) 2,7 V EEPROM, 250 ns	16K (2Kx8) 2.7V EEPROM, 250nS	24-SOIC	3.64	2.42	2.16
AT28BV16-25SI-ND	16 K (2 K x 8) 2,7 V EEPROM, 250 ns	16K (2Kx8) 2.7V EEPROM, 250nS	24-SOIC	4.10	2.76	2.50
AT28BV64B-20JC-ND	64 K (8 K x 8) 2,7 V EEPROM, 200 ns	64K (8Kx8) 2.7V EEPROM, 200nS	32-PLCC	18.20	12.28	11.01
AT28BV64B-20JI-ND	64 K (8 K x 8) 2,7 V EEPROM, 200 ns	64K (8Kx8) 2.7V EEPROM, 200nS	32-PLCC	2.28	1.56	1.38
AT28BV64B-20PC-ND	64 K (8 K x 8) 2,7 V EEPROM, 200 ns	64K (8Kx8) 2.7V EEPROM, 200nS	28-Dip	18.20	12.28	11.01
AT28BV64B-20PI-ND	64 K (8 K x 8) 2,7 V EEPROM, 200 ns	64K (8Kx8) 2.7V EEPROM, 200nS	28-Dip	2.28	1.56	1.38
AT28BV64-20SC-ND	64 K (8 K x 8) 2,7 V EEPROM, 200 ns	64K (8Kx8) 2.7V EEPROM, 200nS	28-SOIC	5.28	3.56	3.18
AT28BV64B-20SC-ND	64 K (8 K x 8) 2,7 V EEPROM, 200 ns	64K (8Kx8) 2.7V EEPROM, 200nS	28-SOIC	18.39	12.41	11.14
AT28BV64B-20SI-ND	64 K (8 K x 8) 2,7 V EEPROM, 200 ns	64K (8Kx8) 2.7V EEPROM, 200nS	28-SOIC	2.64	1.77	1.59
AT28BV64-20TI-ND	64 K (8 K x 8) 2,7 V EEPROM, 200 ns	64K (8Kx8) 2.7V EEPROM, 200nS	28-TSOP	6.01	4.03	3.60
AT28BV64B-20TC-ND	64 K (8 K x 8) 2,7 V EEPROM, 200 ns	64K (8Kx8) 2.7V EEPROM, 200nS	28-TSOP	18.39	12.41	11.14
AT28BV64B-20TI-ND	64 K (8 K x 8) 2,7 V EEPROM, 200 ns	64K (8Kx8) 2.7V EEPROM, 200nS	28-TSOP	2.64	1.77	1.59
AT28BV256-20JC-ND	256 K (32 K x 8) 2,7 V EEPROM, 200 ns	256K (32Kx8) 2.7V EEPROM, 200nS	32-PLCC	21.30	14.35	12.87
AT28BV256-20JI-ND	256 K (32 K x 8) 2,7 V EEPROM, 200 ns	256K (32Kx8) 2.7V EEPROM, 200nS	32-PLCC	4.55	3.08	2.76
AT28BV256-20PC-ND	256 K (32 K x 8) 2,7 V EEPROM, 200 ns	256K (32Kx8) 2.7V EEPROM, 200nS	28-Dip	21.30	14.35	12.87
AT28BV256-20PI-ND	256 K (32 K x 8) 2,7 V EEPROM, 200 ns	256K (32Kx8) 2.7V EEPROM, 200nS	28-Dip	4.55	3.08	2.76
AT28BV256-20SC-ND	256 K (32 K x 8) 2,7 V EEPROM, 200 ns	256K (32Kx8) 2.7V EEPROM, 200nS	28-SOIC	21.48	14.48	13.00
AT28BV256-20SI-ND	256 K (32 K x 8) 2,7 V EEPROM, 200 ns	256K (32Kx8) 2.7V EEPROM, 200nS	28-SOIC	4.64	3.14	2.82
AT28BV256-20TC-ND	256 K (32 K x 8) 2,7 V EEPROM, 200 ns	256K (32Kx8) 2.7V EEPROM, 200nS	28-TSOP	21.48	14.48	13.00
AT28BV256-20TI-ND	256 K (32 K x 8) 2,7 V EEPROM, 200 ns	256K (32Kx8) 2.7V EEPROM, 200nS	28-TSOP	4.64	3.14	2.82
Paralleler EEPROM: Niederspannung (3 V bis 3,6 V)						
AT28LV64B-20JC-ND	64 K (8 K x 8) 3 V EEPROM, 200 ns	64K (8Kx8) 3.0V EEPROM, 200nS	32-PLCC	4.83	3.22	2.88
AT28LV64B-20JI-ND	64 K (8 K x 8) 3 V EEPROM, 200 ns	64K (8Kx8) 3.0V EEPROM, 200nS	32-PLCC	5.46	3.73	3.31
AT28LV64B-20PC-ND	64 K (8 K x 8) 3 V EEPROM, 200 ns	64K (8Kx8) 3.0V EEPROM, 200nS	28-Dip	4.83	3.22	2.88
AT28LV64B-20PI-ND	64 K (8 K x 8) 3 V EEPROM, 200 ns	64K (8Kx8) 3.0V EEPROM, 200nS	28-Dip	5.46	3.73	3.31
AT28LV64B-20SI-ND	64 K (8 K x 8) 3 V EEPROM, 200 ns	64K (8Kx8) 3.0V EEPROM, 200nS	28-SOIC	6.01	4.03	3.60
AT28LV64B-20TC-ND	64 K (8 K x 8) 3 V EEPROM, 200 ns	64K (8Kx8) 3.0V EEPROM, 200nS	28-TSOP	5.28	3.56	3.18
AT28LV256-20JC-ND	256 K (32 K x 8) 3 V EEPROM, 200 ns	256K (32Kx8) 3.0V EEPROM, 200nS	32-PLCC	10.56	7.07	6.35
AT28LV256-20PC-ND	256 K (32 K x 8) 3 V EEPROM, 200 ns	256K (32Kx8) 3.0V EEPROM, 200nS	28-Dip	10.56	7.07	6.35
AT28LV256-20PI-ND	256 K (32 K x 8) 3 V EEPROM, 200 ns	256K (32Kx8) 3.0V EEPROM, 200nS	28-Dip	12.11	8.17	7.33
AT28LV256-20SC-ND	256 K (32 K x 8) 3 V EEPROM, 200 ns	256K (32Kx8) 3.0V EEPROM, 200nS	28-SOIC	11.56	7.79	6.99
AT28LV256-20SI-ND	256 K (32 K x 8) 3 V EEPROM, 200 ns	256K (32Kx8) 3.0V EEPROM, 200nS	28-SOIC	13.11	8.85	7.96
AT28LV010-20JC-ND	1 M (128 K x 8) 3 V EEPROM, 200 ns	1M (128Kx8) 3.0V EEPROM, 200nS	32-PLCC	75.72	51.05	45.81
AT28LV010-20JI-ND	1 M (128 K x 8) 3 V EEPROM, 200 ns	1M (128Kx8) 3.0V EEPROM, 200nS	32-PLCC	23.76	16.03	14.39
AT28LV010-20PC-ND	1 M (128 K x 8) 3 V EEPROM, 200 ns	1M (128Kx8) 3.0V EEPROM, 200nS	32-Dip	75.72	51.05	45.81
AT28LV010-20PI-ND	1 M (128 K x 8) 3 V EEPROM, 200 ns	1M (128Kx8) 3.0V EEPROM, 200nS	32-Dip	41.69	28.11	25.19
AT28LV010-20TC-ND	1 M (128 K x 8) 3 V EEPROM, 200 ns	1M (128Kx8) 3.0V EEPROM, 200nS	32-TSOP	75.91	51.18	45.89
AT28LV010-20TI-ND	1 M (128 K x 8) 3 V EEPROM, 200 ns	1M (128Kx8) 3.0V EEPROM, 200nS	32-TSOP	23.76	16.02	14.35
Paralleler EEPROM: Standardspannung (5,0 V)						
AT28C17-15SC-ND	16 K (2 K x 8) 5 V EEPROM, 150 ns	16K (2Kx8) 5V EEPROM, 150nS	28-SOIC	3.55	2.38	2.12
AT28C64-12JC-ND	64 K (8 K x 8) 5 V EEPROM, 120 ns	64K (8Kx8) 5V EEPROM, 120nS	32-PLCC	10.02	6.78	6.06
AT28C64-12JI-ND	64 K (8 K x 8) 5 V EEPROM, 120 ns	64K (8Kx8) 5V EEPROM, 120nS	32-PLCC	4.37	2.97	2.67
AT28C64-12PC-ND	64 K (8 K x 8) 5 V EEPROM, 120 ns	64K (8Kx8) 5V EEPROM, 120nS	28-Dip	10.02	6.78	6.06
AT28C64-12PI-ND	64 K (8 K x 8) 5 V EEPROM, 120 ns	64K (8Kx8) 5V EEPROM, 120nS	28-Dip	4.37	2.97	2.67
AT28C64-12SC-ND	64 K (8 K x 8) 5 V EEPROM, 120 ns	64K (8Kx8) 5V EEPROM, 120nS	28-SOIC	10.19	6.86	6.19
AT28C64-12SI-ND	64 K (8 K x 8) 5 V EEPROM, 120 ns	64K (8Kx8) 5V EEPROM, 120nS	28-SOIC	4.55	3.09	2.80
AT28C64-12TC-ND	64 K (8 K x 8) 5 V EEPROM, 120 ns	64K (8Kx8) 5V EEPROM, 120nS	28-TSOP	10.19	6.86	6.19
AT28C64B-15PC-ND	64 K (8 K x 8) 5 V EEPROM, 150 ns	64K (8Kx8) 5V EEPROM, 150nS	28-Dip	9.56	6.44	5.80
AT28C64B-15PI-ND	64 K (8 K x 8) 5 V EEPROM, 150 ns	64K (8Kx8) 5V EEPROM, 150nS	28-Dip	2.28	1.55	1.38
AT28HC64B-70JC-ND	64 K (8 K x 8) 5 V EEPROM, HS, 70 ns	64K (8Kx8) 5V EEPROM, High Speed, 70nS	32-PLCC	18.20	12.28	11.01
AT28HC64B-70JI-ND	64 K (8 K x 8) 5 V EEPROM, HS, 70 ns	64K (8Kx8) 5V EEPROM, High Speed, 70nS	32-PLCC	3.91	2.63	2.37
AT28HC64B-90JI-ND	64 K (8 K x 8) 5 V EEPROM, HS, 90 ns	64K (8Kx8) 5V EEPROM, High Speed, 90nS	32-PLCC	3.91	2.64	2.36
AT28HC64B-12JC-ND	64 K (8 K x 8) 5 V EEPROM, HS, 120 ns	64K (8Kx8) 5V EEPROM, High Speed, 120nS	32-PLCC	11.64	8.39	6.99
AT28HC64B-12JI-ND	64 K (8 K x 8) 5 V EEPROM, HS, 120 ns	64K (8Kx8) 5V EEPROM, High Speed, 120nS	32-PLCC	3.37	2.25	2.01
AT28HC64B-70PC-ND	64 K (8 K x 8) 5 V EEPROM, HS, 70 ns	64K (8Kx8) 5V EEPROM, High Speed, 70nS	28-Dip	18.20	12.28	11.01
AT28HC64B-70PI-ND	64 K (8 K x 8) 5 V EEPROM, HS, 70 ns	64K (8Kx8) 5V EEPROM, High Speed, 70nS	28-Dip	8.01	5.42	4.83
AT28HC64B-70SC-ND	64 K (8 K x 8) 5 V EEPROM, HS, 70 ns	64K (8Kx8) 5V EEPROM, High Speed, 70nS	28-SOIC	18.39	12.41	11.14
AT28HC64B-70SI-ND	64 K (8 K x 8) 5 V EEPROM, HS, 70 ns	64K (8Kx8) 5V EEPROM, High Speed, 70nS	28-SOIC	4.19	2.82	2.54
AT28HC64B-90SC-ND	64 K (8 K x 8) 5 V EEPROM, HS, 90 ns	64K (8Kx8) 5V EEPROM, High Speed, 90nS	28-SOIC	16.09	11.59	9.66
AT28HC64B-70TC-ND	64 K (8 K x 8) 5 V EEPROM, HS, 70 ns	64K (8Kx8) 5V EEPROM, High Speed, 70nS	28-TSOP	18.39	12.41	11.14
AT28HC64B-70TI-ND	64 K (8 K x 8) 5 V EEPROM, HS, 70 ns	64K (8Kx8) 5V EEPROM, High Speed, 70nS	28-TSOP	4.19	2.82	2.54
AT28HC64B-90TC-ND	64 K (8 K x 8) 5 V EEPROM, HS, 90 ns	64K (8Kx8) 5V EEPROM, High Speed, 90nS	28-TSOP	16.09	12.87	9.66
AT28HC64B-90TI-ND	64 K (8 K x 8) 5 V EEPROM, HS, 90 ns	64K (8Kx8) 5V EEPROM, High Speed, 90nS	28-TSOP	4.20	2.85	2.54
AT28HC64B-12TC-ND	64 K (8 K x 8) 5 V EEPROM, HS, 120 ns	64K (8Kx8) 5V EEPROM, High Speed, 120nS	28-TSOP	11.85	8.54	7.12
AT28HC64B-12TI-ND	64 K (8 K x 8) 5 V EEPROM, HS, 120 ns	64K (8Kx8) 5V EEPROM, High Speed, 120nS	28-TSOP	3.55	2.39	2.14
AT28C256-15JC-ND	256 K (32 K x 8) 5 V EEPROM, 150 ns	256K (32Kx8) 5V EEPROM, 150nS	32-PLCC	4.00	2.72	2.43
AT28C256-15JI-ND	256 K (32 K x 8) 5 V EEPROM, 150 ns	256K (32Kx8) 5V EEPROM, 150nS	32-PLCC	4.10	2.77	2.49
AT28C256-15PC-ND	256 K (32 K x 8) 5 V EEPROM, 150 ns	256K (32Kx8) 5V EEPROM, 150nS	28-Dip	4.00	2.72	2.43
AT28C256-15PI-ND	256 K (32 K x 8) 5 V EEPROM, 150 ns	256K (32Kx8) 5V EEPROM, 150nS	28-Dip	4.10	2.77	2.49
AT28C256-15SC-ND	256 K (32 K x 8) 5 V EEPROM, 150 ns	256K (32Kx8) 5V EEPROM, 150nS	28-SOIC	20.29	13.68	12.24
AT28C256-15SI-ND	256 K (32 K x 8) 5 V EEPROM, 150 ns	256K (32Kx8) 5V EEPROM, 150nS	28-SOIC	4.37	2.95	2.65
AT28C256-15TC-ND	256 K (32 K x 8) 5 V EEPROM, 150 ns	256K (32Kx8) 5V EEPROM, 150nS	28-TSOP	20.29	13.68	12.24
AT28C256-15TI-ND	256 K (32 K x 8) 5 V EEPROM, 150 ns	256K (32Kx8) 5V EEPROM, 150nS	28-TSOP	4.28	2.89	2.59
AT28C256F-15PC-ND	256 K (32 K x 8) 5 V EEPROM, Fast Write, 150 ns	256K (32Kx8) 5V EEPROM, Fast Write, 150nS	28-Dip	11.75	7.92	7.07
AT28C256F-15PI-ND	256 K (32 K x 8) 5 V EEPROM, Fast Write, 150 ns	256K (32Kx8) 5V EEPROM, Fast Write, 150nS	28-Dip	13.47	9.11	8.13
AT28C256F-15SC-ND	256 K (32 K x 8) 5 V EEPROM, Fast Write, 150 ns	256K (32Kx8) 5V EEPROM, Fast Write, 150nS	28-SOIC	27.41	19.74	16.45
AT28C256F-15TC-ND	256 K (32 K x 8) 5 V EEPROM, Fast Write, 150 ns	256K (32Kx8) 5V EEPROM, Fast Write, 150nS	28-TSOP	27.41	19.74	16.45
AT28C256F-15TI-ND	256 K (32 K x 8) 5 V EEPROM, Fast Write, 150 ns	256K (32Kx8) 5V EEPROM, Fast Write, 150nS	28-TSOP	5.01	3.37	3.03

⋆ 0,200" Körperbreite

(Forts.)

★ RUFEN SIE BITTE AN FÜR NIEDRIGERE PREISE BEI GRÖSSEREN MENGEN! ★

Digi-Key Teilenr.	Beschreibung		Paket	Stückpreis★ 1	25	100
AT28HC256-70JC-ND	256 K (32 K x 8) 5 V EEPROM, HS, 70 ns	256K (32Kx8) 5V EEPROM, High Speed, 70nS	32-PLCC	38.22	25.78	23.12
AT28HC256-70JI-ND	256 K (32 K x 8) 5 V EEPROM, HS, 70 ns	256K (32Kx8) 5V EEPROM, High Speed, 70nS	32-PLCC	7.37	4.98	4.46
AT28HC256-90JC-ND	256 K (32 K x 8) 5 V EEPROM, HS, 90 ns	256K (32Kx8) 5V EEPROM, High Speed, 90nS	32-PLCC	28.67	19.35	17.36
AT28HC256-90JI-ND	256 K (32 K x 8) 5 V EEPROM, HS, 90 ns	256K (32Kx8) 5V EEPROM, High Speed, 90nS	32-PLCC	5.65	3.81	3.41
AT28HC256-12JC-ND	256 K (32 K x 8) 5 V EEPROM, HS, 120 ns	256K (32Kx8) 5V EEPROM, High Speed, 120nS	32-PLCC	21.02	14.19	12.70
AT28HC256-12JI-ND	256 K (32 K x 8) 5 V EEPROM, HS, 120 ns	256K (32Kx8) 5V EEPROM, High Speed, 120nS	32-PLCC	5.19	3.51	3.13
AT28HC256-70PC-ND	256 K (32 K x 8) 5 V EEPROM, HS, 70 ns	256K (32Kx8) 5V EEPROM, High Speed, 70nS	28-Dip	38.22	25.78	23.12
AT28HC256-70PI-ND	256 K (32 K x 8) 5 V EEPROM, HS, 70 ns	256K (32Kx8) 5V EEPROM, High Speed, 70nS	28-Dip	7.37	4.98	4.46
AT28HC256-90PC-ND	256 K (32 K x 8) 5 V EEPROM, HS, 90 ns	256K (32Kx8) 5V EEPROM, High Speed, 90nS	28-Dip	28.67	19.35	17.36
AT28HC256-90PI-ND	256 K (32 K x 8) 5 V EEPROM, HS, 90 ns	256K (32Kx8) 5V EEPROM, High Speed, 90nS	28-Dip	5.65	3.81	3.41
AT28HC256-12PC-ND	256 K (32 K x 8) 5 V EEPROM, HS, 120 ns	256K (32Kx8) 5V EEPROM, High Speed, 120nS	28-Dip	5.55	3.76	3.36
AT28HC256-12PI-ND	256 K (32 K x 8) 5 V EEPROM, HS, 120 ns	256K (32Kx8) 5V EEPROM, High Speed, 120nS	28-Dip	5.19	3.51	3.13
AT28HC256-70SC-ND	256 K (32 K x 8) 5 V EEPROM, HS, 70 ns	256K (32Kx8) 5V EEPROM, High Speed, 70nS	28-SOIC	38.41	25.91	23.24
AT28HC256-70SI-ND	256 K (32 K x 8) 5 V EEPROM, HS, 70 ns	256K (32Kx8) 5V EEPROM, High Speed, 70nS	28-SOIC	12.20	8.22	7.37
AT28HC256-90SC-ND	256 K (32 K x 8) 5 V EEPROM, HS, 90 ns	256K (32Kx8) 5V EEPROM, High Speed, 90nS	28-SOIC	28.85	19.48	17.44
AT28HC256-90SI-ND	256 K (32 K x 8) 5 V EEPROM, HS, 90 ns	256K (32Kx8) 5V EEPROM, High Speed, 90nS	28-SOIC	9.19	6.18	5.55
AT28HC256-12SC-ND	256 K (32 K x 8) 5 V EEPROM, HS, 120 ns	256K (32Kx8) 5V EEPROM, High Speed, 120nS	28-SOIC	21.21	14.31	12.83
AT28HC256-12SI-ND	256 K (32 K x 8) 5 V EEPROM, HS, 120 ns	256K (32Kx8) 5V EEPROM, High Speed, 120nS	28-SOIC	5.37	3.62	3.25
AT28HC256-70TC-ND	256 K (32 K x 8) 5 V EEPROM, HS, 70 ns	256K (32Kx8) 5V EEPROM, High Speed, 70nS	28-TSOP	38.41	25.91	23.24
AT28HC256-70TI-ND	256 K (32 K x 8) 5 V EEPROM, HS, 70 ns	256K (32Kx8) 5V EEPROM, High Speed, 70nS	28-TSOP	8.28	5.58	5.00
AT28HC256-90TC-ND	256 K (32 K x 8) 5 V EEPROM, HS, 90 ns	256K (32Kx8) 5V EEPROM, High Speed, 90nS	28-TSOP	28.85	19.48	17.44
AT28HC256-90TI-ND	256 K (32 K x 8) 5 V EEPROM, HS, 90 ns	256K (32Kx8) 5V EEPROM, High Speed, 90nS	28-TSOP	7.37	4.99	4.47
AT28HC256-12TC-ND	256 K (32 K x 8) 5 V EEPROM, HS, 120 ns	256K (32Kx8) 5V EEPROM, High Speed, 120nS	28-TSOP	21.21	14.31	12.83
AT28HC256-12TI-ND	256 K (32 K x 8) 5 V EEPROM, HS, 120 ns	256K (32Kx8) 5V EEPROM, High Speed, 120nS	28-TSOP	5.37	3.62	3.25
AT28HC256F-90JC-ND	256 K (32 K x 8) 5 V EEPROM, HS, Fast Write, 90 ns	256K (32Kx8) 5V EEPROM, HS, Fast Write, 90nS	32-PLCC	38.94	28.04	23.37
AT28HC256F-90JI-ND	256 K (32 K x 8) 5 V EEPROM, HS, Fast Write, 90 ns	256K (32Kx8) 5V EEPROM, HS, Fast Write, 90nS	32-PLCC	7.92	5.33	4.78
AT28HC256F-12JC-ND	256 K (32 K x 8) 5 V EEPROM, HS, Fast Write, 120 ns	256K (32Kx8) 5V EEPROM, HS, Fast Write, 120nS	32-PLCC	28.57	20.58	17.15
AT28HC256F-90PC-ND	256 K (32 K x 8) 5 V EEPROM, HS, Fast Write, 90 ns	256K (32Kx8) 5V EEPROM, HS, Fast Write, 90nS	28-Dip	31.15	23.37	19.48
AT28HC256F-12PI-ND	256 K (32 K x 8) 5 V EEPROM, HS, Fast Write, 120 ns	256K (32Kx8) 5V EEPROM, HS, Fast Write, 120nS	28-Dip	7.38	4.97	4.45
AT28HC256F-12SC-ND	256 K (32 K x 8) 5 V EEPROM, HS, Fast Write, 120 ns	256K (32Kx8) 5V EEPROM, HS, Fast Write, 120nS	28-SOIC	24.75	16.68	14.95
AT28HC256F-12SI-ND	256 K (32 K x 8) 5 V EEPROM, HS, Fast Write, 120 ns	256K (32Kx8) 5V EEPROM, HS, Fast Write, 120nS	28-SOIC	7.92	5.34	4.79
AT28HC256F-90SC-ND	256 K (32 K x 8) 5 V EEPROM, HS, Fast Write, 90 ns	256K (32Kx8) 5V EEPROM, HS, Fast Write, 90nS	28-SOIC	31.32	23.50	19.58
AT28HC256F-90TC-ND	256 K (32 K x 8) 5 V EEPROM, HS, Fast Write, 90 ns	256K (32Kx8) 5V EEPROM, HS, Fast Write, 90nS	28-TSOP	39.16	23.50	19.58
AT28HC256F-90TI-ND	256 K (32 K x 8) 5 V EEPROM, HS, Fast Write, 90 ns	256K (32Kx8) 5V EEPROM, HS, Fast Write, 90nS	28-TSOP	8.28	5.58	5.00
AT28HC256F-12TC-ND	256 K (32 K x 8) 5 V EEPROM, HS, Fast Write, 120 ns	256K (32Kx8) 5V EEPROM, HS, Fast Write, 120nS	28-TSOP	28.78	20.73	17.28
AT28HC256F-12TI-ND	256 K (32 K x 8) 5 V EEPROM, HS, Fast Write, 120 ns	256K (32Kx8) 5V EEPROM, HS, Fast Write, 120nS	28-TSOP	8.28	5.58	5.00
AT28C010-12JC-ND	1 M (128 K x 8) 5 V EEPROM, 120 ns	1M (128Kx8) 5V EEPROM, 120nS	32-PLCC	45.05	30.36	27.22
AT28C010-12JI-ND	1 M (128 K x 8) 5 V EEPROM, 120 ns	1M (128Kx8) 5V EEPROM, 120nS	32-PLCC	23.93	16.13	14.47
AT28C010-15JC-ND	1 M (128 K x 8) 5 V EEPROM, 150 ns	1M (128Kx8) 5V EEPROM, 150nS	32-PLCC	43.05	29.04	26.04
AT28C010-12PC-ND	1 M (128 K x 8) 5 V EEPROM, 120 ns	1M (128Kx8) 5V EEPROM, 120nS	32-Dip	23.76	16.01	14.38
AT28C010-12PI-ND	1 M (128 K x 8) 5 V EEPROM, 120 ns	1M (128Kx8) 5V EEPROM, 120nS	32-Dip	23.76	16.01	14.36
AT28C010-15PC-ND	1 M (128 K x 8) 5 V EEPROM, 150 ns	1M (128Kx8) 5V EEPROM, 150nS	32-Dip	43.05	29.04	26.04
AT28C010-15PI-ND	1 M (128 K x 8) 5 V EEPROM, 150 ns	1M (128Kx8) 5V EEPROM, 150nS	32-Dip	21.94	14.80	13.26
AT28C010-12TC-ND	1 M (128 K x 8) 5 V EEPROM, 120 ns	1M (128Kx8) 5V EEPROM, 120nS	32-TSOP	45.23	30.48	27.31
AT28C010-12TI-ND	1 M (128 K x 8) 5 V EEPROM, 120 ns	1M (128Kx8) 5V EEPROM, 120nS	32-TSOP	24.66	16.63	14.93
AT28C010-15TC-ND	1 M (128 K x 8) 5 V EEPROM, 150 ns	1M (128Kx8) 5V EEPROM, 150nS	32-TSOP	50.27	36.20	30.17
AT28C010E-12JC-ND	1 M (128 K x 8) 5 V EEPROM, 120 ns	1M (128Kx8) 5V EEPROM, 120nS	32-PLCC	49.24	33.19	29.76
AT28C010E-12JI-ND	1 M (128 K x 8) 5 V EEPROM, 120 ns	1M (128Kx8) 5V EEPROM, 120nS	32-PLCC	27.03	18.25	16.34
AT28C010E-12PC-ND	1 M (128 K x 8) 5 V EEPROM, 120 ns	1M (128Kx8) 5V EEPROM, 120nS	32-Dip	49.24	33.19	29.76
AT28C010E-12PI-ND	1 M (128 K x 8) 5 V EEPROM, 120 ns	1M (128Kx8) 5V EEPROM, 120nS	32-Dip	27.03	18.25	16.34
AT28C010E-12TC-ND	1 M (128 K x 8) 5 V EEPROM, 120 ns	1M (128Kx8) 5V EEPROM, 120nS	32-TSOP	49.42	33.32	29.85
AT28C010E-12TI-ND	1 M (128 K x 8) 5 V EEPROM, 120 ns	1M (128Kx8) 5V EEPROM, 120nS	32-TSOP	27.21	18.38	16.47
AT28C040-20BI-ND	4 M (512 K x 8) 5 V EEPROM, 200 ns	4M (512Kx8) 5V EEPROM, 200nS	32-CDIP	527.86	356.04	319.21

Digi-Key Teilenr.	Beschreibung		Paket	Stückpreis★ 1	25	100
	Flash-Speicher: Batteriespann. Einzelspann. Lesen u. Schreiben					
AT29BV010A-12JC-ND	1 M (128 K x 8) 2,7 V Kleinsektor-Flash, 120 ns	1M (128Kx8) 2.7V Small Sector Flash, 120nS	32-PLCC	2.33	1.79	1.55
AT29BV010A-12JI-ND	1 M (128 K x 8) 2,7 V Kleinsektor-Flash, 120 ns	1M (128Kx8) 2.7V Small Sector Flash, 120nS	32-PLCC	2.44	1.86	1.62
AT29BV010A-20JI-ND	1 M (128 K x 8) 2,7 V Kleinsektor-Flash, 200 ns	1M (128Kx8) 2.7V Small Sector Flash, 200nS	32-PLCC	2.46	1.90	1.72
AT29BV010A-12TC-ND	1 M (128 K x 8) 2,7 V Kleinsektor-Flash, 120 ns	1M (128Kx8) 2.7V Small Sector Flash, 120nS	32-TSOP	2.33	1.79	1.55
AT29BV010A-12TI-ND	1 M (128 K x 8) 2,7 V Kleinsektor-Flash, 120 ns	1M (128Kx8) 2.7V Small Sector Flash, 120nS	32-TSOP	2.44	1.86	1.62
AT29BV010A-20TC-ND	1 M (128 K x 8) 2,7 V Kleinsektor-Flash, 200 ns	1M (128Kx8) 2.7V Small Sector Flash, 200nS	32-TSOP	2.46	1.92	1.74
AT29BV010A-20TI-ND	1 M (128 K x 8) 2,7 V Kleinsektor-Flash, 200 ns	1M (128Kx8) 2.7V Small Sector Flash, 200nS	32-TSOP	2.27	1.87	1.63
AT29BV020-12JC-ND	2 M (256 K x 8) 2,7 V Kleinsektor-Flash, 120 ns	2M (256Kx8) 2.7V Small Sector Flash, 120nS	32-PLCC	3.12	2.37	2.07
AT29BV020-12JI-ND	2 M (256 K x 8) 2,7 V Kleinsektor-Flash, 120 ns	2M (256Kx8) 2.7V Small Sector Flash, 120nS	32-PLCC	3.23	2.48	2.15
AT29BV020-12TC-ND	2 M (256 K x 8) 2,7 V Kleinsektor-Flash, 120 ns	2M (256Kx8) 2.7V Small Sector Flash, 120nS	32-TSOP	3.12	2.36	2.07
AT29BV020-12TI-ND	2 M (256 K x 8) 2,7 V Kleinsektor-Flash, 120 ns	2M (256Kx8) 2.7V Small Sector Flash, 120nS	32-TSOP	3.23	2.47	2.16
AT29BV040A-20TI-ND	4 M (512 K x 8) 2,7 V Batterie-Spann.-Flash, 200 ns	4M (512Kx8) 2.7V Battery-Voltage Flash, 200nS	32-TSOP	4.53	3.47	3.03
AT29BV040A-25JC-ND	4 M (512 K x 8) 2,7 V Batterie-Spann.-Flash, 250 ns	4M (512Kx8) 2.7V Battery-Voltage Flash, 250nS	32-PLCC	12.01	9.15	8.01
AT29BV040A-25JI-ND	4 M (512 K x 8) 2,7 V Batterie-Spann.-Flash, 250 ns	4M (512Kx8) 2.7V Battery-Voltage Flash, 250nS	32-PLCC	12.01	9.15	8.01
AT29BV040A-25TC-ND	4 M (512 K x 8) 2,7 V Kleinsektor-Flash, 250 ns	4M (512Kx8) 2.7V Small Sector Flash, 250nS	32-TSOP	4.53	3.47	3.02
AT29BV040A-25TI-ND	4 M (512 K x 8) 2,7 V Kleinsektor-Flash, 250 ns	4M (512Kx8) 2.7V Small Sector Flash, 250nS	32-TSOP	4.53	3.47	3.03
AT49BV512-90JI-ND	512 K (64 K x 8) 2,7 V Boot-Flash, 90 ns	512K (64Kx8) 2.7V Boot Flash, 90nS	32-PLCC	4.83	3.69	3.22
AT49BV512-12JI-ND	512 K (64 K x 8) 2,7 V Boot-Flash, 120 ns	512K (64Kx8) 2.7V Boot Flash, 120nS	32-PLCC	4.83	3.69	3.22
AT49BV512-90TC-ND	512 K (64 K x 8) 2,7 V Boot-Flash, 90 ns	512K (64Kx8) 2.7V Boot Flash, 90nS	32-TSOP	1.73	1.32	1.15
AT49BV512-90TI-ND	512 K (64 K x 8) 2,7 V Boot-Flash, 90 ns	512K (64Kx8) 2.7V Boot Flash, 90nS	32-TSOP	5.28	4.03	3.52
AT49BV512-12TC-ND	512 K (64 K x 8) 2,7 V Boot-Flash, 120 ns	512K (64Kx8) 2.7V Boot Flash, 120nS	32-TSOP	1.73	1.32	1.15
AT49BV512-12TI-ND	512 K (64 K x 8) 2,7 V Boot-Flash, 120 ns	512K (64Kx8) 2.7V Boot Flash, 120nS	32-TSOP	5.28	4.03	3.52
AT49BV512-70VC-ND	512 K (64 K x 8) 2,7 V Batterie-Spann.-Flash, 70 ns	512K (64Kx8) 2.7V Battery-Volt. Flash, 70nS	32-VSOP	4.83	3.69	3.22
AT49BV512-90VC-ND	512 K (64 K x 8) 2,7 V Batterie-Spann.-Flash, 90 ns	512K (64Kx8) 2.7V Battery-Volt. Flash, 90nS	32-VSOP	1.73	1.32	1.16
AT49BV512-90VI-ND	512 K (64 K x 8) 2,7 V Batterie-Spann.-Flash, 90 ns	512K (64Kx8) 2.7V Battery-Volt. Flash, 90nS	32-VSOP	1.19	.91	.79
AT49BV512-12VC-ND	512 K (64 K x 8) 2,7 V Batterie-Spann.-Flash, 120 ns	512K (64Kx8) 2.7V Battery-Volt. Flash, 120nS	32-VSOP	1.73	1.32	1.16
AT49BV001A-55JI-ND	1 M (128 K x 8) 2,7 V Batterie-Spann.-Flash, 55 ns	1M (128Kx8) 2.7V Battery-Voltage Flash, 55nS	32-PLCC	1.11	.87	.79
AT49BV001A-55TI-ND	1 M (128 K x 8) 2,7 V Batterie-Spann.-Flash, 55 ns	1M (128Kx8) 2.7V Battery-Voltage Flash, 55nS	32-TSOP	1.11	.87	.79
AT49BV001A-55VI-ND	1 M (128 K x 8) 2,7 V Batterie-Spann.-Flash, 55 ns	1M (128Kx8) 2.7V Battery-Voltage Flash, 55nS	32-VSOP	1.11	.87	.79
AT49BV001AN-55JI-ND	1 M (128 K x 8) 2,7 V Batterie-Spann.-Flash, 55 ns	1M (128Kx8) 2.7V Battery-Voltage Flash, 55nS	32-PLCC	1.22	.96	.87
AT49BV001AN-55TI-ND	1 M (128 K x 8) 2,7 V Batterie-Spann.-Flash, 55 ns	1M (128Kx8) 2.7V Battery-Voltage Flash, 55nS	32-TSOP	1.22	.96	.87
AT49BV001AN-55VI-ND	1 M (128 K x 8) 2,7 V Batterie-Spann.-Flash, 55 ns	1M (128Kx8) 2.7V Battery-Voltage Flash, 55nS	32-VSOP	1.22	.96	.87
AT49BV001ANT-55JI-ND	1 M (128 K x 8) 2,7 V Batterie-Spann.-Flash, 55 ns	1M (128Kx8) 2.7V Battery-Voltage Flash, 55nS	32-PLCC	1.22	.96	.87
AT49BV001ANT-55TI-ND	1 M (128 K x 8) 2,7 V Batterie-Spann.-Flash, 55 ns	1M (128Kx8) 2.7V Battery-Voltage Flash, 55nS	32-TSOP	1.11	.87	.79
AT49BV001ANT-55VI-ND	1 M (128 K x 8) 2,7 V Batterie-Spann.-Flash, 55 ns	1M (128Kx8) 2.7V Battery-Voltage Flash, 55nS	32-VSOP	1.22	.96	.87
AT49BV001AT-55JI-ND	1 M (128 K x 8) 2,7 V Batterie-Spann.-Flash, 55 ns	1M (128Kx8) 2.7V Battery-Voltage Flash, 55nS	32-PLCC	1.22	.96	.87
AT49BV001AT-55TI-ND	1 M (128 K x 8) 2,7 V Batterie-Spann.-Flash, 55 ns	1M (128Kx8) 2.7V Battery-Voltage Flash, 55nS	32-TSOP	1.22	.96	.87
AT49BV001AT-55VI-ND	1 M (128 K x 8) 2,7 V Batterie-Spann.-Flash, 55 ns	1M (128Kx8) 2.7V Battery-Voltage Flash, 55nS	32-VSOP	1.11	.87	.79
AT49BV002A-70JI-ND	2 M (256 K x 8) 2,7 V Batterie-Spann.-Flash, 70 ns	2M (256Kx8) 2.7V Battery-Voltage Flash, 70nS	32-PLCC	1.36	1.06	.97
AT49BV002A-70TI-ND	2 M (256 K x 8) 2,7 V Batterie-Spann.-Flash, 70 ns	2M (256Kx8) 2.7V Battery-Voltage Flash, 70nS	32-TSOP	1.25	.98	.89
AT49BV002A-70VI-ND	2 M (256 K x 8) 2,7 V Batterie-Spann.-Flash, 70 ns	2M (256Kx8) 2.7V Battery-Voltage Flash, 70nS	32-VSOP	1.25	.98	.89
AT49BV002AN-70JI-ND	2 M (256 K x 8) 2,7 V Batterie-Spann.-Flash, 70 ns	2M (256Kx8) 2.7V Battery-Voltage Flash, 70nS	32-PLCC	1.25	.98	.89
AT49BV002AN-70TI-ND	2 M (256 K x 8) 2,7 V Batterie-Spann.-Flash, 70 ns	2M (256Kx8) 2.7V Battery-Voltage Flash, 70nS	32-TSOP	1.36	1.06	.97
AT49BV002AN-70VI-ND	2 M (256 K x 8) 2,7 V Batterie-Spann.-Flash, 70 ns	2M (256Kx8) 2.7V Battery-Voltage Flash, 70nS	32-VSOP	1.36	1.06	.97

(Forts.)

★ RUFEN SIE BITTE AN FÜR NIEDRIGERE PREISE BEI GRÖSSEREN MENGEN! ★

B

Digi-Key Teilenr.	Beschreibung		Paket	Stückpreis★ 1	25	100
AT49BV002ANT-70JI-ND	2 M (256 K x 8) 2,7 V Batterie-Spann.-Flash, 70 ns	2M (256Kx8) 2.7V Battery-Voltage Flash, 70nS	32-PLCC	1.36	1.06	.97
AT49BV002ANT-70TI-ND	2 M (256 K x 8) 2,7 V Batterie-Spann.-Flash, 70 ns	2M (256Kx8) 2.7V Battery-Voltage Flash, 70nS	32-TSOP	1.36	1.06	.97
AT49BV002ANT-70VI-ND	2 M (256 K x 8) 2,7 V Batterie-Spann.-Flash, 70 ns	2M (256Kx8) 2.7V Battery-Voltage Flash, 70nS	32-VSOP	1.36	1.06	.97
AT49BV002AT-70JI-ND	2 M (256 K x 8) 2,7 V Batterie-Spann.-Flash, 70 ns	2M (256Kx8) 2.7V Battery-Voltage Flash, 70nS	32-PLCC	1.36	1.06	.97
AT49BV002AT-70TI-ND	2 M (256 K x 8) 2,7 V Batterie-Spann.-Flash, 70 ns	2M (256Kx8) 2.7V Battery-Voltage Flash, 70nS	32-TSOP	1.25	.98	.89
AT49BV002AT-70VI-ND	2 M (256 K x 8) 2,7 V Batterie-Spann.-Flash, 70 ns	2M (256Kx8) 2.7V Battery-Voltage Flash, 70nS	32-VSOP	1.36	1.06	.97
AT49BV002-90JC-ND	2 M (256 K x 8) 2,7 V parametrischer Flash, 90 ns	2M (256Kx8) 2.7V Parametric Flash, 90nS	32-PLCC	4.37	3.46	3.12
AT49BV002-90JI-ND	2 M (256 K x 8) 2,7 V parametrischer Flash, 90 ns	2M (256Kx8) 2.7V Parametric Flash, 90nS	32-PLCC	4.81	3.78	3.41
AT49BV002N-90JC-ND	2 M (256 K x 8) parametrischer Flash (kein Reset) 2,7 V, 90 ns	2M (256Kx8) 2.7V Parametric Flash (No Reset), 90nS	32-PLCC	4.37	3.46	3.12
AT49BV002N-90TC-ND	2 M (256 K x 8) parametrischer Flash (kein Reset) 2,7 V, 90 ns	2M (256Kx8) 2.7V Parametric Flash (No Reset), 90nS	32-TSOP	5.32	4.14	3.75
AT49BV002N-90TI-ND	2 M (256 K x 8) parametrischer Flash (kein Reset) 2,7 V, 90 ns	2M (256Kx8) 2.7V Parametric Flash (No Reset), 90nS	32-TSOP	5.54	4.30	3.89
AT49BV040-12TC-ND	4 M (512 K x 8) 2,7 V Boot-Flash, 120 ns	4M (512Kx8) 2.7V Boot Flash, 120nS	32-TSOP	7.72	5.84	5.31
AT49BV040-12TI-ND	4 M (512 K x 8) 2,7 V Boot-Flash, 120 ns	4M (512Kx8) 2.7V Boot Flash, 120nS	32-TSOP	8.01	6.04	5.50
AT49BV040-12VC-ND	4 M (512 K x 8) 2,7 V Boot-Flash, 120 ns	4M (512Kx8) 2.7V Boot Flash, 120nS	32-TSOP	8.01	6.04	5.50
AT49BV040-12VI-ND	4 M (512 K x 8) 2,7 V Boot-Flash, 120 ns	4M (512Kx8) 2.7V Boot Flash, 120nS	32-TSOP	9.24	6.90	6.30
AT49BV040A-70JI-ND	4 M (512 K x 8) 2,7 V Batterie-Spann.-Flash, 70 ns	4M (512Kx8) 2.7V Battery-Voltage Flash, 70nS	32-PLCC	1.55	1.20	1.10
AT49BV040A-70TI-ND	4 M (512 K x 8) 2,7 V Batterie-Spann.-Flash, 70 ns	4M (512Kx8) 2.7V Battery-Voltage Flash, 70nS	32-TSOP	1.55	1.20	1.10
AT49BV040A-70VI-ND	4 M (512 K x 8) 2,7 V Batterie-Spann.-Flash, 70 ns	4M (512Kx8) 2.7V Battery-Voltage Flash, 70nS	32-VSOP	1.55	1.20	1.10
AT49BV040A-90JI-ND	4 M (512 K x 8) 2,7 V Batterie-Spann.-Flash, 90 ns	4M (512Kx8) 2.7V Battery-Voltage Flash, 90nS	32-PLCC	1.46	1.13	1.03
AT49BV040A-90TI-ND	4 M (512 K x 8) 2,7 V Batterie-Spann.-Flash, 90 ns	4M (512Kx8) 2.7V Battery-Voltage Flash, 90nS	32-TSOP	1.46	1.13	1.03
AT49BV040A-90VI-ND	4 M (512 K x 8) 2,7 V Batterie-Spann.-Flash, 90 ns	4M (512Kx8) 2.7V Battery-Voltage Flash, 90nS	32-VSOP	1.55	1.20	1.10
AT49BV4096A-90TC-ND	4 M (512 K x 8 oder 256 K x 16) 2,7 V parametrischer Flash, 90 ns	4M (512Kx8 or 256Kx16) 2.7V Parametric Flash, 90nS	48-TSOP	2.91	2.23	1.97
AT49BV4096A-90TI-ND	4 M (512 K x 8 oder 256 K x 16) 2,7 V parametrischer Flash, 90 ns	4M (512Kx8 or 256Kx16) 2.7V Parametric Flash, 90nS	48-TSOP	9.92	7.58	6.69
AT49BV4096A-12TC-ND	4 M (512 K x 8, 256 K x 16) 2,7 V parametrischer Flash, 120 ns	4M (512Kx8, 256Kx16) 2.7V Parametric Flash, 120nS	32-TSOP	2.91	2.22	1.96
AT49BV8192A-90TI-ND	8 M (1 M x 8/512 K x 16) 3 V Flash, 90 ns	8M (1Mx8/512Kx16) 3V Flash, 90nS	48-TSOP	15.48	11.81	10.42
AT49BV8192A-11CI-ND	8 M (1 M x 8 oder 512 K x 16) 2,7 V Großsektor-Flash, 110 ns	8M (1Mx8 or 512Kx16) 2.7V Large Sector Flash, 110nS	48-CBGA	15.92	12.15	10.76
AT49BV8192A-11TC-ND	8 M (1 M x 8 oder 512 K x 16) 2,7 V Großsektor-Flash, 110 ns	8M (1Mx8 or 512Kx16) 2.7V Large Sector Flash, 110nS	48-TSOP	14.75	11.26	9.95
AT49BV8192AT-90TI-ND	8 M (1 M x 8/512 K x 16) 3 V Flash, 90 ns	8M (1Mx8/512Kx16) 3V Flash, 90nS	48-TSOP	15.48	11.81	10.42
AT49BV8192AT-11TC-ND	8 M (1 M x 8 oder 512 K x 16) 2,7 V Großsektor-Flash, oberer Boot, 110 ns	8M (1Mx8 or 512Kx16) 2.7V Large Sector Flash, Top Boot, 110nS	48-TSOP	14.75	11.26	9.95
AT49BV8192AT-11TI-ND	8 M (1 M x 8 oder 512 K x 16) 2,7 V Großsektor-Flash, oberer Boot, 110 ns	8M (1Mx8 or 512Kx16) 2.7V Large Sector Flash, Top Boot, 110nS	48-TSOP	15.48	11.81	10.42
AT49BV8192AT-11CI-ND	8 M (1 M x 8 oder 512 K x 16) 2,7 V Großsektor-Flash, oberer Boot, 110 ns	8M (1Mx8 or 512Kx16) 2.7V Large Sector Flash, Top Boot, 110nS	48-CBGA	15.92	12.15	10.76
AT49BV160C-70CI-ND	16 M (1 M x 16) 3 V Flash, 70 ns	16M (1Mx16) 3V Flash, 70nS	46-CBGA	2.35	1.83	1.64
AT49BV160CT-70CI-ND	16 M (1 M x 16) 3 V Flash, 70 ns	16M (1Mx16) 3V Flash, 70nS	46-CBGA	2.35	1.83	1.64
AT49BV160C-70TI-ND	16 M (1 M x 16) 3 V Flash, 70 ns	16M (1Mx16) 3V Flash, 70nS	48-TSOP	2.07	1.61	1.45
AT49BV160CT-70TI-ND	16 M (1 M x 16) 3 V Flash, 70 ns	16M (1Mx16) 3V Flash, 70nS	48-TSOP	2.07	1.61	1.45
AT49BV161T-70TI-ND	16 M (1 M x 16 oder 2 M x 8) 2,7 V Großsektor-Flash, oberer Boot, 70 ns	16M (1Mx16 or 2Mx8) 2.7V Large Sector Flash, Top Boot, 70nS	48-TSOP	17.24	13.40	11.47
AT49BV161T-90TI-ND	16 M (1 M x 16 oder 2 M x 8) 2,7 V Großsektor-Flash, oberer Boot, 90 ns	16M (1Mx16 or 2Mx8) 2.7V Large Sector Flash, Top Boot, 90nS	48-TSOP	16.24	12.61	10.80
AT49BV162A-70CI-ND	16 M (1 M x 16/2 M x 8) 3 V Flash, 70 ns	16M (1Mx16/2Mx8) 3V Flash, 70nS	48-CBGA	2.44	1.90	1.71
AT49BV162AT-70CI-ND	16 M (1 M x 16/2 M x 8) 3 V Flash, 70 ns	16M (1Mx16/2Mx8) 3V Flash, 70nS	48-CBGA	2.44	1.90	1.71
AT49BV162A-70TI-ND	16 M (1 M x 16/2 M x 8) 3 V Flash, 70 ns	16M (1Mx16/2Mx8) 3V Flash, 70nS	48-TSOP	2.17	1.69	1.52
AT49BV162AT-70TI-ND	16 M (1 M x 16/2 M x 8) 3 V Flash, 70 ns	16M (1Mx16/2Mx8) 3V Flash, 70nS	48-TSOP	2.17	1.69	1.52
AT49BV1614AT-70TI-ND	16 M (1 M x 16 oder 2 M x 8) 2,7 V Großsektor-Flash, oberer Boot, 70 ns	16M (1Mx16 or 2Mx8) 2.7V Large Sector Flash, Top Boot, 70nS	48-TSOP	19.64	15.26	13.07
AT49BV320C-70CI-ND	32 M (2 M x 16) 3 V Flash, 70 ns	32M (2Mx16) 3V Flash, 70nS	47-CBGA	3.18	2.48	2.23
AT49BV320CT-70CI-ND	32 M (2 M x 16) 3 V Flash, 70 ns	32M (2Mx16) 3V Flash, 70nS	47-CBGA	3.18	2.48	2.23
AT49BV320C-70TI-ND	32 M (2 M x 16) 3 V Flash, 70 ns	32M (2Mx16) 3V Flash, 70nS	48-TSOP	2.91	2.26	2.04
AT49BV320CT-70TI-ND	32 M (2 M x 16) 3 V Flash, 70 ns	32M (2Mx16) 3V Flash, 70nS	48-TSOP	2.91	2.26	2.04
AT49BV322A-70CI-ND	32 M (2 M x 16/4 M x 8) 3 V Flash, 70 ns	32M (2Mx16/4Mx8) 3V Flash, 70nS	48-CBGA	3.18	2.48	2.23
AT49BV322AT-70CI-ND	32 M (2 M x 16/4 M x 8) 3 V Flash, 70 ns	32M (2Mx16/4Mx8) 3V Flash, 70nS	48-CBGA	3.18	2.48	2.23
AT49BV322A-70TI-ND	32 M (2 M x 16/4 M x 8) 3 V Flash, 70 ns	32M (2Mx16/4Mx8) 3V Flash, 70nS	48-TSOP	2.91	2.26	1.94
AT49BV322AT-70TI-ND	32 M (2 M x 16/4 M x 8) 3 V Flash, 70 ns	32M (2Mx16/4Mx8) 3V Flash, 70nS	48-TSOP	2.91	2.26	1.94
	Flash-Speicher: Niederspannung (3 V bis 3,6 V), Einzelspannung, Lesen und Schreiben					
AT29LV256-15JC-ND	256 K (32 K x 8) 3 V Kleinsektor-Flash, 150 ns	256K (32Kx8) 3V Small Sector Flash, 150nS	32-PLCC	3.84	2.93	2.56
AT29LV256-15JI-ND	256 K (32 K x 8) 3 V Kleinsektor-Flash, 150 ns	256K (32Kx8) 3V Small Sector Flash, 150nS	32-PLCC	3.84	2.94	2.57
AT29LV256-15TC-ND	256 K (32 K x 8) 3 V Kleinsektor-Flash, 150 ns	256K (32Kx8) 3V Small Sector Flash, 150nS	28-TSOP	3.73	2.84	2.48
AT29LV256-15TI-ND	256 K (32 K x 8) 3 V Kleinsektor-Flash, 150 ns	256K (32Kx8) 3V Small Sector Flash, 150nS	28-TSOP	3.84	2.93	2.56
AT29LV512-15JC-ND	512 K (64 K x 8) 3 V Kleinsektor-Flash, 150 ns	512K (64Kx8) 3V Small Sector Flash, 150nS	32-PLCC	2.07	1.59	1.39
AT29LV512-15JI-ND	512 K (64 K x 8) 3 V Kleinsektor-Flash, 150 ns	512K (64Kx8) 3V Small Sector Flash, 150nS	32-PLCC	2.07	1.57	1.37
AT29LV512-15TC-ND	512 K (64 K x 8) 3 V Kleinsektor-Flash, 150 ns	512K (64Kx8) 3V Small Sector Flash, 150nS	32-TSOP	2.07	1.59	1.39
AT29LV512-15TI-ND	512 K (64 K x 8) 3 V Kleinsektor-Flash, 150 ns	512K (64Kx8) 3V Small Sector Flash, 150nS	32-TSOP	2.18	1.67	1.46
AT29LV010A-12JC-ND	1 M (128 K x 8) 3 V Kleinsektor-Flash, 120 ns	1M (128Kx8) 3V Small Sector Flash, 120nS	32-PLCC	2.44	1.86	1.62
AT29LV010A-12JI-ND	1 M (128 K x 8) 3 V Kleinsektor-Flash, 120 ns	1M (128Kx8) 3V Small Sector Flash, 120nS	32-PLCC	2.33	1.79	1.55
AT29LV010A-15JC-ND	1 M (128 K x 8) 3 V Kleinsektor-Flash, 150 ns	1M (128Kx8) 3V Small Sector Flash, 150nS	32-PLCC	2.33	1.78	1.55
AT29LV010A-15JI-ND	1 M (128 K x 8) 3 V Kleinsektor-Flash, 150 ns	1M (128Kx8) 3V Small Sector Flash, 150nS	32-PLCC	2.33	1.79	1.55
AT29LV010A-12TC-ND	1 M (128 K x 8) 3 V Kleinsektor-Flash, 120 ns	1M (128Kx8) 3V Small Sector Flash, 120nS	32-TSOP	2.33	1.78	1.56
AT29LV010A-12TI-ND	1 M (128 K x 8) 3 V Kleinsektor-Flash, 120 ns	1M (128Kx8) 3V Small Sector Flash, 120nS	32-TSOP	2.33	1.79	1.55
AT29LV010A-15TC-ND	1 M (128 K x 8) 3 V Kleinsektor-Flash, 150 ns	1M (128Kx8) 3V Small Sector Flash, 150nS	32-TSOP	2.44	1.86	1.63
AT29LV010A-15TI-ND	1 M (128 K x 8) 3 V Kleinsektor-Flash, 150 ns	1M (128Kx8) 3V Small Sector Flash, 150nS	32-TSOP	2.44	1.87	1.63
AT29LV1024-15JI-ND	1 M (64 K x 16) 3 V Kleinsektor-Flash, 150 ns	1M (64Kx16) 3V Small Sector Flash, 150nS	44-PLCC	2.73	2.09	1.81
AT29LV1024-15TC-ND	1 M (64 K x 16) 3 V Kleinsektor-Flash, 150 ns	1M (64Kx16) 3V Small Sector Flash, 150nS	48-TSOP	2.73	2.08	1.82
AT29LV1024-15TI-ND	1 M (64 K x 16) 3 V Kleinsektor-Flash, 150 ns	1M (64Kx16) 3V Small Sector Flash, 150nS	48-TSOP	2.73	2.08	1.82
AT29LV020-10JC-ND	2 M (256 K x 8) 3 V Kleinsektor-Flash, 100 ns	2M (256Kx8) 3V Small Sector Flash, 100nS	32-PLCC	3.12	2.38	2.07
AT29LV020-10JI-ND	2 M (256 K x 8) 3 V Kleinsektor-Flash, 100 ns	2M (256Kx8) 3V Small Sector Flash, 100nS	32-PLCC	3.12	2.37	2.07
AT29LV020-20JC-ND	2 M (256 K x 8) 3 V Kleinsektor-Flash, 200 ns	2M (256Kx8) 3V Small Sector Flash, 200nS	32-PLCC	3.46	2.68	2.43
AT29LV020-20JI-ND	2 M (256 K x 8) 3 V Kleinsektor-Flash, 200 ns	2M (256Kx8) 3V Small Sector Flash, 200nS	32-PLCC	3.46	2.64	2.30
AT29LV020-25JI-ND	2 M (256 K x 8) 3 V Kleinsektor-Flash, 250 ns	2M (256Kx8) 3V Small Sector Flash, 250nS	32-PLCC	3.46	2.64	2.30
AT29LV020-10TI-ND	2 M (256 K x 8) 3 V Kleinsektor-Flash, 100 ns	2M (256Kx8) 3V Small Sector Flash, 100nS	32-TSOP	3.12	2.38	2.07
AT29LV020-20TC-ND	2 M (256 K x 8) 3 V Kleinsektor-Flash, 200 ns	2M (256Kx8) 3V Small Sector Flash, 200nS	32-TSOP	3.46	2.64	2.31
AT29LV020-20TI-ND	2 M (256 K x 8) 3 V Kleinsektor-Flash, 200 ns	2M (256Kx8) 3V Small Sector Flash, 200nS	32-TSOP	3.46	2.65	2.30
AT29LV040A-15JC-ND	4 M (512 K x 8) 3 V Sektor-Flash, 150 ns	4M (512Kx8) 3V Sector Flash, 150nS	32-PLCC	4.53	3.46	3.02
AT29LV040A-15JI-ND	4 M (512 K x 8) 3 V Sektor-Flash, 150 ns	4M (512Kx8) 3V Sector Flash, 150nS	32-PLCC	4.53	3.46	3.02
AT29LV040A-15TI-ND	4 M (512 K x 8) 3 V Kleinsektor-Flash, 150 ns	4M (512Kx8) 3V Small Sector Flash, 150nS	32-TSOP	4.53	3.45	3.02
AT29LV040A-20TC-ND	4 M (512 K x 8) 3 V Kleinsektor-Flash, 200 ns	4M (512Kx8) 3V Small Sector Flash, 200nS	32-TSOP	4.53	3.47	3.02
AT29LV040A-20TI-ND	4 M (512 K x 8) 3 V Kleinsektor-Flash, 200 ns	4M (512Kx8) 3V Small Sector Flash, 200nS	32-TSOP	4.53	3.45	3.02
AT49LV001-90JI-ND	1 M (128 K x 8) 2,7 V parametrischer Flash, 90 ns	1M (128Kx8) 2.7V Parametric Flash, 90nS	32-PLCC	3.93	3.15	2.83
AT49LV001-90TC-ND	1 M (128 K x 8) 2,7 V parametrischer Flash, 90 ns	1M (128Kx8) 2.7V Parametric Flash, 90nS	32-TSOP	4.51	3.57	3.22
AT49LV001-90VC-ND	1 M (128 K x 8) 2,7 V parametrischer Flash, 90 ns	1M (128Kx8) 2.7V Parametric Flash, 90nS	32-VSOP	4.59	3.62	3.27
AT49LV001-90VI-ND	1 M (128 K x 8) 2,7 V parametrischer Flash, 90 ns	1M (128Kx8) 2.7V Parametric Flash, 90nS	32-VSOP	4.88	3.83	3.46
AT49LV1025-70JC-ND	1 M (64 K x 16) 3 V Flash, 70 ns	1M (64Kx16) 3V Flash, 70nS	44-PLCC	5.82	4.53	3.94
AT49LV1025-90JC-ND	1 M (64 K x 16) 3 V Flash, 90 ns	1M (64Kx16) 3V Flash, 90nS	44-PLCC	5.55	4.32	3.77
AT49LV040-90TC-ND	4 M (512 K x 8) 2,7 V Boot-Flash, 90 ns	4M (512Kx8) 2.7V Boot Flash, 90nS	32-TSOP	7.79	5.90	5.36
AT49LV040-90VC-ND	4 M (512 K x 8) 2,7 V Boot-Flash, 90 ns	4M (512Kx8) 2.7V Boot Flash, 90nS	32-VSOP	8.09	6.10	5.55
AT49LV040-90VI-ND	4 M (512 K x 8) 2,7 V Boot-Flash, 90 ns	4M (512Kx8) 2.7V Boot Flash, 90nS	32-VSOP	9.39	7.01	6.40
	Flash-Speicher: Standardspannung (4,5 bis 5,5 V) Einzelspannung, Lesen u. Schreiben					
AT29C256-70JC-ND	256 K (32 K x 8) 5 V Kleinsektor-Flash, 70 ns	256K (32Kx8) 5V Small Sector Flash, 70nS	32-PLCC	3.84	2.94	2.57
AT29C256-70JI-ND	256 K (32 K x 8) 5 V Kleinsektor-Flash, 70 ns	256K (32Kx8) 5V Small Sector Flash, 70nS	32-PLCC	3.73	2.87	2.51
AT29C256-70TC-ND	256 K (32 K x 8) 5 V Kleinsektor-Flash, 70 ns	256K (32Kx8) 5V Small Sector Flash, 70nS	28-TSOP	3.84	2.93	2.56
AT29C256-70TI-ND	256 K (32 K x 8) 5 V Kleinsektor-Flash, 70 ns	256K (32Kx8) 5V Small Sector Flash, 70nS	28-TSOP	3.73	2.86	2.51
AT29C257-70JC-ND	256 K (32 K x 8) 5 V Kleinsektor-Flash, 70 ns	256K (32Kx8) 5V Small Sector Flash, 70nS	32-PLCC	3.84	2.94	2.57
AT29C257-70JI-ND	256 K (32 K x 8) 5 V Kleinsektor-Flash, 70 ns	256K (32Kx8) 5V Small Sector Flash, 70nS	32-PLCC	3.84	2.95	2.59

(Forts.)

★ RUFEN SIE BITTE AN FÜR NIEDRIGERE PREISE BEI GRÖSSEREN MENGEN! ★

Digi-Key Teilenr.	Beschreibung		Paket	Stückpreis★ 1	25	100
AT29C512-70JC-ND	512 K (64 K x 8) 5 V Kleinsektor-Flash, 70 ns	512K (64Kx8) 5V Small Sector Flash, 70nS	32-PLCC	2.18	1.66	1.46
AT29C512-70JI-ND	512 K (64 K x 8) 5 V Kleinsektor-Flash, 70 ns	512K (64Kx8) 5V Small Sector Flash, 70nS	32-PLCC	2.18	1.67	1.46
AT29C512-70TC-ND	512 K (64 K x 8) 5 V Kleinsektor-Flash, 70 ns	512K (64Kx8) 5V Small Sector Flash, 70nS	32-TSOP	2.07	1.59	1.39
AT29C512-70TI-ND	512 K (64 K x 8) 5 V Kleinsektor-Flash, 70 ns	512K (64Kx8) 5V Small Sector Flash, 70nS	32-TSOP	2.07	1.58	1.38
AT29C010A-70JC-ND	1 M (128 K x 8) 5 V Kleinsektor-Flash, 70 ns	1M (128Kx8) 5V Small Sector Flash, 70nS	32-PLCC	2.33	1.78	1.56
AT29C010A-70JI-ND	1 M (128 K x 8) 5 V Kleinsektor-Flash, 70 ns	1M (128Kx8) 5V Small Sector Flash, 70nS	32-PLCC	2.44	1.86	1.62
AT29C010A-70TC-ND	1 M (128 K x 8) 5 V Kleinsektor-Flash, 70 ns	1M (128Kx8) 5V Small Sector Flash, 70nS	32-TSOP	2.44	1.86	1.63
AT29C010A-70TI-ND	1 M (128 K x 8) 5 V Kleinsektor-Flash, 70 ns	1M (128Kx8) 5V Small Sector Flash, 70nS	32-TSOP	2.33	1.78	1.55
AT29C1024-70JC-ND	1 M (64 K x 16) 5 V Kleinsektor-Flash, 70 ns	1M (64Kx16) 5V Small Sector Flash, 70nS	44-PLCC	2.73	2.09	1.82
AT29C1024-70JI-ND	1 M (64 K x 16) 5 V Kleinsektor-Flash, 70 ns	1M (64Kx16) 5V Small Sector Flash, 70nS	44-PLCC	2.73	2.10	1.83
AT29C1024-70TC-ND	1 M (64 K x 16) 5 V Kleinsektor-Flash, 70 ns	1M (64Kx16) 5V Small Sector Flash, 70nS	48-TSOP	2.73	2.09	1.82
AT29C1024-70TI-ND	1 M (64 K x 16) 5 V Kleinsektor-Flash, 70 ns	1M (64Kx16) 5V Small Sector Flash, 70nS	48-TSOP	2.73	2.10	1.83
AT29C020-90JC-ND	2 M (256 K x 8) 5 V Kleinsektor-Flash, 90 ns	2M (256Kx8) 5V Small Sector Flash, 90nS	32-PLCC	3.12	2.39	2.08
AT29C020-90JI-ND	2 M (256 K x 8) 5 V Kleinsektor-Flash, 90 ns	2M (256Kx8) 5V Small Sector Flash, 90nS	32-PLCC	3.12	2.38	2.07
AT29C020-12JC-ND	2 M (256 K x 8) 5 V Kleinsektor-Flash, 120 ns	2M (256Kx8) 5V Small Sector Flash, 120nS	32-PLCC	3.12	2.38	2.07
AT29C020-12TC-ND	2 M (256 K x 8) 5 V Kleinsektor-Flash, 120 ns	2M (256Kx8) 5V Small Sector Flash, 120nS	32-TSOP	3.23	2.46	2.14
AT29C020-12TI-ND	2 M (256 K x 8) 5 V Kleinsektor-Flash, 120 ns	2M (256Kx8) 5V Small Sector Flash, 120nS	32-TSOP	3.23	2.47	2.15
AT29C020-90TC-ND	2 M (256 K x 8) 5 V Kleinsektor-Flash, 90 ns	2M (256Kx8) 5V Small Sector Flash, 90nS	32-TSOP	3.23	2.47	2.15
AT29C020-90TI-ND	2 M (256 K x 8) 5 V Kleinsektor-Flash, 90 ns	2M (256Kx8) 5V Small Sector Flash, 90nS	32-TSOP	3.23	2.46	2.15
AT29C040A-90JC-ND	4 M (512 K x 8) 5 V Sektor-Flash PEROM, 90 ns	4M (512Kx8) 5V Sector Flash PEROM, 90nS	32-PLCC	4.42	3.38	2.95
AT29C040A-90JI-ND	4 M (512 K x 8) 5 V Sektor-Flash PEROM, 90 ns	4M (512Kx8) 5V Sector Flash PEROM, 90nS	32-PLCC	4.53	3.46	3.02
AT29C040A-12JC-ND	4 M (512 K x 8) 5 V Sektor-Flash PEROM, 120 ns	4M (512Kx8) 5V Sector Flash PEROM, 120nS	32-PLCC	4.53	3.46	3.02
AT29C040A-12JI-ND	4 M (512 K x 8) 5 V Sektor-Flash PEROM, 120 ns	4M (512Kx8) 5V Sector Flash PEROM, 120nS	32-PLCC	4.53	3.46	3.02
AT29C040A-15JC-ND	4 M (512 K x 8) 5 V Sektor-Flash PEROM, 150 ns	4M (512Kx8) 5V Sector Flash PEROM, 150nS	32-PLCC	4.53	3.46	3.02
AT29C040A-15JI-ND	4 M (512 K x 8) 5 V Sektor-Flash PEROM, 150 ns	4M (512Kx8) 5V Sector Flash PEROM, 150nS	32-PLCC	4.53	3.46	3.02
AT29C040A-12TC-ND	4 M (512 K x 8) 5 V Sektor-Flash PEROM, 120 ns	4M (512Kx8) 5V Sector Flash PEROM, 120nS	32-TSOP	4.53	3.46	3.02
AT29C040A-90TI-ND	4 M (512 K x 8) 5 V Sektor-Flash PEROM, 90 ns	4M (512Kx8) 5V Sector Flash PEROM, 90nS	32-TSOP	4.53	3.47	3.02
AT29C040A-10TC-ND	4 M (512 K x 8) 5 V Kleinsektor-Flash, 100 ns	4M (512Kx8) 5V Small Sector Flash, 100nS	32-TSOP	15.29	11.65	10.16
AT49F512-70JC-ND	512 K (64 K x 8) 5 V Boot-Flash, 70 ns	512K (64Kx8) 5V Boot Flash, 70nS	32-PLCC	1.73	1.34	1.16
AT49F512-70JI-ND	512 K (64 K x 8) 5 V Boot-Flash, 70 ns	512K (64Kx8) 5V Boot Flash, 70nS	32-PLCC	4.83	3.69	3.22
AT49F512-70TC-ND	512 K (64 K x 8) 5 V Boot-Flash, 70 ns	512K (64Kx8) 5V Boot Flash, 70nS	32-TSOP	1.73	1.33	1.17
AT49F512-70TI-ND	512 K (64 K x 8) 5 V Boot-Flash, 70 ns	512K (64Kx8) 5V Boot Flash, 70nS	32-TSOP	1.69	1.31	1.13
AT49F512-70VC-ND	512 K (64 K x 8) 5 V Flash, 70 ns	512K (64Kx8) 5V Flash, 70nS	32-VSOP	1.73	1.34	1.16
AT49F512-70VI-ND	512 K (64 K x 8) 5 V Flash, 70 ns	512K (64Kx8) 5V Flash, 70nS	32-VSOP	4.00	3.09	2.67
AT49F512-90VC-ND	512 K (64 K x 8) 5 V Flash, 90 ns	512K (64Kx8) 5V Flash, 90nS	32-VSOP	1.73	1.33	1.16
AT49F512-90VI-ND	512 K (64 K x 8) 5 V Flash, 90 ns	512K (64Kx8) 5V Flash, 90nS	32-VSOP	3.37	2.59	2.25
AT49F001-55TC-ND	1 M (128 K x 8) 5 V parametrischer Flash, 55 ns	1M (128Kx8) 5V Parametric Flash, 55nS	32-TSOP	4.95	3.88	3.51
AT49F001-55TI-ND	1 M (128 K x 8) 5 V parametrischer Flash, 55 ns	1M (128Kx8) 5V Parametric Flash, 55nS	32-TSOP	5.17	4.04	3.65
AT49F001-55VC-ND	1 M (128 K x 8) 5 V parametrischer Flash, 55 ns	1M (128Kx8) 5V Parametric Flash, 55nS	32-VSOP	5.02	3.93	3.56
AT49F001-55VI-ND	1 M (128 K x 8) 5 V parametrischer Flash, 55 ns	1M (128Kx8) 5V Parametric Flash, 55nS	32-VSOP	5.38	4.19	3.80
AT49F001A-45JI-ND	1 M (128 K x 8) 5 V Flash, 45 ns	1M (128Kx8) 5V Flash, 45nS	32-PLCC	1.22	.95	.87
AT49F001A-45TI-ND	1 M (128 K x 8) 5 V Flash, 45 ns	1M (128Kx8) 5V Flash, 45nS	32-TSOP	1.22	.95	.87
AT49F001A-45VI-ND	1 M (128 K x 8) 5 V Flash, 45 ns	1M (128Kx8) 5V Flash, 45nS	32-VSOP	1.11	.87	.79
AT49F001A-55JI-ND	1 M (128 K x 8) 5 V Flash, 55 ns	1M (128Kx8) 5V Flash, 55nS	32-PLCC	1.11	.87	.78
AT49F001A-55TI-ND	1 M (128 K x 8) 5 V Flash, 55 ns	1M (128Kx8) 5V Flash, 55nS	32-TSOP	1.22	.96	.86
AT49F001A-55VI-ND	1 M (128 K x 8) 5 V Flash, 55 ns	1M (128Kx8) 5V Flash, 55nS	32-VSOP	1.22	.96	.86
AT49F001AN-45JI-ND	1 M (128 K x 8) 5 V Flash, 45 ns	1M (128Kx8) 5V Flash, 45nS	32-PLCC	1.22	.95	.87
AT49F001AN-45TI-ND	1 M (128 K x 8) 5 V Flash, 45 ns	1M (128Kx8) 5V Flash, 45nS	32-TSOP	1.22	.95	.87
AT49F001AN-45VI-ND	1 M (128 K x 8) 5 V Flash, 45 ns	1M (128Kx8) 5V Flash, 45nS	32-VSOP	1.22	.95	.87
AT49F001AN-55JI-ND	1 M (128 K x 8) 5 V Flash, 55 ns	1M (128Kx8) 5V Flash, 55nS	32-PLCC	1.11	.87	.78
AT49F001AN-55TI-ND	1 M (128 K x 8) 5 V Flash, 55 ns	1M (128Kx8) 5V Flash, 55nS	32-TSOP	1.22	.96	.86
AT49F001AN-55VI-ND	1 M (128 K x 8) 5 V Flash, 55 ns	1M (128Kx8) 5V Flash, 55nS	32-VSOP	1.22	.96	.86
AT49F001ANT-45JI-ND	1 M (128 K x 8) 5 V Flash, 45 ns	1M (128Kx8) 5V Flash, 45nS	32-PLCC	1.22	.95	.87
AT49F001ANT-45TI-ND	1 M (128 K x 8) 5 V Flash, 45 ns	1M (128Kx8) 5V Flash, 45nS	32-TSOP	1.22	.95	.87
AT49F001ANT-45VI-ND	1 M (128 K x 8) 5 V Flash, 45 ns	1M (128Kx8) 5V Flash, 45nS	32-VSOP	1.22	.95	.87
AT49F001ANT-55JI-ND	1 M (128 K x 8) 5 V Flash, 55 ns	1M (128Kx8) 5V Flash, 55nS	32-PLCC	1.11	.87	.78
AT49F001ANT-55TI-ND	1 M (128 K x 8) 5 V Flash, 55 ns	1M (128Kx8) 5V Flash, 55nS	32-TSOP	1.22	.96	.86
AT49F001ANT-55VI-ND	1 M (128 K x 8) 5 V Flash, 55 ns	1M (128Kx8) 5V Flash, 55nS	32-VSOP	1.11	.87	.78
AT49F001AT-45JI-ND	1 M (128 K x 8) 5 V Flash, 45 ns	1M (128Kx8) 5V Flash, 45nS	32-PLCC	1.22	.95	.87
AT49F001AT-45TI-ND	1 M (128 K x 8) 5 V Flash, 45 ns	1M (128Kx8) 5V Flash, 45nS	32-TSOP	1.11	.87	.79
AT49F001AT-45VI-ND	1 M (128 K x 8) 5 V Flash, 45 ns	1M (128Kx8) 5V Flash, 45nS	32-VSOP	1.11	.87	.79
AT49F001AT-55JI-ND	1 M (128 K x 8) 5 V Flash, 55 ns	1M (128Kx8) 5V Flash, 55nS	32-PLCC	1.11	.87	.78
AT49F001AT-55TI-ND	1 M (128 K x 8) 5 V Flash, 55 ns	1M (128Kx8) 5V Flash, 55nS	32-TSOP	1.11	.87	.78
AT49F001AT-55VI-ND	1 M (128 K x 8) 5 V Flash, 55 ns	1M (128Kx8) 5V Flash, 55nS	32-VSOP	1.11	.87	.78
AT49F001NT-55JC-ND	1 M (128 K x 8) 5 V parametrischer Flash, kein Reset, oberer Boot, 55 ns	1M (128Kx8) 5V Parametric Flash, No Reset, Top Boot, 55nS	32-PLCC	4.01	3.21	2.88
AT49F001NT-55JI-ND	1 M (128 K x 8) 5 V parametrischer Flash, kein Reset, oberer Boot, 55 ns	1M (128Kx8) 5V Parametric Flash, No Reset, Top Boot, 55nS	32-PLCC	4.44	3.51	3.17
AT49F001NT-55TC-ND	1 M (128 K x 8) 5 V parametrischer Flash, kein Reset, oberer Boot, 55 ns	1M (128Kx8) 5V Parametric Flash, No Reset, Top Boot, 55nS	32-TSOP	4.95	3.88	3.51
AT49F001NT-55TI-ND	1 M (128 K x 8) 5 V parametrischer Flash, kein Reset, oberer Boot, 55 ns	1M (128Kx8) 5V Parametric Flash, No Reset, Top Boot, 55nS	32-TSOP	5.17	4.04	3.65
AT49F001NT-55VC-ND	1 M (128 K x 8) 5 V parametrischer Flash, kein Reset, oberer Boot, 55 ns	1M (128Kx8) 5V Parametric Flash, No Reset, Top Boot, 55nS	32-VSOP	5.02	3.93	3.56
AT49F001NT-55VI-ND	1 M (128 K x 8) 5 V parametrischer Flash, kein Reset, oberer Boot, 55 ns	1M (128Kx8) 5V Parametric Flash, No Reset, Top Boot, 55nS	32-VSOP	5.38	4.19	3.80
AT49F1024-55VC-ND	1 M (64 K x 16) 5 V Boot-Flash, 55 ns	1M (64Kx16) 5V Boot Flash, 55nS	40-VSOP	2.55	1.96	1.78
AT49F1024-55VI-ND	1 M (64 K x 16) 5 V Boot-Flash, 55 ns	1M (64Kx16) 5V Boot Flash, 55nS	40-VSOP	6.63	5.07	4.61
AT49F002A-55JI-ND	2 M (256 K x 8) 5 V Flash, 55 ns	2M (256Kx8) 5V Flash, 55nS	32-PLCC	1.36	1.06	.96
AT49F002A-55TI-ND	2 M (256 K x 8) 5 V Flash, 55 ns	2M (256Kx8) 5V Flash, 55nS	32-TSOP	1.36	1.06	.96
AT49F002A-55VI-ND	2 M (256 K x 8) 5 V Flash, 55 ns	2M (256Kx8) 5V Flash, 55nS	32-VSOP	1.36	1.06	.96
AT49F002AN-55JI-ND	2 M (256 K x 8) 5 V Flash, 55 ns	2M (256Kx8) 5V Flash, 55nS	32-PLCC	1.36	1.06	.96
AT49F002AN-55TI-ND	2 M (256 K x 8) 5 V Flash, 55 ns	2M (256Kx8) 5V Flash, 55nS	32-TSOP	1.25	.98	.88
AT49F002AN-55VI-ND	2 M (256 K x 8) 5 V Flash, 55 ns	2M (256Kx8) 5V Flash, 55nS	32-VSOP	1.36	1.06	.96
AT49F002ANT-55JI-ND	2 M (256 K x 8) 5 V Flash, 55 ns	2M (256Kx8) 5V Flash, 55nS	32-PLCC	1.36	1.06	.96
AT49F002ANT-55TI-ND	2 M (256 K x 8) 5 V Flash, 55 ns	2M (256Kx8) 5V Flash, 55nS	32-TSOP	1.25	.98	.88
AT49F002ANT-55VI-ND	2 M (256 K x 8) 5 V Flash, 55 ns	2M (256Kx8) 5V Flash, 55nS	32-VSOP	1.36	1.06	.96
AT49F002AT-55JI-ND	2 M (256 K x 8) 5 V Flash, 55 ns	2M (256Kx8) 5V Flash, 55nS	32-PLCC	1.36	1.06	.96
AT49F002AT-55TI-ND	2 M (256 K x 8) 5 V Flash, 55 ns	2M (256Kx8) 5V Flash, 55nS	32-TSOP	1.36	1.06	.96
AT49F002AT-55VI-ND	2 M (256 K x 8) 5 V Flash, 55 ns	2M (256Kx8) 5V Flash, 55nS	32-VSOP	1.36	1.06	.96
AT49F002T-70VC-ND	2 M (256 K x 8) 5 V parametrischer Flash, oberer Boot, 70 ns	2M (256Kx8) 5V Parametric Flash, Top Boot, 70nS	32-VSOP	5.32	4.14	3.75
AT49F002T-70VI-ND	2 M (256 K x 8) 5 V parametrischer Flash, oberer Boot, 70 ns	2M (256Kx8) 5V Parametric Flash, Top Boot, 70nS	32-VSOP	5.60	4.35	3.94
AT49F040A-55JI-ND	4 M (512 K x 8) 5 V Flash, 55 ns	4M (512Kx8) 5V Flash, 55nS	32-PLCC	1.55	1.20	1.10
AT49F040A-55TI-ND	4 M (512 K x 8) 5 V Flash, 55 ns	4M (512Kx8) 5V Flash, 55nS	32-TSOP	1.46	1.13	1.03
AT49F040A-70JI-ND	4 M (512 K x 8) 5 V Flash, 70 ns	4M (512Kx8) 5V Flash, 70nS	32-PLCC	1.46	1.13	1.03
AT49F040A-70TI-ND	4 M (512 K x 8) 5 V Flash, 70 ns	4M (512Kx8) 5V Flash, 70nS	32-TSOP	1.46	1.13	1.03
AT49F040-70TC-ND	4 M (512 K x 8) 5 V Boot-Flash, 70 ns	4M (512Kx8) 5V Boot Flash, 70nS	32-TSOP	8.23	6.19	5.64
AT49F040-70TI-ND	4 M (512 K x 8) 5 V Boot-Flash, 70 ns	4M (512Kx8) 5V Boot Flash, 70nS	32-TSOP	8.59	6.45	5.88
AT49F040-70VC-ND	4 M (512 K x 8) 5 V Boot-Flash, 70 ns	4M (512Kx8) 5V Boot Flash, 70nS	32-VSOP	8.66	6.50	5.92
AT49F040-70VI-ND	4 M (512 K x 8) 5 V Boot-Flash, 70 ns	4M (512Kx8) 5V Boot Flash, 70nS	32-VSOP	10.05	7.45	6.81
AT49F4096A-70TI-ND	4 M (512 K x 8 oder 256 K x 16) 5 V parametrischer Flash, 70 ns	4M (512Kx8 or 256Kx16) 5V Parametric Flash, 70nS	48-TSOP	10.92	8.34	7.37
AT49F4096A-70TC-ND	4 M (512 K x 8 oder 256 K x 16) 5 V parametrischer Flash, 70 ns	4M (512Kx8 or 256Kx16) 5V Parametric Flash, 70nS	48-TSOP	2.91	2.23	1.97
AT49F4096A-90TC-ND	4 M (512 K x 8, 256 K x 16) 5 V parametrischer Flash, 90 ns	4M (512Kx8, 256Kx16) 5V Parametric Flash, 90nS	48-TSOP	2.91	2.22	1.97
AT49F4096A-90TI-ND	4 M (512 K x 8, 256 K x 16) 5 V parametrischer Flash, 90 ns	4M (512Kx8, 256Kx16) 5V Parametric Flash, 90nS	48-TSOP	2.91	2.22	1.96

(Forts.)

★ ***RUFEN SIE BITTE AN FÜR NIEDRIGERE PREISE BEI GRÖSSEREN MENGEN!*** ★

Digi-Key Teilenr.	Beschreibung		Paket	Stückpreis★ 1	25	100
AT49F8192AT-70TC-ND	8 M (1 M x 8 oder 512 K x 16), 5 V Großsektor-Flash, oberer Boot, 70 ns	8M (1Mx8 or 512Kx16) 5V Large Sector Flash, Top Boot, 70nS	48-TSOP	15.29	11.69	10.33
AT49F8192AT-70TI-ND	8 M (1 M x 8 oder 512 K x 16), 5 V Großsektor-Flash, oberer Boot, 70 ns	8M (1Mx8 or 512Kx16) 5V Large Sector Flash, Top Boot, 70nS	48-TSOP	16.02	12.24	10.80
AT49F8192A-90TI-ND	8 M (1 M x 8 oder 512 K x 16), 5 V Großsektor-Flash, 90 ns	8M (1Mx8 or 512Kx16) 5V Large Sector Flash, 90nS	48-TSOP	14.83	11.35	10.04
AT49F008AT-12TC-ND	8 M (1 M x 8 oder 512 K x 16), 5 V Großsektor-Flash, oberer Boot, 120 ns	8M (1Mx8 or 512Kx16) 5V Large Sector Flash, Top Boot, 120nS	48-TSOP	12.83	9.53	8.34
AT49F1614T-90TC-ND	16 M (1 M x 16/2 M x 8), 5 V Flash, 90 ns	16M (1Mx16/2Mx8) 5V Flash, 90nS	48-TSOP	19.26	14.96	12.81

SERIELLER DATAFLASH

Digi-Key Teilenr.	Beschreibung		Paket	Stückpreis★ 1	25	100
		Serieller DataFlash				
AT45DB011B-CC-ND	1 M serieller DataFlash, 2,7 V	1M Serial DataFlash, 2.7V	9-CBGA	2.01	1.56	1.33
AT45DB011B-CI-ND	1 M serieller DataFlash, 2,7 V	1M Serial DataFlash, 2.7V	9-CBGA	2.13	1.66	1.42
AT45DB011B-SC-ND	1 M serieller DataFlash, 2,7 V	1M Serial DataFlash, 2.7V	8-SOIC	1.19	.93	.79
AT45DB011B-SI-ND	1 M serieller DataFlash, 2,7 V	1M Serial DataFlash, 2.7V	8-SOIC	1.31	1.01	.87
AT45DB011B-XC-ND	1 M serieller DataFlash, 2,7 V	1M Serial DataFlash, 2.7V	14-TSSOP	1.36	1.06	.91
AT45DB011B-XI-ND	1 M serieller DataFlash, 2,7 V	1M Serial DataFlash, 2.7V	14-TSSOP	1.49	1.16	1.00
AT45DB021B-CC-ND	2 M serieller DataFlash, 2,7 V	2M Serial DataFlash, 2.7V	9-CBGA	2.40	1.87	1.61
AT45DB021B-CI-ND	2 M serieller DataFlash, 2,7 V	2M Serial DataFlash, 2.7V	9-CBGA	2.60	2.03	1.74
AT45DB021B-RC-ND	2 M serieller DataFlash, 2,7 V	2M Serial DataFlash, 2.7V	28-SOIC	2.22	1.73	1.48
AT45DB021B-RI-ND	2 M serieller DataFlash, 2,7 V	2M Serial DataFlash, 2.7V	28-SOIC	2.42	1.88	1.61
AT45DB021B-SC-ND	2 M serieller DataFlash, 2,7 V	2M Serial DataFlash, 2.7V	8-SOIC	1.55	1.21	1.04
AT45DB021B-SI-ND	2 M serieller DataFlash, 2,7 V	2M Serial DataFlash, 2.7V	8-SOIC	1.71	1.33	1.14
AT45DB021B-TC-ND	2 M serieller DataFlash, 2,7 V	2M Serial DataFlash, 2.7V	28-TSOP	1.73	1.35	1.16
AT45DB021B-TI-ND	2 M serieller DataFlash, 2,7 V	2M Serial DataFlash, 2.7V	28-TSOP	1.90	1.47	1.26
AT45DB041B-CC-2.5-ND	4 M serieller DataFlash, 2,5 V	4M Serial DataFlash, 2.5V	14-CBGA	4.83	3.76	3.21
AT45DB041B-CC-ND	4 M serieller DataFlash, 2,7 V	4M Serial DataFlash, 2.7V	14-CBGA	4.83	3.76	3.21
AT45DB041B-CI-2.5-ND	4 M serieller DataFlash, 2,5 V	4M Serial DataFlash, 2.5V	14-CBGA	5.10	3.97	3.39
AT45DB041B-CI-ND	4 M serieller DataFlash, 2,7 V	4M Serial DataFlash, 2.7V	14-CBGA	5.10	3.97	3.39
AT45DB041B-CNI-ND	4 M serieller DataFlash, 2,7 V	4M Serial DataFlash, 2.7V	14-CASON	2.15	1.67	1.44
AT45DB041B-RC-2.5-ND	4 M serieller DataFlash, 2,5 V	4M Serial DataFlash, 2.5V	28-SOIC	4.73	3.68	3.15
AT45DB041B-RC-ND	4 M serieller DataFlash, 2,7 V	4M Serial DataFlash, 2.7V	28-SOIC	4.73	3.68	3.15
AT45DB041B-RI-2.5-ND	4 M serieller DataFlash, 2,5 V	4M Serial DataFlash, 2.5V	28-SOIC	5.00	3.89	3.33
AT45DB041B-RI-ND	4 M serieller DataFlash, 2,7 V	4M Serial DataFlash, 2.7V	28-SOIC	5.00	3.89	3.33
AT45DB041B-SC-2.5-ND	4 M serieller DataFlash, 2,5 V	4M Serial DataFlash, 2.5V	8-SOIC	1.82	1.42	1.22
AT45DB041B-SC-ND	4 M serieller DataFlash, 2,7 V	4M Serial DataFlash, 2.7V	8-SOIC	1.82	1.42	1.22
AT45DB041B-SI-2.5-ND	4 M serieller DataFlash, 2,5 V	4M Serial DataFlash, 2.5V	8-SOIC	2.01	1.56	1.33
AT45DB041B-SI-ND	4 M serieller DataFlash, 2,7 V	4M Serial DataFlash, 2.7V	8-SOIC	2.01	1.56	1.33
AT45DB041B-TC-2.5-ND	4 M serieller DataFlash, 2,5 V	4M Serial DataFlash, 2.5V	28-TSOP	2.18	1.70	1.46
AT45DB041B-TC-ND	4 M serieller DataFlash, 2,7 V	4M Serial DataFlash, 2.7V	28-TSOP	2.18	1.70	1.46
AT45DB041B-TI-2.5-ND	4 M serieller DataFlash, 2,5 V	4M Serial DataFlash, 2.5V	28-TSOP	2.37	1.84	1.58
AT45DB041B-TI-ND	4 M serieller DataFlash, 2,7 V	4M Serial DataFlash, 2.7V	28-TSOP	2.37	1.84	1.58
AT45DB081B-CC-2.5-ND	8 M serieller DataFlash, 2,5 V	8M Serial DataFlash, 2.5V	14-CBGA	4.00	3.11	2.67
AT45DB081B-CC-ND	8 M serieller DataFlash, 2,7 V	8M Serial DataFlash, 2.7V	14-CBGA	4.00	3.11	2.67
AT45DB081B-CI-2.5-ND	8 M serieller DataFlash, 2,5 V	8M Serial DataFlash, 2.5V	14-CBGA	4.37	3.39	2.90
AT45DB081B-CI-ND	8 M serieller DataFlash, 2,7 V	8M Serial DataFlash, 2.7V	14-CBGA	4.37	3.39	2.90
AT45DB081B-CNC-ND	8 M serieller DataFlash, 2,7 V	8M Serial DataFlash, 2.7V	8-CASON	2.18	1.70	1.46
AT45DB081B-CNI-ND	8 M serieller DataFlash, 2,7 V	8M Serial DataFlash, 2.7V	8-CASON	2.40	1.87	1.61
AT45DB081B-RC-2.5-ND	8 M serieller DataFlash, 2,5 V	8M Serial DataFlash, 2.5V	28-SOIC	3.83	2.98	2.54
AT45DB081B-RC-ND	8 M serieller DataFlash, 2,7 V	8M Serial DataFlash, 2.7V	28-SOIC	3.83	2.98	2.54
AT45DB081B-RI-2.5-ND	8 M serieller DataFlash, 2,5 V	8M Serial DataFlash, 2.5V	28-SOIC	4.19	3.25	2.78
AT45DB081B-RI-ND	8 M serieller DataFlash, 2,7 V	8M Serial DataFlash, 2.7V	28-SOIC	4.19	3.25	2.78
AT45DB081B-TC-2.5-ND	8 M serieller DataFlash, 2,5 V	8M Serial DataFlash, 2.5V	28-TSOP	2.55	1.99	1.70
AT45DB081B-TC-ND	8 M serieller DataFlash, 2,7 V	8M Serial DataFlash, 2.7V	28-TSOP	2.55	1.99	1.70
AT45DB081B-TI-2.5-ND	8 M serieller DataFlash, 2,5 V	8M Serial DataFlash, 2.5V	28-TSOP	2.77	2.16	1.84
AT45DB081B-TI-ND	8 M serieller DataFlash, 2,7 V	8M Serial DataFlash, 2.7V	28-TSOP	2.77	2.16	1.84
AT45DB161B-CC-2.5-ND	16 M serieller DataFlash, 2,5 V	16M Serial DataFlash, 2.5V	24-CBGA	5.28	4.10	3.52
AT45DB161B-CC-ND	16 M serieller DataFlash, 2,7 V	16M Serial DataFlash, 2.7V	24-CBGA	5.28	4.10	3.52
AT45DB161B-CI-2.5-ND	16 M serieller DataFlash, 2,5 V	16M Serial DataFlash, 2.5V	24-CBGA	5.77	4.48	3.84
AT45DB161B-CI-ND	16 M serieller DataFlash, 2,7 V	16M Serial DataFlash, 2.7V	24-CBGA	5.77	4.48	3.84
AT45DB161B-CNC2.5-ND	16 M serieller DataFlash, 2,5 V	16M Serial DataFlash, 2.5V	8-CASON	3.55	2.76	2.37
AT45DB161B-CNC-ND	16 M serieller DataFlash, 2,7 V	16M Serial DataFlash, 2.7V	8-CASON	3.55	2.76	2.37
AT45DB161B-CNI-ND	16 M serieller DataFlash, 2,7 V	16M Serial DataFlash, 2.7V	8-CASON	3.88	3.01	2.58
AT45DB161B-RC-2.5-ND	16 M serieller DataFlash, 2,5 V	16M Serial DataFlash, 2.5V	28-SOIC	5.10	3.97	3.39
AT45DB161B-RC-ND	16 M serieller DataFlash, 2,7 V	16M Serial DataFlash, 2.7V	28-SOIC	5.10	3.97	3.39
AT45DB161B-RI-2.5-ND	16 M serieller DataFlash, 2,5 V	16M Serial DataFlash, 2.5V	28-SOIC	5.59	4.34	3.71
AT45DB161B-RI-ND	16 M serieller DataFlash, 2,7 V	16M Serial DataFlash, 2.7V	28-SOIC	5.59	4.34	3.71
AT45DB161B-TC-2.5-ND	16 M serieller DataFlash, 2,5 V	16M Serial DataFlash, 2.5V	28-TSOP	3.73	2.90	2.49
AT45DB161B-TC-ND	16 M serieller DataFlash, 2,7 V	16M Serial DataFlash, 2.7V	28-TSOP	3.73	2.90	2.49
AT45DB161B-TI-2.5-ND	16 M serieller DataFlash, 2,5 V	16M Serial DataFlash, 2.5V	28-TSOP	4.06	3.15	2.70
AT45DB161B-TI-ND	16 M serieller DataFlash, 2,7 V	16M Serial DataFlash, 2.7V	28-TSOP	4.06	3.15	2.70
AT45DB321B-CC-ND	32 M serieller DataFlash, 2,7 V	32M Serial DataFlash, 2.7V	44-CBGA	7.47	5.80	4.97
AT45DB321B-CI-ND	32 M serieller DataFlash, 2,7 V	32M Serial DataFlash, 2.7V	44-CBGA	8.17	6.35	5.43
AT45DB321B-RI-ND	32 M serieller DataFlash, 2,7 V	32M Serial DataFlash, 2.7V	28-SOIC	7.90	6.13	5.25
AT45DB642-TC-ND	64 M serieller DataFlash, 2,7 V	64M Serial DataFlash, 2.7V	40-TSOP	13.93	10.82	9.27
AT45DB642-TI-ND	64 M serieller DataFlash, 2,7 V	64M Serial DataFlash, 2.7V	40-TSOP	15.32	11.90	10.19
AT45CS1282-TC-ND	128 M Dual-Interface Code Shadow DataFlash, 2,7 V	128M Dual-Interface Code Shadow DataFlash, 2.7V	40-TSOP	27.21	18.50	17.47
AT45CS1282-TI-ND	128 M Dual-Interface Code Shadow DataFlash, 2,7 V	128M Dual-Interface Code Shadow DataFlash, 2.7V	40-TSOP	29.94	20.36	19.22

WinPot™ DIGITALPOTENTIOMETER

Digi-Key Teilenr.	Beschreibung		Paket	Stückpreis★ 1	25	100
WMS7130010M-ND	Digitalpotentiometer mit Auf/Ab-Schnittstelle, 32-Tap, 10 KΩ	Digital Potentiometer, with Up/Down Interface, 32 Tap, 10KΩ	8-MSOP	2.18	1.85	1.59
WMS7130010P-ND	Digitalpotentiometer mit Auf/Ab-Schnittstelle, 32-Tap, 10 KΩ	Digital Potentiometer, with Up/Down Interface, 32 Tap, 10KΩ	8-Dip	2.18	1.85	1.59
WMS7130010S-ND	Digitalpotentiometer mit Auf/Ab-Schnittstelle, 32-Tap, 10 KΩ	Digital Potentiometer, with Up/Down Interface, 32 Tap, 10KΩ	8-SOIC	2.18	1.85	1.59
WMS7130050M-ND	Digitalpotentiometer mit Auf/Ab-Schnittstelle, 32-Tap, 50 KΩ	Digital Potentiometer, with Up/Down Interface, 32 Tap, 50KΩ	8-MSOP	2.18	1.85	1.59
WMS7130050P-ND	Digitalpotentiometer mit Auf/Ab-Schnittstelle, 32-Tap, 50 KΩ	Digital Potentiometer, with Up/Down Interface, 32 Tap, 50KΩ	8-Dip	2.18	1.85	1.59
WMS7130050S-ND	Digitalpotentiometer mit Auf/Ab-Schnittstelle, 32-Tap, 50 KΩ	Digital Potentiometer, with Up/Down Interface, 32 Tap, 50KΩ	8-SOIC	2.18	1.85	1.59
WMS7130100M-ND	Digitalpotentiometer mit Auf/Ab-Schnittstelle, 32-Tap, 100 KΩ	Digital Potentiometer, with Up/Down Interface, 32 Tap, 100KΩ	8-MSOP	2.18	1.85	1.59
WMS7130100P-ND	Digitalpotentiometer mit Auf/Ab-Schnittstelle, 32-Tap, 100 KΩ	Digital Potentiometer, with Up/Down Interface, 32 Tap, 100KΩ	8-Dip	2.18	1.85	1.59
WMS7130100S-ND	Digitalpotentiometer mit Auf/Ab-Schnittstelle, 32-Tap, 100 KΩ	Digital Potentiometer, with Up/Down Interface, 32 Tap, 100KΩ	8-SOIC	2.18	1.85	1.59
WMS7131010M-ND	Digitalpotentiometer mit Auf/Ab-Schnittstelle, 32-Tap, 10 KΩ	Digital Potentiometer, with Up/Down Interface, 32 Tap, 10KΩ	8-MSOP	2.18	1.85	1.59
WMS7131010P-ND	Digitalpotentiometer mit Auf/Ab-Schnittstelle, 32-Tap, 10 KΩ	Digital Potentiometer, with Up/Down Interface, 32 Tap, 10KΩ	8-Dip	2.18	1.85	1.59
WMS7131010S-ND	Digitalpotentiometer mit Auf/Ab-Schnittstelle, 32-Tap, 10 KΩ	Digital Potentiometer, with Up/Down Interface, 32 Tap, 10KΩ	8-SOIC	2.18	1.85	1.59
WMS7131050M-ND	Digitalpotentiometer mit Auf/Ab-Schnittstelle, 32-Tap, 50 KΩ	Digital Potentiometer, with Up/Down Interface, 32 Tap, 50KΩ	8-MSOP	2.18	1.85	1.59
WMS7131050P-ND	Digitalpotentiometer mit Auf/Ab-Schnittstelle, 32-Tap, 50 KΩ	Digital Potentiometer, with Up/Down Interface, 32 Tap, 50KΩ	8-Dip	2.18	1.85	1.59
WMS7131050S-ND	Digitalpotentiometer mit Auf/Ab-Schnittstelle, 32-Tap, 50 KΩ	Digital Potentiometer, with Up/Down Interface, 32 Tap, 50KΩ	8-SOIC	2.18	1.85	1.59

(Forts.)

★ RUFEN SIE BITTE AN FÜR NIEDRIGERE PREISE BEI GRÖSSEREN MENGEN! ★

Winbond Electronics Corporation America — WinPot™ DIGITALPOTENTIOMETER *(Forts.)*

Digi-Key Teilenr.	Beschreibung		Paket	Stückpreis★ 1	25	100
WMS7131100M-ND	Digitalpotentiometer mit Auf/Ab-Schnittstelle, 32-Tap, 100 KΩ	Digital Potentiometer, with Up/Down Interface, 32 Tap, 100KΩ	8-MSOP	2.18	1.85	1.59
WMS7131100P-ND	Digitalpotentiometer mit Auf/Ab-Schnittstelle, 32-Tap, 100 KΩ	Digital Potentiometer, with Up/Down Interface, 32 Tap, 100KΩ	8-Dip	2.18	1.85	1.59
WMS7131100S-ND	Digitalpotentiometer mit Auf/Ab-Schnittstelle, 32-Tap, 100 KΩ	Digital Potentiometer, with Up/Down Interface, 32 Tap, 100KΩ	8-SOIC	2.18	1.85	1.59
WMS7170010M-ND	Digitalpotentiometer mit Auf/Ab-Schnittstelle, 100-Tap, 10 KΩ	Digital Potentiometer, with Up/Down Interface, 100 Tap, 10KΩ	8-MSOP	2.18	1.85	1.59
WMS7170010P-ND	Digitalpotentiometer mit Auf/Ab-Schnittstelle, 100-Tap, 10 KΩ	Digital Potentiometer, with Up/Down Interface, 100 Tap, 10KΩ	8-Dip	2.18	1.85	1.59
WMS7170010S-ND	Digitalpotentiometer mit Auf/Ab-Schnittstelle, 100-Tap, 10 KΩ	Digital Potentiometer, with Up/Down Interface, 100 Tap, 10KΩ	8-SOIC	2.18	1.85	1.59
WMS7170050M-ND	Digitalpotentiometer mit Auf/Ab-Schnittstelle, 100-Tap, 50 KΩ	Digital Potentiometer, with Up/Down Interface, 100 Tap, 50KΩ	8-MSOP	2.18	1.85	1.59
WMS7170050P-ND	Digitalpotentiometer mit Auf/Ab-Schnittstelle, 100-Tap, 50 KΩ	Digital Potentiometer, with Up/Down Interface, 100 Tap, 50KΩ	8-Dip	2.18	1.85	1.59
WMS7170050S-ND	Digitalpotentiometer mit Auf/Ab-Schnittstelle, 100-Tap, 50 KΩ	Digital Potentiometer, with Up/Down Interface, 100 Tap, 50KΩ	8-SOIC	2.18	1.85	1.59
WMS7170100M-ND	Digitalpotentiometer mit Auf/Ab-Schnittstelle, 100-Tap, 100 KΩ	Digital Potentiometer, with Up/Down Interface, 100 Tap, 100KΩ	8-MSOP	2.18	1.85	1.59
WMS7170100P-ND	Digitalpotentiometer mit Auf/Ab-Schnittstelle, 100-Tap, 100 KΩ	Digital Potentiometer, with Up/Down Interface, 100 Tap, 100KΩ	8-Dip	2.18	1.85	1.59
WMS7170100S-ND	Digitalpotentiometer mit Auf/Ab-Schnittstelle, 100-Tap, 100 KΩ	Digital Potentiometer, with Up/Down Interface, 100 Tap, 100KΩ	8-SOIC	2.18	1.85	1.59
WMS7171010M-ND	Digitalpotentiometer mit Auf/Ab-Schnittstelle, 100-Tap, 10 KΩ	Digital Potentiometer, with Up/Down Interface, 100 Tap, 10KΩ	8-MSOP	2.18	1.85	1.59
WMS7171010P-ND	Digitalpotentiometer mit Auf/Ab-Schnittstelle, 100-Tap, 10 KΩ	Digital Potentiometer, with Up/Down Interface, 100 Tap, 10KΩ	8-Dip	2.18	1.85	1.59
WMS7171010S-ND	Digitalpotentiometer mit Auf/Ab-Schnittstelle, 100-Tap, 10 KΩ	Digital Potentiometer, with Up/Down Interface, 100 Tap, 10KΩ	8-SOIC	2.18	1.85	1.59
WMS7171050M-ND	Digitalpotentiometer mit Auf/Ab-Schnittstelle, 100-Tap, 50 KΩ	Digital Pot., with Up/Down Interface, 100 Tap, 50KΩ	8-MSOP	2.18	1.85	1.59
WMS7171050P-ND	Digitalpotentiometer mit Auf/Ab-Schnittstelle, 100-Tap, 50 KΩ	Digital Pot., with Up/Down Interface, 100 Tap, 50KΩ	8-Dip	2.18	1.85	1.59
WMS7171050S-ND	Digitalpotentiometer mit Auf/Ab-Schnittstelle, 100-Tap, 50 KΩ	Digital Pot., with Up/Down Interface, 100 Tap, 50KΩ	8-SOIC	2.18	1.85	1.59
WMS7171100M-ND	Digitalpotentiometer mit Auf/Ab-Schnittstelle, 100-Tap, 100 KΩ	Digital Pot., with Up/Down Interface, 100 Tap, 100KΩ	8-MSOP	2.18	1.85	1.59
WMS7171100P-ND	Digitalpotentiometer mit Auf/Ab-Schnittstelle, 100-Tap, 100 KΩ	Digital Pot., with Up/Down Interface, 100 Tap, 100KΩ	8-Dip	2.18	1.85	1.59
WMS7171100S-ND	Digitalpotentiometer mit Auf/Ab-Schnittstelle, 100-Tap, 100 KΩ	Digital Pot., with Up/Down Interface, 100 Tap, 100KΩ	8-SOIC	2.18	1.85	1.59
WMS7201050P-ND	Digitalpot., 1- Kanal, 256-Tap, 50 KΩ	Digital Potentiometer, 1-Channel, 256 Tap, 50KΩ	8-Dip	3.41	2.90	2.48
WMS7202010P-ND	Digitalpot., 2- Kanal, 256-Tap, 10 KΩ	Digital Potentiometer, 2-Channel, 256 Tap, 10KΩ	14-Dip	4.94	4.20	3.60
WMS7202050P-ND	Digitalpot., 2- Kanal, 256-Tap, 50 KΩ	Digital Potentiometer, 2-Channel, 256 Tap, 50KΩ	14-Dip	4.94	4.20	3.60
WMS7202100P-ND	Digitalpot., 2- Kanal, 256-Tap, 100 KΩ	Digital Potentiometer, 2-Channel, 256 Tap, 100KΩ	14-Dip	4.94	4.20	3.60
WMS7204050P-ND	Digitalpot., 4- Kanal, 256-Tap, 50 KΩ	Digital Potentiometer, 4-Channel, 256 Tap, 50KΩ	20-Dip	7.74	6.57	5.63

Melexis Microelectronic Integrated Systems — SPEZIALISIERTE INTEGRIERTE SCHALTUNGEN

Digi-Key Teilenr.	Beschreibung		Paket	Stückpreis★ 1	25	100
MLX90217LUA-ND	Getriebeverzahnungs-Geschwindigkeitssensor, Hall-Effekt	Hall Effect Geartooth Speed Sensor	UA/TO-92 (flat)	5.54	3.28	1.95
MLX90247-ESF-DSA-ND	Thermopile mit auf dem Chip integriertem PTC-Thermistor	Thermopile with On-Chip PTC Thermistor	TO-39	12.94	7.67	4.56
MLX90308LDF-DA-ND	Programmierbare Sensorschnittstelle	Programmable Sensor Interface	16-SOIC	21.19	12.55	7.46
MLX90314LDF-ND	Programmierbare Sensorschnittstelle, hohe Verstärkung	High Gain Programmable Sensor Interface	16-SOIC	21.19	12.55	7.46
MLX90601EZA-BAA-ND	Infrarot-Thermometermodul, Analogausgang, starr	Infrared Thermometer Module, Analog Output, Rigid	—	50.53	29.89	17.69
MLX90601EZA-CAA-ND	Infrarot-Thermometermodul, serieller SPI-Ausgang, starr	Infrared Thermometer Module, SPI Serial Output, Rigid	—	50.53	29.89	17.69
MLX90601EZA-DAA-ND	Infrarot-Thermometermodul, PWM-Ausgang, starr	Infrared Thermometer Module, PWM Output, Rigid	—	50.53	29.89	17.69
MLX90601KZA-BKA-ND	Infrarot-Thermometermodul, Analog/SPI-Ausgang, flexibel	Infrared Thermometer Module, Analog/SPI Output, Flexible	—	54.40	32.18	19.05
MLX90601KZA-CKA-ND	Infrarot-Thermometermodul, serieller PWM/SPI-Ausgang, flexibel	Infrared Thermometer Module, PWM/SPI Serial Output, Flexible	—	54.40	32.18	19.05
DK90308-ND	Demo-Set für MLX 90308-Sensorschnittstelle mit SOIC-Sockel, Datenblatt zur seriellen Schnittstelle und Programmierhandbuch (Diskette), Software sowie (5) 90308-Muster	Demo Kit for MLX90308 Sensor Interface with SOIC Socket, Serial Interface Datasheet and Programming Manual (diskette), Software, and (5) 90308 Samples	—	103.87	—	—
DK90314-ND	Demo-Kit für MLX 90314-Sensorschnittstelle mit SOIC-Sockel, Datenblatt zur seriellen Schnittstelle und Programmierhandbuch (Diskette), Software sowie (5) 90314-Muster	Demo Kit for MLX90314 Sensor Interface with SOIC Socket, Serial Interface Datasheet and Programming Manual (diskette), Software and (5) 90314 Samples	—	111.47	—	—
EVB90601-ND	Evaluierungs Karte für MLX 90601 Infrarot-Thermometermodul Stromversorgung, serielles Kabel, Handbuch und Software	Evaluation Board for MLX90601 Infrared Thermometer Module, Supply, Serial Cable, Manual and Software	—	152.01	—	—

SHARP MICROELECTRONICS — SPEICHER

Sharp Teilenr.	Digi-Key Teilenr.	Beschreibung		Paket	Stückpreis★ 1	25	100
LH5116-10F	425-1932-5-ND	16 K Slow SRAM, 5 V, 100 ns*	16K Slow SRAM, 5V, 100nS*	24-Dip	4.13	2.89	2.48
LH5116NA-10	425-1829-5-ND	16 K Slow SRAM, 5 V, 100 ns	16K Slow SRAM, 5V, 100nS	24-SOP	4.13	2.89	2.48
LH5164A-10LF	425-1933-5-ND	64 K Slow SRAM, 5 V, 100 ns*	64K Slow SRAM, 5V, 100nS*	28-Dip	4.55	3.19	2.74
LH5164AN-10L	425-1831-5-ND	64 K Slow SRAM, 5 V, 100 ns	64K Slow SRAM, 5V, 100nS	28-SOP	4.55	3.19	2.74
LH52256C-70LL	425-1833-5-ND	256 K Slow SRAM, 5 V, 70 ns	256K Slow SRAM, 5V, 70nS	28-Dip	5.61	3.93	3.37
LH28F008SCT-L85	425-1835-ND	8 M symmetrischer Block-Flash, 3,3 V oder 5 V, 85 ns	8M Symmetrical Block Flash, 3.3V or 5V, 85nS	40-TSOP	9.91	7.77	7.46
LH28F008SAT-85	425-1836-ND	8 M symmetrischer Block-Flash, 5 V, 85 ns	8M Symmetrical Block Flash, 5V, 85nS	40-TSOP	11.89	9.32	8.95
LH28F160S3HNS-L10	425-1842-ND	16 M symmetrischer Block-Flash, 3,3 V, 100 ns	16M Symmetrical Block Flash, 3.3V, 100nS	56-SSOP	27.65	21.66	20.80
LH28F160S3T-L10A	425-1838-ND	16 M symmetrischer Block-Flash, 3,3 V, 100 ns	16M Symmetrical Block Flash, 3.3V, 100nS	56-TSOP	24.86	19.48	18.70
LH28F160S5HNS-L70	425-1843-ND	16 M symmetrischer Block-Flash, 5 V, 70 ns	16M Symmetrical Block Flash, 5V, 70nS	56-SSOP	27.65	21.66	20.80
LH28F160S5HT-L70	425-1841-ND	16 M symmetrischer Block-Flash, 5 V, 70 ns	16M Symmetrical Block Flash, 5V, 70nS	56-TSOP	27.65	21.66	20.80
LH28F160S5T-L70A	425-1840-ND	16 M symmetrischer Block-Flash, 5 V, 70 ns	16M Symmetrical Block Flash, 5V, 70nS	56-TSOP	24.86	19.48	18.70
LH28F320SKTD-L70	425-1848-ND	32 M symmetrischer Block-Flash, 3,3 V oder 5 V, 70 ns	32M Symmetrical Block Flash, 3.3V or 5V, 70nS	56-TSOP	65.38	51.22	49.18
LH28F320S3NS-L11	425-1844-ND	32 M symmetrischer Block-Flash, 3,3 V, 110 ns	32M Symmetrical Block Flash, 3.3V, 110nS	56-SSOP	65.38	51.22	49.18
LH28F640SPHT-PTLZ8	425-1878-ND	64 M symmetrischer Block-Flash, 3,3 V, 120 ns	64M Symmetrical Block Flash, 3.3V, 120nS	56-TSOP	10.29	9.12	8.24
F128SPHTDPTLZ5	425-1871-ND	128 M symmetrischer Block-Flash, 3,3 V, 120 ns	128M Symmetrical Block Flash, 3.3V, 120nS	56-TSOP	21.49	16.95	16.33
F800BJHEPBTLT9	425-1879-ND	8 M unterer Boot-Block-Flash, 3,3 V, 90 ns	8M Bottom Boot Block Flash, 3.3V, 90nS	48-TSOP	4.92	4.36	3.94
F800BJHEPTTLT6	425-1880-ND	8 M oberer Boot-Block-Flash, 3,3 V, 90 ns	8M Top Boot Block Flash, 3.3V, 90nS	48-TSOP	4.92	4.36	3.94
LH28F800BJE-PTTL90	425-1821-ND	8 M oberer Boot-Block-Flash, 3,3 V, 90 ns	8M Top Boot Block Flash, 3.3V, 90nS	48-TSOP	4.89	4.34	3.92
LHF00L28	425-1885-ND	16 M oberer Boot-Block-Flash, 3 V, 70 ns	16M Top Boot Block Flash, 3V, 70nS	48-TSOP	3.30	2.89	2.48
LHF00L29	425-1886-ND	16 M unterer Boot-Block-Flash, 3 V, 70 ns	16M Bottom Boot Block Flash, 3V, 70nS	48-TSOP	3.30	2.89	2.48
LHF00L30	425-1887-ND	16 M oberer Boot-Block-Flash, 3 V, 70 ns	16M Top Boot Block Flash, 3V, 70nS	48-TSOP	3.30	2.89	2.48
LHF00L31	425-1888-ND	16 M unterer Boot-Block-Flash, 3 V, 70 ns	16M Bottom Boot Block Flash, 3V, 70nS	48-TSOP	3.30	2.89	2.48
LH28F160BJHE-TTL90	425-1824-ND	16 M oberer Boot-Block-Flash, 3,3 V, 90 ns	16M Top Boot Block Flash, 3.3V, 90nS	48-TSOP	15.08	13.37	12.07
LHF00L12	425-1881-ND	32 M oberer Boot-Block-Flash, 3 V, 70 ns	32M Top Boot Block Flash, 3V, 70nS	48-TSOP	5.31	4.70	4.25
LHF00L13	425-1882-ND	32 M unterer Boot-Block-Flash, 3 V, 70 ns	32M Bottom Boot Block Flash, 3V, 70nS	48-TSOP	5.31	4.70	4.25
LHF00L14	425-1883-ND	32 M oberer Boot-Block-Flash, 3 V, 70 ns	32M Top Boot Block Flash, 3V, 70nS	48-TSOP	5.31	4.70	4.25
LHF00L15	425-1884-ND	32 M unterer Boot-Block-Flash, 3 V, 70 ns	32M Bottom Boot Block Flash, 3V, 70nS	48-TSOP	5.31	4.70	4.25
F320BJHEPTTL90	425-1826-ND	32 M oberer Boot-Block-Flash, 3,3 V, 90 ns	32M Top Boot Block Flash, 3.3V, 90nS	48-TSOP	13.27	11.76	10.62
F640BFHEPBTL70A	425-1874-ND	64 M unterer Boot-Block-Flash, 3,3 V, 70 ns	64M Bottom Boot Block Flash, 3.3V, 70nS	48-TSOP	10.89	9.65	8.72
F640BFHEPBTLHGA	425-1875-ND	64 M unterer Boot-Block-Flash, 3,3 V, 70 ns	64M Bottom Boot Block Flash, 3.3V, 70nS	48-TSOP	8.89	7.88	7.12
F640BFHEPTTLHFA	425-1876-ND	64 M oberer Boot-Block-Flash, 3,3 V, 70 ns	64M Top Boot Block Flash, 3.3V, 70nS	48-TSOP	8.89	7.88	7.12
F640BFHEPTTL70A	425-1877-ND	64 M oberer Boot-Block-Flash, 3,3 V, 70 ns	64M Top Boot Block Flash, 3.3V, 70nS	48-TSOP	8.89	7.88	7.12
F640BFHEPBTL90	425-1827-ND	64M unterer Boot-Block-Flash, 3,3 V, 90 ns	64M Bottom Boot Block Flash, 3.3V, 90nS	48-TSOP	23.86	21.14	19.09
F128BFHTPBTL75A	425-1869-ND	128M unterer Boot-Block-Flash, 3,3 V, 75 ns	128M Bottom Boot Block Flash, 3.3V, 75nS	56-TSOP	15.56	12.27	11.83
F128BFHTPTTL75A	425-1870-ND	128M oberer Boot-Block-Flash, 3,3 V, 75 ns	128M Top Boot Block Flash, 3.3V, 75nS	56-TSOP	15.56	12.27	11.83
F256BFHTPBSL85	425-1872-ND	256M unterer Boot-Block-Flash, 1,8 V, 85 ns	256M Bottom Boot Block Flash, 1.8V, 85nS	56-TSOP	29.63	23.37	22.52
F256BFHTPTSL85	425-1873-ND	256M oberer Boot-Block-Flash, 1,8 V, 85 ns	256M Top Boot Block Flash, 1.8V, 85nS	56-TSOP	29.63	23.37	22.52

★ RUFEN SIE BITTE AN FÜR NIEDRIGERE PREISE BEI GRÖSSEREN MENGEN! ★

RF-Transmitter, Empfänger und Evaluierungskarten

Siehe: ECS SMT Flachprofil-Quarzkristalle - CSM-7 Gehäuse für Melexis RF-Transmitter

RF-Transmitter

- Voll integriert
- PLL-stabilisierter VCO
- Flexible Frequenz möglich mit externem Varaktor
- Breiter Versorgungsspannungsbereich
- Hoher Gesamtbereich
- Für Breitbanddatenübertragung ist eine breite Abweichung möglich
- FM-Frequenzgenauigkeit
- Sehr niedriger Standby-Strom
- Einstellbarer Ausgangsleistungsbereich
- Einstellbarer Stromverbrauch
- Frequenzabweichung und Mittenfrequenz
- Differenzialausgang eignet sich gut für Schleifenantenne
- Externer Taktgeber erhältlich für m C-Laufwerk
- „Nur Takt"-Modus

RF-Empfänger:

- Superhet-Einzelarchitektur für eine niedrige Anzahl externer Bausteine
- FSK für Digitaldaten und FM-Empfang
- Für Analog- und Signalübertragung
- FM/FSK-Demodulation mit Phasen-KoinzidenzDemodulator
- Geringer Stromverbrauch im Betriebsmodus und sehr niedriger Standby-Stromverbrauch
- Umschaltbare LMA-Verstärkung für verbesserten Dynamikbereich
- RSSI lässt Signalstärkeanzeige und ASK-Erkennung zu

RF-Filter:

- Breiter Trennfrequenzbereich (0,8 – 22,4 MHz)
- Doppelkanal-Architektur liefert bessere Abstimmung und bietet einfache Verwendung für Quadratursignale.
- Geringer Stromverbrauch (<105 mA, typisch 55 mA von -5 V Versorgung; FC = 1 MHz bei 25 °C)
- Press- und Dehn-Design bietet höhere Auflösung bei niedrigeren Trennfrequenzen
- Einzelend- oder Differenzialeingangsbetrieb möglich (AC-gekoppelt)
- Keine externen Komponenten zum Trimmen erforderlich.

Protokoll	Paket	Frequenz (MHz)	Temperaturbereich	Digi-Key Teilenr.	Stückpreis 1	10	25	50
RF-Transmitter								
FSK/FM/ASK	16-SSOP	315/433		TH7107EFF-ND	5.35	4.12	3.18	2.45
ASK	8-SOIC	315/433		TH71071EDC-ND	4.33	3.34	2.58	1.99
ASK	8-SOIC	315/433	-40° ~ 85°C	TH71072EDC-ND	4.33	3.34	2.58	1.99
ASK	8-SOIC	868/915		TH71081EDC-ND	4.33	3.34	2.58	1.99
FSK/FM/ASK	16-SSOP	868/915		TH7108EFF-ND	5.35	4.12	3.18	2.45
RF-Empfänger								
FSK/FM/ASK	32-LQFP	315/433	-40° ~ 85°C	TH71101ENE-ND	8.06	6.20	4.79	3.69
	32-LQFP	315/433		TH71102ENE-ND	8.06	6.20	4.79	3.69
	32-LQFP	868/915		TH71111ENE-ND	8.06	6.20	4.79	3.69
	32-LQFP	868/915		TH71112ENE-ND	8.06	6.20	4.79	3.69

Beschreibung	Paket	Digi-Key Teilenr.	Stückpreis 1	10	25	Digi-Key Teilenr.	T & R Pricing* 1.500
RF-Filter							
Programmierbarer Niedrigpassfilter	16-SOIC	TH7301EDF-ND	20.32	15.62	12.07	TH7301EDF-TR-ND	5146.91/M

Beschreibung	Digi-Key Teilenr.	Stückpreis
RF-Evaluierungskarten für Transmitter (Inklusive Leiterplatte mit abgestimmter Schleifenantenne und Transmitter)		
Evaluierungskarte für TH7107 Transmitter	EVB7107B-315-FSKC-ND	56.30
Evaluierungskarte für TH7107 Transmitter	EVB7107B-418-FSKC-ND	56.30
Evaluierungskarte für TH7107 Transmitter	EVB7107B-433-FSKC-ND	56.30
Evaluierungskarte für TH7108 Transmitter	EVB7108A-915-FSKA-ND	56.30
Evaluierungskarte für TH7108 Transmitter	EVB7108B-868-FSKA-ND	56.30
RF-Evaluierungskarten für Empfänger (Inklusive Leiterplatte mit koax. Antenneneingang und Empfänger)		
Evaluierungskarte für TH71101 Empfänger	EVB71101B-315FSKC-ND	111.47
Evaluierungskarte für TH71101 Empfänger	EVB71101B-418FSKC-ND	111.47
Evaluierungskarte für TH71101 Empfänger	EVB71101B-433FSKC-ND	103.87
Evaluierungskarte für TH71102 Empfänger	EVB71102B-315FSKC-ND	111.47
Evaluierungskarte für TH71102 Empfänger	EVB71102B-418FSKC-ND	111.47
Evaluierungskarte für TH71102 Empfänger	EVB71102B-433FSKC-ND	111.47
Evaluierungskarte für TH71111 Empfänger	EVB71111B-868FSKC-ND	111.47
Evaluierungskarte für TH71111 Empfänger	EVB71111B-915FSKC-ND	111.47
Evaluierungskarte für TH71112 Empfänger	EVB71112B-868FSKC-ND	111.47
Evaluierungskarte für TH71112 Empfänger	EVB71112B-915FSKC-ND	111.47

* Preisangabe für Gegurtet auf Rolle

OEM-Module

FCC-vorzertifizierte OEM-Produkte

Alle nachstehenden Einheiten sind von der FCC im Voraus genehmigt, um sofortige Integration und Verkauf für die meisten OEM-Produkten zu ermöglichen.

Transmitter, Handformat:

Kompakte, handgehaltete Fernbedienung mit 8 Tasten für 100+ Fuß Übertragungsbereiche. Die Übertragung kann mit einer Standard-Dekodierer-Schaltung, einem Microcontroller oder einem entsprechenden Linx-Funktionsmodul dekodiert werden. Wählbare Adressierung bietet Sicherheit und ermöglicht individuelle TX/RX-Beziehungen.

Kompakter Transmitter, Handformat

Kompakte, handgehaltete Fernbedienung mit 8 Tasten für Übertragungsbereich bis zu 150 Fuß. Tastatur und Beschriftung kann benutzerspezifisch modifiziert werden. Kann bis zu 1.024 individuelle Transmitter-Empfänger-Beziehungen erstellen.

Transmitter, Handformat, für größere Entfernungen

Kompakte, handgehaltete Fernbedienung mit 8 Tasten für Übertragungsbereich.bis zu 300+ Fuß. Tastatur und Beschriftung kann benutzerspezifisch modifiziert werden. Kann bis zu 1.024 individuelle Transmitter-Empfänger-Beziehungen erstellen. Extern befestigte Antenne.

Keyfob Transmitter:

Dieses winzige Keyfob-Modul bietet hervorragende Leistungsbereiche und ist mit 1 bis 5 Tasten für eine Vielzahl von OEM-Anwendungen konfiguriert.

Relaisfunktionsmodul mit 1 bis 4 Positionen:

Bietet 4 verriegelte Relaisausgänge, die externe AC- oder DC-betriebene Lasten von bis zu 5 A umschalten können. Wählbare Adressierung.

AC-Schaltfunktionsmodul:

Wird direkt in die Wandsteckdose gesteckt und kann Bausteine mit Lasten von bis zu 1.800 W (15 A) oder 1 HP bei 120 V AC umschalten.

Abb. 1

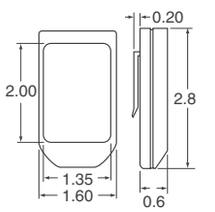

Abb. 2

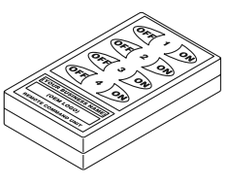

Abb. 3

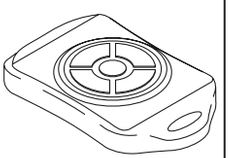

Abb. 4

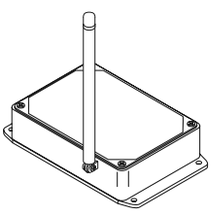

Abb. 5

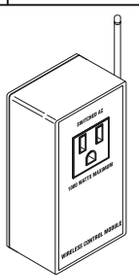

Abb.	Beschreibung	Frequ. (MHz)	Digi-Key Teilenr.	Stückpreis 1	25	100	Linx Teilenr.
1	Kompakter Transmitter, Handformat	315	CMD-HHCP-315-ND	24.89	22.76	18.59	CMD-HHCP-315
		418	CMD-HHCP-418-ND	24.89	22.76	18.59	CMD-HHCP-418
		433	CMD-HHCP-433-ND	24.89	22.76	18.59	CMD-HHCP-433
	Transmitter, Handformat, mit weitem Bereich	315	CMD-HHLR-315-ND	27.44	25.09	21.13	CMD-HHLR-315
		418	CMD-HHLR-418-ND	27.44	25.09	21.13	CMD-HHLR-418
		433	CMD-HHLR-433-ND	27.44	25.09	21.13	CMD-HHLR-433
2	Transmitter, Handformat	315	CMD-HHTX-315-ND	27.12	24.79	21.13	CMD-HHTX-315
		418	CMD-HHTX-418-ND	27.12	24.79	21.13	CMD-HHTX-418
		433	CMD-HHTX-433-ND	27.12	24.79	21.13	CMD-HHTX-433
3	Von der FCC vorzertifizierter Keyfob- Transmitter mit 1 bis 5 Tasten	315	CMD-KEY5-315-ND	17.44	16.57	15.20	CMD-KEY5-315
		418	CMD-KEY5-418-ND	17.44	16.57	15.20	CMD-KEY5-418
		433	CMD-KEY5-433-ND	17.44	16.57	15.20	CMD-KEY5-433
4	Relaismodul mit 1 bis 4 Positionen	315	FCTN-RLY4XX-315-ND	50.67	46.33	42.29	FCTN-RLY4XX-315
		418	FCTN-RLY4XX-418-ND	50.67	46.33	42.29	FCTN-RLY4XX-418
		433	FCTN-RLY4XX-433-ND	50.73	46.38	42.34	FCTN-RLY4XX-433
5	AC-Schaltfunktionsmodul - 120 V AC	418	FCTN-WALL-418-ND	43.56	39.83	38.06	FCTN-WALL-418

Needham's Electronics SureLink / QuickLink RF Modul

SureLink Kit: • 2 SureLink Transceiver-Module • 2 QuickLink Schnittstellenmodule • CD-ROM • 2 Serielle Kabel

QuickLink RS232-Schnittstellenmodul: • Das Needham Electronics QuickLink 232A stellt eine Wireless-Lösung mit dem SureLink 915A-FM dar und ermöglicht eine direkte Verbindung mit jedem RS232-Port zum Senden oder Empfangen von Daten • QuickLink 232A wird von einer 9-V-Batterie betrieben und kann so gut wie überall verwendet werden • Mit der J6-Brücke lassen sich Modus, Geschwindigkeit, Baudrate, Kanal und Master/Slave einstellen • LEDs zeigen RX und TX der RS232-Daten an

SureLink RF Transceiver-Modul: • Der SureLink 915A-FM Transceiver bietet eine Wireless-Lösung mit der Möglichkeit, Daten außerhalb der Sichtlinie zu übertragen. • Mit dem RF-Transceiver sind lediglich ein Modul zum Senden, ein Modul zum Empfangen, Strom und die zu sendenden Daten nötig. • 76,8 K bis zu 300 Fuß (ca. 100 m) oder 4,8 K BPS bis zu 1.000 Fuß (ca. 330 m)

Beschreibung	Digi-Key Teilenr.	Stückpreis
SURELINK Kit, 915A Entwicklungssystem	DK99875-ND	169.28
QuickLink RS232-Schnittstellenmodul	QUICKLINKRS232A-ND	76.15
SureLink RF Transceiver-Modul	SURELINK915A-FM-ND	84.62

Alle Preisangaben in Euro und inklusive Zollgebühren.

Abb. 1

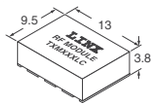

Abb. 2

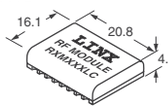

Abb. 3

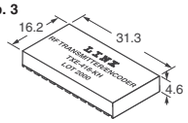

Abb. 4

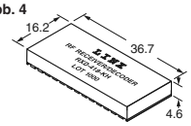

Abb. 5

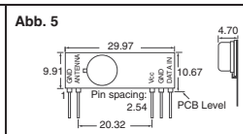

Abb. 6

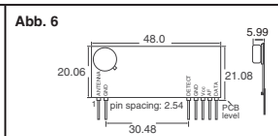

Abb. 7

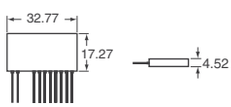

Abb. 8

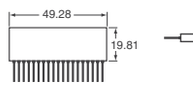

Abb. 9

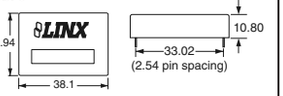

Abb. 10

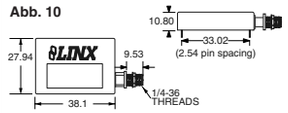

Abb. 11

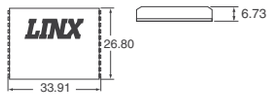

Abb. 12

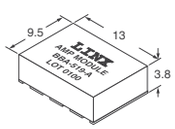

Abb. 13

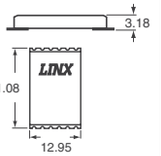

Abb. 14

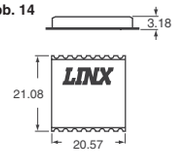

Abb. 15

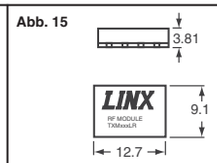

Abb. 16

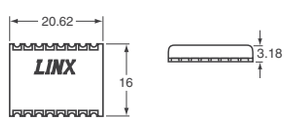

Abb. 17

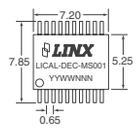

Serie LC - Ultra-kompakte, preiswerte RF-TX/RX-Module: Die winzigen RF-Module werden im 260 ~ 470 MHz Band betrieben und bieten eine komplette und kostenwirksame Lösung für die drahtlose Übertragung von seriellen Steuerungs- und Befehlsdaten über Entfernungen von mehr als 300' **Tx:** • Bereich 2,7 ~ 5,2 V DC • 1,5 mA Durchschn. • +3 dBm Ausgang • 5 Kbps max. Datenrate • Niedrige Harmonie **Rx:** • Bereich 2,7 ~ 5,2 V DC • Sehr geringer Stromverbrauch (6 mA Betrieb, 300 µA Ruhe) • -97 Typ. sens. • 5 Kbps max. Datenrate • LO-Ausgleich zur einfachen Zertifizierung

Serie KH - Transmitter und Empfänger mit integrierten Kodierern/ Dekodierern: Diese Serie kombiniert die beliebten LC TX/RX mit einem integrierten Kod./Dekod.- Paar. Das Kodierermodul akzeptiert bis zu acht Paralleleingänge. Dies ermöglicht eine direkte Verbindung von Schaltern oder einem Mikrocontroller.

Serie RM: Eine komplette TX/RX-Lösung in einem kompakten SIP-artigen Modul. Diese Serie verwendet ein fortschrittliches Design auf SAW-Basis und FM/FSK-Modulation und funktioniert im 260 ~ 470 Bandbereich. **Tx:** • Bereich 5,9 ~ 9,0 V DC • 6,0 mA Durchschnitt • +3 dBm Ausgang • 10.000 Kbps max. Datenrate • SIP-Paket **Rx:** • Bereich 4,0 ~ 9,0 V DC • 14 mA Durchschnitt • -103 typische Sensitivität

Serie HP-3 - Preiswerte Hochleistungs-RF-TX/RX-Module: Für die gängige Bandbreite von 902-928MHz. 8 oder 256 wählbare Kanäle, die Analog- und Digital-Daten über Entfernungen von bis zu 1.000' übertragen können. Erhältlich in SIP- oder SMT-Paket **Tx:** • Acht parallele auswählbare Kanäle für die Serie PO und acht parallele, 120 serielle für die Serie PS • Synthetisierte Architektur • Bereich 2,7 ~ 3 V DC • Nied- rigleistung (15 mA Durchschnitts- strom): • 0 dBm Ausgangsleistung • 100 Hz ~ 25 kHz Analogbandbreite • CTS **Rx:** • Acht parallele auswählbare Kanäle für die Serie PO und acht parallele, 120 serielle für die Serie PS • Synth. Architektur • 2,7 ~ 18 V DC Versorgungsbereich • Niedrigleistung (18 mA Durchschnitts- strom; 50 µA Abschaltmodus) • 50 Kbps max. Datenrate • 50 Hz ~ 25 kHz Analogbandbreite • RSSI-Ausgang • Abschaltsteuerung

Serie SC/PA - Hochleistung, preiswerter RF-Transceiver: Für kostengünstige, bidirektionale drahtlose Datenübertragung. **SC-Transceiver:** • Oberflächenmontage oder Durchlassloch • Synth. Architektur • 2,7 ~ 16 V DC Versorgungsbereich • Niedrigleistung (15 mA Durchschnitt) • Einstellbare Ausgangsleistung • UART-kompatibel • 33,6 Kbps max. Datenrate • 100 Hz ~ 25 kHz Analogbandbreite • Integrierter Antennenschalter • Abschaltsteuerung **Zusätzlich bei der SC-PA-Version:** • Integrierter RP-SMA-Antennenanschluss • FCC-Zulassung, um zusätzliches Testen zu sparen (bei Verwendung mit zugelassenen Antennen).

Serie BBA – Breitband-RF-Verstärker: Diese Verstärker eignen sich gut für einen breiten Verstärkungsbereich und Pufferanwendungen, einschließlich der Bereichserweiterung des Linx-eigenen RF-Moduls (wo rechtlich zulässig). Die Hybridverstärker in einem kompakten SMD-Paket sind auf 50 Ohm vorangepasst und verlangen keine externen RF-Komponenten. **BBA-322:** • Hohe Verstärkung • 10 Mhz ~ 3 Ghz Breitbandbetrieb • +20 dB kleine Signalverstärkung @ 900 MHz • Bis zu +10 (10 mW) lineare Ausgangsleistung • 3,8 dB Rauschen • Wird über eine Versorgung betrieben **BBA-519:** • Hohe Ausgangsleistung • 10 Mhz ~ 4 Ghz Breitbandbetrieb • +18 dB kleine Signalverstärkung @ 900 MHz • Bis zu +17 (50 mW) lineare Ausgangsleistung • 4,8 dB Rauschen

Serie ES: Diese Serie verwendet in einem winzigen SMD-Paket eine fortschrittliche synth. Architektur auf FM/FSK-Basis, um im Vergleich zu Am/OOK-Lösungen bessere Leistung und Rauschimmunität zu bieten. Aufgrund der hervorragenden maximalen Datenrate von 56 Kbps und weitreichender Analogkapazität ist die Serie ES sowohl für Digitaldaten als auch für Analogquellen, wie z.B. Audio, geeignet. Es stehen eine Reihe nützlicher Funktionen, einschließlich RSSI, PDN, Audioreferenz, LVL ADJ, Niederspannungs- erkennung und eine Mikroprozessor-Taktquelle zur Verfügung. Der Betrieb bei 916,48 MHz bietet in Nordamerika unbegrenzte Anwendungsmöglichkeiten, einschließlich Daten- und Audio-Links. Audio 20 Hz ~ 28 kHz, sehr niedriger Strom für lange Haltbarkeit in Batterieanwendungen. **Tx:** • Versorgungsspannung.: 2,1 ~ 4 V • Strom: max. 6,5 ~ 7,5 mA • 0 dBm Ausgangsleistung • Ruhe: 90 µA **Rx:** • Versorgungsspannung: 4,5 ~ 5,5 V • Leckstrom: max. 5,5 ~ 6,5 mA • Ruhe: 50 µA

Serie LR: Der Empfänger ist ideal für die drahtlose Übertragung von seriellen Daten, Steuer- und Befehlsdaten im bevorzugten 260-470 MHz-Bandbereich. • Links von weniger als 3.000' Entfernung gewinnen ein zuverlässigeres Signal • Der Empfänger ist hinsichtlich der Auflagefläche mit der gängigen Serie LC-S kompatibel • 10 kbps Datenraten- • Bereich für mehr als 3.000' • SMD-Ausführung • Keine externen Komponenten erforderlich (außer Antenne) • Betriebssp. bis hinab zu 2,7 V • 5 kHz Analog-BW • -112 dBm Empfänger-Sensitivität typ. • 5,2 mA Versorgungsstrom typ.

Serie QS: Gestattet die schnelle Ergänzung von USB an praktisch jeden Baustein. In einem kompakten SMD-Paket untergebracht. Das QS-Modul stellt eine komplette Lösung für die Wandlung von USB und TTL-Logik-Ausgang dar. • Zu den Anwendungen zählen Schnittstellen von Linx RF-Modulen, MCUs etc. zu einer USB-Schnittstelle • Bereich 4,4 ~ 6 V DC • Geringer Stromverbrauch, 26 mA • USB-Bus oder selbstgetrieben • Keine externen Komponenten erforderlich (außer USB-Klinkenstecker)

Serie MS und HS: Die Kodierer und Dekodierer der Serie MS und HS sind beide für Fernsteuerungsanwendungen konzipiert. Mit ihnen können Signale von bis zu 8 Tasten oder Kontakte sicher über eine drahtlose Verbindung übertragen werden. Durch die 24-Bit-Adressengröße der Serie MS sind die Übertragungen höchst einzigartig und minimieren die Möglichkeit, dass es zwischen mehreren Bausteinen zu Adress-enkonflikten kommt. Die Serie HS verwendet einen äußerst sicheren Verschlü- sselungsalgorithmus mit einem sich nicht wiederholenden Code, um zu verhindern, dass unbefugte Benutzer das Signal kopieren. **Merkmale:** • 8 Datenleitungen • Niedrige Betriebsspannung, 2,0 V ~ 5,5 V • Niedriger Versorgungsstrom (370 µA @ 3 V) • Ultranniedriger Standby-Strom von 0,1 µA • Wählbare Baudraten

Abb.	Beschreibung	Frequ. (MHz)	Digi-Key Teilenr.	Stückpreis 1	25	100	Linx Teilenr.
			Serie LC				
1	Transmitter	315	TXM-315-LC-ND	5.84	5.34	4.75	TXM-315-LC
		418	TXM-418-LC-ND	5.84	5.34	4.75	TXM-418-LC
		433	TXM-433-LC-ND	5.84	5.34	4.75	TXM-433-LC
2	Empfänger	315	RXM-315-LC-S-ND	11.67	10.68	9.23	RXM-315-LC-S
		418	RXM-418-LC-S-ND	11.67	10.68	9.23	RXM-418-LC-S
		433	RXM-433-LC-S-ND	11.67	10.68	9.23	RXM-433-LC-S
			Serie KH				
3	Transmitter	315	TXE-315-KH-ND	8.45	7.73	6.61	TXE-315-KH
		418	TXE-418-KH-ND	8.45	7.73	6.61	TXE-418-KH
		433	TXE-433-KH-ND	8.45	7.73	6.61	TXE-433-KH
4	Empfänger	315	RXD-315-KH-ND	13.49	12.33	10.80	RXD-315-KH
		418	RXD-418-KH-ND	13.49	12.33	10.80	RXD-418-KH
		433	RXD-433-KH-ND	13.49	12.33	10.80	RXD-433-KH
			Serie RM				
5	Transmitter	418	TXM-418-RM-ND	19.01	17.38	13.72	TXM-418-RM
		433	TXM-433-RM-ND	19.01	17.38	13.72	TXM-433-RM
6	Empfänger	418	RXM-418-RM-ND	31.04	28.38	23.96	RXM-418-RM
		433	RXM-433-RM-ND	31.04	28.38	23.96	RXM-433-RM
			Serie HP3				
7	Transmitter - 8 Kanäle	900	TXM-900-HP3-PPO-ND	24.93	22.80	19.98	TXM-900-HP3-PPO
	Transmitter - 8/120 Kanäle	900	TXM-900-HP3-PPS-ND	25.68	23.48	20.41	TXM-900-HP3-PPS
8	Empfänger - 8 Kanäle	900	RXM-900-HP3-PPO-ND	38.22	34.95	26.84	RXM-900-HP3-PPO
	Empfänger - 8/120 Kanäle	900	RXM-900-HP3-PPS-ND	38.97	35.63	27.27	RXM-900-HP3-PPS
			Serie SC/SC-PA				
9	SC-Transceiver	916	TR-916-SC-P-ND	37.93	34.68	33.53	TR-916-SC-P
10	FCC vorzertifizierter Transceiver	916	TR-916-SC-PA-ND	40.89	39.73	39.20	TR-916-SC-PA
11	RF-Transceiver	916	TR-916-SC-S-ND	36.30	33.19	32.51	TR-916-SC-S
			Serie BBA				
12	Hi-Gain Broadband RF Amp*	10–3000	BBA-322-A-ND	12.53	11.91	11.43	BBA-322-A
	Hochleistungs-Breitband-RF-Verstärker	10–4000	BBA-519-A-ND	12.70	12.07	11.82	BBA-519-A
			Serie ES				
13	Transmitter	916	TXM-916-ES-ND	11.72	10.72	9.20	TXM-916-ES
14	Empfänger	916	RXM-916-ES-ND	14.49	13.25	10.94	RXM-916-ES
			Serie LR				
15	Transmitter	315	TXM-315-LR-ND	6.32	5.78	5.04	TXM-315-LR
		418	TXM-418-LR-ND	6.32	5.78	5.04	TXM-418-LR
		433	TXM-433-LR-ND	6.32	5.78	5.04	TXM-433-LR
16	Empfänger	315	RXM-315-LR-ND	11.48	10.50	8.30	RXM-315-LR
		418	RXM-418-LR-ND	11.48	10.50	8.30	RXM-418-LR
		433	RXM-433-LR-ND	11.48	10.50	8.30	RXM-433-LR
			Serie QS				
16	USB-Modul	—	SDM-USB-QS-S-ND	12.37	11.32	9.99	SDM-USB-QS-S
			Serie MS				
17	Kodierer	418	LICAL-ENC-MS001-ND	3.47	3.17	2.68	LICAL-ENC-MS001
	Dekodierer	418	LICAL-DEC-MS001-ND	3.47	3.17	2.68	LICAL-DEC-MS001
			Serie HS				
17	Kodierer	418	LICAL-ENC-HS001-ND	3.77	3.45	2.91	LICAL-ENC-HS001
	Dekodierer	418	LICAL-DEC-HS001-ND	3.77	3.45	2.91	LICAL-DEC-HS001

* Hochverstärkungs-Breitband-RF-Verstärker

Evaluierungskits

Diese Kits bieten die beste Möglichkeit, die Linx-Modulreihe Ihrer Wahl zu evaluieren und dann mit der Integration in Ihre eigenen Designs zu beginnen.

Evaluationskit, Grundausführung: Dieses Kit eignet sich zur schnellen Evaluierung der Feldleistung von Linx-Produkten. Das Kit bietet nicht dasselbe Testniveau und nicht dieselbe Schnittstelle wie die Master-Kits, es stellt aber ein kostengünstiges Einstiegsmodell dar.

Das einfache Kit enthält: • 2 Transmittermodule und 2 Empfängermodule (oder 2 Transceiver-Module) • 2 Antennen • 2 vollständig montierte Evaluierungskarten mit Batterien • Handbücher • Part 2 + Part 15 Richtlinien

EVAL-418-KEY5-ND: • 1 Antenne • 2 Keyfobs • 1 Evaluierungskarte • 2 KH EmpfängerModule mit Batterien • Handbücher • Part 2 + Part 15 Richtlinien

Master-Auswertungs-/Entwicklungssystem: Die Kits ermöglichen nicht nur die Evaluierung der gewählten Modulreihe, sondern beschleunigen die Entwicklung eigener Designs über einen On-board-Prototyping-Bereich und Breakout-Headers.

Das Master-Kit enthält: • 2 Transmittermodule und 2 Empfängermodule • 2 Antennen • 2 9-Volt-Batterien • 2 vollständig montierte Evaluierungskarten • Handbücher und FCC-Richtlinien

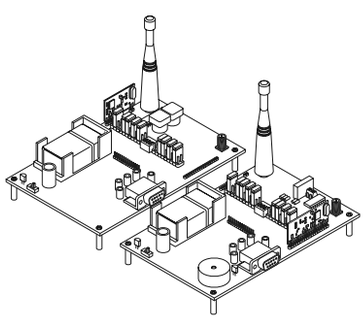

Gezeigte HP-Serie - Kit-Inhalt variiert nach Teilenr.

Beschreibung	MHz	Digi-Key Teilenr.	Stückpreis	Linx Teilenr.
		Einfache Evaluierungskits		
Serie LC	315	EVAL-315-LC-S-ND	117.68	EVAL-315-LC-S
	418	EVAL-418-LC-S-ND	117.68	EVAL-418-LC-S
	433	EVAL-433-LC-S-ND	117.68	EVAL-433-LC-S
Serie SC	916	EVAL-916-SC-P-ND	168.47	EVAL-916-SC
Serie SC-PA	916	EVAL-916-SC-PA-ND	168.47	EVAL-916-SC-PA
Serie KH	315	EVAL-315-KH-ND	126.14	EVAL-315-KH
	418	EVAL-418-KH-ND	126.14	EVAL-418-KH
	433	EVAL-433-KH-ND	126.14	EVAL-433-KH
Serie Keyfob	418	EVAL-418-KEY5-ND	100.75	EVAL-418-KEYS
Serie HHCP	418	EVAL-418-CP-ND	109.21	EVAL-418-CP
Serie HHLR	418	EVAL-418-HHLR-ND	109.21	EVAL-418-HHLR
Serie LR	315	EVAL-315-LR-ND	117.68	EVAL-315-LR
	418	EVAL-418-LR-ND	117.68	EVAL-418-LR
	433	EVAL-433-LR-ND	117.68	EVAL-433-LR
		Master-Evaluierungskits		
Serie RM	418	MDEV-418-RM-ND	210.80	MDEV-418-RM
	433	MDEV-433-RM-ND	210.80	MDEV-433-RM
Serie HP-3	900	MDEV900HP3PPSRS23-ND	253.13	MDEV-900-HP3-PPS-RS232
Serie ES	916	MDEV-916-ES-ND	253.13	MDEV-916-ES
Serie SC-P	916	MDEV-916-SC-P-ND	253.13	MDEV-916-SC-P
Serie SC-S	916	MDEV-916-SC-S-ND	253.13	MDEV-916-SC-S
Serie QS	—	MDEV-USB-QS-ND	109.21	MDEV-USB-QS
Serie MS	418	MDEV-LIC-MS-ND	210.80	MDEV-LIC-MS
Serie HS	418	MDEV-LIC-HS-ND	253.13	MDEV-LIC-HS

RP-SMA-Verbinder für OEM-Antennen

Umkehr-Polaritäts-SMA-Steckverbinder:

Diese Steckverbinder erfüllen die Anforderungen der FCC-Vorschrift Part 15 und sind ideal für alle Anwendungen, die eine Verbindung über eine zuverlässige, nicht-standardmäßige Schnittstelle verlangen. Das Umkehr-Polaritätsdesign verhindert Schäden und lässt keine Verbindung mit Standard-Steckverbindern zu.

Abb. 1

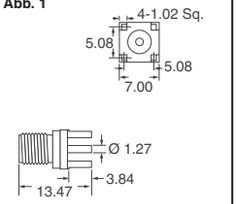

Abb. 2

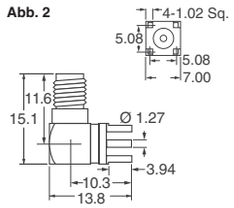

Abb. 3

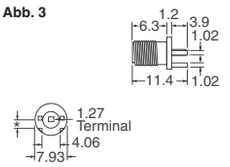

* .031-CONREVSMA003.031
.062-CONREVSMA003.062

Abb. 4

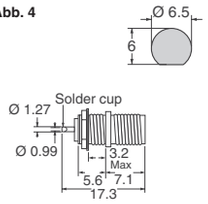

Abb. 5

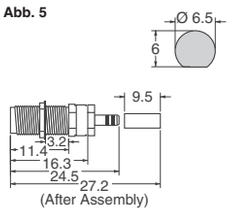

Abb. 6

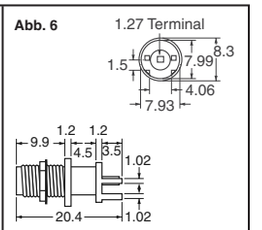

Abb. 7

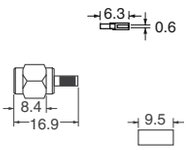

Abb. 8

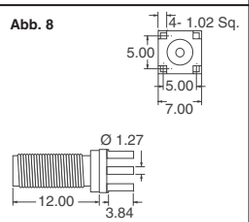

Abb. 9

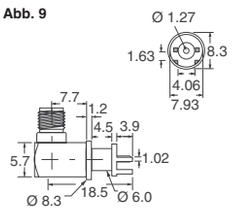

Abb. 10

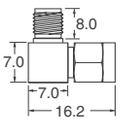

Abb. 11

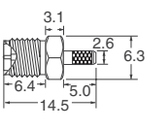

Abb. 12

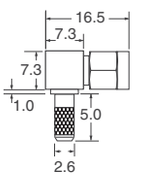

Abb.	Beschreibung	Digi-Key Teilenr.	Stückpreis 1	25	100	200	Linx Teilenr.
1	Leiterplatten-montierter Steckverbinder	CONREVSMA001-ND	2.65	2.43	1.88	1.82	CONREVSMA001
2	Leiterplatten-montierter Steckverbinder, rechtwinklig	CONREVSMA002-ND	4.64	4.24	3.28	3.18	CONREVSMA002
3	Kartenrand-montierter Steckverbinder für 0,031" (0,79 mm) Kartenstärke	CONREVSMA003.031-ND	3.17	2.90	2.25	2.18	CONREVSMA003.031
	Kartenrand-montierter Steckverbinder für 0,062" (1,57 mm) Kartenstärke	CONREVSMA003.062-ND	3.17	2.90	2.25	2.18	CONREVSMA003.062
4	Frontmontierte Bulkhead-Buchse	CONREVSMA004-ND	3.00	2.74	2.12	2.06	CONREVSMA004
5	Bulkhead-Crimpstecker - unverlierbarer Kontakt	CONREVSMA005-ND	4.98	4.56	3.53	3.42	CONREVSMA005
	Bulkhead-Crimpstecker - unverlierbarer Kontakt mit 8,5" (215,9 mm) Kontakt	CONREVSMA005C08.5-ND	6.62	6.06	4.70	4.55	CONREVSMA005-C08.5
6	Kartenrand-Steckverbinder zur Mehrfachmontage	CONREVSMA006.062-ND	4.64	4.24	3.28	3.18	CONREVSMA006.062
7	Kabelende-Steckverbinder für RG-174	CONREVSMA007-ND	4.42	4.04	3.13	3.03	CONREVSMA007
8	Langer Steckverbinder zur PCB-Montage	CONREVSMA008-ND	3.17	2.90	2.25	2.18	CONREVSMA008
9	Kartenrand-Steckverbinder zur Mehrfachmontage, rechtwinklig	CONREVSMA009-ND	3.42	3.13	2.43	2.35	CONREVSMA009
10	Rechtwinkliger Plugstecker	CONREVSMA010-ND	3.50	3.15	2.88	2.65	CONREVSMA010
11	Kabelende-Crimpstecker	CONREVSMA011-ND	4.42	4.04	3.13	3.03	CONREVSMA011
12	Kabelende-Steckverbinder für RG-174, rechtwinklig	CONREVSMA012-ND	3.41	3.07	2.85	2.61	CONREVSMA012
	Crimper-Kit für RG58/59/62	CTK-58-01-ND	100.75	—	—	—	CTK-58-01
	Crimper-Kit für RG58/59/62, RG174/179	CTK-174-01-ND	104.98	—	—	—	CTK-174-01

Antennen, Magnetmontage

MAG1 Magnetsockel:

Erhältlich mit drei Sockeldurchmessern; jeder Sockel der Serie MAG-1 umfasst einen starken Magneten für zuverlässige Montage auf Metallflächen. Sie bieten auch eine weiche Gummischutzabdeckung, um lackierte Flächen wie z.B. an Autos zu schützen. Der Sockel nimmt verschiedene Antennenelement-Arten und Frequenzen auf.

Mag-1 - Antennenelemente:

Diese gefälligen Elemente sind passend für Sockel der Serie MAG-1 konzipiert. Ideal für Mobilsysteme und Handys. Erhältlich in verschiedenen Ausführungen und mit verschiedenen Mittenfrequenzen. Sie bieten erstklassige Leistung und Haltbarkeit, selbst in rauen Umgebungen.

Abb.	Beschreibung	Frequenz (MHz)	Digi-Key Teilenr.	Stückpreis 1	25	100	Antenna Factor Teilenr.
1	50 mm MAG1 Magnetbasis	—	ANT-MAG-B50-RPS-ND	4.89	4.47	3.73	ANT-MAG-B50-RPS
	66 mm MAG1 Magnetbasis	—	ANT-MAG-B66-RPS-ND	5.49	5.03	4.20	ANT-MAG-B66-RPS
	85 mm MAG1 Magnetbasis	—	ANT-MAG-B85-RPS-ND	6.12	5.60	4.66	ANT-MAG-B85-RPS
2	Dual-Band-Peitschenelement	916, 1.7~1.8GHz	ANT-ELE-S01-008-ND	2.89	2.65	2.46	ANT-ELE-S01-008
3	Peitschenelement	916	ANT-ELE-S01-005-ND	2.47	2.17	1.91	ANT-ELE-S01-005
4	Peitschenelement, hohe Verstärkung	916	ANT-ELE-S01-006-ND	2.98	2.61	2.29	ANT-ELE-S01-006
5	Kurzes Peitschenelement	916	ANT-ELE-S01-010-ND	2.42	2.12	1.88	ANT-ELE-S01-010
6	Stummelelement	2.4GHz	ANT-ELE-S01-011-ND	2.39	2.09	1.87	ANT-ELE-S01-011

Abb. 1

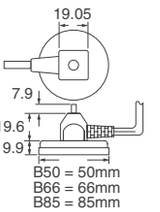

(Kabel, 13,1' - RG-174-RP-SMA)

Abb. 2

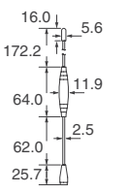

Abb. 3

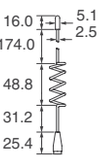

Abb. 4

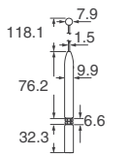

Abb. 5

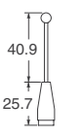

Abb. 6

Yagi-Antennen

Antenna Factor bietet Yagi-Antennen in Ausführungen für Frequenzen von 400 MHz bis 2,4 GHz an. Die Antennen sind zur weiten direktionalen Kommunikation vorgesehen und können die Leistung von RF-Links wie WLAN und WIFI merklich verbessern.

Sie werden aus Edelstahl hergestellt, verfügen über stabile Mastbefestigungen und sind somit unverwüstliche Antennen mit langfristiger Haltbarkeit. Alle Antennen sind für 50 Ω Systementsprechungen mit Höchsteingängen von 100 W konzipiert.

Abb.	Beschreibung	Frequ. (MHz)	Digi-Key Teilenr.	Stückpreis 1	25	100	Antenna Factor Teilenr.
1	418MHz 5-Element Yagi	418	ANT-418-YG5-N-ND	71.41	65.29	59.22	ANT-418-YG5-N
2	916MHz 5-Element Yagi	916	ANT-916-YG5-N-ND	71.41	65.29	59.22	ANT-916-YG5-N
3	2.4GHz 6-Element Yagi	2442	ANT-2.4-YG6-N-ND	71.41	65.29	59.22	ANT-2.4-YG6-N
4	2.4GHz 12-Element Yagi	2442	ANT-2.4-YG12-N-ND	101.79	93.06	76.16	ANT-2.4-YG12-N

Abb. 1

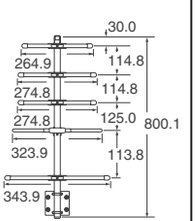

Abb. 2

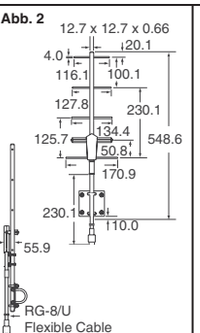

Abb. 3

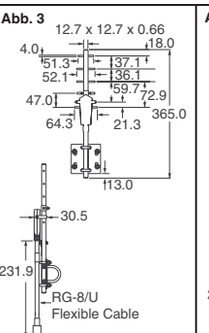

Abb. 4

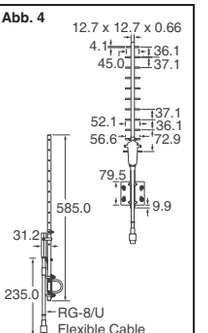

Alle Preisangaben in Euro und inklusive Zollgebühren.

Antennen / Steckverbinder

Antennen sind ein wichtiger und oft vernachlässigter Faktor bei der Bestimmung von Reichweite und Zuverlässigkeit von drahtlosen Links. Antennen von Antenna Factor sind ideal, um optimale Leistung und Preis-Leistungsverhältnisse von den meisten diskreten oder modularen Designs zu erzielen. Alle Antennen erfüllen die FCC- und internationalen Standards.

Serie PW: Die zur permanenten Befestigung vorgesehenen 1/4-Wellen-Peitschenantennen der Serie PW bieten hervorragende Leistung in einem stabilen, kostengünstigen Part-15-konformen Paket. Die Antenne wird durch Befestigung ihrer Basis durch ein 1/4"-Loch im Produktpaket gesichert. Die Antenne wird durch die Basis mithilfe des RG-174 (7" Standardlänge) Koaxialkabels eingeführt, welches direkt auf eine Leiterplatte gelötet oder über einen Steckverbinder befestigt werden kann.

PML-Antennen: Die zur permanenten Befestigung vorgesehenen 1/2-Wellen-Peitschen der Serie PML bieten hervorragende Leistung in einem stabilen und kostengünstigen Paket. Ein internes, mittengespeistes Element macht eine Grundebene unnötig. Kann mithilfe einer Mutter oder durch Einführen in einen PEM-artigen Einsatz befestigt werden. Die Antenne wird mit dem RG-174 Koaxialkabel durch die Basis geführt. Standardkabellänge: 8,5".

Serie RH - Niedrigere Höhe: Wesentlich kleiner als unsere größeren Peitschenantennen. Die Serie RH eignet sich ideal für Produkte, wo kosmetische oder funktionelle Anforderungen eine kompakte, ästhetisch attraktive Antenne verlangen.

Serie CW: Die Antennen der Serie CW verfügen über einen FCC Part 15-konformen Umkehrpolaritäts-SMA-Steckverbinder zum einfachen Ersatz im Feld. Diese Antennen bieten erstklassige Leistung in einem stabilen und attraktiven Paket.

Serie HD - Niedrigere Höhe: Diese weniger hohe 1/4-Wellen-Antenne widersteht jahrelanger Beanspruchung, dank einer stark flexiblen internen Spirale, die mit einem Heavy-Duty-Schutzüberzug versehen wurde. Die Serie HD ist eine sehr gute Wahl für Anwendungen im Freien oder zur Verwendung in Umgebungen, wo die Antenne Stoßeinwirkung, rauen klimatischen Bedingungen und Misshandlung ausgesetzt ist.

RCR-Antennen: Ideal für Produkte, die eine kompakte, aber attraktive Antenne mit rechtwinkligem Formfaktor verlangen. Die 1/4-Wellen-Antenne verfügt über einen Part 15-konformen RP-SMA-Anschluss, der in alle Antenna Factor PCB- und RP-SMA-Chassis-Steckverbinder passt. Sehr niedriger VSWR, omni-direktional, RA, mit Kunststoff- oder Metallgehäusen verwenden.

Serie RCS - Ultrakompakt und um 90° gewinkelt: Die Serie RCS ist ideal für Produkte, die eine kompakte, aber attraktive Antenne mit rechtwinkligem Formfaktor verlangen.

Serie RCL - Kompakt und um 90° gewinkelt: Ähnlich der Serie RCS, aber in einem größeren Formfaktor. Nützlich in Produkten, wo zusätzliche Höhe über dem Produktgehäuse erforderlich ist oder wo eine etwas breitere Betriebsbandbreite gewünscht wird. Die 2,4 GHz Version verfügt über ein mitten-gespeistes 1/2-Wellenelement mit interner Erdreferenz.

Serie RCT: Die RCT 1/2-Wellen-Antenne für 2,4 GHz bietet hervorragende Leistung und maximale Ausrichtungsflexibilität in einem kompakten Paket. Die innovative Gelenkbasis der Antenne ermöglicht Neigen und Drehen zwecks optimaler Ausrichtung durch den Endbenutzer. Die Antenne wird über einen RP-SMA-Steckverbinder schnell montiert.

Serie LTG - Kompaktes Doppelband: Diese winzige 2,4 GHz und 5,3 GHz Doppelbandantenne eignet sich ideal für Anwendungen wie WI-FI, Bluetooth, 802.11, Zigbee und Home RF. Diese Antenne steht mit einem Standard SMA- oder Part 15-konformen RP-SMA-Steckverbinder zur Verfügung.

Serie LP: Die Antennen der Serie LP sind preiswerte, permanent befestigte 1/4-Wellen-Peitschen von geringerer Höhe. Sie sind ideal für Anwendungen, die eine feste, ästhetisch attraktive, aber preiswerte Antennenlösung verlangen. Die Antennen lassen sich leicht mit einer Schraube direkt auf der Benutzer-Leiterplatte befestigen.

Serie RA: Die Serie RA bietet optimale Montagen- und Ausrichtungsflexibilität in einem kostengünstigen Paket von geringerer Höhe. Die innovative Basis der Antenne eröffnet einen breiten horizontalen und vertikalen Bewegungsbereich, was größere Vielseitigkeit für den Designer und den Kunden bietet. Die Antenne lässt sich mit einer Schraube schnell an einer Leiterplatte befestigen und erfüllt alle Anforderungen für Part-15-Anforderungen.

Serie SP - „Splatch": Die „Splatch"-Ausführung verwendet eine geerdete Leittechnik, um hervorragende Leistung von einem winzigen oberflächenmontierten Element zu erzielen. Im Gegensatz zu vielen kompakten Antennen ist die „Splatch"-Antenne äußerst immun gegenüber Proximitätseffekten, wodurch sie die ideale Wahl für Anwendungen im Handformat für Fernbedienungen, Pager und Alarmgeräte ist. Diese einzigartige Antenne wurde zur manuellen oder Aufschmelzmontage direkt auf der Leiterplatte entwickelt.

JJB-Antennen: Die Serie JJB verbindet fast dieselbe Leistung eines herkömmlichen Monopols in einem unglaublich kompakten Paket mit 7 mm Durchmesser. Diese Antennen sind ideal für alle OEM-Anwendungen, die eine feste, ästhetisch attraktive, aber preiswerte Antennenlösung verlangen. Die Speiseleitung der Antenne verläuft durch ein Durchgangsloch und wird direkt an der Benutzer-Leiterplatte befestigt. Kann intern oder extern montiert werden.

CHP-Antennen: Eine der weltweit kleinsten Hochleistungs-Antennen (2,4 GHz). Chip-Antennen. Ideal für alle 2,4 GHz Anwendungen, einschließlich Bluetooth, 802.11, Home RF, ZigBee und andere gängige und innovative Standards. Verwendet eine fortschrittliche Mehrschicht-LTCC-Technologie und ein eigenes Hybrid-Spiralelement, um die Größen- und Leistungsmerkmale anderer Designs zu erzielen. Voll kompatibel mit Hand- und Aufschmelzprozessen.

Serie HE - Spiralform: Zur Direktmontage auf Leiterplatten vorgesehen. Ihre kompakte Größe macht die HE-Antennen ideal geeignet für interne Unterbringung in einem Produktgehäuse. Der Drahtdurchmesser und der Spulenabstand sind für breitere als herkömmliche Bandbreiten optimiert.

CHP- Kit: Ermöglicht schnelle Evaluierungen der winzigen ANT-2.45-CHP Antenne von Antenna Factory. Als eine der kleinsten und effizientesten Chipantennen weltweit ist sie ideal für alle 2,4 GHz Anwendungen, einschließlich 802.11, Bluetooth, ZigBee und Home RF geeignet. Eine Referenzlehre ermöglicht sofortige Beurteilung der Antennenleistung und fünf weitere Antennenmuster zur Verwendung in einem benutzerspezifischen Design.

Abb. 1

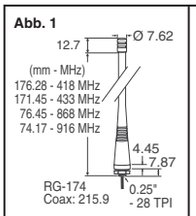

Abb. 2

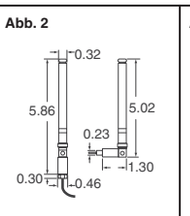

Abb. 3

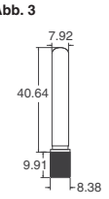

Abb. 4

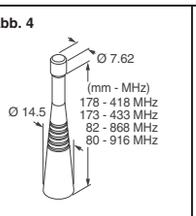

Abb. 5

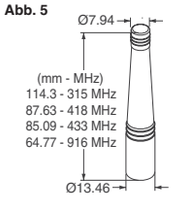

Abb. 6

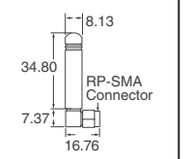

Abb. 7

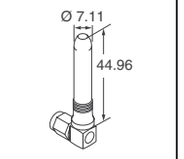

Abb. 8

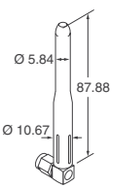

Abb. 9

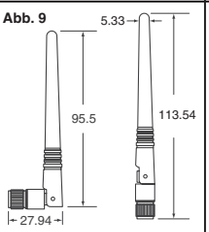

Abb. 10

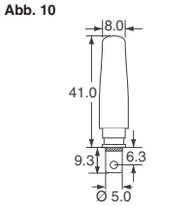

Abb. 11

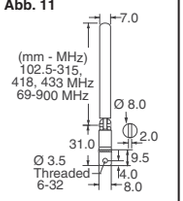

Abb. 12

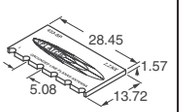

Abb. 13

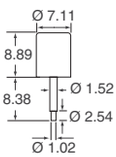

Abb. 14

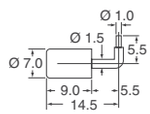

Abb. 15

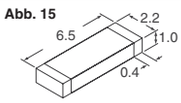

Abb. 16

Abb.	Beschreibung	Frequenz (MHz)	Digi-Key Teilenr.	Stückpreis 1	25	100	Antenna Factor Teilenr.
1	Festmontage, 1/4 Wellenpeitsche	418	ANT-418-PW-QW-ND	5.78	5.29	4.30	ANT-418-PW-QW
		433	ANT-433-PW-QW-ND	5.67	5.19	4.21	ANT-433-PW-QW
		868	ANT-868-PW-QW-ND	5.55	5.08	4.10	ANT-868-PW-QW
		916	ANT-916-PW-QW-ND	7.09	6.48	5.26	ANT-916-PW-QW
2	1/4 Wellenpeitsche mit RG178-Kabel	916	ANT-916-PML-ND	6.44	5.90	4.80	ANT-916-PML
3	RP-SMA, reduzierte Höhe, 1/4Wellenpeitsche	315	ANT-315-CW-RH-ND	5.35	4.89	3.69	ANT-315-CW-RH
		418	ANT-418-CW-RH-ND	5.35	4.89	3.69	ANT-418-CW-RH
		433	ANT-433-CW-RH-ND	5.35	4.89	3.69	ANT-433-CW-RH
		916	ANT-916-CW-RH-ND	5.35	4.89	3.69	ANT-916-CW-RH
4	RP-SMA, 1/4 Wellenpeitsche	418	ANT-418-CW-QW-ND	6.67	6.10	4.86	ANT-418-CW-QW
		433	ANT-433-CW-QW-ND	6.52	5.96	4.75	ANT-433-CW-QW
		868	ANT-868-CW-QW-ND	6.37	5.83	4.64	ANT-868-CW-QW
5	RP-SMA, reduzierte Höhe, 1/4 Wellenpeitsche	315	ANT-315-CW-HD-ND	6.44	5.90	4.66	ANT-315-CW-HD
		418	ANT-418-CW-HD-ND	6.44	5.90	4.66	ANT-418-CW-HD
		433	ANT-433-CW-HD-ND	6.44	5.90	4.66	ANT-433-CW-HD
		916	ANT-916-CW-HD-ND	6.44	5.90	4.66	ANT-916-CW-HD
6	RP-SMA, 1/4 Wellenpeitsche	916	ANT-916-CW-RCR-ND	5.41	4.95	4.32	ANT-916-CW-RCR
7	1/4 Wellenpeitsche, rechtwinklig	315	ANT-315-CW-RCS-ND	5.47	5.00	4.22	ANT-315-CW-RCS
		418	ANT-418-CW-RCS-ND	5.47	5.00	4.22	ANT-418-CW-RCS
		433	ANT-433-CW-RCS-ND	5.47	5.00	4.22	ANT-433-CW-RCS
	RP-SMA, rechtwinklig	916	ANT-916-CW-RCS-ND	5.47	5.00	4.45	ANT-916-CW-RCS
		2.4GHz	ANT-2.4-CW-RCS-ND	5.47	5.00	4.45	ANT-2.4-CW-RCS
8	1/4 Wellenpeitsche	916	ANT-916-CW-RCL-ND	5.96	5.45	4.66	ANT-916-CW-RCL
	RP-SMA, 1/2 Wellenpeitsche	2.4GHz	ANT-2.4-CW-RCL-ND	5.96	5.45	4.66	ANT-2.4-CW-RCL
9	RP-SMA, 1/2 Wellenpeitsche	2.4GHz	ANT-2.4-CW-RCT-RP-ND	7.17	6.56	5.51	ANT-2.4-CW-RCT-RP
10	Festmontage, reduzierte Höhe, 1/4 Wellenpeitsche	315	ANT-315-PW-LP-ND	1.72	1.58	1.52	ANT-315-PW-LP
		418	ANT-418-PW-LP-ND	1.72	1.58	1.52	ANT-418-PW-LP
		433	ANT-433-PW-LP-ND	1.72	1.58	1.52	ANT-433-PW-LP
		916	ANT-916-PW-LP-ND	1.72	1.58	1.52	ANT-916-PW-LP
11	Festmontage, Drehwinkel, 1/4 Wellenpeitsche	315	ANT-315-PW-RA-ND	2.92	2.63	2.45	ANT-315-PW-RA
		418	ANT-418-PW-RA-ND	2.92	2.63	2.45	ANT-418-PW-RA
		433	ANT-433-PW-RA-ND	2.92	2.63	2.45	ANT-433-PW-RA
		916	ANT-916-PW-RA-ND	2.92	2.63	2.45	ANT-916-PW-RA
12	Planarantenne (SMT)	315	ANT-315-SP-ND	1.76	1.55	1.49	ANT-315-SP
		418	ANT-418-SP-ND	1.76	1.55	1.49	ANT-418-SP
		433	ANT-433-SP-ND	1.76	1.55	1.49	ANT-433-SP
		868	ANT-868-SP-ND	1.76	1.55	1.49	ANT-868-SP
		916	ANT-916-SP-ND	1.76	1.55	1.49	ANT-916-SP
13	JJB, permanent, Ultra-Miniatur	916	ANT-916-JJB-ST-ND	1.51	1.32	1.23	ANT-916-JJB-ST
14	JJB, permanent, Ultra-Miniatur	916	ANT-916-JJB-RA-ND	1.51	1.32	1.23	ANT-916-JJB-RA
15	Ultra-kompakte Chipantenne	2.45GHz	ANT-2.45-CHPCT-ND*	1.28	1.17	1.13	ANT-2.45-CHP
			ANT-2.45-CHPTR-ND†		2895.37/3,000		ANT-2.45-CHP
16	Spiralförmige Durchgangslochantenne	315	ANT-315-HETH-ND	.75	.64	.57	ANT-315-HETH
		418	ANT-418-HETH-ND	.75	.64	.57	ANT-418-HETH
		916	ANT-916-HETH-ND	.75	.64	.57	ANT-916-HETH
Evaluierungs-Kit für CHP-Antenne			AEK-2.45-CHP-ND	16.04	—	—	AEK-2.45-CHP

***** Gurtabschnitt † Gegurtet auf Rolle

Oberflächenmontierte Antennen

Serie MHW: Dieser Antennenstil ist eine kluge Lösung für einzigartige Bedürfnisse in schwierigen Umgebungen, wie z.B. in einem Fahrzeug. Zur Montage direkt auf nicht-leitende Innenflächen, z.B. Wandplatten, Fenster oder Rückspiegel vorgesehen. Diese kompakten Antennen lassen sich leicht verbergen und minimieren die Gefahr von Diebstahl.

Serie HDP: Bei der Serie HDP handelt es sich um kompakte, mitten-gespeiste Antennen, die in einem oder zwei Frequenzbändern effizient arbeiten. Das haltbare, unauffällige Gehäuse kann mit integriertem Klebstoff permanent an flachen, nicht-leitenden Flächen befestigt werden.

Serie VDP: Ähnlich wie die Serie HDP, aber das Kabel tritt von unten ein, um die vertikale Ausrichtung zu erleichtern. Die kompakte mitten-gespeiste Antenne erzielt effizienten Betrieb in einem oder allen drei Frequenzbändern. Kann mit integriertem Klebstoff permanent an flachen, nicht-leitenden Flächen befestigt werden.

Abb.	Beschreibung	Frequenz (MHz)	Digi-Key Teilenr.	Stückpreis 1	25	100	Antenna Factor Teilenr.
1	Kompakte mitten-gespeiste Dipole	418	ANT-418-MHW-RPS-S-ND	8.42	7.37	6.73	ANT-418-MHW-RPS-S
		433	ANT-433-MHW-RPS-S-ND	8.42	7.37	6.73	ANT-433-MHW-RPS-S
2	Dualband, Oberflächenmontage	860–960,1770–1880	ANT-DB1-HDP-RPS-ND	6.83	6.25	5.72	ANT-DB1-HDP-RPS
3	Triband, Oberflächenmontage	860–960,1770–1880, 2.4GHz	ANT-DB1-VDP-RPS-ND	8.20	7.18	6.30	ANT-DB1-VDP-RPS

Abb. 1

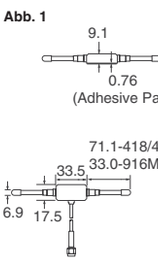

Abb. 2

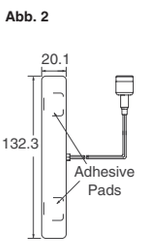

Abb. 3

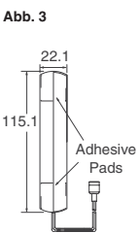

Niederfrequenz-Transponder 134,2 kHz

Abm. in mm

Abb.	Funktionalität	Speicher (Bits)	Speicher (Seiten)	Typ. Lesebereich (cm)	Betriebstemperatur (Lesen)	Betriebstemperatur (Programm)	Digi-Key Teilenr.	Stückpreis 1	25	100	Texas Instruments Teilenr.
1	Schreibgeschützt	64	1	≤ 60	-25°C ~ 70°C	—	481-1006-ND	3.30	2.04	1.80	RI-TRP-REHP-01
	Schreibgeschützt	64	1	≤ 60	-40°C ~ 85°C	—	481-1007-ND	6.95	4.76	4.21	RI-TRP-RRHP-06
	Lesen/Schreiben	80†	1	≤ 60	-40°C ~ 85°C	-40°C ~ 70°C	481-1008-ND	4.67	2.88	2.55	RI-TRP-WRHP-20
2	Schreibgeschützt	64	1	≤ 100	-25°C ~ 70°C	—	481-1000-ND	3.40	2.10	1.86	RI-TRP-RE2B-00
	Schreibgeschützt	64	1	≤ 100	-25°C ~ 85°C	—	481-1001-ND	4.37	2.69	2.38	RI-TRP-RR2B-20
	Lesen/Schreiben	80†	1	≤ 100	-25°C ~ 70°C	-25°C ~ 70°C	481-1002-ND	3.40	2.10	1.86	RI-TRP-WE2B-01
	Lesen/Schreiben	80†	1	≤ 100	-25°C ~ 85°C	-25°C ~ 70°C	481-1003-ND	4.80	2.96	2.62	RI-TRP-WR2B-20
	MPT	1360†	17 R/W	≤ 100	-25°C ~ 85°C	-25°C ~ 85°C	481-1004-ND	6.05	4.15	3.67	RI-TRP-DR2B
	SAMPT	1360†	17 R/W††	≤ 100	-25°C ~ 85°C	-25°C ~ 85°C	481-1005-ND	6.42	4.40	3.89	RI-TRP-IR2B-01
3	Schreibgeschützt	64	1	≤ 20	-40°C ~ 85°C	—	481-1009-ND	6.95	4.76	4.21	RI-TRP-R9WK-20
	Lesen/Schreiben	80†	1	≤ 20	-40°C ~ 85°C	-40°C ~ 70°C	481-1010-ND	4.52	2.79	2.47	RI-TRP-W9WK-03
4	Schreibgeschützt	64	1	≤ 60	-25°C ~ 85°C	—	481-1011-ND	5.66	3.27	3.09	RI-TRP-R9QL-00
	Lesen/Schreiben	80†	1	≤ 60	-25°C ~ 70°C	-25°C ~ 70°C	481-1012-ND	6.07	3.50	3.31	RI-TRP-W9QL-00
5	Schreibgeschützt	64	1	≤ 150	-25°C ~ 85°C	—	481-1013-ND	7.57	5.19	4.59	RI-TRP-R9UR
	Lesen/Schreiben	80†	1	≤ 150	-25°C ~ 70°C	-25°C ~ 70°C	481-1014-ND	8.08	5.54	4.90	RI-TRP-W9UR
6	Schreibgeschützt	64	1	≤ 200	-25°C ~ 85°C	—	481-1017-ND	9.70	6.28	5.89	RI-TRP-R9TD-16
	Lesen/Schreiben	80†	1	≤ 200	-25°C ~ 70°C	-25°C ~ 70°C	481-1018-ND	10.39	6.72	6.30	RI-TRP-W9TD-13
	MPT	1360†	17 R/W†	≤ 200	-25°C ~ 85°C	-25°C ~ 85°C	481-1019-ND	13.90	10.06	9.02	RI-TRP-D9TD
7	Schreibgeschützt	64	1	≤ 120	-25°C ~ 70°C	—	481-1015-ND◊	10.01	6.47	6.07	RI-TRP-R9VS-11
	Lesen/Schreiben	80†	1	≤ 120	-25°C ~ 70°C	-25°C ~ 70°C	481-1016-ND◊	9.58	6.93	6.21	RI-TRP-W9VS-11
8	Schreibgeschützt	64	1	≤ 100	-25°C ~ 50°C*	—	481-1020-ND	5.31	3.06	2.89	RI-TRP-R4FF-01
	Lesen/Schreiben	80†	1	≤ 100	-25°C ~ 50°C*	-25°C ~ 50°C*	481-1021-ND	5.66	3.27	3.09	RI-TRP-W4FF-01
9	Schreibgeschützt	64	1	≤ 60	-40°C ~ 85°C	—	481-1022-ND	6.10	3.52	3.32	RI-TRP-RFOB-01
	Lesen/Schreiben	80†	1	≤ 60	-40°C ~ 85°C	-40°C ~ 70°C	481-1023-ND	5.49	3.77	3.33	RI-TRP-WFOB-01

† Empfehlung: Teilen Sie, wie bei den TI-RFID LF-Lesern, jede 80-Bit-Seite in 64 benutzerprogrammierbare Bits plus ein 16 Bit breites CRC CCITT Block-Prüfzeichen.
†† 24 Bits wählbare Adressenbreite.
◊ 0 ~ 70 °C, wenn mit RI-STU-MB2A/MB6A oder RI-RFM-104B verwendet.
* Gemäß ISO 7810

Teilenr.	Vibration	
RI-TRP-RRHP, RI-TRP-WRHP, RI-TRP-RR2B, RI-TRP-WR2B, RI-TRP-DR2B, RI-TRP-IR2B, RI-TRP-REHP, RI-TRP-RE2B, RI-TRP-WE2B	IEC 68-2-6, Test Fc;	3 g 5-50 Hz, 2 Achsen, 24 Stunden pro Achse 20 g, 10-2.000 Hz, 2 Achsen, 2,5 Stunden pro Achse
RI-TRP-R9WK, RI-TRP-W9WK	IEC 68-2-6, Test Fc;	20 g, 10-500 Hz, 3 Achsen, 24 Stunden pro Achse
RI-TRP-R9QL, RI-TRP-W9QL	IEC 68-2-6, Test Fc;	25 g, 10-2.000 Hz, 3 Achsen, 7 Stöße pro Achse
RI-TRP-R9UR, RI-TRP-W9UR	IEC 68-2-6, Test Fc;	10 g, 20-500 Hz, 2 Achsen, 10 Zyklen pro Achse
RI-TRP-R9TD, RI-TRP-W9TD RI-TRP-D9TD	IEC 68-2-6, Test Fc;	20 g, 20-500 Hz, 2 Achsen, 10 Zyklen pro Achse
RI-TRP-R9VS, RI-TRP-W9VS	IEC 68-2-6, Test Fc;	20 g, 20-500 Hz, 3 Achsen, 10 Zyklen pro Achse

Abb. 1

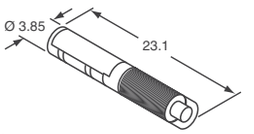

Gehäusematerial: Glas

Abb. 2

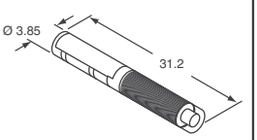

Gehäusematerial: Glas

Abb. 3

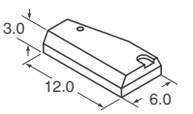

Gehäusematerial: Kunststoff, schwarz

Abb. 4

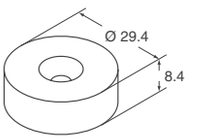

Gehäusematerial: Poly-Oxy-Methylen, schwarz

Abb. 5

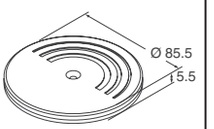

Gehäusematerial: Acrylatstyren-Arcylnitril, schwarz

Abb. 6

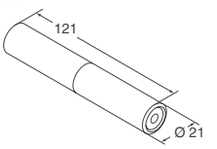

Gehäusematerial: Polyetherimid, schwarz

Abb. 7

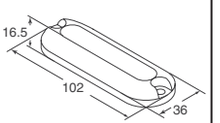

Gehäusematerial: Kunststoff/ Glaseinsatz (Transponder)

Abb. 8

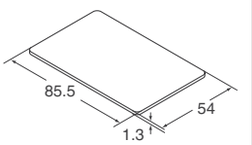

Gehäusematerial: Verstärktes Polyetherimid, schwarz

Abb. 9

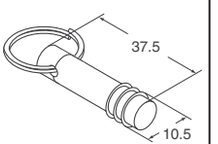

Gehäusematerial: Polypropylen, schwarz

HF-Transponder-Einlage, 13,56 MHz

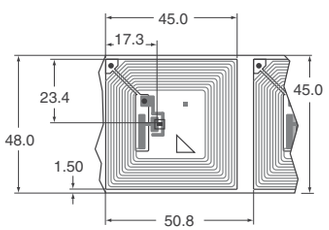

Quadratisch (Rund nicht abgebildet)

Quadratisch

Programmierungs-zyklen	Antennengröße Zoll (mm)	Betriebstemperatur	Lagertemperatur	Digi-Key Teilenr.	Stückpreis 1	25	100	Gegurtet auf Rolle‡ Preisangaben	Texas Instruments Teilenr.
100,000	1.7 x 1.7 (45 x 45) 1.7 x 2.9 (45 x 76)	-25°C ~ 70°C	-40°C ~ 40°C	481-1065-1-ND	1.31	.73	.60	2264.66/5,000	RI-I11-112A-03
				481-1066-1-ND	1.46	.73	.66	2501.70/5,000	RI-I02-112A-03
100,000	.89 x 1.5 (22.5 x 38)	-25°C ~ 70°C -25°C ~ 50°C	-40°C ~ 40°C	481-1067-1-ND	1.31	.73	.60	2264.66/5,000	RI-I03-112A-03
				481-1071-ND	3.00	1.85	1.64	—	RF-HDT-JMRB

Programmierungs-zyklen	Abmessungen (mm)	Gewicht (g)	Betriebstemperatur	Lagertemperatur	Digi-Key Teilenr.	Stückpreis 1	25	100	Texas Instruments Teilenr.
100,000	85.6 x 54 x 0.76	5	-25°C ~ 50°C	-25°C ~ 50°C	481-1072-ND	3.05	1.88	1.66	RI-TH1-CB1A-00
					481-1068-ND	3.25	2.01	1.77	RI-TH1-CB2A-00
					481-1069-ND	3.43	2.12	1.87	RI-TH1-CB3A-00
	54 x 28 x 1.7 ± 0.3	3.7	-25°C ~ 50°C	-25°C ~ 50°C	481-1070-ND	4.57	2.82	2.49	RF-HDT-KMAB-C1

Rundstecker

Programmierungs-zyklen	Antennengröße Zoll (mm)	Betriebstemperatur	Lagertemperatur	Digi-Key Teilenr.	Stückpreis 1	25	100	Gegurtet auf Rolle‡ Preisangaben	Texas Instruments Teilenr.
100,000	24.2 (0.95)	-25°C ~ 70°C	-40°C ~ 40°C	481-1073-1-ND	1.31	.73	.60	2264.66/5,000	RI-I16-112A-03
				481-1074-1-ND	1.31	.73	.60	2264.66/5,000	RI-I17-112A-03

‡ Für Gegurtet auf Rolle die Teilenr. 1-ND in 2-ND umändern.

Verkapselter Transponder 13,56 MHz

Gestattet fortgeschrittene Lösungen für anspruchsvolle Versorgungsketten-Management-Anwendungen, wie z. B. beim Verfolgen von Gegenständen in Wäschereien. Ein stabiler Transponder, der auch in rauen Umgebungen guten Dienst leistet.

Spezifikationen:

• **Typische Programmierzyklen (@ 25 °C):** 100.000 • **Datenhaltezeit (@ 25 °C):** 10 Jahre • **Abmessungen:** 22 ±0,2 mm x 3 ±0,2 mm • **Gewicht:** 1,6 g ±0,3 g • **Gehäusematerial:** PPS, schwarz • **Schutzklasse:** IP 68 • **Betriebstemperatur:** -25 °C ~ 90 °C

481-1062-ND (Texas Instruments # RF-HDT-DVBB-N0) **2.79**

Transponder-Isolierfolie

Dieser Silikonüberzug kann zum Schutz eines 32 mm x 3,85 mm großen Glases dienen. Transponder für stoßintensive Anwendungen, wie Timing im Sport, Key-fobs und Fahrzeug-Verfolgung.

Spezifikationen:

• **Verwendbar für:** TI-RFid-Glastransponder, 32 mm • **Material:** Silikon • **Farbe:** Transparent • **Betriebstemperatur:** -40 °C ~ 85 °C • **Abmessung:** Durchmesser 6 mm ± 0,2 mm x 35 ± 1 mm

481-1024-ND (Texas Instruments # RI-ACC-SHT3-00) (1.000 s) **63.47**

Alle Preisangaben in Euro und inklusive Zollgebühren.

HF-Antenne
13,56 MHz

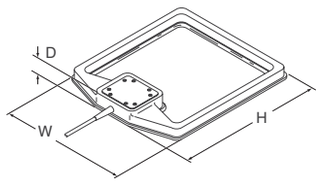

Serie 6000 Gate-Antenne

Dies ist eine Einzelschleifen-Transmitter/Empfänger-Antenne mit voreingestellter Anpasselektronik für eine Transmitterfrequenz von 13,56 MHz.

Spezifikationen: • **Impedanz:** 50 Ω ± 10 Ω • **Steckverbinder:** SMA-Stift (50 Ω) • **Kabel:** Typ: RG58; Länge: 3,6 m ± 0,1 m

Betriebstemp.	Abmessungen (H x B x T) (mm)	Max. RF-Leistung	Digi-Key Teilenr.	Stückpreis	Texas Instruments Teilenr.
-25°C~65°C	94 x 94 x 57	10W	481-1053-ND	198.50	RR-IDSC-ANT-PS-A
-25°C~55°C	94 x 94 x 57	10W	481-1059-ND	173.00	RR-IDISC-ANT-T-A
-25°C~55°C	337 x 322 x 38	8W	481-1051-ND	372.40	RI-ANT-T01A-00
-25°C~65°C	851 x 620 x 38	10W	481-1057-ND	1096.19	RR-IDISC-ANT8-6-A
-25°C~55°C	851 x 620 x 38	10W	481-1058-ND	1135.88	RR-IDISC-ANT8-6-B

LF-Antennen,
134,2 kHz
Serie 2000

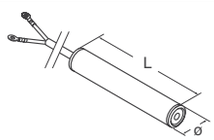

Stabantennen

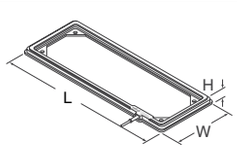

Gate-Antennen

Induktivität	Betriebstemp.	Abm. (mm) L x B x H	Kabel-länge	Digi-Key Teilenr.	Stückpreis	Texas Instruments Teilenr.
Stabantennen						
27µH @ 134.2KHz	-30 ~ 70°C	140 x ø21	1m	481-1040-ND	69.80	RI-ANT-S01C-00
27µH @ 134.2KHz	-30 ~ 70°C	140 x ø21	3m	481-1041-ND	74.05	RI-ANT-S02C-00
116uH @ 134.2KHz	-30 ~ 70°C	133 x ø21.3	0.1m	481-1042-ND†	69.80	RI-ANT-P02A-00
Gate-Antennen						
27µH @ 134.2KHz	-30 ~ 60°C	200 x 200 x 25	1m	481-1043-ND	108.91	RI-ANT-G02E
27µH @ 134.2KHz	-30 ~ 60°C	715 x 270 x 25	1m	481-1044-ND	125.42	RI-ANT-G01E
26µH @ 134.2KHz	-30 ~ 60°C	1018 x 518 x 47	—	481-1045-ND	171.43	RI-ANT-G04E

† Empfohlene für Serie RI-RFM-003B

HF-Antenne 13,56 MHz

Die elegante Pad-Antenne eignet sich perfekt für Desk-Anwendungen mit einem Lesebereich von bis zu 30 cm. Datei- und Dokumentverfolgung sowie Registrierung von Mietgegenständen während der Ausgabe und Rückgabe sind nur zwei von vielen möglichen Anwendungen.

Spezifikationen: • **Maximale RF-Leistung:** 1 W • **Steckverbinder:** SMA-Stift (50 Ω) • **Betriebstemperatur:** 0 °C ~ 55 °C • **Abmessungen:** 337 mm x 237 mm x 8,3 mm

481-1056-ND (Texas Instruments # RR-IDISC-ANT34-24) **164.33**

Leser/Module

Serie 2000 LF Micro Reader

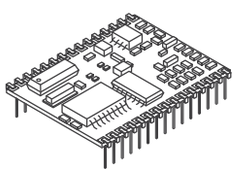

Der Micro Reader der Serie 2000 ist ein intelligentes Modul, das alle RF- und Steuerfunktionen liefert, die zur Kommunikation mit 134,2 kHz HDX/FSK Transpondern und einer Host-Anwendung notwendig sind. Es ist als eine 30-Pin Dual-Inline-Karte konzipiert. Der Micro Reader der Serie 2000 ist mit einer seriellen Kommunikationsschnittstelle ausgestattet und arbeitet zusammen mit einer 47 µH Low-Q-Antenne, wodurch kein Tuning des Systems auf Resonanz notwendig ist.

SPEZIFIKATIONEN: • **Betriebstemperatur:** -20 °C ~ 50 °C • **RF-Sendefrequenz:** 134,2 kHz • **Stromversorgung:** 5 V DC, geregelt bei 100 mA • **Kommunikationsschnittstelle:** Serielle Kommunikations-schnittstelle (SCI) • **Antenne:** 47 µH • **Transponder-Typen:** 134,2 kHz HDX/FSK • **Abmessungen (mm):** 38,3 x 29,3 x 13,5

481-1029-ND (Texas Instruments # RI-STU-MRD1) **60.51**

Serie 2000 LF-Leser

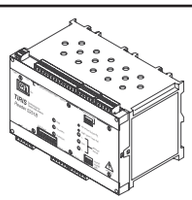

The Series 2000 Standard Reader provides all RF and control functions to communicate with 134.2KHz HDX/FSK transponders. It sends an energizing signal to the transponder, modulates the RF signal to send data to the transponder, decodes and checks the received transponder data and transmits it via a standard serial interface (RS232 or RS422/485). The reader includes a Dynamic Auto Tuning (DAT) function that automatically tunes a standard antenna to resonance and keeps it tuned during operation.

SPEZIFIKATIONEN: • **Betriebstemperatur:** -20°C ~ 70°C • **RF-Sendefrequenz:** 134.2KHz • **Stromversorgung:** 10~24 VDC, geregelt • **Kommunikationsschnittstelle:** RS232, RS422/485 • **Antennen-Tuning-Bereich:** 26~27.9µH (Dynamic Auto Tuning) • **Transponder-Typen:** 134.2KHz HDX/FSK • **Abmessungen (mm):** 200 x 120 x 120

481-1028-ND (Texas Instruments # RI-STU-251B-01) **567.54**

Series 2000 LF Standard Reader

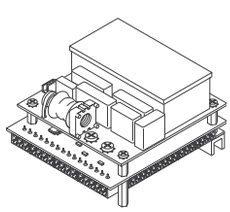

Der Standardleser der Serie 2000 bietet alle RF- und Steuerfunktionen, die zur Kommunikation mit 134,2 kHz HDX/FSK Transpondern notwendig sind. Er sendet ein aktivierendes Signal an den Transponder, moduliert das RF-Signal zum Senden von Daten an den Transponder, dekodiert und prüft die empfangenen Transponderdaten und überträgt diese über eine standardmäßige serielle Schnittstelle (RS232, RS422/485).

SPEZIFIKATIONEN: • **Betriebstemperatur:** 0 °C ~ 70 °C • **RF-Sendefrequenz:** 134,2 kHz • **Stromversorgung:** 7 ~ 14 V DC, geregelt • **Kommuni- kationsschnittstelle:** RS232 (RI-STU-MB2A-03), RS422/485 (RI-STU-MB6A-02) • **Antennen-Tuning-Bereich:** 26 ~ 27,9 µH • **Transponder-Typen:** 134,2 kHz HDX/FSK • **Abmessungen (mm):** 92 x 82 x 59

481-1026-ND (Texas Instruments # RI-STU-MB2A-03) RS232 ..... **394.80**
481-1027-ND (Texas Instruments # RI-STU-MB6A-02) RS422/485 ..... **394.80**

Serie 2000 LF Steuermodul

Das Steuermodul der Serie 2000 dient als Schnittstelle zwischen dem TI-RFid Radiofrequenzmodul RI-RFM-104B, RI-RFM-007B oder RI-RM-008B und dem Host. Es dekodiert die empfangenen RF-Signale in die Transponder-Identifizierungsnummer, prüft die Gültigkeit und konvertiert sie in ein standardmäßiges serielles Schnittstellenprotokoll. Es kann ferner bis zu 909 Lesetransaktionen im Puffer speichern und bietet zwei verschiedene serielle Schnittstellen, RI-CTL-MB2A für Point-to-Point-Kommunikation über eine RS232-Schnittstelle und RI-CTL-MB6A für Point-to Multipoint-Kommunikation über eine RS422/485-Schnittstelle. Es hat zwei offene Kollektorausgänge und acht konfigurierbare digitale Eingänge/Ausgänge, die vom Benutzer definiert werden können.

SPEZIFIKATIONEN: • **Betriebstemperatur:** 0 °C ~ 70 °C • **Stromversorgung:** 7 ~ 25 V DC, geregelt • **Kommunikationsschnittstelle:** RS232 (RI-CTL-MB2A-02), RS422/485 (RI-CTL-MB6A-02) • **Abmessungen (mm):** 93 x 82 x 33

481-1035-ND (Texas Instruments # RI-CTL-MB2A-03) RS232 ..... **192.61**
481-1036-ND (Texas Instruments # RI-CTL-MB6A-03) RS422/485 ..... **192.61**

Hochleistungs-LF-Radiofrequenz-Module

MERKMALE: • **Gleichtakt:** Variabler Stromversorgungsbereich - Synchronisierungssteuerung in Multi-Leser-Arrays - hohe Ausgangsleistung • **Standard-RFM:** (RI-RFM-007B-00) Kapazitives Tuning auf Resonanz - Unterstützt Antennenkabellängen bis zu 10 m (je nach Antennendesign) • **Fern-Antennen-RFM:** (RI-RFM-008B-00) Unterstützt Antennenkabellängen von bis zu 120 m - Kapazitives und induktives Tuning auf Resonanz

SPEZIFIKATIONEN: • **Betriebstemperatur:** -25 °C ~ 70°C • **Stromversorgung:** 7 V ~ 24 V DC geregelt (wenn geschaltete Stromversorgung verwendet wird, muss die Frequenz >200 kHz sein) • **RF-Transmitterleistung:** Von Impulsbreite bestimmt, um PTT/FCC-Vorschriften zu erfüllen • **RF-Übertragungsfrequenz:** 134,2 kHz • **Antennen-Tuning-Bereich:** 26 ~ 27,9 µH (8 ~ 80 µH inklusive Kabel für RI-ACC-008B-00) • **Abmessungen (mm):** 89 x 93 x 44 (115 x 70 x 27 für RI-ACC-008B-00) • **EMPFOHLENES ZUBEHÖR:** Digitales Lesermodul RI-CTL-010A (für RI-RFM-007B-00 und RI-RFM-008B-00) Antennen-Tuning-Modul RI-ACC-008B (für RI-RFM-008B-00)

481-1032-ND (Texas Instruments # RI-RFM-007B-00) Standard-RFM **236.13**
481-1033-ND (Texas Instruments # RI-RFM-008B-00) Fern-Antennen-RFM **202.40**
481-1034-ND (Texas Instruments # RI-ACC-008B-00) Antennen-Tuning-Modul **75.43**

Serie 2000 LF 4-Kanal-TX/RX Multiplexer-Modul

Das 4-Kanal-TX/RX Multiplexer-Modul der Serie 2000 gestattet die Verwendung von bis zu vier Transmitter/Empfängerantennen, die über eine Fernantennen-Tuning-Karte (RI-ACC-008B) mit einem Fernantennen-Funkfrequenzmodul (Ri-RFM-008B) verbunden sind. Die aktive Antenne (TX/RX-Kanal) wird von einem Controller über zwei digitale Eingangssignale ausgewählt.

SPEZIFIKATIONEN: • **Betriebstemperatur:** -25 °C ~ 70°C • **RF-Sendefrequenz:** 134,2 kHz • **Stromversorgung:** 10 ~ 24 V DC • **Abmessungen (mm):** 136 x 90 x 31

481-1037-ND (Texas Instruments # RI-MOD-TX8A-00) **139.87**

Serie 2000 LF Mini-RF-Modul

Das Mini-RF-Modul ist die Schnittstelle zwischen einem 134,2 kHz HDX/FSK Transponder und der Datenverarbeitungseinheit. Es sendet ein aktivierendes Signal an den Transponder, moduliert das RF-Signal zum Senden von Daten an den Transponder, empfängt das Identifizierungssignal und verarbeitet es für digitale Dekodierung. Durch die kleine Größe und die niedrige Versorgungsspannung eignet sich das Mini-RF-Modul hervorragend für tragbare Lese/Schreib-Einheiten.

SPEZIFIKATIONEN: • **Betriebstemperatur:** 0 °C ~ 50 °C • **Betriebsfrequenz:** 134,2 kHz • **Stromversorgung:** 4,5 ~ 6 V DC, geregelt: max. 1,2 A • **Antenne: Induktivität:** 115 ~ 117 µH • **Empfohlene Antenne:** RI-ANT-P02A • **Abmessungen (mm):** 60,2 x 55,1 x 11,5

481-1030-ND (Texas Instruments # RI-RFM-003B-00) **135.96**

Serie 2000 LF Antennen-Tuning-Anzeige

Mit der Antennen-Tuning-Anzeige ist das Resonanz-Tuning für das TI-RFid Standard-RFM und das Hochleistungs-RFM einfach. LEDs zeigen an, in welche Richtung der Tuning-Kern gedreht werden muss (RI-RFM-104B) oder ob Tuning-Kapazität ergänzt oder reduziert werden muss (RI-RFM-007B), um eine angeschlossene Antenne auf Resonanz feinzustellen.

SPEZIFIKATIONEN: • **Betriebsfrequenz:** 134,2 kHz • **Resonanz-Tuning-Genauigkeit (grüne LED ein):** ±600 Hz • **Betrieb mit RF-Modulen:** RI-RFM-104B, RI-RFM-007B • **Betrieb mit Leser:** RI-STU-MB2A, RI-STU-MB6A • **Betriebstemperatur:** 0 °C ~ 50 °C • **Abmessungen: Gehäuse (mm):** 72 x 50 x 26, Kabellänge (mm): 235 ±5

481-1025-ND (Texas Instruments # RI-ACC-ATI2-00) **75.99**

HF 8X Antennen-Multiplexer

Der 8-malige Multiplexer erleichtert das Umschalten zwischen RFid-Antennen mit einer Betriebsfrequenz von 13,56 MHz. Mit einem Multiplexer können mehrere Einzelantennen und Gate-Lösungen (vorhandene Basis- und zusätzliche Antennen) mit nur einem Leser betrieben werden. Jeder der acht Multiplexer-Ausgänge kann durch Brückenanpassung den beiden Eingängen zugeordnet werden. Der Multiplexer wird über einen digitalen Eingang oder das am Leser angeschlossene Antennenkabel gesteuert.

SPEZIFIKATIONEN: • **Betriebstemperatur:** -25 °C ~ 65 °C • **Betriebsfrequenz:** 13,56 MHz • **Stromversorgung:** 12 ~ 24 V DC • **Max. zulässige Schaltkapazität:** 10 W • **RF-Verbindungen:** 2x Eingang/8x Ausgang SMA-Sockel (50 Ω) • **Abmessungen (mm):** 182 x 110 x 90

481-1054-ND (Texas Instruments # RR-IDISC-ANTMUX-A) **1304.86**

HF-Antennen-Tuning-Karte, manuell

Die Tuning-Karte ist ein manuell verstellbarer Entsprechungskreis für den Bau von benutzerspezifischen Antennen mit einer Sendefrequenz von 13,56 MHz und einer Eingangsimpedanz von 50 Ω. Zusammen mit einem Antennenleiter (z.B. Schirm eines RF213-Kabels) ist es einfach, Antennen verschiedener Größen und Formen zu konstruieren. Die Antennen werden mithilfe von Brücken und Trimmern eingestellt, nachdem der Antennenleiter installiert wurde. Anschließend muss diese Antenne ständig auf ihre Umgebungsbedingungen abgestimmt werden. Wird die Antenne nach dem Tuning an einen anderen Ort mit anderen Umgebungsbedingungen bewegt, muss sie u.U. erneut kalibriert werden.

SPEZIFIKATIONEN: • **Betriebstemperatur:** -25 °C ~ 55 °C • **Betriebsfrequenz:** 13,56 MHz • **Antennenimpedanz:** 50 Ω • **Q:** 10 ~ 30 • **Induktivitäts-Kalibrierbereich:** 0,6 ~ 2,5 µH • **Abmessungen (mm):** 90 x 80 x 20

481-1060-ND (Texas Instruments # RR-IDISC-MAT-A) **195.40**

S4100 Multifunktionslesermodul

Der RFid S4100 Multifunktionsleser von Texas Instruments kommuniziert mit Transpondern und Nähe/Proximitätskarten, die ISO/IEC 14443 A/B und ISO/IEC 15693 erfüllen. Er unterstützt auch Texas Instruments' Niedrigfrequenz-DST, schreibgeschützte und Lese/Schreib-Transponder bei 134,2 kHz, zusammen mit Tag-it HF-Transpondern bei 13,56 MHz. Dies geschieht über dedizierte RF-Analog-Front-End (AFE)-Abschnitte, die von einem leistungsstarken 8-Bit Advanced RISC Mikrocontroller mit einer Harvard-Architektur, Onboard-FLASH, EEPROM und SRAM gesteuert werden. Die Leistung und Flexibilität dieser Plattform bietet eine skalierbare Lösung, die an eine große Auswahl von Anwendungen angepasst werden kann.

MERKMALE: • USART für E/A-Kommunikation • 3 Mehrzweck-E/A-Leitungen • Doppelfrequenzbetrieb: 134,4 kHz und 13,56 MHz • Multi-Protokoll: TI RFid LF Produkte, TI RFid HF Tag-It, ISO 15693, ISO 14443 A/B • Benutzerspezifische Firmware kann heruntergeladen werden • Skalierbarkeit/modulare Architektur • Einschalt-Rückstellbetrieb • Aufrüstbare Firmware

SPEZIFIKATIONEN: • **Transmitter-Leistung (HF):** 200 mW • **Transmitter-Spitzenstrom (LF):** 1,1 A Spitze • **Antennenimpedanz (HF):** 50 Ω @ 13,56 MHz • **Antennenimpedanz (LF):** 440 µH (ca.) • **Abmessungen:** 69 mm x 38 mm x 10 mm • **Versorgungsspannung:** min. 4,5 V; max. 5,5 V • **Betriebstemperatur:** -20 °C ~ 70 °C • Das optionale Schnittstellenkabel ist das HF-06U-12-ND und der entsprechende Steckverbinder ist WM5701CT-ND

481-1052-ND (Texas Instruments # RF-MGR -MNMN-N3) **75.06**

Serie 6350 HF-Mittelbereich-Lesermodul

SPEZIFIKATIONEN: • **Betriebsfrequenz:** 13,56 MHz • **Unterstützte Transponder:** Tag-it™ HF, Tag-it™ HF-I und Transponder gemäß ISO 15693 • **Versorgungsspannung:** 5 V DC • **Transmitter-Leistung:** 120 mW in 50 Ω • **Antennenanschluss:** 2-Pin oder 16-Pin Header-Steckverbinder • **Antennenimpedanz:** 50 Ω @ 13,56 MHz • **Kommunikationsschnittstelle:** RS232 • **Betriebstemp.:** -20 °C ~ 70 °C • **Abmessungen (mm):** 109,22 x 68,58 x 10,2

481-1048-ND (Texas Instruments # RI-STU-TRDC-02) **94.41**

(Forts.)

B

Serie 6550 HF-Fernbereich-Leser (im Gehäuse)

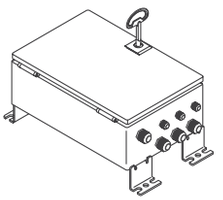

SPEZIFIKATIONEN:

• Betriebsfrequenz: 13,56 MHz **• Unterstützte Transponder:** Tag-it™ HF, Tag-it™ HF-I, Transponder gemäß ISO 15693 **•Stromversorgung:** 100-120 V/60 Hz oder 220-240 V/50 Hz **•Transmitter-Leistung:** 0,5 W bis 10 W ± 1dB **• Antennenverbindung:** 2 x SMA-Buchse **• Antennenimpedanz:** 50 Ω @ 13,56 MHz **• Komm-unikationsschnittstellen:** RS232 oder RS485 **• Betrie-bstemperatur:** -20 °C ~ 55 °C **• Abmessungen (mm):** 300 x 200 x 160

481-1050-ND (Texas Instruments # RI-STU-655A) **1727.19**

Serie 6500 HF-Fernbereich-Lesermodul

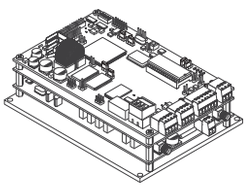

SPEZIFIKATIONEN:

• Betriebsfrequenz: 13,56 MHz **• Unterstützte Transponder:** Tag-it™ HF, Tag-it™ HF-I, ISO 15693 konforme Transponder **• Betriebsspannung:** 24 V DC **• Transmitter-Leistung:** 0,5 W bis 10 W ± 1dB **• Antennenverbindung:** 2 x SMA-Buchse **• Antennenimpedanz:** 50 Ω @ 13,56 MHz **• Kommunikationsschnittstellen:** RS232 oder RS485 **• Betriebstemperatur:** -20 °C ~ 65 °C **• Abmessungen (mm):** 160 x 120 x 67

481-1049-ND (Texas Instruments # RI-STU-650A-00) **1310.28**

Serie 6700 HF Multi-Protokoll-Transceiver-IC

Die S6700 Multiprotokoll-Transceiver-IC aktiviert eine breite Palette von 13,56 MHz RFid Interrogator Designs für tragbare und stationäre Leser. Dieser Baustein verwendet wenig Strom und unterstützt mehrere RF-Kommunikationsprotokolle, wodurch die Onboard-Stromanforderungen minimiert und die Teilezahl in einem endgültigen Leserprodukt verringert wird.

SPEZIFIKATIONEN:

• Betriebsfrequenz: 13,56 MHz **• Unterstützte RF-Kommunikationsprotokolle:** Tag-it™ HF, ISO 15693-2 und ISO 14443-2 **• Betriebsspannungsbereich:** 3,3 V ~ 5 V DC **• Transmitter-Leistung:** 200 mW @ 5 V DC **• Antennenimpedanz:** 50 Ω @ 13,56 MHz **• Kommunikationsschnittstelle:** Serielle Schnittstelle **• Betriebstemperatur:** -40 °C ~ 85 °C **• Paket:** SSOP 20

481-1046-ND (Texas Instruments # RI-R6C-001A-03) **8.30**

Mittelbereichleser

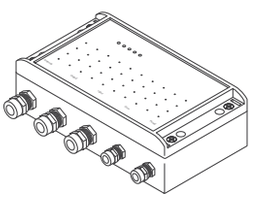

Dieser Leser befindet sich in einem Aluminiumgehäuse der Schutzklasse IP54 und ist somit gegen Staub, Schmutz und Spritzwasser geschützt. Übertragungsleistung von 1,7 W und Lesebereiche von bis zu 70 cm. Der Leser verfügt über mehrere E/A und serielle RS232- und RS485-Schnittstellen, die mittels Software angepasst werden können.

SPEZIFIKATIONEN:

• Betriebsfrequenz: 13,56 MHz **• Abmessungen (L x B x H):** 200 x 110 x 60 mm **• Antennenanschluss:** SMA-Stecker (50 Ω) **• Ausgänge:** 2 Optokoppler, 24 V DC/30 mA; 1 Relais, 24 V DC/2 A **• Eingänge:** 2 Optokoppler, max. 24 V DC/20 mA **• Schnittstellen:** RS232 und RS485 (einstellbar) **• Signalgenerator:** 5 LED **• Betriebstemperatur:** -20 °C ~ 60 °C **• Lagertemperatur:** -25 °C - 85 °C

481-1064-ND (Texas Instruments # RR-IDISC.MR200-A) **1223.33**

I-Scan Leser, Handformat

Der Multi-Tag-Leser im Handformat dient zur Identifizierung von Smart-Labels in den Anwendungsbereichen Einzelhandel, Industrie und Logistik. Er liest Smart-Labels anhand einer Betriebsfrequenz von 13,56 MHz.

MERKMALE: • Antikollisionsfunktion

SPEZIFIKATIONEN:

• Gehäuse: Kunststoff **• Abmessungen (L x B x H):** 231 x 80 x 100 mm **• Schutzklasse:** IP30 **• Betriebstemperaturbereich:** 0 °C ~ 50 °C **• Leseabstand:** 18 cm **• Schnittstelle:** USB

481-1075-ND (Texas Instruments # RR-IDISC-PRH1USB) **295.51**

S4100 Multifunktionsleser-Evaluierungskit

Mit dem Kit können die Benutzer die MFR-Serie und ihre Funktionen in einer PC-basierten Umgebung erleben. Die Grundanwendung lässt den Benutzer Standard-Lese/Schreib/Sperrbefehle ausführen und mit Antikollisions- und Multi-Technologie-Umgebungen experimentieren. Mit standardmäßigen seriellen RS232- und RS485-E/A-Ports stellt der S4100 MFR eine Plug-and-Play-Lösung dar, die sich ideal für Logikzugangsanwendungen sowie Finanzen-, Ticket-, Loyalitäts-, Zugangssteuerung usw. eignet. Das Kit umfasst Plattform-unabhängige Software API, was die Entwicklung von PC-basierter Software erleichtert. Diese API ist kreuz-kompatibel mit anderen HF-Lesern im TI-Portfolio, einschließlich des S6500 Long-Range Reader und des S6350 Mid-Range Reader.

MERKMALE:

• Doppelfrequenz: 134,2 kHz und 13,56 MHz **• Multi-Protokoll:** TI RFID LF Produkte, TI RFID HF Tag-It, ISO 15693, ISO 14443 A/B **• 2 Serielle E/A-Ports:** RS232, RS-485 • Software-Entwicklungs-API inbegriffen **• Versorgungsspannung:** 9 V DC **KITINHALT:** • MFR-basierender Leser in Gehäuse • Universal-Netzteil • Globale Netzadapter • RS232-Kommunikationskabel • Beispiels-HF- und LF-Transponder • Ersatz-MFR-Modul • Software-Ressourcen-CD: Demo-Software, Software-Entwicklungs-API, Referenzhandbücher, zusätzliche Ressourcen • „Getting Started" - Einführungshandbuch.

481-1061-ND (Texas Instruments #RF-MFR-RNLK-00) **529.13**

LF Basisstation IC

Die LF-Basisstation gestattet die effiziente Entwicklung und Produktion von RFID-Lesern für Fahrzeugsperrvorrichtungen. Diese Basisstation-IC treibt die Antenne eines TI-RFID Transpondersystems, um auf dem Antennensignal modulierte Daten zu senden und die Antwort vom Transponder zu erkennen und demodulieren. Er minimiert auch die Anzahl der externen Bausteine.

MERKMALE:

• Passt sich selbst an Transponder mit einer Resonanzfrequenz von 129 kHz - 140 kHz an • Leistungsmanagement für 5 V-Betrieb • Überstromschutz des Antennentreibers **SPEZIFIKATIONEN: • Betriebsfrequenz:** 134,2 kHz, FSK, typ. **• Betriebsspannung:** 4,5 - 5,5 V DC **• Betriebstemperatur:** -40 °C ~ 85 °C **• Paket/Pin-Zahl:** SO16 (10 x 6 mm)

Digi-Key Teilenr.	Gurtabschnittspreis pro Stück 1	25	100	Digi-Key Teilenr.	T&R Pricing* 2.500	Texas Instruments Teilenr.
481-1063-1-ND	6.43	4.41	3.90	481-1063-2-ND	3294.97/M	RI-TMS3705ADR

* Preisangaben für Gegurtet auf Rolle

LF RFID Evaluierungskit

Dieses Niedrigfrequenz-Evaluierungskit (134,2 kHz) umfasst den Standard-Leser der Serie 2000 mit RS232-Schnittstelle, eine Stabantenne, eine Vielzahl von Transponderpaketen für Schreibgeschützt/Lesen u. Schreiben, mehrseitige oder wahlweise adressierbare Anwendungen, plus Demo-Software, die auf einem Desktop-Computer ausgeführt wird, um das Experimentieren mit allen Funktionen des RFID-Systems zu ermöglichen.

INHALT:

• S2000 Leser mit RS232-Schnittstelle • Stabantenne • Transponder-Satz bestehend aus R/O-, R/W-, M/P-Transpondern in verschiedenen Paketen • PC-Schnittstellenkabel • CD mit Bedieneranleitung und Demo-Software • „Getting Started" - Einführungshandbuch • 9 V Stromversorgung: Eingang 100 V-240 V, 1,5 A mit verschiedenen Hauptstromsteckverbindern für internationale Verwendung

481-1038-ND (Texas Instruments # RI-K2A-001A-01) **503.73**

HF-I Mittelbereich-Evaluierungskit

Das leicht zu verwendende Kit ermöglicht das Erforschen der Funktionen der Texas Instruments Tag-It™ 13,56 MHz Radiofrequenz-Identifizierungstechnologie (RFID) sowie anderer ISO 15693-kompatibler „Tags". Der Kern dieses HF-Evaluierungskits besteht aus der CE- und FCC-genehmigten Mittelbereich-Leserkarte. In das Kunststoffgehäuse sind eine Antenne und eine RS232-Schnittstellenkarte integriert. Ein Tag-It™ Transponder-Sortiment und Demonstrations-Software, die auf einem Desktop-Computer ausgeführt werden kann, ermöglichen das Experimentieren mit allen Funktionen des RFID-Systems.

INHALT:

• S6350 Midrange Reader RI-STU-TRDC mit integrierter RS232-Schnittstellenkarte und Antenne • Antenne • 9-Pin D-Sub-Kabel (Stift-Buchse-Steckverbinder) • Tag-It™ Transponder-Sortiment • CD mit Bedieneranleitung und Demo-Software • „Getting Started" - Einführungshandbuch • 9 V Stromversorgung: Eingang 100 V-240 V, 1,5 A mit verschiedenen Hauptstromsteckverbindern für internationale Verwendung

481-1047-ND (Texas Instruments # RI-K10-001A-00) **534.84**

LF Micro-Evaluierungskit

Das leicht zu verwendende Kit ermöglicht das Erforschen der Funktionen der 134,2 kHz Radio Frequency Identification (RFID) Technologie TIRIS™ von Texas Instruments. Der Kern dieses LF Evaluierungskits besteht aus dem CE- und FCC-genehmigten Micro Reader der Serie 2000, der auf einer Schnittstellenkarte montiert und mit einer Antenne kombiniert ist. Verschiedene Transponder-Beispiele und eine Demo-Software, die auf einem Desktop-Computer ausgeführt werden kann, ermöglichen das Experimentieren mit allen Funktionen des RFID-Systems.

INHALT:

• S2000 Micro Reader RI-STU-MRD1 montiert auf einer Schnittstellenkarte mit RS232 IF-Port, Stromsteckverbinder und Antennensteckverbinder • Antenne • 9-Pin D-Sub-Kabel (Stift-Buchse-Steckverbinder) • Verschiedene Transponder-Muster • CD mit Bedieneranleitung und Demo-Software • „Getting Started" - Einführungshandbuch • 9 V Stromversorgung: Eingang 100 V-240 V, 1,5 A mit verschiedenen Hauptstromsteckverbindern für internationale Verwendung

481-1039-ND (Texas Instruments # RI-K3A-001A-00) **240.68**

RF-Kodierer/ Dekodierer Chipsatz

Die RF-Lösungen RF600E und RF600D bestehen aus einfach zu verwendenden Kodierer- und Dekodierer-Schaltkreisen. Sie wurden zur Erzielung eines maximalen Bereichs von einem beliebigen Funk/InfraRed-Transmitter/Empfänger-Satz entwickelt. Im Gegensatz zu anderen Kodierer/Dekodierer-Bausteinen bietet der RF600E/600D unvergleichliche Sicherheit, wodurch ein Kopieren oder Greifen verhindert wird, während gleichzeitig ein optimaler Bereich vom Transmitter und Empfänger erzielt wird.

Merkmale: Merkmale: Hochsicheres KEELOQ® -Protokoll • Leicht zu bedienen • Unabhängiger Betrieb • Erzielt Höchstbereich von RF-Modulen • Serieller Ausgang, Dekodierer • LED-Anzeige der Übertragung • Direkt kompatibel mit KEELOQ® -Dekodierer • Leichte Lernfunktion der Transmitter

RF600D-ND Empfänger-/Dekodierer 18-DIP **5.16**
RF600E-ND Transmitter/Kodierer 8-DIP **2.42**

RF-Messgerät, Handformat

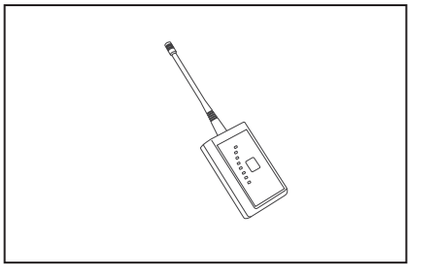

Ein Mini-RF-Messgerät zur Anzeige eines vorhandenen Radiosignals. Kurz auf den Netzschalter drücken, dann zeigt die LED-Balkengrafik die RF-Aktivität in der örtlichen Umgebung an. Das Spitzensignal wird 1 Sekunde lang festgehalten. Dies ist bei der Installation einer Funkanlage äußerst nützlich, wenn ermittelt werden muss, ob andere RF-Signale vorhanden sind (Störung), und zur Validierung der Signalstärke des zu installierenden Funk-Transmitters.

006-315R1-ND RF-Messgerät 315 MHz, Handformat **67.75**
006-433R2-ND RF-Messgerät 433 MHz, Handformat **67.75**

Drahtlose Kommunikation

Abb. 1	Abb. 2	Abb. 3	Abb. 4
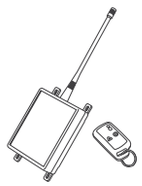		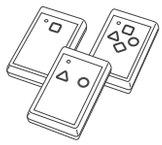	

Abb.	Beschreibung	Frequ. (MHz)	Digi-Key Teilenr.	Stückpreis
	Fernsteuerungen			
	AM-Keyfob-Systeme			
1	1-Kanal-System, 12/24 V DC	315	118C1-315AR1-ND	64.55
	3-Kanal-System, 12/24 V DC	315	118C3-315AR1-ND	65.48
2	AM-Keyfob-Transmitter, 1 Taste	315	AM110C1-315-ND	14.18
	AM-Keyfob-Transmitter, 2 Tasten	315	AM110C2-315-ND	14.65
	AM-Keyfob-Transmitter, 3 Tasten	315	AM110C3-315-ND	14.94
—	RF-Empfänger/Dekodierer-Hybridsystem	315	AMHIRK-315AR3-ND	21.88
	FM-Keyfob-Systeme			
3	FM-Transmitter, Handformat, 1 Schalter	315	102C1-315FR1-ND	43.90
	FM-Transmitter, Handformat, 2 Schalter	315	102C2-315FR1-ND	48.26
	FM-Transmitter, Handformat, 4 Schalter	315	102C4-315FR1-ND	52.70
4	FM Remote Receiver Decoder	315	008-315FR1-ND	76.83
	AM-Radio-Module			
	AM-Superhetrodyne-Empfänger			
—	Superhetrodyne-Empfänger	315	AMRRQ3-315-ND	14.60
	Superhetrodyne-Empfänger	433	AMRRQ3-433-ND	11.73
	AM-Miniatur-Super-Empfänger, regenerativ			
—	Super-Empfänger, Miniaturgröße, regenerativ	433	AMHRR30-433-ND	9.27
	AM-Super-Empfängermodule, regenerativ			
—	Super-Empfänger, regenerativ	315	AMHRR3-315-ND	8.88
	Super-Empfänger, regenerativ	433	AMHRR3-433-ND	8.88

Abb.	Beschreibung	Frequ. (MHz)	Digi-Key Teilenr.	Stückpreis
	4-Pin Hybrid-Transmitter-Module			
—	Hybrid-Transmitter-Modul, DIL-Paket	315	AMRT4-315-ND	8.46
	Hybrid-Transmitter-Modul, DIL-Paket	433	AMRT4-433-ND	8.46
	FM-Radio-Module			
	FM-Hybrid-Transmitter- und Empfängermodule			
—	FM-Transmitter, DIL-Paket	315	FMRTFQ1-315-ND	11.00
	FM-Transmitter, DIL-Paket	433	FMRTFQ1-433-ND	11.00
	FM-Transmitter, SIL-Paket	433	FMRTFQ2-433R-ND	11.43
	FM-Empfänger, SIL-Paket	315	FMRRFQ1-315-ND	21.80
	FM-Empfänger, SIL-Paket	433	FMRRFQ1-433-ND	21.80
	FM-Empfänger, SIL-Paket	433	FMRRFQ2-433-ND	14.94
	FM-Transceiver-Modul			
—	Transceiver-Modul, 2 Kanäle	433	FMRXQ1-433-ND	33.53
	Transceiver-Modul			
—	Smart Com Transceiver-Modul	433	TRXQ1-433-ND	47.20
	RF-KEELOQ® -Evaluierungskits			
—	RF-KEELOQ® -Evaluierungskit	315	RFEVAL2-315R1-ND	287.84
	RF-KEELOQ® -Evaluierungsempfänger	—	RFEVAL3R1-US-ND*	55.03
	Buch			
—	Buch: „Low Power Radio“	—	BK-RADIO-ND	21.17

* Nur PCB-Bausatz (RF-Module und Antenne nicht inbegriffen)

B

MaxStream

Unabhängiges Funkmodem

Unabhängige Maxstream-Modems werden so entwickelt, dass die Endverbraucher einen leicht zu installierenden drahtlosen seriellen Kommunikations-Link erhalten.

Merkmale:

• „Plug and communicate“ (keine Konfiguration erforderlich) • Transparentmodus unterstützt vorhandene Software-Anwendungen und ältere Systeme • Wiederholte Übertragungsversuche und Bestätigung für garantierte Paketzustellung • RS232/422/485, Ethernet und USB-Protokoll und Multi-Drop-Bus-Unterstützung • „Low Power“-Modi für niedrigen Stromverbrauch bis zu 1 mA • Unterstützung für mehrere Datenformate (7/8 Bits, gerade/ungerade/keine Parität) • Wählbare Hochleistungsausgänge

Inhalt:

• Unabhängiges Funkmodem • CD (Software und Dokumentation) • 1/2 Peitschenantenne • Serieller Loopback-Adapter • NULL-Modemadapter (Stecker-Stecker) • NULL-Modemadapter (Buchse-Buchse) • DB-9-Stecker an RJ-45-Adapter • DB-9-Buchse an RJ-45-Adapter • Netzadapter • 9-V-Batterieadapter • RS232-Kabel (6')

RS232 abgebildet

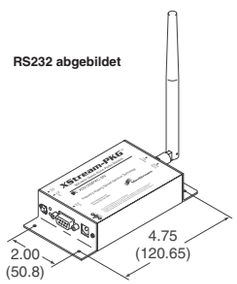

Frequenz	Ausgangs-leistung	RF-Datenrate (Baud)	Anschlusstyp	Digi-Key Teilenr.	Stückpreis	MaxStream Teilenr.
900 MHz	1Watt	115K	RS-232	XT09-PKI-RA-ND	253.13	XT09-PKI-RA
900 MHz	100mW	9600	RS-232	X09-009PKC-RA-ND	211.65	X09-009PKC-RA
900 MHz	100mW	19.2K	RS-232	X09-019PKC-RA-ND	211.65	X09-019PKC-RA
2.4 GHz	50mW	9600	RS-232	X24-009PKC-RA-ND	168.47	X24-009PKC-RA
2.4 GHz	50mW	19.2K	RS-232	X24-019PKC-RA-ND	168.47	X24-019PKC-RA
900 MHz	100mW	9600	USB	X09-009PKC-UA-ND	211.65	X09-009PKC-UA
900 MHz	100mW	19.2K	USB	X09-019PKC-UA-ND	211.65	X09-019PKC-UA
2.4 GHz	50mW	9600	USB	X24-009PKC-UA-ND	168.47	X24-009PKC-UA
2.4 GHz	50mW	19.2K	USB	X24-019PKC-UA-ND	168.47	X24-019PKC-UA
900 MHz	100mW	9600	Ethernet	X09-009PKC-EA-ND	296.31	X09-009PKC-EA
900 MHz	100mW	19.2K	Ethernet	X09-019PKC-EA-ND	296.31	X09-019PKC-EA

Drahtlose Entwicklerkits

Entwicklungskit-Inhalt: • Plug-and-Communicate (Vorgabemodus, keine Konfiguration erforderlich) • Echtes Peer-on Peer-Netzwerk (kein Konfigurieren eines Master Radios erforderlich) • Transparentmodus unterstützt vorhandene Software-Anwendungen und ältere Systeme • Adressierfunktionalitäten bieten Punkt-an-Punkt- und Punkt an Multipunkt-Netzwerke • Verwendet Standart-AT-Befehle und/oder schnelle Binärbefehle zum Ändern der Parameter • Ursprüngliche RS485/422 (Multi-Drop-Bus) Protokollunterstützung Wiederholte Zustellungsversuche und Bestätigung der Pakete • Garantiert Zustellung kritischer Pakete in schwierigen Umgebungen • Mehrere Low-Power-Modi, einschließlich Abschalt-Pin, Ruhezyklus und Ruhefunktion des seriellen Ports • Signalstärkenregister zur Überwachung der Linkqualität und zum Debugging

XStream™ Entwicklungskits enthalten: • XStream™ Wireless-Modul mit integrierter Drahtantenne • XStream™ Wireless-Modul mit Halbwellen-Dipol-Antenne • (2) RS232/422/485-Schnittstellenkarten • CD (X-CTU™-Software und Dokumentation) • Serieller Loopback-Adapter • NULL-Modemadapter (Stecker-Stecker) • NULL-Modemadapter (Buchse-Buchse) • DB-9-Stecker an RJ-45-Adapter • DB-9-Buchse an RJ-45-Adapter • (2) Stromadapter • 9-V-Batterie-Adapter • (2) RS232 Kabel (6')

9XCite™ Entwicklungskits enthalten: • XCite™ Wireless-Modul mit integrierter Drahtantenne • XCite™ Wireless-Modul mit Halbwellen-Dipol-Antenne • (2) Serielle RS232-PC-Schnittstellenkarten • (2) Serielle DSub-9 Kabel • (2) 9 V 400 mA Stromversorgungen • 9 V Batterie-Klemmenadapter • Serieller Loopback-Adapter • NULL-Modemadapter (Stecker-Stecker) • NULL-Modemadapter (Buchse-Buchse) • X-CTU™ Test/Konfig-Dienstprogramm-Software (EXE-Datei)

XTend™ Entwicklungskits enthalten: • (2) XTend™ OEM RF-Module mit Halbwellen-Dipol-Antennen • (2) Serielle RS232-PC-Schnittstellenkarten • (2) Serielle DSub-9 Kabel • (2) 9 V 400 mA Stromversorgungen • 9 V Batterie-Klemmenadapter • Serieller Loopback-Adapter • NULL-Modemadapter (Stecker-Stecker) • NULL-Modemadapter (Buchse-Buchse) • X-CTU™ Test-/Konfigurations-Dienstprogramm-Software

Frequenz	Ausgangs-leistung	RF-Datenrate (Baud)	Digi-Key Teilenr.	Stückpreis	MaxStream Teilenr.
	XStream™-Entwicklungskits				
900 MHz	100mW	9600	X09-009-DK-ND	346.26	X09-009-DK
900 MHz	100mW	19.2K	X09-019-DK-ND	346.26	X09-019-DK
2.4 GHz	50mW	9600	X24-009-DK-ND	346.26	X24-009-DK
2.4 GHz	50mW	19.2K	X24-019-DK-ND	346.26	X24-019-DK
	9XCite™-Entwicklungskits				
900 MHz	5mW	9600	XC09-009-DK-ND	126.14	XC09-009-DK
900 MHz	5mW	38.4K	XC09-038-DK-ND	126.14	XC09-038-DK
	XTend™-Entwicklungskits				
900 MHz	1 W	115K	XT09-DK-ND	422.45	XT09-DK

Drahtlose OEM-Module

Die drahtlosen OEM-Module XStream™, XCite™ und XTend™ wurden entwickelt, um Produktdesignern einen transparenten und leicht zu entwickelnden Kommunikationslink bereit zu stellen.

Merkmale: • Plug-and-Communicate (keine Konfiguration erforderlich) • Transparentmodus unterstützt vorhandene Software-Anwendungen und ältere Systeme • 5 V serielle Schnittstelle, CMOS-Level (konfigurierbare Schnittstellen-Baudrate) • XON/XOFF oder Hardware-Flusssteuerung • Unterstützung für mehrere Datenformate (7/8/9 Bits, gerade/ungerade/keine Parität) • Betrieb mit geringem Strom, bis hinab zu 10 µA

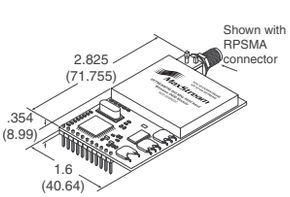

XStream™: **Bereich:** • Bis zu 1.500' drinnen/Stadtbereich • Bis zu 7 Meilen Sichtweite mit Dipol • Bis zu 20 Meilen Sichtweite mit hoher Verstärkung • Lässt den Betrieb von bis zu 7 FHSS (Frequenzhüpfendes Spreizspektrum) -Paaren in unmittelbarer Nähe zu • Kartengröße: 1,6" (40,64 mm) x 2,825" (71,755 mm) • -110 dBm Empfänger-Sensitivität **Leistung:** 5 V DC Versorgungsspannung

XCite™: **Bereich:** • 300' drinnen/Stadtbereich • 1.000' Sichtweite mit Dipol • Lässt den Betrieb von bis zu 7 FHSS (Frequenzhüpfendes Spreizspektrum) -Paaren in unmittelbarer Nähe zu • -108 dBm Empfänger-Sensitivität • Kartengröße: 1,6" (40,64 mm) x 2,825" (71,755 mm) **Leistung:** 2,85 ~ 5,50 V DC

XTend™: **Bereich:** • Bis zu 3.000' drinnen/Stadtbereich • Bis zu 14 Meilen Sichtweite mit Dipol • Bis zu 40 Meilen Sichtweite mit hoher Verstärkung • Lässt den Betrieb von bis zu 10 FHSS (Frequenzhüpfendes Spreizspektrum) -Paaren in unmittelbarer Nähe zu • -110 dBm Empfänger-Sensitivität • Kartengröße: 1,456" (36,98 mm) x 2,402" (61 mm) **Leistung:** 2,8 ~ 5,5 V DC

Frequenz	Ausgangs-leistung	RF-Datenrate (Baud)	Steckverbinder/ Antennentyp	Digi-Key Teilenr.	Stückpreis	MaxStream Teilenr.
	XStream™-Module					
900 MHz	100mW	9600	RPSMA	X09-009NSC-ND	126.99	X09-009NSC
900 MHz	100mW	19.2K	RPSMA	X09-019NSC-ND	126.99	X09-019NSC
900 MHz	100mW	9600	3" Draht	X09-009WNC-ND	116.83	X09-009WNC
900 MHz	100mW	19.2K	3" Draht	X09-019WNC-ND	116.83	X09-019WNC
2.4 GHz	50mW	9600	RPSMA	X24-009NSC-ND	83.81	X24-009NSC
2.4 GHz	50mW	19.2K	RPSMA	X24-019NSC-ND	83.81	X24-019NSC
2.4 GHz	50mW	9600	3" Draht	X24-009WNC-ND	80.43	X24-009WNC
2.4 GHz	50mW	19.2K	3" Draht	X24-019WNC-ND	80.43	X24-019WNC
	XCite™-Module					
900 MHz	5mW	9600	3" Draht	XC09-009WNC-ND	36.03	XC09-009WNC
900 MHz	5mW	38.4K	3" Draht	XC09-038WNC-ND	36.03	XC09-038WNC
900 MHz	5mW	9600	RPSMA	XC09-009NSC-ND	37.93	XC09-009NSC
900 MHz	5mW	38.4K	RPSMA	XC09-038NSC-ND	37.93	XC09-038NSC
	XTend™-Module					
900 MHz	1 W	115K	RPSMA	XT09-SI-ND	151.54	XT09-SI
900 MHz	1 W	115K	MMCX	XT09-MI-ND	151.54	XT09-MI

TOSHIBA Drahtloses Evaluierungskit

Mit dem Evaluierungskit ist eine detaillierte Evaluierung der Transceiver und Empfänger möglich. Es ermöglicht das Testen der RF-Leistung des Bausteins und macht zusätzliche Support-Schaltkreise unnötig. Der RF-Eingang verwendet ein 50 Ω Entsprechungsnetzwerk und einen SMA-Steckverbinder zum schnellen Anschluss an das Testgerät. Das EV-Kit kann auch als direkte Schnittstelle zum eingebetteten Design des Benutzers dienen, um die Datendekodierung zu vereinfachen.

Zur einfachen Implementierung in das Kunden-Design bieten die Kits auch ein bewährtes Karten-Layout, das sich schnell duplizieren lässt und somit schneller auf den Markt gebracht werden kann.

Inhalt des TB32301EVKIT:
• 2 TB32301M Transceiver-Module • 2 Controller-Karten • Schnittstellen-Karte • Parallelkabel • CD-ROM mit sämtlicher Design- und Anwendungs-Dokumentation

Inhalt des TA31275EVKIT:
• 1 TA31275M Empfängermodul • 1 TA32305M Transceiver-Modul • 2 Antennen • CD-ROM mit sämtlicher Design- und Anwendungs-Dokumentation

Inhalt des TA32305EVKIT:
• 2 TA32305M Transceiver-Module • 2 Antennen • CD-ROM mit sämtlicher Design- und Anwendungs-Dokumentation

Frequenz	Digi-Key Teilenr.	Stückpreis	Toshiba Teilenr.
2.4GHz	TB32301EVKIT-ND	252.71	TB32301EVKIT
315MHz	TA31275EVKIT-315-ND	163.82	TA31275EVKIT-315
433MHz	TA31275EVKIT-433-ND	163.82	TA31275EVKIT-433
315MHz	TA32305EVKIT-315-ND	189.22	TA32305EVKIT-315
433MHz	TA32305EVKIT-433-ND	189.22	TA32305EVKIT-433

Treiber und Empfänger

Funktion	Frequenz	Versorgungs-spannung (V)	Paket	Digi-Key Teilenr.	Gurtabschnitts-preise 1	10	Gegurtet auf Rolle† Größe	Preisangaben
Trans-ceiver	2.4GHz	2.7 ~ 3.3	36-QON	TB32301AFLCT-ND	4.28	34.29	2,000	2428.69/M
	240 ~ 450MHz	2.2 ~ 5.5	30-SSOP	TA32305FNGCT-ND	2.84	22.71	2,000	1608.33/M
Re-ceiver	100 ~ 450MHz	2.4 ~ 5.5	24-SSOP	TA31275FNGCT-ND	2.10	16.76	2,000	1089.58/M

† Für Gegurtet auf Rolle Teilenummer CT-ND in TR-ND ändern.

RFID-Evaluierungskit

Mit den DEMOKITCRX14 Tools soll die STMicroelectronics-Produktreihe für Nahbereiche demonstriert werden, zu der auch die Produkte der Serien SR176, SRIX512 und SRIX4K gehören.

Bei den Serien SR176 / SRIX512 / SRIX4K handelt es sich um einen kontaktfreien Speicher, der durch eine übertragene Trägerradiowelle von 13,56 MHz getrieben wird. Er enthält einen 176-Bit (SR176), 512-Bit (SRIX512) oder 4096-Bit (SRIX4K) EEPROM mit Speicher-Mapping, das in Form von 16-Bit und 32-Bit Blöcken organisiert ist. Er entspricht der Empfehlung von ISO 14443-B für den Transfer von Strom und Signalen via Funkübertragung. Die Schaltkreisamplitude des DEMOKITCRX 14-Lesers moduliert (10 % Modulation) die Daten auf dem Träger mit „Amplitude Shift Keying (ASK)". Das SR176 / SRIX512 / SRIX4K reagiert durch Belastungsmodulation der Daten auf dem Träger mit BPSK (Bit Phase Shift Keying) -Kodierung unter Verwendung des 847 kHz Sub-Trägers. Die Datenübertragungsrate in jeder Richtung beträgt 106 Kbit/Sekunde.

Zweck des DEMOKITCRX14 Programms ist es, ein Beispiel zu liefern, wie die Schnittstelle gestaltet werden kann. Es erlaubt keine Evaluierung sämtlicher ISO14443 Modi durch den Benutzer.

Das DEMOKITCRX14 bietet Zugang auf volles Speicher-Mapping. Es ist möglich, in den gewählten SR176 / SRIX512 / SRIX4K zu lesen und zu schreiben. Diese Ausgabe der Demo-Software, die für jeden SR176 / SRIX512 / SRIX4K Baustein unterschiedlich ist, gestattet jedoch die Ausführung sämtlicher Produktfunktionen.

Das Kit enthält: • Eine CD-ROM • Eine CRX14-Karte mit I^2C-Steckverbinder • Einen USB-Transceiver mit USB-Kabel • Einige Muster für Serie SR176 und SRIX4K • Dokumentation

497-3704-ND RFID-Evaluierungskit **396.21**

MICROCHIP Entwicklerkits

13,56 MHz Anticollision microID®

Entwicklerkit für MCRF355 und MCRF360

Das 13,56 MHz microID® Entwicklerkit ist ein einfach zu gebrauchendes Tool für Designingenieure aller Fertigkeitsstufen. Dieses Kit umfasst alle Hardware, Software, Referenzdesigns und Muster, um mit 13,56 MHz RFID-Designs beginnen zu können. Es soll den Grundbetrieb des äußerst leistungsfähigen Tagging-Chips MCRF355 sowie das Grunddesign eines einfachen RFID-Lesers demonstrieren.

13,56 MHz Anticollision microID®

Entwicklerkit für MCRF355, MCRF360 und MCRF45X

Das 13,56 MHz microID® Entwicklerkit ist ein einfach zu gebrauchendes HS-Fernbereich-Tool für Designingenieure aller Fertigkeitsstufen. Dieses Kit umfasst alle Hardware, Software, Referenzdesigns und Muster, um mit 13,56 MHz RFID-Designs beginnen zu können. Es kann alle 13,56 MHz RFID-Bausteine demonstrieren, einschließlich MCRF355/360 und MCRF450/451/452/455, und eine Basis-Plattform für ein äußerst leistungsfähiges RFID-Leser-Design bieten.

13,56 MHz microID®

Extra-Programmierer für MCRF355/360

Inhalt:
• Kontaktprogrammierer • Netzteil • RS232-Kabel • RF-Lab 13.56 Benutzerschnittstellen-Software

Beschreibung	Digi-Key Teilenr.	Stückpreis
Kits		
13,56 MHz Anti-Collision microID Entwicklerkit für MCRF355 und MCRF360	DV103003-ND	845.75
13,56 MHz Anti-Collision microID Entwicklerkit für MCRF355, MCRF360 und MCRF45X	DV103006-ND	1269.90
Programmierer		
Extra-Programmierer für MCRF355/360	PG103003-ND	211.65

ATMEL Drahtlose Kommunikation

AT86RF211Evaluierungstools, 915 MHz

Das AT86RF211-Entwicklerkit demonstriert die Funktionen des AT86RF211 in einer echten Anwendung.

Das Kit enthält: AVR-Mutterplatine plus alle Tools zum schnellen Bau einer unabhängigen Anwendung: Batterien, LCD, In-System-Programmierung, Prototypenbereich, Fernlichtmessungsdemo, 1 Dongle (+ PC-Software) für AT86RF211-Register, 1 CD-ROM einschließlich Software-Funktionen (C-Code), Bedienungsanleitung, Präsentationen, 3 Muster von AT86RF211; die RF-Tochterplatine ist separat erhältlich. (Antenne und Dokumentation im Lieferumfang enthalten)

AT86RF211DB-433LT-ND Tochterplatte für AT86RF211/433 MHz **108.96**
AT86RF211DB868LT-ND Tochterplatte für AT86RF211/868 MHz **108.96**
AT86RF211SDB915LT-ND Tochterplatte für AT86RF211/915 MHz **109.21**
AT86RF211SDK-ND Entwicklerkit für AT86RF211/915 MHz **354.59**

AT86RF401U-EKI-Evaluierungstool, 315 MHz

Das AT86RF401-EK1-Evaluierungskit soll den Benutzer mit den Funktionen des AT86RF401 MicroTransmitters vertraut machen; es enthält alle Tools, die zur Entwicklung einer Anwendung auf Basis dieses Bausteins notwendig sind. Um die Entwicklung mit diesem Baustein zu beschleunigen, wird Beispielscode im Kit mitgeliefert. Ferner enthält die CD-ROM Software Tools zur Evaluierung von RF-Parametern, ohne dass erst Software geschrieben werden muss.

AT86RF401U-EK1-ND **168.47**

ATAK4015744-Evaluierungstools

Das AT86RF4015744U/E (U für 315 MHz, E für 433,92 MHz) Evaluierungskit demonstriert ein Einweg-RF-System, bestehend aus einem AT86RF401U/E Transmitter und einem T5744 Empfänger. Das Kit enthält Software, mit der der Transmitter einen einzigartigen 8-Bit Code senden kann, der einem von vier Tasten am Transmitter entspricht. Am Empfängerende demoduliert der T5744 das RF-Signal in ein Digitalsignal und präsentiert es dem AT86RF401, der einen integrierten AVR-Mikrocontroller enthält.

ATAK4015744E-ND **394.09**
ATAK4015744U-ND **395.56**

AT86RF211 Transceiver

Der AT86RF211 (auch als TRX01 bekannt) ist ein Einzelchip-Transceiver, der für Low-Power-Wireless-Anwendungen entwickelt und für lizenzfreie ISM-Bandbreiten von 400 MHz ~ 950 MHz optimiert wurde. Aufgrund seiner Flexibilität und seines einzigartigen Integrationsgrades ist er für alle Systeme im Bereich Telemetrie, Fernsteuerungen, Alarme, Funkmodems, Zählerfernablesung, Terminals im Handformat, High-Tech-Spielzeug ideal geeignet. Mit dem AT86RF211 ist die bidirektionale Kommunikation für diese Anwendungen erschwinglich geworden: sichere Datenübertragung mit Handshake-Verfahren, neuen Leistungsmerkmalen und Services. Der AT86RF211 kann leicht als optimale Lösung für Ihre Anwendung konfiguriert werden: Sie haben die Wahl zwischen externen Filtern oder technischen Anforderungen (Bandbreite, Selektivität, Störfestigkeit, Bereich), Software-Protokoll (Einkanal, Mehrkanal, FHSS). Der AT86RF211 ist auch gut für batteriebetriebene Systeme geeignet, da er mit nur 2,4 V betrieben werden kann. Außerdem bietet er eine „Wakeup"-Empfängerfunktion, mit der Energie gespart wird, da der betroffene Mikrocontroller nur dann alarmiert wird, wenn eine gültige Anfrage festgestellt wird.

AT86RF211DAI-ND **8.37**
AT86RF211SAH-ND **6.99**

AT86RF401 Wireless Daten-Mikrotransmitter

Der Atmel AT86RF401 Smart RF™-Mikrotransmitter ist ein hoch integrierter, preisgünstiger RF-Transmitter, der mit einem AVR RISC-Mikrocontroller kombiniert ist. Er erfordert lediglich ein Kristall, eine einzige LiMnO2-Knopfzelle (CR2023 oder ähnlich), drei Kondensatoren, einen Induktor und eine Tuned-Loop-Antenne zur Implementierung eines kompletten Wireless-Daten-Transmitters mit On/Off-Keying.

Merkmale: RF-Frequenzbereich von 264 MHz ~ 456MHz, Datenbandbreite von bis zu 10 Kbps Manchester, platzsparender 20-TSSOP, 2 KB (1K x 16) Flash-Programmspeicher, 128 Bytes EEPROM, 128 Bytes SRAM, sechs E/A (serielles I/F, LED-Laufwerkausgänge, Taste zur Eingangsunterbrechung) Erkennung von schwacher Batterie und „Brown-out"-Schutz.

AT86RF401U-ND **3.35**
AT86RF401E-6GS-ND 434MHz **2.66**
AT86RF401U-6GS-ND 315MHz **2.66**
AT86RF401X-6GS-ND 264 to 456MHz **2.66**

(Forts.)

Alle Preisangaben in Euro und inklusive Zollgebühren.

RFID Demo-Kit

Das RFID-Anwendungskit (Bestellnummer: TMEB8704) wurde so konzipiert, dass es die Hauptmerkmale verschiedener RFID-Produkte der Atmel Wireless u. Mikrocontroller beinhaltet. Die im Lieferumfang enthaltene Software-Version IDS 5 unterstützt folgende Produkte: • U2270B auf der Leser-Seite • TK5530/e5530 auf der Transponder-Seite • 5551/T5557 auf der Transponder-Seite • TK5552 auf der Transponder-Seite • TK5561/e5561 auf der Transponder-Seite • U9280M auf der Transponder-Seite **Das Kit enthält:** • Basisstationsspule • Serielles Kabel • Demo-Karte • Mustertransponder

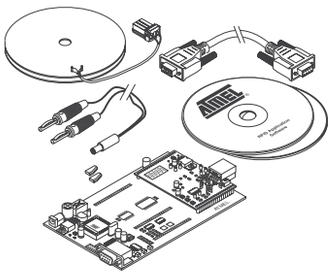

Beschreibung	EPROM (Byte)	Digi-Key Teilenr.	Stückpreis 1	25	100
125KHz	1K	TK5552A-PP-ND*	2.11	1.77	1.48
125KHz	224	TK5551M-PP-ND*	2.91	2.44	2.04
125KHz	3128	TK5530-232-PP-ND†	1.82	1.53	1.27
RFID-Anwendungskit		TMEB8704-ND	500.55	—	—

* Lesen/Schreiben † Schreibgeschützt

B

Das TMEBX741D-Kit enthält:

- Antenne
- 1 - Antennenkabel
- 2- BNC-Adapter
- 1 - 25-an-9-Pin Kabel, parallel an seriell
- 1 - 25-zu-9-Pin Adapter
- 2 - Knopfzellen
- 1 - Anleitung/Datenbuch
- 3 - Disketten - Software

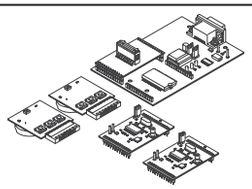

Das TMEBX745B-Kit enthält:

- Antenne
- 1 - Antennenkabel
- 2 - BNC-Adapter
- 1 - 25-zu-9-Pin Kabel, parallel zu seriell
- 1 - 25-zu-9-Pin Adapter
- 2 - Knopfzellen
- 1 - Anleitung/Datenbuch
- 3 - CDs - Software

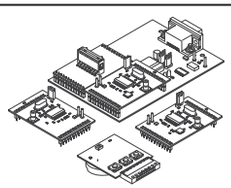

Beschreibung	Paket	Digi-Key Teilenr.	Stückpreis 1	25	100	Gegurtet auf Rolle‡ Größe	Preisangaben
Breitband-Transceiver-ICs, 314 ~ 316 MHz	48-QFN	ATA5423-PLQHCT-ND†	5.46	4.58	3.81	4,000	3682.71/M
Breitband-Transceiver-ICs, 345 MHz	48-QFN	ATA5425-PLQHCT-ND†	5.46	4.58	3.81	4,000	3682.71/M
Breitband-Transceiver-ICs, 433 ~ 435 MHz, 868 ~ 870 MHz	48-QFN	ATA5428-PLQHCT-ND†	5.46	4.58	3.81	4,000	3682.71/M
UHF ASK/FSK-Transceiver, 433,92 MHz, 868,3 MHz und 315 MHz	48-QFN	ATA5811-PLQCT-ND†	7.44	6.24	5.20	4,000	5021.19/M
UHF ASK/FSK-Transceiver, 433,92 MHz, 868,3 MHz und 315 MHz	48-QFN	ATA5812-PLQCT-ND†	7.44	6.24	5.20	4,000	5021.19/M
Hochgeschwindigkeits-CAN-Transceiver	8-SOIC	ATA6660-TAPCT-ND†	1.25	1.06	.88	2,000	847.45/M
Intelligenter Schrittmotoren-Treiber	28-QFN	ATA6830-PKHCT-ND†	4.57	3.83	3.19	4,000	3081.63/M
SiGe-IF-Empfänger/Demodulator, 65 MHz bis 300 MHz	16-PSSOP	ATR0797-6CPCT-ND†	7.83	6.56	5.47	1,000	5278.55
IF ISM-Transceiver, Niederspann., 2,4 GHz	32-QFN	ATR2406-PNSG-ND	4.70	3.94	3.28	—	—
WirelessUSB™ DSSS Radio SoC, 2,4 GHz	48-QFN	ATR2434-PLT-ND	7.66	6.42	5.35	—	—
WLAN Leistungsverstärker für 802.11a, 5 GHz	16-QFN	ATR3515-PEPCT-ND†	3.93	3.30	2.75	1,500	2651.56/M
CAN-Transceiver	16-SOIC	B10011S-MFPG1CT-ND†	4.44	3.72	3.10	1,000	2995.27
Aktiver SiGe-Empfänger-Mixer mit hoher Linearität, 800 MHz ~ 1.000 MHz, 5-V-Transceiver für Basisstationen	16-TSSOP	T0780-6CPCT-ND†	10.42	8.73	7.28	1,000	7027.63
Direkt-Quadratur-Modulator, 800 MHz ~ 2.500 MHz, 5 V	16-TSSOP	T0790-6CPCT-ND†	18.63	15.60	13.00	1,000	12564.39
SiGe-IF-Empfänger/Demodulator, 65 MHz bis 300 MHz	16-TSSOP	T0797-6CPCT-ND†	8.74	7.32	6.10	1,000	5892.34
Universell verwendbarer RF-Leistungsverstärker, 135 MHz ~ 900 MHz, 3,5 V	28-PSSOP	T0905-TSPHCT-ND†	8.20	6.86	5.72	4,000	5524.07/M
SiGe -Leistungsverstärker	16-PSSOP	T0930-TJSCT-ND†	3.01	2.52	2.10	1,100	2025.92/M
WDECT/ISM Einzelchip-Transceiver, 3 V ~ 4,6 V, 2,5 GHz	48-MLF	T2802-PLHCT-ND†	13.66	11.43	9.53	4,000	9206.78/M
WDECT/ISM Einzelchip-Transceiver, 3 V ~ 4,6 V, 2,5 GHz	48-MLF	T2803-PLHCT-ND†	13.66	11.43	9.53	4,000	9206.78/M
UHF ASK/FSK-Empfänger, 4,5 V ~ 5,5 V, 300 MHz ~ 450 MHz	20-SOIC	T5743P3-TGQCT-ND†	4.92	4.12	3.43	2,000	3314.44/M
UHF ASK/FSK-Empfänger, 4,5 V ~ 5,5 V, 300 MHz ~ 450 MHz	20-SOIC	T5743P3-TGS-ND	4.92	4.12	3.43	—	—
UHF ASK/FSK-Empfänger, 4,5 V ~ 5,5 V, 300 MHz ~ 450 MHz	20-SOIC	T5743P6-TGQCT-ND†	4.92	4.12	3.43	2,000	3314.44/M
UHF ASK/FSK-Empfänger, 5 V ~ 20 V, 300 MHz ~ 450 MHz für ASK oder FSK	20-SOIC	T5743P6-TGS-ND	4.92	4.12	3.43	—	—
UHF ASK-Empfänger, 4,5 V ~ 5,5 V, 300 MHz ~ 450 MHz	20-SOIC	T5744N-TGQCT-ND†	4.00	3.36	2.80	2,000	2700.66/M
UHF ASK-Empfänger, 4,5 V ~ 5,5 V, 300 MHz ~ 450 MHz	20-SOIC	T5744N-TGS-ND	4.00	3.36	2.80	—	—
UHF ASK-Empfänger, 4,5 V ~ 5,5 V, 300 MHz ~ 450 MHz	20-SSOP	T5744N-TK-ND	3.83	3.20	2.67	—	—
UHF ASK-Empfänger, 4,5 V ~ 5,5 V, 300 MHz ~ 450 MHz	20-SSOP	T5744N-TKQCT-ND†	3.83	3.20	2.67	4,000	2577.90/M
UHF ASK-Empfänger, 4,5 V ~ 5,5 V, 300 MHz ~ 450 MHz	20-SSOP	T5744N-TKS-ND	3.83	3.20	2.67	—	—
UHF ASK/FSK-Transmitter, 2,0 V ~ 4,0 V, 868 MHz ~ 928 MHz	8-TSSOP	T5750-6AQCT-ND†	1.79	1.50	1.25	5,000	1103.12/M
UHF ASK/FSK-Transmitter, 2,0 V ~ 4,0 V, 310 MHz ~ 330 MHz	8-TSSOP	T5753-6APCT-ND†	1.71	1.44	1.20	500	711.99
UHF ASK/FSK-Transmitter, 2,0 V ~ 4,0 V, 429 MHz ~ 439 MHz	8-TSSOP	T5754-6AQCT-ND†	1.79	1.50	1.25	5,000	1203.02/M
UHF ASK/FSK-Empfänger, 868 MHz ~ 870 MHz, 902 MHz ~ 928 MHz	20-SOIC	T5760-TGQCT-ND†	4.70	3.94	3.28	2,000	3167.13/M
UHF ASK/FSK-Empfänger, 868 MHz ~ 870 MHz, 902 MHz ~ 928 MHz	20-SOIC	T5760-TGS-ND	4.70	3.94	3.28	—	—
UHF ASK/FSK-Empfänger, 868 MHz ~ 870 MHz, 902 MHz ~ 928 MHz	20-SOIC	T5761-TGQCT-ND†	4.70	3.94	3.28	2,000	3167.13/M
UHF ASK/FSK-Empfänger, 5 V ~ 20 V, 902 MHz ~ 928 MHz	20-SOIC	T5761-TGS-ND	4.70	3.94	3.28	—	—
Zweif. Hex-Ausgangstreiber mit serieller Eingangssteuerung	28-SOIC	T6816-TIQCT-ND†	5.33	4.47	3.73	2,000	3597.21/M
Zweif. Hex-Ausgangstreiber mit serieller Eingangssteuerung	28-SOIC	T6816-TIS-ND	5.33	4.47	3.73	—	—
Zweif./dreif. DMOS-Ausgangstreiber mit serieller Eingangssteuerung	20-SSOP	T6817-TKQCT-ND†	2.51	2.11	1.76	4,000	1694.05/M
Zweif./dreif. DMOS-Ausgangstreiber mit serieller Eingangssteuerung	20-SSOP	T6817-TKS-ND	2.75	2.31	1.92	—	—
Dreif. Halbbrücken-DMOS-Ausgangstreiber mit serieller Eingangssteuerung	14-SOIC	T6818-TUQCT-ND†	2.47	2.08	1.73	4,000	1669.50/M
Dreif. Halbbrücken-DMOS-Ausgangstreiber mit serieller Eingangssteuerung	14-SOIC	T6818-TUS-ND	2.73	2.29	1.91	—	—
Zweif./dreif. DMOS-Ausgangstreiber mit serieller Eingangssteuerung	16-SOIC	T6819-TBQCT-ND†	2.51	2.11	1.76	4,000	1694.05/M
Zweif./dreif. DMOS-Ausgangstreiber mit serieller Eingangssteuerung	16-SOIC	T6819-TBS-ND	2.75	2.31	1.92	—	—
Bluetooth™/ISM Front End IC, 2,4 GHz, 3 V	20-QFN	T7024-PGPCT-ND†	2.37	1.99	1.66	1,500	1595.84/M
Bluetooth™/ISM Front End IC, 2,4 GHz, 3 V	20-QFN	T7024-PGS-ND	3.10	2.60	2.16	—	—
ISM Front End IC, DECT, 2,4 GHz	20-QFN	T7026-PGPCT-ND†	4.55	3.81	3.18	1,500	3068.93/M
SiGe Leistungsverstärker für 802.11b/g WLAN-Systeme, 2,4 GHz	16-QFN	T7031-PEPCT-ND†	2.37	1.99	1.66	1,500	1595.84/M
Basisstation, Lesen/Schreiben, 5 V, 125 kHz	16-SOIC	U2270B-MFP-ND	2.18	1.83	1.53	—	—
UHF ASK/FSK-Transmitter, 2,0 V ~ 5,5 V, 300 MHz ~ 450 MHz	16-SSOP	U2741B-NFB-ND	2.02	1.70	1.41	—	—
UHF ASK-Transmitter, 2,2 V ~ 4,0 V, 310 MHz ~ 440 MHz	16-SSOP	U2745B-MFB-ND	1.36	1.15	.96	—	—
Quadraturmodulator, 1.000 MHz, 5 V	16-SOIC	U2790B-MFP-ND	6.37	5.34	4.45	—	—
Quadraturmodulator, 300 MHz, 5 V	20-SSOP	U2793B-MFS-ND	4.55	3.81	3.18	—	—
Quadraturmodulator, 1.000 MHz, 5 V	20-SSOP	U2794B-MFS-ND	6.44	5.40	4.50	—	—
Doppel-Ausgleich-Mixer, 2,7 V ~ 5,5 V, 2,5 GHz	8-SOIC	U2795B-MFP-ND	2.18	1.83	1.53	—	—
Einzel-Ausgleich-Mixer, 2,7 V ~ 5,5 V, 2 GHz	8-SOIC	U2796B-MFP-ND	4.61	3.87	3.22	—	—
UHF ASK-Empfänger-IC, 4,5 V ~ 5,5 V, 300 MHz ~ 450 MHz	20-SOIC	U3741BM-P2FL-ND	4.92	4.12	3.43	—	—
UHF ASK-Empfänger, 4,5 V ~ 5,5 V, 315 MHz ~ 433,92 MHz	20-SOIC	U3741BM-P3FLG3CT-ND†	4.92	4.12	3.43	2,000	3314.44/M
UHF ASK-Empfänger-IC, 4,5 V ~ 5,5 V, 300 MHz ~ 450 MHz	20-SOIC	U3741BM-P3FL-ND	4.92	3.43	2.86	—	—
UHF ASK/FSK-Empfänger, 4,5 V ~ 5,5 V, 300 MHz ~ 450 MHz	20-SOIC	U3742BM-P3FL-ND	5.15	4.32	3.60	—	—
Kits							
Demo-Kit für U3741BM/U2741B		TMEBX741D-ND	774.11	—	—	—	—
Demo-Kit für U3745BM/U2745B		TMEBX745B-ND	450.39	—	—	—	—
Referenz-Designkarte für T5744, 315 MHz		ATAB5744-N3-ND	138.63	—	—	—	—
Referenz-Designkarte für T5744, 315 MHz		ATAB5744-S3-ND	138.63	—	—	—	—
Empfängerkarte für T5744, 433,92 MHz, kein SAW-Filter		ATAB5744-N4-ND	138.63	—	—	—	—
Referenz-Designkarte für T5744, 433 MHz		ATAB5744-S4-ND	138.63	—	—	—	—
RF-Designkit, 868,3 MHz		ATAK5750-60-S-ND	418.01	—	—	—	—
RF-Designkit, 868,3 MHz		ATAK5750-60-N-ND	418.01	—	—	—	—
RF-Designkit, 915 MHz		ATAK5750-61-N-ND	418.01	—	—	—	—
Transmitter-Designkarte, 868,3 MHz		ATAB5750-8-ND	138.63	—	—	—	—
Transmitter-Designkarte, 915 MHz		ATAB5750-9-ND	138.63	—	—	—	—
Transmitter-Designkarte, 315 MHz		ATAB5753-ND	138.63	—	—	—	—
Transmitter-Designkarte, 433,92 MHz		ATAB5754-ND	138.63	—	—	—	—
Designkit T5754, 433,92 MHz, 600 kHz Bandbreite mit SAW-Filter		ATAK5754-43P6-S-ND	418.01	—	—	—	—
Entwicklungskarte für ATR2406		ATR2406-DEV-BOARD-ND	219.57	—	—	—	—
Entwicklungskit für ATR2406		ATR2406-DEV-KIT-ND	687.86	—	—	—	—
Entwicklungskarte für ATR2434		ATR2434-DEV-BOARD-ND	56.30	—	—	—	—

‡ Für Gegurtet auf Rolle Teilenummer CT-ND in TR-ND ändern. † Gurtabschnittspreis pro Stück

C-MAX®
RF Technology Specialist

Antennen

Bleifrei/RoHS-konform

Abb. 1

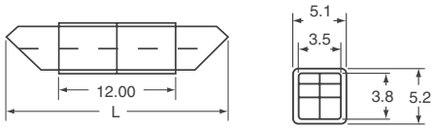

Abb. 2

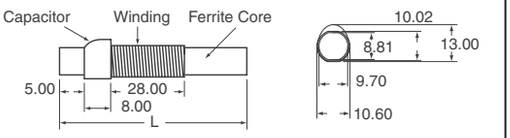

Abb.	Länge „L" (mm)	Anwendung	Anz. Drehanzahl	Induktivität	Q unbelastet (Min.)	Digi-Key Teilenr.	Stückpreis 1	10	100	C-Max Teilenr.
1	19	Wächter	228	985 H	55	561-1002-ND	1.63	1.53	1.02	CMA-60-19
	24	Wächter	203	985 H	50	561-1003-ND	1.65	1.53	1.02	CMA-60-24
2	60	Tischuhr	147	1.5mH	120	561-1004-ND	1.17	1.11	.85	CMA-60-60
	100	Wanduhr	139	1.5mH	110	561-1001-ND	1.30	1.19	.89	CMA-60-100

B

Anlagen

1LA:

In Verbindung mit einem Zeitsignalgeber (TSG400, TSG800) erstellt die Antenne (1 Schleife) eine bestimmte Feldstärke in einem Bereich von 5-10 Metern und liefert das Zeitsignal DCF, WWVB, MSF oder JJY

DAT100:

Der DAT100 dient zusammen mit dem TSG400/800 zur direkten Verbindung zwischen Zeitsignalgeber und der benutzerspezifischen Anwendung. Der DAT100 sorgt für einen verringerten und gleichmäßigen Eingang für die Anwendung.

TSG800

Anwendungen: • Simulation der Zeitsignale DCF, MSF, WWVB, HBG und JJY • Erstellung von exakt definierten Zeitsignalen zu Messzwecken • Unterstützung der Software-Entwicklung für RC-Uhren • Schaffung von hochgenauen Frequenzen • Produktionstest-Modus

Merkmale: • Hauptstrom-betriebene Geräte mit 50 Ω Ausgang für Zeitsignal

Abb. 1

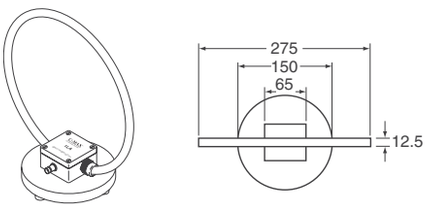

Abb. 2

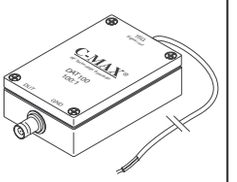

Abb. 3

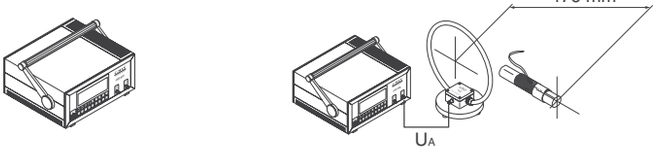

Abb.	Digi-Key Teilenr.	Stückpreis	C-Max Teilenr.
1	561-1000-ND	253.13	1LA
2	561-1009-ND	126.14	DAT100
3	561-1011-ND	6348.81	TSG800

IC- und Demo-Karten

CME8000-BUS: Der CME8000 ist ein BiCMOS integrierter Durchlassempfänger mit sehr hoher Sensitivität und einer Vorcodierung des vom WWVB, DCF77, JJY40, JJY60, MSF und HBG übermittelten Zeitsignals. Der Empfänger ist mithilfe einer integrierten Logik auf Mehrfrequenz- und Landesempfang vorbereitet. Er wird an einen eingebauten Micro-Controller im CME-BUS angeschlossen, der mit einem vordefinierten seriellen Schnittstellenprotokoll programmiert wird. Das Modul kann dann als Anzapfstelle in einen seriellen Inter-Prozessor-Kommunikationsbus dienen und kann mit zwei oder mehr Karten, Micro-Controllern oder anderen Geräten, die auf eine oder mehr Plattformen verteilt sind, kommunizieren. Von diesem Modul kann jeder Host stets über seine eigene Schnittstelle absolute geprüfte Zeitinformationen erhalten. **Merkmale:** • Automatischer Empfang von Langwellen-Zeitsignalen weltweit • Manuelle oder automatische Auswahl von Radiosteuersignalen • Erzwungener Empfangsmodus • Echtzeituhr • Echte Signalqualitätsanzeige während des Empfangs • 24-Stunden-System • Vom Host steuerbare Empfangseinstellungen (einschließlich Zeit und Dauer des Empfangs) • Niedriger Stromverbrauch (< 2 mA bei aktivem Empfangsmodus) • Sehr hohe Langwellenempfangssensitivität (0,4 µV) • Eingebaute Dekodierung für verschiedene Signale • Umschaltautomatik zwischen Zweibandsignalen • Vom Benutzer über Host-Software-Steuerbefehle einstellbarer Empfangsmodus • Breiter Betriebsbereich: 2,7 bis 5,0 V

CME8000-DB Allgemeine Beschreibung: • Lokalzeit in Stunden/Minuten/Sekunden plus Zeitzonenanzeige

• Alarm • Datumsalarm • Zeitzonenanzeige auf drei verschiedene Arten • Stoppuhrfunktionen auf drei verschiedene Arten • Anzeige für schwache Batterie • Hintergrundbeleuchtung **CME8000:** Der erste integrierte Bi-CMOS-Mischsignaldurchlassempfänger mit sehr hoher Sensitivität und einer Vorcodierung des vom WWVB, DCF, JJY, MSF und HBG übermittelten Zeitsignals. Der Empfänger wurde für den Empfang in mehreren Ländern entwickelt und schließt eine integrierte Logik, integrierte Funktionen, wie z.B. Bereitschaftsmodus, integrierte Antennenumschaltung, integrierter Kristallwechsel und Halte-Modus-Funktionen für universelle RC-Anwendungen, ein. Der Abschaltmodus im CME8000 verlängert die Haltbarkeit der Batterien bedeutend und macht das Bauteil äußerst geeignet für alle Arten von funkgesteuerten Uhren.

Abb. 1

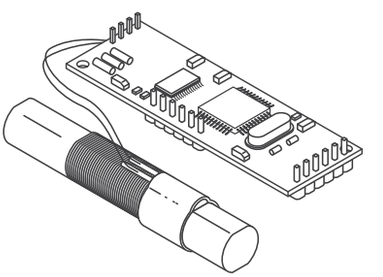

Abb. 2

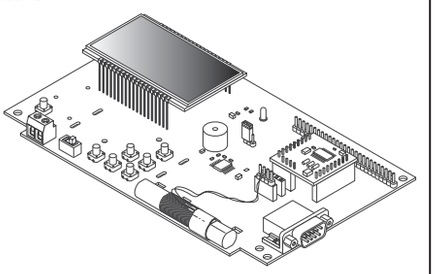

Abb. 3

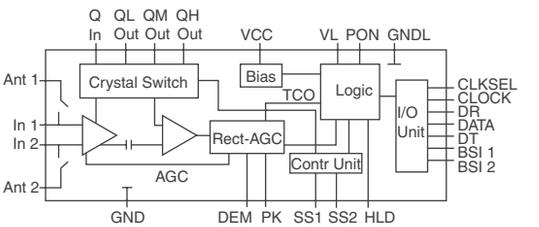

Abb.	Digi-Key Teilenr.	Stückpreis	C-Max Teilenr.
1	561-1005-ND	22.82	CME8000-BUS-LP-01
2	561-1006-ND	169.32	CME8000-DB
3	561-1008-1-ND†	3.17	CME8000-TLPH
	561-1008-2-ND†	5502.90/4000	CME8000-TLPH
	561-1007-5-ND†	3.05	CME8000-TLSH

† Bleifrei/RoHS-konform

WINTEC INDUSTRIES

CompactFlash™ - Speicherkarte

Speicher-größe (MB)	Digi-Key Teilenr.	Stückpreis 1	5	10	Wintec Teilenr.
32	385-1016-ND	20.32	18.97	17.61	W7B6032M1XG-W
64	385-1017-ND	27.43	25.61	23.78	W7B6064M1XG-W
128	385-1018-ND	37.46	34.97	32.47	W7B6128M1XG-W1

Speichermodule Ungepuffert

Speicher-typ	Paket-größe	Speed** (MHz)	Speichergröße-MBytes	Konfig. Megabits	Merkmale	Digi-Key Teilenr.	Preis pro Stück* 1	5	10	Wintec Teilenr.
SDRAM	168 DIMM	100	64	8x64	Nicht-ECC	385-1002-ND	28.87	26.94	25.02	W9Q308647PA-222
			64	8x72	ECC	385-1003-ND	58.05	54.18	50.31	W9Q308727KD-222K
			64	8x72	ECC	385-1019-ND	58.05	54.18	50.31	W9Q308727KD-222
			128	16x64	Nicht-ECC	385-1004-ND	58.01	54.15	50.28	W9Q316647LB-222
			128	16x72	ECC	385-1005-ND	107.04	99.91	92.77	W9Q316727KD-222K
			256	32x64	Nicht-ECC	385-1006-ND	113.66	106.08	98.51	W9Q332647LB-222
SDRAM	144 SODIMM	100	64	8x64	Nicht-ECC	385-1007-ND	28.87	26.94	25.02	W9R308647PA-222
			128	16x64	Nicht-ECC	385-1008-ND	52.59	49.08	45.58	W9R316647LB-222
			256	32x64	Nicht-ECC	385-1009-ND	80.53	75.16	69.79	W9R332647HA-222
SDRAM	144 SODIMM	133	64	8x64	Nicht-ECC	385-1010-ND	28.22	26.34	24.46	W9V308647PA-333
			128	16x64	Nicht-ECC	385-1011-ND	56.73	52.95	49.17	W9V316647LA-333
			256	32x64	Nicht-ECC	385-1012-ND	82.54	77.04	71.54	W9V332647HA-333
SDRAM	168 DIMM	133	64	8x64	Nicht-ECC	385-1013-ND	28.22	26.34	24.46	W9D308647PA-333
			128	16x64	Nicht-ECC	385-1014-ND	58.01	54.15	50.28	W9D316647LC-333
			256	32x64	Nicht-ECC	385-1015-ND	108.81	101.56	94.30	W9D332647LA-333
DDR SDRAM	184 SODIMM	266	128	16x64	Nicht-ECC	385-1000-ND	63.50	59.27	55.03	W4E216646LA-7.5
			256	32x64	Nicht-ECC	385-1001-ND	116.58	108.81	101.04	W4E232646LA-7.5

*Für aktuelle Preise bitte bei Digi-Key® anrufen ** Geschwindigkeit

Alle Preisangaben in Euro und inklusive Zollgebühren.

Micron Speichermodule

Dichte	Paketgröße	Konfigurations-Megabits	Geschwindigkeit	MT-Datenrate	Digi-Key Teilenr.	Stückpreis 1	5	10	Micron Technology Teilenr.
				DDR SDRAM					
256MB	184 DIMM, nicht gepuffert	32M x 64	PC2700	333	557-1121-ND	58.31	54.29	52.28	MT8VDDT3264AG-335GB
	184 DIMM, nicht gepuffert	32M x 72	PC2700	333	557-1133-ND	45.14	44.58	40.47	MT9VDDT3272AG-335G4
	184 DIMM, registriert	32M x 72	PC2700	333	557-1129-ND	69.58	62.54	60.23	MT9VDDF3272G-335G3
	1184 DIMM, nicht gepuffert	32M x 64	PC3200	400	557-1122-ND	58.31	54.29	52.28	MT8VDDT3264AG-40BGB
	184 DIMM, nicht gepuffert	32M x 72	PC3200	400	557-1134-ND	45.14	44.58	40.47	MT9VDDT3272AG-40BG4
	184 DIMM, registriert	32M x 72	PC3200	400	557-1130-ND	69.58	62.54	60.23	MT9VDDF3272G-40BG3
	200 SODIMM	32M x 64	PC2700	333	557-1123-ND	40.94	40.44	36.71	MT8VDDT3264HG-335G3
	200 SODIMM	32M x 72	PC2700	333	557-1135-ND	51.44	50.80	46.12	MT9VDDT3272HG-335G2
	200 SODIMM	32M x 64	PC3200	400	557-1124-ND	40.94	40.44	36.71	MT8VDDT3264HG-40BG3
	200 SODIMM	32M x 72	PC3200	400	557-1136-ND	46.18	45.61	41.41	MT9VDDT3272HG-40BG2
512MB	184 DIMM, nicht gepuffert	64M x 64	PC2700	333	557-1125-ND	108.09	100.38	96.52	MT8VDDT6464AG-335DB
	184 DIMM, nicht gepuffert	64M x 72	PC2700	333	557-1137-ND	85.22	77.17	74.62	MT9VDDT6472AG-335D1
	184 DIMM, registriert	64M x 72	PC2700	333	557-1131-ND	114.85	111.57	107.88	MT9VDDF6472G-335D3
	184 DIMM, nicht gepuffert	64M x 64	PC3200	400	557-1126-ND	113.72	105.61	101.54	MT8VDDT6464AG-40BDB
	184 DIMM, nicht gepuffert	64M x 72	PC3200	400	557-1138-ND	85.22	77.17	74.62	MT9VDDT6472AG-40BD1
	184 DIMM, registriert	64M x 72	PC3200	400	557-1132-ND	121.55	112.87	108.53	MT9VDDF6472G-40BD3
	200 SODIMM	64M x 64	PC2700	333	557-1127-ND	75.99	68.81	65.78	MT8VDDT6464HG-335D1
	200 SODIMM	64M x 72	PC2700	333	557-1139-ND	85.22	77.17	74.62	MT9VDDT6472HG-335D2
	200 SODIMM	64M x 64	PC3200	400	557-1128-ND	75.99	68.81	65.78	MT8VDDT6464HG-40BD1
	200 SODIMM	64M x 72	PC3200	400	557-1140-ND	85.22	77.17	74.62	MT9VDDT6472HG-40BD2
1GB	184 DIMM, nicht gepuffert	128M x 64	PC2700	333	557-1111-ND	206.30	191.02	187.20	MT16VDDT12864AG-335BD
	184 DIMM, nicht gepuffert	128M x 72	PC2700	333	557-1117-ND	158.59	145.64	135.68	MT18VDDT12872AG-335D1
	184 DIMM, registriert	128M x 72	PC2700	333	557-1113-ND	230.73	213.64	209.37	MT18VDDF12872G-335D3
	184 DIMM, nicht gepuffert	128M x 64	PC3200	400	557-1112-ND	217.15	201.07	197.05	MT16VDDT12864AG-40BDB
	184 DIMM, nicht gepuffert	128M x 72	PC3200	400	557-1118-ND	158.59	145.64	135.68	MT18VDDT12872AG-40BD1
	184 DIMM, registriert	128M x 72	PC3200	400	557-1114-ND	230.73	213.64	209.37	MT18VDDF12872G-40BD3
	200 SODIMM	128M x 64	PC2700	333	557-1109-ND	226.92	221.05	205.92	MT16VDDF12864HG-335D2
	200 SODIMM	128M x 64	PC3200	400	557-1110-ND	226.87	210.07	205.87	MT16VDDF12864HG-40BD2
	200 SODIMM	128M x 72	PC2700	333	557-1115-ND	210.42	204.97	190.94	MT18VDDF12872HG-335D1
	200 SODIMM	128M x 72	PC3200	400	557-1116-ND	247.55	229.22	224.64	MT18VDDF12872HG-40BD1
2GB	184 DIMM, registriert	256M x 72	PC2700	333	557-1119-ND	497.68	468.97	459.40	MT36VDDF25672G-335D2
	184 DIMM, registriert	256M x 72	PC3200	400	557-1120-ND	522.78	492.62	482.57	MT36VDDF25672G-40BD2
				DDR2 SDRAM - bleifrei/RoHS-konform					
256MB	240 DIMM, nicht gepuffert	32M x 64	PC2-4200	533	557-1144-ND	71.14	66.24	63.79	MT8HTF3264AY-53EB3
	240 DIMM, nicht gepuffert	32M x 64	PC2-5300	667	557-1145-ND	173.34	160.96	154.77	MT8HTF3264AY-667B5
512MB	200 SODIMM	64M x 64	PC2-4200	533	557-1146-ND	195.92	181.93	174.93	MT8HTF6464HDY-53EA3
	240 DIMM, nicht gepuffert	64M x 64	PC2-4200	533	557-1141-ND	131.74	122.33	117.63	MT16HTF6464AY-53EB2
	240 DIMM, nicht gepuffert	64M x 64	PC2-5300	667	557-1142-ND	216.07	200.07	196.07	MT16HTF6464AY-667B4
1GB	240 DIMM, registriert	128M x 72	PC2-4200	533	557-1143-ND	378.88	350.81	343.80	MT18HTF12872Y-53EA2

B

DataFlash® - Karte

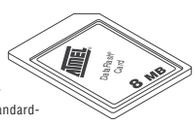

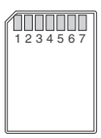

Nur 2,7 V; SPI-kompatible serielle Schnittstellen-DataFlash®-Karten. Diese 7-Pin-Karten sind Formfaktor-kompatibel mit dem MultiMedia-Kartenstandard-Leveraging auf einer Vielzahl von preiswerten, handelsüblichen Steckverbindern. Außerdem ist der DataFlash® Card-Pinout mit der SPI-Version der MMC-Karte kompatibel. Der kleine Formfaktor und die einfache Schnittstelle machen die DataFlash®-Karte ideal geeignet für eine Vielzahl von Daten- und Programmcode-Speicheranwendungen, bei denen ein herausnehmbares Speichermedium verlangt wird. Die Anwendungen reichen von Voice/Audio, Text- oder Bildspeicherung bis zu Software-Anwendungen, System-Upgrades und Software Patches. Detaillierte Gerätespezifikationen finden Sie in den entsprechenden DataFlash®-Datenblättern: • AT- 45DCB008 Referenznummer AT45DB642 • AT45DCB004 Referenznummer AT45DB321B • AT45DCB002 Referenznummer AT45DB161B

Merkmale:

• MultiMediaCard (MMC)-Formfaktor • Einzelversorgung: 2,7 V - 3,6 V • Kompatibel mit seriellen peripheren Schnittstellen (SPI) • Maximale Taktfrequenz: 20 MHz • Geringer Leistungsverlust: typ. 4 mA aktiv gemessener Strom; typ. 2 µA CMOS Standby-Strom. • Industrieller Temperaturbereich

Megabyte	Digi-Key Teilenr.	Stückpreis 1	25	100	Atmel Teilenr.
2	AT45DCB002-ND	9.29	7.22	6.18	AT45DCB002
4	AT45DCB004-ND	14.47	11.24	9.63	AT45DCB004
8	AT45DCB008-ND	17.74	13.79	11.81	AT45DCB008

TOSHIBA Speicherkarten

Beschreibung	Speichergröße	Digi-Key Teilenr.	Stückpreis 1	25	100
Sicher, digital (SD)	256M-Bit	SDM256-ND	27.94	26.08	24.22
	512M-Bit	SDM512-ND	40.64	37.93	35.22
CompactFlashTM	128M-Bit	THNCF128MDG-ND	—	—	20.64
	512M-Bit	THNCF512MDG-ND	66.67	62.23	57.79
	1Gigabit	THNCF1G02MDG-ND	134.93	125.94	116.94
	512M-Bit	THNCF512MDGI-ND*	76.20	71.12	66.04

* Industrielle Temperaturen

Panasonic®

PC-Karten

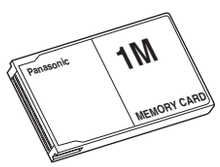

PCMCIA (Personal Computer Memory Card International Association) hat gemeinsame Spezifikationen für eine IC-Speicherkarten-Systemschnittstelle definiert. Nun kann die IC-Speicherkarte als Allzweckmedium zum Austausch von Daten zwischen Systemen verwendet werden.

SRAM-Karten: 68-Pin JEIDA 4.2/PCMCIA, Version 2.1:

• Mit oder ohne Attributspeicher erhältlich
• Auswechselbare Batterie (CR2025), kein Werkzeug erforderlich
• Enthält aufladbare Sub-Batterie, die während des Batteriewechsels Datensicherung bis zu einer Stunde bietet.
• Karte vom Typ I

Flash-Cards: Serie 2, 68-Pin JEIDA 4.2/PCMCIA, Version 2.1:

• Verwendet 8 Mbit Speicher-Chips
• Karte vom Typ I

Beschreibung	Digi-Key Teilenr.	Stück preis
SRAM-Karte-PCMCIA/JEIDA Standard, 68 Pins		
64Kx8/32Kx16, 200 ns, 150 mA, 5 Jahre Sicherung	BN-064HSR-ND	33.59
128Kx8/64Kx16, 200 ns, 150 mA, 5 Jahre Sicherung	BN-128HSR-ND	38.29
256Kx8/128Kx16, 200 ns, 150 mA, 5 Jahre Sicherung	BN-256HSR-ND	48.38
512Kx8/256Kx16, 200 ns, 150 mA, 5 Jahre Sicherung	BN-512HSR-ND	68.73
1Mx8/512Kx16, 200 ns, 150 mA, 4 Jahre Sicherung	BN-01MHSR-ND	100.50
2Mx8/1Mx16, 200 ns, 150 mA, 2 Jahre Sicherung	BN-02MHSR-ND	163.82
4Mx8/2Mx16, 200 ns, 150 mA, 1 Jahr Sicherung	BN-04MHSR-ND	254.83
SRAM-Karte mit Attributkarte PCMCIA/JEIDA Standard, 68 Pins		
64Kx8/32Kx16, 200 ns, 150 mA, 5 Jahre Sicherung	BN-064HSRC-ND	36.91
128Kx8/64Kx16, 200 ns, 150 mA, 5 Jahre Sicherung	BN-128HSRC-ND	41.22
256Kx8/128Kx16, 200 ns, 150 mA, 5 Jahre Sicherung	BN-256HSRC-ND	52.57
512Kx8/256Kx16, 200 ns, 150 mA, 5 Jahre Sicherung	BN-512HSRC-ND	71.74
1Mx8/512Kx16, 200 ns, 150 mA, 4 Jahre Sicherung	BN-01MHSRC-ND	101.74
2Mx8/1Mx16, 200 ns, 150 mA, 2 Jahre Sicherung	BN-02MHSRC-ND	157.64
4Mx8/2Mx16, 200 ns, 150 mA, 1 Jahr Sicherung	BN-04MHSRC-ND	259.57
Flash Card, PCMCIA/JEIDA Standard, 68 Pins (Serie 2)		
10Mx8/5Mx16, 250ns, 150mA	BN-10MHF3CE-ND	310.53

Kühlkörper

International Electronic Research Corporation war unter den Ersten, die die Entwicklung von Halbleiterkühlkörpern seit 1954 voran getrieben haben. IERC verfügt über Vorräte und bietet Support von der Prototyperstellung bis zur Produktion; ihre Produkte werden in erster Linie von OEMs aller Ebenen verwendet, die sich mit der Herstellung kommerzieller und militärischer Ausrüstungen befassen. IERC verweist mit Stolz auf ihre flexible Fertigung, die Qualität ihrer Produkte und die Einhaltung von Lieferdaten. Klemm-Versionen verfügen über eine integrierte Klemme zur Befestigung des Bausteins am Kühler, ohne dass zusätzliche Hardware erforderlich ist; Formschluss verhindert ein Herausrutschen des Halbleiters. TO-220-Versionen passen auch für TO-202-, TO-218- und TO-126-Pakete. Die angegebenen Watt-Werte beziehen sich nur auf Leitfähigkeit bei Luftstille. Luftbewegung erhöht diesen Wert.

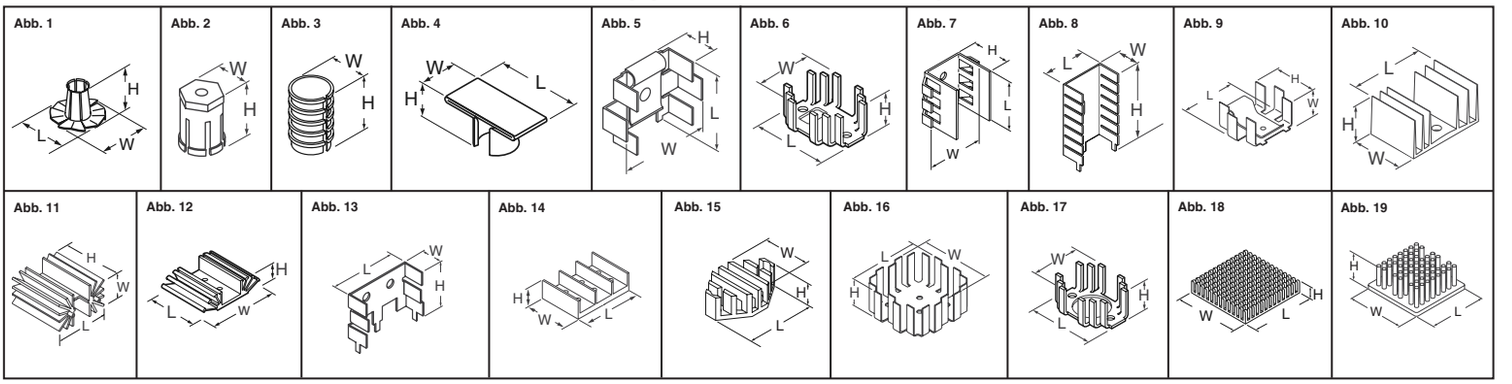

Abb.	Beschreibung	Abmessungen - Zoll (mm) L x B x H	Wärmewider-stand C/Watt	Digi-Key Teilenr.	Stückpreis 1	10	100	IERC Teilenr.
1	TO-5, Einzelgebläse, Oberteil, 0,5 W	.750 x .750 x .250 (19.05 x 19.05 x 6.35)	81.10	294-1122-ND	3.28	2.95	2.30	TXBF-032-025B
1	TO-18, Einzelgebläse, Oberteil, 0,5 W	.500 x .500 x .250 (12.70 x 12.70 x 6.35)	150.00	294-1004-ND	4.30	3.87	3.01	TXBF-019-025B
2	TO-5, Aufdrückmontage, mit Hardware, schwarz, 1 W	— x .380 x .310 (— x 9.65 x 7.87)	73.17	294-1120-ND	22.32	20.09	15.62	TXB2P-032-037B
2	TO-5, Aufdrückmontage, schwarz, 1 W	— x .380 x .310 (— x 9.65 x 7.87)	73.17	294-1121-ND	3.98	3.59	2.79	TXBE-032-031B
2	TO-8, Aufdrückmontage, ohne Hardware, schwarz, 1 W	— x .380 x .310 (— x 9.65 x 7.87)	73.17	294-1118-ND	15.37	13.84	10.76	TXB2-032-037B
2	TO-18, Aufdrückmontage, mit Hardware, schwarz, 5 W	— x .220 x .340 (— x 5.59 x 8.64)	150.26	294-1123-ND	27.69	24.92	19.39	TXP1808B
2	TO-18, Aufdrückmontage, mit Hardware, schwarz, 0,6 W	— x .220 x .280 (— x 5.59 x 7.11)	150.26	294-1119-ND	18.52	16.68	12.97	TXB2P-019-028B
3	TO-5, Aufdrückmontage, schwarz, 2 W	— x .440 x .500 (— x 11.18 x 12.70)	35.00	294-1105-ND	2.07	1.87	1.46	7-120-BA
4	TO-5, Aufdrückmontage, schwarz, 1 W	.700 x .325 x .250 (17.78 x 8.26 x 6.35)	58.00	294-1106-ND	1.65	1.49	1.16	7-175-BA
5	TO-220, vertikale/horizontale Klemm-Montage, schwarz, 1,5 W	.810 x 1.00 x .310 (20.57 x 25.40 x 7.87)	140.50	294-1115-ND	.59	.53	.42	PSC2-2CB
6	TO-220, Power-Version, Horizontalmontage, schwarz, 2 W	1.63 x 1.29 x .750 (41.40 x 32.77 x 19.05)	13.60	294-1113-ND	1.41	1.27	.99	LAT0127B3CB
6	TO-220, Power-Version, Horizontalmontage, 8 W	1.31 x .90 x .750 (33.27 x 22.86 x 19.05)	17.00	294-1036-ND	.75	.67	.52	LAE66A3CB
7	TO-220, Horizontal-/Vertikalmontage mit Ösen, schwarz, 2,5 W	.710 x .800 x .500 (18.03 x 20.32 x 12.70)	30.00	294-1107-ND	.68	.61	.48	7-361-BA
7	TO-220, Horizontal-/Vertikalmontage mit Ösen, schwarz, 2 W	.710 x .800 x .340 (18.03 x 20.32 x 8.64)	38.00	294-1108-ND	.68	.61	.48	7-362-BA
8	TO-220, Vertikalmontage, 3 W	.750 x .375 x .750 (19.05 x 9.52 x 19.05)	25.00	294-1011-ND	1.01	.72	.51	7-195-2-BA
7	TO-220, Horizontalmontage, 3 W (kein Montageloch)	1.09 x .620 x 1.31 (27.69 x 15.75 x 33.27)	30.00	294-1013-ND	.56	.44	.33	7-300-000-BA
8	TO-220, Horizontal-/Vertikalmontage mit Ösen, Nickel, 3 W	1.25 x .880 x .250 (31.75 x 22.35 x 6.35)	25.40	294-1114-ND	2.46	2.22	1.73	PSB2-1ND
8	TO-220, vertikale PC-Montage mit Ösen, 5 W	1.00 x .500 x 1.18 (25.40 x 12.70 x 29.97)	20.00	294-1042-ND	.68	.61	.48	PB1-36CB
8	TO-220, vertikale PC-Montage mit Kartensperren	1.00 x .500 x 1.18 (25.40 x 12.70 x 29.97)	28.00	294-1043-ND	1.46	1.32	1.03	PB1ST-69CB
8	TO-220, vertikale PC-Montage mit Ösen, 6 W	.880 x .250 x 1.25 (22.35 x 6.35 x 31.75)	25.40	294-1045-ND	.79	.62	.46	PSB2-1CB
9	TO-220, hohe Effizienz, 3 W	.710 x .310 x 1.00 (18.03 x 7.87 x 25.40)	30.00	294-1040-ND	.58	.46	.35	PA2-1CB
9	TO-220, hohe Effizienz, 4 W	.710 x .500 x 1.00 (18.03 x 12.70 x 25.40)	26.80	294-1039-ND	.58	.46	.35	PA1-1CB
9	TO-220, Flachprofil, Klemmversion, mit Anti-Rotation, schwarz	.810 x .310 x 1.00 (20.57 x 7.87 x 25.40)	40.50	294-1049-ND	1.01	.72	.51	PSC2T-2CB
10	TO-220, Power-Version, Vertikalmontage, 7 W	1.15 x .460 x .750 (29.21 x 11.68 x 19.05)	14.00	294-1034-ND	2.10	1.89	1.47	7-340-1PP-BA
10	TO-220, Power-Version, Horizontalmontage, 7 W	1.15 x .460 x .750 (29.21 x 11.68 x 19.05)	14.00	294-1035-ND	2.10	1.89	1.47	7-340-3PP-BA
10	Zweif. TO-220, Universalmontage, 9 W	1.50 x 1.15 x .460 (38.10 x 29.21 x 11.68)	7.00	294-1080-ND	2.54	2.29	1.78	7-340-2PP-BA
11	TO-220, Power-Version, Vertikalmontage mit Pins, 11 W	1.38 x .500 x 1.50 (35.05 x 6.35 x 38.10)	13.00	294-1024-ND	3.68	3.32	2.58	7-338-1PP-BA
11	TO-220, Power-Version, Vertikalmontage mit Pins, 11 W	1.65 x 1.00 x 1.50 (41.91 x 25.40 x 38.10)	11.00	294-1029-ND	4.02	3.62	2.82	7-339-1PP-BA
11	TO-220, Power-Version, Vertikalmontage mit Pins, 15 W	1.65 x 1.00 x 2.00 (41.91 x 25.40 x 50.80)	5.00	294-1031-ND	4.23	3.81	2.97	7-339-3PP-BA
11	TO-220, Power-Version, Vertikalmontage mit Pins, 17 W	1.38 x .500 x 2.50 (35.05 x 6.35 x 63.50)	4.00	294-1027-ND	4.34	3.91	3.04	7-338-4PP-BA
11	TO-220, Power-Version, Vertikalmontage mit Pins, 17 W	1.65 x 1.00 x 2.50 (41.91 x 25.40 x 63.50)	4.00	294-1032-ND	4.77	4.29	3.34	7-339-4PP-BA
12	TO-220, Power-Version, Horizontal-/Vertikalmontage, 12 W	.750 x 2.00 x .553 (19.05 x 50.80 x 14.05)	9.00	294-1067-ND	1.65	1.49	1.16	7-345-1PP-BA
12	TO-220, Power-Version, Horizontalmontage, 12 W	.750 x 2.00 x .553 (19.05 x 50.80 x 14.05)	9.00	294-1068-ND	1.89	1.70	1.32	7-345-3PP-BA
12	Zweif. TO-220, Power-Version, Universalmontage, 15 W	1.50 x 2.00 x .553 (38.10 x 50.80 x 14.05)	4.00	294-1082-ND	2.78	2.50	1.95	7-345-2PP-BA
13	Zweif. TO-220, Vertikalmontage mit Ösen, schwarz, 4 W	1.50 x .500 x 1.18 (38.10 x 12.70 x 29.97)	15.00	294-1117-ND	.70	.64	.50	PSE1-2CB
14	Dreif. TO-220, Vertikalmontage, 7 W	1.61 x .750 x .690 (40.89 x 19.05 x 17.53)	9.00	294-1085-ND	6.76	6.08	4.73	7-342-1PP-BA
14	Sechsf. TO-220, Horizontalmontage, 15 W	1.61 x 1.50 x .690 (40.89 x 38.10 x 17.53)	4.00	294-1086-ND	3.43	3.09	2.41	7-342-2PP-BA
15	TO-3, Power-Kappe, Platzspardesign, 2 W	1.56 x 1.06 x .500 (39.62 x 26.92 x 12.70)	32.00	294-1095-ND	4.44	4.00	3.12	7-423-BA
16	TO-3, Power-Version, Horizontalmontage, schwarz, 8 W	1.78 x 1.78 x 1.00 (45.21 x 45.21 x 25.40)	7.10	294-1124-ND	2.57	2.31	1.80	UP-TO3-CB
16	TO-3, Power-Version, Horizontalmontage, 15 W	2.50 x 2.50 x .900 (63.50 x 63.50 x 22.86)	5.40	294-1088-ND	3.12	2.81	2.19	HP1-TO3-CB
17	TO-3, Power-Version, Horizontalmontage, 12 W	1.63 x 1.29 x 1.25 (41.40 x 32.77 x 31.75)	11.10	294-1092-ND	3.43	3.09	2.41	LA363B5CB
18	Verschiedene Halbleiter, mit haftender Rückseite	.910 x .910 x .355 (23.11 x 23.11 x 9.02)	26.90	294-1097-ND	2.58	2.33	1.81	BDN09-3CB/A01
18	Verschiedene Halbleiter, mit haftender Rückseite	1.01 x 1.01 x .355 (25.65 x 25.65 x 9.02)	26.40	294-1098-ND	2.62	2.37	1.84	BDN10-3CB/A01
18	Verschiedene Halbleiter, mit haftender Rückseite	1.11 x 1.11 x .355 (28.19 x 28.19 x 9.02)	20.90	294-1109-ND	2.67	2.40	1.87	BDN11-3CB/A01
18	Verschiedene Halbleiter, mit haftender Rückseite	1.21 x 1.21 x .355 (30.73 x 30.73 x 9.02)	19.60	294-1099-ND	2.69	2.42	1.89	BDN12-3CB/A01
18	Verschiedene Halbleiter, mit haftender Rückseite	1.21 x 1.21 x .555 (30.73 x 30.73 x 14.10)	16.50	294-1110-ND	2.71	2.44	1.90	BDN12-5CB/A01
18	Verschiedene Halbleiter, mit haftender Rückseite	1.31 x 1.31 x .355 (33.27 x 33.27 x 9.02)	16.10	294-1100-ND	2.73	2.46	1.92	BDN13-3CB/A01
18	Verschiedene Halbleiter, mit haftender Rückseite	1.41 x 1.41 x .355 (35.81 x 35.81 x 9.02)	16.20	294-1101-ND	2.82	2.54	1.98	BDN14-3CB/A01
18	Verschiedene Halbleiter, mit haftender Rückseite	1.51 x 1.51 x .355 (38.35 x 38.35 x 9.02)	15.10	294-1102-ND	2.95	2.65	2.06	BDN15-3CB/A01
18	Verschiedene Halbleiter, mit haftender Rückseite	1.61 x 1.61 x .355 (40.89 x 40.89 x 9.02)	13.50	294-1103-ND	3.17	2.86	2.23	BDN16-3CB/A01
18	Verschiedene Halbleiter, mit haftender Rückseite	1.71 x 1.71 x .355 (43.43 x 43.43 x 9.02)	11.50	294-1111-ND	3.54	3.19	2.48	BDN17-3CB/A01
18	Verschiedene Halbleiter, mit haftender Rückseite	1.81 x 1.81 x .355 (45.97 x 45.97 x 9.02)	10.80	294-1104-ND	3.64	3.28	2.55	BDN18-3CB/A01
18	Verschiedene Halbleiter, mit haftender Rückseite	1.81 x 1.81 x .605 (45.97 x 45.97 x 15.37)	8.10	294-1112-ND	4.06	3.65	2.84	BDN18-6CB/A01
19	Verschiedene SMT-Halbleiter	1.026 x 1.026 x .457 (26.6 x 26.6 x 11.6)	5.3	294-1125-ND	3.89	3.51	2.73	APR27-27-12CB
19	Verschiedene SMT-Halbleiter, mit Thermo-Klebeband	1.026 x 1.026 x .457 (26.6 x 26.6 x 11.6)	5.3	294-1126-ND	4.40	3.97	3.09	APR27-27-12CB/A01
19	Verschiedene SMT-Halbleiter, mit kurzer Klemme	1.026 x 1.026 x .457 (26.6 x 26.6 x 11.6)	5.3	294-1127-ND	5.29	4.77	3.71	APR27-27-12CB/S
19	Verschiedene SMT-Halbleiter, mit mittlerer Klemme	1.026 x 1.026 x .457 (26.6 x 26.6 x 11.6)	5.3	294-1128-ND	5.29	4.77	3.71	APR27-27-12CB/M
19	Verschiedene SMT-Halbleiter, mit langer Klemme	1.026 x 1.026 x .457 (26.6 x 26.6 x 11.6)	5.3	294-1129-ND	5.29	4.77	3.71	APR27-27-12CB/T
19	Verschiedene SMT-Halbleiter	1.284 x 1.284 x .457 (32.6 x 32.6 11.6)	3.8	294-1130-ND	4.36	3.93	3.06	APR33-33-12CB
19	Verschiedene SMT-Halbleiter, mit Thermo-Klebeband	1.284 x 1.284 x .457 (32.6 x 32.6 11.6)	3.8	294-1131-ND	5.25	4.73	3.68	APR33-33-12CB/A01
19	Verschiedene SMT-Halbleiter, mit kurzer Klemme	1.284 x 1.284 x .457 (32.6 x 32.6 11.6)	3.8	294-1132-ND	5.78	5.21	4.05	APR33-33-12CB/S
19	Verschiedene SMT-Halbleiter, mit mittlerer Klemme	1.284 x 1.284 x .457 (32.6 x 32.6 11.6)	3.8	294-1133-ND	5.78	5.21	4.05	APR33-33-12CB/M
19	Verschiedene SMT-Halbleiter, mit langer Klemme	1.284 x 1.284 x .457 (32.6 x 32.6 11.6)	3.8	294-1134-ND	5.78	5.21	4.05	APR33-33-12CB/T
19	Verschiedene SMT-Halbleiter	1.461 x 1.461 x .457 (37.1 x 37.1 x 11.6)	3.3	294-1135-ND	4.49	4.04	3.15	APR38-38-12CB
19	Verschiedene SMT-Halbleiter, mit Thermo-Klebeband	1.461 x 1.461 x .457 (37.1 x 37.1 x 11.6)	3.3	294-1136-ND	5.38	4.84	3.77	APR38-38-12CB/A01
19	Verschiedene SMT-Halbleiter, mit kurzer Klemme	1.461 x 1.461 x .457 (37.1 x 37.1 x 11.6)	3.3	294-1137-ND	5.88	5.30	4.12	APR38-38-12CB/S
19	Verschiedene SMT-Halbleiter, mit mittlerer Klemme	1.461 x 1.461 x .457 (37.1 x 37.1 x 11.6)	3.3	294-1138-ND	5.88	5.30	4.12	APR38-38-12CB/M
19	Verschiedene SMT-Halbleiter, mit langer Klemme	1.461 x 1.461 x .457 (37.1 x 37.1 x 11.6)	3.3	294-1139-ND	5.88	5.30	4.12	APR38-38-12CB/T

Alle Preisangaben in Euro und inklusive Zollgebühren.

Kühlkörper

Wakefield Engineering gilt weltweit als führend für innovative Wärme-Management-Lösungen. Ihre Produkte reichen von Kühlkörpern für Oberflächen- oder Durchgangslochmontage auf Karten-Level bis zu ventilatormontierten Kühlkörpern für Mikroprozessoren und CPUs. Wakefield Engineering kann als Quelle für Ihren gesamten Bedarf an Wärme-Management-Anforderungen dienen. DeltaPads sind ein Ersatz für Kühlkörperschmiere, aber sauberer in der Anwendung. Sie sind wärmeleitende, stromisolierende Pads, die zwischen Kühlkörper und Halbleiterbaustein passen. TO-220 Kühlkörper passen auch für TO-202- und TO-126-Gehäuse.

Abb. 1
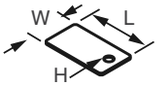

Abb. 2

Abb. 3
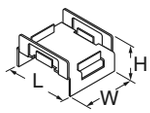

Abb. 4
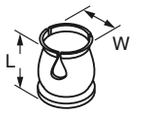

Abb. 5
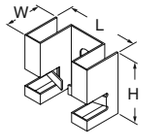

Abb. 6
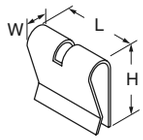

Abb. 7
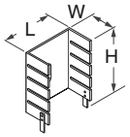

Abb. 8
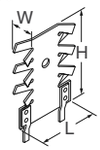

Abb. 9
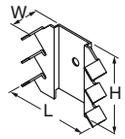

Abb. 10
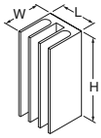

Abb. 11
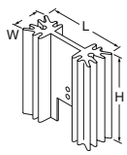

Abb. 12

Abb. 13
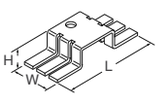

Abb. 14
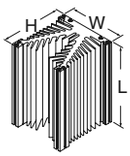

Abb. 15
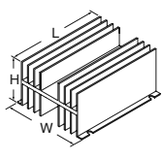

Abb. 16
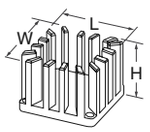

Abb. 17
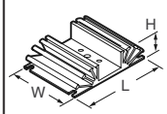

Abb. 18
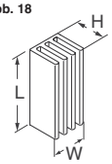

Abb. 19
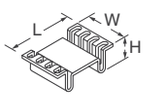

Abb. 20
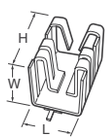

Abb. 21
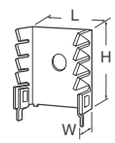

Abb. 22
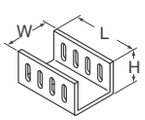

Abb. 23
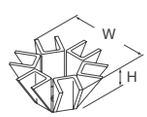

Abb. 24
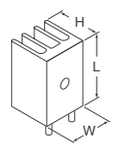

Abb. 25
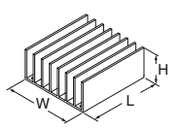

Abb. 26
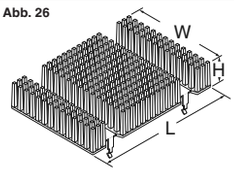

Abb. 27
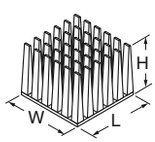

Abb. 28

Abb.	Beschreibung	Abmessungen - mm L x B x H	Digi-Key Teilenr.	Stückpreis 1	10	100	Wakefield Teilenr.
1	DeltaPad thermisches Pad TO-220, mit Kleber (0,18 mm)	18.0 x 12.7 x 3.6 dia.	345-1000-ND	.36	.26	.18	173-7-220P
1	DeltaPad thermisches Pad TO-220 ohne Kleber (0,23 mm)	19.1 x 12.7 x 3.7 dia.	345-1079-ND	.21	.15	.11	173-7-240A
1	DeltaPad thermisches Pad TO-220 ohne Kleber (0,23 mm)	19.1 x 12.7 x 3.2 dia.	345-1080-ND	.21	.15	.11	173-9-230P
1	DeltaPad thermisches Pad TO-220 ohne Kleber (0,23 mm)	19.1 x 12.7 x 3.7 dia.	345-1001-ND	.80	.58	.40	173-9-240P
1	Kapton thermisches Pad TO-220 ohne Kleber (0,15 mm)	18.0 x 12.7 x 3.6 dia.	345-1002-ND	.39	.28	.20	175-6-220P
1	Kapton thermisches Pad TO-220 ohne Kleber (0,15 mm)	19.1 x 12.7 x 3.2 dia.	345-1003-ND	.30	.22	.15	175-6-230P
1	Kapton thermisches Pad TO-220 ohne Kleber (0,15 mm)	19.1 x 12.7 x 3.7 dia.	345-1004-ND	.33	.24	.17	175-6-240P
1	Kapton thermisches Pad TO-220 ohne Kleber (0,15 mm)	21.8 x 18.8 x 4.1 dia.	345-1005-ND	.53	.39	.27	175-6-280P
2	Silikon-Wärmeschmiermittel, 4 g, Plastikpackung	—	345-1006-ND	4.27	2.85	2.21	120-SA
2	Silikon-Wärmeschmiermittel, 2 oz. Glas	—	345-1007-ND	11.02	7.35	5.70	120-2
2	Silikon-Wärmeschmiermittel, 5 oz. Schlauch	—	345-1008-ND	20.68	14.48	12.41	120-5
2	Silikon-Wärmeschmiermittel, 8 oz. Glas	—	345-1009-ND	25.21	17.65	15.13	120-8
2	Silikon-Wärmeschmiermittel, 5 Lbs. Dose	—	345-1010-ND	125.25	87.68	75.16	120-80
2	Synthetischer Thermoverbund, nicht silikonhaltig, 4-oz.-Tube	—	345-1011-ND	22.21	15.55	13.33	126-4
3	D-Pack/SOT-23 Kühlkörper, vorverzinnt, autom. einfügbar	18.80 x 15.24 x 9.14	345-1012-ND	.27	.19	.14	217-36CT6
4	TO-5 zum Festklemmen, schalenartig, mit 4-40 Gewindebasis	9.40 x 9.65 dia.	345-1013-ND	10.92	7.29	5.65	260-4T5E
5	TO-220, selbstschließend, Horizontal-/Vertikalmontage, schwarz	25.40 x 12.70 x 21.59	345-1016-ND	.59	.43	.30	235-85AB
6	TO-220, selbstschließend, Horizontal-/Vertikalmontage, schwarz	20.32 x 6.86 x 20.32	345-1017-ND	.30	.22	.15	243-3PAB
7	TO-220, Vertikalmontage, zum Aufschwemmlöten, mit schwarzen Ösen	25.40 x 12.70 x 29.97	345-1018-ND	1.36	.98	.69	287-1AB
7	TO-220, preiswerte Ausführung, Horizontal-/Vertikalmontage, schwarz	25.40 x 12.70 x 18.03	345-1019-ND	.33	.24	.17	289-AB
7	TO-220, preiswerte Zweif. Ausführung, Horizontal-/Vertikalmontage, schwarz	25.40 x 12.70 x 29.97	345-1020-ND	.45	.32	.23	290-1AB
7	TO-220, Zweif. Ausführung, preiswert, schwarz	25.40 x 12.70 x 29.97	345-1021-ND	.45	.32	.23	290-2AB
7	TO-220, preiswerte Ausführung, Horizontal-/Vertikalmontage, schwarz	19.05 x 9.52 x 19.05	345-1022-ND	.45	.32	.23	273-AB
7	TO-220, preiswerte Ausführung, Horizontal-/Vertikalmontage, schwarz	13.21 x 9.52 x 19.05	345-1023-ND	.33	.24	.17	274-1AB
7	TO-220, Vertikalmontage, schwarz	25.4 x 12.7 x 30.0	345-1081-ND	.95	.68	.48	206-1PABH
7	TO-220 aufschwemmlötbare, preiswerte Kühlkörper	25.4 x 12.7 x 30.0	345-1088-ND	1.36	.98	.69	287-1ABH
8	TO-220, Vertikalmontage, zum Aufschwemmlöten, mit Ösen	22.23 x 5.46 x 31.75	345-1024-ND	1.24	.89	.63	288-1AB
9	TO-220, selbstschließend, Vertikalmontage, schwarz	25.40 x 9.14 x 21.84	345-1025-ND	.65	.47	.33	291-H36AB
10	TO-220, Strom-Vertikalmontage mit Pins/6-32 Gewinde, schwarz	16.26 x 16.26 x 25.40	345-1026-ND	1.52	1.08	.76	634-10ABP
10	TO-220, Strom-Vertikalmontage mit Pins/6-32 Gewinde, schwarz	16.26 x 16.26 x 50.80	345-1027-ND	2.13	1.53	1.07	634-20ABP
11	TO-220, Strom-Vertikalmontage mit Pins, schwarz	34.93 x 12.70 x 25.40	345-1028-ND	1.30	.94	.66	637-10ABP
11	TO-220, Strom-Vertikalmontage mit Pins, schwarz	34.93 x 12.70 x 38.10	345-1029-ND	1.81	1.30	.91	637-15ABP
11	TO-220, Strom-Vertikalmontage mit Pins, schwarz	34.93 x 12.70 x 50.80	345-1030-ND	1.54	1.11	.78	637-20ABP
11	TO-220, Strom-Vertikalmontage mit Pins, schwarz	41.91 x 25.40 x 25.40	345-1031-ND	1.52	1.08	.76	647-10ABP
11	TO-220, Strom-Vertikalmontage mit Pins, schwarz	41.91 x 25.40 x 38.10	345-1032-ND	1.72	1.23	.86	647-15ABP
11	TO-220, Strom-Vertikalmontage mit Pins, schwarz	41.91 x 25.40 x 38.10	345-1033-ND	1.72	1.23	.86	657-15ABP
11	TO-220, Strom-Vertikalmontage mit Pins, schwarz	41.91 x 25.40 x 38.10	345-1034-ND	1.81	1.30	.91	657-15ABPN
11	TO-220, Strom-Vertikalmontage mit Pins, schwarz	41.91 x 25.40 x 50.80	345-1035-ND	2.17	1.55	1.09	657-20ABP
11	TO-220, Strom-SpeedClip-Montage mit Pins (Klemme weiter unten bestellen)	34.93 x 12.70 x 25.40	345-1037-ND	1.93	1.38	.97	667-10ABPP
—	SpeedClip, Edelstahl, für Serie 667	—	345-1039-ND	.69	.49	.35	330-SC
12	TO-220, selbstschließend, Horizontal-/Vertikalmontage, schwarz	14.48 x 12.70 x 19.05	345-1040-ND	.39	.28	.20	230-75AB
13	TO-220, preiswerte Ausführung, Horizontal-/Vertikalmontage, schwarz	44.45 x 9.52 x 17.78	345-1041-ND	.36	.26	.18	270-AB
13	TO-220, oben montierter Booster für die Serien 270, 272, 280, schwarz	44.45 x 12.70 x 17.78	345-1042-ND	.39	.28	.20	271-AB
13	TO-220, zweif. Ausführung, Horizontalmontage, schwarz	44.45 x 9.52 x 36.83	345-1043-ND	.51	.36	.26	272-AB
14	IGBT und SSRs, Strommodul, schwarz	180.01 x 124.97 x 135.64	345-1046-ND	101.70	71.19	61.02	392-180AB
15	TO-3, Strom-Horizontalmontage, zweif. Rippe, schwarz	120.65 x 38.10 x 31.75	345-1047-ND	10.79	7.20	5.58	401-A
15	Stromkühlkörper, horizontal, zweif. Rippe, keine Löcher	120.65 x 38.10 x 31.75	345-1048-ND	7.26	4.85	3.76	401-K
15	Stromkühlkörper, horizontal, zweif. Rippe, keine Löcher	120.65 x 76.20 x 66.55	345-1049-ND	12.95	8.64	6.70	421-K
15	Stromkühlkörper, horizontal, zweif. Rippe, keine Löcher	120.65 x 139.70 x 66.55	345-1050-ND	16.36	11.46	9.82	423-K
16	TO-3, Strom-Horizontalmontage, omnidirektional, schwarz	45.97 x 45.97 x 31.75	345-1051-ND	5.66	3.78	2.93	680-125A
17	TO-3, für hohe Beanspruchung Strom, Horizontalmontage, schwarz	104.78 x 76.20 x 25.40	345-1052-ND	9.22	6.15	4.77	641-A
17	Stromkühlkörper, Horizontalmontage, keine Löcher, schwarz	104.78 x 76.20 x 25.40	345-1053-ND	8.89	5.93	4.60	641-K
18	14-16 Dip IC-Kühlkörper, zum Ankleben, schwarz	19.05 x 10.54 x 6.10	345-1054-ND	.71	.51	.36	651-B
19	Oberflächenmontage, schwarz	22.9 x 8.0 x 10.2	345-1082-ND	.86	.62	.43	218-40CT3
19	Oberflächenmontage, schwarz	26.2 x 12.7 x 10.2	345-1083-ND	.63	.45	.32	218-40CT5
20	TO-220, Horizontal- und Vertikalmontage, schwarz	14.5 x 12.7 x 19.1	345-1084-ND	.51	.36	.26	262-75AB-01
20	TO-220, Horizontal- und Vertikalmontage, schwarz	14.5 x 12.7 x 19.1	345-1085-ND	.57	.41	.29	262-75AB-05
21	TO-220, Vertikalmontage, schwarz	25.4 x 12.7 x 30.0	345-1086-ND	.80	.58	.40	265-118ABH-22
22	TO-220, niedrige Höhe, aufschwemmlötbar, schwarz	19.1 x 12.7 x 13.2	345-1087-ND	.33	.24	.17	274-2AB
23	Bolzenmontage, schwarz, ID=5,1 mm	— x 33.8 x 12.3	345-1095-ND	1.42	1.02	.72	695-1B
24	TO-220 und TO-218 Schmalprofil, eindirektionale Rippe, vertikal montiert	38.1 x 16.26 x 16.26	345-1091-ND	1.60	1.15	.80	634-15ABP
25	Half-Brick-DC/DC-Wandler, Vertikalmontage, schwarz	57.91 x 60.96 x 24.13	345-1055-ND	3.17	2.12	1.65	518-95AB
25	Half Brick DC/DC-Wandler mit Hardware/Thermal Pad	57.91 x 60.96 x 24.13	345-1056-ND	5.56	3.71	2.88	518-95AB-MS4
25	Half-Brick-DC/DC-Wandler, Vertikalmontage, schwarz	57.91 x 60.96 x 11.43	345-1057-ND	2.74	1.83	1.42	528-45AB

CPU, PGA und BGA Kühlkörper

Serie 609: Passend für PowerPC 601, 604, 255BGA Serie 628: Passend für IntelDX4, Intel 80486DX2, AM486DX2/DX4 Serie 658: Passend für IntelDX4, AM29240, PowerPC 603

Abb.	Beschreibung	Abmessungen - mm L x B x H	Digi-Key Teilenr.	Stückpreis 1	10	100	Wakefield Teilenr.
	CPU-Cooler						
18	35 mm BGA eindirektionaler Rippen-Kühlkörper	35.00 x 35.00 x 11.4	345-1092-ND	1.69	1.21	.85	642-45AB
26	40 mm QFP und 21 mm BGA mit Klemmen und Thermo-Klebeband, schwarz	73.41 x 50.80 x 12.70	345-1058-ND	10.57	7.05	5.46	609-50ABS3
27	21 mm BGA mit doppelseitigem Thermo-Klebeband	21.01 x 21.01 x 6.35	345-1059-ND	1.84	1.32	.92	624-25ABT4
27	25 mm BGA mit doppelseitigem Thermo-Klebeband	24.99 x 24.99 x 6.35	345-1060-ND	2.07	1.49	1.04	625-25ABT4
27	17x17 PGA, kein Band, schwarz	44.45 x 43.18 x 10.16	345-1061-ND	1.99	1.42	1.00	628-40AB
27	17x17 PGA, kein Band, schwarz	44.45 x 43.18 x 16.51	345-1062-ND	2.29	1.53	1.19	628-65AB
27	28-38mm CQFP, kein Band, schwarz	27.94 x 27.94 x 6.35	345-1036-ND	.98	.70	.49	658-25AB
27	28-38 mm CQFP mit Thermo-Klebeband (Chomerics T-405), schwarz	27.94 x 27.94 x 6.35	345-1063-ND	2.31	1.66	1.16	658-25ABT1
27	28-38 mm CQFP mit Thermo-Klebeband (Arclad 8223), schwarz	27.94 x 27.94 x 6.35	345-1064-ND	2.13	1.53	1.07	658-25ABT2
27	28-38 mm CQFP mit Thermo-Klebeband (Chomerics T-412), schwarz	27.94 x 27.94 x 6.35	345-1065-ND	2.11	1.41	1.09	658-25ABT4
27	28-38 CQFP, kein Band, schwarz	27.94 x 27.94 x 8.89	345-1066-ND	.98	.70	.49	658-35AB
27	28-38 mm CQFP mit Thermo-Klebeband (Chomerics T-412), schwarz	27.94 x 27.94 x 8.89	345-1067-ND	2.06	1.38	1.07	658-35ABT3
27	28-38 mm CQFP mit Thermo-Klebeband (Chomerics T-410), schwarz	27.94 x 27.94 x 8.89	345-1068-ND	2.11	1.41	1.09	658-35ABT4
27	28-38 CQFP, kein Band, schwarz	27.94 x 27.94 x 11.43	345-1069-ND	1.07	.77	.54	658-45AB
27	28-38 mm CQFP mit Thermo-Klebeband (Chomerics T-412), schwarz	27.94 x 27.94 x 11.43	345-1070-ND	2.25	1.61	1.13	658-45ABT2
27	28-38 mm CQFP mit Thermo-Klebeband (Chomerics T-410), schwarz	27.94 x 27.94 x 11.43	345-1071-ND	2.21	1.48	1.15	658-45ABT4
27	28-38 CQFP, kein Band, schwarz	27.94 x 27.94 x 15.24	345-1072-ND	1.28	.91	.64	658-60AB
27	28-38 mm CQFP mit Thermo-Klebeband (Chomerics T-405), schwarz	27.94 x 27.94 x 15.24	345-1073-ND	2.18	1.46	1.13	658-60ABT1
27	28-38 mm CQFP mit Thermo-Klebeband (Arclad 8223), schwarz	27.94 x 27.94 x 15.24	345-1074-ND	2.03	1.36	1.05	658-60ABT2
27	28-38 mm CQFP mit Thermo-Klebeband (Chomerics T-412), schwarz	27.94 x 27.94 x 15.24	345-1075-ND	2.26	1.51	1.17	658-60ABT3
27	21 mm BGA mit omnidirektionalem Pin-Rippen-Kühlkörper, schwarz	21.01 x 21.01 x 11.4	345-1089-ND	1.75	1.25	.88	624-45ABT3
27	25 mm BGA mit omnidirektionalem Pin-Rippen-Kühlkörper, schwarz	24.99 x 24.99 x 11.4	345-1090-ND	1.30	.94	.66	625-45AB
27	Pin-Rippen-Kühlkörper, schwarz	40.6 x 40.6 x 13.3	345-1093-ND	1.87	1.34	.94	655-53AB
27	Omnidirektionale Pin-Rippe, schwarz	27.9 x 27.9 x 8.9	345-1094-ND	2.31	1.55	1.20	658-60ABT4
	CPU-Komposit-Cooler						
28	CPU-Komposit-Cooler für 84-100QFP, 169BGA, kein Band, schwarz	16.51 x 16.51 x 10.16	345-1076-ND	1.07	.77	.54	D10650-40
28	CPU-Komposit-Cooler für 128-200QFP, 313BGA, kein Band, schwarz	21.59 x 21.59 x 10.16	345-1077-ND	1.07	.77	.54	D10850-40

AAVID THERMALLOY

BGA-Kühlkörper

Aavid Thermalloy verfügt über das größte Angebot an innovativen BGA-Kühlkörpern - einschließlich Standardausfertigungen, jederzeit erhältliche Lösungen - zur Unterstützung selbst Ihrer anspruchsvollsten Anwendungen. Sie sind leicht, bieten eine flache Basis und bewährte, langfristige Zuverlässigkeit

Kartenlochmuster

Abb. 1

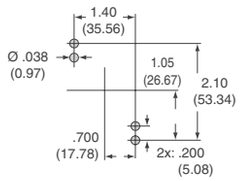

Abb. 2

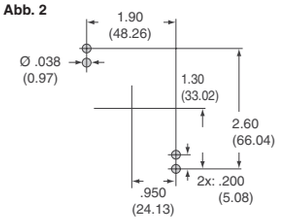

Abb. 3

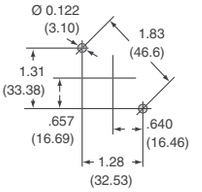

Abb. 4

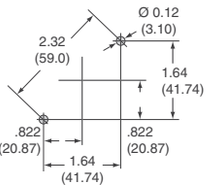

Abb. 5

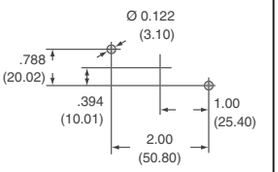

B

Befestigungsmethode: Lötungsverankert

Merkmale und Vorteile: • Einzigartiges Drahtklemmendesign ermöglicht komplette Überholbarkeit nach Zusammenbau, ohne dass BGA-Paket oder PC-Karte beschädigt wird. • Befestigung auf minimaler PC-Kartenfläche • Lötanker sorgen für stabilste Montage in der Industrie • Jeder Kühlkörper verwendet ein Phasenwechsel-Pad als Schnittstelle für optimale thermische Leistung. **Oberflächenverarbeitung:** Schwarz eloxiert

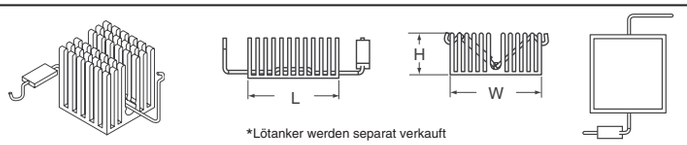

*Lötanker werden separat verkauft

Abb.	Breite	Länge	Höhe	Therm. Widerst. Nat.†	Therm. Widerst. Erzwungen‡	Digi-Key Teilenr.	Stückpreis 1	10	100	Aavid Teilenr.
1	23.0	23.0	25.0	19.7	6.37	HS329-ND	2.75	2.48	1.93	374224B60023
1	27.0	27.0	25.0	16.5	5.47	HS330-ND	3.03	2.73	2.12	374524B60023
2	35.0	35.0	18.0	15.3	5.15	HS326-ND	3.39	3.05	2.38	374724B60024
2	35.0	35.0	25.0	12.0	4.27	HS331-ND	3.60	3.24	2.52	374824B60024
2	40.0	40.0	10.0	20.3	6.46	HS327-ND	3.62	3.26	2.54	374924B60024
2	40.0	40.0	18.0	12.2	4.34	HS328-ND	3.92	3.53	2.75	375024B60024
2	40.0	40.0	25.0	10.3	3.83	HS332-ND	4.28	3.85	3.00	375124B60024
Lötanker						HS334-ND*	.25	.23	.18	D057

*Lötanker müssen vor Befestigung der Kühlkörperklemme auf die Platine gelötet werden
† = Natürlicher Konvektionswärmewiderstand basierend auf einem 75 °C Kühlkörpertemperaturanstieg.
‡ = Erzwungener Konvektionswärmewiderstand bei einem Eingangsluftstrom von 1,0 m/s (200 lfm).

Push-Pin-Befestigung

Merkmale und Vorteile: • Alle Kühlkörper verwenden Lochmuster nach Industriestandard • Plastik-Push-Pins sind Standard. Lassen Sie sich von Aavid Thermalloy bezüglich erhältlicher Versionen mit Messing-Push-Pins für rauere Anwendungen beraten • Jeder Kühlkörper verwendet ein Phasenwechsel-Pad als Schnittstelle für optimale thermische Leistung • Löcher mit winzigem Durchmesser sind notwendig, um die PC-Karte zu montieren **Oberflächenverarbeitung:** Schwarz eloxiert

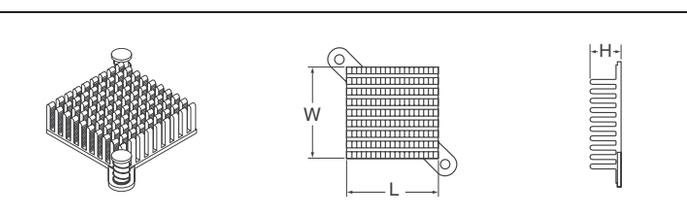

Abb.	Breite	Länge	Höhe	Therm. Widerst. Nat.†	Therm. Widerst. Erzwungen‡	Digi-Key Teilenr.	Stückpreis 1	10	100	Aavid Teilenr.
3	28.5	28.5	10.0	30.6	9.26	HS306-ND	2.01	1.81	1.41	10-6327-01
4	37.4	37.4	6.0	32.6	9.91	HS308-ND§	2.65	2.39	1.86	372924M02000
5	41.4	45.2	11.7	14.2	4.91	HS307-ND	2.48	2.23	1.74	10-L4LB-11

† = Natürlicher Konvektionswärmewiderstand basierend auf einem 75 °C Kühlkörpertemperaturanstieg.
‡ = Erzwungener Konvektionswärmewiderstand bei einem Eingangsluftstrom von 1,0 m/s (200 lfm).
§Oberflächenverarbeitung: Grün eloxiert

Klemmenbefestigung

Merkmale und Vorteile: • Eine einzigartige Klemme erübrigt die Notwendigkeit von Montagelöchern in der PC-Karte • Jeder Kühlkörper verwendet ein Phasenwechsel-Pad als Schnittstelle für optimale thermische Leistung • Einzigartiges Klemmendesign erübrigt die Notwendigkeit einer Thermalbandbefestigung **Oberflächenverarbeitung:** Schwarz eloxiert

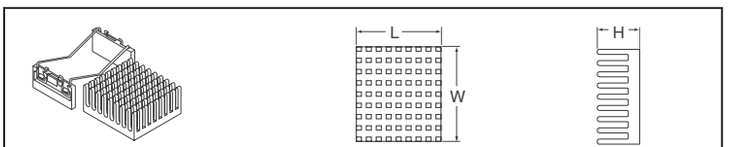

Breite	Länge	Höhe	Therm. Widerst. Nat.†	Therm. Widerst. Erzwungen‡	Digi-Key Teilenr.	Stückpreis 1	10	100	Aavid Teilenr.
34.5	31.4	15.6	19.7	6.30	HS309-ND	4.34	3.91	3.04	2519B-EP11-BGS5
38.1	38.0	10.2	22.1	6.94	HS310-ND	4.26	3.83	2.98	2522B-EP04-BGS5

† = Natürlicher Konvektionswärmewiderstand basierend auf einem 75 °C Kühlkörpertemperaturanstieg.
‡ = Erzwungener Konvektionswärmewiderstand bei einem Eingangsluftstrom von 1,0 m/s (200 lfm).

Bandbefestigung

Merkmale und Vorteile: • Klebebandmontage erübrigt die Notwendigkeit von Montagelöchern in der PC-Karte • Zur Verwendung mit Kunststoff- oder Metall/Kerarmik-BGA-Paketen • Kompatibel mit Ther-a-grip Klebebändern **Oberflächenverarbeitung:** Schwarz eloxiert

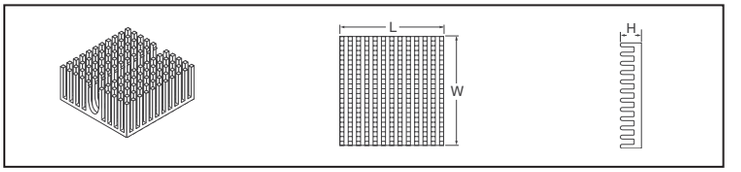

Oberfläche	Breite	Länge	Höhe	Therm. Widerst. Nat.†	Therm. Widerst. Erzwungen‡	Digi-Key Teilenr.	Stückpreis 1	10	100	Aavid Teilenr.
Kunststoff	23.0	23.0	10.0	40.0	11.69	HS316-ND	2.12	1.91	1.49	374024B00035
Kunststoff	23.0	23.0	18.0	23.4	7.39	HS317-ND	2.10	1.89	1.47	374124B00035
Kunststoff	27.0	27.0	10.0	30.6	9.35	HS318-ND	2.48	2.23	1.74	374324B00035
Kunststoff	27.0	27.0	18.0	20.3	6.46	HS319-ND	2.67	2.40	1.87	374424B00035
Kunststoff	30.0	30.0	9.4	29.4	9.11	HS311-ND	2.67	2.40	1.87	335824B00034
Metall	35.0	35.0	7.0	31.9	9.67	HS313-ND	3.01	2.71	2.11	371824B00032
Kunststoff	35.0	35.0	7.0	31.9	9.67	HS314-ND	3.09	2.79	2.17	371824B00034
Metall	35.0	35.0	10.0	23.4	7.55	HS320-ND	2.96	2.67	2.08	374624B00032
Kunststoff	35.0	35.0	10.0	23.4	7.55	HS321-ND	3.33	3.00	2.33	374624B00035
Metall	35.0	35.0	18.0	15.3	5.15	HS322-ND	2.95	2.65	2.06	374724B00032
Kunststoff	35.0	35.0	18.0	15.3	5.15	HS323-ND	3.05	2.75	2.14	374724B00035
Metall	37.4	37.4	6.0	32.6	9.91	HS315-ND§	3.22	2.90	2.26	373324M00032
Metall	40.0	40.0	10.0	20.3	6.46	HS324-ND	3.34	3.01	2.35	374924B00032
Metall	40.0	40.0	18.0	12.2	4.34	HS325-ND	3.94	3.55	2.76	375024B00032
Metall	40.1	40.0	11.4	18.4	6.02	HS312-ND	3.26	2.94	2.29	364424B00032

† = Natürlicher Konvektionswärmewiderstand basierend auf einem 75 °C Kühlkörpertemperaturanstieg.
‡ = Erzwungener Konvektionswärmewiderstand bei einem Eingangsluftstrom von 1,0 m/s (200 lfm).
§Oberflächenverarbeitung: Grün eloxiert

Panasonic®

„PGS“ (Pyrolytisches Graphit) Kühlkörper-Bogen

PGS (Pyrolytisches Graphit) ist ein Wärmschrumpfbogen mit hoher Wärmeleitfähigkeit und hoher Flexibilität. PGS besteht aus Graphit mit einer Struktur, die an ein Einzelkristall erinnert. Dies wird mit einem hoch-orientierten Polymerfilmbogen erreicht, einem Prozess, der bisher noch nie implementiert worden ist.

Merkmale:

• Hervorragende thermische Leitfähigkeit: 600 bis 800 W/(m.K), zweimal so hoch wie Kupfer, dreimal so hoch wie Aluminium • Leichtes Gewicht: Wie Wasser (spezifische Schwerkraft: 1,0 g/cm3), 1/9 von Kupfer, 1/3 von Aluminium • Flexibler Bogen, leicht zuzuschneiden oder zu trimmen, hält wiederholter Biegung stand • Ho her Wärmewiderstand: Stabil bis etwa 400 °C, selbst in der Luft • Niedriger Wärmewiderstand •Hauptbestandteil: Kohlenstoff. Minimale Unreinheiten und Gasabgabe • Hervorragende Wärmeübertragungsleistung. Kühlkörper und gleichmäßige Wärmeverteilung

Anwendungsbeispiele:

• Notebook-Computer, DVDs, DVCs, Handys • Halbleiterherstellungsgeräte (Zerstäubung, Trockenätzen, Schrittmotoren) • Optische Kommunikationsgeräte

General Characteristics of PGS

Items	Characteristics
Thickness	0.1±0.05mm
Density	1.0 g/cm^3
Thermal Conductivity (a-b plane)	600 – 800 W/(m.K)
Thermal Resistance	0.4°C/w(10N/cm^2)
Electrical Conductivity (a-b plane)	10000 S/cm
Extensional Strength	19.6 Mpa
Expansion Coefficient (a-b plane) (c axis)	9.3 x 10^{-7} 1/K 32 x 10^{-6} 1/K
Heat Resistance	400°C
Bending (angle 180, R5)	10000 cycles

Abmessungen L x B (mm)	Digi-Key Teilenr.	Stückpreis	Panasonic Teilenr.
125 x 180	P11438-ND	88.45	EYG-S131810
125 x 90	P11439-ND	48.65	EYG-S091310
60 x 90	P11440-ND	25.30	EYG-S060910
90 x 115	P12726-ND	30.85	EYG-S091210
57 x 90	P12727-ND	28.39	EYG-M060910SS
57 x 90	P12728-ND	16.86	EYG-A060910P
57 x 90	P12729-ND	16.86	EYG-A060910B

ITW Chemtronics®

Kühlkörper-Schmiere

Zur schnellen Wärmeübertragung von Komponenten

- Nicht entzündbar
- Nicht korrodierend
- Silikon
- Kein Austrocknen, Verhärten oder Schmelzen
- 5 oz. (141,75 g) Tube
- Erfüllt MIL-C-47113
- Stabil von: -0 °F ~ 342 °F (-18 °C ~ 172 °C)

Digi-Key Teilenr.	Stückpreis 1	25	100	Chemtronics Teilenr.
CT40-5-ND	13.88	12.55	11.72	CT40-5

Alle Preisangaben in Euro und inklusive Zollgebühren.

Aavid's Ultrastick ist ein einzigartiges phasenänderndes Thermo-Schnittstellenmaterial, das Schmiere hinsichtlich Wärmeleistung und langfristiger Stabilität übertrifft. Diese feste, silikonfreie Wärmeverbundmasse auf Paraffinbasis ändert die Phase bei 60 °C mit einer gleichzeitigen volumetrischen Expansion, die Spalten zwischen aufeinandertreffenden Oberflächen füllt. Eine kostensparende Anwendung hinterlässt eine dünne, filmartige Ablagerung, die hervorragende Wärme-übertragung und geringen Wärmewiderstand bietet.

Merkmale:

- Wärmewiderstand 20 % niedriger als thermisches Schmiermittel,mit bedeutend besserer Langzeitzuverlässigkeit
- Hervorragende Wärmetransfermerkmale, die auch bei steigendem Druck von unter 5 psi bis über 200 psi gleich bleiben.
- Kein Auslaufen, keine Migration, kein Austrocknen oder Flocken wie bei typischem thermischen Schmiermittel
- Nicht giftig und inert
- Elektrisch nicht-leitend
- Einfach zu gebrauchen und trocken nach der Anwendung, wodurch Lohnkosten niedriger werden
- Jeder Riegel deckt ca. 1.000 in²

HS243-ND **14.50**

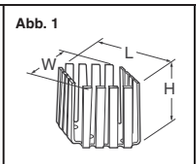

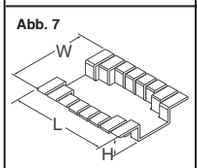

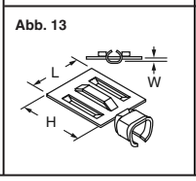

B

Abb.	Beschreibung	Abmessungen - Zoll (mm) L x W x H	Wärmewiderstand °C/W	Digi-Key Teilenr.	Stückpreis 1	10	100	Hersteller Teilenr.
1	TO-3, Kompakter Kühlkörper, 5 W, schwarz	1.88 x 1.40 x .50 (47.75 x 35.56 x 12.70)	11.5	HS148-ND	.68	.61	.48	501303B00000
1	TO-3, Kompakter Kühlkörper, 7 W, schwarz	1.88 x 1.40 x .75 (47.75 x 35.56 x 19.05)	8.3	HS149-ND	.75	.67	.52	501403B00000
1	TO-3, Aufschwellmontage, 9 W, schwarz	1.88 x 1.40 x .75 (45.97 x 35.56 x 19.05)	8.3	HS267-ND	2.23	2.01	1.56	501403B00100
1	TO-3, Kompakter Kühlkörper, 8,5 W, schwarz	1.88 x 1.40 x 1.00 (47.75 x 35.56 x 25.40)	6.3	HS248-ND	1.04	.94	.73	501503B00000
1	TO-3, Aufschwellmontage, 9 W, schwarz	1.88 x 1.40 x 1.00 (45.97 x 35.56 x 25.4)	6.3	HS269-ND	2.03	1.83	1.43	501503B00100
1	TO-3, Kompakter Kühlkörper, 9,5 W, schwarz	1.88 x 1.40 x 1.25 (47.75 x 35.56 x 31.75)	5.4	HS110-ND	1.04	.94	.73	501603B00000
1	TO-3, Kompakt, 9 W, Gold	1.88 x 1.40 x 1.25 (45.97 x 35.56 x 31.75)	5.4	HS270-ND	.97	.88	.69	501603C00000
2	TO-3, Erweiterbarer Kragentyp (verwendbar mit Abb. 1), schwarz	1.54 x 1.125 x .87 (39.12 x 28.58 x 22.10)	22.0	HS236-ND	.76	.69	.54	579103B00000
3	TO-3, 25 W, schwarz	1.81 x 1.81 x 1.25 (45.97 x 45.97 x 31.75)	5.4	HS103-1.25-ND	4.00	3.61	2.81	568303B00000
3	TO-3, 17 W, schwarz	1.81 x 1.81 x .50 (45.97 x 45.97 x 12.70)	12.5	HS103-0.5-ND	3.99	3.59	2.80	568003B00000
3	TO-3, frei strömende Luft oder Umluft, keine Löcher, 12 W, schwarz	1.83 x 1.83 x .50 (46.48 x 46.48 x 12.7)	5.4	HS291-ND	4.05	3.64	2.83	568000B00000
3	TO-3, frei strömende Luft oder Umluftkühlung, 12 W, schwarz	1.83 x 1.83 x .75 (46.48 x 46.48 x 19.05)	5.4	HS293-ND	4.00	3.61	2.81	568103B00000
3	TO-3, frei strömende Luft oder Umluftkühlung, 12 W, schwarz	1.81 x 1.81 x 1.00 (45.97 x 45.97 x 25.4)	5.4	HS294-ND	4.00	3.61	2.81	568203B00000
4	TO-3, Power-Kühler, 50 W, schwarz	3.00 x 4.125 x 1.00 (76.20 x 104.78 x 25.40)	5.4	HS117-ND	5.93	5.34	4.15	198540B00000
5	TO-3, platzsparend, 6 W, schwarz	1.63 x 1.29 x .75 (41.40 x 32.77 x 19.05)	5.4	HS140-ND	1.27	1.15	.89	502203B00000
5	TO-3, platzsparend, 8 W, schwarz	1.63 x 1.29 x 1.00 (41.40 x 32.77 x 25.40)	5.4	HS141-ND	1.74	1.57	1.22	502303B00000
5	TO-3, platzsparend, 12 W, schwarz	1.63 x 1.29 x 1.250 (41.40 x 32.77 x 31.75)	5.4	HS142-ND	1.59	1.43	1.12	502403B00000
6	TO-3, Kühlkörper, umgekantete Rippen, keine Löcher, 10 W, schwarz	1.83 x 1.83 x 1.00 (16.26 x 16.26 x 25.4)	5.4	HS296-ND	2.40	2.16	1.68	569000B00000
6	TO-3, umgekantete Rippen, 20 W, schwarz	1.83 x 1.83 x 1.31 (46.48 x 46.48 x 33.27)	5.4	HS110-3-ND	1.17	1.05	.82	569003B00000
6	TO-3, umgekantete Rippen, 10 W, Gold	1.83 x 1.83 x 1.31 (46.48 x 46.48 x 33.27)	5.4	HS298-ND	1.14	1.03	.80	569003C00000
7	TO-3, Universal-Lochmuster, Flachprofil, schwarz	2.00 x 1.75 x .375 (50.80 x 44.45 x 9.53)	7.0	HS228-ND	.80	.73	.57	506007B00000
8	TO-3, geneigte Rippe, 10 W, schwarz	1.81 x 1.81 x .50 (45.97 x 45.97 x 12.7)	3.5	HS260-ND	1.74	1.57	1.22	500103B00000
8	TO-3, geneigte Rippe, 12 W, schwarz	1.81 x 1.81 x 1.25 (45.97 x 45.97 x 31.75)	2.5	HS264-ND	1.68	1.51	1.18	500403B00000
8	TO-3, geneigte Rippe, 14 W, schwarz	2.5 x 2.5 x .90 (63.50 x 63.50 x 22.86)	4.9	HS265-ND	2.10	1.89	1.47	500503B00000
9	TO-5, Hochleistung, 2 W, schwarz	.75 dia x .25 (19.05 dia x 6.35)	56.0	HS101-ND	.89	.80	.63	323005B00000
9	TO-5, Aufdrückversion, 1 W, schwarz	.5 dia x .25 (127 dia x 6.35)	56.0	HS253-ND	1.35	1.22	.95	320205B00000
9	TO-5, Aufdrückversion, Hochleistung, 1 W, schwarz	.50 dia x .375 (12.70 dia x 9.52)	30.0	HS259-ND	1.02	.92	.72	326005B00000
10	TO-5, Schnappkühler, 1,5 W, schwarz	.83 x .395 x .50 (21.08 x 10.03 x 12.70)	38.0	HS217-ND	.33	.24	.17	578205B00000
10	TO-5, Schnappkühler, 2 W, schwarz	.83 x .395 x .75 (21.08 x 10.03 x 19.05)	35.0	HS218-ND	.39	.28	.20	578305B00000
11	TO-5, Aufdrück-Kühlkörper, zweif. Rippen, schwarz	.75 dia x .40 (19.05 dia x 10.16)	56.0	HS242-ND	2.01	1.81	1.41	322505B00000
11	TO-5, Aufdrückversion, 1,25 W, schwarz	.75 dia x .25 (19.05 dia x 6.35)	40.0	HS257-ND	2.03	1.83	1.43	322605B00000
11	TO-5, Aufdrückversion, 1,25 W, Gold	.75 dia x .25 (19.05 dia x 6.35)	40.0	HS258-ND	1.99	1.80	1.40	322605C00000
11	TO-92 und TO-18, Aufdrückversion, 1 W, schwarz	.50 dia x .235 (12.70 dia x 5.97)	100.0	HS100-ND	1.04	.94	.73	322400B00000
12	TO-5, 2-teiliges Teil für max. Dissipation, 1 W, Gold	.625 dia x .271 (15.88 dia x 6.88)	22.0	HS254-ND	5.91	5.32	4.14	321127C00000
12	TO-39, 2-teiliges Teil für max. Dissipation, 2 W, schwarz	.75 dia x .290 (19.05 dia x 7.37)	20.0	HS255-ND	9.21	8.29	6.45	321527B00000
13	TO-92, Aufdrück-Kühlkörper, für Standardpaket oder modifiziertes Paket, schwarz	.60 x .05 x .50 (15.24 x 1.27 x 12.70)	64.0	HS251-ND	.36	.26	.18	575200B00000
15	TO-126, Vertikalmontage, Klemmkühler, schwarz	.775 x .32 x .52 (19.69 x 8.13 x 13.21)	26.0	HS216-ND	.36	.26	.18	577500B00000
16	TO-202, kompakter Klemmkühler, schwarz	.58 x .80 x .25 (14.73 x 20.32 x 6.35)	28.0	HS247-ND	.45	.32	.23	574004B00000
17	TO-202, Flachprofil-Kühler, schwarz	.52 x .375 x .75 (13.21 x 9.53 x 19.05)	27.2	HS214-ND	.36	.26	.18	577304B00000
17	TO-202, Flachprofil-Kühler, schwarz	.52 x .50 x .75 (13.21 x 12.70 x 19.05)	24.0	HS215-ND	.36	.26	.18	577404B00000
19	TO-218, Power-Kühler mit Pins, 10 W, schwarz	1.38 x .50 x 2.00 (35.05 x 12.70 x 50.80)	8.3	HS185-ND	1.04	.94	.73	513201B02500
19	TO-218, Power-Kühler mit Pins, 20 W, schwarz	1.65 x 1.00 x 1.50 (41.91 x 25.40 x 38.10)	3.7	HS187-ND	1.34	1.20	.94	529801B02500
20	TO-218, Schnellbefestigung mit Pins, 12 W, schwarz	1.95 x .50 x 1.97 (49.53 x 12.70 x 50.04)	6.5	HS134-ND	1.08	.98	.76	592201B03400
19	TO-218, senkrecht, Vertikalmontage, 10 W, mit Pins, schwarz	1.65 x 1.0 x 2.5 (41.91 x 25.4 x 63.5)	2.5	HS277-ND	1.48	1.34	1.04	530001B02500
21	TO-218, verwundene, hohe Rippen, mit Kool Clip, schwarz	1.75 x .50 x 1.75 (44.45 x 12.70 x 44.45)	6.3	HS109-ND	1.48	1.34	1.04	530101B00150
18	TO-218, vertikale Aufschieb-PC-Montage mit Standardösen, schwarz	1.00 x .50 x 1.22 (25.40 x 12.70 x 30.99)	11.5	HS234-ND	1.21	1.09	.85	566010B03400
3	TO-220, Zweif. Ausführung, Power-Cooler, schwarz	1.81 x 1.81 x 1.25 (45.97 x 45.97 x 31.75)	5.5	HS135-ND	4.83	4.35	3.38	568322B00000
6	TO-220, Zweif. Ausführung, Power-Cooler, 20 W, schwarz	1.83 x 1.83 x 1.31 (46.48 x 46.48 x 33.27)	5.5	HS110-220-ND	1.44	1.30	1.01	569022B00000
14	TO-202, Klemmkühler, 5 W, schwarz	.90 x 1.02 x .39 (22.86 x 25.91 x 9.91)	16.8	HS119-ND	.47	.34	.24	574204B00000
17	TO-220, Kompakter Kühlkörper, schwarz	.52 x .25 x .75 (13.21 x 6.35 x 19.05)	32.0	HS105-ND	.33	.24	.17	577002B00000
17	TO-220, Kompakter Kühlkörper, schwarz	.52 x .375 x .75 (13.21 x 9.53 x 19.05)	25.9	HS106-ND	.27	.19	.14	577102B00000
17	TO-220, Kompakter Kühlkörper, schwarz	.52 x .50 x .75 (13.21 x 12.70 x 19.05)	24.4	HS107-ND	.30	.22	.15	577202B00000
17	TO-220, Flachprofil, 2,5 W, vergoldet	.75 x .75 x .375 (19.05 x 19.05 x 9.52)	24.0	HS272-ND	.28	.25	.20	507302C00000
17	TO-220, Flachprofilkühler, preiswerte Version, 2,5 W, schwarz	.75 x .75 x .375 (19.05 x 19.05 x 9.53)	24.0	HS115-ND	.33	.24	.17	507302B00000
17	TO-220, 2-Loch-Muster, Kompakt- Kühlkörper, schwarz	1.00 x .50 x 1.18 (25.40 x 12.70 x 29.97)	16.7	HS230-ND	.43	.34	.26	530613B00000
17	TO-220, Horizontal- / Vertikalmontage, 4,5 W, schwarz	1 x 1.18 x .50 (25.4 x 29.97 x 12.7)	16.7	HS278-ND	.36	.33	.26	530614B00000
17	TO-220, Horizontal- / Vertikalmontage, 3,7 W, vergoldet	1 x .71 x .5 (25.4 x 18.03 x 12.7)	20.3	HS279-ND	.25	.23	.18	530714C00000
17	TO-220, Kompakter Kühlkörper mit Ösen, schwarz	.52 x .25 x .75 (13.21 x 6.35 x 19.05)	32.0	HS212-ND	.51	.36	.26	577002B04000
17	TO-220, Kompakter Kühlkörper mit Ösen, schwarz	.52 x .375 x .75 (13.21 x 9.53 x 19.05)	25.9	HS213-ND	.51	.36	.26	577102B04000
17	TO-220, preiswerte, vertikale Aufschieb-Montage mit Ösen vorne, schwarz	1.00 x .50 x 1.18 (25.40 x 12.70 x 29.97)	13.6	HS206-ND*	2.18	1.97	1.53	575002T00000
17	TO-220, preiswerte, vertikale Aufschieb-Montage mit Ösen in der Mitte, schwarz	1.00 x .50 x 1.18 (25.40 x 12.70 x 29.97)	13.6	HS186-ND*	2.33	2.10	1.63	523002T00000
17	TO-220, Vertikalmontage, mit schwarzen Ösen	1.00 x .50 x 1.18 (25.40 x 12.70 x 29.97)	13.0	HS194-ND	.41	.32	.24	563002B00000
17	TO-220, Vertikalmontage, mit schwarzen Ösen	1.00 x .50 x .95 (25.40 x 12.70 x 24.13)	16.6	HS207-ND	.51	.40	.30	576602B00000
17	TO-220, Vertikalmontage mit vorverzinnten Ösen, schwarz	1.00 x .50 x .95 (25.40 x 12.70 x 24.13)	16.6	HS208-ND*	2.16	1.95	1.52	576602T00000
19	TO-220, Power-Kühler, 9,0 W, Schraubmontage, vergoldet	1.5 x 1.375 x 1.00 (38.1 x 34.93 x 25.4)	13.4	HS282-ND	1.02	.92	.72	531002C00000
19	TO-220, Power-Kühler mit Pins, für hohe Beanspruchung, schwarz	1.38 x .50 x 1.00 (35.05 x 12.70 x 25.40)	13.4	HS190-ND	1.02	.92	.72	531002B02500
19	TO-220, Power-Kühler, 9,0 W, schwarz	1.38 x .5 x 1.50 (35.05 x 12.7 x 38.10)	10.4	HS284-ND	1.00	.90	.70	531102B00000
19	TO-220, Power-Kühler mit Pins, für hohe Beanspruchung, schwarz	1.38 x .50 x 1.50 (35.05 x 12.70 x 38.10)	10.4	HS191-ND	1.08	.98	.76	531102B02500
19	TO-220, Power-Kühler mit Pins, zweiseitige Montage, schwarz	1.38 x .50 x 1.50 (35.05 x 12.70 x 38.10)	11.0	HS184-ND	.91	.82	.64	513102B02500
19	TO-220, Power-Kühler mit Pins, zweiseitige Montage, schwarz	1.65 x 1.00 x 1.50 (41.91 x 25.40 x 38.10)	3.7	HS188-ND	1.31	1.19	.92	529802B02500

* Dielektrischer Überzug Soweit nicht anders angegeben, bestehen alle Kühlkörper aus schwarzem eloxierten Aluminium.

(Forts.)

B

Abb. 19

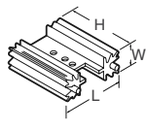

Abb. 20

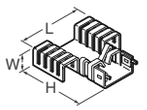

Abb. 21

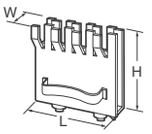

Abb. 22

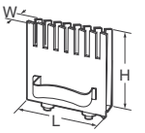

Abb. 23

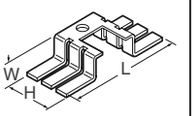

Abb. 24

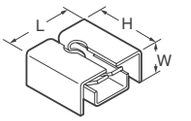

Abb. 25

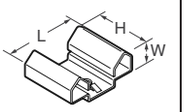

Abb. 26

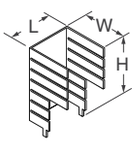

Abb. 27

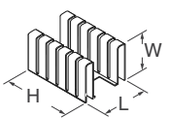

Abb. 28

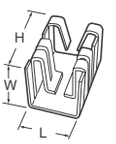

Abb. 29

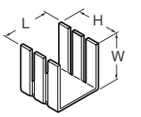

Abb. 30

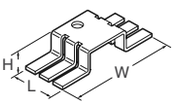

Abb. 31

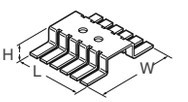

Abb. 32

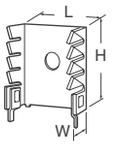

Abb. 33

Abb. 34

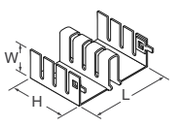

Abb. 35

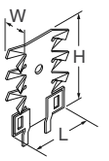

Abb. 36

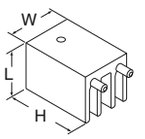

Shown with optional PC Pins

Abb. 37

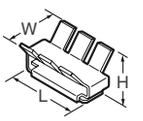

Abb. 38

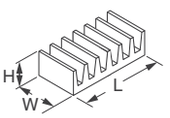

Abb.	Beschreibung	Abmessungen - Zoll (mm) L x W x H	Wärmewiderstand °C/W	Digi-Key Teilenr.	Stückpreis 1	10	100	Hersteller Teilenr.
19	TO-220, Power-Kühler, schwarz	1.38 x .50 x 1.00 (35.05 x 12.70 x 25.40)	13.4	HS231-ND	.93	.84	.66	531002B00000
19	TO-220, Power-Kühler, Schraubmontage, vergoldet	1.38 x .50 x 1.50 (35.05 x 12.70 x 38.10)	10.4	HS131-ND	1.19	1.07	.83	531102C00000
19	TO-220, Power-Kühler mit Pins, vergoldet	1.38 x .50 x 1.50 (35.05 x 12.70 x 38.10)	10.4	HS131-P-ND	1.42	1.28	1.00	531102C02500
19	TO-220, Power-Kühler, Schraubmontage, vergoldet	1.38 x .50 x 2.00 (35.05 x 12.70 x 50.80)	8.3	HS132-ND	1.21	1.09	.85	531202C00000
19	TO-220, Power-Kühler mit Pins, vergoldet	1.38 x .50 x 2.00 (35.05 x 12.70 x 50.80)	8.3	HS132-P-ND	1.44	1.30	1.01	531202C02500
19	TO-220, Power-Kühler, 9,0 W, schwarz	1.38 x .50 x 2.00 (35.05 x 12.7 x 50.8)	8.3	HS287-ND	1.13	1.01	.79	531202B00000
19	TO-220, Power-Kühler mit Pins, schwarz	1.38 x .50 x 2.00 (35.05 x 12.70 x 50.80)	8.3	HS241-ND	1.17	1.05	.82	531202B02500
19	TO-220, Vertikalmontage, 10 W, Schraubmontage, schwarz	1.65 x 1.0 x 1.5 (41.91 x 25.4 x 38.1)	2.5	HS276-ND	1.17	1.05	.82	529802B00000
19	TO-220, Power-Kühler mit Pins, schwarz	1.65 x 1.00 x 2.00 (41.91 x 25.40 x 50.80)	3.4	HS229-ND	1.55	1.40	1.09	529902B02500
19	TO-220, Power-Kühler mit Pins, 9,0 W, schwarz	1.38 x .50 x 2.5 (35.05 x 12.7 x 63.5)	8.0	HS290-ND	1.21	1.09	.85	531302B02500
19	TO-220, Power-Kühler, Schraubmontage, vergoldet	1.38 x .50 x 2.50 (35.05 x 12.70 x 63.50)	8.0	HS133-ND	1.44	1.30	1.01	531302C00000
19	TO-220, Power-Kühler mit Pins, vergoldet	1.38 x .50 x 2.50 (35.05 x 12.70 x 63.50)	8.0	HS133-P-ND	1.35	1.22	.95	531302C02500
19	TO-220, Power-Kühler mit Pins, schwarz	1.65 x 1.00 x 2.50 (41.91 x 25.40 x 63.50)	3.8	HS239-ND	1.48	1.34	1.04	530002B02500
21	TO-220, gestaffelte, hohe Rippen, mit Kool Clip, schwarz	1.75 x .50 x 1.75 (44.45 x 12.70 x 44.45)	16.8	HS151-ND	1.48	1.34	1.04	530402B00150
22	TO-220, verwundene, hohe Rippen, mit Kool Clip, schwarz	1.75 x .50 x 1.75 (44.45 x 12.70 x 44.45)	6.3	HS152-ND	1.48	1.34	1.04	530102B00150
22	TO-220, Zweif. Befestigung, mit Kool Clip, schwarz	1.75 x .50 x 1.75 (44.45 x 12.70 x 44.45)	4.4	HS249-ND	1.65	1.49	1.16	530162B00162
23	TO-220, 2 W erweiterte Kappe für HS112 und HS114, schwarz	1.75 x .70 x .50 (17.78 x 44.45 x 12.70)	15.6	HS113-ND	.36	.26	.18	507102B00000
24	TO-220, Vertikalmontage, Klemmkühler mit 1 Montageloch, schwarz	.75 x .86 x .395 (19.05 x 21.84 x 10.03)	23.2	HS111-ND	.33	.24	.17	574102B00000
24	TO-220, Vertikalmontage, Klemmkühler, schwarz	.86 x .395 x .75 (21.84 x 10.03 x 19.05)	21.2	HS198-ND	.33	.24	.17	574502B00000
24	TO-220, horizontal montierter Klemmkühler, PC-montiert, mit Standard- Ösen, schwarz	.86 x .395 x .75 (21.84 x 10.03 x 19.05)	23.2	HS197-ND	.71	.56	.42	574402B03200
24	TO-220, Vertikalmontage, Klemmkühler, PC-montiert, mit langen Ösen, schwarz	.86 x .395 x .75 (21.84 x 10.03 x 19.05)	21.2	HS200-ND	.45	.40	.32	574502B03300
24	TO-220, Vertikalmontage, Klemmkühler, PC-montiert, mit langen Ösen, schwarz	.86 x .395 x 1.375 (21.84 x 10.03 x 34.93)	16.0	HS204-ND	.62	.56	.43	574902B03300
24	TO-220, Vertikalmontage, Klemmkühler, PC-montiert, mit abgestuften Ösen, schwarz	.86 x .395 x .75 (21.84 x 10.03 x 19.05)	21.2	HS201-ND	.48	.38	.29	574502B03700
24	TO-220, Vertikalmontage, Klemmkühler, PC-montiert, mit abgestuften Ösen, schwarz	.86 x .395 x .69 (21.84 x 10.03 x 17.53)	21.6	HS203-ND	.58	.52	.40	574602B03700
24	TO-220, Vertikalmontage, Klemmkühler, PC-montiert, mit Standardösen, schwarz	.86 x .395 x 1.375 (21.84 x 10.03 x 34.93)	16.0	HS205-ND	.85	.77	.60	574902B04300
25	TO-220, Schnappkühler, 5 W, schwarz	.75 x 1.12 x .435 (19.05 x 28.45 x 11.05)	16.9	HS116-ND	.43	.34	.26	575102B00000
25	TO-220, Schnappbefestigung mit eingebautem Clip, für Standard TO-220 Versionen, schwarz	.975 x .44 x .75 (24.77 x 11.18 x 19.05)	16.8	HS220-ND	.39	.28	.20	579302B00000
25	TO-220, Schnappbefestigung mit eingebautem Clip, für verjüngte TO-220 Versionen, schwarz	.975 x .44 x .75 (24.77 x 11.18 x 19.05)	16.8	HS221-ND	.45	.32	.23	579402B00000
26	TO-220, Hochleistung, PC-montiert, mit Ösen, schwarz	1.00 x 1.00 x 1.675 (25.40 x 25.40 x 42.55)	10.0	HS222-ND	.85	.77	.60	590102B03600
27	TO-220, Schmalprofil, Hochleistung, horizontale Befestigung, schwarz	1.00 x .787 x 1.45 (25.40 x 19.99 x 36.83)	12.4	HS193-ND	.55	.50	.39	551002B00000
28	TO-220, Aufschiebkühler, horizontale PC-Montage, mit Ösen, schwarz	.50 x .50 x .75 (12.70 x 12.70 x 19.05)	18.8	HS150-ND	.47	.42	.33	576802B03100
28	TO-220, Aufschiebkühler, 5 W, schwarz	.50 x .50 x .75 (12.70 x 12.70 x 19.05)	18.8	HS121-ND	.45	.32	.23	576802B00000
28	TO-220, Aufschiebkühler, 5 W, schwarz	.50 x .50 x .60 (12.70 x 12.70 x 15.24)	26.8	HS333-ND	.58	.42	.29	591202B00000
28	TO-220, Aufschiebkühler, vertikale PC-Montage mit breiten Ösen, schwarz	.50 x .50 x .75 (12.70 x 12.70 x 19.05)	18.8	HS209-ND	.49	.44	.35	576802B03700
28	TO-220, Aufschiebkühler, vertikale PC-Montage mit langen Ösen, schwarz	.50 x .50 x .75 (12.70 x 12.70 x 19.05)	18.8	HS210-ND	.51	.40	.30	576802B03900
28	TO-220, Aufschiebkühler, vertikale PC-Montage mit Standardösen, schwarz	.50 x .50 x .75 (12.70 x 12.70 x 19.05)	18.8	HS211-ND	.49	.44	.35	576802B04100
28	TO-220, Aufschiebkühler, vertikale PC-Montage mit Standardösen, schwarz	.57 x .50 x .75 (14.48 x 12.70 x 19.05)	26.8	HS223-ND	.62	.56	.43	591302B02800
28	TO-220, Aufschiebkühler, vertikale PC-Montage mit Standardösen, schwarz	.75 x .50 x .50 (19.05 x 12.70 x 12.70)	18.8	HS122-ND	.45	.40	.32	576802B04000
28	TO-220, Aufschiebkühler, vertikale PC-Montage mit Standardösen, schwarz	.95 x 1.00 x 1.22 (24.13 x 25.40 x 30.99)	11.5	HS240-ND	1.25	1.13	.88	566010B02800
29	TO-220, preiswerter Power-Kühler, leichtes Gewicht, schwarz	1.00 x .50 x .71 (25.40 x 12.70 x 18.03)	20.3	HS189-ND	.36	.26	.18	530714B00000
29	TO-220, Power-Kühler, 10 W, schwarz	.78 x .85 x 1.45 (19.81 x 21.59 x 36.83)	6.4	HS104-2-ND	.48	.38	.29	504222B00000
29	TO-220, Power-Kühler, 6 W, schwarz	.70 x .70 x .85 (17.78 x 17.78 x 21.59)	15.6	HS104-1-ND	.39	.28	.20	504102B00000
30	TO-220, einfache manuelle Befestigung, Flachprofil, schwarz	.70 x 1.75 x .380 (17.78 x 44.45 x 9.65)	15.6	HS112-ND	.33	.24	.17	507002B00000
31	TO-220, einfache manuelle Doppelbefestigung, Horizontalmontage, schwarz	1.45 x 1.75 x .375 (36.83 x 44.45 x 9.53)	9.6	HS114-ND	.59	.43	.30	507222B00000
32	TO-220, verwundene Rippe, vertikale PC-Montage, schwarz	1.00 x .50 x 1.18 (25.40 x 12.70 x 29.97)	13.4	HS120-ND	.66	.60	.46	593002B03400
32	TO-220, verwundene Rippe, mit Surelock-Ösen und Kool Clip, schwarz	1.00 x .50 x 1.18 (25.40 x 12.70 x 29.97)	13.0	HS232-ND	1.08	.98	.76	534202B02853
32	TO-220, verwundene Rippe, vertikal, mit Ösen und Kool Clip, schwarz	1.00 x .50 x 1.18 (25.40 x 12.70 x 29.97)	13.0	HS233-ND	1.27	1.15	.89	534202B33453
33	TO-220, platzsparende Version, Vertikalmontage, mit Ösen, schwarz	1.38 x .50 x 2.00 (35.05 x 12.70 x 50.80)	10.0	HS225-ND	.76	.69	.54	593202B03500
33	TO-220, platzsparende Version, Vertikalmontage, mit Kool Clip/Ösen, schwarz	1.38 x .48 x 2.00 (35.05 x 12.19 x 50.80)	10.4	HS192-ND	.80	.73	.57	534302B03553
34	TO-220, einfache manuelle Doppelbefestigung, Vertikalmontage, schwarz	1.48 x .50 x 1.03 (37.59 x 12.70 x 26.16)	13.2	HS219-ND	.80	.73	.57	578622B03200
35	TO-220, platzsparende Version, Vertikalmontage, mit Ösen, schwarz	.875 x .25 x 1.25 (22.23 x 6.35 x 31.75)	22.0	HS224-ND	.62	.56	.43	592502B03400
35	TO-220, platzsparende Version, Vert. Montage, mit Kool Clip-SureLock-Ösen, schwarz	1.38 x .50 x 2.00 (35.05 x 12.70 x 50.80)	8.8	HS238-ND	1.10	1.00	.78	594302B02853
36	TO-220, Vertikalmontage, 1 W, schwarz	.64 x .64 x 1.00 (16.26 x 16.26 x 25.4)	17.4	HS300-ND	1.14	1.03	.80	581002B00000
36	TO-220, Vertikalmontage, 2, 5 W, mit Pins, schwarz	.64 x .64 x 1.00 (16.26 x 16.26 x 25.4)	17.4	HS301-ND	1.17	1.05	.82	581002B02500
36	TO-220, Vertikalmontage, 2, 5 W, mit Pins, vergoldet	.64 x .64 x 1.00 (16.26 x 16.26 x 25.4)	17.4	HS302-ND	1.61	1.45	1.13	581002C02500
36	TO-220, Vertikalmontage, 2, 5 W, schwarz	.64 x .64 x 1.5 (16.26 x 16.26 x 50.8)	16.8	HS303-ND	1.13	1.01	.79	581102B00000
36	TO-220, Vertikalmontage, 2, 5 W, mit Pins, schwarz	.64 x .64 x 1.5 (16.26 x 16.26 x 50.8)	16.8	HS304-ND	1.21	1.09	.85	581102B02500
36	TO-220, Vertikalmontage, 2, 5 W, mit Pins, schwarz	.64 x .64 x 2.00 (16.26 x 16.26 x 50.8)	12.8	HS305-ND	1.63	1.47	1.15	581202B02500
37	Tauchkühler, 14 oder 16-Pin IC, Aufschiebversion, schwarz	.887 x .60 x .41 (22.53 x 15.24 x 10.41)	38.0	HS179-ND	.38	.30	.23	580200B00000
37	Tauchkühler, 24-Pin IC, Aufschiebversion, schwarz	1.46 x 1.008 x .58 (37.08 x 25.60 x 14.73)	20.0	HS182-ND	.59	.54	.42	580500B00000
38	Tauchkühler, 14-16-Pin, Klebeversion, schwarz	.73 x .25 x .19 (18.54 x 6.35 x 4.83)	62.5	HS227-ND	.55	.50	.39	501200B00000
38	Tauchkühler, 24-Pin IC, Klebeversion, schwarz	1.25 x .53 x .19 (31.75 x 13.47 x 4.83)	44.0	HS273-ND	.62	.56	.43	508500B00000
38	Tauchkühler, 40-Pin IC, Klebeversion, schwarz	2.0 x .53 x .19 (50.8 x 13.47 x 4.83)	28.0	HS274-ND	1.17	1.05	.82	508700B00000

* Dielektrischer Überzug Soweit nicht anders angegeben, bestehen alle Kühlkörper aus schwarzem eloxierten Aluminium.

Alle Preisangaben in Euro und inklusive Zollgebühren.

Kühlkörper-Pads “Die Alternative zu Schmiere”

Sil-Pad 600® ist ein thermisch leitendes Silikonelastomer mit besonderen Inhaltsstoffen, die ihm höhere thermische Eigenschaften verleihen als das ursprüngliche Sil-Pad auf Glasfaserbasis. Dieses Material weist trotz eines äußerst günstigen Preises hervorragende physikalische und mechanische Merkmale auf. (Stromisolierendes Material)

Die Sil-Pad® 900S -Gruppe thermisch leitender Isoliermaterialien wurde für preiswerte Anwendungen konzipiert, die hohe thermische Leistung verlangen. Als verbesserte Sil-Pad® 600-Alternative vorgesehen.

Q-Pad 3® ist ein thermisch leitendes, glasfaserverstärktes, in Graphit eingebettetes Elastomer, das sich besonders gut an Oberflächenstrukturen anpasst. Dieses Material beseitigt Probleme in Verbindung mit thermischer Schmiere, wie z.B. Kontaminierung von elektronischen Bauteilen und Aufschmelzlötbädern. Q-Pad 3 kann vor dem Löten und Reinigen installiert werden. (Stromleitendes Material)

Sil-Pad K10® ist ein thermisch leitender Kapton-Kompositfilm mit einem Boron-Nitrid-gefüllten Polyesterharzüberzug, der die thermischen Merkmale der Kapton-Isolatoren - minimale Stärke und niedrigerer Wärmewiderstand - optimiert. Als Ersatz für brüchige Keramikisolatoren vorgesehen. (Stromisolierendes Material)

Das CPU Pad® ist ein thermisch leitendes, stromisolierendes, zweif. beschichtetes Kapton-Band. Typische Verwendung: Zwischen CPU und Kühlkörper; es wurde als Ersatz für Klemmen zur Befestigung des Kühlkörpers an der CPU entwickelt. Kein Zeitaufwand für Klemmen und kein hoher Druck erforderlich.

SPT 400 ist eine thermisch leitende Isolierung für Kunststoff-Stromversorgungen (Clip-Montage). Diese thermischen TO-220-Röhren werden über den Halbleiterbaustein geschoben und leiten die Wärme zum Kühlkörper und zur Klemme. Zur Verwendung mit Kühlkörpern vorgesehen, die mit Metallclips am Kühlkörper befestigt sind. (Stromisolierendes Material)

HI-FLOW™ 115-AC ist ein thermisch leitendes, glasfaserverstärktes Phasenwechselmaterial. Das Produkt besteht aus einem thermisch leitenden 65 °C Phasenwechselverbundmaterial, mit dem ein Glasfasergewebe beschichtet wurde, wobei die Klebebeschichtung auf einer Seite zur Befestigung an einem kalten Kühlkörper dient. Verhält sich wie ein Sil-Pad bei Zimmertemperatur und fließt wie ein hochwertiges Schmiermittel bei erhöhten Temperaturen.

Bond Ply™ 100 ist ein thermisch leitendes, doppelseitig druckempfindliches Klebeband. Das Band besteht aus äußerst leistungsfähigem, thermisch leitendem Acrylklebstoff, der mit einem glasfaserverstärkten Gewebe beschichtet ist. Bond Ply 100 wurde so konzipiert, dass es hohe Verbundfestigkeit mit einer Vielzahl von Oberflächen bietet und diese auch unter langfristigem Kontakt mit mäßiger Wärme und hoher Feuchtigkeit beibehält.Typische Anwendungen: • Montage eines Kühlkörpers an einen BGA-Grafikprozessor • Montage eines Kühlkörpers an einen Computer-Prozessor • Montage eines Kühlkörpers an einen Laufwerk-Prozessor • Montage eines Hitzeverteilers an eine Stromwandler-PC-Karte • Montage eines Hitzeverteilers an eine Motorsteuerungs-PC-Karte.

Gap Pad™ 1500 wurde zur wirtschaftlichen Optimierung der Wärmeübertragung von elektronischen Komponenten auf Kühlkörper oder Hitzeverteiler entwickelt. GP 1500 besteht aus einem stark formbaren „Low-Modulus“-Material, das Luftschlitze füllt, die aufgrund von Stufen, rauen Oberflächen und hohen Stapeltoleranzen entstanden sind. Die Weichheit reduziert Stress und absorbiert Stoß, wodurch Beschädigungen an empfindlichen Leitungen minimiert werden. GP 1500 ist ein stromisolierendes Material für Anwendungen, die Isolierung zwischen Kühlkörpern und Hochspannungsbausteinen mit Blankverdrahtung verlangen.

Sil-Pad K-4® verwendet einen speziell entwickelten Film mit hoher thermischer Leitfähigkeit und hoher dielektrischer Stärke, der darüber hinaus äußerst haltbar ist. Sil-Pad K-4 verbindet die thermischen Übertragungsmerkmale des vertrauten Sil-Pad-Gummis mit den physikalischen Eigenschaften eines Films. Sil-Pad K-4 ist ein haltbarer Isolator, der hohen Spannungen standhält und keine thermischen Schmiermittel zur Wärmeübertragung voraussetzt.

Sil-Pad K-6® ist ein thermisch leitender Isolator auf Filmbasis mit mittlerem Leistungsgrad. Der Film ist mit einem Silikonelastomer beschichtet und bietet hohe Leistung und eine kontinuierliche physikalisch widerstandsfähige Schranke gegen Durchschlag und dadurch verursachtes Versagen.

Sil-Pad 1000® weist dieselben hervorragenden mechanischen und physikalischen Merkmale wie das Material des Sil-Pad® 400 auf, bietet aber 35 % geringeren Wärmewiderstand. Sil-Pad 1000 ist ein Verbund aus Silikongummi und Glasfaser. Spezialfüllung und geringer Wärmewiderstand. Sil-Pad 1000 ist nicht giftig und durch Reinigungsmittel nicht zu beschädigen. Flammenhemmend und speziell zur Verwendung als thermisch leitender Isolator formuliert.

Sil-Pad 2000® ist Bergquist's high performance, high reliability, thermally conductive insulator. Sil-Pad 2000 is designed for demanding military/aerospace and commercial applications. In these applications, Sil-Pad 2000 complies with military standards. This silicone elastomer is specially filled to maximize the thermal and dielectric performance of the filler/binder matrix. The result is a “grease-free”, conformable material capable of meeting or exceeding the thermal and electrical requirements of high reliability electronic packaging applications.

Gap-Pad® VO Ultra Soft empfiehlt sich für Anwendungen mit besonders niedrigem Stress. Die viscoelastische Beschaffenheit des Materials sorgt auch für hervorragende Low-Stress-Dämpfung und Stoßabsorbierung. Gap Pad VO Ultra Soft ist ein stromisolierendes Material für Anwendungen, die Isolierung zwischen Kühlkörpern und Hochspannungsbausteinen mit Blankverdrahtung verlangen.

Abb. 1

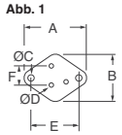

Abb. 2

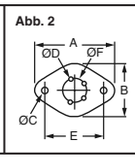

Abb. 3

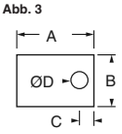

Abb. 4

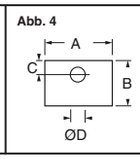

Abb. 5

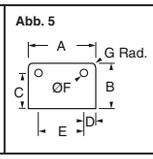

Abb. 6

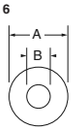

Abb. 7

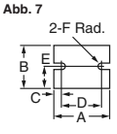

Abb. 8

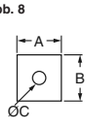

Abb. 9

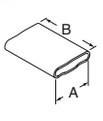

Abb. 10

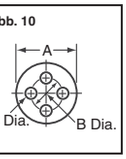

Abb.	Gerätetyp	Abmessungen - Zoll (mm) A	B	C	D	E	F	G	Digi-Key Teilenr.	Stückpreis 1	10	50	100	Bergquist Teilenr.
1	TO-3	1.65 (41.91)	1.14 (28.96)	.140 (3.56)	.093 (2.36)	1.187 (30.15)	.430 (10.92)	—	BER100-ND	.92	.83	.74	.66	SP600-05
		1.65 (41.91)	1.14 (28.96)	.140 (3.56)	.093 (2.36)	1.187 (30.15)	.430 (10.92)	—	BER172-ND	.92	.83	.74	.66	SP900S-05
		1.78 (45.21)	1.25 (31.75)	.140 (3.56)	.093 (2.36)	1.187 (30.15)	.430 (10.92)	—	BER101-ND	.99	.89	.80	.71	SP600-02
		1.78 (45.21)	1.25 (31.75)	.140 (3.56)	.093 (2.36)	1.187 (30.15)	.430 (10.92)	—	BER171-ND	.90	.80	.72	.64	SP900S-02
		1.65 (41.91)	1.14 (28.96)	.140 (3.56)	.093 (2.36)	1.187 (30.15)	.430 (10.92)	—	BER111-ND	1.96	1.76	1.58	1.40	K10-05
		1.78 (45.21)	1.25 (31.75)	.140 (3.56)	.093 (2.36)	1.187 (30.15)	.430 (10.92)	—	BER112-ND	2.20	1.97	1.77	1.56	K10-02
		1.65 (41.91)	1.14 (28.96)	.140 (3.56)	.093 (2.36)	1.187 (30.15)	.430 (10.92)	—	BER122-ND	.60	.54	.48	.43	Q3-05
		1.250 (31.75)	.700 (17.78)	.140 (3.56)	.062 (1.57)	.960 (24.38)	.200 (5.08)	—	BER152-ND	.87	.79	.70	.62	K10-30
	TO-3 / TO-66	1.78 (45.21)	1.25 (31.75)	.140 (3.56)	.093 (2.36)	1.187 (30.15)	.430 (10.92)	—	BER209-ND *	.53	.48	.43	.38	7403-09FR-02
		1.65 (41.91)	1.14 (28.96)	.140 (3.56)	.093 (2.36)	1.187 (30.15)	.430 (10.92)	—	BER203-ND *	.51	.46	.41	.37	3223-07FR-05
		1.65 (41.91)	1.14 (28.96)	.140 (3.56)	.093 (2.36)	1.187 (30.15)	.430 (10.92)	—	BER212-ND *	.51	.46	.41	.37	7403-09FR-05
		1.65 (41.91)	1.14 (28.96)	.122 (3.10)	.062 (1.57)	1.187 (30.15)	.430 (10.92)	—	BER211-ND *	.51	.46	.41	.37	7403-09FR-04
		1.563 (39.70)	1.05 (26.67)	.140 (3.56)	.080 (2.03)	1.187 (30.15)	.430 (10.92)	—	BER210-ND *	.49	.44	.40	.35	7403-09FR-03
		1.312 (33.32)	.762 (19.35)	.140 (3.56)	.062 (1.57)	.960 (24.38)	.200 (5.08)	—	BER218-ND *	.45	.41	.37	.32	7403-09FR-11
2	TO-3 (4PIN)	1.56 (39.62)	1.05 (26.67)	.156 (39.62)	.080 (2.03)	1.170 (29.72)	.470 (11.94)	—	BER139-ND	.61	.55	.50	.44	SP600-86
		1.56 (39.62)	1.05 (26.67)	.156 (39.62)	.080 (2.03)	1.170 (29.72)	.470 (11.94)	—	BER140-ND	1.26	1.13	1.01	.89	K10-86
		1.56 (39.62)	1.05 (26.67)	.156 (39.62)	.080 (2.03)	1.170 (29.72)	.470 (11.94)	—	BER141-ND	.41	.38	.34	.30	Q3-86
3	TO-247AC	1.00 (25.40)	.750 (19.05)	.300 (7.62)	.140 (3.56)	—	—	—	BER178-ND	.69	.63	.56	.50	SP900S-104
		1.00 (25.40)	.750 (19.05)	.300 (7.62)	.140 (3.56)	—	—	—	BER120-ND	1.15	1.03	.92	.82	K10-104
		1.00 (25.40)	.750 (19.05)	.300 (7.62)	.140 (3.56)	—	—	—	BER131-ND	.53	.48	.43	.38	Q3-104
	TO-220	1.00 (25.40)	.750 (19.05)	.300 (7.62)	.140 (3.56)	—	—	—	BER200-ND	1.42	1.28	1.15	1.01	2015-104
		1.00 (25.40)	.750 (19.05)	.300 (7.62)	.140 (3.56)	—	—	—	BER204-ND *	.43	.39	.35	.31	3223-07FR-104
		1.00 (25.40)	.750 (19.05)	.300 (7.62)	.140 (3.56)	—	—	—	BER221-ND	.56	.51	.45	.40	K6-104
		1.00 (25.40)	.750 (19.05)	.300 (7.62)	.140 (3.56)	—	—	—	BER109-ND	.53	.48	.43	.38	SP600-104
		.860 (21.84)	.740 (18.80)	.200 (5.08)	.160 (4.06)	—	—	—	BER208-ND *	.42	.38	.34	.30	3223-07FR-90
		.860 (21.84)	.740 (18.80)	.200 (5.08)	.160 (4.06)	—	—	—	BER217-ND *	.42	.38	.34	.30	7403-09FR-90
		.750 (19.05)	.500 (12.70)	.187 (4.75)	.125 (3.18)	—	—	—	BER102-ND	.62	.56	.50	.44	SP600-58
		.750 (19.05)	.500 (12.70)	.187 (4.75)	.125 (3.18)	—	—	—	BER176-ND	.62	.56	.50	.44	SP900S-58
		.750 (19.05)	.500 (12.70)	.187 (4.75)	.147 (3.73)	—	—	—	BER103-ND	.62	.56	.50	.44	SP600-54
		.750 (19.05)	.500 (12.70)	.187 (4.75)	.147 (3.73)	—	—	—	BER175-ND	.62	.56	.50	.44	SP900S-54
		.750 (19.05)	.500 (12.70)	—	—	—	—	—	BER110-ND	.62	.56	.50	.44	SP600-43
		.750 (19.05)	.500 (12.70)	—	—	—	—	—	BER174-ND	.62	.56	.50	.44	SP900S-43
		.750 (19.05)	.500 (12.70)	.187 (4.75)	.125 (3.18)	—	—	—	BER113-ND	.86	.78	.70	.62	K10-58
		.750 (19.05)	.500 (12.70)	.187 (4.75)	.147 (3.73)	—	—	—	BER114-ND	.69	.63	.56	.50	K10-54
		.750 (19.05)	.500 (12.70)	—	—	—	—	—	BER121-ND	.86	.78	.70	.62	K10-43
		.750 (19.05)	.500 (12.70)	.187 (4.75)	.125 (3.18)	—	—	—	BER124-ND	.51	.46	.41	.37	Q3-58
		.750 (19.05)	.500 (12.70)	.187 (4.75)	.147 (3.73)	—	—	—	BER125-ND	.51	.46	.41	.37	Q3-54
		.750 (19.05)	.500 (12.70)	.187 (4.75)	.147 (3.73)	—	—	—	BER198-ND	.48	.43	.39	.34	1009-54
		.750 (19.05)	.500 (12.70)	.187 (4.75)	.147 (3.73)	—	—	—	BER201-ND	.91	.81	.73	.65	2015-54
		.750 (19.05)	.500 (12.70)	.187 (4.75)	.147 (3.73)	—	—	—	BER206-ND *	.41	.37	.33	.29	3223-07FR-54
		.750 (19.05)	.500 (12.70)	.187 (4.75)	.147 (3.73)	—	—	—	BER215-ND *	.41	.37	.33	.29	7403-09FR-54
		.750 (19.05)	.500 (12.70)	.187 (4.75)	.147 (3.73)	—	—	—	BER219-ND	.46	.41	.37	.33	K4-54
		.750 (19.05)	.500 (12.70)	.187 (4.75)	.125 (3.18)	—	—	—	BER199-ND	.48	.43	.39	.34	1009-58
		.750 (19.05)	.500 (12.70)	.187 (4.75)	.125 (3.18)	—	—	—	BER202-ND	.91	.81	.73	.65	2015-58
		.750 (19.05)	.500 (12.70)	.187 (4.75)	.125 (3.18)	—	—	—	BER207-ND *	.41	.37	.33	.29	3223-07FR-58
		.750 (19.05)	.500 (12.70)	.187 (4.75)	.125 (3.18)	—	—	—	BER216-ND *	.41	.37	.33	.29	7403-09FR-58
		.750 (19.05)	.500 (12.70)	.187 (4.75)	.125 (3.18)	—	—	—	BER220-ND	.46	.41	.37	.33	K4-58
		.750 (19.05)	.500 (12.70)	—	—	—	—	—	BER132-ND	.51	.46	.41	.37	Q3-43
		.687 (17.45)	.562 (14.27)	.218 (5.54)	.125 (3.18)	—	—	—	BER205-ND *	.41	.37	.33	.29	3223-07FR-51
		.687 (17.45)	.562 (14.27)	.218 (5.54)	.125 (3.18)	—	—	—	BER214-ND *	.41	.37	.33	.29	7403-09FR-51
		.687 (17.45)	.562 (14.27)	.218 (5.54)	.125 (3.18)	—	—	—	BER146-ND	.61	.55	.50	.44	K10-51
		.687 (17.45)	.562 (14.27)	.218 (5.54)	.125 (3.18)	—	—	—	BER147-ND	.36	.33	.30	.26	Q3-51
		.860 (21.84)	.740 (18.80)	.200 (5.08)	.160 (4.06)	—	—	—	BER108-ND	.68	.61	.54	.48	SP600-90
		.860 (21.84)	.740 (18.80)	.200 (5.08)	.160 (4.06)	—	—	—	BER177-ND	.68	.61	.54	.48	SP900S-90
		.860 (21.84)	.740 (18.80)	.200 (5.08)	.160 (4.06)	—	—	—	BER119-ND	1.07	.95	.86	.76	K10-90
		.860 (21.84)	.740 (18.80)	.200 (5.08)	.160 (4.06)	—	—	—	BER130-ND	.52	.47	.43	.38	Q3-90
4	MULTI	.945 (24.00)	.827 (21.01)	.196 (4.98)	.150 (3.81)	—	—	—	BER107-ND	.70	.63	.57	.50	SP600-114
		.945 (24.00)	.827 (21.01)	.196 (4.98)	.150 (3.81)	—	—	—	BER180-ND	.70	.63	.57	.50	SP900S-114
		.945 (24.00)	.827 (21.01)	.196 (4.98)	.150 (3.81)	—	—	—	BER118-ND	1.17	1.05	.94	.83	K10-114
5	SIP	1.450 (36.83)	.838 (21.29)	.612 (15.54)	.245 (6.22)	.960 (24.38)	.170 (4.32)	.120 (3.05)	BER106-ND	.80	.71	.64	.57	SP600-105
		1.450 (36.83)	.838 (21.29)	.612 (15.54)	.245 (6.22)	.960 (24.38)	.170 (4.32)	.120 (3.05)	BER179-ND	.80	.71	.64	.57	SP900S-105
		1.450 (36.83)	.838 (21.29)	.612 (15.54)	.245 (6.22)	.960 (24.38)	.170 (4.32)	.120 (3.05)	BER117-ND	1.49	1.34	1.20	1.06	K10-105
6	DO-5	1.00 (25.40)	.260 (6.60)	—	—	—	—	—	BER105-ND	.75	.67	.60	.53	SP600-25
		1.00 (25.40)	.260 (6.60)	—	—	—	—	—	BER173-ND	.75	.67	.60	.53	SP900S-25
		1.00 (25.40)	.260 (6.60)	—	—	—	—	—	BER116-ND	1.33	1.19	1.07	.95	K10-25
7	SIP-Modul	1.50 (38.10)	.900 (22.86)	.150 (3.81)	1.20 (30.48)	.450 (11.43)	.075 (1.91)	—	BER136-ND	.41	.37	.33	.29	Q3-67
		2.50 (63.50)	2.00 (50.80)	.344 (8.74)	1.81 (46.02)	1.00 (25.40)	.156 (3.96)	—	BER137-ND	.55	.50	.45	.39	Q3-101

* Aus SP400-Material hergestellt.

(Forts.)

THE BERGQUIST COMPANY Kühlkörper-Pads „Die Alternative zu Schmiere“ *(Forts.)*

Abb.	Gerätetyp	Abmessungen – Zoll. (mm) A	B	C	D	E	F	G	Digi-Key Teilenr.	Stückpreis 1	10	50	100	Bergquist Teilenr.
8	CPU	.63 (16.00)	.63 (16.00)	—	—	—	—	—	BER133-ND	.44	.40	.36	.32	CPU .63X.63
		1.375 (34.93)	1.375 (34.93)	—	—	—	—	—	BER135-ND	.73	.66	.59	.52	CPU 1.375X1.375
	Brückengleichrichter	1.00 (25.40)	1.00 (25.40)	.187 (4.75)	—	—	—	—	BER142-ND	.39	.35	.32	.28	Q3-48
		1.25 (31.75)	1.25 (31.75)	.200 (5.08)	—	—	—	—	BER144-ND	.41	.37	.34	.30	Q3-46
		1.25 (31.75)	1.25 (31.75)	.200 (5.08)	—	—	—	—	BER145-ND	1.22	1.09	.98	.87	K10-46
9	TO-220 Schläuche	.433 (11.00)	.985 (25.02)	—	—	—	—	—	BER156-ND	.62	.56	.50	.44	SPT400 -12-11-25
	TO-247 Schläuche	.532 (13.50)	.985 (25.02)	—	—	—	—	—	BER157-ND	.75	.68	.61	.54	SPT400-12- 13.5-25
10	TO-5	.360 (9.14)	.200 (5.08)	.040 (1.02)	—	—	—	—	BER213-ND*	.39	.35	.32	.28	7403-09FR-09
	„Hi-Flow™“-Pads, mit einseitigem Kleber (Phasenänderung)													
1	TO-3	1.65 (41.91)	1.14 (28.96)	.140 (3.56)	.093 (2.36)	1.187 (30.15)	.430 (10.92)	.072 (1.83)	BER166-ND	.24	.21	.19	.17	HF115TAAC-05
3	TO-220	.750 (19.05)	.500 (12.70)	.187 (4.75)	.147 (3.73)	—	—	—	BER167-ND	.09	.08	.07	.06	HF115TAAC-54
3	TO-220	.750 (19.05)	.500 (12.70)	.187 (4.75)	.125 (3.18)	—	—	—	BER168-ND	.09	.08	.07	.06	HF115TAAC-58
3	TO-218	.860 (21.84)	.740 (18.80)	.200 (5.08)	.160 (4.06)	—	—	—	BER169-ND	.10	.09	.08	.07	HF115TAAC-90
5	SIP	1.450 (36.83)	.830 (21.08)	.612 (15.54)	.245 (6.22)	.960 (24.38)	.170 (4.32)	.120 (3.05)	BER170-ND	.12	.11	.10	.09	HF115TAAC-105
	„SP900™“-Pads, mit einseitigem Kleber (geringer Montagedruck)													
1	TO-3	1.65 (41.91)	1.14 (28.96)	.140 (3.56)	.093 (2.36)	1.187 (30.15)	.430 (10.92)	.072 (1.83)	BER181-ND	.97	.87	.78	.69	SP900EAAC-05
3	TO-220	.750 (19.05)	.500 (12.70)	.187 (4.75)	.147 (3.73)	—	—	—	BER182-ND	.63	.57	.51	.45	SP900EAAC-54
3	TO-220	.750 (19.05)	.500 (12.70)	.187 (4.75)	.125 (3.18)	—	—	—	BER183-ND	.63	.57	.51	.45	SP900EAAC-58
	„Bond Ply™ 100“ zweiseitiges Thermo-Klebeband													
	Thermisches Pad, mit zweiseitigem Kleber, 0,005" (0,127) dick, 10" (25,4 cm) quadratischer Bogen								BER158-ND	35.08	31.31	28.07	24.83	BOND PLY 105 10x10"
	Thermisches Pad, mit zweiseitigem Kleber, 0,008" (203) dick, 10" (25,4 cm) quadratischer Bogen								BER159-ND	43.17	38.53	34.54	30.56	BOND PLY 108 10x10"
	Thermisches Pad, mit zweiseitigem Kleber, 0,011" (0,279) dick, 10" (25,4 cm) quadratischer Bogen								BER160-ND	53.99	48.17	43.19	38.21	BOND PLY 111 10x10"
	„Gap Pad™ 1500“ thermisches Spaltfüllmaterial													
	Thermisches Pad, mit zweiseitigem Kleber, 0,011" (0,279) dick, 10" (25,4 cm) quadratischer Bogen								BER161-ND	8.45	7.54	6.76	5.98	.020 GP 1500 4" X 4"
	Stark thermisch leitendes Pad, 0,020" (0,508) dick, 4" (10,16 cm) quadratischer Bogen								BER162-ND	12.13	10.83	9.71	8.59	.040 GP 1500 4" X 4"
	Stark thermisch leitendes Pad, 0,060" (1,52) dick, 4" (10,16 cm) quadratischer Bogen								BER163-ND	13.93	12.43	11.14	9.86	.060 GP 1500 4" X 4"
	Stark thermisch leitendes Pad, 0,080" (2,03) dick, 4" (10,16 cm) quadratischer Bogen								BER164-ND	16.46	14.69	13.17	11.65	.080 GP 1500 4" X 4"
	Stark thermisch leitendes Pad, 0,125" (3,18) dick, 4" (10,16 cm) quadratischer Bogen								BER165-ND	22.34	19.94	17.88	15.82	.125 GP 1500 4" X 4"
	Stark thermisch leitendes Pad, 0,040" (1,02) dick, 8" x 16" (20,32 x 40,64 cm) großer Bogen								BER227-ND	73.03	65.16	58.42	51.68	.040 GP 1500 8" X 16"
	Stark thermisch leitendes Pad, 0,060" (1,52) dick, 8" x 16" (20,32 x 40,64 cm) großer Bogen								BER228-ND	81.99	73.17	65.60	58.03	.060 GP 1500 8" X 16"
	Stark thermisch leitendes Pad, 0,080" (2,03) dick, 8" x 16" (20,32 x 40,64 cm) großer Bogen								BER229-ND	93.90	83.80	75.13	66.46	.080 GP 1500 8" X 16"
	Stark thermisch leitendes Pad, 0,125" (3,18) dick, 8" x 16" (20,32 x 40,64 cm) großer Bogen								BER230-ND	160.27	143.02	128.22	113.43	.125 GP 1500 8" X 16"
	„Gap Pad™ VO Ultra Soft“ thermisches Spaltfüllmaterial													
	Stark thermisch leitendes Pad, 0,020" (0,508) dick, 8" x 16" (20,32 x 40,64 cm) großer Bogen								BER222-ND	61.00	54.43	48.80	43.17	.020 GP US 8" X 16"
	Stark thermisch leitendes Pad, 0,040" (1,02) dick, 8" x 16" (20,32 x 40,64 cm) großer Bogen								BER223-ND	76.71	68.45	61.37	54.29	.040 GP US 8" X 16"
	Stark thermisch leitendes Pad, 0,060" (1,52) dick, 8" x 16" (20,32 x 40,64 cm) großer Bogen								BER224-ND	86.07	76.80	68.86	60.91	.060 GP US 8" X 16"
	Stark thermisch leitendes Pad, 0,080" (2,03) dick, 8" x 16" (20,32 x 40,64 cm) großer Bogen								BER225-ND	98.61	88.00	78.89	69.79	.080 GP US 8" X 16"
	Stark thermisch leitendes Pad, 0,125" (3,18) dick, 8" x 16" (20,32 x 40,64 cm) großer Bogen								BER226-ND	163.72	146.09	130.97	115.86	.125 GP US 8" X 16"

* Aus SP400-Material hergestellt.

ASAHI RUBBER INC. Kühlkörper-Pölsterchen

Asahi Rubber bietet ein hervorragendes Produkt für Anwendungen, die eine Wärmelösung erfordern. Die ART-Serie umfasst ein wärmeleitendes Silikongel, das nach Bedarf zugeschnitten werden kann.
Merkmale: • Farbe: grau • Dicke: von 0,3 mm bis 2,0 mm • Betriebstemperaturbereich: -60 °C ~ 200 °C

Abmessungen - Zoll (mm) Länge	Breite	Dicke	Digi-Key Teilenr.	Stückpreis 1	10	50	100	1.000	Asahi Teilenr.
11.81 (300)	8.46 (215)	.01 (0.3)	509-1000-ND	40.74	37.35	33.27	27.16	17.66	ART03
11.81 (300)	8.46 (215)	.02 (0.5)	509-1001-ND	44.88	41.14	36.66	29.92	19.45	ART05
11.81 (300)	8.46 (215)	.04 (1.0)	509-1002-ND	64.84	59.44	52.96	43.23	28.10	ART10
11.81 (300)	8.46 (215)	.06 (1.5)	509-1003-ND	83.13	76.21	67.89	55.42	36.03	ART15
11.81 (300)	8.46 (215)	.08 (2.0)	509-1004-ND	101.69	93.22	83.05	67.80	44.07	ART20

KEYSTONE ELECTRONICS CORP. MICA-Isolatoren für Transistormontage

Diese präzisionsgeprägten MICA-Isolatoren bieten gute Wärmeleitfähigkeit (9 mW psi pro °C pro Zoll Dicke). Hervorragender Wärmewiderstand: 1.100 °F (593 °C). Dielektrikum-Konstante: 7 bei 1.000 kHz.
Spezifikationen: 0,003" (0,08 mm) dick; MICA ±0,001" (±0,03 mm).

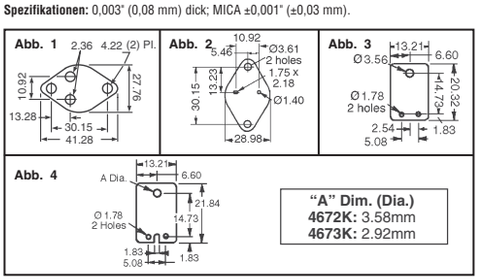

Abb.	Digi-Key Teilenr.	Preisangaben 10	100	500	1,000	Keystone Teilenr.
1	4651K-ND	.63	5.22	21.99	29.97	4651
2	4662K-ND	.69	5.67	24.72	32.77	4662
3	4671K-ND	.90	5.22	21.99	25.14	4671
4	4672K-ND	.69	5.24	22.05	28.06	4672
4	4673K-ND	.69	5.24	22.05	28.06	4673

MILL-MAX Transistorsockel

Überzug:
Hülse (Pin):
200 µ" Sn.
Kontakt (Klemme):
30 µ" Au.

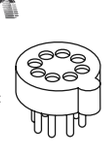

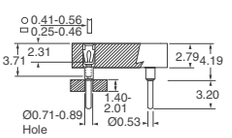

Anz. der Pins	Digi-Key Teilenr.	Stückpreis 1	10	100	Mill-Max Teilenr.
TO-5 Paket					
3	ED2150-ND	.49	.42	.34	917-93-103-41-005000
4	ED2151-ND	.65	.55	.45	917-93-104-41-005000
8	ED2152-ND	1.25	1.06	.87	917-93-108-41-005000
TO-100 Paket					
8	ED2153-ND	1.25	1.06	.87	917-93-208-41-005000
10	ED2154-ND	1.50	1.27	1.04	917-93-210-41-005000

KEYSTONE ELECTRONICS CORP. TO-3 Power-Transistorsockel

Abb. 1
Chassisbefestigung
• Obere Platte: Geformtes Nylon
• Basis: Phenol • Abmessungen: 1,53"x 0,073" (38,86 mm x 1,85 mm)
• Abstände: 0,09" (2,29 mm)

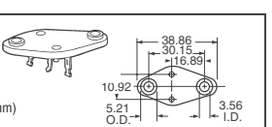

Abb. 2
Chassisbefestigung
• Obere Platte: Geformtes Nylon • Basis: Phenol • Abmessungen: 1,35"x 1,00" (34,29 mm x 25,40 mm)
• Abstände: Keine

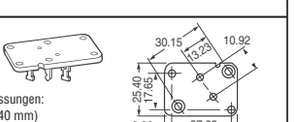

Abb. 3
PC- Kartenmontage
• Obere Platte: Geformtes Nylon• Basis: Phenol
• Abmessungen: 1,53"x 0,073" (38,86 mm x 1,85 mm)
• Abstände: 0,09" (2,29 mm)

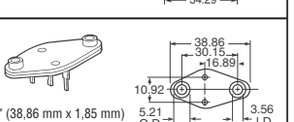

Transistorbefestigungshardware

Abb. 4A
TO-220
Komplettes Montagekit (je eines von A, B, C, D, E)

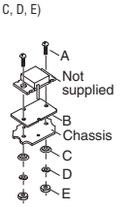

Abb. 4B
TO-3
Komplettes Montagekit (A, B, C, D, E, F, G)

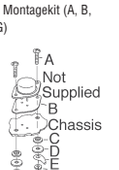

* **6-20 Montageschrauben**
(Nur A, 2 erforderlich)

Abb..	Digi-Key Teilenr.	Stückpreis 1	10	100	Keystone Teilenr.
1	4601K-ND	1.43	1.18	1.12	4601
2	4606K-ND	1.22	1.01	.91	4606
3	4600K-ND	1.28	1.06	.96	4600
4A	4724K-ND	.79	.75	.70	4724
4B	4725K-ND	.79	.75	.70	4725
4B	4706K-ND*	2.66/20	15.43/200		4706

molex Waldom ELECTRONICS TO-220 Lötschwanz-Transistorsockel

PC- Kartenmontage
0,100" (2,54 mm) Mitte Diese drei Schaltkreis-Transistorsockel sind bereits zusammengebaut und zum Auflöten auf die PC- Karte bereit. Das bewährte doppelte Ausleger-Design schließt Schaltkreisversagen aufgrund von Wärmedehnung und/oder mechanischen Toleranzen aus. Lineare Bewegung der Transistoranschlüsse in den Sockel beeinträchtigt die Zuverlässigkeit nicht.

Material:
Verzinntes Messing, Nylon mit 94V-2 Zulassung

Abb. 1

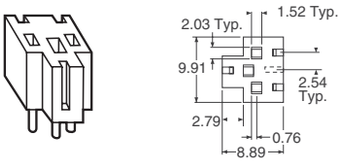

Abb. 2

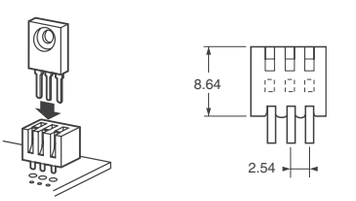

Abb.	Digi-Key Teilenr.	Stückpreis 1	10	100	Molex Teilenr.
1	WM2550-ND	1.37	1.21	.81	09-48-3031
2	WM2551-ND	1.69	1.50	1.00	10-18-2031

Alle Preisangaben in Euro und inklusive Zollgebühren.

High-Side-Stromwächter

Die High-Side-Stromwächter der Serie ZXCT konvertieren eine als proportional erkannte Versorgungsspannung zu Erde. Der ZXCT1021 hat einen festen Verstärkungsfaktor von 10, während der ZXCT1022 für Anwendungen, wo die erforderliche Sensorspannung minimal ist, eine Verstärkung von 100 hat. Die sehr niedrige Offset-Spannung ermöglicht eine typische Genauigkeit von 2 % für Sensorspannungen von nur 10 mV, was zu besseren Toleranzen bei kleinen Sensorwiderständen führt, wie dies bei höheren Stromwerten erforderlich ist.

Merkmale:

- High-Side-Präzisionsstromabtastung
- Ausgangsspannungverstärkungsfaktor 10 und 100
- 2,5 - 20 V Versorgungsbereich
- <220 µA Ruhestrom
- 2 % Genauigkeit bei 10 mV

Anwendungen:

- Batterieladegeräte
- Intelligente Akkupacks
- Strombegrenzung
- DC-Motorsteuerung
- Leistungsmanagement

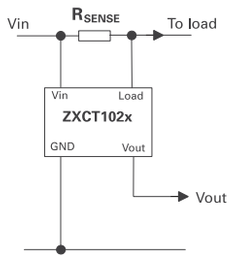

Spannungsreferenzen und Shunt-Regler

Das Zetex-Angebot an Industriestandard-Spannungsreferenzen und Shunt-Spannungsreglern bietet hervorragende Leistung in kleinen Gehäusen, ist in den meisten Fällen voll kompatibel und bietet die Möglichkeit, den Stromverbrauch zu reduzieren oder die Temperaturnennwerte zu erhöhen.

Merkmale:

- ZR431 - LM431 Shunt: baugleich mit 2,5 V/1,25 V Bandabständen, 2 %, 1 % und 0,5 % Toleranz
- ZR4040 - LM4040 baugleich mit 2 %, 1 % und 0,5 % Toleranz
- ZR285 - LM285 baugleich mit 1 %, 2 % and 3 % Toleranz
- ZXRE4041 - LM4041 baugleich
- Kleines SOT23-Gehäuse

Anwendungen:

- Modell ZR431 für schaltende Netzteile
- Fest eingestellte Shunttypen für Präzisionsnetzteile und Notebook/Palmtop-Computer
- ZXRE125 für batteriebetriebene Geräte

Applikationskreis

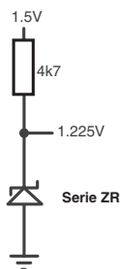

Motor-Controller

Zur Geschwindigkeitssteuerung von bürstenlosen Einzelphasen- und Zweiphasen-DC-Motoren hat Zetex die Vortreiber-Serie ZXBM entwickelt. Diese spannungsgesteuerten Bausteine dienen als Schnittstellen für System-PWM-Signale oder NTC-Thermistoren, um Treiber mit verschiedenen Geschwindigkeiten zu bieten.

Teile-nummer	Versorgungs-spannungs-bereich (V)	Max. Ruhestrom (mA)	Geschwindig-keitsregler	Min. Speed Setting*	Ausgangs-fahnen-format	Gehäuse
Zweiphasen						
ZXBM2001	4.5-18V	3.25	✓	—	RD/FG	MSOP10
ZXBM2002	4.5-18V	3.25	✓	—	RD	MSOP10
ZXBM2003	4.5-18V	3.25	✓	—	FG	MSOP10
ZXBM2004	4.7-18V	7.5	✓	✓	RD und FG	QSOP16
Einzelphase						
ZXBM1004	4.7-18V	8.5	✓	✓	RD und FG	QSOP16

*Min. Geschwindigkeitseinstellung

Bipolare Transistoren

Die Serie ZX5T der Generation 5 (Gen 5) 20 V PNP mit Niedrigsättigung wird in dem kompakten SOT23-6 Paket geliefert. Designers nutzen dieses hervorragende thermale Paket mit PD von 1,1 W und einem hoch effizienten Betrieb für eine Reihe von Ladeschaltkreisen und MOSFET-Gate-Treibfunktionen.

Merkmale:

- Betrieb mit hohem Dauerstrom, 3,5 A
- Extrem niedrige Sättigung
- Hohe h_{FE}
- P_D-Nennwert 1,1 W
- Ausgezeichnete Temperatureigenschafte

Anwendungen:

- Verschiedene Ladeschaltkreise
- Leistungsschalter
- MOSFET-Gate-Treiber
- DC/DC-Wandler

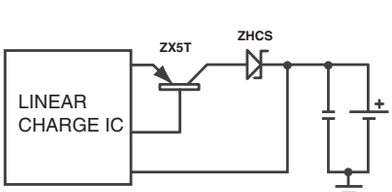

DC/DC-Boost-Wandler

Bei dem ZXLD1615 handelt es sich um einen PFM-induktiven Boost-Wandler, der zur Lieferung von Ausgangsspannungen bis zu 28 V von einer Eingangsversorgung von 2,5 bis 5,5 V entwickelt wurde.

Merkmale:

- Interner 30 V NDMOS-Schalter
- Interner PWM-Filter für flickerfreien Ausgang
- TSOT23 5-Pin Paket, Niedrigprofil

Anwendungen:

- LCD- und OLED-Bias
- Varactor und PIN-Dioden-Bias
- SEPIC-Wandler (Buck Boost)

MOSFETs

Durch Verwendung von Planar- und Trenchtechnologie hat Zetex eine breite Palette von N-und P-Kanal-MOSFETs produziert, die mit einer Nennspannung von max. 450 V funktionieren.

Diese bieten sehr geringen Durchlasswiderstand, geringe Gateaufladung und hohe Stromkapazität bei kleinen Gehäusen. Dadurch konnten Bauteile für den wirtschaftlichen Einsatz bei höheren Schaltfrequenzen produziert werden.

Komplementäre N- und P-Kanal-Elemente wurden in einer Reihe von Paketen kombiniert, um eine höhere Leistung zu erzielen und Platinenplatz zu sparen.

Merkmale:

- Trenchtechnologie
- Geringer Durchlasswiderstand
- Geringe Gateaufladung
- Auswahl unter verschiedenen Oberflächenmontagegehäusen
- Einzel-, Doppel- und Komplementärtypen

Anwendungen:

- DC/DC-Umwandlung
- Stromleitungsabschaltung
- Motorsteuerung
- CCFL-Hintergrundbeleuchtungs-Inverter
- Audio-Ausgangsstufen

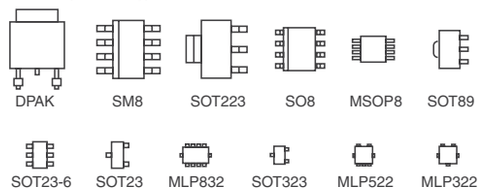

Je nach Druckbeschränkungen werden diese Bilder in aktueller Größe reproduziert.

Audio-Lösungen

ACOUSTAR™

Lieferung von hochwertigen Audiosignalen mit der Effizienz der Klasse D.

Das Zetex Acoustar™ Produktsortiment wurde zur Bereitstellung von außerordentlicher Klangqualität in Verstärkern der Klasse D entwickelt. Die Zuhörer sind von der Klangqualität überrascht, da sie der Qualität von Linearprodukten entspricht.

Merkmale:

- Ausgezeichnete Klangqualität
- Wirkungsgrad >90 %
- Sehr niedrige Verzerrung
- Weiter dynamischer Bereich

ZXCD50STEVAL-ND	50 W Demo-Karte, Klasse D	**112.60**
ZXCD1000EQ16CT-ND	Analogeingang, Klasse D Controller-IC	**9.24/1, 726.38/100**
ZXCW8100S28CT-ND	32-Bit Digital-Eingangs-Controller-IC	**14.44/1, 1134.98/100**

RF-Lösungen

Der Bereich von RF- und Support-Produkten von Zetex schließt Breitbandverstärker und Schaltkreise ein für geschütztes Bias von rauscharmem GaAs MESFET und pHEMT.

Breitbandverstärker der Serie ZAMP zur Verwendung mit bis zu 2,5 GHz

- Geräuscharmer Betrieb
- SC70 6-Pin Paket, Miniaturausführung
- Stromsparend bei hoher Linearität; OIP3
- Auswahl für niedrigen oder mittleren Strom

Chip GaAs FET Bias Generatoren der Serie ZNBG

- Drain-Spannung und Stromsteuerung für bis zu 6 GaAs FET-Stufen
- Einschließlich negativer Vorspannung, die von einer einzelnen positiven Versorgung erzeugt wird
- Temperaturausgleich
- Vollständiger FET-Fehlerschutz, auch beim Start
- Einzel-Chip-Lösung spart Kosten und Platz

Anwendungen:

- Satellitenempfänger
- GSM und WCDMA,Terminal und Basisstation
- GPS und DECT

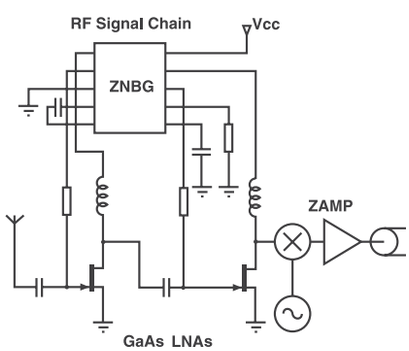

V_{CEO} (V)	V_{CBO} (V)	I_C (Kont.) (A)	h_{FE} @ I_C/V_{CE} Min.	Max.	(mA)	(V)	V_{CE} (gesättigt) Max. (V)	@I_C (mA)	@I_B (mA)	Pakettyp	Digi-Key Teilenr.	Preis für lose Ware 1	10	100	1.000
										NPN					
10	35	4	300	1200	1000	2	0.19	4000	20	Super E-Line — TO-92	ZTX1047A-ND	1.13	8.50	50.97	320.95
12	12	3	400	—	3000	2	0.35	3000	20	Super E-Line — TO-92	ZTX688B-ND	1.02	7.70	51.30	342.03
17.5	50	4	300	1200	1000	2	0.21	4000	20	Super E-Line — TO-92	ZTX1048A-ND	1.13	8.50	50.97	320.95
20	20	3.5	300	—	200	2	0.255	3500	50	Super E-Line — TO-92	ZTX618-ND	.99	7.43	44.57	280.65
	20	3	400	—	2000	2	0.5	2000	10	Super E-Line — TO-92	ZTX689B-ND	1.02	7.70	51.30	342.03
25	60	5	300	—	1000	1	0.22	5000	100	Super E-Line — TO-92	ZTX869-ND	1.46	10.90	65.37	411.62
	35	2	100	300	1000	2	0.5	2000	200	Super E-Line — TO-92	ZTX649-ND	.92	6.90	45.97	306.47
										PNP					
-12	-15	-4.5	300	1000	-500	-1	-0.30	-5000	-200	Super E-Line — TO-92	ZTX968-ND	1.49	11.20	67.20	423.13
	-15	-4	250	850	-500	-2	-0.235	-4000	-70	Super E-Line — TO-92	ZTX1147A-ND	1.20	9.03	54.17	341.10
-15	-20	-3	300	800	-10	-1	-0.32	-2000	-20	Super E-Line — TO-92	ZTX788A-ND	1.24	9.30	61.97	413.14
-20	-40	-4.5	100	300	-1000	-1	-0.31	-5000	-300	Super E-Line — TO-92	ZTX948-ND	1.49	11.20	67.20	423.13
	-20	-2.5	300	—	-10	-2	-0.26	-2500	-200	Super E-Line — TO-92	ZTX718-ND	.96	7.16	42.97	270.57
-25	-30	-3	250	800	-500	-2	-0.3	-3000	-70	Super E-Line — TO-92	ZTX1149A-ND	1.20	9.03	54.17	341.10
	-35	-2	100	300	-1000	-2	-0.5	-2000	-200	Super E-Line — TO-92	ZTX749-ND	.96	7.16	47.75	318.32
	-25	-3	300	800	-10	-2	-0.45	-2000	-20	Super E-Line — TO-92	ZTX789A-ND	1.06	7.97	53.08	353.88

MLP 2 x 2

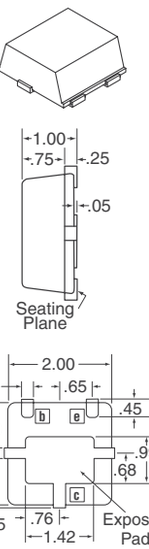

V_{CEO} (V)	V_{CBO} (V)	I_C (Kont.) (A)	h_{FE} @ I_C/V_{CE} Min.	Max.	(mA)	(V)	V_{CE} (gesättigt) Max. (V)	@I_C (mA)	@I_B (mA)	Pakettyp	Digi-Key Teilenr.	Gurtabschnittspreis pro Stück 1	10	Digi-Key Teilenr.	Gegurtet auf Rolle Größe	Preisangaben
										NPN						
10	35	5.0	300	1200	1000	2	0.35	5000	25	SOT-223	FZT1047ACT-ND	1.10	.83	FZT1047ATR-ND	1,000	310.87
	35	4.0	300	1200	1000	2	0.35	5000	25	SOT-89	FCX1047ACT-ND	.83	.63	FCX1047ATR-ND	1,000	234.59
12	12	4.0	400	—	3000	2	0.35	3000	20	SOT-223	FZT688BCT-ND	1.11	.84	FZT688BTR-ND	1,000	315.19
	12	3.0	400	—	3000	2	0.40	4000	50	SOT-89	FCX688BCT-ND	.67	.50	FCX688BTR-ND	1,000	188.54
15	40	5.0	300	900	1000	2	0.20	5000	1000	SOT-23-6	ZXT13N15DE6CT-ND	.99	.75	ZXT13N15DE6TR-ND	3,000	247.63/M
	70	4.5	200	—	10	2	8	100	10	MLP 2x2	ZXTAM322TACT-ND	.72	.54	ZXTAM322TATR-ND	3,000	214.87/M
	15	4.0	300	—	10	2	0.014	100	10	SOT-23-6	ZXT10N15DE6TACT-ND	.78	.59	ZXT10N15DE6TATR-ND	3,000	194.30/M
	15	4.0	200	—	3000	2	0.20	3000	50	SOT-89	FCX617CT-ND	.67	.50	FCX617TR-ND	1,000	188.54
	15	3.0	200	—	3000	2	0.2	3000	50	SOT-23	FMMT617CT-ND	.73	.55	FMMT617TR-ND	3,000	182.87/M
	40	3.3	300	900	200	2	0.15	3000	150	SOT-23	ZXT11N15DFCT-ND	.60	.46	ZXT11N15DFTR-ND	3,000	151.12/M
	15	1.5	200	—	1000	2	0.18	1000	10	SOT-323	ZUMT617CT-ND	.36	.28	ZUMT617TR-ND	3,000	109.72/M
17.5	50	5.0	300	1200	1000	2	0.35	5000	25	SOT-223	FZT1048ACT-ND	1.10	.83	FZT1048ATR-ND	1,000	310.87
20	100	10	200	—	10	2	8	100	10	MLP 2x2	ZXTBM322TACT-ND	.72	.54	ZXTBM322TATR-ND	3,000	214.87/M
	50	4.5	300	900	1000	2	0.23	4500	45	SOT-23-6	ZXT13N20DE6CT-ND	.99	.75	ZXT13N20DE6TR-ND	3,000	247.63/M
	20	3.5	200	—	10	2	0.015	100	10	SOT-23-6	ZXT10N20DE6TACT-ND	.78	.59	ZXT10N20DE6TATR-ND	3,000	194.30/M
	20	3.0	400	—	2000	2	0.45	3000	20	SOT-223	FZT689BCT-ND	1.11	.84	FZT689BTR-ND	1,000	315.19
	40	2.5	300	900	100	2	0.13	2500	250	SOT-23	ZXT11N20DFCT-ND	.60	.46	ZXT11N20DFTR-ND	3,000	151.12/M
	20	2.5	200	—	2000	2	0.2	2500	50	SOT-23	FMMT618CT-ND	.73	.55	FMMT618TR-ND	3,000	182.87/M
	20	1.25	200	—	1000	2	0.2	1000	10	SOT-323	ZUMT618CT-ND	.36	.28	ZUMT618TR-ND	3,000	109.72/M
25	60	7.0	300	—	1000	1	0.080	1000	10	SOT-223	ZX5T869GCT-ND	1.22	.92	ZX5T869GTR-ND	1,000	345.41
	80	6.5	300	—	1000	1	0.215	2000	10	SOT-223	FZT869CT-ND	1.56	1.17	FZT869TR-ND	1,000	440.40
	35	3.0	100	300	1000	2	0.3	1000	100	SOT-223	FZT649CT-ND	1.02	.77	FZT649TR-ND	1,000	290.72
										PNP						
-12	-15	-6.0	300	1000	-500	-1	-0.17	-2000	-50	SOT-223	FZT968CT-ND	1.56	1.17	FZT968TR-ND	1,000	440.40
	-15	-3.0	250	850	-500	-2	-0.25	-3000	-30	SOT-89	FCX1147ACT-ND	.83	.63	FCX1147ATR-ND	1,000	234.59
	-15	-5.0	250	850	-500	-2	0.4	-5000	-50	SOT-223	FZT1147ACT-ND	1.17	.88	FZT1147ATR-ND	1,000	331.02
	-25	-4	300	—	10	-2	-10	100	10	MLP 2x2	ZXT1M322TACT-ND	.72	.54	ZXT1M322TATR-ND	3,000	214.87/M
	-20	-4.0	300	900	-1000	-2	-0.25	-4000	-50	SOT-23-6	ZXT13P12DE6CT-ND	.99	.75	ZXT13P12DE6TR-ND	3,000	247.63/M
	-12	3.0	300	—	10	2	-0.017	-100	-10	SOT-23-6	ZXT10P12DE6TACT-ND	.78	.59	ZXT10P12DE6TATR-ND	3,000	194.30/M
	-12	-3.0	300	—	-100	-2	-0.32	-3000	-50	SOT-89	FCX717CT-ND	.67	.50	FCX717TR-ND	1,000	188.54
	-12	-2.5	180	—	-2500	-2	-0.17	-1500	-50	SOT-23	FMMT717CT-ND	.78	.59	FMMT717TR-ND	3,000	194.30/M
	-12	-1.25	180	—	-1000	2	-0.24	-1000	-50	SOT-323	ZUMT717CT-ND	.36	.28	ZUMT717TR-ND	3,000	109.72/M
	-20	-6.0	300	900	-1000	-2	-0.163	-6000	-60	MSOP-8	ZXT14P12DXCT-ND	4.10	3.08	—	—	—
-15	-15	-3.0	300	—	-2000	-2	-0.45	-2000	-10	SOT-223	FZT788BCT-ND	1.11	.84	FZT788BTR-ND	1,000	315.19
-20	-40	-6.0	100	300	-1000	-1	-0.18	-2000	-200	SOT-223	FZT948CT-ND	1.56	1.17	FZT948TR-ND	1,000	440.40
	-25	-3.5	300	—	10	-2	-19	100	10	MLP 2x2	ZXT2M322TACT-ND	.72	.54	ZXT2M322TATR-ND	3,000	214.87/M
	-25	-3.5	300	900	-1000	-2	-0.25	-3500	-350	SOT-23-6	ZXT13P20DE6CT-ND	.99	.75	ZXT13P20DE6TR-ND	3,000	247.63/M
	-25	-3.5	300	900	-1000	-2	-0.14	-1000	-10	SOT-23-6	ZX5T2E6CT-ND	1.17	.88	ZX5T2E6TR-ND	3,000	292.08/M
	-20	-2.5	300	—	10	2	-0.030	-100	-10	SOT-23-6	ZXT10P20DE6TACT-ND	.78	.59	ZXT10P20DE6TATR-ND	3,000	194.30/M
	-20	-2.5	300	—	-100	-2	-0.22	-1500	-50	SOT-89	FCX718CT-ND	.67	.50	FCX718TR-ND	1,000	188.54
	-20	-1.5	150	—	-2000	-2	-0.20	-1000	-20	SOT-23	FMMT718CT-ND	.78	.59	FMMT718TR-ND	3,000	194.30/M
	-20	-1.0	180	—	-500	-2	-0.18	-500	-20	SOT-223	ZUMT718CT-ND	.36	.28	ZUMT718TR-ND	3,000	109.72/M
	-25	-5.0	300	900	-1000	-2	-0.20	-5000	-100	MSOP-8	ZXT14P20DXCT-ND	4.10	3.08	ZXT14P20DXTR-ND	1,000	1160.01
-25	-30	-3.0	250	800	-500	-2	-0.30	-3000	-100	SOT-89	FCX1149ACT-ND	.92	.69	FCX1149ATR-ND	1,000	260.50
	-30	-4.0	250	800	-500	-2	0.35	-4000	-140	SOT-223	FZT1149ACT-ND	1.17	.88	FZT1149ATR-ND	1,000	331.02
	-35	-3.0	100	300	-1000	-2	-0.3	-1000	-100	SOT-223	FZT749CT-ND	.98	.74	FZT749TR-ND	1,000	277.77
	-25	-3.0	300	800	-10	-2	-0.19	-1000	-10	SOT-89	FCX789ACT-ND	.67	.50	FCX789ATR-ND	1,000	188.54
	-25	-2.0	250	—	-1000	-2	-0.45	-2000	-20	SOT-223	FZT789ACT-ND	1.11	.84	FZT789ATR-ND	1,000	315.19

MSOP-8

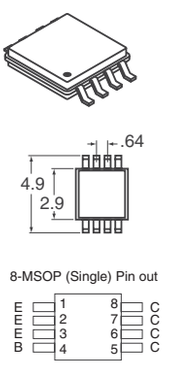

SOT-23

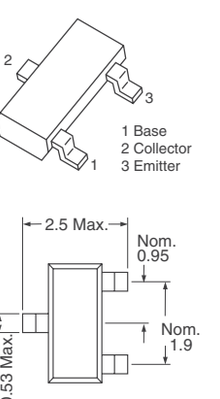

SOT-23-6

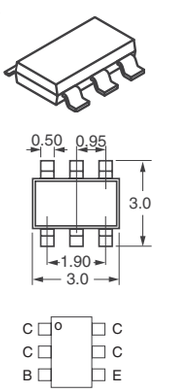

(Forts.)

30-50 Volt

ZETEX SEMICONDUCTORS *Nach QS9000 akkreditiert!*

V_{CEO} (V)	V_{CBO} (V)	I_C (Kont.) (A)	h_{FE}@ I_C/VCE Min.	Max.	(mA)	(V)	V_{CE} (gesättigt) Max. (V)	@I_C (mA)	@I_B (mA)	Pakettyp	Digi-Key Teilenr.	Preis für lose Ware 1	10	100	1.000
										NPN					
	80	5	100	300	1000	1	0.22	5000	200	Super E-Line — TO-92	ZTX849-ND	1.46	10.90	65.37	411.62
30	80	4	300	1200	1000	2	0.18	2000	10	Super E-Line — TO-92	ZTX1049A-ND	1.13	8.50	50.97	320.95
	50	1	100	300	500	2	0.5	1000	100	Super E-Line — TO-92	ZTX449-ND	.53	4.00	26.67	177.79
40	150	4	300	1200	1000	2	0.21	4000	100	Super E-Line — TO-92	ZTX1051A-ND	1.13	8.50	50.97	320.95
45	45	2	400	—	1000	2	0.5	1000	5	Super E-Line — TO-92	ZTX690B-ND	1.02	7.70	51.30	342.03
	60	1	100	300	150	10	0.25	150	15	Super E-Line — TO-92	ZTX450-ND	.53	4.00	26.67	177.79
										PNP					
-30	-50	-4.5	100	300	-1000	-1	-0.32	-5000	-300	Super E-Line — TO-92	ZTX949-ND	1.49	11.20	67.20	423.13
	-35	-1	100	300	-500	-2	-0.5	-1000	-100	Super E-Line — TO-92	ZTX549-ND	.57	4.27	28.45	189.64
-40	-45	-3	250	800	-500	-2	-0.23	-1800	-70	Super E-Line — TO-92	ZTX1151A-ND	1.20	9.03	54.17	341.10
	-50	-2	300	800	-10	-2	-0.75	-2000	-50	Super E-Line — TO-92	ZTX790A-ND	1.06	7.97	53.08	353.88
45	-60	-1	100	300	-150	-10	-0.25	-150	-15	Super E-Line — TO-92	ZTX550-ND	.57	4.27	28.45	189.64

V_{CEO} (V)	V_{CBO} (V)	I_C (Kont.) (A)	h_{FE}@ I_C/VCE Min.	Max.	(mA)	(V)	V_{CE} (gesättigt) Max. (V)	@I_C (mA)	@I_B (mA)	Pakettyp	Gurtabschnittspreis pro Stück Digi-Key Teilenr. 1	10	Digi-Key Teilenr.	Gegurtet auf Rolle Größe	Preisangaben
										NPN					
	80	7.0	100	300	1000	1	0.215	2000	20	SOT-223	FZT849CT-ND	1.56	1.17	FZT849TR-ND	1,000	440.40
	80	7.0	100	300	1000	1	0.065	1000	20	SOT-223	ZX5T849GCT-ND	1.22	.92	ZX5T849GTR-ND	1,000	345.41
30	80	7.0	100	—	10	1	.18	2000	20	D-PAK	ZXT849KCT-ND	1.52	1.15	ZXT849KTR-ND	2,500	431.77/M
	80	5.0	300	1200	1000	2	0.33	5000	50	SOT-223	FZT1049ACT-ND	1.10	.83	FZT1049ATR-ND	1,000	310.87
	50	1.000	100	300	500	2	0.5	1000	100	SOT-23	FMMT449CT-ND	.38	.29	FMMT449TR-ND	3,000	114.29/M
	50	1.000	100	300	1000	2	0.3	1000	100	SOT-23	FMMT489CT-ND	.35	.27	FMMT489TR-ND	3,000	105.15/M
	150	3.000	270	1200	1000	2	0.34	5000	100	SOT-89	FCX1051ACT-ND	.83	.63	FCX1051ATR-ND	1,000	234.59
40	150	5.0	270	1200	1000	2	0.18	3000	10	SOT-223	FZT1051ACT-ND	1.10	.83	FZT1051ATR-ND	1,000	310.87
	40	1.000	300	900	500	5	0.5	1000	100	SOT-89	FCX491ACT-ND	.52	.39	FCX491ATR-ND	1,000	145.36
	40	1.000	300	900	500	5	0.3	500	50	SOT-23	FMMT491ACT-ND	.38	.29	FMMT491ATR-ND	3,000	114.29/M
	45	2.000	400	150	2000	2	0.30	1000	5	SOT-89	FCX690BCT-ND	.67	.50	FCX690BTR-ND	1,000	188.54
	45	2.0	400	—	1000	2	0.1	100	0.5	SOT-223	FZT690BCT-ND	1.11	.84	FZT690BTR-ND	1,000	315.19
45	50	.500	100	600	100	1	0.62	500	50	SOT-23	BCX19CT-ND	.30	.23	BCX19TR-ND	3,000	91.44/M
	60	3.0	400	—	1000	2	0.35	3000	150	D-PAK	ZXT690BKCT-ND	1.07	.80	ZXT690BKTR-ND	2,500	302.24/M
	75	.800	250	630	100	1	0.3	100	10	SOT-23	BCW66HCT-ND	.30	.23	BCW66HTR-ND	3,000	91.44/M
	100	4.000	300	900	1000	2	0.23	4000	100	SOT-23-6	ZXT13N50DE6CT-ND	.99	.75	ZXT13N50DE6TR-ND	3,000	247.63/M
	50	3.000	200	—	10	2	0.02	100	10	SOT-23-6	ZXT10N50DE6TACT-ND	.78	.59	ZXT10N50DE6TATR-ND	3,000	194.30/M
50	100	6.000	300	900	1000	2	0.155	6000	120	MSOP-8	ZXT14N50DXCT-ND	4.10	3.08	—	—	—
	50	2.000	200	—	1000	2	0.35	3000	100	SOT-89	FCX619CT-ND	.67	.50	FCX619TR-ND	1,000	188.54
	50	2.000	100	—	2000	2	0.2	1000	10	SOT-23	FMMT619CT-ND	.73	.55	FMMT619TR-ND	3,000	182.87/M
	50	1.0	200	—	500	5	0.18	500	25	SOT-323	ZUMT619CT-ND	.36	.28	ZUMT619TR-ND	3,000	109.72/M
										PNP					
	-50	-5.5	100	300	-1000	-1	-0.27	-2000	-200	SOT-223	FZT949CT-ND	1.56	1.17	FZT949TR-ND	1,000	440.40
	-50	-5.5	100	300	-1000	-1	-0.085	-1000	-20	SOT-223	ZX5T949GCT-ND	1.22	.92	ZX5T949GTR-ND	1,000	345.41
	-50	-1.000	100	300	-500	-2	-0.35	-1000	-100	SOT-89	FCX589CT-ND	.52	.39	FCX589TR-ND	1,000	145.36
-30	-50	-1.000	100	300	-500	-2	-0.35	-1000	-100	SOT-23	FMMT589CT-ND	.39	.30	FMMT589TR-ND	3,000	117.34/M
	-35	-1.0	100	300	-500	-5	-0.5	-1000	-100	SOT-223	FZT549CT-ND	.92	.70	FZT549TR-ND	1,000	261.94
	-35	-1.000	100	300	-500	-2	-0.5	-1000	-100	SOT-23	FMMT549CT-ND	.38	.29	FMMT549TR-ND	3,000	114.29/M
	-45	-3.000	250	800	-500	-2	-0.30	-3000	-250	SOT-89	FCX1151ACT-ND	.83	.63	FCX1151ATR-ND	1,000	234.59
	-45	-3.0	250	800	-500	-2	-0.3	-3000	-250	SOT-223	FZT1151ACT-ND	1.17	.88	FZT1151ATR-ND	1,000	331.02
	-50	-2.000	250	150	-2000	-2	-0.45	-500	-10	SOT-89	FCX790ACT-ND	.67	.50	FCX790ATR-ND	1,000	188.54
	-50	-2.0	250	—	-500	-2	-0.45	-1000	-10	SOT-223	FZT790ACT-ND	1.11	.84	FZT790ATR-ND	1,000	315.19
	-50	-3.000	300	900	-1000	-2	-0.24	-3000	-300	SOT-23-6	ZXT13P40DE6CT-ND	.99	.75	ZXT13P40DE6TR-ND	3,000	247.63/M
	-50	-5.5	200	550	-500	-2	-0.165	-1000	-10	SOT-89	ZX5T3ZCT-ND	.76	.58	ZX5T3ZTR-ND	1,000	215.88
-40	-50	-3.000	300	800	-10	-2	-0.45	-2000	-50	D-PAK	ZXT790AKCT-ND	1.07	.80	ZXT790AKTR-ND	2,500	302.24/M
	-40	-2.000	300	—	-10	-2	-0.040	-100	-10	SOT-23-6	ZXT10P40DE6TACT-ND	.78	.59	ZXT10P40DE6TATR-ND	3,000	194.30/M
	-40	-1.500	150	—	-1000	-2	-0.25	-1000	-50	SOT-23	FMMT720CT-ND	.78	.59	FMMT720TR-ND	3,000	194.30/M
	-40	-1.0	180	—	-500	-5	-0.3	-500	-25	SOT-323	ZUMT720CT-ND	.36	.28	ZUMT720TR-ND	3,000	109.72/M
	-40	-1.000	300	800	-100	-5	-0.35	-500	-20	SOT-89	FCX591ACT-ND	.52	.39	FCX591ATR-ND	1,000	145.36
	-40	-1.000	300	800	-100	-5	-0.35	-500	-20	SOT-23	FMMT591ACT-ND	.39	.30	FMMT591ATR-ND	3,000	117.34/M
	-50	-4.000	300	900	-1000	-2	-0.16	-4000	-200	MSOP-8	ZXT14P40DXCT-ND	4.10	3.08	ZXT14P40DXTR-ND	1,000	1160.01
-45	-60	-.800	250	630	-100	-1	-0.3	-100	-10	SOT-23	BCW68HCT-ND	.30	.23	BCW68HTR-ND	3,000	91.44/M
	-50	-.800	100	600	-100	-1	-0.62	-500	-50	SOT-23	BCX17CT-ND	.30	.23	BCX17TR-ND	3,000	91.44/M

SOT-89

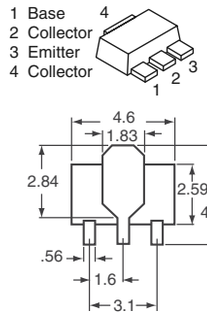

SOT-223

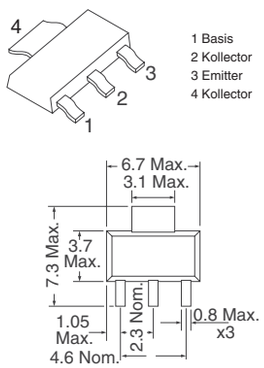

SOT-323

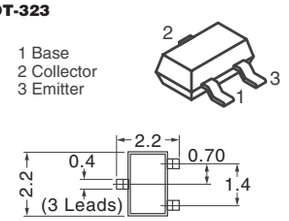

Super E-Line — TO-92

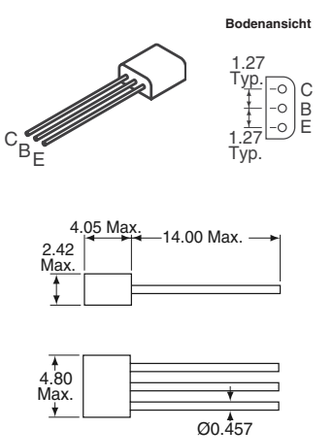

D-PAK

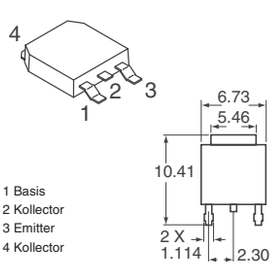

B

Transistoren mit mittlerer Leistung

60-100 Volt

ZETEX SEMICONDUCTORS *Nach QS9000 akkreditiert!*

B

V_{CEO} (V)	V_{CBO} (V)	I_C (Kont.) (A)	h_{FE}@ I_C/V_{CE} Min.	Max.	(mA)	(V)	V_{CE} (gesättigt) Max. (V)	@I_C (mA)	@I_B (mA)	Pakettyp	Digi-Key Teilenr.	Preis für lose Ware 1	10	100	1.000
NPN															
	150	5	100	300	2000	1	0.25	5000	200	Super E-Line — TO-92	ZTX851-ND	1.46	10.90	65.37	411.62
	150	4.5	100	300	2000	1	0.03	100	5	Super E-Line — TO-92	ZX5T851A-ND	1.17	8.76	52.57	331.02
60	80	2	100	300	500	2	0.5	2000	200	Super E-Line — TO-92	ZTX651-ND	.92	6.90	45.97	306.47
	80	1	50	150	150	10	0.35	150	15	Super E-Line — TO-92	ZTX451-ND	.53	4.00	26.67	177.79
70	70	1	400	—	500	2	0.5	1000	10	Super E-Line — TO-92	ZTX692B-ND	1.02	7.70	51.30	342.03
75	150	3	300	1200	1000	2	0.25	3000	100	Super E-Line — TO-92	ZTX1053A-ND	1.13	8.50	50.97	320.95
	200	4	100	300	2000	2	0.20	4000	400	Super E-Line — TO-92	ZTX853-ND	1.46	10.90	65.37	411.62
100	120	2	100	300	500	2	0.5	2000	200	Super E-Line — TO-92	ZTX653-ND	.92	6.90	45.97	306.47
	120	1	40	200	150	10	0.7	150	15	Super E-Line — TO-92	ZTX453-ND	.53	4.00	26.67	177.79
PNP															
	-100	-4	100	300	-1000	-1	-0.30	-4000	-400	Super E-Line — TO-92	ZTX951-ND	1.49	11.20	67.20	423.13
-60	-80	-2	100	300	-500	-2	-0.5	-2000	-200	Super E-Line — TO-92	ZTX751-ND	.96	7.16	47.75	318.32
	-80	-1	50	150	-150	-10	-0.35	-150	-15	Super E-Line — TO-92	ZTX551-ND	.57	4.27	28.45	189.64
-70	-75	-2	300	800	-10	-2	-0.5	-1000	-25	Super E-Line — TO-92	ZTX792A-ND	1.06	7.97	53.08	353.88
	-140	-3.5	100	300	-1000	-1	-0.33	-4000	-400	Super E-Line — TO-92	ZTX953-ND	1.49	11.20	67.20	423.13
-100	-120	-2	100	300	-500	-2	-0.5	-2000	-200	Super E-Line — TO-92	ZTX753-ND	.96	7.16	47.75	318.32
	-120	-1	40	200	-150	-10	-0.25	-150	-15	Super E-Line — TO-92	ZTX553-ND	.57	4.27	28.45	189.64

V_{CEO} (V)	V_{CBO} (V)	I_C (Kont.) (A)	h_{FE}@ I_C/V_{CE} Min.	Max.	(mA)	(V)	V_{CE} (gesättigt) Max. (V)	@I_C (mA)	@I_B (mA)	Pakettyp	Digi-Key Teilenr.	Gurtabschnittspreis pro Stück 1	10	Digi-Key Teilenr.	Gegurtet auf Rolle Größe	Preisangaben
NPN																
	150	6.0	100	300	2000	1	0.17	2000	50	SOT-223	FZT851CT-ND	1.56	1.17	FZT851TR-ND	1,000	440.40
	150	6.0	100	300	2000	1	0.03	100	5	SOT-223	ZX5T851GCT-ND	1.24	.93	ZX5T851GTR-ND	1,000	351.17
	80	3.0	100	300	500	2	0.3	1000	100	SOT-223	FZT651CT-ND	1.02	.77	FZT651TR-ND	1,000	290.72
60	80	1.000	100	300	500	5	0.5	1000	100	SOT-89	FCX491CT-ND	.52	.39	FCX491TR-ND	1,000	145.36
	80	1.000	100	300	500	5	0.3	500	50	SOT-23	FMMT491CT-ND	.38	.29	FMMT491TR-ND	3,000	114.29/M
	80	1.0	100	300	500	5	0.25	500	50	SOT-223	FZT491CT-ND	.92	.70	FZT491TR-ND	1,000	261.94
	80	1.000	50	150	150	10	0.35	150	15	SOT-23	FMMT451CT-ND	.38	.29	FMMT451TR-ND	3,000	114.29/M
70	70	1.0	400	—	500	2	0.15	100	0.5	SOT-223	FZT692BCT-ND	1.11	.84	FZT692BTR-ND	1,000	315.19
	150	3.000	270	1200	1000	2	0.25	3000	100	SOT-89	FCX1053ACT-ND	.83	.63	FCX1053ATR-ND	1,000	234.59
75	150	4.5	300	1200	500	2	0.21	2000	100	SOT-223	FZT1053ACT-ND	1.10	.83	FZT1053ATR-ND	1,000	310.87
	150	5.0	260	—	10	2	0.095	1000	100	D-PAK	ZXT1053AKCT-ND	1.22	.92	ZXT1053AKTR-ND	2,500	345.42/M
	100	1.000	100	250	150	2	0.5	500	50	SOT-89	BCX5616CT-ND	.41	.32	BCX5616TR-ND	1,000	118.02
80	80	1.500	300	900	200	2	0.20	1500	50	SOT-23	FMMT620CT-ND	.73	.55	FMMT620TR-ND	3,000	182.87/M
	80	.500	50	—	100	10	0.25	100	10	SOT-23	FMMTA06CT-ND	.36	.27	FMMTA06TR-ND	3,000	106.67/M
	200	6.0	100	300	2000	2	0.15	2000	100	SOT-223	FZT853CT-ND	1.56	1.17	FZT853TR-ND	1,000	440.40
	200	6.0	100	300	2000	2	0.065	1000	100	SOT-223	ZX5T853GCT-ND	1.22	.92	ZX5T853GTR-ND	1,000	345.41
100	120	2.0	100	300	500	2	0.3	1000	100	SOT-223	FZT653CT-ND	1.02	.77	FZT653TR-ND	1,000	290.72
	120	1.000	100	300	250	10	0.3	500	50	SOT-89	FCX493CT-ND	.52	.39	FCX493TR-ND	1,000	145.36
	120	1.000	100	300	250	10	0.25	500	50	SOT-23	FMMT493CT-ND	.38	.29	FMMT493TR-ND	3,000	114.29/M
	120	1.0	100	300	250	10	0.3	500	50	SOT-223	FZT493CT-ND	.92	.70	FZT493TR-ND	1,000	261.94
PNP																
	-100	-6.0	100	—	-10	-1	-0.09	-1000	-100	D-PAK	ZXT951KCT-ND	1.52	1.15	ZXT951KTR-ND	2,500	431.77/M
	-100	-5.5	100	300	-2000	-1	-0.07	-1000	-100	SOT-223	ZX5T951GCT-ND	1.22	.92	ZX5T951GTR-ND	1,000	345.41
	-100	-5.0	100	300	-2000	-1	-0.21	-2000	-200	SOT-223	FZT951CT-ND	1.56	1.17	FZT951TR-ND	1,000	440.40
-60	-80	-3.0	100	300	-500	-2	-0.3	-1000	-100	SOT-223	FZT751CT-ND	.98	.74	FZT751TR-ND	1,000	277.77
	-80	-1.000	100	300	-500	-5	-0.6	-1000	-100	SOT-89	FCX591CT-ND	.52	.39	FCX591TR-ND	1,000	145.36
	-80	-1.000	100	300	-500	-5	-0.3	-500	-50	SOT-23	FMMT591CT-ND	.39	.30	FMMT591TR-ND	3,000	117.34/M
	-80	-1.0	100	300	-500	-5	-0.3	-500	-50	SOT-223	FZT591CT-ND	.92	.70	FZT591TR-ND	1,000	261.94
	-80	-1.000	50	150	-150	-10	-0.35	-150	-15	SOT-23	FMMT551CT-ND	.38	.29	FMMT551TR-ND	3,000	114.29/M
-70	-70	-1.0	100	300	-100	-1	-0.25	-150	-15	SOT-223	BSP31CT-ND	1.77	1.33	—	—	—
	-70	-1.000	100	300	-100	-5	-0.5	-500	-50	SOT-89	BSR31CT-ND	.84	.63	—	—	—
	-75	-2.0	250	—	-500	-2	-0.5	-1000	-25	SOT-223	FZT792ACT-ND	1.11	.84	FZT792ATR-ND	1,000	315.19
	-70	-1.500	150	—	-1000	-5	-0.30	-500	-20	SOT-23	FMMT722CT-ND	.78	.59	FMMT722TR-ND	3,000	194.30/M
-80	-80	-.500	50	—	-100	-1	-0.25	-100	-10	SOT-23	FMMTA56CT-ND	.36	.27	FMMTA56TR-ND	3,000	106.67/M
	-100	-1.000	100	250	-150	-2	-0.5	-500	-50	SOT-89	BCX5316CT-ND	.41	.32	BCX5316TR-ND	1,000	118.02
	-140	-5.0	100	300	-1000	-1	-0.22	-2000	-200	SOT-223	FZT953CT-ND	1.56	1.17	FZT953TR-ND	1,000	440.40
	-140	-5.0	100	—	-10	-1	-0.1	-1000	-100	D-PAK	ZXT953KCT-ND	1.52	1.15	ZXT953KTR-ND	2,500	431.77/M
	-140	-5.0	100	300	-1000	-1	-0.09	-1000	-100	SOT-223	ZX5T953GCT-ND	1.22	.92	ZX5T953GTR-ND	1,000	345.41
	-120	-2.0	100	300	-500	-2	-0.3	-1000	-100	SOT-223	FZT753CT-ND	.98	.74	FZT753TR-ND	1,000	277.77
-100	-120	-1.000	100	300	-500	-5	-0.3	-500	-50	SOT-89	FCX593CT-ND	.52	.39	FCX593TR-ND	1,000	145.36
	-120	-1.000	100	300	-500	-10	-0.3	-500	-50	SOT-23	FMMT593CT-ND	.39	.30	FMMT593TR-ND	3,000	117.34/M
	-120	-1.0	100	300	-500	-2	-0.3	-500	-50	SOT-223	FZT593CT-ND	.92	.70	FZT593TR-ND	1,000	261.94
	-100	-1.000	250	—	-500	-10	-0.20	-500	-50	SOT-23	FMMT723CT-ND	.78	.59	FMMT723TR-ND	3,000	194.30/M

SOT-23

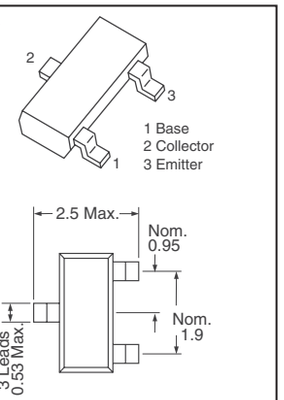

SOT-89

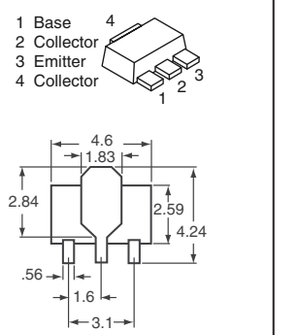

SOT-223

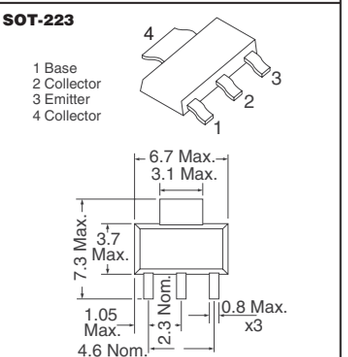

Super E-Line — TO-92

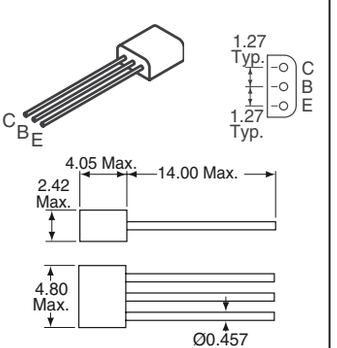

D-PAK

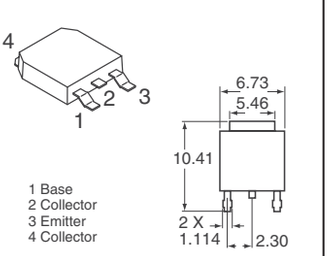

Alle Preisangaben in Euro und inklusive Zollgebühren.

120-250 Volt

ZETEX SEMICONDUCTORS *Nach QS9000 akkreditiert!*

V_{CEO} (V)	V_{CBO} (V)	I_C (Kont.) (A)	h_{FE} @ I_C/V_{CE} Min.	Max.	(mA)	(V)	V_{CE} (gesättigt) Max. (V)	@I_C (mA)	@I_B (mA)	Pakettyp	Digi-Key Teilenr.	Preis für lose Ware 1	10	100	1.000
NPN															
120	175	3	300	1200	1000	10	0.31	3000	150	Super E-Line —TO-92	ZTX1055A-ND	1.13	8.50	50.97	320.95
	120	0.5	400	—	200	2	0.5	400	5	Super E-Line —TO-92	ZTX694B-ND	1.02	7.70	51.30	342.03
140	160	1	100	300	150	10	0.7	150	15	Super E-Line —TO-92	ZTX455-ND	.53	4.00	26.67	177.79
150	250	4	100	300	1000	5	0.26	4000	400	Super E-Line —TO-92	ZTX855-ND	1.46	10.90	65.37	411.62
	150	1	50	—	500	5	0.5	1000	200	Super E-Line —TO-92	ZTX655-ND	.92	6.90	45.97	306.47
160	200	3	300	1200	500	10	0.3	3000	200	Super E-Line —TO-92	ZTX1056A-ND	1.13	8.50	50.97	320.95
180	180	0.5	500	—	100	5	0.25	200	5	Super E-Line —TO-92	ZTX696B-ND	1.02	7.70	51.30	342.03
PNP															
-140	-140	-0.5	300	800	-10	-2	-0.3	-200	-5	Super E-Line —TO-92	ZTX795A-ND	1.06	7.97	53.08	353.88
-150	-150	-1	50	—	-500	-5	-0.5	-1000	-200	Super E-Line —TO-92	ZTX755-ND	.96	7.16	47.75	318.32
	-160	-1	50	300	-300	-10	-0.3	-100	-10	Super E-Line —TO-92	ZTX555-ND	.57	4.27	28.45	189.64
-200	-220	-2	100	300	-1000	-5	-0.25	-2000	-400	Super E-Line —TO-92	ZTX956-ND	1.49	11.20	67.20	423.13
	-200	-1	50	—	-500	-5	-0.5	-500	-50	Super E-Line —TO-92	ZTX776-ND	.57	4.27	28.45	189.64
	-200	-1	50	300	-300	-10	-0.3	-100	-10	Super E-Line —TO-92	ZTX576-ND	.57	4.27	28.45	189.64
	-200	-0.5	300	800	-10	-10	-0.3	-200	-20	Super E-Line —TO-92	ZTX796A-ND	1.06	7.97	53.08	353.88

SOT-23

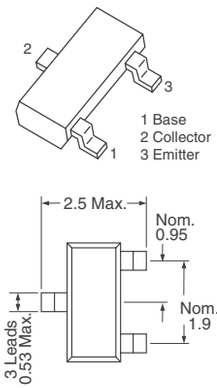

V_{CEO} (V)	V_{CBO} (V)	I_C (Kont.) (A)	h_{FE} @ I_C/V_{CE} Min.	Max.	(mA)	(V)	V_{CE} (gesättigt) Max. (V)	@I_C (mA)	@I_B (mA)	Pakettyp	Digi-Key Teilenr.	Gurtabschnittspreis pro Stück 1	10	Digi-Key Teilenr.	Gegurtet auf Rollen Größe	Preisangaben
NPN																
120	120	1.0	400	—	200	2	0.25	100	0.5	SOT-223	FZT694BCT-ND	1.11	.84	FZT694BTR-ND	1,000	315.19
	140	1.000	100	300	250	10	0.2	250	25	SOT-23	FMMT494CT-ND	.38	.29	FMMT494TR-ND	3,000	114.29/M
125	125	1.000	100	—	1000	10	0.25	1000	50	SOT-23	FMMT624CT-ND	.73	.55	FMMT624TR-ND	3,000	182.87/M
150	200	5.0	100	300	1000	5	0.11	1000	100	SOT-223	FZT855CT-ND	1.56	1.17	FZT855TR-ND	1,000	440.40
	150	1.0	50	—	500	5	0.5	500	50	SOT-223	FZT655CT-ND	1.02	.77	FZT655TR-ND	1,000	290.72
	170	.100	100	300	250	10	0.3	500	50	SOT-89	FCX495CT-ND	.52	.39	FCX495TR-ND	1,000	145.36
	150	1.000	300	—	200	10	0.3	1000	50	SOT-23	FMMT625CT-ND	.73	.55	FMMT625TR-ND	3,000	182.87/M
	170	1.000	100	300	250	10	0.2	250	25	SOT-23	FMMT495CT-ND	.38	.29	FMMT495TR-ND	3,000	114.29/M
180	180	0.5	500	—	100	5	0.25	200	5	SOT-223	FZT696BCT-ND	1.11	.84	FZT696BTR-ND	1,000	315.19
250	300	.500	40	—	20	10	0.5	50	4	SOT-89	BST40CT-ND	.84	.63	BST40TR-ND	1,000	237.47
	300	0.5	30	200	30	10	0.5	50	4	SOT-223	BSP20CT-ND	1.77	1.33	BSP20TR-ND	1,000	502.29
PNP																
-140	-180	-4.0	100	300	-1000	-5	-0.15	-1000	-100	SOT-223	FZT955CT-ND	1.56	1.17	FZT955TR-ND	1,000	440.40
	-180	-4.0	100	300	-1000	-5	-0.12	-1000	-100	SOT-223	ZX5T955GCT-ND	1.22	.92	ZX5T955GTR-ND	1,000	345.41
	-140	-0.5	250	—	-200	-2	-0.3	-200	-5	SOT-223	FZT795ACT-ND	1.11	.84	FZT795ATR-ND	1,000	315.19
-150	-150	-1.0	50	—	-500	-5	-0.5	-500	-50	SOT-223	FZT755CT-ND	.98	.74	FZT755TR-ND	1,000	277.77
-200	-220	-2.0	100	300	-1000	-5	-0.165	-1000	-100	SOT-223	FZT956CT-ND	1.56	1.17	FZT956TR-ND	1,000	440.40
	-220	-.300	85	300	-250	-10	-0.35	-250	25	SOT-89	FCX596CT-ND	.52	.39	FCX596TR-ND	1,000	145.36
	-220	-.500	100	300	-250	-10	-0.35	-250	-25	SOT-23	FMMT596CT-ND	.39	.30	FMMT596TR-ND	3,000	117.34/M
	-200	-0.5	250	—	-300	-10	-0.3	-200	-20	SOT-223	FZT796ACT-ND	1.11	.84	FZT796ATR-ND	1,000	315.19

SOT-89

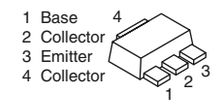

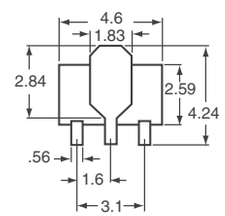

SOT-223

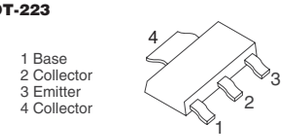

300-500 Volt

V_{CEO} (V)	V_{CBO} (V)	I_C (Kont.) (A)	h_{FE} @ I_C/V_{CE} Min.	Max.	(mA)	(V)	V_{CE} (gesättigt) Max. (V)	@I_C (mA)	@I_B (mA)	Pakettyp	Digi-Key Teilenr.	Preis für lose Ware 1	10	100	1.000
NPN															
300	330	3	100	300	500	10	0.25	3000	600	Super E-Line —TO-92	ZTX857-ND	1.46	10.90	65.37	411.62
	300	0.5	50	—	100	5	0.5	100	10	Super E-Line —TO-92	ZTX657-ND	.92	6.90	45.97	306.47
	300	0.5	50	300	50	10	0.3	100	10	Super E-Line —TO-92	ZTX457-ND	.53	4.00	26.67	177.79
400	400	0.5	50	—	100	5	0.5	100	10	Super E-Line —TO-92	ZTX658-ND	.92	6.90	45.97	306.47
	400	0.3	100	300	50	10	0.5	50	6	Super E-Line —TO-92	ZTX458-ND	.53	4.00	26.67	177.79
PNP															
-300	-300	-1	100	300	-500	-10	-0.20	-1000	-300	Super E-Line —TO-92	ZTX957-ND	1.49	11.20	67.20	423.13
	-300	-0.5	50	—	-100	-5	-0.5	-100	-10	Super E-Line —TO-92	ZTX757-ND	.96	7.16	47.75	318.32
	-300	-0.5	50	300	-50	-10	-0.3	-50	-5	Super E-Line —TO-92	ZTX557-ND	.57	4.27	28.45	189.64
-400	-400	-0.5	100	300	-500	-10	-0.40	-500	-100	Super E-Line —TO-92	ZTX958-ND	1.49	11.20	67.20	423.13
	-400	-0.5	50	—	-100	-5	-0.5	-100	-10	Super E-Line —TO-92	ZTX758-ND	.96	7.16	47.75	318.32
	-400	-0.2	100	300	-50	-10	-0.5	-50	-6	Super E-Line —TO-92	ZTX558-ND	.57	4.27	28.45	189.64

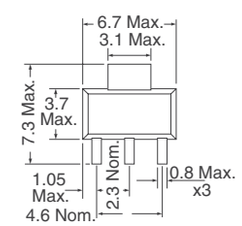

Super E-Line — TO-92

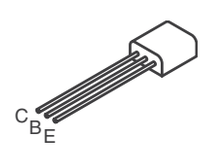

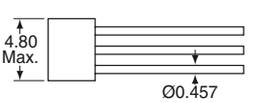

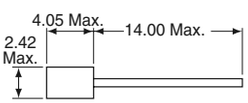

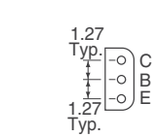

V_{CEO} (V)	V_{CBO} (V)	I_C (Kont.) (A)	h_{FE} @ I_C/V_{CE} Min.	Max.	(mA)	(V)	V_{CE} (gesättigt) Max. (V)	@I_C (mA)	@I_B (mA)	Pakettyp	Digi-Key Teilenr.	Gurtabschnittspreis pro Stück 1	10	Digi-Key Teilenr.	Gegurtet auf Rolle Größe	Preisangaben
NPN																
300	300	0.05	50	—	25	20	0.6	30	5	SOT-223	BF720CT-ND	1.68	1.27	—	—	—
	350	3.5	100	300	1000	5	0.23	2000	200	SOT-223	FZT857CT-ND	1.56	1.17	FZT857TR-ND	1,000	440.40
	300	0.5	50	—	100	5	0.5	100	10	SOT-223	FZT657CT-ND	1.02	.77	FZT657TR-ND	1,000	290.72
	300	.200	40	—	30	10	0.5	20	2.0	SOT-23	FMMTA42CT-ND	.36	.27	FMMTA42TR-ND	3,000	106.67/M
	300	.500	100	300	100	10	0.2	100	10	SOT-23	FMMT497CT-ND	.41	.31	FMMT497TR-ND	3,000	123.44/M
350	400	.500	40	—	20	10	0.5	50	4	SOT-89	BST39CT-ND	.41	.32	BST39TR-ND	1,000	118.02
400	400	.500	35	—	200	10	0.2	100	10	SOT-89	FCX658ACT-ND	.72	.55	FCX658ATR-ND	1,000	204.37
	400	0.5	50	—	100	5	0.5	100	10	SOT-223	FZT658CT-ND	1.01	.76	FZT658TR-ND	1,000	286.40
	400	.225	100	300	50	10	0.5	50	6	SOT-89	FCX458CT-ND	.83	.63	FCX458TR-ND	1,000	234.59
	400	.225	100	300	50	10	0.2	20	2	SOT-23	FMMT458CT-ND	.45	.34	FMMT458TR-ND	3,000	134.10/M
450	500	.150	50	—	30	10	0.075	20	2.0	SOT-23	FMMT459TACT-ND	.60	.45	FMMT459TATR-ND	3,000	174.83/M
PNP																
-300	-300	-1.0	100	300	-500	-10	-0.24	-1000	-300	SOT-223	FZT957CT-ND	1.56	1.17	FZT957TR-ND	1,000	440.40
	-300	-0.5	50	—	-100	-5	-0.5	-100	-10	SOT-223	FZT757CT-ND	.98	.74	FZT757TR-ND	1,000	277.77
	-300	-.200	100	—	-100	-10	-0.25	-100	-20	SOT-23	FMMT597CT-ND	.41	.31	FMMT597TR-ND	3,000	123.44/M
	-300	-.200	25	—	-30	-10	-0.5	-20	-2.0	SOT-23	FMMTA92CT-ND	.36	.27	FMMTA92TR-ND	3,000	106.67/M
-400	-400	-0.5	100	300	-500	-10	-0.40	-500	-100	SOT-223	FZT958CT-ND	1.56	1.17	FZT958TR-ND	1,000	440.40
	-400	-0.5	50	—	-100	-5	-0.5	-100	-10	SOT-223	FZT758CT-ND	1.01	.76	FZT758TR-ND	1,000	286.40
	-400	-.200	100	300	-50	-10	-0.5	-50	-6	SOT-89	FCX558CT-ND	.53	.40	FCX558TR-ND	1,000	151.12
	-400	-.150	100	300	-50	-10	-0.2	-20	-2	SOT-23	FMMT558CT-ND	.49	.37	FMMT558TR-ND	3,000	146.30/M
-500	-500	-.500	80	—	-50	-10	-0.2	-20	-2	SOT-23	FMMT560CT-ND	.54	.41	FMMT560TR-ND	3,000	163.06/M

B

Alle Preisangaben in Euro und inklusive Zollgebühren.

Darlington

ZETEX SEMICONDUCTORS *Nach QS9000 akkreditiert!*

V_{CEO} (V)	V_{CBO} (V)	I_C (Kont.) (A)	h_{FE}@ I_C/VCE Min.	Max.	(mA)	(V)	V_{CE} (gesättigt) Max. (V)	@I_C (mA)	@I_B (mA)	Pakettyp	Digi-Key Teilenr.	Preis für lose Ware 1	10	100	1.000
							NPN								
80	100	1	2K	100K	1000	5	1.0	1000	1	Super E-Line —TO-92	ZTX603-ND	.92	6.90	45.97	306.47
100	120	0.8	10K	—	500	5	1.25	800	8	Super E-Line —TO-92	ZTX614-ND	.57	4.27	28.45	189.64
120	140	1	2K	100K	1000	5	1.5	1000	1	Super E-Line —TO-92	ZTX605-ND	.92	6.90	45.97	306.47
160	180	1	2K	100K	500	10	1.2	1000	10	Super E-Line —TO-92	ZTX601-ND	.92	6.90	45.97	306.47
			10K	100K	500	10	1.2	1000	10	Super E-Line —TO-92	ZTX601B-ND	.92	6.90	45.97	306.47
							PNP								
-120	-140	-1	3K	30K	-1000	-5	-1.3	-1000	-1	Super E-Line —TO-92	ZTX705-ND	.96	7.16	47.75	318.32

H-Brücke

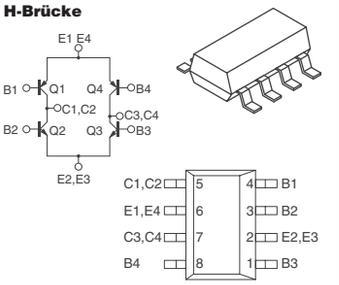

V_{CEO} (V)	V_{CBO} (V)	I_C (Kont.) (A)	h_{FE}@ I_C/VCE Min.	Max.	(mA)	(V)	V_{CE} (gesättigt) Max. (V)	@I_C (mA)	@I_B (mA)	Pakettyp	Gurtabschnittspreis pro Stück Digi-Key Teilenr. 1	10	Digi-Key Teilenr.	Gegurtet auf Rolle Größe	Preisangaben
							NPN								
	40	.500	20K	—	100	5	1.0	100	0.1	SOT-89	BCV29CT-ND★	.84	.63	BCV29TR-ND★	1,000	237.47
30	30	.300	5K	—	10	5	1.5	100	0.1	SOT-23	FMMTA13CT-ND	.36	.27	FMMTA13TR-ND	3,000	106.67/M
	30	.300	10K	—	10	5	1.5	100	0.1	SOT-23	FMMTA14CT-ND	.36	.27	FMMTA14TR-ND	3,000	106.67/M
60	80	.300	10K	—	500	5	1.25	800	8.0	SOT-23	FMMT38CCT-ND	.37	.28	FMMT38CTR-ND	3,000	111.25/M
		.500	1K	—	150	10	1.3	500	.5	SOT-89	BST51CT-ND★	.84	.63	BST51TR-ND★	1,000	237.47
80	100	2.0	5K	100K	500	5	1.0	1000	1	SOT-223	FZT603CT-ND★	1.02	.77	FZT603TR-ND★	1,000	290.72
	90	.500	2K	—	500	10	1.3	500	0.5	SOT-89	BST52CT-ND★	.41	.32	BST52TR-ND★	1,000	118.02
100	120	.500	5K	—	500	5	1.0	500	5	SOT-23	FMMT614CT-ND★	.47	.36	FMMT614TR-ND★	3,000	141.72/M
120	140	2.0	5K	—	500	5	1.0	250	0.25	SOT-223	FZT605CT-ND★	1.02	.77	FZT605TR-ND★	1,000	290.72
140	160	2.0	1K	—	1000	10	1.2	1000	10	SOT-223	FZT600CT-ND★	1.02	.77	FZT600TR-ND★	1,000	290.72
							PNP								
-30	-30	-.500	10K	—	-10	-5	-1.5	-100	-0.1	SOT-23	FMMTA63CT-ND	.77	.58	FMMTA63TR-ND	3,000	231.63/M
			20K	—	-10	-5	-1.5	-100	-0.1	SOT-23	FMMTA64CT-ND	.36	.27	—	—	—
-60	-80	-.500	10K	—	-100	-5	-1.0	-100	-0.1	SOT-89	BCV48CT-ND★	.41	.32	BCV48TR-ND★	1,000	118.02
			2K	—	-500	-10	-1.3	-500	-50	SOT-89	BST61CT-ND★	.84	.63	—	—	—
-120	-140	-2.0	3K	30K	-1000	-5	-1.3	-1000	-1	SOT-223	FZT705CT-ND★	.98	.74	FZT705TR-ND★	1,000	277.77

MLP 3 x 2

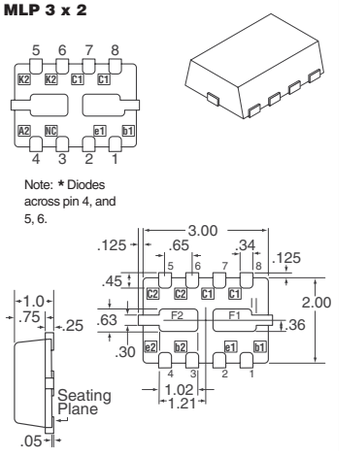

★ Darlington

MSOP-8

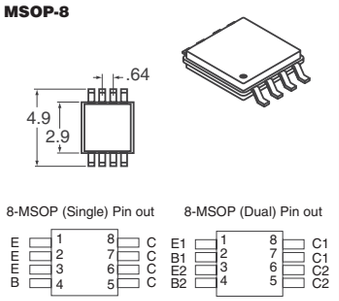

RF - NPN

V_{CEO} (V)	V_{CBO} (V)	I_C (Kont.) (A)	h_{FE}@ I_C/VCE Min.	Max.	(mA)	(V)	V_{CE} (gesättigt) Max. (V)	@I_C (mA)	@I_B (mA)	Pakettyp	Digi-Key Teilenr.	Preis für lose Ware 1	10	100	1.000
15	30	.025	25	150	2	1	—	—	—	Super E-Line —TO-92	ZTX325-ND	.57	4.27	28.45	189.64

SM-8

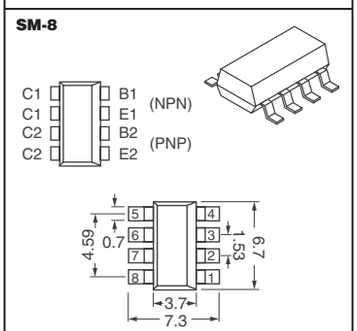

V_{CEO} (V)	V_{CBO} (V)	I_C (Kont.) (A)	h_{FE}@ I_C/VCE Min.	Max.	(mA)	(V)	V_{CE} (gesättigt) Max. (V)	@I_C (mA)	@I_B (mA)	Pakettyp	Gurtabschnittspreis pro Stück Digi-Key Teilenr. 1	10	Digi-Key Teilenr.	Gegurtet auf Rolle Größe	Preisangaben
12	20	.050	25	250	3	1	0.4	10	1	SOT-23	FMMT5179CT-ND	.41	.31	FMMT5179TR-ND	3,000	123.44/M
	30	.100	20	—	3	1	0.4	10	1	SOT-23	FMMT918CT-ND	.38	.29	FMMT918TR-ND	3,000	114.29/M
15	30	.1	20	—	3	1	0.4	10	10	SOT-323	ZUMT918CT-ND	.68	.51	ZUMT918TR-ND	3,000	202.68/M
	30	.025	25	150	2	1	—	—	—	SOT-23	BFS17CT-ND	1.00	.75	—	—	—
	25	.025	70	200	2	1	—	—	—	SOT-23	BFS17HCT-ND	.47	.35	BFS17HTR-ND	3,000	138.68/M
25	30	.025	60	—	4	10	0.5	4	0.4	SOT-23	FMMTH10CT-ND	.40	.31	FMMTH10TR-ND	3,000	120.39/M

Kleinsignal

SOT-23

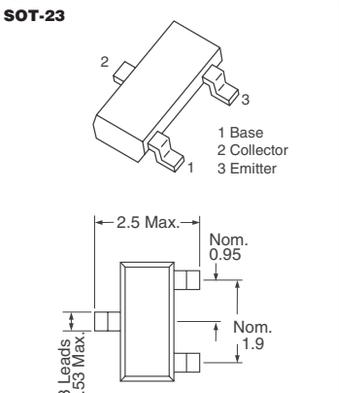

V_{CEO} (V)	V_{CBO} (V)	I_C (Kont.) (A)	h_{FE}@ I_C/VCE Min.	Max.	(mA)	(V)	V_{CE} (gesättigt) Max. (V)	@I_C (mA)	@I_B (mA)	Pakettyp	Gurtabschnittspreis pro Stück Digi-Key Teilenr. 1	10	Digi-Key Teilenr.	Gegurtet auf Rolle Größe	Preisangaben
							NPN								
15	40	.2	40	120	10	1	0.20	10	1	SOT-323	ZUMT2369ACT-ND	.86	.64	ZUMT2369ATR-ND	3,000	256.02/M
30	40	.200	50	150	2	1	0.3	50	5	SOT-23	FMMT4123CT-ND	.68	.51	—	—	—
							PNP								
-32	-32	-.200	380	630	-2	-5	-0.25	-10	-0.25	SOT-23	BCW61DCT-ND	.75	.56	BCW61DTR-ND	3,000	222.49/M
-300	-300	-.050	50	—	-25	-20	-0.6	-30	-5	SOT-89	BF621CT-ND	.84	.63	—	—	—

(Forts.)

Alle Preisangaben in Euro und inklusive Zollgebühren.

Lawineneffekt - NPN

V_{CEO} (V)	V_{CBO} (V)	I_C (Kont.) (A)	h_{FE}@ I_C/VCE Min.	Max.	(mA)	(V)	V_{CE} (gesättigt) Max. (V)	@I_C (mA)	@I_B (mA)	Pakettyp	Digi-Key Teilenr.	Preis für lose Ware 1	10	100	1.000
100	260	60	25	—	10	10	0.25	250	—	Super E-Line —TO-92	ZTX415-ND	18.74	140.58	843.47	5310.72

V_{CEO} (V)	V_{CBO} (V)	I_C (Kont.) (A)	h_{FE}@ I_C/VCE Min.	Max.	(mA)	(V)	V_{CE} (gesättigt) Max. (V)	@I_C (mA)	@I_B (mA)	Pakettyp	Digi-Key Teilenr.	Gurtabschnittspreis pro Stück 1	10	Digi-Key Teilenr.	Gegurtet auf Rolle Größe	Preisangaben
12	20	.050	25	250	3	1	0.4	10	1	SOT-23	FMMT5179CT-ND	.41	.31	FMMT5179TR-ND	3,000	123.44/M
100	260	.500	25	—	10	10	0.5	10	1	SOT-23	FMMT415CT-ND	17.75	13.32	FMMT415TR-ND	3,000	4438.30/M
	320	.500	25	—	10	10	0.5	10	1		FMMT417CT-ND	20.34	15.26	FMMT417TR-ND	3,000	5085.95/M

Doppelkombinationen

V_{CEO} (V)	V_{CBO} (V)	I_C (Kont.) (A)	h_{FE}@ I_C/VCE Min.	Max.	(mA)	(V)	V_{CE} (gesättigt) Max. (V)	@I_C (mA)	@I_B (mA)	Pakettyp	Digi-Key Teilenr.	Gurtabschnittspreis pro Stück 1	10	Digi-Key Teilenr.	Gegurtet auf Rolle Größe	Preisangaben
Zweif. NPN																
15	70	4.5	200	—	10	2	14	100	10	MLP 3 x 2	ZXTDAM832TACT-ND	1.15	.87	ZXTDAM832TATR-ND	3,000	345.92/M
	15	3	200	—	.003	2	.200	.003	50	SM-8	ZDT617CT-ND	1.31	.99	ZDT617TR-ND	1,000	371.32
17.5	50	5	300	—	.001	2	.300	.005	50	SM-8	ZDT1048CT-ND	1.82	1.37	ZDT1048TR-ND	1,000	515.24
20	100	4.5	200	—	10	2	8	100	10	MLP 3 x 2	ZXTDBM832TACT-ND	1.15	.87	ZXTDBM832TATR-ND	3,000	345.92/M
	50	3.500	300	900	1000	2	0.20	3500	50	MSOP-8	ZXT12N20DXCT-ND	1.90	1.43	ZXT12N20DXTR-ND	1,000	536.83
25	35	2	75	—	.002	2	.500	.002	200	SM-8	ZDT649CT-ND	1.31	.99	ZDT649TR-ND	1,000	371.32
45	45	2	400	—	.001	2	.500	.001	5	SM-8	ZDT690CT-ND	1.31	.99	ZDT690TR-ND	1,000	371.32
50	100	3.000	300	900	1000	2	0.25	3000	50	MSOP-8	ZXT12N50DXCT-ND	1.90	1.43	ZXT12N50DXTR-ND	1,000	536.83
	50	2	200	—	.001	2	.200	.001	10	SM-8	ZDT619CT-ND	1.31	.99	ZDT619TR-ND	1,000	371.32
	50	1.000	200	—	10	2	0.035	100	10	SOT-23-6	ZXTD09N50DE6CT-ND	1.13	.86	ZXTD09N50DE6TR-ND	3,000	284.46/M
60	80	2	100	—	.001	2	.500	.002	200	SM-8	ZDT651CT-ND	1.31	.99	ZDT651TR-ND	1,000	371.32
120	140	1	2000	—	.001	5	1.500	.001	1	SM-8	ZDT605CT-ND*	1.31	.99	ZDT605TR-ND*	1,000	371.32
Zweif. PNP																
	-35	-4	300	—	10	2	-10	100	10	MLP 3 x 2	ZXTD1M832TACT-ND	1.15	.87	ZXTD1M832TATR-ND	3,000	345.92/M
-12	-20	-3.000	300	900	-1000	-2	-0.27	-3000	-30	MSOP-8	ZXT12P12DXCT-ND	1.90	1.43	ZXT12P12DXTR-ND	1,000	536.83
	-12	-2.5	180	—	-.0025	-2	-.220	-.0025	50	SM-8	ZDT717CT-ND	1.31	.99	ZDT717TR-ND	1,000	371.32
-20	-25	-2.500	300	900	-1000	-2	-0.20	-2500	-125	MSOP-8	ZXT12P20DXCT-ND	1.90	1.43	ZXT12P20DXTR-ND	1,000	536.83
-40	-50	-2.000	300	900	-1000	-2	-0.26	-2000	-100	MSOP-8	ZXT12P40DXCT-ND	1.90	1.43	ZXT12P40DXTR-ND	1,000	536.83
-120	-140	-1.0	3000	30000	-1000	-5	-1.3	-1000	-1	SM-8	ZDT705CT-ND	1.31	1.10	ZDT705TR-ND	1,000	371.32
NPN/PNP-Kombinationen																
15	15	.0015	200	—	10	2	20	100	10	SOT-23-6	ZXTD6717E6TACT-ND	1.02	.77	ZXTD6717E6TATR-ND	3,000	253.98/M
-12	-12	.0012	300	—	10	-2	-40	-100	-10							
18	70	4.5	200	—	10	-2	8	100	10	MLP 3 x 2	ZXTDA1M832TACT-ND	1.15	.87	ZXTDA1M832TATR-ND	3,000	345.92/M
-25	-35	-4	475	—	10	-2	-10	100	10							
20	20	2	200	—	.002	2	.200	.0025	50	SM-8	ZDT6718CT-ND	1.31	.99	ZDT6718TR-ND	1,000	371.32
-20	-20	-1.5	150	—	-.002	-2	-.220	-.0015	-50							
45	45	2	150	—	.002	2	.500	.001	5	SM-8	ZDT6790CT-ND	1.31	.99	ZDT6790TR-ND	1,000	371.32
-40	-50	-2	150	—	-.002	-2	-.450	-.001	-10							
65	190	4	200	—	10	2	8	100	10	MLP 3 x 2	ZXTDCM832TACT-ND	1.15	.87	ZXTDCM832TATR-ND	3,000	345.92/M
-70	-80	-3	300	—	10	-2	-25	100	-10							
60	80	2	2000	—	.002	3	1.200	.002	2	SM-8	ZDT6702CT-ND*	1.31	.99	ZDT6702TR-ND*	1,000	371.32
-60	-80	-2	2000	—	-.002	-3	-1.200	-.002	-2							
60	80	1	100	—	.0005	5	.500	.001	100	SOT-23-6	ZXTD4591E6CT-ND	.78	.59	ZXTD4591E6TR-ND	3,000	194.30/M
-60	-80	-1	100	—	.0005	5	-.600	-.001	-100							
120	140	1	2000	—	.001	5	1.500	.001	1	SM-8	ZDT6705CT-ND*	1.31	.99	ZDT6705TR-ND*	1,000	371.32
-120	-140	-1	3000	—	-.001	-5	1.300	-.001	-1							
300	300	0.5	50	—	.0001	5	.500	.0001	10	SM-8	ZDT6757CT-ND	1.31	.99	ZDT6757TR-ND	1,000	371.32
-300	-300	-0.5	50	—	-.0001	-5	-.500	-.0001	-10							
Zweif. komplementär																
27	100	4.5	200	—	10	2	8	100	10	MLP 3 x2	ZXTDB2M832TACT-ND	1.15	.87	ZXTDB2M832TATR-ND	3,000	345.92/M

* Darlington

H-Brücke

V_{CEO} (V)	V_{CBO} (V)	IC -DC (Kont.) (A)	h_{FE}@ I_C/VCE Min.	Max.	(mA)	(V)	VCE (gesättigt) Max. (V)	@I_C (mA)	@I_B (mA)	Pakettyp	Digi-Key Teilenr.	Gurtabschnittspreis pro Stück 1	10	Digi-Key Teilenr.	Gegurtet auf Rolle Größe	Preisangaben
NPN/PNP																
20	20	2.5	200	—	2	2	0.15	1000	10	H-Brücke	ZHB6718CT-ND	3.13	2.35	ZHB6718TR-ND	1,000	886.56
-20	-20	-2.5	150	—	-2	-2	-0.2	-1000	-20							
50	40	2	150	—	2	2	0.5	1000	5	H-Brücke	ZHB6790CT-ND	3.88	2.91	ZHB6790TR-ND	1,000	1098.12
-50	-40	-2	150	—	-2	-2	-0.45	-1000	-10							

Transistor- und Schottky-Diodenkombinationen

V_{CEO} (V)	V_{CBO} (V)	I_C (Kont.) (A)	h_{FE}@ I_C/VCE Min.	Max.	(mA)	(V)	V_{CE} (gesättigt) Max. (V)	@I_C (mA)	@I_B (mA)	Pakettyp	Digi-Key Teilenr.	Gurtabschnittspreis pro Stück 1	10	Digi-Key Teilenr.	Gegurtet auf Rolle Größe	Preisangaben
NPN																
27	100	4.5	200	—	8	2	15	10	10	MLP 3 x2	ZX3CDBS1M832TACT-ND*	.97	.73	ZX3CDBS1M832TATR-ND*	3,000	291.06/M
PNP																
-25	-35	-4	300	—	10	-2	-10	100	10	MLP 3 x2	ZX3CD1S1M832TACT-ND*	1.08	.82	ZX3CD1S1M832TATR-ND*	3,000	324.59/M
-12	-12	-1.250	125	—	-1250	-2	-0.240	-1250	-100	SOT-23-6	ZXTS1000E6CT-ND	1.02	.77	ZXTS1000E6TR-ND	3,000	253.98/M

* Siehe Zeichnung

ZETEX SEMICONDUCTORS *Nach QS9000 akkreditiert!*

SOT-23-6

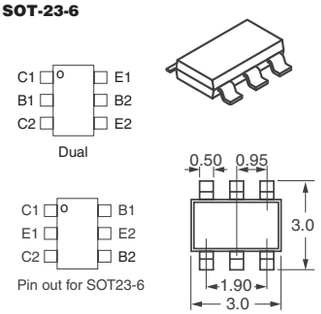

SOT-89

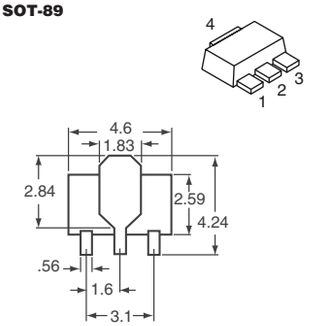

SOT-223

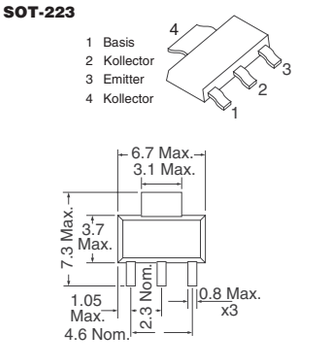

SOT-323

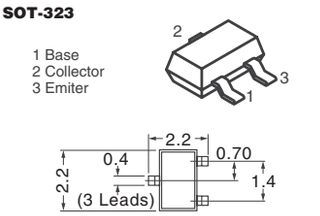

Super E-Line — TO-92

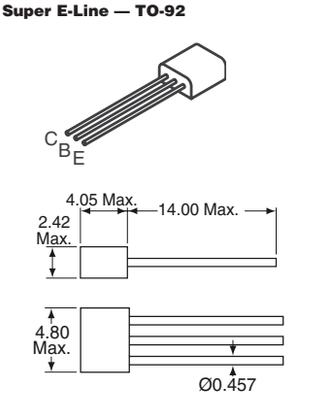

Unteransichten

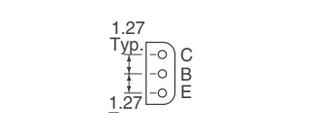

Stiftbelegung für TO-92

B

Varaktor

ZETEX SEMICONDUCTORS *Nach QS9000 akkreditiert!*

B

V_{BR} (V)	P_{TOT} (mW)	C2 Nennkapazität (pF)	Kapazitätsverhältnis C_2/C_{20} bei f = MHz Min.	Max.	Pakettyp	Digi-Key Teilenr.	Gurtabschnittspreise 1	10	100	Digi-Key Teilenr.	Gegurtet auf Rolle 3.000
25 V Hyperabrupt — Serie 830											
	300	8.2	4.3	5.8	SOD-323	ZMV829ACT-ND	1.67	12.54	75.20	ZMV829ATR-ND	417.80/M
	330	8.2	4.3	5.8	SOT-23	ZC829ACT-ND	1.93	14.48	86.86	ZC829ATR-ND	482.57/M
	300	10	4.5	6.0	SOD-323	ZMV830ACT-ND	2.12	15.85	95.09	ZMV830ATR-ND	528.28/M
	330	10	4.5	6.0	SOT-23	ZC830ACT-ND	2.14	16.08	96.46	ZC830ATR-ND	535.90/M
	300	15	4.5	6.0	SOD-323	ZMV831ACT-ND	2.12	15.85	95.09	ZMV831ATR-ND	528.28/M
	330	15	4.5	6.0	SOT-23	ZC831ACT-ND	1.93	14.48	86.86	ZC831ATR-ND	482.57/M
	330	15	4.5	6.0	SOD-523	ZV831BV2TACT-ND	1.12	8.38	55.88	ZV831BV2TATR-ND	335.26/M
	300	22	5.0	6.5	SOD-323	ZMV832ACT-ND	2.12	15.85	95.09	ZMV832ATR-ND	528.28/M
	330	22	5.0	6.5	SOT-23	ZC832ACT-ND	2.14	16.08	96.46	ZC832ATR-ND	535.90/M
25	330	22	5.0	6.5	SOD-523	ZV832BV2TACT-ND	1.12	8.38	55.88	ZV832BV2TATR-ND	335.26/M
	300	33	5.0	6.5	SOD-323	ZMV833ACT-ND	2.12	15.85	95.09	ZMV833ATR-ND	528.28/M
	330	33	5.0	6.5	SOT-23	ZDC833ACT-ND*	2.37	17.80	106.75	ZDC833ATR-ND*	593.05/M
	330	33	5.0	6.5	SOT-23	ZC833ACT-ND	2.14	16.08	96.46	ZC833ATR-ND	535.90/M
	300	47	5.0	6.5	SOD-323	ZMV834ACT-ND	1.67	12.54	75.20	ZMV834ATR-ND	417.80/M
	330	47	5.0	6.5	SOT-23	ZC834ACT-ND	2.14	16.08	96.46	ZC834ATR-ND	535.90/M
	330	47	5.0	6.5	SOD-23	ZDC834ATACT-ND*	1.28	9.57	63.75	ZDC834ATATR-ND*	382.50/M
	300	68	5.0	6.5	SOD-323	ZMV835ACT-ND	1.67	12.54	75.20	ZMV835ATR-ND	417.80/M
	330	68	5.0	6.5	SOT-23	ZC835ACT-ND	2.14	16.08	96.46	ZC835ATR-ND	535.90/M
	330	100	5.0	6.5	SOT-23	ZC836ACT-ND	2.14	16.08	96.46	ZC836ATR-ND	535.90/M

* Dualpaket

V_{BR} (V)	P_{TOT} (mW)	C_d bei V_R=1V Min.	V_R=2,5V Min.	V_R=2,5V Max.	V_R=4V Max.	Q Min.	Pakettyp	Digi-Key Teilenr.	Gurtabschnittspreise 1	10	100	Digi-Key Teilenr.	Gegurtet auf Rolle 3.000
12 V Hyperabrupt — Serie 930													
	300	8.7	4.3	5.5	2.9	350	SOD-323	ZMV930CT-ND	1.85	13.87	83.20	ZMV930TR-ND	462.25/M
	330	8.7	4.3	5.5	2.9	350	SOT-23	ZC930CT-ND	2.86	21.49	128.92	ZC930TR-ND	716.23/M
	330	13.5	6.5	7.8	4	300	SOD-523	ZV931V2TACT-ND	1.12	8.38	55.88	ZV931V2TATR-ND	335.26/M
	300	14.5	6.5	7.8	4	300	SOD-323	ZMV931CT-ND	1.85	13.87	83.20	ZMV931TR-ND	462.25/M
	330	14.5	6.5	7.8	4	300	SOT-23	ZC931CT-ND	2.86	21.49	128.92	ZC931TR-ND	716.23/M
	330	17	8.5	10.5	5.5	200	SOD-523	ZV932V2TACT-ND	1.12	8.38	55.88	ZV932V2TATR-ND	335.26/M
	300	17	8.5	10.5	5.5	200	SOD-323	ZMV932CT-ND	1.85	13.87	83.20	ZMV932TR-ND	462.25/M
	330	17	8.5	10.5	5.5	200	SOT-23	ZC932CT-ND	2.86	21.49	128.92	ZC932TR-ND	716.23/M
	330	42	18	27	12	150	SOD-523	ZV933V2TACT-ND	1.12	8.38	55.88	ZV933V2TATR-ND	335.26/M
12	300	42	18	27	12	150	SOD-323	ZMV933CT-ND	1.85	13.87	83.20	ZMV933TR-ND	462.25/M
	330	42	18	27	12	150	SOT-23	ZC933CT-ND	2.86	21.49	128.92	ZC933TR-ND	716.23/M
	300	42	20.25	24.75	12	150	SOD-323	ZMV933ACT-ND	1.98	14.86	89.15	ZMV933ATR-ND	495.26/M
	330	42	20.25	24.75	12	150	SOT-23	ZC933ACT-ND	2.86	21.49	128.92	ZC933ATR-ND	716.23/M
	300	95	40	65	25	80	SOD-323	ZMV934CT-ND	1.85	13.87	83.20	ZMV934TR-ND	462.25/M
	330	95	40	65	25	80	SOT-23	ZC934CT-ND	2.86	21.49	128.92	ZC934TR-ND	716.23/M
	300	95	47.25	57.75	25	80	SOD-323	ZMV934ACT-ND	1.98	14.86	89.15	ZMV934ATR-ND	495.26/M
	330	95	47.25	57.75	25	80	SOT-23	ZC934ACT-ND	2.86	21.49	128.92	ZC934ATR-ND	716.23/M

Kapazität pF V_R=0,5V bei f=1 MHz	Kapazität pF V_R=0,5V bei Nf=1 MHz Min.	Max.	Kapazitätsverhältnis $C_{0,5}/C_{2,5}$ bei f=1 MHz	Min Q V_R=0,5V f=50 MHz	Pakettyp	Digi-Key Teilenr.	Gurtabschnittspreise 1	10	100	Digi-Key Teilenr.	Gegurtet auf Rolle 3.000
Niederspannungs-Hyperabrupt — Serie 950											
9.5	6.3	7.8	2.0	500	SOD-523	ZV950V2TACT-ND	1.12	8.38	55.88	ZV950V2TATR-ND	335.26/M
19	12.7	15.7	2.0	350	SOD-523	ZV952V2TACT-ND	1.12	8.38	55.88	ZV952V2TATR-ND	335.26/M
45	30	37	2.0	250	SOT-323	ZMDC953TACT-ND	1.28	9.57	63.75	ZMDC953TATR-ND	382.50/M

V_R (V)	Norm Cd (pf) Min.	Max.	Kapazitätsverhältnis @	Min.	Max.	P_{TOT} (mW)	Pakettyp	Digi-Key Teilenr.	Gurtabschnittspreise 1	10	100	Digi-Key Teilenr.	Gegurtet auf Rolle 3.000
28	26	32	C3/C25	5	6.5	330	SOT-23	BBY40CT-ND	.90	6.75	44.95	BBY40TR-ND	269.73/M
	1.8	2.8	C3/C25	4	6	330	SOT-23	FMMV105GCT-ND	.69	5.15	34.29	FMMV105GTR-ND	205.73/M
	20	25	C3/C25	4.5	—	330	SOT-23	FMMV3102CT-ND	.69	5.15	34.29	FMMV3102TR-ND	205.73/M
30	6.1	7.5	C2/C30	2.5	3.3	330	SOT-23	FMMV2101CT-ND	.69	5.15	34.29	FMMV2101TR-ND	205.73/M
	10.8	13.2	C2/C30	2.6	3.3	330	SOT-23	FMMV2104CT-ND	.69	5.15	34.29	FMMV2104TR-ND	205.73/M
	29.3	36.3	C2/C30	2.7	3.3	330	SOT-23	FMMV2109CT-ND	.69	5.15	34.29	—	—

SOD-323

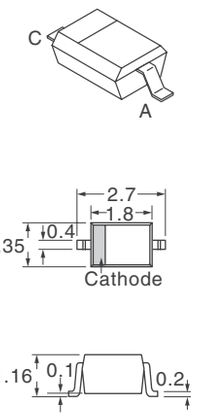

SOD-523

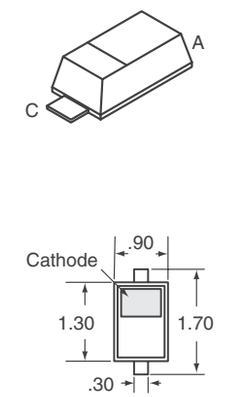

SOT-23/SOT-323 (Varaktor)

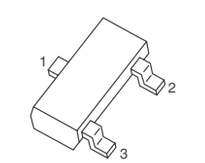

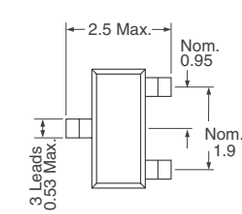

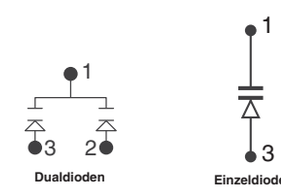

(Forts.)

Alle Preisangaben in Euro und inklusive Zollgebühren.

Schottky-Dioden

ZETEX SEMICONDUCTORS *Nach QS9000 akkreditiert!*

V_R max. (V)	I_F max. (mA)	V_F @ Max. (mV)	V_F @ I_F (mA)	Ir @ Max. (µA)	Ir @ Vr (V)	Anschlussbelegung	Paket-größe	Digi-Key Teilenr.	Gurtabschnittspreis pro Stück 1	10	100	Digi-Key Teilenr.	Gegurtet auf Rolle 3.000
Gleichrichter													
30	200	500	30	4	25	Einfach	SOT-23	BAT54CT-ND	.58	.44	.30	BAT54TR-ND	175.25/M
	2000	500	2000	250	30	—	SOT-23-6	ZHCS2000CT-ND	.88	.67	.45	ZHCS2000TR-ND	220.97/M
	1000	500	1000	100	30	Einfach	SOT-23	ZHCS1000CT-ND	.88	.67	.40	ZHCS1000TR-ND	220.97/M
40	750	540	750	100	30	Einfach	SOT-23	ZHCS750CT-ND	.71	.54	.32	ZHCS750TR-ND	177.79/M
	500	550	500	40	30	Einfach	SOT-23	ZHCS500CT-ND	.53	.40	.27	ZHCS500TR-ND	160.01/M
	400	500	400	40	30	Einfach	SOD-323	ZHCS400CT-ND	.47	.35	.24	ZHCS400TR-ND	140.20/M
	900	600	1000	100	45	Einfach	SOT-23	ZHCS1006CT-ND	.88	.67	.45	ZHCS1006TR-ND	265.16/M
60	750	610	750	100	45	Einfach	SOT-23	ZHCS756CT-ND	.75	.57	.38	ZHCS756TR-ND	225.54/M
	500	630	500	40	45	Einfach	SOT-23	ZHCS506CT-ND	.58	.44	.29	ZHCS506TR-ND	173.73/M

Umschalten

V_R max. (V)	I_F max. (mA)	V_F @ Max. (mV)	V_F @ I_F (mA)	Ir @ Max. (µA)	Ir @ Vr (V)	Anschlussbelegung	Paket-größe	Digi-Key Teilenr.	Gurtabschnittspreis pro Stück 1	10	100	Digi-Key Teilenr.	Gegurtet auf Rolle 3.000
Zweifach													
30	200	500	30	4	25	Gem. Anode	SOT-23	BAT54ACT-ND	.58	.44	.30	BAT54ATR-ND	175.25/M
	200	500	30	4	25	Gem. Kathode	SOT-23	BAT54CCT-ND	.58	.44	.30	BAT54CTR-ND	175.25/M
	200	500	30	4	25	Serie	SOT-23	BAT54SCT-ND	.58	.44	.30	BAT54STR-ND	175.25/M
	200	500	30	4	25	Gem. Kathode	SOT-323	ZUMD54CCT-ND	.65	.50	.30	—	—
Serie ZLLS - niedriger Leckstrom													
40	2200	370	500	40	30	Einfach	SOT-23-6	ZLLS2000CT-ND	.85	.64	.39	ZLLS2000TR-ND	212.08/M
	1160	460	500	20	30	Einfach	SOT-23	ZLLS1000CT-ND	.60	.46	.31	ZLLS1000TR-ND	181.35/M
	700	530	500	10	30	Einfach	SOT-23	ZLLS500CT-ND	.43	.33	.20	ZLLS500TR-ND	107.94/M
	520	500	400	10	30	Einfach	SOD-323	ZLLS400TACT-ND	.43	.33	.20	ZLLS400TATR-ND	107.94/M
RF													
70	15	410	1	.200	50	Einfach	SOT-23	ZC2800ECT-ND	.80	.61	.37	ZC2800ETR-ND	201.92/M
Barrierendiode — zweifach													
15	20	410	1	.100	10	Gem. Anode	SOT-23	ZC2813ECT-ND	1.31	.99	.59	ZC2813ETR-ND	327.64/M
70	15	410	1	.200	50	Serie	SOT-323	ZUMD70-04CT-ND	.63	.48	.29	ZUMD70-04TR-ND	158.74/M
Hochgeschwindigkeit													
50	150	1000	100	0.1	50	Einfach	SOT-23	BAR74ZXCT-ND	.75	.56	.38	BAR74ZXTR-ND	222.49/M

Zener

Silizium-Spannungsregler-Dioden für Spannungsreferenz- und Stabilisatoranwendungen. Diese Geräte sind in den gängigen SOT-23-Gehäusen eingeschlossen und für Hybridschaltungen (dünner/dicker Film) in industriellen und kommerziellen Verwendungen gleichermaßen geeignet.

Spezifikationen: • Nenntoleranz: ±5 % • Max. Stromdissipation bei Umgeb.-T_{amb} = 25 °C: P_{tot} 350 mW • Betriebs- und Lagertemperaturbereich: -65 °C ~ 150 °C • Max. Durchlassstrom: I_F 250 mA

Zener-Spannung Vz bei Iz = 5 mA Nom.	Min.	Max.	Diff. Widerstand rz bei Iz = max. 5 mA (Ω)	Digi-Key Teilenr.	Gurtabschnittspreis pro Stück 1	10	100	Digi-Key Teilenr.	Gegurtet auf Rolle 3.000
Zener Dioden — Silizium-Spannungsregler-Dioden — SOT-23-Paket									
3.9	3.7	4.1	100	BZX84C3V9ZXCT-ND	.77	.58	.39	—	—
7.5	7.0	7.9	15	BZX84C7V5ZXCT-ND	.77	.58	.39	BZX84C7V5ZXTR-ND	231.63/M
11	10.4	11.6	20	BZX84C11ZXCT-ND	.77	.58	.39	BZX84C11ZXTR-ND	231.63/M
13	12.4	14.1	30	BZX84C13ZXCT-ND	.77	.58	.39	—	—
20	18.8	21.2	55	BZX84C20ZXCT-ND	.77	.58	.39	BZX84C20ZXTR-ND	231.63/M
22	20.8	23.3	55	BZX84C22ZXCT-ND	.77	.58	.39	—	—
36.0	34.0	38.0	90	BZX84C36ZXCT-ND†	.77	.58	.39	—	—
39	37	41	130	BZX84C39ZXCT-ND†	.77	.58	.39	BZX84C39ZXTR-ND	231.63/M
43	40	46	150	BZX84C43ZXCT-ND†	.77	.58	.39	—	—
47	44	50	170	BZX84C47ZXCT-ND†	.77	.58	.39	BZX84C47ZXTR-ND	231.63/M

† Iz bei 2 mA

SOT-23 (Schottky/Schaltung/Zener)

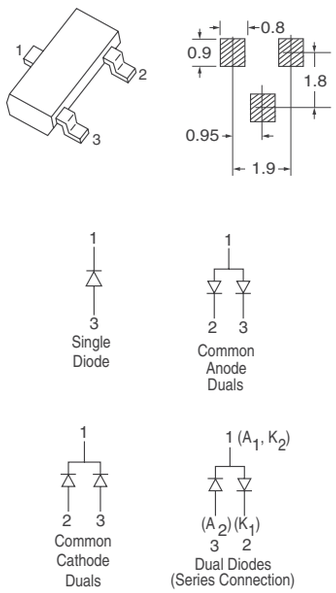

SOT-23-6

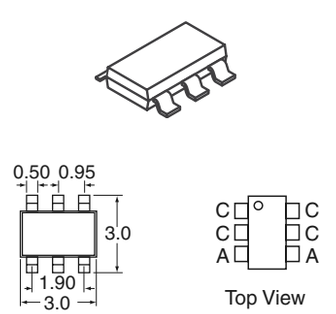

SOT-323

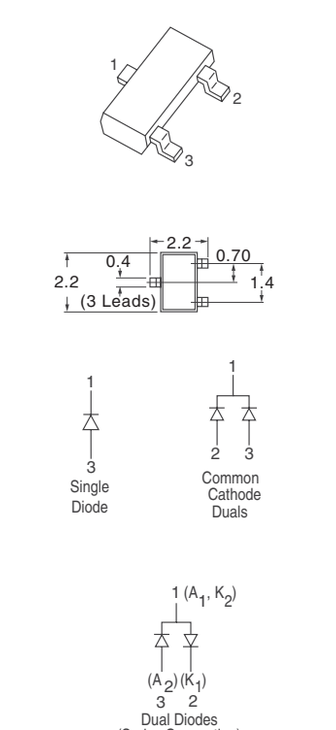

B

20 Volt

BV_{DSS} (V)	I_D (mA)	I_{DM} (A)	$V_{GS\ (th)}$ (V) min.	bei max.	I_D (mA)	$R_{DS\ (ein)}$ (Ω) max. @	I_D (mA)	V_{GS} (V)	P_D (W)	Pakettyp	Digi-Key Teilenr.	Gurtabschnittspreis pro Stück 1	10	Digi-Key Teilenr.	Gegurtet auf Rolle Größe	Preisangaben
N-Kanal																
20	6000	27	0.7	—	0.25	0.020	11000	4.5	1.100	MSOP8	ZXMN2A02X8CT-ND	1.90	1.43	ZXMN2A02X8TR-ND	1,000	536.83
	8300	50	0.7	—	0.25	0.020	11000	4.5	1.560	SO-8	ZXMN2A02N8CT-ND	1.90	1.43	ZXMN2A02N8TR-ND	500	331.57
	1900	8	0.7	—	0.25	0.120	4000	4.5	0.625	SOT-23	ZXMN2A01FCT-ND	.47	.35	ZXMN2A01FTR-ND	3,000	116.83/M
	2440	10	0.7	—	0.25	0.120	4000	4.5	1.100	SOT-23-6	ZXMN2A01E6CT-ND	.68	.51	ZXMN2A01E6TR-ND	3,000	168.90/M
	3600	16	0.7	—	0.25	0.055	7200	4.5	1.100	SOT-23-6	ZXMN2A03E6CT-ND	.81	.61	ZXMN2A03E6TR-ND	3,000	203.19/M
	3400	19	0.7	—	0.25	0.110	2500	2.5	1.000	SOT-23	ZXMN2A14FCT-ND	.75	.56	ZXMN2A14FTR-ND	3,000	185.41/M
	1700	7.4	0.7	—	0.25	0.180	930	4.5	0.625	SOT-23	ZXM61N02FCT-ND	.52	.40	ZXM61N02FTR-ND	3,000	176.10/M
	3200	18	0.7	—	0.25	0.100	2200	4.5	1.100	SOT-23-6	ZXM62N02E6CT-ND	1.01	.76	ZXM62N02E6TR-ND	3,000	252.71/M
	5400	30	0.7	—	0.25	0.040	3800	4.5	1.100	MSOP8	ZXM64N02XCT-ND	2.02	1.52	ZXM64N02XTR-ND	1,000	574.25
Zweifach																
20	7700	38	1.0	—	0.25	0.025	5900	4.5	2.100	SO-8	ZXMN2A04DN8CT-ND	2.86	2.15	ZXMN2A04DN8TR-ND	500	501.36
	2400	19	0.7	—	0.25	0.130	1700	4.5	1.040	MSOP8	ZXMD63N02XCT-ND	2.49	1.87	ZXMD63N02XTR-ND	1,000	705.22
P-Kanal																
-20	-900	4.9	0.7	—	0.25	0.6	610	4.5	.625	SOT-23	ZXM61P02FCT-ND	.54	.41	ZXM61P02FTR-ND	3,000	181.18/M
	-2300	13	0.7	—	.0.25	0.2	1600	4.5	1.1	SOT-23-6	ZXM62P02E6CT-ND	1.08	.82	ZXM62P02E6TR-ND	3,000	270.49/M
	-3500	19	0.7	—	0.25	0.09	2400	4.5	1.1	MSOP8	ZXM64P02XCT-ND	2.17	1.63	ZXM64P02XTR-ND	1,000	613.11
	-8000	-28	-0.7	—	-0.25	0.025	-3200	-4.5	2.5	SO-8	ZXM66P02N8CT-ND	3.01	2.27	ZXM66P02N8TR-ND	500	528.02
Zweifach																
-20	-1700	9.6	0.7	—	0.25	0.27	1200	4.5	1.040	MSOP8	ZXMD63P02XCT-ND	2.62	1.97	ZXMD63P02XTR-ND	1,000	742.64
	-5100	-18	-0.7	—	-0.25	0.050	-2900	-4.5	2.000	SO-8	ZXMD65P02N8CT-ND	3.01	2.27	ZXMD65P02N8TR-ND	500	528.02
N- & P-Kanal komplementär																
20	2400	19	0.7	—	0.25	0.13	1700	4.5	1.04	MSOP8	ZXMD63C02XCT-ND	2.36	1.78	ZXMD63C02XTR-ND	1,000	669.24
-20	-1700	9.6				0.27	1200	4.5								

30-50 Volt

BV_{DSS} (V)	I_D (mA)	I_{DM} (A)	$V_{GS\ (th)}$ (V) min.	bei max.	I_D (mA)	$R_{DS\ (ein)}$ (Ω) max. @	I_D (mA)	V_{GS} (V)	P_D (W)	Pakettyp	Digi-Key Teilenr.	Stückpreis für lose Ware 1	10	100	1.000
N-Kanal															
35	13000	30	1.0	—	.250	0.060	3700	10	20	TO-220	ZXM64N035L3-ND	2.76	2.07	1.38	.92
P-Kanal															
-35	-12000	-19	-1.0	—	.250	0.075	2400	10	20	TO-220	ZXM64P035L3-ND	2.95	2.21	1.48	.99
-45	-230	-3	-1.0	-3.5	-1	14	-200	-10	0.7	TO-92	BS250P-ND	.81	.61	.41	.28
-50	-175	-0.52	-0.8	-2.0	-1	10	-100	-5	0.625	TO-92	ZVP4105A-ND	1.05	.79	.48	.30

BV_{DSS} (V)	I_D (mA)	I_{DM} (A)	$V_{GS\ (th)}$ (V) min.	bei max.	I_D (mA)	$R_{DS\ (ein)}$ (Ω) max. @	I_D (mA)	V_{GS} (V)	P_D (W)	Pakettyp	Digi-Key Teilenr.	Gurtabschnittspreis pro Stück 1	10	Digi-Key Teilenr.	Gegurtet auf Rolle Größe	Preisangaben
N-Kanal																
30	18400	66	1	—	250	0.03	9800	4.5	10.1	D-PAK	ZXMN3A04KTCCT-ND	2.84	2.14	ZXMN3A04KTCTR-ND	2,500	805.97/M
	7200	45	0.7	—	0.25	0.025	7200	4.5	2.0	SO-8	ZXMN3B04N8CT-ND	1.67	1.26	ZXMN3B04N8TR-ND	500	292.46
	5300	44	1	—	0.25	0.035	10200	10	2.5	SO-8	ZXMN3A02N8CT-ND	1.88	1.41	ZXMN3A02N8TR-ND	500	328.90
	6700	24	1	—	0.25	0.025	12000	10	1.1	MSOP8	ZXMN3A02X8CT-ND	1.90	1.43	ZXMN3A02X8TR-ND	1,000	536.83
	1800	8	1	—	0.25	0.12	2500	10	.625	SOT-23	ZXMN3A01FCT-ND	.47	.35	ZXMN3A01FTR-ND	3,000	116.83/M
	2400	10	1	—	0.25	0.12	2000	10	1.1	SOT-23-6	ZXMN3A01E6CT-ND	.68	.51	ZXMN3A01E6TR-ND	3,000	168.90/M
	3700	17	1	—	0.25	0.050	7800	10	1.1	SOT-23-6	ZXMN3A03E6CT-ND	.81	.61	ZXMN3A03E6TR-ND	3,000	203.19/M
	3200	—	1	—	.250	0.065	3200	10	1.000	SOT-23	ZXMN3A14FCT-ND	.75	.56	ZXMN3A14FTR-ND	3,000	185.41/M
	1400	17	1	—	0.25	0.22	9100	10	1.1	SOT-23	ZXM61N03FCT-ND	.52	.40	ZXM61N03FTR-ND	3,000	176.10/M
	3200	18	1	—	0.25	0.11	2200	10	1.1	SOT-23-6	ZXM62N03E6CT-ND	1.01	.76	—	—	—
	5000	30	1	—	0.25	0.045	3700	10	1.1	MSOP8	ZXM64N03XCT-ND	2.02	1.52	ZXM64N03XTR-ND	1,000	574.25
35	6700	30	1	—	0.25	0.050	3700	10	2.0	SOT-223	ZXM64N035GCT-ND	2.08	1.57	ZXM64N035GTR-ND	1,000	590.08
40	5000	22	1	—	0.25	.05	4500	10	2.0	SOT-223	ZXMN4A06GCT-ND	1.38	1.04	ZXMN4A06GTR-ND	1,000	391.47
50	200	0.8	0.5	1.5	1	3.5	200	5	.360	SOT-23	BSS138ZXCT-ND	.49	.37	BSS138ZXTR-ND	3,000	123.18/M
Zweifach																
30	2300	14	1	—	0.25	0.135	1700	10	1.25	MSOP8	ZXMD63N03XCT-ND	2.49	1.87	ZXMD63N03XTR-ND	1,000	705.22
	8500	39	1	—	0.25	0.020	12600	10	2.15	SO-8	ZXMN3A04DN8CT-ND	2.86	2.15	ZXMN3A04DN8TR-ND	500	501.36
	6200	30	1	—	0.25	0.035	9000	10	2.1	SO-8	ZXMN3A06DN8CT-ND	1.60	1.20	ZXMN3A06DN8TR-ND	500	266.68
P-Kanal																
-30	-5400	-24.9	-1	—	-0.25	.045	-4200	-10	2.0	SOT-223	ZXMP3A16GCT-ND	1.38	1.04	ZXMP3A16GTR-ND	1,000	391.47
	-3200	-14.4	-1	—	-0.25	0.07	-3200	-10	1.1	SOT-23-6	ZXMP3A17E6CT-ND	.88	.67	ZXMP3A17E6TR-ND	3,000	250.43/M
	-5600	-25	-1	—	-0.25	0.045	-4200	-10	1.9	SO-8	ZXMP3A16N8CT-ND	1.31	.99	ZXMP3A16N8TR-ND	500	229.34
	-1100	4.3	1	—	0.25	0.35	600	10	.625	SOT-23	ZXM61P03FCT-ND	.54	.41	ZXM61P03FTR-ND	3,000	181.18/M
	-2600	13	1	—	0.25	0.15	1600	10	1.1	SOT-23-6	ZXM62P03E6CT-ND	1.08	.82	ZXM62P03E6TR-ND	3,000	270.49/M
	-1400	-5	1	—	0.25	0.21	-1400	10	.625	SOT-23	ZXMP3A13FCT-ND	.53	.40	ZXMP3A13FTR-ND	3,000	151.12/M
	-3800	19	1	—	0.25	0.075	-2400	10	1.1	MSOP8	ZXM64P03XCT-ND	2.17	1.63	ZXM64P03XTR-ND	1,000	613.11
	-7900	-28	-1	—	-0.25	0.025	-5600	-10	2.5	SO-8	ZXM66P03N8CT-ND	3.01	2.27	ZXM66P03N8TR-ND	500	528.02
-35	-3800	-19	-1	—	-0.25	0.075	-2400	-10	2.0	SOT-223	ZXM64P035GCT-ND	2.24	1.68	ZXM64P035GTR-ND	1,000	633.26
-40	-4600	-21	-1	—	-0.25	.06	3800	10	3.9	SOT-223	ZXMP4A16GCT-ND	1.38	1.04	ZXMP4A16GTR-ND	1,000	391.47
-45	-90	-1.6	-1	-3.5	-1	14	-200	-10	.330	SOT-23	BS250FCT-ND	.89	.67	BS250FTR-ND	3,000	222.24/M
-50	-130	-0.52	-0.8	-2.0	-1	10	-100	-5	.360	SOT-23	BSS84ZXCT-ND	.49	.37	BSS84ZXTR-ND	3,000	147.82/M
Zweifach																
-30	-2000	9.6	1	—	0.25	0.185	1200	10	1.0	MSOP8	ZXMD63P03XCT-ND	2.62	1.97	ZXMD63P03XTR-ND	1,000	742.64
	-4400	-16.2	-1	—	-0.25	0.070	-3200	-10	2.1	SO-8	ZXMP3A17DN8CT-ND	1.67	1.26	ZXMP3A17DN8TR-ND	500	292.46
	-5500	-20	-1	—	-0.25	0.045	-4200	-10	2.1	SO-8	ZXMP3A16DN8CT-ND	1.82	1.37	ZXMP3A16DN8TR-ND	500	318.24
	-4800	-18	-1	—	-0.25	0.055	-4900	-10	2.0	SO-8	ZXMD65P03N8CT-ND	3.01	2.27	ZXMD65P03N8TR-ND	500	528.02
N- & P-Kanal komplementär																
30	2300	14	1	—	.25	.135	1700	10	1.25	MSOP8	ZXMD63C03XCT-ND	2.36	1.78	ZXMD63C03XTR-ND	1,000	669.24
-30	-2000	9.6				.185	1200	16								
30	6400	30	1	—	0.25	0.050	0.0074	4.5	1.25	SO-8	ZXMC3A16DN8CT-ND	1.68	1.26	ZXMC3A16DN8TR-ND	500	293.35
-30	-5400	-25				-0.070	-0.0034	4.5								

ZETEX SEMICONDUCTORS *Nach QS9000 akkreditiert!*

MSOP8

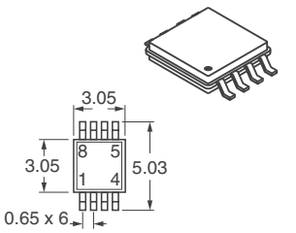

MSOP8 (Single) Pin out

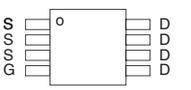

MSOP8 (Dual) Pin out

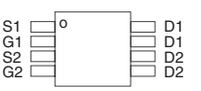

SM-8

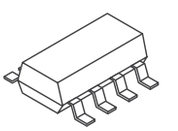

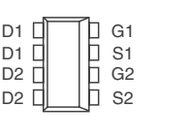

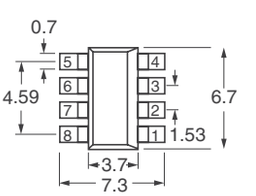

SO-8

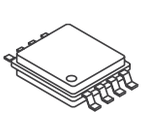

Single Pinout

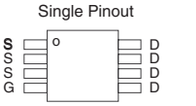

Dual - Pinout

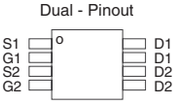

(Forts.)

Alle Preisangaben in Euro und inklusive Zollgebühren.

60 Volt

BV_{DSS} (V)	I_D (mA)	I_{DM} (A)	$V_{GS(th)}$ bei I_D min.	max.	(mA)	$R_{DS(ein)}$ (Ω) max. @	I_D (mA)	V_{GS} (V)	P_D (W)	Pakettyp	Digi-Key Teilenr.	Stückpreis für lose Ware 1	10	100	1.000
N-Kanal															
60	270	3	0.8	2.4	1	5	500	10	0.625	TO-92	ZVN3306A-ND	.71	.54	.36	.24
	450	8	0.8	2.4	1	2	1000	10	0.7	TO-92	ZVN2106A-ND	.93	.71	.43	.27
	600	8	1.3	3.0	1	1.5	500	5	0.7	TO-92	ZVN4206A-ND	1.02	.77	.47	.30
	1100	20	1.3	3.0	1	0.45	1500	5	0.85	TO-92	ZVN4306A-ND	2.26	1.70	1.02	.65
	270	3	0.8	3.0	1	5	200	10	0.625	TO-92	BS170P-ND	.75	.56	.38	.25
	270	3	0.8	2.5	1	7.5	200	5	0.625	TO-92	VN10LP-ND	.75	.56	.38	.25
P-Kanal															
-60	-160	-1.6	-1.5	-3.5	-1	14	-200	-10	0.625	TO-92	ZVP3306A-ND	.71	.54	.32	.21
	-280	-4	-1.5	-3.5	-1	5	-500	-10	0.7	TO-92	ZVP2106A-ND	1.05	.79	.48	.30

BV_{DSS} (V)	I_D (mA)	I_{DM} (A)	$V_{GS(th)}$ (V) bei I_D min.	max.	(mA)	$R_{DS(ein)}$ (Ω) max. @	I_D (mA)	V_{GS} (V)	P_D (W)	Pakettyp	Digi-Key Teilenr.	Gurtabschnittspreis pro Stück 1	10	Digi-Key Teilenr.	Gegurtet auf Rolle Größe	Preisangaben
N-Kanal																
60	11,200	40	1	—	.250	0.070	5600	4.5	10.1	D-PAK	ZXMN6A09KTCCT-ND	2.84	2.14	ZXMN6A09KTCTR-ND	2,500	805.97/M
	1200	1.2	1	3.0	.250	7.5	500	10	.33	SOT-23	2N7002CT-ND	.69	.52	2N7002TR-ND	3,000	205.73/M
	1200	1.2	1	3.0	.250	0.3	1800	10	.800	SOT-23	ZXMN6A07FCT-ND	.50	.38	ZXMN6A07FTR-ND	3,000	125.72/M
	3800	5.6	1	—	0.25	0.250	3800	4.5	3.9	SOT-223	ZXMN6A11GCT-ND	1.06	.80	ZXMN6A11GTR-ND	1,000	300.80
	3100	4	1	—	0.25	0.100	4800	10	1.7	SOT-23-6	ZXMN6A08E6CT-ND	.85	.64	ZXMN6A08E6TR-ND	3,000	212.08/M
	2200	6.8	1	3.0	0.25	0.30	1800	10	2.6	SOT-89	ZXMN6A07ZCT-ND	.59	.45	ZXMN6A07ZTR-ND	1,000	166.95
	6900	30.6	1	—	0.25	0.045	8200	10	3.9	SOT-223	ZXMN6A09GCT-ND	1.78	1.34	ZXMN6A09GTR-ND	1,000	391.47
	3200	12.3	1	—	0.25	0.14	4400	10	2.6	SOT-89	ZXMN6A11ZCT-ND	.85	.64	ZXMN6A11ZTR-ND	1,000	240.35
	200	3	1.3	3	1	2.5	500	10	.330	SOT-23	ZVN4106FCT-ND	.86	.65	ZVN4106FTR-ND	3,000	215.89/M
	710	8.0	0.8	2.4	1.0	2.0	1.0	10	2.0	E-Line	ZVN2106GCT-ND	1.28	.96	ZVN2106GTR-ND	1,000	361.24
	1000	8.0	1.3	3.0	1.0	1.0	1.5	10	2.0	SOT-223	ZVN4206GCT-ND	1.53	1.15	ZVN4206GTR-ND	1,000	433.21
	2100	15	1.3	3	1.0	0.33	3000	10	3.0	SOT-223	ZVN4306GCT-ND	2.07	1.56	ZVN4306GTR-ND	1,000	588.64
	150	3	0.8	3	1	5	200	10	.330	SOT-23	BS170FCT-ND	.86	.65	BS170FTR-ND	3,000	215.89/M
	150	3	0.8	2.5	1	7.5	200	5	.330	SOT-23	VN10LFCT-ND	.58	.44	VN10LFTR-ND	3,000	144.77/M
	150	3	0.8	2.4	1	5	500	10	.330	SOT-23	ZVN3306FCT-ND	.79	.60	ZVN3306FTR-ND	3,000	196.84/M
Zweifach																
60	5100	25	1	—	0.25	0.045	8200	10	2.1	SO-8	ZXMN6A09DN8CT-ND	3.01	2.27	ZXMN6A09DN8TR-ND	500	528.02
	2700	8.3	1	—	0.25	0.140	4400	10	2.1	SO-8	ZXMN6A11DN8CT-ND	1.24	.93	ZXMN6A11DN8TR-ND	500	267.57
	4700	22	1	—	0.25	0.055	3600	10	2.1	SO-8	ZXMN6A25DN8CT-ND	1.74	1.32	ZXMN6A25DN8TR-ND	500	193.67
	2000	15	1.3	3	1	0.33	3000	10	2.5	SM-8	ZDM4306NCT-ND	2.95	2.21	ZDM4306NTR-ND	1,000	834.75
	1000	8.0	1.3	3	1	1	1500	10	2.25	SM-8	ZDM4206NCT-ND	2.95	2.21	ZDM4206NTR-ND	1,000	834.75
P-Kanal																
-60	-4100	-13.7	-1.0	—	-.250	0.125	-2200	-10	2.0	SOT-223	ZXMP6A17GCT-ND	.88	.67	ZXMP6A17GTR-ND	1,000	250.42
	-2300	-7.8	-1.0	—	-.250	0.39	-0900	-10	2.0	SOT-223	ZXMP6A13GCT-ND	.75	.56	ZXMP6A13GTR-ND	1,000	210.13
	-3000	-13.6	-1.0	—	-.250	0.125	-2300	-10	1.7	SOT-23-6	ZXMP6A17E6CT-ND	.88	.67	ZXMP6A17E6TR-ND	3,000	220.97/M
	-1100	-4	-1.0	—	-.250	0.4	-900	-10	.806	SOT-23	ZXMP6A13FCT-ND	.53	.40	ZXMP6A13FTR-ND	3,000	133.34/M
	-90	-1.6	-1.5	-3.5	-1	14	-200	-10	.330	SOT-23	ZVP3306FCT-ND	.94	.71	ZVP3306FTR-ND	3,000	234.93/M
	-0450	-4.0	-1.5	-3.5	-1.0	5.0	-500	-10	2.0	SOT-223	ZVP2106GCT-ND	1.53	1.15	ZVP2106GTR-ND	1,000	433.21
Zweifach																
-60	-4800	-23.8	-1	—	-.250	0.055	-3500	-10	2.1	SO-8	ZXMP6A18DN8CT-ND	2.56	1.92	ZXMP6A18DN8TR-ND	500	448.02
	-3900	-10.3	-1	—	-.250	0.085	-2900	-10	2.1	SO-8	ZXMP6A16DN8CT-ND	1.82	1.37	ZXMP6A16DN8TR-ND	500	318.24
	-3200	-14.2	-1	—	-.250	0.125	-2300	-10	2.1	SO-8	ZXMP6A17DN8CT-ND	1.38	1.04	ZXMP6A17DN8TR-ND	500	241.79

100 Volt

BV_{DSS} (V)	I_D (mA)	I_{DM} (A)	$V_{GS(th)}$ bei I_D min.	max.	(mA)	$R_{DS(ein)}$ (Ω) max. @	I_D (mA)	V_{GS} (V)	P_D (W)	Pakettyp	Digi-Key Teilenr.	Stückpreis für lose Ware 1	10	100	1.000
N-Kanal															
100	320	6	0.75	1.5	1	4.5	250	5	0.7	TO-92	ZVNL110A-ND	.93	.71	.43	.27
	320	6	0.8	2.4	1	4	1000	10	0.7	TO-92	ZVN2110A-ND	.91	.69	.42	.26
	200	2	0.8	2.4	1	10	500	10	0.625	TO-92	ZVN3310A-ND	.79	.60	.40	.27
	450	6	0.8	2.4	1	1.8	500	5	0.7	TO-92	ZVN4210A-ND	1.07	.80	.48	.31
	900	12	1.0	3.0	1	0.65	1500	5	0.85	TO-92	ZVN4310A-ND	2.26	1.70	1.02	.65
P-Kanal															
-100	-230	-3	-1.5	-3.5	-1	8	-375	-10	0.7	TO-92	ZVP2110A-ND	1.05	.79	.48	.30
	-140	-1.2	-1.5	-3.5	-1	20	-150	-10	0.625	TO-92	ZVP3310A-ND	.85	.64	.38	.24

BV_{DSS} (V)	I_D (mA)	I_{DM} (A)	$V_{GS(th)}$ (V) bei I_D min.	max.	(mA)	$R_{DS(ein)}$ (Ω) max. @	I_D (mA)	V_{GS} (V)	P_D (W)	Pakettyp	Digi-Key Teilenr.	Gurtabschnittspreis pro Stück 1	10	Digi-Key Teilenr.	Gegurtet auf Rolle Größe	Preisangaben
N-Kanal																
100	7700	27	2.0	4.0	0.25	0.100	0.0042	6	10.1	D-PAK	ZXMN10A09KCT-ND	2.84	2.14	ZXMN10A09KTR-ND	2,500	805.97/M
	600	6.0	0.75	1.5	1.0	4.5	250	5	2.0	SOT-223	ZVNL110GCT-ND	1.28	.96	ZVNL110GTR-ND	1,000	361.24
	1500	8.6	2	4	0.25	0.25	3200	10	1.7	SOT-23-6	ZXMN10A08E6CT-ND	.85	.64	ZXMN10A08E6TR-ND	3,000	212.08/M
	1900	9	1	3	0.25	0.30	1400	4.5	1.7	SOT-23-6	ZXMN10B08E6CT-ND	.85	.64	ZXMN10B08E6TR-ND	3,000	212.08/M
	500	6.0	0.8	2.4	1.0	4.0	1.0	10	2.0	SOT-223	ZVN2110GCT-ND	1.28	.96	ZVN2110GTR-ND	1,000	361.24
	100	2	0.8	2.4	1	10	500	10	.330	SOT-23	ZVN3310FCT-ND	.79	.60	ZVN3310FTR-ND	3,000	196.84/M
	1670	12	1.0	3.0	1.0	0.54	3.3	10	3.0	SOT-223	ZVN4310GCT-ND	2.07	1.56	ZVN4310GTR-ND	1,000	588.64
	170	0.68	0.8	2.8	1	6	100	10	.360	SOT-23	BSS123CT-ND	.49	.37	BSS123TR-ND	3,000	123.18/M
	170	0.68	0.8	2.8	1	6	100	10	.360	SOT-23	BSS123ACT-ND	.36	.27	BSS123ATR-ND	3,000	88.90/M
	800	3.5	2	4	0.25	0.7	1500	10	.62	SOT-23	ZXMN10A07FCT-ND	.50	.38	ZXMN10A07FTR-ND	3,000	125.72/M
	1400	4.2	2	4	0.25	0.70	1500	10	2.6	SOT-89	ZXMN10A07ZCT-ND	.60	.45	ZXMN10A07ZTR-ND	1,000	169.83
	1800	5.8	2	4	0.25	0.6	2600	10	3.9	SOT-223	ZXMN10A11GCT-ND	1.06	.80	ZXMN10A11GTR-ND	1,000	300.80
P-Kanal																
-100	-3700	-16.5	-2	-4.0	-0.25	0.150	-2800	-10	3.9	SOT-223	ZXMP10A18GCT-ND	2.71	2.04	ZXMP10A18GTR-ND	1,000	768.54
	-1600	-7.7	-2	-4.0	-0.25	0.35	-1400	-10	1.7	SOT-23-6	ZXMP10A17E6CT-ND	.88	.67	ZXMP10A17E6TR-ND	3,000	220.97/M
	-700	-3.1	-2	-4.0	-0.25	1	-600	-10	.800	SOT-23	ZXMP10A13FCT-ND	.57	.43	ZXMP10A13FTR-ND	3,000	142.23/M
	-75	-1.2	-1.5	-3.5	-1	20	-150	-10	.330	SOT-23	ZVP3310FCT-ND	.94	.71	ZVP3310FTR-ND	3,000	234.93/M
	-310	-3.0	-1.5	-3.5	-1.0	8.0	-0.375	-10	2.0	SOT-223	ZVP2110GCT-ND	1.53	1.15	ZVP2110GTR-ND	1,000	433.21

ZETEX SEMICONDUCTORS *Nach QS9000 akkreditiert!*

D-PAK

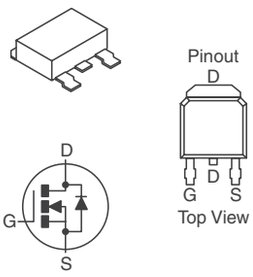

SOT-23

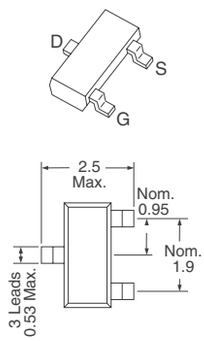

SOT-23-6

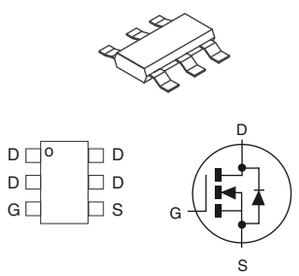

SOT-89

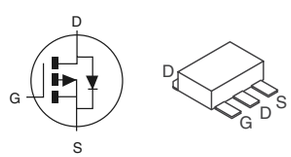

SOT-223

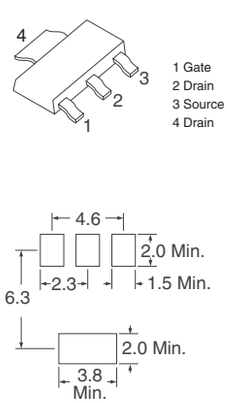

B

(Forts.)

200 - 450 Volt

ZETEX SEMICONDUCTORS *Nach QS9000 akkreditiert!*

BV_{DSS} (V)	I_D (mA)	I_{DM} (A)	V_{GS} (th) V min.	bei max.	I_D (mA)	R_{DS} (ein) (Ω) max. @	I_D (mA)	V_{GS} (V)	P_D (W)	Pakettyp	Digi-Key Teilenr.	Stückpreis für lose Ware 1	10	100	1.000
N-Kanal															
200	180	2	0.5	1.5	1	10	125	3	0.7	TO-92	ZVNL120A-ND	1.17	.88	.53	.34
	120	2	—	—	—	23	25	2.6	0.5	TO-92	BS107P-ND	.91	.69	.42	.26
240	260	1	0.8	1.8	1	6	100	2.5	0.75	TO-92	ZVN4424A-ND	1.43	1.08	.65	.41
450	90	0.6	1.0	3.0	1	50	100	10	0.7	TO-92	ZVN0545A-ND	2.34	1.76	1.06	.67
P-Kanal															
-200	-120	-1.2	-1.5	-4.5	-1	25	-150	-10	0.7	TO-92	ZVP2120A-ND	1.17	.88	.53	.34
-240	-200	-1	-0.8	-2.5	-1	15	-100	-3.5	0.75	TO-92	ZVP4424A-ND	1.46	1.11	.67	.42
-450	-45	-0.4	-1.5	-4.5	-1	150	-50	-10	0.7	TO-92	ZVP0545A-ND	2.62	1.97	1.18	.75

B

BV_{DSS} (V)	I_D (mA)	I_{DM} (A)	V_{GS} (th) (V) min.	bei max.	I_D (mA)	R_{DS} (ein) (Ω) max. @	I_D (mA)	V_{GS} (V)	P_D (W)	Pakettyp	Digi-Key Teilenr.	Gurtabschnittspreis pro Stück 1	10	Digi-Key Teilenr.	Gegurtet auf Rolle Größe	Preisangaben
N-Kanal																
	60	1	1	3	1	25	100	10	.300	SOT-23	ZVN3320FCT-ND	.56	.42	ZVN3320FTR-ND	3,000	139.69/M
200	320	2.0	1.0	3.0	1.0	10	0.25	10	2.0	SOT-223	ZVN2120GCT-ND	1.28	.96	ZVN2120GTR-ND	1,000	361.24
	320	2.0	0.5	1.5	1.0	10	0.125	3.0	2.0	SOT-223	ZVNL120GCT-ND	1.28	.96	ZVNL120GTR-ND	1,000	361.24
240	500	1.5	0.8	1.8	1.0	6.0	0.10	2.5	2.5	SOT-223	ZVN4424GCT-ND	1.62	1.22	ZVN4424GTR-ND	1,000	457.67
	300	1.0	0.8	1.8	1	6	100	2.5	1	SOT-89	ZVN4424ZCT-ND	1.02	.77	ZVN4424ZTR-ND	1,000	287.84
	230	1.44	0.8	1.8	1	9.50	20	2.4	1.1	SOT-23-6	ZVN4525E6CT-ND	.97	.73	ZVN4525E6TR-ND	3,000	242.55/M
250	240	1.44	0.8	1.8	1	9.50	20	2.4	2.1	SOT-89	ZVN4525ZCT-ND	.90	.68	ZVN4525ZTR-ND	1,000	254.74
	310	1.44	0.8	1.8	1	9	310	4.5	2.0	SOT-223	ZVN4525GCT-ND	.92	.69	ZVN4525GTR-ND	1,000	260.50
450	140	0.6	1.0	3.0	1.0	50	0.10	10	2.0	SOT-223	ZVN0545GCT-ND	1.27	.96	ZVN0545GTR-ND	1,000	359.81
P-Kanal																
-240	-0480	-1.0	-0.7	-2.0	-1.0	11	-100	-3.5	2.5	SOT-223	ZVP4424GCT-ND	1.62	1.22	ZVP4424GTR-ND	1,000	457.67
	-197	-1	-0.8	-2	-0.25	18	-100	-3.5	1.1	SOT-23-6	ZVP4525E6CT-ND	.93	.71	ZVP4525E6TR-ND	3,000	233.66/M
-250	-265	-1.0	-0.8	-2.0	-1.0	18	-.100	-3.5	2.0	SOT-223	ZVP4525GCT-ND	.93	.71	ZVP4525GTR-ND	1,000	264.82
	-0200	-1	-0.8	-2	1	18	-100	-3.5	2.1	SOT-89	ZVP4525ZCT-ND	.97	.73	ZVP4525ZTR-ND	1,000	274.89
-450	-075	-0.4	-1.5	-4.5	-1.0	150	-.050	-10	2.0	SOT-223	ZVP0545GCT-ND	1.53	1.15	ZVP0545GTR-ND	1,000	433.21

TO-92

Bodenansicht

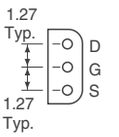

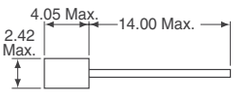

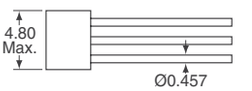

TO-220

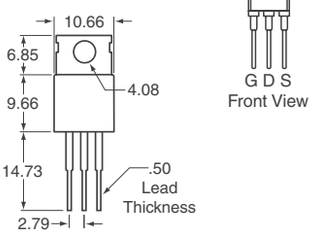

Lawineneffekt

BV_{DSS} (V)	I_D (mA)	I_{DM} (A)	V_{GS} (th) V min.	bei max.	I_D (mA)	R_{DS} (ein) (Ω) max. @	I_D (mA)	V_{GS} (V)	P_D (W)	Pakettyp	Digi-Key Teilenr.	Stückpreis für lose Ware 1	10	100	1.000
N-Kanal															
60	600	8	1.3	3	1	1.5	500	5	0.7	TO-92	ZVN4206AV-ND	1.28	.96	.58	.37
	1100	20	1.3	3	1	0.45	1500	5	1.1	TO-92	ZVN4306AV-ND	2.41	1.81	1.09	.69

BV_{DSS} (V)	I_D (mA)	I_{DM} (A)	V_{GS} (th) (V) min.	bei max.	I_D (mA)	R_{DS} (ein) (Ω) max. @	I_D (mA)	V_{GS} (V)	P_D (W)	Pakettyp	Digi-Key Teilenr.	Gurtabschnittspreis pro Stück 1	10	Digi-Key Teilenr.	Gegurtet auf Rolle Größe	Preisangaben
N-Kanal																
200	60	1	1	3	1	25	100	10	.300	SOT-23	ZVN3320FCT-ND	.56	.42	ZVN3320FTR-ND	3,000	139.69/M
60	1000	8.0	1.3	3.0	1.0	1.0	1.5	10	2.0	SOT-223	ZVN4206GVCT-ND	1.60	1.20	ZVN4206GVTR-ND	1,000	453.35
	2100	20	1.3	3.0	1.0	0.33	3.0	10	3.0	SOT-223	ZVN4306GVCT-ND	2.07	1.56	ZVN4306GVTR-ND	1,000	588.64

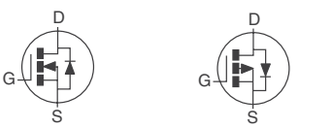

Spannungsversorgungsüberwachung

V cc typisch (V)	Schwellen-spannung (V)	Hysterese, typisch (mV)	Max. Verbraucher-Ausgangsstrom (mA)	Eingangsspan-nungsbereich (V)	Max. Ruhestrom (µA)	Pakettyp	Digi-Key Teilenr.	Stückpreis für lose Ware 1	10	100	1.000
	2.63	20	60	1 ~ 6.5	200	TO-92	ZSM300C-ND	1.37	1.03	.62	.39
3	2.68	20	60	1 ~ 10	190	TO-92	ZM331643C-ND	1.31	.99	.59	.38
	3.1	20	50	-1 ~ 10	180	TO-92	ZSH330C-ND	1.37	1.03	.62	.39
3.3	3.08	20	60	1 ~ 6.5	200	TO-92	ZSM330C-ND	1.37	1.03	.62	.39
	4.6	20	60	1 ~ 6.5	200	TO-92	ZM33064CL-ND	1.31	.99	.59	.38
5	4.3	20	60	1 ~ 6.5	200	TO-92	ZM33164CL-ND	1.31	.99	.59	.38
	4.6	20	60	1 ~ 6.5	200	TO-92	ZSM560C-ND	1.60	1.20	.72	.46

SO-8
Draufsicht

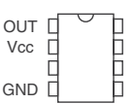

V cc typisch (V)	Schwellen-spannung (V)	Hysterese, typisch (mV)	Max. Verbraucher-Ausgangsstrom (mA)	Eingangsspan-nungsbereich (V)	Max. Ruhestrom (µA)	Pakettyp	Digi-Key Teilenr.	Gurtabschnittspreis pro Stück 1	10	100	Digi-Key Teilenr.	Gegurtet auf Rolle Größe	Preisangaben
	2.68	20	60	1 ~ 10	190	SO-8	ZM331643N8CT-ND	1.60	1.20	.72	—	—	—
3	2.63	20	60	1 ~ 6.5	200	SO-8	ZSM300N8CT-ND	2.56	1.92	1.16	ZSM300N8TR-ND	500	448.02
	2.68	20	60	1 ~ 10	190	SOT-223	ZM331643GCT-ND	1.36	1.03	.62	ZM331643GTR-ND	1,000	385.71
	2.63	20	60	1 ~ 6.5	200	SOT-223	ZSM300GCT-ND	1.96	1.48	.89	ZSM300GTR-ND	1,000	556.98
	3.1	20	50	-1 ~ 10	180	SO-8	ZSH330N8CT-ND	2.68	2.01	1.21	ZSH330N8TR-ND	500	468.47
3.3	3.08	20	60	1 ~ 6.5	200	SOT-223	ZSM330GCT-ND	1.96	1.48	.89	ZSM330GTR-ND	1,000	556.98
	3.1	20	50	-1 ~ 10	180	SOT-223	ZSH330GCT-ND	2.05	1.54	.93	ZSH330GTR-ND	1,000	580.01
	4.6	20	60	1 ~ 6.5	200	SO-8	ZM33064N8CT-ND	1.60	1.20	.72	—	500	—
	4.3	20	60	1 ~ 6.5	200	SO-8	ZM33164N8CT-ND	1.60	1.20	.72	ZM33164N8TR-ND	500	280.01
	4.6	20	60	1 ~ 6.5	200	SO-8	ZSM560N8CT-ND	2.56	1.92	1.16	ZSM560N8TR-ND	500	448.02
	4.6	20	50	-1 ~ 10	180	SO-8	ZSH560N8CT-ND	2.68	2.01	1.21	ZSH560N8TR-ND	500	468.47
5	4.6	20	60	1 ~ 6.5	200	SOT-223	ZM33064GCT-ND	1.36	1.03	.62	ZM33064GTR-ND	1,000	385.71
	4.3	20	60	1 ~ 6.5	200	SOT-223	ZM33164GCT-ND	1.36	1.03	.62	ZM33164GTR-ND	1,000	385.71
	4.6	20	60	1 ~ 6.5	200	SOT-223	ZSM560GCT-ND	1.96	1.48	.89	ZSM560GTR-ND	1,000	556.98
	4.6	20	60	1 ~ 7.0	200	SOT-223	ZSM561GCT-ND	1.96	1.48	.89	—	—	—
	4.6	20	50	-1 ~ 10	180	SOT-223	ZSH560GCT-ND	2.05	1.54	.93	ZSH560GTR-ND	1,000	580.01

SOT-223
Draufsicht

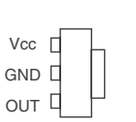

TO-92
Bodenansicht

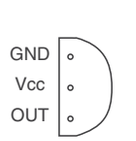

Alle Preisangaben in Euro und inklusive Zollgebühren.

Low Dropout

V Ausg. (V)	Abfallspannung (mV)	I max. (mA)	Abschaltstrom (µA)	Max. Lastregelung (mV)	Max. Line Reg.** (mV)	Pakettyp	Digi-Key Teilenr.	Gurtabschnittspreis pro Stück 1	10	100	Digi-Key Teilenr.	Preisangabe für Gegurtet auf Rolle 1.000
Serie ZLDO - ultra-niedrig												
3.3	35	300	11	52	78	SM-8	ZLDO330T8CT-ND	2.49	1.87	1.13	ZLDO330T8TR-ND	705.22
4.85				69	119		ZLDO485T8CT-ND	2.49	1.87	1.13	ZLDO485T8TR-ND	705.22
5				70	123		ZLDO500T8CT-ND	2.49	1.87	1.13	ZLDO500T8TR-ND	705.22

V Ausg. (V)	Abfall (mV)@IL =50mA	Max. Laststrom I(mA)	Abschaltstrom I(µA)	Pakettyp	Digi-Key Teilenr.	Gurtabschnittspreis pro Stück 1	10	100	Digi-Key Teilenr.	Preisangaben für Gegurtet auf Rolle 3.000
ZXCL-Serie - Micropower, sehr klein										
2.50	85	100	0.01	SC-70	ZXCL250H5TACT-ND	.88	.67	.40	ZXCL250H5TATR-ND	220.97/M
				SOT23-5	ZXCL250E5TACT-ND	.88	.67	.40	ZXCL250E5TATR-ND	220.97/M
2.60	85	150	0.01	SC-70	ZXCL260H5CT-ND	.56	.42	.26	ZXCL260H5TR-ND	139.69/M
				SOT23-5	ZXCL260E5CT-ND	.56	.42	.26	ZXCL260E5TR-ND	139.69/M
2.80	85	150	0.01	SC-70	ZXCL280H5CT-ND	.88	.67	.40	ZXCL280H5TR-ND	220.97/M
				SOT23-5	ZXCL280E5CT-ND	1.12	.84	.51	ZXCL280E5TR-ND	279.38/M
3.00	85	150	0.01	SC-70	ZXCL300H5CT-ND	.88	.67	.40	ZXCL300H5TR-ND	220.97/M
				SOT23-5	ZXCL300E5CT-ND	.88	.67	.40	ZXCL300E5TR-ND	220.97/M
3.30	85	150	0.01	SC-70	ZXCL330H5CT-ND	.56	.42	.26	ZXCL330H5TR-ND	139.69/M
				SOT23-5	ZXCL330E5CT-ND	.56	.42	.26	ZXCL330E5TR-ND	139.69/M
4.00	85	150	0.01	SC-70	ZXCL400H5TACT-ND	.88	.67	.40	ZXCL400H5TATR-ND	220.97/M
				SOT23-5	ZXCL400E5TACT-ND	.88	.67	.40	ZXCL400E5TATR-ND	220.97/M

Spannung

Ausgangs-spannung	Max. Ausgangs-strom (mA)	Max. Ruhestrom (µA)	Typische Abfall-spannung	Max. Line Reg.** (mV)	Max. Lastrege-lung (mV)	Pakettyp	Digi-Key Teilenr.	Gurtabschnittspreis pro Stück 1	10	100	Digi-Key Teilenr.	Preisangaben für Gegurtet auf Rolle 3.000
ZMR-Serie - Miniatur												
2.5	50	40	1.7	15	30	SOT-23	ZMR250FCT-ND	1.24	.94	.56	ZMR250FTR-ND	311.13/M
						TO-92	ZMR250C-ND*	1.19	.90	.54	—	—
5.0	50	70	1.7	15	40	SOT-23	ZMR500FCT-ND	1.38	1.04	.63	ZMR500FTR-ND	345.42/M
						TO-92	ZMR500C-ND*	1.19	.90	.54	—	—

Ausgangs-spannung	Max. Ausgangsstrom (mA)	P_{TOT} (W)	Max. Line Reg.** (mV)	Max. Lastregelung (mV)	Pakettyp	Digi-Key Teilenr.	Gurtabschnittspreis pro Stück 1	10	100	Digi-Key Teilenr.	Gegurtet auf Rolle Größe	Preisangaben
ZSR-Serie - Fest												
2.85	200	0.78	40	25	SO-8	ZSR285N8CT-ND	2.56	1.92	1.16	ZSR285N8TR-ND	500	448.02
3.0	200	0.78	40	25	SO-8	ZSR300N8CT-ND	2.56	1.92	1.16	—	—	—
3.3	200	2.0	30	25	SOT-223	ZSR330GCT-ND	1.53	1.15	.69	ZSR330GTR-ND	1,000	433.21
4.0	200	0.78	40	25	SO-8	ZSR400N8CT-ND	2.56	1.92	1.16	ZSR400N8TR-ND	500	448.02
4.85	200	2.78	40	25	SOT-223	ZSR485GTACT-ND	1.52	1.15	.69	ZSR485GTATR-ND	2,000	431.77/M
4.85	200	0.78	40	25	SO-8	ZSR485N8CT-ND	2.56	1.92	1.16	ZSR485N8TR-ND	500	448.02
5.0	200	2.0	40	25	SOT-223	ZSR500GCT-ND	1.53	1.15	.69	ZSR500GTR-ND	1,000	433.21
5.2	200	0.78	40	25	SO-8	ZSR520N8CT-ND	2.56	1.92	1.16	ZSR520N8TR-ND	500	448.02
5.7	200	0.78	40	30	SO-8	ZSR570N8CT-ND	2.56	1.92	1.16	ZSR570N8TR-ND	500	448.02
6.0	200	2.0	40	30	SOT-223	ZSR600GCT-ND	1.53	1.15	.69	ZSR600GTR-ND	1,000	433.21
	200	0.78	40	30	SO-8	ZSR600N8CT-ND	2.56	1.92	1.16	ZSR600N8TR-ND	500	448.02
7.0	200	0.78	40	25	SO-8	ZSR700N8CT-ND	2.56	1.92	1.16	ZSR700N8TR-ND	500	448.02
8.0	200	2.0	40	30	SOT-223	ZSR800GCT-ND	1.53	1.15	.69	ZSR800GTR-ND	1,000	433.21
10.0	200	2.0	40	30	SOT-223	ZSR1000GCT-ND	1.53	1.15	.69	ZSR1000GTR-ND	1,000	433.21
	200	0.78	40	30	SO-8	ZSR1000N8CT-ND	2.56	1.92	1.16	ZSR1000N8TR-ND	500	448.02

Ausgangs-spannung	Max. Ausgangsstrom (mA)	P_{TOT} (W)	Max. Line Reg.** (mV)	Max. Lastregelung (mV)	Pakettyp	Digi-Key Teilenr.	Stückpreis für lose Ware 1	10	100	1.000
Serie ZR78L, lokal										
8.5	200	0.6	40	30	TO-92	ZR78L085C-ND	.91	.69	.42	.26

Ausgangs-spannung	Max. Ausgangsstrom (mA)	P_{TOT} (W)	Max. Line Reg.** (mV)	Max. Lastregelung (mV)	Pakettyp	Digi-Key Teilenr.	Gurtabschnittspreis pro Stück 1	10	100	Digi-Key Teilenr.	Preisangaben für Gegurtet auf Rolle 1.000
Serie ZR78L, lokal											
2.85	200	2	40	25	SOT-223	ZR78L028GCT-ND	1.36	1.03	.62	ZR78L028GTR-ND	385.71
3.0	200	2	40	25	SOT-223	ZR78L03GCT-ND	1.36	1.03	.62	ZR78L03GTR-ND	385.71
3.3	200	2	30	25	SOT-223	ZR78L033GCT-ND	1.36	1.03	.62	—	—
4.0	200	2	40	25	SOT-223	ZR78L04GCT-ND	1.36	1.03	.62	ZR78L04GTR-ND	385.71
4.85	200	2	40	25	SOT-223	ZR78L048GCT-ND	1.36	1.03	.62	—	—
6.0	200	2	40	30	SOT-223	ZR78L06GCT-ND	1.36	1.03	.62	ZR78L06GTR-ND	385.71

* Preisangaben für lose Ware ** Max. Eing. Spannungsregelung

ZETEX SEMICONDUCTORS *Nach QS9000 akkreditiert!*

Low Dropout-Spannungsregler

SC70

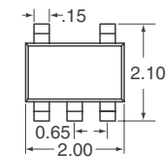

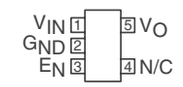

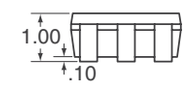

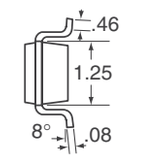

SM-8

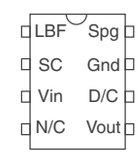

SOT23-5

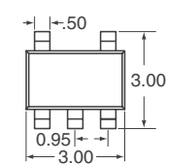

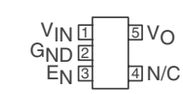

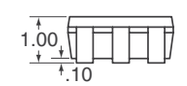

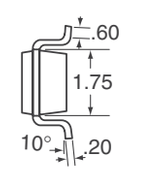

(Forts.)

B

Ausgangs-spannung (V)	Max. Ausgangsstrom (mA)	P_{TOT} (W)	Max.Eing.-Spannungsregelung (mV)	Max. Lastregelung (mV)	Pakettyp	Digi-Key Teilenr.	Gurtabschnittspreis pro Stück 1	10	100	Digi-Key Teilenr.	Gegurtet auf Rolle 1.000
Serie ZR78L, lokal (Forts.)											
7.0	200	2	40	25	SOT-223	ZR78L07GCT-ND	1.36	1.03	.62	ZR78L07GTR-ND	385.71
8.5	200	2	40	30	SOT-223	ZR78L085GCT-ND	1.36	1.03	.62	—	—
10.0	200	2	40	30	SOT-223	ZR78L10GCT-ND	1.36	1.03	.62	ZR78L10GTR-ND	385.71
12.0	200	2	40	30	SOT-223	ZR78L12GCT-ND	1.36	1.03	.62	ZR78L12GTR-ND	385.71

Shunt-Spannungsreferenzen

B

Referenz-spannung	Ausgangsspannung Min.	Max.	Min. Betriebsstrom (µA)	Toleranz (%)	Pakettyp	Digi-Key Teilenr.	Stückpreis für lose Ware 1	10	100
Serie ZR431, programmierbar									
1.24	1.24	10	30	1	TO-92	ZR431LC01-ND	1.17	.88	.53
	1.24	10	30	2.5	TO-92	ZR431LC02L-ND	.96	.72	.43
2.5	2.5	20	50	2	TO-92	ZR431C-ND	.91	.69	.42
	2.5	20	50	1	TO-92	ZR431C01-ND	1.02	.77	.47

Referenz-spannung	Ausgangsspannung Min.	Max.	Min. Betriebsstrom (µA)	Tol. (%)	Pakettyp	Digi-Key Teilenr.	Gurtabschnittspreis pro Stück 1	10	100	Digi-Key Teilenr.	Gegurtet auf Rolle Größe	Preisangaben
Serie ZR431, programmierbar												
1.24	1.24	15	30	1	SOT-23	ZR2431F01CT-ND	1.47	1.11	.67	ZR2431F01TR-ND	3,000	368.27/M
	1.24	15	30	2.5	SOT-23	ZR2431F02CT-ND	1.12	.84	.51	ZR2431F02TR-ND	3,000	279.38/M
	1.24	15	30	1	SO-8	ZR2431N801CT-ND	2.36	1.78	1.07	ZR2431N801TR-ND	500	413.35
	1.24	15	30	2.5	SO-8	ZR2431N802CT-ND	2.21	1.66	1.00	ZR2431N802TR-ND	500	386.68
	1.24	10	30	1	SOT-23	ZR431LF01CT-ND	1.24	.94	.56	ZR431LF01TR-ND	3,000	311.13/M
	1.24	10	30	2.5	SOT-23	ZR431LF02CT-ND	.97	.74	.44	ZR431LF02TR-ND	3,000	243.82/M
2.5	2.5	20	50	2	SOT-23	ZR431FCT-ND	.85	.64	.38	ZR431FTR-ND	3,000	210.81/M
	2.5	20	50	0.5	SOT-23	ZR431F005TACT-ND	1.35	1.01	.61	ZR431F005TATR-ND	3,000	336.53/M
	2.5	20	50	1	SOT-23	ZR431F01CT-ND	.97	.74	.44	ZR431F01TR-ND	3,000	243.82/M
	2.5	20	50	1	SO-8	ZR431N801CT-ND	1.82	1.37	.82	—	—	—

V_O (V)	DVref (mV) Typ.	Max.	Iref (mA) Min.	Max.	Ersatzwiderstand Typ.	Max.	Trimmbereich	Pakettyp	Digi-Key Teilenr.	Gurtabschnittspreis pro Stück 1	25	100	Digi-Key Teilenr.	Preisangabe für Gegurtet auf Rolle 1.000
ZRT trimmbar														
2.5	2.7	8.8	0.15	75	0.85	2	5.0%	SOT-223	ZRT025GC1CT-ND	1.67	1.20	.96	ZRT025GC1TR-ND	596.85
4.0	4.2	14.0	0.15	75	1.1	3	5.0%	SOT-223	ZRT040GC1CT-ND	1.67	1.20	.96	ZRT040GC1TR-ND	596.85
5.0	5.4	17.2	0.15	60	1.25	2	5.0%	SOT-223	ZRT050GC1CT-ND	1.67	1.20	.96	ZRT050GC1TR-ND	596.85
6.2	6.5	22.0	0.15	50	1.4	3	5.0%	SOT-223	ZRT062GC1CT-ND	1.67	1.20	.96	ZRT062GC1TR-ND	596.85
9.8	10.8	34.4	0.15	30	1.8	4	2.5%	SOT-223	ZRT100GC1CT-ND	1.67	1.20	.96	ZRT100GC1TR-ND	596.85

Rückwärts-Durchbruchspannung	Min. Leckstrom (µA)	Max. Stromstärke (mA)	Max. Temp. Koeffizient (ppm/°C)	Max. Innenwiderstand (Ω)	Toleranz (%)	Pakettyp	Digi-Key Teilenr.	Stückpreis für lose Ware 1	25	100	1.000
Serie ZR - fest, Präzisions-Micropower											
2.45/2.55	20	5	90	1.0	2%	TO-92	ZRC250A02-ND	.93	.67	.40	.34
	20	5	90	1.0	1%	TO-92	ZRC250A01-ND	1.14	.82	.50	.41
	20	5	90	1.0	3%	TO-92	ZRC250A03-ND	.85	.61	.37	.31
	20	5	90	1.0	1%	TO-92	ZRC250R01-ND	1.14	.82	.50	.41
2.5	20	5	90	1.0	3%	TO-92	ZRC250R03-ND	.85	.61	.37	.31
	50	20	90	2	1	TO-92	ZR40401R25-ND	1.14	.82	.50	.41
	50	20	90	2	2	TO-92	ZR40402R25-ND	.93	.67	.40	.34
3.3	20	5	50	2.0	1%	TO-92	ZRC330A01-ND	1.14	.82	.50	.41
	20	5	50	2.0	3%	TO-92	ZRC330A03-ND	.85	.61	.37	.31
4.0	23	5	90	2.0	2%	TO-92	ZRC400A02-ND	.93	.67	.40	.34
4.096	50	20	90	2	1	TO-92	ZR40401R41-ND	1.14	.82	.50	.41
	50	20	90	2	2	TO-92	ZR40402R41-ND	.93	.67	.40	.34
	50	15	50	1.5	1%	TO-92	ZRB500A01-ND	1.14	.82	.50	.41
	50	15	50	1.5	3%	TO-92	ZRB500A03-ND	1.57	.61	.37	.31
5.0	25	5	90	2.0	2%	TO-92	ZRC500A02-ND	.93	.67	.40	.34
	50	20	90	1.5	1	TO-92	ZR40401R50-ND	1.14	.82	.50	.41
	50	20	90	1.5	2	TO-92	ZR40402R50-ND	.93	.67	.40	.34

Rückwärts-Durchbruch-spannung	Min. Leckstrom (µA)	Max. Stromstärke (mA)	Max. Temp. Koeffizient (ppm/°C)	Max. Innenwiderstand (Ω)	Tol. (%)	Pakettyp	Digi-Key Teilenr.	Gurtabschnittspreis pro Stück 1	25	100	Digi-Key Teilenr.	Gegurtet auf Rolle Größe	Preisangaben
Serie ZR - fest, Präzisions-Micropower													
2.5	2000	120	50	0.5	1	SOT-23	ZRA245F01CT-ND	1.08	.78	.63	ZRA245F01TR-ND	3,000	388.38/M
	2000	120	50	0.5	3	SOT-23	ZRA245F03CT-ND	.80	.58	.47	ZRA245F03TR-ND	3,000	287.85/M
	2000	120	50	0.5	1	SO-8	ZRA245N801CT-ND	1.32	.95	.76	ZRA245N801TR-ND	500	250.53
	2000	120	50	0.5	3	SO-8	ZRA245N803CT-ND	1.06	.76	.61	ZRA245N803TR-ND	500	201.55
	20	5	90	1	1	SOT-23	ZRC250F01CT-ND	1.08	.78	.63	ZRC250F01TR-ND	3,000	388.38/M

ZETEX SEMICONDUCTORS *Nach QS9000 akkreditiert!*

Spannungsregler

Miniatur

SOT-23
Draufsicht

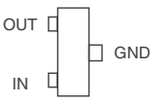

TO-92
Bodenansicht

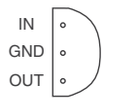

Fest/lokal

SO-8
Draufsicht

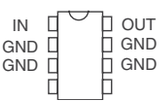

SOT-223
Draufsicht

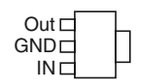

TO-92
Bodenansicht

Shunt-Spannungsreferenzen

Programmierbar

SO-8
Draufsicht

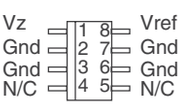

SOT-23
Draufsicht

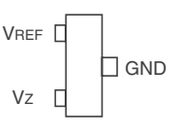

TO-92
Bodenansicht

(Forts.)

Alle Preisangaben in Euro und inklusive Zollgebühren.

ZETEX SEMICONDUCTORS *Nach QS9000 akkreditiert!*

Rückwärts-Durchbruchspannung	Min. Leckstrom (µA)	Max. Stromstärke (mA)	Max. Temp. Koeffizient (ppm/°C)	Max. Innenwiderstand (Ω)	Tol. (%)	Pakettyp	Digi-Key Teilenr.	Gurtabschnittspreis pro Stück 1	25	100	Digi-Key Teilenr.	Gegurtet auf Rolle Größe	Preisangaben
Serie ZR - fest, Präzisions-Micropower (Forts.)													
	20	5	90	1	2	SOT-23	ZRC250F02CT-ND	.89	.64	.51	ZRC250F02TR-ND	3,000	316.42/M
	20	5	90	1	3	SOT-23	ZRC250F03CT-ND	.80	.58	.47	ZRC250F03TR-ND	3,000	287.85/M
	20	5	90	1.0	3	SO-8	ZRC250N803CT-ND	1.06	.76	.61	ZRC250N803TR-ND	500	201.55
	20	20	90	1	2	SOT-23	ZR285F02CT-ND	1.50	1.08	.86	ZR285F02TR-ND	3,000	535.48/M
	20	20	90	1	3	SOT-23	ZR285F03CT-ND	1.31	.94	.75	ZR285F03TR-ND	3,000	467.75/M
2.5	20	20	90	1.0	2	SO-8	ZR285N802CT-ND	1.58	1.14	.91	ZR285N802TR-ND	500	300.64
	20	20	90	1.0	3	SO-8	ZR285N803CT-ND	1.54	1.10	.88	ZR285N803TR-ND	500	292.20
	25	60	30	0.4	0.5	SOT-23	ZR404005F25TACT-ND	1.50	1.08	.86	ZR404005F25TATR-ND	3,000	535.48/M
	50	20	90	2	1	SOT-23	ZR40401F25CT-ND	1.08	.78	.63	ZR40401F25TR-ND	3,000	388.38/M
	50	20	90	2	2	SOT-23	ZR40402F25CT-ND	.89	.64	.51	ZR40402F25TR-ND	3,000	316.42/M
	50	20	90	2.0	1	SO-8	ZR40401N825CT-ND	1.32	.95	.76	—	—	—
	50	20	90	2.0	2	SO-8	ZR40402N825CT-ND	1.14	.82	.66	ZR40402N825TR-ND	500	217.88
	20	5	50	2	1	SOT-23	ZRC330F01CT-ND	1.08	.78	.63	ZRC330F01TR-ND	3,000	466.06/M
	20	5	50	2	2	SOT-23	ZRC330F02CT-ND	.89	.64	.51	ZRC330F02TR-ND	3,000	316.42/M
3.3	20	5	50	2	3	SOT-23	ZRC330F03CT-ND	.80	.58	.47	ZRC330F03TR-ND	3,000	287.85/M
	20	5	50	2.0	1	SO-8	ZRC330N801CT-ND	1.32	.95	.76	ZRC330N801TR-ND	500	250.53
	20	5	50	2.0	3	SO-8	ZRC330N803CT-ND	1.06	.76	.61	ZRC330N803TR-ND	500	201.55
	50	20	90	2	1	SOT-23	ZR40401F41CT-ND	1.08	.78	.63	ZR40401F41TR-ND	3,000	388.38/M
4.096	50	20	90	2	2	SOT-23	ZR40402F41CT-ND	.89	.64	.51	ZR40402F41TR-ND	3,000	316.42/M
	50	20	90	2.0	2	SO-8	ZR40402N841CT-ND	1.14	.82	.66	ZR40402N841TR-ND	500	217.88
	50	15	50	1.5	1	SOT-23	ZRB500F01CT-ND	1.08	.78	.63	ZRB500F01TR-ND	3,000	388.38/M
5	50	15	50	1.5	2	SOT-23	ZRB500F02CT-ND	.89	.64	.51	ZRB500F02TR-ND	3,000	316.42/M
	50	15	50	1.5	3	SOT-23	ZRB500F03CT-ND	.80	.58	.47	ZRB500F03TR-ND	3,000	287.85/M
	50	15	50	1.5	3	SO-8	ZRB500N803CT-ND	1.06	.76	.61	ZRB500N803TR-ND	500	201.55
5.0	50	20	90	1.5	1	SOT-23	ZR40401F50CT-ND	1.08	.78	.63	ZR40401F50TR-ND	3,000	388.38/M
	50	20	90	1.5	2	SOT-23	ZR40402F50CT-ND	.89	.64	.51	ZR40402F50TR-ND	3,000	316.42/M
	50	20	90	1.5	2	SO-8	ZR40402N850CT-ND	1.14	.82	.66	ZR40402N850TR-ND	500	217.88

Rückwärts-Durchbruchspannung	Min. Leckstrom (µA)	Max. Stromstärke (mA)	Max. Temp. Koeffizient (ppm/°C)	Max. Innenwiderstand (Ω)	Toleranz (%)	Pakettyp	Digi-Key Teilenr.	Stückpreis für lose Ware 1	25	100	1.000
Serie ZXRE - Präzisionsausführung mit sehr niedrigem Ruhestrom											
	8	20	75	0.5	1%	TO-92	ZXRE1004DR-ND	2.12	1.52	.91	.76
1.22	30	5	90	0.5	1%	TO-92	ZXRE125DR-ND	1.14	.82	.50	.41
	30	5	90	0.5	2%	TO-92	ZXRE125ER-ND	.93	.67	.40	.34
	30	5	90	0.5	3%	TO-92	ZXRE125FR-ND	.85	.61	.37	.31
1.225	30	12	75	0.5	1%	TO-92	ZXRE4041DR-ND	1.14	.82	.50	.41

Rückwärts-Durchbruchspannung	Min. Leckstrom (µA)	Max. Stromstärke (mA)	Max. Temp. Koeffizient (ppm/°C)	Max. Innenwiderstand (Ω)	Tol. (%)	Pakettyp	Digi-Key Teilenr.	Gurtabschnittspreis pro Stück 1	25	100	Digi-Key Teilenr.	Gegurtet auf Rolle Größe	Preisangaben
Serie ZXRE - Präzisionsausführung mit sehr niedrigem Ruhestrom													
	8	20	75	0.5	0.5	SOT-23	ZXRE1004CFCT-ND	1.49	1.07	.86	ZXRE1004CFTR-ND	3,000	533.36/M
	8	20	75	0.5	1	SOT-23	ZXRE1004DFCT-ND	1.06	.76	.61	ZXRE1004DFTR-ND	3,000	378.86/M
	8	20	75	0.5	1	SO-8	ZXRE1004DN8CT-ND	2.12	1.52	1.21	ZXRE1004DN8TR-ND	500	401.97
	8	20	75	0.5	2	SOT-23	ZXRE1004EFCT-ND	.89	.64	.51	ZXRE1004EFTR-ND	3,000	318.54/M
	8	20	75	0.5	2	SO-8	ZXRE1004EN8CT-ND	1.80	1.29	1.04	ZXRE1004EN8TR-ND	500	342.86
	4	20	75	0.6	3	SOT-23	ZXRE1004FFCT-ND	.80	.58	.47	ZXRE1004FFTR-ND	3,000	287.85/M
1.22	8	20	75	0.5	3	SO-8	ZXRE1004FN8CT-ND	1.67	1.20	.96	ZXRE1004FN8TR-ND	500	317.53
	30	5	90	0.5	0.5	SOT-23	ZXRE125CFCT-ND	1.49	1.07	.86	ZXRE125CFTR-ND	3,000	533.36/M
	30	5	90	0.5	1	SOT-23	ZXRE125DFCT-ND	1.08	.78	.63	ZXRE125DFTR-ND	3,000	388.38/M
	30	5	90	0.5	1	SO-8	ZXRE125DN8CT-ND	1.32	.95	.76	ZXRE125DN8TR-ND	500	250.53
	30	5	90	0.5	2	SOT-23	ZXRE125EFCT-ND	.89	.64	.51	ZXRE125EFTR-ND	3,000	316.42/M
	30	5	90	0.5	2	SO-8	ZXRE125EN8CT-ND	1.14	.82	.66	ZXRE125EN8TR-ND	500	217.88
	30	5	90	0.5	3	SOT-23	ZXRE125FFCT-ND	.80	.58	.47	ZXRE125FFTR-ND	3,000	287.85/M
	30	5	90	0.5	3	SO-8	ZXRE125FN8CT-ND	.85	.61	.49	ZXRE125FN8TR-ND	500	161.01
	30	12	75	0.5	0.5	SOT-23	ZXRE4041CFCT-ND	1.49	1.07	.86	ZXRE4041CFTR-ND	3,000	533.36/M
	30	12	75	0.5	1	SOT-23	ZXRE4041DFCT-ND	1.08	.78	.63	ZXRE4041DFTR-ND	3,000	388.38/M
1.225	30	12	75	0.5	1	SO-8	ZXRE4041DN8CT-ND	1.32	.95	.76	ZXRE4041DN8TR-ND	500	250.53
	30	12	75	0.5	2	SOT-23	ZXRE4041EFCT-ND	.89	.64	.51	ZXRE4041EFTR-ND	3,000	316.42/M
	30	12	75	0.5	2	SO-8	ZXRE4041EN8CT-ND	1.14	.82	.66	ZXRE4041EN8TR-ND	500	217.88
	30	12	75	0.5	3	SO-8	ZXRE4041FN8CT-ND	1.06	.76	.61	ZXRE4041FN8TR-ND	500	201.55

Versorgungsspannungwächter -

Serie ZXCM - sehr niedrige Spannung

Vcc, typisch (V)	Schwellenspannung	Schwellen-spannungs-Toleranz (%)	Minimum-Reset-Zeitspanne (ms)	Reset-Aktivierung	Pakettyp	Digi-Key Teilenr.	Gurtabschnittspreis pro Stück 1	25	100
3.3	2.93	1	140	Low	SOT-23	ZXCM209SFCT-ND	.60	.52	.48
5	4.63	1	140	High	SOT-23	ZXCM210LFCT-ND	.60	.52	.48

Shunt-Spannungsreferenzen (Forts.)

Trimmbar

SOT-223
Draufsicht

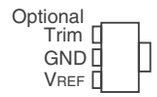

Micropower

SO-8
Draufsicht

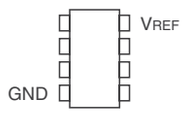

SOT-23
Draufsicht

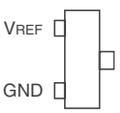

TO-92
Bodenansicht

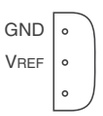

Paket Suffix R

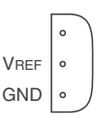

Paket Suffix A

Versorgungsspannungwächter

SOT-23

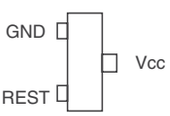

B

Spezielle integrierte Schaltkreise

Zetex bietet aufgrund seines besonderen Portfolios aus integrierten, diskreten, und kombinierten analogen Produkten hochwertige Lösungen auf Systemebene an.

LED/LCD-Treiberanwendungen

Dank der natürlichen Flexibilität des ZXSC-Schaltkreises können LEDs den Anforderungen entsprechend parallel oder in Serie betrieben werden. Der Anwendungsschaltkreis lässt sich leicht ändern, und der maximale Impulsstrom kann so programmiert werden, dass er auf die Eigenschaften der gewählten LED-Belastung abgestimmmt ist. Impulsströme in der Größenordnung von 10 mA bis 3 A und darüber sind ohne Weiteres möglich.

Beschreibung	Paket	Digi-Key Teilenr.	Gurtabschnittspreis pro Stück 1	25	100	Digi-Key Teilenr.	Gegurtet auf Rolle Größe	Preisangaben
Boost-Wandler für LCD-Vorspannung	10-MSOP	ZXLB1600X10TACT-ND	2.25	1.94	1.77	ZXLB1600X10TATR-ND	1,000	1093.81
Boost-Wandler - LED-Treiber mit Schalter	SC70-6	ZXLD1100H6CT-ND	2.39	2.05	1.88	ZXLD1100H6TR-ND	3,000	1023.54/M
Boost-Wandler - LED-Treiber mit Schalter	TSOT23-5	ZXLD1101ET5CT-ND	2.12	1.82	1.67	ZXLD1101ET5TR-ND	3,000	906.71/M
Evaluierungskarte für ZXSC100	—	ZXSC100-EVAL-ND*	42.33	—	—	—	—	—
Boost-Wandler, 1 Zelle	8-SOIC	ZXSC100N8CT-ND	1.67	1.44	1.32	ZXSC100N8TR-ND	500	501.36
Boost-Wandler, 1 Zelle	MSOP-8	ZXSC100X8CT-ND	1.67	1.44	1.32	—	—	—
Boost-Wandler, 1 LED-Zelle	SOT23-5	ZXSC300E5CT-ND	.85	.73	.67	ZXSC300E5TR-ND	3,000	435.83/M
Boost-Wandler, 1 LED-Zelle	SOT23-5	ZXSC310CT-ND	1.17	1.07	.92	ZXSC310TR-ND	3,000	499.07/M
Evaluierungskarte für ZXSC310E5TA	—	ZXSC310EV-ND*	46.65	—	—	—	—	—
Boost-Wandler - LED-Treiber mit Abschaltfunktion	SOT23-6	ZXSC400E6TACT-ND	1.46	1.25	1.15	ZXSC400E6TATR-ND	3,000	622.25/M
Boost-wandler	SOT23-6	ZXSC410E6TACT-ND	1.32	1.14	1.04	ZXSC410E6TATR-ND	3,000	565.11/M
Boost-wandler	SOT23-6	ZXSC420E6TACT-ND	1.32	1.14	1.04	ZXSC420E6TATR-ND	3,000	565.11/M

* Preisangaben für lose Ware

Leistungsmanagement

Das ZXCT-Angebot von High-Side-Stromwächtern und Stromsensorverstärkern bietet elegante Designlösungen für Strommessung und Leistungssteuerung. **ZXCT1009:** Dieser Stromwächter benutzt die High-Side-Spannung, die an einem Strom-Shuntwiderstand entsteht, und setzt diesen, als Stromspiegel wirkend, in eine skalierte Spannung mit Referenz zur Erde um. **ZXCT1010:** Verringert den typischen Offset und erhöht die Genauigkeit bei niedrigen Sensorspannungen. **ZXCT1021/1022:** Diese Stromsensorverstärker sind für Anwendungen mit niedrigen Sensorspannungen besonders gut geeignet.

Beschreibung	Paket	Digi-Key Teilenr.	Gurtabschnittspreis pro Stück 1	25	100	Digi-Key Teilenr.	Gegurtet auf Rolle Größe	Preisangaben
DC-DC-Umsetzer m. Schaltkondensator	SOT23-6	ZXCP330E6TACT-ND	1.67	1.44	1.32	—	—	—
High-Side-Stromwächter	SOT-23	ZXCT1009FCT-ND	.80	.70	.64	ZXCT1009FTR-ND	3,000	345.42/M
High-Side-Stromwächter	SM-8	ZXCT1009T8CT-ND	1.24	1.06	.97	ZXCT1009T8TR-ND	1,000	598.72
Stromwächter	SOT23-5	ZXCT1010CT-ND	1.02	.94	.81	ZXCT1010TR-ND	3,000	436.85/M
High-Side-Stromwächter	SOT23-5	ZXCT1021E5TACT-ND	1.24	1.06	.97	ZXCT1021E5TATR-ND	3,000	528.28/M
High-Side-Stromwächter	SOT23-5	ZXCT1022E5TACT-ND	1.24	1.06	.97	ZXCT1022E5TATR-ND	3,000	528.28/M
High-Side-Stromwächter mit Komparator	8-MSOP	ZXCT1030X8TACT-ND	1.98	1.70	1.56	ZXCT1030X8TATR-ND	1,000	962.84
Einstellbarer DC/DC-Boost-Wandler mit internem Schalter	TSOT23-5	ZXLD1615ET5CT-ND	1.90	1.43	.95	ZXLD1615ET5TR-ND	3,000	568.41/M
PWM DC/DC-Controller, einstellbar	16-QSOP	ZXRD100ANQ16CT-ND	3.62	2.73	1.64	ZXRD100ANQ16TR-ND	500	401.97
PWM DC/DC-Controller, einstellbar	16-QSOP	ZXRD100APQ16CT-ND	3.62	2.73	1.64	ZXRD100APQ16TR-ND	500	401.97
PWM DC/DC-Controller, 3,3 V	16-QSOP	ZXRD1033NQ16CT-ND	3.62	2.73	1.64	ZXRD1033NQ16TR-ND	500	401.97
PWM DC/DC-Controller, 3,3 V	16-QSOP	ZXRD1033PQ16CT-ND	3.62	2.73	1.64	ZXRD1033PQ16TR-ND	500	401.97
PWM DC/DC-Controller, 5,0 V	16-QSOP	ZXRD1050NQ16CT-ND	3.62	2.73	1.64	ZXRD1050NQ16TR-ND	500	401.97
PWM DC/DC-Controller, 5,0 V	16-QSOP	ZXRD1050PQ16CT-ND	3.62	2.73	1.64	ZXRD1050PQ16TR-ND	500	401.97
FET Bias-Controller, 2 Stufen	10-MSOP	ZNBG2000X10CT-ND	7.62	5.72	3.81	ZNBG2000X10TR-ND	1,000	2158.83
FET Bias-Controller, 4 Stufen	16-QSOP	ZNBG4000Q16CT-ND	7.62	5.72	3.81	ZNBG4000Q16TR-ND	2,500	1904.86/M
FET Bias-Controller, 6 Stufen	20-QSOP	ZNBG6000Q20CT-ND	11.43	8.58	5.72	ZNBG6000Q20TR-ND	2,500	2857.28/M
Bürstenloser DC-Motor-Controller, Einzelphase, variable Geschwindigkeit	16-QSOP	ZXBM1004Q16CT-ND	3.00	2.25	1.50	ZXBM1004Q16TR-ND	500	524.47
Gebläsemotor-Controller mit variabler Geschwindigkeit zur Thermistor-Steuerung, zweiphasig.	16-QSOP	ZXBM2004Q16TACT-ND	1.67	1.44	1.32	ZXBM2004Q16TATR-ND	500	501.36

Analoge Video-Produkte

Das Zetex-Angebot an Videolösungen wurde durch einen Synch.-Separator und einen DC-Restore-Verstärker erweitert. **ZXFV4583:** Filtert die eingebetteten Synch-Informationen aus PAL, NTSC, SECAM und anderen analogen Videosignalen heraus. **ZXFV4089:** Benutzt einen Synchimpuls (normalerweise von einem Sync-Separator), um die korrekte DC-Spannung der Video-Schwarzstufe wiederherzustellen. Die Hochgeschwindigkeitsverstärker/Puffer beinhalten vierfache und einfache Verstärker, plus Mehrfachkanal-Puffer mit dem Verstärkungsfaktor 1. **ZXFV202:** Der Einfach-Videoverstärker ist in einer SOT23- und einer SO8-Ausführung erhältlich; er bietet hervorragende Differenzialverstärkung und Phasenleistung von 0,01 % bzw. 0,01°. **ZXFV301N16 / ZXFV302N16:** 4:1 Multiplexer sind für Video und andere Hochgeschwindigkeitsanwendungen gedacht. **ZXFV301/302:** Zur Erweiterung der Anwendungsmöglichkeiten weisen diese Verstärker verschiedene wählbare Kanäle sowie eine Ausgangsaktivierung auf.

Beschreibung	Paket	Digi-Key Teilenr.	Gurtabschnittspreis pro Stück 1	25	100	Digi-Key Teilenr.	Gegurtet auf Rolle Größe	Preisangaben
Hochleistungs-Sync-Separator	16-SOIC	ZXFV4583N16CT-ND	7.78	6.67	6.12	ZXFV4583N16TR-ND	500	2333.44
Doppel-Videoverstärker	8-SOIC	ZXFV204N8CT-ND	4.98	3.74	2.49	ZXFV204N8TR-ND	2,500	1244.51/M
Video-DC-Restore-Verstärker	8-SOIC	ZXFV4089N8CT-ND	3.50	3.01	2.76	ZXFV4089N8TR-ND	500	1000.68
4:1 Kanal G1 Video-Multiplexer - 4-Pin Steuerung	16-SOIC	ZXFV301N16CT-ND	6.00	5.15	4.72	ZXFV301N16TR-ND	500	1800.08
4:1 Kanal G1-Video-Multiplexer - 2-Bit Steuerung	16-SOIC	ZXFV302N16TACT-ND	6.00	5.15	4.72	ZXFV302N16TATR-ND	500	1140.06
CFB-Verstärker, 1 Kanal, 300 MHz	SOT23-5	ZXFV202E5CT-ND	1.46	1.25	1.15	ZXFV202E5TR-ND	3,000	622.25/M
CFB-Verstärker, 1 Kanal, 300 MHz	8-SOIC	ZXFV202N8TACT-ND	1.46	1.25	1.15	ZXFV202N8TATR-ND	500	435.58
CFB-Verstärker, 4 Kanal, 300 MHz	14-SOIC	ZXFV201N14CT-ND	3.50	3.01	2.76	ZXFV201N14TR-ND	500	1050.72
Puffer, 4-Kanal	14N	ZXFBF04N14CT-ND	2.80	2.41	2.21	ZXFBF04N14TR-ND	500	840.04
Hochkapazitätspuffer, 4-Kanal	14N	ZXFBF05N14CT-ND	2.80	2.41	2.21	ZXFBF05N14TR-ND	500	840.04
Puffer, 8-Kanal	20W	ZXFBF08W20CT-ND	4.44	3.81	3.50	ZXFBF08W20TR-ND	1,000	2158.83
Dreif. Videoverstärker	14-SOIC	ZXFV203N14CT-ND	3.23	2.77	2.54	ZXFV203N14TR-ND	500	968.93
Q-Filter, variabel, mit Mixer	16-QSOP	ZXF103Q16CT-ND	5.55	4.77	4.37	ZXF103Q16TR-ND	500	1666.74
Evaluierungskarte für ZXFV103Q16CT	—	ZXF103EV-ND*	26.41	—	—	—	—	—
Q-Notch/Bandpassfilter, variabel	24-SOIC(W)	ZXF36L01W24-ND*	11.32	9.13	6.35	—	—	—
Evaluierungskarte für ZXF36L01W24	—	ZXF36L01-EVB-ND*	20.32	—	—	—	—	—
Evaluierungskarte für ZXFV4583/ZXFV4089	—	ZXFV4583EV-ND*	114.29	—	—	—	—	—
Evaluierungskarte für ZXFV302	—	ZXFV302EV-ND*	76.19	—	—	—	—	—
Evaluierungskarte für ZXFV203	—	ZXFV203EV-ND*	228.58	—	—	—	—	—
Evaluierungskarte für ZXFV202	—	ZXFV202N8EV-ND*	76.19	—	—	—	—	—
Evaluierungskarte für ZXFV201, vierf. Videoverstärker	—	ZXFV201EV-ND*	76.19	—	—	—	—	—

* Preisangaben für lose Ware

(Forts.)

Alle Preisangaben in Euro und inklusive Zollgebühren.

Spezielle integrierte Schaltkreise *(Forts.)*

RF-Verstärker

Bereich von RF-Produkten, die aus RF-Verstärkern mit einer Bandbreite von 850-2500 MHz und GaAs-Bias-ICs bestehen. Die Serie ZAMP der rauscharmen und mittelstarken Leistungsverstärker bietet eine Reihe von Verstärkungen, die entweder flach oder steigend über das Band verlaufen, um Kabelverluste zu beseitigen; sie wurden auch zwecks hoher Linearität bei niedrigem Versorgungsstrom optimiert. Die Eingänge sind auf 50 Ω abgestimmt und die Ausgänge sind entweder auf 50 oder 75 Ω abgestimmt. Die hoch integrierten ZNBG-Bias-ICs wurden zur Erfüllung der vollen Bias-Anforderungen für 2, 4 oder 6 GaAs FETs konzipiert. Das Biasing umfasst Spannungs- und Stromsteuerung für die Drains und produziert gleichzeitig eine geregelte negative Schienenspannung von -3 V. Die ZNBG-Bausteine bieten Temperaturausgleich und FET-Schutz unter jeder Bedingung, einschließlich Start- und Fehlerkonditionen.

Beschreibung	Paket	Digi-Key Teilenr.	Gurtabschnittspreis pro Stück 1	25	100	Digi-Key Teilenr.	Gegurtet auf Rolle Größe	Preisangaben
LNA, 18 dB Verstärkung, Niederstromverstärker	SC70-6	ZAMP001H6CT-ND	.89	.77	.71	ZAMP001H6TR-ND	3,000	382.24/M
Mittlere Leistung, 22 dB Verstärkung, Verstärker m. großer Dynamik	SC70-6	ZAMP002H6CT-ND	.89	.77	.71	ZAMP002H6TR-ND	3,000	382.24/M
LNA, 15 dB Verstärkung, Niedrigststromverstärker	SC70-6	ZAMP003H6CT-ND	.89	.77	.71	ZAMP003H6TR-ND	3,000	382.24/M

Schaltungslösungen für Audio-Verstärker

Zetex verbindet umfassende Erfahrung im Design mit modernster Produktfähigkeit und vielen Jahren Erfahrung im Design von Audiosystemen, um innovative Audio-Lösungen zu erstellen, die allen Anforderungen gerecht werden. • Ausgezeichnete Klangqualität • Kleinerer Platzbedarf • Weniger Strom • Preisgünstig

Beschreibung	Paket	Digi-Key Teilenr.	Gurtabschnittspreis pro Stück 1	25	100	Digi-Key Teilenr.	Gegurtet auf Rolle Größe	Preisangaben
50 W Evaluierungskarte, Klasse D	—	ZXCD50STEVAL-ND*	112.60	—	—	—	—	—
Verstärker-Controller IC, Klasse D	QSOP-16	ZXCD1000EQ16CT-ND	9.24	7.93	7.27	ZXCD1000EQ16TR-ND	500	2773.46
Audio-Verstärkerlösungskit, Klasse D, Mono	—	ZXCD1000MOKIT-ND*	10.41	8.22	6.01	—	—	—
Audio-Verstärkerlösungskit, Klasse D, Stereo	—	ZXCD1000STKIT-ND*	21.10	16.66	12.16	—	—	—
24-Bit Audio-Stereo-Verstärker	28-SSOP	ZXCW6100S28CT-ND	10.07	8.64	7.92	ZXCW6100S28TR-ND	1,500	4893.35/M
32-Bit Digital-Verstärkungs-Controller-IC	28-SSOP	ZXCW8100S28CT-ND	14.44	12.39	11.35	ZXCW8100S28TR-ND	1,500	7016.20/M
24 Bit, Digital-Audioverstärker, Stereo, Direktansteuerung	28-SSOP	ZXCW6100S28TCCT-ND	11.12	9.53	8.74	ZXCW6100S28TCTR-ND	1,500	5397.08/M

* Preisangaben für lose Ware

Linear

Beschreibung	Paket	Digi-Key Teilenr.	Gurtabschnittspreis pro Stück 1	25	100	Digi-Key Teilenr.	Gegurtet auf Rolle Größe	Preisangaben
Lüftermotorsteuerung, bürstenlos, mit Rotorsperre und Geschwindigkeitspuls.	MSOP10	ZXBM2001X10TACT-ND	1.28	1.10	1.01	ZXBM2001X10TATR-ND	1,000	620.30
Lüftermotorsteuerung, bürstenlos, mit Rotorsperre	MSOP10	ZXBM2002X10TACT-ND	1.19	1.03	.94	ZXBM2002X10TATR-ND	1,000	578.57
Lüftermotorsteuerung, bürstenlos, mit Geschwindigkeitspuls.	MSOP10	ZXBM2003X10TACT-ND	1.19	1.03	.94	ZXBM2003X10TATR-ND	1,000	578.57
Sirenentreiber für Fahrzeug- und Hausalarmanlage	8-DIP	ZSD100D8-ND	2.12	1.59	.96	—	—	—
Sirenentreiber für Fahrzeug- und Hausalarmanlage	8-SOIC	ZSD100N8CT-ND	1.49	1.28	1.18	ZSD100N8TR-ND	500	448.02
Präzisions-Einzelzellen-Timer	8-DIP	ZSCT1555D8-ND†	2.94	2.21	1.33	—	—	—
Präzisions-Einzelzellen-Timer	8-SOIC	ZSCT1555N8CT-ND	1.72	1.48	1.35	ZSCT1555N8TR-ND	500	514.69
Stromspiegel	SM-8	ZDS1009CT-ND	2.18	1.87	1.72	ZDS1009TR-ND	1,000	1057.83
Zusätzliche 60 V Mosfet-H-Brücke für Erweiterungsmodus	SM-8	ZXMHC6A07T8CT-ND	1.67	1.44	1.32	ZXMHC6A07T8TR-ND	1,000	811.72

† Rohrpreis

Stromsensoren

Beschreibung	Paket	Digi-Key Teilenr.	Gurtabschnittspreis pro Stück 1	25	100	Digi-Key Teilenr.	Gegurtet auf Rolle Größe	Preisangaben
Stromsensor AC/DC 5A	SM-8	ZMC05TACT-ND	6.14	5.26	4.82	ZMC05TATR-ND	1,000	2979.19
Stromsensor mit Magnettastung 10 A	14-DIL	ZMC10-ND†	12.95	9.72	5.83	—	—	—
Doppel-Stromsensor mit Magnettastung 10 A	14-DIL	ZMC10D-ND†	15.85	11.89	7.14	—	—	—

† Rohrpreis

Magnetische Feldsensoren

Extrem empfindliche magnetische Sensoren, die die magnetoresistiven Eigenschaften von Dünnfilm-Permalegierung nutzen. Sie gehören zu einem Bereich von Stromsensoren mit geringem Einfügungsverlust und hohem Isolationsstrom.
Merkmale: • ZMZ20 – E-Line 4-Pin und ZMY20 – SOT-223-Pakete • ZMY20M und ZMZ20M mit integriertem Magnet • ZMX40M mit Doppelsensor • Ausgangsspannung ist proportional zum Magnetfeld Hy • Misst Felder parallel zum Chip
Anwendungen: • Lineare Positionsmessung • Gewinkelte Positionsmessung • Navigation (Elektronikkompass) • Drehzahlmessung

Beschreibung	Paket	Digi-Key Teilenr.	Gurtabschnittspreis pro Stück 1	25	100	Digi-Key Teilenr.	Gegurtet auf Rolle Größe	Preisangaben
Magnetfeldsensor mit internem Magnet.	SOT223	ZMY20MTACT-ND	4.17	3.58	3.28	ZMY20MTATR-ND	1,000	2024.98
Magnetfeldsensor ohne internen Magnet	SOT223S	ZMY20TACT-ND	3.58	3.08	2.82	ZMY20TATR-ND	1,000	1740.02
Magnetfeldsensor, 4-Pin	E-Line 4	ZMZ20-ND*	8.11	6.09	3.65	—	—	—
Magnetfeldsensor mit internem Magnet, 4-Pin.	E-Line 4	ZMZ20M-ND*	9.02	6.77	4.07	—	—	—
Doppel-Magnetfeldsensoren, magneto-resistiv	SM-8	ZMX40MT8TACT-ND	8.67	7.44	6.82	ZMX40MT8TATR-ND	1,000	4211.16

* Preisangaben für lose Ware

TRAC The Fastest Analog Solution

Analoggerät vor Ort programmierbar

TRAC ist ein vor Ort programmierbares Analoggerät, unterstützt durch leistungsfähige Design- und Simulationstools auf PC-Basis. Es umfasst zudem einen Hardware-Emulator für schnelles Hardware-Prototyping, der einen rechnerischen Weg zu Signalverarbeitung in Echzeit bietet, mit Konstruktionsintegration und Geheimhaltung. Für weitere Informationen siehe die TRAC-Website, http://www.zetex.com

TRAC020LH in QSOP36 TRAC020LH in QSOP36 ..... **13.61**

Abm. in mm

Abb. 1

Abb. 2

Abb. 3

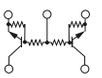

Abb. 4

Abb. 5

Abb. 6

Abb. 7

Abb. 8

Abb. 9

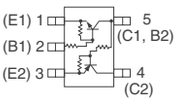

Abb. 10

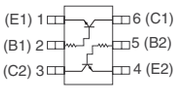

Abb. 11

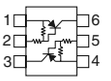

Abb. 12

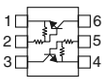

Abb. 13

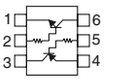

Abb. 14

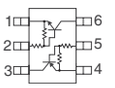

Abb. 15

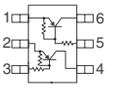

Abb. 16

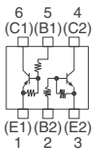

Abb. 17

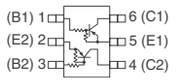

Abb. 18

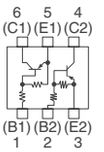

Abb. 19

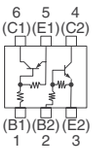

Abb. 20

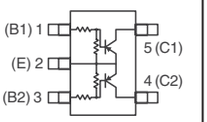

Abb. 21

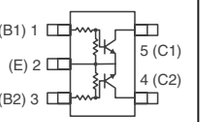

Abb. 22

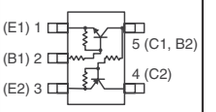

Mini-Typ (5-Pin) / EIAJ: SC-74A

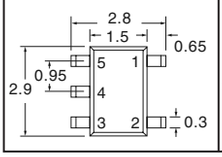

Mini-Typ (6-Pin) / EIAJ: SC-74

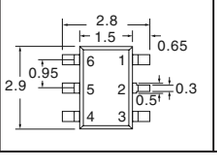

S-Mini-Typ (5-Pin) / EIAJ: SC-88A

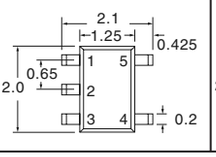

S-Mini-Typ (6-Pin) / EIAJ: SC-88

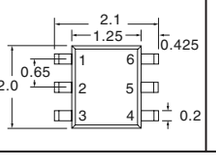

SS-Mini-Typ (5-Pin)

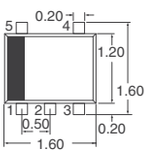

SS-Mini-Typ (6-Pin)

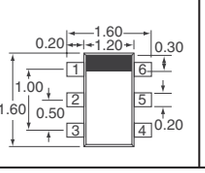

SSS-Mini-Typ (6-Pin)

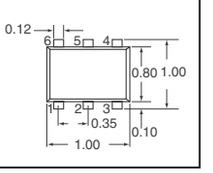

Abb.	Paket	Grundtyp PNP	Grundtyp NPN	Widerstandswert RB (KΩ)	Widerstandswert RBE (KΩ)	Digi-Key Teilenr.	Gurtabschnittspreis pro Stück 1	10	100	Digi-Key Teilenr.	Gegurtet auf Rolle Größe	Preisangaben
1	Mini-5-Pin	UN211F x2	—	4.7	10	XN0111F00LCT-ND	.36	.30	.24	XN0111F00LTR-ND	3,000	93.98/M
1	Mini-5-Pin	UN211H x2	—	2	10	XN0111H00LCT-ND	.36	.30	.24	XN0111H00LTR-ND	3,000	93.98/M
1	Mini-5-Pin	UN1110 x2	—	47	offen	XN0111000LCT-ND	.36	.30	.24	XN0111000LTR-ND	3,000	93.98/M
1	Mini-5-Pin	UN2111 x2	—	10	10	XN0111100LCT-ND	.36	.30	.24	XN0111100LTR-ND	3,000	93.98/M
1	Mini-5-Pin	UN2112 x2	—	22	22	XN0111200LCT-ND	.36	.30	.24	XN0111200LTR-ND	3,000	93.98/M
1	Mini-5-Pin	UN2113 x2	—	47	47	XN0111300LCT-ND	.36	.30	.24	XN0111300LTR-ND	3,000	93.98/M
1	Mini-5-Pin	UN2114 x2	—	10	47	XN0111400LCT-ND	.36	.30	.24	XN0111400LTR-ND	3,000	93.98/M
1	Mini-5-Pin	UN2115 x2	—	10	offen	XN0111500LCT-ND	.36	.30	.24	XN0111500LTR-ND	3,000	93.98/M
1	Mini-5-Pin	UN2116 x2	—	4.7	offen	XN0111600LCT-ND	.36	.30	.24	XN0111600LTR-ND	3,000	93.98/M
1	Mini-5-Pin	UN2119 x2	—	1	10	XN0111900LCT-ND	.36	.30	.24	XN0111900LTR-ND	3,000	93.98/M
2	Mini-5-Pin	—	UN2210 x2	47	offen	XN0121000LCT-ND	.36	.30	.24	XN0121000LTR-ND	3,000	93.98/M
2	Mini-5-Pin	—	UN2211 x2	10	10	XN0121100LCT-ND	.36	.30	.24	XN0121100LTR-ND	3,000	93.98/M
2	Mini-5-Pin	—	UN2212 x2	22	22	XN0121200LCT-ND	.36	.30	.24	XN0121200LTR-ND	3,000	93.98/M
2	Mini-5-Pin	—	UN2213 x2	47	47	XN0121300LCT-ND	.36	.30	.24	XN0121300LTR-ND	3,000	93.98/M
2	Mini-5-Pin	—	UN2214 x2	10	47	XN0121400LCT-ND	.36	.30	.24	XN0121400LTR-ND	3,000	93.98/M
2	Mini-5-Pin	—	UN2215 x2	10	offen	XN0121500LCT-ND	.36	.30	.24	XN0121500LTR-ND	3,000	93.98/M
2	Mini-5-Pin	—	UN2216 x2	4.7	offen	XN0121600LCT-ND	.36	.30	.24	XN0121600LTR-ND	3,000	93.98/M
3	Mini-5-Pin	—	UN2211 x2	10	10	XN0221100LCT-ND	.35	.29	.24	XN0221100LTR-ND	3,000	92.28/M
4	Mini-6-Pin	UN2111 x2	—	10	10	XN0411100LCT-ND	.36	.30	.24	XN0411100LTR-ND	3,000	93.98/M
4	Mini-6-Pin	UN2112 x2	—	22	22	XN0411200LCT-ND	.36	.30	.24	XN0411200LTR-ND	3,000	93.98/M
4	Mini-6-Pin	UN2113 x2	—	47	47	XN0411300LCT-ND	.36	.30	.24	XN0411300LTR-ND	3,000	93.98/M
4	Mini-6-Pin	UN2114 x2	—	10	47	XN0411400LCT-ND	.36	.30	.24	XN0411400LTR-ND	3,000	93.98/M
4	Mini-6-Pin	UN2115 x2	—	10	offen	XN0411500LCT-ND	.36	.30	.24	XN0411500LTR-ND	3,000	93.98/M
4	Mini-6-Pin	UN2116 x2	—	4.7	offen	XN0411600LCT-ND	.36	.30	.24	XN0411600LTR-ND	3,000	93.98/M
5	Mini-6-Pin	—	UN1210 x2	47	offen	XN0421000LCT-ND	.36	.30	.24	XN0421000LTR-ND	3,000	93.98/M
5	Mini-6-Pin	—	UN2211 x2	10	10	XN0421100LCT-ND	.36	.30	.24	XN0421100LTR-ND	3,000	93.98/M
5	Mini-6-Pin	—	UN2212 x2	22	22	XN0421200LCT-ND	.36	.30	.24	XN0421200LTR-ND	3,000	93.98/M
5	Mini-6-Pin	—	UN2213 x2	47	47	XN0421300LCT-ND	.36	.30	.24	XN0421300LTR-ND	3,000	93.98/M
5	Mini-6-Pin	—	UN2214 x2	10	47	XN0421400LCT-ND	.36	.30	.24	XN0421400LTR-ND	3,000	93.98/M
5	Mini-6-Pin	—	UN2215 x2	10	offen	XN0421500LCT-ND	.36	.30	.24	XN0421500LTR-ND	3,000	93.98/M
5	Mini-6-Pin	—	UN2216 x2	4.7	offen	XN0421600LCT-ND	.36	.30	.24	XN0421600LTR-ND	3,000	93.98/M
6	Mini-6-Pin	UN2111 x1	UN2211 x1	10/10	10/10	XN0431100LCT-ND	.36	.30	.24	XN0431100LTR-ND	3,000	93.98/M
6	Mini-6-Pin	UN2112 x1	UN2212 x1	22/22	22/22	XN0431200LCT-ND	.36	.30	.24	XN0431200LTR-ND	3,000	93.98/M
6	Mini-6-Pin	UN2114 x1	UN2114 x1	10/10	47/47	XN0431400LCT-ND	.36	.30	.24	XN0431400LTR-ND	3,000	93.98/M
6	Mini-6-Pin	UN2115 x1	UN2115 x1	10/10	offen/offen	XN0431500LCT-ND	.36	.30	.24	XN0431500LTR-ND	3,000	93.98/M
6	Mini-6-Pin	UN2116 x1	UN2116 x1	4.7/4.7	offen/offen	XN0431600LCT-ND	.36	.30	.24	XN0431600LTR-ND	3,000	93.98/M
6	Mini-6-Pin	UN2122 x1	UN2213 x1	4.7/4.7	4.7/4.7	XN0438100LCT-ND	.36	.30	.24	XN0438100LTR-ND	3,000	93.98/M
7	Mini-6-Pin	—	UN1213 x2	47	47	XN0621300LCT-ND	.36	.30	.24	XN0621300LTR-ND	3,000	93.98/M
7	Mini-6-Pin	—	UN1215 x2	10	offen	XN0621500LCT-ND	.36	.30	.24	XN0621500LTR-ND	3,000	93.98/M
7	Mini-6-Pin	—	UN1216 x2	4.7	offen	XN0621600LCT-ND	.36	.30	.24	XN0621600LTR-ND	3,000	93.98/M
1	S-Mini-5-Pin	UN111F x2	—	4.7	10	XP0111F00LCT-ND	.41	.34	.27	XP0111F00LTR-ND	3,000	107.52/M
1	S-Mini-5-Pin	UN111H x2	—	2.2	10	XP0111H00LCT-ND	.41	.34	.27	XP0111H00LTR-ND	3,000	107.52/M
1	S-Mini-5-Pin	UN1111 x2	—	10	10	XP0111100LCT-ND	.41	.34	.27	XP0111100LTR-ND	3,000	107.52/M
1	S-Mini-5-Pin	UN1112 x2	—	22	22	XP0111200LCT-ND	.41	.34	.27	XP0111200LTR-ND	3,000	107.52/M
1	S-Mini-5-Pin	UN1113 x2	—	47	47	XP0111300LCT-ND	.41	.34	.27	XP0111300LTR-ND	3,000	107.52/M
1	S-Mini-5-Pin	UN1114 x2	—	10	47	XP0111400LCT-ND	.41	.34	.27	XP0111400LTR-ND	3,000	107.52/M
1	S-Mini-5-Pin	UN1115 x2	—	10	offen	XP0111500LCT-ND	.41	.34	.27	XP0111500LTR-ND	3,000	107.52/M
1	S-Mini-5-Pin	UN1116 x2	—	4.7	offen	XP0111600LCT-ND	.41	.34	.27	XP0111600LTR-ND	3,000	107.52/M
1	S-Mini-5-Pin	UN1119 x2	—	1	10	XP0111900LCT-ND	.41	.34	.27	XP0111900LTR-ND	3,000	107.52/M
2	S-Mini-5-Pin	—	UN1210 x2	47	offen	XP0121000LCT-ND	.41	.34	.27	XP0121000LTR-ND	3,000	107.52/M
2	S-Mini-5-Pin	—	UN1211 x2	10	10	XP0121100LCT-ND	.41	.34	.27	XP0121100LTR-ND	3,000	107.52/M
2	S-Mini-5-Pin	—	UN1212 x2	22	22	XP0121200LCT-ND	.41	.34	.27	XP0121200LTR-ND	3,000	107.52/M
2	S-Mini-5-Pin	—	UN1213 x2	47	47	XP0121300LCT-ND	.41	.34	.27	XP0121300LTR-ND	3,000	107.52/M
2	S-Mini-5-Pin	—	UN1214 x2	10	47	XP0121400LCT-ND	.41	.34	.27	XP0121400LTR-ND	3,000	107.52/M
2	S-Mini-5-Pin	—	UN1215 x2	10	offen	XP0121500LCT-ND	.41	.34	.27	XP0121500LTR-ND	3,000	107.52/M
2	S-Mini-5-Pin	—	UN1216 x2	4.7	offen	XP0121600LCT-ND	.41	.34	.27	XP0121600LTR-ND	3,000	107.52/M
2	S-Mini-5-Pin	—	UN1217 x2	22	offen	XP0121700LCT-ND	.41	.34	.27	XP0121700LTR-ND	3,000	107.52/M
3	S-Mini-6-Pin	UN1111 x2	—	10	10	XP0411100LCT-ND	.41	.34	.27	XP0411100LTR-ND	3,000	107.52/M
3	S-Mini-6-Pin	UN1112 x2	—	22	22	XP0411200LCT-ND	.41	.34	.27	XP0411200LTR-ND	3,000	107.52/M

(Forts.)

Alle Preisangaben in Euro und inklusive Zollgebühren.

Abb.	Paket	Grundtyp PNP	Grundtyp NPN	Widerstandswert RB (KΩ)	Widerstandswert RBE (KΩ)	Digi-Key Teilenr.	Gurtabschnittspreis pro Stück 1	10	100	Digi-Key Teilenr.	Gegurtet auf Rolle Größe	Preisangaben
3	S-Mini-6-Pin	UN1113 x2	—	47	47	XP0411300LCT-ND	.41	.34	.27	XP0411300LTR-ND	3,000	107.52/M
3	S-Mini-6-Pin	UN1114 x2	—	10	47	XP0411400LCT-ND	.41	.34	.27	XP0411400LTR-ND	3,000	107.52/M
3	S-Mini-6-Pin	UN1115 x2	—	10	offen	XP0411500LCT-ND	.41	.34	.27	XP0411500LTR-ND	3,000	107.52/M
3	S-Mini-6-Pin	UN1116 x2	—	4.7	offen	XP0411600LCT-ND	.41	.34	.27	XP0411600LTR-ND	3,000	107.52/M
5	S-Mini-6-Pin	UN1210 x2	—	47	offen	XP0421000LCT-ND	.41	.34	.27	XP0421000LTR-ND	3,000	107.52/M
5	S-Mini-6-Pin	UN1211 x2	—	10	10	XP0421100LCT-ND	.41	.34	.27	XP0421100LTR-ND	3,000	107.52/M
5	S-Mini-6-Pin	UN1212 x2	—	22	22	XP0421200LCT-ND	.41	.34	.27	XP0421200LTR-ND	3,000	107.52/M
5	S-Mini-6-Pin	UN1213 x2	—	47	47	XP0421300LCT-ND	.41	.34	.27	XP0421300LTR-ND	3,000	107.52/M
5	S-Mini-6-Pin	UN1214 x2	—	10	47	XP0421400LCT-ND	.41	.34	.27	XP0421400LTR-ND	3,000	107.52/M
5	S-Mini-6-Pin	UN1215 x2	—	10	offen	XP0421500LCT-ND	.41	.34	.27	XP0421500LTR-ND	3,000	107.52/M
5	S-Mini-6-Pin	UN1216 x2	—	4.7	offen	XP0421600LCT-ND	.41	.34	.27	XP0421600LTR-ND	3,000	107.52/M
6	S-Mini-6-Pin	UN1211 x1	UN1111 x1	10	10	XP0431100LCT-ND	.41	.34	.27	XP0431100LTR-ND	3,000	107.52/M
6	S-Mini-6-Pin	UN1212 x1	UN1112 x1	22	22	XP0431200LCT-ND	.41	.34	.27	XP0431200LTR-ND	3,000	107.52/M
6	S-Mini-6-Pin	UN2214 x1	UN2114 x1	10	47	XP0431400LCT-ND	.41	.34	.27	XP0431400LTR-ND	3,000	107.52/M
6	S-Mini-6-Pin	UN1215 x1	UN1115 x1	10	offen	XP0431500LCT-ND	.41	.34	.27	XP0431500LTR-ND	3,000	107.52/M
6	S-Mini-6-Pin	UN1216 x1	UN1116 x1	4.7	offen	XP0431600LCT-ND	.41	.34	.27	XP0431600LTR-ND	3,000	107.52/M
7	S-Mini-6-Pin	UN1115 x2	—	10	offen	XP0611500LCT-ND	.41	.34	.27	XP0611500LTR-ND	3,000	107.52/M
8	S-Mini-6-Pin	—	UN1211 x2	10	10	XP0621100LCT-ND	.41	.34	.27	XP0621100LTR-ND	3,000	107.52/M
8	S-Mini-6-Pin	—	UN1212 x2	22	22	XP0621200LCT-ND	.41	.34	.27	XP0621200LTR-ND	3,000	107.52/M
8	S-Mini-6-Pin	—	UN1213 x2	47	47	XP0621300LCT-ND	.41	.34	.27	XP0621300LTR-ND	3,000	107.52/M
8	S-Mini-6-Pin	—	UN1214 x2	10	47	XP0621400LCT-ND	.41	.34	.27	XP0621400LTR-ND	3,000	107.52/M
8	S-Mini-6-Pin	—	UN1215 x2	10	offen	XP0621500LCT-ND	.41	.34	.27	XP0621500LTR-ND	3,000	107.52/M
20	SS-Mini-5-Pin	UNR2113 x2	—	47	47	UP0111300LCT-ND	.47	.35	.27	UP0111300LTR-ND	8,000	147.31/M
21	SS-Mini-5-Pin	—	UNR2113 x2	47	47	UP0121300LCT-ND	.47	.35	.27	UP0121300LTR-ND	8,000	147.31/M
9	SS-Mini-5-Pin	UNR211F	UNR2213	47/4.7	47/10	UP0338300LCT-ND	.50	.38	.29	UP0338300LTR-ND	8,000	159.17/M
9	SS-Mini-5-Pin	UNR2112	UNR2212	22/22	22/22	UP0331200LCT-ND	.50	.38	.29	UP0331200LTR-ND	8,000	159.17/M
22	SS-Mini-5-Pin	UNR2114	UNR2213	10/47	47/47	UP0339000LCT-ND	.47	.35	.27	UP0339000LTR-ND	8,000	147.31/M
22	SS-Mini-5-Pin	UNR2118	UNR2213	47/.51	47/5.1	UP0339400LCT-ND	.47	.35	.27	UP0339400LTR-ND	8,000	147.31/M
22	SS-Mini-5-Pin	UNR211T	UNR2211	10/22	10/47	UP0339600LCT-ND	.47	.35	.27	UP0339600LTR-ND	8,000	147.31/M
22	SS-Mini-5-Pin	UNR2154	UNR2211	10/10	10/47	UP0339700LCT-ND	.47	.35	.27	UP0339700LTR-ND	8,000	147.31/M
10	SS-Mini-6-Pin	UNR2115	UNR2215	10/10	offen	UP0421500LCT-ND	.50	.38	.29	UP0421500LTR-ND	8,000	159.17/M
11	SS-Mini-6-Pin	UN2111 x2	—	10	10	UP0411100LCT-ND	.52	.39	.30	UP0411100LTR-ND	8,000	165.09/M
11	SS-Mini-6-Pin	UNR111M	—	2.2/2.2	47/47	UP0411M00LCT-ND	.50	.38	.29	UP0411M00LTR-ND	8,000	159.17/M
11	SS-Mini-6-Pin	—	UNR2113	47	47	UP0411300LCT-ND	.47	.35	.27	UP0411300LTR-ND	8,000	147.31/M
12	SS-Mini-6-Pin	—	UN2213 x2	47	47	UP0421300LCT-ND	.52	.39	.30	UP0421300LTR-ND	8,000	165.09/M
12	SS-Mini-6-Pin	—	NPNX2	47	offen	UP0421000LCT-ND	.50	.38	.29	UP0421000LTR-ND	8,000	159.17/M
12	SS-Mini-6-Pin	UNR2114	UNR2214	10/10	47/47	UP0421400LCT-ND	.50	.38	.29	UP0421400LTR-ND	8,000	159.17/M
12	SS-Mini-6-Pin	—	NPNX2	4.7	offen	UP0421600LCT-ND	.50	.38	.29	UP0421600LTR-ND	8,000	159.17/M
12	SS-Mini-6-Pin	—	UNR2111	10	10	UP0421100LCT-ND	.47	.35	.27	UP0421100LTR-ND	8,000	147.31/M
13	SS-Mini-6-Pin	UNR2115	UNR2215	10	offen	UP0431500LCT-ND	.47	.35	.27	UP0431500LTR-ND	8,000	147.31/M
13	SS-Mini-6-Pin	UN2116 x1	UN2216 x1	4.7	offen	UP0431600LCT-ND	.52	.39	.30	UP0431600LTR-ND	8,000	165.09/M
14	SS-Mini-6-Pin	UNR2111	UNR2211	10	10	UP0431100LCT-ND	.47	.35	.27	UP0431100LTR-ND	8,000	147.31/M
14	SS-Mini-6-Pin	UNR2112	UNR2212	22	22	UP0431200LCT-ND	.47	.35	.27	UP0431200LTR-ND	8,000	147.31/M
14	SS-Mini-6-Pin	UNR2113	UNR2213	47	47	UP0431300LCT-ND	.50	.38	.29	UP0431300LTR-ND	8,000	159.17/M
14	SS-Mini-6-Pin	UNR2114	UNR2214	10/10	47/47	UP0431400LCT-ND	.50	.38	.29	UP0431400LTR-ND	8,000	159.17/M
14	SS-Mini-6-Pin	UNR2114	UNR2213	10/47	47/47	UP0439000LCT-ND	.47	.35	.27	UP0439000LTR-ND	8,000	147.31/M
14	SSS-Mini-6-Pin	UNR31A2	UNR32A2	22	22	NP043A200ACT-ND	.79	.59	.45	NP043A200ATR-ND	10,000	245.52/M
15	SSS-Mini-6-Pin	UNR31A3	—	47	47	NP061A300ACT-ND	.63	.54	.43	NP061A300ATR-ND	10,000	265.84/M
15	SSS-Mini-6-Pin	UNR31A5	—	10	10	NP061A500ACT-ND	.63	.54	.43	NP061A500ATR-ND	10,000	265.84/M
16	SSS-Mini-6-Pin	UNR31A3	UNR32A3	47/47	47/47	NP0H3A300ACT-ND	.79	.59	.45	NP0H3A300ATR-ND	10,000	245.52/M
17	SSS-Mini-6-Pin	UNR31A3 x2	—	47/47	47/47	NP0J1A300ACT-ND	.79	.59	.45	NP0J1A300ATR-ND	10,000	245.52/M
18	SSS-Mini-6-Pin	UNR31AE x2	—	47/22	47/22	NP0G1AE00ACT-ND	.79	.59	.45	NP0G1AE00ATR-ND	10,000	245.52/M
19	SSS-Mini-6-Pin	UNR31A3	UNR32A3	47/47	47/47	NP0G3A300ACT-ND	.79	.59	.45	NP0G3A300ATR-ND	10,000	245.52/M
19	SSS-Mini-6-Pin	UNR31A3	UNR32AL	47/4.7	47/4.7	NP0G3D100ACT-ND	.79	.59	.45	NP0G3D100ATR-ND	10,000	245.52/M
19	SSS-Mini-6-Pin	UNR31AT	UNR32AL	22/4.7	47/4.7	NP0G3D200ACT-ND	.79	.59	.45	NP0G3D200ATR-ND	10,000	245.52/M

Transistor-Arrays Verbundtransistoren

Abm. in mm

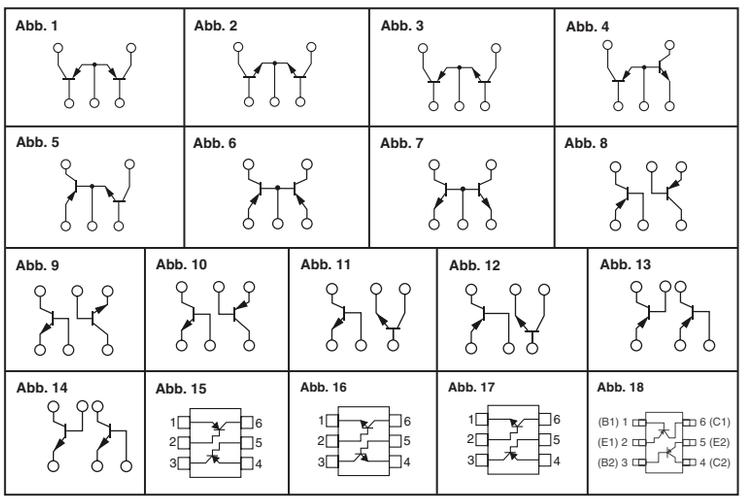

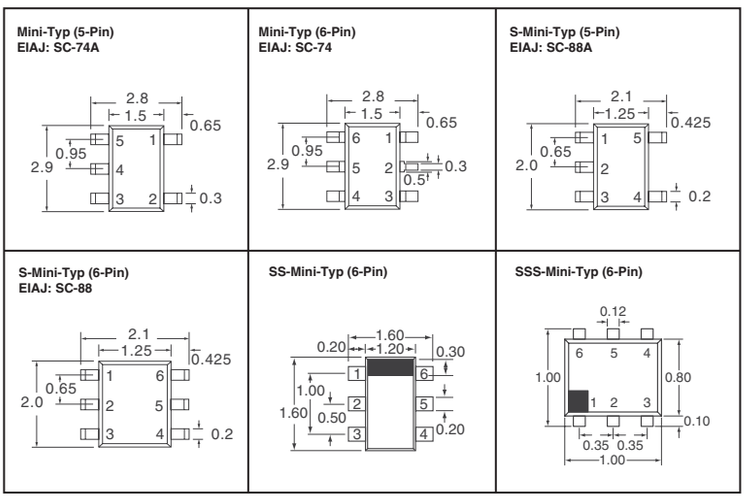

Abb.	Grundtyp PNP	Grundtyp NPN	Digi-Key Teilenr.	Gurtabschnittspreis pro Stück 1	10	100	Digi-Key Teilenr.	Gegurtet auf Rolle Größe	Preisangaben
Mini-Typ, 5-Pin									
1	2SB709A x2	—	XN0140100LCT-ND	.36	.29	.20	XN0140100LTR-ND	3,000	276.84
1	2SB1693 x2	—	XN0145700LCT-ND	.51	.39	.29	XN0145700LTR-ND	3,000	495.26
2	—	2SD601A x2	XN0150100LCT-ND	.36	.29	.20	XN0150100LTR-ND	3,000	276.84
2	—	2SD1938 x2	XN0150400LCT-ND	.51	.39	.29	XN0150400LTR-ND	3,000	495.26
2	—	2SC4561 x2	XN0150900LCT-ND	.47	.35	.27	XN0150900LTR-ND	3,000	452.08
2	—	2SC3130 x2	XN0153100LCT-ND	.77	.58	.44	XN0153100LTR-ND	3,000	746.70
2	—	2SD2623 x2	XN0155800LCT-ND	.51	.39	.29	—	—	—
3	2SB709A x1	2SD601A x1	XN0160100LCT-ND	.36	.29	.20	XN0160100LTR-ND	3,000	276.84
6	2SB709A x2	—	XN0240100LCT-ND	.36	.29	.20	XN0240100LTR-ND	3,000	276.84
7	—	2SD601A x2	XN0250100LCT-ND	.36	.29	.20	XN0250100LTR-ND	3,000	276.84

(Forts.)

B

Abb.	Grundtyp PNP	Grundtyp NPN	Digi-Key Teilenr.	Gurtabschnittspreis pro Stück 1	10	100	Digi-Key Teilenr.	Gegurtet auf Rolle Größe	Preisangaben
7	—	2SC3130 x2	XN0253100LCT-ND	.56	.42	.32	—	—	—
4	2SB709A x1	2SD601A x1	XN0B30100LCT-ND	.36	.30	.24	XN0B30100LTR-ND	3,000	281.92
5	2SB709A x1	2SD601A x1	XN0C30100LCT-ND	.36	.30	.24	XN0C30100LTR-ND	3,000	281.92
			Mini-Typ, 6-Pin						
8	2SB709A x2	—	XN0440100LCT-ND	.36	.29	.20	XN0440100LTR-ND	3,000	276.84
8	2SB710A x2	—	XN0440200LCT-ND	.47	.36	.27	XN0440200LTR-ND	3,000	467.32
8	2SB970 x2	—	XN0440400LCT-ND	.55	.42	.32	XN0440400LTR-ND	3,000	538.44
9	—	2SD601A x2	XN0450100LCT-ND	.36	.29	.20	XN0450100LTR-ND	3,000	276.84
9	—	2SD602A x2	XN0450200LCT-ND	.49	.40	.30	XN0450200LTR-ND	3,000	391.13
9	—	2SD1328 x2	XN0450400LCT-ND	.52	.39	.29	XN0450400LTR-ND	3,000	500.34
9	—	2SD0601/2SD1328	XN0450500LCT-ND	.41	.31	.23	XN0450500LTR-ND	3,000	396.21
10	2SB709A x1	2SD601A x1	XN0460100LCT-ND	.36	.29	.20	XN0460100LTR-ND	3,000	276.84
10	2SB970 x1	2SD1328 x1	XN0460400LCT-ND	.69	.53	.40	XN0460400LTR-ND	3,000	678.13
10	2SB970 x1	2SD601A x1	XN0460800LCT-ND	.42	.32	.24	XN0460800LTR-ND	3,000	408.91
10	2SB709A x1	2SD1328 x1	XN0460900LCT-ND	.50	.38	.29	XN0460900LTR-ND	3,000	487.64
11	—	2SD601A x2	XN0550100LCT-ND	.36	.29	.20	XN0550100LTR-ND	3,000	276.84
11	—	2SC3130 x2	XN0553100LCT-ND	.57	.43	.32	XN0553100LTR-ND	3,000	551.14
11	—	2SD1149 x2	XN0555300LCT-ND	.69	.52	.39	XN0555300LTR-ND	3,000	665.43
			Mini-Typ, 6-Pin						
12	2SB709A x1	2SD601A x1	XN0560100LCT-ND	.36	.29	.20	XN0560100LTR-ND	3,000	276.84
13	2SB709A x2	—	XN0640100LCT-ND	.36	.29	.20	XN0640100LTR-ND	3,000	276.84
14	—	2SD601A x2	XN0650100LCT-ND	.36	.29	.20	XN0650100LTR-ND	3,000	276.84
14	—	2SC2404 x2	XN0653400LCT-ND	.69	.53	.40	XN0653400LTR-ND	3,000	678.13
14	—	2SC3110 x2	XN0653700LCT-ND	.57	.43	.32	XN0653700LTR-ND	3,000	551.14
14	—	2SC3904 x2	XN0654300LCT-ND	.81	.68	.55	XN0654300LTR-ND	3,000	1059.10
			S-Mini-Typ, 5-Pin						
1	2SB709A x2	—	XP0140100LCT-ND	.36	.29	.20	XP0140100LTR-ND	3,000	281.92
2	—	2SD601A x2	XP0150100LCT-ND	.36	.29	.20	XP0150100LTR-ND	3,000	281.92
6	2SB709A x2	—	XP0240100LCT-ND	.36	.29	.20	XP0240100LTR-ND	3,000	281.92
7	—	2SD601A x2	XP0250100LCT-ND	.36	.29	.20	XP0250100LTR-ND	3,000	281.92
4	2SB709A x1	2SD601A x1	XP0B30100LCT-ND	.36	.30	.24	XP0B30100LTR-ND	3,000	287.00
5	2SB709A x1	2SD601A x1	XP0C30100LCT-ND	.36	.30	.24	XP0C30100LTR-ND	3,000	287.00
			S-Mini-Typ, 6-Pin						
8	2SB709A x2	—	XP0440100LCT-ND	.36	.29	.20	XP0440100LTR-ND	3,000	281.92
10	2SB709A x1	2SD601A x1	XP0460100LCT-ND	.36	.29	.20	XP0460100LTR-ND	3,000	281.92
10	2SA1738 x1	2SC3757 x1	XP0465400LCT-ND	.61	.46	.35	XP0465400LTR-ND	3,000	591.77
11	—	2SC4782 x2	XP0555500LCT-ND	.53	.41	.31	XP0555500LTR-ND	3,000	523.20
12	2SB709A x1	2SD601A x1	XP0560100LCT-ND	.36	.29	.20	XP0560100LTR-ND	3,000	281.92
13	2SB709A x2	—	XP0640100LCT-ND	.36	.29	.20	XP0640100LTR-ND	3,000	281.92
14	—	2SD601A x2	XP0650100LCT-ND	.36	.29	.20	XP0650100LTR-ND	3,000	281.92
			SS-Mini-Typ, 6-Pin						
15	2SB709A x2	—	UP0440100LCT-ND	.52	.39	.30	UP0440100LTR-ND	8,000	1320.70
16	—	2SD601A x2	UP0450100LCT-ND	.52	.39	.30	UP0450100LTR-ND	8,000	1320.70
17	2SB709A x1	2SD601A x1	UP0460100LCT-ND	.52	.39	.30	UP0460100LTR-ND	8,000	1320.70
			SSS-Mini-Typ 6-Pin						
18	2SA2082 x2	—	NP0A45600ACT-ND	.79	.59	.45	NP0A45600ATR-ND	10,000	2455.14

Dioden für variable Kapazitanz – Silicon-Epitaxial-Planar-Typ

SS-Mini (2-Pin)

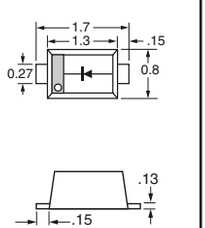

SSS-Mini (2-Pin)

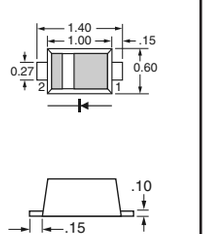

Paket	Anwendung	VR (V)	IR (nA)	CD @ 1 MHz @VR	CD @ 1 MHz pF(max.)	CD @ 1 MHz @VR	CD @ 1 MHz pF(max.)	RD @ 470 MHz Ω (max.)	Digi-Key Teilenr.	Gurtabschnittspreis pro Stück 1	10	100	Digi-Key Teilenr.	Gegurtet auf Rolle Größe	Preisangaben
SS Mini 2P	Band Switching**	35	33*	6	1.2	—	—	.85*	MA2S07700LCT-ND	.34	.29	.23	MA2S07700LTR-ND	3,000	89.74/M
	VCO	30	28	1	29.8	4	8.3	1.0*	MA2S30400LCT-ND	.39	.31	.24	MA2S30400LTR-ND	3,000	103.29/M
	VCO/UHF	12	12	1	20	4	12.4	.22	MA2S33100LCT-ND	.36	.29	.22	MA2S33100LTR-ND	3,000	96.52/M
	CATV Tuner	34	30	2	34.3	10	8.32	.54	MA2S35700LCT-ND	.36	.29	.22	MA2S35700LTR-ND	3,000	96.52/M
	UHF/VHF Tuner	32	30	2	15.47	10	6.13	.45	MA2S37200LCT-ND	.39	.33	.26	MA2S37200LTR-ND	3,000	104.14/M
	CATV Tuner	34	30	2	50.79	10	13.08	.90	MA2S37400LCT-ND	.41	.33	.25	MA2S37400LTR-ND	3,000	108.37/M
	VCO/TCXO	12	12	2	3.4	10	1.5	.60	MA2S37700LCT-ND	.37	.30	.23	MA2S37700LTR-ND	3,000	99.90/M
	VCO	6	10	1	20.0	4	9.0	0.3	MA2SV0200LCT-ND	.36	.29	.21	MA2SV0200LTR-ND	3,000	82.97/M
	VCO	6	10	1	11.1	3	6.4	0.35	MA2SV0400LCT-ND	.35	.28	.20	MA2SV0400LTR-ND	3,000	77.89/M
	VCO	6	10	1	16.4	3	9.2	0.35	MA2SV0900LCT-ND	.37	.29	.21	MA2SV0900LTR-ND	3,000	82.97/M
	VCO	6	10	1	17.0	3	7.0	1.0	MA2SV0100LCT-ND	.34	.27	.19	MA2SV0100LTR-ND	3,000	77.04/M
	VCO	6	10	1	5.80	4	2.58	0.3	MA2SV0300LCT-ND	.34	.27	.19	MA2SV0300LTR-ND	3,000	77.04/M
	VCO	6	10	1	20.5	4	4.1	0.65	MA2SV0500LCT-ND	.34	.27	.19	MA2SV0500LTR-ND	3,000	77.04/M
	VCO	6	10	1	3.12	3	1.62	0.35	MA2SV0700LCT-ND	.34	.27	.19	MA2SV0700LTR-ND	3,000	77.04/M
	VCO	6	10	0.5	7.91	2.5	3.23	0.45	MA2SV1500LCT-ND	.34	.27	.19	MA2SV1500LTR-ND	3,000	77.04/M
SSS Mini 2P	VCO	6	6	1	17	3	7	1.0	MA27V0100LCT-ND	.42	.34	.26	MA27V0100LTR-ND	10,000	105.83/M
	VCO	6	5	1	20	4	9	.30	MA27V0200LCT-ND	.45	.36	.27	MA27V0200LTR-ND	10,000	112.60/M
	VCO	6	5	1	5.8	4	2.58	.30	MA27V0300LCT-ND	.39	.31	.24	MA27V0300LTR-ND	10,000	96.52/M
	VCO	6	5	1	11.1	3	6.4	.35	MA27V0400LCT-ND	.39	.31	.24	MA27V0400LTR-ND	10,000	96.52/M
	VCO	10	10	1	20.5	4	4.1	.65	MA27V0500LCT-ND	.43	.35	.26	MA27V0500LTR-ND	10,000	107.52/M
	VCO	6	5	1	3.12	3	1.62	.35	MA27V0700LCT-ND	.40	.32	.24	MA27V0700LTR-ND	10,000	99.90/M
	VCO	6	5	1	16.4	3	9.2	.35	MA27V0900LCT-ND	.46	.37	.28	MA27V0900LTR-ND	10,000	114.30/M
	VCO	8	5	1	3.01	4	1.34	.35	MA27V1100LCT-ND	.46	.37	.28	MA27V1100LTR-ND	10,000	114.30/M
	VCO	8	5	1	3.9	4	2.14	.35	MA27V1200LCT-ND	.47	.38	.29	MA27V1200LTR-ND	10,000	116.84/M
	VCO	12	10	1	12.29	3	5.81	.40	MA27V1300LCT-ND	.47	.38	.29	MA27V1300LTR-ND	10,000	116.84/M
	VCO	60	5	0.5	7.91	2.5	3.23	.45	MA27V1500LCT-ND	.49	.39	.30	MA27V1500LTR-ND	10,000	121.91/M
	VCO/UHF	6	6	1	16	3	8.9	.30	MA2737600LCT-ND	.39	.31	.24	MA2737600LTR-ND	10,000	96.52/M
	VCO	6	10	1	2.50	3	1.28	0.35	MA27V1900LCT-ND	.45	.37	.28	MA27V1900LTR-ND	10,000	112.60/M

*100Mhz **Frequenzbandumschaltung

PNP-Transistoren mit Diodenschutz

Anwendung	Paket	V_{CEO} (V)	IC	Diode V_F	Diode I_F	Digi-Key Teilenr.	Gurtabschnittspreis pro Stück 1	10	100	Digi-Key Teilenr.	Gegurtet auf Rolle Preisangaben 3.000
						PNP-Typ					
DC-DC-Umsetzer	Mini 6P	15	2.5A	.45V	1.0A	XN09D5700LCT-ND	.80	.60	.45	XN09D5700LTR-ND	259.91/M
			2.5A	.45V	700mA	XN09D5800LCT-ND	.79	.59	.45	XN09D5800LTR-ND	254.83/M
			1.5A	.45V	700mA	XN09D6100LCT-ND	.76	.57	.43	XN09D6100LTR-ND	247.21/M

Mini-Typ (6-Pin)

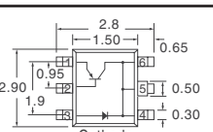

1. Emitter 4. Collector
2. Base 5. Collector
3. Anode 6. Collector

Alle Preisangaben in Euro und inklusive Zollgebühren.

Abm. in mm

TO-126

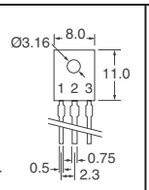

1. Emitter
2. Collector
3. Base

TO-220F
EIAJ:SC-6

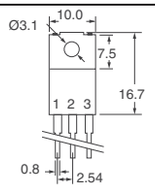

1. Base
2. Collector
3. Emitter

TO-220D

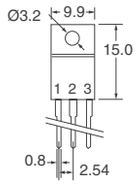

Transistors
1. Base
2. Collector
3. Emitter

Mosfets
1. Gate
2. Drain
3. Source

MT-4

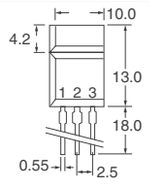

1. Base
2. Collector
3. Emitter

TO-92L

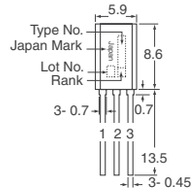

1.Emitter
2. Kollektor
3. Basis

TO-92NL

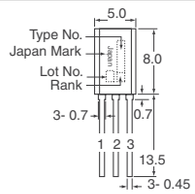

1. Emitter
2. Kollektor
3. Basis

Typ MT1

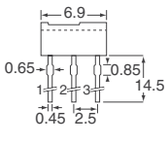

1. Emitter
2. Kollektor
3. Basis

Typ MT2

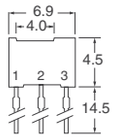

1. Emitter
2. Kollektor
3. Basis

Typ MT3

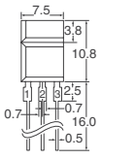

1. Emitter
2. Kollektor
3. Basis

NEU S-Typ

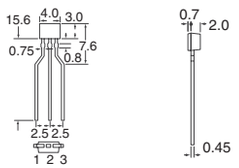

1. Emitter
2. Kollektor
3. Basis

B

Transistoren

Anwendung	Paket	V_{CEO} (V)	IC	h_{FE} Min.	h_{FE} Max.	Digi-Key Teilenr.	Stückpreis 1	Stückpreis 10	Stückpreis 100	Digi-Key Teilenr.	Gegurtet in Schachtel Größe	Gegurtet in Schachtel Preisangaben
PNP-Typ												
AF-Ausgangstreiber	TO-126	120	0.5A	90	220	2SA0794AR-ND	1.14	.96	.77	—	—	—
AF-Ausgangstreiber	TO-126	35	1A	85	340	2SA08850R-ND	.65	.55	.44	—	—	—
AF-Leistungsverst.	TO-126	40	1.5A	80	220	2SA08860Q-ND	.77	.58	.44	—	—	—
AF-Leistungsverst.	TO-126	18	1A	130	280	2SA09000R-ND	.96	.80	.64	—	—	—
AF-Leistungsvorverst.	TO-126	150	50mA	130	330	2SA09140R-ND	1.14	.96	.77	—	—	—
AF-Leistungsverst.	TO-126	60	2A	80	220	2SA1096AQ-ND	1.14	.96	.77	—	—	—
AF-Leistungsverst.	TO-126	120	0.5A	—	—	2SA11100Q-ND	.75	.63	.51	—	—	—
AF-Ausgangstreiber	TO-126	100	.5A	130	220	2SA07940R-ND	.80	.61	.46	—	—	—
AF-Ausgangstreiber	TO-126	50	2A	80	160	2SA10960Q-ND	1.01	.84	.68	—	—	—
AF-Ausgangstreiber	TO-126	50	2A	120	220	2SA10960R-ND	1.01	.84	.68	—	—	—
AF-Verst.	TO-126	400	0.1A	30	—	2SB1011-ND	.80	.61	.46	—	—	—
AF-Treiber	TO-220F	180	1A	90	330	2SA1535AR-ND	.98	.82	.66	—	—	—
Vertikale Ablenkung	TO-220F	180	2A	60	240	2SB0940AP-ND	.82	.69	.55	—	—	—
Leistungsschaltung	TO-220F	80	3A	—	—	2SB09430P-ND	1.23	.99	.74	—	—	—
Leistungsverst./-schaltung	TO-220F	80	2A	1,000	10,000	2SB0949AQ-ND	.98	.82	.66	—	—	—
Leistungsverst./-schaltung	TO-220F	80	4A	1,000	10,000	2SB0950AP-ND	1.14	.96	.77	—	—	—
Schalter f. mittlere Geschwindigkeit	TO-220F	80	8A	2,000	10,000	2SB0951AQ-ND	1.35	1.09	.82	—	—	—
Leistungsverst.	TO-220D	60	3A	120	320	2SA20570P-ND	.86	.72	.57	—	—	—
Allgemeine Verst.	TO-220D	80	3A	70	250	2SB1548AP-ND	.72	.60	.48	—	—	—
Leistungsverst.	TO-220D	180	1.5A	60	240	2SA21400P-ND	.70	.59	.48	—	—	—
Leistungsverst.	TO-220D	180	1.5A	60	240	2SA21400Q-ND	.70	.59	.48	—	—	—
Leistungsverst.	MT-4	60	3A	160	320	2SA20670PACT-ND†	.90	.75	.60	2SA20670PATB-ND	1,000	398.75
Leistungsverst.	MT-4	60	3A	120	250	2SA20670QACT-ND†	.90	.75	.60	2SA20670QATB-ND	1,000	398.75
Leistungsverst.	MT-4	80	3A	70	250	2SB1417APACT-ND†	.97	.82	.66	2SB1417APATB-ND	1,000	433.46
Leistungsverst.	MT-4	80	2A	1,000	10,000	2SB1418AQACT-ND†	1.14	.96	.77	2SB1418AQATB-ND	1,000	505.42
AF-Ausgangsverst.	TO-92L	25	1A	120	240	2SA06830R-ND	.49	.39	.30	—	—	—
AF-Ausgangsverst.	TO-92L	50	1A	120	240	2SA06840R-ND	.49	.39	.30	—	—	—
AF-Ausgangsverst.	TO-92L	50	1A	170	340	2SA06840S-ND	.49	.39	.30	—	—	—
AF-Ausgangsverst.	TO-92L	80	.5A	90	155	2SA07770Q-ND	.85	.64	.48	—	—	—
AF-Ausgangsverst.	TO-92L	80	.5A	130	220	2SA07770R-ND	.85	.64	.48	—	—	—
Allgemeine Verst.	TO-92L	200	70mA	60	150	2SA08790Q-ND	.85	.71	.57	—	—	—
AF-HV-Verst.	TO-92L	150	50mA	130	220	2SA11240R-ND	.63	.47	.36	—	—	—
AF-Verst.	TO-92L	20	5A	120	205	2SB08730Q-ND	.90	.68	.51	—	—	—
AF-Verst.	TO-92L	20	5A	180	625	2SB08730R-ND	.90	.68	.51	—	—	—
AF-Ausgangsverst.	TO-92NL	50	1A	120	240	2SA1534ARACT-ND†	.50	.41	.31	2SA1534ARATB-ND	3,000	133.77/M
AF-Ausgangsverst.	TO-92NL	50	1A	170	340	2SA1534ASACT-ND†	.50	.41	.31	2SA1534ASATB-ND	3,000	133.77/M
AF-Ausgangsverst.	TO-92NL	50	.5A	120	240	2SA1619ARACT-ND†	.46	.37	.28	2SA1619ARATB-ND	3,000	121.07/M
AF-Ausgangsverst.	TO-92NL	50	.5A	170	340	2SA1619ASACT-ND†	.46	.37	.28	2SA1619ASATB-ND	3,000	121.07/M
Allgemeine Verst.	TO-92NL	200	70mA	60	150	2SB12210QACT-ND†	.85	.71	.57	2SB12210QATB-ND	3,000	366.58/M
AF-Verst.	TO-92NL	25	3A	130	450	2SB15920RACT-ND†	.68	.51	.38	2SB15920RATB-ND	3,000	219.27/M
Allgemeine Verst.	MT-1	50	100mA	160	460	2SB1320A0ACT-ND†	.35	.27	.20	2SB1320A0ATB-ND	2,000	82.12/M
Niederfrequ. Verst.	MT-1	50	500mA	85	340	2SB1321A0ACT-ND†	.39	.32	.24	2SB1321A0ATB-ND	2,000	109.21/M
Niederfrequ. Verst.	MT-2	50	2A	120	340	2SB143400ACT-ND†	.58	.44	.33	2SB143400ATB-ND	2,000	192.18/M
Niederfrequ. Verst.	MT-2	50	1A	85	340	2SB1322A0ACT-ND†	.50	.38	.28	2SB1322A0ATB-ND	2,000	165.09/M
Niederfrequ. Verst.	MT-2	25	5A	90	135	2SB13980PACT-ND†	.69	.58	.47	2SB13980PATB-ND	2,000	308.16/M
Niederfrequ. Verst.	MT-2	25	5A	120	205	2SB13980QACT-ND†	.69	.58	.47	2SB13980QATB-ND	2,000	308.16/M
Niederfrequ. Ausgangsverst.	MT-2	80	1A	170	340	2SA16740SACT-ND†	.54	.41	.31	2SA16740SATB-ND	2,000	180.33/M
Niederfrequ. Ausgangsverst.	MT-2	50	5A	120	240	2SB14460RACT-ND†	.78	.59	.44	2SB14460RATB-ND	2,000	259.91/M
Niederfrequ. Ausgangsverst.	MT-2	50	5A	170	340	2SB14460SACT-ND†	.78	.59	.44	2SB14460SATB-ND	2,000	259.91/M
Leistungsschaltung	MT-2	400	0.5A	80	160	2SB14880PACT-ND†	.72	.54	.41	2SB14880PATB-ND	2,000	238.74/M
Niederfrequ. Leistungsverst.	MT-3	60	3A	120	250	2SB14160RACT-ND†	.70	.59	.47	2SB14160RATB-ND	1,000	310.70
Leistungsschaltung	MT-3	50	8A	2,000	5,000	2SB15040QACT-ND†	1.21	.97	.73	2SB15040QATB-ND	1,000	630.72
Leistungsschaltung	MT-3	50	8A	4,000	10,000	2SB15040RACT-ND†	1.21	.97	.73	2SB15040RATB-ND	1,000	630.72
Niederfrequ. Verst.	NEU S-Typ	50	100mA	160	460	2SA1309A0ACT-ND†	.28	.22	.16	2SA1309A0ATB-ND	5,000	59.27/M
Niederfrequ. Verst.	NEU S-Typ	50	500mA	85	340	2SB1030ACT-ND †	.40	.34	.27	2SB1030ATB-ND	5,000	99.90/M
Niederfrequ. Verst.	NEU S-Typ	50	100mA	160	260	2SA1309AQACT-ND†	.35	.27	.19	2SA1309AQATB-ND	5,000	59.27/M
Niederfrequ. Verst.	NEU S-Typ	50	100mA	210	340	2SA1309ARACT-ND†	.35	.27	.19	2SA1309ARATB-ND	5,000	59.27/M
Niederfrequ. Verst.	NEU S-Typ	50	100mA	290	460	2SA1309ASACT-ND†	.35	.27	.19	2SA1309ASATB-ND	5,000	59.27/M
Niederfrequ. Verst.	NEU S-Typ	50	500mA	120	240	2SB1030ARACT-ND†	.42	.36	.29	2SB1030ARATB-ND	5,000	90.59/M
NPN-Typ												
AF-Hochleistungstreiber	TO-126	120	0.5A	65	330	2SC1567AR-ND	.59	.45	.34	—	—	—
Mittl. Leistungsverst.	TO-126	18	1A	90	280	2SC15680R-ND	.77	.58	.44	—	—	—
Mittl. Leistungsverst.	TO-126	35	1A	85	340	2SC18460S-ND	.47	.35	.26	—	—	—
Mittl. Leistungsverst.	TO-126	40	1.5A	80	220	2SC18470Q-ND	.72	.54	.41	—	—	—
AF-Leistungsvorverst.	TO-126	150	50mA	130	330	2SC19530S-ND	1.05	.88	.70	—	—	—
TV Video Aus-Verst.	TO-126	250	0.1A	40	—	2SC2258-ND	.65	.49	.37	—	—	—
AF-Leistungsverst.	TO-126	60	1.5A	80	220	2SC2497AQ-ND	1.04	.87	.70	—	—	—
AF-Leistungsverst.	TO-126	120	0.5A	90	220	2SC25900Q-ND	.70	.53	.40	—	—	—
Videoverst.	TO-126	50	0.15A	20	—	2SC3611-ND	.54	.41	.31	—	—	—
Horiz. Ablenktreiber	TO-126	300	0.2A	40	250	2SC4212H-ND	.65	.49	.37	—	—	—
Farb-Chroma-Eingang	TO-126	400	70mA	30	150	2SC51210P-ND	.65	.50	.37	—	—	—
AF-Ausgangstreiber	TO-126	100	.5A	130	220	2SC15670R-ND	.59	.45	.34	—	—	—
AF-Ausgangstreiber	TO-126	100	.5A	185	330	2SC15670S-ND	.59	.45	.34	—	—	—
AF-Ausgangstreiber	TO-126	50	1.5A	80	160	2SC24970Q-ND	1.04	.87	.70	—	—	—
AF-Ausgangstreiber	TO-126	50	1.5A	120	220	2SC24970R-ND	1.04	.87	.70	—	—	—
Audio-Ausgang	TO-126	300	.1A	50	250	2SC3063-ND	.56	.43	.32	—	—	—
AF-Verst.	TO-126	60	1A	—	—	2SD16450R-ND*	.75	.63	.51	—	—	—
AF-Verst.	TO-126	60	1A	6,500	40K	2SD2018-ND*	.57	.43	.32	—	—	—

* Darlington † Gurtabschnittspreise

(Forts.)

Anwendung	Paket	V_{CEO} (V)	IC	h_{FE} Min.	h_{FE} Max.	Digi-Key Teilenr.	Stückpreis 1	Stückpreis 10	Stückpreis 100	Digi-Key Teilenr.	Gegurtet in Schachtel Größe	Gegurtet in Schachtel Preisangaben
***NPN-Typ** (Forts.)*												
AF-Verst.	TO-126	80	1A	4,000	40,000	2SD0946B-ND*	.75	.63	.51	—	—	—
AF-Verst.	TO-126	100	2A	4K	10,000	2SD16400Q-ND*	.82	.62	.47	—	—	—
AF-Verst.	TO-126	100	2A	8K	20,000	2SD16400R-ND*	.82	.62	.47	—	—	—
Farb-Chroma-Ausgang	TO-220F	300	0.1A	50	250	2SC3942-ND	.81	.68	.55	—	—	—
Videoverst.	TO-220F	50	0.15A	20	—	2SC3943-ND	1.14	.96	.77	—	—	—
Hochleistungsverst.	TO-220F	180	1A	95	220	2SC3944AQ-ND	.91	.77	.62	—	—	—
Vertikale Ablenkung	TO-220F	180	2A	60	240	2SD1264AP-ND	.75	.63	.51	—	—	—
Leistungsverst.	TO-220F	80	4A	70	250	2SD1267AP-ND	1.14	.96	.77	—	—	—
Leistungsschaltung	TO-220F	100	7A	45	260	2SD1271AP-ND	1.35	1.09	.82	—	—	—
Leistungsverst.	TO-220F	80	2A	1,000	10,000	2SD1275AP-ND*	.91	.76	.61	—	—	—
Leistungsverst.	TO-220F	80	4A	1,000	10,000	2SD1276AP-ND*	1.08	.91	.73	—	—	—
Schalter f. mittlere Geschwindigkeit	TO-220F	80	8A	2,000	10,000	2SD1277AP-ND*	1.23	.99	.74	—	—	—
Hohe Gleichstromverstärkung	TO-220F	60	6A	300	2,000	2SD14740P-ND	1.22	.98	.74	—	—	—
Hochleistungsverst.	TO-220F	100	5A	20	200	2SD14990P-ND	1.24	1.04	.83	—	—	—
Leistungsschaltung	TO-220F	60	4A	70	250	2SD20000P-ND	.75	.63	.51	—	—	—
Schalter f. hohe Geschw.	TO-220D	400	3A	10	—	2SC4953-ND	1.08	.87	.66	—	—	—
Allgemeine Verst.	TO-220D	80	3A	70	250	2SD2374AP-ND	.65	.55	.44	—	—	—
Hohe Verstärkung	TO-220D	60	3A	500	1,500	2SD23750P-ND	.82	.69	.55	—	—	—
Leistungsverst.	TO-220D	180	1.5A	60	240	2SC59930P-ND	.70	.59	.48	—	—	—
Leistungsverst.	TO-220D	180	1.5A	60	240	2SC59930Q-ND	.70	.59	.48	—	—	—
Leistungsverst.	TO-220D	60	3A	—	—	2SC57390P-ND	.78	.65	.52	—	—	—
Hohe Verstärkung	TO-220D	60	5A	500	2,000	2SD2528-ND	1.08	.87	.66	—	—	—
Allgemeine Verst.	TO-220D	80	3A	70	250	2SD25490P-ND	.78	.59	.44	—	—	—
Leistungsverst.	MT-4	60	3A	160	320	2SC57880PACT-ND†	.82	.69	.55	2SC57880PATB-ND	1,000	365.73
Leistungsverst.	MT-4	60	3A	120	250	2SC57880QACT-ND†	.82	.69	.55	2SC57880QATB-ND	1,000	365.73
Leistungsverst.	MT-4	80	3A	70	2,500	2SD2137APACT-ND†	.91	.76	.61	2SD2137APATB-ND	1,000	404.67
Leistungsverst.	MT-4	80	2A	1,000	10,000	2SD2138AQACT-ND†	1.14	.96	.77	2SD2138AQATB-ND	1,000	505.42
Hohe Gleichstromverstärkung	MT-4	60	3A	500	2,500	2SD21390PACT-ND†	.97	.82	.66	2SD21390PATB-ND	1,000	433.46
AF-Verst.	TO-92L	25	1A	120	240	2SC13830R-ND	.48	.39	.29	—	—	—
AF-Verst.	TO-92L	25	1A	170	340	2SC13830S-ND	.48	.39	.29	—	—	—
AF-Verst.	TO-92L	50	1A	85	170	2SC13840Q-ND	.48	.39	.29	—	—	—
AF-Verst.	TO-92L	50	1A	120	120	2SC13840R-ND	.48	.39	.29	—	—	—
AF-Verst.	TO-92L	50	1A	170	340	2SC13840S-ND	.48	.39	.29	—	—	—
AF-Ausgangsverst.	TO-92L	80	.5A	130	220	2SC15090R-ND	.60	.46	.34	—	—	—
AF-Ausgangsverst.	TO-92L	80	.5A	185	330	2SC15090S-ND	.60	.46	.34	—	—	—
AF-Ausgangsverst.	TO-92L	20	1A	130	220	2SC15180R-ND	.83	.63	.47	—	—	—
Allgemeine Verst.	TO-92L	200	70mA	60	150	2SC15730Q-ND	.52	.40	.30	—	—	—
Allgemeine Verst.	TO-92L	200	70mA	100	220	2SC15730R-ND	.52	.40	.30	—	—	—
Allgemeine Verst.	TO-92L	300	70mA	60	150	2SC1573AQ-ND	.44	.34	.25	—	—	—
Allgemeine Verst.	TO-92L	300	70mA	100	220	2SC1573AR-ND	.44	.34	.25	—	—	—
Allgemeine Verst.	TO-92L	400	70mA	60	150	2SC1573BQ-ND	.44	.34	.25	—	—	—
Allgemeine Verst.	TO-92L	400	70mA	100	220	2SC1573BR-ND	.44	.34	.25	—	—	—
AF-HV-Verst.	TO-92L	150	50mA	130	220	2SC26320R-ND	.56	.42	.32	—	—	—
AF-Verst.	TO-92L	120	.5A	130	220	2SD12110R-ND	.64	.49	.37	—	—	—
AF-Verst.	TO-92L	120	.5A	185	330	2SD12110S-ND	.64	.49	.37	—	—	—
AF-Ausgangsverst.	TO-92L	20	5A	230	380	2SD09660Q-ND	.85	.64	.48	—	—	—
AF-Ausgangsverst.	TO-92L	20	5A	340	600	2SD09660R-ND	.85	.64	.48	—	—	—
AF-Ausgangsverst.	TO-92NL	80	.5A	130	220	2SC39390RACT-ND†	.48	.37	.28	2SC39390RATB-ND	3,000	157.47/M
AF-Ausgangsverst.	TO-92NL	80	.5A	185	330	2SC39390SACT-ND†	.48	.37	.28	2SC39390SATB-ND	3,000	157.47/M
AF-Ausgangsverst.	TO-92NL	25	1A	120	240	2SC39400RACT-ND†	.50	.40	.30	2SC39400RATB-ND	3,000	132.07/M
AF-Ausgangsverst.	TO-92NL	25	1A	170	340	2SC39400SACT-ND†	.50	.40	.30	2SC39400SATB-ND	3,000	132.07/M
AF-Ausgangsverst.	TO-92NL	50	1A	85	170	2SC3940AQACT-ND†	.50	.40	.30	2SC3940AQATB-ND	3,000	132.07/M
AF-Ausgangsverst.	TO-92NL	50	1A	120	240	2SC3940ARACT-ND†	.50	.40	.30	2SC3940ARATB-ND	3,000	132.07/M
AF-Ausgangsverst.	TO-92NL	50	1A	170	340	2SC3940ASACT-ND†	.50	.40	.30	2SC3940ASATB-ND	3,000	132.07/M
Allgemeine Verst.	TO-92NL	300	70mA	60	150	2SC39410QACT-ND†	.41	.31	.24	2SC39410QATB-ND	3,000	133.77/M
Allgemeine Verst.	TO-92NL	300	70mA	100	220	2SC39410RACT-ND†	.41	.31	.24	2SC39410RATB-ND	3,000	133.77/M
AF-Ausgangsverst.	TO-92NL	50	.5A	120	240	2SC4208ARACT-ND†	.46	.37	.28	2SC4208ARATB-ND	3,000	121.91/M
Allgemeine Verst.	MT-1	50	100mA	160	460	2SD1991A0ACT-ND†	.30	.24	.17	2SD1991A0ATB-ND	2,000	71.96/M
Allgemeine Verst.	MT-1	50	500mA	210	340	2SD1991ARACT-ND†	.30	.24	.17	2SD1991ARATB-ND	2,000	71.96/M
Niederfrequ. Verst.	MT-1	50	500mA	85	340	2SD1992A0ACT-ND†	.38	.31	.23	2SD1992A0ATB-ND	2,000	105.83/M
Niederfrequ. Verst.	MT-1	20	500mA	200	350	2SD19960RACT-ND†	.49	.40	.30	2SD19960RATB-ND	2,000	137.15/M
Niederfrequ. Verst.	MT-1	20	500mA	300	500	2SD19960SACT-ND†	.49	.40	.30	2SD19960SATB-ND	2,000	137.15/M
Niederfrequ. Verst.	MT-1	20	500mA	400	800	2SD19960TACT-ND†	.49	.40	.30	2SD19960TATB-ND	2,000	137.15/M
Niederfrequ. Verst.	MT-2	50	2A	120	340	2SD217700ACT-ND†	.79	.60	.45	2SD217700ATB-ND	2,000	263.30/M
Niederfrequ. Verst.	MT-2	60	2A	120	340	2SD2177A0ACT-ND†	.79	.60	.45	2SD2177A0ATB-ND	2,000	263.30/M
Niederfrequ. Verst.	MT-2	50	1A	120	240	2SD1994ARACT-ND†	.47	.38	.29	2SD1994ARATB-ND	2,000	132.92/M
Niederfrequ. Verst.	MT-2	50	1A	170	340	2SD1994ASACT-ND†	.47	.38	.29	2SD1994ASATB-ND	2,000	132.92/M
Niederfrequ. Verst.	MT-2	50	100mA	170	340	2SD21770SACT-ND†	.75	.57	.43	2SD21770SATB-ND	2,000	251.44/M
AF-Ausgangsverst.	MT-2	80	1A	120	240	2SC43910RACT-ND†	.42	.32	.24	2SC43910RATB-ND	2,000	139.69/M
AF-Leistungsverst.	MT-2	20	5A	340	600	2SD22490RACT-ND†	.52	.40	.30	2SD22490RATB-ND	2,000	173.56/M
AF-Verst.	MT-2	50	500mA	8,000	20,000	2SD25980RACT-ND†	.47	.39	.29	2SD25980RATB-ND	2,000	133.77/M
AF-Ausgangsverst.	MT-3	50	1A	120	240	2SD21330RACT-ND†	.61	.46	.35	2SD21330RATB-ND	1,000	202.34
AF-Ausgangsverst.	MT-3	50	1A	170	340	2SD21330SACT-ND†	.61	.46	.35	2SD21330SATB-ND	1,000	202.34
AF-Hochleistungstreiber	MT-3	150	1A	130	220	2SD21340RACT-ND†	.69	.58	.47	2SD21340RATB-ND	1,000	307.32
Leistungsverst.	MT-3	60	3A	70	150	2SD21360QACT-ND†	.84	.63	.47	2SD21360QATB-ND	1,000	277.68
Leistungsverst.	MT-3	60	3A	120	250	2SD21360RACT-ND†	.63	.53	.42	2SD21360RATB-ND	1,000	277.68
AF-Ausgangsverst.	MT-3	50	2A	120	240	2SD21780RACT-ND†	.70	.53	.40	2SD21780RATB-ND	1,000	234.51
AF-Ausgangsverst.	MT-3	50	2A	170	340	2SD21780SACT-ND†	.70	.53	.40	2SD21780SATB-ND	1,000	234.51
AF-Verst.	MT-3	80	1A	8,000	20,000	2SD22200RACT-ND†	.65	.55	.44	2SD22200RATB-ND	1,000	288.69
AF-Verst.	MT-3	100	2A	8,000	20,000	2SD24790RACT-ND†	.81	.68	.55	2SD24790RATB-ND	1,000	361.50
Niederfrequ. Verst.	NEU S-Typ	50	100mA	160	460	2SC3311A0ACT-ND†	.28	.22	.16	2SC3311A0ATB-ND	5,000	59.27/M
Niederfrequ. Verst.	NEU S-Typ	50	500mA	85	340	2SD1423ACT-ND †	.41	.34	.27	2SD1423ATB-ND	5,000	100.75/M
Niederfrequ. Verst.	NEU S-Typ	20	500mA	200	800	2SD145000ACT-ND†	.36	.29	.22	2SD145000ATB-ND	5,000	90.59/M
Niederfrequ. Verst.	NEU S-Typ	50	100mA	160	260	2SC3311AQACT-ND†	.35	.27	.19	2SC3311AQATB-ND	5,000	59.27/M
Niederfrequ. Verst.	NEU S-Typ	50	100mA	210	340	2SC3311ARACT-ND†	.35	.27	.19	2SC3311ARATB-ND	5,000	59.27/M
Niederfrequ. Verst.	NEU S-Typ	50	100mA	290	460	2SC3311ASACT-ND†	.35	.27	.19	2SC3311ASATB-ND	5,000	59.27/M
Niederfrequ. Verst.	NEU S-Typ	20	500mA	200	350	2SD14500RACT-ND†	.42	.36	.29	2SD14500RATB-ND	5,000	90.59/M
Niederfrequ. Verst.	NEU S-Typ	20	500mA	300	500	2SD14500SACT-ND†	.42	.36	.29	2SD14500SATB-ND	5,000	90.59/M
Niederfrequ. Verst.	NEU S-Typ	20	500mA	400	800	2SD14500TACT-ND†	.42	.36	.29	2SD14500TATB-ND	5,000	90.59/M
Niederfrequ. Verst.	NEU S-Typ	50	500mA	120	240	2SD1423ARACT-ND†	.42	.36	.29	2SD1423ARATB-ND	5,000	90.59/M

* Darlington † Gurtabschnittspreise

Leistungs-MOSFETs

Paket	V_{DSS} (V)	V_{GSS} (V)	I_D	R_{DS} (Ein) Typ (Ω)	Digi-Key Teilenr.	Stückpreis 1	Stückpreis 10	Stückpreis 100	Stückpreis 500	Stückpreis 1.000
Typ N-Kanal										
TO-220D	450	30	5A	1.0	2SK3043-ND	1.55	1.24	.93	.84	.81
	450	30	7A	0.56	2SK3044-ND	2.09	1.67	1.26	1.13	1.09
	500	30	2.5A	3.2	2SK3045-ND	1.30	1.05	.79	.71	.68
	500	30	7A	0.7	2SK3046-ND	2.04	1.63	1.23	1.10	1.06
	800	30	2A	4.8	2SK3047-ND	1.57	1.26	.95	.86	.82
	600	30	3A	1.7	2SK3048-ND	1.52	1.22	.92	.83	.80

Alle Preisangaben in Euro und inklusive Zollgebühren.

MOSFETS zur Oberflächenmontage

Abm. in mm

Leistungstyp, Miniaturpaket

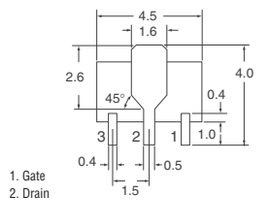

1. Gate
2. Drain
3. Source

Mini-Typ-Paket (3-Pin)

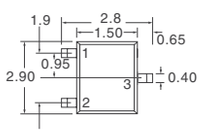

1. Gate
2. Source
3. Drain

S-Mini-Typ-Paket (3-Pin)

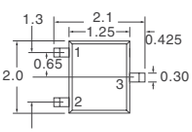

1. Gate
2. Source
3. Drain

S-Mini-Typ-Paket (5-Pin)

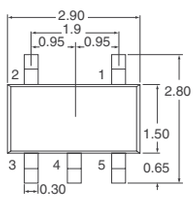

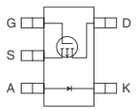

1. Kathode
2. Drain
3. Gate
4. Source
5. Anode

S-Mini-Typ-Paket (5-Pin)

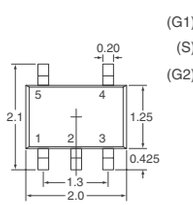

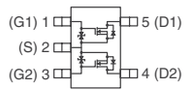

1. Gate (FET1)
2. Source
3. Gate (FET2)
4. Drain (FET2)
5. Drain (FET1)

S-Mini-Typ-Paket (6-Pin)

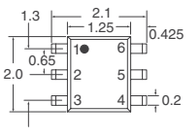

1. Source
2. Gate
3. Drain
4. Source
5. Gate
6. Source

SS-Mini-Typ-Paket (3-Pin)

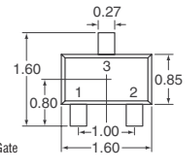

1. Gate
2. Source
3. Drain

SS-Mini-Typ-Paket (6-Pin)

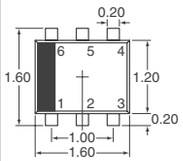

UP0487800

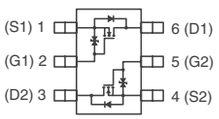

1. Quelle (FET.1)
2. Quelle (FET.2)
3. Drain (FET.2)

UP0497900

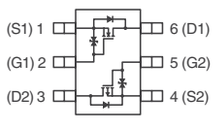

4. Quelle (FET.2)
5. Gate (FET.2)
6. Drain (FET.1)

SSS-Mini-Typ-Paket (3-Pin)

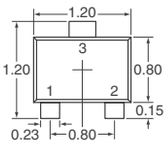

1. Drain
2. Source
3. Gate

B

Paket	V_{DS} (V)	I_D (mA)	R_{DS} (ein) Typ. (Ω)	PD Max. (mW)	Digi-Key Teilenr.	Gurtabschnittspreis pro Stück 1	10	100	Digi-Key Teilenr.	Gegurtet auf Rolle Größe	Preisangaben
MOSFET, Kleinsignal/mit Schaltfunktion — Typ N-Kanal											
S-Mini-3P	30+	1000	30	150	2SK306400LCT-ND	.39	.33	.26	2SK306400LTR-ND	3,000	104.14/M
S-Mini-3P	50+	1000	8/6	150	2SK353900LCT-ND	.36	.29	.22	2SK353900LTR-ND	3,000	96.52/M
Mini-3P	50+	500	27	150	2SK122800LCT-ND	.43	.37	.30	2SK122800LTR-ND	3,000	115.99/M
Mini-Leistung	80+	500	2	1000	2SK060100LCT-ND	1.01	.85	.68	2SK060100LTR-ND	1,000	447.85
Mini-Leistung	30+	1000	0.48	1000	2SK221100LCT-ND	.51	.38	.29	2SK221100LTR-ND	1,000	168.47
SSS-Mini-3P	20*	.1	—	100	2SK33720RLCT-ND	.45	.37	.28	2SK33720RLTR-ND	10,000	112.60/M
SSS-Mini-3P	20*	.135	—	100	2SK33720SLCT-ND	.45	.37	.28	2SK33720SLTR-ND	10,000	112.60/M
SSS-Mini-3P	20*	.180	—	100	2SK33720TLCT-ND	.45	.37	.28	2SK33720TLTR-ND	10,000	112.60/M
SSS-Mini-3P	20*	.290	—	100	2SK33720ULCT-ND	.45	.37	.28	2SK33720ULTR-ND	10,000	112.60/M
SS-Mini-3P	50	100	8/6	125	2SK3546J0LCT-ND	.36	.30	.22	2SK3546J0LTR-ND	3,000	96.52/M
SSS-Mini-3P	50	100	8/6	100	2SK354700LCT-ND	.41	.33	.25	2SK354700LTR-ND	10,000	101.60/M
S-Mini-5-P	50+	100	8/6	150	XP0187800LCT-ND	.53	.40	.30	XP0187800LTR-ND	3,000	172.71/M
S-Mini-6P	50+	1000	8/6	150	XP0487800LCT-ND	.58	.44	.33	XP0487800LTR-ND	3,000	187.10/M
SS-Mini-6P	50+	100	8/6	125	UP0487800LCT-ND	.60	.46	.34	UP0487800LTR-ND	8,000	191.34/M
SS-Mini-6P	50+	100	8/6	125	UP0497900LCT-ND	.60	.46	.34	UP0497900LTR-ND	8,000	191.34/M
MOSFET, Kleinsignal/mit Schaltfunktion — Typ P-Kanal											
S-Mini-3P	30+	1000	50	150	2SJ053600LCT-ND	.41	.34	.27	2SJ053600LTR-ND	3,000	107.52/M
S-Mini-5P	12+	1200	0.35	600	XN0NE9200LCT-ND	.65	.49	.37	XN0NE9200LTR-ND	3,000	211.65/M

+ VDSS * VDSO

PNP/NPN-Transistoren

NEU S-Typ

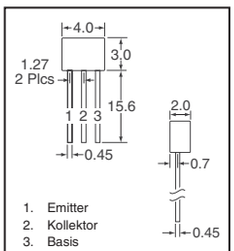

1. Emitter
2. Kollektor
3. Basis

R_B (KΩ)	R_{BE} (KΩ)	hFE min. V_{CE}= 10V I_C=5mA	V_{CEO} (V)	IC (mA)	PT (mW)	Digi-Key Teilenr.	Gurtabschnittspreis pro Stück 1	10	100	Digi-Key Teilenr.	Preisangabe gegurtet in Schachtel 5.000
PNP											
22	22	60	50	100	300	UNR411200ACT-ND	.38	.33	.26	UNR411200ATB-ND	96.52/M
47	47	80	50	100	300	UNR411300ACT-ND	.38	.33	.26	UNR411300ATB-ND	96.52/M
4.7	10	30	50	100	300	UNR411F00ACT-ND	.38	.33	.26	UNR411F00ATB-ND	96.52/M
4.7	4.7	20	50	100	300	UNR411L00ACT-ND	.38	.33	.26	UNR411L00ATB-ND	96.52/M
2.2	10	60•	50	500	300	UNR412400ACT-ND	.47	.38	.29	UNR412400ATB-ND	120.22/M
NPN											
47	47	80	50	100	300	UNR421300ACT-ND	.38	.33	.26	UNR421300ATB-ND	96.52/M
0.51	5.1	20	50	100	300	UNR421800ACT-ND	.38	.33	.26	UNR421800ATB-ND	96.52/M
10	10	60•	50	500	300	UNR422300ACT-ND	.47	.38	.29	UNR422300ATB-ND	120.22/M
2.2	10	60•	50	500	300	UNR422400ACT-ND	.47	.38	.29	UNR422400ATB-ND	120.22/M

• Ic=100mA

Mini-Typ

Oberflächenmontage mit integrierten Widerständen für voreingestellte Verstärkungen

V_{CEO}=50V/-50V **PT=200mW**
IC=100mA/-100mA **JEDEC:TO-236**
EIAJ: SC-59A

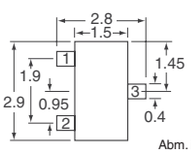

1. Basis
2. Emitter
3. Kollektor

Abm. in mm

R_B (KΩ)	R_{BE} (KΩ)	hFE min Vce=10 V IC=5 mA	Digi-Key Teilenr.	Gurtabschnittspreis pro Stück 1	10	100	Digi-Key Teilenr.	Gegurtet auf Rolle Größe	Preisangaben
PNP									
10	10	35	UNR211100LCT-ND	.31	.24	.17	UNR211100LTR-ND	3,000	62.65/M
22	22	60	UNR211200LCT-ND	.31	.24	.17	UNR211200LTR-ND	3,000	62.65/M
47	47	80	UNR211300LCT-ND	.31	.24	.17	UNR211300LTR-ND	3,000	62.65/M
10	47	80	UNR211400LCT-ND	.31	.24	.17	UNR211400LTR-ND	3,000	62.65/M
10	∞	160	UNR211500LCT-ND	.31	.24	.17	UNR211500LTR-ND	3,000	62.65/M
4.7	∞	160	UNR211600LCT-ND	.31	.24	.17	UNR211600LTR-ND	3,000	62.65/M
22	∞	160	UNR211700LCT-ND	.31	.24	.17	UNR211700LTR-ND	3,000	62.65/M
0.51	5.1	20	UNR211800LCT-ND	.31	.24	.17	UNR211800LTR-ND	3,000	62.65/M
1	10	30	UNR211900LCT-ND	.31	.24	.17	UNR211900LTR-ND	3,000	62.65/M
47	∞	160	UNR211000LCT-ND	.31	.24	.17	UNR211000LTR-ND	3,000	62.65/M
47	10	30	UNR211D00LCT-ND	.31	.24	.17	UNR211D00LTR-ND	3,000	62.65/M
47	22	60	UNR211E00LCT-ND	.31	.24	.17	UNR211E00LTR-ND	3,000	62.65/M
4.7	10	30	UNR211F00LCT-ND	.31	.24	.17	UNR211F00LTR-ND	3,000	62.65/M
2.2	10	30	UNR211H00LCT-ND	.31	.24	.17	UNR211H00LTR-ND	3,000	62.65/M
4.7	4.7	20	UNR211L00LCT-ND	.31	.24	.17	UNR211L00LTR-ND	3,000	62.65/M
2.2	47	80	UNR211M00LCT-ND	.31	.24	.17	UNR211M00LTR-ND	3,000	62.65/M
4.7	47	80	UNR211N00LCT-ND	.31	.24	.17	UNR211N00LTR-ND	3,000	62.65/M
2.2	2.2	6	UNR211V00LCT-ND	.31	.24	.17	UNR211V00LTR-ND	3,000	62.65/M
0.27	5	20‡	UNR212X00LCT-ND	.47	.39	.29	UNR212X00LTR-ND	3,000	126.99/M
2.2	2.2	40	UNR212100LCT-ND	.50	.40	.30	UNR212100LTR-ND	3,000	132.07/M
4.7	4.7	50	UNR212200LCT-ND	.50	.40	.30	UNR212200LTR-ND	3,000	132.07/M

R_B (KΩ)	R_{BE} (KΩ)	hFE min Vce=10 V IC=5 mA	Digi-Key Teilenr.	Gurtabschnittspreis pro Stück 1	10	100	Digi-Key Teilenr.	Gegurtet auf Rolle Größe	Preisangaben
10	10	60	UNR212300LCT-ND	.50	.40	.30	UNR212300LTR-ND	3,000	132.07/M
2.2	10	60	UNR212400LCT-ND	.50	.40	.30	UNR212400LTR-ND	3,000	132.07/M
NPN									
10	10	35	UNR221100LCT-ND	.31	.24	.17	UNR221100LTR-ND	3,000	62.65/M
22	22	60	UNR221200LCT-ND	.31	.24	.17	UNR221200LTR-ND	3,000	62.65/M
47	47	80	UNR221300LCT-ND	.31	.24	.17	UNR221300LTR-ND	3,000	62.65/M
10	47	80	UNR221400LCT-ND	.31	.24	.17	UNR221400LTR-ND	3,000	62.65/M
10	∞	160	UNR221500LCT-ND	.31	.24	.17	UNR221500LTR-ND	3,000	62.65/M
4.7	∞	160	UNR221600LCT-ND	.31	.24	.17	UNR221600LTR-ND	3,000	62.65/M
22	∞	160	UNR221700LCT-ND	.31	.24	.17	UNR221700LTR-ND	3,000	62.65/M
0.51	5.1	20	UNR221800LCT-ND	.31	.24	.17	UNR221800LTR-ND	3,000	62.65/M
1	10	30	UNR221900LCT-ND	.31	.24	.17	UNR221900LTR-ND	3,000	62.65/M
47	∞	160	UNR221000LCT-ND	.31	.24	.17	UNR221000LTR-ND	3,000	62.65/M
47	10	30	UNR221D00LCT-ND	.31	.24	.17	UNR221D00LTR-ND	3,000	62.65/M
47	22	60	UNR221E00LCT-ND	.31	.24	.17	UNR221E00LTR-ND	3,000	62.65/M
4.7	10	30	UNR221F00LCT-ND	.31	.24	.17	UNR221F00LTR-ND	3,000	62.65/M
10	4.7	20	UNR221K00LCT-ND	.31	.24	.17	UNR221K00LTR-ND	3,000	62.65/M
4.7	4.7	20	UNR221L00LCT-ND	.31	.24	.17	UNR221L00LTR-ND	3,000	62.65/M
2.2	47	80	UNR221M00LCT-ND	.31	.24	.17	UNR221M00LTR-ND	3,000	62.65/M
4.7	47	80	UNR221N00LCT-ND	.31	.24	.17	UNR221N00LTR-ND	3,000	62.65/M
22	47	80	UNR221T00LCT-ND	.30	.23	.16	UNR221T00LTR-ND	3,000	60.96/M
2.2	2.2	6	UNR221V00LCT-ND	.31	.24	.17	UNR221V00LTR-ND	3,000	62.65/M
2.2	2.2	40	UNR222100LCT-ND	.46	.37	.28	UNR222100LTR-ND	3,000	121.91/M
4.7	4.7	50	UNR222200LCT-ND	.46	.37	.28	UNR222200LTR-ND	3,000	121.91/M
10	10	60	UNR222300LCT-ND	.37	.30	.23	UNR222300LTR-ND	3,000	98.21/M
2.2	10	60	UNR222400LCT-ND	.46	.37	.28	UNR222400LTR-ND	3,000	121.91/M
4.7	∞	100	UNR222600LCT-ND	.37	.30	.23	UNR222600LTR-ND	3,000	98.21/M
1	47	800	UNR723100LCT-ND*	.56	.42	.32	UNR723100LTR-ND*	1,000	185.41

*Leistungstyp, Minipaket VCE0-20 V IC=700 mA PT-1000 mW ‡ IC=500 mA

Panasonic® PNP/NPN-Transistoren

S-Mini-Typ

Oberflächenmontage mit integrierten Widerständen für voreingestellte Verstärkungen

VCEO=50V/-50V **PT=150mW**

IC=100mA/-100mA **EIAJ: SC-70**

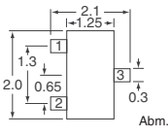

1. Basis
2. Emitter
3. Kollektor

Abm. in mm

Widerstandswert RB (KΩ)	Widerstandswert RBE (KΩ)	hFE min Vce=10 V IC=5 mA	Digi-Key Teilenr.	Gurtabschnittspreis pro Stück 1	10	100	Digi-Key Teilenr.	Preisangabe für Gegurtet auf Rolle 3.000
			PNP					
10	10	35	UNR511100LCT-ND	.34	.26	.18	UNR511100LTR-ND	66.88/M
22	22	60	UNR511200LCT-ND	.34	.26	.18	UNR511200LTR-ND	66.88/M
47	47	80	UNR511300LCT-ND	.34	.26	.18	UNR511300LTR-ND	66.88/M
10	47	80	UNR511400LCT-ND	.34	.26	.18	UNR511400LTR-ND	66.88/M
10	∞	160	UNR511500LCT-ND	.34	.26	.18	UNR511500LTR-ND	66.88/M
4.7	∞	160	UNR511600LCT-ND	.34	.26	.18	UNR511600LTR-ND	66.88/M
22	∞	160	UNR511700LCT-ND	.34	.26	.18	UNR511700LTR-ND	66.88/M
0.51	5.1	20	UNR511800LCT-ND	.34	.26	.18	UNR511800LTR-ND	66.88/M
1	10	30	UNR511900LCT-ND	.34	.26	.18	UNR511900LTR-ND	66.88/M
47	∞	160	UNR511000LCT-ND	.34	.26	.18	UNR511000LTR-ND	66.88/M
47	10	30	UNR511D00LCT-ND	.34	.26	.18	UNR511D00LTR-ND	66.88/M
47	22	60	UNR511E00LCT-ND	.34	.26	.18	UNR511E00LTR-ND	66.88/M
4.7	10	30	UNR511F00LCT-ND	.34	.26	.18	UNR511F00LTR-ND	66.88/M
2.2	10	30	UNR511H00LCT-ND	.34	.26	.18	UNR511H00LTR-ND	66.88/M
4.7	4.7	20	UNR511L00LCT-ND	.34	.26	.18	UNR511L00LTR-ND	66.88/M
2.2	47	80	UNR511M00LCT-ND	.34	.26	.18	UNR511M00LTR-ND	66.88/M
4.7	47	80	UNR511N00LCT-ND	.34	.26	.18	UNR511N00LTR-ND	66.88/M
2.2	2.2	6	UNR511V00LCT-ND	.34	.26	.18	UNR511V00LTR-ND	66.88/M
			NPN					
10	10	35	UNR521100LCT-ND	.34	.26	.18	UNR521100LTR-ND	66.88/M
22	22	60	UNR521200LCT-ND	.34	.26	.18	UNR521200LTR-ND	66.88/M
47	47	80	UNR521300LCT-ND	.34	.26	.18	UNR521300LTR-ND	66.88/M
10	47	80	UNR521400LCT-ND	.34	.26	.18	UNR521400LTR-ND	66.88/M
10	∞	160	UNR521500LCT-ND	.34	.26	.18	UNR521500LTR-ND	66.88/M
4.7	∞	160	UNR521600LCT-ND	.34	.26	.18	UNR521600LTR-ND	66.88/M
22	∞	160	UNR521700LCT-ND	.34	.26	.18	UNR521700LTR-ND	66.88/M
0.51	5.1	20	UNR521800LCT-ND	.34	.26	.18	UNR521800LTR-ND	66.88/M
1	10	30	UNR521900LCT-ND	.34	.26	.18	UNR521900LTR-ND	66.88/M
47	∞	160	UNR521000LCT-ND	.34	.26	.18	UNR521000LTR-ND	66.88/M
47	10	30	UNR521D00LCT-ND	.34	.26	.18	UNR521D00LTR-ND	66.88/M
47	22	60	UNR521E00LCT-ND	.34	.26	.18	UNR521E00LTR-ND	66.88/M
4.7	10	30	UNR521F00LCT-ND	.34	.26	.18	UNR521F00LTR-ND	66.88/M
10	4.7	20	UNR521K00LCT-ND	.34	.26	.18	UNR521K00LTR-ND	66.88/M
4.7	4.7	20	UNR521L00LCT-ND	.34	.26	.18	UNR521L00LTR-ND	66.88/M
2.2	47	80	UNR521M00LCT-ND	.34	.26	.18	UNR521M00LTR-ND	66.88/M
4.7	47	80	UNR521N00LCT-ND	.34	.26	.18	UNR521N00LTR-ND	66.88/M
2.2	2.2	6	UNR521V00LCT-ND	.34	.26	.18	UNR521V00LTR-ND	66.88/M

SSS-Mini-Typ

Oberflächenmontage mit integrierten Widerständen für voreingestellte Verstärkungen

VCEO= -50V/50V

IC= -80mA/80mA **PT=100mW**

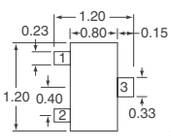

1. Basis
2. Emitter
3. Kollektor

Abm. in mm

Widerstandswert RB (KΩ)	Widerstandswert RBE (KΩ)	hFE min Vce=10 V IC=5 mA	Digi-Key Teilenr.	Gurtabschnittspreis pro Stück 1	10	100	Digi-Key Teilenr.	Preisangabe für Gegurtet auf Rolle 10.000
			PNP					
47	22	60	UNR31AE00LCT-ND	.35	.28	.20	UNR31AE00LTR-ND	67.73/M
47	∞	160	UNR31A000LCT-ND	.35	.28	.20	UNR31A000LTR-ND	67.73/M
10	10	35	UNR31A100LCT-ND	.35	.28	.20	UNR31A100LTR-ND	67.73/M
47	47	80	UNR31A300LCT-ND	.35	.28	.20	UNR31A300LTR-ND	67.73/M
10	47	80	UNR31A400LCT-ND	.35	.28	.20	UNR31A400LTR-ND	67.73/M
10	∞	160	UNR31A500LCT-ND	.35	.28	.20	UNR31A500LTR-ND	67.73/M
4.7	∞	160	UNR31A600LCT-ND	.35	.28	.20	UNR31A600LTR-ND	67.73/M
10	10	35	UNR311100LCT-ND‡	.34	.28	.23	UNR311100LTR-ND	78.74/M
22	22	60	UNR311200LCT-ND‡	.35	.29	.20	UNR311200LTR-ND	80.43/M
47	47	80	UNR311300LCT-ND‡	.33	.28	.23	UNR311300LTR-ND	77.89/M
2.2	47	80	UNR31AM00LCT-ND	.31	.25	.18	UNR31AM00LTR-ND	60.96/M
4.7	47	80	UNR31AN00LCT-ND	.31	.25	.18	UNR31AN00LTR-ND	60.96/M
			NPN					
100	100	80	UNR32AA00LCT-ND	.35	.28	.20	UNR32AA00LTR-ND	67.73/M
47	∞	160	UNR32A000LCT-ND	.35	.28	.20	UNR32A000LTR-ND	67.73/M
10	10	35	UNR32A100LCT-ND	.35	.28	.20	UNR32A100LTR-ND	67.73/M
47	47	80	UNR32A300LCT-ND	.35	.28	.20	UNR32A300LTR-ND	67.73/M
10	47	80	UNR32A400LCT-ND	.35	.28	.20	UNR32A400LTR-ND	67.73/M
10	∞	160	UNR32A500LCT-ND	.35	.28	.20	UNR32A500LTR-ND	67.73/M
4.7	∞	160	UNR32A600LCT-ND	.35	.28	.20	UNR32A600LTR-ND	67.73/M
4.7	47	80	UNR321N00LCT-ND‡	.33	.28	.23	UNR321N00LTR-ND	77.89/M
47	∞	160	UNR321000LCT-ND‡	.34	.28	.23	UNR321000LTR-ND	78.74/M
47	47	80	UNR321300LCT-ND‡	.33	.28	.23	UNR321300LTR-ND	77.89/M
4.7	∞	160	UNR321600LCT-ND‡	.33	.28	.23	UNR321600LTR-ND	77.89/M
100	∞	160	UNR32AB00LCT-ND	.31	.25	.18	UNR32AB00LTR-ND	60.96/M
47	22	60	UNR32AE00LCT-ND	.31	.25	.18	UNR32AE00LTR-ND	60.96/M
2.2	47	80	UNR32AM00LCT-ND	.31	.25	.18	UNR32AM00LTR-ND	60.96/M
4.7	47	80	UNR32AN00LCT-ND	.31	.25	.18	UNR32AN00LTR-ND	60.96/M
22	47	80	UNR32AT00LCT-ND	.31	.25	.18	UNR32AT00LTR-ND	60.96/M

‡ IC=100mA

1006 ohne Anschluss

VCEO= 50V/-50V

IC= 80mA/-80mA

PT=100mW

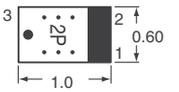

1. Basis
2. Emitter
3. Kollektor

Abm. in mm

Widerstandswert RB (KΩ)	Widerstandswert RBE (KΩ)	hFE min Vce=10 V IC=5 mA	Digi-Key Teilenr.	Gurtabschnittspreis pro Stück 1	10	100	Digi-Key Teilenr.	Preisangabe für Gegurtet auf Rolle 10.000
			PNP					
10	47	80	UNRF1A400ACT-ND	.39	.33	.26	UNRF1A400ATR-ND	89.74/M
			NPN					
4.7	47	80	UNRF2AN00ACT-ND	.39	.33	.26	UNRF2AN00ATR-ND	89.74/M
47	47	80	UNRF2A300ACT-ND	.39	.33	.26	UNRF2A300ATR-ND	89.74/M

1008 spritzgegossen, ohne Anschlüsse

Oberflächenmontage mit integrierten Widerständen für voreingestellte Verstärkungen

VCEO= -50V/50V

IC= -100mA/100mA **PT=150mW**

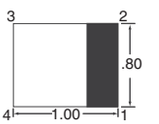

1. Basis
2. Emitter
3. Kollektor
4. Kollektor

Abm. in mm

Widerstandswert RB (KΩ)	Widerstandswert RBE (KΩ)	hFE min Vce=10 V IC=5 mA	Digi-Key Teilenr.	Gurtabschnittspreis pro Stück 1	10	100	Digi-Key Teilenr.	Preisangabe für Gegurtet auf Rolle 10.000
			PNP					
10	10	35	UNRL11100ACT-ND	.58	.45	.34	UNRL11100ATR-ND	183.72/M
47	47	80	UNRL11300ACT-ND	.58	.45	.34	UNRL11300ATR-ND	183.72/M
10	∞	160	UNRL11500ACT-ND	.58	.45	.34	UNRL11500ATR-ND	183.72/M
			NPN					
10	10	35	UNRL21100ACT-ND	.58	.45	.34	UNRL21100ATR-ND	183.72/M
47	47	80	UNRL21300ACT-ND	.58	.45	.34	UNRL21300ATR-ND	183.72/M
10	∞	160	UNRL21500ACT-ND	.58	.45	.34	UNRL21500ATR-ND	183.72/M

SS-Mini, flach (J-Typ)

Oberflächenmontage mit integrierten Widerständen für voreingestellte Verstärkungen

VCEO=50V/50V

IC=100mA/-100mA

PT=125mW

EIAJ: SC-81

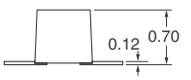

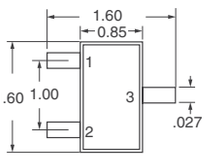

1. Basis
2. Emitter
3. Kollektor

Abm. in mm

Widerstandswert RB (KΩ)	Widerstandswert RBE (KΩ)	hFE min Vce=10 V IC=5 mA	Digi-Key Teilenr.	Gurtabschnittspreis pro Stück 1	10	100	Digi-Key Teilenr.	Preisangabe für Gegurtet auf Rolle 3.000
			PNP					
10	10	35	UNR9111J0LCT-ND	.34	.26	.18	UNR9111J0LTR-ND	67.73/M
22	22	60	UNR9112J0LCT-ND	.34	.26	.18	UNR9112J0LTR-ND	67.73/M
47	47	80	UNR9113J0LCT-ND	.34	.26	.18	UNR9113J0LTR-ND	67.73/M
10	47	80	UNR9114J0LCT-ND	.34	.26	.18	UNR9114J0LTR-ND	67.73/M
10	∞	160	UNR9115J0LCT-ND	.34	.26	.18	UNR9115J0LTR-ND	67.73/M
4.7	∞	160	UNR9116J0LCT-ND	.34	.26	.18	UNR9116J0LTR-ND	67.73/M
22	∞	160	UNR9117J0LCT-ND	.34	.26	.18	UNR9117J0LTR-ND	67.73/M
0.51	5.1	20	UNR9118J0LCT-ND	.34	.26	.18	UNR9118J0LTR-ND	67.73/M
1	10	30	UNR9119J0LCT-ND	.34	.26	.18	UNR9119J0LTR-ND	67.73/M
47	∞	160	UNR9110J0LCT-ND	.34	.26	.18	UNR9110J0LTR-ND	67.73/M
22	47	80	UNR911TJ0LCT-ND	.34	.26	.18	UNR911TJ0LTR-ND	67.73/M
47	22	60	UNR911EJ0LCT-ND	.31	.24	.17	UNR911EJ0LTR-ND	62.65/M
4.7	10	30	UNR911FJ0LCT-ND	.31	.24	.17	UNR911FJ0LTR-ND	62.65/M
2.2	10	30	UNR911HJ0LCT-ND	.31	.24	.17	UNR911HJ0LTR-ND	62.65/M
4.7	4.7	20	UNR911LJ0LCT-ND	.31	.24	.17	UNR911LJ0LTR-ND	62.65/M
4.7	47	80	UNR911NJ0LCT-ND	.31	.24	.17	UNR911NJ0LTR-ND	62.65/M
100	100	80	UNR911AJCT-ND	.31	.24	.17	UNR911AJ0LTR-ND	62.65/M
100	∞	160	UNR911BJ0LCT-ND	.31	.24	.17	UNR911BJ0LTR-ND	62.65/M
2.2	47	80	UNR911MJ0LCT-ND	.31	.24	.17	UNR911MJ0LTR-ND	62.65/M
			NPN					
10	10	35	UNR9211J0LCT-ND	.34	.26	.18	UNR9211J0LTR-ND	67.73/M
22	22	60	UNR9212J0LCT-ND	.34	.26	.18	UNR9212J0LTR-ND	67.73/M
47	47	80	UNR9213J0LCT-ND	.34	.26	.18	UNR9213J0LTR-ND	67.73/M
10	47	80	UNR9214J0LCT-ND	.34	.26	.18	UNR9214J0LTR-ND	67.73/M
10	∞	160	UNR9215J0LCT-ND	.34	.26	.18	UNR9215J0LTR-ND	67.73/M
4.7	∞	160	UNR9216J0LCT-ND	.34	.26	.18	UNR9216J0LTR-ND	67.73/M
22	∞	160	UNR9217J0LCT-ND	.34	.26	.18	UNR9217J0LTR-ND	67.73/M
0.51	5.1	20	UNR9218J0LCT-ND	.34	.26	.18	UNR9218J0LTR-ND	67.73/M
1	10	30	UNR9219J0LCT-ND	.34	.26	.18	UNR9219J0LTR-ND	67.73/M
47	∞	160	UNR9210J0LCT-ND	.34	.26	.18	UNR9210J0LTR-ND	67.73/M
22	47	80	UNR921MJ0LCT-ND	.34	.26	.18	UNR921MJ0LTR-ND	67.73/M
22	47	80	UNR921TJ0LCT-ND	.34	.26	.18	UNR921TJ0LTR-ND	67.73/M
47	10	30	UNR921DJ0LCT-ND	.31	.24	.17	UNR921DJ0LTR-ND	62.65/M
47	22	60	UNR921EJ0LCT-ND	.31	.24	.17	UNR921EJ0LTR-ND	62.65/M
4.7	10	30	UNR921FJ0LCT-ND	.31	.24	.17	UNR921FJ0LTR-ND	62.65/M
4.7	4.7	20	UNR921LJ0LCT-ND	.31	.24	.17	UNR921LJ0LTR-ND	62.65/M
100	100	80	UNR921AJ0LCT-ND	.31	.24	.17	UNR921AJ0LTR-ND	62.65/M
100	100	160	UNR921BJ0LCT-ND	.31	.24	.17	UNR921BJ0LTR-ND	62.65/M
2.2	2.2	6	UNR921NJ0LCT-ND	.31	.24	.17	UNR921NJ0LTR-ND	62.65/M
2.2	2.2	6	UNR921VJ0LCT-ND	.31	.24	.17	UNR921VJ0LTR-ND	62.65/M

Alle Preisangaben in Euro und inklusive Zollgebühren.

Transistoren

Mini, S-Mini, SS-Mini, SSS-Mini-3P, Leistungstyp-Miniaturpaket

Abm. in mm

Mini-Typ

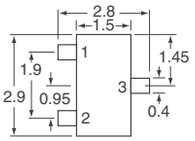

1. Basis
2. Emitter
3. Kollektor

S-Mini-Typ

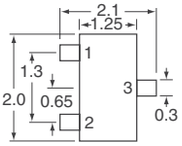

1. Basis
2. Emitter
3. Kollektor

SS-Mini (flach)

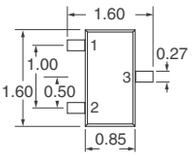

1. Basis
2. Emitter
3. Kollektor

SSS-Mini-3P

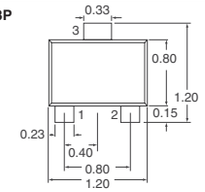

1. Basis
2. Emitter
3. Kollektor

Leistungstyp, Miniaturpaket

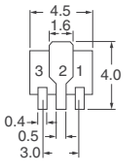

1. Basis
2. Kollektor
3. Emitter

Anwendung	Paket	VCEO (V)	IC (mA)	hFE Min.	hFE Max.	Digi-Key Teilenr.	Gurtabschnittspreise 1	10	100	Digi-Key Teilenr.	Gegurtet auf Rolle Größe	Preisangaben
PNP-Typ												
HF-Verst.	Mini-3P	20	30	70	140	2SA10220BLCT-ND	.32	2.62	17.95	2SA10220BLTR-ND	3,000	84.66/M
Schnellschaltung	Mini-3P	15	50	90	150	2SA17380RLCT-ND	.52	3.95	29.66	2SA17380RLTR-ND	3,000	171.02/M
Allgemeine Verst.	Mini-3P	45	100	160	460	2SA207700LCT-ND	.30	2.33	16.42	2SA207700LTR-ND	3,000	66.88/M
Allgemeine Verst.	Mini-3P	45	100	160	460	2SB0709A0LCT-ND	.21	1.59	11.01	2SB0709A0LTR-ND	3,000	49.95/M
Allgemeine Verst.	Mini-3P	45	100	160	260	2SB0709AQLCT-ND	.25	1.90	13.76	2SB0709AQLTR-ND	3,000	49.95/M
Allgemeine Verst.	Mini-3P	45	100	210	340	2SB0709ARLCT-ND	.25	1.90	13.76	2SB0709ARLTR-ND	3,000	49.95/M
Allgemeine Verst.	Mini-3P	45	100	290	460	2SB0709ASLCT-ND	.25	1.90	13.76	2SB0709ASLTR-ND	3,000	49.95/M
Allgemeine Verst.	Mini-3P	25	500	85	340	2SB071000LCT-ND	.35	2.76	20.71	2SB071000LTR-ND	3,000	91.44/M
Allgemeine Verst.	Mini-3P	25	500	85	170	2SB07100QLCT-ND	.40	3.30	26.43	2SB07100QLTR-ND	3,000	105.83/M
Allgemeine Verst.	Mini-3P	25	500	120	240	2SB07100RLCT-ND	.40	3.30	26.43	2SB07100RLTR-ND	3,000	105.83/M
Allgemeine Verst.	Mini-3P	25	500	170	340	2SB07100SLCT-ND	.40	3.30	26.43	2SB07100SLTR-ND	3,000	105.83/M
Allgemeine Verst.	Mini-3P	50	500	85	340	2SB0710A0LCT-ND	.33	2.64	19.82	2SB0710A0LTR-ND	3,000	105.83/M
Allgemeine Verst.	Mini-3P	50	500	85	170	2SB0710AQLCT-ND	.40	3.30	26.43	2SB0710AQLTR-ND	3,000	105.83/M
Allgemeine Verst.	Mini-3P	50	500	120	240	2SB0710ARLCT-ND	.40	3.30	26.43	2SB0710ARLTR-ND	3,000	105.83/M
Allgemeine Verst.	Mini-3P	50	500	170	340	2SB0710ASLCT-ND	.40	3.30	26.43	2SB0710ASLTR-ND	3,000	105.83/M
Rauscharmer Verstärker	Mini-3P	185	50	130	220	2SB0792ARLCT-ND	.35	2.57	17.85	2SB0792ARLTR-ND	3,000	61.81/M
Rauscharmer Verstärker	Mini-3P	185	50	185	330	2SB0792ASLCT-ND	.35	2.57	17.85	2SB0792ASLTR-ND	3,000	61.81/M
DC-DC-Umsetzerr	Mini-3P	15	2.5A	200	560	2SA201000LCT-ND	.42	3.18	23.89	2SA201000LTR-ND	3,000	138.00/M
DC-DC-Umsetzerr	Mini-3P	20	1.5A	160	560	2SA204600LCT-ND	.41	3.07	23.04	2SA204600LTR-ND	3,000	132.92/M
Hochfrequ. Verst.	Mini-3P	20	30	110	220	2SA10220CLCT-ND	.35	2.83	19.38	2SA10220CLTR-ND	3,000	91.44/M
Rauscharmer Verstärker	Mini-3P	150	50	185	330	2SB07920SLCT-ND	.33	2.48	17.21	2SB07920SLTR-ND	3,000	66.04/M
Niedrigspannungs- Verst.	Mini-3P	10	0.5A	130	220	2SB09700RLCT-ND	.46	3.45	25.83	2SB09700RLTR-ND	3,000	149.00/M
Niedrigspannungs- Verst.	Mini-3P	10	0.5A	180	350	2SB09700SLCT-ND	.46	3.45	25.83	2SB09700SLTR-ND	3,000	149.00/M
HF-Verst.	S-Mini-3P	20	30	110	220	2SA15320CLCT-ND	.41	3.12	23.37	2SA15320CLTR-ND	3,000	134.61/M
Allgemeine Verst.	S-Mini-3P	45	100	160	460	2SB1218A0LCT-ND	.30	2.30	15.93	2SB1218A0LTR-ND	3,000	60.96/M
Allgemeine Verst.	S-Mini-3P	45	100	160	260	2SB1218AQLCT-ND	.30	2.30	15.93	2SB1218AQLTR-ND	3,000	60.96/M
Allgemeine Verst.	S-Mini-3P	45	100	210	340	2SB1218ARLCT-ND	.30	2.30	15.93	2SB1218ARLTR-ND	3,000	60.96/M
Allgemeine Verst.	S-Mini-3P	45	100	290	460	2SB1218ASLCT-ND	.30	2.30	15.93	2SB1218ASLTR-ND	3,000	60.96/M
Allgemeine Verst.	S-Mini-3P	50	2,000	120	240	2SB12190RLCT-ND	.36	2.92	21.89	2SB12190RLTR-ND	3,000	97.36/M
Allgemeine Verst.	S-Mini-3P	50	500	85	340	2SB1219ASLCT-ND	.36	2.92	21.89	2SB1219ASLTR-ND	3,000	97.36/M
AF-Verst.	S-Mini-3P	10	1.0A	130	350	2SB167900LCT-ND	.50	4.00	29.98	2SB167900LTR-ND	3,000	132.92/M
DC-DC-Umsetzer	S-Mini-3P	20	1A	160	560	2SA202800LCT-ND	.52	3.91	29.32	2SA202800LTR-ND	3,000	169.32/M
Allgemeine Verst.	SS-Mini (J-flach)	50	100	180	390	2SB1462J0LCT-ND	.29	2.24	15.77	2SB1462J0LTR-ND	3,000	64.34/M
Allgemeine Verst.	SSS-Mini-3P	50	100	180	390	2SA207800LCT-ND	.31	2.47	17.38	2SA207800LTR-ND	10,000	60.96/M
Niederfrequ. Ausgangsverst.	Mini-Leistung	50	1,000	85	340	2SB0766ARLCT-ND	.44	3.28	24.57	2SB0766ARLTR-ND	1,000	145.62
Niederfrequ. Verst.	Mini-Leistung	120	500	90	155	2SB0789AQLCT-ND	.68	5.07	38.00	2SB0789AQLTR-ND	1,000	224.35
Niederfrequ. Verst.	Mini-Leistung	120	500	130	220	2SB0789ARLCT-ND	.68	5.07	38.00	2SB0789ARLTR-ND	1,000	224.35
Niederfrequ. Ausgangsverst.	Mini-Leistung	20	1,000	130	280	2SB09560RLCT-ND	.43	3.26	24.45	2SB09560RLTR-ND	1,000	144.77
Niederfrequ. Verst.	Mini-Leistung	20	4,000	120	315	2SB107300LCT-ND	.46	3.45	25.83	2SB107300LTR-ND	1,000	152.39
Niederfrequ. Ausgangsverst.	Mini-Leistung	50	2,000	120	340	2SB144000LCT-ND	.61	4.59	34.40	2SB144000LTR-ND	1,000	203.18
Niederfrequ. Ausgangsverst.	Mini-Leistung	10	1,500	200	700	2SB158900LCT-ND	.44	3.28	24.57	2SB158900LTR-ND	1,000	145.62
AF-Ausgangsverst.	Mini-Leistung	80	1A	120	240	2SA18900RLCT-ND	.49	3.66	27.44	2SA18900RLTR-ND	1,000	162.55
Leistungsverst.	Mini-Leistung	40	1.5A	80	160	2SB15990QLCT-ND	.60	4.51	33.81	2SB15990QLTR-ND	1,000	199.80
Leistungsverst.	Mini-Leistung	40	1.5A	100	220	2SB15990RLCT-ND	.60	4.51	33.81	2SB15990RLTR-ND	1,000	199.80
AF-Ausgangsverst.	Mini-Leistung	80	.5A	90	155	2SB07670QLCT-ND	.45	3.34	25.02	2SB07670QLTR-ND	1,000	148.16
AF-Ausgangsverst.	Mini-Leistung	80	.5A	130	220	2SB07670RLCT-ND	.45	3.34	25.02	2SB07670RLTR-ND	1,000	148.16
Leistungsverst.	Mini-Leistung	60	2A	80	250	2SB169900LCT-ND	.50	3.74	28.08	2SB169900LTR-ND	1,000	165.93
NPN-Typ												
Niedrige VCE (gesättigt)	Mini	20	300	500	1,500	2SD1938FSLCT-ND	.32	2.52	17.79	2SD1938FSLTR-ND	3,000	72.81/M
Niedrige VCE (gesättigt)	Mini	20	300	800	2,500	2SD1938FTLCT-ND	.32	2.52	17.79	2SD1938FTLTR-ND	3,000	72.81/M
HF-Verst.	Mini-3P	20	15	65	160	2SC24040CLCT-ND	.47	3.70	27.76	2SC24040CLTR-ND	3,000	122.76/M
Hochfrequ. Verst.	Mini-3P	20	50	25	250	2SC248000LCT-ND	.34	2.70	18.53	2SC248000LTR-ND	3,000	87.20/M
Allgemeine Verst.	Mini-3P	50	100	160	460	2SC584500LCT-ND	.30	2.33	16.42	2SC584500LTR-ND	3,000	66.88/M
Allgemeine Verst.	Mini-3P	50	100	160	460	2SD0601A0LCT-ND	.21	1.59	11.01	2SD0601A0LTR-ND	3,000	49.95/M
Allgemeine Verst.	Mini-3P	50	100	160	260	2SD0601AQLCT-ND	.25	1.90	13.76	2SD0601AQLTR-ND	3,000	49.95/M
Allgemeine Verst.	Mini-3P	50	100	210	340	2SD0601ARLCT-ND	.25	1.90	13.76	2SD0601ARLTR-ND	3,000	49.95/M
Allgemeine Verst.	Mini-3P	50	100	290	460	2SD0601ASLCT-ND	.25	1.90	13.76	2SD0601ASLTR-ND	3,000	49.95/M
Allgemeine Verst.	Mini-3P	50	500	85	340	2SD0602A0LCT-ND	.36	3.06	24.42	2SD0602A0LTR-ND	3,000	97.36/M
Allgemeine Verst.	Mini-3P	50	500	85	170	2SD0602AQLCT-ND	.36	3.06	24.42	2SD0602AQLTR-ND	3,000	97.36/M
Allgemeine Verst.	Mini-3P	50	500	120	240	2SD0602ARLCT-ND	.36	3.06	24.42	2SD0602ARLTR-ND	3,000	97.36/M
Allgemeine Verst.	Mini-3P	50	500	170	340	2SD0602ASLCT-ND	.36	3.06	24.42	2SD0602ASLTR-ND	3,000	97.36/M
Niederfrequ. Verst./hohe Verstärkung	Mini-3P	100	20	400	800	2SD11490RLCT-ND	.30	2.29	15.90	2SD11490RLTR-ND	3,000	60.96/M
Niederfrequ. Verst./hohe Verstärkung	Mini-3P	100	20	600	1,200	2SD11490SLCT-ND	.30	2.29	15.90	2SD11490SLTR-ND	3,000	60.96/M
Niederspannungsverst.	Mini-3P	20	500	200	800	2SD132800LCT-ND	.32	2.59	19.45	2SD132800LTR-ND	3,000	104.14/M
Niederspannungsverst.	Mini-3P	20	500	200	350	2SD13280RLCT-ND	.39	3.24	25.94	2SD13280RLTR-ND	3,000	104.14/M
Niederspannungsverst.	Mini-3P	20	500	300	500	2SD13280SLCT-ND	.39	3.24	25.94	2SD13280SLTR-ND	3,000	104.14/M
Niederspannungsverst.	Mini-3P	20	500	400	800	2SD13280TLCT-ND	.39	3.24	25.94	2SD13280TLTR-ND	3,000	104.14/M
DC-DC-Umsetzer	Mini-3P	15	2.5A	400	1000	2SC559200LCT-ND	.41	3.07	23.04	2SC559200LTR-ND	3,000	132.92/M
DC-DC-Umsetzer	Mini-3P	15	2A	200	800	2SC57250SLCT-ND	.49	3.95	29.61	2SC57250SLTR-ND	3,000	131.23/M
DC-DC-Umsetzer	Mini-3P	80	1.5	200	—	2SC581300LCT-ND	.43	3.22	24.09	2SC581300LTR-ND	3,000	138.85/M
Schalter f. hohe Geschw.	Mini-3P	40	100	90	200	2SC37570RLCT-ND	.41	3.08	23.10	2SC37570RLTR-ND	3,000	133.77/M
Rauscharmer Verstärker	Mini-3P	35	50	180	360	2SC24050RLCT-ND	.52	3.84	28.84	2SC24050RLTR-ND	3,000	166.78/M
Rauscharmer Verstärker	Mini-3P	55	50	260	520	2SC24060SLCT-ND	.47	3.49	26.13	2SC24060SLTR-ND	3,000	150.70/M
Niederfrequ./-rauscharmer Verst.	Mini-3P	185	50	130	220	2SD0814ARLCT-ND	.33	2.48	17.21	2SD0814ARLTR-ND	3,000	66.04/M
Niederfrequ./-rauscharmer Verst.	Mini-3P	185	50	185	330	2SD0814ASLCT-ND	.33	2.48	17.21	2SD0814ASLTR-ND	3,000	66.04/M
Hochfrequ. Verst.	S-Mini-3P	20	50	25	250	2SC39320TLCT-ND	.33	2.66	19.94	2SC39320TLTR-ND	3,000	106.67/M
RF-Verst., Oszillator, Mixer	S-Mini-3P	10	50	110	220	2SC39350QLCT-ND	.58	4.35	32.66	2SC39350QLTR-ND	3,000	188.80/M
Schnellschaltung	S-Mini-3P	40*	100	60	120	2SC39380QLCT-ND	.41	3.12	23.43	2SC39380QLTR-ND	3,000	135.46/M
Schnellschaltung	S-Mini-3P	40*	100	90	200	2SC39380RLCT-ND	.41	3.12	23.43	2SC39380RLTR-ND	3,000	135.46/M
Allgemeine Verst.	S-Mini-3P	50	100	160	460	2SD1819A0LCT-ND	.31	2.51	17.21	2SD1819A0LTR-ND	3,000	81.28/M
Allgemeine Verst.	S-Mini-3P	50	100	160	260	2SD1819AQLCT-ND	.38	2.99	21.03	2SD1819AQLTR-ND	3,000	81.28/M
Allgemeine Verst.	S-Mini-3P	50	100	210	340	2SD1819ARLCT-ND	.38	2.99	21.03	2SD1819ARLTR-ND	3,000	81.28/M
Allgemeine Verst.	S-Mini-3P	50	100	290	460	2SD1819ASLCT-ND	.38	2.99	21.03	2SD1819ASLTR-ND	3,000	81.28/M
Allgemeine Verst.	S-Mini-3P	50	500	85	340	2SD1820A0LCT-ND	.36	2.89	21.66	2SD1820A0LTR-ND	3,000	95.67/M
Allgemeine Verst.	S-Mini-3P	50	500	120	240	2SD1820ARLCT-ND	.43	3.61	28.88	2SD1820ARLTR-ND	3,000	95.67/M
Allgemeine Verst.	S-Mini-3P	25	500	85	340	2SD1820CT-ND	.38	3.01	22.63	2SD1820TR-ND	3,000	96.03/M
Niederfrequ. Verst./hohe Verstärkung	S-Mini-3P	100	20	400	800	2SD18240RLCT-ND	.31	2.35	16.31	2SD18240RLTR-ND	3,000	62.65/M
Niederfrequ. Verst./hohe Verstärkung	S-Mini-3P	100	20	600	1,200	2SD18240SLCT-ND	.31	2.35	16.31	2SD18240SLTR-ND	3,000	62.65/M
AF-Ausgangsverst.	S-Mini-3P	20	300	500	1,500	2SD19790SLCT-ND	.47	3.47	26.02	2SD19790SLTR-ND	3,000	150.70/M
Niedrige VCE (gesättigt)	S-Mini-3P	20	500	200	800	2SD262300LCT-ND	.41	3.37	26.94	2SD262300LTR-ND	3,000	107.52/M
RF-Verst./Oszillator/Mixer	S-Mini-3P	20	50	25	250	2SC39320SLCT-ND	.36	2.96	23.74	2SC39320SLTR-ND	3,000	94.82/M
HF-Verst.	S-Mini-3P	20	30	110	220	2SC39300CLCT-ND	.45	3.36	25.24	2SC39300CLTR-ND	3,000	145.62/M
HF-Verst.	S-Mini-3P	20	15	65	160	2SC39310CLCT-ND	.44	3.33	24.93	2SC39310CLTR-ND	3,000	143.93/M

* **VCBO**

(Forts.)

B

Anwendung	Paket	VCEO (V)	IC (mA)	hFE Min.	hFE Max.	Digi-Key Teilenr.	Gurtabschnittspreise 1	10	100	Digi-Key Teilenr.	Gegurtet auf Rolle Größe	Preisangaben
NPN Typ *(Forts.)*												
HF-Verstärker	S-Mini-3P	10	50	75	130	2SC39350PLCT-ND	.63	4.71	35.28	2SC39350PLTR-ND	3,000	204.03/M
Hochfrequ. Verst.	S-Mini-3P	8	50	100	350	2SC563200LCT-ND	.36	2.82	21.17	2SC563200LTR-ND	3,000	93.98/M
RF-Verst./Oszillator/Mixer	SS-Mini-3P	10	50	75	400	2SC4809J0LCT-ND	.43	3.43	25.71	2SC4809J0LTR-ND	3,000	114.29/M
High Freq. Amp	SS-Mini (J-flach)	20	15	40	260	2SC4627J0LCT-ND	.36	2.83	21.18	2SC4627J0LTR-ND	3,000	93.98/M
Allgemeine Verst.	SS-Mini (J-flach)	50	100	160	460	2SD2216J0LCT-ND	.28	2.18	15.30	2SD2216J0LTR-ND	3,000	62.65/M
Allgemeine Verst.	SSS-Mini-3P	50	100	180	390	2SC584600LCT-ND	.31	2.47	17.38	2SC584600LTR-ND	10,000	60.96/M
AF-Verstärker	SSS-Mini-3P	100	20	400	1200	2SD262100LCT-ND	.36	3.01	24.01	2SD262100LTR-ND	10,000	83.82/M
UHF Rauscharmer Verst.	Mini-Leistung	10	80	80	250	2SC501900LCT-ND	.61	4.59	34.40	—	—	—
Niederfrequ. Ausgangsverst.	Mini-Leistung	50	1,000	85	340	2SD0874A0LCT-ND	.50	4.02	30.14	2SD0874A0LTR-ND	1,000	140.54
Niederfrequ. Ausgangsverst.	Mini-Leistung	120	500	90	220	2SD0968A0LCT-ND	.83	6.22	46.68	2SD0968A0LTR-ND	1,000	275.99
Niederfrequ. Ausgangsverst.	Mini-Leistung	50	3,000	120	340	2SD21850RLCT-ND	.57	4.23	31.76	2SD21850RLTR-ND	1,000	187.95
Niederfrequ. Ausgangsverst.	Mini-Leistung	20	500	200	800	2SD22100RLCT-ND	.47	3.82	28.67	2SD22100RLTR-ND	1,000	133.76
Niederfrequ. Ausgangsverst.	Mini-Leistung	10	1,500	200	700	2SD244100LCT-ND	.44	3.28	24.57	2SD244100LTR-ND	1,000	145.62
AF-Ausgangsverst.	Mini-Leistung	80	.5A	130	220	2SD08750RLCT-ND	.44	3.32	24.88	2SD08750RLTR-ND	1,000	147.31
AF-Ausgangsverst.	Mini-Leistung	80	.5A	185	330	2SD08750SLCT-ND	.44	3.32	24.88	2SD08750SLTR-ND	1,000	147.31
AF-Verstärker	Mini-Leistung	400	.1A	30	—	2SD241300LCT-ND	.61	4.55	34.08	2SD241300LTR-ND	1,000	201.49
AF-Leistungsverst.	Mini-Leistung	40	1.5A	80	160	2SD24570QLCT-ND	.80	5.95	44.67	2SD24570QLTR-ND	1,000	264.14
AF-Ausgangsverst.	Mini-Leistung	150	1A	120	240	2SD24590RLCT-ND	.78	5.87	44.00	2SD24590RLTR-ND	1,000	259.91
AF-Ausgangsverst.	Mini-Leistung	150	1A	170	340	2SD24590SLCT-ND	.78	5.87	44.00	2SD24590SLTR-ND	1,000	259.91
AF-Verstärker	Mini-Leistung	20	1A	130	210	2SD12800RLCT-ND	.65	4.88	36.65	2SD12800RLTR-ND	1,000	216.73
AF-Verstärker	Mini-Leistung	20	1A	180	280	2SD12800SLCT-ND	.65	4.88	36.65	2SD12800SLTR-ND	1,000	216.73

*** VCBO**

Schalter, GaAs, MMIC, SPDT

S-Mini-Typ

1. Vctrl 1
2. Ein
3. Vctrl 2
4. Aus 2
5. Erde
6. Aus 1

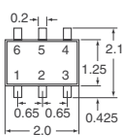

Einfügungsverlust (typ.) 1.920 MHz ~ 2.170 MHz Ein-Aus 1	Einfügungsverlust (typ.) 1.920 MHz ~ 2.170 MHz Ein-Aus 2	Isolierung (typ.) 1.920 MHz ~ 2.170 MHz Ein-Aus 1 (Ein-Aus 2 On)	Isolierung (typ.) 1.920 MHz ~ 2.170 MHz IEin-Aus 2 (Ein-Aus 1 On)	VSWR (Typ.) 920 MHz ~ 2.170 MHz Ein-Aus 1	VSWR (Typ.) 920 MHz ~ 2.170 MHz Ein-Aus 2	Ictrl (Typ.) uA	Digi-Key Teilenr.	Gurtabschnittspreis pro Stück 1	10	100	Panasonic Teilenr.
0.25dB	0.25dB	23dB	23dB	1.10dB	1.10dB	1	GN04022N0LCT-ND	1.81	1.45	1.09	GN04022N0L

Schottky-Barrierendioden – Silicon-Epitaxial-Planar-Typ

Abm. in mm

Mini-Typ (2-Pin)

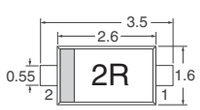

Mini-Typ (3-Pin) JEDEC: TO-236 EIAJ: SC-59

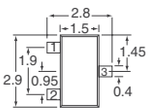

Mini-Typ (4-Pin)

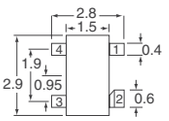

Mini-Typ (6-Pin)

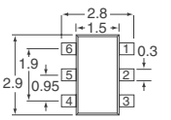

S-Mini-Typ (2-Pin)

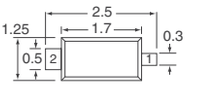

S-Mini-Typ, (3-Pin) EIAJ: SC-70

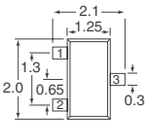

Mini-Leistungs-Typ (2-Pin)

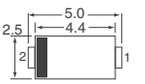

SS-Mini-Typ (2-Pin)

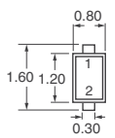

SS-Mini-Typ (3-Pin)

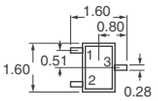

S-Mini-Typ (4-Pin), spritzgegossen

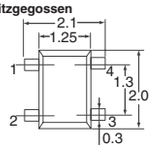

S-Mini-Typ (6-Pin), spritzgegossen

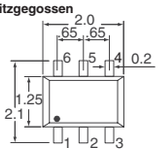

SS-Mini-Typ (4-Pin), spritzgegossen

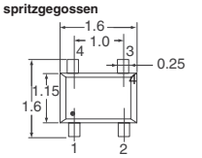

SSS-Mini-Typ (2-Pin)

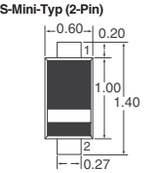

SSS-Mini-Typ (3-Pin)

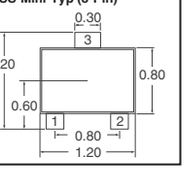

Abb. 1

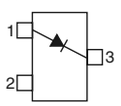

Abb. 2

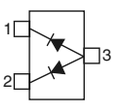

Abb. 3

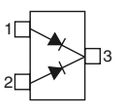

Abb. 4

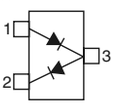

Abb. 5

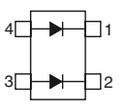

Abb. 6

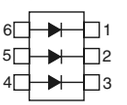

Abb. 7

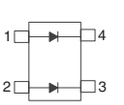

Abb. 8

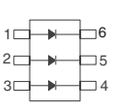

Abb. 9

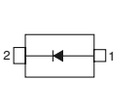

Abb. 10

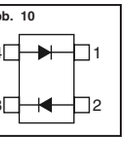

Abb.	Beschreibung	VR (V)	IF (mA)	VF (V)	VF @mA	Digi-Key Teilenr.	Gurtabschnittspreis pro Stück 1	10	100	Digi-Key Teilenr.	Gegurtet auf Rolle Größe	Preisangaben
Mini-Typ, 2-Pin												
9	Einf.	20	1000	0.45	1	MA2YD1500LCT-ND	.47	.35	.27	MA2YD1500LTR-ND	3,000	150.70/M
		100	300	0.58	300	MA2YD1700LCT-ND	.45	.34	.26	MA2YD1700LTR-ND	3,000	146.47/M
		15	1000	0.40	1000	MA2YD2100LCT-ND	.42	.32	.24	MA2YD2100LTR-ND	3,000	138.00/M
		25	1000	0.42	500	MA2YD2300LCT-ND	.45	.34	.26	MA2YD2300LTR-ND	3,000	146.47/M
		60	800	0.51	800	MA2YD2600LCT-ND	.45	.34	.26	MA2YD2600LTR-ND	3,000	146.47/M
		30	1500	0.34	500	MA22D2800LCT-ND	.52	.40	.30	MA22D2800LTR-ND	3,000	170.17/M
		20	1000	.40	1	MA22D1500LCT-ND	.48	.37	.28	MA22D1500LTR-ND	3,000	157.47/M
		25	1000	.41	500	MA22D2300LCT-ND	.48	.37	.28	MA22D2300LTR-ND	3,000	157.47/M
Mini-Typ, 3-Pin												
1	Einf.	30	700	0.55	700	MA3X70100LCT-ND	.39	.32	.24	MA3X70100LTR-ND	3,000	104.14/M
		15	30	0.40	1	MA3X70400LCT-ND	.36	.30	.22	MA3X70400LTR-ND	3,000	97.36/M
		30	30	0.40	1	MA3X704A0LCT-ND	.36	.30	.22	MA3X704A0LTR-ND	3,000	97.36/M
		30	30	0.30	1	MA3X71700LCT-ND	.43	.35	.26	MA3X71700LTR-ND	3,000	115.14/M
		40	500	0.55	500	MA3X72000LCT-ND	.48	.39	.30	MA3X72000LTR-ND	3,000	129.53/M
		30	200	0.55	200	MA3X72100LCT-ND	.39	.31	.24	MA3X72100LTR-ND	3,000	102.44/M
		50	200	0.55	200	MA3X72700LCT-ND	.48	.37	.28	MA3X72700LTR-ND	3,000	157.47/M
		20	500	0.50	500	MA3X74800LCT-ND	.50	.40	.30	MA3X74800LTR-ND	3,000	132.07/M
		30	100	0.55	100	MA3X78600LCT-ND	.41	.34	.25	MA3X78600LTR-ND	3,000	110.06/M
		50	100	0.55	100	MA3X78700LCT-ND	.37	.30	.23	MA3X78700LTR-ND	3,000	99.90/M
		20	1000	0.45	1	MA3XD1100LCT-ND	.50	.40	.30	MA3XD1100LTR-ND	3,000	132.92/M
		20	1000	0.45	1	MA3XD1500LCT-ND	.44	.33	.25	MA3XD1500LTR-ND	3,000	143.08/M
		100	300	0.58	300	MA3XD1700LCT-ND	.45	.34	.26	MA3XD1700LTR-ND	3,000	147.31/M
		15	1000	0.40	500	MA3XD2100LCT-ND	.42	.32	.24	MA3XD2100LTR-ND	3,000	138.00/M
		60	200	0.65	200	MA3X78800LCT-ND	.42	.32	.24	MA3X78800LTR-ND	3,000	138.85/M
2	Gemeinsame Doppelanode	30	30	0.40	1	MA3X704D0LCT-ND	.58	.44	.34	MA3X704D0LTR-ND	3,000	190.49/M
			110/150	0.30	1	MA3X717D0LCT-ND	.75	.57	.43	MA3X717D0LTR-ND	3,000	246.36/M
			130/200	0.55	130/200	MA3X721D0LCT-ND	.70	.53	.40	MA3X721D0LTR-ND	3,000	228.59/M
			200/300	0.55	200/300	MA3X786D0LCT-ND	.54	.41	.31	MA3X786D0LTR-ND	3,000	176.10/M
3	Gemeinsame Doppelkathode	30	30	0.40	1	MA3X704E0LCT-ND	.58	.44	.34	MA3X704E0LTR-ND	3,000	190.49/M
			110/150	0.30	1	MA3X717E0LCT-ND	.75	.57	.43	MA3X717E0LTR-ND	3,000	246.36/M

(Forts.)

Schottky-Barrierendioden – Silikon-Epitaxial-Planar-Typ *(Forts.)*

Abb.	Beschreibung	VR (V)	IF (mA)	VF (V)	VF @mA	Digi-Key Teilenr.	Gurtabschnittspreis pro Stück 1	10	100	Digi-Key Teilenr.	Gegurtet auf Rolle Größe	Preisangaben
4	Doppelserie	30	130/200	0.55	130/200	MA3X721E0LCT-ND	.70	.53	.40	MA3X721E0LTR-ND	3,000	228.59/M
			200/300	0.55	200/300	MA3X786E0LCT-ND	.54	.41	.31	MA3X786E0LTR-ND	3,000	176.10/M
			20/30	0.30	1	MA3X71500LCT-ND	.63	.48	.36	MA3X71500LTR-ND	3,000	204.88/M
			20/30	0.40	1	MA3X71600LCT-ND	.51	.39	.29	MA3X71600LTR-ND	3,000	165.94/M
			220/300	0.55	220/300	MA3X74000LCT-ND	.79	.59	.45	MA3X74000LTR-ND	3,000	254.83/M
	Mini-Typ, 4-Pin											
5	Zweif.	50	150/200	0.55	150/200	MA4X74600LCT-ND	.39	.29	.22	MA4X74600LTR-ND	3,000	127.84/M
		30	20/30	0.40	1	MA4X71300LCT-ND	.52	.39	.29	MA4X71300LTR-ND	3,000	166.78/M
		30	150	0.55	150	MA4X72400LCT-ND	.58	.44	.33	MA4X72400LTR-ND	3,000	187.10/M
		50	70/100	0.55	70/100	MA4X79600LCT-ND	.53	.40	.30	MA4X79600LTR-ND	3,000	173.56/M
9	Zweif.	30	150/200	0.55	150/200	MA4X72600LCT-ND	.78	.59	.44	MA4X72600LTR-ND	3,000	253.98/M
10	Zweif.	30	20/30	0.40	1	MA4X71400LCT-ND	.63	.47	.36	MA4X71400LTR-ND	3,000	202.34/M
	Mini-Typ, 6-Pin											
6	Dreif.	30	30	0.40	1	MA6X71800LCT-ND	.74	.62	.49	MA6X71800LTR-ND	3,000	318.32/M
	S-Mini-Typ, 2-Pin											
9	Einf.	20	200	0.47	1	MA2SD1900LCT-ND	.41	.33	.25	MA2SD1900LTR-ND	3,000	108.37/M
		40	500	0.55	500	MA2Z72000LCT-ND	.41	.33	.25	MA2Z72000LTR-ND	3,000	108.37/M
		20	300	0.40	300	MA2Z74800LCT-ND	.35	.28	.21	MA2Z74800LTR-ND	3,000	91.44/M
		20	500	0.40	10	MA2ZD0200LCT-ND	.46	.37	.28	MA2ZD0200LTR-ND	3,000	121.07/M
		20	100	0.27	5	MA2ZD1400LCT-ND	.37	.32	.25	MA2ZD1400LTR-ND	3,000	99.90/M
		20	500	0.42	500	MA2ZD1800LCT-ND	.35	.28	.21	MA2ZD1800LTR-ND	3,000	91.44/M
		30	30	0.40	1	MA2J72800LCT-ND	.40	.34	.27	MA2J72800LTR-ND	3,000	106.67/M
		30	200	0.55	200	MA2J72900LCT-ND	.47	.38	.29	MA2J72900LTR-ND	3,000	126.15/M
		30	30	0.30	1	MA2J73200LCT-ND	.37	.30	.23	MA2J73200LTR-ND	3,000	98.21/M
		30	100	0.55	100	MA2Z78400LCT-ND	.39	.33	.27	MA2Z78400LTR-ND	3,000	104.98/M
		50	100	0.55	100	MA2Z78500LCT-ND	.38	.31	.23	MA2Z78500LTR-ND	3,000	100.75/M
	S-Mini-Typ, 3-Pin											
1	Einf.	40	500	0.55	500	MA3J70000LCT-ND	.46	.37	.28	MA3J70000LTR-ND	3,000	122.76/M
		20	500	0.55	500	MA3J70200LCT-ND	.46	.37	.28	MA3J70200LTR-ND	3,000	121.91/M
		30	30	0.40	1	MA3J74100LCT-ND	.41	.33	.25	MA3J74100LTR-ND	3,000	106.67/M
		30	200	0.55	200	MA3J74400LCT-ND	.47	.36	.27	MA3J74400LTR-ND	3,000	154.08/M
		30	30	0.30	1	MA3J74500LCT-ND	.55	.42	.32	MA3J74500LTR-ND	3,000	179.48/M
		20	700	0.45	700	MA3ZD1200LCT-ND	.49	.39	.30	MA3ZD1200LTR-ND	3,000	129.53/M
2	Gemeinsame Doppelanode	30	20/30	0.40	1	MA3J741D0LCT-ND	.51	.39	.29	MA3J741D0LTR-ND	3,000	165.94/M
			20/30	0.30	1	MA3J745D0LCT-ND	.52	.40	.30	MA3J745D0LTR-ND	3,000	169.32/M
			70/100	0.55	70/100	MA3Z792D0LCT-ND	.42	.34	.26	MA3Z792D0LTR-ND	3,000	113.45/M
3	Gemeinsame Doppelkathode	30	20/30	0.40	1	MA3J741E0LCT-ND	.51	.39	.29	MA3J741E0LTR-ND	3,000	165.94/M
			20/30	0.30	1	MA3J745E0LCT-ND	.52	.40	.30	MA3J745E0LTR-ND	3,000	169.32/M
			70/100	0.55	70/100	MA3Z792E0LCT-ND	.42	.34	.26	MA3Z792E0LTR-ND	3,000	113.45/M
4	Doppelserie	30	20/30	0.40	1	MA3J74200LCT-ND	.53	.40	.30	MA3J74200LTR-ND	3,000	173.56/M
			70/100	0.55	70/100	MA3Z79300LCT-ND	.52	.39	.30	MA3Z79300LTR-ND	3,000	167.63/M
	S-Mini-Typ, spritzgegossen, 4-Pin											
7	Zweif.	30	20/30	0.40	1	MA4Z71300LCT-ND	.49	.39	.30	MA4Z71300LTR-ND	3,000	129.53/M
		20	75/100	0.27	5	MA4ZD1400LCT-ND	.44	.35	.27	MA4ZD1400LTR-ND	3,000	115.99/M
		45	75/100	0.60	75/100	MA4ZD0300LCT-ND	.42	.32	.24	MA4ZD0300LTR-ND	3,000	138.00/M
	S-Mini-Typ, spritzgegossen, 6 Stifte											
8	Dreif.	30	30	0.40	1	MA6Z71800LCT-ND	.58	.44	.33	MA6Z71800LTR-ND	3,000	187.10/M
	Mini-Leistungstyp 2-Pin											
9	Einf.	30	1500	0.37	1000	MA2Q70500LCT-ND	.70	.53	.40	MA2Q70500LTR-ND	1,500	234.51/M
		30	1000	0.50	1000	MA2Q73500LCT-ND	.71	.54	.40	MA2Q73500LTR-ND	1,500	235.36/M
		40	1000	0.55	1000	MA2Q73600LCT-ND	.59	.45	.34	MA2Q73600LTR-ND	1,500	195.57/M
		40	1500	0.55	2000	MA2Q73800LCT-ND	.61	.46	.35	MA2Q73800LTR-ND	1,500	203.19/M
		90	700	0.80	700	MA2Q73900LCT-ND	.74	.56	.42	MA2Q73900LTR-ND	1,500	244.67/M
	SS-Mini-Typ, 2-Pin											
9	Einf.	30	30	0.40	1	MA2S72800LCT-ND	.39	.33	.27	MA2S72800LTR-ND	3,000	104.14/M
		30	100	0.55	100	MA2S78400LCT-ND	.43	.35	.27	MA2S78400LTR-ND	3,000	115.99/M
		20	200	0.47	1	MA2SD1000LCT-ND	.43	.35	.27	MA2SD1000LTR-ND	3,000	115.99/M
		20	200	0.58	200	MA2SD2400LCT-ND	.41	.33	.25	MA2SD2400LTR-ND	3,000	108.37/M
		15	200	0.39	200	MA2SD2500LCT-ND	.41	.33	.25	MA2SD2500LTR-ND	3,000	108.37/M
		30	100	0.25	10	MA2SD2900LCT-ND	.41	.33	.25	MA2SD2900LTR-ND	3,000	107.52/M
		30	100	0.38	10	MA2SD3000LCT-ND	.41	.33	.25	MA2SD3000LTR-ND	3,000	107.52/M
		30	200	0.38	200	MA2SD3100LCT-ND	.43	.35	.27	MA2SD3100LTR-ND	3,000	115.14/M
		30	200	0.49	200	MA2SD3200LCT-ND	.43	.35	.27	MA2SD3200LTR-ND	3,000	115.14/M
		20	35	0.41	1	MA2SE0100LCT-ND	.47	.38	.29	MA2SE0100LTR-ND	3,000	124.45/M
	SS-Mini-Typ, 3-Pin											
1	Einf.	30	30	0.40	1	MA3S78100LCT-ND	.43	.35	.27	MA3S78100LTR-ND	3,000	115.99/M
			30	0.30	1	MA3S79500LCT-ND	.43	.35	.27	MA3S79500LTR-ND	3,000	115.99/M
2	Gemeinsame Doppelanode	30	30	0.40	1	MA3S781D0LCT-ND	.52	.40	.30	MA3S781D0LTR-ND	3,000	169.32/M
			30	0.30	1	MA3S795D0LCT-ND	.52	.40	.30	MA3S795D0LTR-ND	3,000	169.32/M
3	Gemeinsame Doppelkathode	30	30	0.40	1	MA3S781E0LCT-ND	.52	.40	.30	MA3S781E0LTR-ND	3,000	169.32/M
			20	0.30	1	MA3S795E0LCT-ND	.52	.40	.30	MA3S795E0LTR-ND	3,000	169.32/M
4	Doppelserie	20	25/35	0.40	1	MA3SE0200LCT-ND	.60	.45	.34	MA3SE0200LTR-ND	3,000	194.72/M
	SS-Mini-Typ, spritzgegossen, 4-Pin											
7	Zweif.	30	20/30	0.35	1	MA4SD0100LCT-ND	.45	.36	.27	MA4SD0100LTR-ND	3,000	119.37/M
	SSS-Mini-Typ, 2-Pin											
9	Einf.	30	30	0.4	1	MA2772800LCT-ND	.38	.31	.23	MA2772800LTR-ND	10,000	95.67/M
		100	100	0.55	100	MA2778400LCT-ND	.45	.36	.27	MA2778400LTR-ND	10,000	112.60/M
		20	100	0.38	10	MA27D2700LCT-ND	.50	.40	.30	MA27D2700LTR-ND	10,000	125.30/M
		30	100	0.25	10	MA27D2900LCT-ND	.47	.37	.28	MA27D2900LTR-ND	10,000	115.99/M
		30	100	0.38	10	MA27D3000LCT-ND	.47	.37	.28	MA27D3000LTR-ND	10,000	115.99/M
	SSS-Mini-Typ, 3-Pin											
3	Gemeinsame Doppelkathode	30	20	0.3	1	MAS3795E0LCT-ND	.55	.42	.31	MAS3795E0LTR-ND	10,000	171.86/M

Pin-Dioden – Silikon-Epitaxial-Planar-Typ

Abb.	Beschreibung	VR (V)	IF (mA)	VF (V)	VF @mA	Ct (pF)	rf (Ω)	Digi-Key Teilenr.	Gurtabschnittspreis pro Stück 1	10	100	Digi-Key Teilenr.	Gegurtet auf Rolle Größe	Preisangaben
	S-Mini-Typ, 2-Pin													
1	Einf.	60	100	1.0	10	0.5	2.0	MA2JP0200LCT-ND	.49	.39	.30	MA2JP0200LTR-ND	3,000	129.53/M
	SS-Mini-Typ, 2-Pin													
2	Einf.	60	100	1.0	10	0.8	1.0	MA2SP0100LCT-ND	.50	.40	.30	MA2SP0100LTR-ND	3,000	132.92/M
						0.5	2.0	MA2SP0200LCT-ND	.50	.40	.30	MA2SP0200LTR-ND	3,000	132.92/M
	SSS-Mini-Typ, 2-Pin													
3	Einf.	60	100	1.0	10	0.8	1.0	MA27P0100LCT-ND	.45	.34	.26	MA27P0100LTR-ND	10,000	140.54/M
						0.5	2.0	MA27P0200LCT-ND	.45	.34	.26	MA27P0200LTR-ND	10,000	140.54/M

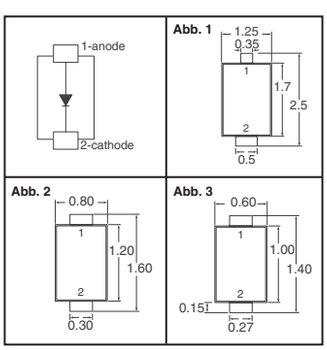

Panasonic

Schalter, GaAs, MMIC, SP3T

Pin Connection		
1 Gnd	5 GPS-Rx	9 Vctrl2
2 Ant	6 Gnd	10 Gnd
3 Gnd	7 Gnd	11 PCS-Tx/Rx
4 Vctrl3	8 CDMA-Tx/Rx	12 Vctrl1

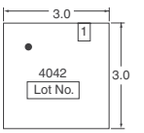

CDMA 1 (MHz)	PCS 2 (MHz)	GPS 3 (MHz)	PD mW	Vctrl(H)-Vctrl(L) (V)	Pin (CDMA, PCS) (dBm)	Pin (GPS) (dBm)	Topr (°C)	Tstg (°C)	Digi-Key Teilenr.	Gurtabschnittspreis pro Stück 1	10	100	Digi-Key Teilenr.	Gegurtet auf Rolle 1,500
824 - 894	1850 - 1990	1574 - 1577	150	+5	35	20	-30 - +90	-40 - +120	GN04042N0LCT-ND	2.62	2.10	1.64	GN04042N0LTR-ND	1485.78/M

Schaltdioden – Silizium-Epitaxial-Planar-Typ

Abm. in mm

B

Mini-Typ (3-Pin)
JEDEC: TO-236
EIAJ: SC-59

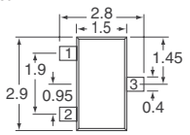

Mini-Typ (4-Pin)

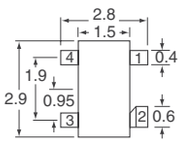

Mini-Typ (6-Pin)

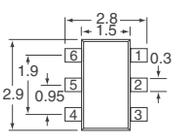

S-Mini-Typ (2-Pin)

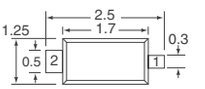

S-Mini-Typ (3-Pin)
EIAJ: SC-70

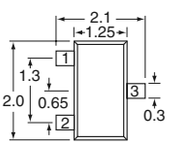

S-Mini-Typ (4-Pin)

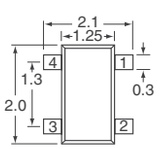

SS-Mini-Typ (2-Pin)

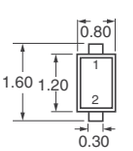

SS-Mini-Typ (3-Pin)

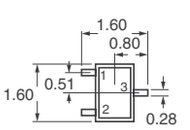

SSS-Mini-Typ
(2-Pin)

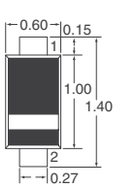

Abb. 1

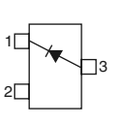

Abb. 2

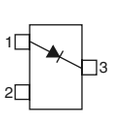

Abb. 3

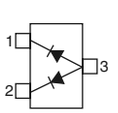

Abb. 4

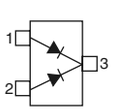

Abb. 5

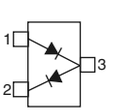

Abb. 6

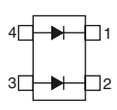

Abb. 7

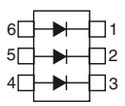

Abb. 8

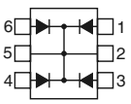

Abb. 9

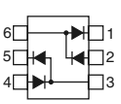

Abb. 10

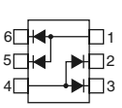

Abb. 11

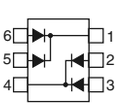

Abb. 12

Abb.	Paket	Beschreibung	VR (v)	IF (mA)	IR (uA)	trr (ns)	Digi-Key Teilenr.	Gurtabschnittspreis pro Stück 1	10	100	Digi-Key Teilenr.	Gegurtet auf Rolle Größe	Preisangaben
1	Mini-3P	Einfach	80	100	0.1	3	MA3X152A0LCT-ND	.33	.25	.18	MA3X152A0LTR-ND	3,000	66.88/M
2	Mini-3P	Einfach	80	100	0.1	3	MA3X152K0LCT-ND	.33	.25	.18	MA3X152K0LTR-ND	3,000	66.88/M
3	Mini-3P	Gemeinsame Doppelanode	80	100	0.1	10	MA3X152D0LCT-ND	.31	.25	.18	MA3X152D0LTR-ND	3,000	70.27/M
4	Mini-3P	Gemeinsame Doppelkathode	80	100	0.1	3	MA3X152E0LCT-ND	.31	.25	.18	MA3X152E0LTR-ND	3,000	70.27/M
5	Mini-3P	Doppelserie	80	65	0.1	150/9	MA3X153A0LCT-ND	.31	.25	.18	MA3X153A0LTR-ND	3,000	81.28/M
2	Mini-3P	Einfach	200	100	1	–	MA3X15800LCT-ND	.44	.36	.27	MA3X15800LTR-ND	3,000	117.68/M
5	Mini-3P	Doppelserie	40	75	0.01	100	MA3X19800LCT-ND	.33	.27	.19	MA3X19800LTR-ND	3,000	87.20/M
2	Mini-3P	Einfach	200	100	1	60	MA3X19900LCT-ND	.41	.31	.24	MA3X19900LTR-ND	3,000	133.77/M
6	Mini 4P	Zweifach	80	75	0.1	3	MA4X159A0LCT-ND	.40	.32	.24	MA4X159A0LTR-ND	3,000	105.83/M
6	Mini 4P	Zweifach	200	100	1	–	MA4X17400LCT-ND	.56	.43	.32	MA4X17400LTR-ND	3,000	182.87/M
7	Mini 6P	Dreifach	80	100	0.1	3	MA6X12100LCT-ND	.42	.34	.26	MA6X12100LTR-ND	3,000	112.60/M
8	Mini 6P	Dreifach	80	100	0.1	3	MA6X12400LCT-ND	.58	.45	.34	MA6X12400LTR-ND	3,000	191.33/M
9	Mini 6P	Vierfach	40	100	0.1	150/9	MA6X12500LCT-ND	.61	.46	.35	MA6X12500LTR-ND	3,000	198.95/M
10	Mini 6P	Vierfach	80	100	0.1	10	MA6X12700LCT-ND	.38	.31	.24	MA6X12700LTR-ND	3,000	102.44/M
11	Mini 6P	Vierfach	80	100	0.1	3	MA6X12800LCT-ND	.37	.30	.23	MA6X12800LTR-ND	3,000	99.90/M
12	S Mini 2P	Einfach	80	100	0.1	3	MA2J11100LCT-ND	.29	.22	.16	MA2J11100LTR-ND	3,000	58.42/M
12	S Mini 2P	Einfach	40	200	0.5	10	MA2J11200LCT-ND	.36	.30	.22	MA2J11200LTR-ND	3,000	97.36/M
12	S-Mini 2P	Einfach	80	200	0.5	10	MA2J11300LCT-ND	.35	.28	.20	MA2J11300LTR-ND	3,000	90.59/M
12	S Mini 2P	Einfach	150	200	0.2	–	MA2J11400LCT-ND	.52	.39	.30	MA2J11400LTR-ND	3,000	167.63/M
12	S Mini 2P	Einfach	200	200	0.2	–	MA2J11500LCT-ND	.33	.25	.19	MA2J11500LTR-ND	3,000	110.06/M
12	S Mini 2P	Einfach	40	100	0.01	100	MA2J11600LCT-ND	.38	.31	.23	MA2J11600LTR-ND	3,000	100.75/M
1	S Mini 3P	Einfach	80	100	0.1	3	MA3J142A0LCT-ND	.28	.23	.16	MA3J142A0LTR-ND	3,000	63.50/M
2	S Mini 3P	Einfach	80	100	0.1	3	MA3J142K0LCT-ND	.28	.23	.16	MA3J142K0LTR-ND	3,000	63.50/M
3	S Mini 3P	Gemeinsame Doppelanode	80	100	0.1	10	MA3J142D0LCT-ND	.30	.25	.17	MA3J142D0LTR-ND	3,000	83.82/M
4	S Mini 3P	Gemeinsame Doppelkathode	80	100	0.1	3	MA3J142E0LCT-ND	.30	.25	.17	MA3J142E0LTR-ND	3,000	83.82/M
5	S Mini 3P	Doppelserie	40	65	0.1	150/9	MA3J14300LCT-ND	.32	.27	.19	MA3J14300LTR-ND	3,000	85.51/M
5	S-Mini 3P	Doppelserie	80	65	0.1	150/9	MA3J143A0LCT-ND	.32	.27	.19	MA3J143A0LTR-ND	3,000	85.51/M
5	S Mini 3P	Doppelserie	80	65	0.1	3	MA3J14700LCT-ND	.37	.30	.23	MA3J14700LTR-ND	3,000	98.21/M
6	S Mini 4P	Zweifach	80	75	0.1	3	MA4Z15900LCT-ND	.37	.30	.23	MA4Z15900LTR-ND	3,000	99.90/M
12	SS Mini 2P	Einfach	80	100	0.1	3	MA2S11100LCT-ND	.30	.24	.17	MA2S11100LTR-ND	3,000	68.58/M
1	SS Mini 3P	Einfach	80	100	0.1	3	MA3S132A0LCT-ND	.30	.24	.17	MA3S132A0LTR-ND	3,000	68.58/M
2	SS Mini 3P	Einfach	80	100	0.1	3	MA3S132K0LCT-ND	.30	.24	.17	MA3S132K0LTR-ND	3,000	68.58/M
3	SS Mini 3P	Gemeinsame Doppelanode	80	100	0.1	10	MA3S132D0LCT-ND	.31	.26	.18	MA3S132D0LTR-ND	3,000	82.97/M
4	SS Mini 3P	Gemeinsame Doppelkathode	80	100	0.1	3	MA3S132E0LCT-ND	.31	.26	.18	MA3S132E0LTR-ND	3,000	82.97/M
5	SS Mini 3P	Doppelserie	80	65	0.1	150/9	MA3S13300LCT-ND	.36	.29	.22	MA3S13300LTR-ND	3,000	93.98/M
5	SS Mini 3P	Doppelserie	80	65	0.1	3	MA3S13700LCT-ND	.36	.29	.22	MA3S13700LTR-ND	3,000	93.98/M
12	SSS Mini 2P	Einfach	80	100	0.1	3	MA2711100LCT-ND	.37	.32	.25	MA2711100LTR-ND	10,000	87.20/M

Alle Preisangaben in Euro und inklusive Zollgebühren.

Zener-Dioden, Silizium-Planar-Typ

Zener-Spannung VZ Min.	Nom.	Max.	IZ (mA)	RZ (max.) (Ω)	Digi-Key Teilenr.	Gurtabschnittspreis pro Stück 1	10	100	Digi-Key Teilenr.	Gegurtet auf Rolle Größe	Preisangaben
Mini-Typ-Paket / Serie MA3000 - 200 mW											
2.28	2.40	2.60	5	100	MAZ302400LCT-ND	.31	.26	.18	MAZ302400LTR-ND	3,000	82.12/M
2.50	2.70	2.90	5	110	MAZ30270HLCT-ND	.31	.26	.18	MAZ30270HLTR-ND	3,000	82.12/M
2.80	3.00	3.20	5	120	MAZ30300HLCT-ND	.31	.26	.18	MAZ30300HLTR-ND	3,000	82.12/M
3.10	3.30	3.50	5	130	MAZ30330HLCT-ND	.31	.26	.18	MAZ30330HLTR-ND	3,000	82.12/M
3.40	3.60	3.80	5	130	MAZ30360HLCT-ND	.31	.26	.18	MAZ30360HLTR-ND	3,000	82.12/M
3.70	3.90	4.10	5	130	MAZ30390HLCT-ND	.31	.26	.18	MAZ30390HLTR-ND	3,000	82.12/M
4.00	4.30	4.60	5	130	MAZ30430MLCT-ND	.31	.26	.18	MAZ30430MLTR-ND	3,000	82.12/M
4.40	4.70	5.00	5	80	MAZ30470MLCT-ND	.31	.26	.18	MAZ30470MLTR-ND	3,000	82.12/M
4.80	5.10	5.40	5	60	MAZ30510MLCT-ND	.31	.26	.18	MAZ30510MLTR-ND	3,000	82.12/M
5.30	5.60	6.00	5	40	MAZ30560MLCT-ND	.31	.26	.18	MAZ30560MLTR-ND	3,000	82.12/M
5.80	6.20	6.60	5	20	MAZ30620MLCT-ND	.31	.26	.18	MAZ30620MLTR-ND	3,000	82.12/M
6.40	6.80	7.20	5	15	MAZ30680MLCT-ND	.31	.26	.18	MAZ30680MLTR-ND	3,000	82.12/M
7.00	7.50	7.90	5	15	MAZ30750MLCT-ND	.31	.26	.18	MAZ30750MLTR-ND	3,000	82.12/M
7.70	8.20	8.70	5	15	MAZ30820MLCT-ND	.31	.26	.18	MAZ30820MLTR-ND	3,000	82.12/M
8.50	9.10	9.60	5	15	MAZ30910MLCT-ND	.31	.26	.18	MAZ30910MLTR-ND	3,000	82.12/M
9.40	10.00	10.60	5	20	MAZ31000MLCT-ND	.31	.26	.18	MAZ31000MLTR-ND	3,000	82.12/M
10.40	11.00	11.60	5	20	MAZ31100MLCT-ND	.31	.26	.18	MAZ31100MLTR-ND	3,000	82.12/M
11.40	12.00	12.70	5	25	MAZ31200MLCT-ND	.31	.26	.18	MAZ31200MLTR-ND	3,000	82.12/M
12.40	13.00	14.10	5	30	MAZ31300MLCT-ND	.31	.26	.18	MAZ31300MLTR-ND	3,000	82.12/M
13.65	14.00	14.35	5	30	MAZ31400MLCT-ND	.31	.26	.18	MAZ31400MLTR-ND	3,000	82.12/M
13.90	15.00	15.60	5	30	MAZ31500MLCT-ND	.31	.26	.18	MAZ31500MLTR-ND	3,000	82.12/M
15.30	16.00	17.10	5	40	MAZ31600MLCT-ND	.31	.26	.18	MAZ31600MLTR-ND	3,000	82.12/M
16.90	18.00	19.10	5	45	MAZ31800MLCT-ND	.31	.26	.18	MAZ31800MLTR-ND	3,000	82.12/M
18.80	20.00	21.20	5	55	MAZ32000MLCT-ND	.31	.26	.18	MAZ32000MLTR-ND	3,000	82.12/M
20.80	22.00	23.30	5	55	MAZ32200MLCT-ND	.31	.26	.18	MAZ32200MLTR-ND	3,000	82.12/M
22.80	24.00	25.60	5	70	MAZ32400MLCT-ND	.31	.26	.18	MAZ32400MLTR-ND	3,000	82.12/M
25.10	27.00	28.90	5	80	MAZ32700MLCT-ND	.31	.26	.18	MAZ32700MLTR-ND	3,000	82.12/M
28.00	30.00	32.00	5	80	MAZ33000MLCT-ND	.31	.26	.18	MAZ33000MLTR-ND	3,000	82.12/M
31.00	33.00	35.00	5	80	MAZ33300MLCT-ND	.31	.26	.18	MAZ33300MLTR-ND	3,000	82.12/M
34.00	36.00	38.00	5	90	MAZ33600MLCT-ND	.31	.26	.18	MAZ33600MLTR-ND	3,000	82.12/M
Mini-Typ-Paket, 3-Pin, spritzgegossen - 200 mW											
5.9	6.2	6.5	5	30	MAZC062D0LCT-ND	.42	.36	.29	MAZC062D0LTR-ND	3,000	94.82/M
Mini-Typ-Paket, 5-Pin, spritzgegossen - 200 mW											
6.4	6.8	7.2	5	30	MAZL068H0LCT-ND	.52	.42	.32	MAZL068H0LTR-ND	3,000	134.61/M
11.4	12.0	12.7	5	15	MAZL120H0LCT-ND	.52	.42	.32	MAZL120H0LTR-ND	3,000	134.61/M
S-Mini-Typ-Paket/Serie MA8000 - 150 mW											
2.28	2.40	2.60	5	100	MAZ802400LCT-ND	.36	.29	.20	MAZ802400LTR-ND	3,000	81.28/M
2.50	2.70	2.90	5	110	MAZ80270HLCT-ND	.36	.29	.20	MAZ80270HLTR-ND	3,000	81.28/M
2.80	3.00	3.20	5	120	MAZ80300HLCT-ND	.36	.29	.20	MAZ80300HLTR-ND	3,000	81.28/M
3.10	3.30	3.50	5	130	MAZ80330HLCT-ND	.32	.25	.18	MAZ80330HLTR-ND	3,000	71.96/M
3.40	3.60	3.80	5	130	MAZ80360HLCT-ND	.36	.29	.20	MAZ80360HLTR-ND	3,000	81.28/M
3.70	3.90	4.10	5	130	MAZ80390HLCT-ND	.36	.29	.20	MAZ80390HLTR-ND	3,000	81.28/M
4.00	4.30	4.60	5	130	MAZ80430MLCT-ND	.36	.29	.20	MAZ80430MLTR-ND	3,000	81.28/M
4.40	4.70	5.00	5	80	MAZ80470MLCT-ND	.36	.29	.20	MAZ80470MLTR-ND	3,000	81.28/M
4.80	5.10	5.40	5	60	MAZ80510MLCT-ND	.36	.29	.20	MAZ80510MLTR-ND	3,000	81.28/M
5.30	5.60	6.00	5	40	MAZ80560MLCT-ND	.36	.29	.20	MAZ80560MLTR-ND	3,000	81.28/M
5.80	6.20	6.60	5	30	MAZ80620MLCT-ND	.36	.29	.20	MAZ80620MLTR-ND	3,000	81.28/M
6.40	6.80	7.20	5	20	MAZ80680MLCT-ND	.36	.29	.20	MAZ80680MLTR-ND	3,000	81.28/M
7.00	7.50	7.90	5	20	MAZ80750MLCT-ND	.36	.29	.20	MAZ80750MLTR-ND	3,000	81.28/M
7.70	8.20	8.70	5	20	MAZ80820MLCT-ND	.36	.29	.20	MAZ80820MLTR-ND	3,000	81.28/M
8.50	9.10	9.60	5	20	MAZ80910MLCT-ND	.36	.29	.20	MAZ80910MLTR-ND	3,000	81.28/M
9.40	10.00	10.60	5	30	MAZ81000MLCT-ND	.36	.29	.20	MAZ81000MLTR-ND	3,000	81.28/M
10.40	11.00	11.60	5	30	MAZ81100MLCT-ND	.36	.29	.20	MAZ81100MLTR-ND	3,000	81.28/M
11.40	12.00	12.70	5	30	MAZ81200MLCT-ND	.36	.29	.20	MAZ81200MLTR-ND	3,000	81.28/M
12.40	13.00	14.10	5	35	MAZ81300MLCT-ND	.36	.29	.20	MAZ81300MLTR-ND	3,000	81.28/M
13.65	14.00	14.35	5	40	MAZ81400MLCT-ND	.36	.29	.20	MAZ81400MLTR-ND	3,000	81.28/M
13.90	15.00	15.60	5	40	MAZ81500MLCT-ND	.36	.29	.20	MAZ81500MLTR-ND	3,000	81.28/M
15.30	16.00	17.10	5	50	MAZ81600MLCT-ND	.36	.29	.20	MAZ81600MLTR-ND	3,000	81.28/M
16.90	18.00	19.10	5	60	MAZ81800MLCT-ND	.36	.29	.20	MAZ81800MLTR-ND	3,000	81.28/M
18.80	20.00	21.20	5	80	MAZ82000MLCT-ND	.36	.29	.20	MAZ82000MLTR-ND	3,000	81.28/M
20.80	22.00	23.30	5	80	MAZ82200MLCT-ND	.36	.29	.20	MAZ82200MLTR-ND	3,000	81.28/M
22.80	24.00	25.60	5	100	MAZ82400MLCT-ND	.36	.29	.20	MAZ82400MLTR-ND	3,000	81.28/M
25.10	27.00	28.90	2	120	MAZ827000LCT-ND	.36	.29	.21	MAZ827000LTR-ND	3,000	82.12/M
28.00	30.00	32.00	2	160	MAZ83000MLCT-ND	.32	.25	.18	MAZ83000MLTR-ND	3,000	71.96/M
31.00	33.00	35.00	2	200	MAZ83300MLCT-ND	.36	.29	.20	MAZ83300MLTR-ND	3,000	81.28/M
34.00	36.00	38.00	2	250	MAZ83600MLCT-ND	.36	.29	.20	MAZ83600MLTR-ND	3,000	81.28/M
SS-Mini-Typ-Paket, 2-Pin/Serie MAZS000 - 150 mW											
2.5	2.6	2.75	5	110	MAZS0270LLCT-ND	.34	.29	.23	MAZS0270LLTR-ND	3,000	90.59/M
2.95	3.1	3.2	5	120	MAZS0300HLCT-ND	.34	.29	.23	MAZS0300HLTR-ND	3,000	90.59/M
3.1	3.3	3.5	5	130	MAZS0330HLCT-ND	.34	.29	.23	MAZS0330HLTR-ND	3,000	90.59/M
3.55	3.7	3.8	5	130	MAZS0360HLCT-ND	.34	.29	.23	MAZS0360HLTR-ND	3,000	90.59/M
3.7	3.9	4.1	5	130	MAZS0390HLCT-ND	.34	.29	.23	MAZS0390HLTR-ND	3,000	90.59/M
4	4.3	4.6	5	130	MAZS0430MLCT-ND	.34	.29	.23	MAZS0430MLTR-ND	3,000	90.59/M
4.4	4.7	5	5	80	MAZS0470MLCT-ND	.34	.29	.23	MAZS0470MLTR-ND	3,000	90.59/M
4.8	5.1	5.4	5	60	MAZS0510MLCT-ND	.34	.29	.23	MAZS0510MLTR-ND	3,000	90.59/M
5.3	5.6	6	5	40	MAZS0560MLCT-ND	.34	.29	.23	MAZS0560MLTR-ND	3,000	90.59/M
5.8	6.2	6.6	5	30	MAZS0620MLCT-ND	.34	.29	.23	MAZS0620MLTR-ND	3,000	90.59/M
6.4	6.8	7.2	5	20	MAZS0680MLCT-ND	.34	.29	.23	MAZS0680MLTR-ND	3,000	90.59/M
7	7.5	7.9	5	20	MAZS0750MLCT-ND	.34	.29	.23	MAZS0750MLTR-ND	3,000	90.59/M
7.7	8.2	8.7	5	20	MAZS0820MLCT-ND	.34	.29	.23	MAZS0820MLTR-ND	3,000	90.59/M
8.87	9.1	9.33	5	20	MAZS0910MLCT-ND	.34	.29	.23	MAZS0910MLTR-ND	3,000	90.59/M
9.4	10	10.6	5	30	MAZS1000MLCT-ND	.34	.29	.23	MAZS1000MLTR-ND	3,000	90.59/M
10.73	11	11.28	5	30	MAZS1100MLCT-ND	.34	.29	.23	MAZS1100MLTR-ND	3,000	90.59/M
11.4	12	12.7	5	30	MAZS1200MLCT-ND	.34	.29	.23	MAZS1200MLTR-ND	3,000	90.59/M
12.73	13	13.4	5	35	MAZS1300MLCT-ND	.34	.29	.23	MAZS1300MLTR-ND	3,000	90.59/M
14.6	15	15.35	5	40	MAZS1500MLCT-ND	.34	.29	.23	MAZS1500MLTR-ND	3,000	90.59/M
15.7	16	16.5	5	50	MAZS1600MLCT-ND	.34	.29	.23	MAZS1600MLTR-ND	3,000	90.59/M
17.55	18	18.45	5	60	MAZS1800MLCT-ND	.34	.29	.23	MAZS1800MLTR-ND	3,000	90.59/M
19.5	20	20.5	5	80	MAZS2000MLCT-ND	.34	.29	.23	MAZS2000MLTR-ND	3,000	90.59/M
20.8	22	23.3	5	80	MAZS2200MLCT-ND	.34	.29	.23	MAZS2200MLTR-ND	3,000	90.59/M
26.3	27	27.7	2	120	MAZS2700MLCT-ND	.34	.29	.23	MAZS2700MLTR-ND	3,000	90.59/M
32.2	33	33.8	2	200	MAZS3300MLCT-ND	.34	.29	.23	MAZS3300MLTR-ND	3,000	90.59/M
34	36	38	2	250	MAZS3600MLCT-ND	.34	.29	.23	MAZS3600MLTR-ND	3,000	90.59/M
SS-Mini-Typ-Paket, 3-Pin/Serie MAZT000H - 150 mW											
6.4	6.8	7.2	5	30	MAZT068H0LCT-ND	.36	.29	.22	MAZT068H0LTR-ND	3,000	94.82/M
7.7	8.2	8.7	5	30	MAZT082H0LCT-ND	.36	.29	.22	MAZT082H0LTR-ND	3,000	94.82/M
S-Mini-Typ-Paket, 5-Pin / Serie MAZZ000H - 200mW											
6.4	6.8	7.2	5	30	MAZZ068H0LCT-ND	.41	.32	.24	MAZZ068H0LTR-ND	3,000	134.61/M
1008-Paket, spritzgegossen, ohne Anschluss, 4-Pin/100 mW											
7.7	8.2	8.7	5	20	MAZR08200ACT-ND	.36	.29	.22	MAZR08200ATR-ND	10,000	90.59/M
7.7	8.2	8.7	5	20	MAZR082H0ACT-ND	.58	.44	.33	MAZR082H0ATR-ND	10,000	181.18/M
SSS-Mini-Typ-Paket, 3-Pin/150 mW											
7.7	8.2	8.7	5	30	MAZW082H0LCT-ND	.46	.37	.28	MAZW082H0LTR-ND	10,000	113.45/M

Mini-Typ-Paket

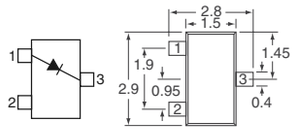

Mini-Typ-Paket, 3-Pin, spritzgegossen - 200 mW

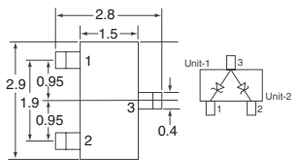

Mini-Typ-Paket, 5-Pin, spritzgegossen - 200 mW

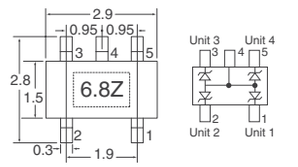

S-Mini-Typ-Paket

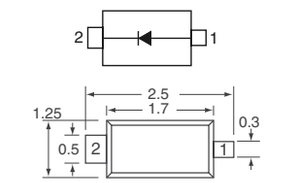

SS-Mini-Typ-Paket (2-Pin)

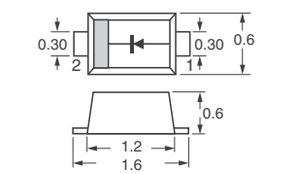

SS-Mini-Typ-Paket (3-Pin)

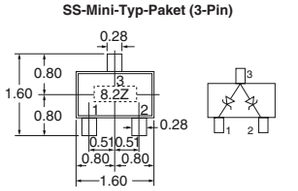

S-Mini-Typ-Paket (5-Pin)

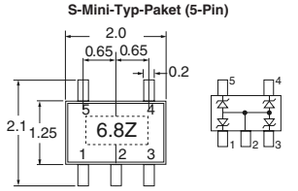

1008-Paket, spritzgegossen, ohne Anschluss (4-Pin)

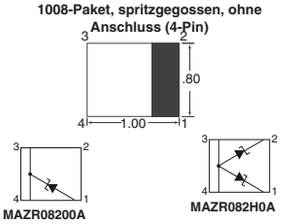

SSS-Mini-Typ-Paket (3-Pin)

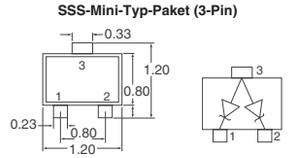

B

Alle Preisangaben in Euro und inklusive Zollgebühren.

IGBT-Transistoren

Im Sektor der 3-Phasen-PWM-Motorantriebe mit 220 V stehen bisher hauptsächlich bipolare Transistoren und Leistungs-MOSFETs im Wettbewerb miteinander. Leistungs-MOSFETs werden dabei von Leistungselektronik-Designern besonders bei Leistungspegeln unter 5 PS aufgrund des leichten Antriebs und der robusten Funktionsweise bevorzugt. Da es sich bei FETs um spannungsgesteuerte Bauelemente handelt, benötigen sie zum Aus- und Einschalten nur sehr kleine Gate-Stromimpulse. Die für die Steuerung des Gerätezustands erforderlichen Stromwerte sind häufig Stärken, die unter denen von bipolaren Bauelementen mit ähnlichen Nennleistungen liegen. Darüber hinaus ermöglichen der breite SOA (Safe Operating Area -sicherer Arbeitsbereich) des FET für Schaltungen, der Lawineneffekt und dv/dt-Funktionen einen überspannungsschutzlosenBetrieb, was häufig einen großen Vorteil im Vergleich zu bipolaren Bauelementen bedeutet. Der Wert für R_{DS}(ein) des FET steigt jedoch exponentiell mit der Spannungsnennleistung. In dem IGBT ist das Beste beider Welten vereint. Es ist ein spannungsgesteuertes Bauelement (wie das MOSFET), mit dem Designer ihre Antriebsschaltkreise stark vereinfachen können. Es handelt sich um ein robustes Baueelement mit einem rechteckigen SOA für Schaltungen und hoher Spitzenstromkapazität. Außerdem weist es niedrige Vorwärtsspannungseigenschaften auf (ähnlich wie bei bipolaren Bauelementen) und reduziert dadurch den Leitungsverlust. Für IGBTs ohne eine interne Rückspeisediode können Designer eine externe Fast-Recovery-Diode für die jeweilige Anwendung wählen. All diese Leistungsmerkmale lassen erkennen, dass der IGBT das ideale Bauelement für Anwendungen darstellt, in denen hohe Stromdichten bei hohen Spannungen gekoppelt mit Schaltfrequenzen von 20 bis 50 kHz erforderlich sind.

WARP™ Geschwindigkeit-IGBTs mit hohem Wirkungsgrad: Optimiert für eine feste Schaltfrequenz von 75-150 kHz. Zur Verwendung in USV, beim Schweißen, in Schaltnetzteilen und PFC-Phasen.

IGBT SIP-Modul: Die IGBT-Technologie bildet den Grundbaustein der fortgeschrittenen Produktgruppe von IMS- (Insulated Metal Substrate) Leistungsmodulen von International Rectifier. Diese Module sind effizienter als vergleichbare bipolare Transistormodule und verfügen gleichzeitig über die einfacheren Gate-Drive-Anforderungen der gängigen Leistungs-MOSFETs. Diese herausragende Technologie wurde jetzt in ein hochentwickeltes Materialsystem integriert, das den Leistungsdurchsatz bei einem niedrigen Wärmewiderstand maximiert. Dieses Design eignet sich ideal für Motorantriebsanwendungen und Applikationen, bei denen Platz gespart werden muss. **Merkmale:** • Vollständig isoliertes Leiterplattenmontagepaket • Schaltverlustnennleistung enthält alle „Tail"-Verluste • Weich schaltende ultraschnelle HEXFRED-Dioden • Optimiert für den mittleren Betriebsbereich (1 bis 10 kHz)

Abb. 1

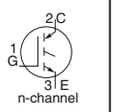

Abb. 2

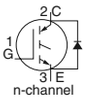

Abb. 3

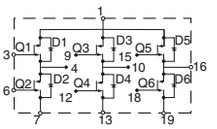

Abb. 4

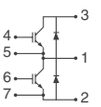

Abb. 5

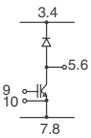

Abb. 6

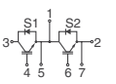

TO-220AB

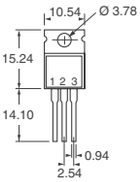

TO-247AC

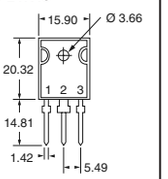

Abb.	Paket	VCE	VCE (gesättigt) Max	IC @ TC +25°C	Stromimpuls- ICM	Max. Verlustleistung	Verzögerungszeit (ns) Td (ein)	Td (aus)	ETS-Schaltverlust insgesamt @ IC mJ	A	Digi-Key Teilenr.	Stückpreis 1	10	100
			2.39	9.0	18	38	11	51	0.26	5.0	IRG4BC10K-ND	1.90	1.53	1.15
			1.1	14	18	38	25	630	2.72	8.0	IRG4BC10S-ND	1.90	1.53	1.15
			2.15	8.5	34	38	40	87	0.26	5.0	IRG4BC10U-ND	1.90	1.53	1.15
			1.66	16	64	60	24	190	1.1	9	IRG4BC20F-ND	2.35	1.88	1.41
			2.8	16	32	60	28	190	0.68	9.0	IRG4BC20K-ND	2.35	1.88	1.51
			1.4	19	38	60	27	540	2.17	10	IRG4BC20S-ND	1.83	1.46	1.05
			2.27	13	52	60	20	190	.22	6.5	IRG4BC20U-ND	1.89	1.61	1.33
			2.16	13	52	60	22	110	0.14	6.5	IRG4BC20W-ND	1.22	1.04	.87
			1.99	31	120	100	20	290	2.50	17.0	IRG4BC30F-ND	2.52	2.15	1.77
1	TO-220AB	600	1.59	31	120	100	22	250	1.8	17	IRG4BC30FD1-ND	5.33	3.56	2.85
			2.21	28	58	100	26	130	0.87	16	IRG4BC30K-ND	2.65	2.12	1.59
			1.4	34	68	100	22	540	3.71	18	IRG4BC30S-ND	3.16	2.53	1.81
			2.52	23	92	100	20	180	.73	12.0	IRG4BC30U-ND	3.61	2.54	2.04
			2.70	23	92	100	24	150	0.26	12.0	IRG4BC30W-ND	2.74	2.34	1.96
			1.5	49	200	160	26	240	2.18	27	IRG4BC40F-ND	3.73	2.98	2.13
			2.10	42	84	160	30	140	1.9	25	IRG4BC40K-ND	4.54	3.64	2.73
			2.15	40	160	160	30	220	1.40	20.0	IRG4BC40U-ND	3.56	3.03	2.50
			2.05	40	160	160	27	100	0.34	20.0	IRG4BC40W-ND	5.25	4.47	3.76
			1.2	20	—	125	0.9†	6†	—	—	IRGB14C40L-ND	3.17	2.23	1.74
			1.95	78	120	370	46	185	—	—	IRGB30B60K-ND	3.58	2.39	1.91
			1.1	14	18	38	76	815	3.6	8.0	IRG4BC10SD-ND	2.12	1.70	1.27
			2.15	8.5	34	38	40	87	0.26	25	IRG4BC10UD-ND	2.54	1.73	1.37
			2.02	14	42	49	17	160	0.50	7.8	IRG4BC15UD-ND	3.45	1.97	1.61
			1.66	16	64	60	43	240	0.89	9	IRG4BC20FD-ND	3.22	2.58	1.84
2	TO-220AB	600	2.27	16	32	60	54	180	0.64	9	IRG4BC20KD-ND	2.29	1.84	1.31
			1.4	19	38	60	62	690	2.90	10	IRG4BC20SD-ND	3.13	2.51	1.89
			2.27	13	52	60	38	100	.49	6.5	IRG4BC20UD-ND	2.50	2.12	1.75
			1.99	31	120	100	42	310	3.20	17.0	IRG4BC30FD-ND	4.11	3.50	2.89
			2.21	28	58	100	60	160	1.18	16	IRG4BC30KD-ND	3.58	2.55	2.07
			2.52	23	92	100	40	120	.89	12.0	IRG4BC30UD-ND	3.57	3.04	2.50
1	TO-247AC	250	1.32	98	196	200	40	270	3.88	55	IRG4P254S-ND	9.71	7.77	5.83
			1.64	104	208	330	37	120	.170	30	IRGP4050-ND	6.43	3.97	3.56
			2.1	13	52	60	20	190	0.4	6.5	IRG4PC20U-ND	3.97	3.18	2.55
			1.59	31	120	100	21	200	1.41	17.0	IRG4PC30F-ND	2.61	2.09	1.49
			2.21	28	58	100	26	130	0.87	16	IRG4PC30K-ND	4.79	3.84	2.88
			1.4	34	68	100	22	540	3.71	18	IRG4PC30S-ND	5.44	3.77	3.01
			1.95	23	92	100	17	78	0.73	12	IRG4PC30U-ND	3.60	2.88	2.17
			2.70	23	92	100	25	99	0.26	12.0	IRG4PC30W-ND	3.05	2.60	2.18
			1.5	49	200	160	26	240	2.18	27	IRG4PC40F-ND	4.26	3.41	2.44
			2.1	42	84	160	30	140	0.95	25	IRG4PC40K-ND	6.46	5.17	3.70
1	TO-247AC	600	1.68	60	120	160	23	1000	12.00	31.0	IRG4PC40S-ND	3.73	3.18	2.62
			2.15	40	160	160	30	220	1.40	20.0	IRG4PC40U-ND	5.44	3.95	3.24
			2.05	40	160	160	27	100	0.34	20.0	IRG4PC40W-ND	3.26	2.78	2.33
			1.79	70	280	200	28	390	5.00	39.0	IRG4PC50F-ND	6.00	5.11	4.21
			1.47	70	114	200	32	845	21.4	33	IRG4PC50S-ND	7.07	5.65	4.04
			2.00	55	220	200	31	230	1.60	27.0	IRG4PC50U-ND	7.35	5.53	4.61
			2.30	55	220	200	46	120	0.40	27.0	IRG4PC50W-ND	5.28	4.49	3.78
1	TO-247AC	900	2.25	51	204	200	29	110	1.25	28	IRG4PF50W-ND	6.48	5.19	3.15
			3.17	11	22	60	23	93	1.7	5.0	IRG4PH20K-ND	2.41	1.93	1.45
			3.10	20	40	100	28	200	1.56	10	IRG4PH30K-ND	2.73	2.19	1.64
			2.74	30	60	160	30	200	4.93	25	IRG4PH40K-ND	4.39	3.52	2.52
1	TO-247AC	1200	2.43	30	82	160	24	220	4.44	21	IRG4PH40U-ND	5.08	4.07	2.91
			2.77	45	90	200	36	200	3.46	24	IRG4PH50K-ND	6.95	5.57	4.18
			3.20	45	180	200	31	320	5.40	24.0	IRG4PH50U-ND	6.70	5.12	4.31
			1.47	57	114	200	32	845	21.4	33	IRG4PH50S-ND	6.01	4.81	2.92
			1.99	31	120	100	42	310	3.20	17.0	IRG4PC30FD-ND	4.52	3.85	3.17
			3.1	28	40	100	39	340	2.6	10	IRG4PC30KD-ND	4.55	3.64	2.60
			1.95	23	92	100	40	91	0.38	12	IRG4PC30UD-ND	5.88	4.71	3.54
			1.85	49	200	160	63	350	4.70	27.0	IRG4PC40FD-ND	4.86	4.13	3.41
2	TO-247AC	600	2.74	42	60	160	50	140	2.8	15	IRG4PC40KD-ND	7.39	5.91	4.23
			2.15	40	160	160	40	200	1.60	20.0	IRG4PC40UD-ND	8.20	6.16	5.13
			1.79	70	280	200	59	260	6.50	39.0	IRG4PC50FD-ND	8.70	7.40	6.10
			2.77	52	90	200	67	310	7.9	24	IRG4PC50KD-ND	10.67	8.54	6.10
			2.00	55	220	200	44	240	2.30	27.0	IRG4PC50UD-ND	9.69	8.23	6.78

† µs

SUPER-247

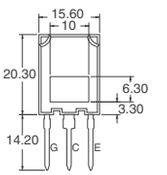

D2PAK

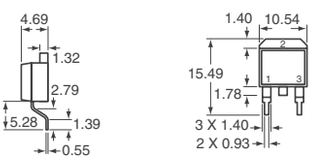

IMS-2

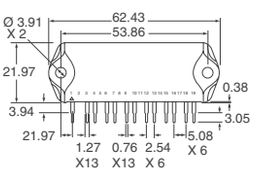

D-Pak

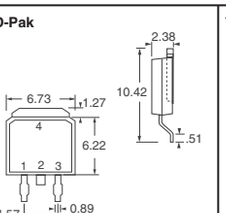

TO-247AD

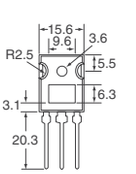

INT-A-PAK

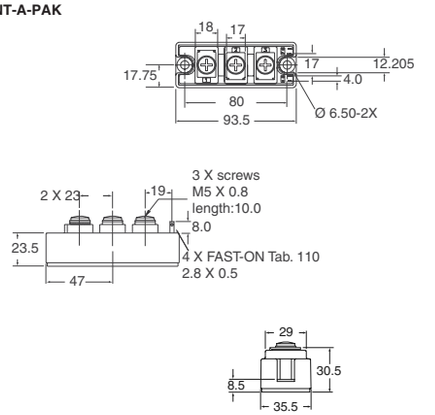

(Forts.)

Alle Preisangaben in Euro und inklusive Zollgebühren.

IGBT-Transistoren *(Forts.)*

Abb.	Paket	VCE	VCE (gesättigt) Max	IC @ TC +25°C	Stromim-puls-ICM	Max. Verlust-leistung	Verzögerungszeit (ns) Td (ein)	Td (aus)	ETS-Schaltverlust insgesamt @ IC mJ	Amp.	Digi-Key Teilenr.	Stückpreis 1	10	100
			3.1	20	40	100	39	340	2.6	10	IRG4PH30KD-ND	—	—	3.70
			2.74	30	60	160	50	140	2.8	15	IRG4PH40KD-ND	—	—	3.98
2	TO-247AC	1200	2.43	30	82	160	46	150	4.6	21	IRG4PH40UD-ND	5.84	4.68	3.35
			2.1	45	84	160	30	140	.95	25	IRG4PH50KD-ND	12.02	9.62	6.87
			3.20	45	180	200	46	240	6.38	24.0	IRG4PH50UD-ND	7.82	6.65	5.48
2	TO-247AC	900	2.25	51	204	200	71	150	3.97	28	IRG4PF50WD-ND	7.53	6.02	4.52
2	TO-247AC	1200	3.17	11	22	60	50	100	0.92	5.0	IRG4PH20KD-ND	6.55	5.24	3.93
			4.85	40	120	300	50	204	1275	20	IRGP20B120UD-E-ND	10.04	8.04	6.03
1	TO-247AD	1200	3.05	40	120	300	50	204	1275	20	IRGP20B120U-E-ND	9.08	6.54	5.45
2	TO-247AD	1200	2.43	41	82	160	22	100	6.22	21	IRG4PH40UD2-E-ND	7.26	5.38	4.45
			2.28	60	120	300	50	210	2.5	25	IRGP30B120KD-E-ND	10.04	8.04	6.02
		600	1.83	85	200	350	34	251	2.77	60	IRG4PSC71K-ND	18.30	14.64	11.71
1	SUPER 247	600	2.00	85	200	350	34	56	2.41	60	IRG4PSC71U-ND	15.35	12.28	7.45
		1200	2.7	99	200	350	51	280	14.3	70	IRG4PSH71U-ND	19.46	15.57	11.68
1	SUPER 247	1200	2.97	78	156	350	45	220	5.49	42	IRG4PSH71K-ND	18.89	15.12	11.34
		600	1.83	85	200	350	82	282	6.28	60	IRG4PSC71KD-ND	16.00	12.81	9.61
2	SUPER 247	600	2.00	85	200	350	90	245	5.53	60	IRG4PSC71UD-ND	17.78	14.23	8.63
		1200	2.7	99	200	350	46	250	18.2	70	IRG4PSH71UD-ND	27.99	22.40	16.80
2	SUPER 247	1200	2.97	78	156	350	67	230	8.90	42	IRG4PSH71KD-ND	16.00	12.81	9.61
1	D2PAK	430	1.2	20	—	125	0.9	6	—	—	IRGS14C40L-ND	3.35	2.35	1.83
		600	1.4	34	68	100	22	540	3.71	18	IRG4BC30S-S-ND	3.63	2.60	2.10
			1.10	14	18	38	76	815	3.60	8.0	IRG4BC10SD-S-ND	3.44	1.96	1.59
			2.02	14	42	49	17	160	0.50	7.8	IRG4BC15UD-S-ND	3.50	2.45	1.87
2	D2PAK	600	1.85	18	36	60	21	463	2.44	11	IRG4BC20MD-S-ND	4.06	2.85	2.22
			1.85	13	52	60	39	93	0.49	6.5	IRG4BC20UD-S-ND	3.39	2.71	2.04
			1.82	22	44	66	26	194	1.11	12	IRG4RC20F-ND	3.01	1.71	1.40
			1.93	5.7	11	23	23	125	0.26	3.0	CPV362M4K-ND	48.68	38.95	29.21
			2.2	7.2	22	23	42	120	0.35	3.9	CPV362M4U-ND	48.68	38.95	29.21
			1.63	16	50	36	37	400	0.85	8.7	CPV363M4F-ND	34.71	27.77	20.83
3	IMS-2	600	2.2	11	22	36	55	107	0.50	6.0	CPV363M4K-ND	59.98	47.99	35.99
			2.2	13	40	36	43	140	0.45	6.8	CPV363M4U-ND	43.47	34.78	26.09
			1.5	27	80	63	42	220	1.8	15	CPV364M4F-ND	59.98	47.99	35.99
			2.3	24	48	63	50	170	1.28	13	CPV364M4K-ND	59.98	47.99	35.99
			2.1	20	60	63	41	140	0.74	10	CPV364M4U-ND	59.98	47.99	35.99
			2.39	9.0	18	38	11	51	0.26	5.0	IRG4RC10K-ND	1.69	1.36	1.02
			2.39	9.0	18	38	49	97	0.39	5.0	IRG4RC10KD-ND	2.94	2.05	1.56
1	D-PAK	600	1.7	8	18	38	25	630	2.72	8.0	IRG4RC10S-ND	1.85	1.48	1.11
			1.7	8	18	38	70	890	3.60	8.0	IRG4RC10SD-ND	2.02	1.63	1.22
			2.15	8.5	34	38	19	116	0.24	5.0	IRG4RC10U-ND	1.84	1.48	1.11
4	INT-A-PAK	1200	2.2	125	250	625	186	459	75	125	GA125TS120U-ND	149.74	119.80	89.85
6	INT-A-PAK	600	1.7	75	150	285	110	250	6.35	75	GA75TS60U-ND	74.48	59.59	44.69
5	Zweif. INT-A-PAK	1200	2.4	250	500	1250	731	653	108	250	GA250TD120U-ND	285.59	228.48	171.36
6	Zweif. INT-A-PAK	250	1.3	400	800	1350	1250	841	45	400	GA400TD25S-ND	250.30	200.24	150.18
			1.66	16	64	60	43	240	0.89	9.0	IRG4BC20F-S-ND	2.44	1.95	1.47
			2.27	16	32	60	28	150	0.40	9.0	IRG4BC20K-S-ND	2.44	1.95	1.47
			12.16	13	52	60	22	110	0.14	6.5	IRG4BC20W-S-ND	2.54	2.04	1.53
1	SMD-220	600	1.99	31	120	100	42	310	3.20	17.0	IRG4BC30F-S-ND	3.29	2.65	1.99
			1.95	23	92	100	17	78	0.73	12	IRG4BC30U-S-ND	3.24	2.60	1.95
			2.10	23	92	100	25	99	0.26	12	IRG4BC30W-S-ND	2.27	1.83	1.37
			2.05	40	160	160	27	100	0.34	20.0	IRG4BC40W-S-ND	4.94	3.95	2.97
1	SMD-220	1200	3.17	11	22	60	23	93	0.89	5.0	IRG4BH20K-S-ND	2.33	1.86	1.40
			1.66	16	64	60	43	240	0.89	9.0	IRG4BC20FD-S-ND	3.34	2.67	2.01
2	SMD-220 COPAK	600	1.4	19	38	60	62	690	2.90	10	IRG4BC20SD-S-ND	3.39	2.71	2.04
			1.99	31	120	100	42	310	3.20	17.0	IRG4BC30FD-S-ND	5.27	4.22	3.17
			2.21	28	58	100	60	160	1.18	16	IRG4BC30KD-S-ND	3.67	2.95	2.21
			2.16	11.8	52	34	22	110	0.14	6.5	IRG4IBC20W-ND	3.01	2.42	1.82
1	TO-220 FULLPAK	600	1.6	23.5	68	45	22	540	3.71	18	IRG4IBC30S-ND	3.76	3.01	2.26
			2.1	17	92	45	25	99	0.26	12	IRG4IBC30W-ND	3.83	3.06	2.30
			2.39	9.0	18	38	49	97	0.39	5.0	IRG4BC10KD-ND	2.37	1.90	1.43
			2.15	6.8	27	25	40	87	0.26	5.0	IRG4IBC10UD-ND	4.00	3.20	2.41
			1.66	14.3	64	34	43	240	0.89	9.0	IRG4IBC20FD-ND	3.33	2.66	2.00
2	TO-220 FULLPAK	600	2.27	11.5	23	34	54	180	0.64	9.0	IRG4IBC20KD-ND	2.99	2.40	1.80
			1.85	11.4	52	34	39	93	0.29	6.5	IRG4IBC20UD-ND	5.25	4.20	3.15
			1.59	20.3	120	45	42	230	2.02	17	IRG4IBC30FD-ND	4.72	3.78	2.84
			2.21	17	34	45	60	160	1.18	16	IRG4IBC30KD-ND	5.25	4.20	3.15
			1.95	17	92	45	40	91	0.54	12	IRG4IBC30UD-ND	4.96	3.98	2.98
1	TO-262	1200	3.17	11	22	60	23	93	0.89	5.0	IRG4BH20K-L-ND	2.33	1.87	1.40
2	TO-262	600	1.10	14	18	38	76	815	3.6	8.0	IRG4BC10SD-L-ND	3.44	1.96	1.59
			2.02	14	42	49	17	160	0.50	7.8	IRG4BC15UD-L-ND	3.50	2.45	1.87
1	SOT-227	600	1.1	200	400	630	78	890	18.4	100	GA200SA60S-ND	42.38	35.28	30.93
			1.6	200	400	500	54	130	4.46	100	GA200SA60U-ND	33.15	27.60	24.20
4	MTP	600	2.17	114	350	658	—	—	1.46	50	50MT060WH-ND	51.28	43.30	37.89
5	MTP	600	2.24	100	200	445	—	—	3.6	50	50MT060ULS-ND	40.67	34.52	30.34
—	ECONO2	1200	2.80	25	120	125	50	300	2.2	15	GB15RF120K-ND	67.50	56.51	49.76
—	ECONO2 6er-Packung	1200	2.50	40	80	198	60	450	4.07	25	GB25XF120K-ND	61.07	51.13	45.02
			2.60	50	100	284	50	415	5.2	35	GB35XF120K-ND	69.73	58.37	51.40

Zweif.-INT-A-PAK

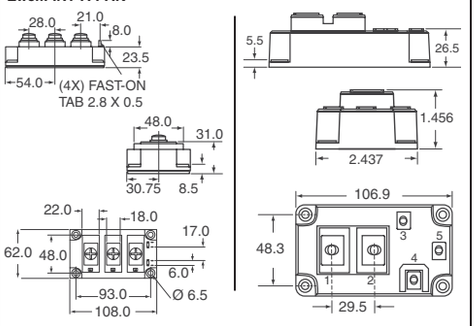

SMD-220 & SMD-220 CO-PAK

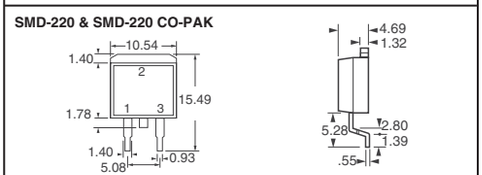

TO-220 Full Pak

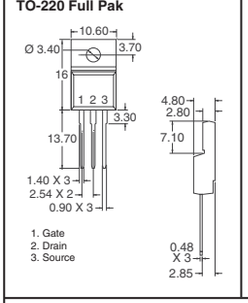

TO-262

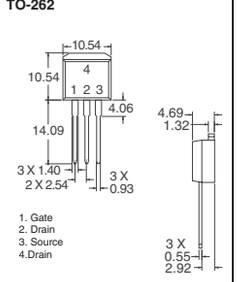

SOT-227

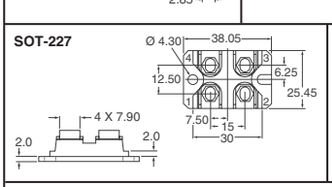

MTP

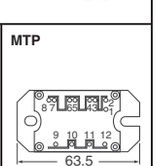

ECONO2 PIM

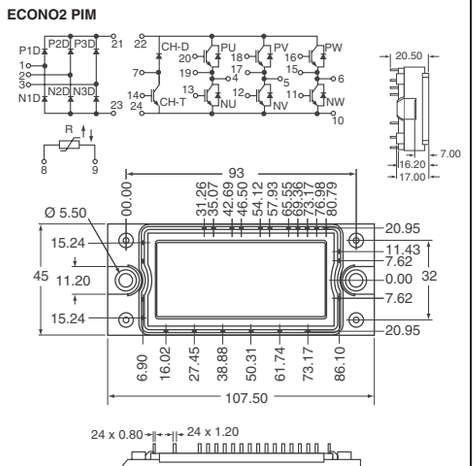

ECONO2 6er-Packung

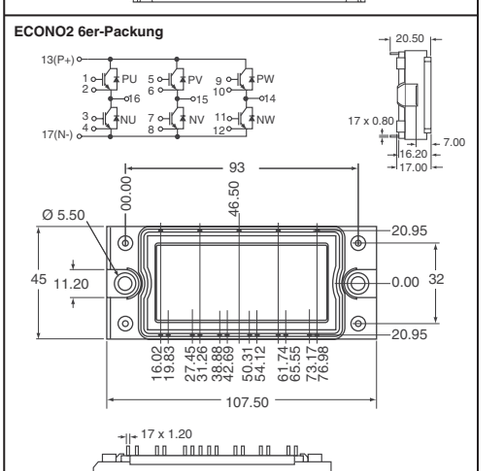

Leistungs-MOSFETS, Oberflächenmontage und Durchgangsloch

Abb.	Typ	V_{DS} (V)	R_{DS} (Ein) max. (Ω) V_{GS} @ 10V	V_{GS} @ 4,5 V	V_{GS} @ 2,7 V	I_D (A)	P_D (W)	Konfig. oder Paket	Digi-Key Teilenr.	Gurtabschnittspreise 1	10	100	Digi-Key Teilenr.	Preisangabe für Gegurtet auf Rolle
						SuperSOT™-3 High Drain-Strom								
1	N-Kanal	30	—	0.125	—	1.6	0.5	Einf.	NDS355NCT-ND	.50	3.75	28.12	NDS355NTR-ND	487.34/3,000
1	P-Kanal*	-20	—	0.5	—	-0.85	0.5	Einf.	NDS352PCT-ND	.57	4.27	32.00	NDS352PTR-ND	554.69/3,000
		-20	—	0.3	—	-1.1	0.5		NDS356PCT-ND	.68	5.66	45.21	NDS356PTR-ND	881.56/3,000
		30	—	0.065	.082†	2.2	0.5		FDN337NCT-ND	.49	3.95	29.56	FDN337NTR-ND	399.10/3,000
		30	0.16	0.25	—	1.2	0.5		NDS351ANCT-ND	.36	2.84	21.33	NDS351ANTR-ND	288.01/3,000
2	N-Kanal	20	—	0.16	0.21	1.3	0.5	Einf.	NDS331NCT-ND	.46	3.66	27.43	NDS331NTR-ND	370.30/3,000
		20	—	0.11	0.14	1.7	0.5		NDS335NCT-ND	.47	3.78	28.34	NDS335NTR-ND	382.65/3,000
		30	0.085	0.125	—	1.7	0.5		NDS355ANCT-ND	.41	3.08	23.09	NDS355ANTR-ND	400.17/3,000
		-20	—	0.115	0.155†	-1.6	0.5		FDN338PCT-ND	.44	3.54	26.52	FDN338PTR-ND	357.96/3,000
2	P-Kanal*	-20	—	0.3	0.41	-1.0	0.5	Einf.	NDS332PCT-ND	.45	3.61	27.13	NDS332PTR-ND	366.19/3,000
		-30	0.2	0.3	—	-1.1	0.5		NDS356APCT-ND	.46	3.45	25.83	NDS356APTR-ND	447.72/3,000
		-30	0.3	0.5	—	-0.9	0.5		NDS352APCT-ND	.39	3.09	23.16	NDS352APTR-ND	312.70/3,000
						SOT-23 (TO236AB)								
		25	—	0.45	0.6	0.68	0.35		FDV303NCT-ND	.40	3.20	21.94	FDV303NTR-ND	310.87/3,000
		25	—	4.0	5.0	0.22	0.35		FDV301NCT-ND	.33	2.61	18.33	FDV301NTR-ND	224.92/3,000
1	N-Kanal	50	3.5	6.0	—	0.22	0.36	Einf.	BSS138CT-ND	.30	2.29	15.85	BSS138TR-ND	182.87/3,000
		60	7.5	—	—	0.115	0.2		2N7002NCT-ND	.21	1.60	11.09	2N7002NTR-ND	128.01/3,000
		60	2	—	—	0.28	0.3		NDS7002ACT-ND	.33	2.67	18.29	NDS7002ATR-ND	259.06/3,000
		100	6	—	—	0.17	0.36		BSS123NCT-ND	.30	2.29	15.85	BSS123NTR-ND	182.87/3,000
		-25	—	1.1	1.5	-0.46	0.35		FDV304PCT-ND	.44	3.54	26.52	FDV304PTR-ND	357.96/3,000
		-25	—	10.0	13.0	-0.12	0.35		FDV302PCT-ND	.30	2.29	16.09	FDV302PTR-ND	197.49/3,000
1	P-Kanal*	-50	10	—	—	-0.13	0.3	Einf.	BSS84CT-ND	.29	2.13	14.79	BSS84TR-ND	170.67/3,000
		-60	5	7.5	—	-0.18	0.36		NDS0605CT-ND	.34	2.72	18.65	NDS0605TR-ND	264.24/3,000
		-60	10	—	—	-0.12	0.36		NDS0610CT-ND	.31	2.48	17.43	NDS0610TR-ND	213.95/3,000
						SuperSOT™-6 (SOT-6)								
3	N-Kanal	30	0.06	0.09	—	3.2	1.6	Einf.	NDC651NCT-ND	.66	4.97	37.26	NDC651NTR-ND	645.82/3,000
4		50	2	—	—	0.35	0.5	Zweif.	NDC7002NCT-ND	.48	3.60	26.97	NDC7002NTR-ND	467.53/3,000
3	P-Kanal*	-30	0.11	0.18	—	-2.4	1.6	Einf.	NDC652PCT-ND	.69	5.12	38.40	NDC652PTR-ND	665.63/3,000
4		-50	5	—	—	-0.22	0.5	Zweif.	NDC7003PCT-ND	.50	3.75	28.12	NDC7003PTR-ND	487.34/3,000
4	N-Kanal	50	2	—	—	0.35	0.5	Kompl.	NDC7001CCT-ND	.57	4.23	31.77	NDC7001CTR-ND	550.73/3,000
	P-Kanal*	-50	5	—	—	-0.22	0.5							
						Leistungs-MOSFET (SO-8)								
6		30	0.015	0.02	—	10.0	2.5	Einf.	NDS8410CT-ND	1.14	9.52	76.19	—	—
7		30	0.037	0.055	—	5.3	2.0	Zweif.	NDS8936CT-ND	1.08	8.97	71.72	NDS8936TR-ND	1165.51/2,500
5		30	0.028	0.042	—	7.3	2.5	Einf.	NDS9410ACT-ND	.72	5.39	40.46	NDS9410ATR-ND	584.41/2,500
7		30	0.05	0.08	—	5.0	2.0	Zweif.	NDS9936CT-ND	.86	7.11	56.89	NDS9936TR-ND	924.49/2,500
7	N-Kanal	30	0.08	0.11	—	3.7	2.0	Zweif.	NDS9956ACT-ND	.76	6.32	50.59	NDS9956ATR-ND	822.13/2,500
7		50	0.3	0.5	—	2.0	2.0	Zweif.	NDS9959CT-ND	.69	5.82	46.53	NDS9959TR-ND	756.10/2,500
6		30	0.008	0.010	—	13.0	2.5	Einf.	FDS6670ACT-ND	1.29	10.32	77.41	FDS6670ATR-ND	1651.48/2,500
6		30	0.0095	0.013	—	12.5	2.5	Einf.	FDS6680ACT-ND	1.05	8.76	70.10	FDS6680ATR-ND	1139.10/2,500
7		50	0.130	—	0.200	3.0	2.0	Zweif.	SI9955DYCT-ND	.84	6.28	47.09	SI9955DYTR-ND	680.16/2,500
7		60	0.1	0.2	—	3.5	2.0	Zweif.	NDS9945CT-ND	1.07	8.89	71.11	NDS9945TR-ND	1155.61/2,500
6		-20	—	0.035	0.05	-6.7	2.5	Einf.	NDS8434CT-ND	1.14	9.52	76.19	NDS8434TR-ND	1238.15/2,500
5		-20	0.1	0.16	—	-4.3	2.5	Einf.	NDS9405CT-ND	1.37	10.99	82.42	NDS9405TR-ND	1758.22/2,500
6		-30	0.06	0.115	—	-5.3	2.5	Einf.	NDS9430CT-ND	.95	7.92	63.39	NDS9430TR-ND	1030.14/2,500
7		-20	0.1	0.19	—	-3.5	2.0	Zweif.	NDS9947CT-ND	1.17	9.75	78.02	NDS9947TR-ND	1267.87/2,500
7	P-Kanal*	-30	0.065	0.1	—	-4.0	2.0	Zweif.	NDS8947CT-ND	1.27	10.14	76.04	NDS8947TR-ND	1622.22/2,500
5		-30	0.13	0.2	—	-3.6	2.5	Einf.	NDS9400ACT-ND	.99	8.24	65.87	NDS9400ATR-ND	1070.31/2,500
6		-30	0.05	0.09	—	-5.3	2.5	Einf.	NDS9435ACT-ND	.76	5.70	42.74	NDS9435ATR-ND	617.43/2,500
7		-30	0.13	0.2	—	-2.9	2.0	Zweif.	NDS9953ACT-ND	.98	8.20	65.63	NDS9953ATR-ND	1066.46/2,500
6		-60	0.15	0.24	—	-3.3	2.5	Einf.	NDS9407CT-ND	.86	7.14	57.09	NDS9407TR-ND	927.79/2,500
7		-60	0.25	0.5	—	-2.3	2.0	Zweif.	NDS9948CT-ND	.98	8.20	65.63	NDS9948TR-ND	1066.46/2,500
						PowerSOT (SOT-223)								
		30	0.05	0.08	—	5.5	3.0		NDT451NCT-ND	.92	7.69	61.46	—	—
		30	0.037	0.055	—	7.1	3.0		NDT451ANCT-ND	.69	5.74	45.92	NDT451ANTR-ND	746.19/2,500
8	N-Kanal	30	0.028	0.042	—	8.0	3.0	Einf.	NDT453NCT-ND	.99	8.28	66.20	NDT453NTR-ND	1075.82/2,500
		30	0.015	0.02	—	11.5	3.0		NDT455NCT-ND	1.35	10.73	80.51	NDT455NTR-ND	1717.58/2,500
		60	0.12	—	—	3.7	3.0		NDT3055CT-ND	.61	4.57	34.29	NDT3055TR-ND	495.26/2,500
		60	—	0.15	—	3.5	3.0		NDT3055LCT-ND	.63	4.78	35.89	NDT3055LTR-ND	518.37/2,500
		-30	0.035	0.05	—	-7.3	3.0		NDT456PCT-ND	1.30	10.35	77.57	NDT456PTR-ND	1654.73/2,500
8	P-Kanal*	-30	0.065	0.1	—	-5.0	3.0	Einf.	NDT452APCT-ND	.78	6.48	51.81	NDT452APTR-ND	841.94/2,500
		-60	0.3	0.5	—	-2.5	3.0		NDT2955CT-ND	.61	4.61	34.52	NDT2955TR-ND	498.56/2,500

* V_{GS} sind für P-Kanal-Bauelemente negativ. † V_{GS} @ 2,5 V ‡V_{GS} @ 5V

(Forts.)

Abb. 1 — SOT-23 (TO-236AB)

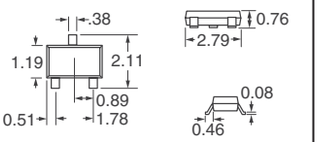

Abb. 2 — SuperSOT™-3

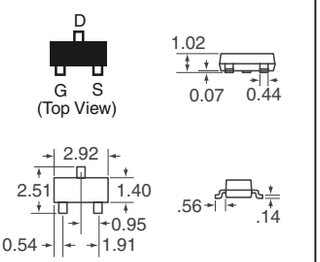

SuperSOT™-6

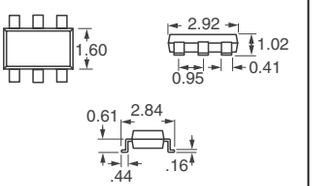

Abb. 3

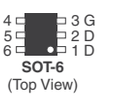

Abb. 4

NDC7001CCT: G1, S1, D1 sind N-Kan.

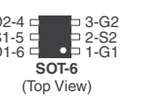

Abb. 5

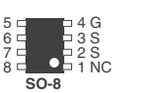

Abb. 6

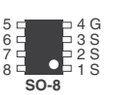

Abb. 7

1, 2, 7, 8 sind N-Kan. nur für komplementäre Teile.

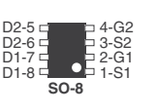

Abb. 8 — SOT-223

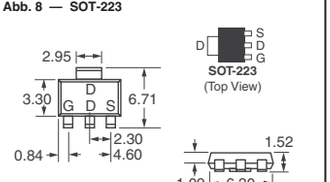

Abb. 9 — TO-252

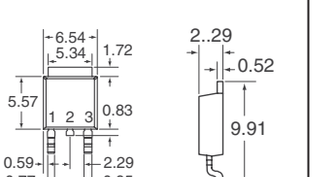

Alle Preisangaben in Euro und inklusive Zollgebühren.

Leistungs-MOSFETS, Oberflächenmontage und Durchgangsloch *(Forts.)*

Abb.	Typ	V_{DS} (V)	R_{DS} (Ein) max. (Ω) V_{GS} @ 10V	V_{GS} @ 4,5 V	V_{GS} @ 2,7 V	I_D (A)	P_D (W)	Konfig. oder Paket	Digi-Key Teilenr.	Gurtabschnittspreise 1	10	100	Digi-Key Teilenr.	Preisangabe für Gegurtet auf Rolle
						TO-252								
9	N-Kanal	30	0.008	0.010	—	66.0	3.2	Einf.	FDD6670ACT-ND	1.23	10.24	81.88	FDD6670ATR-ND	1330.60/2,500
						Leistungs-MOSFET (SO-8) (komplementärer bürstenloser 3-Phasen-Motortreiber, N-P-Kanal)								
7	N-Kanal	20	0.125	0.25	—	3.0	2.0	Kompl.	NDS9943CT-ND	1.28	10.24	76.83	—	—
	P-Kanal*	-20	0.16	0.3	—	-2.8	2.0							
7	N-Kanal	20	0.1	0.15	—	3.5	2.0	Kompl.	NDS9958CT-ND	1.14	9.55	76.36	NDS9958TR-ND	1240.90/2,500
	P-Kanal*	-20	0.1	0.19	—	-3.0	2.0							
7	N-Kanal	30	0.037	0.055	—	5.3	2.0	Kompl.	NDS8958CT-ND	1.13	9.02	67.66	NDS8958TR-ND	1443.42/2,500
	P-Kanal*	-30	0.065	0.10	—	-4.0	2.0							
7	N-Kanal	30	0.08	0.11	—	4.0	2.0	Kompl.	NDS9952ACT-ND	.83	6.88	55.06	NDS9952ATR-ND	894.77/2,500
	P-Kanal*	-30	0.13	0.2	—	-2.9	2.0							
						Leistungs-MOSFET (SO-8) (komplementäre MOSFETS-Halbbrücke)								
10	N-Kanal	30	0.037	0.055	—	6.3	2.5	Kompl.	NDS8858HCT-ND	1.11	9.22	73.76	NDS8858HTR-ND	1198.53/2,500
	P-Kanal*	-30	0.065	0.10	—	-4.8	2.5							
						Leistungs-MOSFET (TO-263AB)								
11	N-Kanal	30	0.022	0.04	—	25.0	50.0	TO-263AB	NDB603ALCT-ND	1.08	8.67	65.02	NDB603ALTR-ND	468.14/800
		50	0.1	—	—	15.0	50.0		NDB4050CT-ND	.93	7.79	62.31	NDB4050TR-ND	336.47/800
		50	—	—	0.1	15.0	50.0		NDB4050LCT-ND	.93	7.77	62.14	NDB4050LTR-ND	347.99/800
		60	—	—	0.025	48.0	100.0		NDB6060LCT-ND	1.13	9.10	68.27	NDB6060LTR-ND	491.54/800
		60	0.015	—	—	75.0	150.0		NDB7060CT-ND	11.68	87.62	584.15	NDB7060TR-ND	939.28/800
		60	—	—	0.015	75.0	150.0		NDB7060LCT-ND	13.56	101.72	678.13	NDB7060LTR-ND	2405.09/800
						Leistungs-MOSFET, Durchgangsloch (TO-220AB)								
12	N-Kanal	30	0.022	0.04	—	25.0	50.0	TO-220AB	NDP603AL-ND	.94	7.83	62.65	—	—
		50	0.015	—	—	75.0	150.0		NDP7050-ND	3.15	25.19	195.99	—	—
		50	—	—	0.015	75.0	150.0		NDP7050L-ND	2.55	20.39	158.59	—	—
		60	0.1	—	—	15.0	50.0		NDP4060-ND	.87	7.29	58.31	—	—
		60	—	—	0.1	15.0	50.0		NDP4060L-ND	.90	7.49	59.94	—	—
		60	0.025	—	—	48.0	100.0		NDP6060-ND	1.40	11.16	83.66	—	—
		60	—	—	0.025	48.0	100.0		NDP6060L-ND	1.40	11.18	83.81	—	—
		60	0.015	—	—	75.0	150.0		NDP7060-ND	2.21	17.69	137.54	—	—
12	N-Kanal	55	0.008	—	—	100.0	175.0	Einf.	HRF3205-ND	1.85	14.85	111.40	—	—
		55	0.022	—	—	49.0	120.0		HRFZ44N-ND	1.04	8.69	69.49	—	—
		60	0.028	—	—	45.0	131.0		RFP45N06-ND	1.09	8.75	65.68	—	—
		60	0.022	—	—	50.0	131.0		RFP50N06-ND	1.09	8.75	65.68	—	—
		60	—	0.107‡	—	11.0	38.0		RFP3055LE-ND	.80	6.04	45.26	—	—
		60	—	0.047‡	—	30.0	96.0		RFP30N06LE-ND	.91	7.52	60.14	—	—
		100	0.040	—	—	40.0	160.0		RFP40N10-ND	1.33	10.61	79.55	—	—
		100	—	0.2‡	—	12.0	60.0		RFP12N10L-ND	.74	6.15	49.17	—	—
						Leistungs-MOSFET, Durchgangsloch (TO-92)								
13	N-Kanal	60	5	—	—	0.2	0.4	TO-92	2N7000FS-ND	.26	1.98	13.73	—	—
		60	5	—	—	0.5	0.83		BS170-ND	.28	2.16	15.20	—	—
						TO-251AA								
14	N-Kanal	50	0.100	—	—	14.0	48.0	Einf.	RFD14N05-ND	.77	5.79	43.43	—	—
		50	0.047	—	—	16.0	72.0		RFD16N05-ND	.86	7.21	57.70	—	—
		50	—	0.100‡	—	14.0	48.0		RFD14N05L-ND	.79	5.91	44.34	—	—
		60	—	0.107‡	—	11.0	38.0		RFD3055LE-ND	.78	5.82	43.66	—	—
		200	0.800	—	—	4.6	50.0		IRFU220FS-ND	.66	5.54	44.29	—	—
						TO-247								
15	N-Kanal	60	0.014	—	—	70.0	150.0	Einf.	RFG70N06-ND	1.93	15.43	120.04	—	—
	P-Kanal*	-50	0.030	—	—	60.0	215.0		RFG60P05E-ND	9.91	89.29	791.67	—	—
						TO-252AA								
16	N-Kanal	50	0.100	—	—	14.0	48.0	Einf.	RFD14N05SM-ND	.77	5.79	43.43	—	—
		50	—	0.100‡	—	14.0	48.0		RFD14N05LSM-ND	.81	6.10	45.72	—	—
		50	—	0.047‡	—	16.0	60.0		RFD16N05LSM-ND	.91	7.54	60.35	—	—
		50	0.047	—	—	16.0	72.0		RFD16N05SM-ND	.83	6.93	55.47	—	—
		60	—	0.107‡	—	11.0	38.0		RFD3055LESM-ND	.83	6.21	46.63	—	—
		100	0.27	—	—	8.4	50.0		IRFR120FS-ND	.67	5.59	44.70	—	—

* V_{GS} sind für P-Kanal-Bauelemente negativ. † V_{GS} @ 2,5 V ‡V_{GS} @ 5V

Abb. 10

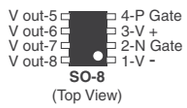

Abb. 11 — TO-263AB

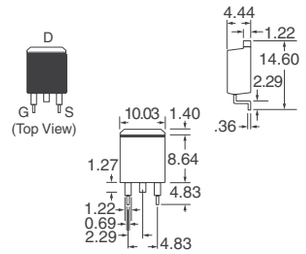

Abb. 12 — TO-220AB

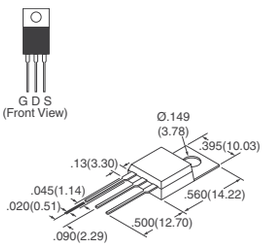

Abb. 13 — TO-92

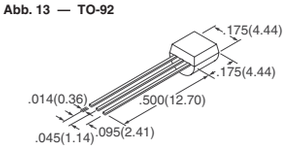

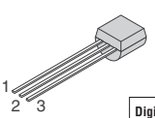

Digi-Key Teilenr.	Stifte 1	2	3
2N7000FS-ND	S	G	D
BS170-ND	D	G	S

Abb. 14 — TO-251AA

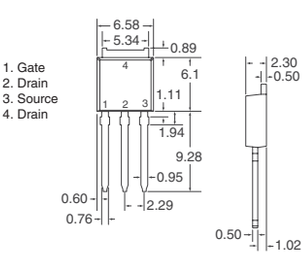

Abb. 15 — TO-247

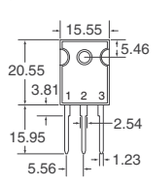

Abb. 16 — TO-252AA

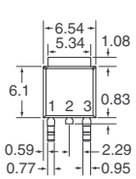

B

HexFred-Dioden

HEXFRED Technologie setzt einen neuen Standard für ultraschnelle Hochleistungsdioden. Die Nutzung dieses Leistungsvorteils durch den Designer resultiert in effizienteren Schaltungen und niedrigeren Systemkosten. HEXFREDS: • Ermöglicht den Betrieb von IGBT- und MOSFET-Transistoren bei kühleren Temperaturen von 10 °C, 20 °C • Verbessert die allgemeine Systemeffizienz um 1 %, 2 % • Reduziert Störungen und den Bedarf an Überspannungsschutzkreisen • Ermöglicht einen Betrieb mit höherer Frequenz • Gewährleistet verlässlichere Randschaltungen

Abb.1

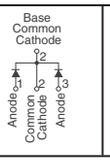

Abb.2

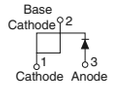

Abb.3

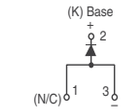

Abb.4

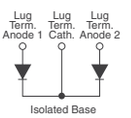

Abb.5

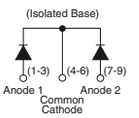

Abb.6

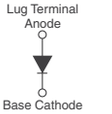

Abb.7

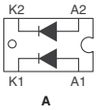

Abb.8

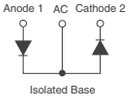

TO-220AB

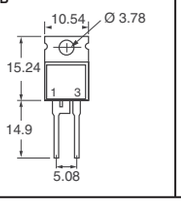

TO-220AC

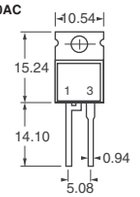

TO-262

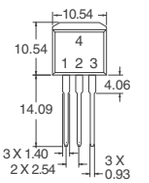

D-PAK

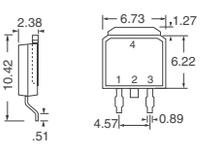

TO-247AC

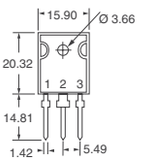

TO-247AC/ MOD

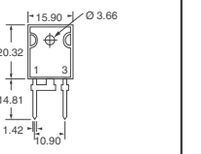

D-60

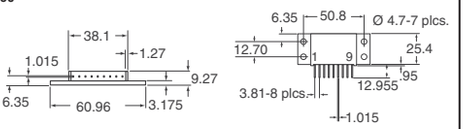

D-61-8

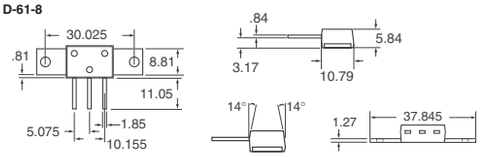

D-61-8SL

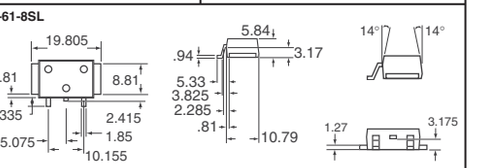

Abb.	Paket	VR	VF	IF(AV) (A)	TRR (typisch) NS	QRR (typisch) NC	IRRM (A)	Digi-Key Teilenr.	Stückpreis 1	10	100
1	TO-220AB	200	0.975	16	25	23	1.7	MUR1620CTIR-ND	.97	.78	.55
		600	1.7	16	18	65	5	HFA16TA60C-ND	3.94	3.35	2.76
		600	1.7	30	19	80	6	HFA30TA60C-ND	4.25	3.62	2.98
		600	1.8	8	42	40	5.2	HFA08TA60C-ND	2.37	1.90	1.43
2	TO-220AC	600	1.7	8	18	65	5	HFA08TB60-ND	1.34	1.14	.94
		600	1.7	15	19	80	6	HFA15TB60-ND	3.51	2.46	1.98
		600	1.7	25	23	112	10	HFA25TB60-ND	3.05	2.59	2.14
1	D-Pak	200	1.2	6	25	60	4.6	MURD620CT-ND	.80	.65	.45
1	TO-247AC	600	1.7	30	19	80	6	HFA30PA60C-ND	4.50	3.83	3.16
1		600	1.7	16	55	60	5	HFA16PA60C-ND	2.60	2.08	1.49
1		1200	2.4	6	26	116	4.4	HFA12PA120C-ND	8.00	6.40	4.81
2		1200	3.3	8.0	28	140	4.5	HFA16PA120C-ND	9.00	7.20	5.40
1		1200	2.3	16	30	260	5.8	HFA32PA120C-ND	14.67	11.74	8.81
2	TO-247AC/MOD	1200	2.4	30	37	490	8.1	HFA30PB120-ND	13.50	10.81	8.11
		1200	3	8	28	140	4.5	HFA08PB120-ND	6.10	4.88	3.66
		600	1.7	15	19	80	6	HFA15PB60-ND	2.00	1.71	1.41
		600	1.7	25	23	112	10	HFA25PB60-ND	6.74	4.98	4.12
		1200	3.0	16	30	260	5.8	HFA16PB120-ND	7.08	6.02	4.96
		600	1.7	8	55	65	5	HFA08PB60-ND	3.03	2.43	1.73
		1200	3	6	26	80	4.4	HFA06PB120-ND	4.66	3.73	2.66
5	D-60	600	1.1	60	30	200	6	HFA60MB60C-ND	61.38	49.11	36.83
		400	1	75	30	200	6	HFA75MB40C-ND	61.38	49.11	36.83
1	D61-8	600	1.2	70	30	210	6	HFA70NC60C-ND	22.43	17.95	13.47
		400	1	80	30	200	6	HFA80NC40C-ND	22.50	18.00	13.50
1	D-61-8SL	600	1.2	70	30	210	6	HFA70NC60CSL-ND	22.43	17.95	13.47
1	D61-8SM	600	1.2	70	30	210	6	HFA70NC60CSM-ND	20.19	16.16	12.12
		400	1	80	30	200	6	HFA80NC40CSM-ND	22.50	18.00	13.50
6	HALF-PAK	600	1.2	105	35	450	10	HFA105NH60-ND	32.45	25.96	19.47
		400	1	135	50	290	7.5	HFA135NH40-ND	33.53	26.82	20.12
		600	1.3	140	39	490	9.3	HFA140NH60-ND	41.14	32.92	24.69
		400	1.1	180	45	420	8.7	HFA180NH40-ND	37.81	30.25	22.69
		400	1.1	180	45	420	8.7	HFA180NH40R-ND	38.80	31.05	24.06
		600	1.2	70	33	340	8.5	HFA70NH60-ND	28.57	22.86	17.15
		400	10	90	36	420	9.3	HFA90NH40-ND	28.57	22.86	17.15
1	SMD-220	600	1.8	8	42	40	5.2	HFA08TA60CS-ND	2.71	2.17	1.63
3		600	1.8	4.0	42	40	5.2	HFA04TB60S-ND	2.23	1.78	1.34
3		1200	3	6	26	116	4.4	HFA06TB120S-ND	4.61	3.70	2.77
3		1200	3	8	28	140	4.5	HFA08TB120S-ND	5.23	4.19	3.14
1		600	1.7	8.0	18	65	5.0	HFA16TA60CS-ND	4.92	3.94	2.96
2		1200	2.3	16	30	260	5.8	HFA16TB120S-ND	10.95	8.76	6.57
3		600	1.7	15	23	84	6.0	HFA15TB60S-ND	3.60	2.88	2.16
3		600	1.3	25	23	112	10	HFA25TB60S-ND	4.96	3.97	2.98
3		600	1.4	8	18	65	5	HFA08TB60STRL-ND		369.12/800	
7	SOT-227	600	1.4	120	65	270	7.0	HFA120FA60-ND	33.80	27.05	23.67
4	TO-244AB ISO	600	1.4	100	33	300	8	HFA100MD60C-ND	46.48	37.19	27.89
8		600	1.4	100	33	300	8	HFA100MD60D-ND	47.82	38.25	28.69
8		400	0.9	120	36	420	9.3	HFA120MD40D-ND	78.46	62.77	47.08
4		400	0.9	120	36	420	9.3	HFA120MD40C-ND	77.26	61.81	46.36
4		600	1.2	140	35	360	8.0	HFA140MD60C-ND	87.65	70.12	52.59
8		600	1.2	140	35	360	8.0	HFA140MD60D-ND	88.98	71.19	53.39
4		400	0.9	160	50	260	7.1	HFA160MD40C-ND	56.71	45.37	34.03
8		400	0.9	160	50	260	7.1	HFA160MD40D-ND	82.41	65.93	49.45
1		600	1.5	180	140	—	17	HFA180MD60D-ND	103.29	82.63	64.04
1		600	1.5	180	140	—	17	HFA180MD60C-ND	101.96	81.57	63.21
4		400	0.9	200	45	330	8.1	HFA200MD40C-ND	105.26	84.21	63.16
8		400	0.9	200	45	330	8.1	HFA200MD40D-ND	105.06	84.05	63.04
1	TO-244AB	600	1.2	140	33	340	8.5	HFA140NJ60C-ND	49.49	39.59	29.70
		400	1	160	36	420	9.3	HFA160NJ40C-ND	59.26	47.41	35.56
		600	1.2	210	35	450	10	HFA210NJ60C-ND	77.32	61.86	46.39
		400	1	240	50	290	7.5	HFA240NJ40C-ND	73.19	58.56	43.92
		600	1.3	280	39	490	93	HFA280NJ60C-ND	88.45	70.76	53.07
		400	1	320	45	420	8.7	HFA320NJ40C-ND	47.87	38.29	28.72
8	TO-244AB	600	1.2	140	33	340	8.5	HFA140NJ60D-ND	50.67	40.54	30.41
		400	1	160	36	420	9.3	HFA160NJ40D-ND	53.87	43.10	32.33
		600	1.2	210	35	450	10	HFA210NJ60D-ND	70.77	56.62	42.46
		400	1	240	50	290	7.5	HFA240NJ40D-ND	73.17	58.54	43.91
		600	1.3	280	39	490	93	HFA280NJ60D-ND	80.78	64.63	48.48
		400	1	320	45	420	8.7	HFA320NJ40D-ND	93.57	74.86	56.15
1	TO-249AA	600	1.1	60	30	200	6	HFA60MC60C-ND	36.29	29.03	21.78
4		400	1	75	30	200	6	HFA75MC40C-ND	61.38	49.11	36.83
4		400	1	80	30	200	6	HFA80NK40C-ND	61.38	49.11	36.83
1	TO-262	600	1.7	15	60	600	6	HFA15TB60-1-ND	1.76	1.23	.94

D61-8SM

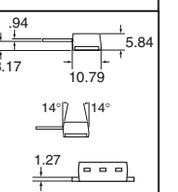

Half-PAK

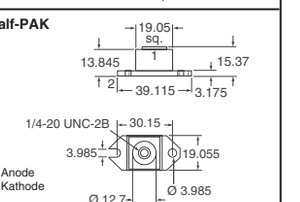

SMD-220

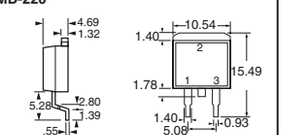

SOT-227

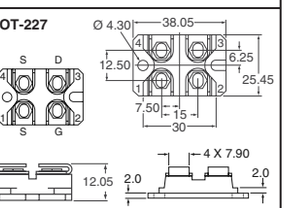

TO-244AB

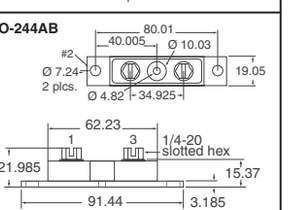

TO-244AB (ISO)

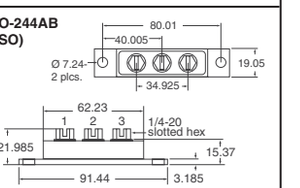

TO-249AA

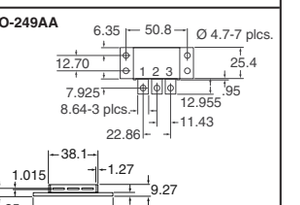

Alle Preisangaben in Euro und inklusive Zollgebühren.

N & P Kanal HEXFETs

Elektrische Daten bei 25 °C, falls nichts Gegenteiliges angegeben ist.
Abmessungen in mm

Abb. 1 — TO-220AB

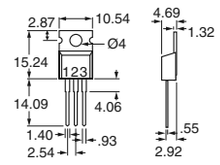

Abb. 2 — TO-220 Fullpak

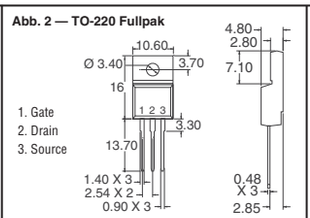

Abb. 3 — TO-247AC

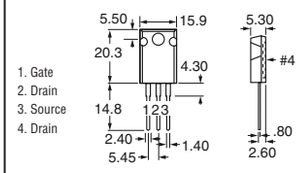

Abb. 4 — TO-262

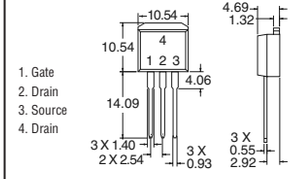

Abb. 5 — I-Pak

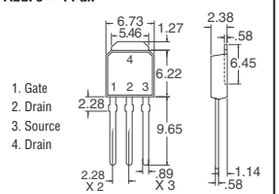

Abb. 6 — 4-Pin Dip (Hexdip®)

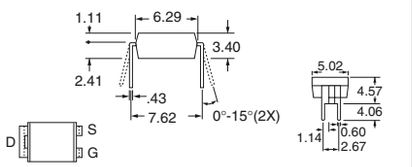

Abb. 7 — Super-220™

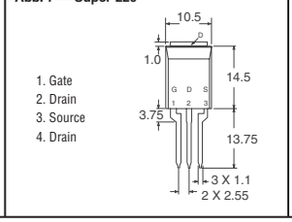

Abb. 8 — TO-220-5

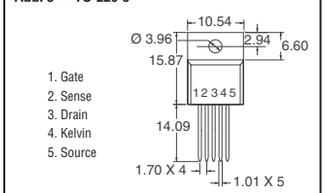

Abb. 9 — Super TO-247

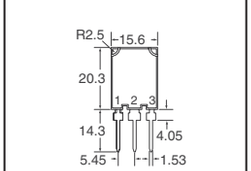

Abb. 10 — Super 247

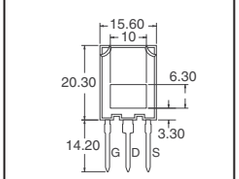

B

Abb.	VDS (V)	RDS (ein) (Ω)	ID Kont. (A) 25 °C	IDM (A)	PD max. (W)	Digi-Key Teilenr.	Stückpreis 1	10	100
P-KANAL-TYP									
TO-220 Fullpak									
1	-50	0.28	-9.7	—	—	IRF9Z20-ND	1.00	.80	.58
	-50	0.14	-18	—	—	IRF9Z30-ND	1.08	.87	.63
	-55	0.02	-64	-260	150	IRF4905-ND	2.27	1.67	1.38
	-55	0.06	-31	-110	110	IRF5305-ND	1.56	1.03	.79
	-55	0.1	-17	-68	56	IRF9Z34N-ND	1.46	.97	.76
	-55	0.175	-12	-48	45	IRF9Z24N-ND	.79	.56	.47
	-60	0.28	-11	-44	60	IRF9Z24-ND	.84	.67	.49
	-60	0.5	-6.7	-27	43	IRF9Z14-ND	.78	.56	.46
	-100	0.06	-35	-140	150	IRF5210-ND	1.62	1.13	.90
	-100	0.117	-19	-76	94	IRF9540N-ND	1.71	1.17	.92
	-100	0.2	-13	-56	75	IRF9530N-ND	1.01	.72	.59
	-100	0.48	-6.8	-27	48	IRF9520N-ND	.88	.71	.53
	-100	1.2	-3	-12	20	IRF9510-ND	.98	.64	.50
	-150	0.29	-11	-44	83	IRF6215-ND	1.77	1.16	.89
	-200	0.5	-6.1	-24	40	IRFI9640G-ND	2.25	1.80	1.35
	-200	0.5	-11	-44	125	IRF9640-ND	1.61	1.11	.88
	-200	0.8	-6.5	-26	75	IRF9630-ND	1.33	.89	.70
	-200	1.5	-3.5	-14	40	IRF9620-ND	.75	.54	.44
	-200	3	-1.75	-7	20	IRF9610-ND	.70	.50	.42
	-200	3	-1.9	—	—	IRFI9610G-ND	1.23	.99	.74
TO-220 Fullpak									
2	-55	0.015	-14	-60	33	IRLIB9343-ND	2.10	1.40	1.06
	-60	0.14	-12	-48	42	IRFI9Z34G-ND	1.72	1.38	.99
	-60	0.5	-5.3	-21	27	IRFI9Z14G-ND	.97	.78	.59
	-100	0.3	-7.7	-31	42	IRFI9530G-ND	1.51	1.21	.86
	-100	0.117	-13	-44	48	IRFI9540G-ND	2.75	2.20	1.57
	-200	0.8	-4.3	-17	35	IRFI9630G-ND	1.88	1.51	1.08
	-200	1.5	-3	-12	30	IRFI9620G-ND	1.69	1.36	.97
	-250	1	-4.1	-16	35	IRFI9634G-ND	1.72	1.38	1.04
TO-247AC									
3	-100	0.117	-23	-76	140	IRFP9140N-ND	2.53	2.03	1.45
	-100	0.2	-21	—	180	IRFP9140-ND	2.27	1.61	1.33
	-200	0.5	-12	—	150	IRFP9240-ND	3.23	2.29	1.89
TO-262									
4	-55	0.02	-74	-260	200	IRF4905L-ND	2.07	1.66	1.19
	-55	0.06	-31	-110	3.8	IRF5305L-ND	1.69	1.36	1.02
	-55	0.1	-19	-68	3.8	IRF9Z34NL-ND	1.82	1.46	1.10
	-55	0.28	-12	-48	3.8	IRF9Z24NL-ND	1.29	1.04	.78
	-60	0.5	-6.7	-27	3.7	IRF9Z14L-ND	1.20	.97	.73
	-100	0.06	-40	-140	3.8	IRF5210L-ND	3.13	2.51	1.88
	-100	0.11	-23	-76	3.8	IRF9540NL-ND	2.48	1.99	1.49
	-100	0.2	-14	-56	3.8	IRF9530NL-ND	1.71	1.37	1.03
	-100	1.2	-4.0	-16	43	IRF9510L-ND	1.24	1.00	.75
	-150	0.29	-13	-44	3.8	IRF6215L-ND	1.48	1.19	.89
	-200	0.5	-11	-44	125	IRF9640L-ND	2.62	2.10	1.59
	-200	0.8	-6.5	-26	74	IRF9630L-ND	1.77	1.42	1.07
	-200	3	-1.8	-7	20	IRF9610L-ND	1.20	.97	.72
I-Pak									
5	-50	0.28	-9.9	—	—	IRFU9020-ND	1.30	1.04	.74
	-50	0.5	-5.3	-21	25	IRFU9010-ND	.93	.75	.56
	-55	0.015	-20	-60	79	IRLU9343-ND	1.97	1.31	.99
	-55	0.065	-28	-110	110	IRFU5305-ND	1.52	1.22	.87
	-55	0.11	-18	-64	57	IRFU5505-ND	1.13	.90	.65
	-55	0.175	-11	-44	38	IRFU9024N-ND	1.04	.83	.63
	-60	0.28	-8.8	-35	42	IRFU9024-ND	1.01	.81	.58
	-60	0.5	-5.1	-20	25	IRFU9014-ND	.76	.61	.44
	-100	0.205	-13	-52	66	IRFU5410-ND	1.04	.56	.50
	-100	0.48	-6.5	-26	40	IRFU9120N-ND	1.04	.83	.60
	-100	0.6	-5.6	-22	42	IRFU9120-ND	.78	.63	.45
	-100	1.2	-3.1	-12	25	IRFU9110-ND	.63	.51	.36
	-150	0.295	-13	-44	110	IRFU6215-ND	1.22	.98	.74
	-200	1.5	-3.6	-14	42	IRFU9220-ND	1.03	.83	.60
	-200	3	-1.9	-7.6	25	IRFU9210-ND	1.14	.92	.66
	-250	3	-2.7	-11	50	IRFU9214-ND	1.06	.85	.64
	-400	7	-1.8	-7.2	50	IRFU9310-ND	1.08	.87	.65
4-Pin Dip									
6	-50	0.28	-1.6	—	—	IRFD9020-ND	1.11	.72	.56
	-50	0.5	-1.1	—	—	IRFD9010-ND	.59	.48	.34
	-60	0.28	-1.6	-13	1.3	IRFD9024-ND	.75	.60	.43
	-60	0.5	-1.1	-8.8	1.3	IRFD9014-ND	.99	.63	.48
	-100	0.6	-1.0	-8	1.0	IRFD9120-ND	1.16	.75	.58
	-100	1.2	-0.7	-3	1.0	IRFD9110-ND	.99	.64	.48
	-200	1.5	-0.6	-4.8	1.0	IRFD9220-ND	1.81	1.29	1.06
	-200	3	-0.4	-1.6	1.0	IRFD9210-ND	.63	.45	.37
N-KANAL-TYP									
TO-220AB									
1	20	0.006	92	380	79	IRF3711Z-ND	1.46	.94	.71
	20	0.006	110	440	120	IRF3711-ND	1.56	.89	.72
	20	0.0085	77	280	88	IRF3706-ND	1.31	1.05	.79
	20	0.011	50	200	45	IRL3715Z-ND	1.36	.88	.66
	20	0.014	54	210	71	IRL3715-ND	1.33	.78	.60
	20	0.016	36	140	35	IRL3714Z-ND	1.30	.86	.66
	20	0.02	36	140	47	IRL3714-ND	.83	.49	.38
	20	0.09	77	308	87	IRF3704-ND	1.19	.95	.72
	30	0.0028	210	1000	230	IRF3703-ND	4.13	2.86	2.41
	30	0.006	105	420	110	IRL8113-ND	1.65	1.07	.86
	30	0.006	140	470	2000	IRL3803-ND	2.64	1.88	1.55
	30	0.009	90	360	120	IRF3709-ND	1.51	.86	.70
	30	0.0095	59	230	57	IRF3707Z-ND	1.19	.76	.62
	40	0.0023	280	1080	330	IRF2804-ND	2.82	1.88	1.53
	40	0.0037	75	750	220	IRF1404Z-ND	1.99	1.40	1.14
	40	0.0031	75	790	230	IRL1404Z-ND	2.83	1.98	1.56
	40	0.0055	75	470	140	IRF4104-ND	2.64	1.71	1.39
	40	0.009	100	400	170	IRF1104-ND	2.06	1.65	1.17
	50	0.2	7.2	29	20	IRFZ10-ND	.95	.76	.58
	50	0.028	35	—	—	IRFZ40-ND	1.28	1.03	.74
	50	0.05	30	—	—	IRFZ30-ND	1.06	.85	.60
	55	0.0033	75	890	130	IRF3805-ND	4.39	3.14	2.51
	55	0.005	75	600	230	IRF1405Z-ND	4.09	2.87	2.25
	55	0.0053	169	680	330	IRF1405-ND	3.50	2.80	2.10
	55	0.0075	75	360	140	IRF1010Z-ND	2.49	1.61	1.31
	55	0.007	75	440	170	IRF3205Z-ND	1.72	1.17	.91
	55	0.008	75	340	130	IRL3705Z-ND	2.01	1.30	1.06
	55	0.008	75	560	330	IRF3305-ND	2.70	1.66	1.42
	55	0.008	98	390	150	IRF3205-ND	2.43	1.77	1.45
	55	0.011	61	240	91	IRFZ48Z-ND	1.60	1.02	.83
	55	0.012	85	290	130	IRF1010N-ND	1.74	1.24	1.02
	55	0.0135	51	204	80	IRLZ44Z-ND	1.53	1.01	.76
	55	0.0136	51	200	82	IRFZ46Z-ND	1.49	.95	.77
	55	0.0139	51	200	80	IRFZ44Z-ND	1.55	1.02	.78
	55	0.016	64	210	94	IRFZ48N-ND	1.39	.98	.79

† Bleifrei/RoHS-konform

(Forts.)

B

Abb.	VDS (V)	RDS (ein) (Ω)	ID Kont. (A) 25 °C	IDM (A)	PD max. (W)	Digi-Key Teilenr.	Stückpreis 1	10	100
	55	0.02	46	180	88	IRFZ46N-ND	1.34	.90	.71
	55	0.022	41	160	83	IRLZ44N-ND	1.47	.98	.76
	55	0.024	49	160	83	IRFZ44N-ND	1.41	.92	.71
	55	0.04	26	100	56	IRFZ34N-ND	1.05	.69	.52
	55	0.074	18	72	45	IRLZ24N-ND	1.07	.70	.53
	60	0.0085	75	340	140	IRF1010EZ-ND	1.39	.98	.79
	60	0.009	115	360	270	IRFB4215-ND	2.75	1.70	1.44
	60	0.012	57	230	92	IRFZ44VZ-ND	1.60	1.02	.83
	60	0.012	72	290	150	IRFZ48V-ND	.89	.72	.63
	60	0.012	84	330	200	IRF1010E-ND	2.33	1.66	1.36
	60	0.0165	55	220	115	IRFZ44V-ND	.83	.66	.58
	60	0.018	50	290	190	IRFZ48R-ND	1.87	1.22	1.02
	60	0.023	48	192	110	IRFZ44E-ND	1.79	1.18	.91
	60	0.028	50	200	150	IRFZ44R-ND	1.56	.89	.72
	60	0.042	28	112	68	IRFZ34E-ND	1.06	.75	.62
	60	0.05	30	120	88	IRFZ34-ND	1.06	.85	.61
	60	0.2	10	40	36	IRFZ14-ND	.94	.60	.45
	75	0.0045	180	720	330	IRFB3207-ND	3.82	2.78	2.23
	75	0.0045	180	720	330	IRFB3207PBF-ND†	4.17	2.78	2.23
	75	0.0063	130	510	250	IRFB3307-ND	2.87	2.08	1.61
	75	0.0063	130	510	250	IRFB3307PBF-ND†	2.97	1.99	1.59
	75	0.0075	142	570	380	IRF1607-ND	3.65	2.61	2.12
	75	0.0078	130	520	330	IRF1407-ND	2.20	1.53	1.19
	75	0.0088	97	390	190	IRFB3507-ND	2.72	2.00	1.50
	75	0.0088	97	390	190	IRFB3507PBF-ND†	2.72	1.82	1.45
	75	0.009	75	350	170	IRF2807Z-ND	2.67	1.81	1.40
	75	0.013	71	280	150	IRF2807-ND	2.86	1.96	1.56
	100	0.007	140	550	330	IRFB4310-ND	4.42	3.15	2.53
	100	0.01	96	380	250	IRFB4410-ND	3.12	2.27	1.75
	100	0.01	96	380	250	IRFB4410PBF-ND†	3.23	2.15	1.73
	100	0.014	73	290	190	IRFB4610-ND	2.69	1.98	1.49
	100	0.014	73	290	190	IRFB4610PBF-ND†	2.69	1.98	1.49
	100	0.025	59	236	200	IRFB59N10D-ND	2.06	1.65	1.24
	100	0.0265	36	140	92	IRF540Z-ND	1.29	.84	.68
	100	0.028	46	180	150	IRF3710-ND	2.62	1.89	1.54
	100	0.036	36	140	120	IRF1310N-ND	1.70	1.21	1.00
	100	0.052	27	110	94	IRF540NIR-ND	1.47	.99	.77
	100	0.077	28	110	150	IRF540IR-ND	1.17	.79	.61
1	100	0.11	15.0	60	63	IRF530NIR-ND	.73	.48	.36
	100	0.2	9.7	38	48	IRF520N-ND	.75	.60	.45
	100	0.27	9.2	37	60	IRF520IR-ND	1.13	.90	.79
	100	0.6	4.0	16	20	IRF510-ND	.91	.58	.43
	150	0.032	60	250	2.4	IRFB61N15D-ND	3.07	2.16	1.68
	150	0.042	37	150	150	IRF3415-ND	2.71	1.92	1.59
	150	0.045	41	164	200	IRFB41N15D-ND	2.07	1.67	1.25
	150	0.056	33	130	170	IRFB33N15D-ND	1.52	1.22	.92
	150	0.082	21	84	94	IRF3315-ND	1.20	.85	.70
	150	0.09	23	92	136	IRFB23N15D-ND	1.35	1.09	.82
	200	0.04	56	220	380	IRFB260N-ND	3.30	2.32	1.80
	200	0.082	31	124	200	IRFB31N20D-ND	2.05	1.64	1.23
	200	0.1	24	96	170	IRFB23N20D-ND	1.62	1.30	.98
	200	0.15	18	72	150	IRF640N-ND	1.68	1.10	.85
	200	0.17	16	64	140	IRFB17N20D-ND	1.24	1.00	.75
	200	0.3	9.3	37	82	IRF630N-ND	.89	.72	.63
	200	0.8	5	20	40	IRF620IR-ND	.97	.63	.49
	200	1.5	2.5	10	20	IRF610-ND	.55	.39	.32
	250	0.24	14	56	150	IRF644N-ND	1.23	.72	.60
	250	0.28	14	56	125	IRF644-ND	1.46	1.01	.80
	250	0.45	8.1	32	74	IRF634-ND	.91	.73	.53
	250	1.1	4.4	14	50	IRF624-ND	.90	.59	.45
	250	2	2.7	8	36	IRF614-ND	.97	.78	.56
	300	0.45	9.3	37	96	IRFB9N30A-ND	1.13	.90	.54
	300	0.75	6.1	24	74	IRF737LC-ND	1.08	.87	.66
	400	0.55	10	40	125	IRF740IR-ND	1.72	1.16	.91
	400	0.55	10	40	125	IRF740A-ND	1.57	1.06	.83
	400	0.55	10	40	125	IRF740LC-ND	2.06	1.65	1.24
	400	1	5.5	22	74	IRF730IR-ND	1.35	.88	.67
	400	1	5.5	22	74	IRF730A-ND	.97	.78	.56
	400	1.8	3	12	40	IRF720-ND	1.13	.72	.54
	400	3.6	1.5	6	20	IRF710-ND	.94	.60	.45
	450	0.63	8.8	35	125	IRF744-ND	1.55	1.25	.89
	450	1.2	4.9	20	74	IRF734-ND	1.61	1.29	.92
	500	0.26	17	68	220	IRFB18N50K-ND	3.70	2.56	2.16
	500	0.285	17	68	280	IRFB16N50K-ND	4.42	3.16	2.53
	500	0.45	14	56	250	IRFB13N50A-ND	3.12	2.19	1.71
	500	0.52	11	44	170	IRFB11N50A-ND	1.46	1.17	.83
	500	0.85	8	28	125	IRF840LC-ND	2.37	1.90	1.36
	500	0.85	8	32	125	IRF840IR-ND	1.74	1.17	.92

Abb.	VDS (V)	RDS (ein) (Ω)	ID Kont. (A) 25 °C	IDM (A)	PD max. (W)	Digi-Key Teilenr.	Stückpreis 1	10	100
	500	0.85	8	32	125	IRF840A-ND	1.32	1.06	.76
	500	1.4	5	20	74	IRF830A-ND	1.30	1.04	.74
	500	1.5	4.5	18	75	IRF830IR-ND	1.27	.84	.65
	500	3	2.5	10	40	IRF820IR-ND	.75	.54	.45
	500	3	2.5	10	50	IRF820A-ND	1.07	.86	.64
	600	0.75	9.2	37	170	IRFB9N60A-ND	1.44	1.16	.83
	600	1.2	6.2	25	125	IRFBC40-ND	1.41	1.13	.81
	600	1.2	6.2	25	125	IRFBC40A-ND	1.40	1.12	.80
	600	1.2	6.2	25	130	IRFBC40LC-ND	3.34	2.68	2.01
1	600	2.2	3.6	14	74	IRFBC30-ND	.98	.70	.58
	600	2.2	3.6	14	74	IRFBC30A-ND	2.52	1.71	1.35
	600	4.4	2.2	6.8	50	IRFBC20-ND	1.68	1.20	.99
	650	0.93	8.5	21	167	IRFB9N65A-ND	1.85	1.48	1.08
	800	3	4.1	—	125	IRFBE30-ND	1.90	1.30	1.03
	800	6.5	1.8	—	54	IRFBE20-ND	1.59	1.13	.93
	900	3.7	3.6	—	125	IRFBF30-ND	2.82	2.00	1.65
	900	8	1.7	—	54	IRFBF20-ND	1.19	.85	.70
	1000	5	3.1	—	125	IRFBG30-ND	1.73	1.23	1.01
	1000	11	1.4	—	54	IRFBG20-ND	1.39	.99	.82
						TO-220AB Logik-Level			
	20	0.007	110	420	140	IRL3502-ND	2.29	1.83	1.31
	20	0.01	85	340	110	IRL3402-ND	1.82	1.46	1.10
	20	0.013	61	240	89	IRL3102-ND	1.44	1.16	.83
	20	0.016	48	190	69	IRL3202-ND	1.21	.97	.70
	20	0.02	39	160	57	IRL3302-ND	1.23	.99	.72
	30	0.006	120	470	150	IRL3803-ND	2.64	1.88	1.55
	30	0.007	116	400	130	IRL2203N-ND	2.46	1.67	1.31
	30	0.012	62	248	87	IRF3708-ND	1.19	.95	.71
	30	0.0125	62	248	87	IRF3707-ND	1.19	.95	.71
	30	0.014	64	220	89	IRL3103D1-ND	3.05	2.16	1.78
	30	0.014	64	220	110	IRL3103-ND	1.38	.98	.81
	30	0.026	34	140	68	IRL3303D1-ND	1.27	1.02	.77
	30	0.026	38	140	68	IRL3303-ND	1.55	1.11	.91
	30	0.04	24	96	45	IRL2703-ND	.59	.48	.36
1	40	0.004	160	640	200	IRL1404-ND	1.87	1.50	1.12
	40	0.0065	130	520	200	IRL1004-ND	3.11	2.49	1.78
	40	0.008	104	416	167	IRL1104-ND	1.95	1.56	1.17
	55	0.008	104	360	200	IRL2505-ND	2.54	2.04	1.45
	55	0.01	89	310	130	IRL3705N-ND	2.20	1.57	1.29
	60	0.028	50	200	150	IRLZ44-ND	1.50	1.00	.77
	60	0.2	10	40	43	IRLZ14-ND	.99	.63	.47
	100	0.026	55	190	200	IRL2910-ND	2.54	2.04	1.46
	100	0.044	36	120	94	IRL540N-ND	1.71	1.15	.90
	100	0.1	15	60	63	IRL530N-ND	1.30	.84	.64
	100	0.18	10	35	47	IRL520N-ND	.60	.43	.36
	100	0.54	5.6	16	43	IRL510-ND	1.01	.64	.47
	150	0.166	12	48	80	IRL3215-ND	.78	.63	.47
	200	0.18	17	68	125	IRL640-ND	1.71	1.16	.91
	200	0.4	9	36	74	IRL630-ND	1.59	1.27	.91
	200	0.8	5.2	21	50	IRL620-ND	1.23	.99	.71
						TO-220 Fullpak			
	30	0.006	76	470	63	IRLI3803-ND	5.99	4.25	3.50
	30	0.007	61	400	47	IRLI2203N-ND	3.15	2.24	1.84
	55	0.008	58	360	63	IRLI2505-ND	5.67	4.54	3.41
	55	0.008	64	390	63	IRFI3205-ND	5.38	3.82	3.15
	55	0.01	52	310	58	IRLI3705N-ND	3.15	2.24	1.84
	55	0.012	49	290	58	IRFI1010N-ND	2.84	2.02	1.66
	55	0.016	36	210	42	IRFIZ48N-ND	1.47	1.05	.86
	55	0.02	33	180	45	IRFIZ46N-ND	1.60	1.14	.94
	55	0.022	30	160	45	IRLIZ44N-ND	1.57	1.11	.92
	55	0.024	31	160	45	IRFIZ44N-ND	1.31	.93	.77
	55	0.035	22	110	37	IRLIZ34N-ND	1.26	.90	.74
	55	0.04	19	100	21	IRFIZ34N-ND	1.02	.72	.60
2	55	0.042	19	80	39	IRLIB4343-ND	2.10	1.40	1.06
	55	0.06	14	72	26	IRLIZ24N-ND	1.22	.87	.72
	55	0.07	13	—	26	IRFIZ24N-ND	.91	.65	.54
	60	0.042	21	100	37	IRFIZ34E-ND	1.38	.99	.82
	60	0.05	20	80	42	IRFIZ34G-ND	1.21	.97	.69
	60	0.082	30	120	48	IRFIZ44G-ND	1.99	1.60	1.02
	60	0.1	14	56	37	IRFIZ24G-ND	1.22	.98	.70
	60	0.2	8	32	27	IRFIZ14G-ND	.92	.74	.54
	100	0.036	22	140	45	IRFI1310N-ND	1.90	1.35	1.11
	100	0.044	20	120	42	IRLI540N-ND	1.67	1.19	.98
	100	0.052	20	110	42	IRFI540N-ND	1.43	1.02	.84
	100	0.077	17	68	48	IRFI540G-ND	1.65	1.32	.94
	100	0.1	11	60	33	IRLI530N-ND	1.52	.99	.75
	100	0.11	11	60	33	IRFI530N-ND	1.16	.83	.68
	100	0.16	9.7	39	42	IRFI530G-ND	1.31	1.05	.75

† Bleifrei/RoHS-konform

(Forts.)

Alle Preisangaben in Euro und inklusive Zollgebühren.

Abb.	VDS (V)	RDS (ein) (Ω)	ID Kont. (A) 25 °C	IDM (A)	PD max. (W)	Digi-Key Teilenr.	Stückpreis 1	10	100
	100	0.16	9.7	39	42	IRLI530G-ND	1.32	1.06	.76
	100	0.18	7.7	35	27	IRLI520N-ND	1.02	.72	.60
	100	0.27	7.2	29	37	IRLI520G-ND	1.00	.81	.58
	100	0.54	4.5	18	27	IRFI510G-ND	1.02	.82	.58
	200	0.18	9.8	39	40	IRFI640G-ND	1.73	1.38	.99
	100	0.2	7.2	38	27	IRFI520N-ND	1.03	.74	.61
	200	0.4	5.9	24	35	IRFI630G-ND	1.30	1.04	.74
	200	0.8	4.1	16	30	IRFI620G-ND	.96	.77	.56
	200	0.8	4.1	16	30	IRLI620G-ND	1.34	1.07	.77
	250	0.28	7.9	32	40	IRFI644G-ND	2.73	2.19	1.56
	250	0.45	5.6	22	35	IRFI634G-ND	1.38	1.11	.79
	250	1.1	3.4	14	30	IRFI624G-ND	1.34	1.07	.77
	250	2	2.1	8.4	23	IRFI614G-ND	1.06	.85	.61
	400	0.55	5.4	22	40	IRFI740G-ND	1.77	1.42	1.07
	400	0.55	5.7	23	40	IRFI740GLC-ND	2.16	1.73	1.30
	400	1	3.7	15	35	IRFI730G-ND	1.31	1.05	.76
	400	1.8	2.6	10	30	IRFI720G-ND	1.35	1.09	.95
2	450	0.63	4.9	20	40	IRFI744G-ND	2.11	1.69	1.21
	450	1.2	3.4	14	35	IRFI734G-ND	2.12	1.70	1.27
	500	0.29	6.7	27	45	IRFIB8N50K-ND	5.38	4.12	2.96
	500	0.52	6.6	44	60	IRFIB7N50A-ND	1.85	1.48	1.05
	500	0.85	4.6	18	40	IRFI840G-ND	1.96	1.58	1.13
	500	0.85	4.5	18	40	IRFI840GLC-ND	2.35	1.88	1.34
	500	1.5	3.1	12	35	IRFI830G-ND	1.36	1.10	.78
	500	3	2.1	8.4	30	IRFI820G-ND	1.90	1.53	1.09
	600	0.75	5.5	37	60	IRFIB6N60A-ND	1.83	1.46	1.05
	600	1.2	3.5	14	40	IRFIBC40G-ND	2.16	1.73	1.24
	600	1.2	3.5	14	40	IRFIBC40GLC-ND	3.45	2.76	2.07
	600	2.2	2.5	10	35	IRFIBC30G-ND	2.20	1.77	1.27
	600	4.4	1.7	6.8	30	IRFIBC20G-ND	1.86	1.49	1.07
	650	0.93	5.1	21	60	IRFIB5N65A-ND	2.16	1.73	1.25
	800	3	2.1	8.5	35	IRFIBE30G-ND	1.95	1.56	1.12
	800	6.5	1.4	5.6	30	IRFIBE20G-ND	2.01	1.61	1.16
	900	3.7	1.9	7.6	35	IRFIBF30G-ND	1.59	1.27	.92
	900	8	1.2	4.8	30	IRFIBF20G-ND	1.58	1.27	.91
TO-220 Fullpak Logik-Level									
	60	0.2	8.0	32	27	IRLIZ14G-ND	1.01	.81	.61
	60	0.028	30	120	48	IRLIZ44G-ND	1.90	1.52	1.09
2	100	0.026	31	190	63	IRLI2910-ND	3.39	2.71	2.04
	200	0.18	9.9	40	40	IRLI640G-ND	1.83	1.47	1.05
	200	0.4	6.2	25	35	IRLI630G-ND	1.37	1.10	.79
SUPER TO-220 Logik-Level									
7	30	0.005	179	720	270	IRLBA3803P-ND	3.45	2.76	2.08
	40	0.004	185	740	300	IRLBA1304P-ND	6.05	4.85	3.64
TO-220-5 Stromsensor									
	60	0.028	50	210	150	IRCZ44-ND	2.29	1.84	1.32
	100	0.077	28	110	150	IRC540-ND	2.27	1.82	1.30
	100	0.16	14	56	88	IRC530-ND	1.86	1.49	1.07
	200	0.18	18	72	125	IRC640-ND	3.44	2.75	1.97
	200	0.4	9.0	36	74	IRC630-ND	2.16	1.73	1.30
8	250	0.28	14.0	56	125	IRC644-ND	2.86	2.29	1.72
	250	0.45	8.1	32	74	IRC634-ND	1.99	1.60	1.20
	400	0.55	10.0	40	125	IRC740-ND	2.53	2.03	1.53
	400	1	5.5	22	74	IRC730-ND	2.44	1.96	1.47
	500	0.85	8.0	32	125	IRC840-ND	3.09	2.48	1.86
	500	1.5	4.5	18	74	IRC830-ND	2.10	1.68	1.26
TO-247AC									
	30	0.0028	210	1000	230	IRFP3703-ND	4.72	3.27	2.76
	55	0.008	98	390	150	IRFP064N-ND	4.06	2.88	2.38
	55	0.012	72	290	130	IRFP054N-ND	1.56	1.14	.94
	55	0.016	64	210	140	IRFP048N-ND	3.70	2.63	2.16
	55	0.024	49	180	100	IRFP044N-ND	2.23	1.55	1.23
	55	0.0053	95	640	310	IRFP1405-ND	4.77	3.27	2.83
	60	0.009	70	520	300	IRFP064-ND	5.71	4.58	3.27
	60	0.014	70	360	230	IRFP054-ND	3.17	2.54	1.82
	75	0.0045	209	840	470	IRFP2907-ND	5.59	4.03	3.36
	100	0.025	57	180	200	IRFP3710-ND	3.39	2.71	1.94
3	100	0.036	39	140	140	IRFP150N-ND	1.32	.94	.78
	100	0.052	27	110	94	IRFP140N-ND	1.95	1.38	1.14
	100	0.055	41	160	230	IRFP150-ND	2.71	1.96	1.61
	150	0.042	43	150	200	IRFP3415-ND	2.92	2.04	1.58
	200	0.04	50	200	300	IRFP260N-ND	4.43	3.16	2.57
	200	0.075	30	120	214	IRFP250N-ND	2.95	2.36	2.07
	200	0.18	20	—	150	IRFP240-ND	2.18	1.55	1.27
	250	0.075	38	—	280	IRFP264-ND	4.37	3.29	2.75
	250	0.14	23	92	190	IRFP254-ND	3.01	2.41	1.72
	250	0.28	15	—	150	IRFP244-ND	2.68	1.90	1.57
	400	0.2	23	92	280	IRFP360-ND	4.68	3.32	2.74

Abb.	VDS (V)	RDS (ein) (Ω)	ID Kont. (A) 25 °C	IDM (A)	PD max. (W)	Digi-Key Teilenr.	Stückpreis 1	10	100
	400	0.2	23	92	280	IRFP360LC-ND	10.37	8.30	5.93
	400	0.3	16	64	190	IRFP350-ND	3.24	2.35	1.93
	400	0.3	16	64	190	IRFP350LC-ND	4.94	3.95	2.97
	400	0.35	14	56	190	IRFP354-ND	5.25	4.20	3.00
	400	0.55	11	—	150	IRFP340-ND	3.20	2.27	1.87
	450	0.63	9.5	38	150	IRFP344-ND	3.45	2.76	1.98
	500	0.135	32	130	460	IRFP32N50K-ND	7.11	5.12	4.27
	500	0.15	31	124	460	IRFP31N50L-ND	7.62	5.49	4.58
	500	0.19	23	92	370	IRFP23N50L-ND	5.08	3.66	3.05
	500	0.23	22	88	277	IRFP22N50A-ND	3.67	2.93	2.08
	500	0.27	20	80	280	IRFP460A-ND	4.70	3.76	2.69
	500	0.27	20	80	280	IRFP460IR-ND	2.43	1.82	1.52
	500	0.27	20	80	280	IRFP460LC-ND	4.30	3.44	3.01
	500	0.27	20	80	280	IRFP460P-ND	5.25	3.78	3.15
	500	0.28	16	64	220	IRFP17N50L-ND	4.08	2.82	2.38
	500	0.4	14	—	190	IRFP450IR-ND	3.12	2.25	1.83
	500	0.4	14	56	190	IRFP450A-ND	2.94	2.35	1.68
3	500	0.4	14	56	190	IRFP450LC-ND	6.00	4.81	4.21
	500	0.6	11	44	180	IRFP448-ND	2.80	2.25	1.61
	500	0.85	8.8	—	150	IRFP440-ND	2.34	1.66	1.37
	600	0.4	16	64	280	IRFPC60-ND	6.27	4.83	4.08
	600	0.4	16	64	280	IRFPC60LC-ND	4.56	3.65	2.61
	600	0.58	11	44	180	IRFPC50A-ND	4.87	3.90	2.79
	600	0.6	11	44	180	IRFPC50-ND	4.67	3.31	2.73
	600	0.6	11	44	190	IRFPC50LC-ND	5.29	4.24	3.18
	600	0.82	8.9	36	170	IRFPC48-ND	10.78	8.62	6.16
	600	1.2	6.8	27	150	IRFPC40-ND	2.80	2.24	1.61
	800	1.2	7.8	—	190	IRFPE50-ND	5.49	3.89	3.21
	800	2	5.4	22	150	IRFPE40-ND	2.89	2.32	1.66
	800	3	4.1	16	125	IRFPE30-ND	4.23	3.39	2.42
	800	3	4.1	16	125	IRFPF30-ND	—	—	3.48
	900	1.6	6.7	27	190	IRFPF50-ND	5.71	4.58	3.27
	900	2.5	4.7	19	150	IRFPF40-ND	2.83	2.26	1.62
	1000	2	6.1	—	190	IRFPG50-ND	6.55	4.64	3.82
	1000	3.5	4.3	17	150	IRFPG40-ND	3.28	2.63	1.88
	1000	5	3.1	—	125	IRFPG30-ND	2.29	1.63	1.34
TO-262									
	20	0.006	92	380	79	IRF3711ZCL-ND	1.54	.98	.80
	20	0.006	92	380	79	IRF3711ZL-ND	1.57	1.03	.79
	20	0.006	110	440	120	IRF3711L-ND	1.51	.86	.70
	20	0.0085	77	280	88	IRF3706L-ND	1.24	1.00	.75
	20	0.011	50	200	45	IRL3715ZL-ND	1.27	.82	.61
	20	0.016	36	140	35	IRL3714ZL-ND	1.57	1.04	.79
	20	0.02	36	140	47	IRL3714L-ND	.94	.55	.43
	20	0.014	54	210	71	IRL3715L-ND	1.49	.88	.68
	30	0.006	105	420	110	IRL8113L-ND	1.65	1.07	.86
	30	0.006	140	470	200	IRL3803L-ND	2.86	2.29	1.72
	30	0.0063	87	350	79	IRF3709ZCL-ND	1.58	1.01	.82
	30	0.0063	87	350	79	IRF3709ZL-ND	1.71	1.11	.89
	30	0.007	116	400	170	IRL2203NL-ND	3.40	2.73	2.05
	30	0.009	90	360	120	IRF3709L-ND	1.68	.95	.78
	30	0.0095	59	230	57	IRF3707ZCL-ND	1.49	.95	.77
	30	0.0095	59	230	57	IRF3707ZL-ND	1.51	.96	.78
	30	0.012	62	248	87	IRF3708L-ND	1.22	.66	.60
	30	0.0125	62	248	87	IRF3707L-ND	1.38	1.11	.83
	40	0.002	75	1080	330	IRF2804L-ND	3.61	2.63	2.10
	40	0.0031	75	790	230	IRL1404ZL-ND	3.00	2.00	1.60
4	40	0.0037	75	750	220	IRF1404ZL-ND	2.13	1.50	1.22
	40	0.004	160	640	3.8	IRL1404L-ND	2.48	1.73	1.34
	40	0.004	162	650	200	IRF1404L-ND	3.22	2.58	1.94
	40	0.0055	75	470	140	IRF4104L-ND	2.59	1.76	1.40
	40	0.0065	130	520	200	IRL1004L-ND	2.90	2.32	1.74
	40	0.008	104	416	167	IRL1104L-ND	1.95	1.56	1.17
	40	0.009	100	40	170	IRF1104L-ND	1.95	1.56	1.17
	55	0.005	75	600	230	IRF1405ZL-ND	3.62	2.54	2.00
	55	0.0053	131	680	200	IRF1405L-ND	3.58	2.87	2.15
	55	0.007	75	440	170	IRF3205ZL-ND	3.28	2.22	1.72
	55	0.075	75	360	140	IRF1010ZL-ND	2.46	1.68	1.33
	55	0.008	75	340	130	IRL3705ZL-ND	2.08	1.35	1.09
	55	0.008	104	360	200	IRL2505L-ND	2.54	2.04	1.53
	55	0.008	110	390	200	IRF3205L-ND	5.93	4.75	3.56
	55	0.011	61	240	91	IRFZ48ZL-ND	1.76	1.14	.92
	55	0.011	84	290	170	IRF1010NL-ND	3.17	2.54	1.91
	55	0.0135	51	204	80	IRLZ44ZL-ND	1.62	1.07	.81
	55	0.0136	51	200	82	IRFZ46ZL-ND	1.65	1.07	.86
	55	0.0139	51	200	80	IRFZ44ZL-ND	1.67	1.07	.86
	55	0.014	64	210	130	IRFZ48NL-ND	3.39	2.71	2.04
	55	0.0165	53	180	107	IRFZ46NL-ND	1.99	1.59	1.20

† Bleifrei/RoHS-konform *(Forts.)*

B

Abb.	VDS (V)	RDS (ein) (Ω)	ID Kont. (A) 25 °C	IDM (A)	PD max. (W)	Digi-Key Teilenr.	Stückpreis 1	10	100
	55	0.022	47	160	110	IRLZ44NL-ND	1.74	1.39	1.05
	55	0.022	49	160	110	IRFZ44NL-ND	1.74	1.39	1.05
	55	0.035	30	110	68	IRLZ34NL-ND	1.44	1.15	.87
	55	0.04	29	100	68	IRFZ34NL-ND	1.24	1.00	.75
	55	0.06	18	72	45	IRLZ24NL-ND	1.40	1.12	.84
	55	0.07	17	68	45	IRFZ24NL-ND	.93	.75	.56
	60	0.0085	75	340	140	IRF1010EZL-ND	2.45	1.66	1.32
	60	0.012	57	230	92	IRFZ44VZL-ND	1.76	1.14	.92
	60	0.012	84	330	170	IRF1010EL-ND	3.28	2.63	1.97
	60	0.023	48	192	110	IRFZ44EL-ND	1.30	1.04	.78
	60	0.05	30	120	88	IRFZ34L-ND	1.48	1.19	.85
	60	0.2	10	40	43	IRFZ14L-ND	.88	.71	.54
	75	0.0045	180	720	330	IRFSL3207-ND	3.87	2.82	2.25
	75	0.0063	130	510	250	IRFSL3307-ND	2.92	2.12	1.64
	75	0.0078	100	520	—	IRF1407L-ND	2.18	1.52	1.18
	75	0.0088	97	390	190	IRFSL3507-ND	2.77	2.03	1.53
	75	0.0088	97	390	190	IRFSL3507PBF-ND†	2.77	2.03	1.53
	75	0.009	75	350	170	IRF2807ZL-ND	3.20	2.17	1.68
	75	0.013	82	280	200	IRF2807L-ND	3.26	2.61	1.96
	100	0.007	140	550	330	IRFSL4310-ND	4.38	3.19	2.55
	100	0.01	96	380	250	IRFSL4410-ND	3.17	2.30	1.77
	100	0.014	73	290	190	IRFSL4610-ND	2.74	2.02	1.51
	100	0.014	73	290	190	IRFSL4610PBF-ND†	2.74	2.02	1.51
	100	0.025	57	180	200	IRF3710L-ND	4.77	3.81	2.87
	100	0.025	59	236	200	IRFSL59N10D-ND	2.52	2.02	1.52
	100	0.026	55	190	200	IRL2910L-ND	2.54	2.04	1.53
	100	0.0265	36	140	92	IRF540ZL-ND	1.85	1.20	.96
	100	0.044	36	120	140	IRL540NL-ND	1.99	1.59	1.20
	100	0.052	33	110	140	IRF540NL-ND	1.92	1.54	1.16
	100	0.1	17	60	79	IRL530NL-ND	1.59	1.27	.91
	100	0.11	17	600	79	IRF530NL-ND	1.27	1.02	.77
	100	0.18	10	35	48	IRL520NL-ND	1.19	.95	.72
	100	0.2	9.7	38	3.8	IRF520NL-ND	1.06	.85	.64
4	150	0.042	43	150	200	IRF3415L-ND	3.64	2.92	2.19
	150	0.045	41	164	200	IRF3515L-ND	2.63	2.11	1.59
	150	0.082	21	84	94	IRF3315L-ND	2.14	1.71	1.29
	150	0.09	23	92	136	IRFSL23N15D-ND	2.12	1.70	1.27
	200	0.1	24	96	170	IRFSL23N20D-ND	2.10	1.68	1.26
	200	0.15	18	72	150	IRF640NL-ND	1.25	1.01	.76
	200	0.17	16	64	140	IRFSL17N20D-ND	2.12	1.70	1.27
	200	0.3	9.3	37	82	IRF630NL-ND	1.88	1.31	1.00
	200	0.8	5.2	18	50	IRF620L-ND	1.24	1.00	.74
	200	1.5	3.3	10	36	IRF610L-ND	1.19	.95	.72
	250	1.1	4.4	14	50	IRF624L-ND	1.30	1.04	.78
	250	2	2.7	8.0	36	IRF614L-ND	1.05	.84	.63
	300	0.75	6.1	24	74	IRF737LCL-ND	1.49	1.20	.90
	400	0.55	10	40	125	IRF740AL-ND	1.87	1.50	1.13
	400	0.55	10	32	125	IRF740LCL-ND	1.96	1.58	1.18
	400	1	5.5	22	74	IRF730L-ND	1.65	1.32	.99
	400	1	5.5	22	74	IRF730AL-ND	1.28	1.03	.77
	400	1.8	3.3	13	50	IRF720L-ND	1.33	1.07	.80
	400	3.6	2.0	6.0	36	IRF710L-ND	1.01	.81	.61
	500	0.55	11	44	190	IRFSL11N50A-ND	1.52	1.22	.92
	500	1.4	5.0	20	3.1	IRF830L-ND	1.63	1.31	.98
	500	0.85	8	28	125	IRF840L-ND	2.33	1.87	1.33
	500	0.85	8.0	28	125	IRF840LCL-ND	2.24	1.80	1.35
	500	0.85	8.0	32	125	IRF840AL-ND	2.12	1.70	1.27
	500	1.4	5.0	20	74	IRF830AL-ND	1.35	1.09	.82
	500	3	2.5	8.0	50	IRF820L-ND	1.25	1.00	.75
	500	3	2.5	10	50	IRF820AL-ND	1.03	.83	.62
	600	1.2	6.2	25	3.1	IRFBC40LCL-ND	3.24	2.60	1.95
	600	1.2	6.2	25	125	IRFBC40AL-ND	1.76	1.41	1.06
	600	1.2	6.2	25	130	IRFBC40L-ND	3.39	2.71	2.04
	600	2.2	3.6	14	74	IRFBC30AL-ND	1.22	.97	.73
	600	4.4	2.2	8.0	50	IRFBC20L-ND	1.99	1.59	1.20
	800	3	4.1	16	125	IRFBE30L-ND	1.95	1.56	1.17
	800	6.5	1.8	7.2	54	IRFBE20L-ND	1.41	1.14	.85
	900	8	1.7	6.8	54	IRFBF20L-ND	1.69	1.36	1.02
TO-262 Logik-Level									
	30	0.014	64	220	110	IRL3103L-ND	2.76	2.21	1.58
4	60	0.2	10	40	43	IRLZ14L-ND	.99	.80	.58
	600	0.75	9.2	37	170	IRFSL9N60A-ND	1.93	1.55	1.35
I-Pak									
	20	0.0065	110	440	2.5	IRFU3711-ND	1.51	.86	.70
	20	0.009	75	280	88	IRFU3706-ND	1.22	.66	.59
5	20	0.014	54	210	71	IRLU3715-ND	1.21	.72	.54
	20	0.015	37	144	35	IRLU3714Z-ND	1.02	.65	.49
	20	0.02	36	140	47	IRLU3714-ND	.78	.47	.35
	30	0.009	90	360	120	IRFU3709-ND	1.51	.86	.70

Abb.	VDS (V)	RDS (ein) (Ω)	ID Kont. (A) 25 °C	IDM (A)	PD max. (W)	Digi-Key Teilenr.	Stückpreis 1	10	100
	30	0.013	61	244	87	IRFU3707-ND	1.22	.66	.59
	30	0.031	33	120	57	IRFU3303-ND	.74	.59	.42
	40	0.009	42	310	90	IRFU3504Z-ND	1.43	.94	.72
	50	0.1	15	—	—	IRFU020-ND	.80	.65	.47
	55	0.0075	42	360	140	IRFU1010Z-ND	1.90	1.32	1.00
	55	0.012	42	360	130	IRLU3705Z-ND	1.86	1.29	.98
	55	0.057	26	80	79	IRLU4343-ND	1.22	.80	.61
	55	0.0135	42	240	110	IRLU2905Z-ND	1.46	.96	.73
	55	0.0145	42	240	110	IRFU2905Z-ND	1.25	.83	.63
	55	0.016	56	220	110	IRFU2405-ND	1.31	.77	.64
	55	0.025	30	120	48	IRFU4105Z-ND	1.02	.67	.51
	55	0.027	44	160	107	IRFU1205-ND	1.96	1.58	1.19
	55	0.045	27	100	68	IRFU4105-ND	2.23	1.78	1.34
	55	0.058	16	64	35	IRLU024Z-ND	1.13	.71	.51
	55	0.075	17	68	45	IRFU024N-ND	.73	.59	.42
	55	0.14	10	40	28	IRLU014N-ND	1.13	.60	.54
	60	0.1	14	—	—	IRFU024-ND	.94	.75	.54
5	60	0.2	7.7	—	—	IRFU014-ND	.60	.49	.35
	75	0.026	42	170	110	IRFU2407-ND	1.32	.77	.64
	100	0.018	42	220	140	IRFU3710Z-ND	1.84	1.25	.97
	100	0.115	16	60	79	IRFU3910-ND	1.65	1.33	1.00
	100	0.190	8.7	35	35	IRFU120Z-ND	.98	.63	.48
	100	0.2	9.4	38	48	IRFU120N-ND	.69	.56	.40
	100	0.27	7.7	31	42	IRFU120IR-ND	.93	.75	.54
	100	0.54	4.3	17	25	IRFU110-ND	.76	.61	.46
	150	0.125	18	72	110	IRFU18N15D-ND	1.24	1.00	.75
	150	0.18	14	56	86	IRFU13N15D-ND	1.40	1.12	.84
	200	0.235	13	52	110	IRFU13N20D-ND	1.22	.98	.74
	200	0.38	9.4	38	86	IRFU9N20D-ND	1.35	1.09	.82
	200	0.6	5	20	43	IRFU220N-ND	.51	.41	.31
	200	1.5	2.6	10	25	IRFU210-ND	.63	.51	.37
	250	0.26	14	56	144	IRFU12N25D-ND	1.90	1.33	1.01
	250	1.1	3.8	15	42	IRFU224-ND	.96	.77	.58
	400	1.8	3.1	12	42	IRFU320-ND	.85	.68	.49
	400	3.6	1.7	6	25	IRFU310-ND	.91	.73	.52
	500	3	2.4	8	42	IRFU420-ND	1.09	.72	.55
	600	0.007	1.4	5.6	36	IRFU1N60A-ND	.70	.56	.43
	600	4.4	2.0	8.0	42	IRFUC20-ND	1.69	1.36	1.02
I-Pak Logik-Level									
	30	0.019	55	220	107	IRLU3103-ND	2.54	2.04	1.45
	30	0.031	35	140	68	IRLU3303-ND	1.42	1.14	.82
	30	0.045	23	96	45	IRLU2703-ND	.61	.49	.36
	55	0.027	42	160	110	IRLU2905-ND	2.33	1.87	1.40
	55	0.04	24	110	68	IRLU2705-ND	1.17	.94	.70
5	55	0.065	17	72	45	IRLU024N-ND	.94	.60	.46
	60	0.2	7.7	—	—	IRLU014-ND	.85	.55	.41
	100	0.105	17	60	79	IRLU3410-ND	1.20	.97	.69
	100	0.185	10	35	48	IRLU120N-ND	1.34	.86	.65
	100	0.54	4.8	17	25	IRLU110-ND	.82	.66	.50
Super-220 (TO-274AC)									
7	40	0.0037	206	650	300	IRFBA1404P-ND	5.30	4.24	2.97
Super TO-247									
9	500	0.087	46	180	540	IRFPS40N50L-ND	10.61	8.18	7.04
Super-247									
	100	0.009	170	670	580	IRFPS3810-ND	5.65	4.13	3.42
10	500	0.078	47	190	540	IRFPS43N50K-ND	10.13	7.82	6.72
	500	0.13	36	144	446	IRFPS37N50A-ND	8.17	6.13	5.11
4-Pin Dip									
	50	0.2	1.7	—	—	IRFD010-ND	.53	.43	.31
	60	0.1	2.5	20	1.3	IRFD024-ND	.97	.64	.49
	60	0.2	1.7	14	1.3	IRFD014-ND	.81	.51	.39
	100	0.3	1.3	5.2	1.0	IRFD120-ND	1.07	.68	.51
	100	0.6	1.0	8.0	1.0	IRFD110-ND	.80	.50	.37
	200	0.8	0.8	6.4	1.0	IRFD220-ND	.91	.59	.44
6	200	1.5	0.6	2.5	1.0	IRFD210-ND	.78	.50	.38
	250	1.1	0.63	5	1	IRFD224-ND	.91	.73	.52
	250	2	0.45	3.6	1	IRFD214-ND	.85	.68	.49
	400	1.8	0.49	3.9	1	IRFD320-ND	.70	.56	.40
	400	3.6	0.35	2.8	1	IRFD310-ND	1.00	.80	.57
	500	3	0.46	3	1	IRFD420-ND	1.27	1.02	.73
	600	4.4	0.32	2.6	1	IRFDC20-ND	1.35	1.08	.77
4-Pin Dip Logik-Level									
	60	0.1	2.5	20	1.3	IRLD024-ND	.98	.65	.50
	60	0.2	1.7	14	1.3	IRLD014-ND	.88	.57	.43
6	100	0.27	1.3	10	1.3	IRLD120-ND	.60	.52	.43
	100	0.54	1	8	1.3	IRLD110-ND	.46	.39	.32

† Bleifrei/RoHS-konform

Alle Preisangaben in Euro und inklusive Zollgebühren.

N & P Kanal HEXFETs, Oberflächenmontage

Elektrische Daten bei 25 °C, falls nichts Gegenteiliges angegeben ist.
Abmessungen in mm

Abb. 1 — SMD-220/D2Pak

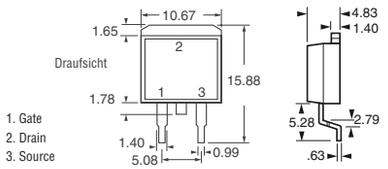

Abb. 2 — DPak

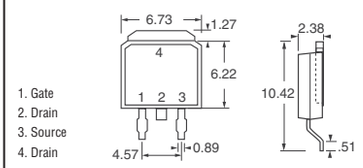

Abb. 3 — Micro-3™ (SOT-23)

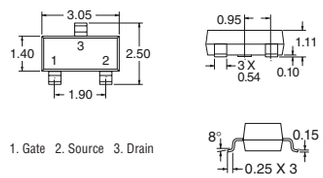

Abb. 4 — Micro-6™/TSOP-6 Oberflächenmontage

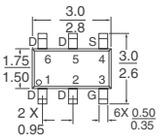

Abb. 5 — Micro-8™ Umriss

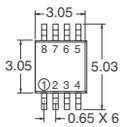

A	B	C
1. Source	1. Anode	1. Source 1
2. Source	2. Anode	2. Gate 1
3. Source	3. Source	3. Source 2
4. Gate	4. Gate	4. Gate 2
5. Drain	5. Kathode	5. Drain 2
6. Drain	6. Kathode	6. Drain 2
7. Drain	7. Drain	7. Drain 1
8. Drain	8. Drain	8. Drain 1

Abb. 6 — SOT-223

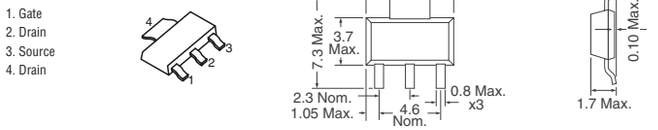

Abb. 7 — SO-8/SOIC-8

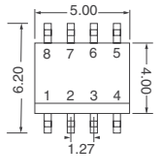

A	B	C	D	E	F	G	H	I
1. Source 1	1. Anode	1. Anode/Source	1. Source	Q1 Source 1	1. Anode	1. Source 1	1. Anode	1. Source 2
2. Gate 1	2. Anode	2. Anode/Source	2. Source	Q1 Gate 2	2. Source	2. Gate 1	2. Anode	2. Gate 2
3. Source 2	3. Source	3. Anode/Source	3. Source	PGND 3	3. Source	3. Source 2	3. Source	3. Source 1
4. Gate 2	4. Gate	4. Gate	4. Gate	Q2 Gate 4	4. Gate	4. Gate 2	4. Gate	4. Gate 1
5. Drain 2	5. Drain	5. Kathode/Drain	5. Drain	Pwr Vout 6	5. Drain	5. Drain	5. Drain	5. Drain 1
6. Drain 2	6. Drain	6. Kathode/Drain	6. Drain	Pwr Vin 7	6. Drain	6. Drain	6. Drain	6. Drain 1
7. Drain 1	7. Drain	7. Kathode/Drain	7. Drain	Pwr Vin 8	7. Drain	7. Drain	7. Kathode	7. Kathode 2
8. Drain 1	8. Drain	8. Kathode/Drain	8. Drain	Pwr Vout 5	8. Drain	8. Drain	8. Kathode	8. Kathode 2

Top View

Abb. 8 — 8-TSSOP

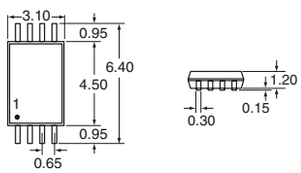

1. Drain 1
2. Source 1
3. Source 1
4. Gate 1
5. Gate 2
6. Source 2
7. Source 2
8. Drain 2

Abb. 9 — FlipFET™

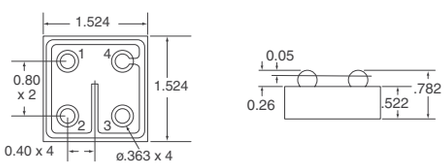

Abb. 10 — FlipFET™

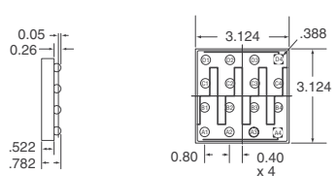

Abb. 11 — SOT-227

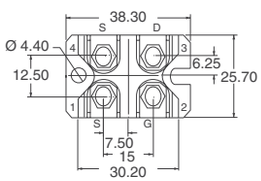

Abb. 12 — D²Pak-7

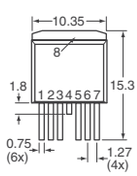

1. Gate
2. Source
3. Source
4. Drain
5. Source
6. Source
7. Source
8. Drain

Abb. 13 — DirectFET™

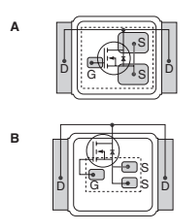

Abb. 14 — MTP

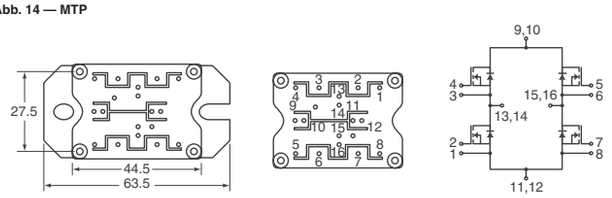

Abb.	VDS (V)	RDS (ein) (Ω)	ID Kont. (A) 25 °C	IDM (A)	PD max. (W)	Digi-Key Teilenr.	Stückpreis 1	10	100
P-KANAL-TYP									
SMD-220/D2Pak									
1	-55	0.02	-74	-260	200	IRF4905S-ND	2.24	1.66	1.37
	-55	0.02	-74	-260	200	IRF4905STRL-ND	1080.26/800		
	-55	0.06	-31	-110	110	IRF5305S-ND	1.68	1.34	.96
	-55	0.1	-19	-68	68	IRF9Z34NS-ND	.89	.72	.51
	-55	0.1	-19	-68	68	IRF9Z34NSTRL-ND	384.02/800		
	-55	0.175	-12	-48	45	IRF9Z24NS-ND	1.29	1.04	.74
	-60	0.14	-18	-72	88	IRF9Z34S-ND	1.10	.88	.63
	-60	0.14	-18	-72	88	IRF9Z34STRL-ND	475.45/800		
	-60	0.28	-11	-44	60	IRF9Z24S-ND	.85	.68	.49
	-60	0.28	-11	-44	60	IRF9Z24STRR-ND	365.73/800		
	-60	0.5	-6.7	-27	43	IRF9Z14S-ND	1.19	.95	.68
	-100	0.06	-40	-140	200	IRF5210S-ND	2.18	1.54	1.27
	-100	0.06	-40	-140	200	IRF5210STRL-ND	1352.53/800		
	-100	0.06	-40	-140	200	IRF5210STRR-ND	978.67/800		
	-100	0.117	-23	-76	140	IRF9540NS-ND	1.15	.82	.67
	-100	0.117	-23	-76	140	IRF9540NSTRL-ND	516.76/800		
	-100	0.2	-14	-56	79	IRF9530NS-ND	.65	.53	.38
	-100	0.2	-19	-72	150	IRF9540S-ND	1.44	1.16	.83
	-100	0.2	-19	-72	150	IRF9540STRL-ND	1243.49/800		
	-100	0.3	-12	-48	88	IRF9530S-ND	1.06	.85	.61
	-100	0.3	-12	-48	88	IRF9530STRL-ND	457.16/800		
	-100	0.48	-6.8	-27	48	IRF9520NS-ND	1.29	1.04	.74
	-100	1.2	-4	-16	43	IRF9510S-ND	.78	.62	.45

Abb.	VDS (V)	RDS (ein) (Ω)	ID Kont. (A) 25 °C	IDM (A)	PD max. (W)	Digi-Key Teilenr.	Stückpreis 1	10	100
1	-150	0.29	-13	-44	110	IRF6215S-ND	1.02	.82	.59
	-150	0.29	-13	-44	110	IRF6215STRR-ND	438.88/800		
	-200	0.5	-11	-44	125	IRF9640S-ND	1.51	1.21	.87
	-200	0.5	-11	-44	125	IRF9640STRL-ND	649.51/800		
	-200	0.8	-6.5	-26	74	IRF9630S-ND	1.97	1.58	1.13
	-200	1.5	-3.5	-14	40	IRF9620S-ND	1.82	1.46	1.05
	-200	3	-1.8	-7	20	IRF9610S-ND	1.34	1.07	.77
DPak (TO-252AA)									
2	-50	0.28	-9.9	—	—	IRFR9020-ND	.80	.64	.46
	-50	0.28	-9.9	—	—	IRFR9020TR-ND	856.76/2,000		
	-50	0.5	-5.3	—	—	IRFR9010-ND	.59	.48	.35
	-50	0.5	-5.3	—	—	IRFR9010TR-ND	640.03/2,000		
	-55	0.065	-31	-110	110	IRFR5305-ND	1.02	.72	.60
	-55	0.065	-31	-110	110	IRFR5305TR-ND	1130.69/2,000		
	-55	0.11	-18	-64	57	IRFR5505-ND	1.13	.90	.65
	-55	0.175	-11	-44	38	IRFR9024N-ND	.87	.56	.43
	-55	0.175	-11	-44	38	IRFR9024NTR-ND	678.49/2,000		
	-60	0.28	-8.8	-35	42	IRFR9024-ND	1.06	.70	.54
	-60	0.28	-8.8	-35	42	IRFR9024TR-ND	856.76/2,000		
	-60	0.5	-5.1	-20	25	IRFR9014-ND	.59	.48	.34
	-60	0.5	-5.1	-20	25	IRFR9014TR-ND	1080.26/2,000		
	-60	0.5	-5.1	-20	25	IRFR9014TRL-ND	1508.64/3,000		
	-100	0.205	-13	-52	66	IRFR5410-ND	.62	.50	.38
	-100	0.48	-6.5	-26	40	IRFR9120N-ND	.61	.44	.36

† Bleifrei/RoHS-konform

(Forts.)

B

Abb.	VDS (V)	RDS (ein) (Ω)	ID Kont. (A) 25 °C	IDM (A)	PD max. (W)	Digi-Key Teilenr.	Stückpreis 1	10	100
2	-100	0.48	-6.5	-26	40	IRFR9120NTR-ND	694.21/2,000		
	-100	0.6	-5.6	-22	42	IRFR9120TR-ND	772.10/2,000		
	-100	0.6	-5.6	-22	42	IRFR9120TRL-ND	1158.15/3,000		
	-100	1.2	-3.1	-12	25	IRFR9110-ND	.58	.47	.34
	-100	1.2	-3.1	-12	25	IRFR9110TR-ND	628.18/2,000		
	-100	1.2	-3.1	-12	25	IRFR9110TRL-ND	1577.22/3,000		
	-150	0.295	-13	-44	110	IRFR6215-ND	1.31	.81	.56
	-200	1.5	-3.6	-14	42	IRFR9220-ND	1.57	1.26	.90
	-200	1.5	-3.6	-14	42	IRFR9220TR-ND	1672.88/2,000		
	-200	3	-1.9	-7.6	25	IRFR9210-ND	.63	.51	.39
	-200	3	-1.9	-7.6	25	IRFR9210TR-ND	685.75/2,000		
	-250	3	-2.7	-11	50	IRFR9214-ND	.72	.58	.42
	-400	7	-1.8	-7.2	50	IRFR9310-ND	.69	.56	.40
	-400	7	-1.8	-7.2	50	IRFR9310TR-ND	775.39/2,000		
Micro-3 (SOT-23) Logik-Level									
3	-12	0.05	-4.3	-34	1.3	IRLML6401CT-ND	.36	.27	.21
	-12	0.05	-4.3	-34	1.3	IRLML6401TR-ND	497.80/3,000		
	-20	0.065	-3.7	-22	1.3	IRLML6402CT-ND	.36	.27	.21
	-20	0.065	-3.7	-22	1.3	IRLML6402TR-ND	494.71/3,000		
	-20	0.6	-0.62	-4.9	0.54	IRLML6302CT-ND	.27	.20	.16
	-20	0.6	-0.62	-4.9	0.54	IRLML6302TR-ND	373.35/3,000		
	-30	0.6	-0.61	-4.8	0.54	IRLML5103CT-ND	.28	.21	.17
	-30	0.6	-0.61	-4.8	0.54	IRLML5103TR-ND	388.59/3,000		
Micro-6 (TSOP-6) Logik-Level									
4	-20	0.05	-5.6	-45	2	IRLMS6802CT-ND	.61	.46	.36
	-20	0.05	-5.6	-45	2	IRLMS6802TR-ND	835.59/3,000		
	-20	0.2	-2.3	-13	1.7	IRLMS6702CT-ND	.80	.48	.37
	-20	0.2	-2.3	-13	1.7	IRLMS6702TR-ND	834.68/3,000		
	-30	0.2	-2.3	-13	1.7	IRLMS5703CT-ND	.59	.36	.28
	-30	0.2	-2.3	-13	1.7	IRLMS5703TR-ND	626.01/3,000		
Micro-6 (TSOP-6)									
4	-20	0.065	-4.4	-20	2	SI3443DVCT-ND	.58	.46	.40
	-20	0.065	-4.4	-20	2	SI3443DVTR-ND	949.89/3,000		
Micro-8									
5A	-30	0.026	-7.0	-28	1.79	IRF7726CT-ND	1.05	.61	.51
	-30	0.026	-7.0	-28	1.79	IRF7726TR-ND	1689.81/4,000		
Micro-8 Logik-Level									
5A	-20	0.02	-8.2	-66	1.8	IRF7663CT-ND	1.32	1.00	.78
	-20	0.02	-8.2	-66	1.8	IRF7663TR-ND	2265.50/4,000		
	-20	0.09	-3.6	-19	1.8	IRF7604CT-ND	2.01	1.51	1.18
	-20	0.09	-3.6	-19	1.8	IRF7604TR-ND	3613.29/4,000		
	-30	0.09	-3.6	-19	1.8	IRF7606CT-ND	1.78	1.34	1.04
	-30	0.09	-3.6	-19	1.8	IRF7606TR-ND	3200.15/4,000		
	-30	0.2	-2.0	-16	1.25	IRF7526D1TR-ND	1645.79/4,000		
5B	-20	0.055	-4.3	-34	1.25	IRF7534D1TR-ND	1737.22/4,000		
	-20	0.27	-1.7	-14	1.25	IRF7524D1CT-ND	1.02	.77	.60
	-20	0.27	-1.7	-14	1.25	IRF7524D1TR-ND	1828.66/4,000		
Micro-8 Logik-Level, zweifach									
5C	-20	0.055	-4.3	-34	1.25	IRF7555CT-ND	1.78	1.34	1.04
	-20	0.055	-4.3	-34	1.25	IRF7555TR-ND	3200.15/4,000		
	-20	0.27	-1.7	-9.6	1.25	IRF7504CT-ND	.66	.50	.39
	-20	0.27	-1.7	-9.6	1.25	IRF7504TR-ND	1188.63/4,000		
	-30	0.27	-1.7	-9.6	1.25	IRF7506CT-ND	1.60	1.20	.94
	-30	0.27	-1.7	-9.6	1.25	IRF7506TR-ND	2881.83/4,000		
SOT-223									
6	-60	0.5	-1.8	-14	3.1	IRFL9014-ND	.77	.51	.40
	-60	0.5	-1.8	-14	3.1	IRFL9014TR-ND	783.17/2,500		
	-100	1.2	-1.1	-8.8	3.1	IRFL9110-ND	.51	.41	.30
	-100	1.2	-1.1	-8.8	3.1	IRFL9110TR-ND	674.18/2,500		
SOIC-8									
7D	-12	0.007	-16	-65	2.5	IRF7410-ND	1.31	.91	.71
	-12	0.014	-11.5	-46	2.5	IRF7420-ND	1.79	1.25	.95
	-12	0.020	±9.5	±76	2.5	IRF7233-ND	2.40	1.92	1.44
	-20	0.0082	-15	-60	2.5	IRF7425-ND	1.85	1.05	.86
	-20	0.06	-5.4	-43	2.5	IRF7207-ND	1.65	1.33	1.00
	-30	0.013	-11	-47	2.5	IRF7424-ND	1.47	.84	.69
	-30	0.02	-5.6	-45	1	IRF7416-ND	1.03	.74	.61
	-30	0.02	-5.6	-45	1	IRF7416TR-ND	2153.75/4,000		
	-40	0.015	-10.5	-43	2.5	IRF7240-ND	3.27	2.34	1.90
SOIC-8 Logik-Level									
7D	-12	0.005	-16	-100	2.5	IRF7210-ND	2.65	2.12	1.51
	-14	0.012	-11	-88	2.5	IRF7220-ND	2.40	1.92	1.37
	-14	0.012	-11	-88	2.5	IRF7220TR-ND	1874.37/4,000		
	-20	0.04	-6.7	-27	2.5	IRF7404-ND	.75	.60	.43
	-20	0.04	-6.7	-27	2.5	IRF7404TR-ND	1604.65/4,000		
	-20	0.06	-5.3	-21	1.6	IRF7204CT-ND	1.98	1.49	1.16
	-20	0.06	-5.3	-21	1.6	IRF7204TR-ND	3301.74/4,000		
	-30	0.02	-30	-50	2.5	SI4435DY-ND	1.27	1.02	.72
	-30	0.02	-30	-50	2.5	SI4435DYTR-ND	2742.98/4,000		
	-30	0.045	-5.8	-23	2.5	IRF7406-ND	.97	.79	.56
	-30	0.07	-5.3	—	2.5	IRF7205-ND	.94	.63	.49
	-30	0.07	-5.3	—	2.5	IRF7205TR-ND	1515.66/4,000		
7H	-20	0.058	-5.3	-43	2.0	IRF7322D1-ND	.96	.77	.58
SOIC-8 Logik-Level, zweifach									
7A	-12	0.017	-9.2	-37	2	IRF7329-ND	1.70	.90	.81
	-20	0.018	-9	-71	2	IRF7324-ND	2.40	1.92	1.37
	-20	0.058	-5.3	-21	2	IRF7314-ND	.82	.58	.48
	-20	0.058	-5.3	-21	2	IRF7314TR-ND	1842.37/4,000		
	-20	0.09	-4.3	-17	2	IRF7304-ND	.60	.48	.34
	-20	0.09	-4.3	-17	2	IRF7304TR-ND	1215.72/4,000		

Abb.	VDS (V)	RDS (ein) (Ω)	ID Kont. (A) 25 °C	IDM (A)	PD max. (W)	Digi-Key Teilenr.	Stückpreis 1	10	100
7A	-20	0.25	-2.3	-10	2	IRF7104-ND	.65	.47	.38
	-20	0.25	-2.3	-10	2	IRF7104TR-ND	3200.15/4,000		
	-30	0.021	-8.0	-32	2	IRF7328-ND	1.64	.94	.76
	-30	0.058	-4.9	-30	2	IRF7316-ND	.83	.59	.49
	-30	0.058	-4.9	-30	2	IRF7316TR-ND	1865.91/4,000		
	-30	0.1	-3.6	-14	2	IRF7306-ND	.75	.60	.43
	-30	0.1	-3.6	-14	2	IRF7306TR-ND	1601.77/4,000		
	-30	0.25	-2.3	-10	2	IRF9953-ND	1.48	1.19	.85
	-55	0.105	-3.4	-27	2	IRF7342-ND	.90	.72	.52
	-55	0.105	-3.4	-27	2	IRF7342TR-ND	1943.79/4,000		
7H	-20	0.18	-2.9	-23	2	IRF7324D1-ND	2.40	1.92	1.31
SOIC-8 „Fetky™“ Mosfet und Schottky-Diode									
7H	-30	0.062	-4.7	-38	2	IRF7321D2-ND	1.25	1.00	.68
	-30	0.062	-4.7	-38	2	IRF7321D2TR-ND	2698.96/4,000		
SOIC-8 „Fetky™“ Mosfet und Schottky-Dioden-Logik-Level									
7B	-20	0.09	-4.1	-18	2	IRF7422D2-ND	1.02	.72	.60
TSOP-6									
4	-20	0.065	-4.4	-20	2.0	SI3443DV-ND	.91	.55	.42
TSSOP Dual-8									
8	-12	0.04	±4.3	-17	1.0	IRF7756-ND	1.24	.71	.58
	-20	0.03	±4.7	±38	1.0	IRF7750CT-ND	2.74	2.06	1.61
	-20	0.03	±4.7	±38	1.0	IRF7750TR-ND	4937.37/4,000		
FlipFET™									
9	-20	0.065	±5.1	±35	2.2	IRF6100CT-ND	.91	.55	.42
10	-20	0.036	±7.1	±40	3.0	IRF6150CT-ND	2.50	1.74	1.35
	-20	0.036	±7.1	±40	3.0	IRF6150TR-ND	4253.32/4,000		
N-KANAL-TYP									
SOT-227									
11	100	0.0065	180	720	480	FB180SA10-ND	30.60	24.48	17.45
	500	0.08	57	228	625	FA57SA50LC-ND	43.60	34.88	26.16
	500	0.13	38	150	500	FA38SA50LC-ND	29.50	23.61	17.71
SMD-220/D²Pak									
1	20	0.006	110	440	120	IRF3711S-ND	1.51	.86	.70
	20	0.006	92	380	79	IRF3711ZS-ND	1.57	1.03	.79
	20	0.006	92	380	79	IRF3711ZCS-ND	1.63	1.08	.82
	20	0.008	67	260	57	IRF3704ZCS-ND	1.41	.93	.71
	20	0.0085	77	280	88	IRF3706S-ND	1.38	1.11	.83
	20	0.011	50	200	45	IRL3715ZCS-ND	1.35	.77	.64
	20	0.011	50	200	45	IRL3715ZS-ND	1.25	.72	.59
	20	0.016	36	140	35	IRL3714ZS-ND	1.45	.83	.68
	20	0.016	36	140	35	IRL3714ZSCTL-ND	1.57	1.13	.79
	20	0.016	36	140	35	IRL3714ZSTRL-ND	538.44/800		
	30	0.006	105	420	110	IRL8113S-ND	1.69	1.10	.88
	30	0.0063	87	350	79	IRF3709ZS-ND	1.71	1.11	.89
	30	0.0065	150	600	140	IRL7833S-ND	2.27	1.29	1.16
	30	0.009	90	360	120	IRF3709S-ND	1.83	1.18	.92
	30	0.012	62	248	87	IRF3708S-ND	1.38	1.11	.74
	30	0.095	59	230	57	IRF3707ZCS-ND	1.48	.98	.75
	30	0.095	59	230	57	IRF3707ZS-ND	1.60	1.06	.80
	30	0.125	62	248	87	IRF3707S-ND	1.24	1.00	.75
	40	0.002	75	1080	330	IRF2804S-ND	4.40	3.20	2.57
	40	0.0031	200	790	230	IRL1404ZS-ND	3.00	2.00	1.60
	40	0.0037	75	750	220	IRF1404ZS-ND	2.14	1.50	1.22
	40	0.0055	75	470	140	IRF4104S-ND	2.59	1.76	1.40
	40	0.009	100	400	170	IRF1104S-ND	1.95	1.56	1.17
	55	0.0033	75	890	130	IRF3805S-ND	4.44	3.17	2.54
	55	0.005	75	600	230	IRF1405ZS-ND	3.62	2.54	2.00
	55	0.005	131	680	200	IRF1405S-ND	3.58	2.87	2.15
	55	0.007	75	440	170	IRF3205ZS-ND	3.28	2.22	1.72
	55	0.075	75	360	140	IRF1010ZS-ND	2.46	1.68	1.33
	55	0.008	86	340	130	IRL3705ZS-ND	1.99	1.35	1.09
	55	0.008	110	390	200	IRF3205S-ND	3.25	2.31	1.90
	55	0.008	110	390	200	IRF3205STRL-ND	2560.12/800		
	55	0.011	61	240	91	IRFZ48ZS-ND	1.77	1.15	.92
	55	0.011	84	290	170	IRF1010NS-ND	3.07	2.46	1.76
	55	0.0135	51	204	80	IRLZ44ZS-ND	1.62	1.16	1.02
	55	0.0136	51	200	82	IRFZ46ZS-ND	1.66	1.07	.86
	55	0.0139	51	200	80	IRFZ44ZS-ND	1.67	1.07	.87
	55	0.016	64	210	140	IRFZ48NS-ND	1.23	.98	.70
	55	0.016	64	210	140	IRFZ48NSTRL-ND	528.28/800		
	55	0.016	64	210	140	IRFZ48NSTRR-ND	626.48/800		
	55	0.02	53	180	120	IRFZ46NS-ND	1.53	1.22	.88
	55	0.022	49	160	110	IRFZ44NS-ND	1.02	.82	.58
	55	0.022	49	160	110	IRFZ44NSTRL-ND	456.49/800		
	55	0.04	29	100	68	IRFZ34NS-ND	.85	.68	.49
	55	0.04	29	100	68	IRFZ34NSTRL-ND	365.73/800		
	55	0.04	29	100	68	IRFZ34NSTRR-ND	365.73/800		
	55	0.07	17	68	45	IRFZ24NS-ND	.97	.78	.56
	60	0.0085	75	340	140	IRF1010EZS-ND	2.45	1.66	1.32
	60	0.012	57	230	92	IRFZ44VZS-ND	1.76	1.14	.92
	60	0.012	72	290	150	IRFZ48VS-ND	1.44	.82	.68
	60	0.012	83	330	170	IRF1010ES-ND	3.29	2.63	1.88
	60	0.0165	55	220	115	IRFZ44VS-ND	1.22	.67	.60
	60	0.023	48	192	110	IRFZ44ES-ND	.97	.69	.57
	60	0.023	48	192	110	IRFZ44ESTRR-ND	629.87/800		
	60	0.028	50	200	150	IRFZ44S-ND	1.30	1.04	.74

† Bleifrei/RoHS-konform

(Forts.)

Abb.	VDS (V)	RDS (ein) (Ω)	ID Kont. (A) 25 °C	IDM (A)	PD max. (W)	Digi-Key Teilenr.	Stückpreis 1	10	100
1	60	0.028	50	200	150	IRFZ44STRR-ND	822.22/800		
	60	0.1	17	68	60	IRFZ24S-ND	.86	.70	.50
	60	0.2	10	40	43	IRFZ14S-ND	.91	.73	.52
	75	0.0045	180	720	330	IRFS3207-ND	3.87	2.82	2.25
	75	0.0063	130	510	250	IRFS3307-ND	2.92	2.12	1.64
	75	0.0078	100	520	3.8	IRF1407S-ND	2.20	1.53	1.19
	75	0.0088	97	390	190	IRFS3507-ND	2.42	1.68	1.27
	75	0.0088	97	390	190	IRFS3507PBF-ND†	2.77	2.03	1.53
	75	0.0094	75	350	170	IRF2807ZS-ND	2.88	1.85	1.40
	75	0.013	71	280	150	IRF2807S-ND	2.45	1.69	1.34
	100	0.0070	140	550	330	IRFS4310-ND	4.38	3.19	2.55
	100	0.01	96	380	250	IRFS4410-ND	3.17	2.30	1.77
	100	0.014	73	290	190	IRFS4610-ND	2.75	2.02	1.52
	100	0.014	73	290	190	IRFS4610PBF-ND†	2.74	2.02	1.52
	100	0.025	57	180	200	IRF3710S-ND	1.95	1.38	1.14
	100	0.025	57	180	200	IRF3710STRR-ND	2201.16/800		
	100	0.025	59	236	200	IRFS59N10D-ND	2.13	1.71	1.29
	100	0.0265	36	140	92	IRF540ZS-ND	1.85	1.21	.97
	100	0.036	42	140	160	IRF1310NS-ND	1.39	1.11	.80
	100	0.036	42	140	160	IRF1310NSTRL-ND	599.39/800		
	100	0.052	33	110	140	IRF540NS-ND	1.19	.95	.68
	100	0.052	33	110	140	IRF540NSTRL-ND	892.69/800		
	100	0.052	33	110	140	IRF540NSTRR-ND	512.02/800		
	100	0.077	28	110	150	IRF540S-ND	1.24	1.00	.71
	100	0.077	28	110	150	IRF540STRL-ND	642.74/800		
	100	0.077	28	110	150	IRF540STRR-ND	642.74/800		
	100	0.11	17	80	79	IRF530NS-ND	.86	.69	.50
	100	0.11	17	80	79	IRF530NSTRL-ND	251.27/800		
	100	0.11	17	80	79	IRF530NSTRR-ND	251.27/800		
	100	0.16	14	56	88	IRF530S-ND	.90	.72	.52
	100	0.16	14	56	88	IRF530STRR-ND	511.35/800		
	100	0.2	9.7	38	48	IRF520NS-ND	.69	.55	.39
	100	0.54	5.6	20	43	IRF510S-ND	.61	.50	.35
	100	0.6	6.8	-27	60	IRF9520S-ND	1.48	1.19	.85
	100	0.6	6.8	-27	60	IRF9520STRL-ND	331.87/800		
	150	0.042	43	150	200	IRF3415S-ND	1.28	.92	.76
	150	0.042	43	150	200	IRF3415STRL-ND	576.37/800		
	150	0.045	41	164	200	IRF3515S-ND	2.36	1.89	1.35
	150	0.045	41	164	200	IRFS41N15D-ND	2.18	1.74	1.31
	150	0.056	33	130	170	IRFS33N15D-ND	1.53	1.22	.92
	150	0.082	21	84	94	IRF3315S-ND	1.26	.90	.74
	150	0.09	23	92	136	IRFS23N15D-ND	1.51	1.21	.91
	200	0.082	31	124	200	IRFS31N20D-ND	2.70	2.16	1.62
	200	0.1	24	96	170	IRFS23N20D-ND	1.52	1.22	.92
	200	0.15	18	72	150	IRF640NS-ND	1.24	1.00	.88
	200	0.15	18	72	150	IRF640NSTRL-ND	877.08/800		
	200	0.15	18	72	150	IRF640NSTRR-ND	941.79/800		
	200	0.17	16	64	140	IRFS17N20D-ND	1.43	1.15	.86
	200	0.3	9.3	37	82	IRF630NS-ND	1.46	1.17	1.03
	200	0.3	9.3	37	82	IRF630NSTRL-ND	388.76/800		
	200	0.8	5.2	18	50	IRF620S-ND	1.40	1.12	.80
	200	1.5	3.3	10	36	IRF610S-ND	1.19	.95	.69
	250	0.24	14	56	150	IRF644NS-ND	1.46	.85	.71
	250	0.28	14	56	125	IRF644S-ND	2.74	1.95	1.60
	250	0.28	14	56	125	IRF644STRL-ND	556.05/800		
	250	0.45	8.1	—	74	IRF634S-ND	1.13	.81	.67
	250	1.1	4.4	—	50	IRF624S-ND	1.38	.98	.81
	250	2	2.7	8	36	IRF614S-ND	1.19	.95	.68
	300	0.75	6.1	24	74	IRF737LCS-ND	1.67	1.34	1.01
	400	0.55	10	40	125	IRF740AS-ND	2.07	1.66	1.19
	400	0.55	10	—	125	IRF740S-ND	1.28	.91	.75
	400	0.55	10	40	125	IRF740STRL-ND	576.37/800		
	400	1	5.5	—	74	IRF730S-ND	1.36	.97	.80
	400	1	5.5	22	74	IRF730AS-ND	1.42	1.14	.81
	400	1.8	3.3	—	50	IRF720S-ND	.77	.55	.45
	400	3.6	2	6	36	IRF710S-ND	.64	.52	.37
	500	0.52	11	44	170	IRFS11N50A-ND	1.57	1.26	.89
	500	0.85	8	—	125	IRF840S-ND	1.71	1.22	1.00
	500	0.85	8	32	125	IRF840AS-ND	1.41	1.13	.81
	500	1.4	5	20	74	IRF830AS-ND	1.04	.83	.60
	500	1.5	4.5	—	74	IRF830S-ND	1.13	.81	.67
	500	3	2.5	—	50	IRF820S-ND	.92	.66	.54
	500	3	2.5	10	50	IRF820AS-ND	1.03	.83	.62
	600	0.75	9.2	37	170	IRFS9N60A-ND	1.74	1.39	1.04
	600	1.2	6.2	25	125	IRFBC40AS-ND	3.39	2.71	1.94
	600	1.2	6.2	25	130	IRFBC40LCS-ND	3.18	2.55	1.91
	600	1.2	6.2	25	130	IRFBC40S-ND	1.68	1.34	.96
	600	2.2	3.6	14	74	IRFBC30AS-ND	2.33	1.87	1.33
	600	2.2	3.6	14	74	IRFBC30S-ND	2.33	1.87	1.34
	600	4.4	2.2	8.0	50	IRFBC20S-ND	1.99	1.59	1.20
	800	6.5	1.8	—	54	IRFBE20S-ND	1.69	1.36	1.02
	900	3.7	3.6	—	125	IRFBF30S-ND	2.73	2.19	1.65
	900	8	1.7	6.8	54	IRFBF20S-ND	1.68	1.34	1.18
D²Pak-7									
12	40	0.0016	160	1360	330	IRF2804S-7P-ND	4.75	3.33	2.86
	55	0.0026	160	1000	300	IRF3805S-7P-ND	5.48	3.92	3.14
	55	0.0049	120	590	230	IRF1405ZS-7P-ND	2.88	2.13	1.65
SMD-220/D²Pak Logik-Level									
1	20	0.014	54	210	71	IRL3715S-ND	1.08	.63	.49
	20	0.02	36	140	47	IRL3714S-ND	.94	.55	.43
	20	0.01	85	340	110	IRL3402S-ND	1.93	1.55	1.16
	20	0.009	77	308	87	IRF3704S-ND	1.38	1.11	.97
	20	0.013	61	240	89	IRL3102S-ND	1.03	.83	.60
	20	0.016	48	190	69	IRL3202S-ND	1.31	1.05	.76
	20	0.02	39	160	57	IRL3302S-ND	1.12	.90	.65
	20	0.007	110	420	140	IRL3502S-ND	1.61	1.29	1.13
	20	0.007	110	420	140	IRL3502STRL-ND	694.89/800		
	20	0.004	180	720	210	IRL3716S-ND	1.93	1.32	1.00
	30	0.006	140	470	200	IRL3803S-ND	2.74	1.95	1.61
	30	0.006	140	470	200	IRL3803STRL-ND	1184.56/800		
	30	0.007	116	400	170	IRL2203NS-ND	1.90	1.53	1.10
	30	0.007	116	400	170	IRL2203NSTRL-ND	822.90/800		
	30	0.014	54	220	70	IRL3103D1S-ND	3.75	2.62	2.11
	30	0.014	64	220	110	IRL3103S-ND	2.64	1.88	1.55
	30	0.014	64	220	110	IRL3103STRL-ND	1232.65/800		
	30	0.026	34	140	68	IRL3303D1S-ND	1.48	1.19	.89
	30	0.026	38	140	68	IRL3303S-ND	1.99	1.41	1.17
	30	0.04	24	96	45	IRL2703S-ND	.97	.78	.59
	40	0.004	160	640	3.8	IRL1404S-ND	2.54	1.78	1.39
	40	0.0065	130	520	200	IRL1004S-ND	2.79	2.24	1.59
	40	0.008	104	416	167	IRL1104S-ND	1.95	1.56	1.17
	55	0.008	104	360	200	IRL2505S-ND	—	—	3.27
	55	0.01	89	310	170	IRL3705NS-ND	3.73	2.62	2.11
	55	0.01	89	310	170	IRL3705NSTRL-ND	1471.05/800		
1	55	0.022	47	160	110	IRLZ44NS-ND	.85	.77	.49
	55	0.022	47	160	110	IRLZ44NSTRL-ND	380.63/800		
	55	0.022	47	160	110	IRLZ44NSTRR-ND	365.73/800		
	55	0.035	30	110	68	IRLZ34NS-ND	.89	.71	.51
	55	0.035	30	110	68	IRLZ34NSTRL-ND	381.99/800		
	55	0.06	18	72	45	IRLZ24NS-ND	.93	.75	.54
	60	0.1	14	56	42	IRLR024-ND	.76	.61	.44
	60	0.2	10	40	43	IRLZ14S-ND	.97	.78	.56
	60	0.028	50	200	150	IRLZ44S-ND	1.29	1.04	.74
	60	0.028	50	200	150	IRLZ44STRR-ND	556.83/800		
	100	0.026	55	190	200	IRL2910S-ND	—	—	3.03
	100	0.044	36	120	140	IRL540NS-ND	1.22	.98	.70
	100	0.044	36	120	140	IRL540NSTRL-ND	525.57/800		
	100	0.077	28	110	150	IRL540S-ND	1.14	.92	.66
	100	0.1	17	60	79	IRL530NS-ND	.86	.69	.50
	100	0.1	17	60	79	IRL530NSTRL-ND	370.47/800		
	100	0.1	17	80	79	IRL530NSTRR-ND	390.11/800		
	100	0.16	15	60	88	IRL530STRR-ND	384.02/800		
	100	0.18	10	35	48	IRL520NS-ND	.69	.55	.39
	100	0.18	10	35	48	IRL520NSTRL-ND	295.29/800		
	100	0.54	5.6	18	43	IRL510S-ND	.80	.64	.56
	200	0.18	17	68	125	IRL640S-ND	1.42	1.14	.82
	200	0.4	9	36	74	IRL630S-ND	1.66	1.33	.95
	200	0.4	9	36	74	IRL630STRL-ND	716.56/800		
	200	0.8	5.2	21	50	IRL620S-ND	1.46	1.17	.84
DPak									
2	20	0.006	110	440	2.5	IRFR3711-ND	1.51	.86	.70
	20	0.006	93	370	79	IRFR3711Z-ND	1.43	.95	.72
	20	0.0084	60	240	48	IRFR3704Z-ND	1.06	.59	.51
	20	0.0084	60	240	48	IRFR3704ZTR-ND	860.15/2,000		
	20	0.009	75	300	90	IRFR3704-ND	1.24	.67	.60
	20	0.009	75	280	88	IRFR3706-ND	1.22	.66	.59
	20	0.02	36	31	140	IRLR3714-ND	.78	.47	.35
	20	0.015	37	144	35	IRLR3714ZCTL-ND	1.19	.75	.54
	20	0.015	37	144	35	IRLR3714ZTRL-ND	1244.50/3,000		
	30	0.0065	86	340	79	IRFR3709Z-ND	1.40	.80	.66
	30	0.0065	86	340	79	IRFR3709ZTR-ND	1073.70/2,000		
	30	0.012	61	244	87	IRFR3708-ND	1.22	.67	.60
	30	0.013	61	244	87	IRFR3707-ND	1.22	.66	.59
	30	0.031	33	120	57	IRFR3303-ND	.75	.60	.43
	30	0.031	33	120	57	IRFR3303TR-ND	800.04/2,000		
	40	0.0055	42	480	140	IRFR4104-ND	2.20	1.43	1.16
	40	0.009	42	310	90	IRFR3504Z-ND	1.43	.94	.72
	50	0.1	15	—	—	IRFR020-ND	1.15	.92	.66
	50	0.1	15	—	—	IRFR020TR-ND	811.04/2,000		
	50	0.1	15	—	—	IRFR020TRL-ND	1859.13/3,000		
	50	0.2	8.2	33	25	IRFR010-ND	.90	.72	.55
	55	0.0075	42	360	140	IRFR1010Z-ND	1.91	1.33	1.00
	55	0.012	42	360	130	IRFR3705Z-ND	2.34	1.63	1.23
	55	0.057	26	80	79	IRLR4343-ND	1.22	.80	.61
	55	0.057	26	80	79	IRLR4343CTL-ND	1.22	.87	.61
	55	0.057	26	80	79	IRLR4343TRL-ND	1457.85/3,000		
	55	0.0135	60	240	110	IRLR2905Z-ND	1.46	1.05	.92
	55	0.0145	42	240	110	IRFR2905Z-ND	1.87	1.24	.94
	55	0.016	56	220	110	IRFR2405-ND	1.35	.78	.65
	55	0.025	30	120	48	IRFR4105Z-ND	1.04	.69	.53
	55	0.027	44	160	107	IRFR1205-ND	2.24	1.59	1.31
	55	0.027	44	160	107	IRFR1205TR-ND	2429.74/2,000		
	55	0.045	27	100	68	IRFR4105-ND	2.23	1.78	1.27
	55	0.058	16	64	35	IRLR024Z-ND	.99	.71	.63
	55	0.075	14	68	38	IRFR024N-ND	.52	.38	.31
	55	0.075	17	68	38	IRFR024NTR-ND	656.16/2,000		
	55	0.075	17	68	38	IRFR024NTRL-ND	891.47/3,000		
	60	0.075	14	68	45	IRFR024-ND	.75	.61	.44
	60	0.075	17	68	45	IRFR024TR-ND	822.90/2,000		
	60	0.2	7.7	31	25	IRFR014TR-ND	618.02/2,000		
	75	0.016	42	210	110	IRFR2307Z-ND	1.53	1.06	.81
	75	0.022	42	180	110	IRFR2607Z-ND	1.27	.89	.67
	75	0.026	42	170	110	IRFR2407-ND	1.41	.82	.68
	100	0.018	42	220	140	IRFR3710Z-ND	1.86	1.27	.98

† Bleifrei/RoHS-konform

(Forts.)

B

Abb.	VDS (V)	RDS (ein) (Ω)	ID Kont. (A) 25 °C	IDM (A)	PD max. (W)	Digi-Key Teilenr.	Stückpreis 1	10	100
2	100	0.039	31	125	110	IRFR3410-ND	1.16	.83	.61
	100	0.115	16	60	79	IRFR3910-ND	.80	.57	.47
	100	0.115	16	60	79	IRFR3910TR-ND	878.52/2,000		
	100	0.115	16	60	79	IRFR3910TRL-ND	1338.47/3,000		
	100	0.190	8.7	35	35	IRFR120Z-ND	.98	.63	.48
	100	0.21	9.4	38	48	IRFR120N-ND	.97	.63	.47
	100	0.21	9.4	38	48	IRFR120NTR-ND	746.70/2,000		
	100	0.21	9.4	38	48	IRFR120NTRL-ND	1097.19/3,000		
	100	0.27	7.7	31	42	IRFR120IR-ND	1.39	.89	.67
	100	0.27	7.7	31	42	IRFR120TR-ND	1066.72/2,000		
	100	0.27	7.7	31	42	IRFR120TRL-ND	1064.18/3,000		
	100	0.54	4.3	17	25	IRFR110TR-ND	914.33/2,000		
	150	0.125	18	72	110	IRFR18N15D-ND	1.24	1.00	.75
	150	0.18	14	56	86	IRFR13N15D-ND	1.42	.81	.66
	200	0.235	13	52	110	IRFR13N20D-ND	1.35	1.09	.87
	200	0.38	9.4	38	86	IRFR9N20D-ND	1.22	.98	.74
	200	0.6	5	20	43	IRFR220N-ND	.68	.55	.41
	200	1.5	2.6	10	25	IRFR210-ND	.53	.43	.31
	250	0.26	14	56	144	IRFR12N25D-ND	1.90	1.33	1.01
	250	1.1	3.8	15	42	IRFR224-ND	.63	.50	.36
	250	1.1	3.8	15	42	IRFR224TR-ND	673.89/2,000		
	250	1.1	3.8	15	42	IRFR224TRL-ND	1010.84/3,000		
	250	2	2.2	8.8	25	IRFR214-ND	.89	.71	.51
	400	1.8	3.1	12	42	IRFR320-ND	.75	.60	.43
	400	1.8	3.1	12	42	IRFR320TR-ND	800.04/2,000		
	400	3.6	1.7	6	25	IRFR310-ND	.81	.66	.47
	400	3.6	1.7	6	25	IRFR310TR-ND	880.46/2,000		
	500	3	2.4	8	42	IRFR420-ND	.75	.60	.43
	500	3	2.4	8	42	IRFR420TR-ND	805.96/2,000		
	600	4.4	2	8	42	IRFRC20-ND	1.02	.82	.58
	600	4.4	2	8	42	IRFRC20TR-ND	1097.19/2,000		
	600	7	1.4	5.6	36	IRFR1N60A-ND	.62	.50	.35
DPak-Logik-Level									
2	20	0.011	49	200	40	IRLR3715Z-ND	.99	.65	.50
	20	0.014	54	210	71	IRLR3715-ND	1.21	.72	.54
	20	0.015	37	144	35	IRLR3714Z-ND	1.11	.63	.54
	20	0.015	37	144	35	IRLR3714ZTR-ND	860.15/2,000		
	30	0.01	65	260	75	IRLR7821-ND	1.11	.72	.56
	30	0.01	65	260	75	IRLR7821TR-ND	741.62/2,000		
	30	0.0033	161	620	140	IRLR7843-ND	2.33	1.32	1.15
	30	0.0038	161	620	140	IRLR7843TR-ND	1889.27/2,000		
	30	0.0045	140	560	140	IRLR7833-ND	1.90	1.21	.93
	30	0.0045	140	560	140	IRLR7833TR-ND	1803.26/2,000		
	30	0.0045	140	560	140	IRLR7833TRL-ND	2666.79/3,000		
	30	0.0045	140	560	140	IRLR7833TRR-ND	2666.79/3,000		
	30	0.006	94	380	89	IRLR8113-ND	2.10	1.37	1.05
	30	0.006	94	380	89	IRLR8113TR-ND	1532.35/2,000		
	30	0.012	44	196	62	IRLR8503-ND	2.44	1.95	1.47
	30	0.0138	43	170	40	IRLR7807Z-ND	1.05	.61	.48
	30	0.0138	43	170	40	IRLR7807ZTR-ND	766.34/2,000		
	30	0.019	55	220	107	IRLR3103TR-ND	1188.63/2,000		
	30	0.031	35	140	68	IRLR3303-ND	.85	.68	.49
	30	0.031	35	140	68	IRLR3303TR-ND	1532.35/2,000		
	30	0.045	23	96	45	IRLR2703-ND	.67	.54	.39
	30	0.079	91	363	115	IRLR8103V-ND	1.51	.86	.70
	55	0.027	42	160	110	IRLR2905TR-ND	1188.63/2,000		
	55	0.027	42	160	110	IRLR2905-ND	1.06	.75	.62
	55	0.027	42	160	110	IRLR2905TRL-ND	3576.04/3,000		
	55	0.04	28	110	68	IRLR2705-ND	1.46	.95	.72
	55	0.065	17	72	45	IRLR024N-ND	1.06	.68	.51
	55	0.065	17	72	45	IRLR024NTR-ND	814.68/2,000		
	55	0.2	7.7	31	25	IRLR014-ND	.58	.47	.33
	60	0.1	14	56	42	IRLR024TR-ND	822.90/2,000		
	60	0.2	7.7	31	25	IRLR014N-ND	.53	.44	.33
	60	0.2	7.7	31	25	IRLR014TR-ND	640.06/2,000		
	60	0.1	14	56	42	IRLR024-ND	.76	.61	.44
	100	0.105	17	60	79	IRLR3410-ND	.85	.68	.49
	100	0.105	17	60	79	IRLR3410TR-ND	914.33/2,000		
	100	0.185	11	35	48	IRLR120N-ND	.71	.51	.42
	100	0.185	11	35	48	IRLR120NTR-ND	815.80/2,000		
	100	0.185	11	35	48	IRLR120NTRL-ND	1201.33/3,000		
	100	0.27	7.7	31	42	IRLR120-ND	1.09	.70	.53
	100	0.27	7.7	31	42	IRLR120TR-ND	914.33/2,000		
	100	0.54	4.3	17	25	IRLR110-ND	.91	.73	.52
	100	0.54	4.3	17	25	IRLR110TR-ND	594.31/2,000		
	100	0.54	4.3	17	25	IRLR110TRL-ND	891.47/3,000		
Micro-3 (SOT-23) Logik-Level									
3	20	0.045	4.2	33	1.25	IRLML2502CT-ND	.38	.29	.23
	20	0.045	4.2	33	1.25	IRLML2502TR-ND	533.36/3,000		
	20	0.25	1.2	7.4	540	IRLML2402CT-ND	.33	.25	.20
	20	0.25	1.2	7.4	540	IRLML2402TR-ND	462.68/3,000		
	30	0.25	1.2	7.3	540	IRLML2803CT-ND	.33	.25	.20
	30	0.25	1.2	7.3	540	IRLML2803TR-ND	465.47/3,000		
Micro-6 (TSOP-6) Logik-Level									
4	20	0.03	6.5	20	2.0	IRLMS2002CT-ND	.64	.48	.38
	20	0.03	6.5	20	2.0	IRLMS2002TR-ND	889.34/3,000		
	20	0.1	3.2	18	1.7	IRLMS1902CT-ND	.36	.28	.22
	20	0.1	3.2	18	1.7	IRLMS1902TR-ND	490.31/3,000		
	30	0.1	3.2	18	1.7	IRLMS1503CT-ND	.39	.30	.23
	30	0.1	3.2	18	1.7	IRLMS1503TR-ND	528.28/3,000		
Micro-6 (TSOP-6)									
4	150	1.2	0.9	7	2.0	IRF5802TRCT-ND	.84	.44	.37
	150	1.2	0.9	7	2.0	IRF5802TRTR-ND	855.20/3,000		

Abb.	VDS (V)	RDS (ein) (Ω)	ID Kont. (A) 25 °C	IDM (A)	PD max. (W)	Digi-Key Teilenr.	Stückpreis 1	10	100
Micro-8 Logik-Level									
5A	20	0.03	6.5	50	1.8	IRF7607TR-ND	2194.39/4,000		
	20	0.035	5.7	30	1.8	IRF7601CT-ND	1.83	1.38	1.07
	20	0.035	5.7	30	1.8	IRF7601TR-ND	3291.58/4,000		
	20	0.135	2.4	19	1.3	IRF7521D1TR-ND	1828.66/4,000		
	30	0.035	5.6	30	1.8	IRF7603CT-ND	.83	.63	.49
	30	0.035	5.6	30	1.8	IRF7603TR-ND	1435.83/4,000		
	30	0.11	2.7	21	1.25	IRF7523D1TR-ND	1645.79/4,000		
Micro-8 Dual Logik Level									
5C	20	0.135	2.4	19	1.25	IRF7501CT-ND	1.60	1.20	.94
	20	0.135	2.4	19	1.25	IRF7501TR-ND	2881.83/4,000		
	30	0.135	2.4	14	1.25	IRF7503CT-ND	1.11	.83	.65
	30	0.135	2.4	14	1.25	IRF7503TR-ND	1916.70/4,000		
SOT-223									
6	55	0.045	3.7	30	1	IRFL4105-ND	1.48	1.19	.89
	55	0.045	3.7	30	1	IRFL4105CT-ND	1.78	1.34	1.04
	55	0.045	3.7	30	1	IRFL4105TR-ND	1851.94/2,500		
	55	0.0575	5.1	41	1	IRFL024Z-ND	1.27	.82	.61
	55	0.075	2.8	11.2	2.1	IRFL024N-ND	.61	.49	.37
	55	0.16	1.9	15	2.1	IRFL014N-ND	.52	.42	.31
	60	0.2	2.7	22	3.1	IRFL014-ND	.73	.47	.36
	60	0.2	2.7	22	3.1	IRFL014TR-ND	787.34/2,500		
	60	0.22	1.6	6.4	2.1	IRFL1006-ND	.68	.55	.41
	100	0.2	1.6	13	1	IRFL4310-ND	1.27	1.02	.77
	100	0.2	1.6	13	1	IRFL4310CT-ND	1.52	1.15	.89
	100	0.2	1.6	13	1	IRFL4310TR-ND	1693.20/2,500		
	100	0.54	1.5	12	3.1	IRFL110-ND	.64	.52	.37
	100	0.54	1.5	12	3.1	IRFL110TR-ND	961.95/2,500		
	200	1.5	0.96	7.7	3.1	IRFL210-ND	.55	.44	.32
	200	1.5	0.96	7.7	3.1	IRFL210TR-ND	739.99/2,500		
	250	2	0.79	6.3	3.1	IRFL214-ND	1.19	.95	.68
SOT-223 Logik Level									
6	30	0.031	4.6	37	1	IRLL3303CT-ND	1.90	1.43	1.12
	30	0.031	4.6	37	1	IRLL3303TR-ND	2089.43/2,500		
	30	0.045	3.9	16	1	IRLL2703-ND	1.48	1.19	.89
	55	0.04	3.8	30	2.1	IRLL2705-ND	1.48	1.19	.89
	55	0.04	3.8	30	1	IRLL2705CT-ND	1.78	1.34	1.04
	55	0.04	3.8	30	1	IRLL2705TR-ND	1957.93/2,500		
	55	0.060	5.0	40	1.0	IRLL024Z-ND	1.19	.67	.55
	55	0.065	3.1	12	2.1	IRLL024N-ND	.68	.55	.41
	55	0.14	2	16	2.1	IRLL014N-ND	.58	.46	.34
	55	0.14	2	16	2.1	IRLL014NTR-ND	800.04/2,500		
	60	0.2	2.7	22	3.1	IRLL014-ND	.66	.53	.38
	60	0.2	2.7	22	3.1	IRLL014TR-ND	1559.86/2,500		
	100	0.54	1.5	12	3.1	IRLL110-ND	.51	.41	.29
	100	0.54	1.5	12	3.1	IRLL110TR-ND	677.28/2,500		
SO-8									
7A	20	0.0134	10	82	2.0	IRF8910-ND	.88	.55	.40
	20	0.0183	8.9	71	2.0	IRF8915-ND	1.15	.72	.52
	20	0.03	7.0	28	2.0	IRF7331-ND	1.16	.61	.55
	50	0.13	3.0	25	2.4	IRF7103Q-ND	.76	.45	.35
7C	30	0.0017	8.3	66	2.5	IRF7807VD2-ND	1.19	.68	.58
7D	20	0.009	12	100	2.5	IRF7459-ND	.75	.60	.45
	20	0.035	6.8	54	2.5	IRF7402-ND	1.38	1.11	.83
	20	.0044	20	160	2.5	IRF3717-ND	3.38	1.74	1.11
	30	0.0036	21	170	2.5	IRF7831-ND	1.95	1.11	.96
	30	0.0036	21	170	2.5	IRF7831TR-ND	3027.44/4,000		
	30	0.004	20	160	2.5	IRF7832-ND	2.21	1.48	1.07
	30	0.004	20	160	2.5	IRF7832CT-ND	2.24	1.60	1.10
	30	0.004	20	160	2.5	IRF7832TR-ND	3305.13/4,000		
	30	0.0045	19	160	2.5	IRF7834-ND	1.58	1.05	.80
	30	0.005	18	150	3.1	IRF7822-ND	2.33	1.62	1.26
	30	0.006	16.6	133	2.5	IRF8113-ND	1.49	.86	.73
	30	0.006	16.6	133	2.5	IRF8113TR-ND	2316.30/4,000		
	30	0.007	13.3	100	2.5	IRF7809AV-ND	1.23	.72	.59
	30	0.007	16	120	2.5	IRF7805Z-ND	1.36	.90	.69
	30	0.008	14	110	2.5	IRF7458-ND	1.43	1.15	.86
	30	0.008	14	110	2.5	IRF7477-ND	1.35	.78	.65
	30	0.0091	13.6	100	2.5	IRF7821-ND	1.42	.93	.72
	30	0.0091	13.6	100	2.5	IRF7821TR-ND	2038.61/4,000		
	30	0.01	13	100	2.5	IRF7413Z-ND	1.48	.98	.75
	30	0.011	10.8	100	2.5	IRF7811AV-ND	1.13	.60	.54
	30	0.011	13	100	2.5	IRF7805A-ND	1.53	.87	.71
	30	0.011	13	100	2.5	IRF7805-ND	1.32	.85	.65
	30	0.011	13	100	2.5	IRF7805TR-ND	2038.61/4,000		
	30	0.014	11	88	2.5	IRF7807Z-ND	.91	.60	.46
	30	0.017	8.3	66	2.5	IRF7807V-ND	1.14	.61	.54
	30	0.025	8.3	66	2.5	IRF7807A-ND	1.04	.56	.50
	30	0.03	7	37	2.5	IRF9410-ND	1.52	1.22	.88
	40	0.010	14	110	2.5	IRF7484Q-ND	1.68	1.07	.87
	40	0.013	10	83	2.5	IRF7471-ND	1.42	.81	.67
	40	0.013	10	85	1.6	IRF7470-ND	1.02	.82	.61
	40	0.017	9.0	73	2.5	IRF7469-ND	1.22	.66	.59
	60	0.026	4.2	56	2.5	IRF7478-ND	1.09	.58	.52
	80	0.015	9.3	74	2.5	IRF7493-ND	2.01	1.34	1.04
	100	0.022	7.3	58	2.5	IRF7495-ND	1.62	1.08	.84
	100	0.022	7.3	58	2.5	IRF7495PBF-ND†	1.62	1.05	.84
	100	0.022	7.3	58	2.5	IRF7495TRPBFCT-ND†	1.71	1.11	.89
	100	0.022	7.3	58	2.5	IRF7495TRPBFTR-ND†	2699.97/4,000		
	100	0.026	6.9	55	2.5	IRF7473-ND	1.47	.84	.69

† Bleifrei/RoHS-konform

(Forts.)

Alle Preisangaben in Euro und inklusive Zollgebühren.

N- & P-Kanal HEXFETs, Oberflächenmontage *(Forts.)*

Abb.	VDS (V)	RDS (ein) (Ω)	ID Kont. (A) 25 °C	IDM (A)	PD max. (W)	Digi-Key Teilenr.	Stückpreis 1	10	100
7D	100	0.06	4.5	36	2.5	IRF7452-ND	1.39	1.12	.84
	150	0.044	5.2	42	3.0	IRF7494-ND	1.55	1.01	.78
	150	0.044	5.2	42	3.0	IRF7494TRCT-ND	1.35	1.01	.79
	150	0.044	5.2	42	3.0	IRF7494TRTR-ND	2404.34/4,000		
	150	0.09	3.6	29	2.5	IRF7451-ND	1.97	1.38	1.05
	150	0.28	1.9	15	2.5	IRF7465-ND	1.41	.80	.67
	200	0.079	3.7	30	2.5	IRF7492-ND	1.55	1.01	.78
	200	0.079	3.7	30	2.5	IRF7492TRTR-ND	2424.66/4,000		
	200	0.17	2.5	20	2.5	IRF7450-ND	1.90	1.33	1.01
	200	0.73	1.2	10	2.5	IRF7464-ND	1.04	.83	.63
	250	0.23	2.2	17	2.5	IRF7453-ND	1.41	.80	.67
	300	0.4	1.6	13	2.5	IRF3000-ND	.70	.56	.42
7I	20	0.0134	10	83	2.0	IRF9910-ND	1.64	1.03	.74
SO-8 Logik-Level									
7A	20	0.029	6.6	26	2.0	IRF7311-ND	.87	.62	.51
	20	0.029	6.6	26	2.0	IRF7311TR-ND	1825.27/4,000		
	20	0.05	5.2	21	2.0	IRF7301-ND	.76	.61	.44
	20	0.05	5.2	21	2.0	IRF7301TR-ND	1645.79/4,000		
	30	0.029	6.5	30	2.5	IRF7313-ND	1.66	1.14	.90
	30	0.029	6.5	30	2.5	IRF7313TR-ND	3388.09/4,000		
	30	0.05	4.9	20	2.0	IRF7303-ND	.82	.66	.47
	30	0.05	4.9	20	2.0	IRF7303TR-ND	1676.27/4,000		
	20	0.1	3.5	14	2.0	IRF7101-ND	1.81	1.19	.92
	20	0.1	3.5	14	2.0	IRF7101TR-ND	2844.58/4,000		
	30	0.1	3.5	16	2.0	IRF9956-ND	1.38	1.11	.79
	50	0.13	3.0	10	2.0	IRF7103-ND	.88	.58	.45
	50	0.13	3.0	10	2.0	IRF7103TR-ND	1395.20/4,000		
	55	0.05	4.7	38	2.0	IRF7341-ND	1.19	.79	.61
	55	0.05	4.7	38	2.0	IRF7341TR-ND	1943.79/4,000		
7D	20	0.01	12	100	2.5	IRF7460-ND	1.38	1.11	.83
	20	0.0065	16	130	2.5	IRF7456-ND	1.06	.85	.61
	20	0.0065	16	130	2.5	IRF7456TR-ND	2514.40/4,000		
	20	0.007	15	120	2.5	IRF7457-ND	1.63	1.31	.98
	20	0.022	8.7	35	2.5	IRF7401-ND	.76	.61	.44
	20	0.022	8.7	35	2.5	IRF7401TR-ND	1635.63/4,000		
	28	0.012	11.4	100	2.5	IRF7811A-ND	2.54	1.73	1.36
	28	0.012	11.4	100	2.5	IRF7811ATR-ND	3723.35/4,000		
	30	0.0075	15	120	2.5	IRF7455-ND	1.30	1.04	.74
	30	0.0075	15	120	2.5	IRF7455TR-ND	3098.56/4,000		
	30	0.008	14	110	2.5	IRF7463-ND	1.19	.95	.68
	30	0.009	±12.5	±50	2.5	SI4420DY-ND	2.69	2.15	1.62
	30	0.009	14	109	3.1	IRF7811W-ND	.91	.73	.55
	30	0.011	13	58	2.5	IRF7413-ND	1.12	.77	.61
	30	0.011	13	58	2.5	IRF7413TR-ND	1903.16/4,000		
	30	0.012	11	90	2.5	IRF7467-ND	1.59	1.27	.96
	30	0.0125	11	90	2.5	IRF7466-ND	1.59	1.27	.96
	30	0.0135	10	50	2.5	SI4410DY-ND	.91	.74	.53
	30	0.022	8.5	34	2.5	IRF7403-ND	.76	.61	.44
	30	0.022	8.5	34	2.5	IRF7403TR-ND	1550.97/4,000		
	30	0.03	7.3	58	2.5	IRF7201-ND	.96	.64	.49
	30	0.03	7.3	58	2.5	IRF7201TR-ND	1523.88/4,000		
	40	0.015	9.4	75	2.5	IRF7468-ND	1.69	1.36	1.02
7H	30	0.029	6.5	52	2.0	IRF7353D2-ND	1.13	.90	.68
SO-8 „Fetky™“ Mosfet und Schottky-Diode									
7E	30	0.028	6.2	48	2.0	IRF7901D1-ND	2.12	1.70	1.27
7F	30	0.035	5.8	33	2.5	IRF7421D1-ND	.91	.65	.54
7H	30	0.029	6.5	52	2.0	IRF7353D1-ND	.73	.59	.40
7H	30	0.029	6.5	52	2.0	IRF7353D1TR-ND	2058.93/4,000		
DirectFET™									
13A	20	0.002	150	250	2.0	IRF6609CT-ND	3.17	2.12	1.70
	20	0.002	150	250	2.0	IRF6609TR-ND	6554.72/4,800		
	20	0.0025	32	260	2.8	IRF6691CT-ND	3.53	2.53	2.02
	20	0.0025	32	260	2.8	IRF6691TR-ND	7720.99/4,800		
13A	20	0.0027	27	220	2.8	IRF6620CT-ND	2.70	1.83	1.39
	20	0.0027	27	220	2.8	IRF6620TR-ND	5177.13/4,800		
	20	0.0057	16	120	2.1	IRF6623CT-ND	2.31	1.52	1.16
	20	0.0057	16	120	2.1	IRF6623TR-ND	4279.06/4,800		
	30	0.002	150	210	2.8	IRF6618CT-ND	3.12	2.08	1.73
	30	0.002	150	210	2.8	IRF6618TR-ND	6554.72/4,800		
	30	0.0033	24	190	2.8	IRF6612CT-ND	2.84	1.92	1.49
	30	0.0033	24	190	2.8	IRF6612TR-ND	5652.58/4,800		
	30	0.0033	27	220	3.6	IRF6607CT-ND	2.90	2.00	1.63
	30	0.0033	27	220	3.6	IRF6607TR-ND	6294.64/4,800		
	30	0.0039	28	200	3.6	IRF6603CT-ND	2.73	1.89	1.53
	30	0.0039	28	200	3.6	IRF6603TR-ND	5937.04/4,800		
13B	30	0.0062	14	120	2.1	IRF6617CT-ND	4.53	2.57	1.66
	30	0.0062	14	120	2.1	IRF6617TR-ND	5481.90/4,800		
	30	0.009	55	100	2.1	IRF6608CT-ND	2.01	1.32	1.12
	30	0.009	55	100	2.1	IRF6608TR-ND	4299.37/4,800		
	40	0.0041	150	180	89	IRF6613TR1CT-ND	2.61	1.92	1.49
	40	0.0041	150	180	89	IRF6613TR1TR-ND	1280.06/1,000		
13B	30	0.0115	12	92	2.3	IRF6604CT-ND	2.08	1.43	1.14
	30	0.0115	12	92	2.3	IRF6604TR-ND	4331.88/4,800		
MTP									
14	500	0.21	31	124	1140	19MT050XF-ND	36.00	29.19	24.33
N- und P-Kanal, zweifach									
Micro-8 Logik-Level									
5C	30/ -30	0.11/ -0.2	2.7/ -2.0	21/ -16	1.25	IRF7509CT-ND	.66	.50	.38
	30/ -30	0.11/ -0.2	2.7/ -2.0	21/ -16	1.25	IRF7509TR-ND	1188.63/4,000		
	20/ -20	.135/ -.27	2.4/ -1.7	19/ -14	1.25	IRF7507CT-ND	1.78	1.34	1.04
	20/ -20	.135/ -.27	2.4/ -1.7	19/ -14	1.25	IRF7507TR-ND	3200.15/4,000		
SO-8									
7A	30/ -30	0.029/ -0.058	6.5/ -4.9	30/ -30	2	IRF7319-ND	.76	.61	.44
	20/ -20	0.029/ -0.058	6.6/ -5.3	26/ -21	2	IRF7317-ND	.87	.70	.50
	20/ -20	0.029/ -0.058	6.6/ -5.3	26/ -21	2	IRF7317TR-ND	5259.08/4,000		
SO-8 Logik-Level									
7A	20/ -20	0.05/ -0.090	5.2/ -4.3	21/ -17	2	IRF7307-ND	.75	.60	.43
	20/ -20	0.05/ -0.090	5.2/ -4.3	21/ -17	2	IRF7307TR-ND	1508.40/4,000		
	25/ -25	.10/ -.25	3.5/ -2.3	14/ -10	2.0	IRF7105-ND	.87	.58	.45
	30/ -30	0.05/ -0.10	4.0/ -3.0	16/ -12	1.4	IRF7309-ND	.80	.65	.46
	30/ -30	0.05/ -0.10	4.0/ -3.0	16/ -12	1.4	IRF7309TR-ND	1513.53/4,000		
	30/ -30	0.10/ -0.25	3.5/ -2.3	16/ -10	2	IRF9952-ND	1.55	1.24	.89
	55/ -55	0.043/ -0.056	4.7/ -3.4	38/ -27	2	IRF7343-ND	1.06	.85	.61
	55/ -55	0.043/ -0.056	4.7/ -3.4	38/ -27	2	IRF7343TR-ND	2285.82/4,000		
7G	30/ -30	0.029/ -0.058	7.3/ -5.3	30/ -30	2.5	IRF7389-ND	2.24	1.79	1.28
	30/ -30	0.045/ -0.090	5.8/ -4.3	46/ -34	2.5	IRF7379-ND	2.54	2.04	1.45

† Bleifrei/RoHS-konform

Fotovoltaische Isolatoren

Der Fotovoltaische Isolator (PVI) erzeugt eine elektrisch isolierte DC-Spannung bei Eingang eines DC-Eingangssignals. Der PVI eignet sich besonders für Antriebsstrom-MOSFETs, IGBTs oder sensitive Gate SCRs, um Festkörperrelais zu bilden.

Eingangsschaltkreis Vf (LED)	Imin (mA)	Imax (mA)	Ausgangsschaltkreis VAus (DC)	Imin (µA)	Tein/Taus max.	Paket	Digi-Key Teilenr.	Stückpreis 1	10	100
1.4	5.0	40	8.0	10	5/0.25ms	8-Dip	PVI5013R-ND	5.10	3.64	2.92
1.4	5.0	40	8.0	10	5/0.25ms	8-SMD	PVI5013RS-ND	5.16	3.70	2.96
1.4	5.0	40	40	10	2.5/0.5ms	8-Dip	PVI5033R-ND	5.73	4.07	3.23
1.4	5.0	40	40	10	2.5/0.5ms	8-SMD	PVI5033RS-ND	5.77	4.10	3.26
1.4	2.0	50	8.0	10	3/0.22ms	MOD-8-Dip	PVI5050N-ND	3.94	2.76	2.15
1.4	2.0	50	8.0	10	3/0.22ms	MOD-8-Dip	PVI5080N-ND	3.77	2.70	2.19
1.4	2.0	50	8.0	10	.16/.22ms	8-Dip	PVI1050N-ND	5.12	3.82	3.18
1.4	2.0	50	8.0	10	3/0.22ms	8-SMD	PVI1050NS-ND	5.16	3.72	3.10
1.4	2.0	50	8.0	10	3/0.22ms	MOD-8-SMD	PVI5050NS-ND	3.99	2.80	2.18
1.4	2.0	50	8.0	10	3/0.22ms	MOD-8-SMD	PVI5080NS-ND	3.75	2.59	2.19

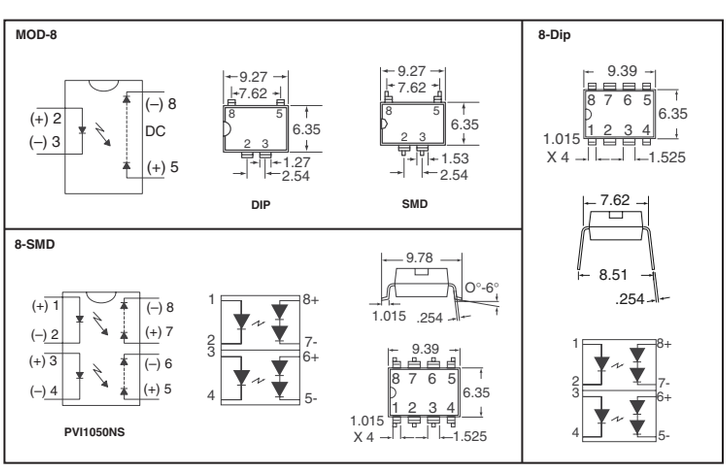

Abb. 1

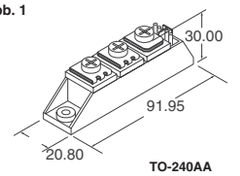

TO-240AA

Abb. 1a

Abb. 1b

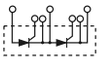

Abb.1c

Abb. 2

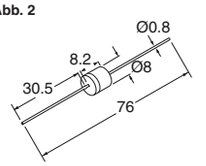

Abb. 3

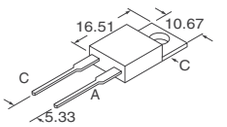

TO-220AC

Abb. 4

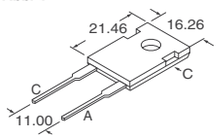

TO-247AD

Abb. 5

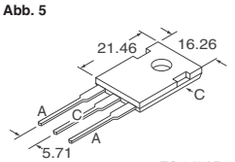

TO-247AD

Abb. 6

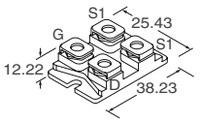

SOT-227B miniBLOC™

Abb. 6a

Abb. 6b

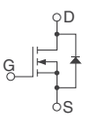

Abb. 6c

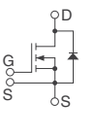

Abb. 7

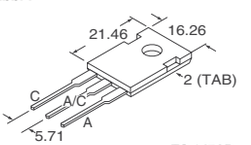

TO-247AD

Abb. 8

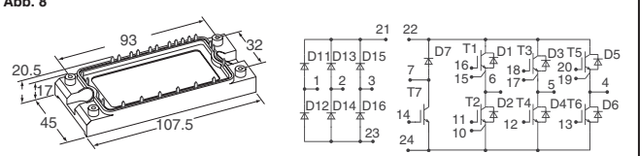

Abb. 9

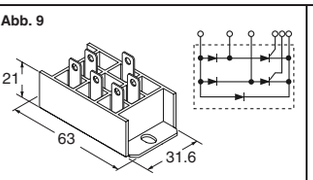

Abb. 10

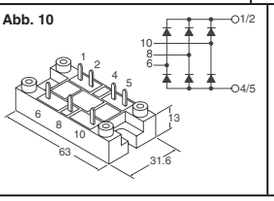

Abb. 11

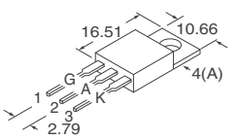

TO-220 AB

Beschreibung	Paket	Digi-Key Teilenr.	Stückpreis 1	10	50	IXYS Teilenr.
Integrierte Schaltkreise						
4-A zweif. Low-Side-Ultrafast-MOSFET-Treiber, mit Aktivierung	8-Dip	IXDD404PI-ND	1.74	1.58	1.38	IXDD404PI
4-A zweif. Low-Side-Ultrafast-MOSFET-Treiber, mit Aktivierung	8-SOIC	IXDD404SI-ND	1.89	1.71	1.51	IXDD404SI
4-A zweif. Low-Side-Ultrafast-MOSFET-Treiber, mit Aktivierung	16-SOIC	IXDD404SI-16-ND	2.08	1.89	1.66	IXDD404SI-16
4-A zweif. Low-Side-Ultrafast-MOSFET-Treiber	8-Dip	IXDI404PI-ND	1.74	1.58	1.38	IXDI404PI
4-A zweif. Low-Side-Ultrafast-MOSFET-Treiber	8-SOIC	IXDI404SI-ND	1.89	1.71	1.49	IXDI404SI
4-A zweif. Low-Side-Ultrafast-MOSFET-Treiber	16-SOIC	IXDI404SI-16-ND	2.08	1.89	1.66	IXDI404SI-16
4-A zweif. Low-Side-Ultrafast-MOSFET-Treiber	8-Dip	IXDN404PI-ND	1.74	1.58	1.38	IXDN404PI
4-A zweif. Low-Side-Ultrafast-MOSFET-Treiber	8-SOIC	IXDN404SI-ND	1.89	1.71	1.49	IXDN404SI
4-A zweif. Low-Side-Ultrafast-MOSFET-Treiber	16-SOIC	IXDN404SI-16-ND	2.08	1.89	1.66	IXDN404SI-16
4-A zweif. Low-Side-Ultrafast-MOSFET-Treiber	8-Dip	IXDF404PI-ND	1.74	1.58	1.38	IXDF404PI
8-A Low-Side-Ultrafast-MOSFET-Treiber, mit Aktivierung	TO-220-5	IXDD408CI-ND	2.12	1.92	1.68	IXDD408CI
8-A Low-Side-Ultrafast-MOSFET-Treiber, mit Aktivierung	8-Dip	IXDD408PI-ND	1.85	1.68	1.46	IXDD408PI
8-A Low-Side-Ultrafast-MOSFET-Treiber, mit Aktivierung	8-SOIC	IXDD408SI-ND	1.96	1.77	1.55	IXDD408SI
8-A Low-Side-Ultrafast-MOSFET-Treiber, mit Aktivierung	TO-263-5	IXDD408YI-ND	2.26	2.05	1.79	IXDD408YI
14-A Low-Side-Ultrafast-MOSFET-Treiber, mit Aktivierung	TO-220-5	IXDD414CI-ND	2.60	2.35	2.06	IXDD414CI
14-A Low-Side-Ultrafast-MOSFET-Treiber, mit Aktivierung	8-Dip	IXDD414PI-ND	2.08	1.89	1.66	IXDD414PI
14-A Low-Side-Ultrafast-MOSFET-Treiber, mit Aktivierung	TO-263-5	IXDD414YI-ND	3.25	2.95	2.63	IXDD414YI
Low-Side-Treiber, Vollversion	16-Dip	IXBD4410PI-ND	3.38	2.82	2.25	IXBD4410PI
ISOSMART™ Halbbrücken-Treiber-Chipset	16-SOIC	IXBD4410SI-ND	2.56	2.32	2.06	IXBD4410SI
ISOSMART™ Halbbrücken-Treiber-Chipset	16-Dip	IXBD4411PI-ND	3.43	2.86	2.28	IXBD4411PI
ISOSMART™ Halbbrücken-Treiber-Chipset	16-SOIC	IXBD4411SI-ND	2.64	2.39	2.09	IXBD4411SI
Inverter-Schnittstelle und digitaler Verzugszeit-Generator für 3-Phasen-PWM-Steuerungen	18-Dip	IXDP630PI-ND	4.04	3.37	2.70	IXDP630PI
Zweif. PWM-Microstepping-Hochleistungs-Controller	24-Dip	IXMS150PSI-ND	27.30	22.76	16.36	IXMS150PSI
Gate Driver IC-Evaluierungskarte	—	EVDD404-ND	121.15	100.96	80.77	EVDD404

Abb.	V_{RRM} V	I_{FAV} @ T_C A	°C	I_{FRMS} A	Digi-Key Teilenr.	Stückpreis 1	10	50	IXYS Teilenr.
Diodenmodul									
1a	1200	2x120	105	2x180	MDD95-12N1B-ND	37.41	31.18	24.95	MDD95-12N1B
Lawinendiode									
2	1600	3.6	45	7	DSA2-16A-ND	7.01	5.85	3.88	DSA2-16A

Abb.	V_{RRM} V	I_{FAV} @ T_C A	°C	Digi-Key Teilenr.	Stückpreis 1	10	50	IXYS Teilenr.
Fast Recovery Epitaxial-Dioden (FRED)								
3	600	8	115	DSEI8-06A-ND	.91	.77	.61	DSEI8-06A
	600	14	100	DSEI12-06A-ND	1.22	1.02	.82	DSEI12-06A
	1000	12	100	DSEI12-10A-ND	1.35	1.13	.90	DSEI12-10A
	1200	11	100	DSEI12-12A-ND	1.57	1.32	1.05	DSEI12-12A

Abb.	V_{RRM} V	I_{FAV} @ T_C A	°C	Digi-Key Teilenr.	Stückpreis 1	10	50	IXYS Teilenr.
4	1200	17	85	DSEI20-12A-ND	2.44	2.04	1.35	DSEI20-12A
	600	37	85	DSEI30-06A-ND	2.72	2.27	1.82	DSEI30-06A
	1000	30	85	DSEI30-10A-ND	3.94	3.29	2.63	DSEI30-10A
	1200	26	85	DSEI30-12A-ND	4.47	3.73	2.98	DSEI30-12A
	600	60	70	DSEI60-06A-ND	4.24	3.54	2.83	DSEI60-06A
	1000	60	60	DSEI60-10A-ND	5.61	4.68	3.75	DSEI60-10A
	1200	52	60	DSEI60-12A-ND	6.50	5.42	3.59	DSEI60-12A
5	600	2x30	85	DSEK60-06A-ND	6.07	5.06	4.05	DSEK60-06A
6a	200	2x123	70	DSEI2X121-02A-ND	30.50	25.42	20.34	DSEI2X121-02A
	600	2x60	70	DSEI2X61-06C-ND	19.53	16.28	13.03	DSEI2X61-06C
	1000	2x60	50	DSEI2X61-10B-ND	21.16	17.63	14.11	DSEI2X61-10B
	600	2x106	70	DSEI2X101-06A-ND	26.03	21.70	17.36	DSEI2X101-06A
	1000	2x30	50	DSEI2X31-10B-ND	18.08	15.07	12.05	DSEI2X31-10B
Soft-Recovery-Epitaxial-Diode von HIPerFRED™								
4	600	30	135	DSEP30-06A-ND	3.40	2.84	1.89	DSEP30-06A
	1200	30	115	DSEP30-12A-ND	5.05	4.22	3.37	DSEP30-12A
6a	600	2x60	65	DSEP2X61-06A-ND	20.06	16.72	13.37	DSEP2X61-06A

Abb.	V_{RRM} V	I_{FAV} @ T_C A	°C	I_{FRMS} A	Digi-Key Teilenr.	Stückpreis 1	10	50	IXYS Teilenr.
Phasenabschnitts-Gleichrichterdiode									
7	1200	2x28	100	2x43	DSP25-12A-ND	3.68	3.07	2.46	DSP25-12A
	1600	2x28	100	2x43	DSP25-16A-ND	4.24	3.54	2.83	DSP25-16A

Dreiphasiger Gleichrichter	Unterbrechungs-Chopper	Dreiphasiger Inverter	Digi-Key Teilenr.	Stückpreis 1	10	50	IXYS Teilenr.
Wandler-Bremsen-Inverter-Module - Abb. 8							
VRRM = 1600V IDAVM = 26A IFSM = 160A	VCES = 600V IC25 = 20A VCE(ges.) = 1.9V	VCES = 600V IC25 = 20A VCE(ges.) = 1.9V	MUBW10-06A7-ND	90.39	75.33	60.27	MUBW10-06A7
VRRM = 1600V IDAVM = 26A IFSM = 160A	VCES = 1200V IC25 = 20A VCE(ges.) = 2.3V	VCES = 1200V IC25 = 20A VCE(ges.) = 2.3V	MUBW10-12A7-ND	65.15	54.30	43.44	MUBW10-12A7

Abb.	V_{RRM} V	I_{FAV} @ T_C A	°C	V_F V	Digi-Key Teilenr.	Stückpreis 1	10	50	IXYS Teilenr.
Hochleistungs-Schottky-Gleichrichter									
3	45	16	160	0.57	DSS16-0045A-ND	1.70	1.42	1.14	DSS16-0045A
5	15	2x20	135	0.32	DSSK40-0015B-ND	3.38	2.82	1.88	DSSK40-0015B
	45	2x30	150	0.60	DSSK60-0045A-ND	4.29	3.58	2.87	DSSK60-0045A
	150	2x30	155	0.69	DSSK60-015A-ND	7.34	6.12	4.90	DSSK60-015A
	15	2x35	130	0.33	DSSK70-0015B-ND	5.59	4.66	3.09	DSSK70-0015B
	45	2x40	125	0.45	DSSK80-0045B-ND	5.82	4.85	3.88	DSSK80-0045B
6a	100	2x40	110	0.70	DSS2X41-01A-ND	20.62	17.19	13.75	DSS2X41-01A
	100	2x60	105	0.73	DSS2X61-01A-ND	23.72	19.77	15.81	DSS2X61-01A
	45	2x60	105	0.66	DSS2X61-0045A-ND	17.85	14.88	11.91	DSS2X61-0045A
	45	2x120	100	0.59	DSS2X121-0045B-ND	31.11	25.93	20.75	DSS2X121-0045B
	100	2x160	150	0.80	DSS2X160-01A-ND	37.39	31.16	24.93	DSS2X160-01A

Abb.	V_{RRM} V	I_{dAVM} @ T_K A	°C	Digi-Key Teilenr.	Stückpreis 1	10	50	IXYS Teilenr.
Halbgesteuerte, einphasige Gleichrichterbrücke mit Freilaufdiode								
9	1600	32	85	VHF28-16IO5-ND	41.07	34.23	27.38	VHF28-16IO5
Halbgesteuerte, dreiphasige Gleichrichterbrücke mit Freilaufdiode								
10	1600	54	90	VUO52-16NO1-ND	42.67	35.56	28.45	VUO52-16NO1

Abb.	V_{AK} V	I_D T_C = 25°C A	I_{AP} typ. mA	Digi-Key Teilenr.	Stückpreis 1	10	50	IXYS Teilenr.
Einstellbare Stromregler								
11	450	-0.3	10	IXCP10M45S-ND	1.49	1.36	1.18	IXCP10M45S

(Forts.)

Alle Preisangaben in Euro und inklusive Zollgebühren.

Abb. 12

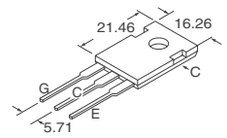

TO-247AD

Abb. 13

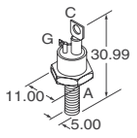

TO-64

Abb. 14

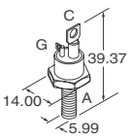

TO-48

Abb. 15

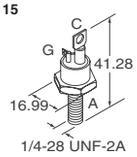

TO-65

Abb. 16

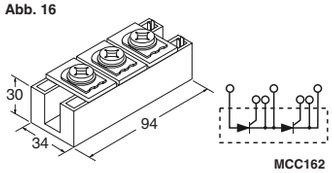

MCC162

Abb. 17

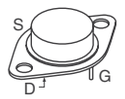

Abb. 18

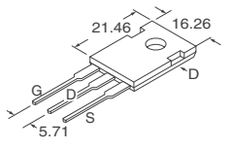

TO-247AD

Abb. 19

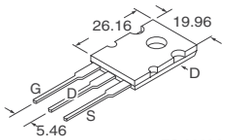

TO-264AA

Abb. 20

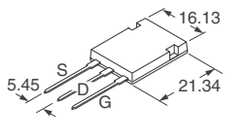

PLUS247™

Abb. 21

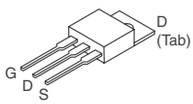

TO-220

Abb. 22

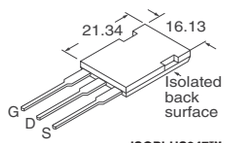

ISOPLUS247™

Abb. 23

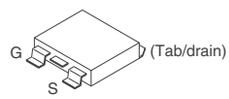

TO-268

B

Abb.	V_{CES} V	I_C T_C = 25°C A	V_{CE} (gesät-tigt) max. V	Digi-Key Teilenr.	Stückpreis 1	10	50	IXYS Teilenr.
IGBTs — Bipolartransistoren mit Isolierschicht – Hohe Geschwindigkeit								
12	600	48	2.7	IXGH24N60A-ND	5.25	4.75	4.22	IXGH24N60A
	600	75	2.7	IXGH50N60A-ND	14.40	13.03	11.57	IXGH50N60A
	600	48	2.5	IXGH24N60B-ND	5.11	4.62	4.03	IXGH24N60B
	600	48	2.5	IXGH24N60C-ND	5.28	4.78	4.18	IXGH24N60C
	600	60	2.5	IXGH32N60C-ND	6.21	5.62	4.91	IXGH32N60C
	600	75	2.5	IXGH50N60B-ND	9.76	8.84	7.73	IXGH50N60B
	1000	50	4.0	IXGH25N100A-ND	25.09	20.92	16.73	IXGH25N100A
	600	75	3.0	IXSH40N60A-ND	16.46	13.72	10.98	IXSH40N60A
IGBTs — Bipolartransistoren mit Isolierschicht mit Diode, Combi Pack – VCE (gesättigt), niedrig								
12	1000	20	3.5	IXGH10N100U1-ND	9.87	8.93	7.94	IXGH10N100U1
	1000	34	3.5	IXGH17N100U1-ND	10.08	9.12	8.11	IXGH17N100U1
	1700	25	3.3	IXBH16N170-ND	13.94	11.62	7.73	IXBH16N170
	600	60	2.3	IXGH32N60BU1-ND	10.97	9.15	6.07	IGH32N60BU1
	600	75	3.0	IXGM40N60A-ND	36.12	30.10	24.07	IXGM40N60A
IGBTs — Bipolartransistoren mit Isolierschicht mit Diode, Combi Pack – Hohe Geschwindigkeit								
12	600	48	2.7	IXGH24N60AU1-ND	8.03	7.28	6.46	IXGH24N60AU1
	600	60	1.8	IXGH30N60BD1-ND	9.12	8.26	7.22	IXGH30N60BD1
	600	60	2.5	IXGH32N60CD1-ND	7.84	7.10	6.20	IXGH32N60CD1
	600	55	2.5	IXSH30N60CD1-ND	9.39	8.50	7.43	IXSH30N60CD1
	1000	20	4.0	IXGH10N100AU1-ND	9.57	8.66	7.70	IXGH10N100AU1
	1000	34	4.0	IXGH17N100AU1-ND	10.23	9.25	8.23	IXGH17N100AU1

Abb.	V_{DRM} V	I_{TAV} T_C = 85°C A	I_{TRMS} A	Digi-Key Teilenr.	Stückpreis 1	10	50	IXYS Teilenr.
Anschnittsteuerung, SCRs								
13	800	16	25	CS8-08IO2-ND	9.17	7.65	6.12	CS8-08IO2
	1200	16	25	CS8-12IO2-ND	10.08	8.41	6.73	CS8-12IO2
14	800	25	50	CS23-08IO2-ND	14.78	12.32	9.86	CS23-08IO2
	1200	25	50	CS23-12IO2-ND	15.54	12.96	10.37	CS23-12IO2
15	800	60	120	CS35-08IO4-ND	19.20	16.01	12.81	CS35-08IO4
	1200	60	120	CS35-12IO4-ND	20.12	16.77	13.42	CS35-12IO4
	1400	60	120	CS35-14IO4-ND	22.55	18.80	15.04	CS35-14IO4

Abb.	V_{DRM} VA	I_{TAV} @ T_C °C		I_{TRMS} A	Digi-Key Teilenr.	Stückpreis 1	10	50	IXYS Teilenr.
SCR-Module									
1b	1200	2x116	85	2x180	MCC95-12IO1B-ND	45.51	37.93	30.35	MCC95-12IO1B
	1600	116	85	180	MCC95-16IO8B-ND	52.45	43.71	34.97	MCC95-16IO8B
	1600	2x32	85	2x50	MCC26-16IO1B-ND	32.31	26.93	21.54	MCC26-16IO1B
1c	1600	2x116	85	2x180	MCC95-16IO1B-ND	52.98	44.15	35.33	MCC95-16IO1B
16	1600	2x190	85	2x300	MCC162-16IO1-ND	123.38	102.82	82.26	MCC162-16IO1

Abb.	V_{DSS} max. V	I_{D25} T_C = 25°C A	$R_{DS(ein)}$ T_C = 25°C Ω	Digi-Key Teilenr.	Stückpreis 1	10	50	IXYS Teilenr.
MOSFETs — N-Kanal-Verbesserungsmodus								
17	200	50	.45	IXFM50N20-ND	19.86	16.56	13.25	IXFM50N20
18	500	14	0.4	IRFP450X-ND	3.80	3.45	3.02	IRFP450
MOSFETs — P-Kanal-Verbesserungsmodus								
18	-200	-24	.11	IXTH24P20-ND	8.33	6.95	4.61	IXTH24P20
	-600	-10	1.0	IXTH10P60-ND	18.01	15.01	9.97	IXTH10P60
MegaMOSFET™ — N-Kanal-Verbesserungsmodus -Hochspannung								
18	1100	13	0.920	IXTH13N110-ND	14.88	13.47	11.76	IXTH13N110
MegaMOSFET™-N-Kanal- Verbesserungsmodus								
18	500	20	0.27	IRFP460IX-ND	5.21	4.72	4.12	IRFP460
18	600	20	0.35	IXTH20N60-ND	8.82	7.98	6.97	IXTH20N60
MOSFETs — N-Kanal-Verbesserungsmodus mit schneller eigenleitender Diode								
18	70	76	0.011	IXFH76N07-11-ND	6.93	6.28	5.48	IXFH76N07-11
	70	76	0.012	IXFH76N07-12-ND	6.60	5.97	5.21	IXFH76N07-12
	100	80	0.015	IXFH80N10Q-ND	9.78	8.85	7.73	IXFH80N10Q
	200	42	0.06	IXFH42N20-ND	11.43	10.35	9.19	IXFH42N20

Abb.	V_{DSS} max. V	I_{D25} T_C = 25°C A	$R_{DS(ein)}$ T_C = 25°C Ω	Digi-Key Teilenr.	Stückpreis 1	10	50	IXYS Teilenr.
18	200	50	0.045	IXFH50N20-ND	6.93	6.28	5.48	IXFH50N20
	200	58	0.04	IXFH58N20-ND	7.24	6.55	5.73	IXFH58N20
	200	58	0.040	IXFH58N20Q-ND	7.24	6.55	5.73	IXFH58N20Q
	200	80	0.028	IXFH80N20Q-ND	10.44	9.45	8.25	IXFH80N20Q
	300	40	0.08	IXFH40N30-ND	7.08	6.41	5.60	IXFH40N30
	300	40	0.085	IXFH40N30Q-ND	7.08	6.41	5.60	IXFH40N30Q
	300	40	0.085	IXTH40N30-ND	9.12	8.26	7.22	IXTH40N30
	300	52	0.060	IXFH52N30Q-ND	10.76	9.74	8.50	IXFH52N30Q
	500	13	0.4	IXFH13N50-ND	3.86	3.50	3.07	IXFH13N50
	500	21	0.25	IXFH21N50-ND	8.36	7.56	6.73	IXFH21N50
	500	24	0.23	IXFH24N50-ND	6.72	6.08	5.31	IXFH24N50
	500	26	0.20	IXFH26N50-ND	7.09	6.42	5.61	IXFH26N50
	500	26	0.20	IXFH26N50Q-ND	7.09	6.42	5.61	IXFH26N50Q
	500	32	0.15	IXFH32N50-ND	11.52	10.43	9.11	IXFH32N50
	600	20	0.35	IXFH20N60-ND	8.09	7.32	6.40	IXFH20N60
	600	26	0.250	IXFH26N60Q-ND	10.33	9.35	8.17	IXFH26N60Q
	800	7	1.4	IXFH7N80-ND	5.92	5.36	4.76	IXFH7N80
	800	11	0.95	IXFH11N80-ND	16.03	14.51	12.90	IXFH11N80
	800	13	0.80	IXFH13N80-ND	8.94	8.10	7.07	IXFH13N80
	800	15	0.60	IXFH15N80-ND	11.78	10.67	9.33	IXFH15N80
	800	15	0.600	IXFH15N80Q-ND	11.78	10.67	9.33	IXFH15N80Q
	800	20	0.420	IXFH20N80Q-ND	13.05	11.81	10.32	IXFH20N80Q
	900	6	1.8	IXFH6N90-ND	6.87	6.21	5.52	IXFH6N90
	900	10	1.1	IXFH10N90-ND	14.87	13.45	11.95	IXFH10N90
	1000	6	2.0	IXFH6N100-ND	6.33	5.73	5.01	IXFH6N100
	1000	10	1.2	IXFH10N100-ND	11.33	10.25	8.95	IXFH10N100
	1000	12	1.05	IXFH12N100-ND	11.95	10.81	9.45	IXFH12N100
19	70	110	0.006	IXFK110N07-ND	17.25	15.61	13.86	IXFK110N07
	100	180	0.008	IXFK180N10-ND	20.70	17.25	13.80	IXFK180N10
	200	90	0.020	IXFK90N20-ND	14.06	12.73	11.39	IXFK90N20
	200	90	0.022	IXFK90N20Q-ND	—	—	12.79	IXFK90N20Q
	200	120	0.017	IXFK120N20-ND	21.74	18.12	14.50	IXFK120N20
	300	73	0.045	IXFK73N30-ND	20.72	17.28	13.82	IXFK73N30
	500	48	0.10	IXFK48N50-ND	22.81	19.01	15.21	IXFK48N50
	500	55	0.085	IXFK55N50-ND	28.34	23.62	18.90	IXFK55N50
	600	36	0.180	IXFK36N60-ND	22.43	18.69	14.96	IXFK36N60
	600	44	0.130	IXFK44N60-ND	24.53	20.45	16.36	IXFK44N60
	800	27	0.300	IXFK27N80-ND	25.47	21.23	16.99	IXFK27N80
	800	34	0.240	IXFK34N80-ND	26.13	21.78	17.43	IXFK34N80
	1000	24	0.390	IXFK24N100-ND	28.67	23.90	19.12	IXFK24N100
20	200	120	0.017	IXFX120N20-ND	14.08	12.74	11.14	IXFX120N20
	500	55	0.080	IXFX55N50-ND	20.16	18.25	15.94	IXFX55N50
	1000	15	0.70	IXFX15N100-ND	12.69	11.49	10.04	IXFX15N100
MOSFETs — N-Kanal-Verbesserungsmodus, lawinengeeignet, Hochspannung								
21	1200	3	4.5	IXTP3N120-ND	4.04	3.66	3.20	IXTP3N120
MOSFETs — MiniBLOC™ N-Kanal-Verbesserungsmodus mit schneller, eigenleitender Diode								
6a	70	200	0.006	IXFN200N07-ND	33.04	27.54	22.03	IXFN200N07
	200	106	0.020	IXFN106N20-ND	32.00	26.67	21.34	IXFN106N20
	200	180	0.010	IXFN180N20-ND	55.55	46.29	37.04	IXFN180N20
	500	44	0.12	IXFN44N50-ND	30.22	25.19	20.15	IXFN44N50
	500	48	0.10	IXFN48N50-ND	30.83	25.70	20.56	IXFN48N50
	1000	36	0.24	IXFN36N100-ND	73.93	61.62	49.29	IXFN36N100
20	100	180	0.008	IXFX180N10-ND	14.08	12.74	11.14	IXFX180N10
6b	200	120	0.017	IXFN120N20-ND	36.24	30.21	24.17	IXFN120N20
6c	500	80	0.050	IXFN80N50-ND	61.21	51.01	40.81	IXFN80N50
	900	26	0.300	IXFN26N90-ND	43.38	36.15	28.92	IXFN26N90
	1000	24	0.390	IXFN24N100-ND	43.00	35.84	28.67	IXFN24N100
	300	130	0.018	IXFN130N30-ND	60.88	50.74	40.59	IXFN130N30
	600	36	0.18	IXFN36N60-ND	38.53	32.11	25.69	IXFN36N60
MOSFETs — ISOPLUS247™ N-Channel Enhancement-Mode with Fast Intrinsic Diode								
22	100	165	0.008	IXFR180N10-ND	15.66	14.18	12.38	IXFR180N10
	200	105	0.017	IXFR120N20-ND	15.97	14.45	12.62	IXFR120N20
	600	38	0.130	IXFR44N60-ND	17.97	16.27	14.21	IXFR44N60
MOSFETs — N-Kanal-Verbesserungsmodus, lawinengeeignet								
20	200	90	0.022	IXFX90N20Q-ND	12.98	11.75	10.26	IXFX90N20Q
	300	90	0.033	IXFX90N30-ND	14.21	12.86	11.23	IXFX90N30
	800	34	0.240	IXFX34N80-ND	16.42	14.87	12.99	IXFX34N80
23	200	58	0.040	IXFT58N20Q-ND	10.36	9.38	8.19	IXFT58N20Q
	300	40	0.080	IXFT40N30Q-ND	9.12	8.26	7.22	IXFT40N30Q
	500	32	0.150	IXFT32N50Q-ND	11.70	10.59	9.25	IXFT32N50Q
MOSFETs — P-Kanal-Verbesserungsmodus, lawinengeeignet								
18	-500	-7	1.500	IXTH7P50-ND	7.75	7.02	6.13	IXTH7P50
	-500	-8	1.200	IXTH8P50-ND	8.14	7.37	6.44	IXTH8P50
	-500	-10	0.900	IXTH10P50-ND	9.47	8.58	7.50	IXTH10P50
	-500	-11	0.750	IXTH11P50-ND	10.54	9.54	8.34	IXTH11P50

Triacs:

Allgemeine Beschreibung: Die Allzweck-Triacs von Crydom (Serie CTA/CTB) sind mit Nennwerten von 6 A, 8 A, 12 A, 16 A, 24 A und 25 A und bis zu 1.000 V erhältlich. Für allgemeine Leistungssteuerungen, wie z.B. Solenoidventile, Küchengeräte und Phasensteuergeräte. Für hoch induktive Lasten, wie Steuerungen von Motoren und Transformatoren, Alternistor- (keine Überspannungsschutz-) Versionen verwenden. Logic Triacs stehen zur Verfügung und sind gut für Logik/Mikrocontroller-Steuerungen verwendbar. Zum Dimmen von Lichtern und Steuern von Elektrowerkzeugen, Öfen, Kaffeemaschinen, Spülmaschinen und Waschmaschinen sind Logic Triacs ideal geeignet. Serie CHT ist für hohe Temperaturen (150 °C) zugelassen. Spezifikationen: Vgt (max.): 1,3 V; Vgd (min): 0,2 V; nicht-repetitiver Spitzen-Stoßstrom (Ein-Zustand): 50 Hz-80 A, 60 Hz-84 A; dv/dt MIN: (TW) 20 V/uS, (CW) 400 V/uS, (BW) 1.000 V/uS Betriebstemperaturbereich: -40 °C ~ 125 °C UL-Eintragungsnr. E72445

SCRs:

Allgemeine Beschreibung: Crydom SCRs (Serie CYN) sind mit Nennwerten von 16 A und 25 A bis zu 1.000 V erhältlich. Sie eignen sich für Allzweck-AC-Schaltungen für industrielle Geräte, Schweißer und kapazitive Filter-Soft-Start-Anwendungen (Einschaltstrombegrenzung). Geeignet für die meisten Allzweckschaltanwendungen; werden bereits in Tausenden von Leistungsschaltungen verwendet. **Spezifikationen:** Vgt (max.): 1,3 V; Vgd (min.): 0,2 V; nicht-repetitiver Spitzen-Betriebsstrom: 50 Hz-320 A, 60 Hz-350 A; dv/dt MIN: 1.000 v/uS Betriebstemperaturbereich: -40 °C ~ 125 °C UL-Eintragungsnr. E72445

Gleichrichtdioden:

Allgemeine Beschreibung: Die Gleichrichter (Serie CRNA und CRNB) sind mit Nennwerten von 15 A, 20 A und 25 A bis zu 1.000 V erhältlich. Sie bieten außerordentliche, nicht-repetitive Vollzyklus-Spitzen-Stoßstrom-Nennwerte (Ein-Zustand) von 225 A bis 350 A. Zur Leistungsgleichrichtung von AC-Spannung in DC-Spannung. Auch für Batterie-Isolieranwendungen und Freewheel-Dioden-Anwendungen für Spannungsspitzen geeignet. **Spezifikationen:** Vfm: 1,1 V; nichtrepetitiver Spitzen-Stoßstrom (Ein-Zustand): 50 Hz-188 A, 60 Hz-225 A; Betriebstemperaturbereich: -40 °C ~ 125 °C UL-Eintragungsnr. E72445

Abb. 1

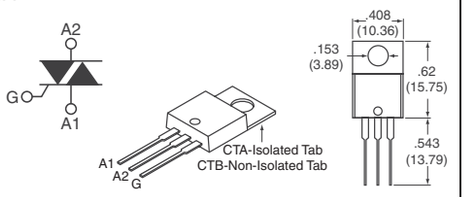

Abb. 2

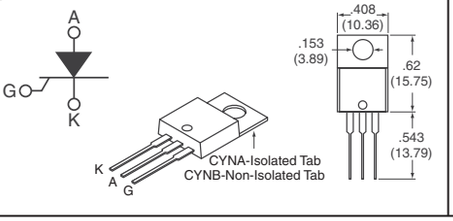

Abb. 3

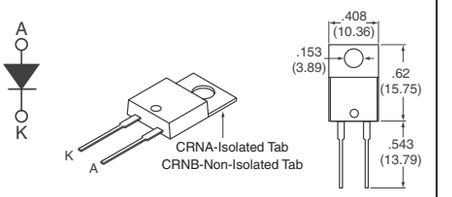

Triacs

Abb.	VDRM (V)	IT(RMS) (A)	IGT (mA)	Merkmale	Digi-Key Teilenr.	Stückpreis 1	10	100	Crydom Teilenr.
					Logic Triacs				
1	400	6	10	Isoliert	CC1387-ND	1.24	1.08	.83	CTA06-400SW
	600	6	10	Isoliert	CC1391-ND	1.30	1.13	.87	CTA06-600SW
	600	6	5	Isoliert	CC1490-ND	1.35	1.18	.91	CTA06-600TW
	600	6	5	Nicht isoliert	CC1431-ND	1.22	1.06	.82	CTB06-600TW
	400	8	5	Isoliert	CC1396-ND	1.36	1.19	.92	CTA08-400TW
	600	8	5	Isoliert	CC1401-ND	1.43	1.24	.96	CTA08-600TW
	600	8	5	Nicht isoliert	CC1440-ND	1.29	1.12	.86	CTB08-600TW
	800	8	10	Nicht isoliert	CC1443-ND	1.27	1.11	.85	CTB08-800SW
	800	8	5	Nicht isoliert	CC1444-ND	1.33	1.16	.89	CTB08-800TW
					Alternistor (Kein Überspannungsschutz)				
1	600	6	35	Isoliert	CC1390-ND	1.24	1.08	.83	CTA06-600CW
	1000	6	50	Isoliert	CC1498-ND	1.37	1.19	.92	CTA06-1000BW
	400	6	35	Nicht isoliert	CC1429-ND	1.06	.92	.71	CTB06-400CW
	1000	6	50	Nicht isoliert	CC1503-ND	1.24	1.07	.83	CTB06-1000BW
	400	8	35	Isoliert	CC1395-ND	1.24	1.08	.83	CTA08-400CW
	600	8	50	Isoliert	CC1398-ND	1.27	1.11	.85	CTA08-600BW
	600	8	35	Isoliert	CC1400-ND	1.30	1.13	.87	CTA08-600CW
	800	8	35	Isoliert	CC1402-ND	1.35	1.17	.90	CTA08-800CW
	1000	8	50	Isoliert	CC1499-ND	1.45	1.26	.97	CTA08-1000BW
	400	8	50	Nicht isoliert	CC1434-ND	1.08	.95	.73	CTB08-400BW
	400	8	35	Nicht isoliert	CC1436-ND	1.12	.97	.75	CTB08-400CW
	600	8	50	Nicht isoliert	CC1438-ND	1.14	1.00	.77	CTB08-600BW
	600	8	35	Nicht isoliert	CC1439-ND	1.17	1.02	.79	CTB08-600CW
	800	8	50	Nicht isoliert	CC1441-ND	1.19	1.03	.80	CTB08-800BW
	800	8	35	Nicht isoliert	CC1442-ND	1.21	1.06	.81	CTB08-800CW
	1000	8	50	Nicht isoliert	CC1504-ND	1.30	1.13	.87	CTB08-1000BW
	400	12	50	Isoliert	CC1405-ND	1.35	1.18	.91	CTA12-400BW
	600	12	50	Isoliert	CC1407-ND	1.42	1.24	.95	CTA12-600BW
	800	12	50	Isoliert	CC1409-ND	1.47	1.28	.99	CTA12-800BW
	1000	12	50	Isoliert	CC1500-ND	1.62	1.41	1.08	CTA12-1000BW
	400	12	35	Nicht isoliert	CC1448-ND	1.24	1.09	.84	CTB12-400CW
	600	12	50	Nicht isoliert	CC1450-ND	1.28	1.11	.86	CTB12-600BW
	600	12	35	Nicht isoliert	CC1452-ND	1.31	1.14	.88	CTB12-600CW
	800	12	35	Nicht isoliert	CC1454-ND	1.36	1.18	.91	CTB12-800CW
1	1000	12	50	Nicht isoliert	CC1505-ND	1.46	1.27	.98	CTB12-1000BW
	400	16	50	Isoliert	CC1413-ND	1.49	1.30	1.00	CTA16-400BW
	400	16	35	Isoliert	CC1414-ND	1.52	1.33	1.02	CTA16-400CW
	600	16	50	Isoliert	CC1416-ND	1.56	1.35	1.04	CTA16-600BW
	600	16	35	Isoliert	CC1417-ND	1.27	1.06	.89	CTA16-600CW
	800	16	50	Isoliert	CC1419-ND	1.29	1.07	.90	CTA16-800BW
	800	16	35	Isoliert	CC1420-ND	1.31	1.09	.92	CTA16-800CW
	1000	16	50	Isoliert	CC1501-ND	1.73	1.50	1.16	CTA16-1000BW
	400	16	50	Nicht isoliert	CC1457-ND	1.35	1.17	.90	CTB16-400BW
	400	16	35	Nicht isoliert	CC1458-ND	1.37	1.19	.92	CTB16-400CW
	600	16	50	Nicht isoliert	CC1460-ND	1.40	1.22	.94	CTB16-600BW
	600	16	35	Nicht isoliert	CC1462-ND	1.43	1.24	.96	CTB16-600CW
	800	16	50	Nicht isoliert	CC1464-ND	1.44	1.25	.97	CTB16-800BW
	800	16	35	Nicht isoliert	CC1466-ND	1.47	1.28	.99	CTB16-800CW
	1000	16	50	Nicht isoliert	CC1506-ND	1.56	1.35	1.04	CTB16-1000BW
	400	24	50	Isoliert	CC1422-ND	1.45	1.21	1.02	CTA24-400BW
	600	24	50	Isoliert	CC1424-ND	1.50	1.25	1.05	CTA24-600BW
	600	24	35	Isoliert	CC1425-ND	1.52	1.27	1.07	CTA24-600CW
	800	24	50	Isoliert	CC1426-ND	1.54	1.29	1.08	CTA24-800BW
	800	24	35	Isoliert	CC1427-ND	1.57	1.31	1.10	CTA24-800CW
	1000	24	50	Isoliert	CC1502-ND	2.05	1.78	1.37	CTA24-1000BW
	400	24	50	Nicht isoliert	CC1469-ND	1.30	1.09	.92	CTB24-400BW
	600	24	50	Nicht isoliert	CC1471-ND	1.35	1.13	.95	CTB24-600BW
	800	24	50	Nicht isoliert	CC1473-ND	1.38	1.16	.97	CTB24-800BW
	1000	24	50	Nicht isoliert	CC1507-ND	1.85	1.60	1.23	CTB24-1000BW
					Hochtemp.-Alternistoren (Kein Überspannungsschutz)				
1	600	12	35	Isoliert	CC1352-ND	1.33	1.11	.93	CHTA12-600
	800	12	35	Isoliert	CC1353-ND	1.37	1.15	.96	CHTA12-800
	600	12	35	Nicht isoliert	CC1356-ND	1.52	1.32	1.02	CHTB12-600
	800	12	35	Nicht isoliert	CC1357-ND	1.57	1.36	1.05	CHTB12-800
	600	25	50	Isoliert	CC1354-ND	1.69	1.41	1.19	CHTA24-600
	800	25	50	Isoliert	CC1355-ND	1.73	1.44	1.21	CHTA24-800
	600	25	50	Nicht isoliert	CC1358-ND	1.54	1.29	1.08	CHTB24-600
	800	25	50	Nicht isoliert	CC1359-ND	1.57	1.32	1.11	CHTB24-800
					Standard-Triacs				
1	400	6	50	Isoliert	CC1385-ND	1.06	.92	.71	CTA06-400B
	400	6	25	Isoliert	CC1386-ND	1.12	.97	.75	CTA06-400C
	600	6	50	Isoliert	CC1388-ND	1.12	.97	.75	CTA06-600B
	600	6	25	Isoliert	CC1389-ND	1.18	1.02	.79	CTA06-600C
	600	6	25	Nicht isoliert	CC1430-ND	1.06	.92	.71	CTB06-600C
	400	8	50	Isoliert	CC1393-ND	1.11	.97	.75	CTA08-400B
	400	8	25	Isoliert	CC1394-ND	1.18	1.02	.79	CTA08-400C
	600	8	50	Isoliert	CC1397-ND	1.18	1.02	.79	CTA08-600B
	600	8	25	Isoliert	CC1399-ND	1.24	1.08	.83	CTA08-600C
	400	8	50	Nicht isoliert	CC1433-ND	1.00	.87	.67	CTB08-400B
	400	8	25	Nicht isoliert	CC1435-ND	1.06	.92	.71	CTB08-400C
	600	8	50	Nicht isoliert	CC1437-ND	1.06	.92	.71	CTB08-600B
	400	12	50	Isoliert	CC1404-ND	1.24	1.08	.83	CTA12-400B
	400	12	25	Isoliert	CC1406-ND	1.31	1.14	.88	CTA12-400C
	600	12	50	Isoliert	CC1491-ND	1.31	1.14	.88	CTA12-600B
	600	12	25	Isoliert	CC1408-ND	1.39	1.21	.93	CTA12-600C
	800	12	25	Isoliert	CC1410-ND	1.44	1.25	.96	CTA12-800C
	400	12	50	Nicht isoliert	CC1446-ND	1.12	.98	.75	CTB12-400B
	400	12	25	Nicht isoliert	CC1447-ND	1.19	1.03	.79	CTB12-400C
	600	12	50	Nicht isoliert	CC1449-ND	1.19	1.03	.79	CTB12-600B
	600	12	25	Nicht isoliert	CC1451-ND	1.24	1.09	.84	CTB12-600C
1	800	12	25	Nicht isoliert	CC1453-ND	1.30	1.13	.87	CTB12-800C
	400	16	50	Isoliert	CC1412-ND	1.40	1.22	.94	CTA16-400B
	600	16	50	Isoliert	CC1415-ND	1.46	1.27	.98	CTA16-600B
	800	16	50	Isoliert	CC1418-ND	1.51	1.31	1.01	CTA16-800B
	400	16	50	Nicht isoliert	CC1456-ND	1.26	1.09	.84	CTB16-400B
	600	16	50	Nicht isoliert	CC1459-ND	1.31	1.14	.88	CTB16-600B
	600	16	25	Nicht isoliert	CC1461-ND	1.37	1.19	.92	CTB16-600C
	800	16	50	Nicht isoliert	CC1463-ND	1.35	1.18	.91	CTB16-800B
	800	16	25	Nicht isoliert	CC1465-ND	1.41	1.23	.95	CTB16-800C
	600	24	50	Isoliert	CC1423-ND	1.42	1.19	1.00	CTA24-600B
	400	24	50	Nicht isoliert	CC1468-ND	1.54	1.34	1.03	CTB24-400B
	600	24	50	Nicht isoliert	CC1470-ND	1.28	1.07	.90	CTB24-600B
	800	24	50	Nicht isoliert	CC1472-ND	1.31	1.10	.93	CTB24-800B

SCRs

Abb.	VDRM (V)	IT(RMS) (A)	Rd (Max.)	Merkmale	Digi-Key Teilenr.	Stückpreis 1	10	100	Crydom Teilenr.
2	400	16	23mΩ	Isoliert	CC1475-ND	1.56	1.35	1.04	CYNA16-400
	600	16	23mΩ	Isoliert	CC1476-ND	1.30	1.08	.91	CYNA16-600
	800	16	23mΩ	Isoliert	CC1477-ND	1.35	1.13	.95	CYNA16-800
	1000	16	23mΩ	Isoliert	CC1508-ND	1.45	1.21	1.02	CYNA16-1000
	400	16	23mΩ	Nicht isoliert	CC1483-ND	1.40	1.22	.94	CYNB16-400
	600	16	23mΩ	Nicht isoliert	CC1484-ND	1.46	1.27	.98	CYNB16-600
	800	16	23mΩ	Nicht isoliert	CC1485-ND	1.52	1.32	1.01	CYNB16-800
	1000	16	23mΩ	Nicht isoliert	CC1510-ND	1.30	1.09	.92	CYNB16-1000
	400	25	14mΩ	Isoliert	CC1479-ND	1.68	1.40	1.18	CYNA25-400
	600	25	14mΩ	Isoliert	CC1480-ND	1.73	1.44	1.21	CYNA25-600
	800	25	14mΩ	Isoliert	CC1481-ND	1.78	1.49	1.25	CYNA25-800
	1000	25	14mΩ	Isoliert	CC1509-ND	1.88	1.57	1.32	CYNA25-1000
	400	25	14mΩ	Nicht isoliert	CC1487-ND	1.51	1.26	1.06	CYNB25-400
	600	25	14mΩ	Nicht isoliert	CC1488-ND	1.56	1.30	1.09	CYNB25-600
	800	25	14mΩ	Nicht isoliert	CC1489-ND	1.60	1.34	1.13	CYNB25-800
	1000	25	14mΩ	Nicht isoliert	CC1511-ND	1.69	1.41	1.19	CYNB25-1000

Gleichrichterdioden

Abb.	VDRM (V)	IF(RMS) (A)	VFM (V)	Merkmale	Digi-Key Teilenr.	Stückpreis 1	10	100	Crydom Teilenr.
3	400	15	1.1	Isoliert	CC1361-ND	1.56	1.35	1.04	CRNA15-400
	600	15	1.1	Isoliert	CC1362-ND	1.30	1.08	.91	CRNA15-600
	800	15	1.1	Isoliert	CC1363-ND	1.35	1.18	.91	CRNA15-800
	1000	15	1.1	Isoliert	CC1492-ND	1.45	1.21	1.02	CRNA15-1000
	400	15	1.1	Nicht isoliert	CC1373-ND	1.40	1.22	.94	CRNB15-400
	600	15	1.1	Nicht isoliert	CC1374-ND	1.46	1.27	.98	CRNB15-600
	800	15	1.1	Nicht isoliert	CC1375-ND	1.52	1.32	1.01	CRNB15-800
	1000	15	1.1	Nicht isoliert	CC1495-ND	1.30	1.09	.92	CRNB15-1000
	400	20	1.1	Isoliert	CC1365-ND	1.45	1.21	1.02	CRNA20-400
	600	20	1.1	Isoliert	CC1366-ND	1.50	1.25	1.05	CRNA20-600
	800	20	1.1	Isoliert	CC1367-ND	1.55	1.30	1.09	CRNA20-800
	1000	20	1.1	Isoliert	CC1493-ND	1.65	1.38	1.16	CRNA20-1000
	400	20	1.1	Nicht isoliert	CC1377-ND	1.30	1.09	.92	CRNB20-400
	600	20	1.1	Nicht isoliert	CC1378-ND	1.35	1.13	.95	CRNB20-600
	800	20	1.1	Nicht isoliert	CC1379-ND	1.40	1.17	.98	CRNB20-800
	1000	20	1.1	Nicht isoliert	CC1496-ND	1.49	1.24	1.04	CRNB20-1000
	400	25	1.1	Isoliert	CC1369-ND	1.68	1.40	1.18	CRNA25-400
	600	25	1.1	Isoliert	CC1370-ND	1.73	1.44	1.21	CRNA25-600
	800	25	1.1	Isoliert	CC1371-ND	1.78	1.49	1.25	CRNA25-800
	1000	25	1.1	Isoliert	CC1494-ND	1.88	1.57	1.32	CRNA25-1000
	400	25	1.1	Nicht isoliert	CC1381-ND	1.51	1.26	1.06	CRNB25-400
	600	25	1.1	Nicht isoliert	CC1382-ND	1.56	1.30	1.09	CRNB25-600
	800	25	1.1	Nicht isoliert	CC1383-ND	1.60	1.34	1.13	CRNB25-800
	1000	25	1.1	Nicht isoliert	CC1497-ND	1.69	1.41	1.19	CRNB25-1000

Alle Preisangaben in Euro und inklusive Zollgebühren.

Mosfet

Paket	Typ	Vds (V)	RDS (ein) Ω	ID (A)	ID Puls (A)	P_{tot} (W)	Digi-Key Teilenr.	Stückpreis 1	10	100	Digi-Key Teilenr.	Gegurtet auf Rolle Größe	Preisangaben	Infineon Teilenr.
SOT-223	P-CH	-60	0.8	-1.17	-4.68	1.8	BSP315PINCT-ND	.62	.50	.37	BSP315PINTR-ND	1,000	219.27	BSP315P-E6327
SOT-23	P-CH	-60	8	-0.17	-0.68	0.36	BSS84PINCT-ND	.31	.22	.15	BSS84PINTR-ND	3,000	46.57/M	BSP84P-E6327
SOT-143	N-CH	12	—	0.3	—	200	BF998INCT-ND*	.40	.31	.23	BF998INTR-ND*	3,000	100.75/M	BF998E6327
SOT-223	N-CH	50	0.3	1.8	7.2	1.8	BSP295INCT-ND	.82	.66	.50	BSP295INTR-ND	1,000	283.84	BSP295E6327
TO-220AB	N-CH	50	0.12	15.5	62	50	BTS115AIN-ND	3.54	2.47	2.03	—	—	—	BTS115A
SOT-23	N-CH	60	3.5	0.23	0.88	0.36	BSS138NEINCT-ND	.29	.20	.14	BSS138NEINTR-ND	3,000	43.31/M	BSS138NE6327
SOT-23	N-CH	100	6	0.17	0.68	0.36	BSS119INCT-ND	.46	.37	.28	BSS119INTR-ND	3,000	137.91/M	BSS119E6327
SOT-223	N-CH	100	6	0.38	0.68	1.7	BSP123INCT-ND	.47	.38	.28	BSP123INTR-ND	1,000	151.25	BSP123E6327
SOT-223	N-CH	100	0.8	1	4	1.8	BSP296INCT-ND	.82	.66	.50	BSP296INTR-ND	1,000	283.84	BSP296E6327
SOT-23	N-CH	100	6	0.17	0.68	0.36	BSS123INCT-ND	.30	.21	.15	BSS123INTR-ND	3,000	45.68/M	BSS123E6327
TO-220AB	N-CH	100	0.1	22	88	95	BTS121AIN-ND	5.35	3.92	3.47	—	—	—	BTS121A
TO-220AB	N-CH	100	0.085	21	84	75	BUZ21IN-ND	.97	.89	.83	—	—	—	BUZ21
TO-220AB	N-CH	200	0.13	21	84	125	BUZ30AIN-ND	1.83	1.19	.93	—	—	—	BUZ30A
TO-220AB	N-CH	200	0.4	7	28	40	BUZ73IN-ND	.97	.61	.45	—	—	—	BUZ73
SOT-223	N-CH	240	20	0.2	0.6	1.7	BSP129INCT-ND	.77	.67	.52	BSP129INTR-ND	1,000	319.77	BSP129E6327
SOT-223	N-CH	240	8	0.32	1.28	1.7	BSP88INCT-ND	.63	.52	.39	BSP88INTR-ND	1,000	227.02	BSP88E6327
SOT-23	N-CH	240	16	0.1	0.4	0.36	BSS131INCT-ND	.39	.30	.22	BSS131INTR-ND	3,000	92.38/M	BSS131E6327
SOT-89	N-CH	240	6	0.29	1.16	1	BSS87INCT-ND	.75	.60	.45	BSS87INTR-ND	1,000	264.00	BSS87E6327
TO-220AB	N-CH	800	3	3.6	14.5	100	BUZ80AIN-ND	3.56	2.46	2.01	—	—	—	BUZ80A

* Zweifach

Cool MOS™ Power

Paket	Typ	Vds (V)	RDS (ein) Ω	ID (A)	ID Puls (A)	P_{tot} (W)	Digi-Key Teilenr.	Stückpreis 1	10	100	Digi-Key Teilenr.	Gegurtet auf Rolle Größe	Preisangaben	Infineon Teilenr.
	P-CH	-60	0.3	-8.8	-35.2	42	SPP08P06PIN-ND	.91	.58	.43	—	—	—	SPP08P06P
	P-CH	-60	0.13	-18.6	-74.4	80	SPP18P06PIN-ND	1.30	.85	.62	—	—	—	SPP18P06P
	N-CH	560	0.95	4.5	13.5	50	SPP04N50C3IN-ND	1.54	.97	.60	—	—	—	SPP04N50C3
TO-220AB	N-CH	560	0.6	7.6	22.8	83	SPP08N50C3IN-ND	1.73	1.14	.88	—	—	—	SPP08N50C3
	N-CH	560	0.38	11.6	34.8	125	SPP12N50C3IN-ND	2.29	1.50	1.22	—	—	—	SPP12N50C3
	N-CH	560	0.28	16	48	160	SPP16N50C3IN-ND	2.75	1.84	1.50	—	—	—	SPP16N50C3
	N-CH	560	0.19	21	63	208	SPP21N50C3IN-ND	2.95	2.04	1.66	—	—	—	SPP21N50C3
	N-CH	560	0.95	4.5	13.5	31	SPA04N50C3IN-ND	1.54	.97	.72	—	—	—	SPA04N50C3
	N-CH	560	0.6	7.6	22.8	32	SPA08N50C3IN-ND	1.87	1.25	.99	—	—	—	SPA08N50C3
TO-220FP	N-CH	560	0.38	11.6	34.8	33	SPA12N50C3IN-ND	2.02	1.38	1.11	—	—	—	SPA12N50C3
	N-CH	560	0.28	16	48	34	SPA16N50C3IN-ND	2.38	1.59	1.30	—	—	—	SPA16N50C3
	N-CH	560	0.19	21	63	34.5	SPA21N50C3IN-ND	3.07	2.13	1.73	—	—	—	SPA21N50C3
	N-CH	560	3	1.8	5.4	25	SPD02N50C3INCT-ND	.96	.77	.58	SPD02N50C3INTR-ND	2,500	310.71/M	SPD02N50C3
D-PAK	N-CH	560	1.4	3.2	9.6	38	SPD03N50C3INCT-ND	.97	.85	.66	SPD03N50C3INTR-ND	2,500	381.82/M	SPD03N50C3
	N-CH	560	0.95	4.5	13.5	50	SPD04N50C3INCT-ND	1.23	1.07	.82	SPD04N50C3INTR-ND	2,500	480.03/M	SPD04N50C3
	N-CH	560	0.6	7.6	22.8	83	SPD08N50C3INCT-ND	1.45	1.21	1.02	SPD08N50C3INTR-ND	2,500	675.59/M	SPD08N50C3
	N-CH	560	0.38	11.6	34.8	125	SPW12N50C3IN-ND	3.22	2.21	1.76	—	—	—	SPW12N50C3
TO-247	N-CH	560	0.28	16	48	160	SPW16N50C3IN-ND	3.84	2.10	1.81	—	—	—	SPW16N50C3
	N-CH	560	0.19	21	63	208	SPW21N50C3IN-ND	4.24	3.01	2.47	—	—	—	SPW21N50C3
	N-CH	650	3	1.8	5.4	25	SPP02N60C3IN-ND	.95	.60	.44	—	—	—	SPP02N60C3
	N-CH	650	1.4	3.2	9.6	38	SPP03N60C3IN-ND	1.35	.84	.63	—	—	—	SPP03N60C3
	N-CH	650	1.4	3.2	5.7	38	SPP03N60S5IN-ND	1.35	.84	.63	—	—	—	SPP03N60S5
	N-CH	650	0.95	4.5	13.5	50	SPP04N60C3IN-ND	1.63	1.02	.76	—	—	—	SPP04N60C3
	N-CH	650	0.6	7.3	21.9	83	SPP07N60C3IN-ND	1.85	1.24	.97	—	—	—	SPP07N60C3
TO-220AB	N-CH	650	0.6	7.3	14.6	83	SPP07N60S5IN-ND	1.85	1.24	.97	—	—	—	SPP07N60S5
	N-CH	650	0.38	11	33	125	SPP11N60C3IN-ND	2.43	1.65	1.30	—	—	—	SPP11N60C3
	N-CH	650	0.38	11	22	125	SPP11N60S5IN-ND	2.37	1.61	1.26	—	—	—	SPP11N60S5
	N-CH	650	0.19	20.7	62.1	208	SPP20N60C3IN-ND	3.97	2.72	2.17	—	—	—	SPP20N60C3
	N-CH	650	0.19	20	40	208	SPP20N60S5IN-ND	3.67	2.52	2.00	—	—	—	SPP20N60S5
	N-CH	650	3	1.8	5.4	25	SPB02N60C3INCT-ND	.98	.85	.66	SPB02N60C3INTR-ND	1,000	399.60	SPB02N60C3
	N-CH	650	1.4	3.2	9.6	38	SPB03N60C3INCT-ND	1.26	1.10	.84	SPB03N60C3INTR-ND	1,000	513.89	SPB03N60C3
D2-PAK	N-CH	650	0.95	4.5	13.5	50	SPB04N60C3INCT-ND	1.52	1.32	1.02	SPB04N60C3INTR-ND	1,000	620.56	SPB04N60C3
	N-CH	650	0.6	7.3	21.9	83	SPB07N60C3INCT-ND	1.68	1.40	1.18	SPB07N60C3INTR-ND	1,000	811.04	SPB07N60C3
	N-CH	650	0.38	11	33	125	SPB11N60C3INCT-ND	2.35	1.97	1.65	SPB11N60C3INTR-ND	1,000	1118.36	SPB11N60C3
TO-262AB	N-CH	650	0.6	7.3	21.9	83	SPI07N60C3IN-ND	1.85	1.24	.97	—	—	—	SPI07N60C3
	N-CH	650	0.38	11	33	125	SPI11N60C3IN-ND	2.22	1.85	1.56	—	—	—	SPI11N60C3
	N-CH	650	0.95	4.5	13.5	31	SPA04N60C3IN-ND	1.67	1.04	.77	—	—	—	SPA04N60C3
TO-220FP	N-CH	650	0.38	11	33	33	SPA11N60C3IN-ND	2.56	1.73	1.36	—	—	—	SPA11N60C3
	N-CH	650	0.19	20.7	62.1	34.5	SPA20N60C3IN-ND	3.58	2.50	2.05	—	—	—	SPA20N60C3
	N-CH	650	3	1.8	5.4	25	SPD02N60C3INCT-ND	.91	.80	.61	SPD02N60C3INTR-ND	2,500	357.27/M	SPD02N60C3
	N-CH	650	1.4	3.2	9.6	38	SPD03N60C3INCT-ND	1.08	.94	.72	SPD03N60C3INTR-ND	2,500	419.92/M	SPD03N60C3
D-PAK	N-CH	650	0.95	4.5	13.5	50	SPD04N60C3INCT-ND	1.25	1.09	.84	SPD04N60C3INTR-ND	2,500	490.18/M	SPD04N60C3
	N-CH	650	0.6	7.3	21.9	83	SPD07N60C3INCT-ND	1.55	1.30	1.09	SPD07N60C3INTR-ND	2,500	723.85/M	SPD07N60C3
	N-CH	650	0.6	7.3	14.6	83	SPD07N60S5INCT-ND	1.32	1.10	.93	SPD07N60S5INTR-ND	2,500	616.33/M	SPD07N60S5
	N-CH	650	0.19	20.7	62.1	208	SPW20N60C3IN-ND	5.33	3.65	2.90	—	—	—	SPW20N60C3
TO-247	N-CH	650	0.19	20	40	208	SPW20N60S5IN-ND	5.33	3.65	2.90	—	—	—	SPW20N60S5
	N-CH	650	0.07	47	141	415	SPW47N60C3IN-ND	10.46	8.04	6.74	—	—	—	SPW47N60C3
	N-CH	800	2.7	2	6	42	SPP02N80C3IN-ND	1.52	.85	.69	—	—	—	SPP02N80C3
	N-CH	800	1.3	4	12	63	SPP04N80C3IN-ND	2.15	1.35	1.00	—	—	—	SPP04N80C3
TO-220AB	N-CH	800	0.9	6	18	83	SPP06N80C3IN-ND	2.69	1.69	1.25	—	—	—	SPP06N80C3
	N-CH	800	0.65	8	24	104	SPP08N80C3IN-ND	2.42	1.65	1.30	—	—	—	SPP08N80C3
	N-CH	800	0.45	11	33	156	SPP11N80C3IN-ND	3.08	2.06	1.70	—	—	—	SPP11N80C3

SOT-223

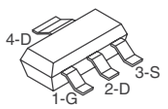

SOT-23

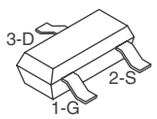

SOT-89

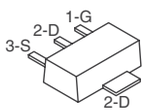

SOT-143

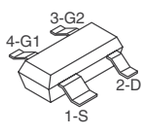

TO-220AB

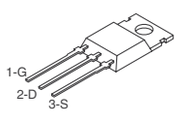

TO-220FP

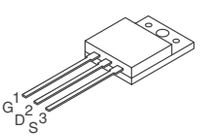

D-PAK / D2-PAK

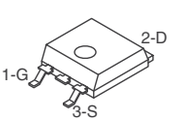

(Forts.)

B

Paket	Typ	Vds (V)	RDS (ein) Ω	ID (A)	ID Puls (A)	P_{tot} (W)	Digi-Key Teilenr.	Stückpreis 1	10	100	Digi-Key Teilenr.	Gegurtet auf Rolle Größe	Preisangaben	Infineon Teilenr.
TO-220AB	N-CH	800	0.29	17	51	208	SPP17N80C3IN-ND	4.55	3.20	2.70	—	—	—	SPP17N80C3
D2-PAK	N-CH	800	0.29	17	51	208	SPB17N80C3INCT-ND	4.05	3.53	3.00	SPB17N80C3INTR-ND	1,000	2097.87	SPB17N80C3
TO-247	N-CH	800	0.45	11	33	156	SPW11N80C3IN-ND	3.97	2.77	2.27	—	—	—	SPW11N80C3
	N-CH	800	0.29	17	51	208	SPW17N80C3IN-ND	4.27	3.84	3.18	—	—	—	SPW17N80C3
TO-220FP	N-CH	800	1.3	4	12	38	SPA04N80C3IN-ND	2.30	1.44	1.07	—	—	—	SPA04N80C3
	N-CH	800	0.9	6	18	39	SPA06N80C3IN-ND	2.83	1.77	1.31	—	—	—	SPA06N80C3
	N-CH	800	0.65	8	24	40	SPA08N80C3IN-ND	2.57	1.75	1.37	—	—	—	SPA08N80C3
	N-CH	800	0.45	11	33	41	SPA11N80C3IN-ND	3.13	2.16	1.76	—	—	—	SPA11N80C3
	N-CH	800	0.29	17	51	42	SPA17N80C3IN-ND	5.25	4.42	2.86	—	—	—	SPA17N80C3
D-PAK	N-CH	800	0.9	6	18	83	SPD06N80C3INCT-ND	1.93	1.61	1.36	SPD06N80C3INTR-ND	2,500	905.02/M	SPD06N80C3

TO-247

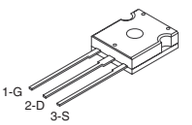

B

OptiMOS™ 2

Paket	Typ	Vds (V)	RDS (ein) Ω	ID (A)	ID Puls (A)	P_{tot} (W)	Digi-Key Teilenr.	Stückpreis 1	10	100	Digi-Key Teilenr.	Gegurtet auf Rolle Größe	Preisangaben	Infineon Teilenr.
TO-220AB	N-CH	25	2.7	80	385	150	IPP03N03LAIN-ND	2.04	1.37	1.09	—	—	—	IPP03N03LA
	N-CH	25	3.9	80	385	107	IPP04N03LAIN-ND	1.46	.94	.72	—	—	—	IPP04N03LA
	N-CH	25	4.6	80	385	94	IPP05N03LAIN-ND	1.45	.80	.66	—	—	—	IPP05N03LA
	N-CH	25	5.9	50	350	83	IPP06N03LAIN-ND	1.17	.74	.56	—	—	—	IPP06N03LA
	N-CH	25	8.9	50	350	63	IPP09N03LAIN-ND	.88	.55	.40	—	—	—	IPP09N03LA
	N-CH	25	13.6	30	210	46	IPP14N03LAIN-ND	.80	.48	.34	—	—	—	IPP14N03LA
D2-PAK	N-CH	25	3.9	80	385	107	IPB04N03LAINCT-ND	1.22	1.02	.86	IPB04N03LAINTR-ND	1,000	609.30	IPB04N03LA
	N-CH	25	4.6	80	385	94	IPB05N03LAINCT-ND	1.32	1.15	.89	IPB05N03LAINTR-ND	1,000	540.13	IPB05N03LA
	N-CH	25	5.9	50	350	83	IPB06N03LAINCT-ND	1.32	1.15	.89	IPB06N03LAINTR-ND	1,000	540.13	IPB06N03LA
	N-CH	25	8.9	50	350	63	IPB09N03LAINCT-ND	.93	.81	.62	IPB09N03LAINTR-ND	1,000	379.13	IPB09N03LA
	N-CH	25	13.6	30	210	46	IPB14N03LAINCT-ND	.82	.66	.50	IPB14N03LAINTR-ND	2,000	566.10/M	IPB14N03LA
TO-262AB	N-CH	25	3.9	80	385	107	IPI04N03LAIN-ND	1.46	.94	.72	—	—	—	IPI04N03LA
D-PAK	N-CH	25	3.8	50	350	115	IPD04N03LAGINCT-ND	1.20	1.00	.85	IPD04N03LAGINTR-ND	2,500	725.54/M	IPD04N03LA G
	N-CH	25	5.1	50	350	94	IPD05N03LAGINCT-ND	1.44	1.25	.97	IPD05N03LAGINTR-ND	2,500	698.45/M	IPD05N03LA G
	N-CH	25	5.7	50	350	83	IPD06N03LAGINCT-ND	1.07	.93	.72	IPD06N03LAGINTR-ND	2,500	493.57/M	IPD06N03LA G
	N-CH	25	8.6	50	350	63	IPD09N03LAGINCT-ND	.98	.86	.66	IPD09N03LAGINTR-ND	2,500	476.64/M	IPD09N03LA G
	N-CH	25	13	30	210	46	IPD13N03LAGINCT-ND	.75	.60	.45	IPD13N03LAGINTR-ND	2,500	253.14/M	IPD13N03LA G
TO-251AB	N-CH	25	5.9	30	210	94	IPU06N03LAGIN-ND	1.19	.74	.54	—	—	—	IPU06N03LA G
	N-CH	25	6.5	30	210	83	IPU07N03LAIN-ND	1.14	.73	.49	—	—	—	IPU07N03LA
	N-CH	25	9.3	30	210	63	IPU09N03LAGIN-ND	.94	.58	.43	—	—	—	IPU09N03LA G
	N-CH	25	12.8	30	210	47	IPU13N03LAGIN-ND	.86	.51	.35	—	—	—	IPU13N03LA G
D-PAK Gebogene Anschlüsse	N-CH	25	5.4	50	350	94	IPF05N03LAGINCT-ND	1.27	1.11	.85	IPF05N03LAGINTR-ND	2,500	615.48/M	IPF06N03LA G
	N-CH	25	13.3	30	210	46	IPF13N03LAGINCT-ND	.80	.70	.54	IPF13N03LAGINTR-ND	2,500	315.78/M	IPF13N03LA G

TO-251AB

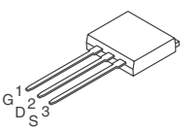

TO-262AB

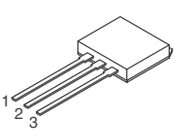

D-PAK — Gebogene Anschlüsse

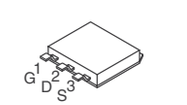

SIPMOS™

Paket	Typ	Vds (V)	RDS (ein) Ω	ID (A)	ID Puls (A)	P_{tot} (W)	Digi-Key Teilenr.	Stückpreis 1	10	100	Digi-Key Teilenr.	Gegurtet auf Rolle Größe	Preisangaben	Infineon Teilenr.
D-PAK	P-CH	-60	0.075	-30	-120	125	SPD30P06PINCT-ND	1.43	1.20	1.01	SPD30P06PINTR-ND	2,500	668.82/M	SPD30P06
TO-220AB	P-CH	-60	0.023	-80	-320	340	SPP80P06PIN-ND	3.35	2.32	1.89	—	—	—	SPP80P06P
D-PAK	P-CH	-60	0.25	-9.7	-38.8	42	SPD09P06PLINCT-ND	.97	.77	.58	SPD09P06PLINTR-ND	2,500	310.71/M	SPD09P06PL
TO-251AB	P-CH	-60	0.25	-9.7	-38.8	42	SPU09P06PLIN-ND	.97	.63	.45	—	—	—	SPU09P06PL
SOT-223	P-CH	-60	0.3	-1.9	-7.6	1.8	BSP171PE6327INCT-ND	.85	.68	.51	BSP171PE6327INTR-ND	1,000	292.08	BSP171PE6327
SOT-223	P-CH	-60	0.3	-1.9	-7.6	1.8	BSP170PE6327INCT-ND	.72	.58	.44	BSP170PE6327INTR-ND	1,000	256.82	BSP170PE6327
TO-251AB	P-CH	-60	0.3	-8.8	-35.2	42	SPU08P06PIN-ND	.98	.64	.46	—	—	—	SPU08P06P
SOT-23	P-CH	-60	2	-0.33	-1.32	0.36	BSS83PE6327INCT-ND	.40	.28	.19	BSS83PE6327INTR-ND	3,000	59.27/M	BSS83PE6327
TO-220AB	P-CH	-100	0.24	-15	-60	128	SPP15P10PIN-ND	1.83	1.19	.94	—	—	—	SPP15P10P
SOT-223	P-CH	-100	1.8	-0.68	-2.72	1.8	BSP316PE6327INCT-ND	.66	.53	.40	BSP316PE6327INTR-ND	1,000	235.35	BSP316PE6327
SOT-89	P-CH	-250	12	-0.19	-0.76	1	BSS192PE6327INCT-ND	.66	.53	.40	BSS192PE6327INTR-ND	1,000	233.66	BSS192PE6327
SOT-223	P-CH	-250	4	-0.43	-1.72	1.8	BSP317PE6327INCT-ND	.82	.72	.55	BSP317PE6327INTR-ND	1,000	335.25	BSP317PE6327
D-PAK	N-CH	100	.044	35	140	150	SPD35N10INCT-ND	1.19	1.04	.80	SPD35N10INTR-ND	2,500	454.94/M	SPD35N10
	N-CH	100	.17	10.5	41.2	50	SPD11N10INCT-ND	.75	.61	.46	SPD11N10INTR-ND	2,500	242.33/M	SPD11N10
D2-PAK	N-CH	100	.044	35	140	150	SPB35N10INCT-ND	1.40	1.22	.94	SPB35N10INTR-ND	1,000	558.63	SPB35N10
	N-CH	100	.08	21	84	90	SPB21N10INCT-ND	1.25	1.09	.84	SPB21N10INTR-ND	1,000	501.61	SPB21N10
TO-220AB	N-CH	100	.044	35	140	150	SPP35N10IN-ND	1.34	.86	.66	—	—	—	SPP35N10
	N-CH	100	.08	21	84	90	SPP21N10IN-ND	1.24	.81	.61	—	—	—	SPP21N10
SO-8	N-CH	60	0.12	3.1	12.4	2	—	—	—	—	BSO615NVINTR-ND*	2,500	385.21/M	BSO615NV
	N-CH	60	0.15	2.6	10.4	2	BSO615NINCT-ND*	.94	.82	.63	BSO615NINTR-ND*	2,500	362.01/M	BSO615N
	P/N-CH	-30/30	0.25/0.11	-2.3/3.4	-7.2/11.6	2/2	—	—	—	—	BSO315CINTR-ND*	2,500	400.44/M	BSO315C
	P/N-CH	-60/60	0.3/0.12	-2/3	-8/12	2/2	BSO612CVINCT-ND*	1.01	.88	.68	BSO612CVINTR-ND*	2,500	383.76/M	BSO612CV
	P/N-CH	-60/60	0.3/0.11	-2/3.1	-8/12.4	2/2	BSO615CINCT-ND*	1.00	.87	.67	BSO615CINTR-ND*	2,500	380.13/M	BSO615C

SOT-223

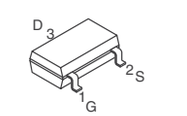

SOT-363 — Einfach

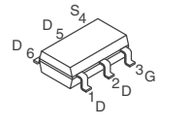

* Zweifach

OptiMOS™

Paket	Typ	Vds (V)	RDS (ein) Ω	ID (A)	ID Puls (A)	P_{tot} (W)	Digi-Key Teilenr.	Stückpreis 1	10	100	Digi-Key Teilenr.	Gegurtet auf Rolle Größe	Preisangaben	Infineon Teilenr.
SOT-323	P-CH	-20	1.2	-0.39	-1.56	0.25	BSS223PWINCT-ND	.38	.28	.20	BSS223PWINTR-ND	3,000	80.43/M	BSS223PW
	P-CH	-20	550	-0.58	-2.3	0.52	BSS209PWINCT-ND	.36	.28	.20	BSS209PWINTR-ND	3,000	88.86/M	BSS209PW
SOT-363	P-CH	-20	175	-1.5	-6	0.56	BSV236SPINCT-ND	.40	.32	.24	BSV236SPINTR-ND	10,000	112.56/M	BSV236SP
	P-CH	-20	1,200	-0.39	-1.56	0.25	BSD223PINCT-ND*	.34	.27	.19	BSD223PINTR-ND*	10,000	76.24/M	BSD223P
SO-8	P-CH	-20	8	-14.9	-59.6	2.5	BSO201SPINCT-ND	1.35	1.13	.95	BSO201SPINTR-ND	2,500	628.77/M	BSO201SP
	P-CH	-20	21	-8.2	-32.8	2	BSO203PINCT-ND	1.56	1.36	1.04	BSO203PINTR-ND	2,500	581.96/M	BSO203P
	P-CH	-20	21	-9	-36	2.35	BSO203SPINCT-ND	1.03	.90	.69	BSO203SPINTR-ND	2,500	391.36/M	BSO203SP
	P-CH	-20	30	-7	-28	2	BSO204PINCT-ND*	1.30	1.12	.87	BSO204PINTR-ND*	2,500	482.40/M	BSO204P

SOT-363 — Zweifach

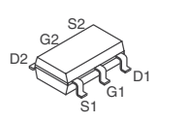

* Zweifach

(Forts.)

Alle Preisangaben in Euro und inklusive Zollgebühren.

Paket	Typ	Vds (V)	RDS (ein) Ω	ID (A)	ID Puls (A)	P_{tot} (W)	Digi-Key Teilenr.	Stückpreis 1	10	100	Digi-Key Teilenr.	Gegurtet auf Rolle Größe	Preisangaben	Infineon Teilenr.
SO-8	P-CH	-20	45	-5.7	-22.8	2	BSO207PINCT-ND*	1.06	.92	.71	BSO207PINTR-ND*	2,500	403.42/M	BSO207P
	P-CH	-20	67	-4.7	-18.8	2	BSO211PINCT-ND*	.85	.74	.57	BSO211PINTR-ND*	2,500	326.78/M	BSO211P
TSOP-6	P-CH	-20	67	-4.7	-18.8	2	BSL211SPINCT-ND	.56	.45	.34	BSL211SPINTR-ND	3,000	168.77/M	BSL211SP
	P-CH	-20	41	-6	-24	2	BSL207SPINCT-ND	.60	.49	.37	BSL207SPINTR-ND	3,000	201.66/M	BSL207SP
SO-8	P-CH	-30	8	-14.9	-59.6	2.5	BSO301SPINCT-ND	1.35	1.13	.95	BSO301SPINTR-ND	2,500	628.77/M	BSO301SP
	P-CH	-30	21	-8.9	-35.6	2.35	BSO303SPINCT-ND	1.03	.90	.69	BSO303SPINTR-ND	2,500	391.36/M	BSO303SP
TSOP-6	P-CH	-30	43	-5.5	-22	2	BSL307SPINCT-ND	.60	.49	.37	BSL307SPINTR-ND	3,000	201.66/M	BSL307SP
D-PAK	N-CH	30	4.2	100	400	150	SPD100N03S2L-INCT-ND	1.76	1.47	1.24	SPD100N03S2L-INTR-ND	2,500	822.80/M	SPD100N03S2L-04
	N-CH	30	6.4	50	200	136	SPD50N03S2L06INCT-ND	1.38	1.20	.93	SPD50N03S2L06INTR-ND	2,500	516.06/M	SPD50N03S2L-06
	N-CH	30	6.7	30	120	136	SPD30N03S2L07INCT-ND	1.13	.99	.76	SPD30N03S2L07INTR-ND	2,500	513.04/M	SPD30N03S2L-07
	N-CH	30	20	30	120	60	SPD30N03S2L20INCT-ND	.81	.65	.49	SPD30N03S2L20INTR-ND	2,500	261.97/M	SPD30N03S2L-20
	N-CH	30	10	30	120	100	SPD30N03S2L10INCT-ND	.91	.80	.61	SPD30N03S2L10INTR-ND	2,500	356.42/M	SPD30N03S2L-10
D2-PAK	N-CH	30	2.7	100	400	300	SPB100N03S2L-INCT-ND	2.87	2.50	1.86	SPB100N03S2L-INTR-ND	1,000	1487.48	SPB100N03S2L-03
	N-CH	30	3	100	400	300	SPB100N03S203INCT-ND	2.87	2.50	1.86	SPB100N03S203INTR-ND	1,000	1487.48	SPB100N03S2-03
	N-CH	30	5.2	80	320	167	SPB80N03S2L05INCT-ND	1.31	1.10	.93	SPB80N03S2L05INTR-ND	1,000	636.25	SPB80N03S2L-05
	N-CH	30	5.9	80	320	150	SPB80N03S2L06INCT-ND	1.37	1.19	.92	SPB80N03S2L06INTR-ND	1,000	547.20	SPB80N03S2L-06
	N-CH	30	5.9	80	320	150	SPP80N03S2L-06IN-ND	1.19	.77	.58	—	—	—	SPP80N03S2L-06
	N-CH	30	8.4	73	320	107	SPB73N03S2L08INCT-ND	1.11	.97	.75	SPB73N03S2L08INTR-ND	1,000	444.72	SPB73N03S2L-08
	N-CH	30	12.9	42	248	83	SPB42N03S2L13INCT-ND	.83	.72	.56	SPB42N03S2L13INTR-ND	1,000	347.95	SPB42N03S2L-13
TO-220AB	N-CH	30	2.7	100	400	300	SPP100N03S2L-03IN-ND	3.08	2.13	1.74	—	—	—	SPP100N03S2L-03
	N-CH	30	3	100	400	300	SPP100N03S2-03IN-ND	3.08	2.13	1.74	—	—	—	SPP100N03S2-03
	N-CH	30	5.2	80	320	167	SPP80N03S2L-05IN-ND	1.58	.99	.77	—	—	—	SPP80N03S2L-05
	N-CH	30	8.4	73	320	107	SPP73N03S2L-08IN-ND	1.13	.72	.49	—	—	—	SPP73N03S2L-08
	N-CH	30	12.9	42	248	83	SPP42N03S2L-13IN-ND	.88	.56	.42	—	—	—	SPP42N03S2L-13
SO-8	N-CH	30	7.8	13	52	2.5	BSO4420INCT-ND	1.04	.91	.70	BSO4420INTR-ND	2,500	396.31/M	BSO4420
	N-CH	30	10	12.7	51	2.5	BSO4822INCT-ND	.92	.80	.62	BSO4822INTR-ND	2,500	306.78/M	BSO4822
	N-CH	30	13	11.1	44.5	2.5	BSO4410INCT-ND	.92	.80	.62	BSO4410INTR-ND	2,500	355.26/M	BSO4410
	N-CH	30	20	8	32	2	BSO4804INCT-ND	1.09	.95	.74	BSO4804INTR-ND	2,500	416.34/M	BSO4804
TO-251AB	N-CH	30	10	30	120	82	SPU30N03S2L-10IN-ND	.97	.61	.45	—	—	—	SPU30N03S2L-10
SOT-23	N-CH	55	650	0.54	2.2	0.36	BSS670S2LINCT-ND	.39	.27	.19	BSS670S2LINTR-ND	3,000	57.41/M	BSS670S2L

* Zweifach

SO-8 — Einfach

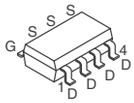

SO-8 — Zweifach

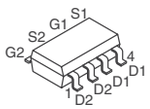

TSOP-6

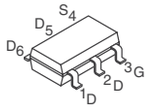

TO-218AB

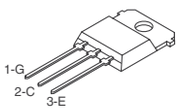

IGBT'S

Paket	Vce (V)	Vce (ges.) max (V)	Ic @ 25°C (A)	Impulsstrom Ic (A)	P_{tot} (W)	Digi-Key Teilenr.	Stückpreis 1	10	100	Infineon Teilenr.
TO-220AB	1200	3.2	32	64	200	BUP213IN-ND	2.08	1.91	1.76	BUP213
TO-218AB	1200	3.2	42	87	300	BUP314DIN-ND	5.62	5.15	4.76	BUP314D

TOSHIBA

Schottky Sperrschicht- und Schaltgleichrichter

Spitzen-Rückfluss-Spannung VRRM (V)	Durchschn. Vorwärtsstrom IF (A)	Vorwärtsspitzenstromstoß IFSM (A)	Vorwärtsspitzenspannung VFM (V)	Spitzen-Rückfluss-Stromstärke (mA)	Sperrschichtkapazität Cj (pF)	Digi-Key Teilenr.	Gurtabschnittspreis pro Stück 1	10	100	Digi-Key Teilenr.	Gegurtet auf Rolle 3.000
M-Flat (3-4E1A)-Paket											
30	3.0	40	.37	5.0	190	CMS01CT-ND	.41	.31	.23	CMS01TR-ND	132.07/M
30	3.0	40	.40	0.5	170	CMS02CT-ND	.41	.31	.23	CMS02TR-ND	132.07/M
30	3.0	40	.45	0.5	190	CMS03CT-ND	.41	.31	.23	CMS03TR-ND	132.07/M
30	5.0	70	.37	8.0	330	CMS04CT-ND	.41	.31	.23	CMS04TR-ND	132.07/M
30	5.0	70	.45	0.8	330	CMS05CT-ND	.41	.31	.23	CMS05TR-ND	132.07/M
30	2.0	40	.37	3.0	130	CMS06CT-ND	.47	.38	.28	CMS06TR-ND	125.72/M
30	2.0	40	.45	0.5	130	CMS07CT-ND	.41	.31	.23	CMS07TR-ND	132.07/M
30	1.0	25	.37	1.5	70	CMS08CT-ND	.38	.31	.23	CMS08TR-ND	102.87/M
30	1.0	25	.45	0.5	70	CMS09CT-ND	.41	.31	.23	CMS09TR-ND	132.07/M
40	1.0	25	.55	0.5	50	CMS10CT-ND	.41	.31	.23	CMS10TR-ND	132.07/M
40	2.0	30	.55	0.5	95	CMS11CT-ND	.47	.38	.28	CMS11TR-ND	125.72/M
S-Flat (3-2A1A)-Paket											
200	1.0	15	.98	0.01	—	CRH01CT-ND*†	.47	.38	.28	CRH01TR-ND*†	125.72/M
30	1.0	20	.37	1.5	40	CRS01CT-ND	.38	.31	.23	CRS01TR-ND	102.87/M
30	1.0	20	.40	0.05	40	CRS02CT-ND	.39	.32	.22	CRS02TR-ND	100.75/M
30	1.0	20	.45	0.1	40	CRS03CT-ND	.39	.32	.22	CRS03TR-ND	100.75/M
40	1.0	20	.49	0.1	47	CRS04CT-ND	.39	.32	.22	CRS04TR-ND	100.75/M
30	1.0	30	.45	0.2	60	CRS05CT-ND	.34	.28	.21	CRS05TR-ND	91.44/M
20	1.0	20	.36	1.0	60	CRS06CT-ND	.34	.28	.21	CRS06TR-ND	91.44/M
30	1.5	30	.36	1.0	90	CRS08CT-ND	.34	.28	.21	CRS08TR-ND	91.44/M
30	1.5	30	.46	0.05	90	CRS09CT-ND	.34	.28	.21	CRS09TR-ND	91.44/M
30	1.0	20	.36	1.5	60	CRS11CT-ND	.47	.38	.28	CRS11TR-ND	125.72/M

* Rückerholungszeit — Trr 35 ns † Schaltend typ

M-Flat-Paket (3-4E1A)

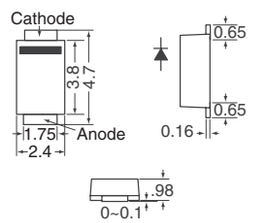

S-Flat-Paket (3-2A1A)

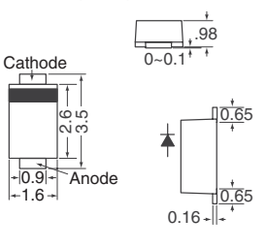

Bipolare Transistoren

Typ	Kollektor-Emitter Spannung VCEO (V)	Kollektor-leistung IC (A)	Kollektorverlust-leistung PC (W)	Digi-Key Teilenr.	Stückpreis 1	10	100
TO-220 (NIS) Paket							
PNP	-230	-1	20	2SA1837-ND	.61	.46	.35
NPN	230	1	20	2SC4793-ND	.61	.46	.35
TO-3P(N) Paket							
PNP	-230	-15	130	2SA1962-O-ND	2.10	1.68	1.31
NPN	230	15	130	2SC5242-O-ND	2.10	1.68	1.31
TO-3P(L) Paket							
PNP	-200	-15	150	2SA1302-O-ND	2.10	1.68	1.31
PNP	-230	-15	150	2SA1943-O-ND	1.90	1.53	1.19
NPN	200	15	150	2SC3281-O-ND	2.10	1.68	1.31
NPN	230	15	150	2SC5200-O-ND	1.90	1.53	1.19

TO-220 (NIS) Paket (2-10R1A)

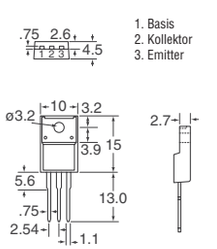

TO-3P(N) Paket (2-16C1A)

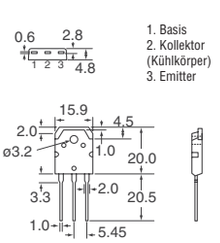

TO-3P(L) Paket (2-21F1A)

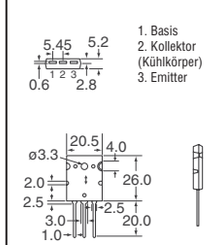

TOSHIBA MOSFETs

B

Abb.	Pakettyp	VDS (V)	RDS (ein) (Ω)	ID Kont. (A) 25 °C	IDM (A)	PD max. (W)	Digi-Key Teilenr.	Stückpreis 1	10	100	Gegurtet auf Rolle Größe	Preisangaben*
P-Kanal-Typ												
1	TO-220FL (2-10S1B)	-100	0.15	-16	-64	60	2SJ412-ND	1.37	1.10	.83	—	—
2	2-7B2B	-60	0.16	-5	-20	20	2SJ377TE16CT-ND‡	1.92	1.45	.88	700	381.83
9A	VS-6 (2-3T1A)	-20	0.048	-4.5	-18	0.7	TPC6101CT-ND‡	.44	.33	.25	3,000	143.08/M
		-30	0.048	-4.5	-18	0.7	TPC6102CT-ND‡	.44	.33	.25	3,000	143.08/M
10A	SOP-8 (2-6J1B)	-30	0.014	-10	-40	1.0	TPC8106-HCT-ND‡§	1.07	.89	.72	3,000	462.25/M
		-30	0.014	-10	-40	1.0	TPC8109CT-ND‡	1.07	.89	.72	3,000	462.25/M
12	TSSOP-8	-20	0.016	-6	-24	1.5	TPCS8102CT-ND‡	.76	.64	.51	3,000	330.18/M
15	VS-8	-12	0.022	-6	-24	2.5	TPCF8101CT-ND‡	.64	.49	.37	4,000	209.11/M
15		-20	0.024	-6	-24	2.5	TPCF8102CT-ND‡	.61	.46	.35	4,000	198.11/M
15		-20	0.072	-2.7	-10.8	2.5	TPCF8103CT-ND‡	.54	.41	.31	4,000	176.10/M
15		-30	0.026	-6	-24	2.5	TPCF8104CT-ND‡	.64	.49	.37	4,000	209.11/M
17		-20	0.072	-2.7	-10.8	1.35	TPCF8B01CT-ND‡	.54	.41	.31	4,000	176.10/M
N-Kanal-Typ												
2	2-7B2B	60	0.12	5	20	20	2SK2231TE16CT-ND‡	1.47	1.11	.68	700	292.16
		100	0.28	3	12	20	2SK2201TE16CT-ND‡	2.39	1.80	1.10	—	—
3	TO-220AB	100	0.066	27	108	75	2SK2314-ND	1.26	1.02	.76	—	—
		200	0.18	15	45	80	YTA640-ND	1.30	1.04	.78	—	—
		400	0.40	10	40	80	2SK2841-ND	1.40	1.12	.84	—	—
		500	0.75	8	32	80	2SK2542-ND	1.23	.99	.74	—	—
		500	1.35	5	20	58	2SK3758M-ND	1.14	.96	.77	—	—
		600	0.9	6	24	74	2SK3761M-ND	1.17	.94	.70	—	—
		600	1.7	3.5	14	60	2SK3760M-ND	1.24	1.04	.83	—	—
		900	3.7	3	9	69	2SK3763M-ND	1.25	1.00	.75	—	—
		900	5.6	2.5	7.5	62	2SK3762M-ND	1.14	.92	.69	—	—
4	2-7B1B	50	0.032	20	50	40	2SK2614-ND	.86	.69	.52	—	—
		60	0.12	5	20	20	2SK2231-ND	.51	.39	.29	—	—
5	2-10R1B	60	0.013	45	180	45	2SK2312-ND	2.03	1.63	1.22	—	—
		60	0.036	25	100	35	2SK2232T-ND	1.07	.89	.72	—	—
		900	3.7	3	9	40	2SK2700T-ND†	1.22	.98	.73	—	—
6	2-16C1B	100	0.025	50	200	150	2SK1381-ND	4.24	3.82	3.39	—	—
		500	0.35	15	60	150	2SK2698T-ND	2.00	1.60	1.25	—	—
		500	0.75	10	40	125	2SK2601-ND	1.61	1.29	.97	—	—
		900	1.05	10	30	150	2SK2968-ND	2.82	2.26	1.76	—	—
7	2-16F1B	600	0.31	15	60	90	2SK2953-ND	2.46	1.97	1.66	—	—
8A	VS-6	20	.022	6	24	0.7	TPC6001CT-ND‡	.44	.33	.25	3,000	143.08/M
8A		30	.025	6	24	0.7	TPC6002CT-ND‡	.44	.33	.25	3,000	143.08/M
8B		30	.080	2.5	10	0.31	TPC6201CT-ND‡	.41	.31	.23	3,000	132.07/M
16	VS-8	20	0.038	3	12	1.35	TPCF8A01CT-ND‡	.64	.49	.37	4,000	209.11/M
14		30	0.019	7	28	2.5	TPCF8001CT-ND‡	.54	.41	.31	4,000	176.10/M
9A	SOP-8	30	0.005	15	60	1.0	TPC8013-HCT-ND‡	.97	.81	.65	—	—
		30	0.008	13	52	1.0	TPC8009-HCT-ND‡	.69	.58	.46	3,000	297.16/M
		30	0.0035	18	72	1.9	TPC8018-HCT-ND‡	1.24	1.04	.83	3,000	539.29/M
		30	0.0051	15	60	1.9	TPC8017-HCT-ND‡	1.02	.85	.68	3,000	440.24/M
		200	0.28	1.8	7.2	1.0	TPC8012-HCT-ND‡	1.02	.85	.68	3,000	363.19/M
9B	SOP-8	20	0.016	6	24	0.45	TPC8207CT-ND‡	.71	.60	.48	3,000	308.17/M
		20	0.038	5	20	0.45	TPC8208CT-ND‡	.74	.62	.50	3,000	319.17/M
10	PW-Mini (2-5K1B)	16	0.22	2	6	0.5	2SK2549CT-ND‡	.66	.55	.45	—	—
12	TO-220SIS	500	0.4	12	48	40	2SK3568-ND	1.59	1.27	.96	—	—
		500	0.75	8	32	40	2SK3561-ND	1.17	.94	.70	—	—
		500	1.35	5	20	35	2SK3563-ND	.74	.62	.50	—	—
		600	5	2	8	25	2SK3767Q-ND	.74	.62	.50	—	—
		600	0.54	10	40	45	2SK3569-ND	1.59	1.27	.96	—	—
		600	0.74	7.5	30	45	2SK3667Q-ND	1.25	1.00	.75	—	—
		600	0.9	6	24	40	2SK3562Q-ND	1.13	.90	.68	—	—
		600	1.7	3.5	14	35	2SK3567Q-ND	1.24	1.04	.83	—	—
		900	2.0	5	15	45	2SK3565-ND	1.46	1.17	.88	—	—
		900	2.5	5	15	45	2SK3742-ND	1.46	1.17	.88	—	—
		900	3.7	3	9	40	2SK3564-ND	1.02	.85	.68	—	—
		900	5.6	2.5	7.5	40	2SK3566-ND	1.14	.96	.77	—	—
13	SOPA-8	30	0.0035	40	120	45	TPCA8004-HCT-ND‡	1.25	1.00	.75	3,000	639.36/M
		30	0.0051	35	105	45	TPCA8003-HCT-ND‡	1.17	.94	.70	3,000	596.01/M
N-Kanal-Typ, zweifach												
9B	SOP-8	30/30	0.013	6/8.5	24/34	1.5	TPC8A01CT-ND‡	.89	.75	.60	3,000	385.21/M
11	TSSOP-8	20	0.019	5	20	.35	TPCS8209CT-ND‡	.71	.60	.48	3,000	308.17/M
		20	0.030	5	20	1.0	TPCS8205CT-ND‡	.71	.60	.48	3,000	308.17/M
15	VS-8	20	0.038	3	12	1.35	TPCF8201CT-ND‡	.64	.49	.37	4,000	209.11/M
P-Kanal-Typ, zweifach												
15	VS-8	-20	0.044	-3	-12	1.35	TPCF8302CT-ND‡	.64	.49	.37	4,000	209.11/M
		-20	0.058	-3	-12	1.35	TPCF8303CT-ND‡	.64	.49	.37	4,000	209.11/M
		-20	0.072	-2.7	-10.8	1.35	TPCF8301CT-ND‡	.64	.49	.37	4,000	209.11/M
N- und P-Kanal-Typ, zweifach												
9B	SOP-8	30/-30	0.025/0.045	6/-4.5	24/-18	1.5	TPC8403CT-ND‡	.75	.56	.42	3,000	242.13/M
15	VS-8	30/-30	0.038/0.060	4/-3.2	16/-12.8	1.35	TPCF8402CT-ND‡	.78	.59	.44	4,000	253.14/M

* Für Gegurtet auf Rolle dieTeilenr. von CT-ND in TR-ND ändern ‡ Gurtabschnittpreise
† Isolierte Öse § Hochgeschwindigkeits-U-MOSII

Abb. 1

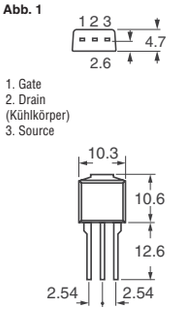

1. Gate
2. Drain (Kühlkörper)
3. Source

Abb. 2

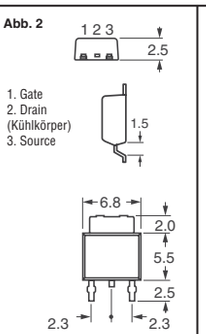

1. Gate
2. Drain (Kühlkörper)
3. Source

Abb. 3

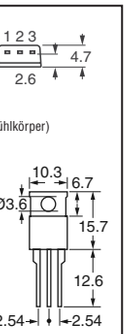

1. Gate
2. Drain (Kühlkörper)
3. Source

Abb. 4

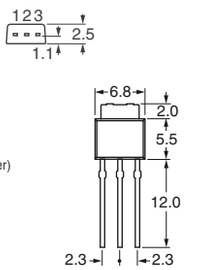

1. Gate
2. Drain (Kühlkörper)
3. Source

Abb. 5

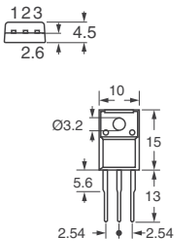

1. Gate
2. Drain
3. Source

Abb. 6

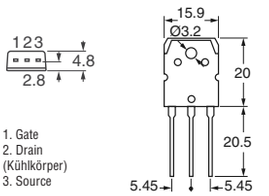

1. Gate
2. Drain (Kühlkörper)
3. Source

Abb. 7

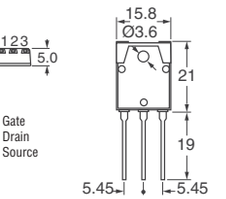

1. Gate
2. Drain
3. Source

Abb. 8

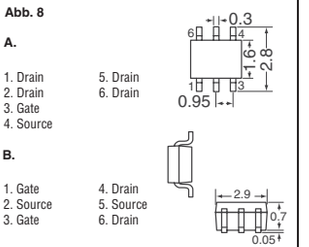

A.

1. Drain
2. Drain
3. Gate
4. Source
5. Drain
6. Drain

B.

1. Gate
2. Source
3. Gate
4. Drain
5. Source
6. Drain

Abb. 9

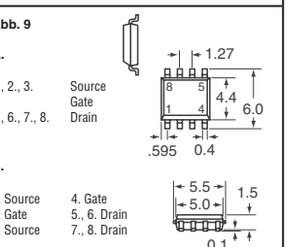

A.

1., 2., 3. Source
4 Gate
5., 6., 7., 8. Drain

B.

1. Source
2. Gate
3. Source
4. Gate
5., 6. Drain
7., 8. Drain

Abb. 10

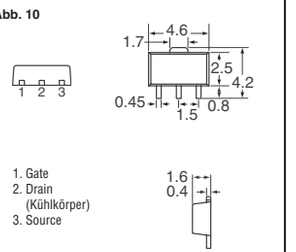

1. Gate
2. Drain (Kühlkörper)
3. Source

Abb. 11

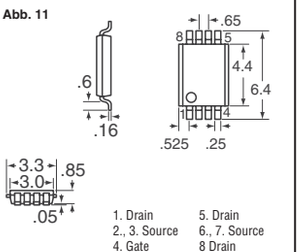

1. Drain
2., 3. Source
4. Gate
5. Drain
6., 7. Source
8 Drain

Abb. 12

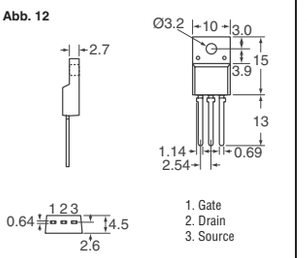

1. Gate
2. Drain
3. Source

Abb. 13

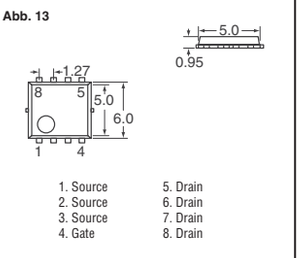

1. Source
2. Source
3. Source
4. Gate
5. Drain
6. Drain
7. Drain
8. Drain

Abb. 14

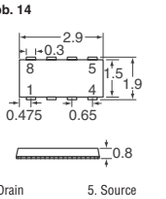

1. Drain
2. Drain
3. Drain
4. Gate
5. Source
6. Drain
7. Drain
8. Drain

Abb. 15

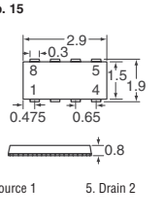

1. Source 1
2. Gate 1
3. Source 2
4. Gate 2
5. Drain 2
6. Drain 2
7. Drain 1
8. Drain 1

Abb. 16

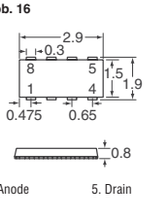

1. Anode
2. Anode
3. Source
4. Gate
5. Drain
6. Drain
7. Kathode
7. Kathode

Alle Preisangaben in Euro und inklusive Zollgebühren.

Abb. 1 — TO-220

A. 1. Gate 2. Kollektor 3. Emitter

B. 1. Gate 2. Drain 3. Source

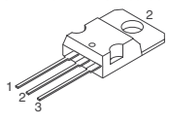

Abb. 2 — TO-247

A. 1. Gate 2. Kollektor 3. Emitter

B. 1. Gate 2. Drain 3. Source

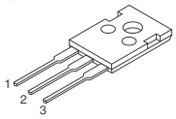

Abb. 3 — D²PAK

A. 1. Gate 2. Kollektor 3. Emitter

B. 1. Gate 2. Drain 3. Source

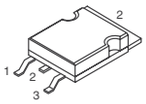

Abb. 4 — DPAK

A. 1. Gate 2. Kollektor 3. Emitter

B. 1. Gate 2. Drain 3. Source

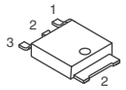

Abb. 5 — ISOTOP

A. 1. Source 2. Gate 3. Drain 4. Source

B.

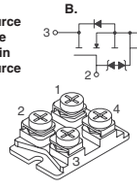

Abb. 6 — TO-220FP

A. 1. Gate 2. Kollektor 3. Emitter

B. 1. Gate 2. Drain 3. Source

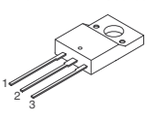

Abb. 7 — Max247™

1. Gate 2. Drain 3. Source

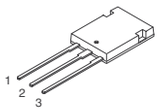

Abb. 8 — 8-SOIC

A.	B.	C.	D.
1. Source	1. Source	1. Anode	1. Gate
2. Gate	2. Source	2. Anode	2. Ruhekontakt
3. Source	3. Source	3. Source	2. Ruhekontakt
4. Gate	4. Gate	4. Gate	4. Source
5. Drain	5. Drain	5. Drain	5. Drain
6. Drain	6. Drain	6. Drain	6. Drain
7. Drain	7. Drain	7. Kathode	7. Drain
8. Drain	8. Drain	7. Kathode	8. Drain

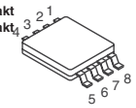

Abb. 9 — SOT23-3L

1. Gate 2. Drain 3. Source

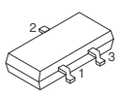

Abb. 10 — TO-92

1. Source 2. Gate 3. Drain

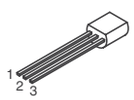

Abb. 11 — IPAK TO-251

1. Gate 2. Drain 3. Source

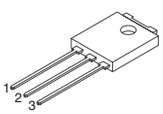

Abb. 12 — SOT23-6L

1. Drain 2. Drain 3. Gate 4. Source 5. Drain 6. Drain

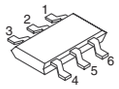

Abb. 13 — SOT-223

1. Gate 2. Drain 3. Source

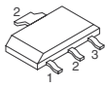

Abb. 14 — PowerSO-10

1. Ksource 2. Ksource 3. Gate 4. Ksource 5. Ksource 6. Source 7. Source 8. Source 9. Source 10. Source

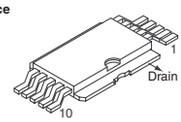

Abb. 15 — TSSOP-8

1. Drain 2. Source 3. Source 4. Gate 5. Gate 6. Source 7. Source 8. Drain

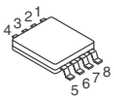

Abb. 16 — I²PAK

1. Gate 2. Drain 3. Source

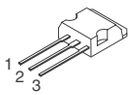

Abb. 17 — I²SPAK

1. Gate 2. Drain 3. Source

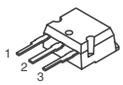

Abb. 18 — PowerFLAT™ (6 x 5)

1. Source 2. Source 3. Source 4. Gate 5. Drain 6. Drain 7. Drain 8. Drain

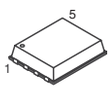

Abb. 19 — PowerFLAT™ (3.3 x 3.3)

1. Source 2. Source 3. Source 4. Gate 5. Drain 6. Drain 7. Drain 8. Drain

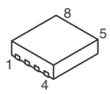

Abb.	VDSS (V)	ID (A)	RDS (ein) (Ω)	Digi-Key Teilenr.	Rohrpreis 1	10	100	Preis. f. G. a. R. *	Hersteller Teilenr.
N-Kanal									
TO-220									
1B	30	40	0.022	497-3187-5-ND	2.16	17.99	151.12	—	STP40NF03L
	30	80	0.0045	497-4386-5-ND	1.52	12.70	106.67	—	STP80NF03L
	30	80	0.004	497-2676-5-ND	2.51	21.88	162.97	—	STP80NF03L-04
	40	120	0.0037	497-3524-5-ND	3.20	27.85	207.42	—	STP200NF04
	55	80	0.0065	497-2774-5-ND	1.96	16.30	136.90	—	STP80NF55-06
	55	80	0.008	497-3202-5-ND	2.63	22.88	170.38	—	STP80NF55-08
	55	80	0.008	497-4370-5-ND	1.99	16.55	139.03	—	STP140NF55
	60	12	0.20	497-2721-5-ND	.71	5.70	42.74	—	STP12PF06
	60	16	0.1	497-2766-5-ND	.73	5.79	40.21	—	STP16NF06
	60	16	0.09	497-2765-5-ND	.84	6.71	50.29	—	STP16NF06L
	60	20	0.07	497-4374-5-ND	.95	8.23	63.28	—	STP20NF06
	60	20	0.07	497-4375-5-ND	.95	8.23	63.28	—	STP20NF06L
	60	30	0.040	497-3186-5-ND	1.27	11.01	84.66	—	STP36NF06
	60	38	0.028	497-3189-5-ND	1.36	11.84	91.01	—	STP45NF06
	60	50	0.018	497-2777-5-ND	1.14	9.91	76.19	—	STP55NF06
	60	60	0.016	497-2770-5-ND	1.79	14.90	125.16	—	STP60NE06-16
	60	60	0.016	497-2779-5-ND	1.57	13.62	104.77	—	STP60NF06
	60	80	0.010	497-3201-5-ND	2.49	20.74	174.23	—	STP80NF06
	75	80	0.011	497-2788-5-ND	1.78	14.82	124.45	—	STP75NF75
	100	14	0.16	497-2780-5-ND	.91	7.31	50.80	—	IRF530
	100	10	0.27	497-2782-5-ND	.84	6.71	46.56	—	IRF520
	100	22	0.077	497-2758-5-ND	.98	8.53	65.61	—	IRF540
	100	26	0.060	497-3185-5-ND	1.40	12.11	93.13	—	STP24NF10
	100	40	0.035	497-2645-5-ND	1.30	11.29	86.78	—	STP35NF10
	100	50	0.028	497-3188-5-ND	2.63	22.88	170.38	—	STP40NF10
	100	80	0.023	497-4384-5-ND	2.16	17.99	151.12	—	STP60NF10
	100	80	0.015	497-2642-5-ND	2.36	19.68	165.34	—	STP80NF10
	100	120	0.0105	497-4118-5-ND	2.44	20.32	170.67	—	STP120NF10
	120	40	0.032	497-4381-5-ND	1.46	12.17	102.23	—	STP40NF12
	200	6	0.8	497-3135-ND†	.91	7.31	54.86	—	IRF620
	200	9	0.40	497-2757-5-ND	1.03	8.23	61.72	—	IRF630
	200	18	0.18	497-2759-5-ND	1.08	9.35	71.96	—	IRF640
	200	18	0.125	497-4373-5-ND	1.32	11.01	92.45	—	STP20N20
	200	19	0.18	497-2650-5-ND	1.52	12.70	106.67	—	STP19NB20
	200	40	0.045	497-4380-5-ND	2.48	20.70	173.87	—	STP40N20
	250	16	0.28	497-3183-5-ND	1.65	13.76	115.56	—	STP16NS25
	400	3	1.8	497-3194-5-ND	.89	7.70	59.26	—	STP5NK40Z
	400	4.7	1.8	497-2675-5-ND	2.36	19.68	165.34	—	STP5NB40
	400	5.4	1	497-3200-5-ND	1.21	10.46	80.43	—	STP7NK40Z
	400	5.5	1	497-2736-5-ND	.98	8.53	65.61	—	IRF730
	400	10	0.55	497-2931-5-ND	1.96	16.30	136.90	—	IRF740
	500	3	2.7	497-3190-5-ND	.89	7.70	59.26	—	STP4NK50Z
	500	4	3	497-2733-5-ND	.86	7.43	57.15	—	IRF820
	500	4.4	1.5	497-3195-5-ND	.92	7.98	61.38	—	STP5NK50Z
	500	4.5	1.5	497-2732-5-ND	.92	7.98	61.38	—	IRF830
	500	5.6	1.2	497-4385-5-ND	1.02	8.80	67.73	—	STP6NK50Z
	500	7.2	0.85	497-3203-5-ND	1.43	12.39	95.24	—	STP9NK50Z
	500	8	0.85	497-2731-5-ND	1.30	11.29	86.78	—	IRF840
	500	12	0.35	497-2666-5-ND	4.00	34.82	259.27	—	STP12NM50
	500	20	0.25	497-2663-5-ND	4.57	39.79	296.31	—	STP20NM50
	600	1.4	8	497-4377-5-ND	.76	6.10	45.72	—	STP2NK60Z

Abb.	VDSS (V)	ID (A)	RDS (ein) (Ω)	Digi-Key Teilenr.	Rohrpreis 1	10	100	Preis. f. G. a. R. *	Hersteller Teilenr.
1B	600	4	2	497-3191-5-ND	1.05	9.08	69.84	—	STP4NK60Z
	600	5	1.6	497-3196-5-ND	1.21	10.46	80.43	—	STP5NK60Z
	600	5	2	497-2769-5-ND	1.57	13.62	104.77	—	STP5NM60
	600	6	1.2	497-3198-5-ND	1.40	12.11	93.13	—	STP6NK60Z
	600	7	0.95	497-4387-5-ND	1.65	13.76	115.56	—	STP9NK60ZD
	600	10	0.75	497-4117-5-ND	2.24	18.63	156.45	—	STP10NK60Z
	600	11	0.45	497-2773-5-ND	3.13	27.26	202.97	—	STP11NM60
	600	11	0.45	497-4368-5-ND	2.97	25.86	192.60	—	STP11NM60A
	600	11	0.45	497-3180-5-ND	4.46	38.80	288.90	—	STP11NM60FD
	600	13	0.55	497-3182-5-ND	2.74	23.87	177.79	—	STP13NK60Z
	600	14	0.42	497-4372-5-ND	1.90	15.87	133.34	—	STP16NK60Z
	650	13	0.5	497-4119-5-ND	2.24	18.63	156.45	—	STP16NK65Z
	650	20	0.29	497-3184-5-ND	4.57	39.79	296.31	—	STP20NM60
	650	20	0.29	497-4376-5-ND	5.03	43.77	325.94	—	STP20NM60A
	800	2.5	4.5	497-4379-5-ND	.99	8.56	65.82	—	STP3NK80Z
	800	3	3.5	497-3192-5-ND	1.21	10.46	80.43	—	STP4NK80Z
	800	4	3.3	497-2781-5-ND	2.08	17.36	145.78	—	STP4NM80
	800	11	0.4	497-4369-5-ND	5.45	49.78	393.50	—	STP11NM80
	900	2.1	6.5	497-4378-5-ND	.91	7.92	60.96	—	STP2NK90Z
	900	4.5	2.5	497-4383-5-ND	1.40	11.64	97.78	—	STP5NK90Z
	900	5.8	2	497-3199-5-ND	1.83	15.24	128.01	—	STP6NK90Z
	900	8	1.3	497-2785-5-ND	2.18	18.20	152.90	—	STP9NK90Z
	1000	3	6	497-2641-5-ND	1.83	15.24	128.01	—	STP3NB100
	1000	3.5	3.7	497-4382-5-ND	2.28	18.99	159.47	—	STP5NK100Z
TO-247									
2B	60	80	0.010	497-3266-5-ND	2.24	18.63	156.45	—	STW80NF06
	200	34	0.075	497-2659-5-ND	2.74	23.87	177.79	—	STW34NB20
	200	40	0.045	497-4427-5-ND	1.90	15.83	132.98	—	STW40N20
	250	52	0.045	497-4428-5-ND	3.95	34.32	255.57	—	STW52NK25Z
	500	14	0.34	497-3260-5-ND	2.34	19.47	163.56	—	STW15NK50Z
	500	14	0.38	497-3258-5-ND	3.20	27.85	207.42	—	STW14NK50Z
	500	14.6	0.36	497-2664-5-ND	3.78	32.83	244.46	—	STW15NB50
	500	17	0.27	497-3261-5-ND	2.63	22.88	170.38	—	STW20NK50Z
	500	20	0.25	497-2717-5-ND	4.87	44.45	351.34	—	STW20NM50FD
	500	30	0.120	497-3264-5-ND	6.33	57.78	456.74	—	STW26NM50
	500	31	0.13	497-4425-5-ND	5.84	53.34	421.61	—	STW29NK50Z
	500	45	0.1	497-2760-5-ND	9.64	88.00	695.65	—	STW45NM50
	500	45	0.1	497-2718-5-ND	9.31	86.14	651.88	—	STW45NM50FD
	550	14	0.35	497-3259-5-ND	4.69	40.79	303.72	—	STW14NM50
	550	20	0.25	497-3262-5-ND	4.57	39.79	296.31	—	STW20NM50
	600	10	0.75	497-3253-5-ND	3.43	29.84	222.23	—	STW10NK60Z
	600	13	0.55	497-3257-5-ND	3.20	27.85	207.42	—	STW13NK60Z
	600	14	0.42	497-3558-5-ND	2.97	25.86	192.60	—	STW16NK60Z
	600	16	0.36	497-4422-5-ND	3.89	33.82	251.86	—	STW18NK60Z
	600	27	0.185	497-4424-5-ND	5.84	53.34	421.61	—	STW28NK60Z
	600	30	0.135	497-3265-5-ND	6.33	57.78	456.74	—	STW26NM60
	600	30	0.145	497-4426-5-ND	8.28	75.56	597.28	—	STW30NM60D
	600	45	0.11	497-2768-5-ND	8.47	78.31	592.62	—	STW45NM60
	650	20	0.29	497-3263-5-ND	5.06	46.22	365.39	—	STW20NM60
	700	20	0.285	497-3559-5-ND	4.46	38.80	288.90	—	STW20NK70Z
	800	9	0.90	497-3254-5-ND	2.47	21.49	160.01	—	STW10NK80Z

* Für Gegurtet auf Rolle die Teilenr. von 1-ND in 2-ND ändern. † Großpackung

(Forts.)

Abb.	VDSS (V)	ID (A)	RDS (ein) (Ω)	Digi-Key Teilenr.	Rohrpreis 1	10	100	Preis. f. G. a. R. *	Hersteller Teilenr.
	800	10.5	0.75	497-3256-5-ND	2.70	23.48	174.82	—	STW12NK80Z
	800	11	0.4	497-4420-5-ND	5.49	47.75	355.57	—	STW11NM80
	800	11	0.8	497-2789-5-ND	5.03	43.77	325.94	—	STW11NM80
	800	19	0.38	497-4423-5-ND	4.73	41.19	306.68	—	STW18NK80Z
2B	900	8	1.3	497-2784-5-ND	2.49	20.74	174.23	—	STW9NK90Z
	900	11	0.88	497-4421-5-ND	3.56	31.04	231.12	—	STW12NK90Z
	900	15	0.55	497-3557-5-ND	5.65	51.56	407.55	—	STW15NK90Z
	1000	8.3	1.38	497-3255-5-ND	4.80	41.78	311.13	—	STW11NK100Z
	1000	13	0.70	497-3556-5-ND	4.87	44.45	351.34	—	STW13NK100Z
				D²PAK					
	24	75	0.008	497-3515-1-ND*	1.65	13.76	115.56	743.31/1,000	STB75NH02LT4
	40	120	0.0037	497-3513-1-ND*	2.86	24.87	185.19	1407.90/1,000	STB200NF04T4
	55	80	0.008	497-3737-1-ND*	2.01	16.72	140.45	903.32/1,000	STB80NF55-08T4
	55	80	0.008	497-4321-1-ND*	2.48	20.70	173.87	1117.51/1,000	STB140NF55T4
	60	16	0.09	497-4322-1-ND*	.88	7.59	58.42	338.64/1,000	STB16NF06LT4
	75	75	0.011	497-3514-1-ND*	2.16	17.99	151.12	971.90/1,000	STB75NF75LT4
	100	40	0.033	497-3736-1-ND*	2.03	16.93	142.23	914.33/1,000	STB40NF10LT4
	100	80	0.015	497-2489-1-ND*	2.77	24.08	179.27	1131.90/1,000	STB80NF10T4
3B	100	120	0.0105	497-2452-1-ND*	2.38	20.69	154.08	1170.85/1,000	STB120NF10T4
	500	4.4	1.5	497-4324-1-ND*	1.06	9.19	70.69	409.75/1,000	STB5NK50ZT4
	500	10	0.52	497-2451-1-ND*	1.60	13.33	112.01	720.46/1,000	STB11NK50ZT4
	500	17	0.27	497-4323-1-ND*	2.40	20.89	155.56	1182.70/1,000	STB20NK50ZT4
	600	4	2	497-2486-1-ND*	1.18	10.18	78.31	454.62/1,000	STB4NK60ZT4
	600	7	0.95	497-4325-1-ND*	1.75	14.60	122.67	789.03/1,000	STB9NK60ZDT4
	600	11	0.45	497-3511-1-ND*	4.57	39.79	296.31	2251.96/1,000	STB11NM60FDT4
	800	10.5	0.75	497-4320-1-ND*	2.70	23.48	174.82	1328.32/1,000	STB12NK80ZT4
	800	11	0.4	497-4319-1-ND*	4.87	44.45	351.34	2698.96/1,000	STB11NM80T4
				DPAK					
	24	38	0.0135	497-3160-1-ND*	1.52	12.70	106.67	1650.87/2,500	STD38NH02LT4
	24	40	0.011	497-4104-1-ND*	1.21	10.46	80.43	1068.83/2,500	STD55NH2LLT4
	24	60	0.008	497-3165-1-ND*	1.27	11.01	84.66	1125.98/2,500	STD70NH02LT4
	24	60	0.0048	497-4100-1-ND*	1.83	15.24	128.01	1981.04/2,500	STD100NH02LT4
	24	80	0.005	497-4105-1-ND*	1.98	16.51	138.67	2146.13/2,500	STD95NH02LT4
	30	17	0.05	497-3155-1-ND*	.98	8.53	65.61	872.00/2,500	STD17NF03LT4
	30	30	0.025	497-3157-1-ND*	1.65	13.76	115.56	1788.44/2,500	STD30NF03LT4
	30	35	0.0195	497-2475-1-ND*	1.27	11.01	84.66	1125.98/2,500	STD35NF3LLT4
	30	60	0.0095	497-2476-1-ND*	1.56	13.49	103.71	1379.96/2,500	STD60NF3LLT4
	60	12	0.1	497-2487-1-ND*	.69	5.49	38.10	543.94/2,500	STD12NF06LT4
	60	12	0.1	497-3154-1-ND*	.80	6.88	52.91	704.79/2,500	STD12NF06T4
	60	24	0.07	497-4329-1-ND*	.88	7.59	58.42	776.76/2,500	STD16NF06LT4
	60	35	0.028	497-4101-1-ND*	1.11	9.63	74.08	986.29/2,500	STD30NF06LT4
	60	35	0.024	497-3159-1-ND*	1.34	11.56	88.89	1183.12/2,500	STD35NF06T4
	75	40	0.024	497-4334-1-ND*	1.09	9.49	73.02	971.47/2,500	STD45NF75T4
4B	100	13	0.13	497-3153-1-ND*	1.02	8.80	67.73	901.63/2,500	STD10NF10T4
	100	25	0.035	497-3156-1-ND*	.96	8.25	63.50	844.48/2,500	STD25NF10LT4
	200	5	0.7	497-4335-1-ND*	.89	7.70	59.26	787.34/2,500	STD5N20LT4
	200	18	0.125	497-4330-1-ND*	1.53	13.29	102.23	1358.79/2,500	STD20N20T4
	400	3	1.8	497-2477-1-ND*	.89	7.70	59.26	787.34/2,500	STD5NK40ZT4
	500	2.3	3.3	497-4333-1-ND*	1.39	12.02	92.49	1229.69/2,500	STD3NK50ZT4
	500	3	2.7	497-4103-1-ND*	.83	7.15	55.03	732.31/2,500	STD4NK50ZT4
	500	4.4	1.5	497-3520-1-ND*	.92	7.98	61.38	891.05/2,500	STD5NK50ZT4
	500	7.5	0.8	497-3162-1-ND*	2.41	20.11	168.90	2613.88/2,500	STD5NM50T4
	600	1	8.5	497-2483-1-ND*	.88	7.01	52.57	694.21/2,500	STD1NK60T4
	600	2	5	497-2485-1-ND*	.89	7.70	59.26	787.34/2,500	STD1HNC60T4
	600	2.4	3.6	497-4102-1-ND*	.83	7.15	55.03	732.31/2,500	STD3NK60ZT4
	600	3	1.5	497-3161-1-ND*	1.27	11.01	84.66	1125.98/2,500	STD3NM60T4
	600	5	1	497-3163-1-ND*	2.29	19.05	160.01	2476.31/2,500	STD5NM60T4
	700	1.6	7	497-4331-1-ND*	1.28	11.09	85.29	1134.44/2,500	STD2NK70ZT4
	900	2.1	6.5	497-4332-1-ND*	1.28	11.09	85.29	1134.44/2,500	STD2NK90ZT4
				ISOTOP					
	100	180	.006	497-3166-5-ND	40.00	342.87	3040.14	—	STE180NE10
	100	220	.0055	497-3167-5-ND	29.63	253.98	2251.96	—	STE250NS10
	200	110	0.024	497-2657-5-ND	29.63	253.98	2251.96	—	STE110NS20FD
	500	53	0.08	497-2776-5-ND	25.93	222.23	1970.46	—	STE53NC50
5A	500	70	0.05	497-3172-5-ND	29.63	253.98	2251.96	—	STE70NM50
	550	48	0.1	497-3170-5-ND	17.11	146.67	1300.50	—	STE48NM50
	600	40	0.13	497-3169-5-ND	25.93	222.23	1970.46	—	STE40NC60
	600	48	0.11	497-3171-5-ND	19.26	165.09	1463.77	—	STE48NM60
	600	70	0.055	497-3173-5-ND	29.63	253.98	2251.96	—	STE70NM60
	900	26	0.3	497-3168-5-ND	37.41	320.65	2843.09	—	STE26NA90
5B	900	28	0.26	497-4336-5-ND	32.59	279.38	2477.15	—	STE30NK90Z
	900	40	0.18	497-4337-5-ND	24.45	209.53	1857.86	—	STE40NK90ZD
				TO-220FP					
	60	20	0.07	497-4340-5-ND	.79	6.31	47.32	—	STF20NF06
	60	23	0.028	497-4343-5-ND	1.34	11.56	88.89	—	STF40NF06
	60	37	0.016	497-3197-5-ND	2.03	16.93	142.23	—	STP60NF06FP
	60	50	0.018	497-3193-5-ND	1.78	14.82	124.45	—	STP55NF06FP
	200	18	0.125	497-4339-5-ND	1.32	11.01	92.45	—	STF20N20
	500	12	0.35	497-2665-5-ND	3.66	31.83	237.05	—	STP12NM50FP
6B	600	7	0.95	497-4346-5-ND	1.81	15.09	126.76	—	STF9NK60ZD
	650	11	0.45	497-3181-5-ND	4.46	38.80	288.90	—	STP11NM60FP
	650	20	0.29	497-2771-5-ND	4.80	41.78	311.13	—	STP20NM60FP
	800	2.5	4.5	497-4342-5-ND	1.09	9.49	73.02	—	STF3NK80Z
	800	11	0.40	497-4338-5-ND	2.74	23.87	177.79	—	STF11NM80
	900	3	4.2	497-4341-5-ND	1.17	10.13	77.89	—	STF3HNK90Z
	1000	3.5	3.7	497-4344-5-ND	1.81	15.09	126.76	—	STF5NK100Z

Abb.	VDSS (V)	ID (A)	RDS (ein) (Ω)	Digi-Key Teilenr.	Rohrpreis 1	10	100	Preis. f. G. a. R. *	Hersteller Teilenr.
				8-SOIC					
	30	9	0.020	497-3234-1-ND*	1.40	12.11	93.13	1238.15/2,500	STS9NF30L
	30	11	0.0105	497-4121-1-ND*	.91	7.31	54.86	723.84/2,500	STS11NF30L
	30	12	0.0105	497-4122-1-ND*	1.27	11.01	84.66	1125.98/2,500	STS12NH3LL
8B	30	12	0.009	497-3223-1-ND*	1.55	12.91	108.45	1678.38/2,500	STS12NF30L
	30	17	0.0055	497-3224-1-ND*	1.27	11.01	84.66	1125.98/2,500	STS17NF3LL
	30	25	0.0035	497-2474-1-ND*	1.78	14.82	124.45	1513.30/2,500	STS25NH3LL
	55	24	0.035	497-3317-1-ND*	1.93	16.09	135.12	2091.10/2,500	VNS14NV0413TR
8C	30	4	0.055	497-3227-1-ND*	1.27	10.58	88.89	1375.73/2,500	STS4DNFS30L
8D	600	0.3	8.5	497-3530-1-ND*	.89	7.70	59.26	787.34/2,500	STS1HNK60
				Max247					
	100	140	0.011	497-3267-5-ND	11.01	101.80	770.41	—	STY140NS10
	300	60	0.045	497-4432-5-ND	6.17	56.36	445.50	—	STY60NK30Z
7	500	34	0.13	497-2680-5-ND	9.67	89.43	676.77	—	STY34NB50
	500	60	0.05	497-2775-5-ND	14.39	133.13	1007.45	—	STY60NM50
	600	60	0.055	497-3268-5-ND	13.17	121.85	922.12	—	STY60NM60
	900	28	0.26	497-4431-5-ND	11.68	108.07	817.82	—	STY30NK90Z
				SOT23-3L					
9	60	0.20	5	497-3111-1-ND*	.44	3.39	24.38	345.41/3,000	2N7002
				TO-92					
10	60	0.35	5	497-3110-ND	.44	3.39	24.38	—	2N7000
				IPAK TO-251					
11	24	50	0.0105	497-3519-5-ND	1.27	11.01	84.66	—	STD50NH02L-1
	30	60	0.009	497-3164-5-ND	1.14	9.91	76.19	—	STD60NH03L-1
				PowerSO-10					
14	20	160	0.0025	497-3251-1-ND*	5.49	47.75	355.57	1706.75/600	STV160NF02L
	30	160	0.0028	497-3252-1-ND*	4.87	44.45	351.34	1650.87/600	STV160NF03L
				SOT-223					
	60	4	0.1	497-3177-1-ND*	.96	8.25	63.50	1351.17/4,000	STN3NF06L
13	200	1	1.5	497-3176-1-ND*	1.56	13.49	103.71	2207.93/4,000	STN1N20
	600	0.25	15	497-3523-1-ND*	.61	4.88	36.57	772.10/4,000	STN1NK60Z
				TSSOP-8					
15	30	5	0.031	497-4327-1-ND*	.61	4.91	36.80	775.49/4,000	STC5NF30V
				I²PAK					
16	40	120	0.0037	497-3512-5-ND	2.03	16.93	142.23	—	STB200NF04-1
				I²SPAK					
17	650	13	0.50	497-4098-5-ND	2.41	20.90	155.57	—	STB16NK65Z-S
				PowerFLAT™ (6 x 5)					
18	30	27	0.013	497-4114-1-ND*	1.52	13.21	101.59	1620.39/3,000	STL50NH3LL
				PowerFLAT™ (3,3 x 3,3)					
19	30	8	0.015	497-4115-1-ND*	1.34	11.56	88.89	1419.75/3,000	STL8NH3LL
				Zweif. N-Kanal					
				TSSOP-8					
15	20	5	0.045	497-3151-1-ND*	.76	6.10	45.72	965.12/4,000	STC5NF20V
	30	6	0.030	497-3152-1-ND*	1.27	11.01	84.66	1801.56/4,000	STC6NF30V
				8-SOIC					
	20	5	0.045	497-3229-1-ND*	1.52	12.70	106.67	1650.87/2,500	STS5DNF20V
8A	30	8	0.022	497-4399-1-ND*	1.18	10.18	78.31	1041.32/2,500	STS8DNH3LL
	30	8	0.020	497-2470-1-ND*	1.11	9.63	74.08	1056.13/2,500	STS8DNF3LL
	60	4	0.055	497-3226-1-ND*	1.78	14.82	124.45	1926.02/2,500	STS4DNF60L
				P-Kanal					
				TO-220					
1B	55	80	0.018	497-2729-5-ND	2.08	17.36	145.78	—	STP80PF55
				D²PAK					
3B	60	16	0.125	497-4099-1-ND*	1.08	9.35	71.96	417.37/1,000	STB16PF06LT4
				DPAK					
4B	30	24	0.028	497-3158-1-ND*	1.49	12.94	99.48	1322.81/2,500	STD30PF03LT4
	60	10	0.20	497-2456-1-ND*	.73	5.79	43.43	573.57/2,500	STD10PF06T4
				8-SOIC					
8B	20	5	0.10	497-3230-1-ND*	.91	7.31	54.86	723.84/2,500	STS5PF20L
8B	30	5	0.08	497-3231-1-ND*	1.35	11.22	94.23	1458.27/2,500	STS5PF30L
8B	30	7	0.021	497-3233-1-ND*	1.27	11.01	84.66	1125.98/2,500	STS7PF30L
8B	30	10	0.014	497-4120-1-ND*	1.27	11.01	84.66	1125.98/2,500	STS10PF30L
8C	20	2.5	0.25	497-3225-1-ND*	1.52	12.70	106.67	1650.87/2,500	STS2DPFS20V
				SOT23-6L					
12	20	3	0.135	497-3236-1-ND*	.76	6.10	45.72	723.84/3,000	STT4PF20V
				SOT-223					
13	20	5	0.08	497-4364-1-ND*	.88	7.01	52.57	1110.74/4,000	STN5PF20V
	60	2.5	0.20	497-4116-1-ND*	.73	5.79	43.43	917.71/4,000	STN3PF06
				P-Kanal mit Schottky					
				8-SOIC					
8C	30	5	0.055	497-4397-1-ND*	1.40	12.11	93.13	1238.15/2,500	STS4DPFS30L
				Zweif. P-Kanal					
				8-SOIC					
8A	30	4	0.08	497-3228-1-ND*	1.40	11.64	97.78	1513.30/2,500	STS4DPF30L

* Für Gegurtet auf Rolle die Teilenr. von 1-ND in 2-ND ändern. † Großpackung

(Forts.)

MOSFETs *(Forts.)*

Abb.	VDSS (V)	ID (A)	RDS (ein) (Ω)	Digi-Key Teilenr.	Rohrpreis 1	10	100	Preis. f. G. a. R. *	Hersteller Teilenr.
8A	60	3	0.12	497-4123-1-ND*	1.21	10.46	80.43	1068.83/2,500	STS3DPF60L
N/P-Kanal									
8-SOIC									
8A	30	7/4	.022/.08	497-3232-1-ND*	1.78	14.82	124.45	1926.02/2,500	STS7C4F30L
	30	8/5	.022/.055	497-4398-1-ND*	1.34	11.56	88.89	1183.12/2,500	STS8C5H30L
	60	4/3	.055/.12	497-4396-1-ND*	1.27	11.01	84.66	1125.98/2,500	STS4C3F60L
PowerMESH™ IGBT									
TO-220									
1A	600	3	—	497-2653-5-ND	1.18	10.18	78.31	—	STGP3NB60F
	600	3	—	497-2652-5-ND	1.36	11.84	91.01	—	STGP3NB60FD
	600	14	—	497-4112-5-ND	1.43	12.39	95.24	—	STGP7NB60KD
	600	25	—	497-4113-5-ND	1.40	11.64	97.78	—	STGP7NC60H
	600	60	—	497-4355-5-ND	2.63	22.88	170.38	—	STGP20NC60V
TO-247									
2A	600	20	2.8	497-2654-5-ND	5.03	43.77	325.94	—	STGW20NB60KD
	600	60	—	497-4356-5-ND	3.55	30.90	230.09	—	STGW20NC60V
	600	60	—	497-4357-5-ND	3.68	32.04	238.53	—	STGW20NC60VD
	600	80	—	497-4358-5-ND	5.82	53.16	420.20	—	STGW40NC60V
D²PAK									
3A	18	20	—	497-4349-1-ND*	2.90	25.17	187.42	1423.98/1,000	STGB10NB40LZT4
	20	40	—	497-4351-1-ND*	3.16	27.46	204.45	1553.51/1,000	STGB20NB41LZT4
	350	20	—	497-3522-5-ND	2.97	25.86	192.60	—	STGB20NB32LZ
	425	20	—	497-4106-1-ND*	3.01	26.26	195.56	1486.63/1,000	STGB10NB37LZT4
	600	3	—	497-2449-1-ND*	1.36	11.84	91.01	528.28/1,000	STGB3NB60FDT4
	600	14	—	497-4107-1-ND*	1.52	12.70	106.67	685.75/1,000	STGB7NB60HDT4
	600	25	—	497-4108-1-ND*	1.35	11.22	94.23	606.17/1,000	STGB7NC60HDT4
	600	30	—	497-4350-1-ND*	1.75	14.60	122.67	789.03/1,000	STGB12NB60KDT4
DPAK									
4A	600	3	—	497-2450-1-ND*	1.18	10.18	78.31	1041.32/2,500	STGD3NB60FT4
	600	6	—	497-4109-1-ND*	1.14	9.91	76.19	1013.80/2,500	STGD3NB60SDT4
	600	14	—	497-4110-1-ND*	1.46	12.66	97.36	1295.30/2,500	STGD7NB60KT4
	600	25	—	497-4111-1-ND*	1.37	11.43	96.00	1485.78/2,500	STGD7NC60HT4
	1200	10	—	497-4352-1-ND*	1.46	12.66	97.36	1295.30/2,500	STGD5NB120SZT4
TO-220FP									
6A	600	3	—	497-2651-5-ND	1.46	12.66	97.36	—	STGF3NB60FD
	600	10	—	497-4354-5-ND	1.52	12.70	106.67	—	STGF7NC60HD
	1200	6	—	497-4353-5-ND	1.75	14.60	122.67	—	STGF3NC120HD

* Für Gegurtet auf Rolle die Teilenr. von 1-ND in 2-ND ändern. † Großpackung

B

ON Semiconductor™ MOSFETs

Abb. 1 — TO-247

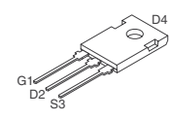

Abb. 2 — TO-220AB

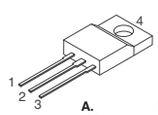

A. 1. Gate 2. Kollektor 3. Emitter 2. Kollektor
B. 1. Gate 2. Drain 3. Source 4. Drain

Abb. 3 — TO-92

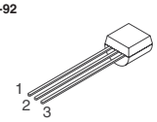

A. 1. Source 2. Gate 3. Drain
B. 1. Drain 2. Source 3. Gate
C. 1. Drain 2. Gate 3. Source
D. 1. Source 2. Drain 3. Gate
E. 1. Gate 2. Drain 3. Source

Abb. 4 — TO-251A

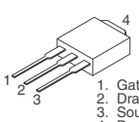

1. Gate
2. Drain
3. Source
4. Drain

Abb. 5 — 8-SOIC

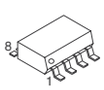

A.

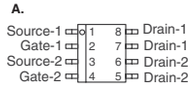

B.

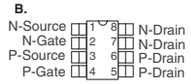

C.

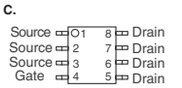

D.

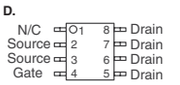

Abb. 6 — SOT-23

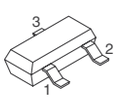

A. 1. Drain 2. Source 3. Gate
B. 1. Gate 2. Source 3. Drain

Abb. 7 — SOT-223

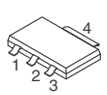

1. Gate
2. Drain
3. Source
4. Drain

Abb. 8 — SOT-323, SOT-416

1. Gate
2. Source
3. Drain

Abb. 9 — TSOP-6

A. 1. Drain 2. Drain 3. Gate 4. Source 5. Drain 6. Drain
B. 1. Gate 1 2. Drain 3. Source 4. Drain 5. Drain 6. Gate 2

Abb. 10 — DPAK

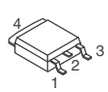

1. Gate
2. Drain
3. Source
4. Drain

Abb. 11 — D2-PAK

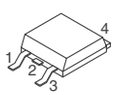

1. Gate
2. Drain
3. Source
4. Drain

Abb. 12 — SC-89

1. Gate
2. Source
3. Drain

Abb. 13 — ChipFET

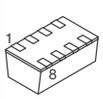

A.	B.	C.
1. S1	1. A	1. D
2. G1	2. A	2. D
3. S2	3. S	3. D
4. G2	4. G	4. G
5. D2	5. D	5. S
6. D2	6. D	6. D
7. D1	7. C	7. D
8. D1	8. C	8. D

Abb. 14 — SOT-363

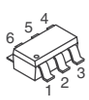

A.	B.
1. S1	1. D
2. G1	2. D
3. D2	3. G
4. S2	4. S
5. G2	5. D
6. D1	6. D

Abb. 15 — TSSOP-8

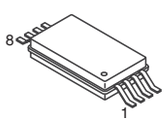

1. D
2. S1
3. S1
4. G1
5. G2
6. S2
7. S2
8. D

Abb. 16 — Micro8

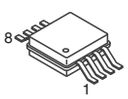

1. Anode
2. Anode
3. Source
4. Gate
5. Drain
6. Drain
2. Kollektor
2. Kollektor

Abb. 17 — SOT-563

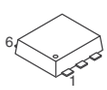

A.	B.
1. S1	1. D
2. G1	2. D
3. D2	3. G
4. S2	4. S
5. G2	5. D
6. D1	6. D

Abb.	VDS (V)	RDS (ein) (Ω)	ID (A)	IDM (A)	PD (W)	Digi-Key Teilenr.	Preisangaben 10	100	250	Gegurtet auf Rolle* Größe	Preisangaben
N-Kanal											
TO-92											
3A	60	5	.2	.5	.350	2N7000RLRAOSCT-ND	2.63	18.52	33.66	2,000	83.82/M
3C	60	5	0.5	—	.350	BS170RLRAOSCT-ND	2.96	21.33	40.00	2,000	106.67/M
3A	60	7.5	.15	1	.400	VN2222LLOS-ND	3.50	26.31	52.62	—	—
3A	60	10	.2	.5	.350	VN2410LOS-ND	3.60	25.91	48.58	—	—
3E	60	7.5	.15	1	.4	2N7008OS-ND	2.63	18.96	35.55	—	—
3C	200	6.4	.250	.500	.350	BS107AOS-ND	3.09	22.21	41.66	—	—
TO-220AB											
2B	24	.005	90	200	85	NTP90N02OS-ND	12.39	95.24	200.01	—	—
	24	.008	65	160	1.86	NTP65N02ROS-ND	10.58	88.89	185.19	—	—
	24	.0037	125	—	2.72	NTP125N02ROS-ND	11.64	97.78	203.72	—	—
	25	.0056	75	225	2.08	NTP75N03ROS-ND	11.56	88.89	186.68	—	—
	28	.0061	85	190	80	NTP85N03OS-ND	12.39	95.24	200.01	—	—
	60	.0095	75	225	214	NTP75N06OS-ND	19.07	160.17	333.68	—	—
	100	.022	10	35	40	MTP10N10ELOS-ND	10.73	82.54	173.34	—	—
TO-247											
1	200	.075	32	128	180	MTW32N20EOS-ND	67.38	532.63	1123.01	—	—
TO-251A											
4	24	.005	80	200	75	NTD80N02-001OS-ND	9.53	73.34	154.01	—	—
	24	.0037	110	—	92.5	NTD110N02R-001OS-ND	10.18	78.31	164.45	—	—
4	25	.0704	14	—	20.8	NTD14N03R-001OS-ND	3.67	26.40	49.49	—	—
	25	.0056	70	96	52.1	NTD70N03R-001OS-ND	7.79	59.90	125.79	—	—
	25	.0126	40	80	41.7	NTD40N03R-001OS-ND	5.45	40.92	87.14	—	—
	25	.032	23	40	22.3	NTD23N03R-001OS-ND	5.11	38.29	81.54	—	—
8-SOIC											
5A	30	.07	4.1	40	2	MMDF3N03HDR2OSCT-ND	10.18	78.31	164.45	2,500	416.53/M
	40	.08	3.4	40	2	MMDF3N04HDR2OSCT-ND	8.53	65.61	137.78	2,500	348.80/M
	50	.3	2	10	2	MMDF1N05ER2OSCT-ND	9.22	70.90	148.90	2,500	377.59/M
5C	28	.0098	14	40	2.5	NTMS4503NR2OSCT-ND	13.49	103.71	217.79	2,500	551.99/M
	30	.0175	9.6	50	1.56	NTMS4404NR2OSCT-ND	10.18	78.31	164.45	2,500	416.53/M
	30	.01	11.5	40	1.56	NTMS4700NR2OSCT-ND	11.64	97.78	203.72	2,500	605.32/M
SOT-23											
6B	20	.08	3.2	10	1.25	NTR4501NT1GOSCT-ND	3.52	25.33	47.49	3,000	119.37/M
	20	1	.300	.750	.225	MMBF0201NLT1OSCT-ND	3.18	22.89	42.91	3,000	108.37/M
	20	.090	.750	2	.400	MGSF1N02LT1OSCT-ND	3.39	25.40	50.80	3,000	126.99/M
	30	.14	2.0	6.0	.73	NTR4503NT1GOSCT-ND	3.52	25.33	47.49	3,000	119.37/M
	30	.100	.750	2	.400	MGSF1N03LT1OSCT-ND	2.88	21.59	43.18	3,000	108.37/M
	50	3.5	.200	.800	.225	BSS138LT1OSCT-ND	1.98	13.94	25.33	3,000	56.73/M
	50	10	.130	.520	.225	BSS84LT1OSCT-ND	2.47	17.40	31.63	3,000	52.49/M
	60	5	0.5	0.8	.225	MMBF170LT1OSCT-ND	2.23	15.41	27.78	3,000	54.19/M
	60	7.5	.115	.800	.225	2N7002LT1OSCT-ND	1.57	10.24	17.72	3,000	37.25/M
	100	6	0.17	0.68	.225	BSS123LT1OSCT-ND	1.85	13.04	23.70	3,000	55.03/M

* Für Gegurtet auf Rolle die Teilenr. von CT-ND in TR-ND ändern

(Forts.)

B

Abb.	VDS (V)	RDS (ein) (Ω)	ID (A)	IDM (A)	PD (W)	Digi-Key Teilenr.	Preisangaben 10	100	250	Gegurtet auf Rolle* Größe	Preisangaben
						SOT-223					
7	40	.1	6	—	1.1	NIF62514T1OSCT-ND	7.15	55.03	115.56	2,000	319.17/M
	42	.2	2	—	1.1	NIF5002NT1OSCT-ND	6.71	50.29	107.09	1,000	288.69
	42	.068	14	—	1.25	NIF5003NT1OSCT-ND	10.46	80.43	168.90	1,000	466.48
	59	.125	2.6	10	1.69	NIF9N05CLT1OSCT-ND	6.25	46.86	99.80	2,000	269.22/M
	60	1.7	.3	—	0.8	MMFT960T1OSCT-ND	5.22	39.09	83.25	2,000	224.35/M
	60	.100	3	9	2.1	NTF3055-100T1OSCT-ND	4.89	36.67	73.35	3,000	187.95/M
						SOT-323					
8	20	1	.300	.750	.150	MMBF2201NT1OSCT-ND	2.94	21.12	39.60	3,000	93.98/M
	30	1.5	.27	.20	.33	NTS4001NT1GOSCT-ND	3.52	25.33	47.49	3,000	119.37/M
						SOT-416					
8	20	1.5	.238	.714	.30	NTA4001NT1GOSCT-ND	2.75	19.81	37.15	3,000	93.98/M
	20	.23	.915	1.3	.30	NTA4153NT1GOSCT-ND	3.01	21.70	40.69	3,000	102.44/M
						SC-89					
12	20	.23	.915	1.3	.30	NTE4153NT1GOSCT-ND	3.39	25.40	50.80	3,000	126.99/M
						TSOP-6					
9A	20	.045	2.5	10	.5	NTGS3446T1OSCT-ND	4.02	30.15	60.29	3,000	150.70/M
						DPAK					
10	24	.005	80	200	75	NTD80N02T4OSCT-ND	9.53	73.34	154.01	2,500	390.29/M
	24	.0037	110	—	92.5	NTD110N02RT4OSCT-ND	11.92	91.67	192.50	2,500	487.64/M
	25	.0704	14	—	20.8	NTD14N03RT4OSCT-ND	3.67	26.40	49.49	2,500	124.46/M
	25	.0056	70	96	52.1	NTD70N03RT4OSCT-ND	7.79	59.90	125.79	2,500	292.93/M
	25	.0126	40	80	41.7	NTD40N03RT4OSCT-ND	5.45	40.92	87.14	2,500	215.89/M
	25	.032	23	40	22.3	NTD23N03RT4OSCT-ND	5.11	38.29	81.54	2,500	202.34/M
	24	.008	60	—	48	NTD60N02RT4OSCT-ND	7.57	56.76	120.87	2,500	299.70/M
	42	.029	33	—	64	NID5001NT4OSCT-ND	12.49	104.89	218.53	2,500	649.35/M
	42	.051	20	—	1.3	NID5003NT4OSCT-ND	10.59	81.49	171.12	2,500	433.46/M
	59	.181	9	35	28.8	NID9N05CLT4OSCT-ND	4.74	35.56	71.11	2,500	177.79/M
	100	0.22	10	35	40	MTD10N10ELT4OSCT-ND	15.14	116.41	244.46	—	—
	100	.165	12	36	56.6	NTD12N10T4OSCT-ND	7.57	56.76	120.87	2,500	299.70/M
	150	0.3	6	20	20	MTD6N15T4OSCT-ND	7.98	61.38	128.89	2,500	326.79/M
	200	.460	6	18	50	MTD6N20ET4OSCT-ND	27.51	211.65	444.47	2,500	1083.65/M
						D2-PAK					
11	28	.0061	85	190	80	NTB85N03T4OSCT-ND	13.12	110.23	229.64	800	457.16
	24	.005	90	200	85	NTB90N02T4OSCT-ND	12.39	95.24	200.01	800	505.93
	24	.008	65	160	1.86	NTB65N02RT4OSCT-ND	10.58	88.89	185.19	800	507.96
	24	.0037	125	—	2.72	NTB125N02RT4OSCT-ND	11.64	97.78	203.72	800	558.76
	25	.0056	75	225	2.08	NTB75N03ROS-ND	11.56	88.89	186.68	—	—
						ChipFET					
13C	30	.05	4.9	20	1.3	NTHS4501NT1GOSCT-ND	7.70	59.26	124.45	3,000	314.94/M
						SOT-363					
14B	25	.35	1.0	3.7	.63	NTJS4405NT1GOSCT-ND	3.39	25.40	50.80	3,000	126.99/M
						Zweif. N-Kanal					
						ChipFET					
13A	20	.075	3.1	10	1.13	NTHD4508NT1GOSCT-ND	7.70	59.26	124.45	3,000	314.94/M
	30	.14	2.9	10	1.13	NTHD4502NT1GOSCT-ND	8.80	67.73	142.23	3,000	360.65/M
						SOT-363					
14A	20	.375	.63	1.2	.27	NTJD4401NT1GOSCT-ND	3.22	24.10	48.21	3,000	120.22/M
	30	1.5	.25	.60	.272	NTJD4001NT1GOSCT-ND	4.88	36.57	77.89	3,000	193.03/M
						TSSOP-8					
15	20	.019	7.5	30	1.52	NTQD4154ZR2OSCT-ND	13.49	103.71	217.79	4,000	551.99/M
						SOT-563					
17A	20	.55	.54	1.5	.25	NTZD3154NT1GOSCT-ND	4.06	30.48	60.96	4,000	152.39/M
						P-Kanal					
						8-SOIC					
5C	20	.012	8.8	44	1.6	NTMS10P02R2OSCT-ND	17.89	137.57	288.90	2,500	715.38/M
5D	20	.075	5.6	30	2.5	MMSF3P02HDR2OSCT-ND	9.22	70.90	148.90	2,500	377.59/M
						TO-220AB					
2B	30	.025	50	150	125	MTP50P03HDLOS-ND	21.88	162.97	349.22	—	—
	60	.120	23	81	90	MTP23P06VOS-ND	13.33	112.01	233.35	—	—
	100	.300	12	28	75	MTP12P10OS-ND	12.70	106.67	222.23	—	—
	200	1	6	21	75	MTP6P20EOS-ND	17.14	144.01	300.02	—	—
	500	6	2	6.0	75	MTP2P50EOS-ND	16.93	142.23	296.31	—	—
						DPAK					
10	60	.450	5	18	40	MTD5P06VT4OSCT-ND	5.79	43.43	92.49	2,500	229.43/M
						D2PAK					
11	30	.025	50	150	125	MTB50P03HDLT4OSCT-ND	25.07	186.68	400.02	800	1194.72
						SOT-23					
6B	8	.052	3.7	11	.96	NTR2101PT1GOSCT-ND	3.29	24.71	49.42	3,000	123.61/M
	20	.085	2.4	7.5	.73	NTR4101PT1GOSCT-ND	3.52	25.33	47.49	3,000	119.37/M
	20	.350	.750	2	.400	MGSF1P02LT1OSCT-ND	3.39	25.40	50.80	3,000	126.99/M
						SOT-223					
7	60	.300	1.2	4.8	0.8	MMFT2955ET1OSCT-ND	6.71	50.29	107.09	—	—

Abb.	VDS (V)	RDS (ein) (Ω)	ID (A)	IDM (A)	PD (W)	Digi-Key Teilenr.	Preisangaben 10	100	250	Gegurtet auf Rolle* Größe	Preisangaben
						SOT-323					
8	8	.10	1.4	3.0	.29	NTS2101PT1GOSCT-ND	3.12	23.37	46.73	3,000	116.83/M
	20	2.2	.300	.750	.150	MMBF2202PT1OSCT-ND	2.94	21.12	39.60	3,000	99.90/M
						SOT-363					
14B	12	.06	2.7	8.0	.625	NTJS3151PT1GOSCT-ND	3.69	26.57	49.83	3,000	125.30/M
	20	.06	3.3	10	1.0	NTJS4151PT1OSCT-ND	3.33	24.94	49.88	3,000	124.45/M
						SOT-416					
8	20	.36	.760	1.0	.301	NTA4151PT1GOSCT-ND	3.27	23.50	44.06	3,000	110.91/M
						SC-89					
12	20	.36	.760	1.0	.301	NTE4151PT1GOSCT-ND	3.39	25.40	50.80	3,000	126.99/M
						TSOP-6					
9A	30	.11	3.7	15	1.25	NTGS4111PT1GOSCT-ND	5.79	43.43	92.49	3,000	229.43/M
						ChipFET					
13B	20	.08	3.2	13	1.1	NTHD3101FT1GOSCT-ND	8.25	63.50	133.34	3,000	337.80/M
13C	30	.075	4.4	30	1.3	NTHS4111PT1GOSCT-ND	7.70	59.26	124.45	3,000	314.94/M
						Micro8					
16	20	.09	3.3	10	1.42	NTTD4401FR2OSCT-ND	7.98	61.38	128.89	4,000	326.79/M
						SOT-563					
17B	20	.15	.86	4	.17	NTZS3151PT1GOSCT-ND	4.06	30.48	60.96	4,000	152.39/M
						Zweif. P-Kanal					
						8-SOIC					
5A	20	.16	3.3	20	2	MMDF2P02HDR2OSCT-ND	9.08	69.84	146.67	2,500	371.66/M
						ChipFET					
13A	20	.155	2.1	7.0	1.1	NTHD4401PT3GOSCT-ND	8.80	67.73	142.23	10,000	338.64/M
						SOT-363					
14A	8	0.3	.775	1.2	.27	NTJD2152PT1GOSCT-ND	3.72	27.86	55.72	3,000	139.69/M
	20	.26	.88	3.0	.272	NTJD4152PT1GOSCT-ND	4.74	35.56	71.11	3,000	177.79/M
						SOT-563					
17A	20	0.9	.43	.75	.25	NTZD3152PT1GOSCT-ND	4.57	34.29	73.02	4,000	181.18/M
						Zweifacher N- & P-Kanal Komplementär					
						8-SOIC					
5B	30	.07/.20	4.1/3	21/15	2	MMDF2C03HDR2OSCT-ND	10.46	80.43	168.90	2,500	427.54/M
						ChipFET					
13A	20	.08/.08	2.9/3.2	12/13	1.1	NTHD3100CT1GOSCT-ND	8.25	63.50	133.34	3,000	337.80/M
						SOT-363					
14A	20/8	.375/.30	.63/.775	1.2	.27	NTJD4105CT1GOSCT-ND	5.79	43.43	92.49	3,000	229.43/M
						SOT-563					
17A	20	.55/.9	.54/.43	1.5/.75	.25	NTZD3155CT1GOSCT-ND	4.06	30.48	60.96	4,000	152.39/M

Abb.	V_{CES} (V)	I_C (A)	BV_{CES} (V)	I_{GES} (µA)	PD (W)	Digi-Key Teilenr.	Preisangaben 1	10	100
						Zündung, IGBT			
						TO-220AB			
2A	440	15	390	384	150	MGP15N40CLOS-ND	2.29	19.90	148.16

JFET

Abb.	V_{DS} (V)	V_{GS} (V)	I_{GF} (mA)	P_D (mW)	$V_{(BR)GSS}$	Digi-Key Teilenr.	Preisangaben 1	10	100
						JFET-Ausschöpfungsmodus			
						TO-92			
3B	25	25	10	350	-25	J310OS-ND	.39	2.96	21.33

Abb.	IDSS min. (A)	VGS (aus) max. (V)	VGSS (V)	PD (W)	Digi-Key Teilenr.	Preisangaben 10	100	250	Gegurtet auf Rolle* Größe	Preisangaben
					N-Kanal					
					SOT-23					
6A	.050	-10	30	.225	MMBF4391LT1OSCT-ND	2.10	15.72	31.44	6,000	85.51/M
	.025	-5	30	.225	MMBF4392LT1OSCT-ND	2.10	15.72	31.44	3,000	88.90/M
	.005	-3	30	.225	MMBF4393LT1OSCT-ND	2.10	15.72	31.44	3,000	88.90/M
	-.001	-3	-25	.200	MMBF5484LT1OSCT-ND	2.37	17.78	35.56	3,000	100.75/M
	.012	-4	-25	.225	MMBFJ309LT1OSCT-ND	2.37	17.78	35.56	6,000	96.52/M
	.024	-6.5	-25	.225	MMBFJ310LT1OSCT-ND	2.37	17.78	35.56	3,000	100.75/M
	.005	-6	30	.225	MMBF4416LT1OSCT-ND	2.10	15.72	31.44	3,000	88.90/M
	.024	-6	-25	.225	MMBFU310LT1OSCT-ND	2.37	17.78	35.56	6,000	96.52/M
	.001	-6	-25	.225	MMBF5457LT1OSCT-ND	2.37	17.78	35.56	3,000	100.75/M
					TO-92					
3B	.001	-6	-25	.310	2N5457OS-ND	2.96	21.33	40.00	—	—
	.002	-6	-25	.310	2N5458OS-ND	2.96	21.33	40.00	—	—
	.008	-6	-25	.350	2N5486OS-ND	2.96	21.33	40.00	—	—
					TSOP-6					
9B	—	2.0	15	.66	NUD3048MT1OSCT-ND	8.84	66.29	141.17	3,000	349.65/M
					P-Kanal					
					SOT-23					
6A	.0015	2.5	30	.225	MMBFJ177LT1OSCT-ND	2.37	17.78	35.56	3,000	100.75/M
	.007	6	30	.225	MMBFJ175LT1OSCT-ND	2.37	17.78	35.56	3,000	100.75/M
	-.001	6	40	.225	MMBF5460LT1OSCT-ND	2.37	17.78	35.56	3,000	100.75/M
					TO-92					
3D	-.001	6	40	.350	2N5460OS-ND	2.96	21.33	40.00	—	—
	-.002	7.5	40	.350	2N5461OS-ND	2.96	21.33	40.00	—	—

* Für Gegurtet auf Rolle die Teilenr. von CT-ND in TR-ND ändern

Alle Preisangaben in Euro und inklusive Zollgebühren.

Diodenbrücke/Gleichrichter

Abb. 1

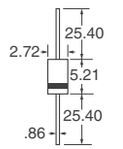

Abb. 2

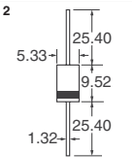

Abb. 3

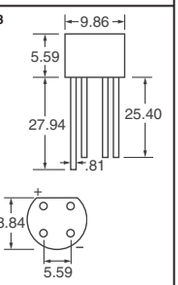

Abb. 4

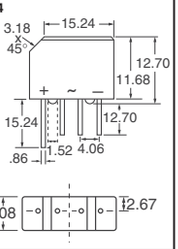

Abb. 5

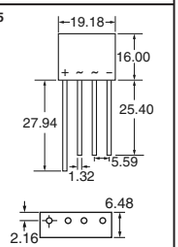

Abb. 6

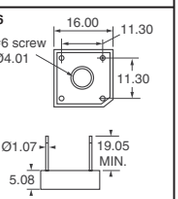

Abb. 7

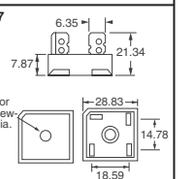

Abb. 8

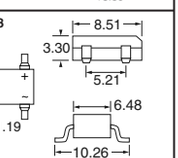

Abb. 9

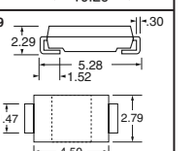

Abb. 10

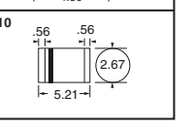

Abb.	Max. Durchschn. Rechteckig Strom (A)	Max. Spitzenrück-fluss-spannung (V)	Spitzendurch-lass Überspan-nungsstrom 8,3ms (A)	Max. sofortige Durchlass-spannung (V)	Typ. Rückwärts-Erholzeit (µS)	Betr. Verbindungs-temp. (°C)	Digi-Key Teilenr.	Gurtabschnittspreise 1	10	100	Digi-Key Teilenr.	Gegurtet auf Rolle 1.400	5.500
Silizium-Gleichrichter													
1	1.0	50	30	1.1	30	-50 ~ 175	1N4001/4GICT-ND	—	.58	4.67	1N4001/4GITR-ND	—	23.71/M
		100	30	1.1	30	-50 ~ 175	1N4002/4GICT-ND	—	.58	4.67	1N4002/4GITR-ND	—	23.71/M
		200	30	1.1	30	-50 ~ 175	1N4003/4GICT-ND	—	.58	4.67	1N4003/4GITR-ND	—	23.71/M
		400	30	1.1	30	-50 ~ 175	1N4004/4GICT-ND	—	.58	4.67	1N4004/4GITR-ND	—	23.71/M
		600	30	1.1	30	-50 ~ 175	1N4005/4GICT-ND	—	.58	4.67	1N4005/4GITR-ND	—	23.71/M
		800	30	1.1	30	-50 ~ 175	1N4006/4GICT-ND	—	.58	4.67	1N4006/4GITR-ND	—	23.71/M
		1000	30	1.1	30	-50 ~ 175	1N4007/4GICT-ND	—	.58	4.67	1N4007/4GITR-ND	—	23.71/M
2	3.0	50	200	1.2	—	-50 ~ 170	1N5400/4GICT-ND	.36	2.67	19.37	1N5400/4GITR-ND	121.07/M	—
		100	200	1.2	—	-50 ~ 170	1N5401/4GICT-ND	.36	2.67	19.37	1N5401/4GITR-ND	121.07/M	—
		200	200	1.2	—	-50 ~ 170	1N5402/4GICT-ND	.36	2.67	19.37	1N5402/4GITR-ND	121.07/M	—
		400	200	1.2	—	-50 ~ 170	1N5404/4GICT-ND	.36	2.67	19.37	1N5404/4GITR-ND	121.07/M	—
		600	200	1.2	—	-50 ~ 170	1N5406/4GICT-ND	.36	2.67	19.37	1N5406/4GITR-ND	121.07/M	—
		800	200	1.2	—	-50 ~ 170	1N5407/4GICT-ND	.36	2.67	19.37	1N5407/4GITR-ND	121.07/M	—
		1000	200	1.2	—	-50 ~ 170	1N5408/4GICT-ND	.36	2.67	19.37	1N5408/4GITR-ND	121.07/M	—
Schottky Grenzschichtgleichrichter													
1	1.0	20	25	.45	—	-65 ~ 125	1N5817/4GICT-ND	.26	1.93	14.05	1N5817/4GITR-ND	—	66.89/M
		30	25	.55	—	-65 ~ 125	1N5818/4GICT-ND	.26	1.93	14.05	1N5818/4GITR-ND	—	66.89/M
		40	25	.60	—	-65 ~ 125	1N5819/4GICT-ND	.26	1.93	14.05	1N5819/4GITR-ND	—	66.89/M
2	3.0	20	80	.475	—	-65 ~ 125	1N5820/4GICT-ND	.63	4.57	33.25	1N5820/4GITR-ND	158.32/M	—
		30	80	.500	—	-65 ~ 125	1N5821/4GICT-ND	.63	4.57	33.25	1N5821/4GITR-ND	158.32/M	—
		40	80	.525	—	-65 ~ 125	1N5822/4GICT-ND	.63	4.57	33.25	1N5822/4GITR-ND	158.32/M	—
	5.0	20	150	0.55	—	-65 ~ 125	SB520/4CT-ND	.40	3.41	28.40	SB520/4TR-ND	182.03/M	—
		30	150	0.55	—	-65 ~ 125	SB530/4CT-ND	.40	3.41	28.40	SB530/4TR-ND	182.03/M	—
		40	150	0.55	—	-65 ~ 125	SB540/4CT-ND	.40	3.41	28.40	SB540/4TR-ND	182.03/M	—
		50	150	0.67	—	-65 ~ 125	SB550/4CT-ND	.46	3.93	32.76	SB550/4TR-ND	209.96/M	—
		60	150	0.67	—	-65 ~ 125	SB560/4CT-ND	.46	3.93	32.76	SB560/4TR-ND	209.96/M	—

Abb.	Max. Durchschn.Recht-eckig Strom (A)	Max. Spitzen-rückfluss-spannung (V)	Spitzendurchlass-Überspannungsstrom 8,3ms (A)	Max. sofortige Durchlass-spannung (A)	Betr. Verbind-ungstemp. (°C)	Digi-Key Teilenr.	Preisangaben 1	10	100
Silizium- und glaspassivierte Brücken-Gleichrichter									
3	1.5	50	50	1.0	-55 ~ 150	W005G/1GI-ND	.52	4.39	36.60
		100	50	1.0	-55 ~ 150	W01G/1GI-ND	.52	4.39	36.60
		200	50	1.0	-55 ~ 150	W02G/1GI-ND	.52	4.39	36.60
		400	50	1.0	-55 ~ 150	W04G/1GI-ND	.52	4.39	36.60
		600	50	1.0	-55 ~ 150	W06G/1GI-ND	.52	4.39	36.60
		800	50	1.0	-55 ~ 150	W08G/1GI-ND	.52	4.39	36.60
		1000	50	1.0	-55 ~ 150	W10G/1GI-ND	.52	4.39	36.60
4	2.0	50	30	1.1	-55 ~ 165	2KBP005M/1-ND	.58	4.99	—
		100	30	1.1	-55 ~ 165	2KBP01M/1-ND	.58	4.99	—
		200	30	1.1	-55 ~ 165	2KBP02M/1-ND	.58	4.99	—
		400	30	1.1	-55 ~ 165	2KBP04M/1-ND	.58	4.99	—
		600	30	1.1	-55 ~ 165	2KBP06M/1-ND	.58	4.99	—
		800	30	1.1	-55 ~ 165	2KBP08M/1-ND	.58	4.99	—
		1000	30	1.1	-55 ~ 165	2KBP10M/1-ND	.58	4.99	—
5	4.0	50	200	1.1	-50 ~ 150	KBL005/1-ND	1.43	13.05	119.37
		100	200	1.1	-50 ~ 150	KBL01/1-ND	1.43	13.05	119.37
		200	200	1.1	-50 ~ 150	KBL02/1-ND	1.43	13.05	119.37
		400	200	1.1	-50 ~ 150	KBL04/1-ND	1.43	13.05	119.37
		600	200	1.1	-50 ~ 150	KBL06/1-ND	1.43	13.05	119.37
		800	200	1.1	-50 ~ 150	KBL08/1-ND	1.43	13.05	119.37
		1000	200	1.1	-50 ~ 150	KBL10/1-ND	1.43	13.05	119.37
6	6.0	50	175	1.0	-55 ~ 150	GBPC6005/1-ND	2.07	17.81	148.41
		100	175	1.0	-55 ~ 150	GBPC601/1-ND	2.07	17.81	148.41
		200	175	1.0	-55 ~ 150	GBPC602/1-ND	2.07	17.81	148.41
		400	175	1.0	-55 ~ 150	GBPC604/1-ND	2.07	17.81	148.41
		600	175	1.0	-55 ~ 150	GBPC606/1-ND	2.07	17.81	148.41
		800	175	1.0	-55 ~ 150	GBPC608/1-ND	2.07	17.81	148.41
		1000	175	1.0	-55 ~ 150	GBPC610/1-ND	2.07	17.81	148.41
7	12	50	200	1.1	-55 ~ 150	GBPC12005/1-ND	4.66	39.97	333.08
		100	200	1.1	-55 ~ 150	GBPC1201/1-ND	4.66	39.97	333.08
		200	200	1.1	-55 ~ 150	GBPC1202/1-ND	4.66	39.97	333.08
		400	200	1.1	-55 ~ 150	GBPC1204/1-ND	4.66	39.97	333.08
		600	200	1.1	-55 ~ 150	GBPC1206/1-ND	4.66	39.97	333.08
		800	200	1.1	-55 ~ 150	GBPC1208/1-ND	4.66	39.97	333.08
		1000	200	1.1	-55 ~ 150	GBPC1210/1-ND	4.66	39.97	333.08
	25	50	300	1.1	-55 ~ 150	GBPC25005/1-ND	4.66	39.97	333.08
		100	300	1.1	-55 ~ 150	GBPC2501/1GI-ND	4.66	39.97	333.08
		200	300	1.1	-55 ~ 150	GBPC2502/1GI-ND	4.66	39.97	333.08
		400	300	1.1	-55 ~ 150	GBPC2504/1GI-ND	4.66	39.97	333.08
		600	300	1.1	-55 ~ 150	GBPC2506/1GI-ND	4.66	39.97	333.08
		800	300	1.1	-55 ~ 150	GBPC2508/1GI-ND	4.66	39.97	333.08
		1000	300	1.1	-55 ~ 150	GBPC2510/1GI-ND	4.66	39.97	333.08
	35	50	400	1.1	-55 ~ 150	GBPC35005/1-ND	5.39	46.22	385.12
		100	400	1.1	-55 ~ 150	GBPC3501/1GI-ND	5.39	46.22	385.12
		200	400	1.1	-55 ~ 150	GBPC3502/1GI-ND	5.39	46.22	385.12
		400	400	1.1	-55 ~ 150	GBPC3504/1GI-ND	5.39	46.22	385.12
		600	400	1.1	-55 ~ 150	GBPC3506/1GI-ND	5.39	46.22	385.12
		800	400	1.1	-55 ~ 150	GBPC3508/1GI-ND	5.39	46.22	385.12
		1000	400	1.1	-55 ~ 150	GBPC3510/1GI-ND	5.39	46.22	385.12

Abb.	Max. Durch-schn. Rechteckig Strom (A)	Max. Spitzen-Rückfluss-Spannung (V)	Spitzen-durchlass-Überspan-nungsstrom 8,3ms (A)	Max. sofortige Durchlass-spannung (A)	Typ. Rev. Erholzeit (µS)	Betr. Verbindungs-temp. (°C)	Digi-Key Teilenr.	Gurtabschnittspreise 1	10	100	Digi-Key Teilenr.	Gegurtet auf Rolle 1.500	1.800
Glaspassivierter einphasiger Brücken-Gleichrichter, Miniatur, Oberflächenmontage													
8	1.0	200	50	1.1	5.0	-55 ~ 150	DF02S/27GICT-ND	.52	4.39	36.62	DF02S/27GITR-ND	219.70/M	—
		400	50	1.1	5.0	-55 ~ 150	DF04S/27GICT-ND	.52	4.39	36.62	DF04S/27GITR-ND	219.70/M	—
		600	50	1.1	5.0	-55 ~ 150	DF06S/27GICT-ND	.52	4.39	36.62	DF06S/27GITR-ND	219.70/M	—
Oberflächenmontierter Schottky-Gleichrichter — DO-214AC													
9	1.0	20	30	0.50	0.5	-65 ~ 125	SS12/1GICT-ND	.30	2.54	21.17	SS12/1GITR-ND	—	126.99/M
		60	30	0.75	0.5	-65 ~ 125	SS16/1GICT-ND	.17	1.43	11.89	SS16/1GITR-ND	—	71.37/M
Schottky-Barrierengleichrichter, Oberflächenmontage — DO-213AB													
10	1.0	20	30	0.50	0.5	-55 ~ 125	SGL41-20/1GICT-ND	.35	2.94	24.51	SGL41-20/1GITR-ND	147.06/M	—
		40	30	0.50	0.5	-55 ~ 125	SGL41-40/1GICT-ND	.35	2.94	24.51	SGL41-40/1GITR-ND	147.06/M	—
		60	30	0.70	0.5	-55 ~ 150	SGL41-60/2GICT-ND	.35	2.98	24.85	SGL41-60/1GITR-ND	149.09/M	—

Elektrische Daten @ 25 °C, falls nichts Gegenteiliges angegeben ist.

Serie	DO-41	MELF	DO-214AA	DO-214AB	R-6
Durchschnittliche Durchlass-	1.0A	1.0A	2.0A	3.0A	6.0A
spannung IF (AV)	T_A = 75°C	T_A = 75°C	T_J = 75°C	T_J = 120°C	T_A = 60°C
Max. Durchlassstrom	30A	30A	70A	100A	400A
Überspannungsstrom, I^{FSM}	8,3 ms, Halb-Sinus	8,3 ms, Halb-Sinus	8,3 ms, Halb-Sinus, T_J = 150°C	8,3 ms, Halb-Sinus	8,3 ms, Halb-Sinus
Max. Durchlass	1.1V	1.1V	1.15V	1.20V	0.95V
spannung, V_F	I_{FM} = 1.0A; T_J = 25°C*	I_{FM} = 1.0A; T_J = 25°C*	I_{FM} = 1.0A; T_J = 25°C*	I_{FM} = 3.0A; T_J = 25°C†	I_{FM} = 6.0A; T_J = 25°C‡
Max. Rückwärts	—	—	2.0µs	2.5µs	—
erholzeit Trr			I_F=0.5A	I_J=0.5A	
			I_R=1.0A	I_R=1.0A	
			1rr=0.25A	1rr=0.25A	

Serie	MINIMELF	SOD-123	SOD-323	SOT-23	SOT-323
Durchschnittliche Durchlass-	250mA	—	250mA	—	150mA
spannung IF (AV)	A =25°C				
Max. Durchlassstrom	1.0A	1.0A	1.0A	1.0A	—
Überspannungsstrom, IFSM	8,3 ms, Halb-Sinus	8,3 ms, Halb-Sinus		8,3 ms, Halb-Sinus	
Max. Durchlass-	1.25V	1.25V	1.25V	.885V	1.0V
spannung, V_F	I_{FM}=200mA	I_{FM}=200mA	I_{FM}=200mA	I_{FM}=10mA	I_{FM}=200mA
Max. Rückwärts	50nS	50nS	50nS		50nS
erholzeit Trr	I_F-30mA	I_F-30mA	I_F-30mA	4nS	I_F-30mA
	I_R=30mA	I_R=30mA	I_R=30mA	I_F=10mA	I_R=30mA
	I_{RR}=3.0mA	I_{RR}=3.0mA	I_{RR}=3.0mA		I_{RR}=3.0mA

* Impulstest: Impulslänge 300 µs, Betriebszyklus 2 % † Impulstest: Impulslänge 200 µs, Betriebszyklus 2 % ‡ Impulstest: Impulslänge 300 µs, Betriebszyklus 1 %

Abb.	Max. Spitzen-Rückfluss-spannung	Digi-Key Teilenr.	Gurtabschnittspreise 1	10	100	Digi-Key Teilenr.	Gegurtet auf Rolle Größe	Preisangaben	MCC Teilenr.
		DO-41 — 1 A Gleichrichter							
	50	1N4001MSCT-ND	—	.36	2.88	1N4001MSTR-ND	5,000	14.40/M	1N4001
	100	1N4002MSCT-ND	—	.36	2.88	1N4002MSTR-ND	5,000	14.40/M	1N4002
	200	1N4003MSCT-ND	—	.36	2.88	1N4003MSTR-ND	5,000	14.40/M	1N4003
1	400	1N4004MSCT-ND	—	.36	2.88	1N4004MSTR-ND	5,000	14.40/M	1N4004
	600	1N4005MSCT-ND	—	.36	2.88	1N4005MSTR-ND	5,000	14.40/M	1N4005
	800	1N4006MSCT-ND	—	.36	2.88	1N4006MSTR-ND	5,000	14.40/M	1N4006
	1000	1N4007MSCT-ND	—	.36	2.88	1N4007MSTR-ND	5,000	14.40/M	1N4007
		MELF — 1 A glaspassivierter Gleichrichter — SMT							
	50	DL4001MSCT-ND	—	1.48	12.60	DL4001MSTR-ND	5,000	59.27/M	DL4001
	100	DL4002MSCT-ND	—	1.48	12.60	DL4002MSTR-ND	5,000	59.27/M	DL4002
	200	DL4003MSCT-ND	—	1.48	12.60	DL4003MSTR-ND	5,000	59.27/M	DL4003
2	400	DL4004MSCT-ND	—	1.48	12.60	DL4004MSTR-ND	5,000	59.27/M	DL4004
	600	DL4005MSCT-ND	—	1.48	12.60	DL4005MSTR-ND	5,000	59.27/M	DL4005
	800	DL4006MSCT-ND	—	1.48	12.60	DL4006MSTR-ND	5,000	59.27/M	DL4006
	1000	DL4007MSCT-ND	—	1.48	12.60	DL4007MSTR-ND	5,000	59.27/M	DL4007
		DO-214AA — 2 A Silikon-Gleichrichter — SMT							
	50	S2AMSCT-ND	—	1.90	15.24	S2AMSTR-ND	3,000	76.20/M	S2A
	100	S2BMSCT-ND	—	1.90	15.24	S2BMSTR-ND	3,000	76.20/M	S2B
	200	S2DMSCT-ND	—	1.90	15.24	S2DMSTR-ND	3,000	76.20/M	S2D
3	400	S2GMSCT-ND	—	1.90	15.24	S2GMSTR-ND	3,000	76.20/M	S2G
	600	S2JMSCT-ND	—	1.90	15.24	S2JMSTR-ND	3,000	76.20/M	S2J
	800	S2KMSCT-ND	—	1.90	15.24	S2KMSTR-ND	3,000	76.20/M	S2K
	1000	S2MMSCT-ND	—	1.90	15.24	S2MMSTR-ND	3,000	76.20/M	S2M
		DO-214AB — 3 A Silikon-Gleichrichter — SMT							
	50	S3AMSCT-ND	—	4.23	33.86	S3AMSTR-ND	3,000	169.32/M	S3A
	100	S3BMSCT-ND	—	4.23	33.86	S3BMSTR-ND	3,000	169.32/M	S3B
	200	S3DMSCT-ND	—	4.23	33.86	S3DMSTR-ND	3,000	169.32/M	S3D
4	400	S3GMSCT-ND	—	4.23	33.86	S3GMSTR-ND	3,000	169.32/M	S3G
	600	S3JMSCT-ND	—	4.23	33.86	S3JMSTR-ND	3,000	169.32/M	S3J
	800	S3KMSCT-ND	—	4.23	33.86	S3KMSTR-ND	3,000	169.32/M	S3K
	1000	S3MMSCT-ND	—	4.23	33.86	S3MMSTR-ND	3,000	169.32/M	S3M
		R-6 — 6 A Gleichrichter							
	50	6A05MSCT-ND	.54	3.96	28.78	6A05MSTR-ND	500	107.94	6A05
	100	6A1MSCT-ND	.54	3.96	28.78	6A1MSTR-ND	500	107.94	6A1
	200	6A2MSCT-ND	.54	3.96	28.78	6A2MSTR-ND	500	107.94	6A2
5	400	6A4MSCT-ND	.54	3.96	28.78	6A4MSTR-ND	500	107.94	6A4
	600	6A6MSCT-ND	.54	3.96	28.78	6A6MSTR-ND	500	107.94	6A6
	800	6A8MSCT-ND	.54	3.96	28.78	6A8MSTR-ND	500	107.94	6A8
	1000	6A10MSCT-ND	.54	3.96	28.78	6A10MSTR-ND	500	107.94	6A10
		MINIMELF — 1 A kleine Signaldiode — bleifrei/RoHS-konform							
6	200	BAV102TPMSCT-ND	—	1.69	13.55	BAV102TPMSTR-ND	2,500	67.73/M	BAV102-TP
	250	BAV103TPMSCT-ND	—	1.69	13.55	BAV103TPMSTR-ND	2,500	67.73/M	BAV103-TP
		SOD-123 — 1 A kleine Signaldiode — bleifrei/RoHS-konform							
	120	BAV19WTPMSCT-ND	—	.85	6.77	BAV19WTPMSTR-ND	3,000	33.87/M	BAV19W-TP
7	200	BAV20WTPMSCT-ND	—	.85	6.77	BAV20WTPMSTR-ND	3,000	33.87/M	BAV20W-TP
	250	BAV21WTPMSCT-ND	—	.85	6.77	BAV21WTPMSTR-ND	3,000	33.87/M	BAV21W-TP
		SOD-323 — 1 A kleine Signaldiode — bleifrei/RoHS-konform							
	120	BAV19WSTPMSCT-ND	—	.85	6.77	BAV19WSTPMSTR-ND	3,000	33.87/M	BAV19WS-TP
8	200	BAV20WSTPMSCT-ND	—	.85	6.77	BAV20WSTPMSTR-ND	3,000	33.87/M	BAV20WS-TP
	250	BAV21WSTPMSCT-ND	—	.85	6.77	BAV21WSTPMSTR-ND	3,000	33.87/M	BAV21WS-TP
		SOT-23 — 1 A Silizium-Epitaxialdiode — bleifrei/RoHS-konform							
	180	MMBD1501TPMSCT-ND	—	1.69	13.55	MMBD1501TPMSTR-ND	3,000	67.73/M	MMBD1501-TP
	180	MMBD1503TPMSCT-ND	—	1.69	13.55	MMBD1503TPMSTR-ND	3,000	67.73/M	MMBD1503-TP
9	180	MMBD1504TPMSCT-ND	—	1.69	13.55	MMBD1504TPMSTR-ND	3,000	67.73/M	MMBD1504-TP
	180	MMBD1505TPMSCT-ND	—	1.69	13.55	MMBD1505TPMSTR-ND	3,000	67.73/M	MMBD1505-TP
	100	MMBD4148TPMSCT-ND	—	.85	6.77	MMBD4148TPMSTR-ND	3,000	33.87/M	MMBD4148-TP
	100	MMBD914TPMSCT-ND	—	.85	6.77	MMBD914TPMSTR-ND	3,000	33.87/M	MMBD914-TP
		SOT-323 — 150 mA Schaltdiode — bleifrei/RoHS-konform							
10	100	MMBD4148WTTPMSCT-ND	—	.85	6.77	MMBD4148WTTPMSTR-ND	3,000	33.87/M	MMBD4148WT-TP

Abb. 1 — DO-41

Abmessungen (mm)		
Abm.	Min.	Max.
A	4.22	5.21
B	2.03	2.72
C	.71	.86
D	25.40	—

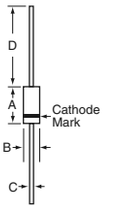

Abb. 2 — MELF, SMT

Abmessungen (mm)		
Abm.	Min.	Max.
A	4.83	5.21
B	—	.56
C	2.41	2.51

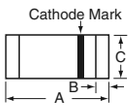

Abb. 3 — DO-214AA, SMT

Abmessungen (mm)		
Abm.	Min.	Max.
A	1.91	2.92
B	2.06	2.21
C	.10	.20
D	—	.51
E	.76	1.52
F	1.65	2.13
G	5.21	5.59
H	4.06	4.57
J	3.30	3.94

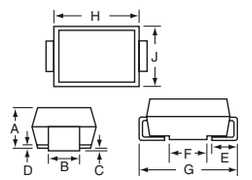

Abb. 4 — DO-214AB, SMT

Abmessungen (mm)		
Abm.	Min.	Max.
A	1.91	2.41
B	2.92	3.07
C	.10	.20
D	—	.51
E	.76	1.52
G	7.75	8.13
H	6.60	7.11
J	5.59	6.22

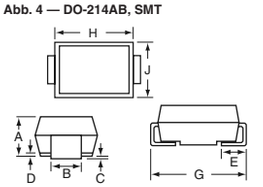

Abb. 5 — R-6

Abmessungen (mm)		
Abm.	Min.	Max.
A	8.64	9.14
B	8.64	9.14
C	1.22	1.32
D	25.40	—

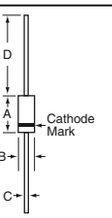

Abb. 6 — MINIMELF, SMT

Abmessungen (mm)		
Abm.	Min.	Max.
A	3.40	3.60
B	.20	.40
C	1.40	1.50

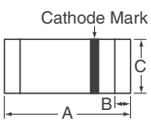

Abb. 7 — SOD-123

Abmessungen (mm)		
Abm.	Min.	Max.
A	3.55	3.85
B	2.55	2.85
C	1.40	1.80
D	—	1.35
E	.30	.78
G	.15	—
H	—	.25
J	—	.15

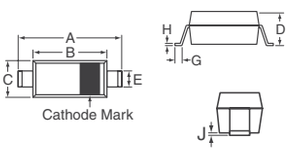

Abb. 8 — SOD-323

Abmessungen (mm)		
Abm.	Min.	Max.
A	2.30	2.70
B	1.60	1.80
C	1.15	1.35
D	.80	1.15
E	.25	.40
G	.10	.45
H	.10	.25
J	—	.15

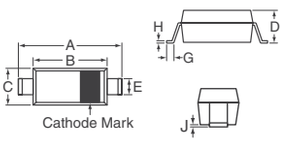

Abb. 9 — SOT-23

Teilenr.	1	2	3
1501	A	—	K
1503	A	K	K/A
1504	A	A	K
1505	A	K	A
4148	A	—	K
914	K	—	A

Abmessungen (mm)		
Abm.	Min.	Max.
A	2.80	3.04
B	2.10	2.64
C	1.20	1.40
D	.89	1.03
E	1.78	2.05
F	.45	.60
G	.013	.100
H	.89	1.12
J	.085	.180
K	.37	.51

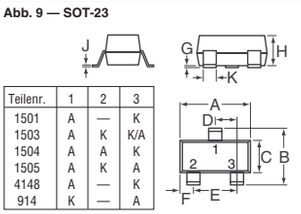

Abb. 10 — SOT-323

Abmessungen (mm)		
Abm.	Min.	Max.
A	1.80	2.20
B	1.15	2.20
C	2.00	1.35
D	(0,65 Nennwert)	
E	1.20	1.40
F	.30	.40
G	—	.10
H	.90	1.10
J	.05	.15
K	.30	.40

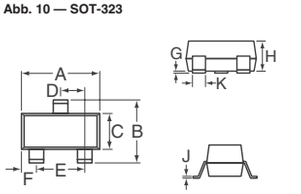

Alle Preisangaben in Euro und inklusive Zollgebühren.

Oberflächenmontierte Dioden

Abb. 1 — DO-214AA

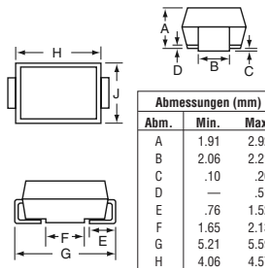

Abmessungen (mm)		
Abm.	Min.	Max.
A	1.91	2.92
B	2.06	2.21
C	.10	.20
D	—	.51
E	.76	1.52
F	1.65	2.13
G	5.21	5.59
H	4.06	4.57
J	3.30	3.94

Abb. 2 — DO-214AB

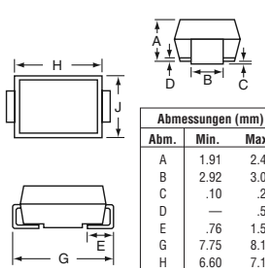

Abmessungen (mm)		
Abm.	Min.	Max.
A	1.91	2.41
B	2.92	3.07
C	.10	.20
D	—	.51
E	.76	1.52
G	7.75	8.13
H	6.60	7.11
J	5.59	6.22

Abb. 3 — SOD-123

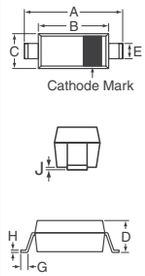

Abmessungen (mm)		
Abm.	Min.	Max.
A	3.55	3.85
B	2.55	2.85
C	1.40	1.80
D	—	1.35
E	.30	.78
G	.15	—
H	—	.25
J	—	.15

Abb. 4 — SOD-323

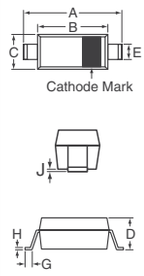

Abmessungen (mm)		
Abm.	Min.	Max.
A	2.30	2.70
B	1.60	1.80
C	1.15	1.35
D	.80	1.15
E	.25	.40
G	.10	.45
H	.10	.25
J	—	.15

Abb. 5 — SOT-23

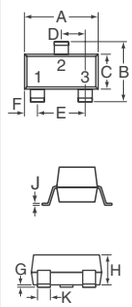

Abmessungen (mm)		
Abm.	Min.	Max.
A	2.80	3.04
B	2.10	2.64
C	1.20	1.40
D	.89	1.03
E	1.78	2.05
F	.45	.60
G	.013	.100
H	.89	1.12
J	.085	.180
K	.37	.51

Abb. 6 — SOT-323

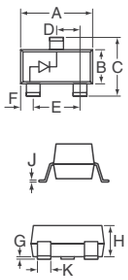

Abmessungen (mm)		
Abm.	Min.	Max.
A	1.80	2.20
B	1.15	1.35
C	2.00	2.20
D	(0,65 Nennwert)	
E	1.20	1.40
F	.30	.40
G	.000	.100
H	.90	1.00
J	.100	.250
K	.30	.40

Abb. 7 — SOT-563

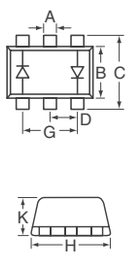

Abmessungen (mm)		
Abm.	Min.	Max.
A	.15	0.30
B	1.10	1.25
C	1.55	1.70
D	(0,50 Nennwert)	
G	.90	1.10
H	1.50	1.70
K	.56	.60
L	.10	.30
M	.10	.18

Abb. 8 — MINIMELF, SMT

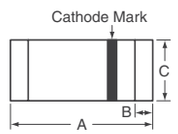

Abmessungen (mm)		
Abm.	Min.	Max.
A	3.40	3.60
B	.20	.40
C	1.40	1.50

Abb. 9 — SOT-363

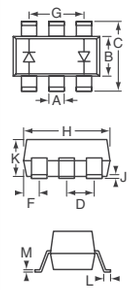

Abmessungen (mm)		
Abm.	Min.	Max.
A	.10	.30
B	1.15	1.35
C	2.00	2.20
D	(0,65 Nennwert)	
F	.30	.40
H	1.80	2.20
J	—	.10
K	.90	1.00
L	.25	.40
M	.10	.25

Pin-Anordnung, Nummer			
Hersteller Teilenr.	1	2	3
BAS54	A	—	K
BAS54A	K	K	A
BAS54C	A	A	K
BAS54S	A	K	A/K
BAS40	A	—	K
BAS40-04	A	A/K	K
BAS40-05	A	A	K
BAS40-06	K	K	A
BAS70	A	—	K
BAS70-04	A	A/K	K
BAS70-05	A	A	K
BAS70-06	K	K	A
MMBD4448TP	A	K	—

Abb.	Max. Spitzenumkehr-spannung	I_F @25°C	I_{FSM} @25°C	V_F @25°C	Digi-Key Teilenr.	Gurtabschnittspreise 1	10	100	Digi-Key Teilenr.	Gegurtet auf Rolle Größe	Preisangaben	MCC Teilenr.
1	20V	1.0A	50A	.45V	SMB5817MSCT-ND	.36	3.20	26.67	SMB5817MSTR-ND	3,000	177.79/M	SMB5817 (SK12)
	30V	1.0A	50A	.55V	SMB5818MSCT-ND	.36	3.20	26.67	SMB5818MSTR-ND	3,000	177.79/M	SMB5818 (SK13)
	40V	1.0A	50A	.60V	SMB5819MSCT-ND	.36	3.20	26.67	SMB5819MSTR-ND	3,000	177.79/M	SMB5819 (SK14)
	50V	1.0A	50A	.72V	SMBSR105MSCT-ND	.47	4.27	35.56	SMBSR105MSTR-ND	3,000	196.41/M	SMBSR105 (SK15)
	60V	1.0A	50A	.72V	SMBSR106MSCT-ND	.47	4.27	35.56	SMBSR106MSTR-ND	3,000	237.05/M	SMBSR106 (SK16)
	80V	1.0A	50A	.80V	SMBSR108MSCT-ND	.47	4.27	35.56	SMBSR108MSTR-ND	3,000	196.41/M	SMBSR108 (SK18)
	100V	1.0A	50A	.80V	SMBSR1010MSCT-ND	.54	4.88	40.64	SMBSR1010MSTR-ND	3,000	270.92/M	SMBSR1010 (SK110)
2	20V	3.0A	100A	.50V	SK32MSCT-ND	.61	5.49	45.72	SK32MSTR-ND	3,000	266.68/M	SK32
	30V	3.0A	100A	.50V	SK33MSCT-ND	.61	5.49	45.72	SK33MSTR-ND	3,000	304.78/M	SK33
	40V	3.0A	100A	.50V	SK34MSCT-ND	.61	5.49	45.72	SK34MSTR-ND	3,000	266.68/M	SK34
	50V	3.0A	100A	.75V	SK35MSCT-ND	.61	5.49	45.72	SK35MSTR-ND	3,000	304.78/M	SK35
	60V	3.0A	100A	.75V	SK36MSCT-ND	.61	5.49	45.72	SK36MSTR-ND	3,000	304.78/M	SK36
	80V	3.0A	100A	.75V	SK38MSCT-ND	.61	5.49	45.72	SK38MSTR-ND	3,000	266.68/M	SK38
	Bleifrei/RoHS-konform											
3	20V	0.5A	5.5A	0.45V	MBR0520TPMSCT-ND	—	1.48	11.85	MBR0520TPMSTR-ND	3,000	59.27/M	MBR0520-TP
	30V	0.5A	5.5A	0.55V	MBR0530TPMSCT-ND	—	1.48	11.85	MBR0530TPMSTR-ND	3,000	59.27/M	MBR0530-TP
	40V	0.5A	5.5A	0.55V	MBR0540TPMSCT-ND	—	1.48	11.85	MBR0540TPMSTR-ND	3,000	59.27/M	MBR0540-TP
	60V	0.5A	5.5A	0.70V	MBR0560TPMSCT-ND	—	1.48	11.85	MBR0560TPMSTR-ND	3,000	59.27/M	MBR0560-TP
	20V	1.0A	20A	0.50V	MBRX120TPMSCT-ND	—	1.48	11.85	MBRX120TPMSTR-ND	3,000	59.27/M	MBRX120-TP
	30V	1.0A	20A	0.55V	MBRX130TPMSCT-ND	—	1.48	11.85	MBRX130TPMSTR-ND	3,000	59.27/M	MBRX130-TP
	40V	1.0A	20A	0.55V	MBRX140TPMSCT-ND	—	1.48	11.85	MBRX140TPMSTR-ND	3,000	59.27/M	MBRX140-TP
	60V	1.0A	20A	0.72V	MBRX160TPMSCT-ND	—	1.48	11.85	MBRX160TPMSTR-ND	3,000	59.27/M	MBRX160-TP
	20V	350mA	1.5A	0.37V	SD103AWTPMSCT-ND	—	1.69	13.55	SD103AWTPMSTR-ND	3,000	67.73/M	SD103AW-TP
	30V	350mA	1.5A	0.37V	SD103BWTPMSCT-ND	—	1.69	13.55	SD103BWTPMSTR-ND	3,000	67.73/M	SD103BW-TP
	40V	350mA	1.5A	0.37V	SD103CWTPMSCT-ND	—	1.69	13.55	SD103CWTPMSTR-ND	3,000	67.73/M	SD103CW-TP
	60V	1mA	2.0A	0.41V	SD101AWTPMSCT-ND	—	1.69	13.55	SD101AWTPMSTR-ND	3,000	67.73/M	SD101AW-TP
	50V	1mA	2.0A	0.4V	SD101BWTPMSCT-ND	—	1.69	13.55	SD101BWTPMSTR-ND	3,000	67.73/M	SD101BW-TP
	40V	1mA	2.0A	0.39V	SD101CWTPMSCT-ND	—	1.69	13.55	SD101CWTPMSTR-ND	3,000	67.73/M	SD101CW-TP
	30V	200mA	4.0A	0.4V	BAT42WTPMSCT-ND	—	2.12	16.93	BAT42WTPMSTR-ND	3,000	84.66/M	BAT42W-TP
	30V	200mA	4.0A	0.33V	BAT43WTPMSCT-ND	—	2.12	16.93	BAT43WTPMSTR-ND	3,000	84.66/M	BAT43W-TP
4	30V	200mA	4.0A	0.40V	BAT42WSTPMSCT-ND	—	1.69	13.55	BAT42WSTPMSTR-ND	3,000	67.73/M	BAT42WS-TP
	30V	200mA	4.0A	0.33V	BAT43WSTPMSCT-ND	—	1.69	13.55	BAT43WSTPMSTR-ND	3,000	67.73/M	BAT43WS-TP
	20V	0.25A	12.5A	0.45V	MBRX02520TPMSCT-ND	—	1.69	13.55	MBRX02520TPMSTR-ND	3,000	67.73/M	MBRX02520-TP
	30V	0.25A	12.5A	0.55V	MBRX02530TPMSCT-ND	—	1.69	13.55	MBRX02530TPMSTR-ND	3,000	67.73/M	MBRX02530-TP
	40V	0.25A	12.5A	0.55V	MBRX02540TPMSCT-ND	—	1.69	13.55	MBRX02540TPMSTR-ND	3,000	67.73/M	MBRX02540-TP
	50V	0.25A	12.5A	0.70V	MBRX02550TPMSCT-ND	—	1.69	13.55	MBRX02550TPMSTR-ND	3,000	67.73/M	MBRX02550-TP
	60V	0.25A	12.5A	0.70V	MBRX02560TPMSCT-ND	—	1.69	13.55	MBRX02560TPMSTR-ND	3,000	67.73/M	MBRX02560-TP
	20V	0.5A	20A	0.45V	MBRX0520TPMSCT-ND	—	1.69	13.55	MBRX0520TPMSTR-ND	3,000	67.73/M	MBRX0520-TP
	30V	0.5A	20A	0.55V	MBRX0530TPMSCT-ND	—	1.69	13.55	MBRX0530TPMSTR-ND	3,000	67.73/M	MBRX0530-TP
	40V	0.5A	20A	0.55V	MBRX0540TPMSCT-ND	—	1.69	13.55	MBRX0540TPMSTR-ND	3,000	67.73/M	MBRX0540-TP
	60V	0.5A	20A	0.70V	MBRX0560TPMSCT-ND	—	1.69	13.55	MBRX0560TPMSTR-ND	3,000	67.73/M	MBRX0560-TP
	20V	350mA	1.5A	0.37V	SD103CWSTPMSCT-ND	—	1.69	13.55	SD103CWSTPMSTR-ND	3,000	67.73/M	SD103CWS-TP
	30V	350mA	1.5A	0.37V	SD103BWSTPMSCT-ND	—	1.69	13.55	SD103BWSTPMSTR-ND	3,000	67.73/M	SD103BWS-TP
	40V	350mA	1.5A	0.37V	SD103AWSTPMSCT-ND	—	1.69	13.55	SD103AWSTPMSTR-ND	3,000	67.73/M	SD103AWS-TP
	40V	1mA	2.0A	0.39V	SD101CWSTPMSCT-ND	—	1.69	13.55	SD101CWSTPMSTR-ND	3,000	67.73/M	SD101CWS-TP
	50V	1mA	2.0A	0.4V	SD101BWSTPMSCT-ND	—	1.69	13.55	SD101BWSTPMSTR-ND	3,000	67.73/M	SD101BWS-TP
	60V	1mA	2.0A	0.41V	SD101AWSTPMSCT-ND	—	1.69	13.55	SD101AWSTPMSTR-ND	3,000	67.73/M	SD101AWS-TP
5	30V	0.3A	1.0A	400mV	BAT54TPMSCT-ND	—	1.06	8.47	BAT54TPMSTR-ND	3,000	42.33/M	BAT54-TP
	30V	0.3A	1.0A	400mV	BAT54ATPMSCT-ND	—	1.06	8.47	BAT54ATPMSTR-ND	3,000	42.33/M	BAT54A-TP
	30V	0.3A	1.0A	400mV	BAT54CTPMSCT-ND	—	1.06	8.47	BAT54CTPMSTR-ND	3,000	42.33/M	BAT54C-TP
	30V	0.3A	1.0A	400mV	BAT54STPMSCT-ND	—	1.06	8.47	BAT54STPMSTR-ND	3,000	42.33/M	BAT54S-TP
	40V	200mA	—	380mV	BAS40TPMSCT-ND	—	1.48	11.85	BAS40TPMSTR-ND	3,000	59.27/M	BAS40-TP
	40V	200mA	—	380mV	BAS40-04TPMSCT-ND	—	1.48	11.85	BAS40-04TPMSTR-ND	3,000	59.27/M	BAS40-04-TP
	40V	200mA	—	380mV	BAS40-05TPMSCT-ND	—	1.48	11.85	BAS40-05TPMSTR-ND	3,000	59.27/M	BAS40-05-TP
	40V	200mA	—	380mV	BAS40-06TPMSCT-ND	—	1.48	11.85	BAS40-06TPMSTR-ND	3,000	59.27/M	BAS40-06-TP
	70V	200mA	—	410mV	BAS70TPMSCT-ND	—	1.48	11.85	BAS70TPMSTR-ND	3,000	59.27/M	BAS70-TP
	70V	200mA	—	410mV	BAS70-04TPMSCT-ND	—	1.48	11.85	BAS70-04TPMSTR-ND	3,000	59.27/M	BAS70-04-TP
	70V	200mA	—	410mV	BAS70-05TPMSCT-ND	—	1.48	11.85	BAS70-05TPMSTR-ND	3,000	59.27/M	BAS70-05-TP
	70V	200mA	—	410mV	BAS70-06TPMSCT-ND	—	1.48	11.85	BAS70-06TPMSTR-ND	3,000	59.27/M	BAS70-06-TP
	75V	500mA	4.0A	0.855V	MMBD4448TPMSCT-ND	—	.85	6.77	MMBD4448TPMSTR-ND	3,000	33.87/M	MMBD4448-TP
6	75V	500mA	4.0A	0.855V	MMBD4448WTTPMSCT-ND	—	.85	6.77	MMBD4448WTTPMSTR-ND	3,000	33.87/M	MMBD4448WT-TP
7	30V	200mA	—	400mV	BAT54VTPMSCT-ND	—	1.27	10.16	BAT54VTPMSTR-ND	3,000	50.80/M	BAT54V-TP
	40V	200mA	—	380mV	BAS40VTPMSCT-ND	—	1.69	13.55	BAS40VTPMSTR-ND	3,000	67.73/M	BAS40V-TP
	75V	500mA	4.0A	0.855V	MMBD4448VTPMSCT-ND	—	1.27	10.16	MMBD4448VTPMSTR-ND	3,000	50.80/M	MMBD4448V-TP
8	75V	500mA	—	1V	DL4151TPMSCT-ND	—	.51	4.06	DL4151TPMSTR-ND	2,500	20.32/M	DL4151-TP
9	75V	250mA	4.0 A	0.855V	MMBD4448DWTPMSCT-ND	—	.85	6.77	MMBD4448DWTPMSTR-ND	3,000	33.87/M	MMBD4448DW-TP

Brückengleichrichter, einphasig

Abb. 1 — RB-15, 1,5 A

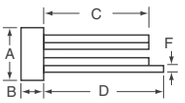

ABMESSUNGEN (mm)		
Abm.	Min.	Max.
A	—	9.10
B	—	4.00
C	25.40	—
D	27.90	—
E	4.60	5.60
F	0.76	0.81

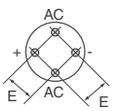

Abb. 2 — RS-4L, 4 A

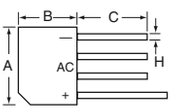

ABMESSUNGEN (mm)		
Abm.	Min.	Max.
A	18.50	19.50
B	15.20	16.30
C	19.00	—
D	6.00	6.50
E	4.60	5.60
G	—	2.10
H	1.20	1.30

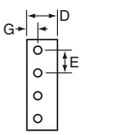

Abb. 3 — DB-1, 1 A

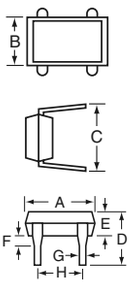

ABMESSUNGEN (mm)		
Abm.	Min.	Max.
A	9.02	9.27
B	6.22	6.48
C	7.62	8.89
D	3.94	4.19
E	2.92	3.43
F	—	1.52
G	—	.51
H	4.95	5.21

Abb. 4 — BR-6, 8 A

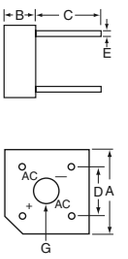

ABMESSUNGEN (mm)		
Abm.	Min.	Max.
A	—	15.50
B	—	6.33
C	—	25.40
D	10.41	12.70
E	1.00	—
G	3.70	—

Abb. 5 — PB-6, 6 A, 10 A

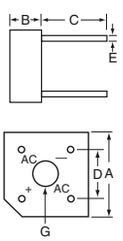

ABMESSUNGEN (mm)		
Abm.	Min.	Max.
A	—	15.50
B	—	6.33
C	—	19.20
D	10.30	11.30
E	1.00	—
G	3.70	—

Abb. 6 — MB-35W, 15 A, 25 A, 35 A

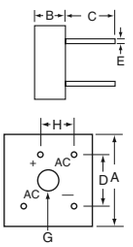

ABMESSUNGEN (mm)		
Abm.	Min.	Max.
A	28.33	28.83
B	10.85	11.35
C	19.65	—
D	17.10	19.10
E	.96	1.07
G	4.90	—
H	10.90	11.90

Abb. 7 — MP-50W, 50 A

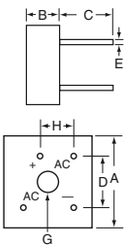

ABMESSUNGEN (mm)		
Abm.	Min.	Max.
A	28.33	28.83
B	10.85	11.35
C	19.65	—
D	17.10	19.10
E	.96	1.07
G	4.90	—
H	10.90	11.90

Abb. 8 — MBS-1, 0,5 A

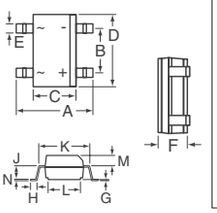

ABMESSUNGEN (mm)		
Abm.	Min.	Max.
A	6.40	6.90
B	2.41	2.67
C	3.65	4.10
D	4.55	4.95
E	.43	.74
F	2.30	2.70
G	.10	.20
H	.48	.96
J	1.47	1.57
K	4.95	5.21
L	2.80	2.90
M	.99	1.24
N	.15	.41

Elektrische Daten bei 25 °C, falls nichts Gegenteiliges angegeben ist.

Serie	RB-15 RB151–RB157	RS-4L RS401L–RS407L	DB-1 DB101–DB107	BR-6 MB805–MB810	PB-6 PB605–PB610	PB-6 MB1005–MB1010	MB-35W MB1505W–MB1510W	MB-35W MB2505W–MB2510W	MB-35W MB3505W–MB3510W	MP-50W MP5005W–MP5010W	MBS-1 MB1S-TP–MB6S-TP
Durchschn. Vorwärtsstrom IF (AV)	1.5A T_J = 25°C	4.0A T_J = 50°C	1A T_A = 40°C	8.0A T_C = 50°C	6.0A T_J = 50°C	10.0A T_J = 75°C	15.0A T_J = 55°C	25.0A T_J = 55°C	35.0A T_J = 55°C	50.0A T_J = 55°C	0.5A T_J = 55°C
Spitzenvorwärts-Stoßstrom, I_{FSM}	50A 8,3 ms, Halb-Sinus	200A 8,3 ms, Halb-Sinus	50A 8,3 ms, Halb-Sinus	125A 8,3 ms, Halb-Sinus	125A 8,3 ms, Halb-Sinus	150A 8,3 ms, Halb-Sinus	300A 8,3 ms, Halb-Sinus	300A 8,3 ms, Halb-Sinus	300A 8,3 ms, Halb-Sinus	400A 8,3 ms, Halb-Sinus	30A 8,3 ms, Halb-Sinus
Max. Durchlass-spannungsabfall pro Element, V_F	1.0V I_{FM}=1.5A, T_J=25°C*	1.0V I_{FM}=4.0A, T_J=25°C*	1.1V I_{FM}=1.0A, T_A=25°C	1.0V I_{FM}=4.0A, T_A=25°C*	1.1V I_{FM}=3.0A, T_J=25°C*	1.1V I_{FM}=5.0A, T_J=25°C*	1.1V I_{FM}=7.5A, T_J=25°C*	1.1V I_{FM}=12.5A, T_J=25°C*	1.1V I_{FM}=17.5A, T_J=25°C*	1.2V I_{FM}=20A, T_J=25°C*	1.0V I_{FM}=0.4A, T_A=25°C*

* Impulstest: Impulslänge 300 µs, Betriebszyklus 1 %

Abb.	Max. Spitzen-Rückfluss-spannung	Digi-Key Teilenr.	1	10	100	500	1.000	Gegurtet auf Rolle 3.000	MCC Teilenr.
RB-15 — 1,5 A Brückengleichrichter, einphasig									
1	50V	RB151MS-ND	.44	.39	.34	.28	.23	—	RB151
	100V	RB152MS-ND	—	—	—	—	.23	—	RB152
	200V	RB153MS-ND	.47	.42	.36	.30	.24	—	RB153
	400V	RB154MS-ND	.51	.45	.39	.32	.26	—	RB154
	600V	RB155MS-ND	.51	.45	.39	.32	.26	—	RB155
	800V	RB156MS-ND	.51	.45	.39	.32	.26	—	RB156
	1000V	RB157MS-ND	.51	.45	.39	.32	.26	—	RB157
RS-4L — 4 A Brückengleichrichter, einphasig									
2	50V	RS401LMS-ND	1.19	1.04	.89	.75	.60	—	RS401L
	100V	RS402LMS-ND	1.19	1.04	.89	.75	.60	—	RS402L
	200V	RS403LMS-ND	1.19	1.04	.89	.75	.60	—	RS403L
	400V	RS404LMS-ND	1.19	1.04	.89	.75	.60	—	RS404L
	600V	RS405LMS-ND	1.19	1.04	.89	.75	.60	—	RS405L
	800V	RS406LMS-ND	1.19	1.04	.89	.75	.60	—	RS406L
	1000V	RS407LMS-ND	1.19	1.04	.89	.75	.60	—	RS407L
DB-1 — 1 A glaspassivierter Brückengleichrichter, einphasig									
3	50V	DB101MS-ND	—	—	—	.28	—	—	DB101
	100V	DB102MS-ND	.44	.43	.34	.28	.23	—	DB102
	200V	DB103MS-ND	.47	.46	.36	.30	.24	—	DB103
	400V	DB104MS-ND	.51	.49	.39	.32	.26	—	DB104
	600V	DB105MS-ND	—	—	—	.34	—	—	DB105
	800V	DB106MS-ND	—	—	—	.39	—	—	DB106
	1000V	DB107MS-ND	.68	.65	.51	.43	.34	—	DB107
BR-6 — 8 A Brückengleichrichter, einphasig									
4	50V	MB805MS-ND	1.86	1.63	1.40	1.17	.94	—	MB805
	100V	MB81MS-ND	1.86	1.63	1.40	1.17	.94	—	MB81
	200V	MB82MS-ND	1.86	1.63	1.40	1.17	.94	—	MB82
	400V	MB84MS-ND	1.86	1.63	1.40	1.17	.94	—	MB84
	600V	MB86MS-ND	1.86	1.63	1.40	1.17	.94	—	MB86
	800V	MB88MS-ND	1.86	1.63	1.40	1.17	.94	—	MB88
	1000V	MB810MS-ND	1.86	1.63	1.40	1.17	.94	—	MB810
PB-6 — 6 A Brückengleichrichter, einphasig									
5	50V	PB605MS-ND	1.35	1.19	1.02	.85	.68	—	PB605
	100V	PB61MS-ND	1.35	1.19	1.02	.85	.68	—	PB61
	200V	PB62MS-ND	1.35	1.19	1.02	.85	.68	—	PB62
	400V	PB64MS-ND	1.35	1.19	1.02	.85	.68	—	PB64
	600V	PB66MS-ND	1.35	1.19	1.02	.85	.68	—	PB66
	800V	PB68MS-ND	1.35	1.19	1.02	.85	.68	—	PB68
	1000V	PB610MS-ND	1.35	1.19	1.02	.85	.68	—	PB610
BR-6 — 10 A Brückengleichrichter, einphasig									
5	50V	MB1005MS-ND	1.86	1.63	1.40	1.17	.94	—	MB1005
	100V	MB101MS-ND	1.86	1.63	1.40	1.17	.94	—	MB101
	200V	MB102MS-ND	1.86	1.63	1.40	1.17	.94	—	MB102
	400V	MB104MS-ND	2.03	1.78	1.53	1.27	1.02	—	MB104

Abb.	Max. Spitzen-Rückfluss-spannung	Digi-Key Teilenr.	1	10	100	500	1.000	Gegurtet auf Rolle 3.000	MCC Teilenr.
BR-6 — 10 A Brückengleichrichter, einphasig									
5	600V	MB106MS-ND	2.37	2.08	1.78	1.49	1.19	—	MB106
	800V	MB108MS-ND	2.37	2.08	1.78	1.49	1.19	—	MB108
	1000V	MB1010MS-ND	2.54	2.23	1.91	1.59	1.27	—	MB1010
MB-35W — 15 A Brückengleichrichter, einphasig									
6	50V	MB1505WMS-ND	3.73	3.26	2.80	2.33	1.87	—	MB1505W
	100V	MB151WMS-ND	3.73	3.26	2.80	2.33	1.87	—	MB151W
	200V	MB152WMS-ND	3.73	3.26	2.80	2.33	1.87	—	MB152W
	400V	MB154WMS-ND	3.73	3.26	2.80	2.33	1.87	—	MB154W
	600V	MB156WMS-ND	3.89	3.41	2.93	2.44	1.95	—	MB156W
	800V	MB158WMS-ND	3.89	3.41	2.93	2.44	1.95	—	MB158W
	1000V	MB1510WMS-ND	3.89	3.41	2.93	2.44	1.95	—	MB1510W
MB-35W — 25 A Brückengleichrichter, einphasig									
6	50V	MB2505WMS-ND	3.73	3.26	2.80	2.33	1.87	—	MB2505W
	100V	MB251WMS-ND	3.73	3.26	2.80	2.33	1.87	—	MB251W
	200V	MB252WMS-ND	3.73	3.26	2.80	2.33	1.87	—	MB252W
	400V	MB254WMS-ND	3.89	3.41	2.93	2.44	1.95	—	MB254W
	600V	MB256WMS-ND	4.06	3.56	3.05	2.54	2.04	—	MB256W
	800V	MB258WMS-ND	4.06	3.56	3.05	2.54	2.04	—	MB258W
	1000V	MB2510WMS-ND	4.40	3.86	3.31	2.76	2.21	—	MB2510W
MB-35W — 35 A Brückengleichrichter, einphasig									
6	50V	MB3505WMS-ND	4.06	3.56	3.05	2.54	2.04	—	MB3505W
	100V	MB351WMS-ND	4.06	3.56	3.05	2.54	2.04	—	MB351W
	200V	MB352WMS-ND	4.06	3.56	3.05	2.54	2.04	—	MB352W
	400V	MB354WMS-ND	4.06	3.56	3.05	2.54	2.04	—	MB354W
	600V	MB356WMS-ND	4.23	3.71	3.18	2.65	2.12	—	MB356W
	800V	MB358WMS-ND	4.40	3.86	3.31	2.76	2.21	—	MB358W
	1000V	MB3510WMS-ND	4.74	4.15	3.56	2.97	2.38	—	MB3510W
MP-50W — 50 A Brückengleichrichter, einphasig									
7	50V	MP5005WMS-ND	5.42	4.75	4.07	3.39	2.71	—	MP5005W
	100V	MP501WMS-ND	5.42	4.75	4.07	3.39	2.71	—	MP501W
	200V	MP502WMS-ND	5.42	4.75	4.07	3.39	2.71	—	MP502W
	400V	MP504WMS-ND	5.42	4.75	4.07	3.39	2.71	—	MP504W
	600V	MP506WMS-ND	5.76	5.04	4.32	3.60	2.88	—	MP506W
	800V	MP508WMS-ND	5.76	5.04	4.32	3.60	2.88	—	MP508W
	1000V	MP5010WMS-ND	5.76	5.04	4.32	3.60	2.88	—	MP5010W
MBS-1 — 0,5 A glaspassivierter Brückengleichrichter, einphasig, bleifrei/RoHS-konform									
8	100V	MB1S-TPMSCT-ND†	—	.34	.28	—	.21	135.46/M	MB1S-TP
	200V	MB2S-TPMSCT-ND†	—	.34	.28	—	.21	135.46/M	MB2S-TP
	400V	MB4S-TPMSCT-ND†	—	.34	.28	—	.21	135.46/M	MB4S-TP
	600V	MB6S-TPMSCT-ND†	—	.34	.28	—	.21	135.46/M	MB6S-TP

† Für Band und Spule die Teilenummer CT-ND in TR-ND ändern

Microsemi

Schalt-Diodenarray

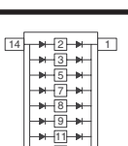

Merkmale: • 8 isolierte Leitungen • Standard-SOIC, 14-Pin Oberflächenmontage-Paket • Entflammbarkeitsklassifizierung UL 94V-0

Vbr bei Ibr = 100 µA (V) Min.	Ir 25 °C (µA) Max.	Ir 25 °C (V) @ Vr	CAP @ 0 V (pF) Max.	Trr (nS) Max.	Vf @ If = 100 mA (V) Min.	Vf @ If = 100 mA (V) Max.	Digi-Key Teilenr.	Preisangaben 1	10	100
90	0.200	20	1.5	5.0	1	1.20	MMAD1103E3-ND	6.40	57.60	480.02

Alle Preisangaben in Euro und inklusive Zollgebühren.

SW-Dioden – Silizium, epitaxial

Durchschn. Richtstrom E/A: 150 mA **Verlustgesamtleistung (P_{TOT}):** 500 mW **Rückwärts-Erholzeit T_{rr}:** 4 nS (I_F = 10 mA; V_R = 6 V; R_L = 100 Ω)

Abb. 1 — MINIMELF, SMT

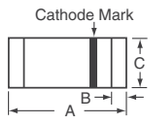

Abmessungen (mm)		
Abm.	Min.	Max.
A	3.40	3.61
B	.20	.41
C	1.40	1.50

Abb. 2 — DO-35

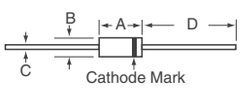

Abmessungen (mm)		
Abm.	Min.	Max.
A	—	4.22
B	—	2.01
C	—	.51
D	25.40	—

Abb. 3 — SOD-123

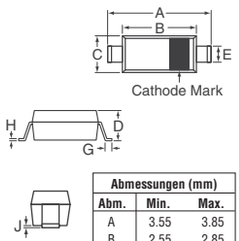

Abmessungen (mm)		
Abm.	Min.	Max.
A	3.55	3.85
B	2.55	2.85
C	1.40	1.80
D	—	1.35
E	.30	.78
G	.15	—
H	—	.25
J	—	.15

Abb. 4 — SOD-323

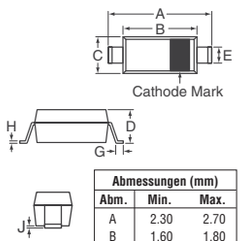

Abmessungen (mm)		
Abm.	Min.	Max.
A	2.30	2.70
B	1.60	1.80
C	1.15	1.35
D	.80	1.15
E	.25	.40
G	.10	.45
H	.10	.25
J	—	.15

Abb. 5 — SOT-23-2

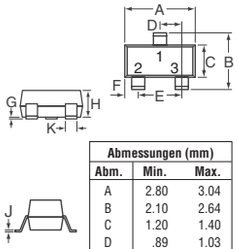

Abmessungen (mm)		
Abm.	Min.	Max.
A	2.80	3.04
B	2.10	2.64
C	1.20	1.40
D	.89	1.03
E	1.78	2.05
F	.45	.60
G	.013	.100
H	.89	1.12
J	.085	.180
K	.37	.51

Abb. 6 — SOT-323

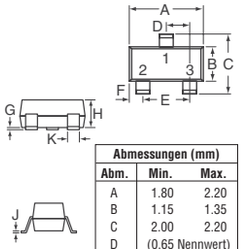

Abmessungen (mm)		
Abm.	Min.	Max.
A	1.80	2.20
B	1.15	1.35
C	2.00	2.20
D	(0,65 Nennwert)	
E	1.20	1.40
F	.30	.40
G	.000	.100
H	.90	1.00
J	.100	.250
K	.30	.40

B

Abb.	V_R	V_{RM}	I_O	I_{FSM}	V_F	Pin-Anordnung 1	2	3	Digi-Key Teilenr.	Gurtabschnittspreise 10	100	Digi-Key Teilenr.	Gegurtet auf Rolle Größe	Preisangaben	MCC Teilenr.
1	75V	100V	150mA	500mA	1.0V	—	—	—	DL4148MSCT-ND	.63	5.40	DL4148MSTR-ND	2,500	41.49/M	DL4148
2	75V	100V	150mA	2.0A	1.0V	—	—	—	1N4148MSCT-ND	.30	2.37	1N4148MSTR-ND	10,000	11.86/M	1N4148
						Bleifrei/RoHS-konform									
1	50V	75V	200mA	4.0A	570mV	—	—	—	DL4150TPMSCT-ND	.51	4.06	DL4150TPMSTR-ND	2,500	20.32/M	DL4150-TP
	75V	100V	150mA	500mA	1.0V	—	—	—	DL4448TPMSCT-ND	.42	3.39	DL4448TPMSTR-ND	2,500	16.94/M	DL4448-TP
3	75V	100V	150mA	350mA	1.0V	—	—	—	1N4148WTPMSCT-ND	.85	6.77	1N4148WTPMSTR-ND	3,000	33.87/M	1N4148W-TP
	75V	75V	200mA	2.0A	1.0V	—	—	—	BAS16WTPMSCT-ND	.85	6.77	BAS16WTPMSTR-ND	3,000	33.87/M	BAS16W-TP
	75V	75V	150mA	2.0A	1.0V	—	—	—	BAS16WTTPMSCT-ND	.85	6.77	BAS16WTTPMSTR-ND	3,000	33.87/M	BAS16WT-TP
4	100V	75V	300mA	2.0A	1.0V	—	—	—	1N4148WXTPMSCT-ND	.85	6.77	1N4148WXTPMSTR-ND	3,000	33.87/M	1N4148WX-TP
	75V	85V	200mA	2.0A	1.0V	—	—	—	BAS16WXTPMSCT-ND	.85	6.77	BAS16WXTPMSTR-ND	3,000	33.87/M	BAS16WX-TP
5	75V	100V	300mA	1.0A	1.25V	—	—	—	BAS16TPMSCT-ND	.85	6.77	BAS16TPMSTR-ND	3,000	33.87/M	BAS16-TP
	75V	100V	200mA	1.0A	1.25V	—	—	—	BAS16VTPMSCT-ND	1.69	13.55	BAS16VTPMSTR-ND	3,000	67.73/M	BAS16V-TP
	100V	120V	200mA	2.5A	1.25V	K	A	A	BAS19TPMSCT-ND	.85	6.77	BAS19TPMSTR-ND	3,000	33.87/M	BAS19-TP
	150V	200V	200mA	2.5A	1.25V	K	A	A	BAS20TPMSCT-ND	.85	6.77	BAS20TPMSTR-ND	3,000	33.87/M	BAS20-TP
	200V	250V	200mA	2.5A	1.25V	K	A	A	BAS21TPMSCT-ND	.85	6.77	BAS21TPMSTR-ND	3,000	33.87/M	BAS21-TP
	200V	250V	200mA	—	1100mV	A	K	K	BAS21ATPMSCT-ND	1.06	8.47	BAS21ATPMSTR-ND	3,000	42.33/M	BAS21A-TP
	200V	250V	200mA	—	1100mV	K	A	A	BAS21CTPMSCT-ND	1.06	8.47	BAS21CTPMSTR-ND	3,000	42.33/M	BAS21C-TP
	200V	250V	200mA	—	1100mV	K/A	A	K	BAS21STPMSCT-ND	1.06	8.47	BAS21STPMSTR-ND	3,000	42.33/M	BAS21S-TP
	75V	—	150mA	1.0A	855mV	K	A	A	BAV70TPMSCT-ND	.85	6.77	BAV70TPMSTR-ND	3,000	33.87/M	BAV70-TP
	75V	—	150mA	1.0A	855mV	K/A	A	K	BAV99TPMSCT-ND	.85	6.77	BAV99TPMSTR-ND	3,000	33.87/M	BAV99-TP
	75V	—	150mA	1.0A	855mV	A	K	K	BAW56TPMSCT-ND	.85	6.77	BAW56TPMSTR-ND	3,000	33.87/M	BAW56-TP
	100V	—	150mA	1.0A	820mV	K/A	A	C	MMBD7000TPMSCT-ND	.85	6.77	MMBD7000TPMSTR-ND	3,000	33.87/M	MMBD7000-TP
6	100V	—	200mA	2.5A	1.25V	K	A	—	BAS19WTTPMSCT-ND	.85	6.77	BAS19WTTPMSTR-ND	3,000	33.87/M	BAS19WT-TP
	150V	—	200mA	2.5A	1.25V	K	A	—	BAS20WTTPMSCT-ND	.85	6.77	BAS20WTTPMSTR-ND	3,000	33.87/M	BAS20WT-TP
	200V	—	200mA	2.5A	1000mV	K	A	—	BAS21WTTPMSCT-ND	.85	6.77	BAS21WTTPMSTR-ND	3,000	33.87/M	BAS21WT-TP
	75V	—	150mA	1.0A	855mV	K	A	A	BAV70WTTPMSCT-ND	.85	6.77	BAV70WTTPMSTR-ND	3,000	33.87/M	BAV70WT-TP
	75V	—	150mA	1.0A	855mV	K/A	A	K	BAV99WTTPMSCT-ND	.85	6.77	BAV99WTTPMSTR-ND	3,000	33.87/M	BAV99WT-TP
	75V	—	150mA	1.0A	855mV	A	K	K	BAW56WTTPMSCT-ND	.85	6.77	BAW56WTTPMSTR-ND	3,000	33.87/M	BAW56WT-TP

MOSFETs

Bleifrei/RoHS-konform

V_{DSS}	I_D	I_{DM}	$R_{DS(EIN)}$	Digi-Key Teilenr.	Gurtabschnittspreise 10	100	Digi-Key Teilenr.	Gegurtet auf Rolle 3.000	MCC Teilenr.
60V	280mA	1.5A	7.5Ω	2N7002VTPMSCT-ND	1.69	13.55	2N7002VTPMSTR-ND	67.73/M	2N7002V-TP

SOT-563

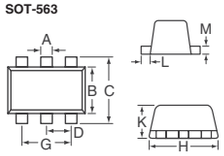

Abmessungen (mm)		
Abm.	Min.	Max.
A	.15	.30
B	1.10	1.25
C	1.55	1.70
D	(0,50 Nennwert)	

Abmessungen (mm)		
Abm.	Min.	Max.
G	.90	1.10
H	1.50	1.70
K	.56	.60
L	.10	.30
M	.10	.18

Transistoren

Bleifrei/RoHS-konform

Abb.	V_{CEO}	$V_{CE(gesättigt)}$	I_C	H_{FE}	Pd	Digi-Key Teilenr.	Gurtabschnittspreise 10	100	Preis. f. G. a. R.* 3.000	MCC Teilenr.
1	40V	0.3Vdc	—	75	350mW	MMBT2222ATPMSCT-ND	.63	5.08	25.40/M	MMBT2222A-TP
	40V	0.2Vdc	—	100	350mW	MMBT3904TPMSCT-ND	.63	5.08	25.40/M	MMBT3904-TP
	40V	0.4Vdc	—	80	350mW	MMBT4401TPMSCT-ND	.63	5.08	25.40/M	MMBT4401-TP
	60V	0.25Vdc	500mA	100	350mW	MMBTA05TPMSCT-ND	1.27	10.16	50.80/M	MMBTA05-TP
	80V	0.25Vdc	500mA	100	350mW	MMBTA06TPMSCT-ND	1.27	10.16	50.80/M	MMBTA06-TP
	30V	1.5Vdc	—	5000	225mW	MMBTA13TPMSCT-ND	2.12	16.93	84.66/M	MMBTA13-TP
	30V	1.5Vdc	—	10000	225mW	MMBTA14TPMSCT-ND	2.12	16.93	84.66/M	MMBTA14-TP
	300V	0.5Vdc	—	40	300mW	MMBTA42TPMSCT-ND	1.27	10.16	50.80/M	MMBTA42-TP
2	40V	0.6Vdc	—	100	200mW	MMST2222ATPMSCT-ND	.85	6.77	33.87/M	MMST2222A-TP
	-60V	-0.6Vdc	—	100	200mW	MMST2907ATPMSCT-ND	.85	6.77	33.87/M	MMST2907A-TP
	40V	0.25Vdc	—	100	—	MMST3904TPMSCT-ND	.85	6.77	33.87/M	MMST3904-TP
	40V	0.2Vdc	200mA	100	—	MMST3906TPMSCT-ND	.85	6.77	33.87/M	MMST3906-TP
	40V	0.4Vdc	—	100	200mW	MMST4401TPMSCT-ND	.85	6.77	33.87/M	MMST4401-TP
	-40V	-0.4Vdc	—	100	200mW	MMST4403TPMSCT-ND	.85	6.77	33.87/M	MMST4403-TP
	-150V	-0.2Vdc	—	60	200mW	MMST5401TPMSCT-ND	.85	6.77	33.87/M	MMST5401-TP
	160V	0.15Vdc	—	80	200mW	MMST5551TPMSCT-ND	.85	6.77	33.87/M	MMST5551-TP
	300V	0.5Vdc	200mA	40	—	MMSTA42TPMSCT-ND	.85	6.77	33.87/M	MMSTA42-TP
3	40V	0.3Vdc	200mA	100	200mW	MMDT3904VTPMSCT-ND	1.69	13.55	67.73/M	MMDT3904V-TP
4	45V	0.5Vdc	0.1A	200	225mW	BC847BVTPMSCT-ND	1.27	10.16	50.80/M	BC847BV-TP
	-45V	—	-100mA	—	310mW	BC857BVTPMSCT-ND	1.27	10.16	50.80/M	BC857BV-TP
	40V	0.3Vdc	0.6A	75	—	MMDT2222VTPMSCT-ND	1.69	13.55	67.73/M	MMDT2222V-TP
	-40V	-0.25Vdc	-0.2A	100	—	MMDT3906VTPMSCT-ND	1.69	13.55	67.73/M	MMDT3906V-TP

* Für Gegurtet auf Rolle die Teilenummer CT-ND in TR-ND ändern.

Abb. 1 — SOT-23

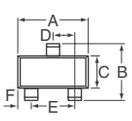

Abmessungen (mm)		
Abm.	Min.	Max.
A	2.80	3.04
B	2.10	2.64
C	1.20	1.40
D	.89	1.03
E	1.78	2.05
F	.45	.60
G	.013	.100
H	.89	1.12
J	.085	.180
K	.37	.51

Abb. 2 — SOT-323

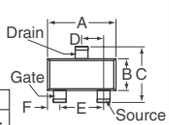

Abmessungen (mm)		
Abm.	Min.	Max.
A	1.80	2.20
B	1.15	1.35
C	2.00	2.20
D	(.65 Nominal)	
E	1.20	1.40
F	.30	.40
G	.000	.100
H	.90	1.00
J	.100	.250
K	.30	.40

Abb. 3 — SOT-363

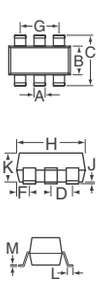

Abmessungen (mm)		
Abm.	Min.	Max.
A	.10	.30
B	1.15	1.35
C	2.00	2.20
D	(.65 Nominal)	
F	.30	.40
H	1.80	2.20
J	—	.10
K	.90	1.00
L	.25	.40
M	.10	.25

Abb. 4 — SOT-563

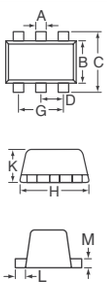

Abmessungen (mm)		
Abm.	Min.	Max.
A	.15	.30
B	1.10	1.25
C	1.55	1.70
D	(.50 Nominal)	
G	.90	1.10
H	1.50	1.70
K	.056	.60
L	.10	.30
M	.10	.18

Rauscharme bipolare Transistoren

Abb.	Paket	Test f GHz	NF typ. dB	GA typ. dB	VCE V	S21E2 IC mA	typ. dB	fT typ. GHz	HFE typ.	IC max. mA	Digi-Key Teilenr.	Gurtabschnittspreise 1	10	50	Digi-Key Teilenr.	Gegurtet auf Rolle 3.000
1	SMT	2.0	1.9	9.5	6	10	9	10.0	120	35	NE68019CT-ND	.56	4.66	21.73	NE68019TR-ND	310.71/M
1	SOT-323	2.0	1.7	9.5	6	10	8.5	10.0	100	35	NE68030CT-ND	.73	6.05	28.25	NE68030TR-ND	408.91/M
2B	SOT-143R	2.0	1.7	11	6	10	9	10.0	100	35	NE68039RCT-ND*	.79	6.56	30.62	NE68039RTR-ND	437.70/M
1	SMT	1.0	1.4	14	8	20	14	7.0	120	65	NE68119CT-ND	.64	5.36	24.99	NE68119TR-ND	366.58/M
1	SOT-323	1.0	1.5	13.5	8	20	13	7.0	120	65	NE68130CT-ND	.58	4.89	22.82	NE68130TR-ND	338.64/M
2A	SOT-143R	1.0	1.2	13.5	8	20	15	9.0	100	65	NE68139CT-ND	.64	5.36	24.99	NE68139TR-ND	366.58/M
2B	SOT-143R	1.0	1.2	13.5	8	20	15	9.0	100	65	NE68139RCT-ND*	.63	5.29	24.70	NE68139RTR-ND	353.04/M
1	SMT	2.0	1.5	7.5	3	10	9	12.0	110	30	NE68519CT-ND	.39	3.26	15.21	NE68519TR-ND	226.05/M
1	SOT-323	2.0	1.5	7	3	10	8.5	12.0	110	30	NE68530CT-ND	.70	5.82	27.16	NE68530TR-ND	395.37/M
1	SMT	2.0	1.3	7.5	1	10	7.5	9.0	100	30	NE68719CT-ND	.63	5.29	24.70	NE68719TR-ND	154.93/M
1	SOT-323	2.0	1.3	7.5	1	10	7.5	9.0	100	30	NE68730CT-ND	.89	7.41	34.57	NE68730TR-ND	493.57/M
1	SMT	2.0	1.5	8	3	20	8	9.5	120	100	NE68819CT-ND	.28	2.33	10.86	NE68819TR-ND	154.93/M
3A	SOT-363	2.0	1.6	9	3	10	14	14.0	120	30	NE696M01CT-ND	.70	5.82	27.16	NE696M01TR-ND	395.37/M
1	SMT	1.0	1.4	12.5	3	7	9	4.5	120	100	NE85619CT-ND	.45	3.73	17.38	NE85619TR-ND	253.98/M
1	SOT-323	1.0	1.3	12	10	20	12	4.5	110	100	NE85630CT-ND	.56	4.66	21.73	NE85630TR-ND	310.71/M
1	SOT-23	1.0	1.4	9	10	20	11.5	7.0	120	100	NE85633CT-ND	.56	4.66	21.73	NE85633TR-ND	310.71/M
2B	SOT-143R	1.0	1.5	13.5	10	20	13	7.0	120	100	NE85639RCT-ND*	.56	4.66	21.73	NE85639RTR-ND	310.71/M
Doppelpaket																
3B	SOT-363	2.0	1.9	—	3	5	7.5	8.0	120	35	UPA800TCT-ND	1.03	8.62	40.20	UPA800TTR-ND	578.23/M
		2.0	1.5	—	3	10	8.5	12.0	100	30	UPA806TCT-ND	1.03	8.62	40.20	UPA806TTR-ND	578.23/M
3C	SOT-363	1.0	1.2	—	3	7	9	4.5	120	100	UPA810TCT-ND	.86	7.22	33.68	UPA810TTR-ND	493.57/M
		2.0	1.5	—	3	7	5	9.0	120	100	UPA814TCT-ND	.99	8.25	38.52	UPA814TTR-ND	574.00/M

* Umgekehrte Pinbelegung (siehe Abb.)

Bipolare Transistoren mit mittlerer Leistung

Abb.	Paket	Test f GHz	Test VCE V	Test IC mA	Test Pin dBM	P1dB typ. dBM	typ. GHz	fT HFE typ.	IC max. mA	Digi-Key Teilenr.	Gurtabschnittspreise 1	10	50	Digi-Key Teilenr.	Gegurtet auf Rolle 1.000
4	SOT-89	1.0	12.5	100	20.5	27.5	5.5	100	250	NE46134CT-ND	1.34	11.18	52.15	NE46134TR-ND	747.55
		1.0	10	40	13	22	6.5	120	100	NE85634CT-ND	.67	5.59	26.08	NE85634TR-ND	380.97

Bipolare Oszillator-Transistoren

Abb.	Paket	Posc f GHz	Posc VCE V	Posc IC mA	Posc Ttyp. W	fT typ. GHz	HFE typ.	IC max. mA	Digi-Key Teilenr.	Gurtabschnittspreise 1	10	50	Digi-Key Teilenr.	Gegurtet auf Rolle 3.000
1	SOT-23	2.5	2.5	0.4	0.001	2	100	50	NE94433CT-ND	.28	2.33	10.86	NE94433TR-ND	154.93/M

Mehrzweck-GaAs-FETs

Abb.	Paket	Gate-länge um	Gate-breite um	Frequenz-bereich GHz	Test f GHz	NF/GA Vorspannung VDS V	NF/GA Vorspannung IDS mA	NF dB	GA dB	P1dB dBm	Digi-Key Teilenr.	Gurtabschnittspreise 1	10	50	Digi-Key Teilenr.	Gegurtet auf Rolle 3.000
2C	SOT-143R	1	400	0.1-6	0.9	5	10	1.1	20	12	NE25139CT-ND	1.27	10.58	49.38	NE25139TR-ND	705.22/M
2D	SOT-343	0.6	400	0.1-6	2.0	2	5	0.6	16	16	NE34018CT-ND	1.40	11.64	54.33	NE34018TR-ND	822.05/M

MMIC-Breitbandverstärker, Silikon

Abb.	Paket	f typ. @ 3 dB-Abfall MHz	Vcc V	Icc typ. mA	NF typ. dB	Verstärkung typ. dB	RL ein typ. dB	RL aus typ. dB	P1dB typ. dBm	ISOL typ. dB	Digi-Key Teilenr.	Gurtabschnittspreise 1	10	50	Digi-Key Teilenr.	Gegurtet auf Rolle 1.000	3.000
5A	8 pin SSOP	1900	5	49	6.0	23	14	4	+15.9	35	UPC1678GVCT-ND	1.74	15.71	74.21	UPC1678GVTR-ND	1083.65	—
3D	SOT-363	2900	5	12	5.0	13	25	12	-2.6	30	UPC2711TBCT-ND	.86	7.22	33.68	UPC2711TBTR-ND	—	493.57/M
		2600	5	12	4.5	20	12	13	-0.4	33	UPC2712TBCT-ND	.86	7.22	33.68	UPC2712TBTR-ND	—	493.57/M
		2700	3	7.5	6.0	12	11	5.5	-3.0	33	UPC2745TBCT-ND	.73	6.05	28.25	UPC2745TBTR-ND	—	408.91/M
		1500	3	7.5	4.0	19	13	8.5	-3.7	45	UPC2746TBCT-ND	1.03	8.62	40.20	UPC2746TBTR-ND	—	578.23/M
		2900	3	27	6.5	14.5	8.5	12	+7	25	UPC2762TBCT-ND	.98	8.15	38.03	UPC2762TBTR-ND	—	550.29/M
3D	SOT-363	2400	3	27	5.5	20	12	9	+6.5	29	UPC2763TBCT-ND	.98	8.15	38.03	UPC2763TBTR-ND	—	550.29/M
		2400	3	36	6.0	21	14	10	+11.5	30	UPC2771TBCT-ND	.98	8.15	38.03	UPC2771TBTR-ND	—	550.29/M
		2700	5	25	6.0	23	7.5	20	+6	32	UPC2776TBCT-ND	.86	7.22	33.68	UPC2776TBTR-ND	—	493.57/M

MMIC-Vorteiler, Silikon

Abb.	Paket	fin GHz Min.	fin GHz Max.	Pin dBm Min.	Pin dBm Max.	Vcc V	Icc typ. mA	Teilungsverhältnis	Digi-Key Teilenr.	Gurtabschnittspreise 1	10	50	Digi-Key Teilenr.	Gegurtet auf Rolle 1.000
5B	8-Pin SSOP	0.5	3	-15	+6	5	19	64/128/256	UPB1507GVCT-ND	1.89	16.97	80.15	UPB1507GVTR-ND	1175.08
5D		0.5	3	-10	+6	5	10	2	UPB1508GVCT-ND	2.21	19.90	94.00	UPB1508GVTR-ND	1370.65
5C		0.5	1	-20	-5	3	5	2/4/8	UPB1509GVCT-ND	2.21	19.90	94.00	UPB1509GVTR-ND	1370.65
5D		0.5	3	-10	+6	5	15	4	UPB1510GVCT-ND	1.89	16.97	80.15	UPB1510GVTR-ND	1175.08

Schalter, GaAs, MMIC, SPDT

Abb.	Paket	Frequenz-bereich GHz	IL typ. dB	Isolierung @ 2GHz dB	RL ein min. dB	RL aus min. dB	P1 dB dBm	tsw ns	Vcont V	Digi-Key Teilenr.	Gurtabschnittspreise 1	10	50	Digi-Key Teilenr.	Gegurtet auf Rolle 3.000
3E	SOT-26	0.1-2.5	0.5	20	11	11	+30	30	+3/0	UPG152TACT-ND	1.37	11.43	53.34	UPG152TATR-ND	761.94/M

Abb. 1

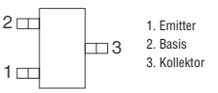

1. Emitter
2. Basis
3. Kollektor

Abb. 2

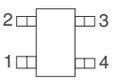

A
1. Kollektor
2. Emitter
3. Basis
4. Emitter

B
1. Emitter
2. Kollektor
3. Emitter
4. Basis

C
1. Source
2. Drain
3. Gate 2
4. Gate 1

D
1. Source
2. Gate
3. Source
4. Drain

Abb. 3

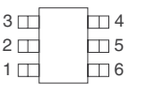

A
1. Emitter
2. Emitter
3. Basis
4. Emitter
5. Emitter
6. Kollektor

B
1. C1
2. E1
3. C2
4. E2
5. B2
6. B1

C
1. C1
2. B2
3. C2
4. E2
5. E1
6. B1

D
1. EING
2. ERDE
3. ERDE
4. AUSG
5. ERDE
6. Vcc

E
1. AUSG1
2. ERDE
3. AUSG2
4. Vkont2
5. EING
6. Vkont1

Abb. 4

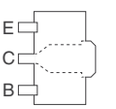

Abb. 5

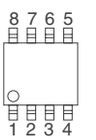

A
1. EING
2. ERDE
3. ERDE
4. ERDE
5. AUSG
6. ERDE
7. ERDE
8. Vcc

B
1. EING
2. Vcc
3. SW1
4. AUSG
5. ERDE
6. SW2
7. Offen
8. EING

C
1. Vcc1
2. EING
3. EING
4. ERDE
5. SW1
6. SW2
7. AUSG
8. Vcc2

D
1. Vcc
2. EING
3. EING
4. ERDE
5. ERDE
6. NC
7. AUSG
8. NC

Alle Preisangaben in Euro und inklusive Zollgebühren.

Abmessungen in (mm)

8-SOIC

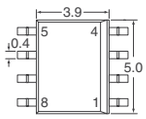

1. Source 5. Drain
2. Source 6. Drain
3. Source 7. Drain
4. Gate 8. Drain

EMT-6

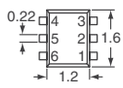

1. Source 4. Source
2. Gate 5. Gate
3. Drain 6. Drain

SOT-23

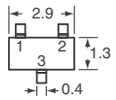

1. Source
2. Gate
3. Drain

SOT-89

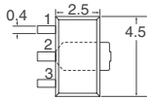

1. Gate
2. Drain
3. Source

SOT-323

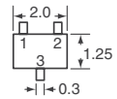

1. Source
2. Gate
3. Drain

SOT-346

1. Source
2. Gate
3. Drain

SOT-353

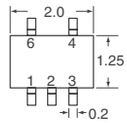

1. Gate 4. Drain
2. Source 6. Drain
3. Gate

SOT-363

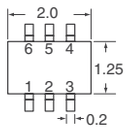

1. Source 4. Source
2. Gate 5. Gate
3. Drain 6. Drain

SOT-416

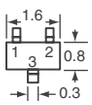

1. Source
2. Gate
3. Drain

SOT-428

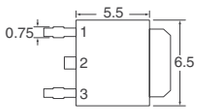

1. Gate
2. Drain
3. Source

SOT-457

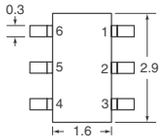

1. Drain 4. Drain
2. Gate 5. Gate
3. Source 6. Source

TO-220FN

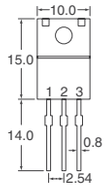

1. Gate
2. Drain
3. Source

TSMT-3

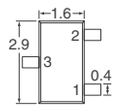

1. Gate
2. Source
3. Drain

TSMT-5

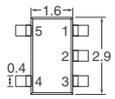

1. Anode 5. Kathode
2. Source
3. Gate
4. Drain

TSMT-6

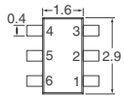

1. Gate 4. Drain
2. Source 5. Source
3. Gate 6. Drain

TUMT-3

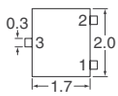

1. Gate
2. Source
3. Drain

TUMT-5

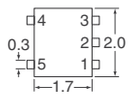

1. Gate 5. Drain
2. Source
3. Anode
4. Kathode

TUMT-6

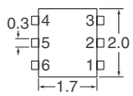

1. Source 4. Source
2. Gate 5. Gate
3. Drain 6. Drain

VMT-3

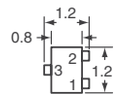

1. Gate
2. Source
3. Drain

Paket	VDSS (V)	Typ. RDS (ein) @	VGS (V)	ID (A)	IDP (A)	PD max. (W)	Digi-Key Teilenr.	Gurtabschnittspreise 1	25	100	Digi-Key Teilenr.	Gegurtet auf Rolle Größe	Preisangaben	Rohm Teilenr.
N-Kanal														
8-SOIC	30	27mΩ	4.5	6.5	26	2	RSS065N03TBCT-ND	.63	12.72	38.17	RSS065N03TBTR-ND	2,500	201.50/M	RSS065N03TB
		15mΩ	4.5	9	36	2	RSS090N03TBCT-ND	.63	12.72	38.17	RSS090N03TBTR-ND	2,500	201.50/M	RSS090N03TB
		12.5mΩ	4.5	10	40	2	RSS100N03TBCT-ND	.74	14.71	44.12	RSS100N03TBTR-ND	2,500	232.82/M	RSS100N03TB
		10.3mΩ	4.5	11	44	2	RSS110N03TBCT-ND	1.14	24.70	75.98	RSS110N03TBTR-ND	2,500	403.83/M	RSS110N03TB
		9.4mΩ	4.5	12	48	2	RSS120N03TBCT-ND	.93	18.59	55.77	RSS120N03TBTR-ND	2,500	294.62/M	RSS120N03TB
		8.6mΩ	4.5	12.5	50	2	RSS125N03TBCT-ND	1.30	27.14	91.20	RSS125N03TBTR-ND	2,500	564.69/M	RSS125N03TB
		7.4mΩ	4.5	13	52	2	RSS130N03TBCT-ND	1.37	28.52	95.83	RSS130N03TBTR-ND	2,500	593.47/M	RSS130N03TB
		6mΩ	4.5	14	56	2	RSS140N03TBCT-ND	1.22	26.48	81.49	RSS140N03TBTR-ND	2,500	433.46/M	RSS140N03TB
SOT-23	60	7.5Ω	5	0.115	0.8	0.225	RK7002T116CT-ND	.29	4.23	11.01	RK7002T116TR-ND	3,000	39.79/M	RK7002T116
		1.1Ω	4	0.3	1.2	0.2	RK7002AT116CT-ND	.36	5.29	13.76	RK7002AT116TR-ND	3,000	49.95/M	RK7002AT116
SOT-89	30	0.09Ω	4	3	—	0.5	RHP030N03T100CT-ND	.60	12.02	36.07	RHP030N03T100TR-ND	1,000	192.18	RHP030N03T100
	60	0.16Ω	4	2.5	—	0.5	RJP020N06T100CT-ND	.82	16.38	49.15	RJP020N06T100TR-ND	1,000	281.92	RJP020N06T100
		0.25Ω	4	2	8	0.5	2SK3065T100CT-ND	.52	10.33	30.99	2SK3065T100TR-ND	1,000	165.09	2SK3065T100
		0.24Ω	4	2	—	0.5	RHP020N06T100CT-ND	.58	11.73	35.20	RHP020N06T100TR-ND	1,000	202.34	RHP020N06T100
SOT-323	30	1.4Ω	4	0.3	—	0.2	RHU003N03T106CT-ND	.38	6.51	18.05	RHU003N03T106TR-ND	3,000	69.42/M	RHU003N03T106
		5Ω	4	0.1	0.4	0.2	2SK3018T106CT-ND	.34	5.71	15.85	2SK3018T106TR-ND	3,000	60.96/M	2SK3018T106
		0.9Ω	4	0.3	—	0.2	RJU003N03T106CT-ND	.31	5.40	14.97	RJU003N03T106TR-ND	3,000	57.57/M	RJU003N03T106
	60	2.8Ω	4	0.2	0.8	0.2	RHU002N06T106CT-ND	.41	6.14	15.96	RHU002N06T106TR-ND	3,000	57.57/M	RHU002N06T106
		1.7Ω	4	0.2	—	0.2	RJU002N06T106CT-ND	.38	6.51	18.05	RJU002N06T106TR-ND	3,000	69.42/M	RJU002N06T106
SOT-346	30	2.8Ω	4	0.2	0.8	0.2	2SK2731T146CT-ND	.37	6.88	19.37	2SK2731T146TR-ND	3,000	79.58/M	2SK2731T146
		0.58Ω	4	0.5	—	0.2	RHK005N03T146CT-ND	.33	6.35	18.29	RHK005N03T146TR-ND	3,000	86.36/M	RHK005N03T146
		0.43Ω	4	0.5	—	0.2	RJK005N03T146CT-ND	.37	6.88	19.37	RJK005N03T146TR-ND	3,000	79.58/M	RJK005N03T146
	60	1.1Ω	4	0.3	—	0.2	RHK003N06T146CT-ND	.38	7.31	21.03	RHK003N06T146TR-ND	3,000	99.06/M	RHK003N06T146
SOT-363	30	5Ω	4	0.1	0.2	0.15	UM6K1NTNCT-ND	.39	7.15	20.12	UM6K1NTNTR-ND	3,000	82.12/M	UM6K1NTN
SOT-416	30	5Ω	4	0.1	0.4	0.15	2SK3019TLCT-ND	.34	5.71	15.85	2SK3019TLTR-ND	3,000	60.96/M	2SK3019TL
SOT-428	60	0.4Ω	4	2	8	20	2SK2094TLCT-ND	.93	18.59	55.77	2SK2094TLTR-ND	2,500	294.62/M	2SK2094TL
		0.17Ω	4	5	20	20	2SK2503TLCT-ND	.93	18.59	55.77	2SK2503TLTR-ND	2,500	294.62/M	2SK2503TL
		0.15Ω*	10	8	20	20	RK3055ETLCT-ND	.95	18.90	56.69	RK3055ETLTR-ND	2,500	298.85/M	RK3055ETL
	100	0.25Ω	4	5	20	20	2SK2504TLCT-ND	.93	18.59	55.77	2SK2504TLTR-ND	2,500	294.62/M	2SK2504TL
	200	0.7Ω	10	3	12	20	2SK2887TLCT-ND	1.42	30.82	94.82	2SK2887TLTR-ND	2,500	504.58/M	2SK2887TL
	500	3Ω	10	2	6	20	2SK2715TLCT-ND	.76	15.16	45.49	2SK2715TLTR-ND	2,500	240.44/M	2SK2715TL
	600	4.4Ω	10	2	6	20	2SK3050TLCT-ND	.83	16.61	49.83	2SK3050TLTR-ND	2,500	263.30/M	2SK3050TL
TO-220FN	60	0.11Ω	4	10	40	30	2SK2095N-ND	2.03	42.33	142.23	—	—	—	2SK2095N
	200	0.55Ω	10	5	20	30	RDN050N20-ND	.88	17.68	53.03	—	—	—	RDN050N20
		0.27Ω	10	10	40	35	RDN100N20-ND	.83	17.89	55.03	—	—	—	RDN100N20
		0.12Ω	10	15	45	40	RDN150N20-ND	1.27	27.51	84.66	—	—	—	RDN150N20
	250	0.38Ω	10	8	32	35	RDN080N25-ND	.92	19.95	61.38	—	—	—	RDN080N25
		0.16Ω	10	12	48	40	RDN120N25-ND	1.32	27.51	92.45	—	—	—	RDN120N25
	450	0.85Ω	10	7	28	30	2SK2299N-ND	1.45	30.16	101.34	—	—	—	2SK2299N
		1Ω	10	5	20	30	2SK2713-ND	1.49	32.33	99.48	—	—	—	2SK2713
	500	1.1Ω	10	5	20	30	2SK2793-ND	2.05	42.75	143.65	—	—	—	2SK2793
	600	1Ω	10	7	28	30	2SK2740-ND	2.18	45.45	152.72	—	—	—	2SK2740
		1.8Ω	10	4	16	30	2SK2792-ND	2.28	47.52	159.65	—	—	—	2SK2792
TSMT-3	30	74mΩ	4.5	2.5	10	1	RSR025N03TLCT-ND	.55	10.92	32.76	RSR025N03TLTR-ND	3,000	164.24/M	RSR025N03TL
		66mΩ	4.5	2.5	—	1	RTR025N03TLCT-ND	.42	8.47	25.40	RTR025N03TLTR-ND	3,000	126.99/M	RTR025N03TL
TSMT-5	30	71mΩ	4.5	2	8	1	QS5U12CT-ND	.59	11.85	35.56	QS5U12TR-ND	3,000	177.79/M	QS5U12TR
		71mΩ	4.5	2	8	1	QS5U13CT-ND	.54	10.75	32.26	QS5U13TR-ND	3,000	161.70/M	QS5U13TR
		71mΩ	4.5	2	8	1	QS5U16CT-ND	.54	10.75	32.26	QS5U16TR-ND	3,000	161.70/M	QS5U16TR
		71mΩ	4.5	2	8	1	QS5U17CT-ND	.61	12.19	36.57	QS5U17TR-ND	3,000	182.87/M	QS5U17TR
TSMT-6	30	89mΩ	4.5	2	—	1.25	RTQ020N03CT-ND	.38	7.62	22.86	RTQ020N03TR-ND	3,000	114.29/M	RTQ020N03TR
		38mΩ	4.5	3.5	—	1.25	RTQ035N03CT-ND	.58	11.43	34.29	RTQ035N03TR-ND	3,000	171.86/M	RTQ035N03TR
		30mΩ	4.5	4.5	18	1.25	RTQ045N03CT-ND	.58	11.73	35.20	RTQ045N03TR-ND	3,000	185.41/M	RTQ045N03TR
		36mΩ	4.5	4.5	—	1.25	RSQ045N03CT-ND	.63	12.72	38.17	RSQ045N03TR-ND	3,000	201.49/M	RSQ045N03TR

* Max.

(Forts.)

Paket	VDSS (V)	Typ. RDS (ein) @	VGS (V)	ID (A)	IDP (A)	PD max. (W)	Digi-Key Teilenr.	Gurtabschnittspreise 1	25	100	Digi-Key Teilenr.	Gegurtet auf Rolle Größe	Preisangaben	Rohm Teilenr.
TUMT-3	30	170mΩ	4.5	1.5	—	0.8	RTF015N03TLCT-ND	.49	9.74	29.21	RTF015N03TLTR-ND	3,000	146.47/M	RTF015N03TL
		48mΩ	4.5	2.5	—	0.8	RTF025N03TLCT-ND	.63	12.45	37.34	RTF025N03TLTR-ND	3,000	187.10/M	RTF025N03TL
		170mΩ	4	1.4	—	0.8	RSF014N03TLCT-ND	.49	9.74	29.21	RSF014N03TLTR-ND	3,000	146.47/M	RSF014N03TL
TUMT-6	30	35mΩ	4.5	3.5	—	1	RTL035N03CT-ND	.49	9.82	29.46	RTL035N03TR-ND	3,000	147.31/M	RTL035N03TR
VMT-3	30	5Ω	4	0.1	0.4	0.15	2SK3541T2LCT-ND	.32	5.95	16.76	2SK3541T2LTR-ND	8,000	65.19/M	2SK3541T2L
Zweif. N-Kanal														
8-SOIC	30	52mΩ	4.5	5	20	2	SP8K1TBCT-ND	.63	12.72	38.17	SP8K1TBTR-ND	2,500	201.50/M	SP8K1TB
		30mΩ	4.5	6	24	2	SP8K2TBCT-ND	.74	14.71	44.12	SP8K2TBTR-ND	2,500	232.82/M	SP8K2TB
		23mΩ	4.5	7	28	2	SP8K3TBCT-ND	1.22	26.48	81.49	SP8K3TBTR-ND	2,500	433.46/M	SP8K3TB
		16mΩ	4.5	9	36	2	SP8K4TBCT-ND	1.22	26.48	81.49	SP8K4TBTR-ND	2,500	433.46/M	SP8K4TB
		93mΩ	4.5	3.5	14	2	SP8K5TBCT-ND	.88	17.60	52.80	SP8K5TBTR-ND	2,500	278.54/M	SP8K5TB
EMT-6	30	5mΩ	4	0.1	0.4	0.15	EM6K1T2RCT-ND	.47	8.89	25.60	EM6K1T2RTR-ND	8,000	113.45/M	EM6K1T2R
SOT-353	30	5Ω	4	0.1	0.2	0.15	UM5K1NCT-ND	.36	6.88	19.81	UM5K1NTR-ND	3,000	93.98/M	UM5K1NTR
SOT-363	30	5Ω	4	0.1	0.2	0.15	UM6K1NCT-ND	.63	12.72	38.17	UM6K1NTR-ND	3,000	201.49/M	UM6K1NTR
SOT-457	60	2.8Ω	4	0.2	0.8	0.2	SM6K2T110CT-ND	.42	8.15	23.47	SM6K2T110TR-ND	3,000	110.91/M	SM6K2T110
TSMT-6	30	180mΩ	4.5	1	4	1.25	QS6K1CT-ND	.60	12.02	36.07	QS6K1TR-ND	3,000	180.33/M	QS6K1TR
TUMT-6	30	170mΩ	4.5	1.5	—	1	US6K1CT-ND	.53	10.58	31.75	US6K1TR-ND	3,000	159.16/M	US6K1TR
		170mΩ	10	1.4	—	1	US6K2CT-ND	.58	11.43	34.29	US6K2TR-ND	3,000	171.86/M	US6K2TR
Zweif. N- und P-Kanal														
8-SOIC	30/-30	23mΩ	4.5	7/4.5	28/18	2	SP8M10TBCT-ND	1.08	23.39	71.96	SP8M10TBTR-ND	2,500	382.67/M	SP8M10TB
		52mΩ	4.5	5/4.5	20/18	2	SP8M3TBCT-ND	.96	20.64	63.50	SP8M3TBTR-ND	2,500	337.80/M	SP8M3TB
		16mΩ	4.5	9/7	36/28	2	SP8M4TBCT-ND	1.56	33.70	103.71	SP8M4TBTR-ND	2,500	551.99/M	SP8M4TB
		30mΩ	4.5	6/7	24/28	2	SP8M5TBCT-ND	1.34	28.89	88.89	SP8M5TBTR-ND	2,500	473.25/M	SP8M5TB
		52mΩ	4.5	5/3.5	20/14	2	SP8M6TBCT-ND	.87	18.91	58.20	SP8M6TBTR-ND	2,500	309.86/M	SP8M6TB
		52mΩ	4.5	5/7	20/28	2	SP8M7TBCT-ND	1.24	26.83	82.54	SP8M7TBTR-ND	2,500	439.39/M	SP8M7TB
		30mΩ	4.5	6/4.5	24/18	2	SP8M8TBCT-ND	1.03	22.36	68.79	SP8M8TBTR-ND	2,500	365.74/M	SP8M8TB
		16mΩ	4.5	9/5	36/20	2	SP8M9TBCT-ND	1.38	29.92	92.07	SP8M9TBTR-ND	2,500	490.18/M	SP8M9TB
TSMT-6	30/-20	170mΩ	4.5	1.5/1.5	6/6	1.25	QS6M3CT-ND	.47	9.31	27.94	QS6M3TR-ND	3,000	139.69/M	QS6M3TR
		170mΩ	4.5	1.5/1.5	6/6	1.25	QS6M4CT-ND	.53	10.58	31.75	QS6M4TR-ND	3,000	159.16/M	QS6M4TR
TUMT-6	30/-20	250mΩ	4.5	1.4/1	5.6/4	1	US6M1CT-ND	.59	11.85	35.56	US6M1TR-ND	3,000	177.79/M	US6M1TR
	20/-20	170/280mΩ	4.5	1.5/1	—	1	US6M2CT-ND	.59	11.85	35.56	US6M2TR-ND	3,000	177.79/M	US6M2TR
P-Kanal														
8-SOIC	30	68mΩ	4.5	4	16	2	RSS040P03TBCT-ND	.93	18.59	55.77	RSS040P03TBTR-ND	2,500	294.62/M	RSS040P03TB
		47mΩ	4.5	5	20	2	RSS050P03TBCT-ND	.86	18.57	57.15	RSS050P03TBTR-ND	2,500	303.93/M	RSS050P03TB
		22mΩ	4.5	7.5	30	2	RSS075P03TBCT-ND	1.46	31.78	97.78	RSS075P03TBTR-ND	2,500	519.82/M	RSS075P03TB
		15mΩ	4.5	9	36	2	RSS090P03TBCT-ND	1.34	27.84	93.52	RSS090P03TBTR-ND	2,500	579.08/M	RSS090P03TB
SOT-323	20	1.1Ω	4	0.2	—	—	RTU002P02T106CT-ND	.43	8.36	24.08	RTU002P02T106TR-ND	3,000	113.45/M	RTU002P02T106
	30	0.9Ω	10	0.2	—	—	RSU002P03T106CT-ND	.34	6.46	18.59	RSU002P03T106TR-ND	3,000	88.05/M	RSU002P03T106
SOT-416	20	1.1Ω	4	0.2	—	—	RTE002P02TLCT-ND	.42	8.15	23.47	RTE002P02TLTR-ND	3,000	110.91/M	RTE002P02TL
	30	1.6Ω	4	0.2	—	0.15	RSE002P03TLCT-ND	.43	8.25	23.77	RSE002P03TLTR-ND	3,000	112.60/M	RSE002P03TL
TSMT-3	20	100mΩ	4.5	2	8	1	RTR020P02TLCT-ND	.52	10.33	30.99	RTR020P02TLTR-ND	3,000	154.93/M	RTR020P02TL
		70mΩ	4.5	2.5	10	1	RTR025P02TLCT-ND	.42	8.47	25.40	RTR025P02TLTR-ND	3,000	126.99/M	RTR025P02TL
		55mΩ	4.5	3	12	1	RTR030P02TLCT-ND	.48	9.21	26.52	RTR030P02TLTR-ND	3,000	125.30/M	RTR030P02TL
	30	170mΩ	4.5	1.5	—	1	RSR015P03TLCT-ND	.47	9.48	28.45	RSR015P03TLTR-ND	3,000	142.23/M	RSR015P03TL
		135mΩ	4.5	2	—	1	RSR020P03TLCT-ND	.52	10.41	31.24	RSR020P03TLTR-ND	3,000	156.62/M	RSR020P03TL
		100mΩ	4.5	2.5	—	1	RSR025P03TLCT-ND	.57	11.26	33.78	RSR025P03TLTR-ND	3,000	169.32/M	RSR025P03TL
TSMT-5	20	160mΩ	4.5	1.5	6	1	QS5U21CT-ND	.58	11.58	34.74	QS5U21TR-ND	3,000	183.72/M	QS5U21TR
		160mΩ	4.5	1.5	6	1	QS5U23CT-ND	.56	11.18	33.53	QS5U23TR-ND	3,000	167.63/M	QS5U23TR
		160mΩ	4.5	1.5	6	1	QS5U26CT-ND	.56	11.18	33.53	QS5U26TR-ND	3,000	167.63/M	QS5U26TR
		160mΩ	4.5	1.5	6	1	QS5U27CT-ND	.58	11.66	34.97	QS5U27TR-ND	3,000	184.56/M	QS5U27TR
		90mΩ	4.5	2	8	0.9	QS5U28CT-ND	.60	11.96	35.89	QS5U28TR-ND	3,000	189.64/M	QS5U28TR
TSMT-6	20	155mΩ	4.5	1.5	6	1.25	QS6U22CT-ND	.54	10.84	32.51	QS6U22TR-ND	3,000	162.55/M	QS6U22TR
		72mΩ	4.5	2.5	10	1.25	RTQ025P02CT-ND	.49	9.82	29.46	RTQ025P02TR-ND	3,000	147.31/M	RTQ025P02TR
		60mΩ	4.5	3	12	1.25	RTQ030P02CT-ND	.44	8.72	26.16	RTQ030P02TR-ND	3,000	131.23/M	RTQ030P02TR
		50mΩ	4.5	3.5	17.5	1.25	RTQ035P02CT-ND	.49	9.82	29.46	RTQ035P02TR-ND	3,000	147.31/M	RTQ035P02TR
		35mΩ	4.5	4	16	1.25	RTQ040P02CT-ND	.58	11.60	34.80	RTQ040P02TR-ND	3,000	174.40/M	RTQ040P02TR
	30	500mΩ	4.5	1	2	1	QS6U24CT-ND	.54	10.75	32.26	QS6U24TR-ND	3,000	161.70/M	QS6U24TR
		120mΩ	4.5	2.5	10	1.25	RSQ025P03CT-ND	.63	12.53	37.59	RSQ025P03TR-ND	3,000	187.95/M	RSQ025P03TR
		90mΩ	4.5	3	12	1.25	RSQ030P03CT-ND	.58	11.73	35.20	RSQ030P03TR-ND	3,000	185.41/M	RSQ030P03TR
		65mΩ	4.5	3.5	14	1.25	RSQ035P03CT-ND	.58	11.73	35.20	RSQ035P03TR-ND	3,000	185.41/M	RSQ035P03TR
TUMT-3	20	280mΩ	4.5	1	4	0.8	RTF010P02TLCT-ND	.51	10.16	30.48	RTF010P02TLTR-ND	3,000	152.39/M	RTF010P02TL
		100mΩ	4.5	1.5	6	0.8	RTF015P02TLCT-ND	.60	11.96	35.89	RTF015P02TLTR-ND	3,000	189.64/M	RTF015P02TL
		60mΩ	4.5	2	8	0.8	RTF020P02TLCT-ND	.63	12.50	37.49	RTF020P02TLTR-ND	3,000	198.11/M	RTF020P02TL
TUMT-6	20	100mΩ	4.5	2	8	1	RTL020P02CT-ND	.59	11.89	35.66	RTL020P02TR-ND	3,000	187.95/M	RTL020P02TR
		50mΩ	4.5	3	12	1	RTL030P02CT-ND	.68	13.49	40.46	RTL030P02TR-ND	3,000	213.35/M	RTL030P02TR
VMT-3	20	1.1Ω	4	0.2	—	0.15	RTM002P02T2LCT-ND	.47	9.00	25.91	RTM002P02T2LTR-ND	8,000	115.14/M	RTM002P02T2L
	30	0.9Ω	10	0.2	—	0.15	RSM002P03T2LCT-ND	.47	9.10	26.21	RSM002P03T2LTR-ND	8,000	116.84/M	RSM002P03T2L
Zweif. P-Kanal														
8-SOIC	30	40mΩ	4.5	5	20	2	SP8J1TBCT-ND	1.53	31.91	107.20	SP8J1TBTR-ND	2,500	663.74/M	SP8J1TB
		57mΩ	4.5	4.5	18	2	SP8J2TBCT-ND	1.26	27.38	84.24	SP8J2TBTR-ND	2,500	447.86/M	SP8J2TB
		100mΩ	4.5	3.5	14	2	SP8J3TBCT-ND	1.30	28.27	86.99	SP8J3TBTR-ND	2,500	463.10/M	SP8J3TB
		270mΩ	4.5	2	8	2	SP8J4TBCT-ND	1.02	22.08	67.94	SP8J4TBTR-ND	2,500	361.50/M	SP8J4TB
		25mΩ	4.5	7	28	2	SP8J5TBCT-ND	2.48	51.59	173.34	SP8J5TBTR-ND	2,500	1073.49/M	SP8J5TB
TSMT-6	20	155mΩ	4.5	1.5	6	1.25	QS6J1CT-ND	.56	11.09	33.27	QS6J1TR-ND	3,000	166.78/M	QS6J1TR
		155mΩ	4.5	1.5	6	1.25	QS6J3CT-ND	.56	11.09	33.27	QS6J3TR-ND	3,000	166.78/M	QS6J3TR
TUMT-6	20	280mΩ	4.5	1	4	1	US6J2CT-ND	.59	11.85	35.56	US6J2TR-ND	3,000	177.79/M	US6J2TR

Paket	VDSS (V)	Typ. RDS (ein) @	VGS (V)	ID (A)	IDP (A)	VRM (V)	IF (A)	PD max. (W)	Digi-Key Teilenr.	Gurtabschnittspreise 1	25	100	Digi-Key Teilenr.	Gegurtet auf Rolle Größe	Preisangaben	Rohm Teilenr.
N-Kanal mit Diode																
TUMT-5	30	170mΩ	4.5	1.5	—	—	—	1	US5U1CT-ND	.58	11.43	34.29	US5U1TR-ND	3,000	171.86/M	US5U1TR
		250mΩ	4.5	1.4	—	—	—	1	US5U2CT-ND	.58	11.43	34.29	US5U2TR-ND	3,000	171.86/M	US5U2TR
P-Kanal mit Diode																
TUMT-5	20	280mΩ	4.5	1	4	25	0.7	1	US5U29CT-ND	.58	11.43	34.29	US5U29TR-ND	3,000	181.18/M	US5U29TR
		280mΩ	4.5	1	4	25	0.5	1	US5U30CT-ND	.59	11.85	35.56	US5U30TR-ND	3,000	177.79/M	US5U30TR

Alle Preisangaben in Euro und inklusive Zollgebühren.

Digital-Transistoren

Paket	Schaltkreis	VCEO (V)	IO (mA)	Verstärkung (HFE)	R1 kΩ	Ω Verhältnis R2/R1	Digi-Key Teilenr.	Gurtabschnittspreise 1	25	100	Gegurtet auf Rolle Größe	Preisangaben*	Rohm Teilenr.
NPN													
SOT-89	C	60	1A	300	13	—	DTDG14GPT100CT-ND	.40	7.62	21.94	1,000	110.06	DTDG14GPT100
SOT-323	D	50	100	30	13	1.2	DTC114EUAT106CT-ND	.36	5.29	13.76	3,000	49.95/M	DTC114EUAT106
		50	100	68	13	5.7	DTC114YUAT106CT-ND	.36	5.29	13.76	3,000	49.95/M	DTC114YUAT106
		50	100	20	6.11	1.2	DTC143EUAT106CT-ND	.31	4.66	12.11	3,000	44.03/M	DTC143EUAT106
		50	100	68	61.1	1.2	DTC144EUAT106CT-ND	.36	5.29	13.76	3,000	49.95/M	DTC144EUAT106
SOT-346	E	50	100	600	13	—	DTC114TKAT146CT-ND	.26	3.81	9.91	3,000	35.56/M	DTC114TKAT146
	D	50	100	82	130	1.2	DTC115EKAT146CT-ND	.30	4.44	11.56	3,000	41.49/M	DTC115EKAT146
	D	50	100	20	2.86	1.2	DTC123EKAT146CT-ND	.30	4.44	11.56	3,000	41.49/M	DTC123EKAT146
	D	50	100	80	2.86	26	DTC123JKAT146CT-ND	.29	4.23	11.01	3,000	39.79/M	DTC123JKAT146
	A	15	600	600	2.86	—	DTC323TKT146CT-ND	.40	6.82	18.93	3,000	72.81/M	DTC323TKT146
	D	50	100	30	13	1.2	DTC114EKAT146CT-ND	.29	4.23	11.01	3,000	39.79/M	DTC114EKAT146
		50	100	68	13	5.7	DTC114YKAT146CT-ND	.30	4.44	11.56	3,000	41.49/M	DTC114YKAT146
		50	100	56	28.6	1.2	DTC124EKAT146CT-ND	.30	4.44	11.56	3,000	41.49/M	DTC124EKAT146
		50	100	68	28.6	2.6	DTC124XKAT146CT-ND	.30	4.44	11.56	3,000	41.49/M	DTC124XKAT146
		50	100	20	6.11	1.2	DTC143EKAT146CT-ND	.29	4.23	11.01	3,000	39.79/M	DTC143EKAT146
	D	50	100	30	6.11	2.6	DTC143XKAT146CT-ND	.30	4.44	11.56	3,000	41.49/M	DTC143XKAT146
		50	100	80	6.11	12	DTC143ZKAT146CT-ND	.30	4.44	11.56	3,000	41.49/M	DTC143ZKAT146
		50	100	68	61.1	1.2	DTC144EKAT146CT-ND	.30	4.44	11.56	3,000	41.49/M	DTC144EKAT146
		50	100	56	61.1	0.57	DTC144WKAT146CT-ND	.33	5.55	15.41	3,000	59.27/M	DTC144WKAT146
		50	500	56	1.3	12	DTD113ZKT146CT-ND	.39	6.67	18.49	3,000	71.12/M	DTD113ZKT146
	D	50	500	56	13	1.2	DTD114EKT146CT-ND	.34	6.46	18.59	3,000	88.05/M	DTD114EKT146
		50	500	56	2.86	5.5	DTD123YKT146CT-ND	.34	6.46	18.59	3,000	88.05/M	DTD123TKT146
		50	500	47	6.11	1.2	DTD143EKT146CT-ND	.42	8.15	23.47	3,000	110.91/M	DTD143EKT1460
SOT-416	D	50	100	68	61.1	1.2	DTC144EETLCT-ND	.36	5.29	13.76	3,000	49.95/M	DTC144EETL
		50	100	56	28.6	1.2	DTC124EETLCT-ND	.36	5.29	13.76	3,000	49.95/M	DTC124EETL
PNP													
SOT-323	B	50	50	30	13	1.2	DTA114EUAT106CT-ND	.30	4.44	11.56	3,000	41.49/M	DTA114EUAT106
SOT-346	E	40	500	600	2.86	—	DTB123TKT146CT-ND	.35	6.35	17.88	3,000	72.81/M	DTB123TK146
	E	50	100	600	13	—	DTA114TKAT146CT-ND	.30	4.44	11.56	3,000	41.49/M	DTA114TKAT146
	E	50	100	600	6.11	—	DTC143TKAT146CT-ND	.29	4.23	11.01	3,000	39.79/M	DTC143TKAT146
	B	50	50	30	13	1.2	DTA114EKAT146CT-ND	.25	3.60	9.35	3,000	33.87/M	DTA114EKAT146
	B	50	100	68	13	5.7	DTA114YKAT146CT-ND	.30	4.44	11.56	3,000	41.49/M	DTA114YKAT146
	B	50	100	80	2.86	26	DTA123JKAT146CT-ND	.30	4.44	11.56	3,000	41.49/M	DTA123JKAT146
		50	100	56	28.6	1.2	DTA124EKAT146CT-ND	.30	4.44	11.56	3,000	41.49/M	DTA124EKAT146
		50	100	20	6.11	1.2	DTA143EKAT146CT-ND	.29	4.23	11.01	3,000	39.79/M	DTA143EKAT146
		50	100	30	6.11	2.6	DTA143XKAT146CT-ND	.30	4.44	11.56	3,000	41.49/M	DTA134XKAT146
		50	100	68	61.1	1.2	DTA144EKAT146CT-ND	.30	4.44	11.56	3,000	41.49/M	DTA144EKAT146
	B	50	500	33	1.3	1.2	DTB113EKT146CT-ND	.36	6.48	18.25	3,000	74.50/M	DTB113EKT146
		50	500	56	1.3	12	DTB113ZKT146CT-ND	.36	6.48	18.25	3,000	74.50/M	DTB113ZKT146
		50	500	56	2.86	5.5	DTB123YKT146CT-ND	.34	6.46	18.59	3,000	88.05/M	DTB123YKT146

* Für Teilenr. für Gegurtet auf Rolle CT-ND in TR-ND umändern

Zweif. digitale Transistoren

Paket	Schaltkreise	VCEO (V)	IC (mA)	Verstärkung (HFE)	R1 kΩ	Ω Verhältnis R2/R1	Digi-Key Teilenr.	Gurtabschnittspreise 1	25	100	Gegurtet auf Rolle Größe	Preisangaben*	Rohm Teilenr.
NPN													
SOT-363	G	50	100	80	2.86	26	UMH10NTNCT-ND	.32	5.95	16.76	3,000	68.58/M	UMH10NTN
	G	50	50	30	13	1.2	UMH11NTNCT-ND	.32	5.95	16.76	3,000	68.58/M	UMH11NTN
	F	50	30	68	61.1	1.2	UMH6NCT-ND	.32	5.95	16.76	3,000	68.58/M	UMH6NTR
	G	50	70	68	13	5.7	UMH9NTNCT-ND	.32	5.95	16.76	3,000	68.58/M	UMH9NTN
SOT-457	H	50	30	68	61.1	1.2	IMH2AT110CT-ND	.41	6.14	15.96	3,000	57.57/M	IMH2AT110
		50	100	80	2.86	26	IMH10AT110CT-ND	.34	5.71	15.85	3,000	60.96/M	IMH10AT110
		50	50	30	13	1.2	IMH11AT110CT-ND	.41	6.14	15.96	3,000	57.57/M	IMH11AT110
PNP													
SOT-363	K	50	100	80	2.86	26	UMB10NTNCT-ND	.32	5.95	16.76	3,000	68.58/M	UMB10NTN
		50	50	30	13	1.2	UMB11NTNCT-ND	.32	5.95	16.76	3,000	68.58/M	UMB11NTN
SOT-457	L	50	100	80	2.86	26	IMB10AT110CT-ND	.36	6.04	16.73	3,000	64.34/M	IMB10AT110
PNP/NPN													
SOT-363	I	50	50	30	13	1.2	UMD3NCT-ND	.36	6.19	17.17	3,000	66.04/M	UMD3N
SOT-457	M	50	500	68	130	120	IMD10AT108CT-ND	.35	6.35	17.88	3,000	72.81/M	IMD10AT108
		50	100	600	13	—							
	J	50	100	600	6.11	—	IMD6AT108CT-ND	.37	6.88	19.37	3,000	79.58/M	IMD6AT108
		50	100	68	13	5.7	IMD9AT108CT-ND	.37	6.88	19.37	3,000	79.58/M	IMD9AT108

* Für Teilenr. für Gegurtet auf Rolle CT-ND in TR-ND umändern

Zweif. Transistoren

Paket	Schaltkreise	VCEO (V)	VCBO (V)	IC mA	HFE Max.	VCE gesättigt(V)	VCE IC (mA)	VCE IB (mA)	Digi-Key Teilenr.	Gurtabschnittspreise 1	25	100	Gegurtet auf Rolle Größe	Preisangaben*	Rohm Teilenr.
NPN															
SOT-363	W	50	60	150	560	0.4	50	5	UMX1NTNCT-ND	.36	6.19	17.17	3,000	66.04/M	UMX1NTN
	T	50	60	150	560	0.4	50	5	UMX2NTRCT-ND	.36	6.19	17.17	3,000	66.04/M	UMX2NTR
	P	50	60	150	560	0.4	50	5	UMX3NTRCT-ND	.41	6.14	15.96	3,000	57.57/M	UMX3NTR
	P	11	20	50	270	0.5	10	5	UMX5NCT-ND	.37	7.09	20.42	3,000	96.52/M	UMX5NTR
SOT-457	U	50	60	150	560	0.4	50	5	IMX2T108CT-ND	.41	6.14	15.96	3,000	57.57/M	IMX2T108
	S	120	120	50	820	0.5	10	1	IMX8T108CT-ND	.36	6.61	18.63	3,000	76.20/M	IMX8T108
	X	50	60	150	560	0.4	50	5	IMX1T110CT-ND	.41	6.98	19.37	3,000	74.50/M	IMX1T110
PNP															
SOT-363	N	50	60	150	560	0.5	50	5	UMT1NTNCT-ND	.36	6.04	16.73	3,000	64.34/M	UMT1NTN
SOT-457	V	120	120	50	820	0.5	10	1	IMT4T108CT-ND	.36	6.61	18.63	3,000	76.20/M	IMT4T108
PNP/NPN															
SOT-363	Q	50	60	150	560	0.4	50	5	UMZ1NTRCT-ND	.36	6.19	17.17	3,000	66.04/M	UMZ1NTR
		50	60	150	560	0.5	50	5							
SOT-457	O	50	60	150	560	0.4	50	5	IMZ2AT108CT-ND	.39	7.15	20.12	3,000	82.12/M	IMZ2AT108
		50	60	150	560	0.5	50	5							
SOT-457	R	50	60	150	560	0.4	50	5	IMZ1AT108CT-ND	.36	6.61	18.63	3,000	76.20/M	IMZ1AT108
		50	60	150	560	0.5	50	5							

* Für Teilenr. für Gegurtet auf Rolle CT-ND in TR-ND umändern

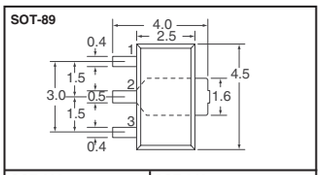

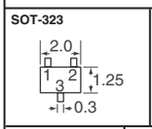

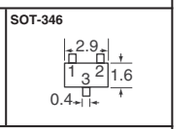

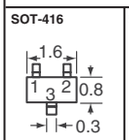

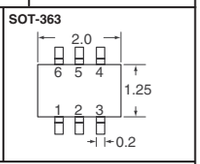

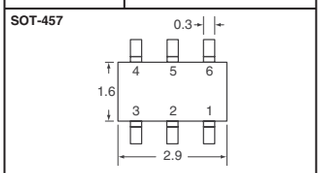

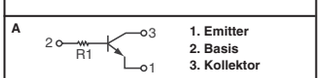

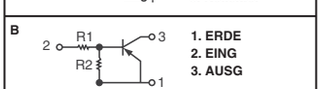

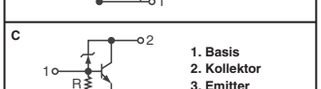

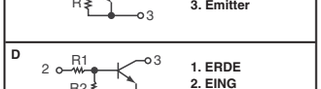

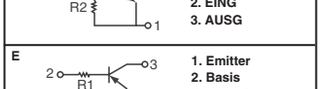

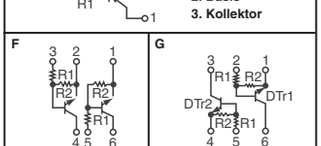

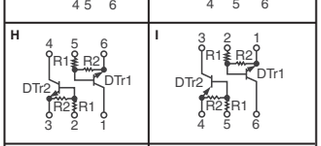

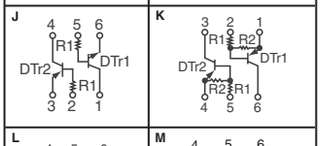

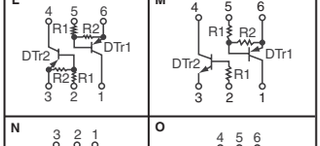

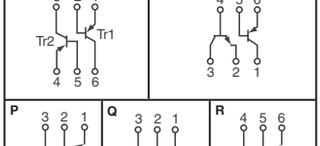

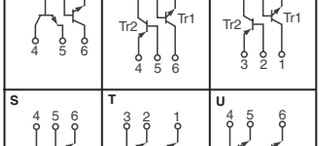

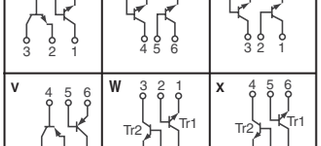

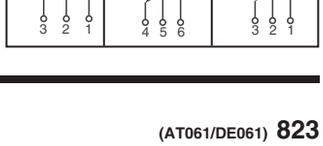

B

ROHM Transistoren

SOT-23

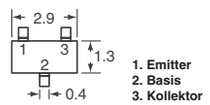

SOT-89

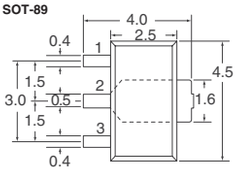

SOT-323

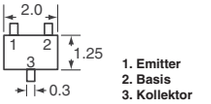

SOT-346

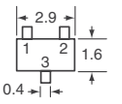

SOT-416

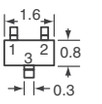

SC-72/SPT

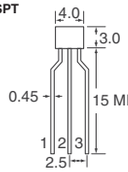

ATV

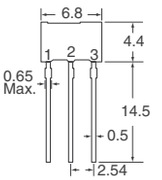

VMT3

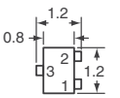

SOT-428

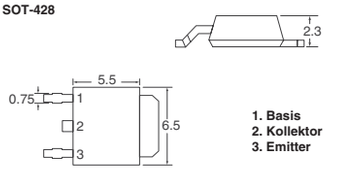

B

Paket	VCEO (V)	VCBO (V)	IC (A)	HFE max.	VCE gesättigt max. (V)	VCE IC (mA)	VCE IB (mA)	Digi-Key Teilenr.	Gurtabschnittspreise 1	25	100	Gegurtet auf Rolle Größe	Preisangaben*	Rohm Teilenr.
NPN														
SOT-23	40	75	0.6	75	1	500	50	SST2222AT116CT-ND	.22	3.17	8.25	3,000	29.63/M	SST2222AT116
	40	60	0.6	80	0.75	500	50	SST4401T116CT-ND	.37	5.50	14.31	3,000	51.65/M	SST4401T116
	80	80	0.3	—	1.2	100	0.1	SSTA28T116CT-ND	.41	6.98	19.37	3,000	74.50/M	SSTA281T116
	80	80	0.5	100	0.25	100	10	SSTA06T116CT-ND	.30	5.24	14.53	3,000	55.88/M	SSTA06T116
SOT-89	20	40	3	390	0.5	2A	0.1A	2SD2150T100RCT-ND	.44	8.72	26.16	1,000	139.69	2SD2150T100R
	50	60	1	—	0.4	500	50	2SC5053T100QCT-ND	.36	6.88	19.81	1,000	99.05	2SC5053T100Q
	80	100	1	270	0.4	500	20	2SD1898T100QCT-ND	.38	7.62	22.86	1,000	121.91	2SD1898T100Q
	90	90	2	10K	1.5	1A	1	2SD2170T100CT-ND	.52	10.33	30.99	1,000	165.09	2SD2170T100
SOT-323	40	75	0.6	75	1	500	50	UMT2222AT106CT-ND	.37	5.50	14.31	3,000	51.65/M	UMT2222AT106
	40	60	0.2	300	0.3	50	5	UMT3904T106CT-ND	.37	5.50	14.31	3,000	51.65/M	UMT3904T106
	50	60	0.15	270	0.4	50	5	2SC4081T106QCT-ND	.29	4.23	11.01	3,000	39.79/M	2SC4081T106Q
	50	60	0.15	390	0.4	50	5	2SC4081T106RCT-ND	.29	4.23	11.01	3,000	39.79/M	2SC4081T106R
SOT-346	40	75	0.6	75	1	500	50	MMST2222AT146CT-ND	.28	4.77	13.21	3,000	50.80/M	MMST2222AT146
	40	60	0.6	80	0.75	500	50	MMST4401T146CT-ND	.39	5.71	14.86	3,000	53.34/M	MMST4401T146
	50	60	0.15	270	0.4	50	5	2SC2412KT146QCT-ND	.25	3.60	9.35	3,000	33.87/M	2SC2412KT146Q
	50	60	0.15	390	0.4	50	5	2SC2412KT146RCT-ND	.25	3.60	9.35	3,000	33.87/M	2SC2412KT146R
	50	60	0.15	560	0.4	50	5	2SC2412KT146SCT-ND	.26	3.81	9.91	3,000	35.56/M	2SC2412KT146S
SOT-416	50	60	0.15	270	0.4	50	5	2SC4617TLQCT-ND	.29	4.23	11.01	3,000	39.79/M	2SC4617TLQ
	50	60	0.15	390	0.4	50	5	2SC4617TLRCT-ND	.29	4.23	11.01	3,000	39.79/M	2SC4617TLR
SC-72/SPT	50	60	0.15	390	0.4	50	5	2SC1740STPRCT-ND†	.35	5.08	13.21	5,000	40.64/M	2SC1740STPR
ATV	80	100	1	390	0.4	500	20	2SD1863TV2RCT-ND†	.47	9.23	27.68	2,500	138.85/M	2SD1863TV2R
VMT3	50	60	0.15	270	0.4	50	5	2SC5658T2LQCT-ND	.36	6.04	16.73	8,000	57.57/M	2SC5658T2LQ
PNP														
SOT-23	40	40	0.6	100	0.75	500	50	SST4403T116CT-ND	.37	5.50	14.31	3,000	51.65/M	SST4403T116
	60	60	0.6	100	1.6	500	50	SST2907AT116CT-ND	.22	3.17	8.25	3,000	29.63/M	SST2907AT116
SOT-89	50	60	1	270	0.4	500	50	2SA1900T100QCT-ND	.55	10.92	32.76	1,000	174.40	2SA1900T100Q
	32	40	1	270	0.5	500	50	2SB1132T100QCT-ND	.37	7.20	20.72	1,000	103.29	2SB1132T100Q
	32	40	2	270	0.8	2A	0.2A	2SB1188T100QCT-ND	.38	7.62	22.86	1,000	121.91	2SB1188T100Q
	32	40	2	390	0.8	2A	0.2A	2SB1188T100RCT-ND	.38	7.62	22.86	1,000	121.91	2SB1188T100R
	80	80	1	270	0.4	500	50	2SB1260T100QCT-ND	.44	8.47	24.38	1,000	121.91	2SB1260T100Q
	20	20	3	270	0.5	2A	0.1A	2SB1424T100QCT-ND	.38	7.62	22.86	1,000	121.91	2SB1424T100Q
	20	20	3	390	0.5	2A	0.1A	2SB1424T100RCT-ND	.36	6.88	19.81	1,000	99.05	2SB1424T100R
SOT-323	40	40	0.2	300	0.4	50	5	UMT3906T106CT-ND	.37	5.50	14.31	3,000	51.65/M	UMT3906T106
	50	60	0.15	270	0.5	50	5	2SA1576AT106QCT-ND	.29	4.23	11.01	3,000	39.79/M	2SA1576AT106Q
	50	60	0.15	390	0.5	50	5	2SA1576AT106RCT-ND	.29	4.23	11.01	3,000	39.79/M	2SA1576AT106R
	60	60	0.6	100	1.6	500	50	UMT2907AT106CT-ND	.37	5.50	14.31	3,000	51.65/M	UMT2907AT106
SOT-346	32	40	0.8	270	0.5	0.5A	50	2SB1197KT146QCT-ND	.36	6.19	17.17	3,000	66.04/M	2SB1197KT146Q
	40	40	0.6	100	0.75	500	50	MMST4403T146CT-ND	.39	5.71	14.86	3,000	53.34/M	MMST4403T146
	50	60	0.15	270	0.5	50	5	2SA1037AKT146QCT-ND	.25	3.60	9.35	3,000	33.87/M	2SA1037AK146Q
	50	60	0.15	390	0.5	50	5	2SA1037AKT146RCT-ND	.25	3.60	9.35	3,000	33.87/M	2SA1037AK146R
	60	60	0.6	100	1.6	500	50	MMST2907AT146CT-ND	.41	6.14	15.96	3,000	57.57/M	MMST2907AT146
SOT-416	50	60	0.15	270	0.5	50	5	2SA1774TLQCT-ND	.31	4.66	12.11	3,000	44.03/M	2SA1774TLQ
SOT-428	50	60	3	270	1	2A	0.2A	2SB1184TLQCT-ND	.55	10.92	32.76	2,500	164.24/M	2SB1184TLQ

* Für Teilenr. für Gegurtet auf Rolle CT-ND in TR-ND umändern † Für Teilenr. für Gegurtet in schachtel CT-ND in TB-ND umändern

Infineon Technologies Transistoren

Silizium-AF-Transistoren

Paket	Typ	Vceo	Vcbo	Ic (mA)	Hfe	Digi-Key Teilenr.	Gurtabschnittspreise 10	100	1,000	Digi-Key Teilenr.	Gegurtet auf Rolle Größe	Preisangaben	Infineon Teilenr.
SOT-23	PNP	30	30	100	20000	SMBTA64INCT-ND*	1.67	11.58	51.21	SMBTA64INTR-ND*	3,000	38.10/M	SMBTA64E6327
	NPN	45	45	100	460	BCX70KINCT-ND	1.63	9.14	33.02	BCX70KINTR-ND	3,000	27.09/M	BCX70KE6327
	NPN	45	50	100	140	BC847AINCT-ND	1.26	7.09	25.59	BC847AINTR-ND	3,000	14.57/M	BC847AE6327
	NPN	45	50	100	480	BC847CINCT-ND	1.26	7.09	25.59	BC847CINTR-ND	3,000	14.57/M	BC847CE6327
	PNP	45	50	100	480	BC857CINCT-ND	1.26	7.09	25.59	BC857CINTR-ND	3,000	14.57/M	BC857CE6327
	NPN	60	45	500	2000	BCV47INCT-ND*	2.09	13.60	56.46	BCV47INTR-ND*	3,000	35.55/M	BCV47E6327
	PNP	60	80	500	2000	BCV46INCT-ND*	2.09	13.60	56.46	BCV46INTR-ND*	3,000	35.55/M	BCV46E6327
	NPN	80	80	500	100	SMBTA06INCT-ND	1.13	7.37	30.63	SMBTA06INTR-ND	10,000	18.50/M	SMBTA06E6433
	NPN	80	80	500	100	MMBTA06LT1INCT-ND	1.17	7.59	31.54	MMBTA06LT1INTR-ND	3,000	35.56/M	MMBTA06LT1
	PNP	80	80	500	100	SMBTA56INCT-ND	.96	6.22	25.83	SMBTA56INTR-ND	10,000	15.24/M	SMBTA56E6433
	PNP	300	300	500	40	SMBTA92INCT-ND	1.63	10.57	43.89	SMBTA92INTR-ND	3,000	38.10/M	SMBTA92E6327
	PNP	300	300	500	40	MMBTA92LT1INCT-ND	1.62	10.51	43.66	MMBTA92LT1INTR-ND	3,000	50.80/M	MMBTA92LT1
SOT-89	PNP	80	100	1000	25	BCX5310INCT-ND	2.37	17.07	—	BCX5310INTR-ND	1,000	82.02	BCX5310E6327
	NPN	45	100	1000	25	BCX5410INCT-ND	2.37	17.07	—	BCX5410INTR-ND	1,000	82.02	BCX5410E6327
	PNP	20	25	1000	160	BCX6916INCT-ND	3.29	23.68	—	BCX6916INTR-ND	1,000	113.44	BCX6916E6327

* Darlington

Silizium-AF-Transistoren

Paket	Typ	Vceo	Vcbo	Ic (mA)	Hfe	Digi-Key Teilenr.	Gurtabschnittspreise 10	100	1,000	Digi-Key Teilenr.	Gegurtet auf Rolle Größe	Preisangaben	Infineon Teilenr.
SOT-343	NPN	4.5	15	12	90	BFP405INCT-ND	4.22	31.62	168.64	BFP405INTR-ND	3,000	160.86/M	BFP405E6327
		4.5	15	35	100	BFP420INCT-ND	4.30	32.26	172.03	BFP420INTR-ND	3,000	164.24/M	BFP420E6327
		4.5	15	100	80	BFP450INCT-ND	5.45	40.92	234.89	BFP450INTR-ND	3,000	221.81/M	BFP450E6327
		2.5	10	40	110	BFP520INCT-ND	5.45	40.92	234.89	BFP520INTR-ND	3,000	221.81/M	BFP520E6327
SOT-23	PNP	15	20	25	50	BFT92INCT-ND	2.92	21.92	116.90	BFT92INTR-ND	3,000	111.79/M	BFT92E6327

Silizium-Schalttransistor

Paket	Typ	Vceo	Vcbo	Ic (mA)	Hfe	Digi-Key Teilenr.	Gurtabschnittspreise 10	100	1,000	Digi-Key Teilenr.	Gegurtet auf Rolle Größe	Preisangaben	Infineon Teilenr.
SOT-23	NPN	40	75	600	100	SMBT2222AINCT-ND	1.40	7.85	28.34	SMBT2222AINTR-ND	3,000	23.71/M	SMBT2222AE6327
	NPN	40	75	600	100	MMBT2222ALT1INCT-ND	1.47	8.31	30.00	MMBT2222ALT1INTR-ND	3,000	28.79/M	MMBT2222ALT1
	PNP	60	60	600	100	SMBT2907AINCT-ND	1.34	7.54	27.24	SMBT2907AINTR-ND	3,000	22.86/M	SMBT2907AE6327
	PNP	60	60	600	100	MMBT2907ALT1INCT-ND	1.19	6.71	24.21	MMBT2907ALT1INTR-ND	3,000	15.24/M	MMBT2907ALT1
	NPN	40	60	200	100	SMBT3904INCT-ND	1.27	7.16	25.86	SMBT3904INTR-ND	3,000	21.17/M	SMBT3904E6327
	NPN	40	60	200	100	MMBT3904LT1INCT-ND	1.10	6.17	22.29	MMBT3904LT1INTR-ND	3,000	14.40/M	MMBT3904LT1
	PNP	40	40	200	100	SMBT3906INCT-ND	1.27	7.16	25.86	SMBT3906INTR-ND	3,000	21.17/M	SMBT3906E6327
	PNP	40	40	200	100	MMBT3906LT1INCT-ND	1.10	6.17	22.29	MMBT3906LT1INTR-ND	3,000	14.40/M	MMBT3906LT1
	NPN	30	30	300	20000	SMBTA14INCT-ND*	1.67	11.58	51.21	SMBTA14INTR-ND*	3,000	38.10/M	SMBTA14E6327

* Darlington

Silizium-Digitaltransistor

Paket	Typ	Vceo	Vcbo	Ic (mA)	Hfe	Digi-Key Teilenr.	Gurtabschnittspreise 10	100	1,000	Digi-Key Teilenr.	Gegurtet auf Rolle Größe	Preisangaben	Infineon Teilenr.
SOT-23	NPN	50	50	100	30	BCR133INCT-ND	1.65	9.30	33.57	BCR133INTR-ND	3,000	27.94/M	BCR133E6327

SOT-323

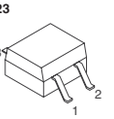

SOT-23

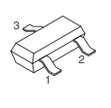

SOT-89

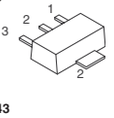

SOT-343

Transistor-Pin-Ausgang

Paket	Pin1	Pin 2	Pin 3	Pin 4
SOT-23	B	E	C	—
SOT-89	B	C	E	—
SOT-343	B	E	C	E

BCR133E6327

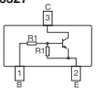

Alle Preisangaben in Euro und inklusive Zollgebühren.

ON Semiconductor bietet eines der größten Sortimente an kleinen Signaltransistoren in der Branche. Mit diesen lässt sich das Design von Schaltkreisen schnell, effizient und kostengünstig abschließen. Das Unternehmen stellt immer wieder neue kleine Signaltransistoren vor, die in alle heutzutage erforderlichen Pakete für die neuesten Anwendungen passen.

Abb. 1 — TO-3

Abb. 2 — TO-92

A
1. Kollektor
2. Basis
3. Emitter

B
1. Emitter
2. Basis
3. Kollektor

C
1. Basis
2. Emitter
3. Kollektor

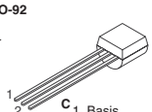

Abb. 3 — TO-218AC

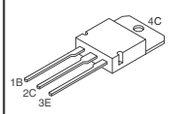

Abb. 4 — TO-220AB

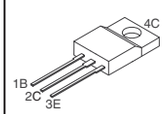

Abb. 5 — TO-220FP

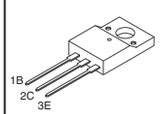

Abb. 6 — TO-225AA

A
1. Emitter
2. Kollektor
3. Basis

B
1. Basis
2. Kollektor
3. Emitters

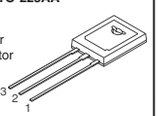

Abb. 7 — TO-264, TO-3PBL

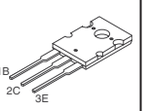

Abb. 8 — SOT-23

1. Basis
2. Emitter
3. Kollektor

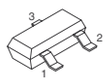

Abb. 9 — SOT-223

1. Basis
2. Kollektor
3. Emitter
4. Kollektor

Abb. 10 — SOT-323

1. Basis
2. Emitter
3. Kollektor

Abb. 11 — SOT-363

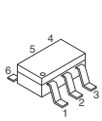

1. Emitter 2
2. Basis 2
3. Kollektor 1
4. Emitter 1
5. Basis 1
6. Kollektor 2

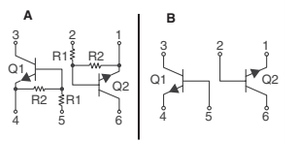

Abb. 12 — 16-SOIC

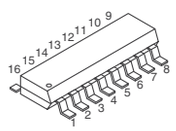

1. Kollektor-Färbung 1
2. Kollektor 1
3. Kollektor 2
4. Kollektor 2
5. Kollektor 3
6. Kollektor 3
7. Kollektor 4
8. Kollektor 4
9. Basis 4
10. Emitter 4
11. Basis 3
12. Emitter 3
13. Basis 2
14. Emitter 2
15. Basis 1
16. Emitter 1

Abb. 13 — SC-59

1. Emitter
2. Basis
3. Kollektor

Abb. 14 — SC-74

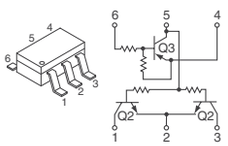

Abb. 15 — SC-75

1. Basis
2. Emitter
3. Kollektor

Abb. 16 — DPAK

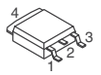

1. Gate
2. Drain
3. Source
4. Drain

Abb. 17 — SOT-553

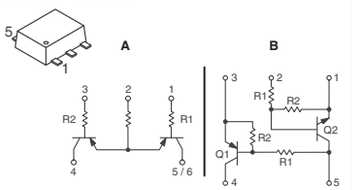

Abb. 18 — SOT-563

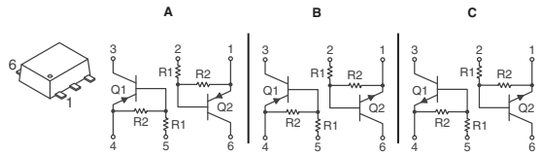

B

Abb.	VCEO (V)	VCB (V)	IC (A)	HFE (min.)	Pd (TA @ 25°C) (W)	Digi-Key Teilenr.	Preisangaben 1	10	100	Gegurtet auf Rolle* Größe	Preisangaben
						NPN					
						TO-3					
	60	100	15	20	115	2N3055OS-ND	1.78	14.82	124.45	—	—
	60	100	20	15	150	2N3772OS-ND	3.29	28.65	213.34	—	—
	60	60	30	40	200	2N5302OS-ND	3.43	29.84	222.23	—	—
	60	60	25	35	200	2N5885OS-ND	3.43	29.84	222.23	—	—
	80	80	50	15	300	2N5686OS-ND	10.90	99.56	787.00	—	—
	80	80	25	35	200	2N5886OS-ND	2.97	25.86	192.60	—	—
	80	80	60	30	300	MJ14002OS-ND	9.48	87.71	663.73	—	—
	90	90	20	20	140	2N5038OS-ND	7.01	64.00	505.93	—	—
	100	100	20	750	160	2N6284OS-ND	4.34	37.80	281.49	—	—
1	120	120	30	1K	200	MJ11016OS-ND	3.09	26.92	200.52	—	—
	120	120	50	1K	300	MJ11032OS-ND	6.82	62.23	491.87	—	—
	120	200	15	—	180	MJ15015OS-ND	2.29	19.05	160.01	—	—
	140	160	16	15	150	2N3773OS-ND	3.29	28.65	213.34	—	—
	140	140	20	25	250	MJ15003OS-ND	3.20	27.85	207.42	—	—
	200	350	16	15	250	MJ15022OS-ND	3.43	29.84	222.23	—	—
	250	400	16	15	250	MJ15024OS-ND	3.43	29.84	222.23	—	—
	250	400	16	25	250	MJ21194OS-ND	3.43	29.84	222.23	—	—
	250	400	16	25	250	MJ21196OS-ND	4.92	42.78	318.53	—	—
	250	—	10	20	200	MJ15011OS-ND	3.43	29.84	222.23	—	—
						TO-92					
2B	12	20	.05	25	.200	MPS5179OS-ND	.37	2.18	14.15	—	—
2B	12	30	.05	20	.350	MPS3563OS-ND	.37	2.18	14.15	—	—
2B	15	30	.05	20	.350	MPS918OS-ND	.37	2.18	14.15	—	—
2B	15	40	0.2	20	.625	MPS2369OS-ND	.37	2.18	14.15	—	—
2C	15	20	—	25	.350	MPSH17OS-ND	.37	2.18	14.15	—	—
	25	25	0.1	—	.625	MPS5172OS-ND	.30	1.78	11.56	—	—
	25	30	0.2	120	.625	2N4124OS-ND	.24	1.39	9.02	—	—
2B	25	25	0.5	35	.625	MPS6560OS-ND	.30	2.05	14.22	—	—
	25	25	1	50	.625	MPS6601OS-ND	.30	2.05	14.22	—	—
	25	40	1	300	.625	MPS6521OS-ND	.30	2.05	14.22	—	—
2B	25	30	0.2	120	.625	MPS4124RLRAOSCT-ND	—	1.78	11.56	—	—
2C	25	30	—	60	.350	MPSH10RLRAOSCT-ND	—	1.63	11.31	—	—
2B	25	30	.05	450	.625	2N5089OS-ND	.28	1.64	10.68	—	—
2B	30	35	.05	350	.625	2N5088OS-ND	.28	1.64	10.68	—	—
2B	30	60	0.6	50	.625	PN2222OS-ND	.25	1.43	9.30	—	—
	30	60	0.6	50	.625	MPS2222OS-ND	.24	1.39	9.02	—	—
	30	40	1	55	1	MPSW01OS-ND	.38	2.81	19.78	—	—
2B	30	30	0.5	5K	.625	MPSA13RLRAOSCT-ND	—	1.66	10.79	2,000	44.87/M
	30	30	0.5	10K	.625	MPSA14RLRAOSCT-ND	—	1.66	10.79	2,000	44.87/M
	40	60	0.6	40	.625	2N4401RLRAOSCT-ND	—	1.34	8.69	2,000	36.41/M
	40	60	0.2	70	.625	2N3904RLRAOSCT-ND	—	1.19	7.70	2,000	35.56/M
	40	4.0	0.1	40	.625	MPSA20OS-ND	.28	1.66	10.79	—	—
2B	40	30	1	50	.625	MPS6602OS-ND	.31	2.08	14.40	—	—
	40	50	1	25K	1	MPSW45OS-ND	.41	2.97	20.87	—	—
	40	60	2	75	.625	MPS650OS-ND	.33	2.45	17.21	—	—
2B	40	75	0.6	35	.625	MPS2222ARLRAOSCT-ND	—	1.49	9.69	2,000	40.64/M
2A	40	75	0.6	50	.625	P2N2222AOS-ND	.30	1.78	11.56	—	—
2B	40	75	0.6	50	.625	PN2222ARLRAOSCT-ND	—	1.43	9.30	2,000	38.95/M
2B	40	50	1	55	1	MPSW01AOS-ND	.41	2.97	20.87	—	—
2B	40	40	0.5	20K	.625	2N6426OS-ND	.30	1.78	11.56	—	—
2B	40	40	0.5	10K	.625	2N6427OS-ND	.30	2.07	14.39	—	—
2B	45	45	0.2	500	.625	MPSA18RLRAOSCT-ND	—	1.66	10.79	2,000	44.87/M
2A	45	50	0.8	100	.625	BC337OS-ND	.30	1.78	11.56	—	—
2A	45	50	0.1	240	.625	BC547BOS-ND	.24	1.39	9.02	—	—
2B	50	60	1	25K	1	MPSW45AOS-ND	.38	2.81	19.78	—	—
	50	60	1	25K	1	MPS6725OS-ND	.41	2.96	20.86	—	—
	60	60	0.5	100	.625	MPS8098RLRAOSCT-ND	—	2.07	14.39	—	—
2B	60	60	0.5	—	.625	MPSA05RLRAOSCT-ND	—	1.66	10.79	2,000	44.87/M
	60	80	2	75	.625	MPS651RLRAOSCT-ND	—	2.45	17.21	2,000	77.89/M
	60	60	0.5	10K	.625	MPSA27RLRAOSCT-ND	—	1.66	10.79	—	—
2B	60	60	0.5	80	1	MPSW05OS-ND	.38	2.81	19.78	—	—
2A	65	80	0.1	240	.625	BC546BOS-ND	.24	1.39	9.02	—	—

Abb.	VCEO (V)	VCB (V)	IC (A)	HFE (min.)	Pd (TA @ 25°C) (W)	Digi-Key Teilenr.	Preisangaben 1	10	100	Gegurtet auf Rolle* Größe	Preisangaben
	80	80	0.5	100	.625	MPS8099RLRAOSCT-ND	—	2.07	14.39	2,000	63.50/M
	80	80	0.5	80	1	MPS6717OS-ND	.41	2.96	20.86	—	—
	80	80	0.5	100	.625	MPSA06RLRAOSCT-ND	—	1.54	10.02	2,000	41.49/M
	80	80	0.5	80	1	MPSW06RLRAOSCT-ND	—	2.81	19.78	—	—
	80	80	0.5	10K	.625	MPSA28OS-ND	.28	1.64	10.68	—	—
2B	100	100	0.5	10K	.625	MPSA29RLRPOSCT-ND‡	—	1.66	10.79	2,000	44.87/M
	140	160	0.6	60	.625	2N5550OS-ND	.28	1.64	10.68	—	—
	160	180	0.6	80	.625	2N5551RLRAOSCT-ND	—	1.64	10.68	2,000	44.03/M
	300	300	0.5	25	.625	MPSA42RLRAOSCT-ND	—	1.76	11.45	2,000	47.41/M
	300	300	0.5	25	1	MPSW42RLRAOSCT-ND	—	2.23	16.03	2,000	88.90/M
	350	350	0.5	20	.625	2N6517OS-ND	.41	3.03	21.34	—	—
	400	500	0.3	40	.625	MPSA44RLRAOSCT-ND	—	4.60	33.10	2,000	147.31/M
						TO-218AC					
	60	60	10	1K	3.5	TIP140OS-ND	2.07	17.29	145.20	—	—
	60	100	15	20	90	TIP3055OS-ND	1.48	12.35	103.72	—	—
	100	100	10	1K	3.5	TIP142OS-ND	2.07	17.29	145.20	—	—
	100	100	25	25	125	TIP35COS-ND	2.40	20.89	155.56	—	—
3	100	100	10	40	80	TIP33COS-ND	1.48	12.35	103.72	—	—
	100	100	20	750	160	MJH6284OS-ND	3.47	30.17	224.70	—	—
	160	160	16	15	125	MJE4343OS-ND	3.20	27.85	207.42	—	—
	200	200	15	400	150	MJH11020OS-ND	3.25	28.32	210.89	—	—
	250	250	15	400	150	MJH11022OS-ND	3.25	28.32	210.89	—	—
						TO-220AB					
	40	40	3	25	2	TIP31OS-ND	.58	4.58	34.33	—	—
	60	60	3	25	2	TIP31AOS-ND	.58	4.58	34.33	—	—
	60	60	5	1K	2	TIP120OS-ND	.62	4.93	36.96	—	—
	60	60	2	1K	2	TIP110OS-ND	.80	6.40	48.00	—	—
	60	—	10	60	50	D44H8OS-ND	1.04	8.99	69.15	—	—
	60	60	8	1K	75	2N6043OS-ND	.85	6.76	50.68	—	—
	60	70	10	20	75	MJE3055TOS-ND	.86	7.38	56.81	—	—
	70	80	7	30	40	2N6292OS-ND	1.00	8.67	66.67	—	—
	80	—	10	60	50	D44H11OS-ND	1.04	8.99	69.15	—	—
	80	80	10	1K	2	2N6388OS-ND	.86	7.38	56.81	—	—
	80	80	5	1K	2	TIP121OS-ND	.62	4.93	36.96	—	—
	80	80	3	25	2	TIP31BOS-ND	.58	4.58	34.33	—	—
	80	80	1	40	2	TIP29BOS-ND	.58	4.58	34.33	—	—
	80	90	15	20	1.8	2N6488OS-ND	.95	8.22	63.22	—	—
	80	—	15	35	83	D44VH10OS-ND	1.04	8.99	69.15	—	—
	100	100	8	1K	75	2N6045OS-ND	.85	6.76	50.68	—	—
	100	100	1	40	2	TIP29COS-ND	.58	4.58	34.33	—	—
	100	100	2	1K	2	TIP112OS-ND	.80	6.40	48.00	—	—
	100	100	5	1K	2	TIP122OS-ND	.62	4.93	36.96	—	—
4	100	100	8	1K	2	TIP102OS-ND	.81	7.06	54.33	—	—
	100	100	3	25	2	TIP31COS-ND	.58	4.58	34.33	—	—
	100	100	6	30	2	TIP41COS-ND	.80	6.40	48.00	—	—
	100	100	10	—	70	BDX33COS-ND	.92	8.03	61.74	—	—
	120	120	8	40	2	MJE15028OS-ND	1.34	11.56	88.89	—	—
	150	150	8	40	2	MJE15030OS-ND	1.34	11.56	88.89	—	—
	200	400	7	—	60	BU406OS-ND	1.34	11.56	88.89	—	—
	250	250	8	70	8	MJE15032OS-ND	1.34	11.56	88.89	—	—
	250	350	5	10	80	2N6497OS-ND	1.14	9.86	75.80	—	—
	250	350	1	30	2	TIP47OS-ND	.89	7.11	53.35	—	—
	300	400	1	30	2	TIP48OS-ND	.89	7.11	53.35	—	—
	350	350	4	100	2	MJE15034OS-ND	2.13	17.78	149.34	—	—
	400	—	8	50	2	MJE5742OS-ND	1.48	12.35	103.72	—	—
	400	—	12	8	2	MJE13009OS-ND	1.52	13.16	101.25	—	—
	400	—	8	8	80	MJE13007OS-ND	.92	8.03	61.74	—	—
	400	—	4	10	2	MJE13005OS-ND	.92	8.03	61.74	—	—
	400	500	1	30	2	TIP50OS-ND	.89	7.11	53.35	—	—
	400	—	5	10	75	BUL45OS-ND	.97	8.35	64.21	—	—
	450	—	5	12	75	MJE18004OS-ND	1.00	8.67	66.67	—	—
	450	—	2	30	50	BUX85OS-ND	.93	7.47	56.00	—	—

* Für die Teilenummer für Gegurtet auf Rolle CT-ND in TR-ND ändern
‡ Für Band und Box die Teilenummer von CT-ND in TB-ND ändern.

(Forts.)

Abb.	V_{CEO} (V)	V_{CB} (V)	I_C (A)	HFE (min.)	Pd (T_A @ 25°C) (W)	Digi-Key Teilenr.	Preisangaben 1	10	100	Gegurtet auf Rolle* Größe	Preisangaben
4	450	—	8	10	125	MJE18008OS-ND	1.28	10.62	89.20	—	—
						TO-220FP					
5	80	—	10	60	2	MJF44H11OS-ND	1.42	11.85	99.56	—	—
	90	—	10	20	2	MJF3055OS-ND	1.48	12.84	98.78	—	—
	100	100	10	3K	2	MJF6388OS-ND	1.40	11.61	97.49	—	—
	100	100	5	1K	2	MJF122OS-ND	.89	7.71	60.27	—	—
	150	150	8	40	2	MJF15030OS-ND	1.42	11.85	99.56	—	—
	250	350	1	30	2	MJF47OS-ND	1.30	11.23	86.44	—	—
	450	—	5	12	35	MJF18004OS-ND	1.48	12.84	98.78	—	—
						TO-225AA					
6A	40	40	1	40	30	2N4921OS-ND	.71	5.69	42.68	—	—
	40	40	4	40	40	MJE521OS-ND	.63	4.98	37.36	—	—
	25	40	5	70	1.5	MJE200OS-ND	.52	4.22	31.68	—	—
	45	45	1.5	25	1.25	BD135OS-ND	.59	4.76	35.65	—	—
	60	60	4	25	40	2N5191OS-ND	.80	6.40	48.00	—	—
6A	60	60	1	40	30	2N4922OS-ND	.71	5.69	42.68	—	—
	60	60	4	750	40	MJE800OS-ND	.63	4.98	37.35	—	—
	60	60	4	500	1.5	2N6038OS-ND	.75	6.04	45.35	—	—
	80	80	1	40	30	2N4923OS-ND	.71	5.69	42.68	—	—
	40	60	3	30	1.5	MJE180OS-ND	.52	4.22	31.68	—	—
6A	80	80	4	20	40	2N5192OS-ND	.71	5.69	42.68	—	—
	60	80	3	30	1.5	MJE181OS-ND	.52	4.22	31.68	—	—
	80	80	4	750	40	MJE802OS-ND	.63	4.98	37.35	—	—
	80	80	4	750	40	MJE803OS-ND	.63	4.98	37.35	—	—
	80	100	1.5	25	1.25	BD139OS-ND	.59	4.76	35.65	—	—
6A	80	80	4	500	1.5	2N6039OS-ND	.75	6.04	45.35	—	—
6A	80	100	3	30	1.5	MJE182OS-ND	.52	4.22	31.68	—	—
6A	100	100	4	750	40	BD681OS-ND	.67	5.33	40.00	—	—
6A	100	100	4	40	1.5	MJE243OS-ND	.60	4.80	36.02	—	—
6B	100	100	2	500	1.5	MJE270OS-ND	.60	4.80	36.02	—	—
6A	200	200	0.5	30	20	MJE344OS-ND	.58	4.63	34.68	—	—
6A	250	275	0.5	25	20	2N5655OS-ND	.60	4.80	36.02	—	—
6A	300	—	0.5	30	20	MJE340OS-ND	.52	4.22	31.68	—	—
6A	350	375	0.5	25	20	2N5657OS-ND	.63	4.98	37.35	—	—
6A	350	450	0.3	30	15	MJE34390S-ND	.58	4.63	34.68	—	—
6B	400	—	1.5	8	1.4	MJE13003OS-ND	.85	6.76	50.68	—	—
						TO-264					
7	200	200	15	25	200	MJL3281AOS-ND	4.94	42.97	320.01	—	—
	250	400	16	25	200	MJL21196OS-ND	4.94	42.97	320.01	—	—
	250	400	16	25	200	MJL21194OS-ND	4.11	35.81	266.68	—	—
	350	350	15	80	230	MJL4281AOS-ND	5.84	53.34	421.61	—	—
						SOT-23					
8	15	40	0.2	40	.225	MMBT2369LT1OSCT-ND	—	1.49	9.69	3,000	34.71/M
	15	40	0.2	40	.225	MMBT2369ALT1OSCT-ND	—	1.49	9.69	3,000	34.71/M
	15	30	.05	20	.225	MMBT918LT1OSCT-ND	—	1.36	9.58	—	—
	25	30	.05	450	.225	MMBT5089LT1OSCT-ND	—	1.49	9.69	3,000	34.71/M
	25	30	—	60	.225	MMBTH10LT1OSCT-ND	—	1.34	9.24	3,000	41.49/M
	30	60	0.6	50	.225	MMBT2222LT1OSCT-ND	—	1.58	8.91	3,000	20.32/M
	30	35	.05	350	.225	MMBT5088LT1OSCT-ND	—	1.49	9.69	3,000	34.71/M
	30	30	0.3	5k	.225	MMBTA13LT1OSCT-ND	—	1.49	9.69	3,000	34.71/M
	30	30	0.3	10k	.225	MMBTA14LT1OSCT-ND	—	1.49	9.69	3,000	34.71/M
	30	30	0.1	110	.225	BC848ALT1OSCT-ND	—	1.41	7.92	3,000	19.48/M
	30	30	0.1	200	.225	BC848BLT1OSCT-ND	—	1.41	7.92	3,000	19.48/M
	30	30	0.1	420	.225	BC848CLT1OSCT-ND	—	1.83	10.29	3,000	22.01/M
	40	60	0.2	—	.225	MMBT3904LT3OSCT-ND	—	1.10	6.17	10,000	13.55/M
	40	75	0.6	50	.225	MMBT2222ALT1OSCT-ND	—	1.58	8.91	3,000	18.63/M
	40	60	0.2	70	.225	MMBT3904LT1OSCT-ND	—	1.24	7.01	3,000	18.63/M
	40	60	0.6	40	.225	MMBT4401LT1OSCT-ND	—	.78	5.06	3,000	21.17/M
	40	40	0.5	10k	.225	MMBT6427LT1OSCT-ND	—	1.16	8.01	3,000	36.41/M
	45	55	0.2	500	.225	MMBT6429LT1OSCT-ND	—	1.16	8.01	3,000	36.41/M
	45	50	0.5	100	.225	BC817-16LT1OSCT-ND	—	.98	6.38	3,000	21.17/M
	45	50	0.5	160	.225	BC817-25LT1OSCT-ND	—	1.20	6.78	3,000	20.32/M
	45	50	0.5	250	.225	BC817-40LT1OSCT-ND	—	1.41	7.92	—	—
	45	50	0.5	100	.225	BCX19LT1OSCT-ND	—	1.39	9.02	3,000	33.02/M
	45	50	0.1	110	.225	BC847ALT1OSCT-ND	—	1.41	7.92	3,000	19.48/M
	45	50	0.1	200	.225	BC847BLT1OSCT-ND	—	1.41	7.92	3,000	19.48/M
	45	50	0.1	420	.225	BC847CLT1OSCT-ND	—	1.64	9.22	—	—
	45	50	0.1	420	.225	BC850CLT1OSCT-ND	—	1.64	9.22	—	—
	50	60	0.2	250	.225	MMBT6428LT1OSCT-ND	—	1.16	8.01	3,000	36.41/M
	60	60	0.5	100	.225	MMBTA05LT1OSCT-ND	—	1.49	9.69	3,000	34.71/M
	60	60	0.1	250	.225	MMBT2484LT1OSCT-ND	—	1.43	9.30	—	—
	65	80	0.1	110	.225	BC846ALT1OSCT-ND	—	1.41	7.92	3,000	19.48/M
	65	80	0.1	200	.225	BC846BLT1OSCT-ND	—	1.24	7.01	3,000	19.48/M
	80	80	0.5	100	.225	MMBTA06LT1OSCT-ND	—	1.49	9.69	—	—
	80	80	0.5	100	.225	MMBT8099LT1OSCT-ND	—	.97	6.78	3,000	36.41/M
	140	160	0.6	60	.225	MMBT5550LT1OSCT-ND	—	1.49	9.69	3,000	34.71/M
	140	160	0.6	80	.225	MMBT5551LT1OSCT-ND	—	1.49	9.69	3,000	34.71/M
	300	300	0.5	25	.225	MMBTA42LT1OSCT-ND	—	1.49	9.69	3,000	34.71/M
	350	350	0.5	20	.225	MMBT6517LT1OSCT-ND	—	2.47	17.80	—	—
						SOT-223					
9	25	20	1	50	1.5	BCP68T1OSCT-ND	—	2.03	14.60	1,000	81.27
	30	45	3	85	1.7	MMJT9410T1OSCT-ND	—	5.69	42.68	1,000	244.67
	40	75	0.6	50	1.5	PZT2222AT1OSCT-ND	—	2.07	14.93	1,000	82.97
	60	80	2	75	0.8	PZT651T1OSCT-ND	—	2.47	17.80	1,000	99.05
	80	90	1	1K	1.25	BSP52T1OSCT-ND	—	2.18	16.33	1,000	98.21
	80	100	1	40	1.5	BCP56T1OSCT-ND	—	2.07	14.93	1,000	82.97
	80	100	1	100	1.5	BCP56-16T1OSCT-ND	—	2.07	14.93	—	—
	300	300	0.5	25	1.5	PZTA42T1OSCT-ND	—	2.28	16.36	1,000	90.59
	300	300	0.1	50	1.5	BF720T1OSCT-ND	—	3.22	23.13	1,000	115.98
	350	400	1	40	0.8	BSP19AT1OSCT-ND	—	2.57	19.28	1,000	115.98
						SOT-323					
10	40	75	0.6	50	.150	MMBT2222AWT1OSCT-ND	—	1.18	7.65	3,000	27.94/M
	40	60	0.2	—	.150	MMBT3904WT1OSCT-ND	—	.98	6.38	3,000	26.25/M
						SOT-363					
11B	40	60	0.2	70	.150	MBT3904DW1T1OSCT-ND	—	1.68	10.96	3,000	39.79/M
						16-SOIC					
12	40	75	0.5	50	1.0	MMPQ2222AR10SCT-ND	—	9.14	70.31	500	233.24
	40	60	0.2	50	.800	MMPQ3904OS-ND	1.06	9.14	70.31	—	—
						SC-59					
13	50	60	0.1	210	.200	MSD601-RT1OSCT-ND	—	.98	6.38	—	—
						SC-75					
15	45	50	0.1	200	.200	BC847BTT1OSCT-ND	—	1.30	8.42	3,000	22.86/M
	40	60	0.2	—	.200	MMBT3904TT1OSCT-ND	—	.97	6.74	3,000	30.48/M

Abb.	V_{CEO} (V)	V_{CB} (V)	I_C (A)	HFE (min.)	Pd (T_A @ 25°C) (W)	Digi-Key Teilenr.	Preisangaben 1	10	100	Gegurtet auf Rolle* Größe	Preisangaben
						DPAK					
16	25	40	5	70	1.4	MJD200T4OSCT-ND	—	4.27	32.00	2,500	181.18/M
	60	70	10	20	1.75	MJD3055T4OSCT-ND	—	7.11	53.35	2,500	286.16/M
	80	—	8	60	1.75	MJD44H11T4OSCT-ND	—	5.69	42.68	2,500	215.04/M
	80	—	8	60	1.75	MJD44H11-001OS-ND	—	5.69	42.68	—	—
	100	100	6	30	1.75	MJD41CT4OSCT-ND	—	6.40	48.00	2,500	253.14/M
	100	100	8	1K	1.75	MJD122T4OSCT-ND	—	4.75	35.63	2,500	193.03/M
	100	100	2	500	1.75	MJD112T4OSCT-ND	—	4.75	35.63	2,500	193.03/M
	100	100	2	1K	1.75	MJD112-001OS-ND	.59	4.75	35.63	—	—
	100	100	3	25	1.5	MJD31CT4OSCT-ND	—	4.55	34.11	2,500	154.08/M
	100	100	4	40	1.4	MJD243T4OSCT-ND	—	5.69	42.68	2,500	228.59/M
	250	350	1	30	1.56	MJD47T4OSCT-ND	—	5.16	38.70	2,500	204.04/M
	300	300	0.5	30	1.56	MJD340T4OSCT-ND	—	4.62	34.68	2,500	182.87/M
	400	500	1	30	1.56	MJD50T4OSCT-ND	—	5.16	38.70	2,500	207.42/M
						PNP					
						TO-3					
1	60	60	25	35	200	2N5883OS-ND	3.29	28.65	213.34	—	—
	80	80	25	35	200	2N5884OS-ND	3.20	27.85	207.42	—	—
	80	80	50	15	300	2N5684OS-ND	6.62	60.45	477.82	—	—
	100	100	12	750	150	2N6052OS-ND	4.34	37.80	281.49	—	—
	100	100	30	25	200	MJ4502OS-ND	3.29	28.65	213.34	—	—
	120	120	30	1K	200	MJ11015OS-ND	3.09	26.92	200.52	—	—
	120	120	50	1K	300	MJ11033OS-ND	6.82	62.23	491.87	—	—
	120	200	15	—	180	MJ15016OS-ND	2.45	21.29	158.53	—	—
	140	140	20	25	250	MJ15004OS-ND	3.20	27.85	207.42	—	—
	200	350	16	15	250	MJ15023OS-ND	3.43	29.84	222.23	—	—
	250	400	16	15	250	MJ15025OS-ND	3.43	29.84	222.23	—	—
	250	400	16	25	250	MJ21193OS-ND	3.43	29.84	222.23	—	—
	250	400	16	25	250	MJ21195OS-ND	4.92	42.78	318.53	—	—
						TO-92					
2B	25	25	0.5	80	.625	MPS3638AOS-ND	.38	2.18	14.15	—	—
	25	25	0.2	120	.625	MPS4126RLRAOSCT-ND	—	1.81	11.78	2,000	49.11/M
	30	30	0.5	5K	.625	MPSA63RLRAOSCT-ND	—	1.66	10.79	—	—
	30	30	0.5	10K	.625	MPSA64OS-ND	.28	1.66	10.79	—	—
	30	30	0.5	5K	1	MPSW63OS-ND	.41	2.97	20.87	—	—
2B	40	40	0.6	60	.625	2N4403RLRAOSCT-ND	—	1.34	8.69	2,000	36.41/M
	40	40	0.2	80	.250	2N3906RLRAOSCT-ND	—	1.19	7.70	2,000	38.95/M
	40	40	—	250	.625	MPS4250ARLRMOSCT-ND‡	—	1.78	11.56	2,000	48.26/M
	40	30	1	50	.625	MPS6652OS-ND	.33	2.23	15.41	—	—
	40	60	2	75	.625	MPS750OS-ND	.39	2.60	18.01	—	—
2B	40	50	1	60	1	MPS6727OS-ND	.41	2.97	20.87	—	—
2B	40	50	1	55	1	MPSW51AOS-ND	.41	2.97	20.87	—	—
2A	45	50	0.8	100	.625	BC327OS-ND	.24	1.39	9.02	—	—
2B	50	50	0.05	250	.625	2N5087RLRAOSCT-ND	—	1.64	10.68	—	—
2B	60	80	2	75	.625	MPS751RLRAOSCT-ND	—	2.17	15.24	2,000	79.58/M
2B	60	60	0.5	100	.600	MPSA55RLRAOSCT-ND	—	1.66	10.79	2,000	44.87/M
	60	60	0.6	100	.625	PN2907ARLRAOSCT-ND	—	1.43	9.30	2,000	38.95/M
	60	60	0.6	100	.625	MPS2907ARLRAOSCT-ND	—	1.57	10.18	2,000	42.33/M
	60	60	0.5	100	.625	MPS8598RLRAOSCT-ND	—	2.07	14.39	2,000	63.50/M
	60	60	0.5	10K	.625	MPSA77OS-ND	.36	2.09	13.54	—	—
2B	80	80	0.5	100	.625	MPS8599RLRAOSCT-ND	—	2.07	14.39	2,000	63.50/M
	80	80	0.5	100	.600	MPSA56RLRAOSCT-ND	—	1.66	10.79	—	—
	150	160	0.6	50	.625	2N5401RLRAOSCT-ND	—	1.64	10.68	2,000	44.03/M
	200	200	0.5	25	.625	MPSA92RLRAOSCT-ND	—	1.94	12.61	—	—
	300	300	0.5	25	1	MPSW92OS-ND	.39	2.79	19.60	—	—
2B	300	300	0.5	25	.625	MPSA93OS-ND	.36	2.09	13.54	—	—
	350	350	0.5	20	.625	2N6520RLRAOSCT-ND	—	2.96	20.86	2,000	94.82/M
						TO-218AC					
3	100	100	10	1K	3.5	TIP147OS-ND	2.07	17.29	145.20	—	—
	100	100	25	25	125	TIP36COS-ND	2.40	20.89	155.56	—	—
	100	100	20	750	160	MJH6287OS-ND	3.47	30.17	224.70	—	—
	150	150	15	400	150	MJH11017OS-ND	3.26	28.32	210.89	—	—
	160	160	16	15	125	MJE4353OS-ND	3.20	27.85	207.42	—	—
	200	200	15	400	150	MJH11019OS-ND	3.73	32.49	242.00	—	—
	250	250	15	400	150	MJH11021OS-ND	3.73	32.49	242.00	—	—
						TO-220AB					
4	30	40	7	30	40	2N6111OS-ND	.97	8.35	64.21	—	—
	40	40	3	25	2	TIP32OS-ND	.58	4.58	34.33	—	—
	40	40	1	40	2	TIP30OS-ND	.63	4.98	37.35	—	—
	40	40	6	30	2	TIP42OS-ND	.89	7.11	53.35	—	—
	50	60	7	30	40	2N6109OS-ND	.97	8.35	64.21	—	—
	60	60	3	25	2	TIP32AOS-ND	.58	4.58	34.33	—	—
	60	60	5	1K	2	TIP125OS-ND	.91	7.26	54.40	—	—
	60	60	2	1K	2	TIP115OS-ND	.81	6.41	48.01	—	—
	60	60	8	1K	75	2N6040OS-ND	.91	7.26	54.40	—	—
	60	60	10	1K	2	2N6667OS-ND	.97	8.35	64.21	—	—
	60	—	10	60	50	D45H8OS-ND	1.04	8.99	69.15	—	—
	60	70	10	20	75	MJE2955TOS-ND	.86	7.38	56.81	—	—
	70	80	7	30	40	2N6107OS-ND	.81	7.06	54.33	—	—
	80	—	10	60	50	D45H11OS-ND	1.04	8.99	69.15	—	—
	80	90	15	20	1.8	2N6491OS-ND	.94	8.15	62.73	—	—
	80	80	5	1K	2	TIP126OS-ND	.91	7.26	54.41	—	—
	80	80	3	25	2	TIP32BOS-ND	.61	4.81	36.03	—	—
	80	—	15	35	83	D45VH10OS-ND	1.04	8.99	69.15	—	—
	100	100	15	1K	85	BDW47OS-ND	1.11	9.63	74.08	—	—
	100	100	8	1K	75	2N6042OS-ND	.91	7.26	54.40	—	—
	100	100	2	1K	2	TIP117OS-ND	.80	6.40	48.00	—	—
	100	100	1	40	2	TIP30COS-ND	.63	4.98	37.35	—	—
	100	100	5	1K	2	TIP127OS-ND	.81	7.06	54.33	—	—
	100	100	8	1K	2	TIP107OS-ND	.81	7.06	54.33	—	—
	100	100	3	25	2	TIP32COS-ND	.58	4.58	34.33	—	—
	100	100	6	30	2	TIP42COS-ND	.89	7.11	53.35	—	—
	120	120	8	40	2	MJE15029OS-ND	1.34	11.56	88.89	—	—
	150	150	8	40	2	MJE15031OS-ND	1.34	11.56	88.89	—	—
	250	250	8	50	2	MJE15033OS-ND	1.34	11.56	88.89	—	—
	300	—	8	15	80	MJE5850OS-ND	2.54	22.06	164.22	—	—
	300	300	1	30	2	MJE5730OS-ND	1.30	11.23	86.44	—	—
	350	—	8	15	80	MJE5851OS-ND	2.54	22.06	164.22	—	—
	350	350	4	100	2	MJE15035OS-ND	2.13	17.78	149.34	—	—
	375	375	1	30	2	MJE5731AOS-ND	1.30	11.23	86.44	—	—
	400	—	8	15	80	MJE5852OS-ND	2.53	22.05	164.22	—	—
						TO-220FP					
5	100	100	10	3K	2	MJF6668OS-ND	1.56	13.49	103.71	—	—
	100	100	5	1K	2	MJF127OS-ND	.92	8.03	61.74	—	—
	150	150	8	40	2	MJF15031OS-ND	1.42	11.85	99.56	—	—
						TO-225AA					
6A	40	40	1	40	30	2N4918OS-ND	.71	5.69	42.68	—	—
	25	40	5	75	1.5	MJE210OS-ND	.52	4.22	31.68	—	—

* Für die Teilenummer für Gegurtet auf Rolle CT-ND in TR-ND ändern
‡ Für Band und Box die Teilenummer von CT-ND in TB-ND ändern.

(Forts.)

Alle Preisangaben in Euro und inklusive Zollgebühren.

ON Semiconductor™ Transistoren *(Forts.)*

Abb.	VCEO (V)	VCB (V)	Ic (A)	HFE (min.)	Pd (TA @ 25°C) (W)	Digi-Key Teilenr.	Preisangaben 1	10	100	Gegurtet auf Rolle* Größe	Preisangaben
	40	40	4	40	40	MJE3710S-ND	.63	4.98	37.35	—	—
	40	40	4	—	1.5	2N6034OS-ND	.80	6.40	48.00	—	—
	45	45	1.5	25	1.25	BD136OS-ND	.55	4.40	33.01	—	—
	60	60	4	25	40	2N5194OS-ND	.80	6.40	48.00	—	—
	60	60	4	750	40	MJE700OS-ND	.63	4.98	37.35	—	—
	40	60	3	30	1.5	MJE170OS-ND	.52	4.22	31.68	—	—
	80	80	4	20	40	2N5195OS-ND	.71	5.69	42.68	—	—
6A	80	80	1	10	30	2N4920OS-ND	.71	5.69	42.68	—	—
	60	80	3	30	1.5	MJE171OS-ND	.52	4.22	31.68	—	—
	80	80	4	750	40	MJE702OS-ND	.63	4.98	37.35	—	—
	80	100	1.5	25	1.25	BD140OS-ND	.59	4.76	35.65	—	—
	80	80	4	500	1.5	2N6036OS-ND	.71	5.69	42.68	—	—
	80	100	3	30	1.5	MJE172OS-ND	.52	4.22	31.68	—	—
	100	100	4	750	40	BD682OS-ND	.67	5.33	40.00	—	—
	100	100	4	40	1.5	MJE253OS-ND	.60	4.80	36.02	—	—
	300	—	0.5	30	20	MJE350OS-ND	.52	4.22	31.68	—	—
						TO-264					
7	200	200	15	60	200	MJL1302AOS-ND	4.94	42.97	320.01	—	—
	250	400	16	25	200	MJL21195OS-ND	4.94	42.97	320.01	—	—
	250	400	16	25	200	MJL21193OS-ND	4.94	42.97	320.01	—	—
	350	350	15	80	230	MJL4302AOS-ND	5.84	53.34	421.61	—	—
						SOT-23					
	25	25	0.2	120	.225	MMBT4126LT1OSCT-ND	—	1.08	6.99	3,000	28.79/M
	30	30	0.5	5K	.225	MMBTA63LT1OSCT-ND	—	1.49	9.69	3,000	34.71/M
	30	30	0.5	10K	.225	MMBTA64LT1OSCT-ND	—	1.49	9.69	3,000	34.71/M
	30	30	0.1	420	.225	BC858CLT1OSCT-ND	—	1.64	9.22	3,000	22.01/M
	40	40	0.2	80	.225	MMBT3906LT1OSCT-ND	—	1.41	7.92	3,000	18.63/M
	40	40	0.6	60	.225	MMBT4403LT1OSCT-ND	—	.78	5.06	—	—
	45	50	0.5	100	.225	BCX17LT1OSCT-ND	—	1.39	9.02	3,000	33.02/M
	45	50	0.1	220	.225	BC857BLT1OSCT-ND	—	1.41	7.92	3,000	19.48/M
	45	50	0.5	160	.225	BC807-25LT1OSCT-ND	—	.98	6.38	3,000	21.17/M
8	45	50	0.5	250	.225	BC807-40LT1OSCT-ND	—	1.02	6.66	3,000	25.40/M
	50	50	0.05	250	.225	MMBT5087LT1OSCT-ND	—	1.49	9.69	—	—
	60	60	0.6	100	.225	MMBT2907ALT1OSCT-ND	—	1.24	7.01	3,000	18.63/M
	60	60	0.5	100	.225	MMBTA55LT1OSCT-ND	—	1.49	9.69	3,000	34.71/M
	65	80	0.1	125	.225	BC856ALT1OSCT-ND	—	1.41	7.92	3,000	19.48/M
	65	80	0.1	220	.225	BC856BLT1OSCT-ND	—	1.41	7.92	3,000	19.48/M
	80	80	0.5	100	.225	MMBTA56LT1OSCT-ND	—	1.49	9.69	3,000	34.71/M
	150	160	0.5	50	.225	MMBT5401LT1OSCT-ND	—	1.49	9.69	3,000	34.71/M
	300	300	0.5	25	.225	MMBTA92LT1OSCT-ND	—	1.49	9.69	3,000	34.71/M
	350	350	0.5	20	.225	MMBT6520LT1OSCT-ND	—	1.39	9.96	—	—
						SOT-223					
	20	25	1	50	1.5	BCP69T1OSCT-ND	—	2.03	14.60	1,000	81.27
	30	45	3	125	0.72	MMJT9435T1OSCT-ND	—	5.69	42.68	—	—
9	60	60	0.6	100	1.5	PZT2907AT1OSCT-ND	—	2.07	14.93	1,000	82.97
	60	80	2	75	0.8	PZT751T1OSCT-ND	—	2.47	17.80	1,000	99.05
	80	100	1.5	40	1.5	BCP53T1OSCT-ND	—	2.07	14.93	1,000	82.97
	300	300	0.5	25	1.5	PZTA92T1OSCT-ND	—	2.28	16.36	—	—
						SOT-323					
10	60	60	0.6	100	.150	MMBT2907AWT1OSCT-ND	—	.98	6.38	3,000	26.25/M
	40	40	0.2	80	.150	MMBT3906WT1OSCT-ND	—	.98	6.38	3,000	26.25/M
						Dual SOT-363					
11B	40	40	0.2	80	.150	MBT3906DW1T1OSCT-ND	—	1.68	10.96	3,000	39.79/M
						DPAK					
	25	40	5	70	1.4	MJD210T4OSCT-ND	—	4.27	32.00	2,500	181.18/M
	60	70	10	20	1.75	MJD2955T4OSCT-ND	—	6.40	48.00	2,500	253.14/M
	80	—	8	60	1.75	MJD45H11T4OSCT-ND	—	5.72	44.01	2,500	250.60/M
	80	—	8	60	1.75	MJD45H11-001OS-ND	.89	7.11	53.35	—	—
16	100	100	6	30	1.75	MJD42CT4OSCT-ND	—	6.40	48.00	2,500	253.14/M
	100	100	8	1K	1.75	MJD127T4OSCT-ND	—	7.11	53.35	2,500	281.92/M
	100	100	2	500	1.75	MJD117T4OSCT-ND	—	5.16	38.70	2,500	204.04/M
	100	100	3	25	1.56	MJD32CT4OSCT-ND	—	4.74	35.56	2,500	165.94/M
	100	100	4	40	1.4	MJD253T4OSCT-ND	—	5.69	42.68	2,500	228.59/M
	300	300	0.5	30	1.56	MJD350T4OSCT-ND	—	4.58	34.33	2,500	181.18/M
						NPN/PNP					
						SOT-363					
11B	40/-40	60/-40	0.2/-0.2	70/80	.150	MBT3946DW1T1OSCT-ND	—	1.68	10.96	3,000	39.79/M

Transistoren mit Vorspannung

Abb.	VCB (V)	VCEO (V)	HFE (min.)	R1 (K)	R2 (K)	Digi-Key Teilenr.	Preisangaben 10	100	Gegurtet auf Rolle* Größe	Preisangaben
						NPN				
						SOT-23				
	50	50	35	10	10	MMUN2211LT1OSCT-ND	.78	5.06	—	—
	50	50	60	22	22	MMUN2212LT1OSCT-ND	.98	6.38	3,000	21.17/M
8	50	50	80	47	47	MMUN2213LT1OSCT-ND	.98	6.38	3,000	21.17/M
	50	50	160	4.7	∞	MMUN2216LT1OSCT-ND	.98	6.38	3,000	21.17/M
	50	50	15	4.7	4.7	MMUN2232LT1OSCT-ND	.98	6.38	3,000	21.17/M
	50	50	80	4.7	47	MMUN2233LT1OSCT-ND	.78	5.06	3,000	21.17/M
						SOT-363				
11A	50	50	35	10	10	MUN5211DW1T1OSCT-ND	1.49	10.30	3,000	45.72/M
						SOT-323				
10	50	50	140	10	47	MUN5214T1OSCT-ND	1.08	6.99	3,000	28.79/M
						SC-59				
	50	50	35	10	10	MUN2211T1OSCT-ND	1.02	6.66	3,000	25.40/M
13	50	50	60	22	22	MUN2212T1OSCT-ND	1.02	6.66	3,000	25.40/M
	50	50	80	47	47	MUN2213T1OSCT-ND	1.02	6.66	3,000	25.40/M
	50	50	80	10	47	MUN2214T1OSCT-ND	1.02	6.66	3,000	25.40/M
						SC-75				
15	50	50	80	47	47	DTC144EET1OSCT-ND	1.19	7.70	3,000	27.94/M
						SOT-563				
	50	50	35	10	10	NSBC114EDXV6TOSCT-ND	3.39	24.38	4,000	115.14/M
	50	50	60	22	22	NSBC124EDXV6TOSCT-ND	3.39	24.38	—	—
18C	50	50	80	10	47	NSBC114YDXV6TOSCT-ND	3.39	24.38	4,000	115.14/M
	50	50	160	10	∞	NSBC114TDXV6TOSCT-ND	3.39	24.38	4,000	115.14/M
	50	50	3	1	1	NSBC113EDXV6TOSCT-ND	3.39	24.38	4,000	115.14/M
	50	50	80	2.2	47	NSBC123JDXV6TOSCT-ND	3.39	24.38	4,000	115.14/M
						NPN/PNP				
						SC-74				
14	50	60	0.2	—	.325	NUS2401SNT1OSCT-ND	5.30	40.76	3,000	231.97/M
						SOT-363				
11A	50	50	35	10	10	MUN5311DW1T1OSCT-ND	1.49	10.30	3,000	45.72/M

Abb.	VCB (V)	VCEO (V)	HFE (min.)	R1 (K)	R2 (K)	Digi-Key Teilenr.	Preisangaben 10	100	Gegurtet auf Rolle* Größe	Preisangaben
						SOT-553				
17B	50	50	60	22	1	EMC2DXV5T1OSCT-ND	3.39	24.38	4,000	66.89/M
	50	50	20	4.7	.47	EMC5DXV5T1OSCT-ND	3.39	24.38	4,000	66.89/M
						SOT-563				
	50	50	35	10	10	NSBC114EPDXV6OSCT-ND	3.39	24.38	4,000	115.14/M
	50	50	60	22	22	NSBC124EPDXV6OSCT-ND	3.39	24.38	4,000	115.14/M
18B	50	50	80	47	47	NSBC144EPDXV6OSCT-ND	3.39	24.38	4,000	115.14/M
	50	50	80	10	47	NSBC114YPDXV6OSCT-ND	3.39	24.38	4,000	115.14/M
	50	50	160	4.7	∞	NSBC143TPDXV6OSCT-ND	3.39	24.38	4,000	115.14/M
	50	50	80	2.2	47	NSBC123JPDXV6OSCT-ND	3.39	24.38	4,000	115.14/M
						PNP Kanal				
						SOT-23				
	50	50	30	10	10	MMUN2111LT1OSCT-ND	.78	5.06	3,000	21.17/M
8	50	50	80	47	47	MMUN2113LT1OSCT-ND	.98	6.38	3,000	21.17/M
	50	50	80	10	47	MMUN2114LT1OSCT-ND	.98	6.38	3,000	21.17/M
						SOT-323				
10	50	50	100	10	47	MUN5114T1OSCT-ND	1.08	6.99	—	—
						SC-59				
13	50	50	35	10	10	MUN2111T1OSCT-ND	1.02	6.66	3,000	25.40/M
						SOT-553				
17A	50	50	160	47	∞	EMA6DXV5T1OSCT-ND	3.39	24.38	4,000	66.89/M
						SOT-563				
	50	50	160	10	∞	NSBA114TDXV6TOSCT-ND	3.39	24.38	4,000	115.14/M
18A	50	50	160	4.7	∞	NSBA143TDXV6TOSCT-ND	3.39	24.38	4,000	70.27/M
	50	50	80	2.2	47	NSBA123JDXV6TOSCT-ND	3.39	24.38	4,000	115.14/M

* Für die Teilenummer für Gegurtet auf Rolle CT-ND in TR-ND ändern ‡ Für Band und Box die Teilenummer von CT-ND in TB-ND ändern.

Transistoren

Abb. 1 — TO-39

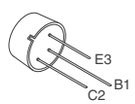

Abb. 2 — TO-18

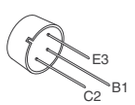

Abb. 3 — TO-3

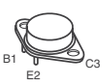

Abb. 4 — TO-92

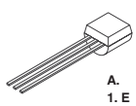

A.	B.
1. E	1. E
2. B	2. C
3. C	3. B

Abb. 5 — SOT-32

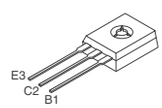

Abb. 6 — TO-220

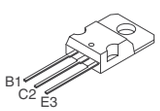

Abb. 7 — SOT-23

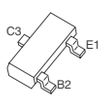

Abb. 8 — TO-218

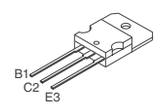

Abb. 9 — ISOWATT218

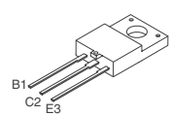

Abb. 10 — TO-247

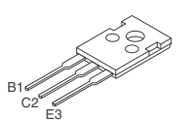

Abb. 11 — ISOTOP

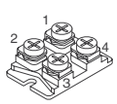

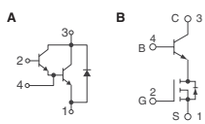

Abb. 12 — TO-247-4L

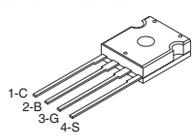

Abb. 13 — IPAK

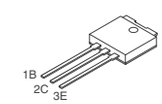

Abb. 14 — SOT-89

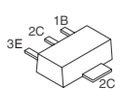

Abb. 15 — DPAK

Abb. 16 — SOT-223

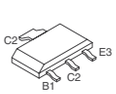

Abb. 17 — TO-220FP

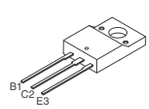

Abb. 18 — 8-SOIC

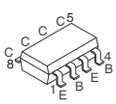

Abb.	Beschreibung	HFE (min.)	Paket	Digi-Key Teilenr.	Rohrpreis 1	10	100	Hersteller Teilenr.
				NPN				
	Kleiner Signalverstärker, 75 V, 500 mA	70	TO-39	497-3105-5-ND	.88	7.01	52.57	2N1613
	Epitaxial Planar, 75 V, 500 mA	100	TO-39	497-2594-5-ND	.76	6.60	50.80	2N1711
	Kleiner Signalverstärker, 120 V, 0,5 mA	40	TO-39	497-2637-5-ND	.76	6.60	50.80	2N1893
	Epitaxial Planar, 120 V, 1 A	40	TO-39	497-2636-5-ND	.99	7.92	59.43	2N2102
1	Kleiner Signalverstärker, 140 V, 1 A	100	TO-39	497-2634-5-ND	1.14	9.14	68.57	2N3019
	Silikon, 450 V, 1 A	40	TO-39	497-2576-5-ND	1.05	9.08	69.84	2N3439
	Silikon, 300 V, 1 A	40	TO-39	497-2626-5-ND	.96	8.25	63.50	2N3440
	Silikon, 120 V, 5 A	40	TO-39	497-2635-5-ND	1.80	15.03	126.23	BFX34
	HS-Schalter, 75 V, 0,6 A	100	TO-39	497-2595-5-ND	.91	7.31	54.86	2N2219A

◊ Großmenge * Gurtabschnitt † Gegurtet auf Rolle § Band und Box *(Forts.)*

B

Transistoren *(Forts.)*

Abb.	Beschreibung	HFE (min.)	Paket	Digi-Key Teilenr.	Rohrpreis 1	10	100	Hersteller Teilenr.
2	HS-Schalter, 30 V, 0,8 A	150	TO-18	497-3106-5-ND	.84	6.71	50.29	2N2222
	HS-Schalter, 75 V, 0,6 A	40	TO-18	497-2598-5-ND	.73	5.79	43.43	2N2222A
	HS-Sätt. Schalter, 15 V, 0,2 A	40	TO-18	497-3107-5-ND	.84	6.71	50.29	2N2369A
	Allzweckverstärker, 80 V, 1 A	90	TO-18	497-3108-5-ND	.92	7.98	61.38	2N3700
	Epitaxial Planar, 80 V, 500 mA	40	TO-18	497-3112-5-ND	1.24	10.73	82.54	2N720A
	LN, Gen., Audio Amp., 45 V, 100 mA	110	TO-18	497-3116-5-ND	.76	6.10	45.72	BC107
3	Komp. Silikon Power, 100 V, 15 A	20	TO-3	497-2612-5-ND	1.42	11.85	99.56	2N3055
	Hochleistung, Silikon, 40 V, 30 A	15	TO-3	497-2584-5-ND	2.24	18.63	156.45	2N3771
	Hochleistung, Silikon, 60 V, 20 A	15	TO-3	497-2597-5-ND	2.54	21.17	177.79	2N3772
	Silikon, Power Darlington, 100 V, 12 A	750	TO-3	497-2561-5-ND	2.26	18.86	158.41	2N6059
	Komp. Silikon, Power Darl., 100 V, 20 A	750	TO-3	497-2563-5-ND	3.32	28.85	214.82	2N6284
	Hochleistung, Silikon, 850 V, 15 A	6	TO-3	497-2592-5-ND	4.23	36.81	274.09	2N6547
	Hochstrom, Silikon, 300 V, 60 A	20	TO-3	497-2633-5-ND	15.58	144.09	1090.42	BUR51
	Komp. Silikon, Power Darl., 80 V, 10 A	1,000	TO-3	497-2393-ND◊	2.18	18.20	152.90	MJ3001
	Hochspannung, Zündspulentreiber, Power Darlington, 400 V, 15 A	300	TO-3	497-3129-5-ND	2.97	25.86	192.60	BU941
	Hochspannung, schnellschaltend, Leistung, 450 V (VCEO), 30 A	—	TO-3	497-4086-5-ND	6.43	58.67	463.77	BUF420M
	Hochspannung, schnellschaltend, Leistung, 700 V (VCEO), 8 A	—	TO-3	497-2412-ND◊	2.51	21.88	162.97	BU208A
4A	Niederspannung, schnellschaltend, 60 V, 5 A	400	TO-92	497-3531-ND◊	.89	7.70	59.26	STSA1805
	Niederspannung, schnellschaltend, 60 V, 5 A	400	TO-92	497-3532-1-ND*	.89	7.70	59.26	STSA1805-AP
	Niederspannung, schnellschaltend, 60 V, 5 A	400	TO-92	497-3532-3-ND§	687.44/2,000			STSA1805-AP
	Niederspannung, schnellschaltend, 60 V, 5 A	100	TO-92	497-2395-ND◊	.27	1.85	12.77	2N3904
	Kleiner Signalverstärker, 75 V, 0,6 mA	100	TO-92	497-2406-ND◊	.36	2.12	13.76	PN2222A
	Niedrigsignal, Silikon, 150 V, 5 A	300	TO-92	497-3235-ND◊	.61	4.88	36.57	STSA851
	Kleiner Signalverstärker, 300 V, 0,5 mA	40	TO-92	497-2407-ND◊	.22	1.52	10.57	STPSA42
4B	Hochspannung, schnellschaltend, Leistung, 400 V (VCEO), 3 A	10	TO-92	497-4429-ND◊	.59	4.74	35.56	STX13005
5	Leistung, 400 V (VCEO), 3 A	12	SOT-32	497-2590-5-ND	.56	4.47	33.53	MJE182
	Komplimentär-Silikon, Leistung, 300 V (VCEO), 0,5 A	30	SOT-32	497-2624-5-ND	.61	4.84	36.32	MJE340
	Silikon, 40 V, 4 A	40	SOT-32	497-2583-5-ND	.63	5.05	37.84	MJE521
	Silikon, Power Darlington, 80 V, 4 A	100	SOT-32	497-2549-5-ND	.58	4.69	35.20	MJE802
	Mittlere Leistung, linear, schaltend, Silikon, 80 V, 1 A	30	SOT-32	497-3109-5-ND	.84	6.71	50.29	2N4923
	Mittlere Leistung, Silikon, 60 V, 4 A	25	SOT-32	497-2601-5-ND	.80	6.88	52.91	2N5191
	Mittlere Leistung, Silikon, 80 V, 4 A	20	SOT-32	497-2591-5-ND	.83	7.15	55.03	2N5192
	Silikon, 375 V, 0,5 A	30	SOT-32	497-2623-5-ND	.87	7.57	58.20	2N5657
	Komp. Silikon, Power Darlington, 80 V, 4 A	750	SOT-32	497-2560-5-ND	.73	5.79	43.43	2N6039
	Komp. Silikon, Power Darlington, 60 V, 4 A	750	SOT-32	497-2600-5-ND	.96	8.25	63.50	BD677A
6	Silikon, Power Darlington, 80 V, 10 A	1,000	TO-220	497-2562-5-ND	.98	8.53	65.61	2N6388
	Komp. Silikon, Power,100 V, 6 A	15	TO-220	497-2632-5-ND	1.02	8.80	67.73	BD243C
	Hochspannung, 700 V, 8 A	6	TO-220	497-3510-ND◊	1.27	11.01	84.66	ST13009
	Hochspannung, schnellschaltend, Leistung, 800 V (VCEO), 4 A	12	TO-220	497-2638-5-ND	1.42	11.88	99.74	BUL216
	Hochspannung, schnellschaltend, Leistung, 400 V, 4 A	16	TO-220	497-3130-5-ND	1.21	10.46	80.43	BUL742A
	Hochspannung, schnellschaltend, Leistung, 400 V, 4 A	8	TO-220	497-3149-5-ND	1.05	9.08	69.84	ST13005
	Hochspannung, schnellschaltend, Leistung, 450 V (VCEO), 10 A	8	TO-220	497-2581-5-ND	.91	7.31	54.86	BUL38D
	Hochspannung, Zündspulentreiber, Power Darlington, 350 V (VCEO), 15 A	300	TO-220	497-2740-5-ND	2.67	23.20	172.75	BU941ZT
	Hochspannung, Zündspulentreiber, Power Darlington, 400 V (VCEO), 10 A	300	TO-220	497-2797-5-ND	2.38	19.79	166.23	BU931T
	Silikon, Power, 60 V (VCEO), 10 A	40	TO-220	497-2574-5-ND	.98	8.47	65.19	D44H8
	Silikon, Power, 80 V (VCEO), 10 A	40	TO-220	497-2616-5-ND	.87	7.57	58.20	D44H11
	Komp. Silikon, Power, 70 V, 10 A	20	TO-220	497-2573-5-ND	.71	5.70	42.74	MJE3055T
	Komp. Silikon, Power Darlington, 60 V, 2 A	1,000	TO-220	497-2545-5-ND	.73	5.79	40.21	TIP110
	Komp. Silikon, Power Darl., 100 V, 20 A	1,000	TO-220	497-2533-5-ND	.65	5.18	38.86	TIP112
	Komp. Silikon, Power Darlington, 60 V, 5 A	1,000	TO-220	497-2539-5-ND	.63	5.03	37.72	TIP120
	Komp. Silikon, Power Darlington, 80 V, 5 A	1,000	TO-220	497-2537-5-ND	.80	6.37	47.77	TIP121
	Komp. Silikon, Power Darl., 100 V, 5 A	1,000	TO-220	497-2543-5-ND	.65	5.18	38.86	TIP122
	Komp. Silikon, Power, 60 V, 1 A	15	TO-220	497-2580-5-ND	.73	5.79	43.43	TIP29A
	Komp. Silikon, Power, 100 V, 1 A	15	TO-220	497-2611-5-ND	.92	7.98	61.38	TIP29C
	Komp. Silikon, Power, 60 V, 3 A	10	TO-220	497-2602-5-ND	.58	4.69	35.20	TIP31A
	Komp. Silikon, Power, 100 V, 3 A	10	TO-220	497-2615-5-ND	.58	4.69	35.20	TIP31C
	Komp. Silikon, Power,100 V, 6 A	15	TO-220	497-2622-5-ND	.80	6.40	44.45	TIP41C
	Silikon, schaltend, 350 V, 1 A	30	TO-220	497-2631-5-ND	.65	5.18	38.86	TIP47
	Silikon, schaltend, 400 V, 1 A	30	TO-220	497-2627-5-ND	.71	5.70	42.74	TIP48
	Silikon, schaltend, 450 V, 1 A	30	TO-220	497-2625-5-ND	.87	7.57	58.20	TIP49
	Silikon, schaltend, 500 V, 1 A	15	TO-220	497-2605-5-ND	.63	5.03	37.72	TIP50
	Komp. Silikon, Power Darl., 100 V, 8 A	1,000	TO-220	497-2546-5-ND	.80	6.40	48.00	TIP102
7	Kleiner Signalverstärker, 50 V, 0,5 mA	250	SOT-23	497-2531-1-ND*	.28	1.49	8.38	BC817-40
	Kleiner Signalverstärker, 50 V, 0,5 mA	250	SOT-23	497-2531-2-ND†	76.19/3,000			BC817-40
	Kleiner Signalverstärker, 50 V, 100 mA	200	SOT-23	497-2524-1-ND*	.15	1.02	7.04	BC847B
	Kleiner Signalverstärker, 50 V, 100 mA	200	SOT-23	497-2524-2-ND†	81.27/3,000			BC847B
	Kleiner Signalverstärker, 75 V, 0,6 mA	100	SOT-23	497-2479-1-ND*	.27	1.61	10.46	MMBT2222A
	Kleiner Signalverstärker, 75 V, 0,6 mA	100	SOT-23	497-2479-2-ND†	114.29/3,000			MMBT2222A
	Kleiner Signalverstärker, 60 V, 200 mA	100	SOT-23	497-2478-1-ND*	.27	1.61	10.46	MMBT3904
	Kleiner Signalverstärker, 60 V, 200 mA	100	SOT-23	497-2478-2-ND†	114.29/3,000			MMBT3904
	Kleiner Signalverstärker, 300 V, 0,5 mA	40	SOT-23	497-2480-1-ND*	.19	1.34	9.24	MMBTA42
	Kleiner Signalverstärker, 300 V, 0,5 mA	40	SOT-23	497-2480-2-ND†	124.45/3,000			MMBTA42
8	Komp. Silikon, Power Darl., 100 V, 15 A	750	TO-218	497-2607-5-ND	2.54	21.17	177.79	BDW83C
	Komp. Silikon, Power Darl., 80 V, 10 A	1,000	TO-218	497-2534-5-ND	1.57	13.12	110.23	TIP141
	Komp. Silikon, Power Darl., 100 V, 10 A	1,000	TO-218	497-2541-5-ND	1.42	11.85	99.56	TIP142
	Komp. Silikon, Power, 100 V, 15 A	20	TO-218	497-2586-5-ND	1.49	12.94	99.48	TIP3055
	Komp. Silikon, Power, 140 V, 10 A	20	TO-218	497-2614-5-ND	1.52	12.70	106.67	TIP33C
	Komp. Silikon, Hochleistung, 100 V, 25 A	15	TO-218	497-2609-5-ND	1.47	12.28	103.12	TIP35C
	Hochleistung, Silikon, 450 V (VCEO) 15 A	—	TO-218	497-2544-5-ND	2.77	24.08	179.27	BUV48A
	Hochspannung, schnellschaltend, Leistung, 700 V (VCEO), 8 A	—	TO-218	497-2599-5-ND	2.51	20.95	176.01	BU508A
	Hochspannung, Zündspulentreiber, Power Darlington, 400 V, 15 A	300	TO-218	497-3128-5-ND	2.51	20.95	176.01	BU931P
9	Hochspannung, Zündspulentreiber, Power Darlington, 350 V (VCEO), 15 A	300	ISOWATT-218	497-2542-5-ND	3.39	29.55	220.01	BU941ZPFI
	Hochspannung, schnellschaltend, Leistung 600 V, 10 A	4	ISOWATT-218	497-3150-5-ND	2.44	20.32	170.67	ST1802HI
10	Hochspannung, Leistung 450 V (VCEO), 24 A	—	TO-247	497-2575-5-ND	5.10	44.37	330.39	BUX98APW
	Hochspannung, schnellschaltend, Leistung, 450 V (VCEO), 30 A	—	TO-247	497-4085-5-ND	5.75	52.45	414.58	BUX420AW
	Hochspannung, schnellschaltend, 900 V, 12 A	10	TO-247	497-3555-ND ◊	1.27	10.58	88.89	STW13009
11A	Darlington, Leistungsmodul, 450 V (VCEO), 84 A	120	ISOTOP	497-2648-5-ND	48.89	419.07	3715.73	ESM6045DV
11B	Hochspannung, 1.000 V, 50 A	—	ISOTOP	497-3567-5-ND	32.00	278.53	2074.17	STE50DE100
12	Sender-geschaltet, 1.700 V, 3 A	3.5	TO247-4L	497-3517-5-ND	5.45	49.78	393.50	STC03DE170
13	Niederspannung, schnellschaltend, 60 V, 5 A	200	I-PAK	497-3518-5-ND	.80	6.88	52.91	STD1805-1
14	Hochspannung, schnellschaltend, 400 V, 1 A	5	SOT-89	497-3521-1-ND	.42	3.39	25.40	STFN42
	Hochspannung, schnellschaltend, 400 V, 1 A	5	SOT-89	497-3521-2-ND	317.48/2500			STFN42
15	Komp. Power Darlington, 100 V, 5 A	1,000	DPAK	497-2469-1-ND*	.73	5.79	43.43	MJD122T4
	Komp. Power Darlington, 100 V, 5 A	1,000	DPAK	497-2469-2-ND†	573.57/2,500			MJD122T4
	Komp. Silikon, Power, 100 V, 3 A	10	DPAK	497-2484-1-ND*	.80	6.88	52.91	MJD31CT4
	Komp. Silikon, Power, 100 V, 3 A	10	DPAK	497-2484-2-ND†	455.05/2,500			MJD31CT4
	Komp. Silikon, 80 V (VCEO), 8 A	40	DPAK	497-2504-1-ND*	.67	5.37	40.23	MJD44H11T4
	Komp. Silikon, 80 V (VCEO), 8 A	40	DPAK	497-2504-2-ND†	531.24/2,500			MJD44H11T4
	Hochspannung, schnellschaltend, Leistung 350 V, 1 A	30	DPAK	497-2482-1-ND*	.71	5.70	42.74	MJD47T4
	Hochsp., schnellschaltend, Leistung 350 V, 1 A	30	DPAK	497-2482-2-ND†	562.99/2,500			MJD47T4
	Hochsp., schnellschaltend, Leistung 350 V, 1 A	30	DPAK	497-2473-1-ND*	.80	6.40	48.00	MJD50T4
	Hochsp., schnellschaltend, Leistung 350 V, 1 A	30	DPAK	497-2473-2-ND†	632.83/2,500			MJD50T4
16	Niedrigsignal, 150 V, 5 A	300	SOT-223	497-3179-1-ND*	.63	5.09	38.17	STN851
	Niedrigsignal, 150 V, 5 A	300	SOT-223	497-3179-2-ND†	219.27/1,000			STN851
	Mittlere Leistung, 80 V, 1,5 A	40	SOT-223	497-3178-1-ND*	.61	4.88	36.57	STN715
	Mittlere Leistung, 80 V, 1,5 A	40	SOT-223	497-3178-2-ND†	209.96/1,000			STN715
	PNP							
1	Kleiner Signalverstärker, 80 V, 1 A	100	TO-39	497-2582-5-ND	1.08	9.35	71.96	2N4033
	Silikon, 200 V, 1 A	30	TO-39	497-2593-5-ND	1.02	8.80	67.73	2N5415
	Silikon, 350 V, 1 A	30	TO-39	497-2596-5-ND	1.02	8.78	67.52	2N5416
	Kleiner Signalverstärker, 60 V, 0,6 A	40	TO-39	497-2572-5-ND	.89	7.70	59.26	2N2905A
2	Kleiner Signalverstärker, 60 V, 0,6 A	40	TO-18	497-2577-5-ND	.73	5.79	43.43	2N2907A
	Silikon Plannar, 60 V, 0,6 A	50	TO-18	497-2910-5-ND	.73	5.79	43.43	2N2907
3	Komp. Silikon, Power Darl., 100 V, 20 A	750	TO-3	497-2548-5-ND	3.01	26.26	195.56	2N6287
	Komp. Silikon, Power Darl., 80 V, 10 A	1,000	TO-3	497-2392-ND◊	2.21	18.41	154.67	MJ2501
4A	Kleiner Signalverstärker, 60 V, 200 mA	100	TO-92	497-2404-ND◊	.41	2.46	15.96	2N3906
	Kleiner Signalverstärker, 60 V, 0,6 A	100	TO-92	497-2403-ND◊	.36	1.90	10.67	PN2907A
4B	Hochleistung, 60 V, 3A	100	TO-92	497-4430-1-ND*	.51	4.06	30.48	STX790A-AP
	Hochleistung, 60 V, 3A	100	TO-92	497-4430-3-ND§	304.78/2,000			STX790A-AP
5	Komp. Silikon, Power, 100 V, 3 A	12	SOT-32	497-2553-5-ND	.55	4.40	29.72	MJE172
	Silikon, 40 V, 5 A	45	SOT-32	497-2589-5-ND	.56	4.47	33.53	MJE210
	Komplimentär-Silikon, Leistung, 300 V (VCEO), 0,5 A	30	SOT-32	497-2630-5-ND	.58	4.57	31.75	MJE350
	Mittlere Leistung, Silikon, 80 V, 4 A	20	SOT-32	497-2585-5-ND	.84	6.71	50.29	2N5195
	Komp. Silikon, Power Darlington, 80 V, 4 A	750	SOT-32	497-2540-5-ND	.80	6.40	48.00	2N6036
6	Silikon, schaltend, 40 V, 7 A	30	TO-220	497-2613-5-ND	.89	7.70	59.26	2N6111
	Silikon, Power Darlington, 80 V, 10 A	1,000	TO-220	497-2535-5-ND	.94	8.17	62.86	2N6668
	Silikon, Power, 45 V, 10 A	40	TO-220	497-2587-5-ND	1.22	10.59	81.49	D45H5
	Silikon, Power, 60 V, 10 A	40	TO-220	497-2579-5-ND	.89	7.70	59.26	D45H8
	Silikon, Power, 80 V, 10 A	40	TO-220	497-2578-5-ND	.91	7.31	54.86	D45H11
	Komp. Silikon, Power, 70 V, 10 A	20	TO-220	497-2621-5-ND	.88	7.04	52.80	MJE2955T
	Silikon, Power Darlington, 60 V, 8 A	1,000	TO-220	497-2536-5-ND	.76	6.10	45.72	TIP105
	Komp. Silikon, Power Darlington, 60 V, 2 A	1,000	TO-220	497-2619-5-ND	.71	5.70	42.74	TIP115
	Komp. Silikon, Power Darl., 100 V, 20 A	1,000	TO-220	497-2559-5-ND	.65	5.18	38.86	TIP117
	Komp. Silikon, Power Darlington, 60 V, 5 A	1,000	TO-220	497-2618-5-ND	.69	5.49	38.10	TIP125
	Komp. Silikon, Power Darlington, 80 V, 5 A	1,000	TO-220	497-2570-5-ND	.73	5.79	43.43	TIP126
	Komp. Silikon, Power Darl., 100 V, 5 A	1,000	TO-220	497-2571-5-ND	.65	4.68	35.98	TIP127
	Komp. Silikon, Power, 60 V, 1 A	15	TO-220	497-2610-5-ND	.73	5.79	40.21	TIP30A
	Komp. Silikon, Power, 100 V, 1 A	15	TO-220	497-2588-5-ND	.61	4.88	33.86	TIP30C
	Komp. Silikon, Power, 60 V, 3 A	10	TO-220	497-2538-5-ND	.61	4.88	33.86	TIP32A
	Komp. Silikon, Power, 100 V, 3 A	10	TO-220	497-2628-5-ND	.61	4.88	33.86	TIP32C
	Komp. Silikon, Power, 60 V, 6 A	15	TO-220	497-2552-5-ND	.88	7.04	52.80	TIP42A
	Komp. Silikon, Power,100 V, 6 A	15	TO-220	497-2629-5-ND	.73	5.79	43.43	TIP42C
	Komp. Silikon, Power Darl., 100 V, 8 A	1,000	TO-220	497-2606-5-ND	.84	6.71	50.29	TIP107
7	Kleiner Signalverstärker, 60 V, 0,6 A	100	SOT-23	497-2498-1-ND*	.27	1.61	10.46	MMBT2907A
	Kleiner Signalverstärker, 60 V, 0,6 A	100	SOT-23	497-2498-2-ND†	114.29/3,000			MMBT2907A
	Kleiner Signalverstärker, 60 V, 200 mA	100	SOT-23	497-2503-1-ND*	.27	1.61	10.46	MMBT3906
	Kleiner Signalverstärker, 60 V, 200 mA	100	SOT-23	497-2503-2-ND†	114.29/3,000			MMBT3906
8	Komp. Silikon, Power Darl., 60 V, 10 A	1,000	TO-218	497-2620-5-ND	1.68	13.97	117.34	TIP145
	Komp. Silikon, Power Darl., 100 V, 10 A	1,000	TO-218	497-2569-5-ND	1.62	13.50	113.43	TIP147
	Komp. Silikon, Power, 100 V, 15 A	20	TO-218	497-2608-5-ND	1.60	13.33	112.01	TIP2955
	Komp. Silikon, Power, 140 V, 10 A	20	TO-218	497-2603-5-ND	1.40	12.11	93.13	TIP34C
	Komp. Silikon, Hochleistung, 100 V, 25 A	15	TO-218	497-2604-5-ND	1.47	12.28	103.12	TIP36C
14	Silikon, Power, 30 V, 3 A	100	SOT-89	497-4345-1-ND*	.51	4.06	30.48	STF817A
	Silikon, Power, 30 V, 3 A	100	SOT-89	497-4345-2-ND†	380.97/2,500			STF817A
15	Komp. Silikon, Power Darl., 100 V, 20 A	1,000	DPAK	497-2462-1-ND*	.69	5.49	41.14	MJD112T4
	Komp. Silikon, Power Darl., 100 V, 20 A	1,000	DPAK	497-2462-2-ND†	543.94/2,500			MJD112T4
	Komp. Power Darlington, 100 V, 5 A	1,000	DPAK	497-2471-1-ND*	.73	5.79	43.43	MJD127T4
	Komp. Power Darlington, 100 V, 5 A	1,000	DPAK	497-2471-2-ND†	573.57/2,500			MJD127T4
	Komplimentär, Power, 60 V, 10 A	20	DPAK	497-3136-1-ND*	.92	7.98	61.38	MJD2955T4
	Komplimentär, Power, 60 V, 10 A	20	DPAK	497-3136-2-ND†	816.97/2,500			MJD2955T4
	Komp. Silikon, Power, 100 V, 3 A	10	DPAK	497-2491-1-ND*	.65	5.18	38.86	MJD32CT4
	Komp. Silikon, Power, 100 V, 3 A	10	DPAK	497-2491-2-ND†	512.19/2,500			MJD32CT4
	Komp. Silikon, Power, 300 V, 0,5 A	30	DPAK	497-3137-1-ND*	.80	6.88	52.91	MJD350T4
	Komp. Silikon, Power, 300 V, 0,5 A	30	DPAK	497-3137-2-ND†	704.79/2,500			MJD350T4
16	Hochleistung, 35 V, 3 A	100	SOT-223	497-4365-1-ND*	.61	4.88	36.57	STN749
	Hochleistung, 35 V, 3 A	100	SOT-223	497-4365-2-ND†	209.96/1,000			STN749
	Hochleistung, 60 V, 3A	100	SOT-223	497-4366-1-ND*	.49	3.77	27.13	STN790A
	Hochleistung, 60 V, 3A	100	SOT-223	497-4366-2-ND†	135.46/1,000			STN790A
17	Komp. Silikon, Power, 100 V, 5 A	1,000	TO-220FP	497-3271-5-ND	1.05	9.08	69.84	TIP127FP
	NPN/PNP							
18	Komplimentär, 60 V, 3 A, zweif.	30	8-SOIC	497-4518-1-ND*	.92	7.98	61.38	STS01DTP06T4
	Komplimentär, 60 V, 3 A, zweif.	30	8-SOIC	497-4518-2-ND†	816.97/2,500			STS01DTP06T4

◊ Großmenge * Gurtabschnitt † Gegurtet auf Rolle § Band und Box

Alle Preisangaben in Euro und inklusive Zollgebühren.

Transistoren

TO-92

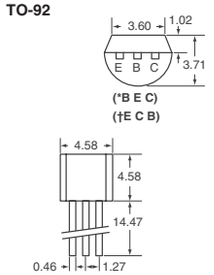

Anschlussabstand für Gegurtet auf Rolle: 2,54 mm

TO-3P

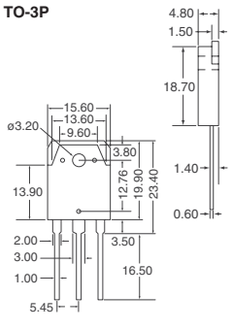

TO-220

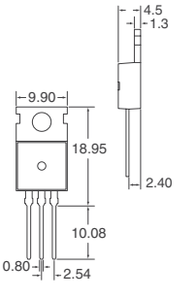

SOT-23

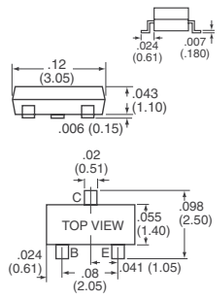

SOT-223

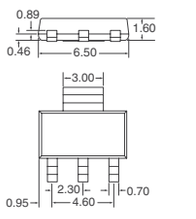

DO-35

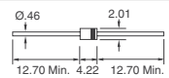

SuperSOT™ 3

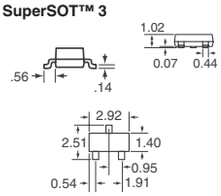

16-SOIC

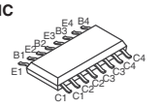

Beschreibung	Min. HFE	Paket	Digi-Key Teilenr.	Preisangaben 1	25	100
NPN-Transistoren						
Mehrzw., Verst., SW, 30 V, 500 MA	100	TO-92	2N3704-ND*	.25	4.72	13.65
SS Mehrzw., 40 V, 200 mA	100	TO-92	2N3904FS-ND	.14	2.51	7.26
Mehrzw., Verst., 40 V, 200 mA	100	TO-92	2N3904D26ZCT-ND**	.16	3.05	8.80
SS GP Verst., 30 V, 200 mA	50	TO-92	2N4123-ND	.16	3.05	8.80
SS Mehrzw., 25 V, 200 mA	60	TO-92	2N4124BU-ND	.15	2.94	8.47
SS Mehrzw., Verst., 40 V, 600 mA	40	TO-92	2N4400-ND	.17	3.24	9.35
SS Mehrzw., 40 V, 600 mA	80	TO-92	2N4401-ND	.17	3.24	9.35
Mehrzw., Verst., 40 V, 600 mA	80	TO-92	2N4401D26ZCT-ND**	.14	2.51	7.26
Mehrzw., Verst., 40 V, 600 mA	80	TO-92	2N4401D75ZCT-ND**	.14	2.51	7.26
LLGP, 80 V, 200 mA	60	TO-92	2N4410-ND	.24	4.50	12.46
LL LN Verst., 30 V, 100 mA	300	TO-92	2N5088BU-ND	.15	2.94	8.47
LL LN Verst., 25 V, 100 mA	400	TO-92	2N5089BU-ND	.15	2.94	8.47
LLGP, 50 V, 100 mA	250	TO-92	2N5210-ND	.16	3.05	8.80
SS Mehrzw., Verst., 140 V, 600 mA	60	TO-92	2N5550BU-ND	.16	2.97	8.58
Gesättigte Schaltung, 15 V, 200 mA	40	TO-92	2N5769-ND	.23	4.27	12.33
HF-Verst., 15 V, 50 mA	20	TO-92	2N5770-ND	.26	4.88	13.51
Gesättigt SW, 15 V, 300 mA	30	TO-92	2N5772-ND	.25	4.72	13.65
SS GP Verst., 100 V, 100 mA	80	TO-92	2N5830-ND	.24	4.50	12.46
LL Verst., 60 V, 100 mA	150	TO-92	2N5961-ND	.25	4.72	13.65
Darlington, 100 V, 1,5 A	1,000	TO-92	2N7052-ND	.36	6.88	19.37
Mehrzw., Verst., 45 V, 1,5 A	250	SOT-23	BC81740CT-ND**	.31	5.89	16.33
Mehrzw., Verst., 65 V, 100 mA	200	SOT-23	BC846BCT-ND**	.21	3.97	11.01
Mehrzw., Verst., 60 V, 1,5 A	25	SOT-223	BCP55FSCT-ND**	.38	7.74	21.22
Mehrzw., Verst., 40 V, 1,0 A	35	SOT-23	MMBT2222AFSCT-ND**	.16	2.97	8.58
Mehrzw., Verst., 40 V, 200 mA	100	SOT-23	MMBT3904FSCT-ND**	.16	2.97	8.58
Mehrzw., Verst., 40 V, 600 mA	80	SOT-23	MMBT4401FSCT-ND**	.16	2.97	8.58
Mehrzw., Verst., 30 V, 100 mA	300	SOT-23	MMBT5088CT-ND**	.16	2.97	8.58
HF, 12 V, 50 mA	25	SOT-23	MMBT5179CT-ND**	.22	4.11	11.89
Darlington, 40 V, 1,2 A	10,000	SOT-23	MMBT6427FSCT-ND**	.20	3.89	11.23
Mehrzw., Verst., 50 V, 0,5 A	250	SOT-23	MMBT6428CT-ND**	.16	2.97	8.58
Mehrzw., Verst., 80 V, 500 mA	100	SOT-23	MMBTA06FSCT-ND**	.21	4.00	11.09
Hohe V Amp, 300 V, 500 mA	40	SOT-23	MMBTA42FSCT-ND**	.25	4.57	13.21
HF, 25 V, 50 mA	60	SOT-23	MMBTH10FSCT-ND**	.22	4.11	11.89
SS Mehrzw., Verst., 25 V, 2 mA	150	TO-92	MPS2924-ND	.35	7.00	19.20
SS GP Verst., 25 V, 200 mA	250	TO-92	MPS6515-ND	.23	4.27	12.33
SS Mehrzw., Verst., 80 V, 500 mA	100	TO-92	MPSA06-ND	.28	5.26	14.57
Mehrzw., Verst., 80 V, 500 mA	100	TO-92	MPSA06_D26ZTR-ND		123.30/2,000	
Darlington, 20 V, 1.200 mA	20K	TO-92	MPSA12-ND	.24	4.50	12.46
Darlington, 30 V, 1.200 mA	10K	TO-92	MPSA13-ND	.26	4.88	13.51
Darlington, 30 V, 1.200 mA	20K	TO-92	MPSA14-ND	.24	4.50	12.46
Mehrzw., Verst., 45 V, 100 mA	500	TO-92	MPSA18-ND	.23	4.32	11.97
Mittlere Leistung, 300 V, 500 mA	40	TO-92	MPSA42FS-ND	.30	5.64	15.63
SS Verst., 300 V, 500 mA	40	TO-92	MPSA42_D26ZTR-ND		132.24/2,000	
Mittlere Leistung, 200 V, 200 mA	40	TO-92	MPSA43-ND	.31	5.81	16.11
HF-Verst., 25 V, 50 mA	60	TO-92	MPSH10FS-ND*	.33	6.19	17.17
Mehrzw., Verst., 45 V, 500 mA	100	TO-92	PN100RMCT-ND	.25	4.72	13.65
SS Mehrzw., 30 V, 500 mA, 1 A	100	TO-92	PN2222BU-ND	.17	3.17	9.13
SS Mehrzw., 40 V, 500 mA, 1 A	35	TO-92	PN2222AFS-ND	.17	3.17	9.13
Mehrzw., Verst., 40 V, 1,0 A	35	TO-92	PN2222AD26ZCT-ND**	.17	3.24	9.35
Gesättigt SW, 15 V, 10 mA	20	TO-92	PN2369-ND	.23	4.27	12.33
Gesättigt, 15 V, 100 mA	40	TO-92	PN2369A-ND	.23	4.27	12.33
LL Verst., 60 V, 100 mA	250	TO-92	PN2484-ND	.25	4.72	13.65
LLGP, 25 V, 500 mA	150	TO-92	PN3565-ND	.25	4.72	13.65
SS Mehrzw., 30 V, 100 mA	150	TO-92	PN3566-ND	.23	4.32	11.97
SS Mehrzw., 40 V, 150 mA	40	TO-92	PN3567-ND	.23	4.32	11.97
SS Mehrzw., 40 V, 500 mA	100	TO-92	PN3569-ND	.24	4.50	12.99
SSHS, 15 V, 200 mA	35	TO-92	PN4275-ND	.25	4.54	13.10
N-Kanal-Schalter, 30 V 50 mA	60	TO-92	PN4392FS-ND	.30	5.73	16.13
SS Mehrzw., Verst., 25 V, 100 mA	50	TO-92	PN5135-ND	.27	5.29	14.90
Mehrzw., Verst., 40 V, 1,0 A	35	SOT-223	PZT2222ACT-ND**	.35	7.07	19.39
Mehrzw., Verst., 300 V, 500 mA	40	SOT-223	PZTA42CT-ND**	.41	8.14	22.31
Epitaxial, 100 V, 1,0 A	40	TO-220	TIP29CFS-ND	.46	8.61	25.83
Epitaxial, 100V, 3,0A	25	TO-220	TIP31CFS-ND	.51	9.60	28.80
Epitaxial, 100V, 3.0A	25	TO-220	TIP31CTU-ND	.51	9.60	28.80
Epitaxial, 100 V, 6,0 A	30	TO-220	TIP41CTU-ND	.51	9.52	28.57
Darlington, 100 V, 8 A	1,000	TO-220	TIP102TU-ND	.69	13.03	39.09
Darlington, 100 V, 2 A	1,000	TO-220	TIP112TU-ND	.51	9.45	28.34
Darlington, 100 V, 5 A	1,000	TO-220	TIP122FS-ND	.51	9.45	28.34
Darlington, 100 V, 5 A	1,000	TO-220	TIP122TU-ND	.51	9.45	28.34
Darlington, 100 V, 10 A	1,000	TO-3P	TIP142TU-ND	1.13	23.49	75.18
PNP-Transistoren						
SS GP Verst., 40 V, 200 mA	50	TO-92	2N3905-ND	.16	3.05	8.80
SS Mehrzw., 40 V, 200 mA	100	TO-92	2N3906FS-ND	.15	2.94	8.47
Mehrzw., Verst., 40 V, 200 mA	100	TO-92	2N3906D26ZCT-ND**	.14	2.74	7.92
SS GP Verst., 25 V, 200 mA	25	TO-92	2N4125-ND	.16	3.05	8.80
SS Mehrzw., 25 V, 200 mA	60	TO-92	2N4126-ND	.16	3.05	8.80
SS GP Verst., 40 V, 600 mA	50	TO-92	2N4402-ND	.17	3.24	9.35
SS Mehrzw., 40 V, 600 mA	100	TO-92	2N4403-ND	.17	3.24	9.35
Mehrzw., Verst., 40 V, 600 mA	100	TO-92	2N4403D26ZCT-ND**	.14	2.51	7.26
LLGP, 50 V, 100 mA	250	TO-92	2N5087-ND	.16	3.05	8.80
SS Mehrzw., Verst., 120 V, 600 mA	40	TO-92	2N5400-ND	.25	4.72	13.65
SS Mehrzw., Verst., 150 V, 600 mA	60	TO-92	2N5401-ND	.14	2.74	7.92
HS SW, 15 V, 200 mA	50	TO-92	2N5771-ND	1.20	24.12	72.36
Mehrzw., Verst., 30 V, 1,0 A	70	Super-SOT-3	FMMT549FSCT-ND**	.32	6.10	16.91
Darlington, 30 V, 1,2 A	10,000	SOT-23	MMBTA64FSCT-ND**	.22	4.11	11.89
Mehrzw., Verst., 60 V, 800 mA	100	SOT-23	MMBT2907AFSCT-ND**	.17	3.20	9.24
Mehrzw., Verst., 50 V, 100 mA	250	SOT-23	MMBT5087CT-ND**	.19	3.43	9.91
Mehrzw., Verst., 40 V, 600 mA	100	SOT-23	MMBT4403FSCT-ND**	.17	3.20	9.24
Mehrzw., Verst., 40 V, 200 mA	100	SOT-23	MMBT3906FSCT-ND**	.16	2.97	8.58
Mehrzw., Verst., 25 V, 200 mA	120	SOT-23	MMBT4126FSCT-ND**	.16	2.97	8.58
Mehrzw., Verst., 80 V, 500 mA	100	SOT-23	MMBTA56FSCT-ND**	.22	4.11	11.89
Hohe V Amp, 300 V, 500 mA	40	SOT-23	MMBTA92FSCT-ND**	.25	4.57	13.21
HF, 20 V, 50 mA	60	SOT-23	MMBTH81CT-ND**	.19	3.66	10.57
Mehrzw., Verst., 60 V, 500 mA	100	TO-92	MPSA05-ND	.28	5.26	14.57
Hochstromtr, 80 V, 500 mA	100	TO-92	MPSA56-ND	.24	4.50	12.46
Darlington, 30 V, 1,2 A	5,000	TO-92	MPSA63-ND	.25	4.68	12.99
Hohe V Amp, 300 V, 500 mA	40	TO-92	MPSA92-ND	.30	5.66	15.67
Mittlere Leistung, 200 V, 500 mA	40	TO-92	MPSA93FS-ND	.30	5.66	15.67
SS GP Verst., 100 V, 100 mA	40	TO-92	MPSL51-ND	.21	3.97	11.01
SS Mehrzw., 40 V, 500 mA	75	TO-92	PN2907-ND	.14	2.74	7.92
SS Mehrzw., 60 V, 800 mA	100	TO-92	PN2907AFS-ND	.16	2.97	8.58
SS Mehrzw., Verst., 40 V, 50 mA	100	TO-92	PN3251-ND	.33	6.67	18.29
SS Mehrzw., 25 V, 800 mA	100	TO-92	PN3638A-ND	.22	4.13	11.45
Gesättigte Schaltung, 12 V, 200 mA	30	TO-92	PN3640-ND	.47	8.86	26.56
SS Mehrzw., 40 V, 200 mA	150	TO-92	PN4122-ND	.25	4.54	13.10
LLLN, 60 V, 500 mA	100	TO-92	PN4249-ND	.23	4.35	12.06
LLLN, 40 V, 500 mA	250	TO-92	PN4250-ND	.23	4.32	11.97
LLLN, 60 V, 500 mA	250	TO-92	PN4250A-ND	.23	4.32	11.97
SS Mehrzw., Verst., 150 V, 10 mA	40	TO-92	PN4888-ND	.31	6.09	17.14
SS Mehrzw., Verst., 30 V, 200 mA	150	TO-92	PN4917-ND	.25	4.72	13.65
Gesättigte Schaltung, 10 V, 500 mA	20	TO-92	PN5134-ND	.23	4.31	12.44
LL Verst., 30 V, 500 mA	50	TO-92	PN5138-ND	.23	4.35	12.06
SS Mehrzw., Verst., 20 V, 300 mA	30	TO-92	PN5142-ND	.36	6.88	19.37
Epitaxial, -100 V, -3 A	25	TO-220	TIP32CFS-ND	.51	9.60	28.80
Epitaxial, -100 V, -3 A	25	TO-220	TIP32CTU-ND	.51	9.60	28.80
Darlington, -100 V, -8 A	1,000	TO-220	TIP107TU-ND	.73	13.71	41.14
Darlington, -100 V, -5 A	1,000	TO-220	TIP125TU-ND	.53	9.98	29.94
Darlington, -100 V, -5 A	1,000	TO-220	TIP127FS-ND	.53	9.98	29.94
Darlington, -100 V, -5 A	1,000	TO-220	TIP127TU-ND	.53	9.98	29.94
Darlington, -100 V, -10 A	1,000	TO-3P	TIP147TU-ND	1.11	23.18	74.16
J-FET-Transistoren, N-Kanal						
Mehrzw., Verst.	—	TO-92	2N5457FS-ND	.33	6.22	17.25
VHF Verst. u. Mixer	—	TO-92	MPF102-ND	.31	5.79	16.07
Transistor-Arrays						
IC, Verst., Multichip, Mehrzw., NPN	—	16-SOIC	MMPQ2222ACT-ND	1.24	25.85	82.70
IC, Verst., Multichip, Mehrzw., NPN	—	16-SOIC	MMPQ2222ATR-ND		1343.81/2,500	
IC, Verst., Multichip, Mehrzw., PNP	—	16-SOIC	MMPQ2907ACT-ND	1.19	24.76	79.24
IC, Verst., Multichip, Mehrzw., PNP	—	16-SOIC	MMPQ2907ATR-ND		1287.68/2,500	

* (Siehe Zeichnungen oben mit Pin-Layout.)

** Für Gegurtet auf Rolle die Teilenummer CT-ND in TR-ND ändern. Für Preisangaben für Gegurtet auf Rolle bitte bei Digi-Key anrufen.

Zener-Dioden

Zener-Spannung VR (V)	I_R (µA)	Paket	Digi-Key Teilenr.	Gurtabschnittspreise 1	10	100	Gegurtet auf Rolle Größe	Preisangaben
5.6	5.0	DO-35	1N5232BFSCT-ND**	.12	.91	6.60	5,000	20.32/M
5.1	1.0	DO-35	1N751ACT-ND**	.10	.78	5.61	5,000	17.27/M
20.0	0.05	SOT-23	BZX84C20FSCT-ND**	.17	1.28	9.24	3,000	33.43/M
5.1	2.0	SOT-23	BZX84C5V1FSCT-ND**	.15	1.14	8.25	3,000	29.85/M
12.0	1.0	SOT-23	MMBZ5242BFSCT-ND**	.19	1.46	10.57	3,000	38.20/M

** Für Gegurtet auf Rolle die Teilenummer CT-ND in TR-ND ändern.

FAIRCHILD SEMICONDUCTOR Transistoren und Dioden

Abm. in mm

Abb. 1

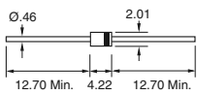

Abb. 2

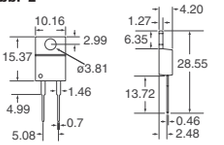

Abb. 3

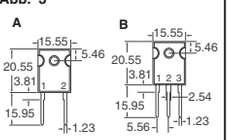

Abb. 4

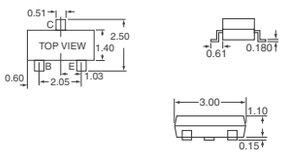

Abb. 5

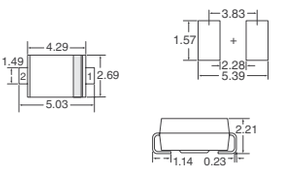

Abb. 6

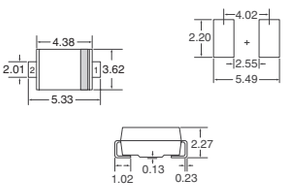

Abb. 7

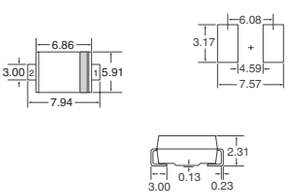

Abb. 8

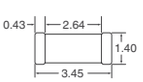

Abb. 9

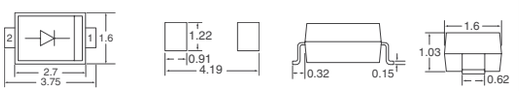

Abb.	Max. Rückfluss-spannung (V)	Max. durchschn. Richtstrom	Paket	Digi-Key Teilenr.	Gurtabschnittspreise 1	10	100	Gegurtet auf Rolle** Größe	Preisangaben
1	100	200mA	DO-35	1N914BCT-ND	.08	.55	3.96	10,000	10.37/M
	100	200mA	DO-35	1N914CT-ND	.08	.55	3.96	10,000	10.37/M
	150	200mA	DO-35	1N3595CT-ND	.16	1.19	8.58	10,000	22.46/M
	100	200mA	DO-35	1N4448CT-ND	.05	.38	2.75	10,000	7.20/M
	50	200mA	DO-35	1N4454CT-ND	.05	.38	2.75	10,000	8.93/M
	100	200mA	DO-35	1N4148FS-ND‡	.06	.46	3.30	10,000	8.64/M
2	600	15A	TO-220AC	RURP1560-ND‡	1.34	10.73	80.46	—	—
	1,000	8A	TO-220AC	RURP8100-ND‡	1.02	8.43	67.46	—	—
	600	8A	TO-220AC	RURP860-ND‡	.94	7.85	62.78	—	—
	600	30A	TO-220AC	RURP3060-ND‡	1.81	14.51	108.81	—	—
3A	200	30A	TO-247	RURG3020CC-ND‡	3.27	26.11	203.10	—	—
	600	30A	TO-247	RURG3060CC-ND‡	3.71	29.68	230.83	—	—
3B	600	30A	TO-247	RURG3060-ND‡	2.01	16.13	125.45	—	—
	600	50A	TO-247	RURG5060-ND‡	3.36	26.88	209.08	—	—
	1,000	80A	TO-247	RURG80100-ND‡	4.61	36.87	286.73	—	—
	600	80A	TO-247	RURG8060-ND‡	4.40	35.23	297.20	—	—
4	85	200mA	SOT-23	BAS16FSCT-ND	.14	1.10	7.92	3,000	28.65/M
	250	200mA	SOT-23	BAS21FSCT-ND	.16	1.19	8.58	3,000	31.04/M
	30	200mA	SOT-23	BAT54CFSCT-ND	.14	1.08	7.81	3,000	28.25/M
	30	200mA	SOT-23	BAT54FSCT-ND	.12	.91	6.60	3,000	23.88/M
	30	200mA	SOT-23	BAT54SFSCT-ND	.14	1.08	7.81	3,000	28.25/M
	70	200mA	SOT-23	BAV70FSCT-ND	.18	1.33	9.58	3,000	34.62/M
	50	200mA	SOT-23	BAV74FSCT-ND	.19	1.37	9.91	3,000	35.81/M
	70	200mA	SOT-23	BAV99FSCT-ND	.18	1.35	9.80	3,000	35.42/M
	100	200mA	SOT-23	MMBD1203CT-ND	.19	1.37	9.91	3,000	35.81/M
	100	200mA	SOT-23	MMBD1204CT-ND	.19	1.37	9.91	3,000	35.81/M
	200	200mA	SOT-23	MMBD1503ACT-ND	.22	1.64	11.89	3,000	42.98/M
	100	200mA	SOT-23	MMBD4148CCCT-ND	.17	1.28	9.24	3,000	33.43/M
	100	200mA	SOT-23	MMBD4148FSCT-ND	.14	1.10	7.92	3,000	28.65/M
	100	200mA	SOT-23	MMBD7000FSCT-ND	.19	1.37	9.91	3,000	35.81/M
	100	200mA	SOT-23	MMBD914FSCT-ND	.14	1.10	7.92	3,000	28.65/M
5	200	1.0A	DO-214AC	ES1DFSCT-ND	.33	2.61	18.33	7,500	70.81/M
6	200	2.0A	DO-214AA	ES2DFSCT-ND	.39	3.15	21.58	3,000	101.90/M
7	200	3.0A	DO-214AB	ES3DFSCT-ND	.47	3.82	28.65	3,000	128.92/M
8	100	200mA	LL-34	FDLL4148CT-ND	.08	.64	4.62	2,500	16.72/M
9	20	500mA	SOD-123	MBR0520LCT-ND	.25	1.90	13.21	3,000	50.80/M

** Für Gegurtet auf Rolle die Teilenummer CT-ND in TR-ND ändern. ‡ Großmenge

DIODES INCORPORATED Transistoren

SOT-323

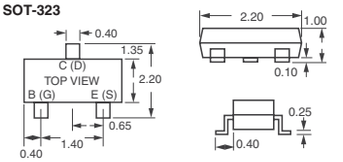

SOT-23

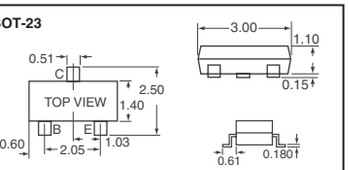

SOT-523

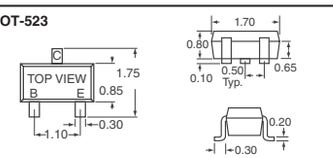

SC-59

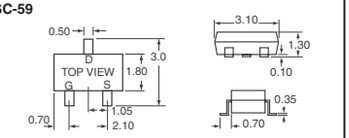

SOT-26

DMMT5551-FDICT-ND
DMMT5401-FDICT-ND

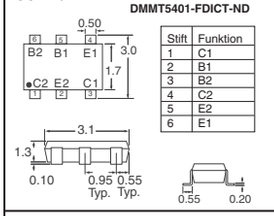

Stift	Funktion
1	C1
2	B1
3	B2
4	C2
5	E2
6	E1

SOT-563

2N7002VDICT-ND **2N7002VADICT-ND**

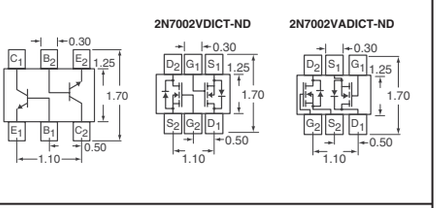

SOT-363

CTA2N1PDICT-ND

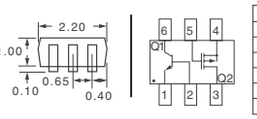

Pin	Function
1	E Q1
2	B Q1
3	D Q2
4	S Q2
5	G Q2
6	C Q1

BSS84DW-FDICT-ND

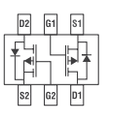

BSS8402DWDICT-ND

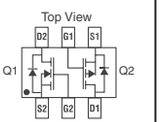

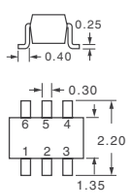

Stift	Funktion
1	E Q1
2	B Q1
3	D Q2
4	S Q2
5	G Q2
6	C Q1

MMDT2222A-FDICT-ND
MMDT3904-FDICT-ND
MMDT5551-FDICT-ND

Stift	Funktion
1	E2
2	B2
3	C1
4	E1
5	B1
6	C2

DMMT3904W-FDICT-ND
DMMT3906W-FDICT-ND

Stift	Funktion
1	B2
2	B1
3	C1
4	E1
5	E2
6	C2

Beschreibung	Min. HFE	Paket	Digi-Key Teilenr.	Gurtabschnittspreise 10	100	Gegurtet auf Rolle* Größe	Preisangaben
NPN-Transistoren							
S.S., 40 V, 600 mA	35	SOT-323	MMST2222ADICT-ND	2.75	19.81	3,000	93.98/M
S.S., 40 V, 600 mA	35	SOT-323	MMST2222A-FDICT-ND◊	2.75	19.81	3,000	93.98/M
S.S., 40 V, 200 mA	30	SOT-323	MMST3904DICT-ND	2.75	19.81	3,000	93.98/M
S.S., 40 V, 200 mA	30	SOT-323	MMST3904-FDICT-ND◊	2.75	19.81	3,000	93.98/M
S.S., 40 V, 600 mA	20	SOT-323	MMST4401DICT-ND	2.75	19.81	3,000	93.98/M
S.S., 25 V, 200 mA	60	SOT-323	MMST4124DICT-ND	2.75	19.81	—	—
S.S., 160 V, 200 mA	30	SOT-323	MMST5551DICT-ND	2.75	19.81	3,000	93.98/M
Darlington-Verst., 40 V, 500 mA	14K	SOT-323	MMST6427DICT-ND	2.75	19.81	3,000	93.98/M
S.S., 60 V, 500 mA	100	SOT-323	MMSTA05DICT-ND	3.05	22.86	3,000	114.29/M
S.S., 80 V, 500 mA	100	SOT-323	MMSTA06DICT-ND	3.05	22.86	3,000	114.29/M
Darlington-Verst., 30 V, 300 mA	10K	SOT-323	MMSTA13DICT-ND	3.05	22.86	3,000	114.29/M
Darlington-Verst., 30 V, 300 mA	20K	SOT-323	MMSTA14DICT-ND	3.05	22.86	3,000	114.29/M
S.S., 300 V, 200 mA	25	SOT-323	MMSTA42DICT-ND	3.05	22.86	—	—
SMD, 350 mW, 40 V, 1,0	100	SOT-23	MMBT2222ADICT-ND	2.23	15.41	3,000	59.27/M
SMD, 350 mW, 40 V, 0,3	100	SOT-23	MMBT3904DICT-ND	1.90	13.21	3,000	50.80/M
SMD, 350 mW, 40 V, 0,75	100	SOT-23	MMBT4401DICT-ND	2.23	15.41	3,000	59.27/M
Allzweck, 60 V, 100 mA, 0,25	50	SOT-23	MMBTA05DICT-ND	3.07	21.61	3,000	88.05/M
Allzweck, 80 V, 100 mA, 0,25	50	SOT-23	MMBTA06DICT-ND	3.07	21.61	3,000	88.05/M
Darlington-Verst., 30 V, 100 mA	10K	SOT-23	MMBTA13DICT-ND	3.07	21.61	3,000	88.05/M
Darlington-Verst., 30 V, 100 mA	20K	SOT-23	MMBTA14DICT-ND	3.07	21.61	3,000	88.05/M
SMD, 18 V, 1 A	150	SOT-23	MMBT123SDICT-ND	2.54	18.29	3,000	86.36/M
S.S., 25 V, 200 mA	60	SOT-23	MMBT4124DICT-ND	2.23	15.41	3,000	59.27/M
Darlington-Verst., 40 V, 500 mA	10K	SOT-23	MMBT6427DICT-ND	3.07	21.61	3,000	88.05/M
Darlington-Verst., 40 V, 500 mA	10K	SOT-23	MMBT6427-FDICT-ND◊	3.07	21.61	3,000	88.05/M
S.S., 300 V, 200 mA	25	SOT-23	MMBTA42DICT-ND	3.07	21.61	3,000	88.39/M
SMD, VHF/UHF, 25 V, 50 mA	30	SOT-23	MMBTH10DICT-ND	3.39	24.38	3,000	115.14/M
SMD, VHF/UHF, 40 V, 50 mA	60	SOT-23	MMBTH24DICT-ND	3.39	24.38	—	—
Darlington-Verst., 80 V, 500 mA	80	SOT-23	MMBTA28DICT-ND	3.07	21.61	3,000	88.05/M
S.S., 45 V, 100 mA	100	SOT-23	BC817-16DICT-ND	2.54	17.61	3,000	67.73/M

* Für Gegurtet auf Rolle die Teilenummer CT-ND in TR-ND ändern. ◊ Bleifrei/RoHS-konform

** NPN-Paar mit intrinsischer Passung † PNP-Paar mit intrinsischer Passung

(Forts.)

Alle Preisangaben in Euro und inklusive Zollgebühren.

Beschreibung	Min. HFE	Paket	Digi-Key Teilenr.	Gurtabschnittspreise 10	100	Gegurtet auf Rolle* Größe	Preisangaben
S.S., 40 V, 600 mA	35	SOT-523	MMBT2222ATDICT-ND	2.23	15.41	3,000	59.27/M
S.S., 40 V, 200 mA	30	SOT-523	MMBT3904TDICT-ND	1.90	13.21	—	—
S.S., 40 V, 200 mA	30	SOT-523	MMBT3904T-FDICT-ND◊	1.90	13.21	3,000	50.80/M
S.S., 40 V, 600 mA	20	SOT-523	MMBT4401TDICT-ND	2.23	15.41	3,000	59.27/M
S.S., 50 V, 100 mA	110	SOT-523	BC847ATDICT-ND	1.90	13.21	3,000	50.80/M
S.S., 50 V, 150 mA	120	SOT-523	2DC4617QDICT-ND	2.38	16.76	3,000	68.58/M
S.S., 50 V, 150 mA	180	SOT-523	2DC4617RDICT-ND	2.38	16.76	3,000	68.58/M
S.S., 50 V, 150 mA	270	SOT-523	2DC4617SDICT-ND	2.38	16.76	3,000	68.58/M
PNP-Transistoren							
S.S., 60 V, 600 mA	50	SOT-323	MMST2907ADICT-ND	2.75	19.81	3,000	93.98/M
S.S., 60 V, 600 mA	50	SOT-323	MMST2907A-FDICT-ND◊	2.75	19.81	3,000	93.98/M
S.S., 40 V, 200 mA	30	SOT-323	MMST3906DICT-ND	2.75	19.81	3,000	93.98/M
S.S., 40 V, 200 mA	30	SOT-323	MMST3906-FDICT-ND◊	2.75	19.81	3,000	93.98/M
S.S., 40 V, 600 mA	30	SOT-323	MMST4403DICT-ND	2.75	19.81	3,000	93.98/M
S.S., 25 V, 200 mA	60	SOT-323	MMST4126DICT-ND	2.75	19.81	—	—
S.S., 150 V, 200 mA	50	SOT-323	MMST5401DICT-ND	2.75	19.81	—	—
S.S., 60 V, 500 mA	100	SOT-323	MMSTA55DICT-ND	3.05	22.86	3,000	114.29/M
S.S., 80 V, 500 mA	100	SOT-323	MMSTA56DICT-ND	3.05	22.86	3,000	114.29/M
S.S., 80 V, 500 mA	100	SOT-323	MMSTA56-FDICT-ND◊	3.05	22.86	3,000	114.29/M
Darlington-Verst., 30 V, 500 mA	10K	SOT-323	MMSTA63DICT-ND	3.05	22.86	3,000	114.29/M
Darlington-Verst., 30 V, 500 mA	20K	SOT-323	MMSTA64DICT-ND	3.05	22.86	3,000	114.29/M
S.S., 300 V, 100 mA	25	SOT-323	MMSTA92DICT-ND	3.05	22.86	3,000	114.29/M
SMD, 350 mW, 40 V, 0,75	100	SOT-23	MMBT4403DICT-ND	2.23	15.41	3,000	59.27/M
SMD, Allzweckverstärker, 60 V, 100 mA	50	SOT-23	MMBTA55DICT-ND	3.07	21.61	3,000	88.05/M
SMD, Allzweckverstärker, 80 V, 100 mA	50	SOT-23	MMBTA56DICT-ND	3.07	21.61	3,000	88.05/M
SMD, Allzweckverstärker, 60 V, 150 mA	300	SOT-23	MMBT2907ADICT-ND	2.23	15.41	3,000	59.27/M
SMD, 45 V, 500 mA	170	SOT-23	BC807-40-FCT-ND◊	2.54	17.61	3,000	67.73/M
S.S., 25 V, 200 mA	60	SOT-23	MMBT4126DICT-ND	2.23	15.41	3,000	59.27/M
Darlington-Verst., 30 V, 500 mA	10K	SOT-23	MMBTA63DICT-ND	3.07	21.61	3,000	88.05/M
Darlington-Verst., 30 V, 500 mA	20K	SOT-23	MMBTA64DICT-ND	3.07	21.61	3,000	88.05/M
S.S., 300 V, 500 mA	25	SOT-23	MMBTA92DICT-ND	3.07	21.61	3,000	88.05/M
S.S., 300 V, 500 mA	25	SOT-23	MMBTA92-FDICT-ND◊	3.07	21.61	3,000	88.05/M
S.S., 60 V, 600 mA	50	SOT-523	MMBT2907ATDICT-ND	2.23	15.41	3,000	59.27/M
S.S., 50 V, 150 mA	120	SOT-523	2DA1774QDICT-ND	2.38	16.76	3,000	68.58/M
S.S., 50 V, 150 mA	180	SOT-523	2DA1774RDICT-ND	2.38	16.76	3,000	68.58/M
S.S., 50 V, 150 mA	270	SOT-523	2DA1774SDICT-ND	2.38	16.76	3,000	68.58/M
S.S., 40 V, 200 mA	30	SOT-523	MMBT3906TDICT-ND	1.90	13.21	3,000	50.80/M
S.S., 40 V, 600 mA	20	SOT-523	MMBT4403TDICT-ND	2.23	15.41	3,000	59.27/M
S.S., 40 V, 600 mA	20	SOT-523	MMBT4403T-FDICT-ND◊	2.23	15.41	3,000	59.27/M
Zweif. NPN-Transistoren							
S.S., 120 V, 50 mA	180	SOT-26	IMX8DICT-ND	2.96	21.33	3,000	100.75/M
S.S., 160 V, 200 mA	30	SOT-26	DMMT5551-FDICT-ND**◊	3.39	25.40	3,000	126.99/M
S.S., 40 V, 600 mA	35	SOT-363	MMDT2222ADICT-ND	3.39	24.38	3,000	115.14/M
S.S., 40 V, 600 mA	35	SOT-363	MMDT2222A-FDICT-ND◊	3.39	24.38	3,000	115.14/M
S.S., 40 V, 200 mA	30	SOT-363	MMDT3904-FDICT-ND◊	3.39	24.38	3,000	115.14/M
S.S., 40 V, 600 mA	100	SOT-363	MMDT4401DICT-ND	3.39	25.40	3,000	126.99/M
S.S., 160 V, 200 mA	30	SOT-363	MMDT5551DICT-ND	3.39	25.40	3,000	126.99/M
S.S., 160 V, 200 mA	30	SOT-363	MMDT5551-FDICT-ND◊	3.39	25.40	3,000	126.99/M
S.S., 40 V, 200 mA	100	SOT-363	DMMT3904WDICT-ND**	3.39	25.40	3,000	126.99/M
S.S., 40 V, 200 mA	100	SOT-363	DMMT3904W-FDICT-ND**◊	3.39	25.40	3,000	126.99/M
S.S., 40 V, 200 mA	100	SOT-563	MMDT3904VDICT-ND	3.39	24.38	3,000	115.14/M
S.S., 45 V, 100 mA	200	SOT-563	BC847BVDICT-ND	3.39	24.38	3,000	115.14/M
Zweif. PNP-Transistoren							
S.S., 60 V, 600 mA	75	SOT-363	MMDT2907ADICT-ND	3.39	24.38	3,000	115.14/M
S.S., 40 V, 200 mA	60	SOT-363	MMDT3906DICT-ND	3.39	24.38	3,000	115.14/M
S.S., 40 V, 200 mA	30	SOT-363	DMMT3906WDICT-ND†	3.39	25.40	3,000	126.99/M
S.S., 40 V, 200 mA	30	SOT-363	DMMT3906W-FDICT-ND†◊	3.39	25.40	3,000	126.99/M
S.S., 40 V, 600 mA	100	SOT-363	MMDT4403DICT-ND	3.39	25.40	3,000	126.99/M
S.S., 25 V, 200 mA	60	SOT-363	MMDT4126DICT-ND	3.39	25.40	3,000	126.99/M
S.S., 150 V, 200 mA	50	SOT-363	MMDT5401DICT-ND	3.39	25.40	3,000	126.99/M
S.S., 150 V, 200 mA	50	SOT-26	DMMT5401-FDICT-ND†◊	3.39	25.40	3,000	126.99/M
Komplementäre NPN/PNP-Transistoren							
S.S., 40 V, 600 mA/ S.S., 60 V, 600 mA	35/50	SOT-363	MMDT2227DICT-ND	3.39	24.38	3,000	115.14/M
S.S., 40 V, 200 mA/ S.S., 40 V, 200 mA	40/60	SOT-363	MMDT3946DICT-ND	3.39	24.38	3,000	115.14/M
S.S., 40 V, 600 mA/ S.S., 40 V, 600 mA	20/30	SOT-363	MMDT4413DICT-ND	3.39	25.40	3,000	126.99/M
S.S., 40 V, 200 mA/ S.S., 40 V, 200 mA	60/60	SOT-363	MMDT4146DICT-ND	3.39	25.40	3,000	126.99/M
S.S., 160 V, 200 mA/ S.S., 160 V, 200 mA	30/50	SOT-363	MMDT5451DICT-ND	3.39	25.40	3,000	126.99/M
Komplexes Array, NPN/P-Kanal							
Array, 60 V, 600 mA	100	SOT-363	CTA2N1PDICT-ND	4.06	30.48	3,000	169.32/M
Komplexes Array, PNP/N-Kanal							
Array, 40 V, 600 mA	100	SOT-363	CTA2P1NDICT-ND	4.57	34.29	3,000	181.18/M

* Für Gegurtet auf Rolle die Teilenummer CT-ND in TR-ND ändern. ◊ Bleifrei/RoHS-konform

** NPN-Paar mit intrinsischer Passung † PNP-Paar mit intrinsischer Passung

MOSFETs

Beschreibung	RDS (ein) Typical	Paket	Digi-Key Teilenr.	Gurtabschnittspreise 10	100	Gegurtet auf Rolle* Größe	Preisangaben
N-Kanal							
Verbesserung, 60 V, 0,115 A	3.2Ω	SOT-23	2N7002DICT-ND	3.39	25.40	3,000	126.99/M
Verbesserung, 60 V, 0,115 A	3.2Ω	SOT-23	2N7002-FDICT-ND◊	3.39	25.40	3,000	126.99/M
Verbesserung, 60 V, 0,250 A	3.5Ω	SOT-23	BS870DICT-ND	3.39	25.40	3,000	126.99/M
Verbesserung, 60 V, 0,250 A	3.5Ω	SOT-23	BS870-FDICT-ND◊	3.39	25.40	3,000	126.99/M
Verbesserung, 50 V, 0,200 A	1.4Ω	SOT-23	BSS138DICT-ND	3.39	25.40	3,000	126.99/M
Verbesserung, 50 V, 0,200 A	1.4Ω	SOT-23	BSS138-FDICT-ND◊	3.39	25.40	3,000	126.99/M
Verbesserung, 60V, 0.500A	5.0Ω	SOT-23	MMBF170DICT-ND	2.54	18.29	3,000	86.36/M
Verbesserung, 100V, 0.170A	6.0Ω	SOT-23	BSS123DICT-ND	3.56	26.67	3,000	133.77/M
Verbesserung, 100V, 0.170A	6.0Ω	SOT-23	BSS123-FDICT-ND◊	3.56	26.67	3,000	133.77/M
Verbesserung, 30V, 1.1A	0.17Ω	SC-59	DMN100DICT-ND	5.96	44.70	3,000	248.06/M
Verbesserung, 60V, 0.115A	3.2Ω	SOT-323	2N7002WDICT-ND	4.06	30.48	3,000	152.39/M
Verbesserung, 50V, 0.200A	3.5Ω	SOT-323	BSS138WDICT-ND	3.73	27.94	3,000	139.69/M
Verbesserung, 100V, 0.170A	6.0Ω	SOT-323	BSS123WDICT-ND	3.56	26.67	3,000	133.77/M
Verbesserung, 60V, 0.115A	2.0Ω	SOT-523	2N7002TDICT-ND	4.06	30.48	3,000	152.39/M
Zweif. N-Kanal							
Verbesserung, 60V, 0.115A	3.2Ω	SOT-363	2N7002DWDICT-ND	4.06	30.48	—	—
Verbesserung, 50V, 0.200A	3.5Ω	SOT-363	BSS138DWDICT-ND	4.47	33.53	3,000	185.41/M
Verbesserung, 60V, 0.280A	13.5Ω	SOT-563	2N7002VDICT-ND	4.57	34.29	3,000	181.18/M
Verbesserung, 60V, 0.280A	13.5Ω	SOT-563	2N7002VADICT-ND	4.57	34.29	3,000	181.18/M
P-Kanal							
Verbesserung, 50V, 0.130A	10Ω	SOT-23	BSS84DICT-ND	3.39	25.40	3,000	126.99/M
Verbesserung, 50V, 0.130A	10Ω	SOT-23	BSS84-FDICT-ND◊	3.39	25.40	3,000	126.99/M
Verbesserung, 50V, 0.130A	10Ω	SOT-323	BSS84WDICT-ND	3.73	27.94	3,000	139.69/M
Zweif. P-Kanal							
Verbesserung, 50V, 0.130A	6Ω	SOT-363	BSS84DWDICT-ND	5.03	37.72	3,000	198.95/M
Verbesserung, 50V, 0.130A	6Ω	SOT-363	BSS84DW-FDICT-ND◊	5.03	37.72	3,000	198.95/M
N-Kanal-/P-Kanal-Array							
Verbesserungs-Array, 60V, 0.115A Verbesserungs-Array, 50V, 0.130A	10Ω	SOT-363	BSS8402DWDICT-ND	5.03	37.72	3,000	198.95/M

* Für Gegurtet auf Rolle die Teilenummer CT-ND in TR-ND ändern. ◊ Bleifrei/RoHS-konform

Kleinsignaltransistoren mit Vorspannung

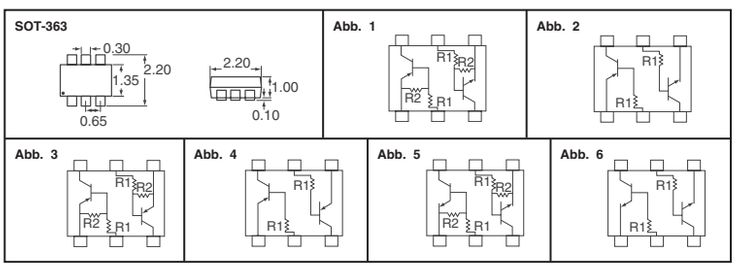

Abb.	Hfe Verstärkung	Nenn R1 Ω	Nenn R2 Ω	Digi-Key Teilenr.	Gurtabschnittspreise 1	10	100	Preisangaben gegurtet auf Rolle** 3.000
Komplementäre NPN/PNP SOT-363								
1	100	10K	10K	DCX114EUDICT-ND	.47	3.56	25.60	121.07/M
		10K	47K	DCX114YUDICT-ND	.47	3.56	25.60	121.07/M
		2.2K	47K	DCX123JUDICT-ND	.47	3.56	25.60	121.07/M
		22K	22K	DCX124EUDICT-ND	.47	3.56	25.60	121.07/M
		47K	47K	DCX144EUDICT-ND	.47	3.56	25.60	121.07/M
2	100	4.7K	—	DCX143TUDICT-ND	.47	3.56	25.60	121.07/M
Zweif. PNP SOT-363								
3	100	10K	10K	DDA114EUDICT-ND	.40	3.05	21.94	103.29/M
		10K	10K	DDA114EU-FDICT-ND◊	.40	3.05	21.94	103.29/M
		10K	47K	DDA114YUDICT-ND	.40	3.05	21.94	103.29/M
		2.2K	47K	DDA123JUDICT-ND	.40	3.05	21.94	103.29/M
		22K	22K	DDA124EUDICT-ND	.40	3.05	21.94	103.29/M
		47K	47K	DDA144EUDICT-ND	.40	3.05	21.94	103.29/M
4	100	10K	—	DDA114TUDICT-ND	.40	3.05	21.94	103.63/M
		4.7K	—	DDA143TUDICT-ND	.40	3.05	21.94	103.29/M
Zweif. NPN SOT-363								
5	100	10K	10K	DDC114EUDICT-ND	.40	3.05	21.94	103.29/M
		10K	47K	DDC114YUDICT-ND	.40	3.05	21.94	103.29/M
		10K	47K	DDC114YU-FDICT-ND◊	.40	3.05	21.94	103.29/M
		2.2K	47K	DDC123JUDICT-ND	.40	3.05	21.94	103.29/M
		22K	22K	DDC124EUDICT-ND	.40	3.05	21.94	103.29/M
		47K	47K	DDC144EUDICT-ND	.40	3.05	21.94	103.29/M
6	100	10K	—	DDC114TUDICT-ND	.40	3.05	21.94	103.29/M
		4.7K	—	DDC143TUDICT-ND	.40	3.05	21.94	103.29/M

** Für Gegurtet auf Rolle die Teilenummer CT-ND in TR-ND ändern. ◊ Bleifrei/RoHS-konform

B

Transistoren mit Vorspannung

Merkmale: • Epitaxial-Planaroberflächenkonstruktion **Mechanische Daten:** • **Gehäusematerial:** Entflammbarkeitsstufe UL 94V-0 • **Klemmen:** Lötbar gemäß MIL-STD-202, Methode 208

SOT-23

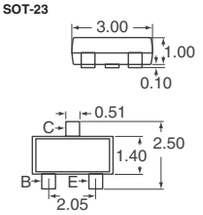

SOT-323

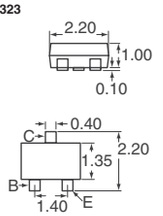

SOT-523

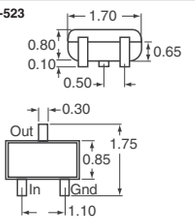

Abb. 1

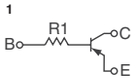

Abb. 2

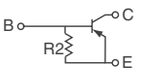

Abb. 3

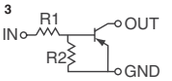

Abb. 4

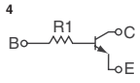

Abb. 5

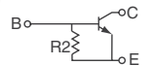

Abb. 6

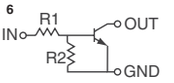

Abb.	Verlust-leistung (mW)	I_C Max. (mA)	Min. Hfe Verstärkung	Nenn R1 Ω	Nenn R2 Ω	Digi-Key Teilenr.	Gurtabschnittspreise 1	10	100	Preisangaben gegurtet auf Rolle** 3.000
						PNP SOT-23				
1	200	100	100	1K	—	DDTA113TCADICT-ND	.35	2.54	17.88	72.81/M
				2.2K	—	DDTA123TCADICT-ND	.35	2.54	17.88	72.81/M
				4.7K	—	DDTA143TCADICT-ND	.35	2.54	17.88	72.81/M
				10K	—	DDTA114TCADICT-ND	.35	2.54	17.88	72.81/M
				22K	—	DDTA124TCADICT-ND	.35	2.54	17.88	72.81/M
				47K	—	DDTA144TCADICT-ND	.35	2.54	17.88	72.81/M
				100K	—	DDTA115TCADICT-ND	.35	2.54	17.88	72.81/M
				200K	—	DDTA125TCADICT-ND	.35	2.54	17.88	72.81/M
2	200	100	30	—	10K	DDTA114GCADICT-ND	.35	2.54	17.88	72.81/M
			56	—	22K	DDTA124GCADICT-ND	.35	2.54	17.88	72.81/M
			68	—	47K	DDTA144GCADICT-ND	.35	2.54	17.88	72.81/M
			82	—	100K	DDTA115GCADICT-ND	.35	2.54	17.88	72.81/M
3	200	100	20	2.2K	2.2K	DDTA123ECADICT-ND	.35	2.54	17.88	72.81/M
			20	2.2K	2.2K	DDTA123ECA-FDICT-ND◊	.35	2.54	17.88	72.81/M
			20	4.7K	4.7K	DDTA143ECADICT-ND	.35	2.54	17.88	72.81/M
			24	10K	4.7K	DDTA114WCADICT-ND	.35	2.54	17.88	72.81/M
			30	4.7K	10K	DDTA143XCADICT-ND	.35	2.54	17.88	72.81/M
			30	10K	10K	DDTA114ECADICT-ND	.35	2.54	17.88	72.81/M
			33	2.2K	10K	DDTA123YCADICT-ND	.35	2.54	17.88	72.81/M
			33	47K	10K	DDTA144VCADICT-ND	.35	2.54	17.88	72.81/M
			56	22K	22K	DDTA124ECADICT-ND	.35	2.54	17.88	72.81/M
			56	47K	22K	DDTA144WCADICT-ND	.35	2.54	17.88	72.81/M
			68	10K	47K	DDTA114YCADICT-ND	.35	2.54	17.88	72.81/M
			68	22K	47K	DDTA124XCADICT-ND	.35	2.54	17.88	72.81/M
			68	47K	47K	DDTA144ECADICT-ND	.35	2.54	17.88	72.81/M
			80	2.2K	47K	DDTA123JCADICT-ND	.35	2.54	17.88	72.81/M
			80	4.7K	47K	DDTA143ZCADICT-ND	.35	2.54	17.88	72.81/M
			82	100K	100K	DDTA115ECADICT-ND	.35	2.54	17.88	72.81/M
		500	56	0.22K	10K	DDTB122LCDICT-ND	.35	2.54	17.88	72.81/M
			56	0.47K	10K	DDTB142JCDICT-ND	.35	2.54	17.88	72.81/M
			250	0.22K	—	DDTB122TCDICT-ND	.35	2.54	17.88	72.81/M
			250	0.47K	—	DDTB142TCDICT-ND	.35	2.54	17.88	72.81/M
						PNP SOT-323				
1	200	100	100	1K	—	DDTA113TUADICT-ND	.35	2.54	17.88	72.81/M
				2.2K	—	DDTA123TUADICT-ND	.35	2.54	17.88	72.81/M
				4.7K	—	DDTA143TUADICT-ND	.35	2.54	17.88	72.81/M
				10K	—	DDTA114TUADICT-ND	.35	2.54	17.88	72.81/M
				22K	—	DDTA124TUADICT-ND	.35	2.54	17.88	72.81/M
				100K	—	DDTA115TUADICT-ND	.35	2.54	17.88	72.81/M
				200K	—	DDTA125TUADICT-ND	.35	2.54	17.88	72.81/M
2	200	100	30	—	10K	DDTA114GUADICT-ND	.35	2.54	17.88	72.81/M
			56	—	22K	DDTA124GUADICT-ND	.35	2.54	17.88	72.81/M
			68	—	47K	DDTA144GUADICT-ND	.35	2.54	17.88	72.81/M
			82	—	100K	DDTA115GUADICT-ND	.35	2.54	17.88	72.81/M
3	200	100	33	1K	10K	DDTA113ZUADICT-ND	.35	2.54	17.88	72.81/M
			20	2.2K	2.2K	DDTA123EUADICT-ND	.35	2.54	17.88	72.81/M
			33	2.2K	10K	DDTA123YUADICT-ND	.35	2.54	17.88	72.81/M
			80	2.2K	47K	DDTA123JUADICT-ND	.35	2.54	17.88	72.81/M
			20	4.7K	4.7K	DDTA143EUADICT-ND	.35	2.54	17.88	72.81/M
			30	4.7K	10K	DDTA143XUADICT-ND	.35	2.54	17.88	72.81/M
			68	4.7K	22K	DDTA143FUADICT-ND	.35	2.54	17.88	72.81/M
			80	4.7K	47K	DDTA143ZUADICT-ND	.35	2.54	17.88	72.81/M
			24	10K	4.7K	DDTA114WUADICT-ND	.35	2.54	17.88	72.81/M
			30	10K	10K	DDTA114EUADICT-ND	.35	2.54	17.88	72.81/M
			68	10K	47K	DDTA114YUADICT-ND	.35	2.54	17.88	—
			68	10K	47K	DDTA114YUA-FDICT-ND◊	.35	2.54	17.88	72.81/M
			68	22K	47K	DDTA124XUADICT-ND	.35	2.54	17.88	72.81/M
			33	47K	10K	DDTA144VUADICT-ND	.35	2.54	17.88	—
			56	47K	22K	DDTA144WUADICT-ND	.35	2.54	17.88	72.81/M
			68	47K	47K	DDTA144EUADICT-ND	.35	2.54	17.88	72.81/M
			82	100K	100K	DDTA115EUADICT-ND	.35	2.54	17.88	72.81/M
			56	0.22K	10K	DDTA122LUDICT-ND	.35	2.54	17.88	72.81/M
			56	0.47K	10K	DDTA142JUDICT-ND	.35	2.54	17.88	72.81/M
			250	0.22K	—	DDTA122TUDICT-ND	.35	2.54	17.88	72.81/M
			250	0.47K	—	DDTA142TUDICT-ND	.35	2.54	17.88	72.81/M
3	200	500	56	0.22K	10K	DDTB122LUDICT-ND	.35	2.54	17.88	72.81/M
			56	0.47K	10K	DDTB142JUDICT-ND	.35	2.54	17.88	72.81/M
			250	0.22K	—	DDTB122TUDICT-ND	.35	2.54	17.88	72.81/M
						PNP SOT-523				
1	150	100	250	1K	—	DDTA113TEDICT-ND	.33	2.54	18.29	86.36/M
				4.7K	—	DDTA143TEDICT-ND	.33	2.54	18.29	86.36/M
				47K	—	DDTA144TEDICT-ND	.33	2.54	18.29	86.36/M
2	150	100	68	—	47K	DDTA144GEDICT-ND	.33	2.54	18.29	86.36/M
3	150	100	30	4.7K	10K	DDTA143XEDICT-ND	.33	2.54	18.29	86.36/M
			68	4.7K	22K	DDTA143FEDICT-ND	.33	2.54	18.29	86.36/M
			80	4.7K	47K	DDTA143ZEDICT-ND	.33	2.54	18.29	86.36/M
			33	47K	10K	DDTA144VEDICT-ND	.33	2.54	18.29	86.36/M
			56	47K	22K	DDTA144WEDICT-ND	.33	2.54	18.29	86.36/M

Abb.	Verlust-leistung (mW)	I_C Max. (mA)	Min. Hfe Verstärkung	Nenn R1 Ω	Nenn R2 Ω	Digi-Key Teilenr.	Gurtabschnittspreise 1	10	100	Preisangaben gegurtet auf Rolle** 3.000
3	150	100	68	47K	47K	DDTA144EEDICT-ND	.33	2.54	18.29	86.36/M
			56	0.22K	10K	DDTA122LEDICT-ND	.33	2.54	18.29	86.36/M
			56	0.47K	10K	DDTA142JEDICT-ND	.33	2.54	18.29	86.36/M
			250	0.22K	—	DDTA122TEDICT-ND	.33	2.54	18.29	86.36/M
			250	0.47K	—	DDTA142TEDICT-ND	.33	2.54	18.29	86.36/M
						NPN SOT-23				
4	200	100	100	1K	—	DDTC113TCADICT-ND	.35	2.54	17.88	72.81/M
				2.2K	—	DDTC123TCADICT-ND	.35	2.54	17.88	72.81/M
				4.7K	—	DDTC143TCADICT-ND	.35	2.54	17.88	72.81/M
				10K	—	DDTC114TCADICT-ND	.35	2.54	17.88	72.81/M
				22K	—	DDTC124TCADICT-ND	.35	2.54	17.88	72.81/M
				47K	—	DDTC144TCADICT-ND	.35	2.54	17.88	72.81/M
				100K	—	DDTC115TCADICT-ND	.35	2.54	17.88	72.81/M
				200K	—	DDTC125TCADICT-ND	.35	2.54	17.88	72.81/M
5	200	100	56	—	22K	DDTC124GCADICT-ND	.35	2.54	17.88	72.81/M
			68	—	47K	DDTC144GCADICT-ND	.35	2.54	17.88	72.81/M
			82	—	100K	DDTC115GCADICT-ND	.35	2.54	17.88	72.81/M
6	200	100	20	2.2K	2.2K	DDTC123ECADICT-ND	.35	2.54	17.88	72.81/M
			20	4.7K	4.7K	DDTC143ECADICT-ND	.35	2.54	17.88	72.81/M
			24	10K	4.7K	DDTC114WCADICT-ND	.35	2.54	17.88	72.81/M
			30	4.7K	10K	DDTC143XCADICT-ND	.35	2.54	17.88	72.81/M
			30	10K	10K	DDTC114ECADICT-ND	.35	2.54	17.88	72.81/M
			33	1K	10K	DDTC113ZCADICT-ND	.35	2.54	17.88	72.81/M
			33	2.2K	10K	DDTC123YCADICT-ND	.35	2.54	17.88	72.81/M
			33	47K	10K	DDTC144VCADICT-ND	.35	2.54	17.88	72.81/M
			56	22K	22K	DDTC124ECADICT-ND	.35	2.54	17.88	72.81/M
			56	47K	22K	DDTC144WCADICT-ND	.35	2.54	17.88	72.81/M
			68	4.7K	22K	DDTC143FCADICT-ND	.35	2.54	17.88	72.81/M
			68	10K	47K	DDTC114YCADICT-ND	.35	2.54	17.88	72.81/M
			68	22K	47K	DDTC124XCADICT-ND	.35	2.54	17.88	72.81/M
			68	47K	47K	DDTC144ECADICT-ND	.35	2.54	17.88	72.81/M
			80	2.2K	47K	DDTC123JCADICT-ND	.35	2.54	17.88	72.81/M
			80	4.7K	47K	DDTC143ZCADICT-ND	.35	2.54	17.88	72.81/M
			82	100K	100K	DDTC115ECADICT-ND	.35	2.54	17.88	72.81/M
		500	56	0.22K	10K	DDTD122LCDICT-ND	.35	2.54	17.88	72.81/M
			56	0.47K	10K	DDTD142JCDICT-ND	.35	2.54	17.88	72.81/M
			250	0.22K	—	DDTD122TCDICT-ND	.35	2.54	17.88	72.81/M
			250	0.47K	—	DDTD142TCDICT-ND	.35	2.54	17.88	72.81/M
						NPN SOT-323				
4	200	100	100	1K	—	DDTC113TUADICT-ND	.35	2.54	17.88	72.81/M
				2.2K	—	DDTC123TUADICT-ND	.35	2.54	17.88	72.81/M
				4.7K	—	DDTC143TUADICT-ND	.35	2.54	17.88	72.81/M
				10K	—	DDTC114TUADICT-ND	.35	2.54	17.88	72.81/M
				22K	—	DDTC124TUADICT-ND	.35	2.54	17.88	72.81/M
				47K	—	DDTC144TUADICT-ND	.35	2.54	17.88	72.81/M
				100K	—	DDTC115TUADICT-ND	.35	2.54	17.88	72.81/M
				200K	—	DDTC125TUADICT-ND	.35	2.54	17.88	72.81/M
5	200	100	30	—	10K	DDTC114GUADICT-ND	.35	2.54	17.88	72.81/M
			56	—	22K	DDTC124GUADICT-ND	.35	2.54	17.88	72.81/M
			68	—	47K	DDTC144GUADICT-ND	.35	2.54	17.88	72.81/M
			82	—	100K	DDTC115GUADICT-ND	.35	2.54	17.88	72.81/M
6	200	100	20	2.2K	2.2K	DDTC123EUADICT-ND	.35	2.54	17.88	72.81/M
			20	4.7K	4.7K	DDTC143EUA-FDICT-ND◊	.35	2.54	17.88	72.81/M
			30	10K	10K	DDTC114EUADICT-ND	.35	2.54	17.88	72.81/M
			68	47K	47K	DDTC144EUADICT-ND	.35	2.54	17.88	—
			82	100K	100K	DDTC115EUADICT-ND	.35	2.54	17.88	72.81/M
			33	1K	10KΩ	DDTC113ZUADICT-ND	.35	2.54	17.88	72.81/M
			33	2.2K	10KΩ	DDTC123YUADICT-ND	.35	2.54	17.88	72.81/M
			80	2.2K	47KΩ	DDTC123JUADICT-ND	.35	2.54	17.88	72.81/M
			30	4.7K	10KΩ	DDTC143XUADICT-ND	.35	2.54	17.88	72.81/M
			68	4.7K	22KΩ	DDTC143FUADICT-ND	.35	2.54	17.88	72.81/M
			80	4.7K	47K	DDTC143ZUADICT-ND	.35	2.54	17.88	72.81/M
			68	10K	4.7K	DDTC114WUADICT-ND	.35	2.54	17.88	72.81/M
			24	10K	47K	DDTC114YUADICT-ND	.35	2.54	17.88	72.81/M
			68	22K	47K	DDTC124XUADICT-ND	.35	2.54	17.88	72.81/M
			33	47K	10K	DDTC144VUADICT-ND	.35	2.54	17.88	72.81/M
			56	47K	22K	DDTC144WUADICT-ND	.35	2.54	17.88	72.81/M
			56	0.22K	10K	DDTC122LUDICT-ND	.35	2.54	17.88	72.81/M
			56	0.47K	10K	DDTC142JUDICT-ND	.35	2.54	17.88	72.81/M
			250	0.22K	—	DDTC122TUDICT-ND	.35	2.54	17.88	72.81/M
			250	0.47K	—	DDTC142TUDICT-ND	.35	2.54	17.88	72.81/M
		500	56	0.22K	10K	DDTD122LUDICT-ND	.35	2.54	17.88	72.81/M
			56	0.47K	10K	DDTD142JUDICT-ND	.35	2.54	17.88	72.81/M
			250	0.22K	—	DDTD122TUDICT-ND	.35	2.54	17.88	72.81/M
			250	0.47K	—	DDTD142TUDICT-ND	.35	2.54	17.88	72.81/M
						NPN SOT-523				
4	150	100	250	1K	—	DDTC113TEDICT-ND	.33	2.54	18.29	86.36/M
				2.2K	—	DDTC123TEDICT-ND	.33	2.54	18.29	86.36/M
				4.7K	—	DDTC143TEDICT-ND	.33	2.54	18.29	86.36/M
				10K	—	DDTC114TEDICT-ND	.33	2.54	18.29	86.36/M
				22K	—	DDTC124TEDICT-ND	.33	2.54	18.29	86.36/M
				47K	—	DDTC144TEDICT-ND	.33	2.54	18.29	86.36/M
				100K	—	DDTC115TEDICT-ND	.33	2.54	18.29	86.36/M
				200K	—	DDTC125TEDICT-ND	.33	2.54	18.29	86.36/M
5	150	100	30	—	10K	DDTC114GEDICT-ND	.33	2.54	18.29	86.36/M
			56	—	22K	DDTC124GEDICT-ND	.33	2.54	18.29	86.36/M
			68	—	47K	DDTC144GEDICT-ND	.33	2.54	18.29	86.36/M
			82	—	100K	DDTC115GEDICT-ND	.33	2.54	18.29	86.36/M
6	150	100	33	1K	10K	DDTC113ZEDICT-ND	.33	2.54	18.29	86.36/M
			33	2.2K	10K	DDTC123YEDICT-ND	.33	2.54	18.29	86.36/M
			80	2.2K	47K	DDTC123JEDICT-ND	.33	2.54	18.29	86.36/M
			30	4.7K	10K	DDTC143XEDICT-ND	.33	2.54	18.29	86.36/M
			68	4.7K	22K	DDTC143FEDICT-ND	.33	2.54	18.29	86.36/M
			80	4.7K	47K	DDTC143ZEDICT-ND	.33	2.54	18.29	86.36/M
			24	10K	4.7K	DDTC114WEDICT-ND	.33	2.54	18.29	86.36/M
			68	10K	47K	DDTC114YEDICT-ND	.33	2.54	18.29	86.36/M
			68	22K	47K	DDTC124XEDICT-ND	.33	2.54	18.29	86.36/M
			33	47K	10K	DDTC144VEDICT-ND	.33	2.54	18.29	86.36/M
			56	47K	22K	DDTC144WEDICT-ND	.33	2.54	18.29	86.36/M
			20	2.2K	2.2K	DDTC123EEDICT-ND	.33	2.54	18.29	86.36/M
			20	4.7K	4.7K	DDTC143EEDICT-ND	.33	2.54	18.29	86.36/M
			30	10K	10K	DDTC114EEDICT-ND	.33	2.54	18.29	86.36/M
			68	47K	47K	DDTC144EEDICT-ND	.33	2.54	18.29	86.36/M
			82	100K	100K	DDTC115EEDICT-ND	.33	2.54	18.29	86.36/M
			56	0.22K	10K	DDTC122LEDICT-ND	.33	2.54	18.29	86.36/M
			56	0.47K	10K	DDTC142JEDICT-ND	.33	2.54	18.29	86.36/M
			250	0.22K	—	DDTC122TEDICT-ND	.33	2.54	18.29	86.36/M
			250	0.47K	—	DDTC142TEDICT-ND	.33	2.54	18.29	86.36/M

** Für Gegurtet auf Rolle die Teilenummer CT-ND in TR-ND ändern. ◊ Bleifrei/RoHS-konform

Alle Preisangaben in Euro und inklusive Zollgebühren.

Zener-Dioden

DO-35 Zener-Dioden — 500 mW (+5 %)

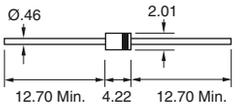

Nominale Zener-Spannung VZ @ IZT	Test-strom IZT (mA)	Max. dynamische Impedanz ZZT IZT	Digi-Key Teilenr.	Gurtabschnittspreise 1	10	100	1.000	Digi-Key Teilenr.	Gegurtet auf Rolle 10.000
3.3	20	28	1N5226BDICT-ND	.30	1.78	11.56	48.00	1N5226BDITR-ND	30.48/M
3.6	20	24	1N5227BDICT-ND	.30	1.78	11.56	48.00	1N5227BDITR-ND	30.48/M
3.9	20	23	1N5228BDICT-ND	.30	1.78	11.56	48.00	1N5228BDITR-ND	30.48/M
4.3	20	22	1N5229BDICT-ND	.30	1.78	11.56	48.00	1N5229BDITR-ND	30.48/M
4.7	20	19	1N5230BDICT-ND	.30	1.78	11.56	48.00	1N5230BDITR-ND	30.48/M
5.1	20	17	1N5231BDICT-ND	.30	1.78	11.56	48.00	1N5231BDITR-ND	30.48/M
5.6	20	11	1N5232BDICT-ND	.30	1.78	11.56	48.00	1N5232BDITR-ND	30.48/M
6.0	20	7	1N5233BDICT-ND	.30	1.78	11.56	48.00	1N5233BDITR-ND	30.48/M
6.2	20	7	1N5234BDICT-ND	.30	1.78	11.56	48.00	1N5234BDITR-ND	30.48/M
6.8	20	5	1N5235BDICT-ND	.30	1.78	11.56	48.00	1N5235BDITR-ND	30.48/M
7.5	20	6	1N5236BDICT-ND	.30	1.78	11.56	48.00	1N5236BDITR-ND	30.48/M
8.2	20	8	1N5237BDICT-ND	.30	1.78	11.56	48.00	1N5237BDITR-ND	30.48/M
8.7	20	8	1N5238BDICT-ND	.30	1.78	11.56	48.00	1N5238BDITR-ND	30.48/M
9.1	20	10	1N5239BDICT-ND	.30	1.78	11.56	48.00	1N5239BDITR-ND	30.48/M
10	20	17	1N5240BDICT-ND	.30	1.78	11.56	48.00	1N5240BDITR-ND	30.48/M
11	20	22	1N5241BDICT-ND	.30	1.78	11.56	48.00	1N5241BDITR-ND	30.48/M
12	20	30	1N5242BDICT-ND	.30	1.78	11.56	48.00	1N5242BDITR-ND	30.48/M
13	9.5	13	1N5243BDICT-ND	.30	1.78	11.56	48.00	1N5243BDITR-ND	30.48/M
14	9.0	15	1N5244BDICT-ND	.30	1.78	11.56	48.00	1N5244BDITR-ND	30.48/M
15	8.5	16	1N5245BDICT-ND	.30	1.78	11.56	48.00	1N5245BDITR-ND	30.48/M
16	7.8	17	1N5246BDICT-ND	.30	1.78	11.56	48.00	1N5246BDITR-ND	30.48/M
17	7.4	19	1N5247BDICT-ND	.30	1.78	11.56	48.00	1N5247BDITR-ND	30.48/M
18	7.0	21	1N5248BDICT-ND	.30	1.78	11.56	48.00	1N5248BDITR-ND	30.48/M
19	6.6	23	1N5249BDICT-ND	.30	1.78	11.56	48.00	1N5249BDITR-ND	30.48/M
20	6.2	25	1N5250BDICT-ND	.30	1.78	11.56	48.00	1N5250BDITR-ND	30.48/M
22	5.6	29	1N5251BDICT-ND	.30	1.78	11.56	48.00	1N5251BDITR-ND	30.48/M
24	5.2	33	1N5252BDICT-ND	.30	1.78	11.56	48.00	1N5252BDITR-ND	30.48/M
25	5.0	35	1N5253BDICT-ND	.30	1.78	11.56	48.00	1N5253BDITR-ND	30.48/M
27	4.6	41	1N5254BDICT-ND	.30	1.78	11.56	48.00	1N5254BDITR-ND	30.48/M
28	4.5	44	1N5255BDICT-ND	.30	1.78	11.56	48.00	1N5255BDITR-ND	30.48/M
30	4.2	49	1N5256BDICT-ND	.30	1.78	11.56	48.00	1N5256BDITR-ND	30.48/M
33	3.8	58	1N5257BDICT-ND	.30	1.78	11.56	48.00	1N5257BDITR-ND	30.48/M
36	3.4	70	1N5258BDICT-ND	.30	1.78	11.56	48.00	1N5258BDITR-ND	30.48/M
39	3.2	80	1N5259BDICT-ND	.30	1.78	11.56	48.00	1N5259BDITR-ND	30.48/M
43	3.0	93	1N5260BDICT-ND	.30	1.78	11.56	48.00	1N5260BDITR-ND	30.48/M
47	2.7	105	1N5261BDICT-ND	.30	1.78	11.56	48.00	1N5261BDITR-ND	30.48/M
51	2.5	125	1N5262BDICT-ND	.30	1.78	11.56	48.00	1N5262BDITR-ND	30.48/M

DO-41 Zener-Dioden — 1 W (+5 %)

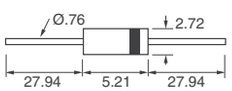

Nominale Zener-Spannung VZ @ IZT	Test-strom IZT (mA)	Max. dynamische Impedanz ZZT IZT	Digi-Key Teilenr.	Gurtabschnittspreise 1	10	100	1.000	Digi-Key Teilenr.	Gegurtet auf Rolle 5.000
3.3	76	10.0	1N4728ADICT-ND	.30	2.10	14.53	64.26	1N4728ADITR-ND	49.95/M
3.6	69	10.0	1N4729ADICT-ND	.30	2.10	14.53	64.26	1N4729ADITR-ND	49.95/M
3.9	64	9.0	1N4730ADICT-ND	.30	2.10	14.53	64.26	1N4730ADITR-ND	49.95/M
4.3	58	9.0	1N4731ADICT-ND	.30	2.10	14.53	64.26	1N4731ADITR-ND	49.95/M
4.7	53	8.0	1N4732ADICT-ND	.30	2.10	14.53	64.26	1N4732ADITR-ND	49.95/M
5.1	49	7.0	1N4733ADICT-ND	.30	2.10	14.53	64.26	1N4733ADITR-ND	49.95/M
5.6	45	5.0	1N4734ADICT-ND	.30	2.10	14.53	64.26	1N4734ADITR-ND	49.95/M
6.2	41	2.0	1N4735ADICT-ND	.30	2.10	14.53	64.26	1N4735ADITR-ND	49.95/M
6.8	37	3.5	1N4736ADICT-ND	.30	2.10	14.53	64.26	1N4736ADITR-ND	49.95/M
7.5	34	4.0	1N4737ADICT-ND	.30	2.10	14.53	64.26	1N4737ADITR-ND	49.95/M
8.2	31	4.5	1N4738ADICT-ND	.30	2.10	14.53	64.26	1N4738ADITR-ND	49.95/M
9.1	28	5.0	1N4739ADICT-ND	.30	2.10	14.53	64.26	1N4739ADITR-ND	49.95/M
10	25	7.0	1N4740ADICT-ND	.30	2.10	14.53	64.26	1N4740ADITR-ND	49.95/M
11	23	8	1N4741ADICT-ND	.30	2.10	14.53	64.26	1N4741ADITR-ND	49.95/M
12	21	9	1N4742ADICT-ND	.30	2.10	14.53	64.26	1N4742ADITR-ND	49.95/M
13	19	10	1N4743ADICT-ND	.30	2.10	14.53	64.26	1N4743ADITR-ND	49.95/M
15	17	14	1N4744ADICT-ND	.30	2.10	14.53	64.26	1N4744ADITR-ND	49.95/M
16	15	16	1N4745ADICT-ND	.30	2.10	14.53	64.26	1N4745ADITR-ND	49.95/M
18	14	20	1N4746ADICT-ND	.30	2.10	14.53	64.26	1N4746ADITR-ND	49.95/M
20	12.5	22	1N4747ADICT-ND	.30	2.10	14.53	64.26	1N4747ADITR-ND	49.95/M
22	11.5	23	1N4748ADICT-ND	.30	2.10	14.53	64.26	1N4748ADITR-ND	49.95/M
24	10.5	25	1N4749ADICT-ND	.30	2.10	14.53	64.26	1N4749ADITR-ND	49.95/M
27	9.5	35	1N4750ADICT-ND	.30	2.10	14.53	64.26	1N4750ADITR-ND	49.95/M
30	8.5	40	1N4751ADICT-ND	.30	2.10	14.53	64.26	1N4751ADITR-ND	49.95/M
33	7.5	45	1N4752ADICT-ND	.30	2.10	14.53	64.26	1N4752ADITR-ND	49.95/M
36	7	50	1N4753ADICT-ND	.30	2.10	14.53	64.26	1N4753ADITR-ND	49.95/M
39	6.5	60	1N4754ADICT-ND	.30	2.10	14.53	64.26	1N4754ADITR-ND	49.95/M
43	6	70	1N4755ADICT-ND	.30	2.10	14.53	64.26	1N4755ADITR-ND	49.95/M
47	55	80	1N4756ADICT-ND	.30	2.10	14.53	64.26	1N4756ADITR-ND	49.95/M
51	5	95	1N4757ADICT-ND	.30	2.10	14.53	64.26	1N4757ADITR-ND	49.95/M
56	4.5	110	1N4758ADICT-ND	.30	2.10	14.53	64.26	1N4758ADITR-ND	49.95/M
62	4	125	1N4759ADICT-ND	.30	2.10	14.53	64.26	1N4759ADITR-ND	49.95/M
68	3.7	150	1N4760ADICT-ND	.30	2.10	14.53	64.26	1N4760ADITR-ND	49.95/M
75	3.3	175	1N4761ADICT-ND	.30	2.10	14.53	64.26	1N4761ADITR-ND	49.95/M

PowerDI™ 123 oberflächenmontierte Zener-Leistungdioden, bleifrei/RoHS-konform — 1 W

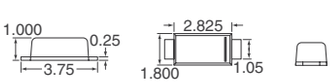

Nominale Zener-Spannung VZ @ IZT	Test-strom IZT (mA)	Max. dynamische Impedanz ZZT IZT	Digi-Key Teilenr.	Gurtabschnittspreise 1	10	100	1.000	Digi-Key Teilenr.	Gegurtet auf Rolle 3.000
5.1	100	6	DFLZ5V1DICT-ND	.51	4.06	30.48	162.55	DFLZ5V1DITR-ND	152.39/M
5.6	100	4	DFLZ5V6DICT-ND	.51	4.06	30.48	162.55	DFLZ5V6DITR-ND	152.39/M
6.2	100	3	DFLZ6V2DICT-ND	.51	4.06	30.48	162.55	DFLZ6V2DITR-ND	152.39/M
6.8	100	3	DFLZ6V8DICT-ND	.51	4.06	30.48	162.55	DFLZ6V8DITR-ND	152.39/M
8.2	100	2	DFLZ8V2DICT-ND	.51	4.06	30.48	162.55	DFLZ8V2DITR-ND	152.39/M
9.1	50	4	DFLZ9V1DICT-ND	.51	4.06	30.48	162.55	DFLZ9V1DITR-ND	152.39/M
10	50	4	DFLZ10DICT-ND	.51	4.06	30.48	162.55	DFLZ10DITR-ND	152.39/M
12	50	7	DFLZ12DICT-ND	.51	4.06	30.48	162.55	DFLZ12DITR-ND	152.39/M
15	50	10	DFLZ15DICT-ND	.51	4.06	30.48	162.55	DFLZ15DITR-ND	152.39/M
16	25	15	DFLZ16DICT-ND	.51	4.06	30.48	162.55	DFLZ16DITR-ND	152.39/M
18	25	15	DFLZ18DICT-ND	.51	4.06	30.48	162.55	DFLZ18DITR-ND	152.39/M
20	25	15	DFLZ20DICT-ND	.51	4.06	30.48	162.55	DFLZ20DITR-ND	152.39/M
24	25	15	DFLZ24DICT-ND	.51	4.06	30.48	162.55	DFLZ24DITR-ND	152.39/M
27	25	15	DFLZ27DICT-ND	.51	4.06	30.48	162.55	DFLZ27DITR-ND	152.39/M
30	25	15	DFLZ30DICT-ND	.51	4.06	30.48	162.55	DFLZ30DITR-ND	152.39/M
33	25	15	DFLZ33DICT-ND	.51	4.06	30.48	162.55	DFLZ33DITR-ND	152.39/M
39	10	40	DFLZ39DICT-ND	.51	4.06	30.48	162.55	DFLZ39DITR-ND	152.39/M

SOD-123 Zener-Dioden, Oberflächenmontage — 500 mW

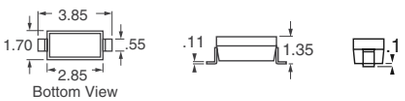

Nominale Zener-Spannung VZ @ IZT	Test-strom IZT (mA)	Max. dynamische Impedanz ZZT IZT	Digi-Key Teilenr.	Gurtabschnittspreise 10	100	1.000	Digi-Key Teilenr.	Gegurtet auf Rolle 3.000
BZT-Serie								
2.4	5	100	BZT52C2V4-7DICT-ND	2.65	18.63	84.66	BZT52C2V4-7DITR-ND	76.20/M
			—	—	—	—	BZT52C2V4-13DITR-ND†	66.04/M
			BZT52C2V4-FDICT-ND◊	2.65	18.63	84.66	BZT52C2V4-FDITR-ND◊	76.20/M
2.7	5	100	BZT52C2V7-7DICT-ND	2.65	18.63	84.66	BZT52C2V7-7DITR-ND	76.20/M
			—	—	—	—	BZT52C2V7-13DITR-ND†	66.04/M
3.0	5	95	BZT52C3V0-7DICT-ND	2.65	18.63	84.66	BZT52C3V0-7DITR-ND	76.20/M
			—	—	—	—	BZT52C3V0-13DITR-ND†	66.04/M
3.3	5	95	BZT52C3V3-7DICT-ND	2.65	18.63	84.66	BZT52C3V3-7DITR-ND	76.20/M
			—	—	—	—	BZT52C3V3-13DITR-ND†	66.04/M
			BZT52C3V3-FDICT-ND◊	2.65	18.63	84.66	BZT52C3V3-FDITR-ND◊	76.20/M
3.6	5	90	BZT52C3V6-7DICT-ND	2.65	18.63	84.66	BZT52C3V6-7DITR-ND	76.20/M
			—	—	—	—	BZT52C3V6-13DITR-ND†	66.04/M
3.9	5	90	BZT52C3V9-7DICT-ND	2.65	18.63	84.66	—	—
			—	—	—	—	BZT52C3V9-13DITR-ND†	66.04/M
			BZT52C3V9-FDICT-ND◊	2.65	18.63	84.66	BZT52C3V9-FDITR-ND◊	76.20/M
4.3	5	90	BZT52C4V3-7DICT-ND	2.65	18.63	84.66	BZT52C4V3-7DITR-ND	76.20/M
			—	—	—	—	BZT52C4V3-13DITR-ND†	66.04/M
4.7	5	80	BZT52C4V7-7DICT-ND	2.65	18.63	84.66	BZT52C4V7-7DITR-ND	76.20/M
			—	—	—	—	BZT52C4V7-13DITR-ND†	66.04/M
5.1	5	60	BZT52C5V1-7DICT-ND	2.65	18.63	84.66	—	—
			—	—	—	—	BZT52C5V1-13DITR-ND†	66.04/M
			BZT52C5V1-FDICT-ND◊	2.65	18.63	84.66	BZT52C5V1-FDITR-ND◊	76.20/M
5.6	5	40	BZT52C5V6-7DICT-ND	2.65	18.63	84.66	BZT52C5V6-7DITR-ND	76.20/M
			—	—	—	—	BZT52C5V6-13DITR-ND†	66.04/M
			BZT52C5V6-FDICT-ND◊	2.65	18.63	84.66	BZT52C5V6-FDITR-ND◊	76.20/M
6.2	5	10	BZT52C6V2-7DICT-ND	2.65	18.63	84.66	BZT52C6V2-7DITR-ND	76.20/M
			—	—	—	—	BZT52C6V2-13DITR-ND†	66.04/M
6.8	5	15	BZT52C6V8-7DICT-ND	2.65	18.63	84.66	BZT52C6V8-7DITR-ND	76.20/M
			—	—	—	—	BZT52C6V8-13DITR-ND†	66.04/M
7.5	5	15	BZT52C7V5-7DICT-ND	2.65	18.63	84.66	BZT52C7V5-7DITR-ND	76.20/M
			—	—	—	—	BZT52C7V5-13DITR-ND†	66.04/M
			BZT52C7V5-FDICT-ND◊	2.65	18.63	84.66	BZT52C7V5-FDITR-ND◊	76.20/M
8.2	5	15	BZT52C8V2-7DICT-ND	2.65	18.63	84.66	BZT52C8V2-7DITR-ND	76.20/M
			—	—	—	—	BZT52C8V2-13DITR-ND†	66.04/M
			BZT52C8V2-FDICT-ND◊	2.65	18.63	84.66	BZT52C8V2-FDITR-ND◊	76.20/M
9.1	5	15	BZT52C9V1-7DICT-ND	2.65	18.63	84.66	BZT52C9V1-7DITR-ND	76.20/M
			—	—	—	—	BZT52C9V1-13DITR-ND†	66.04/M
			BZT52C9V1-FDICT-ND◊	2.65	18.63	84.66	BZT52C9V1-FDITR-ND◊	76.20/M
10	5	20	BZT52C10-7DICT-ND	2.65	18.63	84.66	—	—
			—	—	—	—	BZT52C10-13DITR-ND†	66.04/M
			BZT52C10-FDICT-ND◊	2.65	18.63	84.66	BZT52C10-FDITR-ND◊	76.20/M
11	5	20	BZT52C11-7DICT-ND	2.65	18.63	84.66	BZT52C11-7DITR-ND	76.20/M
			—	—	—	—	BZT52C11-13DITR-ND†	66.04/M
12	5	25	BZT52C12-7DICT-ND	2.65	18.63	84.66	—	—
			—	—	—	—	BZT52C12-13DITR-ND†	66.04/M
			BZT52C12-FDICT-ND◊	2.65	18.63	84.66	BZT52C12-FDITR-ND◊	76.20/M
13	5	30	BZT52C13-7DICT-ND	2.65	18.63	84.66	BZT52C13-7DITR-ND	76.20/M
15	5	30	BZT52C15-7DICT-ND	2.65	18.63	84.66	BZT52C15-7DITR-ND	76.20/M
			—	—	—	—	BZT52C15-13DITR-ND†	66.04/M
16	5	40	BZT52C16-7DICT-ND	2.65	18.63	84.66	BZT52C16-7DITR-ND	76.20/M
			—	—	—	—	BZT52C16-13DITR-ND†	66.04/M
			BZT52C16-FDICT-ND◊	2.65	18.63	84.66	BZT52C16-FDITR-ND◊	76.20/M
18	5	45	BZT52C18-7DICT-ND	2.65	18.63	84.66	BZT52C18-7DITR-ND	76.20/M
			—	—	—	—	BZT52C18-13DITR-ND†	66.04/M
20	5	55	BZT52C20-7DICT-ND	2.65	18.63	84.66	—	—
			—	—	—	—	BZT52C20-13DITR-ND†	66.04/M
22	5	55	BZT52C22-7DICT-ND	2.65	18.63	84.66	BZT52C22-7DITR-ND	76.20/M
			—	—	—	—	BZT52C22-13DITR-ND†	66.04/M
24	5	70	BZT52C24-7DICT-ND	2.65	18.63	84.66	BZT52C24-7DITR-ND	76.20/M
			—	—	—	—	BZT52C24-13DITR-ND†	66.04/M
			BZT52C24-FDICT-ND◊	2.65	18.63	84.66	BZT52C24-FDITR-ND◊	76.20/M
27	2	80	BZT52C27-7DICT-ND	2.65	18.63	84.66	BZT52C27-7DITR-ND	76.20/M
			—	—	—	—	BZT52C27-13DITR-ND†	66.04/M
30	2	80	BZT52C30-7DICT-ND	2.65	18.63	84.66	—	—
			—	—	—	—	BZT52C30-13DITR-ND†	66.04/M
33	2	80	BZT52C33-7DICT-ND	2.65	18.63	84.66	BZT52C33-7DITR-ND	76.20/M
			—	—	—	—	BZT52C33-13DITR-ND†	66.04/M
			BZT52C33-FDICT-ND◊	2.65	18.63	84.66	BZT52C33-FDITR-ND◊	76.20/M
36	2	90	BZT52C36-7DICT-ND	2.65	18.63	84.66	BZT52C36-7DITR-ND	76.20/M
			—	—	—	—	BZT52C36-13DITR-ND†	66.04/M
39	2	130	BZT52C39-7DICT-ND	2.65	18.63	84.66	—	—
			—	—	—	—	BZT52C39-13DITR-ND†	66.04/M
			BZT52C39-FDICT-ND◊	2.65	18.63	84.66	BZT52C39-FDITR-ND◊	76.20/M
43	5	100	BZT52C43-7DICT-ND	2.65	18.63	84.66	BZT52C43-7DITR-ND	76.20/M
			—	—	—	—	BZT52C43-13DITR-ND†	66.04/M
47	5	100	BZT52C47-7DICT-ND	2.65	18.63	84.66	BZT52C47-7DITR-ND	76.20/M
51	5	100	BZT52C51-7DICT-ND	2.65	18.63	84.66	BZT52C51-7DITR-ND	76.20/M

† Die Angaben für Gegurtet auf Rolle gelten für je 10.000 Stck. ◊ Bleifrei/RoHS-konform *(Forts.)*

SOD-123-Zener-Dioden, Oberflächenmontage — 500 mW *(Forts.)*

Nominale Zener-Spannung VZ @ IZT	Test-strom IZT (mA)	Max. dynamische Impedanz ZZT IZT	Digi-Key Teilenr.	Gurtabschnittspreise 10	100	1.000	Digi-Key Teilenr.	Gegurtet auf Rolle 3.000
Serie MMSZ								
2.4	20	30	MMSZ5221BDICT-ND	2.65	18.63	84.66	MMSZ5221BDITR-ND	76.20/M
2.4	20	30	MMSZ5221B-FDICT-ND◊	2.65	18.63	84.66	MMSZ5221B-FDITR-ND◊	76.20/M
2.7	20	30	MMSZ5223BDICT-ND	2.65	18.63	84.66	MMSZ5223BDITR-ND	76.20/M
3.0	20	30	MMSZ5225BDICT-ND	2.65	18.63	84.66	MMSZ5225BDITR-ND	76.20/M
3.3	20	28	MMSZ5226BDICT-ND	2.65	18.63	84.66	MMSZ5226BDITR-ND	76.20/M
3.3	20	28	MMSZ5226B-FDICT-ND◊	2.65	18.63	84.66	MMSZ5226B-FDITR-ND◊	76.20/M
3.6	20	24	MMSZ5227BDICT-ND	2.65	18.63	84.66	MMSZ5227BDITR-ND	76.20/M
3.9	20	23	MMSZ5228BDICT-ND	2.65	18.63	84.66	MMSZ5228BDITR-ND	76.20/M
4.3	20	22	MMSZ5229BDICT-ND	2.65	18.63	84.66	—	—
4.3	20	22	MMSZ5229B-FDICT-ND◊	2.65	18.63	84.66	MMSZ5229B-FDITR-ND◊	76.20/M
4.7	20	19	MMSZ5230BDICT-ND	2.65	18.63	84.66	MMSZ5230BDITR-ND	76.20/M
5.1	20	17	MMSZ5231BDICT-ND	2.65	18.63	84.66	MMSZ5231BDITR-ND	76.20/M
5.6	20	11	MMSZ5232BDICT-ND	2.65	18.63	84.66	MMSZ5232BDITR-ND	76.20/M
5.6	20	11	MMSZ5232B-FDICT-ND◊	2.65	18.63	84.66	MMSZ5232B-FDITR-ND◊	76.20/M
6.2	20	7	MMSZ5234BDICT-ND	2.65	18.63	84.66	MMSZ5234BDITR-ND	76.20/M
6.8	20	5	MMSZ5235BDICT-ND	2.65	18.63	84.66	MMSZ5235BDITR-ND	76.20/M
7.5	20	6	MMSZ5236BDICT-ND	2.65	18.63	84.66	MMSZ5236BDITR-ND	76.20/M
7.5	20	6	MMSZ5236B-FDICT-ND◊	2.65	18.63	84.66	MMSZ5236B-FDITR-ND◊	76.20/M
8.2	20	8	MMSZ5237BDICT-ND	2.65	18.63	84.66	MMSZ5237BDITR-ND	76.20/M
8.7	20	8	MMSZ5238B-FDICT-ND◊	2.65	18.63	84.66	MMSZ5238B-FDITR-ND◊	76.20/M
9.1	20	10	MMSZ5239BDICT-ND	2.65	18.63	84.66	—	—
9.1	20	10	MMSZ5239B-FDICT-ND◊	2.65	18.63	84.66	MMSZ5239B-FDITR-ND◊	76.20/M
10	20	17	MMSZ5240BDICT-ND	2.65	18.63	84.66	MMSZ5240BDITR-ND	76.20/M
11	20	22	MMSZ5241BDICT-ND	2.65	18.63	84.66	MMSZ5241BDITR-ND	76.20/M
12	20	30	MMSZ5242BDICT-ND	2.65	18.63	84.66	MMSZ5242BDITR-ND	76.20/M
13	9.5	13	MMSZ5243BDICT-ND	2.65	18.63	84.66	MMSZ5243BDITR-ND	76.20/M
15	8.5	16	MMSZ5245BDICT-ND	2.65	18.63	84.66	MMSZ5245BDITR-ND	76.20/M
15	8.5	16	MMSZ5245B-FDICT-ND◊	2.65	18.63	84.66	MMSZ5245B-FDITR-ND◊	76.20/M
16	7.8	17	MMSZ5246BDICT-ND	2.65	18.63	84.66	MMSZ5246BDITR-ND	76.20/M
16	7.8	17	MMSZ5246B-FDICT-ND◊	2.65	18.63	84.66	MMSZ5246B-FDITR-ND◊	76.20/M
18	7.0	21	MMSZ5248BDICT-ND	2.65	18.63	84.66	MMSZ5248BDITR-ND	76.20/M
18	7.0	21	MMSZ5248B-FDICT-ND◊	2.65	18.63	84.66	MMSZ5248B-FDITR-ND◊	76.20/M
20	6.2	25	MMSZ5250BDICT-ND	2.65	18.63	84.66	MMSZ5250BDITR-ND	76.20/M
22	5.6	29	MMSZ5251BDICT-ND	2.65	18.63	84.66	MMSZ5251BDITR-ND	76.20/M
24	5.2	33	MMSZ5252BDICT-ND	2.65	18.63	84.66	MMSZ5252BDITR-ND	76.20/M
27	5.0	41	MMSZ5254BDICT-ND	2.65	18.63	84.66	MMSZ5254BDITR-ND	76.20/M
28	4.5	44	MMSZ5255BDICT-ND	2.65	18.63	84.66	MMSZ5255BDITR-ND	76.20/M
30	4.2	49	MMSZ5256BDICT-ND	2.65	18.63	84.66	MMSZ5256BDITR-ND	76.20/M
33	3.8	58	MMSZ5257BDICT-ND	2.65	18.63	84.66	MMSZ5257BDITR-ND	76.20/M
33	3.8	58	MMSZ5257B-FDICT-ND◊	2.65	18.63	84.66	MMSZ5257B-FDITR-ND◊	76.20/M
36	3.4	70	MMSZ5258BDICT-ND	2.65	18.63	84.66	MMSZ5258BDITR-ND	76.20/M
39	3.2	80	MMSZ5259BDICT-ND	2.65	18.63	84.66	MMSZ5259BDITR-ND	76.20/M
Serie DDZ								
5.1	.05	—	DDZ9689DICT-ND	2.38	16.76	76.19	DDZ9689DITR-ND	68.58/M
5.1	20	17	DDZ5V1BDICT-ND	2.38	16.76	76.19	DDZ5V1BDITR-ND	68.58/M
5.6	.05	—	DDZ9690DICT-ND	2.38	16.76	76.19	DDZ9690DITR-ND	68.58/M
5.6	20	11	DDZ5V6BDICT-ND	2.38	16.76	76.19	DDZ5V6BDITR-ND	68.58/M
6.2	.05	—	DDZ9691DICT-ND	2.38	16.76	76.19	DDZ9691DITR-ND	68.58/M
6.2	20	7	DDZ6V2BDICT-ND	2.38	16.76	76.19	DDZ6V2BDITR-ND	68.58/M
6.8	.05	—	DDZ9692DICT-ND	2.38	16.76	76.19	DDZ9692DITR-ND	68.58/M
7.5	.05	—	DDZ9693DICT-ND	2.38	16.76	76.19	DDZ9693DITR-ND	68.58/M
7.5	20	6	DDZ7V5CDICT-ND	2.38	16.76	76.19	DDZ7V5CDITR-ND	68.58/M
8.2	.05	—	DDZ9694DICT-ND	2.38	16.76	76.19	DDZ9694DITR-ND	68.58/M
8.2	20	8	DDZ8V2CDICT-ND	2.38	16.76	76.19	DDZ8V2CDITR-ND	68.58/M
9.1	.05	—	DDZ9696DICT-ND	2.38	16.76	76.19	DDZ9696DITR-ND	68.58/M
9.1	20	8	DDZ9V1CDICT-ND	2.38	16.76	76.19	DDZ9V1CDITR-ND	68.58/M
10	.05	—	DDZ9697DICT-ND	2.38	16.76	76.19	DDZ9697DITR-ND	68.58/M
12	.05	—	DDZ9699DICT-ND	2.38	16.76	76.19	DDZ9699DITR-ND	68.58/M
12	10	12	DDZ12CDICT-ND	2.38	16.76	76.19	DDZ12CDITR-ND	68.58/M
13	10	14	DDZ13BDICT-ND	2.38	16.76	76.19	DDZ13BDITR-ND	68.58/M
15	.05	—	DDZ9702DICT-ND	2.38	16.76	76.19	DDZ9702DITR-ND	68.58/M
18	.05	—	DDZ9705DICT-ND	2.38	16.76	76.19	DDZ9705DITR-ND	68.58/M
18	10	23	DDZ18CDICT-ND	2.38	16.76	76.19	DDZ18CDITR-ND	68.58/M
20	.05	—	DDZ9707DICT-ND	2.38	16.76	76.19	DDZ9707DITR-ND	68.58/M
20	10	28	DDZ20CDICT-ND	2.38	16.76	76.19	DDZ20CDITR-ND	68.58/M
24	.05	—	DDZ9709DICT-ND	2.38	16.76	76.19	DDZ9709DITR-ND	68.58/M
24	5	35	DDZ24CDICT-ND	2.38	16.76	76.19	DDZ24CDITR-ND	68.58/M
27	.05	—	DDZ9711DICT-ND	2.38	16.76	76.19	DDZ9711DITR-ND	68.58/M

† Die Angaben für Gegurtet auf Rolle gelten für je 10.000 Stck. ◊ Bleifrei/RoHS-konform

SOD-323 Zener-Dioden, Oberflächenmontage — 200 mW

Nominale Zener-Spannung VZ @ IZT	Test-strom IZT (mA)	Max. dynamische Impedanz ZZT IZT	Digi-Key Teilenr.	Gurtabschnittspreise 10	100	1.000	Digi-Key Teilenr.	Gegurtet auf Rolle 3.000
Serie BZT								
2.4	5	100	BZT52C2V4SDICT-ND	.40	2.91	20.49	BZT52C2V4SDITR-ND	83.82/M
2.7	5	100	BZT52C2V7SDICT-ND	.40	2.91	20.49	BZT52C2V7SDITR-ND	83.82/M
3.0	5	95	BZT52C3V0SDICT-ND	.40	2.91	20.49	BZT52C3V0SDITR-ND	83.82/M
3.3	5	95	BZT52C3V3SDICT-ND	.40	2.91	20.49	BZT52C3V3SDITR-ND	83.82/M
3.6	5	90	BZT52C3V6SDICT-ND	.40	2.91	20.49	BZT52C3V6SDITR-ND	83.82/M
3.9	5	90	BZT52C3V9SDICT-ND	.40	2.91	20.49	BZT52C3V9SDITR-ND	83.82/M
4.3	5	90	BZT52C4V3SDICT-ND	.40	2.91	20.49	BZT52C4V3SDITR-ND	83.82/M
4.7	5	80	BZT52C4V7SDICT-ND	.40	2.91	20.49	BZT52C4V7SDITR-ND	83.82/M
5.1	5	60	BZT52C5V1SDICT-ND	.40	2.91	20.49	—	—
5.1	5	60	BZT52C5V1S-FDICT-ND◊	.40	2.91	20.49	BZT52C5V1S-FDITR-ND◊	83.82/M
5.6	5	40	BZT52C5V6SDICT-ND	.40	2.91	20.49	BZT52C5V6SDITR-ND	83.82/M
6.2	5	10	BZT52C6V2SDICT-ND	.40	2.91	20.49	BZT52C6V2SDITR-ND	83.82/M
6.8	5	15	BZT52C6V8SDICT-ND	.40	2.91	20.49	—	—
7.5	5	15	BZT52C7V5SDICT-ND	.40	2.91	20.49	BZT52C7V5SDITR-ND	83.82/M
7.5	5	15	BZT52C7V5S-FDICT-ND◊	.40	2.91	20.49	BZT52C7V5S-FDITR-ND◊	83.82/M
8.2	5	15	BZT52C8V2SDICT-ND	.40	2.91	20.49	BZT52C8V2SDITR-ND	83.82/M
9.1	5	15	BZT52C9V1SDICT-ND	.40	2.91	20.49	BZT52C9V1SDITR-ND	83.82/M
10	5	20	BZT52C10SDICT-ND	.40	2.91	20.49	BZT52C10SDITR-ND	83.82/M
11	5	20	BZT52C11SDICT-ND	.40	2.91	20.49	BZT52C11SDITR-ND	83.82/M
12	5	25	BZT52C12SDICT-ND	.40	2.91	20.49	—	—
12	5	25	BZT52C12S-FDICT-ND◊	.40	2.91	20.49	BZT52C12S-FDITR-ND◊	83.82/M
13	5	30	BZT52C13SDICT-ND	.40	2.91	20.49	BZT52C13SDITR-ND	83.82/M
15	5	30	BZT52C15SDICT-ND	.40	2.91	20.49	BZT52C15SDITR-ND	83.82/M
18	5	45	BZT52C18SDICT-ND	.40	2.91	20.49	BZT52C18SDITR-ND	83.82/M
20	5	55	BZT52C20SDICT-ND	.40	2.91	20.49	BZT52C20SDITR-ND	83.82/M
22	5	55	BZT52C22SDICT-ND	.40	2.91	20.49	—	—
24	5	70	BZT52C24SDICT-ND	.40	2.91	20.49	BZT52C24SDITR-ND	83.82/M
27	2	80	BZT52C27SDICT-ND	.40	2.91	20.49	BZT52C27SDITR-ND	83.82/M
30	2	80	BZT52C30SDICT-ND	.40	2.91	20.49	BZT52C30SDITR-ND	83.82/M
33	2	80	BZT52C33SDICT-ND	.40	2.91	20.49	BZT52C33SDITR-ND	83.82/M
36	2	90	BZT52C36SDICT-ND	.40	2.91	20.49	BZT52C36SDITR-ND	83.82/M
39	2	130	BZT52C39SDICT-ND	.40	2.91	20.49	BZT52C39SDITR-ND	83.82/M
Serie MMSZ								
2.4	20	30	MMSZ5221BSDICT-ND	.40	2.91	20.49	MMSZ5221BSDITR-ND	83.82/M
3.0	20	30	MMSZ5225BSDICT-ND	.40	2.91	20.49	MMSZ5225BSDITR-ND	83.82/M
3.3	20	28	MMSZ5226BSDICT-ND	.40	2.91	20.49	MMSZ5226BSDITR-ND	83.82/M
3.6	20	24	MMSZ5227BSDICT-ND	.40	2.91	20.49	—	—
3.9	20	23	MMSZ5228BSDICT-ND	.40	2.91	20.49	—	—
3.9	20	23	MMSZ5228BS-FDICT-ND◊	.40	2.91	20.49	MMSZ5228BS-FDITR-ND◊	83.82/M
4.7	20	19	MMSZ5230BSDICT-ND	.40	2.91	20.49	MMSZ5230BSDITR-ND	83.82/M
5.1	20	17	MMSZ5231BSDICT-ND	.40	2.91	20.49	MMSZ5231BSDITR-ND	83.82/M
5.6	20	11	MMSZ5232BSDICT-ND	.40	2.91	20.49	MMSZ5232BSDITR-ND	83.82/M
6.2	20	7	MMSZ5234BSDICT-ND	.40	2.91	20.49	MMSZ5234BSDITR-ND	83.82/M
6.8	20	5	MMSZ5235BSDICT-ND	.40	2.91	20.49	—	—
6.8	20	5	MMSZ5235BS-FDICT-ND◊	.40	2.91	20.49	MMSZ5235BS-FDITR-ND◊	83.82/M
7.5	20	6	MMSZ5236BSDICT-ND	.40	2.91	20.49	MMSZ5236BSDITR-ND	83.82/M
8.2	20	8	MMSZ5237BSDICT-ND	.40	2.91	20.49	MMSZ5237BSDITR-ND	83.82/M
9.1	20	10	MMSZ5239BSDICT-ND	.40	2.91	20.49	MMSZ5239BSDITR-ND	83.82/M
10	20	17	MMSZ5240BSDICT-ND	.40	2.91	20.49	MMSZ5240BSDITR-ND	83.82/M
11	20	22	MMSZ5241BSDICT-ND	.40	2.91	20.49	MMSZ5241BSDITR-ND	—
12	20	30	MMSZ5242BSDICT-ND	.40	2.91	20.49	MMSZ5242BSDITR-ND	83.82/M
13	9.5	13	MMSZ5243BSDICT-ND	.40	2.91	20.49	MMSZ5243BSDITR-ND	83.82/M
15	8.5	16	MMSZ5245BSDICT-ND	.40	2.91	20.49	MMSZ5245BSDITR-ND	83.82/M
18	7.0	21	MMSZ5248BSDICT-ND	.40	2.91	20.49	MMSZ5248BSDITR-ND	83.82/M
20	6.2	25	MMSZ5250BSDICT-ND	.40	2.91	20.49	MMSZ5250BSDITR-ND	83.82/M
22	5.6	29	MMSZ5251BSDICT-ND	.40	2.91	20.49	MMSZ5251BSDITR-ND	83.82/M
24	5.2	33	MMSZ5252BSDICT-ND	.40	2.91	20.49	—	—
27	5.0	41	MMSZ5254BSDICT-ND	.40	2.91	20.49	—	—
28	4.5	44	MMSZ5255BSDICT-ND	.40	2.91	20.49	—	—
30	4.2	49	MMSZ5256BSDICT-ND	.40	2.91	20.49	—	—
33	3.8	58	MMSZ5257BSDICT-ND	.40	2.91	20.49	—	—
36	3.4	70	MMSZ5258BSDICT-ND	.40	2.91	20.49	—	—
39	3.2	80	MMSZ5259BSDICT-ND	.40	2.91	20.49	—	—
Serie DDZ								
5.6	20	11	DDZ5V6BSDICT-ND	.40	2.91	20.49	DDZ5V6BSDITR-ND	83.82/M
6.8	.05	—	DDZ9692SDICT-ND	.40	2.91	20.49	DDZ9692SDITR-ND	83.82/M
6.8	20	5	DDZ6V8CSDICT-ND	.40	2.91	20.49	DDZ6V8CSDITR-ND	83.82/M
7.5	.05	—	DDZ9693SDICT-ND	.40	2.91	20.49	DDZ9693SDITR-ND	83.82/M
7.5	20	6	DDZ7V5CSDICT-ND	.40	2.91	20.49	DDZ7V5CSDITR-ND	83.82/M
8.2	.05	—	DDZ9694SDICT-ND	.40	2.91	20.49	DDZ9694SDITR-ND	83.82/M
9.1	20	8	DDZ9V1CSDICT-ND	.40	2.91	20.49	DDZ9V1CSDITR-ND	83.82/M
10	.05	—	DDZ9697SDICT-ND	.40	2.91	20.49	DDZ9697SDITR-ND	83.82/M
12	.05	—	DDZ9699SDICT-ND	.40	2.91	20.49	DDZ9699SDITR-ND	83.82/M
13	10	14	DDZ13BSDICT-ND	.40	2.91	20.49	DDZ13BSDITR-ND	83.82/M
15	.05	—	DDZ9702SDICT-ND	.40	2.91	20.49	DDZ9702SDITR-ND	83.82/M
18	.05	—	DDZ9705SDICT-ND	.40	2.91	20.49	DDZ9705SDITR-ND	83.82/M
18	10	23	DDZ18CSDICT-ND	.40	2.91	20.49	DDZ18CSDITR-ND	83.82/M
20	.05	—	DDZ9707SDICT-ND	.40	2.91	20.49	DDZ9707SDITR-ND	83.82/M
20	10	28	DDZ20CSDICT-ND	.40	2.91	20.49	DDZ20CSDITR-ND	83.82/M
24	.05	—	DDZ9709SDICT-ND	.40	2.91	20.49	DDZ9709SDITR-ND	83.82/M
24	5	35	DDZ24CSDICT-ND	.40	2.91	20.49	DDZ24CSDITR-ND	83.82/M
27	.05	—	DDZ9711SDICT-ND	.40	2.91	20.49	DDZ9711SDITR-ND	83.82/M

◊ Bleifrei/RoHS-konform

MELF (DL-41) Zener-Dioden, Oberflächenmontage — 1 W

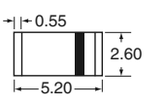

Nominale Zener-Spannung VZ @ IZT	Test-strom IZT (mA)	Max. dynamische Impedanz ZZT IZT	Digi-Key Teilenr.	Gurtabschnittspreise 10	100	1.000	Digi-Key Teilenr.	Gegurtet auf Rolle 5.000
4.3	58	9.0	ZM4731ADICT-ND	3.39	24.38	71.11	ZM4731ADITR-ND	108.37/M
4.7	53	8.0	ZM4732ADICT-ND	3.39	24.38	71.11	ZM4732ADITR-ND	108.37/M
7.5	34	4.0	ZM4737ADICT-ND	3.39	24.38	71.11	—	—
10	25	7.0	ZM4740ADICT-ND	3.39	24.38	71.11	—	—
11	23	8	ZM4741ADICT-ND	3.39	24.38	71.11	—	—
13	19	10	ZM4743ADICT-ND	3.39	24.38	71.11	—	—
15	17	14	ZM4744ADICT-ND	3.39	24.38	71.11	—	—
22	11.5	23	ZM4748ADICT-ND	3.39	24.38	71.11	—	—
27	9.5	35	ZM4750ADICT-ND	3.39	24.38	71.11	—	—
39	6.5	60	ZM4754ADICT-ND	3.39	24.38	71.11	ZM4754ADITR-ND	108.37/M
43	6.0	70	ZM4755ADICT-ND	3.39	24.38	71.11	—	—
75	3.3	175	ZM4761ADICT-ND	3.39	24.38	71.11	ZM4761ADITR-ND	108.37/M
91	2.8	250	ZM4763ADICT-ND	3.39	24.38	71.11	ZM4763ADITR-ND	108.37/M
100	2.5	350	ZM4764ADICT-ND	3.39	24.38	71.11	—	—

(Forts.)

Alle Preisangaben in Euro und inklusive Zollgebühren.

Zener-Dioden *(Forts.)*

MiniMELF (DL-35) Zener-Dioden, Oberflächenmontage — 500 mW

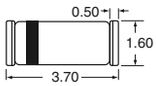

Nominale Zener-Spannung VZ @ IZT	Test-strom IZT (mA)	Max. dynamische Impedanz ZZT IZT	Digi-Key Teilenr.	Gurtabschnittspreise 10	100	1.000	Digi-Key Teilenr.	Gegurtet auf Rolle 2.500
3.0	20	29	ZMM5225BDICT-ND	2.10	14.53	64.26	ZMM5225BDITR-ND	55.88/M
3.3	20	28	ZMM5226BDICT-ND	2.10	14.53	64.26	ZMM5226BDITR-ND	55.88/M
3.6	20	24	ZMM5227BDICT-ND	2.10	14.53	64.26	ZMM5227BDITR-ND	55.88/M
3.9	20	23	ZMM5228BDICT-ND	2.10	14.53	64.26	ZMM5228BDITR-ND	55.88/M
4.3	20	22	ZMM5229BDICT-ND	2.10	14.53	64.26	ZMM5229BDITR-ND	55.88/M
4.7	20	19	ZMM5230BDICT-ND	2.10	14.53	64.26	ZMM5230BDITR-ND	55.88/M
5.1	20	17	ZMM5231BDICT-ND	2.10	14.53	64.26	ZMM5231BDITR-ND	55.88/M
5.6	20	11	ZMM5232BDICT-ND	2.10	14.53	64.26	ZMM5232BDITR-ND	55.88/M
6.0	20	7	ZMM5233BDICT-ND	2.10	14.53	64.26	ZMM5233BDITR-ND	55.88/M
6.2	20	7	ZMM5234BDICT-ND	2.10	14.53	64.26	ZMM5234BDITR-ND	55.88/M
6.8	20	5	ZMM5235BDICT-ND	2.10	14.53	64.26	ZMM5235BDITR-ND	55.88/M
7.5	20	6	ZMM5236BDICT-ND	2.10	14.53	64.26	ZMM5236BDITR-ND	55.88/M
8.2	20	8	ZMM5237BDICT-ND	2.10	14.53	64.26	ZMM5237BDITR-ND	55.88/M
8.7	20	8	ZMM5238BDICT-ND	2.10	14.53	64.26	ZMM5238BDITR-ND	55.88/M
9.1	20	10	ZMM5239BDICT-ND	2.10	14.53	64.26	ZMM5239BDITR-ND	55.88/M
10	20	17	ZMM5240BDICT-ND	2.10	14.53	64.26	ZMM5240BDITR-ND	55.88/M
11	20	22	ZMM5241BDICT-ND	2.10	14.53	64.26	ZMM5241BDITR-ND	55.88/M
12	20	30	ZMM5242BDICT-ND	2.10	14.53	64.26	ZMM5242BDITR-ND	55.88/M
13	9.5	13	ZMM5243BDICT-ND	2.10	14.53	64.26	ZMM5243BDITR-ND	55.88/M
14	9.0	15	ZMM5244BDICT-ND	2.10	14.53	64.26	ZMM5244BDITR-ND	55.88/M
15	8.5	16	ZMM5245BDICT-ND	2.10	14.53	64.26	ZMM5245BDITR-ND	55.88/M
16	7.8	17	ZMM5246BDICT-ND	2.10	14.53	64.26	ZMM5246BDITR-ND	55.88/M
17	7.4	19	ZMM5247BDICT-ND	2.10	14.53	64.26	ZMM5247BDITR-ND	55.88/M
18	7.0	21	ZMM5248BDICT-ND	2.10	14.53	64.26	ZMM5248BDITR-ND	55.88/M
19	6.6	23	ZMM5249BDICT-ND	2.10	14.53	64.26	ZMM5249BDITR-ND	55.88/M
20	6.2	25	ZMM5250BDICT-ND	2.10	14.53	64.26	ZMM5250BDITR-ND	55.88/M
22	5.6	29	ZMM5251BDICT-ND	2.10	14.53	64.26	ZMM5251BDITR-ND	55.88/M
24	5.2	33	ZMM5252BDICT-ND	2.10	14.53	64.26	ZMM5252BDITR-ND	55.88/M
25	5.0	35	ZMM5253BDICT-ND	2.10	14.53	64.26	ZMM5253BDITR-ND	55.88/M
27	4.6	41	ZMM5254BDICT-ND	2.10	14.53	64.26	ZMM5254BDITR-ND	55.88/M
28	4.5	44	ZMM5255BDICT-ND	2.10	14.53	64.26	ZMM5255BDITR-ND	55.88/M
30	4.2	49	ZMM5256BDICT-ND	2.10	14.53	64.26	ZMM5256BDITR-ND	55.88/M
33	3.8	58	ZMM5257BDICT-ND	2.10	14.53	64.26	ZMM5257BDITR-ND	55.88/M
36	3.4	70	ZMM5258BDICT-ND	2.10	14.53	64.26	ZMM5258BDITR-ND	55.88/M
39	3.2	80	ZMM5259BDICT-ND	2.10	14.53	64.26	ZMM5259BDITR-ND	55.88/M
43	3.0	93	ZMM5260BDICT-ND	2.10	14.53	64.26	ZMM5260BDITR-ND	55.88/M
47	2.7	105	ZMM5261BDICT-ND	2.10	14.53	64.26	ZMM5261BDITR-ND	55.88/M
51	2.5	125	ZMM5262BDICT-ND	2.10	14.53	64.26	ZMM5262BDITR-ND	55.88/M
62	2.0	185	ZMM5265BDICT-ND	2.10	14.53	64.26	ZMM5265BDITR-ND	55.88/M
68	1.8	230	ZMM5266BDICT-ND	2.10	14.53	64.26	ZMM5266BDITR-ND	55.88/M

SOT-23 Zener-Dioden, Oberflächenmontage — 300 mW

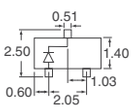

Nominale Zener-Spannung VZ @ IZT	Test-strom IZT (mA)	Max. dynamische Impedanz ZZT IZT	Digi-Key Teilenr.	Gurtabschnittspreise 1	10	100	Digi-Key Teilenr.	Gegurtet auf Rolle 3.000
5.6	20	11	DDZX5V6BDICT-ND	.37	2.54	17.61	DDZX5V6BDITR-ND	67.73/M
6.2	20	7	DDZX6V2BDICT-ND	.37	2.54	17.61	DDZX6V2BDITR-ND	67.73/M
6.8	20	5	DDZX6V8CDICT-ND	.37	2.54	17.61	DDZX6V8CDITR-ND	67.73/M
7.5	20	6	DDZX7V5CDICT-ND	.37	2.54	17.61	DDZX7V5CDITR-ND	67.73/M
9.1	20	8	DDZX9V1CDICT-ND	.37	2.54	17.61	DDZX9V1CDITR-ND	67.73/M
12	10	12	DDZX12CDICT-ND	.37	2.54	17.61	DDZX12CDITR-ND	67.73/M
13	10	14	DDZX13BDICT-ND	.37	2.54	17.61	DDZX13BDITR-ND	67.73/M
18	10	23	DDZX18CDICT-ND	.37	2.54	17.61	DDZX18CDITR-ND	67.73/M
20	10	28	DDZX20CDICT-ND	.37	2.54	17.61	DDZX20CDITR-ND	67.73/M
24	5	35	DDZX24CDICT-ND	.37	2.54	17.61	DDZX24CDITR-ND	67.73/M

SOT-23 Zener-Dioden, zweifache Oberflächenmontage — 300 mW

Gemeinsame Anode

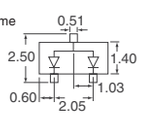

Gemeinsame Kathode

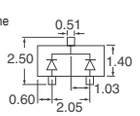

Nominale Zener-Spannung VZ @ IZT	Test-strom IZT (mA)	Max. dynamische Impedanz ZZT IZT	Digi-Key Teilenr.	Gurtabschnittspreise 1	10	100	Digi-Key Teilenr.	Gegurtet auf Rolle 3.000
Gemeinsame Anode								
3.0	5.0	95	AZ23C3V0DICT-ND	.42	3.39	25.40	AZ23C3V0DITR-ND	126.99/M
3.9	5.0	95	AZ23C3V9DICT-ND	.42	3.39	25.40	AZ23C3V9DITR-ND	126.99/M
4.7	5.0	78	AZ23C4V7DICT-ND	.42	3.39	25.40	AZ23C4V7DITR-ND	126.99/M
5.1	5.0	60	AZ23C5V1DICT-ND	.42	3.39	25.40	AZ23C5V1DITR-ND	126.99/M
5.1	5.0	60	AZ23C5V1-FDICT-ND◊	.42	3.39	25.40	AZ23C5V1-FDITR-ND◊	126.99/M
5.6	5.0	40	AZ23C5V6-FDICT-ND◊	.42	3.39	25.40	AZ23C5V6-FDITR-ND◊	126.99/M
6.2	5.0	10	AZ23C6V2DICT-ND	.42	3.39	25.40	AZ23C6V2DITR-ND	126.99/M
6.8	5.0	8.0	AZ23C6V8DICT-ND	.42	3.39	25.40	—	—
6.8	5.0	8.0	AZ23C6V8-FDICT-ND◊	.42	3.39	25.40	AZ23C6V8-FDITR-ND◊	126.99/M
10	5.0	15	AZ23C10DICT-ND	.42	3.39	25.40	AZ23C10DITR-ND	126.99/M
11	5.0	20	AZ23C11DICT-ND	.42	3.39	25.40	AZ23C11DITR-ND	126.99/M
12	5.0	20	AZ23C12DICT-ND	.42	3.39	25.40	AZ23C12DITR-ND	126.99/M
15	5.0	30	AZ23C15DICT-ND	.42	3.39	25.40	AZ23C15DITR-ND	126.99/M
16	5.0	40	AZ23C16DICT-ND	.42	3.39	25.40	AZ23C16DITR-ND	126.99/M
18	5.0	50	AZ23C18DICT-ND	.42	3.39	25.40	—	—
18	5.0	50	AZ23C18-FDICT-ND◊	.42	3.39	25.40	AZ23C18-FDITR-ND◊	126.99/M
20	5.0	50	AZ23C20DICT-ND	.42	3.39	25.40	AZ23C20DITR-ND	126.99/M
20	5.0	50	AZ23C20-FDICT-ND◊	.42	3.39	25.40	AZ23C20-FDITR-ND◊	126.99/M
27	5.0	80	AZ23C27DICT-ND	.42	3.39	25.40	AZ23C27DITR-ND	126.99/M
30	5.0	80	AZ23C30-FDICT-ND◊	.42	3.39	25.40	AZ23C30-FDITR-ND◊	126.99/M
36	5.0	90	AZ23C36DICT-ND	.42	3.39	25.40	AZ23C36DITR-ND	126.99/M
51	5.0	100	AZ23C51DICT-ND	.42	3.39	25.40	AZ23C51DITR-ND	126.99/M
Gemeinsame Kathode								
3.0	5.0	95	DZ23C3V0DICT-ND	.38	3.05	22.86	DZ23C3V0DITR-ND	114.29/M
3.3	5.0	95	DZ23C3V3DICT-ND	.38	3.05	22.86	DZ23C3V3DITR-ND	114.29/M
3.6	5.0	95	DZ23C3V6DICT-ND	.38	3.05	22.86	DZ23C3V6DITR-ND	114.29/M
3.9	5.0	95	DZ23C3V9DICT-ND	.38	3.05	22.86	DZ23C3V9DITR-ND	114.29/M
4.3	5.0	95	DZ23C4V3DICT-ND	.38	3.05	22.86	DZ23C4V3DITR-ND	114.29/M
5.1	5.0	60	DZ23C5V1DICT-ND	.38	3.05	22.86	DZ23C5V1DITR-ND	114.29/M
5.6	5.0	40	DZ23C5V6DICT-ND	.38	3.05	22.86	DZ23C5V6DITR-ND	114.29/M
6.2	5.0	10	DZ23C6V2DICT-ND	.38	3.05	22.86	DZ23C6V2DITR-ND	114.29/M
6.8	5.0	8.0	DZ23C6V8DICT-ND	.38	3.05	22.86	DZ23C6V8DITR-ND	114.29/M
7.5	5.0	7.0	DZ23C7V5DICT-ND	.38	3.05	22.86	—	—
8.2	5.0	7.0	DZ23C8V2DICT-ND	.38	3.05	22.86	DZ23C8V2DITR-ND	114.29/M
9.1	5.0	10	DZ23C9V1DICT-ND	.38	3.05	22.86	DZ23C9V1DITR-ND	114.29/M
10	5.0	15	DZ23C10DICT-ND	.38	3.05	22.86	DZ23C10DITR-ND	114.29/M
11	5.0	20	DZ23C11DICT-ND	.38	3.05	22.86	DZ23C11DITR-ND	114.29/M
12	5.0	20	DZ23C12DICT-ND	.38	3.05	22.86	DZ23C12DITR-ND	114.29/M
13	5.0	25	DZ23C13DICT-ND	.38	3.05	22.86	DZ23C13DITR-ND	114.29/M
15	5.0	30	DZ23C15DICT-ND	.38	3.05	22.86	DZ23C15DITR-ND	114.29/M
18	5.0	50	DZ23C18-FDICT-ND◊	.38	3.05	22.86	DZ23C18-FDITR-ND◊	114.29/M
22	5.0	55	DZ23C22DICT-ND	.38	3.05	22.86	DZ23C22DITR-ND	114.29/M
27	5.0	80	DZ23C27DICT-ND	.38	3.05	22.86	DZ23C27DITR-ND	114.29/M
30	5.0	80	DZ23C30DICT-ND	.38	3.05	22.86	DZ23C30DITR-ND	114.29/M
33	5.0	80	DZ23C33-FDICT-ND◊	.38	3.05	22.86	DZ23C33-FDITR-ND◊	114.29/M
36	5.0	90	DZ23C36DICT-ND	.38	3.05	22.86	DZ23C36DITR-ND	114.29/M
43	5.0	100	DZ23C43DICT-ND	.38	3.05	22.86	DZ23C43DITR-ND	114.29/M

◊ Bleifrei/RoHS-konform

SOT-23 Zener-Dioden, Oberflächenmontage — 350 mW

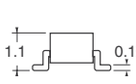

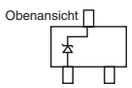

Nominale Zener-Spannung VZ @ IZT	Test-strom IZT (mA)	Max. dynamische Impedanz ZZT IZT	Digi-Key Teilenr.	Gurtabschnittspreise 1	10	100	Digi-Key Teilenr.	Gegurtet auf Rolle 3.000
Serie BZX								
2.4	5.0	100	BZX84C2V4DICT-ND	.37	2.54	17.61	BZX84C2V4DITR-ND	67.73/M
2.7	5.0	100	BZX84C2V7DICT-ND	.37	2.54	17.61	BZX84C2V7DITR-ND	67.73/M
2.7	5.0	100	BZX84C2V7-FDICT-ND◊	.37	2.54	17.61	BZX84C2V7-FDITR-ND◊	67.73/M
3.0	5.0	95	BZX84C3V0DICT-ND	.37	2.54	17.61	BZX84C3V0DITR-ND	67.73/M
3.0	5.0	95	BZX84C3V0-FDICT-ND◊	.37	2.54	17.61	BZX84C3V0-FDITR-ND◊	67.73/M
3.3	5.0	95	BZX84C3V3DICT-ND•	.37	2.54	17.61	—	—
3.6	5.0	90	BZX84C3V6DICT-ND	.37	2.54	17.61	BZX84C3V6DITR-ND	67.73/M
3.9	5.0	90	BZX84C3V9DICT-ND•	.37	2.54	17.61	—	—
4.3	5.0	90	BZX84C4V3DICT-ND	.37	2.54	17.61	BZX84C4V3DITR-ND	67.73/M
4.7	5.0	80	BZX84C4V7DICT-ND	.37	2.54	17.61	BZX84C4V7DITR-ND	67.73/M
5.1	5.0	60	BZX84C5V1DICT-ND•	.37	2.54	17.61	BZX84C5V1DITR-ND	67.73/M
5.6	5.0	40	BZX84C5V6DICT-ND•	.37	2.54	17.61	BZX84C5V6DITR-ND	67.73/M
6.2	5.0	10	BZX84C6V2DICT-ND•	.37	2.54	17.61	BZX84C6V2DITR-ND	67.73/M
6.2	5.0	10	BZX84C6V2-FDICT-ND◊	.37	2.54	17.61	BZX84C6V2-FDITR-ND◊	67.73/M
6.8	5.0	15	BZX84C6V8DICT-ND•	.37	2.54	17.61	BZX84C6V8DITR-ND	67.73/M
7.5	5.0	15	BZX84C7V5DICT-ND	.37	2.54	17.61	BZX84C7V5DITR-ND	67.73/M
7.5	5.0	15	BZX84C7V5-FDICT-ND◊	.37	2.54	17.61	BZX84C7V5-FDITR-ND◊	67.73/M
8.2	5.0	15	BZX84C8V2DICT-ND	.37	2.54	17.61	BZX84C8V2DITR-ND	67.73/M
8.2	5.0	15	BZX84C8V2-FDICT-ND◊	.37	2.54	17.61	BZX84C8V2-FDITR-ND◊	67.73/M
9.1	5.0	15	BZX84C9V1DICT-ND•	.37	2.54	17.61	BZX84C9V1DITR-ND	67.73/M
9.1	5.0	15	BZX84C9V1-FDICT-ND◊	.37	2.54	17.61	BZX84C9V1-FDITR-ND◊	67.73/M
10	5.0	20	BZX84C10DICT-ND•	.37	2.54	17.61	BZX84C10DITR-ND	67.73/M
11	5.0	20	BZX84C11DICT-ND	.37	2.54	17.61	BZX84C11DITR-ND	67.73/M
11	5.0	20	BZX84C11-FDICT-ND◊	.37	2.54	17.61	BZX84C11-FDITR-ND◊	67.73/M
12	5.0	25	BZX84C12DICT-ND•	.37	2.54	17.61	BZX84C12DITR-ND	67.73/M
12	5.0	25	BZX84C12-FDICT-ND◊	.37	2.54	17.61	BZX84C12-FDITR-ND◊	67.73/M
13	5.0	30	BZX84C13DICT-ND	.37	2.54	17.61	BZX84C13DITR-ND	67.73/M
15	5.0	30	BZX84C15DICT-ND•	.37	2.54	17.61	BZX84C15DITR-ND	67.73/M
16	5.0	40	BZX84C16DICT-ND	.37	2.54	17.61	BZX84C16DITR-ND	67.73/M
16	5.0	40	BZX84C16-FDICT-ND◊	.37	2.54	17.61	BZX84C16-FDITR-ND◊	67.73/M
18	5.0	45	BZX84C18DICT-ND•	.37	2.54	17.61	BZX84C18DITR-ND	67.73/M
20	5.0	55	BZX84C20DICT-ND•	.37	2.54	17.61	BZX84C20DITR-ND	67.73/M
22	5.0	55	BZX84C22DICT-ND	.37	2.54	17.61	—	—
22	5.0	55	BZX84C22-FDICT-ND◊	.37	2.54	17.61	BZX84C22-FDITR-ND◊	67.73/M
24	5.0	70	BZX84C24DICT-ND•	.37	2.54	17.61	BZX84C24DITR-ND	67.73/M
24	5.0	70	BZX84C24-FDICT-ND◊	.37	2.54	17.61	BZX84C24-FDITR-ND◊	67.73/M
27	2.0	80	BZX84C27DICT-ND	.37	2.54	17.61	BZX84C27DITR-ND	67.73/M
30	2.0	80	BZX84C30DICT-ND•	.37	2.54	17.61	BZX84C30DITR-ND	67.73/M
30	2.0	80	BZX84C30-FDICT-ND◊	.37	2.54	17.61	BZX84C30-FDITR-ND◊	67.73/M
33	2.0	80	BZX84C33DICT-ND•	.37	2.54	17.61	BZX84C33DITR-ND	67.73/M
36	2.0	90	BZX84C36DICT-ND•	.37	2.54	17.61	—	—
39	2.0	130	BZX84C39DICT-ND•	.37	2.54	17.61	BZX84C39DITR-ND	67.73/M
43	2.0	150	BZX84C43DICT-ND	.37	2.54	17.61	BZX84C43DITR-ND	67.73/M
47	2.0	170	BZX84C47DICT-ND•	.37	2.54	17.61	BZX84C47DITR-ND	67.73/M
51	2.0	180	BZX84C51DICT-ND	.37	2.54	17.61	BZX84C51DITR-ND	67.73/M
Serie MMBZ								
2.4	20	30	MMBZ5221BDICT-ND	.37	2.54	17.61	MMBZ5221BDITR-ND	67.73/M
3.3	20	28	MMBZ5226BDICT-ND	.37	2.54	17.61	MMBZ5226BDITR-ND	67.73/M

• **BZX2-KIT-ND** ***Digi-Key® SMD-Zener-Diodenkit*** Jeweils 10 der angegebenen Werte (insgesamt 180 Stück) **20.14**

◊ Bleifrei/RoHS-konform *(Forts.)*

B

Zener-Dioden *(Forts.)*

SOT-23 Zener-Dioden, Oberflächenmontage — 350 mW *(Forts.)*

Nominale Zener-Spannung VZ @ IZT	Test-strom IZT (mA)	Max. dynamische Impedanz ZZT IZT	Digi-Key Teilenr.	Gurtabschnittspreise 1	10	100	Digi-Key Teilenr.	Gegurtet auf Rolle 3.000
3.3	20	28	MMBZ5226B-FDICT-ND◊	.37	2.54	17.61	MMBZ5226B-FDITR-ND◊	67.73/M
3.6	20	24	MMBZ5227BDICT-ND	.37	2.54	17.61	MMBZ5227BDITR-ND	67.73/M
3.9	20	23	MMBZ5228BDICT-ND	.37	2.54	17.61	MMBZ5228BDITR-ND	67.73/M
4.3	20	22	MMBZ5229BDICT-ND	.37	2.54	17.61	MMBZ5229BDITR-ND	67.73/M
4.7	20	19	MMBZ5230BDICT-ND	.37	2.54	17.61	MMBZ5230BDITR-ND	67.73/M
5.1	20	17	MMBZ5231BDICT-ND	.37	2.54	17.61	MMBZ5231BDITR-ND	67.73/M
5.1	20	17	MMBZ5231B-FDICT-ND◊	.37	2.54	17.61	MMBZ5231B-FDITR-ND◊	67.73/M
5.6	20	11	MMBZ5232BDICT-ND	.37	2.54	17.61	MMBZ5232BDITR-ND	67.73/M
6.2	20	7	MMBZ5234BDICT-ND	.37	2.54	17.61	MMBZ5234BDITR-ND	67.73/M
6.8	20	5	MMBZ5235BDICT-ND	.37	2.54	17.61	MMBZ5235BDITR-ND	67.73/M
7.5	20	6	MMBZ5236BDICT-ND	.37	2.54	17.61	MMBZ5236BDITR-ND	67.73/M
8.2	20	8	MMBZ5237BDICT-ND	.37	2.54	17.61	MMBZ5237BDITR-ND	67.73/M
9.1	20	10	MMBZ5239BDICT-ND	.37	2.54	17.61	MMBZ5239BDITR-ND	67.73/M
10	20	17	MMBZ5240BDICT-ND	.37	2.54	17.61	MMBZ5240BDITR-ND	67.73/M
12	20	30	MMBZ5242BDICT-ND	.37	2.54	17.61	MMBZ5242BDITR-ND	67.73/M
13	9.5	13	MMBZ5243BDICT-ND	.37	2.54	17.61	MMBZ5243BDITR-ND	67.73/M
15	8.5	16	MMBZ5245BDICT-ND	.37	2.54	17.61	MMBZ5245BDITR-ND	67.73/M
16	7.8	17	MMBZ5246BDICT-ND	.37	2.54	17.61	MMBZ5246BDITR-ND	67.73/M
16	7.8	17	MMBZ5246B-FDICT-ND◊	.37	2.54	17.61	MMBZ5246B-FDITR-ND◊	67.73/M
18	7.0	21	MMBZ5248BDICT-ND	.37	2.54	17.61	MMBZ5248BDITR-ND	67.73/M
24	5.2	33	MMBZ5252BDICT-ND	.37	2.54	17.61	MMBZ5252BDITR-ND	67.73/M
27	5.0	41	MMBZ5254BDICT-ND	.37	2.54	17.61	MMBZ5254BDITR-ND	67.73/M
28	4.5	44	MMBZ5255BDICT-ND	.37	2.54	17.61	MMBZ5255BDITR-ND	67.73/M
30	4.2	49	MMBZ5256BDICT-ND	.37	2.54	17.61	MMBZ5256BDITR-ND	67.73/M
33	3.8	58	MMBZ5257BDICT-ND	.37	2.54	17.61	MMBZ5257BDITR-ND	67.73/M
36	3.4	70	MMBZ5258BDICT-ND	.37	2.54	17.61	MMBZ5258BDITR-ND	67.73/M

◊ Bleifrei/RoHS-konform

SOT-323 Zener-Dioden, Oberflächenmontage — 200 mW

Nominale Zener-Spannung VZ @ IZT	Test-strom IZT (mA)	Max. dynamische Impedanz ZZT IZT	Digi-Key Teilenr.	Gurtabschnittspreise 10	100	1.000	Digi-Key Teilenr.	Gegurtet auf Rolle 3.000
Serie BZX								
2.4	5.0	100	BZX84C2V4WDICT-ND	2.38	16.76	76.19	BZX84C2V4WDITR-ND	68.58/M
2.7	5.0	100	BZX84C2V7WDICT-ND	2.38	16.76	76.19	BZX84C2V7WDITR-ND	68.58/M
3.0	5.0	95	BZX84C3V0WDICT-ND	2.38	16.76	76.19	BZX84C3V0WDITR-ND	68.58/M
3.3	5.0	95	BZX84C3V3WDICT-ND	2.38	16.76	76.19	BZX84C3V3WDITR-ND	68.58/M
3.6	5.0	90	BZX84C3V6WDICT-ND	2.38	16.76	76.19	BZX84C3V6WDITR-ND	68.58/M
3.9	5.0	90	BZX84C3V9WDICT-ND	2.38	16.76	76.19	—	—
4.7	5.0	80	BZX84C4V7WDICT-ND	2.38	16.76	76.19	BZX84C4V7WDITR-ND	68.58/M
5.1	5.0	60	BZX84C5V1WDICT-ND	2.38	16.76	76.19	BZX84C5V1WDITR-ND	68.58/M
6.2	5.0	10	BZX84C6V2WDICT-ND	2.38	16.76	76.19	BZX84C6V2WDITR-ND	68.58/M
6.8	5.0	15	BZX84C6V8WDICT-ND	2.38	16.76	76.19	BZX84C6V8WDITR-ND	68.58/M
7.5	5.0	15	BZX84C7V5WDICT-ND	2.38	16.76	76.19	—	—
8.2	5.0	15	BZX84C8V2WDICT-ND	2.38	16.76	76.19	BZX84C8V2WDITR-ND	68.58/M
10	5.0	20	BZX84C10WDICT-ND	2.38	16.76	76.19	BZX84C10WDITR-ND	68.58/M
11	5.0	20	BZX84C11WDICT-ND	2.38	16.76	76.19	—	—
12	5.0	25	BZX84C12WDICT-ND	2.38	16.76	76.19	BZX84C12WDITR-ND	68.58/M
18	5.0	45	BZX84C18WDICT-ND	2.38	16.76	76.19	BZX84C18WDITR-ND	68.58/M
20	5.0	55	BZX84C20WDICT-ND	2.38	16.76	76.19	BZX84C20WDITR-ND	68.58/M
22	5.0	55	BZX84C22W-FDICT-ND◊	2.38	16.76	76.19	BZX84C22W-FDITR-ND◊	68.58/M
24	5.0	70	BZX84C24WDICT-ND	2.38	16.76	76.19	—	—
27	2.0	80	BZX84C27WDICT-ND	2.38	16.76	76.19	BZX84C27WDITR-ND	68.58/M
30.0	2.0	80	BZX84C30WDICT-ND	2.38	16.76	76.19	BZX84C30WDITR-ND	68.58/M
33.0	2.0	80	BZX84C33WDICT-ND	2.38	16.76	76.19	BZX84C33WDITR-ND	68.58/M
36.0	2.0	90	BZX84C36WDICT-ND	2.38	16.76	76.19	—	—
39.0	2.0	130	BZX84C39WDICT-ND	2.38	16.76	76.19	BZX84C39WDITR-ND	68.58/M
Serie MMBZ								
2.4	20	30	MMBZ5221BWDICT-ND	2.38	16.76	76.19	MMBZ5221BWDITR-ND	68.58/M
3.0	20	30	MMBZ5225BWDICT-ND	2.38	16.76	76.19	MMBZ5225BWDITR-ND	68.58/M
3.6	20	24	MMBZ5227BWDICT-ND	2.38	16.76	76.19	MMBZ5227BWDITR-ND	68.58/M
3.9	20	23	MMBZ5228BWDICT-ND	2.38	16.76	76.19	—	—
4.7	20	19	MMBZ5230BWDICT-ND	2.38	16.76	76.19	MMBZ5230BWDITR-ND	68.58/M
5.1	20	17	MMBZ5231BWDICT-ND	2.38	16.76	76.19	MMBZ5231BWDITR-ND	68.58/M
5.6	20	11	MMBZ5232BWDICT-ND	2.38	16.76	76.19	MMBZ5232BWDITR-ND	68.58/M
6.2	20	7.0	MMBZ5234BWDICT-ND	2.38	16.76	76.19	MMBZ5234BWDITR-ND	68.58/M
6.8	20	5.0	MMBZ5235BWDICT-ND	2.38	16.76	76.19	MMBZ5235BWDITR-ND	68.58/M
7.5	20	6.0	MMBZ5236BWDICT-ND	2.38	16.76	76.19	MMBZ5236BWDITR-ND	68.58/M
8.2	20	8.0	MMBZ5237BWDICT-ND	2.38	16.76	76.19	—	—
9.1	20	10	MMBZ5239BWDICT-ND	2.38	16.76	76.19	—	—
9.1	20	10	MMBZ5239BW-FDICT-ND◊	2.38	16.76	76.19	MMBZ5239BW-FDITR-ND◊	68.58/M
11	20	22	MMBZ5241BWDICT-ND	2.38	16.76	76.19	MMBZ5241BWDITR-ND	68.58/M
13	9.5	13	MMBZ5243BWDICT-ND	2.38	16.76	76.19	—	—
15	8.5	16	MMBZ5245BWDICT-ND	2.38	16.76	76.19	—	—
18	7.0	21	MMBZ5248BWDICT-ND	2.38	16.76	76.19	—	—
20	6.2	25	MMBZ5250BWDICT-ND	2.38	16.76	76.19	MMBZ5250BWDITR-ND	68.58/M
22	5.6	29	MMBZ5251BWDICT-ND	2.38	16.76	76.19	MMBZ5251BWDITR-ND	68.58/M
24	5.2	33	MMBZ5252BWDICT-ND	2.38	16.76	76.19	MMBZ5252BWDITR-ND	68.58/M
27	5.0	41	MMBZ5254BWDICT-ND	2.38	16.76	76.19	MMBZ5254BWDITR-ND	68.58/M
28	4.5	44	MMBZ5255BWDICT-ND	2.38	16.76	76.19	MMBZ5255BWDITR-ND	68.58/M
36	3.4	70	MMBZ5258BWDICT-ND	2.38	16.76	76.19	—	—
39	3.2	80	MMBZ5259BWDICT-ND	2.38	16.76	76.19	MMBZ5259BWDITR-ND	68.58/M

◊ Bleifrei/RoHS-konform

SOT-363 Zener-Dioden, isoliert, zweifache Oberflächenmontage — 200 mW

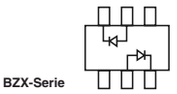

Nominale Zener-Spannung VZ @ IZT	Test-strom IZT (mA)	Max. dynamische Impedanz ZZT IZT	Digi-Key Teilenr.	Gurtabschnittspreise 10	100	1.000	Digi-Key Teilenr.	Gegurtet auf Rolle 3.000
Serie BZX								
2.4	5.0	100	BZX84C2V4SDICT-ND	2.65	18.63	84.66	—	—
2.7	5.0	100	BZX84C2V7SDICT-ND	2.65	18.63	84.66	BZX84C2V7SDITR-ND	76.20/M
3.3	5.0	95	BZX84C3V3SDICT-ND	2.65	18.63	84.66	BZX84C3V3SDITR-ND	76.20/M
3.6	5.0	90	BZX84C3V6SDICT-ND	2.65	18.63	84.66	BZX84C3V6SDITR-ND	76.20/M
3.9	5.0	90	BZX84C3V9SDICT-ND	2.65	18.63	84.66	—	—
4.3	5.0	90	BZX84C4V3SDICT-ND	2.65	18.63	84.66	BZX84C4V3SDITR-ND	76.20/M
4.7	5.0	80	BZX84C4V7SDICT-ND	2.65	18.63	84.66	BZX84C4V7SDITR-ND	76.20/M
5.1	5.0	60	BZX84C5V1SDICT-ND	2.65	18.63	84.66	—	—
5.1	5.0	60	BZX84C5V1S-FDICT-ND◊	2.65	18.63	84.66	BZX84C5V1S-FDITR-ND◊	76.20/M
6.2	5.0	10	BZX84C6V2SDICT-ND	2.65	18.63	84.66	—	—
6.8	5.0	15	BZX84C6V8SDICT-ND	2.65	18.63	84.66	—	—
7.5	5.0	15	BZX84C7V5SDICT-ND	2.65	18.63	84.66	BZX84C7V5SDITR-ND	76.20/M
8.2	5.0	15	BZX84C8V2SDICT-ND	2.65	18.63	84.66	BZX84C8V2SDITR-ND	76.20/M
9.1	5.0	15	BZX84C9V1SDICT-ND	2.65	18.63	84.66	BZX84C9V1SDITR-ND	76.20/M
11	5.0	20	BZX84C11SDICT-ND	2.65	18.63	84.66	BZX84C11SDITR-ND	76.20/M
12	5.0	25	BZX84C12SDICT-ND	2.65	18.63	84.66	—	—
15	5.0	30	BZX84C15SDICT-ND	2.65	18.63	84.66	—	—
18	5.0	45	BZX84C18SDICT-ND	2.65	18.63	84.66	BZX84C18SDITR-ND	76.20/M
20	5.0	55	BZX84C20SDICT-ND	2.65	18.63	84.66	BZX84C20SDITR-ND	76.20/M
22	5.0	55	BZX84C22SDICT-ND	2.65	18.63	84.66	BZX84C22SDITR-ND	76.20/M
24	5.0	70	BZX84C24SDICT-ND	2.65	18.63	84.66	BZX84C24SDITR-ND	76.20/M
27	2.0	80	BZX84C27SDICT-ND	2.65	18.63	84.66	BZX84C27SDITR-ND	76.20/M
33	2.0	80	BZX84C33SDICT-ND	2.65	18.63	84.66	BZX84C33SDITR-ND	76.20/M
36	2.0	90	BZX84C36SDICT-ND	2.65	18.63	84.66	BZX84C36SDITR-ND	76.20/M
39	2.0	130	BZX84C39SDICT-ND	2.65	18.63	84.66	BZX84C39SDITR-ND	76.20/M
Serie MMBZ								
2.4	20	30	MMBZ5221BSDICT-ND	2.65	18.63	84.66	MMBZ5221BSDITR-ND	76.20/M
3.0	20	30	MMBZ5225BSDICT-ND	2.65	18.63	84.66	MMBZ5225BSDITR-ND	76.20/M
3.3	20	28	MMBZ5226BSDICT-ND	2.65	18.63	84.66	MMBZ5226BSDITR-ND	76.20/M
3.6	20	24	MMBZ5227BSDICT-ND	2.65	18.63	84.66	—	—
3.9	20	23	MMBZ5228BSDICT-ND	2.65	18.63	84.66	MMBZ5228BSDITR-ND	76.20/M
4.7	20	19	MMBZ5230BSDICT-ND	2.65	18.63	84.66	—	—
5.6	20	11	MMBZ5232BSDICT-ND	2.65	18.63	84.66	—	—
6.2	20	7	MMBZ5234BSDICT-ND	2.65	18.63	84.66	MMBZ5234BSDITR-ND	76.20/M
6.8	20	5	MMBZ5235BSDICT-ND	2.65	18.63	84.66	—	—
6.8	20	5	MMBZ5235BS-FDICT-ND◊	2.65	18.63	84.66	MMBZ5235BS-FDITR-ND◊	76.20/M
7.5	20	6	MMBZ5236BSDICT-ND	2.65	18.63	84.66	MMBZ5236BSDITR-ND	76.20/M
8.2	20	8	MMBZ5237BSDICT-ND	2.65	18.63	84.66	MMBZ5237BSDITR-ND	76.20/M
9.1	20	10	MMBZ5239BSDICT-ND	2.65	18.63	84.66	MMBZ5239BSDITR-ND	76.20/M
10	20	17	MMBZ5240BSDICT-ND	2.65	18.63	84.66	MMBZ5240BSDITR-ND	76.20/M
12	20	30	MMBZ5242BSDICT-ND	2.65	18.63	84.66	MMBZ5242BSDITR-ND	76.20/M
13	9.5	13	MMBZ5243BSDICT-ND	2.65	18.63	84.66	MMBZ5243BSDITR-ND	76.20/M
15	8.5	16	MMBZ5245BSDICT-ND	2.65	18.63	84.66	MMBZ5245BSDITR-ND	76.20/M
16	7.8	17	MMBZ5246BSDICT-ND	2.65	18.63	84.66	MMBZ5246BSDITR-ND	76.20/M
18	7.0	21	MMBZ5248BSDICT-ND	2.65	18.63	84.66	MMBZ5248BSDITR-ND	76.20/M
20	6.2	25	MMBZ5250BSDICT-ND	2.65	18.63	84.66	MMBZ5250BSDITR-ND	76.20/M
22	5.6	29	MMBZ5251BSDICT-ND	2.65	18.63	84.66	MMBZ5251BSDITR-ND	76.20/M
24	5.2	33	MMBZ5252BSDICT-ND	2.65	18.63	84.66	MMBZ5252BSDITR-ND	76.20/M
27	5.0	41	MMBZ5254BSDICT-ND	2.65	18.63	84.66	MMBZ5254BSDITR-ND	76.20/M
28	4.5	44	MMBZ5255BSDICT-ND	2.65	18.63	84.66	MMBZ5255BSDITR-ND	76.20/M
30	4.2	49	MMBZ5256BSDICT-ND	2.65	18.63	84.66	—	—
33	3.8	58	MMBZ5257BSDICT-ND	2.65	18.63	84.66	MMBZ5257BSDITR-ND	76.20/M
36	3.4	70	MMBZ5258BSDICT-ND	2.65	18.63	84.66	MMBZ5258BSDITR-ND	76.20/M
39	3.2	80	MMBZ5259BSDICT-ND	2.65	18.63	84.66	MMBZ5259BSDITR-ND	76.20/M

◊ Bleifrei/RoHS-konform

SMA Zener-Dioden, Oberflächenmontage — 1,0 W, 5 % Toleranz

Nominale Zener-Spannung VZ @ IZT	Test-strom IZT (mA)	Max. dynamische Impedanz ZZT IZT	Digi-Key Teilenr.	Gurtabschnittspreise 10	100	500	Digi-Key Teilenr.	Gegurtet auf Rolle 5.000
5.1	100	5.0	SMAZ5V1-FDICT-ND◊	3.39	24.38	71.11	SMAZ5V1-FDITR-ND◊	108.37/M
5.6	100	2.0	SMAZ5V6DICT-ND	3.39	24.38	71.11	SMAZ5V6DITR-ND	108.37/M
6.2	100	2.0	SMAZ6V2DICT-ND	3.39	24.38	71.11	SMAZ6V2DITR-ND	108.37/M
6.8	100	2.0	SMAZ6V8DICT-ND	3.39	24.38	71.11	—	—
6.8	100	2.0	SMAZ6V8-FDICT-ND◊	3.39	24.38	71.11	SMAZ6V8-FDITR-ND◊	108.37/M
7.5	100	2.0	SMAZ7V5DICT-ND	3.39	24.38	71.11	SMAZ7V5DITR-ND	108.37/M
8.2	100	2.0	SMAZ8V2-FDICT-ND◊	3.39	24.38	71.11	SMAZ8V2-FDITR-ND◊	108.37/M
9.1	50	4.0	SMAZ9V1DICT-ND	3.39	24.38	71.11	SMAZ9V1DITR-ND	108.37/M
10	50	4.0	SMAZ10DICT-ND	3.39	24.38	71.11	SMAZ10DITR-ND	108.37/M
12	50	7.0	SMAZ12DICT-ND	3.39	24.38	—	—	—
12	50	7.0	SMAZ12-FDICT-ND◊	3.39	24.38	71.11	SMAZ12-FDITR-ND◊	108.37/M
15	50	10	SMAZ15DICT-ND	3.39	24.38	71.11	SMAZ15DITR-ND	108.37/M
16	25	15	SMAZ16DICT-ND	3.39	24.38	71.11	SMAZ16DITR-ND	108.37/M
18	25	15	SMAZ18DICT-ND	3.39	24.38	71.11	SMAZ18DITR-ND	108.37/M
20	25	15	SMAZ20DICT-ND	3.39	24.38	71.11	SMAZ20DITR-ND	108.37/M
22	25	15	SMAZ22DICT-ND	3.39	24.38	71.11	SMAZ22DITR-ND	108.37/M
24	25	15	SMAZ24DICT-ND	3.39	24.38	71.11	SMAZ24DITR-ND	108.37/M
27	25	15	SMAZ27DICT-ND	3.39	24.38	71.11	SMAZ27DITR-ND	108.37/M
30	25	15	SMAZ30DICT-ND	3.39	24.38	71.11	SMAZ30DITR-ND	108.37/M
33	25	15	SMAZ33DICT-ND	3.39	24.38	71.11	SMAZ33DITR-ND	108.37/M
36	10	40	SMAZ36DICT-ND	3.39	24.38	71.11	SMAZ36DITR-ND	108.37/M
39	10	40	SMAZ39DICT-ND	3.39	24.38	71.11	—	—
39	10	40	SMAZ39-FDICT-ND◊	3.39	24.38	71.11	SMAZ39-FDITR-ND◊	108.37/M

◊ Bleifrei/RoHS-konform

Alle Preisangaben in Euro und inklusive Zollgebühren.

TOSHIBA Zener-Dioden

Max. zulässige Werte (Ta=25 °C):
Verlustleistung 700 mW

S-Flat-Paket (3-2A1A)

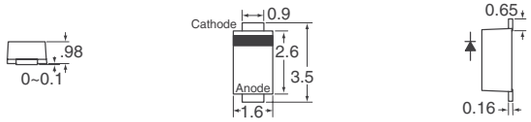

Zener-Spannung VZ (V), typ.	Max. Impedanz rd (Ω)	Teststrom IZ (mA)	Digi-Key Teilenr.	Stückpreis 1	10	100	Digi-Key Teilenr.	Gegurtet auf Rolle 3.000
S-Flat-Gehäuse								
10.0	30	10	CRZ10CT-ND	.36	.29	.22	CRZ10TR-ND	92.45/M
11.0	30	10	CRZ11CT-ND	.51	.39	.29	CRZ11TR-ND	165.09/M
12.0	30	10	CRZ12CT-ND	.51	.39	.29	CRZ12TR-ND	96.01/M
13.0	30	10	CRZ13CT-ND	.51	.39	.29	CRZ13TR-ND	165.09/M
15.0	30	10	CRZ15CT-ND	.42	.34	.26	CRZ15TR-ND	114.29/M
16.0	30	10	CRZ16CT-ND	.42	.34	.26	CRZ16TR-ND	114.29/M
20.0	30	10	CRZ20CT-ND	.51	.39	.29	CRZ20TR-ND	165.09/M
22.0	30	10	CRZ22CT-ND	.42	.34	.26	CRZ22TR-ND	114.29/M
27.0	30	10	CRZ27CT-ND	.42	.34	.26	CRZ27TR-ND	114.29/M
30.0	30	10	CRZ30CT-ND	.51	.39	.29	CRZ30TR-ND	97.15/M
33.0	30	10	CRZ33CT-ND	.51	.39	.29	CRZ33TR-ND	165.09/M
36.0	30	9	CRZ36CT-ND	.51	.39	.29	CRZ36TR-ND	165.09/M
39.0	35	8	CRZ39CT-ND	.51	.39	.29	CRZ39TR-ND	165.09/M
43.0	40	7	CRZ43CT-ND	.51	.39	.29	CRZ43TR-ND	110.06/M
47.0	65	6	CRZ47CT-ND	.34	.26	.20	CRZ47TR-ND	110.06/M

B

Microsemi Zener-Dioden

Abb. 1
DO-35
500 mW

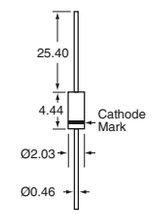

Abb. 2
DO-41
1 W/2 W

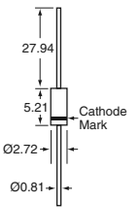

Abb. 3
T-18
5 W

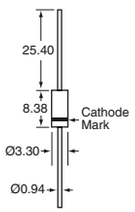

500 mW, Serie DO-35, Silizium-Zener-Dioden, 1N5221 — 1N5281

Nominale Zener-Spannung Vz @ Izt (Wert)	(V)	Teststrom IZT (mA)	Nominale Zener-Spannung Vz @ Izt (Wert)	(V)	Teststrom IZT (mA)	Nominale Zener-Spannung Vz @ Izt (Wert)	(V)	Teststrom IZT (mA)	Nominale Zener-Spannung Vz @ Izt (Wert)	(V)	Teststrom IZT (mA)	Nominale Zener-Spannung Vz @ Izt (Wert)	(V)	Teststrom IZT (mA)
21	2.4	20	34	6.2	20	45	15	8.5	58	36	3.4	70	91	1.4
23	2.7	20	35	6.8	20	46	16	7.8	60	43	3.0	71	100	1.3
24	2.8	20	36	7.5	20	47	17	7.4	61	47	2.7	72	110	1.1
25	3.0	20	37	8.2	20	48	18	7.0	62	51	2.5	73	120	1.0
26	3.3	20	38	8.7	20	49	19	6.6	63	56	2.2	74	130	0.95
27	3.6	20	39	9.1	20	50	20	6.2	64	60	2.1	75	140	0.90
28	3.9	20	40	10	20	51	22	5.6	65	62	2.0	76	150	0.85
29	4.3	20	41	11	20	52	24	5.2	66	68	1.8	77	160	0.80
30	4.7	20	42	12	20	53	25	5.0	67	75	1.7	78	170	0.74
31	5.1	20	43	13	9.5	54	27	4.6	68	82	1.5	79	180	0.68
33	6.0	20	44	14	9.0	55	28	4.5	69	87	1.4	81	200	0.65

Serie 1W, DO-41, Zener-Dioden, Glas, 1N4729A — 1N4763A

Zener-Spannung Vz @ Izt (Wert)	(V)	Test-Strom IZT (mA)	Zener-Spannung Vz @ Izt (Wert)	(V)	Test-Strom IZT (mA)
29	3.6	69	42	12	21
31	4.3	58	43	13	19
32	4.7	53	44	15	17
33	5.1	49	52	33	7.5
34	5.6	45	56	47	5.5
35	6.2	41	58	56	4.5
36	6.8	37	59	62	4.0
37	7.5	34	60	68	3.7
38	8.2	31	62	82	3.0
40	10	25	63	91	2.8
41	11	23			

Serie 2 W, DO-41Silizium-Zener-Dioden, 2EZ3.6D5 — 2EZ200D5

Zener-Nennspannung (Wert)	Vz (V)	IZT (mA)	Zener-Nennspannung (Wert)	Vz (V)	IZT (mA)	Zener-Nennspannung (Wert)	Vz (V)	IZT (mA)	Zener-Nennspannung (Wert)	Vz (V)	IZT (mA)
3.6	3.6	139	17	17	29.4	62	62	8.1	130	130	3.8
3.9	3.9	128	18	18	27.8	75	75	6.7	140	140	3.6
4.3	4.3	116	19	19	26.3	82	82	6.1	150	150	3.3
5.1	5.1	98	20	20	25	91	91	5.5	170	170	2.9
6.2	6.2	80.5	22	22	22.8	110	110	4.5	180	180	2.8
6.8	6.8	73.5	27	27	18.5	120	120	4.2	190	190	2.6
7.5	7.5	66.5	33	33	15.1				200	200	2.5
8.2	8.2	61	39	39	12.8						
12	12	41.5	43	43	11.6						
13	13	38.5	47	47	10.6						
14	14	35.7	51	51	9.8						
15	15	33.4	56	56	9.0						

Serie 5 W, T-18, Silizium-Zener-Dioden, 1N5333B — 1N5388B

Regler-spannung (Wert)	Vz	Teststrom Iz	Regler-spannung (Wert)	Vz	Teststrom Iz	Regler-spannung (Wert)	Vz	Teststrom Iz
33	3.3	380	50	13	100	73	68	20
34	3.6	350	51	14	100	75	82	15
35	3.9	320	52	15	75	76	87	15
36	4.3	290	53	16	75	79	110	12
38	5.1	240	55	18	65	80	120	10
39	5.6	220	58	22	50	81	130	10
40	6.0	200	65	36	30	82	140	8.0
42	6.8	175	68	47	25	83	150	8.0
43	7.5	175	70	56	20	85	170	8.0
45	8.7	150	71	60	20	86	180	5.0
47	10	125	72	62	20	87	190	5.0
49	12	100				88	200	5.0

Abb.	DC-Stromdissipation	Spannungsbereich (Code), siehe Diagramm	Digi-Key Teilenr.*	Gurtabschnittspreise 1	10	100	Digi-Key Teilenr.*	Gegurtet auf Rolle 3.000	4.000	6.000	8.000	10.000	12.000	24.000	30.000	Microsemi Teilenr.*
1	500 mW	2.4V — 200V	1N52(Wert)BDO35MSCT-ND	1.02	7.11	50.80	1N52(Wert)DO35MSTR-ND	—	—	—	—	177.79/M	—	—	152.39/M	1N52(Wert)DO35
2	1 W	3.6V — 91V	1N47(Wert)ADO41MSCT-ND	.21	1.40	11.18	1N47(Wert)ADO41MSTR-ND	—	62.65/M	—	50.29/M	—	—	43.18/M	—	1N47(Wert)ADO41
	2 W	3.6V — 200V	2EZ(Wert)D5DO41MSCT-ND	1.20	8.00	64.00	2EZ(Wert)D5DO41MSTR-ND	—	359.81/M	—	287.85/M	—	—	248.06/M	—	2EZ(Wert)D5DO41
3	5 W	3.3V — 200V	1N53(Wert)BMSCT-ND	1.02	6.77	54.18	1N53(Wert)BMSTR-ND	423.30/M	—	355.58/M	—	—	296.31/M	262.45/M	—	1N53(Wert)B

* Um die vollständige Teilenummer zu erhalten, ersetzen Sie den (Wert) mit dem entsprechenden Wert aus dem Diagramm.

DIODES INCORPORATED Gleichrichter mit hohem Wirkungsgrad

• Betriebs- und Lagertemperatur: -65 °C ~ 175 °C • Rückwärts-Erholzeittest @ 1,0 A, VR = 30 V

Max. durchschn. Richtstrom (A)	Max. Spitzen-rückfluss-spannung (V)	Max. Überspan-nungsstrom 8,3 ms (A)	Max. Rück-strom @25°C (µA)	Maximum Forward Voltage Peak (V)◊	Max. Rückwärts-Erholzeit (nS)	Digi-Key Teilenr.	Gurtabschnittspreise 1	10	100	Digi-Key Teilenr.	Gegurtet auf Rolle 500	1.200	5.000	Paket
1.0	50	50	5.0	1.0	50	HER101DICT-ND	.35	2.54	17.88	HER101DITR-ND	—	—	69.43/M	DO-41
	100	50	5.0	1.0	50	HER102DICT-ND	.39	2.86	20.12	HER102DITR-ND	—	—	77.89/M	
	200	50	5.0	1.0	50	HER103DICT-ND	.41	3.01	21.23	HER103DITR-ND	—	—	82.12/M	
	300	50	5.0	1.0	50	HER104DICT-ND	.41	3.13	22.55	HER104DITR-ND	—	—	99.90/M	
	400	50	5.0	1.0	50	HER105DICT-ND	.39	3.12	23.37	HER105DITR-ND	—	—	109.22/M	
3.0	50	200	10.0	1.0	50	HER301DICT-ND	.53	4.23	31.75	HER301DITR-ND	—	169.32/M	—	DO-201AD
	100	200	10.0	1.0	50	HER302DICT-ND	.55	4.40	33.02	HER302DITR-ND	—	176.10/M	—	
	200	200	10.0	1.0	50	HER303DICT-ND	.59	4.74	35.56	HER303DITR-ND	—	189.65/M	—	
	300	200	10.0	1.0	50	HER304DICT-ND	.54	4.33	32.51	HER304DITR-ND	—	196.41/M	—	
	400	200	10.0	1.0	50	HER305DICT-ND	.61	4.88	36.57	HER305DITR-ND	—	220.97/M	—	
6.0	50	300	10.0	1.0	60	HER601DICT-ND	.81	6.50	48.76	HER601DITR-ND	167.63	—	—	R-6
	100	300	10.0	1.0	60	HER602DICT-ND	.73	5.72	44.02	HER602DITR-ND	159.58	—	—	
	200	300	10.0	1.0	60	HER603DICT-ND	.78	6.16	47.41	HER603DITR-ND	171.86	—	—	
	300	300	10.0	1.0	60	HER604DICT-ND	.98	7.70	59.26	HER604DITR-ND	215.04	—	—	

◊ Max. Durchlassspannungsspitze (V)

Microsemi

Microsemi Corporation ist weltweit für seine Führungsrolle beim Bau von qualitativ hochwertigen, ultramodernen Diskretprodukten mit langer Haltbarkeit bekannt.

Dank der Spezialisierung auf Stoßspannungschutz, Leistungskonditionierung und Paketdesign, ist Microsemi mehr als eine Lösung, wir bieten ungeahnte Möglichkeiten!

B

Powermite-Paket

1/3 der Größe von SMA!

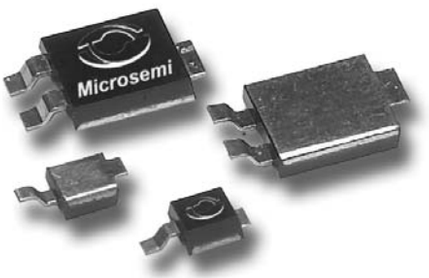

Die Powermite Produktgruppe von Microsemi ist weltweit führend in der Versorgung mit hoch dichten diskreten Lösungen.
Diese patentierte Technologie bietet neue Größen mit mehr Optionen.

Merkmale:

Integrierter Kühlkörper

- Das patentierte „Full-Metal-Bottom"-Design (Ganzmetallboden) bietet einen optimalen Wärmeweg zur Verteilung von Anschlusswärme von bis zu 2 A!

Lötmaterial-„Wickability"

- Die patentierte ineinander greifende Konstruktion enthält einen Weg für Lötmittel, damit dieses sich an der Seite des Pakets festsetzt und die Leistungsverteilung verbessert.

Platzsparend

- 2 mit Anschlüssen versehenen Bausteine sind nur 1/3 so groß wie Bausteine mit vergleichbaren Nennwerten

Flexibles Paket für benutzerspezifisches Produkt (Max. Einsatzgröße 110 mm x 110 mm)

- Microsemi bietet Schottkys, ultraschnelle Gleichrichter, MOSFETs, SCRs und Schottky+FET-Kombinationen

Synchrones Gleichrichtermodul (SRM4010)

Eine komplette Lösung zur Implementierung einer hoch effizienten Synchron-Gleichrichtung und zur Beseitigung vieler Probleme in Verbindung mit selbstgetriebenen Vorgehensweisen.

Merkmale:

- Gleichrichtungseffizienz 95 % bei Ausgangsspannungen von 5 V bis hinunter auf 1 V
- Kann große plötzliche Veränderungen im Arbeitszyklus vertragen
- Robustes Paket mit Kupferplatte für hervorragende Wärmeableitung
- Funktioniert bei PWM-Frequenzen von 200-400 kHz.

www.Microsemi.com

TVS-Bausteine

Microsemi verfügt über das größte Sortiment von TVS-Bausteinen: Insgesamt 12.000 Bausteine! Diese Bausteine dienen zum Schutz der Bauteile vor Stromspitzen aufgrund elektrostatischer Entladung (ESE), die durch Blitz und induktive Lastschaltung bedingt wird.

Wählen Sie einfach zwei aus:

Alles, was Sie wissen müssen, sind 2 der folgenden 3 Spezifikationen und schon können Sie das benötigte Teil finden!

Vwm - Sperrspannung:

Die maximale Betriebsspannung, bei der der Baustein betrieben werden soll. *Typ. 3 V, 5 V, 12 V, 15 V und 24 V. VWM ist 10 % unter VBR.*

Vbr - Durchbruchspannung:

Die Spannung, bei der der Baustein auf harte Leitung oder *Lawinen*-Durchbruch schaltet.

Vc - Begrenzerspannung:

Max. Spannung, die über TVS bei Spitzenimpulsstrom (IPP) vorliegt. *VC ist typischerweise 20 % höher als VBR.*

HS-Datenleitungsschutz

Zum Stromspitzenschutz für Daten und Telecom, E/A-Ports mit Ursprung in ESE, EFT und Blitzinduzierung

USB6B1	**500W, 8/20 us**
SMP6LCxx	**600W, 10/100 us**

USB-Schutz: 3 in 1

USB-Leitungsterminierung + EMI-Filterung + ESE-Schutz =

LX7201: Downstream SOT-23-6
LX7202: Upstream SOT-23-6
LX7203: Upstream SC70

Die Gruppe LX7201/2/3 ist ein integrierter USB-Leitungsterminierungsbaustein mit EMI-Filter und ESE-Schutzdioden. Die 15 kΩ Pull-down-Widerstände am LX7201 identifizieren die Leitungen für den Downstream-Betrieb. Die 1,5 kΩ Pull-up-Widerstände am LX7202 und LX7203 identifizieren die geeignete Datenleitung für Voll- oder Niedriggeschwindigkeits-Upstream-Betrieb. Der 47 pF Kondensator vervollständigt den HF-Filter und steuert die Flankenrate der USB-Signale. Diese Bausteine schützen sowohl D+ als auch D- Datenleitungen und den Spannungsbus vor ESE. Alle Bausteine erfüllen IEC61000-4-2, Level 4, 15 kV (Luftentladung) und 8 kV (Kontaktentladung). Der LX7201, LX7202 und LX7203 eignen sich ideal zur Verwendung in USB-Hubs, Peripheriegeräten und tragbaren Haushaltsgeräten.

Alle Preisangaben in Euro und inklusive Zollgebühren.

ON Semiconductor™

Zener-Regler

Zener-Spannungsregler

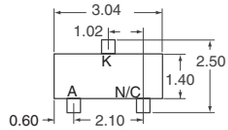

Zener-Spannung	Teststrom IZT (mA)	Zener-Impedanz ZZT @ IZT	Digi-Key Teilenr.	Gurtabschnittspreise 10	100	250	Preisangabe gegurtet auf Rolle** 3.000
2.4V	5	100	BZX84C2V4LT1OSCT-ND	1.19	7.70	13.33	32.17/M
2.7V	5	100	BZX84C2V7LT1OSCT-ND	1.19	7.70	13.33	32.17/M
3V	5	95	BZX84C3V0LT1OSCT-ND	1.19	7.70	13.33	32.17/M
3.3V	5	95	BZX84C3V3ET1OSCT-ND	.69	4.99	9.37	23.71/M
3.3V	5	95	BZX84C3V3LT1OSCT-ND	1.19	7.70	13.33	—
3.6V	5	90	BZX84C3V6LT1OSCT-ND	1.19	7.70	13.33	32.17/M
3.9V	5	90	BZX84C3V9LT1OSCT-ND	1.19	7.70	13.33	32.17/M
4.3V	5	90	BZX84C4V3LT1OSCT-ND	1.19	7.70	13.33	32.17/M
4.7V	5	80	BZX84C4V7LT1OSCT-ND	1.19	7.70	13.33	32.17/M
5.1V	5	60	BZX84B5V1LT1OSCT-ND	1.30	8.42	14.57	30.48/M
5.1V	5	60	BZX84C5V1LT1OSCT-ND	1.19	7.70	13.33	32.17/M
5.6V	5	40	BZX84B5V6LT1OSCT-ND	1.30	8.42	14.57	30.48/M
5.6V	5	40	BZX84C5V6LT1OSCT-ND	1.19	7.76	13.43	32.17/M
6.2V	5	10	BZX84C6V2LT1OSCT-ND	1.19	7.76	13.43	32.17/M
6.8V	5	15	BZX84C6V8LT1OSCT-ND	1.19	7.70	13.33	32.17/M
7.5V	5	15	BZX84C7V5LT1OSCT-ND	1.19	7.70	13.33	32.17/M
8.2V	5	15	BZX84B8V2LT1OSCT-ND	1.30	8.42	14.57	30.48/M
8.2V	5	15	BZX84C8V2LT1OSCT-ND	1.19	7.70	13.33	—
9.1V	5	15	BZX84C9V1LT1OSCT-ND	1.19	7.70	13.33	32.17/M
10V	5	20	BZX84C10LT1OSCT-ND	1.19	7.70	13.33	32.17/M
11V	5	20	BZX84C11LT1OSCT-ND	1.19	7.70	13.33	—
12V	5	25	BZX84C12LT1OSCT-ND	1.19	7.70	13.33	32.17/M
13V	5	30	BZX84C13LT1OSCT-ND	1.19	7.70	13.33	32.17/M
15V	5	30	BZX84C15LT1OSCT-ND	1.19	7.70	13.33	32.17/M
16V	5	40	BZX84C16LT1OSCT-ND	1.19	7.70	13.33	32.17/M
18V	5	45	BZX84C18LT1OSCT-ND	1.19	7.70	13.33	32.17/M
20V	5	55	BZX84C20LT1OSCT-ND	1.19	7.70	13.33	32.17/M
24V	5	70	BZX84C24LT1OSCT-ND	1.19	7.70	13.33	32.17/M
27V	2	80	BZX84C27LT1OSCT-ND	1.19	7.70	13.33	—
30V	2	80	BZX84C30LT1OSCT-ND	1.19	7.70	13.33	32.17/M
36V	2	90	BZX84C36LT1OSCT-ND	1.19	7.70	13.33	32.17/M
43V	2	150	BZX84C43LT1OSCT-ND	1.19	7.70	13.33	32.17/M
47V	2	170	BZX84C47LT1OSCT-ND	1.19	7.70	13.33	32.17/M
75V	2	255	BZX84C75LT1OSCT-ND	1.19	7.70	13.33	_

** Für Teilenr. gegurtet auf Rolle von CT-ND auf TR-ND ändern.

3 W DO-41
Surmetic™ 30

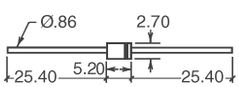

Zener-Spannung	Teststrom IZT (mA)	Zener-Impedanz ZZT @ IZT	Digi-Key Teilenr.	Gurtabschnittspreise 10	100	250	Preisangabe gegurtet auf Rolle** 6.000
15	25	9	1N5929BRLOSCT-ND	2.47	17.80	33.37	85.51/M
200	1.9	1200	1N5956BRLOSCT-ND	2.47	17.80	33.37	83.82/M

** Für Teilenr. gegurtet auf Rolle von CT-ND auf TR-ND ändern.

5 Watt Surmetic™ 40

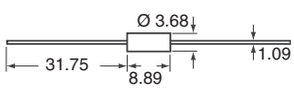

Zener-Spannung	Teststrom IZT (mA)	Zener-Impedanz ZZT @ IZT	Digi-Key Teilenr.	Gurtabschnittspreise 1	10	100	250	Preisangabe gegurtet auf Rolle** 4.000
3.3	380	3	1N5333BRLOSCT-ND	—	3.46	24.90	46.69	117.68/M
3.9	320	2	1N5335BRLOSCT-ND	—	3.46	24.90	46.69	117.68/M
4.3	290	2	1N5336BOS-ND†	.45	3.46	24.90	46.69	—
4.7	260	2	1N5337BOS-ND†	.45	3.46	24.90	46.69	—
5.1	240	1.5	1N5338BRLOSCT-ND	—	3.46	24.90	46.69	117.68/M
5.6	220	1	1N5339BRLOSCT-ND	—	3.46	24.90	46.69	117.68/M
6	200	1	1N5340BOS-ND†	.45	3.46	24.90	46.69	—
6.2	200	1	1N5341BRLOSCT-ND	—	3.46	24.90	46.69	117.68/M
6.8	175	1	1N5342BRLOSCT-ND	—	3.46	24.90	46.69	117.68/M
7.5	175	1.5	1N5343BRLOSCT-ND	—	3.46	24.90	46.69	117.68/M
8.2	150	1.5	1N5344BRLOSCT-ND	—	3.46	24.90	46.69	117.68/M
9.1	150	2	1N5346BRLOSCT-ND	—	3.46	24.90	46.69	117.68/M
10	125	2	1N5347BRLOSCT-ND	—	3.46	24.90	46.69	119.37/M
11	125	2.5	1N5348BOS-ND†	.46	3.52	25.33	47.49	—
12	100	2.5	1N5349BRLOSCT-ND	—	3.46	24.90	46.69	117.68/M
13	100	2.5	1N5350BRLOSCT-ND	—	3.46	24.90	46.69	117.68/M
14	100	2.5	1N5351BOS-ND†	.45	3.46	24.90	46.69	—
15	75	2.5	1N5352BRLOSCT-ND	—	3.46	24.90	46.69	117.68/M
16	75	2.5	1N5353BRLOSCT-ND	—	3.46	24.90	46.69	117.68/M
18	65	2.5	1N5355BRLOSCT-ND	—	3.46	24.90	46.69	117.68/M
20	65	3	1N5357BRLOSCT-ND	—	3.46	24.90	46.69	119.37/M
22	50	3.5	1N5358BRLOSCT-ND	—	3.46	24.90	46.69	119.37/M
24	50	3.5	1N5359BRLOSCT-ND	—	3.46	24.90	46.69	117.68/M
25	50	4	1N5360BOS-ND†	.45	3.46	24.90	46.69	—
27	50	5	1N5361BRLOSCT-ND	—	3.46	24.90	46.69	117.68/M
28	50	6	1N5362BRLOSCT-ND	—	3.46	24.90	46.69	117.68/M
30	40	8	1N5363BRLOSCT-ND	—	3.46	24.90	46.69	117.68/M
33	40	10	1N5364BRLOSCT-ND	—	3.46	24.90	46.69	117.68/M
36	30	11	1N5365BRLOSCT-ND	—	3.46	24.90	46.69	117.68/M
39	30	14	1N5366BOS-ND†	.45	3.46	24.90	46.69	—
43	30	20	1N5367BOS-ND†	.45	3.46	24.90	46.69	—
47	25	25	1N5368BRLOSCT-ND	—	3.46	24.90	46.69	119.37/M
51	25	27	1N5369BRLOSCT-ND	—	3.52	25.33	47.49	119.37/M
56	20	35	1N5370BOS-ND†	.45	3.46	24.90	46.69	—
60	20	40	1N5371BOS-ND†	.46	3.52	25.33	47.49	—
68	20	44	1N5373BOS-ND†	.45	3.46	24.90	46.69	—
75	20	45	1N5374BOS-ND†	.45	3.46	24.90	46.69	—
82	15	65	1N5375BOS-ND†	.45	3.46	24.90	46.69	—
100	12	90	1N5378BRLOSCT-ND	—	3.46	24.90	46.69	119.37/M
150	8	330	1N5383BRLOSCT-ND	—	3.46	24.90	46.69	117.68/M
180	5	430	1N5386BOS-ND†	.45	3.46	24.90	46.69	—
200	5	480	1N5388BRLOSCT-ND	—	3.46	24.90	46.69	117.68/M

† Großmenge ** Für Teilenr. gegurtet auf Rolle von CT-ND auf TR-ND ändern.

3,2 W SMT — Powermite Gehäuse 457

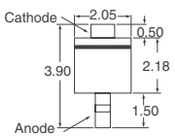

Zener-Spannung	Teststrom IZT (mA)	Zener-Impedanz	Digi-Key Teilenr.	Gurtabschnittspreise 10	100	250	Preisangabe gegurtet auf Rolle** 3.000
24	15.6	19	1PMT5934BT1OSCT-ND	3.61	26.02	48.81	122.76/M
27	13.9	23	1PMT5935BT1OSCT-ND	3.61	26.02	48.81	122.76/M

** Für Teilenr. gegurtet auf Rolle von CT-ND auf TR-ND ändern.

100 mW SMT — SOD-523

Zener-Spannung	Teststrom IZT (mA)	Zener-Impedanz	Digi-Key Teilenr.	Gurtabschnittspreise 10	100	250	Preisangabe gegurtet auf Rolle** 3.000
4.7	5	80	MM5Z4V7ST1OSCT-ND	2.48	16.13	27.90	58.42/M
5.1	5	60	MM5Z5V1ST1OSCT-ND	2.48	16.13	27.90	58.42/M
5.6	5	40	MM5Z5V6ST1OSCT-ND	2.48	16.13	27.90	58.42/M

** Für Teilenr. gegurtet auf Rolle von CT-ND auf TR-ND ändern.

200 mW SMT — SOD-323

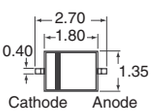

Zener-Spannung	Teststrom IZT (mA)	Zener-Impedanz	Digi-Key Teilenr.	Gurtabschnittspreise 10	100	250	Preisangabe gegurtet auf Rolle** 3.000
4.7	5	80	MM3Z4V7T1OSCT-ND	1.69	9.52	15.87	28.79/M
4.7	5	80	MM3Z4V7ST1OSCT-ND	1.78	9.98	16.64	29.63/M
5.1	5	60	MM3Z5V1T1OSCT-ND	1.69	9.52	15.87	28.79/M
5.1	5	60	MM3Z5V1ST1OSCT-ND	1.78	9.98	16.64	29.63/M
5.6	5	40	MM3Z5V6ST1OSCT-ND	1.78	9.98	16.64	29.63/M
6.2	5	10	MM3Z6V2T1OSCT-ND	1.04	6.77	11.72	27.94/M
10.0	5	20	MM3Z10VT1OSCT-ND	1.69	9.52	15.87	28.79/M
10.0	5	15	MM3Z10VST1GOSCT-ND	4.89	36.68	73.37	183.72/M
11.0	5	15	MM3Z11VST1GOSCT-ND	1.95	12.66	21.91	45.72/M
12.0	5	25	MM3Z12VST1OSCT-ND	.82	5.68	10.24	22.01/M
15.0	5	30	MM3Z15VT1OSCT-ND	1.69	9.52	15.87	28.79/M
18.0	5	45	MM3Z18VST1OSCT-ND	2.79	19.37	34.92	22.01/M

** Für Teilenr. gegurtet auf Rolle von CT-ND auf TR-ND ändern.

500mW SMT — SOD-123

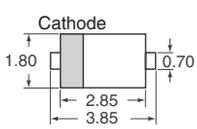

Zener-Spannung	Teststrom IZT (mA)	Zener-Impedanz	Digi-Key Teilenr.	Gurtabschnittspreise 10	100	250	Preisangabe gegurtet auf Rolle** 3.000
1.8	.05	—	MMSZ4678T1OSCT-ND	1.62	10.51	18.19	—
2.0	.05	—	MMSZ4679T1OSCT-ND	1.62	10.51	18.19	38.10/M
2.4	.05	—	MMSZ4681T1OSCT-ND	1.62	10.51	18.19	—
2.4	20	30	MMSZ5221BT1OSCT-ND	1.62	10.51	18.19	38.10/M
2.4	1.7	100	MMSZ2V4T1OSCT-ND	1.62	10.51	18.19	—
2.7	20	30	MMSZ5223BT1OSCT-ND	1.62	10.51	18.19	38.10/M
3.0	.05	—	MMSZ4683T1OSCT-ND	1.62	10.51	18.19	38.10/M
3.0	20	29	MMSZ5225BT1OSCT-ND	1.62	10.51	18.19	38.10/M
3.3	.05	—	MMSZ4684T1OSCT-ND	1.62	10.51	18.19	38.10/M
3.3	20	28	MMSZ5226BT1OSCT-ND	1.62	10.51	18.19	—
3.3	2.3	95	MMSZ3V3T1OSCT-ND	1.62	10.51	18.19	38.10/M
3.6	.05	—	MMSZ4685T1OSCT-ND	1.62	10.51	18.19	38.10/M
3.6	20	24	MMSZ5227BT1OSCT-ND	1.62	10.51	18.19	—

** Für Teilenr. gegurtet auf Rolle von CT-ND auf TR-ND ändern. *(Forts.)*

B

500 mW SMT — SOD-123 *(Forts.)*

Zener-Spannung	Teststrom IZT (mA)	Zener-Impedanz	Digi-Key Teilenr.	Gurtabschnittspreise 10	100	250	Preisangabe gegurtet auf Rolle** 3.000
3.9	.05	—	MMSZ4686T1OSCT-ND	1.62	10.51	18.19	38.10/M
3.9	20	23	MMSZ5228BT1OSCT-ND	1.62	10.51	18.19	38.10/M
4.3	.05	—	MMSZ4687T1OSCT-ND	1.62	10.51	18.19	—
4.3	20	22	MMSZ5229BT1OSCT-ND	1.62	10.51	18.19	38.10/M
4.3	3.3	90	MMSZ4V3T1OSCT-ND	1.62	10.51	18.19	38.10/M
4.7	.05	—	MMSZ4688T1OSCT-ND	1.62	10.51	18.19	—
4.7	20	19	MMSZ5230BT1OSCT-ND	1.62	10.51	18.19	38.10/M
4.7	3.7	80	MMSZ4V7T1OSCT-ND	1.62	10.51	18.19	38.10/M
5.1	.05	—	MMSZ4689T1OSCT-ND	1.62	10.51	18.19	38.10/M
5.1	20	17	MMSZ5231BT1OSCT-ND	1.62	10.51	18.19	38.10/M
5.1	4.2	60	MMSZ5V1T1OSCT-ND	1.62	10.51	18.19	38.10/M
5.6	.05	—	MMSZ4690ET1OSCT-ND	2.07	13.43	23.24	48.26/M
5.6	.05	—	MMSZ4690T1OSCT-ND	1.62	10.51	18.19	—
5.6	20	11	MMSZ5232BT1OSCT-ND	1.62	10.51	18.19	38.10/M
5.6	4.8	40	MMSZ5V6T1OSCT-ND	1.62	10.51	18.19	—
6.0	20	7	MMSZ5233BT1OSCT-ND	1.62	10.51	18.19	—
6.2	.05	—	MMSZ4691T1OSCT-ND	1.62	10.51	18.19	—
6.2	20	7	MMSZ5234BT1OSCT-ND	1.62	10.51	18.19	—
6.2	5.6	10	MMSZ6V2T1OSCT-ND	1.62	10.51	18.19	38.10/M
6.8	.05	—	MMSZ4692T1OSCT-ND	1.62	10.51	18.19	38.10/M
6.8	20	5	MMSZ5235BT1OSCT-ND	1.62	10.51	18.19	—
6.8	6.3	15	MMSZ6V8T1OSCT-ND	1.62	10.51	18.19	38.10/M
7.5	.05	—	MMSZ4693T1OSCT-ND	1.62	10.51	18.19	38.10/M
7.5	20	6	MMSZ5236BT1OSCT-ND	1.62	10.51	18.19	38.10/M
8.2	.05	—	MMSZ4694T1OSCT-ND	1.62	10.51	18.19	—
8.2	20	8	MMSZ5237BT1OSCT-ND	1.62	10.51	18.19	—
8.2	7.6	15	MMSZ8V2T1OSCT-ND	1.62	10.51	18.19	—
9.1	.05	—	MMSZ4696T1OSCT-ND	1.62	10.51	18.19	38.10/M
9.1	20	10	MMSZ5239BT1OSCT-ND	1.62	10.51	18.19	38.10/M
10	.05	—	MMSZ4697T1OSCT-ND	1.62	10.51	18.19	38.10/M
10	20	17	MMSZ5240BT1OSCT-ND	1.62	10.51	18.19	—
10	9.3	20	MMSZ10T1OSCT-ND	1.62	10.51	18.19	38.10/M
11	.05	—	MMSZ4698T1OSCT-ND	1.62	10.51	18.19	—
11	20	22	MMSZ5241BT1OSCT-ND	1.62	10.51	18.19	38.10/M
12	.05	—	MMSZ4699T1OSCT-ND	1.62	10.51	18.19	—
12	20	30	MMSZ5242BT1OSCT-ND	1.62	10.51	18.19	38.10/M
12	11.2	25	MMSZ12T1OSCT-ND	1.62	10.51	18.19	38.10/M
13	.05	—	MMSZ4700T1OSCT-ND	1.62	10.51	18.19	—
13	9.5	13	MMSZ5243BT1OSCT-ND	1.62	10.51	18.19	38.10/M
14	.05	—	MMSZ4701T1OSCT-ND	1.62	10.51	18.19	—
14	9.0	15	MMSZ5244BT1OSCT-ND	1.62	10.51	18.19	38.10/M
15	.05	—	MMSZ4702T1OSCT-ND	1.62	10.51	18.19	—
15	8.5	16	MMSZ5245BT1OSCT-ND	1.62	10.51	18.19	38.10/M
15	13.7	30	MMSZ15T1OSCT-ND	1.62	10.51	18.19	38.10/M
16	.05	—	MMSZ4703T1OSCT-ND	1.62	10.51	18.19	—
16	7.8	17	MMSZ5246BT1OSCT-ND	1.62	10.51	18.19	—
17	7.4	19	MMSZ5247BT1OSCT-ND	1.62	10.51	18.19	—
18	.05	—	MMSZ4705T1OSCT-ND	1.62	10.51	18.19	38.10/M
18	7.0	21	MMSZ5248BT1OSCT-ND	1.62	10.51	18.19	38.10/M
18	16.7	45	MMSZ18T1OSCT-ND	1.62	10.51	18.19	38.10/M
19	.05	—	MMSZ4706T1OSCT-ND	1.62	10.51	18.19	38.10/M
20	6.2	25	MMSZ5250BT1OSCT-ND	1.62	10.51	18.19	—
22	5.6	29	MMSZ5251BT1OSCT-ND	1.62	10.51	18.19	38.10/M
24	5.2	33	MMSZ5252BT1OSCT-ND	1.62	10.51	18.19	—
27	4.6	41	MMSZ5254BT1OSCT-ND	1.62	10.51	18.19	—
28	4.5	44	MMSZ5255BT1OSCT-ND	1.62	10.51	18.19	38.10/M
30	4.2	49	MMSZ5256BT1OSCT-ND	1.62	10.51	18.19	—
33	3.8	58	MMSZ5257BT1OSCT-ND	1.62	10.51	18.19	38.10/M
36	3.4	70	MMSZ5258BT1OSCT-ND	1.62	10.51	18.19	38.10/M
39	3.2	80	MMSZ5259BT1OSCT-ND	1.62	10.51	18.19	38.10/M
43	3.0	93	MMSZ5260BT1OSCT-ND	1.62	10.51	18.19	—
47	2.7	105	MMSZ5261BT1OSCT-ND	1.62	10.51	18.19	38.10/M
51	2.5	125	MMSZ5262BT1OSCT-ND	1.62	10.51	18.19	38.10/M
56	2.2	150	MMSZ5263BT1OSCT-ND	1.71	11.12	19.24	39.79/M
60	2.1	170	MMSZ5264BT1OSCT-ND	1.62	10.51	18.19	38.10/M
62	2.0	185	MMSZ5265BT1OSCT-ND	1.62	10.51	18.19	—
68	1.8	230	MMSZ5266BT1OSCT-ND	1.62	10.51	18.19	38.10/M
75	1.7	270	MMSZ5267BT1OSCT-ND	1.62	10.51	18.19	38.10/M
82	1.5	330	MMSZ5268BT1OSCT-ND	1.62	10.51	18.19	—
91	1.4	400	MMSZ5270BT1OSCT-ND	1.62	10.51	18.19	38.10/M

** Für Teilenr. gegurtet auf Rolle von CT-ND auf TR-ND ändern.

225mW SMT — SOT-23

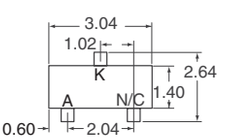

Zener-Spannung	Teststrom IZT (mA)	Zener-Impedanz	Digi-Key Teilenr.	Gurtabschnittspreise 10	100	250	Preisangabe gegurtet auf Rolle** 3.000
2.4	20	30	MMBZ5221BLT1OSCT-ND	1.72	9.68	16.13	28.79/M
2.5	20	30	MMBZ5222BLT1OSCT-ND	1.72	9.68	16.13	28.79/M
2.7	20	30	MMBZ5223BLT1OSCT-ND	1.72	9.68	16.13	28.79/M
3	20	29	MMBZ5225BLT1OSCT-ND	1.72	9.68	16.13	28.79/M
3.3	20	28	MMBZ5226BLT1OSCT-ND	1.72	9.68	16.13	28.79/M
3.6	20	24	MMBZ5227BLT1OSCT-ND	1.72	9.68	16.13	28.79/M
3.9	20	23	MMBZ5228BLT1OSCT-ND	1.72	9.68	16.13	28.79/M
4.3	20	22	MMBZ5229BLT1OSCT-ND	1.72	9.68	16.13	28.79/M
4.7	20	19	MMBZ5230BLT1OSCT-ND	1.72	9.68	16.13	28.79/M
5.1	20	17	MMBZ5231BLT1OSCT-ND	1.72	9.68	16.13	28.79/M
5.1	20	17	MMBZ5231ELT1OSCT-ND	1.39	9.02	15.62	33.02/M
5.6	20	11	MMBZ5232BLT1OSCT-ND	1.13	7.32	12.67	30.48/M
6	20	7	MMBZ5233BLT1OSCT-ND	1.72	9.68	16.13	—
6.2	20	7	MMBZ5234BLT1OSCT-ND	1.72	9.68	16.13	—
6.8	20	5	MMBZ5235BLT1OSCT-ND	1.72	9.68	16.13	28.79/M
7.5	20	6	MMBZ5236BLT1OSCT-ND	1.72	9.68	16.13	28.79/M
8.2	20	8	MMBZ5237BLT1OSCT-ND	1.72	9.68	16.13	28.79/M
8.7	20	8	MMBZ5238BLT1OSCT-ND	1.72	9.68	16.13	28.79/M
9.1	20	10	MMBZ5239BLT1OSCT-ND	1.72	9.68	16.13	28.79/M
10	20	17	MMBZ5240BLT1OSCT-ND	1.72	9.68	16.13	28.79/M
11	20	22	MMBZ5241BLT1OSCT-ND	1.72	9.68	16.13	28.79/M
12	20	30	MMBZ5242BLT1OSCT-ND	1.72	9.68	16.13	28.79/M
13	9.5	13	MMBZ5243BLT1OSCT-ND	1.72	9.68	16.13	28.79/M
14	9	15	MMBZ5244BLT1OSCT-ND	1.72	9.68	16.13	28.79/M
15	8.5	16	MMBZ5245BLT1OSCT-ND	1.72	9.68	16.13	28.79/M
16	7.8	17	MMBZ5246BLT1OSCT-ND	1.72	9.68	16.13	28.79/M
17	7.4	19	MMBZ5247BLT1OSCT-ND	1.72	9.68	16.13	28.79/M
18	7	21	MMBZ5248BLT1OSCT-ND	1.72	9.68	16.13	28.79/M
19	6.6	23	MMBZ5249BLT1OSCT-ND	1.72	9.68	16.13	28.79/M
20	6.2	25	MMBZ5250BLT1OSCT-ND	1.72	9.68	16.13	28.79/M
22	5.6	29	MMBZ5251BLT1OSCT-ND	1.72	9.68	16.13	28.79/M
24	5.2	33	MMBZ5252BLT1OSCT-ND	1.72	9.68	16.13	28.79/M
25	5	35	MMBZ5253BLT1OSCT-ND	1.72	9.68	16.13	28.79/M
27	4.6	41	MMBZ5254BLT1OSCT-ND	1.72	9.68	16.13	28.79/M
28	4.5	44	MMBZ5255BLT1OSCT-ND	1.72	9.68	16.13	28.79/M
30	4.2	49	MMBZ5256BLT1OSCT-ND	1.72	9.68	16.13	28.79/M
33	3.8	58	MMBZ5257BLT1OSCT-ND	1.72	9.68	16.13	28.79/M
36	3.4	70	MMBZ5258BLT1OSCT-ND	1.72	9.68	16.13	28.79/M
39	3.2	80	MMBZ5259BLT1OSCT-ND	1.72	9.68	16.13	28.79/M
47	2.7	105	MMBZ5261BLT1OSCT-ND	1.72	9.68	16.13	28.79/M
91	1.4	400	MMBZ5270BLT1OSCT-ND	1.72	9.68	16.13	28.79/M

** Für Teilenr. gegurtet auf Rolle von CT-ND auf TR-ND ändern.

1,5 W SMT — SMA

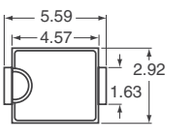

Zener-Spannung	Teststrom IZT (mA)	Zener-Impedanz	Digi-Key Teilenr.	Gurtabschnittspreise 10	100	250	Preisangabe gegurtet auf Rolle** 5.000
3.3	113.6	10	1SMA5913BT3OSCT-ND	2.96	21.33	40.00	94.82/M
3.6	104.2	9.0	1SMA5914BT3OSCT-ND	2.96	21.33	40.00	94.82/M
4.7	79.8	5.0	1SMA5917BT3OSCT-ND	2.96	21.33	40.00	94.82/M
5.1	73.5	4.0	1SMA5918BT3OSCT-ND	2.96	21.33	40.00	94.82/M
5.6	66.9	2.0	1SMA5919BT3OSCT-ND	2.96	21.33	40.00	94.82/M
6.2	60.5	2.0	1SMA5920BT3OSCT-ND	2.96	21.33	40.00	94.82/M
7.5	50	3.0	1SMA5922BT3OSCT-ND	2.96	21.33	40.00	94.82/M
8.2	45.7	3.5	1SMA5923BT3OSCT-ND	2.96	21.33	40.00	94.82/M
10	37.5	4.5	1SMA5925BT3OSCT-ND	2.96	21.33	40.00	96.52/M
12	31.2	6.5	1SMA5927BT3OSCT-ND	2.96	21.33	40.00	96.52/M
13	28.8	7.0	1SMA5928BT3OSCT-ND	2.96	21.33	40.00	94.82/M
15	25	9.0	1SMA5929BT3OSCT-ND	2.96	21.33	40.00	96.52/M
15	50	10	BZG03C15OSCT-ND	2.96	21.33	40.00	94.82/M
18	20.8	12	1SMA5931BT3OSCT-ND	2.96	21.33	40.00	94.82/M
24	15.6	19	1SMA5934BT3OSCT-ND	2.96	21.33	40.00	94.82/M
27	13.9	23	1SMA5935BT3OSCT-ND	2.96	21.33	40.00	94.82/M
150	5	300	BZG03C150OSCT-ND	2.96	21.33	40.00	94.82/M

** Für Teilenr. gegurtet auf Rolle von CT-ND auf TR-ND ändern.

3 W SMT — SMB

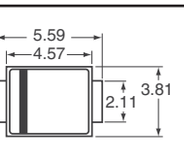

Zener-Spannung	Teststrom IZT (mA)	Zener-Impedanz	Digi-Key Teilenr.	Gurtabschnittspreise 10	100	250	Preisangabe gegurtet auf Rolle** 2.500
3.3	113.6	10	1SMB5913BT3OSCT-ND	3.18	22.89	42.91	—
3.6	104.2	9	1SMB5914BT3OSCT-ND	3.18	22.89	42.91	108.37/M
3.9	96.1	7.5	1SMB5915BT3OSCT-ND	3.18	22.89	42.91	108.37/M
4.3	87.2	6	1SMB5916BT3OSCT-ND	3.18	22.89	42.91	—
4.7	79.8	5	1SMB5917BT3OSCT-ND	3.18	22.89	42.91	108.37/M
5.1	73.5	4	1SMB5918BT3OSCT-ND	3.18	22.89	42.91	108.37/M
5.6	66.9	2	1SMB5919BT3OSCT-ND	3.18	22.89	42.91	—
6.2	60.5	2	1SMB5920BT3OSCT-ND	3.18	22.89	42.91	108.37/M
6.8	55.1	2.5	1SMB5921BT3OSCT-ND	3.18	22.89	42.91	108.37/M
7.5	50	3	1SMB5922BT3OSCT-ND	3.18	22.89	42.91	108.37/M
8.2	45.7	3.5	1SMB5923BT3OSCT-ND	3.18	22.89	42.91	108.37/M
9.1	41.2	4	1SMB5924BT3OSCT-ND	3.18	22.89	42.91	108.37/M
10	37.5	4.5	1SMB5925BT3OSCT-ND	3.18	22.89	42.91	108.37/M
12	31.2	6.5	1SMB5927BT3OSCT-ND	3.18	22.89	42.91	108.37/M
13	28.8	7	1SMB5928BT3OSCT-ND	3.18	22.89	42.91	108.37/M
15	25	9	1SMB5929BT3OSCT-ND	3.18	22.89	42.91	—
16	23.4	10	1SMB5930BT3OSCT-ND	3.18	22.89	42.91	108.37/M
18	20.8	12	1SMB5931BT3OSCT-ND	3.18	22.89	42.91	—
20	18.7	14	1SMB5932BT3OSCT-ND	3.18	22.89	42.91	108.37/M
24	15.6	19	1SMB5934BT3OSCT-ND	3.18	22.89	42.91	108.37/M
27	13.9	23	1SMB5935BT3OSCT-ND	3.18	22.89	42.91	108.37/M
30	12.5	28	1SMB5936BT3OSCT-ND	3.18	22.89	42.91	—
33	11.4	33	1SMB5937BT3OSCT-ND	3.18	22.89	42.91	108.37/M
36	10.4	38	1SMB5938BT3OSCT-ND	3.18	22.89	42.91	108.37/M
39	9.6	45	1SMB5939BT3OSCT-ND	3.18	22.89	42.91	—
47	8	67	1SMB5941BT3OSCT-ND	3.18	22.89	42.91	108.37/M
51	7.3	70	1SMB5942BT3OSCT-ND	3.18	22.89	42.91	—
200	1.9	1200	1SMB5956BT3OSCT-ND	3.18	22.89	42.91	—

** Für Teilenr. gegurtet auf Rolle von CT-ND auf TR-ND ändern.

Alle Preisangaben in Euro und inklusive Zollgebühren.

Schottky-Gleichrichter

SMB

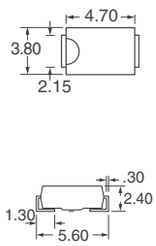

SMA

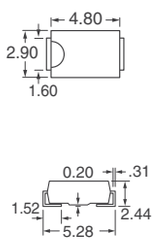

SMC

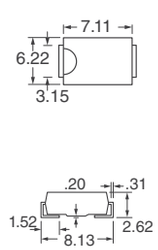

SOT-223

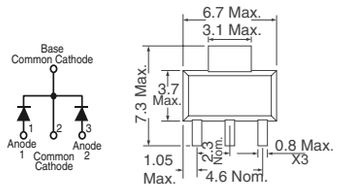

C-16

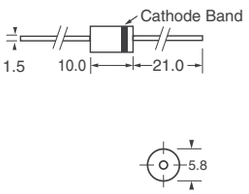

TO-220AC

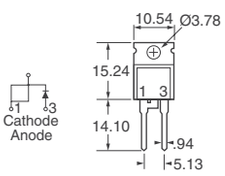

TO-220AB

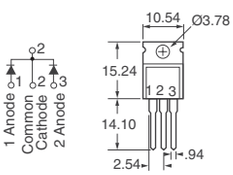

TO-244AB

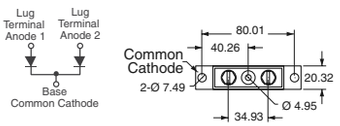

TO-244AB (ISO)

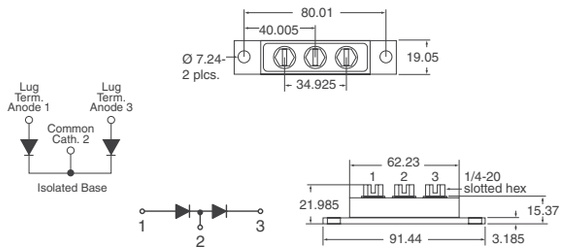

203DMQ, 403DMQ,
203DNQ, 400DMQ

IF (A)	VRRM (V)	VF (V)	IFSM(A) @ tp = 5 µs Sinus	TJ-Sperrschicht-temp. (°C)	Digi-Key Teilenr.	Stückpreis 1	10	100
					SMB			
1	15	0.34	140	-55 ~ 150	10BQ015-ND	.21	.17	.12
1	15	0.34	140	-55 ~ 150	10BQ015TR-ND		355.95/3,000	
1	15	0.42	230	-55 ~ 125	MBRS130CT-ND	.49	.29	.19
1	30	0.42	230	-55 ~ 125	MBRS130TR-ND		401.29/3,000	
1	30	0.30	230	-55 ~ 125	MBRS130LCT-ND	.63	.37	.25
1	30	0.30	230	-55 ~ 125	MBRS130LTR-ND		499.65/3,000	
1	30	0.30	360	-55 ~ 150	STPS1L30UIRCT-ND	.50	.29	.20
1	30	0.30	360	-55 ~ 150	STPS1L30UIRTR-ND		551.14/6,000	
1	30	0.30	430	-55 ~ 150	10BQ030-ND	.47	.28	.18
1	40	0.53	430	-55 ~ 150	10BQ040-ND	.36	.22	.15
1	40	0.53	430	-55 ~ 150	10BQ040TR-ND		330.17/3,000	
1	40	0.53	380	-55 ~ 150	MBRS140CT-ND	.38	.23	.15
1	40	0.53	380	-55 ~ 150	MBRS140TR-ND		309.86/3,000	
1	60	0.57	700	-55 ~ 150	10BQ060-ND	.20	.17	.12
1	60	0.57	700	-55 ~ 150	10BQ060TR-ND		346.50/3,000	
1	90	0.63	870	-55 ~ 175	MBRS190CT-ND	.41	.24	.16
1	90	0.63	870	-55 ~ 175	MBRS190TR-ND		337.79/3,000	
1	100	0.78	780	-55 ~ 175	10BQ100-ND	.43	.26	.19
1	100	0.78	780	-55 ~ 175	10BQ100TR-ND		403.83/3,000	
1	100	0.63	870	-55 ~ 175	MBRS1100CT-ND	.39	.23	.16
1	100	0.63	870	-55 ~ 175	MBRS1100TR-ND		320.01/3,000	
2	30	0.370	350	-55 ~ 150	20BQ030CT-ND	.43	.26	.18
2	30	0.370	350	-55 ~ 150	20BQ030TR-ND		388.59/3,000	
					SMA			
1.5	40	0.54	120	-55 ~ 150	10MQ040N-ND	.38	.23	.16
1.5	40	0.54	120	-55 ~ 150	10MQ040NTR-ND		816.53/7,500	
3	40	0.42	330	-40 ~ 150	15MQ040N-ND	.79	.48	.35
3	40	0.42	330	-40 ~ 150	15MQ040NTR-ND		1347.17/7,500	
1	40	0.49	120	-55 ~ 150	MBRA140CT-ND	.38	.22	.14
1	40	0.49	120	-55 ~ 150	MBRA140TR-ND		698.45/7,500	
1.5	60	0.63	40	-55 ~ 150	10MQ060N-ND	.33	.20	.14
1.5	60	0.63	40	-55 ~ 150	10MQ060NTR-ND		692.10/7,500	
1.5	100	0.78	120	-55 ~ 150	10MQ100N-ND	.17	.14	.10
1.5	100	0.78	120	-55 ~ 150	10MQ100NTR-ND		691.82/7,500	
					SMC			
3	15	0.35	650	-55 ~ 100	30BQ015-ND	.63	.51	.36
3	15	0.35	650	-55 ~ 100	30BQ015TR-ND		1021.00/3,000	
3	40	0.51	2000	-55 ~ 150	30BQ040-ND	.42	.34	.25
3	40	0.51	2000	-55 ~ 150	30BQ040TR-ND		686.09/3,000	
3	40	0.43	1580	-55 ~ 150	MBRS340CT-ND	.75	.38	.30
3	40	0.43	1580	-55 ~ 150	MBRS340TR-ND		645.11/3,000	
3	60	0.58	1200	-55 ~ 150	30BQ060-ND	.42	.34	.24
3	60	0.58	1200	-55 ~ 150	30BQ060TR-ND		678.89/3,000	
3	60	0.61	790	-55 ~ 150	MBRS360CT-ND	1.25	.63	.50
3	60	0.61	790	-55 ~ 150	MBRS360TR-ND		1123.86/3,000	
3	100	0.79	2100	-55 ~ 175	30BQ100-ND	.63	.40	.30
3	100	0.79	2100	-55 ~ 175	30BQ100TR-ND		761.94/3,000	
					SOT-223			
2	45	0.54	390	-55 ~ 150	20CJQ045-ND	.45	.36	.26
2	60	0.56	385	-55 ~ 150	20CJQ060-ND	.80	.64	.48
2	100	0.56	385	-55 ~ 150	20CJQ100-ND	1.23	.99	.74
					C-16			
3.3	40	0.55	470	-40 ~ 150	31DQ04-ND	.87	.75	.52
3	40	0.6	430	-40 ~ 150	MBR340IR-ND	.44	.26	.18
3	50	0.73	460	-40 ~ 150	MBR350-ND	.69	.41	.28
3.3	50	0.58	340	-40 ~ 150	31DQ05-ND	.49	.39	.28
3	60	0.73	460	-40 ~ 150	MBR360-ND	.68	.40	.28
3.3	60	0.58	340	-40 ~ 150	31DQ06-ND	.94	.80	.56
3.3	60	0.58	340	-40 ~ 150	31DQ06TR-ND		402.30/1,200	
3.3	90	0.85	210	-40 ~ 150	31DQ09-ND	.84	.72	.50
3.3	90	0.85	210	-40 ~ 150	31DQ09TR-ND		367.76/1,200	
3.3	100	0.85	210	-40 ~ 150	31DQ10-ND	.70	.44	.32
3.3	100	0.85	210	-40 ~ 150	31DQ10TR-ND		281.41/1,200	

IF (A)	VRRM (V)	VF (V)	IFSM(A) @ tp = 5 µs Sinus	TJ-Sperrschicht-temp. (°C)	Digi-Key Teilenr.	Stückpreis 1	10	100
					TO-220AC			
19	15	0.32	700	-55 ~ 100	19TQ015-ND	2.07	1.44	1.15
20	15	0.25	700	-55 ~ 125	20L15T-ND	1.11	.89	.67
20	15	0.25	700	-55 ~ 125	STPS20L15D-ND	1.25	.72	.61
6	35	0.53	690	-55 ~ 175	6TQ035-ND	1.69	1.36	1.02
7.5	35	0.84	690	-65 ~ 150	MBR735IR-ND	.69	.55	.45
10	35	0.49	1050	-55 ~ 175	10TQ035-ND	1.46	1.18	.88
10	35	0.84	1080	-65 ~ 150	MBR1035IR-ND	.99	.80	.64
15	35	0.50	990	-55 ~ 150	12TQ035-ND	1.63	1.31	.98
16	35	0.63	1060	-65 ~ 150	MBR1635IR-ND	1.55	1.24	1.00
18	35	0.6	1800	-55 ~ 175	18TQ035-ND	1.69	1.36	.97
20	35	0.51	1800	-55 ~ 150	20TQ035-ND	1.78	1.43	1.07
6	40	0.53	690	-55 ~ 175	6TQ040-ND	1.76	1.41	1.06
10	40	0.49	1050	-55 ~ 175	10TQ040-ND	1.54	1.24	.93
15	40	0.50	990	-55 ~ 150	12TQ040-ND	1.74	1.39	1.05
18	40	0.53	1800	-55 ~ 175	18TQ040-ND	1.62	1.30	.98
20	40	0.51	1800	-55 ~ 150	20TQ040-ND	1.89	1.51	1.14
7.5	45	0.57	690	-65 ~ 150	MBR745IR-ND	.92	.57	.42
10	45	0.57	1050	-65 ~ 150	MBR1045IR-ND	.80	.72	.64
15	45	0.50	990	-55 ~ 150	12TQ045-ND	1.83	1.46	1.10
16	45	0.57	1800	-65 ~ 150	MBR1645IR-ND	1.02	.91	.82
6	45	0.53	690	-55 ~ 175	6TQ045-ND	1.89	1.51	1.01
10	45	0.57	1050	-55 ~ 175	10TQ045-ND	.85	.68	.49
18	45	0.6	1800	-55 ~ 175	18TQ045-ND	2.03	1.37	1.07
20	45	0.57	1800	-65 ~ 150	20TQ045-ND	1.60	1.27	.92
8	60	0.72	850	-55 ~ 175	8TQ060-ND	.85	.68	.49
15	60	0.56	1000	-55 ~ 150	15TQ060-ND	2.02	1.61	1.22
8	80	0.72	850	-55 ~ 175	8TQ080-ND	2.30	1.84	1.32
8	100	0.58	850	-55 ~ 175	8TQ100-ND	1.88	1.22	1.13
					TO-220AB			
40	15	0.41	700	-55 ~ 125	40L15CT-ND	2.23	1.78	1.11
40	15	0.25	700	-55 ~ 125	STPS40L15CT-ND	1.95	1.37	1.04
40	20	0.34	1000	-55 ~ 150	47CTQ020-ND	2.02	1.62	1.22
30	25	0.40	900	-55 ~ 150	32CTQ025-ND	2.23	1.78	1.34
30	30	0.37	—	-55 ~ 150	STPS30L30CTIR-ND	1.65	.94	.77
15	35	0.72	690	-65 ~ 150	MBR1535CT-ND	1.33	1.07	.85
30	30	0.40	900	-55 ~ 150	32CTQ030-ND	2.72	1.86	1.47
40	30	0.48	1100	-55 ~ 150	42CTQ030-ND	2.71	2.17	1.74
20	35	0.57	1060	-65 ~ 150	MBR2035CT-ND	1.16	.93	.70
12	35	0.53	690	-55 ~ 175	12CTQ035-ND	1.39	1.12	.84
15	35	0.51	810	-55 ~ 150	15CTQ035-ND	1.55	1.24	.94
20	35	0.57	1060	-55 ~ 175	20CTQ035-ND	1.90	1.53	1.15
30	35	0.62	1060	-55 ~ 175	30CTQ035-ND	1.23	.99	.71
15	40	0.51	810	-55 ~ 150	15CTQ040-ND	1.59	1.27	.96
12	40	0.53	690	-55 ~ 175	12CTQ040-ND	1.44	1.15	.87
20	40	0.57	1060	-55 ~ 175	20CTQ040-ND	2.23	1.79	1.34
30	40	0.56	1060	-55 ~ 175	30CTQ040-ND	1.99	1.60	1.20
30	40	0.50	990	-55 ~ 150	25CTQ040-ND	2.40	1.92	1.44
15	45	0.51	810	-55 ~ 150	15CTQ045-ND	1.49	1.19	.90
40	45	0.6	900	-65 ~ 150	MBR4045CT-ND	1.24	1.00	.75
15	45	0.57	690	-65 ~ 150	MBR1545CTIR-ND	.75	.69	.62
20	45	0.57	1060	-65 ~ 150	MBR2045CTIR-ND	1.24	1.12	1.01
30	45	0.73	1060	-65 ~ 150	MBR2545CTIR-ND	1.24	1.12	1.01
30	45	0.76	1020	-65 ~ 150	MBR3045CT-ND	2.20	1.77	1.45
45	45	0.53	690	-55 ~ 175	12CTQ045-ND	1.66	1.33	.89
20	45	0.64	1060	-55 ~ 175	20CTQ045-ND	1.38	1.11	.80
30	45	0.62	1060	-55 ~ 175	30CTQ045-ND	2.36	1.89	1.40
40	45	0.53	1240	-55 ~ 150	40CTQ045-ND	1.83	1.46	1.05
30	50	0.56	1000	-55 ~ 150	30CTQ050-ND	2.41	1.93	1.45
30	60	0.62	1060	-55 ~ 150	30CTQ060-ND	1.69	1.36	.97
40	60	0.75	1000	-55 ~ 150	48CTQ060-ND	1.72	1.38	.99
20	80	0.85	850	-65 ~ 150	MBR2080CT-ND	1.57	1.26	1.01
16	80	0.72	850	-55 ~ 175	16CTQ080-ND	2.99	2.39	1.71
20	90	0.85	850	-65 ~ 150	MBR2090CTIR-ND	1.57	1.26	1.01

(Forts.)

B

TO-247AC

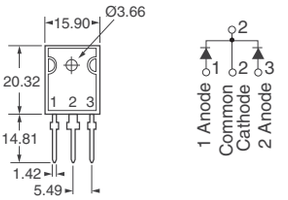

TO-249AA

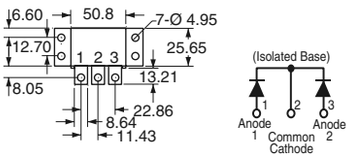

TO-262

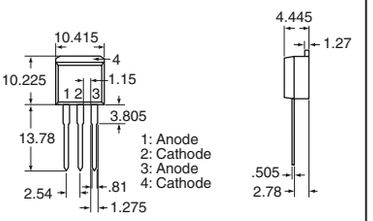

DO-5

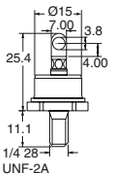

Kathode am Bolzen

DO-41/DO-204AL

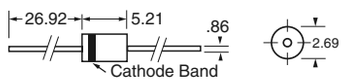

DO-204AR

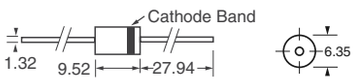

D-60

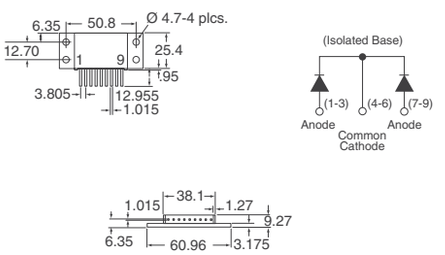

D61-6

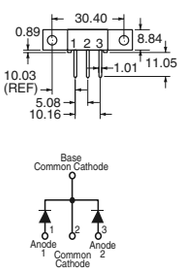

D61-8

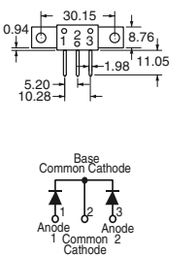

IF (A)	VRRM (V)	VF (V)	IFSM(A) @ tp = 5 µs Sinus	TJ-Sperrschicht-temp. (°C)	Digi-Key Teilenr.	Stückpreis 1	10	100
40	100	0.81	850	-55 ~ 175	43CTQ100-ND	2.56	2.05	1.64
20	100	0.7	850	-65 ~ 150	MBR20100CTIR-ND	1.72	1.13	.87
16	100	0.72	850	-55 ~ 175	16CTQ100-ND	3.62	2.55	2.05
10	150	0.73	620	-55 ~ 175	10CTQ150-ND	2.49	1.77	1.45
TO-244AB								
220	15	0.32	10800	-55 ~ 100	225CNQ015-ND	52.91	42.33	31.75
400	15	0.47	4000	-55 ~ 175	445CNQ015-ND	57.15	45.72	35.43
220	25	0.40	22500	-55 ~ 150	220CNQ025-ND	26.30	21.05	15.79
220	30	0.40	22500	-55 ~ 150	220CNQ030-ND	52.91	42.33	31.75
440	30	0.41	27000	-55 ~ 150	440CNQ030-ND	50.80	40.64	30.48
200	35	0.49	26000	-55 ~ 150	200CNQ035-ND	52.91	42.33	31.75
200	35	0.58	16000	-55 ~ 175	201CNQ035-ND	53.35	42.68	32.02
300	35	0.59	16000	-55 ~ 175	301CNQ035-ND	52.91	42.33	31.75
400	35	0.52	29000	-55 ~ 150	400CNQ035-ND	59.26	47.41	35.56
400	35	0.56	25000	-55 ~ 175	401CNQ035-ND	40.54	32.43	24.33
200	40	0.49	26000	-55 ~ 150	200CNQ040-ND	52.91	42.33	31.75
200	40	0.58	16000	-55 ~ 175	201CNQ040-ND	53.35	42.68	32.02
300	40	0.62	600	-55 ~ 175	300CNQ040-ND	29.05	23.24	17.78
300	40	0.59	16000	-55 ~ 175	301CNQ040-ND	52.91	42.33	31.75
300	45	0.69	16000	-55 ~ 175	301CNQ045-ND	35.89	28.71	18.91
200	45	0.49	26000	-55 ~ 150	200CNQ045-ND	51.11	40.89	30.67
200	45	0.58	16000	-55 ~ 175	201CNQ045-ND	52.91	42.33	31.75
300	45	0.62	600	-55 ~ 175	300CNQ045-ND	52.91	42.33	32.39
400	45	0.52	29000	-55 ~ 150	400CNQ045-ND	42.02	33.62	25.22
400	45	0.56	25000	-55 ~ 175	401CNQ045-ND	42.27	33.82	25.37
200	50	0.58	16000	-55 ~ 175	201CNQ050-ND	53.35	42.68	32.02
300	50	0.59	16000	-55 ~ 175	301CNQ050-ND	52.91	42.33	31.75
400	60	0.59	25500	-55 ~ 150	408CNQ060-ND	55.88	43.18	37.34
200	80	0.70	16000	-55 ~ 175	203CNQ080-ND	52.91	42.33	31.75
300	80	0.72	22000	-55 ~ 175	303CNQ080-ND	37.62	30.10	22.58
400	80	0.69	25500	-55 ~ 175	403CNQ080-ND	63.50	50.80	38.10
200	100	0.86	16000	-55 ~ 175	203CNQ100-ND	75.96	60.77	48.62
200	100	0.70	16000	-55 ~ 175	203CNQ100R-ND	33.14	26.51	19.89
200	100	0.70	16000	-55 ~ 175	203DNQ100-ND	30.16	24.13	18.10
300	100	0.72	22000	-55 ~ 175	303CNQ100-ND	59.26	47.41	35.56
400	100	0.69	25500	-55 ~ 175	403CNQ100-ND	44.86	35.89	26.92
200	135	0.71	10000	-55 ~ 175	209CNQ135-ND	46.03	36.83	32.23
400	135	0.72	20000	-55 ~ 175	409CNQ135-ND	34.85	29.01	25.43
400	150	0.72	20000	-55 ~ 175	409CNQ150-ND	47.53	38.03	28.52
TO-244AB (ISO)								
220	30	0.40	22500	-55 ~ 150	220CMQ030-ND	38.02	30.42	22.82
200	45	0.58	16000	-55 ~ 175	201CMQ045-ND	37.30	29.84	22.38
400	45	0.52	29000	-55 ~ 150	400CMQ045-ND	34.02	28.35	24.87
400	45	0.52	29000	-55 ~ 150	400DMQ045-ND	72.43	57.94	43.46
400	45	0.56	25000	-55 ~ 175	401CMQ045-ND	53.18	42.55	31.91
200	60	0.59	16000	-55 ~ 150	208CMQ060-ND	24.13	20.32	17.78
400	60	0.59	25500	-55 ~ 150	408CMQ060-ND	30.01	25.02	21.95
200	80	0.70	16000	-55 ~ 175	203CMQ080-ND	33.80	27.04	20.28
400	80	0.69	25500	-55 ~ 175	403CMQ080-ND	46.44	37.16	33.80
200	100	0.70	16000	-55 ~ 175	203CMQ100-ND	52.91	42.33	31.75
200	100	0.70	16000	-55 ~ 175	203DMQ100-ND	38.57	30.86	23.15
400	100	0.69	25500	-55 ~ 175	403CMQ100-ND	53.24	42.60	31.95
400	100	0.72	25500	-55 ~ 175	403DMQ100-ND	34.02	28.35	24.87
TO-247AC								
40	15	0.25	700	-55 ~ 125	40L15CW-ND	2.96	2.37	1.48
40	15	0.26	700	-55 ~ 125	MBR40L15CW-ND	3.52	2.47	1.88
40	15	0.25	700	-55 ~ 125	STPS40L15CWIR-ND	2.20	1.53	1.19
80	20	0.32	2200	-55 ~ 150	80CPQ020-ND	3.12	2.49	1.88
50	30	0.38	2180	-55 ~ 150	52CPQ030-ND	9.53	7.62	5.72
70	30	0.51	2180	-55 ~ 150	72CPQ030-ND	3.39	2.71	1.94
30	35	0.50	1020	-55 ~ 150	30CPQ035-ND	2.74	2.20	1.65
40	35	0.43	3500	-55 ~ 150	40CPQ035-ND	4.23	3.39	2.54
30	40	0.50	1020	-55 ~ 150	30CPQ040-ND	3.57	2.87	2.16
40	40	0.43	3500	-55 ~ 150	40CPQ040-ND	5.47	4.38	3.29
40	40	0.43	3500	-55 ~ 150	STPS40L40CW-ND	3.17	2.23	1.74
45	40	0.42	1240	-55 ~ 150	STPS40L45CW-ND	3.34	2.33	1.77
30	45	0.60	1020	-65 ~ 150	MBR3045WT-ND	1.24	1.16	1.05
40	45	0.42	1240	-55 ~ 150	40L45CW-ND	2.04	1.64	1.23
40	45	0.59	1020	-55 ~ 150	MBR4045WT-ND	1.65	1.32	1.06

IF (A)	VRRM (V)	VF (V)	IFSM(A) @ tp = 5 µs Sinus	TJ-Sperrschicht-temp. (°C)	Digi-Key Teilenr.	Stückpreis 1	10	100
60	45	0.69	2900	-55 ~ 150	MBR6045WTIR-ND	2.23	1.49	1.16
30	45	0.50	1020	-55 ~ 150	30CPQ045-ND	4.28	3.04	2.50
40	45	0.43	3500	-55 ~ 150	40CPQ045-ND	4.47	2.87	2.67
30	50	0.50	1020	-55 ~ 150	30CPQ050-ND	3.28	2.63	1.97
40	50	0.49	3200	-55 ~ 150	40CPQ050-ND	5.99	4.80	3.60
40	60	0.77	3200	-55 ~ 150	MBR4060WT-ND	2.89	2.32	1.85
30	60	0.50	1020	-55 ~ 150	30CPQ060-ND	2.72	1.94	1.60
40	60	0.49	3200	-55 ~ 150	40CPQ060-ND	2.28	1.47	1.36
30	60	0.56	1020	-55 ~ 150	STPS30L60CW-ND	1.87	1.31	.99
30	80	0.67	920	-55 ~ 175	30CPQ080-ND	4.77	3.81	2.86
40	80	0.61	2950	-55 ~ 175	40CPQ080-ND	7.48	5.98	4.49
30	90	0.67	920	-55 ~ 175	30CPQ090-ND	2.96	2.37	1.78
30	100	0.67	920	-55 ~ 175	30CPQ100-ND	5.66	4.13	3.39
40	100	0.77	2950	-55 ~ 175	40CPQ100-ND	4.11	3.29	2.35
30	140	0.67	920	-55 ~ 175	30CPQ140-ND	5.45	4.36	3.27
30	150	1	1000	-55 ~ 175	30CPQ150-ND	5.22	4.18	2.98
TO-249AA								
160	30	0.46	7900	-55 ~ 150	162CNQ030-ND	52.91	42.33	31.75
160	30	0.46	7900	-55 ~ 150	162CMQ030-ND	52.91	42.33	31.75
300	30	0.56	10000	-55 ~ 150	322CNQ030-ND	52.91	42.33	31.75
160	34	0.60	6400	-55 ~ 150	160CMQ035-ND	52.91	42.33	31.75
160	35	0.63	11500	-55 ~ 175	161CMQ035-ND	52.91	42.33	31.75
160	40	0.60	6400	-55 ~ 150	160CMQ040-ND	52.91	42.33	31.75
160	40	0.63	11500	-55 ~ 175	161CMQ040-ND	52.91	42.33	31.75
160	45	0.60	6400	-55 ~ 150	160CNQ045-ND	52.91	42.33	31.75
160	45	0.63	11500	-55 ~ 175	161CNQ045-ND	52.91	42.33	31.75
160	45	0.60	6400	-55 ~ 150	160CMQ045-ND	52.91	42.33	31.75
160	45	0.63	11500	-55 ~ 175	161CMQ045-ND	52.91	42.33	31.75
160	80	0.80	9000	-55 ~ 175	163CMQ080-ND	52.91	42.33	31.75
160	100	0.80	9000	-55 ~ 175	163CNQ100-ND	52.91	42.33	31.75
160	100	0.98	9000	-55 ~ 175	163CMQ100-ND	52.91	42.33	30.24
TO-262								
40	20	0.34	1000	-55 ~ 150	47CTQ020-1-ND	2.29	1.83	1.38
32	30	0.40	900	-55 ~ 150	32CTQ030-1-ND	3.52	2.00	1.63
40	30	0.38	1100	-55 ~ 150	42CTQ030-1-ND	2.86	2.29	1.72
30	35	0.73	1060	-65 ~ 150	MBR2535CT-1-ND	1.66	1.33	1.00
15	35	0.57	690	-65 ~ 150	MBR1535CT-1-ND	2.03	1.22	.94
20	45	0.57	1060	-55 ~ 175	20CTQ045-1-ND	2.47	1.41	1.14
30	45	0.56	1060	-55 ~ 175	30CTQ045-1-ND	1.76	1.00	.82
40	45	0.48	1240	-55 ~ 150	40CTQ045-1-ND	2.12	1.49	1.13
15	45	0.84	690	-65 ~ 150	MBR1545CT-1-ND	1.24	1.00	.75
20	45	0.57	1060	-65 ~ 150	MBR2045CT-1-ND	1.34	1.07	.80
30	45	0.73	1060	-65 ~ 150	MBR2545CT-1-ND	1.28	1.03	.77
30	45	0.6	1020	-65 ~ 150	MBR3045CT-1-ND	2.27	1.82	1.36
40	45	0.6	900	-65 ~ 150	MBR4045CT-1-ND	1.30	1.04	.78
40	60	0.58	1000	-55 ~ 150	48CTQ060-1-ND	2.57	2.05	1.54
20	80	0.70	850	-65 ~ 150	MBR2080CT-1-ND	1.34	1.07	.81
20	90	0.70	850	-65 ~ 150	MBR2090CT-1-ND	1.38	1.11	.83
16	100	0.58	850	-55 ~ 175	16CTQ100-1-ND	1.11	.89	.67
20	100	0.70	850	-65 ~ 150	MBR20100CT-1-ND	1.50	1.20	.90
40	100	0.67	850	-55 ~ 175	43CTQ100-1-ND	2.35	1.88	1.41
10	150	0.73	620	-55 ~ 175	10CTQ150-1-ND	.89	.71	.54
DO-5								
95	15	0.46	7500	-65 ~ 100	95HQ015-ND	8.98	7.19	5.14
50	40	0.86	800	-65 ~ 125	1N6098-ND	7.28	5.25	4.37
75	35	0.63	9000	-65 ~ 175	75HQ035-ND	8.00	6.40	4.81
60	35	0.53	10800	-65 ~ 150	50HQ035-ND	7.91	6.33	4.75
60	35	0.58	10800	-65 ~ 150	51HQ035-ND	7.91	6.33	4.75
75	35	0.60	1000	-65 ~ 150	MBR7535-ND	7.91	6.33	4.75
60	40	0.58	10800	-65 ~ 150	51HQ040-ND	8.00	6.40	4.81
60	60	0.70	8400	-65 ~ 175	60HQ060-ND	8.00	6.40	4.81
60	80	0.70	8400	-65 ~ 175	60HQ080-ND	8.21	6.57	4.93
DO-41/DO-204AL								
1	30	0.55	225	-40 ~ 150	1N5818IR-ND	.57	.32	.19
1.1	30	0.55	225	-40 ~ 150	11DQ03-ND	.20	.18	.12
1.1	30	0.55	225	-40 ~ 150	11DQ03TR-ND	359.81/5,000		
3.3	30	0.55	470	-40 ~ 150	31DQ03-ND	.58	.50	.34
1	30	0.55	225	-40 ~ 150	1N5819IR-ND	.46	.27	.18

(Forts.)

Alle Preisangaben in Euro und inklusive Zollgebühren.

D61-8-SL

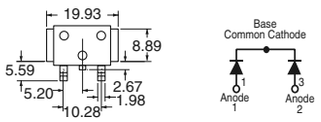

D61-8-SM

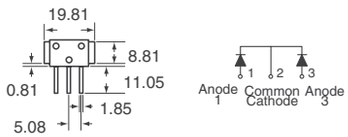

D-PAK

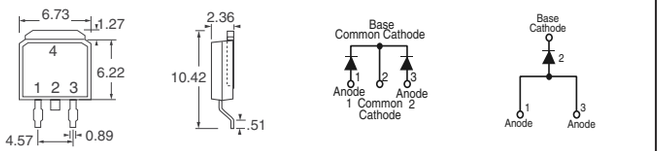

Serie CWQ **Serie WQ**

IF (A)	VRRM (V)	VF (V)	IFSM(A) @ tp = 5 µs Sinus	TJ-Sperrschicht-temp. (°C)	Digi-Key Teilenr.	Stückpreis 1	10	100
1.1	40	0.55	225	-40 ~ 150	11DQ04-ND	.28	.16	.11
1.1	40	0.55	225	-40 ~ 150	11DQ04TR-ND		571.46/5,000	
1	50	0.65	150	-40 ~ 150	MBR150-ND	.41	.24	.14
1.1	50	0.58	150	-40 ~ 150	11DQ05-ND	.24	.19	.14
1.1	50	0.58	150	-40 ~ 150	11DQ05TR-ND		660.35/5,000	
1	60	0.65	150	-40 ~ 150	MBR160-ND	.41	.24	.14
1.1	60	0.58	150	-40 ~ 150	11DQ06-ND	.36	.21	.15
1.1	60	0.58	150	-40 ~ 150	11DQ06TR-ND		499.49/5,000	
1.1	90	0.85	85	-40 ~ 150	11DQ09-ND	.39	.33	.23
1.1	90	0.85	85	-40 ~ 150	11DQ09TR-ND		685.75/5,000	
1	100	0.68	200	-40 ~ 150	MBR1100-ND	.34	.20	.13
1.1	100	0.85	85	-40 ~ 150	11DQ10-ND	.25	.21	.15
					DO-204AR			
9	15	0.31	2900	-55 ~ 100	95SQ015-ND	2.94	2.02	1.61
9	15	0.31	2900	-55 ~ 100	95SQ015TR-ND		2057.24/1,500	
8	30	0.44	2400	-55 ~ 175	80SQ030-ND	1.25	1.00	.75
9	30	0.42	2150	-55 ~ 150	90SQ030-ND	1.31	1.05	.79
8	35	0.53	2400	-55 ~ 175	80SQ035-ND	1.27	1.02	.73
8	35	0.53	2400	-55 ~ 175	80SQ035TR-ND		1028.62/1,500	
9	35	0.42	2150	-55 ~ 150	90SQ035-ND	1.20	.96	.72
8	40	0.53	2400	-55 ~ 175	80SQ040-ND	1.56	1.25	.90
9	40	0.48	2150	-55 ~ 150	90SQ040-ND	1.35	1.09	.78
8	45	0.53	2400	-55 ~ 175	80SQ045-ND	1.58	1.05	.81
8	45	0.53	2400	-55 ~ 175	80SQ045TR-ND		1252.12/1,500	
9	45	0.48	2150	-55 ~ 150	90SQ045-ND	1.24	.99	.71
9	45	0.48	2150	-55 ~ 150	90SQ045TR-ND		1165.77/1,500	
5	60	0.65	225	-65 ~ 150	50SQ060-ND	1.61	1.29	.97
5	80	0.66	1900	-55 ~ 175	50SQ080-ND	1.69	1.36	.97
5	100	0.52	1900	-55 ~ 175	50SQ100-ND	1.63	1.05	.97
5	100	0.52	1900	-55 ~ 175	50SQ100TR-ND		1526.42/1,500	
					D-60			
150	15	0.80	—	-55 ~ 175	155CMQ015-ND	52.91	42.33	33.87
150	30	0.65	9200	-55 ~ 175	152CMQ030-ND	25.05	20.04	15.03
150	35	0.60	6600	-55 ~ 150	150CMQ035-ND	52.91	42.33	31.75
150	35	0.65	9200	-55 ~ 175	151CMQ035-ND	52.91	42.33	31.75
150	40	0.60	6600	-55 ~ 150	150CMQ040-ND	52.91	42.33	31.75
150	40	0.65	9200	-55 ~ 175	151CMQ040-ND	52.91	42.33	31.75
150	45	0.60	6600	-55 ~ 150	150CMQ045-ND	52.91	42.33	31.75
150	45	0.65	9200	-55 ~ 175	151CMQ045-ND	52.91	42.33	31.75
150	45	0.60	6600	-55 ~ 150	150CNQ045-ND	22.75	18.20	13.65
150	80	0.80	7000	-55 ~ 175	153CMQ080-ND	60.39	48.31	36.24
150	100	0.80	7000	-55 ~ 175	153CMQ100-ND	52.91	42.33	31.75
					D61-6			
60	30	0.46	4600	-55 ~ 150	62CNQ030-ND	13.97	11.18	7.99
					D61-8			
80	15	0.36	5200	-55 ~ 100	85CNQ015A-ND	14.86	11.89	8.50
80	20	0.32	6000	-55 ~ 150	87CNQ020A-ND	12.05	9.32	8.06
110	30	0.39	5100	-55 ~ 150	112CNQ030A-ND	11.18	8.64	7.47
80	35	0.47	5800	-55 ~ 150	80CNQ035A-ND	12.33	9.53	8.24
80	35	0.54	4600	-55 ~ 175	81CNQ035A-ND	12.33	9.53	8.24
80	40	0.47	5800	-55 ~ 150	80CNQ040A-ND	12.33	9.53	8.24
80	40	0.54	4600	-55 ~ 175	81CNQ040A-ND	12.33	9.53	8.24
80	45	0.54	4600	-55 ~ 175	81CNQ045A-ND	12.84	9.93	8.58
110	45	0.55	4000	-55 ~ 175	111CNQ045A-ND	11.18	8.64	7.47
110	45	0.5	5400	-55 ~ 150	110CNQ045A-ND	11.18	8.64	7.47
80	60	0.56	5000	-55 ~ 150	88CNQ060A-ND	14.29	11.02	9.48
80	80	0.67	7000	-55 ~ 175	83CNQ080A-ND	12.57	9.72	8.41
110	100	0.67	7000	-55 ~ 175	113CNQ100A-ND	11.18	8.64	7.47
80	135	0.69	4300	-55 ~ 175	89CNQ135A-ND	12.05	9.32	8.06
80	150	0.69	4300	-55 ~ 175	89CNQ150A-ND	14.16	10.95	9.34
					D61-8-SL			
110	15	0.33	5050	-55 ~ 125	115CNQ015ASL-ND	11.36	8.78	7.60
110	30	0.39	5100	-50 ~ 150	112CNQ030ASL-ND	11.36	8.78	7.60
80	35	0.47	5800	-55 ~ 150	80CNQ035ASL-ND	13.49	10.43	9.02
80	35	0.54	4600	-55 ~ 175	81CNQ035ASL-ND	12.33	9.53	8.24
80	40	0.54	4600	-55 ~ 175	81CNQ040ASL-ND	12.33	9.53	8.24
80	45	0.54	4600	-55 ~ 175	81CNQ045ASL-ND	12.83	9.92	8.58
110	45	0.5	5400	-55 ~ 150	110CNQ045ASL-ND	14.79	11.44	9.89
110	45	0.55	4000	-55 ~ 175	111CNQ045ASL-ND	14.99	11.59	10.02
80	60	0.56	5000	-55 ~ 150	88CNQ060ASL-ND	14.29	11.02	9.48
80	80	0.67	7000	-55 ~ 175	83CNQ080ASL-ND	13.66	10.56	9.14
80	100	0.67	7000	-55 ~ 175	83CNQ100ASL-ND	12.57	9.72	8.41
110	100	0.67	7000	-55 ~ 175	113CNQ100ASL-ND	11.83	9.14	7.91
80	135	0.69	4300	-55 ~ 175	89CNQ135ASL-ND	13.91	10.75	9.30
80	150	0.69	4300	-55 ~ 175	89CNQ150ASL-ND	12.05	9.32	8.06
					D61-8-SM			
80	15	0.32	5200	-55 ~ 100	85CNQ015ASM-ND	13.33	10.30	8.91
110	15	0.33	5050	-55 ~ 125	115CNQ015ASM-ND	11.36	8.78	7.60
80	20	0.32	6000	-55 ~ 150	87CNQ020ASM-ND	12.05	9.32	8.06
80	30	0.37	5100	-55 ~ 150	82CNQ030ASM-ND	13.75	10.63	9.19
80	35	0.54	4600	-55 ~ 175	81CNQ035ASM-ND	12.33	9.54	8.25
80	40	0.47	5800	-55 ~ 150	80CNQ040ASM-ND	13.49	10.43	9.02
80	40	0.54	4600	-55 ~ 175	81CNQ040ASM-ND	12.33	9.53	8.24
80	45	0.47	5800	-55 ~ 150	80CNQ045ASM-ND	13.49	10.43	9.02
80	45	0.54	4600	-55 ~ 175	81CNQ045ASM-ND	12.83	9.92	8.58
110	45	0.5	5400	-55 ~ 150	110CNQ045ASM-ND	12.29	9.51	8.22
110	45	0.55	4000	-55 ~ 175	111CNQ045ASM-ND	14.99	11.59	10.02
80	60	0.56	5000	-55 ~ 150	88CNQ060ASM-ND	14.03	10.82	9.30
80	80	0.67	7000	-55 ~ 175	83CNQ080ASM-ND	13.93	10.76	9.31
80	100	0.67	7000	-55 ~ 175	83CNQ100ASM-ND	11.56	8.94	7.73
110	100	0.67	7000	-55 ~ 175	113CNQ100ASM-ND	11.83	9.14	7.91
80	135	0.69	4300	-55 ~ 175	89CNQ135ASM-ND	13.91	10.75	9.30
80	150	0.69	4300	-55 ~ 175	89CNQ150ASM-ND	12.05	9.32	8.06

IF (A)	VRRM (V)	VF (V)	IFSM(A) @ tp = 5 µs Sinus	TJ-Sperrschicht-temp. (°C)	Digi-Key Teilenr.	Stückpreis 1	10	100
					D-PAK			
7	30	0.35	535	-40 ~ 150	6CWQ03FN-ND	.73	.58	.44
12	30	0.47	320	-55 ~ 150	12CWQ03FN-ND	.70	.57	.41
12	30	0.47	320	-55 ~ 150	12CWQ03FNTR-ND		761.94/2,000	
3.5	30	0.45	535	-40 ~ 150	30WQ03FN-ND	.58	.47	.34
5.5	30	0.46	320	-40 ~ 150	50WQ03FN-ND	.79	.63	.45
3	30	0.49	490	-40 ~ 150	MBRD330-ND	.73	.44	.32
7	40	0.53	500	-40 ~ 150	6CWQ04FN-ND	.58	.46	.33
7	40	0.53	500	-40 ~ 150	6CWQ04FNTR-ND		618.02/2,000	
12	40	0.52	320	-55 ~ 150	12CWQ04FN-ND	.89	.72	.51
3.5	40	0.53	500	-40 ~ 150	30WQ04FN-ND	.70	.56	.40
3.5	40	0.53	500	-40 ~ 150	30WQ04FNTR-ND		497.80/2,000	
5.5	40	0.51	340	-40 ~ 150	50WQ04FN-ND	.89	.72	.51
5.5	40	0.51	340	-40 ~ 150	50WQ04FNTR-ND		960.04/2,000	
3	40	0.49	490	-40 ~ 150	MBRD340-ND	.82	.50	.36
10	45	0.53	400	-40 ~ 175	10WQ045FN-ND	3.17	2.23	1.74
10	45	0.57	75	-65 ~ 175	STPS1045B-ND	1.49	.88	.67
6	50	0.65	490	-40 ~ 150	MBRD650CT-ND	.90	.53	.39
6	60	0.65	490	-40 ~ 150	MBRD660CT-ND	.91	.55	.40
7	60	0.61	500	-40 ~ 150	6CWQ06FN-ND	.58	.46	.33
12	60	0.61	500	-55 ~ 150	12CWQ06FN-ND	.79	.63	.45
3.5	60	0.61	490	-40 ~ 150	30WQ06FN-ND	1.02	.82	.59
3.5	60	0.61	490	-40 ~ 150	30WQ06FNTR-ND		562.14/2,000	
5.5	60	0.57	320	-40 ~ 150	50WQ06FN-ND	.54	.43	.31
5.5	60	0.57	320	-40 ~ 150	50WQ06FNTRR-ND		871.15/3,000	
7	100	0.81	440	-40 ~ 150	6CWQ10FN-ND	.58	.46	.33
7	100	0.81	440	-40 ~ 150	6CWQ10FNTR-ND		618.02/2,000	
12	100	0.8	330	-55 ~ 150	12CWQ10FN-ND	.72	.58	.42
12	100	0.8	330	-55 ~ 150	12CWQ10FNTR-ND		777.18/2,000	
12	100	0.8	330	-55 ~ 150	12CWQ10FNTRR-ND		1338.47/3,000	
3.5	100	0.81	440	-40 ~ 150	30WQ10FN-ND	.96	.77	.55
3.5	100	0.81	440	-40 ~ 150	30WQ10FNTR-ND		497.80/2,000	
5.5	100	0.77	30	-40 ~ 150	50WQ10FN-ND	1.20	.96	.69
					D-2PAK			
19	15	0.36	700	-55 ~ 100	19TQ015S-ND	3.30	2.65	1.89
19	15	0.36	700	-55 ~ 100	19TQ015STRL-ND		1426.35/800	
20	15	0.25	700	-55 ~ 125	20L15TS-ND	1.29	.75	.62
40	15	0.41	700	-55 ~ 125	40L15CTS-ND	2.66	1.83	1.44
20	15	0.25	700	-55 ~ 125	STPS20L15G-ND	2.98	1.71	1.45
40	20	0.45	1000	-55 ~ 150	47CTQ020S-ND	3.67	2.82	2.26
30	30	0.49	1000	-55 ~ 150	32CTQ030S-ND	1.27	1.02	.73
30	30	0.49	1000	-55 ~ 150	32CTQ030STRL-ND		554.69/800	
40	30	0.48	1100	-55 ~ 150	42CTQ030S-ND	2.29	1.83	1.66
40	30	0.48	1100	-55 ~ 150	42CTQ030STRL-ND		987.47/800	
30	35	0.50	990	-55 ~ 150	25CTQ035S-ND	2.46	1.97	1.48
6	35	0.53	690	-55 ~ 175	6TQ035S-ND	1.77	1.41	1.06
12	35	0.53	690	-55 ~ 175	12CTQ035S-ND	1.86	1.49	1.12
15	35	0.51	810	-55 ~ 150	15CTQ035S-ND	1.58	1.27	.95
20	35	0.57	1060	-55 ~ 175	20CTQ035S-ND	2.31	1.85	1.39
20	35	0.51	1800	-55 ~ 150	20TQ035S-ND	2.23	1.78	1.34
30	35	0.56	1060	-55 ~ 175	30CTQ035S-ND	2.65	2.12	1.59
7.5	35	0.57	690	-65 ~ 150	MBRB735-ND	.75	.45	.34
10	35	0.57	1060	-65 ~ 150	MBRB1035-ND	1.18	.70	.53
15	35	0.57	690	-65 ~ 150	MBRB1535CT-ND	2.07	1.24	.95
16	35	0.57	1800	-65 ~ 150	MBRB1635-ND	1.63	.86	.77
20	35	0.57	1060	-65 ~ 150	MBRB2035CT-ND	1.86	1.49	1.12
6	45	0.53	690	-55 ~ 175	6TQ045S-ND	1.54	1.24	.93
7.5	45	0.57	690	-65 ~ 150	MBRB745-ND	2.05	1.22	.91
16	45	0.57	1800	-65 ~ 150	MBRB1645-ND	2.35	1.24	1.12
10	45	0.57	1060	-65 ~ 150	MBRB1045-ND	2.01	1.61	.97
12	45	0.53	690	-55 ~ 175	12CTQ045S-ND	1.80	1.45	1.09
15	45	0.84	690	-65 ~ 150	MBRB1545CT-ND	1.19	.95	.57
10	45	0.49	1050	-55 ~ 175	10TQ045S-ND	2.02	1.62	1.22
15	45	0.50	990	-55 ~ 150	12TQ045S-ND	2.02	1.62	1.22
15	45	0.50	990	-55 ~ 150	12TQ045STRR-ND		1127.67/800	
15	45	0.51	810	-55 ~ 150	15CTQ045S-ND	1.62	1.30	.98
18	45	0.6	1800	-55 ~ 175	18TQ045S-ND	1.07	.86	.62
20	45	0.57	1060	-55 ~ 175	20CTQ045S-ND	2.35	1.88	1.41
20	45	0.51	1800	-55 ~ 150	20TQ045S-ND	2.44	1.95	1.47
20	45	0.57	1060	-65 ~ 150	MBRB2045CT-ND	3.79	3.04	2.28
30	45	0.50	990	-55 ~ 150	25CTQ045S-ND	3.45	2.77	2.08
30	45	0.6	1020	-65 ~ 150	MBRB3045CT-ND	2.75	2.21	1.66
30	45	0.73	1060	-65 ~ 150	MBRB2545CTTRL-ND		1170.34/800	
25	45	0.73	1060	-65 ~ 150	MBRB2535CT-ND	2.35	1.88	1.41
30	45	0.73	1060	-65 ~ 150	MBRB2545CTIR-ND	2.71	2.17	1.63
40	45	0.6	1020	-65 ~ 150	MBRB4045CT-ND	2.90	2.32	1.74
30	45	0.62	1060	-55 ~ 175	30CTQ045S-ND	2.69	2.15	1.54
30	45	0.62	1060	-55 ~ 175	30CTQ045STRR-ND		1161.54/800	
40	45	0.53	1240	-55 ~ 150	40CTQ045S-ND	2.90	2.32	1.66
15	60	0.56	1000	-55 ~ 150	15TQ060S-ND	2.96	2.37	1.78
30	60	0.62	1060	-55 ~ 150	30CTQ060S-ND	3.12	2.49	1.78
40	60	0.61	1000	-55 ~ 150	48CTQ060S-ND	2.57	2.05	1.47
8	80	0.72	850	-55 ~ 175	8TQ080S-ND	1.37	1.10	.78
16	80	0.58	850	-55 ~ 175	16CTQ080S-ND	3.84	3.07	2.30
20	80	0.70	850	-65 ~ 150	MBRB2080CT-ND	3.79	3.04	2.28
20	90	0.70	850	-65 ~ 150	MBRB2090CT-ND	3.79	3.04	2.28
8	100	0.72	850	-55 ~ 175	8TQ100S-ND	.87	.70	.50
8	100	0.72	850	-55 ~ 175	8TQ100STRR-ND		373.18/800	

(Forts.)

D-2PAK

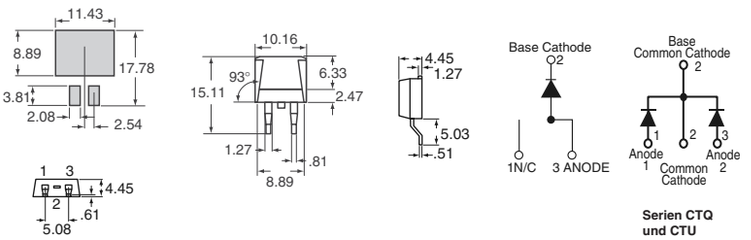

Serien CTQ und CTU

HALF-PAK/D-67

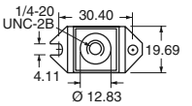

Basiskathode

I-PAK

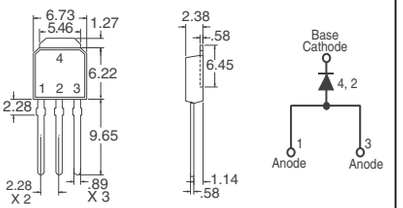

B

IF (A)	VRRM (V)	VF (V)	IFSM(A) @ tp = 5 µs Sinus	TJ-Sperrschicht-temp. (°C)	Digi-Key Teilenr.	Stückpreis 1	10	100
16	100	0.72	850	-55 ~ 175	16CTQ100S-ND	3.88	3.10	2.22
20	100	0.95	850	-65 ~ 150	MBRB20100CT-ND	1.49	1.20	.96
20	100	0.95	850	-65 ~ 150	MBRB20100CTTRL-ND		1089.07/800	
40	100	0.81	850	-55 ~ 175	43CTQ100S-ND	2.97	2.38	1.90
180	135	0.74	15000	-55 ~ 175	189NQ135-ND	26.32	20.34	17.59
10	150	0.93	620	-55 ~ 175	10CTQ150S-ND	2.84	2.28	1.63
16	400	1.19	100	-65 ~ 175	16CTU04S-ND	2.21	1.26	1.03
Half-Pak/D-67								
120	15	0.39	10800	-55 ~ 100	125NQ015-ND	21.17	16.94	12.10
120	15	0.39	10800	-55 ~ 100	125NQ015R-ND	21.17	16.94	12.10
180	15	0.4	15000	-55 ~ 100	185NQ015-ND	25.40	20.32	14.52
180	15	0.4	15000	-55 ~ 100	185NQ015R-ND	18.02	14.42	10.82
240	15	0.4	20000	-55 ~ 100	245NQ015-ND	25.32	20.26	14.47
240	15	0.4	20000	-55 ~ 100	245NQ015R-ND	29.63	23.71	17.78
20	30	0.41	22500	-55 ~ 150	122NQ030-ND	21.17	16.94	12.10
120	30	0.41	22500	-55 ~ 150	122NQ030R-ND	20.01	16.02	12.01
180	30	0.41	30000	-55 ~ 150	182NQ030-ND	22.78	18.23	13.67
240	30	0.42	27000	-55 ~ 150	242NQ030-ND	25.52	20.42	15.32
120	35	0.52	29000	-55 ~ 150	120NQ035-ND	16.73	13.39	10.04
120	35	0.56	19800	-55 ~ 175	121NQ035-ND	21.17	16.94	12.70
180	35	0.56	25500	-55 ~ 150	180NQ035-ND	25.40	20.32	15.24
180	35	0.56	22000	-55 ~ 175	181NQ035-ND	25.40	20.32	15.24
240	35	0.59	25000	-55 ~ 175	241NQ035-ND	37.06	29.65	22.24
240	35	0.55	26000	-55 ~ 150	240NQ035-ND	20.44	16.36	12.27
120	40	0.56	19800	-55 ~ 175	121NQ040-ND	13.30	10.64	7.98
180	40	0.56	25500	-55 ~ 150	180NQ040-ND	17.26	13.81	10.36

IF (A)	VRRM (V)	VF (V)	IFSM(A) @ tp = 5 µs Sinus	TJ-Sperrschicht-temp. (°C)	Digi-Key Teilenr.	Stückpreis 1	10	100
180	40	0.56	22000	-55 ~ 175	181NQ040-ND	25.40	20.32	15.24
240	40	0.55	26000	-55 ~ 150	240NQ040-ND	28.57	22.86	17.15
240	40	0.59	25000	-55 ~ 175	241NQ040-ND	20.44	16.36	12.27
120	45	0.52	29000	-55 ~ 150	120NQ045-ND	20.07	16.06	12.05
120	45	0.52	29000	-55 ~ 150	120NQ045R-ND	21.17	16.94	12.70
120	45	0.56	19800	-55 ~ 175	121NQ045-ND	20.16	16.13	12.10
120	45	0.56	19800	-55 ~ 175	121NQ045R-ND	28.89	23.12	17.34
180	45	0.56	25500	-55 ~ 150	180NQ045-ND	22.90	18.32	13.75
180	45	0.56	25500	-55 ~ 150	180NQ045R-ND	17.26	13.81	10.36
180	45	0.56	22000	-55 ~ 175	181NQ045-ND	17.26	13.81	10.36
180	45	0.56	22000	-55 ~ 175	181NQ045R-ND	25.40	20.32	15.24
240	45	0.55	26000	-55 ~ 150	240NQ045-ND	25.66	20.53	15.40
240	45	0.55	26000	-55 ~ 150	240NQ045R-ND	28.57	22.86	17.15
240	45	0.59	25000	-55 ~ 175	241NQ045R-ND	25.83	20.66	15.50
120	80	0.74	16000	-55 ~ 175	123NQ080-ND	21.17	16.94	12.70
240	80	0.72	25500	-55 ~ 175	243NQ080-ND	28.57	22.86	17.15
180	80	0.75	22000	-55 ~ 175	183NQ080-ND	25.40	20.32	15.24
180	100	0.95	22000	-55 ~ 175	183NQ100-ND	25.40	20.32	14.52
120	100	0.91	16000	-55 ~ 175	123NQ100-ND	20.21	16.17	11.56
120	100	0.74	16000	-55 ~ 175	123NQ100R-ND	20.21	16.17	12.13
180	100	0.75	22000	-55 ~ 175	183NQ100R-ND	23.07	18.46	13.85
240	100	0.72	25500	-55 ~ 175	243NQ100-ND	25.88	20.71	15.53
240	100	0.72	25500	-55 ~ 175	243NQ100R-ND	25.88	20.71	15.53
120	135	0.74	10000	-55 ~ 175	129NQ135-ND	12.26	9.47	8.19
240	135	0.72	20000	-55 ~ 175	249NQ135-ND	18.23	14.32	12.37
I-PAK								
5.5	30	0.35	240	-40 ~ 150	50UQ03G-ND	.91	.58	.42

Betriebstemperaturbereich: -40 °C ~ 150 °C **Lagertemperaturbereich:** -40 °C ~ 150 °C.

D-34A

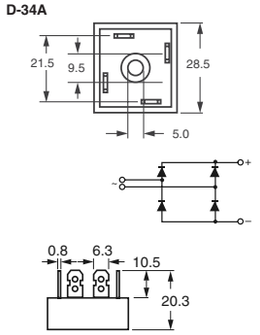

GBPC-A

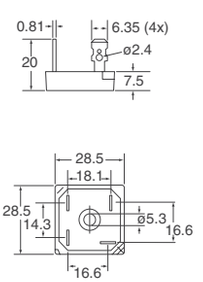

D-63

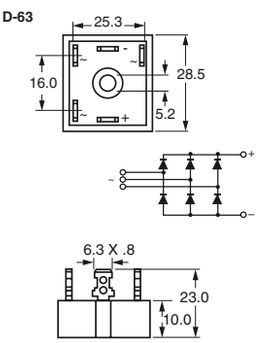

INT-A-Pak

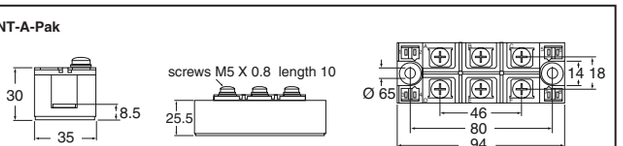

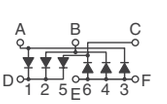

Voll gesteuerte Brücke (51MT160KB-ND)

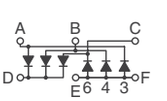

Negative, halb-gesteuerte Brücke (113MT160KB-ND)

Paket	Max. Peak Reverse Volt. (V)**	Max. Über-spannungs-strom 10 ms (A)	Max. sofortige Vorwärts-spannung (V)	Max. durchschn. Richtstrom (A)	Digi-Key Teilenr.	Stückpreis 1	10	100
D-34A	50	350	1.1	25	26MB05A-ND	4.72	3.78	2.84
	100	350	1.1	25	26MB10A-ND	5.67	4.54	2.80
	200	350	1.1	25	26MB20A-ND	5.12	4.10	3.08
	600	350	1.1	25	26MB60A-ND	6.00	4.80	2.90
	1000	350	1.1	25	26MB100A-ND	7.86	6.29	4.72
	1400	350	1.1	25	26MB140A-ND	10.99	8.79	6.60
	1600	350	1.1	25	26MB160A-ND	9.40	7.52	5.64
	50	420	1.2	35	36MB05A-ND	5.00	4.01	3.01
	100	420	1.2	35	36MB10A-ND	5.55	4.45	3.34
	200	420	1.2	35	36MB20A-ND	5.38	4.31	3.23
	400	420	1.2	35	36MB40A-ND	6.09	4.88	3.25
	600	420	1.2	35	36MB60A-ND	6.22	4.98	3.31
	800	420	1.2	35	36MB80A-ND	6.32	5.05	3.37
	1000	420	1.2	35	36MB100A-ND	6.89	5.52	3.51
	1200	420	1.2	35	36MB120A-ND	7.22	5.78	3.65
	1400	420	1.2	35	36MB140A-ND	12.47	9.98	6.64
	1600	420	1.2	35	36MB160A-ND	12.62	10.10	6.73
GBPC-A	200	350	1.1	25	GBPC2502A-ND	2.43	1.95	1.46
	200	350	1.1	35	GBPC3502A-ND	2.83	2.26	1.70
	400	350	1.1	25	GBPC2504A-ND	3.17	2.54	1.90
	600	350	1.1	25	GBPC2506A-ND	2.48	1.99	1.49
	800	350	1.1	25	GBPC2508A-ND	3.26	2.61	1.96
	400	420	1.1	35	GBPC3504A-ND	2.57	2.05	1.54
	600	420	1.1	35	GBPC3506A-ND	2.64	2.12	1.59

Paket	Max. Peak Reverse Volt. (V)**	Max. Über-spannungs-strom 10 ms (A)	Max. sofortige Vorwärts-spannung (V)	Max. durchschn. Richtstrom (A)	Digi-Key Teilenr.	Stückpreis 1	10	100
GBPC-A	800	420	1.1	35	GBPC3508A-ND	3.47	2.78	2.09
	1000	420	1.1	35	GBPC3510A-ND	2.74	2.20	1.65
	1200	420	1.1	35	GBPC3512A-ND	2.80	2.24	1.69
D-63	100	360	1.26	25	26MT10-ND	15.76	12.61	9.46
	200	360	1.26	25	26MT20-ND	14.08	11.26	8.45
	400	360	1.26	25	26MT40-ND	15.84	12.68	9.51
	600	360	1.26	25	26MT60-ND	16.04	12.84	9.63
	1000	360	1.26	25	26MT100-ND	18.02	14.42	10.82
	1200	360	1.26	25	26MT120-ND	18.97	15.18	11.39
	1400	360	1.26	25	26MT140-ND	20.37	16.30	12.23
	1600	360	1.26	25	26MT160-ND	18.20	14.57	10.93
	100	475	1.26	25	36MT10-ND	13.22	10.58	7.94
	200	475	1.26	25	36MT20-ND	14.95	11.96	8.97
	400	300	1.19	35	36MT40-ND	14.31	11.45	7.62
	600	475	1.19	35	36MT60-ND	15.37	12.30	9.22
	800	475	1.19	35	36MT80-ND	13.86	11.09	8.32
	1000	475	1.19	35	36MT100-ND	15.84	12.68	9.51
	1200	475	1.19	35	36MT120-ND	18.58	14.87	11.15
	1400	475	1.19	35	36MT140-ND	21.14	16.91	12.69
	1600	420	1	35	36MT160-ND	22.05	17.65	11.73
INT-A-Pak	1600	390	2.5	55	51MT160KB-ND	78.15	70.34	51.98
		1130	1.57	110	113MT160KB-ND	96.27	68.84	62.10

** Max. Spitzenrückflussspannung (V)

Alle Preisangaben in Euro und inklusive Zollgebühren.

Eingangsgleichrichterdioden

DO-4

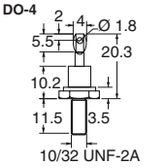

Kathode am Bolzen

DO-5

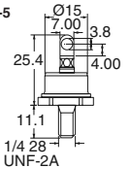

Kathode am Bolzen

41HF (R)

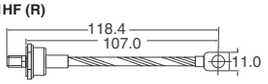

71HF (R)

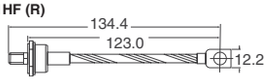

DPak

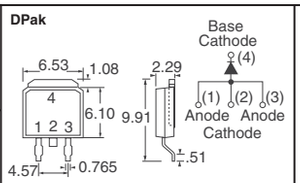

SMD-220

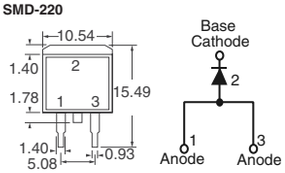

TO-220AC

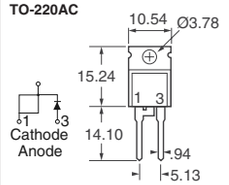

TO-247AC

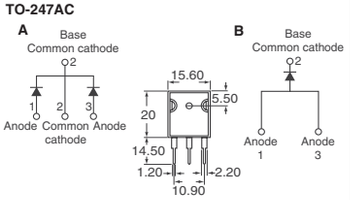

TO-220AC Full Pack

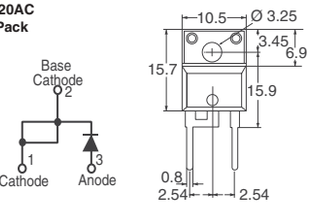

TO-252AA

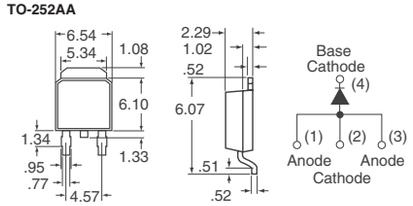

MAGN-A-Pak™

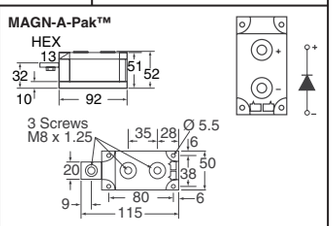

Half-Pak

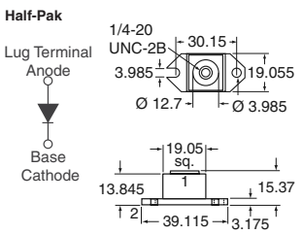

DO-8

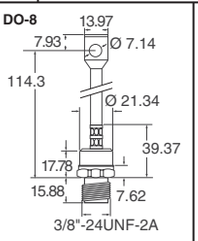

PowIRtab

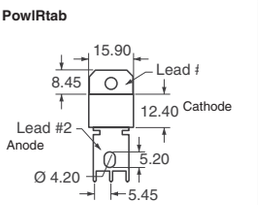

DO-9

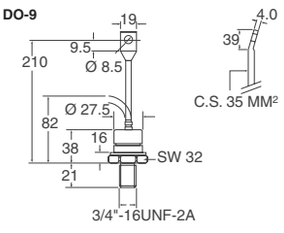

K-PUK

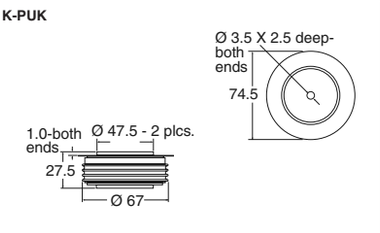

B-42

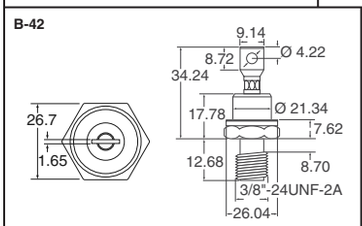

B-47

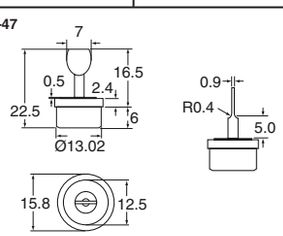

INT-A-Pak™

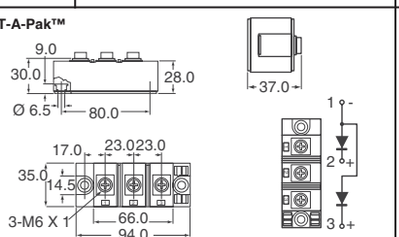

ADD-A-Pak™

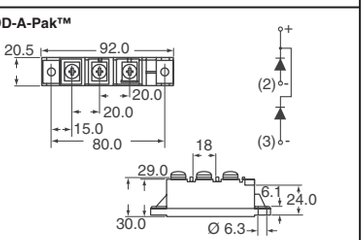

D2Pak

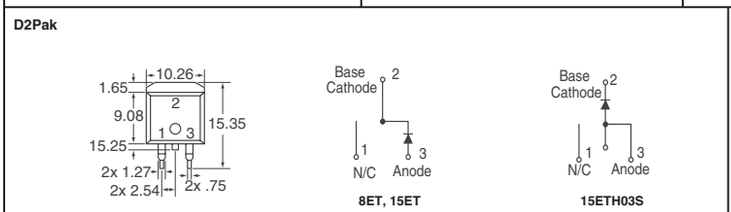

TO-262

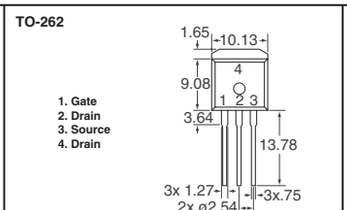

TO-218

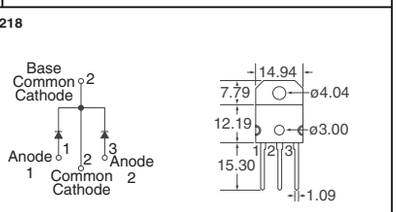

TO-247AC/MOD

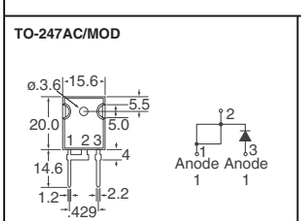

SOT-227

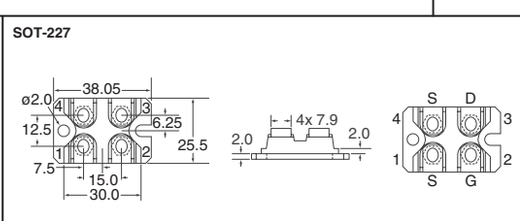

TO-220AB

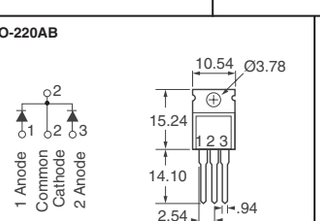

Flipky™

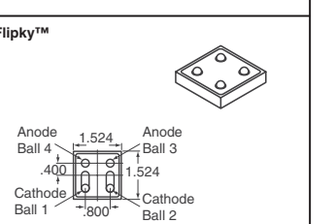

Paket	IF (A)	VRRM (V)	VF (V)	IFSM (A) @ tp=10 ms Sinus	TJ-Sperr-schichttemp. (°C)	Digi-Key Teilenr.	Stückpreis 1	10	100
Standard-Erholungsdioden (diskrete Schaltung)									
DO-4	6	400	1.1	159	-65 ~ 175	6F40-ND	3.42	2.74	2.06
	6	400	1.1	159	-65 ~ 175	6FR40-ND*	3.42	2.75	2.06
	6	1200	1.1	159	-65 ~ 175	6FR120-ND*	6.89	5.52	4.14
	12	50	1.35	230	-65 ~ 200	1N1199A-ND	3.33	2.66	2.00
	12	100	1.26	265	-65 ~ 175	12F10-ND	3.03	2.43	1.82
	12	100	1.26	265	-65 ~ 175	12FR10-ND*	3.03	2.43	1.82
	12	100	1.35	230	-65 ~ 200	1N1200A-ND	3.34	2.68	1.78
	12	100	1.35	230	-65 ~ 200	1N1200RA-ND*	3.34	2.68	2.01
	12	150	1.35	230	-65 ~ 200	1N1201A-ND	3.39	2.71	2.04
	12	200	1.26	265	-65 ~ 175	12F20-ND	2.82	2.26	1.70
	12	200	1.26	265	-65 ~ 175	12FR20-ND*	2.82	2.26	1.70
	12	200	1.35	230	-65 ~ 200	1N1202RA-ND*	3.12	2.50	1.88
	12	300	1.35	230	-65 ~ 200	1N1203RA-ND*	3.03	2.43	1.82
	12	400	1.26	265	-65 ~ 175	12F40-ND	3.63	2.91	2.18
	12	400	1.26	265	-65 ~ 175	12FR40-ND*	3.63	2.91	2.18
	12	400	1.35	230	-65 ~ 200	1N1204A-ND	3.81	3.05	2.29
	12	600	1.35	230	-65 ~ 200	1N1206A-ND	4.52	3.62	2.41
	12	600	1.26	265	-65 ~ 175	12F60-ND	4.26	3.41	2.56
	12	600	1.26	265	-65 ~ 175	12FR60-ND*	4.26	3.41	2.56
	12	600	1.35	230	-65 ~ 200	1N1206RA-ND*	3.56	2.85	2.14

Paket	IF (A)	VRRM (V)	VF (V)	IFSM (A) @ tp=10 ms Sinus	TJ-Sperr-schichttemp. (°C)	Digi-Key Teilenr.	Stückpreis 1	10	100
DO-4	12	800	1.26	265	-65 ~ 175	12F80-ND	4.71	3.77	2.83
	12	800	1.26	265	-65 ~ 175	12FR80-ND*	4.71	3.77	2.83
	12	1000	1.26	265	-65 ~ 175	12F100-ND	6.43	5.15	3.86
	12	1000	1.35	230	-65 ~ 200	1N3673A-ND	7.01	5.61	4.21
	12	1200	1.26	265	-65 ~ 175	12F120-ND	5.70	4.56	3.42
DO-5	15	50	1.5	239	-65 ~ 190	1N3208-ND	4.09	3.27	2.46
	15	100	1.5	239	-65 ~ 190	1N3209-ND	4.09	3.27	2.46
	15	400	1.5	239	-65 ~ 190	1N3212-ND	4.09	3.27	2.46
	15	600	1.5	239	-65 ~ 190	1N3214-ND	6.35	5.08	3.81
DO-4	16	100	1.23	350	-65 ~ 175	16F10-ND	3.07	2.46	1.85
	16	100	1.23	350	-65 ~ 175	16FR10-ND	3.07	2.47	1.85
	16	200	1.23	350	-65 ~ 175	16F20-ND	3.10	2.48	1.86
	16	400	0.9	350	-65 ~ 175	16F40-ND	4.06	3.25	2.16
	16	400	0.9	350	-65 ~ 175	16FR40-ND*	4.06	3.25	2.16
	16	600	1.23	350	-65 ~ 175	16F60-ND	4.71	3.77	2.83
	16	600	1.23	350	-65 ~ 175	16FR60-ND	4.71	3.77	2.83
	16	800	1.23	350	-65 ~ 175	16FR80-ND	5.12	4.10	3.08
	16	1000	1.23	350	-65 ~ 175	16F100-ND	6.89	5.52	4.14
	16	1000	1.23	350	-40 ~ 150	16FR100-ND	6.89	5.52	4.14
	16	1200	1.23	370	-65 ~ 175	16F120-ND	5.15	4.12	2.75

* Anode am Bolzen † tp = 8,3 ms ‡ IFSM(A) @ tp = 5 µs Sinus *(Forts.)*

B

Paket	IF (A)	VRRM (V)	VF (V)	IFSM (A)) @ tp=10 ms Sinus	TJ-Sperr-schichttemp. (°C)	Digi-Key Teilenr.	Stückpreis 1	10	100
DO-4	16	1200	1.23	350	-65 ~ 175	16FR120-ND	5.79	4.64	3.48
	25	100	1.3	356	-65 ~ 175	25F10-ND	3.54	2.84	2.13
	25	100	1.3	356	-65 ~ 175	25FR10-ND*	4.22	3.38	2.54
	25	200	1.3	356	-65 ~ 175	25F20-ND	4.40	3.52	2.65
	25	200	1.3	356	-65 ~ 175	25FR20-ND*	4.40	3.53	2.65
	25	400	1.3	356	-65 ~ 175	25F40-ND	3.79	3.04	2.28
	25	400	1.3	356	-65 ~ 175	25FR40-ND*	4.52	3.62	2.72
	25	600	1.3	356	-65 ~ 175	25FR60-ND*	4.80	3.84	2.88
	25	800	1.3	356	-65 ~ 175	25F80-ND	5.12	4.10	3.08
	25	800	1.3	356	-65 ~ 175	25FR80-ND*	5.15	4.12	3.09
	25	1000	1.3	356	-65 ~ 175	25F100-ND	6.98	5.59	4.20
	25	1000	1.3	356	-65 ~ 175	25FR100-ND*	6.98	5.59	4.20
	25	1200	1.3	356	-65 ~ 175	25F120-ND	6.10	4.88	3.66
	25	1200	1.3	356	-65 ~ 175	25FR120-ND*	8.29	6.64	4.98
DO-5	35	100	1.7	480	-65 ~ 190	1N1184-ND	5.05	4.05	3.04
	35	200	1.7	480	-65 ~ 190	1N1186-ND	4.93	3.95	2.96
	35	200	1.7	480	-65 ~ 190	1N1186R-ND*	4.94	3.95	2.96
	35	300	1.7	480	-65 ~ 190	1N1187-ND	5.64	4.52	3.39
	35	400	1.7	480	-65 ~ 190	1N1188R-ND*	6.35	5.08	3.81
	40	50	1.3	765	-65 ~ 200	1N1183R-ND*	5.05	4.05	3.04
	40	50	1.3	765	-65 ~ 200	1N1183A-ND	5.55	4.45	3.34
	40	100	1.3	765	-65 ~ 190	1N1184RA-ND*	5.06	4.05	3.04
	40	100	1.3	570	-65 ~ 160	40HFR10-ND	3.75	3.01	2.10
	40	200	1.3	765	-65 ~ 190	1N1186RA-ND*	5.05	4.05	3.04
	40	400	1.3	765	-65 ~ 190	1N1188RA-ND*	6.50	5.21	3.91
	40	200	1.3	570	-65 ~ 190	40HF20-ND	4.61	3.69	2.77
	40	200	1.3	570	-65 ~ 190	40HFR20-ND*	5.06	4.06	3.04
	40	400	1.3	570	-65 ~ 190	40HFR40-ND*	5.99	4.79	3.59
	40	600	1.3	765	-65 ~ 190	1N1190RA-ND*	7.09	5.68	4.26
	40	800	1.3	570	-65 ~ 190	40HF80-ND	7.69	6.15	4.61
	40	800	1.3	570	-65 ~ 190	40HFR80-ND*	7.69	6.15	4.61
	40	1000	1.3	570	-65 ~ 160	40HFR100-ND	8.54	6.84	4.55
	40	1200	1.3	595	-65 ~ 190	40HF120-ND†	—	—	4.81
	40	1200	1.3	595	-65 ~ 190	40HFR120-ND*†	6.72	5.39	3.59
	40	1400	1.3	570	-65 ~ 160	40HFR140-ND*	10.34	8.27	6.21
	60	50	1.3	860	-65 ~ 200	1N2128A-ND	6.93	5.55	4.17
	60	100	1.3	860	-65 ~ 190	1N2129A-ND	7.37	5.90	4.42
	60	200	1.3	860	-65 ~ 190	1N2131A-ND	7.31	5.85	4.39
	60	200	1.3	860	-65 ~ 190	1N2131RA-ND*	8.18	6.55	4.91
	60	400	1.3	860	-65 ~ 190	1N2135A-ND	10.95	8.76	6.57
	60	400	1.3	860	-65 ~ 190	1N2135RA-ND*	10.95	8.77	6.57
	60	600	1.3	860	-65 ~ 190	1N2138A-ND	13.03	10.43	7.82
	60	600	1.3	860	-65 ~ 190	1N2138RA-ND*	13.03	10.43	7.82
	70	100	1.00	1250	-65 ~ 150	70HF10-ND	6.76	5.41	3.79
	70	100	1.35	1200	-65 ~ 180	70HFR10-ND*	6.76	5.41	4.06
	70	100	1.00	1200	-65 ~ 180	71HF10-ND	9.35	7.48	5.61
	70	200	0.79	1200	-65 ~ 150	70HF20-ND	7.15	5.72	4.29
	70	200	1.35	1200	-65 ~ 180	70HFR20-ND*	7.15	5.72	4.29
	70	600	1.35	1200	-65 ~ 180	70HFR60-ND*	9.38	7.51	5.63
	70	800	0.79	1200	-65 ~ 150	70HF80-ND	10.24	8.20	6.15
	70	800	1.35	1200	-65 ~ 180	70HFR80-ND*	10.24	8.20	6.15
	70	1000	1.35	1200	-65 ~ 180	70HFR100-ND*	12.76	10.21	7.66
	70	1200	1.35	1250	-65 ~ 180	70HF120-ND†	13.74	10.99	7.33
	70	1200	1.35	1250	-65 ~ 180	70HFR120-ND*†	6.22	4.98	3.32
	70	1400	0.79	1200	-65 ~ 150	70HF140-ND	14.62	11.70	8.78
	70	1400	1.35	1200	-65 ~ 150	70HFR140-ND*	14.62	11.70	8.78
	70	1600	0.79	1200	-65 ~ 150	70HF160-ND	11.43	9.15	6.86
	70	1600	1.35	1200	-65 ~ 150	70HFR160-ND*	12.00	9.60	7.21
	85	100	1.2	1700	-65 ~ 180	85HF10-ND	9.59	7.68	5.76
	85	100	1.2	1700	-65 ~ 180	85HFR10-ND*	9.59	7.68	5.76
	85	200	1.2	1700	-65 ~ 180	85HF20-ND	7.86	6.29	4.72
	85	200	1.2	1700	-65 ~ 180	85HFR20-ND*	10.18	8.14	6.11
	85	1400	1.2	1700	-65 ~ 180	85HF140-ND	16.81	13.45	10.09
	85	400	1.2	1700	-65 ~ 180	85HFR40-ND*	11.95	9.56	7.17
	85	1600	1.2	1700	-65 ~ 180	85HF160-ND	13.80	11.05	8.29
	85	600	1.2	1700	-65 ~ 180	85HF60-ND	9.91	7.93	5.95
	85	600	1.2	1700	-65 ~ 180	85HFR60-ND*	9.91	7.93	5.95
	85	800	1.2	1700	-65 ~ 180	85HF80-ND	10.57	8.45	6.34
	85	800	1.2	1700	-65 ~ 180	85HFR80-ND*	10.06	8.05	6.04
	85	800	—	1700	-65 ~ 180	86HF80-ND	16.86	13.50	10.12
	85	1200	1.2	1700	-65 ~ 180	85HF120-ND	12.20	9.77	7.33
	85	1200	1.2	1700	-65 ~ 180	85HFR120-ND*	15.79	12.63	9.48
	85	1400	1.2	1700	-65 ~ 150	85HFR140-ND*	16.81	13.45	10.09
	85	1600	1.2	1700	-65 ~ 150	85HFR160-ND*	13.80	11.05	8.29
	85	1600	—	1700	-65 ~ 150	86HFR160-ND*	21.44	17.15	12.87
41HF	40	200	0.70	570	-65 ~ 190	41HF20-ND	6.58	5.27	4.03
	40	600	0.70	570	-65 ~ 190	41HF60-ND	8.99	7.20	5.41
	40	800	0.70	570	-65 ~ 190	41HF80-ND	9.93	7.95	5.97
	40	800	0.70	570	-65 ~ 190	41HFR80-ND*	9.93	7.95	5.97
	40	1000	0.70	570	-65 ~ 190	41HF100-ND	11.00	8.80	6.60
71HF	70	400	1.00	1200	-65 ~ 180	71HF40-ND	8.00	6.40	4.81
	70	400	1.00	1200	-65 ~ 180	71HFR40-ND*	11.28	9.03	6.77
	70	600	1.00	1200	-65 ~ 180	71HF60-ND	12.22	9.78	7.33
	70	1000	1.00	1200	-65 ~ 180	71HFR100-ND*	15.90	12.73	9.55
	70	1200	1.00	1200	-65 ~ 180	71HFR120-ND*	16.97	13.58	10.18
DO-8	100	100	1.5	2200	-40 ~ 200	1N3288RA-ND*	18.88	15.11	11.33
	100	100	1.5	1550	-40 ~ 200	1N3288R-ND*	16.09	12.88	9.66
	100	200	1.5	2200	-40 ~ 200	1N3289RA-ND	19.79	15.84	11.88
	100	300	1.5	2200	-40 ~ 200	1N3290A-ND	20.36	16.29	12.22
	100	300	1.5	2200	-40 ~ 200	1N3290RA-ND*	20.36	16.29	12.22
	100	300	1.5	1550	-40 ~ 200	1N3290-ND	17.45	13.96	10.47
	100	300	1.5	1550	-40 ~ 200	1N3290R-ND*	23.70	18.96	14.23

Paket	IF (A)	VRRM (V)	VF (V)	IFSM (A) @ tp=10 ms Sinus	TJ-Sperr-schichttemp. (°C)	Digi-Key Teilenr.	Stückpreis 1	10	100
DO-8	100	400	1.5	2200	-40 ~ 200	1N3291RA-ND*	20.85	16.68	12.51
	100	500	1.5	2200	-40 ~ 200	1N3292B-ND	21.53	17.22	12.92
	100	500	1.5	2200	-40 ~ 200	1N3292RB-ND*	21.53	17.22	12.92
	100	500	1.5	1550	-40 ~ 200	1N3292R-ND*	18.46	14.77	11.08
	100	600	1.5	1550	-40 ~ 200	1N3293-ND	19.05	15.24	11.43
	100	600	1.5	1550	-40 ~ 200	1N3293R-ND*	19.05	15.24	11.43
	100	800	1.5	2200	-40 ~ 200	1N3294A-ND	23.98	19.19	14.39
	100	800	1.5	2200	-40 ~ 200	1N3294RA-ND*	23.98	19.19	14.39
	100	800	1.5	1550	-40 ~ 200	1N3294-ND	20.56	16.45	12.34
	100	800	1.5	1550	-40 ~ 200	1N3294R-ND*	20.56	16.45	12.34
	100	1000	1.5	1550	-40 ~ 200	1N3295RA-ND*	30.35	24.28	18.22
	150	50	1.33	3570	-40 ~ 200	150KR5A-ND*	17.14	13.72	10.29
	150	100	1.33	3570	-40 ~ 200	150K10A-ND	24.26	19.41	14.56
	150	100	1.33	3570	-40 ~ 200	150KR10A-ND*	26.66	21.33	16.00
	150	200	1.33	3570	-40 ~ 200	150K20A-ND	20.85	16.68	12.51
	150	300	1.33	3570	-40 ~ 200	150K30A-ND	21.53	17.22	12.92
	150	300	1.33	3570	-40 ~ 200	150KR30A-ND*	26.31	21.05	15.79
	150	400	1.33	3570	-40 ~ 200	150KR40A-ND*	26.91	21.54	16.15
	150	600	1.33	3570	-40 ~ 200	150KR60A-ND*	28.71	22.97	17.23
	150	600	1.33	3570	-40 ~ 200	150K60A-ND	21.15	16.92	12.69
DPak	8	800	1.1	175	-55 ~ 150	8EWS08S-ND	1.11	.89	.71
	8	1000	1	200	-55 ~ 150	8EWS10S-ND	.86	.69	.52
	8	1200	1.1	175	-55 ~ 150	8EWS12S-ND	1.19	.96	.77
PowIRtab	70	200	1.33	1000	-40 ~ 150	70EPF02-ND	6.61	5.30	4.24
	70	400	1.33	1000	-40 ~ 150	70EPF04-ND	6.82	5.47	4.37
	85	200	1.35	1250	-40 ~ 150	85EPF02-ND	8.66	6.94	5.55
	85	400	1.35	1250	-40 ~ 150	85EPF04-ND	8.96	7.17	5.74
	85	600	1.35	1250	-40 ~ 150	85EPF06-ND	9.76	7.81	6.25
	85	1000	1.35	1250	-40 ~ 150	85EPF10-ND	9.78	7.83	6.26
TO-220AC	10	800	1.1	175	-40 ~ 150	10ETS08-ND	1.68	1.34	1.08
SMD-220	10	800	1.1	175	-40 ~ 150	10ETS08S-ND	1.95	1.56	1.25
	10	1200	1.1	170	-40 ~ 150	10ETS12S-ND	1.63	1.31	.98
	20	800	1.1	260	-40 ~ 150	20ETS08S-ND	2.40	1.93	1.54
	20	1200	1.1	260	-40 ~ 150	20ETS12S-ND	2.91	2.33	1.87
TO-220AC	20	800	1.1	260	-40 ~ 150	20ETS08-ND	2.25	1.81	1.45
	20	1200	1.1	260	-40 ~ 150	20ETS12-ND	2.11	1.69	1.36
TO-220ACFP	10	800	1.1	170	-40 ~ 150	10ETS08FP-ND	1.62	1.30	.98
	10	1200	1.1	170	-40 ~ 150	10ETS12FP-ND	1.64	1.32	1.00
	10	1200	1.1	170	-40 ~ 150	10ETS12-ND	1.19	.95	.71
	20	400	1.3	250	-40 ~ 150	20ETF04FP-ND	1.94	1.56	1.17
	20	800	1.3	250	-40 ~ 150	20ETS08FP-ND	1.93	1.55	1.16
	20	1200	1.3	250	-40 ~ 150	20ETS12FP-ND	1.85	1.48	1.11
TO-247AC/MOD	40	800	1.1	380	-40 ~ 150	40EPS08-ND	3.11	2.49	1.99
	40	1200	1.1	380	-40 ~ 150	40EPS12-ND	2.72	2.18	1.75
	60	800	1.1	735	-40 ~ 150	60EPS08-ND	4.74	3.80	3.04
	60	1200	1.1	735	-40 ~ 150	60EPS12-ND	4.17	3.34	3.01
	80	800	1.17	1450	-40 ~ 150	80EPS08-ND	6.05	4.85	3.64
	80	1200	1.17	1450	-40 ~ 150	80EPS12-ND	6.87	5.50	4.13
DO-9	400	2000	0.80	8250	-40 ~ 190	SD400N20PC-ND	80.44	—	—
K-PUK	3800	400	0.86	35800	-40 ~ 180	SD3000C04K-ND	195.56	166.23	139.83
B-42	150	50	1.33	3000	-40 ~ 200	150KSR5-ND*	18.86	15.09	11.32
	150	50	1.33	3000	-40 ~ 200	150KS5-ND	18.86	15.09	11.32
	150	100	1.33	3000	-40 ~ 200	150KS10-ND	26.75	21.40	16.06
	150	200	1.33	3000	-40 ~ 200	150KS20-ND	21.49	17.19	12.89
	150	300	1.33	3000	-40 ~ 200	150KS30-ND	28.92	23.14	17.35
	150	300	1.33	3000	-40 ~ 200	150KSR30-ND*	28.92	23.14	17.35
	150	400	1.33	3000	-40 ~ 200	150KSR40-ND*	29.59	23.68	17.76
	150	400	1.33	3000	-40 ~ 200	150KS40-ND	29.59	23.68	17.76
	150	600	1.33	3000	-40 ~ 200	150KSR60-ND*	31.60	25.28	18.96
	150	600	1.33	3000	-40 ~ 200	150KS60-ND	31.60	25.28	18.96
B-47	50	50	1.45	714	-65 ~ 195	8AF05NPP-ND	3.94	3.15	2.37
	50	50	1.45	714	-65 ~ 195	8AF05RPP-ND*	3.94	3.15	2.37
	50	100	1.45	714	-65 ~ 195	8AF1NPP-ND	4.33	3.47	2.60
	50	100	1.45	714	-65 ~ 195	8AF1RPP-ND*	4.33	3.47	2.60
	50	200	1.45	714	-65 ~ 195	8AF2NPP-ND	4.68	3.75	2.81
	50	200	1.45	714	-65 ~ 195	8AF2RPP-ND	4.68	3.75	2.81
	50	400	1.45	714	-65 ~ 195	8AF4NPP-ND	5.15	4.12	3.09
	50	400	1.45	714	-65 ~ 195	8AF4RPP-ND	5.15	4.13	3.10
INT-A-Pak	165	1200	0.73	4200	-40 ~ 150	IRKD166/12-ND	55.40	45.99	38.78
	230	400	0.83	5765	-40 ~ 150	IRKJ236/04-ND	73.25	58.60	45.08
ADD-A-Pak	60	400	0.92	1680	-40 ~ 150	IRKC56/04A-ND	32.26	25.81	20.55
	60	600	1.03	1680	-40 ~ 150	IRKC56/06A-ND	26.99	21.60	18.63
Schnellerholungsdioden									
DO-4	6	50	1.4	72	-65 ~ 150	1N3879R-ND*	5.19	4.15	3.12
	6	100	1.4	72	-65 ~ 150	1N3880-ND	5.23	4.19	3.14
	6	200	1.4	72	-65 ~ 150	1N3881-ND	5.25	4.20	3.15
	6	600	1.4	110	-65 ~ 150	6FL60S02-ND	5.87	4.69	3.52
	6	1000	1.4	115	-40 ~ 150	6FL100S05-ND	6.09	4.87	3.25
	12	100	1.4	145	-65 ~ 150	1N3890R-ND	5.33	4.27	3.21
	12	100	1.4	145	-65 ~ 150	12FL10S02-ND	4.75	3.80	2.85
	12	100	1.4	145	-65 ~ 150	1N3890-ND	3.80	3.05	2.29
	12	200	1.4	145	-65 ~ 150	12FL20S02-ND	5.27	4.21	3.16
	12	200	1.4	145	-65 ~ 150	1N3891-ND	4.52	3.62	2.72
	12	400	1.4	145	-65 ~ 150	12FL40S02-ND	6.49	5.20	3.91
	12	400	1.4	145	-65 ~ 150	12FLR40S02-ND*	6.49	5.20	3.90
	12	600	1.4	145	-65 ~ 150	12FL60S02-ND	5.55	4.44	3.33

* Anode am Bolzen † tp = 8,3 ms ‡ IFSM(A) @ tp = 5 µs Sinus *(Forts.)*

Alle Preisangaben in Euro und inklusive Zollgebühren.

Paket	IF (A)	VRRM (V)	VF (V)	IFSM (A) @ tp=10 ms Sinus	TJ-Sperr-schichttemp. (°C)	Digi-Key Teilenr.	Stückpreis 1	10	100
DO-4	12	1000	1.4	145	-65 ~ 150	12FL100S05-ND	9.06	7.25	5.44
	12	1000	1.4	145	-65 ~ 150	12FLR100S05-ND*	9.06	7.25	5.44
	16	200	1.4	180	-65 ~ 150	16FL20S02-ND	6.06	4.86	3.64
	16	200	1.4	180	-65 ~ 150	16FLR20S02-ND*	5.63	4.51	3.38
	16	400	1.4	180	-65 ~ 150	16FL40S02-ND	6.82	5.46	4.10
	16	600	1.4	180	-65 ~ 150	16FL60S02-ND	5.80	4.65	3.49
	16	600	1.4	180	-65 ~ 150	16FL60S05-ND	6.36	5.09	3.82
	16	800	1.4	180	-65 ~ 150	16FL80S05-ND	7.04	5.63	4.22
	16	1000	1.4	180	-65 ~ 150	16FL100S05-ND	7.32	5.86	4.40
	16	1000	1.4	180	-65 ~ 150	16FLR100S05-ND*	9.47	7.58	5.69
DO-5	20	100	1.65	240	-40 ~ 125	IRD3900-ND	5.71	4.58	3.43
	20	200	1.65	240	-40 ~ 125	IRD3901-ND	5.31	4.25	3.20
	20	200	1.65	240	-40 ~ 125	IRD3901R-ND*	5.31	4.25	3.19
	20	300	1.65	240	-40 ~ 125	IRD3902-ND	7.15	5.72	4.29
	20	400	1.65	240	-40 ~ 125	IRD3903-ND	7.77	6.23	4.67
	20	400	1.65	240	-40 ~ 125	IRD3903R-ND*	7.77	6.23	4.67
	30	200	1.45	400	-40 ~ 150	30HFU-200-ND	9.83	7.86	5.90
	30	400	1.45	400	-40 ~ 150	30HFU-400-ND	11.31	9.05	6.79
	30	600	1.45	400	-40 ~ 150	30HFU-600-ND	12.43	9.94	7.46
	30	200	1.45	400	-40 ~ 150	30HFUR-200-ND*	9.83	7.86	5.90
	30	200	1.8	285	-40 ~ 125	IRD3911-ND	6.97	5.58	4.18
	30	300	1.8	285	-40 ~ 125	IRD3912-ND	6.01	4.81	3.61
	30	400	1.8	285	-40 ~ 125	IRD3913-ND	8.25	6.61	4.96
	30	400	1.8	285	-40 ~ 125	IRD3913R-ND	8.25	6.61	4.96
	40	1000	1.95	400	-40 ~ 125	40HFL100S05-ND	12.47	9.98	7.49
	40	400	1.95	400	-40 ~ 125	40HFL40S05-ND	10.68	8.55	6.42
	40	600	1.2	420	-40 ~ 150	40HFL60S02-ND	9.37	7.50	5.00
	40	600	1.95	400	-40 ~ 125	40HFL60S05-ND	11.95	9.56	7.17
	40	800	1.95	400	-40 ~ 125	40HFL80S05-ND	13.25	10.60	7.95
	40	100	1.95	400	-40 ~ 125	40HFLR10S05-ND*	8.45	6.77	5.08
	40	200	1.95	400	-40 ~ 125	40HFLR20S02-ND*	9.99	7.99	6.00
	40	400	1.95	400	-40 ~ 125	40HFLR40S02-ND*	11.73	9.39	7.05
	40	600	1.95	400	-40 ~ 125	40HFLR60S02-ND*	12.81	10.25	7.69
	40	600	1.95	400	-40 ~ 125	40HFLR60S05-ND*	11.95	9.56	7.17
	40	800	1.95	400	-40 ~ 125	40HFLR80S05-ND*	13.25	10.60	7.95
	60	100	1.5	700	-40 ~ 125	60HFU-100-ND	10.73	8.59	6.44
	60	200	1.5	700	-40 ~ 125	60HFU-200-ND	11.78	9.43	7.07
	60	400	1.5	700	-40 ~ 125	60HFU-400-ND	13.97	11.18	8.39
	60	600	1.5	700	-40 ~ 125	60HFU-600-ND	16.30	13.04	9.78
	60	300	1.5	700	-40 ~ 125	60HFUR-300-ND*	12.81	10.25	7.69
	70	100	1.85	700	-40 ~ 125	70HFL10S02-ND	13.00	10.40	7.80
	70	400	1.85	700	-40 ~ 125	70HFL40S05-ND	12.94	10.36	7.77
	70	600	1.85	700	-40 ~ 125	70HFL60S02-ND	—	—	6.73
	70	800	1.85	700	-40 ~ 125	70HFL80S05-ND	11.80	9.45	7.09
	70	1000	1.85	700	-40 ~ 125	70HFLR100S05-ND*	16.30	13.04	9.78
	70	1000	1.2	730	-40 ~ 150	70HFL100S05-ND	16.30	13.04	8.68
	70	200	1.85	700	-40 ~ 125	70HFLR20S02-ND*	13.48	10.79	8.09
	70	400	1.85	700	-40 ~ 125	70HFLR40S02-ND*	14.22	11.38	8.54
	70	400	1.85	700	-40 ~ 125	70HFLR40S05-ND*	12.94	10.36	7.77
	70	600	1.85	700	-40 ~ 125	70HFLR60S02-ND*	14.99	12.00	9.00
	85	100	1.76	1100	-40 ~ 125	85HFL10S02-ND	13.46	10.77	8.08
	85	200	1.76	1100	-40 ~ 125	85HFL20S02-ND	14.04	11.24	8.43
	85	600	1.76	1100	-40 ~ 125	85HFL60S02-ND	13.99	11.19	8.39
	85	600	1.76	1100	-40 ~ 125	85HFL60S05-ND	17.93	14.35	10.76
	85	1000	1.76	1100	-40 ~ 125	85HFLR100S05-ND*	21.14	16.92	12.69
	85	100	1.76	1100	-40 ~ 125	85HFLR10S02-ND*	13.46	10.77	8.08
	85	200	1.76	1100	-40 ~ 125	85HFLR20S02-ND*	14.04	11.24	8.43
	85	400	1.76	1100	-40 ~ 125	85HFLR40S02-ND*	16.23	12.99	9.74
	85	600	1.76	1100	-40 ~ 125	85HFLR60S02-ND*	19.00	15.20	11.40
	85	600	1.76	1100	-40 ~ 125	85HFLR60S05-ND*	17.93	14.35	10.76
	85	800	1.76	1100	-40 ~ 125	85HFLR80S05-ND*	18.58	14.87	11.15
DPak	8	200	1.2	200	-40 ~ 150	8EWF02S-ND	1.40	1.12	.80
	8	400	1.2	200	-40 ~ 150	8EWF04S-ND	1.45	1.16	.82
	8	600	1.2	200	-40 ~ 150	8EWF06S-ND	1.38	1.11	.82
	8	600	1.2	200	-40 ~ 150	8EWF06STRL-ND	2603.30/3,000		
	8	1000	1.13	170	-40 ~ 150	8EWF10S-ND	1.19	.95	.84
SMD-220	10	200	1.2	160	-40 ~ 150	10ETF02S-ND	1.96	1.57	1.27
	10	400	1.2	160	-40 ~ 150	10ETF04S-ND	1.96	1.57	1.27
	10	600	1.2	160	-40 ~ 150	10ETF06S-ND	2.12	1.71	1.46
	10	1000	1.33	160	-40 ~ 150	10ETF10S-ND	1.98	1.59	1.19
	10	1200	1.33	160	-40 ~ 150	10ETF12S-ND	1.98	1.59	1.19
	20	200	1.2	355	-40 ~ 150	20ETF02S-ND	3.07	2.46	1.79
	20	400	1.3	250	-40 ~ 150	20ETF04S-ND	3.07	2.46	1.85
	20	600	1.3	250	-40 ~ 150	20ETF06S-ND	2.67	2.14	1.61
	20	800	1.3	250	-40 ~ 150	20ETF08S-ND	3.40	2.72	2.04
	20	1000	1.3	250	-40 ~ 150	20ETF10S-ND	2.82	2.26	1.70
	20	1200	1.3	250	-40 ~ 150	20ETF12S-ND	3.45	2.76	2.07
TO-220AC	10	200	1.2	150	-40 ~ 150	10ETF02-ND	1.82	1.46	1.09
	10	400	1.2	160	-40 ~ 150	10ETF04-ND	1.66	1.33	1.14
	10	600	1.2	160	-40 ~ 150	10ETF06-ND	2.46	1.65	1.29
	10	1000	1.2	150	-40 ~ 150	10ETF10-ND	1.84	1.48	1.11
	10	1200	1.2	150	-40 ~ 150	10ETF12-ND	2.24	1.79	1.35
	20	200	1.2	150	-40 ~ 150	20ETF02-ND	2.91	2.33	1.75
	20	400	1.2	150	-40 ~ 150	20ETF04-ND	2.91	2.33	1.75
	20	600	1.2	150	-40 ~ 150	20ETF06-ND	2.57	2.06	1.55
	20	800	1.2	150	-40 ~ 150	20ETF08-ND	2.91	2.33	1.75
	20	1000	1.2	150	-40 ~ 150	20ETF10-ND	2.66	2.13	1.60
	20	1200	1.2	150	-40 ~ 150	20ETF12-ND	3.23	2.59	1.95
TO-220ACFP	20	200	1.2	300	-40 ~ 150	20ETF02FP-ND	1.99	1.60	1.20
	20	600	1.2	300	-40 ~ 150	20ETF06FP-ND	1.96	1.57	1.18
TO-247AC (B)	30	200	1.2	315	-40 ~ 150	30CPF02-ND	3.38	2.71	1.70
	30	400	1.2	350	-40 ~ 150	30CPF04-ND	3.38	2.71	2.03
	30	600	1.2	350	-40 ~ 150	30CPF06-ND	3.34	2.67	1.64
	30	1000	1.41	350	-40 ~ 150	30CPF10-ND	3.12	2.50	1.88
	60	200	1.3	700	-40 ~ 150	60CPF02-ND	6.87	5.50	4.13
	60	400	1.3	700	-40 ~ 150	60CPF04-ND	5.90	4.73	3.55
	60	1000	1.3	700	-40 ~ 150	60CPF10-ND	6.29	5.03	3.78
	60	1200	1.3	700	-40 ~ 150	60CPF12-ND	7.20	5.76	4.32
TO-247AC/MOD	30	200	1.2	350	-40 ~ 150	30EPF02-ND	3.38	2.71	2.03
	30	600	1.2	350	-40 ~ 150	30EPF06-ND	3.50	2.80	2.10
TO-247AC/MOD	30	1000	1.2	350	-40 ~ 150	30EPF10-ND	3.12	2.50	1.88
	30	1200	1.2	350	-40 ~ 150	30EPF12-ND	4.17	3.34	2.51
	40	400	1.25	400	-40 ~ 150	40EPF04-ND	3.84	3.08	2.31
	40	600	1.25	400	-40 ~ 150	40EPF06-ND	4.19	3.36	2.52
	40	1000	1.25	400	-40 ~ 150	40EPF10-ND	4.59	3.67	2.76
	40	1200	1.25	400	-40 ~ 150	40EPF12-ND	4.66	3.74	2.81
	60	200	1.3	700	-40 ~ 150	60EPF02-ND	6.87	5.50	4.13
	60	400	1.3	700	-40 ~ 150	60EPF04-ND	6.87	5.50	4.13
	60	600	1.3	700	-40 ~ 150	60EPF06-ND	7.22	5.78	4.34
	60	1000	1.3	700	-40 ~ 150	60EPF10-ND	6.29	5.03	3.78
	60	1200	1.3	700	-40 ~ 150	60EPF12-ND	5.88	4.71	3.54
	80	200	1.2	800	-40 ~ 150	80EPF02-ND	10.02	8.01	6.01
	80	400	1.2	800	-40 ~ 150	80EPF04-ND	10.02	8.01	6.01
	80	600	1.2	800	-40 ~ 150	80EPF06-ND	9.41	7.53	5.65
	80	1000	1.2	800	-40 ~ 150	80EPF10-ND	8.78	7.03	5.27
	80	1200	1.2	800	-40 ~ 150	80EPF12-ND	10.03	8.03	6.03
TO-252AA	8	1200	1.2	170	-40 ~ 150	8EWF12S-ND	1.54	1.23	.93
Half-Pak	70	600	1.5	400	-55 ~ 150	HFA70NH60R-ND*	22.04	17.64	13.23
	90	400	1.3	600	-55 ~ 150	HFA90NH40R-ND*	28.58	22.86	17.15
	105	600	1.5	600	-55 ~ 150	HFA105NH60R-ND*	32.45	25.96	19.47
	135	400	1.3	900	-55 ~ 150	HFA135NH40R-ND*	33.53	26.82	20.12
	140	600	1.6	800	-55 ~ 150	HFA140NH60R-ND*	41.14	32.92	24.69
PowIRtab	70	1200	1.4	700	-40 ~ 150	70EPF12-ND	6.60	5.28	3.96
MAGN-A-Pak	250	600	0.98	8000	-40 ~ 150	IRKEL240-06S10-ND	130.95	93.64	84.47
Flipky	1	40	0.38	250	-55 ~ 150	IR140CSPCT-ND‡	.53	.40	.32
	1	40	0.38	250	-55 ~ 150	IR140CSPTR-ND‡	1549.28/6,000		
Ultraschnelle Dioden									
D2Pak	15	200	1.05	200	-65 ~ 175	MURB1520-ND	1.17	.94	.70
	16	200	0.975	100	-65 ~ 175	MURB1620CT-ND	1.00	.80	.60
	20	200	0.85	100	-65 ~ 175	MURB2020CT-ND	1.05	.84	.63
	8	200	0.975	100	-65 ~ 175	MURB820-ND	.77	.61	.46
	8	300	1.25	100	-65 ~ 175	8ETH03S-ND	1.23	.65	.59
	8	600	0.96	175	-65 ~ 175	8ETL06S-ND	1.46	.91	.66
	8	400	1.3	100	-65 ~ 175	8ETU04S-ND	1.19	.65	.58
	8	600	2.4	90	-65 ~ 175	8ETH06S-ND	1.25	.66	.60
	8	600	2.3	110	-65 ~ 175	8ETX06S-ND	1.67	1.09	.83
	8	600	2.3	110	-65 ~ 175	8ETX06STRLTR-ND	569.59/800		
	8	600	2.3	110	-65 ~ 175	8ETX06STRRTR-ND	569.59/800		
	15	300	1.25	140	-65 ~ 175	15ETH03S-ND	1.73	.99	.80
	15	600	2.2	120	-65 ~ 175	15ETH06S-ND	1.53	.87	.71
	15	600	0.99	250	-65 ~ 175	15ETL06S-ND	1.69	1.06	.79
	15	600	2.3	170	-65 ~ 175	15ETX06S-ND	1.85	1.21	.93
	20	300	1.05	120	-65 ~ 175	20CTH03S-ND	2.31	1.52	1.16
	30	200	0.92	200	-65 ~ 175	30CTH02S-ND	2.50	1.71	1.29
TO-220AC	15	200	1.05	200	-65 ~ 175	MUR1520IR-ND	1.54	1.00	.76
	8	200	0.975	100	-65 ~ 175	MUR820IR-ND	.71	.57	.43
	8	300	1.25	100	-65 ~ 175	8ETH03-ND	1.07	.57	.51
	8	600	0.96	175	-65 ~ 175	8ETL06-ND	1.41	.88	.64
	8	400	1.3	100	-65 ~ 175	8ETU04-ND	1.51	.82	.73
	8	600	2.4	90	-65 ~ 175	8ETH06-ND	1.27	.68	.61
	8	600	2.3	110	-65 ~ 175	8ETX06-ND	1.57	1.01	.78
	15	600	2.2	120	-65 ~ 175	15ETH06-ND	1.38	.73	.67
	15	600	0.99	250	-65 ~ 175	15ETL06-ND	1.85	1.16	.86
	15	600	2.3	170	-65 ~ 175	15ETX06-ND	1.85	1.20	.93
	30	600	2.6	200	-65 ~ 175	30ETH06-ND	2.75	1.91	1.49
TO-220AB	10	200	1.25	50	-65 ~ 175	MUR1020CT-ND	1.00	.80	.61
	20	200	0.85	100	-65 ~ 175	MUR2020CT-ND	.99	.80	.60
	20	300	1.05	120	-65 ~ 175	20CTH03-ND	2.16	1.42	1.08
	30	200	0.92	200	-65 ~ 175	30CTH02-ND	2.38	1.56	1.19
	30	300	1.0	150	-65 ~ 175	30CTH03-ND	2.55	1.68	1.28
TO-262	8	300	1.25	100	-65 ~ 175	8ETH03-1-ND	1.77	.94	.84
	8	600	0.96	175	-65 ~ 175	8ETL06-1-ND	1.46	.92	.66
	8	400	1.3	100	-65 ~ 175	8ETU04-1-ND	1.72	.94	.84
	8	600	2.4	90	-65 ~ 175	8ETH06-1-ND	1.77	.94	.84
	8	600	2.3	110	-65 ~ 175	8ETX06-1-ND	1.63	1.07	.82
	15	200	1.05	200	-65 ~ 175	MURB1520-1-ND	1.23	.98	.74
	16	200	0.975	100	-65 ~ 175	MURB1620CT-1-ND	1.01	.81	.61
	20	200	0.85	100	-65 ~ 175	MURB2020CT-1-ND	1.05	.84	.64
	15	300	1.25	140	-65 ~ 175	15ETH03-1-ND	1.96	1.11	.91
	15	600	2.2	120	-65 ~ 175	15ETH06-1-ND	1.53	.88	.72
	15	600	0.99	250	-65 ~ 175	15ETL06-1-ND	1.82	1.14	.85
	15	600	2.3	170	-65 ~ 175	15ETX06-1-ND	1.99	1.30	1.00
	25	200	—	100	-65 ~ 175	MURB820-1-ND	1.19	.68	.58
	20	300	1.05	120	-65 ~ 175	20CTH03-1-ND	2.52	1.66	1.27
	30	200	0.92	200	-65 ~ 175	30CTH02-1-ND	2.50	1.71	1.29
TO-218	35	200	1.09	300	-55 ~ 175	70CRU02-ND	6.26	4.47	3.63
TO-247AC/MOD	30	300	1.25	300	-65 ~ 175	30EPH03-ND	1.95	1.11	.90
TO-247AC (A)	30	300	1.25	300	-65 ~ 175	30CPH03-ND	1.62	.93	.76
	30	400	1.25	400	-65 ~ 175	30CPU04-ND	2.11	1.48	1.12
	30	200	1.05	200	-65 ~ 175	MUR3020WTIR-ND	2.27	1.82	1.37
	60	600	1.35	600	-55 ~ 175	60APU06-ND	7.86	5.52	4.42
TO-247AC (B)	60	200	1.08	800	-55 ~ 175	60APU02-ND	3.53	2.53	2.05
	60	400	1.25	400	-55 ~ 175	60APU04-ND	3.87	2.77	2.24
	60	600	1.35	600	-55 ~ 175	60EPU06-ND	7.86	5.52	4.42
TO-247AC/MOD	60	200	1.08	800	-55 ~ 175	60EPU02-ND	3.53	2.53	2.05
	60	400	1.25	400	-55 ~ 175	60EPU04-ND	3.65	2.61	2.11
	30	600	2.6	600	-65 ~ 175	30EPH06-ND	2.50	1.75	1.36
SOT-227	100	400	—	1300	-55 ~ 150	UFB200FA40-ND	24.77	19.15	16.56
	240	200	—	1700	-55 ~ 150	UFB200FA20-ND	23.54	18.20	15.74
PowIRtab	150	200	1.13	1600	-55 ~ 175	150EBU02-ND	11.84	8.53	7.11
	150	400	1.3	1500	-55 ~ 175	150EBU04-ND	7.76	5.59	4.66
TO-220ACFP	8	600	0.96	175	-65 ~ 175	8ETL06FP-ND	1.53	.96	.71
	8	600	2.3	110	-65 ~ 175	8ETX06FP-ND	2.18	1.42	1.10
	15	600	0.99	250	-65 ~ 175	15ETL06FP-ND	2.01	1.29	.98
	15	600	2.3	170	-65 ~ 175	15ETX06FP-ND	2.33	1.53	1.21
	20	300	1.05	120	-65 ~ 175	20CTH03FP-ND	2.43	1.60	1.22
	30	200	0.92	200	-65 ~ 175	30CTH02FP-ND	2.57	1.76	1.33

* Anode am Bolzen † tp = 8,3 ms ‡ IFSM(A) @ tp = 5 µs Sinus

Glaspassivierte Brückengleichrichter

Lagertemperaturbereich: -65 °C ~ 150 °C.

Abb.	Max. durchschn. Richtstrom (A)	Max. Spitzen-rückfluss-spannung (V)	Max. Über-spannungs-strom 8,3 ms (A)	Max. sofortiger Spannungs-abfall (V)	Betriebs-temperatur-bereich (°C)	Digi-Key Teilenr.	Gurtabschnittspreis pro Stück 1	10	100	Digi-Key Teilenr.	Preisangaben für Gegurtet auf Rolle 3.000
Serie RH											
1	0.5	200	30	1.15	-55 ~ 150	RH02DICT-ND	.91	.74	.55	RH02DITR-ND	289.54/M
		400	30	1.15	-55 ~ 150	RH04DICT-ND	.81	.65	.49	RH04DITR-ND	270.07/M
		600	30	1.15	-55 ~ 150	RH06DICT-ND	.73	.58	.45	RH06DITR-ND	286.15/M
Serie HD											
1	0.8	100	30	1.0	-55 ~ 150	HD01DICT-ND	.59	.48	.36	HD01DITR-ND	177.79/M
		200	30	1.0	-55 ~ 150	HD02DICT-ND	.51	.41	.31	HD02DITR-ND	169.32/M
		400	30	1.0	-55 ~ 150	HD04DICT-ND	.54	.44	.33	HD04DITR-ND	180.33/M
		600	30	1.0	-55 ~ 150	HD06DICT-ND	.58	.47	.35	HD06DITR-ND	191.33/M

Abb.	Max. durchschn. Richtstrom (A)	Max. Spitzen rückfluss-spannung (V)	Max. Über spannungs-strom 8,3 ms (A)	Max. sofortige Durchlass-spannung (V)	Betriebs-temperatur-bereich (°C)	Digi-Key Teilenr.	Gurtabschnittspreis pro Stück 1	10	100	500	Preisangaben für Gegurtet auf Rolle* 1.500
Serie DF-S											
2	1.5	50	50	1.1	-65 ~ 150	DF15005SDICT-ND	.71	.57	.43	.30	258.22/M
		100	50	1.1	-65 ~ 150	DF1501SDICT-ND	.71	.57	.43	.30	258.22/M
		200	50	1.1	-65 ~ 150	DF1502SDICT-ND	.71	.57	.43	.30	258.22/M
		400	50	1.1	-65 ~ 150	DF1504SDICT-ND	.71	.57	.43	.30	258.22/M
		600	50	1.1	-65 ~ 150	DF1506SDICT-ND	.81	.65	.49	.34	294.62/M
		1000	50	1.1	-65 ~ 150	DF1510SDICT-ND	.75	.60	.46	.34	303.93/M

* Für Gegurtet auf Rolle die Teilenummer CT-ND in TR-ND ändern.

Abb.	Max. durchschn. Richtstrom (A)	Max. Spitzenrückfluss-spannung (V)	Max. Über spannungs-strom 8,3 ms (A)	Max. sofortige Durchlass-spannung (V)	Betriebs-temperatur-bereich (°C)	Digi-Key Teilenr.	Stückpreis 1	10	100	500
Serie DF-S										
2	1.0	50	50	1.1	-65 ~ 150	DF005SDI-ND	.64	.52	.39	.27
		100	50	1.1	-65 ~ 150	DF01SDI-ND	.64	.52	.39	.27
		200	50	1.1	-65 ~ 150	DF02SDI-ND	.64	.52	.39	.27
		400	50	1.1	-65 ~ 150	DF04SDI-ND	.64	.52	.39	.27
		600	50	1.1	-65 ~ 150	DF06SDI-ND	.75	.60	.45	.31
		800	50	1.1	-65 ~ 150	DF08SDI-ND	.81	.65	.49	.34
		1000	50	1.1	-65 ~ 150	DF10SDI-ND	.81	.65	.49	.34
Serie DF-M										
3	1.0	50	45	1.1	-65 ~ 150	DF005MDI-ND	.51	.41	.31	.21
		100	45	1.1	-65 ~ 150	DF01MDI-ND	.51	.41	.31	.21
		200	45	1.1	-65 ~ 150	DF02MDI-ND	.51	.41	.31	.21
		400	45	1.1	-65 ~ 150	DF04MDI-ND	.51	.41	.31	.21
		600	45	1.1	-65 ~ 150	DF06MDI-ND	.61	.49	.37	.26
		800	45	1.1	-65 ~ 150	DF08MDI-ND	.68	.55	.41	.28
		1000	45	1.1	-65 ~ 150	DF10MDI-ND	.68	.55	.41	.28
Serie WxxG										
4	1.5	50	50	1.0	-65 ~ 150	W005GDI-ND	.55	.44	.34	.20
		100	50	1.0	-65 ~ 150	W01GDI-ND	.59	.48	.36	.22
		200	50	1.0	-65 ~ 150	W02GDI-ND	.51	.41	.31	.21
		400	50	1.0	-65 ~ 150	W04GDI-ND	.54	.44	.33	.23
		600	50	1.0	-65 ~ 150	W06GDI-ND	.58	.47	.35	.24
		800	50	1.0	-65 ~ 150	W08GDI-ND	.59	.48	.36	.22
		1000	50	1.0	-65 ~ 150	W10GDI-ND	.61	.49	.37	.26
Serie KBP										
5	1.5	50	40	1.1	-55 ~ 125	KBP005G-ND	.91	.74	.55	.38
		100	40	1.1	-55 ~ 125	KBP01G-ND	.80	.69	.53	.36
		200	40	1.1	-55 ~ 125	KBP02G-ND	.83	.72	.56	.37
		400	40	1.1	-55 ~ 125	KBP04G-ND	.86	.75	.58	.38
		600	40	1.1	-55 ~ 125	KBP06G-ND	.89	.77	.60	.40
		800	40	1.1	-55 ~ 125	KBP08G-ND	.96	.83	.64	.43
		1000	40	1.1	-55 ~ 125	KBP10G-ND	1.02	.88	.68	.45
	2.0	50	65	1.1	-65 ~ 150	KBP2005GDI-ND	.91	.74	.55	.38
		100	65	1.1	-65 ~ 150	KBP201GDI-ND	.80	.69	.53	.36
		200	65	1.1	-65 ~ 150	KBP202GDI-ND	.83	.72	.56	.37
		400	65	1.1	-65 ~ 150	KBP204GDI-ND	.86	.75	.58	.38
		600	65	1.1	-65 ~ 150	KBP206GDI-ND	.89	.77	.60	.40
		1000	65	1.1	-65 ~ 150	KBP210GDI-ND	1.02	.88	.68	.45
Serie GBU										
6	4.0	100	150	1.0	-55 ~ 150	GBU401DI-ND	1.14	.91	.70	.51
		400	150	1.0	-55 ~ 150	GBU404DI-ND	1.20	.95	.73	.53
		1000	150	1.0	-55 ~ 150	GBU410DI-ND	1.17	.91	.72	.59
	6.0	100	175	1.0	-55 ~ 150	GBU601DI-ND	1.31	1.04	.80	.58
		400	175	1.0	-55 ~ 150	GBU604DI-ND	1.37	1.08	.83	.61
		1000	175	1.0	-55 ~ 150	GBU610DI-ND	1.28	1.00	.79	.64
	8.0	50	200	1.0	-55 ~ 150	GBU8005DI-ND	1.17	.91	.72	.59
		100	200	1.0	-55 ~ 150	GBU801DI-ND	1.19	.93	.74	.60
		200	200	1.0	-55 ~ 150	GBU802DI-ND	1.21	.95	.75	.61
		400	200	1.0	-55 ~ 150	GBU804DI-ND	1.24	.96	.76	.62
		600	200	1.0	-55 ~ 150	GBU806DI-ND	1.28	1.00	.79	.64
		1000	200	1.0	-55 ~ 150	GBU810DI-ND	1.44	1.12	.89	.72

◊ Bleifrei/RoHS-konform

Abb. 1 — Mini-DIP (SMT)

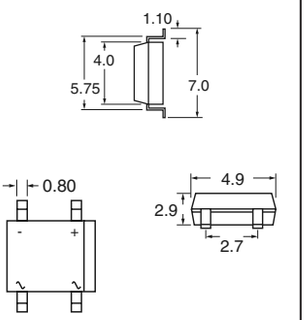

Abb. 2 — Serie DF-S

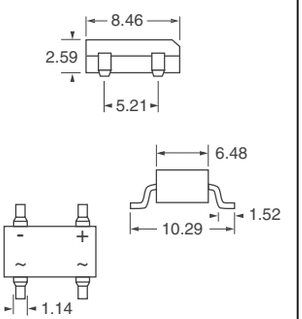

Abb. 3 — Serie DF-M

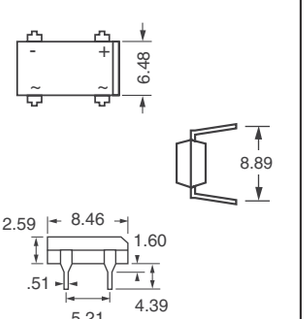

Abb. 4 — Serie WxxG

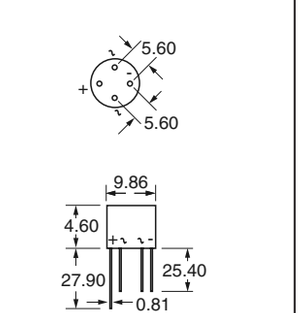

Abb. 5 — Serie KBP

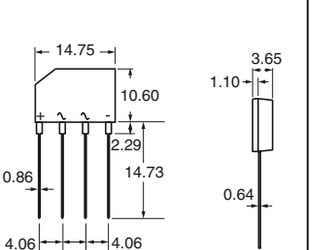

(Forts.)

Alle Preisangaben in Euro und inklusive Zollgebühren.

Glaspassivierte Brückengleichrichter *(Forts.)*

Abb.	Max. durchschn. Richtstrom (A)	Max. Spitzen-rückfluss-spannung (V)	Max. Über-spannungs-strom 8,3 ms (A)	Max. sofortige Durchlass-spannung (V)	Betriebs-temperatur-bereich (°C)	Digi-Key Teilenr.	Stückpreis 1	10	100	500
Serie GBJ										
7	6.0	50	170	1.0	-65 ~ 150	GBJ6005DI-ND	1.46	1.14	.90	.74
		100	170	1.0	-65 ~ 150	GBJ601DI-ND	1.51	1.18	.93	.76
		200	170	1.0	-65 ~ 150	GBJ602DI-ND	1.54	1.20	.95	.78
		400	170	1.0	-65 ~ 150	GBJ604DI-ND	1.56	1.21	.96	.78
		600	170	1.0	-65 ~ 150	GBJ606DI-ND	1.60	1.25	.99	.80
		1000	170	1.0	-65 ~ 150	GBJ610DI-ND	1.74	1.36	1.07	.87
	8.0	50	170	1.0	-65 ~ 150	GBJ8005DI-ND	1.56	1.21	.96	.78
		100	170	1.0	-65 ~ 150	GBJ801DI-ND	1.60	1.25	.99	.80
		200	170	1.0	-65 ~ 150	GBJ802DI-ND	1.63	1.27	1.00	.82
		400	170	1.0	-65 ~ 150	GBJ804DI-ND	1.65	1.29	1.02	.83
		600	170	1.0	-65 ~ 150	GBJ806DI-ND	1.70	1.33	1.05	.85
		1000	170	1.0	-65 ~ 150	GBJ810DI-ND	1.87	1.46	1.16	.94
	10	50	170	1.05	-65 ~ 150	GBJ10005-FDI-ND◊	1.80	1.51	1.27	.91
		200	170	1.05	-65 ~ 150	GBJ1002DI-ND	1.70	1.33	1.05	.85
		400	170	1.05	-65 ~ 150	GBJ1004DI-ND	1.72	1.34	1.06	.86
		600	170	1.05	-65 ~ 150	GBJ1006DI-ND	1.76	1.37	1.09	.88
		1000	170	1.05	-65 ~ 150	GBJ1010DI-ND	2.01	1.57	1.24	1.01
	15	50	240	1.05	-65 ~ 150	GBJ15005-FDI-ND◊	1.96	1.63	1.37	.98
		100	240	1.05	-65 ~ 150	GBJ1501DI-ND	1.83	1.43	1.13	.92
		200	240	1.05	-65 ~ 150	GBJ1502DI-ND	1.86	1.46	1.15	.94
		400	240	1.05	-65 ~ 150	GBJ1504DI-ND	1.87	1.46	1.16	.94
		600	240	1.05	-65 ~ 150	GBJ1506DI-ND	1.92	1.50	1.19	.96
		1000	240	1.05	-65 ~ 150	GBJ1510DI-ND	2.10	1.65	1.30	1.06
	20	50	240	1.05	-65 ~ 150	GBJ20005DI-ND	1.80	1.41	1.12	.91
		100	240	1.05	-65 ~ 150	GBJ2001DI-ND	1.85	1.44	1.14	.93
		200	240	1.05	-65 ~ 150	GBJ2002DI-ND	1.87	1.46	1.16	.94
		400	240	1.05	-65 ~ 150	GBJ2004DI-ND	1.92	1.50	1.19	.96
		600	240	1.05	-65 ~ 150	GBJ2006DI-ND	1.96	1.53	1.21	.99
		1000	240	1.05	-65 ~ 150	GBJ2010DI-ND	2.13	1.66	1.32	1.07
	25	50	350	1.05	-65 ~ 150	GBJ25005DI-ND	1.96	1.53	1.21	.99
		100	350	1.05	-65 ~ 150	GBJ2501DI-ND	2.01	1.57	1.24	1.01
		200	350	1.05	-65 ~ 150	GBJ2502DI-ND	2.08	1.62	1.28	1.04
		400	350	1.05	-65 ~ 150	GBJ2504DI-ND	2.12	1.66	1.31	1.07
		600	350	1.05	-65 ~ 150	GBJ2506DI-ND	2.18	1.70	1.34	1.10
		1000	350	1.05	-65 ~ 150	GBJ2510DI-ND	1.99	1.61	1.30	1.13
Serie GBPC										
8	15.0	50	300	1.1	-65 ~ 150	GBPC15005DI-ND	1.95	1.57	1.27	1.11
		100	300	1.1	-55 ~ 150	GBPC1501DI-ND	2.24	1.81	1.47	1.27
		200	300	1.1	-55 ~ 150	GBPC1502DI-ND	2.34	1.88	1.53	1.33
		400	300	1.1	-55 ~ 150	GBPC1504DI-ND	2.44	1.96	1.59	1.38
		600	300	1.1	-55 ~ 150	GBPC1506DI-ND	2.44	1.96	1.59	1.38
		800	300	1.1	-55 ~ 150	GBPC1508DI-ND	2.63	2.12	1.72	1.49
		1000	300	1.1	-55 ~ 150	GBPC1510DI-ND	2.73	2.20	1.78	1.55
	25.0	100	300	1.1	-55 ~ 150	GBPC2501DI-ND	2.34	1.88	1.53	1.33
		200	300	1.1	-55 ~ 150	GBPC2502DI-ND	2.44	1.96	1.59	1.38
		400	300	1.1	-55 ~ 150	GBPC2504DI-ND	2.44	1.96	1.59	1.38
		600	300	1.1	-55 ~ 150	GBPC2506DI-ND	2.44	1.96	1.59	1.38
		800	300	1.1	-55 ~ 150	GBPC2508DI-ND	2.73	2.20	1.78	1.55
		1000	300	1.1	-55 ~ 150	GBPC2510DI-ND	2.73	2.20	1.78	1.55
	35.0	100	400	1.1	-55 ~ 150	GBPC3501DI-ND	2.53	2.04	1.66	1.44
		200	400	1.1	-55 ~ 150	GBPC3502DI-ND	2.63	2.12	1.72	1.49
		400	400	1.1	-55 ~ 150	GBPC3504DI-ND	2.73	2.20	1.78	1.55
		600	400	1.1	-55 ~ 150	GBPC3506DI-ND	2.73	2.20	1.78	1.55
		800	400	1.1	-55 ~ 150	GBPC3508DI-ND	2.92	2.35	1.91	1.66
		1000	400	1.1	-55 ~ 150	GBPC3510DI-ND	3.02	2.43	1.97	1.71

◊ Bleifrei/RoHS-konform

Abb. 6 — Serie GBU

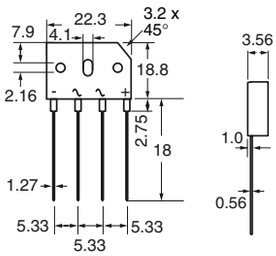

Abb. 7 — Serie GBJ

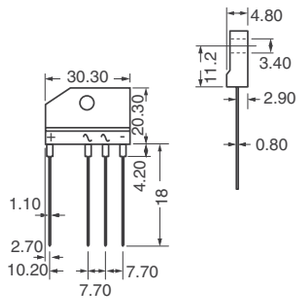

Abb. 8 — Serie GBPC

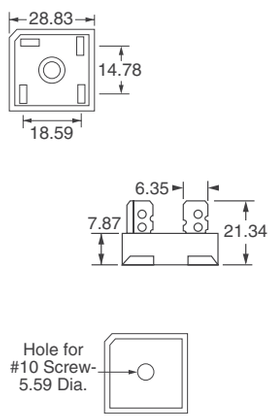

Brückengleichrichter

Betriebstemperatur: -55 °C ~ 125 °C **Lagertemperatur:** -55 °C ~ 150 °C.

Abb.	Max. durchschn. Richtstrom (A)	Max. Spitzen-rückfluss-spannung (V)	Max. Über-spannungsstrom 8,3 ms (A)	Max. Rückstrom bei 25 °C (µA)	Max. Vorwärts-spannungs-spitze (V)	Digi-Key Teilenr.	Stückpreis 1	10	100	500
1	4.0	50	200	10.0	1.0	RS401LDI-ND	1.12	.88	.68	.50
		100	200	10.0	1.0	RS402LDI-ND	1.12	.88	.68	.50
		200	200	10.0	1.0	RS403LDI-ND	1.12	.88	.68	.50
		400	200	10.0	1.0	RS404LDI-ND	1.12	.88	.68	.50
		600	200	10.0	1.0	RS405LDI-ND	1.14	.89	.71	.58
2	6.0	50	200	10.0	1.0	PB605DI-ND	1.26	1.00	.77	.56
		100	200	10.0	1.0	PB61DI-ND	1.26	1.00	.77	.56
		200	200	10.0	1.0	PB62DI-ND	1.26	1.00	.77	.56
		400	200	10.0	1.0	PB64DI-ND	1.26	1.00	.77	.56
		600	200	10.0	1.0	PB66DI-ND	1.26	1.00	.77	.56
3	15.0	50	300	10.0	1.1	MB1505-ND	1.95	1.57	1.27	1.11
		100	300	10.0	1.1	MB151-ND	—	—	1.34	—
		200	300	10.0	1.1	MB152-ND	2.14	1.73	1.40	1.22
		400	300	10.0	1.1	MB154-ND	2.24	1.81	1.47	1.27
		600	300	10.0	1.1	MB156-ND	—	—	1.53	—
	25.0	50	300	10.0	1.1	MB2505-ND	—	—	1.34	—
		100	300	10.0	1.1	MB251-ND	2.14	1.73	1.40	1.22
		200	300	10.0	1.1	MB252-ND	2.24	1.81	1.47	1.27
		600	300	10.0	1.1	MB256-ND	—	—	1.59	—
	35.0	50	400	10.0	1.1	MB3505-ND	2.14	1.73	1.40	1.22
		100	400	10.0	1.1	MB351-ND	2.24	1.81	1.47	1.27
		200	400	10.0	1.1	MB352-ND	2.34	1.88	1.53	1.33
		400	400	10.0	1.1	MB354-ND	2.44	1.96	1.59	1.38
		600	400	10.0	1.1	MB356-ND	—	—	1.66	—

Abb. 1

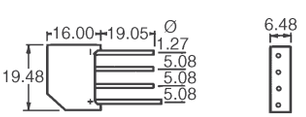

Abb. 2

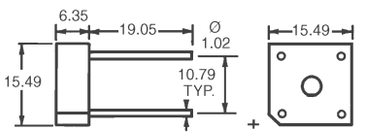

Abb. 3

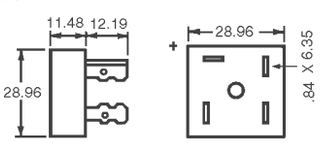

Silikon- und glaspassivierte Gleichrichter

Abb.	Max. Durchschn. Richtstrom (A)	Max. Spitzen-rückfluss-spannung (VRRM)	Max. Über-spannungs-strom 8,3 ms (A)	Max. Durchlass-spannung (V)	Digi-Key Teilenr.	Gurtabschnittspreise 1	10	100	1.000	Digi-Key Teilenr.	Gegurtet auf Rolle Größe	Preisangaben
1	0.2	250	—	1.0	BAV21DICT-ND	.26	1.52	9.91	41.14	—	—	—
2	1.0	50	30	1.1	1N4001DICT-ND	.22	1.15	6.48	23.39	1N4001DITR-ND	5,000	16.94/M
		100	30	1.1	1N4002DICT-ND	.22	1.15	6.48	23.39	1N4002DITR-ND	5,000	16.94/M
		200	30	1.1	1N4003DICT-ND	.22	1.15	6.48	23.39	1N4003DITR-ND	5,000	16.94/M
		400	30	1.1	1N4004DICT-ND	.22	1.15	6.48	23.39	1N4004DITR-ND	5,000	16.94/M
		600	30	1.1	1N4005DICT-ND	.22	1.15	6.48	23.39	1N4005DITR-ND	5,000	16.94/M
		800	30	1.1	1N4006DICT-ND	.22	1.15	6.48	23.39	1N4006DITR-ND	5,000	16.94/M
		1000	30	1.1	1N4007DICT-ND	.22	1.15	6.48	23.39	1N4007DITR-ND	5,000	16.94/M
		50	30	1.0	1N4001GDICT-ND	.31	1.86	12.11	50.29	1N4001GDITR-ND	5,000	37.25/M
		100	30	1.0	1N4002GDICT-ND	.35	2.03	13.21	54.86	1N4002GDITR-ND	5,000	40.64/M
		200	30	1.0	1N4003GDICT-ND	.37	2.20	14.31	59.43	1N4003GDITR-ND	5,000	44.03/M
		400	30	1.0	1N4004GDICT-ND	.39	2.29	14.86	61.72	1N4004GDITR-ND	5,000	45.72/M
		600	30	1.0	1N4005GDICT-ND	.41	2.46	15.96	66.29	1N4005GDITR-ND	5,000	49.11/M
		800	30	1.0	1N4006GDICT-ND	.29	1.97	13.65	60.36	1N4006GDITR-ND	5,000	47.41/M
		1000	30	1.0	1N4007GDICT-ND	.30	2.10	14.53	64.26	1N4007GDITR-ND	5,000	49.95/M
3	1.0	100	30	1.1	S1BBDICT-ND	.37	2.75	19.37	88.05	S1BBDITR-ND	3,000	79.25/M
		200	30	1.1	S1DBDICT-ND	.39	2.86	20.12	91.43	—	—	—
		400	30	1.1	S1GBDICT-ND	.41	2.96	20.86	94.82	S1GBDITR-ND	3,000	85.51/M
		600	30	1.1	S1JBDICT-ND	.41	3.07	21.61	98.21	S1JBDITR-ND	3,000	88.05/M
		800	30	1.1	S1KBDICT-ND	.33	2.54	18.29	91.43	—	—	—
		1000	30	1.1	S1MBDICT-ND	.37	2.88	20.72	103.62	S1MBDITR-ND	3,000	98.21/M
4	1.0	50	30	1.1	DL4001DICT-ND	.36	2.48	17.17	75.94	DL4001DITR-ND	5,000	59.27/M
		100	30	1.1	DL4002DICT-ND	.36	2.48	17.17	75.94	DL4002DITR-ND	5,000	59.27/M
		200	30	1.1	DL4003DICT-ND	.36	2.48	17.17	75.94	DL4003DITR-ND	5,000	59.44/M
		400	30	1.1	DL4004DICT-ND	.36	2.48	17.17	75.94	DL4004DITR-ND	5,000	59.27/M
		600	30	1.1	DL4005DICT-ND	.39	2.67	18.49	81.78	DL4005DITR-ND	5,000	64.35/M
		800	30	1.1	DL4006DICT-ND	.39	2.67	18.49	81.78	DL4006DITR-ND	5,000	64.35/M
		1000	30	1.1	DL4007DICT-ND	.39	2.67	18.49	81.78	DL4007DITR-ND	5,000	64.35/M
5	1.0	50	30	1.0	S1ADICT-ND	.40	2.73	18.93	83.73	S1ADITR-ND	5,000	65.19/M
		100	30	1.1	S1B-FDICT-ND◊	.41	2.79	19.37	85.68	S1B-FDITR-ND◊	5,000	66.89/M
		200	30	1.0	S1DDICT-ND	.32	2.38	16.76	76.19	S1DDITR-ND	5,000	65.19/M
		400	30	1.0	S1GDICT-ND	.33	2.44	17.14	77.89	S1GDITR-ND	5,000	66.04/M
		600	30	1.1	S1JDICT-ND	.35	2.54	17.88	81.27	S1JDITR-ND	5,000	69.43/M
		600	30	1.1	S1J-FDICT-ND◊	.35	2.54	17.88	81.27	S1J-FDITR-ND◊	5,000	69.43/M
		800	30	1.0	S1KDICT-ND	.40	2.91	20.49	93.13	S1KDITR-ND	5,000	79.58/M
		1000	30	1.0	S1MDICT-ND	.35	2.67	19.20	96.00	S1MDITR-ND	5,000	85.51/M
	1.5	50	50	1.15	S2AADICT-ND	.33	2.54	18.29	91.43	S2AADITR-ND	5,000	81.28/M
		100	50	1.15	S2BADICT-ND	.33	2.54	18.29	91.43	S2BADITR-ND	5,000	81.28/M
		200	50	1.15	S2DADICT-ND	.33	2.54	18.29	91.43	S2DADITR-ND	5,000	81.28/M
		400	50	1.15	S2GADICT-ND	.33	2.54	18.29	91.43	S2GADITR-ND	5,000	81.28/M
		600	50	1.15	S2JADICT-ND	.39	2.96	21.33	106.67	S2JADITR-ND	5,000	94.82/M
		1000	50	1.15	S2MADICT-ND	.39	2.96	21.33	106.67	S2MADITR-ND	5,000	94.82/M
6	1.5	50	30	1.5	S2ADICT-ND	.36	2.65	18.63	84.66	S2ADITR-ND	3,000	76.20/M
		100	30	1.5	S2BDICT-ND	.36	2.65	18.63	84.66	—	—	—
		200	30	1.5	S2DDICT-ND	.36	2.65	18.63	84.66	S2DDITR-ND	3,000	76.20/M
		400	30	1.5	S2GDICT-ND	.36	2.65	18.63	84.66	S2GDITR-ND	3,000	76.20/M
		600	30	1.5	S2JDICT-ND	.33	2.54	18.29	91.43	S2JDITR-ND	3,000	86.36/M
		1000	30	1.5	S2MDICT-ND	.33	2.54	18.29	91.43	S2MDITR-ND	3,000	86.36/M
	3.0	50	100	1.15	S3ABDICT-ND	.55	4.40	33.02	176.09	S3ABDITR-ND	3,000	165.09/M
		100	100	1.15	S3BBDICT-ND	.55	4.40	33.02	176.09	S3BBDITR-ND	3,000	165.09/M
		200	100	1.15	S3DBDICT-ND	.55	4.40	33.02	176.09	S3DBDITR-ND	3,000	165.09/M
		600	100	1.15	S3JBDICT-ND	.58	4.61	34.54	208.69	S3JBDITR-ND	3,000	191.33/M
		800	100	1.15	S3KBDICT-ND	.58	4.61	34.54	208.69	S3KBDITR-ND	3,000	191.33/M
		1000	100	1.15	S3MBDICT-ND	.58	4.61	34.54	208.69	S3MBDITR-ND	3,000	191.33/M
7	3.0	50	100	1.15	S3ADICT-ND	.59	4.74	35.56	189.64	S3ADITR-ND	3,000	177.79/M
		50	100	1.15	S3A-FDICT-ND◊	.59	4.74	35.56	189.64	S3A-FDITR-ND◊	3,000	177.79/M
		100	100	1.15	S3BDICT-ND	.59	4.74	35.56	189.64	—	—	—
		200	100	1.15	S3DDICT-ND	.59	4.74	35.56	189.64	S3DDITR-ND	3,000	177.79/M
		400	100	1.15	S3GDICT-ND	.59	4.74	35.56	189.64	S3GDITR-ND	3,000	177.79/M
		600	100	1.15	S3JDICT-ND	.61	4.88	36.57	220.96	S3JDITR-ND	3,000	202.34/M
		600	100	1.15	S3J-FDICT-ND◊	.69	5.49	41.14	236.20	S3J-FDITR-ND◊	3,000	217.58/M
		800	100	1.15	S3KDICT-ND	.61	4.88	36.57	220.96	S3KDITR-ND	3,000	202.34/M
		1000	100	1.15	S3MDICT-ND	.61	4.88	36.57	220.96	S3MDITR-ND	3,000	202.34/M
		1000	100	1.15	S3M-FDICT-ND◊	.69	5.49	41.14	236.20	S3M-FDITR-ND◊	3,000	217.58/M
	5.0	50	100	1.15	S5ACDICT-ND	.54	4.33	32.51	—	S5ACDITR-ND	3,000	180.33/M
		100	100	1.15	S5BCDICT-ND	.58	4.61	34.54	—	S5BCDITR-ND	3,000	191.33/M
		200	100	1.15	S5DCDICT-ND	.61	4.88	36.57	—	S5DCDITR-ND	3,000	202.34/M
		400	100	1.15	S5GCDICT-ND	.68	5.42	40.64	—	S5GCDITR-ND	3,000	225.20/M
		600	100	1.15	S5JCDICT-ND	.71	5.69	42.67	—	S5JCDITR-ND	3,000	236.46/M
		800	100	1.15	S5KCDICT-ND	.78	6.23	46.73	—	S5KCDITR-ND	3,000	259.06/M
		1000	100	1.15	S5MCDICT-ND	.70	5.50	42.33	—	S5MCDITR-ND	3,000	275.15/M
8	2.0	200	70	1.0	RL203DICT-ND	.41	2.46	15.96	66.29	RL203DITR-ND	4,000	57.57/M
		400	70	1.0	RL204DICT-ND	.29	1.97	13.65	60.36	RL204DITR-ND	4,000	52.49/M
		600	70	1.0	RL205DICT-ND	.30	2.03	14.09	62.31	RL205DITR-ND	4,000	54.19/M
		800	70	1.0	RL206DICT-ND	.33	2.23	15.41	68.15	RL206DITR-ND	4,000	59.27/M
		1000	70	1.0	RL207DICT-ND	.34	2.29	15.85	70.10	RL207DITR-ND	4,000	60.96/M
9	3.0	50	200	0.95	1N5400DICT-ND	.35	2.35	16.29	—	1N5400DITR-ND	1,200	71.96/M
		100	200	0.95	1N5401DICT-ND	.35	2.35	16.29	—	1N5401DITR-ND	1,200	71.96/M
		200	200	0.95	1N5402DICT-ND	.35	2.35	16.29	—	1N5402DITR-ND	1,200	71.96/M
		400	200	0.95	1N5404DICT-ND	.35	2.35	16.29	—	1N5404DITR-ND	1,200	71.96/M
		600	200	0.95	1N5406DICT-ND	.35	2.35	16.29	—	1N5406DITR-ND	1,200	71.96/M
		800	200	0.95	1N5407DICT-ND	.35	2.35	16.29	—	1N5407DITR-ND	1,200	71.96/M
		1000	200	0.95	1N5408DICT-ND	.35	2.35	16.29	—	1N5408DITR-ND	1,200	71.96/M
		50	125	1.0	1N5400GDICT-ND	.40	3.05	21.94	—	1N5400GDITR-ND	1,200	110.06/M
		100	125	1.0	1N5401GDICT-ND	.41	3.13	22.55	—	1N5401GDITR-ND	1,200	112.60/M
		200	125	1.0	1N5402GDICT-ND	.42	3.26	23.47	—	1N5402GDITR-ND	1,200	117.68/M
		400	125	1.0	1N5404GDICT-ND	.45	3.47	24.99	—	1N5404GDITR-ND	1,200	125.30/M
		600	125	1.0	1N5406GDICT-ND	.49	3.77	27.13	—	1N5406GDITR-ND	1,200	135.46/M
		800	125	1.0	1N5407GDICT-ND	.39	3.08	23.11	—	1N5407GDITR-ND	1,200	123.60/M
		1000	125	1.0	1N5408GDICT-ND	.43	3.42	25.65	—	1N5408GDITR-ND	1,200	137.15/M
10	6.0	50	400	0.9	6A05DICT-ND	.41	3.22	24.13	—	6A05DITR-ND	500	72.38
		100	400	0.9	6A1DICT-ND	.41	3.22	24.13	—	6A1DITR-ND	500	72.38
		200	400	0.9	6A2DICT-ND	.41	3.22	24.13	—	6A2DITR-ND	500	72.38
		400	400	0.9	6A4DICT-ND	.41	3.22	24.13	—	6A4DITR-ND	500	72.38
		600	400	0.9	6A6DICT-ND	.41	3.22	24.13	—	6A6DITR-ND	500	72.38
		800	400	0.9	6A8DICT-ND	.41	3.22	24.13	—	6A8DITR-ND	500	72.38
		1000	400	0.9	6A10DICT-ND	.41	3.22	24.13	—	6A10DITR-ND	500	72.38

◊ Bleifrei/RoHS-konform

Abb. 1 — DO-35

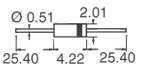

Abb. 2 — DO-41

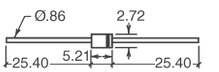

Abb. 3 — SMB

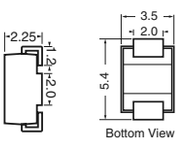

Bodenansicht

Abb. 4 — MELF (DL-41)

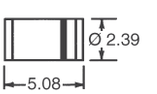

Abb. 5 — SMA

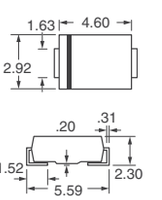

Abb. 6 — SMB

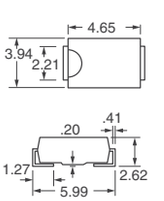

Abb. 7 — SMC

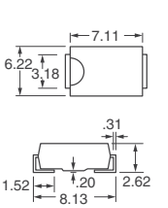

Abb. 8 — DO-15

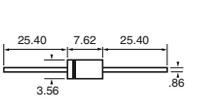

Abb. 9 — DO-201AD

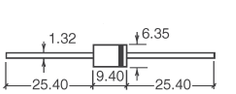

Abb. 10 — R-6

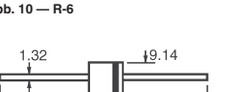

Alle Preisangaben in Euro und inklusive Zollgebühren.

Schottky-Grenzschichtgleichrichter

Abb.	Max. Durchschn. Richtstrom (A)	Max. Spitzen-rückfluss-spannung (V)	Max. Über-spannungsstrom 8,3 ms (A)	Max. Rück-strom bei 25 °C (mA)	Max. Peak Forward Voltage (V)*	Digi-Key Teilenr.	Gurtabschnittspreis pro Stück 1	10	100	Digi-Key Teilenr.	Gegurtet auf Rolle Größe	Preisangaben
1	1.0	20	25	1.0	0.45	1N5817DICT-ND	.33	.26	.19	1N5817DITR-ND	5,000	81.28/M
		20	40	1.0	0.55	SR102DICT-ND	.41	.32	.23	SR102DITR-ND	5,000	101.60/M
		30	25	1.0	0.55	1N5818DICT-ND	.33	.26	.19	1N5818DITR-ND	5,000	81.28/M
		30	40	1.0	0.55	SR103DICT-ND	.41	.32	.23	SR103DITR-ND	5,000	101.60/M
		40	40	1.0	0.55	SR104DICT-ND	.41	.32	.23	SR104DITR-ND	5,000	101.60/M
		50	40	1.0	0.70	SR105DICT-ND	.44	.34	.25	SR105DITR-ND	5,000	108.37/M
		60	40	1.0	0.70	SR106DICT-ND	.45	.36	.27	SR106DITR-ND	5,000	124.45/M
		100	25	0.5	0.80	SB1100DICT-ND	.47	.38	.28	SB1100DITR-ND	5,000	130.38/M
2	3.0	20	80	2.0	0.475	1N5820DICT-ND	.58	.46	.35	1N5820DITR-ND	1,200	182.87/M
		20	150	3.0	0.55	SR302DICT-ND	.51	.41	.31	SR302DITR-ND	1,200	184.56/M
		30	80	2.0	0.500	1N5821DICT-ND	.58	.46	.35	1N5821DITR-ND	1,200	182.87/M
		40	80	2.0	0.525	1N5822DICT-ND	.58	.46	.35	1N5822DITR-ND	1,200	182.87/M
		40	150	3.0	0.55	SR304DICT-ND	.51	.41	.31	SR304DITR-ND	1,200	184.56/M
		50	150	3.0	0.75	SR305DICT-ND	.54	.44	.33	SR305DITR-ND	1,200	196.41/M
		60	150	3.0	0.75	SR306DICT-ND	.58	.47	.35	SR306DITR-ND	1,200	209.11/M
		100	80	0.5	0.80	SB3100DICT-ND	.68	.55	.41	SB3100DITR-ND	1,200	245.52/M
	5.0	20	250	10.0	0.57	SR502DICT-ND	.75	.60	.45	SR502DITR-ND	1,200	270.07/M
		30	250	10.0	0.57	SR503DICT-ND	.78	.63	.47	SR503DITR-ND	1,200	282.77/M
		40	250	10.0	0.57	SR504DICT-ND	.81	.65	.49	SR504DITR-ND	1,200	294.62/M
		50	150	1.0	0.67	SR505DICT-ND	.55	.44	.34	SR505DITR-ND	1,200	176.10/M
		60	150	1.0	0.67	SR506DICT-ND	.55	.44	.34	SR506DITR-ND	1,200	176.10/M
		100	150	0.5	0.80	SB5100DICT-ND	.95	.75	.58	SB5100DITR-ND	1,200	382.67/M
3	1.0	40	25	1.0	0.60	1N5819MDICT-ND	.58	.46	.35	1N5819MDITR-ND	5,000	160.01/M
4	1.0	20	30	0.5	0.50	B120DICT-ND	.47	.38	.28	B120DITR-ND	5,000	130.38/M
		30	30	0.5	0.50	B130DICT-ND	.49	.39	.30	B130DITR-ND	5,000	136.31/M
		30	25	1.0	0.41	B130LDICT-ND	.58	.46	.35	—	—	—
		40	30	0.5	0.50	B140DICT-ND	.51	.41	.31	B140DITR-ND	5,000	142.23/M
		50	30	0.5	0.70	B150DICT-ND	.52	.42	.32	—	—	—
		60	30	0.5	0.70	B160DICT-ND	.64	.52	.39	B160DITR-ND	5,000	205.09/M
		80	30	0.5	0.79	B180DICT-ND	.68	.55	.41	B180DITR-ND	5,000	215.89/M
		100	30	0.5	0.79	B1100DICT-ND	.71	.57	.43	B1100DITR-ND	5,000	226.89/M
		100	30	0.5	0.79	B1100-FDICT-ND◊	.71	.57	.43	B1100-FDITR-ND◊	5,000	226.89/M
	2.0	20	50	0.5	0.50	B220ADICT-ND	.64	.52	.39	B220ADITR-ND	5,000	204.88/M
		30	50	0.5	0.50	B230ADICT-ND	.69	.56	.42	B230ADITR-ND	5,000	220.97/M
		40	50	0.5	0.50	B240ADICT-ND	.73	.59	.44	B240ADITR-ND	5,000	231.97/M
		40	50	0.5	0.50	B240A-FDICT-ND◊	.73	.59	.44	B240A-FDITR-ND◊	5,000	231.97/M
		50	50	0.5	0.70	B250ADICT-ND	.76	.61	.46	B250ADITR-ND	5,000	242.98/M
		60	50	0.5	0.70	B260ADICT-ND	.81	.65	.49	—	—	—
	3.0	20	100	0.5	0.50	B320ADICT-ND	.81	.65	.49	B320ADITR-ND	5,000	259.06/M
		20	100	0.5	0.50	B320A-FDICT-ND◊	.81	.65	.49	B320A-FDITR-ND◊	5,000	259.06/M
		30	100	0.5	0.50	B330ADICT-ND	.70	.55	.43	B330ADITR-ND	5,000	270.07/M
		40	100	0.5	0.50	B340ADICT-ND	.73	.58	.45	B340ADITR-ND	5,000	281.08/M
		40	100	0.5	0.50	B340A-FDICT-ND◊	.83	.72	.56	B340A-FDITR-ND◊	5,000	281.08/M
		40	70	1.0	0.35	B340LADICT-ND	.73	.58	.45	B340LADITR-ND	5,000	281.08/M
		50	100	0.5	0.70	B350ADICT-ND	.90	.71	.55	B350ADITR-ND	5,000	345.42/M
		60	100	0.5	0.70	B360ADICT-ND	.98	.77	.60	B360ADITR-ND	5,000	377.59/M
		60	100	0.5	0.7	B360A-FDICT-ND◊	1.11	.97	.75	B360A-FDITR-ND◊	5,000	377.59/M
5	1.0	20	30	0.5	0.50	B120BDICT-ND	.53	.43	.32	B120BDITR-ND	3,000	158.74/M
		20	30	0.5	1.1	SK12DICT-ND	.53	.43	.32	SK12DITR-ND	3,000	159.16/M
		30	30	0.5	0.50	B130BDICT-ND	.55	.44	.34	B130BDITR-ND	3,000	165.09/M
		30	40	1.0	.445	B130LBDICT-ND	.59	.48	.36	B130LBDITR-ND	3,000	177.79/M
		30	25	0.5	0.55	SK13DICT-ND	.58	.46	.35	—	—	—
		30	25	0.5	0.55	SK13-FDICT-ND◊	.58	.46	.35	SK13-FDITR-ND◊	3,000	171.86/M
		40	30	0.5	0.50	B140BDICT-ND	.58	.46	.35	B140BDITR-ND	3,000	171.86/M
		40	45	0.1	0.53	B140HBDICT-ND	.62	.50	.37	B140HBDITR-ND	3,000	184.56/M
		40	25	0.5	0.55	SK14DICT-ND	.51	.41	.31	SK14DITR-ND	3,000	169.32/M
		50	30	0.5	0.50	B150BDICT-ND	.59	.48	.36	B150BDITR-ND	3,000	197.26/M
		50	25	0.5	0.70	SK15DICT-ND	.59	.48	.36	SK15DITR-ND	3,000	197.26/M
		60	30	0.5	0.70	B160BDICT-ND	.71	.57	.43	—	—	—
		60	25	0.5	0.70	SK16DICT-ND	.75	.60	.45	SK16DITR-ND	3,000	247.72/M
		70	30	0.5	0.79	B170BDICT-ND	.73	.59	.44	B170BDITR-ND	3,000	242.13/M
		80	30	0.5	0.79	B180BDICT-ND	.75	.60	.45	B180BDITR-ND	3,000	248.06/M
		90	30	0.5	0.79	B190BDICT-ND	.76	.61	.46	B190BDITR-ND	3,000	253.14/M
		100	30	0.5	0.79	B1100BDICT-ND	.78	.63	.47	B1100BDITR-ND	3,000	259.06/M
		100	50	0.5	0.75	B1100LBDICT-ND	.70	.55	.43	B1100LBDITR-ND	3,000	275.15/M
	2.0	20	50	0.5	0.50	B220DICT-ND	.71	.57	.43	B220DITR-ND	3,000	236.20/M
		30	50	0.5	0.50	B230DICT-ND	.76	.61	.46	B230DITR-ND	3,000	253.14/M
		40	50	0.5	0.50	B240DICT-ND	.81	.65	.49	—	—	—
		40	50	0.5	0.50	B240-FDICT-ND◊	.81	.65	.49	B240-FDITR-ND◊	3,000	270.07/M
		50	50	0.5	0.70	B250DICT-ND	.70	.55	.43	B250DITR-ND	3,000	275.15/M
		60	50	0.5	0.70	B260DICT-ND	.75	.60	.46	B260DITR-ND	3,000	297.16/M
		70	50	0.5	0.79	B270DICT-ND	.78	.62	.48	B270DITR-ND	3,000	308.17/M
		80	50	0.5	0.79	B280DICT-ND	.81	.64	.50	B280DITR-ND	3,000	319.17/M
		90	50	0.5	0.79	B290DICT-ND	.84	.66	.51	B290DITR-ND	3,000	330.18/M
		100	50	0.5	0.79	B2100DICT-ND	.86	.69	.53	B2100DITR-ND	3,000	341.18/M
	3.0	20	100	0.5	0.50	B320BDICT-ND	.75	.60	.46	B320BDITR-ND	3,000	297.16/M
		30	100	0.5	0.50	B330BDICT-ND	.78	.62	.48	B330BDITR-ND	3,000	308.17/M
		30	100	0.5	0.50	B330B-FDICT-ND◊	.89	.77	.60	B330B-FDITR-ND◊	3,000	314.94/M
		40	100	0.5	0.50	B340BDICT-ND	.81	.64	.50	B340BDITR-ND	3,000	319.17/M
		40	70	2.0	0.45	B340LBDICT-ND	.81	.64	.50	B340LBDITR-ND	3,000	319.17/M
		50	100	0.5	0.70	B350B-FDICT-ND◊	1.14	1.00	.77	B350B-FDITR-ND◊	3,000	405.52/M
		60	100	0.5	0.50	B360BDICT-ND	1.09	.86	.67	B360BDITR-ND	3,000	429.23/M
6	3.0	20	100	0.5	0.50	B320DICT-ND	.84	.66	.51	B320DITR-ND	3,000	330.18/M
		20	100	0.5	0.50	SK32DICT-ND	.73	.58	.45	SK32DITR-ND	500	159.58
		30	100	0.5	0.50	B330DICT-ND	.86	.69	.53	—	—	—
		30	100	0.5	0.50	B330-FDICT-ND◊	.98	.86	.66	B330-FDITR-ND◊	3,000	348.80/M

† Zweifach-Gleichrichterpaket ◊ Bleifrei/RoHS-konform * Max. Spitzendurchlassspannung (V)

(Forts.)

Abb. 1 — DO-41

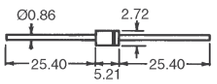

Abb. 2 — DO-201AD

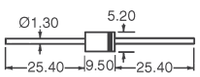

Abb. 3 — MELF (DL-41)

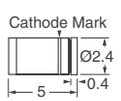

Abb. 4 — SMA

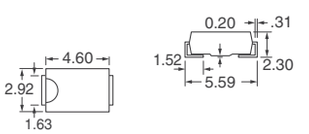

Abb. 5 — SMB

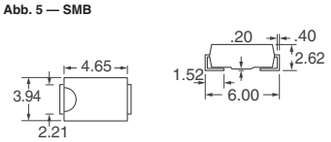

Abb. 6 — SMC

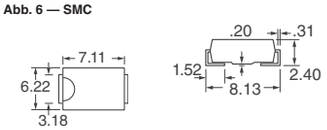

Abb. 7 — DPAK

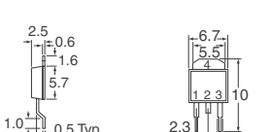

MBRD1040CTDICT-ND

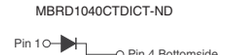

Abb. 8 — D2PAK

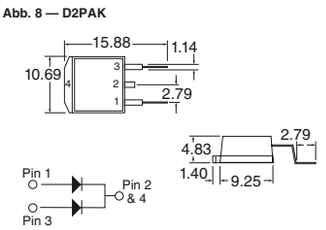

Abb. 9 — POWERMITE®3

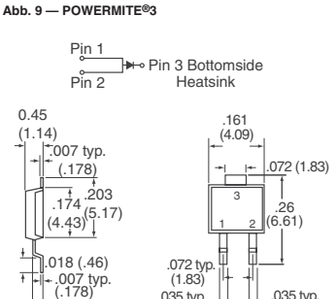

B

Abb.	Max. Durchschn. Richtstrom (A)	Max. Spitzen-rückfluss-spannung (V)	Max. Über-spannungsstrom 8,3 ms (A)	Max. Rück-strom bei 25 °C (mA)	Max. Peak Forward Voltage (V)*	Digi-Key Teilenr.	Gurtabschnittspreis pro Stück 1	10	100	Digi-Key Teilenr.	Gegurtet auf Rolle Größe	Preisangaben
6	3.0	30	100	0.5	0.50	SK33DICT-ND	.73	.58	.45	SK33DITR-ND	500	159.58
		40	100	0.5	0.50	B340DICT-ND	.92	.73	.56	B340DITR-ND	3,000	363.19/M
		40	100	0.5	0.50	SK34DICT-ND	.73	.58	.45	SK34DITR-ND	500	159.58
		50	100	0.5	0.70	B350DICT-ND	1.12	.88	.68	B350DITR-ND	3,000	440.24/M
		50	100	0.5	0.70	B350-FDICT-ND◊	1.27	1.11	.85	B350-FDITR-ND◊	3,000	450.39/M
		50	100	0.5	0.75	SK35DICT-ND	.73	.58	.45	SK35DITR-ND	500	159.58
		60	100	0.5	0.70	B360DICT-ND	1.23	.97	.75	B360DITR-ND	3,000	484.26/M
		60	100	0.5	0.75	SK36DICT-ND	.73	.58	.45	SK36DITR-ND	500	159.58
		70	100	0.5	0.79	B370DICT-ND	1.26	1.00	.77	—	—	—
		80	100	0.5	0.79	B380DICT-ND	1.29	1.02	.78	B380DITR-ND	3,000	506.27/M
		90	100	0.5	0.79	B390DICT-ND	1.31	1.04	.80	B390DITR-ND	3,000	517.28/M
		100	100	0.5	0.79	B3100DICT-ND	1.34	1.06	.82	B3100DITR-ND	3,000	528.28/M
	5.0	20	175	0.5	0.55	B520CDICT-ND	.98	.77	.60	B520CDITR-ND	3,000	385.21/M
		30	175	0.5	0.55	B530CDICT-ND	1.03	.82	.63	B530CDITR-ND	3,000	407.22/M
		40	175	0.5	0.55	B540CDICT-ND	1.09	.86	.67	—	—	—
		50	175	0.5	0.70	B550CDICT-ND	1.20	.95	.73	B550CDITR-ND	3,000	473.25/M
		60	175	0.5	0.70	B560CDICT-ND	1.31	1.04	.80	B560CDITR-ND	3,000	517.28/M
7	8.0	35	75	1.4	0.51	MBRD835LDICT-ND	1.26	1.00	.77	MBRD835LDITR-ND	2,500	495.26/M
	10.0	40	100	0.3	0.49	MBRD1040DICT-ND	1.29	1.02	.78	MBRD1040DITR-ND	2,500	506.27/M
		40	75	0.15	0.57	MBRD1040CTDICT-ND	1.17	.91	.72	MBRD1040CTDITR-ND	2,500	552.83/M
8	15.0	30	150	0.1	0.7	MBRB1530CTDICT-ND	1.17	.91	.72	—	—	—
		35	150	0.1	0.7	MBRB1535CTDICT-ND	1.19	.93	.74	MBRB1535CTDITR-ND	800	475.45
		40	150	0.1	0.7	MBRB1540CTDICT-ND	1.21	.95	.75	MBRB1540CTDITR-ND	800	484.93
		45	150	0.1	0.7	MBRB1545CTDICT-ND	1.37	1.15	.96	MBRB1545CTDITR-ND	800	493.74
	16.0	30	175	1.0	0.55	SBG1630CTDICT-ND	1.28	1.00	.79	SBG1630CTDITR-ND	800	512.02
	20	40	225	1	0.55	SBG2040CT-FDICT-ND◊	1.60	1.34	1.13	SBG2040CT-FDITR-ND◊	800	640.03
	30.0	40	250	1.0	0.55	SBG3040CTDICT-ND	2.16	1.80	1.52	—	—	—
9	3.0	40	50	0.5	0.50	SBM340DICT-ND	1.14	1.00	.77	SBM340DITR-ND	5,000	388.59/M
		60	50	0.2	0.63	MBRM360DICT-ND	.90	.71	.55	MBRM360DITR-ND	5,000	345.42/M
		100	50	0.1	0.76	MBRM3100DICT-ND	1.46	1.27	.98	MBRM3100DITR-ND	5,000	496.96/M
	5.0	40	100	0.5	0.52	SBM540DICT-ND	1.40	1.22	.94	SBM540DITR-ND	5,000	474.95/M
		60	100	0.2	0.69	MBRM560DICT-ND	1.27	1.11	.85	MBRM560DITR-ND	5,000	431.77/M
		100	100	0.2	0.81	MBRM5100DICT-ND	1.12	.88	.68	MBRM5100DITR-ND	5,000	431.77/M
	10.0	40	150	0.3	0.51	SBM1040DICT-ND	1.24	.96	.76	SBM1040DITR-ND	5,000	585.00/M
10	0.5	20	5.5	—	0.300	B0520LWDICT-ND	.42	.34	.26	B0520LWDITR-ND	3,000	126.99/M
		20	5.5	—	0.300	B0520LW-FDICT-ND◊	.42	.34	.26	B0520LW-FDITR-ND◊	3,000	126.99/M
		30	5.5	—	0.375	B0530WDICT-ND	.42	.34	.26	B0530WDITR-ND	3,000	126.99/M
		40	5.5	—	0.510	B0540WDICT-ND	.42	.34	.26	B0540WDITR-ND	3,000	126.99/M
		40	5.5	—	0.510	B0540W-FDICT-ND◊	.42	.34	.26	B0540W-FDITR-ND◊	3,000	126.99/M
	1.0	30	12	1.0	0.42	B130LAWDICT-ND	.58	.46	.35	B130LAWDITR-ND	3,000	181.18/M
		30	12	1.0	0.42	B130LAW-FDICT-ND◊	.58	.46	.35	B130LAW-FDITR-ND◊	3,000	181.18/M
		40	25	1.0	0.320	1N5819HWDICT-ND	.61	.49	.37	1N5819HWDITR-ND	3,000	202.34/M
11	8.0	45	200	8.0	0.55	SBL845DI-ND	1.24	.96	.76	—	—	—
	16.0	45	275	16.0	0.63	SBL1645DI-ND	1.41	1.11	.88	—	—	—
12	10.0	45	250	10.0	0.60	SBL1045CTDI-ND	1.30	1.02	.81	—	—	—
	16.0	20	250	10.0	0.65	SR1602-ND†	2.61	1.96	1.63	—	—	—
		45	250	0.5	0.55	SBL1645CTDI-ND	1.51	1.18	.93	—	—	—
	20.0	45	250	20.0	0.60	SBL2045CTDI-ND	1.60	1.25	.99	—	—	—
	30.0	45	250	1.0	0.55	SBL3045CTDI-ND	2.26	1.76	1.40	—	—	—
13	1.0	20	22	1.0	0.20	DFLS120LDICT-ND	.61	.49	.37	DFLS120LDITR-ND	3,000	193.03/M
		30	22	1.0	0.42	DFLS130DICT-ND	.58	.46	.35	DFLS130DITR-ND	3,000	181.18/M
		30	33	1.5	0.36	DFLS130LDICT-ND	.61	.49	.37	DFLS130LDITR-ND	3,000	193.03/M
		40	50	2.5	0.36	DFLS140LDICT-ND	.61	.49	.37	DFLS140LDITR-ND	3,000	193.03/M
	1.1	40	40	6.0	0.51	DFLS140DICT-ND	.58	.46	.35	DFLS140DITR-ND	3,000	181.18/M
	2.0	20	22	—	0.36	DFLS220LDICT-ND	.91	.74	.55	DFLS220LDITR-ND	3,000	289.54/M
		30	22	—	0.42	DFLS230DICT-ND	.84	.68	.51	DFLS230DITR-ND	3,000	265.84/M
		30	33	—	0.42	DFLS230LDICT-ND	.91	.74	.55	DFLS230LDITR-ND	3,000	289.54/M
		40	50	—	0.50	DFLS240LDICT-ND	.91	.74	.55	DFLS240LDITR-ND	3,000	289.54/M
14	3	40	90	0.5	0.49	PDS340DICT-ND	1.14	1.00	.77	PDS340DITR-ND	5,000	388.59/M
		100	90	.2	0.75	PDS3100DICT-ND	1.46	1.27	.98	PDS3100DITR-ND	5,000	496.96/M
		200	180	0.01	0.78	PDS3200DICT-ND	1.52	1.27	1.07	PDS3200DITR-ND	5,000	647.65/M
	5	40	120	.30	0.52	PDS540DICT-ND	1.40	1.22	.94	PDS540DITR-ND	5,000	474.95/M
		40	110	0.2	0.50	PDS1040CTLDICT-ND	1.52	1.27	1.07	PDS1040CTLDITR-ND	5,000	647.65/M
		100	120	0.2	0.78	PDS5100DICT-ND	1.30	1.08	.91	PDS5100DITR-ND	5,000	550.29/M
		100	250	0.01	0.71	PDS5100HDICT-ND	1.52	1.27	1.07	PDS5100HDITR-ND	5,000	647.65/M
	8	35	120	1.4	0.51	PDS835LDICT-ND	1.46	1.27	.98	PDS835LDITR-ND	5,000	496.96/M
	10	40	275	0.7	0.51	PDS1040DICT-ND	1.37	1.15	.96	PDS1040DITR-ND	5,000	583.31/M
		40	275	0.6	0.46	PDS1040LDICT-ND	1.40	1.17	.98	PDS1040LDITR-ND	5,000	593.47/M

† Zweifach-Gleichrichterpaket ◊ Bleifrei/RoHS-konform * Max. Spitzendurchlassspannung (V)

Abb. 10 — SOD-123

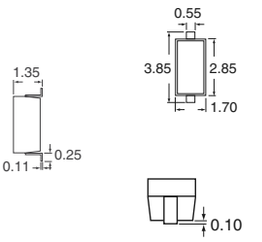

Abb. 11 — TO-220

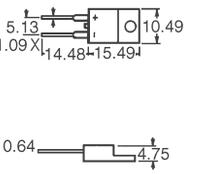

Abb. 12 — TO-220

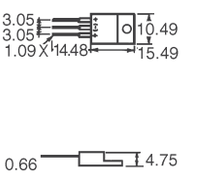

Abb. 13 — PowerDI™123

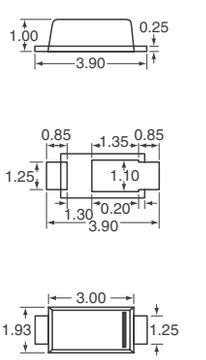

Abb. 14 — PowerDI™5

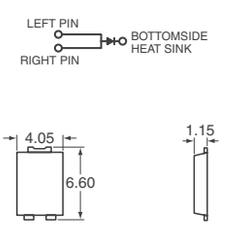

Schnelle Schottky-Grenzschichtdioden

Abb.	Peak Rev. Voltage VRRM(V)**	Leckstrom	Durchlass-spannung @ IF VF(V)	IF(mA)	Sperrschicht-kapazität (pF)	Rückwärts-Erholzeit (nS)	Gesamtver-lustleistung Ptot (mW)	Digi-Key Teilenr.	Gurtabschnittspreis pro Stück 1	10	100	Digi-Key Teilenr.	Gegurtet auf Rolle Größe	Preisangaben
1	20	5µA	0.37	20	50	10	400	SD103CDICT-ND	.41	.33	.25	SD103CDITB-ND‡	10,000	106.68/M
	30	5µA	0.37	20	50	10	400	SD103BDICT-ND	.41	.33	.25	SD103BDITB-ND‡	10,000	106.68/M
	40	5µA	0.37	20	50	10	400	SD103ADICT-ND	.41	.33	.25	SD103ADITB-ND‡	10,000	106.68/M
	40	200nA	0.39	1	2.2	1	400	SD101CDICT-ND	.44	.34	.25	SD101CDITR-ND*	10,000	101.60/M
	50	200nA	0.40	1	2.1	1	400	SD101BDICT-ND	.44	.34	.25	SD101BDITB-ND‡	10,000	101.60/M
	60	200nA	0.41	1	2.0	1	400	SD101ADICT-ND	.44	.34	.25	SD101ADITB-ND‡	10,000	101.60/M
2	20	5µA	0.37	20	50	10	400	LLSD103CDICT-ND	.47	.38	.28	LLSD103CDITR-ND*	2,500	130.38/M
	30	5µA	0.37	20	50	10	400	LLSD103BDICT-ND	.47	.38	.28	LLSD103BDITR-ND*	2,500	130.38/M

‡ TB = Tape & Box (Band und Box) * TR = Tape & Reel (Gegurtet auf Rolle) ◊ Bleifrei/RoHS-konform ** Spitzen-Rückfluss- Spannung VRRM (V)

Abb. 1 — DO-35

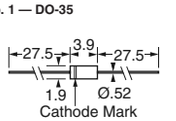

Abb. 2 — MiniMELF

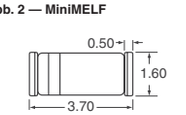

(Forts.)

Alle Preisangaben in Euro und inklusive Zollgebühren.

Schnelle Schottky-Grenzschichtdioden *(Forts.)*

Abb.	Peak Rev. Voltage VRRM(V)**	Leckstrom	Durchlass-spannung @ IF VF(V)	IF(mA)	Sperrschicht-kapazität (pF)	Rückwärts-Erholzeit (nS)	Gesamtver-lustleistung Ptot (mW)	Digi-Key Teilenr.	Gurtabschnittspreis pro Stück 1	10	100	Digi-Key Teilenr.	Gegurtet auf Rolle Größe	Preisangaben
2	40	5µA	0.37	20	50	10	400	LLSD103ADICT-ND	.47	.38	.28	LLSD103ADITR-ND*	2,500	130.38/M
	40	200nA	0.39	1	2.2	1	400	LLSD101CDICT-ND	.38	.31	.23	LLSD101CDITR-ND*	2,500	106.68/M
	50	200nA	0.40	1	2.1	1	400	LLSD101BDICT-ND	.38	.31	.23	LLSD101BDITR-ND*	2,500	106.68/M
	60	200nA	0.41	1	2.0	1	400	LLSD101ADICT-ND	.38	.31	.23	LLSD101ADITR-ND*	10,000	101.60/M
3	20	100µA	0.31	100	170	—	200	B0520WSDICT-ND	.51	.41	.31	B0520WSDITR-ND*	3,000	152.39/M
	20	5.0µA	0.37	20	28	10	200	SD103CWSDICT-ND	.51	.41	.31	SD103CWSDITR-ND*	3,000	169.32/M
	30	500nA	1.0	200	10	5.0	200	BAT42WSDICT-ND	.54	.44	.33	BAT42WSDITR-ND*	3,000	180.33/M
	30	500nA	0.33	2.0	10	5.0	200	BAT43WSDICT-ND	.54	.44	.33	—	—	—
	30	500nA	0.33	2.0	10	5.0	200	BAT43WS-FDICT-ND◊	.54	.44	.33	BAT43WS-FDITR-ND*◊	3,000	180.33/M
	30	2.0µA	0.32	1	10	5	200	BAT54WSDICT-ND	.68	.55	.41	BAT54WSDITR-ND*	3,000	225.20/M
	30	5.0µA	0.37	20	28	10	200	SD103BWSDICT-ND	.51	.41	.31	SD103BWSDITR-ND*	3,000	169.32/M
	30	50µA	0.27	10	25	—	235	BAT760DICT-ND◊	.61	.49	.37	BAT760DITR-ND*◊	3,000	193.03/M
	40	200nA	0.39	1	2.2	1.0	200	SD101CWSDICT-ND	.53	.43	.32	—	—	—
	40	5.0µA	0.37	20	28	10	200	SD103AWSDICT-ND	.51	.41	.31	—	—	—
	40	5.0µA	0.37	20	28	10	200	SD103AWS-FDICT-ND◊	.51	.41	.31	SD103AWS-FDITR-ND*◊	3,000	169.32/M
	40	500nA	0.37	1	2.0	—	250	SDMK0340LDICT-ND	.51	.41	.31	SDMK0340LDITR-ND*	3,000	169.32/M
	45	1.0µA	0.45	10	6.0	—	200	SDM10K45DICT-ND	.51	.41	.31	SDM10K45DITR-ND*	3,000	169.32/M
	50	200nA	0.40	1	2.1	1.0	200	SD101BWSDICT-ND	.53	.43	.32	SD101BWSDITR-ND*	3,000	159.16/M
	60	200nA	0.41	1	2.0	1	200	SD101AWSDICT-ND	.53	.43	.32	SD101AWSDITR-ND*	3,000	159.16/M
	70	200nA	0.41	1.0	2.0	1.0	200	1N5711WSDICT-ND	.61	.49	.37	1N5711WSDITR-ND*	3,000	202.34/M
4	20	5µA	.37	20	28	10	400	SD103-CWDICT-ND	.45	.36	.27	SD103-CWDITR-ND*	10,000	118.53/M
	20	5µA	.37	20	28	10	400	SD103CW-FDICT-ND◊	.45	.36	.27	SD103CW-FDITR-ND*◊	10,000	118.53/M
	30	500nA	1.0	200	10	5.0	200	BAT42WDICT-ND	.51	.41	.31	BAT42WDITR-ND*	3,000	152.39/M
	30	500nA	1.0	200	10	5.0	200	BAT42W-FDICT-ND◊	.51	.41	.31	BAT42W-FDITR-ND*◊	3,000	152.39/M
	30	500nA	1.0	200	10	5.0	200	BAT43WDICT-ND	.51	.41	.31	BAT43WDITR-ND*	3,000	152.39/M
	30	5µA	—	—	—	10	—	SD103-BWDICT-ND	.45	.36	.27	SD103-BWDITR-ND*	10,000	118.53/M
	40	200nA	—	—	—	1	—	SD101-CWDICT-ND	.41	.33	.25	SD101-CWDITR-ND*	10,000	106.68/M
	40	5µA	—	—	—	10	—	SD103-AWDICT-ND	.45	.36	.27	SD103-AWDITR-ND*	10,000	118.53/M
	50	200nA	—	—	—	1	—	SD101-BWDICT-ND	.41	.33	.25	SD101-BWDITR-ND*	10,000	106.68/M
	60	200µA	1.0	15	2.0	1	400	1N6263WDICT-ND	.59	.48	.36	1N6263WDITR-ND*	3,000	177.79/M
	60	200nA	—	—	—	1	—	SD101-AWDICT-ND	.41	.33	.25	SD101-AWDITR-ND*	10,000	106.68/M
5	40	—	0.37	1	2.0	—	150	SDM03U40DICT-ND	.69	.55	.42	SDM03U40DITR-ND*	3,000	217.58/M
	45	—	0.55	50	7.0	—	150	SDM10U45DICT-ND	.69	.55	.42	SDM10U45DITR-ND*	3,000	217.58/M
	30	—	0.35	20	20	—	150	SDM20U30DICT-ND	.69	.55	.42	SDM20U30DITR-ND*	3,000	217.58/M
	40	—	0.37	20	50	10	150	SDM20U40DICT-ND	.69	.55	.42	SDM20U40DITR-ND*	3,000	217.58/M

‡ TB = Tape & Box (Band und Box) * TR = Tape & Reel (Gegurtet auf Rolle) ◊ Bleifrei/RoHS-konform ** Spitzen-Rückfluss- Spannung VRRM (V)

Abb. 3 — SOD-323

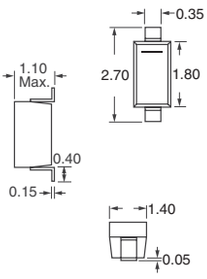

Abb. 4 — SOD-123

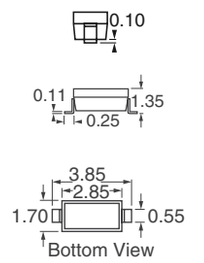

Abb. 5 — SOD-523

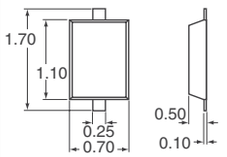

B

Schottky-Grenzschicht-Doppeldioden

(Draufsicht in allen Zeichnungen)

Abb.	Wiederholte Spitzen-rückflussspannung VRRM	Vorwärtsstrom IF (mA), kontinuierlich	Max. Durchlass-spannung @ IF VF(V)	IF(mA)	Leckstrom	Rückwärts-Erholzeit (nS)	Paket	Digi-Key Teilenr.	Gurtabschnittspreis pro Stück 10	100	1.000	Gegurtet auf Rolle* Größe	Preisangaben
1	30V	200mA	1.0	100	2.0µA	5.0	SOT-23	BAT54DICT-ND	.34	.26	.14	3,000	126.99/M
	30V	200mA	1.0	100	2.0µA	5.0	SOT-23	BAT54-FDICT-ND◊	.34	.26	.14	3,000	126.99/M
	40V	200mA	1.0	40	200nA	5.0	SOT-23	BAS40DICT-ND	.44	.33	.20	3,000	180.33/M
	40V	200mA	1.0	40	200nA	5.0	SOT-23	BAS40-FDICT-ND◊	.44	.33	.20	3,000	180.33/M
	40V	—	0.55	500	50µA	—	SOT-23	BAT400D-FDICT-ND◊	.49	.37	.21	3,000	193.03/M
	40V	750mA	0.31	100	100µA	—	SOT-23	BAT750DICT-ND	.49	.37	.23	—	—
	40V	750mA	0.31	100	100µA	—	SOT-23	BAT750-FDICT-ND◊	.49	.37	.23	3,000	202.34/M
	70V	70mA	1.0	15	200uA	5.0	SOT-23	BAS70DICT-ND	.55	.41	.25	3,000	225.20/M
	30V	200mA	1.0	100	2µA	5.0	SOT-323	BAT54WDICT-ND	.41	.31	.17	3,000	152.39/M
	40V	200mA	1.0	40	200nA	5.0	SOT-323	BAS40WDICT-ND	.55	.41	.25	3,000	225.20/M
	70V	100mA	1.0	15	100nA	5.0	SOT-323	BAS70WDICT-ND	.60	.45	.27	3,000	248.06/M
2	30V	200mA	1.0	100	2.0µA	5.0	SOT-23	BAT54CDICT-ND	.41	.31	—	—	—
	30V	200mA	1.0	100	2.0µA	5.0	SOT-23	BAT54C-FDICT-ND◊	.41	.31	.19	3,000	169.32/M
	40V	200mA	1.0	40	200nA	5.0	SOT-23	BAS40-05DICT-ND	.44	.33	.20	3,000	180.33/M
	70V	70mA	1.0	15	200nA	5.0	SOT-23	BAS70-05DICT-ND	.55	.41	.25	3,000	225.20/M
	30V	200mA	1.0	100	2µA	5.0	SOT-323	BAT54CWDICT-ND	.49	.37	.23	3,000	202.34/M
	40V	200mA	1.0	40	200nA	5.0	SOT-323	BAS40W-05DICT-ND	.55	.41	.25	3,000	225.20/M
3	30V	200mA	1.0	100	2µA	5.0	SOT-23	BAT54SDICT-ND	.41	.31	.19	3,000	169.32/M
	40V	200mA	1.0	40	200nA	5.0	SOT-23	BAS40-04DICT-ND	.44	.33	.20	3,000	180.33/M
	40V	200mA	1.0	40	200nA	5.0	SOT-23	BAS40-04-FDICT-ND◊	.44	.33	.20	3,000	180.33/M
	70V	70mA	1.0	15	200nA	5.0	SOT-23	BAS70-04DICT-ND	.55	.41	.25	3,000	—
	30V	200mA	1.0	100	2µA	5.0	SOT-323	BAT54SWDICT-ND	.49	.37	.23	3,000	202.34/M
	40V	200mA	1.0	40	200nA	5.0	SOT-323	BAS40W-04DICT-ND	.55	.41	.25	3,000	225.20/M
	70V	100mA	1.0	15	100nA	5.0	SOT-323	BAS70W-04DICT-ND	.60	.45	.27	3,000	248.06/M
4	30V	200mA	1.0	100	2µA	5.0	SOT-23	BAT54ADICT-ND	.41	.31	.19	3,000	169.32/M
	40V	200mA	1.0	40	200nA	5.0	SOT-23	BAS40-06DICT-ND	.44	.33	.20	3,000	180.33/M
	70V	70mA	1.0	15	200nA	5.0	SOT-23	BAS70-06DICT-ND	.55	.41	.25	3,000	225.20/M
	30V	200mA	1.0	100	2µA	5.0	SOT-323	BAT54AWDICT-ND	.49	.37	.23	3,000	202.34/M
	40V	200mA	1.0	40	200nA	5.0	SOT-323	BAS40W-06DICT-ND	.55	.41	.25	3,000	225.20/M
5	30V	200mA	1.0	100	2µA	5.0	SOT-363	BAT54DWDICT-ND	.55	.43	.29	3,000	275.15/M
6	30V	200mA	1.0	100	2.0µA	5.0	SOT-523	BAT54TDICT-ND	.34	.26	.14	3,000	126.99/M
	40V	30mA	0.37	1	1.0µA	—	SOT-523	SDMP0340LTDICT-ND	.55	.42	.24	3,000	217.58/M
	45V	1000mA	0.45	10	1µA	—	SOT-523	SDM10P45DICT-ND	.55	.42	.24	3,000	217.58/M
7	40V	200mA	0.37	1.0	1µA	—	SOT-323	SDMG0340LADICT-ND	.46	.35	.19	3,000	171.86/M

* Für Gegurtet auf Rolle die Teilenummer CT-ND in TR-ND ändern. ◊ Bleifrei/RoHS-konform

Abb. 1

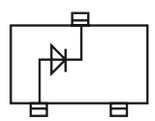

Abb. 2

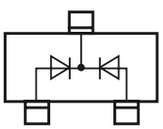

Abb. 3

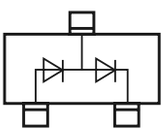

Abb. 4

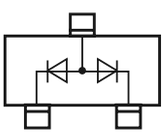

Abb. 5

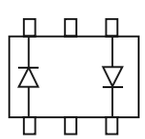

Abb. 6

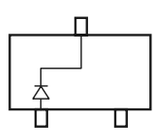

(Forts.)

Schottky-Grenzschicht-Doppeldioden *(Forts.)*

Abb.	Wiederholte Spitzen-rückflussspannung VRRM	Vorwärtsstrom IF (mA), kontinuierlich	Max. Durchlass-spannung @ IF VF(V)	IF(mA)	Leckstrom	Rückwärts-Erholzeit (nS)	Paket	Digi-Key Teilenr.	Gurtabschnittspreis pro Stück 10	100	1.000	Gegurtet auf Rolle* Größe	Preisangaben
7	30V	200mA	1.0	100	2.0µA	5.0	SOT-523	BAT54ATDICT-ND	.41	.31	.19	3,000	169.32/M
	40V	200mA	1.0	40	200nA	5.0	SOT-523	BAS40T-06DICT-ND	.44	.33	.20	3,000	180.33/M
	40V	200mA	0.37	1	1µA	—	SOT-523	SDMP0340LATDICT-ND	.46	.35	.19	3,000	171.86/M
8	40V	200mA	0.37	1.0	1µA	—	SOT-323	SDMG0340LCDICT-ND	.46	.35	.19	—	—
	30V	200mA	1.0	100	2.0µA	5.0	SOT-523	BAT54CTDICT-ND	.41	.31	.19	3,000	169.32/M
	30V	200mA	1.0	100	2.0µA	5.0	SOT-523	BAT54CT-FDICT-ND◊	.41	.31	.19	3,000	169.32/M
	40V	30mA	0.37	1	1.0µA	—	SOT-523	SDMP0340LCTDICT-ND	.55	.42	.24	3,000	217.58/M
	40V	30mA	0.37	1	1.0µA	—	SOT-523	SDMP0340LCT-FDICT-ND◊	.55	.42	.24	3,000	217.58/M
9	20V	400mA	0.31	100	100µA	—	SOT-23	SDM40E20LSDICT-ND	.44	.33	.20	3,000	180.33/M
	40V	200mA	0.37	1.0	1µA	—	SOT-323	SDMG0340LSDICT-ND	.46	.35	.19	3,000	171.86/M
	30V	200mA	1.0	100	2.0µA	5.0	SOT-523	BAT54STDICT-ND	.55	.42	.24	3,000	217.58/M
	40V	200mA	1.0	40	200nA	5.0	SOT-523	BAS40-04T-7DICT-ND	.44	.33	.20	3,000	180.33/M
	40V	200mA	0.37	1	1µA	—	SOT-523	SDMP0340LSTDICT-ND	.46	.35	.19	3,000	171.86/M

* Für Gegurtet auf Rolle die Teilenummer CT-ND in TR-ND ändern. ◊ Bleifrei/RoHS-konform

Abb. 7

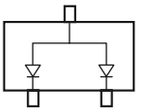

Abb. 8

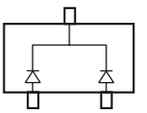

Abb. 9

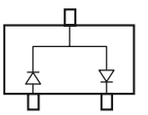

B

Schottky-Grenzschichtdioden-Arrays SOT-363/SOT-26 (200 mW)

Abb.	Spitzen-spannung VRRM (V)	Leckstrom	Durchlass-spannung @ IF VF(V)	IF(mA)	Sperrschicht-kapazität (pF)	Rückwärts-Erholzeit (nS)	Digi-Key Teilenr.	Gurtabschnittspreis pro Stück 1	10	100	Digi-Key Teilenr.	Gegurtet auf Rolle 3.000
1	40	200nA	0.38	1.0	5.0	5.0	BAS40DW-04DICT-ND	.68	.55	.41	BAS40DW-04DITR-ND	225.20/M
	40	—	0.37	20	50	10.0	SD103ASDMDICT-ND†	.61	.49	.37	SD103ASDMDITR-ND†	202.34/M
	45	1.0µA	0.45	10	6.0	—	SDM10M45SDDICT-ND†	.91	.74	.55	SDM10M45SDDITR-ND†	289.54/M
	70	100nA	0.41	1.0	2.0	5.0	BAS70DW-04DICT-ND	.70	.55	.43	BAS70DW-04DITR-ND	275.15/M
2	30	2.0µA	0.40	10	10	5.0	BAT54CDWDICT-ND	.81	.65	.49	—	—
	30	2.0µA	0.40	10	10	5.0	BAT54CDW-FDICT-ND◊	.81	.65	.49	BAT54CDW-FDITR-ND◊	270.07/M
	40	200nA	0.38	1.0	5.0	5.0	BAS40DW-05DICT-ND	.68	.55	.41	BAS40DW-05DITR-ND	225.20/M
3	30	2.0µA	0.40	10	10	5.0	BAT54ADWDICT-ND	.81	.65	.49	BAT54ADWDITR-ND	270.24/M
	40	200nA	0.38	1.0	5.0	5.0	BAS40DW-06DICT-ND	.68	.55	.41	BAS40DW-06DITR-ND	225.20/M
	70	100nA	0.41	1.0	2.0	5.0	BAS70DW-06DICT-ND	.70	.55	.43	BAS70DW-06DITR-ND	275.15/M
4	30	2.0µA	0.32	1.0	10	5.0	BAT54TWDICT-ND	.68	.55	.41	BAT54TWDITR-ND	225.20/M
	40	200nA	0.38	1.0	5.0	5.0	BAS40TWDICT-ND	.69	.55	.42	BAS40TWDITR-ND	217.58/M
	70	100nA	0.41	1.0	2.0	5.0	BAS70TWDICT-ND	.75	.60	.45	—	—
	70	100nA	0.41	1.0	2.0	5.0	BAS70TW-FDICT-ND◊	.75	.60	.45	BAS70TW-FDITR-ND◊	248.06/M
5	30	2.0µA	0.45	10	10	5.0	QSBT40DICT-ND	.92	.73	.56	QSBT40DITR-ND	363.19/M
6	30	2.0µA	0.40	10	10	5.0	BAT54BRWDICT-ND	.81	.65	.49	BAT54BRWDITR-ND	270.07/M
	30	2.0µA	0.40	10	10	5.0	BAT54BRW-FDICT-ND◊	.81	.65	.49	BAT54BRW-FDITR-ND◊	270.07/M
	40	200nA	0.38	1.0	5.0	5.0	BAS40BRWDICT-ND	.81	.65	.49	BAS40BRWDITR-ND	270.07/M
	70	100nA	0.41	1.0	2.0	5.0	BAS70BRWDICT-ND	.91	.74	.55	BAS70BRWDITR-ND	289.54/M
7	40	2.0µA	0.37	20	50	10.0	SD103ATWDICT-ND	.61	.49	.37	SD103ATWDITR-ND	193.03/M

† Verlustleistung: 225 mW; SOT-26 Paket ◊ Bleifrei/RoHS-konform

Abb. 1 — SOT-363/SOT-26

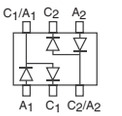

Abb. 2 — SOT-363

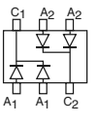

Abb. 3 — SOT-363

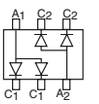

Abb. 4 — SOT-363

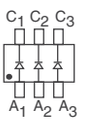

Abb. 5 — SOT-363

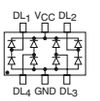

Abb. 6 — SOT-363

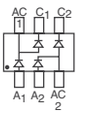

Abb. 7 — SOT-363

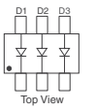

Schaltdioden-Arrays, Oberflächenmontage

Abb.	Peak Reverse Voltage VRRM (V)*	Max. Rück-Strom IR (µA)	VR (V)	Max. Durchl. Spannung @ VF (V)	IF (mA)	Max. Kapa-zität C (pF)	Max. Rück-Erholzeit Trr (nA)	Verlust-leistung Pd (mW)	Digi-Key Teilenr.	Gurtabschnittspreis pro Stück 1	10	100	Digi-Key Teilenr.	Gegurtet auf Rolle 3.000
1	80	1.0	75	1.0	100	3.5	4.0	200	MMBD4448HAQWDICT-ND	.51	.41	.31	MMBD4448HAQWDITR-ND	169.32/M
2	80	1.0	75	1.0	100	3.5	4.0	200	MMBD4448HCQWDICT-ND	.51	.41	.31	MMBD4448HCQWDITR-ND	152.39/M
3	75	1.0	75	1.0	50	2.0	4.0	200	BAS16TWDICT-ND	.38	.31	.23	BAS16TWDITR-ND	114.29/M
	75	1.0	75	1.0	50	2.0	4.0	200	MMBD4148TWDICT-ND	.41	.32	.23	MMBD4148TWDITR-ND	108.37/M
	80	0.1	70	1.0	100	—	4.0	200	MMBD4448HTWDICT-ND	.42	.34	.26	MMBD4448HTWDITR-ND	126.99/M
	80	0.1	70	1.0	100	—	4.0	200	MMBD4448HTW-FDICT-ND◊	.42	.34	.26	MMBD4448HTW-FDITR-ND◊	126.99/M
4	75	2.5	75	1.0	50	2.0	4.0	200	BAV70DWDICT-ND	.42	.34	.26	BAV70DWDITR-ND	126.99/M
	80	1.0	75	1.0	100	3.5	4.0	200	MMBD4448HCDWDICT-ND	.51	.41	.31	MMBD4448HCDWDITR-ND	152.39/M
5	30	2	25	1.0	100	10	5.0	200	BAT54SDW-FDICT-ND◊	.91	.74	.55	BAT54SDW-FDITR-ND◊	289.54/M
	75	2.5	75	1.0	50	2.0	4.0	200	BAV99DWDICT-ND	.42	.34	.26	BAV99DWDITR-ND	126.99/M
	75	2.5	75	1.0	50	2.0	4.0	200	BAV99DW-FDICT-ND◊	.42	.34	.26	BAV99DW-FDITR-ND◊	126.99/M
	80	0.1	70	1.0	100	3.5	4.0	200	MMBD4448HSDWDICT-ND	.51	.41	.31	MMBD4448HSDWDITR-ND	152.39/M
	80	50	75	.72	5.0	4.0	4.0	200	SDA004DICT-ND	.84	.68	.51	SDA004DITR-ND	265.84/M
	85	0.005	75	1.0	10	2.0‡	3.0§	200	BAV199DWDICT-ND	.47	.38	.28	BAV199DWDITR-ND	139.69/M
6	75	2.5	75	1.0	50	2.0	4.0	200	BAW56DWDICT-ND	.42	.34	.26	BAW56DWDITR-ND	126.99/M
	80	1.0	75	1.0	100	3.5	4.0	200	MMBD4448HADWDICT-ND	.51	.41	.31	MMBD4448HADWDITR-ND	152.39/M
7	75	2.5	75	1.0	50	2.0	4.0	200	BAV756DWDICT-ND	.42	.34	.26	—	—
	75	2.5	75	1.0	50	2.0	4.0	200	BAV756DW-FDICT-ND◊	.42	.34	.26	BAV756DW-FDITR-ND◊	126.99/M
8	75	2.5	75	1.0	50	2.0	4.0	200	BAW567DWDICT-ND	.42	.34	.26	BAW567DWDITR-ND	126.99/M
9	350	0.1	240	1.0	100	5.0	50	350	MMBD3004BRMDICT-ND	.58	.46	.35	MMBD3004BRMDITR-ND	181.18/M
10	80	0.1	70	1.0	100	3.5	4.0	225	MMBD4448HTMDICT-ND	.47	.38	.28	MMBD4448HTMDITR-ND	139.69/M
11	40	1	10	.37	1	2	—	225	SDM03MT40DICT-ND	.61	.49	.37	SDM03MT40DITR-ND	193.03/M

‡ Kapazität, typisch pF § Rückwärts-Erholzeit in µs ◊ Bleifrei/RoHS-konform * Spitzenrückflussspannung (VRRM)(V)

Abb. 1 — SOT-363

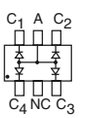

Abb. 2 — SOT-353

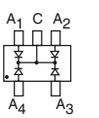

Abb. 3 — SOT-363

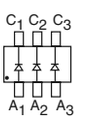

Abb. 4 — SOT-363

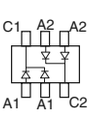

Abb. 5 — SOT-363

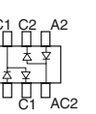

Abb. 6 — SOT-363

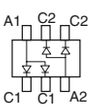

Abb. 7 — SOT-363

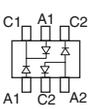

Abb. 8 — SOT-363

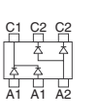

Abb. 9 — SOT-26

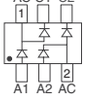

Abb. 10 — SOT-26

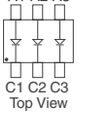

Abb. 11 — SOT-26

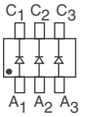

Alle Preisangaben in Euro und inklusive Zollgebühren.

Schottky Dioden

Abb. 1 — DO-35

Abb. 2 — DO-41, DO-15, DO-201AD

Abb. 3 — TO-220AC

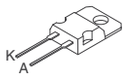

Abb. 4 — TO-220AB

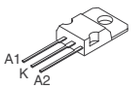

Abb. 5 — ISOTOP

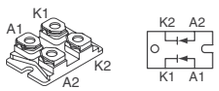

Abb. 6 — TO-247

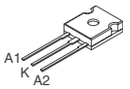

Abb. 7 — SOT-23, SOT-323

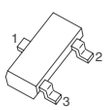

A.

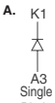

B.

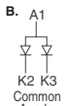

C.

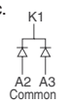

D.

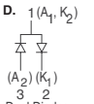

Abb. 8 — DPAK

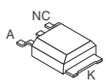

Abb. 9 — DPAK

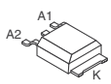

Abb. 10 — D²PAK

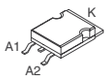

Abb. 11 — MAX247

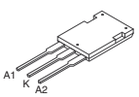

Abb. 12 — SMA, SMB, SMC

Abb. 13 — SOD-123

Abb. 14 — DO-216AA

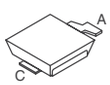

Abb. 15 — MINIMELF

Abb. 16 — SOT-93

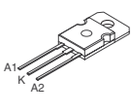

Abb. 17 — Dip-16

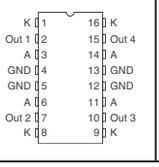

Abb. 18 — SOD-323

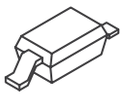

Abb. 19 — TOP-3I

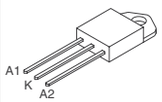

Abb. 20 — MELF

Abb. 21 — TO-220FPAB

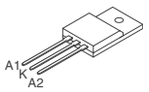

Abb. 22 — I²PAK

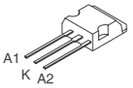

Abb.	V_{RRM} (V)	I_F	P_{TOT} (mW)	Paket-typ	Digi-Key Teilenr.	Gurtabschnittspreise 1	10	100	Digi-Key Teilenr.	Gegurtet auf Rolle Größe	Preisangaben	STMicroelectronics Teilenr.
1	20	350mA	330	DO-35	497-3773-1-ND	.35	2.54	14.63	497-3773-2-ND	4,000	72.81/M	BAT47
	30	200mA	200	DO-35	497-2492-1-ND	.35	2.54	14.63	497-2492-2-ND	4,000	72.81/M	BAT43
	30	200mA	200	DO-35	497-2495-1-ND	.35	2.54	17.88	497-2495-2-ND	4,000	72.81/M	BAT42
	40	350mA	330	DO-35	497-2512-1-ND	.35	2.54	17.88	497-2512-2-ND	4,000	72.81/M	BAT48
	60	15mA	—	DO-35	497-2508-1-ND	.35	2.54	17.88	497-2508-2-ND	4,000	72.81/M	1N6263
	70	15mA	430	DO-35	497-2499-1-ND	.35	2.54	17.88	497-2499-2-ND	4,000	72.81/M	1N5711
	100	100mA	100	DO-35	497-2493-1-ND	.35	2.54	17.88	497-2493-2-ND	4,000	72.81/M	BAT41
	100	150mA	150	DO-35	497-3768-1-ND	.39	2.96	21.33	497-3768-2-ND	4,000	100.75/M	BAT46
2	60	2A	—	DO-41	497-3214-1-ND	.55	4.40	33.02	497-3214-3-ND§	2,000	176.10/M	STPS2L60
	150	1A	—	DO-41	497-2447-1-ND	.36	2.75	19.81	497-2447-3-ND§	2,000	99.05/M	STPS1150
	150	2A	—	DO-15	497-3213-1-ND	.38	3.05	22.86	497-3213-3-ND§	1,000	121.91	STPS2150
	150	3A	—	DO-201AD	497-3216-1-ND	.47	3.73	27.94	497-3216-3-ND§	600	106.16	STPS3150
3	25	10A	—	TO-220AC	497-2738-5-ND‡	1.27	11.01	84.66	—	—	—	STPS10L25D
	45	7.5A	—	TO-220AC	497-2749-5-ND‡	.92	7.37	55.32	—	—	—	STPS745D
	45	10A	—	TO-220AC	497-2754-5-ND‡	.91	7.31	54.86	—	—	—	STPS1045D
	45	15A	—	TO-220AC	497-2753-5-ND‡	.80	6.96	53.55	—	—	—	STPS1545D
	100	8A	—	TO-220AC	497-2737-5-ND‡	1.05	9.08	69.84	—	—	—	STPS8H100D
4	30	2 x 10A	—	TO-220AB	497-2750-5-ND‡	1.11	9.63	74.08	—	—	—	STPS2030CT
	30	2 x 15A	—	TO-220AB	497-2756-5-ND‡	1.40	11.64	97.78	—	—	—	STPS30L30CT
	45	2 x 7.5A	—	TO-220AB	497-2747-5-ND‡	.87	7.57	58.20	—	—	—	STPS1545CT
	45	2 x 15A	—	TO-220AB	497-2751-5-ND‡	1.22	10.59	81.49	—	—	—	STPS3045CT
	100	2 x 10A	—	TO-220AB	497-2726-5-ND‡	1.37	11.43	96.00	—	—	—	STPS20H100CT
	100	2 x 30A	—	TO-220AB	497-3812-5-ND‡	3.04	26.46	197.05	—	—	—	STPS60H100CT
	150	2 x 8A	—	TO-220AB	497-2739-5-ND‡	1.78	14.82	124.45	—	—	—	STPS16150CT
	150	2 x 10A	—	TO-220AB	497-2730-5-ND‡	2.03	16.93	142.23	—	—	—	STPS20150CT
	150	2 x 20A	—	TO-220AB	497-3217-5-ND‡	2.86	24.87	185.19	—	—	—	STPS40150CT
	170	2 x 10A	—	TO-220AB	497-3525-5-ND‡	2.16	17.99	151.12	—	—	—	STPS20170CT
5	45	2 x 60A	—	ISOTOP	497-3207-5-ND‡	15.56	133.34	1182.28	—	—	—	STPS12045TV
	45	2 x 80A	—	ISOTOP	497-2741-5-ND‡	17.84	152.90	1355.68	—	—	—	STPS16045TV
	100	2 x 80A	—	ISOTOP	497-2723-5-ND‡	22.82	195.56	1734.01	—	—	—	STPS160H100TV
	600	2 x 60A	—	ISOTOP	497-3811-5-ND‡	20.74	177.79	1576.37	—	—	—	STTH120L06TV1
6	15	2 x 20A	—	TO-247	497-2687-5-ND‡	2.94	25.60	190.68	—	—	—	STPS40L15CW
	30	2 x 30A	—	TO-247	497-2755-5-ND‡	3.47	30.20	224.90	—	—	—	STPS60L40CW
	45	2 x 30A	—	TO-247	497-3803-5-ND‡	2.77	24.08	179.27	—	—	—	STPS6045CW
	45	2 x 30A	—	TO-247	497-3745-5-ND‡	3.73	32.43	241.49	—	—	—	STPS60L45CW
	100	2 x 20A	—	TO-247	497-2725-5-ND‡	2.33	20.29	151.12	—	—	—	STPS40H100CW
	100	2 x 30A	—	TO-247	497-3220-5-ND‡	4.80	41.78	311.13	—	—	—	STPS61H100CW
	150	2 x 20A	—	TO-247	497-3218-5-ND‡	3.09	26.86	200.01	—	—	—	STPS40150CW
	150	2 x 30A	—	TO-247	497-3219-5-ND‡	4.80	41.78	311.13	—	—	—	STPS61150CW
	150	2 x 40A	—	TO-247	497-3221-5-ND‡	5.36	48.89	386.47	—	—	—	STPS80150CW
7D	30	0.3A	250	SOT-23	497-2522-1-ND	.34	2.29	15.85	497-2522-2-ND	3,000	60.96/M	BAT54SFILM
7C	30	0.3A	250	SOT-23	497-3786-1-ND	.34	2.29	15.85	497-3786-2-ND	3,000	60.96/M	BAT54CFILM
7B	30	100mA	250	SOT-23	497-2514-1-ND	.34	2.29	15.85	497-2514-2-ND	3,000	60.96/M	BAR43AFILM
7D	30	100mA	250	SOT-23	497-2515-1-ND	.34	2.29	15.85	497-2515-2-ND	3,000	60.96/M	BAR43SFILM
7A	30	100mA	250	SOT-23	497-2518-1-ND	.34	2.29	15.85	497-2518-2-ND	3,000	60.96/M	BAR42FILM
7C	30	100mA	250	SOT-23	497-2520-1-ND	.34	2.29	15.85	497-2520-2-ND	3,000	60.96/M	BAR43CFILM
7A	30	100mA	250	SOT-23	497-2521-1-ND	.34	2.29	15.85	497-2521-2-ND	3,000	60.96/M	BAR43FILM
7A	70	70mA	250	SOT-23	497-2529-1-ND	.35	2.54	17.88	497-2529-2-ND	3,000	72.81/M	BAR18FILM
7D	70	70mA	250	SOT-23	497-2516-1-ND	.34	2.29	15.85	497-2516-2-ND	3,000	60.96/M	BAS70-04FILM
7B	30	0.3A	230	SOT-323	497-2528-1-ND	.34	2.29	15.85	497-2528-2-ND	3,000	60.96/M	BAT54AWFILM
7A	30	0.3A	230	SOT-323	497-2530-1-ND	.34	2.29	15.85	497-2530-2-ND	3,000	60.96/M	BAT54WFILM
8	30	8A	—	DPAK	497-3222-1-ND	1.52	13.21	101.59	497-3222-2-ND	2,500	540.14/M	STPS8L30B-TR
9	40	3A	—	DPAK	497-2466-1-ND	.69	4.95	38.10	497-2466-2-ND	2,500	217.58/M	STPS340B-TR
	45	2 x 7.5A	—	DPAK	497-3208-1-ND	1.27	10.58	88.89	497-3208-2-ND	2,500	550.30/M	STPS15H100CB-TR
	100	2 x 7.5A	—	DPAK	497-2748-5-ND‡	.86	7.43	57.15	—	—	—	STPS15L45CB
	100	5A	—	DPAK	497-2640-5-ND‡	1.42	11.85	99.56	—	—	—	STPS5H100B
10	45	2 x 10A	—	D^2PAK	497-2752-5-ND‡	1.14	9.91	76.19	—	—	—	STPS20L45CG
	45	2 x 20A	—	D^2PAK	497-3528-1-ND	2.11	17.57	147.56	497-3528-2-ND	1,000	949.04	STPS40L45CG-TR
	100	2 x 8A	—	D^2PAK	497-2722-5-ND‡	1.14	9.14	68.57	—	—	—	STPS16H100G
	100	2 x 10A	—	D^2PAK	497-2457-1-ND	1.37	11.43	96.00	497-2457-2-ND	1,000	617.17	STPS20H100CG-TR
	150	2 x 20A	—	D^2PAK	497-3527-5-ND‡	2.86	24.87	185.19	—	—	—	STPS40150CG
	150	2 x 20A	—	D^2PAK	497-3754-1-ND	1.98	16.51	138.67	497-3754-2-ND	1,000	891.47	STPS40150CG-TR
	600	12A	—	D^2PAK	497-3814-5-ND‡	1.52	13.21	101.59	—	—	—	STTH12R06G
11	100	2 x 40A	—	MAX247	497-2724-5-ND‡	11.01	101.80	770.41	—	—	—	STPS80H100CY
12	30	1A	—	SMA	497-3755-1-ND	.42	3.39	25.40	497-3755-2-ND	5,000	118.53/M	STPS130A
	30	2A	—	SMA	497-3759-1-ND	.69	5.49	41.14	497-3759-2-ND	5,000	205.73/M	STPS2L30A
	40	1A	—	SMA	497-2453-1-ND	.36	2.75	19.81	497-2453-2-ND	5,000	88.05/M	STPS140A
	40	1A	—	SMA	497-3753-1-ND	.47	3.60	21.59	497-3753-2-ND	5,000	115.14/M	STPS1L40A
	60	1A	—	SMA	497-2463-1-ND	.58	2.44	18.29	497-2463-2-ND	5,000	115.14/M	STPS1L60A
	60	1A	—	SMA	497-3756-1-ND	.61	4.88	36.57	497-3756-2-ND	5,000	182.87/M	STPS160A
	60	2A	—	SMA	497-2461-1-ND	.47	2.88	21.59	497-2461-2-ND	5,000	115.14/M	STPS2L60A
	100	1A	—	SMA	497-3209-1-ND	.73	5.79	43.43	497-3209-2-ND	5,000	217.58/M	STPS1H100A
	100	2A	—	SMA	497-3758-1-ND	.76	6.10	45.72	497-3758-2-ND	5,000	228.59/M	STPS2H100A
	150	2A	—	SMA	497-2467-1-ND	.32	2.54	19.05	497-2467-2-ND	5,000	88.90/M	STPS2150A
	30	1A	—	SMB	497-2468-1-ND	.41	3.17	22.86	497-2468-2-ND	2,500	108.37/M	STPS1L30U
	40	1A	—	SMB	497-2490-1-ND	.42	3.26	23.47	497-2490-2-ND	2,500	110.91/M	STPS140U

‡ Röhre § Ammopack ◊ Großmenge

(Forts.)

Abb.	V_{RRM} (V)	I_F	P_{TOT} (mW)	Paket-typ	Digi-Key Teilenr.	Gurtabschnittspreise 1	10	100	Digi-Key Teilenr.	Gegurtet auf Rolle Größe	Preisangaben	STMicroelectronics Teilenr.
12	40	3A	—	SMB	497-2465-1-ND	.58	4.57	34.29	497-2465-2-ND	2,500	181.18/M	STPS340U
	100	1A	—	SMB	497-3210-1-ND	1.08	9.35	71.96	497-3210-2-ND	2,500	382.67/M	STPS1H100U
	25	3A	—	SMC	497-3760-1-ND	.76	6.10	45.72	497-3760-2-ND	2,500	241.28/M	STPS3L25S
	40	3A	—	SMC	497-2464-1-ND	.86	7.43	57.15	497-2464-2-ND	2,500	182.02/M	STPS340S
	60	3A	—	SMC	497-2454-1-ND	.96	8.25	63.50	497-2454-2-ND	2,500	182.02/M	STPS3L60S
13	20	0.5A	—	SOD-123	497-3205-1-ND	.55	4.40	33.02	497-3205-2-ND	3,000	165.09/M	STPS0520Z
	60	0.5A	—	SOD-123	497-3787-1-ND	.36	2.20	16.51	497-3787-2-ND	3,000	93.98/M	STPS0560Z
14	20	0.5A	—	DO-216AA	497-4390-1-ND	.47	3.60	25.91	497-4390-2-ND	12,000	108.37/M	STPS0520M
	20	1A	—	DO-216AA	497-3211-1-ND	.51	4.06	30.48	497-3211-2-ND	12,000	135.46/M	STPS1L20M
	40	1A	—	DO-216AA	497-3212-1-ND	.51	4.06	30.48	497-3212-2-ND	12,000	135.46/M	STPS1L40M
15	30	200mA	200	MINIMELF	497-3272-1-ND	.47	3.73	27.94	497-3272-2-ND	2,500	139.69/M	TMMBAT42FILM
	40	350mA	330	MINIMELF	497-3274-1-ND	.55	4.40	33.02	497-3274-2-ND	2,500	165.09/M	TMMBAT48FILM
	100	150mA	150	MINIMELF	497-3273-1-ND	.47	3.73	27.94	497-3273-2-ND	2,500	139.69/M	TMMBAT46FILM
16	45	2 x 15A	—	SOT-93	497-3215-5-ND‡	2.40	20.89	155.56	—	—	—	STPS3045CP
17	50	4A	—	Dip-16	497-3646-ND	2.51	20.95	176.01	—	—	—	L6210
18	10	3A	310	SOD-323	497-3707-1-ND	.51	4.06	30.48	497-3707-2-ND	3,000	152.39/M	BAT60JFILM
	23	1A	—	SOD-323	497-3381-1-ND	.44	3.39	24.38	497-3381-2-ND	3,000	115.14/M	BAT20JFILM
19	45	2 x 15A	—	TOP-3I	497-3526-ND◊	3.09	26.86	200.01	—	—	—	STPS3045CPIRG
	45	2 x 30A	—	TOP-3I	497-3529-ND◊	4.11	35.81	266.68	—	—	—	STPS6045CPIRG
20	80	500mA	—	MELF	497-3788-1-ND	.36	2.79	20.12	497-3788-2-ND	1,500	100.75/M	TMBAT49FILM
21	45	2 x 15A	—	TO-220FPAB	497-4393-5-ND‡	1.46	12.66	97.36	—	—	—	STPS30L45CFP
	150	2 x 10A	—	TO-220FPAB	497-4391-5-ND‡	1.27	10.58	88.89	—	—	—	STPS20150CFP
22	45	2 x 10A	—	I^2PAK	497-4392-5-ND‡	1.18	10.18	78.31	—	—	—	STPS2045CR
	45	2 x 15A	—	I^2PAK	497-4394-5-ND‡	1.27	10.58	88.89	—	—	—	STPS30L45CR

‡ Röhre § Ammopack ◊ Großmenge

Schnelldioden

Abb. 1 — DO-15, DO-201AD, DO-41

Abb. 2 — TO-220AC

A. 1. Kathode 2. Anode 3. Kathode

B. 1. Kathode 2. Anode 3. —

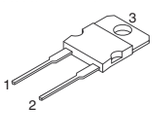

Abb. 3A — TO-220AB

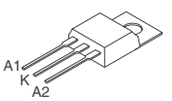

Abb. 3B — TO-220AB

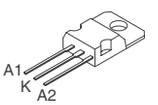

Abb. 4 — TO-247

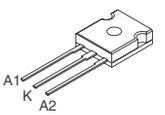

Abb. 5 — DOP3I Isoliert

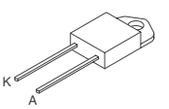

Abb. 6 — ISOTOP

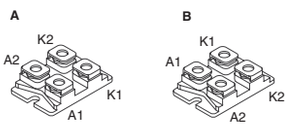

Abb. 7 — ISOTOP

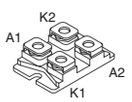

Abb. 8 — SOT-93

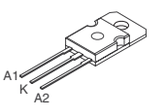

Abb. 9 — SMA, SMB, SMC

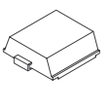

Abb. 10 — SOD93

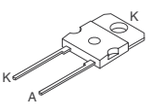

Abb. 11 — TO-220FPAC

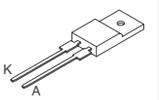

Abb. 12 — TO-220AB Isoliert

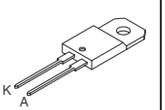

Abb. 13 — TO-220AC Isoliert

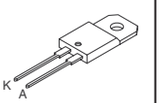

Abb. 14 — DPAK

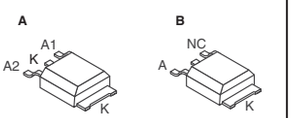

Abb. 15 — D^2PAK

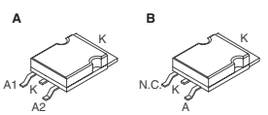

Abb. 16 — I^2PAK

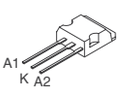

Abb. 17 — TO-220FPAB

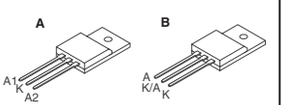

Abb. 18 — TOP3I

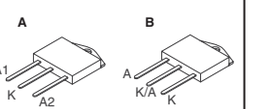

Abb. 19 — DO-247

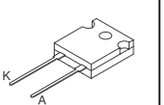

Abb. 20 — TO-220FPAB F5

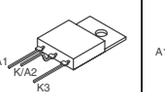

Abb. 21 — TO-220FPAB FD6

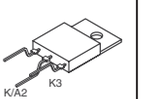

Abb.	V_{RRM} (V)	I_F	Paket-typ	Digi-Key Teilenr.	Gurtabschnittspreise 1	10	100	Digi-Key Teilenr.	Gegurtet auf Rolle Größe	Preisangaben	STMicroelectronics Teilenr.
1	200	1.5A	DO-15	497-2510-1-ND	.41	3.17	22.86	497-2510-2-ND	6,000	101.60/M	BYW100-200RL
	200	1.5A	DO-15	497-3132-1-ND	.41	3.17	22.86	497-3132-3-ND§	1,000	114.29	BYW100-200
	400	1A	DO-15	497-2446-1-ND	.30	2.33	16.76	497-2446-3-ND§	1,000	93.13	BYT01-400
	800	2A	DO-15	497-2443-1-ND	.59	3.85	29.63	497-2443-3-ND§	1,000	189.64	STTH208
	200	3A	DO-201AD	497-2497-1-ND	.58	4.57	34.29	497-2497-2-ND	1,900	197.26/M	BYW98-200RL
	200	3A	DO-201AD	497-3133-1-ND	.56	4.84	37.25	497-3133-3-ND§	600	165.59	BYW98-200
	200	3A	DO-201AD	497-2445-1-ND	.47	2.34	17.99	497-2445-3-ND§	600	90.67	STTH302
	600	3A	DO-201AD	497-3246-1-ND	.63	4.13	31.75	497-3246-3-ND§	600	144.77	STTH3L06
	600	3A	DO-201AD	497-4414-1-ND	.69	5.49	41.14	497-4414-3-ND§	600	169.15	STTH3R06
	600	3A	DO-201AD	497-4415-1-ND	.69	5.49	41.14	497-4415-2-ND	1,900	236.20/M	STTH3R06RL
	1,000	3A	DO-201AD	497-2442-1-ND	.59	4.74	35.56	497-2442-3-ND§	600	135.12	STTH310
	200	1A	DO-41	497-3666-1-ND	.80	6.88	52.91	497-3666-2-ND	2,000	307.32/M	STTH102
	600	1A	DO-41	497-3242-1-ND	.76	6.10	45.72	497-3242-2-ND	5,000	228.59/M	STTH1L06RL
	600	1A	DO-41	497-3243-1-ND	.42	3.39	25.40	497-3243-2-ND	5,000	118.53/M	STTH1R06RL
	600	2A	DO-41	497-3548-ND◊	.80	6.40	48.00	—	—	—	STTH2L06
	600	2A	DO-41	497-3752-1-ND	.47	3.35	25.14	497-3752-3-ND§	2,000	149.00/M	STTH2R06
	600	2A	DO-41	497-4409-1-ND	.47	3.73	27.94	497-4409-2-ND	5,000	130.38/M	STTH2R06RL
	1,000	1A	DO-41	497-2444-1-ND	.45	3.56	26.67	497-2444-3-ND§	2,000	142.23/M	STTH110
2B	200	8A	TO-220AC	497-2710-5-ND‡	.80	6.40	48.00	—	—	—	STPR820D
2B	200	15A	TO-220AC	497-3204-5-ND‡	1.65	13.76	115.56	—	—	—	STPR1520D
2B	200	20A	TO-220AC	497-2692-5-ND‡	.98	8.47	65.19	—	—	—	BYW80-200
2A	600	5A	TO-220AC	497-3239-5-ND‡	1.27	11.01	84.66	—	—	—	STTA506D
2A	600	5A	TO-220AC	497-2746-5-ND‡	1.27	10.58	88.89	—	—	—	STTH5R06D
2A	600	8A	TO-220AC	497-2745-5-ND‡	1.65	13.76	115.56	—	—	—	STTH8R06D
2A	600	8A	TO-220AC	497-2697-5-ND‡	1.11	9.63	74.08	—	—	—	STTA806D
2B	600	8A	TO-220AC	497-2744-5-ND‡	.98	8.53	65.61	—	—	—	STTH8LO6D
2B	600	8A	TO-220AC	497-2399-ND◊	2.18	18.23	153.07	—	—	—	STTA806DI
2A	600	12A	TO-220AC	497-2685-5-ND‡	1.43	12.39	95.24	—	—	—	STTA1206D
2B	600	30A	TO-220AC	497-3800-5-ND‡	2.13	17.78	149.34	—	—	—	STTH30L06D
2B	600	30A	TO-220AC	497-4412-5-ND‡	1.35	11.22	94.23	—	—	—	STTH30R06D
2B	1,000	12A	TO-220AC	497-2428-ND◊	3.96	34.48	256.76	—	—	—	BYT12PI-1000
3A	200	2 x 10A	TO-220AB	497-2693-5-ND‡	1.12	9.69	74.50	—	—	—	BYW51-200
3B	200	8A	TO-220AB	497-3540-5-ND‡	1.18	10.18	78.31	—	—	—	STTH1002CT
	200	10A	TO-220AB	497-3544-5-ND‡	1.43	12.39	95.24	—	—	—	STTH1602CT

‡ Röhre ◊ Großmenge § Ammopack *(Forts.)*

Alle Preisangaben in Euro und inklusive Zollgebühren.

Abb.	V_{RRM} (V)	I_F	Paket-typ	Digi-Key Teilenr.	Gurtabschnittspreise 1	10	100	Digi-Key Teilenr.	Gegurtet auf Rolle Größe	Preisangaben	STMicroelectronics Teilenr.
3B	200	15A	TO-220AB	497-3547-5-ND‡	1.52	12.70	106.67	—	—	—	STTH2002CT
	200	15A	TO-220AB	497-3551-5-ND‡	3.39	29.44	219.27	—	—	—	STTH3002CT
	200	16A	TO-220AB	497-3810-5-ND‡	1.08	9.35	71.96	—	—	—	STPR1620CT
	200	20A	TO-220AB	497-3818-5-ND‡	1.37	11.43	96.00	—	—	—	STTH16L06CT
	300	2 x 10A	TO-220AB	497-2743-5-ND‡	1.88	15.66	131.56	—	—	—	STTH2003CT
	600	40A	TO-220AB	497-3802-5-ND‡	2.46	19.30	172.45	—	—	—	STTH30L06CT
4	200	15A	TO-247	497-2688-5-ND‡	2.64	22.98	171.12	—	—	—	BYW99W-200
	200	15A	TO-247	497-3552-5-ND‡	3.70	32.23	240.01	—	—	—	STTH3002CW
	200	30A	TO-247	497-3553-5-ND‡	4.23	36.81	274.09	—	—	—	STTH6002CW
	300	2 x 15A	TO-247	497-2742-5-ND‡	3.52	30.64	228.16	—	—	—	STTH3003CW
	300	2 x 30A	TO-247	497-2720-5-ND‡	4.23	36.81	274.09	—	—	—	STTH6003CW
	300	60A	TO-247	497-4416-5-ND‡	2.03	16.93	142.23	—	—	—	STTH60P03SW
	600	40A	TO-247	497-3797-5-ND‡	2.38	20.69	154.08	—	—	—	STTH30L06CW
	600	80A	TO-247	497-3790-5-ND‡	3.43	29.84	222.23	—	—	—	STTH60L06CW
	600	2 x 15A	TO-247	497-2683-5-ND‡	4.28	37.21	277.05	—	—	—	STTA3006CW
5	600	15A	Isoliert DOP3I	497-3240-5-ND‡	4.57	39.79	296.31	—	—	—	STTH1506DPI
	1200	15A	Isoliert DOP3I	497-3533-ND◊	3.66	31.83	237.05	—	—	—	STTA1512PIRG
	600	20A	Isoliert DOP3I	497-2394-ND◊	3.39	29.55	220.01	—	—	—	STTA2006PI
	600	30A	Isoliert DOP3I	497-3245-5-ND‡	5.84	53.34	421.61	—	—	—	STTH3006DPI
	600	2 x 30A	Isoliert DOP3I	497-3535-5-ND‡	4.96	43.18	321.50	—	—	—	STTA3006PIRG
	600	20A	Isoliert DOP3I	497-3534-ND◊	4.14	36.01	268.16	—	—	—	STTA2006PIRG
	1000	30A	Isoliert DOP3I	497-2424-ND◊	6.32	57.70	456.04	—	—	—	BYT30PI-1000
	200	25	Isoliert DOP3I	497-3808-5-ND‡	2.51	21.88	162.97	—	—	—	BYW77PI-200RG
	400	30A	Isoliert DOP3I	497-3806-5-ND‡	2.49	21.69	161.49	—	—	—	BYT30PI-400RG
6A	200	2 x 30A	ISOTOP	497-3554-5-ND‡	15.78	135.24	1199.17	—	—	—	STTH6102TV1
	200	2 x 60A	ISOTOP	497-3541-5-ND‡	14.89	127.62	1131.61	—	—	—	STTH12002TV1
	200	120A	ISOTOP	497-3819-5-ND‡	31.11	266.68	2364.55	—	—	—	STTH20002TV1
	600	2 x 30A	ISOTOP	497-2699-5-ND‡	13.21	122.16	924.49	—	—	—	STTA6006TV1
	600	40A	ISOTOP	497-3796-5-ND‡	17.78	152.39	1351.17	—	—	—	STTH60L06TV1
	600	2 x 120A	ISOTOP	497-4408-5-ND‡	22.22	190.49	1688.97	—	—	—	STTH200L06TV1
6B	200	50A	ISOTOP	497-2689-5-ND‡	16.12	149.10	1128.35	—	—	—	BYV541V-200
	200	100A	ISOTOP	497-2694-5-ND‡	27.71	237.47	2105.58	—	—	—	BYV255V-200
	400	60A	ISOTOP	497-2681-5-ND‡	15.25	130.67	1158.63	—	—	—	BYT261PIV-400
7	600	2 x 30A	ISOTOP	497-2698-5-ND‡	13.21	122.16	924.49	—	—	—	STTA6006TV2
	1000	2 x 30A	ISOTOP	497-3749-5-ND‡	15.24	140.96	1066.72	—	—	—	BYT230PIV-1000
	1200	2 x 45A	ISOTOP	497-3746-5-ND‡	25.19	215.88	1914.16	—	—	—	STTA9012TV2
8	200	15A	SOT-93	497-2691-5-ND‡	2.94	25.60	190.68	—	—	—	BYW99P-200
9	200	1A	SMA	497-2500-1-ND	.30	2.33	16.76	497-2500-2-ND	5,000	79.58/M	STTH102A
	600	1A	SMA	497-3241-1-ND	.58	4.57	34.29	497-3241-2-ND	5,000	171.86/M	STTH1L06A
	600	1A	SMA	497-3765-1-ND	.47	3.60	21.59	497-3765-2-ND	5,000	115.14/M	STTH1R06A
	600	2A	SMA	497-3549-ND◊	.88	7.01	52.57	—	—	—	STTH2L06A
	600	2A	SMA	497-3777-1-ND	.69	5.49	41.14	497-3777-2-ND	5,000	205.73/M	STTH2R06A
	800	1A	SMA	497-2459-1-ND	.96	8.25	63.50	497-2459-2-ND	5,000	130.38/M	STTH108A
	200	1A	SMB	497-2509-1-ND	.41	3.17	22.86	497-2509-2-ND	2,500	108.37/M	SMBYW01-200
	200	2A	SMB	497-2511-1-ND	.76	6.10	45.72	497-2511-2-ND	2,500	127.00/M	SMBY20W-200
	400	1A	SMB	497-3147-1-ND	.61	4.88	36.57	497-3147-2-ND	2,500	193.03/M	SMBYT01-400
	600	1A	SMB	497-2494-1-ND	1.27	11.01	84.66	497-2494-2-ND	2,500	152.39/M	STTA106U
	600	1A	SMB	497-3766-1-ND	.42	3.39	25.40	497-3766-2-ND	2,500	127.00/M	STTH1L06U
	600	1A	SMB	497-4406-1-ND	.47	3.60	25.91	497-4406-2-ND	2,500	122.76/M	STTH1R06U
	600	2A	SMB	497-3757-1-ND	.55	4.40	29.72	497-3757-2-ND	2,500	165.09/M	STTH2L06U
	600	2A	SMB	497-3776-1-ND	.55	3.96	29.72	497-3776-2-ND	2,500	165.09/M	STTH2R06U
	600	3A	SMB	497-3771-1-ND	.69	5.49	41.14	497-3771-2-ND	2,500	217.58/M	STTH3L06U
	600	3A	SMB	497-3767-1-ND	.73	5.79	43.43	497-3767-2-ND	2,500	229.43/M	STTH3R06U
	1,200	1A	SMB	497-3237-1-ND	.80	6.88	52.91	497-3237-2-ND	2,500	281.92/M	STTA112U
	1,200	1A	SMB	497-2460-1-ND	.58	4.57	34.29	497-2460-2-ND	2,500	171.86/M	STTH112U
	200	4A	SMC	497-2502-1-ND	.61	4.88	33.86	497-2502-2-ND	2,500	193.03/M	SMBYW04-200
	400	3A	SMC	497-3762-1-ND	.55	3.96	29.72	497-3762-2-ND	2,500	165.09/M	SMBYT03-400
	600	3A	SMC	497-3764-1-ND	.80	6.40	48.00	497-3764-2-ND	2,500	253.14/M	STTH3L06S
	600	3A	SMC	497-3779-1-ND	.73	5.79	43.43	497-3779-2-ND	2,500	229.43/M	STTH3R06S
	1,200	2A	SMC	497-3238-1-ND	1.27	11.01	84.66	497-3238-2-ND	2,500	450.40/M	STTA212S
10	400	2 x 60A	SOD93	497-3131-5-ND‡	6.48	59.20	467.98	—	—	—	BYT60P-400
	600	2 x 30A	SOD93	497-2682-5-ND‡	2.86	24.87	185.19	—	—	—	STTA3006P
	600	20A	SOD93	497-2684-5-ND‡	2.77	24.08	179.27	—	—	—	STTA2006P
11	200	10A	TO-220FPAC	497-4187-5-ND‡	1.34	11.56	88.89	—	—	—	BYW80FP-200
	600	5A	TO-220FPAC	497-3747-5-ND‡	.80	6.93	53.34	—	—	—	STTH5L06FP
	600	5A	TO-220FPAC	497-3249-5-ND‡	1.27	10.58	88.89	—	—	—	STTH5R06FP
	600	15A	TO-220FPAC	497-4404-5-ND‡	1.42	11.85	99.56	—	—	—	STTH15L06FP
	1200	5A	TO-220FPAC	497-4402-5-ND‡	1.21	10.46	80.43	—	—	—	STTA512FP
	1500	6A	TO-220FPAC	497-4200-5-ND‡	1.46	12.66	97.36	—	—	—	DTV1500HDFP
	1500	6A	TO-220FPAC	497-4201-5-ND‡	1.30	11.29	86.78	—	—	—	DTV1500SDFP
12	600	8A	Isoliert TO-220AB	497-3250-5-ND‡	2.74	23.87	177.79	—	—	—	STTH806DTI
13	600	5A	Isoliert TO-220AC	497-3247-5-ND‡	2.29	19.90	148.16	—	—	—	STTH506DTI
	600	8A	Isoliert TO-220AC	497-4418-5-ND‡	1.14	9.91	76.19	—	—	—	STTH8L06DIRG
	600	8A	Isoliert TO-220AC	497-4419-5-ND‡	1.08	9.35	71.96	—	—	—	STTH8R06DIRG
	600	12A	Isoliert TO-220AC	497-4403-5-ND‡	1.52	12.70	106.67	—	—	—	STTH12R06DIRG
14A	200	8A	DPAK	497-3536-5-ND‡	1.18	10.18	78.31	—	—	—	STTH1002CB
14B	600	3A	DPAK	497-3769-1-ND	.69	4.95	38.10	497-3769-2-ND	2,500	217.58/M	STTH3L06B-TR
14B	600	5A	DPAK	497-3248-1-ND	1.52	13.21	101.59	497-3248-2-ND	2,500	540.14/M	STTH5L06B-TR
15A	200	8A	D2PAK	497-3538-5-ND‡	1.18	10.18	78.31	—	—	—	STTH1002CG
	200	8A	D2PAK	497-3778-1-ND	.80	6.88	52.91	497-3778-2-ND	1,000	307.32	BYW29G-200-TR
	200	10A	D2PAK	497-3543-5-ND‡	1.46	12.66	97.36	—	—	—	STTH1602CG
	200	15A	D2PAK	497-3546-5-ND‡	1.55	12.91	108.45	—	—	—	STTH2002CG
	200	15A	D2PAK	497-3550-5-ND‡	3.24	28.25	210.38	—	—	—	STTH3002CG
	200	30A	D2PAK	497-3761-1-ND	1.27	10.58	88.89	497-3761-2-ND	1,000	571.46	STTH2002CG-TR
	200	30A	D2PAK	497-3775-1-ND	1.55	12.91	108.45	497-3775-2-ND	1,000	697.60	STTH3002CG-TR
	600	8A	D2PAK	497-3763-1-ND	1.14	9.91	76.19	497-3763-2-ND	1,000	441.93	STTH8L06G-TR
	600	20A	D2PAK	497-3817-5-ND‡	1.42	11.85	99.56	—	—	—	STTH16L06CG
	600	20A	D2PAK	497-3816-5-ND‡	1.52	12.70	106.67	—	—	—	STTH15L06G
	600	40A	D2PAK	497-3813-5-ND‡	2.33	20.29	151.12	—	—	—	STTH30L06CG
15B	300	8A	D2PAK	497-4417-1-ND	1.08	9.35	71.96	497-4417-2-ND	1,000	417.37	STTH803G-TR
16	200	8A	I2PAK	497-3539-5-ND‡	1.18	10.18	78.31	—	—	—	STTH1002CR
	200	20A	I2PAK	497-3801-5-ND‡	.92	7.98	61.38	—	—	—	STTH1602CR
	200	30A	I2PAK	497-3774-1-ND	1.65	13.76	115.56	497-3774-5-ND‡	500	412.72	STTH3002CR
17A	200	10A	TO-220FPAB	497-3542-5-ND‡	1.11	9.63	74.08	—	—	—	STTH1602CFP
	200	15A	TO-220FPAB	497-3545-5-ND‡	1.27	11.01	84.66	—	—	—	STTH2002CFP
	200	8A	TO-220FPAB	497-3537-5-ND‡	.89	7.70	59.26	—	—	—	STTH1002CFP
	300	2 x 10A	TO-220FPAB	497-4407-5-ND‡	2.03	16.93	142.23	—	—	—	STTH2003CFP
	600	8A	TO-220FPAB	497-4405-5-ND‡	1.42	11.85	99.56	—	—	—	STTH16L06CFP
17B	600	3A	TO-220FPAB	497-4190-5-ND‡	1.60	13.33	112.01	—	—	—	DMV1500HFD
	600	3A	TO-220FPAB	497-4192-5-ND‡	1.24	10.73	82.54	—	—	—	DMV1500L
	600	3A	TO-220FPAB	497-4194-5-ND‡	1.24	10.73	82.54	—	—	—	DMV1500LFD
	600	3A	TO-220FPAB	497-4196-5-ND‡	1.36	11.84	91.01	—	—	—	DMV1500MFD
	600	6A	TO-220FPAB	497-4198-5-ND‡	1.40	12.11	93.13	—	—	—	DMV1500SDFD

‡ Röhre ◊ Großmenge § Ammopack

(Forts.)

B

Abb.	V_{RRM} (V)	I_F	Paket-typ	Digi-Key Teilenr.	Gurtabschnittspreise 1	10	100	Digi-Key Teilenr.	Gegurtet auf Rolle Größe	Preisangaben	STMicroelectronics Teilenr.
18A	200	15A	Isoliert TOP3	497-3809-5-ND‡	2.51	21.88	162.97	—	—	—	BYW99PI-200RG
	200	30A	Isoliert TOP3	497-3807-5-ND‡	5.16	47.11	372.42	—	—	—	BYV52PI-200RG
18B	600	30A	Isoliert TOP3	497-4410-5-ND‡	4.87	44.45	351.34	—	—	—	STTH3006TPI
19	600	30A	DO-247	497-4411-5-ND‡	2.13	17.78	149.34	—	—	—	STTH30L06W
	600	30A	DO-247	497-4413-5-ND‡	1.40	11.64	97.78	—	—	—	STTH30R06W
	600	60A	DO-247	497-3799-5-ND‡	3.52	30.64	228.16	—	—	—	STTH60L06W
20	600	3A	TO-220FPAB F5	497-4191-5-ND‡	1.63	13.55	113.78	—	—	—	DMV1500HFD5
	600	3A	TO-220FPAB F5	497-4193-5-ND‡	1.24	10.73	82.54	—	—	—	DMV1500LF5
	600	3A	TO-220FPAB F5	497-4195-5-ND‡	1.27	11.01	84.66	—	—	—	DMV1500LFD5
	600	3A	TO-220FPAB F5	497-4197-5-ND‡	1.40	12.11	93.13	—	—	—	DMV1500MFD5
21	600	6A	TO-220FPAB FD6	497-4199-5-ND‡	1.40	12.11	93.13	—	—	—	DMV1500SDFD6

‡ Röhre ◊ Großmenge § Ammopack

B

Microsemi — Obenflächenmontierte Schottky-Barrierengleichrichter

Abb. 1 — UMA UltraMite™

Abb. 2 — UMAF UltraMite

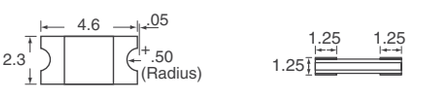

Abb. 3 — POWERMITE®

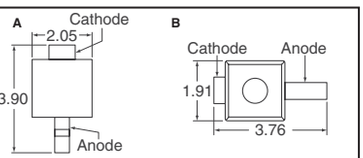

Abb. 4 — POWERMITE®3

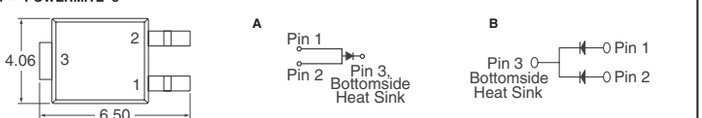

Abb. 5 — POWERDI™5

Abb.	Durchschn. Durchlass-Richtstrom (A)	Betriebs-Spitzenrückfluss-spannung (V)	Max. Durchlass-spannungsspitze (A) (V)	(A)	Max. DC-Rückstrom @ VRWM (mA)	Digi-Key Teilenr.	Cut Tape Preisangaben 1	10	100	Digi-Key Teilenr.	Gegurtet auf Rolle Größe	Preisangaben
						UMA UltraMite						
1	1.0	20	0.75	3.0	0.5	UMA5817CT-ND	.25	1.69	13.55	UMA5817TR-ND	3,000	84.66/M
		30	0.875	3.0	0.5	UMA5818CT-ND	.25	1.69	13.55	UMA5818TR-ND	3,000	84.66/M
		40	0.90	3.0	0.5	UMA5819CT-ND	.25	1.69	13.55	UMA5819TR-ND	3,000	84.66/M
						UMAF UltraMite (bleifrei)						
2	1.0	20	0.75	3.0	0.5	UMAF5817CT-ND	.25	1.69	13.55	UMAF5817TR-ND	3,000	84.66/M
		30	0.875	3.0	0.5	UMAF5818CT-ND	.25	1.69	13.55	UMAF5818TR-ND	3,000	84.66/M
		40	0.9	3.0	0.5	UMAF5819CT-ND	.25	1.69	13.55	UMAF5819TR-ND	3,000	84.66/M
						POWERMITE						
3A	1.0	20	0.65	3.0	0.4	UPS120E3CT-ND	.31	2.84	23.62	UPS120E3TR-ND	3,000	196.84/M
		20	0.595	2.0	0.01	UPS120EE3CT-ND	.31	2.84	23.62	UPS120EE3TR-ND	3,000	196.84/M
		40	0.75	3.0	0.4	UPS140E3CT-ND	.31	2.84	23.62	UPS140E3TR-ND	3,000	196.84/M
3B	1.0	60	0.06	1.0	0.1	UPS160E3CT-ND	.98	8.84	73.65	UPS160E3TR-ND	3,000	613.79/M
		20	0.65	3.0	1.0	UPS5817E3CT-ND	.71	6.40	53.34	UPS5817E3TR-ND	3,000	444.47/M
		40	0.85	3.0	1.0	UPS5819E3CT-ND	.75	6.71	55.88	UPS5819E3TR-ND	3,000	465.63/M
						POWERMITE3						
4A	3.0	40	0.50	3.0	0.5	UPS340E3CT-ND	1.22	10.97	91.43	UPS340E3TR-ND	5,000	685.75/M
	3.0	60	0.63	3.5	0.2	UPS360E3CT-ND	1.29	11.58	96.51	UPS360E3TR-ND	5,000	723.85/M
	3.0	100	0.76	3.0	0.2	UPS3100E3CT-ND	1.42	12.80	106.67	UPS3100E3TR-ND	5,000	800.04/M
	5.0	40	0.54	5.0	0.5	UPS540E3CT-ND	1.49	13.41	111.75	UPS540E3TR-ND	5,000	838.14/M
	5.0	60	0.69	5.0	0.2	UPS560E3CT-ND	1.56	14.02	116.83	UPS560E3TR-ND	5,000	876.24/M
	5.0	100	0.81	5.0	0.2	UPS5100E3CT-ND	1.66	14.93	124.45	UPS5100E3TR-ND	5,000	933.38/M
	5.0	100	0.81	5.0	0.2	UPS5100HE3CT-ND	1.69	15.24	126.99	UPS5100HE3TR-ND	5,000	952.43/M
	7.0	60	0.60	7.0	0.1	UPS760E3CT-ND	1.63	14.63	121.91	UPS760E3TR-ND	5,000	914.33/M
	8.0	35	0.51	8.0	1.4	UPS835LE3CT-ND	1.56	14.02	116.83	UPS835LE3TR-ND	5,000	876.24/M
	8.0	40	0.37	3.0	5.0	UPS840E3CT-ND	1.71	15.43	128.51	UPS840E3TR-ND	5,000	963.86/M
	10.0	40	0.51	10.0	0.3	UPS1040E3CT-ND	2.00	17.98	149.85	UPS1040E3TR-ND	5,000	1123.87/M
4B	2 x 5.0	40	0.48	5.0	0.15	UPS1040CTE3CT-ND	3.22	28.95	241.28	UPS1040CTE3TR-ND	5,000	1809.61/M
						POWERDI5						
5	3.0	200	0.78	3.0	0.01	UPDS3200E3CT-ND	2.54	22.86	190.49	UPDS3200E3TR-ND	5,000	1428.64/M
	5.0	100	0.71	5.0	0.01	UPDS5100HE3CT-ND	2.88	25.91	215.88	UPDS5100HE3TR-ND	5,000	1619.13/M

Ultraschnelle Gleichrichter

Abb. 1 — POWERMITE®

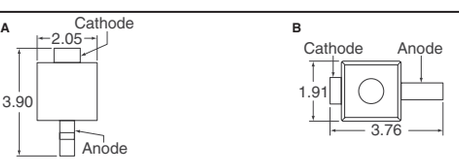

Abb. 2 — Leerraumfrei, hermetisch verschlossen

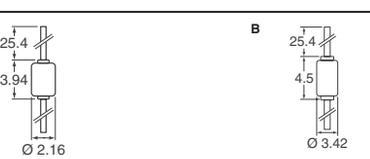

Abb.	V_R (V)	I_F (A)	I_{FSM} (A)	P_d (W)	Digi-Key Teilenr.	Gurtabschnittspreise 1	10	100	Digi-Key Teilenr.	Gegurtet auf Rolle Größe	Preisangaben
					POWERMITE						
1A	600	2	20	2.5	UPR60E3CT-ND	1.76	15.85	132.07	UPR60E3TR-ND	3,000	1100.58/M
1B	50	2.5	25	—	UPR5E3CT-ND	1.12	10.06	83.81	UPR5E3TR-ND	3,000	698.45/M
	100	2.5	25	—	UPR10E3CT-ND	1.22	10.97	91.43	UPR10E3TR-ND	3,000	761.94/M
	150	2.5	25	—	UPR15E3CT-ND	1.32	11.89	99.05	UPR15E3TR-ND	3,000	825.44/M
					Leerraumlos, hermetisch verschlossen						
2A	150	2.5	35	—	1N5806E3CT-ND	4.77	42.97	358.11	1N5806E3TR-ND	5,000	2685.84/M
2B	150	6.0	125	—	1N5811E3CT-ND	7.45	67.05	558.76	1N5811E3TR-ND	4,000	4190.67/M

Alle Preisangaben in Euro und inklusive Zollgebühren.

Microsemi Stromdioden

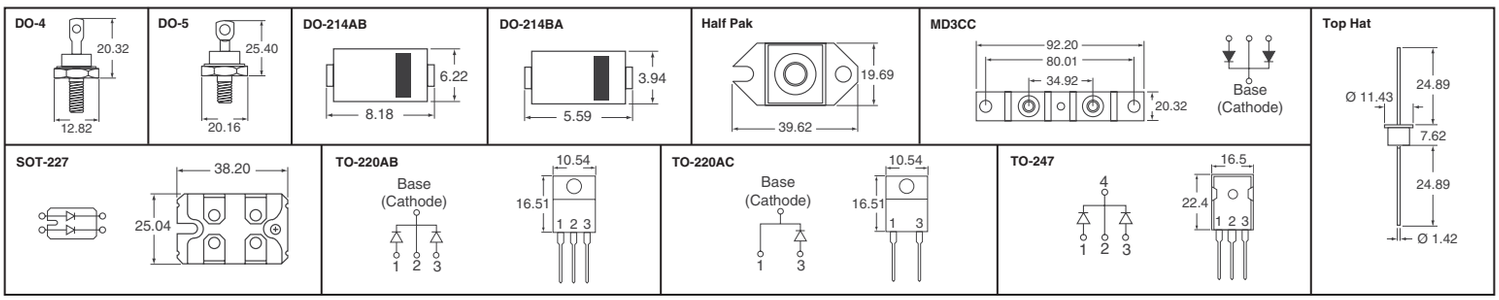

Betriebs-Spitzenrückfluss-spannung	Durchschn. Durchlassstrom I_F (AV)	Max. Überspannungsstrom, I_{FSM}	Paket	Digi-Key Part No.	Preisangaben 1	10	100	Digi-Key Teilenr.	Gegurtet auf Rolle Größe	Preisangaben	Microsemi Teilenr.
50	30A	600A	DO-4	SBR3050-ND	15.00	135.02	1125.13	—	—	—	SBR3050
35	30A	600A		SD41-ND	13.71	123.43	1028.62	—	—	—	SD41
45	60A	1000A	DO-5	SBR6045-ND	17.64	158.79	1323.24	—	—	—	SBR6045
50	80A	1200A		SBR8050-ND	16.83	151.47	1262.28	—	—	—	SBR8050
15	80A	1200A		SBR8215-ND	17.71	159.40	1328.32	—	—	—	SBR8215
45	3A	150A	DO-214AB	LSM345JCT-ND	3.50	23.28	186.25	LSM345JTR-ND	3,000	1164.08/M	LSM345J
45	5A	250A		LSM545JCT-ND	4.26	28.36	226.89	LSM545JTR-ND	3,000	1418.06/M	LSM545J
45	8A	350A		LSM845JCT-ND	4.89	32.59	260.75	LSM845JTR-ND	2,500	1629.71/M	LSM845J
15	1A	50A	DO-214BA	LSM115JCT-ND	1.27	8.47	67.73	LSM115JTR-ND	3,000	423.30/M	LSM115J
15	240A	3500A	Half Pak	HS24515-ND	43.45	391.03	3258.56	—	—	—	HS24515
50	300A	2000A	MD3CC	CPT30050-ND	54.42	489.78	4081.46	—	—	—	CPT30050
100	600A	6000A		CPT600100-ND	88.49	796.38	6636.50	—	—	—	CPT600100
45	200A	1600A	SOT-227	SPB10045-ND	37.62	338.61	2821.72	—	—	—	SPB10045
100	320A	2500A		SPB160100-ND	51.07	459.60	3830.02	—	—	—	SPB160100
150	20A	225A	TO-220AB	FST20150-ND	3.05	27.43	228.58	—	—	—	FST20150
180	30A	250A		FST31180-ND	6.81	61.26	510.50	—	—	—	FST31180
45	16A	300A	TO-220AC	MS1645-ND	2.71	24.38	203.18	—	—	—	MS1645
100	30A	350A	TO-247	FST30100-ND	5.28	47.55	396.21	—	—	—	FST30100
100	50A	400A		FST50100-ND	8.30	74.67	622.25	—	—	—	FST50100
40	5A	500A	Top Hat	1N5825-ND	9.89	88.99	741.62	—	—	—	1N5825

ROHM Schaltdioden

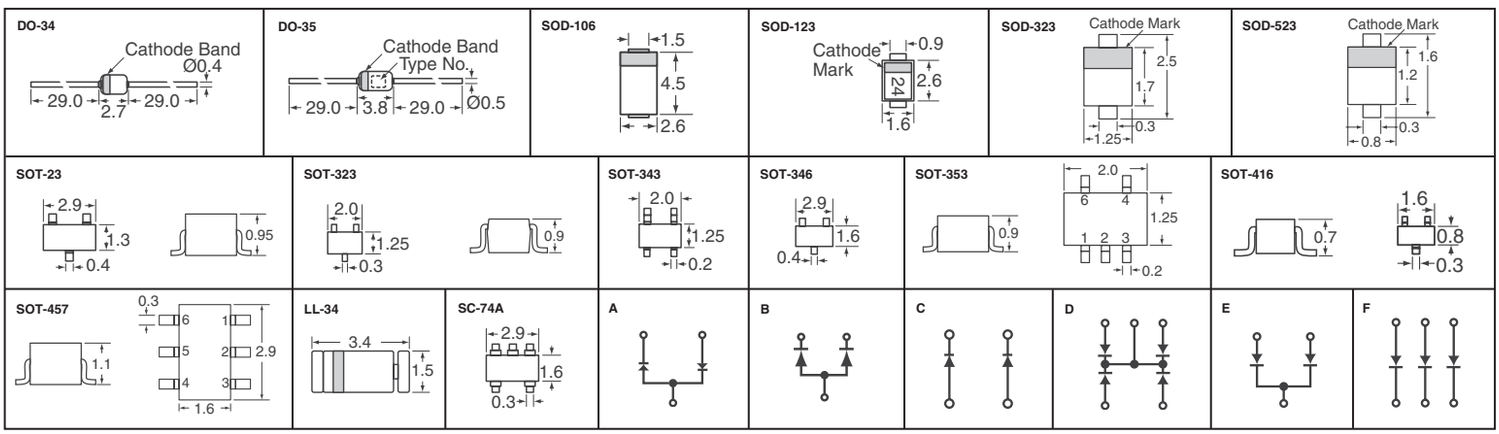

Paket	Schaltkreise	VRM (V)	VR (V)	IFM (mA)	E/A (mA)	Digi-Key Teilenr.	Gurtabschnittspreise 1	25	100	Gegurtet auf Rolle Größe	Preisangaben*	Rohm Teilenr.
DO-34	—	90	80	400	130	1SS133T-77CT-ND†	.20	2.71	6.10	5,000	16.09/M	1SS133T-77
DO-35	—	100	75	450	150	1N4148T-73CT-ND	.20	2.71	6.10	5,000	16.09/M	1N4148T-73
SOD-106	—	400	—	30A	1.0A	1SR154-400TE25CT-ND	.29	4.92	13.65	1,500	60.11/M	1SR154-400TE25
	—	600	—	30A	1.0A	1SR154-600TE25CT-ND	.41	7.67	21.61	1,500	98.21/M	1ST154-600TE25
SOD-123	—	—	400	25A	0.7A	RR264M-400CT-ND	.37	6.35	17.61	3,000	67.73/M	RR264M-400
SOD-323	—	90	80	225	100	1SS355TE-17CT-ND	.22	3.17	8.25	3,000	29.63/M	1SS355TE-17
	—	40	35	225	100	1SS380TE-17CT-ND	.36	5.29	13.76	3,000	49.95/M	1SS380TE-17
	—	—	50	50	—	RN731VTE-17CT-ND	.35	6.35	17.88	3,000	72.81/M	RN731VTE-17
SOD-523	—	90	80	225	100	1SS400TE61CT-ND	.29	4.23	11.01	3,000	39.79/M	1SS400TE61
SOT-23	B	85	70	450	—	BAW56T116CT-ND	.36	5.29	13.76	3,000	49.95/M	BAW56T116
SOT-323	E	80	80	300	100	DAN202UT106CT-ND	.37	5.50	14.31	3,000	51.65/M	DAN202UT106
	B	80	80	300	100	DAP202UT106CT-ND	.35	5.08	13.21	3,000	47.41/M	DAP202UT106
	E	—	35	—	—	DAN235UT106CT-ND	.36	6.19	17.17	3,000	66.04/M	DAN235UT106
SOT-343	C	80	80	300	100	DA227TLCT-ND	.34	6.56	18.90	3,000	88.90/M	DA227TL
SOT-346	E	80	80	300	100	DAN202KT146CT-ND	.30	4.44	11.56	3,000	41.49/M	DAN202KT146
	B	80	80	300	100	DAP202KT146CT-ND	.30	4.44	11.56	3,000	41.49/M	DAP202KT146
	A	80	80	300	100	DAN217T146CT-ND	.37	5.50	14.31	3,000	51.65/M	DAN217T146
	A	20	20	200	100	DA204KT146CT-ND	.41	6.14	15.96	3,000	57.57/M	DA204KT146
SOT-353	D	80	80	80	25	UMN1NCT-ND	.39	7.52	21.64	3,000	102.44/M	UMN1N
SOT-416	E	80	80	300	100	DAN222TLCT-ND	.41	6.14	15.96	3,000	57.57/M	DAN222TL
	B	80	80	300	100	DAP222TLCT-ND	.31	4.66	12.11	3,000	44.03/M	DAP222TL
	A	20	20	200	100	DA221TLCT-ND	.29	4.92	13.65	3,000	52.49/M	DA221TL
SOT-457	F	80	80	300	100	IMN10T108CT-ND	.35	6.67	19.20	3,000	90.59/M	IMN10T108
LL-34	—	250	220	625	200	RLS245TE-11CT-ND	.25	3.60	9.35	2,500	33.87/M	RLS245TE-11
	—	100	75	450	150	RLS4148TE-11CT-ND	.30	4.06	9.14	2,500	27.10/M	RLS4148TE-11
	—	100	75	450	150	RLS4448TE-11CT-ND	.29	4.23	11.01	2,500	39.80/M	RLS4448TE-11
	—	50	50	600	200	RLS4150TE-11CT-ND	.30	4.44	11.56	2,500	41.49/M	RLS4150TE-11
SC-74A	D	80	80	80	25	FMN1T148CT-ND	.37	7.20	20.72	3,000	98.21/M	RMN1T148

* Für Gegurtet auf Rolle Teilenummer CT-ND in TR-ND ändern. † Für Gegurtet in Schachtel die Teilenummer von CT-ND in TB-ND ändern.

Zener-Dioden - SOD-323

Zener-Spannung Min.	Zener-Spannung Max.	Widerstand Ω max.	Widerstand Ω @ Iz (mA)	Rückstrom IR (µA) Max.	Rückstrom IR (µA) VR (V)	Digi-Key Teilenr.	Gurtabschnittspreise 1	25	100	Gegurtet auf Rolle Größe	Gegurtet auf Rolle Preisangaben*	Rohm Teilenr.
3.60	3.845	100	5	10	1.0	UDZSTE-173.6BCT-ND	.41	6.14	15.96	3,000	57.57/M	UDZSTE-173.6B
3.89	4.16	100	5	5	1.0	UDZSTE-173.9BCT-ND	.41	6.14	15.96	3,000	57.57/M	UDZSTE-173.9B
4.98	5.20	80	5	2	1.5	UDZSTE-175.1BCT-ND	.36	5.29	13.76	3,000	49.95/M	UDZSTE-175.1B
5.49	5.73	60	5	1	2.5	UDZSTE-175.6BCT-ND	.36	5.29	13.76	3,000	49.95/M	UDZSTE-175.6B
6.06	6.33	60	5	1	3.0	UDZSTE-176.2BCT-ND	.36	5.29	13.76	3,000	49.95/M	UDZSTE-176.2B
6.65	6.93	40	5	0.5	3.5	UDZSTE-176.8BCT-ND	.35	5.08	13.21	3,000	47.41/M	UDZSTE-176.8B
7.28	7.60	30	5	0.5	4.0	UDZSTE-177.5BCT-ND	.36	5.29	13.76	3,000	49.95/M	UDZSTE-177.5B
8.85	9.23	30	5	0.5	6.0	UDZSTE-179.1BCT-ND	.36	5.29	13.76	3,000	49.95/M	UDZSTE-179.1B
9.77	10.21	30	5	0.1	7.0	UDZSTE-1710BCT-ND	.36	5.29	13.76	3,000	49.95/M	UDZSTE-1710B
11.74	12.24	30	5	0.1	9.0	UDZSTE-1712BCT-ND	.41	6.14	15.96	3,000	57.57/M	UDZSTE-1712B
14.34	14.98	42	5	0.1	11.0	UDZSTE-1715BCT-ND	.41	6.14	15.96	3,000	57.57/M	UDZSTE-1715B
17.56	18.35	65	5	0.1	13.0	UDZSTE-1718BCT-ND	.41	6.14	15.96	3,000	57.57/M	UDZSTE-1718B
21.54	22.47	100	5	0.1	17.0	UDZSTE-1722BCT-ND	.41	6.14	15.96	3,000	57.57/M	UDZSTE-1722B

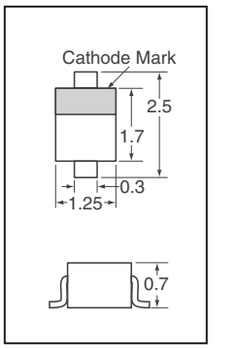

* Teilenr. für Gegurtet auf Rolle von CT-ND in TR-ND umändern

Zener-Dioden-Array — SOT-353

Spannung Min.	Spannung Max.	Max. Widerstand	Rückstrom	Digi-Key Teilenr.	Gurtabschnittspreise 1	25	100	Gegurtet auf Rolle* Größe	Gegurtet auf Rolle* Preisangaben	Rohm Teilenr.
6.47	7.14	40Ω	0.5µA	UMZ6.8ENCT-ND	.39	7.15	20.12	3,000	82.12/M	UMZ6.8EN

* Teilenr. für Gegurtet auf Rolle von CT-ND in TR-ND umändern

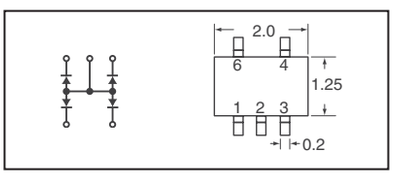

Schottky Grenzschichtdioden

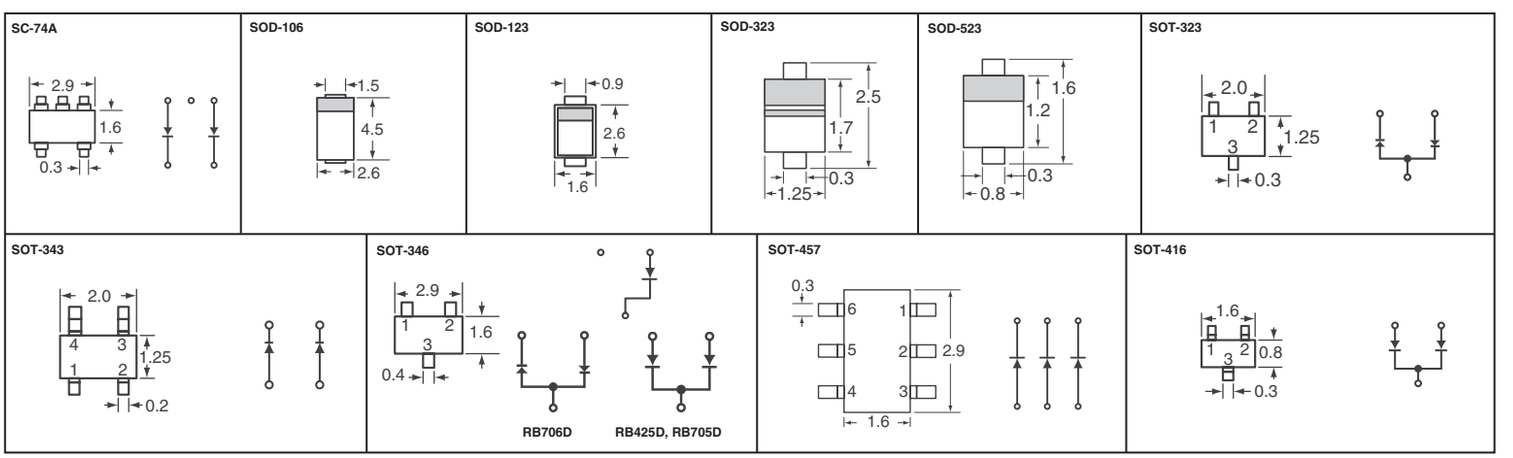

Paket	E/A (A)	VR (V)	IFSM (A)	VF (V) max.	Digi-Key Teilenr.	Gurtabschnittspreise 1	25	100	Gegurtet auf Rolle Größe	Gegurtet auf Rolle Preisangaben*	Rohm Teilenr.
SC-74A	0.1	40	1	0.34	RB471ET148CT-ND	.42	8.15	23.47	3,000	110.91/M	RB471ET148
	3.0	40	70	0.55	RB050L-40TE25CT-ND	.79	15.70	47.09	1,500	270.07/M	RB050L-40TE25
	3.0	20	70	0.45	RB051L-40TE25CT-ND	.52	10.24	30.73	1,500	164.24/M	RB051L-40TE25
SOD-106	5	20	70	0.45	RB081L-20TE25CT-ND	.88	17.60	52.80	1,500	303.08/M	RB081L-20TE25
	1	40	70	0.55	RB160L-40TE25CT-ND	.36	6.48	18.25	1,500	82.97/M	RB160L-40TE25
	1	20	70	0.40	RB161L-40TE25CT-ND	.36	6.88	19.81	1,500	99.06/M	RB161L-40TE25
SOD-123	1	30	30	0.48	RB160M-30CT-ND	.37	6.88	19.37	3,000	79.58/M	RB160M-30TR
	0.1	40	1	0.45	RB500V-40TE-17CT-ND	.48	9.31	26.82	3,000	126.99/M	RB500V-40TE
SOD-323	0.1	40	1	0.34	RB501V-40TE-17CT-ND	.42	7.81	21.98	3,000	89.74/M	RB501V-40TE
	0.03	30	2	0.37	RB751V-40TE-17CT-ND	.34	6.46	18.59	3,000	88.05/M	RB751V-40TE
	0.03	30	2	0.37	RB751S-40TE61CT-ND	.37	6.88	19.37	3,000	79.58/M	RB751S-40TE61
SOD-523	0.2	30	1	0.60	RB520S-30TE61CT-ND	.32	5.95	16.76	3,000	68.58/M	RB520S-30TE61
	0.2	30	1	0.50	RB521S-30TE61CT-ND	.32	5.95	16.76	3,000	68.58/M	RB521S-30TE61
	0.03	40	.2	—	RB706F-40T106CT-ND	.42	8.47	25.40	3,000	126.99/M	RB706F-40T
SOT-323	0.03	40	.2	0.37	RB715FT106CT-ND	.36	6.04	16.73	3,000	64.34/M	RB715FT106
	0.03	40	.2	0.37	RB717FT106CT-ND	.39	7.41	21.33	3,000	100.75/M	RB717FT106
SOT-343	0.1	40	1	—	RB480KTLCT-ND	.45	8.58	24.69	3,000	116.83/M	RB480KTL
	0.03	40	.2	—	RB706D-40T146CT-ND	.41	7.83	22.55	3,000	106.67/M	RB706D-40T
	0.5	40	3	0.55	RB400DT146CT-ND	.49	9.82	29.46	3,000	147.31/M	RB400DT146
	0.5	20	3	0.3	RB411DT146CT-ND	.41	7.67	21.61	3,000	88.05/M	RB411DT146
SOT-346	0.1	40	1	0.45	RB420DT146CT-ND	.39	7.15	20.12	3,000	82.12/M	RB420DT146
	0.1	40	1	0.34	RB425DT146CT-ND	.37	7.09	20.42	3,000	96.52/M	RB425DT146
	—	20	3	0.45	RB491DT146CT-ND	.39	7.41	21.33	3,000	100.75/M	RB491DT146
	0.03	40	.2	0.37	RB705DT146CT-ND	.39	7.52	21.64	3,000	102.44/M	RB705DT146
SOT-457	0.03	40	.2	0.37	RB731UT108CT-ND	.40	7.62	21.94	3,000	103.29/M	RB731UT108
SOT-416	0.03	40	.2	0.37	RB715WTLCT-ND	.42	8.15	23.47	3,000	110.91/M	RB715WTL

* Teilenr. für Gegurtet auf Rolle von CT-ND in TR-ND umändern

Alle Preisangaben in Euro und inklusive Zollgebühren.

MOSFETS zur Oberflächenmontage

V_{DSS}	R_{DS} (EIN) (Ω)	I_D Kont. (A)	P_D (W)	Digi-Key Teilenr.	Gurtabschnittspreis pro Stück 1	10	100	Digi-Key Teilenr.	Gegurtet auf Rolle 2.500	5.000
Einf. P-Kanal-FETs im Anreicherungsbetrieb										
30	0.24	3.4	2.5	DI9400CT-ND	3.81	3.18	2.54	—	—	—
20	0.12	4.3	2.5	DI9405CT-ND	3.96	3.31	2.65	DI9405TR-ND	1320.70/M	1155.61/M
20	0.12	5.3	2.5	DI9430CT-ND	4.17	3.48	2.78	DI9430TR-ND	1388.43/M	1214.88/M
30	0.064	5.3	2.5	DI9435CT-ND	4.22	3.52	2.82	DI9435TR-ND	1405.36/M	1230.11/M
Zweif. N & P-Kanal FETs im Anreicherungsbetrieb										
20, 20	0.11, 0.35	3, 2.5	1.6	DI9942CT-ND	4.57	3.81	3.05	DI9942TR-ND	1523.88/M	1333.40/M
30, 30	0.11, 0.24	3.7, 2.9	2	DI9952CT-ND	4.72	3.94	3.15	—	—	—
Zweif. N-Kanal FETs im Anreicherungsbetrieb										
60	0.17	3.5	1.6	DI9945CT-ND	4.57	3.81	3.05	DI9945TR-ND	1523.88/M	1333.40/M
30	0.11	3.7	2	DI9956CT-ND	4.42	3.69	2.95	DI9956TR-ND	1473.09/M	1289.38/M

SO-8

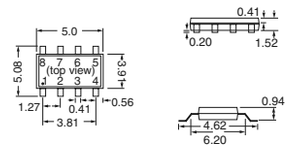

Zweifach

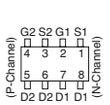

Einfach

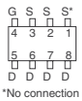

*No connection for DI9400

B

Schnellerholungsgleichrichter

Abb.	Paket	Max. Durchschn. Richtstrom (A)	Max. Spitzenrück-flussspannung (V)	Max. Überspannungs-strom 8,3 ms (A)	Max. Rückstrom @ 25 °C (µA)	Max. Vorwärts-spannungsspitze (V)	Max. Rückwärts-Erholzeit (nS)	Digi-Key Teilenr.	Gurtabschnittspreis pro Stück 1	10	100	Digi-Key Teilenr.	Gegurtet auf Rolle Größe	Preisangaben
1	DO-41	1.0	50	50	5.0	1.2	200	1N4933DICT-ND	.33	.20	.13	1N4933DITR-ND	5,000	38.95/M
			100	50	5.0	1.2	200	1N4934DICT-ND	.33	.20	.13	1N4934DITR-ND	5,000	38.95/M
			200	50	5.0	1.2	200	1N4935DICT-ND	.33	.20	.13	1N4935DITR-ND	5,000	38.95/M
			400	50	5.0	1.2	200	1N4936DICT-ND	.33	.20	.13	1N4936DITR-ND	5,000	38.95/M
			600	50	5.0	1.2	200	1N4937DICT-ND	.33	.20	.13	1N4937DITR-ND	5,000	38.95/M
			800	50	5.0	1.3	500	FR106DICT-ND	.37	.26	.18	FR106DITR-ND	5,000	60.96/M
			1000	50	5.0	1.3	500	FR107DICT-ND	.37	.26	.18	FR107DITR-ND	5,000	60.96/M
2	MELF	1.0	50	30	5.0	1.2	200	DL4933DICT-ND	—	.28	.20	DL4933DITR-ND	5,000	88.05/M
			100	30	5.0	1.2	200	DL4934DICT-ND	—	.28	.20	—	—	—
			200	30	5.0	1.2	200	DL4935DICT-ND	—	.28	.20	DL4935DITR-ND	5,000	88.05/M
			400	30	5.0	1.2	200	DL4936DICT-ND	—	.28	.20	DL4936DITR-ND	5,000	88.05/M
			600	30	5.0	1.2	200	DL4937DICT-ND	.36	.28	.20	DL4937DITR-ND	5,000	88.05/M
3	DO-201AD	3.0	50	200	10.0	1.3	150	FR301DICT-ND	.35	.27	.20	FR301DITR-ND	1,200	95.67/M
			100	200	10.0	1.3	150	FR302DICT-ND	.36	.28	.20	FR302DITR-ND	1,200	97.36/M
			200	200	10.0	1.3	150	FR303DICT-ND	.37	.29	.21	FR303DITR-ND	1,200	102.45/M
			400	200	10.0	1.3	150	FR304DICT-ND	.37	.29	.21	FR304DITR-ND	1,200	102.45/M
			600	200	10.0	1.3	250	FR305DICT-ND	.41	.32	.23	FR305DITR-ND	1,200	112.60/M
			800	200	10.0	1.3	500	FR306DICT-ND	.41	.32	.23	FR306DITR-ND	1,200	112.60/M
			1000	200	10.0	1.3	500	FR307DICT-ND	.48	.38	.27	FR307DITR-ND	1,200	133.77/M
4	R-6	6.0	50	300	10.0	1.3	150	FR601DICT-ND	.54	.44	.33	FR601DITR-ND	500	111.75
			100	300	10.0	1.3	150	FR602DICT-ND	.58	.47	.35	FR602DITR-ND	500	118.95
			200	300	10.0	1.3	150	FR603DICT-ND	.61	.49	.37	FR603DITR-ND	500	125.72
			400	300	10.0	1.3	150	FR604DICT-ND	.64	.52	.39	FR604DITR-ND	500	132.92
			600	300	10.0	1.3	250	FR605DICT-ND	.71	.57	.43	FR605DITR-ND	500	146.89
			800	300	10.0	1.3	500	FR606DICT-ND	.78	.63	.47	FR606DITR-ND	500	160.85
5	TO-220A	8.0	50	300	10.0	1.3	150	FR801-ND	1.01	.80	.61	—	—	—
			100	300	10.0	1.3	150	FR802-ND	1.06	.84	.65	—	—	—
			200	300	10.0	1.3	150	FR803-ND	1.12	.88	.68	—	—	—
			400	300	10.0	1.3	150	FR804-ND	1.23	.97	.75	—	—	—
			600	300	10.0	1.3	250	FR805-ND	1.31	1.04	.80	—	—	—
6	TO-220	16	150	125	10.0	.975	35	SF163DI-ND	1.76	1.37	1.09	—	—	—
			200	125	10.0	.975	35	SF164DI-ND	1.80	1.41	1.12	—	—	—
7	SMA	1.0	100	30	5.0	1.3	150	RS1BDICT-ND	.47	.36	.26	—	—	—
			100	30	5.0	1.3	150	RS1B-FDICT-ND◊	.47	.36	.26	RS1B-FDITR-ND◊	5,000	115.14/M
			200	30	5.0	1.3	150	RS1DDICT-ND	.38	.31	.23	RS1DDITR-ND	5,000	106.68/M
			400	30	5.0	1.3	150	RS1GDICT-ND	.41	.33	.25	RS1GDITR-ND	5,000	112.60/M
			600	30	5.0	1.3	250	RS1JDICT-ND	.42	.34	.26	RS1JDITR-ND	5,000	118.53/M
			800	30	5.0	1.3	500	RS1KDICT-ND	.45	.36	.27	—	—	—
			1000	30	5.0	1.3	500	RS1MDICT-ND	.47	.38	.28	RS1MDITR-ND	5,000	130.38/M
		1.5	50	50	5.0	1.3	150	RS2AADICT-ND	.42	.34	.26	RS2AADITR-ND	5,000	118.53/M
			100	50	5.0	1.3	150	RS2BADICT-ND	.45	.36	.27	RS2BADITR-ND	5,000	124.45/M
			400	50	5.0	1.3	150	RS2GADICT-ND	.49	.39	.30	RS2GADITR-ND	5,000	136.31/M
			1000	50	5.0	1.3	500	RS2MA-FDICT-ND◊	.59	.48	.36	RS2MA-FDITR-ND◊	5,000	165.94/M
8	SMB	1.0	50	30	5.0	1.0	150	FR1ADICT-ND	.45	.35	.25	FR1ADITR-ND	3,000	116.83/M
			100	30	5.0	1.0	150	FR1BDICT-ND	.38	.31	.23	FR1BDITR-ND	3,000	114.29/M
			200	30	5.0	1.0	150	FR1DDICT-ND	.41	.33	.25	FR1DDITR-ND	3,000	121.07/M
			200	30	5.0	1.3	150	RS1DBDICT-ND	.38	.31	.23	RS1DBDITR-ND	3,000	114.29/M
			400	30	5.0	1.0	150	FR1GDICT-ND	.42	.34	.26	FR1GDITR-ND	3,000	126.99/M
			600	30	5.0	1.0	250	FR1JDICT-ND	.44	.36	.27	FR1JDITR-ND	3,000	132.07/M
			800	30	5.0	1.0	500	FR1KDICT-ND	.46	.37	.28	FR1KDITR-ND	3,000	137.15/M
			1000	30	5.0	1.3	500	RS1MBDICT-ND	.47	.38	.28	RS1MBDITR-ND	3,000	139.69/M
			1000	30	5.0	1.3	500	RS1MB-FDICT-ND◊	.47	.38	.28	RS1MB-FDITR-ND◊	3,000	139.69/M
		1.5	50	50	5.0	1.3	150	RS2ADICT-ND	.42	.34	.26	RS2ADITR-ND	3,000	126.99/M
			1000	50	5.0	1.3	500	RS2MDICT-ND	.59	.48	.36	RS2MDITR-ND	3,000	177.79/M
		3.0	50	100	5.0	1.3	150	RS3ABDICT-ND	.71	.57	.43	RS3ABDITR-ND	3,000	236.20/M
			600	100	5.0	1.3	250	RS3JB-FDICT-ND◊	.86	.75	.58	RS3JB-FDITR-ND◊	3,000	303.93/M
9	SMC	3.0	50	100	5.0	1.3	150	RS3ADICT-ND	.71	.57	.43	—	—	—
			50	100	5.0	1.3	150	RS3A-FDICT-ND◊	.80	.64	.48	RS3A-FDITR-ND◊	3,000	253.14/M
			100	100	5.0	1.3	150	RS3BDICT-ND	.75	.60	.45	RS3BDITR-ND	3,000	248.06/M
			200	100	5.0	1.3	150	RS3DDICT-ND	.78	.63	.47	RS3DDITR-ND	3,000	259.06/M
			400	100	5.0	1.3	150	RS3GDICT-ND	.81	.65	.49	RS3GDITR-ND	3,000	270.07/M
			800	100	5.0	1.3	500	RS3KDICT-ND	.81	.64	.50	RS3KDITR-ND	3,000	319.17/M
			1000	100	5.0	1.3	500	RS3MDICT-ND	.84	.66	.51	RS3MDITR-ND	3,000	330.18/M
			1000	100	5.0	1.3	500	RS3M-FDICT-ND◊	.96	.83	.64	RS3M-FDITR-ND◊	3,000	337.80/M

◊ Bleifrei/RoHS-konform

Abb. 1 — DO-41

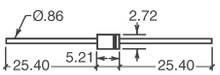

Abb. 2 — MELF (DL-41)

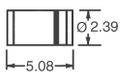

Abb. 3 — DO-201AD

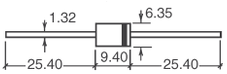

Abb. 4 — R-6

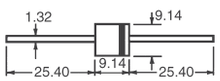

Abb. 5 — TO-220A

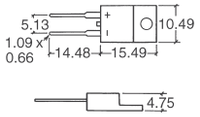

Abb. 6 — TO-220

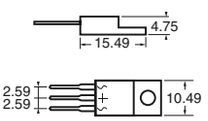

Abb. 7 — SMA

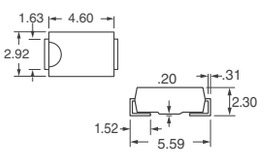

Abb. 8 — SMB

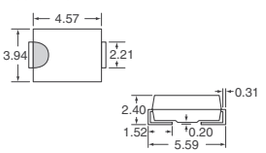

Abb. 9 — SMC

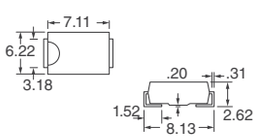

Erholungsgleichrichter

Paket	Betriebs-Spitzenrückflussspannung VRWM	Durchschn. Durchlass-Richtstrom E/A (A)	Spitzenstoßstrom IFSM (A)	Max. sofortiger Vorwärtsspannungsabfall VF (V)	Digi-Key Teilenr.	Preisangaben 10	100	250	Gegurtet auf Rolle* Größe	Preisangaben
SMA	300	1	30	1.1	MRA4003T3OSCT-ND	2.23	15.41	27.78	—	—
	400	1	30	1.1	MRA4004T3OSCT-ND	2.23	15.41	27.78	—	—
	600	1	30	1.1	MRA4005T3OSCT-ND	2.23	15.41	27.78	—	—
	800	1	30	1.1	MRA4006T3OSCT-ND	2.23	15.41	27.78	—	—
	1000	1	30	1.1	MRA4007T3OSCT-ND	2.23	15.41	27.78	5,000	53.34/M
Case194	50	6	400	0.9	MR750RLOSCT-ND	7.95	61.12	128.36	800	324.42
	100	6	400	0.9	MR751RLOSCT-ND	7.95	61.12	128.36	800	324.42
	200	6	400	0.9	MR752RLOSCT-ND	7.95	61.12	128.36	800	324.42
	400	6	400	0.9	MR754RLOSCT-ND	7.95	61.12	128.36	800	324.42
	600	6	400	0.9	MR756RLOSCT-ND	7.95	61.12	128.36	800	324.42
	1000	6	400	0.9	MR760RLOSCT-ND	8.03	61.74	129.65	800	327.80
Microde	200	25	400	1.18	MR2502OS-ND	5.78	43.39	92.40	—	—
	400	25	400	1.18	MR2504OS-ND	5.78	43.39	92.40	—	—
DO-41	800	1	35	1.75	MUR180EOS-ND	3.47	24.90	46.69	—	—
	1000	1	35	1.75	MUR1100ERLOSCT-ND	3.52	26.41	52.83	5,000	123.61/M
D-PAK	200	6	50	1	MURD620CTT4OSCT-ND	4.98	37.35	79.55	2,500	200.65/M
	200	3	6	0.95	MURD320T4OSCT-ND	4.98	37.35	79.55	2,500	197.26/M
D2-PAK	15	25	150	0.45	MBRB2515LT4OSCT-ND	16.05	134.83	280.90	800	783.61

* Für Gegurtet auf Rolle Teilenummer CT-ND in TR-ND ändern

Standard-Erholungsgleichrichter

Paket	Betriebs-Spitzenrückflussspannung VRWM	Durchschn. Durchlass-Richtstrom E/A (A)	Spitzenstoßstrom IFSM (A)	Max. sofortiger Vorwärtsspannungsabfall VF (V)	Digi-Key Teilenr.	Gurtabschnittspreise 10	100	250	Gegurtet auf Rolle* Größe	Preisangaben
DO-41	50	1	30	1.1	1N4001RLOSCT-ND	1.90	10.67	17.78	—	—
	100	1	30	1.1	1N4002RLOSCT-ND	1.90	10.67	17.78	5,000	27.94/M
	200	1	30	1.1	1N4003RLOSCT-ND	1.90	10.67	17.78	5,000	27.94/M
	400	1	30	1.1	1N4004RLOSCT-ND	1.90	10.67	17.78	5,000	27.94/M
	600	1	30	1.1	1N4005RLOSCT-ND	1.90	10.67	17.78	—	—
	800	1	30	1.1	1N4006RLOSCT-ND	1.90	10.67	17.78	5,000	27.94/M
	1,000	1	30	1.1	1N4007RLOSCT-ND	1.90	10.67	17.78	5,000	27.94/M
	50	1	30	1.2	1N4933RLOSCT-ND	2.28	14.81	25.62	5,000	45.72/M
	100	1	30	1.2	1N4934RLOSCT-ND	2.28	14.81	25.62	5,000	45.72/M
	200	1	30	1.2	1N4935RLOSCT-ND	2.28	14.81	25.62	5,000	45.72/M
	400	1	30	1.2	1N4936RLOSCT-ND	2.28	14.81	25.62	—	—
	600	1	30	1.2	1N4937RLOSCT-ND	2.28	14.81	25.62	5,000	45.72/M
DO-201AD	50	3	200	1	1N5400RLOSCT-ND	2.52	17.47	31.51	1,200	77.05/M
	100	3	200	1	1N5401RLOSCT-ND	2.52	17.47	31.51	1,200	77.05/M
	200	3	200	1	1N5402RLOSCT-ND	2.52	17.47	31.51	1,200	77.05/M
	400	3	200	1	1N5404RLOSCT-ND	2.52	17.47	31.51	1,200	77.05/M
	600	3	200	1	1N5406RLOSCT-ND	2.52	17.47	31.51	—	—
	1,000	3	200	1	1N5408RLOSCT-ND	2.52	17.47	31.51	—	—
	200	3	100	1.25	MR852RLOSCT-ND	2.47	17.40	31.63	1,200	78.74/M
	400	3	100	1.25	MR854OS-ND	2.47	17.40	31.63	—	—
	600	3	100	1.25	MR856RLOSCT-ND	2.47	17.40	31.63	1,200	78.74/M
SMB	400	1.5	50	1.1	MRS1504T3OSCT-ND	3.27	23.50	44.06	2,500	110.91/M
TO-220AC	600	8.0	100	1.4	MSR8600S-ND	6.97	51.85	111.12	—	—
	600	15	100	1.5	MSR1560OS-ND	7.59	56.48	121.02	—	—

* Für Gegurtet auf Rolle Teilenummer CT-ND in TR-ND ändern

Ultraschnelle Gleichrichter

Paket	Betriebs-Spitzenrückflussspannung VRWM	Durchschn. Durchlass-Richtstrom E/A (A)	Spitzenstoßstrom IFSM (A)	Max. sofortiger Vorwärtsspannungsabfall VF (V)	Digi-Key Teilenr.	Preisangaben 10	100	250	Gegurtet auf Rolle* Größe	Preisangaben
Powertap	200	200	800	1.10	MURP20020CTOS-ND	222.23	1970.46	4722.44	—	—
	400	200	800	1.75	MURP20040CTOS-ND	185.19	1642.06	3935.39	—	—
TO-220AB	100	16	100	0.975	MUR1610CTOS-ND	8.03	61.74	129.65	—	—
	150	16	100	0.975	MUR1615CTOS-ND	8.03	61.74	129.65	—	—
	200	3.0	75	0.975	MUR620CTOS-ND	5.69	42.68	90.88	—	—
	200	16	100	0.975	MUR1620CTOS-ND†	7.70	59.26	124.45	—	—
	200	16	100	1.2	MUR1620CTROS-ND†	10.59	81.49	171.12	—	—
	400	8.0	100	2.2	MURH840CTOS-ND	13.16	101.25	212.63	—	—
	400	16	100	1.30	MUR1640CTOS-ND	12.20	93.85	197.08	—	—
	600	8.0	100	2.8	MURH860CTOS-ND	13.16	101.25	212.63	—	—
	600	16	100	1.50	MUR1660CTOS-ND	12.84	98.78	207.43	—	—
TO-218AC	200	30	200	1.05	MUR3020PTOS-ND	16.05	134.83	280.90	—	—
	400	30	150	1.25	MUR3040PTOS-ND	20.25	170.09	354.35	—	—
	600	30	150	1.50	MUR3060PTOS-ND	20.89	155.56	333.35	—	—
TO-220AC	100	8	16	0.975	MUR810OS-ND	7.11	53.35	113.62	—	—
	150	8	16	0.975	MUR815OS-ND	7.06	54.33	114.10	—	—
	200	15	200	1.05	MUR1520OS-ND	9.63	74.08	155.56	—	—
	200	8	16	0.975	MUR820OS-ND	6.83	52.56	110.36	—	—
	400	15	150	1.25	MUR1540OS-ND	10.91	83.97	176.32	—	—
	400	8	16	0.975	MUR840OS-ND	8.35	64.21	134.85	—	—
	600	8	16	0.975	MUR860OS-ND	8.35	64.21	134.85	—	—
	600	15	150	1.50	MUR1560OS-ND	10.91	83.97	176.32	—	—
	800	8	100	1.8	MUR880EOS-ND	9.63	74.08	155.56	—	—
	1000	8	100	1.8	MUR8100EOS-ND	9.63	74.08	155.56	—	—

* Für Gegurtet auf Rolle Teilenummer CT-ND in TR-ND ändern † Umgekehrte Pin-Anordnung

(Forts.)

SMA

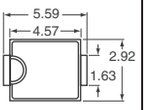

Case194

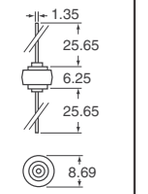

MICRODE

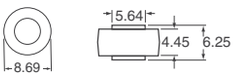

DO-41

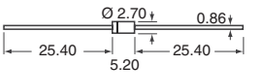

DPAK

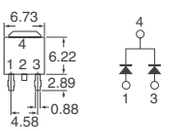

D2PAK

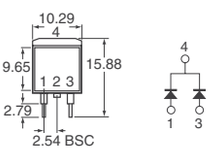

DO-201AD

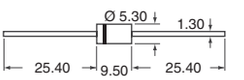

SMB

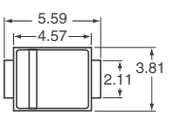

Powertap

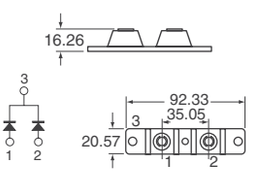

TO-220AB

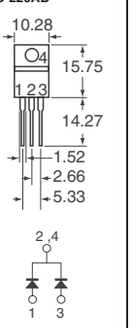

TO-218AC

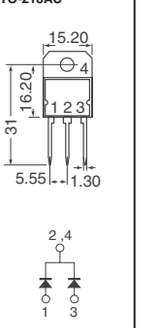

TO-220AC

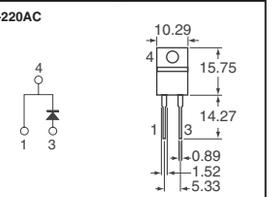

B

Alle Preisangaben in Euro und inklusive Zollgebühren.

Ultraschnelle Gleichrichter *(Forts.)*

Paket	Betriebs-Spitzenrückflussspannung VRWM	Durchschn. Durchlass-Richtstrom E/A (A)	Spitzenstoßstrom IFSM (A)	Max. sofortiger Vorwärtsspannungsabfall VF (V)	Digi-Key Teilenr.	Preisangaben 10	100	250	Gegurtet auf Rolle* Größe	Preisangaben
TO-247PSI	200	30	200	1.05	MUR3020WTOS-ND	20.25	170.09	354.35	—	—
	600	30	150	1.7	MUR3060WTOS-ND	23.21	172.85	370.40	—	—
D-PAK	200	6	50	1.15	MSRD620CTT4OSCT-ND	11.85	99.56	207.42	2,500	257.37/M
D2PAK	200	16	100	1.2	MURB1620CTRT4OSCT-ND	12.08	92.91	195.12	800	493.74
	200	16	100	0.975	MURB1620CTT4OSCT-ND	7.33	61.61	128.34	800	389.44
	600	8	100	1.5	MURB1660CTT4OSCT-ND	25.27	188.16	403.19	800	1204.20
	400	8	100	2.2	MURHB840CTOS-ND	12.84	98.78	207.43	—	—
	600	4	100	2.8	MURHB860CTT4OSCT-ND	27.85	207.42	444.47	800	533.70
TO-220FP	600	16	100	1.50	MURF1660CTOS-ND	12.35	103.72	216.09	—	—
SMB	50	2	40	0.875	MURS105T3OSCT-ND	2.73	19.60	36.74	2,500	92.28/M
	100	2	40	0.875	MURS110T3OSCT-ND	2.73	19.60	36.74	2,500	92.28/M
	150	2	40	0.875	MURS115T3OSCT-ND	2.73	19.60	36.74	—	—
	200	2	40	0.875	MURS120T3OSCT-ND	2.73	19.60	36.74	2,500	92.28/M
	400	2	35	1.25	MURS140T3OSCT-ND	2.96	21.33	40.00	—	—
	600	2	35	1.25	MURS160T3OSCT-ND	2.96	21.33	40.00	2,500	100.75/M
	200	2	40	0.95	MURS220T3OSCT-ND	2.69	20.17	40.33	—	—
	600	2	35	1.45	MURS260T3OSCT-ND	2.69	20.17	40.33	—	—
SMC	200	4	75	0.89	MURS320T3OSCT-ND	3.52	26.41	56.22	2,500	146.46/M
	400	4	75	1.28	MURS340T3OSCT-ND	3.91	29.35	62.50	2,500	163.40/M
	600	4	75	1.28	MURS360T3OSCT-ND	3.91	29.35	62.50	2,500	163.40/M
SMA	100	2	50	0.875	MURA110T3OSCT-ND	2.82	20.30	38.06	5,000	90.59/M
	200	1	40	0.875	MURA120T3OSCT-ND	2.82	20.30	38.06	5,000	90.59/M
	400	1	35	1.1	MURA140T3OSCT-ND	2.82	20.30	38.06	5,000	90.59/M
	600	1	30	1.25	MURA160T3OSCT-ND	2.82	20.30	38.06	5,000	90.59/M
	400	2	35	1.30	MURA240T3OSCT-ND	2.82	20.30	38.06	5,000	90.59/M
	600	2	30	1.45	MURA260T3OSCT-ND	2.82	20.30	38.06	5,000	90.59/M
DO-201AD	100	1	35	0.875	MUR110RLOSCT-ND	2.47	17.80	33.37	5,000	83.82/M
	150	1	35	0.875	MUR115RLOSCT-ND	2.47	17.80	33.37	5,000	83.82/M
	200	1	35	0.875	MUR120RLOSCT-ND	2.47	17.80	33.37	5,000	83.82/M
	300	1	35	1.25	MUR130OSCT-ND	3.14	22.09	40.16	—	—
	400	1	35	1.25	MUR140RLOSCT-ND	2.47	17.80	33.37	5,000	83.82/M
	600	1	35	1.25	MUR160RLOSCT-ND	2.69	19.35	36.29	5,000	86.36/M
	50	4	125	0.890	MUR405OS-ND	3.56	26.67	53.34	—	—
	100	4	125	0.890	MUR410RLOSCT-ND	3.56	26.67	53.34	—	—
	150	4	125	0.890	MUR415OS-ND	3.56	26.67	53.34	—	—
	200	4	125	0.890	MUR420RLOSCT-ND	3.61	27.13	54.25	1,500	144.77/M
	600	4	110	1.25	MUR460RLOSCT-ND	3.56	26.68	56.81	1,500	158.32/M
	800	4	70	1.75	MUR480EOS-ND	4.94	37.06	74.11	—	—
	1000	4	70	1.75	MUR4100ERLOSCT-ND	4.98	37.35	79.55	—	—

* Für Gegurtet auf Rolle Teilenummer CT-ND in TR-ND ändern † Umgekehrte Pin-Anordnung

Schottky-Grenzschichtdioden

Paket	Rev. Spann. V_{WPRV}	Durchschn. Vorw. Strom IO (A)	Verlustleistung (mW)	Spitzenstoß-strom IFSM (A)	Max. Vorwärtsspannung @ VF (V DC)	@ IF	Pin-Anordnung 1	2	3	Digi-Key Teilenr.	Gurtabschnittspreise 10	100	250	Gegurtet auf Rolle* Größe	Preisangaben
SOT-23	7	—	225	—	0.6†	10mA	A	—	K	MMBD101LT1OSCT-ND	1.55	10.91	19.84	3,000	58.42/M
	30	—	200	—	0.45	1mA	A	—	K	MMBD301LT1OSCT-ND	1.71	11.84	21.35	3,000	49.95/M
	70	—	200	—	0.5	1mA	A	—	K	MMBD701LT1OSCT-ND	1.55	10.91	19.84	3,000	58.42/M
	40	.12	225	.2	0.5	10mA	A	K	A/K	BAS40-04LT1OSCT-ND	1.78	12.33	22.22	—	—
	40	.12	225	.2	0.5	10mA	K	K	A	BAS40-06LT1OSCT-ND	1.48	10.43	18.96	3,000	55.88/M
	40	.12	225	.2	0.5	10mA	A	—	K	BAS40LT1OSCT-ND	1.63	11.31	20.39	3,000	50.80/M
	70	—	225	—	0.75	10mA	A	—	K	BAS70LT1OSCT-ND	1.36	9.58	17.41	3,000	50.80/M
	30	.2	225	.6	0.40	10mA	K	K	A	BAT54ALT1OSCT-ND	1.78	12.33	22.22	3,000	36.41/M
	30	.2	225	.6	0.5	30mA	A	K	K/A	BAT54SLT1OSCT-ND	1.54	10.70	19.29	3,000	36.41/M
	30	.2	200	.3	0.5	30mA	A	—	K	BAT54LT1OSCT-ND	1.46	10.17	18.34	3,000	32.17/M
SOT-323	20	—	200	—	0.37	1mA	K	K	A	MMBD717LT1OSCT-ND	1.57	10.83	19.52	—	—
	30	.2	200	.6	0.5	30mA	A	—	K	BAT54WT1OSCT-ND	1.34	9.24	16.67	3,000	39.79/M
	30	.2	200	.6	0.5	30mA	A	K	K/A	BAT54SWT1OSCT-ND	1.57	10.83	19.52	3,000	44.03/M

* Für Gegurtet auf Rolle Teilenummer CT-ND in TR-ND ändern

Paket	Rev. Spann. V_{WPRV}	Durchschn. Vorw. Strom IO (A)	Verlustleistung (mW)	Spitzenstoßstrom IFSM (A)	Max. Vorwärtsspannung @ VF (V DC)	@ IF	Digi-Key Teilenr.	Preisangaben 10	100	250	Gegurtet auf Rolle* Größe	Preisangaben
SOT-363	30	.2	150	.6	0.4	10mA	MBD54DWT1OSCT-ND	2.47	17.40	31.63	3,000	71.12/M
DO-41	20	1	—	25	0.45	1A	1N5817RLOSCT-ND	2.79	19.59	35.62	5,000	75.35/M
	30	1	—	25	0.55	1A	1N5818RLOSCT-ND	2.79	19.59	35.62	5,000	75.35/M
	40	1	—	25	0.6	1A	1N5819RLOSCT-ND	2.79	19.59	35.62	5,000	75.35/M
	50	1	750	25	0.75	1A	MBR150RLOSCT-ND	3.06	21.53	39.15	5,000	82.97/M
	60	1	750	25	0.75	1A	MBR160RLOSCT-ND	3.14	22.09	40.16	5,000	85.51/M
	100	1	500	50	0.79	1A	MBR1100RLOSCT-ND	2.57	19.28	38.55	5,000	102.44/M
DO-201AD	20	3	—	80	0.475	3A	1N5820RLOSCT-ND	3.08	23.11	46.22	1,500	123.61/M
	30	3	—	80	0.5	3A	1N5821RLOSCT-ND	3.08	23.11	46.22	1,500	123.61/M
	40	3	—	80	0.525	3A	1N5822RLOSCT-ND	3.13	23.49	46.99	1,500	125.30/M
	40	3	1,250	80	0.5	1A	MBR340OS-ND	3.47	24.90	46.69	—	—
	50	3	1,500	80	0.6	1A	MBR350RLOSCT-ND	2.77	20.75	41.50	—	—
	60	3	1,500	80	0.6	1A	MBR360RLOSCT-ND	2.77	20.75	41.50	—	—
	100	3	1,500	150	0.79	3A	MBR3100RLOSCT-ND	4.74	35.56	71.11	—	—

* Für Gegurtet auf Rolle Teilenummer CT-ND in TR-ND ändern

(Forts.)

TO-247PSI

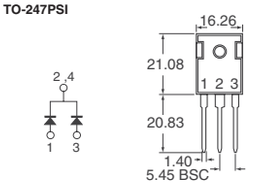

DPAK

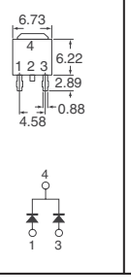

D2PAK

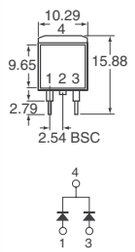

TO-220FP

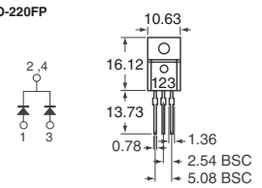

SMB

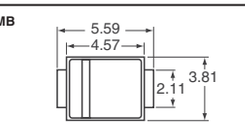

SMC

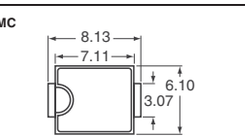

SMA

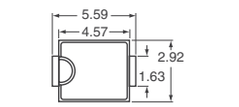

DO-201AD

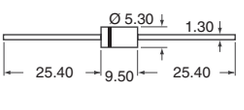

SOT-23

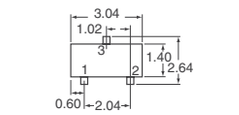

SOT-323

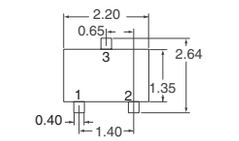

SOT-363

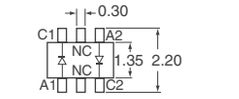

DO-41

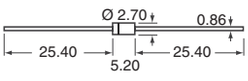

B

Schottky-Grenzschichtdioden *(Forts.)*

Paket	Rev. Spann. V_{WPRV}	Durchschn. Vorw. Strom IO (A)	Verlustleistung (mW)	Spitzenstoßstrom IFSM (A)	Max. Vorwärtsspannung @ VF (V DC)	@ IF	Digi-Key Teilenr.	Preisangaben 10	100	250	Gegurtet auf Rolle* Größe	Preisangaben
SOT-93	45	30	10,000	200	0.76	30A	MBR3045PTOS-ND	14.82	124.45	259.27	—	—
SOD-123	20	0.5	140	5.5	0.385	0.5A	MBR0520LT1OSCT-ND	2.01	14.19	25.80	3,000	64.34/M
	30	0.5	175	5.5	0.43	0.5A	MBR0530T1OSCT-ND	2.01	14.19	25.80	3,000	64.34/M
	30	1	400	5.5	0.47	1A	MBR130T1OSCT-ND	3.06	21.53	39.15	3,000	88.05/M
	40	0.5	2,250	5.5	0.62	1A	MBR0540T1OSCT-ND	2.17	15.24	27.70	3,000	64.34/M
	30	—	225	—	0.45	1mA	MMSD301T1OSCT-ND	2.07	14.39	25.96	3,000	55.03/M
	30	.2	400	.6	0.40	10mA	BAT54T1OSCT-ND	1.86	12.90	23.26	3,000	48.26/M
SOD-323	30	—	200	.6	0.40	10mA	BAT54HT1OSCT-ND	1.93	13.38	24.13	3,000	41.49/M
	40	—	200	—	0.37	1mA	RB751V40T1OSCT-ND	1.36	9.58	17.41	—	—
TO-226AC	30	—	280	—	0.6	10mA	MBD301OS-ND	2.38	16.47	—	—	—
	70	—	280	—	1	10mA	MBD701OS-ND	2.38	16.47	—	—	—
TO-220AC	15	25	—	150	0.45	25A	MBR2515LOS-ND	17.41	129.64	277.79	—	—
	60	10	5,000	150	0.8	10A	MBR1060OS-ND	7.03	52.71	112.26	—	—
	90	10	5,000	150	0.8	10A	MBR1090OS-ND	8.92	68.64	144.14	—	—
	100	10	5,000	150	0.8	10A	MBR10100OS-ND	8.92	68.64	144.14	—	—
	35	10	5,500	150	0.84	20A	MBR1035OS-ND	7.11	53.35	113.62	—	—
	45	10	5,500	150	0.84	20A	MBR1045OS-ND	7.03	52.71	112.26	—	—
	35	16	9,000	150	0.63	16A	MBR1635OS-ND	8.67	66.67	140.01	—	—
	45	16	9,000	150	0.63	16A	MBR1645OS-ND	8.67	66.67	140.01	—	—
	35	7.5	1,800	150	0.84	15A	MBR735OS-ND	6.40	48.00	102.23	—	—
	45	7.5	1,800	150	0.84	15A	MBR745OS-ND	6.40	48.00	102.23	—	—
TO-220AB	45	15	9,000	150	0.84	15A	MBR1545CTOS-ND	6.69	50.18	106.85	—	—
	100	8	400	150	0.74	8A	MBR16100CTOS-ND	11.85	99.56	207.42	—	—
	200	20	—	150	0.9	10A	MBR20200CTOS-ND	13.58	114.09	237.67	—	—
	30	10	3,750	150	0.52	10A	MBR2030CTLOS-ND	13.58	114.09	237.67	—	—
	45	20	—	150	0.84	20A	MBR2045CTOS-ND	7.04	52.80	112.45	—	—
	60	10	6,000	150	0.85	10A	MBR2060CTOS-ND	10.27	86.24	179.67	—	—
	100	10	6,000	150	0.85	10A	MBR20100CTOS-ND	8.90	68.45	143.74	—	—
	35	12.5	5,000	150	0.47	12.5A	MBR2535CTLOS-ND	11.12	93.34	194.46	—	—
	35	30	—	150	0.82	30A	MBR2535CTOS-ND	13.65	104.96	220.41	—	—
	45	30	—	150	0.82	30A	MBR2545CTOS-ND	10.49	80.68	169.43	—	—
TO-247	45	60	—	500	0.62	30A	MBR6045WTOS-ND	27.85	207.42	444.47	—	—
TO-220FP	45	25	—	150	0.7	12.5A	MBRF2545CTOS-ND	17.29	145.20	302.50	—	—
	100	20	—	150	0.85	10A	MBRF20100CTOS-ND	20.99	176.31	367.31	—	—
	200	20	—	150	0.9	10A	MBRF20200CTOS-ND	23.21	172.85	370.40	—	—
D-Pak	20	3	1,000	75	0.6	3A	MBRD320T4OSCT-ND	5.51	41.35	88.06	2,500	218.43/M
	30	3	1,000	75	0.6	3A	MBRD330T4OSCT-ND	5.51	41.35	88.06	2,500	218.43/M
	40	3	1,000	75	0.6	3A	MBRD340T4OSCT-ND	5.51	41.35	88.06	2,500	218.43/M
	60	3	1,000	75	0.6	3A	MBRD360T4OSCT-ND	5.51	41.35	88.06	2,500	218.43/M
	20	6	4,000	75	0.7	3A	MBRD620CTT4OSCT-ND	6.22	46.70	99.45	2,500	250.60/M
	40	6	4,000	75	0.7	3A	MBRD640CTT4OSCT-ND	6.22	46.70	99.45	2,500	246.36/M
	60	6	4,000	75	0.7	3A	MBRD660CTT4OSCT-ND	6.22	46.70	99.45	2,500	246.36/M
	35	8	3,750	75	0.51	8A	MBRD835LT4OSCT-ND	5.99	44.90	95.61	2,500	237.05/M
	35	10	2,000	50	0.47	5A	MBRD1035CTLT4OSCT-ND	7.38	56.81	119.29	2,500	302.24/M
D2pak A	35	12.5	7,500	150	0.55	25A	MBRB2535CTLT4OSCT-ND	16.05	134.83	280.90	800	770.74
	45	30	16,000	150	0.82	30A	MBRB2545CTT4OSCT-ND	13.58	114.09	237.67	800	652.22
	45	15	8,000	150	0.84	15A	MBRB1545CTT4OSCT-ND	9.14	70.31	147.66	800	373.18
	100	20	13,000	150	0.85	10A	MBRB20100CTT4OSCT-ND	11.85	99.56	207.42	800	568.92
	200	10	6,000	150	0.9	10A	MBRB20200CTT4OSCT-ND	24.34	204.45	425.95	800	1090.42
D2pak B	30	40	—	300	0.46	20A	MBRB4030T4OSCT-ND	19.73	146.93	314.84	800	940.06
SMA	10	2	425	160	0.325	1A	MBRA210LT3OSCT-ND	3.17	23.72	47.44	5,000	110.91/M
	20	1	300	40	0.395	1A	MBRA120LT3OSCT-ND	2.57	18.50	34.69	5,000	82.12/M
	30	1	300	25	0.41	1A	MBRA130LT3OSCT-ND	2.57	18.50	34.69	5,000	70.27/M
	40	1	500	30	0.55	1A	MBRA140T3OSCT-ND	2.57	18.50	34.69	—	—
	40	3	—	100	.45	3A	MBRA340T3OSCT-ND	3.28	24.61	49.22	5,000	115.14/M
	40	1	—	60	0.47	1A	SS14T3OSCT-ND	2.60	18.01	32.46	5,000	62.65/M
	60	1	—	40	0.72	1A	SS16T3OSCT-ND	2.59	18.25	33.19	5,000	70.27/M
SMB	20	1	525	40	0.6	1A	MBRS120T3OSCT-ND	2.47	17.80	33.37	—	—
	30	1	525	40	0.6	1A	MBRS130T3OSCT-ND	2.47	17.80	33.37	2,500	84.66/M
	30	2	250	40	0.395	1A	MBRS130LT3OSCT-ND	2.47	17.80	33.37	—	—
	40	1	500	40	0.6	1A	MBRS140T3OSCT-ND	2.47	17.80	33.37	2,500	84.66/M
	40	1	425	40	0.5	1A	MBRS140LT3OSCT-ND	6.35	45.72	85.72	2,500	215.89/M
	40	2	800	25	0.43	2A	MBRS240LT3OSCT-ND	2.57	19.28	38.55	2,500	109.22/M
	40	2	625	70	0.43	2A	MBRS2040LT3OSCT-ND	2.57	19.28	38.55	2,500	109.22/M
	90	2	1,200	50	0.75	1A	MBRS190T3OSCT-ND	2.77	20.75	41.50	2,500	117.68/M
	100	2	1,200	50	0.75	1A	MBRS1100T3OSCT-ND	3.12	22.43	42.06	2,500	105.83/M
	40	2	—	75	0.50	2A	SS24T3OSCT-ND	1.61	12.36	25.96	2,500	66.04/M
	60	2	—	40	0.51	1A	SS26T3OSCT-ND	4.66	34.97	74.48	2,500	184.56/M
SMC	20	4	2,500	80	0.50	3A	MBRS320T3OSCT-ND	2.84	21.35	45.47	2,500	118.53/M
	30	4	2,500	80	0.50	3A	MBRS330T3OSCT-ND	2.84	21.35	45.47	2,500	118.53/M
	40	4	2,500	80	0.525	3A	MBRS340T3OSCT-ND	2.84	21.35	45.47	2,500	118.53/M
	40	5	—	190	0.50	5A	MBRS540T3OSCT-ND	10.73	90.14	187.78	2,500	128.69/M
	60	4	2,500	80	0.74	3A	MBRS360T3OSCT-ND	3.02	22.70	48.34	2,500	126.15/M
	100	3	—	130	0.79	3A	MBRS3100T3OSCT-ND	4.74	35.56	71.11	2,500	177.79/M

* Für Gegurtet auf Rolle Teilenummer CT-ND in TR-ND ändern

(Forts.)

SOT-93

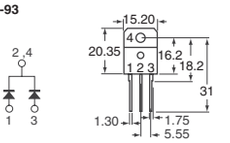

SOD-123

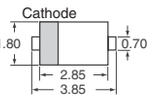

SOD-323

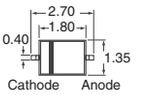

TO-226AC

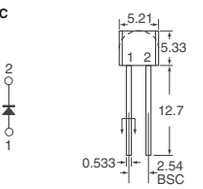

TO-220AC

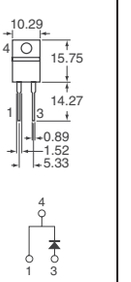

TO-220AB

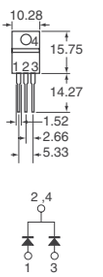

TO-247

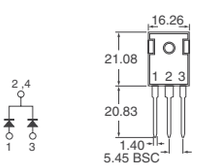

TO-220FP

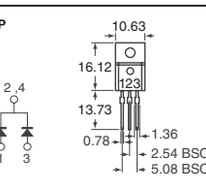

DPAK

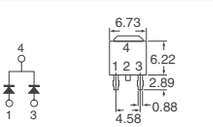

D2PAK

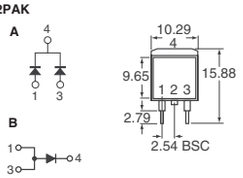

SMA

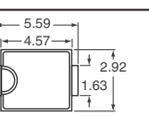

SMB

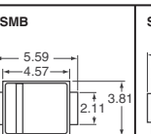

SMC

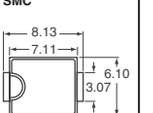

Alle Preisangaben in Euro und inklusive Zollgebühren.

Schottky-Grenzschichtdioden *(Forts.)*

Paket	Rev. Spann. V_{WPRV}	Durchschn. Vorw. Strom IO (A)	Verlustleistung (mW)	Spitzenstoßstrom IFSM (A)	Max. Vorwärtsspannung @ VF (V DC)	Max. Vorwärtsspannung @ IF	Digi-Key Teilenr.	Preisangaben 10	Preisangaben 100	Preisangaben 250	Gegurtet auf Rolle* Größe	Gegurtet auf Rolle* Preisangaben
Powermite	10	1	—	50	.365	1A	MBRM110LT1OSCT-ND	3.22	23.13	43.37	3,000	109.21/M
	10	1	—	50	0.53	1A	MBRM110ET1OSCT-ND	3.22	23.13	43.37	3,000	109.21/M
	20	1	325	50	0.45	1A	MBRM120LT1OSCT-ND	2.57	19.28	38.55	—	—
	20	1	375	50	0.53	1A	MBRM120ET3OSCT-ND	2.57	19.28	38.55	12,000	96.52/M
	30	1	325	50	0.38	1A	MBRM130LT1OSCT-ND	2.57	19.28	38.55	3,000	109.21/M
	40	1	475	50	0.55	1A	MBRM140T1OSCT-ND	2.57	19.28	38.55	—	—
	40	1	—	50	0.36	.1A	MBRM140T3OSCT-ND	3.22	23.13	43.37	12,000	98.21/M
Powertap	30	200	—	200	0.60	200A	MBRP20030CTLOS-ND	217.79	1931.05	4627.99	—	—
	60	300	—	2,500	0.79	150A	MBRP30060CTOS-ND	162.97	1445.01	3463.14	—	—
	100	400	—	2,500	0.83	200A	MBRP400100CTLOS-ND	207.42	1839.10	4407.63	—	—
SOD-523	30	.2	200	.6	0.35	10mA	BAT54XV2T1OSCT-ND	2.28	14.81	25.62	3,000	49.95/M
	30	200	200	—	0.60	200mA	RB520S30T1OSCT-ND	1.46	9.52	16.47	3,000	34.71/M
	30	.2	200	—	0.50	200mA	RB521S30T1OSCT-ND	1.46	9.52	16.47	3,000	34.71/M
	30	.001	200	—	0.37	1.0mA	RB751S40T1OSCT-ND	1.46	9.52	16.47	3,000	34.71/M
SOD-123FL	20	1	—	40	0.53	1A	MBR120ESFT1OSCT-ND	3.06	21.53	39.15	3,000	88.05/M
	20	1	—	45	0.34	1A	MBR120VLSFT1OSCT-ND	3.39	25.40	50.80	3,000	126.99/M
	40	1	—	30	0.55	1.0A	MBR140SFT1OSCT-ND	3.06	21.53	39.15	3,000	88.05/M
SOT-563 A	23	1	200	—	0.27	10mA	NSR0320XV6T1OSCT-ND	3.09	21.76	39.55	—	—
SOT-363 A	15	.03	—	—	.415	1mA	NSR15DW1T1OSCT-ND	2.53	17.85	32.44	3,000	72.81/M
SOT-363 B	15	.03	—	—	.415	1mA	NSR15TW1T2OSCT-ND	2.96	21.33	40.00	3,000	100.75/M
SC-82	40	.3	200	.5	.28	1.0mA	1SS383T1GOSCT-ND	4.98	37.34	74.67	3,000	60.96/M

* Für Gegurtet auf Rolle Teilenummer CT-ND in TR-ND ändern

Schaltdioden

Paket	Spitzen-Rückfluss-spannung (VRWM)	Durchschn. Durchlass-Richtstrom I_F	Verlust-leistung (mW)	Spitzenstoß-strom I_{FM} (mA)	Max. sofortiger Vorwärtsspannungs-abfall (V_F)	Max. sofortiger Vorwärtsspannungs-I_F (mAdc)	Pin-Anordnung 1	2	3	Digi-Key Teilenr.	Gurtabschnittspreise 10	Gurtabschnittspreise 100	Gurtabschnittspreise 250	Gegurtet auf Rolle* Größe	Gegurtet auf Rolle* Preisangaben
SOT-23	7	—	225	—	0.6	10	A	K	K/A	MMBD352LT1OSCT-ND†	2.17	15.24	27.70	3,000	69.42/M
	7	—	225	—	0.6	10	K	A	K/A	MMBD353LT1OSCT-ND†	2.17	15.24	27.70	3,000	69.42/M
	7	—	225	—	0.6	10	A	A	K	MMBD354LT1OSCT-ND†	2.17	15.24	27.70	3,000	69.42/M
	35	100	225	—	1	10	K	K	A	MMBD2835LT1OSCT-ND†	1.08	6.99	12.10	3,000	28.79/M
	75	100	225	—	1	10	K	K	A	MMBD2836LT1OSCT-ND†	1.08	6.99	12.10	3,000	28.79/M
	75	150	225	—	1	10	A	A	K	MMBD2837LT1OSCT-ND†	1.08	6.99	12.10	3,000	28.79/M
	75	100	225	—	1	10	A	A	K	MMBD2838LT1OSCT-ND†	1.08	6.99	12.10	3,000	28.79/M
	70	200	225	500	0.7	1	A	—	K	MMBD6050LT1OSCT-ND	.98	6.38	11.05	3,000	26.25/M
	100	200	225	500	0.7	1	A	K	K/A	MMBD7000LT1OSCT-ND†	.98	6.38	11.05	3,000	26.25/M
	50	200	225	500	1	100mA	A	A	K	BAV74LT1OSCT-ND	1.57	8.84	14.73	3,000	21.17/M
	70	215	225	500	1	10	A	K	K/A	BAV199LT1OSCT-ND	1.49	10.30	18.57	3,000	46.57/M
	70	200	225	500	.8	10	A	A	K	BAV70LT1OSCT-ND	1.57	8.84	14.73	3,000	21.17/M
	70	215	225	500	.8	10	A	K	K/A	BAV99LT1OSCT-ND	1.24	7.01	11.68	3,000	21.17/M
	70	200	225	500	.8	10	K	K	A	BAW56LT1OSCT-ND	1.57	8.84	14.73	3,000	21.17/M
	70	100	225	—	.8	10	—	K	A	BAL99LT1OSCT-ND	.98	6.38	11.05	3,000	26.25/M
	75	200	225	500	1	10	A	—	K	BAS116LT1OSCT-ND	1.78	11.56	20.01	3,000	41.49/M
	75	200	225	500	.8	10	A	—	K	BAS16LT1OSCT-ND	.98	6.38	11.05	3,000	21.17/M
	120	200	225	625	1	100mA	A	—	K	BAS19LT1OSCT-ND	.98	6.38	11.05	3,000	21.17/M
	200	200	225	625	1	100mA	A	—	K	BAS20LT1OSCT-ND	.98	6.38	11.05	3,000	21.17/M
	250	200	225	625	1	100mA	A	—	K	BAS21LT1OSCT-ND	1.57	8.84	14.73	3,000	21.17/M
SOT-23S	70	200	225	500	0.7	1	A	A	K	MMBD6100LT1OSCT-ND†	1.08	6.99	12.10	3,000	28.79/M
	100	200	225	500	1	10	A	—	K	MMBD914LT1OSCT-ND	.78	5.06	8.76	3,000	21.17/M
SOT-323	40	100	150	500	1.2	100mA	A	—	K	M1MA141KT1OSCT-ND	1.08	6.99	12.10	3,000	28.79/M
	70	200	200	500	.8	10	A	A	K	BAV70WT1OSCT-ND	1.08	6.99	12.10	3,000	28.79/M
	70	215	200	500	.8	10	A	K	K/A	BAV99WT1OSCT-ND	1.08	6.99	12.10	3,000	28.79/M
	70	215	200	500	.8	10	K	A	K/A	BAV99RWT1OSCT-ND	1.08	6.99	12.10	3,000	28.79/M
	70	200	200	500	.8	10	K	—	A	BAW56WT1OSCT-ND	1.08	6.99	12.10	3,000	28.79/M
	75	200	200	500	.8	10	A	—	K	BAS16WT1OSCT-ND	1.08	6.99	12.10	3,000	28.79/M
SOD-123	100	200	225	500	1	10	—	—	—	MMSD4148T1OSCT-ND	1.58	10.29	17.81	3,000	37.25/M
	100	200	225	500	1	10	—	—	—	MMSD914T1OSCT-ND	1.76	11.45	19.81	3,000	42.33/M
SOD-323	100	200	200	500	1	10	—	—	—	MMDL914T1OSCT-ND	1.09	7.10	12.28	—	—
	75	200	200	500	.8	10	—	—	—	BAS16HT1OSCT-ND	1.09	7.10	12.28	—	—
	250	200	200	625	1	100mA	—	—	—	BAS21HT1OSCT-ND	1.39	9.02	15.62	—	—
SOT-416	80	100	150	2,000	1.2	100mA	K	K	A	DAP222OSCT-ND	1.09	7.10	12.28	3,000	29.63/M
SOD-523	75	200	120	500	.715	1.0	K	A	—	BAS16XV2T1OSCT-ND	1.90	10.67	17.78	3,000	32.17/M
	100	200	200	500	1.2	100	K	A	—	1SS400T1OSCT-ND	1.46	9.52	16.47	—	—
	100	200	120	500	1.0	10	K	A	—	NSD914XV2T1OSCT-ND	2.20	15.27	27.54	—	—
SOT-353	250	200	385	625	1.0	100	—	—	—	BAS21DW5T1OSCT-ND	1.78	11.56	20.01	—	—
SOT-363 C	85	100	300	240	1.2	100	—	—	—	HN2D02FUTW1T1OSCT-ND	2.60	18.01	32.46	3,000	69.42/M
SOT-563 B	75	200	357	500	.715	1.0	—	—	—	BAS16DXV6T1OSCT-ND	1.98	14.23	26.68	4,000	66.89/M
SOT-563 C	70	200	357	500	.715	1.0	—	—	—	BAV70DXV6T1OSCT-ND	1.98	14.23	26.68	4,000	66.89/M
SOT-563 D	80	100	357	300	1.2	100	—	—	—	NSDEMN11XV6T1OSCT-ND	1.98	14.23	26.68	4,000	66.89/M
SOT-563 E	80	100	357	300	1.2	100	—	—	—	NSDEMP11XV6T1OSCT-ND	1.98	14.23	26.68	—	—

* Für Gegurtet auf Rolle Teilenummer CT-ND in TR-ND ändern † Doppel-Array

POWERMITE

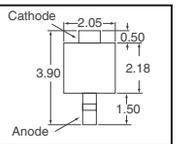

Powertap Case 357C

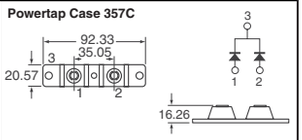

SOD-523

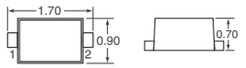

SOT-563

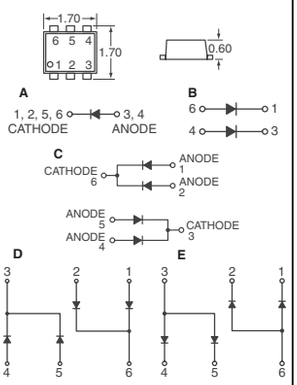

SOT-363

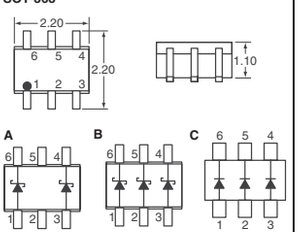

SC-82

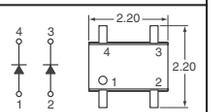

SOT-23

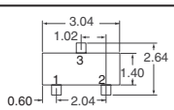

SOT-23S

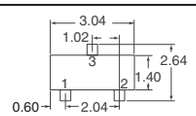

SOT-323

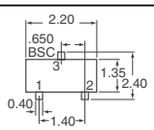

SOD-123
SOD-123FL

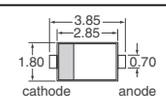

SOD-323

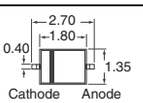

SOT-416

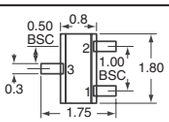

SOT-353

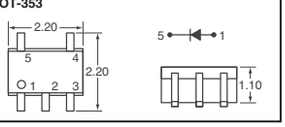

B

Abb. 1 — SOT-23

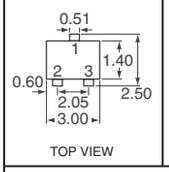

Abb. 2 — SOT-323

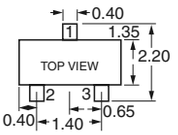

Abb. 3 — SOT-523

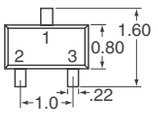

Abb. 4 — SOT-563

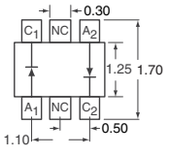

Abb. 5 — SOT-363

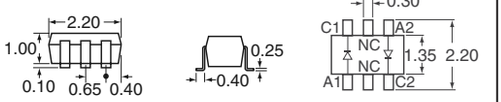

Abb. 6 — DO-35

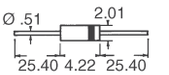

Abb. 7 — MiniMELF

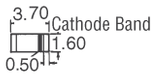

Abb. 8 — SOD-123

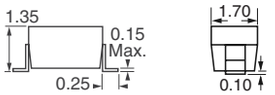

Abb. 9 — SOD-323

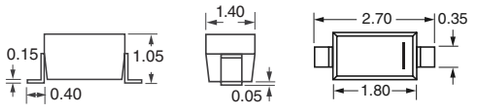

Abb. 10 — SOD-523

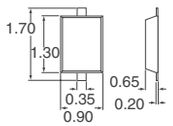

B

Abb.	Spitzen-rückfluss-spannung (VRRM)(V)	Max. Rück-Strom IR (µA)	Max. Rück-Strom VR (V)	Max. Durchl. Spannung@ VF (V)	Max. Durchl. Spannung@ IF (mA)	Max. Kapazität C (pF)	Max. Rück-Erholzeit Trr (ns)	Verlust-leistung Pd (mW)	Pin-Anordnung 1	Pin-Anordnung 2	Pin-Anordnung 3	Digi-Key Teilenr.	Gurtabschnittspreise 10	Gurtabschnittspreise 100	Gurtabschnittspreise 1.000	Digi-Key Teilenr.	Gegurtet auf Rolle Größe	Gegurtet auf Rolle Preisangaben
1	75	2.5	75	1.0	50	2.0	4.0	350	A	—	K	BAL99DICT-ND	2.54	17.61	77.89	BAL99DITR-ND	3,000	67.73/M
	75	1.0	75	.855	10	2.0	4.0	350	K	A	—	BAS16DICT-ND	1.90	13.21	58.42	BAS16DITR-ND	3,000	50.80/M
	75	1.0	75	.855	10	2.0	4.0	350	K	A	—	BAS16-FDICT-ND◊	1.90	13.21	58.42	BAS16-FDITR-ND◊	3,000	50.80/M
	100	0.1	100	1.0	100	5.0	50	250	K	A	—	BAS19DICT-ND	2.38	16.76	76.19	BAS19DITR-ND	3,000	68.58/M
	150	0.1	150	1.0	100	5.0	50	250	K	A	—	BAS20DICT-ND	2.38	16.76	76.19	BAS20DITR-ND	3,000	68.58/M
	200	0.1	250	1.0	100	5.0	50	250	K	A	—	BAS21DICT-ND	2.38	16.76	76.19	BAS21DITR-ND	3,000	68.58/M
	200	0.1	250	1.0	100	5.0	50	250	K	A	—	BAS21-FDICT-ND◊	2.38	16.76	76.19	BAS21-FDITR-ND◊	3,000	68.58/M
	85	.005	75	1.0	10	2.0	3.0§	250	K	A	—	BAS116DICT-ND	2.54	17.61	77.89	BAS116DITR-ND	3,000	67.73/M
	200	0.1	250	1.0	100	5.0	50	350	A	K	K	BAV23ADICT-ND	2.65	18.63	84.66	—	—	—
	200	0.1	250	1.0	100	5.0	50	350	K/K	A	A	BAV23CDICT-ND	2.65	18.63	84.66	BAV23CDITR-ND	3,000	76.20/M
	200	0.1	250	1.0	100	5.0	50	350	K/K	A	A	BAV23C-FDICT-ND◊	2.65	18.63	84.66	BAV23C-FDITR-ND◊	3,000	76.20/M
	200	0.1	200	1.0	100	5.0	50	350	—	A	K	BAV23SDICT-ND	2.65	18.63	84.66	BAV23SDITR-ND	3,000	76.20/M
	75	2.5	75	.855	10	2.0	4.0	350	K	A	A	BAV70DICT-ND	2.23	15.41	68.15	BAV70DITR-ND	3,000	59.27/M
	75	2.5	75	.855	10	2.0	4.0	350	K	A	A	BAV70-FDICT-ND◊	2.23	15.41	68.15	BAV70-FDITR-ND◊	3,000	59.27/M
	75	2.5	70	.855	10	1.5	6.0	350	K/A	A	K	BAV99DICT-ND	2.54	17.61	77.89	BAV99DITR-ND	3,000	67.73/M
	85	.005	75	1.0	10	2.0	3.0§	250	K/K	A	A	BAV170DICT-ND	2.65	18.63	84.66	BAV170DITR-ND	3,000	76.20/M
	85	.005	75	1.0	10	2.0	3.0§	250	K/A	A	K	BAV199DICT-ND	2.65	18.63	84.66	BAV199DITR-ND	3,000	76.20/M
	75	2.5	75	.855	10	2.0	4.0	350	A	K	K	BAW56DICT-ND	2.38	16.76	76.19	BAW56DITR-ND	3,000	68.58/M
	75	2.5	75	.855	10	2.0	4.0	350	A	K	K	BAW56-FDICT-ND◊	2.38	16.76	76.19	BAW56-FDITR-ND◊	3,000	68.58/M
	85	.005	75	1.0	10	3.0	3.0§	250	A	K	K	BAW156DICT-ND	2.65	18.63	84.66	BAW156DITR-ND	3,000	76.20/M
	75	1.0	75	1.0	50	2.0	4.0	350	K	A	—	MMBD914DICT-ND	1.90	13.21	58.42	MMBD914DITR-ND	3,000	50.80/M
	75	1.0	75	1.0	50	2.0	4.0	350	K	A	—	MMBD914-FDICT-ND◊	1.90	13.21	58.42	MMBD914-FDITR-ND◊	3,000	50.80/M
	240	0.1	240	1.0	100	5.0	50	350	K/A	A	K	MMBD2004SDICT-ND	2.65	18.63	84.66	MMBD2004SDITR-ND	3,000	76.20/M
	300	0.1	240	1.0	100	5.0	50	350	K/A	A	K	MMBD3004SDICT-ND	2.65	18.63	84.66	MMBD3004SDITR-ND	3,000	76.20/M
	300	0.1	240	1.0	100	5.0	50	350	K/A	A	K	MMBD3004S-FDICT-ND◊	2.65	18.63	84.66	MMBD3004S-FDITR-ND◊	3,000	76.20/M
	75	2.5	75	1.0	50	2.0	4.0	350	K	A	—	MMBD4148DICT-ND	1.90	13.21	58.42	MMBD4148DITR-ND	3,000	50.80/M
	75	2.5	75	1.0	100	4.0	4.0	350	K	A	—	MMBD4448DICT-ND	1.90	13.21	58.42	MMBD4448DITR-ND	3,000	50.80/M
	80	1.0	75	1.0	100	3.5	4.0	350	K	A	—	MMBD4448HDICT-ND	1.90	13.21	58.42	MMBD4448HDITR-ND	3,000	50.80/M
	75	3.0	100	1.25	150	2.0	4.0	350	K/A	A	K	MMBD7000DICT-ND	2.54	17.61	77.89	MMBD7000DITR-ND	3,000	67.73/M
	75	3.0	100	1.25	150	2.0	4.0	350	K/A	A	K	MMBD7000-FDICT-ND◊	2.54	17.61	77.89	MMBD7000-FDITR-ND◊	3,000	67.73/M
2	75	1.0	75	.855	10	2.0	4.0	200	K	A	—	BAS16WDICT-ND	2.29	15.85	70.10	BAS16WDITR-ND	3,000	60.96/M
	100	15	120	1.0	100	5.0	50	200	K	A	—	BAS19WDICT-ND	2.86	20.12	91.43	BAS19WDITR-ND	3,000	82.12/M
	150	15	200	1.0	100	5.0	50	200	K	A	—	BAS20WDICT-ND	2.86	20.12	91.43	BAS20WDITR-ND	3,000	82.12/M
	200	15	250	1.0	100	5.0	50	200	K	A	—	BAS21WDICT-ND	2.86	20.12	91.43	BAS21WDITR-ND	3,000	82.12/M
	75	2.5	75	.855	10	2.0	4.0	200	K	A	A	BAV70WDICT-ND	2.67	18.49	81.78	—	—	—
	75	2.5	75	.855	10	2.0	4.0	200	K	A	A	BAV70W-FDICT-ND◊	2.67	18.49	81.78	BAV70W-FDITR-ND◊	3,000	71.12/M
	75	2.5	75	.855	10	2.0	4.0	200	K/A	A	K	BAV99WDICT-ND	2.54	17.88	81.27	—	—	—
	75	2.5	75	.855	10	2.0	4.0	200	K/A	A	K	BAV99W-FDICT-ND◊	2.54	17.88	81.27	BAV99W-FDITR-ND◊	3,000	72.81/M
	75	2.5	75	.855	10	2.0	4.0	200	A	K	K	BAW56WDICT-ND	2.86	20.12	91.43	BAW56WDITR-ND	3,000	82.12/M
	75	2.5	75	.855	10	2.0	4.0	200	A	K	K	BAW56W-FDICT-ND◊	2.86	20.12	91.43	BAW56W-FDITR-ND◊	3,000	82.12/M
	75	2.5	75	1.0	100	2.0	4.0	200	K	A	—	MMBD4148WDICT-ND	2.79	19.37	85.68	MMBD4148WDITR-ND	3,000	74.50/M
	80	50	75	1.0	100	3.5	4.0	200	K	A	—	MMBD4448HWDICT-ND	2.79	19.37	85.68	MMBD4448HWDITR-ND	3,000	74.50/M
	75	2.5	75	1.0	100	4.0	4.0	200	K	A	—	MMBD4448WDICT-ND	2.79	19.37	85.68	MMBD4448WDITR-ND	3,000	74.50/M
3	85	2.0	75	1.0	50	1.5	4.0	150	K/A	A	A	BAV70TDICT-ND	2.23	15.41	68.15	BAV70TDITR-ND	3,000	59.27/M
	85	2.0	75	1.0	50	1.5	4.0	150	A/K	A	K	BAV99TDICT-ND	2.54	17.61	77.89	BAV99TDITR-ND	3,000	67.73/M
	85	.005	75	1.0	10	—	3.0§	150	K	A	A	BAV170TDICT-ND	2.65	18.63	84.66	BAV170TDITR-ND	3,000	76.20/M
	85	.005	75	1.0	10	—	3.0§	150	A/K	A	K	BAV199TDICT-ND	2.65	18.63	84.66	BAV199TDITR-ND	3,000	76.20/M
	85	2.0	75	1.0	50	1.5	4.0	150	A	K	K	BAW56TDICT-ND	2.38	16.76	76.19	BAW56TDITR-ND	3,000	68.58/M
	85	.005	75	1.0	10	—	3.0§	150	A	K	K	BAW156TDICT-ND	2.65	18.63	84.66	BAW156TDITR-ND	3,000	76.20/M
	80	0.1	70	1.0	100	3.5	4.0	150	A	K	K	MMBD4448HTADICT-ND	2.23	15.41	68.15	MMBD4448HTADITR-ND	3,000	59.27/M
	200	100	—	1.0	100	5.0	50	150	K	A	—	BAS21TDICT-ND	2.65	18.63	84.66	BAS21TDITR-ND	3,000	76.20/M
	200	0.1	—	1.0	100	5.0	50	150	K	A	—	BAS21T-FDICT-ND◊	2.65	18.63	84.66	BAS21T-FDITR-ND◊	3,000	76.20/M
	85	85	85	1.0	10	—	3.0§	150	K	A	—	BAS116TDICT-ND	2.38	16.76	76.19	BAS116TDITR-ND	3,000	68.58/M
	80	50	75	1.0	100	3.5	4.0	150	K	A	—	MMBD4448HTDICT-ND	2.23	15.41	68.15	MMBD4448HTDITR-ND	3,000	59.27/M
4	80	50	75	.855	10	3.5	4.0	150	—	—	—	MMBD4448VDICT-ND	2.54	18.29	91.43	MMBD4448VDITR-ND	3,000	86.36/M
	75	50	75	.855	10	2.0	4.0	150	—	—	—	BAS16VDICT-ND	2.54	18.29	91.43	BAS16VDITR-ND	3,000	86.36/M

§ Rückwärts-Erholzeit in µs ◊ Bleifrei/RoHS-konform

Abb.	Spitzen-rückfluss-spannung (VRRM)(V)	Max. Rückstrom IR (µA)	Max. Rückstrom VR (V)	Max. Durchlass-spannung @ VF (V)	Max. Durchlass-spannung @ IF (mA)	Max. Kapazität C. (pF)	Max. Rückwärts-Erholzeit Trr(nS)	Verlust-leistung Pd (mW)	Digi-Key Teilenr.	Gurtabschnittspreise 10	Gurtabschnittspreise 100	Gurtabschnittspreise 1.000	Digi-Key Teilenr.	Gegurtet auf Rolle Größe	Gegurtet auf Rolle Preisangaben
5	75	2.5	75	1.0	50	4.0	4.0	200	MMBD4448DWDICT-ND†	2.65	18.63	84.66	MMBD4448DWDITR-ND†	3,000	76.20/M
	75	2.5	75	1.0	50	4.0	4.0	200	MMBD4448DW-FDICT-ND†◊	2.65	18.63	84.66	MMBD4448DW-FDITR-ND†◊	3,000	76.20/M
6	75	5.0	75	1.0	10	4.0	4.0	500	1N4148DICT-ND	1.02	5.71	20.64	1N4148DITR-ND	10,000	12.70/M
7	75	5.0	75	1.0	10	4.0	4.0	500	LL4148DICT-ND	1.69	11.01	45.72	LL4148DITR-ND	10,000	28.79/M
	75	5.0	75	1.0	100	4.0	4.0	500	LL4448DICT-ND	1.69	11.01	45.72	LL4448DITR-ND	2,500	39.80/M
8	75	2.5	75	.855	10	2.0	4.0	400	1N4148WDICT-ND	2.54	17.61	77.89	1N4148WDITR-ND	3,000	67.73/M
	75	2.5	75	.855	10	4.0	4.0	400	1N4448WDICT-ND	2.54	17.61	77.89	—	—	—
	75	2.5	75	.855	10	4.0	4.0	400	1N4448W-FDICT-ND◊	2.54	17.61	77.89	1N4448W-FDITR-ND◊	3,000	67.73/M

† Doppeltisoliert, einfach § Rückwärts-Erholzeit in µs ◊ Bleifrei/RoHS-konform

(Forts.)

Alle Preisangaben in Euro und inklusive Zollgebühren.

Abb.	Spitzen-rückfluss-spannung (VRRM)(V)	Max. Rückstrom IR (µA)	Max. Rückstrom VR (V)	Max. Durchlass-spannung @ VF (V)	Max. Durchlass-spannung @ IF (mA)	Max. Kapazität C. (pF)	Max. Rückwärts-Erholzeit Trr (nS)	Verlust-leistung Pd (mW)	Digi-Key Teilenr.	Gurtabschnittspreise 10	100	1.000	Digi-Key Teilenr.	Gegurtet auf Rolle Größe	Preisangaben
8	75	1.0	75	1.0	50	2.0	4.0	400	BAV16WDICT-ND	2.54	17.61	—	—	—	—
	75	1.0	75	1.0	50	2.0	4.0	400	BAV16W-FDICT-ND◊	2.54	17.61	77.89	BAV16W-FDITR-ND◊	3,000	67.73/M
	100	0.1	120	1.0	100	5.0	50	250	BAV19WDICT-ND	2.65	18.63	84.66	BAV19WDITR-ND	3,000	76.20/M
	100	0.1	120	1.0	100	5.0	50	250	BAV19W-FDICT-ND◊	2.65	18.63	84.66	BAV19W-FDITR-ND◊	3,000	76.20/M
	150	0.1	150	1.0	100	5.0	50	250	BAV20WDICT-ND	2.65	18.63	84.66	BAV20WDITR-ND	3,000	76.20/M
	200	0.1	250	1.0	100	5.0	50	250	BAV21WDICT-ND	2.65	18.63	84.66	BAV21WDITR-ND	3,000	76.20/M
	200	0.1	250	1.0	100	5.0	50	250	BAV21W-FDICT-ND◊	2.65	18.63	84.66	BAV21W-FDITR-ND◊	3,000	76.20/M
	130	0.005	75	1.0	10	5.0	3.0§	250	BAV116WDICT-ND	2.38	16.76	76.19	BAV116WDITR-ND	3,000	68.58/M
	130	0.005	75	1.0	10	5.0	3.0§	250	BAV116W-FDICT-ND◊	2.38	16.76	76.19	BAV116W-FDITR-ND◊	3,000	68.58/M
9	300	100	240	1.0	100	5.0	50	400	BAV3004WDICT-ND	3.05	22.86	121.91	BAV3004WDITR-ND	3,000	114.29/M
	80	5.0	75	.855	10	3.5	4.0	200	1N4448HWSDICT-ND	2.54	17.61	77.89	1N4448HWSDITR-ND	3,000	67.73/M
	75	1.0	75	.855	10	2.0	4.0	200	1N4148WSDICT-ND	2.54	17.61	77.89	1N4148WSDITR-ND	3,000	67.73/M
	75	2.5	75	1.0	100	4.0	4.0	200	1N4448WSDICT-ND	2.54	17.61	77.89	1N4448WSDITR-ND	3,000	67.73/M
	75	1.0	75	1.0	50	2.0	4.0	200	BAV16WSDICT-ND	2.54	17.61	77.89	BAV16WSDITR-ND	3,000	67.73/M
	75	1.0	75	1.0	50	2.0	4.0	200	BAV16WS-FDICT-ND◊	2.54	17.61	77.89	BAV16WS-FDITR-ND◊	3,000	67.73/M
	100	0.1	120	1.0	100	5.0	50	200	BAV19WSDICT-ND	2.54	18.29	91.43	BAV19WSDITR-ND	3,000	86.36/M
	100	0.1	120	1.0	100	5.0	50	200	BAV19WS-FDICT-ND◊	2.54	18.29	91.43	BAV19WS-FDITR-ND◊	3,000	86.36/M
	150	0.1	150	1.0	100	5.0	50	200	BAV20WSDICT-ND	2.54	18.29	91.43	BAV20WSDITR-ND	3,000	86.36/M
	150	0.1	150	1.0	100	5.0	50	200	BAV20WS-FDICT-ND◊	2.54	18.29	91.43	BAV20WS-FDITR-ND◊	3,000	86.36/M
	200	0.1	250	1.0	100	5.0	50	200	BAV21WS-FDICT-ND◊	2.54	18.29	91.43	BAV21WS-FDITR-ND◊	3,000	86.36/M
10	80	0.1	80	1.0	100	3.0	4.0	150	1N4448HWTDICT-ND	2.38	16.76	76.19	—	—	—
	80	0.1	80	1.0	100	3.0	4.0	150	1N4448HWT-FDICT-ND◊	2.38	16.76	76.19	1N4448HWT-FDITR-ND◊	3,000	68.58/M
	80	1	80	1.0	50	2.0	4.0	150	1N4148WTDICT-ND	2.38	16.76	76.19	1N4148WTDITR-ND	3,000	68.58/M

† Doppeltisoliert, einfach § Rückwärts-Erholzeit in µs ◊ Bleifrei/RoHS-konform

B

Ultraschnell schaltende Gleichrichter

Betriebstemperatur: -65 °C ~ 150 °C

Abb. 1 — DO-41

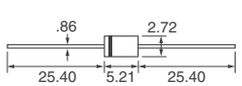

Abb. 2 — SMA

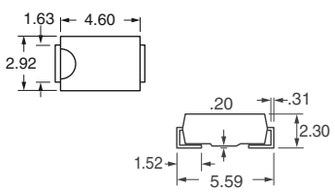

Abb. 3 — SMB

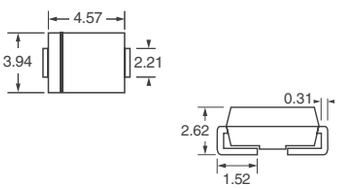

Abb. 4 — SMC

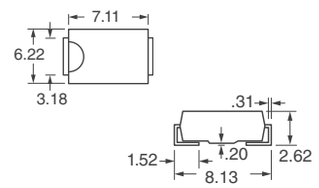

Abb.	Paket	Max. Durchschn. Richtstrom (A)	Max. Spitzen-rückfluss-spannung (V)	Max. Über-spannungs-strom 8,3 ms (A)	Max. Rückstrom @ 25 °C (µA)	Max. Spitzen-durchlass-spannung (V)	Max. Rückwärts-Erholzeit (nS)	Digi-Key Teilenr.	Gurtabschnittspreis pro Stück 1	10	100	Digi-Key Teilenr.	Gegurtet auf Rolle Größe	Preisangaben
1	DO41	1.0	50	30	5.0	1.0	50	UF1001DICT-ND	.38	.27	.19	UF1001DITR-ND	5,000	62.65/M
			100	30	5.0	1.0	50	UF1002DICT-ND	.33	.25	.18	UF1002DITR-ND	5,000	66.04/M
			200	30	5.0	1.0	50	UF1003DICT-ND	.36	.27	.19	UF1003DITR-ND	5,000	73.66/M
			400	30	5.0	1.3	50	UF1004DICT-ND	.42	.32	.22	UF1004DITR-ND	5,000	84.66/M
			600	30	5.0	1.7	75	UF1005DICT-ND	.37	.29	.21	UF1005DITR-ND	5,000	92.28/M
			800	30	5.0	1.7	75	UF1006DICT-ND	.44	.34	.25	UF1006DITR-ND	5,000	108.37/M
			1000	30	5.0	1.7	75	UF1007DICT-ND	.41	.33	.25	UF1007DITR-ND	5,000	112.60/M
2	SMA	1.0	50	30	5.0	0.9	25	ES1ADICT-ND	.58	.46	.35	—	—	—
			50	30	5.0	0.9	25	ES1A-FDICT-ND◊	.58	.46	.35	ES1A-FDITR-ND◊	5,000	160.01/M
			100	30	2.0	0.9	25	ES1BDICT-ND	.59	.48	.36	ES1BDITR-ND	5,000	165.94/M
			150	30	5.0	0.98	20	ES1CDICT-ND	.62	.50	.37	ES1CDITR-ND	5,000	171.86/M
			200	30	2.0	0.9	25	ES1DDICT-ND	.51	.41	.31	ES1DDITR-ND	5,000	161.70/M
			50	30	5.0	1.0	50	US1ADICT-ND	.47	.38	.28	US1ADITR-ND	5,000	130.38/M
			100	30	5.0	1.0	50	US1BDICT-ND	.51	.41	.31	US1BDITR-ND	5,000	142.23/M
			200	30	5.0	1.0	50	US1DDICT-ND	.55	.44	.34	US1DDITR-ND	5,000	154.09/M
			400	30	5.0	1.3	50	US1GDICT-ND	.59	.48	.36	US1GDITR-ND	5,000	165.94/M
			600	30	5.0	1.7	75	US1JDICT-ND	.51	.41	.31	US1JDITR-ND	5,000	161.70/M
			800	30	5.0	1.7	75	US1KDICT-ND	.54	.44	.33	—	—	—
			1000	30	5.0	1.7	75	US1MDICT-ND	.58	.47	.35	US1MDITR-ND	5,000	183.72/M
		2.0	50	50	5.0	0.92	25	ES2AADICT-ND	.54	.44	.33	ES2AADITR-ND	5,000	172.71/M
			100	50	5.0	0.92	25	ES2BADICT-ND	.58	.47	.35	—	—	—
			200	50	5.0	0.92	25	ES2DADICT-ND	.64	.52	.39	ES2DADITR-ND	5,000	204.88/M
			200	50	5.0	0.92	25	ES2DA-FDICT-ND◊	.73	.58	.44	ES2DA-FDITR-ND◊	5,000	217.58/M
3	SMB	1.0	200	40	2.0	0.875	25	MURS120DICT-ND	.51	.41	.31	MURS120DITR-ND	3,000	169.32/M
			400	35	5.0	1.25	50	MURS140DICT-ND	.51	.41	.31	MURS140DITR-ND	3,000	169.32/M
			600	35	5.0	1.25	50	MURS160DICT-ND	.54	.44	.33	MURS160DITR-ND	3,000	180.33/M
		2.0	50	50	5.0	0.9	25	ES2ADICT-ND	.54	.44	.33	ES2ADITR-ND	3,000	180.33/M
			100	50	5.0	0.9	25	ES2BDICT-ND	.58	.47	.35	—	—	—
			150	50	5.0	0.9	25	ES2CDICT-ND	.61	.49	.37	ES2CDITR-ND	3,000	202.34/M
			200	50	5.0	0.9	25	ES2DDICT-ND	.64	.52	.39	—	—	—
		3.0	50	100	10	0.9	25	ES3ABDICT-ND	.75	.60	.46	ES3ABDITR-ND	3,000	297.16/M
			100	100	10	0.9	25	ES3BBDICT-ND	.71	.57	.44	ES3BBDITR-ND	3,000	281.07/M
			150	100	10	0.9	25	ES3CBDICT-ND	.75	.60	.46	—	—	—
			200	100	10	0.9	25	ES3DBDICT-ND	.90	.71	.55	ES3DBDITR-ND	3,000	352.19/M
4	SMC	3.0	50	100	10	0.9	25	ES3ADICT-ND	.75	.60	.46	ES3ADITR-ND	3,000	297.16/M
			100	100	10	0.9	25	ES3BDICT-ND	.71	.57	.44	—	—	—
			100	100	10	0.9	25	ES3B-FDICT-ND◊	.81	.71	.54	ES3B-FDITR-ND◊	3,000	287.00/M
			150	100	10	0.9	25	ES3CDICT-ND	.75	.60	.46	—	—	—
			200	100	10	0.9	25	ES3DDICT-ND	.90	.71	.55	ES3DDITR-ND	3,000	352.19/M

◊ Bleifrei/RoHS-konform

Alternistor-Triacs, 8 bis 40 A

Allgemeine Beschreibung: Der Alternistor-Triac von Teccor wurde speziell für Anwendungen entwickelt, die hoch induktive Lasten schalten müssen. Dazu wurde ein Chip konstruiert, der effektiv dieselbe Leistung wie zwei gegenparallel verdrahtete (gegengeschaltete) Thyristoren (SCRs) bietet; daher hat der Alternistor ein besseres Abschaltverhalten als ein Standard-Triac. Alle Alternistoren haben glaspassivierte Sperrschichten, um eine langfristige Zuverlässigkeit und Parameterstabilität zu gewährleisten.

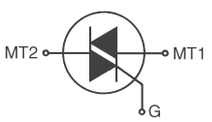

TO-220AB - isoliert

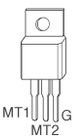

TO-218X

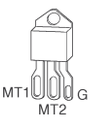

TO-218AC

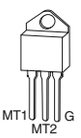

TO-220AB - nicht isoliert

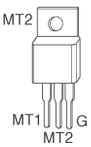

D2-PAK

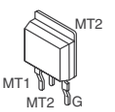

TO-251 V-PAK

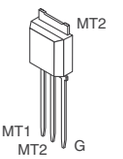

TO-252 D-PAK

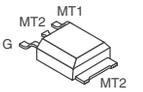

Paket	$I_{T\ RMS}$ (A)	V_{DRM} (V)	I_{GT} (mA)	Digi-Key Teilenr.	Stückpreis 1	10	100	Gegurtet auf Rolle† Größe	Preisangaben
Isoliert									
TO-220AB	8	400	35	Q4008LH4-ND	1.07	.95	.86	—	—
		600		Q6008LH4-ND	1.19	1.05	.95	—	—
		800		Q8008LH4-ND	1.41	1.26	1.13	—	—
TO-220AB	12	400	50	Q4012LH5-ND	1.24	1.11	1.00	—	—
		600		Q6012LH5-ND	1.37	1.22	1.10	—	—
		800		Q8012LH5-ND	1.64	1.46	1.32	—	—
TO-220AB	15	800	80	Q8015L6-ND‡	2.35	2.09	1.88	—	—
TO-220AB	16	400	20	Q4016LH3-ND	1.52	1.36	1.22	—	—
		600		Q6016LH3-ND	1.69	1.51	1.36	—	—
		200	35	Q2016LH4-ND	1.34	1.19	1.07	—	—
		600		Q6016LH4-ND	1.64	1.46	1.32	—	—
		800		Q8016LH4-ND	1.95	1.73	1.56	—	—
		400	80	Q4016LH6-ND	1.39	1.24	1.12	—	—
		600		Q6016LH6-ND	1.54	1.38	1.24	—	—
		800		Q8016LH6-ND	1.83	1.63	1.47	—	—
TO-220AB	25	200	80	Q2025L6-ND	1.87	1.66	1.50	—	—
		400		Q4025L6-ND	2.06	1.83	1.65	—	—
		600		Q6025L6-ND	2.29	2.04	1.83	—	—
		800		Q8025L6-ND	2.73	2.43	2.18	—	—
TO-218AC	25	200	80	Q2025K6-ND	3.66	3.25	2.93	—	—
		800		Q8025K6-ND	5.32	4.73	4.26	—	—
TO-218X	25	400	80	Q4025J6-ND	4.44	3.95	3.56	—	—
		600		Q6025J6-ND	4.94	4.39	3.96	—	—
		800		Q8025J6-ND	5.85	5.20	4.68	—	—
TO-220AB	30	600	50	Q6030LH5-ND	2.53	2.26	2.03	—	—
TO-218X	40	200	100	Q2040J7-ND	5.39	4.80	4.32	—	—
		400		Q4040J7-ND	5.93	5.27	4.74	—	—
		600		Q6040J7-ND	6.57	5.85	5.26	—	—
		800		Q8040J7-ND	7.81	6.95	6.25	—	—
TO-218AC	40	200	100	Q2040K7-ND	4.88	4.34	3.91	—	—
		400		Q4040K7-ND	5.38	4.78	4.30	—	—
		600		Q6040K7-ND	5.94	5.29	4.76	—	—
		800		Q8040K7-ND	7.07	6.29	5.66	—	—

Paket	$I_{T\ RMS}$ (A)	V_{DRM} (V)	I_{GT} (mA)	Digi-Key Teilenr.	Stückpreis 1	10	100	Gegurtet auf Rolle† Größe	Preisangaben
Nicht isoliert									
TO-251 V-PAK	6	600	10	Q6006VH3-ND	.82	.73	.66	—	—
TO-251 V-PAK	8	400	10	Q4008VH3-ND	.76	.68	.61	—	—
D2-PAK	8	400	35	Q4008NH4RPCT-ND*	1.91	1.58	1.33	500	417.37
		600		Q6008NH4RPCT-ND*	2.12	1.74	1.47	500	460.55
		800		Q8008NH4RPCT-ND*	2.51	2.06	1.74	500	546.90
TO-252 D-PAK	8	600	10	Q6008DH3RPCT-ND*	.83	.74	.67	2500	1451.92
D2-PAK	12	400	50	Q4012NH5RPCT-ND*	2.21	1.82	1.54	500	482.14
		600		Q6012NH5RPCT-ND*	2.45	2.01	1.70	500	532.51
		800		Q8012NH5RPCT-ND*	2.90	2.39	2.02	500	633.26
TO-220AB	15	400	80	Q4015R6-ND‡	2.18	1.93	1.74	—	—
		600		Q6015R6-ND‡	1.74	1.55	1.39	—	—
		800		Q8015R6-ND‡	2.06	1.83	1.65	—	—
		200	125	Q2015R9-ND	1.85	1.65	1.48	—	—
TO-220AB	16	600	20	Q6016RH3-ND	1.52	1.36	1.22	—	—
		400	35	Q4016RH4-ND	1.34	1.19	1.07	—	—
		200	80	Q2016RH6-ND	1.14	1.02	.92	—	—
		600		Q6016RH6-ND	1.39	1.24	1.12	—	—
		800		Q8016RH6-ND	1.64	1.46	1.32	—	—
D2-PAK	16	400	20	Q4016NH3RPCT-ND*	2.71	2.23	1.88	500	590.08
		600		Q6016NH3RPCT-ND*	3.01	2.47	2.09	500	654.85
		800		Q8016NH3RPCT-ND*	3.60	2.96	2.50	500	784.37
		400	35	Q4016NH4RPCT-ND*	2.61	2.14	1.81	500	568.49
		600		Q6016NH4RPCT-ND*	2.90	2.39	2.02	500	633.26
		800		Q8016NH4RPCT-ND*	3.47	2.85	2.41	500	755.59
		400	80	Q4016NH6RPCT-ND*	2.48	2.04	1.72	500	539.71
		600		Q6016NH6RPCT-ND*	2.74	2.25	1.90	500	597.28
		800		Q8016NH6RPCT-ND*	3.27	2.69	2.27	500	712.41
TO-220AB	25	600	125	Q6025R9-ND	4.50	4.00	3.60	—	—
		200	80	Q2025R6-ND	1.68	1.49	1.35	—	—
		400		Q4025R6-ND	1.85	1.65	1.48	—	—
		600		Q6025R6-ND	2.06	1.83	1.65	—	—
		800		Q8025R6-ND	2.44	2.17	1.96	—	—
D2-PAK	25	400	80	Q4025NH6RPCT-ND*	3.67	3.01	2.54	500	798.77
		600		Q6025NH6RPCT-ND*	4.06	3.34	2.82	500	885.12
		800		Q8025NH6RPCT-ND*	4.82	3.96	3.34	500	1050.63
D2-PAK	35	600	50	Q6035NH5RPCT-ND*	4.92	4.04	3.41	—	—

‡ Nicht für Neukonstruktionen empfohlen * Gurtabschnitt † Für Gegurtet auf Rolle die Teilenummer CT-ND in TR-ND ändern

Alle Preisangaben in Euro und inklusive Zollgebühren.

Logik-Triacs (1,0-8,0 A) und Gate-gesteuerte Triacs (1-25 A)

$I_{T\ RMS}$ (A)	V_{DRM} (V)	Paket	I_{GT} (mA)	IDRM @25°C (mA)	PG (AV) (W)	t_{gt} (µsec.)	Digi-Key Teilenr.	Stückpreis 1	Stückpreis 10	Stückpreis 100	Gegurtet auf Rolle† Größe	Gegurtet auf Rolle† Preisangaben
Logik-Triacs (1,0-8,0 A), isoliert												
1.0	200	TO-92	3	.01	0.2	2.5	L201E3-ND	.55	.50	.45	—	—
	400						L401E3-ND	.59	.53	.48	—	—
	600						L601E3-ND	.67	.60	.54	—	—
	200	TO-92	5	.01	0.2	2.5	L201E5-ND	.53	.48	.43	—	—
	400						L401E5-ND	.55	.50	.45	—	—
	600						L601E5-ND	.63	.56	.51	—	—
4.0	200	TO-220AB	3	.01	0.3	2.5	L2004L3-ND	.99	.88	.80	—	—
	400						L4004L3-ND	1.03	.92	.83	—	—
	600						L6004L3-ND	1.19	1.05	.95	—	—
8.0	200	TO-220AB	5	.02	0.4	2.5	L2008L6-ND	1.07	.95	.86	—	—
	400			.02			L4008L6-ND	1.13	1.00	.90	—	—
	600			.02			L6008L6-ND	1.28	1.14	1.03	—	—
Logik-Triacs (1,0-8,0 A), nicht isoliert												
4.0	200	TO-202AB	3	.01	0.3	2.5	L2004F31-ND	.78	.70	.63	—	—
	400			.01			L4004F31-ND	.82	.73	.66	—	—
	600			.01			L6004F31-ND	.93	.83	.75	—	—
	200	TO-202AB	5	.01	0.3	2.5	L2004F51-ND	.75	.66	.60	—	—
	400			.01			L4004F51-ND	.78	.70	.63	—	—
	600			.01			L6004F51-ND	.90	.80	.72	—	—
	400	TO-251AA	3	.01	0.3	2.8	L4004V3-ND	.70	.63	.57	—	—
	600						L6004V3-ND	.80	.72	.64	—	—
	400	TO-251AA	5	.01	0.3	3.0	L4004V5-ND	.67	.60	.54	—	—
	600						L6004V5-ND	.76	.68	.61	—	—
	400	TO-252AA	3	.01	0.3	2.8	L4004D3CT-ND*	1.25	1.03	.87	2,500	546.91/M
	600						L6004D3CT-ND*	1.42	1.17	.99	2,500	618.87/M
	400	TO-252AA	5	.01	0.3	3.0	L4004D5CT-ND*	1.19	.98	.83	2,500	518.12/M
	600						L6004D5CT-ND*	1.35	1.12	.94	2,500	590.08/M
6.0	400	TO-252AA	5	.02	0.4	3.0	L4006D5CT-ND*	1.32	1.09	.92	2,500	575.69/M
	600						L6006D5CT-ND*	1.49	1.22	1.03	2,500	647.65/M
8.0	400	TO-252AA	5	.02	0.4	3.0	L4008D6CT-ND*	1.35	1.12	.94	2,500	590.08/M
	600						L6008D6CT-ND*	1.55	1.28	1.08	2,500	676.44/M
Gate-gesteuerte Triacs (1,0-35 A), isoliert												
1.0	200	TO-92	10	.02	0.2	2.5	Q201E3-ND	.47	.43	.39	—	—
	400						Q401E3-ND	.53	.48	.43	—	—
	600						Q601E3-ND	.63	.56	.51	—	—
4.0	200	TO-220AB	10	.05	0.3	2.5	Q2004L3-ND	.82	.73	.66	—	—
	400						Q4004L3-ND	.90	.80	.72	—	—
	600						Q6004L3-ND	1.07	.95	.86	—	—
8.0	200	TO-220AB	25	.05	0.5	3.0	Q2008L4-ND	.97	.87	.78	—	—
	400		25				Q4008L4-ND	1.07	.95	.86	—	—
	600		50				Q6008L5-ND	1.19	1.05	.95	—	—
10.0	200	TO-220AB	50	.05	0.5	3.0	Q2010L5-ND	1.05	.94	.84	—	—
	400		50	.05			Q4010L5-ND	1.16	1.04	.93	—	—
	400		25	.05			Q4010L4-ND	1.22	1.09	.98	—	—
	600		50	.05			Q6010L5-ND	1.37	1.22	1.10	—	—
	600		25	.05			Q6010L4-ND	1.45	1.29	1.16	—	—
	800		25	.01			Q8010L4-ND	1.68	1.49	1.35	—	—
15.0	200	TO-220AB	50	.05	0.5	4.0	Q2015L5-ND	1.26	1.12	1.01	—	—
	400						Q4015L5-ND	1.39	1.24	1.12	—	—
	600						Q6015L5-ND	1.64	1.46	1.32	—	—
25	600	TO-3	50				Q6025P5-ND	6.60	5.86	5.28	—	—
35	600						Q6035P5-ND	6.60	5.86	5.28	—	—
Gate-gesteuerte Triacs (1,0-15 A), nicht isoliert												
4.0	200	TO-202AB	10	.05	0.3	2.5	Q2004F31-ND	.65	.58	.52	—	—
	400						Q4004F31-ND	.70	.63	.57	—	—
	600						Q6004F31-ND	.84	.75	.68	—	—
	400	TO-251AA	10	.05	0.3	2.5	Q4004V3-ND	.65	.58	.52	—	—
	600						Q6004V3-ND	.76	.68	.61	—	—
	400	TO-252AA	10	.05	0.3	2.5	Q4004D3CT-ND*	1.19	.98	.83	2,500	518.12/M
	600						Q6004D3CT-ND*	1.42	1.17	.99	2,500	618.87/M
6.0	400	D2-PAK	25	.05	0.5	3.0	Q4006N4RPCT-ND*	1.75	1.44	1.22	500	381.39
	600		50				Q6006N5RPCT-ND*	1.95	1.60	1.35	500	424.57
	800		50				Q8006N5RPCT-ND*	2.24	1.85	1.56	500	489.33
8.0	400	TO-220AB	25	.05	0.5	3.0	Q4008R4-ND	.97	.87	.78	—	—
	600		50				Q6008R5-ND	1.08	.97	.87	—	—
	200	TO-202AB	25	.05	0.5	3.0	Q2008F41-ND	.76	.68	.61	—	—
	400	D2-PAK	25	.05	0.5	3.0	Q4008N4RPCT-ND*	1.88	1.55	1.31	—	—
	600		50	.05	0.5	3.0	Q6008N5RPCT-ND*	2.12	1.74	1.47	500	460.55
	800		50				Q8008N5RPCT-ND*	2.45	2.01	1.70	500	532.51
10.0	400	TO-220AB	50	.05	0.5	3.0	Q4010R5-ND	1.07	.95	.86	—	—
	400		25				Q4010R4-ND	1.13	1.00	.90	—	—
	600		50				Q6010R5-ND	1.26	1.12	1.01	—	—
	600		25				Q6010R4-ND	1.34	1.19	1.07	—	—
	800		25				Q8010R4-ND	1.54	1.38	1.24	—	—
	400	D2-PAK	25	.05	0.5	3.0	Q4010N4RPCT-ND*	2.18	1.79	1.51	500	474.94
	400		50	.05			Q4010N5RPCT-ND*	2.05	1.68	1.42	500	446.16
	600		25	.05			Q6010N4RPCT-ND*	2.57	2.12	1.79	500	561.30
	600		50	.05			Q6010N5RPCT-ND*	2.45	2.01	1.70	500	532.51
	800		25	.1			Q8010N4RPCT-ND*	2.97	2.44	2.06	500	647.65
	800		50	.1			Q8010N5RPCT-ND*	2.81	2.31	1.95	500	611.67
15.0	200	TO-220AB	50	.05	0.5	4.0	Q2015R5-ND	1.16	1.04	.93	—	—
	400						Q4015R5-ND	1.28	1.14	1.03	—	—
	600						Q6015R5-ND	1.52	1.36	1.22	—	—
	600	D2-PAK	50	.05	0.5	4.0	Q6015N5RPCT-ND*	2.90	2.39	2.02	500	633.26
	800			.1			Q8015N5RPCT-ND*	3.37	2.77	2.34	500	734.00
25.0	400	D2-PAK	50	.1	0.5	4.0	Q4025N5RPCT-ND*	3.17	2.61	2.20	500	690.83
	600						Q6025N5RPCT-ND*	3.73	3.07	2.59	500	813.16
	800						Q8025N5RPCT-ND*	4.29	3.53	2.98	500	935.49

ISOLIERT

Kunststoff TO-92

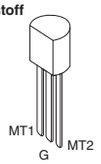

Thermotab TO-220AB

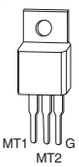

TO-3-Basis / FASTPAK

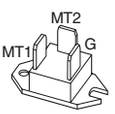

NICHT ISOLIERT

TO-202AB

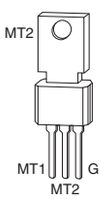

TO-220AB

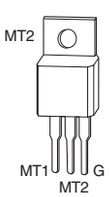

TO-251AA

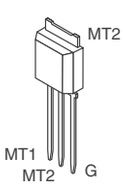

SMT TO-252AA

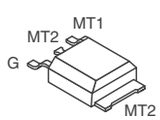

D2 PAK

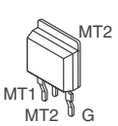

* Gurtabschnitt † Für Gegurtet auf Rolle Teilenummer CT-ND in TR-ND ändern

Triacs, Oberflächenmontage (0,8-1,0 A)

$I_{T\ RMS}$ (A)	V_{DRM} (V)	I_{GT} (mA)	I_{DRM} @25°C (mA)	V_{TM} @25°C (V)	V_{GT} @25°C (V)	I_H (mA)	Digi-Key Teilenr.	Gurtabschnittspreis pro Stück 1	10	100	Digi-Key Teilenr.	Gegurtet auf Rolle 2.500
Triacs, Oberflächenmontage												
0.8	400	10	0.02	1.6	2.0	15.0	Q4X3CT-ND	.86	.71	.60	Q4X3TR-ND	374.20/M
0.8	600						Q6X3CT-ND	1.02	.84	.71	Q6X3TR-ND	446.16/M
1.0	400						Q4N3CT-ND	1.02	.84	.71	Q4N3TR-ND	446.16/M
1.0	600						Q6N3CT-ND	1.22	1.01	.85	Q6N3TR-ND	532.52/M
Triacs, Sensitive Gate, Oberflächenmontage												
0.8	400	3	0.01	1.6	2.0	5.0	L4X3CT-ND	1.02	.84	.71	L4X3TR-ND	446.16/M
	600	3				5.0	L6X3CT-ND	1.01	.80	.77	L6X3TR-ND	518.12/M
	400	5				10.0	L4X5CT-ND	.99	.82	.69	L4X5TR-ND	431.77/M

COMPAK

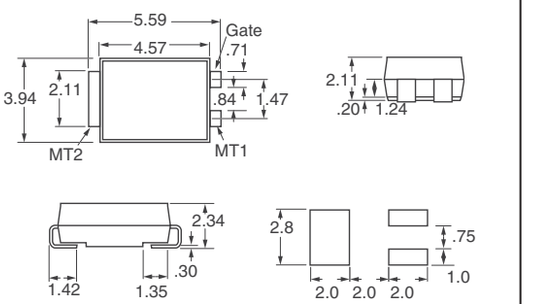

B

Bilateral-Trigger-Diacs, Serie HT und ST

Allgemeine Beschreibung: Der Diac-Halbleiter ist ein Vollwellen- oder bidirektionaler Thyristor. Er wird für jede Polarität der angelegten Spannung vom Zustand Sperren-zu-Leiten ausgelöst, wenn die Amplitude der angelegten Spannung die Kippnennspannung des Diac überschreitet.
Die Diac-Produktgruppe verfügt über glaspassivierte Sperrschichten, um eine langfristige Bauelementzuverlässigkeit und Parameterstabilität zu gewährleisten. Glas bietet eine robuste, zuverlässige Barriere gegen die Kontamination von Sperrschichten.

Spezifikationen: • Maximale Nennleistungen, Absolut-/Maximalwerte • Maximale Trigger-Zündkapazität – 0,1 µF; Bauelement-Verlustleistung (at T_A = -40 °C ~ 40 °C) – 250 mW; Leistungsminderung über 40 °C – 3,6 mW/°C • Temperaturbereiche: Lagerung -40 °C ~ 125 °C; Betriebstemp. (Sperrschicht) -40 °C ~ 125 °C • Wärmewiderstand: Sperrschicht zu Umgebung ($R_{()}$JA)= 278 °C/W; Sperrschicht zu Anschluss ($R_{()}$JL) = 100 °C/W • Basiert auf maximaler Anschlusstemperatur von 85 °C @ = 250 mW • I_{TRM}: max. (A) 2,0, $I_{(BO)}$ µA 25

DO-35

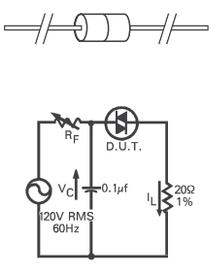

DO-214AA

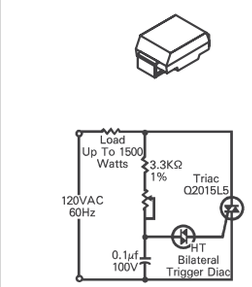

$V_{(BO)}$ (V) Min.	$V_{(BO)}$ (V) Max.	$V_{(BO)}$ Symmetrie (V) Max.	Dynamische Breakback-Spannung (V)	Digi-Key Teilenr.	Preisangaben 1	10	100	Gegurtet auf Rolle† Größe	Preisangaben
Serie HT — DO-35									
27	37	3	10	HT32-ND	.14	1.19	10.67	—	—
35	45	3	10	HT40-ND	.12	1.02	9.14	—	—
30	40	3	10	HT35-ND	.12	1.02	9.14	—	—
28	36	4	7	HT32A-ND	.15	1.35	12.19	—	—
30	34	2	7	HT32B-ND	.19	1.69	15.24	—	—
32	36	2	10	HT34B-ND	.19	1.69	15.24	—	—
32	40	4	7	HT36A-ND	.15	1.35	12.19	—	—
Serie ST — DO-214AA									
32	36	2	10	ST-34BCT-ND*	.73	5.96	50.29	2,500	298.01/M
30	40	3	10	ST-35CT-ND*	.47	3.79	32.00	2,500	201.50/M
32	40	2	7	ST-36ACT-ND*	.63	5.15	43.43	2,500	273.46/M
34	38	2	10	ST-36BCT-ND*	.73	5.96	50.29	2,500	316.63/M
35	45	3	10	ST-40CT-ND*	.47	3.79	32.00	2,500	201.50/M

* Gurtabschnitt † Für Gegurtet auf Rolle die Teilenummer CT-ND in TR-ND ändern.

Sidac

Allgemeine Beschreibung: Der Sidac ist ein bilateraler Silikon-Schalter mit Spannungstriggerung und umfassenderen Leistungsfunktionen als Standard-Diacs. Bei Anlegen einer den Sidac-Kippspannungspunkt überschreitenden Spannung schaltet sich der Sidac über einen negativen Widerstandsbereich auf eine niedrige Durchlassspannung ein. Das Bauelement bleibt leitend, bis der Strom unterbrochen wird oder unter den minimalen Haltestrom absinkt. **Anwendungen:** • Hochspannungslampen-Zündgeräte • Erdgaszündgeräte • Dieselölzündgeräte • Hochspannungs- Strorgungen • Xenon-Zündgeräte • Überspannungsschutzgeräte • Leuchtstofflampenzündgeräte für Impulsgeneratoren
• HID-Beleuchtungs-Zündgeräte **Merkmale:** • AC-schaltkreisorientiert • Glaspassivierte Sperrschichten• Hohe Stoßstromkapazität **Allgemeine Hinweise:** • Alle Messungen werden, soweit nicht anders angegeben, bei 60 Hz mit einer Ohmschen Belastung bei einer Umgebungstemperatur von 25 °C vorgenommen. • Lagertemperaturbereich (TS) ist -65 °C ~ 150 °C • Sperrschichttemperaturbereich (TJ) ist -40 °C ~ 110 °C • Löttemperatur ist max. 10 Sekunden lang bei max. 230 °C; ≥1/16" (1,59 mm) vom Gehäuse.

Abb.	Paket	$I_{T(RMS)}$ (A)	V_{DRM} (V)	V_{BO} Min.	V_{BO} Max.	I_{DRM} (µA)	I_{BO} (µA)	Digi-Key Teilenr.	Stückpreis 1	10	100	250	500	1.000
1	TO-92	1.0	±90	95	113	5	10	K1050E70-ND	.40	.36	.32	.27	.24	.23
			±90	104	118	5	10	K1100E70-ND	.42	.38	.34	.28	.25	.24
			±90	110	125	5	10	K1200E70-ND	.42	.38	.34	.28	.25	.24
			±90	120	138	5	10	K1300E70-ND	.42	.38	.34	.28	.25	.24
			±90	130	146	5	10	K1400E70-ND	.44	.39	.36	.30	.26	.25
			±90	140	170	5	10	K1500E70-ND	.44	.39	.36	.30	.26	.25
			±180	190	215	5	10	K2000E70-ND	.50	.44	.40	.34	.29	.28
			±180	205	230	5	10	K2200E70-ND	.50	.44	.40	.34	.29	.28
			±190	220	250	5	10	K2400E70-ND	.53	.48	.43	.36	.31	.30
			±190	240	280	5	10	K2500E70-ND	.53	.48	.43	.36	.31	.30
2	TO-202AB (Nicht isoliert)	1.0	±180	190	215	5	10	K2000F1-ND	.70	.63	.57	.47	.41	.40
			±180	205	230	5	10	K2200F1-ND	.70	.63	.57	.47	.41	.40
			±190	220	250	5	10	K2400F1-ND	.75	.66	.60	.50	.43	.42
			±190	240	280	5	10	K2500F1-ND	.75	.66	.60	.50	.43	.42
			±190	270	330	5	10	K3000F1-ND	.82	.73	.66	.55	.48	.46

Abb. 1

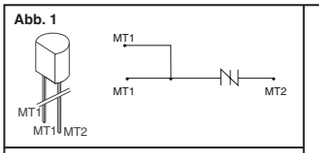

Abb. 2

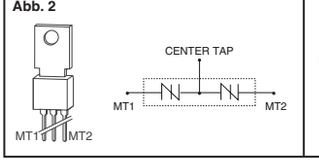

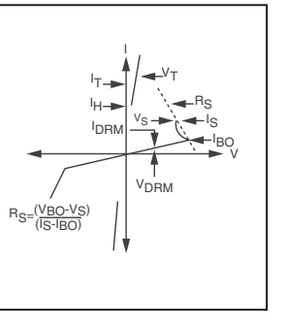

Silikon-Gleichrichter mit Glaspassivierung

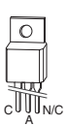

Paket	$I_{T\ RMS}$ (A)	V_{RRM} (V)	I_{FSM} (A)	V_{FM} (V)	Digi-Key Teilenr.	Stückpreis 1	10	100	250	500	1.000
TO-220AB (isoliert)	20	400	300	1.6	D4020L-ND	1.13	1.00	.90	.75	.65	.63
	20	600	300	1.6	D6020L-ND	1.19	1.05	.95	.79	.69	.66
	25	400	350	1.6	D4025L-ND	1.35	1.21	1.09	.91	.79	.76
	25	600	350	1.6	D6025L-ND	1.43	1.27	1.15	.96	.83	.80

SCRs, Sensitive Gate, Oberflächen-montage

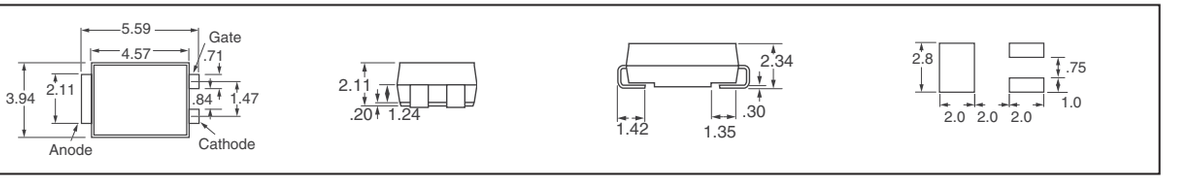

$I_{T\ RMS}$ (A)	V_{DRM} V_{RRM} (V)	Paket	I_{GT} (µA)	I_{DRM} I_{RRM} @25°C (µA)	V_{TM} @25°C (V)	V_{GT} @25°C (V)	I_H (mA)	Digi-Key Teilenr.	Gurtabschnittspreis pro Stück 1	10	100	250	Digi-Key Teilenr.	Gegurtet auf Rolle 2.500
0.8	200	COMPAK	200	2.0	1.7	0.8	5.0	S2SCT-ND	.66	.55	.46	.39	S2STR-ND	287.85/M
	400							S4SCT-ND	.73	.60	.51	.43	S4STR-ND	316.63/M
	600							S6SCT-ND	.92	.76	.64	.55	S6STR-ND	402.98/M
	200	COMPAK	50	2.0	1.7	0.8	5.0	S2S2CT-ND	.76	.63	.53	.45	S2S2TR-ND	331.02/M
	400							S4S2CT-ND	.83	.68	.58	.49	S4S2TR-ND	359.81/M
	600							S6S2CT-ND	1.02	.84	.71	.61	S6S2TR-ND	446.16/M

Alle Preisangaben in Euro und inklusive Zollgebühren.

SCRs, Sensitive Gate (0,8-10 A) und Non-Sensitive Gate (1-70 A)

Die Thyristor-SCR-Halbleiter bestehen aus unidirektionalen Halbwellen-Gleichrichtern mit Gate-Ansteuerung. Sensitive-Gate- als auch Non-Sensitive Gate-SCRs werden in 3 verschiedenen elektrisch isolierten Paketen und 5 nicht-isolierten Paketen angeboten. Elektrisch isolierte Pakete: Die elektrisch isolierten Pakete isolieren das Gehäuse oder die Fahne intern und ermöglichen somit die Verwendung von preisgünstigen Montage- und praktischen Verpackungstechniken. Teccor bietet eine elektrische Isolierung in den Paketen des Typs TO-92, TO-220AB und TO-218. Glaspassivierung: Die SCR-Produktgruppe verfügt über glaspassivierte Sperrschichten, um eine langfristige Bauelementzuverlässigkeit und Parameterstabilität zu gewährleisten. Glas bietet eine robuste, zuverlässige Barriere gegen die Kontamination von Sperrschichten.

Sensitive Gate-Typ:

Die Produktgruppe der Sensitive Gate-SCR-Halbleiter ergänzt die Produktgruppe der Leistungs-SCRs.

Merkmale: • Nennstrom: 0,8-10 A • Nennspannungen: 30-600 V • Gate-Empfindlichkeit: 12-500 µA • Stoßstrom: bis zu 100 A

Non-Sensitive Gate-Typ:

Die Produktgruppe der Thyristor SCR-Halbleiter ergänzt die Produktgruppe der Sensitive Gate-SCRs.

Merkmale: • Nennstrom: 1-70 A • Nennspannungen: 100-800 V • Gate-Empfindlichkeit: 10-50 mA • Stoßstrom: bis zu 950 A

Isoliert

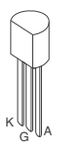

TO-92

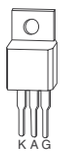

TO-220AB

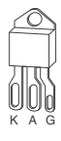

TO-218X

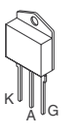

TO-218AC

Nicht isoliert

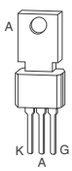

TO-202AB

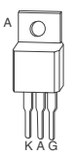

TO-220AB

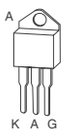

T0-218AC

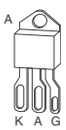

TO-218X

D-PAK
TO-252AA

V-PAK
TO-251AA

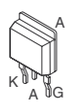

D2-PAK

I_T RMS (A)	V_{DRM} & V_{RRM} (V)	Paket	I_{GT} (mA) Min.	I_{GT} (mA) Max.	I_{DRM} & I_{RRM} @25°C (mA)	V_{TM} @25°C (V)	V_{GT} @25°C (V)	$P_{G(AV)}$ (W)	t_{gt} (µsec.)	Digi-Key Teilenr.	Stückpreis 1	Stückpreis 10	Stückpreis 100	Gegurtet auf Rolle† Größe	Gegurtet auf Rolle† Preisangaben
SCRs - Sensitive Gate (0,8-10,0 A) — isoliert															
.8	200	TO-92	—	.200	.001‡	1.7	0.8	0.1	2.2	2N5064-ND	.32	.29	.26	—	—
	200				.001				3.5	EC103B-ND	.27	.24	.22	—	—
	400				.001				3.5	EC103D-ND	.30	.28	.25	—	—
	600				.002				3.5	EC103M-ND	.36	.33	.29	—	—
1.5	100	TO-92	—	.200	.001	1.5	0.8	0.1	2.2	TCR22-3-ND	.40	.36	.32	—	—
	200				.001					TCR22-4-ND	.30	.28	.25	—	—
	400				.001					TCR22-6-ND	.36	.33	.29	—	—
	600				.002					TCR22-8-ND	.44	.39	.36	—	—
8.0	400	TO-220AB	—	.200	.005	1.6	0.8	0.1	2.2	S4008LS2-ND	.90	.80	.72	—	—
10.0	400	TO-220AB	—	.200	.005	1.6	0.8	0.1	2.2	S4010LS2-ND	.97	.87	.78	—	—
SCRs - Sensitive Gate (0,8-10,0 A) — nicht isoliert															
4.0	200	TO-202AB	—	.200	.002	2.2	0.8	0.1	2.2	T106B1-ND	.44	.39	.36	—	—
	400									T106D1-ND	.47	.43	.39	—	—
	600									T106M1-ND	.59	.53	.48	—	—
	200	TO-251AA	—	.200	.002	2.2	0.8	0.1	4.0	S2004VS2-ND	.46	.41	.37	—	—
	400									S4004VS2-ND	.50	.44	.40	—	—
	600									S6004VS2-ND	.61	.55	.49	—	—
	200	TO-252AA	—	.200	.002	2.2	0.8	0.1	4.0	S2004DS2CT-ND*	.86	.71	.60	2,500	374.20/M
	400									S4004DS2CT-ND*	.92	.76	.64	2,500	402.98/M
	600									S6004DS2CT-ND*	1.16	.95	.80	2,500	503.73/M
6.0	200	TO-251AA	—	.200	.005	1.6	0.8	0.1	4.0	S2006VS2-ND	.47	.43	.39	—	—
	400									S4006VS2-ND	.53	.48	.43	—	—
	600									S6006VS2-ND	.65	.58	.52	—	—
	200	TO-252AA	—	.200	.005	1.6	0.8	0.1	4.0	S2006DS2CT-ND*	.89	.74	.62	2,500	388.59/M
	400									S4006DS2CT-ND*	.99	.82	.69	2,500	431.77/M
	600									S6006DS2CT-ND*	1.19	.98	.83	2,500	518.12/M
8.0	400	TO-202AB	—	.200	.005	1.6	0.8	0.1	2.2	S4008FS21-ND	.70	.63	.57	—	—
	200	TO-251AA	—	.200	.005	1.6	0.8	0.1	4.0	S2008VS2-ND	.52	.46	.42	—	—
	400									S4008VS2-ND	.58	.51	.46	—	—
	600									S6008VS2-ND	.70	.63	.57	—	—
	200	TO-252AA	—	.200	.005	1.6	0.8	0.1	4.0	S2008DS2CT-ND*	.96	.79	.67	2,500	417.38/M
	400									S4008DS2CT-ND*	1.06	.87	.74	2,500	460.56/M
	600									S6008DS2CT-ND*	1.32	1.09	.92	2,500	575.69/M
10.0	400	TO-202AB	—	.200	.005	1.6	0.8	0.1	2.2	S4010FS21-ND	.76	.68	.61	—	—
SCRs - Non-Sensitive Gate (1,0-70 A) — isoliert															
1.0	200	TO-92	1	10	.01	1.6	1.5	0.3	2.0	S201E-ND	.42	.38	.34	—	—
	400									S401E-ND	.44	.39	.36	—	—
	600									S601E-ND	.47	.43	.39	—	—
6.0	200	TO-220AB	1	15	.01	1.6	1.5	0.5	2.0	S2006L-ND	.73	.65	.58	—	—
	400									S4006L-ND	.76	.68	.61	—	—
	600									S6006L-ND	.82	.73	.66	—	—
	800									S8006L-ND	.88	.78	.71	—	—
8.0	200	TO-220AB	1	15	.01	1.6	1.5	0.5	2.0	S2008L-ND	.82	.73	.66	—	—
	400									S4008L-ND	.86	.77	.69	—	—
	600									S6008L-ND	.91	.82	.74	—	—
	800									S8008L-ND	.97	.87	.78	—	—
10.0	400	TO-220AB	1	15	.01	1.6	1.5	0.5	2.0	S4010L-ND	.96	.85	.77	—	—
	600				.01					S6010L-ND	1.01	.90	.81	—	—
	800				.02					S8010L-ND	1.08	.97	.87	—	—
15.0	400	TO-220AB	1	30	.01	1.6	1.5	0.6	2.0	S4015L-ND	1.03	.92	.83	—	—
	600				.01					S6015L-ND	1.08	.97	.87	—	—
	800				.02					S8015L-ND	1.16	1.04	.93	—	—
20.0	400	TO-220AB	1	30	.01	1.6	1.5	0.5	2.0	S4020L-ND	1.16	1.04	.93	—	—
	600				.01			0.5		S6020L-ND	1.24	1.11	1.00	—	—
	800				.02			0.6		S8020L-ND	1.31	1.17	1.06	—	—
25.0	400	TO-220AB	1	35	.01	1.6	1.5	0.8	2.0	S4025L-ND	1.37	1.22	1.10	—	—
	600				.01					S6025L-ND	1.45	1.29	1.16	—	—
	800				.02					S8025L-ND	1.54	1.38	1.24	—	—
35.0	600	TO-218AC	5	40	.01	1.8	1.5	0.8	2.0	S6035K-ND	3.17	2.82	2.53	—	—
	800				.02					S8035K-ND	3.35	2.98	2.69	—	—
65.0	400	TO-218X	5	50	.02	1.8	2.0	1.0	2.5	S4065J-ND	4.88	4.34	3.91	—	—
	600									S6065J-ND	5.20	4.63	4.17	—	—
	800	TO-218AC	5	50	.02	1.8	2.0	1.0	2.5	S8065K-ND	5.39	4.80	4.32	—	—

‡ . 0,05 mA @ 125 °C * Gurtabschnitt † Für Gegurtet auf Rolle Teilenummer CT-ND in TR-ND ändern

(Forts.)

I_T RMS (A)	V_{DRM} & V_{RRM} (V)	Paket	I_{GT} (mA) Min.	I_{GT} (mA) Max.	I_{DRM} & I_{RRM} @25°C (mA)	V_{TM} @25°C (V)	V_{GT} @25°C (V)	$P_{G(AV)}$ (W)	t_{gt} (µsec.)	Digi-Key Teilenr.	Stückpreis 1	Stückpreis 10	Stückpreis 100	Gegurtet auf Rolle† Größe	Gegurtet auf Rolle† Preisangaben
SCRs - Non-Sensitive Gate (1,0-70 A) — nicht isoliert															
6.0	200	TO-251AA	1	15	.01	1.6	1.5	0.5	2.0	S2006V-ND	.50	.44	.40	—	—
	400									S4006V-ND	.53	.48	.43	—	—
	600									S6006V-ND	.55	.50	.45	—	—
	800									S8006V-ND	.59	.53	.48	—	—
	200	TO-252AA	1	15	.01	1.6	1.5	0.5	2.0	S2006DCT-ND*	.92	.76	.64	2,500	402.98/M
	400									S4006DCT-ND*	.99	.82	.69	2,500	431.77/M
	600									S6006DCT-ND*	1.06	.87	.74	2,500	460.56/M
	800									S8006DCT-ND*	1.13	.93	.78	2,500	489.34/M
8.0	200	TO-220AB	1	15	.01	1.6	1.5	0.5	2.0	S2008R-ND	.73	.65	.58	—	—
	400									S4008R-ND	.78	.70	.63	—	—
	600									S6008R-ND	.84	.75	.68	—	—
	800									S8008R-ND	.88	.78	.71	—	—
	200	TO-251AA	1	15	.01	1.6	1.5	0.5	2.0	S2008V-ND	.55	.50	.45	—	—
	400									S4008V-ND	.59	.53	.48	—	—
	600									S6008V-ND	.63	.56	.51	—	—
	800									S8008V-ND	.67	.60	.54	—	—
	200	TO-252AA	1	15	.01	1.6	1.5	0.5	2.0	S2008DCT-ND*	1.06	.87	.74	2,500	460.56/M
	400									S4008DCT-ND*	1.13	.93	.78	2,500	489.34/M
	600									S6008DCT-ND*	1.19	.98	.83	2,500	518.12/M
	800									S8008DCT-ND*	1.29	1.06	.90	2,500	561.30/M
10.0	800	TO-220AB	1	15	.02	1.6	1.5	0.5	2.0	S8010R-ND	.97	.87	.78	—	—
	200	TO-251AA	1	15	.01	1.6	1.5	0.5	2.0	S2010V-ND	.61	.55	.49	—	—
	400									S4010V-ND	.65	.58	.52	—	—
	600									S6010V-ND	.69	.61	.55	—	—
	800									S8010V-ND	.75	.66	.60	—	—
	200	TO-252AA	1	15	.01	1.6	1.5	0.5	2.0	S2010DCT-ND*	1.16	.95	.80	2,500	503.73/M
	400									S4010DCT-ND*	1.25	1.03	.87	2,500	546.91/M
	600									S6010DCT-ND*	1.32	1.09	.92	2,500	575.69/M
	800									S8010DCT-ND*	1.42	1.17	.99	2,500	618.87/M
12.0	400	TO-220AB	1	20	.01	1.6	1.5	0.5	2.0	S4012R-ND	.90	.80	.72	—	—
	600				.01					S6012R-ND	.96	.85	.77	—	—
	800				.02					S8012R-ND	1.01	.90	.81	—	—
	200	TO-251AA	1	20	.01	1.6	1.5	0.5	2.0	S2012V-ND	.63	.56	.51	—	—
	400									S4012V-ND	.67	.60	.54	—	—
	600									S6012V-ND	.73	.65	.58	—	—
	800									S8012V-ND	.76	.68	.61	—	—
	200	TO-252AA	1	20	.01	1.6	1.5	0.5	2.0	S2012DCT-ND*	1.22	1.01	.85	2,500	532.52/M
	400									S4012DCT-ND*	1.29	1.06	.90	2,500	561.30/M
	600									S6012DCT-ND*	1.39	1.14	.96	2,500	604.48/M
	800									S8012DCT-ND*	1.46	1.20	1.01	2,500	633.26/M
16.0	400	TO-220AB	1	30	.01	1.6	1.5	0.6	2.0	S4016R-ND	.96	.85	.77	—	—
	600									S6016R-ND	1.01	.90	.81	—	—
	400	D2-PAK	1	30	.01	1.6	1.5	0.6	2.0	S4016NRPCT-ND*	1.88	1.55	1.31	500	410.18
	600				.01					S6016NRPCT-ND*	1.98	1.63	1.38	500	431.77
	800				.02					S8016NRPCT-ND*	2.12	1.74	1.47	500	460.55
25.0	800	TO-220AB	1	35	.02	1.6	1.5	0.8	2.0	S8025R-ND	1.39	1.24	1.12	—	—
	600	D2-PAK	1	35	.01	1.6	1.5	0.8	2.0	S6025NRPCT-ND*	2.57	2.12	1.79	500	561.30
	800				.02					S8025NRPCT-ND*	2.74	2.25	1.90	500	597.28
40.0	600	TO-220AB	5	40	.01	1.8	1.5	0.8	2.5	S6040R-ND	2.23	1.99	1.79	—	—
	800				.02					S8040R-ND	2.36	2.10	1.89	—	—
	1000				.03					SK040R-ND	2.50	2.22	2.00	—	—
	600	D2-PAK	5	40	.01	1.8	1.5	0.8	2.5	S6040NRPCT-ND*	4.36	3.58	3.02	500	949.89
	800				.02					S8040NRPCT-ND*	4.62	3.80	3.21	500	1007.45
	1000				.03					SK040NRPCT-ND*	4.88	4.01	3.39	500	1065.02
55.0	800	TO-218AC	5	40	.02	1.8	1.5	.08	2.5	S8055M-ND	3.28	2.92	2.63	—	—
	400	TO-218X	5	40	.01	1.8	1.5	0.8	2.5	S4055W-ND	3.28	2.92	2.63	—	—
	600									S6055W-ND	3.50	3.12	2.81	—	—
	600	TO-220AB	5	40	.01	1.8	1.5	0.8	2.5	S6055R-ND	2.33	2.07	1.86	—	—
	800				.02					S8055R-ND	2.48	2.21	1.99	—	—
	600	D2-PAK	5	40	.01	1.8	1.5	0.8	2.5	S6055NRPCT-ND*	4.55	3.74	3.16	500	993.06
	800				.02					S8055NRPCT-ND*	4.85	3.99	3.37	500	1057.83
70.0	400	TO-218X	5	50	.02	1.8	2.0	1.0	2.5	S4070W-ND	4.54	4.03	3.64	—	—
	600									S6070W-ND	4.82	4.29	3.86	—	—

* Gurtabschnitt † Für Gegurtet auf Rolle Teilenummer CT-ND in TR-ND ändern

QUADRAC® Intern getriggerte Triacs (4,0-15 A)

Thermotab TO-220AB (isoliert)

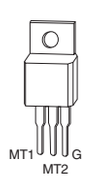

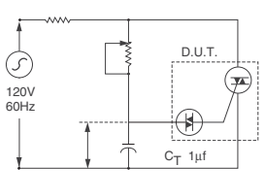

Allgemeine Beschreibung:
Das QUADRAC® ist ein Triac, bei dem ein Diac-Trigger im selben Paket integriert ist. Dieses Bauelement bietet dem Benutzer Kosten- und Montagezeiteinsparungen, da kein separates diskretes Diac erworben und zusammen mit einem Gate-gesteuerten Triac montiert werden muss.
Der QUADRAC® ist ein bidirektionaler AC-Schalter und ist entweder auf Polarität oder Netzanschlussklemmenspannung Gate-gesteuert. Der Hauptverwendungszweck ist das wechselstromseitige Schalten und phasengesteuerte Anwendungen wie Geschwindigkeitsregler, Temperaturmodulationsteuerungen und Beleuchtungsregler.

Merkmale: • Glaspassivierte Sperrschichten • Elektrisch isoliertes Paket • Interner Trigger-Diac • Hohe Stoßkapazität - bis zu 150 A • Hohe Spannungskapazität - 200 bis zu 600 Volt • IDRM @ 25 °C: 0,05 mA • VTM @ 25 °C: 1,6 V • Kapazität: 0,1 µF • tgt: 3 µs

Elektrische Isolierung: Das isolierte TO-220 Quadrac-Paket hält von den Anschlüssen zum Gehäuse einer Hochspannungsprüfung von min. 2.500 VAC (RMS) im Betriebstemperaturbereich des Bauelements stand.

Elektrische Isolierung von Anschlüssen zum Gehäuse:
U.L.- anerkannte Eintragungsnr. 71639

$I_{T\ RMS}$ (A)	V_{DRM} (V)	I_{GTM} (A)	VBO (V) Min.	VBO (V) Max.	I_{BO} (µA)	I_H (mA)	Digi-Key Teilenr.	Stückpreis 1	Stückpreis 10	Stückpreis 100
4.0	200	1.2	33	43	25	40	Q2004LT-ND	.91	.82	.74
	400						Q4004LT-ND	.94	.84	.76
	600						Q6004LT-ND	1.19	1.05	.95
6.0	600	1.5	33	43	25	50	Q6006LTH-ND*	1.35	1.21	1.09
8.0	400	1.5	33	43	25	60	Q4008LT-ND	1.20	1.07	.96
	600		33	43	25		Q6008LT-ND	1.43	1.27	1.15
	600		33	43	25		Q6008LTH-ND*	1.46	1.31	1.18
10.0	600	1.5	33	43	25	60	Q6010LTH-ND*	1.58	1.41	1.27
15.0	400	1.5	33	43	25	70	Q4015LT-ND	1.49	1.33	1.19
	600		33	43	25		Q6015LT-ND	1.77	1.58	1.42
	600		33	43	25		Q6015LTH-ND*	1.81	1.61	1.45

* Kein Überspannungsschutz-Netzwerk erforderlich, beste dv/dt- und Rauschimmunität.

Triacs

Hauptsächlich für Leistungsschaltungen. Die Gate-Empfindlichkeit dieser Triacs ermöglicht die Verwendung von wirtschaftlichen transistorisierten oder integrierten Schaltkreisen und verbessert ihren Einsatz in leistungsarmen Anwendungen mit Phasensteuerung und Lastschaltung.

Sensitive Gate-Triacs

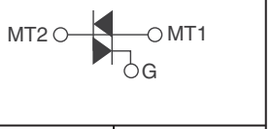

TO-225AA

TO-92

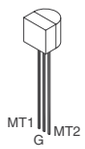

TO-220AB

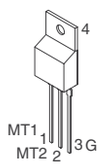

D-PAK

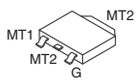

SOT-223

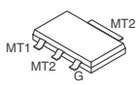

DPAK-3

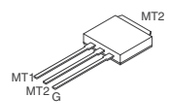

Paket	VDRM (V)	Durchlassstrom IT (RMS)	Spitzenstoßstrom ITSM (A)	Spitzen-Gate-Leistung PGM (W)	Anwendung	Digi-Key Teilenr.	Stückpreis 1	10	100	250	Gegurtet auf Rolle* Größe	Preisangaben
TO-225AA	200	2.5A	25	10	Leistungsschaltung	T2322BOS-ND	.75	.61	.46	.39	—	—
	200	4A	30	10	Vollwellen-Wechselstromsteuerung	2N6071AOS-ND	.63	.50	.38	.32	—	—
	200	4A	30	10	Vollwellen-Wechselstromsteuerung	2N6071BOS-ND	.63	.50	.38	.32	—	—
	400	4A	30	10	Vollwellen-Wechselstromsteuerung	2N6073AOS-ND	.63	.50	.38	.32	—	—
	400	4A	30	10	Vollwellen-Wechselstromsteuerung	2N6073BOS-ND	.63	.50	.38	.32	—	—
	600	4A	30	10	Vollwellen-Wechselstromsteuerung	2N6075AOS-ND	.63	.50	.38	.32	—	—
	600	4A	30	10	Vollwellen-Wechselstromsteuerung	2N6075BOS-ND	.63	.50	.38	.32	—	—
TO-92	200	0.6A	8	5	MPU-Interface	MAC97A4OS-ND	.37	.29	.21	.16	—	—
	400	0.6A	8	5	MPU-Interface	MAC97A6OS-ND	.37	.29	.21	.16	—	—
	600	0.6A	8	5	MPU-Interface	MAC97A8OS-ND	.39	.30	.22	.16	—	—
TO-220AB	400	8A	80	20	Verbraucher	MAC228A6OS-ND	1.19	1.03	.80	.67	—	—
	600	8A	80	20	Verbraucher	MAC228A8OS-ND	1.19	1.03	.80	.67	—	—
	600	8A	70	16	Vollwellen-Wechselstromsteuerung	MAC8SMOS-ND	.97	.84	.65	.54	—	—
	600	15A	120	20	Vollwellen-Wechselstromsteuerung	MAC15SMOS-ND	.89	.75	.63	.52	—	—
	800	8A	80	20	Verbraucher	MAC228A10OS-ND	1.22	1.06	.82	.69	—	—
	800	12A	90	16	Vollwellen-Wechselstromsteuerung	MAC12SNOS-ND	1.15	1.00	.77	.65	—	—
D-PAK	600	4A	40	0.5	Verbraucher	MAC4DHMT4OSCT-ND	—	.56	.42	.36	2,500	218.43/M
SOT-223	200	0.8A	8	5	MPU-Interface	MAC08BT1OSCT-ND	—	.37	.28	.22	1,000	144.77
	600	0.8A	8	5	MPU-Interface	MAC08MT1OSCT-ND	—	.37	.28	.22	1,000	144.77

* Für Gegurtet auf Rolle die Teilenummer CT-ND in TR-ND ändern

Standard-Triacs

Paket	VDRM (V)	Durchlassstrom IT (RMS)	Spitzenstoßstrom ITSM (A)	Spitzen-Gate-Leistung PGM (W)	Anwendung	Digi-Key Teilenr.	Stückpreis 1	10	100	250	Gegurtet auf Rolle* Größe	Preisangaben
TO-220AB	400	8A	80	16	Vollwellen-Wechselstromsteuerung	MAC8DOS-ND	.89	.77	.60	.50	—	—
		8A	80	16	Vollwellen-Wechselstromsteuerung	MAC9DOS-ND	.89	.77	.60	.50	—	—
		12A	100	16	Vollwellen-Wechselstromsteuerung	MAC12DOS-ND	.89	.77	.60	.50	—	—
		15A	150	20	Vollwellen-Wechselstromsteuerung	MAC15A6OS-ND	1.56	1.35	1.04	.88	—	—
		16A	150	20	Vollwellen-Wechselstromsteuerung	MAC16DOS-ND	1.11	.97	.75	.63	—	—
		6A	60	16	Vollwellen-Wechselstromsteuerung	T2500DOS-ND	1.30	1.09	.92	.77	—	—
		8A	100	16	Vollwellen-Wechselstromsteuerung	T2800DOS-ND	1.30	1.09	.92	.77	—	—
	600	8A	80	16	Vollwellen-Wechselstromsteuerung	MAC8MOS-ND	.89	.77	.60	.50	—	—
		15A	150	20	Vollwellen-Wechselstromsteuerung	MAC15A8OS-ND	1.56	1.35	1.04	.88	—	—
		16A	150	20	Vollwellen-Wechselstromsteuerung	MAC16MOS-ND	1.11	.97	.75	.63	—	—
		10A	100	20	Vollwellen-Wechselstromsteuerung	MAC210A8OS-ND	1.30	1.09	.92	.77	—	—
		12A	100	20	Vollwellen-Wechselstromsteuerung	2N6344AOS-ND	1.56	1.35	1.04	.88	—	—
		8A	100	20	Vollwellen-Wechselstromsteuerung	2N6344OS-ND	1.48	1.29	.99	.83	—	—
		12A	100	20	Vollwellen-Wechselstromsteuerung	2N6348AOS-ND	1.56	1.35	1.04	.88	—	—
	800	8A	80	16	Vollwellen-Wechselstromsteuerung	MAC8NOS-ND	.92	.81	.62	.52	—	—
		8A	80	16	Vollwellen-Wechselstromsteuerung	MAC9NOS-ND	.92	.81	.62	.52	—	—
		12A	100	16	Vollwellen-Wechselstromsteuerung	MAC12NOS-ND	.92	.81	.62	.52	—	—
		12A	100	20	Vollwellen-Wechselstromsteuerung	MAC212A10OS-ND	1.36	1.14	.96	.80	—	—
		15A	150	20	Vollwellen-Wechselstromsteuerung	MAC15A10OS-ND	1.56	1.35	1.04	.88	—	—
		16A	150	20	Vollwellen-Wechselstromsteuerung	MAC16CNOS-ND	1.01	.84	.71	.59	—	—
		12A	100	20	Vollwellen-Wechselstromsteuerung	2N6349AOS-ND	1.56	1.35	1.04	.88	—	—
DPAK-3	800	4A	40	0.5	Verbraucher	MAC4DCN-001OS-ND	.60	.52	.40	.34	—	—
DPAK	600	4A	40	0.5	Verbraucher	MAC4DSMT4OSCT-ND	1.02	.88	.68	.57	2,500	204.04/M

* Für Gegurtet auf Rolle die Teilenummer CT-ND in TR-ND ändern

SCRs

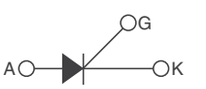

TO-220AB

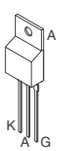

TO-92

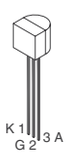

TO-225AA

SOT-223

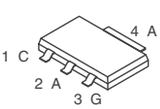

D-PAK

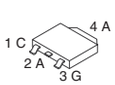

Paket	VDRM (V)	Durchlassstrom IT (RMS)	Spitzenstoßstrom ITSM (A)	Spitzen-Gate-Leistung PGM (W)	Anwendung	Digi-Key Teilenr.	Stückpreis 1	10	100	250	Gegurtet auf Rolle* Größe	Preisangaben
TO-220AB	50	25A	300	20	Überspannungsschutz	MCR69-002OS-ND	1.37	1.19	.92	.77	—	—
	50	12A	100	20	Überspannungsschutz	MCR68-002OS-ND	1.10	.92	.77	.64	—	—
	100	25A	300	20	Überspannungsschutz	MCR69-003OS-ND	1.37	1.19	.92	.77	—	—
	100	25A	300	20	Überspannungsschutz	MCR69-003OS-ND	1.37	1.19	.92	.77	—	—
	400	8A	100	5	Industriell und Verbraucher	MCR72-006OS-ND	1.19	1.03	.80	.67	—	—
	600	8A	100	5	Industriell und Verbraucher	MCR72-008OS-ND	1.19	1.03	.80	.67	—	—
	800	10A	100	5	Industriell und Verbraucher	MCR310-010OS-ND	1.41	1.22	.94	.79	—	—
	50	25A	250	20	Halbwellenwechselstromsteuerung	2N6504OS-ND	1.37	1.19	.92	.77	—	—
	100	25A	250	20	Halbwellenwechselstromsteuerung	2N6505OS-ND	1.37	1.19	.92	.77	—	—
	100	12A	100	20	Halbwellenwechselstromsteuerung	2N6395OS-ND	1.19	1.03	.80	.67	—	—
	200	8A	100	5	Halbwellenwechselstromsteuerung	MCR218-004OS-ND	.95	.80	.67	.56	—	—
	400	12A	100	20	Halbwellenwechselstromsteuerung	2N6397OS-ND	1.19	1.03	.80	.67	—	—
	400	16A	160	20	Halbwellenwechselstromsteuerung	2N6403OS-ND	1.37	1.19	.92	.77	—	—
	400	25A	250	20	Halbwellenwechselstromsteuerung	2N6507OS-ND	1.37	1.19	.92	.77	—	—
	400	12A	100	5	Halbwellenwechselstromsteuerung	MCR12LDOS-ND	.80	.67	.56	.47	—	—
	600	8A	80	5	Halbwellenwechselstromsteuerung	MCR8SMOS-ND	.86	.74	.57	.48	—	—
	600	16A	160	20	Halbwellenwechselstromsteuerung	2N6404OS-ND	1.37	1.19	.92	.77	—	—
	600	25A	250	20	Halbwellenwechselstromsteuerung	2N6508OS-ND	1.37	1.19	.92	.77	—	—
	800	8A	80	5	Halbwellenwechselstromsteuerung	MCR8NOS-ND	.92	.81	.62	.52	—	—
	800	8A	80	5	Halbwellenwechselstromsteuerung	MCR8SNOS-ND	.92	.81	.62	.52	—	—
	800	12A	100	20	Halbwellenwechselstromsteuerung	2N6399OS-ND	1.26	1.10	.84	.71	—	—
	800	12A	100	5	Halbwellenwechselstromsteuerung	MCR12NOS-ND	.92	.81	.62	.52	—	—
	800	16A	160	20	Halbwellenwechselstromsteuerung	2N6405OS-ND	1.37	1.19	.92	.77	—	—
	800	16A	160	5	Halbwellenwechselstromsteuerung	MCR16NOS-ND	.92	.81	.62	.52	—	—
	800	25A	300	20	Halbwellenwechselstromsteuerung	MCR25NOS-ND	1.34	1.12	.94	.78	—	—
	800	25A	250	20	Halbwellenwechselstromsteuerung	2N6509OS-ND	1.37	1.19	.92	.77	—	—
TO-92	30	0.8A	10	0.1	Verbraucher, hohes Volumen	2N5060OS-ND	.39	.30	.22	.16	—	—
	60	0.8A	10	0.1	Verbraucher, hohes Volumen	2N5061RLRAOSCT-ND	—	.30	.22	.16	2,000	106.67/M
	60	0.8A	10	0.1	Verbraucher, hohes Volumen	2N5061OS-ND	.39	.30	.22	.16	—	—
	100	0.8A	10	0.1	Verbraucher, hohes Volumen	2N5062RLRAOSCT-ND	—	.30	.22	.16	2,000	106.67/M
	200	0.8A	10	0.1	Verbraucher, hohes Volumen	2N5064RLRAOSCT-ND	—	.30	.22	.16	2,000	106.67/M
	200	0.8A	10	0.1	Verbraucher, hohes Volumen	2N5064OS-ND	.39	.30	.22	.16	—	—
	400	0.8A	10	0.1	Verbraucher, hohes Volumen	MCR100-6RLOSCT-ND	—	.30	.22	.16	2,000	106.67/M
	600	0.8A	10	0.1	Verbraucher, hohes Volumen	MCR100-8RLOSCT-ND	—	.30	.22	.16	2,000	106.67/M
	400	1.5A	15	0.5	Niedrigleistungsschaltung	MCR22-6RLRAOSCT-ND	—	.33	.24	.18	2,000	115.99/M
	600	1.5A	15	0.5	Niedrigleistungsschaltung	MCR22-8RL1OSCT-ND	—	.33	.24	.18	2,000	115.99/M
TO-225AA	200	4A	20	0.5	Verbraucher, hohes Volumen	C106BOS-ND	.49	.40	.30	.24	—	—
	400	4A	20	0.5	Verbraucher, hohes Volumen	C106DOS-ND	.49	.40	.30	.24	—	—
	400	4A	25	0.5	Verbraucher, hohes Volumen	MCR106-006OS-ND	.59	.48	.36	.29	—	—
	600	4A	20	0.5	Verbraucher, hohes Volumen	C106MOS-ND	.49	.40	.30	.24	—	—
	600	4A	25	0.5	Verbraucher, hohes Volumen	MCR106-008OS-ND	.59	.48	.36	.29	—	—
SOT-223	200	0.8A	8	0.1	Leitungsgetriebener Verbraucher	MCR08BT1OSCT-ND	—	.37	.28	.22	1,000	144.77
	600	0.8A	8	0.1	Leitungsgetriebener Verbraucher	MCR08MT1OSCT-ND	—	.37	.28	.22	3,000	135.63/M
D-PAK	400	4A	25	0.5	Industriell und Verbraucher	MCR716T4OSCT-ND	—	1.14	.88	.74	2,500	223.51/M
	600	4A	25	5	Industriell und Verbraucher	MCR718T4OSCT-ND	—	.61	.46	.39	2,500	239.59/M
	600	4A	25	0.5	Industriell und Verbraucher	MCR708AT4OSCT-ND	—	.61	.46	.39	2,500	239.59/M
	600	12A	100	6	Industriell und Verbraucher	MCR12DCMT4OSCT-ND	—	.75	.56	.48	2,500	295.47/M
	600	12A	100	5	Industriell und Verbraucher	MCR12DSMT4OSCT-ND	—	1.11	.85	.72	2,500	276.00/M
	800	12A	100	5	Industriell und Verbraucher	MCR12DCNT4OSCT-ND	—	1.11	.85	.72	2,500	276.00/M

* Für Gegurtet auf Rolle die Teilenummer CT-ND in TR-ND ändern

B

ADD-A-Pak

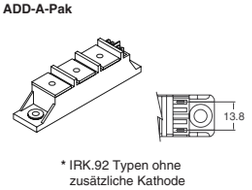

TO-208AA

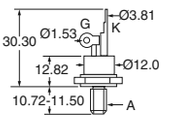

TO-65

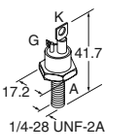

D²Pak

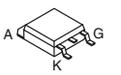

TO-220AC

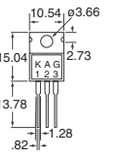

TO-247AC

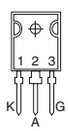

TO-220 FULLPak

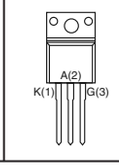

TO-220AB

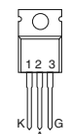

A-PUK

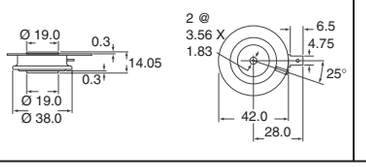

K-PUK

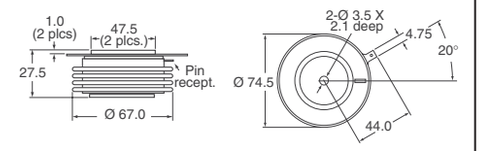

TO-48

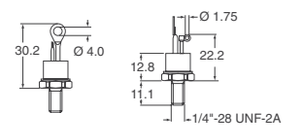

V_{DRM} und V Minimum	$I_{T\,(av)}$ A Max. @ 85 °C	Paket	V_{GT} V Max.	I_{GT} mA Max.	V_{TM} Komp. (a) V Max.	DV/DT V/us Max.	Digi-Key Teilenr.	Stückpreis 1	10	100
800	95		2.5	150	1.58	500	IRKU91/08A-ND	44.17	35.34	30.92
1200	95		2.5	150	1.58	500	IRKH91/12A-ND	51.59	41.27	33.02
1200	95	ADD-A-Pak	2.5	150	1.58	500	IRKT91/12A-ND	53.12	42.50	34.00
1200	95		2.5	150	1.58	500	IRKU91/12A-ND	44.17	35.34	31.81
1600	95		2.5	150	1.58	500	IRKT92/16A-ND*	33.92	27.89	24.73
25	16	TO-208AA	2.0	40	2	100	2N681-ND	10.02	8.01	6.02
1000	16		2.0	60	1.75	300	16RIA100-ND	18.56	14.85	9.88
600	50	TO-65	2.5	100	1.6	500	50RIA60-ND	18.86	15.09	10.03
1200	50		2.5	100	1.6	500	50RIA120-ND	26.66	21.33	14.19
800	6.5		1.0	15	1.15	150	10TTS08S-ND	1.40	.74	.67
800	6.5		1.0	15	1.15	150	12TTS08S-ND	2.23	1.56	1.19
800	10		2.0	60	1.4	500	16TTS08S-ND	2.58	2.07	1.66
800	10	D²Pak	2.0	60	1.4	500	16TTS08-ND	1.70	1.37	1.09
1200	10		3.0	90	1.4	500	16TTS12S-ND	2.63	2.11	1.58
800	16		2.0	45	1.25	500	25TTS08S-ND	3.08	2.47	1.98
1200	16		2.0	45	1.25	500	25TTS12S-ND	3.08	2.47	1.85
800	6.5	TO-220AC	1.0	15	1.15	150	10TTS08-ND	1.22	.65	.59
800	8		1.0	15	1.2	150	12TTS08-ND	2.12	1.49	1.13
800	20		2.0	45	1.3	500	30TPS08-ND	2.07	1.66	1.25
1200	20		2.0	45	1.3	500	30TPS12-ND	2.33	1.87	1.40
800	35	TO-247AC	2.5	150	1.85	1000	40TPS08-ND	3.81	3.05	2.20
800	35		2.5	150	1.85	1000	40TPS08A-ND	3.79	2.71	2.20
1200	35		2.5	150	1.85	1000	40TPS12-ND	4.12	3.30	2.09
1200	35		2.5	150	1.85	1000	40TPS12A-ND	5.12	3.54	2.98
800	10	TO-220 FULLPak	3.0	90	1.4	500	16TTS08FP-ND	1.98	1.59	1.19
800	16		2.0	45	1.25	500	25TTS08FP-ND	3.34	2.31	1.84
1200	16		2.0	45	1.25	500	25TTS12FP-ND	3.23	2.59	1.95
1200	10		2.0	60	1.4	500	16TTS12-ND	1.63	1.30	1.18
800	16	TO-220AB	2.0	45	1.25	500	25TTS08-ND	2.57	2.05	1.86
1200	16		2.0	45	1.25	500	25TTS12-ND	1.76	1.41	1.20
800	350	A-PUK	3.0	150	1.96	500	ST180C08C0-ND	76.93	61.55	38.48
800	410		3.0	150	1.69	500	ST230C08C0-ND	74.22	59.38	37.11
2000	1650	K-PUK	3.0	200	1.73	500	ST1200C20K0-ND	370.18	296.15	185.10
100	16		2.0	40	2	100 typ.	2N683-ND	9.83	7.86	5.23
200	16	TO-48	2.0	60	1.75	100	16RIA20-ND	11.55	9.24	6.15
200	16		2.0	40	2	100 typ.	2N685-ND	—	—	6.21
800	180		2.5	150	1.35	500	180RKI80-ND	77.39	61.91	39.32
600	280	TO-93	3.0	150	1.28	500	ST280S06P0V-ND	96.39	77.11	48.20
2000	200		3.0	150	1.75	500	ST180S20P0-ND	148.65	111.49	92.91
1200	25	PACE-Pak	2.0	60	1.35	200	P105W-ND	37.17	29.19	25.28
1200	40		2.0	60	1.4	200	P405W-ND	40.90	32.11	27.82
1200	70	SUPER-247	1.5	100	1.4	500	70TPS12-ND	8.18	6.23	5.16
1600	70		1.5	100	1.4	500	70TPS16-ND	6.82	5.19	4.30

TO-93

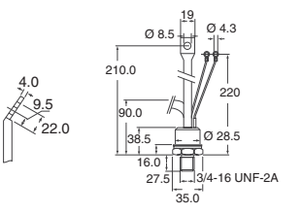

PACE-Pak

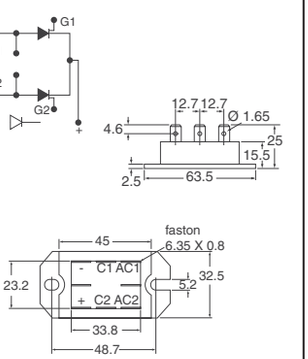

SUPER-247

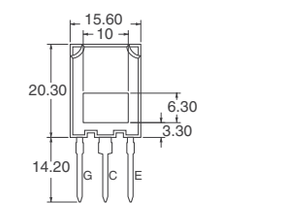

Abb.	V_{DRM} (V)	$I_{T(RMS)}$ (A)	I_{GT}	Paket	Digi-Key Teilenr.	Gurtabschnittspreis pro Stück 1	10	100	Digi-Key Teilenr.	Gegurtet auf Rolle Größe	Preisangaben	STMicroelectronics Teilenr.
1	200	.25	200µA	SOT-23	497-2527-1-ND	.76	.61	.46	497-2527-2-ND	3,000	241.28/M	P0102BL 5AA4
2	400	0.8	200µA	SOT-223	497-2523-1-ND	.61	.49	.37	497-2523-2-ND	1,000	209.96	P0102DN 5AA4
	600	1.25	200µA	SOT-223	497-2532-1-ND	.76	.61	.46	497-2532-2-ND	1,000	262.45	X0202MN 5BA4
3A	50	8	15mA	TO-220AB	497-3277-5-ND◊	1.05	.91	.70	—	—	—	TYN058RG
	200	8	15mA	TO-220AB	497-4483-5-ND‡	1.24	1.08	.83	—	—	—	TYN208RG
	200	25	40mA	TO-220AB	497-3279-5-ND◊	1.36	1.19	.92	—	—	—	TYN225RG
	400	8	25mA	TO-220AB	497-4484-5-ND‡	1.24	1.08	.83	—	—	—	TYN408GRG
	600	6	15mA	TO-220AB	497-4485-5-ND‡	.96	.83	.64	—	—	—	TYN606RG
	600	8	200µA	TO-220AB	497-2551-5-ND‡	1.21	1.05	.81	—	—	—	TS820-600T
	600	10	15mA	TO-220AB	497-3280-5-ND◊	1.08	.94	.72	—	—	—	TYN610RG
	600	12	30mA	TO-220AB	497-2418-5-ND◊	1.27	1.11	.85	—	—	—	TYN612RG
	600	16	25mA	TO-220AB	497-2420-5-ND◊	1.27	1.06	.89	—	—	—	TYN616RG
	600	40	35mA	TO-220AB	497-2422-5-ND◊	1.78	1.49	1.25	—	—	—	TYN640RG
	800	4	15mA	TO-220AB	497-4488-5-ND‡	1.24	1.08	.83	—	—	—	TYN804RG
	800	10	15mA	TO-220AB	497-4489-5-ND‡	1.24	1.08	.83	—	—	—	TYN810RG
	800	12	15mA	TO-220AB	497-4490-5-ND‡	1.24	1.08	.83	—	—	—	TYN812RG
	800	16	25mA	TO-220AB	497-4491-5-ND‡	1.27	1.11	.85	—	—	—	TYN816RG

‡ Röhre ◊ Großmenge † Ammopack

Abb. 1 — SOT-23

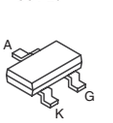

Abb. 2 — SOT-223

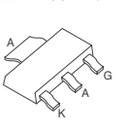

Abb. 3 — TO-220AB

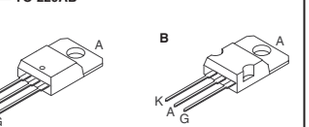

Abb. 4 — TO-92

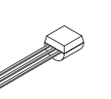

Abb. 5 — TOP3

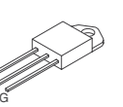

(Forts.)

Alle Preisangaben in Euro und inklusive Zollgebühren.

SCRs *(Forts.)*

Abb.	V_{DRM} (V)	$I_{T(RMS)}$ (A)	I_{GT}	Paket	Digi-Key Teilenr.	Gurtabschnittspreis pro Stück 1	10	100	Digi-Key Teilenr.	Gegurtet auf Rolle Größe	Preisangaben	STMicroelectronics Teilenr.
	800	25	40mA	TO-220AB	497-3793-5-ND‡	1.83	1.53	1.29	—	—	—	TYN825RG
	800	40	35mA	TO-220AB	497-3792-5-ND‡	2.79	2.43	1.81	—	—	—	TYN840RG
3A	1000	6	15mA	TO-220AB	497-4481-5-ND‡	1.11	.97	.75	—	—	—	TYN1006RG
	1000	8	15mA	TO-220AB	497-4482-5-ND‡	1.21	1.05	.81	—	—	—	TYN1008RG
	1200	25	40mA	TO-220AB	497-3278-5-ND◊	2.29	1.91	1.61	—	—	—	TYN1225RG
3B	600	12	5mA	TO-220AB	497-4487-5-ND‡	1.24	1.08	.83	—	—	—	TYN612MRG
	400	0.8	1µA	TO-92	497-3713-1-ND	.44	.34	.25	497-3713-2-ND	2,000	121.91/M	P0115DA 5AL3
	600	0.8	200µA	TO-92	497-3321-1-ND	.58	.46	.35	497-3321-2-ND	2,000	197.26/M	X00602MA 5AL2
	600	0.8	200µA	TO-92	497-4504-1-ND	.44	.34	.25	497-4504-3-ND†	2,000	121.91/M	X00602MA 2AL2
4	600	0.8	200µA	TO-92	497-4281-ND◊	.39	.30	.22	—	—	—	P0102MA1AA3
	600	0.8	25µA	TO-92	497-4282-1-ND	.39	.30	.22	497-4282-3-ND†	2,000	106.67/M	P0111MA2AL3
	600	0.8	5µA	TO-92	497-4283-1-ND	.39	.30	.22	497-4283-2-ND	2,000	106.67/M	P0118MA 5AL3
	600	1.25	200µA	TO-92	497-2421-ND◊	.55	.44	.34	—	—	—	X020MA 1BA2
	200	30	50mA	TOP3	497-4185-5-ND‡	4.92	4.28	3.19	—	—	—	BTW68-200RG
	200	50	80mA	TOP3	497-4186-5-ND‡	4.66	4.06	3.03	—	—	—	BTW69-200RG
	600	30	50mA	TOP3	497-3804-5-ND‡	5.58	4.86	3.62	—	—	—	BTW68-600RG
5	600	50	80mA	TOP3	497-2435-5-ND◊	4.57	3.98	2.97	—	—	—	BTW69-600RG
	800	30	80mA	TOP3	497-3805-5-ND‡	5.67	4.94	3.68	—	—	—	BTW68-800RG
	1000	30	50mA	TOP3	497-4184-5-ND‡	4.92	4.28	3.19	—	—	—	BTW68-1000RG
	1200	50	80mA	TOP3	497-2434-5-ND◊	6.83	6.24	4.94	—	—	—	BTW69-1200RG
6	600	4	200µA	DPAK	497-3276-1-ND	1.18	1.02	.79	497-3276-2-ND	2,500	416.53/M	TS420-600B-TR
7	1000	16	25mA	D2PAK	497-3740-1-ND	1.65	1.38	1.16	497-3740-2-ND	1,000	743.31	TN1625-1000G-TR
8	600	4	200µA	TO202-3	497-3322-ND◊	.98	.86	.66	—	—	—	X0402MF 1AA2
	600	4	200µA	TO202-3	497-3322-5-ND‡	.58	.46	.35	—	—	—	X0402MF 0AA2
9	800	20	25mA	TO-220	497-3562-5-ND◊	1.96	1.63	1.37	—	—	—	TXN692RG
	400	8	25mA	TO-220AB	497-4480-5-ND‡	1.34	1.16	.89	—	—	—	TXN408GRG
10	600	12	15mA	TO-220AB	497-3561-5-ND‡	1.40	1.17	.98	—	—	—	TXN612RG
	1000	12	15mA	TO-220AB	497-4479-5-ND‡	1.90	1.59	1.34	—	—	—	TXN1012RG
11	600	12	5mA	TO-220FPAB	497-4486-5-ND‡	.96	.83	.64	—	—	—	TYN612MFP
12	800	4	200µA	TO202-1	497-4506-ND◊	.61	.49	.37	—	—	—	X0402NE 1AA2

‡ Röhre ◊ Großmenge † Ammopack

Abb. 6 — DPAK

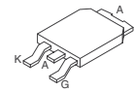

Abb. 7 — D²PAK

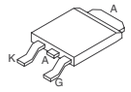

Abb. 8 — TO202-3

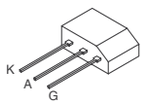

Abb. 9 — TO-220

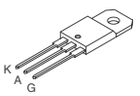

Abb. 10 — TO-220AB Isoliert

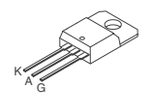

Abb. 11 — TO-220FPAB

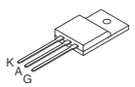

Abb. 12 — TO202-1

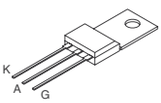

B

Triacs

Abb.	V_{DRM} (V)	$I_{T(RMS)}$ (A)	I_{GT} (mA)	Paket	Isolierung	Digi-Key Teilenr.	Losteilpreis pro Stück 1	10	100	Digi-Key Teilenr.	Gegurtet auf Rolle Größe	Preisangaben	STMicroelectronics Teilenr.
	400	6	10	TO-220AB	Isoliert	497-3382-5-ND‡	1.11	.97	.75	—	—	—	BTA06-400ARG
	400	6	50	TO-220AB	Isoliert	497-2390-5-ND	1.27	1.11	.85	—	—	—	BTA06-400BRG
	400	6	25	TO-220AB	Isoliert	497-3383-5-ND‡	1.27	1.11	.85	—	—	—	BTA06-400CRG
	400	8	50	TO-220AB	Isoliert	497-2391-5-ND	1.05	.91	.70	—	—	—	BTA08-400BRG
	400	10	50	TO-220AB	Isoliert	497-2400-5-ND	1.34	1.16	.89	—	—	—	BTA10-400BRG
	400	16	50	TO-220AB	Isoliert	497-2398-5-ND	1.40	1.17	.98	—	—	—	BTA16-400BRG
	600	6	10	TO-220AB	Isoliert	497-3384-5-ND‡	1.11	.97	.75	—	—	—	BTA06-600ARG
	600	6	50	TO-220AB	Isoliert	497-3117-5-ND	1.11	.97	.75	—	—	—	BTA06-600BWRG
	600	6	35	TO-220AB	Isoliert	497-3385-5-ND‡	1.36	1.19	.92	—	—	—	BTA06-600CWRG
	600	6	10	TO-220AB	Isoliert	497-3118-5-ND	1.36	1.19	.92	—	—	—	BTA06-600SWRG
	600	6	5	TO-220AB	Isoliert	497-3119-5-ND‡	1.36	1.19	.92	—	—	—	BTA06-600TRG
	600	6	5	TO-220AB	Isoliert	497-3386-5-ND‡	1.11	.97	.75	—	—	—	BTA06-600TWRG
	600	8	50	TO-220AB	Isoliert	497-2410-5-ND	1.27	1.11	.85	—	—	—	BTA08-600BWRG
	600	8	5	TO-220AB	Isoliert	497-3387-5-ND‡	1.46	1.27	.98	—	—	—	BTA08-600TWRG
	600	8	5	TO-220AB	Isoliert	497-3748-5-ND‡	1.46	1.27	.98	—	—	—	BTA08-600CWRG
	600	10	50	TO-220AB	Isoliert	497-2389-5-ND	1.43	1.24	.96	—	—	—	BTA10-600BRG
	600	10	50	TO-220AB	Isoliert	497-3120-5-ND	1.27	1.06	.89	—	—	—	BTA10-600BWRG
	600	12	50	TO-220AB	Isoliert	497-2388-5-ND	1.35	1.13	.95	—	—	—	BTA12-600BRG
	600	12	50	TO-220AB	Isoliert	497-2396-ND	1.40	1.22	.94	—	—	—	BTA12-600BW
	600	12	50	TO-220AB	Isoliert	497-3121-5-ND‡	1.32	1.11	.93	—	—	—	BTA12-600BWRG
	600	16	50	TO-220AB	Isoliert	497-2397-5-ND	1.35	1.13	.95	—	—	—	BTA16-600BRG
	600	16	50	TO-220AB	Isoliert	497-3122-5-ND‡	1.52	1.27	1.07	—	—	—	BTA16-600BWRG
	600	16	35	TO-220AB	Isoliert	497-2415-5-ND	1.33	1.16	.89	—	—	—	BTA16-600CWRG
	600	16	25	TO-220AB	Isoliert	497-3388-5-ND‡	1.52	1.27	1.07	—	—	—	BTA16-600CRG
	600	16	10	TO-220AB	Isoliert	497-3389-5-ND‡	1.52	1.27	1.07	—	—	—	BTA16-600SWRG
1	600	20	35	TO-220AB	Isoliert	497-3390-5-ND‡	1.68	1.40	1.18	—	—	—	BTA20-600CWRG
	600	25	50	TO-220AB	Isoliert	497-2423-ND	1.90	1.59	1.34	—	—	—	BTA24-600BW
	600	25	50	TO-220AB	Isoliert	497-3123-5-ND‡	1.90	1.59	1.34	—	—	—	BTA24-600BWRG
	600	25	35	TO-220AB	Isoliert	497-2419-ND	1.85	1.55	1.30	—	—	—	BTA24-600CW
	600	25	35	TO-220AB	Isoliert	497-3124-5-ND‡	2.29	1.91	1.61	—	—	—	BTA24-600CWRG
	700	4	10	TO-220AB	Isoliert	497-4152-5-ND‡	1.34	1.16	.89	—	—	—	BTA04-700SRG
	700	4	5	TO-220AB	Isoliert	497-4153-5-ND‡	.89	.77	.60	—	—	—	BTA04-700TRG
	700	8	50	TO-220AB	Isoliert	497-4155-5-ND‡	1.34	1.16	.89	—	—	—	BTA08-700BRG
	700	8	25	TO-220AB	Isoliert	497-4156-5-ND‡	1.34	1.16	.89	—	—	—	BTA08-700CRG
	700	8	5	TO-220AB	Isoliert	497-4157-5-ND‡	1.36	1.19	.92	—	—	—	BTA08-700TWRG
	700	10	50	TO-220AB	Isoliert	497-4158-5-ND‡	1.27	1.11	.85	—	—	—	BTA10-700BRG
	700	10	35	TO-220AB	Isoliert	497-4159-5-ND‡	1.27	1.11	.85	—	—	—	BTA10-700CWRG
	700	12	50	TO-220AB	Isoliert	497-4161-5-ND‡	1.43	1.24	.96	—	—	—	BTA12-700BRG
	700	16	50	TO-220AB	Isoliert	497-4163-5-ND‡	1.52	1.33	1.02	—	—	—	BTA16-700BRG
	700	16	50	TO-220AB	Isoliert	497-4164-5-ND‡	1.52	1.33	1.02	—	—	—	BTA16-700BWRG
	700	16	35	TO-220AB	Isoliert	497-4165-5-ND‡	1.52	1.33	1.02	—	—	—	BTA16-700CWRG
	700	20	50	TO-220AB	Isoliert	497-4167-5-ND‡	1.37	1.15	.96	—	—	—	BTA20-700BWRG
	700	20	35	TO-220AB	Isoliert	497-4168-5-ND‡	1.37	1.15	.96	—	—	—	BTA20-700CWRG
	800	6	25	TO-220AB	Isoliert	497-4154-5-ND‡	1.52	1.33	1.02	—	—	—	BTA06-800CRG
	800	10	50	TO-220AB	Isoliert	497-2409-5-ND	1.39	1.16	.97	—	—	—	BTA10-800BWRG
	800	10	35	TO-220AB	Isoliert	497-4160-5-ND‡	1.37	1.15	.96	—	—	—	BTA10-800CWRG
	800	12	50	TO-220AB	Isoliert	497-4162-5-ND‡	1.46	1.27	.98	—	—	—	BTA12-800BWRG
	800	16	50	TO-220AB	Isoliert	497-2408-5-ND	1.40	1.17	.98	—	—	—	BTA16-800BRG
	800	16	35	TO-220AB	Isoliert	497-4166-5-ND‡	1.37	1.15	.96	—	—	—	BTA16-800CWRG
	800	25	50	TO-220AB	Isoliert	497-2402-5-ND	2.03	1.70	1.43	—	—	—	BTA24-800BWRG
	800	25	35	TO-220AB	Isoliert	497-4169-5-ND‡	1.90	1.59	1.34	—	—	—	BTA24-800CWRG

* Gurtabschnitt ‡ Röhre § Ammopack

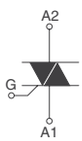

Abb. 1 — TO-220AB

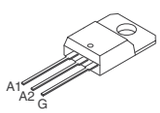

Abb. 2 — TO220AB nicht-isoliert

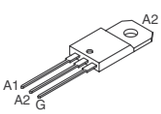

Abb. 3 — TOP3

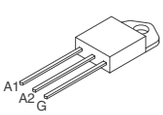

Abb. 4 — TOP3 nicht-isoliert

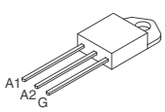

(Forts.)

Abb.	V_{DRM} (V)	$I_{T(RMS)}$ (A)	I_{GT} (mA)	Paket	Isolierung	Digi-Key Teilenr.	Losteilpreis pro Stück 1	10	100	Digi-Key Teilenr.	Gegurtet auf Rolle Größe	Preisangaben	STMicroelectronics Teilenr.
	400	8	10	TO-220AB	Nicht isoliert	497-2436-5-ND	1.11	.97	.75	—	—	—	BTB08-400BRG
	600	4	5	TO-220AB	Nicht isoliert	497-4174-5-ND‡	.89	.77	.60	—	—	—	BTB04-600TRG
	600	6	50	TO-220AB	Nicht isoliert	497-3391-5-ND‡	1.21	1.05	.81	—	—	—	BTB06-600BWRG
	600	6	35	TO-220AB	Nicht isoliert	497-3392-5-ND‡	1.21	1.05	.81	—	—	—	BTB06-600CWRG
	600	6	10	TO-220AB	Nicht isoliert	497-4175-5-ND‡	.89	.77	.60	—	—	—	BTB06-600SWRG
	600	6	5	TO-220AB	Nicht isoliert	497-2433-ND	.98	.86	.66	—	—	—	BTB06-600T
	600	6	5	TO-220AB	Nicht isoliert	497-3127-5-ND‡	1.49	1.30	1.00	—	—	—	BTB06-600TRG
	600	8	50	TO-220AB	Nicht isoliert	497-2425-5-ND	1.02	.88	.68	—	—	—	BTB08-600BWRG
	600	8	10	TO-220AB	Nicht isoliert	497-2440-5-ND	1.02	.88	.68	—	—	—	BTB08-600SRG
	600	10	50	TO-220AB	Nicht isoliert	497-3393-5-ND‡	1.36	1.19	.92	—	—	—	BTB10-600BRG
	600	10	25	TO-220AB	Nicht isoliert	497-3394-5-ND‡	1.36	1.19	.92	—	—	—	BTB10-600CRG
	600	12	50	TO-220AB	Nicht isoliert	497-2655-5-ND‡	1.24	1.08	.83	—	—	—	BTB12-600BWRG
	600	12	25	TO-220AB	Nicht isoliert	497-3395-5-ND‡	1.49	1.30	1.00	—	—	—	BTB12-600CRG
2	600	12	10	TO-220AB	Nicht isoliert	497-3396-5-ND‡	1.49	1.30	1.00	—	—	—	BTB12-600SWRG
	600	16	50	TO-220AB	Nicht isoliert	497-2437-5-ND	1.52	1.33	1.02	—	—	—	BTB16-600BRG
	600	16	50	TO-220AB	Nicht isoliert	497-2439-5-ND	1.30	1.08	.91	—	—	—	BTB16-600BWRG
	600	16	25	TO-220AB	Nicht isoliert	497-3397-5-ND‡	1.40	1.17	.98	—	—	—	BTB16-600CRG
	600	25	50	TO-220AB	Nicht isoliert	497-2432-5-ND	1.73	1.44	1.21	—	—	—	BTB24-600BRG
	600	25	50	TO-220AB	Nicht isoliert	497-2426-5-ND	1.78	1.49	1.25	—	—	—	BTB24-600BW
	700	8	50	TO-220AB	Nicht isoliert	497-4176-5-ND‡	1.11	.97	.75	—	—	—	BTB08-700BWRG
	700	12	10	TO-220AB	Nicht isoliert	497-4179-5-ND‡	1.27	1.11	.85	—	—	—	BTB12-700SWRG
	800	10	50	TO-220AB	Nicht isoliert	497-4177-5-ND‡	1.18	1.02	.79	—	—	—	BTB10-800BWRG
	800	10	35	TO-220AB	Nicht isoliert	497-4178-5-ND‡	1.18	1.02	.79	—	—	—	BTB10-800CWRG
	800	12	35	TO-220AB	Nicht isoliert	497-4180-5-ND‡	1.34	1.16	.89	—	—	—	BTB12-800CWRG
	800	16	50	TO-220AB	Nicht isoliert	497-4181-5-ND‡	1.34	1.16	.89	—	—	—	BTB16-800BRG
	800	16	35	TO-220AB	Nicht isoliert	497-4182-5-ND‡	1.36	1.19	.92	—	—	—	BTB16-800CWRG
	800	25	50	TO-220AB	Nicht isoliert	497-2429-5-ND	1.78	1.49	1.25	—	—	—	BTB24-800BRG
	800	25	50	TO-220AB	Nicht isoliert	497-4183-5-ND‡	1.63	1.36	1.14	—	—	—	BTB24-800BWRG
	400	25	50	TOP3	Isoliert	497-2438-5-ND	3.61	3.15	2.35	—	—	—	BTA26-400BRG
	600	25	50	TOP3	Isoliert	497-2427-5-ND	5.49	4.78	3.56	—	—	—	BTA26-600BRG
	600	25	50	TOP3	Isoliert	497-3126-ND	6.62	6.05	4.78	—	—	—	BTA26-600BW
	600	25	50	TOP3	Isoliert	497-4170-5-ND‡	3.43	2.99	2.23	—	—	—	BTA26-600BWRG
3	600	40	50	TOP3	Isoliert	497-2431-5-ND	4.57	3.98	2.97	—	—	—	BTA41-600BRG
	800	25	50	TOP3	Isoliert	497-4171-5-ND‡	3.43	2.99	2.23	—	—	—	BTA26-800BRG
	800	25	50	TOP3	Isoliert	497-4172-5-ND‡	3.43	2.99	2.23	—	—	—	BTA26-800BWRG
	800	25	35	TOP3	Isoliert	497-4173-5-ND‡	3.43	2.99	2.23	—	—	—	BTA26-800CWRG
	800	40	50	TOP3	Isoliert	497-2430-5-ND	5.26	4.58	3.41	—	—	—	BTA41-800BRG
4	600	25	50	TOP3	Nicht isoliert	497-3398-5-ND‡	4.11	3.59	2.67	—	—	—	BTB26-600BRG
	600	25	50	RD-91	Isoliert	497-2414-5-ND	4.87	4.45	3.52	—	—	—	BTA25-600B
5	600	25	50	RD-91	Isoliert	497-3125-5-ND	4.87	4.45	3.52	—	—	—	BTA25-600BW
	600	40	50	RD-91	Isoliert	497-2417-5-ND	6.04	5.52	4.36	—	—	—	BTA40-600B
	800	40	50	RD-91	Isoliert	497-2405-5-ND	6.50	5.94	4.70	—	—	—	BTA40-800B
	600	8	10	D^2PAK	—	497-3560-5-ND‡	1.32	1.11	.93	—	—	—	T810-600G
	600	8	35	D^2PAK	—	497-2507-1-ND*	1.37	1.15	.96	497-2507-2-ND	1,000	515.58	T835-600G-TR
6	600	16	35	D^2PAK	—	497-2557-5-ND‡	1.98	1.66	1.39	—	—	—	T1635-600G
	600	16	50	D^2PAK	—	497-3739-1-ND*	1.98	1.66	1.39	497-3739-2-ND	1,000	891.47	T1650-600G-TR
	700	16	35	D^2PAK	—	497-4433-1-ND*	1.40	1.22	.94	497-4433-2-ND	1,000	540.13	T1635-700G-TR
	800	8	10	D^2PAK	—	497-4438-1-ND*	1.34	1.16	.89	497-4438-2-ND	1,000	515.58	T810-800G-TR
	600	4	5	DPAK	—	497-2505-1-ND*	1.08	.94	.72	497-2505-2-ND	2,500	382.67/M	T405-600B-TR
	600	4	5	DPAK	—	497-2501-1-ND*	.96	.83	.64	497-2501-2-ND	2,500	265.84/M	T405Q-600B-TR
	600	4	10	DPAK	—	497-3269-1-ND*	1.05	.91	.70	497-3269-2-ND	2,500	371.66/M	T410-600B-TR
7	600	4	35	DPAK	—	497-2513-1-ND*	.91	.74	.55	497-2513-2-ND	2,500	289.54/M	T435-600B-TR
	600	4	35	DPAK	—	497-3798-5-ND‡	.86	.75	.58	—	—	—	T435-600B
	600	8	35	DPAK	—	497-3270-1-ND*	1.43	1.24	.96	497-3270-2-ND	2,500	507.12/M	T835-600B-TR
	800	4	5	DPAK	—	497-4434-1-ND*	.89	.77	.60	497-4434-2-ND	2,500	314.94/M	T405-800B-TR
	600	4	5	IPAK	—	497-2556-5-ND‡	.88	.71	.53	—	—	—	T405Q-600H
8	600	4	35	IPAK	—	497-3795-5-ND‡	.92	.80	.62	—	—	—	T435-600H
	700	4	10	IPAK	—	497-4435-5-ND‡	.83	.72	.56	—	—	—	T410-700H
	700	4	35	IPAK	—	497-4436-5-ND‡	.89	.77	.60	—	—	—	T435-700H
	600	1	3	TO-92	—	497-3323-1-ND*	.58	.46	.35	497-3323-3-ND§	2,000	197.26/M	Z0103MA 2AL2
	600	1	3	TO-92	—	497-3323-ND	.55	.44	.34	—	—	—	Z0103MA 1AA2
9	600	1	5	TO-92	—	497-3822-ND	.76	.61	.46	—	—	—	Z0107MA 1AA2
	600	1	10	TO-92	—	497-2416-ND	.69	.55	.42	—	—	—	Z0109MA 1AA2
	800	1	3	TO-92	—	497-4507-1-ND*	.61	.49	.37	497-4507-2-ND	2,000	209.96/M	Z0103NA 5AL2
10	600	4	3	TO202-3	—	497-3324-ND	.82	.66	.50	—	—	—	Z0402MF 1AA2
11	800	6	30	ISOWATT 220AB	—	497-4437-5-ND‡	1.46	1.27	.98	—	—	—	T630-800W
12	800	1	5	SOT-223	—	497-4508-1-ND*	.61	.49	.37	497-4508-2-ND	1,000	209.96	Z0107NN 5AA4
	800	1	10	SOT-223	—	497-4509-1-ND*	.61	.49	.37	497-4509-2-ND	1,000	209.96	Z0109NN 5AA4

* Gurtabschnitt ‡ Röhre § Ammopack

Abb. 5 — RD-91

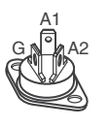

Abb. 6 — D^2PAK

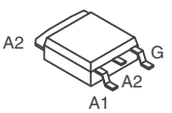

Abb. 7 — DPAK

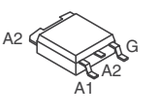

Abb. 8 — IPAK

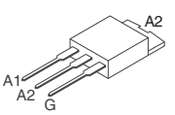

Abb. 9 — TO-92

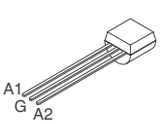

Abb. 10 — TO202-3

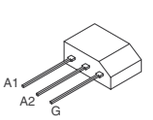

Abb. 11 — ISOWATT220AB

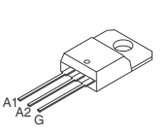

Abb. 12 — SOT-223

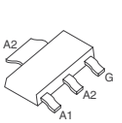

Alternistoren

Abb.	V_{DRM} (V)	$I_{T(RMS)}$ (A)	I_{GT} (mA)	Paket	Isolierung	Digi-Key Teilenr.	Stückpreis 1	10	100	STMicroelectronics Teilenr.
	600	40	200	TOP 3	Isoliert	497-4441-5-ND‡	6.23	5.69	4.50	TPDV640RG
3	800	40	200	TOP 3	Isoliert	497-4442-5-ND‡	7.01	6.40	5.06	TPDV840RG
	1200	25	150	TOP 3	Isoliert	497-3791-5-ND‡	6.33	5.78	4.57	TPDV1225RG
	1200	40	200	TOP 3	Isoliert	497-3794-5-ND‡	7.20	6.58	5.20	TPDV1240RG

‡ Röhre

Diacs

$V_{(BO)}$ (V) Minimum	$V_{(BO)}$ (V) Maximale	$V_{(BO)}$ Symmetrie (V) max.	Dynamische Breakback-Spannung (V)	Paket	Digi-Key Teilenr.	Gurtabschnittspreis pro Stück 1	10	100	Gegurtet auf Rolle † Größe	Preisangaben	STMicroelectronics Teilenr.
28	36	3	5	DO-35	497-3099-1-ND	.35	.26	.18	5,000	69.43/M	DB3

† Für Gegurtet auf Rolle die Teilenr. 1-ND in 2-ND ändern.

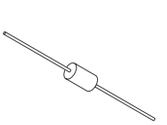

Alle Preisangaben in Euro und inklusive Zollgebühren.

ABRACON CORPORATION
The Power of Linking Together

Kristalle

Serie AB - HC49U-Kristalle

Spezifikationen:

- **Frequenzstabilität:** ±100 ppm, -20 °C ~ 70 °C
- **Frequenztoleranz:** ±20 ppm
- **Betriebstemperatur:** -20 °C ~ 70 °C
- **Ladekapazität:** 18 pF

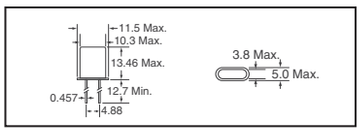

Frequenz (MHz)	Digi-Key Teilenr.	Stückpreis 1	10	50	100	Abracon Teilenr.
1.843200	535-9009-ND	1.19	1.02	.94	.85	AB-1.8432MHZ-B2
2.000000	535-9016-ND	1.19	1.02	.94	.85	AB-2.000MHZ-B2
3.579545	535-9019-ND	.36	.31	.28	.26	AB-3.579545MHZ-B2
3.686400	535-9020-ND	.36	.31	.28	.26	AB-3.6864MHZ-B2
4.000000	535-9022-ND	.36	.31	.28	.26	AB-4.000MHZ-B2
4.915200	535-9023-ND	.36	.31	.28	.26	AB-4.9152MHZ-B2
5.000000	535-9025-ND	.36	.31	.28	.26	AB-5.000MHZ-B2
6.000000	535-9026-ND	.36	.31	.28	.26	AB-6.000MHZ-B2
7.372800	535-9027-ND	.36	.31	.28	.26	AB-7.3728MHZ-B2
8.000000	535-9028-ND	.36	.31	.28	.26	AB-8.000MHZ-B2
8.192000	535-9029-ND	.36	.31	.28	.26	AB-8.192MHZ-B2
9.830400	535-9030-ND	.36	.31	.28	.26	AB-9.8304MHZ-B2
10.000000	535-9000-ND	.36	.31	.28	.26	AB-10.000MHZ-B2
11.059200	535-9001-ND	.36	.31	.28	.26	AB-11.0592MHZ-B2
12.000000	535-9002-ND	.36	.31	.28	.26	AB-12.000MHZ-B2
12.288000	535-9003-ND	.36	.31	.28	.26	AB-12.288MHZ-B2
14.318180	535-9004-ND	.36	.31	.28	.26	AB-14.31818MHZ-B2
14.745600	535-9005-ND	.36	.31	.28	.26	AB-14.7456MHZ-B2
16.000000	535-9006-ND	.36	.31	.28	.26	AB-16.000MHZ-B2
18.432000	535-9007-ND	.36	.31	.28	.26	AB-18.432MHZ-B2
19.660800	535-9008-ND	.36	.31	.28	.26	AB-19.6608MHZ-B2
20.000000	535-9010-ND	.36	.31	.28	.26	AB-20.000MHZ-B2
22.118400	535-9011-ND	.36	.31	.28	.26	AB-22.1184MHZ-B2
24.000000	535-9012-ND	.36	.31	.28	.26	AB-24.000MHZ-B2
24.576000	535-9013-ND	.36	.31	.28	.26	AB-24.576MHZ-B2F
25.000000	535-9014-ND	.36	.31	.28	.26	AB-25.000MHZ-B2F
27.000000	535-9015-ND	.36	.31	.28	.26	AB-27.000MHZ-B2F
32.000000	535-9017-ND	.36	.31	.28	.26	AB-32.000MHZ-B2
32.768000	535-9018-ND	.36	.31	.28	.26	AB-32.768MHZ-B2
48.000000	535-9021-ND	.75	.64	.59	.53	AB-48.000MHZ-B2
50.000000	535-9024-ND	.75	.64	.59	.53	AB-50.000MHZ-B2

Serie ABL - HC49US-Kristalle

Spezifikationen:

- **Frequenzstabilität:** ±50 ppm, -20 °C ~ 70 °C
- **Frequenztoleranz:** ±20 ppm
- **Betriebstemperatur:** -20 °C ~ 70 °C
- **Ladekapazität:** 18 pF

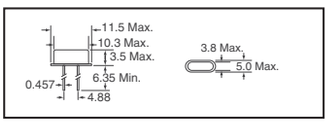

Frequenz (MHz)	Digi-Key Teilenr.	Stückpreis 1	10	50	100	Abracon Teilenr.
3.579545	535-9053-ND	.41	.36	.33	.30	ABL-3.579545MHZ-B2
3.686400	535-9054-ND	.41	.36	.33	.30	ABL-3.6864MHZ-B2
4.000000	535-9057-ND	.41	.36	.33	.30	ABL-4.000MHZ-B2
4.096000	535-9058-ND	.41	.36	.33	.30	ABL-4.096MHZ-B2
4.915200	535-9059-ND	.41	.36	.33	.30	ABL-4.9152MHZ-B2
6.000000	535-9060-ND	.41	.36	.33	.30	ABL-6.000MHZ-B2
7.372800	535-9061-ND	.41	.36	.33	.30	ABL-7.3728MHZ-B2
8.000000	535-9062-ND	.41	.36	.33	.30	ABL-8.000MHZ-B2
8.192000	535-9063-ND	.41	.36	.33	.30	ABL-8.192MHZ-B2
9.830400	535-9064-ND	.41	.36	.33	.30	ABL-9.8304MHZ-B2
10.000000	535-9035-ND	.41	.36	.33	.30	ABL-10.000MHZ-B2
11.059200	535-9036-ND	.41	.36	.33	.30	ABL-11.0592MHZ-B2
12.000000	535-9037-ND	.41	.36	.33	.30	ABL-12.000MHZ-B2
12.288000	535-9038-ND	.41	.36	.33	.30	ABL-12.288MHZ-B2
14.318180	535-9039-ND	.41	.36	.33	.30	ABL-14.31818MHZ-B2
14.745600	535-9040-ND	.41	.36	.33	.30	ABL-14.7456MHZ-B2
16.000000	535-9041-ND	.41	.36	.33	.30	ABL-16.000MHZ-B2
16.128000	535-9042-ND	.41	.36	.33	.30	ABL-16.128MHZ-B2
16.384000	535-9043-ND	.41	.36	.33	.30	ABL-16.384MHZ-B2
18.432000	535-9044-ND	.41	.36	.33	.30	ABL-18.432MHZ-B2
19.660800	535-9045-ND	.41	.36	.33	.30	ABL-19.6608MHZ-B2
20.000000	535-9046-ND	.41	.36	.33	.30	ABL-20.000MHZ-B2
22.118400	535-9047-ND	.41	.36	.33	.30	ABL-22.1184MHZ-B2
24.000000	535-9048-ND	.41	.36	.33	.30	ABL-24.000MHZ-B2
24.576000	535-9049-ND	.41	.36	.33	.30	ABL-24.576MHZ-B2F
25.000000	535-9050-ND	.41	.36	.33	.30	ABL-25.000MHZ-B2F
27.000000	535-9051-ND	.41	.36	.33	.30	ABL-27.000MHZ-B2F
32.000000	535-9052-ND	.41	.36	.33	.30	ABL-32.000MHZ-B2
40.000000	535-9055-ND	.75	.64	.59	.53	ABL-40.000MHZ-B2
48.000000	535-9056-ND	1.48	1.27	1.17	1.06	ABL-48.000MHZ-B2

Serie ABLS - HC49US SMD-Kristalle

Spezifikationen:

- **Frequenzstabilität:** ±50 ppm, -20 °C ~ 70 °C
- **Frequenztoleranz:** ±20 ppm
- **Betriebstemperatur:** -40 °C ~ 85 °C
- **Ladekapazität:** 18,0 pF

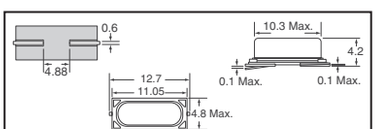

* Preisangaben für Gegurtet auf Rolle

Frequenz (MHz)	Digi-Key Teilenr.	Gurtabschnittspreis pro Stück 1	10	50	100	Tape & Reel Digi-Key Teilenr.	Pricing* 1.000	Abracon Teilenr.
3.579545	535-9081-1-ND	.47	.42	.36	.26	535-9081-2-ND	222.66	ABLS-3.579545MHZ-B2-T
3.686400	535-9082-1-ND	.47	.42	.36	.26	535-9082-2-ND	222.66	ABLS-3.6864MHZ-B2-T
4.000000	535-9085-1-ND	.47	.42	.36	.26	535-9085-2-ND	222.66	ABLS-4.000MHZ-B2-T
4.915200	535-9086-1-ND	.47	.42	.36	.26	535-9086-2-ND	222.66	ABLS-4.9152MHZ-B2-T
5.000000	535-9087-1-ND	.47	.42	.36	.26	535-9087-2-ND	222.66	ABLS-5.000MHZ-B2-T
7.372800	535-9088-1-ND	.47	.42	.36	.26	535-9088-2-ND	222.66	ABLS-7.3728MHZ-B2-T
8.000000	535-9089-1-ND	.47	.42	.36	.26	535-9089-2-ND	222.66	ABLS-8.000MHZ-B2-T
8.192000	535-9090-1-ND	.47	.42	.36	.26	535-9090-2-ND	222.66	ABLS-8.192MHZ-B2-T
10.000000	535-9065-1-ND	.47	.42	.36	.26	535-9065-2-ND	222.66	ABLS-10.000MHZ-B2-T
11.059200	535-9066-1-ND	.47	.42	.36	.26	535-9066-2-ND	222.66	ABLS-11.0592MHZ-B2-T
12.000000	535-9067-1-ND	.47	.42	.36	.26	535-9067-2-ND	222.66	ABLS-12.000MHZ-B2-T
12.288000	535-9068-1-ND	.47	.42	.36	.26	535-9068-2-ND	222.66	ABLS-12.288MHZ-B2-T
14.318180	535-9069-1-ND	.47	.42	.36	.26	535-9069-2-ND	222.66	ABLS-14.31818MHZ-B2-T
14.745600	535-9070-1-ND	.47	.42	.36	.26	535-9070-2-ND	222.66	ABLS-14.7456MHZ-B2-T
16.000000	535-9071-1-ND	.47	.42	.36	.26	535-9071-2-ND	222.66	ABLS-16.000MHZ-B2-T
18.432000	535-9072-1-ND	.47	.42	.36	.26	535-9072-2-ND	222.66	ABLS-18.432MHZ-B2-T
19.660800	535-9073-1-ND	.47	.42	.36	.26	535-9073-2-ND	222.66	ABLS-19.6608MHZ-B2-T
20.000000	535-9074-1-ND	.47	.42	.36	.26	535-9074-2-ND	222.66	ABLS-20.000MHZ-B2-T
22.118400	535-9075-1-ND	.47	.42	.36	.26	535-9075-2-ND	222.66	ABLS-22.1184MHZ-B2-T
24.000000	535-9076-1-ND	.47	.42	.36	.26	535-9076-2-ND	222.66	ABLS-24.000MHZ-B2-T
24.576000	535-9077-1-ND	.47	.42	.36	.26	535-9077-2-ND	222.66	ABLS-24.576MHZ-B2F-T
25.000000	535-9078-1-ND	.47	.42	.36	.26	535-9078-2-ND	222.66	ABLS-25.000MHZ-B2F-T
27.000000	535-9079-1-ND	.47	.42	.36	.26	535-9079-2-ND	222.66	ABLS-27.000MHZ-B2F-T
32.000000	535-9080-1-ND	.47	.42	.36	.26	535-9080-2-ND	222.66	ABLS-32.000MHZ-B2-T
48.000000	535-9083-1-ND	.47	.42	.36	.26	535-9083-2-ND	222.66	ABLS-48.000MHZ-B2-T
49.152000	535-9084-1-ND	.47	.42	.36	.26	535-9084-2-ND	222.66	ABLS-49.152MHZ-B2-T

* Preisangaben für Gegurtet auf Rolle

Serie ABM3 - SMD-Kristalle, 5 x 3,2

Spezifikationen:

- **Frequenzstabilität:** ±100 ppm, -20 °C ~ 70 °C
- **Frequenztoleranz:** ±20 ppm
- **Betriebstemperatur:** -40 °C ~ 85 °C
- **Ladekapazität:** 18,0 pF

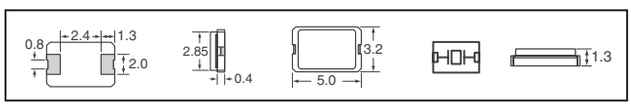

Frequenz (MHz)	Digi-Key Teilenr.	Gurtabschnittspreis pro Stück 1	10	50	100	Tape & Reel Digi-Key Teilenr.	Pricing* 1.000	Abracon Teilenr.
12.00000	535-9100-1-ND	1.17	.96	.85	.75	535-9100-2-ND	592.62	ABM3-12.000MHZ-B2-T
13.56000	535-9101-1-ND	1.17	.96	.85	.75	535-9101-2-ND	592.62	ABM3-13.560MHZ-B2-T
14.31818	535-9102-1-ND	1.17	.96	.85	.75	535-9102-2-ND	592.62	ABM3-14.31818MHZ-B2-T
16.00000	535-9103-1-ND	1.17	.96	.85	.75	535-9103-2-ND	592.62	ABM3-16.000MHZ-B2-T
18.43200	535-9104-1-ND	1.17	.96	.85	.75	535-9104-2-ND	592.62	ABM3-18.432MHZ-B2-T
20.00000	535-9105-1-ND	1.17	.96	.85	.75	535-9105-2-ND	592.62	ABM3-20.000MHZ-B2-T
24.00000	535-9106-1-ND	1.17	.96	.85	.75	535-9106-2-ND	592.62	ABM3-24.000MHZ-B2-T
24.57600	535-9107-1-ND	1.17	.96	.85	.75	535-9107-2-ND	592.62	ABM3-24.576MHZ-B2-T
25.00000	535-9108-1-ND	1.17	.96	.85	.75	535-9108-2-ND	592.62	ABM3-25.000MHZ-B2-T
27.00000	535-9109-1-ND	1.17	.96	.85	.75	535-9109-2-ND	592.62	ABM3-27.000MHZ-B2-T
28.63630	535-9110-1-ND	1.17	.96	.85	.75	535-9110-2-ND	592.62	ABM3-28.6363MHZ-B2-T
29.49120	535-9111-1-ND	1.17	.96	.85	.75	535-9111-2-ND	592.62	ABM3-29.4912MHZ-B2-T
30.00000	535-9112-1-ND	1.17	.96	.85	.75	535-9112-2-ND	592.62	ABM3-30.000MHZ-B2-T
33.00000	535-9113-1-ND	1.17	.96	.85	.75	535-9113-2-ND	592.62	ABM3-33.000MHZ-B2-T
40.00000	535-9114-1-ND	1.17	.96	.85	.75	535-9114-2-ND	592.62	ABM3-40.000MHZ-B2-T
48.00000	535-9115-1-ND	1.17	.96	.85	.75	535-9115-2-ND	592.62	ABM3-48.000MHZ-B2-T

* Preisangaben für Gegurtet auf Rolle

Serie ABM3B - SMD-Kristalle, 5 x 3,2

Spezifikationen:

- **Frequenzstabilität:** ±50 ppm, -20 °C ~ 70 °C
- **Frequenztoleranz:** ±20 ppm
- **Betriebstemperatur:** -40 °C ~ 85 °C
- **Ladekapazität:** 18,0 pF

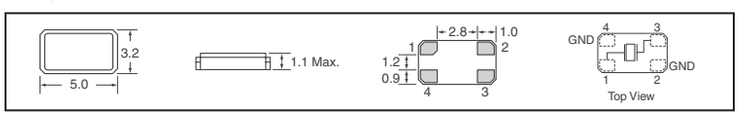

Frequenz (MHz)	Digi-Key Teilenr.	Gurtabschnittspreis pro Stück 1	10	50	100	T & R Digi-Key Teilenr.	Pricing* 1.000	Abracon Teilenr.
12.00000	535-9116-1-ND	1.17	.96	.85	.75	535-9116-2-ND	592.62	ABM3B-12.000MHZ-B2-T
12.28800	535-9117-1-ND	1.17	.96	.85	.75	535-9117-2-ND	592.62	ABM3B-12.288MHZ-B2-T
13.00000	535-9118-1-ND	1.17	.96	.85	.75	535-9118-2-ND	592.62	ABM3B-13.000MHZ-B2-T
13.82400	535-9119-1-ND	1.17	.96	.85	.75	535-9119-2-ND	592.62	ABM3B-13.824MHZ-B2-T
14.31818	535-9120-1-ND	1.17	.96	.85	.75	535-9120-2-ND	592.62	ABM3B-14.31818MHZ-B2-T
15.36000	535-9121-1-ND	1.17	.96	.85	.75	535-9121-2-ND	592.62	ABM3B-15.360MHZ-B2-T
16.00000	535-9122-1-ND	1.17	.96	.85	.75	535-9122-2-ND	592.62	ABM3B-16.000MHZ-B2-T
16.38400	535-9123-1-ND	1.17	.96	.85	.75	535-9123-2-ND	592.62	ABM3B-16.384MHZ-B2-T
18.43200	535-9124-1-ND	1.17	.96	.85	.75	535-9124-2-ND	592.62	ABM3B-18.432MHZ-B2-T
20.00000	535-9125-1-ND	1.17	.96	.85	.75	535-9125-2-ND	592.62	ABM3B-20.000MHZ-B2-T
24.00000	535-9126-1-ND	1.17	.96	.85	.75	535-9126-2-ND	592.62	ABM3B-24.000MHZ-B2-T
24.57600	535-9127-1-ND	1.17	.96	.85	.75	535-9127-2-ND	592.62	ABM3B-24.576MHZ-B2-T
25.00000	535-9128-1-ND	1.17	.96	.85	.75	535-9128-2-ND	592.62	ABM3B-25.000MHZ-B2-T
27.00000	535-9129-1-ND	1.17	.96	.85	.75	535-9129-2-ND	592.62	ABM3B-27.000MHZ-B2-T
30.00000	535-9130-1-ND	1.17	.96	.85	.75	535-9130-2-ND	592.62	ABM3B-30.000MHZ-B2-T
32.00000	535-9131-1-ND	1.17	.96	.85	.75	535-9131-2-ND	592.62	ABM3B-32.000MHZ-B2-T
40.00000	535-9132-1-ND	1.17	.96	.85	.75	535-9132-2-ND	592.62	ABM3B-40.000MHZ-B2-T
48.00000	535-9133-1-ND	1.17	.96	.85	.75	535-9133-2-ND	592.62	ABM3B-48.000MHZ-B2-T

* Preisangaben für Gegurtet auf Rolle

(Forts.)

C

Kristalle *(Forts.)*

Serie ABM8 - SMD-Kristalle, 3,2 x 2,5

Spezifikationen:
• **Frequenzstabilität:** ±50 ppm, -20 °C ~ 70 °C • **Frequenztoleranz:** ±20 ppm • **Betriebstemperatur:** -40 °C ~ 85 °C
• **Ladekapazität:** 18pF

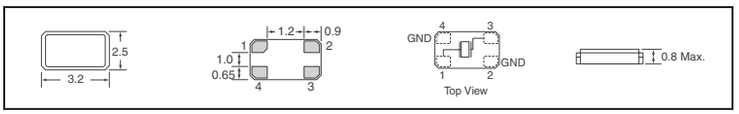

Frequenz (MHz)	Digi-Key Teilenr.	Gurtabschnittspreis pro Stück 1	10	50	100	Digi-Key Teilenr.	T & R Pricing* 1.000	Abracon Teilenr.
16.000000	535-9134-1-ND	1.98	1.62	1.44	1.24	535-9134-2-ND	1007.45	ABM8-16.000MHZ-B2-T
18.432000	535-9135-1-ND	1.98	1.62	1.44	1.24	535-9135-2-ND	1007.45	ABM8-18.432MHZ-B2-T
20.000000	535-9136-1-ND	1.98	1.62	1.44	1.24	535-9136-2-ND	1007.45	ABM8-20.000MHZ-B2-T
22.118400	535-9137-1-ND	1.98	1.62	1.44	1.24	535-9137-2-ND	1007.45	ABM8-22.1184MHZ-B2-T
24.000000	535-9138-1-ND	1.98	1.62	1.44	1.24	535-9138-2-ND	1007.45	ABM8-24.000MHZ-B2-T
24.576000	535-9139-1-ND	1.98	1.62	1.44	1.24	535-9139-2-ND	1007.45	ABM8-24.576MHZ-B2-T
25.000000	535-9140-1-ND	1.98	1.62	1.44	1.24	535-9140-2-ND	1007.45	ABM8-25.000MHZ-B2-T
27.000000	535-9141-1-ND	1.98	1.62	1.44	1.24	535-9141-2-ND	1007.45	ABM8-27.000MHZ-B2-T
28.375000	535-9142-1-ND	1.98	1.62	1.44	1.24	535-9142-2-ND	1007.45	ABM8-28.375MHZ-B2-T
28.636360	535-9143-1-ND	1.98	1.62	1.44	1.24	535-9143-2-ND	1007.45	ABM8-28.63636MHZ-B2-T
29.491200	535-9144-1-ND	1.98	1.62	1.44	1.24	535-9144-2-ND	1007.45	ABM8-29.4912MHZ-B2-T
30.000000	535-9145-1-ND	1.98	1.62	1.44	1.24	535-9145-2-ND	1007.45	ABM8-30.000MHZ-B2-T
33.000000	535-9146-1-ND	1.98	1.62	1.44	1.24	535-9146-2-ND	1007.45	ABM8-33.000MHZ-B2-T
40.000000	535-9147-1-ND	1.98	1.62	1.44	1.24	535-9147-2-ND	1007.45	ABM8-40.000MHZ-B2-T
44.000000	535-9148-1-ND	1.98	1.62	1.44	1.24	535-9148-2-ND	1007.45	ABM8-44.000MHZ-B2-T
48.000000	535-9149-1-ND	1.98	1.62	1.44	1.24	535-9149-2-ND	1007.45	ABM8-48.000MHZ-B2-T

* Preisangabe für Gegurtet auf Rolle

Serie ABMM - SMD-Kristalle, 5 x 7

Spezifikationen:
• **Frequenzstabilität:** ±50 ppm, -20 °C ~ 70 °C • **Frequenztoleranz:** ±20 ppm • **Betriebstemperatur:** -40 °C ~ 85 °C
• **Ladekapazität:** 18,0 pF

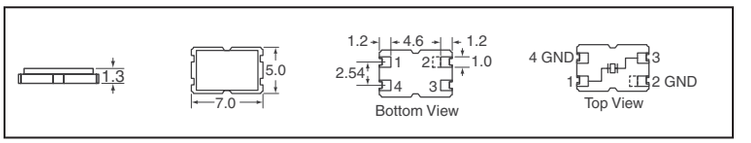

Frequenz (MHz)	Digi-Key Teilenr.	Gurtabschnittspreis pro Stück 1	10	50	100	Digi-Key Teilenr.	Tape & Reel Pricing* 1.000	Abracon Teilenr.
8.00000	535-9164-1-ND	.87	.72	.64	.56	535-9164-2-ND	444.47	ABMM-8.000MHZ-B2-T
10.00000	535-9150-1-ND	.87	.72	.64	.56	535-9150-2-ND	444.47	ABMM-10.000MHZ-B2-T
11.05920	535-9151-1-ND	.87	.72	.64	.56	535-9151-2-ND	444.47	ABMM-11.0592MHZ-B2-T
12.00000	535-9152-1-ND	.87	.72	.64	.56	535-9152-2-ND	444.47	ABMM-12.000MHZ-B2-T
14.31818	535-9153-1-ND	.87	.72	.64	.56	535-9153-2-ND	444.47	ABMM-14.31818MHZ-B2-T
14.74560	535-9154-1-ND	.87	.72	.64	.56	535-9154-2-ND	444.47	ABMM-14.7456MHZ-B2-T
16.00000	535-9155-1-ND	.87	.72	.64	.56	535-9155-2-ND	444.47	ABMM-16.000MHZ-B2-T
16.93440	535-9156-1-ND	.87	.72	.64	.56	535-9156-2-ND	444.47	ABMM-16.9344MHZ-B2-T
19.66080	535-9157-1-ND	.87	.72	.64	.56	535-9157-2-ND	444.47	ABMM-19.6608MHZ-B2-T
20.00000	535-9158-1-ND	.87	.72	.64	.56	535-9158-2-ND	444.47	ABMM-20.000MHZ-B2-T
24.00000	535-9159-1-ND	.87	.72	.64	.56	535-9159-2-ND	444.47	ABMM-24.000MHZ-B2-T
24.57600	535-9160-1-ND	.87	.72	.64	.56	535-9160-2-ND	444.47	ABMM-24.576MHZ-B2-T
25.00000	535-9161-1-ND	.87	.72	.64	.56	535-9161-2-ND	444.47	ABMM-25.000MHZ-B2-T
27.00000	535-9162-1-ND	.87	.72	.64	.56	535-9162-2-ND	444.47	ABMM-27.000MHZ-B2-T
32.00000	535-9163-1-ND	.87	.72	.64	.56	535-9163-2-ND	444.47	ABMM-32.000MHZ-2BF-T

* Preisangabe für Gegurtet auf Rolle

Serie ABM10 - SMD-Kristalle, 2,5 x 2

Spezifikationen:
• **Frequenzstabilität:** ±20 ppm, -20 °C ~ 70 °C • **Frequenztoleranz:** ±20 ppm • **Betriebstemperatur:** -40 °C ~ 85 °C
• **Betriebsmodus:** Erste Harmonische • **Ladekapazität:** 10 pF

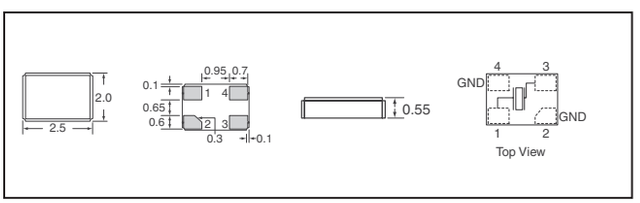

Frequenz (MHz)	Digi-Key Teilenr.	Gurtabschnittspreis pro Stück 1	10	50	100	Digi-Key Teilenr.	Tape & Reel Pricing* 1.000	Abracon Teilenr.
20.0000	535-9091-1-ND	5.82	4.77	4.24	3.74	535-9091-2-ND	2963.10	ABM10-20.000MHZ-E20-T
22.1184	535-9092-1-ND	5.82	4.77	4.24	3.74	535-9092-2-ND	2963.10	ABM10-22.1184MHZ-E20-T
24.0000	535-9093-1-ND	5.82	4.77	4.24	3.74	535-9093-2-ND	2963.10	ABM10-24.000MHZ-E20-T
24.5760	535-9094-1-ND	5.82	4.77	4.24	3.74	535-9094-2-ND	2963.10	ABM10-24.576MHZ-E20-T
25.0000	535-9095-1-ND	5.82	4.77	4.24	3.74	535-9095-2-ND	2963.10	ABM10-25.000MHZ-E20-T
27.0000	535-9096-1-ND	5.82	4.77	4.24	3.74	535-9096-2-ND	2963.10	ABM10-27.000MHZ-E20-T
30.0000	535-9097-1-ND	5.82	4.77	4.24	3.74	535-9097-2-ND	2963.10	ABM10-30.000MHZ-E20-T
40.0000	535-9098-1-ND	5.82	4.77	4.24	3.74	535-9098-2-ND	2963.10	ABM10-40.000MHZ-E20-T
48.0000	535-9099-1-ND	5.82	4.77	4.24	3.74	535-9099-2-ND	2963.10	ABM10-48.000MHZ-E20-T

* Preisangabe für Gegurtet auf Rolle

32,768 kHz Feinabstimmungsgabelkristalle

Abb. 1

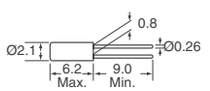

Abb. 2

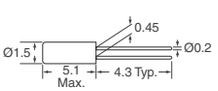

Abb. 3

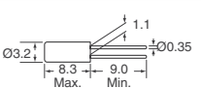

Abb. 4

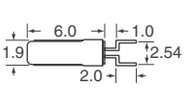

Abb.	Frequenz (kHz)	Frequenztoleranz	Betriebstemperatur	Digi-Key Teilenr.	Stückpreis 1	10	50	100	Abracon Teilenr.
				AB-T Oberflächenmontage					
1	32.768	±20ppm	-10°C ~ 60°C	535-9032-ND	.30	.26	.24	.22	AB26T-32.768KHZ
				AB-T Durchlassloch					
2	32.768	±20ppm	-10°C ~ 60°C	535-9031-ND	.75	.64	.59	.53	AB15T-32.768KHZ
3	32.768	±20ppm	-10°C ~ 60°C	535-9034-ND	.30	.26	.24	.22	AB38T-32.768KHZ

Abb. 5

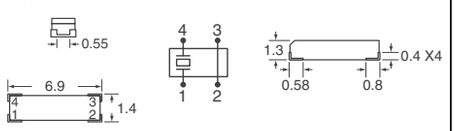

Abb.	Frequenz (kHz)	Frequenz-toleranz	Betriebs-temperatur	Digi-Key Teilenr.	Gurtabschnittspreis pro Stück 1	10	50	100	Digi-Key Teilenr.	Gegurtet auf Rolle Größe	Preisangaben	Abracon Teilenr.
				AB26TRB Oberflächenmontage								
4	32.768	±20ppm	-40°C ~ 85°C	535-9033-1-ND	.69	.59	.44	.39	535-9033-2-ND	2,000	272.61/M	AB26TRB-32.768KHZ-T
				ABS13 Oberflächenmontage								
5	32.768	±20ppm	-40°C ~ 85°C	535-9165-1-ND	1.63	1.40	1.05	.94	535-9165-2-ND	3,000	651.89/M	ABS13-32.768KHZ-T
				ABS25 Oberflächenmontage								
6	32.768	±20ppm	-40°C ~ 85°C	535-9166-1-ND	.89	.77	.58	.51	535-9166-2-ND	3,000	355.58/M	ABS25-32.768KHZ-T

Abb. 6

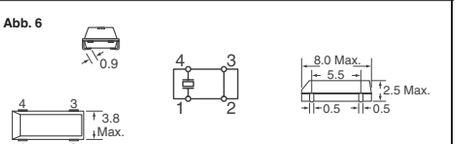

Resonatoren

Serie AWCR - Keramikresonator mit Anschlüssen und integrierter Kappe

Merkmale: • Hohe Stabilität • Abwaschbar
Spezifikationen: • **Frequenztoleranz:** ±0,5 % • **Betriebstemperatur:** -40 °C ~ 85 °C

Pin	Funktion
1	Eingang
2	Erde
3	Ausgang

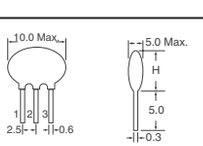

Frequ. (MHz)	H (max.)
2.00 ~ 6.0	.315 (8.0)
6.01 ~ 20.00	.395 (10)

Frequenz (MHz)	Digi-Key Teilenr.	Stückpreis 1	10	100	500	Abracon Teilenr.
2.00	535-9357-ND	.29	.24	.20	.16	AWCR-2.00MD
3.58	535-9358-ND	.29	.24	.20	.16	AWCR-3.58MD
4.00	535-9359-ND	.29	.24	.20	.16	AWCR-4.00MD
6.00	535-9360-ND	.29	.24	.20	.16	AWCR-6.00MD
8.00	535-9361-ND	.29	.24	.20	.16	AWCR-8.00MD
10.00	535-9353-ND	.29	.24	.20	.16	AWCR-10.00MD
12.00	535-9354-ND	.29	.24	.20	.16	AWCR-12.00MD
16.00	535-9355-ND	.29	.24	.20	.16	AWCR-16.00MD
20.00	535-9356-ND	.29	.24	.20	.16	AWCR-20.00MD

(Forts.)

Alle Preisangaben in Euro und inklusive Zollgebühren.

Resonatoren *(Forts.)*

Serie AWSCR - SMD-Keramikresonator mit eingebauter Kappe

Spezifikationen: • **Frequenztoleranz:** ±0,5 % • **Betriebstemperatur:** -40 °C ~ 85 °C

Merkmale:
• Industrielle Qualität

Pin	Funktion
1	Eingang
2	ERDE
3	Ausgang

Abb. 1

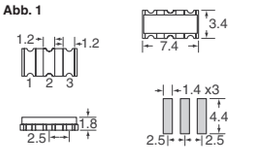

Abb. 2

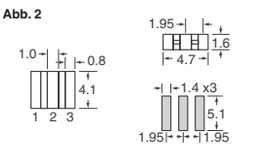

Abb.	Frequenz (MHz)	Digi-Key Teilenr.	Gurtabschnittspreis pro Stück 1	10	100	500	Digi-Key Teilenr.	Tape & Reel Pricing* 1.000	Abracon Teilenr.
1	3.58	535-9365-1-ND	.43	.37	.29	.25	535-9365-2-ND	171.86	AWSCR-3.58MGD-T
	4.00	535-9366-1-ND	.43	.37	.29	.25	535-9366-2-ND	171.86	AWSCR-4.00MGD-T
	6.00	535-9367-1-ND	.43	.37	.29	.25	535-9367-2-ND	171.86	AWSCR-6.00MGD-T
	8.00	535-9368-1-ND	.43	.37	.29	.25	535-9368-2-ND	171.86	AWSCR-8.00MGD-T
2	16.00	535-9362-1-ND	.43	.37	.29	.25	535-9362-2-ND	171.86	AWSCR-16.00MTD-T
	20.00	535-9363-1-ND	.43	.37	.29	.25	535-9363-2-ND	171.86	AWSCR-20.00MTD-T
	24.00	535-9364-1-ND	.43	.37	.29	.25	535-9364-2-ND	171.86	AWSCR-24.00MTD-T

* Preisangaben für Gegurtet auf Rolle

Serie HWZT - Abwaschbarer Keramikresonator mit Anschlüssen

Merkmale:
• Niedriger Resonanzwiderstand • Schwalllöttauglich
• Hohe Stabilität • Industrielle Qualität • Ausgezeichnete Umweltbeständigkeit

Spezifikationen:
• **Frequenztoleranz:** ±0,5 %
• **Betriebstemperatur:** -40 °C ~ 85 °C

Frequ. (MHz)	H (Max.)
2.00 ~ 13.0	.295 (7.5)
13.01 ~ 20.00	.395 (10)

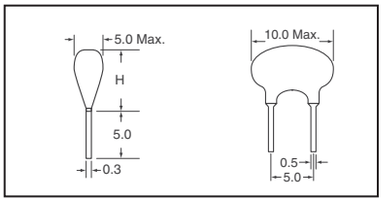

Frequenz (MHz)	Digi-Key Teilenr.	Stückpreis 1	10	100	500	Abracon Teilenr.
2.00	535-9381-ND	.27	.23	.19	.15	HWZT-2.00MD
3.58	535-9382-ND	.27	.23	.19	.15	HWZT-3.58MD
4.00	535-9383-ND	.27	.23	.19	.15	HWZT-4.00MD
6.00	535-9384-ND	.27	.23	.19	.15	HWZT-6.00MD
8.00	535-9385-ND	.27	.23	.19	.15	HWZT-8.00MD
10.00	535-9377-ND	.27	.23	.19	.15	HWZT-10.00MD
12.00	535-9378-ND	.27	.23	.19	.15	HWZT-12.00MD
16.00	535-9379-ND	.27	.23	.19	.15	HWZT-16.00MD
20.00	535-9380-ND	.27	.23	.19	.15	HWZT-20.00MD

Serie AWSZT - SMD-Keramikresonator

Spezifikationen: • Frequenztoleranz: ±0,5 % • **Betriebstemperatur:** -40 °C ~ 85 °C **Merkmale:** • Abwaschbar • Industrielle Qualität

Abb.1

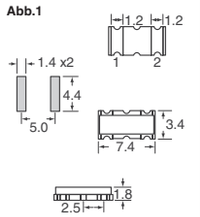

Pin	Funktion
1	Eingang
2	ERDE

Abb. 2

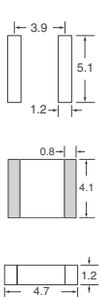

Abb. 3

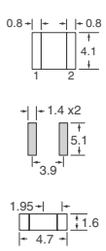

Pin	Funktion
1	Eingang
2	ERDE

Abb.	Frequ. (MHz)	Digi-Key Teilenr.	Gurtabschnittspreis pro Stück 1	10	100	500	Digi-Key Teilenr.	Tape & Reel Pricing* 1.000	Abracon Teilenr.
1	3.58	535-9373-1-ND	.41	.36	.28	.24	535-9373-2-ND	165.93	AWSZT-3.58MGD-T
	4.00	535-9374-1-ND	.41	.36	.28	.24	535-9374-2-ND	165.93	AWSZT-4.00MGD-T
	6.00	535-9375-1-ND	.41	.36	.28	.24	535-9375-2-ND	165.93	AWSZT-6.00MGD-T
2	8.00	535-9376-1-ND	.41	.36	.28	.24	535-9376-2-ND	165.93	AWSZT-8.00MWD-T
	12.00	535-9369-1-ND	.41	.36	.28	.24	535-9369-2-ND	165.93	AWSZT-12.00MWD-T
3	16.00	535-9370-1-ND	.41	.36	.28	.24	535-9370-2-ND	165.93	AWSZT-16.00MXD-T
	20.00	535-9371-1-ND	.41	.36	.28	.24	535-9371-2-ND	165.93	AWSZT-20.00MXD-T
	24.00	535-9372-1-ND	.41	.36	.28	.24	535-9372-2-ND	165.93	AWSZT-24.00MXD-T

* Preisangaben für Gegurtet auf Rolle

Oszillatoren

Halbe Größe

Spezifikationen: • **Frequenzstabilität:** ±30 ppm, -20 °C ~ 70 °C • **Betriebstemperatur:** -20 °C ~ 70 °C
Merkmale: • HCMOS- und TTL-kompatibel

Pin	Funktion
1	NC
4	ERDE/Gehäuse
5	Ausgang
8	Vdd

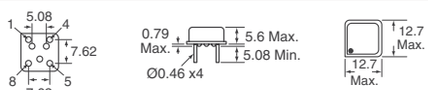

Frequenz (MHz)	Digi-Key Teilenr.	Stückpreis 1	10	100	500	Abracon Teilenr.
Serie ACH - Oszillatoren, halbe Größe — 5 V						
3.68640	535-9179-5-ND	1.38	1.24	1.00	.89	ACH-3.6864MHZ-EK
4.00000	535-9182-5-ND	1.38	1.24	1.00	.89	ACH-4.000MHZ-EK
8.00000	535-9184-5-ND	1.38	1.24	1.00	.89	ACH-8.000MHZ-EK
10.00000	535-9167-5-ND	1.38	1.24	1.00	.89	ACH-10.000MHZ-EK
11.05920	535-9168-5-ND	1.38	1.24	1.00	.89	ACH-11.0592MHZ-EK
12.00000	535-9169-5-ND	1.38	1.24	1.00	.89	ACH-12.000MHZ-EK
14.31818	535-9170-5-ND	1.38	1.24	1.00	.89	ACH-14.31818MHZ-EK
16.00000	535-9171-5-ND	1.38	1.24	1.00	.89	ACH-16.000MHZ-EK
18.43200	535-9172-5-ND	1.38	1.24	1.00	.89	ACH-18.432MHZ-EK
20.00000	535-9173-5-ND	1.38	1.24	1.00	.89	ACH-20.000MHZ-EK
24.57600	535-9174-5-ND	1.38	1.24	1.00	.89	ACH-24.576MHZ-EK
25.00000	535-9175-5-ND	1.38	1.24	1.00	.89	ACH-25.000MHZ-EK
27.00000	535-9176-5-ND	1.38	1.24	1.00	.89	ACH-27.000MHZ-EK
32.00000	535-9177-5-ND	1.38	1.24	1.00	.89	ACH-32.000MHZ-EK
32.76800	535-9178-5-ND	1.38	1.24	1.00	.89	ACH-32.768MHZ-EK
40.00000	535-9180-5-ND	1.38	1.24	1.00	.89	ACH-40.000MHZ-EK
48.00000	535-9181-5-ND	1.38	1.24	1.00	.89	ACH-48.000MHZ-EK
50.00000	535-9183-5-ND	1.38	1.24	1.00	.89	ACH-50.000MHZ-EK
Serie ACHL - Oszillatoren, halbe Größe — 3,3 V						
3.68640	535-9197-5-ND	1.38	1.24	1.00	.89	ACHL-3.6864MHZ-EK
4.00000	535-9200-5-ND	1.38	1.24	1.00	.89	ACHL-4.000MHZ-EK
8.00000	535-9202-5-ND	1.38	1.24	1.00	.89	ACHL-8.000MHZ-EK
10.00000	535-9185-5-ND	1.38	1.24	1.00	.89	ACHL-10.000MHZ-EK
11.05920	535-9186-5-ND	1.38	1.24	1.00	.89	ACHL-11.0592MHZ-EK
12.00000	535-9187-5-ND	1.38	1.24	1.00	.89	ACHL-12.000MHZ-EK
14.31818	535-9188-5-ND	1.38	1.24	1.00	.89	ACHL-14.31818MHZ-EK
16.00000	535-9189-5-ND	1.38	1.24	1.00	.89	ACHL-16.000MHZ-EK
18.43200	535-9190-5-ND	1.38	1.24	1.00	.89	ACHL-18.432MHZ-EK
20.00000	535-9191-5-ND	1.38	1.24	1.00	.89	ACHL-20.000MHZ-EK
24.57600	535-9192-5-ND	1.38	1.24	1.00	.89	ACHL-24.576MHZ-EK
25.00000	535-9193-5-ND	1.38	1.24	1.00	.89	ACHL-25.000MHZ-EK
27.00000	535-9194-5-ND	1.38	1.24	1.00	.89	ACHL-27.000MHZ-EK
32.00000	535-9195-5-ND	1.38	1.24	1.00	.89	ACHL-32.000MHZ-EK
32.76800	535-9196-5-ND	1.38	1.24	1.00	.89	ACHL-32.768MHZ-EK
40.00000	535-9198-5-ND	1.38	1.24	1.00	.89	ACHL-40.000MHZ-EK
48.00000	535-9199-5-ND	1.38	1.24	1.00	.89	ACHL-48.000MHZ-EK
50.00000	535-9201-5-ND	1.38	1.24	1.00	.89	ACHL-50.000MHZ-EK

Volle Größe

Spezifikationen: • **Frequenzstabilität:** ±30 ppm, -20 °C ~ 70 °C • **Betriebstemperatur:** -20 °C ~ 70 °C
Merkmale: • HCMOS- und TTL-kompatibel

Pin	Funktion
1	NC
7	ERDE/Gehäuse
8	Ausgang
14	Vdd

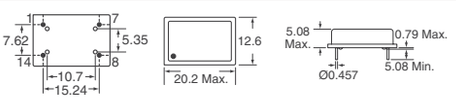

Frequenz (MHz)	Digi-Key Teilenr.	Stückpreis 1	10	100	500	Abracon Teilenr.
Serie ACO - Oszillatoren, volle Größe — 5 V						
3.68640	535-9215-5-ND	1.38	1.24	1.00	.89	ACO-3.6864MHZ-EK
4.00000	535-9218-5-ND	1.38	1.24	1.00	.89	ACO-4.000MHZ-EK
8.00000	535-9220-5-ND	1.38	1.24	1.00	.89	ACO-8.000MHZ-EK
10.00000	535-9203-5-ND	1.38	1.24	1.00	.89	ACO-10.000MHZ-EK
11.05920	535-9204-5-ND	1.38	1.24	1.00	.89	ACO-11.0592MHZ-EK
12.00000	535-9205-5-ND	1.38	1.24	1.00	.89	ACO-12.000MHZ-EK
14.31818	535-9206-5-ND	1.38	1.24	1.00	.89	ACO-14.31818MHZ-EK
16.00000	535-9207-5-ND	1.38	1.24	1.00	.89	ACO-16.000MHZ-EK
18.43200	535-9208-5-ND	1.38	1.24	1.00	.89	ACO-18.432MHZ-EK
20.00000	535-9209-5-ND	1.38	1.24	1.00	.89	ACO-20.000MHZ-EK
24.57600	535-9210-5-ND	1.38	1.24	1.00	.89	ACO-24.576MHZ-EK
25.00000	535-9211-5-ND	1.38	1.24	1.00	.89	ACO-25.000MHZ-EK
27.00000	535-9212-5-ND	1.38	1.24	1.00	.89	ACO-27.000MHZ-EK
32.00000	535-9213-5-ND	1.38	1.24	1.00	.89	ACO-32.000MHZ-EK
32.76800	535-9214-5-ND	1.38	1.24	1.00	.89	ACO-32.768MHZ-EK
40.00000	535-9216-5-ND	1.38	1.24	1.00	.89	ACO-40.000MHZ-EK
48.00000	535-9217-5-ND	1.38	1.24	1.00	.89	ACO-48.000MHZ-EK
50.00000	535-9219-5-ND	1.38	1.24	1.00	.89	ACO-50.000MHZ-EK
Serie ACOL - Oszillatoren, volle Größe — 3,3 V						
3.68640	535-9233-5-ND	1.38	1.24	1.00	.89	ACOL-3.6864MHZ-EK
4.00000	535-9236-5-ND	1.38	1.24	1.00	.89	ACOL-4.000MHZ-EK
8.00000	535-9238-5-ND	1.38	1.24	1.00	.89	ACOL-8.000MHZ-EK
10.00000	535-9221-5-ND	1.38	1.24	1.00	.89	ACOL-10.000MHZ-EK
11.05920	535-9222-5-ND	1.38	1.24	1.00	.89	ACOL-11.0592MHZ-EK
12.00000	535-9223-5-ND	1.38	1.24	1.00	.89	ACOL-12.000MHZ-EK
14.31818	535-9224-5-ND	1.38	1.24	1.00	.89	ACOL-14.31818MHZ-EK
16.00000	535-9225-5-ND	1.38	1.24	1.00	.89	ACOL-16.000MHZ-EK
18.43200	535-9226-5-ND	1.38	1.24	1.00	.89	ACOL-18.432MHZ-EK
20.00000	535-9227-5-ND	1.38	1.24	1.00	.89	ACOL-20.000MHZ-EK
24.57600	535-9228-5-ND	1.38	1.24	1.00	.89	ACOL-24.576MHZ-EK
25.00000	535-9229-5-ND	1.38	1.24	1.00	.89	ACOL-25.000MHZ-EK
27.00000	535-9230-5-ND	1.38	1.24	1.00	.89	ACOL-27.000MHZ-EK
32.00000	535-9231-5-ND	1.38	1.24	1.00	.89	ACOL-32.000MHZ-EK
32.76800	535-9232-5-ND	1.38	1.24	1.00	.89	ACOL-32.768MHZ-EK
40.00000	535-9234-5-ND	1.38	1.24	1.00	.89	ACOL-40.000MHZ-EK
48.00000	535-9235-5-ND	1.38	1.24	1.00	.89	ACOL-48.000MHZ-EK
50.00000	535-9237-5-ND	1.38	1.24	1.00	.89	ACOL-50.000MHZ-EK

(Forts.)

C

Oszillatoren *(Forts.)*

Serie ASFL1 - SMD-Oszillatoren, 5 x 3,2

Spezifikationen:
• **Frequenzstabilität:** ±30 ppm, -20 °C ~ 70 °C • **Betriebstemperatur:** -20 °C ~ 70 °C • **Versorgungsspannung:** 3,3 V ±10 %
Merkmale: • Geringer Stromverbrauch • Glasversiegelte Verpackung

Pin	Funktion
1	Tristate
2	ERDE/Gehäuse
3	Ausgang
4	Vdd

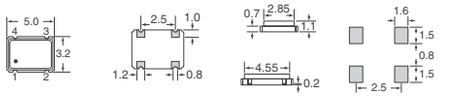

Frequenz (MHz)	Digi-Key Teilenr.	Gurtabschnittspreis pro Stück 1	10	100	500	Digi-Key Teilenr.	Tape & Reel Pricing* 1.000	Abracon Teilenr.
1.84320	535-9258-1-ND	3.17	2.86	2.39	1.91	535-9258-2-ND	1587.38	ASFL1-1.8432MHZ-EK-T
3.68640	535-9268-1-ND	3.17	2.86	2.39	1.91	535-9268-2-ND	1587.38	ASFL1-3.6864MHZ-EK-T
4.00000	535-9271-1-ND	3.17	2.86	2.39	1.91	535-9271-2-ND	1587.38	ASFL1-4.000MHZ-EK-T
7.37280	535-9273-1-ND	3.17	2.86	2.39	1.91	535-9273-2-ND	1587.38	ASFL1-7.3728MHZ-EK-T
8.00000	535-9274-1-ND	3.17	2.86	2.39	1.91	535-9274-2-ND	1587.38	ASFL1-8.000MHZ-EK-T
10.00000	535-9251-1-ND	3.17	2.86	2.39	1.91	535-9251-2-ND	1587.38	ASFL1-10.000MHZ-EK-T
11.05920	535-9252-1-ND	3.17	2.86	2.39	1.91	535-9252-2-ND	1587.38	ASFL1-11.0592MHZ-EK-T
12.00000	535-9253-1-ND	3.17	2.86	2.39	1.91	535-9253-2-ND	1587.38	ASFL1-12.000MHZ-EK-T
14.31818	535-9254-1-ND	3.17	2.86	2.39	1.91	535-9254-2-ND	1587.38	ASFL1-14.31818MHZ-EK-T
14.74560	535-9255-1-ND	3.17	2.86	2.39	1.91	535-9255-2-ND	1587.38	ASFL1-14.7456MHZ-EK-T
16.00000	535-9256-1-ND	3.17	2.86	2.39	1.91	535-9256-2-ND	1587.38	ASFL1-16.000MHZ-EK-T
18.43200	535-9257-1-ND	3.17	2.86	2.39	1.91	535-9257-2-ND	1587.38	ASFL1-18.432MHZ-EK-T
20.00000	535-9259-1-ND	3.17	2.86	2.39	1.91	535-9259-2-ND	1587.38	ASFL1-20.000MHZ-EK-T
24.00000	535-9260-1-ND	3.17	2.86	2.39	1.91	535-9260-2-ND	1587.38	ASFL1-24.000MHZ-EK-T
24.57600	535-9261-1-ND	3.17	2.86	2.39	1.91	535-9261-2-ND	1587.38	ASFL1-24.576MHZ-EK-T
25.00000	535-9262-1-ND	3.17	2.86	2.39	1.91	535-9262-2-ND	1587.38	ASFL1-25.000MHZ-EK-T
27.00000	535-9263-1-ND	3.17	2.86	2.39	1.91	535-9263-2-ND	1587.38	ASFL1-27.000MHZ-EK-T
30.00000	535-9264-1-ND	3.17	2.86	2.39	1.91	535-9264-2-ND	1587.38	ASFL1-30.000MHZ-EK-T
32.00000	535-9265-1-ND	3.17	2.86	2.39	1.91	535-9265-2-ND	1587.38	ASFL1-32.000MHZ-EK-T
33.00000	535-9266-1-ND	3.17	2.86	2.39	1.91	535-9266-2-ND	1587.38	ASFL1-33.000MHZ-EK-T
33.33300	535-9267-1-ND	3.17	2.86	2.39	1.91	535-9267-2-ND	1587.38	ASFL1-33.333MHZ-EK-T
40.00000	535-9269-1-ND	3.17	2.86	2.39	1.91	535-9269-2-ND	1587.38	ASFL1-40.000MHZ-EK-T
48.00000	535-9270-1-ND	3.17	2.86	2.39	1.91	535-9270-2-ND	1587.38	ASFL1-48.000MHZ-EK-T
50.00000	535-9272-1-ND	3.17	2.86	2.39	1.91	535-9272-2-ND	1587.38	ASFL1-50.000MHZ-EK-T

* Preisangaben für Gegurtet auf Rolle

Serie ASFL3 - SMD-Oszillatoren

Spezifikationen: • **Frequenztoleranz:** ±30 ppm • **Betriebstemperatur:** -20 °C ~ 70 °C • **Ausgangslast:** 15 pF
• **Versorgungsspannung:** 1,8 V ±5 % **Merkmale:** • Geringer Stromverbrauch • Tri-State Ausgang

Pin	Funktion
1	Tri State
2	ERDE/Gehäuse
3	Ausgang
4	Vdd

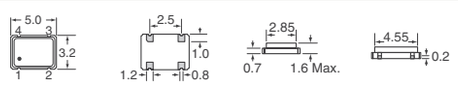

Frequenz (MHz)	Digi-Key Teilenr.	Gurtabschnittspreis pro Stück 1	10	50	100	Digi-Key Teilenr.	Tape & Reel Pricing* 1.000	Abracon Teilenr.
1.84320	535-9407-1-ND	4.13	3.86	3.31	2.48	535-9407-2-ND	1540.81	ASFL3-1.8432MHZ-EK-T
3.68640	535-9408-1-ND	4.13	3.86	3.31	2.48	535-9408-2-ND	1540.81	ASFL3-3.6864MHZ-EK-T
4.00000	535-9409-1-ND	4.13	3.86	3.31	2.48	535-9409-2-ND	1540.81	ASFL3-4.000MHZ-EK-T
8.00000	535-9410-1-ND	4.13	3.86	3.31	2.48	535-9410-2-ND	1540.81	ASFL3-8.000MHZ-EK-T
10.00000	535-9411-1-ND	4.13	3.86	3.31	2.48	535-9411-2-ND	1540.81	ASFL3-10.000MHZ-EK-T
11.05920	535-9412-1-ND	4.13	3.86	3.31	2.48	535-9412-2-ND	1540.81	ASFL3-11.0592MHZ-EK-T
12.00000	535-9413-1-ND	4.13	3.86	3.31	2.48	535-9413-2-ND	1540.81	ASFL3-12.000MHZ-EK-T
14.31818	535-9414-1-ND	4.13	3.86	3.31	2.48	535-9414-2-ND	1540.81	ASFL3-14.31818MHZ-EK-T
16.00000	535-9415-1-ND	4.13	3.86	3.31	2.48	535-9415-2-ND	1540.81	ASFL3-16.000MHZ-EK-T
20.00000	535-9416-1-ND	4.13	3.86	3.31	2.48	535-9416-2-ND	1540.81	ASFL3-20.000MHZ-EK-T
24.00000	535-9417-1-ND	4.13	3.86	3.31	2.48	535-9417-2-ND	1540.81	ASFL3-24.000MHZ-EK-T
24.57600	535-9418-1-ND	4.13	3.86	3.31	2.48	535-9418-2-ND	1540.81	ASFL3-24.576MHZ-EK-T
25.00000	535-9419-1-ND	4.13	3.86	3.31	2.48	535-9419-2-ND	1540.81	ASFL3-25.000MHZ-EK-T
27.00000	535-9420-1-ND	4.13	3.86	3.31	2.48	535-9420-2-ND	1540.81	ASFL3-27.000MHZ-EK-T
30.00000	535-9421-1-ND	4.13	3.86	3.31	2.48	535-9421-2-ND	1540.81	ASFL3-30.000MHZ-EK-T
32.00000	535-9422-1-ND	4.13	3.86	3.31	2.48	535-9422-2-ND	1540.81	ASFL3-32.000MHZ-EK-T
32.76800	535-9423-1-ND	4.13	3.86	3.31	2.48	535-9423-2-ND	1540.81	ASFL3-32.768MHZ-EK-T
40.00000	535-9424-1-ND	4.13	3.86	3.31	2.48	535-9424-2-ND	1540.81	ASFL3-40.000MHZ-EK-T
48.00000	535-9425-1-ND	4.13	3.86	3.31	2.48	535-9425-2-ND	1540.81	ASFL3-48.000MHZ-EK-T

* Preisangaben für Gegurtet auf Rolle

Serie ASVV - VCXO SMD-Oszillatoren

Spezifikationen:

- **Frequenzstabilität:** ±50 ppm, 0 °C ~ 70 °C
- **Betriebstemperatur:** -40 °C ~ 85 °C
- **Versorgungsspannung:** 3,3 V ±5 %
- **Ziehbarkeit (±) @ Spannung:** 150 ppm @ 3 V DC (N152); 100 ppm @ 3 V DC (N102)

Pin	Funktion
1	VC
2	Tristate E/D
3	ERDE/Gehäuse
4	Ausgang
5	N/C
6	Vdd

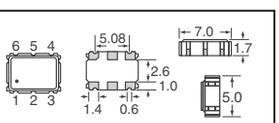

Frequenz (MHz)	Digi-Key Teilenr.	Gurtabschnittspreis pro Stück 1	10	50	100	Digi-Key Teilenr.	Tape & Reel Pricing* 1.000	Abracon Teilenr.
1.544	535-9343-1-ND	4.77	4.45	3.81	2.86	535-9343-2-ND	1777.86	ASVV-1.544MHZ-N152
4.096	535-9351-1-ND	4.77	4.45	3.81	2.86	535-9351-2-ND	1777.86	ASVV-4.096MHZ-N152
6.176	535-9352-1-ND	4.77	4.45	3.81	2.86	535-9352-2-ND	1777.86	ASVV-6.176MHZ-N152
16.384	535-9341-1-ND	4.77	4.45	3.81	2.86	535-9341-2-ND	1777.86	ASVV-16.384MHZ-N152
19.440	535-9342-1-ND	4.77	4.45	3.81	2.86	535-9342-2-ND	1777.86	ASVV-19.440MHZ-N152
20.000	535-9344-1-ND	4.77	4.45	3.81	2.86	535-9344-2-ND	1777.86	ASVV-20.000MHZ-N152
27.000	535-9345-1-ND	4.77	4.45	3.81	2.86	535-9345-2-ND	1777.86	ASVV-27.000MHZ-N152
32.768	535-9346-1-ND	4.77	4.45	3.81	2.86	535-9346-2-ND	1777.86	ASVV-32.768MHZ-N152
35.328	535-9347-1-ND	4.77	4.45	3.81	2.86	535-9347-2-ND	1777.86	ASVV-35.328MHZ-N152
38.880	535-9348-1-ND	4.77	4.45	3.81	2.86	535-9348-2-ND	1777.86	ASVV-38.880MHZ-N152
40.000	535-9349-1-ND	4.77	4.45	3.81	2.86	535-9349-2-ND	1777.86	ASVV-40.000MHZ-N102
44.736	535-9350-1-ND	4.77	4.45	3.81	2.86	535-9350-2-ND	1777.86	ASVV-44.736MHZ-N102

* Preisangaben für Gegurtet auf Rolle

Serie ASV - SMD-Oszillatoren, 5 x 7

Spezifikationen: • Frequenzstabilität: ±20 ppm, -20 °C ~ 70 °C • **Betriebstemperatur:** -40 °C ~ 85 °C • **Versorgungsspannung:** 3,3 V ±10 %
Merkmale: • HCMOS- und TTL-kompatibel • 3,3 V DC Betrieb

Pin	Funktion
1	Tristate E/D
2	ERDE/Gehäuse
3	Ausgang
4	Vdd

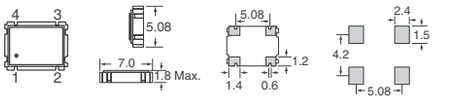

Frequenz (MHz)	Digi-Key Teilenr.	Gurtabschnittspreis pro Stück 1	10	50	100	Digi-Key Teilenr.	Tape & Reel Pricing* 1.000	Abracon Teilenr.
1.84320	535-9315-1-ND	2.54	2.37	2.04	1.53	535-9315-2-ND	948.19	ASV-1.8432MHZ-EJ-T
3.68640	535-9326-1-ND	2.54	2.37	2.04	1.53	535-9326-2-ND	948.19	ASV-3.6864MHZ-EJ-T
4.00000	535-9329-1-ND	2.54	2.37	2.04	1.53	535-9329-2-ND	948.19	ASV-4.000MHZ-EJ-T
7.37280	535-9331-1-ND	2.54	2.37	2.04	1.53	535-9331-2-ND	948.19	ASV-7.3728MHZ-EJ-T
8.00000	535-9332-1-ND	2.54	2.37	2.04	1.53	535-9332-2-ND	948.19	ASV-8.000MHZ-EJ-T
10.00000	535-9307-1-ND	2.54	2.37	2.04	1.53	535-9307-2-ND	948.19	ASV-10.000MHZ-EJ-T
11.05920	535-9308-1-ND	2.54	2.37	2.04	1.53	535-9308-2-ND	948.19	ASV-11.0592MHZ-EJ-T
12.00000	535-9309-1-ND	2.54	2.37	2.04	1.53	535-9309-2-ND	948.19	ASV-12.000MHZ-EJ-T
14.31818	535-9310-1-ND	2.54	2.37	2.04	1.53	535-9310-2-ND	948.19	ASV-14.31818MHZ-EJ-T
14.74560	535-9311-1-ND	2.54	2.37	2.04	1.53	535-9311-2-ND	948.19	ASV-14.7456MHZ-EJ-T
16.00000	535-9312-1-ND	2.54	2.37	2.04	1.53	535-9312-2-ND	948.19	ASV-16.000MHZ-EJ-T
16.38400	535-9313-1-ND	2.54	2.37	2.04	1.53	535-9313-2-ND	948.19	ASV-16.384MHZ-EJ-T
18.43200	535-9314-1-ND	2.54	2.37	2.04	1.53	535-9314-2-ND	948.19	ASV-18.432MHZ-EJ-T
20.00000	535-9316-1-ND	2.54	2.37	2.04	1.53	535-9316-2-ND	948.19	ASV-20.000MHZ-EJ-T
24.00000	535-9317-1-ND	2.54	2.37	2.04	1.53	535-9317-2-ND	948.19	ASV-24.000MHZ-EJ-T
24.57600	535-9318-1-ND	2.54	2.37	2.04	1.53	535-9318-2-ND	948.19	ASV-24.576MHZ-EJ-T
25.00000	535-9319-1-ND	2.54	2.37	2.04	1.53	535-9319-2-ND	948.19	ASV-25.000MHZ-EJ-T
27.00000	535-9320-1-ND	2.54	2.37	2.04	1.53	535-9320-2-ND	948.19	ASV-27.000MHZ-EJ-T
29.49120	535-9321-1-ND	2.54	2.37	2.04	1.53	535-9321-2-ND	948.19	ASV-29.4912MHZ-EJ-T
30.00000	535-9322-1-ND	2.54	2.37	2.04	1.53	535-9322-2-ND	948.19	ASV-30.000MHZ-EJ-T
32.00000	535-9323-1-ND	2.54	2.37	2.04	1.53	535-9323-2-ND	948.19	ASV-32.000MHZ-EJ-T
33.00000	535-9324-1-ND	2.54	2.37	2.04	1.53	535-9324-2-ND	948.19	ASV-33.000MHZ-EJ-T
33.33300	535-9325-1-ND	2.54	2.37	2.04	1.53	535-9325-2-ND	948.19	ASV-33.333MHZ-EJ-T
40.00000	535-9327-1-ND	2.54	2.37	2.04	1.53	535-9327-2-ND	948.19	ASV-40.000MHZ-EJ-T
48.00000	535-9328-1-ND	2.54	2.37	2.04	1.53	535-9328-2-ND	948.19	ASV-48.000MHZ-EJ-T
50.00000	535-9330-1-ND	2.54	2.37	2.04	1.53	535-9330-2-ND	948.19	ASV-50.000MHZ-EJ-T

* Preisangaben für Gegurtet auf Rolle

Serie ASVTX - VCTCXO SMD-Oszillatoren

Spezifikationen: • **Frequenztoleranz:** ±2,5 ppm, -30 °C ~ 75 °C • **Frequenztoleranz:** ±0,5 ppm @ 25 °C • **Betriebstemperatur:** -40 °C ~ 85 °C
• **Versorgungsspannung:** 3 V ±5 %

Pin	Funktion
1	VC bzw. NC
2	ERDE
3	Ausgang
4	Vcc

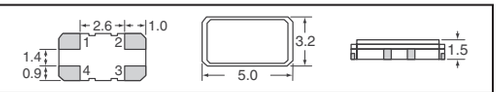

Frequenz (MHz)	Digi-Key Teilenr.	Gurtabschnittspreis pro Stück 1	10	50	100	Digi-Key Teilenr.	Tape & Reel Pricing* 1.000	Abracon Teilenr.
12.80	535-9333-1-ND	8.73	8.15	6.99	5.24	535-9333-2-ND	3259.41	ASVTX-09-12.800MHZ
13.00	535-9334-1-ND	8.73	8.15	6.99	5.24	535-9334-2-ND	3259.41	ASVTX-09-13.00MHZ
14.40	535-9335-1-ND	8.73	8.15	6.99	5.24	535-9335-2-ND	3259.41	ASVTX-09-14.400MHZ
16.00	535-9336-1-ND	8.73	8.15	6.99	5.24	535-9336-2-ND	3259.41	ASVTX-09-16.000MHZ
16.80	535-9337-1-ND	8.73	8.15	6.99	5.24	535-9337-2-ND	3259.41	ASVTX-09-16.800MHZ
19.20	535-9338-1-ND	8.73	8.15	6.99	5.24	535-9338-2-ND	3259.41	ASVTX-09-19.200MHZ
19.44	535-9339-1-ND	8.73	8.15	6.99	5.24	535-9339-2-ND	3259.41	ASVTX-09-19.440MHZ
26.00	535-9340-1-ND	8.73	8.15	6.99	5.24	535-9340-2-ND	3259.41	ASVTX-09-26.000MHZ

* Preisangaben für Gegurtet auf Rolle

Serie ASML - SMD-Oszillatoren

Spezifikationen: • **Frequenztoleranz:** ±100 ppm • **Betriebstemperatur:** -20 °C ~ 70 °C • **Versorgungsspannung:** 3,3 V ±10 % **Merkmale:**
• Geringer Stromverbrauch • HCMOS • Tri-State Ausgang

Pin	Funktion
1	Tristate-Freigabe
2	ERDE/Gehäuse
3	Ausgang
4	Vdd

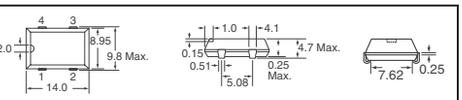

Frequenz (MHz)	Digi-Key Teilenr.	Gurtabschnittspreis pro Stück 1	10	50	100	Digi-Key Teilenr.	Tape & Reel Pricing* 1.000	Abracon Teilenr.
1.84320	535-9386-1-ND	2.79	2.61	2.24	1.68	535-9386-2-ND	1043.01	ASML-1.8432MHZ-T
3.68640	535-9387-1-ND	2.79	2.61	2.24	1.68	535-9387-2-ND	1043.01	ASML-3.6864MHZ-T
4.00000	535-9388-1-ND	2.79	2.61	2.24	1.68	535-9388-2-ND	1043.01	ASML-4.000MHZ-T
8.00000	535-9389-1-ND	2.79	2.61	2.24	1.68	535-9389-2-ND	1043.01	ASML-8.000MHZ-T
10.00000	535-9390-1-ND	2.79	2.61	2.24	1.68	535-9390-2-ND	1043.01	ASML-10.000MHZ-T
11.05920	535-9391-1-ND	2.79	2.61	2.24	1.68	535-9391-2-ND	1043.01	ASML-11.0592MHZ-T
12.00000	535-9392-1-ND	2.79	2.61	2.24	1.68	535-9392-2-ND	1043.01	ASML-12.000MHZ-T
14.31818	535-9393-1-ND	2.79	2.61	2.24	1.68	535-9393-2-ND	1043.01	ASML-14.31818MHZ-T
16.00000	535-9394-1-ND	2.79	2.61	2.24	1.68	535-9394-2-ND	1043.01	ASML-16.000MHZ-T
20.00000	535-9395-1-ND	2.79	2.61	2.24	1.68	535-9395-2-ND	1043.01	ASML-20.000MHZ-T
24.00000	535-9396-1-ND	2.79	2.61	2.24	1.68	535-9396-2-ND	1043.01	ASML-24.000MHZ-T
24.57600	535-9397-1-ND	2.79	2.61	2.24	1.68	535-9397-2-ND	1043.01	ASML-24.576MHZ-T
25.00000	535-9398-1-ND	2.79	2.61	2.24	1.68	535-9398-2-ND	1043.01	ASML-25.000MHZ-T
27.00000	535-9399-1-ND	2.79	2.61	2.24	1.68	535-9399-2-ND	1043.01	ASML-27.000MHZ-T
32.00000	535-9400-1-ND	2.79	2.61	2.24	1.68	535-9400-2-ND	1043.01	ASML-32.000MHZ-T
32.76800	535-9401-1-ND	2.79	2.61	2.24	1.68	535-9401-2-ND	1043.01	ASML-32.768MHZ-T
33.00000	535-9402-1-ND	2.79	2.61	2.24	1.68	535-9402-2-ND	1043.01	ASML-33.000MHZ-T
33.33300	535-9403-1-ND	2.79	2.61	2.24	1.68	535-9403-2-ND	1043.01	ASML-33.333MHZ-T
40.00000	535-9404-1-ND	2.79	2.61	2.24	1.68	535-9404-2-ND	1043.01	ASML-40.000MHZ-T
48.00000	535-9405-1-ND	2.79	2.61	2.24	1.68	535-9405-2-ND	1043.01	ASML-48.000MHZ-T
50.00000	535-9406-1-ND	2.79	2.61	2.24	1.68	535-9406-2-ND	1043.01	ASML-50.000MHZ-T

* Preisangaben für Gegurtet auf Rolle

C

Alle Preisangaben in Euro und inklusive Zollgebühren.

Serie CMX309FLC - Oszillatoren

Spezifikationen: • Frequenztoleranz: ±100 ppm **• Betriebstemperatur:** -20 °C ~ 70 °C **• Lagertemperatur:** -55 °C ~ 125 °C **• Versorgungsspannung:** 5 V ±0,5 V **• Versorgungsstrom:** Max. 23 mA **• Arbeit @ TTL-Level (1,4 V):** 45 % ~ 55 % **• Arbeit @ CMOS-Level (VDD/2):** 40 % ~ 60 % **• Ausgangsspannung:** Min. -0,4 V (VOH) **• Ausgangsspannung:** Max. 0,4 V (VOL) Max. **• Ausgangslast TTL:** Max. 10 TTL **• Ausgangslast CMOS:** Max. 50 pF **• Anstiegszeit TTL:** Max. 8 ns **• Abfallzeit TTL:** Max. 8 ns **• Anstiegszeit CMOS:** Max. 8 ns **• Abfallzeit CMOS:** Max. 8 ns **• Startzeit:** Max. 4 ms **• Ausgangsaktivierungsspann.:** Min.2 V (VIH) **• Ausgangsaktivierungsspann.:** Max.0,8 V (VIL) **• Deaktivierungsstrom:** Max. 12 mA **• Alterung (1. Jahr):** Max. ±5 ppm

Pin-Verbindung	
1	OE
2	Erde
3	Ausg.
4	Vdd

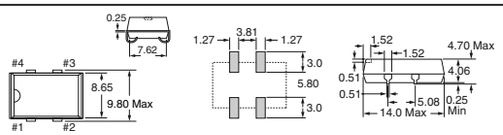

Frequenz (MHz)	Digi-Key Teilenr.	Gurtabschnittspreis pro Stück 1	10	50	Digi-Key Teilenr.	Tape & Reel Pricing* 1.000	Citizen Teilenr.
1.544000	300-7001-1-ND	2.54	2.37	1.53	300-7001-2-ND	1124.28	CMX309FLC1.544MT
1.843200	300-7002-1-ND	2.54	2.37	1.53	300-7002-2-ND	1124.28	CMX309FLC1.8432MT
2.000000	300-7003-1-ND	2.54	2.37	1.53	300-7003-2-ND	1124.28	CMX309FLC2.000MT
2.048000	300-7004-1-ND	2.54	2.37	1.53	300-7004-2-ND	1124.28	CMX309FLC2.048MT
2.457600	300-7005-1-ND	2.54	2.37	1.53	300-7005-2-ND	1124.28	CMX309FLC2.4576MT
3.072000	300-7006-1-ND	2.54	2.37	1.53	300-7006-2-ND	1124.28	CMX309FLC3.072MT
3.579545	300-7007-1-ND	2.54	2.37	1.53	300-7007-2-ND	1124.28	CMX309FLC3.579545MT
3.686400	300-7008-1-ND	2.54	2.37	1.53	300-7008-2-ND	1124.28	CMX309FLC3.6864MT
4.000000	300-7009-1-ND	2.54	2.37	1.53	—	—	CMX309FLC4.000MT
4.096000	300-7010-1-ND	2.54	2.37	1.53	300-7010-2-ND	1124.28	CMX309FLC4.096MT
4.915200	300-7011-1-ND	2.54	2.37	1.53	—	—	CMX309FLC4.9152MT
5.000000	300-7012-1-ND	2.54	2.37	1.53	—	—	CMX309FLC5.000MT
6.000000	300-7013-1-ND	2.54	2.37	1.53	—	—	CMX309FLC6.000MT
6.144000	300-7014-1-ND	2.54	2.37	1.53	300-7014-2-ND	1124.28	CMX309FLC6.144MT
7.372800	300-7015-1-ND	2.54	2.37	1.53	300-7015-2-ND	1124.28	CMX309FLC7.3728MT
8.000000	300-7016-1-ND	2.54	2.37	1.53	300-7016-2-ND	1124.28	CMX309FLC8.000MT
8.192000	300-7017-1-ND	2.54	2.37	1.53	300-7017-2-ND	1124.28	CMX309FLC8.192MT
9.830400	300-7018-1-ND	2.54	2.37	1.53	300-7018-2-ND	1124.28	CMX309FLC9.8304MT
10.000000	300-7019-1-ND	2.54	2.37	1.53	300-7019-2-ND	1124.28	CMX309FLC10.000MT
11.000000	300-7021-1-ND	2.54	2.37	1.53	300-7021-2-ND	1124.28	CMX309FLC11.000MT
11.059200	300-7022-1-ND	2.54	2.37	1.53	300-7022-2-ND	1124.28	CMX309FLC11.0592MT
11.289600	300-7023-1-ND	2.54	2.37	1.53	300-7023-2-ND	1124.28	CMX309FLC11.2896MT
12.000000	300-7024-1-ND	2.54	2.37	1.53	300-7024-2-ND	1124.28	CMX309FLC12.000MT
12.288000	300-7025-1-ND	2.54	2.37	1.53	—	—	CMX309FLC12.288MT
12.352000	300-7026-1-ND	2.54	2.37	1.53	300-7026-2-ND	1124.28	CMX309FLC12.352MT
13.500000	300-7027-1-ND	2.54	2.37	1.53	300-7027-2-ND	1124.28	CMX309FLC13.500MT
14.318180	300-7028-1-ND	2.54	2.37	1.53	300-7028-2-ND	1124.28	CMX309FLC14.31818MT
14.745600	300-7029-1-ND	2.54	2.37	1.53	—	—	CMX309FLC14.7456MT
15.360000	300-7031-1-ND	2.54	2.37	1.53	300-7031-2-ND	1124.28	CMX309FLC15.360MT
16.000000	300-7032-1-ND	2.54	2.37	1.53	300-7032-2-ND	1124.28	CMX309FLC16.000MT
16.384000	300-7034-1-ND	2.54	2.37	1.53	300-7034-2-ND	1124.28	CMX309FLC16.384MT
16.666600	300-7035-1-ND	2.54	2.37	1.53	300-7035-2-ND	1124.28	CMX309FLC16.6666MT
17.734475	300-7036-1-ND	2.54	2.37	1.53	300-7036-2-ND	1124.28	CMX309FLC17.734475MT
18.000000	300-7037-1-ND	2.54	2.37	1.53	300-7037-2-ND	1124.28	CMX309FLC18.000MT
18.432000	300-7038-1-ND	2.54	2.37	1.53	300-7038-2-ND	1124.28	CMX309FLC18.432MT
19.660800	300-7039-1-ND	2.54	2.37	1.53	—	—	CMX309FLC19.6608MT
20.000000	300-7040-1-ND	2.54	2.37	1.53	—	—	CMX309FLC20.000MT
22.118400	300-7041-1-ND	2.54	2.37	1.53	300-7041-2-ND	1124.28	CMX309FLC22.1184MT
24.000000	300-7042-1-ND	2.54	2.37	1.53	300-7042-2-ND	1124.28	CMX309FLC24.000MT
24.576000	300-7043-1-ND	2.54	2.37	1.53	300-7043-2-ND	1124.28	CMX309FLC24.576MT
25.000000	300-7044-1-ND	2.54	2.37	1.53	300-7044-2-ND	1124.28	CMX309FLC25.000MT
25.175000	300-7045-1-ND	2.54	2.37	1.53	300-7045-2-ND	1124.28	CMX309FLC25.175MT
27.000000	300-7046-1-ND	2.54	2.37	1.53	300-7046-2-ND	1124.28	CMX309FLC27.000MT
28.322000	300-7047-1-ND	2.54	2.37	1.53	300-7047-2-ND	1124.28	CMX309FLC28.322MT
28.636360	300-7048-1-ND	2.54	2.37	1.53	300-7048-2-ND	1124.28	CMX309FLC28.63636MT
29.498928	300-7049-1-ND	2.54	2.37	1.53	300-7049-2-ND	1124.28	CMX309FLC29.498928MT
30.000000	300-7050-1-ND	2.54	2.37	1.53	—	—	CMX309FLC30.000MT

* Preisangaben für Gegurtet auf Rolle

Serie CMX309FBC - Oszillatoren

Spezifikationen: • Frequenztoleranz: ±100 ppm **• Betriebstemperatur:** -20 °C ~ 70 °C **• Lagertemperatur:** -55 °C ~ 125 °C **• Versorgungsspannung:** 3,3 V ±0,3 V **• Versorgungsstrom:** Max. 9 mA **• Arbeit @ CMOS-Level (VDD/2):** 40 % ~ 60 % **• Ausgangsspannung:** Min. -0,4 V (VOH) **• Ausgangsspannung:** Max. 0,4 V (VOL) **• Anstiegszeit CMOS:** Max. 6 ns **• Abfallzeit CMOS:** Max. 6 ns **• Startzeit:** Max. 4 ms **• Ausgangsaktivierungsspann.:** Min. 2 V (VIH) **• Ausgangsaktivierungsspann.:** Max.0,8 V (VIL) **• Deaktivierungsstrom:** Max. 5 mA **• Alterung (1. Jahr):** Max. ±5 ppm

Pin-Verbindung	
1	OE
2	Erde
3	Ausg.
4	Vdd

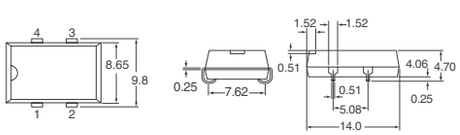

Frequenz (MHz)	Digi-Key Teilenr.	Gurtabschnittspreis pro Stück 1	10	50	Digi-Key Teilenr.	Tape & Reel Pricing* 1.000	Citizen Teilenr.
1.00000	300-2100-1-ND	2.38	2.23	1.43	300-2100-2-ND	1054.02	CMX309FBC1.000MTR
1.54400	300-2101-1-ND	2.38	2.23	1.43	300-2101-2-ND	1054.02	CMX309FBC1.544MTR
1.84320	300-2102-1-ND	2.38	2.23	1.43	—	—	CMX309FBC1.8432MTR
2.00000	300-2103-1-ND	2.38	2.23	1.43	300-2103-2-ND	1054.02	CMX309FBC2.000MTR
2.04800	300-2104-1-ND	2.38	2.23	1.43	—	—	CMX309FBC2.048MTR

* Preisangaben für Gegurtet auf Rolle

Frequenz (MHz)	Digi-Key Teilenr.	Gurtabschnittspreis pro Stück 1	10	50	Digi-Key Teilenr.	Tape & Reel Pricing* 1.000	Citizen Teilenr.
2.45760	300-2105-1-ND	2.38	2.23	1.43	300-2105-2-ND	1054.02	CMX309FBC2.4576MTR
3.68640	300-2106-1-ND	2.38	2.23	1.43	300-2106-2-ND	1054.02	CMX309FBC3.6864MTR
4.00000	300-2107-1-ND	2.38	2.23	1.43	300-2107-2-ND	1054.02	CMX309FBC4.000MTR
5.00000	300-2108-1-ND	2.38	2.23	1.43	300-2108-2-ND	1054.02	CMX309FBC5.000MTR
8.00000	300-2109-1-ND	2.38	2.23	1.43	300-2109-2-ND	1054.02	CMX309FBC8.000MTR
8.19200	300-2110-1-ND	2.38	2.23	1.43	—	—	CMX309FBC8.192MTR
9.83040	300-2111-1-ND	2.38	2.23	1.43	300-2111-2-ND	1054.02	CMX309FBC9.8304MTR
10.00000	300-2112-1-ND	2.38	2.23	1.43	300-2112-2-ND	1054.02	CMX309FBC10.000MTR
11.05920	300-2113-1-ND	2.38	2.23	1.43	300-2113-2-ND	1054.02	CMX309FBC11.0592MTR
11.28960	300-2114-1-ND	2.38	2.23	1.43	—	—	CMX309FBC11.2896MTR
12.00000	300-2115-1-ND	2.38	2.23	1.43	300-2115-2-ND	1054.02	CMX309FBC12.000MTR
12.28800	300-2116-1-ND	2.38	2.23	1.43	300-2116-2-ND	1054.02	CMX309FBC12.288MTR
14.31818	300-2117-1-ND	2.38	2.23	1.43	300-2117-2-ND	1054.02	CMX309FBC14.31818MTR
14.74560	300-2118-1-ND	2.38	2.23	1.43	300-2118-2-ND	1054.02	CMX309FBC14.7456MTR
16.00000	300-2119-1-ND	2.38	2.23	1.43	300-2119-2-ND	1054.02	CMX309FBC16.000MTR
16.38400	300-2120-1-ND	2.38	2.23	1.43	300-2120-2-ND	1054.02	CMX309FBC16.384MTR
18.43200	300-2121-1-ND	2.38	2.23	1.43	300-2121-2-ND	1054.02	CMX309FBC18.432MTR
20.00000	300-2122-1-ND	2.38	2.23	1.43	300-2122-2-ND	1054.02	CMX309FBC20.000MTR
24.00000	300-2123-1-ND	2.38	2.23	1.43	300-2123-2-ND	1054.02	CMX309FBC24.000MTR
24.57600	300-2124-1-ND	2.38	2.23	1.43	300-2124-2-ND	1054.02	CMX309FBC24.576MTR
25.00000	300-2125-1-ND	2.38	2.23	1.43	300-2125-2-ND	1054.02	CMX309FBC25.000MTR
27.00000	300-2126-1-ND	2.38	2.23	1.43	300-2126-2-ND	1054.02	CMX309FBC27.000MTR

* Preisangaben für Gegurtet auf Rolle

Serie CMX309HWC - Oszillatoren

Spezifikationen: • Frequenztoleranz: ±100 ppm **• Betriebstemperatur:** -20 °C ~ 70 °C **• Lagertemperatur:** -55 °C ~ 125 °C **• Versorgungsspannung:** 5 V ±0,5 V **• Versorgungsstrom:** Max. 35 mA **• Arbeit @ TTL-Level (1,4 V):** 45 % ~ 55 % **• Arbeit @ CMOS-Level (VDD/2):** 40 % ~ 60 % **• Ausgangsspannung:** Min. -0,5 V (VOH) **• Ausgangsspannung:** Max. 0,5 V (VOL) **• Ausgangslast TTL:** Max. 10 TTL **• Ausgangslast CMOS:** Max. 50 pF **• Anstiegszeit TTL:** Max. 5 ns **• Abfallzeit TTL:** Max. 5 ns **• Anstiegszeit CMOS:** Max. 7 ns **• Abfallzeit CMOS:** Max. 7 ns **• Startzeit:** Max. 10 ms **• Ausgangsaktivierungsspann.:** Min.2 V (VIH) **• Ausgangsaktivierungsspann.:** Max. 0,8 V (VIL) **• Deaktivierungsstrom:** Max. 28 mA **• Alterung (1. Jahr):** Max. ±5 ppm

Pin-Verbindung	
1	OE
2	Erde
3	Ausg.
4	Vdd

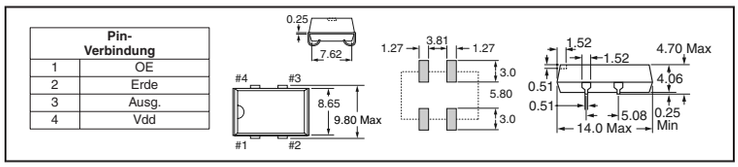

Frequenz (MHz)	Digi-Key Teilenr.	Gurtabschnittspreis pro Stück 1	10	50	Digi-Key Teilenr.	Tape & Reel Pricing* 1.000	Citizen Teilenr.
32.0000	300-7101-1-ND	2.54	2.37	1.53	300-7101-2-ND	1124.28	CMX309HWC32.000MT
32.7680	300-7102-1-ND	2.54	2.37	1.53	300-7102-2-ND	1124.28	CMX309HWC32.768MT
33.0000	300-7103-1-ND	2.54	2.37	1.53	300-7103-2-ND	1124.28	CMX309HWC33.000MT
33.3333	300-7104-1-ND	2.54	2.37	1.53	300-7104-2-ND	1124.28	CMX309HWC33.3333MT
33.8688	300-7105-1-ND	2.54	2.37	1.53	300-7105-2-ND	1124.28	CMX309HWC33.8688MT
40.0000	300-7107-1-ND	2.54	2.37	1.53	—	—	CMX309HWC40.000MT
44.2368	300-7108-1-ND	2.54	2.37	1.53	300-7108-2-ND	1124.28	CMX309HWC44.2368MT
48.0000	300-7109-1-ND	2.54	2.37	1.53	300-7109-2-ND	1124.28	CMX309HWC48.000MT
49.1520	300-7110-1-ND	2.54	2.37	1.53	300-7110-2-ND	1124.28	CMX309HWC49.152MT
50.0000	300-7111-1-ND	2.54	2.37	1.53	300-7111-2-ND	1124.28	CMX309HWC50.000MT
53.1250	300-7112-1-ND	2.54	2.37	1.53	300-7112-2-ND	1124.28	CMX309HWC53.125MT
60.0000	300-7113-1-ND	2.54	2.37	1.53	300-7113-2-ND	1124.28	CMX309HWC60.000MT
64.0000	300-7114-1-ND	2.54	2.37	1.53	300-7114-2-ND	1124.28	CMX309HWC64.000MT
66.0000	300-7115-1-ND	2.54	2.37	1.53	—	—	CMX309HWC66.000MT
66.6667	300-7116-1-ND	2.54	2.37	1.53	300-7116-2-ND	1124.28	CMX309HWC66.6667MT

* Preisangaben für Gegurtet auf Rolle

Serie CMX309HBC - Oszillatoren

Spezifikationen: • Frequenztoleranz: ±100 ppm **• Betriebstemperatur:** -20 °C ~ 70 °C **• Lagertemperatur:** -55 °C ~ 125 °C **• Versorgungsspannung:** 3,3 V ±.0,3 V **• Versorgungsstrom:** Max. 20 mA **• Arbeit @ CMOS-Level:** 40 % ~ 60 % **• Ausgangsspannung:** Min. -0,4 V (VOH) **• Ausgangsspannung:** Max. 0,4 V (VOL) **• Anstiegszeit CMOS:** Max. 6 ns **• Abfallzeit CMOS:** Max. 6 ns **• Startzeit:** Max. 10 ms **• Ausgangsaktivierungsspann.:** Min. 2,4 V (VIH) **• Ausgangsaktivierungsspann.:** Max. 0,6 V (VIL) **• Ausgangslast CMOS:** Max. 30 pF **• Deaktivierungsstrom:** Max. 15 mA **• Alterung (1. Jahr):** Max. ±5 ppm

Pin-Verbindung	
1	OE
2	Erde
3	Ausg.
4	Vdd

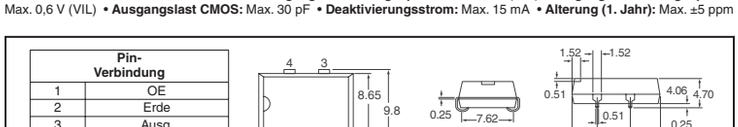

Frequenz (MHz)	Digi-Key Teilenr.	Gurtabschnittspreis pro Stück 1	10	50	Digi-Key Teilenr.	Tape & Reel Pricing* 1.000	Citizen Teilenr.
32.0000	300-2200-1-ND	2.38	2.23	1.43	300-2200-2-ND	1054.02	CMX309HBC32.000MTR
32.7680	300-2201-1-ND	2.38	2.23	1.43	300-2201-2-ND	1054.02	CMX309HBC32.768MTR
33.0000	300-2202-1-ND	2.38	2.23	1.43	300-2202-2-ND	1054.02	CMX309HBC33.000MTR
33.3333	300-2203-1-ND	2.38	2.23	1.43	300-2203-2-ND	1054.02	CMX309HBC33.3333MTR
36.8640	300-2204-1-ND	2.38	2.23	1.43	300-2204-2-ND	1054.02	CMX309HBC36.864MTR
40.0000	300-2205-1-ND	2.38	2.23	1.43	300-2205-2-ND	1054.02	CMX309HBC40.000MTR
48.0000	300-2206-1-ND	2.38	2.23	1.43	—	—	CMX309HBC48.000MTR
50.0000	300-2207-1-ND	2.38	2.23	1.43	300-2207-2-ND	1054.02	CMX309HBC50.000MTR
53.1250	300-2208-1-ND	2.38	2.23	1.43	300-2208-2-ND	1054.02	CMX309HBC53.125MTR

* Preisangaben für Gegurtet auf Rolle

C

CITIZEN™

Serie CSX532T - SMD-TCXO-Oszillatoren

Spezifikationen: • Frequenztoleranz: ±1,5 ppm @ 25 °C, ±2 °C **• Frequenz/Temperatur:** ±2,5 ppm, -30° ~ 75 °C **• Frequenz/Spannungskoeffizient:** ±0,3 ppm / Vdd ±5 % **• Frequenz/Lastkoeffizient:** ±0,2 ppm / (10 kΩ/10 pf) ±10 % **• Stromverbrauch:** Max. 1 mA/13 MHz **• Ausgabe-Level:** Min. 0,8 Vp-p; 10 kΩ/10 pF **• Frequenzanpassung:** Min. ±8 ppm/Vdd/2 ±1,0 V **• Startzeit:** Max. 3,5 ms **• Alterung (1. Jahr):** ±1 ppm

Pin-Verbindung	
1	Vkont
2	Erde
3	Ausgang
4	Vcc

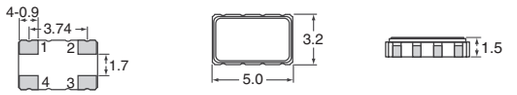

Versor-gungs-spannung	Frequenz (MHz)	Digi-Key Teilenr.	Gurtabschnittspreis pro Stück 1	10	50	Tape & Reel Pricing*† 2.000	Citizen Teilenr.
2.8	13.0000	300-1100-1-ND	6.35	4.70	4.20	3377.94/M	CSX532T13.000M2-U10
	16.3676	300-8274-1-ND	6.35	4.70	4.20	3377.94/M	CSX532T16.3676M2-U10
	16.8000	300-1101-1-ND	6.35	4.70	4.20	3377.94/M	CSX532T16.800M2-U10
	19.2000	300-1102-1-ND	6.35	4.70	4.20	3377.94/M	CSX532T19.200M2-U10
	24.5535	300-8276-1-ND	6.35	4.70	4.20	3377.94/M	CSX532T24.5535M2-U10
	26.0000	300-1103-1-ND	6.35	4.70	4.20	3377.94/M	CSX532T26.000M2-U10
3	13.0000	300-1104-1-ND	6.35	4.70	4.20	3377.94/M	CSX532T13.000M3-U10
	16.3676	300-8275-1-ND	6.35	4.70	4.20	3377.94/M	CSX532T16.3676M3-U10
	16.8000	300-1105-1-ND	6.35	4.70	4.20	3377.94/M	CSX532T16.800M3-U10
	19.2000	300-1106-1-ND	6.35	4.70	4.20	3377.94/M	CSX532T19.200M3-U10
	24.5535	300-8277-1-ND	6.35	4.70	4.20	3377.94/M	CSX532T24.5535M3-U10
	26.0000	300-1107-1-ND	6.35	4.70	4.20	3377.94/M	CSX532T26.000M3-U10

* Für Gegurtet auf Rolle Teilenr. von -1-ND in -2-ND ändern. † Preisangabe für Gegurtet auf Rolle

Serie CSX532FBC - SMD-Mini-Oszillatoren

Spezifikationen: • Frequenztoleranz: ±100 ppm **• Betriebstemperatur:** -40 °C ~ 85 °C **• Lagertemperatur:** -50 °C ~ 125 °C **• Versorgungsspannung:** 3,3 V ±10 % **• Arbeitszyklus:** 40 % ~ 60 % **• Ausgangsspannung:** Min. -0,9 V (VOH) **• Ausgangsspannung:** Max. 0,1 V (VOL) **• Startzeit:** Max. 10 ms **• Alterung (1. Jahr):** Max. ±5 ppm @ 25 °C

Pin-Verbindung	
1	Tri-State
2	Erde
3	Ausgang
4	Vdd

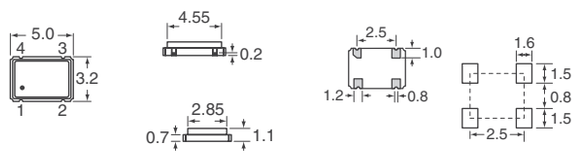

Frequenz (MHz)	Versor-gungsstrom (mA)	Digi-Key Teilenr.	Gurtabschnittspreis pro Stück 1	10	50	Digi-Key Teilenr.	T & R Pricing† 1.000	Citizen Teilenr.
1.84320	12	300-8237-1-ND	3.68	3.32	1.39	300-8237-2-ND	1718.60	CSX532FBC1.8432MTR
3.68640	12	300-8238-1-ND	3.68	3.32	1.39	300-8238-2-ND	1718.60	CSX532FBC3.6864MTR
4.00000	12	300-8239-1-ND	3.68	3.32	1.39	300-8239-2-ND	1718.60	CSX532FBC4.000MTR
7.37280	12	300-8240-1-ND	3.68	3.32	1.39	300-8240-2-ND	1718.60	CSX532FBC7.3728MTR
8.00000	12	300-8241-1-ND	3.68	3.32	1.39	300-8241-2-ND	1718.60	CSX532FBC8.000MTR
10.00000	12	300-8242-1-ND	3.68	3.32	1.39	300-8242-2-ND	1718.60	CSX532FBC10.000MTR
11.05920	12	300-8243-1-ND	3.68	3.32	1.39	300-8243-2-ND	1718.60	CSX532FBC11.0592MTR
12.00000	12	300-8244-1-ND	3.68	3.32	1.39	300-8244-2-ND	1718.60	CSX532FBC12.000MTR
12.28800	12	300-8245-1-ND	3.68	3.32	1.39	300-8245-2-ND	1718.60	CSX532FBC12.288MTR
14.31818	12	300-8246-1-ND	3.68	3.32	1.39	300-8246-2-ND	1718.60	CSX532FBC14.31818MTR
14.74560	12	300-8247-1-ND	3.68	3.32	1.39	300-8247-2-ND	1718.60	CSX532FBC14.7456MTR
16.00000	12	300-8248-1-ND	3.68	3.32	1.39	300-8248-2-ND	1718.60	CSX532FBC16.000MTR
16.38400	12	300-8249-1-ND	3.68	3.32	1.39	300-8249-2-ND	1718.60	CSX532FBC16.384MTR
18.43200	12	300-8250-1-ND	3.68	3.32	1.39	300-8250-2-ND	1718.60	CSX532FBC18.432MTR
20.00000	12	300-8251-1-ND	3.68	3.32	1.39	300-8251-2-ND	1718.60	CSX532FBC20.000MTR
24.00000	12	300-8252-1-ND	3.68	3.32	1.39	300-8252-2-ND	1718.60	CSX532FBC24.000MTR
24.57600	12	300-8253-1-ND	3.68	3.32	1.39	300-8253-2-ND	1718.60	CSX532FBC24.576MTR
25.00000	12	300-8254-1-ND	3.68	3.32	1.39	300-8254-2-ND	1718.60	CSX532FBC25.000MTR
27.00000	12	300-8255-1-ND	3.68	3.32	1.39	300-8255-2-ND	1718.60	CSX532FBC27.000MTR
29.49120	12	300-8256-1-ND	3.68	3.32	1.39	300-8256-2-ND	1718.60	CSX532FBC29.4912MTR
30.00000	12	300-8257-1-ND	3.68	3.32	1.39	300-8257-2-ND	1718.60	CSX532FBC30.000MTR
32.00000	12	300-8258-1-ND	3.68	3.32	1.39	300-8258-2-ND	1718.60	CSX532FBC32.000MTR
32.76800	12	300-8259-1-ND	3.68	3.32	1.39	300-8259-2-ND	1718.60	CSX532FBC32.768MTR
33.33300	25	300-8260-1-ND	3.68	3.32	1.39	300-8260-2-ND	1718.60	CSX532FBC33.333MTR
35.32800	25	300-8261-1-ND	3.68	3.32	1.39	300-8261-2-ND	1718.60	CSX532FBC35.328MTR
40.00000	25	300-8262-1-ND	3.68	3.32	1.39	300-8262-2-ND	1718.60	CSX532FBC40.000MTR
48.00000	25	300-8263-1-ND	3.68	3.32	1.39	300-8263-2-ND	1718.60	CSX532FBC48.000MTR
50.00000	35	300-8264-1-ND	3.68	3.32	1.39	300-8264-2-ND	1718.60	CSX532FBC50.000MTR
60.00000	35	300-8265-1-ND	3.68	3.32	1.39	300-8265-2-ND	1718.60	CSX532FBC60.000MTR
64.00000	35	300-8266-1-ND	3.68	3.32	1.39	300-8266-2-ND	1718.60	CSX532FBC64.000MTR
66.66600	35	300-8267-1-ND	3.68	3.32	1.39	300-8267-2-ND	1718.60	CSX532FBC66.666MTR
75.00000	60	300-8268-1-ND	4.19	3.78	3.15	300-8268-2-ND	1955.65	CSX532FBC75.000MTR
80.00000	60	300-8269-1-ND	4.19	3.78	3.15	300-8269-2-ND	1955.65	CSX532FBC80.000MTR
100.00000	60	300-8270-1-ND	4.19	3.78	3.15	300-8270-2-ND	1955.65	CSX532FBC100.000MTR
106.25000	60	300-8271-1-ND	4.19	3.78	3.15	300-8271-2-ND	1955.65	CSX532FBC106.250MTR
125.00000	60	300-8272-1-ND	4.19	3.78	3.15	300-8272-2-ND	1955.65	CSX532FBC125.000MTR
133.33000	60	300-8273-1-ND	4.19	3.78	3.15	300-8273-2-ND	1955.65	CSX532FBC133.330MTR

Serie CSX750FCC, FBC, FJC - SMD-Oszillatoren

SPEZIFIKATIONEN:	CSX750FCC		CSX750FBC	CSX750FJC
Frequenzbereich:	1.000MHz ~ 39.999MHz	40.000MHz ~ 70.000MHz	1.000MHz ~ 39.999MHz	40.000MHz ~ 150.000MHz
Frequenzstabilität:	C:±100ppm @ (-20°C ~ 70°C)			
Betriebstemperatur:	-20°C ~ 70°C			
Lagertemperatur:	-55°C ~ 125°C			
Versorgungsspannung:	Vdd: 5.0V±0.5V		Vdd: 3.3V±0.3V	Vdd: 3.3V±0.3V
Versorgungsstrom:	Max. 25mA	Max. 45mA	Max. 15mA	Max. 25mA
Arbeit: TTL-Level (1,4 V)	40% ~ 60%		—	—
CMOS-Level (VDD/2)	45% ~ 55%			
Ausgangsspannung: VOH VOL	Min. 0,9 V			
	Max. 0,4 V		Max. 0,1 V	Max. 0,1 V
Ausgangslast: TTL	Max. 10TTL		—	—
CMOS	Max. 50pF		Max. 30pF	Max. 30pF
Anstiegs- und Abfallzeit: CMOS	tr, tf: Max. 8 ns	tr, tf: Max. 6 ns	tr, tf: Max. 8 ns	tr, tf: Max. 6 ns
Startzeit:	Max. 4 ms	Max. 10 ms	Max. 4 ms	Max. 10 ms
Eingangsspannung (OE):	V IH: Min. 2,0V		V IH: Min. 2,0V	V IH: Min. 0,7VDD
	V IL: Max. 0,8V		V IL: Max. 0,4V	V IL: Max. 0,3VDD
Deaktivierungsstrom: FC FB	Max. 10mA	Max. 20mA	Max. 5mA	—
Stand-by-Strom: FJ	—	—	—	Max. 10µA
Stoßwiderstand:	Max. ±20ppm (Dreimaliger Fall aus einer Höhe von 75 cm auf Hartholzboden.)			

Pin-Verbindung	
1	OE oder Standby
2	Erde
3	Ausg
4	Vdd

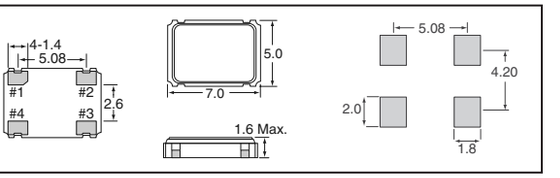

Frequenz (MHz)	Digi-Key Teilenr.	Gurtabschnittspreis pro Stück 1	10	50	Gegurtet auf Rolle* Größe	Preisangaben	Citizen Teilenr.
		CSX750FBC					
1.84320	300-7230-1-ND	2.86	2.67	2.29	2,000	1066.72/M	CSX750FBC1.843200MTR
3.68640	300-7231-1-ND	2.86	2.67	2.29	2,000	1066.72/M	CSX750FBC3.686400MTR
4.00000	300-7232-1-ND	2.86	2.67	2.29	2,000	1066.72/M	CSX750FBC4.000000MTR
7.37280	300-7233-1-ND	2.86	2.67	2.29	2,000	1066.72/M	CSX750FBC7.372800MTR
8.00000	300-7234-1-ND	2.86	2.67	2.29	2,000	1066.72/M	CSX750FBC8.000000MTR
10.00000	300-7235-1-ND	2.86	2.67	2.29	2,000	1066.72/M	CSX750FBC10.000000MTR
12.00000	300-7236-1-ND	2.86	2.67	2.29	2,000	1066.72/M	CSX750FBC12.000000MTR
12.28800	300-7237-1-ND	2.86	2.67	2.29	2,000	1066.72/M	CSX750FBC12.288000MTR
14.31818	300-7238-1-ND	2.86	2.67	2.29	2,000	1066.72/M	CSX750FBC14.318180MTR
14.74560	300-7239-1-ND	2.86	2.67	2.29	2,000	1066.72/M	CSX750FBC14.745600MTR
16.00000	300-7240-1-ND	2.86	2.67	2.29	2,000	1066.72/M	CSX750FBC16.000000MTR
16.38400	300-7241-1-ND	2.86	2.67	2.29	2,000	1066.72/M	CSX750FBC16.384000MTR
18.43200	300-7242-1-ND	2.86	2.67	2.29	2,000	1066.72/M	CSX750FBC18.432000MTR
20.00000	300-7243-1-ND	2.86	2.67	2.29	2,000	1066.72/M	CSX750FBC20.000000MTR
24.00000	300-7244-1-ND	2.86	2.67	2.29	2,000	1066.72/M	CSX750FBC24.000000MTR
24.57600	300-7245-1-ND	2.86	2.67	2.29	2,000	1066.72/M	CSX750FBC24.576000MTR
25.00000	300-7246-1-ND	2.86	2.67	2.29	2,000	1066.72/M	CSX750FBC25.000000MTR
27.00000	300-7247-1-ND	2.86	2.67	2.29	2,000	1066.72/M	CSX750FBC27.000000MTR
29.49120	300-7248-1-ND	2.86	2.67	2.29	2,000	1066.72/M	CSX750FBC29.491200MTR
32.00000	300-7249-1-ND	2.86	2.67	2.29	2,000	1066.72/M	CSX750FBC32.000000MTR
32.76800	300-7250-1-ND	2.86	2.67	2.29	2,000	1066.72/M	CSX750FBC32.768000MTR
33.33300	300-7251-1-ND	2.86	2.67	2.29	2,000	1066.72/M	CSX750FBC33.333000MTR
35.32800	300-7252-1-ND	2.86	2.67	2.29	2,000	1066.72/M	CSX750FBC35.328000MTR
		CSX750FCC					
1.84320	300-7200-1-ND	2.86	2.67	2.29	2,000	1066.72/M	CSX750FCC1.843200MTR
3.68640	300-7201-1-ND	2.86	2.67	2.29	2,000	1066.72/M	CSX750FCC3.686400MTR
4.00000	300-7202-1-ND	2.86	2.67	2.29	2,000	1066.72/M	CSX750FCC4.000000MTR
7.37280	300-7203-1-ND	2.86	2.67	2.29	2,000	1066.72/M	CSX750FCC7.372800MTR
8.00000	300-7204-1-ND	2.86	2.67	2.29	2,000	1066.72/M	CSX750FCC8.000000MTR
10.00000	300-7205-1-ND	2.86	2.67	2.29	2,000	1066.72/M	CSX750FCC10.000000MTR
12.00000	300-7206-1-ND	2.86	2.67	2.29	2,000	1066.72/M	CSX750FCC12.000000MTR
12.28800	300-7207-1-ND	2.86	2.67	2.29	2,000	1066.72/M	CSX750FCC12.288000MTR
14.31818	300-7208-1-ND	2.86	2.67	2.29	2,000	1066.72/M	CSX750FCC14.318180MTR
14.74560	300-7209-1-ND	2.86	2.67	2.29	2,000	1066.72/M	CSX750FCC14.745600MTR
16.00000	300-7210-1-ND	2.86	2.67	2.29	2,000	1066.72/M	CSX750FCC16.000000MTR
16.38400	300-7211-1-ND	2.86	2.67	2.29	2,000	1066.72/M	CSX750FCC16.384000MTR
18.43200	300-7212-1-ND	2.86	2.67	2.29	2,000	1066.72/M	CSX750FCC18.432000MTR
20.00000	300-7213-1-ND	2.86	2.67	2.29	2,000	1066.72/M	CSX750FCC20.000000MTR
24.00000	300-7214-1-ND	2.86	2.67	2.29	2,000	1066.72/M	CSX750FCC24.000000MTR
24.57600	300-7215-1-ND	2.86	2.67	2.29	2,000	1066.72/M	CSX750FCC24.576000MTR
25.00000	300-7216-1-ND	2.86	2.67	2.29	2,000	1066.72/M	CSX750FCC25.000000MTR
27.00000	300-7217-1-ND	2.86	2.67	2.29	2,000	1066.72/M	CSX750FCC27.000000MTR
29.49120	300-7218-1-ND	2.86	2.67	2.29	2,000	1066.72/M	CSX750FCC29.491200MTR
32.00000	300-7219-1-ND	2.86	2.67	2.29	2,000	1066.72/M	CSX750FCC32.000000MTR
32.76800	300-7220-1-ND	2.86	2.67	2.29	2,000	1066.72/M	CSX750FCC32.768000MTR
33.33300	300-7221-1-ND	2.86	2.67	2.29	2,000	1066.72/M	CSX750FCC33.333000MTR
35.32800	300-7222-1-ND	2.86	2.67	2.29	2,000	1066.72/M	CSX750FCC35.328000MTR
40.00000	300-7223-1-ND	2.86	2.67	2.29	2,000	1066.72/M	CSX750FCC40.000000MTR
44.00000	300-7224-1-ND	2.86	2.67	2.29	2,000	1066.72/M	CSX750FCC44.000000MTR
45.00000	300-7225-1-ND	2.86	2.67	2.29	2,000	1066.72/M	CSX750FCC45.000000MTR
49.15200	300-7226-1-ND	2.86	2.67	2.29	2,000	1066.72/M	CSX750FCC49.152000MTR
50.00000	300-7227-1-ND	2.86	2.67	2.29	2,000	1066.72/M	CSX750FCC50.000000MTR
60.00000	300-7228-1-ND	2.86	2.67	2.29	2,000	1066.72/M	CSX750FCC60.000000MTR
66.66600	300-7229-1-ND	2.86	2.67	2.29	2,000	1066.72/M	CSX750FCC66.666000MTR

* Für Gegurtet auf Rolle Teilenr. von -1-ND in -2-ND ändern. † Preisangabe für Gegurtet auf Rolle

(Forts.)

Alle Preisangaben in Euro und inklusive Zollgebühren.

Frequenz (MHz)	Digi-Key Teilenr.	Gurtabschnittspreis pro Stück 1	10	50	Gegurtet auf Rolle* Größe	Preisangaben	Citizen Teilenr.
				CSX750FJC			
40.00000	300-7253-1-ND	2.86	2.67	2.29	2,000	1066.72/M	CSX750FJC40.000000MTR
44.00000	300-7254-1-ND	2.86	2.67	2.29	2,000	1066.72/M	CSX750FJC44.000000MTR
45.00000	300-7255-1-ND	2.86	2.67	2.29	2,000	1066.72/M	CSX750FJC45.000000MTR
49.15200	300-7256-1-ND	2.86	2.67	2.29	2,000	1066.72/M	CSX750FJC49.152000MTR
50.00000	300-7257-1-ND	2.86	2.67	2.29	2,000	1066.72/M	CSX750FJC50.000000MTR
60.00000	300-7258-1-ND	2.86	2.67	2.29	2,000	1066.72/M	CSX750FJC60.000000MTR
66.66600	300-7259-1-ND	2.86	2.67	2.29	2,000	1066.72/M	CSX750FJC66.666000MTR
80.00000	300-8191-1-ND	3.97	3.71	3.18	2,000	1481.55/M	CSX750FJB80.000000MTR
80.00000	300-8231-1-ND	3.97	3.71	3.18	2,000	1481.55/M	CSX750FJC80.000MTR
100.00000	300-8232-1-ND	3.97	3.71	3.18	1,000	1481.55	CSX750FJC100.000MTR
106.25000	300-8233-1-ND	3.97	3.71	3.18	1,000	1481.55	CSX750FJC106.250MTR
125.00000	300-8234-1-ND	3.97	3.71	3.18	2,000	1481.55	CSX750FJC125.000MTR
133.33000	300-8235-1-ND	3.97	3.71	3.18	2,000	1481.55	CSX750FJC133.330MTR
150.00000	300-8236-1-ND	3.97	3.71	3.18	1,000	1481.55	CSX750FJC150.000MTR

* Für Gegurtet auf Rolle Teilenr. von -1-ND in -2-ND ändern.

Serie CSX750A - HF-Keramik-Taktgeberoszillatoren zur Oberflächenmontage

Spezifikationen: • **CSX750AC:** 10 TTL/30 pF, OE, 5,0 V Betriebstyp • **CSX750AB:** 15 pF, OE, 3,3 V Betriebstyp • **Nennfrequenz:** CSX750AC/AB 70,0 ~ 140,0 MHz • **Betriebstemperatur:** -20 °C ~ 70 °C • **Versorgungsspannung:** CSX750AC: 5 ±0,5 V, CSX750AB: 3,3 ±0,3 V • **Frequenzstabilität:** B: ±50 ppm (-20 °C ~ 70 °C) • **Stromverbrauch:** Max. 50 mA (CSX750AC), max. 30 mA (CSX750AB) • **Arbeitszyklus:** 40 % ~ 60 % (TTL-Level), 45 % ~ 55 % (CMOS-Level)

Pin-Verbindung	
1	OE oder Standby
2	Erde
3	Ausg.
4	Vdd

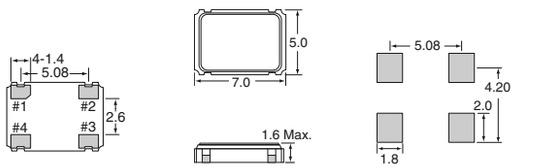

Frequenz (MHz)	Digi-Key Teilenr.	Gurtabschnittspreis pro Stück 1	10	50	Tape & Reel Digi-Key Teilenr.	Pricing† 2.000	Citizen Teilenr.
80.00	300-8145-1-ND	3.50	2.86	2.54	—	—	CSX750ACB80.000MTR
100.02	300-8153-1-ND	3.50	2.86	2.54	—	—	CSX750ABB100.020MTR
100.02	300-8147-1-ND	3.50	2.86	2.54	—	—	CSX750ACB100.020MTR
106.25	300-8154-1-ND	3.50	2.86	2.54	300-8154-2-ND	1777.86/M	CSX750ABB106.250MTR
106.25	300-8148-1-ND	3.50	2.86	2.54	300-8148-2-ND	1777.86/M	CSX750ACB106.250MTR
125.00	300-8155-1-ND	3.50	2.86	2.54	—	—	CSX750ABB125.000MTR
125.00	300-8149-1-ND	3.50	2.86	2.54	—	—	CSX750ACB125.000MTR
133.33	300-8150-1-ND	3.50	2.86	2.54	—	—	CSX750ACB133.330MTR

† Preisangaben für Gegurtet auf Rolle

Serie CSX750V - Kristalloszillatoren mit Spannungssteuerung

Spezifikationen: • **CSX750VC:** 2 TTL/30 pF, OE<Pin 5>, ±100 ppm Ziehbarkeit, 5 V Betriebstyp • **CSX750VB:** 30 pF, OE<Pin 5>, ±90 ppm Ziehbarkeit, 3,3 V Betriebstyp • **Nennfrequenz:** CSX750AC/AB 2.430 ~ 35,328 MHz • **Betriebstemperatur:** -20 °C ~ 70 °C • **Versorgungsspannung:** CSX750VC 5,0 ±0,5 V, CSX750VB 3,3 ±0,3 V • **Frequenzstabilität:** B: ±50 ppm (-10 °C ~ 70 °C) • **Stromverbrauch:** Max. 30 mA (CSX750VC), max. 11 mA (CSX750VB) • **Arbeitszyklus:** 40 % ~ 60 % (TTL), 45 % ~ 55 % (CMOS) • **Ziehbarkeit:** Min. ±100 ppm/Vc=2,5 V ±2 V, min. ±90 ppm/1,65 V ±1,65 V • **Modulationsbandbreite:** Min. 10 kHz./Verst.-3 dB • **Phasenrauschen:** Max. -120 dBc/Hz Max./Offset 1KHz

Pin-Verbindung	
1	VC
2	NC
3	Erde
4	Ausg.
5	OE
6	Vdd

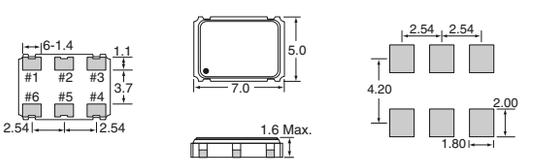

Frequenz (MHz)	Digi-Key Teilenr.	Gurtabschnittspreis pro Stück 1	10	50	Tape & Reel Digi-Key Teilenr.	Pricing† 2.000	Citizen Teilenr.
4.096	300-8173-1-ND	6.98	5.72	5.08	—	—	CSX750VBBL4.096MTR
4.096	300-8157-1-ND	6.98	5.72	5.08	—	—	CSX750VCBM4.096MTR
8.000	300-8174-1-ND	6.98	5.72	5.08	300-8174-2-ND	2370.48/M	CSX750VBBL8.000MTR
8.000	300-8158-1-ND	6.98	5.72	5.08	300-8158-2-ND	2370.48/M	CSX750VCBM8.000MTR
8.192	300-8175-1-ND	6.98	5.72	5.08	300-8175-2-ND	2370.48/M	CSX750VBBL8.192MTR
8.192	300-8159-1-ND	6.98	5.72	5.08	—	—	CSX750VCBM8.192MTR
12.288	300-8176-1-ND	6.98	5.72	5.08	300-8176-2-ND	2370.48/M	CSX750VBBL12.288MTR
12.288	300-8160-1-ND	6.98	5.72	5.08	—	—	CSX750VCBM12.288MTR
12.352	300-8177-1-ND	6.98	5.72	5.08	—	—	CSX750VBBL12.352MTR
12.352	300-8161-1-ND	6.98	5.72	5.08	300-8161-2-ND	2370.48/M	CSX750VCBM12.352MTR

† Preisangaben für Gegurtet auf Rolle

Frequenz (MHz)	Digi-Key Teilenr.	Gurtabschnittspreis pro Stück 1	10	50	Tape & Reel Digi-Key Teilenr.	Pricing† 2.000	Citizen Teilenr.
13.500	300-8178-1-ND	6.98	5.72	5.08	300-8178-2-ND	2370.48/M	CSX750VBBL13.500MTR
13.500	300-8162-1-ND	6.98	5.72	5.08	300-8162-2-ND	2370.48/M	CSX750VCBM13.500MTR
16.384	300-8163-1-ND	6.98	5.72	5.08	300-8163-2-ND	2370.48/M	CSX750VCBM16.384MTR
19.440	300-8164-1-ND	6.98	5.72	5.08	300-8164-2-ND	2370.48/M	CSX750VCBM19.440MTR
20.000	300-8181-1-ND	6.98	5.72	5.08	300-8181-2-ND	2370.48/M	CSX750VBBL20.000MTR
20.000	300-8165-1-ND	6.98	5.72	5.08	300-8165-2-ND	2370.48/M	CSX750VCBM20.000MTR
24.576	300-8166-1-ND	6.98	5.72	5.08	—	—	CSX750VCBM24.576MTR
24.704	300-8183-1-ND	6.98	5.72	5.08	—	—	CSX750VBBL24.704MTR
24.704	300-8167-1-ND	6.98	5.72	5.08	300-8167-2-ND	2370.48/M	CSX750VCBM24.704MTR
25.000	300-8184-1-ND	6.98	5.72	5.08	300-8184-2-ND	2370.48/M	CSX750VBBL25.000MTR
25.000	300-8168-1-ND	6.98	5.72	5.08	—	—	CSX750VCBM25.000MTR
27.000	300-8185-1-ND	4.66	3.81	3.39	300-8185-2-ND	2370.48/M	CSX750VBBL27.000MTR
27.000	300-8169-1-ND	6.98	5.72	5.08	—	—	CSX750VCBM27.000MTR
32.000	300-8186-1-ND	6.98	5.72	5.08	300-8186-2-ND	2370.48/M	CSX750VBBL32.000MTR
32.000	300-8170-1-ND	6.98	5.72	5.08	—		CSX750VCBM32.000MTR
32.768	300-8187-1-ND	4.66	3.81	3.39	300-8187-2-ND	2370.48/M	CSX750VBBL32.768MTR
32.768	300-8171-1-ND	6.98	5.72	5.08	300-8171-2-ND	2370.48/M	CSX750VCBM32.768MTR
35.328	300-8188-1-ND	4.66	3.81	3.39	300-8188-2-ND	2370.48/M	CSX750VBBL35.328MTR
35.328	300-8172-1-ND	6.98	5.72	5.08	—	—	CSX750VCBM35.328MTR

† Preisangaben für Gegurtet auf Rolle

Serie CS3225H, CS5032H - SMD-Präzisionskristalle

Spezifikationen: • **Betriebstemperatur:** -40 °C ~ 85 °C • **Lagertemperatur:** -55 °C ~ 125 °C • **Ladekapazität:** 10,0 pF • **Shunt-Kapazität:** Max. 7 pF • **Antriebs-Level:** Max. 100 µW • **Isolationswiderstand:** Min. 500 MΩ • **Alterung (1. Jahr):** Max. ±5 ppm • **Frequenztoleranz:** ±10 ppm @ 25 °C • **Frequenzstabilität:** ±10 ppm, -10 °C ~ 60 °C

CS3225H - Äquivalent-Reihenverlustwiderstand	
Frequenz	**ESR**
16MHz ~ 20.000MHz	100Ω Max.
20.001MHz ~ 30.000MHz	80Ω Max.
30.001MHz ~ 60.00MHz	50Ω Max.

CS5032H - Äquivalent-Reihenverlustwiderstand	
Frequenz	**ESR**
10.000MHz ~ 11.999MHz	100Ω Max.
12.000MHz ~ 15.999MHz	70Ω Max.
16.000MHz ~ 60.000MHz	50Ω Max.

Abb. 1

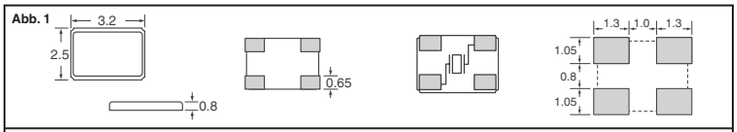

Abb. 2

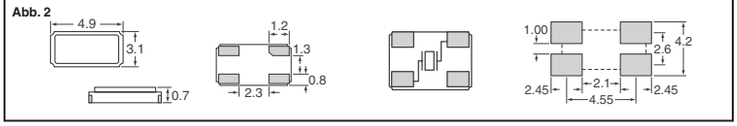

Frequenz (MHz)	Digi-Key Teilenr.	Gurtabschnittspreis pro Stück 1	10	50	Digi-Key Teilenr.	T & R Pricing† 1.000	Citizen Teilenr.
				CS3225J — Abb. 1			
16.36760	300-8226-1-ND	2.79	2.29	2.04	300-8226-2-ND	1422.29	CS3225H16.3676MEEQTR
16.80000	300-8227-1-ND	2.79	2.29	2.04	300-8227-2-ND	1422.29	CS3225H16.800MEEQTR
19.20000	300-8228-1-ND	2.79	2.29	2.04	300-8228-2-ND	1422.29	CS3225H19.200MEEQTR
24.55350	300-8229-1-ND	2.79	2.29	2.04	300-8229-2-ND	1422.29	CS3225H24.5535MEEQTR
26.00000	300-8230-1-ND	2.79	2.29	2.04	300-8230-2-ND	1422.29	CS3225H26.000MEEQTR
				CS5032H — Abb. 2			
10.00000	300-8195-1-ND	1.63	1.34	1.19	300-8195-2-ND	829.67	CS5032H10.000MEEQTR
11.05920	300-8196-1-ND	1.63	1.34	1.19	300-8196-2-ND	829.67	CS5032H11.0592MEEQTR
12.00000	300-8197-1-ND	1.63	1.34	1.19	300-8197-2-ND	829.67	CS5032H12.000MEEQTR
12.28800	300-8198-1-ND	1.63	1.34	1.19	300-8198-2-ND	829.67	CS5032H12.288MEEQTR
12.80000	300-8199-1-ND	1.63	1.34	1.19	300-8199-2-ND	829.67	CS5032H12.800MEEQTR
13.00000	300-8200-1-ND	1.63	1.34	1.19	300-8200-2-ND	829.67	CS5032H13.000MEEQTR
13.50000	300-8201-1-ND	1.63	1.34	1.19	300-8201-2-ND	829.67	CS5032H13.500MEEQTR
13.56000	300-8202-1-ND	1.63	1.34	1.19	300-8202-2-ND	829.67	CS5032H13.560MEEQTR
14.40000	300-8203-1-ND	1.63	1.34	1.19	300-8203-2-ND	829.67	CS5032H14.400MEEQTR
14.74560	300-8204-1-ND	1.63	1.34	1.19	300-8204-2-ND	829.67	CS5032H14.7456MEEQTR
15.36000	300-8205-1-ND	1.63	1.34	1.19	300-8205-2-ND	829.67	CS5032H15.360MEEQTR
16.00000	300-8206-1-ND	1.63	1.34	1.19	300-8206-2-ND	829.67	CS5032H16.000MEEQTR
16.38400	300-8207-1-ND	1.63	1.34	1.19	300-8207-2-ND	829.67	CS5032H16.384MEEQTR
16.80000	300-8208-1-ND	1.63	1.34	1.19	300-8208-2-ND	829.67	CS5032H16.800MEEQTR
18.43200	300-8209-1-ND	1.63	1.34	1.19	300-8209-2-ND	829.67	CS5032H18.432MEEQTR
19.20000	300-8210-1-ND	1.63	1.34	1.19	300-8210-2-ND	829.67	CS5032H19.200MEEQTR
19.44000	300-8211-1-ND	1.63	1.34	1.19	300-8211-2-ND	829.67	CS5032H19.440MEEQTR
19.68000	300-8212-1-ND	1.63	1.34	1.19	300-8212-2-ND	829.67	CS5032H19.680MEEQTR
19.80000	300-8213-1-ND	1.63	1.34	1.19	300-8213-2-ND	829.67	CS5032H19.800MEEQTR
20.00000	300-8214-1-ND	1.63	1.34	1.19	300-8214-2-ND	829.67	CS5032H20.000MEEQTR
22.00000	300-8215-1-ND	1.63	1.34	1.19	300-8215-2-ND	829.67	CS5032H22.000MEEQTR
24.00000	300-8216-1-ND	1.63	1.34	1.19	300-8216-2-ND	829.67	CS5032H24.000MEEQTR
24.57600	300-8217-1-ND	1.63	1.34	1.19	300-8217-2-ND	829.67	CS5032H24.576MEEQTR
25.00000	300-8218-1-ND	1.63	1.34	1.19	300-8218-2-ND	829.67	CS5032H25.000MEEQTR
26.00000	300-8219-1-ND	1.63	1.34	1.19	300-8219-2-ND	829.67	CS5032H26.000MEEQTR
28.63636	300-8220-1-ND	1.63	1.34	1.19	300-8220-2-ND	829.67	CS5032H28.63636MEEQTR
29.49120	300-8221-1-ND	1.63	1.34	1.19	300-8221-2-ND	829.67	CS5032H29.4912MEEQTR
30.00000	300-8222-1-ND	1.63	1.34	1.19	300-8222-2-ND	829.67	CS5032H30.000MEEQTR
40.00000	300-8223-1-ND	1.63	1.34	1.19	300-8223-2-ND	829.67	CS5032H40.000MEEQTR
44.00000	300-8224-1-ND	1.63	1.34	1.19	300-8224-2-ND	829.67	CS5032H44.000MEEQTR
48.00000	300-8225-1-ND	1.63	1.34	1.19	300-8225-2-ND	829.67	CS5032H48.000MEEQTR

† Preisangaben für Gegurtet auf Rolle

CITIZEN™

Mini-Kunststoffkristalle z. Oberflächen-montage, 32,768 kHz

CM130 und CM155

Spezifikationen: • **Frequenz:** 32,768 KHz • **Betriebstemperatur:** -40 °C ~ 85 °C • **Ladekapazität:** 12,5 pF • **Antriebs-Level:** Max. 1 µW • **Frequenztoleranz:** ±20 ppm • **Äquivalent-Reihenverlustwiderstand (ESR):** 65 kΩ

Abb.	Digi-Key Teilenr.	Gurtabschnittspreis pro Stück 1	10	50	Digi-Key Teilenr.	Tape & Reel Pricing† 3.000	Citizen Teilenr.
1	300-8038-1-ND	1.05	.86	.77	—	—	CM155-32.768KDZFTR
2	300-8039-1-ND	.93	.77	.68	300-8039-2-ND	616.33/M	CM130-32.768KDZFTR

Abb. 1

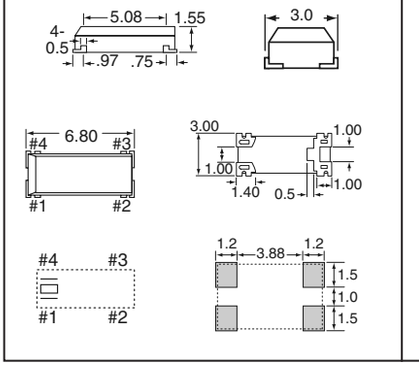

Abb. 2

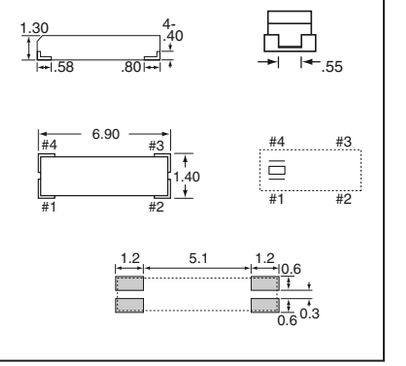

Kristalle der Serie CM309

Spezifikationen: • **Frequenztoleranz:** ±30 ppm • **Frequenz/Temperatur:** ±50 ppm, -10 °C ~ 60 °C • **Betriebstemperatur:** -40 °C ~ 85 °C • **Lagertemperatur:** -55 °C ~ 125 °C • **Ladekapazität:** 18 pF • **Shunt-Kapazität:** 7 pF • **Antriebs-Level:** 50 µW ~100 µW • **Isolationswiderstand:** Min. 500 MΩ • **Alterung (1. Jahr):** Max. ±5 ppm

Äquivalent-Reihenverlustwiderstand (ESR, R1)		
Frequenz	**ESR**	**Modus**
3.5MHz ≤ fo < 4MHz	200	Erste Harmonische
4MHz ≤ fo < 6MHz	150	
6MHz ≤ fo < 10MHz	100	
10MHz ≤ fo ≤ 32MHz	50	
30MHz < fo < 36MHz	100	3. Oberton
36MHz ≤ fo < 66.6666MHz	80	

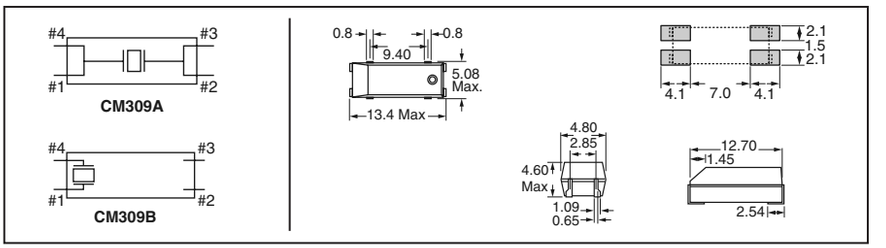

CM309A

Frequenz (MHz)	Digi-Key Teilenr.	Gurtabschnittspreis pro Stück 1	10	50	Tape & Reel Pricing*† 1.000	Citizen Teilenr.
4.800000	300-4005-1-ND	1.28	1.10	.83	—	CM309A4.800MABJT
5.120000	300-4007-1-ND	1.28	1.10	.83	640.03	CM309A5.120MABJT
7.680000	300-4012-1-ND	1.28	1.10	.83	640.03	CM309A7.680MABJT
8.000156	300-4014-1-ND	1.28	1.10	.83	640.03	CM309A8.000156MABJT
8.192000	300-4015-1-ND	1.28	1.10	.83	640.03	CM309A8.192MABJT
9.216000	300-4016-1-ND	1.28	1.10	.83	640.03	CM309A9.216MABJT
9.830400	300-4018-1-ND	1.28	1.10	.83	640.03	CM309A9.8304MABJT
10.240000	300-4020-1-ND	1.28	1.10	.83	—	CM309A10.240MABJT
11.000000	300-4021-1-ND	1.28	1.10	.83	640.03	CM309A11.000MABJT
11.289600	300-4023-1-ND	1.28	1.10	.83	—	CM309A11.2896MABJT
12.288000	300-4025-1-ND	1.28	1.10	.83	—	CM309A12.288MABJT
12.352000	300-4026-1-ND	1.28	1.10	.83	640.03	CM309A12.352MABJT
12.500000	300-4027-1-ND	1.28	1.10	.83	640.03	CM309A12.500MABJT
15.000000	300-4031-1-ND	1.28	1.10	.83	640.03	CM309A15.000MABJT
15.360000	300-4032-1-ND	1.28	1.10	.83	640.03	CM309A15.360MABJT
16.000312	300-4034-1-ND	1.28	1.10	.83	640.03	CM309A16.000312MABJT
16.257000	300-4035-1-ND	1.28	1.10	.83	640.03	CM309A16.257MABJT
18.000000	300-4040-1-ND	1.28	1.10	.83	640.03	CM309A18.000MABJT
20.480000	300-4045-1-ND	1.28	1.10	.83	640.03	CM309A20.480MABJT
25.175000	300-4050-1-ND	1.28	1.10	.83	—	CM309A25.175MABJT
27.000000	300-4051-1-ND	1.28	1.10	.83	—	CM309A27.000MABJT
28.000000	300-4052-1-ND	1.28	1.10	.83	640.03	CM309A28.000MABJT
28.322000	300-4053-1-ND	1.28	1.10	.83	640.03	CM309A28.322MABJT
28.636360	300-4054-1-ND	1.28	1.10	.83	640.03	CM309A28.63636MABJT
29.491200	300-4055-1-ND	1.28	1.10	.83	—	CM309A29.4912MABJT
32.000000	300-4057-1-ND	1.28	1.10	.83	640.03	CM309A32.000MABJT
32.768000	300-4058-1-ND	1.28	1.10	.83	640.03	CM309A32.768MABJT
33.000000	300-4059-1-ND	1.28	1.10	.83	—	CM309A33.000MABJT
33.333300	300-4060-1-ND	1.28	1.10	.83	640.03	CM309A33.3333MABJT
33.868800	300-4061-1-ND	1.28	1.10	.83	640.03	CM309A33.8688MABJT
40.000000	300-4063-1-ND	1.28	1.10	.83	640.03	CM309A40.000MABJT
49.152000	300-4065-1-ND	1.28	1.10	.83	640.03	CM309A49.152MABJT
50.000000	300-4066-1-ND	1.28	1.10	.83	640.03	CM309A50.000MABJT
53.125000	300-4067-1-ND	1.28	1.10	.83	640.03	CM309A53.125MABJT
60.000000	300-4068-1-ND	1.28	1.10	.83	640.03	CM309A60.000MABJT
64.000000	300-4069-1-ND	1.28	1.10	.83	640.03	CM309A64.000MABJT
66.666600	300-4070-1-ND	1.28	1.10	.83	640.03	CM309A66.6666MABJT

CM309B

Frequenz (MHz)	Digi-Key Teilenr.	Gurtabschnittspreis pro Stück 1	10	50	Tape & Reel Pricing*† 1.000	Citizen Teilenr.
3.579545	300-4101-1-ND	1.28	1.10	.83	—	CM309B3.579545MABJT
4.096000	300-4104-1-ND	1.28	1.10	.83	—	CM309B4.096MABJT
5.120000	300-4107-1-ND	1.28	1.10	.83	—	CM309B5.120MABJT
6.144000	300-4110-1-ND	1.28	1.10	.83	—	CM309B6.144MABJT
7.680000	300-4112-1-ND	1.28	1.10	.83	640.03	CM309B7.680MABJT
8.000156	300-4114-1-ND	1.28	1.10	.83	640.03	CM309B8.000156MABJT
9.600000	300-4117-1-ND	1.28	1.10	.83	—	CM309B9.600MABJT
9.830400	300-4118-1-ND	1.28	1.10	.83	640.03	CM309B9.8304MABJT
10.240000	300-4120-1-ND	1.28	1.10	.83	640.03	CM309B10.240MABJT
11.000000	300-4121-1-ND	1.28	1.10	.83	640.03	CM309B11.000MABJT
11.289600	300-4123-1-ND	1.28	1.10	.83	—	CM309B11.2896MABJT
12.352000	300-4126-1-ND	1.28	1.10	.83	640.03	CM309B12.352MABJT
12.500000	300-4127-1-ND	1.28	1.10	.83	640.03	CM309B12.500MABJT
15.360000	300-4132-1-ND	1.28	1.10	.83	640.03	CM309B15.360MABJT
16.000312	300-4134-1-ND	1.28	1.10	.83	640.03	CM309B16.000312MABJT
16.257000	300-4135-1-ND	1.28	1.10	.83	640.03	CM309B16.257MABJT
16.934400	300-4138-1-ND	1.28	1.10	.83	640.03	CM309B16.9344MABJT
17.734475	300-4139-1-ND	1.28	1.10	.83	—	CM309B17.734475MABJT
18.000000	300-4140-1-ND	1.28	1.10	.83	640.03	CM309B18.000MABJT
18.869000	300-4142-1-ND	1.28	1.10	.83	640.03	CM309B18.869MABJT
20.000000	300-4144-1-ND	1.28	1.10	.83	640.03	CM309B20.000MABJT
20.480000	300-4145-1-ND	1.28	1.10	.83	640.03	CM309B20.480MABJT
24.000000	300-4147-1-ND	1.28	1.10	.83	640.03	CM309B24.000MABJT
25.175000	300-4150-1-ND	1.28	1.10	.83	—	CM309B25.175MABJT
28.000000	300-4152-1-ND	1.28	1.10	.83	—	CM309B28.000MABJT
28.322000	300-4153-1-ND	1.28	1.10	.83	640.03	CM309B28.322MABJT
28.636360	300-4154-1-ND	1.28	1.10	.83	640.03	CM309B28.63636MABJT
32.000000	300-4157-1-ND	1.28	1.10	.83	640.03	CM309B32.000MABJT
32.768000	300-4158-1-ND	1.28	1.10	.83	—	CM309B32.768MABJT
33.000000	300-4159-1-ND	1.28	1.10	.83	640.03	CM309B33.000MABJT
33.333300	300-4160-1-ND	1.28	1.10	.83	640.03	CM309B33.3333MABJT
33.868800	300-4161-1-ND	1.28	1.10	.83	640.03	CM309B33.8688MABJT
40.000000	300-4163-1-ND	1.28	1.10	.83	—	CM309B40.000MABJT
48.000000	300-4164-1-ND	1.28	1.10	.83	640.03	CM309B48.000MABJT
49.152000	300-4165-1-ND	1.28	1.10	.83	640.03	CM309B49.152MABJT
50.000000	300-4166-1-ND	1.28	1.10	.83	640.03	CM309B50.000MABJT
53.125000	300-4167-1-ND	1.28	1.10	.83	640.03	CM309B53.125MABJT
60.000000	300-4168-1-ND	1.28	1.10	.83	640.03	CM309B60.000MABJT
64.000000	300-4169-1-ND	1.28	1.10	.83	640.03	CM309B64.000MABJT
66.666600	300-4170-1-ND	1.28	1.10	.83	640.03	CM309B66.6666MABJT

* Für Gegurtet auf Rolle Teilenr. von -1-ND in -2-ND ändern. † Preisangaben für Gegurtet auf Rolle

Alle Preisangaben in Euro und inklusive Zollgebühren.

CITIZEN™

Serie CM309S - Kristalle zur Montage an Kunststoffoberflächen

Spezifikationen:
- **Betriebstemperatur:** -40 °C ~ 85 °C
- **Antriebs-Level:** Max. 100 µW
- **Ladekapazität:** 18,0 pF
- **Frequenz/Temperatur:** ±50 ppm, -10 °C ~ 60 °C
- **Äquivalent-Reihenverlustwiderstand (ESR):** 3,5 MHz≤f0<4 MHz max. 200 Ω; 4 MHz≤f0<6 MHz max. 150 Ω; 6 MHz≤f0<10 MHz max. 100 Ω; 10 MHz≤f0<14 MHz max. 80 Ω; 14 MHz≤f0<30 MHz max. 50 Ω

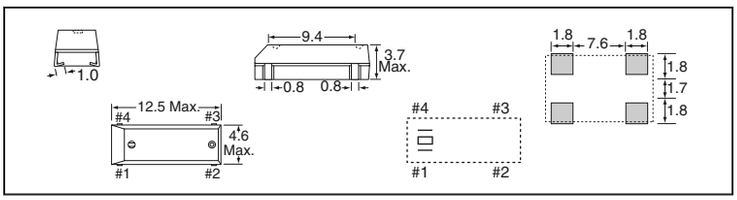

Frequenz (MHz)	Digi-Key Teilenr.	Gurtabschnittspreis pro Stück 1	10	50	Digi-Key Teilenr.	Tape & Reel Pricing* 1.000	Citizen Teilenr.
3.579545	300-8040-1-ND	.93	.77	.68	—	—	CM309S3.579545MABJTR
3.686400	300-8041-1-ND	.93	.77	.68	—	—	CM309S3.6864MABJTR
4.000000	300-8042-1-ND	.93	.77	.68	300-8042-2-ND	562.14	CM309S4.000MABJTR
4.096000	300-8043-1-ND	.93	.77	.68	300-8043-2-ND	562.14	CM309S4.096MABJTR
4.800000	300-2035-1-ND	.93	.77	.68	300-2035-2-ND	562.14	CM309S4.800MABJTR
4.915200	300-8044-1-ND	.93	.77	.68	300-8044-2-ND	562.14	CM309S4.9152MABJTR
5.120000	300-2036-1-ND	.93	.77	.68	300-2036-2-ND	562.14	CM309S5.120MABJTR
5.529600	300-2037-1-ND	.93	.77	.68	300-2037-2-ND	562.14	CM309S5.5296MABJTR
6.000000	300-8045-1-ND	.93	.77	.68	300-8045-2-ND	562.14	CM309S6.000MABJTR
6.144000	300-8046-1-ND	.93	.77	.68	300-8046-2-ND	562.14	CM309S6.144MABJTR
7.372800	300-8047-1-ND	.93	.77	.68	300-8047-2-ND	562.14	CM309S7.3728MABJTR
8.000000	300-8049-1-ND	.93	.77	.68	300-8049-2-ND	562.14	CM309S8.000MABJTR
8.000156	300-2038-1-ND	.93	.77	.68	300-2038-2-ND	562.14	CM309S8.000156MABJTR
8.192000	300-2039-1-ND	.93	.77	.68	300-2039-2-ND	562.14	CM309S8.192MABJTR
9.216000	300-2040-1-ND	.93	.77	.68	300-2040-2-ND	562.14	CM309S9.216MABJTR
9.600000	300-2041-1-ND	.93	.77	.68	300-2041-2-ND	562.14	CM309S9.600MABJTR
9.830000	300-8050-1-ND	.93	.77	.68	—	—	CM309S9.830MABJTR
10.000000	300-8051-1-ND	.93	.77	.68	—	—	CM309S10.000MABJTR
10.240000	300-8052-1-ND	.93	.77	.68	300-8052-2-ND	562.14	CM309S10.240MABJTR
11.059200	300-8053-1-ND	.93	.77	.68	300-8053-2-ND	562.14	CM309S11.0592MABJTR
12.000000	300-8055-1-ND	.93	.77	.68	300-8055-2-ND	562.14	CM309S12.000MABJTR
12.288000	300-8056-1-ND	.93	.77	.68	300-8056-2-ND	562.14	CM309S12.288MABJTR
12.352000	300-2042-1-ND	.93	.77	.68	300-2042-2-ND	562.14	CM309S12.352MABJTR
12.500000	300-2043-1-ND	.93	.77	.68	—	—	CM309S12.500MABJTR
13.500000	300-2044-1-ND	.93	.77	.68	300-2044-2-ND	562.14	CM309S13.500MABJTR
14.318180	300-8057-1-ND	.93	.77	.68	300-8057-2-ND	562.14	CM309S14.31818MABJTR
14.745600	300-8058-1-ND	.93	.77	.68	—	—	CM309S14.7456MABJTR
15.000000	300-8059-1-ND	.93	.77	.68	300-8059-2-ND	562.14	CM309S15.000MABJTR
15.360000	300-8060-1-ND	.93	.77	.68	—	—	CM309S15.360MABJTR
16.000000	300-8061-1-ND	.93	.77	.68	300-8061-2-ND	562.14	CM309S16.000MABJTR
16.000312	300-2045-1-ND	.93	.77	.68	300-2045-2-ND	562.14	CM309S16.000312MABJTR
16.257000	300-2046-1-ND	.93	.77	.68	300-2046-2-ND	562.14	CM309S16.257MABJTR
16.384000	300-2047-1-ND	.93	.77	.68	300-2047-2-ND	562.14	CM309S16.384MABJTR
16.934400	300-2048-1-ND	.93	.77	.68	300-2048-2-ND	562.14	CM309S16.9344MABJTR
17.734475	300-2049-1-ND	.93	.77	.68	300-2049-2-ND	562.14	CM309S17.734475MABJTR
18.000000	300-2050-1-ND	.93	.77	.68	300-2050-2-ND	562.14	CM309S18.000MABJTR
18.432000	300-8063-1-ND	.93	.77	.68	300-8063-2-ND	562.14	CM309S18.432MABJTR
18.869000	300-2051-1-ND	.93	.77	.68	300-2051-2-ND	562.14	CM309S18.869MABJTR
19.440000	300-8064-1-ND	.93	.77	.68	—	—	CM309S19.440MABJTR
19.660800	300-8065-1-ND	.93	.77	.68	300-8065-2-ND	562.14	CM309S19.6608MABJTR
20.000000	300-8066-1-ND	.93	.77	.68	300-8066-2-ND	562.14	CM309S20.000MABJTR
22.118400	300-8068-1-ND	.93	.77	.68	300-8068-2-ND	562.14	CM309S22.1184MABJTR
24.000000	300-8069-1-ND	.93	.77	.68	300-8069-2-ND	562.14	CM309S24.000MABJTR
24.576000	300-2052-1-ND	.93	.77	.68	300-2052-2-ND	562.14	CM309S24.576MABJTR
25.000000	300-8071-1-ND	.93	.77	.68	300-8071-2-ND	562.14	CM309S25.000MABJTR
25.175000	300-2053-1-ND	.93	.77	.68	300-2053-2-ND	562.14	CM309S25.175MABJTR
27.000000	300-8072-1-ND	.93	.77	.68	300-8072-2-ND	562.14	CM309S27.000MABJTR
28.000000	300-2054-1-ND	.93	.77	.68	300-2054-2-ND	562.14	CM309S28.000MABJTR
28.322000	300-2055-1-ND	.93	.77	.68	300-2055-2-ND	562.14	CM309S28.322MABJTR
28.636360	300-8073-1-ND	.93	.77	.68	300-8073-2-ND	562.14	CM309S28.63636MABJTR
29.491200	300-8074-1-ND	.93	.77	.68	300-8074-2-ND	562.14	CM309S29.4912MABJTR
32.000000	300-8076-1-ND	.93	.77	.68	300-8076-2-ND	562.14	CM309S32.000MABJTR
32.768000	300-8077-1-ND	.93	.77	.68	300-8077-2-ND	562.14	CM309S32.768MABJTR
33.000000	300-8078-1-ND	.93	.77	.68	300-8078-2-ND	562.14	CM309S33.000MABJTR
33.333300	300-8079-1-ND	.93	.77	.68	—	—	CM309S33.3333MABJTR
33.868800	300-2056-1-ND	.93	.77	.68	300-2056-2-ND	562.14	CM309S33.8688MABJTR
36.000000	300-8080-1-ND	.93	.77	.68	—	—	CM309S36.000MABJTR
40.000000	300-8081-1-ND	.93	.77	.68	—	—	CM309S40.000MABJTR
48.000000	300-8082-1-ND	.93	.77	.68	300-8082-2-ND	562.14	CM309S48.000MABJTR
50.000000	300-8084-1-ND	.93	.77	.68	—	—	CM309S50.000MABJTR
53.125000	300-8085-1-ND	.93	.77	.68	—	—	CM309S53.125MABJTR
60.000000	300-8086-1-ND	.93	.77	.68	—	—	CM309S60.000MABJTR
66.666600	300-8088-1-ND	.93	.77	.68	—	—	CM309S66.6666MABJTR

* Preisangaben für Gegurtet auf Rolle

Serie CS10 - Kristalle zur Montage an Keramik-Oberflächen

Spezifikationen:
- **Frequenz/Temperatur:** ±50 ppm, -10 °C ~ 60 °C • **Betriebstemperatur:** -40 °C ~ 85 °C • **Antriebs-Level:** Max. 50 µW
- **Frequenztoleranz:** ±30 ppm • **Ladekapazität:** 18,0 pF • **Äquivalent-Reihenverlustwiderstand (ESR):** Max. 50 Ω
- **Betriebsmodus:** Erste Harmonische

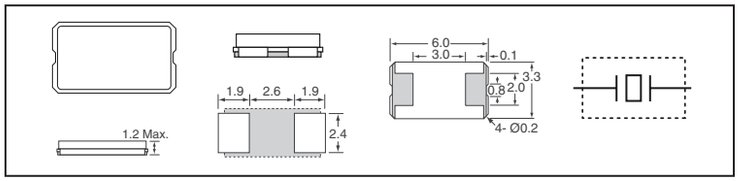

Frequenz (MHz)	Digi-Key Teilenr.	Gurtabschnittspreis pro Stück 1	10	50	Digi-Key Teilenr.	Tape & Reel Pricing* 2.000	Citizen Teilenr.
12.000000	300-8089-1-ND	1.05	.86	.77	300-8089-2-ND	533.36/M	CS10-12.000MABJTR
12.288000	300-8090-1-ND	1.05	.86	.77	300-8090-2-ND	533.36/M	CS10-12.288MABJTR
12.500000	300-8091-1-ND	1.05	.86	.77	300-8091-2-ND	533.36/M	CS10-12.500MABJTR
13.560000	300-8092-1-ND	1.05	.86	.77	300-8092-2-ND	533.36/M	CS10-13.560MABJTR
14.318180	300-8093-1-ND	1.05	.86	.77	300-8093-2-ND	533.36/M	CS10-14.31818MABJTR
14.745600	300-8094-1-ND	1.05	.86	.77	300-8094-2-ND	533.36/M	CS10-14.7456MABJTR
15.360000	300-8095-1-ND	1.40	1.15	1.02	300-8095-2-ND	—	CS10-15.360MABJTR
16.000000	300-8096-1-ND	1.05	.86	.77	300-8096-2-ND	533.36/M	CS10-16.000MABJTR
16.384000	300-8097-1-ND	1.40	1.15	1.02	300-8097-2-ND	533.36/M	CS10-16.384MABJTR
18.432000	300-8098-1-ND	1.05	.86	.77	300-8098-2-ND	533.36/M	CS10-18.432MABJTR
19.660800	300-8100-1-ND	1.05	.86	.77	300-8100-2-ND	533.36/M	CS10-19.6608MABJTR
20.000000	300-8101-1-ND	1.05	.86	.77	300-8101-2-ND	533.36/M	CS10-20.000MABJTR
22.118400	300-8102-1-ND	1.05	.86	.77	300-8102-2-ND	533.36/M	CS10-22.1184MABJTR
24.000000	300-8103-1-ND	1.05	.86	.77	300-8103-2-ND	533.36/M	CS10-24.000MABJTR
24.576000	300-8104-1-ND	1.05	.86	.77	300-8104-2-ND	533.36/M	CS10-24.576MABJTR
25.000000	300-8105-1-ND	1.05	.86	.77	300-8105-2-ND	533.36/M	CS10-25.000MABJTR
27.000000	300-8106-1-ND	1.05	.86	.77	300-8106-2-ND	533.36/M	CS10-27.000MABJTR
28.636360	300-8107-1-ND	1.05	.86	.77	300-8107-2-ND	533.36/M	CS10-28.63636MABJTR
32.000000	300-8110-1-ND	1.40	1.15	1.02	300-8110-2-ND	—	CS10-32.000MABJTR
33.000000	300-8112-1-ND	1.05	.86	.77	300-8112-2-ND	533.36/M	CS10-33.000MABJTR
40.000000	300-8114-1-ND	1.05	.86	.77	300-8114-2-ND	533.36/M	CS10-40.000MABJTR
48.000000	300-8115-1-ND	1.05	.86	.77	300-8115-2-ND	533.36/M	CS10-48.000MABJTR

* Preisangaben für Gegurtet auf Rolle

Serie CS20 - Kristalle zur Montage an Keramik-Oberflächen

Spezifikationen:
- **Betriebstemperatur:** -40 °C ~ 85 °C
- **Antriebs-Level:** Max. 100 µW
- **Frequenztoleranz:** ±30 ppm
- **Ladekapazität:** 18,0 pF
- **Frequenz/Temperatur:** ±50 ppm, -10 °C ~ 60 °C

Äquivalent-Reihenverlustwiderstand (max. ΩESR)		
Frequenz	ESR	Modus
3.5MHz ≤ fo < 4.0MHz	200	Erste Harmonische
4.0MHz ≤ fo < 6.0MHz	150	
6.0MHz ≤ fo < 10.0MHz	100	
10.0MHz ≤ fo < 14.0MHz	80	
14.0MHz < fo ≤ 30.0MHz	50	

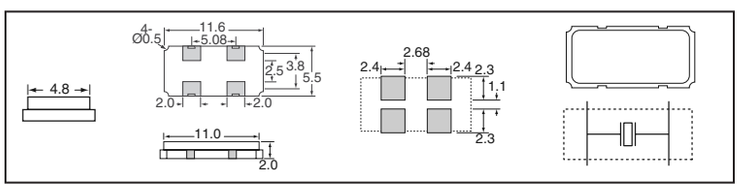

Frequenz (MHz)	Digi-Key Teilenr.	Gurtabschnittspreis pro Stück 1	10	50	Digi-Key Teilenr.	Tape & Reel Pricing* 2.000	Citizen Teilenr.
3.579545	300-8116-1-ND	.93	.77	.68	300-8116-2-ND	474.10/M	CS20-3.579545MABJTR
3.686400	300-8117-1-ND	.93	.77	.68	300-8117-2-ND	474.10/M	CS20-3.6864MABJTR
4.000000	300-8118-1-ND	.93	.77	.68	300-8118-2-ND	474.10/M	CS20-4.000MABJTR
4.096000	300-8119-1-ND	.93	.77	.68	300-8119-2-ND	474.10/M	CS20-4.096MABJTR
4.915200	300-8120-1-ND	.93	.77	.68	300-8120-2-ND	474.10/M	CS20-4.9152MABJTR
5.000000	300-8121-1-ND	.93	.77	.68	300-8121-2-ND	474.10/M	CS20-5.000MABJTR
6.000000	300-8122-1-ND	.93	.77	.68	300-8122-2-ND	474.10/M	CS20-6.000MABJTR
6.144000	300-8123-1-ND	1.12	.92	.82	300-8123-2-ND	474.10/M	CS20-6.144MABJTR
7.372800	300-8124-1-ND	.93	.77	.68	300-8124-2-ND	474.10/M	CS20-7.3728MABJTR
7.680000	300-8125-1-ND	1.12	.92	.82	300-8125-2-ND	474.10/M	CS20-7.680MABJTR
8.000000	300-8126-1-ND	.93	.77	.68	300-8126-2-ND	474.10/M	CS20-8.000MABJTR
10.000000	300-8127-1-ND	.93	.77	.68	300-8127-2-ND	474.10/M	CS20-10.000MABJTR
11.059200	300-8128-1-ND	.93	.77	.68	300-8128-2-ND	474.10/M	CS20-11.0592MABJTR
11.289600	300-8129-1-ND	.93	.77	.68	300-8129-2-ND	474.10/M	CS20-11.2896MABJTR
12.000000	300-8130-1-ND	.93	.77	.68	300-8130-2-ND	474.10/M	CS20-12.000MABJTR
12.288000	300-8131-1-ND	.93	.77	.68	300-8131-2-ND	474.10/M	CS20-12.288MABJTR
14.318180	300-8132-1-ND	1.12	.92	.82	—	—	CS20-14.31818MABJTR
14.745600	300-8133-1-ND	.93	.77	.68	300-8133-2-ND	474.10/M	CS20-14.7456MABJTR
15.360000	300-8134-1-ND	1.12	.92	.82	—	—	CS20-15.360MABJTR
16.000000	300-8135-1-ND	.93	.77	.68	300-8135-2-ND	474.10/M	CS20-16.000MABJTR
18.432000	300-8137-1-ND	1.12	.92	.82	300-8137-2-ND	474.10/M	CS20-18.432MABJTR
19.440000	300-8138-1-ND	1.12	.92	.82	300-8138-2-ND	474.10/M	CS20-19.440MABJTR
20.000000	300-8139-1-ND	.93	.77	.68	300-8139-2-ND	474.10/M	CS20-20.000MABJTR
20.480000	300-8140-1-ND	1.12	.92	.82	—	—	CS20-20.480MABJTR
22.118400	300-8141-1-ND	.93	.77	.68	300-8141-2-ND	474.10/M	CS20-22.1184MABJTR
24.000000	300-8142-1-ND	1.12	.92	.82	—	—	CS20-24.000MABJTR
24.576000	300-8143-1-ND	.93	.77	.68	300-8143-2-ND	474.10/M	CS20-24.576MABJTR
25.000000	300-8144-1-ND	.93	.77	.68	300-8144-2-ND	474.10/M	CS20-25.000MABJTR

* Preisangaben für Gegurtet auf Rolle

C

Serie CMR250T - Kristalle

Spezifikationen:
- **Frequenztoleranz:** ±30 ppm
- **Betriebstemperatur:** -40 °C ~ 85 °C
- **Lagertemperatur:** -55 °C ~ 125 °C
- **Ladekapazität:** 12,5 pF
- **Shunt-Kapazität:** 0,8 pF ~ 1,7 pF
- **Antriebs-Level:** Max. 1 µW
- **Isolationswiderstand:** Min. 500 MΩ
- **Alterung (1. Jahr):** Max. ±5 ppm

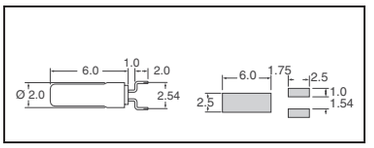

Frequenz (kHz)	Digi-Key Teilenr.	Gurtabschnittspreis pro Stück 1	10	50	Digi-Key Teilenr.	Tape & Reel Pricing* 2.000	Citizen Teilenr.
32.000	300-2057-1-ND	1.48	1.27	.96	300-2057-2-ND	592.62/M	CMR250TB32.000KAZFTR
40.000	300-2058-1-ND	1.48	1.27	.96	300-2058-2-ND	592.62/M	CMR250TB40.000KAZFTR
60.000	300-2059-1-ND	1.48	1.27	.96	300-2059-2-ND	—	CMR250TB60.000KAZFTR
65.535	300-2060-1-ND	1.48	1.27	.96	300-2060-2-ND	592.62/M	CMR250TB65.535KAZFTR
75.000	300-2061-1-ND	1.48	1.27	.96	300-2061-2-ND	592.62/M	CMR250TB75.000KAZFTR
76.800	300-2062-1-ND	1.48	1.27	.96	300-2062-2-ND	592.62/M	CMR250TB76.8KAZFTR
96.000	300-2063-1-ND	1.48	1.27	.96	300-2063-2-ND	—	CMR250TB96.000KAZFTR
100.000	300-2064-1-ND	1.48	1.27	.96	300-2064-2-ND	—	CMR250TB100.000KAZFTR

* Preisangaben für Gegurtet auf Rolle

C

Serie CMR309T - Kristalle

Spezifikationen:
- **Frequenz/Temperatur:** ±50 ppm, -10 °C ~ 60 °C
- **Alterung (1. Jahr):** Max. ±5 ppm @ 25 °C
- **Frequenztoleranz:** ±30 ppm
- **Betriebstemperatur:** -40 °C ~ 85 °C
- **Lagertemperatur:** -55 °C ~ 125 °C
- **Ladekapazität:** 18,0 pF
- **Shunt-Kapazität:** 5 pF
- **Antriebs-Level:** 50 µW ~100 µW
- **Isolationswiderstand:** Min. 500 MΩ
- **Oszillationsmodus:** Erste Harmonische: 3,579545 MHz ~ 27,000 MHz; Dritter Oberton: 32,000 MHz ~ 66,6660 MHz

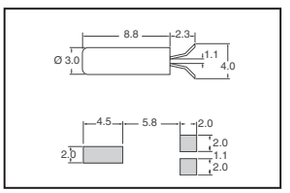

Frequenz (MHz)	Digi-Key Teilenr.	Gurtabschnittspreis pro Stück 1	10	50	Digi-Key Teilenr.	Tape & Reel Pricing* 1.000	Citizen Teilenr.
4.09600	300-2070-1-ND	.83	.72	.54	300-2070-2-ND	414.83	CMR309T4.096MABJTR
4.91520	300-2071-1-ND	.83	.72	.54	300-2071-2-ND	414.83	CMR309T4.9152MABJTR
5.00000	300-2072-1-ND	.83	.72	.54	300-2072-2-ND	414.83	CMR309T5.000MABJTR
6.00000	300-2073-1-ND	.83	.72	.54	300-2073-2-ND	414.83	CMR309T6.000MABJTR
7.37280	300-2074-1-ND	.83	.72	.54	—	—	CMR309T7.3728MABJTR
8.00000	300-2075-1-ND	.83	.72	.54	300-2075-2-ND	414.83	CMR309T8.000MABJTR
9.83040	300-2076-1-ND	.83	.72	.54	300-2076-2-ND	414.83	CMR309T9.8304MABJTR
10.00000	300-2077-1-ND	.83	.72	.54	300-2077-2-ND	414.83	CMR309T10.000MABJTR
11.05920	300-2078-1-ND	.83	.72	.54	300-2078-2-ND	414.83	CMR309T11.0592MABJTR
12.00000	300-2079-1-ND	.83	.72	.54	300-2079-2-ND	414.83	CMR309T12.000MABJTR
12.28800	300-2080-1-ND	.83	.72	.54	300-2080-2-ND	414.83	CMR309T12.288MABJTR
14.31818	300-2081-1-ND	.83	.72	.54	300-2081-2-ND	414.83	CMR309T14.31818MABJTR
16.00000	300-2082-1-ND	.83	.72	.54	300-2082-2-ND	414.83	CMR309T16.000MABJTR
16.38400	300-2083-1-ND	.83	.72	.54	300-2083-2-ND	414.83	CMR309T16.384MABJTR
18.43200	300-2084-1-ND	.83	.72	.54	300-2084-2-ND	414.83	CMR309T18.432MABJTR
22.11840	300-2085-1-ND	.83	.72	.54	300-2085-2-ND	414.83	CMR309T22.1184MABJTR
24.00000	300-2086-1-ND	.83	.72	.54	300-2086-2-ND	414.83	CMR309T24.000MABJTR
24.57600	300-2087-1-ND	.83	.72	.54	—	—	CMR309T24.576MABJTR
27.00000	300-2088-1-ND	.83	.72	.54	—	—	CMR309T27.000MABJTR
32.00000	300-2089-1-ND	.83	.72	.54	300-2089-2-ND	414.83	CMR309T32.000MABJTR
40.00000	300-2090-1-ND	.83	.72	.54	300-2090-2-ND	414.83	CMR309T40.000MABJTR
48.00000	300-2091-1-ND	.83	.72	.54	300-2091-2-ND	414.83	CMR309T48.000MABJTR
49.15200	300-2092-1-ND	.83	.72	.54	300-2092-2-ND	414.83	CMR309T49.152MABJTR
50.00000	300-2093-1-ND	.83	.72	.54	300-2093-2-ND	414.83	CMR309T50.000MABJTR
60.00000	300-2094-1-ND	.83	.72	.54	300-2094-2-ND	414.83	CMR309T60.000MABJTR
66.66600	300-2095-1-ND	.83	.72	.54	300-2095-2-ND	414.83	CMR309T66.666MABJTR

* Preisangaben für Gegurtet auf Rolle

Serie CMR310T - Kristalle

Spezifikationen:
- **Frequenz/Temperatur:** ±50 ppm, -10 °C ~ 60 °C
- **Alterung (1. Jahr):** Max. ±5 ppm @ 25 °C
- **Frequenztoleranz:** ±30 ppm
- **Betriebstemperatur:** -40 °C ~ 85 °C
- **Lagertemperatur:** -55 °C ~ 125 °C
- **Ladekapazität:** 18,0 pF
- **Shunt-Kapazität:** 5 pF
- **Antriebs-Level:** 50µW ~100 µW
- **Isolationswiderstand:** Min. 500 MΩ

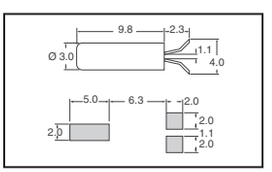

Frequ. (MHz)	Digi-Key Teilenr.	Gurtabschnittspreis pro Stück 1	10	50	Digi-Key Teilenr.	Tape & Reel Pricing* 1.000	Citizen Teilenr.
3.579545	300-2067-1-ND	.83	.72	.54	300-2067-2-ND	414.83	CMR310T3.579545MABJTR
3.686400	300-2068-1-ND	.83	.72	.54	300-2068-2-ND	414.83	CMR310T3.6864MABJTR
4.000000	300-2069-1-ND	.83	.72	.54	300-2069-2-ND	414.83	CMR310T4.000MABJTR

* Preisangaben für Gegurtet auf Rolle

Serien CMJ145, CMJ206 und CMR200T - Kristalle, 32,768 kHz

Spezifikationen:
- **Frequenz:** 32,768 kHz
- **Frequenztoleranz:** ±20 ppm
- **Betriebstemperatur:** -40 °C ~ 85 °C
- **Lagertemperatur:** -55 °C ~ 125 °C
- **Antriebs-Level:** 1 µW
- **Isolationswiderstand:** 500 MΩ

Abb. 1

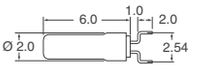

Abb. 2

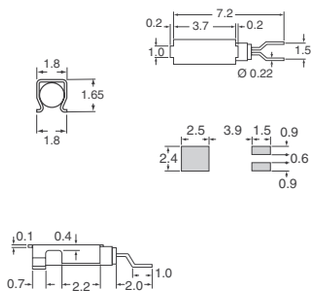

Abb. 3

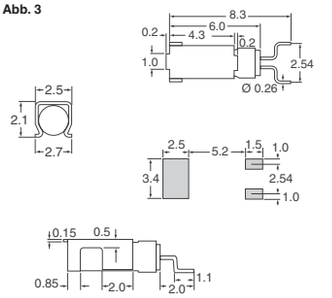

Abb.	Ladekapazität	Digi-Key Teilenr.	1	10	50	Digi-Key Teilenr.	Gegurtet auf Rolle Größe	Preisangaben	Citizen Teilenr.
1	6.0pF	300-2066-1-ND	.59	.51	.39	300-2066-2-ND	2,000	237.05/M	CMR200TB32.768KDZBTR
	12.5pF	300-2065-1-ND	.59	.51	.39	300-2065-2-ND	2,000	237.05/M	CMR200TB32.768KDZFTR
2	12.5pF	300-8190-1-ND	1.04	.89	.67	300-8190-2-ND	4,000	414.84/M	CMJ145T32.768KDZFTR
3	6.0pF	300-8192-1-ND	.75	.64	.48	300-8192-2-ND	3,000	296.31/M	CMJ206T32.768KDZBTR
	12.5pF	300-8189-1-ND	.75	.64	.48	300-8189-2-ND	3,000	296.31/M	CMJ206T32.768KDZFTR

Serie CM415, CM519 - Kristalle, 32,768 kHz

Spezifikationen: • **Frequenz:** 32,768 kHz • **Frequenztoleranz:** ±20 ppm • **Betriebstemperatur:** -40 °C ~ 85 °C • **Lagertemperatur:** -55 °C ~ 125 °C • **Äquivalent-Reihenverlustwiderstand (ESR):** Max. 70 Ω • **Ladekapazität:** 12,5 pF • **Antriebs-Level:** Max. 1 µW • **Isolationswiderstand:** Min. 500 MΩ • **Alterung (1. Jahr):** Max. ±5 ppm @ 25 °C

Abb. 1

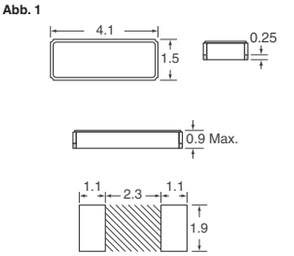

Abb. 2

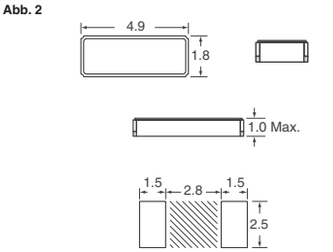

Abb.	Digi-Key Teilenr.	Gurtabschnittspreis pro Stück 1	10	50	Digi-Key Teilenr.	Tape & Reel Pricing* 3.000	Citizen Teilenr.
1	300-8193-1-ND	1.78	1.53	1.15	300-8193-2-ND	924.49/M	CM415-32.768KDZFTR
2	300-8194-1-ND	1.48	1.27	.96	300-8194-2-ND	770.41/M	CM519-32.768KDZFTR

* Preisangaben für Gegurtet auf Rolle

Serie CM200S - Kristalle, 32,768 kHz

Spezifikationen:

• **Frequenz:** 32,768 kHz • **Frequenztoleranz:** ±20 ppm • **Betriebstemperatur:** -40 °C ~ 85 °C • **Lagertemperatur:** -55 °C ~ 125 °C • **Äquivalent-Reihenverlustwiderstand:** Max. 50 kΩ • **Antriebs-Level:** Max. 1 µW • **Isolationswiderstand:** Min. 500 MΩ • **Alterung (1. Jahr):** Max. ±3 ppm

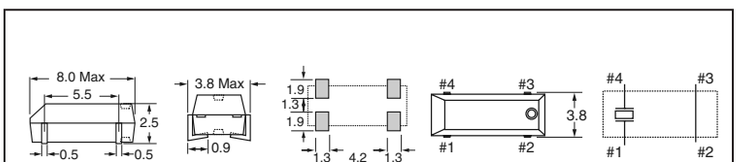

Lastkap.	Digi-Key Teilenr.	Gurtabschnittspreis pro Stück 1	10	50	Digi-Key Teilenr.	Tape & Reel Pricing* 3. 000	Citizen Teilenr.
6.0pF	300-2034-1-ND	.75	.64	.48	300-2034-2-ND	347.11/M	CM200S32.768KDZBTR
12.5pF	300-1004-1-ND	.75	.64	.48	300-1004-2-ND	385.21/M	CM200S32.768KDZFT

* Preisangaben für Gegurtet auf Rolle

Alle Preisangaben in Euro und inklusive Zollgebühren.

CITIZEN™

Serie CM250S - Quarzkristalle

Spezifikationen:

• Frequenztoleranz: ±30 ppm **• Betriebstemperatur:** -40 °C ~ 85 °C **• Lagertemperatur:** -55 °C ~ 125 °C **• Ladekapazität:** 12,5 pF **• Shunt-Kapazität:** 0,8 pF ~ 1,7 pF **• Antriebs-Level:** Max. 1 µW **• Isolationswiderstand:** Min. 500 MΩ **• Alterung (1. Jahr):** Max. ±5 ppm

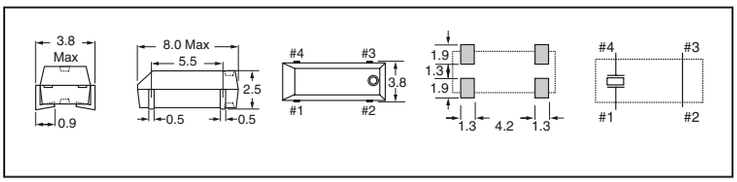

Frequenz (kHz)	Digi-Key Teilenr.	Gurtabschnittspreis pro Stück 1	10	50	Digi-Key Teilenr.	Tape & Reel Pricing* 3.000	Citizen Teilenr.
32.000	300-2007-1-ND	1.40	1.15	1.02	300-2007-2-ND	731.47/M	CM250S32.000KAZFT
40.000	300-2015-1-ND	1.40	1.15	1.02	300-2015-2-ND	731.47/M	CM250S40.000KAZFT
60.000	300-2018-1-ND	1.40	1.15	1.02	300-2018-2-ND	731.47/M	CM250S60.000KAZFT
60.005	300-2019-1-ND	1.40	1.15	1.02	300-2019-2-ND	731.47/M	CM250S60.005KAZFT
65.536	300-2020-1-ND	1.40	1.15	1.02	300-2020-2-ND	731.47/M	CM250S65.536KAZFT
75.000	300-2021-1-ND	1.40	1.15	1.02	300-2021-2-ND	731.47/M	CM250S75.000KAZFT
76.790	300-2022-1-ND	1.40	1.15	1.02	300-2022-2-ND	731.47/M	CM250S76.790KAZFT
76.800	300-2023-1-ND	1.40	1.15	1.02	300-2023-2-ND	731.47/M	CM250S76.800KAZFT
76.810	300-2024-1-ND	1.40	1.15	1.02	300-2024-2-ND	731.47/M	CM250S76.810KAZFT
77.500	300-2025-1-ND	1.40	1.15	1.02	300-2025-2-ND	731.47/M	CM250S77.500KAZFT
77.503	300-2026-1-ND	1.40	1.15	1.02	300-2026-2-ND	731.47/M	CM250S77.503KAZFT
96.000	300-2029-1-ND	1.40	1.15	1.02	300-2029-2-ND	731.47/M	CM250S96.000KAZFT
100.000	300-2030-1-ND	1.40	1.15	1.02	300-2030-2-ND	731.47/M	CM250S100.000KAZFT

* Preisangaben für Gegurtet auf Rolle

Serie HCM49 - Kristalle zur Oberflächenmontage

Spezifikationen:

- **Frequenztoleranz:** ±30 ppm über Betriebstemperaturbereich
- **Frequenz/Temperatur:** ±50 ppm, -10 °C ~ 60 °C
- **Betriebstemperatur:** -40 °C ~ 85 °C
- **Lagertemperatur:** -55 °C ~ 125 °C
- **Ladekapazität:** 18,0 pF
- **Shunt-Kapazität:** Max. 7 pF
- **Antriebs-Level:** 50µW ~100 µW
- **Isolationswiderstand:** Min. 500 MΩ
- **Alterung (1. Jahr):** Max. ±5 ppm

Äquivalent-Reihenverlustwiderstand (ESR, R1) (Ω max.)

Frequenz	ESR
3.5MHz ≤ fo < 4.0MHz	200
4.0MHz ≤ fo < 6.0MHz	150
6.0MHz ≤ fo < 10.0MHz	100
10.0MHz ≤ fo < 14.0MHz	80
14.0MHz ≤ fo ≤ 25.0MHz	50
30.0MHz ≤ fo ≤ 36.0MHz	140
36.0MHz ≤ fo ≤ 50.0MHz	100

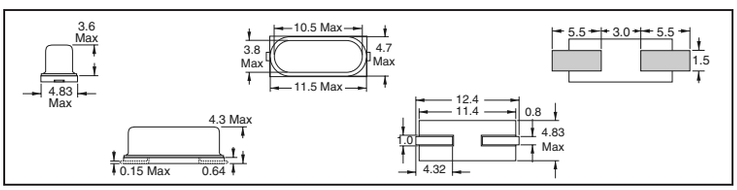

Frequenz (MHz)	Digi-Key Teilenr.	Gurtabschnittspreis pro Stück 1	10	50	Digi-Key Teilenr.	Tape & Reel Pricing* 1.000	Citizen Teilenr.
3.579545	300-6101-1-ND	.76	.66	.58	—	—	HCM49-3.579545MABJT
3.686400	300-6102-1-ND	.76	.66	.58	—	—	HCM49-3.6864MABJT
4.000000	300-6103-1-ND	.76	.66	.58	300-6103-2-ND	355.57	HCM49-4.000MABJT
4.032000	300-6104-1-ND	.76	.66	.58	—	—	HCM49-4.032MABJT
4.096000	300-6105-1-ND	.76	.66	.58	—	—	HCM49-4.096MABJT
4.194304	300-6106-1-ND	.76	.66	.58	—	—	HCM49-4.194304MABJT
4.433619	300-6107-1-ND	.76	.66	.58	300-6107-2-ND	355.57	HCM49-4.433619MABJT
4.915200	300-6108-1-ND	.76	.66	.58	300-6108-2-ND	355.57	HCM49-4.9152MABJT
5.000000	300-6109-1-ND	.76	.66	.58	300-6109-2-ND	355.57	HCM49-5.000MABJT
5.068800	300-6110-1-ND	.76	.66	.58	—	—	HCM49-5.0688MABJT
5.990400	300-6111-1-ND	.76	.66	.58	300-6111-2-ND	355.57	HCM49-5.9904MABJT
6.000000	300-6112-1-ND	.76	.66	.58	—	—	HCM49-6.000MABJT
6.144000	300-6113-1-ND	.76	.66	.58	—	—	HCM49-6.144MABJT
6.500000	300-6114-1-ND	.76	.66	.58	300-6114-2-ND	355.57	HCM49-6.500MABJT
7.372800	300-6115-1-ND	.76	.66	.58	—	—	HCM49-7.3728MABJT
7.680000	300-6116-1-ND	.76	.66	.58	300-6116-2-ND	355.57	HCM49-7.680MABJT
8.000000	300-6117-1-ND	.63	.55	.48	300-6117-2-ND	296.31	HCM49-8.000MABJT
9.000000	300-6118-1-ND	.76	.66	.58	300-6118-2-ND	355.57	HCM49-9.000MABJT
9.830400	300-6120-1-ND	.76	.66	.58	300-6120-2-ND	355.57	HCM49-9.8304MABJT
10.000000	300-6121-1-ND	.76	.66	.58	—	—	HCM49-10.000MABJT
10.240000	300-6122-1-ND	.76	.66	.58	300-6122-2-ND	355.57	HCM49-10.240MABJT
11.000000	300-6123-1-ND	.76	.66	.58	—	—	HCM49-11.000MABJT
11.059200	300-6124-1-ND	.76	.66	.58	300-6124-2-ND	355.57	HCM49-11.0592MABJT
11.520000	300-6125-1-ND	.76	.66	.58	300-6125-2-ND	355.57	HCM49-11.520MABJT
12.000000	300-6127-1-ND	.76	.66	.58	300-6127-2-ND	355.57	HCM49-12.000MABJT
12.000393	300-6128-1-ND	.76	.66	.58	300-6128-2-ND	355.57	HCM49-12.000393MABJT
12.288000	300-6129-1-ND	.76	.66	.58	—	—	HCM49-12.288MABJT
13.500000	300-6162-1-ND	.76	.66	.58	300-6162-2-ND	355.57	HCM49-13.500MABJT
14.318180	300-6130-1-ND	.76	.66	.58	300-6130-2-ND	355.57	HCM49-14.31818MABJT
14.745600	300-6131-1-ND	.76	.66	.58	—	—	HCM49-14.7456MABJT

* Preisangaben für Gegurtet auf Rolle

Frequenz (MHz)	Digi-Key Teilenr.	Gurtabschnittspreis pro Stück 1	10	50	Digi-Key Teilenr.	Tape & Reel Pricing* 1.000	Citizen Teilenr.
15.000000	300-6132-1-ND	.76	.66	.58	—	—	HCM49-15.000MABJT
15.360000	300-6133-1-ND	.76	.66	.58	—	—	HCM49-15.360MABJT
16.000000	300-6134-1-ND	.76	.66	.58	—	—	HCM49-16.000MABJT
16.000312	300-6135-1-ND	.76	.66	.58	300-6135-2-ND	355.57	HCM49-16.000312MABJT
16.257000	300-6136-1-ND	.76	.66	.58	300-6136-2-ND	355.57	HCM49-16.257MABJT
16.384000	300-6137-1-ND	.76	.66	.58	300-6137-2-ND	355.57	HCM49-16.384MABJT
17.734475	300-6138-1-ND	.76	.66	.58	—	—	HCM49-17.734475MABJT
18.000000	300-6139-1-ND	.76	.66	.58	300-6139-2-ND	355.57	HCM49-18.000MABJT
18.432000	300-6140-1-ND	.76	.66	.58	—	—	HCM49-18.432MABJT
19.660800	300-6141-1-ND	.76	.66	.58	—	—	HCM49-19.6608MABJT
20.000000	300-6142-1-ND	.76	.66	.58	300-6142-2-ND	355.57	HCM49-20.000MABJT
21.477270	300-6143-1-ND	.76	.66	.58	300-6143-2-ND	355.57	HCM49-21.47727MABJT
22.118400	300-6144-1-ND	.76	.66	.58	—	—	HCM49-22.1184MABJT
24.000000	300-6145-1-ND	.76	.66	.58	300-6145-2-ND	355.57	HCM49-24.000MABJT
24.000140	300-6146-1-ND	.76	.66	.58	300-6146-2-ND	355.57	HCM49-24.00014MABJT
24.576000	300-6147-1-ND	.76	.66	.58	300-6147-2-ND	355.57	HCM49-24.576MABJT
25.000000	300-6148-1-ND	.63	.55	.48	—	—	HCM49-25.000MABJT
25.175000	300-6149-1-ND	.76	.66	.58	300-6149-2-ND	355.57	HCM49-25.175MABJT
27.000000	300-6150-1-ND	.76	.66	.58	300-6150-2-ND	355.57	HCM49-27.000MABJT
28.636360	300-6152-1-ND	.76	.66	.58	300-6152-2-ND	355.57	HCM49-28.63636MABJT
32.000000	300-6153-1-ND	.76	.66	.58	300-6153-2-ND	355.57	HCM49-32.000MABJT
33.868800	300-6156-1-ND	.76	.66	.58	300-6156-2-ND	355.57	HCM49-33.8688MABJT
40.000000	300-6157-1-ND	.76	.66	.58	300-6157-2-ND	355.57	HCM49-40.000MABJT
48.000000	300-6158-1-ND	.76	.66	.58	—	—	HCM49-48.000MABJT
49.152000	300-6159-1-ND	.76	.66	.58	300-6159-2-ND	355.57	HCM49-49.152MABJT
50.000000	300-6160-1-ND	.76	.66	.58	300-6160-2-ND	355.57	HCM49-50.000MABJT

* Preisangaben für Gegurtet auf Rolle

Zylinderartige Kristalle

Spezifikationen:

- **Frequenztoleranz:** Serie CFS: ±20 ppm; Serie CFV und CSA: ±30 ppm
- **Frequenztemperatur-Eigenschaften:** Serie CSA: ±50 ppm (-10 °C ~ 60 °C)
- **Betriebstemperaturbereich:** -10 °C ~ 60 °C
- **Lagertemperaturbereich:** -40 °C ~ 85 °C
- **Antriebs-Level:** Serie CFS und CFV: Max. 1 µW.; Serie CSA: 50 µW ~ 100 µW
- **Isolationswiderstand:** 500 MΩ min.
- **Alterung (1. Jahr):** Serie CFS: Max. ±3 ppm; Serie CFV und CSA: Max. ±5 ppm

Äquivalent-Reihenverlustwiderstand (ESR, R1)

Frequenz	ESR	Modus
3.5MHz ≤ fo < 4MHz	200	Erste Harmonische
4MHz ≤ fo < 6MHz	150	
6MHz ≤ fo < 10MHz	100	
10MHz ≤ fo ≤ 32MHz	50	
30MHz < fo < 36MHz	100	3. Oberton
36MHz ≤ fo < 66.6666MHz	80	

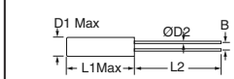

Serie	Abmessungen (mm) L1 Max.	L2	D1 Max.	D2	B
CFS145	5.1	4.3	1.5	0.2	0.45
CFS206	6.2	10	2.1	0.26	0.7
CFS308	8.2	10	3.1	0.35	1.1
CFV206	6.2	10	2.1	0.26	0.7
CSA310	10.5	10	3.2	0.32	1.1
CSA309	9	10	3.2	0.32	1.1

Serie	Frequenz	Ladekapazität	Shunt-Kapazität (pF)	Digi-Key Teilenr.	Stückpreis 1	10	50	Citizen Teilenr.
CFS145	32.768000kHz	12.5pF	1	300-1003-ND	.65	.56	.47	CFS145-32.768KDZF
CFS206	32.768000kHz	6.0pF	1.35	300-1000-ND	.24	.21	.14	CFS206-32.768KDZBB
	32.768000kHz	12.5pF	1.35	300-1002-ND	.24	.21	.14	CFS206-32.768KDZF
CFS308	32.768000kHz	12.5pF	1.6	300-1001-ND	.24	.21	.14	CFS308-32.768KDZF
CFV206	32.000000kHz	12.5pF	0.80 - 1.70	300-3007-ND	.85	.77	.55	CFV206-32.000KAZF
	40.000000kHz	12.5pF	0.80 - 1.70	300-3015-ND	.85	.77	.55	CFV206-40.000KAZF
	60.000000kHz	12.5pF	0.80 - 1.70	300-3018-ND	.85	.77	.55	CFV206-60.000KAZF
	60.005000kHz	12.5pF	0.80 - 1.70	300-3019-ND	.85	.77	.55	CFV206-60.005KAZF
	65.536000kHz	12.5pF	0.80 - 1.70	300-3020-ND	.85	.77	.55	CFV206-65.536KAZF
	75.000000kHz	12.5pF	0.80 - 1.70	300-3021-ND	.85	.77	.55	CFV206-75.000KAZF
	76.790000kHz	12.5pF	0.80 - 1.70	300-3022-ND	.85	.77	.55	CFV206-76.790KAZF
	76.800000kHz	12.5pF	0.80 - 1.70	300-3023-ND	.85	.77	.55	CFV206-76.800KAZF
	76.810000kHz	12.5pF	0.80 - 1.70	300-3024-ND	.85	.77	.55	CFV206-76.810KAZF
	77.500000kHz	12.5pF	0.80 - 1.70	300-3025-ND	.85	.77	.55	CFV206-77.500KAZF
	77.503000kHz	12.5pF	0.80 - 1.70	300-3026-ND	.85	.77	.55	CFV206-77.503KAZF
	96.000000kHz	12.5pF	0.80 - 1.70	300-3029-ND	1.03	.93	.67	CFV206-96.000KAZF
	100.000000kHz	12.5pF	0.80 - 1.70	300-3030-ND	.85	.77	.55	CFV206-100.000KAZF
CSA309	4.096000MHz	18.0pF	5.00	300-5001-ND	.69	.59	.49	CSA309-4.096MABJ
	4.800000MHz	18.0pF	5.00	300-5002-ND	.69	.59	.49	CSA309-4.800MABJ
	4.915000MHz	18.0pF	5.00	300-5003-ND	.69	.59	.49	CSA309-4.915MABJ
	5.120000MHz	18.0pF	5.00	300-5004-ND	.69	.59	.49	CSA309-5.120MABJ
	5.529600MHz	18.0pF	5.00	300-5005-ND	.69	.59	.49	CSA309-5.5296MABJ
	6.000000MHz	18.0pF	5.00	300-5006-ND	.69	.59	.49	CSA309-6.000MABJ
	6.144000MHz	18.0pF	5.00	300-5007-ND	.69	.59	.49	CSA309-6.144MABJ
	7.372800MHz	18.0pF	5.00	300-5008-ND	.69	.59	.49	CSA309-7.3728MABJ
	7.680000MHz	18.0pF	5.00	300-5009-ND	.69	.59	.49	CSA309-7.680MABJ
	8.000000MHz	18.0pF	5.00	300-5010-ND	.69	.59	.49	CSA309-8.000MABJ

(Forts.)

C

CITIZEN™ Zylinderartige Kristalle *(Forts.)*

Serie	Frequenz	Ladekapazität	Shunt-Kapazität (pF)	Digi-Key Teilenr.	Stückpreis 1	10	50	Citizen Teilenr.
CSA309	8.000156MHz	18.0pF	5.00	300-5011-ND	.69	.59	.49	CSA309-8.000156MABJ
	8.192000MHz	18.0pF	5.00	300-5012-ND	.69	.59	.49	CSA309-8.192MABJ
	9.216000MHz	18.0pF	5.00	300-5013-ND	.69	.59	.49	CSA309-9.216MABJ
	9.600000MHz	18.0pF	5.00	300-5014-ND	.69	.59	.49	CSA309-9.600MABJ
	9.830400MHz	18.0pF	5.00	300-5015-ND	.69	.59	.49	CSA309-9.8304MABJ
	10.000000MHz	18.0pF	5.00	300-5016-ND	.69	.59	.49	CSA309-10.000MABJ
	10.240000MHz	18.0pF	5.00	300-5017-ND	.69	.59	.49	CSA309-10.240MABJ
	11.000000MHz	18.0pF	5.00	300-5018-ND	.69	.59	.49	CSA309-11.000MABJ
	11.059200MHz	18.0pF	5.00	300-5019-ND	.69	.59	.49	CSA309-11.0592MABJ
	11.289600MHz	18.0pF	5.00	300-5020-ND	.69	.59	.49	CSA309-11.2896MABJ
	12.000000MHz	18.0pF	5.00	300-5021-ND	.69	.59	.49	CSA309-12.000MABJ
	12.288000MHz	18.0pF	5.00	300-5022-ND	.69	.59	.49	CSA309-12.288MABJ
	12.352000MHz	18.0pF	5.00	300-5023-ND	.69	.59	.49	CSA309-12.352MABJ
	12.500000MHz	18.0pF	5.00	300-5024-ND	.69	.59	.49	CSA309-12.500MABJ
	13.500000MHz	18.0pF	5.00	300-5025-ND	.69	.59	.49	CSA309-13.500MABJ
	14.318180MHz	18.0pF	5.00	300-5026-ND	.69	.59	.49	CSA309-14.31818MABJ
	14.745600MHz	18.0pF	5.00	300-5027-ND	.69	.59	.49	CSA309-14.7456MABJ
	15.000000MHz	18.0pF	5.00	300-5028-ND	.69	.59	.49	CSA309-15.000MABJ
	15.360000MHz	18.0pF	5.00	300-5029-ND	.69	.59	.49	CSA309-15.360MABJ
	16.000000MHz	18.0pF	5.00	300-5030-ND	.69	.59	.49	CSA309-16.000MABJ
	16.000312MHz	18.0pF	5.00	300-5031-ND	.69	.59	.49	CSA309-16.000312MABJ
	16.257000MHz	18.0pF	5.00	300-5032-ND	.69	.59	.49	CSA309-16.257MABJ
	16.384000MHz	18.0pF	5.00	300-5033-ND	.69	.59	.49	CSA309-16.384MABJ
	16.667000MHz	18.0pF	5.00	300-5034-ND	.69	.59	.49	CSA309-16.667MABJ
	16.934400MHz	18.0pF	5.00	300-5035-ND	.69	.59	.49	CSA309-16.9344MABJ
	17.734475MHz	18.0pF	5.00	300-5036-ND	.69	.59	.49	CSA309-17.734475MABJ
	18.000000MHz	18.0pF	5.00	300-5037-ND	.69	.59	.49	CSA309-18.000MABJ
	18.432000MHz	18.0pF	5.00	300-5038-ND	.69	.59	.49	CSA309-18.432MABJ
	18.869000MHz	18.0pF	5.00	300-5039-ND	.69	.59	.49	CSA309-18.869MABJ
	19.660800MHz	18.0pF	5.00	300-5040-ND	.69	.59	.49	CSA309-19.6608MABJ
	20.000000MHz	18.0pF	5.00	300-5041-ND	.69	.59	.49	CSA309-20.000MABJ
	20.480000MHz	18.0pF	5.00	300-5042-ND	.69	.59	.49	CSA309-20.480MABJ
	22.118400MHz	18.0pF	5.00	300-5043-ND	.69	.59	.49	CSA309-22.1184MABJ
	24.000000MHz	18.0pF	5.00	300-5044-ND	.69	.59	.49	CSA309-24.000MABJ
	24.576000MHz	18.0pF	5.00	300-5045-ND	.69	.59	.49	CSA309-24.576MABJ
	25.000000MHz	18.0pF	5.00	300-5046-ND	.69	.59	.49	CSA309-25.000MABJ
	25.175000MHz	18.0pF	5.00	300-5047-ND	.69	.59	.49	CSA309-25.175MABJ
	27.000000MHz	18.0pF	5.00	300-5048-ND	.69	.59	.49	CSA309-27.000MABJ
	28.000000MHz	18.0pF	5.00	300-5049-ND	.69	.59	.49	CSA309-28.000MABJ
	28.322000MHz	18.0pF	5.00	300-5050-ND	.69	.59	.49	CSA309-28.322MABJ
	28.636360MHz	18.0pF	5.00	300-5051-ND	.69	.59	.49	CSA309-28.63636MABJ
	29.491200MHz	18.0pF	5.00	300-5052-ND	.69	.59	.49	CSA309-29.4912MABJ
	30.000000MHz	18.0pF	5.00	300-5053-ND	.69	.59	.49	CSA309-30.000MABJ
	32.000000MHz	18.0pF	5.00	300-5054-ND	.69	.59	.49	CSA309-32.000MABJ
	32.768000MHz	18.0pF	5.00	300-5055-ND	.69	.59	.49	CSA309-32.768MABJ
	33.000000MHz	18.0pF	5.00	300-5056-ND	.69	.59	.49	CSA309-33.000MABJ
	33.333300MHz	18.0pF	5.00	300-5057-ND	.69	.59	.49	CSA309-33.3333MABJ
	33.868800MHz	18.0pF	5.00	300-5058-ND	.69	.59	.49	CSA309-33.8688MABJ
	40.000000MHz	18.0pF	5.00	300-5060-ND	.69	.59	.49	CSA309-40.000MABJ
	48.000000MHz	18.0pF	5.00	300-5061-ND	.69	.59	.49	CSA309-48.000MABJ
	49.152000MHz	18.0pF	5.00	300-5062-ND	.69	.59	.49	CSA309-49.152MABJ
	50.000000MHz	18.0pF	5.00	300-5063-ND	.69	.59	.49	CSA309-50.000MABJ
	53.125000MHz	18.0pF	5.00	300-5064-ND	.69	.59	.49	CSA309-53.125MABJ
	60.000000MHz	18.0pF	5.00	300-5065-ND	.69	.59	.49	CSA309-60.000MABJ
	64.000000MHz	18.0pF	5.00	300-5066-ND	.69	.59	.49	CSA309-64.000MABJ
	66.666600MHz	18.0pF	5.00	300-5067-ND	.69	.59	.49	CSA309-66.6666MABJ
CSA310	3.579545MHz	18.0pF	5.00	300-1008-ND	.69	.59	.49	CSA310-3.579545MABJ
	3.686400MHz	18.0pF	5.00	300-1009-ND	.69	.59	.49	CSA310-3.6864MABJ
	4.000000MHz	18.0pF	5.00	300-1010-ND	.69	.59	.49	CSA310-4.000MABJ

Serie HC49US - Durchlasskristalle

Spezifikationen:

• Frequenztoleranz: ±30 ppm **• Betriebstemperatur:** -20 °C ~ 70 °C **• Lagertemperatur:** -40 °C ~ 85 °C **• Ladekapazität:** 18,0 pF **• Shunt-Kapazität:** Max. 7 pF **• Antriebs-Level:** Max. 50 µW ~100 µW **• Isolationswiderstand:** Min. 500 MV **• Alterung (1. Jahr):** Max. ±5 ppm

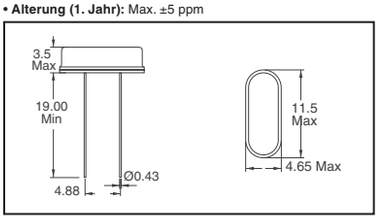

Äquivalent-Reihenverlustwiderstand (ESR, R1) (Ω max.)

Frequenz	ESR
3.5MHz ⩽ fo < 4.0MHz	200
4.0MHz ⩽ fo < 6.0MHz	150
6.0MHz ⩽ fo < 10.0MHz	100
10.0MHz ⩽ fo < 14.0MHz	80
14.0MHz ⩽ fo ⩽ 25.0MHz	50
30.0MHz ⩽ fo ⩽ 36.0MHz	140
36.0MHz ⩽ fo ⩽ 50.0MHz	100

Frequenz (MHz)	Digi-Key Teilenr.	Stückpreis 1	10	50	Citizen Teilenr.
3.579545	300-6001-ND	.59	.51	.47	HC49US3.579545MABJ
3.686400	300-6002-ND	.59	.51	.47	HC49US3.6864MABJ
4.000000	300-6003-ND	.59	.51	.47	HC49US4.000MABJ
4.032000	300-6004-ND	.59	.51	.47	HC49US4.032MABJ
4.096000	300-6005-ND	.59	.51	.47	HC49US4.096MABJ
4.194304	300-6006-ND	.59	.51	.47	HC49US4.194304MABJ
4.433619	300-6007-ND	.59	.51	.47	HC49US4.433619MABJ
4.915200	300-6008-ND	.59	.51	.47	HC49US4.9152MABJ
5.000000	300-6009-ND	.59	.51	.47	HC49US5.000MABJ
5.068800	300-6010-ND	.59	.51	.47	HC49US5.0688MABJ
5.990400	300-6011-ND	.59	.51	.47	HC49US5.9904MABJ
6.000000	300-6012-ND	.59	.51	.47	HC49US6.000MABJ
6.144000	300-6013-ND	.59	.51	.47	HC49US6.144MABJ
6.500000	300-6014-ND	.59	.51	.47	HC49US6.500MABJ
7.372800	300-6015-ND	.59	.51	.47	HC49US7.3728MABJ
7.680000	300-6016-ND	.59	.51	.47	HC49US7.680MABJ
8.000000	300-6017-ND	.59	.51	.47	HC49US8.000MABJ
9.000000	300-6018-ND	.59	.51	.47	HC49US9.000MABJ
9.216000	300-6019-ND	.59	.51	.47	HC49US9.216MABJ
9.830400	300-6020-ND	.59	.51	.47	HC49US9.8304MABJ
10.000000	300-6021-ND	.59	.51	.47	HC49US10.000MABJ
10.240000	300-6022-ND	.59	.51	.47	HC49US10.240MABJ
11.000000	300-6023-ND	.59	.51	.47	HC49US11.00MABJ
11.059200	300-6024-ND	.59	.51	.47	HC49US11.0592MABJ
11.520000	300-6025-ND	.59	.51	.47	HC49US11.520MABJ
12.000000	300-6027-ND	.59	.51	.47	HC49US12.000MABJ
12.000393	300-6028-ND	.59	.51	.47	HC49US12.000393MABJ
12.288000	300-6029-ND	.59	.51	.47	HC49US12.288MABJ
13.500000	300-6061-ND	.59	.51	.47	HC49US13.500MABJ
14.318180	300-6030-ND	.59	.51	.47	HC49US14.31818MABJ
14.745600	300-6031-ND	.59	.51	.47	HC49US14.7456MABJ
15.000000	300-6032-ND	.59	.51	.47	HC49US15.000MABJ
15.360000	300-6033-ND	.59	.51	.47	HC49US15.360MABJ
16.000000	300-6034-ND	.59	.51	.47	HC49US16.000MABJ
16.000312	300-6035-ND	.59	.51	.47	HC49US16.000312MABJ
16.257000	300-6036-ND	.59	.51	.47	HC49US16.257MABJ
16.384000	300-6037-ND	.59	.51	.47	HC49US16.384MABJ
17.734475	300-6038-ND	.59	.51	.47	HC49US17.734475MABJ
18.000000	300-6039-ND	.59	.51	.47	HC49US18.000MABJ
18.432000	300-6040-ND	.59	.51	.47	HC49US18.432MABJ
19.660800	300-6041-ND	.59	.51	.47	HC49US19.6608MABJ
20.000000	300-6042-ND	.59	.51	.47	HC49US20.000MABJ
21.477270	300-6043-ND	.59	.51	.47	HC49US21.47727MABJ
22.118400	300-6044-ND	.59	.51	.47	HC49US22.1184MABJ
24.000000	300-6045-ND	.59	.51	.47	HC49US24.000MABJ
24.000140	300-6046-ND	.59	.51	.47	HC49US24.00014MABJ
24.576000	300-6047-ND	.59	.51	.47	HC49US24.576MABJ
25.000000	300-6048-ND	.59	.51	.47	HC49US25.000MABJ
25.175000	300-6049-ND	.59	.51	.47	HC49US25.175MABJ
27.000000	300-6050-ND	.59	.51	.47	HC49US27.000MABJ
28.224000	300-6051-ND	.59	.51	.47	HC49US28.224MABJ
28.636360	300-6052-ND	.59	.51	.47	HC49US28.63636MABJ
32.000000	300-6053-ND	.59	.51	.47	HC49US32.000MABJ
33.868800	300-6056-ND	.59	.51	.47	HC49US33.8688MABJ
40.000000	300-6057-ND	.59	.51	.47	HC49US40.000MABJ
48.000000	300-6058-ND	.59	.51	.47	HC49US48.000MABJ
50.000000	300-6060-ND	.59	.51	.47	HC49US50.000MABJ

Serie CSX750P - Programmierbare Oszillatoren

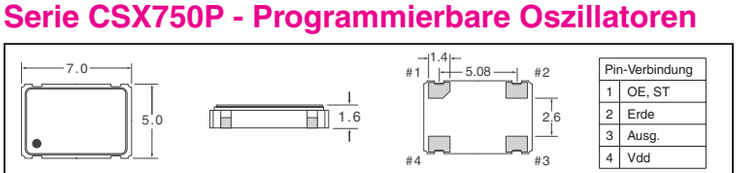

Pin-Verbindung	
1	OE, ST
2	Erde
3	Ausg.
4	Vdd

Wahl der Basisnummer:

Nr. 1 = Versorgungsspannung, Ausgang und Funktion auswählen
Nr. 2 = Frequenzstabilität/Betriebstemperatur auswählen

Nr. 3 = Verpackung auswählen (lassen Sie mindestens zwei Felder leer für Röhrenverpackung).

Rufen Sie Digi-Key mit Ihrer ausgewählten Basisteilenummer an, und ein Verkaufsvertreter wird Ihre gewünschte Frequenz eingeben.
Die Teile werden nur mit dem Herstellungsdaten-Loscode markiert geliefert.

Nach dem Programmieren sind die Teile nicht mehr stornierbar und nicht rücksendbar!

Example Part Number:
CSX750 □□□□□-ND

#1

	Supply Voltage*	Ausgang	Funktion
PD	5.0	CMOS	Standby
PC	5.0	CMOS	Ausgangsfreigabe
PJ	3.3	CMOS	Standby
PB	3.3	CMOS	Ausgangsfreigabe
PK	5.0	TTL	Standby
PT	5.0	TTL	Ausgangsfreigabe

* Versorgungsspannung

#2

	Frequenzstabilität/ Betriebstemperatur
C	±100ppm @ -20°C ~ 70°C
B	±50ppm @ -20°C ~ 70°C
F	±100ppm @ -40°C ~ 85°C

Frequenz:
3.3V = 1.000 ~ 100.000 MHz
5.0V = 1.000 ~ 125.000 MHz

#3

	Verpackung
TR	Gegurtet auf Rolle

Für Rohrverpackung die letzten beiden Felder leer lassen.

Digi-Key Teilenr.	Preis pro Röhre 1	10	50	Digi-Key Teilenr.	Preisangaben für Gegurtet auf Rolle 100	500	1.000
CSX750□□□-ND	4.00	3.43	2.52	CSX750□□□□□-ND	228.58	857.18	1523.88
Unprogrammierter Oszillator 5x7mm SMD							
CSX-750P1P-ND	3.05	2.82	2.52	—	—	—	—

Alle Preisangaben in Euro und inklusive Zollgebühren.

Programmierbare Oszillatoren

Die Möglichkeit, kundenspezifische Oszillatoren gemäß bestimmten Spezifikationen zu entwickeln, bietet Ingenieuren enorme Flexibilität. Sie gestattet Änderungen an den Schaltungen oder dem Design bis zur letzten Minute. Unprogrammierte ECS-Oszillatoren sind „zweifach programmierbar"; mit dieser kostensparenden Funktion lässt sich ein und dasselbe Teil auf andere Spezifikationen neu programmieren. Programmierbare ECS-Oszillatoren sind in vier verschiedenen Pakettypen erhältlich: 3,2 x 5,0 SMD, 5,0 x 7,5 SMD, DIP-Paket halbe Größe und volle Größe. Die angebotenen Frequenzbereiche sind 1 MHz ~ 125 MHz in 3,3 V und 1Mhz ~ 150 MHz in 5 V* und in Optionen von ±50 ppm** und ±100 ppm Frequenzstabilität erhältlich.
*3,2 x 5,0 SMD-Paket: Frequenzbereich 1 MHz ~ 125 MHz in 5 V.
**±50 ppm ist in der Option mit erweitertem Bereich nicht erhältlich.

Abb.1

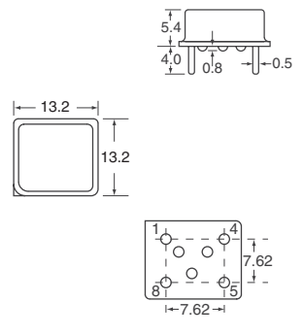

Pin-Verbindung	
1	Tri-State
4	Erde
5	Ausgang
8	Vcc

ECS-P83 (3,3 V) Tri-State Steuerspannung	
Pin Nr.1 = Offen	Nr.5 = Ausgang
Pin Nr.1 = Min. +0,7V	Nr.5 = Ausgang
Pin Nr.1 = Max. +0,2V	Nr.5 = Hohe Impedanz
ECS-P85 (5 V) Tri-State Steuerspannung	
Pin Nr.1 = Offen	Nr.5 = Ausgang
Pin Nr.1 = Min. +2,0V	Nr.5 = Ausgang
Pin Nr.1 = Max. +0,8V	Nr.5 = Hohe Impedanz

Abb.2

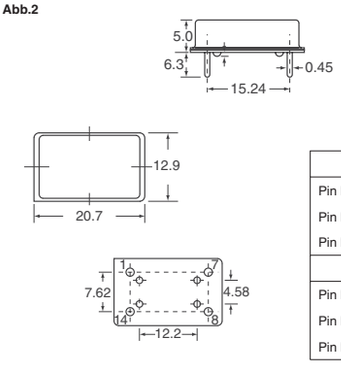

Pin-Verbindung	
1	Tri-State
7	Erde
8	Ausgang
14	Vcc

ECS-P143 (3,3 V) Tri-State Steuerspannung	
Pin Nr.1 = Offen	Nr.8 = Ausgang
Pin Nr.1 = Min. +0,7V	Nr.8 = Ausgang
Pin Nr.1 = Max. +0,2V	Nr.8 = Hohe Impedanz
ECS-P145 (5V) Tri-State Control Voltage	
Pin Nr.1 = Offen	Nr.8 = Ausgang
Pin Nr.1 = Min. +2,0V	Nr.8 = Ausgang
Pin Nr.1 = Max. +0,8V	Nr.8 = Hohe Impedanz

Abb. 3

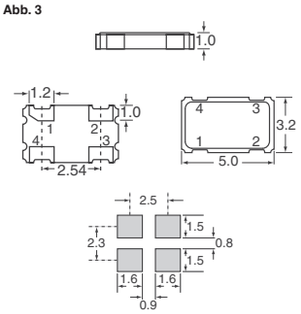

Pin-Verbindung	
1	Tri-State
2	Erde
3	Ausgang
4	Vcc

ECS-P53 (3,3 V) Tri-State Steuerspannung	
Pin Nr. 1 = Offen	Nr. 3 = Ausgang
Pin Nr. 1 = Min. +0,7V	Nr. 3 = Ausgang
Pin Nr. 1 = Max. +0,2V	Nr. 3 = Hohe Impedanz
ECS-P55 (5 V) Tri-State Steuerspannung	
Pin Nr. 1 = Offen	Nr. 3 = Ausgang
Pin Nr. 1 = Min. +2,0V	Nr. 3 = Ausgang
Pin Nr. 1 = Max. +0,8V	Nr. 3 = Hohe Impedanz

Abb. 4

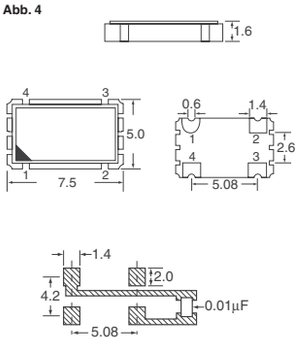

Pin-Verbindung	
1	Tri-State
2	Erde
3	Ausgang
4	Vcc

ECS-P73 (3.3V) Tri-State Control Voltage	
Pin Nr. 1 = Offen	Nr. 3 = Ausgang
Pin Nr. 1 = Min. +0,7V	Nr. 3 = Ausgang
Pin Nr. 1 = Max. +0,2V	Nr. 3 = Hohe Impedanz
ECS-P75 (5V) Tri-State Control Voltage	
Pin Nr. 1 = Offen	Nr. 3 = Ausgang
Pin Nr. 1 = Min. +2,0V	Nr. 3 = Ausgang
Pin Nr. 1 = Max. +0,8V	Nr. 3 = Hohe Impedanz

Wie wähle ich die Basisnummer:

Nr. 1 = Paket auswählen

Nr. 2 = Spannung auswählen

Nr. 3 = Stabilität/Temperatur auswählen

Rufen Sie Digi-Key mit Ihrer ausgewählten Basisteilenummer an, und ein Verkaufsvertreter wird Ihre gewünschte Frequenz eingeben.

Programmierbare Teile können nicht storniert und nicht zurückgesandt werden!

Beispiel-Teilenr.: ECS-P□ □-□-ND

#1	
	Paket
5	3.2 x 5.0 SMD
7	5.0 x 7.5 SMD
8	8-Pin DIP
14	14-Pin DIP

#2	
	Spannung
3	3.3 Volt
5	5 V

#3	
	Stabilität/Temp.
A	±100ppm / -10°C ~ 70°C
B	±50ppm / -10°C ~ 70°C
AN	±100ppm / -40°C ~ 85°C

Abb.	Digi-Key Teilenr.	Stückpreis 1	10	50	100
1	ECS-P83-A-ND	5.73	4.92	3.61	3.28
	ECS-P83-AN-ND	5.73	4.92	3.61	3.28
	ECS-P83-B-ND	5.73	4.92	3.61	3.28
	ECS-P85-A-ND	5.73	4.92	3.61	3.28
	ECS-P85-AN-ND	5.73	4.92	3.61	3.28
	ECS-P85-B-ND	5.73	4.92	3.61	3.28
2	ECS-P143-A-ND	5.73	4.92	3.61	3.28
	ECS-P143-AN-ND	5.73	4.92	3.61	3.28
	ECS-P143-B-ND	5.73	4.92	3.61	3.28
	ECS-P145-A-ND	5.73	4.92	3.61	3.28
	ECS-P145-AN-ND	5.73	4.92	3.61	3.28
	ECS-P145-B-ND	5.73	4.92	3.61	3.28

Abb.	Digi-Key Teilenr.	Stückpreis 1	10	50	100
3	ECS-P53-A-ND	9.34	8.00	5.87	5.34
	ECS-P53-AN-ND	9.34	8.00	5.87	5.34
	ECS-P53-B-ND	9.34	8.00	5.87	5.34
	ECS-P55-A-ND	9.34	8.00	5.87	5.34
	ECS-P55-AN-ND	9.34	8.00	5.87	5.34
	ECS-P55-B-ND	9.34	8.00	5.87	5.34
4	ECS-P73-A-ND	5.73	4.92	3.61	3.28
	ECS-P73-AN-ND	5.73	4.92	3.61	3.28
	ECS-P73-B-ND	5.73	4.92	3.61	3.28
	ECS-P75-A-ND	5.73	4.92	3.61	3.28
	ECS-P75-AN-ND	5.73	4.92	3.61	3.28
	ECS-P75-B-ND	5.73	4.92	3.61	3.28

CrystalPro Oszillator-Programmiersystem

Programmiergerät

PC Based Programmer

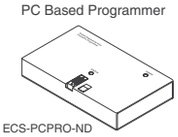

ECS-PCPRO-ND

Speziell zum Programmieren von Oszillatoren entwickelt; der CrystalPro stellt eine schnelle, genaue, kostengünstige Lösung für geringe bis mittlere Programmierbedürfnisse dar. Software- und Firmware-Aktualisierungen können vom Web heruntergeladen werden, um zukünftige Teile des Herstellers und neue Technologien, wie z.B. programmierbare TCXO- und VCXO-Geräte, zu unterstützen. Die benutzerfreundliche CrystalWindow Grafikschnittstelle bietet komplette und gültige Teilspezifikation und schnellen Teiltypwechsel. Zur Befestigung an jedem Windows PC über dem standardmäßigen seriellen Port.
Merkmale: • Schnell - das Programmieren dauert im Durchschnitt weniger als 2 Sekunden • Genau die Frequenz liegt zum Zeitpunkt der Programmierung des Zyklus innerhalb 5 ppm • Einfachwählen Sie einfach die Teilenummer, geben Sie die gewünschte Frequenz ein, und klicken Sie auf PROGRAMMIEREN • Flexibel - kann für Geräte von bis zu 250 MHz und LVTTL/TTL/CMOS/ECL/PECL E/A-Technologien verwendet werden; der CrystalPro wurde zur Verwendung mit zukünftigen Technologien konzipiert, wenn diese erhältlich werden.

Beschreibung	Digi-Key Teilenr.	Stückpreis
Programmierer auf PC-Basis	ECS-PCPRO-ND	1287.68

Unprogrammierter Oszillator

Beschreibung	Digi-Key Teilenr.	Stückpreis
Unprogrammierter Oszillator, 3 x 5 SMD	ECS-UPO-3X5-ND	6.22
Unprogrammierter Oszillator, 5 x 7 SMD	ECS-UPO-5X7-ND	3.83
Unprogrammierter Oszillator, volle Größe	ECS-UPO-14PIN-ND	3.83
Unprogrammierter Oszillator, halbe Größe	ECS-UPO-8PIN-ND	3.83

Adapter

Beschreibung	Digi-Key Teilenr.	Stückpreis
Adapter 3 x 5 SMD	ECS-UPO-3X5-FXT-ND	74.29
Adapter 5 x 7 SMD	ECS-UPO-5X7-FXT-ND	57.15

Alle Preisangaben in Euro und inklusive Zollgebühren.

FIPO™ Field Instantly Programmable Oscillators (Im Feld sofort programmierbare Oszillatoren)

Das FIPO-System von Cardinal ist für Dinge wie Prototypen, Designs der frühen Phasen, plötzliche Designprobleme, Modifizierung, sofortigen Service, eine plötzliche Steigerung in der Produktion und in der Produktionsmenge unerlässlich. Unprogrammierte Cardinal-Oszillatoren sind „zweifach programmierbar", um Fehler zu korrigieren oder um dasselbe Teil für zwei separate Anwendungen mit unterschiedlicher Frequenz und/oder verschiedenen Ausgabeeigenschaften wieder zu verwenden, ohne das Originalteil entsorgen zu müssen.

Unprogrammierte Oszillatoren sind in vier verschiedenen Paketen erhältlich: Volle Größe 14 Pin DIP, halbe Größe 8 Pin DIP, 5 x 7 Keramik SMD und in einem Kunststoff SMD-Paket.
Die angebotenen Frequenzbereiche sind 1 MHz ~ 133 MHz in 5 V und 1MHz ~ 100 MHz in 3,3 V und in Optionen von ±100 ppm, 50 ppm und ±25 ppm Frequenzstabilität.

Abb.1 (Stil 4) halbe Größe, 8-Pin Dip

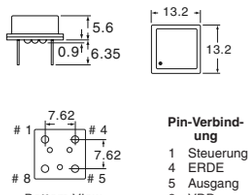

Pin-Verbindung	
1	Steuerung
4	ERDE
5	Ausgang
8	VDD

Abb.2 (Stil 1) volle Größe, 14-Pin Dip

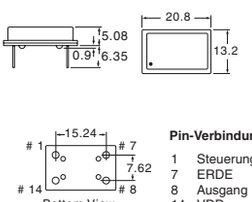

Pin-Verbindung	
1	Steuerung
7	ERDE
8	Ausgang
14	VDD

Abb.3 (Stil 7) 5x7 Keramik SMD

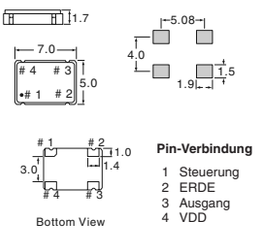

Pin-Verbindung	
1	Steuerung
2	ERDE
3	Ausgang
4	VDD

Abb.4 (Stil 5) 3,2 x 5,0 Keramik SMD

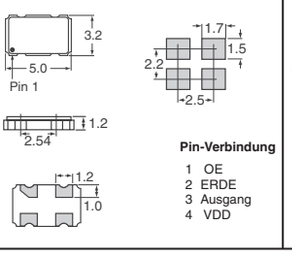

Pin-Verbindung	
1	OE
2	ERDE
3	Ausgang
4	VDD

Abb.5 (Stil 8) Kunststoff SMD

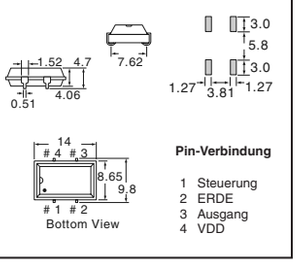

Pin-Verbindung	
1	Steuerung
2	ERDE
3	Ausgang
4	VDD

CPP: **CPPL:** **CPPFX:** **Muster-Teilenr.:** □□ - □ □ □ □ □ - ND

**** Programmierbare Teile können nicht storniert und nicht zurückgesandt werden!***

#1

	Ausgang
C	CMOS
T	TTL

#2

	Pakettyp
1	Volle Größe
4	Halbe Größe
5	3,2 x 5 Keramik
7	5 x 7 Keramik
8	Kunststoff SMD

CPPFX nur in 5 x 7 erhältlich.

#3

	Spannung
H	5 Volt
L	3.3 Volt

H = 1 bis 133MHz
L = 1 bis 100MHz

#4

	Verpackung
T	Röhre
Z	Gegurtet auf Rolle

Pakettyp 1 und 4 sind nur als Röhrenpackung erhältlich. Pakettyp 7 und 8 sind als Röhrenpackung und gegurtet auf Rolle erhältlich

#5

	Betriebstemp.
0	0°C ~ 70°C
5	-20°C ~ 70°C
7	-40°C ~ 85°C

CPPFX nur in -40 °C ~ 85 °C erhältlich.

#6

	Stabilität
6	±100ppm
P	±50ppm
R	±25ppm

R ist in -40 °C ~ 80 °C nicht erhältlich; CPPFX ist nur in ±25 ppm erhältlich.

#7

	Funktion
T	Tri-State
P	Abschaltung

Tri-State Modus – Der Ausgang des Teils wird geringfügig nach unten gezogen, wenn die Spannung am Steuer-Pin abfällt. Die aktive Schaltung wird weiter betrieben und ermöglicht eine schnelle Rückkehr zum Normalzustand, wenn die Spannung am Steuer-Pin ansteigt.
Herunterfahr-Modus – Fällt die Spannung am Steuer-Pin, werden alle aktiven Schaltungen auf dem Chip im Oszillator heruntergefahren. Zur Reaktivierung; die Zeit, in der das Teil seinen Ausgangswert wieder erreicht, ist minimal.

Wahl der Basisnummer:

- **Nr. 1** = Ausgang auswählen
- **Nr. 2** = Pakettyp auswählen
- **Nr. 3** = Spannung auswählen
- **Nr. 4** = Verpackung auswählen
- **Nr. 5** = Betriebstemperatur auswählen
- **Nr. 6** = Stabilität auswählen
- **Nr. 7** = Funktion auswählen

Abb.	Digi-Key * Basis-Teilenr.	Stückpreis 1	10	50	Preisangaben für Gegurtet auf Rolle 100	500	1.000
1	CPPC4-□T□□□-ND	6.00	5.15	3.78	—	—	—
	CPPC4-□T□R□-ND	6.89	5.91	4.34	—	—	—
	CPPLC4-□T□□□-ND	6.89	5.91	4.34	—	—	—
	CPPLT4-□T□□□-ND	6.89	5.91	4.34	—	—	—
	CPPT4-□T□□□-ND	6.00	5.15	3.78	—	—	—
	CPPT4-□T□R□-ND	6.89	5.91	4.34	—	—	—
2	CPPC1-□T□□□-ND	6.00	5.15	3.78	—	—	—
	CPPC1-□T□R□-ND	6.89	5.91	4.34	—	—	—
	CPPLC1-□T□□□-ND	6.89	5.91	4.34	—	—	—
	CPPLT1-□T□□□-ND	6.89	5.91	4.34	—	—	—
	CPPT1-□T□□□-ND	6.00	5.15	3.78	—	—	—
	CPPT1-□T□R□-ND	6.89	5.91	4.34	—	—	—
3	CPPC7-□□□□□-ND	5.55	4.77	3.50	317.48	1190.53	2116.50
	CPPC7-□□□R□-ND	6.40	5.49	4.03	365.73	1371.49	2438.21

Abb.	Digi-Key * Basis-Teilenr.	Stückpreis 1	10	50	Preisangaben für Gegurtet auf Rolle 100	500	1.000
3	CPPFXC7-□□7R□-ND	7.38	6.33	4.64	421.61	1581.03	2810.71
	CPPFXT7-□□7R□-ND	7.38	6.33	4.64	421.61	1581.03	2810.71
	CPPLC7-□□□□□-ND	6.40	5.49	4.03	365.73	1371.49	2438.21
	CPPLT7-□□□□□-ND	6.40	5.49	4.03	365.73	1371.49	2438.21
	CPPT7-□□□□□-ND	5.55	4.77	3.50	317.48	1190.53	2116.50
	CPPT7-□□□R□-ND	6.40	5.49	4.03	365.73	1371.49	2438.21
4	CPPLC5-□T□□□-ND	8.45	7.24	5.31	—	—	—
	CPPLT5-□T□□□-ND	8.45	7.24	5.31	—	—	—
5	CPPC8-□□□□□-ND	6.00	5.15	3.78	342.87	1285.77	2285.82
	CPPC8-□□□R□-ND	6.89	5.91	4.34	393.67	1476.26	2624.46
	CPPLC8-□□□□□-ND	6.89	5.91	4.34	393.67	1476.26	2624.46
	CPPLT8-□□□□□-ND	6.89	5.91	4.34	393.67	1476.26	2624.46
	CPPT8-□□□□□-ND	6.00	5.15	3.78	342.87	1285.77	2285.82
	CPPT8-□□□R□-ND	6.89	5.91	4.34	393.67	1476.26	2624.46

Programmierbare Oszillatoren

Serie CPPE9 - PECL	
Pin	Verbindung
1	OE
2	Mit Pin 3 verbinden
3	Mit Pin 2 verbinden
4	ERDE
5	PECL +
6	PECL -
7	VDD mit Pin 8 verbinden
8	VDD mit Pin 7 verbinden

CPPV9 Series LVDS	
Pin	Verbindung
1	OE
2	Mit Pin 3 verbinden
3	Mit Pin 2 verbinden
4	ERDE
5	LVDS +
6	LVDS -
7	VDD mit Pin 8 verbinden
8	VDD mit Pin 7 verbinden

Serie CPPHE7 - LVPCEL	
Pin	Verbindung
1	OE (CMOS)
2	NC
3	ERDE
4	LVPECL +
5	LVPECL -
6	VDD

Serie CPPHV7 - LVDS	
Pin	Verbindung
1	OE (CMOS)
2	NC
3	ERDE
4	LVDS +
5	LVDS -
6	VDD

Abb. 1

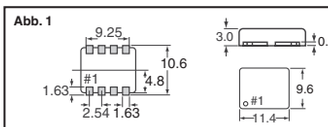

Abb. 2

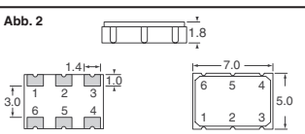

Abb.	Spannung	Betriebstemperatur	Frequenztoleranz	Frequenzbereich	Digi-Key * Basis-Teilenr.	Stückpreis 1	10	50	100
Serie CPPE9 — PECL									
1	3.3	0°C ~ 70°C	±100ppm	1MHz ~ 100MHz	CPPE9LTB6-ND	21.11	18.10	13.28	12.07
			±50ppm		CPPE9LTBP-ND	21.11	18.10	13.28	12.07
		-20°C ~ 70°C	±100ppm	1MHz ~ 100MHz	CPPE9LTA5B6-ND	21.11	18.10	13.28	12.07
			±50ppm		CPPE9LTA5BP-ND	21.11	18.10	13.28	12.07
		-40°C ~ 85°C	±100ppm	1MHz ~ 100MHz	CPPE9LTA7B6-ND	21.11	18.10	13.28	12.07
			±50ppm		CPPE9LTA7BP-ND	21.11	18.10	13.28	12.07
Serie CPPHE7 — LVPECL									
2	3.3	-40°C ~ 85°C	±25ppm	150MHz ~ 700MHz	CPPHE7-A7BC-ND	66.67	57.15	41.91	38.10
Serie CPPHV7 — LVDS									
2	3.3	-40°C ~ 85°C	±25ppm	150MHz ~ 700MHz	CPPHV7-A7BC-ND	66.67	57.15	41.91	38.10
Serie CPPV9 — LVDS									
1	3.3	0°C ~ 70°C	±100ppm	1MHz ~ 100MHz	CPPV9LTB6-ND	21.11	18.10	13.28	12.07
			±50ppm		CPPV9LTBP-ND	21.11	18.10	13.28	12.07
		-20°C ~ 70°C	±100ppm	1MHz ~ 100MHz	CPPV9LTA5B6-ND	21.11	18.10	13.28	12.07
			±50ppm		CPPV9LTA5BP-ND	21.11	18.10	13.28	12.07
		-40°C ~ 85°C	±100ppm	1MHz ~ 100MHz	CPPV9LTA7B6-ND	21.11	18.10	13.28	12.07
			±50ppm		CPPV9LTA7BP-ND	21.11	18.10	13.28	12.07

* Rufen Sie Digi-Key mit Ihrer ausgewählten Basisteilenummer an, und ein Verkaufsvertreter wird Ihre gewünschte Frequenz eingeben. Programmierbare Teile können nicht storniert und nicht zurückgesandt werden!

FIPO™ Programmierbare Oszillatoren (unprogrammiert)

Beschreibung	Digi-Key Teilenr.	Stückpreis
5 x 7 Keramik SMD, ±25 ppm	CPPFX-X7-A7BCNP-ND	4.92
Volle Größe, ±50 ppm oder ±100 ppm	CPPLX1-A7BRNP-ND	4.60
Halbe Größe, ±50 ppm oder ±100 ppm	CPPLX4-A7BRNP-ND	4.60
3,2 x 5 mm SMD, ±50 ppm oder ±100 ppm	CPPLX5-A7BRNP-ND	5.63
5 x 7 Keramik SMD, ±50 ppm oder 100 ppm	CPPLX7-A7BRNP-ND	4.27
Kunststoff SMD J-Anschluss, ±50 ppm oder ±100 ppm	CPPLX8-A7BRNP-ND	4.60
Volle Größe, ±25 ppm	CPPX1-A5BC-ND	4.60
Volle Größe, ±50 ppm oder ±100 ppm	CPPX1-A7BR-ND	4.00
Halbe Größe, ±25 ppm	CPPX4-A5BC-ND	4.60
Halbe Größe, ±50 ppm oder ±100 ppm	CPPX4-A7BR-ND	4.00
5 x 7 Keramik SMD, ±25 ppm	CPPX7-A5BC-ND	4.27
5 x 7 Keramik SMD, ±50 ppm oder 100 ppm	CPPX7-A7BR-ND	3.71
Kunststoff SMD, ±25 ppm SMD	CPPX8-A5BC-ND	4.60
Kunststoff SMD, ±50 ppm oder ±100 ppm	CPPX8-A7BR-ND	4.00

PECL- und LVDS-Oszillatoren (unprogrammiert)

Beschreibung	Digi-Key Teilenr.	Stückpreis
Unprogrammierter 8-Pin PECL SMD, ±50 ppm oder ±100 ppm	CPPE9-ND	14.08
6-Pin HF-PECL SMD, ±25 ppm	CPPHE7-ND	44.45
6-Pin HF-LVDS SMD, ±25 ppm	CPPHV7-ND	44.45
8-Pin LVDS SMD, ±50 ppm oder ±100 ppm	CPPV9-ND	14.08

Programmier- und Adaptersockel

Beschreibung	Digi-Key Teilenr.	Stückpreis
PC-basierter Programmierer für FIPO-Teile	PG-3000-ND	413.99
Unabhängiger Programmierer für FIPO-Teile	PG2000P-ND	1320.70
PC-basierter Programmierer für FIPO- und HF PECL- und LVDS-Teile	PG3100-ND	634.95
Sockel für 8-Pin PECL und LVDS-Teile (zur Verwendung mit PG-3000 und PG-3100)	SC-3500-ND	43.43
Sockel für 5 mm x 3,2 mm Oszillatoren (zur Verwendung mit PG-3000, PG3100 und PG2000P)	SC-5320-ND	40.00
Sockel für 5 mm x 7 mm Keramikoszillatoren (zur Verwendung mit PG-3000, PG3100 und PG2000P)	SC2000-ND	40.11
Sockel für Kunststoffoszillatoren vom Typ 8 (zur Verwendung mit PG-3000, PG3100 und PG2000P)	SC2500-ND	74.50
Sockel für 6-Pin HF PECL und LVDS-Teile (zur Verwendung mit PG-3100)	SC4000-ND	95.24

Für Programmierfunktionen und Systemanforderungen siehe die entsprechenden Datenblätter auf der Digi-Key®-Website.

Alle Preisangaben in Euro und inklusive Zollgebühren.

Serie SG-8002 - Programmierbare Oszillatoren

Die Serie SG-8002 bietet Flexibilität zum Lösen verschiedenster Anwendungsprobleme mit einem einmal programmierbaren Gerät. Programmierbare Oszillatoren bieten die Möglichkeit der Auswahl einer spezifischen Frequenz in einer von fünf verschiedenen Paketen für SMD- und Durchgangsversion. Diese fünf Pakete verfügen über ein Pin-Layout, das mit den Epson SG-615-, SG-636-, SG-51-, SG-531- und SG-710-Oszillatoren kompatibel ist. Es stehen Frequenzbereiche von 1 MHz ~ 125 MHz, in ±100 ppm und ±50 ppm Frequenzstabilitätsoptionen und 3,3 oder 5 V Stromversorgungsstufen zur Verfügung.

Abb.1 SG-710 Paket (DC)

Pin-Verbindung	
1	OE oder Standby
2	ERDE
3	Ausg.
4	Vdd

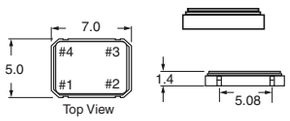

Abb.2 SG-51 Paket (DB)

Pin-Verbindung	
1	OE oder Standby
7	ERDE
8	Ausg.
14	Vdd

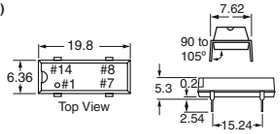

Abb. 3 SG-531 Package (DC)

Pin-Verbindung	
1	OE oder Standby
4	ERDE
5	Ausg.
8	Vdd

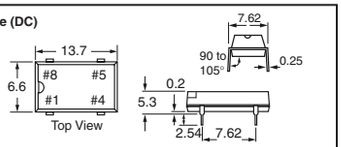

Abb. 4 SG-636 Paket (JC)

Pin-Verbindung	
1	OE oder Standby
2	ERDE
3	Ausg.
4	Vdd

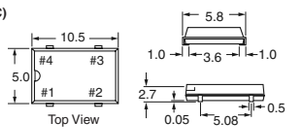

Abb. 5 SG-645 Paket (JF)

Pin-Verbindung	
1	OE oder Standby
2	ERDE
3	Ausg.
4	Vdd

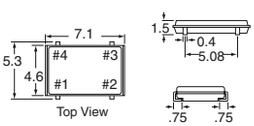

Abb. 6 SG-615 Paket (JA)

Pin-Verbindung	
1	OE oder Standby
2	ERDE
3	Ausg.
4	Vdd

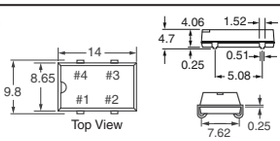

Abb.	Digi-Key ** Basis-Teilenr.	Stückpreis 1	10	50	100
1	SG-8002CA-□□□-ND*	5.29	4.54	3.33	3.03
2	SG-8002DB-□□□-ND	4.36	3.74	2.74	2.49
3	SG-8002DC-□□□-ND	4.36	3.74	2.74	2.49
4	SG-8002JC-□□□-ND	4.98	4.27	3.13	2.85
5	SG-8002JF-□□□-ND	4.44	3.81	2.80	2.54
6	SG-8002JA-□□□-ND	4.98	4.20	3.08	2.80
	Bleifrei/RoHS-konform				
2	SGR-8002DB-□□□-ND	4.36	3.74	2.74	2.49
3	SGR-8002DC-□□□-ND	4.36	3.74	2.74	2.49
4	SGR-8002JC-□□□-ND	4.98	4.27	3.13	2.85
5	SGR-8002JF-□□□-ND	4.44	3.81	2.80	2.54
6	SGR-8002JA-□□□-ND	4.89	4.20	3.08	2.80

* Bleifrei/RoHS-konform

** Für die komplette Basisteilenummer ersetzen Sie □ durch den entsprechenden Buchstaben.

Teile von DigiKey sind nur mit dem Herstellungsdaten-Loscode markiert. Vollständig markierte Teile sind „nicht als Katalogbestellung" erhältlich.
Einmal programmierbare Teile können nicht storniert und nicht zurückgesandt werden!

Muster-Teilenr.:

SG-8002
SGR-8002 □□ - □□□ **-ND**

#1	Paket
JA	SG-615
JC	SG-636
DB	SG-51
DC	SG-531
CA	SG-710
JF	SG-645

#2	Funktion
P	Ausgangsfreigabe
S	Standby

#3	Arbeitsstufe für Stromversorgung	*#4*	Frequenzstabilität	Betriebstemperatur	Verfügbarer Frequenzbereich
H	5.0V, CMOS	*B*	±50ppm	-20°C ~ 70°C	1.00MHz - 125.00MHz
		C	±100ppm		
		M†	±100ppm	-40°C ~ 85°C	1.00MHz - 55.00MHz
T	5.0V, TTL	*B*	±50ppm	-20°C ~ 70°C	1.00MHz - 125.00MHz
		C	±100ppm		
		M†	±100ppm	-40°C ~ 85°C	1.00MHz - 55.00MHz
C	3.3V, CMOS	*B*	±50ppm	-20°C ~ 70°C	1.00MHz - 125.00MHz
		C	±100ppm		
		M†	±100ppm	-40°C ~ 85°C	1.00MHz - 125.00MHz

† Nicht in JC-Paket erhältlich

Und so wird bestellt:

Nr. 1 = Paket auswählen.
Nr. 2 = Funktion auswählen.
Nr. 3 = Arbeitsstufe für Stromversorgung auswählen.
Nr. 4 = Frequenzstabilität und Betriebstemperatur auswählen.

Rufen Sie Digi-Key mit Ihrer ausgewählten Basis-Teilenummer an, und ein Verkaufsvertreter wird Ihre gewünschte Frequenz eingeben.

C

SG-3030JC - Kristalloszillator

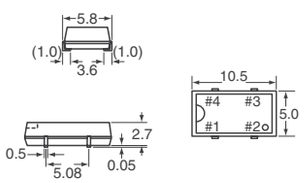

Spezifikationen:
• **Spannung:** 1,5 ~ 5,5 V • **Schnittstellen-Versorgungsspannung:** 1,5 V ~ 5,5 V • **Lagertemperatur:** -55 °C ~ 125 °C • **Betriebstemperatur:** -40 °C ~ 85 °C • **Frequenztoleranz:** +5/-23 ppm • **Versorgungsstrom:** Max. 2 µA • **Arbeitszyklus:** 45 % ~ 55 % • **Startzeit:** 3 s • **Ausgangslast CMOS:** Max. 15 pF • **Anstiegszeit CMOS:** Max. 200 ns • **Abfallzeit CMOS:** Max. 200 ns

Frequenz (kHz)	Digi-Key Teilenr.	Gurtabschnittspreis pro Stück 1	10	50	Digi-Key Teilenr.	Tape & Reel Pricing* 250	Epson Teilenr.
32.768	SE3618CT-ND	2.64	2.26	1.89	SE3618TR-ND	314.58	SG-3030JC 32.7680KB3

*Preisangaben für Gegurtet auf Rolle

Serie SG-9001 - Oszillator mit Streuungsspektrum

Spezifikationen:
• **Versorgungsspannung:** 3,3 V ±0,3 V • **Betriebstemperatur:** -20 °C ~ 70 °C • **Lagertemperatur:** -40 °C ~ 125 °C • **Versorgungsstrom** 30mA • **Arbeitszyklus:** 45 % ~ 55 % • **Startzeit:** 10 ms • **Ausgangsspannung:** -0,4 V (VOH); 0,4 V (VOL) • **Ladekapazität:** 15,0 pF • **Anstiegszeit CMOS:** 2,7 ns • **Abfallzeit CMOS:** 2,7 ns

Streuungsspektrum-Spezifikationen

		C10P	C15P	C20P
Mitten-streuung	Code			
	%	±1.0%	±1.5%	±2.0%
Abwärts-streuung	Code	D15P	—	—
	%	-1.5%	—	—

Nr.	Pin
1	OE
2	(SSON)*
3	ERDE
4	Ausg.
5	N.C.
6	VDD

* SSON Terminal should be kept open or GND.

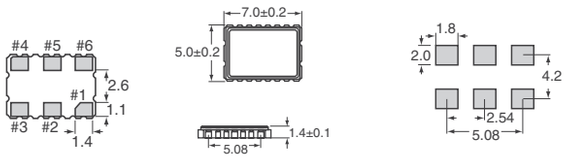

Frequenz (MHz)	Digi-Key Teilenr.	Stückpreis 1	10	50	Epson Teilenr.
16.6667	SE1915-ND	5.66	4.86	3.72	SG-9001CA C10P 16.6667MC
25.0000	SE1916-ND	5.66	4.86	3.72	SG-9001CA C10P 25.0000MC
25.0000	SE1917-ND	5.66	4.86	3.72	SG-9001CA C20P 25.0000MC
33.3333	SE1918-ND	5.66	4.86	3.72	SG-9001CA C15P 33.3333MC
33.3333	SE1919-ND	5.66	4.86	3.72	SG-9001CA D15P 33.3333MC
40.0000	SE1920-ND	5.66	4.86	3.72	SG-9001CA C20P 40.0000MC
50.0000	SE1921-ND	5.66	4.86	3.72	SG-9001CA D15P 50.0000MC
50.0000	SE1922-ND	5.66	4.86	3.72	SG-9001CA C20P 50.0000MC
66.6667	SE1923-ND	5.66	4.86	3.72	SG-9001CA C20P 66.6667MC
66.6667	SE1924-ND	5.66	4.86	3.72	SG-9001CA D15P 66.6667MC

HG-1000 - Oszillatoren

Pin-Verbindung	
1	Ts
2	ERDE
3	Ausg.
4	Vdd

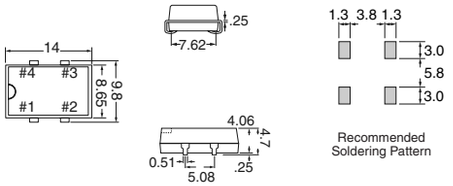

Spezifikationen:
• **Versorgungsspannung:** 5 V ±0,25 V • **Betriebstemperatur:** -40 °C ~ 85 °C • **Lagertemperatur:** -55 °C ~ 125 °C • **Frequenztoleranz:** ±25 ppm • **Versorgungsstrom:** Max. 10 mA • **Arbeit @ CMOS-Level (VDD/2):** 40 % ~ 60 % • **Ladekapazität:** 15.0pF • **Anstiegszeit CMOS:** Max. 8 ns • **Abfallzeit CMOS:** Max. 8 ns • **Startzeit:** Max. 4 ms

Frequenz (MHz)	Digi-Key Teilenr.	Gurtabschnittspreis pro Stück 1	10	50	Digi-Key Teilenr.	Tape & Reel Pricing* 1.000	Epson Teilenr.
1.544	SE2861CT-ND	8.59	7.37	6.14	SE2861TR-ND	4089.08	HG-1012JA 1.5440M-BX0
16.384	SE2864CT-ND	8.59	7.37	6.14	SE2864TR-ND	4089.08	HG-1012JA 16.3840M-BX0

*Preisangaben für Gegurtet auf Rolle

Serie EG2001CA - Quarz-Kristalloszillatoren zur Oberflächenmontage

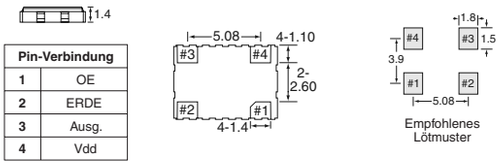

Pin-Verbindung	
1	OE
2	ERDE
3	Ausg.
4	Vdd

Spezifikationen:
• **Versorgungsspannung:** 3,3 V ±0,3 V • **Betriebstemperatur:** 0 °C ~ 70 °C • **Lagertemperatur:** -40 °C ~ 100 °C • **Versorgungsstrom:** Max. 50 mA • **Startzeit:** Max. 10 ms • **Anstiegszeit CMOS:** Max. 2 ns • **Abfallzeit CMOS:** Max. 2 ns • **Frequenzstabilität:** ±100 ppm, 0 °C ~ 70 °C • **Arbeitszyklus:** 45 % ~ 55 % @ 1/2 VDD • **Ausgangslast:** Max. 25 pF

Frequenz (MHz)	Digi-Key Teilenr.	Gurtabschnittspreis pro Stück 1	10	50	100	Digi-Key Teilenr.	Gegurtet auf Rolle Größe	Preisangaben	Epson Teilenr.
106.25	SE1008CT-ND	11.01	9.91	8.81	7.71	SE1008TR-ND	1,000	7052.18	EG-2001CA 106.2500M-PCHL0
125.00	SE1009CT-ND	12.17	10.96	9.74	8.52	SE1009TR-ND	1,000	7763.32	EG-2001CA 125.0000M-PCHL0
133.00	SE1007CT-ND	16.30	13.97	11.65	10.48	SE1007TR-ND	250	1940.83	EG-2001CA 133.0000M-PCHL3

Serie EG2101CA - Quarz-Kristalloszillatoren zur Oberflächenmontage

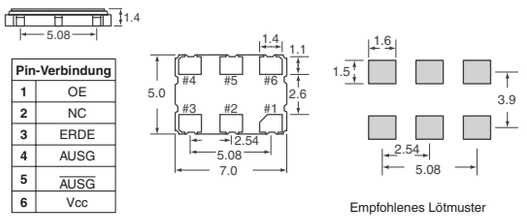

Pin-Verbindung	
1	OE
2	NC
3	ERDE
4	AUSG
5	$\overline{\text{AUSG}}$
6	Vcc

Spezifikationen:
• **Versorgungsspannung:** 3,3 V ±0,15 V • **Betriebstemperatur:** 0 °C ~ 70 °C • **Lagertemperatur:** -40 °C ~ 100 °C • **Versorgungsstrom:** Max. 60 mA • **Startzeit:** Max. 10 ms • **Frequenztoleranz:** ±100 ppm • **Arbeitszyklus:** 45 % ~ 55 % • **Anstiegszeit:** Max. 600 ps • **Abfallzeit:** Max. 600 ps • **Sammelstörung:** Typ. 4 ps; max. 5 ps • **Ausgangslast:** 50 Ω • **Ausgangsdeaktivierungsstrom:** Max. 25 mA

Frequenz (MHz)	Digi-Key Teilenr.	Gurtabschnittspreis pro Stück 1	10	50	100	Digi-Key Teilenr.	Preisangaben Gegurtet auf Rolle 250	Epson Teilenr.
125.0000	SE3610CT-ND	32.30	27.69	23.07	20.77	SE3610TR-ND	3845.67	EG-2101CA 125.0000M-PCHL3
155.5200	SE3611CT-ND	32.30	27.69	23.07	20.77	SE3611TR-ND	3845.67	EG-2101CA 155.5200M-PCHL3
156.2500	SE3612CT-ND	35.85	30.74	25.61	23.05	SE3612TR-ND	4268.97	EG-2101CA 156.2500M-PCHL3
159.3750	SE3613CT-ND	35.85	30.74	25.61	23.05	SE3613TR-ND	4268.97	EG-2101CA 159.3750M-PCHL3
161.1328	SE3614CT-ND	35.85	30.74	25.61	23.05	SE3614TR-ND	4268.97	EG-2101CA 161.1328M-PCHL3
250.0000	SE3615CT-ND	35.85	30.74	25.61	23.05	SE3615TR-ND	4268.97	EG-2101CA 250.0000M-PCHL3

Serie EG2121CA - Quarz-Kristalloszillatoren zur Oberflächenmontage

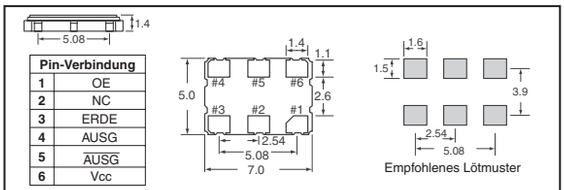

Pin-Verbindung	
1	OE
2	NC
3	ERDE
4	AUSG
5	$\overline{\text{AUSG}}$
6	Vcc

Spezifikationen:
• **Versorgungsspannung:** 2,5 V ±0,125 V • **Betriebstemperatur:** 0 °C ~ 70 °C • **Lagertemperatur:** -40 °C ~ 100 °C • **Versorgungsstrom:** Max. 80 mA • **Startzeit:** Max. 10 ms • **Frequenztoleranz:** ±100 ppm • **Arbeitszyklus:** 40 % ~ 60 % • **Anstiegszeit:** 400 ps • **Abfallzeit:** 400 ps • **Sammelstörung:** Typ. 4 ps; max. 5 ps • **Ausgangslast:** 50 Ω

Frequenz (MHz)	Digi-Key Teilenr.	Gurtabschnittspreis pro Stück 1	10	50	100	Digi-Key Teilenr.	Preisangaben Gegurtet auf Rolle 250	Epson Teilenr.
125.00	SE3616CT-ND	39.11	33.53	27.94	25.15	SE3616TR-ND	4656.31	EG-2121CA 125.0000M-PHPAL3
156.25	SE3617CT-ND	41.78	35.82	29.85	26.86	SE3617TR-ND	4973.78	EG-2121CA 156.2500M-PHPAL3

Serie SG615 - Quarz-Kristalloszillatoren zur Oberflächenmontage

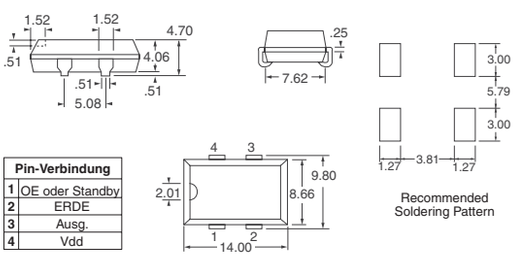

Pin-Verbindung	
1	OE oder Standby
2	ERDE
3	Ausg.
4	Vdd

Spezifikationen:	SG-615P	SG-615PTJ	SG-615PH	SG-615PCV	SG-615PCG
Max. Versorgungs-spannung	-.3V ~ 7V			-.5V ~ 7V	
Betriebsspannung	5V±.5V			2.7V ~ 5.5V	2.7V ~ 3.6V
Lagertemperatur	-55°C ~ 125°C				
Betriebstemperatur	-40°C ~ 85°C			-10°C ~ 70°C	-40°C ~ 85°C
Frequenzstabilität	Teile mit den Endbuchstaben MB ±50 ppm und MC ±100ppm				
Stromverbrauch	23mA Max.	35mA Max.		50mA Max.	12mA Max.
Ausgangsdeaktivie-rungsstrom	12mA Max.	28mA Max.	20mA Max.	27mA Max.	10mA Max.
Oszillationsstartzeit	4ms Max.	10ms Max.			12ms Max.
Arbeit					
CMOS	40% ~ 60%	—	40% ~ 60%	35% ~ 60%	45% ~ 55%
TTL	45% ~ 55%		—		
Ausgangsspannung					
VOH	V_{DD}-.4V Min.	2.4V Min.	V_{DD}-.4VMin.	V_{DD}-.5V	V_{DD}-.4VMin.
VOL	.4V Max.				
Ausgangsaktivierungs-/Deaktivierungseingangsspann.					
VIH	2V Min.	3.5V Min.	2V Min.	.7V Min.	70%V_{DD}Min.
VIL	.8V Max.	1.5V Max.	.8V Max.	.2V Max.	20%V_{DD}Max.
Abfallzeit d. Ausgabe					
CMOS	8ns Max.	—	7ns Max.	4ns Max.	
TTL	8ns Max.	5ns Max.	—		

Frequenz (MHz)	Digi-Key Teilenr.	Gurtabschnittspreis pro Stück 1	10	50	100	Digi-Key Teilenr.	Gegurtet auf Rolle Größe	Preisangaben	Epson Teilenr.
SG-615P (CMOS-, TTL-kompatibler Typ)									
1.54400	SE2217CT-ND	2.96	2.54	2.12	1.91	SE2217TR-ND	1,000	1413.82	SG-615P 1.5440MC0
1.84320	SE2201CT-ND	2.96	2.54	2.12	1.91	SE2201TR-ND	1,000	1413.82	SG-615P 1.8432MC0
2.00000	SE2202CT-ND	2.96	2.54	2.12	1.91	SE2202TR-ND	1,000	1413.82	SG-615P 2.0000MC0
2.04800	SE2218CT-ND	2.96	2.54	2.12	1.91	SE2218TR-ND	1,000	1413.82	SG-615P 2.0480MC0
2.45760	SE2203CT-ND	2.96	2.54	2.12	1.91	SE2203TR-ND	1,000	1413.82	SG-615P 2.4576MC0
3.07200	SE2219CT-ND	2.96	2.54	2.12	1.91	SE2219TR-ND	1,000	1413.82	SG-615P 3.0720MC0
3.57900	SE2222CT-ND	2.96	2.54	2.12	1.91	SE2222TR-ND	1,000	1413.82	SG-615P 3.579545MC0
3.68640	SE2204CT-ND	2.96	2.54	2.12	1.91	SE2204TR-ND	1,000	1413.82	SG-615P 3.6864MC0
4.00000	SE2205CT-ND	2.96	2.54	2.12	1.91	SE2205TR-ND	1,000	1413.82	SG-615P 4.0000MC0
5.00000	SE2224CT-ND	2.96	2.54	2.12	1.91	SE2224TR-ND	1,000	1413.82	SG-615P 5.0000MC0
6.00000	SE2207CT-ND	2.96	2.54	2.12	1.91	SE2207TR-ND	1,000	1413.82	SG-615P 6.0000MC0
6.14400	SE2226CT-ND	2.96	2.54	2.12	1.91	SE2226TR-ND	1,000	1413.82	SG-615P 6.1440MC0
7.37200	SE2227CT-ND	2.96	2.54	2.12	1.91	SE2227TR-ND	1,000	1413.82	SG-615P 7.3728MC0
8.19200	SE2228CT-ND	2.96	2.54	2.12	1.91	SE2228TR-ND	1,000	1413.82	SG-615P 8.1920MC0
9.83000	SE2229CT-ND	2.96	2.54	2.12	1.91	SE2229TR-ND	1,000	1413.82	SG-615P 9.8300MC0
10.00000	SE2209CT-ND	2.96	2.54	2.12	1.91	SE2209TR-ND	1,000	1413.82	SG-615P 10.0000MC0
11.05900	SE2232CT-ND	2.96	2.54	2.12	1.91	SE2232TR-ND	1,000	1413.82	SG-615P 11.0592MC0
12.00000	SE2210CT-ND	2.96	2.54	2.12	1.91	SE2210TR-ND	1,000	1413.82	SG-615P 12.0000MC0
12.28800	SE2233CT-ND	2.96	2.54	2.12	1.91	SE2233TR-ND	1,000	1413.82	SG-615P 12.2880MC0
14.31818	SE2211CT-ND	2.96	2.54	2.12	1.91	SE2211TR-ND	1,000	1413.82	SG-615P 14.31818MC0
14.74560	SE3619CT-ND	2.96	2.54	2.12	1.91	SE3619TR-ND	250	353.46	SG-615P 14.7456MC3
16.00000	SE2212CT-ND	2.96	2.54	2.12	1.91	SE2212TR-ND	1,000	1413.82	SG-615P 16.0000MC0
18.43200	SE2213CT-ND	2.96	2.54	2.12	1.91	SE2213TR-ND	1,000	1413.82	SG-615P 18.4320MC0
18.86900	SE2238CT-ND	2.96	2.54	2.12	1.91	SE2238TR-ND	1,000	1413.82	SG-615P 18.8696MC0
19.66000	SE2239CT-ND	2.96	2.54	2.12	1.91	SE2239TR-ND	1,000	1413.82	SG-615P 19.6608MC0
20.00000	SE2214CT-ND	2.96	2.54	2.12	1.91	SE2214TR-ND	1,000	1413.82	SG-615P 20.0000MC0
20.48000	SE2240CT-ND	2.96	2.54	2.12	1.91	SE2240TR-ND	1,000	1413.82	SG-615P 20.4800MC0
22.11800	SE2241CT-ND	2.96	2.54	2.12	1.91	SE2241TR-ND	1,000	1413.82	SG-615P 22.1184MC0
24.00000	SE2215CT-ND	2.96	2.54	2.12	1.91	SE2215TR-ND	1,000	1413.82	SG-615P 24.0000MC0
25.00000	SE3620CT-ND	3.29	2.82	2.35	2.12	SE3620TR-ND	250	391.55	SG-615P 25.0000MB3
25.00000	SE2242CT-ND	2.96	2.54	2.12	1.91	SE2242TR-ND	1,000	1413.82	SG-615P 25.0000MC0
SG-615PCG (CMOS-kompatibler Typ)									
25.00000	SE3621CT-ND	2.96	2.54	2.12	1.91	SE3621TR-ND	250	392.34	SG-615PCG 25.0000MB3
SG-615PCV (CMOS-kompatibler Typ)									
50.00000	SE3503CT-ND	4.44	3.71	2.63	2.38	—		—	SG-615PCV 50.000MC0
75.00000	SE3511CT-ND	4.95	4.13	2.88	2.63	SE3511TR-ND	1,000	2158.83	SG-615PCV 75.000MC0
90.00000	SE3513CT-ND	4.95	4.13	2.88	2.63	—		—	SG-615PCV 90.000MC0
106.25000	SE3515CT-ND	5.46	4.55	3.26	2.93	SE3515TR-ND	1,000	2455.14	SG-615PCV 106.250MC0
SG-615PH (CMOS-kompatibler Typ)									
32.00000	SE2337CT-ND	2.96	2.54	2.12	1.91	SE2337TR-ND	1,000	1413.82	SG-615PH 32.0000MC0
33.00000	SE2339CT-ND	2.96	2.54	2.12	1.91	SE2339TR-ND	1,000	1413.82	SG-615PH 33.0000MC0
33.33300	SE2340CT-ND	2.96	2.54	2.12	1.91	SE2340TR-ND	1,000	1413.82	SG-615PH 33.3333MC0
36.00000	SE2341CT-ND	2.96	2.54	2.12	1.91	SE2341TR-ND	1,000	1413.82	SG-615PH 36.0000MC0
40.00000	SE2343CT-ND	2.96	2.54	2.12	1.91	SE2343TR-ND	1,000	1413.82	SG-615PH 40.0000MC0
44.90000	SE2344CT-ND	2.96	2.54	2.12	1.91	SE2344TR-ND	1,000	1413.82	SG-615PH 44.9000MC0
48.00000	SE2345CT-ND	2.96	2.54	2.12	1.91	SE2345TR-ND	1,000	1413.82	SG-615PH 48.0000MC0
50.00000	SE2346CT-ND	2.96	2.54	2.12	1.91	SE2346TR-ND	1,000	1413.82	SG-615PH 50.0000MC0
55.00000	SE2347CT-ND	2.96	2.54	2.12	1.91	SE2347TR-ND	1,000	1413.82	SG-615PH 55.0000MC0
66.66600	SE2352CT-ND	3.08	2.65	2.21	1.99	SE2352TR-ND	1,000	1566.21	SG-615PH 66.6660MC0
SG-615PTJ (TTL-kompatibler Typ)									
27.00000	SE2326CT-ND	2.96	2.54	2.12	1.91	SE2326TR-ND	1,000	1413.82	SG-615PTJ 27.0000MC0
30.00000	SE2330CT-ND	2.96	2.54	2.12	1.91	SE2330TR-ND	1,000	1413.82	SG-615PTJ 30.0000MC0
40.00000	SE3622CT-ND	2.96	2.54	2.12	1.91	SE3622TR-ND	250	353.46	SG-615PTJ 40.0000MC3
50.00000	SE3608CT-ND	2.96	2.54	2.12	1.91	SE3608TR-ND	250	353.46	SG-615PTJ 50.0000MC3

Alle Preisangaben in Euro und inklusive Zollgebühren.

EPSON ELECTRONICS AMERICA. INC.

CMOS/TTL-Oszillatoren

Merkmale:

- Hohe Zuverlässigkeit durch zylinderartiges AT-Kristall
- Automatisch montierbar
- Geringerer Stromverbrauch durch C-MOS IC
- TTL-10 Ausgangslast durch Verwendung von C-MOS IC
- DIP-Kunststoffpaket mit 14 Pins, kompatibel mit Metallpaket-Oszillator
- DIP-Kunststoffpaket mit 8 Pins, kompatibel mit Metallpaket-Oszillator halber Größe

SG-51P, SG-531P, SG-51PH

Spezifikationen: • Betriebsspannung: 5,0 ±0,5 V **• Betriebstemperaturbereich:** -10 °C ~ 70 °C **• Frequenzstabilität:** ±100 ppm **• Stromverbrauch:** Max. 25 mA typ. **• Ausgangsspannung:** (VDD) min. -0,4 V, (IOH) -400 mA; max. 0,4 V, (IOL) 16 mA. **• Eingangsspannung:** (VIH) min 2 V, (IOH) 1 mA (VIH = VDD); (VIL) max. 0,8 V, (IIL) -100 µA (VIL = ERDE) **• Ausgangsanstiegszeit:** Max. 8 ns, 4 ns typ. **•Ausgangsabfallzeit:** Max. 8 ns, 5 ns typ. **• Oszillationszeit:** Max. 4 ms, 0,3 ms

SG-531PTJ, SG-51PTJ

Spezifikationen: • Betriebsspannung: 5,0 ±0,5 V **• Betriebstemperaturbereich:** 10 °C ~ 70 °C **• Frequenzstabilität:** ±100 ppm **• Stromverbrauch:** 25 mA (32 MHz) ohne Last, typ. **• Ausgangsspannung:** (VDD) min. -0,4 V, (IOH) -400 mA; max. 0,4 V, (IOL) 16 mA. **• Eingangsspannung:** (VIH) min 3,5 V, (IIH) 1mA (VIH = VDD); (VIL) max. 1,5 V, (IIL) -100 µA (VIL = ERDE) **• Ausgangsanstiegszeit:** Max. 10 ns, 5 ns typ. **• Ausgangsabfallzeit:** Max. 8 ns, 3 ns typ. **• Oszillationszeit:** Max. 10 ms, 5 ms typ.

SG-531PH

Spezifikationen: • Betriebsspannung: 5,0 ±0,5 V **• Betriebstemperaturbereich:** -10 °C ~ 70 °C **• Frequenzstabilität:** ±100 ppm **• Stromverbrauch:** Max. 32 mA typ. **• Ausgangsspannung:** (VDD) min. -0,37 V, (IOH) = -4 mA; max. 0,37 V, (IOL) 4 mA. **• Ausgangsanstiegszeit:** Max. 7 ns, 3,5 ns typ. **• Ausgangsabfallzeit:** Max. 7 ns, 3,5 ns typ. **• Oszillationszeit:** Max. 10 ms., 3 ms typ.

Halbe Größe

SG-531P, PH, PTJ Pin-Verbindung	
1	OE
4	ERDE
5	Ausg.
8	Vdd

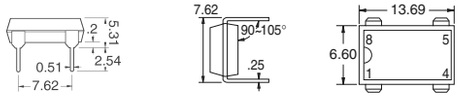

Volle Größe

SG-51P, PH, PTJ Pin-Verbindung	
1	OE
7	ERDE
8	Ausg.
14	Vdd

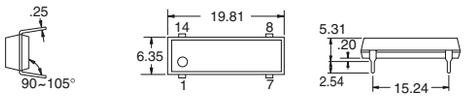

Serie	Frequenz (MHz)	Digi-Key Teilenr.	Preisangaben 1	10	50	100	Epson Teilenr.
Halbe Größe							
SG-531P CMOS/TTL mit Ausgangsaktivierung	1.544000	SE1216-ND	2.49	20.74	72.18	131.09	SG-531P 1.5440MC
	1.843200	SE1201-ND	2.49	20.74	72.18	131.09	SG-531P 1.8432MC
	2.000000	SE1217-ND	2.49	20.74	72.18	131.09	SG-531P 2.0000MC
	2.048000	SE1218-ND	2.49	20.74	72.18	131.09	SG-531P 2.0480MC
	2.457600	SE1202-ND	2.49	20.74	72.18	131.09	SG-531P 2.4576MC
	3.072000	SE1219-ND	2.49	20.74	72.18	131.09	SG-531P 3.0720MC
	3.088000	SE1220-ND	2.49	20.74	72.18	131.09	SG-531P 3.0880MC
	3.276800	SE1221-ND	2.49	20.74	72.18	131.09	SG-531P 3.2768MC
	3.579545	SE1222-ND	2.49	20.74	72.18	131.09	SG-531P 3.579545MC
	3.686000	SE1223-ND	2.49	20.74	72.18	131.09	SG-531P 3.6864MC
	4.000000	SE1203-ND	2.49	20.74	72.18	131.09	SG-531P 4.0000MC
	4.096000	SE1224-ND	2.49	20.74	72.18	131.09	SG-531P 4.0960MC
	4.915200	SE1204-ND	2.49	20.74	72.18	131.09	SG-531P 4.9152MC
	5.000000	SE1205-ND	2.49	20.74	72.18	131.09	SG-531P 5.0000MC
	5.068800	SE1225-ND	2.49	20.74	72.18	131.09	SG-531P 5.0688MC
	6.000000	SE1206-ND	2.49	20.74	72.18	131.09	SG-531P 6.0000MC
	6.144000	SE1226-ND	2.49	20.74	72.18	131.09	SG-531P 6.1440MC
	7.372800	SE1227-ND	2.49	20.74	72.18	131.09	SG-531P 7.3728MC
	8.000000	SE1207-ND	2.49	20.74	72.18	131.09	SG-531P 8.0000MC
	8.192000	SE1228-ND	2.49	20.74	72.18	131.09	SG-531P 8.1920MC
	9.830400	SE1229-ND	2.49	20.74	72.18	131.09	SG-531P 9.8304MC
	10.000000	SE1208-ND	2.49	20.74	72.18	131.09	SG-531P 10.0000MC
	10.240000	SE1230-ND	2.49	20.74	72.18	131.09	SG-531P 10.2400MC
	11.000000	SE1231-ND	2.49	20.74	72.18	131.09	SG-531P 11.0000MC
	11.059200	SE1232-ND	2.49	20.74	72.18	131.09	SG-531P 11.0592MC
	12.000000	SE1209-ND	2.49	20.74	72.18	131.09	SG-531P 12.0000MC
	12.288000	SE1233-ND	2.49	20.74	72.18	131.09	SG-531P 12.2880MC
	14.318180	SE1210-ND	2.49	20.74	72.18	131.09	SG-531P 14.31818MC
	14.745600	SE1234-ND	2.49	20.74	72.18	131.09	SG-531P 14.7456MC
	15.000000	SE1235-ND	2.49	20.74	72.18	131.09	SG-531P 15.0000MC
	16.257000	SE1236-ND	2.49	20.74	72.18	131.09	SG-531P 16.2570MC
	18.000000	SE1237-ND	2.49	20.74	72.18	131.09	SG-531P 18.0000MC
	18.432000	SE1238-ND	2.49	20.74	72.18	131.09	SG-531P 18.4320MC
	18.869600	SE1239-ND	2.49	20.74	72.18	131.09	SG-531P 18.8696MC
	19.660800	SE1240-ND	2.49	20.74	72.18	131.09	SG-531P 19.6608MC
	20.480000	SE1241-ND	2.49	20.74	72.18	131.09	SG-531P 20.4800MC
	22.118400	SE1242-ND	2.49	20.74	72.18	131.09	SG-531P 22.1184MC
	24.000000	SE1213-ND	2.49	20.74	72.18	131.09	SG-531P 24.0000MC
	25.175000	SE1215-ND	2.49	20.74	72.18	131.09	SG-531P 25.1750MC
	25.576000	SE1243-ND	2.49	20.74	72.18	131.09	SG-531P 25.5760MC
SG-531PH CMOS mit Ausgangsaktivierung	32.000000	SE1111-ND	2.49	20.74	72.18	131.09	SG-531PH 32.0000MC
	32.514000	SE1112-ND	2.49	20.74	72.18	131.09	SG-531PH 32.5140MC
	32.768000	SE1113-ND	2.49	20.74	72.18	131.09	SG-531PH 32.7680MC
	33.000000	SE1114-ND	2.49	20.74	72.18	131.09	SG-531PH 33.0000MC
	33.333000	SE1115-ND	2.49	20.74	72.18	131.09	SG-531PH 33.3330MC
	36.000000	SE1116-ND	2.49	20.74	72.18	131.09	SG-531PH 36.0000MC
	38.000000	SE1117-ND	2.49	20.74	72.18	131.09	SG-531PH 38.0000MC
	42.000000	SE1119-ND	2.49	20.74	72.18	131.09	SG-531PH 42.0000MC
	44.900000	SE1120-ND	2.49	20.74	72.18	131.09	SG-531PH 44.9000MC
	48.000000	SE1122-ND	2.49	20.74	72.18	131.09	SG-531PH 48.0000MC
	64.000000	SE1126-ND	2.62	21.80	76.09	137.38	SG-531PH 64.0000MC
	65.000000	SE1127-ND	2.62	21.80	76.09	137.38	SG-531PH 65.0000MC
	66.000000	SE1128-ND	2.62	21.80	76.09	137.38	SG-531PH 66.0000MC
	66.666700	SE1129-ND	2.62	21.80	76.09	137.38	SG-531PH 66.6667MC
SG-531PTJ TTL mit Ausgangsaktivierung	27.000000	SE1817-ND	2.49	20.74	72.18	131.09	SG-531PTJ 27.0000MC
	28.000000	SE1818-ND	2.49	20.74	72.18	131.09	SG-531PTJ 28.0000MC
	28.322000	SE1819-ND	2.49	20.74	72.18	131.09	SG-531PTJ 28.3220MC
	28.636360	SE1820-ND	2.49	20.74	72.18	131.09	SG-531PTJ 28.63636MC
	29.491000	SE1821-ND	2.49	20.74	72.18	131.09	SG-531PTJ 29.4910MC
	30.000000	SE1822-ND	2.49	20.74	72.18	131.09	SG-531PTJ 30.0000MC
	32.514000	SE1824-ND	2.49	20.74	72.18	131.09	SG-531PTJ 32.5140MC
	32.768000	SE1825-ND	2.49	20.74	72.18	131.09	SG-531PTJ 32.7680MC
	33.000000	SE1826-ND	2.49	20.74	72.18	131.09	SG-531PTJ 33.0000MC
	33.333300	SE1827-ND	2.49	20.74	72.18	131.09	SG-531PTJ 33.3333MC
	36.000000	SE1828-ND	2.49	20.74	72.18	131.09	SG-531PTJ 36.0000MC

Serie	Frequenz (MHz)	Digi-Key Teilenr.	Preisangaben 1	10	50	100	Epson Teilenr.
Volle Größe							
SG-51P CMOS/TTL mit Ausgangsaktivierung	1.544000	SE1716-ND	2.49	20.74	72.18	131.09	SG-51P 1.5440MC
	1.843200	SE1701-ND	2.49	20.74	72.18	131.09	SG-51P 1.8432MC
	2.000000	SE1717-ND	2.49	20.74	72.18	131.09	SG-51P 2.0000MC
	2.048000	SE1718-ND	2.49	20.74	72.18	131.09	SG-51P 2.0480MC
	3.072000	SE1719-ND	2.49	20.74	72.18	131.09	SG-51P 3.0720MC
	3.088000	SE1720-ND	2.49	20.74	72.18	131.09	SG-51P 3.0880MC
	3.276800	SE1721-ND	2.49	20.74	72.18	131.09	SG-51P 3.2768MC
	3.579545	SE1722-ND	2.49	20.74	72.18	131.09	SG-51P 3.579545MC
	3.686400	SE1723-ND	2.49	20.74	72.18	131.09	SG-51P 3.6864MC
	4.000000	SE1703-ND	2.49	20.74	72.18	131.09	SG-51P 4.0000MC
	4.096000	SE1724-ND	2.49	20.74	72.18	131.09	SG-51P 4.0960MC
	4.915200	SE1704-ND	2.49	20.74	72.18	131.09	SG-51P 4.9152MC
	5.000000	SE1705-ND	2.49	20.74	72.18	131.09	SG-51P 5.0000MC
	5.068000	SE1725-ND	2.49	20.74	72.18	131.09	SG-51P 5.0680MC
	6.000000	SE1706-ND	2.49	20.74	72.18	131.09	SG-51P 6.0000MC
	6.144800	SE1726-ND	2.49	20.74	72.18	131.09	SG-51P 6.1448MC
	7.372800	SE1727-ND	2.49	20.74	72.18	131.09	SG-51P 7.3728MC
	8.000000	SE1707-ND	2.49	20.74	72.18	131.09	SG-51P 8.0000MC
	8.192000	SE1728-ND	2.49	20.74	72.18	131.09	SG-51P 8.1920MC
	9.830400	SE1729-ND	2.49	20.74	72.18	131.09	SG-51P 9.8304MC
	10.000000	SE1708-ND	2.49	20.74	72.18	131.09	SG-51P 10.0000MC
	10.240000	SE1730-ND	2.49	20.74	72.18	131.09	SG-51P 10.2400MC
	11.000000	SE1731-ND	2.49	20.74	72.18	131.09	SG-51P 11.0000MC
	11.059200	SE1732-ND	2.49	20.74	72.18	131.09	SG-51P 11.0592MC
	12.000000	SE1709-ND	2.49	20.74	72.18	131.09	SG-51P 12.0000MC
	12.288000	SE1733-ND	2.49	20.74	72.18	131.09	SG-51P 12.2880MC
	14.318180	SE1710-ND	2.49	20.74	72.18	131.09	SG-51P 14.318MC
	14.745600	SE1734-ND	2.49	20.74	72.18	131.09	SG-51P 14.7456MC
	15.000000	SE1735-ND	2.49	20.74	72.18	131.09	SG-51P 15.0000MC
	16.000000	SE1711-ND	2.49	20.74	72.18	131.09	SG-51P 16.0000MC
	16.257000	SE1736-ND	2.49	20.74	72.18	131.09	SG-51P 16.2570MC
	18.000000	SE1737-ND	2.49	20.74	72.18	131.09	SG-51P 18.0000MC
	18.432000	SE1738-ND	2.49	20.74	72.18	131.09	SG-51P 18.4320MC
	18.869000	SE1739-ND	2.49	20.74	72.18	131.09	SG-51P 18.8690MC
	19.660800	SE1740-ND	2.49	20.74	72.18	131.09	SG-51P 19.6608MC
	20.000000	SE1712-ND	2.49	20.74	72.18	131.09	SG-51P 20.0000MC
	20.480000	SE1741-ND	2.49	20.74	72.18	131.09	SG-51P 20.4800MC
	22.118000	SE1742-ND	2.49	20.74	72.18	131.09	SG-51P 22.1184MC
	24.000000	SE1713-ND	2.49	20.74	72.18	131.09	SG-51P 24.0000MC
	24.576000	SE1743-ND	2.49	20.74	72.18	131.09	SG-51P 24.5760MC
	25.000000	SE1714-ND	2.49	20.74	72.18	131.09	SG-51P 25.0000MC
	25.175000	SE1715-ND	2.49	20.74	72.18	131.09	SG-51P 25.1750MC
SG-51PH CMOS/TTL mit Ausgangsaktivierung	32.768000	SE1902-ND	2.49	20.74	72.18	131.09	SG-51PH 32.7680MC
	33.000000	SE1903-ND	2.49	20.74	72.18	131.09	SG-51PH 33.0000MC
	33.333000	SE1904-ND	2.49	20.74	72.18	131.09	SG-51PH 33.3330MC
	36.000000	SE1905-ND	2.49	20.74	72.18	131.09	SG-51PH 36.0000MC
	38.000000	SE1906-ND	2.49	20.74	72.18	131.09	SG-51PH 38.0000MC
	42.000000	SE1908-ND	2.49	20.74	72.18	131.09	SG-51PH 42.0000MC
	44.900000	SE1909-ND	2.49	20.74	72.18	131.09	SG-51PH 44.9000MC
	46.000000	SE1910-ND	2.49	20.74	72.18	131.09	SG-51PH 46.0000MC
	48.000000	SE1911-ND	2.49	20.74	72.18	131.09	SG-51PH 48.0000MC
	50.000000	SE1912-ND	2.49	20.74	72.18	131.09	SG-51PH 50.0000MC
	55.000000	SE1913-ND	2.49	20.74	72.18	131.09	SG-51PH 55.0000MC
	60.000000	SE1914-ND	2.62	21.80	76.09	137.38	SG-51PH 60.0000MC
SG-51PTJ TTL mit Ausgangsaktivierung	28.000000	SE1806-ND	2.49	20.74	72.18	131.09	SG-51PTJ 28.0000MC
	28.322000	SE1807-ND	2.49	20.74	72.18	131.09	SG-51PTJ 28.3220MC
	28.636360	SE1808-ND	2.49	20.74	72.18	131.09	SG-51PTJ 28.63636MC
	29.491200	SE1809-ND	2.49	20.74	72.18	131.09	SG-51PTJ 29.4912MC
	30.000000	SE1810-ND	2.49	20.74	72.18	131.09	SG-51PTJ 30.0000MC
	32.000000	SE1811-ND	2.49	20.74	72.18	131.09	SG-51PTJ 32.0000MC
	32.768000	SE1813-ND	2.49	20.74	72.18	131.09	SG-51PTJ 32.7680MC
	33.000000	SE1814-ND	2.49	20.74	72.18	131.09	SG-51PTJ 33.0000MC
	33.333300	SE1815-ND	2.49	20.74	72.18	131.09	SG-51PTJ 33.3333MC
	36.000000	SE1816-ND	2.49	20.74	72.18	131.09	SG-51PTJ 36.0000MC

A462-ND	Aries Electronics Inc., volle Größe, 4-Pin Oszillatorensockel	**.47/1**	**9.78/25**	**31.67/100**
A463-ND	Aries Electronics Inc., halbe Größe, 4-Pin Oszillatorensockel	**.47/1**	**9.78/25**	**31.67/100**

C

Serie SG636PCE - Quarz-Kristalloszillatoren zur Oberflächenmontage

Spezifikationen:

- **Versorgungsspannung:** 3,3 V ±0,3 V
- **Betriebstemperatur:** -20 °C ~ 70 °C
- **Lagertemperatur:** -55 °C ~ 100 °C
- **Frequenztoleranz:** ±100 ppm
- **Versorgungsstrom:** 9 mA
- **Deaktivierungsstrom:** 5 mA
- **Arbeit @ CMOS-Level (VDD/2):** 45 % ~ 55 %
- **Abfallzeit CMOS:** Max. 5 ns
- **Anstiegszeit CMOS:** Max. 5 ns
- **Startzeit:** Max. 4 ms

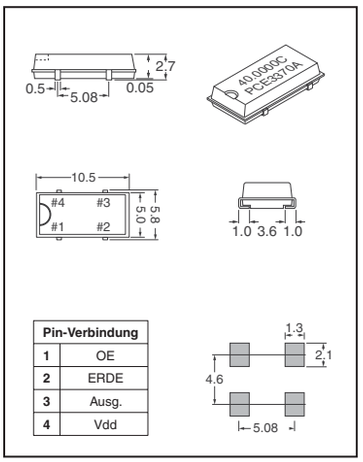

Pin-Verbindung	
1	OE
2	ERDE
3	Ausg.
4	Vdd

Frequenz (MHz)	Digi-Key Teilenr.	Gurtabschnitts-preise 1	10	50	100	Digi-Key Teilenr.	Tape & Reel Pricing* 1.000	Epson Teilenr.
2.4576	SE2801CT-ND	3.71	31.75	132.28	238.11	SE2801TR-ND	1760.93	SG-636PCE 2.4576MC0
3.6864	SE2806CT-ND	3.71	31.75	132.28	238.11	SE2806TR-ND	1760.93	SG-636PCE 3.6864MC0
4.0000	SE2807CT-ND	3.71	31.75	132.28	238.11	SE2807TR-ND	1760.93	SG-636PCE 4.0000MC0
5.0000	SE2810CT-ND	3.71	31.75	132.28	238.11	SE2810TR-ND	1760.93	SG-636PCE 5.0000MC0
6.0000	SE2812CT-ND	3.71	31.75	132.28	238.11	SE2812TR-ND	1760.93	SG-636PCE 6.0000MC0
8.0000	SE2815CT-ND	3.71	31.75	132.28	238.11	SE2815TR-ND	1760.93	SG-636PCE 8.0000MC0
8.1920	SE2816CT-ND	3.71	31.75	132.28	238.11	SE2816TR-ND	1760.93	SG-636PCE 8.1920MC0
10.0000	SE2818CT-ND	3.71	31.75	132.28	238.11	SE2818TR-ND	1760.93	SG-636PCE 10.0000MC0
10.2400	SE2819CT-ND	3.71	31.75	132.28	238.11	SE2819TR-ND	1760.93	SG-636PCE 10.2400MC0
12.0000	SE2822CT-ND	3.71	31.75	132.28	238.11	SE2822TR-ND	1760.93	SG-636PCE 12.0000MC0
14.7456	SE2825CT-ND	3.71	31.75	132.28	238.11	SE2825TR-ND	1760.93	SG-636PCE 14.7456MC0
15.0000	SE2826CT-ND	3.71	31.75	132.28	238.11	SE2826TR-ND	1760.93	SG-636PCE 15.0000MC0
16.0000	SE2827CT-ND	3.71	31.75	132.28	238.11	SE2827TR-ND	1760.93	SG-636PCE 16.0000MC0
18.4320	SE2830CT-ND	3.71	31.75	132.28	238.11	SE2830TR-ND	1760.93	SG-636PCE 18.4320MC0
20.0000	SE2833CT-ND	3.71	31.75	132.28	238.11	SE2833TR-ND	1760.93	SG-636PCE 20.0000MC0
24.0000	SE2836CT-ND	3.71	31.75	132.28	238.11	SE2836TR-ND	1760.93	SG-636PCE 24.0000MC0
25.0000	SE2837CT-ND	3.71	31.75	132.28	238.11	SE2837TR-ND	1760.93	SG-636PCE 25.0000MC0
25.1750	SE2838CT-ND	3.71	31.75	132.28	238.11	SE2838TR-ND	1760.93	SG-636PCE 25.1750MC0
27.0000	SE2839CT-ND	3.71	31.75	132.28	238.11	SE2839TR-ND	1760.93	SG-636PCE 27.0000MC0
29.4912	SE2842CT-ND	3.71	31.75	132.28	238.11	SE2842TR-ND	1760.93	SG-636PCE 29.4912MC0
30.0000	SE2843CT-ND	3.71	31.75	132.28	238.11	SE2843TR-ND	1760.93	SG-636PCE 30.0000MC0
32.0000	SE2844CT-ND	3.71	31.75	132.28	238.11	SE2844TR-ND	1760.93	SG-636PCE 32.0000MC0
33.0000	SE2847CT-ND	3.71	31.75	132.28	238.11	SE2847TR-ND	1760.93	SG-636PCE 33.0000MC0
33.3333	SE2848CT-ND	3.71	31.75	132.28	238.11	SE2848TR-ND	1760.93	SG-636PCE 33.3333MC0
36.0000	SE2849CT-ND	3.71	31.75	132.28	238.11	SE2849TR-ND	1760.93	SG-636PCE 36.0000MC0
38.0000	SE2850CT-ND	3.71	31.75	132.28	238.11	SE2850TR-ND	1760.93	SG-636PCE 38.0000MC0
40.0000	SE2851CT-ND	3.71	31.75	132.28	238.11	SE2851TR-ND	1760.93	SG-636PCE 40.0000MC0

* Preisangaben für Gegurtet auf Rolle

Serie SG636PCV - Quarz-Kristalloszillatoren zur Oberflächenmontage

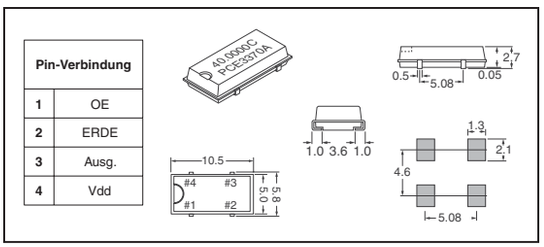

Pin-Verbindung	
1	OE
2	ERDE
3	Ausg.
4	Vdd

Spezifikationen:

- **Versorgungsspannung:** 3,3 V ±0,3 V
- **Betriebstemperatur:** -10 °C ~ 70 °C
- **Lagertemperatur:** -55 °C ~ 100 °C
- **Frequenztoleranz:** ±100 ppm
- **Versorgungsstrom:** 9 mA
- **Deaktivierungsstrom:** 5 mA
- **Arbeit @ CMOS-Level (VDD/2):** 45 % ~ 55 %
- **Abfallzeit CMOS:** Max. 5 ns
- **Anstiegszeit CMOS:** Max. 5 ns
- **Startzeit:** Max. 4 ms

Frequenz (MHz)	Digi-Key Teilenr.	Gurtabschnitts-preise 1	10	50	100	Epson Teilenr.
55.000	SE2855CT-ND	5.21	43.39	152.39	275.15	SG-636PCV 55.000MC0

Serie SG636PTF - Quarz-Kristalloszillatoren zur Oberflächenmontage

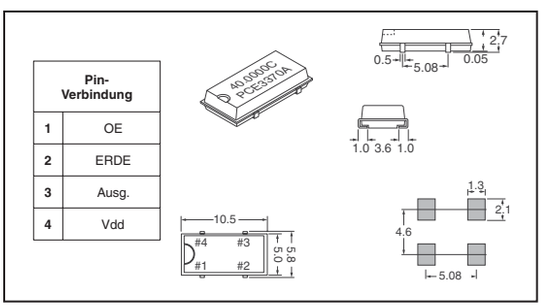

Pin-Verbindung	
1	OE
2	ERDE
3	Ausg.
4	Vdd

Spezifikationen:

- **Versorgungsspannung:** 5 V ±0,5 V
- **Betriebstemperatur:** -20 °C ~ 70 °C
- **Storage Temperature:** -55°C ~ 100°C
- **Frequenztoleranz:** ±100 ppm
- **Versorgungsstrom:** 17 mA
- **Deaktivierungsstrom:** 10 mA
- **Arbeit @ CMOS-Level (VDD/2):** 40 % ~ 60 %
- **Abfallzeit CMOS:** Max. 7 ns
- **Anstiegszeit CMOS:** Max. 7 ns
- **Startzeit:** Max. 4 ms

Frequenz (MHz)	Digi-Key Teilenr.	Gurtabschnitts-preise 1	10	50	100	Digi-Key Teilenr.	Tape & Reel Pricing* 250	Epson Teilenr.
25.000	SE3623CT-ND	2.96	25.40	105.83	190.49	SE3623TR-ND	353.46	SG-636PTF 25.0000MC3
40.000	SE3624CT-ND	2.96	25.40	105.83	190.49	SE3624TR-ND	353.46	SG-636PTF 40.0000MC3

* Preisangaben für Gegurtet auf Rolle

Serie VG-1011JA - Spannungsgeregelte Kristalloszillatoren (VCXO)

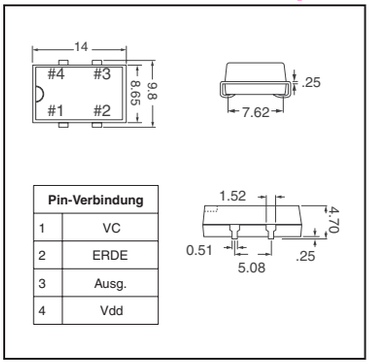

Pin-Verbindung	
1	VC
2	ERDE
3	Ausg.
4	Vdd

Merkmale:

• Aufschmelzbare und hochdichte • SMD-Montage • Die Verwendung des wärmebeständigen AT-geschnittenen Quarzkristalls gestattet fast dieselbe Löttemperatur wie bei einem Universal SMD IC • C-MOS IC bietet geringen Stromverbrauch und garantiert hohe Zuverlässigkeit

Spezifikationen:

- **Frequenzanpassungsbereich:** ±75 ppm
- **Frequenzsteuersensitivität:** 2,5 ±2 V, ±10 %
- **Versorgungsspannung:** 5 V ±0,5 V
- **Betriebstemperatur:** -20 °C ~ 70 °C
- **Lagertemperatur:** -55 °C ~ 125 °C
- **Frequenztoleranz:** ±20 ppm
- **Versorgungsstrom:** 13 mA
- **Ausgangsspannung:** 0,4 V (VOL)
- **Ausgangsstrom:** -0,8 mA IOH; 0,8 mA IOL
- **Arbeit @ CMOS-Level (VDD/2):** 40 % ~ 60 %
- **Steuerspannung:** 4,5 - 5,5 V
- **Abfallzeit:** 8 ns
- **Anstiegszeit:** 8 ns

Frequenz (MHz)	Digi-Key Teilenr.	Gurtabschnitts-preise 1	10	50	100	Digi-Key Teilenr.	Tape & Reel Pricing* 1.000	Epson Teilenr.
16.384	SE3603CT-ND	13.51	115.81	482.56	868.61	SE3603TR-ND	6434.16	VG-1011JA 16.3840MAVK0
19.200	SE3605CT-ND	13.51	115.81	482.56	868.61	—	—	VG-1011JA 19.2000MAVK0
27.000	SE3607CT-ND	13.51	115.81	482.56	868.61	—	—	VG-1011JA 27.0000MAVK0

* Preisangaben für Gegurtet auf Rolle

Alle Preisangaben in Euro und inklusive Zollgebühren.

Quarzkristalle -Typ C, Zylinder

Spezifikationen der Serie C: • **Nennfrequenz:** 32,768 kHz • **Betriebstemperatur:** -10 °C ~ 60 °C • **Antriebs-Level:** Max.1,0 µW • **Frequenztoleranz (Standard):** ±20 ppm • **Ladekapazität:** (SE3201, SE3202, SE3203) 12,5 pf; (SE3204) 9 pf, (SE3205) 6pf • **Längswiderstand:** C-001R = Max. 35 kΩ (18 kΩ typ.); C-002RX und C-004R = Max. 50 kΩ (30 kΩ typ.); und C-005R = Max. 50 kΩ (37 kΩ typ.)

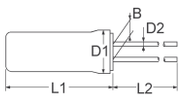

Modell	L1 Max.	L2 Min.	D1 Max.	D2	B
C-001R	8.0	9.0	ø3.1	ø0.3	1.1
C-002RX	6.0	4.0	ø2.0	ø0.2	0.6
C-004R	5.0	4.0	ø1.5	ø0.18	0.5
C-005R	4.6	4.0	ø1.2	ø0.15	0.3

Frequenz (kHz)	Digi-Key Teilenr.	Preisangaben 1	10	50	100	1.000	Epson Teilenr.
32.768	SE3201-ND	.23	1.90	6.53	11.97	97.96	C-001R 32.7680K-A
	SE3202-ND	.23	1.90	6.53	11.97	97.96	C-002RX 32.7680K-A
	SE3205-ND	.23	1.90	6.53	11.97	97.96	C-002RX 32.7680K-E
	SE3203-ND	1.17	9.74	34.71	62.65	524.89	C-004R 32.7680K-A
	SE3204-ND	4.77	39.79	140.96	253.98	2116.51	C-005R 32.7680K-AC

Quarzkristalle -Typ C-2, Zylinder

Spezifikationen der Serie C-2:

- **Betriebstemperatur:** -10 °C ~ 60 °C
- **Antriebs-Level:** Max.1,0 µW
- **Kristall-Ladekapazität/Toleranz:** Alle Teile haben 11 pF Ladekapazität, ±100 ppm außer: (SE3311) C-2 32,560KH-AG, 7 pF, ±190 ppm; (SE3314) C-2 38000KA-P, 12,5 pF, ±20 ppm
- **Längswiderstand über 20 kHz und unter 99 kHz:** 35 kΩ ~ 15 kΩ
- **Längswiderstand über 100 kHz und unter 200 kHz:** 12 kΩ ~ 8 kΩ.

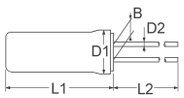

Modell	L1 Max.	L2 Min.	D1 Max.	D2	B
Typ C-2	6.2	4.0	ø2.0	ø0.2	0.6

Frequenz (kHz)	Digi-Key Teilenr.	Preisangaben 1	10	50	100	1.000	Epson Teilenr.
20.0000	SE3301-ND	1.04	8.68	30.90	55.88	465.63	C-2 20.0000K-P
25.6000	SE3302-ND	1.04	8.68	30.90	55.88	465.63	C-2 25.6000K-P
26.6670	SE3303-ND	1.04	8.68	30.90	55.88	465.63	C-2 26.6670K-P
28.0000	SE3304-ND	1.04	8.68	30.90	55.88	465.63	C-2 28.0000K-P
30.0000	SE3305-ND	1.04	8.68	30.90	55.88	465.63	C-2 30.0000K-P
30.7600	SE3306-ND	1.04	8.68	30.90	55.88	465.63	C-2 30.7600K-P
31.2500	SE3308-ND	1.04	8.68	30.90	55.88	465.63	C-2 31.2500K-P
31.5000	SE3309-ND	1.04	8.68	30.90	55.88	465.63	C-2 31.5000K-P
32.0000	SE3310-ND	1.04	8.68	30.90	55.88	465.63	C-2 32.0000K-P
32.5600	SE3311-ND	1.04	8.68	30.90	55.88	465.63	C-2 32.5600KH-AG
32.9190	SE3312-ND	1.04	8.68	30.90	55.88	465.63	C-2 32.9190KC-P
36.0000	SE3313-ND	1.04	8.68	30.90	55.88	465.63	C-2 36.0000K-P
38.0000	SE3314-ND	1.14	9.52	30.90	55.88	465.63	C-2 38.0000KA-P
38.4000	SE3315-ND	1.04	8.68	30.90	55.88	465.63	C-2 38.4000K-P
40.0000	SE3316-ND	1.04	8.68	30.90	55.88	465.63	C-2 40.0000K-P
46.6084	SE3317-ND	1.04	8.68	30.90	55.88	465.63	C-2 46.6084KC-P
50.0000	SE3318-ND	1.04	8.68	30.90	55.88	465.63	C-2 50.0000K-P
60.0000	SE3320-ND	1.04	8.68	30.90	55.88	465.63	C-2 60.0000K-P
60.0020	SE3321-ND	1.04	8.68	30.90	55.88	465.63	C-2 60.0020KC-P
65.5350	SE3322-ND	1.04	8.68	30.90	55.88	465.63	C-2 65.5350K-P
75.0000	SE3323-ND	1.04	8.68	30.90	55.88	465.63	C-2 75.0000K-P
76.8000	SE3324-ND	1.04	8.68	30.90	55.88	465.63	C-2 76.8000K-P
83.0000	SE3330-ND	1.24	10.37	36.83	66.03	550.29	C-2 83.0000K-P
96.0000	SE3331-ND	1.24	10.37	36.83	66.03	550.29	C-2 96.0000K-P
100.0000	SE3333-ND	1.24	10.37	36.83	66.03	550.29	C-2 100.0000K-P
111.0000	SE3334-ND	1.24	10.37	36.83	66.03	550.29	C-2 111.0000K-P
120.0000	SE3335-ND	1.24	10.37	36.83	66.03	550.29	C-2 120.0000K-P
120.8475	SE3336-ND	1.24	10.37	36.83	66.03	550.29	C-2 120.8475K-P
131.0720	SE3337-ND	1.50	12.49	44.02	79.58	660.35	C-2 131.0720K-P
149.4750	SE3338-ND	1.50	12.49	44.02	79.58	660.35	C-2 149.4750K-P

Quarzkristalle -Typ CA-301, Zylinder

Spezifikationen der Serie CA-301: • **Betriebstemperatur:** -20 °C ~ 70 °C • **Antriebs-Level:** Max. 2 mW • **Empfohlenenes Level:** 10 µW ~100 µW typ. • **Frequenztoleranz (Standard):** ±30 ppm • **Ladekapazität:** 18 pF • **Längswiderstand:** Siehe Tabelle

Frequenz MHz Über	Unter	Längswiderstand	Modus
4.0	5.5	150Ω Max.	Erste Harmonische
5.5	6.0	100Ω Max.	
6.0	10.0	80Ω Max.	
10.0	12.0	60Ω Max.	
12.0	16.0	50Ω Max.	
16.0	30.0	40Ω Max.	
26.0	36.0	100Ω Max.	3. Oberton
36.0	64.0	80Ω Max.	

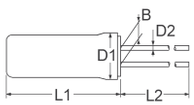

Modell	L1 Max.	L2 Min.	D1 Max.	D2	B
Under 5.3MHz	9.3	9.5	ø3.1	ø0.3	1.1
Over 5.5MHz	8.9	9.5	ø3.1	ø0.3	1.1

Frequenz (MHz)	Digi-Key Teilenr.	Preisangaben 1	10	50	100	1.000	Epson Teilenr.
4.000000	SE3404-ND	1.80	15.03	52.95	95.41	791.91	CA-301 4.0000M-C
4.194304	SE3405-ND	1.80	15.03	52.95	95.41	791.91	CA-301 4.194304M-C
4.433619	SE3406-ND	1.80	15.03	52.95	95.41	791.91	CA-301 4.433619M-C
4.915200	SE3407-ND	1.80	15.03	52.95	95.41	791.91	CA-301 4.9152M-C
5.500000	SE3408-ND	.81	6.77	23.70	42.67	358.96	CA-301 5.5000M-C
6.000000	SE3409-ND	.81	6.77	23.70	42.67	358.96	CA-301 6.000M-C
6.144000	SE3410-ND	.81	6.77	23.70	42.67	358.96	CA-301 6.1440M-C
6.757000	SE3411-ND	.81	6.77	23.70	42.67	358.96	CA-301 6.7570M-C
7.200000	SE3412-ND	.81	6.77	23.70	42.67	358.96	CA-301 7.200M-C
7.372800	SE3413-ND	.81	6.77	23.70	42.67	358.96	CA-301 7.372M-C
8.000000	SE3414-ND	.81	6.77	23.70	42.67	358.96	CA-301 8.000M-C
8.388608	SE3415-ND	.81	6.77	23.70	42.67	358.96	CA-301 8.388M-C
8.432000	SE3416-ND	.81	6.77	23.70	42.67	358.96	CA-301 8.432M-C
9.600000	SE3418-ND	.81	6.77	23.70	42.67	358.96	CA-301 9.600M-C
9.830400	SE3419-ND	.81	6.77	23.70	42.67	358.96	CA-301 9.830M-C
10.000000	SE3420-ND	.81	6.77	23.70	42.67	358.96	CA-301 10.0000M-C
10.240000	SE3421-ND	.81	6.77	23.70	42.67	358.96	CA-301 10.2400M-C
10.624400	SE3422-ND	.81	6.77	23.70	42.67	358.96	CA-301 10.6244M-C
11.059200	SE3423-ND	.81	6.77	23.70	42.67	358.96	CA-301 11.0592M-C
12.000000	SE3424-ND	.81	6.77	23.70	42.67	358.96	CA-301 12.0000M-C
12.096000	SE3425-ND	.81	6.77	23.70	42.67	358.96	CA-301 12.0960M-C
12.288000	SE3426-ND	.81	6.77	23.70	42.67	358.96	CA-301 12.2880M-C
13.500000	SE3427-ND	.81	6.77	23.70	42.67	358.96	CA-301 13.5000M-C
14.000000	SE3428-ND	.81	6.77	23.70	42.67	358.96	CA-301 14.0000M-C
14.318180	SE3429-ND	.81	6.77	23.70	42.67	358.96	CA-301 14.31818M-C
14.500000	SE3430-ND	.81	6.77	23.70	42.67	358.96	CA-301 14.500M-C
14.745600	SE3431-ND	.81	6.77	23.70	42.67	358.96	CA-301 14.7456M-C
15.000000	SE3432-ND	.81	6.77	23.70	42.67	358.96	CA-301 15.000M-C
16.000000	SE3433-ND	.81	6.77	23.70	42.67	358.96	CA-301 16.0000M-C
18.000000	SE3435-ND	.81	6.77	23.70	42.67	358.96	CA-301 18.0000M-C
18.432000	SE3436-ND	.81	6.77	23.70	42.67	358.96	CA-301 18.4320M-C
19.660800	SE3437-ND	.81	6.77	23.70	42.67	358.96	CA-301 19.6608M-C
20.000000	SE3438-ND	.81	6.77	23.70	42.67	358.96	CA-301 20.0000M-C
22.118400	SE3439-ND	.81	6.77	23.70	42.67	358.96	CA-301 22.1184M-C
24.000000	SE3440-ND	.81	6.77	23.70	42.67	358.96	CA-301 24.0000M-C
25.000000	SE3441-ND	.81	6.77	23.70	42.67	358.96	CA-301 25.0000M-C
25.175000	SE3442-ND	.81	6.77	23.70	42.67	358.96	CA-301 25.1750M-C
27.000000	SE3443-ND	.81	6.77	23.70	42.67	358.96	CA-301 27.0000M-C:(FUND)
28.000000	SE3444-ND	.81	6.77	23.70	42.67	358.96	CA-301 28.0000M-C:(FUND)
28.322000	SE3445-ND	.81	6.77	23.70	42.67	358.96	CA-301 28.3220M-C:(FUND)
32.000000	SE3446-ND	.81	6.77	23.70	42.67	358.96	CA-301 32.0000M-C
32.768000	SE3447-ND	.81	6.77	23.70	42.67	358.96	CA-301 32.7680M-C
33.000000	SE3448-ND	.81	6.77	23.70	42.67	358.96	CA-301 33.0000M-C
33.333000	SE3449-ND	.81	6.77	23.70	42.67	358.96	CA-301 33.3330M-C
36.000000	SE3450-ND	.81	6.77	23.70	42.67	358.96	CA-301 36.0000M-C
40.000000	SE3451-ND	.81	6.77	23.70	42.67	358.96	CA-301 40.0000M-C
46.000000	SE3453-ND	.81	6.77	23.70	42.67	358.96	CA-301 46.0000M-C
49.860000	SE3454-ND	.81	6.77	23.70	42.67	358.96	CA-301 49.8600M-C
50.000000	SE3455-ND	.81	6.77	23.70	42.67	358.96	CA-301 50.0000M-C
55.000000	SE3456-ND	.81	6.77	23.70	42.67	358.96	CA-301 55.0000M-C
60.000000	SE3457-ND	.94	7.83	26.96	48.81	407.94	CA-301 60.000M-C

Serie MA-306 - Kristalle

Spezifikationen: • **Lagertemperatur:** -55 °C ~ 100 °C; Lagerung als bloßes Produkt nach dem Auspacken • **Betriebstemperatur:** -20 °C ~ 70 °C • **Antriebs-Level:** Max. 2 mW • **Empfohlenenes Antriebs-Level:** 10 µW ~ 100 µW • **Frequenztoleranz (Standard):** ±50 ppm • **Frequenztemperatur-Eigenschaften (Standard):** ±30 ppm, –20 °C ~70 °C, DL = 100 µW • **Ladekapazität:** 18 pF • **Längswiderstand:** Max. 60 Ω, –20 °C ~ 70 °C, DL = 100 µW • **Shunt-Kapazität:** Max. 5,0 pF • **Alterung:** Max. ±5 ppm/Jahr

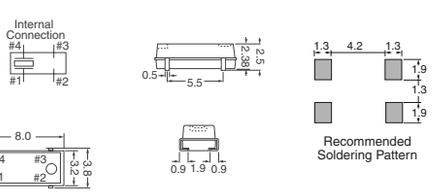

Frequenz (MHz)	Digi-Key Teilenr.	Gurtabschnittspreise 1	10	50	100	Tape & Reel Pricing* Digi-Key Teilenr.	1.000	Epson Teilenr.
18.00000	SE2701CT-ND	1.81	15.49	64.55	116.20	SE2701TR-ND	863.53	MA-306 18.0000M-C0
18.43200	SE2702CT-ND	1.81	15.49	64.55	116.20	SE2702TR-ND	863.53	MA-306 18.4320M-C0
19.66080	SE2704CT-ND	1.81	15.49	64.55	116.20	SE2704TR-ND	863.53	MA-306 19.6608M-C0
20.00000	SE2705CT-ND	1.81	15.49	64.55	116.20	SE2705TR-ND	863.53	MA-306 20.0000M-C0
22.11840	SE2707CT-ND	1.81	15.49	64.55	116.20	SE2707TR-ND	863.53	MA-306 22.1184M-C0
24.00000	SE2708CT-ND	1.81	15.49	64.55	116.20	SE2708TR-ND	863.53	MA-306 24.0000M-C0
24.57600	SE2709CT-ND	1.81	15.49	64.55	116.20	SE2709TR-ND	863.53	MA-306 24.5760M-C0
25.00000	SE2710CT-ND	1.81	15.49	64.55	116.20	SE2710TR-ND	863.53	MA-306 25.0000M-C0
25.17500	SE2711CT-ND	1.81	15.49	64.55	116.20	SE2711TR-ND	863.53	MA-306 25.1750M-C0
27.00000	SE2712CT-ND	1.81	15.49	64.55	116.20	SE2712TR-ND	863.53	MA-306 27.0000M-C0
28.00000	SE2713CT-ND	1.81	15.49	64.55	116.20	SE2713TR-ND	863.53	MA-306 28.0000M-C0
28.63636	SE2715CT-ND	1.81	15.49	64.55	116.20	SE2715TR-ND	863.53	MA-306 28.63636M-C0
29.49120	SE2716CT-ND	1.81	15.49	64.55	116.20	SE2716TR-ND	863.53	MA-306 29.4912M-C0
32.00000	SE2718CT-ND	1.81	15.49	64.55	116.20	SE2718TR-ND	863.53	MA-306 32.0000M-C0
40.00000	SE2725CT-ND	1.81	15.49	64.55	116.20	SE2725TR-ND	863.53	MA-306 40.0000M-C0

* Preisangaben für Gegurtet auf Rolle

Quarzkristallprodukte zur Oberflächenmontage

Paket	FC-135	FC-255	MA-505	MA-506	MC-146	MC-156	MC-306	MC-405	MC-406
Betriebstemperatur	-40°C ~ 85°C	-40°C ~ 85°C	-20°C ~ 70°C	-20°C ~ 70°C	-40°C ~ 85°C	-40°C ~ 85°C	-40°C ~ 85°C	-40°C ~ 85°C	-40°C ~ 85°C
Max. Antriebs-Level	0.5µW	0.5µW	2mW	2mW	1.0µW	1.0µW	1.0µW	1.0µW	1.0µW
Frequenztoleranz	±20ppm @ 25°C	±20ppm @ 25°C	±50ppm @ 25°C	±50ppm @ 25°C	±20ppm @ 25°C	±20ppm @ 25°C	±20ppm @ 25°C	±20ppm @ 25°C	±20ppm @ 25°C
Ladekapazität	12.5pF	12.5pF	18pF	18pF	9pF	12.5pF	A=12.5pf; E=6pF	12.5pF	12.5pF
Längswiderstand	max. 70KΩ	max. 65KΩ	—	—	max. 65KΩ	max. 65KΩ	max. 50KΩ	max. 50KΩ	max. 50KΩ
Shunt-Kapazität	1,3pF typ.	1,3pF typ.	max. 5pF	max. 5pF	0,8pF	—	max. 0,9pF	0.85pF typ.	0,85pF

C

Abb. 1

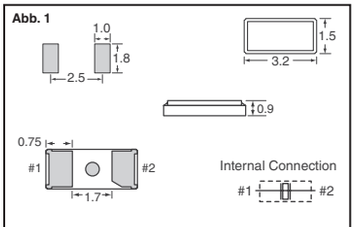

Abb. 2

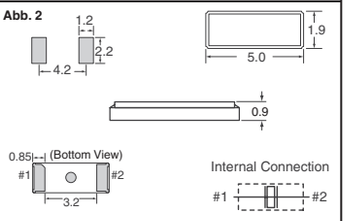

Abb. 3

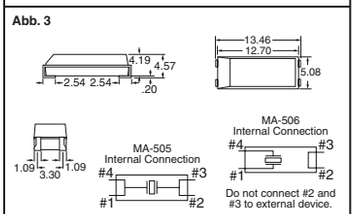

Abb. 4

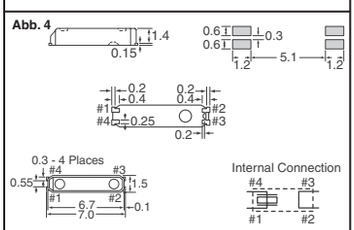

Abb. 5

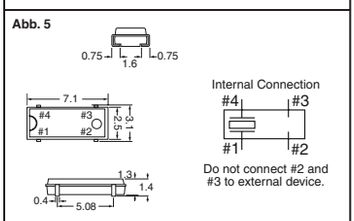

Abb. 6

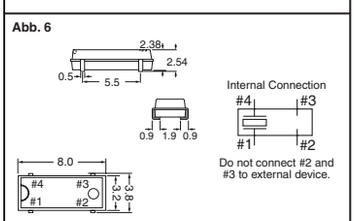

Abb. 7

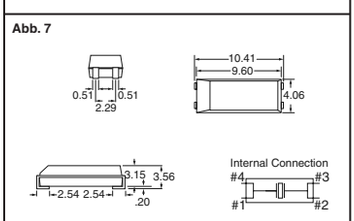

Abb. 8

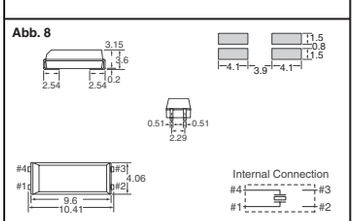

Typ	Abmessungen (mm)			
	A	B	C	D
FC-135	1	1.7	1.8	—
FC-255	1.2	3.2	2.2	—
MA-505	4.09	7.01	5.61	—
MA-506	4.09	6.86	2.06	1.52
MC-146	1.2	5.1	0.6	0.3
MC-156	1.2	3.88	1.5	1
MC-306	1.3	4.2	1.9	1.3
MC-405	4.1	3.9	1.5	0.8
MC-406	4.1	3.9	1.5	0.8

Merkmale: • Kann Aufschmelztemperaturen von 260 °C 20 Sekunden lang standhalten • Geeignet für aktuelle hochdicht montierte Karten

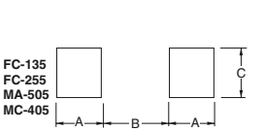

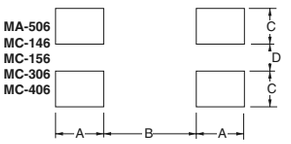

Empfohlenes Lötmuster

Abb.	Serie	Frequenz	Digi-Key Teilenr.	Price 1	10	50	100	Digi-Key Teilenr.	Gegurtet auf Rolle Größe	Preisangaben	Epson Teilenr.
1	FC-135	32.76800kHz	SE2413CT-ND	2.52	2.16	1.80	1.62	SE2413TR-ND	250	300.54	FC-135 32.7680KA-A3
2	FC-255	32.76800kHz	SE2415CT-ND	1.57	1.35	1.13	1.01	SE2415TR-ND	250	186.25	FC-255 32.7680K-A3
3	MA-505	4.00000MHz	SE2518CT-ND	2.37	2.04	1.70	1.53	SE2518TR-ND	1,000	1125.98	MA-505 4.0000M-C0
		4.09600MHz	SE2519CT-ND	2.37	2.04	1.70	1.53	SE2519TR-ND	1,000	1125.98	MA-505 4.0960M-C0
		4.91520MHz	SE2520CT-ND	2.37	2.04	1.70	1.53	SE2520TR-ND	1,000	1125.98	MA-505 4.9152M-C0
		6.00000MHz	SE2501CT-ND	.95	.82	.68	.61	SE2501TR-ND	1,000	448.70	MA-505 6.0000M-C0
		7.37280MHz	SE2503CT-ND	.95	.82	.68	.61	SE2503TR-ND	1,000	448.70	MA-505 7.3728M-C0
		8.00000MHz	SE2504CT-ND	.95	.82	.68	.61	SE2504TR-ND	1,000	448.70	MA-505 8.0000M-C0
		9.83000MHz	SE2524CT-ND	.95	.82	.68	.61	SE2524TR-ND	1,000	448.70	MA-505 9.8304M-C0
		10.00000MHz	SE2505CT-ND	.95	.82	.68	.61	SE2505TR-ND	1,000	448.70	MA-505 10.0000M-C0
		10.24000MHz	SE2525CT-ND	.95	.82	.68	.61	SE2525TR-ND	1,000	448.70	MA-505 10.2400M-C0
		11.05920MHz	SE2506CT-ND	.95	.82	.68	.61	SE2506TR-ND	1,000	448.70	MA-505 11.0592M-C0
		12.00000MHz	SE2507CT-ND	.95	.82	.68	.61	SE2507TR-ND	1,000	448.70	MA-505 12.0000M-C0
		14.31800MHz	SE2528CT-ND	.95	.82	.68	.61	SE2528TR-ND	1,000	448.70	MA-505 14.3180M-C0
		14.74560MHz	SE2529CT-ND	.95	.82	.68	.61	SE2529TR-ND	1,000	448.70	MA-505 14.7456M-C0
		16.00000MHz	SE2508CT-ND	.95	.82	.68	.61	SE2508TR-ND	1,000	448.70	MA-505 16.0000M-C0
		18.43200MHz	SE2533CT-ND	.95	.82	.68	.61	SE2533TR-ND	1,000	448.70	MA-505 18.4320M-C0
		19.66000MHz	SE2535CT-ND	.95	.82	.68	.61	SE2535TR-ND	1,000	448.70	MA-505 19.6600M-C0
		20.00000MHz	SE2509CT-ND	.95	.82	.68	.61	SE2509TR-ND	1,000	448.70	MA-505 20.0000M-C0
		24.00000MHz	SE2510CT-ND	.95	.82	.68	.61	SE2510TR-ND	1,000	448.70	MA-505 24.0000M-C0
		24.57600MHz	SE2538CT-ND	.95	.82	.68	.61	SE2538TR-ND	1,000	448.70	MA-505 24.5760M-C0
		25.00000MHz	SE2539CT-ND	.95	.82	.68	.61	SE2539TR-ND	1,000	448.70	MA-505 25.0000M-C0
		29.49120MHz	SE2543CT-ND	.95	.82	.68	.61	SE2543TR-ND	1,000	448.70	MA-505 29.4912M-C0:(30T)
		30.00000MHz	SE2544CT-ND	.95	.82	.68	.61	SE2544TR-ND	1,000	448.70	MA-505 30.0000M-C0
		32.76800MHz	SE2546CT-ND	.95	.82	.68	.61	SE2546TR-ND	1,000	448.70	MA-505 32.7680M-C0
		33.33330MHz	SE2514CT-ND	.95	.82	.68	.61	SE2514TR-ND	1,000	448.70	MA-505 33.3330M-C0
		36.00000MHz	SE2548CT-ND	.95	.82	.68	.61	SE2548TR-ND	1,000	448.70	MA-505 36.0000M-C0
		40.00000MHz	SE2515CT-ND	.95	.82	.68	.61	SE2515TR-ND	1,000	448.70	MA-505 40.0000M-C0
3	MA-506	4.00000MHz	SE2618CT-ND	2.37	2.04	1.70	1.53	SE2618TR-ND	1,000	1125.98	MA-506 4.0000M-C0
		4.09600MHz	SE2619CT-ND	2.37	2.04	1.70	1.53	SE2619TR-ND	1,000	1125.98	MA-506 4.0960M-C0
		4.91520MHz	SE2620CT-ND	2.37	2.04	1.70	1.53	SE2620TR-ND	1,000	1125.98	MA-506 4.9152M-C0
		6.00000MHz	SE2601CT-ND	.95	.82	.68	.61	SE2601TR-ND	1,000	448.70	MA-506 6.0000M-C0
		6.14400MHz	SE2602CT-ND	.95	.82	.68	.61	SE2602TR-ND	1,000	448.70	MA-506 6.1440M-C0
		7.37280MHz	SE2603CT-ND	.95	.82	.68	.61	SE2603TR-ND	1,000	448.70	MA-506 7.3728M-C0
		8.00000MHz	SE2604CT-ND	.95	.82	.68	.61	SE2604TR-ND	1,000	448.70	MA-506 8.0000M-C0
		9.83000MHz	SE2624CT-ND	.95	.82	.68	.61	SE2624TR-ND	1,000	448.70	MA-506 9.8300M-C0
		10.00000MHz	SE2605CT-ND	.95	.82	.68	.61	SE2605TR-ND	1,000	448.70	MA-506 10.0000M-C0
		10.24000MHz	SE2625CT-ND	.95	.82	.68	.61	SE2625TR-ND	1,000	448.70	MA-506 10.2400M-C0
		11.00000MHz	SE2626CT-ND	.95	.82	.68	.61	SE2626TR-ND	1,000	448.70	MA-506 11.0000M-C0
		11.05920MHz	SE2606CT-ND	.95	.82	.68	.61	SE2606TR-ND	1,000	448.70	MA-506 11.0592M-C0
		12.00000MHz	SE2607CT-ND	.95	.82	.68	.61	SE2607TR-ND	1,000	448.70	MA-506 12.0000M-C0
		12.28800MHz	SE2627CT-ND	.95	.82	.68	.61	SE2627TR-ND	1,000	448.70	MA-506 12.2880M-C0
		14.31818MHz	SE2628CT-ND	.95	.82	.68	.61	SE2628TR-ND	1,000	448.70	MA-506 14.31818M-C0
		14.74560MHz	SE2629CT-ND	.95	.82	.68	.61	SE2629TR-ND	1,000	448.70	MA-506 14.7456M-C0
		15.00000MHz	SE2630CT-ND	.95	.82	.68	.61	SE2630TR-ND	1,000	448.70	MA-506 15.0000M-C0
		16.00000MHz	SE2608CT-ND	.95	.82	.68	.61	SE2608TR-ND	1,000	448.70	MA-506 16.0000M-C0
		16.25700MHz	SE2631CT-ND	.95	.82	.68	.61	SE2631TR-ND	1,000	448.70	MA-506 16.2570M-C0
		18.00000MHz	SE2632CT-ND	.95	.82	.68	.61	SE2632TR-ND	1,000	448.70	MA-506 18.0000M-C0
		18.43200MHz	SE2633CT-ND	.95	.82	.68	.61	SE2633TR-ND	1,000	448.70	MA-506 18.4320M-C0
		19.66080MHz	SE2635CT-ND	.95	.82	.68	.61	SE2635TR-ND	1,000	448.70	MA-506 19.6608M-C0
		20.00000MHz	SE2609CT-ND	.95	.82	.68	.61	SE2609TR-ND	1,000	448.70	MA-506 20.0000M-C0
		20.48000MHz	SE2636CT-ND	.95	.82	.68	.61	SE2636TR-ND	1,000	448.70	MA-506 20.4800M-C0
		22.11840MHz	SE2637CT-ND	.95	.82	.68	.61	SE2637TR-ND	1,000	448.70	MA-506 22.1184M-C0
		24.00000MHz	SE2610CT-ND	.95	.82	.68	.61	SE2610TR-ND	1,000	448.70	MA-506 24.0000M-C0
		24.57600MHz	SE2638CT-ND	.95	.82	.68	.61	SE2638TR-ND	1,000	448.70	MA-506 24.5760M-C0
		25.00000MHz	SE2639CT-ND	.95	.82	.68	.61	SE2639TR-ND	1,000	448.70	MA-506 25.0000M-C0
		27.00000MHz	SE2641CT-ND	.95	.82	.68	.61	SE2641TR-ND	1,000	448.70	MA-506 27.0000M-C0:(FUND)
		28.63600MHz	SE2642CT-ND	.95	.82	.68	.61	SE2642TR-ND	1,000	448.70	MA-506 28.6360M-C0:(30T)
		33.00000MHz	SE2647CT-ND	.95	.82	.68	.61	SE2647TR-ND	1,000	448.70	MA-506 33.0000M-C0
		40.00000MHz	SE2615CT-ND	.95	.82	.68	.61	SE2615TR-ND	1,000	448.70	MA-506 40.0000M-C0
		48.00000MHz	SE2651CT-ND	.95	.82	.68	.61	SE2651TR-ND	1,000	448.70	MA-506 48.0000M-C0
		50.00000MHz	SE2616CT-ND	.95	.82	.68	.61	SE2616TR-ND	1,000	448.70	MA-506 50.0000M-C0
		64.00000MHz	SE2653CT-ND	1.04	.89	.75	.67	SE2653TR-ND	1,000	448.70	MA-506 64.0000M-C0
4	MC-146	32.76800kHz	SE2416CT-ND	1.19	1.02	.85	.77	SE2416TR-ND	250	141.81	MC-146 32.768KA-AC3
5	MC-156	32.76800kHz	SE2412CT-ND	1.10	.94	.79	.71	SE2412TR-ND	1,000	524.89	MC-156 32.7680KA-A0
6	MC-306	32.76800kHz	SE2407CT-ND	.80	.69	.58	.52	SE2407TR-ND	1,000	380.97	MC-306 32.7680K-A0
			SE2417CT-ND	.80	.69	.58	.52	SE2417TR-ND	250	95.24	MC-306 32.768K-E3
7	MC-405	32.76800kHz	SE2405CT-ND	.80	.69	.58	.52	SE2405TR-ND	1,000	380.97	MC-405 32.7680K-A0
8	MC-406	32.76800kHz	SE2418CT-ND	.80	.69	.58	.52	SE2418TR-ND	250	95.24	MC-406 32.768K-A3

Alle Preisangaben in Euro und inklusive Zollgebühren.

Keramikfilter zur Oberflächenmontage

Spezifikationen: • **Leistung:** 1 W • **Nennimpedanz:** 50 Ω

Teilenr.	Abm. A
KFF6193A	8.788
KFF6338A	9.271

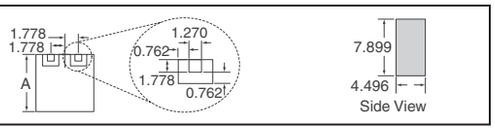

Frequenzbereich (MHz)	Einfügungsverlust (dB)	Rückflussdämpfung (dB)	Abschwächung (min.) @ Frequenz	Anwendungen	Gurtabschnittspreis pro Stück: Digi-Key Teilenr.	1	10	50	Tape & Reel Pricing*: Digi-Key Teilenr.	1.000	CTS Teilenr.
902 ~ 928	2	10	30dB @ 710MHz	ISM	410-1019-1-ND	16.09	14.82	8.50	410-1019-2-ND	4501.91	KFF6193A
1,570 ~ 1,581	1.5	16	20dB @ 1,625MHz 7dB @ 1,501MHz	GPS systems	410-1020-1-ND	15.16	13.97	8.02	410-1020-2-ND	4243.06	KFF6338A

* Preisangaben für Gegurtet auf Rolle

VCTCXO zur Oberflächenmontage

Merkmale:

• Stabile Frequenz über Temperatur
• Gute SSBN-Geräuschleistung

Anwendungen:

• 3G • GSM • TDMA • CDMA • PDAs • Satelliten-Handsets • 2-Weg-Radios • Pager
• Analoganwendungen • Andere tragbare Elektronikgeräte, die eine stabile Frequenzquelle verlangen

Abb. 1

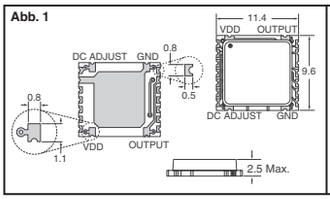

Abb. 2

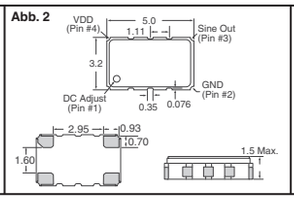

Abb. 3

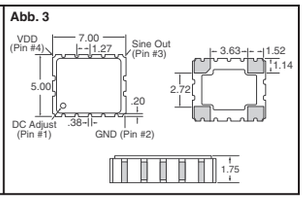

Abb.	Frequenz (MHz)	Versorgungsspannung	Frequenztoleranz/ Betriebstemperatur	Gurtabschnittspreis pro Stück: Digi-Key Teilenr.	1	10	50	Tape & Reel Pricing*: Digi-Key Teilenr.	1.000	CTS Teilenr.
1	16.80	3V ± 10%	±2.5ppm / -30°C ~ 85°C	410-1010-1-ND	14.48	13.34	7.65	410-1010-2-ND	4051.73	OSC1215B
	19.20	3V ± 10%	±2.5ppm / -30°C ~ 85°C	410-1011-1-ND	14.48	13.34	7.65	—	—	OSC1216B
	19.68	3V ± 10%	±2.5ppm / -30°C ~ 85°C	410-1012-1-ND	14.48	13.34	7.65	410-1012-2-ND	4051.73	OSC1217B
2	16.80	2.75V ± .1V	±2ppm / -30°C ~ 85°C	410-1015-1-ND	15.69	14.45	8.29	—	—	OSC1601A
	19.20	2.75V ± .1V	±2.5ppm / -30°C ~ 80°C	410-1018-1-ND	15.69	14.45	8.29	—	—	OSC1606A
	26.00	2.75V ± .1V	±3ppm / -20°C ~ 70°C	410-1017-1-ND	15.69	14.45	8.29	—	—	OSC1604A
3	19.68	2.8V ± .14V	±1.5ppm / -30°C ~ 85°C	410-1013-1-ND	16.09	14.82	8.50	—	—	OSC1623A

* Preisangaben für Gegurtet auf Rolle

Keramik-Monoblock-Bandpassfilter

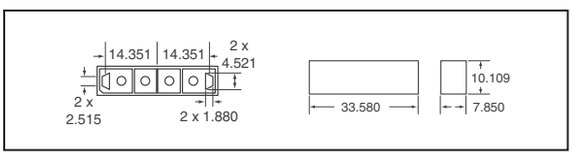

Dieser kleine hochleistungsfähige 4-Pol-Monoblockfilter ist in erster Linie für TCAS-Anwendungen bei 1090 MHz im Radionavigationsband vorgesehen.
Spezifikationen @ 25 °C • **Einfügungsverlust:** 2 dB • **Rückflussdämpfung:** 12 dB • **Abschwächung (min.) @ Frequenz:** 35 dB @ 1.030 MHz
• **Leistung:** 1 W • **Impedanz:** 50 Ω

Frequenz (MHz)	Digi-Key Teilenr.	Stückpreis 1	10	100	CTS Teilenr.
1,087 ~ 1,093	410-1021-ND	34.12	30.19	26.25	KFF6402A

Kristallfilter zur Oberflächenmontage

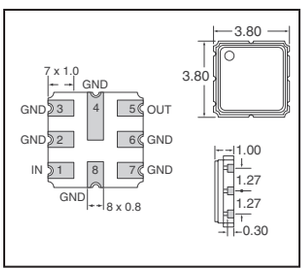

Merkmale: • 3-Pol IF-Filterfunktion • Niedrigprofil-Nahtschweißpaket
• Hervorragende Stoß- und Vibrationsfestigkeit

Anwendungen: • Analoge drahtlose Telekommunikationsgeräte

Spezifikationen:
• **Mischstrom: Max.** 0,5 dB
• **Einfügungsverlust:** 2,5 dB
• **Eingangsimpedanz-Widerstand, Kapazität:** 2.000 Ω , -0,6 pF
• **Betriebstemperatur:** -40 °C ~ 85 °C
• **Passband (min.) @ Frequenzband (f0+or-):** 0,5 dB @ 10 kHz
• **Stopband (max.) @ Frequenzband (f0+or-):** 22 dB @ 60 kHz; 3 dB @ 25 kHz

Frequenz (MHz)	Gurtabschnittspreis pro Stück: Digi-Key Teilenr.	1	10	50	Tape & Reel Pricing*: Digi-Key Teilenr.	1.000	CTS Teilenr.
109.65	410-1006-1-ND	14.27	13.15	7.55	410-1006-2-ND	3995.45	ATFN6024A

* Preisangaben für Gegurtet auf Rolle

AMPS Duplexer-Keramikfilter zur Oberflächenmontage

Antenne an TX Reaktion	Spezifikationen @ 25 °C	Typ. Schwankung –30 °C ~ 85 °C
Durchlassbereich	824-849MHz	—
Einfügungsverlust	Max. 2.5dB	.2dB
Rückflussdämpfung @ TX	Min. 10.0dB	1.0dB
Abschwächung @ 779-804 MHz	Min. 10.0dB	1.0dB
Abschwächung @ 869-894 MHz	Min. 45.0dB	2.0dB
Antenne an RX Reaktion	**Frequenz**	**Spez. @ 25°C**
Durchlassbereich	869-894 Mhz	—
Einfügungsverlust	Max. 3.3dB	.25dB
Rückflussdämpfung @ RX	Min. 8.0dB	1.0dB
Abschwächung @ 824-849 MHz	Min. 52.0dB	2.0dB
Abschwächung @ 914-939 MHz	Min. 20.0dB	1.0dB
Abschwächung @ 959-984 MHz	Min. 45.0dB	1.0dB

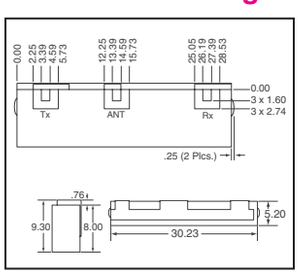

Digi-Key Teilenr.	Gurtabschnittspreis pro Stück: 1	10	50	Tape & Reel Pricing*: Digi-Key Teilenr.	160	CTS Teilenr.
410-1022-1-ND	23.32	21.49	12.33	410-1022-2-ND	1044.44	KFF6567A

* Preisangaben für Gegurtet auf Rolle

High Power Duplexer für mobile Anwendungen im 800 MHz Cellular-Band

Merkmale:
• Hochleistung
• Hervorragende Leistung
• Stabile Halterung

Elektrische Spezifikationen:
• **Leistung:** 5 W
• **Impedanz - Widerstand:** 50 Ω

Antenne an TX Reaktion	Frequenz	Spezifikationen @ 25 °C
Einfügungsverlust	824MHz ~ 849MHz	Max. 2,5dB
Rückflussdämpfung		Min. 9,5dB
Abschwächung	869MHz ~ 894MHz	Min. 60,0dB
Antenne an RX Reaktion	**Frequenz**	**Spezifikationen @ 25 °C**
Einfügungsverlust	869MHz ~ 894MHz	Max. 2,5dB
Rückflussdämpfung		Min. 7,5dB
Abschwächung	824MHz ~ 849MHz	Min. 65dB

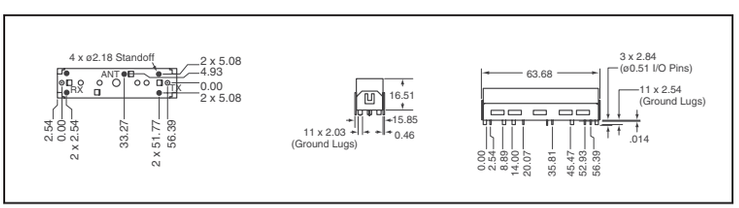

Digi-Key Teilenr.	Stückpreis 1	10	100	CTS Teilenr.
410-1025-ND	37.42	33.11	28.79	KFF6075B

Monoblock-Duplexerfilter für US PCS-Anwendungen

Merkmale: Kleine SMD-Version, dadurch für hochdichte Montage geeignet; Hochleistung

Nennleistung: 2 W
Impedanz - Widerstand: 50 Ω

Antenne an TX Reaktion	Frequenz	Spezifikationen @ 25 °C
Einfügungsverlust	1850MHz ~ 1910MHz	Max. 3,4 dB
Rückflussdämpfung @ TX		Min. 11 dB
Rückflussdämpfung @ ANT		Min. 11 dB
Abschwächung	1930MHz ~ 1990MHz	Min. 40 dB
Antenne an RX Reaktion	**Frequenz**	**Spezifikationen @ 25 °C**
Einfügungsverlust	1930MHz ~ 1990MHz	Max. 3,4dB
Rückflussdämpfung @ RX		Min. 11 dB
Rückflussdämpfung @ ANT		Min. 11 dB
Abschwächung	1850MHz ~ 1910MHz	Min. 47 dB
TX an RX Reaktion	**Frequenz**	**Spezifikationen @ 25 °C**
Abschwächung	1850MHz ~ 1910MHz	Min. 51 dB
Abschwächung	1930MHz ~ 1990MHz	Min. 42 dB

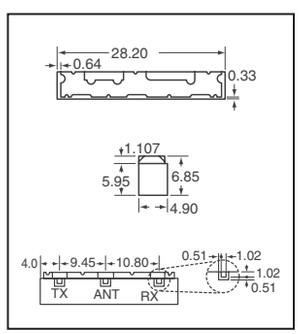

Digi-Key Teilenr.	Gurtabschnittspreis pro Stück: 1	10	50	Tape & Reel Pricing*: Digi-Key Teilenr.	500	CTS Teilenr.
410-1024-1-ND	23.32	21.49	12.33	410-1024-2-ND	3263.89	KFF6666A

* Preisangaben für Gegurtet auf Rolle

CTS Serie ATP-SM - SMT-Kristalle

Spezifikationen:
- **Kalibriertoleranz:** ±0,005 ppm @ 25 °C
- **Temperaturtoleranz:** ±100 ppm
- **Betriebstemperatur:** 0 °C ~ 70 °C
- **Antriebs-Level:** 100 µW
- **Shunt-Kapazität:** Max. 7 pF
- **Alterung (1. Jahr):** <10 ppm

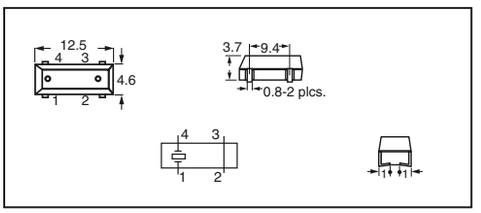

Frequenz (MHz)	Lastkap.	Digi-Key Teilenr.	Stückpreis 1	10	50	100	CTS Teilenr.
3.579545	18pF	CTX600-ND	2.45	2.12	1.84	1.28	ATP036SM
3.686400	20pF	CTX601-ND	2.45	2.12	1.84	1.28	ATP037SM
4.000000	20pF	CTX602-ND	2.45	2.12	1.84	1.28	ATP040SM
4.915200	20pF	CTX603-ND	2.45	2.12	1.84	1.28	ATP042SM
6.000000	20pF	CTX605-ND	2.45	2.12	1.84	1.28	ATP060SM
10.000000	20pF	CTX609-ND	2.45	2.12	1.84	1.28	ATP10ASM
11.059200	20pF	CTX610-ND	2.45	2.12	1.84	1.28	ATP111SM
12.288000	20pF	CTX612-ND	2.45	2.12	1.84	1.28	ATP122SM
16.000000	20pF	CTX616-ND	2.45	2.12	1.84	1.28	ATP16ASM
20.480000	20pF	CTX618-ND	2.67	2.32	2.10	1.46	ATP204SM
24.576000	Series	CTX619-ND	2.67	2.32	2.10	1.46	ATP245SM

C

Serie 400 - SMD-Kristalle

Merkmale: • Blei (Pb) -frei • Stabile Frequenz über Temperatur- und Antriebs-Level • Ideal zur Verwendung auf hochdichten Leiterplatten; zuverlässige Präzision und hervorragende Stoßleistung in drahtlosen Telekommunikationsgeräten

Spezifikationen:
- **Frequenzstabilität:** ±50 ppm
- **Temperatur bei Aufschmelzkondition:** 255 °C ±5 °C @ max. 10 s
- **Frequenztoleranz:** ±30 ppm
- **Betriebstemperatur:** -20 °C ~ 70 °C
- **Lagertemperatur:** -55 °C ~ 125 °C
- **Antriebs-Level:** Max. 100 µW; 25 µW typ.

Modell	Tiefe (mm)	Höhe (mm)	Breite (mm)
405	3.2	0.9	5.0
406	3.5	1.2	6.0
407	5.0	1.2	7.0

Abb. 1

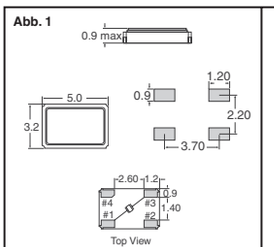

Abb. 2

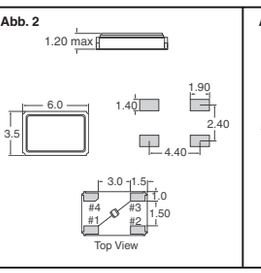

Abb. 3

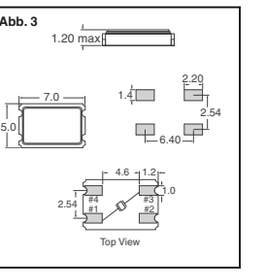

Frequenz (MHz)	Betriebs-modus	Nutzlast	Shunt-Kapazität	ESR (Ω)	Digi-Key Teilenr.	Gurtabschnittspreis pro Stück 1	10	100	Digi-Key Teilenr.	Tape & Reel Pricing* 1.000	CTS Teilenr.
Abb.1 - Serie 405											
11.05920	Erste Harmonische	13.0pF	7pF	50	CTX638CT-ND	2.63	2.11	1.76	CTX638TR-ND	1019.31	405C35B11M05920
12.00000					CTX639CT-ND	2.63	2.11	1.76	CTX639TR-ND	1019.31	405C35B12M00000
12.80000					CTX640CT-ND	2.63	2.11	1.76	CTX640TR-ND	1019.31	405C35B12M80000
13.00000					CTX641CT-ND	2.63	2.11	1.76	CTX641TR-ND	1019.31	405C35B13M00000
14.31818					CTX642CT-ND	2.63	2.11	1.76	CTX642TR-ND	1019.31	405C35B14M31818
14.40000					CTX643CT-ND	2.63	2.11	1.76	CTX643TR-ND	1019.31	405C35B14M40000
14.74560					CTX644CT-ND	2.63	2.11	1.76	CTX644TR-ND	1019.31	405C35B14M74560
15.36000					CTX645CT-ND	2.63	2.11	1.76	CTX645TR-ND	1019.31	405C35B15M36000
16.00000					CTX646CT-ND	2.63	2.11	1.76	CTX646TR-ND	1019.31	405C35B16M00000
16.36800					CTX647CT-ND	2.63	2.11	1.76	CTX647TR-ND	1019.31	405C35B16M36800
19.20000					CTX648CT-ND	2.63	2.11	1.76	CTX648TR-ND	1019.31	405C35B19M20000
19.68000					CTX649CT-ND	2.63	2.11	1.76	CTX649TR-ND	1019.31	405C35B19M68000
20.00000					CTX650CT-ND	2.63	2.11	1.76	CTX650TR-ND	1019.31	405C35B20M00000
24.00000					CTX651CT-ND	2.63	2.11	1.76	CTX651TR-ND	1019.31	405C35B24M00000
25.00000					CTX652CT-ND	2.63	2.11	1.76	CTX652TR-ND	1019.31	405C35B25M00000
26.00000					CTX653CT-ND	2.63	2.11	1.76	CTX653TR-ND	1019.31	405C35B26M00000
32.00000					CTX654CT-ND	2.63	2.11	1.76	CTX654TR-ND	1019.31	405C35B32M00000
33.00000					CTX655CT-ND	2.63	2.11	1.76	CTX655TR-ND	1019.31	405C35B33M00000
40.00000					CTX656CT-ND	2.63	2.11	1.76	CTX656TR-ND	1019.31	405C35B40M00000
44.00000					CTX657CT-ND	3.01	2.42	2.02	CTX657TR-ND	1166.61	405C35B44M00000
Abb.2 - Serie 406											
18.43200	Erste Harmonische	13.0pF	4pF	40	CTX668CT-ND	2.38	1.91	1.59	CTX668TR-ND	921.10	406C35B18M43200
19.44000					CTX669CT-ND	2.38	1.91	1.59	CTX669TR-ND	921.10	406C35B19M44000
20.48000					CTX670CT-ND	2.38	1.91	1.59	CTX670TR-ND	921.10	406C35B20M48000
22.00000					CTX671CT-ND	2.38	1.91	1.59	CTX671TR-ND	921.10	406C35B22M00000
24.57600					CTX672CT-ND	2.38	1.91	1.59	CTX672TR-ND	921.10	406C35B24M57600
27.00000					CTX673CT-ND	2.38	1.91	1.59	CTX673TR-ND	921.10	406C35B27M00000
30.00000					CTX674CT-ND	2.38	1.91	1.59	CTX674TR-ND	921.10	406C35B30M00000
32.76800					CTX675CT-ND	2.38	1.91	1.59	CTX675TR-ND	921.10	406C35B32M76800
35.32800					CTX676CT-ND	2.38	1.91	1.59	CTX676TR-ND	921.10	406C35B35M32800
38.88000					CTX677CT-ND	2.38	1.91	1.59	CTX677TR-ND	921.10	406C35B38M88000
44.54500					CTX678CT-ND	2.63	2.11	1.76	CTX678TR-ND	1019.31	406C35B44M54500
48.00000					CTX679CT-ND	2.63	2.11	1.76	CTX679TR-ND	1019.31	406C35B48M00000
10.00000				60	CTX658CT-ND	2.38	1.91	1.59	CTX658TR-ND	921.10	406C35B10M00000
10.24500					CTX659CT-ND	2.38	1.91	1.59	CTX659TR-ND	921.10	406C35B10M24500
12.28800					CTX660CT-ND	2.38	1.91	1.59	CTX660TR-ND	921.10	406C35B12M28800
12.68800					CTX661CT-ND	2.38	1.91	1.59	CTX661TR-ND	921.10	406C35B12M68800
13.00000					CTX662CT-ND	2.38	1.91	1.59	CTX662TR-ND	921.10	406C35B13M00000
13.22500					CTX663CT-ND	2.38	1.91	1.59	CTX663TR-ND	921.10	406C35B13M22500
14.00000					CTX664CT-ND	2.38	1.91	1.59	CTX664TR-ND	921.10	406C35B14M00000
14.31818					CTX665CT-ND	2.38	1.91	1.59	CTX665TR-ND	921.10	406C35B14M31818
14.85000					CTX667CT-ND	2.38	1.91	1.59	CTX667TR-ND	921.10	406C35B14M85000
Abb.3 - Serie 407											
16.38400	Erste Harmonische	20.0pF	4pF	40	CTX682CT-ND	2.38	1.91	1.59	CTX682TR-ND	921.10	407C35E16M38400
16.67000					CTX683CT-ND	2.38	1.91	1.59	CTX683TR-ND	921.10	407C35E16M67000
22.11840					CTX684CT-ND	2.38	1.91	1.59	CTX684TR-ND	921.10	407C35E22M11840
29.49120					CTX685CT-ND	2.38	1.91	1.59	CTX685TR-ND	921.10	407C35E29M49120
36.00000					CTX686CT-ND	2.63	2.11	1.76	CTX686TR-ND	1019.31	407C35E36M00000
44.73600					CTX687CT-ND	2.63	2.11	1.76	CTX687TR-ND	1019.31	407C35E44M73600
9.60000				60	CTX680CT-ND	2.38	1.91	1.59	CTX680TR-ND	921.10	407C35E09M60000
12.50000					CTX681CT-ND	2.38	1.91	1.59	CTX681TR-ND	921.10	407C35E12M50000
50.00000	3. Oberton	20.0pF	4pF	80	CTX688CT-ND	2.63	2.11	1.76	CTX688TR-ND	1019.31	407C35E50M00000

* Preisangaben für Gegurtet auf Rolle

Alle Preisangaben in Euro und inklusive Zollgebühren.

Kristalle der Serie ATS

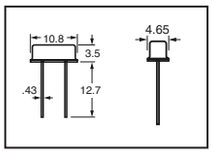

Spezifikationen:
• **Frequenztoleranz:** ±50 ppm • **Shunt-Kapazität:** Max. 7 pF • **Antriebs-Level:** 100 µW
• **Betriebstemperatur:** 0 °C ~ 70 °C • **Betriebsmodus:** Erste Harmonische

Frequenz (MHz)	Nutzlast	Digi-Key Teilenr.	Stückpreis 1	10	50	100	CTS Teilenr.
3.579545	18.0pF	CTX400-ND	1.11	.97	.88	.61	ATS036
3.686400	20.0pF	CTX401-ND	1.11	.97	.88	.61	ATS037
4.000000	20.0pF	CTX402-ND	1.11	.97	.88	.61	ATS040
4.915200	20.0pF	CTX403-ND	1.11	.97	.88	.61	ATS042
5.068800	20.0pF	CTX404-ND	1.11	.97	.88	.61	ATS050
6.000000	20.0pF	CTX405-ND	1.11	.97	.88	.61	ATS060
8.000000	20.0pF	CTX406-ND	1.11	.97	.88	.61	ATS08A
9.830400	20.0pF	CTX407-ND	1.11	.97	.88	.61	ATS098
10.000000	Serie	CTX408-ND	1.11	.97	.88	.61	ATS100
11.059200	20.0pF	CTX409-ND	1.11	.97	.88	.61	ATS111
12.000000	Serie	CTX410-ND	1.11	.97	.88	.61	ATS120
12.288000	20.0pF	CTX411-ND	1.11	.97	.88	.61	ATS122
14.318180	Serie	CTX412-ND	1.11	.97	.88	.61	ATS143
15.360000	20.0pF	CTX413-ND	1.11	.97	.88	.61	ATS15A
16.000000	Serie	CTX414-ND	1.11	.97	.88	.61	ATS160
16.000000	20.0pF	CTX415-ND	1.11	.97	.88	.61	ATS16A
20.000000	Serie	CTX416-ND	1.11	.97	.88	.61	ATS200
20.480000	20.0pF	CTX417-ND	1.43	1.24	1.13	.78	ATS204
24.576000	Serie	CTX418-ND	1.43	1.24	1.13	.78	ATS245
25.000000	Serie	CTX419-ND	1.43	1.24	1.13	.78	ATS250

HC49INS-ND Basisisolator..... **.76/10** **6.35/100**

Kristalle der Serie ATS-SM

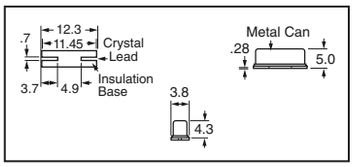

Spezifikationen:
• **Frequenztoleranz:** ±50 ppm • **Shunt-Kapazität:** Max. 7,0 pF
• **Antriebs-Level:** 100 µW • **Betriebstemperatur:** 0 °C ~ 70 °C
• **Betriebsmodus:** Erste Harmonische

Frequenz (MHz)	Lastkap.	Digi-Key Teilenr.	Mengenpreis pro Stück 1	10	50	100	Digi-Key Teilenr.	T & R Pricing* 1.000	CTS Teilenr.
3.579545	18.0pF	CTX500-ND	1.27	1.11	.96	.67	CTX500TR-ND	457.16	ATS036SM-T
3.686400	20.0pF	CTX501-ND	1.27	1.11	.96	.67	CTX501TR-ND	457.16	ATS037SM-T
4.000000	20.0pF	CTX502-ND	1.27	1.11	.96	.67	CTX502TR-ND	457.16	ATS040SM-T
4.915200	20.0pF	CTX503-ND	1.27	1.11	.96	.67	CTX503TR-ND	457.16	ATS042SM-T
5.068800	20.0pF	CTX504-ND	1.27	1.11	.96	.67	CTX504TR-ND	457.16	ATS050SM-T
6.000000	20.0pF	CTX505-ND	1.27	1.11	.96	.67	CTX505TR-ND	457.16	ATS060SM-T
8.000000	20.0pF	CTX506-ND	1.27	1.11	.96	.67	CTX506TR-ND	457.16	ATS08ASM-T
9.830400	20.0pF	CTX507-ND	1.27	1.11	.96	.67	CTX507TR-ND	457.16	ATS098SM-T
10.000000	Serie	CTX508-ND	1.27	1.11	.96	.67	CTX508TR-ND	457.16	ATS100SM-T
11.059200	20.0pF	CTX509-ND	1.27	1.11	.96	.67	CTX509TR-ND	457.16	ATS111SM-T
12.000000	Serie	CTX510-ND	1.27	1.11	.96	.67	CTX510TR-ND	457.16	ATS120SM-T
12.288000	20.0pF	CTX511-ND	1.27	1.11	.96	.67	CTX511TR-ND	457.16	ATS122SM-T
14.318180	Serie	CTX512-ND	1.27	1.11	.96	.67	CTX512TR-ND	457.16	ATS143SM-T
15.360000	20.0pF	CTX513-ND	1.27	1.11	.96	.67	CTX513TR-ND	457.16	ATS15ASM-T
16.000000	Serie	CTX514-ND	1.27	1.11	.96	.67	CTX514TR-ND	457.16	ATS160SM-T
20.000000	Serie	CTX515-ND	1.27	1.11	.96	.67	CTX515TR-ND	457.16	ATS200SM-T
20.480000	20.0pF	CTX516-ND	1.59	1.38	1.21	.84	CTX516TR-ND	575.69	ATS204SM-T
24.576000	Serie	CTX517-ND	1.59	1.38	1.21	.84	CTX517TR-ND	575.69	ATS245SM-T

C

Mikroprozessor-Kristalle

Spezifikationen: • **Frequenztoleranz:** ±50 ppm • **Temperaturstabilität:** ±0,005 % (±50 ppm) @ 25 °C • Hermetisch verschlossene, pressgeschweißte Ausführung • Niedriger Startwiderstand

HC-49/U Gehäuse
Gehäusetyp
HC-49 hat dieselben
Abmessungen wie
Lötschweißgehäuse HC-18

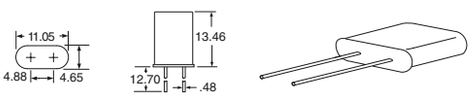

Frequenz (MHz)	Nutzlast.	Gebrauch	Digi-Key Teilenr.	Stückpreis 1	10	100	CTS Teilenr.
1.843200	13.0pF	—	CTX067-ND	2.73	2.28	1.67	MP018S
2.000000	20.0pF	—	CTX068-ND	2.73	2.28	1.67	MP020S
2.457600	32.0pF	—	CTX069-ND	1.76	1.47	1.08	MP024S
3.579545	18.0pF	MM5369 (Color Burst), IM6102, PPS 8, MC6801, MC6802, MC6803, MC6809, CDP1802, CDP1802C, CDP1804, CDP1804C	CTX049-ND	.80	.67	.49	MP036S
3.686400	20.0pF	—	CTX071-ND	.80	.67	.49	MP037
4.000000	Serie	Pace, MC6875, Z80, Z80A, TMS9940	CTX080-ND	.80	.67	.49	MP04A
4.000000	20.0pF	MCS40, 4004, 4040, 4201; MC6802, 6808, 6809; MK3870, 3872, 3876, 3883; IM6102, CDP1802, 1802C, 1804, 1804C	CTX006-ND	.80	.67	.49	MP040
4.194304	12.0pF	ICM7038, ICM7049, ICM7213, CDP1802, CDP1802C, CDP1804, CDP1804C	CTX007-ND	.80	.67	.49	MP041
4.915200	20.0pF	CDP1802, CDP1802C, CDP1804, CDP1804C	CTX050-ND	.80	.67	.49	MP042
5.000000	Serie	CDP1802, CDP1802C, CDP1803, CDP1804, CDP1804C, TMS9985, 9940, IM6100A	CTX081-ND	.80	.67	.49	MP05B
5.000000	20.0pF	Allzweck, CDP1802, CDP1802C, CDP1804, CDP1804C	CTX051-ND	.80	.67	.49	MP05A
5.068800	Serie	COM5016, COM5016T Dual Brg.	CTX052-ND	.80	.67	.49	MP050
6.000000	20.0pF	MCS48, MCS8035, MCS8041, MCS8048, MCS8741, MCS8748, IM8048, IM8748, CDP1802, CDP1802C, CDP1804, CDP1804C, MC68A09	CTX026-ND	.80	.67	.49	MP060
6.144000	20.0pF	MCS8086, MCS85, CDP1802, CDP1802C, CDP1804, CDP1804C	CTX054-ND	.80	.67	.49	MP061
7.372800	Serie	—	CTX074-ND	.80	.67	.49	MP073
8.000000	Serie	8 x 300, MC6875, MC68000, AMZ8000, Z8000	CTX056-ND	.80	.67	.49	MP080
8.000000	20.0pF	IM6100A, CDP1807, Z8, 9940 B, MC68B09	CTX082-ND	.80	.67	.49	MP080A
9.830400	20.0pF	Mehrzweck	CTX084-ND	.80	.67	.49	MP098
10.000000	Serie	Mehrzweck	CTX057-ND	.80	.67	.49	MP100
10.000000	30.0pF	MCS85, MCS8085A 2, MC9940 10	CTX083-ND	.80	.67	.49	MP101
10.738635	32.0pF	TI9918A	CTX085-ND	.80	.67	.49	MP107
11.000000	18.0pF	MCS48, MCS8039, MCS8049	CTX086-ND	.80	.67	.49	MP110
11.059200	Serie	—	CTX078-ND	.80	.67	.49	MP111
12.000000	Serie	MCS86, MCS8086/8284, MCS8202 RAM Controller, MCS9940-12	CTX058-ND	.80	.67	.49	MP120
12.288000	32.0pF	Mehrzweck	CTX087-ND	.80	.67	.49	MP122
14.318180	Serie	Mehrzweck	CTX088-ND	.80	.67	.49	MP143
14.745600	Serie	Mehrzweck	CTX089-ND	.80	.67	.49	MP147
15.000000	Serie	MCS86, MCS8086/8284, MCS8202 RAM Controller	CTX059-ND	.80	.67	.49	MP150
16.000000	Serie	Mehrzweck	CTX077-ND	.80	.67	.49	MP160
18.432000	Serie	MCS80, MCS8080A/8224	CTX061-ND	.80	.67	.49	MP184
19.660800	Serie	Mehrzweck	CTX090-ND	.80	.67	.49	MP196
20.000000	Serie	MCS80, MCS8080A/8224	CTX062-ND	.80	.67	.49	MP200
22.118400	Serie	MCS80, MCS8080A/8224	CTX063-ND	1.28	1.07	.78	MP221
24.000000	Serie	MCS86, MCS8086, MCS8284	CTX091-ND	1.28	1.07	.78	MP240
24.576000	Serie	Mehrzweck	CTX092-ND	1.28	1.07	.78	MP245
25.000000	Serie	8202 RAM-Controller	CTX093-ND	1.28	1.07	.78	MP250

HC49INS-ND Basisisolator..... **.76/10** **6.35/100**

VCXO Serie 357L zur Oberflächenmontage

Spezifikationen: • **Ausgangsspannungslevel:** Logik „1" min. 0,9 V; Logik „0" max. 0,1 V • **Ausgangsübergangszeit - Anstieg/Abfall:** 5,0 ns • **Ausgangsarbeitszyklus (SYM):** Min. 45 %, max. 55 % @50% • **Phasenjitter: (Bandbreite 12 kHz-20 MHz):** Max. 1 pS RMS • **Linearität:** 10 % • **Eingangsimpedanz:** Min. 50 kΩ • **Modulationsdämpfung:** 10 kHz @ -3 dB

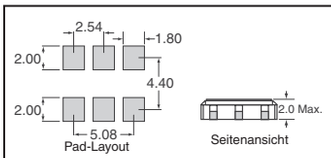

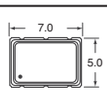

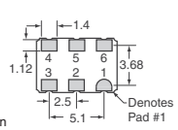

Datenwerttabelle aktivieren	
Pin 2	**Pin 4**
„1"	Ausgang
„0"	Hohe Imp.
Offen	Ausgang

Pin-Verbindung	
1	Steuerspannung
2	Tri-State-Aktivierung
3	Schaltungs-/Paketerdung
4	RF-Ausgang
5	Nicht intern angeschlossen
6	Versorgungsspannung

Frequenz (MHz)	Digi-Key Teilenr.	Gurtabschnittspreis pro Stück 1	10	100	Tape & Reel Pricing*† 1.000	CTS Teilenr.
1.5440	CTX630CT-ND	8.35	6.68	5.57	3228.93	357LB3I001M5440
4.0960	CTX626CT-ND	8.35	6.68	5.57	3228.93	357LB3I004M0960
6.1760	CTX631CT-ND	8.35	6.68	5.57	3228.93	357LB3I006M1760
16.3840	CTX632CT-ND	8.35	6.68	5.57	3228.93	357LB3I016M3840
19.4400	CTX627CT-ND	8.35	6.68	5.57	3228.93	357LB3I019M4400
20.0000	CTX633CT-ND	8.35	6.68	5.57	3228.93	357LB3I020M0000
27.0000	CTX634CT-ND	8.35	6.68	5.57	3228.93	357LB3I027M0000
32.7680	CTX635CT-ND	9.30	7.45	6.21	3597.20	357LB3I032M7680
35.3280	CTX628CT-ND	9.30	7.45	6.21	3597.20	357LB3I035M3280
38.8800	CTX636CT-ND	9.30	7.45	6.21	3597.20	357LB3I038M8800
40.0000	CTX637CT-ND	9.30	7.45	6.21	3597.20	357LB3I040M0000
44.7360	CTX629CT-ND	9.69	7.75	6.46	3744.51	357LB3I044M7360

* Für gegurtet auf Rolle Teilenummer CT-ND in TR-ND ändern. † Preisangaben für Gegurtet auf Rolle

CTS® Serie 636 - SMD Taktgeberoszillatoren

Merkmale: • RoHS-konform • HCMOS • Ausgangsfreigabestandard • Standard-Auflagefläche bei Oberflächenmontage 5 x 3,2 mm • Keramikkonstruktion für langfristige Zuverlässigkeit **Spezifikationen:** • **Aktivierungseingangsspannung:** Min. 2 V • **Deaktivierungseingangsspannung:** Max. 0,8 V • **Phasenjitter:** (Bandbreite 12 kHz-20 MHz) max. 1 pS RMS • **Frequenztoleranz:** ±50 ppm • **Versorgungsspannung:** 3,3 V • **Versorgungsstrom:** Max. 20 mA • **Betriebstemperatur:** -20 °C ~ 70 °C • **Anstiegs-/Abfallzeit:** Max. 5 ns • **Ausgangslast CMOS:** 15 pF • **Arbeitszyklus:** 45 % ~ 55 % • **Startzeit:** Max. 10 ms • **Stand-by-Strom:** Max. 15 µA

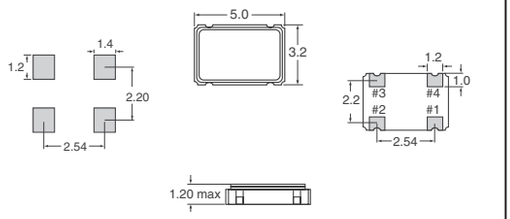

Pin-Verbindung	
1	Aktivieren
2	Schaltkreis/Paket Erde
3	RF-Ausgang
4	Versorgungsspannung

Datenwerttabelle aktivieren	
Pin 1	Pin 3
„1“	Ausgang
„0“	Hohe Imp.
Offen	Ausgang

Frequenz (MHz)	Digi-Key Teilenr.	Gurtabschnittspreis pro Stück 1	10	100	Digi-Key Teilenr.	Tape & Reel Pricing* 1.000	CTS Teilenr.
14.31818	CTX689CT-ND	4.28	3.43	2.86	CTX689TR-ND	1657.64	636L3C014M31818
14.74560	CTX690CT-ND	4.28	3.43	2.86	CTX690TR-ND	1657.64	636L3C014M74560
16.00000	CTX691CT-ND	4.28	3.43	2.86	CTX691TR-ND	1657.64	636L3C016M00000
16.38400	CTX692CT-ND	4.28	3.43	2.86	CTX692TR-ND	1657.64	636L3C016M38400
18.43200	CTX693CT-ND	4.13	3.31	2.76	CTX693TR-ND	1595.84	636L3C018M43200
20.00000	CTX694CT-ND	4.28	3.43	2.86	CTX694TR-ND	1657.64	636L3C020M00000
20.48000	CTX695CT-ND	4.28	3.43	2.86	CTX695TR-ND	1657.64	636L3C020M48000
24.00000	CTX696CT-ND	4.28	3.43	2.86	CTX696TR-ND	1657.64	636L3C024M00000
25.00000	CTX697CT-ND	4.28	3.43	2.86	CTX697TR-ND	1657.64	636L3C025M00000
32.00000	CTX698CT-ND	4.13	3.31	2.76	CTX698TR-ND	1595.84	636L3C032M00000
32.76800	CTX699CT-ND	4.28	3.43	2.86	CTX699TR-ND	1657.64	636L3C032M76800
33.00000	CTX700CT-ND	4.28	3.43	2.86	CTX700TR-ND	1657.64	636L3C033M00000
44.00000	CTX701CT-ND	4.28	3.43	2.86	CTX701TR-ND	1657.64	636L3C044M00000
48.00000	CTX702CT-ND	4.28	3.43	2.86	CTX702TR-ND	1657.64	636L3C048M00000
75.00000	CTX703CT-ND	4.61	3.69	3.07	CTX703TR-ND	1780.40	636L3C075M00000

* Preisangaben für Gegurtet auf Rolle

C

Taktgeberoszillator zur Oberflächenmontage

Merkmale: • Standard-Mini-Auflagefläche bei Oberflächenmontage • Kompatibel mit PCMCIA Typ II und III • Kompatibel mit C-MOS/TTL • Verpackung 16 mm gegurtet auf Rolle • Keramikkonstruktion für langfristige Zuverlässigkeit • Nahtverschweißt und mit Kovarüberzug geschützt

Spezifikationen: • **Frequenzstabilität:** 3C und 3I: ±50 ppm, 5I: ±25 ppm • **Versorgungsspannung:** CB3: 4,5 V ~ 5,5 V; CB3LV: 3 V ~ 3,6 V • **Versorgungsspannung (max.):** 1,5 MHz ~ 20 MHz CB3: 25 mA; CB3LV: 12 mA; 20,1 MHz ~ 80 MHz CB3: 50 mA; CB3LV: 40 mA; 80,1 MHz ~ 133,33 MHz CB3: 100 mA; CB3LV: 60 mA • **Betriebstemperatur:** 3C: -20 °C ~ 70 °C 3I und 5I: -40 °C ~ 85 °C • **Anstiegs- und Abfallzeit (max.):** 1,5 MHz ~ 20 MHz CB3: 10 ns; CB3LV: 8 ns; 20,1 MHz ~ 80 MHz CB3: 8 ns; CB3LV: 4 ns; 80,1 MHz ~ 133,333 MHz CB3: 5 ns; CB3LV: 3 ns • **Ausgangslast:** 1,5 MHz ~ 50 MHz: 50 pf; 50,1 MHz ~ 80 MHz: 30 pf; 80,1 MHz ~ 133,333 MHz: 15 pF • **Aktivierungseingangsspannung:** Min. 2 V • **Deaktivierungseingangsspannung:** Max. 0,8 V

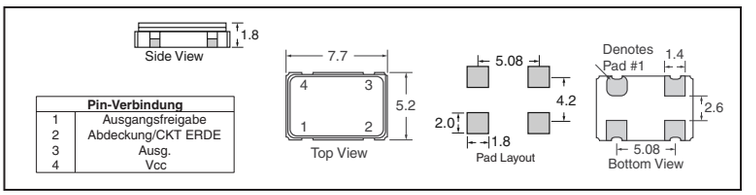

Pin-Verbindung	
1	Ausgangsfreigabe
2	Abdeckung/CKT ERDE
3	Ausg.
4	Vcc

Frequenz (MHz)	Digi-Key Teilenr.	Gurtabschnittspreis pro Stück 1	10	50	Digi-Key Teilenr.	Tape & Reel Pricing* 1.000	CTS Teilenr.
CB3 Taktgeberoszillatoren zur Oberflächenmontage							
1.544000	CTX290CT-ND	4.30	3.97	2.28	CTX290TR-ND	1204.26	CB3-3C-1M5440-T
1.843200	CTX291CT-ND	4.30	3.97	2.28	CTX291TR-ND	1204.26	CB3-3C-1M8432-T
3.686400	CTX260CT-ND	3.17	2.93	1.68	CTX260TR-ND	889.12	CB3-3C-3M6864-T
4.000000	CTX261CT-ND	4.30	3.97	2.28	CTX261TR-ND	1204.26	CB3-3C-4M0000-T
6.176000	CTX262CT-ND	4.30	3.97	2.28	CTX262TR-ND	1204.26	CB3-3C-6M1760-T
7.372800	CTX263CT-ND	4.30	3.97	2.28	CTX263TR-ND	1204.26	CB3-3C-7M3728-T
8.000000	CTX264CT-ND	4.30	3.97	2.28	CTX264TR-ND	1204.26	CB3-3C-8M0000-T
10.000000	CTX265CT-ND	4.30	3.97	2.28	CTX265TR-ND	1204.26	CB3-3C-10M0000-T
12.000000	CTX292CT-ND	4.30	3.97	2.28	CTX292TR-ND	1204.26	CB3-3C-12M0000-T
12.288000	CTX266CT-ND	4.30	3.97	2.28	CTX266TR-ND	1204.26	CB3-3C-12M2880-T
12.352000	CTX267CT-ND	4.30	3.97	2.28	CTX267TR-ND	1204.26	CB3-3C-12M3520-T
14.318180	CTX268CT-ND	4.30	3.97	2.28	CTX268TR-ND	1204.26	CB3-3C-14M31818-T
15.360000	CTX269CT-ND	4.30	3.97	2.28	CTX269TR-ND	1204.26	CB3-3C-15M3600-T
16.000000	CTX270CT-ND	4.30	3.97	2.28	CTX270TR-ND	1204.26	CB3-3C-16M0000-T
16.000000	CTX304CT-ND	4.30	3.97	2.28	CTX304TR-ND	1203.87	CB3-3I-16M0000-T
16.384000	CTX271CT-ND	4.30	3.97	2.28	CTX271TR-ND	1204.26	CB3-3C-16M3840-T
18.432000	CTX293CT-ND	4.30	3.97	2.28	CTX293TR-ND	1204.26	CB3-3C-18M4320-T
18.432000	CTX300CT-ND	4.83	4.45	2.55	CTX300TR-ND	1350.33	CB3-3I-18M4320-T
19.440000	CTX272CT-ND	4.30	3.97	2.28	CTX272TR-ND	1204.26	CB3-3C-19M4400-T
20.000000	CTX273CT-ND	3.17	2.93	1.68	CTX273TR-ND	889.12	CB3-3C-20M0000-T
20.000000	CTX306CT-ND	2.90	2.67	1.53	CTX306TR-ND	810.20	CB3-3I-20M0000-T
20.480000	CTX274CT-ND	4.30	3.97	2.28	CTX274TR-ND	1204.26	CB3-3C-20M4800-T
24.000000	CTX294CT-ND	4.30	3.97	2.28	CTX294TR-ND	1204.26	CB3-3C-24M0000-T
24.704000	CTX275CT-ND	4.30	3.97	2.28	CTX275TR-ND	1204.26	CB3-3C-24M7040-T
25.000000	CTX276CT-ND	3.17	2.93	1.68	CTX276TR-ND	889.12	CB3-3C-25M0000-T
29.491200	CTX295CT-ND	4.30	3.97	2.28	CTX295TR-ND	1204.26	CB3-3C-29M4912-T
30.000000	CTX296CT-ND	4.30	3.97	2.28	CTX296TR-ND	1204.26	CB3-3C-30M0000-T
32.000000	CTX277CT-ND	3.17	2.93	1.68	CTX277TR-ND	889.12	CB3-3C-32M0000-T
32.768000	CTX278CT-ND	4.30	3.97	2.28	CTX278TR-ND	1204.26	CB3-3C-32M7680-T
33.333000	CTX279CT-ND	3.17	2.93	1.68	CTX279TR-ND	889.12	CB3-3C-33M3330-T
40.000000	CTX280CT-ND	3.17	2.93	1.68	CTX280TR-ND	889.12	CB3-3C-40M0000-T
40.000000	CTX314CT-ND	4.30	3.97	2.28	CTX314TR-ND	1203.87	CB3-3I-40M0000-T
44.736000	CTX281CT-ND	4.55	4.19	2.41	CTX281TR-ND	1271.79	CB3-3C-44M7360-T
45.000000	CTX297CT-ND	4.55	4.19	2.41	CTX297TR-ND	1271.79	CB3-3C-45M0000-T
49.152000	CTX282CT-ND	4.55	4.19	2.41	CTX282TR-ND	1271.79	CB3-3C-49M1520-T
50.000000	CTX283CT-ND	3.17	2.93	1.68	CTX283TR-ND	889.12	CB3-3C-50M0000-T
51.840000	CTX284CT-ND	4.83	4.45	2.55	CTX284TR-ND	1350.57	CB3-3C-51M8400-T
60.000000	CTX285CT-ND	4.83	4.45	2.50	CTX285TR-ND	1350.57	CB3-3C-60M0000-T
64.000000	CTX286CT-ND	4.83	4.45	2.50	CTX286TR-ND	1350.57	CB3-3C-64M0000-T
66.666600	CTX287CT-ND	4.83	4.45	2.50	CTX287TR-ND	1350.57	CB3-3C-66M6666-T
72.000000	CTX288CT-ND	4.83	4.45	2.59	CTX288TR-ND	1350.57	CB3-3C-72M0000-T
80.000000	CTX289CT-ND	4.83	4.45	2.59	CTX289TR-ND	1350.57	CB3-3C-80M0000-T
CB3LV Taktgeberoszillatoren zur Oberflächenmontage							
1.544000	CTX290LVCT-ND	4.30	3.97	2.28	CTX290LVTR-ND	1204.26	CB3LV-3C-1M5440-T
1.843200	CTX291LVCT-ND	4.30	3.97	2.28	CTX291LVTR-ND	1204.26	CB3LV-3C-1M8432-T
3.686400	CTX260LVCT-ND	3.17	2.93	1.68	CTX260LVTR-ND	889.12	CB3LV-3C-3M6864-T
4.000000	CTX261LVCT-ND	4.30	3.97	2.28	CTX261LVTR-ND	1204.26	CB3LV-3C-4M0000-T
6.176000	CTX262LVCT-ND	4.30	3.97	2.28	CTX262LVTR-ND	1204.26	CB3LV-3C-6M1760-T
7.372800	CTX263LVCT-ND	4.30	3.97	2.28	CTX263LVTR-ND	1204.26	CB3LV-3C-7M3728-T
7.372800	CTX325LVCT-ND	4.83	4.45	2.55	CTX325LVTR-ND	1422.29	CB3LV-3I-7M3728-T
8.000000	CTX264LVCT-ND	4.30	3.97	2.28	CTX264LVTR-ND	1204.26	CB3LV-3C-8M0000-T
8.000000	CTX301LVCT-ND	4.30	3.97	2.28	CTX301LVTR-ND	1203.87	CB3LV-3I-8M0000-T
8.192000	CTX302LVCT-ND	4.30	3.97	2.28	CTX302LVTR-ND	1203.87	CB3LV-3I-8M1920-T

Frequenz (MHz)	Digi-Key Teilenr.	Gurtabschnittspreis pro Stück 1	10	50	Digi-Key Teilenr.	Tape & Reel Pricing* 1.000	CTS Teilenr.
CB3LV Taktgeberoszillator zur Oberflächenmontage							
10.000000	CTX265LVCT-ND	4.30	3.97	2.28	CTX265LVTR-ND	1204.26	CB3LV-3C-10M0000-T
12.000000	CTX292LVCT-ND	4.30	3.97	2.28	CTX292LVTR-ND	1204.26	CB3LV-3C-12M0000-T
12.000000	CTX303LVCT-ND	4.83	4.45	2.55	CTX303LVTR-ND	1350.33	CB3LV-3I-12M0000-T
12.288000	CTX266LVCT-ND	4.30	3.97	2.28	CTX266LVTR-ND	1204.26	CB3LV-3C-12M2880-T
12.352000	CTX267LVCT-ND	4.30	3.97	2.28	CTX267LVTR-ND	1204.26	CB3LV-3C-12M3520-T
14.318180	CTX268LVCT-ND	4.30	3.97	2.28	CTX268LVTR-ND	1204.26	CB3LV-3C-14M31818-T
15.360000	CTX269LVCT-ND	4.30	3.97	2.28	CTX269LVTR-ND	1204.26	CB3LV-3C-15M3600-T
16.000000	CTX270LVCT-ND	4.30	3.97	2.28	CTX270LVTR-ND	1204.26	CB3LV-3C-16M0000-T
16.384000	CTX271LVCT-ND	4.30	3.97	2.28	CTX271LVTR-ND	1204.26	CB3LV-3C-16M3840-T
16.384000	CTX321LVCT-ND	5.75	5.30	3.04	CTX321LVTR-ND	1609.39	CB3LV-5I-16M3840-T
18.432000	CTX293LVCT-ND	4.30	3.97	2.28	CTX293LVTR-ND	1204.26	CB3LV-3C-18M4320-T
18.432000	CTX305LVCT-ND	4.30	3.97	2.28	CTX305LVTR-ND	1203.87	CB3LV-3I-18M4320-T
19.440000	CTX272LVCT-ND	4.30	3.97	2.28	CTX272LVTR-ND	1204.26	CB3LV-3C-19M4400-T
20.000000	CTX273LVCT-ND	3.17	2.93	1.68	CTX273LVTR-ND	889.12	CB3LV-3C-20M0000-T
20.000000	CTX306LVCT-ND	4.30	3.97	2.28	CTX306LVTR-ND	1203.87	CB3LV-3I-20M0000-T
20.000000	CTX322LVCT-ND	5.75	5.30	3.04	CTX322LVTR-ND	1609.39	CB3LV-5I-20M0000-T
20.480000	CTX274LVCT-ND	4.30	3.97	2.28	CTX274LVTR-ND	1204.26	CB3LV-3C-20M4800-T
24.000000	CTX294LVCT-ND	4.30	3.97	2.28	CTX294LVTR-ND	1204.26	CB3LV-3C-24M0000-T
24.000000	CTX307LVCT-ND	4.83	4.45	2.55	CTX307LVTR-ND	1350.33	CB3LV-3I-24M0000-T
24.576000	CTX326LVCT-ND	4.30	3.97	2.28	CTX326LVTR-ND	1268.21	CB3LV-3I-24M5760-T
24.704000	CTX275LVCT-ND	4.30	3.97	2.28	CTX275LVTR-ND	1204.26	CB3LV-3C-24M7040-T
25.000000	CTX276LVCT-ND	3.17	2.93	1.68	CTX276LVTR-ND	889.12	CB3LV-3C-25M0000-T
25.000000	CTX308LVCT-ND	4.30	3.97	2.28	CTX308LVTR-ND	1203.87	CB3LV-3I-25M0000-T
25.000000	CTX323LVCT-ND	5.75	5.30	3.04	CTX323LVTR-ND	1609.39	CB3LV-5I-25M0000-T
27.000000	CTX324LVCT-ND	5.75	5.30	3.04	CTX324LVTR-ND	1609.39	CB3LV-5I-27M0000-T
29.491200	CTX295LVCT-ND	4.30	3.97	2.28	CTX295LVTR-ND	1204.26	CB3LV-3C-29M4912-T
30.000000	CTX296LVCT-ND	4.30	3.97	2.28	CTX296LVTR-ND	1204.26	CB3LV-3C-30M0000-T
30.000000	CTX309LVCT-ND	4.30	3.97	2.28	CTX309LVTR-ND	1203.87	CB3LV-3I-30M0000-T
32.000000	CTX277LVCT-ND	3.17	2.93	1.68	CTX277LVTR-ND	889.12	CB3LV-3C-32M0000-T
32.000000	CTX310LVCT-ND	4.30	3.97	2.28	CTX310LVTR-ND	1203.87	CB3LV-3I-32M0000-T
32.768000	CTX278LVCT-ND	4.30	3.97	2.28	CTX278LVTR-ND	1204.26	CB3LV-3C-32M7680-T
32.768000	CTX311LVCT-ND	4.83	4.45	2.55	CTX311LVTR-ND	1350.33	CB3LV-3I-32M7680-T
33.000000	CTX312LVCT-ND	4.30	3.97	2.28	CTX312LVTR-ND	1203.87	CB3LV-3I-33M0000-T
33.333000	CTX279LVCT-ND	3.17	2.93	1.68	CTX279LVTR-ND	889.12	CB3LV-3C-33M3330-T
33.333300	CTX313LVCT-ND	4.30	3.97	2.28	CTX313LVTR-ND	1203.87	CB3LV-3I-33M3333-T
40.000000	CTX280LVCT-ND	3.17	2.93	1.68	CTX280LVTR-ND	889.12	CB3LV-3C-40M0000-T
40.000000	CTX314LVCT-ND	4.30	3.97	2.28	CTX314LVTR-ND	1203.87	CB3LV-3I-40M0000-T
44.736000	CTX281LVCT-ND	4.55	4.19	2.41	CTX281LVTR-ND	1271.79	CB3LV-3C-44M7360-T
45.000000	CTX297LVCT-ND	4.55	4.19	2.41	CTX297LVTR-ND	1271.79	CB3LV-3C-45M0000-T
48.000000	CTX315LVCT-ND	4.30	3.97	2.28	CTX315LVTR-ND	1203.87	CB3LV-3I-48M0000-T
49.152000	CTX282LVCT-ND	4.55	4.19	2.41	CTX282LVTR-ND	1271.79	CB3LV-3C-49M1520-T
50.000000	CTX283LVCT-ND	3.17	2.93	1.68	CTX283LVTR-ND	889.12	CB3LV-3C-50M0000-T
50.000000	CTX327LVCT-ND	4.30	3.97	2.28	CTX327LVTR-ND	1268.21	CB3LV-3I-50M0000-T
51.840000	CTX284LVCT-ND	4.83	4.45	2.55	CTX284LVTR-ND	1350.57	CB3LV-3C-51M8400-T
60.000000	CTX285LVCT-ND	4.83	4.45	2.55	CTX285LVTR-ND	1350.57	CB3LV-3C-60M0000-T
64.000000	CTX286LVCT-ND	4.83	4.45	2.55	CTX286LVTR-ND	1350.57	CB3LV-3C-64M0000-T
64.000000	CTX328LVCT-ND	4.83	4.45	2.55	CTX328LVTR-ND	1422.29	CB3LV-3I-64M0000-T
66.000000	CTX316LVCT-ND	4.83	4.45	2.55	CTX316LVTR-ND	1350.33	CB3LV-3I-66M0000-T
66.666600	CTX287LVCT-ND	4.83	4.45	2.55	CTX287LVTR-ND	1350.57	CB3LV-3C-66M6666-T
72.000000	CTX288LVCT-ND	4.83	4.45	2.55	CTX288LVTR-ND	1350.57	CB3LV-3C-72M0000-T
80.000000	CTX289LVCT-ND	4.83	4.45	2.55	CTX289LVTR-ND	1350.57	CB3LV-3C-80M0000-T
80.000000	CTX317LVCT-ND	4.83	4.45	2.55	CTX317LVTR-ND	1350.33	CB3LV-3I-80M0000-T
100.000000	CTX318LVCT-ND	8.04	7.41	4.25	CTX318LVTR-ND	2251.11	CB3LV-3I-100M0000-T
125.000000	CTX319LVCT-ND	10.06	9.26	5.32	CTX319LVTR-ND	2814.10	CB3LV-3I-125M0000-T
133.330000	CTX320LVCT-ND	11.86	10.93	6.27	CTX320LVTR-ND	3320.37	CB3LV-3I-133M3300-T

* Preisangaben für Gegurtet auf Rolle

Alle Preisangaben in Euro und inklusive Zollgebühren.

CTS® MXO45 Taktgeberoszillatoren

Standardausgang

• Frequenztoleranz: ±100 ppm, 0 °C ~ 70 °C • CMOS-kompatibel • Hermetisch verschlossene Ausführung • 8/14-Pin kompatibel • Treibt bis zu 10 Standard-TTL-Lasten • Eingangsspannung: +5 V DC ±0,5 V

Tri-State Ausgang

Tri-State Logic verwendet die zwei Standard-Logic-Levels von hoch (Logic 1) und niedrig (Logic 0), hat aber einen dritten Status hinzugefügt, der kein Logic-Level darstellt, sondern eine „Offener-Schaltkreis-Kondition", die den Ausgang effektiv mit einem hohen (Schwebe-) Impedanzzustand von der Schaltung trennt. Durch die Verwendung des Aktivierungs-Pins zur Steuerung des Ausgangs läuft das Kristall noch gleich, wenn der Ausgang deaktiviert wird (Bereitschaftsmodus), wodurch jegliche Startzeit für den Oszillator wegfällt.

CTS HCMOS/TTL Produkte verwenden eine „Application Specific Integrated Circuit" (ASIC) Designstrategie. Die Verwendung einer einzigen Designfamilie, die beide HCMOS/TTL-Anwendungen unterstützt, trägt dazu bei, die Kosten zu senken und Anlaufzeiten zu verkürzen. Die Verwendung der ASIC-Technologie verringert die Zahl der Komponenten im XO (Kristalloszillator), wodurch die Zuverlässigkeit wächst, während die Kosten weiter gesenkt werden.

Merkmale: • CMOS/TTL-kompatibel • Treibt bis zu 10 Standard-TTL-Lasten • 100 ppm Toleranz • Tri-State Ausgang • Hermetisch verschlossene, pressgeschweißte Ausführung

Wellenformkonditionen

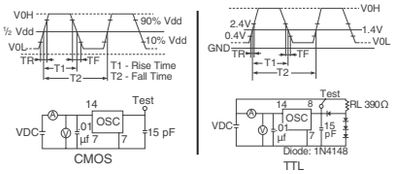

Parameter	Symbol	Kondition	Minimum	Typisch	Maximum	Einheiten
Versorgungsspannung	VCC	—	4.5	5	5.5	V
Versorgungsstrom	ICC	1.0 ~ 7.0MHz	—	5	12	mA
	—	>7.0 ~ 25MHz	—	15	25	mA
	—	>25 ~ 50MHz	—	30	40	mA
Ausgangslast	—	—	—	—	10	TTL
Ausgangsstrom	IOH	VOH= 3.9V	—	—	-16	mA
	IOH	VOH= 0.4V	—	—	16	mA
Symmetrie	Arbeit	1.0 ~ 50MHz	45	—	55	%
		>50 ~ 70MHz	40	—	60	%
Anstiegs- und Abfallzeit	Tr/Tf	1.0 ~ 25MHz	—	5	8	ns
	Tr/Tf	>25 ~ 70MHz	—	3	5	ns
Aktivierungseingang V	VIH	—	2	—	—	V
	VIL	—	—	—	0.8	V
Aktivierungseingangslast	Cin	—	—	—	10	pF
Tri-State Leck	Iz	VIL= 0.8V	—	—	0.05	mA
Jitter	—	Spitze-Spitze	—	30	50	ps
Temperatur	0°C ~ 70°C					

Volle Größe

Pin-Verbindung	
1	O/E, Tri-State, NC (Standard)
7	Erde
8	Ausgang
14	+5 V DC

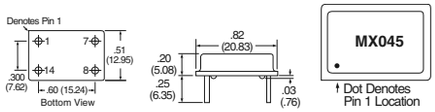

Halbe Größe

Pin-Verbindung	
1	O/E, Tri-State, NC (Standard)
4	Erde
5	Ausgang
8	+5 V DC

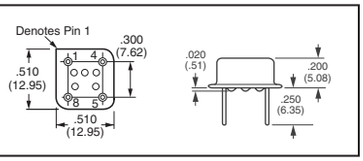

C

Frequenz (MHz)	Digi-Key Teilenr.	Stückpreis 1	10	100	250	500	CTS Teilenr.
Taktgeberoszillator in voller Größe mit Standardausgang							
1.000000	CTX101-ND	2.35	2.09	1.86	1.59	1.41	MXO45-1.0000
1.843200	CTX103-ND	2.35	2.09	1.86	1.59	1.41	MXO45-1.8432
2.000000	CTX104-ND	2.35	2.09	1.86	1.59	1.41	MXO45-2.0000
2.457600	CTX105-ND	2.35	2.09	1.86	1.59	1.41	MXO45-2.4576
3.686400	CTX106-ND	2.35	2.09	1.86	1.59	1.41	MXO45-3.6864
4.000000	CTX107-ND	2.35	2.09	1.86	1.59	1.41	MXO45-4.0000
4.915200	CTX108-ND	2.35	2.09	1.86	1.59	1.41	MXO45-4.9152
5.000000	CTX109-ND	2.35	2.09	1.86	1.59	1.41	MXO45-5.0000
5.068800	CTX110-ND	2.35	2.09	1.86	1.59	1.41	MXO45-5.0688
6.000000	CTX111-ND	2.35	2.09	1.86	1.59	1.41	MXO45-6.0000
6.144000	CTX122-ND	2.35	2.09	1.86	1.59	1.41	MXO45-6.1440
7.372800	CTX123-ND	2.35	2.09	1.86	1.59	1.41	MXO45-7.3728
8.000000	CTX112-ND	2.35	2.09	1.86	1.59	1.41	MXO45-8.0000
10.000000	CTX114-ND	2.35	2.09	1.86	1.59	1.41	MXO45-10.0000
12.000000	CTX131-ND	2.35	2.09	1.86	1.59	1.41	MXO45-12.0000
14.318180	CTX115-ND	2.35	2.09	1.86	1.59	1.41	MXO45-14.31818
16.000000	CTX116-ND	2.35	2.09	1.86	1.59	1.41	MXO45-16.0000
18.432000	CTX118-ND	2.35	2.09	1.86	1.59	1.41	MXO45-18.4320
19.660800	CTX124-ND	2.35	2.09	1.86	1.59	1.41	MXO45-19.6608
20.000000	CTX119-ND	2.35	2.09	1.86	1.59	1.41	MXO45-20.0000
24.000000	CTX125-ND	2.35	2.09	1.86	1.59	1.41	MXO45-24.0000
25.000000	CTX126-ND	2.35	2.09	1.86	1.59	1.41	MXO45-25.0000
25.175000	CTX127-ND	2.35	2.09	1.86	1.59	1.41	MXO45-25.1750
28.322000	CTX128-ND	2.35	2.09	1.86	1.59	1.41	MXO45-28.3220
32.000000	CTX129-ND	2.35	2.09	1.86	1.59	1.41	MXO45-32.0000
40.000000	CTX120-ND	2.35	2.09	1.86	1.59	1.41	MXO45-40.0000
50.000000	CTX121-ND	2.35	2.09	1.86	1.59	1.41	MXO45-50.0000
64.000000	CTX130-ND	3.08	2.73	2.43	2.08	1.84	MXO45-64.0000
66.666600	CTX137-ND	3.08	2.73	2.43	2.08	1.84	MXO45-66.6666
80.000000	CTX138-ND	4.95	4.39	3.91	3.34	2.96	MXO45-80.0000
Taktgeberoszillator in voller Größe mit Tri-State Ausgang							
1.000000	CTX139-ND	2.35	2.09	1.86	1.59	1.41	MXO45T-1.0000
1.843200	CTX140-ND	2.35	2.09	1.86	1.59	1.41	MXO45T-1.8432
2.000000	CTX141-ND	2.35	2.09	1.86	1.59	1.41	MXO45T-2.0000
2.457600	CTX142-ND	2.35	2.09	1.86	1.59	1.41	MXO45T-2.4576
3.686400	CTX143-ND	2.35	2.09	1.86	1.59	1.41	MXO45T-3.6864
4.000000	CTX144-ND	2.35	2.09	1.86	1.59	1.41	MXO45T-4.0000
4.915200	CTX145-ND	2.35	2.09	1.86	1.59	1.41	MXO45T-4.9152
5.000000	CTX146-ND	2.35	2.09	1.86	1.59	1.41	MXO45T-5.0000
5.068800	CTX147-ND	2.35	2.09	1.86	1.59	1.41	MXO45T-5.0688
6.000000	CTX148-ND	2.35	2.09	1.86	1.59	1.41	MXO45T-6.0000
6.144000	CTX200-ND	2.35	2.09	1.86	1.59	1.41	MXO45T-6.1440
7.372800	CTX201-ND	2.35	2.09	1.86	1.59	1.41	MXO45T-7.3728
8.000000	CTX202-ND	2.35	2.09	1.86	1.59	1.41	MXO45T-8.0000
10.000000	CTX203-ND	2.35	2.09	1.86	1.59	1.41	MXO45T-10.0000
12.000000	CTX204-ND	2.35	2.09	1.86	1.59	1.41	MXO45T-12.0000
14.318180	CTX205-ND	2.35	2.09	1.86	1.59	1.41	MXO45T-14.31818
16.000000	CTX206-ND	2.35	2.09	1.86	1.59	1.41	MXO45T-16.0000
18.432000	CTX207-ND	2.35	2.09	1.86	1.59	1.41	MXO45T-18.4320
19.660800	CTX208-ND	2.35	2.09	1.86	1.59	1.41	MXO45T-19.6608
20.000000	CTX209-ND	2.35	2.09	1.86	1.59	1.41	MXO45T-20.0000
24.000000	CTX210-ND	2.35	2.09	1.86	1.59	1.41	MXO45T-24.0000
25.000000	CTX211-ND	2.35	2.09	1.86	1.59	1.41	MXO45T-25.0000
25.175000	CTX212-ND	2.35	2.09	1.86	1.59	1.41	MXO45T-25.1750
28.322000	CTX213-ND	2.35	2.09	1.86	1.59	1.41	MXO45T-28.3220
32.000000	CTX214-ND	2.35	2.09	1.86	1.59	1.41	MXO45T-32.0000
40.000000	CTX215-ND	2.35	2.09	1.86	1.59	1.41	MXO45T-40.0000
50.000000	CTX216-ND	2.35	2.09	1.86	1.59	1.41	MXO45T-50.0000
64.000000	CTX217-ND	3.08	2.73	2.43	2.08	1.84	MXO45T-64.0000
66.666600	CTX218-ND	3.08	2.73	2.43	2.08	1.84	MXO45T-66.6666
80.000000	CTX219-ND	4.95	4.39	3.91	3.34	2.96	MXO45T-80.0000

Frequenz (MHz)	Digi-Key Teilenr.	Stückpreis 1	10	100	250	500	CTS Teilenr.
Taktgeberoszillator in halber Größe mit Standard-Ausgang							
1.000000	CTX150-ND	2.35	2.09	1.59	1.41	1.21	MXO45HS-1.0000
1.843200	CTX151-ND	2.35	2.09	1.59	1.41	1.21	MXO45HS-1.8432
2.000000	CTX152-ND	2.35	2.09	1.59	1.41	1.21	MXO45HS-2.0000
2.457600	CTX153-ND	2.35	2.09	1.59	1.41	1.21	MXO45HS-2.4576
3.686400	CTX154-ND	2.35	2.09	1.59	1.41	1.21	MXO45HS-3.6864
4.000000	CTX155-ND	2.35	2.09	1.59	1.41	1.21	MXO45HS-4.0000
4.915200	CTX156-ND	2.35	2.09	1.59	1.41	1.21	MXO45HS-4.9152
5.000000	CTX157-ND	2.35	2.09	1.59	1.41	1.21	MXO45HS-5.0000
5.068800	CTX158-ND	2.35	2.09	1.59	1.41	1.21	MXO45HS-5.0688
6.000000	CTX159-ND	2.35	2.09	1.59	1.41	1.21	MXO45HS-6.0000
6.144000	CTX160-ND	2.35	2.09	1.59	1.41	1.21	MXO45HS-6.1440
7.372800	CTX161-ND	2.35	2.09	1.59	1.41	1.21	MXO45HS-7.3728
8.000000	CTX162-ND	2.35	2.09	1.59	1.41	1.21	MXO45HS-8.0000
10.000000	CTX163-ND	2.35	2.09	1.59	1.41	1.21	MXO45HS-10.0000
12.000000	CTX164-ND	2.35	2.09	1.59	1.41	1.21	MXO45HS-12.0000
14.318180	CTX165-ND	2.35	2.09	1.59	1.41	1.21	MXO45HS-14.31818
16.000000	CTX166-ND	2.35	2.09	1.59	1.41	1.21	MXO45HS-16.0000
18.432000	CTX167-ND	2.35	2.09	1.59	1.41	1.21	MXO45HS-18.4320
19.660800	CTX168-ND	2.35	2.09	1.59	1.41	1.21	MXO45HS-19.6608
20.000000	CTX169-ND	2.35	2.09	1.59	1.41	1.21	MXO45HS-20.0000
24.000000	CTX170-ND	2.35	2.09	1.59	1.41	1.21	MXO45HS-24.0000
25.000000	CTX171-ND	2.35	2.09	1.59	1.41	1.21	MXO45HS-25.0000
25.175000	CTX172-ND	2.35	2.09	1.59	1.41	1.21	MXO45HS-25.1750
28.322000	CTX173-ND	2.35	2.09	1.59	1.41	1.21	MXO45HS-28.3220
32.000000	CTX174-ND	2.35	2.09	1.59	1.41	1.21	MXO45HS-32.0000
40.000000	CTX175-ND	2.35	2.09	1.59	1.41	1.21	MXO45HS-40.0000
50.000000	CTX176-ND	2.35	2.09	1.59	1.41	1.21	MXO45HS-50.0000
64.000000	CTX177-ND	3.08	2.73	2.08	1.84	1.58	MXO45HS-64.0000
66.666600	CTX178-ND	3.08	2.73	2.08	1.84	1.58	MXO45HS-66.6666
80.000000	CTX179-ND	4.95	4.39	3.34	2.96	2.54	MXO45HS-80.0000
Taktgeberoszillator in halber Größe mit Tri-State Ausgang							
1.000000	CTX180-ND	2.35	2.09	1.59	1.41	1.21	MXO45HST-1.0000
1.843200	CTX181-ND	2.35	2.09	1.59	1.41	1.21	MXO45HST-1.8432
2.000000	CTX182-ND	2.35	2.09	1.59	1.41	1.21	MXO45HST-2.0000
2.457600	CTX183-ND	2.35	2.09	1.59	1.41	1.21	MXO45HST-2.4576
3.686400	CTX184-ND	2.35	2.09	1.59	1.41	1.21	MXO45HST-3.6864
4.000000	CTX185-ND	2.35	2.09	1.59	1.41	1.21	MXO45HST-4.0000
4.915200	CTX186-ND	2.35	2.09	1.59	1.41	1.21	MXO45HST-4.9152
5.000000	CTX187-ND	2.35	2.09	1.59	1.41	1.21	MXO45HST-5.0000
5.068800	CTX188-ND	2.35	2.09	1.59	1.41	1.21	MXO45HST-5.0688
6.000000	CTX189-ND	2.35	2.09	1.59	1.41	1.21	MXO45HST-6.0000
6.144000	CTX190-ND	2.35	2.09	1.59	1.41	1.21	MXO45HST-6.1440
7.372800	CTX191-ND	2.35	2.09	1.59	1.41	1.21	MXO45HST-7.3728
8.000000	CTX192-ND	2.35	2.09	1.59	1.41	1.21	MXO45HST-8.0000
10.000000	CTX193-ND	2.35	2.09	1.59	1.41	1.21	MXO45HST-10.0000
12.000000	CTX194-ND	2.35	2.09	1.59	1.41	1.21	MXO45HST-12.0000
14.318180	CTX195-ND	2.35	2.09	1.59	1.41	1.21	MXO45HST-14.31818
16.000000	CTX196-ND	2.35	2.09	1.59	1.41	1.21	MXO45HST-16.0000
18.432000	CTX197-ND	2.35	2.09	1.59	1.41	1.21	MXO45HST-18.4320
19.660800	CTX198-ND	2.35	2.09	1.59	1.41	1.21	MXO45HST-19.6608
20.000000	CTX199-ND	2.35	2.09	1.59	1.41	1.21	MXO45HST-20.0000
24.000000	CTX250-ND	2.35	2.09	1.59	1.41	1.21	MXO45HST-24.0000
25.000000	CTX251-ND	2.35	2.09	1.59	1.41	1.21	MXO45HST-25.0000
25.175000	CTX252-ND	2.35	2.09	1.59	1.41	1.21	MXO45HST-25.1750
28.322000	CTX253-ND	2.35	2.09	1.59	1.41	1.21	MXO45HST-28.3220
32.000000	CTX254-ND	2.35	2.09	1.59	1.41	1.21	MXO45HST-32.0000
40.000000	CTX255-ND	2.35	2.09	1.59	1.41	1.21	MXO45HST-40.0000
50.000000	CTX256-ND	2.35	2.09	1.59	1.41	1.21	MXO45HST-50.0000
64.000000	CTX257-ND	3.08	2.73	2.08	1.84	1.58	MXO45HST-64.0000
66.666600	CTX258-ND	3.08	2.73	2.08	1.84	1.58	MXO45HST-66.6666
80.000000	CTX259-ND	4.95	4.39	3.34	2.96	2.54	MXO45HST-80.0000

A462-ND	Aries Electronics Inc., volle Größe, 4-Pin Oszillatorensockel	**.47/1**	**9.78/25**	**31.67/100**
A463-ND	Aries Electronics Inc., halbe Größe, 4-Pin Oszillatorensockel	**.47/1**	**9.78/25**	**31.67/100**

Alle Preisangaben in Euro und inklusive Zollgebühren.

CONNOR WINFIELD Timing-Module

MSTM-S3: • Redundante Referenzen • 2 synch. Ausgänge • 30 Sekunden gefilterte Halte-Historie • Betriebsstatusfahnen • Kompatibel mit Raltron TeraSync Produkten

SM3: • 4 Auto-Frequenzreferenz-Eingänge • Erkennt und verbindet sich mit Referenz • Kontinuierliche Referenzqualifikation mit Erkennung von Referenzverlust • 3 CMOS-Ausgänge • SPI-Steuerung, autonomer oder manueller Modus • Nahtlose Referenzumschaltung und Master/Slave-Betrieb

SM3E: • 8 automatisch gewählte Eingangsreferenzen • Phasenausbau • Weniger als 1 ppb anfängliches Halte-Offset • Frequenzqualifikation mit Erkennung von Referenzverlust • Nahtlose Referenzumschaltung und Master/Slave-Betrieb • Manueller /autonomer Betrieb • Bidirektionale SPI-Port-Steuerung und Statusberichte • 3 CMOS-Ausgänge

Hinweis: Paketspezifikationen und weitere Informationen finden Sie in den Datenblättern auf der Digi-Key®-Website

Frequ. (MHz)	Versorgungsspannung (V)	Anwendung	Länge x Breite (Zoll)	Digi-Key Teilenr.	Stückpreis 1	10	100	Connor-Winfield Teilenr.
16.384	5.0	Stratum 3	2 x 2	CW644-ND	333.35	266.68	214.83	MSTM-S3-TR-16.384M
19.440	3.3	Stratum 3	1.45 x 1	CW642-ND	333.35	266.68	214.83	SM3-19.44M
19.440	3.3	Stratum 3E	2.05 x 1.25	CW643-ND	666.70	533.36	429.65	SM3E-19.44M
19.440	5.0	Stratum 3	2 x 2	CW645-ND	333.35	266.68	214.83	MSTM-S3-TR-19.44M

Synchrone Taktgeber

Spezifikationen: • RMS-Jitter 12 kHz-20 MHz: <1 ps • **Eingangstyp:** CMOS • **Montagetyp:** Oberflächenmontage
Hinweis: Paketspezifikationen und weitere Informationen finden Sie in den Datenblättern auf der Digi-Key®-Website

Ausgabetyp	Versorgungsspannung	Länge x Breite (Zoll)	Eingangsfrequenz	Ausgangsfrequenz	Digi-Key Teilenr.	Stückpreis 1	10	100	Connor-Winfield Teilenr.
LVCMOS	3.3V	.83 x .78	8.00kHz x 2	77.76MHz	CW640-ND	133.34	106.68	85.93	SCG2500-77.76M
LVPECL	3.3V	1.07 x 1.04	8.00kHz x 2	155.52MHz	CW641-ND	142.86	114.30	92.07	SCG4500-155.52M
LVPECL	3.3V	1 x .8	19.44MHz	77.76MHz	CW639-ND	104.77	83.82	67.52	SCG102A-77.76M
LVPECL	3.3V	1 x .8	19.44MHz	155.52MHz	CW638-ND	104.77	83.82	67.52	SCG102A-155.52M

C

Taktgeber-Glättungsmodul

Merkmale: • Jitter-glättender PLL unter Verwendung eines VCSO (spannungsgesteuerten SAW-Oszillators) • 1000 mV Spitze-Spitze-Eingangsreferenzsignal • **Jitterübertragung:** Erfüllt OC-192 (Telecordia GR-253) • **Versorgungsspannung:** 3,3 V • **Ausgangsaktivierungsspann.:** 2,275 V (VOH) • **Ausgangsaktivierungsspann.:** 1,68 V (VOL) • **Ausgangslast:** 100 Ω • **Anstiegszeit:** 500 ps • **Abfallzeit:** 500 ps • **Arbeitszyklus:** 45 % ~ 55 % • **Betriebstemperatur:** 0 °C ~ 70 °C • **Lagertemperaturbereich:** -55 °C ~ 125 °C

Hinweis: Vod gemessen mit 100 Ω Widerstand von Q an $\overline{Q}$

Frequenz (MHz)	Digi-Key Teilenr.	Stückpreis 1	10	100	Connor-Winfield Teilenr.
622.08	CW637-ND	76.19	60.96	49.11	CSA21-622.08M

Pin-Funktion	
1	Sperrmonitor
2	Aktivieren/Deaktivieren
3	DS1
4	Erde (Gehäuse)
5	Referenztakteingang
6	DS2
7	Komp.-Ausgang
8	Q-Ausgang
9	Erde (Gehäuse)
10	Vcc

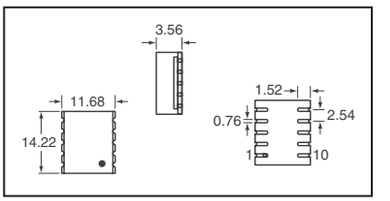

2,5 V und 3,3 V LVPECL SMD Oszillatoren

Spezifikationen: • **Ausgangslast:** 50 Ω • **Arbeitszyklus bei 50 % Vcc:** 45 % ~ 55 % • Ausgang muss in 50 Ω an Vcc-2 V oder ein Thevenin-Äquivalent abschließen • **Abfallzeit:** 1 ns • **Anstiegszeit:** 1 ns

Aktivierungs-/Deaktivierungsfunktion (Pad 1)	Ausgang
Hoch oder Offen	Aktivieren
Niedrig	Deaktivieren (hohe Impedanz)

Pin-Funktion	
1	Aktivieren/Deaktivieren
2	N/C
3	Erde
4	Q-Ausgang
5	$\overline{Q}$-Ausgang
6	Vcc

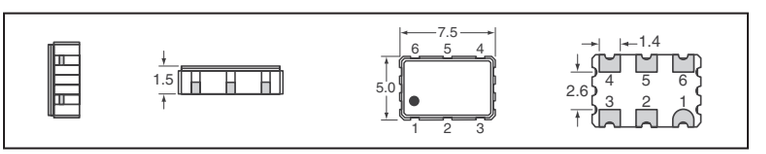

P212, P213, P222 and P223

• **Betriebstemperatur:** -40 °C ~ 85 °C • **Lagertemperaturbereich:** -55 °C ~ 125 °C

Versorgungsspannung	Frequenzstabilität	Frequ. (MHz)	Ausgangsspannung: V (VOH)	Ausgangsspannung: V (VOL)	Digi-Key Teilenr.	Stückpreis 1	10	100	Connor-Winfield Teilenr.
2.5V	±25ppm	100.00	1.475	.88	CW610-ND	22.86	18.29	14.74	P212-100.0M
		125.00	1.475	.88	CW611-ND	22.86	18.29	14.74	P212-125.0M
		155.52	1.475	.88	CW612-ND	23.81	19.05	15.35	P212-155.52M
		156.25	1.475	.88	CW613-ND	23.81	19.05	15.35	P212-156.25M
	±50ppm	100.00	1.475	.88	CW614-ND	20.95	16.77	13.51	P222-100.0M
		125.00	1.475	.88	CW615-ND	20.95	16.77	13.51	P222-125.0M
		155.52	1.475	.88	CW616-ND	21.91	17.53	14.12	P222-155.52M
		156.25	1.475	.88	CW617-ND	21.91	17.53	14.12	P222-156.25M
3.3V	±25ppm	100.00	2.275	1.68	CW602-ND	22.86	18.29	14.74	P213-100.0M
		125.00	2.275	1.68	CW603-ND	22.86	18.29	14.74	P213-125.0M
		155.52	2.275	1.68	CW604-ND	23.81	19.05	15.35	P213-155.52M
		156.25	2.275	1.68	CW605-ND	23.81	19.05	15.35	P213-156.25M
	±50ppm	100.00	2.275	1.68	CW606-ND	20.95	16.77	13.51	P223-100.0M
		125.00	2.275	1.68	CW607-ND	20.95	16.77	13.51	P223-125.0M
		155.52	2.275	1.68	CW608-ND	21.91	17.53	14.12	P223-155.52M
		156.25	2.275	1.68	CW609-ND	21.91	17.53	14.12	P223-156.25M

P122, P123, P142 und P143

• **Betriebstemperatur:** 0 °C ~ 70 °C • **Lagertemperatur:** -40 °C ~ 85 °C

Versorgungsspannung	Frequenzstabilität	Frequ. (MHz)	Ausgangsspannung: V (VOH)	Ausgangsspannung: V (VOL)	Digi-Key Teilenr.	Stückpreis 1	10	100	Connor-Winfield Teilenr.
2.5V	±20ppm	100.00	1.475	.88	CW594-ND	20.95	16.77	13.51	P142-100.00M
		125.00	1.475	.88	CW595-ND	20.95	16.77	13.51	P142-125.0M
		155.52	1.475	.88	CW596-ND	21.91	17.53	14.12	P142-155.52M
		156.25	1.475	.88	CW597-ND	21.91	17.53	14.12	P142-156.25M
	±50ppm	100.00	1.475	.88	CW598-ND	19.05	15.24	12.28	P122-100.0M
		125.00	1.475	.88	CW599-ND	19.05	15.24	12.28	P122-125.0M
		155.52	1.475	.88	CW600-ND	20.01	16.01	12.89	P122-155.52M
		156.25	1.475	.88	CW601-ND	20.01	16.01	12.89	P122-156.25M
3.3V	±20ppm	100.00	2.275	1.68	CW586-ND	20.95	16.77	13.51	P143-100.0M
		125.00	2.275	1.68	CW587-ND	20.95	16.77	13.51	P143-125.0M
		155.52	2.275	1.68	CW588-ND	21.91	17.53	14.12	P143-155.52M
		156.25	2.275	1.68	CW589-ND	21.91	17.53	14.12	P143-156.25M
	±50ppm	100.00	2.275	1.68	CW590-ND	19.05	15.24	12.28	P123-100.0M
		125.00	2.275	1.68	CW591-ND	19.05	15.24	12.28	P123-125.0M
		155.52	2.275	1.68	CW592-ND	20.01	16.01	12.89	P123-155.52M
		156.25	2.275	1.68	CW593-ND	20.01	16.01	12.89	P123-156.25M

3,3 V LVDS SMD Oszillator

Spezifikationen: • **Ausgangsdifferenzialspannung:** Max. 450 mV • **Aktivierungsspannung:** Max. 0,3 Vcc • **Deaktivierungsspannung:** Min. 0,7 Vcc • **Ausgangslast:** 100 Ω • **Arbeitszyklus bei 50 % Vcc:** 45 % ~ 55 % • **Frequenzstabilität:** ±20 ppm • **Betriebstemp.:** 0 °C ~ 70 °C • **Lagertemperaturbereich:** -40 °C ~ 85 °C • **Abfallzeit:** 10 ns • **Anstiegszeit:** 10 ns

Hinweis: Vod gemessen mit 100 Ω Widerstand zwischen dem echten Ausgang und dem Komplementärausgang

Frequenz (MHz)	Digi-Key Teilenr.	Stückpreis 1	10	100	Connor-Winfield Teilenr.
622.08	CW618-ND	54.29	43.44	34.99	X502-622.08M

Pin-Funktion	
1	N/C
2	Aktivieren/Deaktivieren
3	Erde (Gehäuse)
4	Ausgangs-Q
5	Komp.-Ausgang $\overline{Q}$
6	Vcc

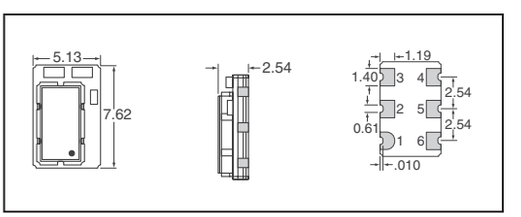

LVCMOS und LVPECL SMD VCXOs

Frequenz (MHz)	Ausgangsspannung: V (VOH)	Ausgangsspannung: V (VOL)	Lastkap.	Abfallzeit (ns)	Anstiegszeit (ns)	Digi-Key Teilenr.	Stückpreis 1	10	100	Connor-Winfield Teilenr.
LVCMOS										
74.1758	2.400	.40	15.0pF	2.0	2.0	CW621-ND	26.67	21.34	17.19	V802-74.1758M
74.2500	2.400	.40	15.0pF	2.0	2.0	CW622-ND	26.67	21.34	17.19	V802-74.25M
100.0000	2.400	.40	15.0pF	2.0	2.0	CW623-ND	28.57	22.86	18.42	V802-100.0M
125.0000	2.400	.40	15.0pF	2.0	2.0	CW624-ND	28.57	22.86	18.42	V802-125.0M
LVPECL - Ausgangslast: 50 Ω										
155.5200	2.275	1.68	—	1.5	1.5	CW625-ND	31.43	25.15	20.26	V702-155.52M
156.2500	2.275	1.68	—	1.5	1.5	CW626-ND	31.43	25.15	20.26	V702-156.25M

Spezifikationen: • **Versorgungsspannung:** 3,3 V • **Absoluter Ziehbereich (±):** 50 ppm • **Arbeitszyklus:** 45 % ~ 55 % • **Betriebstemperatur:** 0 °C ~ 70 °C • **Lagertemperatur:** -40 °C ~ 85 °C

Hinweis: Pinanordnungen und Ausgangsmerkmale finden Sie in den Datenblättern auf der Digi-Key®-Website

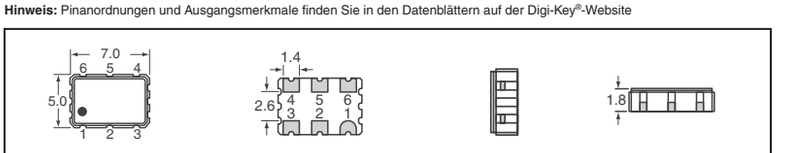

Alle Preisangaben in Euro und inklusive Zollgebühren.

Serie CWX HCMOS SMD Oszillatoren

Aktivierungs-/Deaktivierungsfunktion	Ausgang
Pin 1 offen	Pin 3 aktiv
Pin 1 ⩾ 2,2 V	Pin 3 aktiv
Pin 1 ⩽ 2,2 V	Pin 3 hohe Impedanz

Pad	Verbindung
1	Aktivieren/Deaktivieren
2	Erde
3	Ausgang
4	Vcc

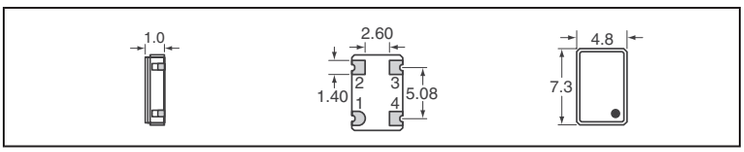

CWX813 und CWX823

Spezifikationen: • Arbeitszyklus bei 50 % Vcc: 40 % ~ 60 % **• Betriebstemperatur:** -20 °C ~ 70 °C **• Lagertemperatur:** -55 °C ~ 125 °C **• Ausgangsstrom:** -8 mA IOH **• Ausgangsstrom:** 8 mA IOL **• Nutzlast:** 15 pF **• Ausgangsspannung:** 2,97 V (VOH) **• Ausgangsspannung:** 0,33 V (VOL) **• Versorgungsspannung:** 3,3 V **• Startzeit:** 10 ms

Frequenz (MHz)	Digi-Key Teilenr.	Gurtabschnittspreis pro Stück 1	10	100	Digi-Key Teilenr.	Tape & Reel Pricing* 1.000	Connor-Winfield Teilenr.
				±25ppm			
1.5440	CW510CT-ND	2.38	1.99	1.59	CW510TR-ND	1188.63	CWX813-1.544M
1.8432	CW511CT-ND	2.38	1.99	1.59	CW511TR-ND	1188.63	CWX813-1.8432M
3.6864	CW512CT-ND	2.38	1.99	1.59	CW512TR-ND	1188.63	CWX813-3.6864M
4.0000	CW513CT-ND	2.38	1.99	1.59	CW513TR-ND	1188.63	CWX813-4.0M
7.3728	CW514CT-ND	2.38	1.99	1.59	CW514TR-ND	1188.63	CWX813-7.3728M
8.0000	CW515CT-ND	2.38	1.99	1.59	CW515TR-ND	1188.63	CWX813-8.0M
10.0000	CW516CT-ND	2.38	1.99	1.59	CW516TR-ND	1188.63	CWX813-10.0M
12.0000	CW517CT-ND	2.38	1.99	1.59	CW517TR-ND	1188.63	CWX813-12.0M
12.2880	CW518CT-ND	2.38	1.99	1.59	CW518TR-ND	1188.63	CWX813-12.288M
14.3182	CW519CT-ND	2.38	1.99	1.59	CW519TR-ND	1188.63	CWX813-14.31818M
15.3600	CW520CT-ND	2.38	1.99	1.59	CW520TR-ND	1188.63	CWX813-15.36M
16.0000	CW521CT-ND	2.38	1.99	1.59	CW521TR-ND	1188.63	CWX813-16.0M
16.3840	CW522CT-ND	2.38	1.99	1.59	CW522TR-ND	1188.63	CWX813-16.384M
18.4320	CW523CT-ND	2.38	1.99	1.59	CW523TR-ND	1188.63	CWX813-18.432M
19.4400	CW524CT-ND	2.38	1.99	1.59	CW524TR-ND	1188.63	CWX813-19.44M
20.0000	CW525CT-ND	2.38	1.99	1.59	CW525TR-ND	1188.63	CWX813-20.0M
20.4800	CW526CT-ND	2.38	1.99	1.59	CW526TR-ND	1188.63	CWX813-20.48M
24.0000	CW527CT-ND	2.38	1.99	1.59	CW527TR-ND	1188.63	CWX813-24.0M
24.5760	CW528CT-ND	2.38	1.99	1.59	CW528TR-ND	1188.63	CWX813-24.576M
25.0000	CW529CT-ND	2.38	1.99	1.59	CW529TR-ND	1188.63	CWX813-25.0M
27.0000	CW530CT-ND	2.38	1.99	1.59	CW530TR-ND	1188.63	CWX813-27.0M
29.4912	CW531CT-ND	2.38	1.99	1.59	CW531TR-ND	1188.63	CWX813-29.4912M
30.0000	CW532CT-ND	2.38	1.99	1.59	CW532TR-ND	1188.63	CWX813-30.0M
32.0000	CW533CT-ND	2.38	1.99	1.59	CW533TR-ND	1188.63	CWX813-32.0M
32.7680	CW534CT-ND	2.38	1.99	1.59	CW534TR-ND	1188.63	CWX813-32.768M
33.0000	CW535CT-ND	2.38	1.99	1.59	CW535TR-ND	1188.63	CWX813-33.0M
33.3330	CW536CT-ND	2.38	1.99	1.59	CW536TR-ND	1188.63	CWX813-33.333M
40.0000	CW537CT-ND	2.38	1.99	1.59	CW537TR-ND	1188.63	CWX813-40.0M
44.7360	CW538CT-ND	2.38	1.99	1.59	CW538TR-ND	1188.63	CWX813-44.736M
45.0000	CW539CT-ND	2.38	1.99	1.59	CW539TR-ND	1188.63	CWX813-45.0M
49.1520	CW540CT-ND	2.38	1.99	1.59	CW540TR-ND	1188.63	CWX813-49.152M
50.0000	CW541CT-ND	2.38	1.99	1.59	CW541TR-ND	1188.63	CWX813-50.0M
60.0000	CW542CT-ND	2.38	1.99	1.59	CW542TR-ND	1188.63	CWX813-60.0M
64.0000	CW543CT-ND	2.72	2.27	1.82	CW543TR-ND	1360.06	CWX813-64.0M
66.6666	CW544CT-ND	2.72	2.27	1.82	CW544TR-ND	1360.06	CWX813-66.6666M
72.0000	CW545CT-ND	2.72	2.27	1.82	CW545TR-ND	1360.06	CWX813-72.0M
80.0000	CW546CT-ND	2.72	2.27	1.82	CW546TR-ND	1360.06	CWX813-80.0M
100.0000	CW547CT-ND	3.32	2.77	2.21	CW547TR-ND	1657.22	CWX813-100.0M
				±50ppm			
1.5440	CW431CT-ND	1.80	1.51	1.21	CW431TR-ND	902.90	CWX823-1.544M
1.8432	CW432CT-ND	1.80	1.51	1.21	CW432TR-ND	902.90	CWX823-1.8432M
3.6864	CW433CT-ND	1.80	1.51	1.21	CW433TR-ND	902.90	CWX823-3.6864M
4.0000	CW434CT-ND	1.80	1.51	1.21	CW434TR-ND	902.90	CWX823-4.0M
7.3728	CW435CT-ND	1.80	1.51	1.21	CW435TR-ND	902.90	CWX823-7.3728M
8.0000	CW436CT-ND	1.80	1.51	1.21	CW436TR-ND	902.90	CWX823-8.0M
10.0000	CW437CT-ND	1.80	1.51	1.21	CW437TR-ND	902.90	CWX823-10.0M
12.0000	CW438CT-ND	1.80	1.51	1.21	CW438TR-ND	902.90	CWX823-12.0M
12.2880	CW439CT-ND	1.80	1.51	1.21	CW439TR-ND	902.90	CWX823-12.288M
14.3182	CW440CT-ND	1.80	1.51	1.21	CW440TR-ND	902.90	CWX823-14.31818M
15.3600	CW441CT-ND	1.80	1.51	1.21	CW441TR-ND	902.90	CWX823-15.36M
16.0000	CW442CT-ND	1.80	1.51	1.21	CW442TR-ND	902.90	CWX823-16.0M
16.3840	CW443CT-ND	1.80	1.51	1.21	CW443TR-ND	902.90	CWX823-16.384M
18.4320	CW444CT-ND	1.80	1.51	1.21	CW444TR-ND	902.90	CWX823-18.432M
19.4400	CW445CT-ND	1.80	1.51	1.21	CW445TR-ND	902.90	CWX823-19.44M
20.0000	CW446CT-ND	1.80	1.51	1.21	CW446TR-ND	902.90	CWX823-20.0M
20.4800	CW447CT-ND	1.80	1.51	1.21	CW447TR-ND	902.90	CWX823-20.48M
24.0000	CW448CT-ND	1.80	1.51	1.21	CW448TR-ND	902.90	CWX823-24.0M
24.5760	CW449CT-ND	1.80	1.51	1.21	CW449TR-ND	902.90	CWX823-24.576M
25.0000	CW450CT-ND	1.80	1.51	1.21	CW450TR-ND	902.90	CWX823-25.0M
27.0000	CW451CT-ND	1.80	1.51	1.21	CW451TR-ND	902.90	CWX823-27.0M
29.4912	CW452CT-ND	1.80	1.51	1.21	CW452TR-ND	902.90	CWX823-29.4912M
30.0000	CW453CT-ND	1.80	1.51	1.21	CW453TR-ND	902.90	CWX823-30.0M
32.0000	CW454CT-ND	1.80	1.51	1.21	CW454TR-ND	902.90	CWX823-32.0M
32.7680	CW455CT-ND	1.80	1.51	1.21	CW455TR-ND	902.90	CWX823-32.768M
33.0000	CW456CT-ND	1.80	1.51	1.21	CW456TR-ND	902.90	CWX823-33.0M
33.3330	CW457CT-ND	1.80	1.51	1.21	CW457TR-ND	902.90	CWX823-33.333M
40.0000	CW458CT-ND	1.80	1.51	1.21	CW458TR-ND	902.90	CWX823-40.0M
44.7360	CW459CT-ND	1.80	1.51	1.21	CW459TR-ND	902.90	CWX823-44.736M
45.0000	CW460CT-ND	1.80	1.51	1.21	CW460TR-ND	902.90	CWX823-45.0M
49.1520	CW461CT-ND	1.80	1.51	1.21	CW461TR-ND	902.90	CWX823-49.152M
50.0000	CW462CT-ND	1.80	1.51	1.21	CW462TR-ND	902.90	CWX823-50.0M
60.0000	CW463CT-ND	1.80	1.51	1.21	CW463TR-ND	902.90	CWX823-60.0M
64.0000	CW464CT-ND	2.03	1.70	1.36	CW464TR-ND	1017.19	CWX823-64.0M
66.6666	CW465CT-ND	2.03	1.70	1.36	CW465TR-ND	1017.19	CWX823-66.6666M
72.0000	CW466CT-ND	2.03	1.70	1.36	CW466TR-ND	1017.19	CWX823-72.0M
80.0000	CW467CT-ND	2.03	1.70	1.36	CW467TR-ND	1017.19	CWX823-80.0M
100.0000	CW468CT-ND	2.63	2.20	1.76	CW468TR-ND	1314.35	CWX823-100.0M
125.0000	CW469CT-ND	5.03	4.20	3.36	CW469TR-ND	2514.40	CWX823-125.0M
156.2500	CW470CT-ND	9.72	8.10	6.48	CW470TR-ND	4857.37	CWX823-156.25M

CWX815 und CWX825

Spezifikationen: • Arbeitszyklus bei 50 % Vcc: 40 % ~ 60 % **• Betriebstemperatur:** -20 °C ~ 70 °C **• Lagertemperatur:** -55 °C ~ 125 °C **• Ausgangsstrom:** -8 mA IOH **• Ausgangsstrom:** 8 mA IOL **• Nutzlast:** 50 pF **• Ausgangsaktivierungsspannung:** 4,50 V (VOH) **• Ausgangsaktivierungsspannung:** 0,40 V (VOL) **• Versorgungsspannung:** 5 V **• Startzeit:** 10 ms

Frequenz (MHz)	Digi-Key Teilenr.	Gurtabschnittspreis pro Stück 1	10	100	Digi-Key Teilenr.	Tape & Reel Pricing* 1.000	Connor-Winfield Teilenr.
				±25ppm			
1.5440	CW548CT-ND	2.38	1.99	1.59	CW548TR-ND	1188.63	CWX815-1.544M
1.8432	CW549CT-ND	2.38	1.99	1.59	CW549TR-ND	1188.63	CWX815-1.8432M
3.6864	CW550CT-ND	2.38	1.99	1.59	CW550TR-ND	1188.63	CWX815-3.6864M
4.0000	CW551CT-ND	2.38	1.99	1.59	CW551TR-ND	1188.63	CWX815-4.0M
7.3728	CW552CT-ND	2.38	1.99	1.59	CW552TR-ND	1188.63	CWX815-7.3728M
8.0000	CW553CT-ND	2.38	1.99	1.59	CW553TR-ND	1188.63	CWX815-8.0M
10.0000	CW554CT-ND	2.38	1.99	1.59	CW554TR-ND	1188.63	CWX815-10.0M
12.0000	CW555CT-ND	2.38	1.99	1.59	CW555TR-ND	1188.63	CWX815-12.0M
12.2880	CW556CT-ND	2.38	1.99	1.59	CW556TR-ND	1188.63	CWX815-12.288M
14.3182	CW557CT-ND	2.38	1.99	1.59	CW557TR-ND	1188.63	CWX815-14.31818M
15.3600	CW558CT-ND	2.38	1.99	1.59	CW558TR-ND	1188.63	CWX815-15.36M
16.0000	CW559CT-ND	2.38	1.99	1.59	CW559TR-ND	1188.63	CWX815-16.0M
16.3840	CW560CT-ND	2.38	1.99	1.59	CW560TR-ND	1188.63	CWX815-16.384M
18.4320	CW561CT-ND	2.38	1.99	1.59	CW561TR-ND	1188.63	CWX815-18.432M
19.4400	CW562CT-ND	2.38	1.99	1.59	CW562TR-ND	1188.63	CWX815-19.44M
20.0000	CW563CT-ND	2.38	1.99	1.59	CW563TR-ND	1188.63	CWX815-20.0M
20.4800	CW564CT-ND	2.38	1.99	1.59	CW564TR-ND	1188.63	CWX815-20.48M
24.0000	CW565CT-ND	2.38	1.99	1.59	CW565TR-ND	1188.63	CWX815-24.0M
24.5760	CW566CT-ND	2.38	1.99	1.59	CW566TR-ND	1188.63	CWX815-24.576M
25.0000	CW567CT-ND	2.38	1.99	1.59	CW567TR-ND	1188.63	CWX815-25.0M
27.0000	CW568CT-ND	2.38	1.99	1.59	CW568TR-ND	1188.63	CWX815-27.0M
29.4912	CW569CT-ND	2.38	1.99	1.59	CW569TR-ND	1188.63	CWX815-29.4912M
30.0000	CW570CT-ND	2.38	1.99	1.59	CW570TR-ND	1188.63	CWX815-30.0M
32.0000	CW571CT-ND	2.38	1.99	1.59	CW571TR-ND	1188.63	CWX815-32.0M
32.7680	CW572CT-ND	2.38	1.99	1.59	CW572TR-ND	1188.63	CWX815-32.768M
33.0000	CW573CT-ND	2.38	1.99	1.59	CW573TR-ND	1188.63	CWX815-33.0M
33.3330	CW574CT-ND	2.38	1.99	1.59	CW574TR-ND	1188.63	CWX815-33.333M
40.0000	CW575CT-ND	2.38	1.99	1.59	CW575TR-ND	1188.63	CWX815-40.0M
44.7360	CW576CT-ND	2.38	1.99	1.59	CW576TR-ND	1188.63	CWX815-44.736M
45.0000	CW577CT-ND	2.38	1.99	1.59	CW577TR-ND	1188.63	CWX815-45.0M
49.1520	CW578CT-ND	2.38	1.99	1.59	CW578TR-ND	1188.63	CWX815-49.152M
50.0000	CW579CT-ND	2.38	1.99	1.59	CW579TR-ND	1188.63	CWX815-50.0M
60.0000	CW580CT-ND	2.38	1.99	1.59	CW580TR-ND	1188.63	CWX815-60.0M
64.0000	CW581CT-ND	2.72	2.27	1.82	CW581TR-ND	1360.06	CWX815-64.0M
66.6666	CW582CT-ND	2.72	2.27	1.82	CW582TR-ND	1360.06	CWX815-66.6666M
72.0000	CW583CT-ND	2.72	2.27	1.82	CW583TR-ND	1360.06	CWX815-72.0M
80.0000	CW584CT-ND	2.72	2.27	1.82	CW584TR-ND	1360.06	CWX815-80.0M
100.0000	CW585CT-ND	3.32	2.77	2.21	CW585TR-ND	1657.22	CWX815-100.0M
				±50ppm			
1.5440	CW471CT-ND	1.80	1.51	1.21	CW471TR-ND	902.90	CWX825-1.544M
1.8432	CW472CT-ND	1.80	1.51	1.21	CW472TR-ND	902.90	CWX825-1.8432M
3.6864	CW473CT-ND	1.80	1.51	1.21	CW473TR-ND	902.90	CWX825-3.6864M
4.0000	CW474CT-ND	1.80	1.51	1.21	CW474TR-ND	902.90	CWX825-4.0M
7.3728	CW475CT-ND	1.80	1.51	1.21	CW475TR-ND	902.90	CWX825-7.3728M
8.0000	CW476CT-ND	1.80	1.51	1.21	CW476TR-ND	902.90	CWX825-8.0M
10.0000	CW477CT-ND	1.80	1.51	1.21	CW477TR-ND	902.90	CWX825-10.0M
12.0000	CW478CT-ND	1.80	1.51	1.21	CW478TR-ND	902.90	CWX825-12.0M
12.2880	CW479CT-ND	1.80	1.51	1.21	CW479TR-ND	902.90	CWX825-12.288M
14.3182	CW480CT-ND	1.80	1.51	1.21	CW480TR-ND	902.90	CWX825-14.31818M
15.3600	CW481CT-ND	1.80	1.51	1.21	CW481TR-ND	902.90	CWX825-15.36M
16.0000	CW482CT-ND	1.80	1.51	1.21	CW482TR-ND	902.90	CWX825-16.0M
16.3840	CW483CT-ND	1.80	1.51	1.21	CW483TR-ND	902.90	CWX825-16.384M
18.4320	CW484CT-ND	1.80	1.51	1.21	CW484TR-ND	902.90	CWX825-18.432M
19.4400	CW485CT-ND	1.80	1.51	1.21	CW485TR-ND	902.90	CWX825-19.44M
20.0000	CW486CT-ND	1.80	1.51	1.21	CW486TR-ND	902.90	CWX825-20.0M
20.4800	CW487CT-ND	1.80	1.51	1.21	CW487TR-ND	902.90	CWX825-20.48M
24.0000	CW488CT-ND	1.80	1.51	1.21	CW488TR-ND	902.90	CWX825-24.0M
24.5760	CW489CT-ND	1.80	1.51	1.21	CW489TR-ND	902.90	CWX825-24.576M
25.0000	CW490CT-ND	1.80	1.51	1.21	CW490TR-ND	902.90	CWX825-25.0M
27.0000	CW491CT-ND	1.80	1.51	1.21	CW491TR-ND	902.90	CWX825-27.0M
29.4912	CW492CT-ND	1.80	1.51	1.21	CW492TR-ND	902.90	CWX825-29.4912M
30.0000	CW493CT-ND	1.80	1.51	1.21	CW493TR-ND	902.90	CWX825-30.0M
32.0000	CW494CT-ND	1.80	1.51	1.21	CW494TR-ND	902.90	CWX825-32.0M
33.0000	CW495CT-ND	1.80	1.51	1.21	CW495TR-ND	902.90	CWX825-33.0M
33.3330	CW496CT-ND	1.80	1.51	1.21	CW496TR-ND	902.90	CWX825-33.333M
40.0000	CW497CT-ND	1.80	1.51	1.21	CW497TR-ND	902.90	CWX825-40.0M
44.7360	CW498CT-ND	1.80	1.51	1.21	CW498TR-ND	902.90	CWX825-44.736M
45.0000	CW499CT-ND	1.80	1.51	1.21	CW499TR-ND	902.90	CWX825-45.0M
49.1520	CW500CT-ND	1.80	1.51	1.21	CW500TR-ND	902.90	CWX825-49.152M
50.0000	CW501CT-ND	1.80	1.51	1.21	CW501TR-ND	902.90	CWX825-50.0M
60.0000	CW502CT-ND	1.80	1.51	1.21	CW502TR-ND	902.90	CWX825-60.0M
64.0000	CW503CT-ND	2.03	1.70	1.36	CW503TR-ND	1017.19	CWX825-64.0M
66.6666	CW504CT-ND	2.03	1.70	1.36	CW504TR-ND	1017.19	CWX825-66.6666M
72.0000	CW505CT-ND	2.03	1.70	1.36	CW505TR-ND	1017.19	CWX825-72.0M
80.0000	CW506CT-ND	2.03	1.70	1.36	CW506TR-ND	1017.19	CWX825-80.0M
100.0000	CW507CT-ND	2.63	2.20	1.76	CW507TR-ND	1314.35	CWX825-100.0M
125.0000	CW508CT-ND	5.03	4.20	3.36	CW508TR-ND	2514.40	CWX825-125.0M
156.2500	CW509CT-ND	9.72	8.10	6.48	CW509TR-ND	4857.37	CWX825-156.25M

* Preisangaben für Gegurtet auf Rolle

C

Oszillatoren zur Oberflächenmontage

Serie HSM92 - HSM93: • **Frequenzstabilität:** HSM92: ±50 ppm; HSM93: ±100 ppm • **Temperaturbereich:** 0 °C ~ 70 °C • **Wellenform:** HCMOS Rechteckspannung, Tri-State • **Ausgang: Voh:** Min. 4,5 V; **Vol:** Max. 0,5 V • **Strom: Ioh:** 16 mA; **Iol:** 16 mA • **Anstiegs-/Abfallzeit:** Max. 7 ns • **Arbeitszyklus:** Max. 45/55 • **Startzeit:** Max. 10 ms • **Versorgungsspannung:** +5 V DC ±10 % • **Aktivierungs-/Deakt.-Zeit:** Max. 100 ns • **Ausgangslast:** 50 pF

Serie HSM 536: • **Frequenzstabilität:** ±100 ppm • **Temperaturbereich:** 0 °C ~ 70 °C • **Wellenform:** HCMOS Rechteckwelle • **Ausgang: Voh:** Min. 4,5 V; **Vol:** Max. 0,5 V • **Anstiegs-/Abfallzeit:** Max. 7 ns • **Arbeitszyklus:** 50/50 % ± 10 % • **Startzeit:** Max. 10 ms • **Versorgungsspannung:** +5 V DC ±10 % • **Ausgangslast:** 50 pF

Abb. 1

Pin-Verbindung	
1	Aktivieren
2	Erde
3	Ausgang
4	Vdd

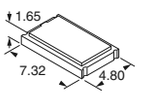

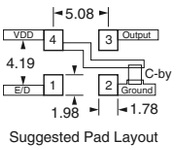

Suggested Pad Layout

Abb. 2

Pin-Verbindung	
1	Aktivieren
2	Erde
3	Ausgang
4	Vdd

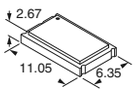

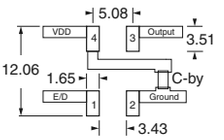

Suggested Pad Layout

Abb.	Frequenz (MHz)	Digi-Key Teilenr.	Stückpreis 1	10	100	500	Connor-Winfield Teilenr.
1	4.9152	CW301-ND	9.83	8.20	6.56	5.28	HSM93-4.9152
	8.0000	CW302-ND	9.83	8.20	6.56	5.28	HSM93-8.0000
	10.0000	CW303-ND	9.83	8.20	6.56	5.28	HSM93-10.0000
	16.0000	CW304-ND	9.83	8.20	6.56	5.28	HSM93-16.0000
	20.0000	CW305-ND	9.83	8.20	6.56	5.28	HSM93-20.0000
	25.0000	CW306-ND	9.83	8.20	6.56	5.28	HSM93-25.0000
	29.4912	CW341-ND	10.29	8.58	6.86	5.53	HSM92-29.4912
	32.0000	CW307-ND	9.83	8.20	6.56	5.28	HSM93-32.0000
	40.0000	CW308-ND	9.83	8.20	6.56	5.28	HSM93-40.0000
	44.2368	CW342-ND	10.29	8.58	6.86	5.53	HSM92-44.2368
	50.0000	CW309-ND	9.83	8.20	6.56	5.28	HSM93-50.0000
	60.0000	CW310-ND	11.20	9.34	7.47	6.02	HSM93-60.0000
2	8.0000	CW320-ND	9.14	7.62	6.10	4.92	HSM536-8.0000
	10.0000	CW321-ND	9.14	7.62	6.10	4.92	HSM536-10.0000
	18.4320	CW322-ND	9.14	7.62	6.10	4.92	HSM536-18.4320
	20.0000	CW323-ND	9.14	7.62	6.10	4.92	HSM536-20.0000
	25.0000	CW324-ND	9.14	7.62	6.10	4.92	HSM536-25.0000
	32.0000	CW325-ND	9.14	7.62	6.10	4.92	HSM536-32.0000
	40.0000	CW326-ND	9.14	7.62	6.10	4.92	HSM536-40.0000
	50.0000	CW327-ND	9.14	7.62	6.10	4.92	HSM536-50.0000
	60.0000	CW328-ND	9.37	7.81	6.25	5.04	HSM536-60.0000
	64.0000	CW329-ND	9.37	7.81	6.25	5.04	HSM536-64.0000
	66.6666	CW330-ND	9.37	7.81	6.25	5.04	HSM536-66.6666

3,3 V HCMOS SMD TCXO

Spezifikationen: • **Arbeitszyklus bei 50 % Vcc:** 45 % ~ 55 % • **Versorgungsspannung:** 3,3 V • **Frequenzstabilität:** ±4,6 ppm • **Ausgangsspannung:** 2 V (VOH) ~ 0,4 V (VOL) • **Nutzlast:** 15 pF • **Anstiegszeit:** 5 ns • **Abfallzeit:** 5 ns • **Betriebstemperatur:** 0 °C ~ 70 °C • **Lagertemperatur:** -40 °C ~ 85 °C

Pin-Verbindung	
1	N/C
2	N/C
3	Erde
4	Ausgang
5	N/C
6	Vcc

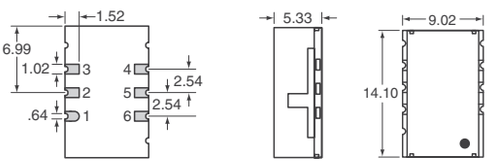

Frequ. (MHz)	Digi-Key Teilenr.	Stückpreis 1	10	100	Connor-Winfield Teilenr.
12.8	CW619-ND	41.91	33.53	27.01	TFLD546-12.8M
20.0	CW620-ND	41.91	33.53	27.01	TFLD546-20.0M

3,3 V und 5 V HCMOS OCXO

Montage-typ	Frequ. (MHz)	Versorgungs-spannung (V)	Frequenz-stabilität	Digi-Key Teilenr.	Stückpreis 1	10	100	Connor-Winfield Teilenr.
Ober-flächenmon-tage	10.00	3.3	±0.25ppm	CW627-ND	95.24	76.20	61.38	ASOF3S3-10.0M
	10.00	3.3	±10ppb	CW634-ND	171.44	137.15	110.49	BSOF3S3E-10.0M
	10.00	5.0	±20ppb	CW635-ND	180.96	144.77	116.62	OFC5DJ3BS-10.0M
	12.80	3.3	±0.25ppm	CW628-ND	95.24	76.20	61.38	ASOF3S3-12.8M
	12.80	5.0	±0.25ppm	CW630-ND	95.24	76.20	61.38	ASOF5S3-12.8M
	19.44	5.0	±0.25ppm	CW631-ND	95.24	76.20	61.38	ASOF5S3-19.44M
	20.00	3.3	±0.25ppm	CW629-ND	95.24	76.20	61.38	ASOF3S3-20.0M
	20.00	5.0	±20ppb	CW636-ND	180.96	144.77	116.62	OFC5DJ3BS-20.0M
Durchgangs-loch	10.00	5.0	±0.25ppm	CW632-ND	114.29	91.44	73.66	DGOF5S3-10.0M
	20.00	5.0	±0.25ppm	CW633-ND	114.29	91.44	73.66	DGOF5S3-20.0M

Hinweis: Paketspezifikationen und weitere Informationen finden Sie in den Datenblättern auf der Digi-Key®-Website

Kristalle zur Oberflächenmontage

Spezifikationen: • **Temperaturstabilität:** ± 50 ppm • **Frequenztoleranz:** ±0,50 ppm @ 25 °C • **Betriebstemperatur:** -10 °C ~ 65 °C • **Antriebs-Level:** 1 mW typisch

Abb. 1

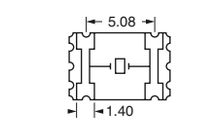

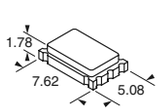

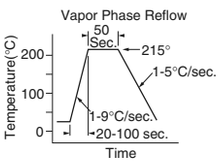

Abb. 2

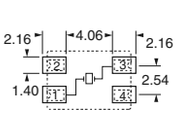

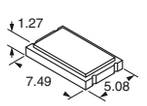

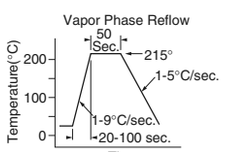

Abb.	Frequenz (MHz)	Last-kap.	Digi-Key Teilenr.	Stückpreis 1	10	100	500	Connor-Winfield Teilenr.
1	10.0000	16pF	CW401-ND	4.00	3.34	2.67	2.15	XL-1C-10.0000
	12.0000	16pF	CW402-ND	4.00	3.34	2.67	2.15	XL-1C-12.0000
	16.0000	16pF	CW403-ND	4.00	3.34	2.67	2.15	XL-1C-16.0000
	18.4320	16pF	CW404-ND	4.00	3.34	2.67	2.15	XL-1C-18.4320
	20.0000	16pF	CW405-ND	4.00	3.34	2.67	2.15	XL-1C-20.0000
	29.4912	16pF	CW407-ND	4.69	3.91	3.13	2.52	XL-1C-29.4912
	40.0000	Serie	CW408-ND	4.34	3.62	2.90	2.34	XL-1C-40.0000
	44.2368	Serie	CW409-ND	4.34	3.62	2.90	2.34	XL-1C-44.2368
	50.0000	Serie	CW410-ND	4.34	3.62	2.90	2.34	XL-1C-50.0000
2	10.0000	16pF	CW421-ND	6.63	5.53	4.42	3.56	XM-1-10.0000
	12.0000	16pF	CW422-ND	6.63	5.53	4.42	3.56	XM-1-12.0000
	16.0000	16pF	CW423-ND	6.63	5.53	4.42	3.56	XM-1-16.0000
	18.4320	16pF	CW424-ND	6.63	5.53	4.42	3.56	XM-1-18.4320
	20.0000	16pF	CW425-ND	6.63	5.53	4.42	3.56	XM-1-20.0000
	29.4912	Serie	CW427-ND	7.89	6.58	5.26	4.24	XM-1-29.4912
	40.0000	Serie	CW428-ND	7.20	6.01	4.81	3.87	XM-1-40.0000
	44.2368	Serie	CW429-ND	7.20	6.01	4.81	3.87	XM-1-44.2368
	50.0000	Serie	CW430-ND	7.20	6.01	4.81	3.87	XM-1-50.0000

Taktgeberoszillatoren (SMD)

Aktivieren/Deaktivieren	
Pin Nr. 1	Pin Nr. 3
„H" oder Offen	Oszillation
„L"	Hohe Impedanz oder Oszillationsstop*

*Serie K50-HC schließt keinen Oszillationsstop ein

Pin-Verbindung	
1	Steuerung
2	Gehäuseerde
3	Ausgang
4	+Vcc

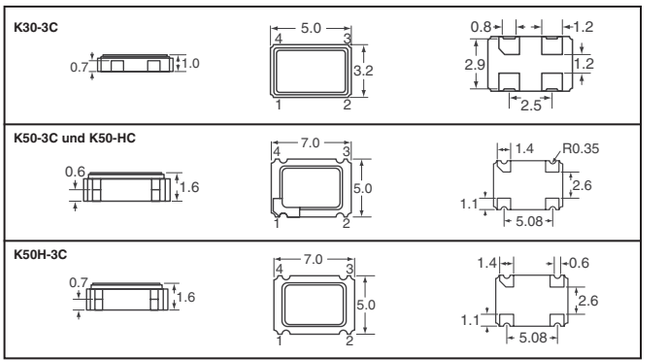

Spezifikationen: • Betriebstemperatur: -10 °C ~ 70 °C **• Lagertemperaturbereich:** -55 °C ~ 125 °C
Serie K30-3C: • Äußerst zuverlässiges Mini-SMD-Keramikpaket • Frequenztoleranz: ±50 ppm • Tri-State Ausgangsunterdrückung • Geringer Stromverbrauch • Versorgungsstrom: Max. 25 mA • Anstiegs-/Abfallzeit: Max. 10 ns • Nutzlast: Max. 15 pF

Serie K50-3C: • Äußerst zuverlässiges Mini-SMD-Keramikpaket • Frequenztoleranz: ±50 ppm • Tri-State Ausgangsunterdrückung • Versorgungsstrom: Max. 25 mA • Anstiegs-/Abfallzeit: Max. 10 ns • Nutzlast: Max. 15 pF

Serie K50-HC: • Äußerst zuverlässiges Mini-SMD-Keramikpaket • Frequenztoleranz: ±50 ppm • Tri-State Ausgangsunterdrückung • Versorgungsstrom: Max. 50 mA • Anstiegs-/Abfallzeit: Max. 10 ns • Nutzlast: Max. 50 pF

Serie K50H-3 C • Sonderdesignpaket für HF-Anwendungen • Frequenztoleranz: ±50 ppm • Tri-State Ausgangsunterdrückung • Weniger Jitter • Versorgungsstrom: Max. 60 mA • Anstiegs-/Abfallzeit: Max. 10 ns • Nutzlast: Max. 15 pF

Modell/Serie	Frequenz (MHz)	Versorgungs-spannung (V)	Digi-Key Teilenr.	Gurtabschnittspreis pro Stück 1	10	100	500	Digi-Key Teilenr.	Tape & Reel Pricing* 1.000	AVX Teilenr.
K30-3C	14.31818	3.3	478-2094-1-ND	2.54	2.29	1.91	1.53	478-2094-2-ND	1269.90	K30-3C0SE14.31818MR
	16.00000	3.3	478-2095-1-ND	2.54	2.29	1.91	1.53	478-2095-2-ND	1269.90	K30-3C0SE16.0000MR
	20.00000	3.3	478-2096-1-ND	2.54	2.29	1.91	1.53	478-2096-2-ND	1269.90	K30-3C0SE20.0000MR
	24.57600	3.3	478-2097-1-ND	2.54	2.29	1.91	1.53	478-2097-2-ND	1269.90	K30-3C0SE24.5760MR
	25.00000	3.3	478-2098-1-ND	2.54	2.29	1.91	1.53	478-2098-2-ND	1269.90	K30-3C0SE25.0000MR
	27.00000	3.3	478-2099-1-ND	2.54	2.29	1.91	1.53	478-2099-2-ND	1269.90	K30-3C0SE27.0000MR
	29.49890	3.3	478-2100-1-ND	2.54	2.29	1.91	1.53	478-2100-2-ND	1269.90	K30-3C0SE29.4989MR
	40.00000	3.3	478-2101-1-ND	2.54	2.29	1.91	1.53	478-2101-2-ND	1269.90	K30-3C0SE40.0000MR
	50.00000	3.3	478-2102-1-ND	2.54	2.29	1.91	1.53	478-2102-2-ND	1269.90	K30-3C0SE50.0000MR
	60.00000	3.3	478-2103-1-ND	2.54	2.29	1.91	1.53	478-2103-2-ND	1269.90	K30-3C0SE60.0000MR
	64.00000	3.3	478-2104-1-ND	2.54	2.29	1.91	1.53	478-2104-2-ND	1269.90	K30-3C0SE64.0000MR
	66.66670	3.3	478-2105-1-ND	2.54	2.29	1.91	1.53	478-2105-2-ND	1269.90	K30-3C0SE66.6667MR
K50-3C	14.31818	3.3	478-2084-1-ND	2.54	2.29	1.91	1.53	478-2084-2-ND	1269.90	K50-3C0SE14.31818MR
	16.00000	3.3	478-2085-1-ND	2.54	2.29	1.91	1.53	478-2085-2-ND	1269.90	K50-3C0SE16.0000MR
	24.57600	3.3	478-2086-1-ND	2.54	2.29	1.91	1.53	478-2086-2-ND	1269.90	K50-3C0SE24.5760MR
	25.00000	3.3	478-2087-1-ND	2.54	2.29	1.91	1.53	478-2087-2-ND	1269.90	K50-3C0SE25.0000MR
	29.49890	3.3	478-2088-1-ND	2.54	2.29	1.91	1.53	478-2088-2-ND	1269.90	K50-3C0SE29.4989MR
	40.00000	3.3	478-2089-1-ND	2.54	2.29	1.91	1.53	478-2089-2-ND	1269.90	K50-3C0SE40.0000MR
	50.00000	3.3	478-2090-1-ND	2.54	2.29	1.91	1.53	478-2090-2-ND	1269.90	K50-3C0SE50.0000MR
	66.66670	3.3	478-2091-1-ND	2.54	2.29	1.91	1.53	478-2091-2-ND	1269.90	K50-3C0SE66.6667MR
K50-HC	1.84320	5.0	478-2066-1-ND	2.54	2.29	1.91	1.53	478-2066-2-ND	1269.90	K50-HC0CSE1.8432MR
	3.68640	5.0	478-2067-1-ND	2.54	2.29	1.91	1.53	478-2067-2-ND	1269.90	K50-HC0CSE3.6864MR
	8.00000	5.0	478-2068-1-ND	2.54	2.29	1.91	1.53	478-2068-2-ND	1269.90	K50-HC0CSE8.0000MR
	14.31818	5.0	478-2069-1-ND	2.54	2.29	1.91	1.53	478-2069-2-ND	1269.90	K50-HC0CSE14.31818MR
	16.00000	5.0	478-2071-1-ND	2.54	2.29	1.91	1.53	478-2071-2-ND	1269.90	K50-HC0CSE16.0000MR
	20.00000	5.0	478-2072-1-ND	2.54	2.29	1.91	1.53	478-2072-2-ND	1269.90	K50-HC0CSE20.0000MR
	24.00000	5.0	478-2073-1-ND	2.54	2.29	1.91	1.53	478-2073-2-ND	1269.90	K50-HC0CSE24.0000MR
	24.57600	5.0	478-2074-1-ND	2.54	2.29	1.91	1.53	478-2074-2-ND	1269.90	K50-HC0CSE24.5760MR
	25.00000	5.0	478-2075-1-ND	2.54	2.29	1.91	1.53	478-2075-2-ND	1269.90	K50-HC0CSE25.0000MR
	27.00000	5.0	478-2076-1-ND	4.44	4.00	3.34	2.67	478-2076-2-ND	2222.33	K50-HC0CSE27.0000MR
	28.63630	5.0	478-2077-1-ND	2.54	2.29	1.91	1.53	478-2077-2-ND	1269.90	K50-HC0CSE28.6363MR
	29.49890	5.0	478-2078-1-ND	2.54	2.29	1.91	1.53	478-2078-2-ND	1269.90	K50-HC0CSE29.4989MR
	40.00000	5.0	478-2079-1-ND	2.54	2.29	1.91	1.53	478-2079-2-ND	1269.90	K50-HC0CSE40.0000MR
	48.00000	5.0	478-2080-1-ND	2.54	2.29	1.91	1.53	478-2080-2-ND	1269.90	K50-HC0CSE48.0000MR
	49.15200	5.0	478-2081-1-ND	2.54	2.29	1.91	1.53	478-2081-2-ND	1269.90	K50-HC0CSE49.1520MR
	50.00000	5.0	478-2082-1-ND	2.54	2.29	1.91	1.53	478-2082-2-ND	1269.90	K50-HC0CSE50.0000MR
	66.66670	5.0	478-2083-1-ND	2.54	2.29	1.91	1.53	478-2083-2-ND	1269.90	K50-HC0CSE66.6667MR
K50H-3C	106.25000	3.3	478-2092-1-ND	5.08	4.58	3.81	3.05	478-2092-2-ND	2539.80	K50H-3C0-SE106.250MR
	125.00000	3.3	478-2093-1-ND	5.08	4.58	3.81	3.05	478-2093-2-ND	2539.80	K50H-3C0-SE125.000MR

* Preisangaben für Gegurtet auf Rolle

ECS INC. INTERNATIONAL Serie ECS-300C - Doppelausgangsoszillator

Elektrische Eigenschaften:
• Frequenztoleranz: ±0,01 % **• Betriebstemperatur:** -10 °C ~ 70 °C **• Lagertemperatur:** -55 °C ~ 125 °C **• Betriebsspannung:** 5 V **• Versorgungsstrom:** 20 mA **• Ausgangslast CMOS:** 15 pF **• Ausgangsspannung:** 4,5 V (VOH) **• Ausgangsspannung:** 0,5 V (VOL) **• Ausgangssymmetrie:** 40 % ~ 60 % **• Anstiegszeit CMOS:** 15 ns **• Abfallzeit CMOS:** 15 ns **• Startzeit:** 2 ms

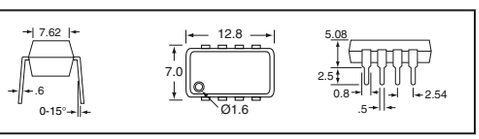

EINSTELLEN DER AUSGANGSTRENNUNG					
Eingang				Ausgang	
Auswahl				F (Originalfrequenz)	D (geteilte Wellenform)
C	B	A	ST		
X	X	X	L	L	L
L	L	L	H	fo Taktsignaltreiber	fo 1/2 Taktgeber
L	L	H	H	fo Taktsignaltreiber	fo $1/2^2$ Taktgeber
L	H	L	H	fo Taktsignaltreiber	fo $1/2^3$ Taktgeber
L	H	H	H	fo Taktsignaltreiber	fo $1/2^4$ Taktgeber
H	L	L	H	fo Taktsignaltreiber	fo $1/2^5$ Taktgeber
H	L	H	H	fo Taktsignaltreiber	fo $1/2^6$ Taktgeber
H	H	L	H	fo Taktsignaltreiber	fo $1/2^7$ Taktgeber
H	H	H	H	fo Taktsignaltreiber	fo $1/2^8$ Taktgeber

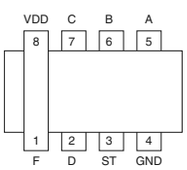

Pin-Verbindung	
1	Ausgang
2	Teilverhältnis
3	Standby
4	ERDE
5	A (Programmierung)
6	B (Programmierung)
7	C (Programmierung)
8	VDD (5V)

Frequenz (MHz)	Digi-Key Teilenr.	Stückpreis 1	10	100	500	ECS Teilenr.
12.000000	XC301-ND	4.53	3.78	3.02	2.44	ECS-300C-120
12.288000	XC302-ND	4.53	3.78	3.02	2.44	ECS-300C-122.8
12.800000	XC303-ND	4.53	3.78	3.02	2.44	ECS-300C-128
14.318180	XC304-ND	4.53	3.78	3.02	2.44	ECS-300C-143
14.745600	XC305-ND	4.53	3.78	3.02	2.44	ECS-300C-147.4
15.974400	XC306-ND	4.53	3.78	3.02	2.44	ECS-300C-159.7
16.000000	XC307-ND	4.53	3.78	3.02	2.44	ECS-300C-160
16.384000	XC308-ND	4.53	3.78	3.02	2.44	ECS-300C-163.8
17.734476	XC309-ND	4.53	3.78	3.02	2.44	ECS-300C-177.3
18.432000	XC310-ND	4.53	3.78	3.02	2.44	ECS-300C-184
19.660800	XC311-ND	4.53	3.78	3.02	2.44	ECS-300C-196.6
20.000000	XC312-ND	4.53	3.78	3.02	2.44	ECS-300C-200
24.000000	XC313-ND	4.53	3.78	3.02	2.44	ECS-300C-240

Serie ECS-327SMO SMD Taktgeberoszillatoren

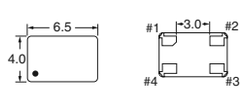

Paketstärke: 2,0 mm

Pin-Verbindung	
1	NC
2	Erde
3	Ausgang
4	Vcc

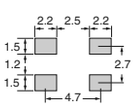

Spezifikationen: • Frequenzstabilität: Min. -60 ppm, max. +30 ppm @ -10 °C ~ 60 °C; min. -140 ppm, max. +30 ppm @ -40 °C ~ 85 °C **• „0" Level: Max.** Vcc x 0,1 V **• „1" Level: Min.** Vcc x 0,9 V **• Betriebstemperatur:** -40 °C ~ 85 °C **• Ausgangslast CMOS:** 15 pF **• Lagertemperatur:** -40 °C ~ 85 °C **• Versorgungsspannung:** 3,3 V DC **• Versorgungsstrom:** 15 µA **• Ausgangssymmetrie:** 40 % ~ 60 % **• Anstiegszeit CMOS:** 200 ns **• Abfallzeit CMOS:** 200 ns

Frequenz (kHz)	Digi-Key Teilenr.	Gurtabschnittspreis pro Stück 1	10	100	Digi-Key Teilenr.	Tape & Reel Pricing* 2.000	ECS Teilenr.
32.768	XC777CT-ND	5.71	4.67	4.15	XC777TR-ND	2903.84/M	ECS-327SMO-TR

* Preisangaben für Gegurtet auf Rolle

Taktgeberoszillatoren, halbe Größe

Elektrische Eigenschaften:

- **Frequenzstabilität:** Max. ± 50 ppm
- **Versorgungsspannung:** Min. 4,5 V; max. 5,5 V
- **Eingangsstrom:** 4,000 ~ 25,000 MHz: 25 mA; 25,000 ~ 50,000 MHz: 46 mA; 50,000 ~ 80,000 MHz: 77 mA
- **Ausgangssymmetrie @ 2,5 V:** 4,000 ~ 80,000 MHz: Min. 45 %, max. 55 %
- **Betriebstemperatur:** -10 °C ~ 70 °C
- **Lagertemperatur:** -55 °C ~ 125 °C
- **Anstiegszeit (0,5 V ~ 4,5 V):** 5 ns
- **Abfallzeit (4,5 V ~ 0,5 V):** 5 ns
- **Ausgangsspannung (4,000 ~ 80,000 MHz) :** IOL: 16 mA; max. 0,5 V; IOH: -16 mA, min. 4,5 V
- **Ausgangsstrom (4,000 ~ 80,000MHz):** VOL: 0,5 V; max. 16 mA; VOH: 4,5 V: Max. -16 mA
- **Ausgangslast:** TTL: Max. 10 TTL; HCMOS: 50 pF
- **Startzeit:** (4,000 ~ 80,000 MH): 10 ms
- **Ausgangsaktivierungs-/Deakt.-Zeit:** 100 ns

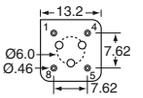

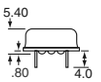

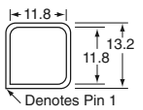

Pin-Verbindung	
1	Aktivieren/Deaktivieren
4	ERDE (Gehäuse)
5	Ausgang
8	'+5 V DC

Aktivierungs-/Deaktivierungsfunktion	
INH (Pin 1)	Ausgang (Pin 5)
Offen*	Aktiv
1' Level Vih ⩾ 2,2 V	Aktiv
0' Level Vil ⩽ 0,8 V	Hohes Z

* Ein interner Hochziehwiderstand von Pin 1 an Pin 8 lässt einen aktiven Ausgang zu, wenn Pin 1 offen gelassen wird

Frequenz (MHz)	Digi-Key Teilenr.	Stückpreis 1	10	100	500	ECS Teilenr.
4.00000	XC259-ND	2.23	2.01	1.61	1.43	ECS-2200B-040
4.91520	XC260-ND	2.23	2.01	1.61	1.43	ECS-2200B-049
6.00000	XC261-ND	2.23	2.01	1.61	1.43	ECS-2200B-060
6.14400	XC262-ND	2.23	2.01	1.61	1.43	ECS-2200B-061
7.37280	XC263-ND	2.23	2.01	1.61	1.43	ECS-2200B-073
8.00000	XC264-ND	2.23	2.01	1.61	1.43	ECS-2200B-080
9.21600	XC265-ND	2.23	2.01	1.61	1.43	ECS-2200B-092.1
9.83040	XC266-ND	2.23	2.01	1.61	1.43	ECS-2200B-098
10.00000	XC267-ND	2.23	2.01	1.61	1.43	ECS-2200B-100
11.05920	XC268-ND	2.23	2.01	1.61	1.43	ECS-2200B-110
12.00000	XC269-ND	2.23	2.01	1.61	1.43	ECS-2200B-120
14.31818	XC270-ND	2.23	2.01	1.61	1.43	ECS-2200B-143
16.00000	XC271-ND	2.23	2.01	1.61	1.43	ECS-2200B-160
18.43200	XC272-ND	2.23	2.01	1.61	1.43	ECS-2200B-184
19.66080	XC273-ND	2.23	2.01	1.61	1.43	ECS-2200B-196
20.00000	XC274-ND	2.23	2.01	1.61	1.43	ECS-2200B-200
24.00000	XC275-ND	2.23	2.01	1.61	1.43	ECS-2200B-240
25.00000	XC276-ND	2.23	2.01	1.61	1.43	ECS-2200B-250
28.32200	XC277-ND	2.23	2.01	1.61	1.43	ECS-2200B-283
32.00000	XC278-ND	2.23	2.01	1.61	1.43	ECS-2200B-320
40.00000	XC279-ND	2.23	2.01	1.61	1.43	ECS-2200B-400
48.00000	XC280-ND	2.23	2.01	1.61	1.43	ECS-2200B-480
50.00000	XC281-ND	2.23	2.01	1.61	1.43	ECS-2200B-500
66.66600	XC282-ND	2.23	2.01	1.61	1.43	ECS-2200B-666
80.00000	XC283-ND	2.23	2.01	1.61	1.43	ECS-2200B-800

C

TTL-Taktgeberoszillatoren in voller Größe

Elektrische Eigenschaften:

- **Frequenzstabilität:** Max. ±100 ppm
- **Versorgungsspannung:** Min. 4,5 V; max. 5,5 V
- **Eingangsstrom:** 1,000 ~ 8,000 MHz: 15 mA; 8,000 ~ 24,000 MHz: 30 mA; 24,000 ~ 66,666 MHz: 70 mA
- **Ausgangssymmetrie @ 1,4 V:** 1,000 ~ 8,000 MHz: Min. 45 %, max. 55 %; 8,000 ~ 66,666 MHz: Min. 40 %, max. 60 %
- **Betriebstemperatur:** 0 °C ~ 70 °C
- **Lagertemperatur:** -55 °C ~ 125 °C
- **Anstiegszeit:** 1,000 ~ 25,000 MHz @ 0,4 V ~ 2,4 V: 10 ns; 25,000 ~ 66,666 MHz @ 0,5 V ~ 2,4 V: 5 ns
- **Abfallzeit:** 1,000 ~ 25,000 MHz @ 0,4 V ~ 2,4 V: 10 ns; 25,000 ~ 66,666 MHz @ 0,5 V ~ 2,4 V: 5 ns
- **Ausgangsspannung (IOL = 20 mA):** 1,000 ~ 25,000 MHz: Max. 0,4 V; 25,000 ~ 66,666 MHz: Max. 0,5 V
- **Ausgangsspannung (IOH = 1 mA):** Min. 2,4 V
- **Ausgangsstrom:** VOL = 0,5 V: Max. 16 mA; VOH = 2,4 V: Max. -4 mA
- **Ausgangslast TTL:** Max. 10 TTL
- **Startzeit:** 1,000 ~ 3,500 MHz: 20 mS; 3,500 ~ 4,000 MHz: 35 mS; 4,000 ~ 6,000 MHz: 30 mS; 6,000 ~ 20,000 MHz: 20 mS; 20,000 ~ 66,666 MHz: 15 mS

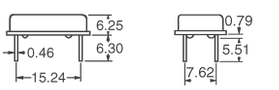

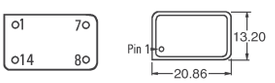

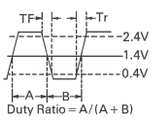

Pin-Verbindung	
1	NC
7	ERDE/Gehäuse ERDE
8	Ausgang
14	+5 V DC

Frequenz (MHz)	Digi-Key Teilenr.	Stückpreis 1	10	100	500	ECS Teilenr.
1.000000	X101-ND	1.59	1.43	1.15	1.02	ECS-100A-010
1.228800	X102-ND	1.59	1.43	1.15	1.02	ECS-100A-012.2
1.843200	X103-ND	1.59	1.43	1.15	1.02	ECS-100A-018
2.000000	X104-ND	1.59	1.43	1.15	1.02	ECS-100A-020
2.457600	X105-ND	1.59	1.43	1.15	1.02	ECS-100A-024
3.579545	XC227-ND	1.59	1.43	1.15	1.02	ECS-100A-035
3.686400	X106-ND	1.59	1.43	1.15	1.02	ECS-100A-036
4.000000	X107-ND	1.59	1.43	1.15	1.02	ECS-100A-040
4.915200	X108-ND	1.59	1.43	1.15	1.02	ECS-100A-049
5.000000	X109-ND	1.59	1.43	1.15	1.02	ECS-100A-050
5.068800	X110-ND	1.59	1.43	1.15	1.02	ECS-100A-051
6.000000	X111-ND	1.59	1.43	1.15	1.02	ECS-100A-060
6.144000	X122-ND	1.59	1.43	1.15	1.02	ECS-100A-061
7.372800	X123-ND	1.59	1.43	1.15	1.02	ECS-100A-073
8.000000	X112-ND	1.59	1.43	1.15	1.02	ECS-100A-080
9.216000	X113-ND	1.59	1.43	1.15	1.02	ECS-100A-092.1
9.830400	X124-ND	1.59	1.43	1.15	1.02	ECS-100A-098.3
10.000000	X114-ND	1.59	1.43	1.15	1.02	ECS-100A-100
11.059200	X125-ND	1.59	1.43	1.15	1.02	ECS-100A-110.5
12.000000	X126-ND	1.59	1.43	1.15	1.02	ECS-100A-120
14.318180	X115-ND	1.59	1.43	1.15	1.02	ECS-100A-143
14.745600	X127-ND	1.59	1.43	1.15	1.02	ECS-100A-147.4
16.000000	X116-ND	1.59	1.43	1.15	1.02	ECS-100A-160
16.257000	X128-ND	1.59	1.43	1.15	1.02	ECS-100A-162.5
18.000000	X117-ND	1.59	1.43	1.15	1.02	ECS-100A-180
18.432000	X118-ND	1.59	1.43	1.15	1.02	ECS-100A-184
19.660800	XC314-ND	1.59	1.43	1.15	1.02	ECS-100A-196.6
20.000000	X119-ND	1.59	1.43	1.15	1.02	ECS-100A-200
24.000000	X129-ND	1.59	1.43	1.15	1.02	ECS-100A-240
25.000000	XC315-ND	1.59	1.43	1.15	1.02	ECS-100A-250
25.175000	X130-ND	1.59	1.43	1.15	1.02	ECS-100A-251.7
28.322000	X131-ND	1.59	1.43	1.15	1.02	ECS-100A-283.2
30.000000	XC316-ND	1.59	1.43	1.15	1.02	ECS-100A-300
32.000000	X132-ND	1.59	1.43	1.15	1.02	ECS-100A-320
32.514000	X133-ND	1.59	1.43	1.15	1.02	ECS-100A-325.1
35.000000	X134-ND	1.59	1.43	1.15	1.02	ECS-100A-350
40.000000	X120-ND	1.59	1.43	1.15	1.02	ECS-100A-400
48.000000	X135-ND	1.59	1.43	1.15	1.02	ECS-100A-480
50.000000	X121-ND	1.59	1.43	1.15	1.02	ECS-100A-500
64.000000	X136-ND	1.59	1.43	1.15	1.02	ECS-100A-640
66.666000	XC228-ND	1.59	1.43	1.15	1.02	ECS-100A-666

A462-ND Aries Electronics Inc., volle Größe, 4-Pin Oszillatorensockel..... **.47/1** **9.78/25** **31.67/100**

A463-ND Aries Electronics Inc., halbe Größe, 4-Pin Oszillatorensockel ..... **.47/1** **9.78/25** **31.67/100**

TTL Taktgeberoszillatoren, halbe Größe

Elektrische Eigenschaften:

- **Frequenzstabilität:** Max. ±100 ppm
- **Versorgungsspannung:** Min. 4,5 V; max. 5,5 V
- **Eingangsstrom:** 1,000 ~ 25,000 MHz: 25 mA; 25,000 ~ 50,000 MHz: 46 mA; 50,000 ~ 66,666 MHz: 77 mA
- **Ausgangssymmetrie @ 2,5 V:** 1,000 ~ 66,666 MHz: Min. 45 %, max. 55 %
- **Betriebstemperatur:** 0 °C ~ 70 °C
- **Lagertemperatur:** -55 °C ~ 125 °C
- **Anstiegszeit (0,5 V ~ 4,5 V):** 5 ns
- **Abfallzeit (4,5 V ~ 0,5 V):** 5 ns
- **Ausgangsspannung:** IOL: 16 mA: Max. 0,5V;IOH: -16 mA: Min. 4,5 V
- **Ausgangsstrom:** VOL: Max., 0,5 V, 16 mA; VOH: 4,5 V, max. -16 mA
- **Ausgangslast:** TTL: Max. 10 TTL; HCMOS: 50 pf
- **Startzeit:** 10 ms

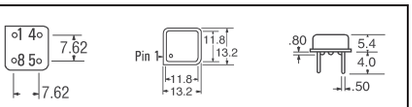

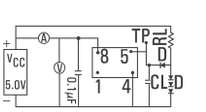

Pin-Verbindung	
1	NC
4	ERDE
5	Ausgang
8	Vcc

RL = 400 Ω
D = Schaltdiode 1N448
CL = max. 15 pF

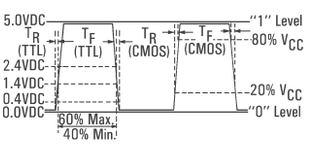

Frequenz (MHz)	Digi-Key Teilenr.	Stückpreis 1	10	100	500	ECS Teilenr.
1.000000	XC229-ND	1.80	1.62	1.30	1.16	ECS-2100A-010
1.228800	XC230-ND	1.80	1.62	1.30	1.16	ECS-2100A-012.2
1.843200	XC231-ND	1.80	1.62	1.30	1.16	ECS-2100A-018
2.000000	XC232-ND	1.80	1.62	1.30	1.16	ECS-2100A-020
2.457600	XC233-ND	1.80	1.62	1.30	1.16	ECS-2100A-024
3.579545	XC235-ND	1.80	1.62	1.30	1.16	ECS-2100A-035
3.686400	XC234-ND	1.80	1.62	1.30	1.16	ECS-2100A-036
4.000000	X202-ND	1.80	1.62	1.30	1.16	ECS-2100A-040
4.915200	XC236-ND	1.80	1.62	1.30	1.16	ECS-2100A-049
5.000000	XC237-ND	1.80	1.62	1.30	1.16	ECS-2100A-050
5.068800	XC238-ND	1.80	1.62	1.30	1.16	ECS-2100A-051
6.000000	XC239-ND	1.80	1.62	1.30	1.16	ECS-2100A-060
6.144000	XC240-ND	1.80	1.62	1.30	1.16	ECS-2100A-061
7.372800	X208-ND	1.80	1.62	1.30	1.16	ECS-2100A-073.2
8.000000	X209-ND	1.80	1.62	1.30	1.16	ECS-2100A-080
9.216000	XC241-ND	1.80	1.62	1.30	1.16	ECS-2100A-092.1
9.830400	XC242-ND	1.80	1.62	1.30	1.16	ECS-2100A-098.3
10.000000	XC243-ND	1.80	1.62	1.30	1.16	ECS-2100A-100
11.059200	XC244-ND	1.80	1.62	1.30	1.16	ECS-2100A-110.5
12.000000	XC245-ND	1.80	1.62	1.30	1.16	ECS-2100A-120
14.318180	XC246-ND	1.80	1.62	1.30	1.16	ECS-2100A-143
14.745600	XC247-ND	1.80	1.62	1.30	1.16	ECS-2100A-147.4
16.000000	X216-ND	1.80	1.62	1.30	1.16	ECS-2100A-160
16.257000	XC248-ND	1.80	1.62	1.30	1.16	ECS-2100A-162.5
18.000000	XC249-ND	1.80	1.62	1.30	1.16	ECS-2100A-180
18.432000	XC250-ND	1.80	1.62	1.30	1.16	ECS-2100A-184
19.660800	XC251-ND	1.80	1.62	1.30	1.16	ECS-2100A-196.6
20.000000	X220-ND	1.80	1.62	1.30	1.16	ECS-2100A-200
24.000000	X221-ND	1.80	1.62	1.30	1.16	ECS-2100A-240
25.000000	XC252-ND	1.80	1.62	1.30	1.16	ECS-2100A-250
25.175000	X222-ND	1.80	1.62	1.30	1.16	ECS-2100A-251.7
28.322000	X223-ND	1.80	1.62	1.30	1.16	ECS-2100A-283.2
30.000000	XC253-ND	1.80	1.62	1.30	1.16	ECS-2100A-300
32.000000	XC254-ND	1.80	1.62	1.30	1.16	ECS-2100A-320
32.514000	X224-ND	1.80	1.62	1.30	1.16	ECS-2100A-325.1
35.000000	XC255-ND	1.80	1.62	1.30	1.16	ECS-2100A-350
40.000000	X225-ND	1.80	1.62	1.30	1.16	ECS-2100A-400
48.000000	XC256-ND	1.80	1.62	1.30	1.16	ECS-2100A-480
50.000000	X226-ND	1.80	1.62	1.30	1.16	ECS-2100A-500
64.000000	XC257-ND	1.80	1.62	1.30	1.16	ECS-2100A-640
66.666000	XC258-ND	1.80	1.62	1.30	1.16	ECS-2100A-666

Alle Preisangaben in Euro und inklusive Zollgebühren.

ECS INC. INTERNATIONAL

Oszillatoren zur Oberflächen-montage

Anmerkungen:

• Frequenzstabilität für die Serien ECS-3953C, ECS-3953M, ECS-3951C und ECS-3951M inklusive 25 °C Toleranz, Betriebstemperaturbereich, Eingangsspannungsänderung, Laständerung, Alterung, Stoßeinwirkung und Vibration

• Für die Aktivierungs-/Deaktivierungsfunktion in den Serien ECS-3953C, ECS-3953M, ECS-3951C und ECS-3951M lässt ein interner Hochziehwiderstand von Pin 1 an Pin 4 einen aktiven Ausgang zu, wenn Pin 1 offen gelassen wird. Ein 0,01 µF Bypass-Kondensator muss zwischen (V) DD (Pin 4) und ERDE (Pin 2) platziert werden, um das Geräusch der Stromversorgungsleitung zu minimieren.

Spezifikationen:

- **Aktivierungs-/Deakt.-Zeit:** Max. 100 ns
- **Ausgangssymmetrie:** 40 % ~ 60 %
- **Lagertemperaturbereich:** -55 °C ~ 125 °C
- **Ausgangsstrom (IOL) VOL=0,5/0,33 V (IOH) VOL=4,5 V/2,97 V:** 4 mA IOL; -4 mA IOH

Serie	Eingangsstrom	Anstiegs- und Abfallzeit
ECS-3951C	1,8432 - 20 MHz - max. 10 mA 33 MHz -max. 15 mA 40-65 MHz - max. 30 mA 66,666 MHz - max. 50 mA	10nS
ECS-3951M	1,8432 - 332 MHz - max. 20 mA 40-66,666 MHz - max. 55 mA	Bis zu 66,666 MHz - 15 ns 80,000 MHz - 5 ns
ECS-3951M-BN	1,8-36 MHz - max. 20 mA 36,1-70 MHz - max. 55 mA 70,1-100 MHz - max. 60 mA 100,1-125 MHz - max. 65 mA	1,8-70 MHz - 15 ns 70,1-125 MHz - 5 ns
ECS-3953C	20-32 MHz - max. 8 mA 32-50 MHz - max. 12 mA 66,666-80 MHz - max. 30 mA	15 ns
ECS-3953M	1.8432 - 32 MHz - max. 15 mA 40-66,666 MHz - max. 25 mA 80 MHz - max. 30 mA	5 ns
ECS-3953M-BN	1,8-36 MHz - max. 15 mA 36,1-70 MHz - max. 25 mA 70,1-100 MHz - max. 30 mA 100,1-125 MHz - max. 35 mA	15 ns

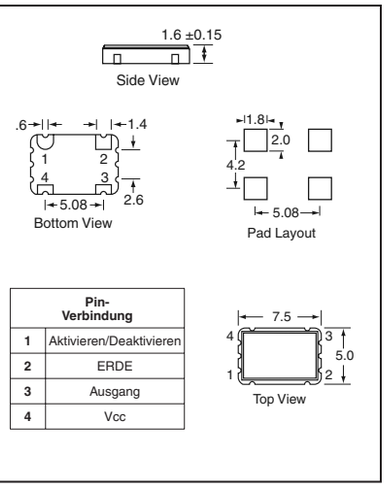

Pin-Verbindung	
1	Aktivieren/Deaktivieren
2	ERDE
3	Ausgang
4	Vcc

C

Frequenz (MHz)	Versorgungs-spannung (V)	Betriebstem-peratur	Frequenz-toleranz	Ausgangs-last HCMOS	Digi-Key Teilenr.	Gurtabschnittspreis pro Stück 1	10	100	500	Digi-Key Teilenr.	Preisangaben für Gegurtet auf Rolle 1.000	ECS Teilenr.
ECS-3951C												
1.843200	5.0	0°C ~ 70°C	±100ppm	30pF	XC653CT-ND	4.44	4.00	3.34	2.67	XC653TR-ND	2222.33	ECS-3951C-018-TR
3.686400	5.0	0°C ~ 70°C	±100ppm	30pF	XC654CT-ND	4.44	4.00	3.34	2.67	XC654TR-ND	2222.33	ECS-3951C-036-TR
12.000000	5.0	0°C ~ 70°C	±100ppm	30pF	XC655CT-ND	4.44	4.00	3.34	2.67	XC655TR-ND	2222.33	ECS-3951C-120-TR
16.000000	5.0	0°C ~ 70°C	±100ppm	30pF	XC656CT-ND	4.44	4.00	3.34	2.67	XC656TR-ND	2222.33	ECS-3951C-160-TR
20.000000	5.0	0°C ~ 70°C	±100ppm	30pF	XC657CT-ND	4.44	4.00	3.34	2.67	XC657TR-ND	2222.33	ECS-3951C-200-TR
33.000000	5.0	0°C ~ 70°C	±100ppm	30pF	XC658CT-ND	4.44	4.00	3.34	2.67	XC658TR-ND	2222.33	ECS-3951C-330-TR
40.000000	5.0	0°C ~ 70°C	±100ppm	30pF	XC659CT-ND	4.44	4.00	3.34	2.67	XC659TR-ND	2222.33	ECS-3951C-400-TR
50.000000	5.0	0°C ~ 70°C	±100ppm	30pF	XC660CT-ND	4.44	4.00	3.34	2.67	XC660TR-ND	2222.33	ECS-3951C-500-TR
65.000000	5.0	0°C ~ 70°C	±100ppm	30pF	XC661CT-ND	4.44	4.00	3.34	2.67	XC661TR-ND	2222.33	ECS-3951C-650-TR
66.666000	5.0	0°C ~ 70°C	±100ppm	30pF	XC662CT-ND	4.44	4.00	3.34	2.67	XC662TR-ND	2222.33	ECS-3951C-666-TR
ECS-3951M												
1.843200	5.0	-10°C ~ 70°C	±50ppm	30pF	XC780CT-ND	4.44	4.00	3.34	2.67	XC780TR-ND	2222.33	ECS-3951M-018-B-TR
3.686400	5.0	-10°C ~ 70°C	±50ppm	30pF	XC781CT-ND	4.44	4.00	3.34	2.67	XC781TR-ND	2222.33	ECS-3951M-036-B-TR
12.000000	5.0	-10°C ~ 70°C	±50ppm	30pF	XC782CT-ND	4.44	4.00	3.34	2.67	XC782TR-ND	2222.33	ECS-3951M-120-B-TR
16.000000	5.0	-10°C ~ 70°C	±50ppm	30pF	XC783CT-ND	4.44	4.00	3.34	2.67	XC783TR-ND	2222.33	ECS-3951M-160-B-TR
20.000000	5.0	-10°C ~ 70°C	±50ppm	30pF	XC784CT-ND	4.44	4.00	3.34	2.67	XC784TR-ND	2222.33	ECS-3951M-200-B-TR
33.000000	5.0	-10°C ~ 70°C	±50ppm	30pF	XC785CT-ND	4.44	4.00	3.34	2.67	XC785TR-ND	2222.33	ECS-3951M-330-B-TR
40.000000	5.0	-10°C ~ 70°C	±50ppm	30pF	XC786CT-ND	4.44	4.00	3.34	2.67	XC786TR-ND	2222.33	ECS-3951M-400-B-TR
50.000000	5.0	-10°C ~ 70°C	±50ppm	30pF	XC787CT-ND	4.44	4.00	3.34	2.67	XC787TR-ND	2222.33	ECS-3951M-500-B-TR
65.000000	5.0	-10°C ~ 70°C	±50ppm	30pF	XC788CT-ND	4.44	4.00	3.34	2.67	XC788TR-ND	2222.33	ECS-3951M-650-B-TR
66.666000	5.0	-10°C ~ 70°C	±50ppm	30pF	XC789CT-ND	4.44	4.00	3.34	2.67	XC789TR-ND	2222.33	ECS-3951M-666-B-TR
ECS-3951M mit erweitertem Temperaturbereich												
1.843200	5.0	-40°C ~ 85°C	±50ppm	30pF	XC291CT-ND	4.70	4.23	3.53	2.82	XC291TR-ND	2349.32	ECS-3951M-018-BN-TR
3.579545	5.0	-40°C ~ 85°C	±50ppm	30pF	XC292CT-ND	4.70	4.23	3.53	2.82	XC292TR-ND	2349.32	ECS-3951M-035-BN-TR
3.686400	5.0	-40°C ~ 85°C	±50ppm	30pF	XC293CT-ND	4.70	4.23	3.53	2.82	XC293TR-ND	2349.32	ECS-3951M-036-BN-TR
4.000000	5.0	-40°C ~ 85°C	±50ppm	30pF	XC294CT-ND	4.70	4.23	3.53	2.82	XC294TR-ND	2349.32	ECS-3951M-040-BN-TR
8.000000	5.0	-40°C ~ 85°C	±50ppm	30pF	XC295CT-ND	4.70	4.23	3.53	2.82	XC295TR-ND	2349.32	ECS-3951M-080-BN-TR
10.000000	5.0	-40°C ~ 85°C	±50ppm	30pF	XC296CT-ND	4.70	4.23	3.53	2.82	XC296TR-ND	2349.32	ECS-3951M-100-BN-TR
12.000000	5.0	-40°C ~ 85°C	±50ppm	30pF	XC297CT-ND	4.70	4.23	3.53	2.82	XC297TR-ND	2349.32	ECS-3951M-120-BN-TR
16.000000	5.0	-40°C ~ 85°C	±50ppm	30pF	XC298CT-ND	4.70	4.23	3.53	2.82	XC298TR-ND	2349.32	ECS-3951M-160-BN-TR
20.000000	5.0	-40°C ~ 85°C	±50ppm	30pF	XC299CT-ND	4.70	4.23	3.53	2.82	XC299TR-ND	2349.32	ECS-3951M-200-BN-TR
24.000000	5.0	-40°C ~ 85°C	±50ppm	30pF	XC300CT-ND	4.70	4.23	3.53	2.82	XC300TR-ND	2349.32	ECS-3951M-240-BN-TR
25.000000	5.0	-40°C ~ 85°C	±50ppm	30pF	XC321CT-ND	4.70	4.23	3.53	2.82	XC321TR-ND	2349.32	ECS-3951M-250-BN-TR
32.000000	5.0	-40°C ~ 85°C	±50ppm	30pF	XC322CT-ND	4.70	4.23	3.53	2.82	XC322TR-ND	2349.32	ECS-3951M-320-BN-TR
40.000000	5.0	-40°C ~ 85°C	±50ppm	30pF	XC323CT-ND	4.70	4.23	3.53	2.82	XC323TR-ND	2349.32	ECS-3951M-400-BN-TR
50.000000	5.0	-40°C ~ 85°C	±50ppm	30pF	XC324CT-ND	4.70	4.23	3.53	2.82	XC324TR-ND	2349.32	ECS-3951M-500-BN-TR
66.666000	5.0	-40°C ~ 85°C	±50ppm	30pF	XC325CT-ND	4.70	4.23	3.53	2.82	XC325TR-ND	2349.32	ECS-3951M-666-BN-TR
80.000000	5.0	-40°C ~ 85°C	±50ppm	30pF	XC326CT-ND	4.70	4.23	3.53	2.82	XC326TR-ND	2349.32	ECS-3951M-800-BN-TR
100.000000	5.0	-40°C ~ 85°C	±50ppm	30pF	XC327CT-ND	4.70	4.23	3.53	2.82	XC327TR-ND	2349.32	ECS-3951M-1000-BN-TR
ECS-3953C												
20.000000	3.3	0°C ~ 70°C	±100ppm	15pF	XC721CT-ND	4.44	4.00	3.34	2.67	XC721TR-ND	2222.33	ECS-3953C-200-TR
24.000000	3.3	0°C ~ 70°C	±100ppm	15pF	XC722CT-ND	4.44	4.00	3.34	2.67	XC722TR-ND	2222.33	ECS-3953C-240-TR
25.000000	3.3	0°C ~ 70°C	±100ppm	15pF	XC723CT-ND	4.44	4.00	3.34	2.67	XC723TR-ND	2222.33	ECS-3953C-250-TR
32.000000	3.3	0°C ~ 70°C	±100ppm	15pF	XC724CT-ND	4.44	4.00	3.34	2.67	XC724TR-ND	2222.33	ECS-3953C-320-TR
40.000000	3.3	0°C ~ 70°C	±100ppm	15pF	XC725CT-ND	4.44	4.00	3.34	2.67	XC725TR-ND	2222.33	ECS-3953C-400-TR
50.000000	3.3	0°C ~ 70°C	±100ppm	15pF	XC726CT-ND	4.44	4.00	3.34	2.67	XC726TR-ND	2222.33	ECS-3953C-500-TR
66.666000	3.3	0°C ~ 70°C	±100ppm	15pF	XC727CT-ND	4.44	4.00	3.34	2.67	XC727TR-ND	2222.33	ECS-3953C-666-TR
80.000000	3.3	0°C ~ 70°C	±100ppm	15pF	XC728CT-ND	4.44	4.00	3.34	2.67	XC728TR-ND	2222.33	ECS-3953C-800-TR
ECS-3953M												
1.843200	3.3	-10°C ~ 70°C	±50ppm	15pF	XC284CT-ND	4.44	4.00	3.34	2.67	XC284TR-ND	2222.33	ECS-3953M-018-B-TR
3.686400	3.3	-10°C ~ 70°C	±50ppm	15pF	XC285CT-ND	4.44	4.00	3.34	2.67	XC285TR-ND	2222.33	ECS-3953M-036-B-TR
4.000000	3.3	-10°C ~ 70°C	±50ppm	15pF	XC286CT-ND	4.44	4.00	3.34	2.67	XC286TR-ND	2222.33	ECS-3953M-040-B-TR
8.000000	3.3	-10°C ~ 70°C	±50ppm	15pF	XC287CT-ND	4.44	4.00	3.34	2.67	XC287TR-ND	2222.33	ECS-3953M-080-B-TR
10.000000	3.3	-10°C ~ 70°C	±50ppm	15pF	XC288CT-ND	4.44	4.00	3.34	2.67	XC288TR-ND	2222.33	ECS-3953M-100-B-TR
12.000000	3.3	-10°C ~ 70°C	±50ppm	15pF	XC289CT-ND	4.44	4.00	3.34	2.67	XC289TR-ND	2222.33	ECS-3953M-120-B-TR
16.000000	3.3	-10°C ~ 70°C	±50ppm	15pF	XC290CT-ND	4.44	4.00	3.34	2.67	XC290TR-ND	2222.33	ECS-3953M-160-B-TR
20.000000	3.3	-10°C ~ 70°C	±50ppm	15pF	XC790CT-ND	4.44	4.00	3.34	2.67	XC790TR-ND	2222.33	ECS-3953M-200-B-TR
24.000000	3.3	-10°C ~ 70°C	±50ppm	15pF	XC791CT-ND	4.44	4.00	3.34	2.67	XC791TR-ND	2222.33	ECS-3953M-240-B-TR
25.000000	3.3	-10°C ~ 70°C	±50ppm	15pF	XC792CT-ND	4.44	4.00	3.34	2.67	XC792TR-ND	2222.33	ECS-3953M-250-B-TR
32.000000	3.3	-10°C ~ 70°C	±50ppm	15pF	XC793CT-ND	4.44	4.00	3.34	2.67	XC793TR-ND	2222.33	ECS-3953M-320-B-TR
40.000000	3.3	-10°C ~ 70°C	±50ppm	15pF	XC794CT-ND	4.44	4.00	3.34	2.67	XC794TR-ND	2222.33	ECS-3953M-400-B-TR
50.000000	3.3	-10°C ~ 70°C	±50ppm	15pF	XC795CT-ND	4.44	4.00	3.34	2.67	XC795TR-ND	2222.33	ECS-3953M-500-B-TR
66.666000	3.3	-10°C ~ 70°C	±50ppm	15pF	XC796CT-ND	4.44	4.00	3.34	2.67	XC796TR-ND	2222.33	ECS-3953M-666-B-TR
80.000000	3.3	-10°C ~ 70°C	±50ppm	15pF	XC797CT-ND	4.44	4.00	3.34	2.67	XC797TR-ND	2222.33	ECS-3953M-800-B-TR
ECS-3953M mit erweitertem Temperaturbereich												
1.843200	3.3	-40°C ~ 85°C	±50ppm	15pF	XC329CT-ND	4.70	4.23	3.53	2.82	XC329TR-ND	2349.32	ECS-3953M-018-BN-TR
3.579545	3.3	-40°C ~ 85°C	±50ppm	15pF	XC330CT-ND	4.70	4.23	3.53	2.82	XC330TR-ND	2349.32	ECS-3953M-035-BN-TR
3.686400	3.3	-40°C ~ 85°C	±50ppm	15pF	XC331CT-ND	4.70	4.23	3.53	2.82	XC331TR-ND	2349.32	ECS-3953M-036-BN-TR
4.000000	3.3	-40°C ~ 85°C	±50ppm	15pF	XC332CT-ND	4.70	4.23	3.53	2.82	XC332TR-ND	2349.32	ECS-3953M-040-BN-TR
8.000000	3.3	-40°C ~ 85°C	±50ppm	15pF	XC333CT-ND	4.70	4.23	3.53	2.82	XC333TR-ND	2349.32	ECS-3953M-080-BN-TR
10.000000	3.3	-40°C ~ 85°C	±50ppm	15pF	XC334CT-ND	4.70	4.23	3.53	2.82	XC334TR-ND	2349.32	ECS-3953M-100-BN-TR
12.000000	3.3	-40°C ~ 85°C	±50ppm	15pF	XC335CT-ND	4.70	4.23	3.53	2.82	XC335TR-ND	2349.32	ECS-3953M-120-BN-TR
16.000000	3.3	-40°C ~ 85°C	±50ppm	15pF	XC336CT-ND	4.70	4.23	3.53	2.82	XC336TR-ND	2349.32	ECS-3953M-160-BN-TR
20.000000	3.3	-40°C ~ 85°C	±50ppm	15pF	XC337CT-ND	4.70	4.23	3.53	2.82	XC337TR-ND	2349.32	ECS-3953M-200-BN-TR
24.000000	3.3	-40°C ~ 85°C	±50ppm	15pF	XC338CT-ND	4.70	4.23	3.53	2.82	XC338TR-ND	2349.32	ECS-3953M-240-BN-TR
25.000000	3.3	-40°C ~ 85°C	±50ppm	15pF	XC339CT-ND	4.70	4.23	3.53	2.82	XC339TR-ND	2349.32	ECS-3953M-250-BN-TR
32.000000	3.3	-40°C ~ 85°C	±50ppm	15pF	XC340CT-ND	4.70	4.23	3.53	2.82	XC340TR-ND	2349.32	ECS-3953M-320-BN-TR
40.000000	3.3	-40°C ~ 85°C	±50ppm	15pF	XC341CT-ND	4.70	4.23	3.53	2.82	XC341TR-ND	2349.32	ECS-3953M-400-BN-TR
50.000000	3.3	-40°C ~ 85°C	±50ppm	15pF	XC342CT-ND	4.70	4.23	3.53	2.82	XC342TR-ND	2349.32	ECS-3953M-500-BN-TR
66.666000	3.3	-40°C ~ 85°C	±50ppm	15pF	XC343CT-ND	4.70	4.23	3.53	2.82	XC343TR-ND	2349.32	ECS-3953M-666-BN-TR
80.000000	3.3	-40°C ~ 85°C	±50ppm	15pF	XC344CT-ND	4.70	4.23	3.53	2.82	XC344TR-ND	2349.32	ECS-3953M-800-BN-TR
100.000000	3.3	-40°C ~ 85°C	±50ppm	15pF	XC345CT-ND	4.70	4.23	3.53	2.82	XC345TR-ND	2349.32	ECS-3953M-1000-BN-TR
125.000000	3.3	-40°C ~ 85°C	±50ppm	15pF	XC346CT-ND	4.70	4.23	3.53	2.82	XC346TR-ND	2349.32	ECS-3953M-1250-BN-TR

Serie ECS-8F - SMD-Taktgeberoszillatoren

Elektrische Eigenschaften:

• **Frequenztoleranz:** ± 100 ppm • **Betriebstemperatur:** -10 °C ~ 70 °C • **Betriebsspannung:** 5 V • **Ausgangssymmetrie:** 40 % ~ 60 % • **Lagertemperaturbereich:** -55 °C ~ 125 °C • **Ausgangsspannung:** Min. -0,5 V (VOH) • **Ausgangsspannung:** Max. 0,5 V (VOL) • **Ausgangsstrom:** 16 mA IIL; -16 mA IIH • **Ausgangslast TTL:** 10 TTL • **Ausgangslast CMOS:** 50 pF • **Aktivierungs-/Deakt.-Zeit:** Max. 100 ns

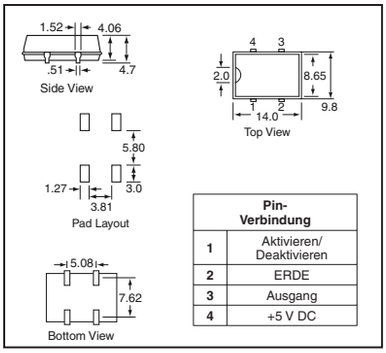

Pin-Verbindung	
1	Aktivieren/ Deaktivieren
2	ERDE
3	Ausgang
4	+5 V DC

Frequenz (MHz)	Startzeit Max.	Anstiegs-/ Abfallzeit	Digi-Key Teilenr.	Gurtabschnittspreis pro Stück 1	10	100	500	Digi-Key Teilenr.	Tape & Reel Pricing* 1.000	ECS Teilenr.
1.000000	4ms	8/8ns	XC703CT-ND	2.51	2.10	1.68	1.54	XC703TR-ND	1272.44	ECS-8FM-010-TR
1.843200	4ms	8/8ns	XC704CT-ND	2.51	2.10	1.68	1.54	XC704TR-ND	1272.44	ECS-8FM-018-TR
2.000000	4ms	8/8ns	XC705CT-ND	2.51	2.10	1.68	1.54	XC705TR-ND	1272.44	ECS-8FM-020-TR
2.457600	4ms	8/8ns	XC706CT-ND	2.51	2.10	1.68	1.54	XC706TR-ND	1272.44	ECS-8FM-024-TR
3.579545	4ms	8/8ns	XC707CT-ND	2.51	2.10	1.68	1.54	XC707TR-ND	1272.44	ECS-8FM-035-TR
3.686400	4ms	8/8ns	XC708CT-ND	2.51	2.10	1.68	1.54	XC708TR-ND	1272.44	ECS-8FM-036-TR
4.000000	4ms	8/8ns	XC635CT-ND	2.51	2.10	1.68	1.54	XC635TR-ND	1272.44	ECS-8FM-040-TR
4.915200	4ms	8/8ns	XC636CT-ND	2.51	2.10	1.68	1.54	XC636TR-ND	1272.44	ECS-8FM-049-TR
6.000000	4ms	8/8ns	XC637CT-ND	2.51	2.10	1.68	1.54	XC637TR-ND	1272.44	ECS-8FM-060-TR
7.372800	4ms	8/8ns	XC709CT-ND	2.51	2.10	1.68	1.54	XC709TR-ND	1272.44	ECS-8FM-073-TR
8.000000	4ms	8/8ns	XC638CT-ND	2.51	2.10	1.68	1.54	XC638TR-ND	1272.44	ECS-8FM-080-TR
9.830400	4ms	8/8ns	XC710CT-ND	2.51	2.10	1.68	1.54	XC710TR-ND	1272.44	ECS-8FM-098.3-TR
10.000000	4ms	8/8ns	XC639CT-ND	2.51	2.10	1.68	1.54	XC639TR-ND	1272.44	ECS-8FM-100-TR
11.059200	4ms	8/8ns	XC711CT-ND	2.51	2.10	1.68	1.54	XC711TR-ND	1272.44	ECS-8FM-110.5-TR
12.000000	4ms	8/8ns	XC640CT-ND	2.51	2.10	1.68	1.54	XC640TR-ND	1272.44	ECS-8FM-120-TR
12.288000	4ms	8/8ns	XC712CT-ND	2.51	2.10	1.68	1.54	XC712TR-ND	1272.44	ECS-8FM-122.8-TR
14.318180	4ms	8/8ns	XC641CT-ND	2.51	2.10	1.68	1.54	XC641TR-ND	1272.44	ECS-8FM-143-TR
16.000000	4ms	8/8ns	XC642CT-ND	2.51	2.10	1.68	1.54	XC642TR-ND	1272.44	ECS-8FM-160-TR
18.432000	4ms	8/8ns	XC643CT-ND	2.51	2.10	1.68	1.54	XC643TR-ND	1272.44	ECS-8FM-184-TR
19.660800	4ms	8/8ns	XC713CT-ND	2.51	2.10	1.68	1.54	XC713TR-ND	1272.44	ECS-8FM-196.6-TR
20.000000	4ms	8/8ns	XC644CT-ND	2.51	2.10	1.68	1.54	XC644TR-ND	1272.44	ECS-8FM-200-TR
24.000000	4ms	8/8ns	XC645CT-ND	2.51	2.10	1.68	1.54	XC645TR-ND	1272.44	ECS-8FM-240-TR
25.000000	4ms	8/8ns	XC714CT-ND	2.51	2.10	1.68	1.54	XC714TR-ND	1272.44	ECS-8FM-250-TR
25.175000	4ms	8/8ns	XC646CT-ND	2.51	2.10	1.68	1.54	XC646TR-ND	1272.44	ECS-8FM-251.7-TR
28.322000	4ms	8/8ns	XC647CT-ND	2.51	2.10	1.68	1.54	XC647TR-ND	1272.44	ECS-8FM-283.2-TR
32.000000	10ms	7/7ns	XC648CT-ND	2.51	2.10	1.68	1.54	XC648TR-ND	1272.44	ECS-8FM-320-TR
32.514000	10ms	7/7ns	XC649CT-ND	2.51	2.10	1.68	1.54	XC649TR-ND	1272.44	ECS-8FM-325.1-TR
40.000000	10ms	7/7ns	XC650CT-ND	2.51	2.10	1.68	1.54	XC650TR-ND	1272.44	ECS-8FM-400-TR
48.000000	10ms	7/7ns	XC651CT-ND	2.51	2.10	1.68	1.54	XC651TR-ND	1272.44	ECS-8FM-480-TR
50.000000	10ms	7/7ns	XC652CT-ND	2.51	2.10	1.68	1.54	XC652TR-ND	1272.44	ECS-8FM-500-TR
66.666000	10ms	7/7ns	XC715CT-ND	2.51	2.10	1.68	1.54	XC715TR-ND	1272.44	ECS-8FM-666-TR

* Preisangaben für Gegurtet auf Rolle

C

VC-TXO Oszillatoren

Spezifikationen: • **Frequenzstabilität:** Max. 2,5 ppm @ -30 °C ~ 75 °C • **Ausgangslast:** 10 kΩ ± 10 %; (10 pF ± 10 %) • **Steuerspannung:** +1,5 V typ. • **Lagertemperatur:** -40 °C ~ 85 °C • **Ausgangsspannung:** 0,8 V • **Versorgungsspannung:** 3 V

Abb. 1

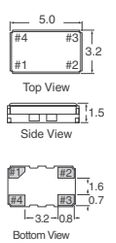

Pin-Verbindung	
1	Vsteuerung
2	ERDE
3	Ausgang
4	Vcc

Abb. 2

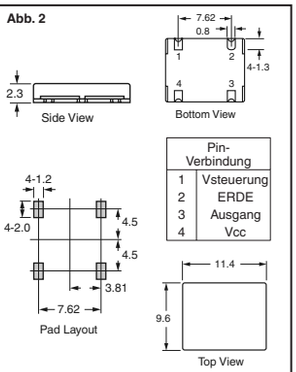

Pin-Verbindung	
1	Vsteuerung
2	ERDE
3	Ausgang
4	Vcc

Abb.	Frequ. (MHz)	Digi-Key Teilenr.	Gurtabschnittspreis pro Stück 1	10	100	500	Digi-Key Teilenr.	Tape & Reel Pricing* 500	1.000	ECS Teilenr.
VC-TXO-35SM										
1	12.80	XC348CT-ND	12.57	11.32	9.43	7.55	XC348TR-ND	—	6286.01	VC-TXO-35SM-128-B-TR
1	16.80	XC349CT-ND	12.57	11.32	9.43	7.55	XC349TR-ND	—	6286.01	VC-TXO-35SM-168-B-TR
1	19.44	XC350CT-ND	12.57	11.32	9.43	7.55	XC350TR-ND	—	6286.01	VC-TXO-35SM-194-B-TR
VC-TXO-39SM										
2	10.00	X493CT-ND	12.81	10.48	9.32	—	X493TR-ND	4190.67	6518.82	VC-TXO-39SM-100-TR
2	12.80	X489CT-ND	12.81	10.48	9.32	—	X489TR-ND	4190.67	6518.82	VC-TXO-39SM-128-TR
2	13.00	X490CT-ND	12.81	10.48	9.32	—	X490TR-ND	4190.67	6518.82	VC-TXO-39SM-130-TR
2	16.80	X491CT-ND	12.81	10.48	9.32	—	X491TR-ND	4190.67	6518.82	VC-TXO-39SM-168-TR
2	19.44	X492CT-ND	12.81	10.48	9.32	—	X492TR-ND	4190.67	6518.82	VC-TXO-39SM-194.4-TR

* Preisangaben für Gegurtet auf Rolle

Serie ECX-3S SMD Flachprofil-Quarzkristalle

Die Serie ECX-3S verfügt über eine besondere Hochtemperaturversiegelung, die SMD-Löttechniken standhält.

Das Gehäuse für dieses Kristall wird aus dem gleichen stabilen Thermoplast-Material hergestellt, das auch für integrierte Schaltungen verwendet wird.

Elektrische Eigenschaften:

• **Frequenztoleranz:** ±50 ppm
• **Shunt-Kapazität:** 7 pF
• **Antriebs-Level:** 100 µW
• **Betriebstemperatur:** -10 °C ~ 70 °C
• **Lagertemperatur:** -40 °C ~ 85 °C
• **Betriebsmodus:** Erste Harmonische

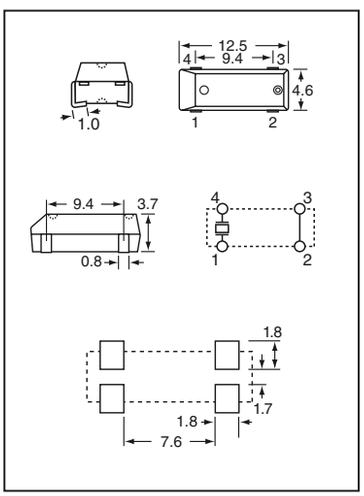

Frequenz (MHz)	Last-kap.	Digi-Key Teilenr.	Gurtabschnittspreis pro Stück 1	10	100	Digi-Key Teilenr.	Tape & Reel Pricing* 1.000	ECS Teilenr.
3.579545	Serie	XC529CT-ND	1.72	1.43	1.15	XC529TR-ND	857.18	ECS-35-S-7S-TR
3.579545	17.0pF	XC501CT-ND •	1.72	1.43	1.15	XC501TR-ND	857.18	ECS-35-17-7S-TR
3.686400	Serie	XC502CT-ND •	1.72	1.43	1.15	XC502TR-ND	857.18	ECS-36-S-7S-TR
3.686400	20.0pF	XC503CT-ND •	1.72	1.43	1.15	XC503TR-ND	857.18	ECS-36-20-7S-TR
4.000000	Serie	XC504CT-ND •	1.72	1.43	1.15	XC504TR-ND	857.18	ECS-40-S-7S-TR
4.000000	20.0pF	XC505CT-ND •	1.72	1.43	1.15	XC505TR-ND	857.18	ECS-40-20-7S-TR
4.096000	16.0pF	XC500CT-ND	1.72	1.43	1.15	XC500TR-ND	857.18	ECS-41-16-7S-TR
4.194304	12.0pF	XC530CT-ND	1.72	1.43	1.15	XC530TR-ND	857.18	ECS-42-12-7S-TR
4.433618	20.0pF	XC506CT-ND •	1.72	1.43	1.15	XC506TR-ND	857.18	ECS-44-20-7S-TR
4.915200	Serie	XC507CT-ND •	1.72	1.43	1.15	XC507TR-ND	857.18	ECS-49-S-7S-TR
4.915200	20.0pF	XC508CT-ND •	1.72	1.43	1.15	XC508TR-ND	857.18	ECS-49-20-7S-TR
5.000000	20.0pF	XC499CT-ND	1.72	1.43	1.15	XC499TR-ND	857.18	ECS-50-20-7S-TR
6.000000	Serie	XC497CT-ND	1.72	1.43	1.15	XC497TR-ND	857.18	ECS-60-S-7S-TR
6.000000	32.0pF	XC498CT-ND	1.72	1.43	1.15	XC498TR-ND	857.18	ECS-60-32-7S-TR
6.144000	32.0pF	XC509CT-ND •	1.72	1.43	1.15	XC509TR-ND	857.18	ECS-61-32-7S-TR
6.553600	12.0pF	XC496CT-ND	1.72	1.43	1.15	XC496TR-ND	857.18	ECS-65-12-7S-TR
7.372800	Serie	XC510CT-ND •	1.72	1.43	1.15	XC510TR-ND	857.18	ECS-73-S-7S-TR
7.372800	20.0pF	XC536CT-ND	1.72	1.43	1.15	XC536TR-ND	857.18	ECS-73-20-7S-TR
8.000000	Serie	XC511CT-ND •	1.72	1.43	1.15	XC511TR-ND	857.18	ECS-80-S-7S-TR
8.000000	16.0pF	XC495CT-ND	1.72	1.43	1.15	XC495TR-ND	857.18	ECS-80-16-7S-TR
9.830400	Serie	XC512CT-ND •	1.72	1.43	1.15	XC512TR-ND	857.18	ECS-98.3-S-7S-TR
9.830400	20.0pF	XC513CT-ND •	1.72	1.43	1.15	XC513TR-ND	857.18	ECS-98.3-20-7S-TR
10.000000	Serie	XC514CT-ND •	1.72	1.43	1.15	XC514TR-ND	857.18	ECS-100-S-7S-TR
11.059200	Serie	XC515CT-ND •	1.72	1.43	1.15	XC515TR-ND	857.18	ECS-110.5-S-7S-TR
11.059200	20.0pF	XC516CT-ND	1.72	1.43	1.15	XC516TR-ND	857.18	ECS-110.5-20-7S-TR
12.000000	Serie	XC517CT-ND •	1.72	1.43	1.15	XC517TR-ND	857.18	ECS-120-S-7S-TR
12.000000	18.0pF	XC548CT-ND	1.72	1.43	1.15	XC548TR-ND	857.18	ECS-120-18-7S-TR
12.000000	32.0pF	XC494CT-ND	1.72	1.43	1.15	XC494TR-ND	857.18	ECS-120-32-7S-TR
12.288000	Serie	XC518CT-ND •	1.72	1.43	1.15	XC518TR-ND	857.18	ECS-122.8-S-7S-TR
12.288000	20.0pF	XC493CT-ND	1.72	1.43	1.15	XC493TR-ND	857.18	ECS-122.8-20-7S-TR
14.318180	Serie	XC519CT-ND •	1.72	1.43	1.15	XC519TR-ND	857.18	ECS-143-S-7S-TR
14.318180	20.0pF	XC492CT-ND	1.72	1.43	1.15	XC492TR-ND	857.18	ECS-143-20-7S-TR
14.745600	Serie	XC520CT-ND •	1.72	1.43	1.15	XC520TR-ND	857.18	ECS-147.4-S-7S-TR
14.745600	20.0pF	XC491CT-ND	1.72	1.43	1.15	XC491TR-ND	857.18	ECS-147.4-20-7S-TR
16.000000	Serie	XC521CT-ND •	1.72	1.43	1.15	XC521TR-ND	857.18	ECS-160-S-7S-TR
16.000000	20.0pF	XC550CT-ND	1.72	1.43	1.15	XC550TR-ND	857.18	ECS-160-20-7S-TR
18.432000	Serie	XC522CT-ND •	1.72	1.43	1.15	XC522TR-ND	857.18	ECS-184-S-7S-TR
19.660800	Serie	XC523CT-ND •	1.72	1.43	1.15	XC523TR-ND	857.18	ECS-196.6-S-7S-TR
19.660800	20.0pF	XC490CT-ND	1.72	1.43	1.15	XC490TR-ND	857.18	ECS-196.6-20-7S-TR
20.000000	Serie	XC524CT-ND •	1.72	1.43	1.15	XC524TR-ND	857.18	ECS-200-S-7S-TR
20.000000	16.0pF	XC489CT-ND	1.72	1.43	1.15	XC489TR-ND	857.18	ECS-200-16-7S-TR
20.000000	20.0pF	XC525CT-ND •	1.72	1.43	1.15	XC525TR-ND	857.18	ECS-200-20-7S-TR
23.592000	Serie	XC559CT-ND	1.72	1.43	1.15	XC559TR-ND	857.18	ECS-235.92-S-7S-TR
24.000000	Serie	XC526CT-ND •	1.72	1.43	1.15	XC526TR-ND	857.18	ECS-240-S-7S-TR
24.000000	16.0pF	XC528CT-ND	1.72	1.43	1.15	XC528TR-ND	857.18	ECS-240-16-7S-TR
24.000000	20.0pF	XC527CT-ND •	1.72	1.43	1.15	XC527TR-ND	857.18	ECS-240-20-7S-TR

* Preisangaben für Gegurtet auf Rolle

• **XC-KIT-ND** ***Digi-Key® SMT Niedrigprofil-Quarzkristallkit*** 3 von jedem angegebenen Wert (insgesamt 78 Stück). Heftartiges Aufbewahrungsetui und Lagerhaltungsanleitung inbegriffen **143.08**

Alle Preisangaben in Euro und inklusive Zollgebühren.

Quarzkristalle - Serie CSM-4, SMT, Flachprofil

Elektrische Spezifikationen:

- Das Pin-out des CSM-4A ist auch mit dem Epson MA-506 kompatibel
- **Betriebsmodus:** Erste Harmonische
- **Shunt-Kapazität:** 7 pF
- **Lagertemperatur:** -30 °C ~ 85 °C
- **Betriebstemperatur:** -10 °C ~ 70 °C
- **Antriebs-Level:** 500 µW
- **Frequenztoleranz:** ±30 ppm

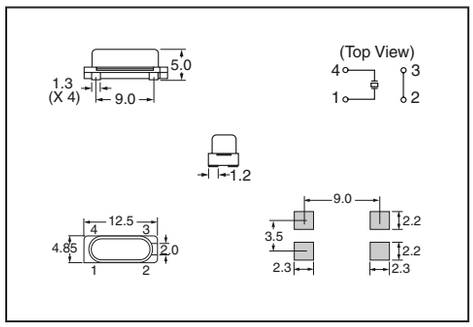

Frequenz (MHz)	Last-kap.	Digi-Key Teilenr.	Gurtabschnittspreis pro Stück 1	10	100	Digi-Key Teilenr.	Tape & Reel Pricing** 1.000	ECS Teilenr.
3.579545	17.0pF	XC747CT-ND	1.14	1.05	.86	XC747TR-ND	571.46	ECS-35-17-28A-TR
3.686400	20.0pF	XC748CT-ND	1.14	1.05	.86	XC748TR-ND	571.46	ECS-36-20-28A-TR
4.000000	20.0pF	XC749CT-ND	1.14	1.05	.86	XC749TR-ND	571.46	ECS-40-20-28A-TR
4.915200	20.0pF	XC751CT-ND	1.14	1.05	.86	XC751TR-ND	571.46	ECS-49-20-28A-TR
5.000000	20.0pF	XC750CT-ND	1.14	1.05	.86	XC750TR-ND	571.46	ECS-50-20-28A-TR
6.000000	32.0pF	XC752CT-ND	1.14	1.05	.86	XC752TR-ND	571.46	ECS-60-32-28A-TR
7.372800	20.0pF	XC753CT-ND	1.14	1.05	.86	XC753TR-ND	571.46	ECS-73-20-28A-TR
8.000000	16.0pF	XC754CT-ND	1.14	1.05	.86	XC754TR-ND	571.46	ECS-80-16-28A-TR
9.830400	20.0pF	XC778CT-ND	1.14	1.05	.86	XC778TR-ND	571.46	ECS-98.3-20-28A-TR
10.000000	Serie	XC755CT-ND	1.14	1.05	.86	XC755TR-ND	571.46	ECS-100-S-28A-TR
10.000000	20.0pF	XC756CT-ND	1.14	1.05	.86	XC756TR-ND	571.46	ECS-100-20-28A-TR
11.059200	Serie	XC757CT-ND	1.14	1.05	.86	XC757TR-ND	571.46	ECS-110.5-S-28A-TR
11.059200	20.0pF	XC758CT-ND	1.14	1.05	.86	XC758TR-ND	571.46	ECS-110.5-20-28A-TR
12.000000	Serie	XC760CT-ND	1.14	1.05	.86	XC760TR-ND	571.46	ECS-120-S-28A-TR
12.000000	18.0pF	XC759CT-ND	1.14	1.05	.86	XC759TR-ND	571.46	ECS-120-18-28A-TR
12.000000	32.0pF	XC761CT-ND	1.14	1.05	.86	XC761TR-ND	571.46	ECS-120-32-28A-TR
12.288000	20.0pF	XC762CT-ND	1.14	1.05	.86	XC762TR-ND	571.46	ECS-122.8-20-28A-TR
14.318180	Serie	XC764CT-ND	1.14	1.05	.86	XC764TR-ND	571.46	ECS-143-S-28A-TR
14.318180	20.0pF	XC763CT-ND	1.14	1.05	.86	XC763TR-ND	571.46	ECS-143-20-28A-TR
14.745600	Serie	XC765CT-ND	1.14	1.05	.86	XC765TR-ND	571.46	ECS-147.4-S-28A-TR
14.745600	20.0pF	XC766CT-ND	1.14	1.05	.86	XC766TR-ND	571.46	ECS-147.4-20-28A-TR
16.000000	Serie	XC768CT-ND	1.14	1.05	.86	XC768TR-ND	571.46	ECS-160-S-28A-TR
16.000000	20.0pF	XC767CT-ND	1.14	1.05	.86	XC767TR-ND	571.46	ECS-160-20-28A-TR
18.432000	Serie	XC769CT-ND	1.14	1.05	.86	XC769TR-ND	571.46	ECS-184-S-28A-TR
18.432000	20.0pF	XC770CT-ND	1.14	1.05	.86	XC770TR-ND	571.46	ECS-184-20-28A-TR
20.000000	Serie	XC771CT-ND	1.14	1.05	.86	XC771TR-ND	571.46	ECS-200-S-28A-TR
20.000000	20.0pF	XC772CT-ND	1.14	1.05	.86	XC772TR-ND	571.46	ECS-200-20-28A-TR
24.000000	Serie	XC773CT-ND	1.14	1.05	.86	XC773TR-ND	571.46	ECS-240-S-28A-TR
24.000000	20.0pF	XC774CT-ND	1.14	1.05	.86	XC774TR-ND	571.46	ECS-240-20-28A-TR
24.576000	20.0pF	XC775CT-ND	1.14	1.05	.86	XC775TR-ND	571.46	ECS-245.7-20-28A-TR
25.000000	20.0pF	XC776CT-ND	1.14	1.05	.86	XC776TR-ND	571.46	ECS-250-20-28A-F-TR

** Preisangaben für Gegurtet auf Rolle

C

Quarzkristalle - Serie CSM-7 Gehäuse, SMT, Flachprofil

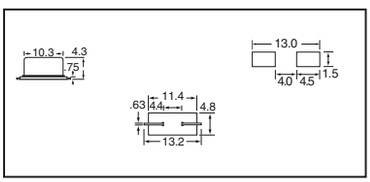

Elektrische Eigenschaften:

- **Frequenztoleranz:** ±30 ppm @ +25 °C und ±50 ppm über Betriebstemperaturbereich
- **Frequenzstabilität (erweiterte Temp.- Version):** ± 100 ppm, -40 °C ~ +85 °C
- **Shunt-Kapazität:** 7,0 pF
- **Antriebs-Level:** 0,5 mW
- **Betriebstemperatur:** -10 °C ~ 70 °C (erweiterte Temperatur-Version: -40 °C ~ 85 °C)
- **Lagertemperatur:** -30 °C ~ 85 °C (erweiterte Temperatur-Version: -55 °C ~ 125 °C)
- **Alterungseigenschaften (1. Jahr):** ±5 ppm @ 25 °C
- **Betriebsmodus:** Erste Harmonische

Frequenz (MHz)	Last-kap.	Digi-Key Teilenr.	Gurtabschnittspreis pro Stück 1	10	100	Digi-Key Teilenr.	T & R Pricing** 1.000	ECS Teilenr.
CSM-7 Industrie-Temperaturbereich								
3.579545	17.0pF	XC730CT-ND	.89	.75	.60	XC730TR-ND	445.73	ECS-35-17-5PDN-TR
3.686400	20.0pF	XC731CT-ND	.89	.75	.60	XC731TR-ND	445.73	ECS-36-20-5PDN-TR
4.000000	20.0pF	XC732CT-ND	.89	.75	.60	XC732TR-ND	445.73	ECS-40-20-5PDN-TR
6.000000	32.0pF	XC733CT-ND	.89	.75	.60	XC733TR-ND	445.73	ECS-60-32-5PDN-TR
7.372800	20.0pF	XC734CT-ND	.89	.75	.60	XC734TR-ND	445.73	ECS-73-20-5PDN-TR
8.000000	18.0pF	XC735CT-ND	.89	.75	.60	XC735TR-ND	445.73	ECS-80-18-5PDN-TR
12.000000	20.0pF	XC736CT-ND	.89	.75	.60	XC736TR-ND	445.73	ECS-120-20-5PDN-TR
14.318180	20.0pF	XC737CT-ND	.89	.75	.60	XC737TR-ND	445.73	ECS-143-20-5PDN-TR
16.000000	20.0pF	XC738CT-ND	.89	.75	.60	XC738TR-ND	445.73	ECS-160-20-5PDN-TR
18.432000	20.0pF	XC739CT-ND	.89	.75	.60	XC739TR-ND	445.73	ECS-184-20-5PDN-TR
19.660800	20.0pF	XC740CT-ND	.89	.75	.60	XC740TR-ND	445.73	ECS-196-20-5PDN-TR
20.000000	20.0pF	XC741CT-ND	.89	.75	.60	XC741TR-ND	445.73	ECS-200-20-5PDN-TR
24.000000	20.0pF	XC742CT-ND	.89	.75	.60	XC742TR-ND	445.73	ECS-240-20-5PDN-TR
CSM-7 Gehäuse								
3.579545	Serie	XC663CT-ND	.62	.52	.42	XC663TR-ND	342.87	ECS-35-S-5P-TR
3.579545	17.0pF	XC560CT-ND	.62	.52	.42	XC560TR-ND	342.87	ECS-35-17-5P-TR
3.686400	Serie	XC561CT-ND	.62	.52	.42	XC561TR-ND	342.87	ECS-36-S-5P-TR
3.686400	20.0pF	XC562CT-ND	.62	.52	.42	XC562TR-ND	342.87	ECS-36-20-5P-TR
4.000000	Serie	XC563CT-ND	.62	.52	.42	XC563TR-ND	342.87	ECS-40-S-5P-TR
4.000000	20.0pF	XC564CT-ND	.62	.52	.42	XC564TR-ND	342.87	ECS-40-20-5P-TR
4.032000	Serie	XC665CT-ND	.62	.52	.42	XC665TR-ND	342.87	ECS-40.3-S-5P-TR
4.032000	20.0pF	XC664CT-ND	.62	.52	.42	XC664TR-ND	342.87	ECS-40.3-20-5P-TR
4.096000	20.0pF	XC666CT-ND	.62	.52	.42	XC666TR-ND	342.87	ECS-41-20-5P-TR
4.194304	12.0pF	XC667CT-ND	.62	.52	.42	XC667TR-ND	342.87	ECS-42-12-5P-TR
4.194304	16.0pF	XC668CT-ND	.62	.52	.42	XC668TR-ND	342.87	ECS-42-16-5P-TR
4.433618	20.0pF	XC669CT-ND	.62	.52	.42	XC669TR-ND	342.87	ECS-44-20-5P-TR
4.915200	Serie	XC565CT-ND	.62	.52	.42	XC565TR-ND	342.87	ECS-49-S-5P-TR
4.915200	20.0pF	XC566CT-ND	.62	.52	.42	XC566TR-ND	342.87	ECS-49-20-5P-TR
5.000000	Serie	XC670CT-ND	.62	.52	.42	XC670TR-ND	342.87	ECS-50-S-5P-TR
5.000000	20.0pF	XC671CT-ND	.62	.52	.42	XC671TR-ND	342.87	ECS-50-20-5P-TR
5.068800	Serie	XC672CT-ND	.62	.52	.42	XC672TR-ND	342.87	ECS-51-S-5P-TR
5.068800	20.0pF	XC673CT-ND	.62	.52	.42	XC673TR-ND	342.87	ECS-51-20-5P-TR
5.185000	Serie	XC674CT-ND	.62	.52	.42	XC674TR-ND	342.87	ECS-52-S-5P-TR
5.185000	32.0pF	XC675CT-ND	.62	.52	.42	XC675TR-ND	342.87	ECS-52-32-5P-TR
5.990400	Serie	XC676CT-ND	.62	.52	.42	XC676TR-ND	342.87	ECS-59-S-5P-TR
5.990400	20.0pF	XC677CT-ND	.62	.52	.42	XC677TR-ND	342.87	ECS-59.9-20-5P-TR
6.000000	Serie	XC678CT-ND	.62	.52	.42	XC678TR-ND	342.87	ECS-60-S-5P-TR
6.000000	32.0pF	XC679CT-ND	.62	.52	.42	XC679TR-ND	342.87	ECS-60-32-5P-TR
6.144000	32.0pF	XC567CT-ND	.62	.52	.42	XC567TR-ND	342.87	ECS-61-32-5P-TR
7.372800	Serie	XC568CT-ND	.62	.52	.42	XC568TR-ND	342.87	ECS-73-S-5P-TR
7.372800	20.0pF	XC680CT-ND	.62	.52	.42	XC680TR-ND	342.87	ECS-73-20-5P-TR
8.000000	Serie	XC569CT-ND	.62	.52	.42	XC569TR-ND	342.87	ECS-80-S-5P-TR
8.000000	18.0pF	XC681CT-ND	.62	.52	.42	XC681TR-ND	342.87	ECS-80-18-5P-TR
8.000000	32.0pF	XC682CT-ND	.62	.52	.42	XC682TR-ND	342.87	ECS-80-32-5P-TR
9.216000	Serie	XC683CT-ND	.62	.52	.42	XC683TR-ND	342.87	ECS-92.1-S-5P-TR
9.216000	20.0pF	XC684CT-ND	.62	.52	.42	XC684TR-ND	342.87	ECS-92.1-20-5P-TR
9.830400	Serie	XC570CT-ND	.62	.52	.42	XC570TR-ND	342.87	ECS-98.3-S-5P-TR
9.830400	20.0pF	XC571CT-ND	.62	.52	.42	XC571TR-ND	342.87	ECS-98.3-20-5P-TR
10.000000	Serie	XC572CT-ND	.62	.52	.42	XC572TR-ND	342.87	ECS-100-S-5P-TR

Frequenz (MHz)	Lastkap.	Digi-Key Teilenr.	Gurtabschnittspreis pro Stück 1	10	100	Digi-Key Teilenr.	T & R Pricing** 1.000	ECS Teilenr.
CSM-7 Gehäuse (Forts.)								
10.000000	18.0pF	XC716CT-ND	.62	.52	.42	XC716TR-ND	342.87	ECS-100-18-5P-TR
11.000000	Serie	XC685CT-ND	.62	.52	.42	XC685TR-ND	342.87	ECS-110-S-5P-TR
11.059200	Serie	XC573CT-ND	.62	.52	.42	XC573TR-ND	342.87	ECS-110.5-S-5P-TR
11.059200	20.0pF	XC574CT-ND	.62	.52	.42	XC574TR-ND	342.87	ECS-110.5-20-5P-TR
11.059200	32.0pF	XC686CT-ND	.62	.52	.42	XC686TR-ND	342.87	ECS-110.5-32-5P-TR
12.000000	Serie	XC575CT-ND	.62	.52	.42	XC575TR-ND	342.87	ECS-120-S-5P-TR
12.000000	18.0pF	XC717CT-ND	.62	.52	.42	XC717TR-ND	342.87	ECS-120-18-5P-TR
12.000000	32.0pF	XC687CT-ND	.62	.52	.42	XC687TR-ND	342.87	ECS-120-32-5P-TR
12.000393	18.0pF	XC688CT-ND	.62	.52	.42	XC688TR-ND	342.87	ECS-120.003-18-5PTR
12.288000	Serie	XC689CT-ND	.62	.52	.42	XC689TR-ND	342.87	ECS-122.8-S-5P-TR
12.288000	20.0pF	XC690CT-ND	.62	.52	.42	XC690TR-ND	342.87	ECS-122.8-20-5P-TR
14.318180	Serie	XC576CT-ND	.62	.52	.42	XC576TR-ND	342.87	ECS-143-S-5P-TR
14.318180	20.0pF	XC718CT-ND	.62	.52	.42	XC718TR-ND	342.87	ECS-143-20-5P-TR
14.745600	Serie	XC691CT-ND	.62	.52	.42	XC691TR-ND	342.87	ECS-147.4-S-5P-TR
14.745600	20.0pF	XC692CT-ND	.62	.52	.42	XC692TR-ND	342.87	ECS-147.4-20-5P-TR
15.000000	Serie	XC693CT-ND	.62	.52	.42	XC693TR-ND	342.87	ECS-150-S-5P-TR
16.000000	Serie	XC577CT-ND	.62	.52	.42	XC577TR-ND	342.87	ECS-160-S-5P-TR
16.000000	20.0pF	XC694CT-ND	.62	.52	.42	XC694TR-ND	342.87	ECS-160-20-5P-TR
16.000312	18.0pF	XC695CT-ND	.62	.52	.42	XC695TR-ND	342.87	ECS-160.003-18-5PTR
16.257000	Serie	XC697CT-ND	.62	.52	.42	XC697TR-ND	342.87	ECS-162.5-S-5P-TR
16.257000	20.0pF	XC696CT-ND	.62	.52	.42	XC696TR-ND	342.87	ECS-162.5-20-5P-TR
18.000000	Serie	XC698CT-ND	.62	.52	.42	XC698TR-ND	342.87	ECS-180-S-5P-TR
18.432000	Serie	XC578CT-ND	.62	.52	.42	XC578TR-ND	342.87	ECS-184-S-5P-TR
18.432000	18.0pF	XC699CT-ND	.62	.52	.42	XC699TR-ND	342.87	ECS-184-18-5P-TR
18.432000	20.0pF	XC700CT-ND	.62	.52	.42	XC700TR-ND	342.87	ECS-184-20-5P-TR
19.660800	Serie	XC579CT-ND	.62	.52	.42	XC579TR-ND	342.87	ECS-196.6-S-5P-TR
19.660800	20.0pF	XC701CT-ND	.62	.52	.42	XC701TR-ND	342.87	ECS-196.6-20-5P-TR
20.000000	Serie	XC580CT-ND	.62	.52	.42	XC580TR-ND	342.87	ECS-200-S-5P-TR
20.000000	16.0pF	XC719CT-ND	.62	.52	.42	XC719TR-ND	342.87	ECS-200-16-5P-TR
20.000000	20.0pF	XC581CT-ND	.62	.52	.42	XC581TR-ND	342.87	ECS-200-20-5P-TR
20.480000	20.0pF	XC743CT-ND	.62	.52	.42	XC743TR-ND	342.87	ECS-204.8-20-5P-TR
24.000000	16.0pF	XC583CT-ND	.62	.52	.42	XC583TR-ND	342.87	ECS-240-16-5P-TR
24.000000	20.0pF	XC582CT-ND	.62	.52	.42	XC582TR-ND	342.87	ECS-240-20-5P-TR
24.000140	18.0pF	XC702CT-ND	.62	.52	.42	XC702TR-ND	342.87	ECS-240.001-18-5PTR
24.576000	20.0pF	XC744CT-ND	.62	.52	.42	XC744TR-ND	342.87	ECS-245.7-20-5P-TR
25.000000	18.0pF	XC745CT-ND	.62	.52	.42	XC745TR-ND	342.87	ECS-250-18-5P-F-TR
48.000000	20.0pF	XC941CT-ND‡	.62	.52	.42	XC941TR-ND‡	342.87	ECS-480-20-5P-TR

Frequenz (MHz)	Last-kap.	Digi-Key Teilenr.	Stückpreis 1	10	100	ECS Teilenr.
CSM-7 für Melexis HF-Transmitter						
7.150500	12.0pF	XC871-ND*	1.65	1.49	1.24	ECS-071.505-CD-0370
9.843800	12.0pF	XC872-ND*	1.65	1.49	1.24	ECS-098.438-CD-0371
13.062500	12.0pF	XC873-ND*	1.65	1.49	1.24	ECS-130.625-CD-0373
13.560000	12.0pF	XC874-ND*	1.65	1.49	1.24	ECS-135.600-CD-0374
20.356300	12.0pF	XC875-ND†	1.65	1.49	1.24	ECS-203.563-CD-0375
22.627800	12.0pF	XC876-ND†	1.65	1.49	1.24	ECS-226.278-CD-0376
23.264300	12.0pF	XC877-ND†	1.65	1.49	1.24	ECS-232.643-CD-0377
23.512200	12.0pF	XC878-ND†	1.65	1.49	1.24	ECS-235.122-CD-0378
25.223500	12.0pF	XC879-ND†	1.65	1.49	1.24	ECS-252.235-CD-0379
25.456300	12.0pF	XC880-ND†	1.65	1.49	1.24	ECS-254.563-CD-0380
26.451300	12.0pF	XC881-ND†	1.65	1.49	1.24	ECS-264.513-CD-0381
26.597100	12.0pF	XC882-ND†	1.65	1.49	1.24	ECS-265.971-CD-0382
27.134400	12.0pF	XC883-ND*	1.65	1.49	1.24	ECS-271.344-CD-0383
27.468800	12.0pF	XC884-ND†	1.65	1.49	1.24	ECS-274.688-CD-0384
28.259400	12.0pF	XC885-ND†	1.65	1.49	1.24	ECS-282.594-CD-0385
28.593800	12.0pF	XC886-ND*	1.65	1.49	1.24	ECS-285.938-CD-0386

* Störreaktion (fo an Fo +200 kHz): Min. -20 dB; je nach Hersteller wird das Produkt entweder in Gurtabschnitten oder lose geliefert
† Je nach Hersteller wird das Produkt entweder in Gurtabschnitten oder lose geliefert
‡ 3. Oberton
** Preisangaben für Gegurtet auf Rolle

SMD-Quarzkristalle

Elektrische Eigenschaften:

Serie CSM-12: • **Frequenztoleranz:** ±30 ppm @ 25 °C und ±50 ppm über Betriebstemperaturbereich • **Shunt-Kapazität:** 7,0 pF • **Antriebs-Level:** 100 µW • **Betriebstemperatur:** -10 °C ~ 70 °C • **Lagertemperaturbereich:** -40 °C ~ 85 °C • **Alterungseigenschaften (1. Jahr):** ±5 ppm @ 25 °C • **Betriebsmodus:** Erste Harmonische

Serie CSM-8: • **Frequenztoleranz:** ±30 ppm @ 25 °C und ±50 ppm über Betriebstemperaturbereich • **Shunt-Kapazität:** 5,0 pF • **Antriebs-Level:** 0,5 mW • **Betriebstemperatur:** -10 °C ~ 70 °C • **Lagertemperatur:** -40 °C ~ 85 °C • **Alterungseigenschaften (1. Jahr):** ±5 ppm @ 25 °C

Serie ECX-19A • **Frequenztoleranz:** ±30 ppm @ 25 °C und ±50 ppm über Betriebstemperaturbereich • **Shunt-Kapazität:** 7,0 pF • **Antriebs-Level:** 0,1 mW • **Betriebstemp.:** -10 °C ~ 70 °C • **Lagertemperatur:** -30 °C ~ 85 °C • **Alterungseigenschaften (1. Jahr):** ±5 ppm @ 25 °C

Serie ECX-64A: • **Frequenztoleranz:** ±30 ppm @ +25 °C und ±50 ppm über Betriebstemperaturbereich • **Shunt-Kapazität:** 7,0 pF • **Antriebs-Level:** 100 µW • **Betriebstemperatur:** -40 °C ~ 85 °C • **Lagertemperatur:** -40 °C ~ 85 °C • **Alterungsmerkmale 85 °C (pro Jahr):** ±5,0 ppm @ 25 °C ±3 °C pro Jahr

C

Abb. 1

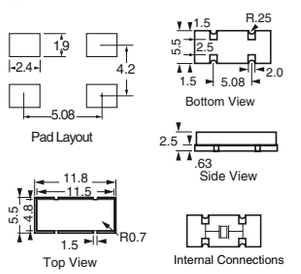

Abb. 2

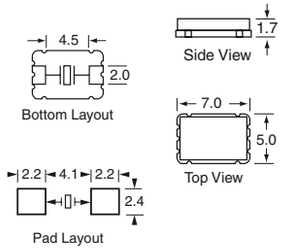

Abb. 3

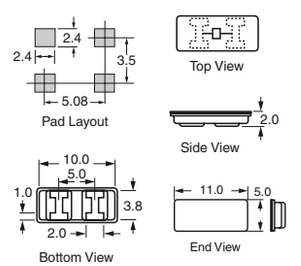

Abb. 4

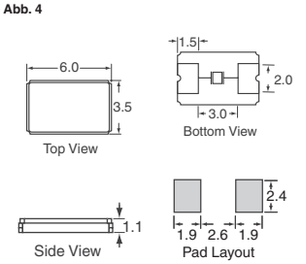

Abb.	Max. ESR (Ω)	Last kap.	Frequenz (MHz)	Digi-Key Teilenr.	Gurtabschnittspreis pro Stück 1	10	100	500	Digi-Key Teilenr.	Tape & Reel Pricing** 1.000	ECS Teilenr.
					Serie CSM-12						
1	200	17.0pF	3.579545	XC584CT-ND	1.65	1.49	1.24	1.00	XC584TR-ND	825.44	ECS-35-17-18-TR
	200	Serie	3.686400	XC585CT-ND	1.65	1.49	1.24	1.00	XC585TR-ND	825.44	ECS-36-S-18-TR
	200	20.0pF	3.686400	XC586CT-ND	1.65	1.49	1.24	1.00	XC586TR-ND	825.44	ECS-36-20-18-TR
	150	Serie	4.000000	XC588CT-ND	1.65	1.49	1.24	1.00	XC588TR-ND	825.44	ECS-40-S-18-TR
	150	20.0pF	4.000000	XC587CT-ND	1.65	1.49	1.24	1.00	XC587TR-ND	825.44	ECS-40-20-18-TR
	150	Serie	4.915200	XC590CT-ND	1.65	1.49	1.24	1.00	XC590TR-ND	825.44	ECS-49-S-18-TR
	150	20.0pF	4.915200	XC589CT-ND	1.65	1.49	1.24	1.00	XC589TR-ND	825.44	ECS-49-20-18-TR
	100	32.0pF	6.144000	XC591CT-ND	1.65	1.49	1.24	1.00	XC591TR-ND	825.44	ECS-61-32-18-TR
	100	Serie	7.372800	XC592CT-ND	1.65	1.49	1.24	1.00	XC592TR-ND	825.44	ECS-73-S-18-TR
	100	Serie	8.000000	XC593CT-ND	1.65	1.49	1.24	1.00	XC593TR-ND	825.44	ECS-80-S-18-TR
	100	Serie	9.830400	XC594CT-ND	1.65	1.49	1.24	1.00	XC594TR-ND	825.44	ECS-98.3-S-18-TR
	100	20.0pF	9.830400	XC595CT-ND	1.65	1.49	1.24	1.00	XC595TR-ND	825.44	ECS-98.3-20-18-TR
	80	Serie	10.000000	XC596CT-ND	1.65	1.49	1.24	1.00	XC596TR-ND	825.44	ECS-100-S-18-TR
	80	Serie	11.059200	XC597CT-ND	1.65	1.49	1.24	1.00	XC597TR-ND	825.44	ECS-110.5-S-18-TR
	80	20.0pF	11.059200	XC598CT-ND	1.65	1.49	1.24	1.00	XC598TR-ND	825.44	ECS-110.5-20-18-TR
	80	Serie	12.000000	XC599CT-ND	1.65	1.49	1.24	1.00	XC599TR-ND	825.44	ECS-120-S-18-TR
	50	Serie	14.318180	XC600CT-ND	1.65	1.49	1.24	1.00	XC600TR-ND	825.44	ECS-143-S-18-TR
	50	20.0pF	14.318180	XC937CT-ND	1.65	1.49	1.24	1.00	XC937TR-ND	825.44	ECS-143-20-18-TR
	50	Serie	16.000000	XC601CT-ND	1.65	1.49	1.24	1.00	XC601TR-ND	825.44	ECS-160-S-18-TR
	50	Serie	18.432000	XC602CT-ND	1.65	1.49	1.24	1.00	XC602TR-ND	825.44	ECS-184-S-18-TR
	50	Serie	19.660800	XC603CT-ND	1.65	1.49	1.24	1.00	XC603TR-ND	825.44	ECS-196.6-S-18-TR
	50	Serie	20.000000	XC604CT-ND	1.65	1.49	1.24	1.00	XC604TR-ND	825.44	ECS-200-S-18-TR
	50	20.0pF	20.000000	XC605CT-ND	1.65	1.49	1.24	1.00	XC605TR-ND	825.44	ECS-200-20-18-TR
	50	16.0pF	24.000000	XC607CT-ND	1.65	1.49	1.24	1.00	XC607TR-ND	825.44	ECS-240-16-18-TR
	50	20.0pF	24.000000	XC606CT-ND	1.65	1.49	1.24	1.00	XC606TR-ND	825.44	ECS-240-20-18-TR
					Serie CSM-8						
2	60	Serie	9.830400	XC608CT-ND	2.79	2.52	2.10	1.68	XC608TR-ND	1396.89	ECS-98.3-S-20A-TR
	60	20.0pF	9.830400	XC609CT-ND	2.79	2.52	2.10	1.68	XC609TR-ND	1396.89	ECS-98.3-20-20A-TR
	60	Serie	10.000000	XC610CT-ND	2.79	2.52	2.10	1.68	XC610TR-ND	1396.89	ECS-100-S-20A-TR
	60	Serie	11.059200	XC611CT-ND	2.79	2.52	2.10	1.68	XC611TR-ND	1396.89	ECS-110.5-S-20A-TR
	60	20.0pF	11.059200	XC612CT-ND	2.79	2.52	2.10	1.68	XC612TR-ND	1396.89	ECS-110.5-20-20A-TR
	60	Serie	12.000000	XC613CT-ND	2.79	2.52	2.10	1.68	XC613TR-ND	1396.89	ECS-120-S-20A-TR
	60	Serie	14.318180	XC614CT-ND	2.79	2.52	2.10	1.68	XC614TR-ND	1396.89	ECS-143-S-20A-TR
	60	20.0pF	14.318180	XC938CT-ND	2.79	2.52	2.10	1.68	XC938TR-ND	1396.89	ECS-143-20-20A-TR
	60	Serie	14.745600	XC615CT-ND	2.79	2.52	2.10	1.68	XC615TR-ND	1396.89	ECS-147.4-S-20A-TR
	40	Serie	16.000000	XC616CT-ND	2.79	2.52	2.10	1.68	XC616TR-ND	1396.89	ECS-160-S-20A-TR
	40	20.0pF	16.000000	XC939CT-ND	2.79	2.52	2.10	1.68	XC939TR-ND	1396.89	ECS-160-20-20A-TR
	40	Serie	18.432000	XC617CT-ND	2.79	2.52	2.10	1.68	XC617TR-ND	1396.89	ECS-184-S-20A-TR
	40	Serie	19.660800	XC618CT-ND	2.79	2.52	2.10	1.68	XC618TR-ND	1396.89	ECS-196.6-S-20A-TR
	40	Serie	20.000000	XC619CT-ND	2.79	2.52	2.10	1.68	XC619TR-ND	1396.89	ECS-200-S-20A-TR
	40	20.0pF	20.000000	XC620CT-ND	2.79	2.52	2.10	1.68	XC620TR-ND	1396.89	ECS-200-20-20A-TR
	40	Serie	24.000000	XC621CT-ND	2.79	2.52	2.10	1.68	XC621TR-ND	1396.89	ECS-240-S-20A-TR
	40	20.0pF	24.000000	XC622CT-ND	2.79	2.52	2.10	1.68	XC622TR-ND	1396.89	ECS-240-20-20A-TR
	40	Serie	24.000140	XC623CT-ND	2.79	2.52	2.10	1.68	XC623TR-ND	1396.89	ECS-240.0014S20A-TR
	40	Serie	30.000000	XC630CT-ND	2.79	2.52	2.10	1.68	XC630TR-ND	1396.89	ECS-300-S-20A-F-TR
	80	Serie	30.000000	XC624CT-ND*	2.79	2.52	2.10	1.68	XC624TR-ND*	1396.89	ECS-300-S-20A-TR
	40	Serie	32.000000	XC631CT-ND	2.79	2.52	2.10	1.68	XC631TR-ND	1396.89	ECS-320-S-20A-F-TR
	80	Serie	32.000000	XC625CT-ND*	2.79	2.52	2.10	1.68	XC625TR-ND*	1396.89	ECS-320-S-20A-TR
	80	Serie	33.000000	XC626CT-ND*	2.79	2.52	2.10	1.68	XC626TR-ND*	1396.89	ECS-330-S-20A-TR
	40	Serie	35.251200	XC632CT-ND	2.79	2.52	2.10	1.68	XC632TR-ND	1396.89	ECS-352.512-S20AF-TR
	40	Serie	36.000000	XC633CT-ND	2.79	2.52	2.10	1.68	XC633TR-ND	1396.89	ECS-360-S-20A-F-TR
	80	Serie	36.000000	XC627CT-ND*	2.79	2.52	2.10	1.68	XC627TR-ND*	1396.89	ECS-360-S-20A-TR
	40	Serie	40.000000	XC634CT-ND	2.79	2.52	2.10	1.68	XC634TR-ND	1396.89	ECS-400-S-20A-F-TR
	80	Serie	40.000000	XC628CT-ND*	2.79	2.52	2.10	1.68	XC628TR-ND*	1396.89	ECS-400-S-20A-TR
	80	Serie	40.320000	XC629CT-ND*	2.79	2.52	2.10	1.68	XC629TR-ND*	1396.89	ECS-403.2-S-20A-TR
	80	20.0pF	48.000000	XC940CT-ND	2.79	2.52	2.10	1.68	XC940TR-ND	1396.89	ECS-480-20-20A-TR
					Serie ECX-19A						
3	200	17.0pF	3.579545	XC850CT-ND	2.79	2.52	2.10	1.68	XC850TR-ND	1396.89	ECS-35-17-19A-TR
	200	20.0pF	3.686400	XC851CT-ND	2.79	2.52	2.10	1.68	XC851TR-ND	1396.89	ECS-36-20-19A-TR
	150	20.0pF	4.000000	XC852CT-ND	2.79	2.52	2.10	1.68	XC852TR-ND	1396.89	ECS-40-20-19A-TR
	150	20.0pF	4.915200	XC853CT-ND	2.79	2.52	2.10	1.68	XC853TR-ND	1396.89	ECS-49-20-19A-TR
	100	32.0pF	6.144000	XC854CT-ND	2.79	2.52	2.10	1.68	XC854TR-ND	1396.89	ECS-61-32-19A-TR
	100	20.0pF	7.372800	XC855CT-ND	2.79	2.52	2.10	1.68	XC855TR-ND	1396.89	ECS-73-20-19A-TR
	100	20.0pF	8.000000	XC856CT-ND	2.79	2.52	2.10	1.68	XC856TR-ND	1396.89	ECS-80-20-19A-TR
	100	20.0pF	9.830400	XC857CT-ND	2.79	2.52	2.10	1.68	XC857TR-ND	1396.89	ECS-98.3-20-19A-TR
	80	Serie	10.000000	XC858CT-ND	2.79	2.52	2.10	1.68	XC858TR-ND	1396.89	ECS-100-S-19A-TR
	80	20.0pF	11.059200	XC859CT-ND	2.79	2.52	2.10	1.68	XC859TR-ND	1396.89	ECS-110.5-20-19A-TR
	80	Serie	12.000000	XC860CT-ND	2.79	2.52	2.10	1.68	XC860TR-ND	1396.89	ECS-120-S-19A-TR
	80	20.0pF	12.000000	XC861CT-ND	2.79	2.52	2.10	1.68	XC861TR-ND	1396.89	ECS-120-20-19A-TR
	50	Serie	14.318180	XC862CT-ND	2.79	2.52	2.10	1.68	XC862TR-ND	1396.89	ECS-143-S-19A-TR
	50	20.0pF	14.318180	XC863CT-ND	2.79	2.52	2.10	1.68	XC863TR-ND	1396.89	ECS-143-20-19A-TR
	50	Serie	16.000000	XC864CT-ND	2.79	2.52	2.10	1.68	XC864TR-ND	1396.89	ECS-160-S-19A-TR
	50	Serie	18.432000	XC865CT-ND	2.79	2.52	2.10	1.68	XC865TR-ND	1396.89	ECS-184-S-19A-TR
	50	Serie	19.660800	XC866CT-ND	2.79	2.52	2.10	1.68	XC866TR-ND	1396.89	ECS-196.6-S-19A-TR
	50	Serie	20.000000	XC867CT-ND	2.79	2.52	2.10	1.68	XC867TR-ND	1396.89	ECS-200-S-19A-TR
	50	20.0pF	20.000000	XC868CT-ND	2.79	2.52	2.10	1.68	XC868TR-ND	1396.89	ECS-200-20-19A-TR
	50	Serie	24.000000	XC870CT-ND	2.79	2.52	2.10	1.68	XC870TR-ND	1396.89	ECS-240-S-19A-TR
	50	20.0pF	24.000000	XC869CT-ND	2.79	2.52	2.10	1.68	XC869TR-ND	1396.89	ECS-240-20-19A-TR
					Serie ECX-64A mit erweitertem Temperaturbereich						
4	80	Serie	14.318180	XC980CT-ND	2.49	2.24	1.87	1.50	XC980TR-ND	1244.50	ECS-143-S-23A-EN-TR
	80	20.0pF	14.318180	XC979CT-ND	2.49	2.24	1.87	1.50	XC979TR-ND	1244.50	ECS-143-20-23A-EN-TR
	80	20.0pF	14.745600	XC981CT-ND	2.49	2.24	1.87	1.50	XC981TR-ND	1244.50	ECS-147-20-23A-EN-TR
	60	Serie	16.000000	XC983CT-ND	2.49	2.24	1.87	1.50	XC983TR-ND	1244.50	ECS-160-S-23A-EN-TR
	60	20.0pF	16.000000	XC982CT-ND	2.49	2.24	1.87	1.50	XC982TR-ND	1244.50	ECS-160-20-23A-EN-TR
	60	Serie	18.432000	XC985CT-ND	2.49	2.24	1.87	1.50	XC985TR-ND	1244.50	ECS-184-S-23A-EN-TR
	60	20.0pF	18.432000	XC984CT-ND	2.49	2.24	1.87	1.50	XC984TR-ND	1244.50	ECS-184-20-23A-EN-TR
	60	Serie	19.660800	XC987CT-ND	2.49	2.24	1.87	1.50	XC987TR-ND	1244.50	ECS-196-S-23A-EN-TR
	60	20.0pF	19.660800	XC986CT-ND	2.49	2.24	1.87	1.50	XC986TR-ND	1244.50	ECS-196-20-23A-EN-TR
	40	Serie	20.000000	XC989CT-ND	2.49	2.24	1.87	1.50	XC989TR-ND	1244.50	ECS-200-S-23A-EN-TR
	40	20.0pF	20.000000	XC988CT-ND	2.49	2.24	1.87	1.50	XC988TR-ND	1244.50	ECS-200-20-23A-EN-TR
	40	Serie	24.000000	XC991CT-ND	2.49	2.24	1.87	1.50	XC991TR-ND	1244.50	ECS-240-S-23A-EN-TR
	40	20.0pF	24.000000	XC990CT-ND	2.49	2.24	1.87	1.50	XC990TR-ND	1244.50	ECS-240-20-23A-EN-TR

* 3. Oberton ** Preisangaben für Gegurtet auf Rolle

Alle Preisangaben in Euro und inklusive Zollgebühren.

Quarzkristalle mit Durchgangsloch

Abb. 1

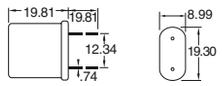

Abb. 2

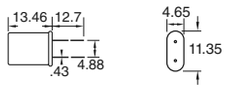

Abb. 3

Abb. 4

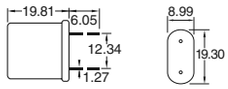

Längsresonanz erscheint resistiv in der Schaltung, und die Impedanz bei fs hat Mindestwert. Wenn keine Nutzlast spezifiziert ist, werden alle Kristalle mit Serienresonanz hergestellt. Ein Kristall, das mit Parallelresonancz (fL) arbeitet, sieht in einer Schaltung induktiv aus. Die Kristallfrequenz ist unterschiedlich, je nach dem Wert der Nutzlast. Die Nutzlast ist die über die Kristallanschlüsse gemessene oder berechnete dynamische Kapazität der ganzen Schaltung. Geben Sie immer die Nutzlast an, wenn das Kristall im Parallelmodus betrieben wird.

HC-49U

• Frequenztoleranz @ 25 °C: ±30 ppm **• Frequenzstabilität:** ±50 ppm **• Shunt-Kapazität:** Max. 7 pF **• Antriebs-Level:** 1,800 ~ 3,000 MHz 200 µW; 3,000 ~ 100,000 MHz 100 µW **• Betriebstemperatur:** -10 °C ~ 70 °C **• Lagertemperatur:** -30 °C ~ 85 °C **• Alterungseigenschaften (1. Jahr):** ±5 ppm @ 25 °C **• Betriebsmodus:** Erste Harmonische, außer wenn anders angegeben

HC-49US

• Frequenztoleranz @ 25 °C: ±30 ppm **• Frequenzstabilität @ 25 °C:** Standard -10 °C ~ 70 °C ±50 ppm **• Shunt-Kapazität:** Max. 7 pF **• Antriebs-Level:** 500 µW **• Betriebstemperatur:** -10 °C ~ 70 °C **• Lagertemperatur:** -40 °C ~ 105 °C **• Alterungseigenschaften (1. Jahr):** ±5 ppm @ 25 °C **• Betriebsmodus:** Erste Harmonische, außer wenn anders angegeben

HC-49US-DN

• Frequenztoleranz @ 25 °C: ±30 ppm **• Frequenzstabilität @ 25 °C:** ±100 ppm, -40 °C ~ 85 °C **• Shunt-Kapazität:** Max. 7 pF **• Antriebs-Level:** 500 µW **• Betriebstemperatur:** -40 °C ~ 85 °C **• Lagertemperatur:** -40 °C ~ 105 °C **• Alterungseigenschaften (1. Jahr) @ 25 °C ±3 °C:** Max. ±5 ppm **• Betriebsmodus:** Erste Harmonische, außer wenn anders angegeben

HC49INS-ND	Basisisolator	**.76/10**	**6.35/100**
9256B-ND	ECS-Kristall-/Oszillatorhandbuch		**2.50**

Abb.	Frequenz (MHz)	Ladekapazität	Digi-Key Teilenr.	Stückpreis 1	10	100	500	ECS Teilenr.
			HC-33					
1	2.94912	32.0pF	X014-ND	1.16	.96	.77	.60	ECS-29.4-32-2P
			HC-49/UA					
2	1.00000	13.0pF	X066B-ND*	15.14	12.58	6.85	6.38	ECS-10-13-1H
	48.00000	20.0pF	XC943-ND†	.42	.39	.31	.28	ECS-480-20-1
			HC-49U					
2	1.84320	Serie	X002-ND	1.65	1.38	1.10	.85	ECS-18-S-1
	1.84320	13.0pF	X067-ND	1.65	1.38	1.10	.85	ECS-18-13-1
	2.00000	Serie	X004-ND	1.65	1.38	1.10	.85	ECS-20-S-1
	2.00000	20.0pF	X068-ND	1.65	1.38	1.10	.85	ECS-20-20-1
	2.04800	12.0pF	X098-ND	1.65	1.38	1.10	.85	ECS-20.48-12-1
	2.45760	32.0pF	X069-ND	1.38	1.15	.92	.71	ECS-24-32-1
	2.50000	Serie	X070-ND	1.38	1.15	.92	.71	ECS-25-S-1
	3.00000	Serie	X009-ND	1.38	1.15	.92	.71	ECS-30-S-1
	3.27680	17.0pF	X022-ND	.55	.46	.37	.25	ECS-32-17-1
	3.57955	Serie	X011-ND	.34	.31	.28	.25	ECS-35-S-1
	3.57955	17.0pF	X049-ND	.34	.31	.28	.25	ECS-35-17-1
	3.68640	Serie	X080-ND	.34	.31	.28	.25	ECS-36-S-1
	3.68640	18.0pF	X071-ND	.34	.31	.28	.25	ECS-36-18-1
	3.93216	17.0pF	X013-ND	.34	.31	.28	.25	ECS-39-17-1
	4.00000	Serie	X081-ND	.34	.31	.28	.25	ECS-40-S-1
	4.00000	20.0pF	X006-ND	.34	.31	.28	.25	ECS-40-20-1
	4.03200	Serie	X015-ND	.34	.31	.28	.25	ECS-40.3-S-1
	4.03200	20.0pF	X072-ND	.34	.31	.28	.25	ECS-40.3-20-1
	4.09600	20.0pF	X082-ND	.34	.31	.28	.25	ECS-41-20-1
	4.19430	12.0pF	X007-ND	.34	.31	.28	.25	ECS-42-12-1
	4.43362	20.0pF	X083-ND	.34	.31	.28	.25	ECS-44-20-1
	4.91520	Serie	X050-ND	.34	.31	.28	.25	ECS-49-S-1
	4.91520	20.0pF	X084-ND	.34	.31	.28	.25	ECS-49-20-1
	5.00000	Serie	X099-ND	.34	.31	.28	.25	ECS-50-S-1
	5.00000	20.0pF	X051-ND	.34	.31	.28	.25	ECS-50-20-1
	5.06880	Serie	X052-ND	.34	.31	.28	.25	ECS-51-S-1
	5.06880	20.0pF	X085-ND	.34	.31	.28	.25	ECS-51-20-1
	5.18500	Serie	X053-ND	.34	.31	.28	.25	ECS-52-S-1
	5.18500	32.0pF	X016-ND	.34	.31	.28	.25	ECS-52-32-1
	5.99040	Serie	X073-ND	.34	.31	.28	.25	ECS-59-S-1
	5.99040	20.0pF	X017-ND	.34	.31	.28	.25	ECS-59.9-20-1
	6.00000	Serie	X026-ND	.34	.31	.28	.25	ECS-60-S-1
	6.00000	32.0pF	X086-ND	.34	.31	.28	.25	ECS-60-32-1
	6.14400	32.0pF	X054-ND	.34	.31	.28	.25	ECS-61-32-1
	6.55360	12.0pF	X018-ND	.34	.31	.28	.25	ECS-65-12-1
	7.37280	Serie	X074-ND	.34	.31	.28	.25	ECS-73-S-1
	7.37280	20.0pF	X019-ND	.34	.31	.28	.25	ECS-73-20-1
	7.68000	20.0pF	X020-ND	.34	.31	.28	.25	ECS-76.8-20-1
	8.00000	Serie	X056-ND	.34	.31	.28	.25	ECS-80-S-1
	8.00000	18.0pF	X100-ND	.34	.31	.28	.25	ECS-80-18-1
	8.00000	20.0pF	X021-ND	.34	.31	.28	.25	ECS-80-20-1
	8.00000	32.0pF	X137-ND	.34	.31	.28	.25	ECS-80-32-1
	9.21600	Serie	X075-ND	.34	.31	.28	.25	ECS-92.1-S-1
	9.21600	20.0pF	X138-ND	.34	.31	.28	.25	ECS-92.1-20-1
	9.83040	Serie	X023-ND	.34	.31	.28	.25	ECS-98.3-S-1
	9.83040	20.0pF	X087-ND	.34	.31	.28	.25	ECS-98.3-20-1
	10.00000	Serie	X057-ND	.34	.31	.28	.25	ECS-100-S-1
	10.73864	Serie	X024-ND	.34	.31	.28	.25	ECS-107.3-S-1
2	11.00000	Serie	X088-ND	.34	.31	.28	.25	ECS-110-S-1
	11.04600	Serie	X025-ND	.34	.31	.28	.25	ECS-110.4-S-1
	11.05920	Serie	X078-ND	.34	.31	.28	.25	ECS-110.5-S-1
	11.05920	20.0pF	X089-ND	.34	.31	.28	.25	ECS-110.5-20-1
	11.05920	32.0pF	X139-ND	.34	.31	.28	.25	ECS-110.5-32-1
	11.22800	Serie	X028-ND	.34	.31	.28	.25	ECS-112.2-S-1
	11.52000	Serie	X140-ND	.34	.31	.28	.25	ECS-115.2-S-1
	11.98135	Serie	X029-ND	.34	.31	.28	.25	ECS-119.8-S-1
	12.00000	Serie	X058-ND	.34	.31	.28	.25	ECS-120-S-1
	12.00000	32.0pF	X030-ND	.34	.31	.28	.25	ECS-120-32-1
	12.00039	18.0pF	X147-ND	.34	.31	.28	.25	ECS-120.003-18-1
	12.09600	Serie	X031-ND	.34	.31	.28	.25	ECS-121-S-1
	12.28800	Serie	X090-ND	.34	.31	.28	.25	ECS-122.8-S-1
	12.28800	20.0pF	X141-ND	.34	.31	.28	.25	ECS-122.8-20-1
	13.51680	Serie	X032-ND	.34	.31	.28	.25	ECS-135-S-1
	14.31818	Serie	X091-ND	.34	.31	.28	.25	ECS-143-S-1
	14.69000	Serie	X033-ND	.34	.31	.28	.25	ECS-146-S-1
	14.74560	Serie	X092-ND	.34	.31	.28	.25	ECS-147.4-S-1
	14.74560	20.0pF	X142-ND	.34	.31	.28	.25	ECS-147.4-20-1
	15.00000	Serie	X059-ND	.34	.31	.28	.25	ECS-150-S-1
	16.00000	Serie	X077-ND	.34	.31	.28	.25	ECS-160-S-1
	16.00000	20.0pF	X143-ND	.34	.31	.28	.25	ECS-160-20-1
	16.00031	18.0pF	X148-ND	.34	.31	.28	.25	ECS-160.003-18-1
	18.00000	Serie	X060-ND	.34	.31	.28	.25	ECS-180-S-1
	18.00000	20.0pF	X144-ND	.34	.31	.28	.25	ECS-180-20-1
	18.43200	Serie	X061-ND	.34	.31	.28	.25	ECS-184-S-1
	18.43200	18.0pF	X145-ND	.34	.31	.28	.25	ECS-184-18-1
	18.43200	20.0pF	X146-ND	.34	.31	.28	.25	ECS-184-20-1
	19.66080	Serie	X094-ND	.34	.31	.28	.25	ECS-196.6-S-1
	19.66080	20.0pF	X035-ND	.34	.31	.28	.25	ECS-196.6-20-1
	20.00000	Serie	X062-ND	.34	.31	.28	.25	ECS-200-S-1
	20.00000	20.0pF	X036-ND	.34	.31	.28	.25	ECS-200-20-1
	22.11840	Serie	X063-ND	.34	.31	.28	.25	ECS-221-S-1
	24.00000	Serie	X095-ND	.34	.31	.28	.25	ECS-240-S-1
	24.00000	20.0pF	X037-ND	.34	.31	.28	.25	ECS-240-20-1
	24.00010	18.0pF	X149-ND	.34	.31	.28	.25	ECS-240.001-18-1
	35.25120	18.0pF	X151-ND†	.42	.39	.31	.28	ECS-352.5-18-1
	38.00053	18.0pF	X150-ND†	.42	.39	.31	.28	ECS-380.005-18-1
	40.32000	18.0pF	X152-ND†	.42	.39	.31	.28	ECS-403.2-18-1
	48.00000	Serie	X065-ND†	.34	.31	.28	.25	ECS-480-S-1
	49.86000	20.0pF	X038-ND†	.34	.31	.28	.25	ECS-498.6-20-1
			HC-49US					
3	3.57955	Serie	X153-ND	.49	.44	.36	.32	ECS-35-S-4
	3.57955	17.0pF	X079-ND	.49	.44	.36	.32	ECS-35-17-4
	3.68640	Serie	X403-ND	.49	.44	.36	.32	ECS-36-S-4
	3.68640	18.0pF	X402-ND	.49	.44	.36	.32	ECS-36-18-4
	4.00000	Serie	X404-ND	.49	.44	.36	.32	ECS-40-S-4
	4.00000	20.0pF	X405-ND	.49	.44	.36	.32	ECS-40-20-4
	4.03200	Serie	X155-ND	.49	.44	.36	.32	ECS-40.3-S-4
	4.03200	20.0pF	X154-ND	.49	.44	.36	.32	ECS-40.3-20-4
	4.09600	20.0pF	X156-ND	.49	.44	.36	.32	ECS-41-20-4
	4.19430	12.0pF	X406-ND	.49	.44	.36	.32	ECS-42-12-4
	4.19430	16.0pF	X157-ND	.49	.44	.36	.32	ECS-42-16-4
	4.43362	20.0pF	X407-ND	.49	.44	.36	.32	ECS-44-20-4
	4.91520	Serie	X408-ND	.49	.44	.36	.32	ECS-49-S-4
	4.91520	20.0pF	X409-ND	.49	.44	.36	.32	ECS-49-20-4

• 1,0 Frequenz: 100 ppm @ 25 °C; ±100 ppm von 0 °C ~ 60 °C † 3. Oberton

(Forts.)

Abb.	Frequenz (MHz)	Ladekapazität	Digi-Key Teilenr.	Stückpreis 1	10	100	500	ECS Teilenr.
			HC-49US					
3	5.00000	Serie	X158-ND	.49	.44	.36	.32	ECS-50-S-4
	5.00000	20.0pF	X410-ND	.49	.44	.36	.32	ECS-50-20-4
	5.06880	Serie	X159-ND	.49	.44	.36	.32	ECS-51-S-4
	5.06880	20.0pF	X411-ND	.49	.44	.36	.32	ECS-51-20-4
	5.18500	Serie	X160-ND	.49	.44	.36	.32	ECS-52-S-4
	5.18500	32.0pF	X064-ND	.63	.53	.42	.33	ECS-52-32-4
	5.99040	Serie	X161-ND	.49	.44	.36	.32	ECS-59-S-4
	5.99040	20.0pF	X162-ND	.49	.44	.36	.32	ECS-59.9-20-4
	6.00000	Serie	X412-ND	.49	.44	.36	.32	ECS-60-S-4
	6.00000	32.0pF	X413-ND	.49	.44	.36	.32	ECS-60-32-4
	6.14400	32.0pF	X414-ND	.49	.44	.36	.32	ECS-61-32-4
	6.50000	20.0pF	X415-ND	.49	.44	.36	.32	ECS-65-20-4
	7.37280	Serie	X416-ND	.49	.44	.36	.32	ECS-73-S-4
	7.37280	20.0pF	X076-ND	.63	.53	.42	.33	ECS-73-20-4
	7.68000	20.0pF	X163-ND	.49	.44	.36	.32	ECS-76.8-20-4
	8.00000	Serie	X417-ND	.49	.44	.36	.32	ECS-80-S-4
	8.00000	18.0pF	X164-ND	.49	.44	.36	.32	ECS-80-18-4
	8.00000	20.0pF	X165-ND	.49	.44	.36	.32	ECS-80-20-4
	8.00000	32.0pF	X166-ND	.49	.44	.36	.32	ECS-80-32-4
	8.50000	Serie	X418-ND	.49	.44	.36	.32	ECS-85-S-4
	9.00000	Serie	X419-ND	.49	.44	.36	.32	ECS-90-S-4
	9.21600	Serie	X167-ND	.49	.44	.36	.32	ECS-92.1-S-4
	9.21600	20.0pF	X168-ND	.49	.44	.36	.32	ECS-92.1-20-4
	9.54500	Serie	X420-ND	.49	.44	.36	.32	ECS-95.4-S-4
	9.83040	Serie	X421-ND	.49	.44	.36	.32	ECS-98.3-S-4
	9.83040	20.0pF	X169-ND	.49	.44	.36	.32	ECS-98.3-20-4
	10.00000	Serie	X422-ND	.49	.44	.36	.32	ECS-100-S-4
	10.00000	18.0pF	X443-ND	.49	.44	.36	.32	ECS-100-18-4
	10.73864	Serie	X423-ND	.49	.44	.36	.32	ECS-107.3-S-4
	11.00000	Serie	X424-ND	.49	.44	.36	.32	ECS-110-S-4
	11.05920	Serie	X425-ND	.49	.44	.36	.32	ECS-110.5-S-4
	11.05920	20.0pF	X426-ND	.49	.44	.36	.32	ECS-110.5-20-4
	11.05920	32.0pF	X170-ND	.49	.44	.36	.32	ECS-110.5-32-4
	11.52000	Serie	X171-ND	.49	.44	.36	.32	ECS-115.2-S-4
	11.98135	Serie	X427-ND	.49	.44	.36	.32	ECS-119.8-S-4
	12.00000	Serie	X428-ND	.49	.44	.36	.32	ECS-120-S-4
	12.00000	20.0pF	X227-ND	.49	.44	.36	.32	ECS-120-20-4
	12.00000	32.0pF	X172-ND	.49	.44	.36	.32	ECS-120-32-4
	12.00039	18.0pF	X173-ND	.49	.44	.36	.32	ECS-120.003-18-4
	12.09600	Serie	X429-ND	.49	.44	.36	.32	ECS-121-S-4
	12.28800	Serie	X174-ND	.49	.44	.36	.32	ECS-122.8-S-4
	12.28800	20.0pF	X228-ND	.49	.44	.36	.32	ECS-122.8-20-4

Abb.	Frequenz (MHz)	Ladekapazität	Digi-Key Teilenr.	Stückpreis 1	10	100	500	ECS Teilenr.
			HC-49US					
3	12.96000	18.0pF	X097-ND	.63	.53	.42	.33	ECS-129.6-18-4
	14.31818	Serie	X430-ND	.49	.44	.36	.32	ECS-143-S-4
	14.31818	20.0pF	X444-ND	.49	.44	.36	.32	ECS-143-20-4
	14.74560	Serie	X431-ND	.49	.44	.36	.32	ECS-147.4-S-4
	14.74560	20.0pF	X175-ND	.49	.44	.36	.32	ECS-147.4-20-4
	15.00000	Serie	X432-ND	.49	.44	.36	.32	ECS-150-S-4
	15.36000	20.0pF	X096-ND	.63	.53	.42	.33	ECS-153-20-4
	16.00000	Serie	X433-ND	.49	.44	.36	.32	ECS-160-S-4
	16.00000	20.0pF	X176-ND	.49	.44	.36	.32	ECS-160-20-4
	16.00031	18.0pF	X177-ND	.49	.44	.36	.32	ECS-160.003-18-4
	16.25700	Serie	X434-ND	.49	.44	.36	.32	ECS-162.5-S-4
	16.25700	20.0pF	X039-ND	.63	.53	.42	.33	ECS-162.5-20-4
	18.00000	Serie	X435-ND	.49	.44	.36	.32	ECS-180-S-4
	18.00000	20.0pF	X178-ND	.49	.44	.36	.32	ECS-180-20-4
	18.43200	Serie	X436-ND	.49	.44	.36	.32	ECS-184-S-4
	18.43200	18.0pF	X179-ND	.49	.44	.36	.32	ECS-184-18-4
	18.43200	20.0pF	X180-ND	.49	.44	.36	.32	ECS-184-20-4
	19.66080	Serie	X437-ND	.49	.44	.36	.32	ECS-196.6-S-4
	19.66080	20.0pF	X181-ND	.49	.44	.36	.32	ECS-196.6-20-4
	20.00000	Serie	X438-ND	.49	.44	.36	.32	ECS-200-S-4
	20.00000	20.0pF	X439-ND	.49	.44	.36	.32	ECS-200-20-4
	20.48000	20.0pF	X229-ND	.49	.44	.36	.32	ECS-204.8-20-4
	21.47727	Serie	X044-ND	.63	.53	.42	.33	ECS-214.7-S-4
	22.11840	Serie	X182-ND	.49	.44	.36	.32	ECS-221-S-4
	24.00000	Serie	X440-ND	.49	.44	.36	.32	ECS-240-S-4
	24.00000	16.0pF	X441-ND	.49	.44	.36	.32	ECS-240-16-4
	24.00000	20.0pF	X442-ND	.49	.44	.36	.32	ECS-240-20-4
	24.00014	18.0pF	X183-ND	.49	.44	.36	.32	ECS-240.001-18-4
	24.57600	20.0pF	X230-ND	.49	.44	.36	.32	ECS-245.7-20-4
	25.00000	18.0pF	X231-ND	.49	.44	.36	.32	ECS-250-18-4-F
	48.00000	20.0pF	XC942-ND	.49	.44	.36	.32	ECS-480-20-4
			HC-49US-DN					
3	3.57955	17.0pF	X184-ND	.68	.61	.49	.44	ECS-35-17-4DN
	3.68640	20.0pF	X185-ND	.68	.61	.49	.44	ECS-36-20-4DN
	4.00000	20.0pF	X186-ND	.68	.61	.49	.44	ECS-40-20-4DN
	6.00000	32.0pF	X187-ND	.68	.61	.49	.44	ECS-60-32-4DN
	7.37280	20.0pF	X188-ND	.68	.61	.49	.44	ECS-73-20-4DN
	8.00000	18.0pF	X189-ND	.68	.61	.49	.44	ECS-80-18-4DN
	12.00000	20.0pF	X190-ND	.68	.61	.49	.44	ECS-120-20-4DN
	14.31818	20.0pF	X191-ND	.68	.61	.49	.44	ECS-143-20-4DN
	16.00000	20.0pF	X192-ND	.68	.61	.49	.44	ECS-160-20-4DN
	18.43200	20.0pF	X193-ND	.68	.61	.49	.44	ECS-184-20-4DN
	19.66080	20.0pF	X194-ND	.68	.61	.49	.44	ECS-196-20-4DN
	20.00000	20.0pF	X195-ND	.68	.61	.49	.44	ECS-200-20-4DN
	24.00000	20.0pF	X196-ND	.68	.61	.49	.44	ECS-240-20-4DN
			HC-6/U					
4	3.64000	32.0pF	X008-ND	1.05	.87	.70	.54	ECS-36.4-32-2P
	3.70000	32.0pF	X012-ND	1.05	.87	.70	.54	ECS-37-32-2P

* 1,0 Frequenz: 100 ppm @ 25 °C; ±100 ppm von 0 °C ~ 60 °C † 3. Oberton

SMD-Niedrigprofil-Quarzkristalle ECX-64

Elektrische Eigenschaften: • Frequenztoleranz: ±50 ppm **• Shunt-Kapazität:** 7 pF **• Antriebs-Level:** 100 µW **• Betriebstemperatur:** -10 °C ~ 70 °C **• Lagertemperatur:** -40 °C ~ 85 °C **• Alterung (1. Jahr):** ±2 ppm **• Äquivalent-Reihenverlustwiderstand (ESR):** 40 Ω **• Betriebsmodus:** Erste Harmonische

Abb. 1 ECX-64A (23A)

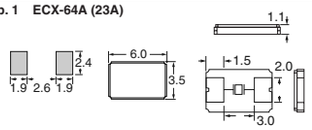

Abb. 2 ECX-64B (23B)

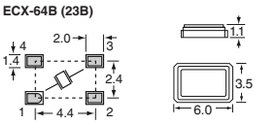

Abb.	Lastkap.	Frequenz (MHz)	Digi-Key Teilenr.	Gurtabschnittspreis pro Stück 1	10	100	Digi-Key Teilenr.	T & R Pricing* 1.000	ECS Teilenr.
			ECX-64A						
1	20.0pF	14.31818	XC821CT-ND	2.79	2.52	2.10	XC821TR-ND	1396.89	ECS-143-20-23A-TR
	Serie	14.31818	XC822CT-ND	2.79	2.52	2.10	XC822TR-ND	1396.89	ECS-143-S-23A-TR
	20.0pF	14.74560	XC823CT-ND	2.79	2.52	2.10	XC823TR-ND	1396.89	ECS-147-20-23A-TR
	20.0pF	16.00000	XC824CT-ND	2.79	2.52	2.10	XC824TR-ND	1396.89	ECS-160-20-23A-TR
	Serie	16.00000	XC825CT-ND	2.79	2.52	2.10	XC825TR-ND	1396.89	ECS-160-S-23A-TR
	20.0pF	18.43200	XC826CT-ND	2.79	2.52	2.10	XC826TR-ND	1396.89	ECS-184-20-23A-TR
	Serie	18.43200	XC827CT-ND	2.79	2.52	2.10	XC827TR-ND	1396.89	ECS-184-S-23A-TR
	20.0pF	19.66080	XC828CT-ND	2.79	2.52	2.10	XC828TR-ND	1396.89	ECS-196-20-23A-TR

Abb.	Lastkap.	Frequenz (MHz)	Digi-Key Teilenr.	Gurtabschnittspreis pro Stück 1	10	100	Digi-Key Teilenr.	T & R Pricing* 1.000	ECS Teilenr.
			ECX-64A						
1	Serie	19.66080	XC829CT-ND	2.79	2.52	2.10	XC829TR-ND	1396.89	ECS-196-S-23A-TR
	20.0pF	20.00000	XC830CT-ND	2.79	2.52	2.10	XC830TR-ND	1396.89	ECS-200-20-23A-TR
	Serie	20.00000	XC831CT-ND	2.79	2.52	2.10	XC831TR-ND	1396.89	ECS-200-S-23A-TR
	Serie	24.00000	XC832CT-ND	2.79	2.52	2.10	XC832TR-ND	1396.89	ECS-240-S-23A-TR
			ECX-64B						
2	20.0pF	14.31818	XC809CT-ND	3.17	2.39	2.39	XC809TR-ND	1587.38	ECS-143-20-23B-TR
	Serie	14.31818	XC810CT-ND	3.17	2.86	2.39	XC810TR-ND	1587.38	ECS-143-S-23B-TR
	20.0pF	14.74560	XC811CT-ND	3.17	2.86	2.39	XC811TR-ND	1587.38	ECS-147-20-23B-TR
	20.0pF	16.00000	XC812CT-ND	3.17	2.86	2.39	XC812TR-ND	1587.38	ECS-160-20-23B-TR
	Serie	16.00000	XC813CT-ND	3.17	2.86	2.39	XC813TR-ND	1587.38	ECS-160-S-23B-TR
	20.0pF	18.43200	XC814CT-ND	3.17	2.86	2.39	XC814TR-ND	1587.38	ECS-184-20-23B-TR
	Serie	18.43200	XC815CT-ND	3.17	2.86	2.39	XC815TR-ND	1587.38	ECS-184-S-23B-TR
	20.0pF	19.66080	XC816CT-ND	3.17	2.86	2.39	XC816TR-ND	1587.38	ECS-196-20-23B-TR
	Serie	19.66080	XC817CT-ND	3.17	2.86	2.39	XC817TR-ND	1587.38	ECS-196-S-23B-TR
	20.0pF	20.00000	XC818CT-ND	3.17	2.86	2.39	XC818TR-ND	1587.38	ECS-200-20-23B-TR
	Serie	20.00000	XC819CT-ND	3.17	2.86	2.39	XC819TR-ND	1587.38	ECS-200-S-23B-TR
	Serie	24.00000	XC820CT-ND	3.17	2.86	2.39	XC820TR-ND	1587.38	ECS-240-S-23B-TR

* Preisangaben für Gegurtet auf Rolle

SMD-Ultra-Niedrigprofil-Quarzkristalle

Elektrische Eigenschaften:

- **Betriebsmodus:** Erste Harmonische
- **Antriebs-Level:** 10 µW
- **Frequenztoleranz:** ±50 ppm
- **Betriebstemperatur:** -10 °C ~ 70 °C

Ladekapazität	Frequenz (MHz)	Digi-Key Teilenr.	Gurtabschnittspreis pro Stück 1	10	100	ECS Teilenr.
Serie	18	XC804CT-ND	3.31	3.01	2.67	ECS-180-S-15-TR
Serie	24	XC808CT-ND	3.31	3.01	2.67	ECS-240-S-15-TR

Alle Preisangaben in Euro und inklusive Zollgebühren.

Quarzkristalle - 32,768 kHz

Parabolic Temperature Curve

To determine frequency stability, use parabolic curvature. For example: What is the stability at 45°C?
(1) Change in T (°C) = 45 - 25 = 20°C
(2) Change in frequency
= 0.04 PPM x (ΔT)
= 0.04 PPM x (20)
= -16.0 PPM

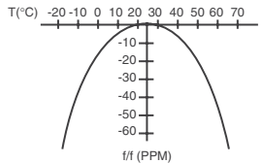

Zylindertyp

	X801-ND	X802-ND	X803-ND
Frequenz	32.768kHz	32.768kHz	32.768kHz
Frequenztoleranz @ 25 °C	±20ppm	±20ppm	±20ppm
Antriebs-Level	1µW	1µW	1µW
Äquivalent-Reihenverlustwiderstand	35kΩ	35kΩ	40kΩ
Shunt-Kapazität	1,6 pF typ.	1,35 pF typ.	1,00 pF typ.
Betriebstemperaturbereich	-10°C ~ 60°C	-10°C ~ 60°C	-10°C ~ 60°C
Lagertemperaturbereich	-40°C ~ 85°C	-40°C ~ 85°C	-40°C ~ 85°C

Abb.1 X801

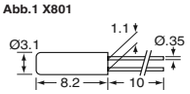

Abb. 2 X802

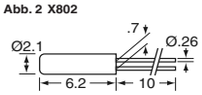

Abb. 3 X803

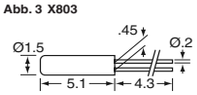

Abb.	Ladekapazität	Digi-Key Teilenr.	Stückpreis 1	10	100	ECS Teilenr.
1	12.5pF	X801-ND	.25	.23	.19	ECS-3X8
2	12.5pF	X802-ND	.25	.23	.19	ECS-.327-12.5-13
3	8.0pF	X803-ND	2.23	2.01	1.61	ECS-.327-8-14

ECX-306

Abb. 4

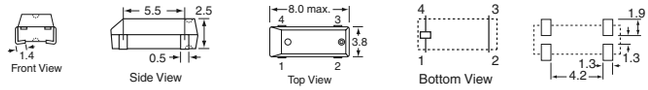

Spezifikationen der Serie ECX-306:
• **Frequenz:** 32,768 kHz • **Frequenztoleranz @ 25 °C:** ±20 ppm • **Äquivalent-Reihenverlustwiderstand:** Max. 50 kΩ • **Shunt-Kapazität:** 1,3 pF typ. • **Antriebs-Level:** Max. 1µW • **Kalibriertoleranz:** ±20 ppm @ 25 °C • **Temperaturkoeffizient:** Max. -0,040 ppm/°C² • **Betriebstemperatur:** Max. -40 °C ~ 85 °C • **Lagertemperaturbereich:** -55 °C ~ 125 °C • **Q-Faktor:** Min. 50.000 • **Wendetemperatur:** 25 °C (±5 °C) • **Isolationswiderstand:** Min. 500 MΩ, 100 V DC • **Dynamische Kapazität:** 0,003 pF typ. • **Alterung (1. Jahr):** max. ± 3 ppm bei +25 °C

Abb.	Ladekapazität	Digi-Key Teilenr.	Gurtabschnittspreis pro Stück 1	10	100	Tape & Reel Digi-Key Teilenr.	Pricing* 3.000	ECS Teilenr.
4	6.0pF	XC746CT-ND	.91	.77	.61	XC746TR-ND	474.10/M	ECS-.327-6-17-TR
4	12.5pF	XC488CT-ND	.91	.77	.61	XC488TR-ND	474.10/M	ECS-.327-12.5-17-TR

* Preisangaben für Gegurtet auf Rolle

ECX-3TA

Abb. 5

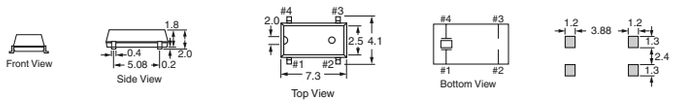

Spezifikationen der Serie ECX-3TA:
• **Frequenz:** 32,768 kHz • **Freq.-Toleranz bei 25 °C:** ± 20 ppm • **Äquivalent-Reihenverlustwiderstand:** 50kΩ Max
• **Shunt-Kapazität:** 2,0 pF typ. • **Betriebstemperatur:** -40 °C ~ 85 °C • **Lagertemperaturbereich:** -55 °C ~ 125 °C

Abb.	Ladekapazität	Digi-Key Teilenr.	Gurtabschnittspreis pro Stück 1	10	100	Tape & Reel Digi-Key Teilenr.	Pricing* 3.000	ECS Teilenr.
5	12.5pF	X488CT-ND	1.37	1.15	.92	X488TR-ND	711.15/M	ECS-.327-12.5-24-TR

* Preisangaben für Gegurtet auf Rolle

Quarzkristalle - Serie ECS-31

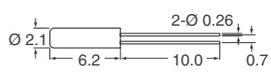

Spezifikationen:
• **Frequenztoleranz:** ± 30 ppm @ 25 °C • **Temperaturkoeffizient:** -0,034 ppm/°C
• **Betriebstemperatur:** -10 °C ~ 60 °C • **Lagertemperatur:** -40 °C ~ 85 °C
• **Äquivalent-Reihenverlustwiderstand (ESR):** 30 kΩ ~ max. 50 kΩ
• **Shunt-Kapazität:** 0,8 pF ~ 1,7 pF • **Antriebs-Level:** Max. 1µW
• **Isolierwiderstand:** Min. 500 MΩ/100 V DC ±15 V • **Alterung (1. Jahr):** ± 5 ppm max. @ 25 °C ± 3 °C

Frequenz (kHz)	Ladekapazität	Digi-Key Teilenr.	Stückpreis 1	10	100	500	ECS Teilenr.
32.000	12.5pF	XC972-ND	.70	.63	.51	.45	ECS-.320-12.5-13
40.000	12.5pF	XC973-ND	.70	.63	.51	.45	ECS-.400-12.5-13
60.000	12.5pF	XC974-ND	.70	.63	.51	.45	ECS-.600-12.5-13
65.536	12.5pF	XC975-ND	.70	.63	.51	.45	ECS-.655-12.5-13
75.000	12.5pF	XC976-ND	.70	.63	.51	.45	ECS-.750-12.5-13
100.000	12.5pF	XC977-ND	.70	.63	.51	.45	ECS-1.00-12.5-13
125.000	12.5pF	XC999-ND	.70	.63	.51	.45	ECS-1.25-12.5-13
153.600	12.5pF	XC978-ND	.70	.63	.51	.45	ECS-1.536-12.5-13

Quarzkristalle - HF-Miniatur

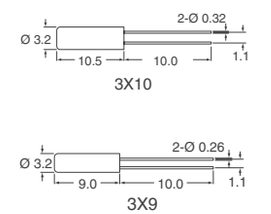

Spezifikationen:
• **Frequenztoleranz:** ±50 ppm @ +25 °C und über Betriebstemp. • **Betriebstemperatur:** -10 °C ~ 60 °C • **Lagertemperatur:** -40 °C ~ 85 °C • **Nutzlast:** 18 pF • **Shunt-Kapazität:** Max. 5,0 pF • **Antriebs-Level:** 50 µW ~100 µW
• **Isolierwiderstand:** Min. 500 MΩ/ 100 V DC ±5 V • **Alterung (1. Jahr):** ± 5 ppm max. @ 25 °C ± 3 °C

Frequenz (MHz)	Äquivalent-Reihenverlust-widerstand (ESR)	Modus
3.5 – 4	200Ω Max.	Erste Harmonische
4 – 6	150Ω Max.	
6 – 10	100Ω Max.	
10 – 30	50Ω Max.	
30 – 36	100Ω Max.	3. Oberton
36 – 70	80Ω Max.	

Frequenz (MHz)	Digi-Key Teilenr.	Stückpreis 1	10	100	500	ECS Teilenr.
		ECS-3X10				
3.579545	XC944-ND	.62	.56	.45	.40	ECS-35-18-10
3.686400	XC945-ND	.62	.56	.45	.40	ECS-36-18-10
4.000000	XC946-ND	.62	.56	.45	.40	ECS-40-18-10
4.915200	XC947-ND	.62	.56	.45	.40	ECS-49-18-10
6.000000	XC948-ND	.62	.56	.45	.40	ECS-60-18-10
7.372810	XC949-ND	.62	.56	.45	.40	ECS-73-18-10
8.000000	XC950-ND	.62	.56	.45	.40	ECS-80-18-10
		ECS-3X9				
8.192000	XC951-ND	.62	.56	.45	.40	ECS-81.92-18-9
9.830400	XC952-ND	.62	.56	.45	.40	ECS-98.3-18-9
10.000000	XC953-ND	.62	.56	.45	.40	ECS-100-18-9
11.059200	XC954-ND	.62	.56	.45	.40	ECS-110.5-18-9
12.000000	XC955-ND	.62	.56	.45	.40	ECS-120-18-9
14.318180	XC956-ND	.62	.56	.45	.40	ECS-143-18-9
14.745600	XC957-ND	.62	.56	.45	.40	ECS-147.4-18-9
16.000000	XC958-ND	.62	.56	.45	.40	ECS-160-18-9
18.432000	XC959-ND	.62	.56	.45	.40	ECS-184-18-9
19.660800	XC960-ND	.62	.56	.45	.40	ECS-196.6-18-9
20.000000	XC961-ND	.62	.56	.45	.40	ECS-200-18-9
24.000000	XC962-ND	.62	.56	.45	.40	ECS-240-18-9
24.576000	XC963-ND	.62	.56	.45	.40	ECS-245.7-18-9
25.000000	XC964-ND	.62	.56	.45	.40	ECS-250-18-9
27.000000	XC965-ND	.62	.56	.45	.40	ECS-270-18-9
32.000000	XC966-ND	.62	.56	.45	.40	ECS-320-18-9-F
32.768000	XC967-ND	.62	.56	.45	.40	ECS-327-18-9-F
40.000000	XC968-ND	.62	.56	.45	.40	ECS-400-18-10-3OT
50.000000	XC969-ND	.62	.56	.45	.40	ECS-500-18-9-3OT

ECS INC. INTERNATIONAL Monolithische Kristallfilter - „10,7 MHz”

12,5 kHz Kanalabstand: • Betriebstemperaturbereich: -20 °C ~ 70 °C **• Durchlassbreite:** Min. 3 dB ±3,75 kHz **• Stoppbereich:** 20 dB ±18 kHz für Modell 10,7-7,5 A; 40 dB ±14 kHz für Modell 10,7-7,5 B

25 kHz Kanalabstand: • Betriebstemperaturbereich: -20 °C ~ 70 °C **• Durchlassbreite:** Min. 3 dB ±7,5 kHz **• Stoppbereich:** 18 dB ±25 kHz für Modell 10,7-15A; 40 dB ±25 kHz für Modell 10,7-15B

50 kHz Kanalabstand: • Betriebstemperaturbereich: -20 °C ~ 70 °C **• Durchlassbreite:** Min. 3 dB ±15 kHz **• Stoppbereich:** 15 dB ±50 kHz für Modell 10,7-30A; 30 dB ±40 kHz für Modell 10,7-30B

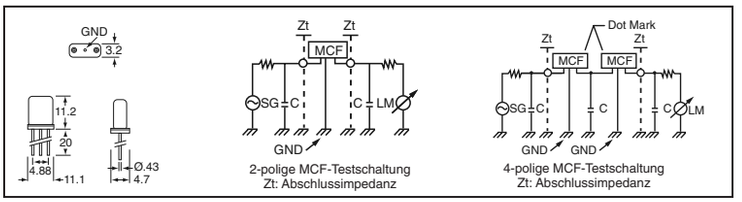

Anz. der Pole	Mischstrom (max.)	Einfügungs-verlust	Abschluss-impedanz	Digi-Key Teilenr.	Stückpreis 1	10	100	500	ECS Teilenr.
12,5 kHz Kanalabstand									
2	.5dB	1.5dB	1.8kΩ/5pF	X701-ND	4.40	3.66	2.92	2.25	ECS-10.7-7.5A
4	1dB	2.5dB	1.8kΩ/4pF	X702-ND*	10.18	8.46	6.74	5.20	ECS-10.7-7.5B
25 KHz Kanalabstand									
2	.5dB	2dB	3kΩ/2pF	X703-ND	2.62	2.18	1.73	1.34	ECS-10.7-15A
4	1dB	2.5dB	3kΩ/2pF	X704-ND*	5.37	4.46	3.55	2.75	ECS-10.7-15B
50 KHz Kanalabstand									
2	.5dB	1.5dB	5kΩ/0pF	X705-ND	3.58	2.98	2.37	1.83	ECS-10.7-30A
4	1dB	2.5dB	5.5kΩ/-1pF	X706-ND*	7.43	6.18	4.92	3.80	ECS-10.7-30B

* Ausführung entspricht HC-49/U x 2

Monolithische SMD-Kristallfilter

Spezifikationen:
• Anz. der Pole: 2 **• Mischstrom:** 1 dB **• Einfügungsverlust:** 2,5 dB [21,4 MHz]; 3 dB [45 MHz] **• Betriebstemperatur:** -30 °C ~ 85 °C **• Durchlassbreite (Minimum) @ Frequenzband (f0±):** 3 dB @ 7,5 kHz [21,4 MHz]; 3 dB @ 15 kHz [45 MHz] **• Stoppband (Maximum) @ Frequenzband (f0±):** 10 dB @ 25 kHz [21,4 MHz]; 15 dB @ 60 kHz [45 MHz]

Abb. 1

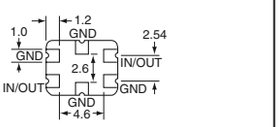

Abb. 2

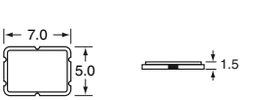

Abb.	Frequenz (MHz)	Abschluss-impedanz	Gurtabschnittspreis pro Stück Digi-Key Teilenr.	1	10	100	T & R Pricing** 1.000 Digi-Key Teilenr.		ECS Teilenr.
1	45	1,200Ω/1.8pF	X714CT-ND	8.94	7.43	5.92	X714TR-ND	4127.18	96SMF45A30-TR
2	21.4	1,500Ω/m/2.5pF	X713CT-ND	6.19	5.15	4.10	X713TR-ND	2857.28	96SMF21A15-TR

** Preisangaben für Gegurtet auf Rolle

Monolithische Kristallfilter - „21,4 MHz”

12,5 kHz Kanalabstand: • Betriebstemperaturbereich: -20 °C ~ 70 °C **• Durchlassbreite:** Min. 3 dB ±3,75 kHz **• Stoppbereich:** 18 dB ±12,5 kHz für Modell 21K-7,5 A; 35 dB ±12,5 kHz für Modell 21K7,5B

25 kHz Kanalabstand: • Betriebstemperaturbereich: -20 °C ~ 70 °C **• Durchlassbreite:** Min. 3 dB ±7,5 kHz **• Stoppbereich:** 18 dB ±25 kHz für Modell 21K15A; 40 dB ±25 kHz für Modell 21K15B

50 kHz Kanalabstand: • Betriebstemperaturbereich: -20 °C ~ 70 °C **• Durchlassbreite:** Min. 3 dB ±15 kHz **• Stoppbereich:** 15 dB ±45 kHz für Modell 21K30A; 40 dB ±50 kHz für Modell 21K30B

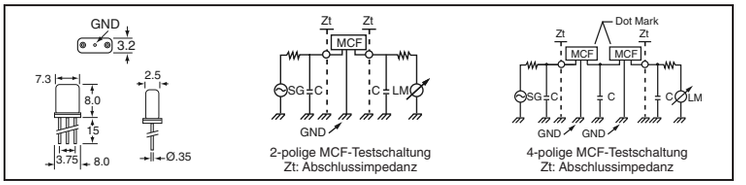

Anz. der Pole	Mischstrom (max.)	Einfügungs-verlust	Abschluss-impedanz	Digi-Key Teilenr.	Stückpreis 1	10	100	500	ECS Teilenr.
12,5 kHz Kanalabstand									
2	.5dB	2dB	1.5kΩ/6pF	X707-ND	3.72	3.09	2.46	1.90	ECS-21K-7.5A
4	1dB	2.5dB	850Ω/5pF	X708-ND*	8.67	7.20	5.74	4.43	ECS-21K-7.5B
25 KHz Kanalabstand									
2	.5dB	1.5dB	1.5kΩ/3pF	X709-ND	3.72	3.09	2.46	1.90	ECS-21K-15A
4	1dB	2dB	1.5kΩ/2pF	X710-ND*	8.67	7.20	5.74	4.43	ECS-21K-15B
50 KHz Kanalabstand									
2	.5dB	1.5dB	1.5kΩ/1pF	X711-ND	3.72	3.09	2.46	1.90	ECS-21K-30A
4	1dB	2dB	1.8kΩ/.5pF	X712-ND*	8.67	7.20	5.74	4.43	ECS-21K-30B

* Ausführung entspricht UM-1 x 2

SAW-Filter

Abb. 1

Pin-Verbindung	
1	Eingang
2	ERDE
3	ERDE
4	ERDE
5	Ausgang
6	ERDE
7	Kopplung
8	ERDE

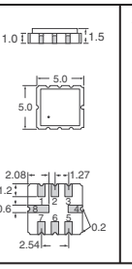

Abb. 2

Pin-Verbindung	
1	ERDE
2	Signal
3	ERDE
4	ERDE
5	Signal
6	ERDE

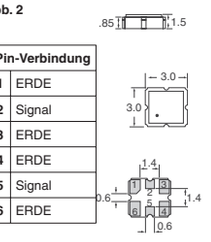

Abb. 3

Pin-Verbindung	
1	Eingang
2	Ausgang
3	ERDE

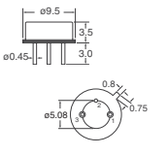

Abb.	Frequ. (MHz)	Einfüg. verlust (dB)	Durchlassbereich Min. (MHz)	Max. (MHz)	Digi-Key Teilenr.	Stückpreis 1	10	100	T & R Pricing** 1.000	ECS Teilenr.
1	400.0	6	399.917	400.083	XC994CT-ND†	3.02	2.72	2.27	1511.18	ECS-DSF400.0A-51-TR
2	947.5	3.3	922.5	—	XC995CT-ND†	3.02	2.72	2.27	1511.18	ECS-DSF947.5B-21-TR
3	479.5	23	453.8	507.2	XC992-ND	1.90	1.72	1.38	—	ECS-D479.5B
	480.0	21	463.4	498.6	XC993-ND	1.90	1.72	1.38	—	ECS-D480A

† Für gegurtet auf Rolle Teilenummer CT-ND in TR-ND ändern. ** Preisangaben für Gegurtet auf Rolle

ABRACON CORPORATION Serie AFS SMD SAW-Filter

The Power of Linking Together

Das Pin-Layout entnehmen Sie bitte dem Datenblatt des Herstellers

** Preisangaben für Gegurtet auf Rolle

Abb. 1

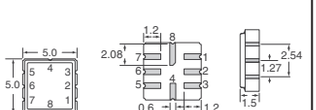

Abb. 2

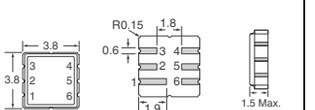

Abb. 3

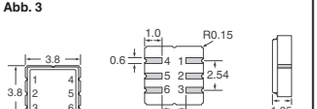

Abb. 4

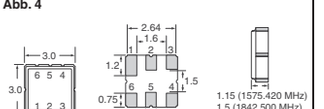

Abb.	Frequenz (MHz)	Digi-Key Teilenr.	Gurtabschnittspreis pro Stück 1	10	100	500	Tape & Reel Pricing** Digi-Key Teilenr.	1.000	Abracon Teilenr.
1	1,575.420	535-9239-1-ND	3.17	2.86	2.39	1.91	535-9239-2-ND	1587.38	AFS1575.42S4
	1,842.500	535-9240-1-ND	3.17	2.86	2.39	1.91	535-9240-2-ND	1587.38	AFS1842.5S4
2	303.825	535-9241-1-ND	3.17	2.86	2.39	1.91	535-9241-2-ND	1587.38	AFS303.825E
	315.020	535-9242-1-ND	3.17	2.86	2.39	1.91	535-9242-2-ND	1587.38	AFS315E
	374.000	535-9243-1-ND	3.17	2.86	2.39	1.91	535-9243-2-ND	1587.38	AFS374E
	390.000	535-9244-1-ND	3.17	2.86	2.39	1.91	535-9244-2-ND	1587.38	AFS390E
3	418.000	535-9245-1-ND	3.17	2.86	2.39	1.91	535-9245-2-ND	1587.38	AFS418S3
	434.000	535-9246-1-ND	3.17	2.86	2.39	1.91	535-9246-2-ND	1587.38	AFS434S3
	869.000	535-9247-1-ND	3.17	2.86	2.39	1.91	535-9247-2-ND	1587.38	AFS869S3
	915.000	535-9248-1-ND	3.17	2.86	2.39	1.91	535-9248-2-ND	1587.38	AFS915S3
	916.500	535-9249-1-ND	3.17	2.86	2.39	1.91	535-9249-2-ND	1587.38	AFS916.5S3
4	930.500	535-9250-1-ND	3.17	2.86	2.39	1.91	535-9250-2-ND	1587.38	AFS930S3

Serie ASR SMD SAW-Resonatoren

Das Pin-Layout entnehmen Sie bitte dem Datenblatt des Herstellers

Abb. 1

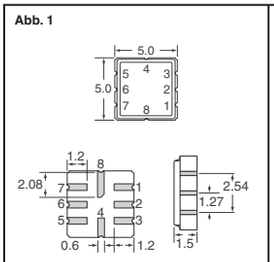

Abb. 2

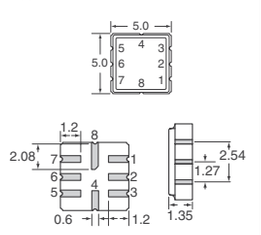

Abb.	Frequenz (MHz)	Digi-Key Teilenr.	Gurtabschnittspreis pro Stück 1	10	100	500	Tape & Reel Pricing** Digi-Key Teilenr.	1.000	Abracon Teilenr.
1	303.825	535-9275-1-ND	1.90	1.72	1.43	1.15	535-9275-2-ND	952.43	ASR303.825E
	390.000	535-9277-1-ND	1.90	1.72	1.43	1.15	535-9277-2-ND	952.43	ASR390E
2	315.000	535-9276-1-ND	1.90	1.72	1.43	1.15	535-9276-2-ND	952.43	ASR315E
	423.220	535-9278-1-ND	1.90	1.72	1.43	1.15	535-9278-2-ND	952.43	ASR423.22E
	433.420	535-9279-1-ND	1.90	1.72	1.43	1.15	535-9279-2-ND	952.43	ASR433.42E
	433.920	535-9280-1-ND	1.90	1.72	1.43	1.15	535-9280-2-ND	952.43	ASR433.92E
	868.350	535-9281-1-ND	1.90	1.72	1.43	1.15	535-9281-2-ND	952.43	ASR868.35E
	915.000	535-9282-1-ND	1.90	1.72	1.43	1.15	535-9282-2-ND	952.43	ASR915E

** Preisangaben für Gegurtet auf Rolle

Alle Preisangaben in Euro und inklusive Zollgebühren.

TDK Keramikresonatoren zur Oberflächenmontage

Merkmale: • Die Serie CCR besteht aus dünnen Keramikchip-Resonatoren. Für das 16,93 ~ 50 MHz-Band werden Modusele-mente der dritten Oberwelle verwendet. • Integrierte Nutzlast
Spezifikationen: • **Frequenztoleranz:** ±0,5 % • **Betriebstemperatur:** -40 °C ~ 85 °C

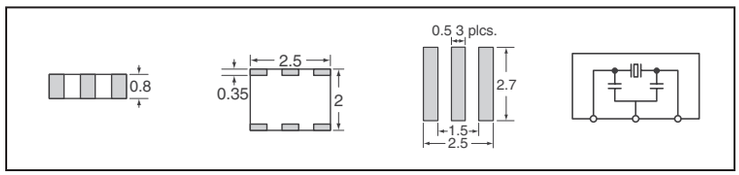

Frequenz (MHz)	Digi-Key Teilenr.	Gurtabschnittspreis pro Stück 1	10	100	Digi-Key Teilenr.	Tape & Reel Pricing* 2.000	TDK Teilenr.
Serie CCR							
16.93	445-1648-1-ND	.53	.47	.36	445-1648-2-ND	249.39/M	CCR16.93MXC7T
20.00	445-1649-1-ND	.53	.47	.36	445-1649-2-ND	249.39/M	CCR20.0MXC7T
25.00	445-1650-1-ND	.53	.47	.36	445-1650-2-ND	249.39/M	CCR25.0MXC7T
30.00	445-1651-1-ND	.51	.44	.34	445-1651-2-ND	237.05/M	CCR30.0MXC7T
33.86	445-1652-1-ND	.51	.44	.34	445-1652-2-ND	237.05/M	CCR33.86MXC7T
40.00	445-1653-1-ND	.51	.44	.34	—	—	CCR40.0MXC7T
48.00	445-1654-1-ND	.92	.80	.62	445-1654-2-ND	429.65/M	CCR48.0MXC7A15T

* Preisangaben für Gegurtet auf Rolle

Keramikresonatoren - mit Anschlüssen

Merkmale: • Die Serie FCR bietet hochgradige Stabilität zwischen dem Quarzoszillator und den LC- oder RC-Oszillationsschaltungen. Temperatureigenschaften: -20 °C ~ 85 °C
Spezifikationen: • **Frequenztoleranz:** ±0,5 % • **Betriebstemperatur:** -40 °C ~ 85 °C

Abb. 1

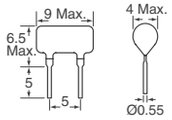

Abb. 2

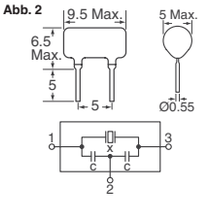

Abb. 3

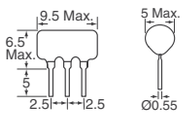

Abb.	Frequenz (MHz)	Digi-Key Teilenr.	Preisangaben 1	10	100	TDK Teilenr.
Serie FCR						
1	16.00	445-1646-ND	.33	2.74	21.28	FCR16.0M2G
	24.00	445-1647-ND	.33	2.74	21.28	FCR24.0M2G
2	4.00	445-1642-ND	.25	2.12	16.51	FCR4.0M5
	4.19	445-1643-ND	.25	2.12	16.51	FCR4.19M5
	6.00	445-1644-ND	.25	2.12	16.51	FCR6.0M5
	8.00	445-1645-ND	.26	2.17	16.82	FCR8.0M5
3	4.00	445-1638-ND	.26	2.17	16.82	FCR4.0MC5
	4.19	445-1639-ND	.26	2.17	16.82	FCR4.19MC5
	6.00	445-1640-ND	.26	2.17	16.82	FCR6.0MC5
	8.00	445-1641-ND	.28	2.29	17.78	FCR8.0MC5

C

ECS INC. INTERNATIONAL Keramikresonatoren zur Oberflächenmontage

ZTT und Serie SR1-B mit eingebauter Lastkapazität: • Frequenzgenauigkeit: ±0,5 % • Temperaturstabil-ität: -20 °C ~ 80 °C, ±0,3 % • Alterung über 10 Jahre: ±0,3 % • Eingebaute Kapazität: 30 pf ±20 %

Serie ZTA, ZTB und SR1-A: • Frequenzgenauigkeit: ±0,5 % • Temperaturstabilität: -20 °C ~ 80 °C, ±0,3 % • Alterung über 10 Jahre: ±0,5 % • Betriebstemperatur: -20 °C ~ 80 °C

Abb. 1

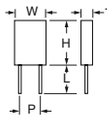

Frequenzbereich	Abmessungen W	T	H	P	L
200	13.5	3.8	14.7	10	8
400	7.9	3.6	9.3	5	4
455-640	7	3.5	9	5	4
800-1000	5.2	2.8	6	2.5	3.5

Abb. 2

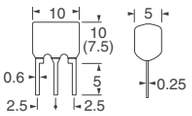

Abb. 3

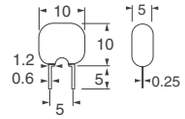

Abb. 4

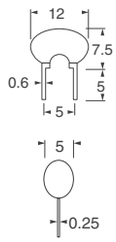

Abb. 5

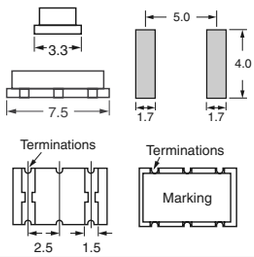

Abb. 6

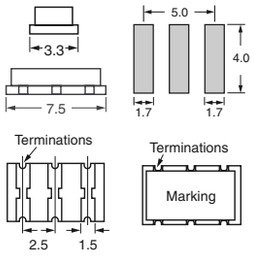

Abb.	Serie	Frequenz	Digi-Key Teilenr.	Stückpreis 1	10	100	ECS Teilenr.
1	ZTB	200.00kHz	X919-ND	.71	.60	.48	ZTB200
		400.00kHz	X920-ND	.58	.48	.39	ZTB400P
		455.00kHz	X921-ND	.58	.48	.39	ZTB455E
		500.00kHz	X922-ND	.58	.48	.39	ZTB500E
		540.00kHz	X923-ND	.58	.48	.39	ZTB540P
		640.00kHz	X924-ND	.58	.48	.39	ZTB640P
		800.00kHz	X925-ND	.58	.48	.39	ZTB800J
		1,000.00kHz	X926-ND	.58	.48	.39	ZTB1000J
2	ZTT	3.58MHz	X901-ND	.46	.39	.31	ZTT-3.58MG
		4.00MHz	X902-ND	.46	.39	.31	ZTT-4.00MG
		4.19MHz	X903-ND	.46	.39	.31	ZTT-4.19MG
		6.00MHz	X904-ND	.46	.39	.31	ZTT-6.00MT
		8.00MHz	X905-ND	.46	.39	.31	ZTT-8.00MT
		10.00MHz	X906-ND	.46	.39	.31	ZTT-10.00MT
		12.00MHz	X907-ND	.46	.39	.31	ZTT-12.00MT
		16.00MHz	X908-ND	.46	.39	.31	ZTT-16.00MX
		20.00MHz	X909-ND	.46	.39	.31	ZTT-20.00MX
3	ZTA	6.00MHz	X913-ND	.41	.35	.28	ZTA-6.00MT
		8.00MHz	X914-ND	.41	.35	.28	ZTA-8.00MT
		10.00MHz	X915-ND	.41	.35	.28	ZTA-10.00MT
		12.00MHz	X916-ND	.41	.35	.28	ZTA-12.00MT
		16.00MHz	X917-ND	.41	.35	.28	ZTA-16.00MX
		20.00MHz	X918-ND	.41	.35	.28	ZTA-20.00MX
4	ZTA	3.58MHz	X910-ND	.41	.35	.28	ZTA-3.58MG
		4.00MHz	X911-ND	.41	.35	.28	ZTA-4.00MG
		4.19MHz	X912-ND	.41	.35	.28	ZTA-4.19MG

* Preisangaben für Gegurtet auf Rolle

Abb.	Serie	Frequenz (MHz)	Digi-Key Teilenr.	Gurtabschnittspreis pro Stück 1	10	100	Digi-Key Teilenr.	Tape & Reel Pricing* 2.500	ECS Teilenr.
5	ECS-SR1-A	3.58	X932CT-ND	.59	.51	.40	X932TR-ND	237.05/M	ECS-SR1-3.58-A-TR
		4.00	X933CT-ND	.59	.51	.40	X933TR-ND	237.05/M	ECS-SR1-4.00-A-TR
		4.19	X934CT-ND	.59	.51	.40	X934TR-ND	237.05/M	ECS-SR1-4.19-A-TR
		6.00	X935CT-ND	.59	.51	.40	X935TR-ND	237.05/M	ECS-SR1-6.00-A-TR
		8.00	X936CT-ND	.59	.51	.40	X936TR-ND	237.05/M	ECS-SR1-8.00-A-TR
6	ECS-SR1-B	3.58	X927CT-ND	.65	.56	.44	X927TR-ND	260.76/M	ECS-SR1-3.58-B-TR
		4.00	X928CT-ND	.65	.56	.44	X928TR-ND	260.76/M	ECS-SR1-4.00-B-TR
		4.19	X929CT-ND	.65	.56	.44	X929TR-ND	260.76/M	ECS-SR1-4.19-B-TR
		6.00	X930CT-ND	.65	.56	.44	X930TR-ND	260.76/M	ECS-SR1-6.00-B-TR
		8.00	X931CT-ND	.65	.56	.44	X931TR-ND	260.76/M	ECS-SR1-8.00-B-TR

* Preisangaben für Gegurtet auf Rolle

ECS-SDR1 Ein-Port-SAW-Resonatoren

Frequenz (MHz)	Digi-Key Teilenr.	Gurtabschnittspreis pro Stück 1	10	100	Digi-Key Teilenr.	Tape & Reel Pricing* 1.000	ECS Teilenr.
315.00	XC996CT-ND	3.02	2.72	2.27	XC996TR-ND	1511.18	ECS-SDR1-3150-TR
418.00	XC997CT-ND	3.02	2.72	2.27	XC997TR-ND	1511.18	ECS-SDR1-4180-TR
433.92	XC998CT-ND	3.02	2.72	2.27	XC998TR-ND	1511.18	ECS-SDR1-4339-TR

* Preisangaben für Gegurtet auf Rolle

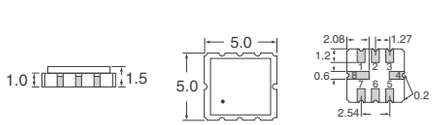

Pin-Verbindung			
1	Nicht angeschl.	5	Nicht angeschl.
2	Eingang	6	Ausgang
3	Nicht angeschl.	7	Nicht angeschl.
4	Erde	8	Erde

Panasonic SAW-Resonatoren

Zur Oszillation der Ersten Harmonischen fähig; im Vergleich zur herkömmlichen LC- und Quarzkristalloszillation besonders geeignet zur Vereinfachung, Größenreduzierung und Stabilisierung des Schaltkreises. **Merkmale:** • Fähigkeit zur Ersten Harmonischen • Hervorragende Temperatureigenschaften • Zur Vereinfachung, Größenreduzierung und Schaltkreisstabilisierung. **Empfohlene Anwendungen:** • Oszillationsschalkreise für Fernbedienungen (Garagentüröffner, Sicherheitsanlagen) • Verschiedene Arten von lokalen Oszillationsschaltkreisen. **Spezifikationen:** • Betriebstemperatur: -20 °C ~ 80 °C • Max. Frequenzdrift: -150 ~ 50 ppm/°C (-20 °C ~ 80 °C).
Ein-Port-Version: • Resonanzwiderstand: Max. 30 Ω • Kapazität: 2,0 pF ±0,5. **Zwei-Port-Version:** • Einfügungsverlust: Max. 15 dB • Last-Q: Min. 7.000 (min. 5.000 für 418,00 und 433,92 Frequenz) • Kapazität: 1,3 pF ±0,3 • Phasenverschiebung: 180°.

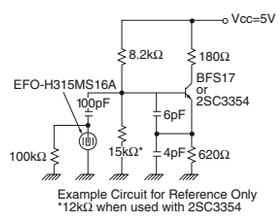

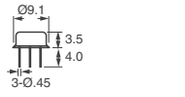

Pin-Verbindung	
1	Ein/Aus
2	Aus/Ein
3	ERDE

Port-Version	Frequenz (MHz)	Digi-Key Teilenr.	Preisangaben 1	10	100	Panasonic Teilenr.
Ein-Port-Version	224.5 ±0.25%	PX224S1-ND	5.82	49.83	390.34	EFO-H224MS12
	418 ±0.25%	PX418S1-ND	5.82	49.83	390.34	EFO-H418MS12
Zwei-Port-Version	224.5 ±0.25%	PX224S2-ND	5.82	49.83	390.34	EFO-H224MS03
	418 ±0.25%	PX418S2-ND	5.82	49.83	390.34	EFO-H418MS03

Panasonic

Keramikresonatoren - Durchgangsloch

EFO-MN

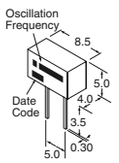

EFO-MC — mit eingebauten Kondensatoren: • Einschließlich zwei Kondensatoren zur Konstruktion von Colpitts Oszillationsschaltungen. Hohe Genauigkeit und stabile Eigenschaften aufgrund der ausgewählten, verkapselten Kondensatoren; kleine Größe durch neues Design

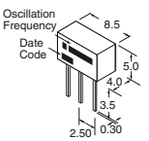

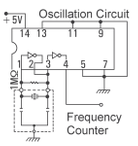

Frequ. (MHz)	Digi-Key Teilenr.	Preisangaben 1	10	100	1.000	5.000	Panasonic Teilenr.
Keramikresonatoren — EFO-MN							
3.00	PX300MN-ND	.88	7.54	59.09	358.96	335.26/M	EFO-MN3004A4
3.58	PX358MN-ND	.53	4.55	35.63	216.61	202.17/M	EFO-MN3584A4
4.00	PX400MN-ND	.53	4.55	35.63	216.61	202.17/M	EFO-MN4004A4
5.00	PX500MN-ND	.53	4.55	35.63	216.61	202.17/M	EFO-MN5004A4
6.00	PX600MN-ND	.53	4.55	35.63	216.61	202.17/M	EFO-MN6004A4
8.00	PX800MN-ND	.53	4.55	35.63	216.61	202.17/M	EFO-MN8004A4
10.00	PX1000MN-ND	.76	6.52	51.09	310.58	289.88/M	EFO-MN1005A4
12.00	PX1200MN-ND	.97	8.31	65.06	395.36	369.12/M	EFO-MN1205A4
Keramikresonatoren mit eingebautem Kondensator — EFO-MC							
2.00	PX200MC-ND	.87	7.44	58.30	354.73	331.02/M	EFO-MC2004A4
3.00	PX300MC-ND	.88	7.54	59.09	358.96	335.26/M	EFO-MC3004A4
3.58	PX358MC-ND	.53	4.55	35.63	216.61	202.17/M	EFO-MC3584A4
4.00	PX400MC-ND	.53	4.55	35.63	216.73	202.34/M	EFO-MC4004A4
5.00	PX500MC-ND	.53	4.55	35.63	216.61	202.17/M	EFO-MC5004A4
6.00	PX600MC-ND	.53	4.55	35.63	216.61	202.17/M	EFO-MC6004A4
8.00	PX800MC-ND	.53	4.55	35.63	216.61	202.17/M	EFO-MC8004A4
10.00	PX1000MC-ND	.76	6.52	51.09	310.58	289.88/M	EFO-MC1005A4
12.00	PX1200MC-ND	.79	6.76	53.00	322.55	300.55/M	EFO-MC1205A4

C

Keramikresonatoren zur Oberflächenmontage

Merkmale: • Mit Keramikpaket konstruiert • Hohe Lötwärmebeständigkeit und Widerstand gegen mechanischen Stress • Wasserdicht versiegelt • Beständig gegen flüssige Reinigungsmittel • Für Aufschmelzlöten • Flachbodenplatte zur besseren Montage
Anwendungen: • Taktgenerator für verschiedene Mikroprozessoren • Träger zwischen Telekommunikationsgeräten (Telefon an Telefon, PC an Drucker usw.)

Abb. 1 - Typ EFO-BM

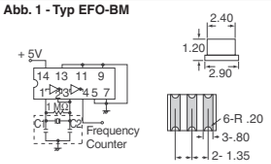

Abb. 2 - Typ EFO-JC

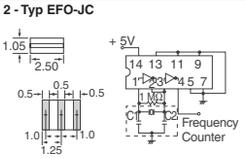

Abb. 3 - Typ EFO-JM

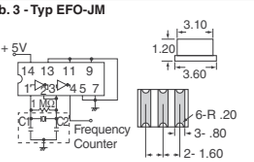

Abb. 4 - Typ EFO-P

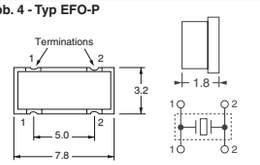

Abb. 5 - Typ EFO-S

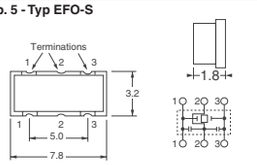

Abb.	Frequenz (MHz)	Digi-Key Teilenr.	Preisangaben 1	10	100	500	Digi-Key Teilenr.	Gegurtet auf Rolle Größe	Preisangaben	Panasonic Teilenr.
Typ BM, Oberflächenbefestigung mit eingebautem Kondensator										
1	16.000	PX160BCT-ND	.54	4.65	36.39	162.59	PX160BTR-ND	1,000	220.96	EFO-BM1605E5
	16.930	PX169BCT-ND	.61	5.24	41.03	183.30	PX169BTR-ND	1,000	249.75	EFO-BM1695E5
	20.000	PX200BCT-ND	.61	5.24	41.03	183.30	PX200BTR-ND	1,000	249.75	EFO-BM2005E5
Typ JC, Oberflächenbefestigung mit eingebautem Kondensator										
2	20.000	PX200CCT-ND	.52	4.47	35.00	156.37	PX200CTR-ND	3,000	212.50/M	EFJ-C2005E5B
	30.000	PX300CCT-ND	.52	4.47	35.00	156.37	PX300CTR-ND	3,000	212.50/M	EFJ-C3005E5B
	40.000	PX400CCT-ND	.52	4.47	35.00	156.37	PX400CTR-ND	3,000	212.50/M	EFJ-C4005E5B
Typ JM, Oberflächenbefestigung mit eingebautem Kondensator										
3	32.000	PX320JCT-ND	.61	5.24	41.03	183.30	PX320JTR-ND	1,000	249.75	EFO-JM3205E5
	33.868	PX338JCT-ND	.61	5.24	41.03	183.30	PX338JTR-ND	1,000	249.75	EFO-JM3385E5
	40.000	PX400JCT-ND	.54	4.65	36.39	162.59	PX400JTR-ND	1,000	220.96	EFO-JM4005E5
Typ P, Oberflächenbefestigung, Allzweck, Flachprofil										
4	3.580	PX358PCT-ND	.61	5.22	40.94	182.94	PX358PTR-ND	2,500	248.90/M	EFO-P3584E5
	4.000	PX400PCT-ND	.61	5.22	40.94	182.94	PX400PTR-ND	2,500	248.90/M	EFO-P4004E5
	4.190	PX419PCT-ND	1.34	11.43	89.53	400.02	PX419PTR-ND	2,500	544.24/M	EFO-P4194E5
	5.000	PX500PCT-ND	1.36	11.66	91.32	408.02	PX500PTR-ND	2,500	555.13/M	EFO-P5004E5
	6.000	PX600PCT-ND	1.36	11.66	91.32	408.02	PX600PTR-ND	2,500	555.13/M	EFO-P6004E5
	8.000	PX800PCT-ND	.61	5.22	40.94	182.94	PX800PTR-ND	2,500	248.90/M	EFO-P8004E5
Typ S, Oberflächenbefestigung mit eingebautem Kondensator, Flachprofil										
5	3.580	PX358SCT-ND	.61	5.22	40.94	182.94	PX358STR-ND	2,500	248.90/M	EFO-S3584E5
	4.000	PX400SCT-ND	.82	7.03	55.03	245.88	PX400STR-ND	2,500	193.51/M	EFO-S4004E5
	4.190	PX419SCT-ND	1.36	11.66	91.32	408.02	PX419STR-ND	2,500	555.13/M	EFO-S4194E5
	5.000	PX500SCT-ND	1.39	11.89	93.11	416.02	PX500STR-ND	2,500	566.02/M	EFO-S5004E5
	6.000	PX600SCT-ND	.61	5.22	40.94	182.94	PX600STR-ND	2,500	248.90/M	EFO-S6004E5
	8.000	PX800SCT-ND	.61	5.22	40.94	182.94	PX800STR-ND	2,500	248.90/M	EFO-S8004E5

SAW-Filter

Merkmale: • Kleine Gehäusegröße aufgrund der CSP-Technologie • Geringer Verlust bei hervorragender Abschwächung

Abb. 1

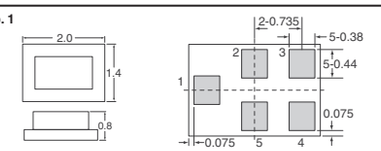

A Eingang - unausgeglichen
Ausgang - ausgeglichen

Pin-Verbindung	
1	Eingang
2	ERDE
3	Ausgang
4	Ausgang
5	ERDE

B Eingang - unausgeglichen
Ausgang - unausgeglichen

Pin-Verbindung	
1	Eingang
2	ERDE
3	ERDE
4	Ausgang
5	ERDE

Abb. 2

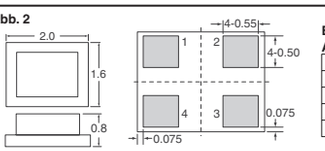

Eingang - unausgeglichen
Ausgang - unausgeglichen

Pin-Verbindung	
1	Eingang
2	ERDE
3	Ausgang
4	ERDE

* Preisangaben für Gegurtet auf Rolle

Abb.	Frequenz (MHz)	Durchlassbreite (MHz)	Einfügungs-verlust (dB)	Ein-/Ausgangs-impedanz (Ω)	Anwendung	Digi-Key Teilenr.	Gurtabschnittspreis pro Stück 1	10	100	Digi-Key Teilenr.	Tape & Reel Pricing* 2.000	Panasonic Teilenr.
1A	881.50	869 ~ 894	1.4	50/150	GSM850 Rx-Filter	P13003CT-ND	.97	.87	.73	P13003TR-ND	480.66/M	EFCH881MTCA1
	881.50	869 ~ 894	1.5	50/100	CDMA800 Rx-Filter	P13009CT-ND	.97	.87	.73	P13009TR-ND	480.66/M	EFCH881MTCA7
	942.50	925 ~ 960	1.8	50/150	EGSM900 Rx-Filter	P13000CT-ND	.97	.87	.73	P13000TR-ND	480.66/M	EFCH942MTCA7
	1,575.42	1,574.42 ~ 1,576.42	1.1	50/100	GPS Rx Filter	P13012CT-ND	1.29	1.16	.97	P13012TR-ND	641.30/M	EFCH1575TCA1
	1,842.50	1,805 ~ 1,880	1.7	50/150	DCS1800 Rx-Filter	P13001CT-ND	1.29	1.16	.97	P13001TR-ND	641.30/M	EFCH1842TCA7
	1,960.00	1,930 ~ 1,990	1.5	50/150	PCS1900 Rx-Filter	P13002CT-ND	1.29	1.16	.97	P13002TR-ND	641.30/M	EFCH1960TCA1
	2,140.00	2,110 ~ 2,170	1.8	50/100	WCDMA Rx-Filter	P13011CT-ND	1.29	1.16	.97	P13011TR-ND	641.30/M	EFCH2140TCA1
1B	836.50	824 ~ 849	1.7	50/50	CDMA800 Tx Filter; GSM850 Tx Filter	P13008CT-ND	.97	.87	.73	P13008TR-ND	480.66/M	EFCH836MTCD1
	881.50	869 ~ 894	1.6	50/50	GSM850 Rx Filter; CDMA800 Rx Filter	P13007CT-ND	.97	.87	.73	P13007TR-ND	480.66/M	EFCH881MTCD1
	942.50	925 ~ 960	1.7	50/50	EGSM900 Rx-Filter	P13004CT-ND	.97	.87	.73	P13004TR-ND	480.66/M	EFCH942MTCD1
	1,842.50	1,805 ~ 1,880	1.9	50/50	DCS1800 Rx-Filter	P13005CT-ND	1.29	1.16	.97	P13005TR-ND	641.30/M	EFCH1842TCD1
	1,950.00	1,920 ~ 1,980	2.3	50/50	WCDMA Tx-Filter	P13010CT-ND	1.29	1.16	.97	P13010TR-ND	641.30/M	EFCH1950TCD1
	1,960.00	1,930 ~ 1,990	1.7	50/50	PCS1900 Rx-Filter	P13006CT-ND	1.29	1.16	.97	P13006TR-ND	641.30/M	EFCH1960TCD1
2	1,575.42	1,573.92 ~ 1,576.92	1.15	50/50	GPS Rx-Filter	P13013CT-ND	1.29	1.16	.97	P13013TR-ND	641.30/M	EFCH1575TCB1

Alle Preisangaben in Euro und inklusive Zollgebühren.

Keramikresonatoren - Oberflächenmontage

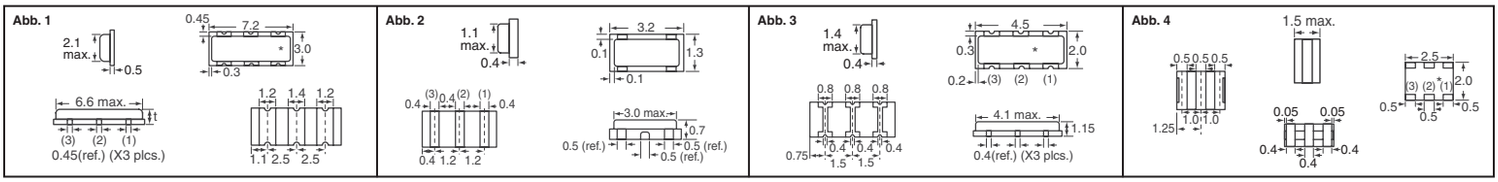

Abb.	Frequ. (MHz)	Betriebstemperatur	Digi-Key Teilenr.	Gurtabschnitt Stückpreis 1	10	100	Digi-Key Teilenr.	Gegurtet auf Rolle Größe	Preisangaben	Murata Teilenr.
Serie CSTCC-G - Kommerziell										
1	2.00	-20°C ~ 80°C	490-1193-1-ND	.64	.54	.42	490-1193-2-ND	2,000	320.61/M	CSTCC2M00G53-R0
	3.58	-20°C ~ 80°C	490-1194-1-ND	.49	.41	.32	490-1194-2-ND	2,000	247.27/M	CSTCC3M58G53-R0
Serie CSTCC-G - Industriell										
1	2.00	-40°C ~ 125°C	490-1216-1-ND	.72	.62	.49	490-1216-2-ND	2,000	288.96/M	CSTCC2M00G53Z-R0
Serie CSTCE-G - Kommerziell										
2	8.00	-20°C ~ 80°C	490-1195-1-ND	.52	.44	.34	490-1195-2-ND	3,000	264.17/M	CSTCE8M00G55-R0
	10.00	-20°C ~ 80°C	490-1196-1-ND	.58	.49	.38	490-1196-2-ND	3,000	290.39/M	CSTCE10M0G55-R0
	12.00	-20°C ~ 80°C	490-1197-1-ND	.68	.56	.44	490-1197-2-ND	3,000	337.35/M	CSTCE12M0G55-R0
3	4.00	-20°C ~ 80°C	490-1200-1-ND	.48	.41	.32	490-1200-2-ND	3,000	242.24/M	CSTCR4M00G53-R0
	4.19	-20°C ~ 80°C	490-1201-1-ND	.48	.41	.32	490-1201-2-ND	3,000	242.24/M	CSTCR4M19G53-R0
	4.91	-20°C ~ 80°C	490-1202-1-ND	.52	.44	.34	490-1202-2-ND	3,000	263.72/M	CSTCR4M91G53-R0
	5.00	-20°C ~ 80°C	490-1203-1-ND	.52	.44	.34	490-1203-2-ND	3,000	263.72/M	CSTCR5M00G53-R0
	6.00	-20°C ~ 80°C	490-1204-1-ND	.53	.45	.35	490-1204-2-ND	3,000	266.24/M	CSTCR6M00G53-R0
Serie CSTCE-G - Industriell										
2	8.00	-40°C ~ 125°C	490-1219-1-ND	.55	.46	.36	490-1219-2-ND	3,000	276.91/M	CSTCE8M00G55Z-R0
	12.00	-40°C ~ 125°C	490-1220-1-ND	.59	.49	.38	490-1220-2-ND	3,000	295.28/M	CSTCE12M0G55Z-R0
3	4.00	-40°C ~ 125°C	490-1217-1-ND	.55	.46	.36	490-1217-2-ND	3,000	221.76/M	CSTCR4M00G53Z-R0
	6.00	-40°C ~ 125°C	490-1218-1-ND	.55	.46	.36	490-1218-2-ND	3,000	221.76/M	CSTCR6M00G53Z-R0
Serie CSTCE-V - Kommerziell										
2	16.00	-20°C ~ 80°C	490-1198-1-ND	.77	.65	.50	490-1198-2-ND	3,000	387.28/M	CSTCE16M0V53-R0
	20.00	-20°C ~ 80°C	490-1199-1-ND	.77	.65	.50	490-1199-2-ND	3,000	387.28/M	CSTCE20M0V53-R0
Serie CSTCW-X - Kommerziell										
4	24.00	-20°C ~ 80°C	490-1205-1-ND	.65	.54	.42	490-1205-2-ND	3,000	324.32/M	CSTCW24M0X53-R0
	48.00	-20°C ~ 80°C	490-1206-1-ND	.65	.54	.42	490-1206-2-ND	3,000	324.32/M	CSTCW48M0X51-R0

Keramikresonatoren - mit Anschlüssen

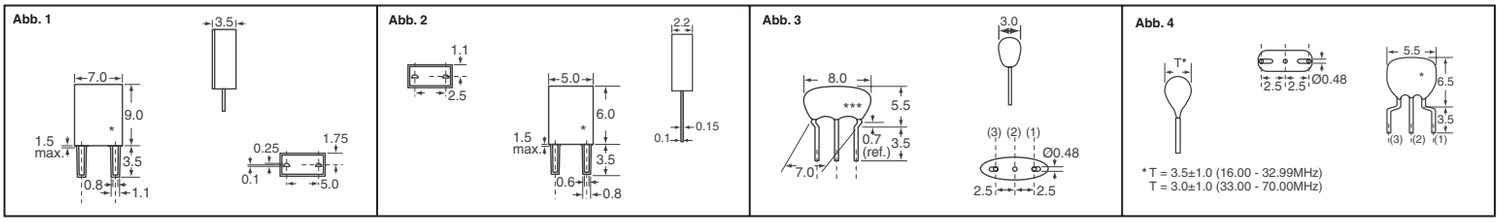

Abb.	Frequenz	Betriebstemperatur	Digi-Key Teilenr.	Stückpreis 1	10	100	Murata Teilenr.
Serie CSBLA - Kommerziell							
1	400.00kHz	-20°C ~ 80°C	490-1186-ND	.64	.54	.42	CSBLA400KECE-B0
	455.00kHz	-20°C ~ 80°C	490-1187-ND	.59	.50	.39	CSBLA455KEC8-B0
	480.00kHz	-20°C ~ 80°C	490-1188-ND	.61	.51	.39	CSBLA480KEC8-B0
	500.00kHz	-20°C ~ 80°C	490-1189-ND	.61	.51	.39	CSBLA500KEC8-B0
	540.00kHz	-20°C ~ 80°C	490-1190-ND	.59	.50	.39	CSBLA540KEC8-B0
	640.00kHz	-20°C ~ 80°C	490-1191-ND	.59	.50	.39	CSBLA640KEC8-B0
2	800.00kHz	-20°C ~ 80°C	490-1192-ND	.75	.62	.49	CSBLA800KJ58-B0
	1.00MHz	-20°C ~ 80°C	490-1185-ND	.75	.63	.49	CSBLA1M00J58-B0
Serie CSTLS - Kommerziell							
3	3.58MHz	-20°C ~ 80°C	490-1207-ND	.30	.25	.19	CSTLS3M58G53-B0
	4.00MHz	-20°C ~ 80°C	490-1208-ND	.28	.24	.19	CSTLS4M00G53-B0
	4.19MHz	-20°C ~ 80°C	490-1209-ND	.30	.25	.19	CSTLS4M19G53-B0
	5.00MHz	-20°C ~ 80°C	490-1210-ND	.30	.25	.19	CSTLS5M00G53-B0
	6.00MHz	-20°C ~ 80°C	490-1211-ND	.30	.25	.19	CSTLS6M00G53-B0
	8.00MHz	-20°C ~ 80°C	490-1212-ND	.30	.26	.20	CSTLS8M00G53-B0
	10.00MHz	-20°C ~ 80°C	490-1213-ND	.35	.29	.23	CSTLS10M0G53-B0
4	16.00MHz	-20°C ~ 80°C	490-1214-ND	.56	.46	.36	CSTLS16M0X55-B0
	20.00MHz	-20°C ~ 80°C	490-1215-ND	.52	.43	.34	CSTLS20M0X53-B0
	50.00MHz	-20°C ~ 80°C	490-2606-ND	.60	.50	.39	CSTLS50M0X51-B0
Serie CSTLS - Industriell							
3	4.00MHz	-40°C ~ 125°C	490-1221-ND	.30	.26	.20	CSTLS4M00G53Z-B0
	6.00MHz	-40°C ~ 125°C	490-1222-ND	.36	.30	.23	CSTLS6M00G53Z-B0
	8.00MHz	-40°C ~ 125°C	490-1223-ND	.33	.28	.22	CSTLS8M00G53Z-B0

Serie PBRC-H (MHz Band Keramikresonatoren) - zur Oberflächenmontage

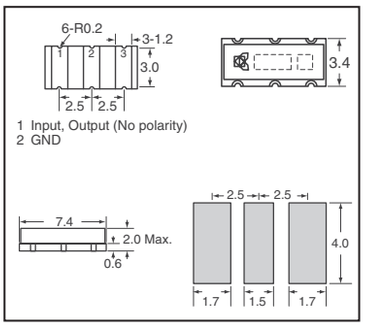

Spezifikationen: • Betriebstemperatur: -40 °C ~ 85 °C

Merkmale: • Ausgezeichnete Frequenzstabilität • Flachprofil • Aufschmelzlötbar • Hervorragende Lötbarkeit (Nickelsperre + Gold-Flash-Terminierung)

Anwendungen: • Kfz und Kfz-Zubehör • Camcorder • Digitalkameras • PDAs • PC-Peripheriegeräte

Frequenzbereich (MHz)	Toleranz (25°C)	Temperaturstabilität	Standardfrequenz
3.58 ~ 8.00	±0.5% (op. ±0.3%)	±0.5% (-40°~ 85°C)	3.58, 4.00, 4.19, 6.00, 8.00
8.01 ~ 20.00	±0.7% (op. ±0.5%)	±0.1% (-40° ~ 85°C)	10.0, 12.0, 16.0, 20.0

Frequ. (MHz)	Digi-Key Teilenr.	Gurtabschnittspreis pro Stück 1	10	100	Digi-Key Teilenr.	Tape & Reel Pricing* 2.000	AVX Teilenr.
3.58	478-2106-1-ND	.47	.42	.32	478-2106-2-ND	222.24/M	PBRC-3.58HR
4.00	478-2107-1-ND	.47	.42	.32	478-2107-2-ND	222.24/M	PBRC-4.00HR
4.19	478-2108-1-ND	.47	.42	.32	478-2108-2-ND	222.24/M	PBRC-4.19HR
6.00	478-2109-1-ND	.47	.42	.32	478-2109-2-ND	222.24/M	PBRC-6.00HR
8.00	478-2110-1-ND	.47	.42	.32	478-2110-2-ND	222.24/M	PBRC-8.00HR
10.00	478-2111-1-ND	.80	.69	.53	478-2111-2-ND	370.39/M	PBRC-10.00HR
12.00	478-2112-1-ND	.80	.69	.53	478-2112-2-ND	370.39/M	PBRC-12.00HR
16.00	478-2113-1-ND	.80	.69	.53	478-2113-2-ND	370.39/M	PBRC-16.00HR
20.00	478-2114-1-ND	.80	.69	.53	478-2114-2-ND	370.39/M	PBRC-20.00HR

* Preisangaben für Gegurtet auf Rolle

Serie PARS (SAW-Resonatoren) - zur Oberflächenmontage

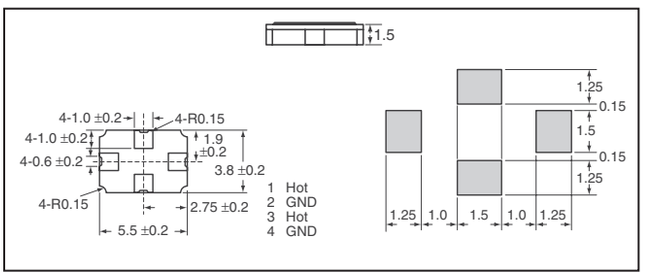

Spezifikationen: • Betriebstemperatur: -40 °C ~ 85 °C

Merkmale: • Flachprofil • Äußerst zuverlässiges SMD-Keramikpaket • Ausgezeichnete Temperatureigenschaften

Anwendungen: • Tastenlose Eingangsysteme (Kfz.) • Garagentüröffner • Sicherheitssysteme • SMD-Resonator mit 1 Port

Frequ. (MHz)	Digi-Key Teilenr.	Gurtabschnittspreis pro Stück 1	10	100	Digi-Key Teilenr.	Tape & Reel Pricing* 2.000	AVX Teilenr.
315.00	478-2115-1-ND	1.78	1.53	1.20	478-2115-2-ND	711.15/M	PARS315.00K04R
418.00	478-2116-1-ND	1.78	1.53	1.20	478-2116-2-ND	711.15/M	PARS418.00K04R
433.92	478-2117-1-ND	1.78	1.53	1.20	478-2117-2-ND	711.15/M	PARS433.92K04R

* Preisangaben für Gegurtet auf Rolle

Keramikfilter

Murata Electronics

Serie SFECS10M7 für FM-Empfänger: Kleine, hochleistungsfähige und super-dünne Filter
Serie SFECV10M7 für FM-Empfänger: Monolithische Keramikfilter, die den Dickenexpandiermodus der piezoelektrischen Keramik nutzen
Serie SFELA10M7 für FM-Empfänger: Monolithische Keramikfilter, die die im Dickenvibrationsmodus der piezoelektrischen Keramik gefangene Energie nutzen. Veränderungen der Mittenfrequenz liegen gewöhnlich innerhalb von ±30 ppm/°C @ -20 °C ~ 80 °C.

Abb. 1

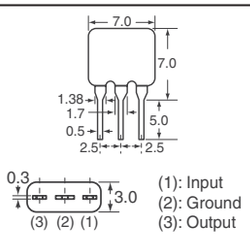

Abb. 2

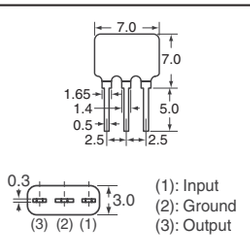

Abb. 3

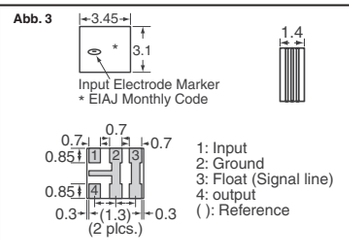

Abb.4

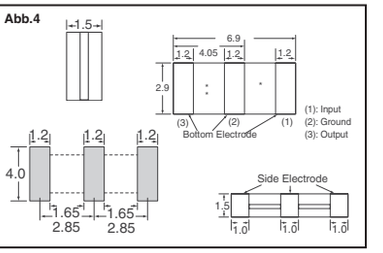

Abb.	Frequenz (MHz)	Abschwächung (min.) @ Frequenz	Bandbreite (kHz)	Einfügungsverlust (dB)	Dämpfung (dB)	Ein-/Ausgangsimpedanz (Ω)	Digi-Key Teilenr.	Stückpreis 1	10	100	Murata Teilenr.
SFELA											
1	10.7	20 @ 950	200	3	20	470/470	490-1235-ND	.69	.57	.44	SFELA10M7DF0021-B0
	10.7	20 @ 950	350	3	20	470/470	490-1233-ND	.75	.63	.49	SFELA10M7DF00-B0
	10.7 ±30kHz	30 @ 650	280	4	30	330/330	490-1237-ND	.35	.29	.23	SFELA10M7FA00-B0
	10.7 ±30kHz	40 @ 520	180	7	40	330/330	490-1234-ND	.41	.34	.27	SFELA10M7HA00-B0
SFVLA											
2	10.7	35 @ 135	26	5	35	330/330	490-1239-ND	2.01	1.68	1.30	SFVLA10M7MF00-B0

Abb.	Frequenz (MHz)	Abschwächung (min.) @ Frequenz	Bandbreite (kHz)	Einfügungsverlust (dB)	Dämpfung (dB)	Ein-/Ausgangsimpedanz (Ω)	Digi-Key Teilenr.	Gurtabschnittspreis pro Stück 1	10	100	Digi-Key Teilenr.	Tape & Reel Pricing* 2.000	Murata Teilenr.
SFECS													
3	10.7	20 @ 950	400	3	20	330/330	490-1225-1-ND	1.85	1.60	1.24	490-1225-2-ND	861.08/M	SFECS10M7DF0021-R0
	10.7 ±30kHz	30 @ 470	180	4.5	30	330/330	490-1224-1-ND	1.19	1.03	.79	490-1224-2-ND	552.47/M	SFECS10M7HA00-R0
	10.7 ±30kHz	30 @ 510	230	3.5	30	330/330	490-1226-1-ND	1.15	1.00	.77	—	—	SFECS10M7GA00-R0
	10.7 ±30kHz	30 @ 590	280	3	30	330/330	490-1227-1-ND	1.16	1.01	.78	490-1227-2-ND	539.43/M	SFECS10M7FA00-R0
	10.7 ±30kHz	30 @ 700	330	3	30	330/330	490-1228-1-ND	1.76	1.53	1.18	490-1228-2-ND	820.19/M	SFECS10M7EA00-R0
SFECV													
4	10.7 ±30kHz	20 @ 320	110	6	35	330/330	490-1229-1-ND	1.63	1.41	1.09	490-1229-2-ND	759.15/M	SFECV10M7KA00-R0
	10.7 ±30kHz	20 @ 380	150	5.5	35	330/330	490-1230-1-ND	1.56	1.35	1.04	490-1230-2-ND	726.85/M	SFECV10M7JA00-R0
	10.7 ±40kHz	20 @ 950	500	2	20	470/470	490-1231-1-ND	2.02	1.76	1.35	490-1231-2-ND	942.71/M	SFECV10M7CQ0C01-R0

* Preisangaben für Gegurtet auf Rolle

Keramik-Diskriminator

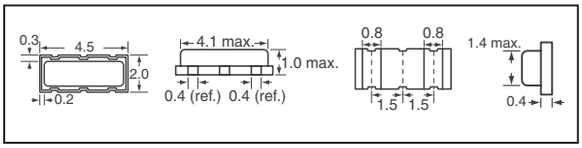

Die Serie CDSCB10M7 bildet einen Resonator auf einem piezoelektrischen Keramiksubstrat. Zusammen mit ICs erzielt dieser Typ stabile Demodulationseigenschaften in einer breiten Bandbreite.

Spezifikationen: • Wiedergewonnener Audio-Ausgang: Min. 75 mV **• Wiedergewonnenes Audio 3 dB (kHz):** Min. 500 **• Verzerrung:** Max. 1 % **• Erkennungsmethode:** Quadratur

* Preisangaben für Gegurtet auf Rolle

Frequenz (MHz)	Digi-Key Teilenr.	Gurtabschnittspreis pro Stück 1	10	100	Digi-Key Teilenr.	Tape & Reel Pricing* 2.000	Murata Teilenr.
10.7	490-1240-1-ND	.91	.76	.59	490-1240-2-ND	454.25/M	CDSCB10M7GA119-R0

Alle Preisangaben in Euro und inklusive Zollgebühren.

Serie CDEP134

Hohe Stromlastbewältigung und niedriger DCR auf kleiner Grundfläche, mit Flachkabeltechnologie. EMI-Schutz zur Minimierung von Kreuzkopplungsstörung.

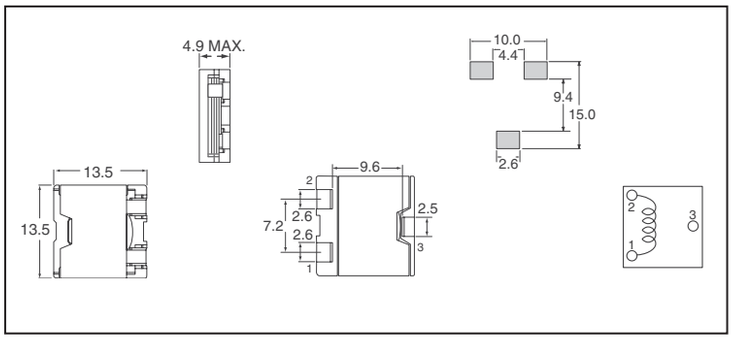

Induktivität	D.C.R.(Ω) (max. bei 20°C)	Strom (A)	Digi-Key Teilenr.	Gurtabschnittspreis pro Stück 1	10	100	Preis. f. gegurtet G. a. R.* 500	Sumida Teilenr.
0.4µH	.0019	32.0	308-1000-1-ND	4.00	3.64	2.71	—	CDEP134-0R4NC
0.3µH	.0019	24.4	308-1002-1-ND	4.00	3.64	2.71	—	CDEP134-0R3NC-H
0.66µH	.0025	29.0	308-1003-1-ND	3.78	3.45	2.57	960.04	CDEP134-0R6NC-H
1.2µH	.0037	21.0	308-1004-1-ND	3.78	3.45	2.57	960.04	CDEP134-1R2MC-H
1.6µH	.0037	16.0	308-1005-1-ND	3.78	3.45	2.57	960.04	CDEP134-1R6MC
4.8µH	.0120	9.3	308-1008-1-ND	3.78	3.45	2.57	960.04	CDEP134-4R8MC
2.7µH	.0108	14.7	308-1012-1-ND	4.00	3.64	2.71	—	CDEP134-2R7MC-H
3.6µH	.0120	12.5	308-1013-1-ND	3.78	3.45	2.57	960.04	CDEP134-3R6MC-H

*Für die Teilenummer als Gegurtet auf Rolle „1-ND“ in „2-ND“ ändern

Serie CDRH127

SMD-Leistungsinduktoren mit direkt am Ferritkern befestigten Elektroden. EMI-Schirm zur Minimierung der Kreuzkopplungsstörung.

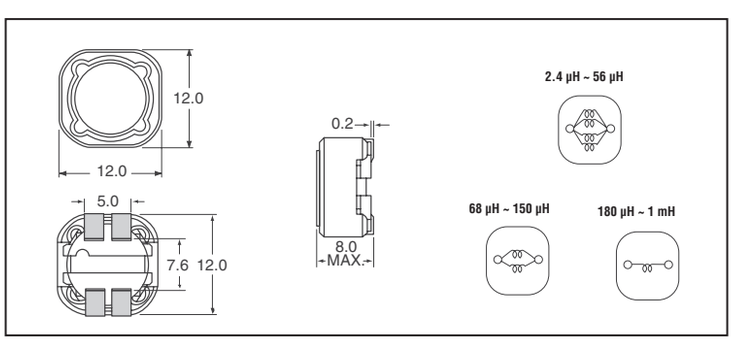

Induktivität	D.C.R. (Ω) (max. bei 20°C)	Strom (A)	Digi-Key Teilenr.	Gurtabschnittspreis pro Stück 1	10	100	Preis. f. gegurtet auf Rolle* 500	Sumida Teilenr.
3.5µH	.0135	7.50	308-1073-1-ND	2.58	2.35	1.75	655.27	CDRH127-3R5NC
4.7µH	.0158	6.80	308-1074-1-ND	2.58	2.35	1.75	655.27	CDRH127-4R7NC
6.1µH	.0176	6.60	308-1075-1-ND	2.58	2.35	1.75	655.27	CDRH127-6R1NC
7.6µH	.0200	5.90	308-1076-1-ND	2.58	2.35	1.75	655.27	CDRH127-7R6NC
10µH	.0216	5.40	308-1077-1-ND	2.58	2.35	1.75	655.27	CDRH127-100MC
12µH	.0243	4.90	308-1078-1-ND	2.58	2.35	1.75	655.27	CDRH127-120MC
15µH	.0270	4.50	308-1079-1-ND	2.58	2.35	1.75	655.27	CDRH127-150MC
18µH	.0392	3.90	308-1080-1-ND	2.58	2.35	1.75	655.27	CDRH127-180MC
22µH	.0432	3.60	308-1081-1-ND	2.58	2.35	1.75	655.27	CDRH127-220MC
27µH	.0459	3.40	308-1082-1-ND	2.58	2.35	1.75	655.27	CDRH127-270MC
33µH	.0648	3.00	308-1083-1-ND	2.58	2.35	1.75	655.27	CDRH127-330MC
39µH	.0729	2.75	308-1084-1-ND	2.58	2.35	1.75	655.27	CDRH127-390MC
47µH	0.10	2.50	308-1085-1-ND	2.58	2.35	1.75	655.27	CDRH127-470MC
56µH	0.11	2.35	308-1086-1-ND	2.58	2.35	1.75	655.27	CDRH127-560MC
68µH	0.14	2.10	308-1087-1-ND	2.58	2.35	1.75	655.27	CDRH127-680MC
82µH	0.16	1.95	308-1088-1-ND	2.58	2.35	1.75	655.27	CDRH127-820MC
100µH	0.22	1.70	308-1089-1-ND	2.58	2.35	1.75	655.27	CDRH127-101MC
120µH	0.25	1.60	308-1090-1-ND	2.58	2.35	1.75	655.27	CDRH127-121MC
150µH	0.28	1.42	308-1091-1-ND	2.58	2.35	1.75	655.27	CDRH127-151MC
180µH	0.35	1.30	308-1092-1-ND	2.58	2.35	1.75	—	CDRH127-181MC
220µH	0.39	1.16	308-1093-1-ND	2.58	2.35	1.75	655.27	CDRH127-221MC
330µH	0.64	0.95	308-1095-1-ND	2.58	2.35	1.75	655.27	CDRH127-331MC
390µH	0.70	0.88	308-1096-1-ND	2.58	2.35	1.75	—	CDRH127-391MC
470µH	0.98	0.79	308-1097-1-ND	2.58	2.35	1.75	655.27	CDRH127-471MC
560µH	1.07	0.73	308-1098-1-ND	2.58	2.35	1.75	830.51	CDRH127-561MC
680µH	1.46	0.67	308-1099-1-ND	2.58	2.35	1.75	—	CDRH127-681MC
820µH	1.64	0.60	308-1100-1-ND	2.58	2.35	1.75	—	CDRH127-821MC
1.0mH	1.82	0.55	308-1101-1-ND	2.58	2.35	1.75	830.51	CDRH127-102MC

*Für die Teilenummer als Gegurtet auf Rolle „1-ND“ in „2-ND“ ändern

Serie CDR125

Standard-SMD-Leistungsinduktor. EMI-Schutz zur Minimierung von Kreuzkopplungsstörung.

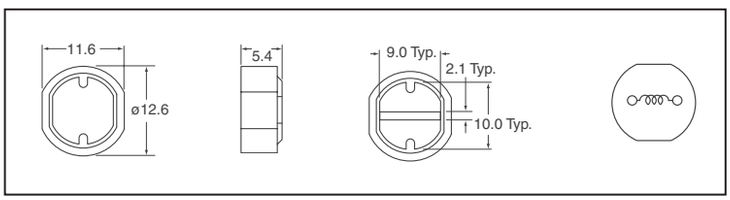

Induktivität	D.C.R.(Ω) (max. bei 20 °C)	Strom (A)	Digi-Key Teilenr.	Gurtabschnittspreis pro Stück 1	10	100	Preis. f. G. a. R.* 500	Sumida Teilenr.
22µH	0.07	2.20	308-1020-1-ND	2.19	2.00	1.49	556.22	CDR125-220MC
100µH	0.25	1.05	308-1028-1-ND	2.19	2.00	1.49	556.22	CDR125-101MC

*Für die Teilenummer als Gegurtet auf Rolle „1-ND“ in „2-ND“ ändern

Serie CDRH6D28

SMD-Leistungsinduktoren mit Niedrigprofil und Elektroden, die direkt am Ferritkern befestigt sind. EMI-Schutz zur Minimierung von Kreuzkopplungsstörung.

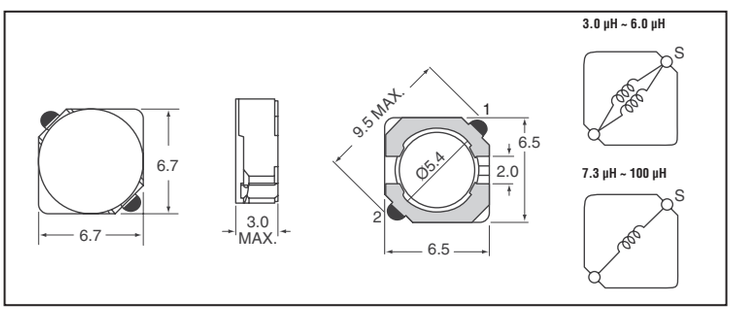

Induktivität	D.C.R. (Ω) (max. bei 20 °C)	Strom (A)	Digi-Key Teilenr.	Gurtabschnittspreis pro Stück 1	10	100	Preis. f. gegurtet auf Rolle* 1.500	Sumida Teilenr.
3.0µH	0.024	3.00	308-1218-1-ND	.93	.85	.63	472.40/M	CDRH6D28-3R0NC
3.9µH	0.027	2.60	308-1219-1-ND	.93	.85	.63	472.40/M	CDRH6D28-3R9NC
5.0µH	0.031	2.40	308-1220-1-ND	.93	.85	.63	472.40/M	CDRH6D28-5R0NC
6.0µH	0.035	2.25	308-1221-1-ND	.93	.85	.63	472.40/M	CDRH6D28-6R0NC
7.3µH	0.054	2.10	308-1222-1-ND	.93	.85	.63	472.40/M	CDRH6D28-7R3NC
8.6µH	0.058	1.85	308-1223-1-ND	.93	.85	.63	441.93/M	CDRH6D28-8R6NC
10µH	0.065	1.70	308-1224-1-ND	.93	.85	.63	472.40/M	CDRH6D28-100NC
12µH	0.070	1.55	308-1225-1-ND	.93	.85	.63	472.40/M	CDRH6D28-120NC
15µH	0.084	1.40	308-1226-1-ND	.93	.85	.63	472.40/M	CDRH6D28-150NC
18µH	0.095	1.32	308-1227-1-ND	.93	.85	.63	472.40/M	CDRH6D28-180NC
22µH	0.128	1.20	308-1228-1-ND	.93	.85	.63	472.40/M	CDRH6D28-220NC
27µH	0.142	1.05	308-1229-1-ND	.93	.85	.63	472.40/M	CDRH6D28-270NC
33µH	0.165	0.97	308-1230-1-ND	.93	.85	.63	472.40/M	CDRH6D28-330NC
39µH	0.210	0.86	308-1231-1-ND	.93	.85	.63	—	CDRH6D28-390NC
47µH	0.238	0.80	308-1232-1-ND	.93	.85	.63	472.40/M	CDRH6D28-470NC
56µH	0.277	0.73	308-1233-1-ND	.93	.85	.63	—	CDRH6D28-560NC
82µH	0.390	0.60	308-1235-1-ND	.93	.85	.63	472.40/M	CDRH6D28-820NC
100µH	0.535	0.54	308-1236-1-ND	.93	.85	.63	472.40/M	CDRH6D28-101NC

*Für die Teilenummer als Gegurtet auf Rolle „1-ND“ in „2-ND“ ändern

(Forts.)

D

Serie CDRH125

SMD-Leistungsinduktoren mit Elektroden, die direkt am Ferritkern befestigt sind. EMI-Schutz zur Minimierung von Kreuzkopplungsstörung.

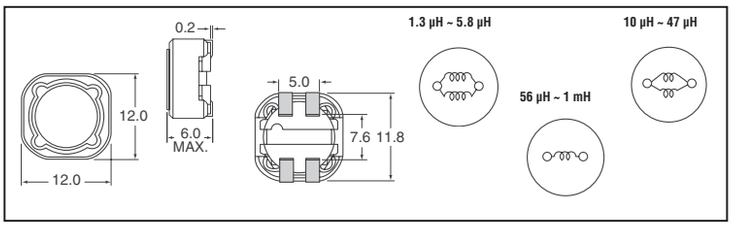

Induktivität	D.C.R.(Ω) (max. bei 20°C)	Strom (A)	Digi-Key Teilenr.	Gurtabschnittspreis pro Stück 1	10	100	Preis. f. G. a. R.* 500	Sumida Teilenr.
1.3µH	0.012	8.00	308-1040-1-ND	1.80	1.64	1.22	457.16	CDRH125-1R3NC
2.1µH	0.014	7.00	308-1041-1-ND	1.80	1.64	1.22	457.16	CDRH125-2R1NC
5.8µH	0.021	4.40	308-1044-1-ND	1.80	1.64	1.22	457.16	CDRH125-5R8NC
10µH	0.025	4.00	308-1046-1-ND	1.80	1.64	1.22	457.16	CDRH125-100MC
15µH	0.030	3.30	308-1048-1-ND	1.80	1.64	1.22	457.16	CDRH125-150MC
18µH	0.034	3.00	308-1049-1-ND	1.80	1.64	1.22	457.16	CDRH125-180MC
22µH	0.036	2.80	308-1050-1-ND	1.80	1.64	1.22	457.16	CDRH125-220MC
33µH	0.057	2.10	308-1052-1-ND	1.80	1.64	1.22	457.16	CDRH125-330MC
39µH	0.068	2.00	308-1053-1-ND	1.80	1.64	1.22	457.16	CDRH125-390MC
47µH	0.075	1.80	308-1054-1-ND	1.80	1.64	1.22	457.16	CDRH125-470MC
56µH	0.11	1.70	308-1055-1-ND	1.80	1.64	1.22	457.16	CDRH125-560MC
68µH	0.12	1.50	308-1056-1-ND	1.80	1.64	1.22	457.16	CDRH125-680MC
82µH	0.14	1.40	308-1057-1-ND	1.80	1.64	1.22	457.16	CDRH125-820MC
100µH	0.16	1.30	308-1058-1-ND	1.80	1.64	1.22	457.16	CDRH125-101MC
120µH	0.17	1.10	308-1059-1-ND	1.80	1.64	1.22	457.16	CDRH125-121MC
150µH	0.23	1.00	308-1060-1-ND	1.80	1.64	1.22	457.16	CDRH125-151MC
180µH	0.29	0.90	308-1061-1-ND	1.80	1.64	1.22	457.16	CDRH125-181MC
220µH	0.40	0.80	308-1062-1-ND	1.80	1.64	1.22	457.16	CDRH125-221MC
330µH	0.51	0.68	308-1064-1-ND	1.80	1.64	1.22	457.16	CDRH125-331MC
390µH	0.69	0.65	308-1065-1-ND	1.80	1.64	1.22	—	CDRH125-391MC
560µH	0.86	0.54	308-1067-1-ND	1.80	1.64	1.22	—	CDRH125-561MC
820µH	1.34	0.43	308-1069-1-ND	1.80	1.64	1.22	—	CDRH125-821MC
1.0mH	1.53	0.40	308-1070-1-ND	1.80	1.64	1.22	457.16	CDRH125-102MC

*Für die Teilenummer als Gegurtet auf Rolle „1-ND“ in „2-ND“ ändern

Serie CDR105

Standard-SMD-Leistungsinduktor. EMI-Schutz zur Minimierung von Kreuzkopplungsstörung.

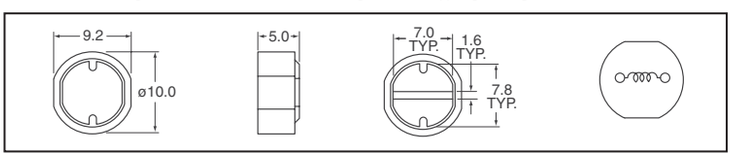

Induktivität	D.C.R.(Ω) (max. bei 20°C)	Strom (A)	Digi-Key Teilenr.	Gurtabschnitts-preis pro Stück 1	10	100	Preis. f. G. a. R.* 500	Sumida Teilenr.
22µH	0.09	1.71	308-1131-1-ND	1.32	1.21	.90	335.25	CDR105-220MC
27µH	0.11	1.54	308-1132-1-ND	1.32	1.21	.90	335.25	CDR105-270MC
100µH	0.35	0.80	308-1139-1-ND	1.32	1.21	.90	335.25	CDR105-101MC

*Für die Teilenummer als Gegurtet auf Rolle „1-ND“ in „2-ND“ ändern

Serie CDH53

SMD-Leistungsinduktoren mit Elektroden, die direkt am Ferritkern befestigt sind. Nicht abgeschirmt.

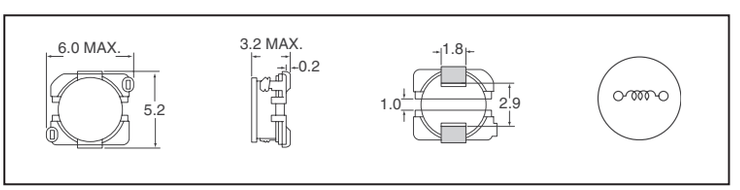

Induktivität	D.C.R. (Ω) (max. bei 20°C)	Strom (A)	Digi-Key Teilenr.	Gurtabschnitts-preis pro Stück 1	10	100	Preis. f. gegurtet auf Rolle* 1.500	Sumida Teilenr.
10µH	0.16	1.23	308-1201-1-ND	.87	.80	.59	441.93/M	CDH53-100LC
100µH	1.57	0.37	308-1213-1-ND	.87	.80	.59	441.93/M	CDH53-101JC

*Für die Teilenummer als Gegurtet auf Rolle „1-ND“ in „2-ND“ ändern

Serie CR75

Standard-SMD-Leistungsinduktoren, kleine Größe. Nicht abgeschirmt.

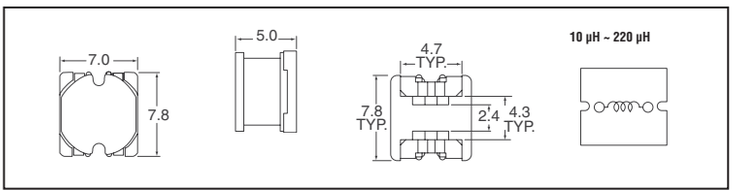

Induktivität	D.C.R. (Ω) (max. bei 20°C)	Strom (A)	Digi-Key Teilenr.	Gurtabschnitts-preis pro Stück 1	10	100	Preis. f. gegurtet auf Rolle* 1.000	Sumida Teilenr.
10µH	0.07	2.3	308-1237-1-ND	1.24	1.12	.84	624.79	CR75-100KC
33µH	0.13	1.2	308-1243-1-ND	1.24	1.12	.84	624.79	CR75-330KC
47µH	0.18	1.1	308-1245-1-ND	1.24	1.12	.84	624.79	CR75-470KC
56µH	0.24	0.94	308-1246-1-ND	1.24	1.12	.84	—	CR75-560KC
220µH	0.96	0.49	308-1253-1-ND	1.24	1.12	.84	624.79	CR75-221KC

*Für die Teilenummer als Gegurtet auf Rolle „1-ND“ in „2-ND“ ändern

Serie CEP125

Hohe Stromlastbewältigung und niedriger DCR auf kleiner Grundfläche, mit Flachkabeltechnologie. Nicht abgeschirmt.

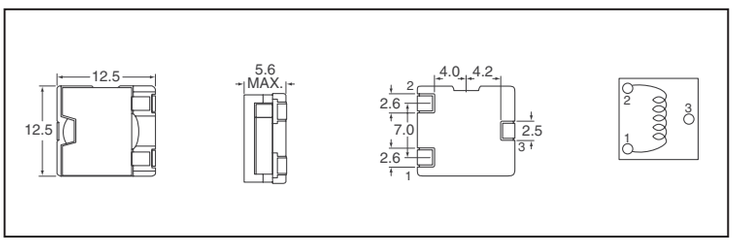

Induktivität	D.C.R. (Ω) (max. bei 20°C)	Sättigungs-sstrom (A)	Digi-Key Teilenr.	Gurtabschnitts-preis pro Stück 1	10	100	Preis. f. gegurtet auf Rolle* 500	Sumida Teilenr.
1.5µH	.0022	14.0	308-1111-1-ND	3.45	3.14	2.34	876.23	CEP125-1R5MC-D
0.47µH	.0015	28.8	308-1112-1-ND	3.45	3.14	2.34	—	CEP125-0R4NC-HD
1.0µH	.0022	20.0	308-1113-1-ND	3.45	3.14	2.34	876.23	CEP125-1R0MC-HD
1.0µH	.0025	20.0	308-1268-1-ND	3.45	3.14	2.34	876.23	CEP125-1R0MC-H
0.8µH	.0022	25.7	308-1115-1-ND	3.45	3.14	2.34	876.23	CEP125-0R8NC-UD

*Für die Teilenummer als Gegurtet auf Rolle „1-ND“ in „2-ND“ ändern

Serie CR43

Standard-SMD-Leistungsinduktoren, kleine Größe. Nicht abgeschirmt.

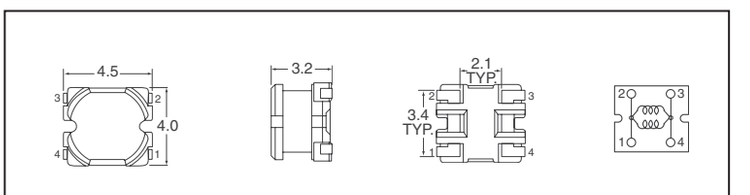

Induktivität	D.C.R. (Ω) (max. bei 20°C)	Strom (A)	Digi-Key Teilenr.	Gurtabschnitts-preis pro Stück 1	10	100	Preis. f. d gegurtet auf Rolle* 1.500	Sumida Teilenr.
1.0µH	.0487	2.56	308-1116-1-ND	1.05	.96	.72	385.20/M	CR43-1R0MC
1.4µH	.0562	2.52	308-1117-1-ND	1.05	.96	.72	385.20/M	CR43-1R4MC
1.8µH	.0637	1.95	308-1118-1-ND	1.05	.96	.72	385.20/M	CR43-1R8MC
2.2µH	.0712	1.75	308-1119-1-ND	1.05	.96	.72	385.20/M	CR43-2R2MC
3.3µH	.0862	1.44	308-1121-1-ND	1.05	.96	.72	385.20/M	CR43-3R3MC
3.9µH	.0937	1.33	308-1122-1-ND	1.05	.96	.72	385.20/M	CR43-3R9MC
4.7µH	.1087	1.15	308-1123-1-ND	1.05	.96	.72	385.20/M	CR43-4R7MC
6.8µH	.1312	0.95	308-1125-1-ND	1.05	.96	.72	385.20/M	CR43-6R8MC
8.2µH	.1462	0.84	308-1126-1-ND	1.05	.96	.72	385.20/M	CR43-8R2MC

*Für die Teilenummer als Gegurtet auf Rolle „1-ND“ in „2-ND“ ändern

(Forts.)

Alle Preisangaben in Euro und inklusive Zollgebühren.

Serie CR54

Standard-SMD-Leistungsinduktoren, kleine Größe. Nicht abgeschirmt.

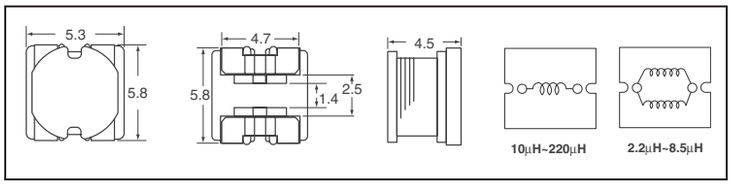

Induktivität	D.C.R.(Ω) (max. bei 20°C)	Strom (A)	Digi-Key Teilenr.	Gurtabschnitts-preis pro Stück 1	10	50	Preis. f. G. a. R.* 1.500	Sumida Teilenr.
10µH	0.10	1.44	308-1284-1-ND	.99	.91	.82	502.88/M	CR54-100MC
12µH	0.12	1.40	308-1286-1-ND	.99	.91	.82	502.88/M	CR54-120MC
15µH	0.14	1.30	308-1288-1-ND	.99	.91	.82	502.88/M	CR54-150MC
18µH	0.15	1.23	308-1290-1-ND	.99	.91	.82	502.88/M	CR54-180MC
22µH	0.18	1.11	308-1292-1-ND	.99	.91	.82	502.88/M	CR54-220MC
27µH	0.20	0.97	308-1294-1-ND	.99	.91	.82	502.88/M	CR54-270MC
33µH	0.23	0.88	308-1297-1-ND	.99	.91	.82	502.88/M	CR54-330LC
39µH	0.32	0.80	308-1298-1-ND	.99	.91	.82	502.88/M	CR54-390LC
56µH	0.42	0.68	308-1303-1-ND	.99	.91	.82	502.88/M	CR54-560KC
68µH	0.46	0.61	308-1306-1-ND	.99	.91	.82	502.88/M	CR54-680KC
82µH	0.60	0.58	308-1309-1-ND	.99	.91	.82	502.88/M	CR54-820KC
100µH	0.70	0.52	308-1285-1-ND	.99	.91	.82	502.88/M	CR54-101KC
120µH	0.93	0.48	308-1287-1-ND	.99	.91	.82	502.88/M	CR54-121KC
180µH	1.38	0.38	308-1291-1-ND	.99	.91	.82	502.88/M	CR54-181KC
220µH	1.57	0.35	308-1293-1-ND	.99	.91	.82	502.88/M	CR54-221KC
2.2µH	23.4	3.84	308-1295-1-ND	.99	.91	.82	502.88/M	CR54-2R2MC
2.7µH	26.0	3.44	308-1296-1-ND	.99	.91	.82	502.88/M	CR54-2R7MC
3.3µH	28.6	3.20	308-1299-1-ND	.99	.91	.82	502.88/M	CR54-3R3MC
3.9µH	35.1	3.00	308-1300-1-ND	.99	.91	.82	502.88/M	CR54-3R9MC
4.4µH	39.0	2.80	308-1302-1-ND	.99	.91	.82	502.88/M	CR54-4R4MC
5.0µH	44.2	2.60	308-1304-1-ND	.99	.91	.82	502.88/M	CR54-5R0MC
5.6µH	49.4	2.48	308-1305-1-ND	.99	.91	.82	502.88/M	CR54-5R6MC
6.4µH	52.0	2.20	308-1307-1-ND	.99	.91	.82	502.88/M	CR54-6R4MC
7.6µH	62.4	2.08	308-1308-1-ND	.99	.91	.82	502.88/M	CR54-7R6MC
8.5µH	67.6	1.84	308-1310-1-ND	.99	.91	.82	502.88/M	CR54-8R5MC

*Für die Teilenummer als Gegurtet auf Rolle „1-ND" in „2-ND" ändern

Serie CDRH74

SMD-Leistungsinduktoren mit Elektroden, die direkt am Ferritkern befestigt sind. EMI-Schutz zur Minimierung von Kreuzkopplungsstörung.

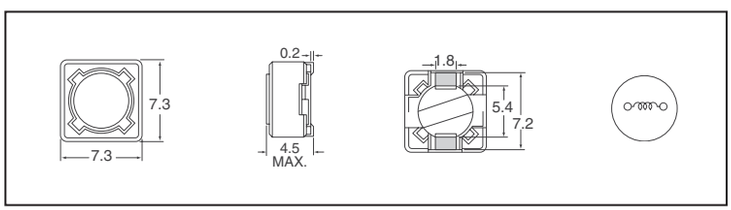

Induktivität	D.C.R.(Ω) (max. bei 20°C)	Strom (A)	Digi-Key Teilenr.	Gurtabschnitts-preis pro Stück 1	10	50	Preis. f. G. a. R.* 1.500	Sumida Teilenr.
10µH	0.049	1.84	308-1173-1-ND	1.26	1.15	.86	640.03	CDRH74-100MC
12µH	0.058	1.71	308-1174-1-ND	1.26	1.15	.86	—	CDRH74-120MC
15µH	0.081	1.47	308-1175-1-ND	1.26	1.15	.86	640.03	CDRH74-150MC
18µH	0.091	1.31	308-1176-1-ND	1.26	1.15	.86	640.03	CDRH74-180MC
22µH	0.11	1.23	308-1177-1-ND	1.26	1.15	.86	640.03	CDRH74-220MC
47µH	0.26	0.88	308-1181-1-ND	1.26	1.15	.86	640.03	CDRH74-470MC
56µH	0.35	0.75	308-1182-1-ND	1.26	1.15	.86	640.03	CDRH74-560MC
68µH	0.38	0.69	308-1183-1-ND	1.26	1.15	.86	640.03	CDRH74-680MC
82µH	0.43	0.61	308-1184-1-ND	1.26	1.15	.86	—	CDRH74-820MC
100µH	0.61	0.60	308-1185-1-ND	1.26	1.15	.86	640.03	CDRH74-101MC
120µH	0.66	0.52	308-1186-1-ND	1.26	1.15	.86	—	CDRH74-121MC
150µH	0.88	0.46	308-1187-1-ND	1.26	1.15	.86	640.03	CDRH74-151MC
180µH	0.98	0.42	308-1188-1-ND	1.26	1.15	.86	640.03	CDRH74-181MC
220µH	1.17	0.36	308-1189-1-ND	1.26	1.15	.86	640.03	CDRH74-221MC
330µH	1.86	0.32	308-1191-1-ND	1.26	1.15	.86	640.03	CDRH74-331MC
390µH	2.85	0.29	308-1192-1-ND	1.26	1.15	.86	609.55	CDRH74-391MC
470µH	3.01	0.26	308-1193-1-ND	1.26	1.15	.86	640.03	CDRH74-471MC
560µH	3.62	0.23	308-1194-1-ND	1.26	1.15	.86	—	CDRH74-561MC
1.0mH	6.00	0.18	308-1197-1-ND	1.26	1.15	.86	640.03	CDRH74-102MC

*Für die Teilenummer als Gegurtet auf Rolle „1-ND" in „2-ND" ändern

Serie CDRH62B

SMD-Leistungsinduktoren mit Elektroden, die direkt am Ferritkern befestigt sind. EMI-Schutz zur Minimierung von Kreuzkopplungsstörung.

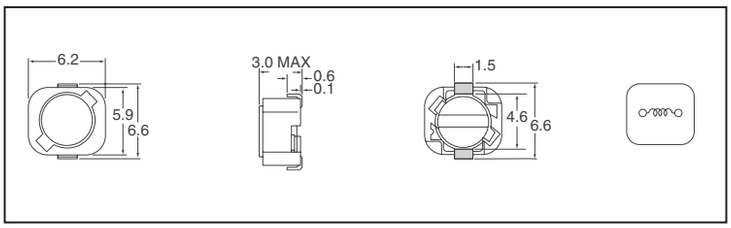

Induktivität	D.C.R.(Ω) (max. bei 20°C)	Strom (A)	Digi-Key Teilenr.	Gurtabschnitts-preis pro Stück 1	10	100	Preis. f. G. a. R.* 2.000	Sumida Teilenr.
2.9µH	0.068	1.94	308-1148-1-ND	.81	.74	.55	411.45/M	CDRH62B-2R9NC
6.3µH	0.10	1.30	308-1151-1-ND	.81	.74	.55	—	CDRH62B-6R3NC
7.1µH	0.11	1.22	308-1152-1-ND	.81	.74	.55	—	CDRH62B-7R1NC
10µH	0.15	1.10	308-1154-1-ND	1.08	.99	.74	548.60/M	CDRH62B-100MC
12µH	0.20	1.00	308-1155-1-ND	.81	.74	.55	—	CDRH62B-120MC
15µH	0.23	0.90	308-1156-1-ND	.81	.74	.55	—	CDRH62B-150MC
22µH	0.34	0.74	308-1158-1-ND	.78	.71	.53	396.21/M	CDRH62B-220MC
27µH	0.38	0.66	308-1159-1-ND	.81	.74	.55	411.45/M	CDRH62B-270MC
47µH	0.69	0.50	308-1162-1-ND	1.08	.99	.74	548.60/M	CDRH62B-470MC
56µH	0.78	0.46	308-1163-1-ND	.81	.74	.55	—	CDRH62B-560MC
68µH	1.07	0.42	308-1164-1-ND	.81	.74	.55	—	CDRH62B-680MC
82µH	1.21	0.38	308-1165-1-ND	.81	.74	.55	—	CDRH62B-820MC
100µH	1.39	0.34	308-1166-1-ND	.78	.71	.53	—	CDRH62B-101MC
150µH	2.18	0.28	308-1168-1-ND	.81	.74	.55	—	CDRH62B-151MC
270µH	4.38	0.22	308-1171-1-ND	.81	.74	.55	—	CDRH62B-271MC
330µH	4.94	0.19	308-1172-1-ND	.81	.74	.55	—	CDRH62B-331MC

*Für die Teilenummer als Gegurtet auf Rolle „1-ND" in „2-ND" ändern

Serie CDRH104R

SDMD-Leistungsinduktoren der Serie R mit niedrigen AC- u. DC-Widerstandseigenschaften. EMI-Schutz zur Minimierung von Kreuzkopplungsstörung.

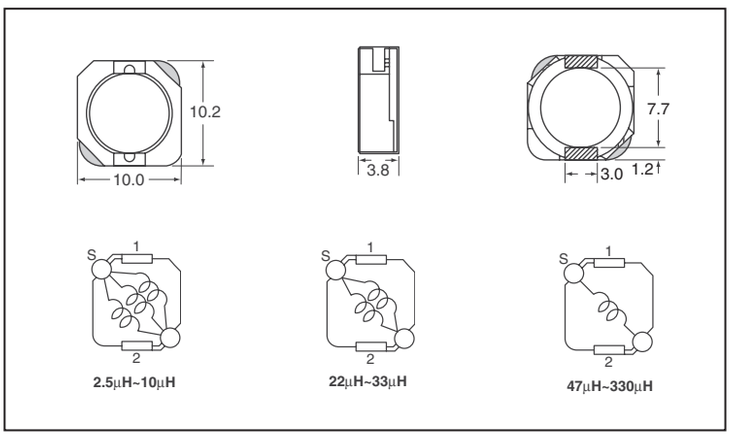

Induktivität @100kHz 1V	D.C.R.(Ω) (max. bei 20°C)	Strom (A)	Digi-Key Teilenr.	Gurtabschnitts-preis pro Stück 1	10	50	Preis. f. G. a. R.* 1.000	Sumida Teilenr.
2.5µH	10.5m	7.50	308-1276-1-ND	2.07	1.89	1.70	1051.48	CDRH104R-2R5NC
3.8µH	13.0m	6.00	308-1279-1-ND	2.07	1.89	1.70	1051.48	CDRH104R-3R8NC
5.2µH	22m	5.50	308-1281-1-ND	2.07	1.89	1.70	1051.48	CDRH104R-5R2NC
10µH	35m	4.40	308-1269-1-ND	2.07	1.89	1.70	1051.48	CDRH104R-100NC
22µH	73m	2.90	308-1274-1-ND	2.07	1.89	1.70	1051.48	CDRH104R-220NC
33µH	93m	2.30	308-1277-1-ND	2.07	1.89	1.70	1051.48	CDRH104R-330NC
47µH	128m	2.10	308-1280-1-ND	2.07	1.89	1.70	1051.48	CDRH104R-470NC
68µH	213m	1.50	308-1282-1-ND	2.07	1.89	1.70	1051.48	CDRH104R-680NC
100µH	304m	1.35	308-1270-1-ND	2.07	1.89	1.70	1051.48	CDRH104R-101NC
150µH	506m	1.15	308-1272-1-ND	2.07	1.89	1.70	1051.48	CDRH104R-151NC
220µH	756m	0.92	308-1275-1-ND	2.07	1.89	1.70	1051.48	CDRH104R-221NC
330µH	1.09	0.70	308-1278-1-ND	2.07	1.89	1.70	1051.48	CDRH104R-331NC

*Für die Teilenummer als Gegurtet auf Rolle „1-ND" in „2-ND" ändern

D

COILTRONICS® ECONO-PAC™/OCTA-PAC® Leistungsinduktoren und Transformatoren

COOPER Bussmann

Diese Teile werden gewöhnlich für Hersteller wie Linear Technology, Texas Instruments, On-Semiconductor., Maxim, National Semiconductor™, Fairchild Semiconductor®, Analog Devices, etc. in Referenzdesigns verwendet. • Oberflächenmontierte Magnetik kann als Einzel- oder Koppelinduktor bzw. 1:1 Transformator verwendet werden, der Isolierung zwischen zwei Wicklungen bietet • OCTA-PACs sind für HF entwickelt und weisen geringen Materialverlust auf • ECONO-PACs sind preiswerte Versionen von OCTA-PACs mit hoher Sättigungsflussdichte

Anwendungen: • Computer und tragbare elektrische Geräte • LCD-Felder, DVD-Player • Induktor: DC/DC-Wandler • Buck-, Boost-, Vorwärts- und Resonanzwandler • Rauschfilter und Filterdrosseln • Transformatoren: 1:1 300 V DC Isolierung, Flyback, Sepic

Spezifikationen: • Betriebsumgebungstemperaturbereich: -40 °C ~ 85 °C (bereichsspezifisch) • Infrarot-Aufschmelztemperatur: 240 °C für max. 30 s

Verpackung • Serie CTX-1, -1P (1.100 Stück auf einer Rolle mit 13" Durchmesser, 24 mm Gurtbreite, 12 mm Pitch) **• Serie CTX-2, -2P** (800 Stück auf einer Rolle mit 13" Durchmesser, 24 mm Gurtbreite, 12 mm Pitch) **• Serie CTX-3** (800 Stück auf einer Rolle mit 13" Durchmesser, 24 mm Gurtbreite, 16 mm Pitch) **• Serie CTX-4, -4P** (600 Stück auf einer Rolle mit 13" Durchmesser, 24 mm Gurtbreite, 16 mm Pitch)

Legende: • Kein Suffix bedeutet OCTA-PAC • P-Suffix bedeutet ECONO-PAC

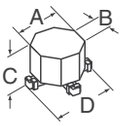

Serie	Abmessungen (mm) A (quadr.)	B Ref.	C max.	D
CTX-1	8.89	3.68	4.19	11.43
CTX-2	8.89	3.68	5.97	11.43
CTX-3	11.43	4.72	4.83	13.97
CTX-4	11.43	4.72	6.35	13.97

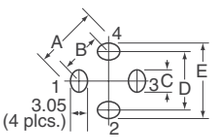

Serie	Abmessungen (mm) A	B	C	D	E
CTX-1, -2	10.72	7.04	3.68	9.96	13.00
CTX-3, -4	12.50	8.84	4.06	12.50	15.54

Schaltungsoptionen

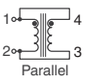

(1) Parallelschaltung: Verdoppelt die Stromkapazität

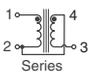

(2) Reihenschaltung: Vierfache parallele Induktivität

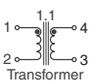

Transformator mit 1:1 Verhältnis: Zur Isolierung und für manche Rücklaufanwendungen

Parallelschaltung: Induktivität des offenen Schaltkreises ±20% (µH)	Volllaststrom DC (A)	Volllastinduktivität min. (µH)	DC-Widerstand max. (Ω)	Reihenschaltung: Induktivität des offenen Schaltkreise ±20% (µH)	Volllaststrom DC (A)	Volllastinduktivität min. (µH)	DC-Widerstand Max. (Ω)	Digi-Key Teilenr.	Gurtabschnittspreis pro Stück 1	10	100	Digi-Key Teilenr.	Gegurtet auf Rolle Größe	Preisangaben	Coiltronics Teilenr.
Serie OCTA-PAC															
4.70	3.00	2.66	0.021	18.80	1.50	10.65	0.084	513-1000-1-ND	4.60	4.18	3.11	513-1000-2-ND	800	1554.36	CTX5-2
4.90	4.40	2.59	0.014	19.60	2.20	10.37	0.056	513-1001-1-ND	4.75	4.32	3.22	513-1001-2-ND	600	1203.87	CTX5-4
9.60	3.40	4.82	0.019	38.42	1.70	19.28	0.078	513-1002-1-ND	5.29	4.81	3.58	513-1002-2-ND	600	1341.01	CTX10-4
10.00	1.90	4.85	0.044	40.00	0.95	19.40	0.176	513-1003-1-ND	4.17	3.80	2.83	513-1003-2-ND	1,100	1765.17/M	CTX10-1
10.58	2.50	5.18	0.031	42.30	1.25	20.72	0.125	513-1004-1-ND	5.11	4.65	3.46	513-1004-2-ND	800	1727.06	CTX10-2
14.16	3.00	6.76	0.024	56.64	1.50	27.03	0.096	513-1005-1-ND	5.29	4.81	3.58	513-1005-2-ND	600	1341.01	CTX15-4
19.60	1.00	11.54	0.146	78.40	0.50	46.15	0.583	513-1006-1-ND	4.17	3.80	2.83	513-1006-2-ND	1,100	1765.17/M	CTX20-1
19.60	2.10	10.68	0.055	78.40	1.05	42.73	0.220	513-1007-1-ND	5.29	4.81	3.58	513-1007-2-ND	600	1341.01	CTX20-4
20.18	1.50	10.76	0.078	80.74	0.75	43.04	0.312	513-1008-1-ND	5.20	4.73	3.52	513-1008-2-ND	800	1757.54	CTX20-3
20.73	1.30	12.36	0.107	82.91	0.65	49.46	0.426	513-1009-1-ND	5.11	4.65	3.46	513-1009-2-ND	800	1727.06	CTX20-2
25.92	2.00	13.32	0.063	103.68	1.00	53.27	0.253	513-1010-1-ND	5.29	4.81	3.58	513-1010-2-ND	600	1341.01	CTX25-4
31.77	1.40	15.90	0.105	127.09	0.70	63.59	0.420	513-1011-1-ND	5.11	4.65	3.46	513-1011-2-ND	800	1727.06	CTX33-2
32.86	0.96	19.69	0.083	131.42	0.48	78.77	0.331	513-1012-1-ND	5.20	4.73	3.52	513-1012-2-ND	800	1757.54	CTX33-3
33.12	1.80	16.82	0.072	132.50	0.90	67.27	0.287	513-1013-1-ND	5.29	4.81	3.58	513-1013-2-ND	600	1341.01	CTX33-4
50.18	1.50	25.03	0.111	200.70	0.75	100.11	0.443	513-1014-1-ND	5.56	5.06	3.76	513-1014-2-ND	600	1409.59	CTX50-4
50.63	0.64	29.34	0.365	202.50	0.32	117.38	1.461	513-1015-1-ND	4.42	4.02	2.99	513-1015-2-ND	1,100	1866.76/M	CTX50-1
51.18	0.92	28.79	0.210	204.73	0.46	115.16	0.839	513-1016-1-ND	5.38	4.89	3.64	513-1016-2-ND	800	1818.50	CTX50-2
67.08	1.20	35.29	0.157	268.32	0.60	141.15	0.630	513-1017-1-ND	5.56	5.06	3.76	513-1017-2-ND	600	1409.59	CTX68-4
99.23	0.44	58.72	0.784	396.90	0.22	234.88	3.137	513-1018-1-ND	4.42	4.02	2.99	513-1018-2-ND	1,100	1866.76/M	CTX100-1
99.23	0.92	54.56	0.302	396.90	0.46	218.25	1.210	513-1019-1-ND	5.56	5.06	3.76	513-1019-2-ND	600	1409.59	CTX100-4
99.45	0.63	57.45	0.457	397.81	0.32	229.79	1.828	513-1020-1-ND	5.38	4.89	3.64	513-1020-2-ND	800	1818.50	CTX100-2
101.40	0.70	52.48	0.345	405.60	0.35	209.93	1.381	513-1021-1-ND	5.47	4.97	3.70	513-1021-2-ND	800	1848.97	CTX100-3
148.23	0.82	77.17	0.372	592.90	0.41	308.69	1.488	513-1022-1-ND	5.56	5.06	3.76	513-1022-2-ND	600	1409.59	CTX150-4
200.70	0.64	111.08	0.545	802.82	0.32	444.32	2.180	513-1023-1-ND	5.56	5.06	3.76	513-1023-2-ND	600	1409.59	CTX200-4
254.40	0.60	122.30	0.615	1,017.60	0.308	489.20	2.460	513-1024-1-ND	5.56	5.06	3.76	513-1024-2-ND	600	1409.59	CTX250-4
298.12	0.62	147.92	0.672	1,192.46	0.31	591.66	2.687	513-1025-1-ND	5.56	5.06	3.76	513-1025-2-ND	600	1409.59	CTX300-4
Serie ECONO-PAC															
9.62	1.70	6.23	0.057	38.48	0.85	24.94	0.227	513-1026-1-ND	2.40	2.19	1.63	513-1026-2-ND	1,100	1015.92/M	CTX10-1P
9.83	2.10	6.73	0.045	39.30	1.05	26.92	0.179	513-1027-1-ND	2.89	2.63	1.96	513-1027-2-ND	800	975.28	CTX10-2P
9.88	2.50	6.70	0.047	39.53	1.25	26.79	0.187	513-1028-1-ND	2.89	2.63	1.96	513-1028-2-ND	600	731.46	CTX10-4P
19.58	1.50	13.37	0.097	78.34	0.75	53.48	0.387	513-1029-1-ND	2.89	2.63	1.96	513-1029-2-ND	800	971.22	CTX20-2P
20.62	1.90	13.44	0.084	82.47	0.95	53.76	0.337	513-1030-1-ND	2.89	2.63	1.96	513-1030-2-ND	600	731.46	CTX20-4P
24.79	1.40	16.60	0.109	99.14	0.70	66.38	0.436	513-1031-1-ND	2.89	2.63	1.96	513-1031-2-ND	800	975.28	CTX25-2P
32.33	0.80	22.27	0.250	129.32	0.40	89.06	1.001	513-1032-1-ND	2.40	2.19	1.63	513-1032-2-ND	1,100	1015.92/M	CTX33-1P
32.67	1.30	21.29	0.126	130.70	0.65	85.17	0.503	513-1033-1-ND	2.89	2.63	1.96	513-1033-2-ND	800	975.28	CTX33-2P
48.80	1.20	32.21	0.201	195.20	0.60	128.83	0.805	513-1034-1-ND	2.89	2.63	1.96	513-1034-2-ND	600	731.46	CTX50-4P
67.37	1.10	43.04	0.238	269.50	0.55	172.16	0.952	513-1035-1-ND	2.89	2.63	1.96	513-1035-2-ND	600	731.46	CTX68-4P
99.01	0.54	63.64	0.557	396.06	0.27	254.55	2.227	513-1036-1-ND	2.40	2.19	1.63	513-1036-2-ND	1,100	1015.92/M	CTX100-1P

UNI-PAC™ und Leistungsinduktoren zur Montage auf amorphen Oberflächen

Merkmale:

Diese spezifischen Teile sind zur Verwendung im National Semiconductors Webench-Programm vorgesehen, sind aber auch in Anwendungen wie in DC-DC-Wandlern und in batteriebetriebenen Geräten geeignet.

Miniaturgröße mit maximaler Leistungsdichte und genügend Stabilität für Designs in Umgebungen mit hoher Schockeinwirkung.

Spezifikationen:

• Betriebsumgebungstemperaturbereich: -40 °C ~ 85 °C

• Infrarot-Aufschmelztemperatur: 240 °C für max. 30s

Abb. 1

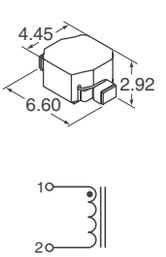

Abb. 2

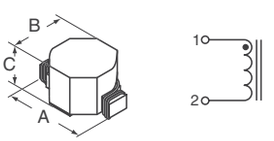

Serie	Abmessungen (mm) A max.	B max.	C max.
UP1B	8.89	6.10	5.0
UP2B	13.97	10.41	6.0

Abb. 3

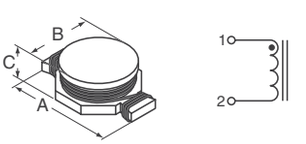

Serie	Abmessungen (mm) A max.	B max.	C max.
UP3B	19.30	13.21	6.8
UP4B	22.10	15.00	7.87

Abb. 4

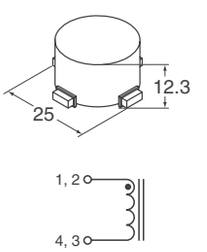

Abb.	Nenninduktivität (µH)	OCL(1) ± 20% (µH)	I_{RMS}(2) A	I_{SAT}(3) A	DCR(4) (Ω) (max.)	Digi-Key Teilenr.	Gurtabschnittspreis pro Stück 1	10	100	Digi-Key Teilenr.	Gegurtet auf Rolle Größe	Preisangaben	Coiltronics Teilenr.
Serie UP0.4C													
	22	21.8	0.76	0.77	0.360	513-1061-1-ND	.87	.80	.59	513-1061-2-ND	2,500	368.28/M	UP0.4C-220
	33	32.2	0.64	0.63	0.560	513-1063-1-ND	.87	.80	.59	513-1063-2-ND	2,500	368.28/M	UP0.4C-330
1	47	46.5	0.53	0.53	0.820	513-1064-1-ND	.87	.80	.59	513-1064-2-ND	2,500	368.28/M	UP0.4C-470
	68	68.2	0.45	0.43	1.10	513-1065-1-ND	.87	.80	.59	513-1065-2-ND	2,500	368.28/M	UP0.4C-680
	100	102.5	0.37	0.35	1.58	513-1060-1-ND	.87	.80	.59	513-1060-2-ND	2,500	368.28/M	UP0.4C-101

Hinweis (1): Induktivitätstestparameter für offenen Schaltkreis: 100 kHz, 0,250 Vrms, 0,0 A DC.

Hinweis (2): RMS-Strom für eine ungefähre ΔT von 40 °C bei einer Umgebungstemperatur von 85 °C

Hinweis (3): Spitzenstrom für ca. 30 % Dämpfung von UP0.4C, UP1B, 3B, 4B. 10 % Dämpfung von UP2B bei 20 °C.

Hinweis (4): DCR-Grenzen 20 °C

(Forts.)

Alle Preisangaben in Euro und inklusive Zollgebühren.

Abb.	Nenn-induktivität (µH)	OCL[1] ± 20% (µH)	I_{RMS}[2] A	I_{SAT}[3] A	DCR[4] (Ω) (max.)	Digi-Key Teilenr.	Gurtabschnittspreis pro Stück 1	10	100	Digi-Key Teilenr.	Gegurtet auf Rolle Größe	Preisangaben	Coiltronics Teilenr.
						Serie UP1B							
2	15	16.00	1.2	1.5	0.1747	513-1067-1-ND	.97	.88	.66	513-1067-2-ND	900	365.73	UP1B-150
	22	23.50	1.0	1.2	0.2541	513-1069-1-ND	.97	.88	.66	513-1069-2-ND	900	365.73	UP1B-220
	33	36.00	0.82	0.99	0.3670	513-1071-1-ND	.97	.88	.66	513-1071-2-ND	900	365.73	UP1B-330
	47	48.50	0.72	0.87	0.4740	513-1073-1-ND	.97	.88	.66	513-1073-2-ND	900	365.73	UP1B-470
	68	73.52	0.58	0.67	0.7320	513-1074-1-ND	.97	.88	.66	513-1074-2-ND	900	365.73	UP1B-680
	100	112.67	0.47	0.53	1.11	513-1066-1-ND	.97	.88	.66	513-1066-2-ND	900	365.73	UP1B-101
	150	152.40	0.40	0.46	1.61	513-1068-1-ND	.97	.88	.66	513-1068-2-ND	900	365.73	UP1B-151
	220	223.10	0.36	0.38	1.96	513-1070-1-ND	.97	.88	.66	513-1070-2-ND	900	365.73	UP1B-221
	330	331.90	0.28	0.31	3.10	513-1072-1-ND	.97	.88	.66	513-1072-2-ND	900	365.73	UP1B-331
						Serie UP2B							
2	15	15.43	3.5	2.4	0.0410	513-1076-1-ND	1.17	1.07	.80	513-1076-2-ND	550	272.39	UP2B-150
	22	22.50	2.8	2.0	0.0617	513-1078-1-ND	1.17	1.07	.80	513-1078-2-ND	550	272.39	UP2B-220
	33	33.13	2.1	1.7	0.0917	513-1080-1-ND	1.17	1.07	.80	513-1080-2-ND	550	272.39	UP2B-330
	47	48.65	1.7	1.4	0.1388	513-1082-1-ND	1.17	1.07	.80	513-1082-2-ND	550	272.39	UP2B-470
	68	68.17	1.5	1.2	0.1787	513-1083-1-ND	1.17	1.07	.80	513-1083-2-ND	550	272.39	UP2B-680
	100	102.60	1.2	0.95	0.2707	513-1075-1-ND	1.17	1.07	.80	513-1075-2-ND	550	272.39	UP2B-101
	150	150	1.0	0.77	0.4100	513-1077-1-ND	1.17	1.07	.80	513-1077-2-ND	550	272.39	UP2B-151
	220	223	0.773	0.637	0.6717	513-1079-1-ND	1.17	1.07	.80	513-1079-2-ND	550	272.39	UP2B-221
	330	338	0.676	0.510	0.8783	513-1081-1-ND	1.17	1.07	.80	513-1081-2-ND	550	272.39	UP2B-331
						Serie UP3B							
3	10	11.00	4.3	5.2	0.0260	513-1084-1-ND	1.41	1.29	.96	513-1084-2-ND	450	268.58	UP3B-100
	15	16.38	3.9	4.3	0.0317	513-1086-1-ND	1.41	1.29	.96	513-1086-2-ND	450	268.58	UP3B-150
	22	22.93	3.1	3.7	0.0490	513-1088-1-ND	1.41	1.29	.96	513-1088-2-ND	450	268.58	UP3B-220
	33	33.85	2.4	3.0	0.0688	513-1089-1-ND	1.41	1.29	.96	513-1089-2-ND	450	268.58	UP3B-330
	47	51.00	1.9	2.4	0.1082	513-1091-1-ND	1.41	1.29	.96	513-1091-2-ND	450	268.58	UP3B-470
	68	69.50	1.6	2.0	0.1558	513-1092-1-ND	1.41	1.29	.96	513-1092-2-ND	450	268.58	UP3B-680
	100	101.40	1.4	1.8	0.2053	513-1085-1-ND	1.41	1.29	.96	513-1085-2-ND	450	268.58	UP3B-101
	150	152.9	1.2	1.4	0.2960	513-1087-1-ND	1.41	1.29	.96	513-1087-2-ND	450	268.58	UP3B-151
	330	332.80	0.75	0.98	0.7330	513-1090-1-ND	1.41	1.29	.96	513-1090-2-ND	450	268.58	UP3B-331
						Serie UP4B							
3	15.0	15.61	5.5	9.1	0.0230	513-1094-1-ND	1.63	1.48	1.10	513-1094-2-ND	275	188.58	UP4B-150
	22.0	22.61	4.5	7.6	0.0340	513-1096-1-ND	1.63	1.48	1.10	513-1096-2-ND	275	188.58	UP4B-220
	47.0	48.10	3.1	5.2	0.0740	513-1098-1-ND	1.63	1.48	1.10	513-1098-2-ND	275	188.58	UP4B-470
	68.0	69.14	2.4	4.3	0.1200	513-1099-1-ND	1.63	1.48	1.10	513-1099-2-ND	275	188.58	UP4B-680
	100.0	99.42	2.0	3.6	0.1700	513-1093-1-ND	1.63	1.48	1.10	513-1093-2-ND	275	188.58	UP4B-101
	150.0	146.90	1.7	3.0	0.2392	513-1095-1-ND	1.63	1.48	1.10	513-1095-2-ND	275	188.58	UP4B-151
	220.0	221.40	1.4	2.4	0.3571	513-1097-1-ND	1.63	1.48	1.10	513-1097-2-ND	275	188.58	UP4B-221
						Serie CTX06							
4	22.0	23.1 ‡	8.5	6.8	0.0117	513-1102-ND	9.44	8.58	6.38	—	—	—	CTX06-14622
	33.0	34.1 ‡	7.7	7.7	0.0141	513-1101-ND	9.52	8.66	6.45	—	—	—	CTX06-14621
	47.0	47.2 ‡	7.1	8.5	0.0166	513-1100-ND	14.31	13.00	9.68	—	—	—	CTX06-14620

‡ Toleranz: ±25 %

Hinweis (1): Induktivitätstestparameter für offenen Schaltkreis: 100 kHz, 0,250 Vrms, 0,0 A DC.

Note (2): RMS current for an approximate ΔT of 40°C at an ambient temperature of 85°C.

Hinweis (3): Spitzenstrom für ca. 30 % Dämpfung von UP0.4C, UP1B, 3B, 4B. 10 % Dämpfung von UP2B bei 20 °C.

Hinweis (4): DCR-Grenzen 20 °C

D

Serie DR — Geschirmte Hochleistungsinduktoren

Merkmale:

Diese spezifischen Teile sind zur Verwendung im National Semiconductors Webench-Programm vorgesehen, sind aber auch in Anwendungen wie in DC-DC-Wandlern und zur Rauschfilterung geeignet.

Spezifikationen:

• Betriebsumgebungstemperaturbereich: -40 °C ~ 125 °C • Infrarot-Aufschmelztemperatur: 240 °C für max. 30 s

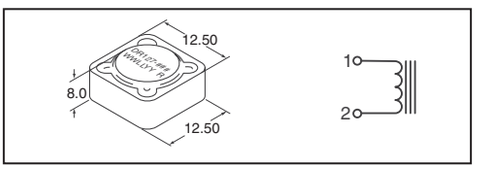

Nenninduktivität (µH)	OCL[1] ± 20% (µH)	I_{RMS}[2] A	I_{SAT}[3] A Spitze	DCR[4] (Ω) (typ.)	Volt-uSec[5] typ.	Digi-Key Teilenr.	Gurtabschnittspreis pro Stück 1	10	100	Digi-Key Teilenr.	Gegurtet auf Rolle Größe	Preisangaben	Coiltronics Teilenr.
						Serie DR							
0.47	0.419	17.9	56.0	0.00195	3.50	513-1059-1-ND	1.57	1.42	1.06	513-1059-2-ND	350	231.12	DR127-R47
1.00	0.821	15.5	40.0	0.00313	4.90	513-1042-1-ND	1.57	1.42	1.06	513-1042-2-ND	350	231.12	DR127-1R0
1.50	1.357	13.5	31.1	0.00341	6.30	513-1043-1-ND	1.57	1.42	1.06	513-1043-2-ND	350	231.12	DR127-1R5
2.20	2.027	12.5	25.5	0.00402	7.70	513-1046-1-ND	1.57	1.42	1.06	513-1046-2-ND	350	231.12	DR127-2R2
3.30	2.831	10.5	21.5	0.00567	9.10	513-1049-1-ND	1.57	1.42	1.06	513-1049-2-ND	350	231.12	DR127-3R3
4.70	4.841	8.25	16.5	0.00917	11.9	513-1052-1-ND	1.57	1.42	1.06	513-1052-2-ND	350	231.12	DR127-4R7
6.80	7.387	7.34	13.3	0.0116	14.7	513-1055-1-ND	1.57	1.42	1.06	513-1055-2-ND	350	231.12	DR127-6R8
8.20	8.861	6.32	12.2	0.0157	16.1	513-1058-1-ND	1.57	1.42	1.06	513-1058-2-ND	350	231.12	DR127-8R2
10.0	10.47	6.04	11.2	0.0172	17.5	513-1037-1-ND	1.57	1.42	1.06	513-1037-2-ND	350	231.12	DR127-100
15.0	14.09	5.03	9.66	0.0247	20.3	513-1040-1-ND	1.57	1.42	1.06	513-1040-2-ND	350	231.12	DR127-150
22.0	22.93	4.00	7.57	0.0391	25.9	513-1044-1-ND	1.57	1.42	1.06	513-1044-2-ND	350	231.12	DR127-220
33.0	33.92	3.23	6.22	0.0600	31.5	513-1047-1-ND	1.57	1.42	1.06	513-1047-2-ND	350	231.12	DR127-330
47.0	47.05	2.95	5.28	0.0719	37.1	513-1050-1-ND	1.57	1.42	1.06	513-1050-2-ND	350	231.12	DR127-470
68.0	66.48	2.44	4.44	0.105	44.1	513-1053-1-ND	1.57	1.42	1.06	513-1053-2-ND	350	231.12	DR127-680
82.0	79.75	2.09	4.06	0.143	48.3	513-1056-1-ND	1.57	1.42	1.06	513-1056-2-ND	350	231.12	DR127-820
100	99.31	1.96	3.64	0.163	53.9	513-1038-1-ND	1.57	1.42	1.06	513-1038-2-ND	350	231.12	DR127-101
150	144.9	1.59	3.01	0.247	65.1	513-1041-1-ND	1.57	1.42	1.06	513-1041-2-ND	350	231.12	DR127-151
220	221.5	1.29	2.43	0.376	80.5	513-1045-1-ND	1.57	1.42	1.06	513-1045-2-ND	350	231.12	DR127-221
330	323.6	1.04	2.01	0.574	97.3	513-1048-1-ND	1.57	1.42	1.06	513-1048-2-ND	350	231.12	DR127-331
470	467.1	0.85	1.68	0.861	117	513-1051-1-ND	1.57	1.42	1.06	513-1051-2-ND	350	231.12	DR127-471
680	676.7	0.76	1.39	1.08	141	513-1054-1-ND	1.57	1.42	1.06	513-1054-2-ND	350	231.12	DR127-681
820	818.1	0.65	1.27	1.47	155	513-1057-1-ND	1.57	1.42	1.06	513-1057-2-ND	350	231.12	DR127-821
1000	1005	0.61	1.14	1.66	172	513-1039-1-ND	1.57	1.42	1.06	513-1039-2-ND	350	231.12	DR127-102

Hinweis (1): Induktivitätstestparameter für offenen Schaltkreis: 100 kHz, 0,25 Vrms, 0,0 A DC.

Hinweis (2): RMS-Strom für eine ungefähre ΔT von 40 °C ohne Kernverlust. Die Temperatur des Bauteils sollte 125 °C möglichst nicht übersteigen.

Hinweis (3): Spitzenstrom für ca. 30 % Dämpfung bei 20 °C.

Hinweis (4): DCR-Grenzen bei 20 °C

Hinweis (5): Angewandtes Volt-Zeit-Produkt (V-µS) über den Induktor. Dieser Wert stellt das angewandte V-µS Produkt bei 100 kHz dar, das zur Schaffung eines Kernverlusts von 10 % des Gesamtverlusts bei 40 °C Temperaturanstieg notwendig ist.

Chip-Spulen-Monolith- und Folientyp, SMD

Bleifrei/RoHS-konform

Serie LQP03T

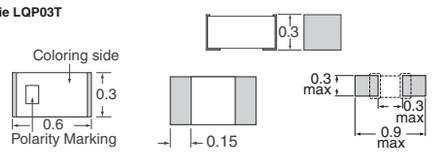

Die Original-Dünnfolientechnologie von Murata trägt weiter zur Miniaturisierung von Hochleistungsgeräten bei, da sie kleine Größen und hohe Q-Werte ermöglicht.

Serie LQP15M

Merkmale: • Enge Induktionstoleranz • Ultra-kleiner 0402 Induktor, Flachprofil und geringstes Gewicht weltweit erlauben Miniaturisierung von mobilen Telekommunikationsgeräten • Gewicht: Serie LQP15M: 0,61 mg/Stck <-- --> Mehrschicht-Folientyp-Induktor: 0,94 mg/Stck

Serie LQG15HS

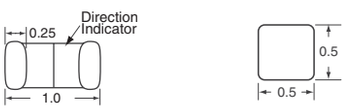

Chip-Induktoren speziell für Hochfrequenzanwendungen. Zur Erzielung stabiler Merkmale im HF-Bereich durch Verwendung eines integrierten Mehrschichtprozesses. Der integrierte Mehrschichtprozess lässt einen breiten Bereich von Induktionswerten mit engen Toleranzen zu.

Serie LQM18N

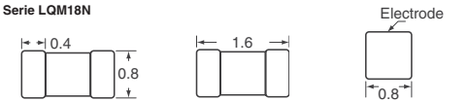

Magnetisch geschirmte Chip-Spulen, die auf der Verwendung der ursprünglichen Mehrschichtprozesstechnologie und auf magnetischen Materialien aufbaut. Kompakte Größe eignet sich für hochdichte Montage. Geschirmte Konstruktion wird nicht durch Interferenz von Peripheriegeräten beeinflusst.

Serie LQG18H

Zur Erzielung stabiler Merkmale im HF-Bereich durch Verwendung eines integrierten Mehrschichtprozesses. Monolithischer Luftkern.

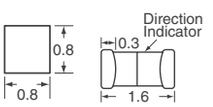

Serie LQM21D

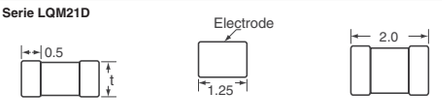

Magnetisch geschirmte Chip-Induktoren. Weniger als die Hälfte des DC-Widerstands von herkömmlichen monolithischen Chip-Induktoren sowie hohe Induktivität. Monolithisches Design.

Part No.	t
LQM21DN4R7N00 ~ N100N00	0.85 ± 0.2
LQM21DN220N00	1.25 ± 0.2

Serie LQM21F

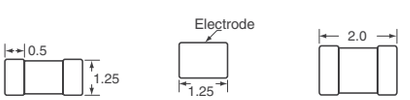

Aufgrund hervorragender Direktstrommerkmale als Stromleitungsdrossel geeignet. Die Serie bietet höheren Nennstrom (60 mA bei 10 micro H) als üblich. Monolithischer Ferritkern.

Serie LQM21N

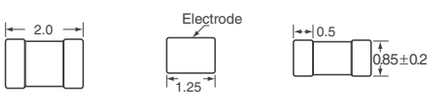

Magnetisch geschirmte Chip-Induktoren, die auf der Verwendung der ursprünglichen Mehrschichtprozesstechnologie von Murata und magnetischen Materialien aufbaut. Die Mini-Größe von 2,0 mm x 1,25 mm ermöglicht ein kompaktes Design elektrischer Geräte.

Induktivität (nH)	Toleranz	Testfrequ. (MHz)	Nennstrom (mA)	Q (min.)	DCR (Ω)	SRF (MHz)	Digi-Key Teilenr.	Gurtabschnittspreise 1	10	100	Gegurtet auf Rolle* Größe	Preisangaben	Murata Teilenr.
Serie LQP03T													
1.0	±0.2nH	500	400	11	0.10 Max.	6,000 min.	490-2481-1-ND	.21	1.79	14.29	10,000	62.53/M	LQP03TN1N0C00D
1.2	±0.2nH	500	280	11	0.13 Max.	6,000 min.	490-2482-1-ND	.21	1.79	14.29	10,000	62.53/M	LQP03TN1N2C00D
1.5	±0.2nH	500	280	11	0.16 Max.	6,000 min.	490-2483-1-ND	.21	1.79	14.29	10,000	62.53/M	LQP03TN1N5C00D
1.8	±0.2nH	500	280	11	0.16 Max.	6,000 min.	490-2484-1-ND	.21	1.79	14.29	10,000	62.53/M	LQP03TN1N8C00D
2.2	±0.2nH	500	220	11	0.18 Max.	6,000 min.	490-2485-1-ND	.21	1.79	14.29	10,000	62.53/M	LQP03TN2N2C00D
2.7	±0.2nH	500	220	11	0.21 Max.	6,000 min.	490-2486-1-ND	.21	1.79	14.29	10,000	62.53/M	LQP03TN2N7C00D
3.3	±0.2nH	500	190	11	0.30 Max.	6,000 min.	490-2487-1-ND	.21	1.79	14.29	10,000	62.53/M	LQP03TN3N3C00D
3.9	±0.2nH	500	170	11	0.45 Max.	6,000 min.	490-2488-1-ND	.21	1.79	14.29	10,000	62.53/M	LQP03TN3N9C00D
4.7	±5%	500	160	11	0.55 Max.	6,000 min.	490-2489-1-ND	.21	1.79	14.29	10,000	62.53/M	LQP03TN4N7J00D
5.6	±5%	500	140	11	0.68 Max.	6,000 min.	490-2490-1-ND	.21	1.79	14.29	10,000	62.53/M	LQP03TN5N6J00D
6.8	±5%	500	130	11	0.75 Max.	6,000 min.	490-2491-1-ND	.21	1.79	14.29	10,000	62.53/M	LQP03TN6N8J00D
8.2	±5%	500	110	11	0.86 Max.	5,500 min.	490-2492-1-ND	.21	1.79	14.29	10,000	62.53/M	LQP03TN8N2J00D
Serie LQP15M — Gehäuse 0402													
1.0	±0.1nH	500	400	13	0.10 Max.	6,000 min.	490-1124-1-ND	.17	1.41	11.31	10,000	49.49/M	LQP15MN1N0B02D
1.2	±0.1nH	500	390	13	0.10 Max.	6,000 min.	490-1125-1-ND	.17	1.41	11.31	10,000	49.49/M	LQP15MN1N2B02D
1.5	±0.1nH	500	280	13	0.20 Max.	6,000 min.	490-1126-1-ND	.17	1.41	11.31	10,000	49.49/M	LQP15MN1N5B02D
1.8	±0.1nH	500	280	13	0.20 Max.	6,000 min.	490-1127-1-ND	.17	1.41	11.31	10,000	49.49/M	LQP15MN1N8B02D
2.2	±0.1nH	500	220	13	0.30 Max.	6,000 min.	490-1128-1-ND	.17	1.41	11.31	10,000	49.49/M	LQP15MN2N2B02D
2.7	±0.1nH	500	220	13	0.30 Max.	6,000 min.	490-1129-1-ND	.17	1.41	11.31	10,000	49.49/M	LQP15MN2N7B02D
3.3	±0.1nH	500	190	13	0.40 Max.	6,000 min.	490-1130-1-ND	.17	1.41	11.31	10,000	49.49/M	LQP15MN3N3B02D
3.9	±0.1nH	500	170	13	0.50 Max.	6,000 min.	490-1131-1-ND	.17	1.41	11.31	10,000	49.49/M	LQP15MN3N9B02D
4.7	±0.1nH	500	160	13	0.60 Max.	6,000 min.	490-1132-1-ND	.17	1.41	11.31	10,000	49.49/M	LQP15MN4N7B02D
5.6	±0.1nH	500	140	13	0.70 Max.	6,000 min.	490-1133-1-ND	.17	1.41	11.31	10,000	49.49/M	LQP15MN5N6B02D
6.8	±0.1nH	500	130	13	0.90 Max.	6,000 min.	490-1134-1-ND	.17	1.41	11.31	10,000	49.49/M	LQP15MN6N8B02D
8.2	±0.1nH	500	110	13	1.10 Max.	5,500 min.	490-1135-1-ND	.17	1.41	11.31	10,000	49.49/M	LQP15MN8N2B02D
Serie LQG15HS — Gehäuse 0402													
1.0	±0.3nH	100	300	8	0.07 Max.	10,000 min.	490-2610-1-ND	.08	.63	4.98	10,000	21.78/M	LQG15HS1N0S02D
1.2	±0.3nH	100	300	8	0.09 Max.	6,000 min.	490-2611-1-ND	.08	.63	4.98	10,000	21.78/M	LQG15HS1N2S02D
1.5	±0.3nH	100	300	8	0.10 Max.	6,000 min.	490-2612-1-ND	.08	.63	4.98	10,000	21.78/M	LQG15HS1N5S02D
1.8	±0.3nH	100	300	8	0.10 Max.	6,000 min.	490-2613-1-ND	.08	.63	4.98	10,000	21.78/M	LQG15HS1N8S02D
2.2	±0.3nH	100	300	8	0.12 Max.	6,000 min.	490-2614-1-ND	.08	.63	4.98	10,000	21.78/M	LQG15HS2N2S02D
2.7	±0.3nH	100	300	8	0.15 Max.	6,000 min.	490-2615-1-ND	.08	.63	4.98	10,000	21.78/M	LQG15HS2N7S02D
3.3	±0.3nH	100	300	8	0.17 Max.	6,000 min.	490-2616-1-ND	.08	.63	4.98	10,000	21.78/M	LQG15HS3N3S02D
3.9	±0.3nH	100	300	8	0.18 Max.	6,000 min.	490-2617-1-ND	.08	.63	4.98	10,000	21.78/M	LQG15HS3N9S02D
4.7	±0.3nH	100	300	8	0.18 Max.	6,000 min.	490-2618-1-ND	.08	.63	4.98	10,000	21.78/M	LQG15HS4N7S02D
5.6	±0.3nH	100	300	8	0.20 Max.	4,500 min.	490-2619-1-ND	.08	.63	4.98	10,000	21.78/M	LQG15HS5N6S02D
6.2	±0.3nH	100	300	8	0.22 Max.	4,500 min.	490-2620-1-ND	.08	.63	4.98	10,000	21.78/M	LQG15HS6N2S02D
6.8	±5%	100	300	8	0.24 Max.	4,500 min.	490-2621-1-ND	.08	.63	4.98	10,000	21.78/M	LQG15HS6N8J02D
7.5	±5%	100	300	8	0.24 Max.	4,200 min.	490-3456-1-ND	.08	.63	4.98	10,000	21.78/M	LQG15HS7N5J02D
8.2	±5%	100	300	8	0.24 Max.	3,700 min.	490-2622-1-ND	.08	.63	4.98	10,000	21.78/M	LQG15HS8N2J02D
10	±5%	100	300	8	0.26 Max.	3,400 min.	490-2623-1-ND	.08	.63	4.98	10,000	21.78/M	LQG15HS10NJ02D
12	±5%	100	300	8	0.28 Max.	3,000 min.	490-2624-1-ND	.08	.63	4.98	10,000	21.78/M	LQG15HS12NJ02D
15	±5%	100	300	8	0.32 Max.	2,500 min.	490-2625-1-ND	.08	.63	4.98	10,000	21.78/M	LQG15HS15NJ02D
18	±5%	100	300	8	0.36 Max.	2,200 min.	490-2626-1-ND	.08	.63	4.98	10,000	21.78/M	LQG15HS18NJ02D
22	±5%	100	300	8	0.42 Max.	1,900 min.	490-2627-1-ND	.08	.63	4.98	10,000	21.78/M	LQG15HS22NJ02D
27	±5%	100	300	8	0.46 Max.	1,700 min.	490-2628-1-ND	.08	.63	4.98	10,000	21.78/M	LQG15HS27NJ02D
33	±5%	100	200	8	0.58 Max.	1,600 min.	490-2629-1-ND	.08	.63	4.98	10,000	21.78/M	LQG15HS33NJ02D
39	±5%	100	200	8	0.65 Max.	1,200 min.	490-2630-1-ND	.08	.67	5.35	10,000	23.41/M	LQG15HS39NJ02D
47	±5%	100	200	8	0.72 Max.	1,000 min.	490-2631-1-ND	.08	.67	5.35	10,000	23.41/M	LQG15HS47NJ02D
56	±5%	100	200	8	0.82 Max.	800 min.	490-2632-1-ND	.08	.67	5.35	10,000	23.41/M	LQG15HS56NJ02D
68	±5%	100	180	8	0.92 Max.	800 min.	490-2633-1-ND	.08	.67	5.35	10,000	23.41/M	LQG15HS68NJ02D
82	±5%	100	150	8	1.20 Max.	700 min.	490-2634-1-ND	.09	.75	5.93	10,000	25.93/M	LQG15HS82NJ02D
100	±5%	100	150	8	1.25 Max.	600 min.	490-2635-1-ND	.09	.75	5.93	10,000	25.93/M	LQG15HSR10J02D
120	±5%	100	150	8	1.30 Max.	600 min.	490-2636-1-ND	.09	.75	5.93	10,000	25.93/M	LQG15HSR12J02D
150	±5%	100	140	8	2.99 Max.	550 min.	490-2637-1-ND	.10	.83	6.60	10,000	28.89/M	LQG15HSR15J02D
180	±5%	100	130	8	3.38 Max.	500 min.	490-2638-1-ND	.10	.83	6.60	10,000	28.89/M	LQG15HSR18J02D
220	±5%	100	120	8	3.77 Max.	450 min.	490-2639-1-ND	.10	.83	6.60	10,000	28.89/M	LQG15HSR22J02D
270	±5%	100	110	8	4.94 Max.	400 min.	490-2640-1-ND	.10	.83	6.60	10,000	28.89/M	LQG15HSR27J02D
Serie LQM18N — Gehäuse 0603													
47	±20%	50	50	10	0.30 Max.	260 min.	490-1110-1-ND	.19	1.63	13.07	4,000	57.19/M	LQM18NN47NM00D
100	±10%	25	50	15	0.50 Max.	240 min.	490-1111-1-ND	.19	1.63	13.07	4,000	57.19/M	LQM18NNR10K00D
1000	±10%	10	25	35	0.60 Max.	75 min.	490-1112-1-ND	.22	1.85	14.73	4,000	64.45/M	LQM18NN1R0K00D
2200	±10%	10	15	35	1.15 Max.	50 min.	490-1113-1-ND	.22	1.85	14.73	4,000	64.45/M	LQM18NN2R2K00D
Serie LQG18H — Gehäuse 0603													
1.2	±0.3nH	100	300	12	0.10 Max.	6,000 min.	490-1099-1-ND	.18	1.48	11.85	4,000	51.86/M	LQG18HN1N2S00D
1.5	±0.3nH	100	300	12	0.10 Max.	6,000 min.	490-1100-1-ND	.18	1.48	11.85	4,000	51.86/M	LQG18HN1N5S00D
1.8	±0.3nH	100	300	12	0.10 Max.	6,000 min.	490-1101-1-ND	.18	1.48	11.85	4,000	51.86/M	LQG18HN1N8S00D
2.2	±0.3nH	100	300	12	0.10 Max.	6,000 min.	490-1102-1-ND	.18	1.48	11.85	4,000	51.86/M	LQG18HN2N2S00D
2.7	±0.3nH	100	300	12	0.15 Max.	6,000 min.	490-1103-1-ND	.18	1.48	11.85	4,000	51.86/M	LQG18HN2N7S00D
3.3	±0.3nH	100	300	12	0.15 Max.	6,000 min.	490-1104-1-ND	.18	1.48	11.85	4,000	51.86/M	LQG18HN3N3S00D
3.9	±0.3nH	100	300	12	0.15 Max.	6,000 min.	490-1105-1-ND	.18	1.48	11.85	4,000	51.86/M	LQG18HN3N9S00D
4.7	±0.3nH	100	300	12	0.20 Max.	6,000 min.	490-1106-1-ND	.18	1.48	11.85	4,000	51.86/M	LQG18HN4N7S00D
5.6	±0.3nH	100	300	12	0.20 Max.	5,000 min.	490-1107-1-ND	.18	1.48	11.85	4,000	51.86/M	LQG18HN5N6S00D
6.8	±5%	100	300	12	0.25 Max.	5,000 min.	490-1108-1-ND	.18	1.48	11.85	4,000	51.86/M	LQG18HN6N8J00D
8.2	±5%	100	300	12	0.25 Max.	4,000 min.	490-1109-1-ND	.18	1.48	11.85	4,000	51.86/M	LQG18HN8N2J00D
Serie LQM21D — Gehäuse 0805													
4.7µH	±30%	1	30	—	0.30 Max.	35 min.	490-1120-1-ND	.22	1.85	14.83	4,000	64.90/M	LQM21DN4R7N00D
10µH	±30%	1	15	—	0.50 Max.	24 min.	490-1121-1-ND	.22	1.85	14.83	4,000	64.90/M	LQM21DN100N00D
22µH	±30%	1	13	—	0.65 Max.	16 min.	490-1123-1-ND	.22	1.85	14.83	3,000	64.90/M	LQM21DN220N00L
Serie LQM21F — Gehäuse 0805													
10µH	±30%	1	60	—	0.50±30%	15 min.	490-1122-1-ND	.15	1.28	10.23	3,000	44.75/M	LQM21FN100N00L
Serie LQM21N — Gehäuse 0805													
0.1µH	±10%	25	250	20	0.26 Max.	340 min.	490-1114-1-ND	.19	1.59	12.73	4,000	55.71/M	LQM21NNR10K10D
0.22µH	±10%	25	250	20	0.38 Max.	220 min.	490-1115-1-ND	.19	1.59	12.73	4,000	55.71/M	LQM21NNR22K10D
0.47µH	±10%	25	200	25	0.57 Max.	150 min.	490-1116-1-ND	.19	1.59	12.73	4,000	55.71/M	LQM21NNR47K10D
1µH	±10%	10	50	45	0.40 Max.	107 min.	490-1117-1-ND	.20	1.72	13.71	4,000	60.01/M	LQM21NN1R0K10D
1.5µH	±10%	10	50	45	0.50 Max.	87 min.	490-1118-1-ND	.20	1.72	13.71	4,000	60.01/M	LQM21NN1R5K10D
2.2µH	±10%	10	30	45	0.63 Max.	71 min.	490-1119-1-ND	.20	1.72	13.71	4,000	60.01/M	LQM21NN2R2K10D

* Für Gegurtet auf Rolle die Teilenummer von „1-ND“ in „2-ND“ ändern.

Alle Preisangaben in Euro und inklusive Zollgebühren.

Chip-Spulen-Wickel-SMD

Bleifrei/RoHS-konform

Induktivität (nH)	Toleranz	Testfrequ. (MHz)	Nennstrom (mA)	Q (min.)	DCR (Ω)	SRF (GHz)	Digi-Key Teilenr.	Stückpreis 1	10	100	Gegurtet auf Rolle* Größe	Preisangaben	Murata Teilenr.
Serie LQW15A — Packung 0402													
1.5	±0.5nH	100	1000	10	0.03 max.	18 min.	490-1136-1-ND	.36	.31	.25	10,000	106.68/M	LQW15AN1N5D00D
2.7	±0.5nH	100	850	20	0.05 max.	15 min.	490-1137-1-ND	.36	.31	.25	10,000	106.68/M	LQW15AN2N7D00D
4.3	±0.2nH	100	750	25	0.07 max.	10 min.	490-1138-1-ND	.36	.31	.25	10,000	106.68/M	LQW15AN4N3C00D
4.7	±0.2nH	100	750	25	0.07 max.	8 min.	490-1139-1-ND	.36	.31	.25	10,000	106.68/M	LQW15AN4N7C00D
5.1	±0.5nH	100	600	25	0.12 max.	8 min.	490-1140-1-ND	.36	.31	.25	10,000	106.68/M	LQW15AN5N1D00D
6.2	±0.5nH	100	700	25	0.09 max	8 min.	490-1141-1-ND	.36	.31	.25	10,000	106.68/M	LQW15AN6N2D00D
6.8	±5%	100	700	25	0.09 max.	6 min.	490-1142-1-ND	.36	.31	.25	10,000	106.68/M	LQW15AN6N8J00D
7.5	±5%	100	570	25	0.13 max.	6 min.	490-1143-1-ND	.36	.31	.25	10,000	106.68/M	LQW15AN7N5J00D
8.2	±5%	100	540	25	0.14 max.	5.5 min.	490-1144-1-ND	.37	.32	.25	10,000	109.34/M	LQW15AN8N2J00D
9.1	±5%	100	540	25	0.14 max.	5.5 min.	490-1145-1-ND	.36	.31	.25	10,000	106.68/M	LQW15AN9N1J00D
10	±5%	100	500	25	0.17 max.	5.5 min.	490-1146-1-ND	.36	.31	.25	10,000	106.68/M	LQW15AN10NJ00D
12	±5%	100	500	30	0.14 max.	5.5 min.	490-1147-1-ND	.36	.31	.25	10,000	106.68/M	LQW15AN12NJ00D
15	±5%	100	460	30	0.16 max.	5 min.	490-1148-1-ND	.36	.31	.25	10,000	106.68/M	LQW15AN15NJ00D
18	±5%	100	370	25	0.27 max.	4.5 min.	490-1149-1-ND	.36	.31	.25	10,000	106.68/M	LQW15AN18NJ00D
22	±5%	100	310	25	0.30 max.	4 min.	490-1150-1-ND	.36	.31	.25	10,000	106.68/M	LQW15AN22NJ00D
27	±5%	100	280	25	0.52 max.	3.5 min.	490-1151-1-ND	.36	.31	.25	10,000	106.68/M	LQW15AN27NJ00D
33	±5%	100	260	25	0.63 max.	3.2 min.	490-1152-1-ND	.36	.31	.25	10,000	106.68/M	LQW15AN33NJ00D
39	±5%	100	250	25	0.70 max.	3 min.	490-1153-1-ND	.36	.31	.25	10,000	106.68/M	LQW15AN39NJ00D
47	±5%	100	210	25	1.08 max.	2.9 min.	490-1154-1-ND	.36	.31	.25	10,000	106.68/M	LQW15AN47NJ00D
56	±5%	100	200	25	1.17 max.	2.8 min.	490-1155-1-ND	.36	.31	.25	10,000	106.68/M	LQW15AN56NJ00D
68	±5%	100	140	20	1.96 max.	2.5 min.	490-1156-1-ND	.37	.32	.25	10,000	109.34/M	LQW15AN68NJ00D
82	±5%	100	130	20	2.24 max.	2.3 min.	490-1157-1-ND	.37	.32	.25	10,000	109.34/M	LQW15AN82NJ00D

Induktivität (nH)	Toleranz	Testfrequ. (MHz)	Nennstrom (mA)	Q (min.)	DCR (Ω)	SRF (GHz)	Digi-Key Teilenr.	Stückpreis 1	10	100	Gegurtet auf Rolle* Größe	Preisangaben	Murata Teilenr.
Serie LQW18A — Packung 0603													
2.2	±0.5nH	100	700	16	0.049 max.	6,000 min.	490-1158-1-ND	.33	.28	.23	4,000	97.49/M	LQW18AN2N2D00D
3.6	±0.5nH	100	850	25	0.059 max.	6,000 min.	490-1159-1-ND	.33	.28	.23	4,000	97.49/M	LQW18AN3N6D00D
3.9	±0.5nH	100	850	35	0.059 max.	6,000 min.	490-1160-1-ND	.33	.28	.23	4,000	97.49/M	LQW18AN3N9D00D
4.3	±0.5nH	100	850	35	0.059 max.	6,000 min.	490-1161-1-ND	.33	.28	.23	4,000	97.49/M	LQW18AN4N3D00D
4.7	±0.5nH	100	850	35	0.059 max.	6,000 min.	490-1162-1-ND	.33	.28	.23	4,000	97.49/M	LQW18AN4N7D00D
5.6	±0.5nH	100	750	35	0.082 max.	6,000 min.	490-1164-1-ND	.33	.28	.23	4,000	97.49/M	LQW18AN5N6D00D
6.2	±0.5nH	100	750	35	0.082 max.	6,000 min.	490-1163-1-ND	.33	.28	.23	4,000	97.49/M	LQW18AN6N2D00D
6.8	+0.5nH	100	750	35	0.082 max.	6,000 min.	490-1165-1-ND	.33	.28	.23	4,000	97.49/M	LQW18AN6N8D00D
7.5	±0.5nH	100	750	35	0.082 max.	6,000 min.	490-1166-1-ND	.33	.28	.23	4,000	97.49/M	LQW18AN7N5D00D
8.2	±0.5nH	100	650	35	0.11 max.	6,000 min.	490-1167-1-ND	.33	.28	.23	4,000	97.49/M	LQW18AN8N2D00D
8.7	±0.5nH	100	650	35	0.11 max.	6,000 min.	490-1168-1-ND	.33	.28	.23	4,000	97.49/M	LQW18AN8N7D00D
10	±5%	100	650	35	0.11 max.	6,000 min.	490-1169-1-ND	.33	.28	.23	4,000	97.49/M	LQW18AN10NJ00D
12	±5%	100	600	35	0.13 max.	6,000 min.	490-1170-1-ND	.33	.28	.23	4,000	97.49/M	LQW18AN12NJ00D
15	±5%	100	600	40	0.13 max.	6,000 min.	490-1171-1-ND	.33	.28	.23	4,000	97.49/M	LQW18AN15NJ00D
18	±5%	100	550	40	0.16 max.	5,500 min.	490-1172-1-ND	.33	.28	.23	4,000	97.49/M	LQW18AN18NJ00D
22	±5%	100	500	40	0.17 max.	4,600 min.	490-1173-1-ND	.33	.28	.23	4,000	97.49/M	LQW18AN22NJ00D
27	±5%	100	440	40	0.21 max.	3,700 min.	490-1174-1-ND	.33	.28	.23	4,000	97.49/M	LQW18AN27NJ00D
33	±5%	100	420	40	0.23 max.	3,200 min.	490-1175-1-ND	.33	.28	.23	4,000	97.49/M	LQW18AN33NJ00D
39	±5%	100	400	40	0.26 max.	2,800 min.	490-1176-1-ND	.33	.28	.23	4,000	97.49/M	LQW18AN39NJ00D
56	±5%	100	360	38	0.35 max.	2,400 min.	490-1177-1-ND	.33	.28	.23	4,000	97.49/M	LQW18AN56NJ00D
68	±5%	100	340	38	0.38 max.	2,200 min.	490-1178-1-ND	.33	.28	.23	4,000	97.49/M	LQW18AN68NJ00D
100	±5%	100	220	34	0.68 max.	1,800 min.	490-1179-1-ND	.33	.28	.23	4,000	97.49/M	LQW18ANR10J00D
120	±5%	100	180	32	1.3 max.	1,600 min.	490-1180-1-ND	.33	.28	.23	4,000	97.49/M	LQW18ANR12J00D
270	±5%	100	110	30	3.4 max.	960 min.	490-1181-1-ND	.36	.31	.25	4,000	106.68/M	LQW18ANR27J00D
330	±5%	100	85	30	5.5 max.	800 min.	490-1182-1-ND	.36	.31	.25	4,000	106.68/M	LQW18ANR33J00D
390	±5%	100	80	30	6.2 max.	800 min.	490-1183-1-ND	.36	.31	.25	4,000	106.68/M	LQW18ANR39J00D
470	±5%	100	75	30	7.0 max.	700 min.	490-1184-1-ND	.36	.31	.25	4,000	106.68/M	LQW18ANR47J00D

Induktivität (nH)	Toleranz	Testfrequ. (MHz)	Nennstrom (mA)	Q (min.)	DCR (Ω)	SRF (GHz)	Digi-Key Teilenr.	Stückpreis 1	10	100	Gegurtet auf Rolle* Größe	Preisangaben	Murata Teilenr.
Serie LQH43C													
1.0	±20%	1	1080	—	0.08 max.	100	490-2514-1-ND	.54	.45	.37	500	78.82	LQH43CN1R0M03L
2.2	±20%	1	900	—	0.11 max.	60	490-2515-1-ND	.54	.45	.37	500	78.82	LQH43CN2R2M03L
3.3	±20%	1	800	—	0.13 max.	47	490-2516-1-ND	.54	.45	.37	500	78.82	LQH43CN3R3M03L
4.7	±20%	1	750	—	0.15 max.	35	490-2517-1-ND	.54	.45	.37	500	78.82	LQH43CN4R7M03L
6.8	±20%	1	720	—	0.20 max.	30	490-2518-1-ND	.54	.45	.37	500	78.82	LQH43CN6R8M03L
10	±10%	1	650	—	0.24 max.	23	490-2519-1-ND	.54	.45	.37	500	78.82	LQH43CN100K03L
33	±10%	1	310	—	1.0 max.	12	490-2520-1-ND	.54	.45	.37	500	78.82	LQH43CN330K03L
47	±10%	1	280	—	1.1 max.	10	490-2521-1-ND	.54	.45	.37	500	78.82	LQH43CN470K03L
68	±10%	1	220	—	1.7 max.	8.4	490-2522-1-ND	.54	.45	.37	500	78.82	LQH43CN680K03L
330	±10%	1	100	—	6.8 max.	3.6	490-2523-1-ND	.57	.48	.38	500	82.67	LQH43CN331K03L
470	±10%	1‡	90	—	8.5 max.	3.0	490-2524-1-ND	.57	.48	.38	500	82.67	LQH43CN471K03L
Serie LQH43M													
3.9	±20%	1	500	20	0.38 max.	41	490-2525-1-ND	.67	.56	.45	500	97.27	LQH43MN3R9M03L
5.6	±10%	1	500	30	0.47 max.	33	490-2526-1-ND	.67	.56	.45	500	97.27	LQH43MN5R6K03L
27	±10%	1	300	35	1.1 max.	14	490-2527-1-ND	.53	.45	.36	500	78.38	LQH43MN270K03L
82	±10%	1	170	35	2.2 max.	7.5	490-2528-1-ND	.53	.45	.36	500	78.38	LQH43MN820K03L
150	±10%	1	130	40	3.7 max.	5.5	490-2529-1-ND	.53	.45	.36	500	78.38	LQH43MN151K03L

‡ - Testfrequenz ist kHz * Teilenr. für Gegurtet auf Rolle -1-ND in -2-ND ändern

Serie LQW15A

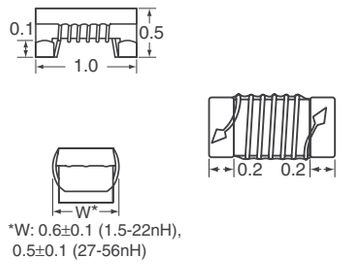

Luftkern-Chip-Spule mit Mini-Aluminakern Hoher Q-Wert und hohe Eigenresonanzfrequenz im HF-Bereich. Geeignet für HF-Schaltungen in Telekommunikationsgeräten.

Serie LQW18A

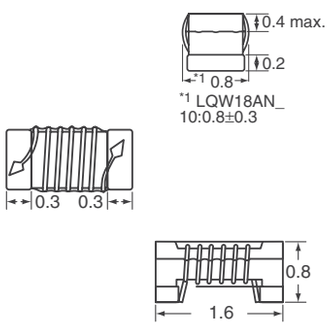

Horizontale Wicklung lässt enge Induktion zu. Hohe Eigenresonanzfrequenz führt zu hohem Q-Wert und stabiler Induktion bei hoher Frequenz. Design mit geringem DC-Widerstand; ideal für geringen Verlust, hohe Ausgänge und niedrigen Stromverbrauch.

Serie LQH43C

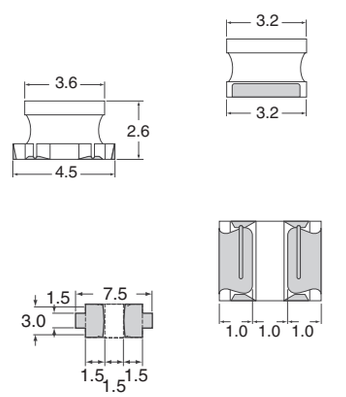

Besteht aus Mini-Chip-Induktoren mit niedrigem DC-Widerstand, hoher Stromkapazität und hohen Impedanzmerkmalen. Geeignet als Drosselspule in DC-Stromversorgungsschaltkreisen.

Serie LQH43M

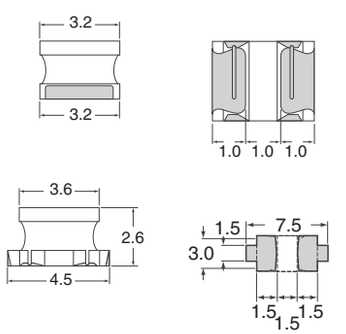

Besteht aus gewickelten Chip-Spulen für Allzweckgebrauch. Verwendet ursprüngliche automatische Wickeltechnologie und Ferritkern von Murata. Hoher Q-Wert bei hoher Frequenz und niedrigem DC-Widerstand.

(Forts.)

D

Murata Electronics

Chip-Spulen, gewickelt, SMD *(Forts.)*

Bleifrei/RoHS-konform

Induktivität (µH)	Toleranz	Testfrequ. (MHz)	Nennstrom (mA)	Q (min.)	DCR (Ω)	SRF (GHz)	Digi-Key Teilenr.	Stückpreis 1	10	100	Gegurtet auf Rolle* Größe	Preisangaben	Murata Teilenr.
Serie LQH32M													
1.0	±20%	1	445	20	0.5 max.	100	490-2500-1-ND	.33	.28	.22	2,000	95.71/M	LQH32MN1R0M23L
2.2	±10%	1	370	20	0.8 max.	50	490-2501-1-ND	.33	.28	.22	2,000	95.71/M	LQH32MN2R2K23L
4.7	±10%	1	270	20	1.2 max.	31	490-2502-1-ND	.33	.28	.22	2,000	95.71/M	LQH32MN4R7K23L
6.8	±10%	1	240	20	1.5 max.	25	490-2503-1-ND	.33	.28	.22	2,000	95.71/M	LQH32MN6R8K23L
8.2	±10%	1	225	20	1.6 max.	23	490-2504-1-ND	.33	.28	.22	2,000	95.71/M	LQH32MN8R2K23L
10	±5%	1	190	35	1.8 max.	20	490-2505-1-ND	.33	.28	.22	2,000	95.71/M	LQH32MN100J23L
22	±5%	1	150	35	2.8 max.	14	490-2506-1-ND	.33	.28	.22	2,000	95.71/M	LQH32MN220J23L
33	±5%	1	115	40	3.5 max.	12	490-2507-1-ND	.33	.28	.22	2,000	95.71/M	LQH32MN330J23L
47	±5%	1	100	40	4.3 max.	11	490-2508-1-ND	.33	.28	.22	2,000	95.71/M	LQH32MN470J23L
150	±5%	1	70	40	9.3 max.	7	490-2509-1-ND	.33	.28	.22	2,000	95.71/M	LQH32MN151J23L
270	±5%	1	65	40	12.5 max.	5	490-2510-1-ND	.33	.28	.22	2,000	95.71/M	LQH32MN271J23L
330	±5%	1	65	40	13.0 max.	5	490-2511-1-ND	.33	.28	.22	2,000	95.71/M	LQH32MN331J23L
390	±5%	1	50	50	22.0 max.	5	490-2512-1-ND	.33	.28	.22	2,000	95.71/M	LQH32MN391J23L
560	±5%	1‡	40	50	28.0 max.	5	490-2513-1-ND	.33	.28	.22	2,000	95.71/M	LQH32MN561J23L
Serie LQH32C													
1.0	±20%	1	800	—	0.06±30%	96	490-2493-1-ND	.33	.28	.22	2,000	95.71/M	LQH32CN1R0M23L
2.2	±20%	1	600	—	0.13±30%	64	490-2494-1-ND	.33	.28	.22	2,000	95.71/M	LQH32CN2R2M23L
4.7	±20%	1	450	—	0.2±30%	43	490-2495-1-ND	.33	.28	.22	2,000	95.71/M	LQH32CN4R7M23L
10	±10%	1	300	—	0.44±30%	26	490-2496-1-ND	.33	.28	.22	2,000	95.71/M	LQH32CN100K23L
47	±10%	1	170	—	1.3±30%	15	490-2497-1-ND	.33	.28	.22	2,000	95.71/M	LQH32CN470K23L
330	±10%	1	60	—	10±30%	5.6	490-2498-1-ND	.33	.28	.22	2,000	95.71/M	LQH32CN331K23L
470	±10%	1‡	60	—	19±30%	5	490-2499-1-ND	.33	.28	.22	2,000	95.71/M	LQH32CN471K23L

‡ Testfrequenz ist kHz * Teilenr. für Gegurtet auf Rolle -1-ND in -2-ND ändern

Serie LQH32M

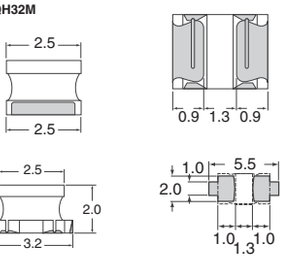

Mini-Chip-Induktoren, die um einen speziellen Ferritkern gewickelt sind. Hoher Q-Wert bei hoher Frequenz und niedrigem DC-Widerstand.

Serie LQH32C

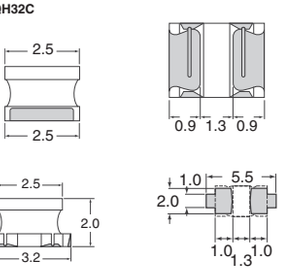

Mini-Chip-Spulen mit niedrigem DC-Widerstand, hoher Stromkapazität und hohen Impedanzmerkmalen. Diese Merkmale beruhen auf dem von Murata entwickelten automatischen Wickelverfahren. Hervorragend geeignet zur Verwendung als Drosselspulen für Stromversorgungsleitungen.

D

Murata Electronics

Gleichtaktdrosselspulen Wickeltpy, Folientyp und Folientyp-Arrays

Serie DLW21H: Hervorragende Rauschunterdrückung für Anwendungen bei beschränktem Platz. Geeignet für Differenzialsignalleitungen wie USB2.0, IEEE1394 und LVDS. Aufgrund der hohen Kopplung verursacht DLW21H keine Verzerrung bei Hochgeschwindigkeits-Signalübertragung. (USB2.0:DLW21HN900SQ2). Diese Teile sind bleifrei.

Serie DLW31S: Hohe Gleichtaktimpedanz bei hoher Frequenz führt zu hervorragender Rauschunterdrückungsleistung. Dank ihrer hohen Kopplung ermöglicht die Serie DLW31S Rauschunterdrückung für Differenzialsignalleitungen ohne Verzerrung in der Hochgeschwindigkeits-Signalübertragung. Dieses Produkt enthält kein Blei. Gleiche Größe für hochdichte Montage.

Serie DLW5BS: Hochleistungs-Gleichtaktdrosselspule, gewickelt. Hohe Impedanzmerkmale erlauben sehr gute Rauschunterdrückung, ohne Hochgeschwindigkeitssignale aufgrund geringer Normalmodusimpedanz zu beschädigen

Serie DLP31S: Hervorragende Leistung im hohen Frequenzbereich. Ideal für Differenzialsignalleitungen wie USB, weil DLP31S die Hochgeschwindigkeitssignalübertragung aufgrund seines hohen Kupplungskoeffizienten von min. 0,98 nicht verzerrt.

Serie DLP31D: Ferritmaterial und Dünnschichttechnologie verleihen diesem Gleichtaktdrosselspulen-Array hohe Impedanzmerkmale, trotz eines kleinen Gehäuses. 2 Komponenten passen in 3,2 x 1,6 mm. DLP31D kann Gleichtaktgeräusch ohne Beeinflussung der Signalkurve unterdrücken.

Serie DLW21H

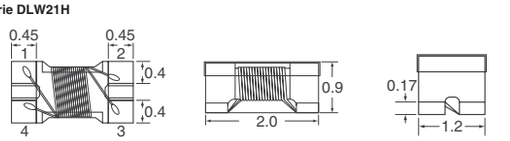

Serie DLP31S

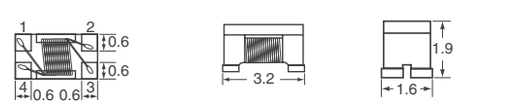

Serie DLW31S

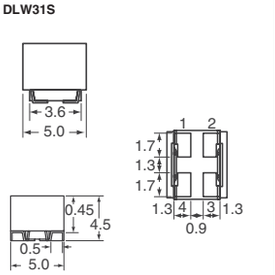

Serie DLW5BS

Serie DLP31D

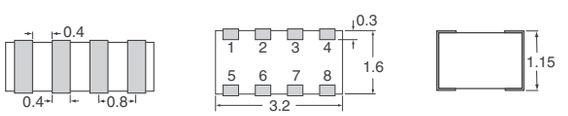

Gleichtaktimpedanz (bei 100MHz) (Ω)	Nennstrom (mA)	Nennspannung (V DC)	Isolationswiderstand (min.) (MΩ)	Haltespannung (V DC)	DC-Widerstand (Ω)	Digi-Key Teilenr.	Stückpreis 10	50	100	Digi-Key Teilenr.	Gegurtet auf Rolle Größe	Preisangaben	Murata Teilenr.
Serie DLW21H — Wickeltyp													
67	330	50	10	125	0.35 max.	490-1063-1-ND	.51	.44	.41	490-1063-2-ND	3,000	234.09/M	DLW21HN670SQ2L
90	330	50	10	125	0.35 max.	490-1064-1-ND	.51	.44	.41	490-1064-2-ND	3,000	234.09/M	DLW21HN900SQ2L
120	280	50	10	125	0.45 max.	490-1065-1-ND	.51	.44	.41	490-1065-2-ND	3,000	234.09/M	DLW21HN121SQ2L
180	250	50	10	125	0.50 max.	490-1066-1-ND	.51	.44	.41	490-1066-2-ND	3,000	234.09/M	DLW21HN181SQ2L
Serie DLW31S — Wickeltyp													
2200 (Typ.)	200	50	10	125	1.2	490-1070-1-ND	.91	.79	.73	490-1070-2-ND	2,000	422.24/M	DLW31SN222SQ2L
1000 (Typ.)	230	50	10	125	1.0	490-1069-1-ND	.91	.79	.73	490-1069-2-ND	2,000	422.24/M	DLW31SN102SQ2L
600 (Typ.)	260	50	10	125	0.8	490-1068-1-ND	.91	.79	.73	490-1068-2-ND	2,000	422.24/M	DLW31SN601SQ2L
90 (Typ.)	370	50	10	125	0.3	490-1067-1-ND	.91	.79	.73	490-1067-2-ND	2,000	422.24/M	DLW31SN900SQ2L
Serie DLW5BS — Wickeltyp													
1000 (Typ.)	1500	50	10	125	0.06	490-1072-1-ND	1.41	1.22	1.13	490-1072-2-ND	400	262.53	DLW5BSN102SQ2L
350 (Typ.)	2000	50	10	125	0.04	490-1071-1-ND	1.41	1.22	1.13	490-1071-2-ND	400	262.53	DLW5BSN351SQ2L
Serie DLP31S — Folientyp													
120	100	16	100	40	2.0 max.	490-2479-1-ND	1.23	1.07	.99	490-2479-2-ND	3,000	573.36/M	DLP31SN121SL2L
550	100	16	100	40	3.6 max.	490-2480-1-ND	1.23	1.07	.99	490-2480-2-ND	3,000	573.36/M	DLP31SN551SL2L
Serie DLP31D — Folientyp-Array													
90	160	10	100	25	1.1 max.	490-2474-1-ND	1.24	1.07	.99	490-2474-2-ND	3,000	574.70/M	DLP31DN900ML4L
130	120	10	100	25	1.6 max.	490-2475-1-ND	1.24	1.07	.99	490-2475-2-ND	3,000	574.70/M	DLP31DN131ML4L
200	100	10	100	25	2.2 max.	490-2476-1-ND	1.24	1.07	.99	490-2476-2-ND	3,000	574.70/M	DLP31DN201ML4L
320	80	10	100	25	3.5 max.	490-2477-1-ND	1.24	1.07	.99	490-2477-2-ND	3,000	574.70/M	DLP31DN321ML4L
440	70	10	100	25	4.3 max.	490-2478-1-ND	1.24	1.07	.99	490-2478-2-ND	3,000	574.70/M	DLP31DN441ML4L

Alle Preisangaben in Euro und inklusive Zollgebühren.

Panasonic

Induktoren zur Oberflächenmontage

Nicht-gewickelte und drahtumwickelte Chip-Induktoren für automatische und hochdichte Montage.

Merkmale: • Hohes Q • Gut zur Montage • Breiter Einsatzbereich (1,0 nH ~ 1.000 µH) • Stabiler L-Wert in jeder Montagerichtung (nicht-gewickelt)

Empfohlene Anwendungen: • Handys, drahtlose Kommunikationsgeräte (W-LAN, BT), PDA, Camcorder, DSC, verschiedene Module, HIC, TV, VTR, PC-Peripheriegeräte

Artikel / Stil / Typ	Nicht-gewickelt			Drahtumwickelt					
	G 0201 (0603)	F 0402 (1005)	E 0603 (1608)	K 0402 (1005)	J 0603 (1608)	D 0805 (2012)	C 1008 (2520)	A 1210 (3225)	B 1812 (4532)
Nicht-magnetischer Kern	ELJRG	ELJRF	ELJRE	ELJNK	—	ELJND	ELJNC	ELJNA	—
Typ mit hohem Q-Wert	—	ELFQF	—	—	ELJFJ	—	—	—	—
Regulär	—	—	—	—	ELJFJ	ELJFD	ELJFC	ELJFA	ELJFB
Schild	—	—	—	—	—	—	ELJSC	ELJSA	—
Hohe Leistung	—	ELJPF	ELJPE	—	—	—	ELJPC	ELJPA	ELJPB
Geringer DC-Widerstand	—	—	—	—	—	—	—	ELJEA	—

Abb. 1 - 0201 (0603)

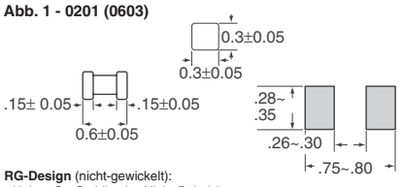

RG-Design (nicht-gewickelt):
• Hohes Q • Stabiles L • Nicht-Polarität

Abb. 2 - 0402 (1005)

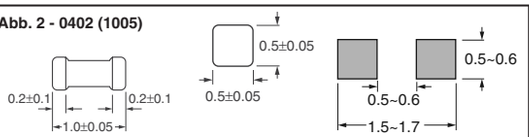

RF-Design (nicht-gewickelt): • Hohes Q • Hohe Eigenresonanzfrequenz • Nicht-Polarität
QF-Design: • Hohes Q • Bleifrei
PF-Design: • Hochleistungs-Design • Stabil für Stromleitung als Drosselspule

Abb. 3 - 0402 (1005)

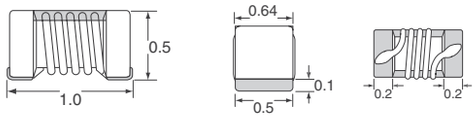

NK-Design: • Drahtumwickelt • Hohe Eigenresonanzfrequenz • Hohes Q

Abb. 4 - 0603 (1608)

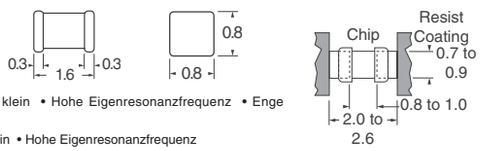

RE-Design (nicht-gewickelt): • Sehr klein • Hohe Eigenresonanzfrequenz • Enge Toleranz
PE-Design (nicht-gewickelt): • Sehr klein • Hohe Eigenresonanzfrequenz

Abb. 5 - 0603 (1608)

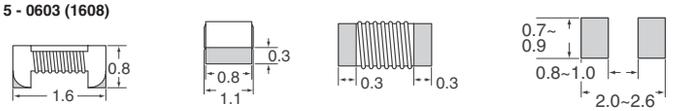

FJ-Design: • Drahtumwickelt • Hohes Q **NJ-Design:** • Drahtumwickelt • Hohe Eigenresonanzfrequenz

Abb. 6 - 0805 (2012)

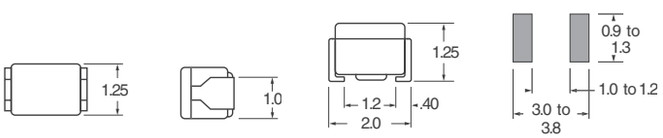

ND-Design: • Hohes Q • Hohe Eigenresonanzfrequenz **FD-Design:** Hohes Q • Standardversion des ND-Designs

Abb. 7 - 1008 (2520)

NC-Design: • Niedrige Induktivität, enge Toleranz und kleine Größe • Geeignet für Hochfrequenzschaltungen • Kernloses Design • L ist stabil bzgl. Temperatur und Luftfeuchtigkeit **FC/SC-Design:** • Der kleinste der Spulen-Induktoren • Geeignet für eine Vielzahl von kleinen Verarbeitungsschaltungen • SC-Design mit einer Magnetschirmfunktion **PC-Design:** • Hoher Nenn-Gleichstrom • Geringer DC-Widerstand • Geeignet für Frequenzschaltungen

Abb. 8 - 1210 (3225)

FA-Design: • Chip-Induktor zum allgemeinen Gebrauch • Kompakte Größe mit einem breiten Induktivitätsbereich **NA-Design:** • Kernloses Design • L ist stabil bzgl. Temperatur und Luftfeuchtigkeit, geeignet für Hochfrequenzschaltungen **SA-Design:** • Verwendung von Ferritharz bietet zusätzliche Funktion als Magnetschirm • Kompakte Größe mit hoher Induktivität **PA-Design:** • Hochleistung • Hoher Nenn-Gleichstrom • Stabil für Stromleitung als Drosselspule **EA-Design:** • Geringer DC-Widerstand

Abb. 9 - 1812 (4532)

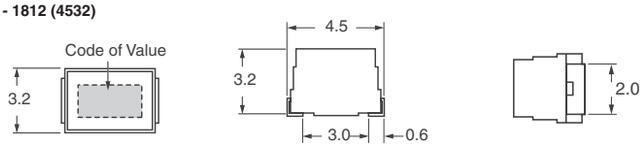

FB- und PB-Design: • Chip-Induktor zum allgemeinen Gebrauch • Hohe nduktivität

Induktivität	Toleranz	Q min.	Q typ. @ 800 MHz	L,Q-Test-frequ. (MHz)	S.R.F. Min. (MHz)	Max. RDC (Ω)	Max. IDC (mA)	Digi-Key Teilenr.	Gurtabschnittspreise 1	10	100	Digi-Key Teilenr.	T&R Pricing* 15.000	Panasonic Teilenr.
Abb. 1, 0201 (0603) — RG-Design (5 % Toleranz)														
1.0nH	±0.3nH	4	—	100	20000	0.12	550	PCD1576CT-ND	.22	1.79	14.05	PCD1576TR-ND	77.05/M	ELJ-RG1N0DF
1.2nH	±0.3nH	4	—	100	20000	0.15	550	PCD1577CT-ND	.22	1.79	14.05	PCD1577TR-ND	77.05/M	ELJ-RG1N2DF
1.5nH	±0.3nH	4	—	100	20000	0.18	550	PCD1578CT-ND	.22	1.79	14.05	—	—	ELJ-RG1N5DF
1.8nH	±0.3nH	4	—	100	20000	0.22	420	PCD1579CT-ND	.22	1.79	14.05	PCD1579TR-ND	77.05/M	ELJ-RG1N8DF
2.2nH	±0.3nH	4	—	100	13000	0.26	420	PCD1580CT-ND	.22	1.79	14.05	PCD1580TR-ND	77.05/M	ELJ-RG2N2DF
2.7nH	±0.3nH	4	—	100	13000	0.32	420	PCD1581CT-ND	.22	1.79	14.05	PCD1581TR-ND	77.05/M	ELJ-RG2N7DF
3.3nH	±0.3nH	4	—	100	10000	0.38	300	PCD1582CT-ND	.22	1.79	14.05	—	—	ELJ-RG3N3DF
3.9nH	±0.3nH	4	—	100	9600	0.48	300	PCD1583CT-ND	.22	1.79	14.05	PCD1583TR-ND	77.05/M	ELJ-RG3N9DF
4.7nH	±0.3nH	4	—	100	8800	0.56	300	PCD1584CT-ND	.22	1.79	14.05	PCD1584TR-ND	77.05/M	ELJ-RG4N7DF
5.6nH	±0.3nH	4	—	100	8300	0.70	230	PCD1585CT-ND	.22	1.79	14.05	PCD1585TR-ND	77.05/M	ELJ-RG5N6DF
6.8nH	5%	4	—	100	7400	0.82	230	PCD1586CT-ND	.22	1.79	14.05	—	—	ELJ-RG6N8JF
8.2nH	5%	4	—	100	7000	1.00	230	PCD1587CT-ND	.22	1.79	14.05	PCD1587TR-ND	77.05/M	ELJ-RG8N2JF
10nH	5%	4	—	100	6600	1.30	230	PCD1588CT-ND	.22	1.79	14.05	PCD1588TR-ND	77.05/M	ELJ-RG10NJF
12nH	5%	3	—	100	6100	1.60	190	PCD1589CT-ND	.22	1.79	14.05	PCD1589TR-ND	77.05/M	ELJ-RG12NJF
15nH	5%	3	—	100	5600	2.20	150	PCD1590CT-ND	.22	1.79	14.05	PCD1590TR-ND	77.05/M	ELJ-RG15NJF
18nH	5%	3	—	100	5400	2.80	130	PCD1591CT-ND	.22	1.79	14.05	PCD1591TR-ND	77.05/M	ELJ-RG18NJF
22nH	5%	3	—	100	4600	3.50	120	PCD1592CT-ND	.22	1.79	14.05	PCD1592TR-ND	77.05/M	ELJ-RG22NJF
27nH	5%	3	—	100	4700	4.00	110	PCD1593CT-ND	.22	1.79	14.05	PCD1593TR-ND	77.05/M	ELJ-RG27NJF
Induktivität	**Toleranz**	**Q min.**	**Q typ. @ 800 MHz**	**L,Q-Test-frequ. (MHz)**	**S.R.F. Min. (MHz)**	**Max. RDC (Ω)**	**Max. IDC (mA)**	**Digi-Key Teilenr.**	**Gurtabschnittspreise 1**	**10**	**100**	**Digi-Key Teilenr.**	**T&R Pricing* 10.000**	**Panasonic Teilenr.**
Abb. 2, 0402 (1005) — RF-Design (2 % Toleranz) — bleifrei/RoHS-konform														
1.0nH	±0.2nH	8	—	100	6000	0.05	400	PCD1898CT-ND	.10	.81	6.40	PCD1898TR-ND	34.72/M	ELJ-RF1N0ZFB
1.2nH	±0.2nH	8	—	100	6000	0.06	400	PCD1899CT-ND	.10	.81	6.40	PCD1899TR-ND	34.72/M	ELJ-RF1N2ZFB
1.5nH	±0.2nH	8	—	100	6000	0.07	400	PCD1900CT-ND	.10	.81	6.40	PCD1900TR-ND	34.72/M	ELJ-RF1N5ZFB
1.8nH	±0.2nH	8	—	100	6000	0.08	400	PCD1901CT-ND	.10	.81	6.40	PCD1901TR-ND	34.72/M	ELJ-RF1N8ZFB
2.2nH	±0.2nH	8	—	100	6000	0.09	400	PCD1902CT-ND	.10	.81	6.40	PCD1902TR-ND	34.72/M	ELJ-RF2N2ZFB
2.7nH	±0.2nH	8	—	100	5500	0.10	400	PCD1903CT-ND	.10	.81	6.40	PCD1903TR-ND	34.72/M	ELJ-RF2N7ZFB
3.3nH	±0.2nH	8	—	100	5500	0.12	400	PCD1904CT-ND	.10	.81	6.40	PCD1904TR-ND	34.72/M	ELJ-RF3N3ZFB
3.9nH	±0.2nH	8	—	100	5200	0.15	360	PCD1905CT-ND	.10	.81	6.40	PCD1905TR-ND	34.72/M	ELJ-RF3N9ZFB
4.7nH	±0.2nH	8	—	100	4800	0.17	360	PCD1906CT-ND	.10	.81	6.40	PCD1906TR-ND	34.72/M	ELJ-RF4N7ZFB
5.6nH	±0.2nH	8	—	100	4600	0.19	340	PCD1907CT-ND	.10	.81	6.40	PCD1907TR-ND	34.72/M	ELJ-RF5N6ZFB
6.8nH	±0.2nH	8	—	100	4000	0.30	320	PCD1908CT-ND	.10	.81	6.40	PCD1908TR-ND	34.72/M	ELJ-RF6N8ZFB
8.2nH	±0.2nH	8	—	100	3500	0.35	320	PCD1909CT-ND	.10	.81	6.40	PCD1909TR-ND	34.72/M	ELJ-RF8N2ZFB
10nH	±2%	8	—	100	2800	0.41	320	PCD1910CT-ND	.10	.81	6.40	PCD1910TR-ND	34.72/M	ELJ-RF10NGFB
12nH	±2%	8	—	100	2800	0.45	320	PCD1911CT-ND	.10	.81	6.40	PCD1911TR-ND	34.72/M	ELJ-RF12NGFB
15nH	±2%	8	—	100	2500	0.60	240	PCD1912CT-ND	.10	.81	6.40	PCD1912TR-ND	34.72/M	ELJ-RF15NGFB
18nH	±2%	8	—	100	2200	0.70	240	PCD1913CT-ND	.10	.81	6.40	PCD1913TR-ND	34.72/M	ELJ-RF18NGFB
22nH	±2%	8	—	100	2000	0.80	200	PCD1914CT-ND	.10	.81	6.40	PCD1914TR-ND	34.72/M	ELJ-RF22NGFB
27nH	±2%	8	—	100	1800	1.20	200	PCD1915CT-ND	.10	.81	6.40	PCD1915TR-ND	34.72/M	ELJ-RF27NGFB
33nH	±2%	8	—	100	1800	1.40	170	PCD1916CT-ND	.10	.81	6.40	PCD1916TR-ND	34.72/M	ELJ-RF33NGFB
39nH	±2%	8	—	100	1800	1.70	150	PCD1917CT-ND	.10	.81	6.40	PCD1917TR-ND	34.72/M	ELJ-RF39NGFB
47nH	±2%	8	—	100	1800	2.10	140	PCD1918CT-ND	.10	.81	6.40	PCD1918TR-ND	34.72/M	ELJ-RF47NGFB
56nH	±2%	8	—	100	1500	2.50	130	PCD1919CT-ND	.10	.81	6.40	PCD1919TR-ND	34.72/M	ELJ-RF56NGFB
68nH	±2%	8	—	100	1500	4.50	120	PCD1920CT-ND	.10	.81	6.40	PCD1920TR-ND	34.72/M	ELJ-RF68NGFB
82nH	±2%	8	—	100	1400	4.50	110	PCD1921CT-ND	.10	.81	6.40	PCD1921TR-ND	34.72/M	ELJ-RF82NGFB
100nH	±2%	8	—	100	1200	5.50	90	PCD1922CT-ND	.10	.81	6.40	PCD1922TR-ND	34.72/M	ELJ-RFR10GFB

* Gegurtet auf Rolle Preisangaben

(Forts.)

Induktivität	Toleranz	Q min.	Q typ. @ 800 MHz	L,Q-Test-frequ. (MHz)	S.R.F. Min. (MHz)	Max. RDC (Ω)	Max. IDC (mA)	Digi-Key Teilenr.	Gurtabschnittspreise 1	10	100	Digi-Key Teilenr.	T&R Pricing* 10.000	Panasonic Teilenr.
Abb. 2, 0402 (1005) — RF-Design (5 % Toleranz) — bleifrei/RoHS-konform														
1.0nH	±0.3nH	8	—	100	6000	0.05	400	PCD1923CT-ND	.07	.58	4.54	PCD1923TR-ND	24.56/M	ELJ-RF1N0DFB
1.2nH	±0.3nH	8	—	100	6000	0.06	400	PCD1924CT-ND	.07	.58	4.54	PCD1924TR-ND	24.56/M	ELJ-RF1N2DFB
1.5nH	±0.3nH	8	—	100	6000	0.07	400	PCD1925CT-ND	.07	.58	4.54	PCD1925TR-ND	24.56/M	ELJ-RF1N5DFB
1.8nH	±0.3nH	8	—	100	6000	0.08	400	PCD1926CT-ND	.07	.58	4.54	PCD1926TR-ND	24.56/M	ELJ-RF1N8DFB
2.2nH	±0.3nH	8	—	100	6000	0.09	400	PCD1927CT-ND	.07	.58	4.54	PCD1927TR-ND	24.56/M	ELJ-RF2N2DFB
2.7nH	±0.3nH	8	—	100	5500	0.10	400	PCD1928CT-ND	.07	.58	4.54	PCD1928TR-ND	24.56/M	ELJ-RF2N7DFB
3.3nH	±0.3nH	8	—	100	5500	0.12	400	PCD1929CT-ND	.07	.58	4.54	PCD1929TR-ND	24.56/M	ELJ-RF3N3DFB
3.9nH	±0.3nH	8	—	100	5200	0.15	360	PCD1930CT-ND	.07	.58	4.54	PCD1930TR-ND	24.56/M	ELJ-RF3N9DFB
4.7nH	±0.3nH	8	—	100	4800	0.17	360	PCD1931CT-ND	.07	.58	4.54	PCD1931TR-ND	24.56/M	ELJ-RF4N7DFB
5.6nH	±0.3nH	8	—	100	4600	0.19	340	PCD1932CT-ND	.07	.58	4.54	PCD1932TR-ND	24.56/M	ELJ-RF5N6DFB
6.8nH	±5%	8	—	100	4000	0.30	320	PCD1933CT-ND	.07	.58	4.54	PCD1933TR-ND	24.56/M	ELJ-RF6N8JFB
8.2nH	±5%	8	—	100	3500	0.35	320	PCD1934CT-ND	.07	.58	4.54	PCD1934TR-ND	24.56/M	ELJ-RF8N2JFB
10nH	±5%	8	—	100	2800	0.41	320	PCD1935CT-ND	.07	.58	4.54	PCD1935TR-ND	24.56/M	ELJ-RF10NJFB
12nH	±5%	8	—	100	2800	0.45	320	PCD1936CT-ND	.07	.58	4.54	PCD1936TR-ND	24.56/M	ELJ-RF12NJFB
15nH	±5%	8	—	100	2500	0.60	240	PCD1937CT-ND	.07	.58	4.54	PCD1937TR-ND	24.56/M	ELJ-RF15NJFB
18nH	±5%	8	—	100	2200	0.70	240	PCD1938CT-ND	.07	.58	4.54	PCD1938TR-ND	24.56/M	ELJ-RF18NJFB
22nH	±5%	8	—	100	2000	0.80	200	PCD1939CT-ND	.07	.58	4.54	PCD1939TR-ND	24.56/M	ELJ-RF22NJFB
27nH	±5%	8	—	100	1800	1.20	200	PCD1940CT-ND	.07	.58	4.54	PCD1940TR-ND	24.56/M	ELJ-RF27NJFB
33nH	±5%	8	—	100	1800	1.40	170	PCD1941CT-ND	.07	.58	4.54	PCD1941TR-ND	24.56/M	ELJ-RF33NJFB
39nH	±5%	8	—	100	1800	1.70	150	PCD1942CT-ND	.07	.58	4.54	PCD1942TR-ND	24.56/M	ELJ-RF39NJFB
47nH	±5%	8	—	100	1800	2.10	140	PCD1943CT-ND	.07	.58	4.54	PCD1943TR-ND	24.56/M	ELJ-RF47NJFB
56nH	±5%	8	—	100	1500	2.50	130	PCD1944CT-ND	.07	.58	4.54	PCD1944TR-ND	24.56/M	ELJ-RF56NJFB
68nH	±5%	8	—	100	1500	4.50	120	PCD1945CT-ND	.07	.58	4.54	PCD1945TR-ND	24.56/M	ELJ-RF68NJFB
82nH	±5%	8	—	100	1400	4.50	110	PCD1946CT-ND	.07	.58	4.54	PCD1946TR-ND	24.56/M	ELJ-RF82NJFB
100nH	±5%	8	—	100	1200	5.50	90	PCD1947CT-ND	.07	.58	4.54	PCD1947TR-ND	24.56/M	ELJ-RFR10JFB
Abb. 2, 0402 (1005) — RF-Design (5 % Toleranz)														
1.0nH	±0.3nH	8	21	100	6000	0.05	400	PCD1264CT-ND†	.09	.79	6.17	PCD1264TR-ND	33.87/M	ELJ-RF1N0DF
1.2nH	±0.3nH	8	21	100	6000	0.06	400	PCD1265CT-ND†	.09	.79	6.17	PCD1265TR-ND	33.87/M	ELJ-RF1N2DF
1.5nH	±0.3nH	8	21	100	6000	0.07	400	PCD1266CT-ND†	.09	.79	6.17	PCD1266TR-ND	33.87/M	ELJ-RF1N5DF
1.8nH	±0.3nH	8	21	100	6000	0.08	400	PCD1267CT-ND†	.09	.79	6.17	PCD1267TR-ND	33.87/M	ELJ-RF1N8DF
2.2nH	±0.3nH	8	21	100	6000	0.09	400	PCD1268CT-ND†	.09	.79	6.17	PCD1268TR-ND	33.87/M	ELJ-RF2N2DF
2.7nH	±0.3nH	8	21	100	5500	0.10	400	PCD1269CT-ND†	.09	.79	6.17	PCD1269TR-ND	33.87/M	ELJ-RF2N7DF
3.3nH	±0.3nH	7	21	100	5500	0.12	400	PCD1270CT-ND†	.09	.79	6.17	PCD1270TR-ND	33.87/M	ELJ-RF3N3DF
3.9nH	±0.3nH	7	20	100	5200	0.15	360	PCD1271CT-ND†	.09	.79	6.17	PCD1271TR-ND	33.87/M	ELJ-RF3N9DF
4.7nH	±0.3nH	7	20	100	4800	0.17	360	PCD1272CT-ND†	.09	.79	6.17	PCD1272TR-ND	33.87/M	ELJ-RF4N7DF
5.6nH	±0.3nH	7	20	100	4600	0.19	340	PCD1273CT-ND†	.09	.79	6.17	PCD1273TR-ND	33.87/M	ELJ-RF5N6DF
6.8nH	5%	7	19	100	4000	0.30	320	PCD1274CT-ND†	.09	.79	6.17	PCD1274TR-ND	33.87/M	ELJ-RF6N8JF
8.2nH	5%	7	19	100	3500	0.35	320	PCD1275CT-ND†	.09	.79	6.17	PCD1275TR-ND	33.87/M	ELJ-RF8N2JF
10.0nH	5%	7	19	100	2800	0.41	320	PCD1276CT-ND†	.09	.79	6.17	PCD1276TR-ND	33.87/M	ELJ-RF10NJF
12.0nH	5%	7	19	100	2800	0.45	320	PCD1277CT-ND†	.09	.79	6.17	PCD1277TR-ND	33.87/M	ELJ-RF12NJF
15.0nH	5%	7	19	100	2500	0.60	240	PCD1278CT-ND†	.09	.79	6.17	PCD1278TR-ND	33.87/M	ELJ-RF15NJF
18.0nH	5%	7	19	100	2200	0.70	240	PCD1279CT-ND†	.09	.79	6.17	PCD1279TR-ND	33.87/M	ELJ-RF18NJF
22.0nH	5%	7	19	100	2000	0.80	200	PCD1280CT-ND†	.09	.79	6.17	PCD1280TR-ND	33.87/M	ELJ-RF22NJF
27.0nH	5%	7	19	100	1800	1.20	200	PCD1281CT-ND†	.09	.79	6.17	PCD1281TR-ND	33.87/M	ELJ-RF27NJF
33.0nH	5%	7	18	100	1800	1.40	170	PCD1282CT-ND†	.09	.79	6.17	PCD1282TR-ND	33.87/M	ELJ-RF33NJF
39.0nH	5%	7	18	100	1800	1.70	150	PCD1283CT-ND†	.09	.79	6.17	PCD1283TR-ND	33.87/M	ELJ-RF39NJF
47.0nH	5%	7	—	100	1800	2.10	140	PCD1326CT-ND	.09	.79	6.17	PCD1326TR-ND	33.87/M	ELJ-RF47NJF
56.0nH	5%	7	—	100	1500	2.50	130	PCD1327CT-ND	.09	.79	6.17	PCD1327TR-ND	33.87/M	ELJ-RF56NJF
68.0nH	5%	7	—	100	1500	4.00	120	PCD1328CT-ND	.09	.79	6.17	PCD1328TR-ND	33.87/M	ELJ-RF68NJF
82.0nH	5%	7	—	100	1400	4.50	110	PCD1329CT-ND	.09	.79	6.17	PCD1329TR-ND	33.87/M	ELJ-RF82NJF
100.0nH	5%	7	—	100	1200	5.50	90	PCD1330CT-ND	.09	.79	6.17	PCD1330TR-ND	33.87/M	ELJ-RFR10JF

† **PCD3-KIT-ND** ***Digi-Key® Kit für RF-Induktoren zur Oberflächenmontage*** Jeweils 10 der angegeben Werte (insgesamt 200 Stück) **59.22**

Abb. 2, 0402 (1005) — PF-Design (5 % Toleranz) — bleifrei/RoHS-konform														
2.2nH	±0.3nH	7	—	100	5300	0.040	1900	PCD1889CT-ND	.14	1.19	9.41	PCD1889TR-ND	51.65/M	ELJ-PF2N2DFB
2.7nH	±0.3nH	7	—	100	5300	0.050	1800	PCD1890CT-ND	.14	1.19	9.41	PCD1890TR-ND	51.65/M	ELJ-PF2N7DFB
3.3nH	±0.3nH	7	—	100	5000	0.070	1500	PCD1891CT-ND	.14	1.19	9.41	PCD1891TR-ND	51.65/M	ELJ-PF3N3DFB
3.9nH	±0.3nH	7	—	100	4800	0.080	1400	PCD1892CT-ND	.14	1.19	9.41	PCD1892TR-ND	51.65/M	ELJ-PF3N9DFB
4.7nH	±0.3nH	7	—	100	4600	0.100	1300	PCD1893CT-ND	.14	1.19	9.41	PCD1893TR-ND	51.65/M	ELJ-PF4N7DFB
5.6nH	±0.3nH	7	—	100	4200	0.120	1200	PCD1894CT-ND	.14	1.19	9.41	PCD1894TR-ND	51.65/M	ELJ-PF5N6DFB
6.8nH	±5%	7	—	100	4000	0.160	1100	PCD1895CT-ND	.14	1.19	9.41	PCD1895TR-ND	51.65/M	ELJ-PF6N8JFB
8.2nH	±5%	7	—	100	3700	0.210	900	PCD1896CT-ND	.14	1.19	9.41	PCD1896TR-ND	51.65/M	ELJ-PF8N2JFB
10nH	±5%	7	—	100	3200	0.260	750	PCD1897CT-ND	.14	1.19	9.41	PCD1897TR-ND	51.65/M	ELJ-PF10NJFB
Abb. 2, 0402 (1005) — PF-Design (5 % Toleranz)														
2.2nH	±0.3nH	7	—	100	5300	0.04	1900	PCD1539CT-ND	.30	2.46	19.33	PCD1539TR-ND	105.41/M	ELJ-PF2N2DF
2.7nH	±0.3nH	7	—	100	5300	0.05	1800	PCD1540CT-ND	.30	2.46	19.33	PCD1540TR-ND	105.41/M	ELJ-PF2N7DF
3.3nH	±0.3nH	7	—	100	5000	0.07	1500	PCD1541CT-ND	.30	2.46	19.33	PCD1541TR-ND	105.41/M	ELJ-PF3N3DF
3.9nH	±0.3nH	7	—	100	4800	0.08	1400	PCD1542CT-ND	.30	2.46	19.33	PCD1542TR-ND	105.41/M	ELJ-PF3N9DF
4.7nH	±0.3nH	7	—	100	4600	0.10	1300	PCD1543CT-ND	.30	2.46	19.33	PCD1543TR-ND	105.41/M	ELJ-PF4N7DF
5.6nH	±0.3nH	7	—	100	4200	0.12	1200	PCD1544CT-ND	.30	2.46	19.33	PCD1544TR-ND	105.41/M	ELJ-PF5N6DF
6.8nH	5%	7	—	100	4000	0.16	1100	PCD1545CT-ND	.30	2.46	19.33	PCD1545TR-ND	105.41/M	ELJ-PF6N8JF
8.2nH	5%	7	—	100	3700	0.21	900	PCD1546CT-ND	.30	2.46	19.33	PCD1546TR-ND	105.41/M	ELJ-PF8N2JF
10.0nH	5%	7	—	100	3200	0.26	750	PCD1547CT-ND	.30	2.46	19.33	PCD1547TR-ND	105.41/M	ELJ-PF10NJF
Abb. 2, 0402 (1005) — QF-Design (5 % Toleranz)														
1.0nH	±0.3nH	10	41	100	6000	0.05	400	PCD1846CT-ND	.23	1.87	14.67	PCD1846TR-ND	80.43/M	ELJ-QF1N0DF
1.2nH	±0.3nH	10	41	100	6000	0.06	400	PCD1847CT-ND	.23	1.87	14.67	PCD1847TR-ND	80.43/M	ELJ-QF1N2DF
1.5nH	±0.3nH	10	40	100	6000	0.07	400	PCD1848CT-ND	.23	1.87	14.67	PCD1848TR-ND	80.43/M	ELJ-QF1N5DF
1.8nH	±0.3nH	10	40	100	6000	0.08	400	PCD1849CT-ND	.23	1.87	14.67	PCD1849TR-ND	80.43/M	ELJ-QF1N8DF
2.2nH	±0.3nH	10	40	100	6000	0.09	400	PCD1850CT-ND	.23	1.87	14.67	PCD1850TR-ND	80.43/M	ELJ-QF2N2DF
2.7nH	±0.3nH	10	40	100	5500	0.10	400	PCD1851CT-ND	.23	1.87	14.67	PCD1851TR-ND	80.43/M	ELJ-QF2N7DF
3.3nH	±0.3nH	10	39	100	5500	0.12	400	PCD1852CT-ND	.23	1.87	14.67	PCD1852TR-ND	80.43/M	ELJ-QF3N3DF
3.9nH	±0.3nH	10	39	100	5200	0.15	360	PCD1853CT-ND	.23	1.87	14.67	PCD1853TR-ND	80.43/M	ELJ-QF3N9DF
4.7nH	±0.3nH	10	39	100	4800	0.17	360	PCD1854CT-ND	.23	1.87	14.67	PCD1854TR-ND	80.43/M	ELJ-QF4N7DF
5.6nH	±0.3nH	10	39	100	4600	0.19	340	PCD1855CT-ND	.23	1.87	14.67	PCD1855TR-ND	80.43/M	ELJ-QF5N6DF
6.8nH	5%	10	39	100	4000	0.30	320	PCD1856CT-ND	.23	1.87	14.67	PCD1856TR-ND	80.43/M	ELJ-QF6N8JF
8.2nH	5%	10	39	100	3500	0.35	320	PCD1857CT-ND	.23	1.87	14.67	PCD1857TR-ND	80.43/M	ELJ-QF8N2JF
10nH	5%	10	39	100	2800	0.41	320	PCD1858CT-ND	.23	1.87	14.67	PCD1858TR-ND	80.43/M	ELJ-QF10NJF
12nH	5%	10	38	100	2800	0.45	320	PCD1859CT-ND	.23	1.87	14.67	PCD1859TR-ND	80.43/M	ELJ-QF12NJF
15nH	5%	10	36	100	2500	0.60	240	PCD1860CT-ND	.23	1.87	14.67	PCD1860TR-ND	80.43/M	ELJ-QF15NJF
18nH	5%	10	36	100	2200	0.70	240	PCD1861CT-ND	.23	1.87	14.67	PCD1861TR-ND	80.43/M	ELJ-QF18NJF
22nH	5%	10	36	100	2200	0.80	200	PCD1862CT-ND	.23	1.87	14.67	PCD1862TR-ND	80.43/M	ELJ-QF22NJF
27nH	5%	10	36	100	1800	1.20	200	PCD1863CT-ND	.23	1.87	14.67	PCD1863TR-ND	80.43/M	ELJ-QF27NJF
33nH	5%	10	35	100	1800	1.40	170	PCD1864CT-ND	.23	1.87	14.67	PCD1864TR-ND	80.43/M	ELJ-QF33NJF
39nH	5%	10	35	100	1800	1.70	150	PCD1865CT-ND	.23	1.87	14.67	PCD1865TR-ND	80.43/M	ELJ-QF39NJF

* Gegurtet auf Rolle Preisangaben

(Forts.)

Alle Preisangaben in Euro und inklusive Zollgebühren.

Induktivität	Toleranz	Q min.	Q typ. @ 800 MHz	L,Q-Test-frequ. (MHz)	S.R.F. Min. (MHz)	Max. RDC (Ω)	Max. IDC (mA)	Digi-Key Teilenr.	Gurtabschnittspreise 1	10	100	Digi-Key Teilenr.	T&R Pricing* 10.000	Panasonic Teilenr.
Abb. 3, 0402 (1005) — NK-Design (3 % Toleranz)														
2.2nH	±0.2nH	20	—	250	15000	0.05	900	PCD1774CT-ND	.52	4.33	33.99	—	—	ELJ-NK2N2ZF
2.7nH	±0.2nH	20	—	250	15000	0.05	900	PCD1776CT-ND	.52	4.33	33.99	—	—	ELJ-NK2N7ZF
3.3nH	±0.2nH	25	—	250	12000	0.07	850	PCD1778CT-ND	.52	4.33	33.99	—	—	ELJ-NK3N3ZF
3.9nH	±0.2nH	25	—	250	10000	0.07	850	PCD1780CT-ND	.52	4.33	33.99	—	—	ELJ-NK3N9ZF
4.3nH	±0.2nH	25	—	250	10000	0.07	850	PCD1782CT-ND	.52	4.33	33.99	—	—	ELJ-NK4N3ZF
4.7nH	±0.2nH	25	—	250	8000	0.07	850	PCD1784CT-ND	.52	4.33	33.99	—	—	ELJ-NK4N7ZF
5.1nH	±0.2nH	25	—	250	8000	0.12	680	PCD1786CT-ND	.52	4.33	33.99	—	—	ELJ-NK5N1ZF
5.6nH	±0.2nH	25	—	250	8000	0.09	750	PCD1788CT-ND	.52	4.33	33.99	—	—	ELJ-NK5N6ZF
6.2nH	±0.2nH	25	—	250	8000	0.09	750	PCD1790CT-ND	.52	4.33	33.99	—	—	ELJ-NK6N2ZF
6.8nH	± 3%	26	—	250	6500	0.09	750	PCD1622CT-ND	.52	4.33	33.99	—	—	ELJ-NK6N8AF
8.2nH	± 3%	26	—	250	6500	0.12	680	PCD1623CT-ND	.52	4.33	33.99	—	—	ELJ-NK8N2AF
10nH	± 3%	26	—	250	5500	0.14	640	PCD1624CT-ND	.52	4.33	33.99	—	—	ELJ-NK10NAF
12nH	± 3%	30	—	250	5500	0.14	640	PCD1625CT-ND	.52	4.33	33.99	—	—	ELJ-NK12NAF
15nH	± 3%	30	—	250	5200	0.16	560	PCD1626CT-ND	.52	4.33	33.99	—	—	ELJ-NK15NAF
18nH	± 3%	27	—	250	4800	0.27	430	PCD1627CT-ND	.52	4.33	33.99	—	—	ELJ-NK18NAF
22nH	± 3%	27	—	250	4100	0.30	410	PCD1628CT-ND	.52	4.33	33.99	PCD1628TR-ND	185.41/M	ELJ-NK22NAF
27nH	± 3%	27	—	250	4000	0.47	350	PCD1629CT-ND	.52	4.33	33.99	—	—	ELJ-NK27NAF
33nH	± 3%	27	—	250	3500	0.53	310	PCD1630CT-ND	.52	4.33	33.99	—	—	ELJ-NK33NAF
39nH	± 3%	27	—	250	3200	0.70	270	PCD1631CT-ND	.52	4.33	33.99	—	—	ELJ-NK39NAF
47nH	± 3%	25	—	200	3000	1.05	220	PCD1632CT-ND	.52	4.33	33.99	—	—	ELJ-NK47NAF
56nH	± 3%	25	—	200	2800	1.10	210	PCD1633CT-ND	.52	4.33	33.99	—	—	ELJ-NK56NAF
Abb. 3, 0402 (1005) — NK-Design (5 % Toleranz)														
2.2nH	±0.5nH	20	—	250	15000	0.05	900	PCD1773CT-ND	.42	3.45	27.13	—	—	ELJ-NK2N2EF
2.7nH	±0.5nH	20	—	250	15000	0.05	900	PCD1775CT-ND	.42	3.45	27.13	—	—	ELJ-NK2N7EF
3.3nH	±0.5nH	25	—	250	12000	0.07	850	PCD1777CT-ND	.42	3.45	27.13	—	—	ELJ-NK3N3EF
3.9nH	±0.5nH	25	—	250	10000	0.07	850	PCD1779CT-ND	.42	3.45	27.12	—	—	ELJ-NK3N9EF
4.3nH	±0.5nH	25	—	250	10000	0.07	850	PCD1781CT-ND	.42	3.45	27.13	—	—	ELJ-NK4N3EF
4.7nH	±0.5nH	25	—	250	8000	0.07	850	PCD1783CT-ND	.42	3.45	27.13	—	—	ELJ-NK4N7EF
5.1nH	±0.5nH	25	—	250	8000	0.12	680	PCD1785CT-ND	.42	3.45	27.13	—	—	ELJ-NK5N1EF
5.6nH	±0.5nH	25	—	250	8000	0.09	750	PCD1787CT-ND	.42	3.45	27.13	—	—	ELJ-NK5N6EF
6.2nH	±0.5nH	25	—	250	8000	0.09	750	PCD1789CT-ND	.42	3.45	27.13	—	—	ELJ-NK6N2EF
6.8nH	± 5%	26	—	250	6500	0.09	750	PCD1610CT-ND	.42	3.45	27.13	—	—	ELJ-NK6N8JF
8.2nH	± 5%	26	—	250	6500	0.12	680	PCD1611CT-ND	.42	3.45	27.13	—	—	ELJ-NK8N2JF
10nH	± 5%	26	—	250	5500	0.14	640	PCD1612CT-ND	.42	3.45	27.13	—	—	ELJ-NK10NJF
12nH	± 5%	30	—	250	5500	0.14	640	PCD1613CT-ND	.42	3.45	27.13	—	—	ELJ-NK12NJF
15nH	± 5%	30	—	250	5200	0.16	560	PCD1614CT-ND	.42	3.45	27.13	—	—	ELJ-NK15NJF
18nH	± 5%	27	—	250	4800	0.27	430	PCD1615CT-ND	.42	3.45	27.13	—	—	ELJ-NK18NJF
22nH	± 5%	27	—	250	4100	0.30	410	PCD1616CT-ND	.42	3.45	27.13	PCD1616TR-ND	148.16/M	ELJ-NK22NJF
27nH	± 5%	27	—	250	4000	0.47	350	PCD1617CT-ND	.42	3.45	27.13	—	—	ELJ-NK27NJF
33nH	± 5%	27	—	250	3500	0.53	310	PCD1618CT-ND	.42	3.45	27.13	—	—	ELJ-NK33NJF
39nH	± 5%	27	—	250	3200	0.70	270	PCD1619CT-ND	.42	3.45	27.13	—	—	ELJ-NK39NJF
47nH	± 5%	25	—	200	3000	1.05	220	PCD1620CT-ND	.42	3.45	27.13	—	—	ELJ-NK47NJF
56nH	± 5%	25	—	200	2800	1.10	210	PCD1621CT-ND	.42	3.45	27.13	—	—	ELJ-NK56NJF
Induktivität	**Toleranz**	**Q min.**	**Q typ. @ 800 MHz**	**L,Q-Test-frequ. (MHz)**	**S.R.F. Min. (MHz)**	**Max. RDC (Ω)**	**Max. IDC (mA)**	**Digi-Key Teilenr.**	**Gurtabschnittspreise 1**	**10**	**100**	**Digi-Key Teilenr.**	**T&R Pricing* 3.000**	**Panasonic Teilenr.**
Abb. 4, 0603 (1608) — RE-Design (2 % Toleranz) — bleifrei/RoHS-konform														
1.0nH	±0.2nH	7	—	100	6000	0.05	500	PCD1990CT-ND	.13	1.04	8.15	PCD1990TR-ND	44.87/M	ELJ-RE1N0ZFA
1.2nH	±0.2nH	7	—	100	6000	0.06	500	PCD1991CT-ND	.13	1.04	8.15	PCD1991TR-ND	44.87/M	ELJ-RE1N2ZFA
1.5nH	±0.2nH	8	—	100	6000	0.07	500	PCD1992CT-ND	.13	1.04	8.15	PCD1992TR-ND	44.87/M	ELJ-RE1N5ZFA
1.8nH	±0.2nH	8	—	100	6000	0.08	500	PCD1993CT-ND	.13	1.04	8.15	PCD1993TR-ND	44.87/M	ELJ-RE1N8ZFA
2.2nH	±0.2nH	8	—	100	6000	0.09	500	PCD1994CT-ND	.13	1.04	8.15	PCD1994TR-ND	44.87/M	ELJ-RE2N2ZFA
2.7nH	±0.2nH	8	—	100	6000	0.10	500	PCD1995CT-ND	.13	1.04	8.15	PCD1995TR-ND	44.87/M	ELJ-RE2N7ZFA
3.3nH	±0.2nH	9	—	100	5500	0.12	500	PCD1996CT-ND	.13	1.04	8.15	PCD1996TR-ND	44.87/M	ELJ-RE3N3ZFA
3.9nH	±0.2nH	9	—	100	5500	0.15	450	PCD1997CT-ND	.13	1.04	8.15	PCD1997TR-ND	44.87/M	ELJ-RE3N9ZFA
4.7nH	±0.2nH	9	—	100	4800	0.17	450	PCD1998CT-ND	.13	1.04	8.15	PCD1998TR-ND	44.87/M	ELJ-RE4N7ZFA
5.6nH	±0.2nH	9	—	100	4600	0.18	430	PCD1999CT-ND	.13	1.04	8.15	PCD1999TR-ND	44.87/M	ELJ-RE5N6ZFA
6.8nH	±0.2nH	9	—	100	3550	0.20	430	PCD2000CT-ND	.13	1.04	8.15	PCD2000TR-ND	44.87/M	ELJ-RE6N8ZFA
8.2nH	±0.2nH	9	—	100	3550	0.28	400	PCD2001CT-ND	.13	1.04	8.15	PCD2001TR-ND	44.87/M	ELJ-RE8N2ZFA
10nH	±2%	10	—	100	2800	0.32	400	PCD2002CT-ND	.13	1.04	8.15	PCD2002TR-ND	44.87/M	ELJ-RE10NGFA
12nH	±2%	10	—	100	2800	0.35	400	PCD2003CT-ND	.13	1.04	8.15	PCD2003TR-ND	44.87/M	ELJ-RE12NGFA
15nH	±2%	10	—	100	2500	0.41	350	PCD2004CT-ND	.13	1.04	8.15	PCD2004TR-ND	44.87/M	ELJ-RE15NGFA
18nH	±2%	10	—	100	2300	0.45	350	PCD2005CT-ND	.13	1.04	8.15	PCD2005TR-ND	44.87/M	ELJ-RE18NGFA
22nH	±2%	10	—	100	2000	0.50	300	PCD2006CT-ND	.13	1.04	8.15	PCD2006TR-ND	44.87/M	ELJ-RE22NGFA
27nH	±2%	10	—	100	2000	0.55	300	PCD2007CT-ND	.13	1.04	8.15	PCD2007TR-ND	44.87/M	ELJ-RE27NGFA
33nH	±2%	10	—	100	1800	0.60	300	PCD2008CT-ND	.13	1.04	8.15	PCD2008TR-ND	44.87/M	ELJ-RE33NGFA
39nH	±2%	11	—	100	1800	0.80	300	PCD2009CT-ND	.13	1.04	8.15	PCD2009TR-ND	44.87/M	ELJ-RE39NGFA
47nH	±2%	11	—	100	1800	0.95	250	PCD2010CT-ND	.13	1.04	8.15	PCD2010TR-ND	44.87/M	ELJ-RE47NGFA
56nH	±2%	12	—	100	1800	1.20	250	PCD2011CT-ND	.13	1.04	8.15	PCD2011TR-ND	44.87/M	ELJ-RE56NGFA
68nH	±2%	12	—	100	1500	1.30	250	PCD2012CT-ND	.13	1.04	8.15	PCD2012TR-ND	44.87/M	ELJ-RE68NGFA
82nH	±2%	12	—	100	1500	1.50	250	PCD2013CT-ND	.13	1.04	8.15	PCD2013TR-ND	44.87/M	ELJ-RE82NGFA
100nH	±2%	12	—	100	1300	1.80	200	PCD2014CT-ND	.13	1.04	8.15	PCD2014TR-ND	44.87/M	ELJ-RER10GFA
120nH	±2%	5	—	25.2	1200	3.00	130	PCD2015CT-ND	.13	1.04	8.15	PCD2015TR-ND	44.87/M	ELJ-RER12GFA
150nH	±2%	5	—	25.2	1100	4.50	100	PCD2016CT-ND	.13	1.04	8.15	PCD2016TR-ND	44.87/M	ELJ-RER15GFA
180nH	±2%	4	—	25.2	1000	6.50	80	PCD2017CT-ND	.13	1.04	8.15	PCD2017TR-ND	44.87/M	ELJ-RER18GFA
220nH	±2%	4	—	25.2	900	7.50	70	PCD2018CT-ND	.13	1.04	8.15	PCD2018TR-ND	44.87/M	ELJ-RER22GFA
Abb. 4, 0603 (1608) — RE-Design (2 % Toleranz)														
1.5nH	±0.2nH	8	47	100	6000	0.07	500	PCD1284CT-ND	.13	1.04	8.15	PCD1284TR-ND	44.45/M	ELJ-RE1N5ZF2
1.8nH	±0.2nH	8	45	100	6000	0.08	500	PCD1285CT-ND	.13	1.04	8.15	PCD1285TR-ND	44.45/M	ELJ-RE1N8ZF2
2.2nH	±0.2nH	8	35	100	6000	0.09	500	PCD1286CT-ND	.13	1.04	8.15	PCD1286TR-ND	44.45/M	ELJ-RE2N2ZF2
2.7nH	±0.2nH	8	35	100	6000	0.10	500	PCD1287CT-ND	.13	1.04	8.15	PCD1287TR-ND	44.45/M	ELJ-RE2N7ZF2
3.3nH	±0.2nH	9	35	100	5500	0.12	500	PCD1288CT-ND	.13	1.04	8.15	PCD1288TR-ND	44.45/M	ELJ-RE3N3ZF2
3.9nH	±0.2nH	9	36	100	5500	0.15	450	PCD1289CT-ND	.13	1.04	8.15	PCD1289TR-ND	44.45/M	ELJ-RE3N9ZF2
4.7nH	±0.2nH	9	36	100	4800	0.17	450	PCD1290CT-ND	.13	1.04	8.15	PCD1290TR-ND	44.45/M	ELJ-RE4N7ZF2
5.6nH	±0.2nH	9	36	100	4600	0.18	430	PCD1291CT-ND	.13	1.04	8.15	PCD1291TR-ND	44.45/M	ELJ-RE5N6ZF2
6.8nH	±0.2nH	9	36	100	3550	0.20	430	PCD1292CT-ND	.13	1.04	8.15	PCD1292TR-ND	44.45/M	ELJ-RE6N8ZF2
8.2nH	±0.2nH	9	36	100	3500	0.28	400	PCD1293CT-ND	.13	1.04	8.15	PCD1293TR-ND	44.45/M	ELJ-RE8N2ZF2
10nH	2%	10	37	100	2800	0.32	400	PCD1294CT-ND	.13	1.04	8.15	PCD1294TR-ND	44.45/M	ELJ-RE10NGF2
12nH	2%	10	37	100	2800	0.35	400	PCD1295CT-ND	.13	1.04	8.15	PCD1295TR-ND	44.45/M	ELJ-RE12NGF2
15nH	2%	10	38	100	2500	0.41	350	PCD1296CT-ND	.13	1.04	8.15	PCD1296TR-ND	44.45/M	ELJ-RE15NGF2
18nH	2%	10	39	100	2300	0.45	350	PCD1297CT-ND	.13	1.04	8.15	PCD1297TR-ND	44.45/M	ELJ-RE18NGF2
22nH	2%	10	40	100	2000	0.50	300	PCD1298CT-ND	.13	1.04	8.15	PCD1298TR-ND	44.45/M	ELJ-RE22NGF2
27nH	2%	10	41	100	2000	0.55	300	PCD1299CT-ND	.13	1.04	8.15	PCD1299TR-ND	44.45/M	ELJ-RE27NGF2
33nH	2%	10	40	100	1800	0.60	300	PCD1300CT-ND	.13	1.04	8.15	PCD1300TR-ND	44.45/M	ELJ-RE33NGF2
39nH	2%	11	39	100	1800	0.80	300	PCD1301CT-ND	.13	1.04	8.15	PCD1301TR-ND	44.45/M	ELJ-RE39NGF2
47nH	2%	11	38	100	1800	0.95	250	PCD1302CT-ND	.13	1.04	8.15	PCD1302TR-ND	44.45/M	ELJ-RE47NGF2
56nH	2%	12	35	100	1800	1.2	250	PCD1303CT-ND	.13	1.04	8.15	PCD1303TR-ND	44.45/M	ELJ-RE56NGF3
68nH	2%	12	35	100	1500	1.3	250	PCD1304CT-ND	.13	1.04	8.15	PCD1304TR-ND	44.45/M	ELJ-RE68NGF3
82nH	2%	12	33	100	1500	1.5	250	PCD1305CT-ND	.13	1.04	8.15	PCD1305TR-ND	44.45/M	ELJ-RE82NGF3
100nH	2%	12	30	100	1300	1.8	200	PCD1306CT-ND	.13	1.04	8.15	PCD1306TR-ND	44.45/M	ELJ-RER10GF3

PCD4-KIT-ND ***Digi-Key® RE (2 % Tol.) Kit für oberflächenmontierte Induktoren*** Je 10 aller 23 Werte (insgesamt 230 Stück) **67.69**

* Gegurtet auf Rolle Preisangaben

(Forts.)

D

Alle Preisangaben in Euro und inklusive Zollgebühren.

Induktivität	Toleranz	Q min.	Q typ. @ 800 MHz	L,Q-Test-frequ. (MHz)	S.R.F. Min. (MHz)	Max. RDC (Ω)	Max. IDC (mA)	Digi-Key Teilenr.	Gurtabschnittspreise 1	10	100	Digi-Key Teilenr.	T&R Pricing* 3.000	Panasonic Teilenr.
Abb. 4, 0603 (1608) — RE-Design (5 % Toleranz) — bleifrei/RoHS-konfor														
1.0nH	±0.3nH	7	—	100	6000	0.05	500	PCD1961CT-ND	.09	.79	6.17	PCD1961TR-ND	33.87/M	ELJ-RE1N0DFA
1.2nH	±0.3nH	7	—	100	6000	0.06	500	PCD1962CT-ND	.09	.79	6.17	PCD1962TR-ND	33.87/M	ELJ-RE1N2DFA
1.5nH	±0.3nH	8	—	100	6000	0.07	500	PCD1963CT-ND	.09	.79	6.17	PCD1963TR-ND	33.87/M	ELJ-RE1N5DFA
1.8nH	±0.3nH	8	—	100	6000	0.08	500	PCD1964CT-ND	.09	.79	6.17	PCD1964TR-ND	33.87/M	ELJ-RE1N8DFA
2.2nH	±0.3nH	8	—	100	6000	0.09	500	PCD1965CT-ND	.09	.79	6.17	PCD1965TR-ND	33.87/M	ELJ-RE2N2DFA
2.7nH	±0.3nH	8	—	100	6000	0.10	500	PCD1966CT-ND	.09	.79	6.17	PCD1966TR-ND	33.87/M	ELJ-RE2N7DFA
3.3nH	±0.3nH	9	—	100	5500	0.12	500	PCD1967CT-ND	.09	.79	6.17	PCD1967TR-ND	33.87/M	ELJ-RE3N3DFA
3.9nH	±5%	9	—	100	5500	0.15	450	PCD1968CT-ND	.09	.79	6.17	PCD1968TR-ND	33.87/M	ELJ-RE3N9JFA
4.7nH	±5%	9	—	100	4800	0.17	450	PCD1969CT-ND	.09	.79	6.17	PCD1969TR-ND	33.87/M	ELJ-RE4N7JFA
5.6nH	±5%	9	—	100	4600	0.18	430	PCD1970CT-ND	.09	.79	6.17	PCD1970TR-ND	33.87/M	ELJ-RE5N6JFA
6.8nH	±5%	9	—	100	3550	0.20	430	PCD1971CT-ND	.09	.79	6.17	PCD1971TR-ND	33.87/M	ELJ-RE6N8JFA
8.2nH	±5%	9	—	100	3550	0.28	400	PCD1972CT-ND	.09	.79	6.17	PCD1972TR-ND	33.87/M	ELJ-RE8N2JFA
10nH	±5%	10	—	100	2800	0.32	400	PCD1973CT-ND	.09	.79	6.17	PCD1973TR-ND	33.87/M	ELJ-RE10NJFA
12nH	±5%	10	—	100	2800	0.35	400	PCD1974CT-ND	.09	.79	6.17	PCD1974TR-ND	33.87/M	ELJ-RE12NJFA
15nH	±5%	10	—	100	2500	0.41	350	PCD1975CT-ND	.09	.79	6.17	PCD1975TR-ND	33.87/M	ELJ-RE15NJFA
18nH	±5%	10	—	100	2300	0.45	350	PCD1976CT-ND	.09	.79	6.17	PCD1976TR-ND	33.87/M	ELJ-RE18NJFA
22nH	±5%	10	—	100	2000	0.50	300	PCD1977CT-ND	.09	.79	6.17	PCD1977TR-ND	33.87/M	ELJ-RE22NJFA
27nH	±5%	10	—	100	2000	0.55	300	PCD1978CT-ND	.09	.79	6.17	PCD1978TR-ND	33.87/M	ELJ-RE27NJFA
33nH	±5%	10	—	100	1800	0.60	300	PCD1979CT-ND	.09	.79	6.17	PCD1979TR-ND	33.87/M	ELJ-RE33NJFA
39nH	±5%	11	—	100	1800	0.80	300	PCD1980CT-ND	.09	.79	6.17	PCD1980TR-ND	33.87/M	ELJ-RE39NJFA
47nH	±5%	11	—	100	1800	0.95	250	PCD1981CT-ND	.09	.79	6.17	PCD1981TR-ND	33.87/M	ELJ-RE47NJFA
56nH	±5%	12	—	100	1800	1.20	250	PCD1982CT-ND	.09	.79	6.17	PCD1982TR-ND	33.87/M	ELJ-RE56NJFA
68nH	±5%	12	—	100	1500	1.30	250	PCD1983CT-ND	.09	.79	6.17	PCD1983TR-ND	33.87/M	ELJ-RE68NJFA
82nH	±5%	12	—	100	1500	1.50	250	PCD1984CT-ND	.09	.79	6.17	PCD1984TR-ND	33.87/M	ELJ-RE82NJFA
100nH	±5%	12	—	100	1300	1.80	200	PCD1985CT-ND	.09	.79	6.17	PCD1985TR-ND	33.87/M	ELJ-RER10JFA
120nH	±5%	5	—	25.2	1200	3.00	130	PCD1986CT-ND	.09	.79	6.17	PCD1986TR-ND	33.87/M	ELJ-RER12JFA
150nH	±5%	5	—	25.2	1100	4.50	100	PCD1987CT-ND	.09	.79	6.17	PCD1987TR-ND	33.87/M	ELJ-RER15JFA
180nH	±5%	4	—	25.2	1000	6.50	80	PCD1988CT-ND	.09	.79	6.17	PCD1988TR-ND	33.87/M	ELJ-RER18JFA
220nH	±5%	4	—	25.2	900	7.50	70	PCD1989CT-ND	.09	.79	6.17	PCD1989TR-ND	33.87/M	ELJ-RER22JFA
Abb. 4, 0603 (1608) — RE-Design (5 % Toleranz)														
1.5nH	±0.3nH	8	47	100	6000	0.07	500	PCD1196CT-ND‡	.09	.79	6.17	PCD1196TR-ND	33.87/M	ELJ-RE1N5DF2
1.8nH	±0.3nH	8	45	100	6000	0.08	500	PCD1197CT-ND‡	.09	.79	6.17	PCD1197TR-ND	33.87/M	ELJ-RE1N8DF2
2.2nH	±0.3nH	8	35	100	6000	0.09	500	PCD1143CT-ND‡	.09	.79	6.17	PCD1143TR-ND	33.87/M	ELJ-RE2N2DF2
2.7nH	±0.3nH	8	35	100	6000	0.10	500	PCD1144CT-ND‡	.09	.79	6.17	PCD1144TR-ND	33.87/M	ELJ-RE2N7DF2
3.3nH	±0.3nH	9	35	100	5500	0.12	500	PCD1145CT-ND‡	.09	.79	6.17	PCD1145TR-ND	33.87/M	ELJ-RE3N3DF2
3.9nH	5%	9	36	100	5500	0.15	450	PCD1146CT-ND‡	.09	.79	6.17	PCD1146TR-ND	33.87/M	ELJ-RE3N9JF2
4.7nH	5%	9	36	100	4800	0.17	450	PCD1147CT-ND‡	.09	.79	6.17	PCD1147TR-ND	33.87/M	ELJ-RE4N7JF2
5.6nH	5%	9	36	100	4600	0.18	430	PCD1148CT-ND‡	.09	.79	6.17	PCD1148TR-ND	33.87/M	ELJ-RE5N6JF2
6.8nH	5%	9	36	100	3550	0.20	430	PCD1149CT-ND‡	.09	.79	6.17	PCD1149TR-ND	33.87/M	ELJ-RE6N8JF2
8.2nH	5%	9	36	100	3500	0.28	400	PCD1150CT-ND‡	.09	.79	6.17	PCD1150TR-ND	33.87/M	ELJ-RE8N2JF2
10nH	5%	10	37	100	2800	0.32	400	PCD1151CT-ND‡	.09	.79	6.17	PCD1151TR-ND	33.87/M	ELJ-RE10NJF2
12nH	5%	10	37	100	2800	0.35	400	PCD1152CT-ND‡	.09	.79	6.17	PCD1152TR-ND	33.87/M	ELJ-RE12NJF2
15nH	5%	10	38	100	2500	0.41	350	PCD1153CT-ND‡	.09	.79	6.17	PCD1153TR-ND	33.87/M	ELJ-RE15NJF2
18nH	5%	10	39	100	2300	0.45	350	PCD1154CT-ND‡	.09	.79	6.17	PCD1154TR-ND	33.87/M	ELJ-RE18NJF2
22nH	5%	10	40	100	2000	0.50	300	PCD1155CT-ND‡	.09	.79	6.17	PCD1155TR-ND	33.87/M	ELJ-RE22NJF2
27nH	5%	10	41	100	2000	0.55	300	PCD1156CT-ND‡	.09	.79	6.17	PCD1156TR-ND	33.87/M	ELJ-RE27NJF2
33nH	5%	10	40	100	1800	0.60	300	PCD1157CT-ND‡	.09	.79	6.17	PCD1157TR-ND	33.87/M	ELJ-RE33NJF2
39nH	5%	11	39	100	1800	0.80	300	PCD1158CT-ND‡	.09	.79	6.17	PCD1158TR-ND	33.87/M	ELJ-RE39NJF2
47nH	5%	11	38	100	1800	0.95	250	PCD1159CT-ND‡	.09	.79	6.17	PCD1159TR-ND	33.87/M	ELJ-RE47NJF2
56nH	5%	12	35	100	1800	1.20	250	PCD1198CT-ND‡	.09	.79	6.17	PCD1198TR-ND	33.87/M	ELJ-RE56NJF3
68nH	5%	12	35	100	1500	1.30	250	PCD1199CT-ND‡	.09	.79	6.17	PCD1199TR-ND	33.87/M	ELJ-RE68NJF3
82nH	5%	12	33	100	1500	1.50	250	PCD1200CT-ND‡	.09	.79	6.17	PCD1200TR-ND	33.87/M	ELJ-RE82NJF3
100nH	5%	12	30	100	1300	1.80	200	PCD1201CT-ND‡	.09	.79	6.17	PCD1201TR-ND	33.87/M	ELJ-RER10JF3
120nH	5%	5	25	25.2	1200	3.00	130	PCD1322CT-ND	.09	.79	6.17	PCD1322TR-ND	33.87/M	ELJ-RER12JF3
150nH	5%	5	22	25.2	1100	4.50	100	PCD1323CT-ND	.09	.79	6.17	PCD1323TR-ND	33.87/M	ELJ-RER15JF3
180nH	5%	4	20	25.2	1000	6.50	80	PCD1324CT-ND	.09	.79	6.17	PCD1324TR-ND	33.87/M	ELJ-RER18JF3
220nH	5%	4	—	25.2	900	7.50	70	PCD1325CT-ND	.09	.79	6.17	PCD1325TR-ND	33.87/M	ELJ-RER22JF3
‡ **PCD1-KIT-ND** ***Digi-Key® RE (5 % Tol.) Kit für oberflächenmontierte Induktoren*** Je 10 der angegebenen Werte (insgesamt 230 Stück) **59.22**														
Abb. 4, 0603 (1608) — Typ PE (10 % Toleranz) — bleifrei/RoHS-konform														
2.2nH	±10%	8	—	100	—	30	2100	PCD1948CT-ND	.30	2.46	19.33	PCD1948TR-ND	105.83/M	ELJ-PE2N2KFA
2.7nH	±10%	8	—	100	—	30	2100	PCD1949CT-ND	.30	2.46	19.33	PCD1949TR-ND	105.83/M	ELJ-PE2N7KFA
3.3nH	±10%	8	—	100	—	40	2100	PCD1950CT-ND	.30	2.46	19.33	PCD1950TR-ND	105.83/M	ELJ-PE3N3KFA
3.9nH	±10%	9	—	100	—	40	2100	PCD1951CT-ND	.30	2.46	19.33	PCD1951TR-ND	105.83/M	ELJ-PE3N9KFA
4.7nH	±10%	9	—	100	—	50	2100	PCD1952CT-ND	.30	2.46	19.33	PCD1952TR-ND	105.83/M	ELJ-PE4N7KFA
5.6nH	±10%	9	—	100	—	55	2100	PCD1953CT-ND	.30	2.46	19.33	PCD1953TR-ND	105.83/M	ELJ-PE5N6KFA
6.8nH	±10%	9	—	100	—	55	1900	PCD1954CT-ND	.30	2.46	19.33	PCD1954TR-ND	105.83/M	ELJ-PE6N8KFA
8.2nH	±10%	9	—	100	—	60	1700	PCD1955CT-ND	.30	2.46	19.33	PCD1955TR-ND	105.83/M	ELJ-PE8N2KFA
10nH	±10%	9	—	100	—	65	1400	PCD1956CT-ND	.30	2.46	19.33	PCD1956TR-ND	105.83/M	ELJ-PE10NKFA
12nH	±10%	9	—	100	—	80	1300	PCD1957CT-ND	.30	2.46	19.33	PCD1957TR-ND	105.83/M	ELJ-PE12NKFA
15nH	±10%	9	—	100	—	100	900	PCD1958CT-ND	.30	2.46	19.33	PCD1958TR-ND	105.83/M	ELJ-PE15NKFA
18nH	±10%	9	—	100	—	120	800	PCD1959CT-ND	.30	2.46	19.33	PCD1959TR-ND	105.83/M	ELJ-PE18NKFA
22nH	±10%	9	—	100	—	150	700	PCD1960CT-ND	.30	2.46	19.33	PCD1960TR-ND	105.83/M	ELJ-PE22NKFA
Abb. 4, 0603 (1608) — PE-Design (10 % Toleranz)														
2.2nH	10%	8	—	100	6000	0.030	2.1	PCD1404CT-ND	.30	2.46	19.33	PCD1404TR-ND	105.83/M	ELJ-PE2N2KF
2.7nH	10%	8	—	100	5500	0.030	2.1	PCD1405CT-ND	.30	2.46	19.33	PCD1405TR-ND	105.83/M	ELJ-PE2N7KF
3.3nH	10%	8	—	100	5500	0.040	2.1	PCD1406CT-ND	.30	2.46	19.33	PCD1406TR-ND	105.83/M	ELJ-PE3N3KF
3.9nH	10%	9	—	100	5200	0.040	2.1	PCD1407CT-ND	.30	2.46	19.33	PCD1407TR-ND	105.83/M	ELJ-PE3N9KF
4.7nH	10%	9	—	100	4800	0.050	2.1	PCD1408CT-ND	.30	2.46	19.33	PCD1408TR-ND	105.83/M	ELJ-PE4N7KF
5.6nH	10%	9	—	100	4600	0.055	2.1	PCD1409CT-ND	.30	2.46	19.33	PCD1409TR-ND	105.83/M	ELJ-PE5N6KF
6.8nH	10%	9	—	100	4000	0.055	1.9	PCD1410CT-ND	.30	2.46	19.33	PCD1410TR-ND	105.83/M	ELJ-PE6N8KF
8.2nH	10%	9	—	100	3500	0.060	1.7	PCD1411CT-ND	.30	2.46	19.33	PCD1411TR-ND	105.83/M	ELJ-PE8N2KF
10nH	10%	9	—	100	2800	0.065	1.4	PCD1412CT-ND	.30	2.46	19.33	PCD1412TR-ND	105.83/M	ELJ-PE10NKF
12nH	10%	9	—	100	2500	0.080	1.3	PCD1413CT-ND	.30	2.46	19.33	PCD1413TR-ND	105.83/M	ELJ-PE12NKF
15nH	10%	9	—	100	2200	0.100	0.9	PCD1414CT-ND	.30	2.46	19.33	PCD1414TR-ND	105.83/M	ELJ-PE15NKF
18nH	10%	9	—	100	2000	0.120	0.8	PCD1415CT-ND	.30	2.46	19.33	PCD1415TR-ND	105.83/M	ELJ-PE18NKF
22nH	10%	9	—	100	1800	0.150	0.7	PCD1416CT-ND	.30	2.46	19.33	PCD1416TR-ND	105.83/M	ELJ-PE22NKF
Abb. 5, 0603 (1608) — NJ-Design (5 % Toleranz)														
3.3nH	±0.5nH	26	—	250	6000	0.06	850	PCD1813CT-ND	.42	3.52	27.64	PCD1813TR-ND	149.85/M	ELJ-NJ3N3EF2
3.9nH	±0.5nH	35	—	250	6000	0.06	850	PCD1814CT-ND	.42	3.52	27.64	PCD1814TR-ND	149.85/M	ELJ-NJ3N9EF2
4.7nH	±0.5nH	35	—	250	6000	0.06	850	PCD1815CT-ND	.42	3.52	27.64	PCD1815TR-ND	149.85/M	ELJ-NJ4N7EF2
5.6nH	±0.5nH	35	—	250	6000	0.08	750	PCD1816CT-ND	.42	3.52	27.64	PCD1816TR-ND	149.85/M	ELJ-NJ5N6EF2
6.8nH	±0.5nH	35	—	250	6000	0.08	700	PCD1503CT-ND	.42	3.49	27.41	PCD1503TR-ND	149.54/M	ELJ-NJ6N8EF2
8.2nH	±0.5nH	35	—	250	6000	0.10	630	PCD1504CT-ND	.42	3.49	27.41	PCD1504TR-ND	149.54/M	ELJ-NJ8N2EF2
10nH	5%	35	—	250	6000	0.10	630	PCD1505CT-ND	.42	3.49	27.41	PCD1505TR-ND	149.54/M	ELJ-NJ10NJF2
12nH	5%	35	—	250	6000	0.13	550	PCD1506CT-ND	.42	3.49	27.41	PCD1506TR-ND	149.54/M	ELJ-NJ12NJF2
15nH	5%	40	—	250	5000	0.13	550	PCD1507CT-ND	.42	3.49	27.41	PCD1507TR-ND	149.54/M	ELJ-NJ15NJF2
18nH	5%	40	—	250	5000	0.15	510	PCD1508CT-ND	.42	3.49	27.41	PCD1508TR-ND	149.54/M	ELJ-NJ18NJF2
22nH	5%	40	—	250	4600	0.17	480	PCD1509CT-ND	.42	3.49	27.41	PCD1509TR-ND	149.54/M	ELJ-NJ22NJF2
27nH	5%	40	—	250	3800	0.20	440	PCD1510CT-ND	.42	3.49	27.41	—	—	ELJ-NJ27NJF2
33nH	5%	40	—	250	3500	0.23	420	PCD1511CT-ND	.42	3.49	27.41	PCD1511TR-ND	149.54/M	ELJ-NJ33NJF2
39nH	5%	40	—	250	3200	0.25	400	PCD1512CT-ND	.42	3.49	27.41	PCD1512TR-ND	149.54/M	ELJ-NJ39NJF2

* Gegurtet auf Rolle Preisangaben

(Forts.)

Alle Preisangaben in Euro und inklusive Zollgebühren.

Induktivität	Toleranz	Q min.	Q typ. @ 800 (MHz)	L,Q-Test-frequ. (MHz)	S.R.F. Min. (MHz)	Max. RDC (Ω)	Max. IDC (mA)	Digi-Key Teilenr.	Gurtabschnittspreise 1	10	100	Digi-Key Teilenr.	T&R Pricing* 3.000	Panasonic Teilenr.
47nH	5%	38	—	200	3000	0.28	380	PCD1513CT-ND	.42	3.49	27.41	PCD1513TR-ND	149.54/M	ELJ-NJ47NJF2
56nH	5%	38	—	200	2700	0.30	360	PCD1514CT-ND	.42	3.49	27.41	PCD1514TR-ND	149.54/M	ELJ-NJ56NJF2
68nH	5%	38	—	200	2300	0.35	340	PCD1515CT-ND	.42	3.49	27.41	PCD1515TR-ND	149.54/M	ELJ-NJ68NJF2
82nH	5%	34	—	150	2200	0.48	290	PCD1516CT-ND	.42	3.49	27.41	—	—	ELJ-NJ82NJF2
100nH	5%	34	—	150	2000	0.62	250	PCD1517CT-ND	.42	3.49	27.41	—	—	ELJ-NJR10JF2
120nH	5%	32	—	150	1700	0.90	210	PCD1518CT-ND	.42	3.49	27.41	PCD1518TR-ND	149.54/M	ELJ-NJR12JF2
150nH	5%	32	—	150	1400	1.30	160	PCD1519CT-ND	.42	3.49	27.41	—	—	ELJ-NJR15JF2
180nH	5%	25	—	100	1300	2.00	140	PCD1520CT-ND	.42	3.49	27.41	PCD1520TR-ND	149.54/M	ELJ-NJR18JF2
220nH	5%	25	—	100	1200	2.20	120	PCD1521CT-ND	.42	3.49	27.41	—	—	ELJ-NJR22JF2
Abb. 5, 0603 (1608) — NJ-Design (2 % Toleranz)														
3.3nH	±0.2nH	26	—	250	6000	0.06	850	PCD1791CT-ND	.54	4.48	35.20	PCD1791TR-ND	187.95/M	ELJ-NJ3N3ZF2
3.9nH	±0.2nH	35	—	250	6000	0.06	850	PCD1792CT-ND	.54	4.48	35.20	PCD1792TR-ND	187.95/M	ELJ-NJ3N9ZF2
5.6nH	±0.2nH	35	—	250	6000	0.08	750	PCD1793CT-ND	.54	4.48	35.20	—	—	ELJ-NJ5N6ZF2
6.8nH	±0.2nH	35	—	250	6000	0.08	700	PCD1805CT-ND	.54	4.48	35.20	PCD1805TR-ND	187.95/M	ELJ-NJ6N8ZF2
8.2nH	±0.2nH	35	—	250	6000	0.10	630	PCD1807CT-ND	.54	4.48	35.20	PCD1807TR-ND	187.95/M	ELJ-NJ8N2ZF2
10nH	2%	35	—	250	6000	0.10	630	PCD1794CT-ND	.54	4.48	35.20	—	—	ELJ-NJ10NGF2
12nH	2%	35	—	250	6000	0.13	550	PCD1795CT-ND	.54	4.48	35.20	PCD1795TR-ND	187.95/M	ELJ-NJ12NGF2
15nH	2%	40	—	250	5000	0.13	550	PCD1796CT-ND	.54	4.48	35.20	PCD1796TR-ND	187.95/M	ELJ-NJ15NGF2
18nH	2%	40	—	250	5000	0.15	510	PCD1797CT-ND	.54	4.48	35.20	PCD1797TR-ND	187.95/M	ELJ-NJ18NGF2
22nH	2%	40	—	250	4600	0.17	480	PCD1798CT-ND	.54	4.48	35.20	—	—	ELJ-NJ22NGF2
27nH	2%	40	—	250	3800	0.20	440	PCD1799CT-ND	.54	4.48	35.20	PCD1799TR-ND	187.95/M	ELJ-NJ27NGF2
33nH	2%	40	—	250	3500	0.23	420	PCD1800CT-ND	.54	4.48	35.20	—	—	ELJ-NJ33NGF2
39nH	2%	40	—	250	3200	0.25	400	PCD1801CT-ND	.54	4.48	35.20	PCD1801TR-ND	187.95/M	ELJ-NJ39NGF2
47nH	2%	38	—	200	3000	0.28	380	PCD1802CT-ND	.54	4.48	35.20	PCD1802TR-ND	187.95/M	ELJ-NJ47NGF2
56nH	2%	38	—	200	2700	0.30	360	PCD1803CT-ND	.54	4.48	35.20	PCD1803TR-ND	187.95/M	ELJ-NJ56NGF2
68nH	2%	38	—	200	2300	0.35	340	PCD1804CT-ND	.54	4.48	35.20	—	—	ELJ-NJ68NGF2
82nH	2%	34	—	150	2200	0.48	290	PCD1806CT-ND	.54	4.48	35.20	PCD1806TR-ND	187.95/M	ELJ-NJ82NGF2
100nH	2%	34	—	150	2000	0.62	250	PCD1808CT-ND	.54	4.48	35.20	—	—	ELJ-NJR10GF2
120nH	2%	32	—	150	1700	0.90	210	PCD1809CT-ND	.54	4.48	35.20	PCD1809TR-ND	187.95/M	ELJ-NJR12GF2
150nH	2%	32	—	150	1400	1.30	160	PCD1810CT-ND	.54	4.48	35.20	PCD1810TR-ND	187.95/M	ELJ-NJR15GF2
180nH	2%	25	—	100	1300	2.00	140	PCD1811CT-ND	.54	4.48	35.20	—	—	ELJ-NJR18GF2
220nH	2%	25	—	100	1200	2.20	120	PCD1812CT-ND	.54	4.48	35.20	—	—	ELJ-NJR22GF2
Abb. 5, 1608 (0603) — FJ-Design (5 % Toleranz)														
100nH	5%	40	—	150	1600	0.30	400	PCD1594CT-ND	.42	3.49	27.41	PCD1594TR-ND	149.85/M	ELJ-FJR10JF2
120nH	5%	40	—	150	1500	0.37	360	PCD1595CT-ND	.42	3.49	27.41	PCD1595TR-ND	149.85/M	ELJ-FJR12JF2
150nH	5%	40	—	150	1350	0.60	280	PCD1596CT-ND	.42	3.49	27.41	PCD1596TR-ND	149.85/M	ELJ-FJR15JF2
180nH	5%	35	—	100	1250	0.68	270	PCD1597CT-ND	.42	3.49	27.41	PCD1597TR-ND	149.85/M	ELJ-FJR18JF2
270nH	5%	35	—	100	1150	1.40	180	PCD1599CT-ND	.42	3.49	27.41	PCD1599TR-ND	149.85/M	ELJ-FJR27JF2
330nH	5%	35	—	100	1100	1.66	160	PCD1600CT-ND	.42	3.49	27.41	PCD1600TR-ND	149.85/M	ELJ-FJR33JF2
390nH	5%	35	—	100	900	2.25	140	PCD1601CT-ND	.42	3.49	27.41	—	—	ELJ-FJR39JF2
Abb. 5, 1608 (0603) — FJ-Design (2 % Toleranz)														
100nH	2%	40	—	150	1600	0.30	400	PCD1602CT-ND	.59	4.85	38.12	PCD1602TR-ND	208.27/M	ELJ-FJR10GF2
120nH	2%	40	—	150	1500	0.37	360	PCD1603CT-ND	.59	4.85	38.12	PCD1603TR-ND	208.27/M	ELJ-FJR12GF2
150nH	2%	40	—	150	1350	0.60	280	PCD1604CT-ND	.59	4.85	38.12	—	—	ELJ-FJR15GF2
180nH	2%	35	—	100	1250	0.68	270	PCD1605CT-ND	.59	4.85	38.12	PCD1605TR-ND	208.27/M	ELJ-FJR18GF2
220nH	2%	35	—	100	1150	1.06	210	PCD1606CT-ND	.59	4.85	38.12	PCD1606TR-ND	208.27/M	ELJ-FJR22GF2
270nH	2%	35	—	100	1150	1.40	180	PCD1607CT-ND	.59	4.85	38.12	—	—	ELJ-FJR27GF2
330nH	2%	35	—	100	1100	1.66	160	PCD1608CT-ND	.59	4.85	38.12	PCD1608TR-ND	208.27/M	ELJ-FJR33GF2
390nH	2%	35	—	100	900	2.25	140	PCD1609CT-ND	.59	4.85	38.12	—	—	ELJ-FJR39GF2
Abb. 6, 0805 (2012) — FD-Design (10 % Toleranz)														
0.82µH	10%	8	—	25.2	370	1.36	190	PCD1186CT-ND	1.31	10.82	84.98	PCD1186TR-ND	463.94/M	ELJ-FDR82KF
1.0µH	10%	15	—	7.96	300	1.56	160	PCD1187CT-ND	1.31	10.82	84.98	PCD1187TR-ND	463.94/M	ELJ-FD1R0KF
1.2µH	10%	15	—	7.96	200	1.60	155	PCD1188CT-ND	1.31	10.82	84.98	PCD1188TR-ND	463.94/M	ELJ-FD1R2KF
1.5µH	10%	15	—	7.96	100	1.85	150	PCD1189CT-ND	1.31	10.82	84.98	PCD1189TR-ND	463.94/M	ELJ-FD1R5KF
1.8µH	10%	15	—	7.96	80	1.95	145	PCD1190CT-ND	1.31	10.82	84.98	PCD1190TR-ND	463.94/M	ELJ-FD1R8KF
2.2µH	10%	15	—	7.96	70	2.27	145	PCD1191CT-ND	1.31	10.82	84.98	PCD1191TR-ND	463.94/M	ELJ-FD2R2KF
2.7µH	10%	15	—	7.96	60	2.53	140	PCD1192CT-ND	1.31	10.82	84.98	PCD1192TR-ND	463.94/M	ELJ-FD2R7KF
3.3µH	10%	15	—	7.96	50	2.84	140	PCD1193CT-ND	1.31	10.82	84.98	PCD1193TR-ND	463.94/M	ELJ-FD3R3KF
3.9µH	10%	15	—	7.96	40	2.92	130	PCD1194CT-ND	1.31	10.82	84.98	PCD1194TR-ND	463.94/M	ELJ-FD3R9KF
4.7µH	10%	15	—	7.96	30	3.38	130	PCD1195CT-ND	1.31	10.82	84.98	PCD1195TR-ND	463.94/M	ELJ-FD4R7KF
Abb. 6, 0805 (2012) — ND-Design (10 % Toleranz)														
10nH	10%	10	48	100	3300	0.14	540	PCD1160CT-ND	.30	2.46	19.33	PCD1160TR-ND	105.83/M	ELJ-ND10NKF
12nH	10%	10	53	100	3300	0.18	535	PCD1161CT-ND	.30	2.46	19.33	PCD1161TR-ND	105.83/M	ELJ-ND12NKF
15nH	10%	12	55	100	3000	0.18	520	PCD1162CT-ND	.30	2.46	19.33	PCD1162TR-ND	105.83/M	ELJ-ND15NKF
18nH	10%	12	55	100	3000	0.22	480	PCD1163CT-ND	.30	2.46	19.33	PCD1163TR-ND	105.83/M	ELJ-ND18NKF
22nH	10%	15	55	100	2600	0.22	465	PCD1164CT-ND	.30	2.46	19.33	PCD1164TR-ND	105.83/M	ELJ-ND22NKF
27nH	10%	15	57	100	2500	0.26	455	PCD1165CT-ND	.30	2.46	19.33	PCD1165TR-ND	105.83/M	ELJ-ND27NKF
33nH	10%	15	58	100	2050	0.30	395	PCD1166CT-ND	.30	2.46	19.33	PCD1166TR-ND	105.83/M	ELJ-ND33NKF
Abb. 6, 0805 (2012) — ND-Design (5 % Toleranz)														
12nH	5%	10	53	100	3300	0.18	535	PCD1185CT-ND	.30	2.46	19.33	PCD1185TR-ND	105.83/M	ELJ-ND12NJF
39nH	5%	15	55	100	2000	0.31	390	PCD1167CT-ND	.30	2.46	19.33	PCD1167TR-ND	105.83/M	ELJ-ND39NJF
47nH	5%	15	50	100	1650	0.35	385	PCD1168CT-ND	.30	2.46	19.33	PCD1168TR-ND	105.83/M	ELJ-ND47NJF
56nH	5%	15	45	100	1550	0.39	360	PCD1169CT-ND	.30	2.46	19.33	PCD1169TR-ND	105.83/M	ELJ-ND56NJF
68nH	5%	15	44	100	1450	0.44	340	PCD1170CT-ND	.30	2.46	19.33	PCD1170TR-ND	105.83/M	ELJ-ND68NJF
82nH	5%	15	40	100	1100	0.48	330	PCD1171CT-ND	.30	2.46	19.33	PCD1171TR-ND	105.83/M	ELJ-ND82NJF
100nH	5%	8	35	25.2	800	0.66	285	PCD1172CT-ND	.30	2.46	19.33	PCD1172TR-ND	105.83/M	ELJ-NDR10JF
120nH	5%	8	—	25.2	600	0.76	275	PCD1173CT-ND	.30	2.46	19.33	PCD1173TR-ND	105.83/M	ELJ-NDR12JF
150nH	5%	10	—	25.2	600	1.13	230	PCD1174CT-ND	.30	2.46	19.33	PCD1174TR-ND	105.83/M	ELJ-NDR15JF
180nH	5%	10	—	25.2	600	1.24	195	PCD1175CT-ND	.30	2.46	19.33	PCD1175TR-ND	105.83/M	ELJ-NDR18JF
220nH	5%	10	—	25.2	500	1.41	170	PCD1176CT-ND	.30	2.46	19.33	PCD1176TR-ND	105.83/M	ELJ-NDR22JF
270nH	5%	10	—	25.2	300	1.50	165	PCD1177CT-ND	.30	2.46	19.33	PCD1177TR-ND	105.83/M	ELJ-NDR27JF
330nH	5%	10	—	25.2	200	1.66	160	PCD1178CT-ND	.30	2.46	19.33	PCD1178TR-ND	105.83/M	ELJ-NDR33JF
390nH	5%	10	—	25.2	150	1.82	150	PCD1179CT-ND	.30	2.46	19.33	PCD1179TR-ND	105.83/M	ELJ-NDR39JF
470nH	5%	10	—	25.2	150	1.97	145	PCD1180CT-ND	.30	2.46	19.33	PCD1180TR-ND	105.83/M	ELJ-NDR47JF
560nH	5%	10	—	25.2	100	2.07	140	PCD1181CT-ND	.30	2.46	19.33	PCD1181TR-ND	105.83/M	ELJ-NDR56JF
680nH	5%	10	—	25.2	100	2.32	130	PCD1182CT-ND	.30	2.46	19.33	PCD1182TR-ND	105.83/M	ELJ-NDR68JF
820nH	5%	10	—	25.2	80	2.60	125	PCD1183CT-ND	.30	2.46	19.33	PCD1183TR-ND	105.83/M	ELJ-NDR82JF
1000nH	5%	8	—	7.96	80	2.98	120	PCD1184CT-ND	.30	2.46	19.33	PCD1184TR-ND	105.83/M	ELJ-ND1R0JF
PCD2-KIT-ND ***Digi-Key® Kit für ND-Induktoren zur Oberflächenmontage*** Je 10 der 25 Werte (PCD1185CT-ND nicht inbegriffen) (insgesamt 250 Stück) **84.62**														

Induktivität	Toleranz	Q min.	Q typ. @ 800 (MHz)	L,Q Test-frequ. (MHz)	S.R.F. Min. (MHz)	Max. RDC (Ω)	Max. IDC (mA)	Digi-Key Teilenr.	Gurtabschnittspreise 1	10	100	Digi-Key Teilenr.	T&R Pricing* 2.000	Panasonic Teilenr.
Abb. 7, 1008 (2520) — NC-Design (10 % Toleranz)														
10nH	10%	10	—	100	2500	0.32	280	PCD1037CT-ND	.24	1.96	15.37	PCD1037TR-ND	83.82/M	ELJ-NC10NKF
12nH	10%	10	—	100	2200	0.34	270	PCD1038CT-ND	.24	1.96	15.37	PCD1038TR-ND	83.82/M	ELJ-NC12NKF
15nH	10%	10	—	100	1800	0.38	255	PCD1039CT-ND	.24	1.96	15.37	PCD1039TR-ND	83.82/M	ELJ-NC15NKF
18nH	10%	10	—	100	1550	0.40	250	PCD1040CT-ND	.24	1.96	15.37	PCD1040TR-ND	83.82/M	ELJ-NC18NKF
22nH	10%	15	—	100	1350	0.43	240	PCD1041CT-ND	.24	1.96	15.37	PCD1041TR-ND	83.82/M	ELJ-NC22NKF
27nH	10%	15	—	100	1150	0.47	230	PCD1042CT-ND	.24	1.96	15.37	PCD1042TR-ND	83.82/M	ELJ-NC27NKF
33nH	10%	15	—	100	1000	0.51	220	PCD1043CT-ND	.24	1.96	15.37	PCD1043TR-ND	83.82/M	ELJ-NC33NKF

* Gegurtet auf Rolle Preisangaben

(Forts.)

D

Induktivität	Toleranz	Q min.	Q typ. @ 800 (MHz)	L,Q-Test-frequ. (MHz)	S.R.F. Min. (MHz)	Max. RDC (Ω)	Max. IDC (mA)	Digi-Key Teilenr.	Gurtabschnittspreise 1	10	100	Digi-Key Teilenr.	T&R Pricing* 2.000	Panasonic Teilenr.
39nH	10%	15	—	100	890	0.55	215	PCD1044CT-ND	.24	1.96	15.37	PCD1044TR-ND	83.82/M	ELJ-NC39NKF
47nH	10%	15	—	100	770	0.59	205	PCD1045CT-ND	.24	1.96	15.37	PCD1045TR-ND	83.82/M	ELJ-NC47NKF
56nH	10%	15	—	100	670	0.63	200	PCD1046CT-ND	.24	1.96	15.37	PCD1046TR-ND	83.82/M	ELJ-NC56NKF
68nH	10%	15	—	100	590	0.68	190	PCD1047CT-ND	.24	1.96	15.37	PCD1047TR-ND	83.82/M	ELJ-NC68NKF
82nH	10%	15	—	100	520	0.73	185	PCD1048CT-ND	.24	1.96	15.37	PCD1048TR-ND	83.82/M	ELJ-NC82NKF
100nH	10%	10	—	25.2	460	0.80	175	PCD1049CT-ND	.24	1.96	15.37	PCD1049TR-ND	83.82/M	ELJ-NCR10KF
120nH	10%	10	—	25.2	400	0.87	170	PCD1050CT-ND	.24	1.96	15.37	PCD1050TR-ND	83.82/M	ELJ-NCR12KF
150nH	10%	10	—	25.2	340	0.98	160	PCD1051CT-ND	.24	1.96	15.37	PCD1051TR-ND	83.82/M	ELJ-NCR15KF
180nH	10%	10	—	25.2	300	1.05	155	PCD1052CT-ND	.24	1.96	15.37	PCD1052TR-ND	83.82/M	ELJ-NCR18KF
Abb. 7, 1008 (2520) — NC-Design (5 % Toleranz)														
33nH	5%	15	—	100	1000	0.51	220	PCD1202CT-ND	.24	1.96	15.37	PCD1202TR-ND	83.82/M	ELJ-NC33NJF
39nH	5%	15	—	100	890	0.55	215	PCD1203CT-ND	.24	1.96	15.37	PCD1203TR-ND	83.82/M	ELJ-NC39NJF
47nH	5%	15	—	100	770	0.59	205	PCD1204CT-ND	.24	1.96	15.37	PCD1204TR-ND	83.82/M	ELJ-NC47NJF
56nH	5%	15	—	100	670	0.63	200	PCD1205CT-ND	.24	1.96	15.37	PCD1205TR-ND	83.82/M	ELJ-NC56NJF
68nH	5%	15	—	100	590	0.68	190	PCD1206CT-ND	.24	1.96	15.37	PCD1206TR-ND	83.82/M	ELJ-NC68NJF
82nH	5%	15	—	100	520	0.73	185	PCD1207CT-ND	.24	1.96	15.37	PCD1207TR-ND	83.82/M	ELJ-NC82NJF
100nH	5%	10	—	25.2	460	0.80	175	PCD1208CT-ND	.24	1.96	15.37	PCD1208TR-ND	83.82/M	ELJ-NCR10JF
120nH	5%	10	—	25.2	400	0.87	170	PCD1209CT-ND	.24	1.96	15.37	PCD1209TR-ND	83.82/M	ELJ-NCR12JF
150nH	5%	10	—	25.2	340	0.98	160	PCD1210CT-ND	.24	1.96	15.37	PCD1210TR-ND	83.82/M	ELJ-NCR15JF
180nH	5%	10	—	25.2	300	1.05	155	PCD1211CT-ND	.24	1.96	15.37	PCD1211TR-ND	83.82/M	ELJ-NCR18JF
220nH	5%	10	—	25.2	260	1.15	145	PCD1212CT-ND	.24	1.96	15.37	PCD1212TR-ND	83.82/M	ELJ-NCR22JF
270nH	5%	10	—	25.2	230	1.25	140	PCD1213CT-ND	.24	1.96	15.37	PCD1213TR-ND	83.82/M	ELJ-NCR27JF
330nH	5%	10	—	25.2	200	1.37	135	PCD1214CT-ND	.24	1.96	15.37	PCD1214TR-ND	83.82/M	ELJ-NCR33JF
390nH	5%	10	—	25.2	180	1.47	130	PCD1215CT-ND	.24	1.96	15.37	PCD1215TR-ND	83.82/M	ELJ-NCR39JF
470nH	5%	10	—	25.2	160	1.58	125	PCD1216CT-ND	.24	1.96	15.37	PCD1216TR-ND	83.82/M	ELJ-NCR47JF
560nH	5%	10	—	25.2	145	1.70	120	PCD1217CT-ND	.24	1.96	15.37	PCD1217TR-ND	83.82/M	ELJ-NCR56JF
680nH	5%	10	—	25.2	130	1.85	110	PCD1218CT-ND	.24	1.96	15.37	PCD1218TR-ND	83.82/M	ELJ-NCR68JF
820nH	5%	10	—	25.2	100	2.10	100	PCD1219CT-ND	.24	1.96	15.37	PCD1219TR-ND	83.82/M	ELJ-NCR82JF
Abb. 7, 1008 (2520) — FC-Design (20 % Toleranz)														
0.22µH	20%	25	—	25.2	230	0.7	190	PCD1053CT-ND	.24	1.96	15.37	PCD1053TR-ND	83.82/M	ELJ-FCR22MF
0.27µH	20%	25	—	25.2	210	0.75	180	PCD1054CT-ND	.24	1.96	15.37	PCD1054TR-ND	83.82/M	ELJ-FCR27MF
0.33µH	20%	25	—	25.2	190	0.85	170	PCD1055CT-ND	.24	1.96	15.37	PCD1055TR-ND	83.82/M	ELJ-FCR33MF
0.39µH	20%	25	—	25.2	175	0.95	160	PCD1056CT-ND	.24	1.96	15.37	PCD1056TR-ND	83.82/M	ELJ-FCR39MF
0.47µH	20%	25	—	25.2	160	1.0	155	PCD1057CT-ND	.24	1.96	15.37	PCD1057TR-ND	83.82/M	ELJ-FCR47MF
0.56µH	20%	25	—	25.2	150	1.1	150	PCD1058CT-ND	.24	1.96	15.37	PCD1058TR-ND	83.82/M	ELJ-FCR56MF
0.68µH	20%	25	—	25.2	135	1.25	140	PCD1059CT-ND	.24	1.96	15.37	PCD1059TR-ND	83.82/M	ELJ-FCR68MF
0.82µH	20%	25	—	25.2	125	1.4	130	PCD1060CT-ND	.24	1.96	15.37	PCD1060TR-ND	83.82/M	ELJ-FCR82MF
Abb. 7, 1008 (2520) — FC-Design (10 % Toleranz)														
0.22µH	10%	25	—	25.2	230	0.70	190	PCD1220CT-ND	.24	1.96	15.37	PCD1220TR-ND	83.82/M	ELJ-FCR22KF
0.27µH	10%	25	—	25.2	210	0.75	180	PCD1221CT-ND	.24	1.96	15.37	PCD1221TR-ND	83.82/M	ELJ-FCR27KF
0.33µH	10%	25	—	25.2	190	0.85	170	PCD1222CT-ND	.24	1.96	15.37	PCD1222TR-ND	83.82/M	ELJ-FCR33KF
0.39µH	10%	25	—	25.2	175	0.95	160	PCD1223CT-ND	.24	1.96	15.37	PCD1223TR-ND	83.82/M	ELJ-FCR39KF
0.47µH	10%	25	—	25.2	160	1.00	155	PCD1224CT-ND	.24	1.96	15.37	PCD1224TR-ND	83.82/M	ELJ-FCR47KF
0.56µH	10%	25	—	25.2	150	1.10	150	PCD1225CT-ND	.24	1.96	15.37	PCD1225TR-ND	83.82/M	ELJ-FCR56KF
0.68µH	10%	25	—	25.2	135	1.25	140	PCD1226CT-ND	.24	1.96	15.37	PCD1226TR-ND	83.82/M	ELJ-FCR68KF
0.82µH	10%	25	—	25.2	125	1.40	130	PCD1227CT-ND	.24	1.96	15.37	PCD1227TR-ND	83.82/M	ELJ-FCR82KF
1.0µH	10%	25	—	7.96	115	0.65	195	PCD1061CT-ND	.24	1.96	15.37	PCD1061TR-ND	83.82/M	ELJ-FC1R0KF
1.2µH	10%	25	—	7.96	100	0.75	180	PCD1062CT-ND	.24	1.96	15.37	PCD1062TR-ND	83.82/M	ELJ-FC1R2KF
1.5µH	10%	25	—	7.96	90	0.85	170	PCD1063CT-ND	.24	1.96	15.37	PCD1063TR-ND	83.82/M	ELJ-FC1R5KF
1.8µH	10%	25	—	7.96	85	0.95	160	PCD1064CT-ND	.24	1.96	15.37	PCD1064TR-ND	83.82/M	ELJ-FC1R8KF
2.2µH	10%	25	—	7.96	80	1.05	155	PCD1065CT-ND	.24	1.96	15.37	PCD1065TR-ND	83.82/M	ELJ-FC2R2KF
2.7µH	10%	25	—	7.96	75	1.2	145	PCD1066CT-ND	.24	1.96	15.37	PCD1066TR-ND	83.82/M	ELJ-FC2R7KF
3.3µH	10%	25	—	7.96	65	1.3	135	PCD1067CT-ND	.24	1.96	15.37	PCD1067TR-ND	83.82/M	ELJ-FC3R3KF
3.9µH	10%	25	—	7.96	60	1.4	130	PCD1068CT-ND	.24	1.96	15.37	PCD1068TR-ND	83.82/M	ELJ-FC3R9KF
4.7µH	10%	25	—	7.96	55	1.55	125	PCD1069CT-ND	.24	1.96	15.37	PCD1069TR-ND	83.82/M	ELJ-FC4R7KF
5.6µH	10%	25	—	7.96	50	1.75	120	PCD1070CT-ND	.24	1.96	15.37	PCD1070TR-ND	83.82/M	ELJ-FC5R6KF
6.8µH	10%	25	—	7.96	45	1.95	115	PCD1071CT-ND	.24	1.96	15.37	PCD1071TR-ND	83.82/M	ELJ-FC6R8KF
8.2µH	10%	25	—	7.96	40	2.2	105	PCD1072CT-ND	.24	1.96	15.37	PCD1072TR-ND	83.82/M	ELJ-FC8R2KF
10µH	10%	25	—	2.52	32	3.5	80	PCD1073CT-ND	.24	1.96	15.37	PCD1073TR-ND	83.82/M	ELJ-FC100KF
12µH	10%	25	—	2.52	30	3.8	75	PCD1074CT-ND	.24	1.96	15.37	PCD1074TR-ND	83.82/M	ELJ-FC120KF
15µH	10%	25	—	2.52	28	4.4	70	PCD1075CT-ND	.24	1.96	15.37	PCD1075TR-ND	83.82/M	ELJ-FC150KF
18µH	10%	25	—	2.52	25	5.0	65	PCD1076CT-ND	.24	1.96	15.37	PCD1076TR-ND	83.82/M	ELJ-FC180KF
22µH	10%	25	—	2.52	22	5.8	60	PCD1077CT-ND	.24	1.96	15.37	PCD1077TR-ND	83.82/M	ELJ-FC220KF
Abb. 7, 1008 (2520) — FC-Design (5 % Toleranz)														
1.0µH	5%	25	—	7.96	115	0.65	195	PCD1228CT-ND	.24	1.96	15.37	PCD1228TR-ND	83.82/M	ELJ-FC1R0JF
1.2µH	5%	25	—	7.96	100	0.75	180	PCD1229CT-ND	.24	1.96	15.37	PCD1229TR-ND	83.82/M	ELJ-FC1R2JF
1.5µH	5%	25	—	7.96	90	0.85	170	PCD1230CT-ND	.24	1.96	15.37	PCD1230TR-ND	83.82/M	ELJ-FC1R5JF
1.8µH	5%	25	—	7.96	85	0.95	160	PCD1231CT-ND	.24	1.96	15.37	PCD1231TR-ND	83.82/M	ELJ-FC1R8JF
2.2µH	5%	25	—	7.96	80	1.05	155	PCD1232CT-ND	.24	1.96	15.37	PCD1232TR-ND	83.82/M	ELJ-FC2R2JF
2.7µH	5%	25	—	7.96	75	1.20	145	PCD1233CT-ND	.24	1.96	15.37	PCD1233TR-ND	83.82/M	ELJ-FC2R7JF
3.3µH	5%	25	—	7.96	65	1.30	135	PCD1234CT-ND	.24	1.96	15.37	PCD1234TR-ND	83.82/M	ELJ-FC3R3JF
3.9µH	5%	25	—	7.96	60	1.40	130	PCD1235CT-ND	.24	1.96	15.37	PCD1235TR-ND	83.82/M	ELJ-FC3R9JF
4.7µH	5%	25	—	7.96	55	1.55	125	PCD1236CT-ND	.24	1.96	15.37	PCD1236TR-ND	83.82/M	ELJ-FC4R7JF
5.6µH	5%	25	—	7.96	50	1.75	120	PCD1237CT-ND	.24	1.96	15.37	PCD1237TR-ND	83.82/M	ELJ-FC5R6JF
6.8µH	5%	25	—	7.96	45	1.95	115	PCD1238CT-ND	.24	1.96	15.37	PCD1238TR-ND	83.82/M	ELJ-FC6R8JF
8.2µH	5%	25	—	7.96	40	2.2	105	PCD1239CT-ND	.24	1.96	15.37	PCD1239TR-ND	83.82/M	ELJ-FC8R2JF
10µH	5%	25	—	2.52	32	3.5	80	PCD1240CT-ND	.24	1.96	15.37	PCD1240TR-ND	83.82/M	ELJ-FC100JF
12µH	5%	25	—	2.52	30	3.8	75	PCD1241CT-ND	.24	1.96	15.37	PCD1241TR-ND	83.82/M	ELJ-FC120JF
15µH	5%	25	—	2.52	28	4.4	70	PCD1242CT-ND	.24	1.96	15.37	PCD1242TR-ND	83.82/M	ELJ-FC150JF
18µH	5%	25	—	2.52	25	5.0	65	PCD1243CT-ND	.24	1.96	15.37	PCD1243TR-ND	83.82/M	ELJ-FC180JF
22µH	5%	25	—	2.52	22	5.8	60	PCD1244CT-ND	.24	1.96	15.37	PCD1244TR-ND	83.82/M	ELJ-FC220JF
27µH	5%	20	—	2.52	21	6.3	115	PCD1245CT-ND	.24	1.96	15.37	PCD1245TR-ND	83.82/M	ELJ-FC270JF
33µH	5%	20	—	2.52	20	7.1	110	PCD1246CT-ND	.24	1.96	15.37	PCD1246TR-ND	83.82/M	ELJ-FC330JF
39µH	5%	20	—	2.52	18	9.5	90	PCD1247CT-ND	.24	1.96	15.37	PCD1247TR-ND	83.82/M	ELJ-FC390JF
47µH	5%	20	—	2.52	17	11.00	80	PCD1248CT-ND	.24	1.96	15.37	PCD1248TR-ND	83.82/M	ELJ-FC470JF
56µH	5%	20	—	2.52	16	12.1	75	PCD1249CT-ND	.24	1.96	15.37	PCD1249TR-ND	83.82/M	ELJ-FC560JF
68µH	5%	20	—	2.52	15	16.6	70	PCD1250CT-ND	.24	1.96	15.37	PCD1250TR-ND	83.82/M	ELJ-FC680JF
82µH	5%	20	—	2.52	13	19.0	65	PCD1251CT-ND	.24	1.96	15.37	PCD1251TR-ND	83.82/M	ELJ-FC820JF
100µH	5%	15	—	0.796	12	21.0	60	PCD1252CT-ND	.24	1.96	15.37	PCD1252TR-ND	83.82/M	ELJ-FC101JF
Abb. 7, 1008 (2520) — SC-Design (10 % Toleranz)														
27µH	10%	40	—	2.52	20	4.5	18	PCD1078CT-ND	.24	1.96	15.37	PCD1078TR-ND	83.82/M	ELJ-SC270KF
33µH	10%	40	—	2.52	18	5.2	14	PCD1079CT-ND	.24	1.96	15.37	PCD1079TR-ND	83.82/M	ELJ-SC330KF
39µH	10%	40	—	2.52	15	5.7	13	PCD1080CT-ND	.24	1.96	15.37	PCD1080TR-ND	83.82/M	ELJ-SC390KF
47µH	10%	40	—	2.52	14	6.6	12	PCD1081CT-ND	.24	1.96	15.37	PCD1081TR-ND	83.82/M	ELJ-SC470KF
56µH	10%	40	—	2.52	13	7.1	10	PCD1082CT-ND	.24	1.96	15.37	PCD1082TR-ND	83.82/M	ELJ-SC560KF
68µH	10%	25	—	2.52	13	6.5	17	PCD1083CT-ND	.24	1.96	15.37	PCD1083TR-ND	83.82/M	ELJ-SC680KF
82µH	10%	25	—	2.52	13	7.4	14	PCD1084CT-ND	.24	1.96	15.37	PCD1084TR-ND	83.82/M	ELJ-SC820KF
100µH	10%	25	—	0.796	12	8.4	10	PCD1085CT-ND	.24	1.96	15.37	PCD1085TR-ND	83.82/M	ELJ-SC101KF

* Gegurtet auf Rolle Preisangaben

(Forts.)

Induktivität	Toleranz	Q min.	Q typ. @ 800 MHz	L,Q Test-frequ. (MHz)	S.R.F. Min. (MHz)	Max. RDC (Ω)	Max. IDC (mA)	Digi-Key Teilenr.	Gurtabschnittspreise 1	10	100	Digi-Key Teilenr.	T&R Pricing* 2.000	Panasonic Teilenr.
Abb. 7, 1008 (2520) — PC-Design														
1.0µH	20%	10	—	7.96	95	0.45	475	PCD1086CT-ND	.24	1.96	15.37	PCD1086TR-ND	83.82/M	ELJ-PC1R0MF
1.5µH	20%	10	—	7.96	85	0.55	435	PCD1087CT-ND	.24	1.96	15.37	PCD1087TR-ND	83.82/M	ELJ-PC1R5MF
2.2µH	20%	10	—	7.96	65	0.65	390	PCD1088CT-ND	.24	1.96	15.37	PCD1088TR-ND	83.82/M	ELJ-PC2R2MF
3.3µH	20%	8	—	7.96	55	0.85	340	PCD1089CT-ND	.24	1.96	15.37	PCD1089TR-ND	83.82/M	ELJ-PC3R3MF
4.7µH	20%	8	—	7.96	43	1.2	285	PCD1090CT-ND	.24	1.96	15.37	PCD1090TR-ND	83.82/M	ELJ-PC4R7MF
6.8µH	10%	8	—	7.96	39	1.3	275	PCD1091CT-ND	.24	1.96	15.37	PCD1091TR-ND	83.82/M	ELJ-PC6R8KF
10µH	10%	20	—	2.52	32	2.2	210	PCD1092CT-ND	.24	1.96	15.37	PCD1092TR-ND	83.82/M	ELJ-PC100KF
12µH	10%	20	—	2.52	25	2.7	195	PCD1093CT-ND	.24	1.96	15.37	PCD1093TR-ND	83.82/M	ELJ-PC120KF
15µH	10%	20	—	2.52	21	3.2	175	PCD1094CT-ND	.24	1.96	15.37	PCD1094TR-ND	83.82/M	ELJ-PC150KF
22µH	10%	20	—	2.52	18	4.0	160	PCD1095CT-ND	.24	1.96	15.37	PCD1095TR-ND	83.82/M	ELJ-PC220KF
33µH	10%	20	—	2.52	16	6.5	120	PCD1096CT-ND	.24	1.96	15.37	PCD1096TR-ND	83.82/M	ELJ-PC330KF
Abb. 8, 1210 (3225) — FA-Design														
0.22µH	20%	25	—	25.2	230	0.29	360	PCD1000CT-ND	.24	1.96	15.37	PCD1000TR-ND	83.82/M	ELJ-FAR22MF2
0.27µH	20%	25	—	25.2	210	0.32	345	PCD1001CT-ND	.24	1.96	15.37	PCD1001TR-ND	83.82/M	ELJ-FAR27MF2
0.33µH	20%	25	—	25.2	190	0.35	330	PCD1002CT-ND	.24	1.96	15.37	PCD1002TR-ND	83.82/M	ELJ-FAR33MF2
0.39µH	20%	25	—	25.2	175	0.39	305	PCD1003CT-ND	.24	1.96	15.37	PCD1003TR-ND	83.82/M	ELJ-FAR39MF2
0.47µH	20%	25	—	25.2	160	0.44	290	PCD1004CT-ND	.24	1.96	15.37	PCD1004TR-ND	83.82/M	ELJ-FAR47MF2
0.56µH	20%	25	—	25.2	150	0.49	275	PCD1005CT-ND	.24	1.96	15.37	PCD1005TR-ND	83.82/M	ELJ-FAR56MF2
0.68µH	20%	25	—	25.2	135	0.55	260	PCD1006CT-ND	.24	1.96	15.37	PCD1006TR-ND	83.82/M	ELJ-FAR68MF2
0.82µH	20%	25	—	25.2	125	0.61	245	PCD1007CT-ND	.24	1.96	15.37	PCD1007TR-ND	83.82/M	ELJ-FAR82MF2
1.0µH	10%	30	—	7.96	115	0.69	230	PCD1008CT-ND	.24	1.96	15.37	PCD1008TR-ND	83.82/M	ELJ-FA1R0KF2
1.2µH	10%	30	—	7.96	100	0.75	215	PCD1009CT-ND	.24	1.96	15.37	PCD1009TR-ND	83.82/M	ELJ-FA1R2KF2
1.5µH	10%	30	—	7.96	90	0.75	210	PCD1010CT-ND	.24	1.96	15.37	PCD1010TR-ND	83.82/M	ELJ-FA1R5KF
1.8µH	10%	30	—	7.96	85	0.82	200	PCD1011CT-ND	.24	1.96	15.37	PCD1011TR-ND	83.82/M	ELJ-FA1R8KF
2.2µH	10%	30	—	7.96	80	0.95	190	PCD1012CT-ND	.24	1.96	15.37	PCD1012TR-ND	83.82/M	ELJ-FA2R2KF
2.7µH	10%	30	—	7.96	75	1.1	180	PCD1013CT-ND	.24	1.96	15.37	PCD1013TR-ND	83.82/M	ELJ-FA2R7KF
3.3µH	10%	30	—	7.96	65	1.2	180	PCD1014CT-ND	.24	1.96	15.37	PCD1014TR-ND	83.82/M	ELJ-FA3R3KF
3.9µH	10%	30	—	7.96	60	1.3	175	PCD1015CT-ND	.24	1.96	15.37	PCD1015TR-ND	83.82/M	ELJ-FA3R9KF
4.7µH	10%	30	—	7.96	55	1.5	165	PCD1016CT-ND	.24	1.96	15.37	PCD1016TR-ND	83.82/M	ELJ-FA4R7KF
5.6µH	10%	30	—	7.96	50	1.6	160	PCD1261CT-ND	.24	1.96	15.37	PCD1261TR-ND	83.82/M	ELJ-FA5R6KF
6.8µH	10%	30	—	7.96	45	1.8	150	PCD1262CT-ND	.24	1.96	15.37	PCD1262TR-ND	83.82/M	ELJ-FA6R8KF
8.2µH	10%	30	—	7.96	40	2.0	140	PCD1263CT-ND	.24	1.96	15.37	PCD1263TR-ND	83.82/M	ELJ-FA8R2KF
10µH	10%	30	—	2.52	36	2.1	140	PCD1020CT-ND	.24	1.96	15.37	PCD1020TR-ND	83.82/M	ELJ-FA100KF
12µH	10%	30	—	2.52	33	2.5	125	PCD1021CT-ND	.24	1.96	15.37	PCD1021TR-ND	83.82/M	ELJ-FA120KF
15µH	10%	30	—	2.52	30	2.8	120	PCD1022CT-ND	.24	1.96	15.37	PCD1022TR-ND	83.82/M	ELJ-FA150KF
18µH	10%	30	—	2.52	27	3.3	110	PCD1023CT-ND	.24	1.96	15.37	PCD1023TR-ND	83.82/M	ELJ-FA180KF
22µH	10%	30	—	2.52	25	3.7	105	PCD1024CT-ND	.24	1.96	15.37	PCD1024TR-ND	83.82/M	ELJ-FA220KF
27µH	10%	30	—	2.52	22	5.0	90	PCD1025CT-ND	.24	1.96	15.37	PCD1025TR-ND	83.82/M	ELJ-FA270KF
33µH	10%	30	—	2.52	20	5.6	85	PCD1026CT-ND	.24	1.96	15.37	PCD1026TR-ND	83.82/M	ELJ-FA330KF
39µH	10%	30	—	2.52	20	6.4	80	PCD1027CT-ND	.24	1.96	15.37	PCD1027TR-ND	83.82/M	ELJ-FA390KF
47µH	10%	30	—	2.52	15	7.0	75	PCD1028CT-ND	.24	1.96	15.37	PCD1028TR-ND	83.82/M	ELJ-FA470KF
56µH	10%	30	—	2.52	15	8.0	70	PCD1029CT-ND	.24	1.96	15.37	PCD1029TR-ND	83.82/M	ELJ-FA560KF
68µH	10%	30	—	2.52	15	9.0	65	PCD1030CT-ND	.24	1.96	15.37	PCD1030TR-ND	83.82/M	ELJ-FA680KF
82µH	10%	30	—	2.52	11	10.0	60	PCD1031CT-ND	.24	1.96	15.37	PCD1031TR-ND	83.82/M	ELJ-FA820KF
100µH	10%	20	—	0.796	10	10.0	60	PCD1032CT-ND	.24	1.96	15.37	PCD1032TR-ND	83.82/M	ELJ-FA101KF
120µH	10%	20	—	0.796	10	11.0	55	PCD1033CT-ND	.24	1.96	15.37	PCD1033TR-ND	83.82/M	ELJ-FA121KF
150µH	10%	20	—	0.796	8.0	15.0	50	PCD1034CT-ND	.24	1.96	15.37	PCD1034TR-ND	83.82/M	ELJ-FA151KF
180µH	10%	20	—	0.796	7.0	17.0	50	PCD1035CT-ND	.24	1.96	15.37	PCD1035TR-ND	83.82/M	ELJ-FA181KF
220µH	10%	20	—	0.796	7.0	21.0	45	PCD1036CT-ND	.24	1.96	15.37	PCD1036TR-ND	83.82/M	ELJ-FA221KF
Abb. 8, 1210 (3225) — FA-Design (5 % Toleranz)														
1.0µH	5%	30	—	7.96	115	0.69	230	PCD1825CT-ND	.24	1.96	15.38	PCD1825TR-ND	83.82/M	ELJ-FA1R0JF2
1.2µH	5%	30	—	7.96	100	0.75	215	PCD1826CT-ND	.24	1.96	15.38	PCD1826TR-ND	83.82/M	ELJ-FA1R2JF2
1.5µH	5%	30	—	7.96	90	0.75	210	PCD1827CT-ND	.24	1.96	15.38	PCD1827TR-ND	83.82/M	ELJ-FA1R5JF
1.8µH	5%	30	—	7.96	85	0.82	200	PCD1828CT-ND	.24	1.96	15.38	PCD1828TR-ND	83.82/M	ELJ-FA1R8JF
2.2µH	5%	30	—	7.96	80	0.95	190	PCD1832CT-ND	.24	1.96	15.38	PCD1832TR-ND	83.82/M	ELJ-FA2R2JF
2.7µH	5%	30	—	7.96	75	1.1	180	PCD1833CT-ND	.24	1.96	15.38	PCD1833TR-ND	83.82/M	ELJ-FA2R7JF
3.3µH	5%	30	—	7.96	65	1.2	180	PCD1836CT-ND	.24	1.96	15.38	PCD1836TR-ND	83.82/M	ELJ-FA3R3JF
3.9µH	5%	30	—	7.96	60	1.3	175	PCD1837CT-ND	.24	1.96	15.38	PCD1837TR-ND	83.82/M	ELJ-FA3R9JF
4.7µH	5%	30	—	7.96	55	1.5	165	PCD1839CT-ND	.24	1.96	15.38	PCD1839TR-ND	83.82/M	ELJ-FA4R7JF
5.6µH	5%	30	—	7.96	50	1.6	160	PCD1841CT-ND	.24	1.96	15.38	PCD1841TR-ND	83.82/M	ELJ-FA5R6JF
6.8µH	5%	30	—	7.96	45	1.8	150	PCD1843CT-ND	.24	1.96	15.38	PCD1843TR-ND	83.82/M	ELJ-FA6R8JF
8.2µH	5%	30	—	7.96	40	2.0	140	PCD1845CT-ND	.24	1.96	15.38	PCD1845TR-ND	83.82/M	ELJ-FA8R2JF
10µH	5%	30	—	2.52	36	2.1	140	PCD1817CT-ND	.24	1.96	15.38	PCD1817TR-ND	83.82/M	ELJ-FA100JF
12µH	5%	30	—	2.52	33	2.5	125	PCD1819CT-ND	.24	1.96	15.38	PCD1819TR-ND	83.82/M	ELJ-FA120JF
15µH	5%	30	—	2.52	30	2.8	120	PCD1821CT-ND	.24	1.96	15.38	PCD1821TR-ND	83.82/M	ELJ-FA150JF
18µH	5%	30	—	2.52	27	3.3	110	PCD1823CT-ND	.24	1.96	15.38	PCD1823TR-ND	83.82/M	ELJ-FA180JF
22µH	5%	30	—	2.52	25	3.7	105	PCD1829CT-ND	.24	1.96	15.38	PCD1829TR-ND	83.82/M	ELJ-FA220JF
27µH	5%	30	—	2.52	22	5.0	90	PCD1831CT-ND	.24	1.96	15.38	PCD1831TR-ND	83.82/M	ELJ-FA270JF
33µH	5%	30	—	2.52	20	5.6	85	PCD1834CT-ND	.24	1.96	15.38	PCD1834TR-ND	83.82/M	ELJ-FA330JF
39µH	5%	30	—	2.52	20	6.4	80	PCD1835CT-ND	.24	1.96	15.38	PCD1835TR-ND	83.82/M	ELJ-FA390JF
47µH	5%	30	—	2.52	15	7.0	75	PCD1838CT-ND	.24	1.96	15.38	PCD1838TR-ND	83.82/M	ELJ-FA470JF
56µH	5%	30	—	2.52	15	8.0	70	PCD1840CT-ND	.24	1.96	15.38	PCD1840TR-ND	83.82/M	ELJ-FA560JF
68µH	5%	30	—	2.52	15	9.0	65	PCD1842CT-ND	.24	1.96	15.38	PCD1842TR-ND	83.82/M	ELJ-FA680JF
82µH	5%	30	—	2.52	11	10	60	PCD1844CT-ND	.24	1.96	15.38	PCD1844TR-ND	83.82/M	ELJ-FA820JF
100µH	5%	20	—	0.796	10	10	60	PCD1818CT-ND	.24	1.96	15.38	PCD1818TR-ND	83.82/M	ELJ-FA101JF
120µH	5%	20	—	0.796	10	11	55	PCD1820CT-ND	.24	1.96	15.38	PCD1820TR-ND	83.82/M	ELJ-FA121JF
150µH	5%	20	—	0.796	8	15	50	PCD1822CT-ND	.24	1.96	15.38	PCD1822TR-ND	83.82/M	ELJ-FA151JF
180µH	5%	20	—	0.796	7	17	50	PCD1824CT-ND	.24	1.96	15.38	PCD1824TR-ND	83.82/M	ELJ-FA181JF
220µH	5%	20	—	0.796	7	21	45	PCD1830CT-ND	.24	1.96	15.38	PCD1830TR-ND	83.82/M	ELJ-FA221JF
Abb. 8, 1210 (3225) — NA-Design														
0.047µH	20%	10	—	100	680	0.20	450	PCD1115CT-ND	.24	1.96	15.37	PCD1115TR-ND	83.82/M	ELJ-NA47NMF
0.056µH	20%	10	—	100	600	0.22	420	PCD1116CT-ND	.24	1.96	15.37	PCD1116TR-ND	83.82/M	ELJ-NA56NMF
0.068µH	20%	10	—	100	540	0.25	400	PCD1117CT-ND	.24	1.96	15.37	PCD1117TR-ND	83.82/M	ELJ-NA68NMF
0.082µH	20%	10	—	100	500	0.27	380	PCD1118CT-ND	.24	1.96	15.37	PCD1118TR-ND	83.82/M	ELJ-NA82NMF
0.10µH	20%	10	—	100	450	0.30	360	PCD1119CT-ND	.24	1.96	15.37	PCD1119TR-ND	83.82/M	ELJ-NAR10MF
0.12µH	20%	10	—	25.2	400	0.67	240	PCD1120CT-ND	.24	1.96	15.37	PCD1120TR-ND	83.82/M	ELJ-NAR12MF
0.15µH	20%	10	—	25.2	350	0.72	230	PCD1121CT-ND	.24	1.96	15.37	PCD1121TR-ND	83.82/M	ELJ-NAR15MF
0.18µH	20%	10	—	25.2	320	0.81	220	PCD1122CT-ND	.24	1.96	15.37	PCD1122TR-ND	83.82/M	ELJ-NAR18MF
0.22µH	10%	10	—	1.0, 25.2	280	0.90	210	PCD1123CT-ND	.24	1.96	15.37	PCD1123TR-ND	83.82/M	ELJ-NAR22KF
0.27µH	10%	10	—	1.0, 25.2	250	1.0	200	PCD1124CT-ND	.24	1.96	15.37	PCD1124TR-ND	83.82/M	ELJ-NAR27KF
0.33µH	10%	10	—	1.0, 25.2	220	1.1	190	PCD1125CT-ND	.24	1.96	15.37	PCD1125TR-ND	83.82/M	ELJ-NAR33KF
0.39µH	10%	10	—	1.0, 25.2	200	1.2	180	PCD1126CT-ND	.24	1.96	15.37	PCD1126TR-ND	83.82/M	ELJ-NAR39KF
0.47µH	10%	10	—	1.0, 25.2	180	1.4	175	PCD1127CT-ND	.24	1.96	15.37	PCD1127TR-ND	83.82/M	ELJ-NAR47KF
0.56µH	10%	10	—	1.0, 25.2	160	1.5	170	PCD1128CT-ND	.24	1.96	15.37	PCD1128TR-ND	83.82/M	ELJ-NAR56KF
0.68µH	10%	10	—	1.0, 25.2	150	1.7	155	PCD1129CT-ND	.24	1.96	15.37	PCD1129TR-ND	83.82/M	ELJ-NAR68KF
0.82µH	10%	10	—	1.0, 25.2	135	1.9	145	PCD1130CT-ND	.24	1.96	15.37	PCD1130TR-ND	83.82/M	ELJ-NAR82KF
1.0µH	5%	13	—	1.0, 7.96	120	2.1	125	PCD1131CT-ND	.24	1.96	15.37	PCD1131TR-ND	83.82/M	ELJ-NA1ROJF
1.2µH	5%	13	—	1.0, 7.96	110	2.3	120	PCD1132CT-ND	.24	1.96	15.37	PCD1132TR-ND	83.82/M	ELJ-NA1R2JF
1.5µH	5%	13	—	1.0, 7.96	95	2.7	115	PCD1133CT-ND	.24	1.96	15.37	PCD1133TR-ND	83.82/M	ELJ-NA1R5JF

* Gegurtet auf Rolle Preisangaben

(Forts.)

D

Induktivität	Toleranz	Q min.	Q typ.@ 800 (MHz)	L,Q Test-frequ. (MHz)	S.R.F. Min. (MHz)	Max. RDC (Ω)	Max. IDC (mA)	Digi-Key Teilenr.	Gurtabschnittspreise 1	10	100	Digi-Key Teilenr.	T&R Pricing* 2.000	Panasonic Teilenr.
1.8µH	5%	13	—	1.0, 7.96	85	3.0	110	PCD1134CT-ND	.24	1.96	15.37	PCD1134TR-ND	83.82/M	ELJ-NA1R8JF
2.2µH	5%	13	—	1.0, 7.96	80	3.2	110	PCD1135CT-ND	.24	1.96	15.37	PCD1135TR-ND	83.82/M	ELJ-NA2R2JF
2.7µH	5%	13	—	1.0, 7.96	70	3.6	105	PCD1136CT-ND	.24	1.96	15.37	PCD1136TR-ND	83.82/M	ELJ-NA2R7JF
3.3µH	5%	13	—	1.0, 7.96	62	4.2	100	PCD1137CT-ND	.24	1.96	15.37	PCD1137TR-ND	83.82/M	ELJ-NA3R3JF
3.9µH	5%	13	—	1.0, 7.96	57	4.4	95	PCD1138CT-ND	.24	1.96	15.37	PCD1138TR-ND	83.82/M	ELJ-NA3R9JF
4.7µH	5%	13	—	1.0, 7.96	52	7.7	70	PCD1139CT-ND	.24	1.96	15.37	PCD1139TR-ND	83.82/M	ELJ-NA4R7JF
5.6µH	5%	13	—	1.0, 7.96	46	8.7	65	PCD1140CT-ND	.24	1.96	15.37	PCD1140TR-ND	83.82/M	ELJ-NA5R6JF
6.8µH	5%	13	—	1.0, 7.96	42	10.0	60	PCD1141CT-ND	.24	1.96	15.37	PCD1141TR-ND	83.82/M	ELJ-NA6R8JF
8.2µH	5%	13	—	1.0, 7.96	38	11.0	60	PCD1142CT-ND	.24	1.96	15.37	PCD1142TR-ND	83.82/M	ELJ-NA8R2JF
Abb. 8, 1210 (3225) — SA-Design (10 % Toleranz)														
10µH	10%	40	—	1.0, 5.0	30	1.8	18	PCD1097CT-ND	.24	1.96	15.37	PCD1097TR-ND	83.82/M	ELJ-SA100KF
12µH	10%	40	—	1.0, 5.0	28	2.0	17	PCD1098CT-ND	.24	1.96	15.37	PCD1098TR-ND	83.82/M	ELJ-SA120KF
15µH	10%	40	—	1.0, 5.0	25	2.2	15	PCD1099CT-ND	.24	1.96	15.37	PCD1099TR-ND	83.82/M	ELJ-SA150KF
18µH	10%	40	—	1.0, 5.0	23	2.5	13	PCD1100CT-ND	.24	1.96	15.37	PCD1100TR-ND	83.82/M	ELJ-SA180KF
22µH	10%	40	—	1.0, 5.0	20	2.8	12	PCD1101CT-ND	.24	1.96	15.37	PCD1101TR-ND	83.82/M	ELJ-SA220KF
27µH	10%	40	—	1.0, 5.0	18	3.2	10	PCD1102CT-ND	.24	1.96	15.37	PCD1102TR-ND	83.82/M	ELJ-SA270KF
33µH	10%	40	—	1.0, 5.0	17	3.5	10	PCD1103CT-ND	.24	1.96	15.37	PCD1103TR-ND	83.82/M	ELJ-SA330KF
39µH	10%	40	—	1.0, 5.0	15	3.8	9.0	PCD1104CT-ND	.24	1.96	15.37	PCD1104TR-ND	83.82/M	ELJ-SA390KF
47µH	10%	40	—	1.0, 5.0	14	4.0	8.0	PCD1105CT-ND	.24	1.96	15.37	PCD1105TR-ND	83.82/M	ELJ-SA470KF
56µH	10%	40	—	1.0, 5.0	13	4.5	7.0	PCD1106CT-ND	.24	1.96	15.37	PCD1106TR-ND	83.82/M	ELJ-SA560KF
68µH	10%	40	—	1.0, 1.5	12	5.0	6.0	PCD1107CT-ND	.24	1.96	15.37	PCD1107TR-ND	83.82/M	ELJ-SA680KF
82µH	10%	40	—	1.0, 1.5	11	6.0	6.0	PCD1108CT-ND	.24	1.96	15.37	PCD1108TR-ND	83.82/M	ELJ-SA820KF
100µH	10%	40	—	1.0, 1.5	10	7.0	5.0	PCD1109CT-ND	.24	1.96	15.37	PCD1109TR-ND	83.82/M	ELJ-SA101KF
120µH	10%	40	—	1.0, 1.5	9.0	8.0	5.0	PCD1110CT-ND	.24	1.96	15.37	PCD1110TR-ND	83.82/M	ELJ-SA121KF
150µH	10%	40	—	0.1, 1.5	5.0	9.0	5.0	PCD1111CT-ND	.24	1.96	15.37	PCD1111TR-ND	83.82/M	ELJ-SA151KF
180µH	10%	40	—	0.1, 1.5	5.0	11.0	5.0	PCD1112CT-ND	.24	1.96	15.37	PCD1112TR-ND	83.82/M	ELJ-SA181KF
220µH	10%	40	—	0.1, 1.5	4.0	12.0	5.0	PCD1113CT-ND	.24	1.96	15.37	PCD1113TR-ND	83.82/M	ELJ-SA221KF
270µH	10%	40	—	0.1, 1.5	4.0	14.0	5.0	PCD1114CT-ND	.24	1.96	15.37	PCD1114TR-ND	83.82/M	ELJ-SA271KF
Abb. 8, 1210 (3225) — EA-Design														
1.0µH	20%	7	—	7.96	100	0.09	500	PCD1417CT-ND	.30	2.46	19.33	PCD1417TR-ND	105.83/M	ELJ-EA1R0MF
1.5µH	20%	7	—	7.96	80	0.10	390	PCD1418CT-ND	.30	2.46	19.33	PCD1418TR-ND	105.83/M	ELJ-EA1R5MF
2.2µH	20%	7	—	7.96	65	0.13	350	PCD1419CT-ND	.30	2.46	19.33	PCD1419TR-ND	105.83/M	ELJ-EA2R2MF
3.3µH	20%	7	—	7.96	50	0.16	270	PCD1420CT-ND	.30	2.46	19.33	PCD1420TR-ND	105.83/M	ELJ-EA3R3MF
4.7µH	20%	7	—	7.96	46	0.18	240	PCD1421CT-ND	.30	2.46	19.33	PCD1421TR-ND	105.83/M	ELJ-EA4R7MF
6.8µH	20%	7	—	7.96	36	0.25	200	PCD1422CT-ND	.30	2.46	19.33	PCD1422TR-ND	105.83/M	ELJ-EA6R8MF
10µH	10%	10	—	2.52	29	0.34	160	PCD1423CT-ND	.30	2.46	19.33	PCD1423TR-ND	105.83/M	ELJ-EA100KF
15µH	10%	10	—	2.52	25	0.42	145	PCD1424CT-ND	.30	2.46	19.33	PCD1424TR-ND	105.83/M	ELJ-EA150KF
22µH	10%	10	—	2.52	18	0.65	115	PCD1425CT-ND	.30	2.46	19.33	PCD1425TR-ND	105.83/M	ELJ-EA220KF
33µH	10%	10	—	2.52	16	0.91	95	PCD1426CT-ND	.30	2.46	19.33	PCD1426TR-ND	105.83/M	ELJ-EA330KF
47µH	10%	10	—	2.52	13	1.30	80	PCD1427CT-ND	.30	2.46	19.33	PCD1427TR-ND	105.83/M	ELJ-EA470KF
68µH	10%	10	—	2.52	10	1.95	60	PCD1428CT-ND	.30	2.46	19.33	PCD1428TR-ND	105.83/M	ELJ-EA680KF
100µH	10%	20	—	0.796	8.0	3.12	50	PCD1429CT-ND	.30	2.46	19.33	PCD1429TR-ND	105.83/M	ELJ-EA101KF
150µH	10%	20	—	0.796	7.0	4.03	45	PCD1430CT-ND	.30	2.46	19.33	PCD1430TR-ND	105.83/M	ELJ-EA151KF
220µH	10%	20	—	0.796	5.0	7.15	35	PCD1431CT-ND	.30	2.46	19.33	PCD1431TR-ND	105.83/M	ELJ-EA221KF
330µH	10%	20	—	0.796	4.0	9.23	30	PCD1432CT-ND	.30	2.46	19.33	PCD1432TR-ND	105.83/M	ELJ-EA331KF
Abb. 8, 1210 (3225) — PA-Design														
1.0µH	20%	7	—	7.96	150	0.15	600	PCD1478CT-ND	.24	1.96	15.37	PCD1478TR-ND	83.82/M	ELJ-PA1R0MF
1.5µH	20%	7	—	7.96	110	0.18	550	PCD1479CT-ND	.24	1.96	15.37	PCD1479TR-ND	83.82/M	ELJ-PA1R5MF
2.2µH	20%	7	—	7.96	80	0.23	500	PCD1480CT-ND	.24	1.96	15.37	PCD1480TR-ND	83.82/M	ELJ-PA2R2MF
3.3µH	20%	7	—	7.96	58	0.28	400	PCD1481CT-ND	.24	1.96	15.37	PCD1481TR-ND	83.82/M	ELJ-PA3R3MF
4.7µH	20%	7	—	7.96	46	0.34	350	PCD1482CT-ND	.24	1.96	15.37	PCD1482TR-ND	83.82/M	ELJ-PA4R7MF
6.8µH	20%	7	—	7.96	38	0.42	300	PCD1483CT-ND	.24	1.96	15.37	PCD1483TR-ND	83.82/M	ELJ-PA6R8MF
10µH	10%	15	—	2.52	23	0.50	240	PCD1484CT-ND	.24	1.96	15.37	PCD1484TR-ND	83.82/M	ELJ-PA100KF
12µH	10%	15	—	2.52	21	0.60	230	PCD1485CT-ND	.24	1.96	15.37	PCD1485TR-ND	83.82/M	ELJ-PA120KF
15µH	10%	15	—	2.52	18	0.74	220	PCD1486CT-ND	.24	1.96	15.37	PCD1486TR-ND	83.82/M	ELJ-PA150KF
18µH	10%	15	—	2.52	17	0.90	205	PCD1487CT-ND	.24	1.96	15.37	PCD1487TR-ND	83.82/M	ELJ-PA180KF
22µH	10%	15	—	2.52	15	1.15	185	PCD1488CT-ND	.24	1.96	15.37	PCD1488TR-ND	83.82/M	ELJ-PA220KF
27µH	10%	15	—	2.52	13	1.45	165	PCD1489CT-ND	.24	1.96	15.37	PCD1489TR-ND	83.82/M	ELJ-PA270KF
33µH	10%	15	—	2.52	12	1.65	155	PCD1490CT-ND	.24	1.96	15.37	PCD1490TR-ND	83.82/M	ELJ-PA330KF
39µH	10%	15	—	2.52	11	1.90	145	PCD1491CT-ND	.24	1.96	15.37	PCD1491TR-ND	83.82/M	ELJ-PA390KF
47µH	10%	15	—	2.52	9.5	2.25	135	PCD1492CT-ND	.24	1.96	15.37	PCD1492TR-ND	83.82/M	ELJ-PA470KF
56µH	10%	15	—	2.52	8.5	3.30	110	PCD1493CT-ND	.24	1.96	15.37	PCD1493TR-ND	83.82/M	ELJ-PA560KF
68µH	10%	15	—	2.52	7.5	3.70	105	PCD1494CT-ND	.24	1.96	15.37	PCD1494TR-ND	83.82/M	ELJ-PA680KF
82µH	10%	15	—	2.52	7.0	4.20	100	PCD1495CT-ND	.24	1.96	15.37	PCD1495TR-ND	83.82/M	ELJ-PA820KF
100µH	10%	20	—	0.796	6.5	5.00	90	PCD1496CT-ND	.24	1.96	15.37	PCD1496TR-ND	83.82/M	ELJ-PA101KF
120µH	10%	20	—	0.796	6.0	7.00	75	PCD1497CT-ND	.24	1.96	15.37	PCD1497TR-ND	83.82/M	ELJ-PA121KF
150µH	10%	20	—	0.796	5.5	8.00	70	PCD1498CT-ND	.24	1.96	15.37	PCD1498TR-ND	83.82/M	ELJ-PA151KF
180µH	10%	20	—	0.796	5.0	9.50	65	PCD1499CT-ND	.24	1.96	15.37	PCD1499TR-ND	83.82/M	ELJ-PA181KF
220µH	10%	20	—	0.796	4.0	11.0	60	PCD1500CT-ND	.24	1.96	15.37	PCD1500TR-ND	83.82/M	ELJ-PA221KF
270µH	10%	20	—	0.796	3.5	14.5	55	PCD1501CT-ND	.24	1.96	15.37	PCD1501TR-ND	83.82/M	ELJ-PA271KF
330µH	10%	20	—	0.796	3.0	16.0	50	PCD1502CT-ND	.24	1.96	15.37	PCD1502TR-ND	83.82/M	ELJ-PA331KF
Induktivität	**Toleranz**	**Q min.**	**Q typ. @ 800 (MHz)**	**L,Q Test-frequ. (MHz)**	**S.R.F. Min. (MHz)**	**Max. RDC (Ω)**	**Max. IDC (mA)**	**Digi-Key Teilenr.**	**Gurtabschnittspreise 1**	**10**	**100**	**Digi-Key Teilenr.**	**T&R Pricing* 500**	**Panasonic Teilenr.**
Abb. 9, 1812 (4532) — Typ FB														
.22µH	20%	30	—	25.2	230	0.30	700	PCD1433CT-ND	.43	3.50	23.37	PCD1433TR-ND	68.15	ELJ-FBR22MF
.27µH	20%	30	—	25.2	200	0.32	650	PCD1434CT-ND	.43	3.50	23.37	PCD1434TR-ND	68.15	ELJ-FBR27MF
.33µH	20%	30	—	25.2	180	0.35	630	PCD1435CT-ND	.43	3.50	23.37	PCD1435TR-ND	68.15	ELJ-FBR33MF
.39µH	20%	30	—	25.2	155	0.37	620	PCD1436CT-ND	.43	3.50	23.37	PCD1436TR-ND	68.15	ELJ-FBR39MF
.47µH	20%	30	—	25.2	135	0.40	580	PCD1437CT-ND	.43	3.50	23.37	PCD1437TR-ND	68.15	ELJ-FBR47MF
.56µH	20%	30	—	25.2	120	0.42	560	PCD1438CT-ND	.43	3.50	23.37	PCD1438TR-ND	68.15	ELJ-FBR56MF
.68µH	20%	30	—	25.2	105	0.48	530	PCD1439CT-ND	.43	3.50	23.37	PCD1439TR-ND	68.15	ELJ-FBR68MF
.82µH	20%	30	—	25.2	90	0.50	500	PCD1440CT-ND	.43	3.50	23.37	PCD1440TR-ND	68.15	ELJ-FBR82MF
1.0µH	10%	30	—	25.2	80	0.52	470	PCD1441CT-ND	.43	3.50	23.37	PCD1441TR-ND	68.15	ELJ-FB1R0KF
1.2µH	10%	30	—	25.2	70	0.55	460	PCD1442CT-ND	.43	3.50	23.37	PCD1442TR-ND	68.15	ELJ-FB1R2KF
1.5µH	10%	30	—	25.2	60	0.61	430	PCD1443CT-ND	.43	3.50	23.37	PCD1443TR-ND	68.15	ELJ-FB1R5KF
1.8µH	10%	30	—	25.2	50	0.61	410	PCD1444CT-ND	.43	3.50	23.37	PCD1444TR-ND	68.15	ELJ-FB1R8KF
2.2µH	10%	30	—	7.96	45	0.61	410	PCD1445CT-ND	.43	3.50	23.37	PCD1445TR-ND	68.15	ELJ-FB2R2KF
2.7µH	10%	50	—	7.96	43	0.61	400	PCD1446CT-ND	.43	3.50	23.37	PCD1446TR-ND	68.15	ELJ-FB2R7KF
3.3µH	10%	50	—	7.96	39	0.66	380	PCD1447CT-ND	.43	3.50	23.37	PCD1447TR-ND	68.15	ELJ-FB3R3KF
3.9µH	10%	50	—	7.96	36	0.74	360	PCD1448CT-ND	.43	3.50	23.37	PCD1448TR-ND	68.15	ELJ-FB3R9KF
4.7µH	10%	50	—	5.0	33	0.81	350	PCD1449CT-ND	.43	3.50	23.37	PCD1449TR-ND	68.15	ELJ-FB4R7KF
5.6µH	10%	50	—	5.0	30	0.88	330	PCD1450CT-ND	.43	3.50	23.37	PCD1450TR-ND	68.15	ELJ-FB5R6KF
6.8µH	10%	50	—	5.0	26	1.0	310	PCD1451CT-ND	.43	3.50	23.37	PCD1451TR-ND	68.15	ELJ-FB6R8KF
8.2µH	10%	50	—	5.0	24	1.6	250	PCD1452CT-ND	.43	3.50	23.37	PCD1452TR-ND	68.15	ELJ-FB8R2KF
10µH	5%	50	—	5.0	22	1.8	235	PCD1453CT-ND	.43	3.50	23.37	PCD1453TR-ND	68.15	ELJ-FB100JF
12µH	5%	50	—	5.0	20	1.9	225	PCD1454CT-ND	.43	3.50	23.37	PCD1454TR-ND	68.15	ELJ-FB120JF
15µH	5%	50	—	5.0	18	2.1	215	PCD1455CT-ND	.43	3.50	23.37	PCD1455TR-ND	68.15	ELJ-FB150JF
18µH	5%	50	—	5.0	16	2.3	205	PCD1456CT-ND	.43	3.50	23.37	PCD1456TR-ND	68.15	ELJ-FB180JF
22µH	5%	50	—	2.52	15	2.6	195	PCD1457CT-ND	.43	3.50	23.37	PCD1457TR-ND	68.15	ELJ-FB220JF
27µH	5%	50	—	2.52	13	2.9	185	PCD1458CT-ND	.43	3.50	23.37	PCD1458TR-ND	68.15	ELJ-FB270JF
33µH	5%	50	—	2.52	12	3.1	175	PCD1459CT-ND	.43	3.50	23.37	PCD1459TR-ND	68.15	ELJ-FB330JF

* Gegurtet auf Rolle Preisangaben

(Forts.)

Induktivität	Toleranz	Q min.	Q typ. @ 800 (MHz)	L,Q Test-frequ. (MHz)	S.R.F. Min. (MHz)	Max. RDC (Ω)	Max. IDC (mA)	Digi-Key Teilenr.	Gurtabschnittspreise 1	10	100	Digi-Key Teilenr.	T&R Pricing* 500	Panasonic Teilenr.
39µH	5%	50	—	2.52	10	3.6	165	PCD1460CT-ND	.43	3.50	23.37	PCD1460TR-ND	68.15	ELJ-FB390JF
47µH	5%	50	—	2.52	9.7	4.2	130	PCD1461CT-ND	.43	3.50	23.37	PCD1461TR-ND	68.15	ELJ-FB470JF
56µH	5%	40	—	2.52	9.0	4.7	125	PCD1462CT-ND	.43	3.50	23.37	PCD1462TR-ND	68.15	ELJ-FB560JF
68µH	5%	40	—	2.52	8.2	5.3	115	PCD1463CT-ND	.43	3.50	23.37	PCD1463TR-ND	68.15	ELJ-FB680JF
82µH	5%	40	—	2.52	7.5	5.9	110	PCD1464CT-ND	.43	3.50	23.37	PCD1464TR-ND	68.15	ELJ-FB820JF
100µH	5%	40	—	2.52	6.7	8.8	105	PCD1465CT-ND	.43	3.50	23.37	PCD1465TR-ND	68.15	ELJ-FB101JF
120µH	5%	40	—	1.5	6.1	10	100	PCD1466CT-ND	.43	3.50	23.37	PCD1466TR-ND	68.15	ELJ-FB121JF
150µH	5%	40	—	1.5	5.5	11	95	PCD1467CT-ND	.43	3.50	23.37	PCD1467TR-ND	68.15	ELJ-FB151JF
180µH	5%	40	—	1.5	5.1	13	85	PCD1468CT-ND	.43	3.50	23.37	PCD1468TR-ND	68.15	ELJ-FB181JF
220µH	5%	40	—	0.796	4.5	13	85	PCD1469CT-ND	.43	3.50	23.37	PCD1469TR-ND	68.15	ELJ-FB221JF
270µH	5%	40	—	0.796	4.1	14	80	PCD1470CT-ND	.43	3.50	23.37	PCD1470TR-ND	68.15	ELJ-FB271JF
330µH	5%	40	—	0.796	3.7	16	75	PCD1471CT-ND	.43	3.50	23.37	PCD1471TR-ND	68.15	ELJ-FB331JF
390µH	5%	40	—	0.796	3.3	19	70	PCD1472CT-ND	.43	3.50	23.37	PCD1472TR-ND	68.15	ELJ-FB391JF
470µH	5%	30	—	0.796	3.3	31	55	PCD1473CT-ND	.43	3.50	23.37	PCD1473TR-ND	68.15	ELJ-FB471JF
560µH	5%	30	—	0.796	2.7	35	50	PCD1474CT-ND	.43	3.50	23.37	PCD1474TR-ND	68.15	ELJ-FB561JF
680µH	5%	30	—	0.796	2.5	39	50	PCD1475CT-ND	.43	3.50	23.37	PCD1475TR-ND	68.15	ELJ-FB681JF
820µH	5%	30	—	0.796	2.4	45	45	PCD1476CT-ND	.43	3.50	23.37	PCD1476TR-ND	68.15	ELJ-FB821JF
1000µH	5%	30	—	0.796	2.1	53	40	PCD1477CT-ND	.43	3.50	23.37	PCD1477TR-ND	68.15	ELJ-FB102JF
Abb. 9, 1812 (4532) — FB-Design (10 % Toleranz)														
10µH	10%	10	—	2.52	19	0.65	360	PCD1522CT-ND	.53	4.34	28.95	PCD1522TR-ND	84.66	ELJ-PB100KF
12µH	10%	10	—	2.52	17	0.70	340	PCD1523CT-ND	.53	4.34	28.95	PCD1523TR-ND	84.66	ELJ-PB120KF
15µH	10%	10	—	2.52	15	0.80	320	PCD1524CT-ND	.53	4.34	28.95	PCD1524TR-ND	84.66	ELJ-PB150KF
18µH	10%	10	—	2.52	14	0.90	310	PCD1525CT-ND	.53	4.34	28.95	PCD1525TR-ND	84.66	ELJ-PB180KF
22µH	10%	10	—	2.52	13	1.00	300	PCD1526CT-ND	.53	4.34	28.95	PCD1526TR-ND	84.66	ELJ-PB220KF
27µH	10%	10	—	2.52	11	1.20	270	PCD1527CT-ND	.53	4.34	28.95	PCD1527TR-ND	84.66	ELJ-PB270KF
33µH	10%	10	—	2.52	10	1.40	250	PCD1528CT-ND	.53	4.34	28.95	PCD1528TR-ND	84.66	ELJ-PB330KF
39µH	10%	10	—	2.52	9.5	1.60	230	PCD1529CT-ND	.53	4.34	28.95	PCD1529TR-ND	84.66	ELJ-PB390KF
47µH	10%	10	—	2.52	8.5	1.90	210	PCD1530CT-ND	.53	4.34	28.95	PCD1530TR-ND	84.66	ELJ-PB470KF
56µH	10%	10	—	2.52	8	2.20	190	PCD1531CT-ND	.53	4.34	28.95	PCD1531TR-ND	84.66	ELJ-PB560KF
68µH	10%	10	—	2.52	7	2.60	170	PCD1532CT-ND	.53	4.34	28.95	PCD1532TR-ND	84.66	ELJ-PB680KF
82µH	10%	10	—	2.52	6.5	3.50	160	PCD1533CT-ND	.53	4.34	28.95	PCD1533TR-ND	84.66	ELJ-PB820KF
100µH	10%	20	—	0.796	6	4.00	150	PCD1534CT-ND	.53	4.34	28.95	PCD1534TR-ND	84.66	ELJ-PB101KF
120µH	10%	20	—	0.796	5.5	4.50	130	PCD1535CT-ND	.53	4.34	28.95	PCD1535TR-ND	84.66	ELJ-PB121KF
150µH	10%	20	—	0.796	5	6.50	120	PCD1536CT-ND	.53	4.34	28.95	PCD1536TR-ND	84.66	ELJ-PB151KF
180µH	10%	20	—	0.796	4.5	7.50	110	PCD1537CT-ND	.53	4.34	28.95	PCD1537TR-ND	84.66	ELJ-PB181KF
220µH	10%	20	—	0.796	4	9.00	90	PCD1538CT-ND	.53	4.34	28.95	PCD1538TR-ND	84.66	ELJ-PB221KF

* Gegurtet auf Rolle Preisangaben

THIN FILM TECHNOLOGY

SSM SUSUMU CO., LTD Dünnfilminduktoren

Merkmale:

• Hervorragende Induktivitätstoleranzen • Dünne Packungsprofile • Eigenresonanzfrequenzen von über 1 GHz • Hohe Q-Werte • Hohe Nennströme • Die HPL-Serie der Dünnfilminduktoren von Susumu trägt zu einer bleifreien Komposition von elektronischen Produkten bei

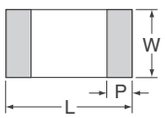

Serie	Abmessung L	W	P	T
HPL0603	0.60 ± 0.05	0.30 ± 0.05	0.07 ± 0.05	0.28 ± 0.05
HPL1005	1.00 ± 0.10	0.50 ± 0.10	0.15 ± 0.10	0.40 ± 0.10
TFL0816	1.60 ± 0.10	0.80 ± 0.10	0.30 ± 0.20	0.45 ± 0.10

Induktivität (nH)	Toleranz	Q min.	Tes-frequ. (MHz)	S.R.F. Min. (GHz)	DCR (Ω) Max.	Nennstrom (mA)	Digi-Key Teilenr.	Gurtabschnittspreise 10	100	500	Digi-Key Teilenr.	Gegurtet auf Rolle Größe	Preisangaben	Susumu Teilenr.
HPL0603 Serie 0201 Packung BLEIFREI														
1.0	± 0.2nH	15	300	10	0.24	510	408-1015-1-ND	.75	6.22	24.45	408-1015-2-ND	10,000	26.67/M	HPL0603-1N0
1.2	± 0.2nH	15	300	10	0.30	460	408-1016-1-ND	.75	6.22	24.45	408-1016-2-ND	10,000	26.67/M	HPL0603-1N2
1.5	± 0.2nH	15	300	10	0.26	490	408-1017-1-ND	.75	6.22	24.45	408-1017-2-ND	10,000	26.67/M	HPL0603-1N5
1.8	± 0.2nH	15	300	10	0.36	420	408-1018-1-ND	.75	6.22	24.45	408-1018-2-ND	10,000	26.67/M	HPL0603-1N8
2.2	± 0.2nH	15	300	10	0.50	350	408-1019-1-ND	.75	6.22	24.45	408-1019-2-ND	10,000	26.67/M	HPL0603-2N2
2.7	± 0.2nH	13	300	10	0.54	340	408-1020-1-ND	.75	6.22	24.45	408-1020-2-ND	10,000	26.67/M	HPL0603-2N7
3.3	± 0.2nH	13	300	7	0.66	310	408-1021-1-ND	.75	6.22	24.45	408-1021-2-ND	10,000	26.67/M	HPL0603-3N3
3.9	± 0.2nH	13	300	7	0.80	280	408-1022-1-ND	.75	6.22	24.45	408-1022-2-ND	10,000	26.67/M	HPL0603-3N9
4.7	± 0.2nH	13	300	7	1.00	250	408-1023-1-ND	.75	6.22	24.45	408-1023-2-ND	10,000	26.67/M	HPL0603-4N7
5.6	± 0.2nH	10	300	6	1.60	200	408-1024-1-ND	.75	6.22	24.45	408-1024-2-ND	10,000	26.67/M	HPL0603-5N6
HPL1005 Serie 0402 Packung BLEIFREI														
1.0	± 0.2nH	15	300	7	0.03	1800	408-1000-1-ND	.75	6.22	24.45	408-1000-2-ND	10,000	26.67/M	HPL1005-1N0
1.2	± 0.2nH	15	300	7	0.08	1400	408-1001-1-ND	.75	6.22	24.45	408-1001-2-ND	10,000	26.67/M	HPL1005-1N2
1.5	± 0.2nH	15	300	7	0.10	1200	408-1002-1-ND	.75	6.22	24.45	408-1002-2-ND	10,000	26.67/M	HPL1005-1N5
1.8	± 0.2nH	15	300	7	0.14	1000	408-1003-1-ND	.75	6.22	24.45	408-1003-2-ND	10,000	26.67/M	HPL1005-1N8
2.2	± 0.2nH	15	300	7	0.15	900	408-1004-1-ND	.75	6.22	24.45	408-1004-2-ND	10,000	26.67/M	HPL1005-2N2
2.7	± 0.2nH	13	300	7	0.23	750	408-1005-1-ND	.75	6.22	24.45	408-1005-2-ND	10,000	26.67/M	HPL1005-2N7
3.3	± 0.2nH	13	300	7	0.25	700	408-1006-1-ND	.75	6.22	24.45	408-1006-2-ND	10,000	26.67/M	HPL1005-3N3
3.9	± 0.2nH	13	300	7	0.30	620	408-1007-1-ND	.75	6.22	24.45	408-1007-2-ND	10,000	26.67/M	HPL1005-3N9
4.7	± 0.2nH	13	300	6	0.50	500	408-1008-1-ND	.75	6.22	24.45	408-1008-2-ND	10,000	26.67/M	HPL1005-4N7
5.6	± 0.2nH	10	300	5.5	0.70	450	408-1009-1-ND	.75	6.22	24.45	408-1009-2-ND	10,000	26.67/M	HPL1005-5N6
6.8	± 0.2nH	10	300	4.5	0.80	430	408-1010-1-ND	.75	6.22	24.45	408-1010-2-ND	10,000	26.67/M	HPL1005-6N8
8.2	± 0.2nH	10	300	4	1.10	340	408-1011-1-ND	.75	6.22	24.45	408-1011-2-ND	10,000	26.67/M	HPL1005-8N2
10	± 2%	10	300	3.5	1.40	300	408-1012-1-ND	.75	6.22	24.45	408-1012-2-ND	10,000	26.67/M	HPL1005-10N
12	± 2%	10	300	3.5	1.65	270	408-1013-1-ND	.75	6.22	24.45	408-1013-2-ND	10,000	26.67/M	HPL1005-12N
15	± 2%	10	300	3.5	2.25	240	408-1014-1-ND	.75	6.22	24.45	408-1014-2-ND	10,000	26.67/M	HPL1005-15N
TFL0816 Serie 0603 Packung														
1.0	± 0.2nH	20	300	6	0.10	1000	408-1025-1-ND	1.44	11.85	46.56	408-1025-2-ND	5,000	50.80/M	TFL0816-1N0
1.2	± 0.2nH	20	300	6	0.10	1000	408-1026-1-ND	1.44	11.85	46.56	408-1026-2-ND	5,000	50.80/M	TFL0816-1N2
1.5	± 0.2nH	20	300	6	0.10	1000	408-1027-1-ND	1.44	11.85	46.56	408-1027-2-ND	5,000	50.80/M	TFL0816-1N5
1.8	± 0.2nH	20	300	6	0.15	800	408-1028-1-ND	1.44	11.85	46.56	408-1028-2-ND	5,000	50.80/M	TFL0816-1N8
2.2	± 0.2nH	20	300	6	0.15	800	408-1029-1-ND	1.44	11.85	46.56	408-1029-2-ND	5,000	50.80/M	TFL0816-2N2
2.7	± 0.2nH	20	300	6	0.15	800	408-1030-1-ND	1.44	11.85	46.56	408-1030-2-ND	5,000	50.80/M	TFL0816-2N7
3.3	± 0.2nH	20	300	6	0.20	700	408-1031-1-ND	1.44	11.85	46.56	408-1031-2-ND	5,000	50.80/M	TFL0816-3N3
3.9	± 0.2nH	20	300	6	0.20	700	408-1032-1-ND	1.44	11.85	46.56	408-1032-2-ND	5,000	50.80/M	TFL0816-3N9
4.7	± 0.2nH	20	300	5	0.25	600	408-1033-1-ND	1.44	11.85	46.56	408-1033-2-ND	5,000	50.80/M	TFL0816-4N7
5.6	± 0.2nH	15	300	5	0.50	400	408-1034-1-ND	1.44	11.85	46.56	408-1034-2-ND	5,000	50.80/M	TFL0816-5N6
6.8	± 0.2nH	15	300	5	0.50	400	408-1035-1-ND	1.44	11.85	46.56	408-1035-2-ND	5,000	50.80/M	TFL0816-6N8
8.2	± 0.2nH	15	300	4	0.50	400	408-1036-1-ND	1.44	11.85	46.56	408-1036-2-ND	5,000	50.80/M	TFL0816-8N2
10	± 2%	15	300	4	1.0	300	408-1037-1-ND	1.44	11.85	46.56	408-1037-2-ND	5,000	50.80/M	TFL0816-10N
12	± 2%	15	300	3	1.0	300	408-1038-1-ND	1.44	11.85	46.56	408-1038-2-ND	5,000	50.80/M	TFL0816-12N
15	± 2%	15	300	3	1.0	300	408-1039-1-ND	1.44	11.85	46.56	408-1039-2-ND	5,000	50.80/M	TFL0816-15N
18	± 2%	15	300	2	1.5	250	408-1040-1-ND	1.44	11.85	46.56	408-1040-2-ND	5,000	50.80/M	TFL0816-18N
22	± 2%	15	300	2	1.5	250	408-1041-1-ND	1.44	11.85	46.56	408-1041-2-ND	5,000	50.80/M	TFL0816-22N
27	± 2%	15	300	2	2.0	200	408-1042-1-ND	1.44	11.85	46.56	408-1042-2-ND	5,000	50.80/M	TFL0816-27N
33	± 2%	15	200	1.5	2.0	200	408-1043-1-ND	1.44	11.85	46.56	408-1043-2-ND	5,000	50.80/M	TFL0816-33N
39	± 2%	15	200	1.5	3.0	180	408-1044-1-ND	1.44	11.85	46.56	408-1044-2-ND	5,000	50.80/M	TFL0816-39N
47	± 2%	15	200	1.5	3.0	180	408-1045-1-ND	1.44	11.85	46.56	408-1045-2-ND	5,000	50.80/M	TFL0816-47N
56	± 2%	15	200	1	4.0	150	408-1046-1-ND	1.44	11.85	46.56	408-1046-2-ND	5,000	50.80/M	TFL0816-56N
68	± 2%	15	200	1	4.5	140	408-1047-1-ND	1.44	11.85	46.56	408-1047-2-ND	5,000	50.80/M	TFL0816-68N
82	± 2%	10	200	1	6.0	120	408-1048-1-ND	1.44	11.85	46.56	408-1048-2-ND	5,000	50.80/M	TFL0816-82N
100	± 2%	10	200	1	8.5	100	408-1049-1-ND	1.44	11.85	46.56	408-1049-2-ND	5,000	50.80/M	TFL0816-R10

Step-Up-Spannungsspule

Abb. 1

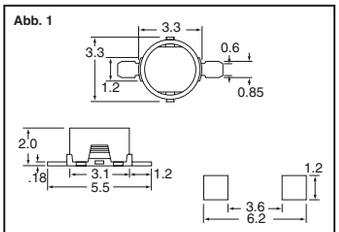

Abb. 2

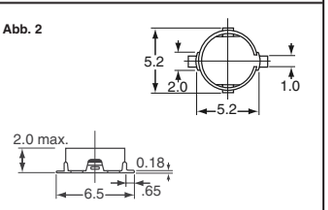

Abb. 3

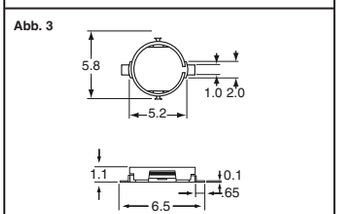

Chip-Serie hochinduktiver Step-Up-Spannungsspulen für piezoelektrischen Summer und EL DC-DC-Schaltkreis

Merkmale: • Klein und dünn • Hohe Induktivität

Empfohlene Anwendungen: • Uhren, Spielwaren, Kameras, elektronische Thermometer, Pager, PHS, Handys

Betriebstemperatur: -20 °C ~ +85 °C (-20 °C ~ +105 °C für Typ 5KT).

Abb.	Induktivität (µH)	Toleranz (%)	Nennstrom mA	DCR (Ω) (±15 %)	Digi-Key Teilenr.	Gurtabschnittspreis pro Stück 1	10	100	Digi-Key Teilenr.	Gegurtet auf Rolle Größe	Preisangaben	Panasonic Teilenr.
					Typ 3KN							
1	560	—	45	15	PCD1397CT-ND	1.78	1.47	1.16	PCD1397TR-ND	1,000	629.02	ELT-3KN128B
	1.0	—	30	35	PCD1398CT-ND	1.78	1.47	1.16	PCD1398TR-ND	1,000	629.02	ELT-3KN104B
	1.0	—	40	23	PCD1399CT-ND	1.78	1.47	1.16	PCD1399TR-ND	1,000	629.02	ELT-3KN121B
	1.0	—	30	25	PCD1400CT-ND	1.78	1.47	1.16	PCD1400TR-ND	1,000	629.02	ELT-3KN123B
	2.0	—	20	44	PCD1401CT-ND	1.78	1.47	1.16	PCD1401TR-ND	1,000	629.02	ELT-3KN131B
	2.5	—	20	64	PCD1402CT-ND	1.78	1.47	1.16	PCD1402TR-ND	1,000	629.02	ELT-3KN118B
	4.0	—	15	85	PCD1403CT-ND	1.78	1.47	1.16	PCD1403TR-ND	1,000	629.02	ELT-3KN124B
					Typ 5KN							
2	220.0	±10	100	2.4	PCD1550CT-ND	1.89	1.56	1.23	PCD1550TR-ND	4,000	667.12/M	ELT-5KN127C
	560.0	±10	60	6.0	PCD1551CT-ND	1.89	1.56	1.23	PCD1551TR-ND	4,000	667.12/M	ELT-5KN118C
	390	±10	120	2.8	PCD1552CT-ND	1.89	1.56	1.23	PCD1552TR-ND	4,000	667.12/M	ELT-5KN131C
	1000	±10	55	11.5	PCD1553CT-ND	1.89	1.56	1.23	PCD1553TR-ND	4,000	667.12/M	ELT-5KN134C
	1500	±10	40	20.0	PCD1554CT-ND	1.89	1.56	1.23	PCD1554TR-ND	4,000	667.12/M	ELT-5KN135C
	2700	±10	35	33.0	PCD1555CT-ND	1.89	1.56	1.23	PCD1555TR-ND	4,000	667.12/M	ELT-5KN120C
					Typ 5KT							
3	3.3	±20	1000	0.17	PCD1556CT-ND	2.07	1.71	1.34	PCD1556TR-ND	5,000	730.62/M	ELT-5KT3R3MA
	4.7	±20	950	0.20	PCD1557CT-ND	2.07	1.71	1.34	PCD1557TR-ND	5,000	730.62/M	ELT-5KT4R7MA
	6.8	±20	760	0.30	PCD1558CT-ND	2.07	1.71	1.34	PCD1558TR-ND	5,000	730.62/M	ELT-5KT6R8MA
	10.0	±20	680	0.36	PCD1559CT-ND	2.07	1.71	1.34	PCD1559TR-ND	5,000	730.62/M	ELT-5KT100MA
	15.0	±15	510	0.58	PCD1560CT-ND	2.07	1.71	1.34	PCD1560TR-ND	5,000	730.62/M	ELT-5KT150LA
	22.0	±15	420	0.90	PCD1561CT-ND	2.07	1.71	1.34	PCD1561TR-ND	5,000	730.62/M	ELT-5KT220LA
	33.0	±15	360	1.20	PCD1562CT-ND	2.07	1.71	1.34	PCD1562TR-ND	5,000	730.62/M	ELT-5KT330LA
	47.0	±15	300	1.70	PCD1563CT-ND	2.07	1.71	1.34	PCD1563TR-ND	5,000	730.62/M	ELT-5KT470LA
	68.0	±15	260	2.60	PCD1564CT-ND	2.07	1.71	1.34	PCD1564TR-ND	5,000	730.62/M	ELT-5KT680LA
	100.0	±15	190	4.30	PCD1565CT-ND	2.07	1.71	1.34	PCD1565TR-ND	5,000	730.62/M	ELT-5KT101LA

D

SMD-Leistungs-Drosselspulen

Typ ELL6RH und ELL6SH

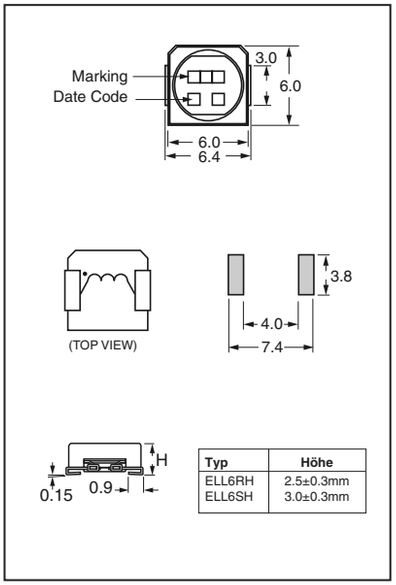

Typ	Höhe
ELL6RH	2.5±0.3mm
ELL6SH	3.0±0.3mm

Magnetisch abgeschirmte Serien

Merkmale:

- Dünner Typ (ELL6RH – 2,5 mm Höhe, ELL6SH – 3,0 mm Höhe)
- Höhere Montagezuverlässigkeit durch getrennte Benutzeranschlüsse und interne Verbindungen
- Hohe Stromstärke

Empfohlene Anwendungen:

- Video, Audio, mobile Komunikation, batteriebetriebene Antriebssysteme
- Drosselspulen f. Chopper-Schaltkreise und Entkopplungsdrosseln in DC/DC-Umwandlerschaltkreisen

Vorsicht im Gebrauch mit:

- DC/DC-Umwandlern – Chopper-Typ: Maximal 1 W
- Betriebstemperatur: Max. 105 °C (einschl. Eigentemperaturanstieg)

*** Nennstrom:**

Dies ist der Stromwert, wenn die Induktivität 80 % höher als der Nennwert ist und der Temperaturanstieg Δt = 45 °C bei DC-Überlagerung (bei 20 °C) geringer ist.

Induktivität bei 100 kHz Tol. ±20 %	DCR bei 20 °C Tol. ±20 %	Nennstrom* (mA)	Digi-Key Teilenr.	Gurtabschnittspreis pro Stück 1	10	100	Digi-Key Teilenr.	Gegurtet auf Rolle 1,000	Panasonic Teilenr.
			Serie ELL6RH						
1.0µH	0.019Ω	3000	PCD1337CT-ND	1.03	.86	.68	PCD1337TR-ND	365.73	ELL-6RH1R0M
1.5µH	0.024Ω	2400	PCD1338CT-ND	1.03	.86	.68	PCD1338TR-ND	365.73	ELL-6RH1R5M
2.7µH	0.039Ω	1800	PCD1339CT-ND	1.03	.86	.68	PCD1339TR-ND	365.73	ELL-6RH2R7M
3.3µH	0.044Ω	1600	PCD1340CT-ND	1.03	.86	.68	PCD1340TR-ND	365.73	ELL-6RH3R3M
5.1µH	0.056Ω	1550	PCD1341CT-ND	1.03	.86	.68	PCD1341TR-ND	365.73	ELL-6RH5R1M
6.2µH	0.062Ω	1400	PCD1342CT-ND	1.03	.86	.68	PCD1342TR-ND	365.73	ELL-6RH6R2M
7.5µH	0.080Ω	1250	PCD1343CT-ND	1.03	.86	.68	PCD1343TR-ND	365.73	ELL-6RH7R5M
8.2µH	0.087Ω	1200	PCD1344CT-ND	1.03	.86	.68	PCD1344TR-ND	365.73	ELL-6RH8R2M
10µH	0.095Ω	1100	PCD1345CT-ND	1.03	.86	.68	PCD1345TR-ND	365.73	ELL-6RH100M
12µH	0.13Ω	1000	PCD1346CT-ND	1.03	.86	.68	PCD1346TR-ND	365.73	ELL-6RH120M
15µH	0.15Ω	850	PCD1347CT-ND	1.03	.86	.68	PCD1347TR-ND	365.73	ELL-6RH150M
18µH	0.17Ω	800	PCD1348CT-ND	1.03	.86	.68	PCD1348TR-ND	365.73	ELL-6RH180M
22µH	0.22Ω	700	PCD1349CT-ND	1.03	.86	.68	PCD1349TR-ND	365.73	ELL-6RH220M
27µH	0.26Ω	650	PCD1350CT-ND	1.03	.86	.68	PCD1350TR-ND	365.73	ELL-6RH270M
33µH	0.38Ω	600	PCD1351CT-ND	1.03	.86	.68	PCD1351TR-ND	365.73	ELL-6RH330M
39µH	0.41Ω	550	PCD1352CT-ND	1.03	.86	.68	PCD1352TR-ND	365.73	ELL-6RH390M
47µH	0.48Ω	500	PCD1353CT-ND	1.03	.86	.68	PCD1353TR-ND	365.73	ELL-6RH470M
56µH	0.54Ω	450	PCD1354CT-ND	1.03	.86	.68	PCD1354TR-ND	365.73	ELL-6RH560M
68µH	0.77Ω	400	PCD1355CT-ND	1.03	.86	.68	PCD1355TR-ND	365.73	ELL-6RH680M
82µH	0.87Ω	350	PCD1356CT-ND	1.03	.86	.68	PCD1356TR-ND	365.73	ELL-6RH820M
100µH	1.00Ω	300	PCD1357CT-ND	1.03	.86	.68	PCD1357TR-ND	365.73	ELL-6RH101M
120µH	1.50Ω	280	PCD1358CT-ND	1.03	.86	.68	PCD1358TR-ND	365.73	ELL-6RH121M
150µH	1.80Ω	250	PCD1359CT-ND	1.03	.86	.68	PCD1359TR-ND	365.73	ELL-6RH151M
180µH	2.00Ω	230	PCD1360CT-ND	1.03	.86	.68	PCD1360TR-ND	365.73	ELL-6RH181M
220µH	2.30Ω	200	PCD1361CT-ND	1.03	.86	.68	PCD1361TR-ND	365.73	ELL-6RH221M
			Serie ELL6SH						
1.0µH	0.019Ω	3400	PCD1362CT-ND	1.03	.86	.68	PCD1362TR-ND	365.73	ELL-6SH1R0M
1.5µH	0.024Ω	3200	PCD1363CT-ND	1.03	.86	.68	PCD1363TR-ND	365.73	ELL-6SH1R5M
2.7µH	0.031Ω	2400	PCD1364CT-ND	1.03	.86	.68	PCD1364TR-ND	365.73	ELL-6SH2R7M
3.3µH	0.034Ω	2200	PCD1365CT-ND	1.03	.86	.68	PCD1365TR-ND	365.73	ELL-6SH3R3M
4.7µH	0.042Ω	2000	PCD1366CT-ND	1.03	.86	.68	PCD1366TR-ND	365.73	ELL-6SH4R7M
5.6µH	0.049Ω	1800	PCD1367CT-ND	1.03	.86	.68	PCD1367TR-ND	365.73	ELL-6SH5R6M
6.8µH	0.052Ω	1500	PCD1368CT-ND	1.03	.86	.68	PCD1368TR-ND	365.73	ELL-6SH6R8M
8.2µH	0.061Ω	1400	PCD1369CT-ND	1.03	.86	.68	PCD1369TR-ND	365.73	ELL-6SH8R2M
10µH	0.065Ω	1300	PCD1370CT-ND	1.03	.86	.68	PCD1370TR-ND	365.73	ELL-6SH100M
12µH	0.071Ω	1200	PCD1371CT-ND	1.03	.86	.68	PCD1371TR-ND	365.73	ELL-6SH120M
15µH	0.096Ω	1100	PCD1372CT-ND	1.03	.86	.68	PCD1372TR-ND	365.73	ELL-6SH150M
18µH	0.13Ω	1000	PCD1373CT-ND	1.03	.86	.68	PCD1373TR-ND	365.73	ELL-6SH180M
22µH	0.14Ω	900	PCD1374CT-ND	1.03	.86	.68	PCD1374TR-ND	365.73	ELL-6SH220M
27µH	0.16Ω	800	PCD1375CT-ND	1.03	.86	.68	PCD1375TR-ND	365.73	ELL-6SH270M
33µH	0.18Ω	700	PCD1376CT-ND	1.03	.86	.68	PCD1376TR-ND	365.73	ELL-6SH330M
39µH	0.24Ω	650	PCD1377CT-ND	1.03	.86	.68	PCD1377TR-ND	365.73	ELL-6SH390M
47µH	0.27Ω	600	PCD1378CT-ND	1.03	.86	.68	PCD1378TR-ND	365.73	ELL-6SH470M
56µH	0.29Ω	550	PCD1379CT-ND	1.03	.86	.68	PCD1379TR-ND	365.73	ELL-6SH560M
68µH	0.52Ω	500	PCD1380CT-ND	1.03	.86	.68	PCD1380TR-ND	365.73	ELL-6SH680M
82µH	0.60Ω	450	PCD1381CT-ND	1.03	.86	.68	PCD1381TR-ND	365.73	ELL-6SH820M
100µH	0.68Ω	400	PCD1382CT-ND	1.03	.86	.68	PCD1382TR-ND	365.73	ELL-6SH101M
120µH	0.75Ω	370	PCD1383CT-ND	1.03	.86	.68	PCD1383TR-ND	365.73	ELL-6SH121M
150µH	0.86Ω	350	PCD1384CT-ND	1.03	.86	.68	PCD1384TR-ND	365.73	ELL-6SH151M
180µH	1.30Ω	300	PCD1385CT-ND	1.03	.86	.68	PCD1385TR-ND	365.73	ELL-6SH181M
220µH	1.40Ω	280	PCD1386CT-ND	1.03	.86	.68	PCD1386TR-ND	365.73	ELL-6SH221M
270µH	2.40Ω	260	PCD1387CT-ND	1.03	.86	.68	PCD1387TR-ND	365.73	ELL-6SH271M
330µH	2.70Ω	240	PCD1388CT-ND	1.03	.86	.68	PCD1388TR-ND	365.73	ELL-6SH331M
390µH	2.80Ω	210	PCD1389CT-ND	1.03	.86	.68	PCD1389TR-ND	365.73	ELL-6SH391M
470µH	3.20Ω	200	PCD1390CT-ND	1.03	.86	.68	PCD1390TR-ND	365.73	ELL-6SH471M
560µH	3.70Ω	180	PCD1391CT-ND	1.03	.86	.68	PCD1391TR-ND	365.73	ELL-6SH561M

Alle Preisangaben in Euro und inklusive Zollgebühren.

Typ ELL6GM

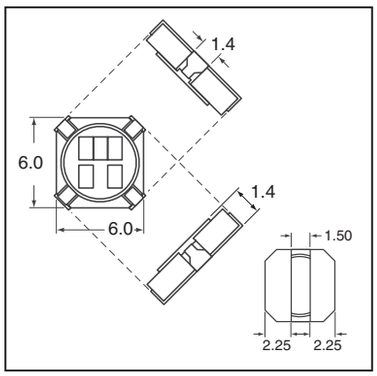

Merkmale:
• Magnetisch abgeschirmte Bauart • Niedriger DC-Widerstand und hohe Stromstärke • Fallsichere Konstruktion • Gegurtet auf Rolle erhältlich, zur automatischen Einfügung

Empfohlene Anwendungen:
• DC/DC-Umwandler
• Chopper-Schaltkreis, Entkopplungsdrossel

Hinweis: *Nennstrom: Dies ist der Stromwert, wenn die Induktivität 70 % höher als der Nennwert und der Temperaturanstieg Δt = 45 °C bei D.C.- Überlagerung (bei 20 °C) geringer ist.

Induktivität		DCR (@ 20 °C)		*Nenn-		Gurtabschnittspreis pro Stück				Gegurtet auf	
Nominal (µH)	TOL.	Nominal (Ω)	TOL.	strom (mA)	Digi-Key Teilenr.	1	10	100	Digi-Key Teilenr.	Rolle 1,000	Panasonic Teilenr.
1.2	±30%	0.023	±20%	2300	PCD1673CT-ND	1.33	1.10	.87	PCD1673TR-ND	469.86	ELL-6GM1R2N
1.8	±30%	0.028	±20%	1900	PCD1674CT-ND	1.33	1.10	.87	PCD1674TR-ND	469.86	ELL-6GM1R8N
2.2	±30%	0.035	±20%	1800	PCD1675CT-ND	1.33	1.10	.87	PCD1675TR-ND	469.86	ELL-6GM2R2N
2.7	±30%	0.041	±20%	1700	PCD1676CT-ND	1.33	1.10	.87	PCD1676TR-ND	469.86	ELL-6GM2R7N
3.6	±30%	0.057	±20%	1500	PCD1677CT-ND	1.33	1.10	.87	PCD1677TR-ND	469.86	ELL-6GM3R6N
4.7	±30%	0.078	±20%	1250	PCD1678CT-ND	1.33	1.10	.87	PCD1678TR-ND	469.86	ELL-6GM4R7N
5.6	±30%	0.086	±20%	1200	PCD1679CT-ND	1.33	1.10	.87	PCD1679TR-ND	469.86	ELL-6GM5R6N
6.8	±30%	0.096	±20%	1100	PCD1680CT-ND	1.33	1.10	.87	PCD1680TR-ND	469.86	ELL-6GM6R8N
7.5	±30%	0.11	±20%	1050	PCD1681CT-ND	1.33	1.10	.87	PCD1681TR-ND	469.86	ELL-6GM7R5N
10	±20%	0.15	±20%	930	PCD1682CT-ND	1.33	1.10	.87	PCD1682TR-ND	469.86	ELL-6GM100M
12	±20%	0.17	±20%	830	PCD1683CT-ND	1.33	1.10	.87	PCD1683TR-ND	469.86	ELL-6GM120M
15	±20%	0.19	±20%	740	PCD1684CT-ND	1.33	1.10	.87	PCD1684TR-ND	469.86	ELL-6GM150M
18	±20%	0.26	±20%	710	PCD1685CT-ND	1.33	1.10	.87	PCD1685TR-ND	469.86	ELL-6GM180M
22	±20%	0.32	±20%	620	PCD1686CT-ND	1.33	1.10	.87	PCD1686TR-ND	469.86	ELL-6GM220M
27	±20%	0.35	±20%	560	PCD1687CT-ND	1.33	1.10	.87	PCD1687TR-ND	469.86	ELL-6GM270M
33	±20%	0.49	±20%	500	PCD1688CT-ND	1.33	1.10	.87	PCD1688TR-ND	469.86	ELL-6GM330M
39	±20%	0.55	±20%	460	PCD1689CT-ND	1.33	1.10	.87	PCD1689TR-ND	469.86	ELL-6GM390M
47	±20%	0.62	±20%	420	PCD1690CT-ND	1.33	1.10	.87	PCD1690TR-ND	469.86	ELL-6GM470M
56	±20%	0.70	±20%	380	PCD1691CT-ND	1.33	1.10	.87	PCD1691TR-ND	469.86	ELL-6GM560M
68	±20%	0.82	±20%	350	PCD1692CT-ND	1.33	1.10	.87	PCD1692TR-ND	469.86	ELL-6GM680M

Typ ELL6PM

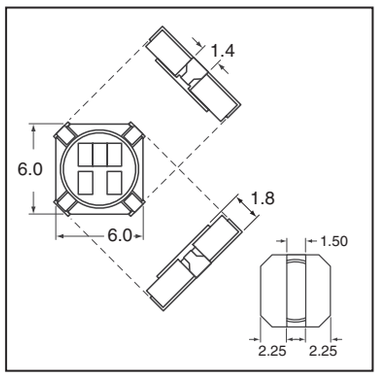

Merkmale:
• Magnetisch abgeschirmte Bauart • Niedriger DC-Widerstand und hohe Stromstärke • Fallsichere Konstruktion • Gegurtet auf Rolle erhältlich, zur automatischen Einfügung

Empfohlene Anwendungen:
• DC/DC-Umwandler • Chopper-Schaltkreis, Entkopplungsdrossel

Hinweis: *Nennstrom: Dies ist der Stromwert, wenn die Induktivität 70 % höher als der Nennwert und der Temperaturanstieg Δ t = 45 °C bei D.C.- Überlagerung (bei 20 °C) geringer ist.

Induktivität		DCR (@ 20 °C)		*Nenn-		Gurtabschnittspreis pro Stück				Gegurtet auf	
Nominal (µH)	TOL.	Nominal (Ω)	TOL.	strom (mA)	Digi-Key Teilenr.	1	10	100	Digi-Key Teilenr.	Rolle 1,000	Panasonic Teilenr.
1.0	±30%	0.016	±20%	2700	PCD1693CT-ND	1.41	1.16	.91	PCD1693TR-ND	495.26	ELL-6PM1R0N
1.5	±30%	0.020	±20%	2450	PCD1694CT-ND	1.41	1.16	.91	PCD1694TR-ND	495.26	ELL-6PM1R5N
2.0	±30%	0.024	±20%	2200	PCD1695CT-ND	1.41	1.16	.91	PCD1695TR-ND	495.26	ELL-6PM2R0N
2.7	±30%	0.029	±20%	2000	PCD1696CT-ND	1.41	1.16	.91	PCD1696TR-ND	495.26	ELL-6PM2R7N
3.3	±30%	0.035	±20%	1850	PCD1697CT-ND	1.41	1.16	.91	PCD1697TR-ND	495.26	ELL-6PM3R3N
3.9	±30%	0.040	±20%	1800	PCD1698CT-ND	1.41	1.16	.91	PCD1698TR-ND	495.26	ELL-6PM3R9N
4.7	±30%	0.047	±20%	1680	PCD1699CT-ND	1.41	1.16	.91	PCD1699TR-ND	495.26	ELL-6PM4R7N
5.6	±30%	0.052	±20%	1500	PCD1700CT-ND	1.41	1.16	.91	PCD1700TR-ND	495.26	ELL-6PM5R6N
6.8	±30%	0.057	±20%	1350	PCD1701CT-ND	1.41	1.16	.91	PCD1701TR-ND	495.26	ELL-6PM6R8N
7.5	±30%	0.070	±20%	1300	PCD1702CT-ND	1.41	1.16	.91	PCD1702TR-ND	495.26	ELL-6PM7R5N
9.1	±30%	0.077	±20%	1200	PCD1703CT-ND	1.41	1.16	.91	PCD1703TR-ND	495.26	ELL-6PM9R1N
10	±20%	0.085	±20%	1000	PCD1704CT-ND	1.41	1.16	.91	PCD1704TR-ND	495.26	ELL-6PM100M
12	±20%	0.11	±20%	950	PCD1705CT-ND	1.41	1.16	.91	PCD1705TR-ND	495.26	ELL-6PM120M
15	±20%	0.13	±20%	950	PCD1706CT-ND	1.41	1.16	.91	PCD1706TR-ND	495.26	ELL-6PM150M
18	±20%	0.14	±20%	820	PCD1707CT-ND	1.41	1.16	.91	PCD1707TR-ND	495.26	ELL-6PM180M
22	±20%	0.20	±20%	700	PCD1708CT-ND	1.41	1.16	.91	PCD1708TR-ND	495.26	ELL-6PM220M
27	±20%	0.22	±20%	620	PCD1709CT-ND	1.41	1.16	.91	PCD1709TR-ND	495.26	ELL-6PM270M
33	±20%	0.29	±20%	550	PCD1710CT-ND	1.41	1.16	.91	PCD1710TR-ND	495.26	ELL-6PM330M
39	±20%	0.31	±20%	520	PCD1711CT-ND	1.41	1.16	.91	PCD1711TR-ND	495.26	ELL-6PM390M
47	±20%	0.36	±20%	440	PCD1712CT-ND	1.41	1.16	.91	PCD1712TR-ND	495.26	ELL-6PM470M
56	±20%	0.50	±20%	420	PCD1713CT-ND	1.41	1.16	.91	PCD1713TR-ND	495.26	ELL-6PM560M
68	±20%	0.60	±20%	400	PCD1714CT-ND	1.41	1.16	.91	PCD1714TR-ND	495.26	ELL-6PM680M
82	±20%	0.68	±20%	360	PCD1715CT-ND	1.41	1.16	.91	PCD1715TR-ND	495.26	ELL-6PM820M
100	±20%	0.97	±20%	320	PCD1716CT-ND	1.41	1.16	.91	PCD1716TR-ND	495.26	ELL-6PM101M

Typ ELL6PV

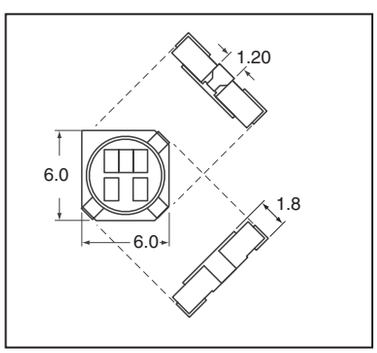

Merkmale:
• Dünner Typ (1,8 mm Höhe) • Kann entsprechend hohen Strom aushalten • Geringer DC-Widerstand

Empfohlene Anwendung:
• Video, Audio, Mobilfunk, batteriebetriebene Antriebssysteme
• Drosselspulen f. Chopper-Schaltkreis-Entkopplungsdrossel in DC/DC-Umwandlern

Vorsicht im Gebrauch mit:
• DC/DC Stromwandler • Chopper: max. 1 W
• Betriebstemperatur: max. 105 °C (Inklusive Eigentemperaturanstieg)

Hinweis: *Nennstrom: Dies ist der Stromwert, wenn die Induktivität 70 % höher als der Nennwert und der Temperaturanstieg Δ t = 45 °C bei D.C.- Überlagerung (bei 20 °C) geringer ist.

Induktivität		DCR (@ 20 °C)		*Nenn-		Gurtabschnittspreis pro Stück				Gegurtet auf	
Nominal (µH)	TOL.	Nominal (Ω)	TOL.	strom (mA)	Digi-Key Teilenr.	1	10	100	Digi-Key Teilenr.	Rolle 1,000	Panasonic Teilenr.
1.0	±30%	0.016	±20%	3000	PCD1717CT-ND	1.17	.97	.76	PCD1717TR-ND	413.14	ELL-6PV1R0N
1.5	±30%	0.019	±20%	2600	PCD1718CT-ND	1.17	.97	.76	PCD1718TR-ND	413.14	ELL-6PV1R5N
1.8	±30%	0.024	±20%	2500	PCD1719CT-ND	1.17	.97	.76	PCD1719TR-ND	413.14	ELL-6PV1R8N
2.4	±30%	0.027	±20%	2150	PCD1720CT-ND	1.17	.97	.76	PCD1720TR-ND	413.14	ELL-6PV2R4N
3.3	±30%	0.032	±20%	1900	PCD1721CT-ND	1.17	.97	.76	PCD1721TR-ND	413.14	ELL-6PV3R3N
3.9	±30%	0.038	±20%	1800	PCD1722CT-ND	1.17	.97	.76	PCD1722TR-ND	413.14	ELL-6PV3R9N
4.7	±30%	0.044	±20%	1700	PCD1723CT-ND	1.17	.97	.76	PCD1723TR-ND	413.14	ELL-6PV4R7N
5.6	±30%	0.049	±20%	1450	PCD1724CT-ND	1.17	.97	.76	PCD1724TR-ND	413.14	ELL-6PV5R6N
6.8	±30%	0.055	±20%	1250	PCD1725CT-ND	1.17	.97	.76	PCD1725TR-ND	413.14	ELL-6PV6R8N
8.2	±30%	0.070	±20%	1150	PCD1726CT-ND	1.17	.97	.76	PCD1726TR-ND	413.14	ELL-6PV8R2N
9.1	±30%	0.076	±20%	1100	PCD1727CT-ND	1.17	.97	.76	PCD1727TR-ND	413.14	ELL-6PV9R1N
10	±20%	0.085	±20%	1000	PCD1728CT-ND	1.17	.97	.76	PCD1728TR-ND	413.14	ELL-6PV100M
12	±20%	0.090	±20%	980	PCD1729CT-ND	1.17	.97	.76	PCD1729TR-ND	413.14	ELL-6PV120M
15	±20%	0.12	±20%	880	PCD1730CT-ND	1.17	.97	.76	PCD1730TR-ND	413.14	ELL-6PV150M
18	±20%	0.14	±20%	840	PCD1731CT-ND	1.17	.97	.76	PCD1731TR-ND	413.14	ELL-6PV180M
22	±20%	0.20	±20%	700	PCD1732CT-ND	1.17	.97	.76	PCD1732TR-ND	413.14	ELL-6PV220M
27	±20%	0.22	±20%	670	PCD1733CT-ND	1.17	.97	.76	PCD1733TR-ND	413.14	ELL-6PV270M
33	±20%	0.28	±20%	600	PCD1734CT-ND	1.17	.97	.76	PCD1734TR-ND	413.14	ELL-6PV330M
39	±20%	0.33	±20%	550	PCD1735CT-ND	1.17	.97	.76	PCD1735TR-ND	413.14	ELL-6PV390M
47	±20%	0.37	±20%	500	PCD1736CT-ND	1.17	.97	.76	PCD1736TR-ND	413.14	ELL-6PV470M
56	±20%	0.41	±20%	450	PCD1737CT-ND	1.17	.97	.76	PCD1737TR-ND	413.14	ELL-6PV560M
68	±20%	0.57	±20%	420	PCD1738CT-ND	1.17	.97	.76	PCD1738TR-ND	413.14	ELL-6PV680M
82	±20%	0.65	±20%	380	PCD1739CT-ND	1.17	.97	.76	PCD1739TR-ND	413.14	ELL-6PV820M
100	±20%	0.75	±20%	340	PCD1740CT-ND	1.17	.97	.76	PCD1740TR-ND	413.14	ELL-6PV101M

D

Typ ELL3GM

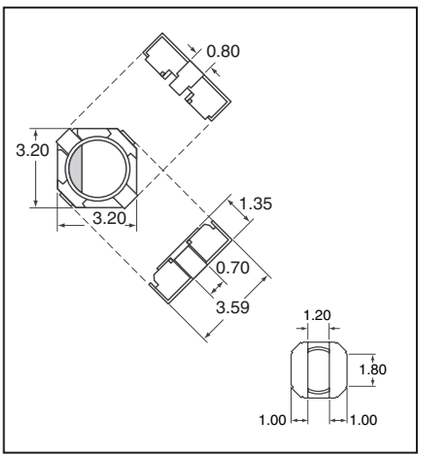

Merkmale: • Magnetisch abgeschirmte Bauart • Niedriger DC-Widerstand, hohe Stromstärke • Fallsichere Konstruktion • Gegurtet auf Rolle erhältlich, zur automatischen Einfügung • *Nennstrom: Dies ist der Stromwert, wenn die Induktivität 70 % höher als der Nennwert und der Temperaturanstieg Δ t = 45 °C bei D.C.- Überlagerung (bei 20 °C) geringer ist.
Empfohlene Anwendungen: • DC/DC-Umwandlerschaltung für Computerperipheriegeräte, Handy • Drosselspulen f. Chopper-Schaltkreis-Entkopplungsdrossel in DC/DC-Umwandlern

Induktivität		DCR (@ 20 °C)				Gurtabschnittspreis pro Stück				Gegurtet auf Rolle	
Nominal (µH)	TOL.	Nominal (Ω)	TOL.	*Nennstrom (mA)	Digi-Key Teilenr.	1	10	100	Digi-Key Teilenr.	2.000	Panasonic Teilenr.
1.0	±30%	0.038	±20%	1800	PCD1641CT-ND	1.07	.88	.69	PCD1641TR-ND	375.05/M	ELL-3GM1R0N
1.3	±30%	0.058	±20%	1500	PCD1642CT-ND	1.07	.88	.69	PCD1642TR-ND	375.05/M	ELL-3GM1R3N
2.2	±30%	0.10	±20%	1100	PCD1643CT-ND	1.07	.88	.69	PCD1643TR-ND	375.05/M	ELL-3GM2R2N
2.7	±30%	0.11	±20%	1000	PCD1644CT-ND	1.07	.88	.69	PCD1644TR-ND	375.05/M	ELL-3GM2R7N
3.3	±30%	0.13	±20%	980	PCD1645CT-ND	1.07	.88	.69	PCD1645TR-ND	375.05/M	ELL-3GM3R3N
3.9	±30%	0.14	±20%	940	PCD1646CT-ND	1.07	.88	.69	PCD1646TR-ND	375.05/M	ELL-3GM3R9N
4.3	±30%	0.22	±20%	720	PCD1647CT-ND	1.07	.88	.69	PCD1647TR-ND	375.05/M	ELL-3GM4R3N
5.1	±30%	0.24	±20%	690	PCD1648CT-ND	1.07	.88	.69	PCD1648TR-ND	375.05/M	ELL-3GM5R1N
5.6	±30%	0.26	±20%	670	PCD1649CT-ND	1.07	.88	.69	PCD1649TR-ND	375.05/M	ELL-3GM5R6N
6.8	±30%	0.28	±20%	650	PCD1650CT-ND	1.07	.88	.69	PCD1650TR-ND	375.05/M	ELL-3GM6R8N
8.2	±30%	0.31	±20%	620	PCD1651CT-ND	1.07	.88	.69	PCD1651TR-ND	375.05/M	ELL-3GM8R2N
10	±20%	0.35	±20%	550	PCD1652CT-ND	1.07	.88	.69	PCD1652TR-ND	375.05/M	ELL-3GM100M
12	±20%	0.40	±20%	530	PCD1653CT-ND	1.07	.88	.69	PCD1653TR-ND	375.05/M	ELL-3GM120M
15	±20%	0.56	±20%	440	PCD1654CT-ND	1.07	.88	.69	PCD1654TR-ND	375.05/M	ELL-3GM150M
18	±20%	0.64	±20%	420	PCD1655CT-ND	1.07	.88	.69	PCD1655TR-ND	375.05/M	ELL-3GM180M
22	±20%	0.77	±20%	360	PCD1656CT-ND	1.07	.88	.69	PCD1656TR-ND	375.05/M	ELL-3GM220M
27	±20%	1.05	±20%	330	PCD1657CT-ND	1.07	.88	.69	PCD1657TR-ND	375.05/M	ELL-3GM270M
33	±20%	1.20	±20%	310	PCD1658CT-ND	1.07	.88	.69	PCD1658TR-ND	375.05/M	ELL-3GM330M

Typ ELL4LM

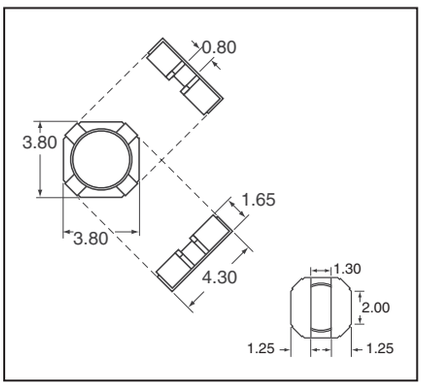

Merkmale: • Magnetisch abgeschirmte Bauart • Niedriger DC-Widerstand, hohe Stromstärke • Fallsichere Konstruktion • Gegurtet auf Rolle erhältlich, zur automatischen Einfügung • *Nennstrom: Dies ist der Stromwert, wenn die Induktivität 70 % höher als der Nennwert und der Temperaturanstieg Δ t = 45 °C bei D.C.- Überlagerung (bei 20 °C) geringer ist.
Empfohlene Anwendungen: • DC/DC-Umwandlerschaltung für Computerperipheriegeräte, Handy • Drosselspulen f. Chopper-Schaltkreis-Entkopplungsdrossel in DC/DC-Umwandlern

Induktivität		DCR (@ 20 °C)				Gurtabschnittspreis pro Stück				Gegurtet auf Rolle	
Nominal (µH)	TOL.	Nominal (Ω)	TOL.	*Nennstrom (mA)	Digi-Key Teilenr.	1	10	100	Digi-Key Teilenr.	3.000	Panasonic Teilenr.
1.0	±30%	0.026	±20%	2000	PCD1659CT-ND	1.19	.98	.77	PCD1659TR-ND	419.07/M	ELL-4LM1R0N
1.5	±30%	0.031	±20%	1600	PCD1660CT-ND	1.19	.98	.77	PCD1660TR-ND	419.07/M	ELL-4LM1R5N
2.0	±30%	0.043	±20%	1350	PCD1661CT-ND	1.19	.98	.77	PCD1661TR-ND	419.07/M	ELL-4LM2R0N
2.7	±30%	0.056	±20%	1250	PCD1662CT-ND	1.19	.98	.77	PCD1662TR-ND	419.07/M	ELL-4LM2R7N
3.3	±30%	0.062	±20%	1100	PCD1663CT-ND	1.19	.98	.77	PCD1663TR-ND	419.07/M	ELL-4LM3R3N
4.7	±30%	0.090	±20%	900	PCD1664CT-ND	1.19	.98	.77	PCD1664TR-ND	419.07/M	ELL-4LM4R7N
6.2	±30%	0.14	±20%	800	PCD1665CT-ND	1.19	.98	.77	PCD1665TR-ND	419.07/M	ELL-4LM6R2N
7.5	±30%	0.15	±20%	720	PCD1666CT-ND	1.19	.98	.77	PCD1666TR-ND	419.07/M	ELL-4LM7R5N
10	±30%	0.18	±20%	690	PCD1667CT-ND	1.19	.98	.77	PCD1667TR-ND	419.07/M	ELL-4LM100M
12	±30%	0.20	±20%	530	PCD1668CT-ND	1.19	.98	.77	PCD1668TR-ND	419.07/M	ELL-4LM120M
15	±30%	0.30	±20%	500	PCD1669CT-ND	1.19	.98	.77	PCD1669TR-ND	419.07/M	ELL-4LM150M
18	±30%	0.32	±20%	460	PCD1670CT-ND	1.19	.98	.77	PCD1670TR-ND	419.07/M	ELL-4LM180M
22	±30%	0.38	±20%	430	PCD1671CT-ND	1.19	.98	.77	PCD1671TR-ND	419.07/M	ELL-4LM220M
27	±30%	0.42	±20%	370	PCD1672CT-ND	1.19	.98	.77	PCD1672TR-ND	419.07/M	ELL-4LM270M

Typ ELLATV

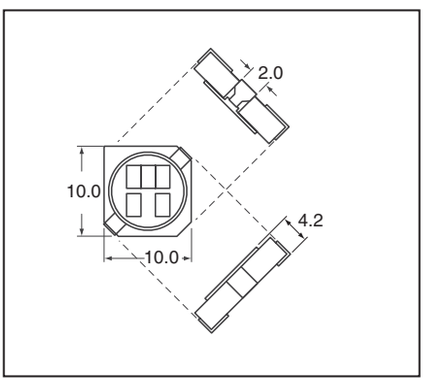

Merkmale:

• Magnetisch abgeschirmte Bauart • Niedriger DC-Widerstand, kann entsprechend hohen Strom aushalten • Gegurtet auf Rolle erhältlich, zur automatischen Einfügung • *Nennstrom: Dies ist der Stromwert, wenn die Induktivität 70 % höher als der Nennwert und der Temperaturanstieg Δ t = 45 °C bei D.C.- Überlagerung (bei 20 °C) geringer ist.

Empfohlene Anwendungen:

• DC/DC-Umwandlerschaltung für Computerperipheriegeräte, Handy
• Drosselspulen f. Chopper-Schaltkreis-Entkopplungsdrossel in DC/DC-Umwandlern

Induktivität		DCR (@ 20 °C)				Gurtabschnittspreis pro Stück				Gegurtet auf Rolle	
Nominal (µH)	TOL.	Nominal (Ω)	TOL.	*Nennstrom (mA)	Digi-Key Teilenr.	1	10	100	Digi-Key Teilenr.	3.000	Panasonic Teilenr.
1.5	±30%	5.3	±20%	6700	PCD1741CT-ND	1.98	1.63	1.29	PCD1741TR-ND	349.22	ELL-ATV1R5N
2.2	±30%	6.3	±20%	6200	PCD1742CT-ND	1.98	1.63	1.29	PCD1742TR-ND	349.22	ELL-ATV2R2N
3.3	±30%	8.8	±20%	5350	PCD1743CT-ND	1.98	1.63	1.29	PCD1743TR-ND	349.22	ELL-ATV3R3N
4.3	±30%	10	±20%	5000	PCD1744CT-ND	1.98	1.63	1.29	PCD1744TR-ND	349.22	ELL-ATV4R3N
5.1	±30%	14	±20%	4350	PCD1745CT-ND	1.98	1.63	1.29	PCD1745TR-ND	349.22	ELL-ATV5R1N
6.8	±30%	16	±20%	4000	PCD1746CT-ND	1.98	1.63	1.29	PCD1746TR-ND	349.22	ELL-ATV6R8N
8.2	±30%	18	±20%	3700	PCD1747CT-ND	1.98	1.63	1.29	PCD1747TR-ND	349.22	ELL-ATV8R2N
10	±20%	23	±20%	3300	PCD1748CT-ND	1.98	1.63	1.29	PCD1748TR-ND	349.22	ELL-ATV100M
12	±20%	25	±20%	2900	PCD1749CT-ND	1.98	1.63	1.29	PCD1749TR-ND	349.22	ELL-ATV120M
15	±20%	32	±20%	2800	PCD1750CT-ND	1.98	1.63	1.29	PCD1750TR-ND	349.22	ELL-ATV150M
18	±20%	38	±20%	2500	PCD1751CT-ND	1.98	1.63	1.29	PCD1751TR-ND	349.22	ELL-ATV180M
22	±20%	45	±20%	2200	PCD1752CT-ND	1.98	1.63	1.29	PCD1752TR-ND	349.22	ELL-ATV220M
27	±20%	56	±20%	2000	PCD1753CT-ND	1.98	1.63	1.29	PCD1753TR-ND	349.22	ELL-ATV270M
33	±20%	62	±20%	1800	PCD1754CT-ND	1.98	1.63	1.29	PCD1754TR-ND	349.22	ELL-ATV330M
39	±20%	74	±20%	1600	PCD1755CT-ND	1.98	1.63	1.29	PCD1755TR-ND	349.22	ELL-ATV390M
47	±20%	94	±20%	1550	PCD1756CT-ND	1.98	1.63	1.29	PCD1756TR-ND	349.22	ELL-ATV470M
56	±20%	100	±20%	1350	PCD1757CT-ND	1.98	1.63	1.29	PCD1757TR-ND	349.22	ELL-ATV560M
68	±20%	130	±20%	1200	PCD1758CT-ND	1.98	1.63	1.29	PCD1758TR-ND	349.22	ELL-ATV680M
82	±20%	150	±20%	1100	PCD1759CT-ND	1.98	1.63	1.29	PCD1759TR-ND	349.22	ELL-ATV820M
100	±20%	180	±20%	1000	PCD1760CT-ND	1.98	1.63	1.29	PCD1760TR-ND	349.22	ELL-ATV101M
120	±20%	210	±20%	940	PCD1761CT-ND	1.98	1.63	1.29	PCD1761TR-ND	349.22	ELL-ATV121M
150	±20%	300	±20%	850	PCD1762CT-ND	1.98	1.63	1.29	PCD1762TR-ND	349.22	ELL-ATV151M
180	±20%	350	±20%	770	PCD1763CT-ND	1.98	1.63	1.29	PCD1763TR-ND	349.22	ELL-ATV181M
220	±20%	400	±20%	700	PCD1764CT-ND	1.98	1.63	1.29	PCD1764TR-ND	349.22	ELL-ATV221M
270	±20%	500	±20%	630	PCD1765CT-ND	1.98	1.63	1.29	PCD1765TR-ND	349.22	ELL-ATV271M
330	±20%	600	±20%	550	PCD1766CT-ND	1.98	1.63	1.29	PCD1766TR-ND	349.22	ELL-ATV331M
390	±20%	750	±20%	520	PCD1767CT-ND	1.98	1.63	1.29	PCD1767TR-ND	349.22	ELL-ATV391M
470	±20%	850	±20%	480	PCD1768CT-ND	1.98	1.63	1.29	PCD1768TR-ND	349.22	ELL-ATV471M
560	±20%	1100	±20%	440	PCD1769CT-ND	1.98	1.63	1.29	PCD1769TR-ND	349.22	ELL-ATV561M
680	±20%	1250	±20%	400	PCD1770CT-ND	1.98	1.63	1.29	PCD1770TR-ND	349.22	ELL-ATV681M
820	±20%	1700	±20%	360	PCD1771CT-ND	1.98	1.63	1.29	PCD1771TR-ND	349.22	ELL-ATV821M
1000	±20%	2000	±20%	330	PCD1772CT-ND	1.98	1.63	1.29	PCD1772TR-ND	349.22	ELL-ATV102M

Typ ETQP4L

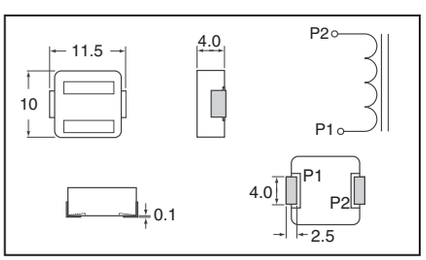

Merkmale:

• Klein, platzsparend (11,5 x 10 x 4 mm) • Kann entsprechend hohen Strom aushalten (15 A bis 21 A) • Niedriger Verlust (DCR: 0,7 - 1,6 mΩ) • Funktioniert bis zu entsprechend hohen Frequenzen (bis 1 MHz) • Oberflächenmontage und anschlussdrahtlose Version

Empfohlene Anwendungen:

• DC/DC-Wandler für Hochgeschwindigkeits-CPU-Treiber wie Server und Router • Netzteil für CPU-Peripheriegeräte für Notebook-PCs und Desktop-PCs

Induktivität (bei 20 °C) (Tol. = ±20 %)				DC-Widerstand	Gurtabschnittspreis pro Stück				Gegurtet auf Rolle	
L1		L2*								
(µH)	Gemess. Strom	(µH)	Gemess. Strom	(bei 20 °C) DCR (mΩ) max.	Digi-Key Teilenr.	1	10	100	Digi-Key Teilenr.	500	Panasonic Teilenr.
.56±20%	15A	0.53	21A	1.7	PCD1638CT-ND	3.12	2.67	1.78	PCD1638TR-ND	600.03	ETQ-P4LR56WFC
.36±20%	17A	0.34	24A	1.1	PCD1637CT-ND	3.12	2.67	1.78	PCD1637TR-ND	600.03	ETQ-P4LR36WFC
.19±20%	21A	0.176	30A	0.7	PCD1636CT-ND	3.12	2.67	1.78	PCD1636TR-ND	600.03	ETQ-P4LR19WFC

* Nur zur Bezugnahme

Alle Preisangaben in Euro und inklusive Zollgebühren.

SMD-Leistungs-Drosselspulen

Typ PCC-N6 — Dünn, kompakt, hohe Leistung

Merkmale:

• Hochleistungs-Design • Dünne Bauweise (5,7 mm Höhe) • Geringer Leckfluss

Empfohlene Anwendungen:

• DC-DC-Wandler für PC-Hochgeschwindigkeitsantriebe • Dünnes, eingebautes Versorgungsmodul in Exchanger (10~40 W)

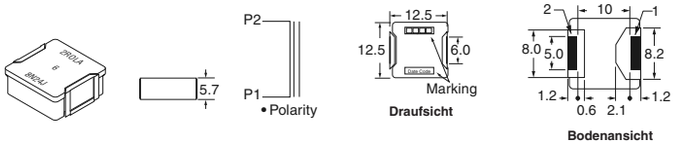

Serie	Induktivität: Anfänglich bei 25 °C (100 KHz) L_0 (µH)	Induktivität: Am Flachpunkt bei 25 °C (100 KHz) L_1 (µH)	Sättigungsstrom: Bei 25 °C I gesättigt (A) min.	Sättigungsstrom: Bei 100 °C I gesättigt (A) min.	Wärme-Nennstrom ΔT=40K (°C) I_0 (A) Nur Ref.	DC-Widerstand bei 20 °C DCR (mΩ) max.	Digi-Key Teilenr.	Gurtabschnittspreis pro Stück 1	10	100	Digi-Key Teilenr.	Gegurtet auf Rolle 500	Panasonic Teilenr.
HL	2.3±30%	1.2±30%	14.3	11.7	14.2	2.24	PCD1307CT-ND	4.89	4.20	2.80	PCD1307TR-ND	942.90	ETQ-P6F1R2HFA
	3.5±30%	2.0±30%	10.7	8.7	12.5	3.30	PCD1308CT-ND	4.89	4.20	2.80	PCD1308TR-ND	942.90	ETQ-P6F2R0HFA
	4.8±25%	3.2±25%	8.6	7.1	10.8	4.92	PCD1309CT-ND	4.89	4.20	2.80	PCD1309TR-ND	942.90	ETQ-P6F3R2HFA
	6.6±25%	4.6±25%	7.3	6.0	9.3	6.48	PCD1310CT-ND	4.89	4.20	2.80	PCD1310TR-ND	942.90	ETQ-P6F4R6HFA
	8.3±25%	6.4±25%	6.2	5.2	7.9	8.64	PCD1311CT-ND	4.89	4.20	2.80	PCD1311TR-ND	942.90	ETQ-P6F6R4HFA
	10.4±25%	8.2±25%	5.6	4.7	7.2	10.9	PCD1312CT-ND	4.89	4.20	2.80	PCD1312TR-ND	942.90	ETQ-P6F8R2HFA
	12.5±25%	10.2±25%	4.7	4.0	6.5	13.3	PCD1313CT-ND	4.89	4.20	2.80	PCD1313TR-ND	942.90	ETQ-P6F102HFA
SP	1.9±30%	1.0±30%	19.4	15.4	14.2	2.24	PCD1314CT-ND	4.89	4.20	2.80	PCD1314TR-ND	942.90	ETQ-P6F1R0SFA
	2.8±30%	1.6±30%	14.9	12.2	12.5	3.30	PCD1315CT-ND	4.89	4.20	2.80	PCD1315TR-ND	942.90	ETQ-P6F1R6SFA
	3.6±30%	2.5±30%	11.3	9.3	10.8	4.92	PCD1316CT-ND	4.89	4.20	2.80	PCD1316TR-ND	942.90	ETQ-P6F2R5SFA
	4.9±30%	3.5±30%	9.5	8.0	9.3	6.48	PCD1392CT-ND	4.89	4.20	2.80	PCD1392TR-ND	942.90	ETQ-P6F3R5SFA
LB	1.8±30%	0.8±30%	25.2	20.0	14.2	2.24	PCD1317CT-ND	4.89	4.20	2.80	PCD1317TR-ND	942.90	ETQ-P6F0R8LFA
	2.5±30%	1.3±30%	18.6	15.8	12.5	3.30	PCD1318CT-ND	4.89	4.20	2.80	PCD1318TR-ND	942.90	ETQ-P6F1R3LFA
	3.1±30%	2.0±30%	15.1	12.1	10.8	4.92	PCD1319CT-ND	4.89	4.20	2.80	PCD1319TR-ND	942.90	ETQ-P6F2R0LFA
	4.1±30%	2.9±30%	12.0	10.0	9.3	6.48	PCD1320CT-ND	4.89	4.20	2.80	PCD1320TR-ND	942.90	ETQ-P6F2R9LFA
	5.0±20%	4.1±20%	10.8	8.7	7.9	8.64	PCD1321CT-ND	4.89	4.20	2.80	PCD1321TR-ND	942.90	ETQ-P6F4R1LFA

D

Typ N6B — Hoher Nennstrom, niedriges Profil und geringer Verlust

Anwendungen:

• DC/DC-Umwandler für CPU in PC oder Spielgeräten

• Dünnes, integriertes Versorgungsmodul für Schalttafeln

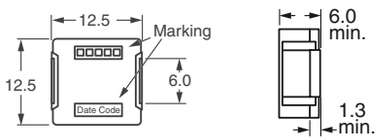

Induktivität (bei 20 °C) (Tol. = ±20 %) L1 (µH)	L1 Gemess. Strom	L2 (µH)	L2 Gemess. Strom	DC-Widerstand (bei 20 °C) DCR (mΩ) max.	Digi-Key Teilenr.	Gurtabschnittspreis pro Stück 1	10	100	Digi-Key Teilenr.	Gegurtet auf Rolle 500	Panasonic Teilenr.
0.58	at 19A	0.54	at 27A	1.44	PCD1393CT-ND	2.84	2.44	1.63	PCD1393TR-ND	547.45	ETQ-P6F0R6BFA
1.06	at 16A	0.99	at 22A	2.24	PCD1394CT-ND	2.84	2.44	1.63	PCD1394TR-ND	547.45	ETQ-P6F1R1BFA
1.71	at 14A	1.50	at 20A	3.30	PCD1395CT-ND	2.84	2.44	1.63	PCD1395TR-ND	547.45	ETQ-P6F1R8BFA
2.45	at 12A	2.17	at 17A	4.92	PCD1396CT-ND	2.84	2.44	1.63	PCD1396TR-ND	547.45	ETQ-P6F2R5BFA
3.32	at 10A	2.96	at 14A	6.48	PCD1639CT-ND	2.84	2.44	1.63	PCD1639TR-ND	547.45	ETQ-P6F3R4BFA

Typ PCC-NX1/NX2 — Klein und ultra-dünn, hohe Stromstärke und niedriger Verlust

Merkmale: • Hohe Leistung: 1 gesättigt (<29 A) • Hohe Induktivität: 0,7-2,5 µH • Niedriger Widerstand: 0,89-5 mΩ • Geringer Platzbedarf: 13-12,9 • Höhe: ETQ-P3H: 3,9 mm; ETQ-P2H: 4,9 mm; ETQ-P1H: 6,0 mm

Anwendungen: • PC Hochgeschwindigkeits-CPU: Notebook-PC

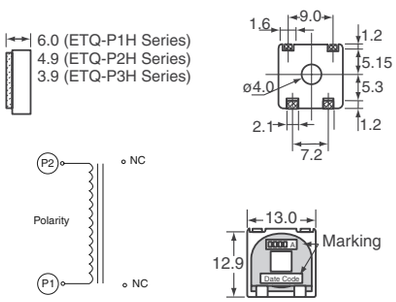

Serie	Induktivität (bei 20 °C) L1 (µH)	L1 Gemess. Strom	L2* (µH)	L2* Gemess. Strom	DC-Widerstand (bei 20 °C) DCR (mΩ) max.	Digi-Key Teilenr.	Gurtabschnittspreis pro Stück 1	10	100	Digi-Key Teilenr.	Gegurtet auf Rolle 500	Panasonic Teilenr.
ETQ-P1H	0.60±25%	26A	0.45	36A	0.90	PCD1634CT-ND	3.67	3.15	2.10	PCD1634TR-ND	708.60	ETQ-P1H0R6BFA
	1.00±20%	19A	0.80	27A	1.56	PCD1635CT-ND	3.67	3.15	2.10	PCD1635TR-ND	708.60	ETQ-P1H1R0BFA
ETQ-P2H	0.33±20%	23A	0.30	32A	0.89	PCD1566CT-ND	3.35	2.88	1.92	PCD1566TR-ND	646.89	ETQ-P2H0R3BFK
	0.69±20%	21A	0.59	29A	1.30	PCD1567CT-ND	3.35	2.88	1.92	PCD1567TR-ND	646.89	ETQ-P2H0R7BFA
	1.22±20%	16A	1.04	22A	2.27	PCD1568CT-ND	3.35	2.88	1.92	PCD1568TR-ND	646.89	ETQ-P2H1R2BFA
	1.83±20%	14A	1.49	20A	3.48	PCD1569CT-ND	3.35	2.88	1.92	PCD1569TR-ND	646.89	ETQ-P2H1R8BFA
	2.61±20%	12A	2.12	17A	4.98	PCD1570CT-ND	3.35	2.88	1.92	PCD1570TR-ND	646.89	ETQ-P2H2R6BFA
ETQ-P3H	0.36±20%	23A	0.32	32A	1.04	PCD1640CT-ND	3.35	2.88	1.92	PCD1640TR-ND	646.89	ETQ-P3H0R4BFA
	0.80±20%	16A	0.71	22A	2.33	PCD1571CT-ND	3.35	2.88	1.92	PCD1571TR-ND	646.89	ETQ-P3H0R8BFA
	1.43±20%	12A	1.25	17A	4.52	PCD1572CT-ND	3.35	2.88	1.92	PCD1572TR-ND	646.89	ETQ-P3H1R4BFA

* Nur Ref.

Typ PCC-S1 — Hohe Induktivität und hohe Stromstärke

Merkmale: • Hohe Induktivität • Hochstrom.

Empfohlene Anwendungen: • DC/DC-Umwandler • Computer-Netzwerk • Telekom-Basisstation

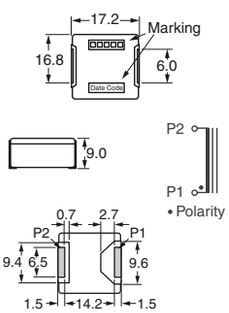

Serie	Induktivität: Anfänglich bei 25 °C (100 KHz) L_0 (µH)	Induktivität: Am Flachpunkt bei 25 °C (100 KHz) L_1 (µH)	Sättigungsstrom: Bei 25 °C I gesättigt (A) min.	Sättigungsstrom: Bei 100 °C I gesättigt (A) min.	Wärme-Nennstrom ΔT = 40 K (°C) I_0 (A) Nur Ref.	DC-Widerstand bei 20 °C DCR (mΩ) max.	Digi-Key Teilenr.	Gurtabschnittspreis pro Stück 1	10	100	Digi-Key Teilenr.	Gegurtet auf Rolle 250	Panasonic Teilenr.
HL	2.9±30%	1.2±30%	21.4	18.0	22.6	1.00	PCD1331CT-ND	8.89	5.93	4.92	PCD1331TR-ND	1000.05	ETQ-PAF1R2HFA
	4.6±30%	2.7±30%	15.5	12.5	17.5	1.56	PCD1332CT-ND	8.89	5.93	4.92	PCD1332TR-ND	1000.05	ETQ-PAF2R7HFA
	6.8±30%	4.8±30%	10.6	9.0	14.4	2.29	PCD1333CT-ND	8.89	5.93	4.92	PCD1333TR-ND	1000.05	ETQ-PAF4R8HFA
	9.7±30%	7.2±30%	8.6	7.3	12.0	3.31	PCD1334CT-ND	8.89	5.93	4.92	PCD1334TR-ND	1000.05	ETQ-PAF7R2HFA
EX	1.9±30%	0.7±30%	50.4	42.3	22.6	1.00	PCD1335CT-ND	8.89	5.93	4.92	PCD1335TR-ND	1000.05	ETQ-PAF0R7EFA
	2.9±30%	1.3±30%	36.7	30.0	17.5	1.56	PCD1336CT-ND	8.89	5.93	4.92	PCD1336TR-ND	1000.05	ETQ-PAF1R3EFA

Drahtgewickelte RF-Chip-Induktoren 0402, 0603, 0805

Bleifrei/RoHS-konform

Spezifikationen:

Drahtgewickelte Keramikkernkonstruktion.

- **Betriebstemperatur:** -40 °C ~ 125 °C
- **Anschlussüberzug:** Gold (0402), Zinn oder Gold, nach Ermessen des Herstellers (0603, 0805)

Hinweis: Aufgrund der kleinen Größe sind keine Induktivitätsdaten auf das Teil geprägt.

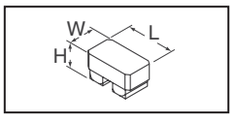

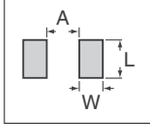

Serie	Empfohlenes Pad-Layout in Zoll (mm) L	W	A	Serie	Abmessungen in Zoll (mm), max. L	W	H
PE-0402CD	0.026 (0.66)	0.014 (0.36)	0.018 (0.46)	PE-0402CD	0.047 (1.19)	0.026 (0.66)	0.024 (0.61)
PE-0603CD	0.050 (1.27)	0.025 (0.64)	0.025 (0.64)	PE-0603CD	0.071 (1.80)	0.049 (1.24)	0.049 (1.24)
PE-0805CM	0.070 (1.78)	0.040 (1.02)	0.030 (0.76)	PE-0805CM	0.090 (2.29)	0.066 (1.68)	0.057 (1.45)

Induktivität[1] (nH) ± 5%	IDC[5] (mA) Max.	Min. Q[2]	Q-Test @ (MHz)	Min. SRF[3] (MHz)	Max. R_{DC}[4] (Ω)	Digi-Key Teilenr.	Stückpreis 1	10	100	Gegurtet auf Rolle* Größe	Preisangaben	Pulse Teilenr.
0402 Drahtumwickelt												
1	1360	13	250	6000	0.045	553-1000-1-ND	.41	.24	.16	3,000	110.91/M	PE-0402CD1N0JTG
3.3	840	20	250	6000	0.066	553-1001-1-ND	.41	.24	.16	3,000	110.91/M	PE-0402CD3N3JTG
3.6	840	20	250	6000	0.066	553-1002-1-ND	.41	.24	.16	3,000	110.91/M	PE-0402CD3N6JTG
5.1	800	23	250	5800	0.083	553-1003-1-ND	.41	.24	.16	3,000	110.91/M	PE-0402CD5N1JTG
5.6	760	23	250	5800	0.083	553-1004-1-ND	.41	.24	.16	3,000	110.91/M	PE-0402CD5N6JTG
6.8	680	20	250	5800	0.083	553-1005-1-ND	.41	.24	.16	3,000	110.91/M	PE-0402CD6N8JTG
7.5	680	25	250	5800	0.104	553-1006-1-ND	.41	.24	.16	3,000	110.91/M	PE-0402CD7N5JTG
8.2	680	25	250	4400	0.104	553-1007-1-ND	.41	.24	.16	3,000	110.91/M	PE-0402CD8N2JTG
10	480	21	250	3900	0.195	553-1008-1-ND	.41	.24	.16	3,000	110.91/M	PE-0402CD100JTG
15	560	26	250	3280	0.172	553-1009-1-ND	.41	.24	.16	3,000	110.91/M	PE-0402CD150JTG
23	400	26	250	2720	0.214	553-1010-1-ND	.41	.24	.16	3,000	110.91/M	PE-0402CD230JTG
27	400	26	250	2480	0.298	553-1011-1-ND	.41	.24	.16	3,000	110.91/M	PE-0402CD270JTG
33	350	24	250	2350	0.35	553-1012-1-ND	.41	.24	.16	3,000	110.91/M	PE-0402CD330JTG
40	320	26	250	2240	0.438	553-1013-1-ND	.41	.24	.16	3,000	110.91/M	PE-0402CD400JTG
0603 Drahtumwickelt												
3.6	700	20	250	>6000	0.07	553-1014-1-ND	.36	.21	.14	2,000	95.67/M	PE-0603CD3N6JTT
5.1	700	20	250	5700	0.108	553-1015-1-ND	.36	.21	.14	2,000	95.67/M	PE-0603CD5N1JTT
6.2	700	25	250	5800	0.11	553-1016-1-ND	.36	.21	.14	2,000	95.67/M	PE-0603CD6N2JTT
8.2	700	30	250	4600	0.12	553-1017-1-ND	.36	.21	.14	2,000	95.67/M	PE-0603CD080JTT
10	700	30	250	4800	0.13	553-1018-1-ND	.36	.21	.14	2,000	95.67/M	PE-0603CD100JTT
15	700	30	250	4000	0.17	553-1019-1-ND	.36	.21	.14	2,000	95.67/M	PE-0603CD150JTT
18	700	35	250	3100	0.17	553-1020-1-ND	.36	.21	.14	2,000	95.67/M	PE-0603CD180JTT
22	700	35	250	3000	0.19	553-1021-1-ND	.36	.21	.14	2,000	95.67/M	PE-0603CD220JTT
27	600	35	250	2800	0.22	553-1022-1-ND	.36	.21	.14	2,000	95.67/M	PE-0603CD270JTT
33	600	35	250	2300	0.22	553-1023-1-ND	.36	.21	.14	2,000	95.67/M	PE-0603CD330JTT
39	600	35	250	2200	0.25	553-1024-1-ND	.36	.21	.14	2,000	95.67/M	PE-0603CD390JTT
47	600	35	200	2000	0.28	553-1025-1-ND	.36	.21	.14	2,000	95.67/M	PE-0603CD470JTT
56	600	35	200	1900	0.31	553-1026-1-ND	.36	.21	.14	2,000	95.67/M	PE-0603CD560JTT
68	600	35	200	1700	0.34	553-1027-1-ND	.36	.21	.14	2,000	95.67/M	PE-0603CD680JTT
82	400	34	150	1700	0.54	553-1028-1-ND	.36	.21	.14	2,000	95.67/M	PE-0603CD820JTT
120	300	32	150	1300	0.65	553-1029-1-ND	.36	.21	.14	2,000	95.67/M	PE-0603CDR12JTT
220	200	25	100	900	1.9	553-1030-1-ND	.36	.21	.14	2,000	95.67/M	PE-0603CD221JTT
330	150	22	100	500	2.3	553-1031-1-ND	.36	.21	.14	2,000	95.67/M	PE-0603CD331JTT
390	130	20	100	350	2.9	553-1032-1-ND	.36	.21	.14	2,000	95.67/M	PE-0603CD391JTT
0805 Drahtumwickelt												
10	600	60	500	3900	0.10	553-1033-1-ND	.33	.19	.13	2,000	88.90/M	PE-0805CM100JTT
12	600	50	500	2900	0.13	553-1034-1-ND	.33	.19	.13	2,000	88.90/M	PE-0805CM120JTT
18	600	50	500	2600	0.13	553-1035-1-ND	.33	.19	.13	2,000	88.90/M	PE-0805CM180JTT
22	500	55	500	2200	0.13	553-1036-1-ND	.33	.19	.13	2,000	88.90/M	PE-0805CM220JTT
33	500	58	500	1800	0.18	553-1037-1-ND	.33	.19	.13	2,000	88.90/M	PE-0805CM330JTT
39	500	60	500	2000	0.23	553-1038-1-ND	.33	.19	.13	2,000	88.90/M	PE-0805CM390JTT
47	500	60	500	1650	0.25	553-1039-1-ND	.31	.18	.12	2,000	88.90/M	PE-0805CM470JTT
56	500	60	500	1300	0.16	553-1040-1-ND	.33	.19	.13	2,000	88.90/M	PE-0805CM560JTT
68	500	60	500	1350	0.18	553-1041-1-ND	.31	.18	.12	2,000	88.90/M	PE-0805CM680JTT
82	400	60	500	1300	0.36	553-1042-1-ND	.33	.19	.13	2,000	88.90/M	PE-0805CM820JTT
120	350	45	250	1100	0.56	553-1043-1-ND	.33	.19	.13	2,000	88.90/M	PE-0805CM121JTT
150	350	50	250	900	0.56	553-1044-1-ND	.33	.19	.13	2,000	88.90/M	PE-0805CM151JTT
330	300	40	100	775	1.28	553-1045-1-ND	.33	.19	.13	2,000	88.90/M	PE-0805CM331JTT
470	240	38	100	600	3.25	553-1046-1-ND	.31	.18	.12	2,000	88.90/M	PE-0805CM471JTT
560	240	40	100	600	3.1	553-1047-1-ND	.33	.19	.13	2,000	88.90/M	PE-0805CM561JTT
680	240	32	50	550	3.5	553-1048-1-ND	.33	.19	.13	2,000	88.90/M	PE-0805CM681JTT
820	200	23	50	215	2.35	553-1049-1-ND	.33	.19	.13	2,000	88.90/M	PE-0805CM821JTT

Hinweise:
1. Induktivitätsmessung mithilfe eines HP4286A RF Impedanzanalysators.
2. Q-Messung mit einem HP4291A RF Impedanzanalysator mit einer HP16193A Testvorrichtung.
3. SRF-Messung mit einem HP8753C Netzwerk-Analysator.
4. RDC-Messung mit einem Valhalla Scientific Modell 4100 ATC Digital-Ohmmeter.
5. Basierend auf einem maximalen Temperaturanstieg von 15 °C.

* Für Gegurtet auf Rolle die Teilenr. von 1-ND auf 2-ND ändern.

SMT-Leistungsinduktoren, ungeschirmter Trommelkern der Serie P0751/2

Bleifrei/RoHS-konform

Spezifikationen:

- **Betriebstemperatur:** -40 °C ~ 130°C
- **Auflagefläche: max.** 13,0 mm x 9,4 mm
- **Nennstrom:** Bis zu 6,8 A
- **Induktivitätsbereich:** 1,0 µH ~ 1.000 µH

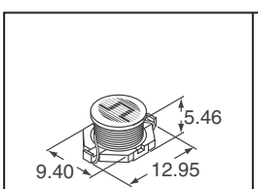

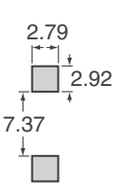

Induktivität[1] @ I_{PK} A_{DC} (µH) ± 20%	Induktivität, Nennwert[4] (A)	DCR max. (mΩ)	Sättigung-[2] Strom @ 25°C (A)	Wärme-[3] Strom (A)	Digi-Key Teilenr.	Stückpreis 1	10	100	Gegurtet auf Rolle* Größe	Preisangaben	Pulse Teilenr.
1.0	6.8	10	9.0	6.8	553-1055-1-ND	.69	.41	.28	800	176.77	P0751.102NLT
1.5	6.4	12	8.0	6.4	553-1056-1-ND	.69	.41	.28	800	176.77	P0751.152NLT
2.2	6.1	15	7.0	6.1	553-1057-1-ND	.69	.41	.28	800	176.77	P0751.222NLT
3.3	5.4	18	6.4	5.4	553-1058-1-ND	.69	.41	.28	800	176.77	P0751.332NLT
4.7	4.8	33	5.4	4.8	553-1059-1-ND	.69	.41	.28	800	176.77	P0751.472NLT
6.8	4.4	44	4.6	4.4	553-1060-1-ND	.69	.41	.28	800	176.77	P0751.682NLT
10	3.8	50	3.8	3.9	553-1061-1-ND	.69	.41	.28	800	176.77	P0751.103NLT
15	3.0	55	3.0	3.1	553-1062-1-ND	.69	.41	.28	800	176.77	P0751.153NLT
22	2.6	114	2.6	2.7	553-1063-1-ND	.69	.41	.28	800	176.77	P0751.223NLT
33	2.0	120	2.0	2.1	553-1064-1-ND	.69	.41	.28	800	176.77	P0751.333NLT
47	1.6	168	1.6	1.8	553-1065-1-ND	.69	.41	.28	800	176.77	P0751.473NLT
68	1.4	240	1.4	1.5	553-1066-1-ND	.69	.41	.28	800	176.77	P0751.683NLT
100	1.2	380	1.2	1.3	553-1067-1-ND	.69	.41	.28	800	188.28	P0752.104NLT
150	1.0	570	1.0	1.0	553-1068-1-ND	.69	.41	.28	800	188.28	P0752.154NLT
220	0.8	840	0.8	0.8	553-1069-1-ND	.69	.41	.28	800	188.28	P0752.224NLT
330	0.6	1020	0.6	0.6	553-1070-1-ND	.69	.41	.28	800	188.28	P0752.334NLT
470	0.5	1460	0.5	0.5	553-1071-1-ND	.69	.41	.28	800	188.28	P0752.474NLT
680	0.4	2170	0.4	0.4	553-1072-1-ND	.69	.41	.28	800	188.28	P0752.684NLT
1000	0.3	3300	0.3	0.3	553-1073-1-ND	.69	.41	.28	800	188.28	P0752.105NLT

Hinweise: Die Temperatur des Bauteils (Umgebung plus Temperaturanstieg) muss innerhalb des angebenen Betriebstemperaturbereichs liegen.
1. Induktivitätstest bei 100 kHz, 10 mV_{RMS}.
2. Induktivitätsabfall = typischerweise 10 % bei Sättigungsstrom.
3. ΔT = 15 °C typischerweise bei Wärmestrom.
4. Der Nennstrom entspricht dem niedrigen Wert von Sättigungs- oder Wärmestrom.

* Für Gegurtet auf Rolle die Teilenr. von 1-ND auf 2-ND ändern.

Alle Preisangaben in Euro und inklusive Zollgebühren.

SMT-Leistungsinduktoren, geschirmter Trommelkern der Serie P1167

Bleifrei/RoHS-konform

Spezifikationen:

- **Betriebstemperatur:** -40 °C ~ 130°C
- **Auflagefläche:** max. 7,5 mm x 7,5 mm
- **Nennstrom:** Bis zu 3,5 A
- **Induktivitätsbereich:** 1,8 µH ~ 750 µH

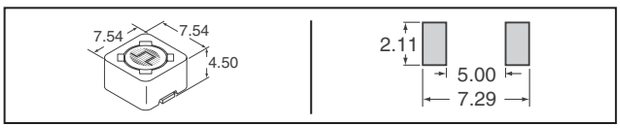

Induktivität @ Nennstrom (µH) Minimum	Nennstrom IDC	DCR (mΩ) Typ.	DCR (mΩ) maximale	Induktivität @ 0 IDC (µH) ± 20%	Sättigungs-strom @ 25°C (A)	Wärme-strom (A)	Digi-Key Teilenr.	Stückpreis 1	Stückpreis 10	Stückpreis 100	Digi-Key Teilenr.	Gegurtet auf Rolle Größe	Gegurtet auf Rolle Preisangaben	Pulse Teilenr.
1.8	3.5	13	16	2.7*	3.5	3.6	553-1074-1-ND	1.08	.64	.44	553-1074-2-ND	900	310.87	P1167.272NLT
2.3	3.1	15	20	3.6*	3.1	3.4	553-1075-1-ND	1.08	.64	.44	553-1075-2-ND	900	310.87	P1167.362NLT
2.9	2.6	25	30	4.5*	2.9	2.6	553-1076-1-ND	1.08	.64	.44	553-1076-2-ND	900	310.87	P1167.452NLT
3.5	2.5	27	33	5.4*	2.7	2.5	553-1077-1-ND	1.08	.64	.44	553-1077-2-ND	900	310.87	P1167.542NLT
4.1	2.4	30	35	6.3*	2.5	2.4	553-1078-1-ND	1.08	.64	.44	553-1078-2-ND	900	310.87	P1167.632NLT
7.5	2.0	42	50	10	2.1	2.0	553-1079-1-ND	1.08	.64	.44	553-1079-2-ND	900	310.87	P1167.103NLT
9.0	1.9	46	57	12	1.9	1.9	553-1080-1-ND	1.08	.64	.44	553-1080-2-ND	900	310.87	P1167.123NLT
11.3	1.7	53	66	15	1.7	1.8	553-1081-1-ND	1.08	.64	.44	553-1081-2-ND	900	310.87	P1167.153NLT
13.5	1.5	59	73	18	1.5	1.7	553-1082-1-ND	1.08	.64	.44	553-1082-2-ND	900	310.87	P1167.183NLT
16.5	1.4	87	105	22	1.4	1.4	553-1083-1-ND	1.08	.64	.44	553-1083-2-ND	900	310.87	P1167.223NLT
20.3	1.2	100	130	27	1.2	1.3	553-1084-1-ND	1.08	.64	.44	553-1084-2-ND	900	310.87	P1167.273NLT
24.8	1.1	139	170	33	1.1	1.1	553-1085-1-ND	1.08	.64	.44	553-1085-2-ND	900	310.87	P1167.333NLT
29.3	1.0	156	200	39	1.0	1.0	553-1086-1-ND	1.08	.64	.44	553-1086-2-ND	900	310.87	P1167.393NLT
35.3	0.94	173	220	47	0.94	1.0	553-1087-1-ND	1.08	.64	.44	553-1087-2-ND	900	310.87	P1167.473NLT
42.0	0.88	225	270	56	0.86	0.86	553-1088-1-ND	1.08	.64	.44	553-1088-2-ND	900	310.87	P1167.563NLT
51.0	0.78	251	310	68	0.78	0.81	553-1089-1-ND	1.08	.64	.44	553-1089-2-ND	900	310.87	P1167.683NLT
61.5	0.70	282	350	82	0.70	0.77	553-1090-1-ND	1.08	.64	.44	553-1090-2-ND	900	310.87	P1167.823NLT
75.0	0.63	317	390	100	0.63	.072	553-1091-1-ND	1.08	.64	.44	553-1091-2-ND	900	310.87	P1167.104NLT
90.0	0.57	418	530	120	0.57	0.63	553-1092-1-ND	1.08	.64	.44	553-1092-2-ND	900	310.87	P1167.124NLT
113	0.52	497	610	150	0.52	0.58	553-1093-1-ND	1.08	.64	.44	553-1093-2-ND	900	310.87	P1167.154NLT
135	0.47	635	820	180	0.47	0.51	553-1094-1-ND	1.08	.64	.44	553-1094-2-ND	900	310.87	P1167.184NLT
165	0.43	745	930	220	0.43	0.47	553-1095-1-ND	1.08	.64	.44	553-1095-2-ND	900	310.87	P1167.224NLT
203	0.39	840	1040	270	0.39	0.44	553-1096-1-ND	1.08	.64	.44	553-1096-2-ND	900	310.87	P1167.274NLT
248	0.35	1162	1470	330	0.35	0.38	553-1097-1-ND	1.08	.64	.44	553-1097-2-ND	900	310.87	P1167.334NLT
293	0.32	1237	1570	390	0.32	0.37	553-1098-1-ND	1.08	.64	.44	553-1098-2-ND	900	310.87	P1167.394NLT
353	0.29	1688	2180	470	0.29	0.31	553-1099-1-ND	1.08	.64	.44	553-1099-2-ND	900	310.87	P1167.474NLT
420	0.26	2240	2960	560	0.26	0.27	553-1100-1-ND	1.08	.64	.44	553-1100-2-ND	900	310.87	P1167.564NLT
510	0.23	2402	3180	680	0.23	0.26	553-1101-1-ND	1.08	.64	.44	553-1101-2-ND	900	310.87	P1167.684NLT
615	0.21	2702	3500	820	0.21	0.25	553-1102-1-ND	1.08	.64	.44	553-1102-2-ND	900	310.87	P1167.824NLT
750	0.19	3703	4930	1000	0.19	0.21	553-1103-1-ND	1.08	.64	.44	553-1103-2-ND	900	310.87	P1167.105NLT

* Induktivität bei 0 IDC-Toleranz auf angegebenen Teilenummern ist ±30 %; Toleranz ist ±20 % auf allen anderen Teilen.

D

Toroid-Leistungsinduktoren der Leerspulenserie

Spezifikationen:

- **Strombereich:** Bis zu 48 A
- **Frequenzbereich:** Bis zu 1 MHz
- **Betriebstemperatur:** -40 °C ~ 130°C
- **Elektrische Spezifikationen:** Gemessen bei 25 °C

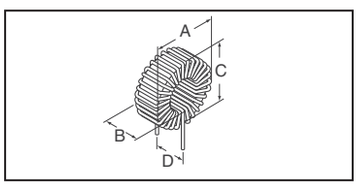

Pulse Teilenr.	Abmessungen in Zoll (mm) A	B	C	D
PG0122	.807 (20.50)	.374 (9.50)	.748 (19.00)	.354 (9.00)
PG0123	.807 (20.50)	.413 (10.50)	.748 (19.00)	.354 (9.00)
PA0690	.625 (15.90)	.345 (8.80)	.545 (13.80)	.300 (7.60)
PA0235L	N/A	.400 (10.20)	.660 (16.80)	.300 (7.60)

Pulse Teilenr.	Abmessungen in Zoll (mm) A	B	C	D
PA0689	.625 (15.90)	.345 (8.80)	.545 (13.80)	.300 (7.60)
PA0430L	.874 (22.20)	.374 (9.50)	N/A	.245 (6.20)
P1967L	.906 (23.00)	.492 (12.50)	.906 (23.00)	.300 (7.60)
PG0116	.571 (14.50)	.276 (7.00)	.571 (14.50)	.276 (7.00)
PA0489L	.604 (15.30)	.323 (8.20)	.556 (14.10)	.250 (6.40)
PG0112	.630 (16.00)	.374 (9.50)	.630 (16.00)	.295 (7.50)
P1715L	.610 (15.50)	.325 (8.30)	N/A	.300 (7.60)
PA0431L	.874 (22.20)	.374 (9.50)	N/A	.240 (6.10)
PA0432L	.980 (24.90)	.440 (11.20)	.980 (24.90)	.310 (7.90)

Induktivität @ Nennstrom (µH) typ.	Nennstrom (IDC)	Max. DCR (mΩ)	Induktivität @ 0 IDC (µH) ± 20%	Digi-Key Teilenr.	Stückpreis 1	Stückpreis 10	Stückpreis 100	Pulse Teilenr.
0.48	30.5	2.0	0.60	553-1104-ND	.87	.51	.35	PG0122
0.49	48.0	0.85	0.86	553-1105-ND	1.08	.64	.44	PG0123
0.50	22.5	1.5	0.88	553-1106-ND	.47	.27	.18	PA0690
0.67	22.5	2.6	0.86	553-1107-ND	.78	.46	.32	PA0235L
0.80	21.5	2.0	1.70	553-1108-ND	.47	.27	.18	PA0689
0.86	37.5	1.6	1.96	553-1109-ND	.78	.46	.32	PA0430L
0.93	23.8	3.8	1.44	553-1110-ND	.63	.36	.23	P1967L
1.02	14.9	4.2	1.70	553-1111-ND	.41	.24	.16	PG0116
1.05	19.0	2.7	2.24	553-1112-ND	.58	.33	.22	PA0489L
1.10	13.8	7.0	2.50	553-1113-ND	.57	.33	.23	PG0112
1.81	14.3	5.0	3.50	553-1114-ND	.58	.33	.22	P1715L
3.22	20.5	5.5	7.80	553-1115-ND	.96	.56	.39	PA0431L
5.00	20.5	7.5	12.10	553-1116-ND	.83	.49	.34	PA0432L

Leistungs-Toroidinduktoren - für National Simple Switcher™

Spezifikationen: • Basismaterial erfüllt Entflammbarkeitsanforderungen von UL94V-0 • Betriebstemperatur: -40 °C ~ 130°C

150kHz-Induktoren wurden von National Semiconductor zur Verwendung mit Reglern der Serie LM259X getestet und empfohlen.

260 kHz Induktoren wurden von National Semiconductor zur Verwendung mit Reglern der Serie LM267X getestet und empfohlen.

Abb. 1

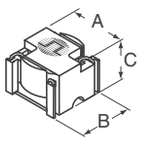

Abb. 2

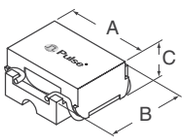

Abb. 3

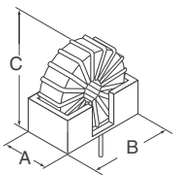

Ausführung	Abmessungen - Zoll (mm) A	B	C
LCI-20	.340 (8.64)	.340 (8.64)	.270 (6.86)
LCI-30	.435 (11.05)	.440 (11.18)	.360 (9.14)
LCI-37	.565 (14.35)	.570 (14.48)	.360 (9.14)
LCI-44	.600 (15.24)	.620 (15.75)	.390 (9.91)
LCI-50	.670 (17.02)	.700 (17.78)	.390 (9.91)
HCI-68	.940 (23.87)	.940 (23.87)	.400 (10.16)

Ausführung	Abmessungen - Zoll (mm) A	B	C	Einführungsraum
Big Foot	1.00 (25.40)	1.22 (30.99)	0.50 (12.70)	—
KM-1.1	0.35 (8.89)	0.58 (14.74)	0.71 (18.17)	0.22 (5.60)
KM-2.0	0.45 (11.43)	0.65 (21.08)	0.70 (17.78)	0.30 (7.62)
KM-2.1	0.46 (11.69)	0.67 (17.02)	0.75 (19.05)	0.30 (7.62)
KM-3.0	0.45 (11.43)	0.83 (21.09)	0.95 (24.13)	0.30 (7.62)
KM-4.0	0.60 (15.24)	0.95 (24.13)	1.35 (34.29)	0.45 (11.44)

150-kHz-Induktoren

Abb.	Ausführung	Nominale Induktivität (µH) ±20%	Nennstrom (IDC)	Max. ET_{OP} (V-µSec)*	Nominaler DCR (Ω)	Nationale Referenz Nr.	Digi-Key Teilenr.	Stückpreis 1	10	100	Pulse Teilenr.
	LCI-20	178	0.16	16.5	2.8	LM259X-L2	553-1269-5-ND	2.91	1.90	1.45	PE-53802S
	LCI-20	55	0.3	6.6	1	LM259X-L5	553-1270-5-ND	1.90	1.18	.87	PE-53805S
	LCI-20	39	0.34	6.6	0.8	LM259X-L6	553-1271-5-ND	2.03	1.32	1.01	PE-53806S
	LCI-30	374	0.2	75.9	2.7	LM259X-L8	553-1272-5-ND	1.21	.75	.55	PE-53808S
	LCI-30	176	0.3	26.4	1.4	LM259X-L10	553-1273-5-ND	1.28	.80	.58	PE-53810S
	LCI-30	118	0.38	19.8	1.2	LM259X-L11	553-1274-5-ND	1.31	.82	.60	PE-53811S
	LCI-30	78	0.46	16.5	0.8	LM259X-L12	553-1275-5-ND	1.97	1.22	.90	PE-53812S
	LCI-30	55	0.56	13.2	0.5	LM259X-L13	553-1276-5-ND	1.84	1.14	.83	PE-53813S
	LCI-30	39	0.68	9.9	0.3	LM259X-L14	553-1277-5-ND	1.69	1.05	.77	PE-53814S
	LCI-30	26	0.84	6.6	0.2	LM259X-L15	553-1278-5-ND	1.59	.99	.72	PE-53815S
	LCI-30	17	1.02	6.6	0.1	LM259X-L16	553-1279-5-ND	1.49	.92	.68	PE-53816S
	LCI-37	375	0.36	75.9	1.3	LM259X-L17	553-1280-5-ND	1.94	1.20	.88	PE-53817S
	LCI-37	252	0.44	49.5	0.9	LM259X-L18	553-1281-5-ND	1.46	.90	.66	PE-53818S
	LCI-37	173	0.54	36.30	0.6	LM259X-L19	553-1282-5-ND	1.49	.92	.68	PE-53819S
1	LCI-37	115	0.67	29.7	0.4	LM259X-L20	553-1283-5-ND	1.39	.86	.63	PE-53820S
	LCI-37	78	0.82	23.1	0.3	LM259X-L21	553-1284-5-ND	1.52	.95	.69	PE-53821S
	LCI-37	54	1.0	16.5	0.2	LM259X-L22	553-1285-5-ND	1.46	.90	.66	PE-53822S
	LCI-37	38	1.2	13.2	0.1	LM259X-L23	553-1286-5-ND	1.59	.99	.72	PE-53823S
	LCI-37	26	1.48	9.9	0.1	LM259X-L24	553-1287-5-ND	1.49	.92	.68	PE-53824S
	LCI-37	18	1.81	9.9	0.06	LM259X-L25	553-1288-5-ND	1.49	.92	.68	PE-53825S
	LCI-44	377	0.68	75.9	1	LM259X-L26	553-1289-5-ND	1.49	.92	.68	PE-53826S
	LCI-44	248	0.83	72.6	0.6	LM259X-L27	553-1290-5-ND	1.31	.82	.60	PE-53827S
	LCI-44	168	1.02	56.1	0.4	LM259X-L28	553-1291-5-ND	1.46	.90	.66	PE-53828S
	LCI-44	112	1.26	42.9	0.3	LM259X-L29	553-1292-5-ND	1.52	.95	.69	PE-53829S
	LCI-44	77	1.54	33	0.2	LM259X-L30	553-1293-5-ND	1.56	.97	.71	PE-53830S
	LCI-44	53	1.87	26.4	0.13	LM259X-L31	553-1294-5-ND	1.28	.80	.58	PE-53831S
	LCI-44	37	2.24	19.8	0.1	LM259X-L32	553-1295-5-ND	2.14	1.33	.97	PE-53832S
	LCI-44	24	2.74	16.5	0.07	LM259X-L33	553-1296-5-ND	2.14	1.33	.97	PE-53833S
	LCI-44	17	3.0	13.2	0.05	LM259X-L34	553-1297-5-ND	1.28	.80	.58	PE-53834S
	HCI-68	250	1.5	72.6	0.23	LM259X-L35	553-1298-5-ND	1.85	1.21	.93	PE-53835S
	HCI-68	168	1.81	75.9	0.18	LM259X-L36	553-1299-5-ND	2.27	1.48	1.13	PE-53836S
	HCI-68	114	2.22	62.7	0.1	LM259X-L37	553-1300-5-ND	2.21	1.44	1.10	PE-53837S
2	HCI-68	77	2.7	52.8	0.09	LM259X-L38	553-1301-5-ND	2.15	1.40	1.07	PE-53838S
	HCI-68	53	3.0	42.9	0.08	LM259X-L39	553-1302-5-ND	1.95	1.27	.97	PE-53839S
	HCI-68	38	3.0	29.7	0.05	LM259X-L40	553-1303-5-ND	1.95	1.27	.97	PE-53840S
1	LCI-50	25	3.0	19.8	0.04	LM259X-L41	553-1304-5-ND	1.59	.99	.72	PE-53841S
2	HCI-68	77	3.0	59.4	0.08	LM259X-L44	553-1305-5-ND	2.29	1.50	1.15	PE-53844S

* ET_{OP}-Nennwert bei 150 kHz.

260 kHz Induktoren - bleifrei/RoHS-konform

Abb.	Ausführung	Nominale Induktivität (µH) ±20%	Nennstrom (IDC)	Max. ET_{OP} (V-µSec)‡	Nominaler DCR (Ω)	Nationale Referenz Nr.	Digi-Key Teilenr.	Stückpreis 1	10	100	Pulse Teilenr.
						KlipMount™					
	KM-3.0	22.8	4.9	23.3	.036	LM267X-L41	553-1117-ND	2.51	1.63	1.25	P0841NL
	KM-1.1	10.2	4.3	10	.026	LM267X-L45	553-1118-ND	.97	.60	.44	P0845NL
	KM-2.1	14.8	5.0	17	.023	LM267X-L46	553-1119-ND	1.63	1.01	.74	P0846NL
3	KM-2.0	10	5.0	13	.025	LM267X-L47	553-1120-ND	1.42	.88	.65	P0847NL
	KM-4.0	50	5.0	40	.050	LM267X-L48	553-1121-ND	2.45	1.59	1.22	P0848NL
	KM-4.0	33	5.0	36	.047	LM267X-L49	553-1122-ND	2.45	1.59	1.22	P0849NL
	KM-3.0	23	5.0	24	.026	LM267X-L50	553-1123-ND	2.53	1.65	1.26	P0850NL
						Oberflächenmontage					
2	HCI-68	22.8	4.9	23.3	.036	LM267X-L41	553-1124-ND	2.14	1.33	.97	P0841SNL
	LCI-44	10	4.3	10	.050	LM267X-L45	553-1125-5-ND	1.39	.86	.63	P0845SNL
1	LCI-50	15	5.0	17	.027	LM267X-L46	553-1126-5-ND	1.52	.95	.69	P0846SNL
	LCI-50	11	5.0	13	.025	LM267X-L47	553-1127-5-ND	1.63	1.01	.74	P0847SNL
	Big Foot	52	5.0	40	.025	LM267X-L48	553-1128-ND	2.83	1.84	1.41	P0848SNL
2	Big Foot	36	5.0	36	.019	LM267X-L49	553-1129-ND	2.91	1.90	1.45	P0849SNL
	Big Foot	24.7	5.0	24	.013	LM267X-L50	553-1130-ND	2.80	1.82	1.40	P0850SNL

‡ ET_{OP} Nennwert bei 260 kHz.

Hinweis: Simple Switcher ist eine Marke von National Semiconductor.

Alle Preisangaben in Euro und inklusive Zollgebühren.

SMT Leistungs-Toroidinduktoren der Serie SLIC

Spezifikationen: • Betriebstemperatur: -40 °C ~ 130°C **• Nennstrom:** Bis zu 23,8 A DC **• Frequenzbereich:** Bis zu 1 MHz

Abb. 1

Paket	Abmessungen – Zoll (mm)		
	A	B	C
LCI-20	.340 (8.64)	.340 (8.64)	.270 (6.86)
LCI-30	.435 (11.05)	.440 (11.18)	.360 (9.14)
LCI-37	.565 (14.35)	.570 (14.48)	.360 (9.14)
LCI-44	.600 (15.24)	.620 (15.75)	.390 (9.91)
LCI-50	.670 (17.02)	.700 (17.78)	.390 (9.91)

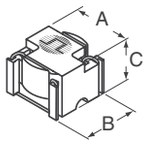

Abb. 2

Paket	Abmessungen – Zoll (mm)		
	A	B	C
LCCI-37	.560 (14.22)	.645 (16.38)	.350 (8.89)
LCCI-44	.590 (14.99)	.715 (18.16)	.390 (9.91)
LCCI-50	.670 (17.02)	.770 (19.56)	.390 (9.91)

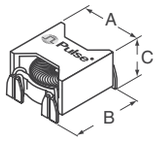

Abb. 3

Paket	Abmessungen – Zoll (mm)		
	A	B	C
HCI-37	.620 (15.75)	.605 (15.37)	.370 (9.40)
HCI-44	.670 (17.02)	.670 (17.02)	.390 (9.91)
HCI-50	.740 (18.80)	.740 (18.80)	.390 (9.91)
HCI-68	.940 (23.88)	.940 (23.88)	.390 (9.91)

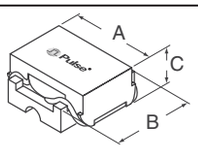

Abb. 4

Paket	Abmessungen – Zoll (mm)		
	A	B	C
HCCI-44	.715 (18.16)	.800 (20.32)	1.000 (25.40)
HCCI-50	.865 (21.97)	.910 (23.11)	1.110 (28.19)
HCCI-68	.390 (9.91)	.390 (9.91)	.390 (9.91)

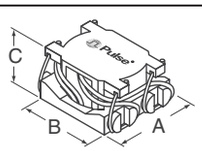

Abb.	Ausführung	Induktivität @ Nennwert (µH)	Induktivität, Nennwert (A)	Induktivität @ 0 A_{DC} (µH)	DCR Typisch	DCR Max.	Referenz: ET (Volt-uSec)	Digi-Key Teilenr.	Stückpreis 1	Stückpreis 10	Stückpreis 100	Pulse Teilenr.
Niederstrominduktoren - Typ LCI												
1	LCI-20	1.01	3.4	1.1	9.35	11	0.53	553-1131-ND	1.22	.72	.49	PE-53630
	LCI-37	2.5	8.0	3.8	7.055	8.3	1.77	553-1132-ND	1.24	.77	.57	PE-53661
	LCI-30	3.8	4.8	5.2	14.705	17.3	1.76	553-1133-ND	1.04	.61	.42	PE-53650
	LCI-44	4.9	7.8	7.9	10.54	12.4	3.04	553-1134-ND	1.35	.79	.54	PE-53662
	LCI-37	5.1	5.4	7.5	15.045	17.7	2.51	553-1135-ND	1.28	.80	.58	PE-53651
	LCI-20	6.2	1.4	7	59.5	70	1.33	553-1136-ND	1.14	.71	.52	PE-53600
	LCI-44	9.0	5.5	14	25.0	28	4.06	553-1137-ND	1.22	.72	.49	PE-53652
	LCI-50	9.3	7.2	16	15.895	18.7	4.92	553-1138-ND	1.18	.73	.54	PE-53663
	LCI-30	9.4	2.8	12.3	36.89	43.4	2.70	553-1139-ND	1.26	.74	.51	PE-53631
	LCI-50	16.1	5.1	25.9	27.2	32	6.27	553-1140-ND	1.18	.73	.54	PE-53653
	LCI-37	16.2	2.7	21.9	63.0	72	4.29	553-1141-ND	1.21	.75	.55	PE-53632
	LCI-20	17.6	1.0	22.7	106.25	125	2.40	553-1142-ND	1.31	.82	.60	PE-53601
	LCI-44	29.1	2.7	40.5	85.0	100	6.90	553-1143-ND	1.14	.71	.52	PE-53633
	LCI-30	29.7	1.4	35.3	141.1	166	4.60	553-1144-ND	1.18	.69	.47	PE-53602
	LCI-50	50	2.6	72.9	113.05	133	10.5	553-1145-ND	1.31	.82	.60	PE-53634
	LCI-37	58.1	1.3	73	246.5	290	7.83	553-1146-ND	1.31	.82	.60	PE-53604
	LCI-30	114	0.94	167	323	380	10.0	553-1147-ND	1.30	.77	.53	PE-53606
	LCI-37	192	0.90	292	476	560	15.7	553-1148-ND	1.46	.90	.66	PE-53608
	LCI-37	383	0.72	672	732.7	862	23.5	553-1149-ND	1.63	1.01	.74	PE-53611
	LCI-44	645	0.74	1134	1062.5	1250	36.5	553-1150-ND	1.28	.80	.58	PE-53613
	LCI-50	1070	0.71	1950	1445	1700	54.4	553-1151-ND	1.28	.80	.58	PE-53614
Niederstrom-Koppelinduktoren - Typ LCCI												
2	LCCI-50	4.025	6.4	6.575	18.4	23	3.135	553-1152-ND	1.97	1.22	.90	PE-53719
	LCCI-44	21.9	2.7	39.5	72.4	90.5	6.90	553-1153-ND	1.59	.99	.72	PE-53718
	LCCI-37	43.6	1.1	77	247.2	309	7.83	553-1154-ND	3.09	1.70	1.05	PE-53717
Hochstrominduktoren - Typ HCI												
3	HCI-37	0.81	14.3	1.25	2.125	2.5	1.035	553-1155-ND	1.39	.86	.63	PE-53690
	HCI-37	1.32	11.5	2.1	3.4	4.0	1.33	553-1156-ND	1.39	.86	.63	PE-53680
	HCI-44	1.68	13.9	2.8	3.06	3.6	1.83	553-1157-ND	1.31	.82	.60	PE-53691
	HCI-44	2.5	11.4	4.2	4.59	5.4	2.23	553-1158-ND	1.31	.82	.60	PE-53681
	HCI-50	3.5	12.4	6.5	5.61	6.6	3.10	553-1160-ND	1.56	.97	.71	PE-53692
	HCI-50	4.7	10.4	8.4	7.055	8.3	3.58	553-1161-ND	1.84	1.14	.83	PE-53682
	HCI-68	5.2	15.4	10.5	5.27	6.2	5.21	553-1162-ND	1.66	1.03	.76	PE-53700
	HCI-68	9.4	10.9	17.6	10.455	12.3	6.84	553-1163-ND	1.69	1.05	.77	PE-53683
Hochstrom-Koppelinduktoren - Typ HCCI												
4	HCCI-44	0.53	23.8	0.88	1	3	1	553-1164-ND	2.14	1.33	.97	PE-53361
	HCCI-50	1.1	21.0	2.1	1.7	2.5	1.75	553-1165-ND	1.95	1.27	.97	PE-53362
	HCCI-68	2.1	22.4	4	2.5	3.4	3.25	553-1166-ND	3.01	1.96	1.50	PE-53363

Hinweis: Die elektrischen Spezifikationen wurden bei 25 °C getestet.
Referenzwerte beziehen sich auf einen Induktor mit einem Temperaturanstieg von 55 °C.

Telekommunikationstransformatoren T1/E1 und T3/E3

Transformatoren für digitale und analoge Telekom-Anwendungen, die eine Vielzahl von führenden Transceiver-IC-Herstellern unterstützen. **Spezifikationen: • Standardbetriebstemperatur:** 0 °C ~ 70 °C **• Erweiterter Temperaturbereich:** -40 °C ~ 85 °C **• Behördliche Zulassungen**: UL1459 / UL1950, EN60950 laut BABT **• Isolierspannung:** 1.500 Vrms

Abb. 1

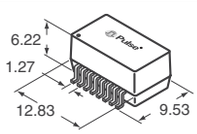

Abb. 2

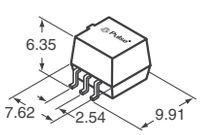

Schaltschema:

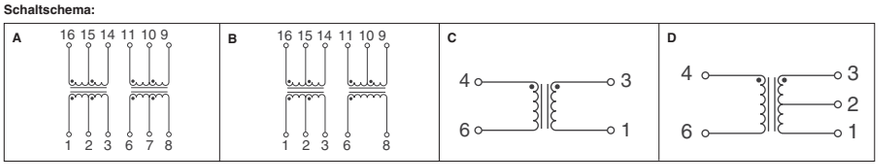

Abb.	Schaltschema	Nenntemperatur	Umdrehungsverhältnis B Pri : Sec (±5%)	Primäre Induktivität (mH min.)	Primäre Stifte	Digi-Key Teilenr.	Stückpreis 1	Stückpreis 10	Stückpreis 100	Pulse Teilenr.
T1/E1 Doppeltransformator zum Senden und Empfangen										
1	A	Standard	1CT:1CT / 1CT:1.36CT	1.2	16-14, 6-8	553-1166-ND	3.01	1.96	1.50	T1190
			1CT:1CT / 1CT:2CT	1.2	16-14,6-8	553-1167-ND	3.01	1.96	1.50	PE-68678
			1CT:1.15CT / 1CT:1.15CT	1.2	1-3, 6-8	553-1168-ND	3.01	1.96	1.50	PE65870
			1CT:1.41CT / 1CT:1.41CT	1.0	16-14, 11-9	553-1169-ND	3.01	1.96	1.50	PE-68786
			1CT:2CT / 1CT:2CT	1.2	16-14,6-8	553-1170-ND	3.01	1.96	1.50	PE-65861
		Standard	1CT:2.42CT / 1CT:2.42CT	1.2	1-3, 6-8	553-1171-ND	3.01	1.96	1.50	T1137
		Erweitert	1CT:1CT / 1CT:2CT	1.2	16-14,6-8	553-1172-ND	3.01	1.96	1.50	T1094
	A	Erweitert	1CT:1CT / 1CT:2.4CT	1.0	9-11, 1-3	553-1173-ND	3.01	1.96	1.50	T1144
		Erweitert	1CT:1.15CT / 1CT:1.15CT	1.2	1-3, 6-8	553-1174-ND	3.01	1.96	1.50	T1093
		Erweitert	1CT:1.41CT / 1CT:1.41CT	1.0	16-14, 11-9	553-1175-ND	3.01	1.96	1.50	T1095
	B		1CT:2CT / 1:1.36CT		16-14,6-8	553-1176-ND	3.01	1.96	1.50	T1091
	A	Erweitert	1CT:2CT / 1CT:2CT	1.2	16-14,6-8	553-1177-ND	3.01	1.96	1.50	T1090
	A		1CT:2.42CT / 1CT:2.42CT		1-3, 6-8	553-1178-ND	3.01	1.96	1.50	TX1287
T3/E3 Einzeltransformator zum Senden und Empfangen										
2	C	Standard	1:1*	.040	4-6	553-1179-ND	3.35	2.30	1.83	PE-65967
	D	Standard	1:2CT*	.019	4-6	553-1180-ND	3.35	2.30	1.83	PE-65968
	C	Erweitert	1:1*	.100	1-3	553-1181-ND	3.58	2.46	1.95	T3001
	D	Erweitert	1:2CT*	.040	4-6	553-1182-ND	3.58	2.46	1.95	T3002

* Pri: Sec-Toleranz: ±2 %

API Delevan

Spulen und Induktoren

Serie 1025
HF-Spulen, geformt, nicht abgeschirmt

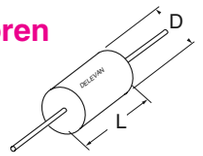

Abmessungen		Anschlussgröße	
L	D	AWG #24 (TWC)	Anschlusslänge
.250" (6.35mm)	.095" (2.41mm)	.020" (.51mm)	1.5" (38.10mm)

Indukt. (µH)	Q min.	Test-frequ. (MHz)	Max. Nenn-strom (mA)	Digi-Key Teilenr.	Stückpreis 1	10	100	API Delevan Teilenr.
Serie 1025 Phenolkern (LT4K)								
.10	40	25.0	1380	DN2594-ND	.53	.46	.31	1025-94K
.12	40	25.0	1300	DN2596-ND	.53	.46	.31	1025-96K
.33	30	25.0	830	DN2508-ND	.53	.46	.31	1025-08K
.39	30	25.0	710	DN2510-ND	.53	.46	.31	1025-10K
.47	30	25.0	660	DN2512-ND	.53	.46	.31	1025-12K
.56	30	25.0	550	DN2514-ND	.53	.46	.31	1025-14K
.68	28	25.0	500	DN2516-ND	.53	.46	.31	1025-16K
.82	28	25.0	420	DN2518-ND	.53	.46	.31	1025-18K
1.0	25	25.0	390	DN2520-ND	.53	.46	.31	1025-20K
Serie 1025 Eisenkern (LT10K)								
1.2	25	7.9	620	DN2522-ND	.65	.56	.38	1025-22K
1.5	28	7.9	560	DN2524-ND	.65	.56	.38	1025-24K
1.8	30	7.9	480	DN2526-ND	—	—	.80	1025-26K
2.2	30	7.9	415	DN2528-ND	.65	.56	.38	1025-28K
2.7	37	7.9	355	DN2530-ND	.65	.56	.38	1025-30K
3.3	45	7.9	285	DN2532-ND	.65	.56	.38	1025-32K
3.9	45	7.9	263	DN2534-ND	.65	.56	.38	1025-34K
4.7	45	7.9	239	DN2536-ND	.65	.56	.38	1025-36K
5.6	50	7.9	195	DN2538-ND	.65	.56	.38	1025-38K
6.8	50	7.9	185	DN2540-ND	.65	.56	.38	1025-40K
8.2	55	7.9	160	DN2542-ND	.65	.56	.38	1025-42K
10.0	55	7.9	144	DN2544-ND	.65	.56	.38	1025-44K
12.0	45	2.5	160	DN2546-ND	.65	.56	.38	1025-46K
15.0	45	2.5	157	DN2548-ND	.65	.56	.38	1025-48K
18.0	50	2.5	149	DN2550-ND	.65	.56	.38	1025-50K
22.0	50	2.5	144	DN2552-ND	.65	.56	.38	1025-52K
27.0	50	2.5	140	DN2554-ND	.65	.56	.38	1025-54K
Serie 1025 Ferrit (LT10K)								
33.0	45	2.5	130	DN2556-ND	.71	.61	.41	1025-56K
39.0	45	2.5	125	DN2558-ND	.71	.61	.41	1025-58K
47.0	45	2.5	110	DN2560-ND	.71	.61	.41	1025-60K
56.0	45	2.5	100	DN2562-ND	.71	.61	.41	1025-62K
68.0	50	2.5	92	DN2564-ND	.71	.61	.41	1025-64K
82.0	50	2.5	88	DN2566-ND	.83	.72	.48	1025-66K
100.0	50	2.5	84	DN2568-ND	.83	.72	.48	1025-68K
120.0	30	.79	66	DN2570-ND	.83	.72	.48	1025-70K
150.0	30	.79	61	DN2572-ND	.83	.72	.48	1025-72K
180.0	30	.79	57	DN2574-ND	.83	.72	.48	1025-74K
220.0	30	.79	52	DN2576-ND	.83	.72	.48	1025-76K
270.0	30	.79	47	DN2578-ND	.89	.77	.51	1025-78K
330.0	30	.79	45	DN2580-ND	.89	.77	.51	1025-80K
390.0	30	.79	40	DN2582-ND	—	—	.95	1025-82K
470.0	30	.79	36	DN2584-ND	.89	.77	.51	1025-84K
560.0	30	.79	35	DN2586-ND	.89	.77	.51	1025-86K
680.0	30	.79	30	DN2588-ND	.89	.77	.51	1025-88K
820.0	30	.79	29	DN2590-ND	.98	.84	.56	1025-90K
1000.0	30	.79	28	DN2592-ND	.98	.84	.56	1025-92K

Serie 1641
HF-Spulen, geformt, abgeschirmt

Abmessungen		Anschlussgröße	Anschluss-
L	D	AWG 22 (TWC)	länge
.410" (10.41mm)	.162" (4.11mm)	.025" (.64mm)	1.44" (36.58mm)

Indukt. (µH)	Q min.	Test-frequ. (MHz)	Max. Nenn-strom (mA)	Digi-Key Teilenr.	Stückpreis 1	10	100	API Delevan Teilenr.
Serie 1641 Phenolkern - Eisenmantel (LT10K)								
.10	50	25.0	1830	DN41101-ND	.98	.84	.56	1641-101K
.12	51	25.0	1570	DN41121-ND	.98	.84	.56	1641-121K
.15	51	25.0	1500	DN41151-ND	.98	.84	.56	1641-151K
.18	50	25.0	1330	DN41181-ND	.98	.84	.56	1641-181K
.22	49	25.0	1120	DN41221-ND	.98	.84	.56	1641-221K
.27	47	25.0	870	DN41271-ND	—	—	1.02	1641-271K
.33	46	25.0	800	DN41331-ND	—	—	1.02	1641-331K
.39	44	25.0	680	DN41391-ND	.98	.84	.56	1641-391K
.47	44	25.0	580	DN41471-ND	.98	.84	.56	1641-471K
.56	43	25.0	505	DN41561-ND	.98	.84	.56	1641-561K
.68	42	25.0	430	DN41681-ND	.98	.84	.56	1641-681K
.82	40	25.0	375	DN41821-ND	—	—	1.02	1641-821K
1.0	44	25.0	1090	DN41102-ND	1.13	.97	.65	1641-102K
1.2	44	7.9	900	DN41122-ND	1.13	.97	.65	1641-122K
1.5	44	7.9	835	DN41152-ND	1.13	.97	.65	1641-152K
1.8	44	7.9	775	DN41182-ND	1.13	.97	.65	1641-182K
2.2	44	7.9	665	DN41222-ND	1.13	.97	.65	1641-222K
2.7	44	7.9	545	DN41272-ND	1.13	.97	.65	1641-272K
3.3	44	7.9	490	DN41332-ND	1.13	.97	.65	1641-332K
3.9	44	7.9	455	DN41392-ND	1.13	.97	.65	1641-392K
4.7	44	7.9	390	DN41472-ND	1.13	.97	.65	1641-472K
5.6	44	7.9	340	DN41562-ND	1.13	.97	.65	1641-562K
6.8	50	7.9	285	DN41682-ND	1.13	.97	.65	1641-682K
8.2	50	7.9	250	DN41822-ND	1.13	.97	.65	1641-822K
10.0	50	7.9	228	DN41103-ND	1.13	.97	.65	1641-103K
12.0	55	2.5	205	DN41123-ND	1.13	.97	.65	1641-123K
Serie 1641 Ferritkern Ferritmantel (LT10K)								
15.0	45	2.5	325	DN41153-ND	1.13	.97	.65	1641-153K
18.0	45	2.5	305	DN41183-ND	1.13	.97	.65	1641-183K
22.0	45	2.5	295	DN41223-ND	1.13	.97	.65	1641-223K
27.0	45	2.5	265	DN41273-ND	1.13	.97	.65	1641-273K
33.0	45	2.5	248	DN41333-ND	1.13	.97	.65	1641-333K
39.0	50	2.5	209	DN41393-ND	1.13	.97	.65	1641-393K
47.0	50	2.5	200	DN41473-ND	1.13	.97	.65	1641-473K
56.0	50	2.5	194	DN41563-ND	1.13	.97	.65	1641-563K
68.0	50	2.5	176	DN41683-ND	1.13	.97	.65	1641-683K
82.0	50	2.5	186	DN41823-ND	1.13	.97	.65	1641-823K
100.0	50	2.5	164	DN41104-ND	1.13	.97	.65	1641-104K
120.0	55	.79	153	DN41124-ND	1.13	.97	.65	1641-124K
150.0	55	.79	143	DN41154-ND	1.13	.97	.65	1641-154K
180.0	55	.79	138	DN41184-ND	1.13	.97	.65	1641-184K
220.0	55	.79	130	DN41224-ND	1.13	.97	.65	1641-224K
270.0	55	.79	120	DN41274-ND	1.13	.97	.65	1641-274K
330.0	55	.79	115	DN41334-ND	1.13	.97	.65	1641-334K
390.0	60	.79	107	DN41394-ND	1.13	.97	.65	1641-394K
470.0	60	.79	94	DN41474-ND	1.19	1.02	.68	1641-474K
560.0	60	.79	90	DN41564-ND	1.19	1.02	.68	1641-564K
680.0	60	.79	84	DN41684-ND	1.19	1.02	.68	1641-684K
820.0	60	.79	80	DN41824-ND	1.19	1.02	.68	1641-824K
1000.0	60	.79	70	DN41105-ND	1.19	1.02	.68	1641-105K

Serie 2474
Hochleistungsinduktoren

Mechanische Konfiguration: Die Einheiten haben axiale Anschlüsse für die Leiterplattenmontage, eingekapselt in ein Epoxidgussgehäuse. Ein Ferritkern mit hohem spezifischen Widerstand ermöglicht hohe Induktivität mit niedrigem DC-Widerstand. **Betriebstemperaturbereich:** -55 °C ~ +125 °C **Nennstrom:** 40 °C Anstieg über 85 °C Umgebung. **Verlustleistung bei 85 °C:** 0,5 W. **Induktivität:** Gemessen bei 1 V ohne DC-Strom

Abmessungen		Anschlussgröße	Anschluss-
L	D	AWG #20 (TWC)	länge
.740" (18.80mm)	.240" (6.10mm)	.032" (.81mm)	1.44" (36.58mm)

Indukt. (µH)	Max. DC-Widerstand (Ω)	Max. Nenn-strom (A)	Digi-Key Teilenr.	Stückpreis 1	10	100	API Delevan Teilenr.
Serie 2474 Ferritkern							
1.0	0.009	6.27	DN7401-ND	1.97	1.70	1.13	2474-01L
1.2	0.010	5.95	DN7402-ND	1.97	1.70	1.13	2474-02L
1.5	0.011	5.67	DN7403-ND	1.97	1.70	1.13	2474-03L
1.8	0.012	5.43	DN7404-ND	1.97	1.70	1.13	2474-04L
2.2	0.013	5.22	DN7405-ND	1.97	1.70	1.13	2474-05L
2.7	0.014	5.03	DN7406-ND	1.97	1.70	1.13	2474-06L
3.3	0.016	4.70	DN7407-ND	1.97	1.70	1.13	2474-07L
3.9	0.017	4.56	DN7408-ND	1.97	1.70	1.13	2474-08L
4.7	0.022	4.01	DN7409-ND	1.97	1.70	1.13	2474-09L
5.6	0.024	3.84	DN7410-ND	1.97	1.70	1.13	2474-10L
6.8	0.026	3.69	DN7411-ND	1.97	1.70	1.13	2474-11L
8.2	0.028	3.55	DN7412-ND	1.97	1.70	1.13	2474-12L
10.0	0.033	3.27	DN7413-ND	2.34	2.01	1.34	2474-13L
12.0	0.037	3.09	DN7414-ND	2.34	2.01	1.34	2474-14L
15.0	0.040	2.97	DN7415-ND	2.34	2.01	1.34	2474-15L
18.0	0.044	2.84	DN7416-ND	2.34	2.01	1.34	2474-16L
22.0	0.050	2.66	DN7417-ND	2.34	2.01	1.34	2474-17L
27.0	0.070	2.25	DN7418-ND	2.34	2.01	1.34	2474-18L
33.0	0.075	2.17	DN7419-ND	2.34	2.01	1.34	2474-19L
39.0	0.084	2.05	DN7420-ND	2.34	2.01	1.34	2474-20L
47.0	0.104	1.84	DN7421-ND	2.34	2.01	1.34	2474-21L
56.0	0.130	1.65	DN7422-ND	2.34	2.01	1.34	2474-22L
68.0	0.145	1.56	DN7423-ND	2.34	2.01	1.34	2474-23L
82.0	0.152	1.53	DN7424-ND	2.34	2.01	1.34	2474-24L
100.0	0.208	1.30	DN7425-ND	2.49	2.14	1.43	2474-25L
120.0	0.283	1.12	DN7426-ND	2.49	2.14	1.43	2474-26L
150.0	0.330	1.04	DN7427-ND	2.49	2.14	1.43	2474-27L
180.0	0.362	0.99	DN7428-ND	2.49	2.14	1.43	2474-28L
220.0	0.505	0.84	DN7429-ND	2.49	2.14	1.43	2474-29L
270.0	0.557	0.80	DN7430-ND	2.49	2.14	1.43	2474-30L
330.0	0.650	0.74	DN7431-ND	2.49	2.14	1.43	2474-31L
390.0	0.770	0.68	DN7432-ND	2.49	2.14	1.43	2474-32L
470.0	1.03	0.59	DN7433-ND	2.49	2.14	1.43	2474-33L
560.0	1.14	0.56	DN7434-ND	2.49	2.14	1.43	2474-34L
680.0	1.50	0.49	DN7435-ND	2.49	2.14	1.43	2474-35L
820.0	1.98	0.42	DN7436-ND	2.49	2.14	1.43	2474-36L
1000.0	2.30	0.39	DN7437-ND	2.64	2.27	1.51	2474-37L
1200.0	2.55	0.37	DN7438-ND	2.64	2.27	1.51	2474-38L
1500.0	3.00	0.34	DN7439-ND	2.64	2.27	1.51	2474-39L
1800.0	4.00	0.30	DN7440-ND	2.64	2.27	1.51	2474-40L
2200.0	4.40	0.28	DN7441-ND	2.64	2.27	1.51	2474-41L
2700.0	5.80	0.25	DN7442-ND	2.64	2.27	1.51	2474-42L
3300.0	6.56	0.23	DN7443-ND	2.64	2.27	1.51	2474-43L
3900.0	8.63	0.20	DN7444-ND	2.64	2.27	1.51	2474-44L
4700.0	10.1	0.19	DN7445-ND	2.64	2.27	1.51	2474-45L
5600.0	11.2	0.18	DN7446-ND	2.64	2.27	1.51	2474-46L
6800.0	15.0	0.15	DN7447-ND	2.64	2.27	1.51	2474-47L
8200.0	20.8	0.13	DN7448-ND	2.64	2.27	1.51	2474-48L
10000.0	23.4	0.12	DN7449-ND	2.83	2.43	1.62	2474-49L
12000.0	26.0	0.12	DN7450-ND	2.83	2.43	1.62	2474-50L
15000.0	36.0	0.10	DN7451-ND	2.83	2.43	1.62	2474-51L
18000.0	40.0	0.09	DN7452-ND	2.83	2.43	1.62	2474-52L

Serie 4590
Hochstrom-Filterinduktoren

Mechanische Konfiguration: Ferritspule geschützt durch eine flammenhemmende Polyolefinhülse.

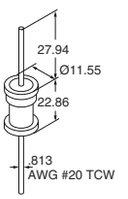

Nom. Indukt. ±10 % (µH)	Max. DC-Widerstand (Ω)	Max. Nenn-strom (A)	Digi-Key Teilenr.	Stückpreis 1	10	100	API Delevan Teilenr.
3.9	0.007	9.75	DN4495-ND	1.54	1.33	.89	4590-392K
4.7	0.008	9.11	DN4496-ND	1.54	1.33	.89	4590-472K
5.6	0.011	7.77	DN4497-ND	1.54	1.33	.89	4590-562K
6.8	0.011	7.60	DN4498-ND	1.54	1.33	.89	4590-682K
8.2	0.013	7.15	DN4499-ND	1.54	1.33	.89	4590-822K
10.0	0.016	6.44	DN4500-ND	1.76	1.52	1.01	4590-103K
12.0	0.018	6.07	DN4501-ND	1.76	1.52	1.01	4590-123K
15.0	0.020	5.76	DN4502-ND	1.76	1.52	1.01	4590-153K
18.0	0.020	5.49	DN4503-ND	1.76	1.52	1.01	4590-183K
22.0	0.024	5.26	DN4504-ND	1.76	1.52	1.01	4590-223K
27.0	0.025	5.15	DN4505-ND	1.76	1.52	1.01	4590-273K
33.0	0.028	4.87	DN4506-ND	1.76	1.52	1.01	4590-333K
39.0	0.028	4.87	DN4507-ND	1.76	1.52	1.01	4590-393K
47.0	0.034	4.45	DN4508-ND	1.76	1.52	1.01	4590-473K
56.0	0.043	3.93	DN4509-ND	1.76	1.52	1.01	4590-563K
68.0	0.059	3.35	DN4510-ND	1.76	1.52	1.01	4590-683K
82.0	0.066	3.17	DN4511-ND	1.76	1.52	1.01	4590-823K
100	0.084	2.81	DN4512-ND	1.76	1.52	1.01	4590-104K
120	0.113	2.43	DN4513-ND	1.76	1.52	1.01	4590-124K
150	0.129	2.27	DN4514-ND	1.76	1.52	1.01	4590-154K
180	0.150	2.10	DN4515-ND	1.76	1.52	1.01	4590-184K
220	0.162	2.02	DN4516-ND	1.76	1.52	1.01	4590-224K
270	0.226	1.71	DN4517-ND	1.76	1.52	1.01	4590-274K
330	0.257	1.61	DN4518-ND	1.76	1.52	1.01	4590-334K
390	0.288	1.52	DN4519-ND	1.76	1.52	1.01	4590-394K
470	0.393	1.30	DN4520-ND	1.76	1.52	1.01	4590-474K
560	0.504	1.15	DN4521-ND	1.76	1.52	1.01	4590-564K
680	0.570	1.08	DN4522-ND	1.76	1.52	1.01	4590-684K
820	0.643	1.01	DN4523-ND	1.76	1.52	1.01	4590-824K
1000	0.844	0.89	DN4524-ND	1.76	1.52	1.01	4590-105K
1200	0.977	0.82	DN4525-ND	1.67	1.44	.96	4590-125K
1500	1.18	0.75	DN4526-ND	1.67	1.44	.96	4590-155K
1800	1.50	0.66	DN4527-ND	1.67	1.44	.96	4590-185K
2200	1.76	0.61	DN4528-ND	1.67	1.44	.96	4590-225K
2700	2.13	0.56	DN4529-ND	1.67	1.44	.96	4590-275K
3300	2.53	0.51	DN4530-ND	1.67	1.44	.96	4590-335K
3900	2.84	0.48	DN4531-ND	1.67	1.44	.96	4590-395K
4700	3.79	0.41	DN4532-ND	1.54	1.33	.89	4590-475K
5600	4.24	0.39	DN4533-ND	1.54	1.33	.89	4590-565K
6800	5.75	0.34	DN4534-ND	1.54	1.33	.89	4590-685K
8200	6.44	0.32	DN4535-ND	1.54	1.33	.89	4590-825K
10000	7.30	0.30	DN4536-ND	1.54	1.33	.89	4590-106K
12000	9.34	0.26	DN4537-ND	1.54	1.33	.89	4590-126K
15000	10.7	0.25	DN4538-ND	1.54	1.33	.89	4590-156K
18000	14.8	0.21	DN4539-ND	1.54	1.33	.89	4590-186K
22000	18.0	0.19	DN4540-ND	1.54	1.33	.89	4590-226K
27000	22.7	0.17	DN4541-ND	1.54	1.33	.89	4590-276K
33000	25.7	0.16	DN4542-ND	1.68	1.45	.97	4590-336K
39000	29.7	0.15	DN4543-ND	1.68	1.45	.97	4590-396K
47000	33.7	0.14	DN4544-ND	1.68	1.45	.97	4590-476K
56000	38.0	0.13	DN4545-ND	1.68	1.45	.97	4590-566K
68000	52.8	0.11	DN4546-ND	1.68	1.45	.97	4590-686K
82000	67.3	0.10	DN4547-ND	—	—	1.97	4590-826K
100000	76.0	0.09	DN4548-ND	1.68	1.45	.97	4590-107K

D

Alle Preisangaben in Euro und inklusive Zollgebühren.

API Delevan

Serie 1008
Ungeschirmte Induktoren zur Oberflächenmontage

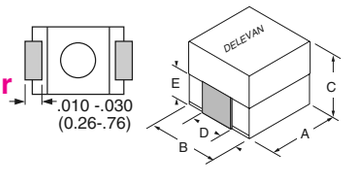

Betriebstemperaturbereich: -67 °F ~ 257 °F (-55 °C ~ 125 °C)

Abmessungen – Zoll (mm)				
A	B	C	D	E
.100 (2.54)	.080 (2.03)	.080 (2.03)	.055 (1.40)	.046 (1.17)

Indukt. (µH)	Test-frequ. (MHz)	Q min.	Nennstrom-stärke max.(mA)	Gurtabschnittspreis pro Stück Digi-Key Teilenr. 1	10	100	T&R Pricing* 500 Digi-Key Teilenr.	API Delevan Teilenr.
Serie 1008 Phenolkern — K Toleranz ±10 %								
.010	50.0	40	1562	DN08100CT-ND	1.36	1.17	.78	DN08100TR-ND	311.55	1008-100K
.012	50.0	40	1450	DN08120CT-ND	1.36	1.17	.78	DN08120TR-ND	311.55	1008-120K
.015	50.0	40	1381	DN08150CT-ND	1.36	1.17	.78	DN08150TR-ND	311.55	1008-150K
.018	50.0	40	1320	DN08180CT-ND	1.36	1.17	.78	DN08180TR-ND	311.55	1008-180K
.022	50.0	35	1235	DN08220CT-ND	1.36	1.17	.78	DN08220TR-ND	311.55	1008-220K
.027	50.0	35	1164	DN08270CT-ND	1.36	1.17	.78	DN08270TR-ND	311.55	1008-270K
.033	50.0	30	1105	DN08330CT-ND	1.36	1.17	.78	DN08330TR-ND	311.55	1008-330K
.039	50.0	30	1053	DN08390CT-ND	1.36	1.17	.78	DN08390TR-ND	311.55	1008-390K
.047	50.0	30	1108	DN08470CT-ND	1.36	1.17	.78	DN08470TR-ND	311.55	1008-470K
.056	50.0	25	847	DN08560CT-ND	1.36	1.17	.78	DN08560TR-ND	311.55	1008-560K
.068	50.0	25	823	DN08680CT-ND	1.36	1.17	.78	DN08680TR-ND	311.55	1008-680K
.082	50.0	25	801	DN08820CT-ND	1.36	1.17	.78	DN08820TR-ND	311.55	1008-820K
.100	25.0	15	728	DN08101CT-ND	1.36	1.17	.78	DN08101TR-ND	311.55	1008-101K
Serie 1008 Ferritkern — K Toleranz ±10 %								
.12	25.0	40	1225	DN08121CT-ND	1.36	1.17	.78	DN08121TR-ND	311.55	1008-121K
.15	25.0	40	1168	DN08151CT-ND	1.36	1.17	.78	DN08151TR-ND	311.55	1008-151K
.18	25.0	40	1119	DN08181CT-ND	1.36	1.17	.78	DN08181TR-ND	311.55	1008-181K
.22	25.0	40	1055	DN08221CT-ND	1.36	1.17	.78	DN08221TR-ND	311.55	1008-221K
.27	25.0	40	1000	DN08271CT-ND	1.36	1.17	.78	DN08271TR-ND	311.55	1008-271K
.33	25.0	40	954	DN08331CT-ND	1.36	1.17	.78	DN08331TR-ND	311.55	1008-331K
.47	25.0	40	846	DN08471CT-ND	1.36	1.17	.78	DN08471TR-ND	311.55	1008-471K
.56	25.0	40	808	DN08561CT-ND	1.36	1.17	.78	DN08681TR-ND	311.55	1008-561K
.68	25.0	40	760	DN08681CT-ND	1.36	1.17	.78	DN08681TR-ND	311.55	1008-681K
.82	25.0	40	708	DN08821CT-ND	1.36	1.17	.78	DN08821TR-ND	311.55	1008-821K
Serie 1008 Ferritkern — J Toleranz ±5 %								
1.0	7.9	30	685	DN08102JCT-ND	1.63	1.40	.94	DN08102JTR-ND	372.50	1008-102J
1.2	7.9	30	591	DN08122JCT-ND	1.63	1.40	.94	DN08122JTR-ND	372.50	1008-122J
1.5	7.9	30	548	DN08152JCT-ND	1.63	1.40	.94	DN08152JTR-ND	372.50	1008-152J
1.8	7.9	30	457	DN08182JCT-ND	1.63	1.40	.94	DN08182JTR-ND	372.50	1008-182J
2.2	7.9	30	433	DN08222JCT-ND	1.63	1.40	.94	DN08222JTR-ND	372.50	1008-222J
2.7	7.9	30	413	DN08272JCT-ND	1.63	1.40	.94	DN08272JTR-ND	372.50	1008-272J
3.3	7.9	30	398	DN08332JCT-ND	1.63	1.40	.94	DN08332JTR-ND	372.50	1008-332J
3.9	7.9	30	354	DN08392JCT-ND	1.63	1.40	.94	DN08392JTR-ND	372.50	1008-392J
4.7	7.9	30	334	DN08472JCT-ND	1.63	1.40	.94	DN08472JTR-ND	372.50	1008-472J
5.6	7.9	30	312	DN08562JCT-ND	1.63	1.40	.94	DN08562JTR-ND	372.50	1008-562J
6.8	7.9	30	274	DN08682JCT-ND	1.63	1.40	.94	DN08682JTR-ND	372.50	1008-682J
8.2	7.9	30	264	DN08822JCT-ND	1.63	1.40	.94	DN08822JTR-ND	372.50	1008-822J
10.0	7.9	30	245	DN08103JCT-ND	1.63	1.40	.94	DN08103JTR-ND	372.50	1008-103J
15.0	2.5	30	194	DN08153JCT-ND	1.63	1.40	.94	DN08153JTR-ND	372.50	1008-153J
18.0	2.5	30	173	DN08183JCT-ND	1.63	1.40	.94	DN08183JTR-ND	372.50	1008-183J
22.0	2.5	30	158	DN08223JCT-ND	1.63	1.40	.94	DN08223JTR-ND	372.50	1008-223J
27.0	2.5	30	146	DN08273JCT-ND	1.63	1.40	.94	DN08273JTR-ND	372.50	1008-273J
33.0	2.5	30	135	DN08333JCT-ND	1.63	1.40	.94	DN08333JTR-ND	372.50	1008-333J
39.0	2.5	30	125	DN08393JCT-ND	1.63	1.40	.94	DN08393JTR-ND	372.50	1008-393J
47.0	2.5	30	120	DN08473JCT-ND	1.63	1.40	.94	DN08473JTR-ND	372.50	1008-473J

1008KIT-ND (API Delevan Teilenr. 1008KIT)
Serie 1008 Induktor-Kit. Je 5 der 54 Werte (0,0018 µH ~ 47,0 µH), 270 Stück insgesamt **81.23**

Serie S1008
Geschirmte Induktoren zur Oberflächenmontage

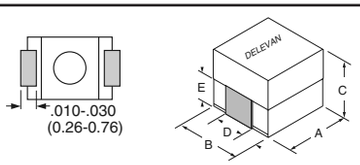

Abmessungen – Zoll (mm)				
A	B	C	D	E
.100 (2.54)	.080 (2.03)	.080 (2.03)	.055 (1.40)	.046 (1.17)

Indukt. (µH)	Test-frequ. (MHz)	Q min.	Nennstrom-stärke max.(mA)	Gurtabschnittspreis pro Stück Digi-Key Teilenr. 1	10	100	T&R Pricing* 500 Digi-Key Teilenr.	API Delevan Teilenr.
Serie S1008 Ferritkern, ±10 %								
.10	25	40	1120	DN1001CT-ND	1.46	1.25	.83	DN1001TR-ND	331.87	S1008-101K
.15	25	40	1015	DN1003CT-ND	1.46	1.25	.83	DN1003TR-ND	331.87	S1008-151K
.18	25	40	970	DN1004CT-ND	1.46	1.25	.83	—	—	S1008-181K
.22	25	40	930	DN1005CT-ND	1.46	1.25	.83	—	—	S1008-221K
.27	25	40	900	DN1006CT-ND	1.46	1.25	.83	DN1006TR-ND	331.87	S1008-271K
.33	25	40	865	DN1007CT-ND	1.46	1.25	.83	DN1007TR-ND	331.87	S1008-331K
.39	25	40	840	DN1008CT-ND	1.46	1.25	.83	DN1008TR-ND	331.87	S1008-391K
.47	25	40	815	DN1009CT-ND	1.46	1.25	.83	DN1009TR-ND	331.87	S1008-471K
.56	25	40	790	DN1010CT-ND	1.46	1.25	.83	DN1010TR-ND	331.87	S1008-561K
.62	25	40	770	DN1011CT-ND	1.46	1.25	.83	DN1011TR-ND	331.87	S1008-621K
.68	25	40	750	DN1012CT-ND	1.46	1.25	.83	DN1012TR-ND	331.87	S1008-681K
.75	25	40	735	DN1013CT-ND	1.46	1.25	.83	DN1013TR-ND	331.87	S1008-751K
.82	25	40	715	DN1014CT-ND	1.46	1.25	.83	DN1014TR-ND	331.87	S1008-821K
.91	25	40	685	DN1015CT-ND	1.46	1.25	.83	DN1015TR-ND	331.87	S1008-911K
1.0	7.9	30	670	DN1016CT-ND	1.46	1.25	.83	DN1016TR-ND	331.87	S1008-102K
1.2	7.9	30	625	DN1017CT-ND	1.46	1.25	.83	DN1017TR-ND	331.87	S1008-122K
1.5	7.9	30	545	DN1018CT-ND	1.46	1.25	.83	DN1018TR-ND	331.87	S1008-152K
1.8	7.9	30	435	DN1019CT-ND	1.46	1.25	.83	DN1019TR-ND	331.87	S1008-182K
2.2	7.9	30	375	DN1020CT-ND	1.46	1.25	.83	DN1020TR-ND	331.87	S1008-222K
2.7	7.9	30	365	DN1021CT-ND	1.46	1.25	.83	DN1021TR-ND	331.87	S1008-272K
3.3	7.9	30	355	DN1022CT-ND	1.46	1.25	.83	DN1022TR-ND	331.87	S1008-332K
3.9	7.9	30	335	DN1023CT-ND	1.46	1.25	.83	—	—	S1008-392K
4.7	7.9	30	305	DN1024CT-ND	1.46	1.25	.83	DN1024TR-ND	331.87	S1008-472K
5.6	7.9	30	295	DN1025CT-ND	1.46	1.25	.83	DN1025TR-ND	331.87	S1008-562K
6.8	7.9	30	250	DN1026CT-ND	1.46	1.25	.83	DN1026TR-ND	331.87	S1008-682K
8.2	7.9	30	240	DN1027CT-ND	1.46	1.25	.83	DN1027TR-ND	331.87	S1008-822K
10.0	7.9	30	230	DN1028CT-ND	1.46	1.25	.83	DN1028TR-ND	331.87	S1008-103K
12.0	2.5	30	220	DN1029CT-ND	1.46	1.25	.83	DN1029TR-ND	331.87	S1008-123K
15.0	2.5	30	210	DN1030CT-ND	1.46	1.25	.83	DN1030TR-ND	331.87	S1008-153K
18.0	2.5	30	200	DN1031CT-ND	1.46	1.25	.83	DN1031TR-ND	331.87	S1008-183K
22.0	2.5	30	170	DN1032CT-ND	1.46	1.25	.83	DN1032TR-ND	331.87	S1008-223K
27.0	2.5	30	160	DN1033CT-ND	1.46	1.25	.83	DN1033TR-ND	331.87	S1008-273K
33.0	2.5	30	125	DN1034CT-ND	1.46	1.25	.83	DN1034TR-ND	331.87	S1008-333K
47.0	2.5	30	110	DN1036CT-ND	1.46	1.25	.83	DN1036TR-ND	331.87	S1008-473K

S1008KIT-ND (API Delevan Teilenr. S1008KIT)
Serie S1008 Induktor-Kit. Je 5 der 36 Werte (0,1 µH - 47,0 µH), 180 Stück insgesamt **81.23**

Serie 1210
Ungeschirmte Induktoren zur Oberflächenmontage

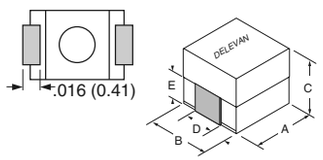

Betriebstemperaturbereich:
-67 °F ~ 257 °F (-55 °C ~ 125 °C)

Min. bis max. Abmessungen–Zoll (mm)				
A	B	C (über Klemmen)	D	E
.118 – .138 (3.00 – 3.51)	.085 – .105 (2.16 – 2.67)	.081 – .101 (2.06 – 2.57)	.041 – .061 (1.04 – 1.55)	.054 (1.37)

Indukt. (µH)	Test-frequ. (MHz)	Q min.	Nennstrom-stärk max.(mA)	Gurtabschnittspreis pro Stück Digi-Key Teilenr. 1	10	100	T&R Pricing* 500 Digi-Key Teilenr.	API Delevan Teilenr.
Serie 1210 Phenolkern, ±10 %								
.010	50.0	30	966	DN10100CT-ND	.71	.61	.41	DN10100TR-ND	162.55	1210-100K
.012	50.0	30	931	DN10120CT-ND	.71	.61	.41	—	—	1210-120K
.015	50.0	30	871	DN10150CT-ND	.71	.61	.41	DN10150TR-ND	162.55	1210-150K
.018	50.0	30	821	DN10180CT-ND	.71	.61	.41	DN10180TR-ND	162.55	1210-180K
.022	50.0	30	779	DN10220CT-ND	.71	.61	.41	DN10220TR-ND	162.55	1210-220K
.027	50.0	30	743	DN10270CT-ND	.71	.61	.41	DN10270TR-ND	162.55	1210-270K
.033	50.0	30	711	DN10330CT-ND	.71	.61	.41	DN10330TR-ND	162.55	1210-330K
.039	50.0	30	670	DN10390CT-ND	.71	.61	.41	DN10390TR-ND	162.55	1210-390K
.047	50.0	30	636	DN10470CT-ND	.71	.61	.41	DN10470TR-ND	162.55	1210-470K
.056	50.0	30	606	DN10560CT-ND	.71	.61	.41	DN10560TR-ND	162.55	1210-560K
.068	50.0	30	580	DN10680CT-ND	.63	.54	.36	DN10680TR-ND	142.23	1210-680K
.082	50.0	30	551	DN10820CT-ND	.71	.61	.41	DN10820TR-ND	162.55	1210-820K
Serie 1210 Eisenkern, ±10 %								
.10	25.0	30	1018	DN10101CT-ND	.80	.69	.46	DN10101TR-ND	182.87	1210-101K
.12	25.0	30	971	DN10121CT-ND	.80	.69	.46	DN10121TR-ND	182.87	1210-121K
.15	25.0	30	910	DN10151CT-ND	.80	.69	.46	DN10151TR-ND	182.87	1210-151K
.18	25.0	30	860	DN10181CT-ND	.80	.69	.46	—	—	1210-181K
.22	25.0	30	805	DN10221CT-ND	.80	.69	.46	DN10221TR-ND	182.87	1210-221K
.27	25.0	30	759	DN10271CT-ND	.80	.69	.46	DN10271TR-ND	182.87	1210-271K
.33	25.0	30	720	DN10331CT-ND	.80	.69	.46	DN10331TR-ND	182.87	1210-331K
.39	25.0	30	679	DN10391CT-ND	.80	.69	.46	DN10391TR-ND	182.87	1210-391K
.47	25.0	30	644	DN10471CT-ND	.80	.69	.46	DN10471TR-ND	182.87	1210-471K
.56	25.0	30	614	DN10561CT-ND	.80	.69	.46	DN10561TR-ND	182.87	1210-561K
.68	25.0	30	588	DN10681CT-ND	.80	.69	.46	DN10681TR-ND	182.87	1210-681K
.82	25.0	30	556	DN10821CT-ND	.80	.69	.46	DN10821TR-ND	182.87	1210-821K
Serie 1210 Ferritkern, ±5 %								
1.0	7.9	30	515	DN10102JCT-ND	.83	.72	.48	DN10102JTR-ND	189.64	1210-102J
1.2	7.9	30	497	DN10122JCT-ND	.83	.72	.48	DN10122JTR-ND	189.64	1210-122J
1.5	7.9	30	467	DN10152JCT-ND	.83	.72	.48	DN10152JTR-ND	189.64	1210-152J
1.8	7.9	30	454	DN10182JCT-ND	.83	.72	.48	DN10182JTR-ND	189.64	1210-182J
2.2	7.9	30	431	DN10222JCT-ND	.83	.72	.48	DN10222JTR-ND	189.64	1210-222J
2.7	7.9	30	411	DN10272JCT-ND	.83	.72	.48	DN10272JTR-ND	189.64	1210-272J
3.3	7.9	30	393	DN10332JCT-ND	.83	.72	.48	DN10332JTR-ND	189.64	1210-332J
3.9	7.9	30	378	DN10392JCT-ND	.83	.72	.48	DN10392JTR-ND	189.64	1210-392J
4.7	7.9	30	352	DN10472JCT-ND	.83	.72	.48	DN10472JTR-ND	189.64	1210-472J
5.6	7.9	30	341	DN10562JCT-ND	.83	.72	.48	DN10562JTR-ND	189.64	1210-562J
6.8	7.9	30	321	DN10682JCT-ND	.83	.72	.48	DN10682JTR-ND	189.64	1210-682J
8.2	7.9	30	305	DN10822JCT-ND	.83	.72	.48	DN10822JTR-ND	189.64	1210-822J
10.0	7.9	30	297	DN10103JCT-ND	.86	.74	.50	DN10103JTR-ND	196.41	1210-103J
12.0	2.5	30	272	DN10123JCT-ND	.86	.74	.50	—	—	1210-123J
15.0	2.5	30	257	DN10153JCT-ND	.86	.74	.50	DN10153JTR-ND	196.41	1210-153J
18.0	2.5	30	237	DN10183JCT-ND	.86	.74	.50	DN10183JTR-ND	196.41	1210-183J
22.0	2.5	30	224	DN10223JCT-ND	.86	.74	.50	DN10223JTR-ND	196.41	1210-223J
27.0	2.5	30	193	DN10273JCT-ND	.86	.74	.50	DN10273JTR-ND	196.41	1210-273J
33.0	2.5	30	182	DN10333JCT-ND	.86	.74	.50	DN10333JTR-ND	196.41	1210-333J
39.0	2.5	30	170	DN10393JCT-ND	.86	.74	.50	DN10393JTR-ND	196.41	1210-393J
47.0	2.5	30	163	DN10473JCT-ND	.86	.74	.50	DN10473JTR-ND	196.41	1210-473J
56.0	2.5	30	152	DN10563JCT-ND	.86	.74	.50	DN10563JTR-ND	196.41	1210-563J
68.0	2.5	30	144	DN10683JCT-ND	.86	.74	.50	DN10683JTR-ND	196.41	1210-683J
82.0	2.5	30	136	DN10823JCT-ND	.86	.74	.50	DN10823JTR-ND	196.41	1210-823J
100.0	2.5	30	120	DN10104JCT-ND	.86	.74	.50	DN10104JTR-ND	196.41	1210-104J

1210KIT-ND (API Delevan Teilenr. 1210KIT)
Serie 1210 Induktor-Kit. Je 5 der 58 Werte (0,0018 µH - 100,0 µH), 290 Stück insgesamt..... **81.23**

* Gegurtet auf Rolle Preisangaben

(Forts.)

D

Serie S1210
Geschirmte Induktoren zur Oberflächenmontage

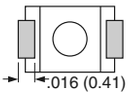

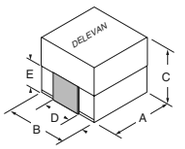

Min. bis max. Abmessungen–Zoll (mm)				
A	B	C (über Klemmen)	D	E
.118 – .138 (3.00–3.51)	.085 – .105 (2.16–2.67)	.081 – .101 (2.06–2.57)	.041 – .061 (1.04–1.55)	.054 (1.37)

Indukt. (µH)	Test-frequ. (MHz)	Q min.	Nennstrom-stärke max. (mA)	Digi-Key Teilenr.	Gurtabschnittspreis pro Stück 1	10	100	Digi-Key Teilenr.	T&R Pricing* 500	API Delevan Teilenr.
Serie S1210 Eisenkern, ±10 %										
.10	25	40	1175	DN1050CT-ND	.92	.79	.53	DN1050TR-ND	209.96	S1210-101K
.12	25	40	1104	DN1051CT-ND	.92	.79	.53	DN1051TR-ND	209.96	S1210-121K
.15	25	40	1017	DN1052CT-ND	.92	.79	.53	DN1052TR-ND	209.96	S1210-151K
.18	25	40	971	DN1053CT-ND	.92	.79	.53	DN1053TR-ND	209.96	S1210-181K
.22	25	40	910	DN1054CT-ND	.92	.79	.53	DN1054TR-ND	209.96	S1210-221K
.27	25	40	860	DN1055CT-ND	.92	.79	.53	DN1055TR-ND	209.96	S1210-271K
.33	25	40	831	DN1056CT-ND	.92	.79	.53	DN1056TR-ND	209.96	S1210-331K
.39	25	40	720	DN1057CT-ND	.92	.79	.53	DN1057TR-ND	209.96	S1210-391K
.47	25	40	679	DN1058CT-ND	.92	.79	.53	DN1058TR-ND	209.96	S1210-471K
.56	25	40	644	DN1059CT-ND	.92	.79	.53	DN1059TR-ND	209.96	S1210-561K
.68	25	40	614	DN1060CT-ND	.92	.79	.53	DN1060TR-ND	209.96	S1210-681K
.82	25	40	588	DN1061CT-ND	.92	.79	.53	DN1061TR-ND	209.96	S1210-821K
Serie S1210 Ferritkern, ±10 %										
1.0	7.9	40	679	DN1062CT-ND	.86	.74	.50	DN1062TR-ND	196.41	S1210-102K
1.2	7.9	40	650	DN1063CT-ND	.86	.74	.50	DN1063TR-ND	196.41	S1210-122K
1.5	7.9	40	603	DN1064CT-ND	.86	.74	.50	DN1064TR-ND	196.41	S1210-152K
1.8	7.9	40	564	DN1065CT-ND	.86	.74	.50	DN1065TR-ND	196.41	S1210-182K
2.2	7.9	40	533	DN1066CT-ND	.86	.74	.50	DN1066TR-ND	196.41	S1210-222K
2.7	7.9	40	526	DN1067CT-ND	.86	.74	.50	DN1067TR-ND	196.41	S1210-272K
3.3	7.9	40	509	DN1068CT-ND	.86	.74	.50	DN1068TR-ND	196.41	S1210-332K
3.9	7.9	40	500	DN1069CT-ND	.86	.74	.50	DN1069TR-ND	196.41	S1210-392K
4.7	7.9	40	455	DN1070CT-ND	.86	.74	.50	DN1070TR-ND	196.41	S1210-472K
5.6	7.9	40	399	DN1071CT-ND	.86	.74	.50	DN1071TR-ND	196.41	S1210-562K
6.8	7.9	40	372	DN1072CT-ND	.86	.74	.50	DN1072TR-ND	196.41	S1210-682K
8.2	7.9	40	349	DN1073CT-ND	.86	.74	.50	DN1073TR-ND	196.41	S1210-822K
10.0	2.5	40	330	DN1074CT-ND	.86	.74	.50	DN1074TR-ND	196.41	S1210-103K
12.0	2.5	40	314	DN1075CT-ND	.86	.74	.50	—	—	S1210-123K
15.0	2.5	40	288	DN1076CT-ND	.86	.74	.50	DN1076TR-ND	196.41	S1210-153K
22.0	2.5	40	262	DN1078CT-ND	.86	.74	.50	DN1078TR-ND	196.41	S1210-223K
27.0	2.5	40	228	DN1079CT-ND	.86	.74	.50	DN1079TR-ND	196.41	S1210-273K
33.0	2.5	40	215	DN1080CT-ND	.86	.74	.50	DN1080TR-ND	196.41	S1210-333K
39.0	2.5	40	204	DN1081CT-ND	.86	.74	.50	DN1081TR-ND	196.41	S1210-393K
47.0	2.5	40	194	DN1082CT-ND	.86	.74	.50	DN1082TR-ND	196.41	S1210-473K
56.0	2.5	40	181	DN1083CT-ND	.86	.74	.50	—	—	S1210-563K
68.0	2.5	40	172	DN1084CT-ND	.86	.74	.50	DN1084TR-ND	196.41	S1210-683K
82.0	2.5	40	156	DN1085CT-ND	.86	.74	.50	DN1085TR-ND	196.41	S1210-823K
100.0	2.5	40	144	DN1086CT-ND	.86	.74	.50	DN1086TR-ND	196.41	S1210-104K

S1210KIT-ND (API Delevan Teilenr. S1210KIT)
Serie S1210 Induktor-Kit. Je 5 der 37 Werte (0,10 µH - 100,0 µH), 185 Stück insgesamt **81.23**

Serie 1812
Ungeschirmte Induktoren zur Oberflächenmontage

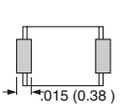

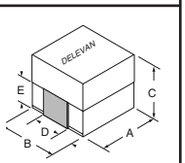

Betriebstemperaturbereich: -67 °F – 257 °F (-55 °C – 125 °C)

Min. bis max. Abmessungen–Zoll (mm)				
A	B	C (über Klemmen)	D	E
.166–.190 (4.22– 4.83)	.118–.134 (3.00–3.40)	.118 –.134 (3.00 – 3.40)	.054–.078 (1.37–1.98)	.066 (1.68)

Indukt. (µH)	Test-frequ. (MHz)	Q min.	Nennstrom-stärke max. (mA)	Digi-Key Teilenr.	Gurtabschnittspreis pro Stück 1	10	100	Digi-Key Teilenr.	T&R Pricing* 500	API Delevan Teilenr.
Serie 1812 Eisenkern, ±10 %										
.10	25.0	30	818	DN12101CT-ND	.59	.51	.34	DN12101TR-ND	135.46	1812-101K
.12	25.0	30	818	DN12121CT-ND	.59	.51	.34	DN12121TR-ND	135.46	1812-121K
.15	25.0	30	818	DN12151CT-ND	.59	.51	.34	DN12151TR-ND	135.46	1812-151K
.18	25.0	30	757	DN12181CT-ND	.59	.51	.34	DN12181TR-ND	135.46	1812-181K
.22	25.0	30	708	DN12221CT-ND	.59	.51	.34	DN12221TR-ND	135.46	1812-221K
.27	25.0	30	668	DN12271CT-ND	.59	.51	.34	DN12271TR-ND	135.46	1812-271K
.33	25.0	30	604	DN12331CT-ND	.59	.51	.34	DN12331TR-ND	135.46	1812-331K
.39	25.0	30	535	DN12391CT-ND	.59	.51	.34	DN12391TR-ND	135.46	1812-391K
.47	25.0	30	501	DN12471CT-ND	.59	.51	.34	DN12471TR-ND	135.46	1812-471K
.56	25.0	30	409	DN12561CT-ND	.59	.51	.34	DN12561TR-ND	135.46	1812-561K
.68	25.0	30	379	DN12681CT-ND	.59	.51	.34	DN12681TR-ND	135.46	1812-681K
.82	25.0	30	354	DN12821CT-ND	.59	.51	.34	DN12821TR-ND	135.46	1812-821K
Serie 1812 Ferritkern — J Toleranz ±5 %										
1.0	7.9	50	634	DN12102JCT-ND	.65	.56	.38	DN12102JTR-ND	149.00	1812-102J
1.2	7.9	50	604	DN12122JCT-ND	.65	.56	.38	DN12122JTR-ND	149.00	1812-122J
1.5	7.9	50	578	DN12152JCT-ND	.65	.56	.38	DN12152JTR-ND	149.00	1812-152J
1.8	7.9	50	556	DN12182JCT-ND	.65	.56	.38	DN12182JTR-ND	149.00	1812-182J
2.2	7.9	50	535	DN12222JCT-ND	.65	.56	.38	DN12222JTR-ND	149.00	1812-222J
2.7	7.9	50	517	DN12272JCT-ND	.65	.56	.38	DN12272JTR-ND	149.00	1812-272J
3.3	7.9	50	501	DN12332JCT-ND	.65	.56	.38	DN12332JTR-ND	149.00	1812-332J
3.9	7.9	50	472	DN12392JCT-ND	.65	.56	.38	DN12392JTR-ND	149.00	1812-392J
4.7	7.9	50	448	DN12472JCT-ND	.65	.56	.38	DN12472JTR-ND	149.00	1812-472J
5.6	7.9	50	427	DN12562JCT-ND	.65	.56	.38	DN12562JTR-ND	149.00	1812-562J
6.8	7.9	50	409	DN12682JCT-ND	.65	.56	.38	DN12682JTR-ND	149.00	1812-682J
8.2	7.9	50	375	DN12822JCT-ND	.65	.56	.38	DN12822JTR-ND	149.00	1812-822J
10.0	7.9	50	354	DN12103JCT-ND	.65	.56	.38	DN12103JTR-ND	149.00	1812-103J
12.0	2.5	50	317	DN12123JCT-ND	.65	.56	.38	DN12123JTR-ND	149.00	1812-123J
15.0	2.5	50	283	DN12153JCT-ND	.65	.56	.38	DN12153JTR-ND	149.00	1812-153J
18.0	2.5	50	268	DN12183JCT-ND	.65	.56	.38	DN12183JTR-ND	149.00	1812-183J
22.0	2.5	50	250	DN12223JCT-ND	.65	.56	.38	DN12223JTR-ND	149.00	1812-223J
27.0	2.5	50	236	DN12273JCT-ND	.65	.56	.38	DN12273JTR-ND	149.00	1812-273J
33.0	2.5	50	224	DN12333JCT-ND	.65	.56	.38	DN12333JTR-ND	149.00	1812-333J
39.0	2.5	50	211	DN12393JCT-ND	.65	.56	.38	DN12393JTR-ND	149.00	1812-393J
47.0	2.5	50	200	DN12473JCT-ND	.65	.56	.38	DN12473JTR-ND	149.00	1812-473J
56.0	2.5	50	191	DN12563JCT-ND	.65	.56	.38	DN12563JTR-ND	149.00	1812-563J
68.0	2.5	50	183	DN12683JCT-ND	.65	.56	.38	DN12683JTR-ND	149.00	1812-683J
82.0	2.5	50	169	DN12823JCT-ND	.65	.56	.38	DN12823JTR-ND	149.00	1812-823J
100.0	2.5	50	158	DN12104JCT-ND	.65	.56	.38	DN12104JTR-ND	149.00	1812-104J
120.0	0.79	40	158	DN12124JCT-ND	.65	.56	.38	DN12124JTR-ND	149.00	1812-124J
150.0	0.79	40	149	DN12154JCT-ND	.65	.56	.38	DN12154JTR-ND	149.00	1812-154J
180.0	0.79	40	145	DN12184JCT-ND	.65	.56	.38	DN12184JTR-ND	149.00	1812-184J
220.0	0.79	40	142	DN12224JCT-ND	.98	.84	.56	DN12224JTR-ND	223.50	1812-224J
270.0	0.79	40	129	DN12274JCT-ND	.98	.84	.56	DN12274JTR-ND	223.50	1812-274J
330.0	0.79	40	120	DN12334JCT-ND	.98	.84	.56	DN12334JTR-ND	223.50	1812-334J
390.0	0.79	40	100	DN12394JCT-ND	.98	.84	.56	DN12394JTR-ND	223.50	1812-394J
470.0	0.79	40	88	DN12474JCT-ND	.98	.84	.56	DN12474JTR-ND	223.50	1812-474J
560.0	0.79	30	82	DN12564JCT-ND	.98	.84	.56	DN12564JTR-ND	223.50	1812-564J
680.0	0.79	30	82	DN12684JCT-ND	.98	.84	.56	DN12684JTR-ND	223.50	1812-684J
820.0	0.79	30	67	DN12824JCT-ND	.98	.84	.56	DN12824JTR-ND	223.50	1812-824J
1000.0	0.79	30	55	DN12105JCT-ND	.98	.84	.56	DN12105JTR-ND	223.50	1812-105J

1812KIT-ND (API Delevan Teilenr. 1812KIT)
Serie 1812 Induktor-Kit. Je 5 der 61 Werte (0,010 µH bis 1.000,0 µH), 305 Stück insgesamt **81.23**

Serie S1812
Geschirmte Induktoren zur Oberflächenmontage

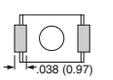

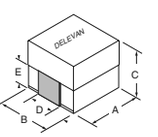

Min. bis max. Abmessungen - Zoll (mm)				
A	B	C (über Klemmen)	D	E
.166–.190 (4.22– 4.83)	.118 –.134 (3.00 –3.40)	.118–.134 (3.00 –3.40)	.054–.078 (1.37 –1.98)	.066 (1.68)

Indukt. (µH)	Test-frequ. (MHz)	Q min.	Nennstrom-stärke max. (mA)	Digi-Key Teilenr.	Gurtabschnittspreis pro Stück 1	10	100	Digi-Key Teilenr.	T&R Pricing* 500	Deleva Teilenr.
Serie S1812 Eisenkern, ±20 %										
.10	25	50	1490	DN1100CT-ND	1.07	.92	.61	DN1100TR-ND	243.82	S1812-101M
.12	25	50	1412	DN1101CT-ND	1.07	.92	.61	DN1101TR-ND	243.82	S1812-121M
.15	25	50	1347	DN1102CT-ND	1.07	.92	.61	DN1102TR-ND	243.82	S1812-151M
.18	25	50	1290	DN1103CT-ND	1.07	.92	.61	DN1103TR-ND	243.82	S1812-181M
.47	25	40	802	DN1108CT-ND	1.07	.92	.61	DN1108TR-ND	243.82	S1812-471M
.56	25	40	735	DN1109CT-ND	1.07	.92	.61	DN1109TR-ND	243.82	S1812-561M
.82	25	40	614	DN1111CT-ND	1.07	.92	.61	DN1111TR-ND	243.82	S1812-821M
Serie S1812 Ferritkern, ±10 %										
1.0	7.9	40	755	DN1112CT-ND	1.10	.94	.63	DN1112TR-ND	250.59	S1812-102K
1.2	7.9	40	725	DN1113CT-ND	1.10	.94	.63	DN1113TR-ND	250.59	S1812-122K
1.5	7.9	40	706	DN1114CT-ND	1.10	.94	.63	DN1114TR-ND	250.59	S1812-152K
1.8	7.9	40	681	DN1115CT-ND	1.10	.94	.63	DN1115TR-ND	250.59	S1812-182K
2.2	7.9	40	658	DN1116CT-ND	1.10	.94	.63	DN1116TR-ND	250.59	S1812-222K
2.7	7.9	40	638	DN1117CT-ND	1.10	.94	.63	DN1117TR-ND	250.59	S1812-272K
3.3	7.9	40	534	DN1118CT-ND	1.10	.94	.63	DN1118TR-ND	250.59	S1812-332K
3.9	7.9	40	487	DN1119CT-ND	1.10	.94	.63	DN1119TR-ND	250.59	S1812-392K
4.7	7.9	40	471	DN1120CT-ND	1.10	.94	.63	DN1120TR-ND	250.59	S1812-472K
5.6	7.9	40	447	DN1121CT-ND	1.10	.94	.63	DN1121TR-ND	250.59	S1812-562K
6.8	7.9	40	408	DN1122CT-ND	1.10	.94	.63	DN1122TR-ND	250.59	S1812-682K
8.2	7.9	40	372	DN1123CT-ND	1.10	.94	.63	DN1123TR-ND	250.59	S1812-822K
10.0	2.5	50	333	DN1124CT-ND	1.10	.94	.63	DN1124TR-ND	250.59	S1812-103K
12.0	2.5	50	315	DN1125CT-ND	1.10	.94	.63	DN1125TR-ND	250.59	S1812-123K
15.0	2.5	50	301	DN1126CT-ND	1.10	.94	.63	DN1126TR-ND	250.59	S1812-153K
18.0	2.5	50	288	DN1127CT-ND	1.10	.94	.63	DN1127TR-ND	250.59	S1812-183K
22.0	2.5	50	277	DN1128CT-ND	1.10	.94	.63	DN1128TR-ND	250.59	S1812-223K
27.0	2.5	50	267	DN1129CT-ND	1.10	.94	.63	DN1129TR-ND	250.59	S1812-273K
33.0	2.5	50	258	DN1130CT-ND	1.10	.94	.63	DN1130TR-ND	250.59	S1812-333K
39.0	2.5	50	250	DN1131CT-ND	1.10	.94	.63	DN1131TR-ND	250.59	S1812-393K
47.0	2.5	50	242	DN1132CT-ND	1.10	.94	.63	DN1132TR-ND	250.59	S1812-473K
56.0	2.5	50	235	DN1133CT-ND	1.10	.94	.63	DN1133TR-ND	250.59	S1812-563K
68.0	2.5	50	215	DN1134CT-ND	1.10	.94	.63	DN1134TR-ND	250.59	S1812-683K
82.0	2.5	50	196	DN1135CT-ND	1.10	.94	.63	DN1135TR-ND	250.59	S1812-823K
100.0	.79	40	169	DN1136CT-ND	1.10	.94	.63	DN1136TR-ND	250.59	S1812-104K
120.0	.79	40	163	DN1137CT-ND	1.10	.94	.63	DN1137TR-ND	250.59	S1812-124K
150.0	.79	40	158	DN1138CT-ND	1.10	.94	.63	DN1138TR-ND	250.59	S1812-154K
180.0	.79	40	153	DN1139CT-ND	1.10	.94	.63	DN1139TR-ND	250.59	S1812-184K
220.0	.79	40	149	DN1140CT-ND	1.30	1.12	.75	DN1140TR-ND	298.00	S1812-224K
270.0	.79	40	135	DN1141CT-ND	1.30	1.12	.75	DN1141TR-ND	298.00	S1812-274K
330.0	.79	40	129	DN1142CT-ND	1.30	1.12	.75	DN1142TR-ND	298.00	S1812-334K
390.0	.79	40	105	DN1143CT-ND	1.30	1.12	.75	DN1143TR-ND	298.00	S1812-394K
470.0	.79	40	91	DN1144CT-ND	1.30	1.12	.75	DN1144TR-ND	298.00	S1812-474K
560.0	.79	40	84	DN1145CT-ND	1.30	1.12	.75	DN1145TR-ND	298.00	S1812-564K
680.0	.79	40	79	DN1146CT-ND	1.30	1.12	.75	DN1146TR-ND	298.00	S1812-684K
820.0	.79	40	71	DN1147CT-ND	1.30	1.12	.75	DN1147TR-ND	298.00	S1812-824K
1000.0	.25	40	60	DN1148CT-ND	1.30	1.12	.75	DN1148TR-ND	298.00	S1812-105K

S1812KIT-ND (API Delevan Teilenr. S1812KIT)
Serie S1812 Induktor-Kit. Je 5 der 49 Werte (0,10 µH bis 1000,0 µH), 245 Stück insgesamt **81.23**

* Gegurtet auf Rolle Preisangaben

(Forts.)

Alle Preisangaben in Euro und inklusive Zollgebühren.

Serie P1812
Leistungsinduktoren zur Oberflächenmontage

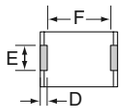

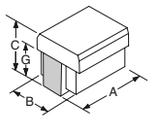

Min. bis max. Abmessungen–Zoll (mm)			
A	B	C	D
.166-.190 (4.22-4.83)	.118-.134 (3.00-3.40)	.118-.134 (3.00-3.40)	.0,015 min. (0,38 min.)
E	F	G	
.054-.078 (1.37-1.98)	0,118 nur Ref. (3,00)	.066 nur Ref. (1.68)	

Indukt. (µH) ±10% @ 1kHz	DC-Widerstand Max. (Ω)	Nenn-strom-stärke (mA)	Differen-zieller Nenn-strom (mA DC)	Digi-Key Teilenr.	Gurtabschnittspreis pro Stück 1	10	100	Digi-Key Teilenr.	T&R Pricing* 500	API Delevan Teilenr.
1.0	0.113	1050	2400	DN3300CT-ND	.73	.63	.42	DN3300TR-ND	167.29	P1812-102K
2.7	0.288	800	1513	DN3305CT-ND	.73	.63	.42	—	—	P1812-272K
4.7	0.401	650	1131	DN3308CT-ND	.73	.63	.42	DN3308TR-ND	167.29	P1812-472K
5.6	0.437	650	1060	DN3309CT-ND	.73	.63	.42	DN3309TR-ND	167.29	P1812-562K
6.8	0.472	600	990	DN3310CT-ND	.73	.63	.42	DN3310TR-ND	167.29	P1812-682K
10	0.608	550	772	DN3312CT-ND	.79	.68	.45	DN3312TR-ND	179.48	P1812-103K
15	0.780	450	693	DN3314CT-ND	.79	.68	.45	DN3314TR-ND	179.48	P1812-153K
18	0.875	400	614	DN3315CT-ND	.79	.68	.45	DN3315TR-ND	179.48	P1812-183K
22	1.200	370	515	DN3316CT-ND	.79	.68	.45	DN3316TR-ND	179.48	P1812-223K
33	1.578	300	425	DN3318CT-ND	.79	.68	.45	DN3318TR-ND	179.48	P1812-333K
39	1.848	280	376	DN3319CT-ND	.79	.68	.45	DN3319TR-ND	179.48	P1812-393K
47	2.064	260	366	DN3320CT-ND	.79	.68	.45	DN3320TR-ND	179.48	P1812-473K
56	2.268	240	336	DN3321CT-ND	.79	.68	.45	DN3321TR-ND	196.31	P1812-563K
68	3.408	220	297	DN3322CT-ND	.79	.68	.45	DN3322TR-ND	179.48	P1812-683K
100	4.320	180	238	DN3324CT-ND	.79	.68	.45	DN3324TR-ND	179.48	P1812-104K
120	6.000	160	208	DN3325CT-ND	.79	.68	.45	DN3325TR-ND	179.48	P1812-124K
220	9.680	120	143	DN3328CT-ND	.79	.68	.45	—	—	P1812-224K
330	15.240	90	118	DN3330CT-ND	.79	.68	.45	—	—	P1812-334K

Serie P1330
Leistungsinduktoren zur Oberflächenmontage

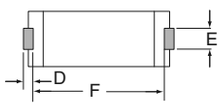

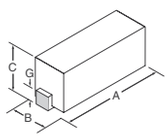

Min. bis max. Abmessungen–Zoll (mm)			
A	B	C	D
0.300-0.325 (7.62-8.26)	0.105-0.125 (2.67-3.18)	0.125-0.145 (3.18-3.68)	Min. 0,020 (min. 0,506)
E	F	G	
0.040-0.060 (1.02-1.52)	0.190 (nur Ref.) (4.83 nur Ref.)	0,070 (nur Ref.) (1,78 nur Ref.)	

Indukt. (µH) ±10% @ 1KHz	DC-Widerstand Max (Ω)	Nenn-strom-stärke (mA)	Differen-zieller Nenn-strom (mA DC)	Digi-Key Teilenr.	Gurtabschnittspreis pro Stück 1	10	100	Digi-Key Teilenr.	T&R Pricing* 500	API Delevan Teilenr.
1	0.035	2780	1526	DN3260CT-ND	1.32	1.14	.76	DN3260TR-ND	302.07	P1330-102K
1.8	0.048	1950	1180	DN3263CT-ND	1.32	1.14	.76	DN3263TR-ND	302.07	P1330-182K
2.2	0.075	1690	1104	DN3264CT-ND	1.32	1.14	.76	DN3264TR-ND	302.07	P1330-222K
5.6	0.145	1110	612	DN3269CT-ND	1.32	1.14	.76	DN3269TR-ND	302.07	P1330-562K
10	0.216	946	564	DN3272CT-ND	1.32	1.14	.76	DN3272TR-ND	302.07	P1330-103K
18	0.328	817	420	DN3275CT-ND	1.32	1.14	.76	DN3275TR-ND	302.07	P1330-183K
22	0.384	694	348	DN3276CT-ND	1.32	1.14	.76	DN3276TR-ND	302.07	P1330-223K
39	0.600	488	270	DN3279CT-ND	1.32	1.14	.76	DN3279TR-ND	302.07	P1330-393K
47	0.792	467	246	DN3280CT-ND	1.32	1.14	.76	DN3280TR-ND	302.07	P1330-473K
68	1.020	384	174	DN3282CT-ND	1.32	1.14	.76	DN3282TR-ND	302.07	P1330-683K
82	1.380	362	150	DN3283CT-ND	1.32	1.14	.76	DN3283TR-ND	302.07	P1330-823K
100	1.680	347	132	DN3284CT-ND	1.55	1.33	.89	DN3284TR-ND	354.22	P1330-104K
150	2.040	272	106	DN3286CT-ND	1.55	1.33	.89	DN3286TR-ND	354.22	P1330-154K
220	2.648	223	72	DN3288CT-ND	1.55	1.33	.89	DN3288TR-ND	354.22	P1330-224K
330	4.800	179	57	DN3290CT-ND	1.55	1.33	.89	DN3290TR-ND	354.22	P1330-334K
470	6.000	161	41	DN3292CT-ND	1.55	1.33	.89	DN3292TR-ND	354.22	P1330-474K
1000	11.160	105	22	DN3296CT-ND	1.55	1.33	.89	DN3296TR-ND	354.22	P1330-105K

Serie 4922
Hochstrom-Leistungsinduktoren zur Oberflächenmontage

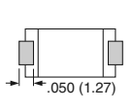

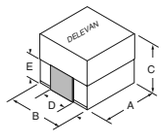

Mechanische Konfiguration: Die Einheiten sind in einem Paket zur Oberflächenmontage verkapselt und verwenden ein Expoxid-Formgehäuse. Die Ableitungen sind vorverzinnt. Ein Ferritkern mit hoher Widerstandsfähigkeit ermöglicht hohe Induktivität mit niedrigem DC-Widerstand. Standardtoleranz ±15 %. **Betriebstemp.:** -55 °C ~ 125 °C. **Nennstrom:** 40 °C Anstieg über 85 °C Umgebung. **Verlustleistung bei 85 °C:** 0,55 W. **Induktivität:** Gemessen bei 1 V ohne DC-Strom

Min. bis max. Abmessungen–Zoll (mm)				
A	B	C (über Klemmen)	D	E (Min.)
.500 (12.70)	.240 (6.10)	.220 (5.59)	.065 (1.66)	.100 (2.54)

Ind. @ 1 khz (µH)	DC-Widerstand Max. (Ω)	Nenn-strom (max. AMPS)	Träger-strom (A)	Digi-Key Teilenr.	Gurtabschnittspreis pro Stück 1	10	100	Digi-Key Teilenr.	T&R Pricing* 800	API Delevan Teilenr.
Serie 4922 Ferritkern, ±15 %										
0.22	0.0080	7.00	7.00	DN2193CT-ND	1.90	1.63	1.09	DN2193TR-ND	693.53	4922-221L
0.27	0.0085	6.75	6.75	DN2194CT-ND	1.90	1.63	1.09	DN2194TR-ND	—	4922-271L
0.33	0.0090	6.50	6.50	DN2195CT-ND	1.90	1.63	1.09	DN2195TR-ND	693.53	4922-331L
0.39	0.0095	6.25	6.25	DN2196CT-ND	1.90	1.63	1.09	DN2196TR-ND	693.53	4922-391L
0.47	0.0100	6.00	6.00	DN2197CT-ND	1.90	1.63	1.09	DN2197TR-ND	693.53	4922-471L
0.56	0.0105	5.80	5.80	DN2198CT-ND	1.90	1.63	1.09	DN2198TR-ND	693.53	4922-561L
0.68	0.0110	5.70	5.70	DN2199CT-ND	1.90	1.63	1.09	DN2199TR-ND	693.53	4922-681L
0.82	0.0120	5.60	5.60	DN2200CT-ND	1.90	1.63	1.09	DN2200TR-ND	—	4922-821L
1.0	0.013	5.50	5.50	DN2201CT-ND	1.90	1.63	1.09	DN2201TR-ND	693.53	4922-01L
1.2	0.018	4.69	4.69	DN2202CT-ND	1.90	1.63	1.09	DN2202TR-ND	693.53	4922-02L
1.5	0.020	4.45	4.45	DN2203CT-ND	1.90	1.63	1.09	DN2203TR-ND	693.53	4922-03L
1.8	0.021	4.34	4.34	DN2204CT-ND	1.90	1.63	1.09	DN2204TR-ND	693.53	4922-04L
2.2	0.029	3.70	3.70	DN2205CT-ND	1.90	1.63	1.09	DN2205TR-ND	693.53	4922-05L
2.7	0.034	3.41	3.41	DN2206CT-ND	1.90	1.63	1.09	DN2206TR-ND	—	4922-06L
3.3	0.038	3.23	3.23	DN2207CT-ND	1.90	1.63	1.09	DN2207TR-ND	693.53	4922-07L
3.9	0.042	3.07	3.07	DN2208CT-ND	1.90	1.63	1.09	DN2208TR-ND	693.53	4922-08L
4.7	0.047	2.90	2.90	DN2209CT-ND	1.90	1.63	1.09	DN2209TR-ND	693.53	4922-09L
5.6	0.051	2.79	2.79	DN2210CT-ND	2.01	1.73	1.16	DN2210TR-ND	736.88	4922-10L
6.8	0.058	2.61	2.61	DN2211CT-ND	2.01	1.73	1.16	DN2211TR-ND	—	4922-11L
8.2	0.063	2.51	2.51	DN2212CT-ND	2.01	1.73	1.16	DN2212TR-ND	736.88	4922-12L
10.0	0.071	2.36	2.36	DN2213CT-ND	2.01	1.73	1.16	DN2213TR-ND	736.88	4922-13L
12.0	0.079	2.24	2.24	DN2214CT-ND	2.01	1.73	1.16	DN2214TR-ND	736.88	4922-14L
15.0	0.089	2.11	2.11	DN2215CT-ND	2.01	1.73	1.16	DN2215TR-ND	736.88	4922-15L
18.0	0.119	1.82	1.82	DN2216CT-ND	2.01	1.73	1.16	DN2216TR-ND	736.88	4922-16L
22.0	0.152	1.61	1.61	DN2217CT-ND	2.17	1.86	1.24	DN2217TR-ND	791.06	4922-17L
27.0	0.179	1.48	1.48	DN2218CT-ND	2.17	1.86	1.24	DN2218TR-ND	791.06	4922-18L
33.0	0.222	1.33	1.33	DN2219CT-ND	2.17	1.86	1.24	DN2219TR-ND	791.06	4922-19L
39.0	0.315	1.12	1.12	DN2220CT-ND	2.17	1.86	1.24	DN2220TR-ND	791.06	4922-20L
47.0	0.362	1.04	1.04	DN2221CT-ND	2.17	1.86	1.24	DN2221TR-ND	791.06	4922-21L
56.0	0.397	1.00	1.00	DN2222CT-ND	2.17	1.86	1.24	DN2222TR-ND	791.06	4922-22L
68.0	0.418	0.97	0.97	DN2223CT-ND	2.17	1.86	1.24	DN2223TR-ND	791.06	4922-23L
82.0	0.604	0.81	0.81	DN2224CT-ND	2.31	1.99	1.33	DN2224TR-ND	845.25	4922-24L
100	0.672	0.76	0.76	DN2225CT-ND	2.31	1.99	1.33	DN2225TR-ND	845.25	4922-25L
120	0.735	0.73	0.73	DN2226CT-ND	2.31	1.99	1.33	DN2226TR-ND	845.25	4922-26L
150	0.998	0.63	0.63	DN2227CT-ND	2.31	1.99	1.33	DN2227TR-ND	845.25	4922-27L
180	1.37	0.53	0.53	DN2228CT-ND	2.31	1.99	1.33	DN2228TR-ND	845.25	4922-28L
220	1.58	0.50	0.50	DN2229CT-ND	2.31	1.99	1.33	DN2229TR-ND	845.25	4922-29L
270	1.77	0.47	0.47	DN2230CT-ND	2.31	1.99	1.33	DN2230TR-ND	845.25	4922-30L
330	2.51	0.39	0.39	DN2231CT-ND	2.31	1.99	1.33	DN2231TR-ND	845.25	4922-31L
390	2.73	0.38	0.38	DN2232CT-ND	2.31	1.99	1.33	DN2232TR-ND	845.25	4922-32L
470	3.25	0.35	0.35	DN2233CT-ND	2.31	1.99	1.33	DN2233TR-ND	845.25	4922-33L
560	3.75	0.33	0.33	DN2234CT-ND	2.37	2.04	1.36	DN2234TR-ND	866.92	4922-34L
680	4.31	0.30	0.30	DN2235CT-ND	2.37	2.04	1.36	DN2235TR-ND	866.92	4922-35L
820	6.04	0.26	0.26	DN2236CT-ND	2.37	2.04	1.36	—	—	4922-36L
1000	6.90	0.24	0.24	DN2237CT-ND	2.37	2.04	1.36	DN2237TR-ND	866.92	4922-37L
1200	10.00	0.20	0.20	DN2238CT-ND	2.37	2.04	1.36	DN2238TR-ND	866.92	4922-38L
1500	12.50	0.178	0.178	DN2239CT-ND	2.37	2.04	1.36	DN2239TR-ND	866.92	4922-39L
1800	16.00	0.157	0.157	DN2333CT-ND	2.37	2.04	1.36	DN2333TR-ND	866.92	4922-40L
2200	20.00	0.141	0.141	DN2334CT-ND	2.37	2.04	1.36	DN2334TR-ND	866.92	4922-41L
2700	23.00	0.131	0.131	DN2335CT-ND	2.37	2.04	1.36	DN2335TR-ND	866.92	4922-42L
3300	25.00	0.126	0.126	DN2336CT-ND	2.37	2.04	1.36	—	—	4922-43L
3900	33.00	0.110	0.110	DN2337CT-ND	2.37	2.04	1.36	DN2337TR-ND	866.92	4922-44L
4700	37.00	0.103	0.103	DN2338CT-ND	2.37	2.04	1.36	DN2338TR-ND	866.92	4922-45L
5600	40.00	0.100	0.100	DN2339CT-ND	2.37	2.04	1.36	DN2339TR-ND	866.92	4922-46L
6800	62.00	0.080	0.080	DN2340CT-ND	2.49	2.14	1.43	DN2340TR-ND	910.26	4922-47L
8200	66.00	0.077	0.077	DN2341CT-ND	2.49	2.14	1.43	DN2341TR-ND	910.26	4922-48L
10000	74.00	0.071	0.071	DN2342CT-ND	2.49	2.14	1.43	DN2342TR-ND	910.26	4922-49L
12000	93.00	0.065	0.065	DN2343CT-ND	2.49	2.14	1.43	DN2343TR-ND	910.26	4922-50L
15000	105.00	0.061	0.061	DN2344CT-ND	2.49	2.14	1.43	DN2344TR-ND	910.26	4922-51L
18000	143.00	0.052	0.052	DN2345CT-ND	2.79	2.39	1.60	DN2345TR-ND	1018.63	4922-52L
22000	160.00	0.050	0.050	DN2346CT-ND	2.79	2.39	1.60	DN2346TR-ND	1018.63	4922-53L

* Gegurtet auf Rolle Preisangaben

(Forts.)

D

Serie 5022
Induktoren zur Oberflächenmontage

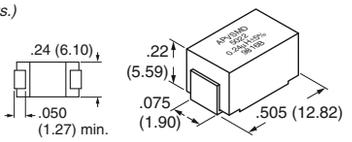

Mechanische Konfiguration: Die Einheiten sind in einem Paket zur Oberflächenmontage verkapselt und verwenden ein Expoxid-Formgehäuse. **Betriebstemperatur:** -55 °C ~ 125 °C **Nennstrom bei 90 °C Umgebung:** 35 °C Anstieg **maximale Verlustleistung @ 90 °C:** 0,405 W **Gewicht max.:** 1,5 g

Ind. (µH) ± 5%	Q min.	Test-frequ. (MHz)	DC-Widerstand Max. (Ω)	Nenn-Stromstärke (mA)	Digi-Key Teilenr.	Gurtabschnittspreis pro Stück 1	10	100	Digi-Key Teilenr.	T&R Pricing* 800	API Delevan Teilenr.
Phenolkern der Serie 5022											
0.20	50	25.0	0.047	2790	DN2243CT-ND	2.31	1.99	1.33	DN2243TR-ND	845.25	5022-201J
0.56	50	25.0	0.135	1645	DN2254CT-ND	1.78	1.53	1.02	—	—	5022-561J
0.62	50	25.0	0.140	1615	DN2255CT-ND	1.78	1.53	1.02	DN2255TR-ND	650.19	5022-621J
1.00	50	25.0	0.290	1125	DN2260CT-ND	1.78	1.53	1.02	—	—	5022-102J
2.00	33	7.9	0.800	675	DN2267CT-ND	1.78	1.53	1.02	DN2267TR-ND	650.19	5022-202J
3.90	33	7.9	2.300	395	DN2274CT-ND	1.78	1.53	1.02	DN2274TR-ND	650.19	5022-392J
Eisenkern der Serie 5022											
13.0	65	2.5	1.200	520	DN2287CT-ND	1.96	1.68	1.12	DN2287TR-ND	715.21	5022-133J
100.0	50	2.5	4.500	275	DN2308CT-ND	2.11	1.81	1.21	DN2308TR-ND	769.39	5022-104J

Serie 8532
Leistungsinduktoren zur Oberflächenmontage

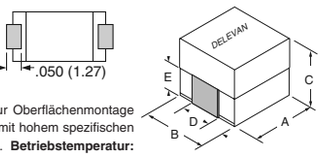

Mechanische Konfiguration: Die Einheiten sind in einem Paket zur Oberflächenmontage verkapselt und verwenden ein Expoxid-Formgehäuse. Ein Ferritkern mit hohem spezifischen Widerstand ermöglicht hohe Induktivität mit niedrigem DC-Widerstand. **Betriebstemperatur:** -55 °C ~ 125 °C **Nennstrom:** 40°C Anstieg über 85°C Umgebung **Verlustleistung @ 85 °C:** 0,50 W **Induktivität:** Gemessen bei 1 V ohne DC-Strom

Min. bis max. Abmessungen - Zoll (mm)				
A	B	C (über Klemmen)	D	E
.840 ~ .860	.310 ~ .330	.266 ~ .286	.070 ~ .110	20 (nur Ref.)
(21.34 ~ 21.84)	(7.87 ~ 8.38)	(6.76 ~ 7.26)	(1.78 ~ 2.79)	5,08 (nur Ref.)

Indukt. @ 1 kHz (µH)±15%	Max DC-Widerstand (Ω)	Nennstrom-stärke max. (A)	Digi-Key Teilenr.	Gurtabschnittspreis pro Stück 1	10	100	Digi-Key Teilenr.	T&R Pricing* 480	API Delevan Teilenr.
Ferritkern der Serie 8532, ±15 %									
1.0	0.009	6.27	DN3201CT-ND	2.55	2.19	1.46	DN3201TR-ND	559.16	8532-01LTR
1.2	0.010	5.95	DN3202CT-ND	2.55	2.19	1.46	DN3202TR-ND	559.16	8532-02LTR
1.5	0.011	5.67	DN3203CT-ND	2.55	2.19	1.46	DN3203TR-ND	559.16	8532-03LTR
1.8	0.012	5.43	DN3204CT-ND	2.55	2.19	1.46	—	—	8532-04LTR
2.2	0.013	5.22	DN3205CT-ND	2.55	2.19	1.46	DN3205TR-ND	559.16	8532-05LTR
2.7	0.014	5.03	DN3206CT-ND	2.55	2.19	1.46	—	—	8532-06LTR
3.3	0.016	4.70	DN3207CT-ND	2.55	2.19	1.46	DN3207TR-ND	559.16	8532-07LTR
3.9	0.017	4.56	DN3208CT-ND	2.55	2.19	1.46	DN3208TR-ND	559.16	8532-08LTR
4.7	0.022	4.01	DN3209CT-ND	2.55	2.19	1.46	DN3209TR-ND	559.16	8532-09LTR
5.6	0.024	3.84	DN3210CT-ND	2.55	2.19	1.46	DN3210TR-ND	559.16	8532-10LTR
6.8	0.026	3.69	DN3211CT-ND	2.55	2.19	1.46	DN3211TR-ND	559.16	8532-11LTR
8.2	0.028	3.55	DN3212CT-ND	2.55	2.19	1.46	—	—	8532-12LTR
10.0	0.033	3.27	DN3213CT-ND	2.84	2.44	1.63	DN3213TR-ND	624.18	8532-13LTR
12.0	0.037	3.09	DN3214CT-ND	2.84	2.44	1.63	DN3214TR-ND	624.18	8532-14LTR
15.0	0.040	2.97	DN3215CT-ND	2.84	2.44	1.63	DN3215TR-ND	624.18	8532-15LTR
18.0	0.044	2.84	DN3216CT-ND	2.84	2.44	1.63	DN3216TR-ND	624.18	8532-16LTR
22.0	0.050	2.66	DN3217CT-ND	2.84	2.44	1.63	DN3217TR-ND	624.18	8532-17LTR
27.0	0.070	2.25	DN3218CT-ND	2.84	2.44	1.63	DN3218TR-ND	624.18	8532-18LTR
33.0	0.075	2.17	DN3219CT-ND	2.84	2.44	1.63	DN3219TR-ND	1178.47	8532-19LTR
39.0	0.084	2.05	DN3220CT-ND	2.84	2.44	1.63	—	—	8532-20LTR
47.0	0.104	1.84	DN3221CT-ND	2.84	2.44	1.63	DN3221TR-ND	624.18	8532-21LTR
56.0	0.130	1.65	DN3222CT-ND	2.84	2.44	1.63	DN3222TR-ND	624.18	8532-22LTR
68.0	0.145	1.56	DN3223CT-ND	2.84	2.44	1.63	DN3223TR-ND	624.18	8532-23LTR
82.0	0.152	1.53	DN3224CT-ND	2.84	2.44	1.63	DN3224TR-ND	624.18	8532-24LTR
100.0	0.208	1.30	DN3225CT-ND	3.00	2.57	1.72	DN3225TR-ND	656.69	8532-25LTR
120.0	0.283	1.12	DN3226CT-ND	3.00	2.57	1.72	DN3226TR-ND	656.69	8532-26LTR
150.0	0.330	1.04	DN3227CT-ND	3.00	2.57	1.72	DN3227TR-ND	1235.36	8532-27LTR
180.0	0.362	0.99	DN3228CT-ND	3.00	2.57	1.72	DN3228TR-ND	656.69	8532-28LTR
220.0	0.505	0.84	DN3229CT-ND	3.00	2.57	1.72	DN3229TR-ND	656.69	8532-29LTR
270.0	0.557	0.80	DN3230CT-ND	3.00	2.57	1.72	DN3230TR-ND	656.69	8532-30LTR
390.0	0.770	0.68	DN3232CT-ND	3.00	2.57	1.72	DN3232TR-ND	656.69	8532-32LTR
470.0	1.03	0.59	DN3233CT-ND	3.00	2.57	1.72	—	—	8532-33LTR
560.0	1.14	0.56	DN3234CT-ND	3.00	2.57	1.72	DN3234TR-ND	656.69	8532-34LTR
680.0	1.50	0.49	DN3235CT-ND	3.00	2.57	1.72	DN3235TR-ND	656.69	8532-35LTR
820.0	1.98	0.42	DN3236CT-ND	3.00	2.57	1.72	DN3236TR-ND	656.69	8532-36LTR
1000.0	2.30	0.39	DN3237CT-ND	3.17	2.72	1.82	DN3237TR-ND	695.70	8532-37LTR
1200.0	2.55	0.37	DN3238CT-ND	3.17	2.72	1.82	DN3238TR-ND	695.70	8532-38LTR
1500.0	3.00	0.34	DN3239CT-ND	3.17	2.72	1.82	DN3239TR-ND	695.70	8532-39LTR
1800.0	4.00	0.30	DN3240CT-ND	3.17	2.72	1.82	DN3240TR-ND	695.70	8532-40LTR
2200.0	4.40	0.28	DN3241CT-ND	3.17	2.72	1.82	DN3241TR-ND	695.70	8532-41LTR
2700.0	5.80	0.25	DN3242CT-ND	3.17	2.72	1.82	DN3242TR-ND	695.70	8532-42LTR
3300.0	6.56	0.23	DN3243CT-ND	3.17	2.72	1.82	—	—	8532-43LTR
3900.0	8.63	0.20	DN3244CT-ND	3.17	2.72	1.82	DN3244TR-ND	695.70	8532-44LTR
4700.0	10.1	0.19	DN3245CT-ND	3.17	2.72	1.82	DN3245TR-ND	695.70	8532-45LTR
5600.0	11.2	0.18	DN3246CT-ND	3.17	2.72	1.82	DN3246TR-ND	695.70	8532-46LTR
6800.0	15.0	0.15	DN3247CT-ND	3.17	2.72	1.82	DN3247TR-ND	695.70	8532-47LTR
8200.0	20.8	0.13	DN3248CT-ND	3.17	2.72	1.82	DN3248TR-ND	695.70	8532-48LTR
10000.0	23.4	0.12	DN3249CT-ND	3.17	2.72	1.82	DN3249TR-ND	695.70	8532-49LTR
12000.0	26.0	0.12	DN3250CT-ND	3.17	2.72	1.82	DN3250TR-ND	695.70	8532-50LTR
15000.0	36.0	0.10	DN3251CT-ND	3.17	2.72	1.82	DN3251TR-ND	695.70	8532-51LTR
18000.0	40.0	0.09	DN3252CT-ND	3.17	2.72	1.82	DN3252TR-ND	695.70	8532-52LTR

Serie SPD62
Geschirmte Induktoren zur Oberflächenmontage

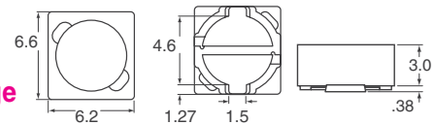

Diese kostengünstige Power-Drossel eignet sich für PDA, Palmtop und andere Power-Management-Anwendungen, die eine kleine Größe, hohe Stromkapazität und eine geschirmte Wicklung zur Verringerung von EMI/RFI verlangen. Die Flachkonstruktion eignet sich gut für eine automatische Einfügung. **Betriebstemperaturbereich:** -55 °C ~ 125 °C

Ind. (µH) ± 20%	Test-frequ. (KHz)	DC-Widerstand Max. (Ω)	Nenn-Stromstärke (A)	Digi-Key Teilenr.	Gurtabschnittspreis pro Stück 1	10	100	Digi-Key Teilenr.	T&R Pricing* 1.500	API Delevan Teilenr.
1.2	100	0.040	3.50	DN7500CT-ND	1.28	1.10	.73	DN7500TR-ND	509.66/M	SPD62-122M
2.4	100	0.045	2.80	DN7501CT-ND	1.28	1.10	.73	DN7501TR-ND	592.62/M	SPD62-242M
3.5	100	0.060	2.50	DN7502CT-ND	1.28	1.10	.73	DN7502TR-ND	509.66/M	SPD62-352M
4.7	100	0.070	2.00	DN7503CT-ND	1.28	1.10	.73	DN7503TR-ND	509.66/M	SPD62-472M
6.8	100	0.080	1.80	DN7504CT-ND	1.28	1.10	.73	DN7504TR-ND	592.62/M	SPD62-682M
10	100	0.12	1.40	DN7505CT-ND	1.28	1.10	.73	DN7505TR-ND	509.66/M	SPD62-103M
12	100	0.13	1.30	DN7506CT-ND	1.28	1.10	.73	DN7506TR-ND	592.62/M	SPD62-123M
15	1.0	0.15	1.20	DN7507CT-ND	1.28	1.10	.73	DN7507TR-ND	509.66/M	SPD62-153M
18	1.0	0.19	1.10	DN7508CT-ND	1.28	1.10	.73	DN7508TR-ND	509.66/M	SPD62-183M
22	1.0	0.20	1.00	DN7509CT-ND	1.28	1.10	.73	DN7509TR-ND	509.66/M	SPD62-223M
27	1.0	0.25	0.94	DN7510CT-ND	1.28	1.10	.73	DN7510TR-ND	592.62/M	SPD62-273M
33	1.0	0.28	0.82	DN7511CT-ND	1.28	1.10	.73	DN7511TR-ND	509.66/M	SPD62-333M
39	1.0	0.40	0.78	DN7512CT-ND	1.28	1.10	.73	DN7512TR-ND	509.66/M	SPD62-393M
47	1.0	0.44	0.70	DN7513CT-ND	1.28	1.10	.73	DN7513TR-ND	509.66/M	SPD62-473M
56	1.0	0.51	0.68	DN7514CT-ND	1.28	1.10	.73	DN7514TR-ND	509.66/M	SPD62-563M
68	1.0	0.64	0.56	DN7515CT-ND	1.28	1.10	.73	DN7515TR-ND	509.66/M	SPD62-683M
82	1.0	0.71	0.50	DN7516CT-ND	1.28	1.10	.73	DN7516TR-ND	509.66/M	SPD62-823M
100	1.0	0.81	0.41	DN7517CT-ND	1.28	1.10	.73	DN7517TR-ND	592.62/M	SPD62-104M
120	1.0	0.95	0.39	DN7518CT-ND	1.28	1.10	.73	DN7518TR-ND	509.66/M	SPD62-124M
150	1.0	1.07	0.37	DN7519CT-ND	1.28	1.10	.73	DN7519TR-ND	509.66/M	SPD62-154M
180	1.0	1.67	0.35	DN7520CT-ND	1.28	1.10	.73	DN7520TR-ND	509.66/M	SPD62-184M
220	1.0	1.89	0.32	DN7521CT-ND	1.28	1.10	.73	DN7521TR-ND	592.62/M	SPD62-224M
270	1.0	2.77	0.29	DN7522CT-ND	1.28	1.10	.73	DN7522TR-ND	509.66/M	SPD62-274M
330	1.0	3.30	0.22	DN7523CT-ND	1.28	1.10	.73	DN7523TR-ND	509.66/M	SPD62-334M

Serie DC780
Hochstrom-Starkstromleitungsdrosseln

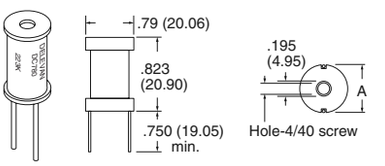

Mechanische Konfiguration: Ferritspule geschützt durch eine flammenhemmende Polyolefinhülse. Loch in der Mitte erlaubt mechanische Montage. Isolierte Spulen. **Betriebstemperatur:** -55 °C ~ 125 °C (-55 °C ~ 80 °C @ vollem Nennstrom).

Nom. Indukt. (µH)	Max. DCR (Ω)	Max. Nennstrom (ADC)	Abmessung Zoll (mm) A	Digi-Key Teilenr.	Stückpreis 1	10	50	API Delevan Teilenr.
Serie DC780, ±15 %								
1.0	0.003	11.4	.620 (15.748)	DN2400-ND	4.38	3.98	3.82	DC780-102L
1.2	0.003	11.4	.620 (15.748)	DN2401-ND	4.38	3.98	3.83	DC780-122L
1.5	0.003	11.4	.620 (15.748)	DN2402-ND	4.38	3.98	3.82	DC780-152L
1.8	0.003	11.4	.620 (15.748)	DN2403-ND	4.38	3.98	3.82	DC780-182L
2.2	0.004	11.4	.620 (15.748)	DN2404-ND	4.38	3.98	3.82	DC780-222L
2.7	0.005	11.4	.620 (15.748)	DN2405-ND	4.38	3.98	3.82	DC780-272L
3.3	0.005	11.4	.620 (15.748)	DN2406-ND	4.38	3.98	3.82	DC780-332L
3.9	0.005	11.4	.620 (15.748)	DN2407-ND	4.38	3.98	3.82	DC780-392L
4.7	0.005	11.4	.620 (15.748)	DN2408-ND	4.38	3.98	3.82	DC780-472L
5.6	0.006	11.4	.620 (15.748)	DN2409-ND	4.38	3.98	3.82	DC780-562L
6.8	0.007	11.4	.620 (15.748)	DN2410-ND	4.38	3.98	3.82	DC780-682L
8.2	0.007	11.4	.620 (15.748)	DN2411-ND	4.38	3.98	3.82	DC780-822L
Serie DC780, ±10 %								
10.0	0.009	11.4	.620 (15.748)	DN2412-ND	5.12	4.66	4.47	DC780-103K
12.0	0.009	11.4	.620 (15.748)	DN2413-ND	5.12	4.66	4.47	DC780-123K
15.0	0.013	9.0	.625 (15.875)	DN2414-ND	5.12	4.66	4.47	DC780-153K
18.0	0.018	7.2	.630 (16.002)	DN2415-ND	5.12	4.66	4.47	DC780-183K
22.0	0.019	7.2	.630 (16.002)	DN2416-ND	5.12	4.66	4.47	DC780-223K
27.0	0.026	5.5	.546 (13.868)	DN2417-ND	—	—	8.51	DC780-273K
33.0	0.029	5.5	.546 (13.868)	DN2418-ND	5.12	4.66	4.47	DC780-333K
39.0	0.030	5.5	.594 (15.087)	DN2419-ND	5.12	4.66	4.47	DC780-393K
47.0	0.035	5.5	.625 (15.875)	DN2420-ND	5.12	4.66	4.47	DC780-473K
56.0	0.039	5.5	.625 (15.875)	DN2421-ND	5.12	4.66	4.47	DC780-563K
68.0	0.053	4.8	.656 (16.662)	DN2422-ND	5.12	4.66	4.47	DC780-683K
82.0	0.060	4.8	.656 (16.662)	DN2423-ND	5.12	4.66	4.47	DC780-823K
100	0.080	4.0	.593 (15.062)	DN2424-ND	5.12	4.66	4.47	DC780-104K
120	0.090	4.0	.593 (15.062)	DN2425-ND	5.12	4.66	4.47	DC780-124K
150	0.098	4.0	.593 (15.062)	DN2426-ND	5.12	4.66	4.47	DC780-154K
180	0.110	4.0	.593 (15.062)	DN2427-ND	6.52	5.93	5.69	DC780-184K
220	0.150	2.8	.593 (15.062)	DN2428-ND	6.52	5.93	5.69	DC780-224K
270	0.213	2.0	.562 (14.274)	DN2429-ND	6.52	5.93	5.69	DC780-274K
330	0.305	1.6	.590 (14.986)	DN2430-ND	6.52	5.93	5.69	DC780-334K
390	0.320	1.6	.590 (14.986)	DN2431-ND	6.52	5.93	5.69	DC780-394K
470	0.355	1.6	.590 (14.986)	DN2432-ND	6.52	5.93	5.69	DC780-474K
560	0.388	1.6	.590 (14.986)	DN2433-ND	6.52	5.93	5.69	DC780-564K
680	0.430	1.6	.590 (14.986)	DN2434-ND	6.52	5.93	5.69	DC780-684K
820	0.590	1.3	.590 (14.986)	DN2435-ND	6.52	5.93	5.69	DC780-824K
1000	0.818	1.0	.590 (14.986)	DN2436-ND	6.52	5.93	5.69	DC780-105K
1200	1.140	0.8	.590 (14.986)	DN2437-ND	6.52	5.93	5.69	DC780-125K
1500	1.260	0.8	.590 (14.986)	DN2438-ND	6.52	5.93	5.69	DC780-155K
1800	1.390	0.8	.590 (14.986)	DN2439-ND	6.52	5.93	5.69	DC780-185K
2200	1.540	0.8	.590 (14.986)	DN2440-ND	6.52	5.93	5.69	DC780-225K

* Gegurtet auf Rolle Preisangaben

(Forts.)

Alle Preisangaben in Euro und inklusive Zollgebühren.

Serie CM9900 Leiterplattenmontierte Gleichtaktdrosseln

Betriebstemperaturbereich: -55 °C ~ 125 °C **Nennstrom bei 80 °C Umgebung:** 40 °C Anstieg **Mechanische Konfiguration:** Bandumwickelte Spulenteile; lackimprägnierter Zusammenbau

Hinweise: (1) Leckinduktivität getestet an L1 mit L2 kurzgeschlossen oder an L2 mit L1 kurzgeschlossen (2) Wicklungen bis auf 1 % ausgeglichen

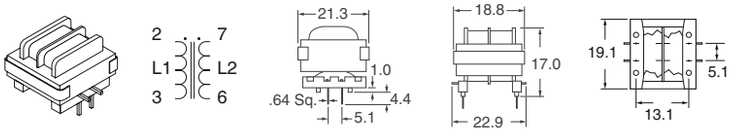

Induktivität (µH) L1 oder L2	Nennstrom-stärke max. (A)	Digi-Key Teilenr.	1	Stückpreis 10	100	AP Delevan Teilenr.
820	1.1	DN4614-ND	3.79	2.96	2.54	CM9900-824
2200	.55	DN4619-ND	3.79	2.96	2.54	CM9900-225

Serie CM6149 Flachprofil-Gleichtakt-Drossel zur Oberflächenmontage/Isolations-Transformator

Betriebstemperaturbereich: -55 °C ~ 105 °C

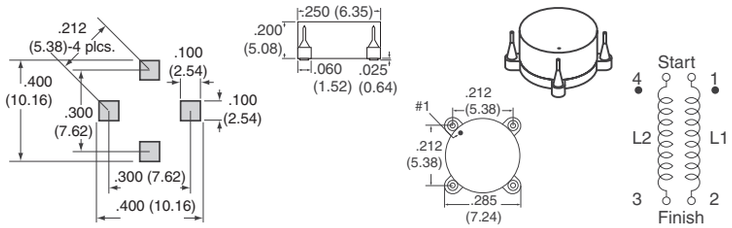

Induktivität ±25% (µH) L1 oder L2	Max. DCR (Ω)	Nenn-RMS-Strom (A DC) Max.	Digi-Key Teilenr.	1	Stückpreis 10	100	API Delevan Teilenr.
25	.010	3.0	DN12825-ND	10.07	8.64	5.76	CM6149-253
47	.015	2.5	DN12826-ND	10.07	8.64	5.76	CM6149-473
68	.020	2.0	DN12827-ND	10.07	8.64	5.76	CM6149-683
100	.030	1.6	DN12828-ND	10.07	8.64	5.76	CM6149-104
150	.040	1.3	DN12829-ND	10.07	8.64	5.76	CM6149-154
220	.060	1.0	DN12830-ND	10.07	8.64	5.76	CM6149-224
330	.090	.75	DN12831-ND	11.32	9.71	6.47	CM6149-334
470	.125	.60	DN12832-ND	11.32	9.71	6.47	CM6149-474
680	.170	.50	DN12833-ND	11.32	9.71	6.47	CM6149-684
1000	.250	.40	DN12834-ND	11.32	9.71	6.47	CM6149-105
1200	.350	.30	DN12835-ND	11.32	9.71	6.47	CM6149-125
1500	.500	.24	DN12836-ND	11.85	10.16	6.78	CM6149-155
2200	.750	.18	DN12837-ND	11.85	10.16	6.78	CM6149-225

Serie CM6350 Oberflächenmontierte Gleichtaktdrossel

Betriebstemperaturbereich: -55 °C ~ 125 °C.

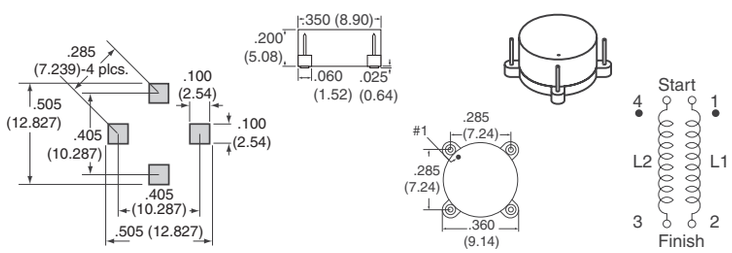

Induktivität ±25 % (µH)) L1 oder L2	Max. DCR (Ω)	Nenn-RMS-Strom (A) max.	Digi-Key Teilenr.	1	Stückpreis 10	100	API Delevan Teilenr.
33	0.007	5.50	DN12838-ND	5.66	4.86	3.24	CM6350-333
47	0.008	5.00	DN12839-ND	5.66	4.86	3.24	CM6350-473
68	0.010	4.20	DN12840-ND	5.66	4.86	3.24	CM6350-683
100	0.014	3.30	DN12841-ND	5.66	4.86	3.24	CM6350-104
150	0.020	2.70	DN12842-ND	5.78	4.96	3.31	CM6350-154
220	0.027	2.20	DN12843-ND	5.78	4.96	3.31	CM6350-224
330	0.040	1.80	DN12844-ND	5.78	4.96	3.31	CM6350-334
470	0.060	1.50	DN12845-ND	5.78	4.96	3.31	CM6350-474
680	0.090	1.20	DN12846-ND	5.78	4.96	3.31	CM6350-684
1000	0.130	0.90	DN12847-ND	5.78	4.96	3.31	CM6350-105
1500	0.190	0.75	DN12848-ND	6.26	5.36	3.58	CM6350-155
2200	0.300	0.60	DN12849-ND	6.26	5.36	3.58	CM6350-225
3300	0.550	0.40	DN12850-ND	13.57	11.64	7.76	CM6350-335
4700	1.050	0.25	DN12851-ND	6.26	5.36	3.58	CM6350-475

Serie 4426 Luftkern-Induktoren zur Oberflächenmontage

Hohes Q, drahtumwickelte Luftkerne bieten einen breiten Frequenzbereich. Flache Kappenoberseite ist für automatische Platzierung geeignet.

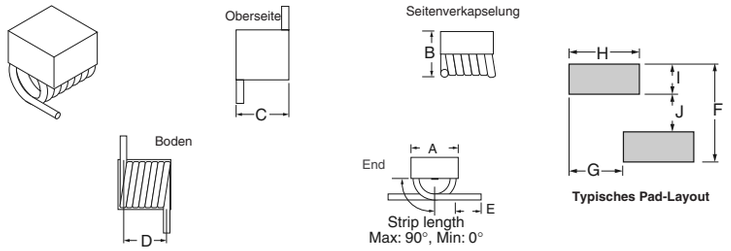

	Größe A (Zoll)	Größe A (mm)	Größe B (Zoll)	Größe B (mm)
A Max.	.120	3.05	.120	3.05
B Max.	.125	3.18	.125	3.18
C Max.	.145	3.68	.270	6.86
D	.115±.010	2.92±.25	.230±.010	5.84±.25
E	.05±.015	1.27±.38	.05±.015	1.27±.38
F	.165	4.19	.285	7.23
G	.110	2.79	.110	2.79
H	.130	3.30	.130	3.30
I	.050	1.27	.050	1.27
J	.065	1.65	.185	4.69

Größen-code	Indukt. (nH)	Umdreh-ungen	Q min.	Digi-Key Teilenr.	Gurtabschnitts-preis pro Stück 1	10	100	Digi-Key Teilenr.	Gegurtet auf Rolle Größe	Preisangaben	API Delevan Teilenr.
Serie 4426 Luftkern-Induktoren											
A	2.5±10%	1	145	DN4001CT-ND	.51	.44	.29	DN4001TR-ND	650	184.90	4426-1
	5.0±10%	2	140	DN4002CT-ND	.51	.44	.29	DN4002TR-ND	650	184.90	4426-2
	8.0±5%	3	140	DN4003CT-ND	.51	.44	.29	DN4003TR-ND	650	184.90	4426-3
	12.5±5%	4	137	DN4004CT-ND	.51	.44	.29	DN4004TR-ND	650	184.90	4426-4
	18.5±5%	5	132	DN4005CT-ND	.51	.44	.29	DN4005TR-ND	650	184.90	4426-5
B	17.5±5%	6	100	DN4006CT-ND	.51	.44	.29	—	—	—	4426-6
	22.0±5%	7	102	DN4007CT-ND	.51	.44	.29	DN4007TR-ND	400	113.78	4426-7
	28.0±5%	8	105	DN4008CT-ND	.51	.44	.29	DN4008TR-ND	400	113.78	4426-8
	35.5±5%	9	112	DN4009CT-ND	.51	.44	.29	DN4009TR-ND	400	113.78	4426-9
	43.0±5%	11	106	DN4010CT-ND	.51	.44	.29	DN4010TR-ND	400	113.78	4426-10

4426KIT-ND (API Delevan Teilenr. 4426KIT)

Serie 4426 Induktor-Kit. Je 5 der 10 Werte (2,5 nH - 43 nH), 50 Stück insgesamt **21.59**

Serie SMB 2.5 Schildperlen zur Oberflächenmontage

Betriebstemperaturbereich: -40 °C ~ 125 °C

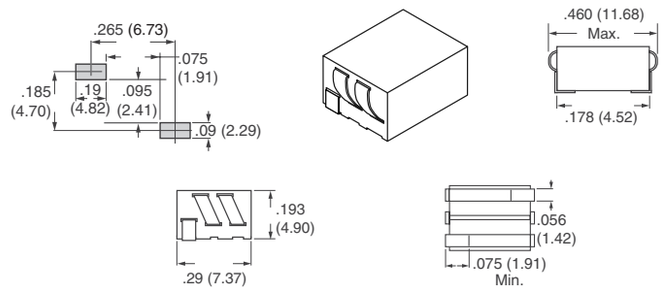

API Delevan Teilenr.	Umdrehungen	Mindestimpedanz (Ω) 10 MHz	100 MHz	150 MHz	220 MHz	Max. IDC. (A)	DCR Max. (Ω)
SMB2.5-1	2 1/2	210	385	400	375	9.5	0.005
SMB2.5-2	2 1/2	NA	490	635	650	9.5	0.005

Digi-Key Teilenr.	Gurtabschnitts-preis pro Stück 10	50	100	Digi-Key Teilenr.	Gegurtet auf Rolle Preisangaben 700	API Delevan Teilenr.
DN4700CT-ND	.66	.56	.38	DN4700TR-ND	208.60	SMB2.5-1
DN4701CT-ND	.66	.56	.38	DN4701TR-ND	208.60	SMB2.5-2

D

TDK Induktoren

Serie MLK, MLG und MLF (bleifrei)

Abm. in mm

Abb. 1 MLK0603 (EIA0201)

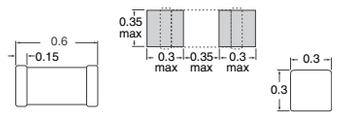

Abb. 2 MLK1005 (EIA0402)

Abb. 3 MLG1608 (EIA0603)

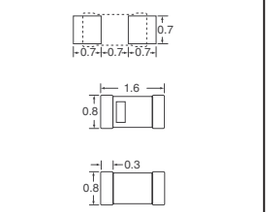

Abb. 4 MLF1608 (EIA0603)

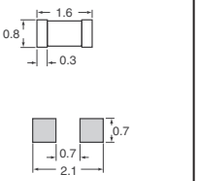

Abb. 5 MLF2012 (EIA0805)

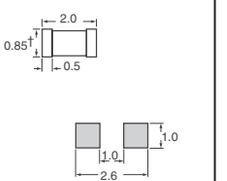

Serie MLK: Diese Serie unterstützt Betriebsfrequenzbänder von bis zu 12 GHz mit Nenninduktionswerten von 1 bis 100 nH. Hohe Q-Merkmale. Moderne monolithische Struktur aufgrund eines Mehrschicht- und Sinterprozesses mit Keramik und leitfähigen Materialien für hohe Frequenzen. Da das Teil nicht polarisiert ist, kann es in Groß-Kassettenladern verwendet werden. **Betriebstemperatur:** -25 °C ~ 85 °C

Serie MLG: Diese Serie unterstützt Betriebsfrequenzbänder von bis zu 10 GHz mit Nenninduktionswerten von 1 bis 100 nH. Hohe Q-Merkmale. Moderne monolithische Struktur aufgrund eines Mehrschicht- und Sinterprozesses mit Keramik und leitfähigen Materialien für hohe Frequenzen.

Betriebstemperatur: -25 °C ~ 85 °C

Serie MLF - Magnetschichtinduktor: Der MLF Mehrschicht-Induktor von TDK verbindet hohe Leistung mit dem kompaktesten Design, das es je gab. Die MLF Induktor-Mehrschichttechnologie verwendet Ferritpaste und elektrische Leiterpaste, die in einer monolithischen Struktur übereinander geschichtet werden. Sintern von Ferrit und elektrischen Leitern führt zu einem perfekt geschlossenen Schaltkreis und einem Magnetschild. Das Magnetschild ist ideal für hochdichte Schaltungsanwendungen in Laufwerken, PCs, Messgeräten und Telefonausrüstungen.

Betriebstemperatur: -25 °C ~ 85 °C

D

Induktivität (nH)	Induktivitätstoleranz	Testfrequ. (MHz)	DC Widerst. max. (Ω)	Max. Nennstrom (mA)	Min. SRF (GHz)	Digi-Key Teilenr.	Gurtabschnittspreise 1	10	100	Preisangaben gegurtet auf Rolle§ 15.000	TDK Teilenr.
Abb. 1 — MLK0603											
1.0	±0.3nH	100	0.20	300	12.0	445-1570-1-ND	.15	1.27	10.16	44.87/M	MLK0603L1N0S
1.2	±0.3nH	100	0.25	300	11.0	445-1571-1-ND	.15	1.27	10.16	44.87/M	MLK0603L1N2S
1.5	±0.3nH	100	0.30	300	9.5	445-1572-1-ND	.15	1.27	10.16	44.87/M	MLK0603L1N5S
1.8	±0.3nH	100	0.35	300	8.5	445-1573-1-ND	.15	1.27	10.16	44.87/M	MLK0603L1N8S
2.2	±0.3nH	100	0.40	300	8.0	445-1574-1-ND	.15	1.27	10.16	44.87/M	MLK0603L2N2S
2.7	±0.3nH	100	0.45	300	7.5	445-1575-1-ND	.15	1.27	10.16	44.87/M	MLK0603L2N7S
3.3	±0.3nH	100	0.50	200	7.0	445-1576-1-ND	.15	1.27	10.16	44.87/M	MLK0603L3N3S
3.9	±0.3nH	100	0.55	200	6.5	445-1577-1-ND	.15	1.27	10.16	44.87/M	MLK0603L3N9S
4.7	±0.3nH	100	0.60	200	6.0	445-1578-1-ND	.15	1.27	10.16	44.87/M	MLK0603L4N7S
5.6	±0.3nH	100	0.70	200	5.7	445-1579-1-ND	.15	1.27	10.16	44.87/M	MLK0603L5N6S
6.8	±5%	100	0.80	200	5.5	445-1580-1-ND	.15	1.27	10.16	44.87/M	MLK0603L6N8J
8.2	±5%	100	0.90	200	5.0	445-1581-1-ND	.15	1.27	10.16	44.87/M	MLK0603L8N2J
10	±5%	100	1.00	200	4.7	445-1582-1-ND	.15	1.27	10.16	44.87/M	MLK0603L10NJ
12	±5%	100	1.10	150	4.3	445-1583-1-ND	.15	1.27	10.16	44.87/M	MLK0603L12NJ
15	±5%	100	1.20	150	4.0	445-1584-1-ND	.15	1.27	10.16	44.87/M	MLK0603L15NJ
18	±5%	100	1.40	100	3.7	445-1585-1-ND	.15	1.27	10.16	44.87/M	MLK0603L18NJ
22	±5%	100	1.60	100	3.5	445-1586-1-ND	.15	1.27	10.16	44.87/M	MLK0603L22NJ

Induktivität (nH)	Induktivitätstoleranz	Testfrequ. (MHz)	DC Widerst. max. (Ω)	Max. Nennstrom (mA)	Min. SRF (GHz)	Digi-Key Teilenr.	Gurtabschnittspreise 1	10	100	Preisangaben gegurtet auf Rolle§ 10.000	TDK Teilenr.
Abb. 2 — MLK1005											
1	±0.3nH	100	0.1	300	12	445-1455-1-ND	.13	1.06	8.47	37.04/M	MLK1005S1N0S
1.2	±0.3nH	100	0.15	300	11	445-1456-1-ND	.13	1.06	8.47	37.04/M	MLK1005S1N2S
1.5	±0.3nH	100	0.16	300	9.5	445-1457-1-ND	.13	1.06	8.47	37.04/M	MLK1005S1N5S
1.8	±0.3nH	100	0.2	300	8.5	445-1458-1-ND	.13	1.06	8.47	37.04/M	MLK1005S1N8S
2.2	±0.3nH	100	0.21	300	8	445-1459-1-ND	.13	1.06	8.47	37.04/M	MLK1005S2N2S
2.7	±0.3nH	100	0.23	300	7.5	445-1460-1-ND	.13	1.06	8.47	37.04/M	MLK1005S2N7S
3.3	±0.3nH	100	0.25	300	7	445-1461-1-ND	.13	1.06	8.47	37.04/M	MLK1005S3N3S
3.9	±0.3nH	100	0.28	300	6.5	445-1462-1-ND	.13	1.06	8.47	37.04/M	MLK1005S3N9S
4.7	±0.3nH	100	0.32	300	6	445-1463-1-ND	.13	1.06	8.47	37.04/M	MLK1005S4N7S
5.6	±0.5nH	100	0.35	300	5.7	445-1464-1-ND	.13	1.06	8.47	37.04/M	MLK1005S5N6D
6.8	±0.5nH	100	0.38	300	5.5	445-1465-1-ND	.13	1.06	8.47	37.04/M	MLK1005S6N8D
8.2	±0.5nH	100	0.42	300	5	445-1466-1-ND	.13	1.06	8.47	37.04/M	MLK1005S8N2D
10	±5%	100	0.45	200	4.7	445-1467-1-ND	.13	1.06	8.47	37.04/M	MLK1005S10NJ
12	±5%	100	0.5	200	4.3	445-1468-1-ND	.13	1.06	8.47	37.04/M	MLK1005S12NJ
15	±5%	100	0.55	200	4	445-1469-1-ND	.13	1.06	8.47	37.04/M	MLK1005S15NJ
18	±5%	100	0.65	200	3.7	445-1470-1-ND	.13	1.06	8.47	37.04/M	MLK1005S18NJ
22	±5%	100	0.75	200	3.5	445-1471-1-ND	.13	1.06	8.47	37.04/M	MLK1005S22NJ
27	±5%	100	0.95	200	3	445-1472-1-ND	.13	1.06	8.47	37.04/M	MLK1005S27NJ
33	±5%	100	1.1	200	2.5	445-1473-1-ND	.13	1.06	8.47	37.04/M	MLK1005S33NJ
39	±5%	100	1.2	100	2	445-1474-1-ND	.13	1.06	8.47	37.04/M	MLK1005S39NJ
47	±5%	100	1.3	100	1.8	445-1475-1-ND	.13	1.06	8.47	37.04/M	MLK1005S47NJ
56	±5%	100	1.4	100	1.5	445-1476-1-ND	.13	1.06	8.47	37.04/M	MLK1005S56NJ
68	±5%	100	1.6	100	1.2	445-1477-1-ND	.13	1.06	8.47	37.04/M	MLK1005S68NJ
82	±5%	100	1.8	50	1	445-1478-1-ND	.13	1.06	8.47	37.04/M	MLK1005S82NJ
100	±5%	100	2.2	50	0.8	445-1479-1-ND	.13	1.06	8.47	37.04/M	MLK1005SR10J

Induktivität (nH)	Induktivitätstoleranz	Testfrequ. (MHz)	DC Widerst. max. (Ω)	Max. Nennstrom (mA)	Min. SRF (GHz)	Digi-Key Teilenr.	Gurtabschnittspreise 1	10	100	Preisangaben gegurtet auf Rolle§ 4.000	TDK Teilenr.
Abb. 3 — MLG1608											
1	±0.3nH	100	0.1	300	10	445-1480-1-ND	.14	1.17	9.31	40.75/M	MLG1608B1N0S
1.2	±0.3nH	100	0.1	300	10	445-1481-1-ND	.14	1.17	9.31	40.75/M	MLG1608B1N2S
1.5	±0.3nH	100	0.1	300	10	445-1482-1-ND	.14	1.17	9.31	40.75/M	MLG1608B1N5S
1.8	±0.3nH	100	0.1	300	9.8	445-1483-1-ND	.14	1.17	9.31	40.75/M	MLG1608B1N8S
2.2	±0.3nH	100	0.15	300	7.6	445-1484-1-ND	.14	1.17	9.31	40.75/M	MLG1608B2N2S
2.7	±0.3nH	100	0.15	300	7	445-1485-1-ND	.14	1.17	9.31	40.75/M	MLG1608B2N7S
3.3	±0.3nH	100	0.2	300	6.2	445-1486-1-ND	.14	1.17	9.31	40.75/M	MLG1608B3N3S
3.9	±0.3nH	100	0.2	300	5.6	445-1487-1-ND	.14	1.17	9.31	40.75/M	MLG1608B3N9S
4.7	±0.3nH	100	0.2	300	4.8	445-1488-1-ND	.14	1.17	9.31	40.75/M	MLG1608B4N7S
5.6	±0.5nH	100	0.2	300	4.6	445-1489-1-ND	.14	1.17	9.31	40.75/M	MLG1608B5N6D
6.8	±0.5nH	100	0.2	300	4.2	445-1490-1-ND	.14	1.17	9.31	40.75/M	MLG1608B6N8D
8.2	±0.5nH	100	0.25	300	3.6	445-1491-1-ND	.14	1.17	9.31	40.75/M	MLG1608B8N2D
10	±5%	100	0.25	300	3.2	445-1492-1-ND	.14	1.17	9.31	40.75/M	MLG1608B10NJ
12	±5%	100	0.3	300	2.8	445-1493-1-ND	.14	1.17	9.31	40.75/M	MLG1608B12NJ
15	±5%	100	0.35	300	2.6	445-1494-1-ND	.14	1.17	9.31	40.75/M	MLG1608B15NJ
18	±5%	100	0.4	300	2.4	445-1495-1-ND	.14	1.17	9.31	40.75/M	MLG1608B18NJ
22	±5%	100	0.5	300	2	445-1496-1-ND	.14	1.17	9.31	40.75/M	MLG1608B22NJ
27	±5%	100	0.55	300	1.9	445-1497-1-ND	.14	1.17	9.31	40.75/M	MLG1608B27NJ
33	±5%	100	0.6	300	1.6	445-1498-1-ND	.14	1.17	9.31	40.75/M	MLG1608B33NJ
39	±5%	100	0.65	300	1.4	445-1499-1-ND	.14	1.17	9.31	40.75/M	MLG1608B39NJ
47	±5%	100	0.7	300	1.2	445-1500-1-ND	.14	1.17	9.31	40.75/M	MLG1608B47NJ
56	±5%	100	0.75	300	1	445-1501-1-ND	.14	1.17	9.31	40.75/M	MLG1608B56NJ
68	±5%	100	0.8	300	0.9	445-1502-1-ND	.14	1.17	9.31	40.75/M	MLG1608B68NJ
82	±5%	100	0.9	300	0.8	445-1503-1-ND	.14	1.17	9.31	40.75/M	MLG1608B82NJ
100	±5%	100	1	300	0.7	445-1504-1-ND	.14	1.17	9.31	40.75/M	MLG1608BR10J

Induktivität (nH)	Induktivitätstoleranz	Testfrequ. (MHz)	DC Widerst. max. (Ω)	Max. Nennstrom (mA)	Min. SRF (GHz)	Digi-Key Teilenr.	Gurtabschnittspreise 1	10	100	Preisangaben gegurtet auf Rolle§ 4.000	TDK Teilenr.
Abb. 4 — MLF1608											
0.047	±20%	50	0.3	50	260	445-1000-1-ND	.35	2.88	23.03	100.75/M	MLF1608D47NM
0.068	±20%	50	0.3	50	250	445-1001-1-ND	.35	2.88	23.03	100.75/M	MLF1608D68NM
0.082	±20%	50	0.3	50	245	445-1002-1-ND	.35	2.88	23.03	100.75/M	MLF1608D82NM
0.1	±10%	25	0.5	50	240	445-1003-1-ND	.35	2.88	23.03	100.75/M	MLF1608DR10K
0.12	±10%	25	0.5	50	205	445-1004-1-ND	.35	2.88	23.03	100.75/M	MLF1608DR12K
0.15	±10%	25	0.6	50	180	445-1005-1-ND	.35	2.88	23.03	100.75/M	MLF1608DR15K
0.18	±10%	25	0.6	50	165	445-1006-1-ND	.35	2.88	23.03	100.75/M	MLF1608DR18K
0.22	±10%	25	0.8	50	150	445-1007-1-ND	.35	2.88	23.03	100.75/M	MLF1608DR22K
0.27	±10%	25	0.8	50	136	445-1008-1-ND	.35	2.88	23.03	100.75/M	MLF1608DR27K
0.33	±10%	25	0.85	35	125	445-1009-1-ND	.35	2.88	23.03	100.75/M	MLF1608DR33K
0.39	±10%	25	1	35	110	445-1010-1-ND	.35	2.88	23.03	100.75/M	MLF1608DR39K
0.47	±10%	25	1.35	35	105	445-1011-1-ND	.35	2.88	23.03	100.75/M	MLF1608DR47K
0.56	±10%	25	1.55	35	95	445-1012-1-ND	.35	2.88	23.03	100.75/M	MLF1608DR56K
0.68	±10%	25	1.7	35	90	445-1013-1-ND	.35	2.88	23.03	100.75/M	MLF1608DR68K
1.2	±10%	10	0.8	25	65	445-1014-1-ND	.35	2.88	23.03	100.75/M	MLF1608A1R2K
1.5	±10%	10	0.8	25	60	445-1015-1-ND	.35	2.88	23.03	100.75/M	MLF1608A1R5K
1.8	±10%	10	0.95	25	55	445-1016-1-ND	.35	2.88	23.03	100.75/M	MLF1608A1R8K
2.2	±10%	10	1.15	15	50	445-1017-1-ND	.35	2.88	23.03	100.75/M	MLF1608A2R2K
2.7	±10%	10	1.35	15	45	445-1018-1-ND	.35	2.88	23.03	100.75/M	MLF1608A2R7K
3.3	±10%	10	1.55	15	40	445-1019-1-ND	.35	2.88	23.03	100.75/M	MLF1608A3R3K
3.9	±10%	10	1.7	15	35	445-1020-1-ND	.37	3.45	28.78	—	MLF1608A3R9K
4.7	±10%	10	2.1	15	33	445-1021-1-ND	.35	2.88	23.03	100.75/M	MLF1608A4R7K
5.6	±10%	4	1.55	5	22	445-1022-1-ND	.35	2.88	23.03	100.75/M	MLF1608E5R6K
6.8	±10%	4	1.7	5	20	445-1023-1-ND	.35	2.88	23.03	100.75/M	MLF1608E6R8K
8.2	±10%	4	2.1	5	18	445-1024-1-ND	.35	2.88	23.03	100.75/M	MLF1608E8R2K
10	±10%	2	1.85	3	17	445-1025-1-ND	.35	2.88	23.03	100.75/M	MLF1608E100K
12	±10%	2	2.1	3	15	445-1026-1-ND	.35	2.88	23.03	100.75/M	MLF1608E120K
15	±10%	1	1.7	1	14	445-1027-1-ND	.35	2.88	23.03	100.75/M	MLF1608C150K
18	±10%	1	1.85	1	13	445-1028-1-ND	.35	2.88	23.03	100.75/M	MLF1608C180K
22	±10%	1	2.1	1	11	445-1029-1-ND	.35	2.88	23.03	100.75/M	MLF1608C220K
27	±10%	1	2.75	1	10	445-1030-1-ND	.35	2.88	23.03	100.75/M	MLF1608C270K
33	±10%	1	2.95	1	9	445-1031-1-ND	.35	2.88	23.03	100.75/M	MLF1608C330K
Abb. 5 — MLF2012											
0.047	±20%	50	0.2	300	320	445-1032-1-ND	.35	2.88	23.03	100.75/M	MLF2012D47NM
0.068	±20%	50	0.2	300	280	445-1033-1-ND	.37	3.45	28.78	—	MLF2012D68NM
0.082	±20%	50	0.2	300	255	445-1034-1-ND	.35	2.88	23.03	100.75/M	MLF2012D82NM
0.1	±10%	25	0.3	250	235	445-1035-1-ND	.35	2.88	23.03	100.75/M	MLF2012DR10K
0.12	±10%	25	0.3	250	220	445-1036-1-ND	.35	2.88	23.03	100.75/M	MLF2012DR12K
0.15	±10%	25	0.4	250	200	445-1037-1-ND	.35	2.88	23.03	100.75/M	MLF2012DR15K
0.18	±10%	25	0.4	250	185	445-1038-1-ND	.37	3.45	28.78	—	MLF2012DR18K
0.22	±10%	25	0.5	250	170	445-1039-1-ND	.35	2.88	23.03	100.75/M	MLF2012DR22K
0.27	±10%	25	0.5	250	150	445-1040-1-ND	.35	2.88	23.03	100.75/M	MLF2012DR27K
0.33	±10%	25	0.55	250	145	445-1041-1-ND	.35	2.88	23.03	100.75/M	MLF2012DR33K
0.39	±10%	25	0.65	200	135	445-1042-1-ND	.37	3.45	28.78	—	MLF2012DR39K
1	±10%	10	0.4	50	75	445-1047-1-ND	.35	2.88	23.03	100.75/M	MLF2012A1R0K
1.2	±10%	10	0.5	50	65	445-1048-1-ND	.35	2.88	23.03	100.75/M	MLF2012A1R2K
1.5	±10%	10	0.5	50	60	445-1049-1-ND	.35	2.88	23.03	100.75/M	MLF2012A1R5K
1.8	±10%	10	0.6	50	55	445-1050-1-ND	.35	2.88	23.03	100.75/M	MLF2012A1R8K
2.2	±10%	10	0.65	30	50	445-1051-1-ND	.35	2.88	23.03	100.75/M	MLF2012A2R2K

Induktivität (nH)	Induktivitätstoleranz	Testfrequ. (MHz)	DC Widerst. max. (Ω)	Max. Nennstrom (mA)	Min. SRF (GHz)	Digi-Key Teilenr.	Gurtabschnittspreise 1	10	100	Preisangaben gegurtet auf Rolle§ 2.000	TDK Teilenr.
Abb. 5 — MLF2012											
0.47	±10%	25	0.65	200	125	445-1043-1-ND†	.35	2.88	23.03	100.75/M	MLF2012DR47K
0.56	±10%	25	0.75	150	115	445-1044-1-ND†	.35	2.88	23.03	100.75/M	MLF2012DR56K
0.68	±10%	25	0.8	150	105	445-1045-1-ND†	.35	2.88	23.03	100.75/M	MLF2012DR68K
0.82	±10%	25	1	150	100	445-1046-1-ND†	.35	2.88	23.03	100.75/M	MLF2012DR82K
2.7	±10%	10	0.75	30	45	445-1052-1-ND†	.35	2.88	23.03	100.75/M	MLF2012A2R7K
3.3	±10%	10	0.8	30	41	445-1053-1-ND†	.35	2.88	23.03	100.75/M	MLF2012A3R3K
3.9	±10%	10	0.9	30	38	445-1054-1-ND†	.37	3.45	28.78	—	MLF2012A3R9K
4.7	±10%	10	1	30	35	445-1055-1-ND†	.35	2.88	23.03	100.75/M	MLF2012A4R7K
5.6	±10%	4	0.9	15	32	445-1056-1-ND†	.35	2.88	23.03	100.75/M	MLF2012E5R6K
6.8	±10%	4	1	15	29	445-1057-1-ND†	.35	2.88	23.03	100.75/M	MLF2012E6R8K
8.2	±10%	4	1.1	15	26	445-1058-1-ND†	.37	3.45	28.78	—	MLF2012E8R2K
10	±10%	2	1.15	15	24	445-1059-1-ND†	.35	2.88	23.03	100.75/M	MLF2012E100K
12	±10%	2	1.25	15	22	445-1060-1-ND†	.35	2.88	23.03	100.75/M	MLF2012E120K
15	±10%	1	0.8	5	19	445-1061-1-ND†	.35	2.88	23.03	100.75/M	MLF2012C150K
18	±10%	1	0.9	5	18	445-1062-1-ND†	.35	2.88	23.03	100.75/M	MLF2012C180K
22	±10%	1	1.1	5	16	445-1063-1-ND†	.35	2.88	23.03	100.75/M	MLF2012C220K
27	±10%	1	1.15	5	14	445-1064-1-ND†	.35	2.88	23.03	100.75/M	MLF2012C270K
33	±10%	0.4	1.25	5	13	445-1065-1-ND†	.35	2.88	23.03	100.75/M	MLF2012C330K
39	±10%	2	2.9	4	8	445-1066-1-ND†	.35	2.88	23.03	100.75/M	MLF2012K390K
47	±10%	2	3	4	7.5	445-1067-1-ND†	.35	2.88	23.03	—	MLF2012K470K
56	±10%	2	3.1	4	7	445-1068-1-ND†	.37	3.45	28.78	—	MLF2012K560K
68	±10%	1	2.9	2	6.5	445-1069-1-ND†	.35	2.88	23.03	100.75/M	MLF2012C680K
82	±10%	1	3	2	6	445-1070-1-ND†	.37	3.45	28.78	—	MLF2012C820K
100	±10%	1	3.1	2	5.5	445-1071-1-ND†	.35	2.88	23.03	100.75/M	MLF2012C101K

§ Für die Teilenummer für Gegurtet auf Rolle -1-ND in -2-ND umändern † Stärke beträgt 1,25 mm

Alle Preisangaben in Euro und inklusive Zollgebühren.

TDK Induktoren

Serie NLFC, NLV, NLCV, NLFV und NLC

Bleifrei/RoHS-konform

Serie NLFC: Dieses Produkt bietet gute Wärmebeständigkeit, die selbst bleifreien, kompatiblen Aufschmelzlötkonditionen standhält. Bleifreie Materialien dienen zur Anschlussklemmenbeschichtung. Serie NLFC bietet einen Magnetschirm und eignet sich für Stromversorgungsanwendungen. DCR: ±30 % **Betriebstemperatur:** -40 °C ~ 85 °C (-40 °F ~ 185 °F)

Serie NLV: Dieses Produkt unterstützt bleifreies Aufschmelzlöten. Bleifreie Materialien dienen zur Anschlussklemmenbeschichtung. Dieses Produkt verwendet Metallanschlussklemmen und bietet daher hohe Anschlusszuverlässigkeit. Drahtumwicklung. **Betriebstemperatur:** -40 °C ~ 85 °C (-40 °F ~ 185 °F)

Serie NLCV: bleifreie Materialien dienen zur Anschlussklemmenbeschichtung in diesem Produkt. **Anwendungen:** • Universelle Induktivitätsschaltkreisverwendung • AV-Komponenten • Automobilelektronik • IT-Gerät Diese Serie ist ein Design für hohen Strom — :1,0 bis 33 uH (NLCV32: 1,0 bis 330 µH) DCR: ±30 % **Betriebstemperatur:** -40 °C ~ 85 °C (-40 °F ~ 185 °F)

Serie NLFV: Bietet niedrigen DC-Widersand und verwendet 252018 Wickelkonstruktion. **Anwendungen:** • Karten

• Festplattenlaufwerke • Andere Arten von Elektronik-DCR: ±20 % **Betriebstemperatur:** -20 °C ~ +85 °C (-4 °F ~ 185 °F)

Serie NLC4532: Zur Verwendung mit Stromleitungen entwickelt; unterstützt Nennstrom im Bereich von 90 bis 150 mA. Die NLC-Serie weist nur halb soviel DC-Widerstand und zweimal soviel DC-Strom auf. **Betriebstemperatur:** -40 °C ~ +105 °C (-40 °F ~ 221 °F)

Dim. in mm.

Abb. 1 — NLFC2016 (EIA0805)

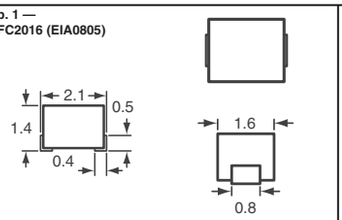

Abb. 2 — NLV32T and NLCV32T (EIA1210)

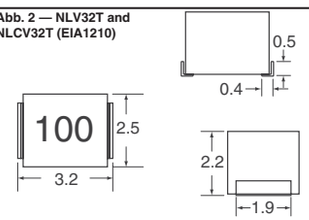

Abb. 3 — NLCV25T, NLFV25 and NLV25T (EIA1008)

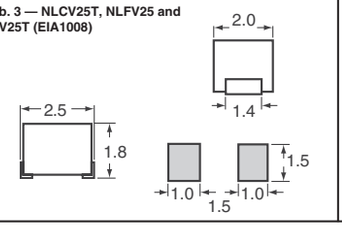

Abb. 4 — NLC4532 (EIA1812)

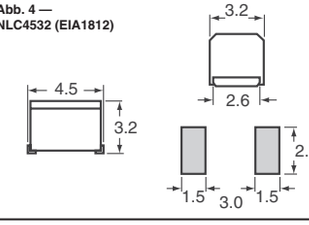

Induktivität (µH)	Induktivitäts-toleranz	Test-frequ. (MHz)	DC Widerst. (Ω)	Max. Nenn-strom (mA)	Min. SRF (MHz)	Digi-Key Teilenr.	Gurtabschnittspreis pro Stück 1	10	100	Preisangaben gegurtet auf Rolle§ 2.000	TDK Teilenr.
Abb. 1 — Serie NLFC2016											
1.0		7.96	0.16	300	100	445-1897-1-ND	.55	.51	.43	152.39/M	NLFC201614T-1R0M-PF
2.2	±20%	7.96	0.23	240	80	445-1899-1-ND	.55	.51	.43	152.39/M	NLFC201614T-2R2M-PF
4.7		7.96	0.4	150	45	445-1900-1-ND	.55	.51	.43	152.39/M	NLFC201614T-4R7M-PF
10	±10%	2.52	0.7	120	32	445-1896-1-ND	.55	.51	.43	152.39/M	NLFC201614T-100K-PF
22		2.52	1.7	75	16	445-1898-1-ND	.55	.51	.43	152.39/M	NLFC201614T-220K-PF
Abb. 2 — Serie NLV32T											
0.010		100	0.13	450	2500	445-1505-1-ND	.30	.25	.20	86.38/M	NLV32T-010J-PF
0.015		100	0.16	450	2100	445-1506-1-ND	.30	.25	.20	86.38/M	NLV32T-015J-PF
0.022	±5%	100	0.20	450	1700	445-1507-1-ND	.30	.25	.20	86.38/M	NLV32T-022J-PF
0.033		100	0.24	450	1400	445-1508-1-ND	.30	.25	.20	86.38/M	NLV32T-033J-PF
0.047		100	0.30	450	1200	445-1509-1-ND	.30	.25	.20	86.38/M	NLV32T-047J-PF
0.068		100	0.36	450	1000	445-1510-1-ND	.30	.25	.20	86.38/M	NLV32T-068J-PF
0.10		100	0.44	450	700	445-1511-1-ND	.30	.25	.20	86.38/M	NLV32T-R10J-PF
0.15	±5%	25.2	0.25	450	450	445-1512-1-ND	.30	.25	.20	86.38/M	NLV32T-R15J-PF
0.22		25.2	0.32	450	350	445-1513-1-ND	.30	.25	.20	86.38/M	NLV32T-R22J-PF
0.33		25.2	0.40	450	300	445-1514-1-ND	.30	.25	.20	86.38/M	NLV32T-R33J-PF
0.47		25.2	0.50	450	220	445-1515-1-ND	.30	.25	.20	88.84/M	NLV32T-R47J-PF
0.68		25.2	0.60	450	160	445-1516-1-ND	.30	.25	.20	86.38/M	NLV32T-R68J-PF
1.0	±5%	7.96	0.70	400	120	445-1517-1-ND	.30	.25	.20	86.38/M	NLV32T-1R0J-PF
1.5		7.96	0.85	370	85	445-1518-1-ND	.30	.25	.20	86.38/M	NLV32T-1R5J-PF
2.2		7.96	1.00	320	75	445-1519-1-ND	.30	.25	.20	86.38/M	NLV32T-2R2J-PF
3.3		7.96	1.20	260	60	445-1520-1-ND	.30	.25	.20	86.38/M	NLV32T-3R3J-PF
4.7		7.96	1.50	220	50	445-1521-1-ND	.30	.25	.20	86.38/M	NLV32T-4R7J-PF
6.8	±5%	7.96	1.80	180	40	445-1522-1-ND	.30	.25	.20	86.38/M	NLV32T-6R8J-PF
10		2.52	2.10	150	30	445-1523-1-ND	.30	.25	.20	86.38/M	NLV32T-100J-PF
15		2.52	2.80	130	20	445-1524-1-ND	.30	.25	.20	86.38/M	NLV32T-150J-PF
22		2.52	3.70	110	20	445-1525-1-ND	.30	.25	.20	86.38/M	NLV32T-220J-PF
33		2.52	5.60	70	17	445-1526-1-ND	.30	.25	.20	86.38/M	NLV32T-330J-PF
47	±5%	2.52	7.00	60	15	445-1527-1-ND	.30	.25	.20	86.38/M	NLV32T-470J-PF
68		2.52	9.00	50	12	445-1528-1-ND	.30	.25	.20	86.38/M	NLV32T-680J-PF
100		0.796	10.00	40	10	445-1529-1-ND	.30	.25	.20	86.38/M	NLV32T-101J-PF
150		0.796	15.00	65	8	445-1530-1-ND	.30	.25	.20	86.38/M	NLV32T-151J-PF
220	±5%	0.796	21.00	50	7	445-1531-1-ND	.30	.25	.20	86.38/M	NLV32T-221J-PF
330		0.796	34.00	40	5	445-1532-1-ND	.30	.25	.20	86.38/M	NLV32T-331J-PF
470		0.796	40.00	25	4	445-1533-1-ND	.30	.25	.20	86.38/M	NLV32T-471J-PF
Abb. 2 — Serie NLCV32T											
1.0		7.96	0.08	850	100	445-1534-1-ND	.29	.24	.19	83.12/M	NLCV32T-1R0M-PF
1.5		7.96	0.11	700	80	445-1535-1-ND	.29	.24	.19	83.12/M	NLCV32T-1R5M-PF
2.2	±20%	7.96	0.13	600	68	445-1536-1-ND	.29	.24	.19	83.12/M	NLCV32T-2R2M-PF
3.3		7.96	0.16	500	54	445-1537-1-ND	.29	.24	.19	83.12/M	NLCV32T-3R3M-PF
10		2.52	0.36	300	30	445-1538-1-ND	.29	.24	.19	83.12/M	NLCV32T-100K-PF
15		2.52	0.56	250	26	445-1539-1-ND	.29	.24	.19	83.12/M	NLCV32T-150K-PF
22	±10%	2.52	0.77	210	21	445-1540-1-ND	.29	.24	.19	83.12/M	NLCV32T-220K-PF
33		2.52	1.10	170	17	445-1541-1-ND	.29	.24	.19	83.12/M	NLCV32T-330K-PF
47		2.52	1.64	150	14	445-1542-1-ND	.29	.24	.19	83.12/M	NLCV32T-470K-PF
100		0.796	3.70	100	10	445-1543-1-ND	.29	.24	.19	83.12/M	NLCV32T-101K-PF
150	±10%	0.796	6.10	85	8	445-1544-1-ND	.29	.24	.19	83.12/M	NLCV32T-151K-PF
220		0.796	8.40	70	7	445-1545-1-ND	.29	.24	.19	83.12/M	NLCV32T-221K-PF
330		0.796	12.3	60	6	445-1546-1-ND	.29	.24	.19	83.12/M	NLCV32T-331K-PF
Abb. 3 — Serie NLV25T											
0.01		100	0.26	530	2150	445-1701-1-ND	.33	.28	.23	96.30/M	NLV25T-010J-PF
0.012	±5%	100	0.27	500	2050	445-1702-1-ND	.24	.20	.16	67.93/M	NLV25T-012J-PF
0.015		100	0.29	480	2000	445-1703-1-ND	.33	.28	.23	96.30/M	NLV25T-015J-PF
0.018		100	0.31	450	1850	445-1704-1-ND	.24	.20	.16	67.93/M	NLV25T-018J-PF
0.022		100	0.37	420	1650	445-1705-1-ND	.33	.28	.23	96.30/M	NLV25T-022J-PF
0.027		100	0.4	410	1550	445-1706-1-ND	.24	.20	.16	67.93/M	NLV25T-027J-PF
0.033	±5%	100	0.42	400	1450	445-1707-1-ND	.33	.28	.23	96.30/M	NLV25T-033J-PF
0.039		100	0.45	380	1350	445-1708-1-ND	.24	.20	.16	67.93/M	NLV25T-039J-PF
0.047		100	0.5	360	1200	445-1709-1-ND	.33	.28	.23	96.30/M	NLV25T-047J-PF
0.056		100	0.6	340	1100	445-1710-1-ND	.24	.20	.16	67.93/M	NLV25T-056J-PF
0.068		100	0.65	320	1050	445-1711-1-ND	.33	.28	.23	96.30/M	NLV25T-068J-PF
0.082	±5%	100	0.75	300	900	445-1712-1-ND	.24	.20	.16	67.93/M	NLV25T-082J-PF
0.1		100	0.8	280	800	445-1713-1-ND	.33	.28	.23	96.30/M	NLV25T-R10J-PF
0.12		25.2	0.3	550	700	445-1714-1-ND	.24	.20	.16	67.93/M	NLV25T-R12J-PF
0.15		25.2	0.35	500	550	445-1715-1-ND	.33	.28	.23	96.30/M	NLV25T-R15J-PF
0.18		25.2	0.4	460	500	445-1716-1-ND	.24	.20	.16	67.93/M	NLV25T-R18J-PF
0.22	±5%	25.2	0.5	430	450	445-1717-1-ND	.33	.28	.23	96.30/M	NLV25T-R22J-PF
0.27		25.2	0.55	420	425	445-1718-1-ND	.24	.20	.16	67.93/M	NLV25T-R27J-PF
0.33		25.2	0.6	400	400	445-1719-1-ND	.33	.28	.23	96.30/M	NLV25T-R33J-PF
0.39		25.2	0.65	375	375	445-1720-1-ND	.24	.20	.16	67.93/M	NLV25T-R39J-PF
0.47		25.2	0.68	350	350	445-1721-1-ND	.33	.28	.23	96.30/M	NLV25T-R47J-PF
0.56	±5%	25.2	0.75	325	325	445-1722-1-ND	.24	.20	.16	67.93/M	NLV25T-R56J-PF
0.68		25.2	0.85	300	300	445-1723-1-ND	.33	.28	.23	96.30/M	NLV25T-R68J-PF
0.82		25.2	1	260	260	445-1724-1-ND	.24	.20	.16	67.93/M	NLV25T-R82J-PF
1.0		7.96	1.1	245	245	445-1725-1-ND	.33	.28	.23	96.30/M	NLV25T-1R0J-PF
1.2		7.96	1.2	230	230	445-1726-1-ND	.24	.20	.16	67.93/M	NLV25T-1R2J-PF
1.5	±5%	7.96	1.3	220	182	445-1727-1-ND	.33	.28	.23	96.30/M	NLV25T-1R5J-PF
1.8		7.96	1.45	210	135	445-1728-1-ND	.24	.20	.16	67.93/M	NLV25T-1R8J-PF
2.2		7.96	1.55	200	105	445-1729-1-ND	.33	.28	.23	96.30/M	NLV25T-2R2J-PF
2.7		7.96	1.7	195	70	445-1730-1-ND	.24	.20	.16	67.93/M	NLV25T-2R7J-PF
3.3		7.96	1.9	185	55	445-1731-1-ND	.33	.28	.23	96.30/M	NLV25T-3R3J-PF
3.9	±5%	7.96	2.1	180	48	445-1732-1-ND	.24	.20	.16	67.93/M	NLV25T-3R9J-PF
4.7		7.96	2.3	175	43	445-1733-1-ND	.33	.28	.23	96.30/M	NLV25T-4R7J-PF
5.6		7.96	2.5	170	42	445-1734-1-ND	.24	.20	.16	67.93/M	NLV25T-5R6J-PF
6.8		7.96	2.7	165	39	445-1735-1-ND	.33	.28	.23	96.30/M	NLV25T-6R8J-PF
8.2		7.96	3.05	160	36	445-1736-1-ND	.24	.20	.16	67.93/M	NLV25T-8R2J-PF
10	±5%	2.52	3.5	155	33	445-1737-1-ND	.33	.28	.23	96.30/M	NLV25T-100J-PF
12		2.52	3.8	150	30	445-1738-1-ND	.24	.20	.16	67.93/M	NLV25T-120J-PF
15		2.52	4.4	140	26	445-1739-1-ND	.33	.28	.23	96.30/M	NLV25T-150J-PF
18		2.52	4.8	130	24	445-1740-1-ND	.24	.20	.16	67.93/M	NLV25T-180J-PF
22		2.52	5.5	125	22	445-1741-1-ND	.33	.28	.23	96.30/M	NLV25T-220J-PF
27	±5%	2.52	6.3	115	21	445-1742-1-ND	.24	.20	.16	67.93/M	NLV25T-270J-PF
33		2.52	7.1	110	20	445-1743-1-ND	.33	.28	.23	96.30/M	NLV25T-330J-PF
39		2.52	9.5	90	18	445-1744-1-ND	.24	.20	.16	67.93/M	NLV25T-390J-PF
47		2.52	11.1	80	17	445-1745-1-ND	.33	.28	.23	96.30/M	NLV25T-470J-PF
56		2.52	12.1	75	16	445-1746-1-ND	.24	.20	.16	67.93/M	NLV25T-560J-PF
68	±5%	2.52	16.6	70	15	445-1747-1-ND	.33	.28	.23	96.30/M	NLV25T-680J-PF
82		2.52	19	66	13	445-1748-1-ND	.24	.20	.16	67.93/M	NLV25T-820J-PF
100		0.796	21	60	12	445-1749-1-ND	.33	.28	.23	96.30/M	NLV25T-101J-PF
Abb. 3 — Serie NLCV25T											
1.0		7.96	0.34	475	200	445-1752-1-ND	.32	.27	.22	93.34/M	NLCV25T-1R0M-PF
1.5		7.96	0.42	435	165	445-1753-1-ND	.32	.27	.22	93.34/M	NLCV25T-1R5M-PF
2.2	±20%	7.96	0.5	390	95	445-1754-1-ND	.32	.27	.22	93.34/M	NLCV25T-2R2M-PF
3.3		7.96	0.65	340	55	445-1755-1-ND	.32	.27	.22	93.34/M	NLCV25T-3R3M-PF
4.7		7.96	0.8	285	43	445-1756-1-ND	.32	.27	.22	93.34/M	NLCV25T-4R7M-PF
6.8		7.96	1	275	39	445-1757-1-ND	.32	.27	.22	93.34/M	NLCV25T-6R8M-PF
10		2.52	1.69	210	32	445-1750-1-ND	.32	.27	.22	93.34/M	NLCV25T-100K-PF
15	±10%	2.52	2.2	175	21	445-1751-1-ND	.32	.27	.22	93.34/M	NLCV25T-150K-PF
22		2.52	2.8	160	18	445-1758-1-ND	.32	.27	.22	93.34/M	NLCV25T-220K-PF
33		2.52	4.2	120	16	445-1759-1-ND	.32	.27	.22	93.34/M	NLCV25T-330K-PF
Abb. 3 — Serie NLFV25											
1.0		7.96	0.07	455	100	445-1904-1-ND	.55	.51	.43	152.39/M	NLFV25T-1R0M-PF
1.5		7.96	0.09	350	80	445-1905-1-ND	.55	.51	.43	152.39/M	NLFV25T-1R5M-PF
2.2	±20%	7.96	0.1	315	70	445-1907-1-ND	.55	.51	.43	152.39/M	NLFV25T-2R2M-PF
3.3		7.96	0.2	280	55	445-1909-1-ND	.55	.51	.43	152.39/M	NLFV25T-3R3M-PF
4.7		7.96	0.24	210	45	445-1911-1-ND	.55	.51	.43	152.39/M	NLFV25T-4R7M-PF
6.8		7.96	0.29	175	38	445-1913-1-ND	.55	.51	.43	152.39/M	NLFV25T-6R8M-PF
10		2.52	0.36	155	32	445-1901-1-ND	.55	.51	.43	152.39/M	NLFV25T-100K-PF
15		2.52	0.75	130	28	445-1903-1-ND	.55	.51	.43	152.39/M	NLFV25T-150K-PF
22		2.52	1.0	105	16	445-1906-1-ND	.55	.51	.43	152.39/M	NLFV25T-220K-PF
33	±10%	2.52	1.4	85	14	445-1908-1-ND	.55	.51	.43	152.39/M	NLFV25T-330K-PF
47		2.52	1.7	60	11	445-1910-1-ND	.55	.51	.43	152.39/M	NLFV25T-470K-PF
68		2.52	3.3	50	10	445-1912-1-ND	.55	.51	.43	152.39/M	NLFV25T-680K-PF
100		0.796	4.0	40	8	445-1902-1-ND	.55	.51	.43	152.39/M	NLFV25T-101K-PF

Induktivität (µH)	Induktivitäts-toleranz	Test-frequ. (MHz)	DC Widers. Max. (Ω)	Max. Nenn-strom (mA)	Min. SRF (MHz)	Digi-Key Teilenr.	Gurtabschnittspreis pro Stück 1	10	100	Preisangaben gegurtet auf Rolle§ 500	TDK Teilenr.
Abb. 4 — Serie NLC4532											
1.0		7.96	0.11	1050	200	445-1944-1-ND	.51	.43	.34	74.08	NLC453232T-1R0K-PF
1.2		7.96	0.12	1000	160	445-1945-1-ND	.51	.43	.34	74.08	NLC453232T-1R2K-PF
1.5	±10%	7.96	0.15	950	130	445-1946-1-ND	.51	.43	.34	74.08	NLC453232T-1R5K-PF
1.8		7.96	0.16	900	100	445-1947-1-ND	.51	.43	.34	74.08	NLC453232T-1R8K-PF
2.2		7.96	0.18	850	80	445-1948-1-ND	.51	.43	.34	74.08	NLC453232T-2R2K-PF
2.7		7.96	0.2	800	60	445-1949-1-ND	.51	.43	.34	74.08	NLC423232T-2R7K-PF
3.3		7.96	0.22	750	45	445-1950-1-ND	.51	.43	.34	74.08	NLC453232T-3R3K-PF
3.9	±10%	7.96	0.24	700	40	445-1951-1-ND	.51	.43	.34	74.08	NLC453232T-3R9K-PF
4.7		7.96	0.27	650	35	445-1952-1-ND	.51	.43	.34	74.08	NLC453232T-4R7K-PF
5.6		7.96	0.3	650	30	445-1953-1-ND	.51	.43	.34	74.08	NLC453232T-5R6K-PF
6.8		7.96	0.35	600	28	445-1954-1-ND	.51	.43	.34	74.08	NLC453232T-6R8K-PF
8.2		7.96	0.4	600	25	445-1955-1-ND	.51	.43	.34	74.08	NLC453232T-8R2K-PF
10	±10%	2.52	0.5	550	22	445-1956-1-ND	.51	.43	.34	74.08	NLC453232T-100K-PF
12		2.52	0.6	500	21	445-1957-1-ND	.51	.43	.34	74.08	NLC453232T-120K-PF
15		2.52	0.7	450	20	445-1958-1-ND	.51	.43	.34	74.08	NLC453232T-150K-PF
18		2.52	0.8	400	19	445-1959-1-ND	.51	.43	.34	74.08	NLC453232T-180K-PF
22		2.52	0.9	370	18	445-1960-1-ND	.51	.43	.34	74.08	NLC453232T-220K-PF
27	±10%	2.52	1.2	330	16	445-1961-1-ND	.51	.43	.34	74.08	NLC453232T-270K-PF
33		2.52	1.4	300	14	445-1962-1-ND	.51	.43	.34	74.08	NLC453232T-330K-PF
39		2.52	1.6	280	12	445-1963-1-ND	.51	.43	.34	74.08	NLC453232T-390K-PF
47		2.52	1.9	260	11.5	445-1964-1-ND	.51	.43	.34	74.08	NLC453232T-470K-PF
56		2.52	2.2	240	11	445-1965-1-ND	.51	.43	.34	74.08	NLC453232T-560K-PF
68	±10%	2.52	2.6	220	10	445-1966-1-ND	.51	.43	.34	74.08	NLC453232T-680K-PF
82		2.52	3.5	200	9	445-1967-1-ND	.51	.43	.34	74.08	NLC453232T-820K-PF
100		0.796	4	180	8	445-1968-1-ND	.51	.43	.34	74.08	NLC453232T-101K-PF
120		0.796	4.5	160	7.5	445-1969-1-ND	.51	.43	.34	74.08	NLC453232T-121K-PF
150		0.796	6.5	140	7	445-1970-1-ND	.51	.43	.34	74.08	NLC453232T-151K-PF
180	±10%	0.796	7.5	120	6.5	445-1971-1-ND	.51	.43	.34	74.08	NLC453232T-181K-PF
220		0.796	9	120	5.5	445-1972-1-ND	.51	.43	.34	74.08	NLC453232T-221K-PF
270		0.796	11	100	5	445-1973-1-ND	.51	.43	.34	74.08	NLC453232T-271K-PF
330		0.796	13	90	4	445-1974-1-ND	.51	.43	.34	74.08	NLC453232T-331K-PF

§ Für Gegurtet auf Rolle die Teilenr. 1-ND in 2-ND umändern.

D

TDK Induktoren - Serie VLP und SLF

Serie VLP: Dies ist ein SMD-Leistungsinduktor für Stromversorgungen, der aufgrund einer niedrigen Hülsenkernkonstruktion (senkrecht) eine offene Magnetpfadkonstruktion aufweist. Benutzeranschlüsse werden am Boden des Hülsenkerns unter Verwendung von Kupfer (verzinnt) kontakt-geformt. Dabei werden Überkreuzwicklungen verwendet und hohe Ströme unterstützt. Bleifrei.

Serie SLF: SDie großen bleifreien Strominduktoren der SLF-Serie wurden zur Oberflächenmontage in Stromschaltungen entwickelt. Das Hochleistungsferritkernmaterial und das Niedrigprofildesign garantieren optimale Merkmale und hohe Zuverlässigkeit. **Merkmale:•** Niedrigprofil, SMD-Design • Magnetschild für hochdichte Montage • Wird mit geprägter Trägerbandverpackung für Montageautomaten geliefert. • Nur Aufschmelzlöten zulässig **Eigenschaften:** Größen SLF6028, SLF7032 und SLF7045: Betriebstemperatur ist -20 °C ~ 85 °C; Größe SLF10145: Betriebstemperatur ist -20 °C ~ 90 °C

Abb. 1 — VLP46

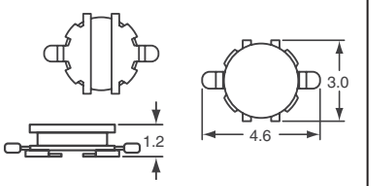

Abb. 2 — VLP56

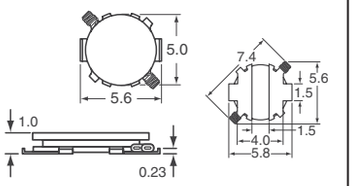

Abb. 3 — SLF6028

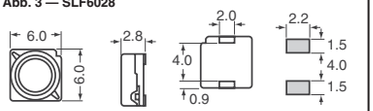

Abb. 4 — SLF7032

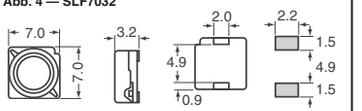

Abb. 5 — SLF7045

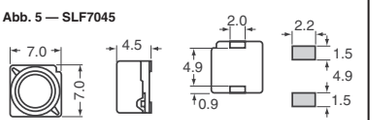

Abb. 6 — SLF10145

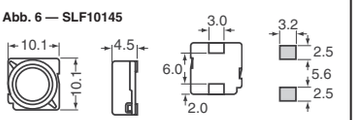

Induktivität (µH)	Testfrequ. (KHz)	DC Widerst.	Nennstrom (A) Max.	Digi-Key Teilenr.	Gurtabschnittspreis pro Stück 1	10	100	Gegurtet auf Rolle Preisangaben§	TDK Teilenr.
Abb. 1 — Serie VLP46 (±20 % Induktivitätstoleranz)									
1.0	100	0.11	2.30	445-1916-1-ND	1.65	1.53	1.27	1371.49/3,000	VLP4612T-1R0M1R5
1.8	100	0.14	1.70	445-1917-1-ND	1.65	1.53	1.27	1371.49/3,000	VLP4612T-1R8M1R3
2.5	100	0.17	1.40	445-1919-1-ND	1.65	1.53	1.27	1371.49/3,000	VLP4612T-2R5M1R1
3.3	100	0.26	0.90	445-1920-1-ND	1.65	1.53	1.27	1371.49/3,000	VLP4612T-3R3MR85
4.7	100	0.28	0.88	445-1921-1-ND	1.65	1.53	1.27	1371.49/3,000	VLP4612T-4R7MR72
6.8	100	0.38	0.77	445-1922-1-ND	1.65	1.53	1.27	1371.49/3,000	VLP4612T-6R8MR67
10.0	100	0.62	0.59	445-1914-1-ND	1.65	1.53	1.27	1371.49/3,000	VLP4612T-100MR52
15.0	100	0.96	0.45	445-1915-1-ND	1.65	1.53	1.27	1371.49/3,000	VLP4612T-150MR42
22.0	100	1.42	0.39	445-1918-1-ND	1.65	1.53	1.27	1371.49/3,000	VLP4612T-220MR34
Abb. 2 — Serie VLP56 (±20 % Induktivitätstoleranz)									
2.7	100	0.17	1.26	445-1926-1-ND	2.20	2.04	1.70	1828.66/3,000	VLP5610T-2R7M1R0
4.7	100	0.24	1.08	445-1929-1-ND	2.20	2.04	1.70	1828.66/3,000	VLP5610T-4R7MR90
6.8	100	0.30	0.90	445-1930-1-ND	2.20	2.04	1.70	1828.66/3,000	VLP5610T-6R8MR80
10.0	100	0.45	0.72	445-1923-1-ND	2.20	2.04	1.70	1828.66/3,000	VLP5610T-100MR65
15.0	100	0.71	0.63	445-1924-1-ND	2.20	2.04	1.70	1828.66/3,000	VLP5610T-150MR52
22.0	100	0.96	0.50	445-1925-1-ND	2.20	2.04	1.70	1828.66/3,000	VLP5610T-220MR45
33.0	100	1.47	0.41	445-1927-1-ND	2.20	2.04	1.70	1828.66/3,000	VLP5610T-330MR36
47.0	100	1.93	0.36	445-1928-1-ND	2.20	2.04	1.70	1828.66/3,000	VLP5610T-470MR29

Induktivität (µH)	Testfrequ. (KHz)	DC Widerst.	Nennstrom (A) Max.	Digi-Key Teilenr.	Gurtabschnittspreis pro Stück 1	10	100	Gegurtet auf Rolle Preisangaben§	TDK Teilenr.
Abb. 3 — Serie SLF6028 (±20 % Induktivitätstoleranz)									
4.7	1	.0284	1.6	445-1174-1-ND	2.39	1.99	1.60	696.33/1,000	SLF6028T-4R7M1R6
6.8	1	.0354	1.5	445-1175-1-ND	2.39	1.99	1.60	696.33/1,000	SLF6028T-6R8M1R5
10	1	.0532	1.3	445-1176-1-ND	2.39	1.99	1.60	—	SLF6028T-100M1R3
15	1	.0745	1.0	445-1177-1-ND	2.39	1.99	1.60	696.33/1,000	SLF6028T-150M1R0
22	1	.104	0.77	445-1178-1-ND	2.39	1.99	1.60	696.33/1,000	SLF6028T-220MR77
33	1	.148	0.69	445-1179-1-ND	2.39	1.99	1.60	696.33/1,000	SLF6028T-330MR69
47	1	.21	0.59	445-1180-1-ND	2.39	1.99	1.60	696.33/1,000	SLF6028T-470MR59
68	1	.29	0.5	445-1181-1-ND	2.39	1.99	1.60	696.33/1,000	SLF6028T-680MR50
100	1	.43	0.42	445-1182-1-ND	2.39	1.99	1.60	696.33/1,000	SLF6028T-101MR42
Abb. 4 — Serie SLF7032 (±20 % Induktivitätstoleranz)									
3.3	1	.023	1.9	445-1183-1-ND	.99	.83	.67	290.09/1,000	SLF7032T-3R3M1R9-2
4.7	1	.036	1.7	445-1184-1-ND	.99	.83	.67	290.09/1,000	SLF7032T-4R7M1R7-2
6.8	1	.041	1.6	445-1185-1-ND	.99	.83	.67	290.09/1,000	SLF7032T-6R8M1R6-2
10	1	.053	1.4	445-1186-1-ND	.99	.83	.67	290.09/1,000	SLF7032T-100M1R4-2
15	1	.075	1.1	445-1187-1-ND	.99	.83	.67	290.09/1,000	SLF7032T-150M1R1-2
22	1	.11	0.96	445-1188-1-ND	.99	.83	.67	290.09/1,000	SLF7032T-220MR96-2
33	1	.16	0.75	445-1189-1-ND	.99	.83	.67	—	SLF7032T-330MR75-2
47	1	.24	0.67	445-1190-1-ND	.99	.83	.67	290.09/1,000	SLF7032T-470MR67-2
68	1	.31	0.59	445-1191-1-ND	.99	.83	.67	290.09/1,000	SLF7032T-680MR59-2
100	1	.45	0.45	445-1192-1-ND	.99	.83	.67	290.09/1,000	SLF7032T-101MR45-2
150	1	.65	0.37	445-1193-1-ND	.99	.83	.67	290.09/1,000	SLF7032T-151MR37-2
220	1	1.05	0.29	445-1194-1-ND	.99	.83	.67	290.09/1,000	SLF7032T-221MR29-2
330	1	1.67	0.22	445-1195-1-ND	.99	.83	.67	290.09/1,000	SLF7032T-331MR22-2
470	1	2.05	0.2	445-1196-1-ND	.99	.83	.67	290.09/1,000	SLF7032T-471MR20-2
680	1	3.15	0.16	445-1197-1-ND	.99	.83	.67	290.09/1,000	SLF7032T-681MR16-2
1000	1	4.78	0.13	445-1198-1-ND	.99	.83	.67	290.09/1,000	SLF7032T-102MR13-2
Abb. 5 — Serie SLF7045 (±20 % Induktivitätstoleranz)									
3.3	1	.02	2.5	445-1199-1-ND	1.12	.94	.75	325.94/1,000	SLF7045T-3R3M2R5
4.7	1	.03	2	445-1200-1-ND	1.12	.94	.75	—	SLF7045T-4R7M2R0
6.8	1	.039	1.7	445-1201-1-ND	1.12	.94	.75	325.94/1,000	SLF7045T-6R8M1R7
15	1	.052	1.1	445-1203-1-ND	1.12	.94	.75	325.94/1,000	SLF7045T-150M1R1
33	1	.096	0.82	445-1205-1-ND	1.12	.94	.75	325.94/1,000	SLF7045T-330MR82
47	1	.125	0.75	445-1206-1-ND	1.12	.94	.75	325.94/1,000	SLF7045T-470MR75
68	1	.175	0.6	445-1207-1-ND	1.12	.94	.75	325.94/1,000	SLF7045T-680MR60
100	1	.25	0.5	445-1208-1-ND	1.12	.94	.75	325.94/1,000	SLF7045T-101MR50
220	1	.52	0.33	445-1210-1-ND	1.12	.94	.75	325.94/1,000	SLF7045T-221MR33
330	1	.74	0.25	445-1211-1-ND	1.12	.94	.75	325.94/1,000	SLF7045T-331MR25
470	1	1.05	0.22	445-1212-1-ND	1.12	.94	.75	325.94/1,000	SLF7045T-471MR22
680	1	1.48	0.2	445-1213-1-ND	1.12	.94	.75	325.94/1,000	SLF7045T-681MR20
1000	1	2.28	0.14	445-1214-1-ND	1.12	.94	.75	325.94/1,000	SLF7045T-102MR14
Abb. 6 — Serie SLF10145 (±20 % Induktivitätstoleranz)									
10	1	.0364	3	445-1215-1-ND	1.52	1.27	1.02	222.23/500	SLF10145T-100M2R5
15	1	.0472	2.4	445-1216-1-ND	1.52	1.27	1.02	222.23/500	SLF10145T-150M2R2
22	1	.0591	2.1	445-1217-1-ND	1.52	1.27	1.02	222.23/500	SLF10145T-220M1R9
33	1	.0815	1.6	445-1218-1-ND	1.52	1.27	1.02	222.23/500	SLF10145T-330M1R6
47	1	.1	1.4	445-1219-1-ND	1.52	1.27	1.02	222.23/500	SLF10145T-470M1R4
100	1	.2	1	445-1221-1-ND	1.52	1.27	1.02	222.23/500	SLF10145T-101M1R0
150	1	.35	0.79	445-1222-1-ND	1.52	1.27	1.02	222.23/500	SLF10145T-151MR79
220	1	.47	0.65	445-1223-1-ND	1.52	1.27	1.02	222.23/500	SLF10145T-221MR65
330	1	.68	0.54	445-1224-1-ND	1.52	1.27	1.02	—	SLF10145T-331MR54
470	1	1.03	0.47	445-1225-1-ND	1.52	1.27	1.02	222.23/500	SLF10145T-471MR47
680	1	1.6	0.38	445-1226-1-ND	1.52	1.27	1.02	222.23/500	SLF10145T-681MR38
1500	1	3.4	0.22	445-1228-1-ND	1.52	1.27	1.02	222.23/500	SLF10145T-152MR22

§ Für Gegurtet auf Rolle die Teilenr. 1-ND in 2-ND umändern.

Serie PCA - Transformatoren

Serie PCA: Diese PCA-Transformatoren verfügen über eine allgemeine Wickelkonstruktion und können über die Leiterplatte, auf die sie montiert sind, in zahlreiche Wickel-Verhältnisse konfiguriert werden. Dies sind bleifreie Geräte und können in vielen Anwendungen verwendet werden, z.B.: • Induktor (gekoppelt, Drossel, Buck, Boost, Resonanz) • Transformator (Flyback, Vorwärtsfüttern, Push-Pull und Wandler) Es gibt vier Paketgrößen mit verschiedenen Induktivitätswerten in jedem Paket.

Abb. 1 — PCA11/5ER

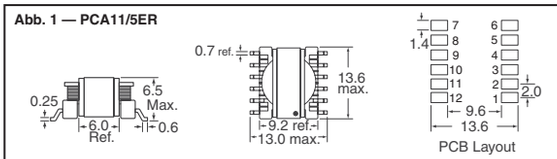

Abb. 2 — PCA14.5/6ER

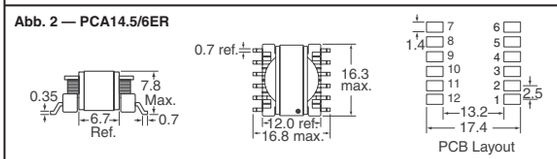

Abb. 3 — PCA15EFD

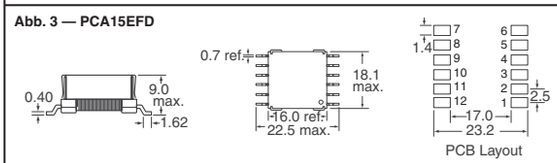

Abb. 4 — PCA20EFD

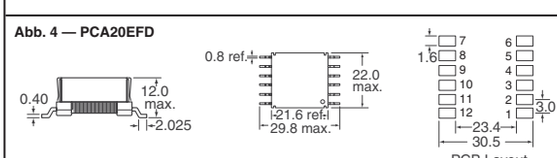

Induktivität (µH) Parallel	Induktivität (µH) Serie	IDC[1] (A) (Typ.) Par.	IDC[1] (A) (Typ.) Serie	DCR (mΩ) (±15%) Par.	DCR (mΩ) (±15%) Serie	Digi-Key Teilenr.	Stückpreis 1	10	100	TDK Teilenr.
Abb. 1 — Serie PCA11/5ER										
193.0±30%	6.9mH±30%	2.6	0.44	44.4	1607	445-1670-ND	3.00	2.25	1.50	PCA11/5ER-U01S002
85.8±30%	3.1mH±30%	4.2	0.70	18.4	668	445-1669-ND	3.00	2.25	1.50	PCA11/5ER-U02S002
27.4±20%	985±20%	2.6	0.44	44.4	1607	445-1668-ND	3.00	2.25	1.50	PCA11/5ER-U03S002
12.2±20%	438±20%	4.2	0.70	18.4	668	445-1666-ND	3.00	2.25	1.50	PCA11/5ER-U04S002
14.7±20%	529±20%	2.6	0.44	44.4	1607	445-1667-ND	3.00	2.25	1.50	PCA11/5ER-U05S002
6.5±20%	235±20%	4.2	0.70	18.4	668	445-1663-ND	3.00	2.25	1.50	PCA11/5ER-U06S002
10.9±20%	394±20%	2.6	0.44	44.4	1607	445-1665-ND	3.00	2.25	1.50	PCA11/5ER-U07S002
4.9±20%	175±20%	4.2	0.70	18.4	668	445-1662-ND	3.00	2.25	1.50	PCA11/5ER-U08S002
8.5±20%	306±20%	2.6	0.44	44.4	1607	445-1664-ND	3.00	2.25	1.50	PCA11/5ER-U09S002
3.8±20%	136±20%	4.2	0.70	18.4	668	445-1661-ND	3.00	2.25	1.50	PCA11/5ER-U10S002
Abb. 2 — Serie PCA14.5/6ER										
160.0±30%	5.8mH±30%	5.9	0.98	18.0	662	445-1680-ND	3.30	2.48	1.66	PCA14.5/6ER-U01S002
78.4±30%	2.8mH±30%	7.9	1.32	9.8	356	445-1679-ND	3.30	2.48	1.66	PCA14.5/6ER-U02S002
21.6±20%	778±20%	5.9	1.00	18.0	662	445-1678-ND	3.30	2.48	1.66	PCA14.5/6ER-U03S002
10.6±20%	381±20%	7.9	1.32	9.8	356	445-1676-ND	3.30	2.48	1.66	PCA14.5/6ER-U04S002
11.6±20%	418±20%	5.9	1.00	18.0	662	445-1677-ND	3.30	2.48	1.66	PCA14.5/6ER-U05S002
5.7±20%	205±20%	7.9	1.32	9.8	356	445-1673-ND	3.30	2.48	1.66	PCA14.5/6ER-U06S002
8.3±20%	299±20%	5.9	1.00	18.0	662	445-1675-ND	3.30	2.48	1.66	PCA14.5/6ER-U07S002
4.1±20%	146±20%	7.9	1.32	9.8	356	445-1672-ND	3.30	2.48	1.66	PCA14.5/6ER-U08S002
6.6±20%	238±20%	5.9	1.00	18.0	662	445-1674-ND	3.30	2.48	1.66	PCA14.5/6ER-U09S002
3.2±20%	116±20%	7.9	1.32	9.8	356	445-1671-ND	3.30	2.48	1.66	PCA14.5/6ER-U10S002
Abb. 3 — Serie PCA15EFD										
169.0±30%	6.1mH±30%	6.4	1.07	12.9	466	445-1690-ND	3.73	2.81	1.87	PCA15EFD-U01S003
81.0±30%	2.9mH±30%	8.0	1.34	8.9	323	445-1689-ND	3.73	2.81	1.87	PCA15EFD-U02S002
23.3±20%	840±20%	6.4	1.07	12.9	466	445-1688-ND	3.73	2.81	1.87	PCA15EFD-U03S003
11.2±20%	402±20%	8.0	1.34	8.9	323	445-1686-ND	—	2.81	—	PCA15EFD-U04S002
14.2±20%	511±20%	6.4	1.07	12.9	466	445-1687-ND	—	2.81	—	PCA15EFD-U05S003
6.8±20%	245±20%	8.0	1.34	8.9	323	445-1683-ND	3.73	2.81	1.87	PCA15EFD-U06S002
9.3±20%	335±20%	6.4	1.07	12.9	466	445-1685-ND	3.73	2.81	1.87	PCA15EFD-U07S003
4.5±20%	160±20%	8.0	1.34	8.9	323	445-1682-ND	3.73	2.81	1.87	PCA15EFD-U08S002
7.9±20%	286±20%	6.4	1.07	12.9	466	445-1684-ND	—	2.81	—	PCA15EFD-U09S003
3.8±20%	137±20%	8.0	1.34	8.9	323	445-1681-ND	3.73	2.81	1.87	PCA15EFD-U10S002
Abb. 4 — Serie PCA20EFD										
197.3±30%	7.1mH±30%	9.6	1.6	7.9	285	445-1700-ND	4.11	3.09	2.06	PCA20EFD-U01S003
87.7±30%	3.2mH±30%	12.0	2.0	5.2	188	445-1699-ND	4.11	3.09	2.06	PCA20EFD-U02S002
22.3±20%	804±20%	9.6	1.6	7.9	285	445-1698-ND	4.11	3.09	2.06	PCA20EFD-U03S003
9.9±20%	357±20%	12.0	2.0	5.2	188	445-1696-ND	4.11	3.09	2.06	PCA20EFD-U04S002
12.0±20%	430±20%	9.6	1.6	7.9	285	445-1697-ND	4.11	3.09	2.06	PCA20EFD-U05S003
5.3±20%	191±20%	12.0	2.0	5.2	188	445-1693-ND	4.11	3.09	2.06	PCA20EFD-U06S002
9.6±20%	347±20%	9.6	1.6	7.9	285	445-1695-ND	4.11	3.09	2.06	PCA20EFD-U07S003
4.3±20%	154±20%	12.0	2.0	5.2	188	445-1692-ND	4.11	3.09	2.06	PCA20EFD-U08S002
7.6±20%	275±20%	9.6	1.6	7.9	285	445-1694-ND	4.11	3.09	2.06	PCA20EFD-U09S003
3.4±20%	122±20%	12.0	2.0	5.2	188	445-1691-ND	4.11	3.09	2.06	PCA20EFD-U10S002

Alle Preisangaben in Euro und inklusive Zollgebühren.

AlfaMag Electronics

Induktoren für National Simple Switchers™

Merkmale: • Hohe Energiespeicherung bei minimaler Sättigung • Hohe Stabilität von Nullast bis Volllast • Betriebstemp. Bereich: -40 °C ~ 125 °C (50 kHz und 150 kHz), 40 °C ~ 130 °C (260 kHz) • Elektrische Spezifikationen bei 25 °C Umgebungstemperatur • Induktivität wird bei 20 kHz, 10 mVrms gemessen **50 kHz Induktoren** sind mit National Simple Switcher LM2574, LM2475 und Reglern der Serie LM2576 kompatibel. 50 kHz Induktivität ist für die angegebenen IDC- und ETOP-Werte typisch. **150 kHz Induktoren** sind mit National Simple Switcher, Teilenr. LM259X-L1 bis LM259X-L44 und LM258X-L kompatibel. **260 kHz Induktoren** sind mit National Simple Switcher, Teilenr. LM267X-L41 und LM267X-L45 bis LM267X-L50 kompatibel.

Größen-code	Abmessungen - ±0,01 Zoll (±0,25 mm) A	B	C	X
C1	0.580 (14.73)	0.340 (8.64)	0.220 (5.58)	0.650 (16.51)
C2	0.650 (16.5)	0.449 (11.4)	0.299 (7.6)	0.700 (17.78)
C3	0.827 (21.0)	0.449 (11.4)	0.299 (7.6)	0.950 (24.13)
C4	0.949 (24.1)	0.598 (15.2)	0.449 (11.4)	1.100 (27.94)
C5	1.252 (31.8)	0.701 (17.8)	0.500 (12.7)	1.400 (35.56)

Größen-code	Abmessungen - ±0,01 Zoll (±0,25 mm) A	B	C	D
S1	0.339 (8.6)	0.339 (8.6)	0.185 (4.7)	0.268 (6.8)
S2	0.394 (10.0)	0.394 (10.0)	0.256 (6.5)	0.339 (8.6)
S3	0.503 (12.8)	0.503 (12.8)	0.276 (7.0)	0.449 (11.4)
S4	0.591 (15.0)	0.591 (15.0)	0.315 (8.0)	0.508 (12.9)
S5	0.669 (17.0)	0.701 (17.8)	0.390 (9.91)	0.591 (15.0)
S6	0.925 (23.5)	0.925 (23.5)	0.496 (12.6)	0.827 (21.0)
S7	1.063 (27.0)	1.220 (30.99)	0.500 (12.7)	1.10 (27.9)
T1	0.339 (8.6)	0.339 (8.6)	0.185 (4.7)	0.250 (6.35)
T2	0.394 (10.0)	0.394 (10.0)	0.256 (6.5)	0.300 (7.62)
T3	0.503 (12.8)	0.503 (12.8)	0.276 (7.0)	0.375 (9.52)
T4	0.591 (15.0)	0.591 (15.0)	0.315 (8.0)	0.500 (12.70)
T5	0.669 (17.0)	0.701 (17.8)	0.390 (9.91)	0.600 (15.24)

Typische Skizze

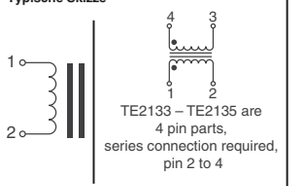

TE2133 – TE2135 are 4 pin parts, series connection required, pin 2 to 4

Serie B — Basismontage

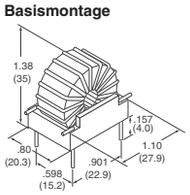

Serie C — Klemmenmontage

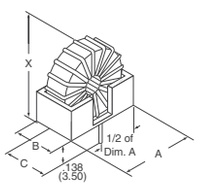

Serie F — Verkapselte Horizontalmontage

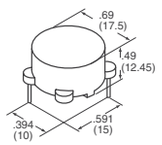

Serie S — Oberflächenmontage

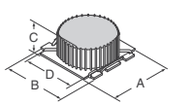

Serie T — Durchgangslochmontage

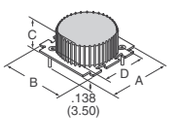

Serie V — Verkapselte Senkrechtmontage

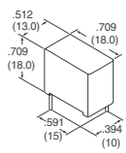

50 kHz Induktoren

L_N (µH) typ.	I_{DC} Strom (A)	ET_{OP} (V-µSec) max.	DCR (Ω) max.	Größen-Code (Abm.)	Digi-Key Teilenr.	Stückpreis 1	10	25	AlfaMag Teilenr.
47	3.0	90	0.05	C2	TE2000-ND	1.30	.88	.80	SWC-3.0-47
47	3.0	90	0.05	S5	TE2001-ND	1.09	.74	.67	SWS-3.0-47
47	3.0	90	0.05	T5	TE2002-ND	1.16	.78	.71	SWT-3.0-47
68	3.0	90	0.02	C4	TE2003-ND	1.81	1.44	1.31	SWC-3.0-68
100	3.0	90	0.04	C4	TE2004-ND	1.63	1.30	1.18	SWC-3.0-100
150	2.0	90	0.10	C4	TE2005-ND	1.57	1.25	1.14	SWC-2.0-150
150	2.0	90	0.10	S6	TE2006-ND	1.68	1.13	1.03	SWS-2.0-150
150	3.0	200	0.10	C4	TE2024-ND	1.55	1.23	1.12	SWC-3.0-150
220	1.4	90	0.38	S5	TE2007-ND	1.57	1.06	.97	SWS-1.4-220
220	1.4	90	0.38	T5	TE2008-ND	1.68	1.13	1.03	SWT-1.4-220
220	1.4	90	0.38	Serie F	TE2009-ND	1.71	1.16	1.05	SWF-1.4-220
220	1.4	90	0.38	Serie V	TE2010-ND	1.57	1.25	1.14	SWV-1.4-220
220	1.4	90	0.14	C3	TE2011-ND	1.61	1.09	.99	SWC-1.4-220
220	1.4	90	0.14	S6	TE2012-ND	1.54	1.04	.95	SWS6-1.4-220
220	3.0	200	0.07	C5	TE2025-ND	2.18	1.73	1.57	SWC-3.0-220
330	0.9	90	0.74	S5	TE2013-ND	1.64	1.11	1.01	SWS-0.90-330
330	0.9	90	0.74	T5	TE2014-ND	1.71	1.16	1.05	SWT-0.90-330
330	0.9	90	0.74	Serie F	TE2015-ND	1.49	1.18	1.07	SWF-0.90-330
330	0.9	90	0.74	Serie V	TE2016-ND	1.61	1.27	1.16	SWV-0.90-330
330	0.9	90	0.18	C3	TE2017-ND	1.71	1.16	1.05	SWC-0.90-330
330	0.9	90	0.18	S6	TE2018-ND	1.61	1.09	.99	SWS6-0.90-330
330	3.0	200	0.15	C5	TE2026-ND	2.15	1.70	1.55	SWC-3.0-330
470	0.64	90	0.16	C4	TE2019-ND	1.84	1.46	1.33	SWC-0.64-470
470	2.0	200	0.17	C5	TE2027-ND	2.21	1.75	1.59	SWC-2.0-470
680	0.85	90	1.25	S5	TE2020-ND	1.49	1.18	1.07	SWS-0.85-680
680	0.85	90	1.25	T5	TE2021-ND	1.55	1.23	1.12	SWT-0.85-680
680	0.85	90	1.25	Serie F	TE2022-ND	1.63	1.30	1.18	SWF-0.85-680
680	0.85	90	1.25	Serie V	TE2023-ND	1.75	1.39	1.26	SWV-0.85-680
680	1.3	200	0.20	C5	TE2028-ND	2.29	1.82	1.66	SWC-1.3-680
1000	0.95	200	0.24	C5	TE2029-ND	2.47	1.96	1.78	SWC-0.95-1000
1500	0.62	200	1.00	Serie B	TE2030-ND	2.39	1.89	1.72	SWB-0.62-1500
2200	0.42	200	1.80	Serie B	TE2031-ND	2.39	1.89	1.72	SWB-0.42-2200

150 kHz Induktoren

L_N (µH) Typ.	I_{DC}-Strom (A)	ET_{OP} (V-µSec) max.	DCR (Ω) max.	Simple Switcher™ Referenznr.†	Größen-Code (Abm.)	Digi-Key Teilenr.	Stückpreis 1	10	25	AlfaMag Teilenr.	Größen-Code (Abm.)	Digi-Key Teilenr.	Stückpreis 1	10	25	AlfaMag Teilenr.
					Oberflächenmontage						*Durchgangsloch*					
118	0.20	13.2	1.80	LM259X-L3	S1	TE2034-ND	.92	.62	.57	SWS-0.20-118	T1	TE2079-ND	.97	.66	.60	SWT-0.20-118
55	0.30	6.6	1.00	LM259X-L5	S1	TE2036-ND	.87	.59	.54	SWS-0.30-55	T1	TE2081-ND	.92	.62	.57	SWT-0.30-55
374	0.20	75.9	2.70	LM259X-L8	S2	TE2039-ND	1.17	.79	.72	SWS-0.20-374	T2	TE2084-ND	1.22	.82	.75	SWT-0.20-374
256	0.25	33.0	2.20	LM259X-L9	S2	TE2040-ND	1.12	.75	.69	SWS-0.25-256	T2	TE2085-ND	1.17	.79	.72	SWT-0.25-256
176	0.30	26.4	1.40	LM259X-L10	S2	TE2041-ND	1.07	.72	.65	SWS-0.30-176	T2	TE2086-ND	1.12	.75	.69	SWT-0.30-176
118	0.38	19.8	1.20	LM259X-L11	S2	TE2042-ND	1.01	.68	.62	SWS-0.38-118	T2	TE2087-ND	1.07	.72	.65	SWT-0.38-118
55	0.56	13.2	0.50	LM259X-L13	S2	TE2044-ND	.96	.65	.59	SWS-0.56-55	T2	TE2089-ND	1.01	.68	.62	SWT-0.56-55
26	0.84	6.6	0.20	LM259X-L15	S2	TE2046-ND	.91	.61	.56	SWS-0.84-26	T2	TE2091-ND	.96	.65	.59	SWT-0.84-26
17	1.02	6.6	0.10	LM259X-L16	S2	TE2047-ND	.91	.61	.56	SWS-1.02-17	T2	TE2092-ND	1.01	.68	.62	SWT-1.02-17
375	0.36	75.9	1.30	LM259X-L17	S3	TE2048-ND	1.31	.88	.81	SWS-0.36-375	T3	TE2093-ND	1.36	.92	.84	SWT-0.36-375
252	0.44	49.5	0.90	LM259X-L18	S3	TE2049-ND	1.20	.81	.74	SWS-0.44-252	T3	TE2094-ND	1.31	.88	.81	SWT-0.44-252
173	0.54	36.3	0.60	LM259X-L19	S3	TE2050-ND	1.20	.81	.74	SWS-0.54-173	T3	TE2095-ND	1.25	.85	.77	SWT-0.54-173
115	0.67	29.7	0.40	LM259X-L20	S3	TE2051-ND	1.15	.78	.71	SWS-0.67-115	T3	TE2096-ND	1.20	.81	.74	SWT-0.67-115
78	0.82	23.1	0.30	LM259X-L21	S3	TE2052-ND	1.10	.75	.68	SWS-0.82-78	T3	TE2097-ND	1.15	.78	.71	SWT-0.82-78
54	1.00	16.5	0.20	LM259X-L22	S3	TE2053-ND	1.10	.75	.68	SWS-1.00-54	T3	TE2098-ND	1.15	.78	.71	SWT-1.00-54
38	1.20	13.2	0.10	LM259X-L23	S3	TE2054-ND	1.10	.75	.68	SWS-1.20-38	T3	TE2099-ND	1.15	.78	.71	SWT-1.20-38
26	1.48	9.9	0.10	LM259X-L24	S3	TE2055-ND	1.05	.71	.65	SWS-1.48-26	T3	TE2100-ND	1.10	.75	.68	SWT-1.48-26
18	1.81	9.9	0.06	LM259X-L25	S3	TE2056-ND	1.05	.71	.65	SWS-1.81-18	T3	TE2101-ND	1.10	.75	.68	SWT-1.81-18
377	0.68	75.9	1.00	LM259X-L26	S4	TE2057-ND	1.31	.88	.81	SWS-0.68-377	T4	TE2102-ND	1.41	.95	.87	SWT-0.68-377
248	0.83	72.6	0.60	LM259X-L27	S4	TE2058-ND	1.31	.88	.81	SWS-0.83-248	T4	TE2103-ND	1.36	.92	.84	SWT-0.83-248
168	1.02	56.1	0.40	LM259X-L28	S4	TE2059-ND	1.25	.85	.77	SWS-1.02-168	T4	TE2104-ND	1.31	.88	.81	SWT-1.02-168
112	1.26	42.9	0.30	LM259X-L29	S4	TE2060-ND	1.20	.81	.74	SWS-1.26-112	T4	TE2105-ND	1.25	.85	.77	SWT-1.26-112
77	1.54	33.0	0.20	LM259X-L30	S4	TE2061-ND	1.20	.81	.74	SWS-1.54-77	T4	TE2106-ND	1.25	.85	.77	SWT-1.54-77
53	1.87	26.4	0.13	LM259X-L31	S4	TE2062-ND	1.19	.81	.73	SWS-1.87-53	T4	TE2107-ND	1.30	.88	.80	SWT-1.87-53
37	2.24	19.8	0.10	LM259X-L32	S4	TE2063-ND	1.15	.78	.71	SWS-2.24-37	T4	TE2108-ND	1.20	.81	.74	SWT-2.24-37
24	2.74	16.5	0.07	LM259X-L33	S4	TE2064-ND	1.15	.78	.71	SWS-2.74-24	T4	TE2109-ND	1.20	.81	.74	SWT-2.74-24
17	3.00	13.2	0.05	LM259X-L34	S4	TE2065-ND	1.15	.78	.71	SWS-3.00-17	C1	TE2110-ND	1.20	.81	.74	SWC-3.00-17
250	1.50	72.6	0.23	LM259X-L35	S6	TE2066-ND	2.35	1.87	1.70	SWS-1.50-250	C3	TE2111-ND	2.40	1.90	1.73	SWC-1.50-250
168	1.81	75.9	0.18	LM259X-L36	S6	TE2067-ND	2.27	1.80	1.63	SWS-1.81-168	C3	TE2112-ND	2.31	1.83	1.67	SWC-1.81-168
114	2.22	62.7	0.10	LM259X-L37	S6	TE2068-ND	2.27	1.80	1.63	SWS-2.222-114	C3	TE2113-ND	2.31	1.83	1.67	SWC-2.22-114
77	2.70	52.8	0.09	LM259X-L38	S6	TE2069-ND	2.21	1.75	1.59	SWS-2.70-77	C3	TE2114-ND	2.25	1.79	1.63	SWC-2.70-77
53	3.00	42.9	0.08	LM259X-L39	S6	TE2070-ND	2.13	1.69	1.54	SWS-3.00-53	C3	TE2115-ND	2.18	1.73	1.57	SWC-3.00-53
38	3.00	29.7	0.05	LM259X-L40	S6	TE2071-ND	2.13	1.69	1.54	SWS-3.00-38	C3	TE2116-ND	2.18	1.73	1.57	SWC-3.00-38
25	3.00	19.8	0.04	LM259X-L41	S5	TE2072-ND	1.59	1.08	.98	SWS-3.00-25	C2	TE2117-ND	1.64	1.11	1.01	SWC-3.00-25
167	2.50	75.9	0.14	LM259X-L42	S6	TE2073-ND	2.92	2.31	2.10	SWS-2.50-167	C4	TE2118-ND	2.62	2.40	2.19	SWC-2.50-167
110	3.00	75.9	0.09	LM259X-L43	S6	TE2074-ND	2.58	2.37	2.16	SWS-3.00-110	C4	TE2119-ND	2.68	2.47	2.24	SWC-3.00-110
77	3.00	59.4	0.08	LM259X-L44	S6	TE2075-ND	2.25	1.79	1.63	SWS-3.00-77	C3	TE2120-ND	2.30	1.82	1.66	SWC-3.00-77
19	4.50	32.0‡	0.02	LM258X-L	S6	TE2076-ND	2.24	1.77	1.61	SWS-4.50-19	C3	TE2121-ND	2.28	1.80	1.64	SWC-4.5-19

† Nur zur Referenz. ‡ ET_{OP} für Teilenummer SWh-4,50-19 basiert auf einer Frequenz von 100 kHz. Alle anderen Produkte werden bei 150 kHz zugelassen. ***Hinweis:*** Simple Switcher ist eine Marke von National Semiconductor.

260 kHz Induktoren

L_N (µH) Typ	I_{DC}-Strom (A)	ET_{OP} (V-µSec) max.	DCR (Ω) max.	Simple Switcher™ Referenznr. †	Größen-Code (Abm.)	Digi-Key Teilenr.	Stückpreis 1	10	25	AlfaMag Teilenr.	L_N (µH) Typ.	DCR (Ohms) Max.	Größen-Code (Abm.)	Digi-Key Teilenr.	Stückpreis 1	10	25	AlfaMag Teilenr.
					Oberflächenmontage									*Klemmenmontage (Durchgangsloch)*				
22.8	4.9	23.3	36	LM267X-L41	S6	TE2129-ND	2.57	2.36	2.14	SW260S-4.9-23	22.8	36	C3	TE2122-ND	2.59	2.38	2.16	SW260C-4.9-23
10	4.3	10	26	LM267X-L45	S4	TE2130-ND	1.97	1.56	1.42	SW260S-4.3-10	10.2	26	C1	TE2123-ND	2.83	2.24	2.04	SW260C-4.3-10
15	5.0	17.0	27	LM267X-L46	S5	TE2131-ND	2.39	1.89	1.72	SW260S-5.0-15	14.8	23	C2	TE2124-ND	2.47	1.96	1.78	SW260C-5.0-15
11	5.0	13.0	25	LM267X-L47	S5	TE2132-ND	2.24	1.77	1.61	SW260S-5.0-10	10	25	C2	TE2125-ND	2.33	1.84	1.68	SW260C-5.0-10
52*	5.0	40.0	25	LM267X-L48	S7	TE2133-ND	4.01	3.68	3.35	SW260S-5.0-50	50	50	C4	TE2126-ND	3.45	3.17	2.88	SW260C-5.0-50
36*	5.0	36.0	19	LM267X-L49	S7	TE2134-ND	3.84	3.52	3.20	SW260S-5.0-33	33	47	C4	TE2127-ND	3.25	2.98	2.71	SW260C-5.0-33
24.7*	5.0	24.0	13	LM267X-L50	S7	TE2135-ND	3.25	2.98	2.71	SW260S-5.0-23	23	26	C3	TE2128-ND	2.59	2.38	2.16	SW260C-5.0-23

† Nur zur Referenz. * 4-Pin-Teil, Reihenschaltung mit Pin 2-4 zwecks richtiger Nenninduktivität (L_N) angeschlossen. ***Anmerkung:*** Simple Switcher ist eine Marke von National Semiconductor.

D

Chip-Induktoren zur Oberflächenmontage

Serie PM1812 und PM1210

Abm. in mm.

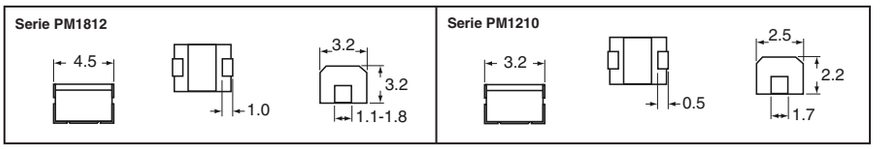

L (µH)	Q Min.	Test-frequenz (MHz)	SRF (MHz) min.	DCR (Ω) max.	I,dc (mA)	Digi-Key Teilenr.	Gurtabschnittspreis pro Stück 1	10	100	Digi-Key Teilenr.	Gegurtet auf Rolle Größe	Preisangaben	J.W. Miller Teilenr.
Serie PM1812 10 %													
0.10	28.00	25.20	300.00	0.18	800.00	M6032CT-ND	.38	.34	.29	M6032TR-ND	500	75.35	PM1812-R10K
0.12	30.00	25.20	280.00	0.20	770.00	M6033CT-ND	.38	.34	.29	M6033TR-ND	500	56.51	PM1812-R12K
0.15	30.00	25.20	250.00	0.22	730.00	M6034CT-ND	.38	.34	.29	—	—	—	PM1812-R15K
0.18	30.00	25.20	220.00	0.24	700.00	M6035CT-ND	.38	.34	.29	M6035TR-ND	500	56.51	PM1812-R18K
0.22	30.00	25.20	200.00	0.25	665.00	M6036CT-ND	.38	.34	.29	M6036TR-ND	500	56.51	PM1812-R22K
0.27	30.00	25.20	180.00	0.26	635.00	M6037CT-ND	.38	.34	.29	M6037TR-ND	500	56.51	PM1812-R27K
0.33	30.00	25.20	165.00	0.28	605.00	M6038CT-ND	.38	.34	.29	M6038TR-ND	500	75.35	PM1812-R33K
0.39	30.00	25.20	150.00	0.30	575.00	M6039CT-ND	.38	.34	.29	M6039TR-ND	500	56.51	PM1812-R39K
0.47	30.00	25.20	145.00	0.32	545.00	M6040CT-ND	.38	.34	.29	—	—	—	PM1812-R47K
0.56	30.00	25.20	140.00	0.36	520.00	M6041CT-ND	.38	.34	.29	—	—	—	PM1812-R56K
0.68	30.00	25.20	135.00	0.40	500.00	M6042CT-ND	.38	.34	.29	M6042TR-ND	500	56.51	PM1812-R68K
0.82	30.00	25.20	130.00	0.45	475.00	M6043CT-ND	.38	.34	.29	—	—	—	PM1812-R82K
Serie PM1812 5 %													
1.00	50.00	7.96	100.00	0.50	450.00	M6044CT-ND	.38	.34	.29	M6044TR-ND	500	75.35	PM1812-1R0J
1.20	50.00	7.96	80.00	0.55	430.00	M6045CT-ND	.38	.34	.29	M6045TR-ND	500	75.35	PM1812-1R2J
1.50	50.00	7.96	70.00	0.60	410.00	M6046CT-ND	.38	.34	.29	M6046TR-ND	500	56.51	PM1812-1R5J
1.80	50.00	7.96	60.00	0.65	390.00	M6047CT-ND	.38	.34	.29	—	—	—	PM1812-1R8J
2.20	50.00	7.96	55.00	0.70	380.00	M6048CT-ND	.38	.34	.29	M6048TR-ND	500	56.51	PM1812-2R2J
2.70	50.00	7.96	50.00	0.75	370.00	M6049CT-ND	.38	.34	.29	—	—	—	PM1812-2R7J
3.30	50.00	7.96	45.00	0.80	355.00	M6050CT-ND	.38	.34	.29	M6050TR-ND	500	75.35	PM1812-3R3J
3.90	50.00	7.96	40.00	0.90	330.00	M6051CT-ND	.38	.34	.29	M6051TR-ND	500	56.51	PM1812-3R9J
4.70	50.00	7.96	35.00	1.00	315.00	M6052CT-ND	.38	.34	.29	M6052TR-ND	500	56.51	PM1812-4R7J
5.60	50.00	7.96	33.00	1.10	300.00	M6053CT-ND	.38	.34	.29	M6053TR-ND	500	56.51	PM1812-5R6J
6.80	50.00	7.96	27.00	1.20	285.00	M6054CT-ND	.38	.34	.29	M6054TR-ND	500	56.51	PM1812-6R8J
8.20	50.00	7.96	25.00	1.40	270.00	M6055CT-ND	.38	.34	.29	—	—	—	PM1812-8R2J
10.00	50.00	2.52	20.00	1.60	250.00	M6056CT-ND	.38	.34	.29	M6056TR-ND	500	75.35	PM1812-100J
12.00	50.00	2.52	18.00	2.00	225.00	M6057CT-ND	.38	.34	.29	M6057TR-ND	500	75.35	PM1812-120J
15.00	50.00	2.52	17.00	2.50	200.00	M6058CT-ND	.38	.34	.29	M6058TR-ND	500	56.51	PM1812-150J
18.00	50.00	2.52	15.00	2.80	190.00	M6059CT-ND	.38	.34	.29	—	—	—	PM1812-180J
22.00	50.00	2.52	13.00	3.20	180.00	M6060CT-ND	.38	.34	.29	M6060TR-ND	500	56.51	PM1812-220J
27.00	50.00	2.52	12.00	3.60	170.00	M6061CT-ND	.38	.34	.29	—	—	—	PM1812-270J
33.00	50.00	2.52	11.00	4.00	160.00	M6062CT-ND	.38	.34	.29	M6062TR-ND	500	75.35	PM1812-330J
39.00	50.00	2.52	10.00	4.50	150.00	M6063CT-ND	.38	.34	.29	—	—	—	PM1812-390J
47.00	50.00	2.52	10.00	5.00	140.00	M6064CT-ND	.38	.34	.29	M6064TR-ND	500	56.51	PM1812-470J
56.00	50.00	2.52	9.00	5.50	135.00	M6065CT-ND	.38	.34	.29	—	—	—	PM1812-560J
68.00	50.00	2.52	9.00	6.00	130.00	M6066CT-ND	.38	.34	.29	M6066TR-ND	500	56.51	PM1812-680J
82.00	50.00	2.52	8.00	7.00	120.00	M6067CT-ND	.38	.34	.29	—	—	—	PM1812-820J
100.00	40.00	0.796	7.00	8.00	110.00	M6068CT-ND	.38	.34	.29	M6068TR-ND	500	75.35	PM1812-101J
120.00	40.00	0.796	6.00	8.00	110.00	M6069CT-ND	.38	.34	.29	—	—	—	PM1812-121J
150.00	40.00	0.796	5.00	9.00	105.00	M6070CT-ND	.38	.34	.29	M6070TR-ND	500	56.51	PM1812-151J
180.00	40.00	0.796	5.00	9.50	102.00	M6071CT-ND	.38	.34	.29	M6071TR-ND	500	56.51	PM1812-181J
220.00	40.00	0.796	4.00	10.00	100.00	M6072CT-ND	.38	.34	.29	M6072TR-ND	500	56.51	PM1812-221J
270.00	30.00	0.796	3.00	12.00	92.00	M6073CT-ND	.38	.34	.29	—	—	—	PM1812-271J
330.00	30.00	0.796	3.00	14.00	85.00	M6074CT-ND	.38	.34	.29	M6074TR-ND	500	56.51	PM1812-331J
390.00	30.00	0.796	3.00	18.00	80.00	M6075CT-ND	.38	.34	.29	M6075TR-ND	500	56.51	PM1812-391J
470.00	30.00	0.796	3.00	26.00	62.00	M6076CT-ND	.38	.34	.29	M6076TR-ND	500	56.51	PM1812-471J
560.00	30.00	0.796	2.00	30.00	50.00	M6077CT-ND	.38	.34	.29	M6077TR-ND	500	75.35	PM1812-561J
680.00	30.00	0.796	2.00	30.00	50.00	M6078CT-ND	.38	.34	.29	—	—	—	PM1812-681J
820.00	30.00	0.796	2.00	35.00	30.00	M6079CT-ND	.38	.34	.29	M6079TR-ND	500	56.51	PM1812-821J
1000.00	30.00	0.796	2.00	40.00	30.00	M6080CT-ND	.38	.34	.29	M6080TR-ND	500	56.51	PM1812-102J
Serie PM1210 10 %													
0.01	15.00	100.00	2500.00	0.13	450.00	M6081CT-ND	.38	.34	.29	M6081TR-ND	2,000	150.70/M	PM1210-R010K
0.01	17.00	100.00	2300.00	0.14	450.00	M6082CT-ND	.38	.34	.29	—	—	—	PM1210-R012K
0.02	19.00	100.00	2100.00	0.16	450.00	M6083CT-ND	.38	.34	.29	—	—	—	PM1210-R015K
0.02	21.00	100.00	1900.00	0.18	450.00	M6084CT-ND	.38	.34	.29	—	—	—	PM1210-R018K
0.02	23.00	100.00	1700.00	0.20	450.00	M6085CT-ND	.38	.34	.29	—	—	—	PM1210-R022K
0.03	23.00	100.00	1500.00	0.22	450.00	M6086CT-ND	.38	.34	.29	—	—	—	PM1210-R027K
Serie PM1210 5 %													
0.03	25.00	100.00	1400.00	0.24	450.00	M6087CT-ND	.38	.34	.29	—	—	—	PM1210-R033J
0.04	25.00	100.00	1300.00	0.27	450.00	M6088CT-ND	.38	.34	.29	—	—	—	PM1210-R039J
0.05	26.00	100.00	1200.00	0.30	450.00	M6089CT-ND	.38	.34	.29	—	—	—	PM1210-R047J
0.06	26.00	100.00	1100.00	0.33	450.00	M6090CT-ND	.38	.34	.29	—	—	—	PM1210-R056J
0.07	27.00	100.00	1000.00	0.36	450.00	M6091CT-ND	.38	.34	.29	—	—	—	PM1210-R068J
0.08	27.00	100.00	900.00	0.40	450.00	M6092CT-ND	.38	.34	.29	—	—	—	PM1210-R082J
0.10	28.00	100.00	700.00	0.44	450.00	M6093CT-ND	.38	.34	.29	M6093TR-ND	2,000	150.70/M	PM1210-R10J
0.12	28.00	25.20	500.00	0.22	450.00	M6094CT-ND	.38	.34	.29	M6094TR-ND	2,000	150.70/M	PM1210-R12J
0.15	28.00	25.20	450.00	0.25	450.00	M6095CT-ND	.38	.34	.29	—	—	—	PM1210-R15J
0.18	28.00	25.20	400.00	0.28	450.00	M6096CT-ND	.38	.34	.29	—	—	—	PM1210-R18J
0.22	28.00	25.20	350.00	0.32	450.00	M6097CT-ND	.38	.34	.29	M6097TR-ND	2,000	150.70/M	PM1210-R22J
0.27	28.00	25.20	320.00	0.36	450.00	M6098CT-ND	.38	.34	.29	M6098TR-ND	2,000	150.70/M	PM1210-R27J
0.33	28.00	25.20	300.00	0.40	450.00	M6099CT-ND	.38	.34	.29	—	—	—	PM1210-R33J
0.39	28.00	25.20	250.00	0.45	450.00	M6100CT-ND	.38	.34	.29	M6100TR-ND	2,000	150.70/M	PM1210-R39J
0.47	28.00	25.20	220.00	0.50	450.00	M6101CT-ND	.38	.34	.29	M6101TR-ND	2,000	150.70/M	PM1210-R47J
0.56	28.00	25.20	180.00	0.55	450.00	M6102CT-ND	.38	.34	.29	M6102TR-ND	2,000	150.70/M	PM1210-R56J
0.68	28.00	25.20	160.00	0.60	450.00	M6103CT-ND	.38	.34	.29	M6103TR-ND	2,000	150.70/M	PM1210-R68J
0.82	28.00	25.20	140.00	0.65	450.00	M6104CT-ND	.38	.34	.29	M6104TR-ND	2,000	150.70/M	PM1210-R82J
1.00	28.00	7.96	120.00	0.70	400.00	M6105CT-ND	.38	.34	.29	M6105TR-ND	2,000	113.02/M	PM1210-1R0J
1.20	28.00	7.96	100.00	0.75	390.00	M6106CT-ND	.38	.34	.29	M6106TR-ND	2,000	113.02/M	PM1210-1R2J
1.50	28.00	7.96	85.00	0.85	370.00	M6107CT-ND	.38	.34	.29	M6107TR-ND	2,000	150.70/M	PM1210-1R5J
1.80	28.00	7.96	80.00	0.90	350.00	M6108CT-ND	.38	.34	.29	M6108TR-ND	2,000	150.70/M	PM1210-1R8J
2.20	30.00	7.96	75.00	1.00	320.00	M6109CT-ND	.38	.34	.29	M6109TR-ND	2,000	150.70/M	PM1210-2R2J
2.70	30.00	7.96	70.00	1.10	290.00	M6110CT-ND	.38	.34	.29	M6110TR-ND	2,000	150.70/M	PM1210-2R7J
3.30	30.00	7.96	60.00	1.20	260.00	M6111CT-ND	.38	.34	.29	M6111TR-ND	2,000	150.70/M	PM1210-3R3J
3.90	30.00	7.96	55.00	1.30	250.00	M6112CT-ND	.38	.34	.29	—	—	—	PM1210-3R9J
4.70	30.00	7.96	50.00	1.70	220.00	M6113CT-ND	.38	.34	.29	M6113TR-ND	2,000	150.70/M	PM1210-4R7J
5.60	30.00	7.96	47.00	1.80	200.00	M6114CT-ND	.38	.34	.29	M6114TR-ND	2,000	150.70/M	PM1210-5R6J

(Forts.)

Alle Preisangaben in Euro und inklusive Zollgebühren.

L (µH)	Q Min.	Test-frequenz (MHz)	SRF (MHz) min.	DCR (Ω) max.	I,dc (mA)	Digi-Key Teilenr.	Gurtabschnittspreis pro Stück 1	10	100	Digi-Key Teilenr.	Gegurtet auf Rolle Größe	Preisangaben	J.W. Miller Teilenr.
6.80	30.00	7.96	43.00	2.00	180.00	M6115CT-ND	.38	.34	.29	M6115TR-ND	2,000	150.70/M	PM1210-6R8J
8.20	30.00	7.96	40.00	2.30	170.00	M6116CT-ND	.38	.34	.29	—	—	—	PM1210-8R2J
10.00	30.00	2.52	36.00	2.50	150.00	M6117CT-ND	.38	.34	.29	M6117TR-ND	2,000	150.70/M	PM1210-100J
12.00	30.00	2.52	33.00	2.80	140.00	M6118CT-ND	.38	.34	.29	M6118TR-ND	2,000	113.02/M	PM1210-120J
15.00	30.00	2.52	30.00	3.20	130.00	M6119CT-ND	.38	.34	.29	M6119TR-ND	2,000	150.70/M	PM1210-150J
Serie PM1210 5 %													
18.00	30.00	2.52	27.00	3.60	120.00	M6120CT-ND	.38	.34	.29	—	—	—	PM1210-180J
22.00	30.00	2.52	25.00	4.00	110.00	M6121CT-ND	.38	.34	.29	M6121TR-ND	2,000	150.70/M	PM1210-220J
27.00	30.00	2.52	20.00	5.00	80.00	M6122CT-ND	.38	.34	.29	M6122TR-ND	2,000	150.70/M	PM1210-270J
33.00	30.00	2.52	17.00	5.60	70.00	M6123CT-ND	.38	.34	.29	M6123TR-ND	2,000	113.02/M	PM1210-330J
39.00	30.00	2.52	16.00	6.40	65.00	M6124CT-ND	.38	.34	.29	—	—	—	PM1210-390J
47.00	30.00	2.52	15.00	7.00	60.00	M6125CT-ND	.38	.34	.29	M6125TR-ND	2,000	150.70/M	PM1210-470J
56.00	30.00	2.52	13.00	8.00	55.00	M6126CT-ND	.38	.34	.29	M6126TR-ND	2,000	150.70/M	PM1210-560J
68.00	30.00	2.52	12.00	9.00	50.00	M6127CT-ND	.38	.34	.29	M6127TR-ND	2,000	150.70/M	PM1210-680J
82.00	30.00	2.52	11.00	10.00	45.00	M6128CT-ND	.38	.34	.29	M6128TR-ND	2,000	150.70/M	PM1210-820J
100.00	20.00	0.796	10.00	10.00	40.00	M6129CT-ND	.38	.34	.29	M6129TR-ND	2,000	150.70/M	PM1210-101J
120.00	20.00	0.796	10.00	11.00	70.00	M6130CT-ND	.38	.34	.29	M6130TR-ND	2,000	113.02/M	PM1210-121J
150.00	20.00	0.796	8.00	15.00	65.00	M6131CT-ND	.38	.34	.29	M6131TR-ND	2,000	113.02/M	PM1210-151J
180.00	20.00	0.796	7.00	17.00	60.00	M6132CT-ND	.38	.34	.29	M6132TR-ND	2,000	113.02/M	PM1210-181J
220.00	20.00	0.796	7.00	21.00	50.00	M6133CT-ND	.38	.34	.29	M6133TR-ND	2,000	150.70/M	PM1210-221J

J.W.Miller MAGNETICS

Multi-6-Pack, Induktoren und Transformatoren Serie

PM600, PM610 und PM620

Merkmale: • Sechs Wicklungen ermöglichen viele Induktor- oder Transformatorkonfigurationen • Hochmagnetische Kupplung • Kernkonstruktion mit und ohne Spalt • Kernverlustarm bei breitem Frequenzbereich • Niedrige Geräuschabstrahlung • Kompakte Größe und Flachprofil: • Durchschlagfestigkeit: 500 Vrms zwischen Wicklungen • Betriebstemperatur: -40 °C ~ 105 °C

Anwendungen: ***Transformatoren:*** Flyback, Vorwärts, Push-Pull, Brücke, Multi-Ausgang, Inverter, Step-up, Step-down, Gate-Ansteuerung, Basisansteuerung, Signal, Breitband, Impuls, Impedanz, Isolierung, Wandler ***Induktoren:*** Buck, Boost, Buck-Boost, gekoppelt, Eingang, Ausgang, Drossel, Filter, Resonanz, Hohes Q, EMI/RFI-Filterung, Differenzial, Vorwärts, Gleichtaktmodus

TYPISCHE KONFIGURATIONEN FÜR TRANSFORMATOREN:

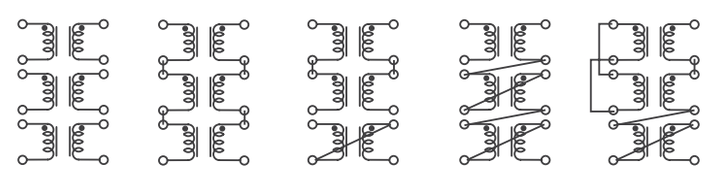

Grundiagramm Drehungsverhältnis: 1:1:1:1:1:1 | Drehungsverhältnis: 1:1 | Drehungsverhältnis: 1:1:1 | Drehungsverhältnis: 1:5 oder 5:1 | Drehungsverhältnis: 1:4 oder 4:1

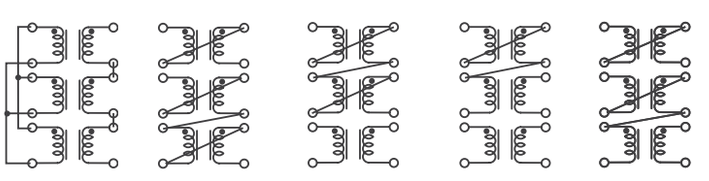

Drehungsverhältnis: 1:3 oder 3:1 | Drehungsverhältnis: 1:2 oder 2:1 | Drehungsverhältnis: 4:1:1 | Drehungsverhältnis: 3:1:1:1 | Drehungsverhältnis: 2:3 oder 3:2

TYPISCHE KONFIGURATIONEN FÜR INDUKTOREN:

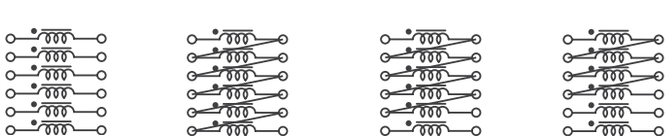

Grundiagramm Induktivität: L Strom: I | Induktivität: 36 x L Strom: I | Induktivität: 25 x L Strom: I | Induktivität: 16 x L Strom: I

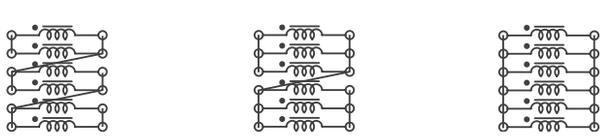

Induktivität: 9 x L Strom: 2 x I | Induktivität: 4 x L Strom: 3 x I | Induktivität: L Strom: 6 x I

Abm. in mm

Serie PM600

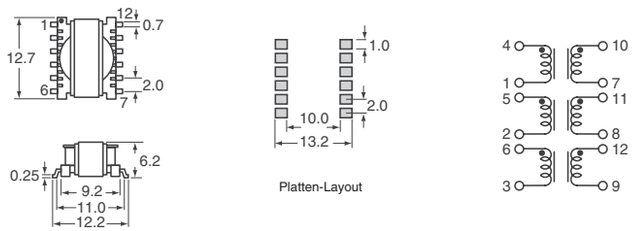

Serie PM610

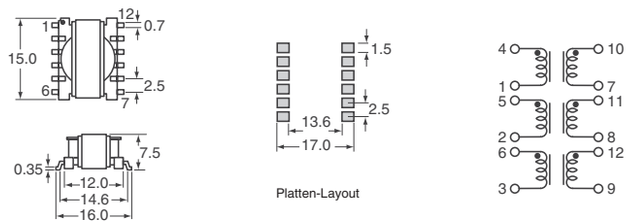

Serie PM620

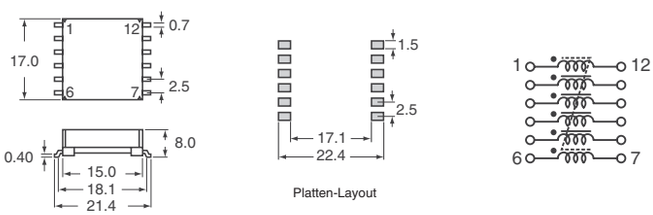

L (µH) @ 100kHz	DCR (Ω) max.	Isat (A)	Digi-Key Teilenr.	Stückpreis 1	10	25	J.W. Miller Teilenr.
Serie PM600							
201.6 ±30%	0.324	0.02	M1334-ND	2.41	1.81	1.61	PM600-01-B
89.6 ±30%	0.137	0.03	M1335-ND	2.41	1.81	1.61	PM600-02-B
27.4 ±10%	0.324	0.31	M1336-ND	2.41	1.81	1.61	PM600-03-B
12.2 ±10%	0.137	0.47	M1337-ND	2.41	1.81	1.61	PM600-04-B
Serie PM610							
160.0 ±30%	0.202	0.04	M1338-ND	2.41	1.81	1.61	PM610-01-B
78.4 ±30%	0.094	0.06	M1339-ND	2.41	1.81	1.61	PM610-02-B
11.6 ±10%	0.202	1.30	M1340-ND	2.41	1.81	1.61	PM610-05-B
5.7 ±10%	0.094	1.86	M1341-ND	2.41	1.81	1.61	PM610-06-B
Serie PM620							
160.6 ±30%	0.094	0.03	M1342-ND	2.41	1.81	1.61	PM620-01-B
77.0 ±30%	0.065	0.04	M1343-ND	2.41	1.81	1.61	PM620-02-B
131.8 ±20%	0.094	0.08	M1344-ND	2.41	1.81	1.61	PM620-03-B
63.2 ±20%	0.065	0.12	M1345-ND	2.41	1.81	1.61	PM620-04-B
14.2 ±10%	0.094	0.76	M1346-ND	2.41	1.81	1.61	PM620-07-B
6.8 ±10%	0.065	1.10	M1347-ND	2.41	1.81	1.61	PM620-08-B
7.9 ±10%	0.094	1.40	M1348-ND	2.41	1.81	1.61	PM620-11-B
3.8 ±10%	0.065	2.02	M1349-ND	2.41	1.81	1.61	PM620-12-B

J.W.Miller MAGNETICS

Hochleistungsinduktoren zur Oberflächenmontage — Serie PM7232S, PM1038S, PM12639S, PM12645S, PM12651S, PM13560S, PM13656S und PM13666

Abm. in mm

Merkmale:

- Ideal für Hochstrom DC/DC-Wandlerausgangsinduktoren
- Magnetschild gegen niedrige Strahlung
- Hoher Sättigungsstrom
- Geringer DC-Widerstand
- Niedrige Bauform
- Testfrequenz: 100 KHz
- Betriebstemperatur: -40 °C ~ 150 °C

Abb. 1

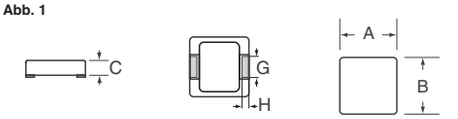

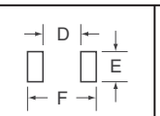

Platten-Layout für beide

Abb. 2

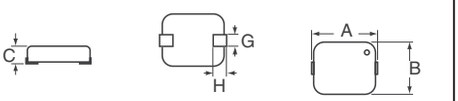

L(µH) ±20%	DCR Ω max.	I-Nennwert (A)	Abmessungen (mm) A	B	C	D	E	F	G	H	Digi-Key Teilenr.	Gurtabschnittspreis pro Stück 1	10	100	Digi-Key Teilenr.	Gegurtet auf Rolle Größe	Preisangaben	JW Miller Teilenr.
Abb. 1 — Serie PM7232S																		
0.10	0.0009	22	7.2	6.6	3.2	3.0	4.0	7.5	3.5	1.3	M1266CT-ND	2.68	2.43	1.81	M1266TR-ND	1,500	1130.22/M	PM7232S-R10M
0.22	0.0014	17	7.2	6.6	3.2	3.0	4.0	7.5	3.5	1.3	M1267CT-ND	2.68	2.43	1.81	M1267TR-ND	1,500	1130.22/M	PM7232S-R22M
0.47	0.0030	15	7.2	6.6	3.2	3.0	4.0	7.5	3.5	1.3	M1268CT-ND	2.68	2.43	1.81	M1268TR-ND	1,500	1506.95/M	PM7232S-R47M
0.72	0.0080	12.5	7.2	6.6	3.2	3.0	4.0	7.5	3.5	1.3	M1269CT-ND	2.68	2.43	1.81	M1269TR-ND	1,500	1130.22/M	PM7232S-R72M
1.0	0.0084	10	7.2	6.6	3.2	3.0	4.0	7.5	3.5	1.3	M1270CT-ND	2.68	2.43	1.81	M1270TR-ND	1,500	1130.22/M	PM7232S-1R0M
1.5	0.0095	9	7.2	6.6	3.2	3.0	4.0	7.5	3.5	1.3	M1271CT-ND	2.68	2.43	1.81	M1271TR-ND	1,500	1506.95/M	PM7232S-1R5M
Abb. 2 — Serie PM1038S																		
0.75	0.0035	20	10.5	10.0	3.8	4.5	5.0	11.5	2.0	2.4	M1277CT-ND	2.25	2.05	1.53	—	—	—	PM1038S-R75M
1.2	0.0047	17	10.5	10.0	3.8	4.5	5.0	11.5	2.0	2.4	M1278CT-ND	2.25	2.05	1.53	M1278TR-ND	800	761.94	PM1038S-1R2M
2.5	0.011	11.5	10.5	10.0	3.8	4.5	5.0	11.5	2.0	2.4	M1279CT-ND	2.25	2.05	1.53	—	—	—	PM1038S-2R5M
Abb. 1 — Serie PM12639S																		
0.67	0.0015	23	12.6	12.6	3.9	6.0	6.5	13.0	5.8	2.4	M1261CT-ND	2.95	2.68	2.00	M1261TR-ND	800	995.60	PM12639S-R67M
1.2	0.0029	18.5	12.6	12.6	3.9	6.0	6.5	13.0	5.8	2.4	M1262CT-ND	2.95	2.68	2.00	M1262TR-ND	800	995.60	PM12639S-1R2M
Abb. 1 — Serie PM12645S																		
1.2	0.0020	21	12.6	12.6	4.5	6.0	6.5	13.0	5.8	2.4	M1263CT-ND	3.01	2.73	2.04	M1263TR-ND	800	1015.92	PM12645S-1R2M
1.8	0.0035	16	12.6	12.6	4.5	6.0	6.5	13.0	5.8	2.4	M1264CT-ND	3.01	2.73	2.04	M1264TR-ND	800	1015.92	PM12645S-1R8M
2.7	0.0043	15	12.6	12.6	4.5	6.0	6.5	13.0	5.8	2.4	M1265CT-ND	3.01	2.73	2.04	M1265TR-ND	800	1015.92	PM12645S-2R7M
Abb. 1 — Serie PM12651S																		
4.7	0.0072	12	12.6	12.6	5.1	6.0	6.5	13.0	5.8	2.4	M1282CT-ND	2.50	2.27	1.69	M1282TR-ND	800	1124.28	PM12651S-4R7M
Abb. 1 — Serie PM13560S																		
6.0	0.0107	9.5	13.0	12.6	5.6	6.4	6.5	13.4	5.8	2.4	M1283CT-ND	2.51	2.28	1.70	M1283TR-ND	500	530.18	PM13560S-6R0M
10	0.00088	7.5	13.0	12.6	5.6	6.4	6.5	13.4	5.8	2.4	M1284CT-ND	2.51	2.28	1.70	M1284TR-ND	500	706.91	PM13560S-100M
Abb. 2 — Serie PM13656S																		
0.5	0.00088	40	13.6	12.6	5.6	5.3	5.0	14.7	2.4	3.5	M1280CT-ND	2.56	2.33	1.73	M1280TR-ND	500	539.71	PM13656S-R50M
Abb. 2 — Serie PM13666S																		
1.0	0.0144	25	13.6	12.6	6.6	5.3	5.0	14.7	2.4	3.5	M1281CT-ND	2.51	2.28	1.70	M1281TR-ND	500	530.18	PM13666S-1R0M

D

Hochstrom-Toroidinduktoren zur Oberflächenmontage — Serie PM2110

Abm. in mm

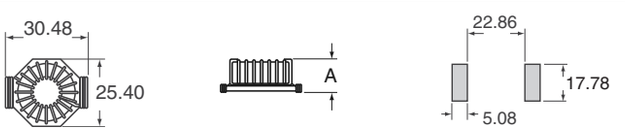

L (µH) @ 1kHz	I,dc (A)	L (µH) ±20% @ I-Nennwert	DCR (Ω) Max.	Abm. A (mm) max.	Digi-Key Teilenr.	Stückpreis 1	10	25	J.W. Miller Teilenr.
Serie PM2110 20 %									
1.00*	22.70	0.80	0.00	14.48	M6134-ND	3.12	2.35	2.09	PM2110-1R0M
1.20*	20.30	1.00	0.00	14.48	M6135-ND	3.12	2.35	2.09	PM2110-1R2M
1.50*	20.30	1.20	0.00	14.48	M6136-ND	3.12	2.35	2.09	PM2110-1R5M
1.80*	18.50	1.40	0.00	14.48	M6137-ND	3.12	2.35	2.09	PM2110-1R8M
2.20*	17.20	1.70	0.00	14.48	M6138-ND	3.12	2.35	2.09	PM2110-2R2M
2.70*	16.00	2.00	0.00	14.48	M6139-ND	3.12	2.35	2.09	PM2110-2R7M
3.30*	16.00	2.50	0.00	14.48	M6140-ND	3.12	2.35	2.09	PM2110-3R3M
3.90*	15.10	2.80	0.00	14.48	M6141-ND	3.12	2.35	2.09	PM2110-3R9M
4.70*	14.40	3.40	0.00	14.48	M6142-ND	3.12	2.35	2.09	PM2110-4R7M
5.60*	13.70	3.90	0.01	14.48	M6143-ND	3.12	2.35	2.09	PM2110-5R6M
6.80*	13.10	4.60	0.01	14.48	M6144-ND	3.12	2.35	2.09	PM2110-6R8M
8.20*	12.60	5.50	0.01	14.48	M6145-ND	3.12	2.35	2.09	PM2110-8R2M
Serie PM2110 10 %									
10.00	11.70	6.50	0.01	14.48	M6146-ND	3.12	2.35	2.09	PM2110-100K
12.00	11.30	7.60	0.01	14.48	M6147-ND	3.12	2.35	2.09	PM2110-120K
15.00	10.70	9.20	0.01	14.48	M6148-ND	3.12	2.35	2.09	PM2110-150K
18.00	10.20	10.70	0.01	14.48	M6149-ND	3.12	2.35	2.09	PM2110-180K
22.00	9.70	12.70	0.01	14.48	M6150-ND	3.12	2.35	2.09	PM2110-220K
27.00	8.20	16.00	0.01	13.72	M6151-ND	3.12	2.35	2.09	PM2110-270K
33.00	7.00	20.10	0.02	15.75	M6152-ND	3.12	2.35	2.09	PM2110-330K
39.00	6.80	23.20	0.02	15.75	M6153-ND	3.12	2.35	2.09	PM2110-390K
47.00	6.50	27.20	0.02	15.75	M6154-ND	3.12	2.35	2.09	PM2110-470K
56.00	6.20	31.60	0.02	15.75	M6155-ND	3.12	2.35	2.09	PM2110-560K
68.00	5.90	37.10	0.03	15.75	M6156-ND	3.12	2.35	2.09	PM2110-680K
82.00	5.60	43.40	0.03	15.75	M6157-ND	3.12	2.35	2.09	PM2110-820K
100.00	5.40	51.40	0.03	15.75	M6158-ND	3.12	2.35	2.09	PM2110-101K
120.00	5.10	59.60	0.04	15.75	M6159-ND	3.12	2.35	2.09	PM2110-121K
150.00	4.30	77.30	0.05	14.99	M6160-ND	3.12	2.35	2.09	PM2110-151K
180.00	3.70	96.30	0.07	13.46	M6161-ND	3.12	2.35	2.09	PM2110-181K
220.00	3.50	113.80	0.07	15.24	M6162-ND	3.12	2.35	2.09	PM2110-221K
270.00	3.40	134.90	0.08	15.24	M6163-ND	3.12	2.35	2.09	PM2110-271K
330.00	3.20	159.50	0.09	15.24	M6164-ND	3.12	2.35	2.09	PM2110-331K
390.00	3.10	182.90	0.10	15.24	M6165-ND	3.12	2.35	2.09	PM2110-391K
470.00	2.60	230.40	0.13	14.48	M6166-ND	3.12	2.35	2.09	PM2110-471K
560.00	2.50	266.00	0.15	14.48	M6167-ND	3.12	2.35	2.09	PM2110-561K
680.00	2.10	337.10	0.20	13.72	M6168-ND	3.12	2.35	2.09	PM2110-681K
820.00	2.00	394.10	0.22	15.24	M6169-ND	3.12	2.35	2.09	PM2110-821K
1000.00	1.90	463.70	0.24	15.24	M6170-ND	3.12	2.35	2.09	PM2110-102K

* L (uH) ±20% @ 1KHz

Hochstrom-Toroidinduktoren zur Oberflächenmontage — Serie PM2120

Abm. in mm

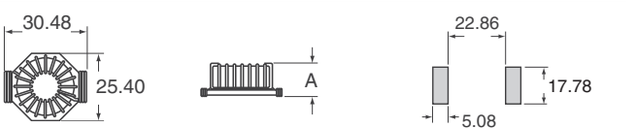

L (µH) @ 1kHz	I,dc (A)	L (µH) ±20% @ I-Nennwert	DCR (Ω) max.	Abm. A (mm) Max.	Digi-Key Teilenr.	Stückpreis 1	10	25	J.W. Miller Teilenr.
Serie PM2120 20 %									
1.00*	25.40	0.90	0.00	20.83	M6171-ND	3.45	2.60	2.31	PM2120-1R0M
1.20*	25.40	1.10	0.00	20.83	M6172-ND	3.45	2.60	2.31	PM2120-1R2M
1.50*	22.00	1.30	0.00	20.83	M6173-ND	3.45	2.60	2.31	PM2120-1R5M
1.80*	22.00	1.50	0.00	20.83	M6174-ND	3.45	2.60	2.31	PM2120-1R8M
2.20*	19.70	1.80	0.00	20.83	M6175-ND	3.45	2.60	2.31	PM2120-2R2M
2.70*	19.70	2.20	0.00	20.83	M6176-ND	3.45	2.60	2.31	PM2120-2R7M
3.30*	18.00	2.60	0.00	20.83	M6177-ND	3.45	2.60	2.31	PM2120-3R3M
3.90*	18.00	3.10	0.00	20.83	M6178-ND	3.45	2.60	2.31	PM2120-3R9M
4.70*	16.60	3.70	0.01	20.83	M6179-ND	3.45	2.60	2.31	PM2120-4R7M
5.60*	15.60	4.20	0.01	20.83	M6180-ND	3.45	2.60	2.31	PM2120-5R6M
6.80*	14.70	5.00	0.01	20.83	M6181-ND	3.45	2.60	2.31	PM2120-6R8M
8.20*	14.70	6.10	0.01	20.83	M6182-ND	3.45	2.60	2.31	PM2120-8R2M
Serie PM2120 10 %									
10.00	13.90	7.20	0.01	20.83	M6183-ND	3.45	2.60	2.31	PM2120-100K
12.00	12.70	8.30	0.01	20.83	M6184-ND	3.45	2.60	2.31	PM2120-120K
15.00	12.20	10.20	0.01	20.83	M6185-ND	3.45	2.60	2.31	PM2120-150K
18.00	11.80	12.00	0.01	20.83	M6186-ND	3.45	2.60	2.31	PM2120-180K
22.00	11.00	14.20	0.01	20.83	M6187-ND	3.45	2.60	2.31	PM2120-220K
27.00	10.40	16.90	0.01	20.83	M6188-ND	3.45	2.60	2.31	PM2120-270K
33.00	10.10	20.30	0.01	20.83	M6189-ND	3.45	2.60	2.31	PM2120-330K
39.00	9.60	23.30	0.01	20.83	M6190-ND	3.45	2.60	2.31	PM2120-390K
47.00	8.20	29.20	0.02	20.07	M6191-ND	3.45	2.60	2.31	PM2120-470K
56.00	7.90	33.90	0.02	20.07	M6192-ND	3.45	2.60	2.31	PM2120-560K
68.00	6.70	42.20	0.03	19.56	M6193-ND	3.45	2.60	2.31	PM2120-680K
82.00	6.40	49.50	0.03	22.10	M6194-ND	3.45	2.60	2.31	PM2120-820K
100.00	6.10	58.70	0.04	22.10	M6195-ND	3.45	2.60	2.31	PM2120-101K
120.00	5.80	68.10	0.04	22.10	M6196-ND	3.45	2.60	2.31	PM2120-121K
150.00	5.50	82.50	0.04	22.10	M6197-ND	3.45	2.60	2.31	PM2120-151K
180.00	5.30	96.20	0.05	21.08	M6198-ND	3.45	2.60	2.31	PM2120-181K
220.00	5.00	113.70	0.05	21.08	M6199-ND	3.45	2.60	2.31	PM2120-221K
270.00	4.20	144.50	0.07	20.32	M6200-ND	3.45	2.60	2.31	PM2120-271K
330.00	3.60	183.40	0.10	19.81	M6201-ND	3.45	2.60	2.31	PM2120-331K
390.00	3.50	211.60	0.11	19.81	M6202-ND	3.45	2.60	2.31	PM2120-391K
470.00	3.30	247.10	0.12	21.59	M6203-ND	3.45	2.60	2.31	PM2120-471K
560.00	3.20	285.80	0.13	21.59	M6204-ND	3.45	2.60	2.31	PM2120-561K
680.00	3.00	336.30	0.14	21.59	M6205-ND	3.45	2.60	2.31	PM2120-681K
820.00	2.90	392.50	0.16	21.59	M6206-ND	3.45	2.60	2.31	PM2120-821K
1000.00	2.50	499.70	0.22	20.83	M6207-ND	3.45	2.60	2.31	PM2120-102K

* L (uH) ±20% @ 1KHz

Alle Preisangaben in Euro und inklusive Zollgebühren.

J.W.Miller MAGNETICS

Chip-Induktoren zur Oberflächenmontage

Serie PM0603

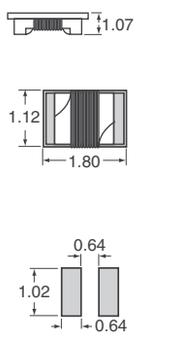

Serie PM0805

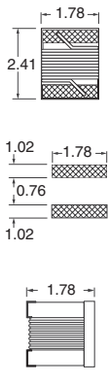

Serie PM1008

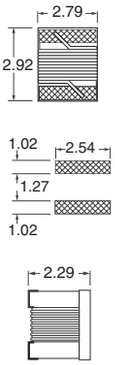

Merkmale: • Keramikkern, drahtumwickelt zwecks höherer Zuverlässigkeit • Hohe Eigenresonanzfrequenz • Ebene Oberfläche für Greif- und Platzierautomaten

L (nH)	Tol.	Q min.	L Test-frequ. MHz	R,dc max. Ω	I,dc max. mA	Digi-Key Teilenr.	Gurtabschnittspreis pro Stück 1	10	100	Preis. f. geg. auf Rolle* 3.000	J.W.Miller Teilenr.
Serie PM0603											
2.2	±0.3 nH	18	250	0.08	700	M1243CT-ND	.49	.44	.37	146.04/M	PM0603-2N2
3.9	±0.3 nH	22	250	0.08	700	M1246CT-ND	.49	.44	.37	146.04/M	PM0603-3N9
4.7	±0.3 nH	20	250	0.13	700	M1248CT-ND	.49	.44	.37	194.72/M	PM0603-4N7
6.8	±5%	28	250	0.11	700	M1251CT-ND	.49	.44	.37	146.04/M	PM0603-6N8J
8.2	±5%	30	250	0.11	700	M1254CT-ND	.49	.44	.37	146.04/M	PM0603-8N2J
10	±5%	30	250	0.15	700	M1237CT-ND	.49	.44	.37	194.72/M	PM0603-10NJ
12	±5%	30	250	0.13	700	M1238CT-ND	.49	.44	.37	194.72/M	PM0603-12NJ
15	±5%	35	250	0.17	700	M1239CT-ND	.49	.44	.37	194.72/M	PM0603-15NJ
18	±5%	35	250	0.17	700	M1240CT-ND	.49	.44	.37	146.04/M	PM0603-18NJ
22	±5%	38	250	0.19	700	M1241CT-ND	.49	.44	.37	146.04/M	PM0603-22NJ
27	±5%	40	250	0.23	700	M1242CT-ND	.49	.44	.37	194.72/M	PM0603-27NJ
33	±5%	43	250	0.23	600	M1244CT-ND	.49	.44	.37	146.04/M	PM0603-33NJ
39	±5%	43	250	0.25	600	M1245CT-ND	.49	.44	.37	194.72/M	PM0603-39NJ
47	±5%	40	200	0.28	600	M1247CT-ND	.49	.44	.37	194.72/M	PM0603-47NJ
56	±5%	40	200	0.31	600	M1249CT-ND	.49	.44	.37	194.72/M	PM0603-56NJ
68	±5%	40	200	0.34	600	M1250CT-ND	.49	.44	.37	194.72/M	PM0603-68NJ
72	±5%	35	150	0.49	400	M1252CT-ND	.49	.44	.37	146.04/M	PM0603-72NJ
82	±5%	35	150	0.54	400	M1253CT-ND	.49	.44	.37	194.72/M	PM0603-82NJ
100	±5%	35	150	0.58	400	M1255CT-ND	.49	.44	.37	194.72/M	PM0603-R10J
120	±5%	35	150	0.65	300	M1256CT-ND	.49	.44	.37	146.04/M	PM0603-R12J
150	±5%	30	150	0.92	280	M1257CT-ND	.49	.44	.37	146.04/M	PM0603-R15J
180	±5%	30	100	1.25	240	M1258CT-ND	.49	.44	.37	146.04/M	PM0603-R18J
220	±5%	30	100	2.10	200	M1259CT-ND	.49	.44	.37	146.04/M	PM0603-R22J
270	±5%	30	100	2.30	170	M1260CT-ND	.49	.44	.37	146.04/M	PM0603-R27J

L	Tol.%	Q min.	L Test-frequ. MHz	R,dc max. Ω	I,dc max. mA	Digi-Key Teilenr.	Gurtabschnittspreis pro Stück 1	10	100	Preis. f. geg. auf Rolle* 2.000	J.W.Miller Teilenr.
Serie PM0805											
2.2nH	20	15	250	0.08	600	M1150CT-ND	.45	.40	.34	133.34/M	PM0805-2N2M
3.3nH	20	50	250	0.08	600	M1151CT-ND	.45	.40	.34	133.34/M	PM0805-3N3M
6.8nH	20	50	250	0.11	600	M1152CT-ND	.45	.40	.34	133.34/M	PM0805-6N8M
8.2nH	20	50	250	0.12	600	M1153CT-ND	.45	.40	.34	133.34/M	PM0805-8N2M
12nH	20	50	250	0.15	600	M1154CT-ND	.45	.40	.34	133.34/M	PM0805-12NM
15nH	20	50	250	0.17	600	M1155CT-ND	.45	.40	.34	133.34/M	PM0805-15NM
18nH	20	50	250	0.20	600	M1156CT-ND	.45	.40	.34	133.34/M	PM0805-18NM
22nH	20	55	250	0.22	500	M1157CT-ND	.45	.40	.34	177.79/M	PM0805-22NM
27nH	20	55	250	0.25	500	M1158CT-ND	.45	.40	.34	177.79/M	PM0805-27NM
33nH	20	60	250	0.27	500	M1159CT-ND	.45	.40	.34	177.79/M†	PM0805-33NM
39nH	20	60	250	0.29	500	M1160CT-ND	.45	.40	.34	177.79/M	PM0805-39NM
47nH	20	60	200	0.31	500	M1161CT-ND	.45	.40	.34	133.34/M	PM0805-47NM
.056µH	10	60	200	0.34	500	M1162CT-ND	.45	.40	.34	177.79/M	PM0805-56NK
.068µH	10	60	200	0.38	500	M1163CT-ND	.45	.40	.34	177.79/M	PM0805-68NK
.082µH	10	65	150	0.42	400	M1164CT-ND	.45	.40	.34	133.34/M†	PM0805-82NK
.10µH	10	65	150	0.46	400	M1165CT-ND	.45	.40	.34	177.79/M	PM0805-R10K
.12µH	10	50	150	0.51	400	M1166CT-ND	.45	.40	.34	133.34/M	PM0805-R12K
.15µH	10	50	100	0.56	400	M1167CT-ND	.45	.40	.34	133.34/M	PM0805-R15K
.18µH	10	50	100	0.64	400	M1168CT-ND	.45	.40	.34	133.34/M	PM0805-R18K
.22µH	10	50	100	0.70	400	M1169CT-ND	.45	.40	.34	177.79/M	PM0805-R22K
.27µH	10	40	100	1.1	280	M1170CT-ND	.45	.40	.34	133.34/M	PM0805-R27K
.33µH	10	40	100	1.2	260	M1171CT-ND	.45	.40	.34	133.34/M	PM0805-R33K
.39µH	10	40	100	1.5	200	M1172CT-ND	.45	.40	.34	133.34/M	PM0805-R39K

† Rollengröße 3.000

L	Tol.%	Q min.	L Test-frequ. MHz	R,dc max. Ω	I,dc max. mA	Digi-Key Teilenr.	Gurtabschnittspreis pro Stück 1	10	100	Preis. f. geg. auf Rolle* 2.000	J.W.Miller Teilenr.
Serie PM1008											
10nH	20	50	50	0.08	1000	M1176CT-ND	.45	.40	.34	133.34/M	PM1008-10NM
12nH	20	50	50	0.09	1000	M1177CT-ND	.45	.40	.34	133.34/M	PM1008-12NM
15nH	20	50	50	0.10	1000	M1178CT-ND	.45	.40	.34	177.79/M	PM1008-15NM
18nH	20	50	50	0.11	1000	M1179CT-ND	.45	.40	.34	177.79/M	PM1008-18NM
22nH	20	55	50	0.12	1000	M1180CT-ND	.45	.40	.34	133.34/M	PM1008-22NM
27nH	20	55	50	0.13	1000	M1181CT-ND	.45	.40	.34	177.79/M	PM1008-27NM
33nH	20	60	50	0.14	1000	M1182CT-ND	.45	.40	.34	133.34/M	PM1008-33NM
39nH	20	60	50	0.15	1000	M1183CT-ND	.45	.40	.34	133.34/M	PM1008-39NM
47nH	20	65	50	0.16	1000	M1184CT-ND	.45	.40	.34	133.34/M	PM1008-47NM
56nH	10	65	50	0.18	1000	M1185CT-ND	.45	.40	.34	133.34/M	PM1008-56NK
68nH	10	65	50	0.20	1000	M1186CT-ND	.45	.40	.34	133.34/M	PM1008-68NK
82nH	10	60	50	0.22	1000	M1187CT-ND	.45	.40	.34	133.34/M	PM1008-82NK
.10µH	10	60	25	0.56	650	M1188CT-ND	.45	.40	.34	133.34/M	PM1008-R10K
.12µH	10	60	25	0.68	650	M1189CT-ND	.45	.40	.34	133.34/M	PM1008-R12K
.15µH	10	45	25	0.70	580	M1190CT-ND	.45	.40	.34	—	PM1008-R15K
.18µH	10	45	25	0.77	620	M1191CT-ND	.45	.40	.34	—	PM1008-R18K
.22µH	10	45	25	0.84	500	M1192CT-ND	.45	.40	.34	—	PM1008-R22K
.27µH	10	45	25	0.91	500	M1193CT-ND	.45	.40	.34	—	PM1008-R27K
.33µH	10	45	25	1.05	450	M1194CT-ND	.45	.40	.34	133.34/M	PM1008-R33K
.39µH	10	45	25	1.12	470	M1195CT-ND	.45	.40	.34	—	PM1008-R39K
.47µH	10	45	25	1.19	470	M1196CT-ND	.45	.40	.34	133.34/M	PM1008-R47K
.56µH	10	45	25	1.33	400	M1197CT-ND	.45	.40	.34	133.34/M	PM1008-R56K
.68µH	10	45	25	1.47	400	M1198CT-ND	.45	.40	.34	—	PM1008-R68K
.82µH	10	45	25	1.61	400	M1199CT-ND	.45	.40	.34	133.34/M	PM1008-R82K
1.0µH	10	35	25	1.75	370	M1200CT-ND	.45	.40	.34	177.79/M	PM1008-1R0K
1.2µH	10	35	7.9	2.00	340	M1201CT-ND	.45	.40	.34	177.79/M	PM1008-1R2K
1.5µH	10	28	7.9	2.30	330	M1202CT-ND	.45	.40	.34	133.34/M	PM1008-1R5K
1.8µH	10	28	7.9	2.60	300	M1203CT-ND	.45	.40	.34	133.34/M	PM1008-1R8K
2.2µH	10	28	7.9	2.80	290	M1204CT-ND	.45	.40	.34	133.34/M	PM1008-2R2K
2.7µH	10	22	7.9	3.20	290	M1205CT-ND	.45	.40	.34	177.79/M	PM1008-2R7K
3.3µH	10	22	7.9	3.40	290	M1206CT-ND	.45	.40	.34	177.79/M	PM1008-3R3K
3.9µH	10	20	7.9	3.60	260	M1207CT-ND	.45	.40	.34	133.34/M	PM1008-3R9K
4.7µH	10	20	7.9	4.00	260	M1208CT-ND	.45	.40	.34	133.34/M	PM1008-4R7K

* Für Gegurtet auf Rolle die Teilenummer CT-ND in TR-ND ändern.

Leistungsinduktoren zur Oberflächenmontage —

Serie PM3308

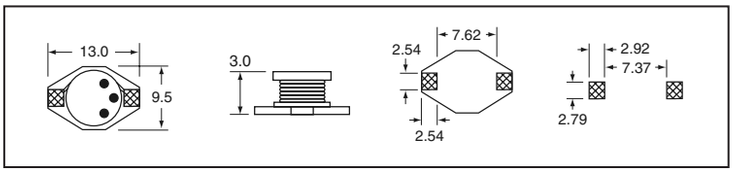

L ±20% (µH)	R, dc max. Ω	I, sat. A	I, rms A	Digi-Key Teilenr.	Gurtabschnittspreis pro Stück 1	10	100	Preis. f. geg. auf Rolle* 1.000	J.W.Miller Teilenr.
10	0.11	2.4	2.0	M9719CT-ND	1.90	1.72	1.43	571.46	PM3308-100M
15	0.15	2.0	1.5	M9720CT-ND	1.90	1.72	1.43	761.94	PM3308-150M
22	0.23	1.6	1.3	M9721CT-ND	1.90	1.72	1.43	761.94	PM3308-220M
33	0.30	1.4	1.1	M9722CT-ND	1.90	1.72	1.43	571.46	PM3308-330M
47	0.39	1.0	0.8	M9723CT-ND	1.90	1.72	1.43	761.94	PM3308-470M
68	0.66	0.9	0.7	M9724CT-ND	1.90	1.72	1.43	761.94	PM3308-680M
100	0.84	0.7	0.6	M9725CT-ND	1.90	1.72	1.43	761.94	PM3308-101M
150	1.2	0.6	0.5	M9726CT-ND	1.90	1.72	1.43	761.94	PM3308-151M
220	1.9	0.5	0.4	M9727CT-ND	1.90	1.72	1.43	761.94	PM3308-221M
330	2.7	0.4	0.3	M9728CT-ND	1.90	1.72	1.43	761.94	PM3308-331M
470	4.0	0.3	0.2	M9729CT-ND	1.90	1.72	1.43	571.46	PM3308-471M
680	5.3	0.2	0.1	M9730CT-ND	1.90	1.72	1.43	761.94	PM3308-681M
1000	8.4	0.1	0.05	M9731CT-ND	1.90	1.72	1.43	761.94	PM3308-102M

* Für Gegurtet auf Rolle die Teilenummer CT-ND in TR-ND ändern.

D

J.W.Miller MAGNETICS

Leistungsinduktoren zur Oberflächenmontage —

Serie PM3316

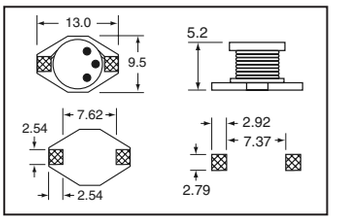

L ±20% (µH)	R, dc max. Ω	I, sat. A	I, rms A	Digi-Key Teilenr.	Gurtabschnittspreis pro Stück 1	10	100	Preis. f. geg. auf Rolle* 500	J.W.Miller Teilenr.
1.0	0.009	9.0	6.8	M9700CT-ND	1.80	1.62	1.35	359.81	PM3316-1R0M
1.5	0.010	8.0	6.4	M9701CT-ND	1.80	1.62	1.35	359.81	PM3316-1R5M
2.2	0.012	7.0	6.1	M9702CT-ND	1.80	1.62	1.35	359.81	PM3316-2R2M
3.3	0.015	6.4	5.4	M9703CT-ND	1.80	1.62	1.35	269.85	PM3316-3R3M
4.7	0.018	5.4	4.8	M9704CT-ND	1.80	1.62	1.35	359.81	PM3316-4R7M
6.8	0.027	4.6	4.4	M9705CT-ND	1.80	1.62	1.35	359.81	PM3316-6R8M
10	0.038	3.8	3.9	M9706CT-ND	1.80	1.62	1.35	269.85	PM3316-100M
15	0.046	3.0	3.1	M9707CT-ND	1.80	1.62	1.35	359.81	PM3316-150M
22	0.085	2.6	2.7	M9708CT-ND	1.80	1.62	1.35	269.85	PM3316-220M
33	0.10	2.0	2.1	M9709CT-ND	1.80	1.62	1.35	376.00	PM3316-330M
47	0.14	1.6	1.8	M9710CT-ND	1.80	1.62	1.35	269.85	PM3316-470M
68	0.20	1.4	1.5	M9711CT-ND	1.80	1.62	1.35	269.85	PM3316-680M
100	0.28	1.2	1.3	M9712CT-ND	1.80	1.62	1.35	359.81	PM3316-101M
150	0.40	1.0	1.0	M9713CT-ND	1.80	1.62	1.35	269.85	PM3316-151M
220	0.61	0.8	0.8	M9714CT-ND	1.80	1.62	1.35	359.81	PM3316-221M
330	1.02	0.6	0.6	M9715CT-ND	1.80	1.62	1.35	359.81	PM3316-331M
470	1.27	0.5	0.5	M9716CT-ND	1.80	1.62	1.35	269.85	PM3316-471M
680	2.02	0.4	0.4	M9717CT-ND	1.80	1.62	1.35	359.81	PM3316-681M
1000	3.00	0.3	0.3	M9718CT-ND	1.80	1.62	1.35	269.85	PM3316-102M

* Für Gegurtet auf Rolle die Teilenummer CT-ND in TR-ND ändern.

D

Leistungsinduktoren zur Oberflächenmontage —

Serie PM3340

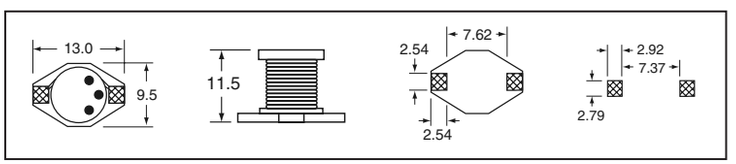

L ±20% (µH)	R, dc max. Ω	I, sat. A	I, rms A	Digi-Key Teilenr.	Gurtabschnittspreis pro Stück 1	10	100	Preis. f. geg. auf Rolle* 225	J.W.Miller Teilenr.
10	0.033	8.0	3.5	M9732CT-ND	2.06	1.85	1.54	138.58	PM3340-100M
15	0.042	7.0	3.0	M9733CT-ND	2.06	1.85	1.54	138.58	PM3340-150M
22	0.054	5.5	2.5	M9734CT-ND	2.06	1.85	1.54	138.58	PM3340-220M
33	0.08	4.0	2.0	M9735CT-ND	2.06	1.85	1.54	—	PM3340-330M
47	0.1	3.8	1.6	M9736CT-ND	2.06	1.85	1.54	138.58	PM3340-470M
68	0.17	3.0	1.2	M9737CT-ND	2.06	1.85	1.54	138.58	PM3340-680M
100	0.22	2.5	1.2	M9738CT-ND	2.06	1.85	1.54	184.77	PM3340-101M
150	0.34	2.0	0.9	M9739CT-ND	2.06	1.85	1.54	138.58	PM3340-151M
220	0.44	1.6	0.7	M9740CT-ND	2.06	1.85	1.54	138.58	PM3340-221M
330	0.7	1.2	0.6	M9741CT-ND	2.06	1.85	1.54	184.77	PM3340-331M
470	0.95	1.0	0.3	M9742CT-ND	2.06	1.85	1.54	138.58	PM3340-471M
1000	2.0	0.8	0.1	M9744CT-ND	2.06	1.85	1.54	184.77	PM3340-102M

* Für Gegurtet auf Rolle die Teilenummer CT-ND in TR-ND ändern.

Leistungsinduktoren zur Oberflächenmontage —

Serie PM5022

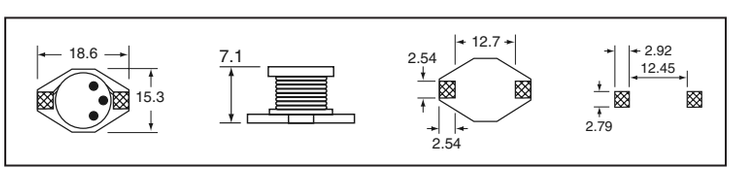

L ±20% (µH)	R, dc max. Ω	I, sat. A	I, rms A	Digi-Key Teilenr.	Gurtabschnittspreis pro Stück 1	10	100	Preis. f. geg. auf Rolle* 250	J.W.Miller Teilenr.
1.0	0.011	20	8.6	M9745CT-ND	1.40	1.26	1.05	104.77	PM5022-1R0M
2.2	0.014	16	7.1	M9747CT-ND	1.40	1.26	1.05	139.69	PM5022-2R2M
3.3	0.016	14	6.2	M9748CT-ND	1.40	1.26	1.05	139.69	PM5022-3R3M
5.6	0.022	12	5.3	M9746CT-ND	1.40	1.26	1.05	104.77	PM5022-5R6M
10	0.032	10	4.3	M9751CT-ND	1.40	1.26	1.05	139.69	PM5022-100M
15	0.036	8	4.0	M9752CT-ND	1.40	1.26	1.05	139.69	PM5022-150M
22	0.047	7	3.5	M9753CT-ND	1.40	1.26	1.05	139.69	PM5022-220M
33	0.066	5.5	3.0	M9754CT-ND	1.40	1.26	1.05	139.69	PM5022-330M
47	0.087	4.5	2.6	M9755CT-ND	1.40	1.26	1.05	139.69	PM5022-470M
68	0.13	3.5	2.3	M9756CT-ND	1.40	1.26	1.05	139.69	PM5022-680M
100	0.19	3.0	1.8	M9757CT-ND	1.40	1.26	1.05	139.69	PM5022-101M
150	0.25	2.6	1.5	M9758CT-ND	1.40	1.26	1.05	139.69	PM5022-151M
220	0.38	2.4	1.2	M9759CT-ND	1.40	1.26	1.05	139.69	PM5022-221M
330	0.56	1.9	1.0	M9760CT-ND	1.40	1.26	1.05	139.69	PM5022-331M
470	0.85	1.4	0.82	M9761CT-ND	1.40	1.26	1.05	104.77	PM5022-471M
680	1.2	1.2	0.72	M9762CT-ND	1.40	1.26	1.05	104.77	PM5022-681M

* Für Gegurtet auf Rolle die Teilenummer CT-ND in TR-ND ändern.

Leistungsinduktoren zur Oberflächenmontage

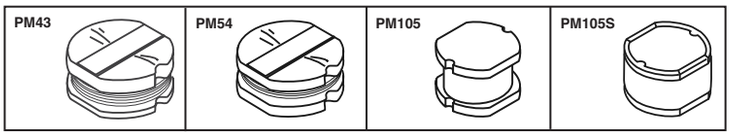

Klemmenabmessungen

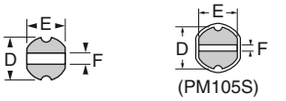

Abmessungen (mm)						
Serie	A	B	C	D Typ.	E Typ.	F Typ.
PM43	4.0 ± 0.3	4.5 ± 0.3	3.2 ± 0.3	4.5	4.0	1.2
PM54	5.2 ± 0.3	5.8 ± 0.3	4.5 ± 0.3	5.8	5.2	1.3
PM105	9.0 ± 0.4	10.0 ± 0.4	5.4 ± 0.4	10.0	9.0	2.1
PM105S	9.2 ± 0.4	10.0 ± 0.4	5.0 ± 0.5	7.8	7.0	1.6

L (µH) ±10 %	Tol. %	Test-frequ.	Max. DCR Ω	I-Nennwert (A)	Digi-Key Teilenr.	Gurtabschnittspreis pro Stück 1	10	100	Digi-Key Teilenr.	Preisangabe für Gegurtet auf Rolle 1.500	J.W.Miller Teilenr.
Serie PM43											
10	20	2.5MHz	0.182	1.04	M3100CT-ND	1.38	1.25	1.04	M3100TR-ND	551.98/M	PM43-100M
12	20	2.5MHz	0.210	0.97	M3120CT-ND	1.38	1.25	1.04	M3120TR-ND	413.99/M	PM43-120M
15	20	2.5MHz	0.235	0.85	M3150CT-ND	1.38	1.25	1.04	M3150TR-ND	413.99/M	PM43-150M
18	20	2.5MHz	0.338	0.74	M3180CT-ND	1.38	1.25	1.04	M3180TR-ND	413.99/M	PM43-180M
22	20	2.5MHz	0.378	0.68	M3220CT-ND	1.38	1.25	1.04	M3220TR-ND	551.98/M	PM43-220M
27	20	2.5MHz	0.522	0.62	M3327CT-ND	1.38	1.25	1.04	—	—	PM43-270M
33	10	2.5MHz	0.540	0.56	M3330CT-ND	1.38	1.25	1.04	M3330TR-ND	551.98/M	PM43-330K
39	10	2.5MHz	0.587	0.52	M3390CT-ND	1.38	1.25	1.04	M3390TR-ND	413.99/M	PM43-390K
56	10	2.5MHz	0.937	0.42	M3560CT-ND	1.38	1.25	1.04	M3560TR-ND	413.99/M	PM43-560K
68	10	2.5MHz	1.117	0.37	M3680CT-ND	1.38	1.25	1.04	M3680TR-ND	413.99/M	PM43-680K
Serie PM54											
10	20	2.5MHz	0.10	1.44	M4100CT-ND	.85	.77	.64	M4100TR-ND	338.64/M	PM54-100M
12	20	2.5MHz	0.12	1.40	M4120CT-ND	1.38	1.25	1.04	M4120TR-ND	413.99/M	PM54-120M
15	20	2.5MHz	0.14	1.30	M4150CT-ND	1.38	1.25	1.04	M4150TR-ND	413.99/M	PM54-150M
18	20	2.5MHz	0.15	1.23	M4180CT-ND	1.38	1.25	1.04	M4180TR-ND	413.99/M	PM54-180M
22	20	2.5MHz	0.18	1.11	M4220CT-ND	1.38	1.25	1.04	M4220TR-ND	413.99/M	PM54-220M
27	20	2.5MHz	0.20	0.97	M4270CT-ND	1.38	1.25	1.04	M4270TR-ND	551.98/M	PM54-270M
33	15	2.5MHz	0.23	0.88	M4330CT-ND	1.38	1.25	1.04	M4330TR-ND	551.98/M	PM54-330L
39	15	2.5MHz	0.32	0.80	M4390CT-ND	1.38	1.25	1.04	M4390TR-ND	551.98/M	PM54-390L
47	15	2.5MHz	0.37	0.72	M4470CT-ND	1.38	1.25	1.04	M4470TR-ND	413.99/M	PM54-470L
56	10	2.5MHz	0.42	0.68	M4560CT-ND	1.38	1.25	1.04	M4560TR-ND	551.98/M	PM54-560K
68	10	2.5MHz	0.46	0.61	M4680CT-ND	1.38	1.25	1.04	M4680TR-ND	413.99/M	PM54-680K
82	10	2.5MHz	0.60	0.58	M4820CT-ND	1.38	1.25	1.04	M4820TR-ND	551.98/M	PM54-820K
100	10	1KHz	0.70	0.52	M4101CT-ND	1.38	1.25	1.04	M4101TR-ND	551.98/M	PM54-101K
120	10	1KHz	0.93	0.48	M4121CT-ND	1.38	1.25	1.04	M4121TR-ND	551.98/M	PM54-121K
150	10	1KHz	1.10	0.40	M4151CT-ND	1.38	1.25	1.04	M4151TR-ND	413.99/M	PM54-151K
180	10	1KHz	1.38	0.38	M4181CT-ND	1.38	1.25	1.04	M4181TR-ND	551.98/M	PM54-181K
220	10	1KHz	1.57	0.35	M4221CT-ND	1.38	1.25	1.04	M4221TR-ND	551.98/M	PM54-221K

L (µH) ±10 %	Tol. %	Test-frequ.	Max. DCR Ω	I-Nennwert (A)	Digi-Key Teilenr.	Gurtabschnittspreis pro Stück 1	10	100	Digi-Key Teilenr.	Preisangabe für Gegurtet auf Rolle 1.500	J.W.Miller Teilenr.
Serie PM105											
10	20	2.5MHz	0.06	2.60	M1001CT-ND	2.33	2.10	1.75	M1001TR-ND	349.22	PM105-100M
12	20	2.5MHz	0.07	2.45	M1002CT-ND	2.33	2.10	1.75	M1002TR-ND	349.22	PM105-120M
15	20	2.5MHz	0.08	2.27	M1003CT-ND	2.33	2.10	1.75	M1003TR-ND	349.22	PM105-150M
18	20	2.5MHz	0.09	2.15	M1004CT-ND	2.33	2.10	1.75	—	—	PM105-180M
22	20	2.5MHz	0.10	1.95	M1005CT-ND	2.33	2.10	1.75	M1005TR-ND	465.63	PM105-220M
27	20	2.5MHz	0.11	1.76	M1006CT-ND	2.33	2.10	1.75	—	—	PM105-270M
33	20	2.5MHz	0.12	1.50	M1007CT-ND	2.33	2.10	1.75	M1007TR-ND	349.22	PM105-330M
39	20	2.5MHz	0.14	1.37	M1008CT-ND	2.33	2.10	1.75	M1008TR-ND	465.63	PM105-390M
47	10	2.5MHz	0.17	1.28	M1009CT-ND	2.33	2.10	1.75	M1009TR-ND	349.22	PM105-470K
56	10	2.5MHz	0.19	1.17	M1010CT-ND	2.33	2.10	1.75	M1010TR-ND	349.22	PM105-560K
68	10	2.5MHz	0.22	1.11	M1011CT-ND	2.33	2.10	1.75	M1011TR-ND	349.22	PM105-680K
82	10	2.5MHz	0.25	1.00	M1012CT-ND	2.33	2.10	1.75	M1012TR-ND	349.22	PM105-820K
100	10	1kHz	0.35	0.97	M1013CT-ND	2.33	2.10	1.75	M1013TR-ND	465.63	PM105-101K
120	10	1kHz	0.40	0.89	M1014CT-ND	2.33	2.10	1.75	M1014TR-ND	465.63	PM105-121K
150	10	1kHz	0.47	0.78	M1015CT-ND	2.33	2.10	1.75	M1015TR-ND	465.63	PM105-151K
180	10	1kHz	0.63	0.72	M1016CT-ND	2.33	2.10	1.75	M1016TR-ND	349.22	PM105-181K
220	10	1kHz	0.73	0.66	M1017CT-ND	2.33	2.10	1.75	M1017TR-ND	349.22	PM105-221K
270	10	1kHz	0.97	0.57	M1018CT-ND	2.33	2.10	1.75	M1018TR-ND	349.22	PM105-271K
330	10	1kHz	1.15	0.52	M1019CT-ND	2.33	2.10	1.75	—	—	PM105-331K
390	10	1kHz	1.30	0.48	M1020CT-ND	2.33	2.10	1.75	—	—	PM105-391K
470	10	1kHz	1.48	0.42	M1021CT-ND	2.33	2.10	1.75	M1021TR-ND	465.63	PM105-471K
560	10	1kHz	1.90	0.33	M1022CT-ND	2.33	2.10	1.75	M1022TR-ND	465.63	PM105-561K
680	10	1kHz	2.25	0.28	M1023CT-ND	2.33	2.10	1.75	M1023TR-ND	465.63	PM105-681K
820	10	1kHz	2.55	0.24	M1024CT-ND	2.33	2.10	1.75	M1024TR-ND	465.63	PM105-821K
Serie PM105S (geschirmt)											
10	20	2.5MHz	0.06	2.53	M1025CT-ND	3.17	2.86	2.39	M1025TR-ND	634.95	PM105S-100M
12	20	2.5MHz	0.06	2.31	M1026CT-ND	3.17	2.86	2.39	M1026TR-ND	476.21	PM105S-120M
15	20	2.5MHz	0.07	2.06	M1027CT-ND	3.17	2.86	2.39	M1027TR-ND	476.21	PM105S-150M
18	20	2.5MHz	0.08	1.89	M1028CT-ND	3.17	2.86	2.39	M1028TR-ND	634.95	PM105S-180M
22	20	2.5MHz	0.09	1.71	M1029CT-ND	3.17	2.86	2.39	M1029TR-ND	634.95	PM105S-220M
27	20	2.5MHz	0.11	1.54	M1030CT-ND	3.17	2.86	2.39	M1030TR-ND	634.95	PM105S-270M
33	20	2.5MHz	0.12	1.39	M1031CT-ND	3.17	2.86	2.39	M1031TR-ND	634.95	PM105S-330M
39	20	2.5MHz	0.16	1.28	M1032CT-ND	3.17	2.86	2.39	M1032TR-ND	476.21	PM105S-390M
47	20	2.5MHz	0.18	1.17	M1033CT-ND	3.17	2.86	2.39	M1033TR-ND	634.95	PM105S-470M
56	20	2.5MHz	0.19	1.07	M1034CT-ND	3.17	2.86	2.39	M1034TR-ND	476.21	PM105S-560M
68	20	2.5MHz	0.22	0.97	M1035CT-ND	3.17	2.86	2.39	M1035TR-ND	476.21	PM105S-680M
82	20	2.5MHz	0.28	0.88	M1036CT-ND	3.17	2.86	2.39	M1036TR-ND	634.95	PM105S-820M
100	20	1kHz	0.35	0.80	M1037CT-ND	3.17	2.86	2.39	M1037TR-ND	476.21	PM105S-101M
120	20	1kHz	0.38	0.73	M1038CT-ND	3.17	2.86	2.39	M1038TR-ND	476.21	PM105S-121M
150	20	1kHz	0.45	0.65	M1039CT-ND	3.17	2.86	2.39	M1039TR-ND	634.95	PM105S-151M
180	20	1kHz	0.62	0.60	M1040CT-ND	3.17	2.86	2.39	M1040TR-ND	476.21	PM105S-181M
220	20	1kHz	0.69	0.54	M1041CT-ND	3.17	2.86	2.39	M1041TR-ND	634.95	PM105S-221M
270	20	1kHz	.78	0.49	M1042CT-ND	3.17	2.86	2.39	M1042TR-ND	634.95	PM105S-271M
330	20	1kHz	1.03	0.44	M1043CT-ND	3.17	2.86	2.39	M1043TR-ND	634.95	PM105S-331M
390	20	1kHz	1.18	0.41	M1044CT-ND	3.17	2.86	2.39	M1044TR-ND	476.21	PM105S-391M
470	20	1kHz	1.60	0.37	M1045CT-ND	3.17	2.86	2.39	M1045TR-ND	476.21	PM105S-471M

Alle Preisangaben in Euro und inklusive Zollgebühren.

J.W.Miller MAGNETICS — Doppel-Toroidinduktoren zur Oberflächenmontage

Die Serien PM3602 und PM3604 sind vielseitig verwendbare, oberflächenmontierbare Spulen, die mehrere Funktionen in einem einzigen Paket vereinen. Diese Spulen werden mit einem bifilaren Verfahren gewickelt. Der Benutzer kann diese Spulen je nach gewählter externer Schaltung auf vier verschiedene Weisen anwenden:

(1) Parallelschaltung: Verdoppelt die Stromkapazität
(2) Reihenschaltung: 4 Mal die parallele Induktivität
(3) Doppel-Induktor: Erstellt zwei Differenzialmodus-Induktoren
(4) Transformator, Verhältnis 1:1: Zur Isolierung und für manche „Flyback"-Anwendungen

Merkmale:

• Ringkerndesign zwecks Minimierung der RFI-Stahlung • Kernmaterial mit geringem Verlust • Verkapselt für „Greif- und Platzier"-Funktion • Aufschmelzlöten • Hi-pot 500 V • Betriebsumgebungstemperatur: -40 °C ~ 85 °C

Typische Anwendungen:

• Schaltstromversorgungen • Umwandler • Datenkommunikationen • Prozessor/Controllerschaltungen • PCs • Filter

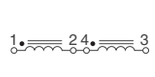

Reihenmodus

Parallelmodus

Reihen- oder Parallelanschlüsse werden auf Schaltkreisebene ausgeführt (keine interne Verbindung zum Gerät).

1:1 Transformator/Doppel-Differenzialmodus

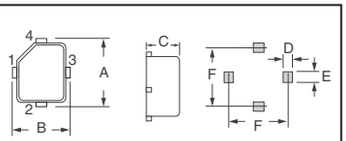

Teilenr.	Abmessungen (mm) A	B	C	D	E	F
PM3602	11.48	8.99	5.71	2.54	2.54	9.78
PM3604	13.97	11.48	6.73	4.06	2.54	12.70

Parallel L ±20% µH	I,dc max. A	L ±20% @ I,dc µH	R,dc max. Ω	Serie L ±20% µH	I,dc max. A	L ±20% @ I,dc µH	R,dc max. Ω	Digi-Key Teilenr.	Stückpreis 1	10	25	J.W.Miller Teilenr.
Serie PM3602												
5	2.41	3.8	0.023	20	1.20	15.2	0.092	M1209-ND	2.11	1.51	1.21	PM3602-5-B
8	1.90	6.1	0.037	32	0.95	23.2	0.15	M1210-ND	2.11	1.51	1.21	PM3602-8-B
10	1.83	7.4	0.040	40	0.92	29.6	0.16	M1211-ND	2.11	1.51	1.21	PM3602-10-B
15	1.45	11.1	0.063	60	0.73	44.4	0.25	M1212-ND	2.11	1.51	1.21	PM3602-15-B
20	1.25	15.2	0.086	80	0.63	60.8	0.34	M1213-ND	2.11	1.51	1.21	PM3602-20-B
25	1.17	18.5	0.098	100	0.59	74.0	0.39	M1214-ND	2.11	1.51	1.21	PM3602-25-B
33	0.98	24.8	0.14	132	0.49	99.2	0.56	M1215-ND	2.11	1.51	1.21	PM3602-33-B
50	0.78	37.5	0.22	200	0.38	150.0	0.88	M1216-ND	2.11	1.51	1.21	PM3602-50-B
68	0.72	49.6	0.26	272	0.36	198.4	1.04	M1217-ND	2.11	1.51	1.21	PM3602-68-B
100	0.58	74.0	0.40	400	0.29	296.0	1.60	M1218-ND	2.30	1.73	1.54	PM3602-100-B
150	0.47	111.0	0.60	600	0.24	444.0	2.40	M1219-ND	2.30	1.73	1.54	PM3602-150-B
200	0.40	150.0	0.84	800	0.20	600.0	3.36	M1220-ND	2.30	1.73	1.54	PM3602-200-B
250	0.33	192.5	1.19	1000	0.17	770.0	4.76	M1221-ND	2.30	1.73	1.54	PM3602-250-B
300	0.32	225.0	1.31	1200	0.16	900.0	5.24	M1222-ND	2.30	1.73	1.54	PM3602-300-B
Serie PM3604												
5	3.30	3.8	0.019	20	1.65	15.2	0.076	M1223-ND	2.19	1.57	1.26	PM3604-5-B
8	3.00	5.8	0.024	32	1.50	23.2	0.096	M1224-ND	2.19	1.57	1.26	PM3604-8-B
10	2.70	7.3	0.028	40	1.35	29.2	0.11	M1225-ND	2.19	1.57	1.26	PM3604-10-B
15	2.20	11.0	0.041	60	1.10	44.0	0.16	M1226-ND	2.19	1.57	1.26	PM3604-15-B
20	2.02	14.2	0.049	80	1.01	56.8	0.20	M1227-ND	2.19	1.57	1.26	PM3604-20-B
25	1.91	17.0	0.054	100	0.96	68.0	0.22	M1228-ND	2.19	1.57	1.26	PM3604-25-B
33	1.60	23.1	0.078	132	0.80	92.4	0.31	M1229-ND	2.19	1.57	1.26	PM3604-33-B
50	1.28	35.5	0.12	200	0.64	142.0	0.48	M1230-ND	2.19	1.57	1.26	PM3604-50-B
68	1.19	46.2	0.14	272	0.60	184.8	0.56	M1231-ND	2.19	1.57	1.26	PM3604-68-B
100	0.98	68.0	0.21	400	0.49	272.0	0.84	M1232-ND	2.41	1.81	1.61	PM3604-100-B
150	0.78	103.5	0.32	600	0.39	414.0	1.28	M1233-ND	2.41	1.81	1.61	PM3604-150-B
200	0.65	140.0	0.47	800	0.33	560.0	1.88	M1234-ND	2.41	1.81	1.61	PM3604-200-B
250	0.60	172.5	0.53	1000	0.30	690.0	2.12	M1235-ND	2.41	1.81	1.61	PM3604-250-B
300	0.52	213.0	0.73	1200	0.26	852.0	2.92	M1236-ND	2.41	1.81	1.61	PM3604-300-B

D

Hochstrom-Toroidinduktoren

Serie 5700

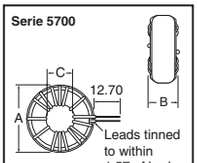

Serie 6701 - 6705 & 6726 - 6731

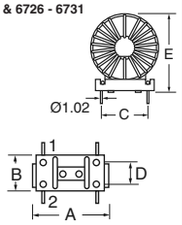

Serie 6706 - 6725

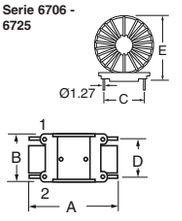

L (µH) ±15%	I,dc max. A	R,dc max. Ω	Abmessungen (mm) A max.	B max.	C min.	Ableitung Ø Nom. (mm)	Digi-Key Teilenr.	Stückpreis 1	10	J.W. Miller Teilenr.
Serie 5700										
10	11.00	.008	22.23	11.10	4.75	1.63	M5701-ND	4.30	3.23	5701
25	5.50	.014	22.23	11.10	4.75	1.02	M5702-ND	4.30	3.23	5702
125	2.75	.12	22.23	11.10	4.75	.51	M5703-ND	4.30	3.23	5703
275	2.00	.24	22.23	11.10	4.75	.41	M5704-ND	4.30	3.23	5704
450	1.50	.49	22.23	11.10	4.75	.30	M5705-ND	4.63	3.48	5705
25	9.00	.012	28.58	14.27	7.92	1.63	M5706-ND	4.63	3.48	5706
75	5.00	.04	28.58	14.27	7.92	.91	M5707-ND	4.63	3.48	5707
400	2.25	.33	28.58	14.27	7.92	.46	M5708-ND	4.63	3.48	5708
800	1.75	.64	28.58	14.27	7.92	.38	M5709-ND	4.63	3.48	5709
1000	1.50	.98	28.58	14.27	7.92	.30	M5710-ND	4.63	3.48	5710
50	9.50	.012	31.75	15.88	9.52	1.63	M5711-ND	5.28	3.97	5711
150	4.75	.046	31.75	15.88	9.52	.91	M5712-ND	5.28	3.97	5712
700	2.25	.42	31.75	15.88	9.52	.46	M5713-ND	5.28	3.97	5713
1250	1.75	.85	31.75	15.88	9.52	.38	M5714-ND	5.28	3.97	5714
1600	1.50	1.27	31.75	15.88	9.52	.30	M5715-ND	5.28	3.97	5715
125	7.75	.032	46.02	19.05	19.05	1.63	M5716-ND	5.95	5.30	5716
500	4.00	.15	46.02	19.05	19.05	.81	M5717-ND	5.95	5.30	5717
1100	2.50	.33	46.02	19.05	19.05	.64	M5718-ND	5.95	5.30	5718
2250	1.75	.92	46.02	19.05	19.05	.46	M5719-ND	5.95	5.30	5719
4500	1.25	2.64	46.02	19.05	19.05	.30	M5720-ND	5.95	5.30	5720
250	8.00	.041	53.98	23.80	15.88	1.57	M5721-ND	6.94	6.18	5721
900	3.75	.175	53.98	23.80	15.88	.81	M5722-ND	6.94	6.17	5722
1800	2.50	.55	53.98	23.80	15.88	.58	M5723-ND	6.94	6.17	5723
4000	1.75	1.16	53.98	23.80	15.88	.46	M5724-ND	7.43	6.61	5724
8000	1.00	3.34	53.98	23.80	15.88	.30	M5725-ND	7.43	6.61	5725
25	2.50	.040	13.97	5.59	3.81	.51	M5726-ND	3.98	2.99	5726
35	2.50	.035	17.78	8.13	3.81	.64	M5727-ND	3.98	2.99	5727
50	2.50	.060	19.05	8.13	3.81	.51	M5728-ND	3.98	2.99	5728
100	2.50	.080	21.59	9.14	5.08	.51	M5729-ND	3.98	2.99	5729
70	3.00	.050	21.59	9.14	5.08	.64	M5730-ND	4.27	3.20	5730
40	4.00	.025	21.59	9.14	5.08	.81	M5731-ND	3.98	2.99	5731

L (µH) ±15%	I,dc max. A	R,dc max. Ω	Abmessungen (mm) A max.	B max.	C ±0.38	D ±0.38	E max.	Digi-Key Teilenr.	Stückpreis 1	10	J.W. Miller Teilenr.
Serie 6700											
10	11.00	.008	22.23	10.77	15.24	6.35	25.40	M5732-ND	5.52	4.14	6701
25	5.50	.014	22.23	10.79	15.24	6.35	25.40	M5733-ND	5.52	4.14	6702
125	2.75	.12	22.23	10.79	15.24	6.35	25.40	M5734-ND	5.52	4.14	6703
275	2.00	.24	22.23	10.79	15.24	6.35	25.40	M5735-ND	5.52	4.14	6704
450	1.50	.49	22.23	10.79	15.24	6.35	25.40	M5736-ND	5.52	4.14	6705
25	9.00	.012	28.58	15.24	20.32	10.16	31.75	M5737-ND	5.98	4.48	6706
75	5.00	.04	28.58	15.24	20.32	10.16	31.75	M5738-ND	5.98	4.48	6707
400	2.25	.33	28.58	15.24	20.32	10.16	31.75	M5739-ND	5.98	4.48	6708
1000	1.50	.98	28.58	15.24	20.32	10.16	31.75	M5741-ND	5.98	4.48	6710
50	9.50	.012	31.75	20.32	22.86	15.24	34.93	M5742-ND	6.54	4.91	6711
150	4.75	.046	31.75	20.32	22.86	15.24	34.93	M5743-ND	6.54	4.91	6712
700	2.25	.42	31.75	20.32	22.86	15.24	34.93	M5744-ND	6.54	4.91	6713
1250	1.75	.85	31.75	20.32	22.86	15.24	34.93	M5745-ND	6.54	4.91	6714
1600	1.50	1.27	31.75	20.32	22.86	15.24	34.93	M5746-ND	6.54	4.91	6715
125	7.75	.032	46.02	22.86	30.48	17.78	49.53	M5747-ND	5.80	5.16	6716
500	4.00	.15	46.02	22.86	30.48	17.78	49.53	M5748-ND	5.80	5.16	6717
1100	2.50	.33	46.02	22.86	30.48	17.78	49.53	M5749-ND	5.80	5.16	6718
2250	1.75	.92	46.02	22.86	30.48	17.78	49.53	M5750-ND	5.80	5.16	6719
4500	1.25	2.64	46.02	22.86	30.48	17.78	49.53	M5751-ND	6.82	6.07	6720
250	8.00	.041	53.98	27.94	38.10	22.86	57.15	M5752-ND	6.82	6.07	6721
900	3.75	.175	53.98	27.94	38.10	22.86	57.15	M5753-ND	7.89	7.02	6722
1800	2.50	.55	53.98	27.94	38.10	22.86	57.15	M5754-ND	7.89	7.02	6723
4000	1.75	1.16	53.98	27.94	38.10	22.86	57.15	M5755-ND	7.89	7.02	6724
8000	1.00	3.34	53.98	27.94	38.10	22.86	57.15	M5756-ND	7.89	7.02	6725
25	2.50	.040	13.97	10.79	15.24	6.35	25.40	M5757-ND	6.03	4.53	6726
35	2.50	.035	17.78	10.79	15.24	6.35	25.40	M5758-ND	6.03	4.53	6727
50	2.50	.060	19.05	10.79	15.24	6.35	25.40	M5759-ND	6.03	4.53	6728
100	2.50	.080	21.59	10.79	15.24	6.35	25.40	M5760-ND	6.03	4.53	6729
70	3.00	.050	21.59	10.79	15.24	6.35	25.40	M5761-ND	6.03	4.53	6730
40	4.00	.025	21.59	10.79	15.24	6.35	25.40	M5762-ND	6.03	4.53	6731

Gleichtaktdrossel mit Sockel — Serie 8100

Serie 8101-8103

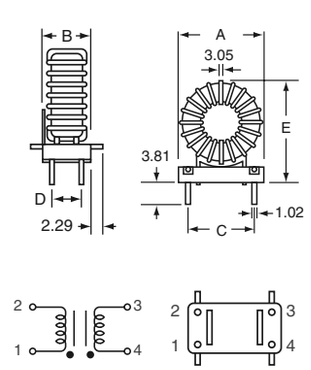

Serie 8104-8121

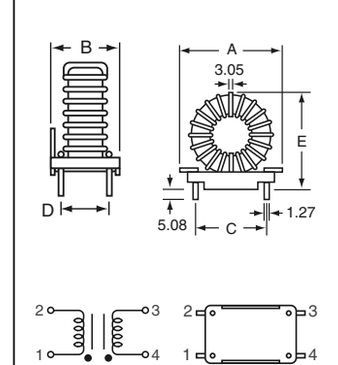

L (mH) min. @ 1kHz	I max. (A)	R,dc Max. Ω	Abmessungen (mm) A max.	B ±0.01	C ±0.015	D ±0.015	E max.	Digi-Key Teilenr.	Stückpreis 1	10	J.W. Miller Teilenr.
4	1.7	0.173	19.30	10.79	15.24	6.35	22.86	M9836-ND	3.02	2.27	8101
2.5	2.4	0.09	19.30	10.79	15.24	6.35	22.86	M9837-ND	3.02	2.27	8102
1	4.8	0.022	19.30	10.79	15.24	6.35	22.86	M9838-ND	3.02	2.27	8103
10	2.4	0.17	30.48	15.24	20.32	10.16	30.48	M9839-ND	4.75	3.57	8104
7	2.8	0.12	30.48	15.24	20.32	10.16	30.48	M9840-ND	4.75	3.57	8105
5	3.7	0.07	30.48	15.24	20.32	10.16	30.48	M9841-ND	4.75	3.57	8106
2	6.6	0.022	30.48	15.24	20.32	10.16	30.48	M9842-ND	4.75	3.57	8107
1	10	0.01	30.48	15.24	20.32	10.16	30.48	M9843-ND	4.75	3.57	8108
30	2.3	0.33	34.29	20.32	22.86	15.24	36.83	M9844-ND	7.14	5.36	8109
20	2.9	0.21	34.29	20.32	22.86	15.24	36.83	M9845-ND	7.14	5.36	8110
12	4	0.11	34.29	20.32	22.86	15.24	36.83	M9846-ND	7.14	5.36	8111
8	5.6	0.055	34.29	20.32	22.86	15.24	36.83	M9847-ND	7.14	5.36	8112
5	8.9	0.022	36.83	20.32	22.86	15.24	38.10	M9848-ND	7.14	5.36	8113
2.5	12.5	0.011	36.83	20.32	22.86	15.24	38.10	M9849-ND	7.14	5.36	8114
1.2	16	0.006	38.10	20.32	22.86	15.24	38.86	M9850-ND	7.14	5.36	8115
50	2.3	0.45	39.37	20.32	22.86	15.24	41.91	M9851-ND	7.13	6.34	8116
36	2.9	0.3	39.37	20.32	22.86	15.24	41.91	M9852-ND	7.13	6.34	8117
7.3	9.3	0.032	41.91	20.32	22.86	15.24	41.91	M9853-ND	7.13	6.34	8118
4	14.5	0.012	43.18	22.86	30.48	17.78	41.91	M9854-ND	7.13	6.34	8119
2.4	17	0.008	43.18	22.86	30.48	17.78	41.91	M9855-ND	7.13	6.34	8120
1	20	0.007	43.18	22.86	30.48	17.78	41.91	M9856-ND	7.13	6.34	8121

J.W.Miller MAGNETICS — Hochstrom-Toroidinduktoren

Serie 2100, 2200 und 2300 (Std., HT und LL)

Serie 2100, 2200 und 2300:
Merkmale: • Hohe Stromstärke • Niedrige Geräuschabstrahlung
Typische Anwendungen: • DC/DC-Wandler • EMI-Filter
Serie 2100LL und 2200LL:
Merkmale: • Geringer Kernverlust • Niedrige magnetische Abstrahlung • Hochstromkapazität • Horizontalmontage • Betriebstemperatur: -55 °C ~ 125 °C
Typische Anwendungen: • Schaltmodus, Stromversorgungen • DC/DC-Wandler • Ausgangsdrosseln • EMI-Filter
Anmerkungen: • Nenn-Idc führt zu einem maximalen Temperaturanstieg von 30 °C.
Serie 2200HT:
Merkmale: • Höchsttemperaturbereich: bis zu 200 °C • Niedrige magnetische Abstrahlung • Hochstromumschaltung • Horizontale oder vertikale Befestigung möglich • Preiswert • Betriebstemperatur: -55 °C ~ 200 °C

Abb. 1
A- Horizontal

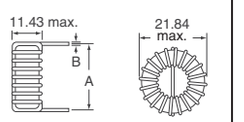

B Vertikal

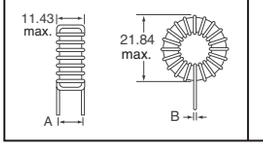

Abb. 2
A- Horizontal

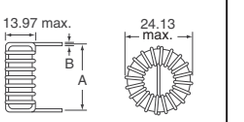

B Vertikal

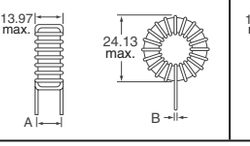

Abb. 3
A- Horizontal

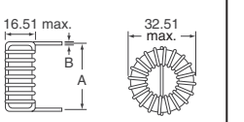

B Vertikal

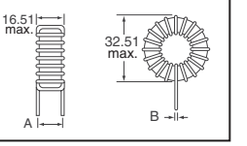

Abb.	L (µH) ±15% @ 1kHz	Idc (A)	L (µH) ±15% @ I-Nennwert	DCR max. Ω	Abm. (mm) A max.	Abm. (mm) B min.	Digi-Key Teilenr.	Stückpreis 1	Stückpreis 10	J.W. Miller Teilenr.
Serie 2100										
1A	10	10.8	6.3	0.006	19.56	1.35	M9764-ND	1.80	1.29	2101-H
	15	7.7	10.2	0.012	19.30	1.07	M9766-ND	1.80	1.29	2103-H
	22	7.0	14.2	0.015	19.30	1.07	M9768-ND	1.80	1.29	2105-H
	33	5.0	22.8	0.029	19.05	0.86	M9770-ND	1.80	1.29	2107-H
	47	3.6	34.7	0.055	19.05	0.69	M9772-ND	1.80	1.29	2109-H
	56	3.4	40.6	0.060	19.05	0.69	M9773-ND	1.80	1.29	2110-H
	68	3.3	48.3	0.067	19.05	0.69	M9774-ND	1.80	1.29	2111-H
	100	2.4	75.2	0.13	18.80	0.56	M9775-ND	1.80	1.29	2112-H
	120	2.2	88.5	0.15	18.80	0.56	M9776-ND	1.80	1.29	2113-H
	150	3.4	84.3	0.062	20.07	0.86	M9777-ND	1.80	1.29	2114-H
	180	2.6	113.1	0.11	19.56	0.69	M9778-ND	1.80	1.29	2115-H
	220	2.4	134.4	0.12	19.56	0.69	M9779-ND	1.80	1.29	2116-H
	270	1.8	181.6	0.21	19.30	0.56	M9780-ND	2.04	1.46	2117-H
	330	1.7	216.3	0.23	19.30	0.56	M9781-ND	2.04	1.46	2118-H
	470	1.6	293.8	0.28	19.30	0.56	M9783-ND	2.04	1.46	2120-H
	560	1.5	341.5	0.30	20.07	0.56	M9784-ND	2.04	1.46	2121-H
	1000	1.3	559.2	0.40	20.57	0.56	M9787-ND	2.04	1.46	2124-H
1B	10	10.8	6.3	0.006	8.64	1.35	M9857-ND	1.80	1.29	2101-V
	18	7.4	11.9	0.013	8.38	1.07	M9860-ND	1.80	1.29	2104-V
	22	7.0	14.2	0.015	8.38	1.07	M9861-ND	1.80	1.29	2105-V
	27	5.3	19.1	0.026	8.13	0.86	M9862-ND	1.80	1.29	2106-V
	33	5.0	22.8	0.029	8.13	0.86	M9863-ND	1.80	1.29	2107-V
	39	4.8	26.4	0.032	8.13	0.86	M9864-ND	1.80	1.29	2108-V
	47	3.6	34.7	0.055	7.87	0.69	M9865-ND	1.80	1.29	2109-V
	56	3.4	40.6	0.060	7.87	0.69	M9866-ND	1.80	1.29	2110-V
	100	2.4	75.2	0.13	7.87	0.56	M9868-ND	1.80	1.29	2112-V
	150	3.4	84.3	0.062	8.89	0.86	M9870-ND	1.80	1.29	2114-V
	180	2.6	113.1	0.11	8.64	0.69	M9871-ND	1.80	1.29	2115-V
	220	2.4	134.4	0.12	8.64	0.69	M9872-ND	1.80	1.29	2116-V
	330	1.7	216.3	0.23	8.38	0.56	M9874-ND	2.04	1.46	2118-V
	390	1.7	250.1	0.25	8.38	0.56	M9875-ND	2.04	1.46	2119-V
	470	1.6	293.8	0.28	8.89	0.56	M9876-ND	2.04	1.46	2120-V
	1000	1.3	559.2	0.40	9.40	0.56	M9880-ND	2.04	1.46	2124-V
Serie 2200										
2A	22	10.3	13.4	0.010	22.35	1.35	M9792-ND	2.28	1.63	2205-H
	27	9.8	16.0	0.011	22.35	1.35	M9793-ND	2.28	1.63	2206-H
	33	7.4	21.6	0.020	22.10	1.07	M9794-ND	2.28	1.63	2207-H
	47	6.7	29.3	0.024	22.10	1.07	M9796-ND	2.28	1.63	2209-H
	56	6.4	34.1	0.026	22.10	1.07	M9797-ND	2.28	1.63	2210-H
	68	4.9	45.7	0.046	21.84	0.86	M9798-ND	2.28	1.63	2211-H
	100	4.4	64.0	0.056	21.84	0.86	M9799-ND	2.28	1.63	2212-H
	150	3.1	102.7	0.11	21.84	0.69	M9801-ND	2.28	1.63	2214-H
	270	3.4	149.4	0.092	22.86	0.86	M9804-ND	2.51	1.80	2217-H
	330	3.3	176.8	0.10	22.86	0.86	M9805-ND	2.51	1.80	2218-H
	470	2.3	275.9	0.19	22.35	0.69	M9807-ND	2.51	1.80	2220-H
	1000	1.9	521.3	0.28	23.11	0.69	M9811-ND	2.51	1.80	2224-H
2B	10	12.5	6.7	0.007	11.68	1.35	M9881-ND	2.28	1.63	2201-V
	12	12.0	7.9	0.008	11.68	1.35	M9882-ND	2.28	1.63	2202-V
	15	11.3	9.6	0.008	11.68	1.35	M9883-ND	2.28	1.63	2203-V
	18	10.8	11.3	0.009	11.68	1.35	M9884-ND	2.28	1.63	2204-V
	22	10.3	13.4	0.010	11.68	1.35	M9885-ND	2.28	1.63	2205-V
	27	9.8	16.0	0.011	11.68	1.35	M9886-ND	2.28	1.63	2206-V
	33	7.4	21.6	0.020	11.43	1.07	M9887-ND	2.28	1.63	2207-V
	47	6.7	29.3	0.024	11.43	1.07	M9889-ND	2.28	1.63	2209-V
	56	6.4	34.1	0.026	11.43	1.07	M9890-ND	2.28	1.63	2210-V
	100	4.4	64.0	0.056	11.18	0.86	M9892-ND	2.28	1.63	2212-V
	120	3.3	84.4	0.098	11.18	0.69	M9893-ND	2.28	1.63	2213-V
	220	3.6	125.6	0.083	12.19	0.86	M9896-ND	2.28	1.63	2216-V
	330	3.3	176.8	0.10	12.19	0.86	M9898-ND	2.51	1.80	2218-V
	470	2.3	275.9	0.19	11.68	0.69	M9900-ND	2.51	1.80	2220-V
	1000	1.9	521.3	0.28	12.45	0.69	M9904-ND	2.51	1.80	2224-V
Serie 2300										
3A	10	20.0	6.7	0.005	29.97	1.68	M9812-ND	2.35	1.77	2301-H
	15	18.0	9.5	0.006	29.97	1.68	M9814-ND	2.35	1.77	2303-H
	22	16.4	13.2	0.007	29.97	1.68	M9816-ND	2.35	1.77	2305-H
	27	15.6	15.7	0.008	29.97	1.68	M9817-ND	2.35	1.77	2306-H
	47	10.7	29.0	0.016	28.96	1.35	M9820-ND	2.35	1.77	2309-H
3A	56	10.2	33.7	0.017	28.96	1.35	M9821-ND	2.35	1.77	2310-H
	68	7.7	45.2	0.030	28.70	1.07	M9822-ND	2.35	1.77	2311-H
	100	7.0	63.1	0.037	28.70	1.07	M9823-ND	2.35	1.77	2312-H
	120	6.7	73.9	0.040	28.70	1.07	M9824-ND	2.35	1.77	2313-H
	180	4.8	118.9	0.078	28.45	0.86	M9826-ND	2.35	1.77	2315-H
	220	5.8	123.8	0.054	29.72	1.07	M9827-ND	2.35	1.77	2316-H
	330	5.2	174.1	0.067	29.72	1.07	M9829-ND	2.35	1.77	2318-H
	390	5.0	200.2	0.072	29.72	1.07	M9830-ND	2.35	1.77	2319-H
	470	3.8	271.4	0.13	29.46	0.86	M9831-ND	2.35	1.77	2320-H
	560	3.6	314.8	0.14	29.46	0.86	M9832-ND	2.35	1.77	2321-H
	680	3.4	370.7	0.15	29.46	0.86	M9833-ND	2.35	1.77	2322-H
	1000	2.4	593.6	0.30	28.96	0.69	M9835-ND	2.35	1.77	2324-H
3B	10	20.0	6.7	0.005	14.22	1.68	M9905-ND	2.35	1.77	2301-V
	12	19.1	7.8	0.005	14.22	1.68	M9906-ND	2.35	1.77	2302-V
	22	16.4	13.2	0.007	14.22	1.68	M9909-ND	2.35	1.77	2305-V
	27	15.6	15.7	0.008	14.22	1.68	M9910-ND	2.35	1.77	2306-V
	33	11.7	21.3	0.013	13.46	1.35	M9911-ND	2.35	1.77	2307-V
	39	11.2	24.7	0.014	13.46	1.35	M9912-ND	2.35	1.77	2308-V
	47	10.7	29.0	0.016	13.46	1.35	M9913-ND	2.35	1.77	2309-V
	56	10.2	33.7	0.017	13.46	1.35	M9914-ND	2.35	1.77	2310-V
	100	7.0	63.1	0.037	13.21	1.07	M9916-ND	2.35	1.77	2312-V
	120	6.7	73.9	0.040	13.21	1.07	M9917-ND	2.35	1.77	2313-V
	150	5.0	101.4	0.071	12.95	0.86	M9918-ND	2.35	1.77	2314-V
	270	5.5	147.2	0.060	14.22	1.07	M9921-ND	2.35	1.77	2317-V
	330	5.2	174.1	0.067	14.22	1.07	M9922-ND	2.35	1.77	2318-V
	390	5.0	200.2	0.072	14.22	1.07	M9923-ND	2.35	1.77	2319-V
	470	3.8	271.4	0.13	13.72	0.86	M9924-ND	2.35	1.77	2320-V
	1000	2.4	593.6	0.30	13.46	0.69	M9928-ND	2.35	1.77	2324-V
Geringer Verlust - bleifrei/RoHS-konform										
Serie 2100LL										
1A	10	11.4	5.2	0.005	0.80	0.053	M1400-ND	2.96	2.23	2100LL-100H-RC
	12	10.9	6.1	0.006	0.80	0.053	M1401-ND	2.96	2.23	2100LL-120H-RC
	15	10.5	7.3	0.006	0.80	0.053	M1402-ND	2.96	2.23	2100LL-150H-RC
	18	10.1	8.5	0.007	0.80	0.053	M1403-ND	2.96	2.23	2100LL-180H-RC
	22	7.5	11.8	0.012	0.78	0.042	M1404-ND	2.96	2.23	2100LL-220H-RC
	27	7.3	14.2	0.012	0.78	0.042	M1405-ND	2.96	2.23	2100LL-270H-RC
	33	6.9	16.6	0.014	0.78	0.042	M1406-ND	2.96	2.23	2100LL-330H-RC
	39	6.6	18.8	0.015	0.78	0.042	M1407-ND	2.96	2.23	2100LL-390H-RC
	47	5.2	25.3	0.024	0.76	0.034	M1408-ND	2.96	2.23	2100LL-470H-RC
	56	5.0	29.3	0.026	0.76	0.034	M1409-ND	2.96	2.23	2100LL-560H-RC
	68	4.7	34.0	0.030	0.76	0.034	M1410-ND	2.96	2.23	2100LL-680H-RC
	82	4.6	39.9	0.032	0.76	0.034	M1411-ND	2.96	2.23	2100LL-820H-RC
	100	4.3	46.2	0.036	0.76	0.034	M1412-ND	2.96	2.23	2100LL-101H-RC
	120	4.1	53.5	0.039	0.76	0.034	M1413-ND	2.96	2.23	2100LL-121H-RC
	150	3.9	63.8	0.043	0.76	0.034	M1414-ND	2.96	2.23	2100LL-151H-RC
	180	3.7	73.3	0.048	0.76	0.034	M1415-ND	2.96	2.23	2100LL-181H-RC
	220	3.5	85.1	0.053	0.76	0.034	M1416-ND	2.96	2.23	2100LL-221H-RC
	270	2.7	124.2	0.093	0.74	0.027	M1417-ND	2.96	2.23	2100LL-271H-RC
	330	2.5	145.1	0.103	0.74	0.027	M1418-ND	2.96	2.23	2100LL-331H-RC
	390	2.4	165.4	0.112	0.74	0.027	M1419-ND	2.96	2.23	2100LL-391H-RC
	470	2.3	190.1	0.124	0.76	0.027	M1420-ND	2.96	2.23	2100LL-471H-RC
Serie 2200LL										
2A	10	14.3	6.0	0.006	1.05	0.053	M1421-ND	4.02	3.02	2200LL-100H-RC
	12	14.2	6.9	0.006	1.05	0.053	M1422-ND	4.02	3.02	2200LL-120H-RC
	15	13.6	8.3	0.007	1.05	0.053	M1423-ND	4.02	3.02	2200LL-150H-RC
	18	13.1	9.7	0.007	1.05	0.053	M1424-ND	4.02	3.02	2200LL-180H-RC
	22	12.6	11.5	0.008	1.05	0.053	M1425-ND	4.02	3.02	2200LL-220H-RC
	27	11.8	13.5	0.009	1.05	0.053	M1426-ND	4.02	3.02	2200LL-270H-RC
	33	11.1	15.7	0.010	1.05	0.053	M1427-ND	4.02	3.02	2200LL-330H-RC
	39	10.8	18.1	0.011	1.05	0.053	M1428-ND	4.02	3.02	2200LL-390H-RC
	47	10.3	20.9	0.012	1.05	0.053	M1429-ND	4.02	3.02	2200LL-470H-RC
	56	9.8	23.9	0.013	1.05	0.053	M1430-ND	4.02	3.02	2200LL-560H-RC
	68	7.6	33.9	0.022	1.03	0.042	M1431-ND	4.02	3.02	2200LL-680H-RC
	82	7.1	39.0	0.024	1.03	0.042	M1432-ND	4.02	3.02	2200LL-820H-RC
	100	6.8	45.6	0.027	1.03	0.042	M1433-ND	4.02	3.02	2200LL-101H-RC
	120	5.1	63.4	0.047	1.01	0.034	M1434-ND	4.02	3.02	2200LL-121H-RC
	150	4.9	76.0	0.052	1.01	0.034	M1435-ND	4.02	3.02	2200LL-151H-RC
	180	4.7	88.5	0.057	1.01	0.034	M1436-ND	4.02	3.02	2200LL-181H-RC
	220	4.4	103.1	0.063	1.01	0.034	M1437-ND	4.02	3.02	2200LL-221H-RC
	270	4.2	121.1	0.070	1.01	0.034	M1438-ND	4.02	3.02	2200LL-271H-RC
	330	4.0	141.9	0.077	1.01	0.027	M1439-ND	4.02	3.02	2200LL-331H-RC
	390	3.8	161.2	0.084	1.01	0.027	M1440-ND	4.02	3.02	2200LL-391H-RC
	470	3.7	185.7	0.092	1.01	0.027	M1441-ND	4.02	3.02	2200LL-471H-RC
Hohe Temperatur										
Serie 2100HT										
1A	10	9.9	7.6	0.012	19.30	1.07	M1285-ND	2.17	1.55	2100HT-100-H
	15	9.1	11.0	0.014	19.30	1.07	M1286-ND	2.17	1.55	2100HT-150-H
	33	6.1	24.0	0.031	20.07	0.86	M1288-ND	2.23	1.59	2100HT-330-H
	47	5.6	33.1	0.036	20.07	0.86	M1289-ND	2.25	1.61	2100HT-470-H
	100	4.6	64.5	0.053	20.07	0.86	M1291-ND	2.73	1.65	2100HT-101-H
1B	47	5.6	33.1	0.036	8.89	0.86	M1296-ND	2.25	1.61	2100HT-470-V
Serie 2200HT										
2A	12	10.9	9.4	0.015	22.35	1.35	M1299-ND	2.58	1.85	2200HT-120-H
	39	8.1	27.4	0.026	22.10	1.07	M1302-ND	2.32	1.74	2200HT-390-H
	56	6.1	40.9	0.046	21.84	0.86	M1303-ND	2.36	1.78	2200HT-560-H
	180	4.6	115.6	0.082	22.86	0.86	M1306-ND	2.44	1.83	2200HT-181-H
2B	22	9.3	16.3	0.020	11.43	1.07	M1310-ND	2.64	1.89	2200HT-220-V
	100	5.3	68.9	0.061	12.19	0.86	M1311-ND	2.39	1.80	2200HT-101-V
Serie 2300HT										
3A	10	23.3	7.2	0.006	29.97	1.68	M1313-ND	3.35	2.52	2300HT-100-H
	33	13.6	23.0	0.015	28.96	1.35	M1316-ND	3.58	2.69	2300HT-330-H
	47	10.0	34.7	0.028	28.70	1.07	M1317-ND	3.61	2.71	2300HT-470-H
	150	7.5	97.9	0.050	29.72	1.07	M1320-ND	3.66	2.75	2300HT-151-H
	220	6.8	136.6	0.061	29.72	1.07	M1321-ND	3.68	2.77	2300HT-221-H
	330	4.9	218.3	0.10	29.46	0.94	M1322-ND	3.73	2.81	2300HT-331-H
	470	4.5	297.9	0.14	29.46	0.94	M1323-ND	3.76	2.82	2300HT-471-H
3B	10	23.3	7.2	0.006	14.22	1.68	M1325-ND	3.35	2.52	2300HT-100-V
	22	19.0	14.5	0.008	14.22	1.68	M1326-ND	3.56	2.67	2300HT-220-V
	47	10.0	34.7	0.028	13.21	1.07	M1327-ND	3.61	2.71	2300HT-470-V

Alle Preisangaben in Euro und inklusive Zollgebühren.

Hochstrom-HF-Drosseln

Serien 1110, 1120, 1130 und 1140

Serie 1110

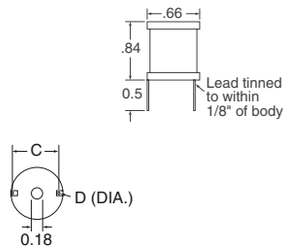

Serie 1120

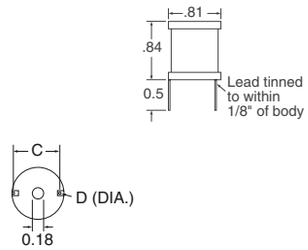

Serie 1130

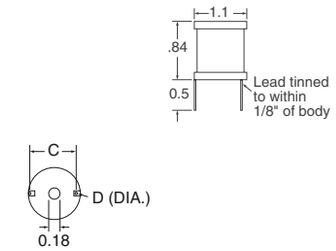

Serie 1140

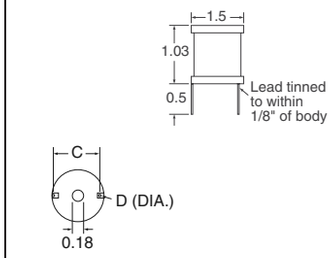

L (uH) ±20 % @ 1 kHz	DCR (Ω) max.	I, dc (A)	Abmessungen in Zoll C ca	Abmessungen in Zoll D nom.	Digi-Key Teilenr.	Stückpreis 1	Stückpreis 10	Stückpreis 25	J.W. Miller Teilenr.
HF-Drosseln, Serie 1110, 10 %									
10.00	0.01	9.00	0.55	0.05	M6220-ND	2.95	2.21	1.97	1110-100K
15.00	0.02	7.20	0.53	0.05	M6222-ND	2.95	2.21	1.97	1110-150K
22.00	0.02	5.50	0.53	0.05	M6224-ND	2.95	2.21	1.97	1110-220K
47.00	0.06	2.80	0.53	0.04	M6228-ND	2.95	2.21	1.97	1110-470K
68.00	0.08	2.80	0.50	0.03	M6230-ND	2.95	2.21	1.97	1110-680K
82.00	0.08	2.80	0.50	0.03	M6231-ND	2.95	2.21	1.97	1110-820K
100.00	0.10	2.80	0.50	0.03	M6232-ND	2.95	2.21	1.97	1110-101K
150.00	0.18	1.60	0.50	0.03	M6234-ND	2.95	2.21	1.97	1110-151K
220.00	0.24	1.60	0.50	0.03	M6236-ND	2.95	2.21	1.97	1110-221K
330.00	0.34	1.30	0.47	0.02	M6238-ND	2.95	2.21	1.97	1110-331K
390.00	0.46	1.00	0.47	0.02	M6239-ND	2.95	2.21	1.97	1110-391K
560.00	0.70	0.80	0.47	0.02	M6241-ND	2.95	2.21	1.97	1110-561K
HF-Drosseln, Serie 1120, 20 %									
1.00	0.00	11.40	0.63	0.07	M6242-ND	3.38	2.54	2.26	1120-1R0M
4.70	0.01	11.40	0.63	0.06	M6250-ND	3.38	2.54	2.26	1120-4R7M
HF-Drosseln, Serie 1120, 10 %									
10.00	0.01	11.40	0.63	0.06	M6254-ND	3.38	2.54	2.26	1120-100K
47.00	0.04	5.50	0.62	0.05	M6262-ND	3.38	2.54	2.26	1120-470K
68.00	0.05	4.80	0.62	0.04	M6264-ND	3.38	2.54	2.26	1120-680K
82.00	0.06	4.80	0.62	0.04	M6265-ND	3.38	2.54	2.26	1120-820K
100.00	0.08	4.00	0.62	0.04	M6266-ND	3.38	2.54	2.26	1120-101K
150.00	0.10	4.00	0.62	0.03	M6268-ND	3.38	2.54	2.26	1120-151K
220.00	0.15	2.80	0.62	0.03	M6270-ND	3.38	2.54	2.26	1120-221K
270.00	0.21	2.00	0.60	0.03	M6271-ND	3.38	2.54	2.26	1120-271K
470.00	0.36	1.60	0.60	0.03	M6274-ND	3.38	2.54	2.26	1120-471K
1000.00	0.82	1.00	0.60	0.02	M6278-ND	3.38	2.54	2.26	1120-102K

L (uH) ±20 % @ 1 kHz	DCR (Ω) max.	I, dc (A)	Abmessungen in Zoll C ca	Abmessungen in Zoll D nom.	Digi-Key Teilenr.	Stückpreis 1	Stückpreis 10	Stückpreis 25	J.W. Miller Teilenr.
HF-Drosseln, Serie 1130, 20 %									
1.20	0.00	21.00	0.80	0.08	M6284-ND	5.21	3.91	3.48	1130-1R2M
2.20	0.00	21.00	0.80	0.08	M6287-ND	5.21	3.91	3.48	1130-2R2M
HF-Drosseln, Serie 1130, 10 %									
33.00	0.02	13.50	0.79	0.06	M6301-ND	5.21	3.91	3.48	1130-330K
39.00	0.02	11.40	0.79	0.06	M6302-ND	5.21	3.91	3.48	1130-390K
82.00	0.03	9.00	0.79	0.05	M6306-ND	5.21	3.91	3.48	1130-820K
100.00	0.03	9.00	0.79	0.05	M6307-ND	5.21	3.91	3.48	1130-101K
120.00	0.05	7.20	0.79	0.05	M6308-ND	5.21	3.91	3.48	1130-121K
220.00	0.08	5.50	0.77	0.04	M6311-ND	5.21	3.91	3.48	1130-221K
470.00	0.19	4.00	0.77	0.04	M6315-ND	5.21	3.91	3.48	1130-471K
560.00	0.21	4.00	0.77	0.03	M6316-ND	5.21	3.91	3.48	1130-561K
680.00	0.26	2.80	0.77	0.03	M6317-ND	5.21	3.91	3.48	1130-681K
1500.00	0.52	2.00	0.75	0.03	M6321-ND	5.21	3.91	3.48	1130-152K
3300.00	1.27	1.30	0.75	0.02	M6325-ND	5.21	3.91	3.48	1130-332K
4700.00	1.86	1.00	0.75	0.02	M6327-ND	5.21	3.91	3.48	1130-472K
HF-Drosseln, Serie 1140, 10 %									
18.00	0.01	27.00	1.15	0.08	M6340-ND	8.09	7.20	6.30	1140-180K
47.00	0.02	14.40	1.15	0.07	M6345-ND	8.09	7.20	6.30	1140-470K
68.00	0.02	14.40	1.15	0.06	M6347-ND	8.09	7.20	6.30	1140-680K
100.00	0.03	14.40	1.15	0.06	M6349-ND	8.09	7.20	6.30	1140-101K
120.00	0.03	14.40	1.15	0.06	M6350-ND	8.09	7.20	6.30	1140-121K
220.00	0.05	11.40	1.15	0.05	M6353-ND	8.09	7.20	6.30	1140-221K
330.00	0.07	11.40	1.15	0.05	M6355-ND	8.09	7.20	6.30	1140-331K
820.00	0.15	7.20	1.15	0.04	M6360-ND	8.09	7.20	6.30	1140-821K
1200.00	0.23	5.50	1.14	0.04	M6362-ND	8.09	7.20	6.30	1140-122K
2200.00	0.49	4.00	1.10	0.03	M6365-ND	8.09	7.20	6.30	1140-222K
3900.00	0.85	2.80	1.10	0.03	M6368-ND	8.09	7.20	6.30	1140-392K
4700.00	1.14	2.00	1.12	0.03	M6369-ND	8.09	7.20	6.30	1140-472K
10,000.00	2.76	1.30	1.11	0.02	M6373-ND	8.09	7.20	6.30	1140-103K
15,000.00	3.39	1.30	1.10	0.02	M6375-ND	8.09	7.20	6.30	1140-153K

D

Konform beschichtete HF-Drosseln

Merkmale: • Epoxidbeschichtung • Betriebstemperatur: -55 °C ~ 105 °C

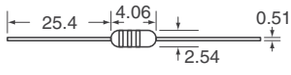

Abm. in mm

L (µH) 20 %	Q min.	Test-frequ. (MHz)	I, dc max. (mA)	Digi-Key Teilenr.	Stückpreis 1	Stückpreis 10	J.W. Miller Teilenr.
0.10	35	25	700	M1350-ND	.25	.21	79FR10M
0.12	35	25	660	M1351-ND	.25	.21	79FR12M
0.15	35	25	620	M1352-ND	.25	.21	79FR15M
0.18	35	25	600	M1353-ND	.25	.21	79FR18M
0.22	35	25	400	M1354-ND	.25	.21	79FR22M
0.27	35	25	380	M1355-ND	.25	.21	79FR27M
0.33	35	25	370	M1356-ND	.25	.21	79FR33M
0.39	35	25	350	M1357-ND	.25	.21	79FR39M
0.47	35	25	330	M1358-ND	.25	.21	79FR47M
0.56	35	25	320	M1359-ND	.25	.21	79FR56M
0.68	35	25	310	M1360-ND	.25	.21	79FR68M
0.82	35	25	290	M1361-ND	.25	.21	79FR82M

L (µH) 20 %	Q min.	Test-frequ. (MHz)	I, dc max. (mA)	Digi-Key Teilenr.	Stückpreis 1	Stückpreis 10	J.W. Miller Teilenr.
1.0	35	25	270	M1362-ND	.25	.21	79F1R0K
1.2	40	7.9	260	M1363-ND	.25	.21	79F1R2K
1.5	40	7.9	250	M1364-ND	.25	.21	79F1R5K
1.8	40	7.9	240	M1365-ND	.25	.21	79F1R8K
2.2	40	7.9	230	M1366-ND	.25	.21	79F2R2K
2.7	40	7.9	220	M1367-ND	.25	.21	79F2R7K
3.3	40	7.9	210	M1368-ND	.25	.21	79F3R3K
3.9	40	7.9	200	M1369-ND	.25	.21	79F3R9K
4.7	40	7.9	190	M1370-ND	.25	.21	79F4R7K
5.6	40	7.9	180	M1371-ND	.25	.21	79F5R6K
6.8	40	7.9	175	M1372-ND	.25	.21	79F6R8K
8.2	40	7.9	165	M1373-ND	.25	.21	79F8R2K
10	40	2.5	160	M1374-ND	.25	.21	79F100K
12	40	2.5	150	M1375-ND	.25	.21	79F120K

L (µH) 20 %	Q min.	Test-frequ. (MHz)	I, dc max. (mA)	Digi-Key Teilenr.	Stückpreis 1	Stückpreis 10	J.W. Miller Teilenr.
15	40	2.5	145	M1376-ND	.25	.21	79F150K
18	40	2.5	140	M1377-ND	.25	.21	79F180K
22	40	2.5	100	M1378-ND	.25	.21	79F220K
27	40	2.5	80	M1379-ND	.25	.21	79F270K
33	40	2.5	75	M1380-ND	.25	.21	79F330K
39	40	2.5	74	M1381-ND	.25	.21	79F390K
47	40	2.5	70	M1382-ND	.25	.21	79F470K
56	40	2.5	68	M1383-ND	.25	.21	79F560K
68	40	2.5	64	M1384-ND	.25	.21	79F680K
82	40	2.5	46	M1385-ND	.25	.21	79F820K
100	40	2.5	44	M1386-ND	.25	.21	79F101K
120	40	0.79	42	M1387-ND	.25	.21	79F121K
150	40	0.79	39	M1388-ND	.25	.21	79F151K
180	40	0.79	37	M1389-ND	.25	.21	79F181K
220	40	0.79	35	M1390-ND	.25	.21	79F221K
270	40	0.79	25	M1391-ND	.25	.21	79F271K
330	40	0.79	25	M1392-ND	.25	.21	79F331K
390	40	0.79	25	M1393-ND	.25	.21	79F391K
470	40	0.79	24	M1394-ND	.25	.21	79F471K

Alle Preisangaben in Euro und inklusive Zollgebühren.

J.W.Miller MAGNETICS

Hash-Drossel

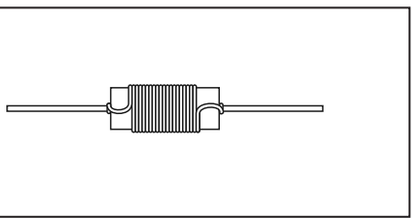

Abmessungen: Formlänge: 31,75 mm; Anschlusslänge: 31,75 mm

L (µH)	R, dc max. (Ω)	I, dc max. (A)	Spule Durchm. Max. (mm)	Digi-Key Teilenr.	Stückpreis 1	Stückpreis 10	J.W. Miller Teilenr.
Ferritkern							
4	.012	8	9.65	M5230-ND	1.59	1.20	5230
40	.082	3	7.87	M5240-ND	1.59	1.20	5240
68	.054	5	14.22	M5248-ND	1.85	1.33	5248
100	.216	2	9.65	M5250-ND	1.85	1.33	5250
125	.08	3.5	12.70	M5252-ND	1.85	1.33	5252
250	.17	2.5	11.18	M5254-ND	1.85	1.33	5254
500	.26	2	14.22	M5256-ND	1.85	1.33	5256
1000	.55	1	12.70	M5258-ND	1.90	1.37	5258

D

Radialanschluss, hohe Stromstärke, RF-Drosseln

Teile haben eine Schutzhülle gemäß VWI

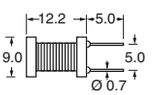

Abm. in mm

L (µH)	Q min.	Test-frequ. (MHz)	I, dc max. (A)	R, dc max. (Ω)	Digi-Key Teilenr.	Stückpreis 1	Stückpreis 10	J.W.Miller Teilenr.
1.0†	20	7.96	10	.013	M6001-ND	1.28	.96	6000-1R0M
1.5†	20	7.96	8.5	.016	M6002-ND	1.28	.96	6000-1R5M
2.2†	20	7.96	6.5	.021	M6003-ND	1.28	.96	6000-2R2M
3.3†	20	7.96	5.5	.025	M6004-ND	1.28	.96	6000-3R3M
4.7†	20	7.96	4.6	.030	M6005-ND	1.28	.96	6000-4R7M
6.8†	20	7.96	4.1	.035	M6006-ND	1.28	.96	6000-6R8M
10††	50	2.52	3.4	.045	M6007-ND	1.28	.96	6000-100K
12††	50	2.52	3.1	.050	M6008-ND	1.28	.96	6000-120K
15††	50	2.52	2.9	.056	M6009-ND	1.28	.96	6000-150K
18††	40	2.52	2.66	.061	M6010-ND	1.28	.96	6000-180K
22††	40	2.52	2.4	.070	M6011-ND	1.28	.96	6000-220K
27††	40	2.52	2.22	.080	M6012-ND	1.28	.96	6000-270K
33††	30	2.52	2.05	.090	M6013-ND	1.28	.96	6000-330K
39††	30	2.52	1.85	.10	M6014-ND	1.28	.96	6000-390K
47††	30	2.52	1.77	.16	M6015-ND	1.28	.96	6000-470K
56††	30	2.52	1.48	.18	M6016-ND	1.28	.96	6000-560K
68††	30	2.52	1.36	.21	M6017-ND	1.28	.96	6000-680K
82††	30	2.52	1.3	.23	M6018-ND	1.28	.96	6000-820K
100††	20	.796	1.4	.28	M6019-ND	1.28	.96	6000-101K
120††	20	.796	1.25	.32	M6020-ND	1.28	.96	6000-121K
150††	20	.796	1.15	.37	M6021-ND	1.28	.96	6000-151K
180††	20	.796	1.08	.58	M6022-ND	1.28	.96	6000-181K
220††	20	.796	1.0	.65	M6023-ND	1.28	.96	6000-221K
270††	20	.796	.90	.75	M6024-ND	1.28	.96	6000-271K
330††	20	.796	.78	.85	M6025-ND	1.28	.96	6000-331K
390††	20	.796	.74	1.0	M6026-ND	1.28	.96	6000-391K
470††	20	.796	.68	1.1	M6027-ND	1.28	.96	6000-471K
560††	20	.796	.64	1.4	M6028-ND	1.28	.96	6000-561K
680††	20	.796	.59	1.6	M6029-ND	1.28	.96	6000-681K
820††	20	.796	.56	1.8	M6030-ND	1.28	.96	6000-821K
1000††	50	.252	.51	2.9	M6031-ND	1.28	.96	6000-102K

† 20 %; †† 10 % Toleranz.

RF-Drosseln, gewendelt

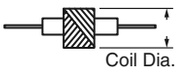

L (µH) 5%	Q min.	Test-frequ. (MHz)	I, dc max. (mA)	Spule Durchm. Zoll (mm)	Digi-Key Teilenr.	Stückpreis 1	Stückpreis 10	J.W. Miller Teilenr.
Eisenkern								
1.0†	41	25	2041	.165 (4.19)	M7010-ND	.86	.69	70F106AI
2.2††	43	7.9	1132	.16 (4.06)	M72R2-ND	1.04	.83	70F226AI
3.3††	40	7.9	912	.15 (3.81)	M73R3-ND	1.04	.83	70F336AI
4.7††	43	7.9	661	.15 (3.81)	M74R7-ND	1.04	.83	70F476AI
6.8††	40	7.9	566	.15 (3.81)	M76R8-ND	1.04	.83	70F686AI
10††	36	7.9	277	.16 (4.06)	M7100-ND	1.01	.76	70F105AI
22	51	2.5	229	.165 (4.19)	M7220-ND	1.01	.76	70F225AI
33	50	2.5	208	.17 (4.32)	M7330-ND	1.01	.76	70F335AI
47	44	2.5	188	.175 (4.44)	M7470-ND	1.01	.76	70F475AI
68	42	2.5	169	.18 (4.57)	M7680-ND	1.01	.76	70F685AI
100	25	2.5	139	.165 (4.19)	M7101-ND	1.10	.83	70F104AI
220	46	.79	114	.17 (4.32)	M7221-ND	1.10	.83	70F224AI
330	41	.79	103	.175 (4.44)	M7331-ND	1.10	.83	70F334AI
470	35	.79	95	.185 (4.70)	M7471-ND	1.10	.83	70F474AI
680	37	.79	87	.2 (5.08)	M7681-ND	1.16	.87	70F684AI
1000	30	.79	79	.225 (5.71)	M7102-ND	1.16	.87	70F103AI
2200	40	.25	57	.24 (6.10)	M7222-ND	1.19	.90	70F223AI
3300	52	.25	53	.26 (6.60)	M7332-ND	1.19	.90	70F333AI
4700	49	.25	48	.285 (7.24)	M7472-ND	1.30	.98	70F473AI
6800	51	.25	43	.31 (7.87)	M7682-ND	1.30	.98	70F683AI
10,000	41	.25	38	.335 (8.51)	M7103-ND	1.24	.93	70F102AI
22,000	50	.079	41	.33 (8.38)	M7223-ND	1.90	1.37	70F222AI
Ferritkern								
33,000	61	.079	43	.353 (8.97)	M7333-ND	2.62	1.88	70F332AF
47,000	57	.079	38	.384 (9.75)	M7473-ND	2.62	1.88	70F472AF
68,000	57	.079	34	.415 (10.54)	M7683-ND	2.62	1.88	70F682AF
100,000	48	.079	29	.446 (11.33)	M7104-ND	1.81	1.30	70F101AF
220,000	51	.025	39	.54 (13.72)	M7224-ND	1.98	1.42	70F221AF
330,000	54	.025	34	.58 (14.73)	M7334-ND	2.19	1.57	70F331AF
470,000	55	.025	30	.615 (15.62)	M7474-ND	2.19	1.57	70F471AF

† 20 %; †† 10 % Toleranz.

Vergossene RF-Drosseln

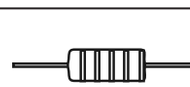

Abmessungen der Serie 9230: Formlänge: 6,35 mm; Formdurchmesser: 2,41 mm; Anschlusslänge: 38,10 mm; Anschlüsse: 24 AWG. Toleranz: ±10 %.

Abmessungen der Serie 9250: Formlänge: 10,41 mm; Formdurchmesser: 4,11 mm; Anschlusslänge: 36,53 mm; Anschlüsse: 22 AWG. Toleranz: ±10 %.

L (µH)	Q min.	Test-frequ. (MHz)	I, dc max. (mA)	Spule Durchm. Zoll (mm)	Digi-Key Teilenr.	Stückpreis 1	Stückpreis 10	J.W. Miller Teilenr.
Phenolkern								
0.1	40	25.0	1100	.095 (2.41)	M9R10-ND	.96	.77	9230-94
0.22	33	25.0	935	.095 (2.41)	M9R22-ND	.88	.71	9230-04
0.33	30	25.0	780	.095 (2.41)	M9R33-ND	.88	.71	9230-08
0.39	30	25.0	640	.095 (2.41)	M9R39-ND	.88	.71	9230-10
0.47	30	25.0	590	.095 (2.41)	M9R47-ND	.88	.71	9230-12
0.82	28	25.0	380	.095 (2.41)	M9R82-ND	.88	.71	9230-18
1.0	25	25.0	350	.095 (2.41)	M9010-ND	.88	.71	9230-20
Eisenkern								
2.2	30	7.9	550	.095 (2.41)	M92R2-ND	.96	.72	9230-28
3.3	45	7.9	380	.095 (2.41)	M93R3-ND	.96	.72	9230-32
4.7	45	7.9	320	.095 (2.41)	M94R7-ND	.96	.72	9230-36
6.8	50	7.9	245	.095 (2.41)	M96R8-ND	1.08	.81	9230-40
10.0	55	7.9	180	.095 (2.41)	M9100-ND	1.08	.81	9230-44
22.0	50	2.5	190	.095 (2.41)	M9220-ND	1.10	.83	9230-52
Ferritkern								
33.0	45	2.5	187	.095 (2.41)	M9330-ND	1.17	.88	9230-56
47.0	45	2.5	165	.095 (2.41)	M9470-ND	1.17	.88	9230-60
68.0	50	2.5	135	.095 (2.41)	M9680-ND	1.17	.88	9230-64
100.0	50	2.5	125	.095 (2.41)	M9101-ND	1.29	.97	9230-68
220.0	30	0.79	73	.095 (2.41)	M9221-ND	1.29	.97	9230-76
330.0	30	0.79	62	.095 (2.41)	M9331-ND	1.29	.97	9230-80
470.0	30	0.79	50	.095 (2.41)	M9471-ND	1.29	.97	9230-84
680.0	30	0.79	42	.095 (2.41)	M9681-ND	1.29	.97	9230-88
1000.0	30	0.79	38	.095 (2.41)	M9102-ND	1.57	1.19	9230-92
Phenolkern (abgeschirmt)								
0.1	50	25.0	1790	.162 (4.11)	M9201-ND	1.61	1.16	9250-101
0.12	51	25.0	1530	.162 (4.11)	M9202-ND	1.61	1.16	9250-121
0.15	51	25.0	1470	.162 (4.11)	M9203-ND	1.61	1.16	9250-151
0.18	50	25.0	1300	.162 (4.11)	M9204-ND	1.61	1.16	9250-181
0.22	49	25.0	1100	.162 (4.11)	M9205-ND	1.61	1.16	9250-221
0.27	47	25.0	855	.162 (4.11)	M9206-ND	1.61	1.16	9250-271
0.33	46	25.0	780	.162 (4.11)	M9207-ND	1.61	1.16	9250-331
0.39	44	25.0	670	.162 (4.11)	M9208-ND	1.61	1.16	9250-391
0.56	43	25.0	490	.162 (4.11)	M9210-ND	1.61	1.16	9250-561
0.68	42	25.0	420	.162 (4.11)	M9211-ND	1.61	1.16	9250-681
0.82	40	25.0	370	.162 (4.11)	M9212-ND	1.61	1.16	9250-821
Eisenkern (abgeschirmt)								
1.0	44	25.0	1070	.162 (4.11)	M9213-ND	1.68	1.21	9250-102
1.2	44	7.9	895	.162 (4.11)	M9214-ND	1.68	1.21	9250-122
1.5	44	7.9	815	.162 (4.11)	M9215-ND	1.68	1.21	9250-152
1.8	44	7.9	775	.162 (4.11)	M9216-ND	1.68	1.21	9250-182
2.2	44	7.9	650	.162 (4.11)	M9217-ND	1.68	1.21	9250-222
2.7	44	7.9	535	.162 (4.11)	M9218-ND	1.68	1.21	9250-272
3.3	44	7.9	480	.162 (4.11)	M9219-ND	1.68	1.21	9250-332
3.9	44	7.9	450	.162 (4.11)	M9222-ND	1.68	1.21	9250-392
4.7	44	7.9	380	.162 (4.11)	M9223-ND	1.68	1.21	9250-472
5.6	44	7.9	335	.162 (4.11)	M9224-ND	1.68	1.21	9250-562
6.8	50	7.9	280	.162 (4.11)	M9225-ND	1.68	1.21	9250-682
8.2	50	7.9	250	.162 (4.11)	M9226-ND	1.68	1.21	9250-822
10.0	50	7.9	220	.162 (4.11)	M9227-ND	1.68	1.21	9250-103
12.0	55	2.5	200	.162 (4.11)	M9228-ND	1.68	1.21	9250-123
Ferritkern (abgeschirmt)								
15.0	45	2.5	315	.162 (4.11)	M9229-ND	1.68	1.21	9250-153
18.0	45	2.5	300	.162 (4.11)	M9230-ND	2.02	1.45	9250-183
22.0	45	2.5	290	.162 (4.11)	M9231-ND	1.68	1.21	9250-223
27.0	45	2.5	260	.162 (4.11)	M9232-ND	2.02	1.45	9250-273
33.0	45	2.5	240	.162 (4.11)	M9233-ND	1.85	1.33	9250-333
39.0	50	2.5	205	.162 (4.11)	M9234-ND	1.85	1.33	9250-393
47.0	50	2.5	195	.162 (4.11)	M9235-ND	1.85	1.33	9250-473
56.0	50	2.5	190	.162 (4.11)	M9236-ND	1.85	1.33	9250-563
68.0	50	2.5	170	.162 (4.11)	M9237-ND	1.85	1.33	9250-683
82.0	50	2.5	180	.162 (4.11)	M9238-ND	2.02	1.45	9250-823
100	50	2.5	160	.162 (4.11)	M9239-ND	2.02	1.45	9250-104
120	55	.79	150	.162 (4.11)	M9240-ND	2.02	1.45	9250-124
150	55	.79	140	.162 (4.11)	M9241-ND	2.02	1.45	9250-154
180	55	.79	135	.162 (4.11)	M9242-ND	2.02	1.45	9250-184
270	55	.79	115	.162 (4.11)	M9244-ND	2.02	1.45	9250-274
330	55	.79	110	.162 (4.11)	M9245-ND	2.02	1.45	9250-334
390	60	.79	105	.162 (4.11)	M9246-ND	2.02	1.45	9250-394
470	60	.79	92	.162 (4.11)	M9247-ND	2.02	1.45	9250-474
560	60	.79	90	.162 (4.11)	M9248-ND	2.02	1.45	9250-564
680	60	.79	80	.162 (4.11)	M9249-ND	2.02	1.45	9250-684
820	60	.79	80	.162 (4.11)	M9250-ND	2.02	1.45	9250-824
1,000	60	.79	70	.162 (4.11)	M9251-ND	2.02	1.45	9250-105
1,200	45	.25	60	.162 (4.11)	M9252-ND	2.32	1.66	9250-125
1,500	45	.25	55	.162 (4.11)	M9253-ND	2.32	1.66	9250-155
1,800	45	.25	50	.162 (4.11)	M9254-ND	2.32	1.66	9250-185
2,700	45	.25	40	.162 (4.11)	M9256-ND	2.32	1.66	9250-275
3,300	45	.25	40	.162 (4.11)	M9257-ND	2.32	1.66	9250-335
3,900	45	.25	35	.162 (4.11)	M9258-ND	2.32	1.66	9250-395
4,700	45	.25	31	.162 (4.11)	M9259-ND	2.50	1.79	9250-475
5,600	44	.25	28	.162 (4.11)	M9260-ND	2.50	1.79	9250-565
6,800	40	.25	27	.162 (4.11)	M9261-ND	2.50	1.79	9250-685
8,200	40	.25	26	.162 (4.11)	M9262-ND	2.50	1.79	9250-825
10,000	40	.25	24	.162 (4.11)	M9263-ND	2.50	1.79	9250-106
12,000	30	.079	23	.162 (4.11)	M9264-ND	2.38	1.79	9250-126
15,000	30	.079	22	.162 (4.11)	M9265-ND	2.32	1.66	9250-156
18,000	30	.079	21	.162 (4.11)	M9266-ND	3.17	2.39	9250-186
22,000	27	.079	17	.162 (4.11)	M9267-ND	4.19	3.15	9250-226
33,000	27	.079	15	.162 (4.11)	M9269-ND	4.19	3.15	9250-336
39,000	27	.079	15	.162 (4.11)	M9270-ND	4.19	3.15	9250-396
47,000	23	.079	13	.162 (4.11)	M9271-ND	4.19	3.15	9250-476
56,000	23	.079	13	.162 (4.11)	M9272-ND	5.33	4.00	9250-566
68,000	23	.079	12	.162 (4.11)	M9273-ND	5.33	4.00	9250-686
82,000	21	.079	11	.162 (4.11)	M9274-ND	5.54	4.16	9250-826
100,000	18	.079	11	.162 (4.11)	M9275-ND	6.86	5.15	9250-107

Alle Preisangaben in Euro und inklusive Zollgebühren.

J.W.Miller MAGNETICS

Filter und Miniaturdrosseln f. hohe Stromstärken

Abm. in mm.

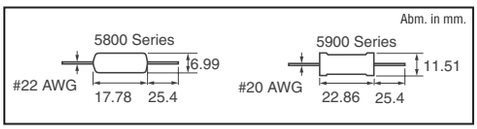

Induktivität ±15 % @ 1 kHz. Spulen haben eine Schutzhülle gemäß VW1. Anschlüsse Nr. 20, Kupfer, verzinnt, min. 1" (25,4 mm) lang Umgebungstemperatur: -55 °C ~ 125 °C.

L (µH) @ 0 DC	Max. DCR Ω @ +20°C	Nennstrom A	Digi-Key Teilenr.	Stückpreis 1	10	J.W.Miller Teilenr.
Serie 5800						
3.9	.019	1.28	M5801-ND	1.25	.94	5800-3R9
4.7	.022	1.28	M5802-ND	1.25	.94	5800-4R7
5.6	.024	1.28	M5803-ND	1.25	.94	5800-5R6
6.8	.026	1.28	M5804-ND	1.25	.94	5800-6R8
8.2	.028	1.28	M5805-ND	1.25	.94	5800-8R2
10	.033	1.28	M5806-ND	1.25	.94	5800-100
12	.037	1.28	M5807-ND	1.25	.94	5800-120
15	.040	1.28	M5808-ND	1.25	.94	5800-150
18	.044	1.28	M5809-ND	1.25	.94	5800-180
22	.050	1.28	M5810-ND	1.25	.94	5800-220
27	.058	1.28	M5811-ND	1.25	.94	5800-270
33	.075	1.008	M5812-ND	1.25	.94	5800-330
39	.094	0.804	M5813-ND	1.25	.94	5800-390
47	.109	0.804	M5814-ND	1.25	.94	5800-470
56	.140	0.804	M5815-ND	1.25	.94	5800-560
68	.145	0.804	M5816-ND	1.25	.94	5800-680
82	.152	0.804	M5817-ND	1.25	.94	5800-820
100	.208	0.632	M5818-ND	1.25	.94	5800-101
120	.283	0.508	M5819-ND	1.25	.94	5800-121
150	.340	0.508	M5820-ND	1.25	.94	5800-151
180	.362	0.508	M5821-ND	1.25	.94	5800-181
220	.430	0.508	M5822-ND	1.25	.94	5800-221
270	.557	0.400	M5823-ND	1.25	.94	5800-271
330	.665	0.400	M5824-ND	1.25	.94	5800-331
390	.772	0.400	M5825-ND	1.25	.94	5800-391
470	1.15	0.315	M5826-ND	1.25	.94	5800-471
560	1.27	0.315	M5827-ND	1.25	.94	5800-561
680	1.61	0.250	M5828-ND	1.25	.94	5800-681
820	1.96	0.200	M5829-ND	1.25	.94	5800-821
1000	2.30	0.200	M5830-ND	1.25	.94	5800-102
1200	2.65	0.200	M5831-ND	1.25	.94	5800-122
1500	3.45	0.158	M5832-ND	1.25	.94	5800-152
1800	4.03	0.158	M5833-ND	1.25	.94	5800-182
2200	4.48	0.158	M5834-ND	1.25	.94	5800-222
2700	5.90	0.125	M5835-ND	1.25	.94	5800-272
3300	6.56	0.125	M5836-ND	1.25	.94	5800-332
3900	8.63	0.100	M5837-ND	1.25	.94	5800-392
4700	10.5	0.100	M5838-ND	1.25	.94	5800-472
5600	13.9	0.082	M5839-ND	1.25	.94	5800-562
6800	16.3	0.082	M5840-ND	1.25	.94	5800-682
8200	20.8	0.065	M5841-ND	1.25	.94	5800-822
10000	26.4	0.050	M5842-ND	1.25	.94	5800-103
15000	42.5	0.039	M5844-ND	1.25	.94	5800-153
18000	48.3	0.039	M5845-ND	1.25	.94	5800-183
Serie 5900						
3.9	.007	4.0	M5901-ND	2.23	1.59	5900-3R9
4.7	.008	4.0	M5902-ND	2.23	1.59	5900-4R7
10	.017	4.0	M5906-ND	2.23	1.59	5900-100
22	.026	4.0	M5910-ND	2.23	1.59	5900-220
33	.032	4.0	M5912-ND	2.23	1.59	5900-330
47	.035	4.0	M5914-ND	2.23	1.59	5900-470
56	.037	3.2	M5915-ND	2.23	1.59	5900-560
68	.047	2.5	M5916-ND	2.23	1.59	5900-680
82	.060	2.0	M5917-ND	2.23	1.59	5900-820
100	.090	1.6	M5918-ND	2.23	1.59	5900-101
150	.129	1.6	M5920-ND	2.23	1.59	5900-151
180	.150	1.6	M5921-ND	2.23	1.59	5900-181
220	.162	1.6	M5922-ND	2.23	1.59	5900-221
330	.212	1.6	M5924-ND	2.23	1.59	5900-331
390	.281	1.6	M5925-ND	2.23	1.59	5900-391
470	.380	1.2	M5926-ND	2.23	1.59	5900-471
560	.420	1.0	M5927-ND	2.23	1.59	5900-561
680	.548	1.0	M5928-ND	2.23	1.59	5900-681
1000	.844	0.8	M5930-ND	2.23	1.60	5900-102
2200	2.00	0.5	M5934-ND	2.23	1.59	5900-222
3900	2.75	0.4	M5937-ND	2.23	1.59	5900-392
4700	3.19	0.4	M5938-ND	2.23	1.59	5900-472
10000	7.30	0.250	M5942-ND	2.94	2.20	5900-103
100000	89.7	0.065	M5954-ND	2.94	2.20	5900-104

Einheitlich mit Epoxid beschichtete Induktoren

Formlänge: .300" (7.62mm) **Anschlusslänge:** 2.62" (66.55mm)

Formdurchmesser: .120" (3.05mm) **Anschlüsse:** .022"Ø (.56mm Ø)

L± 10% µH	Q min.	Test-frequ. MHz	I, dc max. mA	Digi-Key Teilenr.	Stückpreis 1	10	J.W. Miller Teilenr.
Phenolkern							
.10	40	25.0	1100	M8001-ND	.96	.77	8230-94
.12	40	25.0	1100	M8002-ND	.96	.77	8230-96
.15	38	25.0	1100	M8003-ND	1.06	.85	8230-00
.18	35	25.0	1010	M8004-ND	1.06	.85	8230-02
.22	33	25.0	935	M8005-ND	1.06	.85	8230-04
.27	33	25.0	875	M8006-ND	1.06	.85	8230-06
.33	30	25.0	780	M8007-ND	1.06	.85	8230-08
.39	30	25.0	640	M8008-ND	1.06	.85	8230-10
.47	30	25.0	590	M8009-ND	1.06	.85	8230-12
.56	30	25.0	495	M8010-ND	1.06	.85	8230-14
.68	28	25.0	450	M8011-ND	1.06	.85	8230-16
.82	28	25.0	380	M8012-ND	1.06	.85	8230-18
1.00	25	25.0	350	M8013-ND	1.06	.85	8230-20
Eisenkern							
1.50	28	7.9	745	M8015-ND	1.01	.76	8230-24
1.80	30	7.9	640	M8016-ND	1.01	.76	8230-26
2.20	30	7.9	550	M8017-ND	1.01	.76	8230-28
2.70	37	7.9	495	M8018-ND	1.01	.76	8230-30
3.30	45	7.9	380	M8019-ND	1.01	.76	8230-32
3.90	45	7.9	350	M8020-ND	1.01	.76	8230-34
5.60	50	7.9	260	M8022-ND	1.01	.76	8230-38
6.80	50	7.9	245	M8023-ND	1.01	.76	8230-40
8.20	55	7.9	210	M8024-ND	1.01	.76	8230-42
10.00	55	7.9	180	M8025-ND	1.01	.76	8230-44
12.00	45	2.5	210	M8026-ND	1.01	.76	8230-46
15.00	45	2.5	205	M8027-ND	1.01	.76	8230-48
18.00	50	2.5	195	M8028-ND	1.01	.76	8230-50
22.00	50	2.5	190	M8029-ND	1.01	.76	8230-52
27.00	50	2.5	185	M8030-ND	1.01	.76	8230-54
Ferritkern							
33.00	45	2.5	187	M8031-ND	1.16	.88	8230-56
39.00	45	2.5	180	M8032-ND	1.16	.88	8230-58
47.00	45	2.5	165	M8033-ND	1.16	.88	8230-60
56.00	45	2.5	145	M8034-ND	1.16	.88	8230-62
68.00	50	2.5	135	M8035-ND	1.16	.88	8230-64
82.00	50	2.5	130	M8036-ND	1.16	.88	8230-66
100.00	50	2.5	125	M8037-ND	1.16	.88	8230-68
120.00	30	.79	97	M8038-ND	1.16	.88	8230-70
150.00	30	.79	85	M8039-ND	1.16	.88	8230-72
180.00	30	.79	79	M8040-ND	1.16	.88	8230-74
220.00	30	.79	73	M8041-ND	1.16	.88	8230-76
270.00	30	.79	65	M8042-ND	1.24	.93	8230-78
330.00	30	.79	62	M8043-ND	1.24	.93	8230-80
390.00	30	.79	55	M8044-ND	1.24	.93	8230-82
470.00	30	.79	50	M8045-ND	1.24	.93	8230-84
560.00	30	.79	48	M8046-ND	1.24	.93	8230-86
680.00	30	.79	42	M8047-ND	1.24	.93	8230-88
820.00	30	.79	40	M8048-ND	1.40	1.05	8230-90
1,000.00	30	.79	38	M8049-ND	1.40	1.05	8230-92

Breitbanddrosseln

Abm. in mm.

Abb. 1

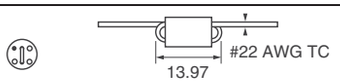

Abb. 2

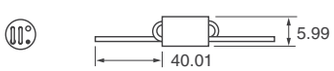

Abb. 3

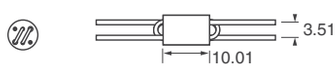

Abb.	Anz. Drehanzahl	Min. Z (Ω)	Frequ. (MHz)	Digi-Key Teilenr.	Stückpreis 1	10	J.W.Miller Teilenr.
1	1 1/2	225	10	M2093-ND	.63	.51	FB20009-3B
		175	10	M2194-ND	.63	.51	FB20019-4B
2	2 1/2	460	10	M2103-ND	.72	.58	FB20010-3B
		30	10	M2204-ND	.72	.58	FB20020-4B
3	2 x 1 1/2	215	10	M2113-ND	.80	.65	FB20011-3B
		175	10	M2214-ND	.80	.65	FB20021-4B

Ferrit-Schutzperlen

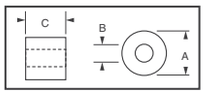

Die Ergänzung eines Ferritkerns zu einem Stück Kabel erhöht die Impedanz der Leitung und wirkt wie eine kleine HF-Drossel bei hohen Frequenzen. Es ist möglich, Hochfrequenz-Parasitensignale durch Verwendung von Wulstkernen abzuleiten und unerwünschte Frequenzen in DC-Schaltkreisen zu dämpfen.

Frequ. Bereich	Abmessungen (mm) A	B	C	Digi-Key Teilenr.	Preisangaben 1	10	J.W.Miller Teilenr.
0-40 MHz	1.32	.69	2.16	M2301-ND	.25	2.03	FB73-085
40-200 MHz	3.30	1.19	5.74	M2302-ND	.15	1.19	FB43-226
0-40 MHz	3.30	1.19	5.74	M2303-ND	.25	2.03	FB73-226
40-200 MHz	3.30	1.19	3.00	M2304-ND	.15	1.19	FB43-110
200+ MHz	3.30	1.19	3.00	M2305-ND	.15	1.19	FB64-110
0-40 MHz	3.30	1.19	3.00	M2306-ND	.17	1.35	FB73-110
40-200MHz	4.83	1.45	10.72	M2307-ND	.25	2.03	FB43-422
0-40 MHz	4.83	1.45	10.72	M2308-ND	.21	1.69	FB73-422
40-200 MHz	7.39	2.26	7.29	M2309-ND	.21	1.69	FB43-287
0-40 MHz	7.39	2.26	7.29	M2310-ND	.21	1.69	FB73-287

Ferrit-Schutzperlen für hohen Strom

Abm. in mm.

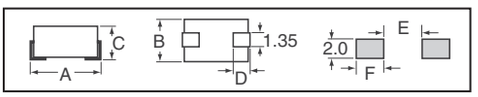

	A	B	C	D	E	F
M1331	3.6	2.5	2.30	1.15	0.8	2.2
M1332	4.6	3.1	2.84	1.35	1.0	2.5
M1333	9.1	3.1	2.84	1.35	4.5	3.0

Merkmale: • Hohe Stromkapazität, bis zu 5 A • Geringer DC-Widerstand • Mehrere Größen erhältlich • Preiswert • **Betriebstemperatur:** -55 °C ~ 125 °C

Z (Ω) ±25% @ 25MHz	DCR (Ω) max.	Digi-Key Teilenr.	Gurtabschnitts-preise 10	50	Gegurtet auf Rolle* Größe	Preisangaben	J.W.Miller Teilenr.
20	0.0005	M1331CT-ND	2.12	8.75	1,000	82.42	PM2001-200
30	0.0006	M1332CT-ND	1.08	4.44	500	25.40	PM2002-300
60	0.0009	M1333CT-ND	1.52	6.22	500	35.56	PM2003-600

* Für Gegurtet auf Rolle die Teilenummer CT-ND in TR-ND ändern.

Einheitlich mit Epoxid beschichtete Induktoren hoher Qualität

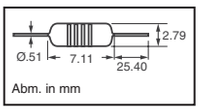

• Betriebstemperatur: -55 °C ~ 105 °C **• Betriebs-spannung:** max. 250 V DC **• Material:** Beschichtung Epoxid - Anschlüsse kupferverzinnt **• Kernmaterial:** Ferrit

L± 20% (µH)	Q min.	Test-frequ. (MHz)	I, dc max. (mA)	Digi-Key Teilenr.	Stückpreis 1	10	J.W. Miller Teilenr.
.10	40	25.0	500	M7801-ND	.46	.37	78FR10M
.12	40	25.0	500	M7802-ND	.46	.37	78FR12M
.15	40	25.0	500	M7803-ND	.46	.37	78FR15M
.18	40	25.0	450	M7804-ND	.46	.37	78FR18M
.22*	40	25.0	1025	M7805-ND	.46	.37	78FR22K
.27*	40	25.0	950	M7806-ND	.46	.37	78FR27K
.33*	40	25.0	815	M7807-ND	.46	.37	78FR33K
.39*	40	25.0	700	M7808-ND	.46	.37	78FR39K
.47*	40	25.0	650	M7809-ND	.46	.37	78FR47K
.56*	40	25.0	545	M7810-ND	.46	.37	78FR56K
.68*	40	25.0	495	M7811-ND	.46	.37	78FR68K
.82*	40	25.0	415	M7812-ND	.46	.37	78FR82K
1.0*	40	25.0	385	M7813-ND	.46	.37	78F1R0K
1.2*	40	7.9	590	M7814-ND	.46	.37	78F1R2K
1.5*	45	7.9	535	M7815-ND	.46	.37	78F1R5K
1.8*	50	7.9	455	M7816-ND	.46	.37	78F1R8K
2.2*	50	7.9	395	M7817-ND	.46	.37	78F2R2K
2.7*	50	7.9	355	M7818-ND	.46	.37	78F2R7K
3.3†	50	7.9	270	M7819-ND	.46	.37	78F3R3J
3.9†	45	7.9	250	M7820-ND	.46	.37	78F3R9J
4.7†	45	7.9	230	M7821-ND	.46	.37	78F4R7J
5.6†	45	7.9	185	M7822-ND	.46	.37	78F5R6J
6.8†	40	7.9	175	M7823-ND	.46	.37	78F6R8J
8.2†	40	7.9	155	M7824-ND	.46	.37	78F8R2J
10†	40	2.5	130	M7825-ND	.46	.37	78F100J
12†	45	2.5	155	M7826-ND	.46	.37	78F120J
15†	50	2.5	150	M7827-ND	.46	.37	78F150J
18†	50	2.5	145	M7828-ND	.46	.37	78F180J
22†	50	2.5	140	M7829-ND	.46	.37	78F220J
27†	50	2.5	135	M7830-ND	.46	.37	78F270J
33†	50	2.5	193	M7831-ND	.46	.37	78F330J
39†	50	2.5	185	M7832-ND	.46	.37	78F390J
47†	60	2.5	167	M7833-ND	.46	.37	78F470J
56†	60	2.5	150	M7834-ND	.46	.37	78F560J
68†	60	2.5	137	M7835-ND	.46	.37	78F680J
82†	60	2.5	132	M7836-ND	.46	.37	78F820J
100†	60	2.5	125	M7837-ND	.46	.37	78F101J
120†	60	0.79	100	M7838-ND	.46	.37	78F121J
150†	60	0.79	90	M7839-ND	.46	.37	78F151J
180†	60	0.79	84	M7840-ND	.46	.37	78F181J
220†	60	0.79	76	M7841-ND	.46	.37	78F221J
270†	60	0.79	70	M7842-ND	.46	.37	78F271J
330†	60	0.79	65	M7843-ND	.46	.37	78F331J
390†	60	0.79	60	M7844-ND	.46	.37	78F391J
470†	60	0.79	53	M7845-ND	.46	.37	78F471J
560†	60	0.79	51	M7846-ND	.46	.37	78F561J
680†	60	0.79	45	M7847-ND	.46	.37	78F681J
820†	60	0.79	43	M7848-ND	.46	.37	78F821J
1000†	60	0.79	41	M7849-ND	.46	.37	78F102J

* Nennwert bei L ±10 % µH. † Nennwert bei L ±5 % µH.

D

J.W.Miller MAGNETICS — EMI-Filter (für elektromagnetische Störung)

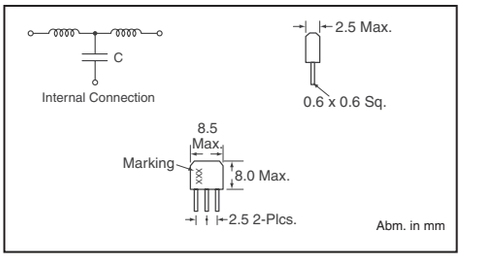

Anwendungen:

- Kommunikationsgeräte, schnurlose Telefone, Handys, Autotelefone
- Digitale Audio- und Videogeräte
- Elektronische Fahrzeuggeräte, wie z.B. Motorsteuerungen, Schalttafeln und Audio-Systeme
- Elektrische Musikinstrumente und andere digitale Geräte

Spezifikationen:

- Nennstromstärke: 5 A
- Nennspannung: 50 V DC
- DCR: max. 0,05 Ω
- Isolationswiderstand: min. 1.000 MΩ @ 50 V DC.
- Hi-pot: 125 V
- Betriebstemperatur: -25 °C ~ 85 °C

Kap. ±20% (pF)	25dB AH. Frequenz (MHz)	15dB AH. Frequenz (MHz)	Digi-Key Teilenr.	Gurtabschnittspreis pro Stück 10	100	Digi-Key Teilenr.	Preisangabe Gegurtet in Schachtel 2,000	J.W. Miller Teilenr.
22	800	220 ~ 800	M9936CT-ND	.41	.37	M9936TB-ND	120.64/M	EMI220T-LC
47	550 ~ 700	350 ~ 800	M9938CT-ND	.41	.37	M9938TB-ND	120.64/M	EMI470T-LC
100	350 ~ 500	200 ~ 800	M9941CT-ND	.41	.37	M9941TB-ND	120.64/M	EMI101T-LC
220	200 ~ 350	100 ~ 800	M9939CT-ND	.41	.37	M9939TB-ND	120.64/M	EMI221T-LC
270	200 ~ 300	80 ~ 800	M9940CT-ND	.41	.37	M9940TB-ND	120.64/M	EMI271T-LC
470	120 ~ 300	50 ~ 800	M9937CT-ND	.41	.37	M9937TB-ND	120.64/M	EMI471T-LC
1000	70 ~ 200	30 ~ 800	M9934CT-ND	.41	.37	M9934TB-ND	120.64/M	EMI102T-LC
2200	45 ~ 200	20 ~ 800	M9942CT-ND	.41	.37	M9942TB-ND	120.64/M	EMI222T-LC
10,000	15 ~ 200	6 ~ 800	M9935CT-ND†	.41	.37	M9935TB-ND†	120.64/M	EMI103T-LC

† Kapazitätstoleranz: -20 %, 80 %

TDK

RF-Balun-Transformatoren Serie HHM - Oberflächenmontage

Merkmale: Diese Produkte sind für drahtlose LAN (Local area Network) Anwendungen vorgesehen.

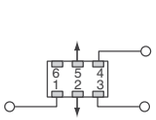

Pin Configuration
1 Unbalanced Port
2 GND or DC Feed + RF GND
3 Balanced Port
4 Balanced Port
5 GND
6 NC

Abb. 1 Abm. in mm

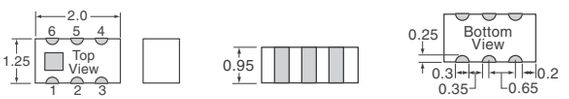

Abb. 2 Abm. in mm

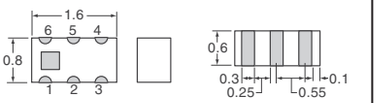

Abb.	Anwendung	Betriebs-frequenz (MHz)	Ein/Aus-Impedanz (Ω)	Einfügungs-verlust (max.) (dB)	Phasen-unterschied (Grad)	Digi-Key Teilenr.	Gurtabschnittspreis pro Stück 1	10	100	Digi-Key Teilenr.	Gegurtet auf Rolle 2,000	TDK Teilenr.
1	Bluetooth und IEEE802.11b/g	2400 ~ 2500	50/50	1.2	180 ± 10	445-1233-1-ND	1.74	1.31	.87	445-1233-2-ND	537.75/M	HHM1517
	Bluetooth und IEEE802.11b/g	2400 ~ 2500	50/100	1.0	180 ± 10	445-1234-1-ND	1.74	1.31	.87	445-1234-2-ND	537.75/M	HHM1520
	Bluetooth und IEEE802.11b/g	2400 ~ 2500	50/200	1.0	180 ± 10	445-1229-1-ND	1.74	1.31	.87	445-1229-2-ND	537.75/M	HHM1521
	Breitband-LAN	4900 ~ 5950	50/100	1.0	180 ± 10	445-1231-1-ND	1.74	1.31	.87	445-1231-2-ND	537.75/M	HHM1570B1
	Breitband-LAN	5150 ~ 5875	50/100	1.0	180 ± 10	445-1230-1-ND	1.74	1.31	.87	445-1230-2-ND	537.75/M	HHM1562B
2	Bluetooth und IEEE802.11b/g	2400 ~ 2500	50/100	1.2	180 ± 10	445-1232-1-ND	1.74	1.31	.87	445-1232-2-ND	537.75/M	HHM1711D1

Pulse® A TECHNITROL COMPANY — RF-Breitband-Balun-Transformatoren

Abb. 1

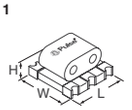

Abb. 2

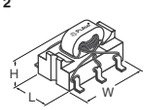

Abb. 3

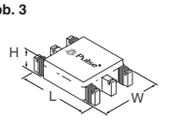

Schaltschema. 1

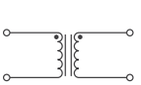

Schaltschema. 2

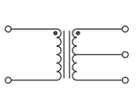

Schaltschema. 3

Die Impuls-Balun-Transformatoren stellen eine hervorragende Einfügeverlustvorrichtung in einem preiswerten SMT-Format dar. Die RF-Balun-Transformatoren eignen sich ideal für ausgeglichene und unausgeglichene Anwendungen, wie z. B. CATV Distribution/Drop Amplifiers, Set Top Boxes und Home Gateways.

Betriebstemperatur: -40 °C ~ 85 °C

Pulse Teilenr.	Abmessungen (Zoll) L	W	H
CX2024	0.202 (±.015)	0.204 (±.015)	0.14 (Max.)
CX2045L	0.15 (±.015)	0.15 (+.02/-.015)	0.11 (±.015)
CX2156	0.169 (±.004)	0.209 (±.004)	0.118 (+.018/-.012)
CX2147	0.272 (Max.)	0.272 (Max.)	0.173 (Max.)
CX2032	0.36 (Max.)	0.265 (Max.)	0.098 (Max.)

Abb.	Schaltschema	Impedanzverhältnis (+ -2%) primär: sekundär	Umdrehungsverhältnis (+ -2%) primär: sekundär	Bandbreite (MHz Typ) Mittelbereich-Verlust	Einfügungsverlust (dB Typ)	Digi-Key Teilenr.	Stückpreis 1	10	100	500	Pulse Teilenr.
1	3	1:1	1:1	10 - 1000	0.4	553-1050-ND	1.52	.95	.69	.61	CX2024
	2	1:1	1:1	2.3 - 2700	0.2	553-1052-ND	1.73	1.07	.79	.70	CX2045L
2	3	1:2CT*	1:1.4CT*	3 - 300	0.8	553-1051-ND	1.73	1.07	.79	.70	CX2156
	2	1:1CT*	1:1CT*	5 - 200	0.3	553-1053-ND	1.56	.97	.71	.63	CX2147
3	2	1:4CT*	1:2CT*	5 - 165	0.6	553-1054-ND	2.07	1.34	1.03	.91	CX2032

*Hinweis: CT bezeichnet mittleres Band

Alle Preisangaben in Euro und inklusive Zollgebühren.

Panasonic® Passive HF/Mikrowellen-Hybrid-Geräte

Hinweis: Alle Zeichnungen in Draufsicht.

Diese Komponenten sind besonders für Mobiltelefone (Handgeräte und Basisstationen), Navigationsgeräte (GPS), Pager, tragbare Computer (PCs und PDAs), mobile Datenendgeräte, Funkmikrofone, schnurlose Telefone und Wireless LANs geeignet.

SPEZIFIKATIONEN: • Betriebstemperatur: -30°C ~ 85°C **• Löten:** 230 °C für 5 Sekunden

BALUN: Diese ultra-kleinen, dünnen, hochgenauen Baluns mit ultra-feiner Geometrie entsprechen allen Ihren Anforderungen – einseitig, doppelseitig - für Schnittstellen in elektronischen Schaltkreisen. **Anwendung:** Einseitige/doppelseitige Mixer, Differenzialverst., Anpassung.

RICHTUNGSKOPPLER: Miniaturisierte, preiswerte Richtungskoppler mit hoher Kopplungswirkung und ultra-feiner Geometrie, um auch höchsten Kopplungsanforderungen zu entsprechen. **Anwendung:** Zur Steuerung der gesendeten Leistung.

RICHTUNGSKOPPLER mit LC-FILTER: Ein Richtungskoppler, der zusätzlich zu den o.g. Merkmalen und Vorteilen auch noch einen LC-Filter hat. **Anwendung:** Zur Steuerung der gesendeten Leistung und gleichzeitigen Unterdrückung von Störgeräuschen.

LEISTUNGSTEILER: Miniaturisierter Dreiport-Leistungsteiler mit hohem Wirkungsgrad/niedrigem Verlust und ultrafeiner Geometrie. Entspricht allen Leistungsanforderungen für Schaltkreise. **Anwendung:** Zur Teilung interner Signale (z.B. VCO).

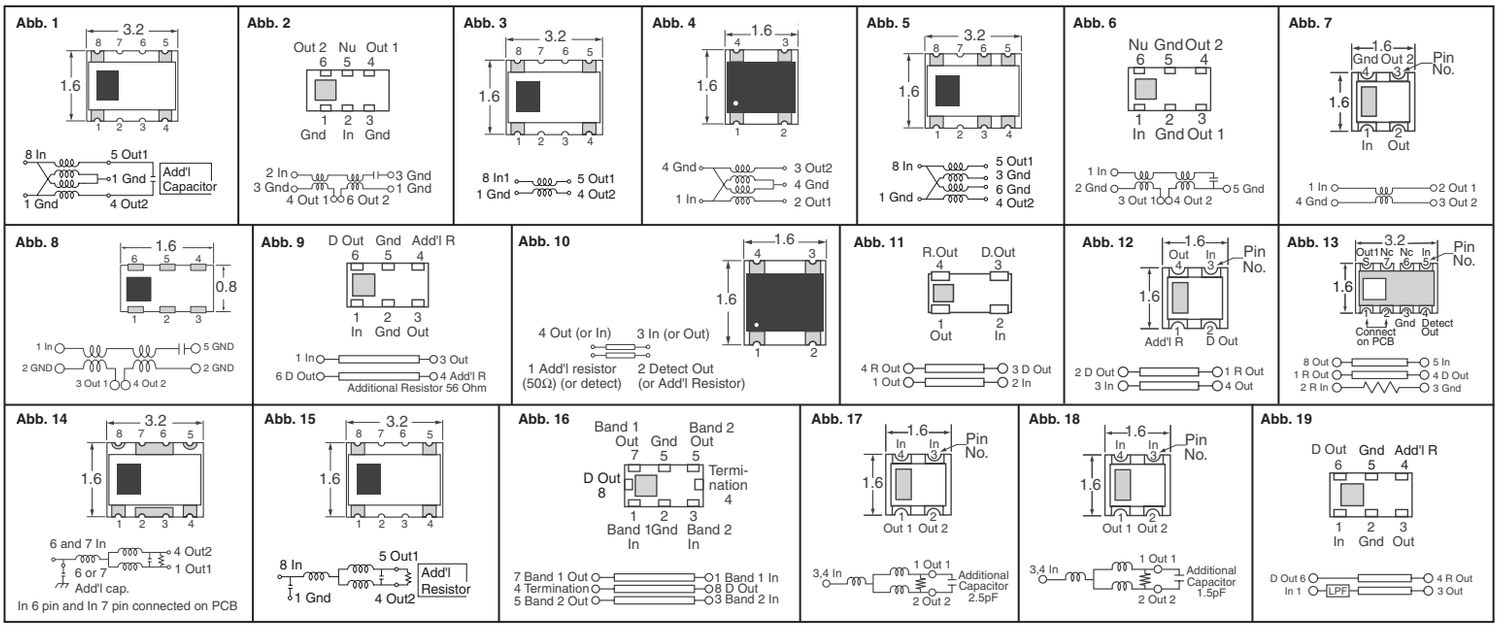

Abb.	Beschreibung	Betriebs-frequenz (Mhz)	Ein/ Aus-Impedanz (Ω)	Einfügungs-verlust (max.)	Phasenun-terschied (Grad)	Größe (mm)	Digi-Key Teilenr.	Gurtabschnittspreis pro Stück 1	10	100	Gegurtet auf Rolle* Größe	Preisangaben	Panasonic Teilenr.
1	Balun	380~430	50/200	1dB	180±15	3.2 x 1.6	P10702CT-ND	1.60	1.34	1.07	500	399.66	EHF-FD1617
2	Balun	1700~1900	50/50	.8dB	180±10	3.2 x 1.6	P12025CT-ND	1.53	1.28	1.03	500	383.31	EHF-1BD1800
		1700~1900	50/100	.8dB	180±10	3.2 x 1.6	P12026CT-ND	1.53	1.28	1.03	500	383.31	EHF-1BE1800
		880~960	50/200	.8dB	180±10	3.2 x 1.6	P12027CT-ND	1.53	1.28	1.03	500	383.31	EHF-1BG0920
		1700~1900	50/200	.8dB	180±10	3.2 x 1.6	P12028CT-ND	1.53	1.28	1.03	3000	766.62/M	EHF-1BG1800
3	Balun	880~960	50/50	1dB	180±15	3.2 x 1.6	P10705CT-ND	1.45	1.21	.97	4,000	640.64/M	EHF-FD1618
		1700~2000	50/50	.8dB	180±15	3.2 x 1.6	P10708CT-ND	1.45	1.21	.97	500	361.26	EHF-FD1619
4	Balun	824~894	50/200	1dB	180±15	1.6 x 1.6	P10703CT-ND	1.60	1.34	1.07	4,000	708.74/M	EHF-FD1622
		880~960	50/200	2dB	180±15	1.6 x 1.6	P10706CT-ND	1.60	1.34	1.07	4,000	708.74/M	EHF-FD1620
5	Balun	1700~1900	50/200	1dB	180±15	3.2 x 1.6	P10711-ND†	1.45	1.21	.97	—	—	EHF-FD1626
6	Balun	1700~1900	50/50	1.0dB	180±15	2.0 x 1.25	P12029CT-ND	1.53	1.28	1.03	500	383.31	EHF-2BD1800
		1920~2170	50/50	1.0dB	180±15	2.0 x 1.25	P12030CT-ND	1.53	1.28	1.03	500	383.31	EHF-2BD2060
		2400~2500	50/50	1.0dB	180±15	2.0 x 1.25	P12031CT-ND	1.53	1.28	1.03	500	383.31	EHF-2BD2450
		880~960	50/100	1.0dB	180±15	2.0 x 1.25	P12032CT-ND	1.53	1.28	1.03	500	383.31	EHF-2BE0920
		1700~1900	50/100	1.0dB	180±15	2.0 x 1.25	P12033CT-ND	1.53	1.28	1.03	500	383.31	EHF-2BE1800
		1920~2170	50/100	1.0dB	180±15	2.0 x 1.25	P12034CT-ND	1.53	1.28	1.03	500	383.31	EHF-2BE2060
		2400~2500	50/100	1.0dB	180±15	2.0 x 1.25	P12035CT-ND	1.53	1.28	1.03	500	383.31	EHF-2BE2450
		880~960	50/200	1.0dB	180±15	2.0 x 1.25	P12036CT-ND	1.53	1.28	1.03	500	383.31	EHF-2BG0920
		1700~1900	50/200	1.0dB	180±15	2.0 x 1.25	P12037CT-ND	1.53	1.28	1.03	500	383.31	EHF-2BG1800
		1920~2170	50/200	1.0dB	180±15	2.0 x 1.25	P12038CT-ND	1.53	1.28	1.03	500	383.31	EHF-2BG2060
		2400~2500	50/200	1.0dB	180±15	2.0 x 1.25	P12039CT-ND	1.53	1.28	1.03	500	383.31	EHF-2BG2450
		3400~4000	50/100	1.0dB	180±20	2.0 x 1.25	P12041CT-ND	1.53	1.28	1.03	500	383.31	EHF-FD1755T
7	Balun	1700~2000	50/50	.8dB	180±10	1.6 x 1.6	P12040CT-ND	1.53	1.28	1.03	500	383.31	EHF-FD1629
8	Balun	5150~5350	50/100	1.2dB	180±15	1.6 x 0.8	P12428CT-ND	4.06	3.39	2.72	500	1016.94	EHF-4BE5250

Abb.	Beschreibung	Betriebs-frequenz (Mhz)	Kopplungs-faktor (dB)	Einfügungs-verlust (max.)	Isolierung (min.)	Stehwellenverhältnis der Spannung (max.)	Größe (mm)	Digi-Key Teilenr.	Gurtabschnittspreis pro Stück 1	10	100	Gegurtet auf Rolle* Größe	Preisangaben	Panasonic Teilenr.
9	Richtungs-koppler	850~950	14.5±1	.3dB	25dB	1.3	2.0 x 1.25	P12042CT-ND	1.30	1.08	.87	500	322.86	EHF-2CM0900
		1710~1785	14±1	.35dB	22dB	1.3	1.6 x .8	P12043CT-ND	1.30	1.08	.87	500	322.86	EHF-4CM1747
10	Richtungs-koppler	800~1000	17±2	.30dB	24dB	1.3	1.6 x 1.6	P10684CT-ND	1.37	1.15	.92	4,000	607.85/M	EHF-FD1540
		1850~1950	14±2	.40dB	19dB	1.3	1.6 x 1.6	P10691CT-ND	1.37	1.15	.92	4,000	607.85/M	EHF-FD1541
11	Direktional-koppler	1710~1910	17±1.5	.25dB	27dB	1.3	1.6 x .8	P12044CT-ND	1.30	1.08	.87	500	322.86	EHF-4CQ1810
		820~850	20±1	.25dB	30dB	1.3	1.6 x .8	P12045CT-ND	1.30	1.08	.87	500	322.86	EHF-4CT0835
12	Direktional-koppler	1850~1950	20±1	.3dB	26dB	1.3	1.6 x 1.6	P12046CT-ND	1.30	1.08	.87	500	322.86	EHF-FD1542
		1850~1950	17±1	.3dB	23dB	1.3	1.6 x 1.6	P12047CT-ND	1.30	1.08	.87	500	322.86	EHF-FD1548
13	Richtungskoppler	800~1000	14±2	.4dB	20dB	1.3	3.2 x 1.6	P12048CT-ND	1.30	1.08	.87	500	322.86	EHF-FD1556
16	Doppelseitig	880~915	19±2	.35dB	24dB	1.5	2.0 x 1.25	P12049CT-ND	1.30	1.08	.87	500	322.86	EHF-FD1812D
		1710~1785	14±1.5	.45dB	17dB	1.5								
		880~915	14±1	.45dB	18dB	1.5	2.0 x 1.25	P12050CT-ND	1.30	1.08	.87	500	322.86	EHF-FD1824
		1710~1785	14±1	.45dB	18dB	1.5								

Abb.	Beschreibung	Betriebs-frequenz (Mhz)	Kopplungs-faktor (dB)	Einfügungs-verlust (max.)	2FO-Abschwächung (min.)	3FO-Abschwächung (min.)	Größe (mm)	Digi-Key Teilenr.	Gurtabschnittspreis pro Stück 1	10	100	Gegurtet auf Rolle* Größe	Preisangaben	Panasonic Teilenr.
19	Richtungskoppler mit Filter	880~915	20±1	.45d	22dB	17dB	2.0 x 1.25	P12051CT-ND	1.53	1.28	1.03	500	383.31	EHF-FD1728
		1710~1785	20±1	.45d	22dB	17dB	2.0 x 1.25	P12052CT-ND	1.53	1.28	1.03	500	383.31	EHF-FD1729

Abb.	Beschreibung	Betriebs frequenz (Mhz)	Einfügungsver lust (max.)	Isolierung (min.)	Stehwellenverhältnis der Spannung (max.)	Größe (mm)	Digi-Key Teilenr.	Gurtabschnittspreis pro Stück 1	10	100	Gegurtet auf Rolle* Größe	Preisangaben	Panasonic Teilenr.
14	Stromteiler	720~760	4.0dB	18dB	1.8	3.2 x 1.6	P10715-ND†	1.71	1.43	1.15	—	—	EHF-FD1502
15	Stromteiler	981~1008	4.0dB	18dB	2.1	3.2 x 1.6	P10716-ND†	1.71	1.43	1.15	—	—	EHF-FD1508
		1546~1630	4.0dB	18dB	1.9	3.2 x 1.6	P10717CT-ND	1.63	1.37	1.10	4,000	725.13/M	EHF-FD1503
		1607~1685	4.0dB	18dB	1.6	3.2 x 1.6	P10718-ND†	1.63	1.37	1.10	—	—	EHF-FD1506
		1880~1920	4.0dB	18dB	1.6	3.2 x 1.6	P10720-ND†	1.63	1.37	1.10	—	—	EHF-FD1507
		2043~2104	4.0dB	18dB	1.6	3.2 x 1.6	P10721-ND†	1.63	1.37	1.10	—	—	EHF-FD1509
17	Stromteiler	1607~1685	4dB	18dB	2.1	1.6 x 1.6	P12053CT-ND	1.30	1.08	.87	500	322.86	EHF-FD1495
18	Stromteiler	945~979	4dB	18dB	2.1	1.6 x 1.6	P12054CT-ND	1.30	1.08	.87	500	322.86	EHF-FD1779

† Großpackung * Für„ Gegurtet auf Rolle" die Teilenummer CT in TR ändern.

Ferrit-Chips und Arrays zur EMI-Unterdrückung

Serie BLM15: Sie umfasst die Serie A für Standardsignale und Serie B für Hochgeschwindigkeitssignale. Diese Teile sind bleifrei. Serie BLM-A erzeugt eine Impedanz von den relativ niedrigen Frequenzen. Serie BLM-A bietet effektive Rauschunterdrückung für einen breiten Frequenzbereich (30 MHz - mehrere hundert MHz). Serie BLM-B kann mit ihren starken Impedanzmerkmalen die Dämpfung der Signalwelle minimieren. Es stehen verschiedene Impedanzen zur Verfügung, um der Signalfrequenz zu entsprechen. Serie BLM-B weist starke Impedanzmerkmale auf.

Serie BLM18: Die Chip-Ferritkern-Serie BLM18H umfasst Ferritkerninduktoren in Form von Chips. Dieser Induktor erzeugt eine hohe Impedanz, die bei hohen Frequenzen hauptsächlich aus einem Widerstandselement besteht. Die Serie BLM18H ist in Schaltungen ohne stabile Erdungsleitungen effektiv, weil sie keine Verbindung zur Erde benötigt. Serie BLM18HG und BLM18HD bieten eine modifizierte innere Elektrodenstruktur, die Streukapazität minimiert und den effektiven Frequenzbereich erweitert. Serie BLM_H bietet die höchsten Impedanzniveaus, die bis in den GHz-Bereich reichen. Serie BLM18HG ist für Standardsignalleitungen bestimmt, da sie starke Impedanz über einen breiten Frequenzbereich bietet. Serie BLM18HD sorgt für eine drastischere Dämpfung nach der Grenzfrequenz. Diese Serie eignet sich ideal für Hochgeschwindigkeits-Signalleitungen.

Serie BLM31 und BLM41: Diese Serien können aufgrund ihres niedrigen DC-Widerstands in Schaltkreisen mit hohem Strom verwendet werden. Sie können Stromleitungen von maximal 6 A DC (BLM41P) entsprechen.

Serie BLA31: Die Serie BLA31A/B kann 4 Schaltungen in einer Paketgröße von 3216 filtern. BLA31A/B eignet sich zur EMI-Unterdrückung in kleineren digitalen Geräten.

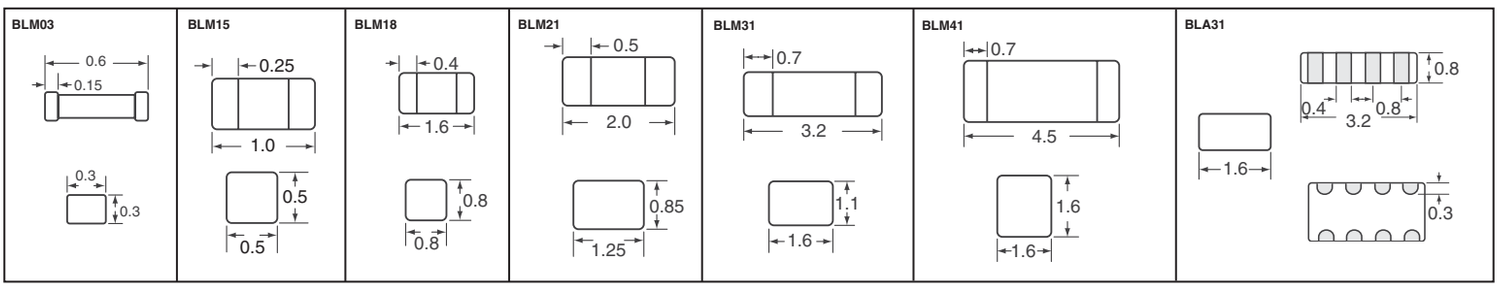

Impedanz (bei 100 MHz) (Ω)	Nennstrom (mA)	DC-Widerstand (max.) (Ω)	Digi-Key Teilenr.	Preisangaben 10	50	100	Digi-Key Teilenr.	Gegurtet auf Rolle Größe	Preisangaben	MuRata Teilenr.
Serie BLM03 — 0201 Gehäusegröße										
10 (Typ.)	500	0.1	490-2555-1-ND	1.26	5.48	10.11	490-2555-2-ND	15,000	58.97/M	BLM03AG100SN1D
70 (Typ.)	200	0.5	490-2556-1-ND	1.26	5.48	10.11	490-2556-2-ND	15,000	58.97/M	BLM03AG700SN1D
120 ± 25%	200	0.8	490-2557-1-ND	1.26	5.48	10.11	490-2557-2-ND	15,000	58.97/M	BLM03AG121SN1D
240 ± 25%	100	1.0	490-2558-1-ND	1.26	5.48	10.11	490-2558-2-ND	15,000	58.97/M	BLM03AG241SN1D
Serie BLM15 — 0402 Gehäusegröße										
120 ± 25%	500	0.25	490-1005-1-ND	.52	2.29	4.22	490-1005-2-ND	10,000	24.60/M	BLM15AG121SN1D
120 ± 25%	300	0.55	490-1008-1-ND	.52	2.29	4.22	490-1008-2-ND	10,000	24.60/M	BLM15BB121SN1D
600 ± 25%	300	0.60	490-1006-1-ND	.56	2.40	4.44	490-1006-2-ND	10,000	25.93/M	BLM15AG601SN1D
1000 ± 25%	200	1.00	490-1007-1-ND	.56	2.40	4.44	490-1007-2-ND	10,000	25.93/M	BLM15AG102SN1D
600 ± 25%	200	0.65	490-1009-1-ND	.58	2.51	4.65	490-1009-2-ND	10,000	27.12/M	BLM15BD601SN1D
1000 ± 25%	200	0.90	490-1010-1-ND	.58	2.51	4.65	490-1010-2-ND	10,000	27.12/M	BLM15BD102SN1D
Serie BLM18 — 0603 Gehäusegröße										
470±25%	100	1.20	490-1029-1-ND	1.02	4.40	8.13	490-1029-2-ND	4,000	47.41/M	BLM18HD471SN1D
600±25%	100	1.50	490-1030-1-ND	1.02	4.40	8.13	490-1030-2-ND	4,000	47.41/M	BLM18HD601SN1D
1000±25%	50	1.80	490-1031-1-ND	1.02	4.40	8.13	490-1031-2-ND	4,000	47.41/M	BLM18HD102SN1D
470±25%	200	0.85	490-1032-1-ND	1.02	4.40	8.13	490-1032-2-ND	4,000	47.41/M	BLM18HG471SN1D
600±25%	200	1.00	490-1033-1-ND	1.02	4.40	8.13	490-1033-2-ND	4,000	47.41/M	BLM18HG601SN1D
1000±25%	100	1.60	490-1034-1-ND	1.02	4.40	8.13	490-1034-2-ND	4,000	47.41/M	BLM18HG102SN1D
120±25%	200	0.20	490-1011-1-ND	.47	2.07	3.81	490-1011-2-ND	4,000	22.23/M	BLM18AG121SN1D
220±25%	200	0.30	490-1012-1-ND	.47	2.07	3.81	490-1012-2-ND	4,000	22.23/M	BLM18AG221SN1D
470±25%	200	0.50	490-1013-1-ND	.47	2.07	3.81	490-1013-2-ND	4,000	22.23/M	BLM18AG471SN1D
600±25%	200	0.50	490-1014-1-ND	.47	2.07	3.81	490-1014-2-ND	4,000	22.23/M	BLM18AG601SN1D
1000±25%	100	0.70	490-1015-1-ND	.47	2.07	3.81	490-1015-2-ND	4,000	22.23/M	BLM18AG102SN1D
22±25%	500	0.35	490-1016-1-ND	.47	2.07	3.81	490-1016-2-ND	4,000	22.23/M	BLM18BA220SN1D
47±25%	300	0.55	490-1017-1-ND	.47	2.07	3.81	490-1017-2-ND	4,000	22.23/M	BLM18BA470SN1D
75±25%	300	0.70	490-1018-1-ND	.47	2.07	3.81	490-1018-2-ND	4,000	22.23/M	BLM18BA750SN1D
120±25%	200	0.90	490-1019-1-ND	.47	2.07	3.81	490-1019-2-ND	4,000	22.23/M	BLM18BA121SN1D
120±25%	200	0.50	490-1020-1-ND	.47	2.07	3.81	490-1020-2-ND	4,000	22.23/M	BLM18BB121SN1D
470±25%	50	1.00	490-1021-1-ND	.47	2.07	3.81	490-1021-2-ND	4,000	22.23/M	BLM18BB471SN1D
470±25%	200	0.55	490-1022-1-ND	.47	2.07	3.81	490-1022-2-ND	4,000	22.23/M	BLM18BD471SN1D
600±25%	200	0.65	490-1023-1-ND	.47	2.07	3.81	490-1023-2-ND	4,000	22.23/M	BLM18BD601SN1D
1000±25%	100	0.85	490-1024-1-ND	.47	2.07	3.81	490-1024-2-ND	4,000	22.23/M	BLM18BD102SN1D
1500±25%	50	1.20	490-1025-1-ND	.47	2.07	3.81	490-1025-2-ND	4,000	22.23/M	BLM18BD152SN1D
1800±25%	50	1.50	490-1026-1-ND	.47	2.07	3.81	490-1026-2-ND	4,000	22.23/M	BLM18BD182SN1D
2200±25%	50	1.50	490-1027-1-ND	.47	2.07	3.81	490-1027-2-ND	4,000	22.23/M	BLM18BD222SN1D
2500±25%	50	1.50	490-1028-1-ND	.47	2.07	3.81	490-1028-2-ND	4,000	22.23/M	BLM18BD252SN1D
30 (Typ.)	1000	0.05	490-1035-1-ND	.47	2.07	3.81	490-1035-2-ND	4,000	22.23/M	BLM18PG300SN1D
60 (Typ.)	500	0.10	490-1036-1-ND	.47	2.07	3.81	490-1036-2-ND	4,000	22.23/M	BLM18PG600SN1D
120±25%	2000	0.05	490-1037-1-ND	.47	2.07	3.81	490-1037-2-ND	4,000	22.23/M	BLM18PG121SN1D
Serie BLM21 — 0805 Gehäusegröße										
1000±25%	200	0.45	490-1041-1-ND	.70	3.03	5.59	490-1041-2-ND	4,000	32.60/M	BLM21AG102SN1D
120±25%	200	0.15	490-1038-1-ND	.63	2.73	5.03	490-1038-2-ND	4,000	29.34/M	BLM21AG121SN1D
470±25%	200	0.25	490-1039-1-ND	.63	2.73	5.03	490-1039-2-ND	4,000	29.34/M	BLM21AG471SN1D
600±25%	200	0.30	490-1040-1-ND	.63	2.73	5.03	490-1040-2-ND	4,000	29.34/M	BLM21AG601SN1D
120±25%	200	0.25	490-1042-1-ND	.63	2.73	5.03	490-1042-2-ND	4,000	29.34/M	BLM21BB121SN1D
470±25%	200	0.45	490-1043-1-ND	.63	2.73	5.03	490-1043-2-ND	4,000	29.34/M	BLM21BB471SN1D
120±25%	200	0.25	490-1044-1-ND	.63	2.73	5.03	490-1044-2-ND	4,000	29.34/M	BLM21BD121SN1D
470±25%	200	0.35	490-1045-1-ND	.63	2.73	5.03	490-1045-2-ND	4,000	29.34/M	BLM21BD471SN1D
600±25%	200	0.35	490-1046-1-ND	.67	2.89	5.33	490-1046-2-ND	4,000	31.12/M	BLM21BD601SN1D
1000±25%	200	0.40	490-1047-1-ND	.70	3.03	5.59	490-1047-2-ND	4,000	32.60/M	BLM21BD102SN1D
1500±25%	200	0.45	490-1048-1-ND	.91	3.92	7.24	490-1048-2-ND	4,000	42.23/M	BLM21BD152SN1D
1800±25%	200	0.50	490-1049-1-ND	.91	3.92	7.24	490-1049-2-ND	4,000	42.23/M	BLM21BD182SN1D
2200±25%	200	0.60	490-1050-1-ND	.91	3.92	7.24	490-1050-2-ND	4,000	42.23/M	BLM21BD222TN1D
2700±25%	200	0.80	490-1051-1-ND	.91	3.92	7.24	490-1051-2-ND	3,000	42.23/M	BLM21BD272SN1L
220 (Typ.)	2000	0.050	490-1054-1-ND	.47	2.04	3.76	490-1054-2-ND	4,000	21.93/M	BLM21PG221SN1D
30 (Typ.)	3000	0.015	490-1052-1-ND	.60	2.59	4.77	490-1052-2-ND	4,000	27.86/M	BLM21PG300SN1D
60 (Typ.)	3000	0.025	490-1053-1-ND	.60	2.59	4.77	490-1053-2-ND	4,000	27.86/M	BLM21PG600SN1D
Serie BLM31 — 1206 Gehäusegröße										
50 (Typ.)	3000	0.025	490-1055-1-ND	1.69	7.32	13.51	490-1055-2-ND	3,000	78.82/M	BLM31PG500SN1L
120 (Typ.)	3000	0.025	490-1056-1-ND	1.69	7.32	13.51	490-1056-2-ND	3,000	78.82/M	BLM31PG121SN1L
600 (Typ.)	1500	0.09	490-1057-1-ND	1.69	7.32	13.51	490-1057-2-ND	3,000	78.82/M	BLM31PG601SN1L
Serie BLM41 — 1806 Gehäusegröße										
80 (Typ.)	1000	0.10	490-1059-1-ND	1.84	7.95	14.68	490-1059-2-ND	2,500	85.64/M	BLM41PF800SN1L
60 (Typ.)	6000	0.01	490-1058-1-ND	2.14	9.27	17.12	490-1058-2-ND	2,500	99.86/M	BLM41PG600SN1L
470 (Typ.)	2000	0.05	490-1060-1-ND	1.97	8.54	15.77	490-1060-2-ND	2,500	92.01/M	BLM41PG471SN1L
1000 (Typ.)	1500	0.09	490-1061-1-ND	2.18	9.41	17.37	490-1061-2-ND	2,500	101.34/M	BLM41PG102SN1L
Serie BLA31 — SMD Array										
120±25%	150	0.20	490-1000-1-ND	3.81	16.51	30.48	490-1000-2-ND	4,000	177.79/M	BLA31AG121SN4D
600±25%	100	0.45	490-1001-1-ND	3.81	16.51	30.48	490-1001-2-ND	4,000	177.79/M	BLA31AG601SN4D
1000±25%	50	0.45	490-1002-1-ND	3.81	16.51	30.48	490-1002-2-ND	4,000	177.79/M	BLA31AG102SN4D
120±25%	150	0.30	490-1003-1-ND	3.81	16.51	30.48	490-1003-2-ND	4,000	177.79/M	BLA31BD121SN4D
600±25%	100	0.35	490-1004-1-ND	3.81	16.51	30.48	490-1004-2-ND	4,000	177.79/M	BLA31BD601SN4D

Alle Preisangaben in Euro und inklusive Zollgebühren.

Chip-EMI-Filter, Kondensatortyp

Serie NFM21CC: Die Chip-Serie EMIFIL NFM21C umfasst einen chipartigen EMI-Unterdrückungsfilter mit 3 Anschlüssen. Dieser kann Restinduktivität auf ein extrem niedriges Niveau reduzieren, wodurch er sich ideal für die Rauschunterdrückung bei hohen Frequenzen eignet.

Serie NFM21PC: Diese Serie ist eine Komponente mit 3 Anschlüssen. Dieses Produkt kann für große DC-Stromleitungen verwendet werden. NFM21P eignet sich zur Rauschunterdrückung in DC-Stromleitungen, mit relativ hohem Strom.

Serie NFE31PT: Durch den hohen Nennstrom dieser Serie von 6 A und den geringen Spannungsabfall aufgrund des geringen DC-Widerstands eignet sich diese Serie ideal zur Verwendung mit DC-Stromleitungen. Der Durchlasskondensator bietet hervorragende Hochfrequenzmerkmale. Eingebaute Ferritkerne minimieren die Resonanz mit benachbarten Schaltkreisen.

Serie NFM41PC: Die Chip-Serie EMIFIL NFM41P besteht aus einer Komponente mit 3 Anschlüssen. Dieses Produkt kann für große DC-Stromleitungen verwendet werden. Serie NFM41P eignet sich zur Unterdrückung in DC-Stromleitungen mit relativ hohem Strom.

Serie NFE61PT: Durch den hohen Nennstrom von 2 A dieser Serie und den geringen Spannungsabfall aufgrund des geringen DC-Widerstands eignet sich diese Serie ideal zur Verwendung mit DC-Stromleitungen. Der Durchlasskondensator bietet hervorragende Hochfrequenzmerkmale.

Serie NFM21CC:

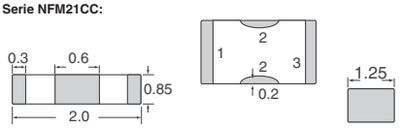

Serie NFM21PC

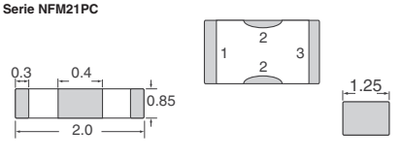

Serie NFE31PT:

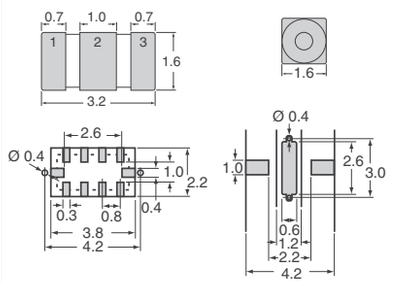

Serie NFM41PC:

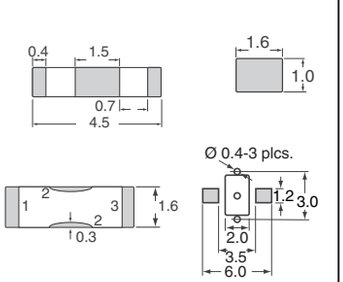

Serie NFE61PT:

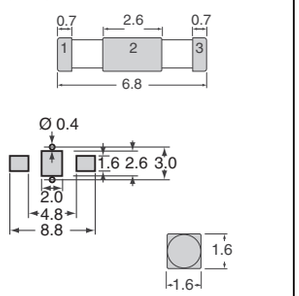

Kap. (pF)	Nennsp. (V DC)	Nennstrom (mA)	Digi-Key Teilenr.	Preisangaben 1	10	50	100	Digi-Key Teilenr.	Gegurtet auf Rolle Größe	Preisangaben	MuRata Teilenr.
Serie NFM21CC — 0805 Gehäusegröße											
22	50	700	490-2532-1-ND	.20	1.73	7.97	13.29	490-2532-2-ND	4,000	93.05/M	NFM21CC220U1H3D
47	50	700	490-2533-1-ND	.20	1.73	7.97	13.29	490-2533-2-ND	4,000	93.05/M	NFM21CC470U1H3D
100	50	700	490-2534-1-ND	.20	1.73	7.97	13.29	490-2534-2-ND	4,000	93.05/M	NFM21CC101U1H3D
2200	50	1000	490-2535-1-ND	.20	1.73	7.97	13.29	490-2535-2-ND	4,000	93.05/M	NFM21CC222R1H3D
Serie NFM21PC — 0805 Gehäusegröße											
100	25	2	490-2536-1-ND	.15	1.33	6.14	10.23	490-2536-2-ND	4,000	71.56/M	NFM21PC104R1E3D
470	16	2	490-2537-1-ND	.19	1.69	7.81	13.02	490-2537-2-ND	4,000	91.12/M	NFM21PC474R1C3D
1000	16	2	490-2538-1-ND	.16	1.41	6.48	10.79	490-2538-2-ND	4,000	75.56/M	NFM21PC105F1C3D
Serie NFE31PT — 1206 Gehäusegröße											
22	25	6	490-2544-1-ND	.46	3.95	18.23	30.38	490-2544-2-ND	2,000	212.60/M	NFE31PT220R1E9L
100	25	6	490-2545-1-ND	.46	3.95	18.23	30.38	490-2545-2-ND	2,000	212.60/M	NFE31PT101C1E9L
470	25	6	490-2546-1-ND	.46	3.95	18.23	30.38	490-2546-2-ND	2,000	212.60/M	NFE31PT471F1E9L
2200	25	6	490-2547-1-ND	.46	3.95	18.23	30.38	490-2547-2-ND	2,000	212.60/M	NFE31PT222Z1E9L
Serie NFM41PC — 1806 Gehäusegröße											
200	50	2	490-2550-1-ND	.71	6.14	28.32	47.20	490-2550-2-ND	4,000	330.39/M	NFM41PC204F1H3L
Serie NFE61PT — 2606 Gehäusegröße											
33	50	2	490-2551-1-ND	.59	5.15	23.76	39.60	490-2551-2-ND	2,500	277.20/M	NFE61PT330B1H9L
680	50	2	490-2552-1-ND	.59	5.15	23.76	39.60	490-2552-2-ND	2,500	277.20/M	NFE61PT681B1H9L
1000	50	2	490-2553-1-ND	.59	5.15	23.76	39.60	490-2553-2-ND	2,500	277.20/M	NFE61PT102E1H9L
4700	50	2	490-2554-1-ND	.72	6.26	28.89	48.15	490-2554-2-ND	2,500	337.06/M	NFE61PT472C1H9L

LC-Kombinationschip-EMIFIL

Serie NFL18ST: Bei der Serie NFL18ST handelt es sich um einen EMI-Unterdrückungsfilter für Hochgeschwindigkeitssignalleitungen, die unter Verwendung der Murata Mehrschicht-Technologie T-artige Strukturen von 1,6 x 0,8 mm Größe erzielen. Geräuschunterdrückung für Videosignalleitungen (RGB-Leitungen) und Hochgeschwindigkeits-Uhrleitungen.

Serie NFL21S: Das ursprüngliche interne Strukturdesign von Murata ermöglicht hervorragende Rauschunterdrückung bis zu hohen Frequenzen. Mit fünf verschiedenen Grenzfrequenzen von 20 MHz bis zu 500 MHz erhältlich.

Serie NFW31S: Die Signalleitungschip-EMI-Filterserie NFW31S besteht aus Hochleistungs-EMI-Rauschunterdrückungsfiltern vom Typ LC mit Kombinationswicklung. Sie dienen zur Geräuschunterdrückung in Hochgeschwindigkeits-Signalschaltkreisen, in denen die Signalharmonie leicht zu Geräuschquellen werden kann. Diese Filter erreichen 100 dB/dec. (typ.) Dämpfungsmerkmal mit Muratas innovativem Schaltkreisdesign. Dadurch eignen sich diese Chips besonders für Anwendungen, wo Signalfrequenz und Geräuschfrequenz nahe beieinander liegen.

Serie NFL18ST

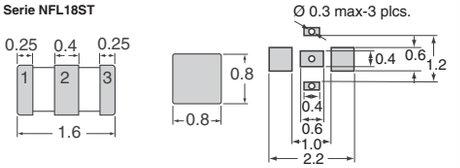

Serie NFL21S

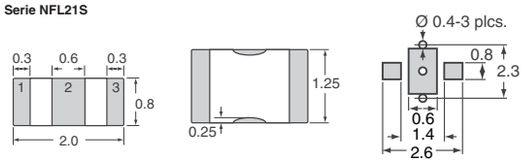

Serie NFW31S

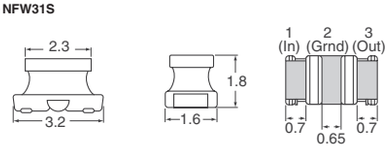

Grenzfrequenz (MHz)	Kap. (pF)	Induktivität (nH)	Nennsp. (V DC)	Nennstrom (mA)	Digi-Key Teilenr.	Preisangaben 1	10	50	100	Digi-Key Teilenr.	Gegurtet auf Rolle Größe	Preisangaben	MuRata Teilenr.
Serie NFL18ST													
150	32	140	16	100	490-2531-1-ND	.42	3.70	17.09	28.49	490-2531-2-ND	4,000	199.42/M	NFL18ST157X1C3D
300	18	62	16	200	490-2530-1-ND	.42	3.70	17.09	28.49	490-2530-2-ND	4,000	199.42/M	NFL18ST307X1C3D
Serie NFL21S													
20	240	700	16	100	490-2543-1-ND	.34	2.90	13.41	22.35	490-2543-2-ND	4,000	156.46/M	NFL21SP206X1C3D
50	84	305	16	150	490-2542-1-ND	.34	2.90	13.41	22.35	490-2542-2-ND	4,000	156.46/M	NFL21SP506X1C3D
70	76	185	16	150	490-2541-1-ND	.31	2.73	12.60	21.00	490-2541-2-ND	4,000	146.97/M	NFL21SP706X1C3D
100	44	135	16	200	490-2540-1-ND	.25	2.15	9.92	16.53	490-2540-2-ND	4,000	115.71/M	NFL21SP107X1C3D
300	19	45	16	300	490-2539-1-ND	.24	2.03	9.37	15.62	490-2539-2-ND	4,000	109.34/M	NFL21SP307X1C3D

Nenn-Grenzfrequ. (MHz)	Dämpfung bei 10 MHz (dB)	Dämpfung bei 400 MHz (dB)	Digi-Key Teilenr.	Preisangaben 1	10	50	100	Digi-Key Teilenr.	Gegurtet auf Rolle Größe	Preisangaben	MuRata Teilenr.
Serie NFW31S											
10	6 max.	—	490-2548-1-ND	.63	5.39	24.91	41.51	490-2548-2-ND	2,000	290.53/M	NFW31SP106X1E4L
400	—	6 max.	490-2549-1-ND	.63	5.39	24.91	41.51	490-2549-2-ND	2,000	290.53/M	NFW31SP407X1E4L

Steward Oberflächenmontierte EMI-Unterdrückungs-Ferritchips für Signal- und Stromfilter

Erkundigen Sie sich bei Digi-Key nach bleifreien Versionen dieser Teile!

Anwendungen: • Filterung der Stromeingangsstifte von Oszillatoren und Logikgeräten mit Hochgeschwindigkeitstakt • Filterung von Niedrigfrequenz-E/A-Signalen, die in die abgeschirmten Gehäuse eingehen bzw. diese verlassen • Hochfrequenzfilterung von mittleren Taktgeschwindigkeiten und Videosignalen • Chips für bis zu 10 A bei Dauerbetrieb

Abb. 1

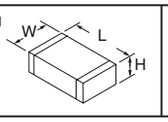

Abb. 2

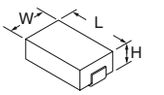

Präfixcode der Steward-Teilenummer

HR: Hoher Halt unter Vorspannung
HI: Hoher Strom
MI: Mittlerer Strom
LI: Niedrigstrom
DM: Differenzialmodus unduldet hoher Strom
HZ: Hohe Impedanz

Abb.	Größencode	Abmessungen (mm) Länge (L)	Breite (W)	Höhe (H)	Nennstrom IMax (mA), kontinuierlich	Typische Impedanz @ 100 MHz	Typische Impedanz @ 200 MHz	Digi-Key Teilenr.	Gurtabschnittspreise 10	50	100	Digi-Key Teilenr.	Gegurtet auf Rolle Größe	Preisangaben	Größe	Preisangaben	Steward Teilenr.
1	**0402**	1.01	0.50	0.50	**200**	300 Ω	460 Ω	240-1136-1-ND	.90	3.89	7.19	240-1136-2-ND	8,000	41.93/M	32,000	38.34/M	LI0402B301R-00
					400	120 Ω	150 Ω	240-1135-1-ND	1.24	5.39	9.96	240-1135-2-ND	8,000	41.93/M	—	—	LI0402D121R-00
					500	30 Ω	40 Ω	240-1133-1-ND	.90	3.89	7.19	—	—	—	—	—	LI0402E300R-00
					500	60 Ω	80 Ω	240-1134-1-ND	.90	3.89	7.19	240-1134-2-ND	8,000	41.93/M	32,000	38.34/M	LI0402E600R-00
					100	600 Ω	925 Ω	240-1142-1-ND	1.11	4.80	8.86	—	—	—	—	—	HZ0402A601R-00
1	**0603**	1.60	0.80	0.80	**400**	300 Ω	375 Ω	240-1141-1-ND	.66	2.84	5.26	240-1141-2-ND	4,000	30.67/M	12,000	28.04/M	LI0603D301R-00
					500	150 Ω	200 Ω	240-1139-1-ND	.66	2.84	5.26	240-1139-2-ND	4,000	30.67/M	12,000	28.04/M	LI0603E151R-00
					700	120 Ω	160 Ω	240-1138-1-ND	.66	2.84	5.26	—	—	—	—	—	LI0603G121R-00
					700	220 Ω	280 Ω	240-1140-1-ND	.66	2.84	5.26	240-1140-2-ND	4,000	30.67/M	12,000	28.04/M	LI0603G221R-00
					700	80 Ω	90 Ω	240-1137-1-ND	.66	2.84	5.26	—	—	—	—	—	LI0603G800R-00
1	**0603**	1.60	0.80	0.80	**1,000**	60 Ω	80 Ω	240-1131-1-ND	.65	2.82	5.21	—	—	—	—	—	MI0603J600R-00
					1,000	600 Ω	600 Ω	240-2198-1-ND	.98	4.24	7.82	—	—	—	—	—	MI0603J601R-00
					1,000	68 Ω	90 Ω	240-1132-1-ND	.65	2.82	5.21	—	—	—	—	—	MI0603J680R-00
					1,500	30 Ω	35 Ω	240-1130-1-ND	.67	2.90	5.36	240-1130-2-ND	4,000	31.26/M	12,000	28.59/M	MI0603K300R-00
					2,000	300 Ω	420 Ω	240-2239-1-ND	.98	4.24	7.82	—	—	—	—	—	MI0603L301R-00
					2,500	120 Ω	155 Ω	240-2238-1-ND	.98	4.24	7.82	—	—	—	—	—	MI0603M121R-00
	0603	1.60	0.80	0.80	**4,000**	60 Ω	80 Ω	240-2193-1-ND	.98	4.25	7.85	240-2193-2-ND	4,000	45.78/M	12,000	41.86/M	HI0603P600R-00
	0603	1.60	0.80	0.80	**100**	2,200 Ω	1,100 Ω	240-2208-1-ND	.75	3.22	5.94	240-2208-2-ND	4,000	34.67/M	12,000	31.70/M	HZ0603A222R-00
					200	1,000 Ω	900 Ω	240-1145-1-ND	.75	3.22	5.94	240-1145-2-ND	4,000	34.67/M	12,000	31.70/M	HZ0603B102R-00
					200	1,100 Ω	1,450 Ω	240-2209-1-ND	.75	3.22	5.94	240-2209-2-ND	4,000	34.67/M	12,000	31.70/M	HZ0603B112R-00
					300	600 Ω	750 Ω	240-1143-1-ND	.75	3.22	5.94	—	—	—	—	—	HZ0603C601R-00
					300	650 Ω	825 Ω	240-2210-1-ND	.75	3.22	5.94	240-2210-2-ND	4,000	34.67/M	12,000	31.70/M	HZ0603C651R-00
1	**0805**	2.00	1.25	0.90	**700**	300 Ω	350 Ω	240-2218-1-ND	.68	2.95	5.44	—	—	—	—	—	LI0805G301R-00
					800	120 Ω	160 Ω	240-1041-1-ND	.68	2.95	5.44	240-1041-2-ND	4,000	31.71/M	12,000	28.99/M	LI0805H121R-00
					800	150 Ω	190 Ω	240-1021-1-ND	.68	2.95	5.44	240-1021-2-ND	4,000	31.71/M	12,000	28.99/M	LI0805H151R-00
					800	75 Ω	105 Ω	240-2219-1-ND	.68	2.95	5.44	—	—	—	—	—	LI0805H750R-00
1	**0805**	2.00	1.25	0.90	**1,000**	7 Ω	15 Ω	240-2200-1-ND	.75	3.22	5.94	240-2200-2-ND	4,000	34.67/M	12,000	31.70/M	MI0805J070R-00
					1,500	11 Ω	14 Ω	240-1034-1-ND	.75	3.22	5.94	240-1034-2-ND	4,000	34.67/M	12,000	31.70/M	MI0805K110R-00
					1,500	26 Ω	32 Ω	240-2201-1-ND	.75	3.22	5.94	—	—	—	—	—	MI0805K260R-00
					1,500	40 Ω	55 Ω	240-1035-1-ND	.75	3.22	5.94	240-1035-2-ND	4,000	34.67/M	12,000	31.70/M	MI0805K400R-00
					1,500	600 Ω	625 Ω	240-2202-1-ND	.88	3.80	7.01	—	—	—	—	—	MI0805K601R-00
					2,000	300 Ω	380 Ω	240-2203-1-ND	.88	3.80	7.01	—	—	—	—	—	MI0805L301R-00
					2,500	220 Ω	275 Ω	240-2204-1-ND	.95	4.10	7.57	—	—	—	—	—	MI0805M221R-00
	0805	2.00	1.25	0.90	**3,500**	120 Ω	170 Ω	240-2194-1-ND	.83	3.61	6.65	240-2194-2-ND	4,000	38.82/M	12,000	35.49/M	HI0805O121R-00
					4,500	31 Ω	34 Ω	240-1007-1-ND	.83	3.61	6.65	240-1007-2-ND	4,000	38.82/M	12,000	35.49/M	HI0805Q310R-00
					5,000	80 Ω	95 Ω	240-2195-1-ND	.83	3.61	6.65	—	—	—	—	—	HI0805R800R-01
	0805	2.00	1.25	0.90	**300**	2,000 Ω	1,000 Ω	240-2211-1-ND	.81	3.50	6.48	240-2211-2-ND	4,000	37.78/M	12,000	34.55/M	HZ0805C202R-00
					400	1,000 Ω	900 Ω	240-2212-1-ND	.81	3.50	6.48	—	—	—	—	—	HZ0805D102R-00
					400	1,500 Ω	1,000 Ω	240-2213-1-ND	.81	3.50	6.48	—	—	—	—	—	HZ0805D152R-00
					500	600 Ω	650 Ω	240-1018-1-ND	.68	2.93	5.41	240-1018-2-ND	4,000	31.56/M	12,000	28.86/M	HZ0805E601R-00
					700	470 Ω	525 Ω	240-2214-1-ND	.68	2.93	5.41	240-2214-2-ND	4,000	31.56/M	12,000	28.86/M	HZ0805G471R-00
1	**1206**	3.20	1.60	1.10	**800**	120 Ω	140 Ω	240-2222-1-ND	.72	3.12	5.77	—	—	—	—	—	LI1206H121R-00
				1.10	**800**	150 Ω	180 Ω	240-2223-1-ND	.72	3.12	5.77	240-2223-2-ND	3,000	33.64/M	6,000	31.71/M	LI1206H151R-00
	1206	3.20	1.60	1.10	**1,500**	26 Ω	35 Ω	240-1027-1-ND	.87	3.78	6.98	240-1027-2-ND	3,000	40.75/M	6,000	38.42/M	MI1206K260R-00
					1,500	31 Ω	34 Ω	240-1036-1-ND	1.03	4.47	8.25	—	—	—	—	—	MI1206K310R-00
					1,800	600 Ω	350 Ω	240-2206-1-ND	1.19	5.16	9.52	—	—	—	—	—	MI1206K601R-00
					1,500	90 Ω	125 Ω	240-1037-1-ND	1.03	4.47	8.25	—	—	—	—	—	MI1206K900R-00
					2,000	500 Ω	280 Ω	240-2207-1-ND	1.03	4.47	8.25	—	—	—	—	—	MI1206L501R-00
1	**1206**	3.20	1.60	1.10	**3,000**	100 Ω	125 Ω	240-1008-1-ND	1.16	5.01	9.24	—	—	—	—	—	HI1206N101R-00
				1.10	**3,000**	80 Ω	100 Ω	240-1010-1-ND	1.16	5.01	9.24	240-1010-2-ND	3,000	53.93/M	6,000	50.85/M	HI1206N800R-00
				1.10	**4,000**	120 Ω	145 Ω	240-2235-1-ND	1.07	4.62	8.53	—	—	—	—	—	HI1206P121R-00
				1.35	**6,000**	160 Ω	220 Ω	240-2196-1-ND	1.16	5.01	9.24	—	—	—	—	—	HI1206T161R-00
				1.10	**6,000**	50 Ω	55 Ω	240-1009-1-ND	1.16	5.01	9.24	—	—	—	—	—	HI1206T500R-00
	1206	3.20	1.60	1.10	**300**	2,000 Ω	500 Ω	240-2215-1-ND	.96	4.13	7.62	—	—	—	—	—	HZ1206C202R-00
					400	1,000 Ω	500 Ω	240-2216-1-ND	.96	4.13	7.62	240-2216-2-ND	3,000	44.45/M	6,000	41.91/M	HZ1206D102R-00
					500	600 Ω	300 Ω	240-1019-1-ND	.70	3.04	5.61	240-1019-2-ND	3,000	32.75/M	6,000	29.94/M	HZ1206E601R-00
1	**1210**	3.20	2.50	1.40	**1,500**	60 Ω	80 Ω	240-1038-1-ND	1.59	6.88	12.70	240-1038-2-ND	3,000	74.08/M	6,000	69.85/M	MI1210K600R-00
1	**1612**	4.06	3.05	2.28	**10,000**	56 Ω	65 Ω	240-1128-1-ND	4.89	21.19	39.11	240-1128-2-ND	—	—	5,000	260.76/M	DM1612X560R-00
1	**1806**	4.50	1.60	1.60	**300**	150 Ω	180 Ω	240-1030-1-ND	2.05	8.86	16.36	240-1030-2-ND	2,000	95.41/M	6,000	89.96/M	LI1806C151R-00
					500	100 Ω	125 Ω	240-1031-1-ND	2.05	8.86	16.36	—	—	—	—	—	LI1806E101R-00
					500	80 Ω	90 Ω	240-1032-1-ND	2.05	8.86	16.36	240-1032-2-ND	2,000	95.41/M	6,000	89.96/M	LI1806E800R-00
	1806	4.50	1.60	1.60	**6,000**	60 Ω	75 Ω	240-1012-1-ND	2.23	9.63	17.78	240-1012-2-ND	2,000	103.71/M	6,000	97.79/M	HI1806T600R-00
1	**1812**	4.50	3.20	1.40	**1,500**	120 Ω	130 Ω	240-1040-1-ND	2.29	9.91	18.29	240-1040-2-ND	2,500	106.68/M	5,000	100.58/M	MI1812K121R-00
	1812	4.50	3.20	1.40	**6,000**	80 Ω	85 Ω	240-1013-1-ND	2.29	9.91	18.29	—	—	—	—	—	HI1812T800R-00
1	**2220**	5.59	5.08	1.52	**4,000**	170 Ω	225 Ω	240-1014-1-ND	6.19	26.83	49.53	—	—	—	—	—	HI2220P171R-00
				1.80	**4,000**	250 Ω	300 Ω	240-1015-1-ND	6.19	26.83	49.53	240-1015-2-ND	2,000	288.90/M	6,000	272.40/M	HI2220P251R-00
				1.97	**4,000**	550 Ω	820 Ω	240-2236-1-ND	7.38	31.98	59.05	—	—	—	—	—	HI2220P551R-00
				3.05	**4,000**	600 Ω	400 Ω	240-1016-1-ND	7.38	31.98	59.05	—	—	—	—	—	HI2220P601R-00
				3.05	**4,000**	700 Ω	450 Ω	240-1126-1-ND	7.38	31.98	59.05	240-1126-2-ND	2,000	344.46/M	6,000	324.78/M	HI2220P701R-00
				1.80	**5,000**	150 Ω	190 Ω	240-1121-1-ND	6.19	26.83	49.53	—	—	—	—	—	HI2220R151R-00
				3.20	**5,000**	300 Ω	370 Ω	240-1124-1-ND	6.19	26.83	49.53	240-1124-2-ND	2,000	288.90/M	6,000	272.40/M	HI2220R301R-00
				1.80	**6,000**	100 Ω	130 Ω	240-1120-1-ND	6.19	26.83	49.53	—	—	—	—	—	HI2220T101R-00
	2220	5.59	5.08	3.05	**4,000**	600 Ω	400 Ω	240-2197-1-ND	8.32	36.05	66.54	240-2197-2-ND	2,000	388.17/M	6,000	365.99/M	HR2220P601R-00
				3.61	**8,000**	800 Ω	290 Ω	240-1127-1-ND	11.55	50.05	92.40	240-1127-2-ND	2,000	538.99/M	6,000	508.19/M	HR2220V801R-00
1	**3312**	8.50	3.05	2.28	**10,000**	100 Ω	125 Ω	240-1129-1-ND	8.69	37.68	69.57	240-1129-2-ND	—	—	5,000	463.77/M	DM3312X101R-00
2	**1612**	5.08	3.05	3.05	**10,000**	48 Ω	52 Ω	240-1002-1-ND	1.35	5.88	10.84	—	—	—	—	—	28F0121-0SR
2	**3312**	9.53	3.05	3.05	**10,000**	96 Ω	110 Ω	240-1001-1-ND	1.35	5.88	10.84	—	—	—	—	—	28F0121-1SR

240-2227-ND Ferritkern-Musterbausatz zur Oberflächenmontage (je 10-30 Muster von über 70 Teilen; Größe 0402 bis 3312) **50.80**

Alle Preisangaben in Euro und inklusive Zollgebühren.

EMI-Filter, Drosseln, Chips und Leistungsinduktorenchips

Chip-Arrays, vier Leitungen, für Differenzialsignalfiltrierung, Oberflächenmontage

Merkmale: • Kleine Grundfläche • Robuste Konstruktion • Breiter Impedanzwertebereich • Gute Hochfrequenzleistung (mit Spitzenwerten von weit über 100 MHz) • Niedrigere Installationskosten (eine Greif- und Platzierfunktion anstelle von vier diskreten Installationen) • Entspricht der Leistung von bis zu vier Chips der Größe 0603

Erkundigen Sie sich bei Digi-Key nach bleifreien Versionen dieser Teile!

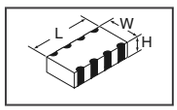

Größen-code	Abmessungen - mm Länge (L)	Breite (W)	Höhe (H)	Typische Impedanz (Ω) @ 100 MHz	@ 200 MHz	Anzahl der gefilterten Schaltungen	Nennstrom iMax (mA), kontinu-ierlich	Digi-Key Teilenr.	Gurtabschnittspreis pro Stück 10	50	100	Digi-Key Teilenr.	Gegurtet auf Rolle Größe	Preisangaben	Größe	Preisangaben	Größe	Preisangaben	Steward Teilenr.
1206	3.20	1.60	0.80	1,000	1,125	4	200	240-1150-1-ND	.58	.51	.47	—	—	—	—	—	—	—	DA1206B102R-00
				600	775		200	240-1149-1-ND	.51	.45	.41	240-1149-2-ND	3,000	237.79/M	6,000	224.21/M	9,000	217.41/M	DA1206B601R-00
				120	160		300	240-1147-1-ND	.51	.45	.41	240-1147-2-ND	3,000	237.79/M	6,000	224.21/M	9,000	217.41/M	DA1206C121R-00
				300	400		400	240-1148-1-ND	.51	.45	.41	—	—	—	—	—	—	—	DA1206D301R-00
				30	40		500	240-1146-1-ND	.51	.45	.41	—	—	—	—	—	—	—	DA1206E300R-00

Leistungsinduktorchip / monolithisch zur Oberflächenmontage

Der DI2220V301R-00 von Steward ist ein oberflächenmontierter Hochstrom-Leistungsinduktor (im branchenweit kleinsten Paket) mit herausragender Leistung unter DC-Vorspannung. Sehr niedriger DCR sorgt für erstklassige Thermoleistung unter DC-Vorspannung. Dieses kompakte monolithische Bauteil produziert eine gleichmäßige Induktivität über den getriebenen Strombereich (von 3 bis 8 A), vergleichbar mit einem größeren, drahtumwickelten Toroid-Induktor. EMI-beständig, voll geschirmte interne Spule. Zur Verwendung mit der neuen Generation von HF-Frequenz-Multiphasen-DC/DC-Wandlern. Kann auf die Leiterplatten-Rückseite montiert werden. Niedriges Profil, kleine Auflagefläche und vibrierbeständig.

Erkundigen Sie sich bei Digi-Key nach bleifreien Versionen dieser Teile!

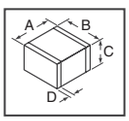

Größen-code	Abmessungen A (mm)	B (mm)	C (mm)	D (mm)	L @ 2 Mhz typ. nH (±10%) 5:00 AM	8:00 AM	Max. DCR (Ω)	Nennwert, iMax. kontinu-ierlich (mA)	Digi-Key Teilenr.	Gurtabschnittspreis pro Stück 10	50	100	Steward Teilenr.
2220	5.59	5.08	3.61	0.76	300	270	0.010	8,000	240-2237-1-ND	1.47	1.21	.87	DI2220V301R-00

Mini-Chip-Perlen für Hochstromdrosseln für Gleichtaktmodus

Die monolithischen, oberflächenmontierten Gleichtaktdrossen von Steward eignen sich zur EMI-Filterung von Strom- und Datenleitungen, wenn hohe Stromstärke, kleine Größe oder HF-Leistung verlangt werden. Eine niedrige Normalmodus-Impedanz und ein niedriger DCR minimieren die Signalverzerrung. Dauerbetriebsspannung bis zu 10 A für die Größe 1812. Vibrierbeständig. Hervorragende Leistung über 1 GHz hinaus.

Erkundigen Sie sich bei Digi-Key nach bleifreien Versionen dieser Teile!

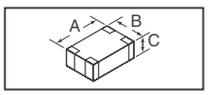

Größen-code	Abmessungen A (mm)	B (mm)	C (mm)	Typische Impedanz, Gleichtakt (Ω) @ 100 MHz	@ 500 MHz	DCR max. (Ω)	Nennwert, iMax. kontinui-erlich (mA)	Digi-Key Teilenr.	Gurtabschnittspreis pro Stück 10	50	100	Digi-Key Teilenr.	Gegurtet auf Rolle Größe	Preisangaben	Größe	Preisangaben	Steward Teilenr.
1812	4.57	3.05	1.60	33	50	0.003	10,000	240-2357-1-ND	.43	.38	.35	240-2357-2-ND	2,500	200.02/M	5,000	188.58/M	CM1812X330R-00
	4.57	3.05	2.36	60	85	0.005	5,000	240-2356-1-ND	.46	.40	.37	240-2356-2-ND	—	—	5,000	241.29/M	CM1812R600R-00

Chip-Perlen für Gleichtaktmodus, Netz-/Signal-EMI-Filterung

Merkmale:
- Monolithisch
- Kompakte Größe
- Hochstromleitfähigkeit
- Sehr niedriges DCR, um Signalverzerrungen zu minimieren
- Leichter, kleiner, und weniger vibrationsempfindlich als ältere drahtgewickelte Drosseln
- Bestleistung über 2 GHz

Erkundigen Sie sich bei Digi-Key nach bleifreien Versionen dieser Teile!

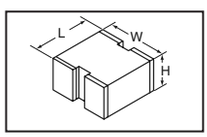

Größen-code	Abmessungen Länge	Breite	Höhe	Typische Impedanz, Gleichtakt (Ω) @ 100 MHz	@ 500 MHz	Nennstrom iMax (mA), kontin-uierlich	Digi-Key Teilenr.	Gurtabschnittspreis pro Stück 10	50	100	Digi-Key Teilenr.	Gegurtet auf Rolle Größe	Preisangaben	Größe	Preisangaben	Größe	Preisangaben	Steward Teilenr.
Niedrige Bauform, Oberflächenmontage - monolitisch																		
1922	4.70	5.60	2.84	33	58	10,000	240-1104-1-ND	.59	.51	.47	240-1104-2-ND	2,500	272.61/M	5,000	257.03/M	10,000	249.24/M	CM1922X330R-00
3322	8.50	5.60	2.10	61	85	7,000	240-1102-1-ND	.77	.67	.62	240-1102-2-ND	2,500	357.80/M	5,000	337.35/M	10,000	327.13/M	CM3322U610R-00
	8.50	5.60	2.84	63	110	10,000	240-1103-1-ND	.77	.67	.62	240-1103-2-ND	2,500	357.80/M	5,000	337.35/M	10,000	327.13/M	CM3322X630R-00
Hohe Frequenz - Niedrigprofil, Oberflächenmontage - monolitisch																		
3322	8.50	5.60	2.10	40	125	4,000	240-1101-1-ND	.77	.67	.62	240-1101-2-ND	2,500	357.80/M	5,000	337.35/M	10,000	327.13/M	CM3322P400R-00

Gleichtaktdrosseln zur EMI-Filterung bei extrem hohen Stromstärken (<8 bis 75 A Dauerbetrieb)

Abb. 1 – Zwei Drosseln

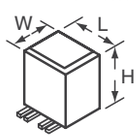

Abb. 2 – Drei Drosseln

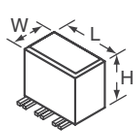

Abb. 3 – Vier Drosseln

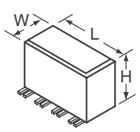

Merkmale: • Oberflächenmontage-Design • Filtert Signalgruppen. • Multi-Durchlasskarte-Layoutanwendung installiert 2, 3 oder 4 Drosseln in Reihe, um die Impedanz auf bis zu 1.000 Ω bei MHz zu multiplizieren. • Hohe Dauerbetriebsstromkapazität (8 A) • Passt hinter RJ45-Buchse • Macht teure gefilterte Steckverbinder unnötig • Oberflächenmontage • Sehr niedriger DCR

Abb. 4 – Eine Drossel

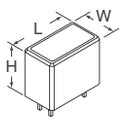

Abb. 5 – Eine Drossel

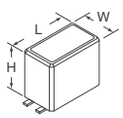

Merkmale: • Hohe Dauerbetriebsstromkapazität (10 - 20 A) • Kompakte Größe • Teile in Durchgangsloch- (B)- oder SMT- (R)-Ausführungen erhältlich

Abb. 6

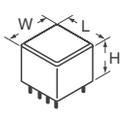

Abb. 7

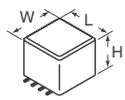

Merkmale: • Hohe Dauerbetriebsstromkapazität (10 - 20 A) • Kann als Multidurchlassvorrichtung zur Multiplikation der Impedanz dienen. • Teile in Durchgangsloch- (B)- oder SMT- (R)-Ausführungen erhältlich

Abb. 8 – Eine Drossel

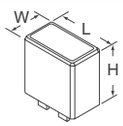

Merkmale: • Sehr hohe Dauerbetriebsstromkapazität (bis zu 75 A) • Impedanz über 100 Ω bei 50 MHz und 200 Ω bei 500 MHz • Kleine Grundfläche • Leichter und kleiner als ältere drahtgewickelte Hochstromdrosseln
- Durchlassloch
- Sehr niedriger DCR

Abb.	Größen-code	Abmessungen (mm) Länge	Breite	Höhe	Gleichtakt-impedanz (Ω) @ 100 MHz	@ 300 MHz	Nennstrom iMax (A), kontinuierlich	Digi-Key Teilenr.	Gurtabschnittspreis pro Stück 1	10	50	100	Digi-Key Teilenr.	Gegurtet auf Rolle Größe	Preisangaben	Größe	Preisangaben	Größe	Preisangaben	Steward Teilenr.
Hohe Leistung, Oberflächenmontage																				
5	2545	11.38	6.30	9.32	170	180	**10**	240-1106-1-ND	—	.89	.77	.71	—	—	—	—	—	—	—	CM2545X171R-00
1	3032	7.62	8.13	9.45	200	205	**8**	240-1116-1-ND	—	1.12	.97	.90	—	—	—	—	—	—	—	CM3032V201R-00
1	3032	7.62	8.13	14.48	300	295	**8**	240-1118-1-ND	—	1.35	1.17	—	240-1118-2-ND	100	62.66	500	295.37	1,000	572.84	CM3032V301R-00
5	3440	10.03	8.51	9.32	170	170	**20**	240-2186-1-ND	—	.99	.86	.79	240-2186-2-ND	375	172.51	1,875	433.74/M	3,750	420.60/M	CM3440Z171R-00
7	4545	11.38	11.38	9.32	130	145	**10**	240-1108-1-ND	—	1.17	1.02	.94	—	—	—	—	—	—	—	CM4545Z131R-00
2	4732	11.94	8.13	9.45	200	220	**8**	240-1117-1-ND	—	1.38	1.20	1.11	—	—	—	—	—	—	—	CM4732V201R-00
2	4732	11.94	8.13	14.48	300	305	**8**	240-1119-1-ND	—	1.63	1.41	—	240-1119-2-ND	150	113.74	750	536.19	1,500	693.27/M	CM4732V301R-00
7	5740	14.48	10.03	9.32	170	190	**20**	240-2189-1-ND	—	1.13	.98	.90	—	—	—	—	—	—	—	CM5740Z171R-00
3	6032	15.24	8.13	9.45	200	210	**8**	240-2191-1-ND	—	1.42	1.23	1.14	240-2191-2-ND	250	164.93	1,250	622.04/M	2,500	603.19/M	CM6032V201R-00
3	6032	15.24	8.13	14.48	300	300	**8**	240-2192-1-ND	—	1.69	1.47	—	240-2192-2-ND	100	78.62	500	370.67	1,000	718.86	CM6032V301R-00
Hochstrom-Durchgangsloch																				
4	2545	11.38	6.30	9.32	170	175	**10**	240-1105-ND†	.69	.57	.49	.44	—	—	—	—	—	—	—	CM2545X171B-00
6	4545	11.38	11.38	9.32	130	145	**10**	240-1107-ND†	.80	.67	.58	.52	—	—	—	—	—	—	—	CM4545Z131B-00
Ultrahochstrom-Durchgangsloch																				
4	3440	10.03	8.51	9.32	170	175	**20**	240-2185-ND†	.77	.64	.55	.50	—	—	—	—	—	—	—	CM3440Z171B-00
8	5441	13.72	10.41	15.24	160	150	**75**	240-1109-ND†	1.43	1.20	1.03	.93	—	—	—	—	—	—	—	CM5441Z161B-00
8	5441	13.72	10.41	10.52	100	112	**75**	240-1110-ND†	1.36	1.13	.98	.88	—	—	—	—	—	—	—	CM5441Z101B-00
6	5740	14.48	10.03	9.32	170	175	**20**	240-2188-ND†	.89	.75	.65	.58	—	—	—	—	—	—	—	CM5740Z171B-00

† Großpackung

Steward EMI-Filter für Gleichtakt- und Differenzialmodus

SMD-Gleichtaktmodus-Arrays für Netz-/Signal-EMI-Filterung

Eine hoch entwickelte Gruppe von Gleichtaktdrossel-Arrays zur EMI-Filterung von Strom- und Datenleitungen in einem Bauteil. Hohe Dauerbetriebsstromkapazität (5 A). Sehr niedrige Impedanz im Normalmodus lässt gewünschte Signale passieren. Keine Kreuzkopplung der Bauteile. Ein Bauteil kann als ein Multi-Leitungs-Array dienen bzw. als Multi-Durchlass-Drossel in Reihe zur Multiplikation der Impedanz installiert werden. Hervorragende Filter für USB, Firewire und RJ11 bis RJ45 modulare Daten/Port-Anwendungen. Max. DCR beträgt 0,020 Ω. Passt gut hinter die Steckverbinder-Port-Buchsen.

Abb. 1

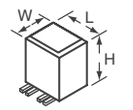

Zwei Drosseln

Abb. 2

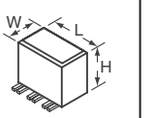

Drei Drosseln

Abb. 3

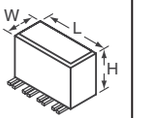

Vier Drosseln

Abb.	Größen-code	Abmessungen (mm) Länge (L)	Breite (W)	Höhe (H)	Typische Impedanz (Ω) @ 100 MHz	@ 300 MHz	Nennstrom-iMax (A), kontinuierlich	Digi-Key Teilenr.	Gurtabschnittspreis pro Stück 10	50	100	Digi-Key Teilenr.	Gegurtet auf Rolle Größe	Preisangaben	Größe	Preisangaben	Größe	Preisangaben	Steward Teilenr.
1	2722	6.99	5.72	7.62	150	170	5	240-2175-1-ND	.84	.73	.67	—	—	—	—	—	—	—	CM2722R151R-00
	2722	6.99	5.72	9.53	200	210	5	240-2176-1-ND	1.06	.92	.85	—	—	—	—	—	—	—	CM2722R201R-00
	2722	6.99	5.72	4.32	80	95	5	240-2178-1-ND	.81	.70	.65	240-2178-2-ND	1,000	374.83	5,000	353.42/M	10,000	342.71/M	CM2722R800R-00
2	3822	9.78	5.72	7.62	150	170	5	240-2179-1-ND	.91	.79	.73	240-2179-2-ND	600	252.73	3,000	397.14/M	6,000	385.11/M	CM3822R151R-00
	3822	9.78	5.72	4.32	80	95	5	240-2180-1-ND	.86	.75	.69	240-2180-2-ND	1,000	400.31	5,000	377.44/M	10,000	366.01/M	CM3822R800R-00
	3822	9.78	5.72	9.53	200	210	5	240-2181-1-ND	1.22	1.06	.98	240-2181-2-ND	500	282.98	2,500	533.62/M	5,000	517.45/M	CM3822R201R-00
3	5022	12.57	5.72	7.62	150	170	5	240-2182-1-ND	1.11	.97	.89	240-2182-2-ND	600	310.33	3,000	487.66/M	6,000	472.88/M	CM5022R151R-00
	5022	12.57	5.72	9.53	200	210	5	240-2183-1-ND	1.43	1.24	1.15	240-2183-2-ND	375	250.18	1,875	629.03/M	3,750	609.96/M	CM5022R201R-00
	5022	12.57	5.72	4.32	80	95	5	240-2184-1-ND	1.03	.89	.82	240-2184-2-ND	1,000	477.95	5,000	450.64/M	10,000	436.99/M	CM5022R800R-00

Gleichtaktdrosseln für Daten/Signalleitungen und CAN-Bus-Anwendungen

Automobilindustrie, Medizin, Industrie, Heimelektronik usw.
Starke Niedrig- und Hochfrequenzimpedanz!

Oberflächemontierte Drosseln für Control Area Networks (CAN-Bus) und andere gebräuchliche EMI-Filteranwendungen. Oberflächenmontierte Drosseln mit Stromausgleich filtern Gleichtaktrauschströme heraus und minimieren Emissionen von Hochgeschwindigkeits-Datenleitungen. Sie unterdrücken auch die Schnittstelle mit integrierter Elektronik. Erhältlich in den Größen 1812 und 2824. Vier Drosseln bieten eine Spitzenimpedanz unter 10 MHz. Über 12.000 Ω bei 2 MHz.

Abb. 1

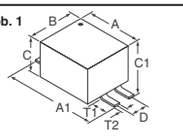

Abb. 2

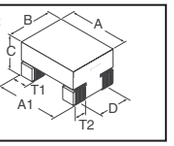

Abb.	A (mm)	A1 (mm) Max.	B (mm)	C (mm)	C1 (mm) Max.	D (mm)	T1 (mm)	T2 (mm)	Steward Teilenr. Gruppe
1	7.50	9.00	5.50	3.80	4.90	2.54	1.75	0.50	CC2824xxxxR-00
2	5.00	5.20	3.50	3.55	—	1.70	1.00	1.00	CC1812xxxxR-00

D

Abb.	Lp Induktivität (µH) Testbedingungen	Min.	Nom.	Max.	Typische Höchst-impedanz	TRP 100 kHz/ 50 mV	Hi-Pot (V AC) 0,5 ma, 2 s	Typ. DCR (Ω)	idc mA	Digi-Key Teilenr.	Gurtabschnittspreis pro Stück 10	50	100	Digi-Key Teilenr.	Gegurtet auf Rolle Größe	Preisangaben	Steward Teilenr.
1	100KHz / 50mV	3.5	5.0	6.5	388 Ω @ 500 MHz	1 : 1 ± 5%	250	0.10	1,200	240-2347-1-ND	2.41	2.09	1.93	240-2347-2-ND	1,500	1281.58/M	CC2824J502R-00
	100KHz / 50mV	7.7	11.0	14.3	780 Ω @ 200 MHz	1 : 1 ± 5%	250	0.12	800	240-2348-1-ND	2.52	2.19	2.02	240-2348-2-ND	1,500	1342.71/M	CC2824E113R-00
	100KHz / 50mV	17.5	25.0	32.5	1,971 Ω @ 100 MHz	1 : 1 ± 5%	250	0.13	800	240-2349-1-ND	2.70	2.34	2.16	240-2349-2-ND	1,500	1437.87/M	CC2824E253R-00
	100KHz / 50mV	35.0	51.0	66.3	3,805 Ω @ 50 MHz	1 : 1 ± 5%	250	0.16	800	240-2350-1-ND	2.76	2.39	2.21	240-2350-2-ND	1,500	1469.19/M	CC2824E513R-00
	100KHz / 50mV	329.0	470.0	611.0	8,580 Ω @ 5 MHz	1 : 1 ± 5%	750	0.20	700	240-2351-1-ND	2.70	2.34	2.16	240-2351-2-ND	1,500	1437.87/M	CC2824E474R-00
	100KHz / 50mV	700.0	1000.0	1500.0	4,250 Ω @ 7 MHz	1 : 1 ± 5%	750	0.20	700	240-2352-1-ND	2.35	2.04	1.88	240-2352-2-ND	1,500	1250.43/M	CC2824E105R-00
	10KHz / 50mV	1540.0	2200.0	3300.0	5,278 Ω @ 5 MHz	1 : 1 ± 5%	750	0.40	500	240-2353-1-ND	2.70	2.34	2.16	240-2353-2-ND	1,500	1437.87/M	CC2824D225R-00
	10KHz / 50mV	3290.0	4700.0	7050.0	12,300 Ω @ 2 MHz	1 : 1 ± 5%	750	0.55	400	240-2354-1-ND	2.70	2.34	2.16	240-2354-2-ND	1,500	1258.14/M	CC2824B475R-00
2	100KHz / 50mV	35.7	51.0	66.3	3,530 Ω @ 40 MHz	1 : 1 ± 5%	250	0.50	200	240-2355-1-ND	1.70	1.48	1.36	240-2355-2-ND	2,000	906.54/M	CC1812C513R-00

Differenzialmodus-Mehrfachleitungs-Arrays für EMI-Stromfilterung

3-, 4-, 5- u. 8-Leitungs-Filter mit einem Nennwert von bis zu 10 A bei Dauerbetrieb

Diese Mehrfachleitungsferritprodukte bieten preisgünstiges EMI-Filtern von Differenzialmodusstörungen in Oberflächenmontage- und Durchgangsloch-Leiterplattenanwendungen. Sie bieten aufgrund ihres Designs Hochfrequenzunterdrückung von EMI-Störungen (Gleichtakt- und Differenzialmodus) an Daten- und Stromleitungsgruppen. Niedriger DCR.

Abb. 1 – Oberflächenmontage

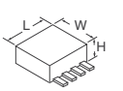

Abb. 2 – Durchlassloch

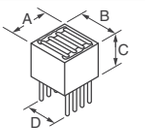

Abb.	Abmessungen - mm Länge	Breite	Höhe	Typ. Impedanz (Ω) @ 100 MHz	@ 300 MHz	Nennstrom iMax (A), kontinuierlich	Anz. d. Leitungen	Digi-Key Teilenr.	Gurtabschnittspreise 10	50	100	Digi-Key Teilenr.	Gegurtet auf Rolle Größe	Preisangaben	Größe	Preisangaben	Größe	Preisangaben	Steward Teilenr.
1	8.33	10.87	6.35	200	210	9	3	240-1004-1-ND	7.67	33.22	61.34	—	—	—	—	—	—	—	29F0330-2SR
	6.10	4.50	4.19	119	120	6	4	240-1005-1-ND	7.92	34.36	63.42	240-1005-2-ND	900	332.95	4,500	348.81/M	9,000	338.24/M	29F0418-1SR
	10.87	10.87	6.35	200	210	9	4	240-1006-1-ND	8.55	37.06	68.42	—	—	—	—	—	—	—	29F0430-2SR
	11.43	4.50	4.19	119	120	6	8	240-2167-1-ND	11.06	47.92	88.46	—	—	—	—	—	—	—	29F0818-1SR

Abb.	Anz. d. Leitungen	Abmessungen (mm) A	B	C	D	Nennstrom iMax (A), kontinuierlich	Typische Impedanz (Ω) @ 100 MHz	@ 300 MHz	Digi-Key Teilenr.	Stückpreis 1	10	50	100	Steward Teilenr.
2	4	10.87	10.87	10.57	7.62	10	342	400	240-2001-ND	.61	.51	.44	.40	29F0428-0T0
	4	10.87	5.49	10.44	2.54	10	285	290	240-2002-ND	.46	.39	.34	.30	29F0429-0T0
	5	13.41	10.87	10.57	7.62	10	342	400	240-2003-ND	.73	.61	.52	.47	29F0528-0T0

Wickel-Perldrosseln zur EMI-Filterung für Differenzialmodus

Breitband-EMI-Filterung - Durchgangsloch

Multi-Öffnung, Multi-Umdrehungs-Ferritdrosseln. Konfigurationen mit drei Umdrehungen bieten eine Verlustimpedanz von über 1.000 Ω. Diese Bauteile bieten hervorragende Breitband-Frequenz-Leistung. Nennstrom bis zu 7 A bei Dauerbetrieb.

Erkundigen Sie sich bei Digi-Key nach bleifreien Versionen dieser Teile!

Abb. 1

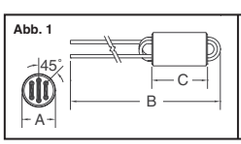

Abb. 2

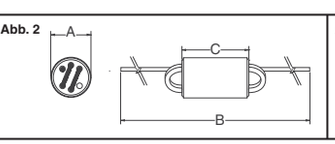

Abb. 3

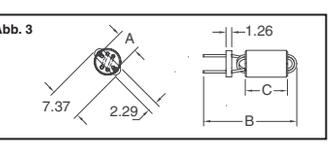

Abb.	Abmessungen - mm A	B	C	Nennstrom iMax (A), kontinuierlich	Typische Impedanz (Ω) @ 50 MHz	@ 100 MHz	Digi-Key Teilenr.	Preisangaben 1	10	50	100	Steward Teilenr.
1	6.00	50.53	10.00	7	845	1,000	240-2169-ND	.16	1.31	5.67	10.21	28C0236-0EW
2	6.00	86.46	10.00	7	700	835	240-2168-ND	.14	1.12	4.81	8.65	28C0236-0BW
3	6.00	20.96	10.00	7	845	1,000	240-2170-ND	.17	1.40	6.02	10.84	28C0236-0JW

Ferritperlen mit Axialableitung zur EMI-Filterung

Doppelanschluss-Ferritperlen mit Axialableitung von Steward dienen zur wirtschaftlichen Filterung von EMI-Unterdrückungsanwendungen im Differenzialmodus. Diese Vorrichtungen wurden mit einem kontinuierlichen 22 Gauge Leiter konstruiert und können hohen Spitzenströmen standhalten, die andere oberflächenmontierte Vorrichtungen zerstören können. Durchlasslochinstallation. Niedriger DCR.

Erkundigen Sie sich bei Digi-Key nach bleifreien Versionen dieser Teile!

Abb. 1

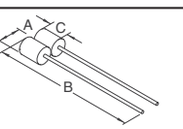

Abb. 2

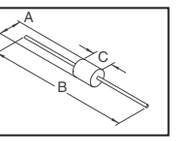

Abb.	Abmessungen - mm A	B	C	Typische Impedanz (Ω) @ 100 MHz	@ 300 MHz	Nennstrom-iMax (A), kontinuierlich	Digi-Key Teilenr.	Gurtabschnittspreise 10	50	100	Digi-Key Teilenr.	Gegurtet auf Rolle Größe	Preisangaben	Größe	Preisangaben	Steward Teilenr.
1	3.51	25.4	4.45	143	165	5	240-2171-1-ND	.84	3.61	6.68	240-2171-2-ND	4,000	38.97/M	8,000	36.74/M	28J0138-11R
2	3.51	59.00	4.45	75	80	5	240-2172-1-ND	.45	1.96	3.61	240-2172-2-ND	4,500	21.04/M	9,000	19.84/M	28L0138-10R
2	3.51	59.00	8.89	135	138	5	240-2173-1-ND	.61	2.62	4.85	240-2173-2-ND	4,500	28.30/M	9,000	26.69/M	28L0138-40R
2	3.51	59.00	13.97	220	210	5	240-2174-1-ND	.76	3.32	6.12	—	—	—	—	—	28L0138-70R

Alle Preisangaben in Euro und inklusive Zollgebühren.

Steward

Ferrit-EMI-Scheiben und -Platten mit Klebehaftung

Die Ferrit-Scheiben und -Platten von Steward bieten eine einfache, preiswerte Lösung bei elektromagnetischen Störungen aufgrund von Strahlung oder induktiver Kopplung. Nach dem Leiterplatten-Lötprozess kann eine Ferrit-Scheibe oder -Platte direkt auf der Quelle der EMI-Störung installiert werden (z. B. auf aktiven Geräten oder unerwünschten Antennen). Sie können auch als induktiv gekoppelte Bauteile oder EMI-Schirme auf Leiterplatten-Komponenten und Traces verwendet werden.

Eine induktive Kopplung tritt dann auf, wenn das Ferrit die vom aktiven Bauteil ausgehende, geleitete Kurvenform beeinträchtigt. Die Anstiegszeit der Kurve wird vom Ferrit effizient verringert und die Wertüberschreitung und das damit verbundene Klingeln werden gedämpft. Die EMI-Schirmung erfolgt, wenn das Ferrit die EMI-Strahlungen von aktiven Bauteilen absorbiert und somit andere Karten oder Bauteile in der näheren Umgebung von Strahlungskontamierung schützt. Die Leistung ist für jede Anwendung unterschiedlich.

Merkmale: • Die Bauteile sind mit doppelseitigem 3M-Klebeband mit permanenter Haftung versehen • Kann zur Auffindung unerwünschter EMI-Antennen benutzt werden • Flat Flex und Flachkabelschirme • Zur nachträglichen zusätzlichen EMI-Dämpfung

Abb. 1 – Scheiben

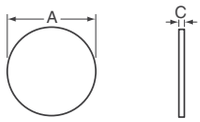

Abb. 2 – Platten

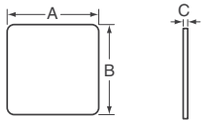

240-2247-ND Ferrit-EMI-Scheiben und -Plattenkit (je 5 von 20 verschiedenen Teilenummern) „Das Musterkit enthält Teile mit temporärer Klebehaftung zwecks Neuplatzierung.“ **25.40**

Abb.	Abmessungen (mm) A	B	C	Digi-Key Teilenr.	Stückpreis 1	10	50	Steward Teilenr.
				Scheiben				
1	20.00	—	1.27	240-2248-ND†	.44	.37	.32	HM0787-100
	20.00	—	1.91	240-2249-ND†	.46	.38	.33	HM0787-200
	35.56	—	1.91	240-2250-ND†	.86	.72	.62	HM1400-200
	35.56	—	2.54	240-2251-ND†	.92	.77	.66	HM1400-300
	16.51	—	1.27	240-2252-ND	.41	.34	.29	MM0650-100
1	20.00	—	1.27	240-2253-ND	.44	.37	.32	MM0787-100
	20.00	—	1.91	240-2254-ND	.46	.38	.33	MM0787-200
	35.56	—	1.91	240-2255-ND	.86	.72	.62	MM1400-200
	35.56	—	2.54	240-2256-ND	.88	.73	.63	MM1400-300
				Platten				
2	26.42	26.42	1.27	240-2257-ND†	.67	.56	.48	HP1040-100
	26.42	26.42	1.91	240-2258-ND†	.68	.57	.49	HP1040-200
	8.00	8.00	2.00	240-2259-ND	.39	.33	.28	MP0315-200
	26.42	8.89	1.27	240-2260-ND	.49	.41	.36	MP0350-000
	11.00	11.00	2.00	240-2261-ND	.35	.30	.26	MP0433-000
2	13.00	13.00	2.00	240-2262-ND	.37	.32	.27	MP0512-200
	21.00	15.00	2.00	240-2263-ND	.44	.37	.32	MP0590-200
	15.00	15.00	2.00	240-2264-ND	.41	.34	.29	MP0591-200
	19.30	19.30	1.27	240-2265-ND	.58	.48	.41	MP0760-100
	26.42	26.42	1.27	240-2266-ND	.67	.56	.48	MP1040-100
2	26.42	26.42	1.91	240-2267-ND	.74	.61	.53	MP1040-200
	38.00	38.00	2.00	240-2268-ND	1.01	.84	.73	MP1496-000

† für höhere EMI-Frequenzen

Breitband- (30 MHz – 900 MHz optimiert) Flachkabel und Flexkabel-Ferritkerne für EMI

Einteilige Ferrit-EMI-Kerne für Flachkabel: Kabel muss für Abbildungen 1 und 2 vor dem Anschließen der Kabelenden in den Ferritkern eingeführt werden. Aus Hochleistungsmaterial hergestellt.

Geteilte Flachkabelkerne mit Kunststoffgehäusen mit Scharnier: Diese Kerne enthalten beide Ferritkernhälften im selben komplett zusammengebauten schwarzen Kunststoffgehäuse mit Scharnier. Ein Teil für jede Baugruppe bestellen.

Geteilte Flachkabelkerne mit Endklemmen aus Kunststoff: Gut geeignet, wenn zusammengesetzte Kabelsteckverbinder die Verwendung einteiliger Ferritkerne nicht zulassen. Weiße Endklemmen gewährleisten sicheres Anschließen der Ferritteile am Flachkabel. Laschen mit Schraublöchern für die Montage des Bausatzes werden mitgeliefert. Zwei Teile für jeden Bausatz bestellen.

Geteilte Flachkabelkerne mit Metallklemmen: Geteilte Ferritkerne für Flachkabel werden mit kleinen Metallklemmen sicher zusammengehalten. Zwei Teile für jeden Bausatz bestellen.

Abb. 1- Einteiliges Ferrit

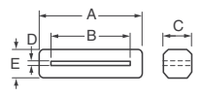

Abb. 2- Einteiliges Ferrit

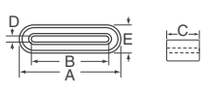

Abb. 3 – Bausatz mit Kunststoffgehäuse mit Scharnier

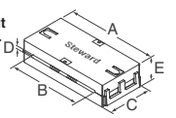

Abb. 4 - Geteiltes Ferrit

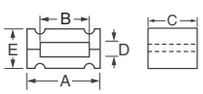

Zusammengebautes Muster on zwei mit Kunststoffklemmen zusammengehaltenen Teilen (_P0)

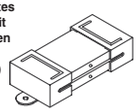

Zusammengebautes Muster von wei mit Metallklemmen zusammengehaltenen Teilen (_M0)

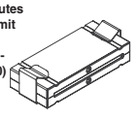

Abb.	Abmessungen (mm) A	B	C	D	E	Typische Impedanz (Ω) @ 100 MHz	@300 MHz	Digi-Key Teilenr.	Preisangaben 1	2	10	50	100	Steward Teilenr.
						Rechteckig geformte einteilige Ferrit-EMI-Kerne für Flachkabel								
1	8.00	6.00	12.00	0.70	2.70	102	250	240-2320-ND	.21	—	1.74	7.53	13.55	28R0315-200
	11.50	8.00	12.00	0.70	3.00	104	260	240-2155-ND	.25	—	2.09	9.01	16.21	28R0453-200
	11.50	8.00	20.00	0.70	3.00	160	330	240-2321-ND	.25	—	2.07	8.93	16.08	28R0453-300
	12.20	8.00	18.00	1.00	5.50	190	320	240-2156-ND	.21	—	1.75	7.56	13.60	28R0480-000
	15.01	10.00	22.86	1.50	7.49	227	370	240-2229-ND	.41	—	3.39	14.59	26.25	28R0592-010
1	15.60	13.60	16.00	0.70	2.80	116	270	240-2158-ND	.27	—	2.24	9.64	17.81	28R0614-200
	17.00	13.00	12.00	0.75	3.50	110	270	240-2157-ND	.26	—	2.16	9.30	17.87	28R0669-000
	22.35	14.00	19.05	1.50	7.75	187	356	240-2082-ND	.51	—	4.22	18.19	32.75	28R0880-000
	22.80	18.70	16.00	0.70	2.80	127	290	240-2161-ND	.30	—	2.47	10.67	19.20	28R0898-200
	28.00	23.00	20.00	0.80	5.80	192	380	240-2162-ND	.50	—	4.14	17.85	32.12	28R1102-100
1	28.00	23.00	27.00	1.10	6.10	230	480	240-2325-ND	.58	—	4.85	20.91	37.64	28R1103-000
	31.12	24.77	13.30	1.91	8.26	128	300	240-2327-ND	.52	—	4.32	18.61	33.49	28R1227-100
	31.40	23.00	19.00	1.50	7.75	162	370	240-2328-ND	.59	—	4.92	21.21	38.17	28R1236-000
	31.40	23.00	21.00	1.00	7.75	211	440	240-2329-ND	.69	—	5.74	24.75	44.56	28R1240-010
	38.10	26.67	25.40	1.91	12.07	230	520	240-2084-ND	1.30	—	10.83	46.66	83.98	28R1517-000
1	45.08	34.42	28.58	1.52	12.45	260	530	240-2086-ND	1.83	—	15.13	65.21	117.38	28R1775-000
	63.50	52.07	28.58	1.68	12.70	298	588	240-2088-ND	2.58	—	21.40	92.24	166.03	28R1779-000
	63.50	52.07	12.98	1.68	12.70	170	375	240-2335-ND	1.17	—	9.67	41.68	76.52	28R1779-100
	45.72	35.05	27.94	1.52	12.70	260	555	240-2336-ND	1.85	—	15.36	66.20	119.15	28R1800-010
	47.70	36.00	27.00	2.74	15.24	244	507	240-2337-ND	2.11	—	17.46	75.25	135.46	28R1861-000
1	50.80	40.60	15.20	2.00	12.20	170	380	240-2338-ND	1.17	—	9.70	41.82	75.28	28R2000-010
	55.12	43.69	25.40	1.27	12.70	280	550	240-2090-ND	2.05	—	16.97	73.18	131.72	28R2170-000
	55.12	43.69	12.70	1.27	12.70	170	370	240-2092-ND	1.17	—	9.69	41.76	75.17	28R2170-100
	79.98	68.58	12.70	1.91	11.99	135	318	240-2094-ND	1.32	—	11.49	49.53	89.15	28R3149-000
						Oval geformte einteilige Ferrit-EMI-Kerne für Flachkabel								
2	15.50	13.50	10.00	1.40	3.40	80	216	240-2322-ND	.24	—	1.94	8.34	15.01	28R0610-000
	19.20	15.00	10.00	1.15	5.35	107	258	240-2323-ND	.30	—	2.45	10.55	18.99	28R0756-000
	19.20	15.00	16.00	1.15	5.35	150	300	240-2159-ND	.25	—	2.12	9.14	16.46	28R0756-200
	25.00	18.00	24.00	0.90	7.70	220	430	240-2160-ND	.59	—	4.93	21.24	38.23	28R0984-000
	25.00	18.00	16.00	0.90	7.70	170	370	240-2324-ND	.49	—	4.10	17.68	31.82	28R0984-200
2	28.58	23.50	31.00	1.70	7.70	220	430	240-2230-ND	.77	—	6.40	27.60	49.68	28R1127-000
	28.58	23.50	17.00	1.70	7.70	150	330	240-2231-ND	.52	—	4.27	18.40	33.11	28R1127-400
	28.58	23.50	9.70	1.70	7.70	110	265	240-2326-ND	.32	—	2.68	11.55	20.78	28R1127-500
	37.00	27.00	18.25	1.50	8.00	168	380	240-2163-ND	.66	—	5.49	23.67	42.61	28R1141-010
	32.00	25.10	35.00	0.90	7.75	350	700	240-2330-ND	1.08	—	8.91	38.44	69.18	28R1261-100
2	32.00	25.10	9.70	0.90	7.75	135	310	240-2331-ND	.39	—	3.19	13.76	24.76	28R1261-200
	34.00	28.00	25.00	1.00	7.00	220	449	240-2332-ND	.74	—	6.09	26.23	47.21	28R1340-200
	36.83	29.58	10.00	0.75	7.75	130	290	240-2164-ND	.47	—	3.85	16.60	29.88	28R1450-100
	37.01	33.00	13.46	0.51	4.50	140	310	240-2333-ND	.38	—	3.17	13.63	24.53	28R1457-400
	42.00	37.50	5.00	0.70	5.00	84	200	240-2334-ND	.33	—	2.77	11.93	21.47	28R1654-010
2	49.61	44.00	12.00	1.45	7.62	127	300	240-2165-ND	.63	—	5.19	22.36	40.25	28R1953-000
	56.90	52.32	9.00	1.02	5.59	110	260	240-2166-ND	.47	—	3.95	17.05	30.69	28R2240-130
						Geteilte Flachkabelbausätze mit Kunststoffgehäusen mit Scharnieren								
3	67.08	52.07	31.70	1.68	16.66	280	590	240-2339-ND	3.98	—	32.96	142.05	255.69	28S2001-0A2
	67.08	52.07	27.53	1.68	16.66	236	480	240-2341-ND	3.52	—	29.17	125.75	226.34	28S2001-2A2
						Geteilte Flachkabelkerne mit Kunststoff-Endklemmen								
4	63.50	52.07	28.58	1.68	12.7	280	590	240-2097-ND*	—	3.73	15.46	66.62	119.91	28S2001-0P0
	76.20	65.28	28.58	1.68	12.7	280	600	240-2099-ND*	—	3.95	16.39	70.66	127.18	28S2011-0P0
	45.09	34.42	28.58	1.68	12.7	250	550	240-2103-ND*	—	3.00	12.40	53.45	96.20	28S2022-0P0
						Geteilte Flachkabelkerne mit Metall-Endklemmen								
4	63.50	52.07	28.58	1.68	12.7	280	590	240-2096-ND*	—	3.39	14.07	60.64	109.15	28S2001-0M0
	63.50	52.07	12.98	1.68	12.7	150	340	240-2340-ND*	—	1.86	7.70	33.21	59.78	28S2001-1M0
	76.20	65.28	28.58	1.68	12.7	280	600	240-2098-ND*	—	3.62	15.00	64.68	116.42	28S2011-0M0
	76.20	65.28	15.01	1.68	12.7	180	390	240-2342-ND*	—	2.29	9.46	40.81	73.45	28S2011-1M0
	88.90	78.23	28.58	1.68	12.96	240	630	240-2100-ND*	—	4.70	19.46	83.90	151.02	28S2012-0M0
4	45.09	34.42	28.58	1.68	12.7	250	550	240-2102-ND*	—	2.66	11.00	47.41	85.34	28S2022-0M0
	38.10	26.67	25.40	1.68	12.7	250	520	240-2104-ND*	—	2.10	8.69	37.45	67.40	28S2023-0M0
						Extrazubehör								
—	Extra Kunstoff-Endklemme mit Montageloch für einen Kern für geteilte Flachkabel.....							240-2345-ND	.11	—	.88	3.80	6.84	ASSE001-2
	Extra Metall-Endklemme für einen Kern für geteilte Flachkabel							240-2346-ND	.12	—	.99	4.28	7.71	ASSE017-2

* ***Hinweis:*** Geteilte Ferritkabelkerne erfordern zwei Ferritteile für jeden kompletten Bausatz (mit Ausnahme von geteilten Kernen in Kunststoffgehäusen mit Scharnieren).

Steward Ferrit-EMI-Kerne für Kabel/Kabelbäume

NF-Kerne (300 kHz - 30 MHz) für Rundkabel

Das LFB-Ferritmaterial von Steward bietet hervorragende Impedanz bei niedrigeren Frequenzen. Optimale EMI-Dämpfung zwischen 300 kHz und 30 MHz; mit zusätzlichen Kabeldrehungen können jedoch auch wesentlich breitere EMI-Frequenzbereiche wirksam gedämpft werden.

1 Drehung

2 Drehungen

5 Drehungen

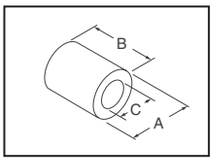

Zusätzliche Kabeldrehungen mit Mehrfachimpedanz.

Abmessungen (mm)			Netto-Impedanz (Ω)						Digi-Key	Preisangaben					Steward
A	B	C	@ 1 MHz (1 Drehung)	@ 1 MHz (2 Drehungen)	@ 1 MHz (5 Drehungen)	@ 5 MHz (1 Drehung)	@ 5 MHz (2 Drehungen)	@ 5 MHz (5 Drehungen)	Teilenr.	1	10	50	100	500	Teilenr.
9.00	7.00	5.00	21	90	558	36	140	867	240-2135-ND	.12	.98	4.23	7.62	30.48	LFB090050-000
9.50	19.05	5.10	63	240	1464	86	332	2514	240-2277-ND	.31	2.62	11.30	20.34	81.38	LFB095051-000
12.70	7.00	7.92	16	70	436	25	102	593	240-2278-ND	.16	1.31	5.66	10.18	40.69	LFB127079-000
14.27	28.58	6.35	122	490	2842	120	480	2646	240-2279-ND	.99	8.20	35.31	63.56	254.26	LFB143064-000
14.27	13.46	6.35	57	220	1169	53	215	1552	240-2136-ND	.52	4.26	18.36	33.05	132.20	LFB143064-100
15.88	28.58	7.87	105	410	2615	100	390	2305	240-2281-ND	.99	8.20	35.31	63.56	254.26	LFB159079-000
17.40	28.58	9.50	91	350	2184	85	340	2044	240-2282-ND	1.19	9.83	42.37	76.27	305.08	LFB174095-000
18.10	10.00	10.00	31	138	809	29	115	722	240-2283-ND	.36	2.95	12.71	22.88	91.51	LFB180100-000
18.70	28.58	10.16	91	350	1969	84	330	1863	240-2284-ND	1.35	11.14	48.03	86.45	345.77	LFB187102-000
22.10	12.70	14.00	30	30	120	28	110	699	240-2137-ND	.59	4.92	21.19	38.14	152.54	LFB220140-000
25.00	13.00	15.00	34	105	980	26	80	624	240-2285-ND	.63	5.24	22.60	40.67	162.67	LFB250150-000
25.91	28.58	12.83	106	420	2647	62	240	1487	240-2138-ND	1.82	15.07	64.97	116.94	467.75	LFB259128-000
28.98	15.21	19.05	34	155	963	22	70	573	240-2286-ND	.97	8.03	34.61	62.29	249.15	LFB290190-000
31.00	13.00	19.00	33	33	143	22	88	554	240-2139-ND	.89	7.37	31.78	57.20	228.81	LFB310190-000
36.00	15.00	23.00	27	110	653	19	75	438	240-2287-ND	1.14	9.51	40.97	73.74	294.95	LFB360230-300

D

Ferritzylinder und Toroide für elektromagnetische Entstörung (EMI)
Breitband (optimiert für 30 MHz – 800 MHz +) Perlenkerne für Rundkabel u. Drahtbündel

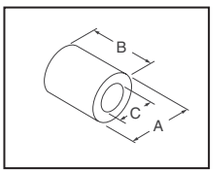

Einteilige, röhrenförmige Ferritwulstkerne zur effizienten Abschwächung zahlreicher leitergebundener und ausgestrahlter elektromagnetischer Störungen (EMI). Über Rundkabel oder Drahtbündel installieren. Ferritperlen können erneut geformt oder nach Bedarf mit einer Wärmeschrumpfschicht überzogen werden. Zusätzliche Kabeldrehungen mit Mehrfachimpedanz. Die zylindrischen Perlen von Steward für Rundkabel in Breitband-28-Material stellen die kleinste und preiswerteste EMI-Lösung dar, wenn Gleichtaktmodus- und Differenzialmodus-EMI in internen und externen Kabelgruppen gefiltert werden. Die Verwendung von Hochleistungsmaterial von Steward gestattet den Gebrauch der kleinsten und leichtesten Kerngrößen mit höchstmöglichen EMI-Dämpfleistungen

Abmessungen (mm)			Typische Impedanz (Ω)			Digi-Key	Preisangaben					Steward
A	B	C	@ 50 MHz	@ 100 MHz	@ 300 MHz	Teilenr.	1	10	50	100	500	Teilenr.
6.35	15.88	3.18	131	182	300	240-2289-ND	.14	1.10	4.74	8.53	34.13	28B0250-100
6.78	14.22	3.99	100	138	260	240-2112-ND	.12	.97	4.19	7.54	30.17	28B0268-000
7.00	13.50	3.80	84	146	268	240-2290-ND	.13	1.07	4.61	8.29	33.14	28B0275-000
8.00	4.78	3.17	69	100	220	240-2291-ND	.08	.69	3.00	5.39	21.56	28B0315-000
8.00	10.06	3.17	112	158	281	240-2292-ND	.15	1.24	5.33	9.58	38.33	28B0315-100
8.60	10.00	3.80	85	143	264	240-2293-ND	.14	1.14	4.91	8.84	35.35	28B0339-000
9.00	10.00	4.50	93	132	254	240-2294-ND	.14	1.13	4.89	8.80	35.20	28B0354-000
9.00	20.00	4.75	148	205	360	240-2295-ND	.22	1.83	7.90	14.21	56.84	28B0355-000
9.53	14.48	5.08	114	154	282	240-2067-ND	.18	1.46	6.29	11.32	45.26	28B0375-100
9.53	19.05	5.08	146	194	310	240-2113-ND	.20	1.68	7.26	13.07	52.27	28B0375-300
9.53	4.83	5.08	52	81	200	240-2296-ND	.10	.84	3.63	6.54	26.13	28B0375-400
9.75	10.00	3.80	125	159	286	240-2297-ND	.19	1.54	6.65	11.98	47.93	28B0384-000
9.75	25.00	3.80	254	322	473	240-2298-ND	.33	2.76	11.90	21.43	85.72	28B0384-200
9.91	15.00	6.35	88	128	248	240-2299-ND	.16	1.36	5.88	10.59	42.36	28B0390-200
11.90	15.00	7.00	100	142	270	240-2300-ND	.23	1.90	8.22	14.80	59.20	28B0471-000
12.00	10.00	3.55	152	195	320	240-2240-ND	.21	1.76	7.59	13.66	54.63	28B0473-000
12.00	25.00	3.55	318	424	558	240-2241-ND	.46	3.79	16.34	29.41	117.64	28B0473-200
12.32	25.40	4.88	253	320	450	240-2114-ND	.46	3.78	16.32	29.38	117.49	28B0485-000
12.70	6.35	7.92	52	83	200	240-2301-ND	.14	1.19	5.13	9.24	36.95	28B0500-100
14.27	10.16	6.35	101	145	270	240-2302-ND	.27	2.23	9.61	17.30	69.18	28B0562-000
14.27	28.58	6.35	262	317	470	240-2078-ND	.40	3.28	14.12	25.41	101.64	28B0562-200
14.27	15.24	7.26	121	173	295	240-2303-ND	.38	3.15	13.59	24.46	97.83	28B0563-000
14.27	28.57	7.26	197	287	406	240-2304-ND	.54	4.51	19.45	35.02	140.04	28B0563-200
14.48	5.51	8.51	51	82	200	240-2305-ND	.18	1.44	6.21	11.18	44.73	28B0570-000
15.00	35.00	5.90	348	450	580	240-2242-ND	.71	5.88	25.35	45.62	182.48	28B0591-200
15.65	28.58	7.00	232	310	450	240-2306-ND	.64	5.35	23.07	41.53	166.10	28B0616-000
15.88	14.27	7.87	87	163	273	240-2307-ND	.41	3.38	14.56	26.21	104.84	28B0625-000
15.88	28.58	7.87	209	280	400	240-2115-ND	.63	5.19	22.38	40.27	161.07	28B0625-100
16.00	28.00	9.25	171	243	370	240-2308-ND	.58	4.75	20.49	36.88	147.51	28B0631-100
17.00	25.00	7.01	226	323	445	240-2309-ND	.63	5.29	22.80	41.03	164.12	28B0669-000
17.42	6.35	9.52	61	91	214	240-2310-ND	.22	1.84	7.92	14.27	57.07	28B0686-000
17.42	28.57	9.52	191	242	390	240-2079-ND	.65	5.37	23.14	41.64	166.56	28B0686-200
18.67	14.27	10.16	108	150	270	240-2311-ND	.49	4.05	17.45	31.41	125.64	28B0735-300
22.10	6.35	13.72	53	85	205	240-2312-ND	.31	2.60	11.20	20.16	80.61	28B0870-000
22.10	12.70	13.72	80	122	236	240-2116-ND	.50	4.13	17.82	32.08	128.31	28B0870-100
25.40	12.70	15.49	83	122	247	240-2313-ND	.61	5.05	21.79	39.22	156.88	28B0999-000
25.40	12.70	12.70	106	151	278	240-2117-ND	.65	5.41	23.32	41.97	167.86	28B1000-000
25.91	28.58	12.83	104	276	412	240-2081-ND	1.43	11.84	51.06	91.91	367.64	28B1020-100
28.50	28.58	13.77	218	307	440	240-2243-ND	1.74	14.48	62.39	112.31	449.24	28B1122-100
29.01	7.49	19.00	53	85	200	240-2118-ND	.47	3.90	16.83	30.29	121.15	28B1142-000
29.01	13.84	19.00	77	114	235	240-2314-ND	.71	5.87	25.27	45.49	181.95	28B1142-100
31.12	15.93	19.05	100	140	270	240-2315-ND	.95	7.86	33.87	60.97	243.90	28B1225-000
31.12	10.00	19.05	70	110	240	240-2316-ND	.64	5.31	22.89	41.20	164.81	28B1225-300
31.75	22.22	19.05	134	186	292	240-2119-ND	1.41	11.73	50.55	90.99	363.98	28B1250-000
36.00	12.70	23.00	78	115	230	240-2317-ND	.96	7.93	34.19	61.55	246.18	28B1417-200
38.86	28.58	12.95	161	210	347	240-2318-ND	2.02	16.76	72.25	130.05	520.18	28B1531-000
39.12	22.22	16.76	204	254	405	240-2319-ND	2.74	22.76	98.10	176.58	706.32	28B1540-000
50.80	28.70	25.40	218	305	442	240-2244-ND	5.50	45.59	196.52	353.73	1414.92	28B2000-100
60.96	12.70	35.56	90	135	285	240-2120-ND	2.79	23.13	99.69	179.44	717.75	28B2400-000

240-2226-ND Breitband-Flachkabel, Flexkabel und Kit mit Vollzylinder-Ferrit-EMI-Kabeladern (37 verschiedene Größen) **50.80**

(Forts.)

Alle Preisangaben in Euro und inklusive Zollgebühren.

Ferrit-EMI-Kerne für Kabel/Kabelbäume *(Forts.)*

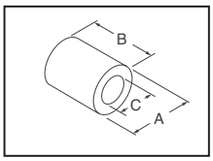

Zylindrische Hochfrequenzkerne (300 MHz – 2 GHz) für Rundkabel

Diese aus einem speziellen Hochfrequenzmaterial hergestellten Ferritzylinder und Toroide bieten eine EMI-Dämpfung (Impedanz) mit einem Spitzenwert über 1 GHz für die meisten Bauteilgrößen. Auch in geteilter Klemmversion (in Kunststoffgehäusen) erhältlich. Siehe weiter unten auf dieser Seite. Größe und Form des Bauteils können Leistung und Resonanzfrequenz beeinflussen.

Abmessungen (mm)			Netto-Impedanz z		Digi-Key	Preisangaben					Steward
A	B	C	@ 500 MHz	@ 800 MHz	Teilenr.	1	10	50	100	500	Teilenr.
7.52	10.00	2.39	136	138	240-2146-ND	.15	1.23	5.30	9.54	38.17	HFB075024-000
9.52	10.00	5.08	74	85	240-2145-ND	.18	1.50	6.48	11.66	46.63	HFB095051-100
9.52	19.00	5.08	135	183	240-2140-ND	.25	2.05	8.81	15.87	63.47	HFB095051-200
12.32	5.00	4.88	56	62	240-2269-ND	.18	1.48	6.37	11.47	45.87	HFB123049-000
12.32	10.00	4.88	110	127	240-2149-ND	.25	2.12	9.13	16.42	65.68	HFB123049-100
12.32	25.40	4.88	287	305	240-2270-ND	.64	5.33	22.94	41.30	165.19	HFB123049-300
14.27	5.00	6.35	50	64	240-2271-ND	.21	1.76	7.59	13.66	54.63	HFB143064-000
14.27	10.00	6.35	100	113	240-2147-ND	.32	2.67	11.50	20.69	82.75	HFB143064-100
14.27	28.58	6.35	315	306	240-2148-ND	.76	6.32	27.23	49.01	196.05	HFB143064-300
14.99	28.58	6.99	287	279	240-2150-ND	.82	6.80	29.32	52.77	211.06	HFB150070-200
15.24	10.00	3.38	190	189	240-2151-ND	.44	3.65	15.71	28.28	113.15	HFB152034-000
15.65	20.00	6.99	200	216	240-2273-ND	.70	5.82	25.10	45.18	180.73	HFB157070-000
15.88	28.58	7.87	290	302	240-2142-ND	.90	7.45	32.09	57.77	231.10	HFB159079-100
16.00	19.00	9.25	145	155	240-2274-ND	.62	5.12	22.08	39.74	158.94	HFB160093-200
16.00	27.99	9.25	198	261	240-2152-ND	.77	6.39	27.56	49.60	198.41	HFB160093-300
16.99	10.00	7.01	115	127	240-2153-ND	.46	3.75	16.18	29.12	116.50	HFB170070-000
16.99	20.00	7.01	215	234	240-2275-ND	.76	6.35	27.35	49.24	196.96	HFB170070-100
18.67	30.00	10.16	250	276	240-2143-ND	1.11	9.17	39.52	71.13	284.51	HFB187102-100
25.91	20.00	12.83	224	242	240-2144-ND	1.52	12.59	54.25	97.65	390.57	HFB259128-000
25.91	28.58	12.83	246	268	240-2154-ND	2.10	17.40	74.99	134.98	539.91	HFB259128-100

240-2225-ND Hochfrequenz-Klemmferritkerne und Vollzylinder-Kerne im Musterkit für Rundkabel (je eine von 18 verschiedene Größen) **25.40**

D

Geteilte Klemmferritkerne in Kunststoffgehäusen für Rundkabel und Drahtbündel

Geteilte Klemmferrit-Wulstkerne in Kunststoffgehäusen lassen sich gut für die EMI-Abschwächung verwenden, wenn keine einteiligen Kerne installiert werden können. Klemmkerne lassen sich gut während des EMI-Testens verwenden.
Zylinderförmige, runde und kastenförmige, in Kunststoffgehäuse eingeschlossene Teile erhältlich. Zusätzliche Kabeldrehungen mit Mehrfachimpedanz. Hochleistungsmaterial.

Klemmzylinder

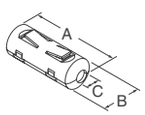

Rund, klemmbar

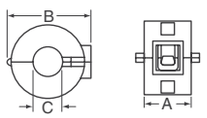

Klemmbox

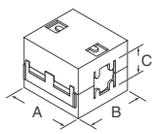

Breitband-Klemmkerne, optimiert für 30 MHz – 800 MHz +

Gehäuse-	Kunststoffgehäuse, Abmessungen (mm)			Max. Kabel-	Typische Impedanz (Ω)		Digi-Key	Stückpreis				Steward
farbe	A	B	C	durchmesser (mm)	@ 100 MHz	@ 300 MHz	Teilenr.	1	10	50	100	Teilenr.
Zylinder, Klemmferrit												
Schwarz	25.20	13.00	3.50	3.50	240	400	240-2233-ND	.86	.72	.62	.56	28A0350-0B2
Weiß	29.08	12.80	5.44	4.65	170	320	240-2068-ND	.89	.74	.64	.57	28A0392-0A0
Schwarz	29.08	12.80	5.44	4.65	170	320	240-2070-ND	.89	.74	.64	.57	28A0392-0A2
Schwarz	42.55	14.30	5.35	5.10	277	449	240-2344-ND	1.04	.87	.75	.68	28A0434-0A2
Schwarz	53.39	18.75	4.80	4.50	572	688	240-2245-ND	1.53	1.28	1.10	.99	28A0592-0A2
Schwarz	53.39	18.75	6.60	6.55	471	575	240-2246-ND	1.48	1.23	1.06	.96	28A0593-0A2
Weiß	40.36	19.10	9.09	8.95	240	390	240-2065-ND	1.63	1.36	1.17	1.06	28A0640-0A0
Schwarz	40.36	19.10	9.09	8.95	240	390	240-2066-ND	1.63	1.36	1.17	1.06	28A0640-0A2
Schwarz	41.68	21.03	7.00	6.35	270	460	240-2122-ND	1.74	1.44	1.25	1.12	28A2026-0A2
Schwarz	35.10	18.00	9.00	9.00	220	360	240-2124-ND	1.28	1.06	.92	.82	28A2736-0A2
Schwarz	33.70	30.00	13.00	12.85	260	410	240-2127-ND	2.63	2.18	1.88	1.70	28A3851-0A2
Runder Klemmferrit												
Schwarz	19.90	19.20	8.20	8.13	160	300	240-2123-ND	1.07	.89	.77	.69	28A2432-0A2
Schwarz	13.60	24.55	10.20	10.19	130	250	240-2125-ND	1.12	.93	.81	.73	28A3039-0A2
Schwarz	15.40	28.80	13.60	13.55	120	230	240-2128-ND	1.29	1.07	.92	.83	28A4155-0A2
Kastenförmiger Klemmferrit												
Weiß	32.50	29.00	13.00	12.70	280	440	240-2072-ND	3.12	2.60	2.24	2.01	28A2024-0A0
Schwarz	32.50	29.00	13.00	12.70	280	440	240-2073-ND	3.12	2.60	2.24	2.01	28A2024-0A2
Weiß	32.03	17.58	7.26	6.35	320	510	240-2074-ND	1.57	1.31	1.13	1.02	28A2025-0A0
Schwarz	32.03	17.58	7.26	6.35	320	510	240-2075-ND	1.57	1.31	1.13	1.02	28A2025-0A2
Weiß	32.84	21.77	10.00	9.91	250	420	240-2076-ND	1.96	1.63	1.41	1.27	28A2029-0A0
Schwarz	32.84	21.77	10.00	9.91	250	420	240-2077-ND	1.96	1.63	1.41	1.27	28A2029-0A2
Schwarz	42.00	29.20	19.30	18.80	210	360	240-2121-ND	4.36	3.61	3.12	2.81	28A5776-0A2

240-2224-ND Musterkit mit geteilten EMI-Klemmferritkernen für Rundkabel (je eines von 14 verschiedenen Größen) **25.40**

Klemmferritkerne, Hochfrequenz (300 MHz – 2 GHz)

Gehäusefarbe: Schwarz

Kunststoffgehäuse, Abmessungen (mm)			Max. Kabel-	Netto-Impedanz (Ω)		Digi-Key	Stückpreis				Steward
A	B	C	durchmesser (mm)	@ 500 MHz	@ 800 MHz	Teilenr.	1	10	50	100	Teilenr.
Zylinder, Klemmferrit											
29.30	12.80	5.30	4.65	152	168	240-2129-ND	1.14	.95	.82	.74	HFA100049-0A2
41.68	21.03	8.13	6.35	340	281	240-2132-ND	2.04	1.70	1.46	1.32	HFA150068-0A2
40.36	19.10	9.09	8.95	260	262	240-2130-ND	2.19	1.82	1.57	1.41	HFA163090-0A2
Kastenförmiges Klemmferrit											
32.50	17.88	7.00	6.35	350	339	240-2131-ND	1.83	1.52	1.31	1.18	HFA150066-0A2
32.64	21.77	10.00	9.91	290	280	240-2133-ND	2.42	2.01	1.74	1.56	HFA187102-0A2
32.51	29.01	13.00	12.70	315	275	240-2134-ND	3.87	3.21	2.77	2.49	HFA259131-0A2

Panasonic® Kombinationsleitungsfilter

Serie C, Typen 21 C und 25 C

Kombinations-Leitungsfilter für Dämpfung von Gleichtakt- und Normalmodus.

MERKMALE: • Zusätzliche verbesserte Normalmodus-Dämpfungsmerkmale • Kompakte Größe mit hoher Induktivität • Flachprofil für hochdichte Montage

EMPFOHLENE ANWENDUNGEN: • Beleuchtungsgeräte • AV-Ausstattungen • Kommunikationsgeräte • Netzteil

SPEZIFIKATIONEN: • Betriebstemperatur: -20 °C ~ 115 °C • Spannung: max. 250 Vrms AC • Dielektrische Haltespannung: 2 kV AC/1 Min. • Temperaturanstieg: max. 45 K

Typ 21C

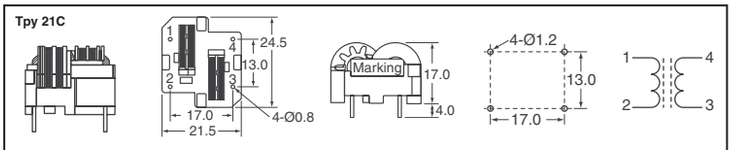

Typ 25C

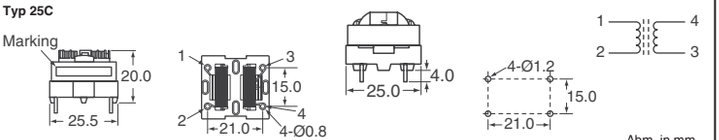

Abm. in mm

Induktivität (mH Min.) Common*	Normale	DCR (bei 20 °C) (Ω) ±20 % Tol.	Nennstrom: max. (A rms)	Digi-Key Teilenr.	Stückpreis 1	10	100	Panasonic Teilenr.
				Typ 21C				
43.0	1.70	3.07	0.3	PLK1294-ND	3.12	2.67	2.23	ELF-21C003A
25.0	.960	1.75	0.4	PLK1295-ND	3.12	2.67	2.23	ELF-21C004A
11.0	.440	.790	0.6	PLK1296-ND	3.12	2.67	2.23	ELF-21C006A
6.40	.250	.450	0.9	PLK1297-ND	3.12	2.67	2.23	ELF-21C009A
3.90	.150	.300	1.1	PLK1298-ND	3.12	2.67	2.23	ELF-21C011A
2.30	.090	.170	1.5	PLK1299-ND	3.12	2.67	2.23	ELF-21C015A
1.70	.065	.120	1.8	PLK1300-ND	3.12	2.67	2.23	ELF-21C018A
1.00	.040	.080	2.3	PLK1301-ND	3.12	2.67	2.23	ELF-21C023A
				Typ 25C				
184.0	5.30	5.031	0.3	PLK1302-ND	3.79	3.26	2.71	ELF-25C003A
72.0	2.10	1.891	0.5	PLK1303-ND	3.79	3.26	2.71	ELF-25C005A
34.0	0.90	.916	0.7	PLK1304-ND	3.79	3.26	2.71	ELF-25C007A
20.0	0.52	.510	0.9	PLK1305-ND	3.79	3.26	2.71	ELF-25C009A
11.0	0.31	.310	1.2	PLK1306-ND	3.79	3.26	2.71	ELF-25C012A
6.70	.180	.180	1.6	PLK1307-ND	3.79	3.26	2.71	ELF-25C016A
4.40	.110	.113	2.0	PLK1308-ND	3.79	3.26	2.71	ELF-25C020A
3.00	.080	.080	2.5	PLK1309-ND	3.79	3.26	2.71	ELF-25C025A
1.80	.050	.053	3.2	PLK1310-ND	3.79	3.26	2.71	ELF-25C032A
1.20	.03	.037	3.8	PLK1311-ND	3.79	3.26	2.71	ELF-25C038A

* Übliche Ausführung

EMI-Wulstkerne (für elektromagnetische Störung)

SPEZIFIKATIONEN: • **DC-Widerstand:** max. 10 mΩ • **Isolierwiderstand:** min. 10 mΩ

ELDR-35

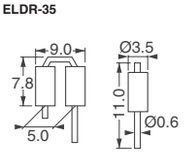

ELSA-39

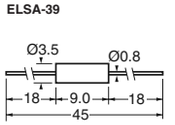

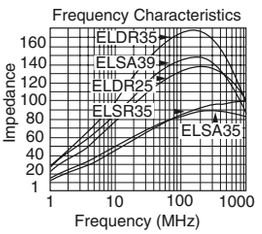

ELDR-25

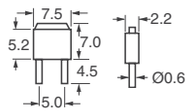

ELSR-35

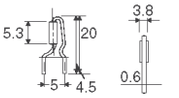

ELSA-35

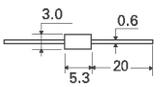

Abm. in mm

Beschreibung	Imp. (Ω) 100 MHz	Digi-Key Teilenr.	Preisangaben 10	100	1.000	2.000	Panasonic Teilenr.
Typ radial, doppelt (gegurtet in Schachtel)	min. 140	P9817TB-ND	—	—	74.50	—	EXC-ELDR35V
Typ radial, doppelt (Großmenge)	min. 140	P9817BK-ND	1.52	12.34	—	—	EXC-ELDR35C
Typ axial, einfach (gegurtet in Schachtel)	min. 110	P9818TB-ND	—	—	49.10	—	EXC-ELSA39V
Typ axial, einfach (Großmenge)	min. 110	P9818BK-ND	1.08	8.75	—	—	EXC-ELSA39
Typ radial, doppelt (gegurtet in Schachtel)	min. 100	P9819TB-ND	—	—	—	69.42/M	EXC-ELDR25V
Typ radial, doppelt (Großmenge)	min. 100	P9819BK-ND	1.46	11.92	96.51	—	EXC-ELDR25C
Typ axial, einfach (gegurtet in Schachtel)	min. 60	P9820TB-ND	—	—	49.10	—	EXC-ELSA35V
Typ axiale Ableitung (Großmenge)	min. 60	P9820BK-ND	1.08	7.43	—	—	EXC-ELSA35
Typ radial, einfach (gegurtet in Schachtel)	min. 60	P9821TB-ND	—	—	49.10	—	EXC-ELSR35T
Typ, radiale Form (Großmenge)	min. 60	P9821BK-ND	1.08	7.43	—	—	EXC-ELSR35S

Oberflächenmontierte Wulstkerne 0603

Serie EXC-3BB: Merkmale • Hohe Impedanz für Hochgeschwindigkeits-Signalleitung • A-Merkmale werden beträchtlich auf über 40 MHz gesteigert; kann für Strahlrauschen von 100 MHz ~ 300 MHz verwendet werden **Serie EXC-3BP:** • Reduzierter DC-Widerstand für EMI-Unterdrückung • Hohe Stromstärke • Effiziente Geräuschunterdrückung bei hoher Frequenz, bis zu 2 GHz

ANWENDUNGEN: Taktleitung, Signalleitung, E/A-Schnittstellenschaltung

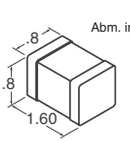

Abm. in mm

Imp. 100 MHz (Ω) ±25 %	I (mA)	Rdc (Ω)	Digi-Key Teilenr.	Gurtabschnittspreise 10	100	500	Digi-Key Teilenr.	Preisangabe für Gegurtet auf Rolle 4.000	Panasonic Teilenr.
220	200	0.3	P10188CT-ND	1.29	8.66	29.33	P10188TR-ND	38.10/M	EXC-3BB221H
600	100	0.8	P10189CT-ND	1.29	8.66	29.33	P10189TR-ND	38.10/M	EXC-3BB601H
1000	50	1	P10190CT-ND	1.29	8.66	29.33	P10190TR-ND	38.10/M	EXC-3BB102H
60	1000	0.07	P10749CT-ND	1.46	10.24	35.39	P10749TR-ND	55.88/M	EXC-3BP600H
120	500	0.1	P10750CT-ND	1.46	10.24	35.39	P10750TR-ND	55.88/M	EXC-3BP121H

Oberflächenmontierte Wulstkerne

SPEZIFIKATIONEN:

• **Toleranz:** ±25 % • **Testfrequenz:** 100 MHz • **Nennstrom:** 2 (A) • Anschwemm-/Aufschmelzlöten

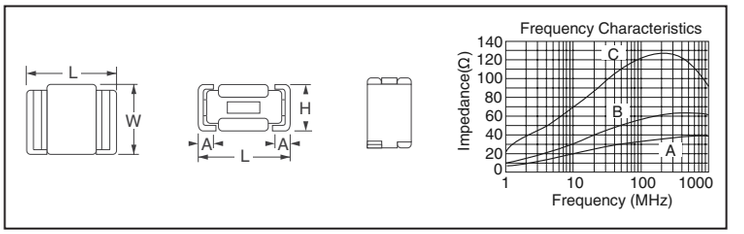

Dur-chm.	Imp. (Ω)	Abmessungen (mm) L	W	H	A	Digi-Key Teilenr.	Gurtabschnitts-preis pro Stück 10	100	Digi-Key Teilenr.	Gegurtet auf Rolle 2.000	10.000	Panasonic Teilenr.
A	25	3.2	1.6	1.6	0.5	P9810CT-ND	.35	.26	P9810TR-ND	146.46/M	135.46/M	EXC-CL3216U1
B	45	3.2	2.5	1.6	0.5	P9811CT-ND	.45	.33	P9811TR-ND	187.10/M	173.56/M	EXC-CL3225U1
C	115	4.5	3.2	1.8	0.5	P9812CT-ND	.52	.39	P9812TR-ND	—	203.19/M	EXC-CL4532U1

Oberflächenmontierte Wulstkerne 0804 (0402x4)

MERKMALE: • Höhe 0,02 Zoll (0,51 mm), leicht (meist nur 5 mg), enges Raster, vergleichbar mit SSOP-Raster

Serie EXC-28BB: • Für Hochgeschwindigkeitssignale (über 50 Mhz) geeignet, ausgezeichnete Nebensprechmerkmale (100 MHz: <-25 dB) **ANWENDUNGEN:** • PC, LCD, DSC, Drucker, PDA, MD, CD, NAVI

Serie EXC-28BA: • Für Rufsignalunterbrechung bei gleichzeitiger Beibehaltung der Wellenform geeignet, ausgezeichnete Nebensprechmerkmale (100 MHz: <-30 dB) **ANWENDUNGEN:** • HDD, E-IDE (Ultra DMA 33), DVD, CD-ROM, C-DR, CDR-RW

Abm. in mm

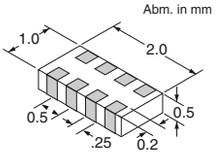

Imp. 100 MHz (Ω) ±25 %	I (mA)	Rdc (Ω)	Digi-Key Teilenr.	Gurtabschnittspreis pro Stück 10	100	500	Digi-Key Teilenr.	Gegurtet auf Rolle 5.000	Panasonic Teilenr.
120	100	0.5	P10751CT-ND	.60	.44	.32	P10751TR-ND	252.29/M	EXC-28BB121U
220	100	0.7	P10752CT-ND	.60	.44	.32	P10752TR-ND	252.29/M	EXC-28BB221U
120	100	0.5	P10753CT-ND	.60	.44	.32	P10753TR-ND	252.29/M	EXC-28BA121U
200	100	0.7	P10754CT-ND	.60	.44	.32	P10754TR-ND	252.29/M	EXC-28BA221U

Rauschfilter 0504, Gleichtaktmodus

Merkmale: • Flachprofil • Geringer DC-Widerstand • Hohe Zuverlässigkeit und hohe Montage-Effizienz aufgrund der Mehrschichtkonstruktion

Anwendungen: Allgemeine elektronische Geräte

Spezifikationen: Temperaturbereich: -40 °C ~ 85 °C

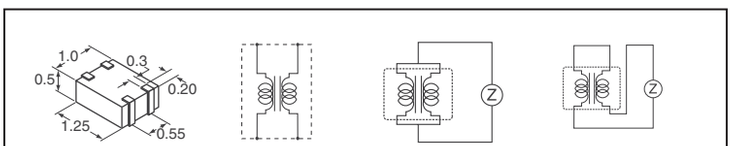

Abm. in mm

Imp. @ 100 MHz (Ω) Gleichtakt-modus	Differenzial-modus	Nennsp. (V DC)	Nenn-strom (mA DC)	Rdc (max. Ω)	Digi-Key Teilenr.	Gurtabschnittspreis pro Stück 1	10	100	G/R Preisangaben* 5.000	Panasonic Teilenr.
90	15	5	160	1.75	P12972CT-ND	.52	.39	.29	162.55/M	EXC-24CE900U
120	18	5	140	2.20	P12970CT-ND	.52	.39	.29	162.55/M	EXC-24CE121U
200	20	5	130	2.70	P12971CT-ND	.52	.39	.29	162.55/M	EXC-24CE201U

* Für Gegurtet auf Rolle die Teilenummer CT-ND in TR-ND ändern

Rauschfilter 0804, Gleichtaktmodus

Merkmale: • Flachprofil • Geringer DC-Widerstand • Hohe Zuverlässigkeit und hohe Montage-Effizienz aufgrund der Mehrschichtkonstruktion • 2 Filter in einem kleinen Paket

Anwendungen: Allgemeine elektronische Geräte

Spezifikationen: Lagertemperaturbereich: -40 °C ~ 85 °C

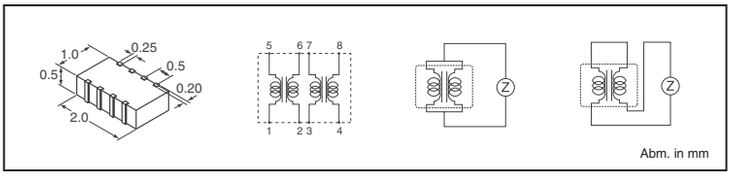

Abm. in mm

Imp. @ 100 MHz (Ω) Gleichtakt-modus	Differenzial-modus	Nennsp. (V DC)	Nennstrom (mA DC)	Rdc (max. Ω)	Digi-Key Teilenr.	Gurtabschnittspreis pro Stück 1	10	100	G/R Preisangaben* 5.000	Panasonic Teilenr.
90	15	5	160	1.5	P12975CT-ND	.75	.56	.41	234.51/M	EXC-28CE900U
120	18	5	140	2.0	P12973CT-ND	.75	.56	.41	234.51/M	EXC-28CE121U
200	20	5	130	2.5	P12974CT-ND	.75	.56	.41	234.51/M	EXC-28CE201U

* Für Gegurtet auf Rolle die Teilenummer CT-ND in TR-ND ändern

Alle Preisangaben in Euro und inklusive Zollgebühren.

Panasonic

Oberflächenmontierte Geräuschfilter, 2 Modi

Serie EXC-24CB und EXC-24CP

MERKMALE:

• Akustische Qualitätsverbesserung für Handys und tragbare Audiogeräte • Effiziente Lärmunterdrückung im Gleichtaktmodus und im regulären Modus • Kompakt und leicht

ANWENDUNGEN:

• Empfängerleitung, Mikrofonleitung und Kopfhörer von Mobiltelefonen (GSM, TDMA, PDC usw.) • Kleine Digitalgeräte, wie z.B. PCs, Drucker, HDD, DVD-ROM, CD-ROM und LCD • Digitale Audio- und Videogeräte, wie z.B. PDA, DSC, DVC, CD-Player, DVD-Player and MD-Player

SPEZIFIKATIONEN:

• **Toleranz:** ±25 %

• **Nennspannung:** 5 V DC

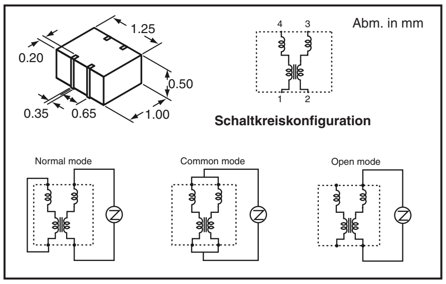

Impedanz, offener Modus, @ 100 MHz (Ω)	Nennstrom (mA DC)	DC-Widerstand Max.(Ω)	Digi-Key Teilenr.	Gurtabschnittspreis pro Stück 1	10	100	Preis. f. G. a. R.* 5.000	Panasonic Teilenr.
1000	50	1.5	P11169CT-ND	.58	.44	.32	182.02/M	EXC-24CB102U
220	100	0.7	P11170CT-ND	.58	.44	.32	182.02/M	EXC-24CB221U
220	350	0.4	P11598CT-ND	.60	.45	.33	188.80/M	EXC-24CP221U
120	500	0.3	P11597CT-ND	.60	.45	.33	188.80/M	EXC-24CP121U

* Für Gegurtet auf Rolle die Teilenummer CT-ND in TR-ND ändern

Oberflächenmontierte Geräuschfilter, Gleichtaktmodus

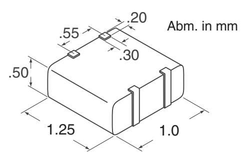

MERKMALE:
• Effiziente Lärmunterdrückung für tragbare Geräte • Typ mit magnetischer Abschirmung • Kompakt und leicht • Bleifrei
ANWENDUNGEN:
• Digitale Audio- und Videogeräte, wie z.B. PDA, DSC, DVC, DVD und CD-Player
• USB-Datenleitung für Handy (IMT2000) • Kleine digitale Geräte, wie z.B. PCs
• MD-Player

Imp. @ 100 MHz (Ω) Gleichtakt-modus	Differen-zial modus	Nennsp. (V DC)	Nennstrom (mA DC)	DC-Wider-stand Max. (Ω)	Digi-Key Teilenr.	Gurtabschnitts-preis pro Stück 1	10	100	G/R Preisangaben* 5.000	Panasonic Teilenr.
60	20	5	160	2	P11173CT-ND	.80	.60	.44	253.14/M	EXC-24CD600U
90	30	5	160	2	P11174CT-ND	.80	.60	.44	253.14/M	EXC-24CD900U
120	35	5	140	2	P11171CT-ND	.80	.60	.44	253.14/M	EXC-24CD121U
200	40	5	130	3	P11172CT-ND	.80	.60	.44	253.14/M	EXC-24CD201U

* Für Gegurtet auf Rolle die Teilenummer CT-ND in TR-ND ändern

Oberflächenmontierte Wulstkerne für hohe Stromstärken

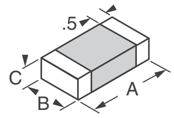

MERKMALE: Äußerst klein, hohe Eigenresonanzfrequenz und hervorragende Toleranz.
SPEZIFIKATIONEN: • **Toleranz:** ±25 % • **Testfrequenz:** 100 MHz

Größe	Imp (Ω)	I (A)	Rdc max. (mΩ)	Abm. (mm) A	B	C	Digi-Key Teilenr.	Gurtabschnittspreise 10	100	500	Preisangaben für Gegurtet auf Rolle* 3.000	4.000	Panasonic Teilenr.
0603	27	4	6	1.6	.8	.8	P10436CT-ND	2.21	15.60	53.89	—	73.66/M	EXC-ML16A270U
0805	39	4	8	2.0	1.2	.9	P10191CT-ND	2.21	15.60	53.89	—	73.66/M	EXC-ML20A390U
1206	68	3	12	3.2	1.6	.9	P10437CT-ND	2.17	15.45	55.62	86.36/M	—	EXC-ML32A680U
1806	91	3	16	4.5	1.6	1.1	P11956CT-ND	2.39	17.04	61.34	102.44/M	—	EXC-ML45A910H

* Für gegurtet auf Rolle, CT zu TR ändern.

Ferrit-Ringkerne

Serie TT

Abb. 1 Abb. 2 Abb. 3

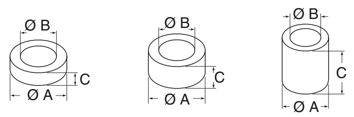

Anwendungsbereiche: Allzweck-Geräuschreduzierung, wie z.B. für Hochfrequenzschaltungen, Motorbereiche und TV-Schaltkreise.
Messdraht: UL1015 AWG #14, 100 mm, 1 Drehung

Abb.	Abmessungen (mm) A	B	C	Typische Impedanz (Ω) 30MHz	50MHz	100MHz	Digi-Key Teilenr.	Stückpreis 1	10	50	Panasonic Teilenr.
1	12.0	8.0	5.5	20	27	42	P12713-ND	.35	.26	.17	KR16TT120805
	13.0	7.1	6.3	30	40	55	P12715-ND	.41	.31	.21	KR16TT130706
	16.0	12.0	8.0	20	30	45	P12721-ND	.41	.31	.21	KR16TT161208
	18.0	10.0	6.0	30	40	55	P12722-ND	.52	.39	.26	KR16TT181006
	18.0	10.0	10.0	35	50	80	P12723-ND	.56	.41	.28	KR16TT181010
	18.5	10.0	8.0	42	51	68	P12724-ND	.48	.36	.24	KR16TT191008
	18.5	10.0	10.0	35	50	80	P12725-ND	.52	.39	.26	KR16TT191010
	20.5	10.6	10.3	55	65	80	P11378-ND	.59	.44	.29	KR16TT201110
	20.5	10.6	12.0	65	75	95	P11379-ND	.63	.46	.31	KR16TT201112
	22.0	14.0	6.0	25	30	48	P11380-ND	.52	.39	.26	KR16TT221406
	22.0	14.0	10.0	35	45	60	P11381-ND	.66	.49	.33	KR16TT221410
	25.0	15.0	8.0	35	44	64	P11382-ND	.91	.66	.45	KR16TT251508
	25.0	15.0	12.0	35	50	80	P11383-ND	1.01	.74	.50	KR16TT251512
	28.5	18.0	7.5	30	40	60	P11385-ND	.76	.56	.38	KR16TT281807
	28.5	18.0	15.0	53	67	88	P11386-ND	1.29	.94	.63	KR16TT281815
2	9.0	6.0	10.0	30	38	56	P12710-ND	.41	.31	.21	KR16TT090610
	9.5	4.9	10.4	40	50	70	P12711-ND	.48	.36	.24	KR16TT100510
	12.0	8.0	15.0	35	50	80	P12714-ND	.41	.31	.21	KR16TT120815
	16.0	9.0	18.0	80	95	110	P12719-ND	.80	.59	.39	KR16TT160918
	26.0	13.0	29.0	155	170	160	P11384-ND	1.98	1.45	.97	KR16TT261329
3	10.7	6.4	20.0	72	88	110	P12712-ND	.69	.51	.34	KR16TT110620
	14.3	6.4	20.0	120	140	140	P12716-ND	.76	.56	.38	KR16TT140620
	14.3	6.4	28.6	200	220	175	P12717-ND	1.01	.74	.50	KR16TT140629
	16.0	7.8	28.0	150	180	170	P12718-ND	1.11	.82	.55	KR16TT160828
	16.0	9.0	28.0	120	140	140	P12720-ND	1.18	.87	.58	KR16TT160928
	18.5	10.0	29.0	130	150	150	P11377-ND	1.29	.94	.63	KR16TT191029

Flachkabel-Ferritkerne Serie FP

Anwendungen: Rauschreduzierung für Flachkabel. **Messdraht:** • 1 – 1UEW 0,5, 50 mm, 1 Drehung • 2 – UL1007 AWG26, 65 mm, 1 Drehung • 3 – 1UEW 0,5, 100 mm, 1 Drehung

Abb. 1 Abb. 2 Abb. 3

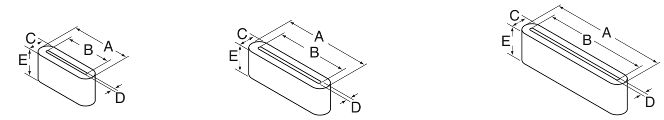

Abb.	Mess-draht	Abmessungen (mm) A	B	C	D	E	Typische Impedanz (Ω) 30MHz	50MHz	100MHz	Digi-Key Teilenr.	Stückpreis 1	10	50	Panasonic Teilenr.
1	1	22.5	17.5	6.0	1.0	10.3	32	40	56	P11387-ND	.69	.51	.34	KR16FP220610
2	3	33.5	27.0	6.5	1.3	10.0	28	38	73	P11388-ND	.73	.54	.36	KR16FP340710
	2	33.5	28.5	7.5	2.5	12.0	25	32	53	P11389-ND	.76	.56	.38	KR16FP340812
	2	36.0	31.0	6.5	1.5	9.0	23	30	48	P11390-ND	.73	.54	.36	KR16FP360709
3	2	40.0	34.8	6.5	1.3	10.0	24	34	65	P11391-ND	.87	.64	.43	KR16FP400710
	3	45.2	40.0	6.5	1.3	12.0	28	40	83	P11392-ND	.97	.72	.48	KR16FP450712

Ferrit-Ringkern mit Gehäuse Serie TA und TB

Anwendungen: Niedrigfrequenz-Rauschreduzierung. Serie TB mit stationärer Öffnung. **Gehäusematerial:** PP **Messdraht:** UL1015 AWG 14, 100 mm, 1 Drehung

Abb. 1 Abb. 2 Abb. 3

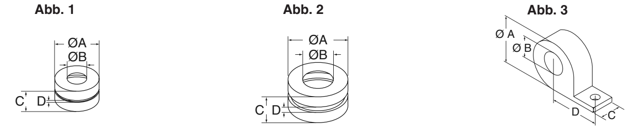

Abb.	Gehäuse-farbe	Abmessungen (mm) A	B	C	D	Typische Impedanz Ω / MHz			Digi-Key Teilenr.	Stückpreis 1	10	50	Panasonic Teilenr.
						Serie TA							
1	Weiß	19.6	8.7	11.0	1.0*	35/30	50/50	80/100	P11398-ND	.97	.72	.48	KR16TA191010W
2	Weiß	26.5	13.5	14.0	3.0*	35/30	50/50	80/100	P11399-ND	1.42	1.05	.70	KR16TA251512W
2	Schwarz	26.5	13.5	14.0	3.0*	20/1	18/5	14/10	P11400-ND	1.52	1.12	.75	KR50TA251512B1
						Serie TB							
3	Schwarz	29.5	13.4	13.5	23.0	35/30	50/50	80/100	P11401-ND	1.98	1.45	.97	KR16TB251512B1

* Maximum

Klemmferritkerne

Serie KRCB

Anwendungen: Rauschreduzierung am AC-Netzkabel für PCs und andere elektronische Geräte. „Klemm"-Konstruktion gewährleistet einfache Installation an beliebiger Stelle im Produktionszyklus. **Gehäusematerial:** Nylon 66 **Kernmaterial:** KR16 **Messdraht:** UL1015 AWG 14, 100 mm, 1 Drehung

Abb. 1 Abb. 2 Abb. 3

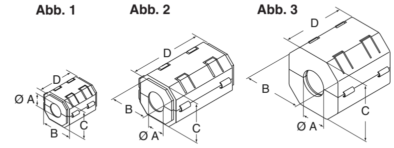

Abb.	Mess-draht	Abmessungen (mm) A	B	C	D	Typische Impedanz (Ω) 30MHz	50MHz	100MHz	Digi-Key Teilenr.	Stückpreis 1	10	50	Panasonic Teilenr.
1	Schwarz	6.5	19.0	15.5	21.0	35	50	80	P11393-ND	1.18	.87	.58	KRCBC130714B
	Weiß	6.5	19.0	15.5	21.0	35	50	80	P11394-ND	1.25	.92	.61	KRCBG130714
2	Schwarz	8.5	22.0	21.0	37.0	110	140	140	P11395-ND	2.18	1.60	1.07	KRCBC160928B
	Weiß	8.5	22.0	21.0	37.0	110	140	140	P11396-ND	2.08	1.53	1.02	KRCBN160928
3	Schwarz	12.8	33.0	31.5	34.0	130	160	170	P11397-ND	4.86	3.56	2.38	KRCBC261329B

SMT, EMI-Filter

SPEZIFIKATIONEN: • 50 V DC • Max. 2 A

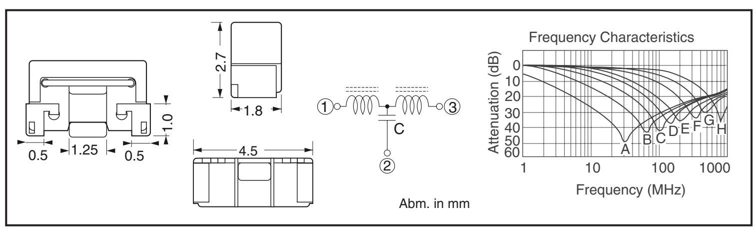

Dur-chm.	Kap. (pF)	25-dB Frequ. (MHz)	15-dB Frequ. (MHz)	Digi-Key Teilenr.	Gurtabschnittspreis pro Stück 10	100	Digi-Key pro Stück	Gegurtet auf Rolle 1.000	Panasonic Teilenr.
H	22	800~1000	600~1000	P9825CT-ND	.58	.43	P9825TR-ND	244.67	EXC-CET220U
G	47	450~550	350~1000	P9826CT-ND	.58	.43	P9826TR-ND	244.67	EXC-CET470U
F	100	300~450	200~900	P9827CT-ND	.58	.43	P9827TR-ND	244.67	EXC-CET101U
E	270	200~300	80~700	P9828CT-ND	.58	.43	P9828TR-ND	244.67	EXC-CET271U
D	470	100~220	50~700	P9829CT-ND	.58	.43	P9829TR-ND	244.67	EXC-CET471U
C	1000	65~200	30~700	P9830CT-ND	.58	.43	P9830TR-ND	244.67	EXC-CET102U
B	2200	35~180	15~700	P9831CT-ND	.58	.43	P9831TR-ND	244.67	EXC-CET222U
A	10000	15~120	5~700	P9832CT-ND	.58	.43	P9832TR-ND	244.67	EXC-CET103U

D

Panasonic®

EMI-Filter (für elektromagnetische Störung)

ANWENDUNGEN:

• Kommunikationsgeräte, schnurlose Telefone, Auto- Telefone • Digitale Audio- und Videogeräte • Elektronische Fahrzeuggeräte, wie z.B. Motorsteuerungen, Panels und Audio-Systeme • Elektrische Musikinstrumente und andere digitale Geräte

SPEZIFIKATIONEN:

• Nennspannung (max): P9802-P9807: 50; P9809: 16 • Toleranz: ±20 % (+20 % bis -30 % für P9809) • Temperaturmerkmale: P9802-P9807: YB (max. Kapazitätsveränderung: ±10 % über Temperaturbereich von -25 °C bis 85 °C bezogen auf 20 °C); P9809: YD (max. Kapazitätsveränderung: 20, -30 % über Temperaturbereich von -25 °C bis 85 °C bezogen auf 20 °C) • Nennstrom (max.): 5A

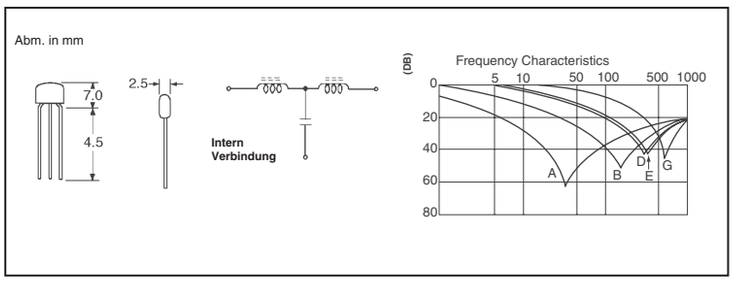

Durch-m.	Kap. (pF)	25 dB AH. Frequ. (MHz)	15 dB AH. Frequ. (MHz)	Digi-Key Teilenr.	Gurtabschnitts-preis pro Stück 10	100	Digi-Key Teilenr.	Preisangabe gegurtet in Schachtel 2.000	Panasonic Teilenr.
G	47	450~700	400~1000	P9802CT-ND	.25	.21	P9802TB-ND	113.45/M	EXC-EMT470BT
E	220	250~400	150~500	P9804CT-ND	.25	.21	—	—	EXC-EMT221BT
D	270	250~400	150~500	P9805CT-ND	.25	.21	P9805TB-ND	113.45/M	EXC-EMT271BT
B	1000	100~250	50~400	P9807CT-ND	.25	.21	P9807TB-ND	113.45/M	EXC-EMT102BT
A	10,000	25~120	15~400	P9809CT-ND	.25	.21	P9809TB-ND	113.45/M	EXC-EMT103DT

D

Digitale Rauschfilter

(Typ ELKT)

EMI-Rauschfilter verwenden, wenn Signal- und Rauschfrequenz ähnlich sind. EMI-Filter, Typ T, mit radialer Ableitung, einem Kapazitator und zwei Induktoren.

MERKMALE: • Flache Resonanz bei der Signalfrequenz und beträchtliche Lärmabschwächung • Minimale Verzerrung der Impulssignalwellenform und ausgezeichnete Rauschabschwächung bei Hochfrequenzrauschen (guter EMI-Filter für analoge Signalleitung, wie z.B. Videosignale)

ANWENDUNGEN: • Reduzierung des EMI-Geräusches auf dem Signalleitungs-, E/A-Leitungs- und DC-Leitungsschaltkreis bei OA-, AV- und Kommunikationsgeräten

Ersetzt Serie ELK-A

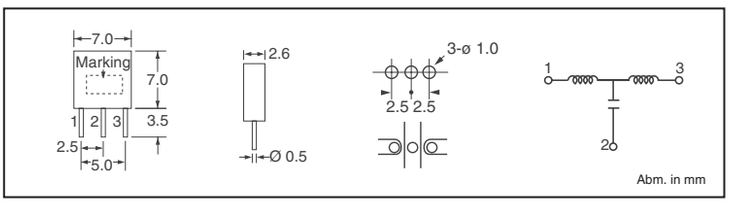

Grenz-frequenz	Impedanz Zo (Ω)	Strom-stärke	Digi-Key Teilenr.	Gurtabschnittspreis pro Stück 1	10	100	Digi-Key Teilenr.	Preisangabe gegur-tet in Schachtel 1.000	Panasonic Teilenr.
20 MHz	100	100 mA	P11092CT-ND	.97	.90	.65	P11092TB-ND	371.66	ELK-TT151EA
20 MHz	550	60mA	P11094CT-ND	.97	.90	.65	P11094TB-ND	371.66	ELK-TT330IA
35 MHz	100	120mA	P11097CT-ND	.97	.90	.65	—	—	ELK-TT820CA
35 MHz	300	90mA	P11098CT-ND	.97	.90	.65	P11098TB-ND	371.66	ELK-TT270FA
40 MHz	550	90mA	P11099CT-ND	.97	.90	.65	P11099TB-ND	371.66	ELK-TT150GA
50 MHz	100	130mA	P11100CT-ND	.97	.90	.65	P11100TB-ND	371.66	ELK-TT560BA
55 MHz	300	100mA	P11101CT-ND	.97	.90	.65	P11101TB-ND	371.66	ELK-TT180EA
60 MHz	550	90mA	P11102CT-ND	.97	.90	.65	—	—	ELK-TT100FA

SMT, digitale Rauschfilter

Serie K: Typ E

Hochleistungs-Rauschfilter für digitale Signalverarbeitungsschaltkreise. Breiter Abschwächungsbereich durch Tiefpass-„T"-Filteranordnung

MERKMALE:

• Breiter Abschwächungsbereich im Rauschsignal • Minimale Rundung der Signal-Wellenformen • Hoher Bemessungsgleichstrom: 2,0 A • Nennspannung V DC (V): 50 • DCR (DC-Widerstand Ω): 0,02 • Hohe magnetische Abschirmung • Auswahl für: hohe Stromstärke in kompakter Größe.

ANWENDUNGEN:

• Autom. Büroausrüstung • TVs, VTRs • Kommunikationsgeräte

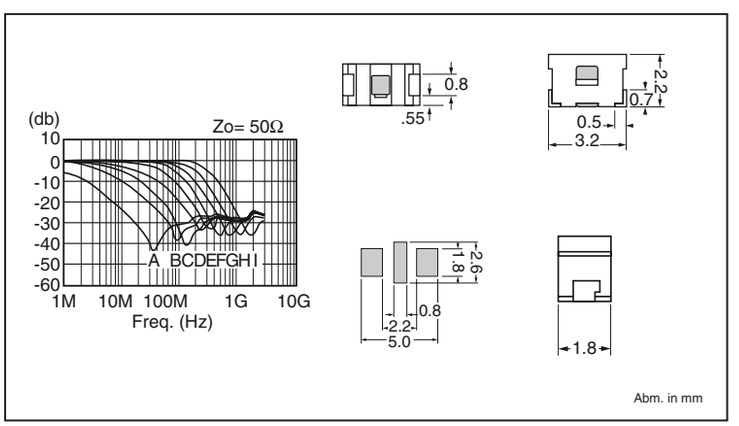

Durch-m.	Grenz-frequenz	Impedanz ZO. (Ω)	Digi-Key Teilenr.	Gurtabschnitts-preis pro Stück 1	10	100	Digi-Key Teilenr.	Gegurtet auf Rolle 2.000	6.000	Panasonic Teilenr.
I	380	84	P9870CT-ND	.58	.44	.32	P9870TR-ND	182.87/M	176.10/M	ELK-E100FA
H	257	56	P9871CT-ND	.58	.44	.32	P9871TR-ND	182.87/M	176.10/M	ELK-E220FA
G	175	39	P9872CT-ND	.58	.44	.32	P9872TR-ND	182.87/M	176.10/M	ELK-E470FA
F	120	26	P9873CT-ND	.58	.44	.32	P9873TR-ND	182.87/M	176.10/M	ELK-E101FA
E	81	18	P9874CT-ND	.58	.44	.32	P9874TR-ND	182.87/M	176.10/M	ELK-E221FA
D	55	12	P9875CT-ND	.58	.44	.32	P9875TR-ND	182.87/M	176.10/M	ELK-E471FA
C	38	8	P9876CT-ND	.58	.44	.32	P9876TR-ND	182.87/M	176.10/M	ELK-E102FA
B	26	6	P9877CT-ND	.58	.44	.32	P9877TR-ND	182.87/M	176.10/M	ELK-E222FA
A	12	3	P9878CT-ND	.58	.44	.32	P9878TR-ND	182.87/M	176.10/M	ELK-E103FA

TDK

Ferritwulstkerne – SMD

MMZ – Anwendung: digitale Signalleitung
MPZ – Anwendung: Stromversorgungsleitung

MATERIALEIGENSCHAFTEN

R-Material:
Für digitale Signalleitungsanwendungen

S-Material:
Für Signalleitungen, wenn der Sperrbereich nahe 100 MHz liegt

Y-Material:
Hoher Frequenzbereich für 100-MHz-Bereich und darüber. Für Signalleitungsanwendungen, wenn die Signalfrequenz weit von der Grenzfrequenz entfernt ist

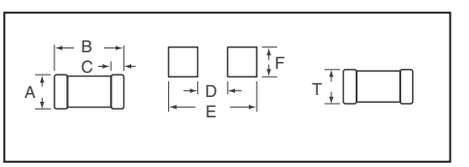

	Abmessungen (mm) A	B	C	D	E	F	T
MMZ1608	0.8	1.6	0.3	0.7	2.1	0.7	0.8
MMZ2012	1.25	2	0.5	1	2.6	1	0.85
MPZ1608	0.8	1.6	0.3	0.6	2.2	0.8	0.6*
MPZ2012	1.25	2	0.5	1	2.6	1.2	0.85

*** 220Ω = 0.8**

Imp. 100 MHz (Ω) ±25 %	I (A)	Rdc (Ω)	Digi-Key Teilenr.	Gurtabschnittspreise 10	50	100	Digi-Key Teilenr.	Preisangabe für Gegurtet auf Rolle 4.000	TDK Teilenr.
MMZ1608									
600	.500	0.23	445-1547-1-ND	.76	3.30	6.10	445-1547-2-ND	35.56/M	MMZ1608R601A
1000	.400	0.34	445-1548-1-ND	.76	3.30	6.10	445-1548-2-ND	35.56/M	MMZ1608R102A
600	.500	0.25	445-1549-1-ND	.76	3.30	6.10	445-1549-2-ND	35.56/M	MMZ1608S601A
1000	.400	0.31	445-1550-1-ND	.76	3.30	6.10	445-1550-2-ND	35.56/M	MMZ1608S102A
600	.500	0.28	445-1551-1-ND	.76	3.30	6.10	445-1551-2-ND	35.56/M	MMZ1608Y601B
1000	.400	0.37	445-1552-1-ND	.76	3.30	6.10	445-1552-2-ND	35.56/M	MMZ1608Y102B
1500	.300	0.48	445-1553-1-ND	.76	3.30	6.10	445-1553-2-ND	35.56/M	MMZ1608Y152B
MMZ2012									
600	.500	0.14	445-1554-1-ND	.80	3.44	6.35	445-1554-2-ND	37.04/M	MMZ2012R601A
1000	.500	0.19	445-1555-1-ND	.80	3.44	6.35	445-1555-2-ND	37.04/M	MMZ2012R102A
600	.500	0.13	445-1556-1-ND	.80	3.44	6.35	445-1556-2-ND	37.04/M	MMZ2012S601A
1000	.500	0.17	445-1557-1-ND	.80	3.44	6.35	445-1557-2-ND	37.04/M	MMZ2012S102A
600	.500	0.15	445-1558-1-ND	.80	3.44	6.35	445-1558-2-ND	37.04/M	MMZ2012Y601B
1000	.500	0.2	445-1559-1-ND	.80	3.44	6.35	445-1559-2-ND	37.04/M	MMZ2012Y102B
1500	.500	0.26	445-1560-1-ND	.80	3.44	6.35	445-1560-2-ND	37.04/M	MMZ2012Y152B
2000	.400	0.31	445-1561-1-ND	.80	3.44	6.35	445-1561-2-ND	37.04/M	MMZ2012Y202B
MPZ1608									
30	5.0	.005	445-1562-1-ND	.69	2.97	5.49	445-1562-2-ND	32.01/M	MPZ1608S300A
60	3.5	.010	445-1563-1-ND	.69	2.97	5.49	445-1563-2-ND	32.01/M	MPZ1608S600A
100	3.0	.020	445-1564-1-ND	.69	2.97	5.49	445-1564-2-ND	32.01/M	MPZ1608S101A
220	2.0	.035	445-1565-1-ND	.69	2.97	5.49	445-1565-2-ND	32.01/M	MPZ1608S221A
MPZ2012									
30	5	.004	445-1566-1-ND	.71	3.10	5.71	445-1566-2-ND	33.34/M	MPZ2012S300A
100	4	.010	445-1567-1-ND	.71	3.10	5.71	445-1567-2-ND	33.34/M	MPZ2012S101A
220	3	.020	445-1568-1-ND	.71	3.10	5.71	445-1568-2-ND	33.34/M	MPZ2012S221A
330	2.5	.030	445-1569-1-ND	.71	3.10	5.71	445-1569-2-ND	33.34/M	MPZ2012S331A

Alle Preisangaben in Euro und inklusive Zollgebühren.

Panasonic Leitungsfilter

Serie V (Typen 290, 450, 650, 850, 21V, 24V)
Serie H (Typen 200, 270, 400, 600)
Serie F (Typen 23F, 25F)
Serie M (Typen 11M, 14M, 16M)
Serie N (Typen 15N, 18N, 20N)
Serie High N (Typen 17N, 19N, 21N)

Standard-Schaltkreisdiag.

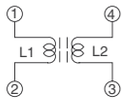

Schaltkreisbeispiel

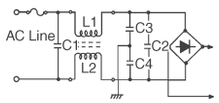

Leitungsfilter zur Unterdrückung von Niedrig- bis Hochfrequenz-Leitungsgeräuschen, die durch Schaltkreise verschiedener Geräte verursacht werden

Serie V (vertikale Struktur): Hervorragende Abschwächung bei hohen Frequenzen
Serie H (horizontale Struktur): Deutliche Verringerung des Leckflusses
Serie F (dünne Struktur): Höhe max. 15 mm
Serie M (kleine Struktur): Klein und leicht
Serie N (vertikale Struktur): Für automatische Einführung bei hoher Bauteiledichte geeignet
Serie High N (hohe L Struktur): Hohe Induktivität (gleiche Größe wie Serie N)

290 Typ

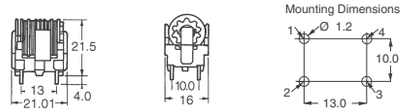

450, 650 Typenabmessung: in [ ] sind für Typ 450.

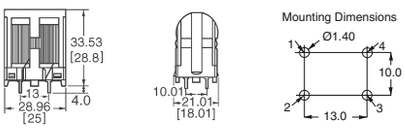

850 Typ

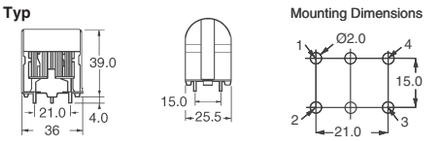

21V Typ

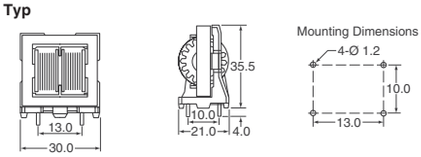

24V Typ

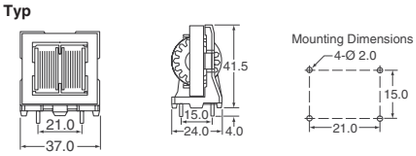

270 Typ

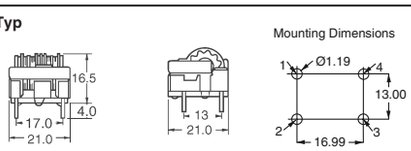

200, 400, 600 Typ

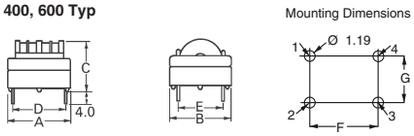

Type	A	B	C	D	E	F	G
200	20.00	21.00	20.00	13.00	10.00	13.00	10.00
400	24.00	24.50	19.50	21.00	15.00	21.00	15.00
600	28.50	29.00	22.50	24.00	20.00	24.00	20.00

23F, 25F Typen

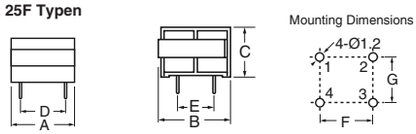

Type	A Max.	B Max.	C Max.	D	E	F	G
23F	24	23	14	16±0.5	10±0.5	16±0.1	10±0.1
25F	28	25	15	21±0.5	11±0.5	21±0.1	11±0.1

15N Typ

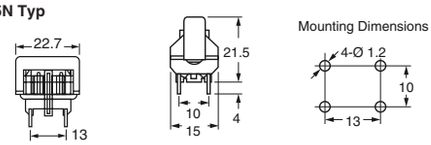

18N Typ

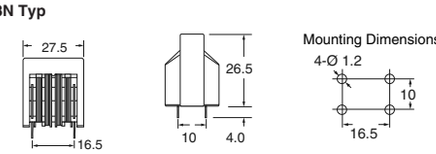

20N Typ

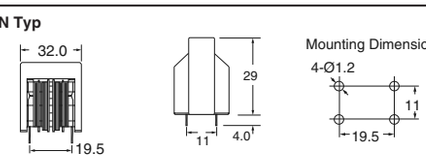

17N Typ

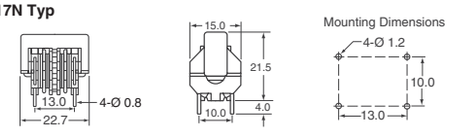

19N Typ

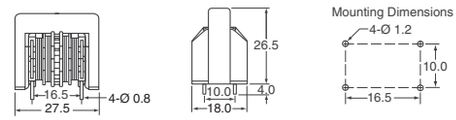

21N Typ

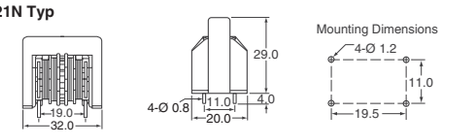

11M Typ

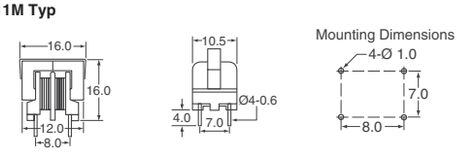

14M Typ

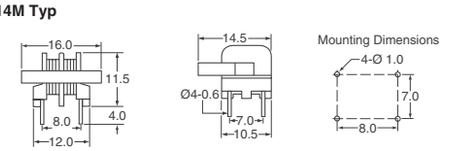

16M Typ

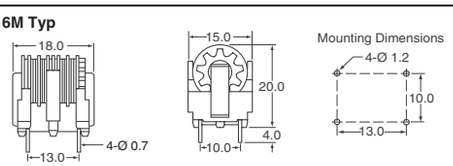

Typ	Induktivität mH min.	Nennstromstärke A rms	Digi-Key Teilenr.	Preisangaben 1	10	100	1.000	Panasonic Teilenr.
			Serie V					
290	33.0	0.3	PLK1005-ND	2.84	24.38	203.18	1213.18	ELF-18D290H
	22.0	0.4	PLK1004-ND	2.84	24.38	203.18	1213.18	ELF-18D290C
	10.0	0.6	PLK1003-ND	2.84	24.38	203.18	1213.18	ELF-18D290G
	3.3	1.1	PLK1002-ND	2.84	24.38	203.18	1213.18	ELF-18D290S
	2.2	1.3	PLK1001-ND	2.84	24.38	203.18	1213.18	ELF-18D290T
	0.82	2.0	PLK1000-ND	2.84	24.38	203.18	1213.18	ELF-18D290B
450	56.0	0.45	PLK1206-ND	4.81	41.22	343.51	2050.47	ELF-18D450Q
	39.0	0.50	PLK1207-ND	4.81	41.22	343.51	2050.47	ELF-18D450H
	18.0	0.8	PLK1007-ND	4.81	41.22	343.51	2050.47	ELF-18D450B
	10.0	1.0	PLK1208-ND	4.81	41.22	343.51	2050.47	ELF-18D450J
	8.2	1.1	PLK1209-ND	4.81	41.22	343.51	2050.47	ELF-18D450G
	6.8	1.2	PLK1210-ND	4.81	41.22	343.51	2050.47	ELF-18D450L
	5.6	1.4	PLK1211-ND	4.81	41.22	343.51	2050.47	ELF-18D450D
	3.9	1.8	PLK1212-ND	4.81	41.22	343.51	2050.47	ELF-18D450K
	2.7	2.0	PLK1006-ND	4.81	41.22	343.51	2050.47	ELF-18D450A
	2.2	2.2	PLK1213-ND	4.81	41.22	343.51	2050.47	ELF-18D450C
	1.2	3.0	PLK1214-ND	4.81	41.22	343.51	2050.47	ELF-18D450M
650	68.0	0.6	PLK1223-ND	5.26	45.08	375.68	2242.64	ELF-18D656S
	47.0	0.7	PLK1012-ND	5.26	45.08	375.68	2242.64	ELF-18D650U
	39.0	0.7	PLK1215-ND	5.26	45.08	375.68	2242.64	ELF-18D650P
	33.0	0.8	PLK1216-ND	5.26	45.08	375.68	2242.64	ELF-18D650H
	27.0	1.0	PLK1224-ND	5.26	45.08	375.68	2242.64	ELF-18D656V
	22.0	1.0	PLK1011-ND	5.26	45.08	375.68	2242.64	ELF-18D650L
	18.0	1.0	PLK1217-ND	5.26	45.08	375.68	2242.64	ELF-18D650Q
	18.0	1.2	PLK1225-ND	5.26	45.08	375.68	2242.64	ELF-18D656Q
	15.0	1.3	PLK1226-ND	5.26	45.08	375.68	2242.64	ELF-18D656D
	12.0	1.3	PLK1218-ND	5.26	45.08	375.68	2242.64	ELF-18D650J
	12.0	1.6	PLK1038-ND	5.26	45.08	375.68	2242.64	ELF-18D656J
	10.0	1.4	PLK1219-ND	5.26	45.08	375.68	2242.64	ELF-18D650W
	8.2	1.7	PLK1010-ND	5.26	45.08	375.68	2242.64	ELF-18D650C
	6.8	1.8	PLK1220-ND	5.26	45.08	375.68	2242.64	ELF-18D650K
	6.8	2.0	PLK1227-ND	5.26	45.08	375.68	2242.64	ELF-18D656K
	5.6	2.2	PLK1228-ND	5.26	45.08	375.68	2242.64	ELF-18D656X
	4.7	2.0	PLK1221-ND	5.26	45.08	375.68	2242.64	ELF-18D650Y
	3.3	2.4	PLK1009-ND	5.26	45.08	375.68	2242.64	ELF-18D650B
	1.8	2.8	PLK1222-ND	5.26	45.08	375.68	2242.64	ELF-18D650G
	1.5	3.1	PLK1008-ND	5.26	45.08	375.68	2242.64	ELF-18D650M
	4.7	2.5	PLK1229-ND	5.26	45.08	375.68	2242.64	ELF-18D656Y
	2.7	2.7	PLK1230-ND	5.26	45.08	375.68	2242.64	ELF-18D656Z
	2.2	2.8	PLK1037-ND	5.26	45.08	375.68	2242.64	ELF-18D666A

Typ	Induktivität mH min.	Nennstromstärke A rms	Digi-Key Teilenr.	Preisangaben 1	10	100	1.000	Panasonic Teilenr.
850	82.0	0.8	PLK1231-ND	8.31	71.27	593.89	3545.56	ELF-18D850R
	56.0	1.1	PLK1017-ND	8.31	71.27	593.89	3545.56	ELF-18D850T
	47.0	1.2	PLK1232-ND	8.31	71.27	593.89	3545.56	ELF-18D850U
	33.0	1.4	PLK1233-ND	8.31	71.27	593.89	3545.56	ELF-18D850H
	27.0	1.5	PLK1234-ND	8.31	71.27	593.89	3545.56	ELF-18D850Z
	22.0	1.8	PLK1018-ND	8.31	71.27	593.89	3545.56	ELF-18D860C
	18.0	1.9	PLK1235-ND	8.31	71.27	593.89	3545.56	ELF-18D850Q
	15.0	2.0	PLK1236-ND	8.31	71.27	593.89	3545.56	ELF-18D850D
	10.0	2.5	PLK1016-ND	8.31	71.27	593.89	3545.56	ELF-18D850W
	8.2	3.0	PLK1237-ND	8.31	71.27	593.89	3545.56	ELF-18D850C
	5.6	3.4	PLK1238-ND	8.31	71.27	593.89	3545.56	ELF-18D850X
	4.7	3.5	PLK1015-ND	8.31	71.27	593.89	3545.56	ELF-18D850Y
	3.9	3.7	PLK1239-ND	8.31	71.27	593.89	3545.56	ELF-18D850P
	3.3	4.2	PLK1014-ND	8.31	71.27	593.89	3545.56	ELF-18D850B
	2.7	4.5	PLK1240-ND	8.31	71.27	593.89	3545.56	ELF-18D860B
	1.5	5.0	PLK1013-ND	8.31	71.27	593.89	3545.56	ELF-18D850M
21V	68.0	0.6	PLK1102-ND	3.95	33.80	281.71	1682.19	ELF-21V006A
	56.0	0.7	PLK1103-ND	3.95	33.80	281.71	1682.19	ELF-21V007A
	33.0	0.8	PLK1104-ND	4.89	41.91	349.22	2085.18	ELF-21V008A
	27.0	1.0	PLK1105-ND	4.89	41.91	349.22	2085.18	ELF-21V010A
	18.0	1.2	PLK1106-ND	4.89	41.91	349.22	2085.18	ELF-21V012A
	15.0	1.3	PLK1107-ND	4.89	41.91	349.22	2085.18	ELF-21V013A
	12.0	1.6	PLK1108-ND	4.89	41.91	349.22	2085.18	ELF-21V016A
	8.2	1.8	PLK1109-ND	4.89	41.91	349.22	2085.18	ELF-21V018A
	6.8	2.0	PLK1110-ND	4.89	41.91	349.22	2085.18	ELF-21V020A
	5.6	2.2	PLK1111-ND	4.89	41.91	349.22	2085.18	ELF-21V022A
	4.5	2.5	PLK1112-ND	4.89	41.91	349.22	2085.18	ELF-21V025A
	2.7	2.7	PLK1113-ND	4.89	41.91	349.22	2085.18	ELF-21V027A
	2.2	3.0	PLK1114-ND	4.89	41.91	349.22	2085.18	ELF-21V030A
24V	82.0	0.8	PLK1115-ND	4.89	41.91	349.22	2085.18	ELF-24V008A
	56.0	1.0	PLK1116-ND	4.89	41.91	349.22	2085.18	ELF-24V010A
	47.0	1.2	PLK1117-ND	4.89	41.91	349.22	2085.18	ELF-24V012A
	33.0	1.4	PLK1118-ND	4.89	41.91	349.22	2085.18	ELF-24V014A
	27.0	1.5	PLK1119-ND	4.89	41.91	349.22	2085.18	ELF-24V015A
	22.0	1.8	PLK1120-ND	4.89	41.91	349.22	2085.18	ELF-24V018A
	18.0	1.9	PLK1121-ND	4.89	41.91	349.22	2085.18	ELF-24V019A
	15.0	2.0	PLK1122-ND	4.89	41.91	349.22	2085.18	ELF-24V020A
	10.0	2.5	PLK1123-ND	4.89	41.91	349.22	2085.18	ELF-24V025A
	9.0	2.8	PLK1124-ND	4.89	41.91	349.22	2085.18	ELF-24V028A
	8.2	3.0	PLK1125-ND	4.89	41.91	349.22	2085.18	ELF-24V030A

(Forts.)

D

Typ	Induktivität mH min.	Nennstromstärke A rms	Digi-Key Teilenr.	Preisangaben 1	10	100	1.000	Panasonic Teilenr.
24V	5.6	3.4	PLK1126-ND	4.89	41.91	349.22	2085.18	ELF-24V034A
	4.7	3.5	PLK1127-ND	7.26	62.23	518.54	3096.02	ELF-24V035A
	3.9	3.7	PLK1128-ND	7.26	62.23	518.54	3096.02	ELF-24V037A
	3.3	4.2	PLK1129-ND	7.26	62.23	518.54	3096.02	ELF-24V042A
	2.7	4.5	PLK1130-ND	7.26	62.23	518.54	3096.02	ELF-24V045A
	1.5	5.0	PLK1131-ND	7.26	62.23	518.54	3096.02	ELF-24V050A
	0.80	7.0	PLK1132-ND	7.26	62.23	518.54	3096.02	ELF-24V070A
	0.40	8.0	PLK1133-ND	7.26	62.23	518.54	3096.02	ELF-24V080A
	0.26	9.0	PLK1134-ND	7.26	62.23	518.54	3096.02	ELF-24V090A
	0.15	10.0	PLK1135-ND	7.26	62.23	518.54	3096.02	ELF-24V100A
Serie H								
200	68.0	0.25	PLK1247-ND	3.25	27.84	231.97	1385.04	ELF-18D222F
	47.0	0.3	PLK1248-ND	3.25	27.84	231.97	1385.04	ELF-18D235F
	33.0	0.4	PLK1024-ND	3.25	27.84	231.97	1385.04	ELF-18D221F
	22.0	0.4	PLK1021-ND	3.25	27.84	231.97	1385.04	ELF-18D218
	18.0	0.5	PLK1241-ND	3.25	27.84	231.97	1385.04	ELF-18D210
	15.0	0.5	PLK1242-ND	3.25	27.84	231.97	1385.04	ELF-18D215
	8.2	0.7	PLK1243-ND	3.25	27.84	231.97	1385.04	ELF-18D214
	6.8	0.8	PLK1244-ND	3.25	27.84	231.97	1385.04	ELF-18D225
	4.7	1.0	PLK1249-ND	3.25	27.84	231.97	1385.04	ELF-18D227F
	3.9	1.0	PLK1020-ND	3.25	27.84	231.97	1385.04	ELF-18D216
	3.3	1.0	PLK1245-ND	3.25	27.84	231.97	1385.04	ELF-18D213
	2.7	1.3	PLK1246-ND	3.25	27.84	231.97	1385.04	ELF-18D219
	2.2	1.5	PLK1023-ND	3.25	27.84	231.97	1385.04	ELF-18D228F
	1.5	1.6	PLK1019-ND	3.25	27.84	231.97	1385.04	ELF-18D217
	1.2	2.0	PLK1250-ND	3.25	27.84	231.97	1385.04	ELF-18D230F
	1.0	2.1	PLK1022-ND	3.25	27.84	231.97	1385.04	ELF-18D212F
270	33.0	0.3	PLK1251-ND	2.84	24.38	203.18	1213.18	ELF-18D270J
	22.0	0.4	PLK1252-ND	2.84	24.38	203.18	1213.18	ELF-18D270B
	18.0	0.5	PLK1253-ND	2.84	24.38	203.18	1213.18	ELF-18D270H
	10.0	0.6	PLK1254-ND	2.84	24.38	203.18	1213.18	ELF-18D270G
	6.8	0.7	PLK1025-ND	2.84	24.38	203.18	1213.18	ELF-18D270A
	5.6	0.8	PLK1255-ND	2.84	24.38	203.18	1213.18	ELF-18D270Q
	2.7	1.1	PLK1256-ND	2.84	24.38	203.18	1213.18	ELF-18D270D
	1.8	1.5	PLK1257-ND	2.84	24.38	203.18	1213.18	ELF-18D270C
400	68.0	0.4	PLK1266-ND	3.85	33.04	275.36	1644.10	ELF-18D437F
	39.0	0.5	PLK1267-ND	3.85	33.04	275.36	1644.10	ELF-18D427F
	33.0	0.5	PLK1029-ND	3.85	33.04	275.36	1644.10	ELF-18D428
	27.0	0.6	PLK1258-ND	3.85	33.04	275.36	1644.10	ELF-18D423
	22.0	0.6	PLK1259-ND	3.85	33.04	275.36	1644.10	ELF-18D422
	18.0	0.7	PLK1260-ND	3.85	33.04	275.36	1644.10	ELF-18D417
	18.0	0.8	PLK1268-ND	3.85	33.04	275.36	1644.10	ELF-18D417F
	12.0	0.9	PLK1028-ND	3.85	33.04	275.36	1644.10	ELF-18D430
	10.0	1.0	PLK1031-ND	3.85	33.04	275.36	1644.10	ELF-18D431F
	8.2	1.0	PLK1261-ND	3.85	33.04	275.36	1644.10	ELF-18D415
	6.8	1.2	PLK1262-ND	3.85	33.04	275.36	1644.10	ELF-18D412
	5.6	1.3	PLK1263-ND	3.85	33.04	275.36	1644.10	ELF-18D424
	5.6	1.4	PLK1269-ND	3.85	33.04	275.36	1644.10	ELF-18D424F
	3.9	1.5	PLK1264-ND	3.85	33.04	275.36	1644.10	ELF-18D433
	3.3	1.8	PLK1265-ND	3.85	33.04	275.36	1644.10	ELF-18D414
	2.7	2.0	PLK1270-ND	3.85	33.04	275.36	1644.10	ELF-18D434F
	2.2	2.0	PLK1027-ND	3.85	33.04	275.36	1644.10	ELF-18D416
	2.2	2.2	PLK1030-ND	3.85	33.04	275.36	1644.10	ELF-18D435F
	1.5	2.4	PLK1026-ND	3.85	33.04	275.36	1644.10	ELF-18D419
	1.2	3.0	PLK1271-ND	3.85	33.04	275.36	1644.10	ELF-18D420F
	0.56	3.4	PLK1272-ND	3.85	33.04	275.36	1644.10	ELF-18D441F
600	100.0	0.4	PLK1273-ND	4.87	41.73	347.74	2075.86	ELF-18D620
	68.0	0.5	PLK1274-ND	4.87	41.73	347.74	2075.86	ELF-18D607
	47.0	0.7	PLK1287-ND	4.87	41.73	347.74	2075.86	ELF-18D605F
	39.0	0.7	PLK1275-ND	4.87	41.73	347.74	2075.86	ELF-18D615
	33.0	0.8	PLK1036-ND	4.87	41.73	347.74	2075.86	ELF-18D624F
	27.0	0.8	PLK1276-ND	4.87	41.73	347.74	2075.86	ELF-18D618
	27.0	1.0	PLK1288-ND	4.87	41.73	347.74	2075.86	ELF-18D618F
	22.0	1.0	PLK1034-ND	4.87	41.73	347.74	2075.86	ELF-18D612
	18.0	1.0	PLK1277-ND	4.87	41.73	347.74	2075.86	ELF-18D606
	18.0	1.2	PLK1289-ND	4.87	41.73	347.74	2075.86	ELF-18D606F
	12.0	1.3	PLK1278-ND	4.87	41.73	347.74	2075.86	ELF-18D609
	12.0	1.6	PLK1290-ND	4.87	41.73	347.74	2075.86	ELF-18D609F
	10.0	1.4	PLK1279-ND	4.87	41.73	347.74	2075.86	ELF-18D616
	10.0	1.6	PLK1291-ND	4.87	41.73	347.74	2075.86	ELF-18D601F
	8.2	1.7	PLK1280-ND	4.87	41.73	347.74	2075.86	ELF-18D602
	5.6	1.8	PLK1281-ND	4.87	41.73	347.74	2075.86	ELF-18D603
	5.6	2.1	PLK1292-ND	4.87	41.73	347.74	2075.86	ELF-18D603F
	4.7	2.0	PLK1282-ND	4.87	41.73	347.74	2075.86	ELF-18D604
	4.7	2.5	PLK1293-ND	4.87	41.73	347.74	2075.86	ELF-18D604F
	3.9	2.2	PLK1283-ND	4.87	41.73	347.74	2075.86	ELF-18D613
	3.3	2.5	PLK1033-ND	4.87	41.73	347.74	2075.86	ELF-18D605
	2.7	2.6	PLK1284-ND	4.87	41.73	347.74	2075.86	ELF-18D611
	2.2	2.8	PLK1035-ND	4.87	41.73	347.74	2075.86	ELF-18D617F
	1.8	2.8	PLK1285-ND	4.87	41.73	347.74	2075.86	ELF-18D614
	1.5	3.1	PLK1286-ND	4.87	41.73	347.74	2075.86	ELF-18D610
	1.0	3.4	PLK1032-ND	4.87	41.73	347.74	2075.86	ELF-18D608
Serie F								
23F	50.0	0.3	PLK1039-ND	8.34	71.44	595.37	3554.03	ELF-23F003A
	30.0	0.4	PLK1040-ND	8.34	71.44	595.37	3554.03	ELF-23F004A
	20.0	0.5	PLK1041-ND	8.34	71.44	595.37	3554.03	ELF-23F005A
	14.0	0.6	PLK1042-ND	8.34	71.44	595.37	3554.03	ELF-23F006A
	10.0	0.7	PLK1043-ND	8.34	71.44	595.37	3554.03	ELF-23F007A
	8.0	0.8	PLK1044-ND	8.34	71.44	595.37	3554.03	ELF-23F008A
	6.0	0.9	PLK1045-ND	8.34	71.44	595.37	3554.03	ELF-23F009A
	5.0	1.0	PLK1046-ND	8.34	71.44	595.37	3554.03	ELF-23F010A
	3.5	1.2	PLK1047-ND	8.34	71.44	595.37	3554.03	ELF-23F012A
	2.0	1.6	PLK1048-ND	8.34	71.44	595.37	3554.03	ELF-23F016A
	1.5	1.8	PLK1049-ND	8.34	71.44	595.37	3554.03	ELF-23F018A
	1.2	2.0	PLK1050-ND	8.34	71.44	595.37	3554.03	ELF-23F020A
	1.0	2.2	PLK1051-ND	8.34	71.44	595.37	3554.03	ELF-23F022A
25F	28.0	0.6	PLK1052-ND	9.73	83.36	694.64	4146.65	ELF-25F106A
	20.0	0.7	PLK1053-ND	9.73	83.36	694.64	4146.65	ELF-25F107A
	15.0	0.8	PLK1054-ND	9.73	83.36	694.64	4146.65	ELF-25F108A
	12.0	0.9	PLK1055-ND	9.73	83.36	694.64	4146.65	ELF-25F109A
	10.0	1.0	PLK1056-ND	9.73	83.36	694.64	4146.65	ELF-25F110A
	7.0	1.2	PLK1057-ND	9.73	83.36	694.64	4146.65	ELF-25F112A
	5.0	1.4	PLK1058-ND	9.73	83.36	694.64	4146.65	ELF-25F114A
	4.0	1.6	PLK1059-ND	9.73	83.36	694.64	4146.65	ELF-25F116A
	3.0	1.8	PLK1060-ND	9.73	83.36	694.64	4146.65	ELF-25F118A
	2.0	2.0	PLK1061-ND	9.73	83.36	694.64	4146.65	ELF-25F020A
	1.6	2.2	PLK1062-ND	9.73	83.36	694.64	4146.65	ELF-25F022A
	1.3	2.5	PLK1063-ND	9.73	83.36	694.64	4146.65	ELF-25F025A

Typ	Induktivität mH min.	Nennstromstärke A rms	Digi-Key Teilenr.	Preisangaben 1	10	100	1.000	Panasonic Teilenr.
Serie M								
11M	30.0	0.1	PLK1136-ND	2.47	21.21	176.73	1054.86	ELF-11M010E
	12.0	0.2	PLK1137-ND	2.47	21.21	176.73	1054.86	ELF-11M020E
	6.0	0.3	PLK1138-ND	2.47	21.21	176.73	1054.86	ELF-11M030E
	3.5	0.4	PLK1139-ND	2.47	21.21	176.73	1054.86	ELF-11M040E
	2.5	0.5	PLK1140-ND	2.47	21.21	176.73	1054.86	ELF-11M050E
	1.5	0.6	PLK1141-ND	2.47	21.21	176.73	1054.86	ELF-11M060E
	1.0	0.7	PLK1142-ND	2.47	21.21	176.73	1054.86	ELF-11M070E
	0.8	0.8	PLK1143-ND	2.47	21.21	176.73	1054.86	ELF-11M080E
	0.7	0.9	PLK1144-ND	2.47	21.21	176.73	1054.86	ELF-11M090E
	0.5	1.0	PLK1145-ND	2.47	21.21	176.73	1054.86	ELF-11M100E
14M	30.0	0.1	PLK1146-ND	2.71	23.24	193.66	1156.46	ELF-14M010E
	12.0	0.2	PLK1147-ND	2.71	23.24	193.66	1156.46	ELF-14M020E
	6.0	0.3	PLK1148-ND	2.71	23.24	193.66	1156.46	ELF-14M030E
	3.5	0.4	PLK1149-ND	2.71	23.24	193.66	1156.46	ELF-14M040E
	2.5	0.5	PLK1150-ND	2.71	23.24	193.66	1156.46	ELF-14M050E
	1.5	0.6	PLK1151-ND	2.71	23.24	193.66	1156.46	ELF-14M060E
	1.0	0.7	PLK1152-ND	2.71	23.24	193.66	1156.46	ELF-14M070E
	0.8	0.8	PLK1153-ND	2.71	23.24	193.66	1156.46	ELF-14M080E
	0.7	0.9	PLK1154-ND	2.71	23.24	193.66	1156.46	ELF-14M090E
	0.5	1.0	PLK1155-ND	2.71	23.24	193.66	1156.46	ELF-14M100E
16M	28.0	0.2	PLK1156-ND	1.50	12.83	106.88	638.34	ELF-16M020A
	20.0	0.3	PLK1157-ND	1.50	12.83	106.88	638.34	ELF-16M030A
	15.0	0.4	PLK1158-ND	1.50	12.83	106.88	638.34	ELF-16M040A
	8.0	0.5	PLK1159-ND	1.50	12.83	106.88	638.34	ELF-16M050A
	7.0	0.6	PLK1160-ND	1.50	12.83	106.88	638.34	ELF-16M060A
	5.0	0.7	PLK1161-ND	1.50	12.83	106.88	638.34	ELF-16M070A
	3.5	0.8	PLK1162-ND	1.50	12.83	106.88	638.34	ELF-16M080A
	2.0	1.0	PLK1163-ND	1.50	12.83	106.88	638.34	ELF-16M100A
	1.0	1.3	PLK1164-ND	1.50	12.83	106.88	638.34	ELF-16M130A
	0.8	1.5	PLK1165-ND	1.50	12.83	106.88	638.34	ELF-16M150A
	0.6	1.7	PLK1166-ND	1.50	12.83	106.88	638.34	ELF-16M170A
	0.5	2.0	PLK1167-ND	1.50	12.83	106.88	638.34	ELF-16M200A
Serie N								
15N	104.0	0.2	PLK1064-ND	2.05	17.58	146.46	874.54	ELF-15N002A
	43.0	0.3	PLK1065-ND	2.05	17.58	146.46	874.54	ELF-15N003A
	26.0	0.4	PLK1066-ND	2.05	17.58	146.46	874.54	ELF-15N004A
	19.0	0.5	PLK1067-ND	2.05	17.58	146.46	874.54	ELF-15N005A
	12.0	0.6	PLK1068-ND	2.05	17.58	146.46	874.54	ELF-15N006A
	10.0	0.7	PLK1069-ND	2.05	17.58	146.46	874.54	ELF-15N007A
	6.8	0.8	PLK1070-ND	2.05	17.58	146.46	874.54	ELF-15N008A
	5.3	1.0	PLK1071-ND	2.05	17.58	146.46	874.54	ELF-15N010A
	4.0	1.1	PLK1072-ND	2.05	17.58	146.46	874.54	ELF-15N011A
	2.7	1.3	PLK1073-ND	2.05	17.58	146.46	874.54	ELF-15N013A
	2.1	1.5	PLK1074-ND	2.05	17.58	146.46	874.54	ELF-15N015A
	1.7	1.7	PLK1075-ND	2.05	17.58	146.46	874.54	ELF-15N017A
	1.0	2.2	PLK1076-ND	2.05	17.58	146.46	874.54	ELF-15N022A
	0.6	3.0	PLK1077-ND	2.05	17.58	146.46	874.54	ELF-15N030A
18N	80.0	0.4	PLK1078-ND	3.95	33.91	282.55	1687.27	ELF-18N004A
	50.0	0.5	PLK1079-ND	3.95	33.91	282.55	1687.27	ELF-18N005A
	35.0	0.6	PLK1080-ND	3.95	33.91	282.55	1687.27	ELF-18N006A
	20.0	0.8	PLK1081-ND	3.95	33.91	282.55	1687.27	ELF-18N008A
	15.0	1.0	PLK1082-ND	3.95	33.91	282.55	1687.27	ELF-18N010A
	9.5	1.2	PLK1083-ND	3.95	33.91	282.55	1687.27	ELF-18N012A
	6.0	1.6	PLK1084-ND	3.95	33.91	282.55	1687.27	ELF-18N016A
	4.2	2.0	PLK1085-ND	3.95	33.91	282.55	1687.27	ELF-18N020A
	2.4	2.5	PLK1086-ND	3.95	33.91	282.55	1687.27	ELF-18N025A
	1.4	3.2	PLK1087-ND	3.95	33.91	282.55	1687.27	ELF-18N032A
20N	69.0	0.6	PLK1088-ND	4.33	37.06	308.80	1843.89	ELF-20N006A
	43.0	0.8	PLK1089-ND	4.33	37.06	308.80	1843.89	ELF-20N008A
	28.0	1.0	PLK1090-ND	4.33	37.06	308.80	1843.89	ELF-20N010A
	18.0	1.3	PLK1091-ND	4.33	37.06	308.80	1843.89	ELF-20N013A
	14.0	1.5	PLK1092-ND	4.33	37.06	308.80	1843.89	ELF-20N015A
	12.0	1.6	PLK1093-ND	4.33	37.06	308.80	1843.89	ELF-20N016A
	7.5	1.8	PLK1094-ND	4.33	37.06	308.80	1843.89	ELF-20N018A
	7.0	2.0	PLK1095-ND	4.33	37.06	308.80	1843.89	ELF-20N020A
	6.2	2.2	PLK1096-ND	4.33	37.06	308.80	1843.89	ELF-20N022A
	4.9	2.4	PLK1097-ND	4.33	37.06	308.80	1843.89	ELF-20N024A
	4.7	2.7	PLK1098-ND	4.33	37.06	308.80	1843.89	ELF-20N027A
	2.9	3.0	PLK1099-ND	4.33	37.06	308.80	1843.89	ELF-20N030A
	2.0	3.5	PLK1100-ND	4.33	37.06	308.80	1843.89	ELF-20N035A
	1.5	4.0	PLK1101-ND	4.33	37.06	308.80	1843.89	ELF-20N040A
Serie High N								
17N	142.0	0.2	PLK1168-ND	1.20	10.34	86.14	513.89	ELF-17N002A
	60.0	0.3	PLK1169-ND	1.20	10.34	86.14	513.89	ELF-17N003A
	35.0	0.4	PLK1170-ND	1.20	10.34	86.14	513.89	ELF-17N004A
	26.0	0.5	PLK1171-ND	1.20	10.34	86.14	513.89	ELF-17N005A
	16.0	0.6	PLK1172-ND	1.20	10.34	86.14	513.89	ELF-17N006A
	14.0	0.7	PLK1173-ND	1.20	10.34	86.14	513.89	ELF-17N007A
	9.2	0.8	PLK1174-ND	1.20	10.34	86.14	513.89	ELF-17N008A
	7.2	1.0	PLK1175-ND	1.20	10.34	86.14	513.89	ELF-17N010A
	5.4	1.1	PLK1176-ND	1.20	10.34	86.14	513.89	ELF-17N011A
	3.7	1.3	PLK1177-ND	1.20	10.34	86.14	513.89	ELF-17N013A
	2.9	1.5	PLK1178-ND	1.20	10.34	86.14	513.89	ELF-17N015A
	2.3	1.7	PLK1179-ND	1.20	10.34	86.14	513.89	ELF-17N017A
	1.3	2.2	PLK1180-ND	1.20	10.34	86.14	513.89	ELF-17N022A
	0.8	3.0	PLK1181-ND	1.20	10.34	86.14	513.89	ELF-17N030A
19N	99.0	0.4	PLK1182-ND	2.18	18.67	155.56	928.72	ELF-19N004A
	62.0	0.5	PLK1183-ND	2.18	18.67	155.56	928.72	ELF-19N005A
	43.0	0.6	PLK1184-ND	2.18	18.67	155.56	928.72	ELF-19N006A
	25.0	0.8	PLK1185-ND	2.18	18.67	155.56	928.72	ELF-19N008A
	19.0	1.0	PLK1186-ND	2.18	18.67	155.56	928.72	ELF-19N010A
	12.0	1.2	PLK1187-ND	2.18	18.67	155.56	928.72	ELF-19N012A
	7.4	1.6	PLK1188-ND	2.18	18.67	155.56	928.72	ELF-19N016A
	5.1	2.0	PLK1189-ND	2.18	18.67	155.56	928.72	ELF-19N020A
	3.0	2.5	PLK1190-ND	2.18	18.67	155.56	928.72	ELF-19N025A
	1.7	3.2	PLK1191-ND	2.18	18.67	155.56	928.72	ELF-19N032A
21N	87.0	0.6	PLK1192-ND	2.74	23.49	195.78	1169.15	ELF-21N006A
	54.0	0.8	PLK1193-ND	2.74	23.49	195.78	1169.15	ELF-21N008A
	36.0	1.0	PLK1194-ND	2.74	23.49	195.78	1169.15	ELF-21N010A
	22.0	1.3	PLK1195-ND	2.74	23.49	195.78	1169.15	ELF-21N013A
	18.0	1.5	PLK1196-ND	2.74	23.49	195.78	1169.15	ELF-21N015A
	15.0	1.6	PLK1197-ND	2.74	23.49	195.78	1169.15	ELF-21N016A
	9.4	1.8	PLK1198-ND	2.74	23.49	195.78	1169.15	ELF-21N018A
	8.7	2.0	PLK1199-ND	2.74	23.49	195.78	1169.15	ELF-21N020A
	7.8	2.2	PLK1200-ND	2.74	23.49	195.78	1169.15	ELF-21N022A
	6.1	2.4	PLK1201-ND	2.74	23.49	195.78	1169.15	ELF-21N024A
	5.8	2.7	PLK1202-ND	2.74	23.49	195.78	1169.15	ELF-21N027A
	3.7	3.0	PLK1203-ND	2.74	23.49	195.78	1169.15	ELF-21N030A
	2.5	3.5	PLK1204-ND	2.74	23.49	195.78	1169.15	ELF-21N035A
	1.9	4.0	PLK1205-ND	2.74	23.49	195.78	1169.15	ELF-21N040A

Alle Preisangaben in Euro und inklusive Zollgebühren.

Abb. 1

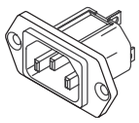

Abb. 2

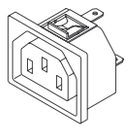

Abb. 3

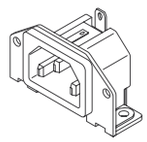

Abb. 4

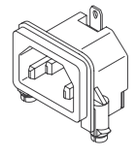

Abb. 5

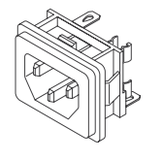

Abb. 6

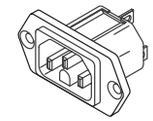

Abb. 7

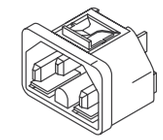

Abb. 8

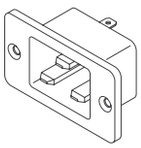

Abb. 9

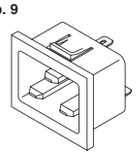

Abb. 10

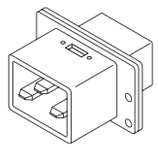

Abb. 11

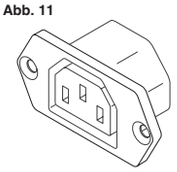

Abb. 12

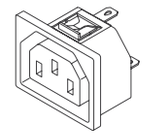

Abb. 13

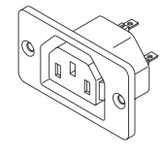

Abb. 14

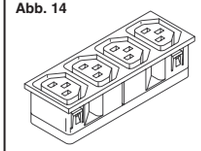

468-1026-ND:

468-1027-ND:

Abb. 15

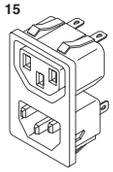

Abb. 16

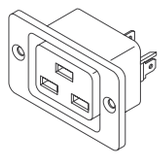

Abb. 17

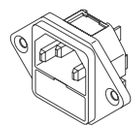

Abb. 18

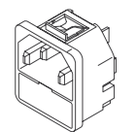

Fig. 19

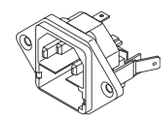

Abb. 20

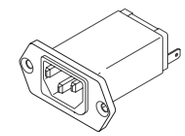

Abb. 21

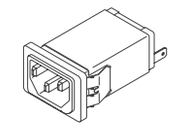

Abb. 22

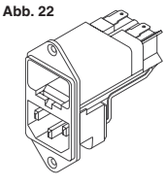

Abb. 23

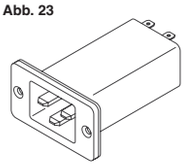

Abb. 24

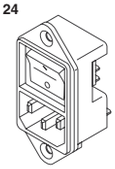

Abb. 25

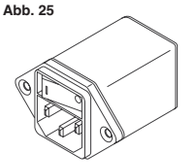

Abb. 26

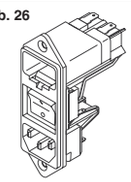

Abb. 27

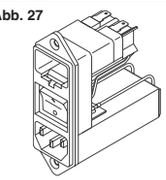

Abb. 28

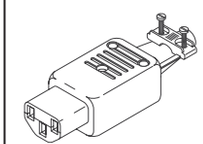

Abb. 29

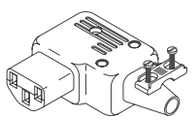

Abb. 30

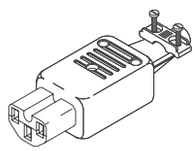

Abb. 31

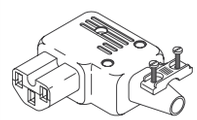

Abb. 32

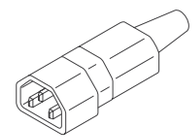

Abb. 33

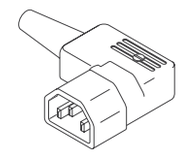

Abb. 34

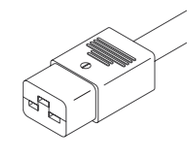

Abb. 35

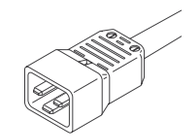

Abb.	Montage	Anschluss/Pin-Platz	Digi-Key Teilenr.	Stückpreis 1	25	50	Schurter Teilenr.
		Leistungseingangs-Module					
1	Anschrauben	Löten 0,138"	486-1001-ND	1.11	.89	.80	6100.3100
	Anschrauben	Q.C. 0,187" (4,5 mm)	486-1002-ND	1.11	.89	.80	6100.3200
	Anschrauben	Q.C. 0,250" (6.35 mm)	486-1003-ND	1.11	.89	.80	6100.3300
2	Einrasten 1,5 mm	Löten 0,138"	486-1004-ND	1.16	.93	.84	6100.4115
	Einrasten 1,5 mm	Q.C. 0,187" (4,5 mm)	486-1005-ND	1.16	.93	.84	6100.4215
	Einrasten 1,5 mm	Q.C. 0,250" (6.35 mm)	486-1006-ND	1.16	.93	.84	6100.4315
3	Anschrauben	9.05/9.7mm	486-1007-ND	1.25	1.01	.91	GSP1.8101.1
	Anschrauben	7/7.3mm	486-1008-ND	1.64	1.32	1.19	GSP1.9113.1
4	Anschrauben, Leiterplatte	9.05/9.7mm	486-1009-ND	1.80	1.45	1.30	GSP2.8101.13
	Anschrauben, Leiterplatte	9.05/9.7mm	486-1010-ND	1.52	1.22	1.10	GSP2.8201.13
5	Hinten einrasten	Q.C. 0,187" (4,5 mm)	486-1011-ND	2.57	2.06	1.86	GSF2.1011.01
6	Anschrauben	Löten 0,138"	486-1012-ND	1.52	1.22	1.10	6110.3100
	Anschrauben	Q.C. 0,250" (6.35 mm)	486-1013-ND	1.52	1.22	1.10	6110.3300
7	Einrasten 1,5 mm	Löten 0,138"	486-1014-ND	1.52	1.22	1.10	6110.4115
8	Anschrauben	Lötzinn	486-1015-ND	3.37	2.70	2.43	4798.9200
	Anschrauben	Q.C. 0,250" (6.35 mm)	486-1016-ND	3.37	2.70	2.43	4798.9000
9	Einrasten 1,5 mm	Lötzinn	486-1017-ND	5.06	4.06	3.65	4793.4200
	Einrasten 1,5 mm	Q.C. 0,250" (6.35 mm)	486-1018-ND	5.06	4.06	3.65	4793.4000
10	Anschrauben	Ein-/Auslass	486-1019-ND	9.79	7.83	7.05	4730.0100
11	Anschrauben	Löten 0,138"	486-1020-ND	1.76	1.41	1.27	6600.3100
	Anschrauben	Q.C. 0,250" (6.35 mm)	486-1021-ND	1.76	1.41	1.27	6600.3300
12	Einrasten 1,5 mm	Löten 0,138"	486-1022-ND	1.70	1.36	1.23	6600.4115
	Einrasten 1,5 mm	Q.C. 0,250" (6.35 mm)	486-1023-ND	1.70	1.36	1.23	6600.4315
13	Anschrauben	Q.C. 0,250" (6.35 mm)	486-1024-ND	2.46	1.98	1.78	4721.0000
	Anschrauben	Lötzinn	486-1025-ND	2.46	1.98	1.78	4721.0300
14	Einrasten 1,5 mm	Lötzinn	486-1026-ND	3.18	2.55	2.29	0909.0021
	Einrasten 1,5 mm	Q.C. 0,187" (4,5 mm) isoliert	486-1027-ND	5.42	4.34	3.91	4752.4200
15	Einrasten 1,5 mm	Lötzinn/Q.C.	486-1028-ND	2.90	2.32	2.09	4300.0301
16	Anschrauben	Solder/Q.C. .187"	486-1029-ND	3.65	2.93	2.63	6653.3100
	Anschrauben	Q.C. 0,250" (6.35 mm)	486-1030-ND	3.65	2.93	2.63	6653.3300
17	Anschrauben	Löten 0,138"	486-1031-ND	2.91	2.33	2.10	6200.2100
17	Anschrauben	Q.C. 0,250" (6,35 mm)	486-1032-ND	2.91	2.33	2.10	6200.2300
18	Einrasten 1,5 mm	Löten 0,138"	486-1033-ND	2.91	2.33	2.10	6200.4115
	Einrasten 1,5 mm	Q.C. 0,250" (6,35 mm)	486-1034-ND	2.91	2.33	2.10	6200.4315
19	Anschrauben	Q.C. 0,250" (6,35 mm)	486-1035-ND†	3.46	2.77	2.50	4301.0501
	Snap-In 1.5mm	Q.C. 0,250" (6,35 mm)	486-1036-ND†	3.46	2.77	2.50	4301.0502
20	Anschrauben	Q.C. 0,250" (6,35 mm)	486-1038-ND	12.70	10.16	9.15	5110.0133.1
21	Einrasten 0,8-3,0 mm	Q.C. 0,250" (6,35 mm)	486-1039-ND	12.70	10.16	9.15	5110.0343.1
	Einrasten 0,8-3,0 mm	Q.C. 0,250" (6,35 mm)	486-1040-ND	12.70	10.16	9.15	5110.1043.1
22	Anschrauben	Q.C. 0,187" (4,5 mm)	486-1041-ND*	4.43	3.55	3.19	4303.0001
23	Anschrauben	Q.C. 0,250" (6,35 mm)	486-1043-ND	23.68	18.95	17.05	C20F.0001
24	Anschrauben	Q.C. 0,187" (4,5 mm)	486-1044-ND	9.56	7.65	6.89	4302.2001
25	Anschrauben	Q.C. 0,250" (6,35 mm)	486-1045-ND	29.55	23.64	21.28	4302.5002
26	Anschrauben	Q.C. 0,187" (4,5 mm)	486-1046-ND*	15.04	12.03	10.83	KD14.1101.151
27	Anschrauben	Q.C. 0,187" (4,5 mm)	486-1047-ND*	36.89	29.51	26.56	CD44.1101.151
		Sicherungsschublade für Module					
—	—	—	486-1037-ND§	2.57	2.06	1.85	4301.1401
—	—	—	486-1042-ND‡	2.57	2.06	1.85	4303.2401

† Sicherungsschublade (486-1037-ND) erhältlich für dieses Teil, wird separat verkauft

§ Zulassungen:

* Sicherungsschublade (486-1042-ND) erhältlich für dieses Teil, wird separat verkauft

‡ Zulassungen:

Abb.	Montage	Max. Drahtgröße	Digi-Key Teilenr.	Stückpreis 1	25	50	Schurter Teilenr.
		Leistungseingangs-Anschlüsse					
28	Gerader Eingang	18 AWG	486-1048-ND	3.95	3.17	2.85	4782.0000
29	Gewinkelter Eingang	18 AWG	486-1049-ND	4.75	3.80	3.42	4785.0000
30	Gerader Eingang	18 AWG	486-1050-ND	3.56	2.85	2.57	4781.0000
31	Gewinkelter Eingang	18 AWG	486-1051-ND	3.95	3.17	2.85	4784.0000
32	Gerader Eingang	18 AWG	486-1052-ND	5.54	4.43	3.99	4732.0000
33	Gewinkelter Eingang	18 AWG	486-1053-ND	5.93	4.75	4.28	4733.0000
34	Gerader Eingang	14 AWG	486-1054-ND	6.54	5.24	4.71	4795.0000
35	Gerader Eingang	14 AWG	486-1055-ND	7.42	5.94	5.35	4796.0000

Stromleitungs-EMI-Filter

Serie EB:
Die Serie EB umfasst Mehrzweck-EMI-Filter, die Hochfrequenz-Leitungsgeräusche in Stromleitungen am Ein- und Ausgang von Geräten dämpfen. Das kompakte und preiswerte Design macht sie ideal für die Entstörung von rauschenden Stromleitungen.

Serie EK:
Die Serie EK umfasst Allzweck-EMI-Filter mit verbesserter Differenzialmodusleistung. Sie sind effektiv bei der Dämpfung von Gleich- und Differenztaktrauschen. Die Serie ist besonders gut geeignet, wenn die Einhaltung der allgem. EMI-Emissionsbestimmungen, wie FCC-A und VDE-A, erforderlich ist.

Serie ER:
Die Serie ER umfasst Hochleistungs-EMI-Filter mit Mehrstufendesign für die Dämpfung von Gleichtakt- und Differenzialmodusrauschen. Diese Serie eignet sich optimal, wenn eine Abschwächung zur Einhaltung der strikten EMI-Emissionsbestimmungen, wie FCC-B und VDE-B, erforderlich ist.

Serie HB:
Die Serie HB umfasst Mehrzweck-EMI-Filter, die speziell für medizinische und zahnmedizinische Geräte für den Einsatz in der Patientenversorgung und nicht direkt am Patienten konzipiert sind. Der Leckstrom in dieser Serie ist extrem niedrig und erfüllt die strengen, durch die Sicherheitsvorschriften für medizinische und zahnmedizinische Geräte, wie UL544 und IEC601, vorgeschriebenen Leckstromgrenzwerte.

Abb. 1

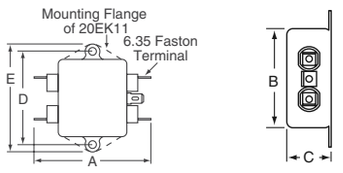

Abb. 2

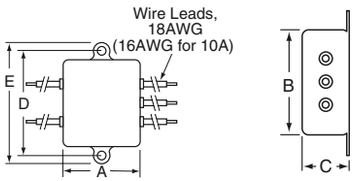

Abb. 3

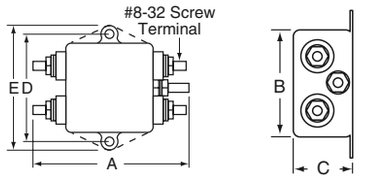

Abb. 4

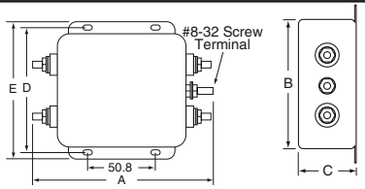

Abb. 5

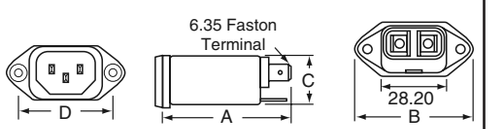

Abb. 6

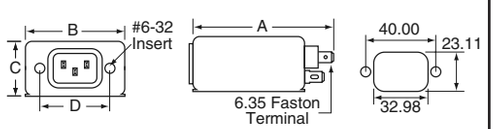

Abb. 7

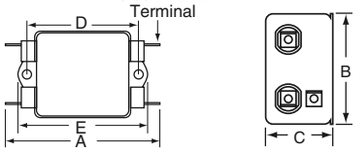

Abb. 8

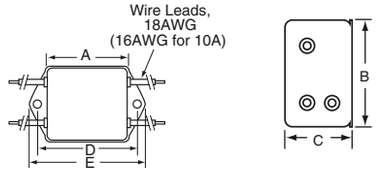

Abb. 9

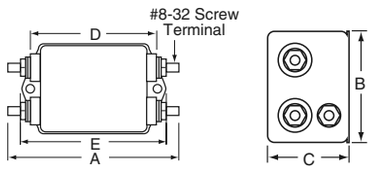

Abb.	Nennampere	Anschluss	Abmessungen (mm) A	B	C	D	E	Digi-Key Teilenr.	Stückpreis 1	25	100	Eastek Teilenr.
						Serie EB						
1	2A	Faston	57.2	46.2	16.8	54.0	64.3	364-1000-ND	6.47	4.86	3.78	02EB11
	3A	Faston	66.3	46.2	19.8	54.0	64.3	364-1001-ND	7.48	5.61	4.36	03EB11
	6A	Faston	66.3	46.2	19.8	54.0	64.3	364-1002-ND	6.93	5.19	4.04	06EB11
	10A	Faston	66.3	46.2	29.5	54.0	64.3	364-1008-ND	7.80	5.85	4.55	10EB11
	20A	Faston	85.3	52.6	29.5	60.3	71.4	364-1003-ND	12.57	9.44	7.34	20EB11
2	2A	Draht	24.4	46.2	16.8	54.0	64.3	364-1004-ND	7.11	5.34	4.15	02EB33
	3A	Draht	33.5	46.2	19.8	54.0	64.3	364-1005-ND	8.11	6.09	4.74	03EB33
	6A	Draht	33.5	46.2	19.8	54.0	64.3	364-1006-ND	7.48	5.61	4.36	06EB33
	10A	Draht	33.5	46.2	29.5	54.0	64.3	364-1007-ND	8.25	6.19	4.81	10EB33
3	10A	Schraube	69.1	46.2	29.5	54.0	64.3	364-1009-ND	9.97	7.49	5.82	10EB66
	20A	Schraube	87.9	52.6	29.5	60.3	71.4	364-1010-ND	14.82	11.12	8.65	20EB66
4	30A	Schraube	135.6	85.9	38.9	95.2	106.7	364-1011-ND	28.29	21.23	16.51	30EB66
5	1A	IEC320/Faston	54.5	50.3	20.8	40.0	—	364-1012-ND	6.91	5.19	4.03	01EBM1
	3A	IEC320/Faston	54.5	50.3	20.8	40.0	—	364-1013-ND	5.87	4.41	3.43	03EBM1
	6A	IEC320/Faston	54.5	50.3	20.8	40.0	—	364-1014-ND	5.81	4.36	3.39	06EBM1
	10A	IEC320/Faston	54.5	50.3	20.8	40.0	—	364-1015-ND	5.93	4.45	3.46	10EBM1
						Serie EK						
1	2A	Faston	78.7	52.6	23.1	60.3	71.4	364-1016-ND	8.26	6.20	4.82	02EK11
	3A	Faston	78.7	52.6	29.5	60.3	71.4	364-1017-ND	9.84	7.39	5.74	03EK11
	6A	Faston	78.7	52.6	29.5	60.3	71.4	364-1018-ND	8.42	6.31	4.92	06EK11
	10A	Faston	85.1	52.6	29.5	60.3	71.4	364-1019-ND	9.05	6.79	5.29	10EK11
	20A	Faston	85.1	65.0	38.9	74.6	85.1	364-1020-ND	14.06	10.55	8.21	20EK11
2	2A	Draht	46.0	52.6	23.1	60.3	71.4	364-1021-ND	9.10	6.83	5.31	02EK33
	3A	Draht	46.0	52.6	29.5	60.3	71.4	364-1022-ND	10.35	7.76	6.04	03EK33
	6A	Draht	46.0	52.6	29.5	60.3	71.4	364-1023-ND	9.67	7.26	5.64	06EK33
	10A	Draht	52.6	52.6	29.5	60.3	71.4	364-1024-ND	9.52	7.14	5.56	10EK33
6	3A	IEC320/Faston	81.5	57.2	32.5	40.0	—	364-1025-ND	11.13	8.35	6.50	03EKM1
	6A	IEC320/Faston	81.5	57.2	32.5	40.0	—	364-1026-ND	10.28	7.71	6.00	06EKM1
	10A	IEC320/Faston	94.2	57.2	32.5	40.0	—	364-1027-ND	11.41	8.56	6.67	10EKM1
3	10A	Schraube	87.9	52.6	29.5	60.3	71.4	364-1028-ND	11.18	8.39	6.52	10EK66
	20A	Schraube	87.9	65.0	38.9	74.6	85.1	364-1029-ND	16.26	12.20	9.49	20EK66
4	30A	Schraube	135.6	85.9	38.9	95.2	106.7	364-1030-ND	30.46	22.85	17.78	30EK66
						Serie ER						
7	2A	Faston	85.1	46.0	29.5	60.3	70.6	364-1031-ND	12.49	9.37	7.29	02ER11
	3A	Faston	97.8	52.6	29.5	74.6	85.1	364-1032-ND	13.39	10.05	7.82	03ER11
	6A	Faston	97.8	52.6	29.5	74.6	85.1	364-1033-ND	12.59	9.44	7.34	06ER11
	10A	Faston	97.8	52.6	38.9	74.6	85.1	364-1034-ND	13.21	9.91	7.71	10ER11
	20A	Faston	132.8	85.6	38.9	95.2	106.7	364-1035-ND	32.07	24.06	18.71	20ER11
8	2A	Draht	52.6	46.0	29.5	60.3	70.6	364-1036-ND	13.78	10.34	8.05	02ER33
	3A	Draht	65.0	52.6	29.5	74.6	85.1	364-1037-ND	14.28	10.71	8.34	03ER33
	6A	Draht	65.0	52.6	29.5	74.6	85.1	364-1038-ND	13.91	10.44	8.12	06ER33
	10A	Draht	65.0	52.6	38.9	74.6	85.1	364-1039-ND	13.68	10.27	7.98	10ER33
6	3A	IEC320/Faston	110.0	57.2	32.5	40.0	—	364-1040-ND	15.46	11.59	9.02	03ERM1
	6A	IEC320/Faston	110.0	57.2	32.5	40.0	—	364-1041-ND	14.59	10.94	8.51	06ERM1
	10A	IEC320/Faston	110.0	57.2	38.9	40.0	—	364-1042-ND	15.69	11.77	9.16	10ERM1
9	10A	Schraube	100.6	52.6	38.9	74.6	85.1	364-1043-ND	15.67	11.76	9.15	10ER66
4	20A	Schraube	135.6	85.6	38.9	95.2	106.7	364-1044-ND	32.91	24.68	19.20	20ER66
	30A	Schraube	151.1	79.2	55.4	88.9	100.6	364-1045-ND	55.88	41.91	32.60	30ER66
						Serie HB						
1	6A	Faston	66.3	46.2	19.8	54.0	64.3	364-1046-ND	7.06	5.30	4.12	06HB11
2	6A	Draht	33.5	46.2	19.8	54.0	64.3	364-1047-ND	8.03	6.02	4.69	06HB33
5	6A	IEC320/Faston	54.5	50.3	20.8	40.0	—	364-1048-ND	8.72	6.54	5.09	06HBM1

Alle Preisangaben in Euro und inklusive Zollgebühren.

SAL-A 123

Axiale AL-Festelektrolytkondensatoren

MERKMALE:

- Polarisierte Aluminium-Elektrolytkondensatoren, Festelektrolyt MnO_2
- Axiale Zuleitungen, Aluminiumgehäuse, Keramikdichtung, blaue Isolierhülse.
- SAL-A: Standardversion
- Extrem lange Haltbarkeit: 20.000 Stunden bei 125 °C
- Gebrauchstemperaturbereich bis auf 200 °C erweitert
- Hervorragende Niedrigtemperaturimpedanz und ESR-Verhalten
- Auflade- und entladebeständig, Anwendung mit 0 Ω Widerstand zulässig
- Umgekehrte DC-Spannung bis zu 0,3 x UR zulässig
- AC-Spannung bis zu 0,8 x UR zulässig
- Moderne Technologie für hohe Zuverlässigkeit und hohe Stabilität

ANWENDUNGEN:

- EDV, Telekommunikationen, Industrie allgemein, Automobilbereich, Militär und Weltraum
- Glätten, Filtern, Puffern, Timing
- Für Stromversorgungen, DC/DC-Umwandler

Abmessungen in mm

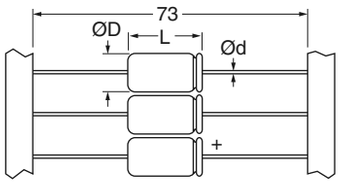

Form BA: Im Kasten festgeklebt (Ammopack)

BESCHREIBUNG	WERT
Gehäusegrößen (Ø Tnom x Lnom in mm)	6.7 x 15.3 ~ 12.9 x 32.0
Nennkapazitätsbereich (Serie E6), C_R	1.5 ~ 2200 µF
Toleranz auf C_R	±20%
Nennspannungsbereich, U_R	6.3 ~ 40V
Kategorietemperaturbereich	-55°C ~ +125°C
Brauchbarer Temperaturbereich	-80°C ~ +200°C
Ermüdungstest bei 155 und 125 °C	5.000 und 8.000 Stunden
Haltbarkeit bei 40 °C, IR angelegt	450.000 Stunden
Lagerbeständigkeit bei 0 V, 125 °C	500 Stunden
Basiert auf Teilspezifikation	IEC 384-4/CECC 30300
Detailspezifikation	IEC384-4-2/CECC 30302
Klimakategorie IEC 68 (DIN 40040; NF C20-600)	55/125/56 (FKD; 434)
Zulassungen	CNET LNZ 44-04 COS-C (PTT) Gam-t-1 (MIL) CECC 30302-003

WV* (VDC)	Kap. (µF)	Leckstrom (µA)	Tan δ	Mischstrom (mA)	Abmessungen (mm) L	T	d	Digi-Key Teilenr.	Gurtabschnittspreise 1	10	Digi-Key Teilenr.	Preisangabe gegurtet in Schachtel 100	500	1.000	5.000	BC Components Teilenr.
	47	15	0.180	58	15.3	6.7	0.6	4264PHCT-ND	3.60	32.94	4264PHTB-ND	—	—	2830.78	2671.32/M	2222 123 13479
	68	21	0.180	83	15.3	6.7	0.6	4265PHCT-ND	5.05	46.26	4265PHTB-ND	395.28	1615.81	2510.47	2369.05/M	2222 123 13689
6.3	330	104	0.180	330	23.3	9.3	0.6	4267PHCT-ND	6.28	57.59	4267PHTB-ND	492.15	2011.79	3125.71	2949.63/M	2222 123 13331
	680	214	0.180	680	32	10.3	0.6	4268PHCT-ND	7.95	72.91	4268PHTB-ND	623.04	2546.84	3957.02	3734.10/M	2222 123 13681
	1000	315	0.180	940	32	12.9	0.6	4269PHCT-ND	9.46	86.69	4269PHTB-ND	740.83	3028.39	4705.17	4440.12/M	2222 123 13102
	1500	473	0.180	1220	32	12.9	0.6	4270PHCT-ND	5.09	46.66	—	—	—	—	—	2222 123 13152
	33	17	0.180	63	15.3	6.7	0.6	4271PHCT-ND	5.11	46.87	4271PHTB-ND	400.53	1637.28	2543.83	2400.53/M	2222 123 14339
	47	24	0.180	83	15.3	6.7	0.6	4272PHCT-ND	5.22	47.79	4272PHTB-ND	408.37	1669.33	2593.62	2447.51/M	2222 123 14479
	68	34	0.180	110	20.4	7.6	0.6	4273PHCT-ND	3.26	29.85	4273PHTB-ND	418.86	1712.18	2660.20	2510.35/M	2222 123 14689
	100	50	0.180	160	20.4	7.6	0.6	4274PHCT-ND	5.58	51.16	4274PHTB-ND	437.18	1787.09	2776.59	2620.17/M	2222 123 14101
10	150	75	0.180	240	23.3	9.3	0.6	4275PHCT-ND	3.50	32.06	4275PHTB-ND	463.34	1894.03	2942.74	2776.97/M	2222 123 14151
	220	110	0.180	350	23.3	9.3	0.6	4276PHCT-ND	6.38	58.51	4276PHTB-ND	500.00	2043.92	3175.62	2996.73/M	2222 123 14221
	330	165	0.180	490	32	10.3	0.8	4277PHCT-ND	3.78	34.64	—	—	—	—	—	2222 123 14331
	470	235	0.180	570	32	10.3	0.8	4278PHCT-ND	3.80	34.80	—	—	—	—	—	2222 123 14471
	680	340	0.180	760	32	12.9	0.8	4279PHCT-ND	4.38	40.14	4279PHTB-ND	746.07	3049.77	4738.41	4471.48/M	2222 123 14681
	1000	500	0.180	1000	32	12.9	0.8	4280PHCT-ND	11.70	107.22	4280PHTB-ND	916.23	3745.37	5819.15	5491.33/M	2222 123 14102
	10	16	0.140	31	15.3	6.7	0.6	4281PHCT-ND	5.08	46.56	4281PHTB-ND	397.90	1626.55	2527.15	2384.79/M	2222 123 15109
	15	24	0.140	47	15.3	6.7	0.6	4282PHCT-ND	3.12	28.64	4282PHTB-ND	244.71	1000.33	1554.20	1466.65/M	2222 123 15159
	22	35	0.140	63	15.3	6.7	0.6	4283PHCT-ND	5.22	47.79	4283PHTB-ND	408.37	1669.33	2593.62	2447.51/M	2222 123 15229
	33	55	0.140	89	20.4	7.6	0.6	4284PHCT-ND	5.32	48.70	4284PHTB-ND	416.22	1701.45	2643.53	2494.61/M	2222 123 15339
	47	75	0.140	120	20.4	7.6	0.6	4285PHCT-ND	5.44	49.93	4285PHTB-ND	426.69	1744.22	2709.99	2557.33/M	2222 123 15479
16	68	110	0.140	180	20.4	7.6	0.6	4286PHCT-ND	5.65	51.77	4286PHTB-ND	442.41	1808.46	2809.81	530.31/M	2222 123 15689
	100	160	0.140	260	23.3	9.3	0.6	4287PHCT-ND	5.99	54.83	4287PHTB-ND	468.59	1915.50	2976.10	2808.45/M	2222 123 15101
	150	240	0.160	310	23.3	9.3	0.6	4288PHCT-ND	6.45	59.13	4288PHTB-ND	505.23	—	—	—	2222 123 15151
	220	350	0.160	420	32	10.3	0.8	4289PHCT-ND	7.15	65.55	4289PHTB-ND	560.20	2290.02	3557.98	3357.55/M	2222 123 15221
	330	500	0.160	510	32	10.3	0.8	4290PHCT-ND	3.76	34.48	4290PHTB-ND	643.97	2632.40	4089.94	3859.54/M	2222 123 15331
	470	750	0.160	680	32	12.9	0.8	4291PHCT-ND	9.59	87.92	4291PHTB-ND	751.30	3071.17	4771.64	4502.84/M	2222 123 15471
	680	870	0.160	850	32	12.9	0.8	4292PHCT-ND	11.63	106.60	4292PHTB-ND	910.98	3723.90	5785.79	5459.86/M	2222 123 15681
	10	25	0.140	43	15.3	6.7	0.6	4293PHCT-ND	4.98	45.64	4293PHTB-ND	390.05	—	—	—	2222 123 16109
	15	35	0.140	60	15.3	6.7	0.6	4294PHCT-ND	5.08	46.56	4294PHTB-ND	397.90	1626.55	2527.15	2384.79/M	2222 123 16159
	22	55	0.140	88	20.4	7.6	0.6	4295PHCT-ND	5.25	48.10	4295PHTB-ND	410.99	1680.06	2610.30	2463.25/M	2222 123 16229
	33	85	0.140	130	20.4	7.6	0.6	4296PHCT-ND	9.46	86.69	4296PHTB-ND	740.83	—	—	—	2222 123 16339
25	47	100	0.140	160	20.4	7.6	0.6	4297PHCT-ND	5.78	53.00	4297PHTB-ND	452.87	1851.25	2876.28	2714.25/M	2222 123 16479
	68	170	0.140	230	23.3	9.3	0.6	4298PHCT-ND	6.21	56.98	4298PHTB-ND	486.91	—	—	—	2222 123 16689
	100	250	0.160	250	23.3	9.3	0.6	4299PHCT-ND	6.88	63.11	4299PHTB-ND	539.26	2204.38	3424.92	3231.99/M	2222 123 16101
	150	400	0.160	350	32	10.3	0.8	4300PHCT-ND	3.74	34.30	4300PHTB-ND	293.06	—	—	—	2222 123 16151
	220	550	0.160	460	32	12.9	0.8	4301PHCT-ND	9.46	86.69	4301PHTB-ND	740.83	—	—	—	2222 123 16221
	330	800	0.160	600	32	12.9	0.8	4302PHCT-ND	11.79	108.14	4302PHTB-ND	924.06	—	—	—	2222 123 16331
	1.0	5.0	0.120	4.0	15.3	6.7	0.6	4303PHCT-ND	4.94	45.34	4303PHTB-ND	387.44	—	—	—	2222 123 10108
	1.5	5.0	0.120	7.0	15.3	6.7	0.6	4304PHCT-ND	3.57	32.74	4304PHTB-ND	279.73	1143.46	1776.59	1676.51/M	2222 123 10158
	2.2	5.0	0.120	10	15.3	6.7	0.6	4305PHCT-ND	4.98	45.64	4305PHTB-ND	390.05	1594.42	2477.24	2337.69/M	2222 123 10228
	3.3	7.0	0.120	14	15.3	6.7	0.6	4306PHCT-ND	5.05	46.26	4306PHTB-ND	395.28	1615.81	2510.47	2369.05/M	2222 123 10338
	4.7	10	0.120	20	15.3	6.7	0.6	4307PHCT-ND	5.11	46.87	4307PHTB-ND	400.53	1637.28	2543.83	2400.53/M	2222 123 10478
	6.8	15	0.120	27	15.3	6.7	0.6	4308PHCT-ND	5.22	47.79	4308PHTB-ND	408.37	1669.33	2593.62	2447.51/M	2222 123 10688
35	10	20	0.120	37	20.4	7.6	0.6	4309PHCT-ND	5.35	49.02	4309PHTB-ND	418.86	1712.18	2660.20	2510.35/M	2222 123 10109
	15	30	0.120	53	20.4	7.6	0.6	4310PHCT-ND	5.58	51.16	4310PHTB-ND	437.18	1787.09	2776.59	2620.17/M	2222 123 10159
	22	45	0.120	78	20.4	7.6	0.6	4311PHCT-ND	5.92	54.22	4311PHTB-ND	463.34	—	—	—	2222 123 10229
	33	65	0.120	120	23.3	9.3	0.6	4312PHCT-ND	4.36	39.98	4312PHTB-ND	341.60	—	—	—	2222 123 10339
	47	95	0.120	140	23.3	9.3	0.6	4313PHCT-ND	7.09	64.94	4313PHTB-ND	554.97	2268.63	3524.74	3326.19/M	2222 123 10479
	68	135	0.160	170	32	10.3	0.8	4314PHCT-ND	8.05	73.83	4314PHTB-ND	630.89	2578.97	4006.92	3781.20/M	2222 123 10689
	100	200	0.160	220	32	12.9	0.8	4315PHCT-ND	9.56	87.61	4315PHTB-ND	748.69	3060.51	4755.09	4487.22/M	2222 123 10101
	150	300	0.160	290	32	12.9	0.8	4316PHCT-ND	11.86	108.75	4316PHTB-ND	929.32	3798.88	5902.29	5569.79/M	2222 123 10151
	2.2	9.0	0.120	11	15.3	6.7	0.6	4317PHCT-ND	3.17	28.99	4317PHTB-ND	390.05	1594.42	2477.24	2337.69/M	2222 123 17228
	3.3	13	0.120	16	15.3	6.7	0.6	4318PHCT-ND	5.01	45.95	4318PHTB-ND	392.67	1605.16	2493.92	2353.43/M	2222 123 17338
	4.7	19	0.120	22	15.3	6.7	0.6	4319PHCT-ND	3.17	28.99	4319PHTB-ND	397.90	1626.55	2527.15	2384.79/M	2222 123 17478
	6.8	27	0.120	28	15.3	6.7	0.6	4320PHCT-ND	5.15	47.17	4320PHTB-ND	403.13	1647.93	2560.38	483.23/M	2222 123 17688
	10	40	0.120	41	20.4	7.6	0.6	4321PHCT-ND	5.28	48.40	4321PHTB-ND	413.60	—	—	—	2222 123 17109
40	15	60	0.120	61	20.4	7.6	0.6	4322PHCT-ND	5.48	50.24	4322PHTB-ND	429.32	1754.96	2726.67	2573.07/M	2222 123 17159
	22	90	0.120	89	23.3	9.3	0.6	4323PHCT-ND	5.78	53.00	4323PHTB-ND	452.87	1851.25	2876.28	2714.25/M	2222 123 17229
	33	130	0.120	120	23.3	9.3	0.6	4324PHCT-ND	6.21	56.98	4324PHTB-ND	486.91	—	—	—	2222 123 17339
	68	270	0.160	170	32	10.3	0.8	4326PHCT-ND	4.94	45.31	4326PHTB-ND	387.16	1582.63	2458.92	2320.40/M	2222 123 17689
	100	400	0.160	220	32	12.9	0.8	4327PHCT-ND	8.96	82.09	4327PHTB-ND	701.56	2867.85	4455.75	4204.74/M	2222 123 17101

* Betriebsspannung

ASM 021

Axiale Standard-Mini-Elektrolytkondensatoren

MERKMALE: • Polarisierte Aluminium-Elektrolytkondensatoren, nicht fest • Axiale Zuleitungen, zylindrisches Aluminiumgehäuse mit blauer Isolierhülse • Auflade- und entladebeständig • Gehäuse Ø 10 mm x 30 mm bis 21 mm x 40 mm mit Druckentlastung • Klebeversionen bis zu Gehäuse Ø 15 mm x 30 mm für automatischen Einsatz erhältlich • Mini-Version, hohes CV-Produkt pro Einheitsvolumen

ANWENDUNGEN: • Allzweck, Industrie, Automobilbereich, Audio-Video • Koppeln, Entkoppeln, Glätten, Filtern, Puffern und Timing • Tragbares und mobiles Gerät (kleine Größe, geringe Masse) • Platten mit niedriger Montagehöhe, vibrations- und stoßfest.

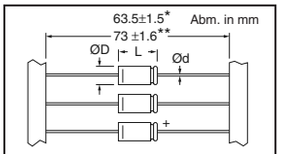

Gehäusegröße 10 x 30 und größer sind unverpackt
Form BA: Im Kasten festgeklebt (Ammopack)
*Gehäuse Ø D x L = 4,5 x 10 bis 8 x 11 mm
**Gehäuse Ø D x L = 6,5 x 18 bis 10 x 25 mm

BESCHREIBUNG	VALUE	
Gehäusegrößen (Ø D_{nom} x L_{nom} in mm)	4.5 x 10 ~ 10 x 25	10 x 30 ~ 21 x 40
Nennkapazitätsbereich, C_R	0.47 ~ 15,000 µF	
Toleranz auf C_R	±20%	
Nennspannungsbereich, U_R	6.3 ~ 100V	
Kategorietemperaturbereich	–40°C ~ +85°C	
Ermüdungstest bei 85 °C: U_R = 6,3 ~ 25 V	1.000 Stunden	5.000 Stunden
U_R = 40 ~ 100 ΩV	2.000 Stunden	5.000 Stunden
Haltbarkeit bei 85 °C	2.500 Stunden	8.000 Stunden
Haltbarkeit bei 40 °C, 1,4 x IR angelegt	70.000 Stunden	200.000 Stunden
Lagerbeständigkeit bei 0 V, 85 °C	500 Stunden	500 Stunden
Basiert auf Teilspezifikation:	IEC 384-4/CECC 30300	IEC 384-4/CECC 30300
U_R = 6,3 ~ 25 V	GP-Qualität	LL-Qualität
U_R = 40 ~ 100 V	LL-Qualität	LL-Qualität
Klimakategorie IEC 68 (DIN 40040)	40/085/56 (GPF)	

WV** (VDC)	Kap. (µF)	Leckstrom (µA)	Tan δ	Mischstrom (mA)	Abmessungen (mm) L	T	d	Digi-Key Teilenr.	Preisangaben* 1	10	100	Digi-Key Teilenr.	Preisangaben* 500	1.000	5.000	10.000	BC Components Teilenr.
	470	22	0.250	260	11	8	0.6	4000PHCT-ND	.59	5.11	40.05	4000PHTB-ND	163.72	254.36	240.03/M	221.33/M	2222 021 33471
6.3	1000	42	0.250	440	18	8	0.8	4001PHCT-ND	.69	5.85	45.82	4001PHTB-ND	187.29	291.00	274.61/M	253.21/M	2222 021 33102
	2200	87	0.290	710	25	10	0.8	4002PHCT-ND	.99	8.53	66.75	4002PHTB-ND	272.85	423.93	400.05/M	368.88/M	2222 021 90589
	100	10	0.200	100	10	4.5	0.6	4003PHCT-ND	.42	3.64	28.53	4003PHTB-ND	—	181.20	170.99/M	157.67/M	2222 021 34101
	220	17	0.200	160	10	6	0.6	4004PHCT-ND	.47	4.01	31.42	4004PHTB-ND	—	199.52	188.28/M	173.61/M	2222 021 34221
	330	24	0.200	230	11	8	0.6	4005PHCT-ND	.59	5.11	40.05	4005PHTB-ND	163.72	254.36	240.03/M	221.33/M	2222 021 34331
	470	32	0.200	310	18	6.5	0.8	4006PHCT-ND	.59	5.11	40.05	4006PHTB-ND	—	254.36	240.03/M	221.33/M	2222 021 34471
	680	45	0.200	400	18	8	0.8	4007PHCT-ND	.69	5.85	45.82	4007PHTB-ND	187.29	291.00	274.61/M	253.21/M	2222 021 34681
	1000	64	0.200	550	18	10	0.8	4008PHCT-ND	.79	6.72	52.62	4008PHTB-ND	215.11	334.21	315.39/M	290.82/M	2222 021 34102
10	1500	94	0.230	690	25	10	0.8	4009PHCT-ND	.99	8.53	66.75	4009PHTB-ND	272.85	423.93	400.05/M	368.88/M	2222 021 90525
	1500	94	0.230	740	30	10	0.8	4010PHBK-ND	1.17	10.04	78.67	—	321.57	499.62	471.48/M	434.74/M	2222 021 14152
	2200	136	0.250	800	30	12.5	0.8	4011PHBK-ND	1.29	11.04	86.51	—	353.61	549.40	518.46/M	478.06/M	2222 021 14222
	3300	202	0.270	1000	30	12.5	0.8	4012PHBK-ND	1.41	12.10	94.76	—	387.36	601.84	567.94/M	523.69/M	2222 021 14332
	4700	286	0.290	1180	30	15	0.8	4013PHBK-ND	1.64	14.07	110.20	—	450.48	699.89	660.47/M	609.01/M	2222 021 14472
	10000	604	0.400	1860	38	18	0.8	4015PHBK-ND	2.51	21.55	168.85	—	690.22	1072.40	1011.99/M	933.13/M	2222 021 14103
	68	11	0.160	90	10	4.5	0.6	4017PHCT-ND	.42	3.64	28.53	4017PHTB-ND	—	181.20	170.99/M	157.67/M	2222 021 35689
	150	18	0.160	140	10	6	0.6	4018PHCT-ND	.47	4.01	31.42	4018PHTB-ND	—	199.52	188.28/M	173.61/M	2222 021 35151
	220	25	0.160	210	11	8	0.6	4019PHCT-ND	.59	5.11	40.05	4019PHTB-ND	163.72	254.36	240.03/M	221.33/M	2222 021 35221
	330	36	0.160	290	18	6.5	0.8	4020PHCT-ND	.59	5.11	40.05	4020PHTB-ND	—	254.36	240.03/M	221.33/M	2222 021 35331
	470	49	0.160	380	18	8	0.8	4021PHCT-ND	.69	5.85	45.82	4021PHTB-ND	187.29	291.00	274.61/M	253.21/M	2222 021 35471
	680	69	0.160	500	18	10	0.8	4022PHCT-ND	.79	6.72	52.62	4022PHTB-ND	215.11	334.21	315.39/M	290.82/M	2222 021 35681
16	1000	100	0.160	660	25	10	0.8	4023PHCT-ND	.99	8.53	66.75	4023PHTB-ND	272.85	423.93	400.05/M	368.88/M	2222 021 90518
	1000	100	0.160	700	30	10	0.8	4024PHBK-ND	1.18	10.07	78.84	—	322.30	500.76	472.55/M	435.73/M	2222 021 15102
	2200	216	0.210	890	30	12.5	0.8	4026PHBK-ND	1.41	12.03	94.24	—	385.25	598.55	564.84/M	520.83/M	2222 021 15222
	3300	321	0.230	1130	30	15	0.8	4027PHBK-ND	1.68	14.34	112.31	—	459.09	713.29	673.11/M	620.66/M	2222 021 15332
	4700	455	0.250	1410	30	18	0.8	4028PHBK-ND	2.01	17.25	135.07	—	552.14	857.84	809.52/M	746.44/M	2222 021 15472
	6800	656	0.300	1780	38	18	0.8	4029PHBK-ND	2.52	21.66	169.62	—	693.40	1077.32	1016.64/M	937.42/M	2222 021 15682
	10000	964	0.360	2170	38	21	0.8	4030PHBK-ND	3.31	28.34	221.99	—	907.45	1409.89	1330.48/M	1226.80/M	2222 021 15103
	47	11	0.140	80	10	4.5	0.6	4031PHCT-ND	.42	3.64	28.53	4031PHTB-ND	—	181.20	170.99/M	157.67/M	2222 021 36479
	100	19	0.140	150	10	6.0	0.6	4032PHCT-ND	.47	4.01	31.42	4032PHTB-ND	—	199.52	188.28/M	173.61/M	2222 021 36101
	150	27	0.140	190	11	8.0	0.6	4033PHCT-ND	.59	5.11	40.05	4033PHTB-ND	163.72	254.36	240.03/M	221.33/M	2222 021 90535
	150	27	0.140	210	18	6.5	0.8	4034PHCT-ND	.59	5.11	40.05	4034PHTB-ND	—	254.36	240.03/M	221.33/M	2222 021 36151
	220	37	0.140	250	18	6.5	0.8	4035PHCT-ND	.59	5.11	40.05	4035PHTB-ND	—	254.36	240.03/M	221.33/M	2222 021 36221
	330	54	0.140	340	18	8.0	0.8	4036PHCT-ND	.69	5.85	45.82	4036PHTB-ND	187.29	291.00	274.61/M	253.21/M	2222 021 36331
	470	75	0.140	450	18	10	0.8	4037PHCT-ND	.79	6.72	52.62	4037PHTB-ND	215.11	334.21	315.39/M	290.82/M	2222 021 36471
25	680	106	0.140	560	25	10	0.8	4038PHCT-ND	.99	8.53	66.75	4038PHTB-ND	272.85	423.93	400.05/M	368.88/M	2222 021 90528
	680	106	0.140	640	30	10	0.8	4039PHBK-ND	1.12	9.59	75.13	—	307.10	477.13	450.25/M	415.17/M	2222 021 16681
	1000	154	0.140	720	30	12.5	0.8	4040PHBK-ND	1.29	11.04	86.46	—	353.45	549.15	518.22/M	477.84/M	2222 021 16102
	1500	229	0.170	790	30	12.5	0.8	4041PHBK-ND	1.41	12.10	94.76	—	387.36	601.84	567.94/M	523.69/M	2222 021 16152
	2200	334	0.190	1030	30	15	0.8	4042PHBK-ND	1.66	14.24	111.51	—	455.84	708.23	668.34/M	616.26/M	2222 021 16222
	3300	499	0.210	1310	30	18	0.8	4043PHBK-ND	2.05	17.58	137.69	—	562.87	874.52	825.26/M	760.95/M	2222 021 16332
	4700	709	0.230	1680	38	18	0.8	4044PHBK-ND	2.55	21.86	171.20	—	699.82	1087.31	1026.06/M	946.11/M	2222 021 16472
	6800	1024	0.280	2070	38	21	0.8	4045PHBK-ND	3.30	28.28	221.47	—	905.34	1406.61	1327.38/M	1223.95/M	2222 021 16682
	22	9.0	0.110	60	10	4.5	0.6	4046PHCT-ND	.42	3.64	28.53	4046PHTB-ND	—	181.20	170.99/M	157.67/M	2222 021 37229
	47	15	0.110	110	10	6.0	0.6	4047PHCT-ND	.47	4.01	31.42	4047PHTB-ND	—	199.52	188.28/M	173.61/M	2222 021 37479
	100	28	0.110	170	11	8.0	0.6	4048PHCT-ND	.59	5.11	40.05	4048PHTB-ND	163.72	254.36	240.03/M	221.33/M	2222 021 90538
	100	28	0.110	190	18	6.5	0.8	4049PHCT-ND	.59	5.11	40.05	4049PHTB-ND	—	254.36	240.03/M	221.33/M	2222 021 37101
	150	40	0.110	250	18	8	0.8	4050PHCT-ND	.69	5.85	45.82	4050PHTB-ND	187.29	291.00	274.61/M	253.21/M	2222 021 37151
	220	57	0.110	330	18	10	0.8	4051PHCT-ND	.79	6.72	52.62	4051PHTB-ND	215.11	334.21	315.39/M	290.82/M	2222 021 37221
	330	83	0.110	430	25	10	0.8	4052PHCT-ND	.99	8.53	66.75	4052PHTB-ND	272.85	423.93	400.05/M	368.88/M	2222 021 37331
40	470	117	0.110	520	25	10	0.8	4053PHCT-ND	.99	8.53	66.75	4053PHTB-ND	272.85	423.93	400.05/M	368.88/M	2222 021 90515
	470	117	0.120	570	30	10	0.8	4054PHBK-ND	1.06	9.06	70.95	—	290.01	450.59	425.21/M	392.08/M	2222 021 17471
	680	167	0.120	620	30	12.5	0.8	4055PHBK-ND	1.30	11.17	87.50	—	357.68	555.72	524.42/M	483.56/M	2222 021 17681
	1000	244	0.120	770	30	12.5	0.8	4056PHBK-ND	1.36	11.70	91.62	—	374.51	581.88	549.10/M	506.31/M	2222 021 17102
	1500	364	0.150	930	30	15	0.8	4057PHBK-ND	1.66	14.21	111.25	—	454.79	706.59	666.79/M	614.83/M	2222 021 17152
	2200	532	0.170	1200	30	18	0.8	4058PHBK-ND	2.07	17.74	139.00	—	568.24	882.86	833.13/M	768.21/M	2222 021 17222
	3300	796	0.190	1550	38	18	0.8	4059PHBK-ND	2.72	23.26	182.20	—	744.80	1157.18	1092.00/M	1006.91/M	2222 021 17332
	4700	1132	0.210	1880	38	21	0.8	4060PHBK-ND	3.54	30.31	237.43	—	970.56	1507.96	1423.01/M	1312.12/M	2222 021 17472
	0.47	4.2	0.090	8.0	10	4.5	0.6	4061PHCT-ND	.39	3.31	25.92	4061PHTB-ND	—	164.65	155.37/M	143.27/M	2222 021 38477
	1.0	4.4	0.090	12	10	4.5	0.6	4062PHCT-ND	.39	3.31	25.92	4062PHTB-ND	—	164.65	155.37/M	143.27/M	2222 021 38108
	2.2	4.8	0.090	21	10	4.5	0.6	4063PHCT-ND	.39	3.31	25.92	4063PHTB-ND	—	164.65	155.37/M	143.27/M	2222 021 38228
	3.3	5.2	0.090	25	10	4.5	0.6	4064PHCT-ND	.39	3.31	25.92	4064PHTB-ND	—	164.65	155.37/M	143.27/M	2222 021 38338
	4.7	5.8	0.090	31	10	4.5	0.6	4065PHCT-ND	.39	3.31	25.92	4065PHTB-ND	—	164.65	155.37/M	143.27/M	2222 021 38478
	10	7.8	0.080	50	10	4.5	0.6	4066PHCT-ND	.39	3.31	25.92	4066PHTB-ND	—	164.65	155.37/M	143.27/M	2222 021 38109
	15	9.5	0.080	55	10	4.5	0.6	4067PHCT-ND	.42	3.64	28.53	4067PHTB-ND	—	181.20	170.99/M	157.67/M	2222 021 38159
	22	12	0.080	90	10	6.0	0.6	4068PHCT-ND	.42	3.64	28.53	4068PHTB-ND	—	181.20	170.99/M	157.67/M	2222 021 38229
	33	16	0.080	100	10	6.0	0.6	4069PHCT-ND	.47	4.01	31.42	4069PHTB-ND	—	199.52	188.28/M	173.61/M	2222 021 38339
	47	22	0.080	140	11	8.0	0.6	4070PHCT-ND	.59	5.11	40.05	4070PHTB-ND	163.72	254.36	240.03/M	221.33/M	2222 021 90542
	47	22	0.080	150	18	6.5	0.8	4071PHCT-ND	.59	5.11	40.05	4071PHTB-ND	—	254.36	240.03/M	221.33/M	2222 021 38479
63	68	30	0.080	160	11	8.0	0.6	4072PHCT-ND	.59	5.11	40.05	4072PHTB-ND	163.72	254.36	240.03/M	221.33/M	2222 021 90545
	68	30	0.080	170	18	6.5	0.8	4073PHCT-ND	.59	5.11	40.05	4073PHTB-ND	—	254.36	240.03/M	221.33/M	2222 021 38689
	100	42	0.080	250	18	8.0	0.8	4074PHCT-ND	.69	5.85	45.82	4074PHTB-ND	187.29	291.00	274.61/M	253.21/M	2222 021 38101
	150	61	0.080	320	18	10	0.8	4075PHCT-ND	.79	6.72	52.62	4075PHTB-ND	215.11	334.21	315.39/M	290.82/M	2222 021 38151
	220	88	0.080	430	25	10	0.8	4076PHCT-ND	.99	8.53	66.75	4076PHTB-ND	272.85	423.93	400.05/M	368.88/M	2222 021 90512
	220	88	0.080	480	30	10	0.8	4077PHBK-ND	1.18	10.07	78.95	—	322.71	501.39	473.15/M	436.28/M	2222 021 18221
	330	129	0.080	530	30	12.5	0.8	4078PHBK-ND	1.30	11.10	86.92	—	355.32	552.06	520.96/M	480.37/M	2222 021 18331
	470	182	0.080	630	30	12.5	0.8	4079PHBK-ND	1.35	11.53	90.31	—	369.14	573.54	541.23/M	499.06/M	2222 021 18471
	680	261	0.080	830	30	15	0.8	4080PHBK-ND	1.59	13.67	107.08	—	437.70	680.06	641.75/M	591.74/M	2222 021 18681
	1000	382	0.080	1120	30	18	0.8	4081PHBK-ND	1.97	16.94	132.72	—	542.54	842.93	795.45/M	733.47/M	2222 021 18102
	1500	571	0.110	1350	38	18	0.8	4082PHBK-ND	2.57	22.05	172.77	—	706.25	1097.29	1035.48/M	954.79/M	2222 021 18152
	2200	836	0.130	1780	38	21	0.8	4083PHBK-ND	3.41	29.21	228.79	—	935.26	1453.11	1371.26/M	1264.41/M	2222 021 18222
	1.0	4.6	0.080	14	10	4.5	0.6	4084PHCT-ND	.39	3.31	25.92	4084PHTB-ND	—	164.65	155.37/M	143.27/M	2222 021 39108
	2.2	5.3	0.080	20	10	4.5	0.6	4085PHCT-ND	.39	3.31	25.92	4085PHTB-ND	—	164.65	155.37/M	143.27/M	2222 021 39228
	4.7	7.0	0.080	30	10	4.5	0.6	4086PHCT-ND	.42	3.64	28.53	4086PHTB-ND	—	181.20	170.99/M	157.67/M	2222 021 39478
	10	10	0.080	65	10	6.0	0.6	4087PHCT-ND	.45	3.84	30.11	4087PHTB-ND	—	191.18	180.41/M	166.36/M	2222 021 39109
	15	13	0.080	77	11	8.0	0.6	4088PHCT-ND	.59	5.11	40.05	4088PHTB-ND	163.72	254.36	240.03/M	221.33/M	2222 021 90548
	15	13	0.080	85	18	6.5	0.8	4089PHCT-ND	.59	5.11	40.05	4089PHTB-ND	—	254.36	240.03/M	221.33/M	2222 021 39159
	22	17	0.080	95	11	8.0	0.6	4090PHCT-ND	.59	5.11	40.05	4090PHTB-ND	163.72	254.36	240.03/M	221.33/M	2222 021 90552
	22	17	0.080	100	18	6.5	0.8	4091PHCT-ND	.59	5.11	40.05	4091PHTB-ND	—	254.36	240.03/M	221.33/M	2222 021 39229
	33	24	0.080	120	18	6.5	0.8	4092PHCT-ND	.59	5.11	40.05	4092PHTB-ND	—	254.36	240.03/M	221.33/M	2222 021 39339
100	47	32	0.080	160	18	8.0	0.8	4093PHCT-ND	.69	5.85	45.82	4093PHTB-ND	187.29	291.00	274.61/M	253.21/M	2222 021 39479
	68	45	0.080	220	18	10	0.8	4094PHCT-ND	.79	6.72	52.62	4094PHTB-ND	215.11	334.21	315.39/M	290.82/M	2222 021 39689
	100	64	0.080	300	25	10	0.8	4095PHCT-ND	.99	8.53	66.75	4095PHTB-ND	272.85	423.93	400.05/M	368.88/M	2222 021 90532
	100	64	0.070	360	30	10	0.8	4096PHBK-ND	1.20	10.30	80.67	—	329.78	512.38	483.52/M	445.84/M	2222 021 19101
	220	136	0.080	460	30	12.5	0.8	4098PHBK-ND	1.38	11.85	92.81	—	379.40	589.46	556.26/M	512.91/M	2222 021 19221
	330	202	0.090	580	30	15	0.8	4099PHBK-ND	1.70	14.57	114.14	—	466.58	724.91	684.08/M	630.78/M	2222 021 19331
	470	286	0.090	740	30	18	0.8	4100PHBK-ND	2.11	18.07	141.61	—	578.89	899.41	848.75/M	782.61/M	2222 021 19471
	680	412	0.090	1050	38	18	0.8	4101PHBK-ND	2.72	23.29	182.46	—	745.85	1158.83	1093.55/M	1008.34/M	2222 021 19681
	1000	604	0.100	1260	38	21	0.8	4102PHBK-ND	3.65	31.28	245.03	—	1001.63	1556.22	1468.56/M	1354.12/M	2222 021 19102

* „CT" bedeutet „am Band"; „TB" bedeutet Band und Kasten; „BK" bedeutet „unverpackt". ** Betriebsspannung

Alle Preisangaben in Euro und inklusive Zollgebühren.

AHT 118 Axiale Hochtemperatur-Elektrolytkondensatoren

MERKMALE:
- Polarisierte Aluminium-Elektrolytkondensatoren, nicht fest
- Axiale Zuleitungen, zylindrisches Aluminiumgehäuse mit blauer Isolierhülse
- Gehäuse Ø 10 mm x 30 mm bis 21 mm x 40 mm mit Druckentlastung
- Klebeversionen bis zu Gehäuse Ø 15 mm x 30 mm für automatischen Einsatz erhältlich
- Auflade- und entladebeständig
- Extrem lange Haltbarkeit: 4.000 Stunden bei 125 °C, hohe Zuverlässigkeit
- Erweiterter Temperaturbereich: 125 °C (brauchbar bis 150 °C)
- Mini-Version, hohes CV-Produkt pro Einheitsvolumen

ANWENDUNGEN:
- Automobilbereich, Industrie und Telekommunikation
- Glätten, Filtern, Koppeln, Entkoppeln, Timing
- Zur Verwendung nach sehr langer Lagerung (10 Jahre) ohne angelegte Spannung
- Tragbares und mobiles Gerät (kleine Größe, geringe Masse)
- Platten mit niedriger Montagehöhe, vibrations- und stoßfest
- Outdoor-Verwendungen, z.B. Luftverstärker

Abmessungen in mm.

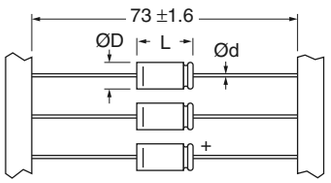

Gehäusegröße 10 mm x 30 mm und größer sind unverpackt
Form BA: Im Kasten festgeklebt (Ammopack)
Gehäuse Ø D x L = 6,5 mm x 18 mm bis 10 mm x 25 mm

BESCHREIBUNG	WERT	
Gehäusegrößen (Ø D_{nom} x L_{nom} in mm)	6.5 x 18 ~ 10 x 25	10 x 30 ~ 21 x 40
Nennkapazitätsbereich, C_R	1 ~ 10,000 µF	
Toleranz auf C_R	±20%	
Nennspannungsbereich, U_R	6.3 ~ 200V	
Kategorietemperaturbereich	-40°C ~ +125°C	-55°C ~ +125°C
Ermüdungstest bei 150 °C, ohne I_R angelegt	500 Stunden	1.000 Stunden
Ermüdungstest bei 125 °C	2.000 Stunden	3.000 Stunden
Haltbarkeit bei 125 °C	4.000 Stunden	4.000 Stunden
Haltbarkeit bei 40 °C, 1,8 x I_R angelegt	500.000 Stunden	500.000 Stunden
Lagerbeständigkeit bei 0 V, 125 °C U_R = 6,3 ~ 63 V U_R = 100 und 200 V	500 Stunden 100 Stunden	
Basiert auf Teilspezifikation	IEC 384-4/CECC 30300, LL-Qualität	
Klimakategorie IEC 68 (DIN 40040)	40/125/56 (GKD)	55/125/56 (FKD)

WV** (VDC)	Kap. (µF)	Leckstrom (µA)	Tan δ	Mischstrom (mA)	Abmessungen (mm) L	T	d	Digi-Key Teilenr.	Preisangaben* 1	10	100	Digi-Key Teilenr.	Preisangaben* 500	1.000	5.000	10.000	BC Components Teilenr.
6.3	1000	42	0.500	251	18	10	0.8	4103PHCT-ND	1.68	14.37	112.56	4103PHTB-ND	460.15	714.93	674.66/M	622.09/M	2222 118 33102
	1500	61	0.500	352	25	10	0.8	4104PHCT-ND	1.75	15.04	117.80	4104PHTB-ND	481.54	748.17	706.02/M	651.01/M	2222 118 90503
10	220	20	0.350	109	18	6.5	0.8	4105PHCT-ND	1.56	13.37	104.71	4105PHTB-ND	—	665.02	627.56/M	578.66/M	2222 118 34221
	330	24	0.350	150	18	8.0	0.8	4106PHCT-ND	1.60	13.71	107.33	4106PHTB-ND	438.76	681.70	643.30/M	593.17/M	2222 118 34331
	470	32	0.350	179	18	8.0	0.8	4107PHCT-ND	1.60	13.71	107.33	4107PHTB-ND	438.76	681.70	643.30/M	593.17/M	2222 118 34471
	1000	64	0.350	343	25	10	0.8	4108PHCT-ND	1.68	14.38	112.61	4108PHTB-ND	481.54	748.17	706.02/M	651.01/M	2222 118 90505
	1500	94	0.320	590	30	12.5	0.8	4110PHBK-ND	1.98	17.01	133.24	—	544.65	846.22	798.55/M	736.33/M	2222 118 14152
	2200	136	0.400	634	30	12.5	0.8	4111PHBK-ND	2.33	19.95	156.27	—	638.83	992.54	936.63/M	863.65/M	2222 118 14222
	3300	202	0.400	826	30	15	0.8	4112PHBK-ND	2.87	24.59	192.66	—	787.58	1223.65	1154.72/M	1064.74/M	2222 118 14332
	4700	286	0.460	1035	30	18	0.8	4113PHBK-ND	3.56	30.48	238.74	—	975.93	1516.29	1430.88/M	1319.38/M	2222 118 14472
	6800	412	0.530	1395	38	18	0.8	4114PHBK-ND	4.60	39.43	308.89	—	1262.69	1961.83	1851.32/M	1707.06/M	2222 118 14682
	10000	604	0.530	1674	38	21	0.8	4115PHBK-ND	6.16	52.80	413.60	—	1690.71	2626.85	2478.87/M	2285.71/M	2222 118 14103
16	220	25	0.250	145	18	8.0	0.8	4116PHCT-ND	1.60	13.71	107.33	4116PHTB-ND	438.76	681.70	643.30/M	593.17/M	2222 118 35221
	330	36	0.250	204	18	10	0.8	4117PHCT-ND	1.68	14.37	112.56	4117PHTB-ND	460.15	714.93	674.66/M	622.09/M	2222 118 35331
	470	49	0.250	243	18	10	0.8	4118PHCT-ND	1.68	14.37	112.56	4118PHTB-ND	460.15	714.93	674.66/M	622.09/M	2222 118 35471
	680	69	0.220	389	30	10	0.8	4119PHBK-ND	1.74	14.98	117.28	—	479.42	744.88	702.92/M	648.15/M	2222 118 15681
	1000	100	0.220	557	30	12.5	0.8	4120PHBK-ND	1.97	16.94	132.72	—	542.54	842.93	795.45/M	733.47/M	2222 118 15102
	1500	148	0.290	609	30	12.5	0.8	4121PHBK-ND	2.33	19.98	156.54	—	639.89	994.18	938.18/M	865.07/M	2222 118 15152
	2200	215	0.290	790	30	15	0.8	4122PHBK-ND	2.84	24.30	190.32	—	777.97	1208.73	1140.65/M	1051.77/M	2222 118 15222
	3300	321	0.340	1008	30	18	0.8	4123PHBK-ND	3.61	31.01	242.94	—	993.09	1542.95	1456.04/M	1342.58/M	2222 118 15332
	4700	455	0.340	1363	38	18	0.8	4124PHBK-ND	4.60	39.43	308.89	—	1262.69	1961.83	1851.32/M	1707.06/M	2222 118 15472
	6800	657	0.380	1627	38	21	0.8	4125PHBK-ND	6.12	52.46	410.99	—	1680.06	2610.30	2463.25/M	2271.31/M	2222 118 15682
25	100	20	0.180	102	18	6.5	0.8	4126PHCT-ND	1.56	13.37	104.71	4126PHTB-ND	—	665.02	627.56/M	578.66/M	2222 118 36101
	220	37	0.180	196	18	10	0.8	4127PHCT-ND	1.68	14.37	112.56	4127PHTB-ND	460.15	714.93	674.66/M	622.09/M	2222 118 36221
	330	54	0.180	274	25	10	0.8	4128PHCT-ND	1.75	15.04	117.80	4128PHTB-ND	481.54	748.17	706.02/M	651.01/M	2222 118 36331
	470	75	0.180	327	25	10	0.8	4129PHCT-ND	1.75	15.04	117.80	4129PHTB-ND	481.54	748.17	706.02/M	651.01/M	2222 118 90509
	470	75	0.180	366	30	10	0.8	4130PHBK-ND	1.88	16.08	125.91	—	514.72	799.72	754.67/M	695.86/M	2222 118 16471
	680	106	0.180	515	30	12.5	0.8	4131PHBK-ND	2.11	18.05	141.36	—	577.83	897.77	847.20/M	781.18/M	2222 118 16681
	1000	154	0.240	531	30	12.5	0.8	4132PHBK-ND	2.46	21.09	165.19	—	675.27	1049.15	990.05/M	912.90/M	2222 118 16102
	1500	229	0.250	691	30	15	0.8	4133PHBK-ND	3.01	25.83	202.35	—	827.18	1285.18	1212.79/M	1118.29/M	2222 118 16152
	2200	334	0.260	919	30	18	0.8	4134PHBK-ND	3.79	32.48	254.44	—	1040.10	1615.99	1524.96/M	1406.13/M	2222 118 16222
	3300	499	0.260	1280	38	18	0.8	4135PHBK-ND	4.99	42.78	335.08	—	1369.71	2128.12	2008.23/M	1851.75/M	2222 118 16332
	4700	709	0.280	1464	38	21	0.8	4136PHBK-ND	6.55	56.15	439.78	—	1797.74	2793.14	2635.79/M	2430.40/M	2222 118 16472
40	47	20	0.110	89.8	18	6.5	0.8	4137PHCT-ND	1.56	13.37	104.71	4137PHTB-ND	—	665.02	627.56/M	578.66/M	2222 118 37479
	100	28	0.110	147	18	8.0	0.8	4138PHCT-ND	1.60	13.71	107.33	4138PHTB-ND	438.76	681.70	643.30/M	593.17/M	2222 118 37101
	150	40	0.110	207	18	10	0.8	4139PHCT-ND	1.68	14.36	112.47	4139PHTB-ND	459.75	714.30	674.06/M	621.54/M	2222 118 37151
	220	57	0.110	287	25	10	0.8	4140PHCT-ND	1.75	15.04	117.80	4140PHTB-ND	481.54	748.17	706.02/M	651.01/M	2222 118 90512
	220	57	0.100	338	30	10	0.8	4141PHBK-ND	1.85	15.81	123.82	—	506.18	786.45	742.15/M	684.32/M	2222 118 17221
	330	83	0.100	484	30	12.5	0.8	4142PHBK-ND	2.09	17.95	140.58	—	574.66	892.84	842.55/M	776.90/M	2222 118 17331
	470	117	0.110	522	30	12.5	0.8	4143PHBK-ND	2.41	20.69	162.05	—	662.41	1029.19	971.21/M	895.53/M	2222 118 17471
	1000	244	0.130	852	30	18	0.8	4145PHBK-ND	3.62	31.04	243.19	—	994.15	1544.60	1457.59/M	1344.01/M	2222 118 17102
	2200	532	0.150	1403	38	21	0.8	4147PHBK-ND	6.36	54.47	426.69	—	1744.22	2709.99	2557.33/M	2358.06/M	2222 118 17222
63	1.0	20	0.070	16.4	18	6.5	0.8	4148PHCT-ND	1.56	13.37	104.71	4148PHTB-ND	—	665.02	627.56/M	578.66/M	2222 118 38108
	2.2	20	0.070	24.3	18	6.5	0.8	4149PHCT-ND	1.56	13.37	104.71	4149PHTB-ND	—	665.02	627.56/M	578.66/M	2222 118 38228
	4.7	20	0.070	35.6	18	6.5	0.8	4150PHCT-ND	1.56	13.37	104.71	4150PHTB-ND	—	665.02	627.56/M	578.66/M	2222 118 38478
	10	20	0.070	51.9	18	6.5	0.8	4151PHCT-ND	1.56	13.37	104.71	4151PHTB-ND	—	665.02	627.56/M	578.66/M	2222 118 38109
	22	20	0.070	77	18	6.5	0.8	4152PHCT-ND	1.56	13.37	104.71	4152PHTB-ND	—	665.02	627.56/M	578.66/M	2222 118 38229
	47	22	0.070	126	18	8.0	0.8	4153PHCT-ND	1.60	13.71	107.33	4153PHTB-ND	438.76	681.70	643.30/M	593.17/M	2222 118 38479
	100	42	0.070	243	25	10	0.8	4154PHCT-ND	1.75	15.04	117.80	4154PHTB-ND	481.54	748.17	706.02/M	651.01/M	2222 118 90514
	100	42	0.070	262	30	10	0.8	4155PHBK-ND	1.85	15.81	123.82	—	506.18	786.45	742.15/M	684.32/M	2222 118 18101
	150	61	0.070	415	30	12.5	0.8	4156PHBK-ND	2.11	18.07	141.61	—	578.89	899.41	848.75/M	782.61/M	2222 118 18151
	220	87	0.080	454	30	12.5	0.8	4157PHBK-ND	2.48	21.25	166.48	—	680.55	1057.36	997.80/M	920.05/M	2222 118 18221
	330	129	0.090	544	30	15	0.8	4158PHBK-ND	3.06	26.24	205.50	—	840.03	1305.14	1231.63/M	1135.66/M	2222 118 18331
	470	182	0.090	695	30	18	0.8	4159PHBK-ND	3.80	32.59	255.23	—	1043.35	1621.04	1529.73/M	1410.53/M	2222 118 18471
	680	261	0.090	971	38	18	0.8	4160PHBK-ND	4.91	42.11	329.84	—	1348.33	2094.89	1976.87/M	1822.83/M	2222 118 18681
	1000	383	0.100	1161	38	21	0.8	4161PHBK-ND	6.59	56.48	442.41	—	1808.47	2809.81	2651.53/M	2444.92/M	2222 118 18102
100	4.7	20	0.070	36	18	6.5	0.8	4162PHCT-ND	1.38	11.86	92.91	4162PHTB-ND	—	590.09	—	—	2222 118 39478
	10	20	0.070	52	18	6.5	0.8	4163PHCT-ND	1.56	13.37	104.71	4163PHTB-ND	—	665.02	627.56/M	578.66/M	2222 118 39109
	22	20	0.070	91	18	8.0	0.8	4164PHCT-ND	1.60	13.71	107.33	4164PHTB-ND	438.76	681.70	643.30/M	593.17/M	2222 118 39229
	33	24	0.070	140	25	10	0.8	4165PHCT-ND	1.75	15.04	117.80	4165PHTB-ND	481.54	748.17	706.02/M	651.01/M	2222 118 39339
	47	33	0.070	170	25	10	0.8	4166PHCT-ND	1.75	15.04	117.80	4166PHTB-ND	481.54	748.17	706.02/M	651.01/M	2222 118 90536
	47	33	0.080	178	30	10	0.8	4167PHBK-ND	1.96	16.75	131.15	—	536.11	832.95	786.03/M	724.78/M	2222 118 19479
	100	64	0.090	303	30	12.5	0.8	4169PHBK-ND	2.52	21.66	169.62	—	693.40	1077.32	1016.64/M	937.42/M	2222 118 19101
	220	136	0.100	481	30	18	0.8	4171PHBK-ND	3.83	32.78	256.81	—	1049.78	1631.03	1539.15/M	1419.21/M	2222 118 19221
	330	202	0.100	694	38	18	0.8	4172PHBK-ND	5.03	43.11	337.70	—	1380.45	2144.79	2023.97/M	1866.26/M	2222 118 19331
	470	286	0.100	833	38	21	0.8	4173PHBK-ND	6.55	56.15	439.78	—	1797.74	2793.14	2635.79/M	2430.40/M	2222 118 19471
200	2.2	20	0.060	27	18	6.5	0.8	4174PHCT-ND	1.56	13.37	104.71	4174PHTB-ND	—	665.02	627.56/M	578.66/M	2222 118 90538
	10	20	0.060	85	25	10	0.8	4176PHCT-ND	1.75	15.04	117.80	4176PHTB-ND	481.54	748.17	706.02/M	651.01/M	2222 118 90543
	15	22	0.046	129	30	10	0.8	4177PHBK-ND	1.82	15.61	122.26	—	499.76	776.47	732.73/M	675.63/M	2222 118 92159
	22	31	0.046	198	30	12.5	0.8	4178PHBK-ND	2.13	18.28	143.19	—	585.31	909.39	858.17/M	791.30/M	2222 118 92229
	33	44	0.046	242	30	15	0.8	4179PHBK-ND	2.62	22.49	176.17	—	720.15	1118.90	1055.87/M	973.59/M	2222 118 92339
	47	61	0.046	317	30	18	0.8	4180PHBK-ND	3.24	27.80	217.79	—	890.29	1383.23	1305.32/M	1203.60/M	2222 118 92479
	68	86	0.046	428	38	18	0.8	4181PHBK-ND	4.17	35.76	280.11	—	1145.01	1778.99	1678.77/M	1547.96/M	2222 118 92689
	100	124	0.046	551	38	21	0.8	4182PHBK-ND	5.61	48.12	376.95	—	1540.91	2394.10	2259.23/M	2083.19/M	2222 118 92101

* „CT" bedeutet „am Band"; „TB" bedeutet Band und Kasten; „BK" bedeutet „unverpackt". ** Betriebsspannung

E

AML 138 Axiale Mini-Elektrolytkondensatoren mit langer Haltbarkeit

MERKMALE:

• Polarisierte Aluminium-Elektrolytkondensatoren, nicht fest • Axiale Zuleitungen, zylindrisches Aluminiumgehäuse, blaue Isolierhülse (Gehäuse Ø 6,3 mm x 12,7 mm und 7,7 mm x 12,7 mm mit flammenhemmendem Kunststoffmaterial gegossen) • Gehäuse Ø 10 mm x 30 mm bis 21 mm x 40 mm mit Druckentlastung• Klebeversionen bis zu Gehäuse Ø 15 mm x 30 mm für automatischen Einsatz erhältlich • Auflade- und entladebeständig • Extrem lange Haltbarkeit: 2.000 ~ 10.000 Stunden bei 105 °C, hohe Zuverlässigkeit • Hohe Mischstromkapazität• Mini-Version, hohes CV-Produkt pro Einheitsvolumen

ANWENDUNGEN:

• Industrie, Automobilbereich, EDV und Telekommunikation • Glätten, Filtern, Puffern in SMPS; Koppeln, Entkoppeln, Timing • Tragbares und mobiles Gerät (kleine Größe, geringe Masse) • Standby-Anwendungen • Platten mit niedriger Montagehöhe • Vibrations- und stoßfest

Abmessungen in mm.

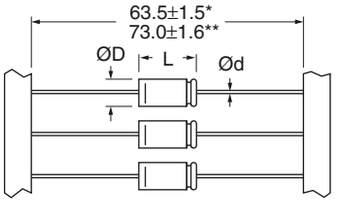

Gehäusegröße 10 mm x 30 mm und größer sind unverpackt
Form BA: Im Kasten festgeklebt (Ammopack)
*Gehäuse Ø T x L = 6,3 mm x 12,7 mm und 7,7 mm x 12,7 mm
**Gehäuse Ø T x L = 6,5 mm x 18 mm bis 10 mm x 25 mm

BESCHREIBUNG	WERT	
Gehäusegrößen (Ø T_{nom} x L_{nom} in mm)	6.3 x 12.7 ~ 10 x 25	10 x 30 ~ 21 x 40
Nennkapazitätsbereich, C_R	1.0 ~ 15,000 µF	
Toleranz auf C_R	±20%	
Nennspannungsbereich, U_R	6.3 ~ 100V	
Kategorietemperaturbereich	-40°C ~ +105°C	
Ermüdungstest bei 105 °C	1.000 Stunden	5.000 Stunden
Haltbarkeit bei 105 °C	2.000 Stunden	10.000 Stunden
Haltbarkeit bei 40 °C, I_R angelegt	1,3 x I_R angelegt: 200.000 Stunden	1,8 x I_R angelegt: 500.000 Stunden
Lagerbeständigkeit bei 0 V, 105 °C	500 Stunden	
Basiert auf Teilspezifikation	IEC 384-4/CECC 30300	
Klimakategorie IEC 68 (DIN 40040)	40/105/56 (GMF)	

WV** (VDC)	Kap. (µF)	Leckstrom (µA)	Tan δ	Mischstrom (mA)	Abmessungen (mm) L	T	d	Digi-Key Teilenr.	Preisangaben* 1	10	100	Digi-Key Teilenr.	Preisangabe gegurtet in Schachtel 500	1.000	BC Components Teilenr.
	100	16	0.240	99	12.7	6.3	0.6	4183PHCT-ND	1.13	9.69	75.92	4183PHTB-ND	—	482.18	2222 138 33101
	220	31	0.240	160	12.7	7.7	0.6	4184PHCT-ND	1.24	10.69	83.78	4184PHTB-ND	342.47	532.09	2222 138 33221
6.3	470	22	0.240	250	18	6.5	0.8	4185PHCT-ND	.97	8.36	65.43	4185PHTB-ND	—	415.59	2222 138 33471
	1000	42	0.240	430	18	10	0.8	4186PHCT-ND	1.33	11.36	89.01	4186PHTB-ND	363.86	565.33	2222 138 33102
	2200	87	0.290	640	25	10	0.8	4187PHCT-ND	1.60	13.71	107.33	4187PHTB-ND	438.76	681.70	2222 138 33222
	150	33	0.200	140	12.7	7.7	0.6	4188PHCT-ND	1.24	10.69	83.78	4188PHTB-ND	342.47	532.09	2222 138 34151
	220	17	0.200	190	18	6.5	0.8	4189PHCT-ND	.97	8.36	65.43	4189PHTB-ND	—	415.59	2222 138 34221
	470	32	0.200	300	18	8.0	0.8	4190PHCT-ND	1.05	9.02	70.69	4190PHTB-ND	288.95	448.95	2222 138 34471
	1000	64	0.200	520	25	10	0.8	4191PHCT-ND	1.60	13.71	107.33	4191PHTB-ND	438.76	681.70	2222 138 34102
	1500	94	0.260	560	30	10	0.8	4192PHBK-ND	1.34	11.46	89.79	—	367.03	570.25	2222 138 14152
10	2200	140	0.270	750	30	12.5	0.8	4193PHBK-ND	1.55	13.27	103.93	—	424.86	660.09	2222 138 14222
	3300	200	0.280	990	30	15	0.8	4194PHBK-ND	1.88	16.08	125.91	—	514.72	799.72	2222 138 14332
	4700	290	0.310	1200	30	18	0.8	4195PHBK-ND	2.29	19.68	154.19	—	630.29	979.27	2222 138 14472
	6800	410	0.320	1700	38	18	0.8	4196PHBK-ND	2.92	25.06	196.33	—	802.53	1246.90	2222 138 14682
	10000	600	0.370	1900	38	18	0.8	4197PHBK-ND	3.89	33.29	260.73	—	1065.79	1655.92	2222 138 14103
	22	10	0.120	58	12.7	6.3	0.6	4199PHCT-ND	1.13	9.69	75.92	4199PHTB-ND	—	482.18	2222 138 35229
	47	18	0.160	83	12.7	6.3	0.6	4200PHCT-ND	1.13	9.69	75.92	4200PHTB-ND	—	482.18	2222 138 35479
	100	35	0.160	130	12.7	7.7	0.6	4201PHCT-ND	1.24	10.69	83.78	4201PHTB-ND	342.47	532.09	2222 138 35101
	220	25	0.160	230	18	8.0	0.8	4202PHCT-ND	1.05	9.02	70.69	4202PHTB-ND	288.95	448.95	2222 138 35221
	470	49	0.160	360	18	10	0.8	4203PHCT-ND	1.33	11.36	89.01	4203PHTB-ND	363.86	565.33	2222 138 35471
16	1000	100	0.190	530	30	10	0.8	4204PHBK-ND	1.34	11.43	89.53	—	365.98	568.61	2222 138 15102
	1500	150	0.190	730	30	12.5	0.8	4205PHBK-ND	1.54	13.23	103.67	—	423.80	658.45	2222 138 15152
	2200	210	0.210	950	30	15	0.8	4206PHBK-ND	1.84	15.77	123.57	—	505.12	784.81	2222 138 15222
	3300	320	0.230	1200	30	18	0.8	4207PHBK-ND	2.30	19.75	154.71	—	632.40	982.56	2222 138 15332
	4700	450	0.280	1400	30	18	0.8	4208PHBK-ND	2.90	24.80	194.24	—	794.00	1233.63	2222 138 15472
	6800	660	0.280	1800	38	18	0.8	4209PHBK-ND	3.78	32.42	253.92	—	1037.98	1612.71	2222 138 15682
	10000	960	0.350	2100	38	21	0.8	4210PHBK-ND	5.15	44.11	345.54	—	1412.49	2194.58	2222 138 15103
	10	8.0	0.090	46	12.7	6.3	0.6	4211PHCT-ND	1.13	9.69	75.92	4211PHTB-ND	—	482.18	2222 138 36109
	22	14	0.140	61	12.7	6.3	0.6	4212PHCT-ND	1.13	9.69	75.92	4212PHTB-ND	—	482.18	2222 138 36229
	33	20	0.140	74	12.7	6.3	0.6	4213PHCT-ND	1.13	9.69	75.92	4213PHTB-ND	—	482.18	2222 138 36339
	47	27	0.140	96	12.7	7.7	0.6	4214PHCT-ND	1.24	10.69	83.78	4214PHTB-ND	342.47	532.09	2222 138 36479
	100	19	0.130	160	18	6.5	0.8	4215PHCT-ND	.97	8.36	65.43	4215PHTB-ND	—	415.59	2222 138 36101
	220	37	0.130	270	18	10	0.8	4216PHCT-ND	1.33	11.36	89.01	4216PHTB-ND	363.86	565.33	2222 138 36221
25	470	75	0.130	440	25	10	0.8	4217PHCT-ND	1.60	13.71	107.33	4217PHTB-ND	438.76	681.70	2222 138 36471
	680	110	0.140	500	30	10	0.8	4218PHBK-ND	1.31	11.26	88.22	—	360.61	560.27	2222 138 16681
	1000	150	0.140	670	30	12.5	0.8	4219PHBK-ND	1.52	13.04	102.10	—	417.37	648.47	2222 138 16102
	1500	230	0.150	890	30	15	0.8	4220PHBK-ND	1.85	15.84	124.09	—	507.24	788.09	2222 138 16152
	2200	330	0.160	1200	30	18	0.8	4221PHBK-ND	2.30	19.75	154.71	—	632.40	982.56	2222 138 16222
	3300	500	0.170	1600	38	18	0.8	4222PHBK-ND	3.01	25.86	202.61	—	828.24	1286.82	2222 138 16332
	4700	710	0.200	1800	38	18	0.8	4223PHBK-ND	3.94	33.75	264.38	—	1080.76	1679.16	2222 138 16472
	6800	1000	0.260	2100	38	21	0.8	4224PHBK-ND	5.30	45.45	356.02	—	1455.36	2261.17	2222 138 16682
	33	29	0.110	91	12.7	7.7	0.6	4225PHCT-ND	1.24	10.69	83.78	4225PHTB-ND	342.47	532.09	2222 138 37339
	47	15	0.100	120	18	6.5	0.8	4226PHCT-ND	.97	8.36	65.43	4226PHTB-ND	—	415.59	2222 138 37479
	100	28	0.100	180	18	8.0	0.8	4227PHCT-ND	1.05	9.02	70.69	4227PHTB-ND	288.95	448.95	2222 138 37101
	220	57	0.100	350	25	10	0.8	4228PHCT-ND	1.60	13.71	107.33	4228PHTB-ND	438.76	681.70	2222 138 37221
	330	83	0.100	410	30	10	0.8	4229PHBK-ND	1.27	10.86	85.07	—	347.76	540.31	2222 138 17331
40	470	120	0.100	550	30	12.5	0.8	4230PHBK-ND	1.41	12.10	94.76	—	387.36	601.84	2222 138 17471
	680	170	0.110	650	30	12.5	0.8	4231PHBK-ND	1.63	13.97	109.42	—	447.30	694.97	2222 138 17681
	1000	240	0.110	840	30	15	0.8	4232PHBK-ND	1.96	16.78	131.41	—	537.17	834.60	2222 138 17102
	2200	530	0.130	1500	38	18	0.8	4234PHBK-ND	3.20	27.44	214.93	—	878.58	1365.04	2222 138 17222
	3300	800	0.150	1700	38	21	0.8	4235PHBK-ND	4.33	37.10	290.57	—	1187.79	1845.45	2222 138 17332
	10	13	0.090	51	12.7	6.3	0.6	4236PHCT-ND	1.13	9.69	75.92	4236PHTB-ND	—	482.18	2222 138 31109
50	22	25	0.090	82	12.7	7.7	0.6	4237PHCT-ND	1.24	10.69	83.78	4237PHTB-ND	342.47	532.09	2222 138 31229
	100	34	0.080	230	18	10	0.8	4238PHCT-ND	1.33	11.36	89.01	4238PHTB-ND	363.86	565.33	2222 138 31101
	4.7	9.0	0.090	35	12.7	6.3	0.6	4239PHCT-ND	1.13	9.69	75.92	4239PHTB-ND	—	482.18	2222 138 38478
	10	16	0.080	59	12.7	7.7	0.6	4240PHCT-ND	1.24	10.69	83.78	4240PHTB-ND	342.47	532.09	2222 138 38109
	22	12	0.070	100	18	6.5	0.8	4241PHCT-ND	.97	8.36	65.43	4241PHTB-ND	—	415.59	2222 138 38229
	47	22	0.070	150	18	8.0	0.8	4242PHCT-ND	1.05	9.02	70.69	4242PHTB-ND	288.95	448.95	2222 138 38479
	100	42	0.070	280	25	10	0.8	4243PHCT-ND	1.60	13.71	107.33	4243PHTB-ND	438.76	681.70	2222 138 38101
63	150	61	0.110	340	30	10	0.8	4244PHBK-ND	1.24	10.66	83.50	—	341.33	530.32	2222 138 18151
	220	88	0.110	470	30	12.5	0.8	4245PHBK-ND	1.39	11.93	93.45	—	381.99	593.50	2222 138 18221
	330	130	0.120	570	30	12.5	0.8	4246PHBK-ND	1.63	13.94	109.16	—	446.24	693.32	2222 138 18331
	470	180	0.120	730	30	15	0.8	4247PHBK-ND	1.92	16.47	129.06	—	527.57	819.68	2222 138 18471
	1000	380	0.120	1300	38	18	0.8	4249PHBK-ND	3.05	26.13	204.70	—	836.78	1300.09	2222 138 18102
	1500	570	0.130	1600	38	21	0.8	4250PHBK-ND	4.10	35.09	274.87	—	1123.62	1745.76	2222 138 18152
	1.0	5.0	0.090	16	12.7	6.3	0.6	4251PHCT-ND	1.13	9.69	75.92	4251PHTB-ND	—	482.18	2222 138 39108
	2.2	7.0	0.090	24	12.7	6.3	0.6	4252PHCT-ND	1.13	9.69	75.92	4252PHTB-ND	—	482.18	2222 138 39228
	4.7	12	0.080	40	12.7	7.7	0.6	4253PHCT-ND	1.24	10.69	83.78	4253PHTB-ND	342.47	532.09	2222 138 39478
	10	10	0.070	67	18	6.5	0.8	4254PHCT-ND	.97	8.36	65.43	4254PHTB-ND	—	415.59	2222 138 39109
	22	17	0.070	100	18	8.0	0.8	4255PHCT-ND	1.05	9.02	70.69	4255PHTB-ND	288.95	448.95	2222 138 39229
	47	32	0.070	190	25	10	0.8	4256PHCT-ND	1.60	13.71	107.33	4256PHTB-ND	438.76	681.70	2222 138 39479
100	68	45	0.070	220	30	10	0.8	4257PHBK-ND	1.32	11.29	88.47	—	361.66	561.91	2222 138 19689
	100	64	0.070	290	30	12.5	0.8	4258PHBK-ND	1.47	12.63	98.96	—	404.52	628.50	2222 138 19101
	220	140	0.070	470	30	15	0.8	4260PHBK-ND	2.06	17.64	138.21	—	564.98	877.81	2222 138 19221
	330	200	0.080	620	30	18	0.8	4261PHBK-ND	2.59	22.22	174.09	—	711.62	1105.63	2222 138 19331
	470	290	0.080	840	38	18	0.8	4262PHBK-ND	3.27	28.04	219.62	—	897.77	1394.86	2222 138 19471
	680	410	0.090	1100	38	21	0.8	4263PHBK-ND	4.29	36.76	287.96	—	1177.13	1828.90	2222 138 19681

* „CT" bedeutet „am Band"; „BK" bedeutet „unverpackt". ** Betriebsspannung

E

Alle Preisangaben in Euro und inklusive Zollgebühren.

Bipolare Kondensatoren Serie SU

MERKMALE:

- Ideal für Schaltkreise mit nicht-konstanter Polarität oder an die beim Ein- und Ausschalten von Schaltern umgekehrte Spannung angelegt wird.
- Haltbarkeit: 2.000 Stunden bei +85 °C.

SPEZIFIKATIONEN:

Betriebstemp. Bereich: –40 °C ~ +85 °C.

Kapazitanztoleranz: ±20 % (120 Hz, +20 °C).

Leckstrom: I ≤ 0,03 CV + 3 (µA) nach 5 Minuten Anwendung einer Nennbetriebsspannung bei +20 °C.

Niedrigtemperatur-Merkmale: max. Impedanzverhältnis bei 120 Hz. Folgende spezifischen Werte.

Betriebsspannung .		6.3V	10V	16V	25V	35V	50V
Impedanz	-25°C/+20°C	4	3	2	2	2	2
	-40°C/+20°C	8	6	4	4	4	3

ERMÜDUNG:

Testbedingungen: Dauer: 2.000 Stunden. Umgebungstemperatur: +85 °C. Angelegte Spannung: Nennspannung (DC) an jede Polarität für 1.000 Stunden.

Post-Testanforderungen: +20 °C. Leckstrom: ≤ erster spezifizierter Wert. Kapazitätsänderung: ±20 % des ersten gemessenen Wertes. Tan δ: ≤ 150 % des ersten spezifizierten Wertes.

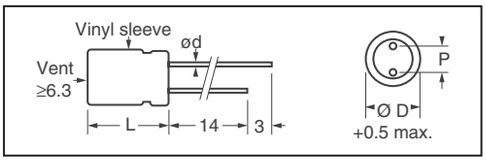

LAGERBESTÄNDIGKEIT:

Testbedingungen: Dauer: 1000 Stunden. Umgebungstemperatur: +85 °C. Angelegte Spannung: keine

Post-Testanforderungen (+20 °C): Gleiche Grenzen für „Ermüdung".

WV*	Kap. (µF)	D.C.L. (+20 °C/5 min.) [µA] max.	Tan δ (120 Hz/+20 °C) (max.)	Mischstrom (mA) rms	Abmessungen T	L	P	d	Digi-Key Teilenr.	Preisangaben 1	10	100	1.000	5.000	10.000	Panasonic Teilenr.
6.3	33	9.2	0.30	80	5	11	2.0	0.5	P1141-ND	.20	1.30	9.15	49.95	43.18/M	41.49/M	ECE-A0JN330U
	47	11.8	0.30	90	5	11	2.0	0.5	P1142-ND	.20	1.30	9.15	49.95	43.18/M	41.49/M	ECE-A0JN470U
	100	21.9	0.30	130	6.3	11.2	2.5	0.5	P1143-ND	.26	1.81	12.95	72.81	67.73/M	65.19/M	ECE-A0JN101U
	220	44.5	0.30	200	8	11.5	3.5	0.6	P1144-ND	.32	2.24	16.04	89.74	83.82/M	80.43/M	ECE-A0JN221U
	330	65.3	0.30	250	8	11.5	3.5	0.6	P1145-ND	.36	2.51	17.89	99.90	93.13/M	89.74/M	ECE-A0JN331U
	470	91.8	0.30	310	10	12.5	5.0	0.6	P1146-ND	.45	3.16	23.20	132.92	128.69/M	123.61/M	ECE-A0JN471X
	1000	192.0	0.30	430	10	20	5.0	0.6	P1147-ND	.68	4.74	34.80	199.80	192.18/M	185.41/M	ECE-A0JN102U
	2200	418.8	0.30	660	12.5	25	5.0	0.6	P1148-ND	.94	6.66	49.97	295.46	284.46/M	277.69/M	ECE-A0JN222U
	3300	626.7	0.30	760	16	25	7.5	0.8	P1149-ND	1.20	8.51	63.83	377.58	363.20/M	354.73/M	ECE-A0JN332U
	4700	891.3	0.30	1170	16	31.5	7.5	0.8	P1150-ND	1.46	10.46	78.95	513.04	497.80/M	485.95/M	ECE-A0JN472U
	6800	1288.2	0.30	1450	18	35.5	7.5	0.8	P1151-ND	2.07	14.71	111.02	721.30	699.30/M	683.21/M	ECE-A0JN682U
10	22	9.6	0.25	60	5	11	2.0	0.5	P1152-ND	.20	1.30	9.15	49.95	43.18/M	41.49/M	ECE-A1AN220U
	33	12.9	0.25	80	5	11	2.0	0.5	P1153-ND	.20	1.30	9.15	49.95	43.18/M	41.49/M	ECE-A1AN330U
	47	17.1	0.25	90	5	11	2.0	0.5	P1154-ND	.20	1.30	9.15	49.95	43.18/M	41.49/M	ECE-A1AN470U
	100	33.0	0.25	130	6.3	11.2	2.5	0.5	P1155-ND	.71	5.31	38.99	224.35	215.89/M	207.42/M	ECE-A1AN101U
	100	33.0	0.25	130	6.3	11.2	2.5	0.5	P1370-ND	.43	1.81	12.95	72.81	67.73/M	65.19/M	ECE-A1AN101X
	220	69.0	0.25	200	8	11.5	3.5	0.6	P1156-ND	.36	2.51	17.89	99.90	93.13/M	89.74/M	ECE-A1AN221U
	330	102.0	0.25	280	10	16	5.0	0.6	P1157-ND	.45	3.16	23.20	132.92	128.69/M	123.61/M	ECE-A1AN331U
	470	144.0	0.25	340	10	16	5.0	0.6	P1158-ND	.56	3.95	28.99	166.78	160.01/M	154.09/M	ECE-N1AN471U
	1000	303.0	0.25	470	12.5	20	5.0	0.6	P1159-ND	.84	5.92	44.40	262.45	252.29/M	246.37/M	ECE-A1AN102X
	2200	663.0	0.25	690	16	25	7.5	0.8	P1160-ND	1.20	8.51	63.83	377.58	363.20/M	354.73/M	ECE-A1AN222U
	3300	993.0	0.25	1090	16	31.5	7.5	0.8	P1161-ND	1.46	10.46	78.95	513.04	497.80/M	485.95/M	ECE-A1AN332U
	4700	1413.0	0.25	1200	18	35.5	7.5	0.8	P1162-ND	2.07	14.71	111.02	721.30	699.30/M	683.21/M	ECE-A1AN472U
16	10	7.8	0.20	40	5	11	2.0	0.5	P1163-ND	.20	1.30	9.15	49.95	43.18/M	41.49/M	ECE-A1CN100U
	22	13.5	0.20	60	5	11	2.0	0.5	P1164-ND	.20	1.30	9.15	49.95	43.18/M	41.49/M	ECE-A1CN220U
	33	18.8	0.20	80	5	11	2.0	0.5	P1165-ND	.17	1.17	8.32	46.56	43.18/M	41.49/M	ECE-A1CN330U
	47	25.5	0.20	100	6.3	11.2	2.5	0.5	P1166-ND	.26	1.81	12.95	72.81	67.73/M	65.19/M	ECE-A1CN470U
	100	51.0	0.20	180	8	11.5	3.5	0.6	P1167-ND	.36	2.51	17.89	99.90	93.13/M	89.74/M	ECE-A1CN101U
	220	108.6	0.20	260	10	12.5	5.0	0.6	P1168-ND	.45	3.16	23.20	132.92	128.69/M	123.61/M	ECE-A1CN221X
	330	161.4	0.20	330	10	16	5.0	0.6	P1169-ND	.56	3.95	28.99	166.78	160.01/M	154.09/M	ECE-A1CN331U
	470	228.6	0.20	380	10	20	5.0	0.6	P1170-ND	.63	4.44	33.31	197.26	189.64/M	185.41/M	ECE-A1CN471U
	1000	483.0	0.20	560	12.5	25	5.0	0.6	P1171-ND	1.04	7.40	55.51	328.48	315.79/M	308.17/M	ECE-A1CN102U
	2200	1059.0	0.20	750	16	31.5	7.5	0.8	P1172-ND	1.46	10.46	78.95	513.04	497.80/M	485.95/M	ECE-A1CN222U
	3300	1587.0	0.20	900	18	35.5	7.5	0.8	P1173-ND	2.07	14.71	111.02	721.30	699.30/M	683.21/M	ECE-A1CN332U
25	3.3	5.4	0.15	20	5	11	2.0	0.5	P1174-ND	.20	1.30	9.15	49.95	43.18/M	41.49/M	ECE-A1EN3R3U
	4.7	6.5	0.15	25	5	11	2.0	0.5	P1175-ND	.20	1.30	9.15	49.95	43.18/M	41.49/M	ECE-A1EN4R7U
	10	10.5	0.15	45	5	11	2.0	0.5	P1176-ND	.20	1.30	9.15	49.95	43.18/M	41.49/M	ECE-A1EN100U
	22	19.5	0.15	60	5	11	2.0	0.5	P1177-ND	.20	1.30	9.15	49.95	43.18/M	41.49/M	ECE-A1EN220X
	33	27.7	0.15	90	6.3	11.2	2.5	0.5	P1178-ND	.26	1.81	12.95	72.81	67.73/M	65.19/M	ECE-A1EN330U
	47	38.2	0.15	110	6.3	11.2	2.5	0.5	P1179-ND	.26	1.81	12.95	72.81	67.73/M	65.19/M	ECE-A1EN470U
	100	78.0	0.15	180	8	11.5	3.5	0.6	P1180-ND	.38	2.68	19.72	113.44	109.22/M	104.98/M	ECE-A1EN101U
	220	168.0	0.15	320	10	16	5.0	0.6	P1181-ND	.57	3.95	28.99	166.78	160.01/M	154.09/M	ECE-A1EN221U
	330	250.5	0.15	350	12.5	20	5.0	0.6	P1182-ND	.68	4.81	36.08	213.34	204.88/M	200.65/M	ECE-A1EN331U
	470	355.5	0.15	430	12.5	20	5.0	0.6	P1183-ND	.84	5.92	44.40	262.45	252.29/M	246.37/M	ECE-A1EN471U
	1000	753.0	0.15	680	16	25	7.5	0.8	P1184-ND	1.28	9.15	69.08	448.70	435.16/M	425.00/M	ECE-A1EN102U
	2200	1653.0	0.15	900	18	35.5	7.5	0.8	P1185-ND	2.07	14.71	111.02	721.30	699.30/M	683.21/M	ECE-A1EN222U
35	4.7	7.9	0.15	30	5	11	2.0	0.5	P1186-ND	.20	1.30	9.15	49.95	43.18/M	41.49/M	ECE-A1VN4R7U
	10	13.5	0.15	43	5	11	2.0	0.5	P1187-ND	.20	1.30	9.15	49.95	43.18/M	41.49/M	ECE-A1VN100U
	22	26.1	0.15	80	6.3	11.2	2.5	0.5	P1188-ND	.26	1.81	12.95	72.81	67.73/M	65.19/M	ECE-A1VN220U
	33	37.6	0.15	100	8	11.5	3.5	0.6	P1189-ND	.36	2.51	17.89	99.90	93.13/M	89.74/M	ECE-A1VN330U
	47	52.3	0.15	120	8	11.5	3.5	0.6	P1190-ND	.38	2.68	19.72	113.44	109.22/M	104.98/M	ECE-A1VN470U
	100	108.0	0.15	230	10	16	5.0	0.6	P1191-ND	.57	3.95	28.99	166.78	160.01/M	154.09/M	ECE-A1VN101U
	220	234.0	0.15	360	12.5	20	5.0	0.6	P1192-ND	.68	4.81	36.08	213.34	204.88/M	200.65/M	ECE-A1VN221U
	330	349.5	0.15	450	12.5	20	5.0	0.6	P1193-ND	.84	5.92	44.40	262.45	252.29/M	246.37/M	ECE-A1VN331U
	470	496.5	0.15	590	12.5	25	5.0	0.6	P1194-ND	.91	6.54	49.34	320.86	310.71/M	303.09/M	ECE-A1VN471U
50	0.47	3.7	0.15	10	5	11	2.0	0.5	P1195-ND	.20	1.30	9.15	49.95	43.18/M	41.49/M	ECE-A1HNR47U
	1	4.5	0.15	10	5	11	2.0	0.5	P1196-ND	.20	1.30	9.15	49.95	43.18/M	41.49/M	ECE-A1HN010U
	2.2	6.3	0.15	18	5	11	2.0	0.5	P1197-ND	.20	1.30	9.15	49.95	43.18/M	41.49/M	ECE-A1HN2R2U
	3.3	7.9	0.15	25	5	11	2.0	0.5	P1198-ND	.20	1.30	9.15	49.95	43.18/M	41.49/M	ECE-A1HN3R3U
	4.7	10.0	0.15	30	5	11	2.0	0.5	P1199-ND	.20	1.30	9.15	49.95	43.18/M	41.49/M	ECE-A1HN4R7U
	10	18.0	0.15	50	6.3	11.2	2.5	0.5	P1280-ND	.26	1.81	12.95	72.81	67.73/M	65.19/M	ECE-A1HN100U
	22	36.0	0.15	90	8	11.5	3.5	0.6	P1281-ND	.36	2.51	17.89	99.90	93.13/M	89.74/M	ECE-A1HN220U
	33	52.5	0.15	110	8	11.5	3.5	0.6	P1282-ND	.38	2.68	19.72	113.44	109.22/M	104.98/M	ECE-A1HN330U
	47	73.5	0.15	140	10	12.5	5.0	0.6	P1283-ND	.48	3.35	24.65	141.38	136.31/M	131.23/M	ECE-A1HN470U
	100	153.0	0.15	250	10	20	5.0	0.6	P1284-ND	.63	4.44	33.31	197.26	189.64/M	185.41/M	ECE-A1HN101U
	220	333.0	0.15	360	12.5	25	5.0	0.6	P1285-ND	.94	6.66	49.97	295.46	284.46/M	277.69/M	ECE-A1HN221U
	330	498.0	0.15	450	16	25	7.5	0.8	P1286-ND	1.05	7.52	56.74	369.12	357.27/M	348.80/M	ECE-A1HN331U
	470	708.0	0.15	590	16	31.5	7.5	0.8	P1287-ND	1.46	10.46	78.95	513.04	497.80/M	485.95/M	ECE-A1HN471U

* Betriebsspannung

E

Ammo-Box-Verpackung

QUERREFERENZEN - PANASONIC SERIE M
Nichicon: VR; **Chemicon:** SMG;
Marcon: DSM; **Rubycon:** YK; **Elna:** RE3;
Nitsuko: MK; **Sanyo:** HC/HPC

MERKMALE: • Mini-Version für Allzweckverwendung
• Haltbarkeit: 2.000 Stunden bei 85 °C • Ventilierkonstruktion für ≥Ø 6,3 mm Produkte

SPEZIFIKATIONEN:

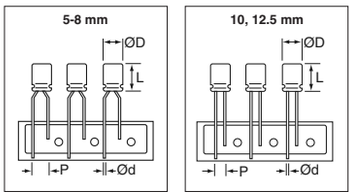

Betriebstemperaturbereich	-40°C ~ 85°C	-25°C ~ 85°C
Nennbetriebsspannungsbereich	6.3 ~ 50 V DC	160 ~ 450 V DC
Nennkapazitätsbereich	0.47 ~ 2200 µF	1 ~ 470 µF

Kapazitanztoleranz: ±20 % (120 Hz, +20 °C).

Leckstrom	I ≤ 0,03 CV oder 4 (µA) nach 1 Minute I ≤ 0,01 CV oder 3 (µA) nach 2 Minuten Welcher Wert auch immer größer ist,wenn mit Nennbetriebsspannung bei 20 °C gemessen wird.	I ≤ 0,06 CV + 10 (µA) nach 2 Minuten Anwendung einer Nennbetriebsspannung bei 20 °C.

Tan δ: (bei 120 Hz, 20 °C)

W.V.*	6.3	10	16	25	35	50
Tan δ	0.28	0.24	0.20	0.16	0.14	0.12

Für Kapazitätswert >1.000 µF, 0,02 pro 1.000 µF addieren.

Niedrigtemperatur-Merkmale: max. Impedanzverhältnis bei 120 Hz

Betriebsspannung	6.3	10	16	25	35	50
-25°C/20°C	5	4	3	2	2	2
-40°C/20°C	12	10	8	5	4	3

Für Kapazitätswert >1000 µF, 0,5 pro 1000 µF addieren.
1,0 pro 1.000 µF für -40 °C/20 °C addieren.

Mischstrom: 120 Hz, 85 °C

Frequenz (Hz)	50/60	120	1k	10k
Korrekturfaktor (Multiplikator)	0.7	1	1.3	1.7

Ermüdung:

Testbedingungen		**Post-Testanforderungen bei 20 °C**	
Dauer	2.000 Stunden	**Leckstrom**	≤ erster spezifizierter Wert
Umgebungstemperatur	85°C	**Kapazitätsveränderung**	±20 % des ersten gemessenen Wertes
Angelegte Spannung	Nennbetriebsspannung (DC)	**Tan δ**	≤ 150 % erster spezifizierter Wert

Lagerbeständigkeit:

Testbedingungen		**Post-Testanforderungen bei 20 °C**	
Dauer	1.000 Stunden	**Leckstrom**	≤ erster spezifizierter Wert
Umgebungstemperatur	85°C	**Kapazitätsveränderung**	±20 % des ersten gemessenen Wertes
Angelegte Spannung	—	**Tan δ**	≤ 150 % erster spezifizierter Wert

WV* (VDC)	Kap (µF)	Leckstrom (µA)	Tan δ max.	Mischstrom (mA) rms	Abmessungen (mm) ØD	L	P	ØD	Digi-Key Teilenr.	Preisangaben 500	1.000	2.000	Panasonic Teilenr.
	220	13.8	0.28	240	5	11	5.0	0.5	P10357TB-ND	—	—	22.86/M	ECA-0JM221B
	220	13.8	0.28	240	5	11	2.5	0.5	P10401TB-ND	—	—	22.86/M	ECA-0JM221I
	470	29.6	0.28	380	6.3	11.2	5.0	0.5	P10358TB-ND	—	—	33.02/M	ECA-0JM471B
	470	29.6	0.28	380	6.3	11.2	2.5	0.5	P10402TB-ND	—	—	33.02/M	ECA-0JM471I
6.3	1000	63	0.28	580	8	11.5	5.0	0.6	P10359TB-ND	—	53.34	—	ECA-0JM102B
	1000	63	0.28	580	8	11.5	3.5	0.6	P10403TB-ND	—	53.34	—	ECA-0JM102BJ
	2200	138.6	0.3	890	10	16	5.0	0.6	P10360TB-ND	56.72	—	88.05/M	ECA-0JM222B
	3300	207.9	0.32	1020	10	20	5.0	0.6	P10361TB-ND	73.23	—	116.83/M	ECA-0JM332B
	4700	296.1	0.34	1170	12.5	20	5.0	0.6	P10362TB-ND	104.98	—	166.78/M	ECA-0JM472B
	100	10	0.24	150	5	11	5.0	0.5	P10363TB-ND	—	—	22.86/M	ECA-1AM101B
	100	10	0.24	150	5	11	2.5	0.5	P10404TB-ND	—	—	22.86/M	ECA-1AM101I
	220	22	0.24	250	5	11	5.0	0.5	P10364TB-ND	—	—	35.56/M	ECA-1AM221B
	220	22	0.24	250	6.3	11.2	2.5	0.5	P10405TB-ND	—	—	35.56/M	ECA-1AM221I
10	330	33	0.24	330	6.3	11.2	5.0	0.5	P10365TB-ND	—	—	33.02/M	ECA-1AM331B
	330	33	0.24	330	6.3	11.2	2.5	0.5	P10406TB-ND	—	—	33.02/M	ECA-1AM331I
	470	47	0.24	400	8	11.5	5.0	0.6	P10366TB-ND	—	53.34	—	ECA-1AM471B
	470	47	0.24	400	8	11.5	3.5	0.6	P10407TB-ND	—	53.34	—	ECA-1AM471BJ
	1000	100	0.24	630	10	12.5	5.0	0.6	P10367TB-ND	43.18	—	67.73/M	ECA-1AM102B
	2200	220	0.26	920	10	20	5.0	0.6	P10368TB-ND	73.23	—	116.83/M	ECA-1AM222B
	100	16	0.2	180	5	11	5.0	0.5	P10369TB-ND	—	—	25.40/M	ECA-1CM101B
	100	16	0.2	180	5	11	2.5	0.5	P10408TB-ND	—	—	25.40/M	ECA-1CM101I
	220	35.2	0.2	280	6.3	11.2	5.0	0.5	P10370TB-ND	—	—	33.02/M	ECA-1CM221B
	220	35.2	0.2	280	6.3	11.2	2.5	0.5	P10409TB-ND	—	—	33.02/M	ECA-1CM221I
16	330	52.8	0.3	350	8	11.5	5.0	0.6	P10371TB-ND	—	53.34	—	ECA-1CM331B
	330	52.8	0.3	350	8	11.5	3.5	0.6	P10410TB-ND	—	53.34	—	ECA-1CM331BJ
	470	75.2	0.2	440	8	11.5	5.0	0.6	P10372TB-ND	—	53.34	—	ECA-1CM471B
	470	75.2	0.2	440	8	11.5	3.5	0.6	P10411TB-ND	—	53.34	—	ECA-1CM471BJ
	1000	160	0.2	680	10	16	5.0	0.6	P10373TB-ND	56.72	—	88.05/M	ECA-1CM102B
	2200	352	0.22	1000	12.5	20	5.0	0.6	P10374TB-ND	104.98	—	166.78/M	ECA-1CM222B
	47	11.7	0.16	130	5	11	5.0	0.5	P10375TB-ND	—	—	25.40/M	ECA-1EM470B
	47	11.7	0.16	130	5	11	2.5	0.5	P10412TB-ND	—	—	25.40/M	ECA-1EM470I
	100	25	0.16	180	6.3	11.2	5.0	0.5	P10376TB-ND	—	—	35.56/M	ECA-1EM101B
	100	25	0.16	180	6.3	11.2	2.5	0.5	P10413TB-ND	—	—	35.56/M	ECA-1EM101I
25	220	55	0.16	310	8	11.5	5.0	0.6	P10377TB-ND	—	53.34	—	ECA-1EM221B
	220	55	0.16	310	8	11.5	3.5	0.6	P10414TB-ND	—	53.34	—	ECA-1EM221BJ
	330	82.5	0.16	390	8	11.5	5.0	0.6	P10378TB-ND	—	53.34	—	ECA-1EM331B
	330	82.5	0.16	390	8	11.5	3.5	0.6	P10415TB-ND	—	53.34	—	ECA-1EM331BJ
	470	117.5	0.16	480	10	12.5	5.0	0.6	P10379TB-ND	49.95	—	77.89/M	ECA-1EM471B
	1000	250	0.16	850	10	20	5.0	0.6	P10380TB-ND	78.73	—	125.30/M	ECA-1EM102B
	33	11.5	0.14	110	5	11	5.0	0.5	P10381TB-ND	—	—	25.40/M	ECA-1VM330B
	33	11.5	0.14	110	5	11	2.5	0.5	P10416TB-ND	—	—	25.40/M	ECA-1VM330I
	47	16.4	0.14	130	5	11	5.0	0.5	P10382TB-ND	—	—	25.40/M	ECA-1VM470B
	47	16.4	0.14	130	5	11	2.5	0.5	P10417TB-ND	—	—	25.40/M	ECA-1VM470I
	100	35	0.14	210	6.3	11.2	5.0	0.5	P10383TB-ND	—	—	33.02/M	ECA-1VM101B
35	100	35	0.14	210	6.3	11.2	2.5	0.5	P10418TB-ND	—	—	33.02/M	ECA-1VM101I
	220	77	0.14	350	8	11.5	5.0	0.6	P10384TB-ND	—	53.34	—	ECA-1VM221B
	220	77	0.14	350	8	11.5	3.5	0.6	P10419TB-ND	—	53.34	—	ECA-1VM221BJ
	330	115.5	0.14	440	10	12.5	5.0	0.6	P10385TB-ND	49.95	—	77.89/M	ECA-1VM331B
	470	164.5	0.14	550	10	16	5.0	0.6	P10386TB-ND	57.57	—	89.74/M	ECA-1VM471B
	1000	350	0.14	900	12.5	20	5.0	0.6	P10387TB-ND	115.56	—	182.87/M	ECA-1VM102B
	0.47	3	0.12	5	5	11	5.0	0.5	P10388TB-ND	—	—	22.86/M	ECA-1HMR47B
	0.47	3	0.12	5	5	11	2.5	0.5	P10420TB-ND	—	—	22.86/M	ECA-1HMR47I
	1	3	0.12	10	5	11	5.0	0.5	P10389TB-ND	—	—	22.86/M	ECA-1HM010B
	1	3	0.12	10	5	11	2.5	0.5	P10421TB-ND	—	—	22.86/M	ECA-1HM010I
	2.2	3	0.12	20	5	11	5.0	0.5	P10390TB-ND	—	—	22.86/M	ECA-1HM2R2B
	2.2	3	0.12	20	5	11	2.5	0.5	P10422TB-ND	—	—	22.86/M	ECA-1HM2R2I
	3.3	3	0.12	35	5	11	5.0	0.5	P10391TB-ND	—	—	22.86/M	ECA-1HM3R3B
	3.3	3	0.12	35	5	11	2.5	0.5	P10423TB-ND	—	—	22.86/M	ECA-1HM3R3I
	4.7	3	0.12	45	5	11	5.0	0.5	P10392TB-ND	—	—	22.86/M	ECA-1HM4R7B
	4.7	3	0.12	45	5	11	2.5	0.5	P10424TB-ND	—	—	22.86/M	ECA-1HM4R7I
	10	5	0.12	65	5	11	5.0	0.5	P10393TB-ND	—	—	22.86/M	ECA-1HM100B
50	10	5	0.12	65	5	11	2.5	0.5	P10425TB-ND	—	—	22.86/M	ECA-1HM100I
	22	11	0.12	100	5	11	5.0	0.5	P10394TB-ND	—	—	25.40/M	ECA-1HM220B
	22	11	0.12	100	5	11	2.5	0.5	P10426TB-ND	—	—	25.40/M	ECA-1HM220I
	33	16.5	0.12	110	5	11	5.0	0.5	P10395TB-ND	—	—	25.40/M	ECA-1HM330B
	33	16.5	0.12	110	5	11	2.5	0.5	P10427TB-ND	—	—	25.40/M	ECA-1HM330I
	47	23.5	0.12	130	6.3	11.2	5.0	0.5	P10396TB-ND	—	—	35.56/M	ECA-1HM470B
	47	23.5	0.12	130	6.3	11.2	2.5	0.5	P10428TB-ND	—	—	35.56/M	ECA-1HM470I
	100	50	0.12	250	8	11.5	5.0	0.6	P10397TB-ND	—	53.34	—	ECA-1HM101B
	100	50	0.12	250	8	11.5	3.5	0.6	P10429TB-ND	—	53.34	—	ECA-1HM101BJ
	220	11	0.12	400	10	12.5	5.0	0.6	P10398TB-ND	53.34	—	82.97/M	ECA-1HM221B
	330	165	0.12	500	10	16	5.0	0.6	P10399TB-ND	60.96	—	94.82/M	ECA-1HM331B
	470	235	0.12	650	10	20	5.0	0.6	P10400TB-ND	78.73	—	125.30/M	ECA-1HM471B

* Betriebsspannung

Alle Preisangaben in Euro und inklusive Zollgebühren.

QUERREFERENZEN - PANASONIC SERIE M
Nichicon: VR; **Chemicon:** SMG; **Marcon:** DSM; **Rubycon:** YK; **Elna:** RE3; **Nitsuko:** MK; **Sanyo:** HC/HPC

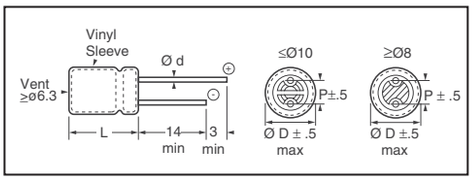

MERKMALE:
- Mini-Version für Allzweckverwendung
- Haltbarkeit: 2.000 Stunden bei +85 °C.
- Ventilierkonstruktion für ≥Ø 6,3 mm Produkte

SPEZIFIKATIONEN:

Betriebstemperaturbereich	-40°C ~ 85°C	-25°C ~ 85°C
Nennbetriebsspannungsbereich	6.3 ~ 100 V DC	160 ~ 450 V DC
Nennkapazitätsbereich	0.33 ~ 22000 µF	1 ~ 470 µF

Kapazitanztoleranz: ±20 % (120 Hz, +20 °C).

Leckstrom	I ≤ 0,03 CV oder 4 (µA) nach 1 Minute I ≤ 0,01 CV oder 3 (µA) nach 2 Minuten Welcher Wert auch immer größer ist, wenn mit Nennbetriebsspannung bei 20 °C gemessen wird.	I ≤ 0,06 CV + 10 (µA) nach 2 Minuten Anwendung einer Nennbetriebsspannung bei 20 °C.

Tan δ: (bei 120 Hz, 20 °C)

WV*	6.3	10	16	25	35	50	63	100	160	250	450
Tan δ	0.28	0.24	0.20	0.16	0.14	0.12	0.11	0.10	0.16	0.18	0.20

Für Kapazitätswert >1.000 µF, 0,02 pro 1.000 µF addieren.

Niedrigtemperatur-Merkmale: Impedanzverhältnis max. bei 120 Hz

Betriebsspannung	6.3	10	16	25	35	50	63	100	160	250	450
-25°C/20°C	5	4	3	2	2	2	2	2	2	3	6
-40°C/20°C	12	10	8	5	4	3	3	3	—	—	—

Für Kapazitätswert >1000 µF, 0,5 pro 1000 µF addieren.
1,0 pro 1.000 µF für -40 °C/20 °C addieren.

Mischstrom: 120 Hz, 85 °C

Frequenz (Hz)	50/60	120	1k	10k
Korrekturfaktor (Multiplikator)	0.7	1	1.3	1.7

Ermüdung:

Testbedingungen		**Post-Testanforderungen bei 20 °C**	
Dauer	2.000 Stunden	**Leckstrom**	≤ erster spezifizierter Wert
Umgebungstemperatur	85°C	**Kapazitätsveränderung**	±20 % des ersten gemessenen Wertes
Angelegte Spannung	Nennbetriebsspannung (DC)	**Tan δ**	≤ 150 % erster spezifizierter Wert

Lagerbeständigkeit:

Testbedingungen		**Post-Testanforderungen bei 20 °C**	
Dauer	1.000 Stunden	**Leckstrom**	≤ erster spezifizierter Wert
Umgebungstemperatur	85°C	**Kapazitätsveränderung**	±20 % des ersten gemessenen Wertes
Angelegte Spannung	—	**Tan δ**	≤ 150 % erster spezifizierter Wert

WV* (VDC)	**Kap.** (µF)	**Leckstrom** (µA)	**Tan δ** max.	**Mischstrom** (mA) rms	**Abmessungen (mm)** ØD	L	P	Ød	**Digi-Key** Teilenr.	**Preisangaben** 1	10	100	500	1.000	5.000	**Panasonic** Teilenr.
6.3	100	6.3	0.28	130	5	11	2.0	0.5	P5111-ND	.13	.65	4.41	14.93	22.86	19.48/M	ECA-0JM101
	220	13.8	0.28	240	5	11	2.0	0.5	P5112-ND	.14	.65	4.41	14.93	22.86	19.48/M	ECA-0JM221
	330	20.7	0.28	300	6.3	11.2	2.5	0.5	P5113-ND	.17	.86	6.10	21.07	33.02	28.79/M	ECA-0JM331
	470	29.6	0.28	380	6.3	11.2	2.5	0.5	P5114-ND	.17	.86	6.10	21.07	33.02	28.79/M	ECA-0JM471
	1000	63.0	0.28	580	8	11.5	3.5	0.6	P5115-ND	.21	1.25	8.96	32.23	49.95	46.57/M	ECA-0JM102
	2200	138.6	0.30	890	10	16	5.0	0.6	P5116-ND	.39	2.20	15.73	56.61	88.05	82.12/M	ECA-0JM222
	3300	207.9	0.32	1020	10	20	5.0	0.6	P5117-ND	.48	2.76	20.29	73.40	116.83	112.60/M	ECA-0JM332
	4700	296.1	0.34	1170	12.5	20	5.0	0.6	P5118-ND	.69	3.95	28.99	104.85	166.78	160.01/M	ECA-0JM472
	6800	428.4	0.38	1270	12.5	25	5.0	0.6	P5119-ND	.79	4.99	37.47	133.22	221.81	213.35/M	ECA-0JM682
	10000	630.0	0.46	1450	16	25	7.5	0.8	P5120-ND	1.10	6.29	47.18	167.76	278.53	268.38/M	ECA-0JM103
	15000	945.0	0.56	1700	16	31.5	7.5	0.8	P5121-ND	1.36	7.85	59.21	222.05	385.20	373.35/M	ECA-0JM153
	22000	1386.0	0.70	1900	18	35.5	7.5	0.8	P5122-ND	1.99	11.45	86.35	323.82	561.30	544.37/M	ECA-0JM223
10	100	10.0	0.24	150	5	11	2.0	0.5	P5123-ND	.14	.65	4.41	14.93	22.86	19.48/M	ECA-1AM101
	220	22.0	0.24	250	6.3	11.2	2.5	0.5	P5124-ND	.20	1.02	6.87	23.29	35.56	29.64/M	ECA-1AM221
	330	33.0	0.24	330	6.3	11.2	2.5	0.5	P5125-ND	.17	.86	6.10	21.07	33.02	28.79/M	ECA-1AM331
	470	47.0	0.24	400	8	11.5	3.5	0.6	P5126-ND	.27	1.40	9.85	34.02	53.34	46.57/M	ECA-1AM471
	1000	100.0	0.24	630	10	12.5	5.0	0.6	P5127-ND	.29	1.68	12.02	43.28	67.73	62.65/M	ECA-1AM102
	2200	220.0	0.26	920	10	20	5.0	0.6	P5128-ND	.48	2.76	20.29	73.40	116.83	112.60/M	ECA-1AM222
	3300	330.0	0.28	1090	12.5	20	5.0	0.6	P5129-ND	.63	3.95	28.99	104.85	166.78	160.01/M	ECA-1AM332
	4700	470.0	0.30	1200	12.5	25	5.0	0.6	P5130-ND	.80	4.99	37.47	133.22	221.81	213.35/M	ECA-1AM472
	6800	680.0	0.34	1400	16	25	7.5	0.8	P5131-ND	1.10	6.29	47.18	167.76	278.53	268.38/M	ECA-1AM682
	10000	1000.0	0.42	1600	16	31.5	7.5	0.8	P5132-ND	1.32	7.85	59.21	222.05	385.20	373.35/M	ECA-1AM103
	15000	1500.0	0.52	1850	18	35.5	7.5	0.8	P5133-ND	1.99	11.45	86.35	323.82	561.30	544.37/M	ECA-1AM153
16	10	3.0	0.20	30	5	11	2.0	0.5	P5134-ND	.13	.65	4.41	14.93	22.86	19.48/M	ECA-1CM100
	22	3.5	0.20	75	5	11	2.0	0.5	P5135-ND	.13	.65	4.41	14.93	22.86	19.48/M	ECA-1CM220
	33	5.2	0.20	110	5	11	2.0	0.5	P5136-ND	.13	.65	4.41	14.93	22.86	19.48/M	ECA-1CM330
	47	7.5	0.20	130	5	11	2.0	0.5	P5137-ND	.13	.65	4.41	14.93	22.86	19.48/M	ECA-1CM470
	100	16.0	0.20	180	5	11	2.0	0.5	P5138-ND	.15	.74	4.96	16.81	25.40	22.02/M	ECA-1CM101
	220	35.2	0.20	280	6.3	11.2	2.5	0.5	P5139-ND	.16	.86	6.10	21.07	33.02	28.79/M	ECA-1CM221
	330	52.8	0.20	350	8	11.5	3.5	0.6	P5140-ND	.27	1.40	9.85	34.02	53.34	46.57/M	ECA-1CM331
	470	75.2	0.20	440	8	11.5	3.5	0.6	P5141-ND	.22	1.25	8.96	32.23	49.95	46.57/M	ECA-1CM471
	1000	160.0	0.20	680	10	16	5.0	0.6	P5142-ND	.34	2.20	15.73	56.61	88.05	82.12/M	ECA-1CM102
	2200	352.0	0.22	1000	12.5	20	5.0	0.6	P5143-ND	.69	3.95	28.99	104.85	166.78	160.01/M	ECA-1CM222
	3300	528.0	0.24	1200	12.5	25	5.0	0.6	P5144-ND	.87	4.99	37.47	133.22	221.81	213.35/M	ECA-1CM332
	4700	752.0	0.26	1360	16	25	7.5	0.8	P5145-ND	1.10	6.29	47.18	167.76	278.53	268.38/M	ECA-1CM472
	6800	1088.0	0.30	1600	16	31.5	7.5	0.8	P5146-ND	1.34	7.85	59.21	222.05	385.20	373.35/M	ECA-1CM682
	10000	1600.0	0.38	1800	18	35.5	7.5	0.8	P5147-ND	1.99	11.45	86.35	323.82	561.30	544.37/M	ECA-1CM103
25	10	3.0	0.16	50	5	11	2.0	0.5	P5148-ND	.13	.65	4.41	14.93	22.86	19.48/M	ECA-1EM100
	22	5.5	0.16	90	5	11	2.0	0.5	P5149-ND	.13	.65	4.41	14.93	22.86	19.48/M	ECA-1EM220
	33	8.2	0.16	110	5	11	2.0	0.5	P5150-ND	.13	.65	4.41	14.93	22.86	19.48/M	ECA-1EM330
	47	11.7	0.16	130	5	11	2.0	0.5	P5151-ND	.15	.74	4.96	16.81	25.40	22.02/M	ECA-1EM470
	100	25.0	0.16	180	6.3	11.2	2.5	0.5	P5152-ND	.19	1.02	6.87	23.29	35.56	29.64/M	ECA-1EM101
	220	55.0	0.16	310	8	11.5	3.5	0.6	P5153-ND	.26	1.40	9.85	34.02	53.34	46.57/M	ECA-1EM221
	330	82.5	0.16	390	8	11.5	3.5	0.6	P5154-ND	.21	1.25	8.96	32.23	49.95	46.57/M	ECA-1EM331
	470	117.5	0.16	480	10	12.5	5.0	0.6	P5155-ND	.33	1.95	13.88	49.98	77.89	71.97/M	ECA-1EM471
	1000	250.0	0.16	850	10	20	5.0	0.6	P5156-ND	.49	2.96	21.75	78.66	125.30	120.22/M	ECA-1EM102
	2200	550.0	0.18	1200	12.5	25	5.0	0.6	P5157-ND	.88	4.99	37.47	133.22	221.81	213.35/M	ECA-1EM222
	3300	825.0	0.20	1300	16	25	7.5	0.8	P5158-ND	1.14	7.04	52.74	187.54	311.55	299.70/M	ECA-1EM332
	4700	1175.0	0.22	1500	16	31.5	7.5	0.8	P5159-ND	1.46	8.50	64.16	240.59	417.37	403.83/M	ECA-1EM472
	6800	1700.0	0.26	1750	18	35.5	7.5	0.8	P5160-ND	2.16	12.42	93.75	351.58	609.55	590.93/M	ECA-1EM682

*Betriebsspannung

(Forts.)

E

WV** (VDC)	Kap. (µF)	Leckstrom (µA)	Tan δ max.	Mischstrom (mA) rms	Abmessungen (mm) ØD	L	P	Ød	Digi-Key Teilenr.	Preisangaben 1	10	100	500	1.000	5.000	Panasonic Teilenr.
	10	3.5	0.14	60	5	11	2.0	0.5	P5161-ND	.13	.65	4.41	14.93	22.86	19.48/M	ECA-1VM100
	22	7.7	0.14	95	5	11	2.0	0.5	P5162-ND	.13	.65	4.41	14.93	22.86	19.48/M	ECA-1VM220
	33	11.5	0.14	110	5	11	2.0	0.5	P5163-ND	.15	.74	4.96	16.81	25.40	22.02/M	ECA-1VM330
	47	16.4	0.14	130	5	11	2.0	0.5	P5164-ND	.15	.74	4.96	16.81	25.40	22.02/M	ECA-1VM470
	100	35.0	0.14	210	6.3	11.2	2.5	0.5	P5165-ND	.17	.86	6.10	21.07	33.02	28.79/M	ECA-1VM101
	220	77.0	0.14	350	8	11.5	3.5	0.6	P5166-ND	.22	1.25	8.96	32.23	49.95	46.57/M	ECA-1VM221
35	330	115.5	0.14	440	10	12.5	5.0	0.6	P5167-ND	.30	1.95	13.88	49.98	77.89	71.97/M	ECA-1VM331
	470	164.5	0.14	550	10	16	5.0	0.6	P5168-ND	.36	2.24	16.04	57.76	89.74	83.82/M	ECA-1VM471
	1000	350.0	0.14	900	12.5	20	5.0	0.6	P5169-ND	.63	4.34	31.89	115.36	182.87	176.10/M	ECA-1VM102
	2200	770.0	0.16	1250	16	25	7.5	0.8	P5170-ND	1.07	7.04	52.74	187.54	311.55	299.70/M	ECA-1VM222
	3300	1155.0	0.18	1400	16	31.5	7.5	0.8	P5171-ND	1.25	8.50	64.16	240.59	417.37	403.83/M	ECA-1VM332
	4700	1645.0	0.20	1600	18	35.5	7.5	0.8	P5172-ND	2.05	12.42	93.75	351.58	609.55	590.93/M	ECA-1VM472
	0.33	3.0	0.12	4.4	5	11	2.0	0.5	P5349-ND*	.18	1.13	7.61	25.78	38.94	33.02/M	ECA-1HMR33
	0.47	3.0	0.12	5	5	11	2.0	0.5	P5173-ND*	.13	.65	4.41	14.93	22.86	19.48/M	ECA-1HMR47
	1.0	3.0	0.12	10	5	11	2.0	0.5	P5174-ND*	.13	.65	4.41	14.93	22.86	19.48/M	ECA-1HM010
	2.2	3.0	0.12	20	5	11	2.0	0.5	P5175-ND*	.13	.65	4.41	14.93	22.86	19.48/M	ECA-1HM2R2
	3.3	3.0	0.12	35	5	11	2.0	0.5	P5176-ND*	.13	.65	4.41	14.93	22.86	19.48/M	ECA-1HM3R3
	4.7	3.0	0.12	45	5	11	2.0	0.5	P5177-ND*	.13	.65	4.41	14.93	22.86	19.48/M	ECA-1HM4R7
50	10	5.0	0.12	65	5	11	2.0	0.5	P5178-ND*	.13	.65	4.41	14.93	22.86	19.48/M	ECA-1HM100
	22	11.0	0.12	100	5	11	2.0	0.5	P5179-ND*	.15	.74	4.96	16.81	25.40	22.02/M	ECA-1HM220
	33	16.5	0.12	110	5	11	2.0	0.5	P5180-ND*	.15	.74	4.96	16.81	25.40	22.02/M	ECA-1HM330
	47	23.5	0.12	130	6.3	11.2	2.5	0.5	P5181-ND*	.21	1.02	6.87	23.29	35.56	29.64/M	ECA-1HM470
	100	50.0	0.12	250	8	11.5	3.5	0.6	P5182-ND*	.25	1.40	9.85	34.02	53.34	46.57/M	ECA-1HM101
	220	110.0	0.12	400	10	12.5	5.0	0.6	P5183-ND*	.31	2.07	14.80	53.26	82.97	77.04/M	ECA-1HM221
	330	165.0	0.12	500	10	16	5.0	0.6	P5184-ND*	.36	2.17	15.93	57.64	91.43	88.05/M	ECA-1HM331
	470	235.0	0.12	650	10	20	5.0	0.6	P5185-ND*	.44	2.96	21.75	78.66	125.30	120.22/M	ECA-1HM471
	1000	500.0	0.12	1050	12.5	25	5.0	0.6	P5186-ND*	.87	5.18	38.86	138.17	229.43	220.97/M	ECA-1HM102
	2200	1100.0	0.14	1300	16	31.5	7.5	0.8	P5187-ND*	1.57	9.15	69.08	259.06	448.70	435.16/M	ECA-1HM222
	3300	1650.0	0.16	1500	18	35.5	7.5	0.8	P5188-ND*	2.12	12.42	93.75	351.58	609.55	590.93/M	ECA-1HM332
	10	6.3	0.11	70	5	11	2.0	0.5	P5189-ND	.14	.74	4.96	16.81	25.40	22.02/M	ECA-1JM100
	22	13.8	0.11	105	5	11	2.0	0.5	P5190-ND	.15	.74	4.96	16.81	25.40	22.02/M	ECA-1JM220
	33	20.7	0.11	130	6.3	11.2	2.5	0.5	P5191-ND	.16	.86	6.10	21.07	33.02	28.79/M	ECA-1JM330
	47	29.6	0.11	160	6.3	11.2	2.5	0.5	P5192-ND	.18	.94	6.61	22.84	36.40	31.33/M	ECA-1JM470
63	100	63.0	0.11	270	8	11.5	3.5	0.6	P5193-ND	.26	1.52	10.79	38.86	60.11	55.88/M	ECA-1JM101
	220	138.6	0.11	450	10	16	5.0	0.6	P5194-ND	.38	2.17	15.93	57.64	91.43	88.05/M	ECA-1JM221
	330	207.9	0.11	550	10	20	5.0	0.6	P5195-ND	.53	3.08	22.62	81.82	129.53	125.30/M	ECA-1JM331
	470	296.1	0.11	750	12.5	20	5.0	0.6	P5196-ND	.78	4.44	33.31	118.46	197.26	189.64/M	ECA-1JM471
	1000	630.0	0.11	1100	16	25	7.5	0.8	P5197-ND	1.19	7.04	52.74	187.54	311.55	299.70/M	ECA-1JM102
	2200	1386.0	0.13	1400	18	35.5	7.5	0.8	P5198-ND	2.24	13.08	98.70	370.12	641.72	621.41/M	ECA-1JM222
	0.47	3.0	0.10	10	5	11	2.0	0.5	P5199-ND	.15	.77	5.17	17.52	27.09	22.86/M	ECA-2AMR47
	1.0	3.0	0.10	20	5	11	2.0	0.5	P5305-ND	.15	.77	5.17	17.52	27.09	22.86/M	ECA-2AM010
	2.2	3.0	0.10	30	5	11	2.0	0.5	P5306-ND	.16	.77	5.17	17.52	27.09	22.86/M	ECA-2AM2R2
	3.3	3.3	0.10	40	5	11	2.0	0.5	P5307-ND	.16	.77	5.17	17.52	27.09	22.86/M	ECA-2AM3R3
	4.7	4.7	0.10	50	5	11	2.0	0.5	P5308-ND	.16	.77	5.17	17.52	27.09	22.86/M	ECA-2AM4R7
	10	10.0	0.10	70	5	11	2.0	0.5	P5309-ND	.16	.80	5.35	18.13	27.94	23.71/M	ECA-2AM100
100	22	22.0	0.10	115	6.3	11.2	2.5	0.5	P5310-ND	.18	.94	6.61	22.84	36.40	31.33/M	ECA-2AM220
	33	33.0	0.10	145	8	11.5	3.5	0.6	P5311-ND	.32	1.68	11.88	41.02	65.19	55.88/M	ECA-2AM330
	47	47.0	0.10	180	8	11.5	3.5	0.6	P5312-ND	.27	1.60	11.41	41.07	63.50	59.27/M	ECA-2AM470
	100	100.0	0.10	350	10	16	5.0	0.6	P5313-ND	.41	2.45	17.96	64.99	103.29	99.06/M	ECA-2AM101
	220	220.0	0.10	550	12.5	20	5.0	0.6	P5314-ND	.80	4.62	34.69	123.33	204.88	197.26/M	ECA-2AM221
	330	330.0	0.10	700	12.5	25	5.0	0.6	P5315-ND	1.02	5.92	44.40	157.87	262.45	252.29/M	ECA-2AM331
	470	470.0	0.10	900	16	25	7.5	0.8	P5316-ND	1.35	7.85	59.21	222.05	385.20	373.35/M	ECA-2AM471
	1000	1000.0	0.10	1300	18	35.5	7.5	0.8	P5317-ND	2.46	15.04	113.50	425.61	737.39	715.38/M	ECA-2AM102
	1.0	19.6	0.16	36	6.3	11.2	2.5	0.5	P5318-ND	.27	1.16	8.15	28.15	44.87	38.95/M	ECA-2CM010
	2.2	31.1	0.16	53	6.3	11.2	2.5	0.5	P5319-ND	.28	1.16	8.15	28.15	44.87	38.95/M	ECA-2CM2R2
	3.3	41.6	0.16	66	6.3	11.2	2.5	0.5	P5320-ND	.25	1.04	7.41	26.67	41.48	38.95/M	ECA-2CM3R3
	4.7	55.1	0.16	78	6.3	11.2	2.5	0.5	P5321-ND	.26	1.04	7.41	26.67	41.48	38.95/M	ECA-2CM4R7
	10	103.0	0.16	105	10	12.5	5.0	0.6	P5322-ND	.36	1.95	13.88	49.98	77.89	71.97/M	ECA-2CM100
160	22	221.0	0.16	175	10	16	5.0	0.6	P5323-ND	.43	2.17	15.93	57.64	91.43	88.05/M	ECA-2CM220
	33	326.0	0.16	235	10	20	5.0	0.6	P5324-ND	.58	2.57	18.84	68.15	108.36	104.14/M	ECA-2CM330
	47	461.0	0.16	320	12.5	20	5.0	0.6	P5325-ND	.84	4.07	30.54	108.57	180.33	173.56/M	ECA-2CM470
	100	970.0	0.16	515	12.5	25	5.0	0.6	P5326-ND	1.05	5.18	38.86	138.17	229.43	220.97/M	ECA-2CM101
	220	2122.0	0.16	830	16	31.5	7.5	0.8	P5327-ND	1.52	8.17	61.68	231.32	401.29	388.59/M	ECA-2CM221
	330	3178.0	0.16	1090	18	31.5	7.5	0.8	P5328-ND	2.60	15.69	118.42	444.08	769.56	745.86/M	ECA-2CM331
	470	4522.0	0.16	1440	18	40	7.5	0.8	P5329-ND	3.52	20.60	155.44	582.88	1009.99	979.52/M	ECA-2CM471
	1.0	25.0	0.18	34	6.3	11.2	2.5	0.5	P5330-ND	.25	1.04	7.41	26.67	41.48	38.95/M	ECA-2EM010
	2.2	43.0	0.18	50	6.3	11.2	2.5	0.5	P5331-ND	.25	1.04	7.41	26.67	41.48	38.95/M	ECA-2EM2R2
	3.3	59.5	0.18	72	8	11.5	3.5	0.6	P5332-ND	.30	1.52	10.79	38.86	60.11	55.88/M	ECA-2EM3R3
	4.7	80.5	0.18	86	8	11.5	3.5	0.6	P5333-ND	.35	1.52	10.79	38.86	60.11	55.88/M	ECA-2EM4R7
250	10	160.0	0.18	110	10	16	5.0	0.6	P5334-ND	.43	2.17	15.93	57.64	91.43	88.05/M	ECA-2EM100
	22	340.0	0.18	180	10	20	5.0	0.6	P5335-ND	.69	2.84	20.87	75.49	120.22	115.14/M	ECA-2EM220
	33	505.0	0.18	250	12.5	20	5.0	0.6	P5336-ND	.85	4.07	30.54	108.57	180.33	173.56/M	ECA-2EM330
	47	715.0	0.18	350	12.5	25	5.0	0.6	P5337-ND	1.02	5.18	38.86	138.17	229.43	220.97/M	ECA-2EM470
	100	1510.0	0.18	530	16	31.5	7.5	0.8	P5338-ND	1.62	8.17	61.68	231.32	401.29	388.59/M	ECA-2EM101
	220	3310.0	0.18	930	18	40	7.5	0.8	P5339-ND	3.51	20.60	155.44	582.88	1009.99	979.52/M	ECA-2EM221
	1.0	37.0	0.20	37	8	11.5	3.5	0.6	P5340-ND	.37	1.64	11.73	42.21	66.03	60.96/M	ECA-2WM010
	2.2	69.4	0.20	44	10	12.5	5.0	0.6	P5341-ND	.44	2.24	16.04	57.76	89.74	83.82/M	ECA-2WM2R2
	3.3	99.1	0.20	60	10	16	5.0	0.6	P5342-ND	.50	2.37	17.39	62.89	99.90	96.52/M	ECA-2WM3R3
450	4.7	136.0	0.20	79	10	20	5.0	0.6	P5343-ND	.72	2.96	21.75	78.66	125.30	120.22/M	ECA-2WM4R7
	10	280.0	0.20	130	12.5	20	5.0	0.6	P5344-ND	1.00	4.62	34.69	123.33	204.88	197.26/M	ECA-2WM100
	22	604.0	0.20	210	16	25	7.5	0.8	P5345-ND	1.38	7.20	54.28	203.56	353.03	342.03/M	ECA-2WM220
	33	901.0	0.20	285	16	31.5	7.5	0.8	P5346-ND	1.65	9.15	69.08	259.06	448.70	435.16/M	ECA-2WM330

*** M-KIT-ND** ***Digi-Key® Kondensator-Kit, Serie M*** je 10 der genannten Werte. Insgesamt 170 Stück. In einem notizbuchartigen Lagerbehälter plus Lagerungshinweise..... **59.22**

** Betriebsspannung

Alle Preisangaben in Euro und inklusive Zollgebühren.

Serie NHG

Aluminium-Elektrolytkondensatoren mit radialer Ableitung

Querreferenzen - Panasonic Serie NHG:
Nippon Chemicon: KMG; **Nichicon:** VZ; **Elna:** RJ4; **Rubycon:** YXA

MERKMALE:

- Kompakte Größe (gleiches Gehäuse wie Serie M)
- Haltbarkeit: 1.000 ~ 2.000 Stunden bei +105 °C

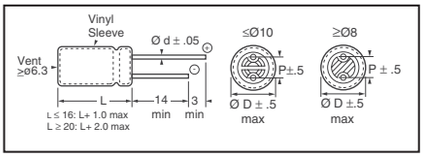

SPEZIFIKATIONEN:

Betriebstemperaturbereich	-55°C ~ +105°C	-25°C ~ +105°C
Nennbetriebsspannungsbereich	6.3 ~ 100 VDC	160 ~ 450 VDC
Nennkapazitätsbereich	0.1 ~ 22000 µF	1.0 ~ 330 µF

Kapazitätstoleranz: ±20 % (120 Hz, +20 °C)

Leckstrom	I ≤ 0,01 CV µA oder 3µA, was immer größer ist nach 2 Minuten Anwendung einer Nennarbeitsspannung bei +20 °C.	I ≤ 0,06 CV + 10 (µA) nach 2 Minuten Anwendung einer Nennbetriebsspannung bei 20 °C.

Tan δ: (bei 120 Hz, +20 °C)

Betriebsspannung	6.3	10	16	25	35	50	63	100	160	250	450
Tan δ max.	0.28	0.24	0.20	0.16	0.14	0.12	0.10	0.08	0.15	0.15	0.24

Für Kapazitätswert >1.000 µF, 0,02 pro 1.000 µF addieren.

Mischstrom: 120 Hz, +105 °C

Betriebsspannung		**Frequenz (Hz)**				
(V DC)	**Kap (µF)**	**60**	**120**	**1k**	**10k**	**100k**
6.3 ~ 100	**~ 33**	0.75	1	1.55	1.80	2.00
	47 ~ 470	0.80	1	1.35	1.50	1.50
	1000 ~	0.85	1	1.10	1.15	1.15
160 ~ 450	**1.0 ~ 330**	0.80	1	1.35	1.50	1.50

Ermüdung:

Testbedingungen		**Post-Testanforderungen bei +20 °C**	
Dauer	2.000 Stunden*	**Leckstrom**	≤ erster spezifizierter Wert
Umgebungstemperatur	+105°C	**Kapazitätsveränderung**	±20 % des ersten gemessenen Wertes
Angelegte Spannung	Nennbetriebsspannung (DC)	**Tan δ**	≤ 200 % erster spezifizierter Wert

* 1.000 Stunden für ≤Ø 8 mm Produkte.

Lagerbeständigkeit:

Testbedingungen		**Post-Testanforderungen bei +20 °C**	
Dauer	1.000 Stunden	**Leckstrom**	≤ erster spezifizierter Wert
Umgebungstemperatur	+105°C	**Kapazitätsveränderung**	±20 % des ersten gemessenen Wertes
Angelegte Spannung	—	**Tan δ**	≤ 200 % erster spezifizierter Wert

WV** (VDC)	**Kap. µF**	**D.C.L. (+20 °C) [µA] max.**	**Tan δ max.**	**Mischstrom (mA) rms**	**Abmessungen (mm) øD**	**L**	**P**	**ød**	**Digi-Key Teilenr.**	**Preisangaben 1**	**10**	**100**	**500**	**1.000**	**5.000**	**Panasonic Teilenr.**
6.3	100	6.3	0.28	91	5	11	2.0	0.5	P5505-ND	.20	.97	6.51	22.05	33.86	27.94/M	ECA-0JHG101
	220	13.8	0.28	140	5	11	2.0	0.5	P5506-ND	.16	.82	5.77	19.95	31.32	27.10/M	ECA-0JHG221
	330	20.7	0.28	190	6.3	11.2	2.5	0.5	P5507-ND	.25	1.30	9.15	31.61	49.95	43.18/M	ECA-0JHG331
	470	29.6	0.28	230	6.3	11.2	2.5	0.5	P5508-ND	.20	1.17	8.32	29.94	46.56	43.18/M	ECA-0JHG471
	1000	63.0	0.28	380	8	11.5	3.5	0.6	P5509-ND	.32	1.90	13.57	48.84	76.19	70.27/M	ECA-0JHG102
	2200	138.6	0.30	710	10	16	5.0	0.6	P5510-ND	.53	3.00	22.02	79.67	126.14	121.91/M	ECA-0JHG222
	3300	207.9	0.32	840	10	20	5.0	0.6	P5511-ND	.69	3.95	28.99	104.85	166.78	160.01/M	ECA-0JHG332
	4700	296.1	0.34	1090	12.5	20	5.0	0.6	P5512-ND	.84	4.81	36.08	128.28	213.34	204.88/M	ECA-0JHG472
	6800	428.4	0.38	1350	12.5	25	5.0	0.6	P5513-ND	1.08	6.10	45.79	162.82	270.91	260.76/M	ECA-0JHG682
	10000	630.0	0.46	1650	16	25	7.5	0.8	P5514-ND	1.36	7.85	59.21	222.05	385.20	373.35/M	ECA-0JHG103
	15000	945.0	0.56	2010	16	31.5	7.5	0.8	P5515-ND	1.81	10.46	78.95	296.08	513.04	497.80/M	ECA-0JHG153
	22000	1386.0	0.70	2350	18	35.5	7.5	0.8	P5516-ND	2.56	14.71	111.02	416.34	721.30	699.30/M	ECA-0JHG223
10	100	10.0	0.24	110	5	11	2.0	0.5	P5517-ND	.15	.82	5.77	19.95	31.32	27.10/M	ECA-1AHG101
	220	22.0	0.24	170	6.3	11.2	2.5	0.5	P5518-ND	.25	1.30	9.15	31.61	49.95	43.18/M	ECA-1AHG221
	330	33.0	0.24	200	6.3	11.2	2.5	0.5	P5519-ND	.21	1.17	8.32	29.94	46.56	43.18/M	ECA-1AHG331
	470	47.0	0.24	250	8	11.5	3.5	0.6	P5520-ND	.30	1.73	12.34	44.42	69.42	64.35/M	ECA-1AHG471
	1000	100.0	0.24	460	10	12.5	5.0	0.6	P5521-ND	.35	2.37	17.39	62.89	99.90	96.52/M	ECA-1AHG102
	2200	220.0	0.26	760	10	20	5.0	0.6	P5522-ND	.67	3.75	27.53	99.59	158.31	152.39/M	ECA-1AHG222
	3300	330.0	0.28	1000	12.5	20	5.0	0.6	P5523-ND	.81	4.81	36.08	128.28	213.34	204.88/M	ECA-1AHG332
	4700	470.0	0.30	1260	12.5	25	5.0	0.6	P5524-ND	1.10	6.48	48.58	172.71	287.00	276.00/M	ECA-1AHG472
	6800	680.0	0.34	1570	16	25	7.5	0.8	P5525-ND	1.56	8.88	66.61	236.84	393.67	379.28/M	ECA-1AHG682
	10000	1000.0	0.42	1890	16	31.5	7.5	0.8	P5526-ND	1.82	10.46	78.95	296.08	513.04	497.80/M	ECA-1AHG103
	15000	1500.0	0.52	2180	18	35.5	7.5	0.8	P5527-ND	2.56	14.71	111.02	416.34	721.30	699.30/M	ECA-1AHG153
16	47	7.5	0.20	77	5	11	2.0	0.5	P5528-ND	.20	.97	6.51	22.05	33.86	27.94/M	ECA-1CHG470
	100	16.0	0.20	110	5	11	2.0	0.5	P5529-ND	.16	.82	5.77	19.95	31.32	27.10/M	ECA-1CHG101
	220	35.2	0.20	180	6.3	11.2	2.5	0.5	P5530-ND	.21	1.17	8.32	29.94	46.56	43.18/M	ECA-1CHG221
	330	52.8	0.20	260	8	11.5	3.5	0.6	P5531-ND	.31	1.73	12.34	44.42	69.42	64.35/M	ECA-1CHG331
	470	75.2	0.20	310	8	11.5	3.5	0.6	P5532-ND	.34	1.90	13.57	48.84	76.19	70.27/M	ECA-1CHG471
	1000	160.0	0.20	560	10	16	5.0	0.6	P5533-ND	.53	3.00	22.02	79.67	126.14	121.91/M	ECA-1CHG102
	2200	352.0	0.22	920	12.5	20	5.0	0.6	P5534-ND	.84	4.81	36.08	128.28	213.34	204.88/M	ECA-1CHG222
	3300	528.0	0.24	1170	12.5	25	5.0	0.6	P5535-ND	1.14	6.48	48.58	172.71	287.00	276.00/M	ECA-1CHG332
	4700	752.0	0.26	1480	16	25	7.5	0.8	P5536-ND	1.36	7.85	59.21	222.05	385.20	373.35/M	ECA-1CHG472
	6800	1088.0	0.30	1780	16	31.5	7.5	0.8	P5537-ND	1.75	10.46	78.95	296.08	513.04	497.80/M	ECA-1CHG682
	10000	1600.0	0.38	2060	18	35.5	7.5	0.8	P5538-ND	2.56	14.71	111.02	416.34	721.30	699.30/M	ECA-1CHG103
25	47	11.7	0.16	91	5	11	2.0	0.5	P5539-ND	.15	.82	5.77	19.95	31.32	27.10/M	ECA-1EHG470
	100	25.0	0.16	130	6.3	11.2	2.5	0.5	P5540-ND	.24	1.30	9.15	31.61	49.95	43.18/M	ECA-1EHG101
	220	55.0	0.16	230	8	11.5	3.5	0.6	P5541-ND	.30	1.73	12.34	44.42	69.42	64.35/M	ECA-1EHG221
	330	82.5	0.16	310	8	11.5	3.5	0.6	P5542-ND	.36	1.99	14.18	51.05	79.58	73.66/M	ECA-1EHG331
	470	117.5	0.16	380	10	12.5	5.0	0.6	P5543-ND	.41	2.49	18.26	66.06	104.98	100.75/M	ECA-1EHG471
	1000	250.0	0.16	680	10	20	5.0	0.6	P5544-ND	.69	3.95	28.99	104.85	166.78	160.01/M	ECA-1EHG102
	2200	550.0	0.18	1090	12.5	25	5.0	0.6	P5545-ND	1.09	6.48	48.58	172.71	287.00	276.00/M	ECA-1EHG222
	3300	825.0	0.20	1400	16	25	7.5	0.8	P5546-ND	1.40	8.34	62.92	235.95	408.91	396.21/M	ECA-1EHG332
	4700	1175.0	0.22	1750	16	31.5	7.5	0.8	P5547-ND	1.56	10.46	78.95	296.08	513.04	497.80/M	ECA-1EHG472
	6800	1700.0	0.26	2040	18	35.5	7.5	0.8	P5548-ND	2.67	15.37	115.97	434.88	753.47	730.62/M	ECA-1EHG682
35	33	11.5	0.14	75	5	11	2.0	0.5	P5549-ND	.15	.82	5.77	19.95	31.32	27.10/M	ECA-1VHG330
	47	16.4	0.14	90	5	11	2.0	0.5	P5550-ND	.16	.82	5.77	19.95	31.32	27.10/M	ECA-1VHG470
	100	35.0	0.14	150	6.3	11.2	2.5	0.5	P5551-ND	.21	1.17	8.32	29.94	46.56	43.18/M	ECA-1VHG101
	220	77.0	0.14	270	8	11.5	3.5	0.6	P5552-ND	.36	1.99	14.18	51.05	79.58	73.66/M	ECA-1VHG221
	330	115.5	0.14	350	10	12.5	5.0	0.6	P5553-ND	.44	2.49	18.26	66.06	104.98	100.75/M	ECA-1VHG331
	470	164.5	0.14	460	10	16	5.0	0.6	P5554-ND	.47	3.00	22.02	79.67	126.14	121.91/M	ECA-1VHG471
	1000	350.0	0.14	810	12.5	20	5.0	0.6	P5555-ND	.87	4.99	37.47	133.22	221.81	213.35/M	ECA-1VHG102
	2200	770.0	0.16	1260	16	25	7.5	0.8	P5556-ND	1.45	8.34	62.92	235.95	408.91	396.21/M	ECA-1VHG222
	3300	1155.0	0.18	1610	16	31.5	7.5	0.8	P5557-ND	1.82	10.46	78.95	296.08	513.04	497.80/M	ECA-1VHG332
	4700	1645.0	0.20	1910	18	35.5	7.5	0.8	P5558-ND	2.67	15.37	115.97	434.88	753.47	730.62/M	ECA-1VHG472
50	0.1	3.0	0.12	1.1	5	11	2.0	0.5	P5559-ND*	.20	.97	6.51	22.05	33.86	27.94/M	ECA-1HHG0R1
	0.22	3.0	0.12	2.3	5	11	2.0	0.5	P5560-ND*	.20	.97	6.51	22.05	33.86	27.94/M	ECA-1HHGR22
	0.33	3.0	0.12	3.5	5	11	2.0	0.5	P5561-ND*	.20	.97	6.51	22.05	33.86	27.94/M	ECA-1HHGR33
	0.47	3.0	0.12	5	5	11	2.0	0.5	P5562-ND*	.20	.97	6.51	22.05	33.86	27.94/M	ECA-1HHGR47
	1.0	3.0	0.12	10	5	11	2.0	0.5	P5563-ND*	.20	.97	6.51	22.05	33.86	27.94/M	ECA-1HHG010
	2.2	3.0	0.12	18	5	11	2.0	0.5	P5564-ND*	.20	.97	6.51	22.05	33.86	27.94/M	ECA-1HHG2R2
	3.3	3.0	0.12	22	5	11	2.0	0.5	P5565-ND*	.20	.97	6.51	22.05	33.86	27.94/M	ECA-1HHG3R3
	4.7	3.0	0.12	26	5	11	2.0	0.5	P5566-ND*	.20	.97	6.51	22.05	33.86	27.94/M	ECA-1HHG4R7
	10	5.0	0.12	39	5	11	2.0	0.5	P5567-ND*	.19	.97	6.51	22.05	33.86	27.94/M	ECA-1HHG100
	22	11.0	0.12	65	5	11	2.0	0.5	P5568-ND*	.15	.82	5.77	19.95	31.32	27.10/M	ECA-1HHG220
	33	16.5	0.12	90	5	11	2.0	0.5	P5569-ND*	.16	.82	5.77	19.95	31.32	27.10/M	ECA-1HHG330
	47	23.5	0.12	110	6.3	11.2	2.5	0.5	P5570-ND*	.25	1.30	9.15	31.61	49.95	43.18/M	ECA-1HHG470
	100	50.0	0.12	180	8	11.5	3.5	0.6	P5571-ND*	.33	1.81	12.95	46.63	72.81	67.73/M	ECA-1HHG101
	220	110.0	0.12	330	10	12.5	5.0	0.6	P5572-ND*	.42	2.49	18.26	66.06	104.98	100.75/M	ECA-1HHG221
	330	165.0	0.12	410	10	16	5.0	0.6	P5573-ND*	.48	3.00	22.02	79.67	126.14	121.91/M	ECA-1HHG331
	470	235.0	0.12	530	10	20	5.0	0.6	P5574-ND*	.59	3.95	28.99	104.85	166.78	160.01/M	ECA-1HHG471
	1000	500.0	0.12	950	12.5	25	5.0	0.6	P5575-ND*	1.01	6.48	48.58	172.71	287.00	276.00/M	ECA-1HHG102
	2200	1100.0	0.14	1470	16	31.5	7.5	0.8	P5576-ND*	1.47	10.46	78.95	296.08	513.04	497.80/M	ECA-1HHG222
	3300	1650.0	0.16	1770	18	35.5	7.5	0.8	P5577-ND	2.57	15.37	115.97	434.88	753.47	730.62/M	ECA-1HHG332

** Betriebsspannung

(Forts.)

E

WV** (VDC)	Kap. µF	D.C.L. (+20 °C) [µA] max.	Tan δ max.	Mischstrom (mA) rms	Abmessungen (mm) øD	L	P	ød	Digi-Key Teilenr.	Preisangaben 1	10	100	500	1.000	5.000	Panasonic Teilenr.
63	10	6.3	0.10	46	5	11	2.0	0.5	P5578-ND	.17	.86	6.10	21.07	33.02	28.79/M	ECA-1JHG100
	22	13.8	0.10	71	5	11	2.0	0.5	P5579-ND	.17	.86	6.10	21.07	33.02	28.79/M	ECA-1JHG220
	33	20.7	0.10	100	6.3	11.2	2.5	0.5	P5580-ND	.26	1.35	9.50	32.81	51.64	44.87/M	ECA-1JHG330
	47	29.6	0.10	120	6.3	11.2	2.5	0.5	P5581-ND	.21	1.21	8.64	31.09	48.26	44.87/M	ECA-1JHG470
	100	63.0	0.10	215	10	12.5	5.0	0.6	P5582-ND	.41	2.72	19.43	69.95	109.21	100.75/M	ECA-1JHG101
	220	138.6	0.10	335	10	16	5.0	0.6	P5583-ND	.58	3.28	24.05	87.01	138.00	132.92/M	ECA-1JHG221
	330	207.9	0.10	510	10	20	5.0	0.6	P5584-ND	.77	4.34	31.89	115.36	182.87	176.10/M	ECA-1JHG331
	470	296.1	0.10	640	12.5	20	5.0	0.6	P5585-ND	.97	5.55	41.64	148.05	246.36	237.05/M	ECA-1JHG471
	1000	630.0	0.10	930	16	25	7.5	0.8	P5586-ND	1.51	8.66	65.37	245.16	424.99	411.45/M	ECA-1JHG102
	2200	1386.0	0.12	1610	18	35.5	7.5	0.8	P5587-ND	2.95	17.00	128.29	481.11	833.90	808.51/M	ECA-1JHG222
100	0.47	3.0	0.08	9	5	11	2.0	0.5	P5588-ND	.17	.86	6.10	21.07	33.02	28.79/M	ECA-2AHGR47
	1.0	3.0	0.08	14	5	11	2.0	0.5	P5589-ND	.17	.86	6.10	21.07	33.02	28.79/M	ECA-2AHG010
	2.2	3.0	0.08	21	5	11	2.0	0.5	P5590-ND	.17	.86	6.10	21.07	33.02	28.79/M	ECA-2AHG2R2
	3.3	3.3	0.08	31	5	11	2.0	0.5	P5591-ND	.17	.86	6.10	21.07	33.02	28.79/M	ECA-2AHG3R3
	4.7	4.7	0.08	38	5	11	2.0	0.5	P5592-ND	.17	.86	6.10	21.07	33.02	28.79/M	ECA-2AHG4R7
	10	10.0	0.08	54	6.3	11.2	2.5	0.5	P5593-ND	.25	1.35	9.50	32.81	51.64	44.87/M	ECA-2AHG100
	22	22.0	0.08	93	6.3	11.2	2.5	0.5	P5594-ND	.21	1.21	8.64	31.09	48.26	44.87/M	ECA-2AHG220
	33	33.0	0.08	130	8	11.5	3.5	0.6	P5595-ND	.37	2.07	14.80	53.26	82.97	77.04/M	ECA-2AHG330
	47	47.0	0.08	165	10	12.5	5.0	0.6	P5596-ND	.45	2.51	17.89	64.38	99.90	93.13/M	ECA-2AHG470
	100	100.0	0.08	265	10	20	5.0	0.6	P5597-ND	.77	4.34	31.89	115.36	182.87	176.10/M	ECA-2AHG101
	220	220.0	0.08	440	12.5	25	5.0	0.6	P5598-ND	1.15	6.59	49.42	175.69	292.08	281.08/M	ECA-2AHG221
	330	330.0	0.08	540	16	25	7.5	0.8	P5599-ND	1.63	9.25	69.40	246.73	410.60	394.52/M	ECA-2AHG331
	470	470.0	0.08	715	16	25	7.5	0.8	P5850-ND	1.71	9.80	74.01	277.54	480.87	466.48/M	ECA-2AHG471
	1000	1000.0	0.08	985	18	35.5	7.5	0.8	P5851-ND	2.95	17.00	128.29	481.11	833.90	808.51/M	ECA-2AHG102
160	1.0	19.6	0.15	17	6.3	11.2	2.5	0.5	P5852-ND	.29	1.30	9.25	33.30	51.64	48.26/M	ECA-2CHG010
	2.2	31.1	0.15	25	6.3	11.2	2.5	0.5	P5853-ND	.32	1.30	9.25	33.30	51.64	48.26/M	ECA-2CHG2R2
	3.3	41.6	0.15	36	6.3	11.2	2.5	0.5	P5854-ND	.35	1.30	9.25	33.30	51.64	48.26/M	ECA-2CHG3R3
	4.7	55.1	0.15	43	6.3	11.2	2.5	0.5	P5855-ND	.38	1.30	9.25	33.30	51.64	48.26/M	ECA-2CHG4R7
	10	106.0	0.15	70	10	12.5	5.0	0.6	P5856-ND	.45	2.29	16.81	60.81	96.51	93.13/M	ECA-2CHG100
	22	221.0	0.15	130	10	20	5.0	0.6	P5857-ND	.60	3.08	22.62	81.82	129.53	125.30/M	ECA-2CHG220
	33	326.0	0.15	180	10	20	5.0	0.6	P5858-ND	.69	2.89	21.66	77.01	127.84	123.61/M	ECA-2CHG330
	47	461.0	0.15	220	12.5	20	5.0	0.6	P5859-ND	.86	4.07	30.54	108.57	180.33	173.56/M	ECA-2CHG470
	100	970.0	0.15	335	16	25	7.5	0.8	P5860-ND	1.27	6.66	49.97	177.65	295.46	284.46/M	ECA-2CHG101
	220	2122.0	0.15	540	16	31.5	7.5	0.8	P5861-ND	1.93	9.15	69.08	259.06	448.70	435.16/M	ECA-2CHG221
	330	3178.0	0.15	705	18	31.5	7.5	0.8	P5862-ND	2.76	16.35	123.37	462.62	801.73	777.18/M	ECA-2CHG331
250	1.0	25.0	0.15	17	6.3	11.2	2.5	0.5	P5863-ND	.34	1.30	9.25	33.30	51.64	48.26/M	ECA-2EHG010
	2.2	43.0	0.15	29	6.3	11.2	2.5	0.5	P5864-ND	.36	1.30	9.25	33.30	51.64	48.26/M	ECA-2EHG2R2
	3.3	59.5	0.15	42	8	11.5	3.5	0.6	P5865-ND	.38	1.58	11.60	41.96	66.88	64.35/M	ECA-2EHG3R3
	4.7	80.5	0.15	50	8	11.5	3.5	0.6	P5866-ND	.44	1.78	13.05	47.21	75.35	71.97/M	ECA-2EHG4R7
	10	160.0	0.15	88	10	16	5.0	0.6	P5867-ND	.66	3.00	22.02	79.67	126.14	121.91/M	ECA-2EHG100
	22	340.0	0.15	155	12.5	20	5.0	0.6	P5868-ND	.80	4.26	31.93	113.51	188.79	182.02/M	ECA-2EHG220
	33	505.0	0.15	190	12.5	20	5.0	0.6	P5869-ND	.95	4.62	34.69	123.33	204.88	197.26/M	ECA-2EHG330
	47	715.0	0.15	230	12.5	25	5.0	0.6	P5870-ND	1.23	5.92	44.40	157.87	262.45	252.29/M	ECA-2EHG470
	100	1510.0	0.15	365	16	31.5	7.5	0.8	P5871-ND	1.88	9.15	69.08	259.06	448.70	435.16/M	ECA-2EHG101
450	1.0	37.0	0.20	18	8	11.5	3.5	0.6	P5872-ND	.47	1.97	14.50	52.46	82.97	80.43/M	ECA-2WHG010
	2.2	69.4	0.20	29	10	12.5	5.0	0.6	P5873-ND	.51	2.37	17.39	62.89	99.90	96.52/M	ECA-2WHG2R2
	3.3	99.1	0.20	41	10	16	5.0	0.6	P5874-ND	.71	3.08	22.62	81.82	129.53	125.30/M	ECA-2WHG3R3
	4.7	136.0	0.20	49	10	20	5.0	0.6	P5875-ND	.75	3.15	23.60	83.91	139.69	134.61/M	ECA-2WHG4R7
	10	280.0	0.20	75	12.5	20	5.0	0.6	P5876-ND	1.27	5.55	41.64	148.05	246.36	237.05/M	ECA-2WHG100
	22	604.0	0.20	115	16	25	7.5	0.8	P5877-ND	1.69	7.85	59.21	222.05	385.20	373.35/M	ECA-2WHG220
	33	901.0	0.20	155	16	31.5	7.5	0.8	P5878-ND	2.07	9.80	74.01	277.54	480.87	466.48/M	ECA-2WHG330

*** NHG-KIT-ND** ***Digi-Key® Kondensator-Kit, Serie NHG*** je 10 der genannten Werte. Insgesamt 180 Stück. In einem notizbuchartigen Lagerbehälter plus Lagerungshinweise **59.22**

** Betriebsspannung

Panasonic® Serie Z Mini-Aluminium-Elektrolytkondensatoren

±20 %, niedriger Leckstrom, niedrige Impedanz

SPEZIFIKATIONEN:

- **Betriebstemperatur:** -40 °C ~ +85 °C
- **Nennbetriebsspannung** : 6,3 ~ 50 V DC
- **Nennkapazität:** 0,1 ~ 2.200 µF
- **Kapazitätstoleranz:** ±20 %
- **Leckstrom:** I = 0,002 CV + 1 (mA) max.; dabei bedeutet I: DC-Leckstrom (µA) C: Nennkapazität (µF), V: DC Nennbetriebsspannung (V). Leckstrom wird nach einer 2-minütigen Anlegung der Nennbetriebsspannung (DC) gemessen.
- **Stoßspannung:** Die aufgeführte Stoßspannung wird an den Kondensator in Reihe mit einem 1.000 Ohm Widerstand im Zyklus von 0,5 Minuten „EIN“ und 4,5 Minuten „AUS“ angelegt; Wiederholung: 1.000 Mal bei 25 °C ±10 °C. Nach dem Test sollte der Kondensator folgende Limits erfüllen:

Betriebsspannung	Stoßspannung
10 V DC	13 V DC

Kapazitätsänderung	Innerhalb von ±10 % des ersten gemessenen Wertes
Tan δ	Weniger als 150 % des ersten spezifizierten Wertes
DC-Leckstrom	Weniger als der erste spezifizierte Wert

- Tan δ (Dissipationsfaktor) max.

Betriebsspannung	Tan ∂	D.F.
10V DC	0.17	17

0,06 für 1 µF oder weniger.

- **Niedrigtemperatur-Stabilität:** Maximales Impedanzverhältnis gegen +20 °C bei 120 Hz

Betriebsspannung	-25°C ~ +20°C	-40°C ~ +20°C
10V	2	4

- **Volllast-Lebensdauer:** Nach 2.000 Stunden Anwendung einer DC Arbeitsspannung bei +85 °C mit spezifiziertem RMS-Mischstrom sollten die Messungen folgende Anforderungen erfüllen:

Kapazitätsänderung	Innerhalb von ±20 % des ersten gemessenen Wertes
Tan δ	Weniger als 200 % des ersten spezifizierten Wertes
DC-Leckstrom	Weniger als der erste spezifizierte Wert

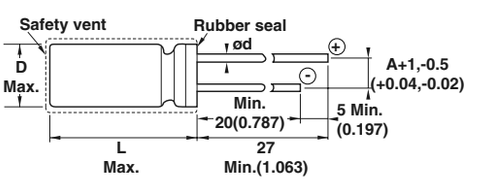

QUERREFERENZEN - PANASONIC SERIE Z

IC: RLR
Sprague: 30D
UCC: SX

Nicht empfohlen für neue Designs.

Leistung Betriebsspannung DC	Leistung Kap. µF	Abmessungen (Zoll) T	L	A	d	Max. RMS-Mischstrom (mA) @ 120 Hz, 85 °C	Max. Leckstrom µA	Digi-Key Teilenr.	Stückpreis 1	10	100	1.000	Panasonic Teilenr.
10	2200	16.0 (.630)	31.5 (1.299)	7.5 (.295)	0.8 (.032)	850	45.0	P6614-ND	1.21	.91	.69	.41	ECE-A10Z2200

Alle Preisangaben in Euro und inklusive Zollgebühren.

Serie FC Aluminium-Elektrolytkondensatoren mit radialer Ableitung

MERKMALE:
• Niedrige Impedanz • Haltbarkeit: 1000 ~ 5000 Stunden bei +105 °C

SPEZIFIKATIONEN:
• **Betriebstemperaturbereich:** -55 °C ~ +105 °C • **Nennbetriebsspannungsbereich:** 6,3 ~ 100 V DC • **Nennkapazitätsbereich** 1,0 ~ 15.000 µF • **Kapazitätstoleranz:** ±20 % (120 Hz, +20 °C) **Leckstrom:** I ≤ 0,01 CV oder 3 (µA), was immer nach 2 Minuten Anwendung von Nennbetriebsspannung bei +20 °C größer ist

• **tan δ (120 Hz, +20 °C)**

Betriebsspannung (V)	6.3	10	16	25	35	50	63	100
Tan δ max.	0.22	0.19	0.16	0.14	0.12	0.10	0.08	0.07

Für Kapazitätswert >1.000 µF, 0,02 pro 1.000 µF addieren.
• **Impedanz bei Hochfrequenz:** Siehe die Standardproduktttabelle (100 kHz, +20 °C)
• **Mischstrom:** Siehe die Standardproduktttabelle (100 kHz, +105 °C)

Ermüdung:
Testbedingungen — Dauer: 1.000 Stunden (für Ø 4 ~ Ø 6,3 mm), 2.000 Stunden (für Ø 8 mm), 3.000 Stunden (für Ø 10 mm), 5.000 Stunden (für Ø 12,5 mm) **•Umgebungstemperatur:** +105 °C ±2 °C • **Angelegte Spannung:** DC-Spannung mit maximal zulässigem Mischstrom spezifiziert bei +105 °C (die Summe der DC-Spannung und der überlagerten Spitzen-AC-Spannung für maximal zulässigen Mischstrom sollte der Nennbetriebsspannung (DC) entsprechen.) **Post-Testanforderungen bei +20 °C — Leckstrom:** ≤Erstem spezifiziertem Wert • **Kapazitanzveränderung:** ±20 % des ersten gemessenen Wertes. • **Tan δ:** ≤200 % des ersten spezifizierten Wertes **Lagerbeständigkeit: Testbedingungen - Dauer:** 1.000 Stunden • **Umgebungstemperatur:** +105 °C ±2 °C • **Angelegte Spannung:** (keine)
Post-Testanforderungen bei +20 °C — Leckstrom: ≤Erstem spezifiziertem Wert • Kapazitanzveränderung: ±20 % des ersten gemessenen Wertes.
• **Tan δ:** ≤200 % des ersten spezifizierten Wertes
• **Körperfarbe:** Schwarz, blau • **Markierungsfarbe:** Gold

Frequenzkorrekturfaktor für Mischstrom

WV* (V DC)	Kap. (µF) \ Frequenz (Hz)	60	120	1K	10K	100K
6.3 ~ 100	1.0 ~ 330	0.55	0.65	0.85	0.90	1.00
	390 ~ 1000	0.70	0.75	0.90	0.95	1.00
	1200 ~ 2200	0.75	0.80	0.90	0.95	1.00
	2700 ~ 15000	0.80	0.85	0.95	1.00	1.00

*Betriebsspannung

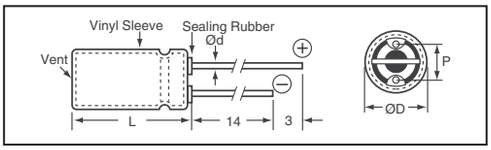

Betriebs-spannung (V)	Kap. (µF)	Abmessungen (mm) ØD	L	P	Ød	Leckstrom max. (+20 °C) (2 min.) (µA)	Impedanz max. (100 kHz) (+20 °C) (Ω)	Mischstrom max. (+105 °C) (mA) rms	Lebensdauer (Stunden)	Digi-Key Teilenr.	Stückpreis 1	10	100	1.000	Panasonic Teilenr.
6.3	68	4	11	1.5	0.45	4.28	1.30	120	1000	P12700-ND	.24	.16	.12	.07	EEU-FC0J680
	100	5	11	2.0	0.50	6.3	0.80	175	1000	P10195-ND	.29	.12	.09	.05	EEU-FC0J101
	150	5	15	2.0	0.50	9.4	0.50	235	1000	P10196-ND	.25	.17	.13	.07	EEU-FC0J151
	220	6.3	11.2	2.0	0.50	13.86	0.350	290	1000	P12701-ND	.29	.15	.11	.06	EEU-FC0J221
	330	6.3	11.2	2.5	0.50	20.7	0.35	290	1000	P10197-ND	.24	.13	.10	.06	EEU-FC0J331S
	330	6.3	15	2.5	0.50	20.79	0.250	400	1000	P12702-ND	.33	.22	.16	.09	EEU-FC0J331
	390	8	11.5	3.5	0.60	24.57	0.117	555	2000	P12703-ND	.41	.21	.15	.08	EEU-FC0J391
	470	8	11.5	3.5	0.60	29.61	0.117	555	2000	P12704-ND	.41	.21	.15	.08	EEU-FC0J471
	560	8	11.5	3.5	0.60	35.28	0.117	555	2000	P12705-ND	.41	.21	.15	.08	EEU-FC0J561
	820	10	12.5	5.0	0.60	51.66	0.090	755	3000	P12706-ND	.53	.29	.21	.12	EEU-FC0J821
	820	8	15	3.5	0.60	51.6	0.085	730	2000	P10198-ND	.41	.24	.18	.10	EEU-FC0J821L
	1000	10	12.5	5.0	0.60	63.0	0.090	755	3000	P10199-ND	.40	.24	.18	.10	EEU-FC0J102
	1200	10	16	5.0	0.60	75.6	0.068	1050	3000	P10201-ND	.52	.32	.24	.14	EEU-FC0J122
	1200	8	20	3.5	0.60	75.6	0.065	995	2000	P10200-ND	.45	.28	.21	.12	EEU-FC0J122L
	1500	12.5	15	5.0	0.60	94.5	0.065	1205	5000	P10203-ND	.68	.47	.34	.20	EEU-FC0J152S
	1500	10	20	5.0	0.60	94.5	0.052	1220	3000	P10202-ND	.62	.38	.28	.16	EEU-FC0J152
	1800	10	25	5.0	0.60	113.4	0.045	1440	3000	P12707-ND	.91	.52	.37	.20	EEU-FC0J182
	2200	16	15	7.5	0.80	138.6	0.043	1690	5000	P10205-ND	.89	.62	.46	.28	EEU-FC0J222S
	2200	10	25	5.0	0.60	138.6	0.045	1440	3000	P10204-ND	.68	.43	.32	.18	EEU-FC0J222
	2700	16	15	7.5	0.80	170.1	0.043	1690	5000	P11175-ND	1.28	.80	.57	.31	EEU-FC0J272S
	2700	12.5	20	5.0	0.60	170.1	0.038	1655	5000	P12709-ND	1.10	.65	.46	.25	EEU-FC0J272
	2700	10	30	5.0	0.60	170.1	0.035	1815	3000	P12708-ND	1.02	.64	.46	.25	EEU-FC0J272L
	3300	18	15	7.5	0.80	207.9	0.038	2000	5000	P10207-ND	1.18	.83	.63	.37	EEU-FC0J332S
	3300	12.5	20	5.0	0.60	207.9	0.038	1655	5000	P10206-ND	.76	.50	.38	.23	EEU-FC0J332
	3900	12.5	25	5.0	0.60	245.7	0.030	1945	5000	P10208-ND	1.05	.63	.48	.28	EEU-FC0J392
	4700	16	20	7.5	0.80	296.1	0.029	2205	5000	P10210-ND	1.19	.78	.59	.35	EEU-FC0J472S
	4700	12.5	30	5.0	0.80	296.1	0.025	2310	5000	P10209-ND	1.07	.65	.49	.29	EEU-FC0J472
	5600	16	20	7.5	0.80	352.8	0.029	2205	5000	P11176-ND	1.72	1.01	.72	.39	EEU-FC0J562
	5600	12.5	35	5.0	0.80	352.8	0.022	2510	5000	P10211-ND	1.18	.85	.64	.38	EEU-FC0J562L
	6800	18	20	7.5	0.80	428.4	0.028	2490	5000	P10214-ND	1.36	.94	.71	.46	EEU-FC0J682S
	6800	16	25	7.5	0.80	428.4	0.022	2555	5000	P10213-ND	1.41	.93	.70	.42	EEU-FC0J682
	6800	12.5	40	5.0	0.80	428.4	0.018	2655	5000	P10212-ND	1.35	.97	.73	.43	EEU-FC0J682L
	8200	16	31.5	7.5	0.80	516.6	0.018	3010	5000	P11177-ND	2.73	1.54	1.09	.60	EEU-FC0J822
	10000	18	25	7.5	0.80	630.0	0.020	2740	5000	P10216-ND	1.73	1.18	.89	.58	EEU-FC0J103S
	10000	16	35.5	7.5	0.80	630.0	0.016	3150	5000	P10215-ND	1.68	1.20	.91	.59	EEU-FC0J103
	12000	18	31.5	7.5	0.80	756.0	0.016	3635	5000	P11178-ND	3.14	2.01	1.42	.77	EEU-FC0J123
	12000	16	40	7.5	0.80	756.0	0.015	3360	5000	P11179-ND	3.18	1.95	1.37	.75	EEU-FC0J123L
	15000	18	35.5	7.5	0.80	945.0	0.015	3680	5000	P10217-ND	2.29	1.48	1.12	.73	EEU-FC0J153
10	47	4	11	1.5	0.45	4.7	1.30	120	1000	P11180-ND	.24	.16	.12	.07	EEU-FC1A470
	82	5	11	2.0	0.50	8.2	0.80	175	1000	P10218-ND	.29	.12	.09	.05	EEU-FC1A820
	100	5	11	2.0	0.50	10.0	0.80	175	1000	P11181-ND	.29	.12	.09	.05	EEU-FC1A101S
	100	5	15	2.0	0.50	10.0	0.50	235	1000	P10219-ND	.25	.17	.13	.07	EEU-FC1A101
	180	6.3	11.2	2.5	0.50	18.0	0.35	290	1000	P11182-ND	.29	.15	.11	.06	EEU-FC1A181
	220	6.3	11.2	2.5	0.50	22.0	0.35	290	1000	P10220-ND	.24	.13	.10	.06	EEU-FC1A221S
	220	6.3	15	2.5	0.50	22.0	0.25	400	1000	P11183-ND	.33	.22	.16	.09	EEU-FC1A221
	330	8	11.5	3.5	0.60	33.0	0.117	555	2000	P11184-ND	.41	.21	.15	.08	EEU-FC1A331
	390	8	11.5	3.5	0.60	39.0	0.117	555	2000	P11185-ND	.41	.21	.15	.08	EEU-FC1A391
	470	8	11.5	3.5	0.60	47.0	0.117	555	2000	P10221-ND	.34	.19	.14	.08	EEU-FC1A471
	560	10	12.5	5.0	0.60	56.0	0.09	755	3000	P11186-ND	.53	.29	.21	.12	EEU-FC1A561
	680	10	12.5	5.0	0.60	68.0	0.090	755	3000	P10223-ND	.38	.24	.18	.10	EEU-FC1A681
	680	8	15	3.5	0.60	68.0	0.085	730	2000	P10222-ND	.41	.24	.18	.10	EEU-FC1A681L
	820	10	16	5.0	0.60	82.0	0.068	1050	3000	P11187-ND	.69	.39	.28	.15	EEU-FC1A821
	1000	10	16	5.0	0.60	100.0	0.068	1050	3000	P10225-ND	.50	.32	.24	.14	EEU-FC1A102
	1000	8	20	3.5	0.60	82.0	0.065	995	2000	P10224-ND	.45	.28	.21	.12	EEU-FC1A102L
	1200	12.5	15	5.0	0.60	120.0	0.065	1205	5000	P10227-ND	.68	.47	.34	.20	EEU-FC1A122S
	1200	10	20	5.0	0.60	120.0	0.052	1220	3000	P10226-ND	.61	.38	.28	.16	EEU-FC1A122
	1500	10	25	5.0	0.60	150.0	0.045	1440	3000	P10228-ND	.68	.43	.32	.18	EEU-FC1A152
	1800	16	15	7.5	0.80	180.0	0.043	1690	5000	P10229-ND	.89	.62	.46	.28	EEU-FC1A182S
	1800	12.5	20	5.0	0.60	180.0	0.038	1655	5000	P11188-ND	1.10	.65	.46	.25	EEU-FC1A182
	2200	12.5	20	5.0	0.60	220.0	0.038	1655	5000	P10230-ND	.76	.50	.38	.23	EEU-FC1A222
	2200	10	30	5.0	0.60	220.0	0.035	1815	3000	P11189-ND	1.02	.64	.46	.25	EEU-FC1A222L
	2700	18	15	7.5	0.80	270.0	0.038	2000	5000	P10232-ND	1.18	.83	.63	.37	EEU-FC1A272S
	2700	12.5	25	5.0	0.60	270.0	0.030	1945	5000	P10231-ND	1.02	.63	.48	.28	EEU-FC1A272
	3300	16	20	7.5	0.80	330.0	0.029	2205	5000	P10234-ND	1.19	.78	.59	.35	EEU-FC1A332S
	3300	12.5	30	5.0	0.80	330.0	0.025	2310	5000	P10233-ND	1.07	.65	.49	.29	EEU-FC1A332
	3900	16	20	7.5	0.80	390.0	0.029	2205	5000	P11190-ND	1.80	1.01	.72	.39	EEU-FC1A392
	3900	12.5	35	5.0	0.80	390.0	0.022	2510	5000	P10235-ND	1.18	.85	.64	.38	EEU-FC1A392L
	4700	16	25	7.5	0.80	470.0	0.022	2555	5000	P10237-ND	1.53	.93	.70	.42	EEU-FC1A472
	4700	12.5	40	5.0	0.80	470.0	0.018	2655	5000	P10236-ND	1.30	.97	.73	.43	EEU-FC1A472L
	5600	18	20	7.5	0.80	560.0	0.028	2490	5000	P10238-ND	1.36	.94	.71	.46	EEU-FC1A562S
	5600	16	25	7.5	0.80	560.0	0.022	2555	5000	P11191-ND	2.20	1.21	.85	.47	EEU-FC1A562
	6800	18	25	7.5	0.80	680.0	0.020	2740	5000	P10240-ND	1.67	1.18	.89	.58	EEU-FC1A682S
	6800	16	31.5	7.5	0.80	680.0	0.018	3010	5000	P10239-ND	1.67	1.05	.79	.52	EEU-FC1A682
	8200	18	31.5	7.5	0.80	820.0	0.016	3635	5000	P11193-ND	3.14	2.01	1.42	.77	EEU-FC1A822
	8200	16	35.5	7.5	0.80	820.0	0.016	3150	5000	P11192-ND	2.77	1.77	1.25	.68	EEU-FC1A822L
	10000	18	35.5	7.5	0.80	1000.0	0.015	3680	5000	P10241-ND	2.29	1.48	1.12	.73	EEU-FC1A103
	12000	18	40	7.5	0.80	1200.0	0.014	3735	5000	P11194-ND	4.04	2.55	1.80	.99	EEU-FC1A123
16	39	4	11	1.5	0.45	6.24	1.30	120	1000	P11195-ND	.24	.16	.12	.07	EEU-FC1C390
	47	5	11	2.0	0.50	7.52	0.80	175	1000	P11196-ND	.29	.12	.09	.05	EEU-FC1C470
	56	5	11	2.0	0.50	8.96	0.80	175	1000	P11197-ND	.29	.12	.09	.05	EEU-FC1C560
	68	5	11	2.0	0.50	10.8	0.80	175	1000	P10242-ND	.29	.12	.09	.05	EEU-FC1C680
	82	5	15	2.0	0.50	13.1	0.50	235	1000	P10243-ND	.25	.17	.13	.07	EEU-FC1C820
	100	6.3	11.2	2.5	0.50	16.0	0.35	290	1000	P11198-ND	.29	.15	.11	.06	EEU-FC1C101
	120	6.3	11.2	2.5	0.50	19.2	0.35	290	1000	P10244-ND	.24	.13	.10	.06	EEU-FC1C121
	180	6.3	15	2.5	0.50	28.8	0.25	400	1000	P10245-ND	.27	.20	.14	.08	EEU-FC1C181
	220	8	11.5	3.5	0.60	35.2	0.117	555	2000	P11199-ND	.41	.21	.15	.08	EEU-FC1C221
	270	8	11.5	3.5	0.60	43.2	0.117	555	2000	P11200-ND	.39	.21	.15	.08	EEU-FC1C271
	330	8	11.5	3.5	0.60	52.8	0.117	555	2000	P10246-ND	.34	.19	.14	.08	EEU-FC1C331
	390	10	12.5	5.0	0.60	62.4	0.09	755	3000	P11201-ND	.53	.29	.21	.12	EEU-FC1C391

(Forts.)

E

Betriebs-spannung (V)	Kap. (µF)	Abmessungen (mm) ØD	L	P	Ød	Leckstrom max. (+20 °C) (2 min.) (µA)	Impedanz max. (100 kHz) (+20 °C) (Ω)	Mischstrom max. (+105 °C) (mA) rms	Lebensdauer (Stunden)	Digi-Key Teilenr.	Stückpreis 1	10	100	1.000	Panasonic Teilenr.
	470	10	12.5	5.0	0.60	75.2	0.090	755	3000	P10248-ND	.40	.24	.18	.10	EEU-FC1C471
	470	8	15	3.5	0.60	75.2	0.085	730	2000	P10247-ND	.40	.24	.18	.10	EEU-FC1C471L
	560	10	16	5.0	0.60	89.6	0.068	1050	3000	P11202-ND	.69	.39	.28	.15	EEU-FC1C561
	680	10	16	5.0	0.60	108.8	0.068	1050	3000	P10250-ND	.43	.32	.24	.14	EEU-FC1C681
	680	8	20	3.5	0.60	108.8	0.065	995	2000	P10249-ND	.47	.28	.21	.12	EEU-FC1C681L
	820	12.5	15	5.0	0.60	131.2	0.065	1205	5000	P10252-ND	.68	.47	.34	.20	EEU-FC1C821S
	820	10	20	5.0	0.60	131.2	0.052	1220	3000	P10251-ND	.63	.38	.28	.16	EEU-FC1C821
	1000	10	20	5.0	0.60	160.0	0.052	1220	3000	P11203-ND	.87	.47	.33	.18	EEU-FC1C102S
	1000	10	25	5.0	0.60	160.0	0.045	1440	3000	P10253-ND	.65	.43	.32	.18	EEU-FC1C102
	1200	16	15	7.5	0.80	192.0	0.043	1690	5000	P11205-ND	1.28	.80	.57	.31	EEU-FC1C122S
	1200	10	25	5.0	0.60	192.0	0.045	1440	3000	P11204-ND	.91	.52	.37	.20	EEU-FC1C122
	1500	16	15	7.5	0.80	240.0	0.043	1690	5000	P11206-ND	1.32	.80	.57	.31	EEU-FC1C152S
16	1500	12.5	20	5.0	0.60	240.0	0.038	1655	5000	P10254-ND	.76	.50	.38	.23	EEU-FC1C152
	1500	10.0	30	5.0	0.60	240.0	0.035	1815	3000	P10255-ND	.76	.53	.39	.23	EEU-FC1C152L
	1800	18	15	7.5	0.80	288.0	0.038	2000	5000	P10256-ND	1.18	.83	.63	.37	EEU-FC1C182S
	1800	12.5	25	5.0	0.60	288.0	0.03	1945	5000	P11207-ND	1.51	.82	.58	.32	EEU-FC1C182
	2200	16	20	7.5	0.80	352.0	0.029	2205	5000	P10258-ND	1.19	.78	.59	.35	EEU-FC1C222S
	2200	12.5	25	5.0	0.60	352.0	0.030	1945	5000	P10257-ND	.97	.63	.48	.28	EEU-FC1C222
	2700	16	20	7.5	0.80	432.0	0.029	2205	5000	P11208-ND	1.72	1.01	.72	.39	EEU-FC1C272
	2700	12.5	30	5.0	0.80	432.0	0.025	2310	5000	P10259-ND	1.07	.65	.49	.29	EEU-FC1C272L
	3300	18	20	7.5	0.80	528.0	0.028	2490	5000	P10261-ND	1.36	.94	.71	.46	EEU-FC1C332S
	3300	12.5	35	5.0	0.80	528.0	0.022	2510	5000	P10260-ND	1.14	.85	.64	.38	EEU-FC1C332
	3900	18	20	7.5	0.80	624.0	0.028	2490	5000	P11209-ND	2.24	1.38	.97	.53	EEU-FC1C392S
	3900	16	25	7.5	0.80	624.0	0.022	2555	5000	P10262-ND	1.35	.93	.70	.42	EEU-FC1C392
	4700	18	25	7.5	0.80	752.0	0.020	2740	5000	P10264-ND	1.67	1.18	.89	.58	EEU-FC1C472S
	4700	16	31.5	7.5	0.80	752.0	0.018	3010	5000	P10263-ND	1.67	1.05	.79	.52	EEU-FC1C472
	5600	18	31.5	7.5	0.80	896.0	0.016	3635	5000	P11210-ND	3.14	2.01	1.42	.77	EEU-FC1C562
	5600	16	35.5	7.5	0.80	896.0	0.016	3150	5000	P10265-ND	1.58	1.20	.91	.59	EEU-FC1C562L
	6800	16	40	7.5	0.80	1088.0	0.015	3360	5000	P11211-ND	3.09	1.95	1.37	.75	EEU-FC1C682
	8200	18	35.5	7.5	0.80	1312.0	0.015	3680	5000	P10266-ND	2.29	1.48	1.12	.73	EEU-FC1C822
	10	4	7	1.5	0.45	2.5	2	65	1000	P11212-ND	.25	.11	.08	.05	EEA-FC1E100
	22	5	7	2	0.45	5.5	0.95	120	1000	P11213-ND	.27	.12	.09	.05	EEA-FC1E220
	27	4	11	1.5	0.45	6.75	1.3	120	1000	P11214-ND	.24	.16	.12	.07	EEU-FC1E270
	39	5	11	2	0.50	9.75	0.80	175	1000	P11215-ND	.24	.16	.12	.07	EEU-FC1E390
	47	5	11	2.0	0.50	11.7	0.80	175	1000	P10267-ND	.24	.16	.12	.07	EEU-FC1E470
	56	5	15	2.0	0.50	14.0	0.50	235	1000	P10268-ND	.25	.17	.13	.07	EEU-FC1E560
	82	6.3	11.2	2.5	0.50	20.5	0.35	290	1000	P11216-ND	.28	.15	.11	.06	EEU-FC1E820
	100	6.3	11.2	2.5	0.50	25.0	0.35	290	1000	P10269-ND	.19	.13	.10	.06	EEU-FC1E101S
	120	6.3	15	2.5	0.50	30.0	0.25	400	1000	P10270-ND	.27	.20	.14	.08	EEU-FC1E121
	180	8	11.5	3.5	0.60	45.0	0.117	555	2000	P11217-ND	.41	.21	.15	.08	EEU-FC1E181
	220	8	11.5	3.5	0.60	55.0	0.117	555	2000	P10271-ND	.32	.19	.14	.08	EEU-FC1E221
	270	10	12.5	5	0.60	67.5	0.09	755	3000	P11218-ND	.53	.29	.21	.12	EEU-FC1E271
	330	10	12.5	5.0	0.60	82.5	0.090	755	3000	P10273-ND	.37	.24	.18	.10	EEU-FC1E331
	330	8	15	3.5	0.60	82.5	0.085	730	2000	P10272-ND	.40	.24	.18	.10	EEU-FC1E331L
	390	10	16	5	0.60	97.5	0.068	1050	3000	P11219-ND	.69	.39	.28	.15	EEU-FC1E391
	470	10	16	5.0	0.60	117.5	0.068	1050	3000	P10275-ND	.48	.32	.24	.14	EEU-FC1E471
	470	8	20	3.5	0.60	117.5	0.065	995	2000	P10274-ND	.45	.28	.21	.12	EEU-FC1E471L
	560	12.5	15	5.0	0.60	140.0	0.065	1205	5000	P10276-ND	.68	.47	.34	.20	EEU-FC1E561S
	560	10	20	5	0.60	140.0	0.052	1220	3000	P11220-ND	.79	.47	.33	.18	EEU-FC1E561
	680	10	20	5.0	0.60	170.0	0.052	1220	3000	P10277-ND	.61	.38	.28	.16	EEU-FC1E681
25	820	12.5	20	5	0.60	205.0	0.038	1655	5000	P11222-ND	1.10	.65	.46	.25	EEU-FC1E821S
	820	10	25	5	0.60	205.0	0.045	1440	3000	P11221-ND	.91	.52	.37	.20	EEU-FC1E821
	1000	16	15	7.5	0.80	250.0	0.043	1690	5000	P10279-ND	.89	.62	.46	.28	EEU-FC1E102S
	1000	12.5	20	5.0	0.60	250.0	0.038	1655	5000	P10278-ND	.74	.50	.38	.23	EEU-FC1E102
	1000	10	30	5	0.60	250.0	0.035	1815	3000	P11223-ND	1.02	.64	.46	.25	EEU-FC1E102L
	1200	18	15	7.5	0.80	300.0	0.038	2000	5000	P10280-ND	1.18	.83	.63	.37	EEU-FC1E122S
	1200	12.5	25	5	0.60	300.0	0.03	1945	5000	P11224-ND	1.51	.82	.58	.32	EEU-FC1E122
	1500	16	20	7.5	0.80	375.0	0.029	2205	5000	P10282-ND	1.19	.78	.59	.35	EEU-FC1E152S
	1500	12.5	25	5.0	0.60	375.0	0.030	1945	5000	P10281-ND	1.05	.63	.48	.28	EEU-FC1E152
	1800	16	20	7.5	0.80	450.0	0.029	2205	5000	P11225-ND	1.72	1.01	.72	.39	EEU-FC1E182
	1800	12.5	30	5.0	0.80	450.0	0.025	2310	5000	P10283-ND	1.07	.65	.49	.29	EEU-FC1E182L
	2200	18	20	7.5	0.80	550.0	0.028	2490	5000	P10285-ND	1.36	.94	.71	.46	EEU-FC1E222S
	2200	12.5	35	5.0	0.80	550.0	0.022	2510	5000	P10284-ND	1.14	.85	.64	.38	EEU-FC1E222
	2700	16	25	7.5	0.80	675.0	0.022	2555	5000	P10286-ND	1.53	.93	.70	.42	EEU-FC1E272
	3300	18	25	7.5	0.80	825.0	0.020	2740	5000	P10288-ND	1.67	1.18	.89	.58	EEU-FC1E332S
	3300	16	31.5	7.5	0.80	825.0	0.018	3010	5000	P10287-ND	1.67	1.05	.79	.52	EEU-FC1E332
	3900	18	31.5	7.5	0.80	975.0	0.016	3635	5000	P11227-ND	3.14	2.01	1.42	.77	EEU-FC1E392
	3900	16	35.5	7.5	0.80	975.0	0.016	3150	5000	P11226-ND	2.77	1.77	1.25	.68	EEU-FC1E392L
	4700	18	35.5	7.5	0.80	1175.0	0.015	3680	5000	P10289-ND	2.29	1.48	1.12	.73	EEU-FC1E472
	5600	18	40	7.5	0.80	1400.0	0.014	3735	5000	P11228-ND	4.04	2.55	1.80	.99	EEU-FC1E562
	18	4	11	1.5	0.45	6.3	1.3	120	1000	P11229-ND	.24	.16	.12	.07	EEU-FC1V180
	22	5	11	2	0.50	7.7	0.80	175	1000	P11230-ND	.29	.12	.09	.05	EEU-FC1V220
	27	5	11	2	0.50	9.45	0.80	175	1000	P11231-ND	.29	.12	.09	.05	EEU-FC1V270
	33	5	11	2.0	0.50	11.5	0.80	175	1000	P10290-ND	.29	.12	.09	.05	EEU-FC1V330
	39	5	15	2.0	0.50	13.6	0.50	235	1000	P10291-ND	.25	.17	.13	.07	EEU-FC1V390
	47	6.3	11.2	2.5	0.50	16.45	0.35	290	1000	P11232-ND	.29	.15	.11	.06	EEU-FC1V470
	56	6.3	11.2	2.5	0.50	19.6	0.35	290	1000	P11233-ND	.28	.15	.11	.06	EEU-FC1V560
	68	6.3	11.2	2.5	0.50	23.8	0.35	290	1000	P10292-ND	.24	.13	.10	.06	EEU-FC1V680
	82	6.3	15	2.5	0.50	28.7	0.25	400	1000	P10293-ND	.27	.20	.14	.08	EEU-FC1V820
	100	8	11.5	3.5	0.60	35.0	0.117	555	2000	P10294-ND	.32	.19	.14	.08	EEU-FC1V101
	120	8	11.5	3.5	0.60	42.0	0.117	555	2000	P11234-ND	.39	.21	.15	.08	EEU-FC1V121
	150	8	11.5	3.5	0.60	52.5	0.117	555	2000	P10295-ND	.30	.19	.14	.08	EEU-FC1V151
	180	10	12.5	5	0.60	63.0	0.09	755	3000	P11235-ND	.53	.29	.21	.12	EEU-FC1V181
	220	10	12.5	5.0	0.60	77.0	0.090	755	3000	P10297-ND	.37	.24	.18	.10	EEU-FC1V221
	220	8	15	3.5	0.60	77.0	0.085	730	2000	P10296-ND	.41	.24	.18	.10	EEU-FC1V221L
	270	10	16	5	0.60	94.5	0.068	1050	3000	P11236-ND	.69	.39	.28	.15	EEU-FC1V271
	390	12.5	15	5.0	0.60	136.5	0.065	1205	5000	P10300-ND	.68	.47	.34	.20	EEU-FC1V391S
	330	10	16	5.0	0.60	115.5	0.068	1050	3000	P10299-ND	.52	.32	.24	.14	EEU-FC1V331
	330	8	20	3.5	0.60	115.5	0.065	995	2000	P10298-ND	.47	.28	.21	.12	EEU-FC1V331L
	390	10	20	5	0.60	136.5	0.052	1220	3000	P11237-ND	.81	.47	.33	.18	EEU-FC1V391
	470	10	20	5.0	0.60	164.5	0.052	1220	3000	P10301-ND	.61	.38	.28	.16	EEU-FC1V471
35	560	12.5	20	5	0.60	196.0	0.038	1655	5000	P11239-ND	1.06	.65	.46	.25	EEU-FC1V561S
	560	10	25	5	0.60	196.0	0.045	1440	3000	P11238-ND	.91	.52	.37	.20	EEU-FC1V561
	680	16	15	7.5	0.80	238.0	0.043	1690	5000	P10303-ND	.86	.62	.46	.28	EEU-FC1V681S
	680	12.5	20	5.0	0.60	238.0	0.038	1655	5000	P10302-ND	.76	.50	.38	.23	EEU-FC1V681
	680	10	30	5	0.60	238.0	0.035	1815	3000	P11240-ND	1.02	.64	.46	.25	EEU-FC1V681L
	820	18	15	7.5	0.80	287.0	0.038	2000	5000	P10304-ND	1.14	.83	.63	.37	EEU-FC1V821
	820	12.5	25	5	0.60	287.0	0.03	1945	5000	P11241-ND	1.51	.82	.58	.32	EEU-FC1V821L
	1000	16	20	7.5	0.80	350.0	0.029	2205	5000	P10876-ND	1.20	.78	.59	.35	EEU-FC1V102S
	1000	12.5	25	5.0	0.60	350.0	0.030	1945	5000	P10305-ND	.94	.63	.48	.28	EEU-FC1V102
	1200	16	20	7.5	0.80	420.0	0.029	2205	5000	P11242-ND	1.72	1.01	.72	.39	EEU-FC1V122
	1200	12.5	30	5.0	0.80	420.0	0.025	2310	5000	P10306-ND	1.07	.65	.49	.29	EEU-FC1V122L
	1500	18	20	7.5	0.80	525.0	0.028	2490	5000	P11243-ND	2.24	1.38	.97	.53	EEU-FC1V152S
	1500	16	25	7.5	0.80	525.0	0.022	2555	5000	P10308-ND	1.53	.93	.70	.42	EEU-FC1V152
	1500	12.5	35	5.0	0.80	525.0	0.022	2510	5000	P10307-ND	1.18	.85	.64	.38	EEU-FC1V152L
	1800	18	20	7.5	0.80	630.0	0.028	2490	5000	P11246-ND	2.24	1.38	.97	.53	EEU-FC1V182S
	1800	16	25	7.5	0.80	630.0	0.022	2555	5000	P11245-ND	2.02	1.21	.85	.47	EEU-FC1V182
	1800	12.5	40	5	0.80	630.0	0.018	2655	5000	P11244-ND	1.94	1.26	.89	.49	EEU-FC1V182L

(Forts.)

Alle Preisangaben in Euro und inklusive Zollgebühren.

Betriebs-spannung (V)	Kap. (µF)	Abmessungen (mm) ØD	L	P	Ød	Leckstrom max. (+20 °C) (2 min.) (µA)	Impedanz max. (100 kHz) (+20 °C) (Ω)	Mischstrom max. (+105 °C) (mA) rms	Lebensdauer (Stunden)	Digi-Key Teilenr.	Stückpreis 1	10	100	1.000	Panasonic Teilenr.
	2200	18	25	7.5	0.80	770.0	0.020	2740	5000	P10310-ND	1.67	1.18	.89	.58	EEU-FC1V222S
	2200	16	31.5	7.5	0.80	770.0	0.018	3010	5000	P10309-ND	1.51	1.05	.79	.52	EEU-FC1V222
35	2700	18	31.5	7.5	0.80	945.0	0.016	3635	5000	P11248-ND	3.14	2.01	1.42	.77	EEU-FC1V272
	2700	16	35.5	7.5	0.80	945.0	0.016	3150	5000	P11247-ND	2.77	1.77	1.25	.68	EEU-FC1V272L
	3300	18	35.5	7.5	0.80	1155.0	0.015	3680	5000	P10311-ND	2.29	1.48	1.12	.73	EEU-FC1V332
	3900	18	40	7.5	0.80	1365.0	0.014	3735	5000	P11249-ND	4.04	2.55	1.80	.99	EEU-FC1V392
	1.0	5	11	2.0	0.50	0.5	2.40	20	1000	P10312-ND	.23	.12	.09	.05	EEU-FC1H1R0
	2.2	5	11	2.0	0.50	1.1	1.30	45	1000	P10313-ND	.23	.12	.09	.05	EEU-FC1H2R2
	3.3	5	11	2.0	0.50	1.6	1.30	65	1000	P10314-ND	.29	.12	.09	.05	EEU-FC1H3R3
	4.7	5	11	2.0	0.50	2.3	1.30	95	1000	P10315-ND	.23	.12	.09	.05	EEU-FC1H4R7
	10	4	11	1.5	0.45	5.0	2.5	90	1000	P11250-ND	.24	.16	.12	.07	EEU-FC1H100
	10	5	11	2.0	0.50	5.0	1.30	125	1000	P10316-ND	.29	.12	.09	.05	EEU-FC1H100L
	15	5	11	2.0	0.50	7.5	1.30	145	1000	P10317-ND	.29	.12	.09	.05	EEU-FC1H150
	18	5	11	2	0.50	9.0	1.3	155	1000	P11251-ND	.29	.12	.09	.05	EEU-FC1H180
	22	5	11	2.0	0.50	11.0	1.30	155	1000	P10318-ND	.29	.12	.09	.05	EEU-FC1H220
	27	5	15	2.0	0.50	13.5	0.90	215	1000	P10319-ND	.25	.17	.13	.07	EEU-FC1H270
	33	6.3	11.2	2.5	0.50	16.5	0.60	260	1000	P10320-ND	.23	.13	.10	.06	EEU-FC1H330
	47	6.3	11.2	2.5	0.50	23.5	0.60	260	1000	P10321-ND	.24	.13	.10	.06	EEU-FC1H470
	56	6.3	15	2.5	0.50	28.0	0.40	360	1000	P10322-ND	.27	.20	.14	.08	EEU-FC1H560
	68	8	11.5	3.5	0.60	34.0	0.234	485	2000	P11252-ND	.41	.21	.15	.08	EEU-FC1H680
	82	8	11.5	3.5	0.60	41.0	0.234	485	2000	P11253-ND	.36	.21	.15	.08	EEU-FC1H820
	100	10	12.5	5.0	0.60	50.0	0.162	615	3000	P10323-ND	.37	.24	.18	.10	EEU-FC1H101
	120	10	12.5	5	0.60	60.0	0.162	615	3000	P11255-ND	.53	.29	.21	.12	EEU-FC1H121
	120	8	15	3.5	0.60	60.0	0.155	635	2000	P11254-ND	.55	.29	.21	.12	EEU-FC1H121L
	150	10	16	5	0.60	75.0	0.119	850	3000	P11256-ND	.69	.39	.28	.15	EEU-FC1H151
	180	8	20	3.5	0.60	90.0	0.120	860	2000	P10324-ND	.47	.28	.21	.12	EEU-FC1H181L
	220	12.5	15	5.0	0.60	110.0	0.110	1150	5000	P10326-ND	.68	.47	.34	.20	EEU-FC1H221S
50	220	10	20	5.0	0.60	110.0	0.090	1030	3000	P10325-ND	.61	.38	.28	.16	EEU-FC1H221
	270	10	25	5	0.60	135.0	0.082	1200	3000	P11257-ND	.91	.52	.37	.20	EEU-FC1H271
	330	12.5	20	5	0.60	165.0	0.063	1480	5000	P11258-ND	1.10	.65	.46	.25	EEU-FC1H331
	390	16	15	7.5	0.80	195.0	0.080	1610	5000	P10327-ND	.89	.62	.46	.28	EEU-FC1H391S
	390	12.5	20	5	0.60	195.0	0.063	1480	5000	P11259-ND	1.10	.65	.46	.25	EEU-FC1H391
	470	12.5	25	5.0	0.60	235.0	0.050	1832	5000	P10328-ND	.91	.63	.48	.28	EEU-FC1H471
	470	10	30	5	0.60	235.0	0.06	1610	3000	P11260-ND	1.02	.64	.46	.25	EEU-FC1H471L
	560	18	15	7.5	0.80	280.0	0.068	1900	5000	P10329-ND	1.18	.83	.63	.37	EEU-FC1H561S
	560	12.5	25	5	0.60	280.0	0.05	1832	5000	P11261-ND	1.51	.82	.58	.32	EEU-FC1H561
	680	16	20	7.5	0.80	340.0	0.048	1835	5000	P10331-ND	1.19	.78	.59	.35	EEU-FC1H681
	680	12.5	30	5.0	0.80	340.0	0.040	2215	5000	P10330-ND	1.07	.65	.49	.29	EEU-FC1H681L
	820	18	20	7.5	0.80	410.0	0.042	2420	5000	P11262-ND	2.24	1.38	.97	.53	EEU-FC1H821
	820	12.5	35	5.0	0.80	410.0	0.034	2285	5000	P10332-ND	1.18	.85	.64	.38	EEU-FC1H821L
	1000	16	25	7.5	0.80	500.0	0.034	2235	5000	P10333-ND	1.48	.93	.70	.42	EEU-FC1H102
	1000	12.5	40	5	0.80	500.0	0.03	2590	5000	P11263-ND	1.94	1.26	.89	.49	EEU-FC1H102L
	1200	18	25	7.5	0.80	600.0	0.029	2610	5000	P11265-ND	2.73	1.74	1.23	.67	EEU-FC1H122S
	1200	16	31.5	7.5	0.80	600.0	0.028	2700	5000	P11264-ND	2.73	1.54	1.09	.60	EEU-FC1H122
	1500	16	35.5	7.5	0.80	750.0	0.025	2790	5000	P10334-ND	1.68	1.20	.91	.59	EEU-FC1H152L
	1800	18	31.5	7.5	0.80	900.0	0.025	3000	5000	P11267-ND	3.03	2.01	1.42	.77	EEU-FC1H182
	1800	16	40	7.5	0.80	900.0	0.023	2845	5000	P11266-ND	2.97	1.95	1.37	.75	EEU-FC1H182L
	2200	18	35.5	7.5	0.80	1100.0	0.023	3100	5000	P10335-ND	2.20	1.48	1.12	.73	EEU-FC1H222
	6.8	4	11	1.5	0.45	4.284	3.5	80	1000	P11268-ND	.24	.16	.12	.07	EEU-FC1J6R8
	12	5	11	2.0	0.50	7.5	2.00	145	1000	P10336-ND	.29	.12	.09	.05	EEU-FC1J120
	18	5	15	2.0	0.50	11.3	1.30	200	1000	P10337-ND	.25	.17	.13	.07	EEU-FC1J180
	22	6.3	11.2	2.5	0.50	13.8	1.00	240	1000	P10338-ND	.23	.13	.10	.06	EEU-FC1J220
	33	6.3	11.2	2.5	0.50	20.7	1.000	240	1000	P10764-ND	.25	.13	.10	.06	EEU-FC1J330
	39	6.3	15	2.5	0.50	24.5	0.70	330	1000	P10339-ND	.27	.20	.14	.08	EEU-FC1J390
	47	8	11.5	3.5	0.60	29.6	0.342	405	2000	P10340-ND	.32	.19	.14	.08	EEU-FC1J470
	68	8	11.5	3.5	0.60	42.8	0.342	405	2000	P10341-ND	.34	.19	.14	.08	EEU-FC1J680
	56	8	11.5	3.5	0.60	35.28	0.342	405	2000	P11269-ND	.41	.21	.15	.08	EEU-FC1J560
	82	10	12.5	5	0.60	51.66	0.256	535	3000	P11270-ND	.53	.29	.21	.12	EEU-FC1J820
	100	10	12.5	5.0	0.60	63.0	0.256	535	3000	P10343-ND	.37	.24	.18	.10	EEU-FC1J101
	100	8	15	3.5	0.60	63.0	0.230	535	2000	P10342-ND	.34	.24	.18	.10	EEU-FC1J101L
	120	10	16	5	0.60	75.6	0.194	600	3000	P11271-ND	.69	.39	.28	.15	EEU-FC1J121
	150	8	20	3.5	0.60	94.5	0.178	690	2000	P10344-ND	.47	.28	.21	.12	EEU-FC1J151
	180	12.5	15	5.0	0.60	113.4	0.150	1020	5000	P10345-ND	.68	.47	.34	.20	EEU-FC1J181S
	180	10	20	5	0.60	113.4	0.147	885	3000	P11272-ND	.84	.47	.33	.18	EEU-FC1J181
	220	12.5	20	5.0	0.60	138.6	0.085	1285	5000	P10347-ND	.76	.50	.38	.23	EEU-FC1J221S
	220	10	25	5.0	0.60	138.6	0.130	1050	3000	P10346-ND	.58	.43	.32	.18	EEU-FC1J221
63	270	16	15	7.5	0.80	170.1	0.090	1410	5000	P10348-ND	.89	.62	.46	.28	EEU-FC1J271
	330	12.5	20	5.0	0.60	207.9	0.085	1285	5000	P10349-ND	.74	.50	.38	.23	EEU-FC1J331
	330	10	30	5	0.60	207.9	0.09	1300	3000	P11273-ND	1.02	.64	.46	.25	EEU-FC1J331L
	390	18	15	7.5	0.80	245.7	0.086	1690	5000	P10350-ND	1.18	.83	.63	.37	EEU-FC1J391S
	390	12.5	25	5	0.60	245.7	0.07	1720	5000	P11274-ND	1.51	.82	.58	.32	EEU-FC1J391
	470	16	20	7.5	0.80	296.1	0.059	1765	5000	P10352-ND	1.15	.78	.59	.35	EEU-FC1J471
	470	12.5	30	5.0	0.80	296.1	0.055	2090	5000	P10351-ND	1.07	.65	.49	.29	EEU-FC1J471L
	560	16	25	7.5	0.80	352.8	0.05	2160	5000	P11275-ND	2.20	1.21	.85	.47	EEU-FC1J561
	680	18	20	7.5	0.80	428.4	0.055	2290	5000	P11276-ND	2.24	1.38	.97	.53	EEU-FC1J681S
	680	16	25	7.5	0.80	428.4	0.050	2160	5000	P10354-ND	1.51	.93	.70	.42	EEU-FC1J681
	680	12.5	35	5.0	0.80	428.4	0.047	2265	5000	P10353-ND	1.14	.85	.64	.38	EEU-FC1J681L
	820	18	25	7.5	0.80	516.6	0.043	2585	5000	P11279-ND	2.73	1.74	1.23	.67	EEU-FC1J821S
	820	16	31.5	7.5	0.80	516.6	0.043	2670	5000	P11278-ND	2.73	1.54	1.09	.60	EEU-FC1J821
	820	12.5	40	5	0.80	516.6	0.042	2560	5000	P11277-ND	1.94	1.26	.89	.49	EEU-FC1J821L
	1000	16	31.5	7.5	0.80	630.0	0.043	2670	5000	P11280-ND	2.82	1.54	1.09	.60	EEU-FC1J102U
	1000	16	35.5	7.5	0.80	630.0	0.036	2770	5000	P10355-ND	1.68	1.20	.91	.59	EEU-FC1J102
	1200	16	40	7.5	0.80	756.0	0.032	2950	5000	P11282-ND	3.09	1.95	1.37	.75	EEU-FC1J122L
	1200	18	31.5	7.5	0.80	756.0	0.03	2825	5000	P11281-ND	3.14	2.01	1.42	.77	EEU-FC1J122
	1500	18	35.5	7.5	0.80	945.0	0.030	3095	5000	P10356-ND	2.29	1.48	1.12	.73	EEU-FC1J152
	1800	18	40	7.5	0.80	1134.0	0.025	3205	5000	P11283-ND	4.04	2.55	1.80	.99	EEU-FC1J182
	1.0	5	11	2.0	0.50	1.0	7.500	15	1000	P10765-ND	.20	.12	.09	.05	EEU-FC2A1R0
	2.2	5	11	2.0	0.50	2.2	5.400	35	1000	P10766-ND	.25	.12	.09	.05	EEU-FC2A2R2
	3.3	5	11	2.0	0.50	3.3	4.400	50	1000	P10767-ND	.25	.12	.09	.05	EEU-FC2A3R3
	4.7	5	11	2.0	0.50	4.7	4.400	65	1000	P10768-ND	.25	.12	.09	.05	EEU-FC2A4R7
	10	6.3	11.2	2.5	0.50	10.0	1.800	114	1000	P10769-ND	.26	.15	.11	.06	EEU-FC2A100
	22	8	11.5	3.5	0.60	22.0	0.680	260	2000	P10770-ND	.37	.21	.15	.09	EEU-FC2A220
	33	10	12.5	5.0	0.60	33.0	0.530	306	3000	P10771-ND	.43	.27	.20	.11	EEU-FC2A330
	33	8	15	3.5	0.60	33.0	0.450	340	2000	P10772-ND	.46	.27	.20	.11	EEU-FC2A330L
	47	10	20	5.0	0.60	47.0	0.240	463	3000	P10773-ND	.69	.42	.31	.18	EEU-FC2A470
	68	10	25	5.0	0.60	68.0	0.210	599	3000	P10774-ND	.75	.47	.35	.20	EEU-FC2A680L
100	100	12.5	20	5.0	0.60	100.0	0.180	671	5000	P10776-ND	.86	.56	.42	.25	EEU-FC2A101
	100	10	30	5.0	0.60	100.0	0.150	698	3000	P10775-ND	.79	.54	.41	.24	EEU-FC2A101L
	150	18	15	7.5	0.80	150.0	0.120	917	5000	P10778-ND	1.31	.92	.69	.41	EEU-FC2A151S
	150	12.5	25	5.0	0.60	150.0	0.110	807	5000	P10777-ND	.97	.68	.51	.30	EEU-FC2A151
	220	16	25	7.5	0.80	220.0	0.089	1170	5000	P10780-ND	1.49	.90	.68	.45	EEU-FC2A221
	220	12.5	35	5.0	0.80	220.0	0.087	1040	5000	P10779-ND	1.31	.93	.70	.42	EEU-FC2A221L
	270	12.5	40	5.0	0.80	270.0	0.072	1130	5000	P10781-ND	1.31	.94	.71	.47	EEU-FC2A271L
	330	18	25	7.5	0.80	330.0	0.070	1420	5000	P10783-ND	1.87	1.31	.99	.65	EEU-FC2A331S
	330	16	31.5	7.5	0.80	330.0	0.062	1520	5000	P10782-ND	1.85	1.16	.87	.57	EEU-FC2A331
	390	16	35.5	7.5	0.80	390.0	0.053	1730	5000	P10784-ND	1.87	1.32	1.00	.65	EEU-FC2A391L
	470	16	40	7.5	0.80	470.0	0.047	1920	5000	P10874-ND	2.09	1.46	1.10	.72	EEU-FC2A471
	680	18	40	7.5	0.80	680.0	0.036	2300	5000	P10875-ND	2.78	1.91	1.44	.94	EEU-FC2A681

MERKMALE:

• Niedrige Impedanz: 40 ~ 70 % niedriger als Serie FC • Hoher Mischstrom: 50 % höher als bei Serie FC • Haltbarkeit: 2000 ~ 7000 Stunden bei +105 °C • PVC-frei, bleifrei • Markierung: Schwarze Körperfarbe mit goldener Aufschrift

SPEZIFIKATIONEN:

• **Betriebstemperaturbereich:** -40 °C ~ 105 °C • **Kapazitanztoleranz:** ±20 % (120 Hz, +20 °C).
• **DC-Leckstrom:** I ≤0,01 CV (µA) nach 2 Minuten Anwendung einer Nennbetriebsspannung bei +20 °C.

• **Tan** δ (bei 120 Hz, 20 °C)

Betriebsspannung (VDC)	6.3	10	16	25	35	50
Tan δ max.	0.22	0.19	0.16	0.14	0.12	0.10

Für Kapazitätswert >1.000 µF, 0,02 pro 1.000 µF addieren.

• **Impedanz bei Hochfrequenz:** Siehe Standardproduktttabelle • **Mischstrom:** Siehe Standardproduktttabelle (100 kHz, 105 °C)

Ermüdung:

Testbedingungen — Dauer: 3.000 Stunden (für Ø 8x11,5 ~ 15 mm), 4.000 Stunden (für Ø 8x20, Ø 10x12,5 ~ 16 mm), 5.000 Stunden (für Ø 10x20 ~ 25, Ø 12,5x20, Ø 16x20 mm), 7.000 Stunden (für Ø 12,5x25 ~ 35, Ø 16x25 mm) • **Umgebungstemperatur:** 105 °C ±2 °C

• **Angelegte Spannung:** DC-Spannung mit maximal zulässigem Mischstrom spezifiziert bei 105 °C (die Summe der DC-Spannung und der überlagerten Spitzen-AC-Spannung für maximal zulässigen Mischstrom sollte der Nennbetriebsspannung (DC) entsprechen.)

Post-Testanforderungen bei +20 °C — Leckstrom: ≤Erstem spezifiziertem Wert
• **Kapazitätsveränderung:** 16 V ~ 50 V: ±25 % des ersten gemessenen Wertes (6,3 V ~ 10 V: ±30 %) • **Tan** δ: ≤200 % des ersten spezifizierten Wertes

Lagerbeständigkeit: Nach Lagerung 1.000 Stunden bei 105 ±2 °C und ohne anliegende Spannung und nach nachfolgender Stabilisierung bei 20 °C muss der Kondensator die unter „Ermüdung" angegebenen Limits erfüllen. (Bei Spannungsbehandlung)

Frequenzkorrekturfaktor für Mischstrom

WV* (V DC)	Kap. (µF) \ Frequenz (Hz)	60	120	1K	10K	100K
6.3 ~ 50	22 ~ 33	0.45	0.55	0.75	0.90	1.00
	47 ~ 330	0.60	0.70	0.85	0.95	1.00
	390 ~ 1000	0.65	0.75	0.90	0.98	1.00
	1200 ~ 6800	0.75	0.80	0.95	1.00	1.00

* Betriebsspannung

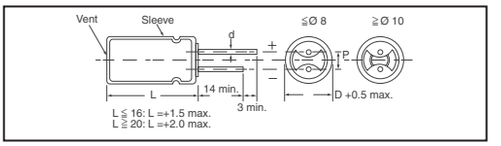

Betriebs-spannung (VDC)	Kap. (µF)	Abmessungen (mm) ØD	L	P	Ød	Leckstrom max. (+20 °C) (2 min.) (µA)	Impedanz max. (100 kHz) (+20 °C) (Ω)	Mischstrom max. (1.000 kHz @ 105 °C) (mA) rms	Lebensdauer (Stunden)	Digi-Key Teilenr.	Preisangaben 1	10	100	1.000	Panasonic Teilenr.
6.3	150	5	11	2.0	0.5	9.5	0.300	280	2000	P12917-ND	.14	.98	7.03	39.35	EEU-FM0J151
	330	6	11.2	2.5	0.5	20.8	0.130	455	2000	P12918-ND	.17	1.23	8.76	49.07	EEU-FM0J331
	560	8	11.5	3.5	0.6	35.3	0.056	950	3000	P12348-ND	.27	1.83	12.91	70.43	EEU-FM0J561
	820	8	15	3.5	0.6	51.7	0.041	1240	3000	P12352-ND	.31	2.29	16.38	91.75	EEU-FM0J821L
	1000	10	12.5	5.0	0.6	63.0	0.038	1290	4000	P12340-ND	.31	2.32	16.55	92.69	EEU-FM0J102
	1200	10	16	5.0	0.6	75.6	0.026	1790	4000	P12341-ND	.42	3.09	22.07	123.59	EEU-FM0J122
	1200	8	20	3.5	0.6	75.6	0.030	1560	4000	P12342-ND	.36	2.68	19.12	107.04	EEU-FM0J122L
	1500	10	20	5.0	0.6	94.5	0.019	2180	5000	P12343-ND	.50	3.71	26.49	148.33	EEU-FM0J152
	2200	10	25	5.0	0.6	138.6	0.018	2470	5000	P12344-ND	.52	3.81	28.00	160.82	EEU-FM0J222L
	3300	12.5	20	5.0	0.6	207.9	0.018	2600	5000	P12345-ND	.64	4.77	35.01	201.11	EEU-FM0J332
	3900	12.5	25	5.0	0.6	245.7	0.015	3190	7000	P12346-ND	.80	6.00	44.08	253.24	EEU-FM0J392
	4700	12.5	30	5.0	0.8	296.1	0.013	3630	7000	P12347-ND	.83	6.18	45.38	260.70	EEU-FM0J472L
	5600	12.5	35	5.0	0.8	352.8	0.012	3750	7000	P12349-ND	1.13	8.51	63.84	377.38	EEU-FM0J562L
	5600	16	20	7.5	0.8	352.8	0.017	3300	5000	P12350-ND	.92	6.95	52.13	308.19	EEU-FM0J562S
	6800	16	25	7.5	0.8	428.4	0.014	3820	7000	P12351-ND	1.10	8.28	62.07	366.90	EEU-FM0J682
10	100	5	11	2.0	0.5	10.0	0.300	280	2000	P12919-ND	.14	.98	7.03	39.35	EEU-FM1A101
	220	6	11.2	2.5	0.5	22.0	0.130	455	2000	P12920-ND	.17	1.23	8.76	49.07	EEU-FM1A221
	470	8	11.5	3.5	0.6	47.0	0.056	950	3000	P12361-ND	.27	1.83	12.91	70.43	EEU-FM1A471
	680	10	12.5	5.0	0.6	68.0	0.038	1290	4000	P12364-ND	.31	2.32	16.55	92.69	EEU-FM1A681
	680	8	15	3.5	0.6	68.0	0.041	1240	3000	P12365-ND	.31	2.29	16.38	91.75	EEU-FM1A681L
	1000	10	16	5.0	0.6	100.0	0.026	1790	4000	P12353-ND	.42	3.09	22.07	123.59	EEU-FM1A102
	1000	8	20	3.5	0.6	100.0	0.030	1560	4000	P12354-ND	.42	3.09	22.07	123.59	EEU-FM1A102L
	1200	10	20	5.0	0.6	120.0	0.019	2180	5000	P12355-ND	.50	3.71	26.49	148.33	EEU-FM1A122
	1500	10	25	5.0	0.6	150.0	0.018	2470	5000	P12356-ND	.52	3.81	28.00	160.82	EEU-FM1A152L
	2200	12.5	20	5.0	0.6	220.0	0.018	2600	5000	P12357-ND	.64	4.77	35.01	201.11	EEU-FM1A222
	3300	12.5	25	5.0	0.6	330.0	0.015	3190	7000	P12735-ND	.80	6.00	44.08	253.24	EEU-FM1A332
	3900	12.5	30	5.0	0.8	390.0	0.013	3630	7000	P12736-ND	.83	6.18	45.38	260.70	EEU-FM1A392L
	3900	16	20	7.5	0.8	390.0	0.017	3300	5000	P12737-ND	.92	6.95	52.13	308.19	EEU-FM1A392S
	4700	12.5	35	5.0	0.8	470.0	0.012	3750	7000	P12362-ND	1.13	8.51	63.84	377.38	EEU-FM1A472L
	5600	16	25	7.5	0.8	560.0	0.014	3820	7000	P12363-ND	1.10	8.28	62.07	366.90	EEU-FM1A562
16	68	5	11	2.0	0.5	10.9	0.300	280	2000	P12921-ND	.14	.98	7.03	39.35	EEU-FM1C680
	120	6	11.2	2.5	0.5	19.2	0.130	455	2000	P12922-ND	.17	1.23	8.76	49.07	EEU-FM1C121
	330	8	11.5	3.5	0.6	52.8	0.056	950	3000	P12372-ND	.27	1.83	12.91	70.43	EEU-FM1C331
	470	10	12.5	5.0	0.6	75.2	0.038	1290	4000	P12375-ND	.31	2.32	16.55	92.69	EEU-FM1C471
	470	8	15	3.5	0.6	75.2	0.041	1240	3000	P12376-ND	.31	2.29	16.38	91.75	EEU-FM1C471L
	680	10	16	5.0	0.6	108.8	0.026	1790	4000	P12377-ND	.42	3.09	22.07	123.59	EEU-FM1C681
	680	8	20	3.5	0.6	108.8	0.030	1560	4000	P12378-ND	.36	2.68	19.12	107.04	EEU-FM1C681L
	1000	10	20	5.0	0.6	160.0	0.019	2180	5000	P12366-ND	.50	3.71	26.49	148.33	EEU-FM1C102
	1200	10	25	5.0	0.6	192.0	0.018	2470	5000	P12367-ND	.52	3.81	28.00	160.82	EEU-FM1C122L
	1500	12.5	20	5.0	0.6	240.0	0.018	2600	5000	P12368-ND	.64	4.77	35.01	201.11	EEU-FM1C152
	2200	12.5	25	5.0	0.6	352.0	0.015	3190	7000	P12369-ND	.80	6.00	44.08	253.24	EEU-FM1C222
	2700	12.5	30	5.0	0.8	432.0	0.013	3630	7000	P12370-ND	.83	6.18	45.38	260.70	EEU-FM1C272L
	2700	16	20	7.5	0.8	432.0	0.017	3300	5000	P12371-ND	.92	6.95	52.13	308.19	EEU-FM1C272S
	3300	12.5	35	5.0	0.8	528.0	0.012	3750	7000	P12373-ND	1.13	8.51	63.84	377.38	EEU-FM1C332L
	3900	16	25	7.5	0.8	624.0	0.014	3820	7000	P12374-ND	1.10	8.28	62.07	366.90	EEU-FM1C392
25	47	5	11	2.0	0.5	11.8	0.300	280	2000	P12923-ND	.14	.98	7.03	39.35	EEU-FM1E470
	100	6	11.2	2.5	0.5	25.0	0.130	455	2000	P12924-ND	.17	1.22	8.70	48.71	EEU-FM1E101
	220	8	11.5	3.5	0.6	55.0	0.056	950	3000	P12383-ND	.27	1.83	12.91	70.43	EEU-FM1E221
	330	10	12.5	5.0	0.6	82.5	0.038	1290	4000	P12386-ND	.31	2.32	16.55	92.69	EEU-FM1E331
	330	8	15	3.5	0.6	82.5	0.041	1240	3000	P12387-ND	.31	2.29	16.38	91.75	EEU-FM1E331L
	470	10	16	5.0	0.6	117.5	0.026	1790	4000	P12388-ND	.42	3.09	22.07	123.59	EEU-FM1E471
	470	8	20	3.5	0.6	117.5	0.030	1560	4000	P12389-ND	.36	2.68	19.12	107.04	EEU-FM1E471L
	680	10	20	5.0	0.6	170.0	0.019	2180	5000	P12390-ND	.50	3.71	26.49	148.33	EEU-FM1E681
	820	10	25	5.0	0.6	205.0	0.018	2470	5000	P12391-ND	.52	3.81	28.00	160.82	EEU-FM1E821L
	1000	12.5	20	5.0	0.6	250.0	0.018	2600	5000	P12379-ND	.64	4.77	35.01	201.11	EEU-FM1E102
	1500	12.5	25	5.0	0.6	375.0	0.015	3190	7000	P12380-ND	.80	6.00	44.08	253.24	EEU-FM1E152
	1800	12.5	30	5.0	0.8	450.0	0.013	3630	7000	P12381-ND	.83	6.18	45.38	260.70	EEU-FM1E182L
	1800	16	20	7.5	0.8	450.0	0.017	3300	5000	P12382-ND	.92	6.95	52.13	308.19	EEU-FM1E182S
	2200	12.5	35	5.0	0.8	550.0	0.012	3750	7000	P12384-ND	1.13	8.51	63.84	377.38	EEU-FM1E222L
	2700	16	25	7.5	0.8	675.0	0.014	3820	7000	P12385-ND	1.10	8.28	62.07	366.90	EEU-FM1E272
35	33	5	11	2.0	0.5	11.6	0.300	280	2000	P12925-ND	.14	.98	7.03	39.35	EEU-FM1V330
	68	6	11.2	2.5	0.5	23.8	0.130	455	2000	P12926-ND	.17	1.22	8.70	48.71	EEU-FM1V680
	150	8	11.5	3.5	0.6	52.5	0.056	950	3000	P12408-ND	.27	1.83	12.91	70.43	EEU-FM1V151
	220	10	12.5	5.0	0.6	77.0	0.038	1290	4000	P12411-ND	.31	2.32	16.55	92.69	EEU-FM1V221
	220	8	15	3.5	0.6	77.0	0.041	1240	3000	P12412-ND	.31	2.29	16.38	91.75	EEU-FM1V221L
	330	10	16	5.0	0.6	115.5	0.026	1790	4000	P12413-ND	.42	3.09	22.07	123.59	EEU-FM1V331
	330	8	20	3.5	0.6	115.5	0.030	1560	4000	P12414-ND	.36	2.68	19.12	107.04	EEU-FM1V331L
	470	10	20	5.0	0.6	164.5	0.019	2180	5000	P12415-ND	.50	3.71	26.49	148.33	EEU-FM1V471
	560	10	25	5.0	0.6	196.0	0.018	2470	5000	P12416-ND	.52	3.81	28.00	160.82	EEU-FM1V561L
	680	12.5	20	5.0	0.6	238.0	0.018	2600	5000	P12417-ND	.64	4.77	35.01	201.11	EEU-FM1V681
	1000	12.5	25	5.0	0.6	350.0	0.015	3190	7000	P12405-ND	.80	6.00	44.08	253.24	EEU-FM1V102
	1200	12.5	30	5.0	0.8	420.0	0.013	3630	7000	P12406-ND	.83	6.18	45.38	260.70	EEU-FM1V122L
	1200	16	20	7.5	0.8	420.0	0.017	3300	5000	P12407-ND	.92	6.95	52.13	308.19	EEU-FM1V122S
	1500	12.5	35	5.0	0.8	525.0	0.012	3750	7000	P12409-ND	1.13	8.51	63.84	377.38	EEU-FM1V152L
	1800	16	25	7.5	0.8	630.0	0.014	3820	7000	P12410-ND	1.10	8.28	62.07	366.90	EEU-FM1V182
50	22	5	11	2.0	0.5	11.0	0.340	250	2000	P12927-ND	.14	.98	7.03	39.35	EEU-FM1H220
	56	6	11.2	2.5	0.5	28.0	0.140	405	2000	P12928-ND	.17	1.22	8.70	48.71	EEU-FM1H560
	100	8	11.5	3.5	0.6	50.0	0.061	870	3000	P12392-ND	.27	1.83	12.91	70.43	EEU-FM1H101
	120	8	15	3.5	0.6	60.0	0.045	1140	3000	P12394-ND	.31	2.29	16.38	91.75	EEU-FM1H121L
	150	10	12.5	5.0	0.6	75.0	0.042	1170	4000	P12395-ND	.31	2.32	16.55	92.69	EEU-FM1H151
	180	8	20	3.5	0.6	90.0	0.033	1430	4000	P12396-ND	.36	2.68	19.12	107.04	EEU-FM1H181L
	220	10	16	5.0	0.6	110.0	0.030	1650	4000	P12397-ND	.42	3.09	22.07	123.59	EEU-FM1H221
	270	10	20	5.0	0.6	135.0	0.023	1890	5000	P12398-ND	.50	3.71	26.49	148.33	EEU-FM1H271
	330	10	25	5.0	0.6	165.0	0.022	2150	5000	P12399-ND	.52	3.81	28.00	160.82	EEU-FM1H331L
	470	12.5	20	5.0	0.6	235.0	0.022	2260	5000	P12400-ND	.64	4.77	35.01	201.11	EEU-FM1H471
	560	12.5	25	5.0	0.6	280.0	0.018	2660	7000	P12401-ND	.80	6.00	44.08	253.24	EEU-FM1H561
	680	12.5	30	5.0	0.8	340.0	0.016	3160	7000	P12402-ND	.83	6.18	45.38	260.70	EEU-FM1H681L
	820	12.5	35	5.0	0.8	410.0	0.014	3270	7000	P12403-ND	1.13	8.51	63.84	377.38	EEU-FM1H821L
	820	16	20	7.5	0.8	410.0	0.019	2870	5000	P12404-ND	.92	6.95	52.13	308.19	EEU-FM1H821S
	1000	16	25	7.5	0.8	500.0	0.016	3320	7000	P12393-ND	1.10	8.28	62.07	366.90	EEU-FM1H102

E

Alle Preisangaben in Euro und inklusive Zollgebühren.

Panasonic Serie EB

Kondensator mit radialer Ableitung für hohen Mischstrom/Langzeitanwendungen (hohe Spannung)

MERKMALE: • Hoher Mischstrom (hohe Frequenz) • Lebensdauer: 105° C 5.000 Stunden

HAUPTANWENDUNG: • Elektronischer Ballast, Stromversorgung

SPEZIFIKATIONEN:

Betriebstemperaturbereich: -25 °C ~ +105 °C

Nennbetriebsspannungsbereich 160 ~ 450 V DC

Nennkapazitätsbereich 10 ~ 330 µF

Kapazitätstoleranz: ±20 % (120 Hz, +20 °C)

Leckstrom: I ≤ 0,06 CV + 10 (µA) nach 2 Minuten Anwendung einer Nennbetriebsspannung bei +20 °C.

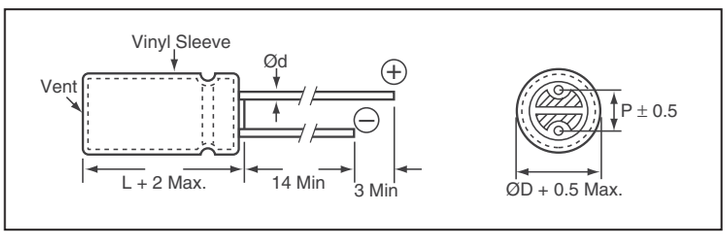

Betriebsspannung:	160	200	250	350	400	450
Dissipationsfaktor - max. (bei 120 Hz, +20 °C):	0.15	0.15	0.15	0.20	0.24	0.24
Temperatureigensch. Z (-25 °C)/Z (+20 °C): (Impedanzverhältnis bei 120 Hz)	3	3	3	6	6	6

Mischstrom-Frequenzmultiplikator:

	Frequenz (Hz)			
Betriebsspannung	120	1k	10k ~ 30k	30k ~ 100k
160 ~ 250	0.55	0.85	0.90	1.00
350 ~ 450	0.50	0.80	0.90	1.00

Ermüdung:

Testbedingungen		Post-Testanforderungen bei +20 °C	
Dauer	5.000 Stunden	DC-Leckstrom	≤ erster spezifizierter Wert
Umgebungstemperatur	+105°C	Kapazitätsveränderung	±20 % des ersten gemessenen Wertes
Angelegte Spannung	≤ Nennbetriebsspannung (DC)	Dissipationsfaktor	≤ 200 % erster spezifizierter Wert

Lagerbeständigkeit:

Testbedingungen		Post-Testanforderungen bei +20 °C	
Dauer	1.000 Stunden	DC-Leckstrom	≤ erster spezifizierter Wert
Umgebungstemperatur	+105°C	Kapazitätsveränderung	±20 % des ersten gemessenen Wertes
Angelegte Spannung	—	Dissipationsfaktor	≤ 200 % erster spezifizierter Wert

WV* (VDC)	Kap. (µF)	D.C.L. max. (+20 °C/2 mm) [µA]	max. DF (120 Hz/20 °C)	Mischstrom max. (100 kHz/+105 °C) (mA) rms	Abmessungen (mm) ØD	L	P	Ød	Digi-Key Teilenr.	Preisangaben 1	10	100	1.000	5.000	10.000	Panasonic Teilenr.
160	22	221.2	0.15	470	10	20	5.0	0.6	P5900-ND	.57	3.33	26.08	165.93	156.63/M	143.93/M	EEU-EB2C220
	33	326.8	0.15	470	10	20	5.0	0.6	P5901-ND	.57	3.33	26.08	165.93	156.63/M	143.93/M	EEU-EB2C330
	47	461.2	0.15	600	12.5	20	5.0	0.6	P5902-ND	.72	4.99	39.13	248.90	234.51/M	215.89/M	EEU-EB2C470
	68	662.8	0.15	750	12.5	25	5.0	0.6	P5903-ND	.92	5.74	44.95	285.30	269.22/M	248.06/M	EEU-EB2C680
	68	662.8	0.15	750	16	20	7.5	0.8	P5904-ND	1.11	8.51	66.67	423.30	399.60/M	368.28/M	EEU-EB2C680S
	100	970.0	0.15	1060	16	25	7.5	0.8	P5905-ND	1.11	8.51	66.67	423.30	399.60/M	368.28/M	EEU-EB2C101
	100	970.0	0.15	1060	18	20	7.5	0.8	P5906-ND	1.30	11.10	86.96	551.98	521.51/M	480.87/M	EEU-EB2C101S
	150	1450.0	0.15	1280	16	31.5	7.5	0.8	P5907-ND	1.41	11.84	92.77	589.23	556.22/M	513.04/M	EEU-EB2C151
	150	1450.0	0.15	1280	18	25	7.5	0.8	P5908-ND	1.86	12.22	95.67	607.86	573.15/M	529.13/M	EEU-EB2C151S
	220	2122.0	0.15	1280	16	31.5	7.5	0.8	P5909-ND	1.73	11.84	92.77	589.23	556.22/M	513.04/M	EEU-EB2C221
	220	2122.0	0.15	1280	18	25	7.5	0.8	P5910-ND	1.86	12.22	95.67	607.86	573.15/M	529.13/M	EEU-EB2C221S
	330	3178.0	0.15	1690	18	31.5	7.5	0.8	P5911-ND	1.73	14.81	115.97	736.54	695.06/M	640.88/M	EEU-EB2C331
200	22	274.0	0.15	470	10	20	5.0	0.6	P5912-ND	.54	3.33	26.08	165.93	156.63/M	143.93/M	EEU-EB2D220
	33	406.0	0.15	600	12.5	20	5.0	0.6	P5913-ND	.80	4.99	39.13	248.90	234.51/M	215.89/M	EEU-EB2D330
	47	574.0	0.15	600	12.5	20	5.0	0.6	P5914-ND	.82	5.18	40.59	257.37	242.98/M	224.35/M	EEU-EB2D470
	68	826.0	0.15	750	12.5	25	5.0	0.6	P5915-ND	1.13	6.66	52.18	331.02	312.40/M	288.70/M	EEU-EB2D680
	68	826.0	0.15	750	16	20	7.5	0.8	P5916-ND	1.46	8.51	66.67	423.30	399.60/M	368.28/M	EEU-EB2D680S
	100	1210.0	0.15	1060	16	25	7.5	0.8	P5917-ND	1.46	8.51	66.67	423.30	399.60/M	368.28/M	EEU-EB2D101
	100	1210.0	0.15	1060	18	20	7.5	0.8	P5918-ND	1.63	11.10	86.96	551.98	521.51/M	480.87/M	EEU-EB2D101S
	150	1810.0	0.15	1280	16	31.5	7.5	0.8	P5919-ND	1.72	11.84	92.77	589.23	556.22/M	513.04/M	EEU-EB2D151
	150	1810.0	0.15	1280	18	25	7.5	0.8	P5920-ND	1.90	12.22	95.67	607.86	573.15/M	529.13/M	EEU-EB2D151S
	220	2650.0	0.15	1690	18	31.5	7.5	0.8	P5921-ND	1.73	14.81	115.97	736.54	695.06/M	640.88/M	EEU-EB2D221
250	22	340.0	0.15	560	12.5	20	5.0	0.6	P5922-ND	.80	5.37	42.04	266.68	252.29/M	231.97/M	EEU-EB2E220
	33	505.0	0.15	560	12.5	20	5.0	0.6	P5923-ND	.80	5.37	42.04	266.68	252.29/M	231.97/M	EEU-EB2E330
	47	715.0	0.15	710	12.5	25	5.0	0.6	P5924-ND	1.03	6.66	52.18	331.02	312.40/M	288.70/M	EEU-EB2E470
	47	715.0	0.15	710	16	20	7.5	0.8	P5925-ND	1.40	8.51	66.67	423.30	399.60/M	368.28/M	EEU-EB2E470S
	68	1030.0	0.15	990	16	25	7.5	0.8	P5926-ND	1.40	8.51	66.67	423.30	399.60/M	368.28/M	EEU-EB2E680
	68	1030.0	0.15	990	18	20	7.5	0.8	P5927-ND	1.57	11.10	86.96	551.98	521.51/M	480.87/M	EEU-EB2E680S
	100	1510.0	0.15	1200	16	31.5	7.5	0.8	P5928-ND	1.72	11.84	92.77	589.23	556.22/M	513.04/M	EEU-EB2E101
	100	1510.0	0.15	1200	18	25	7.5	0.8	P5929-ND	1.71	12.22	95.67	607.86	573.15/M	529.13/M	EEU-EB2E101S
	150	2260.0	0.15	1470	18	31.5	7.5	0.8	P5930-ND	1.73	14.81	115.97	736.54	695.06/M	640.88/M	EEU-EB2E151
350	10	220.0	0.20	270	10	20	5.0	0.6	P5931-ND	.60	3.89	30.44	193.02	182.02/M	168.48/M	EEU-EB2V100
	22	472.0	0.20	350	12.5	20	5.0	0.6	P5932-ND	.82	5.92	46.38	294.62	277.69/M	256.52/M	EEU-EB2V220
	33	703.0	0.20	480	16	20	7.5	0.8	P5933-ND	1.32	9.25	72.48	460.55	434.31/M	400.45/M	EEU-EB2V330S
	47	997.0	0.20	640	16	25	7.5	0.8	P5934-ND	1.58	9.99	78.27	496.95	469.02/M	432.62/M	EEU-EB2V470
	47	997.0	0.20	640	18	20	7.5	0.8	P5935-ND	1.72	11.84	92.77	589.23	556.22/M	513.04/M	EEU-EB2V470S
	68	1438.0	0.20	780	16	31.5	7.5	0.8	P5936-ND	2.11	14.43	113.06	717.92	677.28/M	624.80/M	EEU-EB2V680
	68	1438.0	0.20	780	18	25	7.5	0.8	P5937-ND	2.11	14.43	113.06	717.92	677.28/M	624.80/M	EEU-EB2V680S
	100	2110.0	0.20	970	18	31.5	7.5	0.8	P5938-ND	1.99	17.03	133.36	846.60	799.19/M	737.39/M	EEU-EB2V101
400	10	250.0	0.24	250	10	20	5.0	0.6	P5939-ND	.66	3.89	30.44	193.02	182.02/M	168.48/M	EEU-EB2G100
	22	538.0	0.24	410	12.5	25	5.0	0.6	P5940-ND	1.03	7.40	57.98	368.27	347.11/M	320.02/M	EEU-EB2G220
	22	538.0	0.24	410	16	20	7.5	0.8	P5941-ND	1.21	9.25	72.48	460.55	434.31/M	400.45/M	EEU-EB2G220S
	33	802.0	0.24	600	16	25	7.5	0.8	P5942-ND	1.58	9.99	78.27	496.95	469.02/M	432.62/M	EEU-EB2G330
	33	802.0	0.24	600	18	20	7.5	0.8	P5943-ND	1.72	11.84	92.77	589.23	556.22/M	513.04/M	EEU-EB2G330S
	47	1138.0	0.24	730	16	31.5	7.5	0.8	P5944-ND	2.29	14.43	113.06	717.92	677.28/M	624.80/M	EEU-EB2G470
	47	1138.0	0.24	730	18	25	7.5	0.8	P5945-ND	2.29	14.43	113.06	717.92	677.28/M	624.80/M	EEU-EB2G470S
450	10	280.0	0.24	310	12.5	20	5.0	0.6	P5946-ND	.91	5.92	46.38	294.62	277.69/M	256.52/M	EEU-EB2W100
	22	604.0	0.24	560	16	25	7.5	0.8	P5947-ND	1.52	9.99	78.27	496.95	469.02/M	432.62/M	EEU-EB2W220
	22	604.0	0.24	560	18	20	7.5	0.8	P5948-ND	1.59	11.84	92.77	589.23	556.22/M	513.04/M	EEU-EB2W220S
	33	901.0	0.24	680	16	31.5	7.5	0.8	P5949-ND	1.94	14.43	113.06	717.92	677.28/M	624.80/M	EEU-EB2W330
	33	901.0	0.24	680	18	25	7.5	0.8	P5950-ND	2.18	13.33	104.37	662.89	625.64/M	576.54/M	EEU-EB2W330S
	47	1279.0	0.24	850	18	31.5	7.5	0.8	P5951-ND	1.99	17.03	133.36	846.60	799.19/M	737.39/M	EEU-EB2W470

Bipolare Aluminium-Elektrolytkondensatoren

Dieser bipolare Mini-Aluminium-Elektrolytkondensator ist für Umkehrschaltkreise von DC-Spannung ideal geeignet. Diese Serie verwendet das Mini-Gehäuse und erweitert die Produktpalette früherer Serien.

MERKMALE:

- Enge Kapazitätstoleranz (±20 %)
- Kompakte Größe
- Stabile Merkmale bei -40 °C ~ 85 °C

SPEZIFIKATIONEN:

- Betriebstemperaturbereich: -40 °C ~ 85 °C
- Nennbetriebsspannungsbereich: 6,3 ~ 50 V DC
- Kapazitätstoleranz: ±20 %
- DC-Leckstrom: I = 0,03 CV + 3 (µA) (nach 5 Minuten Anwendung einer DC-Betriebsspannung bei +20 °C)
- Tan δ max. bei 120 Hz/20 °C

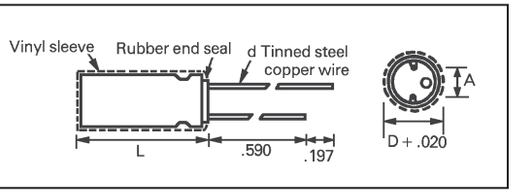

WV*	Kap. (µF)	Max. Leckstrom (µA)	Tan δ: (bei 120 Hz, 20 °C)	Mischstrom (mA) rms	Abmessungen D	L	A	d	Digi-Key Teilenr.	Stückpreis 1	10	100	1.000	Panasonic Teilenr.
6.3	47	11.9	0.30	100	6.3	11.2	2.5	0.6	P1101-ND	.40	.35	.27	.18	ECE-A0JN470S
	47	17.7	0.25	100	6.3	11.2	2.5	0.6	P1109-ND	.41	.36	.28	.18	ECE-A1AN470S
10	330	102.0	0.25	340	10	20	5	0.6	P1112-ND	.80	.70	.55	.35	ECE-A1AN331S
50	33	52.5	0.15	140	10	16	5	0.6	P1138-ND	.44	.42	.37	.32	ECE-A1HN330S

* Betriebsspannung

Panasonic® KS Kondensatoren

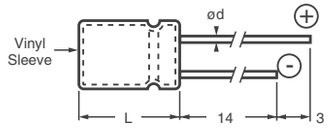

Körperdurchmesser D	3	4	5	6.3	8
Ableitungsdurchmesser D	0.4	0.45	0.45	0.45	0.45
Ableitungsraum P	1.0	1.5	2.0	2.5	2.5

Merkmale:

• Flachprofil, 5 mm hoch für Ø 3 ~ Ø 8 mm

Spezifikationen:

• Betriebstemperaturbereich: -40 °C ~ +85 °C **• Nennbetriebsspannungsbereich:** 4 ~ 50 V DC **• Nennkapazitätsbereich 0,1 ~ 330 µF • Kapazitätstoleranz:** ±20 % (120 Hz, +20 °C) **• Leckstrom:** I ≤ 0,01 CV oder 3 (µA), was immer nach 2 Minuten Anwendung von Nennbetriebsspannung bei +20 °C größer ist

Ermüdung:

• Testbedingungen - Dauer: 1.000 Stunden **• Umgebungstemperatur:** +85 °C. **• Angelegte Spannung:** Nennbetriebsspannung (DC) **• Post-Testanforderungen bei +20 °C — Leckstrom:** ≤ Erstem spezifiziertem Wert **• Kapazitätsänderung:** ±20 % des ersten gemessenen Wertes (4 V: ±30 %) **• Tan δ:** ≤ 200 % des ersten spezifizierten Wertes

Lagerbeständigkeit:

• Testbedingungen - Dauer: 1.000 Stunden **• Umgebungstemperatur:** +85 °C. **• Angelegte Spannung:** (keine) **• Post-Testanforderungen bei +20 °C — Leckstrom:** ≤ Erstem spezifiziertem Wert **• Kapazitätsänderung:** ±20 % des ersten gemessenen Wertes (4 V: ±30 %) **• Tan δ:** ≤200 % des ersten spezifizierten Wertes

Querreferenz - Panasonic KS:

Nippon Chemi-Con: SRE, Nichicon: MA, Elna: RC3, Rubycon: MS5, Marcon: LSM

Empfohlene Anwendungen:

AV (TV, Audio, Video), Büro, Haushaltsgeräte

Tan δ: (120 Hz, +20 °C)

Betriebsspannung (V)	4	6.3	10	16	25	35	50
tan δ max.	0.35	0.24	0.20	0.16	0.14	0.12	0.10

Eigenschaften bei Niedrigtemperatur: Impedanzverhältnis max. bei 120 Hz

Betriebsspannung (V)	4	6.3	10	16	25	35	50
-25°C/+25°C	7	4	3	2	2	2	2
-40°C/+20°C	15	8	6	4	4	3	3

WV** (V DC)	Kap. (µF)	D.C.L. (+20°C/2 min)	tan δ (120Hz/+20°C)	Misch-strom	Abm. (mm) ØD	L	P	Digi-Key Teilenr.	Preisangaben 10	100	1.000	Panasonic Teilenr.
4	22	3.0	0.35	19	3	5	1.0	P950-ND	1.17	9.15	49.95	ECE-A0GKK220
	33	3.0	0.35	26	4	5	1.5	P951-ND	.65	5.10	27.94	ECE-A0GKS330
	47	3.0	0.35	34	4	5	1.5	P952-ND	.65	5.10	27.94	ECE-A0GKS470
	100	4.0	0.35	61	5	5	2.0	P953-ND	.71	5.59	30.48	ECE-A0GKS101
	220	8.8	0.35	82	6.3	5	2.5	P954-ND	.86	6.77	37.25	ECE-A0GKS221
6.3	22	3.0	0.24	29	4	5	1.5	P955-ND	.65	5.10	27.94	ECE-A0JKS220
	33	3.0	0.24	38	5	5	2.0	P956-ND	.71	5.59	30.48	ECE-A0JKS330
	47	3.0	0.24	46	5	5	2.0	P957-ND	.71	5.59	30.48	ECE-A0JKS470
	100	6.3	0.24	71	6.3	5	2.5	P958-ND	.86	6.77	37.25	ECE-A0JKS101
	330	20.7	0.24	130	8	5	2.5	P959-ND	1.56	12.22	66.88	ECE-A0JKS331
10	22	3.0	0.20	35	5	5	2.0	P960-ND	.71	5.59	30.48	ECE-A1AKS220
	33	3.3	0.20	43	5	5	2.0	P961-ND	.71	5.59	30.48	ECE-A1AKS330
	47	4.7	0.20	65	6.3	5	2.5	P962-ND	.86	6.77	37.25	ECE-A1AKS470
	100	10.0	0.20	80	6.3	5	2.5	P963-ND	.86	6.77	37.25	ECE-A1AKS101
	220	22.0	0.20	120	8	5	2.5	P964-ND	1.56	12.22	66.88	ECE-A1AKS221
16	10	3.0	0.16	20	3	5	1.0	P965-ND	1.17	9.15	49.95	ECE-A1CKK100
	10	3.0	0.16	28	4	5	1.5	P966-ND	.65	5.10	27.94	ECE-A1CKS100
	22	3.5	0.16	39	5	5	2.0	P967-ND	.71	5.59	30.48	ECE-A1CKS220
	33	5.2	0.16	60	6.3	5	2.5	P968-ND	.86	6.77	37.25	ECE-A1CKS330
	47	7.5	0.16	70	6.3	5	2.5	P969-ND	.86	6.77	37.25	ECE-A1CKS470
	100	16.0	0.16	91	8	5	2.5	P970-ND	1.56	12.22	66.88	ECE-A1CKS101
25	2.2	3.0	0.14	8	3	5	1.0	P971-ND	1.17	9.15	49.95	ECE-A1EKK2R2
	3.3	3.0	0.14	10	3	5	1.0	P972-ND	1.17	9.15	49.95	ECE-A1EKK3R3
	4.7	3.0	0.14	12	3	5	1.0	P973-ND	1.17	9.15	49.95	ECE-A1EKK4R7
	4.7	3.0	0.14	22	4	5	1.5	P974-ND	.65	5.10	27.94	ECE-A1EKS4R7
	10	3.0	0.14	28	5	5	2.0	P975-ND	.71	5.59	30.48	ECE-A1EKS100
	22	5.5	0.14	55	6.3	5	2.5	P976-ND	.86	6.77	37.25	ECE-A1EKS220
	33	8.2	0.14	65	6.3	5	2.5	P977-ND	.86	6.77	37.25	ECE-A1EKS330
35	3.3	3.0	0.12	16	4	5	1.5	P978-ND	.65	5.10	27.94	ECE-A1VKS3R3
	4.7	3.0	0.12	22	4	5	1.5	P979-ND	.65	5.10	27.94	ECE-A1VKS4R7
	10	3.5	0.12	30	5	5	2.0	P980-ND	.71	5.59	30.48	ECE-A1VKS100
	22	7.7	0.12	60	6.3	5	2.5	P981-ND	.86	6.77	37.25	ECE-A1VKS220
	33	11.6	0.12	65	8	5	2.5	P982-ND	1.56	12.22	66.88	ECE-A1VKS330
	47	16.4	0.12	85	8	5	2.5	P983-ND	1.56	12.22	66.88	ECE-A1VKS470
50	0.1	3.0	0.10	1	4	5	1.5	P984-ND	.65	5.10	27.94	ECE-A1HKS0R1
	0.1	3.0	0.10	1	3	5	1.0	P985-ND	1.17	9.15	49.95	ECE-A1HKK0R1
	0.22	3.0	0.10	2	4	5	1.5	P986-ND	.65	5.10	27.94	ECE-A1HKSR22
	0.22	3.0	0.10	2	3	5	1.0	P987-ND	1.17	9.15	49.95	ECE-A1HKKR22
	0.33	3.0	0.10	3	4	5	1.5	P988-ND	.65	5.10	27.94	ECE-A1HKSR33
	0.33	3.0	0.10	3	3	5	1.0	P989-ND	1.17	9.15	49.95	ECE-A1HKKR33
	0.47	3.0	0.10	5	4	5	1.5	P990-ND	.65	5.10	27.94	ECE-A1HKSR47
	0.47	3.0	0.10	5	3	5	1.0	P991-ND	1.17	9.15	49.95	ECE-A1HKKR47
	1.0	3.0	0.10	8	3	5	1.0	P992-ND	1.17	9.15	49.95	ECE-A1HKK010
	1.0	3.0	0.10	10	4	5	1.5	P993-ND	.65	5.10	27.94	ECE-A1HKS010
	2.2	3.0	0.10	16	4	5	1.5	P994-ND	.65	5.10	27.94	ECE-A1HKS2R2
	3.3	3.0	0.10	16	4	5	1.5	P995-ND	.65	5.10	27.94	ECE-A1HKS3R3
	4.7	3.0	0.10	23	5	5	2.0	P996-ND	.71	5.59	30.48	ECE-A1HKS4R7
	10	5.0	0.10	35	6.3	5	2.5	P997-ND	.86	6.77	37.25	ECE-A1HKS100
	22	11.0	0.10	60	8	5	2.5	P998-ND	1.56	12.22	66.88	ECE-A1HKS220

Serie KA Mini-Aluminium-Elektrolytkondensatoren

Leistung WV** DC	µF	Dimensions (mm) D	L	P	Digi-Key Teilenr.	Preisangaben 1	10	100	500	1.000	5.000	Panasonic Teilenr.
6.3	22	4.0	7.0	1.5	P800-ND	.12	.77	5.17	17.52	27.09	22.86/M	ECE-A0JKA220
	33	4.0	7.0	1.5	P801-ND	.12	.77	5.17	17.52	27.09	22.86/M	ECE-A0JKA330
	47	4.0	7.0	1.5	P802-ND	.12	.77	5.17	17.52	27.09	22.86/M	ECE-A0JKA470
	100	5.0	7.0	2.0	P803-ND*	.14	.86	5.75	19.47	29.63	25.40/M	ECE-A0JKA101
	220	6.3	7.0	2.5	P829-ND	.13	.86	6.10	21.07	33.02	28.79/M	ECE-A0JKA221
	330	8.0	7.0	3.5	P830-ND	.19	1.42	10.18	36.65	56.72	53.34/M	ECE-A0JKA331
10	22	4.0	7.0	1.5	P804-ND	.12	.77	5.17	17.52	27.09	22.86/M	ECE-A1AKA220
	33	4.0	7.0	1.5	P805-ND	.12	.77	5.17	17.52	27.09	22.86/M	ECE-A1AKA330
	47	5.0	7.0	2.0	P806-ND	.14	.86	5.75	19.47	29.63	25.40/M	ECE-A1AKA470
	100	6.3	7.0	2.5	P831-ND	.13	.86	6.10	21.07	33.02	28.79/M	ECE-A1AKA101
	220	8.0	7.0	3.5	P832-ND	.19	1.42	10.18	36.65	56.72	53.34/M	ECE-A1AKA221
16	10	4.0	7.0	1.5	P807-ND	.12	.77	5.17	17.52	27.09	22.86/M	ECE-A1CKA100
	22	4.0	7.0	1.5	P808-ND	.12	.77	5.17	17.52	27.09	22.86/M	ECE-A1CKA220
	33	5.0	7.0	2.0	P809-ND*	.14	.86	5.75	19.47	29.63	25.40/M	ECE-A1CKA330
	47	5.0	7.0	2.0	P810-ND*	.14	.86	5.75	19.47	29.63	25.40/M	ECE-A1CKA470
	100	6.3	7.0	2.5	P833-ND	.13	.86	6.10	21.07	33.02	28.79/M	ECE-A1CKA101
25	4.7	4.0	7.0	1.5	P812-ND*	.12	.77	5.17	17.52	27.09	22.86/M	ECE-A1EKA4R7
	10	4.0	7.0	1.5	P813-ND	.12	.77	5.17	17.52	27.09	22.86/M	ECE-A1EKA100
	22	5.0	7.0	2.0	P814-ND	.14	.86	5.75	19.47	29.63	25.40/M	ECE-A1EKA220
	33	6.3	7.0	2.5	P815-ND	.13	.86	6.10	21.07	33.02	28.79/M	ECE-A1EKA330
	47	6.3	7.0	2.5	P834-ND	.13	.86	6.10	21.07	33.02	28.79/M	ECE-A1EKA470
35	4.7	4.0	7.0	1.5	P817-ND*	.12	.77	5.17	17.52	27.09	22.86/M	ECE-A1VKA4R7
	10	5.0	7.0	2.0	P818-ND*	.14	.86	5.75	19.47	29.63	25.40/M	ECE-A1VKA100
	22	6.3	7.0	2.5	P819-ND*	.13	.86	6.10	21.07	33.02	28.79/M	ECE-A1VKA220
	33	6.3	7.0	2.5	P835-ND	.13	.86	6.10	21.07	33.02	28.79/M	ECE-A1VKA330
	47	8.0	7.0	3.5	P836-ND	.19	1.42	10.18	36.65	56.72	53.34/M	ECE-A1VKA470
50	0.1	4.0	7.0	1.5	P820-ND*	.12	.77	5.17	17.52	27.09	22.86/M	ECE-A1HKA0R1
	0.22	4.0	7.0	1.5	P821-ND*	.12	.77	5.17	17.52	27.09	22.86/M	ECE-A1HKAR22
	0.33	4.0	7.0	1.5	P822-ND*	.12	.77	5.17	17.52	27.09	22.86/M	ECE-A1HKAR33
	0.47	4.0	7.0	1.5	P823-ND*	.12	.77	5.17	17.52	27.09	22.86/M	ECE-A1HKAR47
	1.0	4.0	7.0	1.5	P824-ND*	.12	.77	5.17	17.52	27.09	22.86/M	ECE-A1HKA010
	2.2	4.0	7.0	1.5	P825-ND*	.12	.77	5.17	17.52	27.09	22.86/M	ECE-A1HKA2R2
	3.3	4.0	7.0	1.5	P826-ND*	.12	.77	5.17	17.52	27.09	22.86/M	ECE-A1HKA3R3
	4.7	4.0	7.0	1.5	P827-ND*	.12	.77	5.17	17.52	27.09	22.86/M	ECE-A1HKA4R7
	10	5.0	7.0	2.0	P828-ND*	.14	.86	5.75	19.47	29.63	25.40/M	ECE-A1HKA100
	22	6.3	7.0	2.5	P837-ND	.13	.86	6.10	21.07	33.02	28.79/M	ECE-A1HKA220
	33	8.0	7.0	3.5	P838-ND	.19	1.42	10.18	36.65	56.72	53.34/M	ECE-A1HKA330

* **P835-KIT-ND** ***Digi-Key® Kondensator-Kit, Serie KA*** jeweils 10 der angegebenen Teile. (insgesamt 160 Stück) Notizbuchartiger Lagerbehälter **25.36**

** Betriebsspannung

Die Serie KA ist ein Tantalersatz für viele Anwendungen.

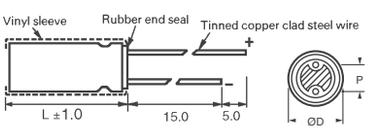

• **Betriebstemperaturbereich:** -40 °C ~ +85 °C

• **Nennbetriebsspannungsbereich:** 6,3 ~ 63 V DC.

• **Nennkapazitätsbereich** 1,0 ~ 100 µF

• **Kapazitätstoleranz:** ±20 %

Tan δ max. bei 120 Hz.

WV**	6.3	10	16	25	35	50
tan	0.24	0.2	0.16	0.14	0.12	0.10

• **DC-Leckstrom, max.:** Nach 5 Minuten Anlegung der DC-Betriebsspannung, I = 0,01 CV oder 3 µA, welcher Wert auch immer größer ist. • **Volllast-Lebensdauer:** Nach 1.000 Stunden Anwendung einer Nennbetriebsspannung (DC) bei +85 °C sollten folgende Anforderungen erfüllt werden:

Kapazitätsveränderung	Innerhalb ±20 % des ersten gemessenen Wertes
tan δ	Weniger als 200 % des ersten spezifizierten Wertes
DC-Leckstrom	Weniger als der erste spezifizierte Wert

• **Stabilität bei niedriger und hoher Temperatur:** Impedanzverhältnis bei 120 Hz –25/20 °C, –40/20 °C.

WV**	6.3	10	16	25	35	50
–25/20°C	4	3	2	2	2	2
–40/20°C	8	6	4	4	3	3

• **Lagerbeständigkeit:** Nach 1.000 Stunden Lagerung ohne Last bei +85 °C sollte der Kondensator die vorstehende Volllast-Lebensdauer erfüllen.

• **Andere müssen mit JIS-C-5141 (1976) übereinstimmen.**

QUERREFERENZEN - PANASONIC SERIE K

Elna: RC2, **IC:** RSS, **Marcon:** SSM, **Nichicon:** SR/SA, **Rubycon:** MS7, **UCC:** SRG/SRA

Panasonic® Serie KG Mini-Aluminium-Elektrolytkondensatoren 105 °C

Betriebs-spannung DC	Kap. µF	Größen code	Digi-Key Teilenr.	Preisangaben 1	10	100	Panasonic 500	1.000	5.000	Teilenr.
6.3	22	A	P900-ND	.15	.77	5.43	18.74	29.63	25.40/M	ECE-A0JKG220
	33	B	P901-ND	.16	.86	6.10	21.07	33.02	28.79/M	ECE-A0JKG330
	47	B	P902-ND	.17	.86	6.10	21.07	33.02	28.79/M	ECE-A0JKG470
	68	C	P903-ND	.17	1.06	7.48	25.82	40.64	35.56/M	ECE-A0JKG680
	100	C	P904-ND•	.20	1.06	7.48	25.82	40.64	35.56/M	ECE-A0JKG101
	220	D	P941-ND	.34	1.64	11.73	42.21	66.03	60.96/M	ECE-A0JKG221
10	22	A	P905-ND	.16	.77	5.43	18.74	29.63	25.40/M	ECE-A1AKG220
	33	B	P906-ND	.18	.86	6.10	21.07	33.02	28.79/M	ECE-A1AKG330
	47	C	P907-ND	.18	1.06	7.48	25.82	40.64	35.56/M	ECE-A1AKG470
	68	C	P908-ND	.20	1.06	7.48	25.82	40.64	35.56/M	ECE-A1AKG680
	100	C	P942-ND	.20	.95	6.80	24.46	38.10	35.56/M	ECE-A1AKG101
16	6.8	A	P909-ND	.15	.77	5.43	18.74	29.63	25.40/M	ECE-A1CKG6R8
	10	A	P910-ND	.16	.77	5.43	18.74	29.63	25.40/M	ECE-A1CKG100
	15	A	P911-ND	.16	.77	5.43	18.74	29.63	25.40/M	ECE-A1CKG150
	22	B	P912-ND	.18	.86	6.10	21.07	33.02	28.79/M	ECE-A1CKG220
	33	C	P913-ND•	.19	1.06	7.48	25.82	40.64	35.56/M	ECE-A1CKG330
	47	C	P914-ND•	.19	1.06	7.48	25.82	40.64	35.56/M	ECE-A1CKG470
	68	D	P943-ND	.34	1.64	11.73	42.21	66.03	60.96/M	ECE-A1CKG680
	100	D	P944-ND	.34	1.64	11.73	42.21	66.03	60.96/M	ECE-A1CKG101
25	6.8	A	P915-ND•	.16	.77	5.43	18.74	29.63	25.40/M	ECE-A1EKG6R8
	10	A	P916-ND•	.16	.77	5.43	18.74	29.63	25.40/M	ECE-A1EKG100
	15	B	P917-ND	.18	.86	6.10	21.07	33.02	28.79/M	ECE-A1EKG150
	22	B	P918-ND•	.19	.86	6.10	21.07	33.02	28.79/M	ECE-A1EKG220
	33	C	P919-ND	.21	1.06	7.48	25.82	40.64	35.56/M	ECE-A1EKG330
	47	D	P945-ND	.34	1.64	11.73	42.21	66.03	60.96/M	ECE-A1EKG470
	68	D	P946-ND	.34	1.64	11.73	42.21	66.03	60.96/M	ECE-A1EKG680
35	4.7	A	P920-ND•	.16	.77	5.43	18.74	29.63	25.40/M	ECE-A1VKG4R7
	6.8	A	P921-ND	.16	.77	5.43	18.74	29.63	25.40/M	ECE-A1VKG6R8
	10	B	P922-ND•	.18	.86	6.10	21.07	33.02	28.79/M	ECE-A1VKG100
	15	C	P923-ND	.21	1.06	7.48	25.82	40.64	35.56/M	ECE-A1VKG150
	22	C	P924-ND•	.21	1.06	7.48	25.82	40.64	35.56/M	ECE-A1VKG220
	33	D	P947-ND	.34	1.64	11.73	42.21	66.03	60.96/M	ECE-A1VKG330
	47	D	P948-ND	.34	1.64	11.73	42.21	66.03	60.96/M	ECE-A1VKG470
50	0.1	A	P925-ND•	.15	.77	5.43	18.74	29.63	25.40/M	ECE-A1HKG0R1
	0.15	A	P926-ND	.15	.77	5.43	18.74	29.63	25.40/M	ECE-A1HKGR15
	0.22	A	P927-ND•	.15	.77	5.43	18.74	29.63	25.40/M	ECE-A1HKGR22
	0.33	A	P928-ND•	.15	.77	5.43	18.74	29.63	25.40/M	ECE-A1HKGR33
	0.47	A	P929-ND•	.15	.77	5.43	18.74	29.63	25.40/M	ECE-A1HKGR47
	0.68	A	P930-ND	.15	.77	5.43	18.74	29.63	25.40/M	ECE-A1HKGR68
	1	A	P931-ND•	.15	.77	5.43	18.74	29.63	25.40/M	ECE-A1HKG010
	1.5	A	P932-ND	.15	.77	5.43	18.74	29.63	25.40/M	ECE-A1HKG1R5
	2.2	A	P933-ND•	.15	.77	5.43	18.74	29.63	25.40/M	ECE-A1HKG2R2
	3.3	A	P934-ND•	.16	.77	5.43	18.74	29.63	25.40/M	ECE-A1HKG3R3
	4.7	A	P935-ND•	.16	.77	5.43	18.74	29.63	25.40/M	ECE-A1HKG4R7
	6.8	B	P936-ND	.18	.86	6.10	21.07	33.02	28.79/M	ECE-A1HKG6R8
	10	C	P937-ND•	.21	1.06	7.48	25.82	40.64	35.56/M	ECE-A1HKG100
	15	C	P938-ND	.22	1.06	7.48	25.82	40.64	35.56/M	ECE-A1HKG150
	22	D	P939-ND	.34	1.64	11.73	42.21	66.03	60.96/M	ECE-A1HKG220
	33	D	P940-ND	.34	1.64	11.73	42.21	66.03	60.96/M	ECE-A1HKG330

Die Serie KG ist ein Tantalersatz für viele Anwendungen.

Merkmale: • Höhe: 7 mm • Anti-Lösungsmittel in Freon

Betriebstemperaturbereich: -40 °C ~ 105 °C

Kapazitätstoleranz: ±20 % (120 Hz, +20 °C)

DC-Leckstrom: I≤0,01 CV oder 3 [mA] nach 2 Min. (je nachdem, welcher Wert größer ist)

Tan δ: (bei 120 Hz, 120 °C)

Betriebsspannung	6.3	10	16	25	35	50
Tan δ max.	0.22	0.19	0.16	0.14	0.12	0.10

Niedrigtemperatur-Impedanzstabilität bei 120 Hz:

Betriebsspannung	6.3	10	16	25	35	50
Z(-25°C)/Z(+20°C)	3	2	2	2	2	2
Z(-40°C)/Z(+20°C)	6	5	3	3	3	3
Z(-55°C)/Z(+20°C)	8	6	4	4	4	4

Volllast-Lebensdauer: Nach 1.000 Stunden Anwendung einer Nennbetriebsspannung (DC) bei +105 °C sollten folgende Anforderungen erfüllt werden:

Kapazitätsänderung: < ±20 % des ersten gemessenen Wertes.

Tan δ: ≤200 % des ersten spezifizierten Wertes

DC-Leckstrom: <der erste spezifizierte Wert.

Anti-Lösungsmittel: Kann einer Platinenreinigung von bis zu 5 Minuten in Freon TE, TES oder TP-35 bei +40 °C durch Eintauchen, Bedampfen oder Ultraschall standhalten.

Größen-code	Abmessungen: (mm) Körperdurchmesser D	Ableitungsabstand P
A	4	1.5
B	5	2
C	6.3	2.5
D	8	3.5

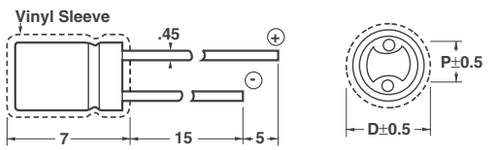

• **P900-KIT-ND** ***Digi-Key® Kondensator-Kit, Serie KG*** jeweils 10 der angegebenen Teile. (Insgesamt 180 Stück) Notizbuchartiger Lagerbehälter **29.59**

PowerStor® COOPER Bussmann Aerogel Superkondensatoren

Der PowerStor Aerogel Kondensator ist ein einzigartiges Gerät mit ultra-hoher Kapazität, das auf einem neuartigen Kohlenstoffschaum mit der Bezeichnung "Carbon Aerogel" aufbaut. Aerogel-Kondensatoren ähneln Ultrakondensatoren, elektrochemischen Zweischichtkondensatoren (EDLCs) und Goldkondensatoren, bieten aber den zusätzlichen Vorteil von geringem ESR. Betriebstemperaturbereich: -25 °C ~ 70 °C

Serie A: MERKMALE: • Ultra-niedriger ESR • DC-Leckstrom • Lange Zyklusdauer • Hohe brauchbare Kapazität • 2,5 V DC Betriebsspannung kann für Anwendungen mit hoher Spannung in Reihe konfiguriert werden **Anwendungen:** • Impulsstärke • Haltespannung • DC/DC-Umwandler • Hybrid-Akkus • Ventil- und Solenoidbetätigung

Serie B: MERKMALE: • Höhere Energiedichte • Sehr niedriger ESR • Niedrige DC-Leckströme • Lange Zyklusdauer • 2,5 V DC Betriebsspannung kann für Anwendungen mit hoher Spannung in Reihe konfiguriert werden **Anwendungen:** • Hauptstromversorgung • Hybrid-Akkus • Haltespannung • Impulsstärke

Serie P: MERKMALE: • Erhältlich mit ultra-niedrigem ESR, PA oder einer Version mit niedrigem ESR, aber höherer Energiedichte (PB) • 5,0 V DC Betriebsspannung. **Anwendungen: Serie PB:** • Speicher, Mikroprozessor oder RTC-Sicherung

Serie PA: • Impulsstärke • Hybrid-Akkus • Haltespannung

Abb. 1

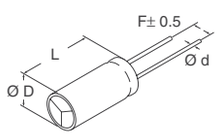

Abb. 2

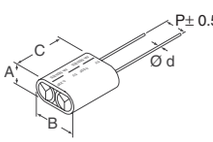

Betriebs-spannung (DC)	Kapa-zität (F)	Nennwert, interne Serie Res. bei 1KHz (Ω)	Abmessungen (mm) D	L	d (±0.02)	F (±0.5)	Digi-Key Teilenr.	Stückpreis 1	10	100	PowerStor Teilenr.
Abb. 1 - Serie A Superkondensatoren											
2.5	.47	.150	8.5	21.0	.50	3.5	283-2497-ND•	4.06	3.73	3.05	A0820-2R5474
	1	.090	10.5	22.3	.60	5.0	283-2498-ND•	6.10	5.59	4.58	A1020-2R5105
	1.5	.060	10.5	31.5	.60	5.0	283-2499-ND•	8.13	7.45	6.10	A1030-2R5155
	4.7	.025	16.5	38.0	.80	7.5	283-2500-ND•	15.24	13.97	11.43	A1635-2R5475
Abb. 1 - Serie B Superkondensatoren											
2.5	.22	3.00	5.5	12.0	.50	2.0	283-2501-NDx	1.52	1.40	1.15	B0510-2R5224
	1	.400	8.5	13.5	.50	3.5	283-2502-NDx	2.54	2.33	1.91	B0810-2R5105
	1.5	.300	10.5	14.4	.60	5.0	283-2503-NDx	3.81	3.50	2.86	B1010-2R5155
	2.2	.200	8.5	21.0	.50	3.5	283-2504-ND▲	5.08	4.66	3.81	B0820-2R5225
	3.3	.150	10.5	22.3	.60	5.0	283-2505-ND▲+	6.35	5.82	4.77	B1020-2R5335
	4.7	.150	8.5	31.0	.50	3.5	283-2506-ND+	6.76	6.20	5.07	B0830-2R5475
	6.8	.100	10.5	31.5	.60	5.0	283-2507-ND+	7.62	6.99	5.72	B1030-2R5685
	10	.060	13.5	28.4	.60	5.0	283-2508-ND+	8.94	8.20	6.71	B1325-2R5106
	22	.040	16.5	38.0	.80	7.5	283-2509-ND&	13.33	10.97	8.60	B1635-2R5226
	33	.030	18.5	38.0	.80	7.5	283-2510-ND&	18.10	14.88	11.67	B1835-2R5336
	50	.025	18.5	42.0	.80	7.5	283-2511-ND&	22.67	18.64	14.61	B1840-2R5506

Betriebs-spannung (DC)	Kapa-zität (F)	Nennwert, interne Serie Res. bei 1KHz (Ω)	Abmessungen (mm) A	B	C	d (±0.02)	P (±0.5)	Digi-Key Teilenr.	Stückpreis 1	10	100	PowerStor Teilenr.
Abb. 2 - Serie P Superkondensatoren												
5.0	.10	10.0	5.5	10.8	12.5	.5	7.3	283-2512-ND▲	3.56	3.26	2.67	PB-5R0V104
	.47	2.00	8.5	16.8	12.5	.5	11.8	283-2513-ND▲	4.83	4.43	3.62	PB-5R0V474
	1.0	1.00	8.5	16.8	21.5	.5	11.8	283-2514-ND▲	7.62	6.99	5.72	PB-5R0V105
	.22	.300	8.5	16.8	21.5	.5	11.8	283-2515-ND•	6.60	6.06	4.96	PA-5R0V224
	.47	.200	10.5	20.8	21.5	.6	5.3	283-2516-ND•	8.38	7.69	6.29	PA-5R0V474

PowerStor Designkits

Hochleistungs-Designkit für Impuls- und Brücken-Power-Anwendungen. PowerStor Referenznr. PS-5903; je 4 der genannten Werte markiert mit •

283-2517-ND **108.58**

Hochleistungs-Designkit für Brücken- und Speichersicherungsanwendungen. PowerStor Referenznr. PS-5904; je 6 der mit **x** markierten Werte, plus je 4 der mit ▲ markierten Werte

283-2518-ND.....**89.53**

Designkit mit hoher Energieleistung, für Brücken-, Impuls- und Hauptstromversorgungsanwendungen. PowerStor Referenznr. PS-5905; je 6 der mit **+** markierten Werte

283-2519-ND.....**85.72**

Designkit mit hoher Energieleistung, für Brücken-, Impuls- und Hauptstromversorgungsanwendungen. PowerStor Referenznr. PS-5906; je 2 der mit **&** markierten Werte

283-2520-ND.....**83.81**

UltraCap® Einzelkondensatoren

UltraCaps – Elektrochemische Zweischichtkondensatoren von EPCOS sind neue Energiespeichervorrichtungen, die, was Leistung und Energiedichte betrifft, die Lücke zwischen Aluminiumelektrolyt-Kondensatoren und Batterien schließen. Sie können mehrere Hundertausende von Lade- und Entladezyklen aushalten. Die UltraCaps weisen hervorragende Eigenschaften auf, besonders hohe Stromzufuhr und lange Haltbarkeit.

Merkmale:

• Hohe Leistungsdichte • Schnelles Laden mit hohem Strom • Mit beliebigen Strömen und Ladeprofilen aufladbar • Sehr hohe Entladeströme • Gegen erschöpfende Entladung geschützt • Widersteht umgekehrter Polarität • Ultra-Low ESR • Breiter Betriebstemperaturbereich • Leichtes Gewicht • PCB-frei • Sicherheitsentlüftung • Wartungsfrei

Abb. 1

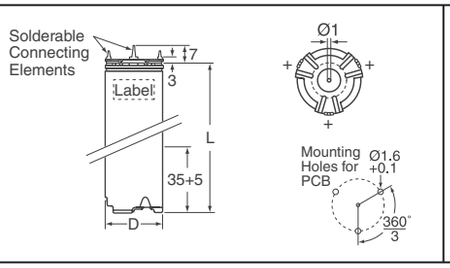

Abb. 2

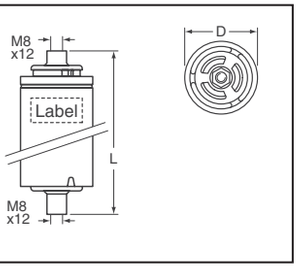

Abb.	WV* DC	Kapazität (F)	Max. ESR bei 25 °C 1 kHz (mOhm)	Kapazität (mAh)	Abmessungen (mm) D	L	Digi-Key Teilenr.	Stückpreis 1	10	100	250	EPCOS Teilenr.
1	2.5	110	3.0	80	25	67	495-2059-ND	26.41	21.93	18.49	17.17	B49410A2115Q000
		200	1.5	140	30	76	495-2060-ND	36.32	30.15	25.43	23.61	B49410A2205Q000
2	2.5	600	0.6	420	50	109	495-2061-ND	115.56	99.06	92.45	85.85	B49410B2605Q000
		1200	0.35	830	50	148	495-2062-ND	134.82	115.57	107.86	100.16	B49410B2126Q000
		1800	0.30	1300	75	121	495-2063-ND	173.56	146.38	135.93	130.70	B49410B2186Q000
		2700	0.21	1900	75	150	495-2064-ND	210.10	177.20	164.54	158.21	B49410B2276Q000
		3600	0.16	2500	75	176	495-2065-ND	246.64	208.01	193.16	185.73	B49410B2366Q000
		5000	0.18	3500	89	176	495-2066-ND	298.54	264.83	250.39	240.76	B49410B2506Q000

Panasonic® Goldkondensatoren Serie SG Elektrische Zweischichtkondensatoren

Spezifikationen: • **Betriebstemperaturbereich:** -25 °C ~ 70 °C • Nennbetriebsspannung : 5,5 V DC • Nennkapazitätsbereich: 0,022 F ~ 1,0 F (20 °C)• Kapazitätstoleranz: -20 % ~ 80 %

Temperatureigenschaften: • Kapazitätsänderung -25 °C ~ 70 °C: ±30 % bei 20 °C • Interner Widerstand -25 °C: ≤5x bei 20 °C • Einschaltspannung bei 70 °C: ≤4x bei 20 °C

Lastbeständigkeitseigenschaften: (nach 1.000 Stunden mit Nennbetriebsspannung von 5,5 V DC angelegt bei 70 °C.) • Kapazitätsänderung: ±30 % des ersten gemessenen Wertes • Interner Widerstand: ≤4x des ersten spezifizierten Wertes • Einschaltspannung: ≤2x des ersten spezifizierten Wertes

Vertikal

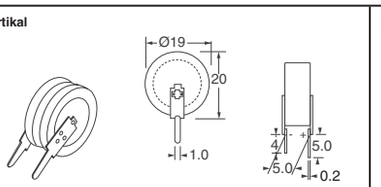

Horizontal

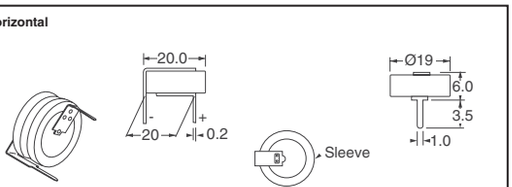

Betriebsspannung DC	Nenn-kapazität (F)	Interner Widerstand Ω (1KHz)	Digi-Key Teilenr.	Stückpreis 1	10	100	1.000	Panasonic Teilenr.
Vertikal								
5.5	0.47	30	P6974-ND	3.94	3.14	2.46	1.58	EEC-S5R5V474
	1.0	30	P6975-ND	4.08	3.26	2.55	1.63	EEC-S5R5V105
	1.5	30	P11343-ND	4.70	3.74	2.93	1.88	EEC-S5R5V155
Horizontal								
5.5	0.47	30	P6980-ND	3.94	3.14	2.46	1.58	EEC-S5R5H474
	1.0	30	P6981-ND	4.08	3.26	2.55	1.63	EEC-S5R5H105
	1.5	30	P11342-ND	4.70	3.74	2.93	1.88	EEC-S5R5H155

Goldkondensatoren Serie SD Elektrische Zweischichtkondensatoren

MERKMALE: • 30 % kleiner als die Serie SG • Anschluss-Lötbarkeit 95 % • Längere Haltbarkeit als Sekundärbatterie • Beste Wahl für µA-Bereich IC-Speichersicherung

Spezifikationen: • Betriebstemperaturbereich: -25 °C ~ 70 °C • Nennbetriebsspannung : 5,5 V DC • Kapazitätstoleranz: -20 % ~ 80 %

Temperatureigenschaften: • Kapazitätsänderung -25 °C ~ 70 °C: ±30 % bei 20 °C • Interner Widerstand -25 °C: ≤ 5x bei 20 °C

Lastbeständigkeitseigenschaften: (nach 1.000 Stunden mit Nennbetriebsspannung von 5,5 V DC angelegt bei 70 °C.) • Kapazitätsänderung: ±30 % des ersten gemessenen Wertes • Interner Widerstand: ≤ 4x des ersten spezifizierten Wertes

Vertikal

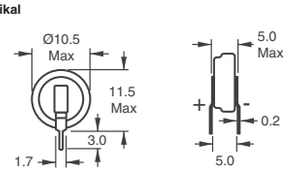

Horizontal

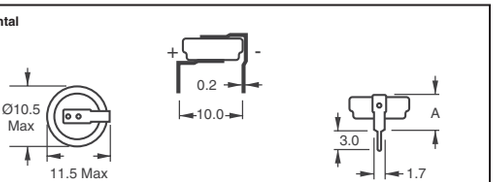

WV* DC	Nenn-kapazität (F)	Interner Widerstand Ω (1KHz)	Abmessungen A mm (max.)	Digi-Key Teilenr.	Stückpreis 1	10	100	1.000	Panasonic Teilenr.
Vertikal									
5.5	0.022	≤150	—	P10789-ND	1.57	1.05	.82	.53	EEC-S0HD223V
	0.047	≤120	—	P10790-ND	1.63	1.09	.85	.55	EEC-S0HD473V
	0.10	≤75	—	P10791-ND	1.68	1.13	.88	.57	EEC-S0HD104V
	0.22	≤75	—	P10792-ND	1.74	1.16	.91	.59	EEC-S0HD224V
	0.33	≤75	—	P11065-ND	1.57	1.20	.94	.60	EEC-S0HD334V
Horizontal									
5.5	0.022	≤150	5.5	P10785-ND	1.57	1.05	.82	.53	EEC-S0HD223H
	0.047	≤120	5.5	P10786-ND	1.63	1.09	.85	.55	EEC-S0HD473H
	0.10	≤75	5.5	P10787-ND	1.68	1.13	.88	.57	EEC-S0HD104H
	0.22	≤75	6.0	P10788-ND	1.74	1.16	.91	.59	EEC-S0HD224H
	0.33	≤75	6.5	P11064-ND	1.57	1.20	.94	.60	EEC-S0HD334H

* Betriebsspannung

Gold-Kondensatoren, Serie EN, oberflächenmontiert

Elektrische Zweischichtkondensatoren

Typ A

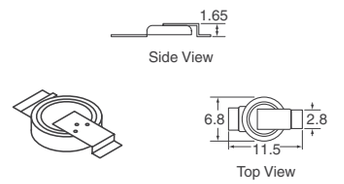

Typ B

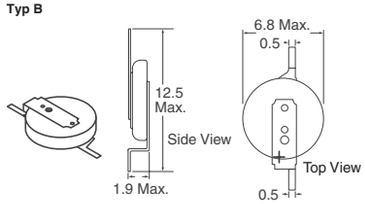

Typ J1

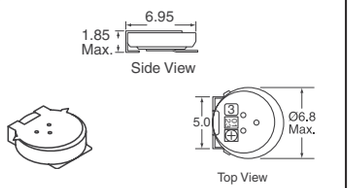

Typ RL

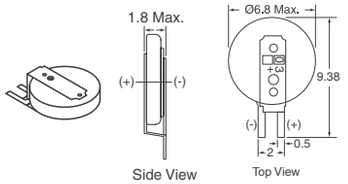

Merkmale: • Oberflächenmontage • Längere Haltbarkeit als Sekundärbatterie • Blei(Pb)-freie Edelstahlanschlussklemmen **Anwendungen:** • Audio-/Videogeräte • Robotics • Computer •Heimelektrogeräte • Bürogeräte **Spezifikationen:** • Betriebstemperaturbereich: -10 °C ~ 60 °C • Nennbetriebsspannung : 3,3 V DC • Kapazitätstoleranz: -20 % ~ 80 % • Aufschmelzlöten: 240 °C, max. 30 Sekunden **Ermüdung:** Lastbeständigkeitseigenschaften: (nach 500 Stunden mit Nennbetriebsspannung von 3,3 V DC angelegt bei 60 °C.) • Strom: 300 µA oder weniger (bei 30 Min.) • Kapazitätsänderung: ±30 % des ersten gemessenen Wertes • Interner Widerstand: 4 KΩ oder weniger

WV** DC	Nom. Kap. (F)	Interner Widerst. Ω max.	Strom (µA)	Anschluss-typ	Digi-Key Teilenr.	Gurtabschnittspreis pro Stück 1	10	100	1.000	Digi-Key Teilenr.	Preisangabe für „Gegurtet auf Rolle" 2.000	Panasonic Teilenr.
3.3	0.2	200	150	A	P11067CT-ND	1.85	1.59	1.25	1.06	P11067TR-ND	794.11/M	EEC-EN0F204A
	0.2	200	150	B	P11068CT-ND	1.85	1.59	1.25	1.06	P11068TR-ND	794.11/M	EEC-EN0F204B
	0.2	200	150	J1	P11070CT-ND	2.12	1.82	1.42	1.21	P11070TR-ND	905.86/M	EEC-EN0F204J1
	0.2	200	150	RL	P11069CT-ND	1.85	1.59	1.25	1.06	P11069TR-ND	794.11/M	EEC-EN0F204RL

Goldkondensatoren Serie HW

Elektrische Zweischichtkondensatoren

Spezifikationen: • Betriebstemperaturbereich: -25 °C ~ 70 °C (bei Kapazitätsbereich von 1,0 ~ 22); -25 °C ~ 60 °C (bei Kapazitätsbereich von 30 ~ 50) • Anschlusspolarität: (—) Negativ

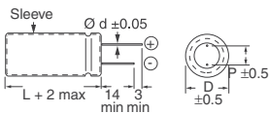

Warnung: Fällt der Spannungsausgleich aus, kann es zu einer Überspannung kommen. Um dies zu verhindern, ist ein spannungsteilender Widerstand parallel zu jedem Kondensator zu ergänzen, um den Leckstrom des Kondensators zu berücksichtigen.

WV** DC	Nenn-kapazität (F)	Interner Widerstand Ω (1KHz)	Abmessungen (mm) ØD	L	Ød	P	Digi-Key Teilenr.	Stückpreis 1	10	100	1.000	Panasonic Teilenr.
2.3	3.3	≤0.3	12.5	23	0.8	5.0	P11347-ND	2.57	2.02	1.29	1.20	EEC-HW0D335
	4.7	≤0.3	12.5	23	0.8	5.0	P11344-ND	2.64	2.08	1.33	1.24	EEC-HW0D475
	10.0	≤0.2	12.5	35	0.8	5.0	P11345-ND	3.42	2.69	1.72	1.60	EEC-HW0D106
	22.0	≤0.1	18.0	35	0.8	7.5	P11346-ND	5.88	4.61	2.95	2.75	EEC-HW0D226
	30.0	≤0.1	18.0	35	0.8	7.5	P11348-ND	6.82	5.34	3.41	3.18	EEC-HW0D306
	50.0	≤0.1	18.0	40	0.8	7.5	P11066-ND	7.44	5.84	3.73	3.48	EEC-HW0D506
2.1	70.0	≤0.1	18.0	50	0.8	7.5	P11349-ND	12.54	9.83	6.27	5.86	EEC-HW0D706

Goldkondensatoren Serie AL

Elektrische Zweischichtkondensatoren

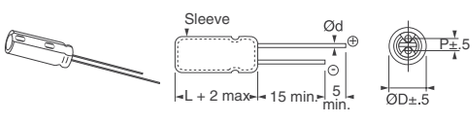

Spezifikationen: • Betriebstemperaturbereich: -25 °C ~ 70 °C • Nennbetriebsspannung : 2,5 V DC • Nennkapazitätsbereich: 0,22 F ~ 10 F (20 °C) • Kapazitätstoleranz: -20 % ~ 80 %

Temperatureigenschaften: • Kapazitätsänderung -25 °C ~ 70 °C: ±30 % bei 20 °C • Interner Widerstand -40 °C: ≤ 3x bei 20 °C • Einschaltspannung bei 70 °C: ≤ 3x bei 20 °C

Lastbeständigkeitseigenschaften: (nach 1000 Stunden mit Nennbetriebsspannung von 2,5 V DC angelegt bei 70 °C.) • Kapazitätsänderung: ±30 % des ersten gemessenen Wertes • Interner Widerstand: ≤ 2x des ersten spezifizierten Wertes • Einschaltspannung: ≤ 2x des ersten spezifizierten Wertes

Lagerbeständigkeit: Der Kondensator muss die Grenzwerte für „Hochtemperaturlast" nach 1.000 Stunden Aussetzung bei 70 °C ohne angelegte Spannung erfüllen.**Laden mit Feuchtigkeit:** Der Kondensator muss die Grenzwerte für "Hochtemperaturlast" nach 500 Stunden Aussetzung bei +55 °C/ 90 bis 95 % RF mit 2,5 V DC angelegter Spannung erfüllen.2.5V DC applied.

WV** DC	Kapazität (F)	Einschaltstrom* (mA)	Interner Widerstand Ω (1KHz)	Abmessungen (mm) ØD	L	Ød	P	Digi-Key Teilenr.	Stückpreis 1	10	100	1.000	Panasonic Teilenr.
2.5	1.0	0.18	1.0	8.0	22	0.7	3.5	P6963-ND	3.51	2.72	2.13	1.37	EEC-A0EL105
	3.3	0.30	0.3	12.5	23	0.8	5.0	P6966-ND	4.42	3.42	2.68	1.72	EEC-A0EL335
	4.7	0.44	0.2	12.5	35	0.8	5.0	P6967-ND	5.17	4.00	3.14	2.01	EEC-A0EL475
	10	0.60	0.1	18.0	35	0.8	7.5	P6969-ND	7.37	6.29	4.93	3.16	EEC-A0EL106

* Der Einschaltstrom wird nach einer 90-minütigen Anlegung der Nennbetriebsspannung gemessen. Während des Gebrauchs verringert sich der Strom auf ein Niveau von mehreren µA-Levels nach ca. 10 Stunden Betrieb mit Nennbetriebsspannung.

Goldkondensatoren Serie F

Elektrische Zweischichtkondensatoren

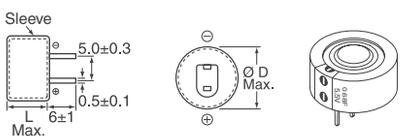

Merkmale: • Ermüdung: 85 °C 1.000 h

Spezifikationen: Betriebstemperaturbereich: -25 °C ~ 85 °C • Max. Betriebsspannung: 5,5 V DC • Nennkapazitätsbereich 0,047 ~ 1,0 F

Temperatureigenschaften: • Kapazitätsänderung: ±30 % des ersten gemessenen Wertes bei 20 °C (-25 ° ~ 85 °C) • Interner Widerstand: -25 °C: Weniger als 5x der erste bei 20 °C gemessene Wert

Ermüdung: (Nach 1.000 Stunden Anwendung von 5,5 V DC bei 85 °C sollte der Kondensator folgende Grenzwerte erfüllen:) • Kapazitätsänderung: ±30 % des ersten gemessenen Wertes • Interner Widerstand: Weniger als 4x der erste spezifizierte Wert

Lagerbeständigkeit: (Nach 1.000 Stunden Lagerung ohne Last bei 85 °C muss der Kondensator die unter „Ermüdung" angegebenen Grenzwerte erfüllen.)

Feuchtigkeitsbeständigkeit: (Nach 500 Stunden Lagerung bei +55 °C. 90 % bis 95 % RF, sollte der Kondensator die angegebenen Grenzwerte für „Ermüdung" erfüllen.)

WV** DC	Kapazität (F)	Kapazitätsbereich (F)	Strom µA	Interner Widerstand Ω (1KHz)	Gehäuse-Code	Abmessungen (mm) D	L	Digi-Key Teilenr.	Stückpreis 1	10	100	1.000	Panasonic Teilenr.
5.5	0.047	0.0376 ~ 0.0846	70	120	A	13.5	9.5	P12914-ND	2.95	2.36	1.85	1.18	EEC-F5R5H473
	0.10	0.080 ~ 0.180	100	100	A	13.5	9.5	P12912-ND	3.04	2.43	1.91	1.22	EEC-F5R5H104
	0.47	0.376 ~ 0.846	215	75	B	21.5	9.5	P12915-ND	7.15	5.72	4.48	2.86	EEC-F5R5H474
	0.68	0.476 ~ 1.224	315	50	B	21.5	9.5	P12916-ND	7.38	5.91	4.63	2.96	EEC-F5R5H684
	1.00	0.80 ~ 1.80	315	50	B	21.5	9.5	P12913-ND	7.61	6.10	4.78	3.05	EEC-F5R5H105

Goldkondensatoren Serie NF

Elektrische Zweischichtkondensatoren - Nassversion

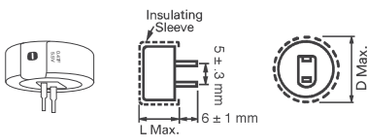

Goldkondensatoren bieten supergroße Kapazität durch eine einzigartige Elektrode, während die Minimiertechnologie dem Trend von kompakteren Größen gerecht wird. Geeignet für Speichersicherung für CMOS-artige RAM-Speicher in Microcomputern.

MERKMALE: • Die hervorragenden Selbstentlademerkmale bieten eine Langzeit-Speichersicherung. • Flachprofil-Design mit max. Höhe von 9,5 mm, standardisierter Anschlussabstand von 5 mm • Besser als primäre oder sekundäre Akkus, was Betriebstemperaturbereich, Auflade-/Entlademerkmale, langfristige Zuverlässigkeit und Leistungsstabilität angeht

Spezifikationen: • Betriebstemperaturbereich: -25 °C ~ 70 °C • Stoßspannung: 6,3 V DC • Kapazitätstoleranz: -20 % ~ 80 %

Temperatureigenschaften: • Kapazitätsänderung: ±30 % bei 20 °C • Interner Widerstand -25 °C: Weniger als 5x bei +20 °C • Leckstrom bei 70 °C: Weniger als 4x bei 20 °C

Lastbeständigkeitseigenschaften: (nach 1.000 Stunden mit Nennbetriebsspannung von 5,5 V DC angelegt bei 70 °C.) • Kapazitätsänderung: ±30 % • Interner Widerstand: Weniger als 4x • Leckstrom: Weniger als 2x

WV** DC	Kapazität (F)	Kapazitätsbereich (F)	Einschaltstrom µA (30 Min.)	Interner Widerstand V (1 kHz)	Abmessungen (mm) L	D	Digi-Key Teilenr.	Stückpreis 1	10	100	1.000	Panasonic Teilenr.
5.5	0.1	0.08 ~ 0.18	100	75	7.5	13.5	P6952-ND	1.97	1.41	1.10	.71	EEC-F5R5U104
	0.47	0.376 ~ 0.846	216	30	8.0	21.5	P6954-ND	4.58	3.44	2.70	1.73	EEC-F5R5U474
	1.0	0.8 ~ 1.8	315	30	8.0	21.5	P6955-ND	4.58	3.44	2.70	1.73	EEC-F5R5U105
	1.5	1.2 ~ 2.7	385	30	8.0	21.5	P11063-ND	5.61	4.08	3.20	2.05	EEC-F5R5U155

** Betriebsspannung

Serie TS Große Aluminium-Elektrolytkondensatoren

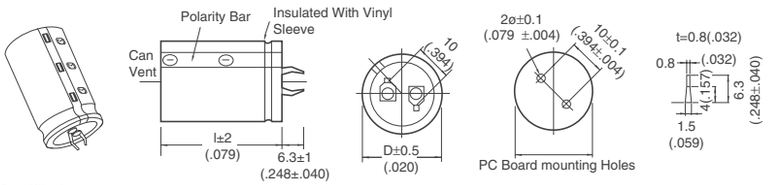

Spezifikationen:

- **Serie TSU: Miniversion** (16 ~ 250 V/ -40 ~ 85 °C/220 ~ 47.000 µF)
- **Serie TSUP: Miniversion** (16 ~ 250 V/ -40 ~ 85 °C/180 ~ 68.000 µF)
- **Serie TSNH: 105 °C-Version** (16 ~ 100 V/ -40 ~ 105 °C/470 ~ 33.000 µF)
- **Serie TSHA: Miniversion** (10 ~ 250 V/ -40 ~ 105 °C/180 ~ 68.000 µF)
- **Serie TSHB: Miniversion** (200 ~ 450 V/ -40 ~ 105 °C/82 ~ 2.200 µF)
- **Serie TSED: Miniversion** (200 ~ 250 V/ -40 ~ 105 °C/220 ~ 2.200 µF) (400 ~ 450 V/ -25 ~ 105 °C/56 ~ 560 µF)
- **Serie TSHC: Miniversion** (160 ~ 250 V/ -40 ~ 105 °C/270 ~ 3.300 µF) (350 ~ 450 V/ -25 ~ 105 °C/100 ~ 820 µF)
- **Serie TSUQ: Miniversion** (160 ~ 250 V/ -40 ~ 85 °C/270 ~ 3.900 µF) (350 ~ 450 V/ -25 ~ 85 °C/82 ~ 1.000 µF)
- **Kapazitätstoleranz (bei 120 Hz):**

Typ:	TSU	TSUP	TSNH	TSHA	TSHB	TSED	TSHC	TSUQ
Tol.:	±20%	±20%	±20%	±20%	±20%	±20%	±20%	±20%

Stoßspannungs und Stoßspannungstest: Die DC-Stoßspannung ist die Höchstspannung, der der Kondensator ausgesetzt werden darf. Die nachstehend aufgeführte Stoßspannung wird an den Kondensator in Reihe mit einem 1.000 Ohm Widerstand im Zyklus von 0,5 Minuten „EIN" und 4,5 Minuten „AUS" angelegt; Wiederholung: 1.000 Mal bei 25 °C.

Nennspannung (DC):	16	25	35	50	63	80	100	160	200	250	350	400	450	500
Stoßspannung:	20	32	44	63	79	100	125	200	250	300	400	450	500	550

QUERREFERENZEN

PANASONIC TSU
Elna: LP; **Marcon:** FTW/FHW; **Nichicon:** UB/PS; **Rubycon:** LP/RP; **Sprague:** 80D; **UCC:** NMA.

PANASONIC TSUP
Matsushita: TSUP; **Nichichemi:** SMH; **Nichicon:** LQ; **Rubycon:** USP; **Marcon:** DWF & CEFHW; **UCC:** SMH; **Sprague:** 82D; **ICI:** LPR/LUG; **Mepco:** 3487.

PANASONIC TSNH
Elna: LPS/LPJ; **Marcon:** FTU/FHU; **Nichicon:** GH/GL/GM; **Rubycon:** XLP/XRP; **Sprague:** 81D; **UCC:** KM.

PANASONIC TSHA
Matsushita: TSHA; **Nichichemi:** KMH; **Nichicon:** GQ; **Rubycon:** MXP; **Marcon:** DUF & CEFHU; **UCC:** KMH; **Sprague:** 81D; **Mepco:** 3488.

Nach dem Test muss der Kondensator die folgenden Limits erfüllen: Kapazitätsveränderung von ±20 % des ersten gemessenen Wertes; DC-Leckstrom geringer als erste Limits; und D.F. weniger als 150 % der ersten Limits.'

Mischstrom: Die Summe der DC-Spannung und des AC-Spitzenmischstroms darf die DC-Nennspannung nicht übersteigen, und es gibt keine Rückflussstrom-Anwendung.

Mischstrom (mA):

Frequenz (Hz):	50Hz	60Hz	120Hz	500Hz	1KHz	10 ~ 50KHz
16V ~ 100V:	0.93	0.95	1.0	1.05	1.06	1.15
160V ~ 500V:	0.75	0.8	1.0	1.2	1.25	1.4

DC Leckstrom:
Die Messungen sind bei Nennbetriebsspannung bei 20 °C vorzunehmen. Die Spannung muss mindestens 5 Minuten lang am Kondensator anliegen, bevor der Leckstrom gemessen werden darf. Der maximale Leckstrom darf den mit folgender Formel ermittelten Wert nicht übersteigen: 16 ~ 100 V: im Fall von C X V = 100.000 µFV I = max. 0,01CVµA im Fall von C X V = max.100.000 µFV I = 3 v C x VµA 160 ~ 450 V: 1 = max. 3 v C x VµA dabei bedeutet I = Leckstrom in mA, C = Nennkapazität in µF V = DC zulässige Betriebsspannung in Volt.

Volllast-Lebensdauer-Test:
Dem Kondensator muss die DC-Nennspannung mit vollem Nennmischstrom in der spezifizierten Umgebungstemperatur für die spezifizierte Lebensdauer angelegt werden. Dann wird der Kondensator aus der Testkammer genommen und bei Zimmertrempertur stabilisiert. Nach dem Erreichen einer stabilen Temperatur darf der Kondensator die im Folgenden aufgelisteten spezifizierten Werte nicht überschreiten: Kapazitätsveränderung innerhalb ±20 % des ersten gemessenen Wertes. D.F. 150 % der ersten spezifizierten Grenzwerte. DC-Leckstrom ≤ 5 Anfangslimit

WV** DC	Kap. (µF)	Max. DC (mA) Leck-strom	85° (rms) Misch-strom (120 Hz) A	Abmessungen (mm) D	L	Digi-Key Teilenr.	Stückpreis 1	10	50	200	Panasonic Teilenr.
TSU Allzweck 85 °C, 2.000 Stunden Lebensdauer											
16	4700	0.75	2.0	22	25	P6445-ND	2.15	1.73	1.42	.93	ECE-S1CU472D
35	4700	1.21	2.5	22	40	P6483-ND	2.92	2.34	1.92	1.26	ECE-S1VU472G
50	15000	2.59	4.7	35	51	P6428-ND	6.54	5.64	4.96	3.90	ECE-S1HU153Z
63	3300	1.36	2.4	25	40	P6492-ND	3.56	2.92	2.45	1.71	ECE-S1JU332M
200	220	0.62	1.15	22	31.5	P6540-ND	2.72	2.18	1.79	1.17	ECE-S2DU221E
	470	0.91	1.7	25	40	P6542-ND	3.40	2.79	2.35	1.64	ECE-S2DU471M
250	680	1.23	2.15	30	50	P6553-ND	5.28	4.47	3.87	2.90	ECE-S2EU681U
TSUP Mini-Version Allzweck 85 °C, 3.000 Stunden Lebensdauer†											
16	4700	0.82	1.77	22	25	P7600-ND	1.86	1.58	1.14	.85	ECO-S1CP472BA
	6800	0.98	2.57	22	25	P7601-ND	2.02	1.72	1.24	.93	ECO-S1CP682BA
	8200	1.08	3.47	20	30	P6859-ND	3.28	2.69	1.89	1.31	ECO-S1CP822AA
	8200	1.08	3.10	22	25	P7602-ND	2.12	1.80	1.29	.97	ECO-S1CP822BA
	10000	1.20	3.78	20	35	P6860-ND	3.50	2.87	2.01	1.40	ECO-S1CP103AA
	10000	1.20	3.78	25	25	P6861-ND	3.20	2.56	1.76	1.15	ECO-S1CP103CA
	12000	1.31	4.52	20	35	P6862-ND	3.63	2.98	2.09	1.46	ECO-S1CP123AA
	12000	1.31	4.52	25	25	P6863-ND	2.96	2.44	1.71	1.19	ECO-S1CP123CA
	15000	1.46	5.26	20	40	P6864-ND	3.95	3.25	2.28	1.59	ECO-S1CP153AA
	15000	1.46	5.26	25	30	P6865-ND	3.23	2.65	1.86	1.30	ECO-S1CP153CA
	18000	1.60	5.57	22	40	P6866-ND	3.34	2.74	1.92	1.34	ECO-S1CP183BA
	18000	1.60	5.57	25	30	P6867-ND	3.39	2.78	1.95	1.36	ECO-S1CP183CA
	22000	1.77	6.10	22	45	P6868-ND	3.71	3.04	2.13	1.49	ECO-S1CP223BA
	22000	1.77	6.10	30	30	P6869-ND	4.10	3.36	2.36	1.64	ECO-S1CP223DA
	27000	1.97	6.31	25	45	P6870-ND	4.34	3.57	2.50	1.74	ECO-S1CP273CA
	27000	1.97	6.31	30	35	P6871-ND	4.55	3.74	2.62	1.82	ECO-S1CP273DA
	33000	2.17	6.84	25	50	P6872-ND	4.08	3.46	2.49	1.87	ECO-S1CP333CA
	33000	2.17	6.84	35	30	P6873-ND	4.63	3.92	2.82	2.12	ECO-S1CP333EA
	39000	2.36	6.94	30	45	P6874-ND	4.87	4.13	2.97	2.23	ECO-S1CP393DA
	39000	2.36	6.94	35	35	P6875-ND	5.11	4.32	3.11	2.34	ECO-S1CP393EA
	47000	2.60	7.47	30	50	P6876-ND	5.37	4.55	3.27	2.46	ECO-S1CP473DA
	47000	2.60	7.47	35	40	P6877-ND	5.83	4.94	3.56	2.67	ECO-S1CP473EA
	56000	2.83	8.73	35	45	P6878-ND	6.48	5.48	3.95	2.96	ECO-S1CP563EA
	68000	3.12	9.05	35	50	P6879-ND	6.60	5.70	4.17	3.28	ECO-S1CP683EA
25	3300	0.86	1.68	22	25	P7603-ND	1.86	1.58	1.14	.86	ECO-S1EP332BA
	4700	1.02	3.05	20	25	P6880-ND	3.14	2.58	1.81	1.26	ECO-S1EP472AA
	4700	1.02	2.39	22	25	P7604-ND	2.02	1.72	1.24	.93	ECO-S1EP472BA
	5600	1.12	3.36	20	30	P6881-ND	3.28	2.70	1.89	1.32	ECO-S1EP562AA
	5600	1.12	2.86	22	25	P7605-ND	2.12	1.80	1.30	.97	ECO-S1EP562BA
	6800	1.23	3.47	20	35	P6882-ND	3.50	2.87	2.01	1.40	ECO-S1EP682AA
	6800	1.23	3.47	25	25	P6883-ND	3.20	2.57	1.76	1.15	ECO-S1EP682CA
25	8200	1.35	3.57	25	25	P6885-ND	2.98	2.45	1.71	1.19	ECO-S1EP822CA
	10000	1.50	3.78	22	35	P6886-ND	3.14	2.58	1.81	1.26	ECO-S1EP103BA
	10000	1.50	3.78	30	25	P6887-ND	3.44	2.82	1.98	1.38	ECO-S1EP103DA
	12000	1.64	4.10	22	40	P6888-ND	3.42	2.81	1.97	1.37	ECO-S1EP123BA
	12000	1.64	4.10	30	30	P6889-ND	3.71	3.04	2.13	1.49	ECO-S1EP123DA
	15000	1.83	4.63	22	50	P6890-ND	3.78	3.11	2.18	1.52	ECO-S1EP153BA
	15000	1.83	4.63	30	30	P6891-ND	4.11	3.37	2.36	1.64	ECO-S1EP153DA
	18000	2.01	5.47	25	45	P6892-ND	4.31	3.54	2.48	1.73	ECO-S1EP183CA
	18000	2.01	5.47	30	35	P6893-ND	4.51	3.70	2.60	1.81	ECO-S1EP183DA
	22000	2.22	6.10	25	50	P6894-ND	4.75	3.90	2.73	1.90	ECO-S1EP223CA
	22000	2.22	6.10	30	40	P6895-ND	4.31	3.65	2.63	1.98	ECO-S1EP223DA
	27000	2.46	6.21	30	45	P6896-ND	4.93	4.17	3.00	2.25	ECO-S1EP273DA
	27000	2.46	6.21	35	35	P6897-ND	5.17	4.38	3.15	2.37	ECO-S1EP273EA
	33000	2.72	6.84	30	50	P6898-ND	5.49	4.65	3.35	2.51	ECO-S1EP333DA
	33000	2.72	6.84	35	40	P6899-ND	5.96	5.04	3.63	2.73	ECO-S1EP333EA
	39000	2.96	7.36	35	45	P6900-ND	5.95	5.13	3.76	2.96	ECO-S1EP393EA
	47000	3.25	8.00	35	50	P6901-ND	6.69	5.77	4.23	3.32	ECO-S1EP473EA
35	2200	0.83	1.52	22	25	P7606-ND	1.88	1.59	1.15	.86	ECO-S1VP222BA
	3300	1.01	2.73	20	25	P6902-ND	3.16	2.59	1.81	1.27	ECO-S1VP332AA
	3300	1.01	2.29	22	25	P7607-ND	2.05	1.74	1.25	.94	ECO-S1VP332BA
	3900	1.10	2.94	20	30	P6903-ND	3.35	2.75	1.93	1.34	ECO-S1VP392AA
	3900	1.10	2.71	22	25	P7608-ND	2.15	1.83	1.32	.99	ECO-S1VP392BA
	4700	1.21	3.26	25	25	P6905-ND	3.26	2.61	1.79	1.17	ECO-S1VP472CA
	5600	1.32	3.36	20	40	P6906-ND	3.80	3.12	2.18	1.52	ECO-S1VP562AA
	5600	1.32	3.36	25	25	P6907-ND	3.41	2.73	1.87	1.22	ECO-S1VP562CA
	6800	1.46	3.68	22	35	P6908-ND	3.14	2.58	1.81	1.26	ECO-S1VP682BA
	6800	1.46	3.68	25	30	P6909-ND	3.26	2.67	1.87	1.31	ECO-S1VP682CA
	8200	1.60	4.00	22	40	P6910-ND	3.41	2.80	1.96	1.37	ECO-S1VP822BA
	8200	1.60	4.00	25	35	P6911-ND	3.54	2.90	2.04	1.42	ECO-S1VP822CA
	10000	1.77	4.42	22	45	P6913-ND	3.79	3.11	2.18	1.52	ECO-S1VP103BA
	10000	1.77	4.42	35	25	P6914-ND	4.51	3.70	2.59	1.81	ECO-S1VP103EA
	12000	1.94	5.05	25	45	P6915-ND	4.36	3.58	2.50	1.75	ECO-S1VP123CA
	12000	1.94	5.05	35	30	P6916-ND	4.90	4.03	2.82	1.96	ECO-S1VP123EA
	15000	2.17	5.57	25	50	P6917-ND	4.74	3.89	2.73	1.90	ECO-S1VP153CA
	15000	2.17	5.57	35	30	P6918-ND	4.70	3.98	2.86	2.15	ECO-S1VP153EA
	18000	2.38	5.68	30	45	P6919-ND	4.99	4.23	3.05	2.29	ECO-S1VP183DA
	18000	2.38	5.68	35	35	P6920-ND	5.24	4.44	3.19	2.40	ECO-S1VP183EA
	22000	2.63	6.10	30	50	P6921-ND	5.41	4.58	3.30	2.48	ECO-S1VP223DA
	22000	2.63	6.10	35	40	P6922-ND	5.87	4.97	3.58	2.68	ECO-S1VP223EA
	27000	2.91	6.84	35	45	P6923-ND	6.00	5.18	3.79	2.99	ECO-S1VP273EA
	33000	3.22	7.15	35	50	P6924-ND	6.82	5.88	4.31	3.39	ECO-S1VP333EA
50	1500	0.82	1.24	22	25	P7609-ND	1.93	1.64	1.18	.89	ECO-S1HP152BA
	2200	0.99	2.26	20	25	P6925-ND	3.23	2.65	1.86	1.29	ECO-S1HP222AA
	2200	0.99	1.82	22	25	P7610-ND	2.07	1.76	1.27	.95	ECO-S1HP222BA
	2700	1.10	2.23	22	25	P7611-ND	2.22	1.88	1.36	1.02	ECO-S1HP272BA
	3300	1.21	2.73	20	35	P6927-ND	3.70	3.03	2.13	1.48	ECO-S1HP332AA
	3300	1.21	2.73	25	25	P6928-ND	2.95	2.42	1.69	1.18	ECO-S1HP332CA

**Betriebsspannung

† 2.000 Stunden Lebensdauer für Dosengrößen von 20 mm Durchmesser oder Länge

(Forts.)

Alle Preisangaben in Euro und inklusive Zollgebühren.

WV** DC	Kap. (µF)	Max. DC (mA) Leckstrom	85° (rms) Mischstrom (120 Hz) A	Abmessungen (mm) D	L	Digi-Key Teilenr.	Stückpreis 1	10	50	200	Panasonic Teilenr.
	3900	1.32	2.75	20	40	P6929-ND	3.95	3.24	2.27	1.58	ECO-S1HP392AA
	3900	1.32	2.75	25	25	P6930-ND	3.12	2.56	1.79	1.25	ECO-S1HP392CA
	4700	1.45	3.03	22	35	P6931-ND	3.30	2.71	1.90	1.32	ECO-S1HP472BA
	4700	1.45	3.03	30	25	P6932-ND	3.62	2.97	2.08	1.45	ECO-S1HP472DA
	5600	1.58	3.42	22	40	P6933-ND	3.59	2.95	2.07	1.44	ECO-S1HP562BA
	5600	1.58	3.42	30	30	P6934-ND	3.92	3.22	2.25	1.57	ECO-S1HP562DA
	6800	1.74	3.85	22	50	P6935-ND	3.98	3.27	2.29	1.60	ECO-S1HP682BA
	6800	1.74	3.85	30	30	P6936-ND	4.29	3.52	2.47	1.72	ECO-S1HP682DA
50	8200	1.92	4.41	25	45	P6937-ND	4.55	3.73	2.61	1.82	ECO-S1HP822CA
	8200	1.92	4.41	30	35	P6938-ND	4.76	3.91	2.74	1.91	ECO-S1HP822DA
	10000	2.12	4.97	25	50	P6939-ND	4.24	3.60	2.59	1.94	ECO-S1HP103CA
	10000	2.12	4.97	35	30	P6940-ND	4.83	4.09	2.95	2.21	ECO-S1HP103EA
	12000	2.32	5.58	30	45	P6941-ND	5.16	4.37	3.15	2.36	ECO-S1HP123DA
	12000	2.32	5.58	35	35	P6942-ND	5.40	4.57	3.29	2.47	ECO-S1HP123EA
	15000	2.59	6.44	30	50	P6943-ND	5.51	4.67	3.36	2.52	ECO-S1HP153DA
	15000	2.59	6.44	35	40	P6944-ND	6.27	5.31	3.83	2.87	ECO-S1HP153EA
	18000	2.84	6.94	35	45	P6945-ND	6.36	5.49	4.02	3.16	ECO-S1HP183EA
	22000	3.15	7.57	35	50	P6946-ND	6.95	6.00	4.39	3.46	ECO-S1HP223EA
	680	0.69	1.02	22	25	P7357-ND	1.90	1.61	1.16	.87	ECO-S1KP681BA
	1000	0.84	1.51	22	25	P7358-ND	2.08	1.77	1.27	.96	ECO-S1KP102BA
	1200	0.92	1.81	22	25	P7359-ND	2.16	1.83	1.32	.99	ECO-S1KP122BA
	1500	1.03	2.26	22	30	P7360-ND	2.39	2.03	1.46	1.10	ECO-S1KP152BA
	1500	1.03	2.26	25	25	P7361-ND	2.46	2.09	1.50	1.13	ECO-S1KP152CA
	1800	1.13	2.52	22	35	P7362-ND	2.57	2.18	1.57	1.18	ECO-S1KP182BA
	1800	1.13	2.52	25	30	P7363-ND	2.62	2.23	1.60	1.20	ECO-S1KP182CA
	2200	1.25	2.73	22	40	P7364-ND	2.80	2.38	1.71	1.29	ECO-S1KP222BA
	2200	1.25	2.73	30	25	P7365-ND	3.05	2.58	1.86	1.40	ECO-S1KP222DA
	2700	1.39	2.78	22	45	P7366-ND	3.12	2.64	1.90	1.43	ECO-S1KP272BA
	2700	1.39	2.78	30	30	P7367-ND	3.34	2.83	2.03	1.53	ECO-S1KP272DA
80	3300	1.54	3.21	22	50	P7368-ND	3.34	2.83	2.04	1.53	ECO-S1KP332BA
	3300	1.54	3.21	30	30	P7369-ND	3.61	3.07	2.21	1.66	ECO-S1KP332DA
	3900	1.67	3.59	25	45	P7370-ND	3.78	3.21	2.31	1.73	ECO-S1KP392CA
	3900	1.67	3.59	30	35	P7371-ND	4.03	3.42	2.46	1.85	ECO-S1KP392DA
	4700	1.83	4.09	25	50	P7372-ND	4.13	3.50	2.52	1.89	ECO-S1KP472CA
	4700	1.83	4.09	30	40	P7373-ND	4.41	3.73	2.69	2.02	ECO-S1KP472DA
	5600	2.00	4.55	30	45	P7374-ND	4.95	4.20	3.02	2.27	ECO-S1KP562DA
	5600	2.00	4.55	35	35	P7375-ND	5.20	4.41	3.17	2.38	ECO-S1KP562EA
	6800	2.21	5.16	30	50	P7376-ND	5.49	4.64	3.34	2.51	ECO-S1KP682DA
	6800	2.21	5.16	35	40	P7377-ND	5.98	5.06	3.65	2.74	ECO-S1KP682EA
	8200	2.42	5.83	35	50	P7378-ND	6.75	5.72	4.12	3.09	ECO-S1KP822EA
	470	0.65	1.11	22	25	P7379-ND	1.96	1.66	1.20	.90	ECO-S2AP471BA
	560	0.70	1.32	22	25	P7380-ND	2.04	1.73	1.25	.94	ECO-S2AP561BA
	680	0.78	1.61	22	25	P7381-ND	2.17	1.84	1.32	.99	ECO-S2AP681BA
	1000	0.94	1.96	20	35	P6947-ND	3.70	3.04	2.13	1.48	ECO-S2AP102AA
	1000	0.94	1.96	25	25	P6948-ND	2.96	2.44	1.71	1.19	ECO-S2AP102CA
	1200	1.03	2.31	20	40	P6949-ND	3.99	3.28	2.29	1.60	ECO-S2AP122AA
	1200	1.03	2.31	25	30	P6990-ND	3.16	2.60	1.82	1.27	ECO-S2AP122CA
	1500	1.16	2.57	22	40	P6991-ND	3.43	2.81	1.97	1.37	ECO-S2AP152BA
	1500	1.16	2.57	30	25	P6992-ND	3.68	3.02	2.12	1.48	ECO-S2AP152DA
	1800	1.27	2.84	22	45	P6993-ND	3.78	3.11	2.18	1.52	ECO-S2AP182BA
100	1800	1.27	2.84	30	30	P6101-ND	3.99	3.28	2.29	1.60	ECO-S2AP182DA
	2200	1.40	3.14	22	50	P6102-ND	4.14	3.40	2.38	1.66	ECO-S2AP222BA
	2200	1.40	3.14	30	30	P6103-ND	3.77	3.19	2.30	1.72	ECO-S2AP222DA
	2700	1.55	3.71	25	45	P6104-ND	4.16	3.52	2.54	1.90	ECO-S2AP272CA
	2700	1.55	3.71	30	35	P6105-ND	4.23	3.59	2.58	1.94	ECO-S2AP272DA
	3300	1.72	4.06	25	50	P6106-ND	4.61	3.90	2.81	2.11	ECO-S2AP332CA
	3300	1.72	4.06	30	40	P6107-ND	4.85	4.11	2.96	2.22	ECO-S2AP332DA
	3900	1.87	4.54	30	45	P6108-ND	5.38	4.56	3.29	2.47	ECO-S2AP392DA
	3900	1.87	4.54	35	35	P6109-ND	5.71	4.83	3.48	2.61	ECO-S2AP392EA
	4700	2.05	5.13	30	50	P6110-ND	5.45	4.71	3.45	2.71	ECO-S2AP472DA
	4700	2.05	5.13	35	40	P6111-ND	5.92	5.10	3.74	2.94	ECO-S2AP472EA
	5600	2.24	5.75	35	45	P6112-ND	6.63	5.72	4.19	3.30	ECO-S2AP562EA
	6800	2.47	6.60	35	50	P6113-ND	6.71	5.91	4.42	3.66	ECO-S2AP682EA
	150	0.51	0.71	22	25	P7382-ND	1.85	1.58	1.14	.85	ECO-S2DP151BA
	220	0.62	1.04	22	25	P7383-ND	2.01	1.71	1.23	.92	ECO-S2DP221BA
	270	0.69	1.41	20	30	P6114-ND	3.23	2.65	1.85	1.29	ECO-S2DP271AA
	270	0.69	1.41	22	25	P6115-ND	2.87	2.30	1.58	1.03	ECO-S2DP271BA
	330	0.77	1.56	20	35	P6116-ND	3.44	2.82	1.98	1.38	ECO-S2DP331AA
	330	0.77	1.56	25	25	P6117-ND	2.75	2.26	1.58	1.10	ECO-S2DP331CA
	390	0.83	1.68	22	30	P6118-ND	2.80	2.30	1.61	1.13	ECO-S2DP391BA
	390	0.83	1.68	25	25	P6119-ND	2.91	2.39	1.68	1.17	ECO-S2DP391CA
	470	0.91	1.85	22	35	P6120-ND	3.04	2.50	1.75	1.22	ECO-S2DP471BA
	470	0.91	1.85	30	25	P6121-ND	3.48	2.85	2.00	1.39	ECO-S2DP471DA
	560	1.00	2.43	22	40	P6122-ND	3.19	2.62	1.84	1.28	ECO-S2DP561BA
	560	1.00	2.43	30	25	P6123-ND	3.75	3.08	2.16	1.50	ECO-S2DP561DA
	680	1.10	2.68	22	45	P6124-ND	3.50	2.87	2.01	1.40	ECO-S2DP681BA
	680	1.10	2.68	30	30	P6125-ND	4.06	3.33	2.33	1.62	ECO-S2DP681DA
200	820	1.21	2.93	25	45	P6126-ND	3.97	3.26	2.28	1.59	ECO-S2DP821CA
	820	1.21	2.93	35	25	P6127-ND	4.79	3.93	2.75	1.92	ECO-S2DP821EA
	1000	1.34	3.25	25	45	P7384-ND	3.68	3.12	2.25	1.69	ECO-S2DP102CX
	1000	1.34	3.25	25	50	P6128-ND	3.83	3.25	2.34	1.75	ECO-S2DP102CA
	1000	1.34	3.25	35	30	P6129-ND	4.55	3.85	2.77	2.08	ECO-S2DP102EA
	1200	1.46	3.50	30	40	P7385-ND	4.61	3.90	2.81	2.11	ECO-S2DP122DX
	1200	1.46	3.50	30	45	P6130-ND	4.72	4.00	2.88	2.16	ECO-S2DP122DA
	1200	1.46	3.50	35	30	P7386-ND	4.93	4.17	3.01	2.26	ECO-S2DP122EX
	1200	1.46	3.50	35	35	P6131-ND	5.05	4.28	3.08	2.31	ECO-S2DP122EA
	1500	1.64	3.87	30	45	P7387-ND	5.33	4.52	3.25	2.44	ECO-S2DP152DX
	1500	1.64	3.87	30	50	P6132-ND	5.55	4.69	3.38	2.54	ECO-S2DP152DA
	1500	1.64	3.87	35	35	P7388-ND	5.66	4.79	3.45	2.59	ECO-S2DP152EX
	1500	1.64	3.87	35	40	P6133-ND	5.87	4.97	3.58	2.68	ECO-S2DP152EA

WV** DC	Kap. (µF)	Max. DC (mA) Leckstrom	85° (rms) Mischstrom (120 Hz) A	Abmessungen (mm) D	L	Digi-Key Teilenr.	Stückpreis 1	10	50	200	Panasonic Teilenr.
	1800	1.80	4.32	35	40	P7389-ND	6.43	5.45	3.92	2.94	ECO-S2DP182EX
200	1800	1.80	4.32	35	45	P6134-ND	5.88	5.07	3.71	2.92	ECO-S2DP182EA
	2200	1.98	4.92	35	45	P7390-ND	7.28	6.16	4.44	3.33	ECO-S2DP222EX
	2200	1.98	4.92	35	50	P6135-ND	6.75	5.82	4.26	3.36	ECO-S2DP222EA
	120	0.51	0.71	22	25	P7391-ND	1.98	1.68	1.21	.91	ECO-S2EP121BA
	150	0.58	0.89	22	25	P7392-ND	2.09	1.77	1.28	.96	ECO-S2EP151BA
	180	0.63	1.07	20	30	P7393-ND	2.85	2.42	1.74	1.31	ECO-S2EP181AA
	180	0.63	1.07	22	25	P7394-ND	2.22	1.88	1.35	1.02	ECO-S2EP181BA
	220	0.70	1.17	22	25	P7395-ND	2.34	1.98	1.43	1.07	ECO-S2EP221BX
	270	0.77	1.31	22	30	P7396-ND	2.51	2.13	1.54	1.15	ECO-S2EP271BA
	270	0.77	1.31	25	25	P7397-ND	2.62	2.22	1.60	1.20	ECO-S2EP271CA
	330	0.86	1.75	22	35	P7398-ND	2.77	2.35	1.69	1.27	ECO-S2EP331BA
	330	0.86	1.75	25	30	P7399-ND	2.83	2.40	1.73	1.30	ECO-S2EP331CA
	390	0.93	1.91	22	40	P7400-ND	2.95	2.51	1.81	1.36	ECO-S2EP391BA
	390	0.93	1.91	30	25	P7401-ND	3.22	2.73	1.96	1.47	ECO-S2EP391DA
250	470	1.02	2.11	22	45	P7402-ND	3.26	2.76	1.99	1.49	ECO-S2EP471BA
	470	1.02	2.11	30	25	P7403-ND	3.52	2.98	2.15	1.61	ECO-S2EP471DX
	560	1.12	2.25	25	40	P7404-ND	3.67	3.11	2.24	1.68	ECO-S2EP561CX
	560	1.12	2.25	35	25	P7405-ND	4.16	3.52	2.54	1.91	ECO-S2EP561EA
	680	1.23	2.50	25	45	P7406-ND	4.06	3.44	2.48	1.86	ECO-S2EP681CX
	680	1.23	2.50	35	30	P7407-ND	4.60	3.90	2.81	2.11	ECO-S2EP681EA
	820	1.35	2.50	30	40	P7408-ND	4.80	4.07	2.93	2.20	ECO-S2EP821DX
	820	1.35	2.77	35	30	P7409-ND	5.12	4.34	3.12	2.34	ECO-S2EP821EX
	1000	1.50	3.32	30	45	P7410-ND	5.46	4.63	3.33	2.50	ECO-S2EP102DX
	1000	1.50	3.32	35	35	P7411-ND	5.80	4.91	3.54	2.65	ECO-S2EP102EX
	1200	1.64	3.53	35	40	P7412-ND	6.60	5.59	4.02	3.02	ECO-S2EP122EX
	1500	1.83	4.04	35	50	P7413-ND	7.66	6.49	4.67	3.50	ECO-S2EP152EA
	47	0.41	0.47	22	25	P7414-ND	2.24	1.89	1.37	1.03	ECO-S2GP470BA
	68	0.49	0.76	20	30	P6136-ND	3.34	2.74	1.92	1.34	ECO-S2GP680AA
	68	0.49	0.76	22	25	P6137-ND	3.03	2.43	1.67	1.09	ECO-S2GP680BA
	82	0.54	0.83	20	30	P6138-ND	3.53	2.89	2.03	1.41	ECO-S2GP820AA
	82	0.54	0.83	22	25	P6139-ND	2.79	2.30	1.61	1.12	ECO-S2GP820BA
	100	0.60	0.92	20	35	P6140-ND	3.79	3.11	2.18	1.52	ECO-S2GP101AA
	100	0.60	0.92	25	25	P6141-ND	3.05	2.50	1.75	1.22	ECO-S2GP101CA
	120	0.65	1.02	20	40	P6142-ND	4.07	3.34	2.34	1.63	ECO-S2GP121AA
	120	0.65	1.02	25	25	P7415-ND	2.79	2.37	1.71	1.28	ECO-S2GP121CX
	120	0.65	1.02	25	30	P6143-ND	3.25	2.67	1.87	1.30	ECO-S2GP121CA
	150	0.73	1.16	22	40	P6144-ND	3.57	2.94	2.06	1.43	ECO-S2GP151BA
	150	0.73	1.16	30	25	P6145-ND	3.82	3.13	2.19	1.53	ECO-S2GP151DA
	180	0.80	1.44	22	45	P6146-ND	3.92	3.22	2.26	1.57	ECO-S2GP181BA
	180	0.80	1.44	30	30	P6147-ND	4.15	3.41	2.39	1.66	ECO-S2GP181DA
400	220	0.88	1.49	22	50	P6148-ND	4.43	3.63	2.55	1.77	ECO-S2GP221BA
	220	0.88	1.49	30	30	P6149-ND	4.60	3.77	2.64	1.84	ECO-S2GP221DA
	270	0.98	1.67	25	45	P6150-ND	4.25	3.60	2.59	1.94	ECO-S2GP271CA
	270	0.98	1.67	35	30	P6151-ND	4.72	4.00	2.88	2.16	ECO-S2GP271EA
	330	1.08	1.90	30	40	P6152-ND	5.02	4.26	3.06	2.30	ECO-S2GP331DA
	330	1.08	1.90	35	30	P7416-ND	5.29	4.48	3.23	2.42	ECO-S2GP331EX
	330	1.08	1.90	35	35	P6153-ND	5.29	4.48	3.23	2.42	ECO-S2GP331EA
	390	1.18	2.13	30	45	P6154-ND	5.56	4.71	3.39	2.55	ECO-S2GP391DA
	390	1.18	2.13	35	35	P7417-ND	5.88	4.98	3.59	2.69	ECO-S2GP391EX
	390	1.18	2.13	35	40	P6155-ND	5.99	5.07	3.65	2.74	ECO-S2GP391EA
	470	1.30	2.39	35	40	P7418-ND	6.76	5.72	4.12	3.09	ECE-S2GP471EX
	470	1.30	2.39	35	45	P6156-ND	6.00	5.18	3.79	2.99	ECO-S2GP471EA
	560	1.41	2.69	35	45	P7419-ND	7.52	6.36	4.58	3.44	ECO-S2GP561EX
	560	1.41	2.69	35	50	P6157-ND	6.97	6.01	4.40	3.46	ECO-S2GP561EA
	680	1.56	3.00	35	50	P7420-ND	8.97	7.60	5.47	4.10	ECO-S2GP681EX
	33	0.36	0.41	22	25	P7421-ND	2.05	1.74	1.25	.94	ECO-S2WP330BA
	47	0.43	0.59	22	25	P7422-ND	2.24	1.90	1.37	1.03	ECO-S2WP470BA
	56	0.47	0.70	20	30	P7423-ND	2.97	2.52	1.82	1.36	ECO-S2WP560AA
	56	0.47	0.70	22	25	P7424-ND	2.36	2.00	1.44	1.08	ECO-S2WP560BA
	82	0.57	0.83	22	30	P7425-ND	2.75	2.33	1.68	1.26	ECO-S2WP820BA
	82	0.57	0.83	25	25	P7426-ND	2.77	2.35	1.69	1.27	ECO-S2WP820CA
	100	0.63	0.93	22	35	P7427-ND	3.04	2.57	1.85	1.39	ECO-S2WP101BA
	120	0.69	1.04	22	40	P7428-ND	3.32	2.81	2.02	1.52	ECO-S2WP121BA
	120	0.69	1.04	30	25	P7429-ND	3.52	2.98	2.15	1.61	ECO-S2WP121DA
	150	0.77	1.19	22	50	P7430-ND	3.71	3.14	2.26	1.70	ECO-S2WP151BA
450	150	0.77	1.19	30	30	P7431-ND	3.85	3.26	2.35	1.76	ECO-S2WP151DA
	180	0.85	1.35	25	40	P7432-ND	4.15	3.51	2.53	1.90	ECO-S2WP181CX
	180	0.85	1.35	35	25	P7433-ND	4.72	3.99	2.88	2.16	ECO-S2WP181EA
	220	0.94	1.55	25	45	P7434-ND	4.70	3.98	2.87	2.15	ECO-S2WP221CX
	220	0.94	1.55	35	30	P7435-ND	5.12	4.34	3.13	2.35	ECO-S2WP221EA
	270	1.04	1.78	30	45	P7436-ND	5.50	4.66	3.36	2.52	ECO-S2WP271DA
	270	1.04	1.78	35	30	P7437-ND	5.87	4.97	3.58	2.68	ECO-S2WP271EX
	330	1.15	2.01	30	50	P7438-ND	6.42	5.43	3.91	2.93	ECO-S2WP331DA
	330	1.15	2.01	35	35	P7439-ND	6.88	5.83	4.20	3.15	ECE-S2WP331EX
	390	1.25	2.24	35	45	P7440-ND	7.44	6.30	4.54	3.40	ECO-S2WP391EA
	470	1.37	2.53	35	45	P7441-ND	8.87	7.51	5.41	4.06	ECO-S2WP471EX
	47	0.45	0.63	22	25	P7442-ND	2.81	2.38	1.71	1.29	ECO-S2HP470BA
	56	0.50	0.70	22	30	P7443-ND	2.97	2.52	1.82	1.36	ECO-S2HP560BA
	68	0.55	0.78	22	35	P7444-ND	3.28	2.77	2.00	1.50	ECO-S2HP680BA
	68	0.55	0.78	25	25	P7445-ND	3.31	2.81	2.02	1.52	ECO-S2HP680CA
	82	0.60	0.88	22	40	P7446-ND	3.56	3.02	2.17	1.63	ECO-S2HP820BA
500	82	0.60	0.88	25	30	P7447-ND	3.57	3.03	2.18	1.64	ECO-S2HP820CA
	100	0.67	0.99	22	45	P7448-ND	3.95	3.35	2.41	1.81	ECO-S2HP101BA
	100	0.67	0.99	25	35	P7449-ND	3.96	3.36	2.42	1.82	ECO-S2HP101CA
	120	0.73	1.13	22	50	P7450-ND	4.43	3.75	2.70	2.03	ECO-S2HP121BA
	120	0.73	1.13	30	30	P7451-ND	4.56	3.87	2.79	2.09	ECO-S2HP121DA
	150	0.82	1.29	25	45	P7452-ND	5.05	4.27	3.08	2.31	ECO-S2HP151CA
	150	0.82	1.20	35	25	P7453-ND	5.59	4.73	3.41	2.56	ECO-S2HP151EA

* Mischstrom bei 105 °C † 2.000 Stunden Lebensdauer für Dosengrößen von 20 mm Durchmesser oder Länge
** Betriebsspannung

(Forts.)

E

WV** DC	Kap. (µF)	Max. DC (mA) Leckstrom	85° (rms) Mischstrom (120 Hz) A	Abmessungen (mm) D	L	Digi-Key Teilenr.	Stückpreis 1	10	50	200	Panasonic Teilenr.
500	180	0.90	1.38	25	50	P7454-ND	5.77	4.88	3.51	2.64	ECO-S2HP181CA
	180	0.90	1.36	35	30	P7455-ND	6.16	5.22	3.76	2.82	ECO-S2HP181EA
	220	0.99	1.50	30	45	P7456-ND	6.70	5.67	4.08	3.06	ECO-S2HP221DA
	220	0.99	1.54	35	35	P7457-ND	7.01	5.94	4.27	3.21	ECO-S2HP221EA
	270	1.10	1.76	35	40	P7458-ND	8.10	6.86	4.94	3.70	ECO-S2HP271EA
	330	1.21	1.99	35	45	P7459-ND	9.36	7.93	5.71	4.28	ECO-S2HP331EA
	390	1.32	2.22	35	50	P7460-ND	10.79	9.13	6.58	4.93	ECO-S2HP391EA
TSNH lange Lebensdauer und hoher Mischstrom 105 °C, 2.000 Stunden Lebensdauer											
16	4700	0.75	2.0*	22	31.5	P6450-ND	2.62	2.10	1.73	1.13	ECE-S1CG472E
	22000	1.77	4.2*	30	50	P6454-ND	4.55	3.86	3.34	2.50	ECE-S1CG223U
	33000	2.17	4.8*	35	51	P6455-ND	6.65	5.63	4.86	3.65	ECE-S1CG333Z
25	3300	.86	1.7*	22	31.5	P6456-ND	2.60	2.08	1.71	1.12	ECE-S1EG332E
	6800	1.23	2.6*	25	40	P6458-ND	3.21	2.63	2.21	1.54	ECE-S1EG682M
	10000	1.50	3.1*	25	50	P6459-ND	3.97	3.26	2.74	1.91	ECE-S1EG103N
	22000	2.22	4.0*	35	51	P6461-ND	6.91	5.85	5.05	3.79	ECE-S1EG223Z
35	15000	2.17	3.9*	35	51	P6467-ND	5.86	4.96	4.29	3.22	ECE-S1VG153Z
50	10000	2.12	3.7	35	51	P6473-ND	5.60	4.74	4.10	3.07	ECE-S1HG103Z
63	3300	1.36	2.5	25	50	P6536-ND	3.82	3.14	2.63	1.84	ECE-S1JG332N
100	470	0.47	1.2	22	31.5	P6474-ND	2.80	2.25	1.85	1.21	ECE-S2AG471E
	680	0.68	1.4	22	40	P6539-ND	2.81	2.31	1.94	1.35	ECE-S2AG681G
200	220	0.62	1.0	22	40	P6554-ND	2.62	2.16	1.81	1.26	ECE-S2DG221G
	680	1.1	1.7	30	50	P6557-ND	4.95	4.06	3.41	2.38	ECE-S2DG681U
250	330	0.86	1.25	25	50	P6581-ND	4.12	3.38	2.84	1.98	ECE-S2EG331N
	680	1.23	1.8	35	51	P6583-ND	5.68	4.81	4.15	3.12	ECE-S2EG681Z
400	68	0.49	.56	22	40	P6585-ND	2.75	2.26	1.90	1.32	ECE-S2GG680G
	220	0.88	1.0	30	50	P6587-ND	5.08	4.30	3.72	2.79	ECE-S2GG221U
TSHA Mini-Version, lange Lebensdauer und hoher Mischstrom 105 °C, 3.000 Stunden Lebensdauer†											
16	3300	0.68	1.30	22	25	P7461-ND	2.40	1.92	1.32	.86	ECO-S1CA332BA
	4700	0.82	1.52	22	25	P7462-ND	2.57	2.06	1.41	.92	ECO-S1CA472BA
	6800	0.98	2.20	20	30	P6434-ND	3.22	2.64	1.85	1.29	ECO-S1CA682AA
	6800	0.98	2.20	22	25	P6436-ND	2.78	2.23	1.53	1.00	ECO-S1CA682BA
	8200	1.08	2.40	20	35	P6437-ND	3.40	2.79	1.96	1.36	ECO-S1CA822AA
	8200	1.08	2.40	22	30	P6441-ND	3.01	2.42	1.66	1.08	ECO-S1CA822BA
	10000	1.20	2.60	20	40	P6444-ND	3.63	2.98	2.09	1.46	ECO-S1CA103AA
	10000	1.20	2.60	25	25	P6460-ND	2.89	2.37	1.66	1.16	ECO-S1CA103CA
	12000	1.31	2.90	22	35	P6468-ND	3.01	2.48	1.74	1.21	ECO-S1CA123BA
	12000	1.31	2.90	30	25	P6477-ND	3.32	2.72	1.91	1.33	ECO-S1CA123DA
	15000	1.46	3.20	30	30	P6541-ND	3.62	2.98	2.08	1.45	ECO-S1CA153DA
	18000	1.60	3.50	22	45	P6543-ND	3.55	2.91	2.04	1.42	ECO-S1CA183BA
	18000	1.60	3.50	35	25	P6545-ND	4.28	3.51	2.46	1.71	ECO-S1CA183EA
	22000	1.77	3.80	25	45	P6547-ND	4.11	3.37	2.36	1.65	ECO-S1CA223CA
	22000	1.77	3.80	35	30	P6550-ND	4.67	3.83	2.69	1.87	ECO-S1CA223EA
	27000	1.97	4.20	25	50	P6552-ND	4.54	3.73	2.61	1.82	ECO-S1CA273CA
	27000	1.97	4.20	35	30	P6558-ND	5.16	4.24	2.97	2.07	ECO-S1CA273EA
	33000	2.17	4.70	30	45	P6559-ND	4.68	3.97	2.86	2.15	ECO-S1CA333DA
	33000	2.17	4.70	35	35	P6560-ND	4.94	4.18	3.01	2.26	ECO-S1CA333EA
	39000	2.36	5.10	30	50	P6561-ND	5.11	4.32	3.11	2.34	ECO-S1CA393DA
	39000	2.36	5.10	35	40	P6562-ND	5.55	4.70	3.38	2.54	ECO-S1CA393EA
	47000	2.60	5.50	35	45	P6563-ND	6.17	5.23	3.77	2.83	ECO-S1CA473EA
	56000	2.83	6.00	35	50	P6999-ND	6.58	5.57	4.01	3.01	ECO-S1CA563EA
25	2200	0.70	1.30	22	25	P7463-ND	2.38	1.91	1.31	.86	ECO-S1EA222BA
	3300	0.86	1.62	22	25	P7464-ND	2.57	2.06	1.41	.92	ECO-S1EA332BA
	4700	1.02	2.00	20	30	P6998-ND	3.23	2.65	1.86	1.30	ECO-S1EA472AA
	4700	1.02	2.00	22	25	P6566-ND	2.79	2.23	1.53	1.00	ECO-S1EA472BA
	5600	1.12	2.20	20	35	P6567-ND	3.40	2.79	1.96	1.36	ECO-S1EA562AA
	5600	1.12	2.20	22	30	P6997-ND	3.02	2.42	1.66	1.08	ECO-S1EA562BA
	6800	1.23	2.40	20	40	P6569-ND	3.62	2.98	2.08	1.45	ECO-S1EA682AA
	6800	1.23	2.40	25	25	P6570-ND	2.89	2.37	1.66	1.16	ECO-S1EA682CA
	8200	1.35	2.70	22	35	P6571-ND	3.03	2.49	1.74	1.22	ECO-S1EA822BA
	8200	1.35	2.70	30	25	P6572-ND	3.32	2.73	1.91	1.33	ECO-S1EA822DA
	10000	1.50	3.00	22	40	P6573-ND	3.22	2.64	1.85	1.29	ECO-S1EA103BA
	10000	1.50	3.00	30	30	P6574-ND	3.60	2.95	2.07	1.44	ECO-S1EA103DA
	12000	1.64	3.20	22	45	P6575-ND	3.61	2.97	2.08	1.45	ECO-S1EA123BA
	12000	1.64	3.20	35	25	P6576-ND	4.24	3.48	2.44	1.70	ECO-S1EA123EA
	15000	1.83	3.60	25	45	P6577-ND	4.12	3.38	2.37	1.65	ECO-S1EA153CA
	15000	1.83	3.60	35	30	P6578-ND	4.67	3.84	2.69	1.87	ECO-S1EA153EA
	18000	2.01	3.90	25	50	P6996-ND	4.48	3.67	2.57	1.79	ECO-S1EA183CA
	18000	2.01	3.90	35	35	P6590-ND	5.14	4.22	2.95	2.06	ECO-S1EA183EA
	22000	2.22	4.30	30	45	P6591-ND	4.62	3.92	2.82	2.12	ECO-S1EA223DA
	22000	2.22	4.30	35	35	P6592-ND	4.87	4.12	2.97	2.23	ECO-S1EA223EA
	27000	2.46	4.80	35	45	P6593-ND	5.55	4.71	3.39	2.54	ECO-S1EA273EA
	33000	2.72	5.50	35	50	P6594-ND	6.26	5.31	3.82	2.87	ECO-S1EA333EA
35	1500	0.68	1.10	22	25	P7465-ND	2.44	1.96	1.34	.88	ECO-S1VA152BA
	2200	0.83	1.48	22	25	P7466-ND	2.64	2.12	1.45	.95	ECO-S1VA222BA
	3300	1.01	1.90	20	30	P6595-ND	3.34	2.74	1.92	1.34	ECO-S1VA332AA
	3300	1.01	1.90	22	25	P6596-ND	2.91	2.34	1.60	1.05	ECO-S1VA332BA
	3900	1.10	2.00	20	35	P6597-ND	3.53	2.89	2.03	1.41	ECO-S1VA392AA
	3900	1.10	2.00	22	30	P6598-ND	3.13	2.51	1.72	1.12	ECO-S1VA392BA
	4700	1.21	2.20	20	40	P6599-ND	3.82	3.13	2.20	1.53	ECO-S1VA472AA
	4700	1.21	2.20	25	25	P6600-ND	3.03	2.49	1.74	1.21	ECO-S1VA472CA
35	5600	1.32	2.40	22	35	P6658-ND	3.18	2.61	1.83	1.28	ECO-S1VA562BA
	5600	1.32	2.40	30	25	P6659-ND	3.44	2.82	1.98	1.38	ECO-S1VA562DA
	6800	1.46	2.60	22	40	P6660-ND	3.48	2.85	2.00	1.39	ECO-S1VA682BA
	6800	1.46	2.60	30	30	P6661-ND	3.73	3.06	2.15	1.50	ECO-S1VA682DA
	8200	1.60	2.90	22	50	P6662-ND	3.73	3.06	2.15	1.50	ECO-S1VA822BA
	8200	1.60	2.90	35	25	P6663-ND	4.42	3.62	2.54	1.77	ECO-S1VA822EA
	10000	1.77	3.20	25	45	P6664-ND	4.34	3.56	2.50	1.74	ECO-S1VA103CA
	10000	1.77	3.20	35	30	P6665-ND	4.83	3.97	2.78	1.94	ECO-S1VA103EA
	12000	1.94	3.50	25	50	P6666-ND	4.74	3.89	2.73	1.90	ECO-S1VA123CA
	12000	1.94	3.50	35	30	P6667-ND	5.38	4.41	3.09	2.15	ECO-S1VA123EA
	15000	2.17	3.90	30	45	P6668-ND	4.98	4.22	3.04	2.28	ECO-S1VA153DA
	15000	2.17	3.90	35	35	P6669-ND	5.22	4.43	3.19	2.39	ECO-S1VA153EA
	18000	2.38	4.30	35	40	P6670-ND	5.96	5.05	3.63	2.73	ECO-S1VA183EA
	22000	2.63	5.00	35	50	P6671-ND	6.54	5.54	3.99	2.99	ECO-S1VA223EA
50	1000	0.67	0.90	22	25	P7467-ND	2.46	1.98	1.36	.89	ECO-S1HA102BA
	1500	0.82	1.25	22	25	P7468-ND	2.64	2.12	1.45	.95	ECO-S1HA152BA
	1800	0.90	1.50	20	30	P6672-ND	3.22	2.64	1.85	1.29	ECO-S1HA182AA
	1800	0.90	1.50	22	25	P6673-ND	2.78	2.23	1.53	1.00	ECO-S1HA182BA
	2200	0.99	1.70	22	30	P6675-ND	3.02	2.42	1.66	1.09	ECO-S1HA222BA
	2700	1.10	1.80	20	40	P6676-ND	3.66	3.00	2.10	1.47	ECO-S1HA272AA
	2700	1.10	1.80	25	25	P6677-ND	2.90	2.38	1.67	1.17	ECO-S1HA272CA
	3300	1.21	2.00	22	35	P6678-ND	3.07	2.52	1.77	1.23	ECO-S1HA332BA
	3300	1.21	2.00	25	30	P6679-ND	3.12	2.57	1.80	1.25	ECO-S1HA332CA
	3900	1.32	2.20	22	40	P6680-ND	3.28	2.70	1.89	1.32	ECO-S1HA392BA
	3900	1.32	2.20	30	25	P6681-ND	3.58	2.94	2.06	1.44	ECO-S1HA392DA
	4700	1.45	2.50	22	45	P6682-ND	3.61	2.97	2.08	1.45	ECO-S1HA472BA
	4700	1.45	2.50	35	25	P6683-ND	4.25	3.49	2.44	1.70	ECO-S1HA472EA
	5600	1.58	2.80	22	50	P6684-ND	3.91	3.21	2.25	1.57	ECO-S1HA562BA
	5600	1.58	2.80	35	30	P6685-ND	4.58	3.76	2.63	1.84	ECO-S1HA562EA
	6800	1.74	3.30	25	50	P6686-ND	4.40	3.62	2.53	1.77	ECO-S1HA682CA
	6800	1.74	3.30	35	30	P6687-ND	5.03	4.12	2.89	2.01	ECO-S1HA682EA
	8200	1.92	3.60	30	45	P6688-ND	5.29	4.34	3.04	2.12	ECO-S1HA822DA
	8200	1.92	3.60	35	35	P6689-ND	4.75	4.02	2.90	2.17	ECO-S1HA822EA
	10000	2.12	4.00	30	50	P6690-ND	4.99	4.22	3.04	2.28	ECO-S1HA103DA
	10000	2.12	4.00	35	40	P6691-ND	5.44	4.60	3.31	2.49	ECO-S1HA103EA
	12000	2.32	4.50	35	45	P6692-ND	6.02	5.10	3.67	2.76	ECO-S1HA123EA
	15000	2.59	4.80	35	50	P6693-ND	6.92	5.86	4.22	3.16	ECO-S1HA153EA
63	680	0.62	0.90	22	25	P7469-ND	2.45	1.96	1.34	.88	ECO-S1JA681BA
	1000	0.75	1.17	22	25	P7470-ND	2.60	2.08	1.43	.93	ECO-S1JA102BA
	1200	0.82	1.40	20	30	P7471-ND	3.62	2.90	1.99	1.30	ECO-S1JA122AA
	1200	0.82	1.40	22	25	P7472-ND	2.73	2.18	1.50	.98	ECO-S1JA122BA
	1500	0.92	1.50	20	35	P7473-ND	3.86	3.09	2.12	1.38	ECO-S1JA152AA
	1500	0.92	1.50	22	30	P7474-ND	2.98	2.39	1.63	1.07	ECO-S1JA152BA
	1800	1.01	1.70	22	30	P7475-ND	3.16	2.53	1.73	1.13	ECO-S1JA182BA
	1800	1.01	1.70	25	25	P7476-ND	3.24	2.60	1.78	1.16	ECO-S1JA182CA
	2200	1.11	2.00	22	35	P7477-ND	3.41	2.73	1.87	1.22	ECO-S1JA222BA
	2200	1.11	2.00	25	30	P7478-ND	3.48	2.79	1.91	1.25	ECO-S1JA222CA
	2700	1.23	2.20	22	40	P7479-ND	3.71	2.97	2.04	1.33	ECO-S1JA272BA
	2700	1.23	2.20	30	25	P7480-ND	4.05	3.24	2.22	1.45	ECO-S1JA272DA
	3300	1.36	2.50	22	50	P7481-ND	4.06	3.25	2.22	1.45	ECO-S1JA332BA
	3300	1.36	2.50	35	25	P7482-ND	4.83	3.86	2.65	1.73	ECO-S1JA332EA
	3900	1.48	2.70	25	45	P7483-ND	4.55	3.64	2.50	1.63	ECO-S1JA392CA
	3900	1.48	2.70	35	30	P7484-ND	5.18	4.15	2.84	1.86	ECO-S1JA392EA
	4700	1.63	3.00	25	50	P7485-ND	4.94	3.96	2.71	1.77	ECO-S1JA472CA
	4700	1.63	3.00	35	30	P7486-ND	5.66	4.53	3.10	2.02	ECO-S1JA472EA
	5600	1.78	3.30	30	45	P7487-ND	5.89	4.72	3.23	2.11	ECO-S1JA562DA
	5600	1.78	3.30	35	35	P7488-ND	6.21	4.98	3.41	2.22	ECO-S1JA562EA
	6800	1.96	3.60	30	50	P7489-ND	6.48	5.19	3.56	2.32	ECO-S1JA682DA
	6800	1.96	3.60	35	40	P7490-ND	7.09	5.68	3.89	2.54	ECO-S1JA682EA
	8200	2.15	3.90	35	45	P7491-ND	7.86	6.29	4.31	2.81	ECO-S1JA822EA
	10000	2.38	4.40	35	50	P7492-ND	8.86	7.09	4.86	3.17	ECO-S1JA103EA
80	470	0.58	0.80	22	25	P7493-ND	2.47	1.98	1.36	.89	ECO-S1KA471BA
	680	0.69	1.00	22	25	P7494-ND	2.68	2.14	1.47	.96	ECO-S1KA681BA
	820	0.76	1.20	20	30	P7495-ND	3.79	3.04	2.08	1.36	ECO-S1KA821AA
	820	0.76	1.20	22	25	P7496-ND	2.78	2.23	1.53	1.00	ECO-S1KA821BA
	1000	0.84	1.30	22	30	P7497-ND	3.13	2.51	1.72	1.12	ECO-S1KA102BA
	1000	0.84	1.30	25	25	P7498-ND	3.24	2.60	1.78	1.16	ECO-S1KA102CA
	1200	0.92	1.50	22	30	P7499-ND	3.28	2.63	1.80	1.18	ECO-S1KA122BA
	1200	0.92	1.50	25	25	P7500-ND	3.32	2.66	1.82	1.19	ECO-S1KA122CA
	1500	1.03	1.70	22	35	P7501-ND	3.54	2.84	1.94	1.27	ECO-S1KA152BA
	1500	1.03	1.70	25	30	P7502-ND	3.76	3.01	2.06	1.35	ECO-S1KA152CA
	1800	1.13	1.80	22	40	P7503-ND	3.75	3.00	2.06	1.34	ECO-S1KA182BA
	1800	1.13	1.80	30	25	P7504-ND	4.06	3.26	2.23	1.46	ECO-S1KA182DA
	2200	1.25	2.10	22	45	P7505-ND	4.14	3.32	2.27	1.48	ECO-S1KA222BA
	2200	1.25	2.10	35	25	P7506-ND	5.21	4.17	2.86	1.87	ECO-S1KA222EA
	2700	1.39	2.40	25	45	P7507-ND	4.82	3.86	2.64	1.72	ECO-S1KA272CA
	2700	1.39	2.40	35	30	P7508-ND	5.71	4.57	3.13	2.04	ECO-S1KA272EA
	3300	1.54	2.60	25	50	P7509-ND	5.27	4.22	2.89	1.89	ECO-S1KA332CA
	3300	1.54	2.60	35	30	P7510-ND	6.00	4.81	3.29	2.15	ECO-S1KA332EA
	4700	1.83	3.30	30	50	P7511-ND	6.90	5.53	3.78	2.47	ECO-S1KA472DA
	4700	1.83	3.30	35	40	P7512-ND	7.53	6.03	4.13	2.69	ECO-S1KA472EA
	5600	2.00	3.70	35	45	P7513-ND	8.33	6.67	4.57	2.98	ECO-S1KA562EA
	6800	2.21	3.90	35	50	P7514-ND	9.36	7.50	5.13	3.35	ECO-S1KA682EA
100	330	0.54	0.80	22	25	P7515-ND	2.58	2.07	1.42	.93	ECO-S2AA331BA
	470	0.65	0.92	22	25	P7516-ND	2.63	2.11	1.45	.94	ECO-S2AA471BA
	560	0.70	1.10	20	30	P6694-ND	3.18	2.61	1.83	1.28	ECO-S2AA561AA
	560	0.70	1.10	22	25	P6695-ND	2.40	1.98	1.39	.97	ECO-S2AA561BA

* Mischstrom bei 105 °C † 2.000 Stunden Lebensdauer für Dosengrößen von 20 mm Durchmesser oder Länge
** Betriebsspannung

(Forts.)

Alle Preisangaben in Euro und inklusive Zollgebühren.

WV** DC	Kap. (µF)	Max. DC (mA) Leckstrom	85° (rms) Mischstrom (120 Hz) A	Abmessungen (mm) D	L	Digi-Key Teilenr.	Stückpreis 1	10	50	200	Panasonic Teilenr.
100	820	0.85	1.40	20	35	P6696-ND	3.69	3.03	2.12	1.48	ECO-S2AA821AA
	820	0.85	1.40	25	25	P6697-ND	2.86	2.35	1.65	1.15	ECO-S2AA821CA
	1000	0.94	1.70	20	40	P6698-ND	4.00	3.28	2.30	1.60	ECO-S2AA102AA
	1000	0.94	1.70	25	30	P6699-ND	3.05	2.50	1.75	1.22	ECO-S2AA102CA
	1200	1.03	1.80	22	40	P6700-ND	3.43	2.82	1.97	1.38	ECO-S2AA122BA
	1200	1.03	1.80	30	25	P6701-ND	3.50	2.87	2.01	1.40	ECO-S2AA122DA
	1500	1.16	2.10	22	45	P6702-ND	3.80	3.12	2.19	1.52	ECO-S2AA152BA
	1500	1.16	2.10	35	25	P6712-ND	4.21	3.46	2.42	1.69	ECO-S2AA152EA
	1800	1.27	2.30	25	45	P6728-ND	3.98	3.27	2.29	1.59	ECO-S2AA182CA
	1800	1.27	2.30	35	30	P6806-ND	3.87	3.28	2.36	1.77	ECO-S2AA182EA
	2200	1.40	2.60	25	50	P6994-ND	3.83	3.24	2.33	1.75	ECO-S2AA222CA
	2200	1.40	2.60	35	30	P6995-ND	4.27	3.61	2.60	1.95	ECO-S2AA222EA
	2700	1.55	2.90	30	45	P6807-ND	4.45	3.77	2.72	2.04	ECO-S2AA272DA
	2700	1.55	2.90	35	35	P6808-ND	4.76	4.03	2.90	2.18	ECO-S2AA272EA
	3300	1.72	3.20	30	50	P6809-ND	5.11	4.33	3.12	2.34	ECO-S2AA332DA
	3300	1.72	3.20	35	40	P6810-ND	5.44	4.61	3.32	2.49	ECO-S2AA332EA
	3900	1.87	3.60	35	45	P6811-ND	5.36	4.62	3.39	2.66	ECO-S2AA392EA
	4700	2.05	3.80	35	50	P6812-ND	6.66	5.74	4.21	3.31	ECO-S2AA472EA
200	100	0.42	0.50	22	25	P7517-ND	2.36	1.89	1.30	.85	ECO-S2DA101BA
	150	0.51	0.68	22	25	P7518-ND	2.60	2.08	1.43	.93	ECO-S2DA151BA
	220	0.62	1.00	20	30	P6813-ND	3.27	2.68	1.88	1.31	ECO-S2DA221AA
	220	0.62	1.00	22	25	P6814-ND	2.86	2.29	1.57	1.03	ECO-S2DA221BA
	270	0.69	1.10	20	35	P6815-ND	3.42	2.81	1.97	1.37	ECO-S2DA271AA
	270	0.69	1.10	25	25	P6816-ND	2.80	2.30	1.61	1.13	ECO-S2DA271CA
	330	0.77	1.20	25	25	P6818-ND	3.01	2.47	1.73	1.21	ECO-S2DA331CA
	390	0.83	1.30	22	35	P6819-ND	3.06	2.51	1.76	1.22	ECO-S2DA391BA
	390	0.83	1.30	30	25	P6820-ND	3.40	2.79	1.96	1.36	ECO-S2DA391DA
	470	0.91	1.40	22	40	P6821-ND	3.28	2.70	1.89	1.32	ECO-S2DA471BA
	470	0.91	1.40	30	25	P6822-ND	3.67	3.01	2.11	1.47	ECO-S2DA471DA
	560	1.00	1.50	22	45	P6823-ND	3.56	2.93	2.05	1.43	ECO-S2DA561BA
	560	1.00	1.50	30	30	P6824-ND	3.92	3.22	2.26	1.57	ECO-S2DA561DA
	680	1.10	1.70	25	40	P6825-ND	4.05	3.32	2.33	1.62	ECO-S2DA681CA
	680	1.10	1.70	30	30	P6826-ND	4.32	3.54	2.48	1.73	ECO-S2DA681DA
	820	1.21	2.00	25	50	P6829-ND	3.95	3.35	2.41	1.81	ECO-S2DA821CA
	820	1.21	2.00	35	30	P6830-ND	4.38	3.71	2.67	2.00	ECO-S2DA821EA
	1000	1.34	2.20	30	45	P6831-ND	4.58	3.88	2.80	2.10	ECO-S2DA102DA
	1000	1.34	2.20	35	35	P6832-ND	4.95	4.20	3.02	2.27	ECO-S2DA102EA
	1200	1.46	2.30	30	50	P6833-ND	5.20	4.40	3.17	2.38	ECO-S2DA122DA
	1200	1.46	2.30	35	40	P6834-ND	5.53	4.68	3.37	2.53	ECO-S2DA122EA
	1500	1.64	2.50	35	50	P6835-ND	5.80	5.00	3.67	2.89	ECO-S2DA152EA
400	33	0.34	0.30	22	25	P7519-ND	2.68	2.15	1.48	.96	ECO-S2GA330BA
	47	0.41	0.43	22	25	P7520-ND	2.92	2.34	1.61	1.05	ECO-S2GA470BA
	56	0.44	0.51	22	25	P6837-ND	2.68	2.20	1.54	1.07	ECO-S2GA560BA
	68	0.49	0.56	20	35	P6838-ND	3.61	2.97	2.08	1.45	ECO-S2GA680AA
	68	0.49	0.56	25	25	P6839-ND	2.90	2.38	1.67	1.16	ECO-S2GA680CA
	82	0.54	0.64	20	40	P6840-ND	3.86	3.17	2.22	1.55	ECO-S2GA820AA
	82	0.54	0.64	25	25	P6841-ND	3.11	2.55	1.79	1.25	ECO-S2GA820CA
	100	0.60	0.69	22	35	P6842-ND	3.34	2.74	1.92	1.34	ECO-S2GA101BA
	100	0.60	0.69	25	30	P6843-ND	3.35	2.75	1.93	1.34	ECO-S2GA101CA
	120	0.65	0.75	22	40	P6844-ND	3.61	2.96	2.07	1.44	ECO-S2GA121BA
	120	0.65	0.75	30	25	P6845-ND	3.84	3.15	2.21	1.54	ECO-S2GA121DA
	150	0.73	0.82	22	50	P6846-ND	4.11	3.37	2.36	1.65	ECO-S2GA151BA
	150	0.73	0.82	30	30	P6847-ND	4.26	3.49	2.45	1.71	ECO-S2GA151DA
	180	0.80	0.90	25	45	P6848-ND	4.51	3.70	2.59	1.81	ECO-S2GA181CA
	180	0.80	0.90	35	25	P6849-ND	4.35	3.69	2.66	1.99	ECO-S2GA181EA
	220	0.88	1.00	25	50	P6850-ND	4.41	3.73	2.69	2.02	ECO-S2GA221CA
	220	0.88	1.00	35	30	P6851-ND	4.81	4.07	2.93	2.20	ECO-S2GA221EA
	270	0.98	1.10	30	45	P6852-ND	5.11	4.33	3.12	2.34	ECO-S2GA271DA
	270	0.98	1.10	35	35	P6853-ND	5.42	4.59	3.30	2.48	ECO-S2GA271EA
	330	1.08	1.20	30	50	P6854-ND	5.93	5.03	3.62	2.72	ECO-S2GA331DA
	330	1.08	1.20	35	40	P6855-ND	6.26	5.29	3.81	2.86	ECO-S2GA331EA
	390	1.18	1.30	35	45	P6856-ND	6.22	5.37	3.93	3.09	ECO-S2GA391EA
	470	1.30	1.40	35	50	P6857-ND	7.27	6.27	4.60	3.62	ECO-S2GA471EA
TSHB Kompaktgröße, lange Lebensdauer und hoher Mischstrom 105 °C, 3.000 Stunden Lebensdauer											
200	390	0.83	1.30	22	30	P10106-ND	2.97	2.44	1.71	1.19	ECO-S2DB391BA
	390	0.83	1.30	25	25	P10107-ND	3.17	2.60	1.82	1.27	ECO-S2DB391CA
	470	0.91	1.40	22	35	P10108-ND	3.24	2.66	1.87	1.30	ECO-S2DB471BA
	470	0.91	1.40	25	30	P10109-ND	3.38	2.77	1.94	1.35	ECO-S2DB471CA
	560	1.00	1.50	30	25	P10110-ND	3.92	3.22	2.25	1.57	ECO-S2DB561DA
	820	1.21	2.00	25	45	P10111-ND	3.84	3.25	2.34	1.76	ECO-S2DB821CA
	820	1.21	2.00	35	25	P10112-ND	4.38	3.71	2.67	2.00	ECO-S2DB821EA
	1000	1.34	2.20	25	50	P10113-ND	4.39	3.72	2.68	2.01	ECO-S2DB102CA
	1000	1.34	2.20	35	30	P10114-ND	4.88	4.13	2.97	2.23	ECO-S2DB102EA
	1200	1.46	2.30	30	40	P10115-ND	4.81	4.07	2.93	2.20	ECO-S2DB122DA
	1200	1.46	2.30	35	35	P10116-ND	5.45	4.62	3.33	2.50	ECO-S2DB122EA
	1500	1.64	2.50	30	50	P10117-ND	5.93	5.02	3.61	2.71	ECO-S2DB152DA
	1500	1.64	2.50	35	40	P10118-ND	6.24	5.29	3.81	2.86	ECO-S2DB152EA
	1800	1.80	2.70	35	45	P10119-ND	6.28	5.42	3.97	3.12	ECO-S2DB182EA
	2200	1.98	2.90	35	50	P10120-ND	7.44	6.42	4.70	3.70	ECO-S2DB222EA
250	330	0.86	1.20	25	30	P10121-ND	3.60	2.96	2.07	1.44	ECO-S2EB331CA
	390	0.93	1.30	30	25	P10122-ND	4.15	3.40	2.38	1.66	ECO-S2EB391DA
	470	1.02	1.40	22	50	P10123-ND	4.33	3.55	2.49	1.73	ECO-S2EB471BA
	470	1.02	1.40	30	30	P10124-ND	3.87	3.28	2.36	1.77	ECO-S2EB471DA
	560	1.12	1.50	25	45	P10125-ND	4.08	3.46	2.49	1.87	ECO-S2EB561CA
	560	1.12	1.50	35	25	P10126-ND	4.61	3.91	2.81	2.11	ECO-S2EB561EA
	680	1.23	1.70	25	50	P10127-ND	4.70	3.98	2.87	2.15	ECO-S2EB681CA
	820	1.35	2.00	30	45	P10129-ND	5.43	4.60	3.31	2.48	ECO-S2EB821DA
	820	1.35	2.00	35	35	P10130-ND	5.73	4.85	3.49	2.62	ECO-S2EB821EA
	1000	1.50	2.20	30	50	P10131-ND	6.29	5.33	3.84	2.88	ECO-S2EB102DA
	1000	1.50	2.20	35	40	P10132-ND	6.62	5.61	4.04	3.03	ECO-S2EB102EA
	1200	1.64	2.30	35	45	P10133-ND	8.53	7.36	6.47	5.09	ECO-S2EB122EA
	1500	1.83	2.50	35	50	P10134-ND	8.08	6.96	5.10	4.01	ECO-S2EB152EA

** Betriebsspannung

WV** DC	Kap. (µF)	Max. DC (mA) Leckstrom	85° (rms) Mischstrom (120 Hz) A	Abmessungen (mm) D	L	Digi-Key Teilenr.	Stückpreis 1	10	50	200	Panasonic Teilenr.
400	82	0.54	0.64	22	30	P10135-ND	3.04	2.50	1.75	1.22	ECO-S2GB820BA
	100	0.60	0.69	22	30	P10136-ND	3.33	2.73	1.91	1.33	ECO-S2GB101BA
	100	0.60	0.69	25	25	P10137-ND	3.39	2.78	1.95	1.36	ECO-S2GB101CA
	120	0.65	0.75	22	35	P10138-ND	3.63	2.98	2.09	1.46	ECO-S2GB121BA
	120	0.65	0.75	25	30	P10139-ND	3.63	2.98	2.09	1.45	ECO-S2GB121CA
	150	0.73	0.82	22	40	P10140-ND	4.08	3.35	2.34	1.63	ECO-S2GB151BA
	150	0.73	0.82	30	25	P10141-ND	4.33	3.55	2.49	1.73	ECO-S2GB151DA
	180	0.80	0.90	22	45	P10142-ND	3.84	3.25	2.34	1.76	ECO-S2GB181BA
	180	0.80	0.90	30	30	P10143-ND	4.01	3.40	2.45	1.84	ECO-S2GB181DA
	220	0.88	1.00	25	45	P10144-ND	4.34	3.68	2.65	1.99	ECO-S2GB221CA
	220	0.88	1.00	35	25	P10145-ND	4.88	4.14	2.98	2.24	ECO-S2GB221EA
	270	0.98	1.10	25	50	P10146-ND	5.01	4.25	3.06	2.29	ECO-S2GB271CA
	270	0.98	1.10	35	30	P10147-ND	5.41	4.58	3.30	2.48	ECO-S2GB271EA
	330	1.08	1.20	30	45	P10148-ND	5.33	4.60	3.37	2.65	ECO-S2GB331DA
	330	1.08	1.20	35	35	P10149-ND	5.61	4.84	3.55	2.79	ECO-S2GB331EA
	390	1.18	1.30	30	50	P10150-ND	6.09	5.25	3.85	3.03	ECO-S2GB391DA
	390	1.18	1.30	35	40	P10151-ND	6.38	5.51	4.04	3.18	ECO-S2GB391EA
	470	1.30	1.40	35	45	P10152-ND	7.09	6.11	4.48	3.52	ECO-S2GB471EA
	560	1.30	1.40	35	50	P10153-ND	7.48	6.59	4.93	4.09	ECO-S2GB561EA
450	82	0.57	0.56	22	30	P10154-ND	3.54	2.90	2.03	1.42	ECO-S2WB820BA
	100	0.63	0.64	22	35	P10155-ND	3.94	3.23	2.26	1.58	ECO-S2WB101BA
	100	0.63	0.64	25	30	P10156-ND	3.86	3.17	2.22	1.55	ECO-S2WB101CA
	120	0.69	0.72	22	40	P10157-ND	4.30	3.53	2.47	1.72	ECO-S2WB121BA
	120	0.69	0.72	25	35	P10158-ND	4.24	3.48	2.44	1.70	ECO-S2WB121CA
	150	0.77	0.79	22	50	P10159-ND	4.96	4.07	2.85	1.99	ECO-S2WB151BA
	150	0.77	0.79	30	30	P10160-ND	4.36	3.70	2.66	2.00	ECO-S2WB151DA
	180	0.85	0.87	25	45	P10161-ND	4.72	4.00	2.88	2.16	ECO-S2WB181CA
	180	0.85	0.87	30	35	P10162-ND	4.88	4.13	2.98	2.23	ECO-S2WB181DA
	220	0.94	1.00	25	50	P10163-ND	5.49	4.64	3.34	2.51	ECO-S2WB221CA
	220	0.94	1.00	30	40	P10164-ND	5.56	4.71	3.39	2.55	ECO-S2WB221DA
	270	1.04	1.19	30	45	P10165-ND	6.42	5.44	3.92	2.94	ECO-S2WB271DA
	270	1.04	1.19	35	35	P10166-ND	6.73	5.70	4.11	3.08	ECO-S2WB271EA
	330	1.15	1.38	30	50	P10167-ND	6.87	5.93	4.35	3.42	ECO-S2WB331DA
	330	1.15	1.38	35	40	P10168-ND	7.09	6.11	4.48	3.52	ECO-S2WB331EA
	390	1.25	1.55	35	45	P10169-ND	7.92	6.83	5.00	3.94	ECO-S2WB391EA
	470	1.37	1.74	35	50	P10170-ND	10.62	9.37	8.41	6.96	ECO-S2WB471EA

WV** DC	Kap. (µF)	105° (rms) Mischstrom (120 Hz) A	ESR (max.) @ 20 °C 120 Hz Ω	Abmessungen (mm) D	L	Digi-Key Teilenr.	Stückpreis 1	10	50	200	Panasonic Teilenr.
TSED sehr hoher Mischstrom 105 °C, 3.000 Stunden Lebensdauer											
200	270	1.42	0.553	22	25	P11609-ND	2.54	2.03	1.67	1.09	EET-ED2D271BA
	330	1.56	0.452	22	30	P11610-ND	2.63	2.11	1.74	1.13	EET-ED2D331BA
	390	1.71	0.383	22	30	P11611-ND	2.85	2.29	1.88	1.23	EET-ED2D391BA
	390	1.71	0.383	25	25	P11612-ND	2.91	2.33	1.92	1.25	EET-ED2D391CA
	470	1.85	0.317	22	35	P11613-ND	2.69	2.21	1.86	1.30	EET-ED2D471BA
	470	1.85	0.317	25	30	P11614-ND	2.71	2.23	1.87	1.31	EET-ED2D471CA
	560	2.14	0.266	22	40	P11615-ND	2.90	2.39	2.01	1.40	EET-ED2D561BA
	560	2.14	0.266	25	30	P11616-ND	2.93	2.40	2.02	1.41	EET-ED2D561CA
	560	2.14	0.266	30	25	P11617-ND	3.94	3.23	2.71	1.89	EET-ED2D561DA
	680	2.42	0.219	22	45	P11618-ND	3.18	2.62	2.20	1.53	EET-ED2D681BA
	680	2.42	0.219	25	35	P11619-ND	3.23	2.65	2.22	1.55	EET-ED2D681CA
	680	2.42	0.219	30	30	P11620-ND	3.94	3.23	2.72	1.89	EET-ED2D681DA
	820	2.63	0.182	22	50	P11621-ND	3.54	2.91	2.44	1.70	EET-ED2D821BA
	820	2.63	0.182	25	40	P11622-ND	3.54	2.90	2.44	1.70	EET-ED2D821CA
	820	2.63	0.182	30	30	P11623-ND	3.92	3.22	2.70	1.88	EET-ED2D821DA
	820	2.63	0.182	35	25	P11624-ND	4.93	4.04	3.40	2.37	EET-ED2D821EA
	1000	2.84	0.149	25	45	P11600-ND	4.10	3.37	2.83	1.97	EET-ED2D102CA
	1000	2.84	0.149	30	35	P11601-ND	4.78	3.93	3.30	2.30	EET-ED2D102DA
	1000	2.84	0.149	35	30	P11602-ND	4.88	4.00	3.36	2.34	EET-ED2D102EA
	1200	3.13	0.124	30	40	P11603-ND	4.87	3.99	3.36	2.34	EET-ED2D122DA
	1200	3.13	0.124	35	35	P11604-ND	4.48	3.80	3.28	2.46	EET-ED2D122EA
	1500	3.56	0.099	30	50	P11605-ND	4.93	4.17	3.60	2.70	EET-ED2D152DA
	1500	3.56	0.099	35	40	P11606-ND	5.19	4.39	3.80	2.85	EET-ED2D152EA
	1800	3.84	0.083	35	45	P11607-ND	5.77	4.88	4.22	3.17	EET-ED2D182EA
	2200	4.12	0.068	35	50	P11608-ND	6.91	5.85	5.06	3.79	EET-ED2D222EA
250	220	1.28	0.678	22	30	P11628-ND	2.80	2.24	1.85	1.20	EET-ED2E221BA
	270	1.42	0.553	22	30	P11629-ND	2.69	2.21	1.86	1.30	EET-ED2E271BA
	270	1.42	0.553	25	25	P11630-ND	2.74	2.25	1.89	1.32	EET-ED2E271CA
	330	1.64	0.452	22	35	P11631-ND	2.95	2.42	2.04	1.42	EET-ED2E331BA
	330	1.56	0.452	25	30	P11632-ND	2.98	2.45	2.06	1.43	EET-ED2E331CA
	390	1.72	0.383	22	40	P11633-ND	3.20	2.62	2.21	1.54	EET-ED2E391BA
	390	1.71	0.383	25	30	P11634-ND	3.23	2.65	2.23	1.55	EET-ED2E391CA
	390	1.71	0.383	30	25	P11635-ND	3.43	2.82	2.37	1.65	EET-ED2E391DA
	470	1.85	0.317	22	45	P11636-ND	3.51	2.89	2.43	1.69	EET-ED2E471BA
	470	1.85	0.317	25	35	P11637-ND	3.57	2.93	2.46	1.72	EET-ED2E471CA
	470	1.85	0.317	30	30	P11638-ND	4.12	3.39	2.85	1.98	EET-ED2E471DA
	560	2.14	0.266	25	40	P11639-ND	3.95	3.24	2.72	1.90	EET-ED2E561CA
	560	2.14	0.266	30	30	P11640-ND	4.50	3.70	3.11	2.16	EET-ED2E561DA
	680	2.42	0.219	25	45	P11641-ND	4.42	3.63	3.05	2.13	EET-ED2E681CA
	680	2.42	0.219	30	35	P11642-ND	5.01	4.11	3.46	2.41	EET-ED2E681DA
	680	2.42	0.219	35	30	P11643-ND	5.11	4.20	3.53	2.46	EET-ED2E681EA
	820	2.63	0.182	30	40	P11644-ND	4.77	4.04	3.49	2.62	EET-ED2E821DA
	820	2.63	0.182	35	35	P11645-ND	4.86	4.12	3.56	2.67	EET-ED2E821EA
	1000	2.84	0.149	30	50	P11625-ND	5.17	4.38	3.78	2.84	EET-ED2E102DA
	1000	2.84	0.149	35	40	P11626-ND	5.44	4.60	3.98	2.98	EET-ED2E102EA
	1500	3.56	0.099	35	50	P11627-ND	6.67	5.75	5.06	3.98	EET-ED2E152EA
400	82	0.80	1.617	22	25	P11667-ND	2.95	2.37	1.94	1.27	EET-ED2G820BA
	100	0.91	1.326	22	30	P11646-ND	2.79	2.29	1.92	1.34	EET-ED2G101BA
	100	0.91	1.326	25	25	P11647-ND	2.82	2.32	1.95	1.36	EET-ED2G101CA
	150	1.07	0.884	22	40	P11648-ND	3.39	2.78	2.34	1.63	EET-ED2G151BA
	150	1.07	0.884	25	30	P11649-ND	3.40	2.79	2.35	1.64	EET-ED2G151CA
	150	1.07	0.884	30	25	P11650-ND	4.06	3.33	2.80	1.95	EET-ED2G151DA
	180	1.12	0.737	22	45	P11651-ND	3.76	3.09	2.59	1.81	EET-ED2G181BA
	180	1.12	0.737	25	35	P11652-ND	3.78	3.11	2.61	1.82	EET-ED2G181CA
	180	1.12	0.737	30	30	P11653-ND	4.43	3.63	3.05	2.13	EET-ED2G181DA
	220	1.42	0.603	22	50	P11654-ND	4.31	3.53	2.97	2.07	EET-ED2G221BA
	220	1.42	0.603	25	40	P11655-ND	4.26	3.50	2.94	2.05	EET-ED2G221CA
	220	1.42	0.603	30	30	P11656-ND	4.62	3.79	3.19	2.22	EET-ED2G221DA
	220	1.42	0.603	35	25	P11657-ND	5.05	4.14	3.48	2.42	EET-ED2G221EA
	270	1.56	0.491	25	45	P11658-ND	4.88	4.00	3.36	2.34	EET-ED2G271CA
	270	1.56	0.491	30	35	P11659-ND	4.78	4.05	3.50	2.63	EET-ED2G271DA
	270	1.56	0.491	35	30	P11660-ND	4.80	4.07	3.51	2.64	EET-ED2G271EA
	330	1.71	0.402	30	40	P11661-ND	5.14	4.35	3.76	2.82	EET-ED2G331DA
	330	1.71	0.402	35	30	P11662-ND	5.38	4.55	3.93	2.95	EET-ED2G331EA
	390	1.85	0.340	30	45	P11663-ND	6.10	5.16	4.46	3.35	EET-ED2G391DA
	390	1.85	0.340	35	35	P11664-ND	6.04	5.11	4.42	3.31	EET-ED2G391EA

(Forts.)

E

WV** DC	Kap. (µF)	105° (rms) Mischstrom (120 Hz) A	ESR (max.) @ 20 °C 120 Hz Ω	Abmessungen (mm) D	L	Digi-Key Teilenr.	Stückpreis 1	10	50	200	Panasonic Teilenr.
TSED sehr hoher Mischstrom 105 °C, 3.000 Stunden Lebensdauer											
400	470	2.01	0.282	35	40	P11665-ND	6.98	5.91	5.10	3.83	EET-ED2G471EA
	560	2.35	0.237	35	45	P11666-ND	7.09	6.11	5.37	4.23	EET-ED2G561EA
450	56	0.67	2.368	22	25	P11690-ND	2.90	2.32	1.91	1.24	EET-ED2W560BA
	68	0.76	1.950	22	30	P11692-ND	2.73	2.25	1.89	1.32	EET-ED2W680BA
	68	0.76	1.950	25	25	P11693-ND	2.79	2.29	1.92	1.34	EET-ED2W680CA
	82	0.80	1.617	22	30	P11694-ND	2.96	2.43	2.04	1.42	EET-ED2W820BA
	82	0.80	1.617	25	25	P11695-ND	3.01	2.47	2.08	1.45	EET-ED2W820CA
	100	0.91	1.326	22	35	P11668-ND	3.28	2.69	2.26	1.58	EET-ED2W101BA
	100	0.91	1.326	25	30	P11669-ND	3.32	2.72	2.29	1.59	EET-ED2W101CA
	120	1.02	1.105	22	40	P11670-ND	3.60	2.95	2.48	1.73	EET-ED2W121BA
	120	1.02	1.105	25	35	P11671-ND	3.64	2.99	2.51	1.75	EET-ED2W121CA
	120	1.02	1.105	30	25	P11672-ND	4.24	3.48	2.92	2.04	EET-ED2W121DA
	150	1.07	0.884	22	45	P11673-ND	4.13	3.39	2.85	1.99	EET-ED2W151BA
	150	1.07	0.884	25	40	P11674-ND	4.16	3.41	2.87	2.00	EET-ED2W151CA
	150	1.07	0.884	30	30	P11675-ND	4.36	3.58	3.01	2.10	EET-ED2W151DA
	150	1.07	0.884	35	25	P11676-ND	4.86	3.99	3.35	2.34	EET-ED2W151EA
	180	1.12	0.737	22	50	P11677-ND	4.70	3.86	3.24	2.26	EET-ED2W181BA
	180	1.12	0.737	25	40	P11678-ND	4.66	3.83	3.22	2.24	EET-ED2W181CA
	180	1.12	0.737	30	30	P11679-ND	4.46	3.78	3.27	2.45	EET-ED2W181DA
	180	1.12	0.737	35	25	P11680-ND	4.59	3.89	3.36	2.52	EET-ED2W181EA
	220	1.42	0.603	25	45	P11681-ND	4.66	3.95	3.42	2.56	EET-ED2W221CA
	220	1.42	0.603	30	35	P11682-ND	4.72	3.99	3.45	2.59	EET-ED2W221DA
	220	1.42	0.603	35	30	P11683-ND	4.99	4.23	3.65	2.74	EET-ED2W221EA
	270	1.72	0.491	30	40	P11684-ND	5.43	4.60	3.97	2.98	EET-ED2W271DA
	270	1.72	0.491	35	35	P11685-ND	5.70	4.83	4.17	3.13	EET-ED2W271EA
	330	1.85	0.402	30	50	P11686-ND	6.37	5.39	4.66	3.49	EET-ED2W331DA
	330	1.85	0.402	35	40	P11687-ND	6.65	5.64	4.87	3.65	EET-ED2W331EA
	390	1.97	0.340	35	40	P11688-ND	6.78	5.85	5.14	4.04	EET-ED2W391EA
	470	2.47	0.282	35	50	P11689-ND	7.91	6.82	5.99	4.72	EET-ED2W471EA
	560	3.50	0.236	35	63	P11691-ND	10.09	8.90	7.98	6.61	EET-ED2W561EA
TSHC stark minimierte Version 105 °C, 2.000 Stunden Lebensdauer											
160	470	1.40	0.423	22	25	P11709-ND	2.56	2.05	1.68	1.10	EET-HC2C471BA
	560	1.50	0.355	22	30	P11710-ND	2.72	2.18	1.79	1.17	EET-HC2C561BA
	680	1.70	0.293	22	30	P11711-ND	2.92	2.34	1.92	1.26	EET-HC2C681BA
	680	1.70	0.293	25	25	P11712-ND	2.61	2.14	1.80	1.26	EET-HC2C681CA
	820	2.00	0.243	22	35	P11713-ND	3.01	2.47	2.08	1.45	EET-HC2C821BA
	820	2.00	0.243	25	30	P11714-ND	2.82	2.32	1.95	1.36	EET-HC2C821CA
	1000	2.20	0.199	22	40	P11696-ND	3.04	2.50	2.10	1.46	EET-HC2C102BA
	1000	2.20	0.199	25	35	P11697-ND	3.08	2.53	2.12	1.48	EET-HC2C102CA
	1000	2.20	0.216	30	25	P11698-ND	3.69	3.03	2.55	1.77	EET-HC2C102DA
	1500	2.50	0.133	25	45	P11699-ND	3.86	3.17	2.66	1.86	EET-HC2C152CA
	1500	2.50	0.133	30	35	P11700-ND	4.44	3.64	3.06	2.13	EET-HC2C152DA
	1800	2.70	0.111	25	50	P11701-ND	4.36	3.58	3.01	2.10	EET-HC2C182CA
	1800	2.70	0.111	30	40	P11702-ND	4.88	4.01	3.37	2.35	EET-HC2C182DA
	1800	2.70	0.120	35	30	P11703-ND	4.53	3.83	3.31	2.49	EET-HC2C182EA
	2200	2.90	0.090	30	45	P11704-ND	4.72	4.00	3.46	2.59	EET-HC2C222DA
	2200	2.90	0.098	35	35	P11705-ND	5.11	4.33	3.74	2.80	EET-HC2C222EA
	2700	3.10	0.080	30	50	P11706-ND	5.39	4.57	3.94	2.96	EET-HC2C272DA
	2700	3.10	0.086	35	40	P11707-ND	5.92	5.01	4.33	3.25	EET-HC2C272EA
	3300	3.30	0.070	35	50	P11708-ND	6.76	5.72	4.94	3.71	EET-HC2C332EA
200	390	1.31	0.510	22	25	P11728-ND	2.73	2.19	1.80	1.17	EET-HC2D391BA
	470	1.45	0.423	22	30	P11729-ND	2.95	2.36	1.94	1.27	EET-HC2D471BA
	560	1.67	0.355	22	30	P11730-ND	2.76	2.27	1.91	1.33	EET-HC2D561BA
	680	1.75	0.293	22	40	P11731-ND	3.02	2.48	2.08	1.45	EET-HC2D681BA
	680	1.75	0.293	25	30	P11732-ND	3.06	2.51	2.11	1.47	EET-HC2D681CA
	820	2.04	0.243	22	45	P11733-ND	3.34	2.74	2.30	1.60	EET-HC2D821BA
	820	2.04	0.243	25	35	P11734-ND	3.35	2.75	2.31	1.61	EET-HC2D821CA
	820	2.04	0.243	30	25	P11735-ND	3.96	3.25	2.73	1.90	EET-HC2D821DA
	1000	2.30	0.199	22	50	P11715-ND	3.78	3.10	2.60	1.81	EET-HC2D102BA
	1000	2.30	0.199	25	45	P11716-ND	3.77	3.09	2.60	1.81	EET-HC2D102CA
	1000	2.30	0.199	30	30	P11717-ND	4.35	3.57	3.00	2.09	EET-HC2D102DA
	1000	2.30	0.216	35	25	P11718-ND	4.66	3.83	3.22	2.24	EET-HC2D102EA
	1200	2.65	0.166	25	50	P11719-ND	4.24	3.48	2.93	2.04	EET-HC2D122CA
	1200	2.65	0.166	30	35	P11720-ND	4.80	3.94	3.31	2.31	EET-HC2D122DA
	1200	2.65	0.180	35	30	P11721-ND	5.11	4.19	3.52	2.45	EET-HC2D122EA
	1500	2.80	0.133	30	40	P11722-ND	4.64	3.93	3.40	2.55	EET-HC2D152DA
	1500	2.80	0.144	35	30	P11723-ND	4.94	4.18	3.61	2.71	EET-HC2D152EA
	1800	3.08	0.111	30	45	P11724-ND	5.20	4.40	3.80	2.85	EET-HC2D182DA
	1800	3.08	0.129	35	40	P11725-ND	5.54	4.69	4.05	3.04	EET-HC2D182EA
	2200	3.48	0.090	30	50	P11726-ND	6.02	5.10	4.40	3.30	EET-HC2D222DA
	2200	3.48	0.098	35	45	P11727-ND	6.34	5.37	4.64	3.48	EET-HC2D222EA
250	270	1.10	0.614	22	25	P11740-ND	2.73	2.19	1.80	1.18	EET-HC2E271BA
	330	1.20	0.502	22	30	P11741-ND	2.59	2.13	1.79	1.25	EET-HC2E331BA
	330	1.20	0.502	25	25	P11742-ND	2.62	2.16	1.81	1.27	EET-HC2E331CA
	390	1.30	0.425	22	35	P11743-ND	2.79	2.29	1.92	1.34	EET-HC2E391BA
	390	1.30	0.425	25	25	P11744-ND	2.82	2.32	1.95	1.36	EET-HC2E391CA
	470	1.40	0.353	22	40	P11745-ND	3.03	2.49	2.09	1.46	EET-HC2E471BA
	470	1.40	0.353	25	30	P11746-ND	3.09	2.54	2.13	1.49	EET-HC2E471CA
	470	1.40	0.353	30	25	P11747-ND	3.66	3.00	2.52	1.76	EET-HC2E471DA
	560	1.50	0.296	22	45	P11748-ND	3.33	2.73	2.30	1.60	EET-HC2E561BA
	560	1.50	0.296	25	35	P11749-ND	3.36	2.76	2.32	1.62	EET-HC2E561CA
	560	1.50	0.296	30	25	P11750-ND	3.98	3.26	2.74	1.91	EET-HC2E561DA
	680	1.70	0.244	22	50	P11751-ND	3.74	3.07	2.58	1.80	EET-HC2E681BA
	680	1.70	0.244	25	40	P11752-ND	3.74	3.07	2.58	1.80	EET-HC2E681CA
	680	1.70	0.244	30	30	P11753-ND	4.32	3.55	2.98	2.08	EET-HC2E681DA
	820	2.00	0.202	25	45	P11754-ND	4.20	3.44	2.89	2.02	EET-HC2E821CA
	820	2.00	0.202	30	35	P11755-ND	4.77	3.92	3.29	2.29	EET-HC2E821DA
	820	2.00	0.202	35	30	P11756-ND	4.53	3.84	3.31	2.49	EET-HC2E821EA
	1000	2.20	0.166	30	40	P11736-ND	4.55	3.85	3.33	2.50	EET-HC2E102DA
	1200	2.30	0.138	30	45	P11737-ND	5.12	4.33	3.74	2.81	EET-HC2E122DA
	1500	2.50	0.111	35	45	P11738-ND	6.64	5.62	4.86	3.64	EET-HC2E152EA
	1800	2.70	0.092	35	50	P11739-ND	6.93	5.97	5.25	4.13	EET-HC2E182EA
350	120	0.75	1.382	22	25	P11780-ND	2.94	2.36	1.94	1.26	EET-HC2V121BA
	150	0.82	1.105	22	30	P11781-ND	2.83	2.32	1.95	1.36	EET-HC2V151BA
	180	0.90	0.921	22	30	P11782-ND	3.38	2.77	2.33	1.62	EET-HC2V181BA
	180	0.90	0.921	25	25	P11783-ND	3.42	2.81	2.36	1.65	EET-HC2V181CA
350	220	1.00	0.754	22	35	P11784-ND	3.48	2.85	2.40	1.67	EET-HC2V221BA
	220	1.00	0.754	25	30	P11785-ND	3.49	2.86	2.41	1.68	EET-HC2V221CA
	270	1.10	0.614	25	35	P11786-ND	3.89	3.19	2.68	1.87	EET-HC2V271CA
	270	1.10	0.614	30	25	P11787-ND	4.57	3.75	3.15	2.20	EET-HC2V271DA
	330	1.20	0.502	25	40	P11788-ND	4.44	3.65	3.06	2.14	EET-HC2V331CA
	330	1.20	0.502	30	30	P11789-ND	5.02	4.12	3.46	2.41	EET-HC2V331DA
	390	1.30	0.425	25	45	P11790-ND	4.94	4.05	3.40	2.37	EET-HC2V391CA
	390	1.30	0.425	30	35	P11791-ND	4.71	3.98	3.44	2.58	EET-HC2V391DA
	470	1.40	0.353	25	50	P11792-ND	4.93	4.17	3.60	2.70	EET-HC2V471CA
	470	1.40	0.353	35	30	P11793-ND	5.44	4.60	3.97	2.98	EET-HC2V471EA
	560	1.50	0.296	30	45	P11794-ND	5.94	5.03	4.35	3.26	EET-HC2V561DA
	560	1.50	0.296	35	35	P11795-ND	6.08	5.15	4.45	3.34	EET-HC2V561EA
	680	1.70	0.244	30	50	P11796-ND	6.90	5.84	5.04	3.78	EET-HC2V681DA
	680	1.70	0.244	35	40	P11797-ND	6.93	5.87	5.07	3.80	EET-HC2V681EA
	820	1.90	0.202	35	45	P11798-ND	7.18	6.19	5.44	4.28	EET-HC2V821EA
400	100	0.70	1.824	22	25	P11757-ND	2.61	2.14	1.80	1.25	EET-HC2G101BA
	120	0.75	1.520	22	30	P11758-ND	2.84	2.33	1.96	1.36	EET-HC2G121BA
	150	0.88	1.216	22	30	P11759-ND	3.18	2.61	2.20	1.53	EET-HC2G151BA
	180	0.95	1.013	22	35	P11760-ND	3.53	2.90	2.44	1.70	EET-HC2G181BA
	180	0.95	1.013	25	30	P11761-ND	3.56	2.92	2.45	1.71	EET-HC2G181CA
	220	1.10	0.829	22	45	P11762-ND	3.91	3.21	2.70	1.88	EET-HC2G221BA
	220	1.10	0.829	25	35	P11763-ND	3.93	3.23	2.71	1.89	EET-HC2G221CA
	220	1.10	0.829	30	25	P11764-ND	4.27	3.50	2.94	2.05	EET-HC2G221DA
	270	1.22	0.675	22	50	P11765-ND	4.51	3.70	3.11	2.17	EET-HC2G271BA
	270	1.22	0.675	25	40	P11766-ND	4.55	3.73	3.14	2.19	EET-HC2G271CA
	270	1.22	0.675	30	30	P11767-ND	5.09	4.17	3.51	2.44	EET-HC2G271DA
	270	1.22	0.675	35	25	P11768-ND	4.50	3.82	3.30	2.47	EET-HC2G271EA
	330	1.44	0.553	25	45	P11769-ND	4.65	3.94	3.40	2.55	EET-HC2G331CA
	330	1.44	0.553	30	35	P11770-ND	4.71	3.99	3.45	2.59	EET-HC2G331DA
	330	1.44	0.553	35	30	P11771-ND	5.02	4.25	3.68	2.76	EET-HC2G331EA
	390	1.55	0.468	25	50	P11772-ND	5.09	4.31	3.73	2.80	EET-HC2G391CA
	390	1.55	0.468	30	40	P11773-ND	5.46	4.63	4.00	3.00	EET-HC2G391DA
	390	1.55	0.468	35	30	P11774-ND	5.50	4.66	4.03	3.02	EET-HC2G391EA
	470	1.68	0.388	30	45	P11775-ND	6.01	5.09	4.40	3.30	EET-HC2G471DA
	470	1.68	0.388	35	35	P11776-ND	6.40	5.42	4.68	3.51	EET-HC2G471EA
	560	1.90	0.326	30	50	P11777-ND	7.13	6.03	5.21	3.91	EET-HC2G561DA
	560	1.90	0.326	35	40	P11778-ND	6.54	5.64	4.96	3.90	EET-HC2G561EA
	680	2.12	0.268	35	45	P11779-ND	7.56	6.52	5.73	4.51	EET-HC2G681EA
450	100	0.64	1.824	22	30	P11799-ND	3.06	2.51	2.11	1.47	EET-HC2W101BA
	100	0.64	1.824	25	25	P11800-ND	3.12	2.56	2.15	1.50	EET-HC2W101CA
	120	0.72	1.520	22	35	P11801-ND	3.37	2.76	2.32	1.62	EET-HC2W121BA
	120	0.72	1.520	25	30	P11802-ND	3.41	2.80	2.35	1.64	EET-HC2W121CA
	150	0.79	1.216	22	40	P11803-ND	3.82	3.13	2.63	1.83	EET-HC2W151BA
	150	0.79	1.216	25	30	P11804-ND	3.85	3.16	2.66	1.85	EET-HC2W151CA
	150	0.79	1.216	30	25	P11805-ND	4.49	3.68	3.09	2.16	EET-HC2W151DA
	180	0.87	1.013	22	45	P11806-ND	4.26	3.50	2.94	2.05	EET-HC2W181BA
	180	0.87	1.013	25	40	P11807-ND	4.31	3.54	2.97	2.07	EET-HC2W181CA
	180	0.87	1.013	30	30	P11808-ND	4.92	4.04	3.39	2.36	EET-HC2W181DA
	220	1.00	0.829	25	45	P11809-ND	4.89	4.01	3.37	2.35	EET-HC2W221CA
	220	1.00	0.829	30	30	P11810-ND	4.54	3.84	3.32	2.49	EET-HC2W221DA
	220	1.00	0.829	35	25	P11811-ND	4.87	4.12	3.56	2.67	EET-HC2W221EA
	270	1.19	0.675	25	50	P11812-ND	4.90	4.15	3.58	2.69	EET-HC2W271CA
	270	1.19	0.675	30	40	P11813-ND	5.21	4.41	3.81	2.86	EET-HC2W271DA
	270	1.19	0.675	35	30	P11814-ND	5.49	4.65	4.02	3.01	EET-HC2W271EA
	330	1.38	0.553	30	45	P11815-ND	6.10	5.16	4.46	3.35	EET-HC2W331DA
	330	1.38	0.553	35	35	P11816-ND	6.08	5.15	4.45	3.34	EET-HC2W331EA
	390	1.55	0.468	30	50	P11817-ND	6.95	5.89	5.08	3.81	EET-HC2W391DA
	390	1.55	0.468	35	40	P11818-ND	6.99	5.92	5.12	3.84	EET-HC2W391EA
	470	1.74	0.388	35	45	P11819-ND	7.23	6.23	5.48	4.31	EET-HC2W471EA
	560	1.90	0.326	35	50	P11820-ND	8.42	7.26	6.38	5.02	EET-HC2W561EA
TSUQ stark minimierte Version 85 °C, 2.000 Stunden Lebensdauer											
160	560	2.25	0.355	22	25	P11839-ND§	2.69	2.16	1.77	1.16	EET-UQ2C561BA
	680	2.50	0.293	22	30	P11840-ND§	2.90	2.32	1.91	1.25	EET-UQ2C681BA
	820	2.75	0.243	22	35	P11841-ND§	2.75	2.26	1.90	1.32	EET-UQ2C821BA
	1000	3.00	0.199	22	40	P11821-ND§	3.01	2.47	2.07	1.45	EET-UQ2C102BA
	1000	3.00	0.199	25	30	P11822-ND§	3.06	2.51	2.11	1.47	EET-UQ2C102CA
	1200	3.25	0.166	22	45	P11823-ND§	3.32	2.73	2.29	1.60	EET-UQ2C122BA
	1200	3.25	0.166	25	35	P11824-ND§	3.34	2.74	2.31	1.61	EET-UQ2C122CA
	1200	3.25	0.166	30	25	P11825-ND§	3.95	3.24	2.72	1.90	EET-UQ2C122DA
	1500	3.73	0.133	22	50	P11826-ND§	3.79	3.12	2.62	1.83	EET-UQ2C152BA
	1500	3.73	0.133	25	40	P11827-ND§	4.05	3.32	2.79	1.94	EET-UQ2C152CA
	1500	3.73	0.133	30	30	P11828-ND§	4.37	3.59	3.01	2.10	EET-UQ2C152DA
	1500	3.73	0.133	35	25	P11829-ND§	4.69	3.85	3.23	2.25	EET-UQ2C152EA
	1800	4.20	0.111	25	45	P11830-ND§	4.24	3.48	2.92	2.04	EET-UQ2C182CA
	1800	4.20	0.120	30	35	P11831-ND§	4.82	3.95	3.32	2.31	EET-UQ2C182DA
	1800	4.20	0.111	35	30	P11832-ND§	5.13	4.21	3.54	2.46	EET-UQ2C182EA
	2200	4.78	0.090	30	40	P11833-ND§	4.61	3.91	3.38	2.53	EET-UQ2C222DA
	2200	4.78	0.098	35	35	P11834-ND§	4.91	4.16	3.60	2.70	EET-UQ2C222EA
	2700	5.45	0.074	30	45	P11835-ND§	5.24	4.44	3.83	2.88	EET-UQ2C272DA
	2700	5.45	0.080	35	40	P11836-ND§	5.58	4.72	4.08	3.06	EET-UQ2C272EA
	3300	5.75	0.070	35	45	P11837-ND§	6.40	5.42	4.68	3.51	EET-UQ2C332EA
	3900	6.00	0.055	35	50	P11838-ND§	6.56	5.65	4.97	3.91	EET-UQ2C392EA
200	390	1.68	0.510	22	25	P11856-ND§	2.62	2.10	1.73	1.13	EET-UQ2D391BA
	470	1.85	0.423	22	30	P11857-ND§	2.83	2.27	1.86	1.22	EET-UQ2D471BA
	560	2.43	0.355	22	30	P11858-ND§	2.63	2.17	1.82	1.27	EET-UQ2D561BA
	560	2.43	0.355	25	25	P11859-ND§	2.69	2.21	1.86	1.29	EET-UQ2D561CA
	680	2.68	0.293	22	35	P11860-ND§	2.88	2.37	1.99	1.39	EET-UQ2D681BA
	680	2.68	0.293	25	30	P11861-ND§	2.92	2.40	2.02	1.41	EET-UQ2D681CA
	820	2.93	0.243	25	30	P11862-ND§	3.17	2.61	2.19	1.53	EET-UQ2D821CA
	820	2.93	0.243	30	25	P11863-ND§	3.79	3.11	2.62	1.82	EET-UQ2D821DA
	1000	3.25	0.199	22	45	P11842-ND§	3.50	2.87	2.41	1.68	EET-UQ2D102BA
	1000	3.25	0.199	25	35	P11843-ND§	3.52	2.89	2.43	1.69	EET-UQ2D102CA
	1000	3.25	0.199	30	30	P11844-ND§	3.95	3.24	2.72	1.90	EET-UQ2D102DA
	1000	3.25	0.232	35	25	P11845-ND§	4.43	3.63	3.05	2.13	EET-UQ2D102EA
	1200	3.50	0.166	25	40	P11846-ND§	3.93	3.22	2.71	1.89	EET-UQ2D122CA
	1200	3.5	0.166	30	30	P11847-ND§	4.50	3.70	3.11	2.17	EET-UQ2D122DA
	1500	3.87	0.133	25	50	P11848-ND§	4.57	3.75	3.15	2.20	EET-UQ2D152CA
	1500	3.87	0.144	30	35	P11849-ND§	5.10	4.18	3.51	2.45	EET-UQ2D152DA

§ Serie TSUQ Mischstrom bei 85 °C

** Betriebsspannung

(Forts.)

Alle Preisangaben in Euro und inklusive Zollgebühren.

WV** DC	Kap. (µF)	85° (rms) Mischstrom (120 Hz) A	ESR (max.) @ 20 °C 120 Hz Ω	Abmessungen (mm) D	L	Digi-Key Teilenr.	Stückpreis 1	10	50	200	Panasonic Teilenr.
TSUQ stark minimierte Version 85 °C, 2.000 Stunden Lebensdauer											
200	1500	3.87	0.144	35	30	P11850-ND	4.65	3.94	3.40	2.55	EET-UQ2D152EA
	1800	4.32	0.120	30	45	P11851-ND	4.86	4.11	3.55	2.67	EET-UQ2D182DA
	1800	4.32	0.120	35	35	P11852-ND	5.20	4.40	3.80	2.85	EET-UQ2D182EA
	2200	4.92	0.098	30	50	P11853-ND	5.60	4.74	4.10	3.07	EET-UQ2D222DA
	2200	4.92	0.105	35	40	P11854-ND	5.95	5.04	4.35	3.27	EET-UQ2D222EA
	2700	5.45	0.086	35	50	P11855-ND	6.87	5.82	5.03	3.77	EET-UQ2D272EA
250	270	1.31	0.737	22	25	P11872-ND	2.68	2.15	1.77	1.15	EET-UQ2E271BA
	330	1.75	0.603	22	30	P11873-ND	2.90	2.32	1.91	1.25	EET-UQ2E331BA
	390	1.91	0.510	22	30	P11874-ND	2.71	2.22	1.87	1.30	EET-UQ2E391BA
	390	1.91	0.510	25	25	P11875-ND	2.75	2.26	1.90	1.32	EET-UQ2E391CA
	470	2.11	0.423	22	35	P11876-ND	2.95	2.43	2.04	1.42	EET-UQ2E471BA
	470	2.11	0.423	25	30	P11877-ND	2.99	2.45	2.06	1.44	EET-UQ2E471CA
	560	2.25	0.355	22	40	P11878-ND	3.23	2.65	2.23	1.55	EET-UQ2E561BA
	560	2.25	0.355	25	30	P11879-ND	3.28	2.69	2.26	1.57	EET-UQ2E561CA
	560	2.25	0.355	30	25	P11880-ND	3.69	3.03	2.55	1.77	EET-UQ2E561DA
	680	2.50	0.293	22	45	P11881-ND	3.59	2.94	2.47	1.72	EET-UQ2E681BA
	680	2.50	0.293	25	35	P11882-ND	3.62	2.98	2.50	1.74	EET-UQ2E681CA
	680	2.50	0.293	30	30	P11883-ND	4.21	3.45	2.90	2.02	EET-UQ2E681DA
	820	2.77	0.243	22	50	P11884-ND	4.06	3.33	2.80	1.95	EET-UQ2E821BA
	820	2.77	0.243	25	40	P11885-ND	4.05	3.32	2.79	1.94	EET-UQ2E821CA
	820	2.77	0.243	30	30	P11886-ND	4.46	3.66	3.08	2.14	EET-UQ2E821DA
	820	2.77	0.243	35	25	P11887-ND	4.94	4.06	3.41	2.38	EET-UQ2E821EA
	1000	3.32	0.199	25	45	P11864-ND	4.59	3.77	3.16	2.21	EET-UQ2E102CA
	1000	3.32	0.199	30	35	P11865-ND	4.99	4.09	3.44	2.39	EET-UQ2E102DA
	1000	3.32	0.199	35	30	P11866-ND	4.68	3.96	3.42	2.57	EET-UQ2E102EA
	1200	3.53	0.166	30	40	P11867-ND	4.92	4.16	3.60	2.70	EET-UQ2E122DA
	1200	3.53	0.166	35	35	P11868-ND	5.24	4.44	3.84	2.88	EET-UQ2E122EA
	1500	4.04	0.133	30	50	P11869-ND	5.77	4.88	4.22	3.16	EET-UQ2E152DA
	1500	4.04	0.133	35	40	P11870-ND	6.03	5.10	4.41	3.31	EET-UQ2E152EA
	1800	4.55	0.111	35	45	P11871-ND	6.85	5.80	5.01	3.76	EET-UQ2E182EA
350	150	1.12	1.326	22	25	P11912-ND	2.64	2.17	1.82	1.27	EET-UQ2V151BA
	180	1.22	1.105	22	30	P11913-ND	2.81	2.31	1.94	1.35	EET-UQ2V181BA
	220	1.44	0.904	22	35	P11914-ND	3.12	2.56	2.15	1.50	EET-UQ2V221BA
	270	1.66	0.737	22	40	P11915-ND	3.48	2.86	2.40	1.68	EET-UQ2V271BA
	270	1.66	0.737	25	30	P11916-ND	3.57	2.93	2.46	1.72	EET-UQ2V271CA
	330	1.88	0.603	22	45	P11917-ND	3.90	3.20	2.69	1.87	EET-UQ2V331BA
	330	1.88	0.603	25	35	P11918-ND	4.00	3.28	2.76	1.92	EET-UQ2V331CA
	390	2.06	0.510	22	50	P11919-ND	4.47	3.67	3.08	2.15	EET-UQ2V391BA
	390	2.06	0.510	25	40	P11920-ND	4.45	3.66	3.07	2.14	EET-UQ2V391CA
	390	2.06	0.510	30	30	P11921-ND	4.96	4.07	3.42	2.38	EET-UQ2V391DA
	390	2.06	0.510	35	25	P11922-ND	4.53	3.83	3.31	2.49	EET-UQ2V391EA
	470	2.40	0.423	25	45	P11923-ND	5.02	4.12	3.46	2.41	EET-UQ2V471CA
	470	2.40	0.423	30	35	P11924-ND	4.71	3.99	3.44	2.58	EET-UQ2V471DA
	470	2.40	0.423	35	30	P11925-ND	4.92	4.16	3.60	2.70	EET-UQ2V471EA
	560	2.60	0.355	25	50	P11926-ND	4.91	4.16	3.59	2.70	EET-UQ2V561CA
	560	2.60	0.355	30	40	P11927-ND	5.27	4.47	3.86	2.90	EET-UQ2V561DA
	560	2.60	0.355	35	30	P11928-ND	5.56	4.71	4.07	3.05	EET-UQ2V561EA
	680	2.96	0.293	30	45	P11929-ND	6.02	5.10	4.40	3.30	EET-UQ2V681DA
	680	2.96	0.293	35	35	P11930-ND	6.33	5.36	4.63	3.47	EET-UQ2V681EA
	820	3.25	0.243	30	50	P11931-ND	7.05	5.97	5.16	3.87	EET-UQ2V821DA
350	820	3.25	0.243	35	45	P11932-ND	7.09	6.01	5.19	3.89	EET-UQ2V821EA
	1000	3.54	0.199	35	50	P11911-ND	7.53	6.49	5.71	4.49	EET-UQ2V102EA
400	120	1.02	1.658	22	25	P11888-ND	2.81	2.31	1.94	1.35	EET-UQ2G121BA
	150	1.16	1.326	22	30	P11889-ND	2.85	2.35	1.97	1.37	EET-UQ2G151BA
	180	1.44	1.105	22	35	P11890-ND	3.12	2.56	2.15	1.50	EET-UQ2G181BA
	220	1.49	0.904	22	40	P11891-ND	3.47	2.85	2.39	1.67	EET-UQ2G221BA
	220	1.49	0.904	25	30	P11892-ND	3.53	2.90	2.44	1.70	EET-UQ2G221CA
	270	1.67	0.737	22	45	P11893-ND	3.92	3.22	2.70	1.88	EET-UQ2G271BA
	270	1.67	0.737	25	35	P11894-ND	4.02	3.30	2.77	1.93	EET-UQ2G271CA
	270	1.67	0.737	30	30	P11895-ND	4.57	3.75	3.15	2.20	EET-UQ2G271DA
	330	1.90	0.603	22	50	P11896-ND	4.60	3.77	3.17	2.21	EET-UQ2G331BA
	330	1.90	0.603	25	40	P11897-ND	4.57	3.75	3.15	2.20	EET-UQ2G331CA
	330	1.90	0.603	30	30	P11898-ND	5.09	4.18	3.51	2.45	EET-UQ2G331DA
	330	1.90	0.603	35	25	P11899-ND	4.68	3.96	3.42	2.57	EET-UQ2G331EA
	390	2.13	0.510	25	45	P11900-ND	5.11	4.19	3.52	2.45	EET-UQ2G391CA
	390	2.13	0.510	30	35	P11901-ND	4.78	4.05	3.50	2.63	EET-UQ2G391DA
	390	2.13	0.510	35	30	P11902-ND	5.04	4.27	3.69	2.77	EET-UQ2G391EA
	470	2.39	0.423	25	50	P11903-ND	5.24	4.44	3.84	2.88	EET-UQ2G471CA
	470	2.39	0.423	30	40	P11904-ND	5.25	4.45	3.84	2.88	EET-UQ2G471DA
	470	2.39	0.423	35	30	P11905-ND	5.75	4.87	4.21	3.16	EET-UQ2G471EA
	560	2.69	0.355	30	45	P11906-ND	6.05	5.12	4.43	3.32	EET-UQ2G561DA
	560	2.69	0.355	35	35	P11907-ND	6.48	5.49	4.74	3.56	EET-UQ2G561EA
	680	2.96	0.293	30	50	P11908-ND	6.50	5.61	4.93	3.88	EET-UQ2G681DA
	680	2.96	0.293	35	45	P11909-ND	6.54	5.63	4.95	3.90	EET-UQ2G681EA
	820	3.25	0.243	35	50	P11910-ND	7.57	6.53	5.74	4.52	EET-UQ2G821EA
450	82	0.83	2.426	22	25	P11955-ND	2.90	2.33	1.92	1.25	EET-UQ2W820BA
	100	0.93	1.989	22	25	P11933-ND	2.76	2.27	1.91	1.33	EET-UQ2W101BA
	120	1.04	1.658	22	30	P11934-ND	2.95	2.42	2.04	1.42	EET-UQ2W121BA
	150	1.19	1.326	22	35	P11935-ND	3.32	2.72	2.29	1.59	EET-UQ2W151BA
	150	1.19	1.326	25	30	P11936-ND	3.37	2.77	2.33	1.62	EET-UQ2W151CA
	180	1.35	1.105	22	40	P11937-ND	3.68	3.02	2.54	1.77	EET-UQ2W181BA
	180	1.35	1.105	25	30	P11938-ND	3.73	3.06	2.57	1.79	EET-UQ2W181CA
	220	1.55	0.904	22	45	P11939-ND	4.15	3.40	2.86	1.99	EET-UQ2W221BA
	220	1.55	0.904	25	40	P11940-ND	4.21	3.45	2.90	2.02	EET-UQ2W221CA
	220	1.55	0.904	30	30	P11941-ND	4.57	3.75	3.15	2.20	EET-UQ2W221DA
	220	1.55	0.904	35	25	P11942-ND	4.94	4.05	3.40	2.37	EET-UQ2W221EA
	270	1.78	0.737	22	50	P11943-ND	4.89	4.02	3.38	2.35	EET-UQ2W271BA
	270	1.78	0.737	25	40	P11944-ND	4.88	4.01	3.37	2.35	EET-UQ2W271CA
	270	1.78	0.737	30	30	P11945-ND	4.44	3.76	3.25	2.44	EET-UQ2W271DA
	330	2.01	0.603	25	50	P11946-ND	4.98	4.22	3.64	2.73	EET-UQ2W331CA
	330	2.01	0.603	30	40	P11947-ND	5.22	4.42	3.82	2.87	EET-UQ2W331DA
	330	2.01	0.603	35	30	P11948-ND	5.51	4.67	4.03	3.03	EET-UQ2W331EA
	390	2.24	0.510	30	40	P11949-ND	5.80	4.91	4.24	3.18	EET-UQ2W391DA
	390	2.24	0.510	35	35	P11950-ND	6.14	5.20	4.49	3.37	EET-UQ2W391EA
	470	2.53	0.423	30	45	P11951-ND	6.59	5.58	4.82	3.62	EET-UQ2W471DA
	470	2.53	0.423	35	40	P11952-ND	6.85	5.80	5.01	3.76	EET-UQ2W471EA
	560	2.82	0.355	30	50	P11953-ND	6.87	5.92	5.21	4.10	EET-UQ2W561DA
	560	2.82	0.355	35	45	P11954-ND	7.03	6.06	5.33	4.19	EET-UQ2W561EA

† 2.000 Stunden Lebensdauer für Dosengrößen von 20 mm Durchmesser oder Länge ** Betriebsspannung

E

Panasonic® AA-Serie Kondensatoren von Computer-Qualität

Merkmale:
- Standard 10-32, hohe Pfostenschraubgewinde (inbegriffen)
- Hohe Mischstromkapazität bei niedigem ESR

Spezifikationen:
- Betriebsspannungsbereich: 10 ~ 450 V DC
- Betriebstemperaturbereich: -40 °C/ 85 °C
- Nennermüdung: 85 °C für 3.000 Stunden
- DC-Leckstrom: $3\sqrt{CV}$ (µA) oder 5 mA Maximum nach 5 Minuten bei 20 °C

Nennspannung:	25	40	50	100	250	350	450
Stoßspannung:	32	50	63	125	300	400	500

Mischstrom-Frequenzkorrekturfaktoren

Frequenz (Hz):	50	60	100~120	300~360	1k	10k~50k~
25~100 WV:	0.9	0.95	1.0	1.05	1.08	1.15
250~450 WV:	0.75	0.8	1.0	1.2	1.25	1.4

QUERREFERENZEN
Sprague: 36D, 36DX, 36DE
Mallory: CGS, CGH
GE: 23A, 23M **UCC:** 36DA
Philips: 3186 **CDE:** DCMX

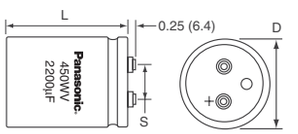

Mischstrom-Temperaturkorrekturfaktoren

Max. Temperatur	85°C	70°C	60°C	≤45°C
G-AA	1.0	1.6	2.0	2.2

WV** DC	Kap. (µF)	120 Hz, 20 °C ESR (Ω)	120 Hz, 85 °C R.C. (A)	Abmessungen - Zoll (mm) D	L	S	Digi-Key Teilenr.	Stückpreis 1	10	50	200	Panasonic Teilenr.
25	12000	0.042	5.13	1.375 (35)	2.125 (54)	0.500 (12.7)	P10072-ND	13.96	12.63	11.55	9.94	EEG-A1E123CCE
	22000	0.023	6.05	2.000 (51)	2.125 (54)	0.875 (22.2)	P10073-ND	15.75	14.24	13.03	11.21	EEG-A1E223FCE
	47000	0.010	12.72	2.000 (51)	3.125 (79)	0.875 (22.2)	P10074-ND	16.47	15.38	14.39	12.90	EEG-A1E473FGE
	68000	0.009	17.14	2.000 (51)	3.625 (92)	0.875 (22.2)	P10075-ND	18.14	16.94	15.85	14.21	EEG-A1E683FHE
40	6000	0.073	6.06	1.375 (35)	3.125 (79)	0.500 (12.7)	P10076-ND	14.00	12.67	11.59	9.97	EEG-A1G602CGE
	13000	0.034	11.76	2.000 (51)	4.125 (105)	0.875 (22.2)	P10077-ND	14.67	13.70	12.82	11.49	EEG-A1G133FKE
	22000	0.020	13.06	2.000 (51)	3.125 (79)	0.875 (22.2)	P10078-ND	15.89	14.84	13.89	12.45	EEG-A1G223FGE
50	4100	0.107	5.40	1.375 (35)	3.125 (79)	0.500 (12.7)	P10079-ND	14.03	12.69	11.61	9.98	EEG-A1H412CGE
	6800	0.065	6.42	1.375 (35)	3.125 (79)	0.500 (12.7)	P10080-ND	14.73	13.32	12.19	10.48	EEG-A1H682CGE
	10000	0.044	8.79	1.375 (35)	4.125 (105)	0.500 (12.7)	P10081-ND	15.37	13.90	12.71	10.94	EEG-A1H103CKE
	15000	0.029	11.35	2.000 (51)	4.125 (105)	0.875 (22.2)	P10082-ND	15.91	14.86	13.90	12.46	EEG-A1H153FKE
	20000	0.022	14.15	2.000 (51)	4.125 (105)	0.875 (22.2)	P10083-ND	17.11	15.98	14.95	13.40	EEG-A1H203FKE
100	2500	0.117	4.12	1.375 (35)	2.125 (54)	0.500 (12.7)	P10084-ND	15.15	13.71	12.54	10.78	EEG-A2A252CCE
	4000	0.073	6.53	2.000 (51)	2.125 (54)	0.875 (22.2)	P10085-ND	15.12	14.12	13.21	11.85	EEG-A2A402FCE
	10000	0.029	8.16	2.000 (51)	3.625 (92)	0.875 (22.2)	P10086-ND	19.90	18.59	17.39	15.59	EEG-A2A103FHE
	18000	0.016	12.85	2.500 (64)	4.125 (105)	1.125 (28.6)	P10087-ND	27.24	25.44	23.80	21.34	EEG-A2A183GKE
250	550	0.401	2.91	1.375 (35)	4.125 (105)	0.500 (12.7)	P10088-ND	14.83	13.42	12.27	10.56	EEG-A2E551CKE
	1200	0.184	4.18	2.000 (51)	2.125 (54)	0.875 (22.2)	P10089-ND	14.93	13.95	13.05	11.70	EEG-A2E122FCE
	6000	0.036	13.20	3.000 (76)	3.125 (79)	1.250 (31.8)	P10090-ND	34.93	32.62	30.51	27.36	EEG-A2E602HGE
	10000	0.022	17.75	3.000 (76)	4.625 (117)	1.250 (31.8)	P10091-ND	47.86	44.69	41.81	37.48	EEG-A2E103HLE
350	1000	0.221	4.11	2.000 (51)	2.625 (67)	0.875 (22.2)	P10092-ND	21.81	20.37	19.06	17.09	EEG-A2V102FEE
	5600	0.039	10.06	3.000 (76)	4.625 (117)	1.250 (31.8)	P10093-ND	57.36	53.56	50.11	44.92	EEG-A2V562HLE
450	450	0.491	2.93	2.000 (51)	3.125 (79)	0.875 (22.2)	P10094-ND	19.80	18.50	17.31	15.52	EEG-A2W451FGE
	1000	0.221	5.85	2.000 (51)	3.625 (92)	0.875 (22.2)	P10095-ND	26.07	24.34	22.77	20.42	EEG-A2W102FHE
	1800	0.122	7.47	2.000 (51)	5.625 (143)	0.875 (22.2)	P10096-ND	35.79	33.42	31.27	28.03	EEG-A2W182FPE
	1800	0.122	9.46	3.000 (76)	5.625 (143)	1.250 (31.8)	P10097-ND	42.22	39.42	36.88	33.07	EEG-A2W182HPE
	2200	0.100	9.27	2.500 (64)	4.125 (105)	1.125 (28.6)	P10098-ND	41.56	38.81	36.31	32.55	EEG-A2W222GKE
	2400	0.092	7.74	3.000 (76)	5.125 (130)	1.250 (31.8)	P10099-ND	45.05	42.07	39.35	35.28	EEG-A2W242HNE
	3100	0.071	11.18	2.500 (64)	5.625 (143)	1.125 (28.6)	P10100-ND	52.18	48.73	45.59	40.87	EEG-A2W312GPE
	3600	0.061	12.07	3.000 (76)	4.625 (117)	1.250 (31.8)	P10101-ND	61.28	57.22	53.53	47.99	EEG-A2W362HLE
Montageklemme, 1,375" (34,9 mm) Durchmesser mit 2 Zungen							P10102-ND	2.18	1.74	1.43	.94	MC36B2
Montageklemme, 2,000" (50,8 mm) Durchmesser mit 3 Zungen							P10103-ND	3.03	2.43	1.99	1.30	MC51B3
Montageklemme, 2,500" (63,5 mm) Durchmesser mit 3 Zungen							P10104-ND	2.83	2.26	1.86	1.22	MC64B3
Montageklemme, 3,000" (76,2 mm) Durchmesser mit 3 Zungen							P10105-ND	2.66	2.19	1.84	1.28	MC77B3

** Betriebsspannung

Panasonic® Serie T-UP Schnapp-Kondensatoren

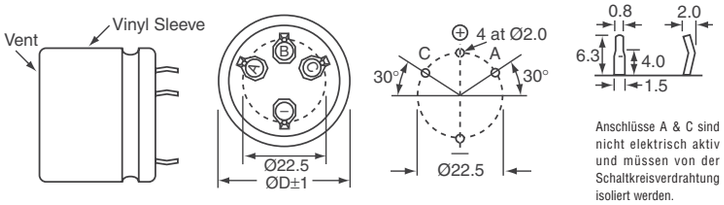

Anschlüsse A & C sind nicht elektrisch aktiv und müssen von der Schaltkreisverdrahtung isoliert werden.

MERKMALE:

• 4 Anschlussmontageklemmen bieten Stabilität und getastete Polarität • Ersetzt die Serie T-U mit höherer Kapazität und Mischstrom pro Gehäusegröße • Allzweck, zugelassen bei 85 °C, 3.000 Stunden Ermüdung • Gehäusegrößen mit 35 und 40 mm Durchmesser bis zu 80 mm Länge • Konstruktion mit Ventilation oben

Nennbetriebsspannung	16 ~ 250 VDC	350 ~ 450 VDC
Betriebstemperatur	-40 ~ 85°C	-25 ~ 85°C
Nennkapazität	1500 ~ 120000µF	470 ~ 1800µF
Ermüdung	2.000 Stunden bei 85 °C mit maximal spezifiziertem Mischstrom	

Nennspannung (DC):	16	25	35	50	63	80	100	200	250	350	400	450
Stoßspannung:	20	32	44	63	79	100	125	250	300	400	450	500

Kap (µF)	Größe (mm) D X L	Max. 85 °C Mischstrom (A rms) 120 Hz 10k ~ 100 kHz		Max. 20 °C 120 Hz ESR (Ω)	Digi-Key Teilenr.	Stückpreis 1	10	50	Panasonic Teilenr.
16WV DC									
68000	35 x 50	9.05	10.41	0.018	P10000-ND	8.64	7.46	5.46	ECE-T1CP683EA
82000	35 x 60	9.94	11.43	0.018	P10001-ND	9.89	8.53	6.25	ECE-T1CP823EA
82000	40 x 50	10.29	11.83	0.019	P10003-ND	7.13	6.15	5.40	ECE-T1CP823FA
100000	35 x 80	11.00	12.65	0.019	P10002-ND	8.56	7.55	6.77	ECE-T1CP104EA
100000	40 x 60	11.36	13.06	0.020	P10004-ND	10.27	9.05	6.77	ECE-T1CP104FA
120000	40 x 80	12.42	14.28	0.018	P10005-ND	11.18	9.85	7.37	ECE-T1CP124FA
25WV DC									
47000	35 x 50	8.00	9.20	0.017	P10006-ND	8.70	7.50	5.50	ECE-T1EP473EA
56000	35 x 60	8.64	9.94	0.017	P10007-ND	9.89	8.52	6.25	ECE-T1EP563EA
56000	40 x 50	8.96	10.30	0.018	P10009-ND	9.90	8.53	6.25	ECE-T1EP563FA
68000	35 x 80	9.44	10.86	0.017	P10008-ND	9.79	8.63	6.45	ECE-T1EP683EA
68000	40 x 60	9.76	11.22	0.018	P10010-ND	10.24	9.03	6.75	ECE-T1EP683FA
100000	40 x 80	11.68	13.43	0.018	P10011-ND	11.31	10.23	7.80	ECE-T1EP104FA
35WV DC									
33000	35 x 50	7.15	8.22	0.018	P10012-ND	9.14	7.88	5.78	ECE-T1VP333EA
39000	35 x 60	7.94	9.13	0.015	P10013-ND	10.42	8.99	6.58	ECE-T1VP393EA
39000	40 x 50	7.79	8.96	0.017	P10015-ND	9.28	8.18	6.12	ECE-T1VP393FA
47000	35 x 80	9.53	10.96	0.015	P10014-ND	10.27	9.05	6.77	ECE-T1VP473EA
47000	40 x 60	8.58	9.87	0.017	P10016-ND	10.77	9.49	7.10	ECE-T1VP473FA
56000	40 x 80	10.17	11.70	0.017	P10017-ND	11.66	10.27	7.68	ECE-T1VP563FA
50WV DC									
22000	35 x 50	7.57	8.71	0.023	P10018-ND	9.54	8.23	6.03	ECE-T1HP223EA
27000	35 x 60	8.31	9.56	0.018	P10019-ND	11.18	9.64	7.06	ECE-T1HP273EA
27000	40 x 50	8.12	9.34	0.021	P10021-ND	9.92	8.74	6.54	ECE-T1HP273FA
33000	35 x 80	9.23	10.51	0.015	P10020-ND	11.14	9.82	7.35	ECE-T1HP333EA
33000	40 x 60	8.86	10.19	0.018	P10022-ND	11.68	10.30	7.70	ECE-T1HP333FA
39000	40 x 80	9.79	11.26	0.015	P10023-ND	12.63	11.13	8.33	ECE-T1HP393FA
63WV DC									
12000	35 x 50	7.15	8.22	0.035	P10024-ND	8.43	7.27	5.33	ECE-T1JP123EA
15000	35 x 60	7.71	8.87	0.028	P10025-ND	9.82	8.46	6.20	ECE-T1JP153EA
15000	40 x 50	7.53	8.66	0.033	P10027-ND	9.82	8.46	6.20	ECE-T1JP153FA
18000	35 x 80	9.41	10.82	0.023	P10026-ND	9.64	8.50	6.35	ECE-T1JP183EA
18000	40 x 60	8.28	9.52	0.028	P10028-ND	10.08	8.89	6.65	ECE-T1JP183FA
22000	40 x 80	9.97	11.47	0.023	P10029-ND	11.08	9.77	7.31	ECE-T1JP223FA
80WV DC									
8200	35 x 50	5.83	6.70	0.051	P10030-ND	8.26	7.12	5.22	ECE-T1KP822EA
10000	35 x 60	6.38	7.34	0.041	P10031-ND	10.01	8.63	6.32	ECE-T1KP103EA
10000	40 x 50	6.56	7.54	0.041	P10033-ND	8.53	7.52	5.63	ECE-T1KP103FA
12000	35 x 80	6.92	7.96	0.035	P10032-ND	9.36	8.25	6.17	ECE-T1KP123EA
12000	40 x 60	7.29	8.38	0.035	P10034-ND	9.81	8.65	6.47	ECE-T1KP123FA
15000	40 x 80	8.93	10.27	0.028	P10035-ND	10.87	9.58	7.17	ECE-T1KP153FA
100WV DC									
6800	35 x 50	6.60	7.59	0.049	P10036-ND	8.69	7.66	5.73	ECE-T2AP682EA
8200	35 x 60	7.05	8.12	0.040	P10037-ND	10.18	8.98	6.71	ECE-T2AP822EA
8200	40 x 50	7.28	8.37	0.040	P10039-ND	10.07	8.87	6.64	ECE-T2AP822FA
10000	35 x 80	7.74	8.90	0.033	P10038-ND	10.13	9.16	6.99	ECE-T2AP103EA
10000	40 x 60	7.97	9.17	0.033	P10040-ND	11.92	10.51	7.86	ECE-T2AP103FA
12000	40 x 80	8.65	9.95	0.026	P10041-ND	11.84	10.72	8.17	ECE-T2AP123FA
200WV DC									
2200	35 x 50	4.92	6.89	0.113	P10042-ND	9.17	7.91	5.79	ECE-T2DP222EA
2700	35 x 60	5.41	7.57	0.092	P10043-ND	10.25	8.84	6.47	ECE-T2DP272EA
2700	40 x 50	5.41	7.57	0.092	P10045-ND	9.55	8.42	6.30	ECE-T2DP272FA
3300	35 x 80	5.90	8.26	0.075	P10044-ND	10.65	9.39	7.02	ECE-T2DP332EA
3300	40 x 60	5.90	8.26	0.075	P10046-ND	10.67	9.40	7.03	ECE-T2DP332FA
3900	40 x 80	6.40	8.96	0.064	P10047-ND	12.09	10.66	7.97	ECE-T2DP392FA
250WV DC									
1500	35 x 50	4.04	5.66	0.166	P10048-ND	9.35	8.06	5.91	ECE-T2EP152EA
1800	35 x 60	4.49	6.29	0.138	P10049-ND	10.35	8.92	6.54	ECE-T2EP182EA
1800	40 x 50	4.49	6.29	0.138	P10051-ND	10.79	9.30	6.82	ECE-T2EP182FA
2200	35 x 80	4.94	6.92	0.113	P10050-ND	10.78	9.50	7.11	ECE-T2EP222EA
2200	40 x 60	4.94	6.92	0.113	P10052-ND	10.77	9.49	7.10	ECE-T2EP222FA
2700	40 x 80	5.39	7.55	0.092	P10053-ND	12.51	11.03	8.25	ECE-T2EP272FA
350WV DC									
680	35 x 50	2.96	4.14	0.366	P10054-ND	9.49	8.18	5.99	ECE-T2VP681EA
1000	35 x 60	3.19	4.47	0.249	P10055-ND	10.68	9.41	7.04	ECE-T2VP102EA
1000	40 x 50	3.19	4.47	0.249	P10057-ND	11.12	9.79	7.33	ECE-T2VP102FA
1200	35 x 80	3.64	5.10	0.207	P10056-ND	12.33	10.86	8.12	ECE-T2VP122EA
1200	40 x 60	3.64	5.10	0.207	P10058-ND	12.39	10.92	8.17	ECE-T2VP122FA
1800	40 x 80	4.10	5.74	0.136	P10059-ND	14.97	13.54	10.32	ECE-T2VP182FA
400WV DC									
560	35 x 50	2.69	3.77	0.444	P10060-ND	9.40	8.10	5.94	ECE-T2GP561EA
680	35 x 60	2.93	4.10	0.366	P10061-ND	9.35	8.25	6.17	ECE-T2GP681EA
820	40 x 50	3.18	4.45	0.303	P10063-ND	10.86	9.57	7.16	ECE-T2GP821FA
1000	35 x 80	3.42	4.79	0.249	P10062-ND	12.26	10.80	8.08	ECE-T2GP102EA
1000	40 x 60	3.42	4.79	0.249	P10064-ND	12.35	10.89	8.14	ECE-T2GP102FA
1500	40 x 80	3.91	5.47	0.166	P10065-ND	14.92	13.50	10.29	ECE-T2GP152FA
450WV DC									
470	35 x 50	2.53	3.54	0.529	P10066-ND	10.58	9.12	6.69	ECE-T2WP471EA
560	35 x 60	2.76	3.86	0.444	P10067-ND	11.74	10.13	7.42	ECE-T2WP561EA
680	40 x 50	2.99	4.19	0.366	P10069-ND	12.30	10.84	8.11	ECE-T2WP681FA
820	35 x 80	3.22	4.51	0.303	P10068-ND	12.49	11.30	8.61	ECE-T2WP821EA
820	40 x 60	3.22	4.51	0.303	P10070-ND	13.85	12.20	9.13	ECE-T2WP821FA
1200	40 x 80	3.45	4.83	0.207	P10071-ND	14.73	13.76	10.73	ECE-T2WP122FA

Serie T-HA Schnapp-Kondensatoren

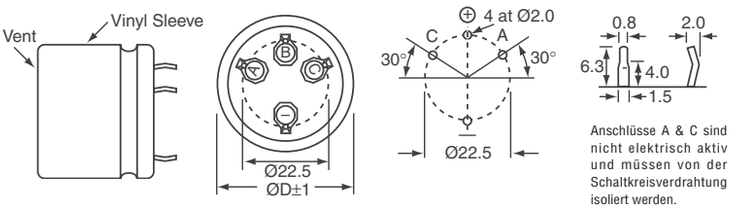

Anschlüsse A & C sind nicht elektrisch aktiv und müssen von der Schaltkreisverdrahtung isoliert werden.

MERKMALE:

• 4 Anschlussmontageklemmen bieten Stabilität und getastete Polarität • Ersetzt die Serie T-NHE durch höhere Kapazität und höheren Mischstrom pro Gehäusegröße • In dustrielle Qualität mit 3.000 Stunden Ermüdung bei 105 °C • Gehäusegrößen mit 35 und 40 mm Durchmesser bis zu 80 mm Länge • Konstruktion mit Ventilation oben

Nennbetriebsspannung	16 ~ 250 VDC	350 ~ 450 VDC
Betriebstemperatur	-40 ~ 105°C	-25 ~ 105°C
Nennkapazität	1200 ~ 120000µF	470 ~ 1500µF
Ermüdung	2.000 Stunden bei +105 °C mit maximal spezifiziertem Mischstrom	

Nennspannung (DC):	16	25	35	50	63	80	100	200	250	350	400	450
Stoßspannung:	20	32	44	63	79	100	125	250	300	400	450	500

Kap (µF)	Größe (mm) D X L	Max. 85 °C Mischstrom (A rms) 120 Hz 10k ~ 100 kHz		Max. 20 °C 120 Hz ESR (Ω)	Digi-Key Teilenr.	Stückpreis 1	10	50	Panasonic Teilenr.
16WV DC									
56000	35 x 50	6.00	6.90	0.018	P10612-ND	8.27	7.13	5.23	ECE-T1CA563EA
68000	35 x 60	6.62	7.61	0.017	P10613-ND	8.44	7.44	5.57	ECE-T1CA683EA
68000	40 x 50	7.29	8.38	0.019	P10614-ND	8.47	7.47	5.59	ECE-T1CA683FA
82000	40 x 60	7.29	8.38	0.017	P10615-ND	9.73	8.57	6.41	ECE-T1CA823FA
100000	35 x 80	8.03	9.23	0.015	P10616-ND	10.41	9.18	6.86	ECE-T1CA104EA
120000	40 x 80	8.79	10.11	0.014	P10617-ND	10.62	9.61	7.33	ECE-T1CA124FA
25WV DC									
33000	35 x 50	5.50	6.33	0.020	P10618-ND	7.81	6.74	4.94	ECE-T1EA333EA
47000	35 x 60	6.56	7.54	0.017	P10619-ND	8.58	7.57	5.66	ECE-T1EA473EA
47000	40 x 50	6.47	7.44	0.019	P10620-ND	8.60	7.58	5.67	ECE-T1EA473FA
56000	35 x 80	7.25	8.34	0.017	P10621-ND	9.40	8.28	6.19	ECE-T1EA563EA
56000	40 x 60	7.17	8.25	0.015	P10622-ND	9.81	8.65	6.47	ECE-T1EA563FA
82000	40 x 80	8.68	9.98	0.014	P10623-ND	10.76	9.73	7.42	ECE-T1EA823FA
35WV DC									
22000	35 x 50	5.00	5.75	0.026	P10624-ND	8.35	7.20	5.27	ECE-T1VA223EA
27000	35 x 60	5.53	6.36	0.021	P10625-ND	8.59	7.57	5.67	ECE-T1VA273EA
27000	40 x 50	5.44	6.26	0.025	P10626-ND	8.60	7.58	5.67	ECE-T1VA273FA
33000	40 x 60	6.61	7.60	0.020	P10627-ND	9.96	8.78	6.57	ECE-T1VA333FA
39000	35 x 80	6.52	7.50	0.015	P10628-ND	10.49	9.24	6.91	ECE-T1VA393EA
47000	40 x 80	7.79	8.96	0.014	P10629-ND	12.02	10.59	7.92	ECE-T1VA473FA
50WV DC									
15000	35 x 50	4.80	5.52	0.033	P10630-ND	8.46	7.29	5.34	ECE-T1HA153EA
18000	35 x 60	5.27	6.06	0.028	P10631-ND	8.62	7.59	5.68	ECE-T1HA183EA
22000	40 x 50	5.15	5.92	0.026	P10632-ND	9.58	8.44	6.31	ECE-T1HA223FA
27000	35 x 80	6.16	7.08	0.018	P10633-ND	10.75	9.48	7.09	ECE-T1HA273EA
27000	40 x 60	6.05	6.96	0.021	P10634-ND	11.24	9.91	7.41	ECE-T1HA273FA
39000	40 x 80	7.55	8.68	0.015	P10635-ND	12.41	11.23	8.56	ECE-T1HA393FA
63WV DC									
12000	35 x 50	4.40	5.06	0.035	P10636-ND	7.95	7.01	5.24	ECE-T1JA123EA
15000	35 x 60	4.92	5.66	0.028	P10637-ND	9.31	8.21	6.14	ECE-T1JA153EA
15000	40 x 50	4.80	5.52	0.033	P10638-ND	9.29	8.18	6.12	ECE-T1JA153FA
18000	35 x 80	5.79	6.66	0.023	P10639-ND	10.26	9.04	6.76	ECE-T1JA183EA
18000	40 x 60	5.39	6.20	0.028	P10640-ND	10.75	9.47	7.09	ECE-T1JA183FA
27000	40 x 80	6.59	7.58	0.018	P10641-ND	12.09	10.94	8.34	ECE-T1JA273FA
80WV DC									
6800	35 x 50	3.90	4.49	0.061	P10642-ND	7.66	6.76	5.05	ECE-T1KA682EA
8200	35 x 60	4.39	5.05	0.051	P10643-ND	8.86	7.81	5.84	ECE-T1KA822EA
8200	40 x 50	4.29	4.93	0.051	P10644-ND	9.49	8.36	6.26	ECE-T1KA822FA
10000	35 x 80	4.88	5.61	0.041	P10645-ND	10.62	9.36	7.00	ECE-T1KA103EA
10000	40 x 60	4.73	5.44	0.041	P10646-ND	10.59	9.33	6.98	ECE-T1KA103FA
15000	40 x 80	5.97	6.87	0.028	P10647-ND	11.50	10.40	7.93	ECE-T1KA153FA
100WV DC									
4700	35 x 50	3.80	4.37	0.071	P10648-ND	7.93	6.99	5.23	ECE-T2AA472EA
5600	35 x 60	4.06	4.67	0.059	P10649-ND	9.15	8.06	6.03	ECE-T2AA562EA
6800	40 x 50	4.57	5.26	0.049	P10650-ND	10.13	8.93	6.68	ECE-T2AA682FA
8200	35 x 80	5.15	5.92	0.040	P10651-ND	11.32	9.97	7.46	ECE-T2AA822EA
8200	40 x 60	5.02	5.77	0.040	P10652-ND	10.66	9.64	7.35	ECE-T2AA822FA
12000	40 x 80	6.44	7.41	0.028	P10653-ND	13.29	12.02	9.17	ECE-T2AA123FA
200WV DC									
2200	35 x 50	2.90	4.06	0.113	P10654-ND	8.81	7.77	5.81	ECE-T2DA222EA
2700	35 x 60	3.65	5.11	0.092	P10655-ND	9.91	8.73	6.53	ECE-T2DA272EA
2700	40 x 50	3.55	4.97	0.092	P10656-ND	10.32	9.10	6.80	ECE-T2DA272FA
3300	35 x 80	4.52	6.33	0.075	P10657-ND	11.61	10.23	7.65	ECE-T2DA332EA
3300	40 x 60	4.40	6.16	0.075	P10658-ND	11.58	10.21	7.63	ECE-T2DA332FA
4700	40 x 80	5.76	8.06	0.053	P10659-ND	13.38	12.10	9.22	ECE-T2DA472FA
250WV DC									
1200	35 x 50	2.30	3.22	0.207	P10660-ND	8.57	7.55	5.65	ECE-T2EA122EA
1500	35 x 60	2.57	3.60	0.166	P10661-ND	9.72	8.57	6.41	ECE-T2EA152EA
1800	40 x 50	3.15	4.41	0.138	P10662-ND	11.29	9.94	7.44	ECE-T2EA182FA
2200	35 x 80	3.75	5.25	0.113	P10663-ND	11.45	10.36	7.90	ECE-T2EA222EA
2200	40 x 60	3.68	5.15	0.113	P10664-ND	11.40	10.32	7.87	ECE-T2EA222FA
3300	40 x 80	4.68	5.80	0.075	P10665-ND	13.66	12.76	9.95	ECE-T2EA332FA
350WV DC									
680	35 x 50	2.15	3.01	0.366	P10666-ND	9.42	8.31	6.21	ECE-T2VA681EA
820	35 x 60	2.65	3.71	0.303	P10667-ND	10.52	9.27	6.93	ECE-T2VA821EA
820	40 x 50	2.65	3.71	0.303	P10668-ND	10.95	9.64	7.21	ECE-T2VA821FA
1200	35 x 80	3.22	4.51	0.207	P10669-ND	12.51	11.32	8.63	ECE-T2VA122EA
1200	40 x 60	3.22	4.51	0.207	P10670-ND	12.43	11.24	8.57	ECE-T2VA122FA
1500	40 x 80	3.75	5.25	0.166	P10671-ND	14.89	13.47	10.27	ECE-T2VA152FA
400WV DC									
560	35 x 50	1.80	2.52	0.444	P10672-ND	9.67	8.52	6.37	ECE-T2GA561EA
680	40 x 50	2.17	3.04	0.366	P10673-ND	11.31	9.97	7.45	ECE-T2GA681FA
820	35 x 60	2.44	3.42	0.303	P10674-ND	12.50	11.01	8.24	ECE-T2GA821EA
1000	35 x 80	3.00	4.20	0.249	P10675-ND	13.00	11.76	8.97	ECE-T2GA102EA
1000	40 x 60	3.00	4.20	0.249	P10676-ND	12.90	11.67	8.90	ECE-T2GA102FA
1200	40 x 80	3.30	4.62	0.207	P10677-ND	15.07	13.63	10.39	ECE-T2GA122FA
450WV DC									
470	35 x 50	1.74	2.44	0.529	P10678-ND	10.54	9.29	6.95	ECE-T2WA471EA
560	35 x 60	2.15	3.01	0.444	P10679-ND	11.77	10.37	7.76	ECE-T2WA561EA
560	40 x 50	2.10	2.94	0.444	P10680-ND	12.22	10.77	8.06	ECE-T2WA561FA
680	40 x 60	2.50	3.78	0.303	P10681-ND	12.36	11.18	8.53	ECE-T2WA681FA
820	35 x 80	2.70	3.50	0.303	P10682-ND	14.20	12.84	9.79	ECE-T2WA821EA
1000	40 x 80	3.50	4.90	0.249	P10683-ND	16.70	15.11	11.52	ECE-T2WA102FA

E

Alle Preisangaben in Euro und inklusive Zollgebühren.

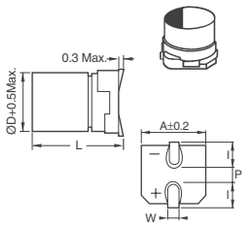

Merkmale: • Mehrzweck • Lebensdauer: 2.000 Stunden @ 85 °C • Oberflächenmontage-Version • Hohe CV Volumetrische Effizienz • Band und Spulenverpackung für automatische Platzierung

Spezifikationen: • Betriebstemperaturbereich: -40 °C ~ 85 °C **• Kapazitätstoleranz:** ±20 % (120 Hz, +20 °C) **• Leckstrom:** I ≤ 0,01 CV oder 3 (µA), welcher Messwert auch immer nach 2 Minuten Anlegung der Nennbetriebsspannung bei +20 °C größer ist **• Niedrigtemperatur-Merkmale:** Impedanzverhältnis (120 Hz)

Folgende spezifischen Werte:

Impedanz 120 Hz	Serie	Betriebsspannung								
		4.0V	6.3V	10V	16V	25V	35V	50V	63V	100V
-25°C/+20°C	VS	7	4	3	2	2	2	2	3	3
-40°C/+20°C		15	8	6	4	4	3	3	4	4

Serie	Gehäuse-Code	Abmessungen					
		D	L	A	I	W	P
VS	A	3.0	5.4	3.3	1.5	0.55±0.1	0.6
	B	4.0	5.4	4.3	1.8	0.65±0.1	1.0
	C	5.0	5.4	5.3	2.2	0.65±0.1	1.5
	D	6.3	5.4	6.6	2.6	0.65±0.1	1.8
	D2	6.3	5.7	6.6	2.6	0.65±0.1	1.8
	D8	6.3	7.9	6.6	2.6	0.65±0.1	1.8
	E	8.0	6.2	8.3	3.4	0.65±0.1	2.2
	F	8.0	10.2	8.3	3.4	0.90±0.2	3.1
	G	10.0	10.2	10.3	3.5	0.90±0.2	4.6

Nenn-WV* (V DC)	Nom. Kap. (µF)	tan δ ≤ spez. Werte (120 Hz, +20 °C)	Max. Leck. Leckstrom (µA)	Größen code	Max. Mischstr. 120Hz, 85°C (mA rms)	Digi-Key Teilenr.	Gurtabschnittspreis pro Stück 5	10	25	100	Digi-Key Teilenr.	Gegurtet auf Rolle Größe	Preisangaben	Panasonic Teilenr.
Serie VS Allzweck-Flachprofil-Version: –40 °C ~ +85 °C (2.000 Stunden Lebensdauer)														
4	22	0.37	3.0	A	19	PCE3051CT-ND	.21	.17	.16	.15	PCE3051TR-ND	2,000	54.18/M	ECE-V0GS220SR
	33	0.35	3.0	B	26	PCE3052CT-ND	.18	.15	.14	.13	PCE3052TR-ND	2,000	44.87/M	ECE-V0GA330SR
	47	0.35	3.0	B	34	PCE3053CT-ND	.18	.15	.14	.13	PCE3053TR-ND	2,000	44.87/M	ECE-V0GA470SR
	100	0.35	4.0	C	61	PCE3054CT-ND	.26	.21	.20	.18	PCE3054TR-ND	1,000	54.18	ECE-V0GA101SR
	220	0.35	8.8	D	82	PCE3055CT-ND	.23	.19	.18	.17	PCE3055TR-ND	1,000	63.50	ECE-V0GA221SP
6.3	22	0.35	3.0	A	20	PCE3308CT-ND	.21	.17	.16	.15	PCE3308TR-ND	2,000	54.18/M	ECE-V0JS220WR
	22	0.26	3.0	B	29	PCE3056CT-ND	.22	.18	.17	.16	PCE3056TR-ND	2,000	44.87/M	ECE-V0JA220SR
	47	0.35	3.0	B	36	PCE3309CT-ND	.20	.16	.15	.14	PCE3309TR-ND	2,000	49.95/M	ECE-V0JA470WR
	47	0.26	3.0	C	46	PCE3057CT-ND	.26	.21	.20	.18	PCE3057TR-ND	1,000	54.18	ECE-V0JA470SR
	100	0.26	6.3	D	71	PCE3058CT-ND	.29	.24	.22	.21	PCE3058TR-ND	1,000	63.50	ECE-V0JA101SP
	220	0.35	13.8	D	74	PCE3310CT-ND	.30	.25	.23	.21	PCE3310TR-ND	1,000	75.35	ECE-V0JA221WP
	330	0.26	20.8	D8	150	PCE3351CT-ND	.36	.30	.28	.26	PCE3351TR-ND	900	77.72	ECE-V0JA331XP
	330	0.35	20.8	E	300	PCE2034CT-ND	.47	.39	.36	.34	PCE2034TR-ND	1,000	104.13	ECE-V0JA331P
	470	0.35	29.6	F	380	PCE2035CT-ND	.47	.39	.36	.33	PCE2035TR-ND	500	67.30	ECE-V0JA471P
	1000	0.35	63.0	F	500	PCE3173CT-ND	.52	.43	.40	.37	PCE3173TR-ND	500	73.23	ECE-V0JA102UP
	1000	0.35	63.0	G	700	PCE2038CT-ND	.58	.48	.45	.41	PCE2038TR-ND	500	78.73	ECE-V0JA102P
	1500	0.35	94.5	G	750	PCE3174CT-ND	.64	.53	.49	.45	PCE3174TR-ND	500	86.35	ECE-V0JA152P
10	33	0.30	3.3	B	29	PCE3175CT-ND	.19	.16	.15	.14	PCE3175TR-ND	2,000	49.95/M	ECE-V1AA330WR
	33	0.20	3.3	C	43	PCE3059CT-ND	.21	.17	.16	.15	PCE3059TR-ND	1,000	54.18	ECE-V1AA330SR
	47	0.20	4.7	D	65	PCE3060CT-ND	.35	.29	.27	.25	PCE3060TR-ND	1,000	120.22	ECE-V1AA470SP
	100	0.30	10.0	C	50	PCE3311CT-ND	.30	.25	.23	.21	PCE3311TR-ND	1,000	58.42	ECE-V1AA101WR
	100	0.20	10.0	D	70	PCE3176CT-ND	.31	.26	.24	.22	PCE3176TR-ND	1,000	63.50	ECE-V1AA101SP
	220	0.20	22.0	D8	150	PCE3352CT-ND	.44	.36	.33	.31	PCE3352TR-ND	900	77.72	ECE-V1AA221XP
	220	0.26	22.0	E	250	PCE2040CT-ND	.44	.36	.33	.31	PCE2040TR-ND	1,000	104.13	ECE-V1AA221P
	330	0.26	33.0	F	330	PCE2041CT-ND	.47	.39	.36	.33	PCE2041TR-ND	500	67.30	ECE-V1AA331P
	470	0.26	47.0	G	400	PCE2042CT-ND	.58	.48	.45	.41	PCE2042TR-ND	500	78.73	ECE-V1AA471P
	470	0.26	47.0	F	330	PCE3177CT-ND	.47	.39	.36	.33	PCE3177TR-ND	500	67.30	ECE-V1AA471UP
	1000	0.26	100.0	G	580	PCE3178CT-ND	.58	.48	.45	.41	PCE3178TR-ND	500	78.73	ECE-V1AA102P
16	10	0.18	3.0	A	20	PCE3061CT-ND	.21	.17	.16	.15	PCE3061TR-ND	2,000	54.18/M	ECE-V1CS100SR
	10	0.16	3.0	B	28	PCE3062CT-ND	.27	.22	.21	.19	PCE3062TR-ND	2,000	44.87/M	ECE-V1CA100SR
	22	0.26	3.5	B	28	PCE3179CT-ND	.24	.20	.19	.18	PCE3179TR-ND	2,000	49.95/M	ECE-V1CA220WR
	22	0.16	3.5	C	39	PCE3063CT-ND	.26	.21	.20	.18	PCE3063TR-ND	1,000	54.18	ECE-V1CA220SR
	33	0.26	5.3	C	35	PCE3180CT-ND	.22	.18	.17	.16	PCE3180TR-ND	1,000	58.42	ECE-V1CA330WR
	47	0.26	7.5	C	39	PCE3181CT-ND	.28	.23	.22	.20	PCE3181TR-ND	1,000	58.42	ECE-V1CA470WR
	47	0.16	7.5	D	70	PCE3064CT-ND	.29	.24	.22	.21	PCE3064TR-ND	1,000	63.50	ECE-V1CA470SP
	100	0.26	16.0	D	70	PCE3182CT-ND	.36	.30	.28	.26	PCE3182TR-ND	1,000	75.35	ECE-V1CA101WP
	100	0.20	16.0	E	200	PCE2043CT-ND	.44	.36	.33	.31	PCE2043TR-ND	1,000	104.13	ECE-V1CA101P
	220	0.16	35.2	D8	150	PCE3353CT-ND	.54	.45	.42	.39	PCE3353TR-ND	900	77.72	ECE-V1CA221XP
	220	0.20	35.2	E	200	PCE3275CT-ND	.54	.45	.42	.39	PCE3275TR-ND	1,000	104.13	ECE-V1CA221UP
	220	0.20	35.2	F	280	PCE2044CT-ND	.65	.54	.50	.46	PCE2044TR-ND	500	67.30	ECE-V1CA221P
	330	0.20	52.8	F	320	PCE3183CT-ND	.69	.57	.53	.49	PCE3183TR-ND	500	67.30	ECE-V1CA331UP
	330	0.20	52.8	G	380	PCE2045CT-ND	.80	.66	.61	.56	PCE2045TR-ND	500	78.73	ECE-V1CA331P
	470	0.20	75.2	F	350	PCE3184CT-ND	.72	.60	.56	.51	PCE3184TR-ND	500	73.23	ECE-V1CA471UP
	470	0.20	75.2	G	420	PCE2046CT-ND	.80	.66	.61	.56	PCE2046TR-ND	500	78.73	ECE-V1CA471P
25	4.7	0.16	3.0	A	12	PCE3065CT-ND	.21	.17	.16	.15	PCE3065TR-ND	2,000	54.18/M	ECE-V1ES4R7SR
	4.7	0.14	3.0	B	22	PCE3066CT-ND	.18	.15	.14	.13	PCE3066TR-ND	2,000	44.87/M	ECE-V1EA4R7SR
	10	0.14	3.0	C	28	PCE3067CT-ND	.29	.24	.22	.21	PCE3067TR-ND	1,000	54.18	ECE-V1EA100SR
	22	0.14	5.5	D	55	PCE3068CT-ND	.23	.19	.18	.17	PCE3068TR-ND	1,000	63.50	ECE-V1EA220SP
	33	0.20	8.2	C	42	PCE3276CT-ND	.28	.23	.22	.20	PCE3276TR-ND	1,000	58.42	ECE-V1EA330WR
	33	0.14	8.3	D	65	PCE3069CT-ND	.29	.24	.22	.21	PCE3069TR-ND	1,000	63.50	ECE-V1EA330SP
	47	0.16	11.8	D2	70	PCE3185CT-ND	.30	.24	.23	.21	PCE3185TR-ND	1,000	80.43	ECE-V1EA470UP
	100	0.14	25.0	D8	150	PCE3354CT-ND	.44	.36	.33	.31	PCE3354TR-ND	900	77.72	ECE-V1EA101XP
	100	0.16	25.0	E	91	PCE3186CT-ND	.44	.36	.33	.31	PCE3186TR-ND	1,000	104.13	ECE-V1EA101UP
	100	0.16	25.0	F	180	PCE2047CT-ND	.54	.45	.42	.39	PCE2047TR-ND	500	67.30	ECE-V1EA101P
	220	0.16	55.0	F	140	PCE3187CT-ND	.58	.48	.45	.41	PCE3187TR-ND	500	73.23	ECE-V1EA221UP
	220	0.16	55.0	G	310	PCE2048CT-ND	.65	.54	.50	.46	PCE2048TR-ND	500	78.73	ECE-V1EA221P
	330	0.16	82.5	F	270	PCE3188CT-ND	.52	.43	.40	.37	PCE3188TR-ND	500	73.23	ECE-V1EA331UP
	470	0.16	117.5	G	380	PCE3189CT-ND	.76	.63	.58	.54	PCE3189TR-ND	500	86.35	ECE-V1EA471P
35	2.2	0.14	3.0	A	8	PCE3070CT-ND	.21	.17	.16	.15	PCE3070TR-ND	2,000	54.18/M	ECE-V1VS2R2SR
	3.3	0.14	3.0	A	10	PCE3071CT-ND	.21	.17	.16	.15	PCE3071TR-ND	2,000	54.18/M	ECE-V1VS3R3SR
	4.7	0.12	3.0	B	22	PCE3072CT-ND	.22	.18	.17	.16	PCE3072TR-ND	2,000	44.87/M	ECE-V1VA4R7SR
	10	0.16	3.5	B	22	PCE3277CT-ND	.24	.20	.19	.18	PCE3277TR-ND	2,000	49.95/M	ECE-V1VA100WR
	10	0.12	3.5	C	30	PCE3073CT-ND	.26	.21	.20	.18	PCE3073TR-ND	1,000	54.18	ECE-V1VA100SR
	22	0.16	7.7	C	36	PCE3278CT-ND	.28	.23	.22	.20	PCE3278TR-ND	1,000	58.42	ECE-V1VA220WR
	22	0.12	7.7	D	60	PCE3074CT-ND	.29	.24	.22	.21	PCE3074TR-ND	1,000	63.50	ECE-V1VA220SP
	33	0.16	11.5	D	60	PCE3279CT-ND	.30	.25	.23	.21	PCE3279TR-ND	1,000	75.35	ECE-V1VA330WP
	33	0.14	11.6	D2	65	PCE3190CT-ND	.30	.24	.23	.21	PCE3190TR-ND	1,000	80.43	ECE-V1VA330UP
	33	0.14	11.6	E	130	PCE2049CT-ND	.36	.30	.28	.26	PCE2049TR-ND	1,000	104.13	ECE-V1VA330P
	47	0.16	16.4	D	70	PCE3280CT-ND	.36	.30	.28	.26	PCE3280TR-ND	1,000	75.35	ECE-V1VA470WP
	47	0.14	16.5	E	165	PCE2050CT-ND	.44	.36	.33	.31	PCE2050TR-ND	1,000	104.13	ECE-V1VA470P

* Betriebsspannung

(Forts.)

E

Nenn-WV* (V DC)	Nom. Kap. (µF)	tan δ ≤ spez. Werte (120 Hz, +20 °C)	Max. Leckstrom (µA)	Größen-code	Max. Mischstr. 120 Hz, 85 °C (mA rms)	Digi-Key Teilenr.	Gurtabschnittspreis pro Stück 5	10	25	100	Digi-Key Teilenr.	Gegurtet auf Rolle Größe	Preisangaben	Panasonic Teilenr.
	100	0.12	35.0	D8	130	PCE3355CT-ND	.54	.45	.42	.39	PCE3355TR-ND	900	77.72	ECE-V1VA101XP
	100	0.14	35.0	F	140	PCE3191CT-ND	.65	.54	.50	.46	PCE3191TR-ND	500	67.30	ECE-V1VA101UP
35	100	0.14	35.0	G	210	PCE2051CT-ND	.76	.63	.58	.54	PCE2051TR-ND	500	78.73	ECE-V1VA101P
	220	0.14	77.0	F	200	PCE3192CT-ND	.52	.43	.40	.37	PCE3192TR-ND	500	73.23	ECE-V1VA221UP
	330	0.14	115.5	G	350	PCE3193CT-ND	.64	.53	.49	.45	PCE3193TR-ND	500	86.35	ECE-V1VA331P
	0.1	0.14	3.0	A	1	PCE3075CT-ND	.21	.17	.16	.15	PCE3075TR-ND	2,000	54.18/M	ECE-V1HS0R1SR
	0.1	0.12	3.0	B	1	PCE3076CT-ND	.18	.15	.14	.13	PCE3076TR-ND	2,000	44.87/M	ECE-V1HA0R1SR
	0.22	0.14	3.0	A	2	PCE3077CT-ND	.21	.17	.16	.15	PCE3077TR-ND	2,000	54.18/M	ECE-V1HSR22SR
	0.22	0.12	3.0	B	2	PCE3078CT-ND	.18	.15	.14	.13	PCE3078TR-ND	2,000	44.87/M	ECE-V1HAR22SR
	0.33	0.14	3.0	A	3	PCE3079CT-ND	.21	.17	.16	.15	PCE3079TR-ND	2,000	54.18/M	ECE-V1HSR33SR
	0.33	0.12	3.0	B	3	PCE3080CT-ND	.18	.15	.14	.13	PCE3080TR-ND	2,000	44.87/M	ECE-V1HAR33SR
	0.47	0.14	3.0	A	5	PCE3081CT-ND	.21	.17	.16	.15	PCE3081TR-ND	2,000	54.18/M	ECE-V1HSR47SR
	0.47	0.12	3.0	B	5	PCE3082CT-ND	.18	.15	.14	.13	PCE3082TR-ND	2,000	44.87/M	ECE-V1HAR47SR
	1	0.14	3.0	A	8	PCE3083CT-ND	.21	.17	.16	.15	PCE3083TR-ND	2,000	54.18/M	ECE-V1HS010SR
	1	0.12	3.0	B	10	PCE3084CT-ND	.18	.15	.14	.13	PCE3084TR-ND	2,000	44.87/M	ECE-V1HA010SR
	2.2	0.14	3.0	A	10	PCE3085CT-ND	.21	.17	.16	.15	PCE3085TR-ND	2,000	54.18/M	ECE-V1HS2R2SR
	2.2	0.12	3.0	B	16	PCE3086CT-ND	.18	.15	.14	.13	PCE3086TR-ND	2,000	44.87/M	ECE-V1HA2R2SR
	3.3	0.12	3.0	B	16	PCE3087CT-ND	.22	.18	.17	.16	PCE3087TR-ND	2,000	44.87/M	ECE-V1HA3R3SR
	4.7	0.14	3.0	B	18	PCE3281CT-ND	.20	.16	.15	.14	PCE3281TR-ND	2,000	49.95/M	ECE-V1HA4R7WR
50	4.7	0.12	3.0	C	23	PCE3088CT-ND	.21	.17	.16	.15	PCE3088TR-ND	1,000	54.18	ECE-V1HA4R7SR
	10	0.14	5.0	C	27	PCE3282CT-ND	.29	.24	.22	.21	PCE3282TR-ND	1,000	58.42	ECE-V1HA100WR
	10	0.12	5.0	D	35	PCE3089CT-ND	.31	.26	.24	.22	PCE3089TR-ND	1,000	63.50	ECE-V1HA100SP
	22	0.14	11.0	D	40	PCE3283CT-ND	.36	.30	.28	.26	PCE3283TR-ND	1,000	75.35	ECE-V1HA220WP
	22	0.12	11.0	D2	60	PCE3194CT-ND	.36	.30	.28	.26	PCE3194TR-ND	1,000	80.43	ECE-V1HA220UP
	22	0.12	11.0	E	120	PCE2053CT-ND	.44	.36	.33	.31	PCE2053TR-ND	1,000	104.13	ECE-V1HA220P
	33	0.12	16.5	D8	85	PCE3356CT-ND	.36	.30	.28	.26	PCE3356TR-ND	900	77.72	ECE-V1HA330XP
	33	0.12	16.5	E	65	PCE3195CT-ND	.36	.30	.28	.26	PCE3195TR-ND	1,000	104.13	ECE-V1HA330UP
	33	0.12	16.5	F	110	PCE2054CT-ND	.47	.39	.36	.33	PCE2054TR-ND	500	67.30	ECE-V1HA330P
	47	0.12	23.5	D8	90	PCE3357CT-ND	.36	.30	.28	.26	PCE3357TR-ND	900	77.72	ECE-V1HA470XP
	47	0.12	23.5	F	110	PCE3196CT-ND	.47	.39	.36	.33	PCE3196TR-ND	500	67.30	ECE-V1HA470UP
	47	0.12	23.5	G	130	PCE2055CT-ND	.61	.50	.46	.43	PCE2055TR-ND	500	78.73	ECE-V1HA470P
	100	0.12	50.0	F	200	PCE3197CT-ND	.52	.43	.40	.37	PCE3197TR-ND	500	73.23	ECE-V1HA101UP
	220	0.12	110.0	G	300	PCE3198CT-ND	.64	.53	.49	.45	PCE3198TR-ND	500	86.35	ECE-V1HA221P
	10	0.18	6.3	E	35	PCE3199CT-ND	.30	.24	.23	.21	PCE3199TR-ND	1,000	80.43	ECE-V1JA100P
	22	0.18	13.9	E	40	PCE3284CT-ND	.46	.38	.35	.32	PCE3284TR-ND	1,000	115.14	ECE-V1JA220UP
63	22	0.18	13.9	F	40	PCE3200CT-ND	.52	.43	.40	.37	PCE3200TR-ND	500	74.08	ECE-V1JA220P
	33	0.18	20.8	F	45	PCE3201CT-ND	.52	.43	.40	.37	PCE3201TR-ND	500	74.08	ECE-V1JA330P
	47	0.18	29.6	G	45	PCE3202CT-ND	.64	.53	.49	.45	PCE3202TR-ND	500	112.60	ECE-V1JA470P
	100	0.18	63.0	G	60	PCE3203CT-ND	.64	.53	.49	.45	PCE3203TR-ND	500	86.35	ECE-V1JA101P
	3.3	0.18	3.3	E	50	PCE3204CT-ND	.38	.32	.30	.27	PCE3204TR-ND	1,000	115.14	ECE-V2AA3R3P
	4.7	0.18	4.7	E	50	PCE3285CT-ND	.46	.38	.35	.32	PCE3285TR-ND	1,000	126.99	ECE-V2AA4R7UP
	4.7	0.18	4.7	F	80	PCE3205CT-ND	.52	.43	.40	.37	PCE3205TR-ND	500	74.08	ECE-V2AA4R7P
100	10	0.18	10.0	E	50	PCE3286CT-ND	.46	.38	.35	.32	PCE3286TR-ND	1,000	126.99	ECE-V2AA100UP
	10	0.18	10.0	F	85	PCE3206CT-ND	.52	.43	.40	.37	PCE3206TR-ND	500	74.08	ECE-V2AA100P
	22	0.18	22.0	F	70	PCE3287CT-ND	.58	.48	.45	.41	PCE3287TR-ND	500	80.85	ECE-V2AA220UP
	22	0.18	22.0	G	85	PCE3207CT-ND	.64	.53	.49	.45	PCE3207TR-ND	500	86.35	ECE-V2AA220P
	33	0.18	33.0	G	90	PCE3208CT-ND	.64	.53	.49	.45	PCE3208TR-ND	500	86.35	ECE-V2AA330P

E

Panasonic Bipolare Serie VS Aluminium-Elektrolytkondensatoren, Oberflächenmontage

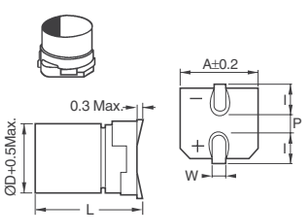

Merkmale: • Allzweck-Bipolar • Lebensdauer: 1.000 Stunden @ 85 °C • Oberflächenmontage-Version • Hohe CV Volumetrische Effizienz • Band und Spulenverpackung für automatische Platzierung
Spezifikationen: • **Betriebstemperaturbereich:** -40 °C ~ 85 °C • **Kapazitätstoleranz:** ±20 % (120 Hz, +20 °C) • **Leckstrom:** I ≤0,01 CV oder 3 (µA), welcher Messwert auch immer nach 2 Minuten Anlegung der Nennbetriebsspannung bei +20 °C größer ist • **Niedrigtemperatur-Merkmale:** Impedanzverhältnis (120 Hz)

Folgende spezifischen Werte:

Impedanz 120 Hz	Serie	Betriebsspannung 4.0V	6.3V	10V	16V	25V	35V	50V
-25°C/+20°C	VS	7	4	3	2	2	2	2
-40°C/+20°C		15	8	6	4	4	3	3

Serie	Gehäuse-Code	Abmessungen D	L	A	I	W	P
VS-BIPOLAR	B	4.0	5.4	4.3	1.8	0.65±0.1	1.0
	C	5.0	5.4	5.3	2.2	0.65±0.1	1.5
	D	6.3	5.4	6.6	2.6	0.65±0.1	1.8

Nenn-WV* (V DC)	Nom. Kap. (µF)	tan δ ≤ spez. Werte (120 Hz, +20 °C)	Max. Leckstrom (µA)	Größen-code	Max. Mischstr. 120 Hz, 85 °C (mA rms)	Digi-Key Teilenr.	Gurtabschnittspreis pro Stück 5	10	25	100	Digi-Key Teilenr.	Gegurtet auf Rolle Größe	Preisangaben	Panasonic Teilenr.
BI-POLAR Allzweck-Serie VS: -40 °C ~ 85 °C (1.000 Stunden Lebensdauer)														
6.3	22	0.52	6.0	C	29	PCE3123CT-ND	.31	.26	.24	.22	PCE3123TR-ND	1,000	80.43	ECE-V0JA220NR
	47	0.52	6.0	D	46	PCE3124CT-ND	.35	.29	.27	.25	PCE3124TR-ND	1,000	95.67	ECE-V0JA470NP
10	10	0.40	6.0	B	25	PCE3125CT-ND	.27	.22	.21	.19	PCE3125TR-ND	2,000	67.73/M	ECE-V1AA100NR
	33	0.40	6.6	D	43	PCE3126CT-ND	.35	.29	.27	.25	PCE3126TR-ND	1,000	95.67	ECE-V1AA330NP
16	4.7	0.32	6.0	B	20	PCE3127CT-ND	.27	.22	.21	.19	PCE3127TR-ND	2,000	67.73/M	ECE-V1CA4R7NR
	10	0.32	6.0	C	25	PCE3128CT-ND	.31	.26	.24	.22	PCE3128TR-ND	1,000	80.43	ECE-V1CA100NR
	22	0.32	7.0	D	39	PCE3129CT-ND	.35	.29	.27	.25	PCE3129TR-ND	1,000	95.67	ECE-V1CA220NP
25	3.3	0.28	6.0	B	12	PCE3130CT-ND	.27	.22	.21	.19	PCE3130TR-ND	2,000	67.73/M	ECE-V1EA3R3NR
	4.7	0.28	6.0	C	21	PCE3131CT-ND	.31	.26	.24	.22	PCE3131TR-ND	1,000	80.43	ECE-V1EA4R7NR
	10	0.28	6.0	D	28	PCE3132CT-ND	.36	.30	.28	.26	PCE3132TR-ND	1,000	95.67	ECE-V1EA100NP
35	2.2	0.24	6.0	B	12	PCE3133CT-ND	.27	.22	.21	.19	PCE3133TR-ND	2,000	67.73/M	ECE-V1VA2R2NR
	4.7	0.24	6.0	C	22	PCE3134CT-ND	.31	.26	.24	.22	PCE3134TR-ND	1,000	80.43	ECE-V1VA4R7NR
	10	0.24	7.0	D	30	PCE3135CT-ND	.35	.29	.27	.25	PCE3135TR-ND	1,000	95.67	ECE-V1VA100NP
50	0.22	0.24	6.0	B	2	PCE3136CT-ND	.27	.22	.21	.19	PCE3136TR-ND	2,000	67.73/M	ECE-V1HAR22NR
	0.33	0.24	6.0	B	3	PCE3137CT-ND	.27	.22	.21	.19	PCE3137TR-ND	2,000	67.73/M	ECE-V1HAR33NR
	0.47	0.24	6.0	B	5	PCE3138CT-ND	.27	.22	.21	.19	PCE3138TR-ND	2,000	67.73/M	ECE-V1HAR47NR
	1	0.24	6.0	B	10	PCE3139CT-ND	.27	.22	.21	.19	PCE3139TR-ND	2,000	67.73/M	ECE-V1HA010NR
	2.2	0.24	6.0	C	16	PCE3140CT-ND	.31	.26	.24	.22	PCE3140TR-ND	1,000	80.43	ECE-V1HA2R2NR
	3.3	0.24	6.0	C	21	PCE3141CT-ND	.58	.48	.44	.41	PCE3141TR-ND	1,000	202.34	ECE-V1HA3R3NP
	4.7	0.24	6.0	D	31	PCE3142CT-ND	.35	.29	.27	.25	PCE3142TR-ND	1,000	95.67	ECE-V1HA4R7NP

* Betriebsspannung

Alle Preisangaben in Euro und inklusive Zollgebühren.

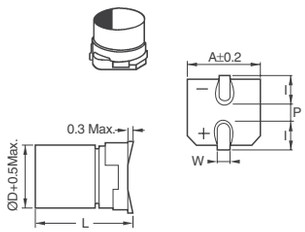

Merkmale: • Mehrzweck • Lebensdauer: 1.000 Stunden @ 105 °C • Oberflächenmontage-Version • Hohe CV Volumetrische Effizienz • Band und Spulenverpackung für automatische Platzierung

Spezifikationen: • **Betriebstemperaturbereich:** -40 °C ~ 105 °C • **Kapazitätstoleranz:** ±20 % (120 Hz, +20 °C) • **Leckstrom:** I ≤ 0,01 CV oder 3 (µA), welcher Messwert auch immer nach 2 Minuten Anlegung der Nennbetriebsspannung bei +20 °C größer ist • **Niedrigtemperatur-Merkmale:** Impedanzverhältnis (120 Hz)

Folgende spezifischen Werte:

Impedanz 120 Hz	Serie	Betriebsspannung 6.3V	10V	16V	25V	35V	50V	63V	100V
-25°C/+20°C	HA	4	3	2	2	2	2	3	3
-40°C/+20°C		8	6	4	4	3	3	4	4

Serie	Gehäuse-Code	Abmessungen D	L	A	I	W	P
HA	B	4.0	5.4	4.3	1.8	0.65±0.1	1.0
	C	5.0	5.4	5.3	2.2	0.65±0.1	1.5
	D	6.3	5.4	6.6	2.6	0.65±0.1	1.8
	D8	6.3	7.9	6.6	2.6	0.65±0.1	1.8
	E	8.0	6.2	8.3	3.4	0.65±0.1	2.2
	F	8.0	10.2	8.3	3.4	0.90±0.2	3.1
	G	10.0	10.2	10.3	3.5	0.90±0.2	4.6

Nenn-WV* (V DC)	Nom. Kap. (µF)	Tan δ ≤ spez. Werte (120 Hz, +20 °C)	Max. Leckstrom (µA)	Größencode	Max. Mischstr. 120 Hz, 105 °C (mA rms)	Digi-Key Teilenr.	Gurtabschnittspreis pro Stück 5	10	25	100	Digi-Key Teilenr.	Gegurtet auf Rolle Größe	Preisangaben	Panasonic Teilenr.
Serie HA, lange Lebensdauer: -40 °C ~ 105 °C (1.000 Stunden Lebensdauer)														
6.3	22	0.30	3.0	B	29	PCE3000CT-ND	.15	.13	.12	.11	PCE3000TR-ND	2,000	51.65/M	EEV-HA0J220R
	47	0.35	3.0	B	36	PCE3288CT-ND	.17	.14	.13	.12	PCE3288TR-ND	2,000	57.57/M	EEV-HA0J470WR
	47	0.30	3.0	C	46	PCE3001CT-ND	.18	.15	.14	.13	PCE3001TR-ND	1,000	61.80	EEV-HA0J470R
	100	0.35	6.3	C	47	PCE3289CT-ND	.20	.16	.15	.14	PCE3289TR-ND	1,000	67.73	EEV-HA0J101WR
	100	0.30	6.3	D	71	PCE3002CT-ND	.21	.17	.16	.15	PCE3002TR-ND	1,000	72.81	EEV-HA0J101P
	220	0.35	13.8	D	74	PCE3290CT-ND	.25	.21	.19	.18	PCE3290TR-ND	1,000	86.35	EEV-HA0J221WP
	330	0.30	20.8	D8	105	PCE3358CT-ND	.29	.24	.22	.20	PCE3358TR-ND	900	89.91	EEV-HA0J331XP
	1000	0.35	63.0	F	300	PCE3209CT-ND	.44	.37	.34	.31	PCE3209TR-ND	500	77.46	EEV-HA0J102UP
	1500	0.35	94.5	G	480	PCE3210CT-ND	.57	.47	.44	.40	PCE3210TR-ND	500	99.48	EEV-HA0J152P
10	33	0.30	3.3	B	29	PCE3291CT-ND	.17	.14	.13	.12	PCE3291TR-ND	2,000	57.57/M	EEV-HA1A330WR
	33	0.22	3.3	C	43	PCE3003CT-ND	.18	.15	.14	.13	PCE3003TR-ND	1,000	61.80	EEV-HA1A330R
	100	0.30	10.0	D	71	PCE3211CT-ND	.21	.17	.16	.15	PCE3211TR-ND	1,000	72.81	EEV-HA1A101WP
	220	0.22	22.0	D8	105	PCE3359CT-ND	.29	.24	.22	.20	PCE3359TR-ND	900	89.91	EEV-HA1A221XP
	470	0.26	47.0	F	200	PCE3212CT-ND	.44	.37	.34	.31	PCE3212TR-ND	500	77.46	EEV-HA1A471UP
	1000	0.26	100.0	G	580	PCE3292CT-ND	.57	.47	.44	.40	PCE3292TR-ND	500	99.48	EEV-HA1A102P
16	10	0.16	3.0	B	28	PCE3004CT-ND	.15	.13	.12	.11	PCE3004TR-ND	2,000	51.65/M	EEV-HA1C100R
	22	0.26	3.5	B	28	PCE3293CT-ND	.17	.14	.13	.12	PCE3293TR-ND	2,000	57.57/M	EEV-HA1C220WR
	22	0.16	3.5	C	39	PCE3005CT-ND	.18	.15	.14	.13	PCE3005TR-ND	1,000	61.80	EEV-HA1C220R
	47	0.26	7.5	C	39	PCE3294CT-ND	.20	.16	.15	.14	PCE3294TR-ND	1,000	67.73	EEV-HA1C470WR
	47	0.16	7.5	D	70	PCE3006CT-ND	.21	.17	.16	.15	PCE3006TR-ND	1,000	72.81	EEV-HA1C470P
	100	0.26	16.0	D	70	PCE3295CT-ND	.25	.21	.19	.18	PCE3295TR-ND	1,000	86.35	EEV-HA1C101WP
	220	0.16	35.2	D8	105	PCE3360CT-ND	.29	.24	.22	.20	PCE3360TR-ND	900	89.91	EEV-HA1C221XP
	220	0.20	35.2	F	150	PCE3213CT-ND	.44	.37	.34	.31	PCE3213TR-ND	500	77.46	EEV-HA1C221UP
	330	0.20	52.8	F	170	PCE3214CT-ND	.44	.37	.34	.31	PCE3214TR-ND	500	77.46	EEV-HA1C331UP
	470	0.20	75.2	F	190	PCE3215CT-ND	.48	.40	.37	.34	PCE3215TR-ND	500	83.81	EEV-HA1C471UP
	470	0.20	75.2	G	340	PCE3216CT-ND	.52	.43	.40	.37	PCE3216TR-ND	500	90.59	EEV-HA1C471P
25	4.7	0.14	3.0	B	22	PCE3007CT-ND	.15	.13	.12	.11	PCE3007TR-ND	2,000	51.65/M	EEV-HA1E4R7R
	10	0.14	3.0	C	28	PCE3008CT-ND	.18	.15	.14	.13	PCE3008TR-ND	1,000	61.80	EEV-HA1E100R
	22	0.14	5.5	D	55	PCE3009CT-ND	.21	.17	.16	.15	PCE3009TR-ND	1,000	72.81	EEV-HA1E220P
	33	0.20	8.2	C	42	PCE3296CT-ND	.20	.16	.15	.14	PCE3296TR-ND	1,000	67.73	EEV-HA1E330WR
	33	0.14	8.3	D	65	PCE3010CT-ND	.21	.17	.16	.15	PCE3010TR-ND	1,000	72.81	EEV-HA1E330P
	47	0.20	11.7	D	70	PCE3297CT-ND	.25	.21	.19	.18	PCE3297TR-ND	1,000	86.35	EEV-HA1E470WP
	47	0.16	11.8	F	91	PCE3217CT-ND	.34	.28	.26	.24	PCE3217TR-ND	1,000	119.37	EEV-HA1E470P
	100	0.16	25.0	E	91	PCE3298CT-ND	.34	.28	.26	.24	PCE3298TR-ND	1,000	119.37	EEV-HA1E101UP
	100	0.16	25.0	F	130	PCE3218CT-ND	.44	.37	.34	.31	PCE3218TR-ND	500	77.46	EEV-HA1E101P
	220	0.16	55.0	F	160	PCE3219CT-ND	.48	.40	.37	.34	PCE3219TR-ND	500	84.24	EEV-HA1E221UP
	330	0.16	82.5	F	180	PCE3220CT-ND	.48	.40	.37	.34	PCE3220TR-ND	500	84.24	EEV-HA1E331UP
	470	0.16	117.5	G	360	PCE3221CT-ND	.57	.47	.44	.40	PCE3221TR-ND	500	99.48	EEV-HA1E471P
35	4.7	0.12	3.0	B	22	PCE3011CT-ND	.15	.13	.12	.11	PCE3011TR-ND	2,000	51.65/M	EEV-HA1V4R7R
	10	0.16	3.5	B	22	PCE3299CT-ND	.17	.14	.13	.12	PCE3299TR-ND	2,000	57.57/M	EEV-HA1V100WR
	10	0.12	3.5	C	30	PCE3012CT-ND	.18	.15	.14	.13	PCE3012TR-ND	1,000	61.80	EEV-HA1V100R
	22	0.16	7.7	C	35	PCE3300CT-ND	.20	.16	.15	.14	PCE3300TR-ND	1,000	67.73	EEV-HA1V220WR
	22	0.12	7.7	D	60	PCE3013CT-ND	.21	.17	.16	.15	PCE3013TR-ND	1,000	72.81	EEV-HA1V220P
	33	0.16	11.5	D	42	PCE3301CT-ND	.25	.21	.19	.18	PCE3301TR-ND	1,000	86.35	EEV-HA1V330WP
	33	0.14	11.6	E	84	PCE3222CT-ND	.34	.28	.26	.24	PCE3222TR-ND	1,000	119.37	EEV-HA1V330P
	47	0.14	16.5	E	84	PCE3302CT-ND	.34	.28	.26	.24	PCE3302TR-ND	1,000	119.37	EEV-HA1V470UP
	47	0.14	16.5	F	98	PCE3223CT-ND	.44	.37	.34	.31	PCE3223TR-ND	500	77.46	EEV-HA1V470P
	100	0.12	35.0	D8	84	PCE3361CT-ND	.29	.24	.22	.20	PCE3361TR-ND	900	89.91	EEV-HA1V101XP
	100	0.14	35.0	F	120	PCE3224CT-ND	.44	.37	.34	.31	PCE3224TR-ND	500	77.46	EEV-HA1V101UP
	220	0.14	77.0	F	170	PCE3225CT-ND	.48	.40	.37	.34	PCE3225TR-ND	500	83.81	EEV-HA1V221UP
	220	0.14	77.0	G	210	PCE3226CT-ND	.52	.43	.40	.37	PCE3226TR-ND	500	90.59	EEV-HA1V221P
	330	0.14	115.5	G	250	PCE3227CT-ND	.57	.47	.44	.40	PCE3227TR-ND	500	99.48	EEV-HA1V331P
50	0.1	0.12	3.0	B	1	PCE3014CT-ND	.15	.13	.12	.11	PCE3014TR-ND	2,000	51.65/M	EEV-HA1HR10 R
	0.22	0.12	3.0	B	2	PCE3015CT-ND	.15	.13	.12	.11	PCE3015TR-ND	2,000	51.65/M	EEV-HA1HR22R
	0.33	0.12	3.0	B	3	PCE3016CT-ND	.15	.13	.12	.11	PCE3016TR-ND	2,000	51.65/M	EEV-HA1HR33R
	0.47	0.12	3.0	B	5	PCE3017CT-ND	.15	.13	.12	.11	PCE3017TR-ND	2,000	51.65/M	EEV-HA1HR47R
	1.0	0.12	3.0	B	10	PCE3018CT-ND	.15	.13	.12	.11	PCE3018TR-ND	2,000	51.65/M	EEV-HA1H010R
	2.2	0.12	3.0	B	16	PCE3019CT-ND	.15	.13	.12	.11	PCE3019TR-ND	2,000	51.65/M	EEV-HA1H2R2R
	3.3	0.12	3.0	B	16	PCE3020CT-ND	.15	.13	.12	.11	PCE3020TR-ND	2,000	51.65/M	EEV-HA1H3R3R
	4.7	0.12	3.0	C	23	PCE3021CT-ND	.18	.15	.14	.13	PCE3021TR-ND	1,000	61.80	EEV-HA1H4R7R
	10	0.12	5.0	D	35	PCE3022CT-ND	.21	.17	.16	.15	PCE3022TR-ND	1,000	72.81	EEV-HA1H100P
	22	0.12	11.0	E	70	PCE3228CT-ND	.34	.28	.26	.24	PCE3228TR-ND	1,000	119.37	EEV-HA1H220P
	33	0.12	16.5	D8	60	PCE3362CT-ND	.29	.24	.22	.20	PCE3362TR-ND	900	89.91	EEV-HA1H33Ï0XP
	33	0.12	16.5	E	70	PCE3303CT-ND	.34	.28	.26	.24	PCE3303TR-ND	1,000	119.37	EEV-HA1H330UP
	33	0.12	16.5	F	91	PCE3229CT-ND	.44	.37	.34	.31	PCE3229TR-ND	500	77.46	EEV-HA1H330P
	47	0.12	23.5	D8	63	PCE3363CT-ND	.29	.24	.22	.20	PCE3363TR-ND	900	89.91	EEV-HA1H470XP
	47	0.12	23.5	F	95	PCE3230CT-ND	.44	.37	.34	.31	PCE3230TR-ND	500	77.46	EEV-HA1H470UP
	100	0.12	50.0	F	110	PCE3231CT-ND	.48	.40	.37	.34	PCE3231TR-ND	500	84.24	EEV-HA1H101UP
	100	0.12	50.0	G	120	PCE3232CT-ND	.52	.43	.40	.37	PCE3232TR-ND	500	90.59	EEV-HA1H101P
	220	0.12	110.0	G	150	PCE3233CT-ND	.57	.47	.44	.40	PCE3233TR-ND	500	99.48	EEV-HA1H221P
63	10	0.18	6.3	E	25	PCE3234CT-ND	.38	.31	.29	.27	PCE3234TR-ND	1,000	132.92	EEV-HA1J100P
	22	0.18	13.9	E	30	PCE3304CT-ND	.42	.34	.32	.30	PCE3304TR-ND	1,000	145.62	EEV-HA1J220UP
	22	0.18	13.9	F	30	PCE3235CT-ND	.48	.40	.37	.34	PCE3235TR-ND	500	83.81	EEV-HA1J220P
	33	0.18	20.8	G	45	PCE3236CT-ND	.57	.47	.44	.40	PCE3236TR-ND	500	99.48	EEV-HA1J330P
	47	0.18	29.7	E	50	PCE3305CT-ND	.48	.40	.37	.34	PCE3305TR-ND	500	83.81	EEV-HA1J470UP
	47	0.18	29.6	G	50	PCE3237CT-ND	.57	.47	.44	.40	PCE3237TR-ND	500	99.48	EEV-HA1J470P
100	3.3	0.18	3.3	E	30	PCE3238CT-ND	.38	.31	.29	.27	PCE3238TR-ND	1,000	132.92	EEV-HA2A3R3P
	4.7	0.18	4.7	E	30	PCE3306CT-ND	.42	.34	.32	.30	PCE3306TR-ND	1,000	145.62	EEV-HA2A4R7UP
	4.7	0.18	4.7	F	50	PCE3239CT-ND	.48	.40	.37	.34	PCE3239TR-ND	500	83.81	EEV-HA2A4R7P
	10	0.18	10.0	F	55	PCE3240CT-ND	.48	.40	.37	.34	PCE3240TR-ND	500	83.81	EEV-HA2A100P
	22	0.18	22.0	E	55	PCE3307CT-ND	.53	.44	.41	.37	PCE3307TR-ND	500	92.28	EEV-HA2A220UP
	22	0.18	22.0	G	60	PCE3241CT-ND	.57	.47	.44	.40	PCE3241TR-ND	500	99.48	EEV-HA2A220P
	33	0.18	33.0	G	65	PCE3242CT-ND	.57	.47	.44	.40	PCE3242TR-ND	500	99.48	EEV-HA2A330P

* Betriebsspannung

E

Panasonic Serie HB Aluminium-Elektrolytkondensatoren, Oberflächenmontage

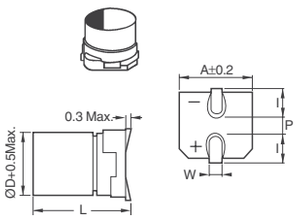

Merkmale: • Mehrzweck • Lebensdauer: 2.000 Stunden @ 105 °C • Oberflächenmontage-Version • Hohe CV Volumetrische Effizienz • Band und Spulenverpackung für automatische Platzierung

Spezifikationen: • **Betriebstemperaturbereich:** -40 °C ~ 105 °C • **Kapazitätstoleranz:** ±20 % (120 Hz, +20 °C) • **Leckstrom:** I ≤ 0,01 CV oder 3 (µA), welcher Messwert auch immer nach 2 Minuten Anlegung der Nennbetriebsspannung bei +20 °C größer ist • **Niedrigtemperatur-Merkmale:** Impedanzverhältnis (120 Hz)

Folgende spezifischen Werte:

Impedanz 120 Hz	Serie	Betriebsspannung 4.0V	6.3V	10V	16V	25V	35V	50V
-25°C/+20°C	HB	7	4	3	2	2	2	2
-40°C/+20°C		15	8	6	4	4	3	3

Serie	Gehäuse-Code	Abmessungen D	L	A	I	W	P
HB	B	4.0	5.8	4.3	1.8	0.65±0.1	1.0
	C	5.0	5.8	5.3	2.2	0.65±0.1	1.5
	D	6.3	5.8	6.6	2.6	0.65±0.1	1.8

Nenn-WV* (V DC)	Nom. Kap. (µF)	Tan δ ≤ spez. Werte (120 Hz, +20 °C)	Max. Leckstrom (µA)	Größencode	Max. Mischstr. 120 Hz, 105 °C (mA rms)	Digi-Key Teilenr.	Gurtabschnittspreis pro Stück 5	10	25	100	Digi-Key Teilenr.	Gegurtet auf Rolle Größe	Preisangaben	Panasonic Teilenr.
Serie HB, lange Lebensdauer: -40 °C ~ 105 °C (2000 Stunden Lebensdauer)														
4	47	0.50	3.0	B	34	PCE3023CT-ND	.16	.13	.12	.11	PCE3023TR-ND	2,000	54.18/M	EEV-HB0G470R
	100	0.50	4.0	C	61	PCE3024CT-ND	.19	.16	.14	.13	PCE3024TR-ND	1,000	64.34	EEV-HB0G101R
	220	0.50	8.8	D	82	PCE3025CT-ND	.22	.18	.17	.16	PCE3025TR-ND	1,000	76.19	EEV-HB0G221P
6.3	22	0.30	3.0	B	26	PCE3026CT-ND	.16	.13	.12	.11	PCE3026TR-ND	2,000	54.18/M	EEV-HB0J220R
	33	0.30	3.0	B	29	PCE3027CT-ND	.16	.13	.12	.11	PCE3027TR-ND	2,000	54.18/M	EEV-HB0J330R
	47	0.30	3.0	C	46	PCE3028CT-ND	.19	.16	.14	.13	PCE3028TR-ND	1,000	64.34	EEV-HB0J470R
	100	0.30	6.3	D	71	PCE3029CT-ND	.22	.18	.17	.16	PCE3029TR-ND	1,000	76.19	EEV-HB0J101P
10	33	0.22	3.3	C	43	PCE3030CT-ND	.19	.16	.14	.13	PCE3030TR-ND	1,000	64.34	EEV-HB1A330R
16	10	0.16	3.0	B	28	PCE3031CT-ND	.16	.13	.12	.11	PCE3031TR-ND	2,000	54.18/M	EEV-HB1C100R
	22	0.16	3.5	C	39	PCE3032CT-ND	.19	.16	.14	.13	PCE3032TR-ND	1,000	64.34	EEV-HB1C220R
	47	0.16	7.5	D	70	PCE3033CT-ND	.22	.18	.17	.16	PCE3033TR-ND	1,000	76.19	EEV-HB1C470P
25	4.7	0.14	3.0	B	22	PCE3034CT-ND	.16	.13	.12	.11	PCE3034TR-ND	2,000	54.18/M	EEV-HB1E4R7R
	6.8	0.14	3.0	B	25	PCE3035CT-ND	.16	.13	.12	.11	PCE3035TR-ND	2,000	54.18/M	EEV-HB1E6R8R
	10	0.14	3.0	C	28	PCE3036CT-ND	.62	.51	.48	.44	PCE3036TR-ND	1,000	218.42	EEV-HB1E100R
	22	0.14	5.5	D	55	PCE3037CT-ND	.72	.60	.56	.51	PCE3037TR-ND	1,000	253.98	EEV-HB1E220P
	33	0.14	8.3	D	65	PCE3038CT-ND	.22	.18	.17	.16	PCE3038TR-ND	1,000	76.19	EEV-HB1E330P
35	10	0.12	3.5	C	28	PCE3039CT-ND	.19	.16	.14	.13	PCE3039TR-ND	1,000	64.34	EEV-HB1V100R
	22	0.12	7.7	D	55	PCE3040CT-ND	.22	.18	.17	.16	PCE3040TR-ND	1,000	76.19	EEV-HB1V220P
50	0.1	0.12	3.0	B	1	PCE3041CT-ND	.16	.13	.12	.11	PCE3041TR-ND	2,000	54.18/M	EEV-HB1HR10R
	0.22	0.12	3.0	B	2	PCE3042CT-ND	.16	.13	.12	.11	PCE3042TR-ND	2,000	54.18/M	EEV-HB1HR22R
	0.33	0.12	3.0	B	3	PCE3043CT-ND	.16	.13	.12	.11	PCE3043TR-ND	2,000	54.18/M	EEV-HB1HR33R
	0.47	0.12	3.0	B	5	PCE3044CT-ND	.16	.13	.12	.11	PCE3044TR-ND	2,000	54.18/M	EEV-HB1HR47R
	1	0.12	3.0	B	10	PCE3045CT-ND	.16	.13	.12	.11	PCE3045TR-ND	2,000	54.18/M	EEV-HB1H1R0R
	2.2	0.12	3.0	B	16	PCE3046CT-ND	.16	.13	.12	.11	PCE3046TR-ND	2,000	54.18/M	EEV-HB1H2R2R
	3.3	0.12	3.0	B	16	PCE3047CT-ND	.16	.13	.12	.11	PCE3047TR-ND	2,000	54.18/M	EEV-HB1H3R3R
	4.7	0.12	3.0	C	23	PCE3048CT-ND	.19	.16	.14	.13	PCE3048TR-ND	1,000	64.34	EEV-HB1H4R7R
	6.8	0.12	3.4	C	23	PCE3049CT-ND	.22	.18	.17	.16	PCE3049TR-ND	1,000	76.19	EEV-HB1H6R8R
	10.0	0.12	5.0	D	35	PCE3050CT-ND	.22	.18	.17	.16	PCE3050TR-ND	1,000	76.19	EEV-HB1H100P

E

Panasonic Serie HD Aluminium-Elektrolytkondensatoren, Oberflächenmontage

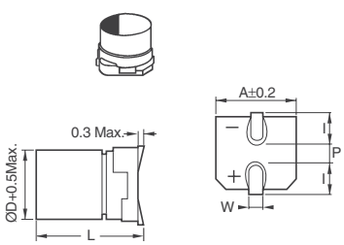

MERKMALE: • Lange Haltbarkeit • Lebensdauer: 5.000 Stunden @ 105 °C • Oberflächenmontage-Version • Hohe CV Volumetrische Effizienz • Band und Spulenverpackung für automatische Platzierung • Anti-Lösungsmittel: Freon-TE, TES, TP-35

Spezifikationen: • **Betriebstemperaturbereich:** -40 °C ~ 105 °C • **Kapazitätstoleranz:** ±20 % (120 Hz, +20 °C) • **Leckstrom:** I ≤ 0,01 CV oder 3 (µA), welcher Messwert auch immer nach 2 Minuten Anlegung der Nennbetriebsspannung bei +20 °C größer ist • **Niedrigtemperatur-Merkmale:** Impedanzverhältnis (120 Hz)

Folgende spezifischen Werte:

Impedanz 120 Hz	Serie	Betriebsspannung 10V	16V	25V	35V	50V	63V	100V
-25°C/+20°C	HD	6	2	2	2	2	2	2
-40°C/+20°C		12	5	3	3	3	3	3

Serie	Gehäuse-Code	Abmessungen D	L	A	I	W	P
HD	B	4.0	5.8	4.3	1.8	0.65±0.1	1.0
	C	5.0	5.8	5.3	2.2	0.65±0.1	1.5
	D	6.3	5.8	6.6	2.6	0.65±0.1	1.8
	E	8.0	6.2	8.3	3.4	0.65±0.1	2.2
	F	8.0	10.2	8.3	3.4	0.90±0.2	3.1
	G	10.0	10.2	10.3	3.5	0.90±0.2	4.6

Nenn-WV* (V DC)	Nom. Kap. (µF)	Tan δ ≤ spez. Werte (120 Hz, +20 °C)	Impedanz (Ohm)	Max. Leckstrom (µA)	Größen-code	Max. Mischstr. 120 Hz, 105 °C (mA rms)	Digi-Key Teilenr.	Gurtabschnittspreis pro Stück 5	10	25	100	Digi-Key Teilenr.	Gegurtet auf Rolle Größe	Preisangaben	Panasonic Teilenr.
HD Series: –40°C ~ 105°C (5000 Hour Life)															
10	100	0.30	2.0	10.0	E	62	PCE3364CT-ND	.45	.37	.34	.32	PCE3364TR-ND	1,000	155.77	EEV-HD1A101P
	220	0.30	1.5	22.0	F	93	PCE3365CT-ND	.58	.48	.44	.41	PCE3365TR-ND	500	101.17	EEV-HD1A221P
	330	0.30	0.8	33.0	G	118	PCE3366CT-ND	.67	.56	.52	.48	PCE3366TR-ND	500	118.10	EEV-HD1A331P
16	10	0.20	12.0	3.0	B	20	PCE3338CT-ND	.20	.16	.15	.14	PCE3338TR-ND	2,000	67.73/M	EEV-HD1C100R
	22	0.20	7.2	3.5	C	33	PCE3339CT-ND	.23	.19	.18	.17	PCE3339TR-ND	1,000	80.43	EEV-HD1C220R
	47	0.20	4.0	7.5	D	55	PCE3340CT-ND	.27	.23	.21	.20	PCE3340TR-ND	1,000	95.67	EEV-HD1C470P
	100	0.23	1.5	16.0	F	89	PCE3367CT-ND	.58	.48	.44	.41	PCE3367TR-ND	500	101.17	EEV-HD1C101P
	220	0.23	0.8	35.2	G	113	PCE3368CT-ND	1.06	.87	.81	.75	PCE3368TR-ND	500	185.41	EEV-HD1C221P
25	33	0.16	4.0	8.3	D	52	PCE3341CT-ND	.27	.23	.21	.20	PCE3341TR-ND	1,000	95.67	EEV-HD1E330P
	47	0.18	2.0	11.8	E	56	PCE3369CT-ND	.45	.37	.34	.32	PCE3369TR-ND	1,000	155.77	EEV-HD1E470P
	100	0.18	1.5	25.0	F	84	PCE3370CT-ND	.58	.48	.44	.41	PCE3370TR-ND	500	101.17	EEV-HD1E101P
35	4.7	0.13	12.0	3.0	B	17	PCE3342CT-ND	.20	.16	.15	.14	PCE3342TR-ND	2,000	67.73/M	EEV-HD1V4R7R
	10	0.13	7.2	3.5	C	28	PCE3343CT-ND	.23	.19	.18	.17	PCE3343TR-ND	1,000	80.43	EEV-HD1V100R
	22	0.13	4.0	7.7	D	47	PCE3344CT-ND	.27	.23	.21	.20	PCE3344TR-ND	1,000	95.67	EEV-HD1V220P
	33	0.16	2.0	11.6	E	53	PCE3371CT-ND	.45	.37	.34	.32	PCE3371TR-ND	1,000	155.77	EEV-HD1V330P
	47	0.16	1.5	16.5	F	79	PCE3372CT-ND	.58	.48	.44	.41	PCE3372TR-ND	500	101.17	EEV-HD1V470P
	100	0.16	0.8	35.0	G	101	PCE3373CT-ND	.67	.56	.52	.48	PCE3373TR-ND	500	118.10	EEV-HD1V101P
50	0.47	0.12	12.0	3.0	B	5	PCE3345CT-ND	.20	.16	.15	.14	PCE3345TR-ND	2,000	67.73/M	EEV-HD1HR47R
	1.0	0.12	12.0	3.0	B	7	PCE3346CT-ND	.20	.16	.15	.14	PCE3346TR-ND	2,000	67.73/M	EEV-HD1H1R0R
	2.2	0.12	12.0	3.0	B	12	PCE3347CT-ND	.20	.16	.15	.14	PCE3347TR-ND	2,000	67.73/M	EEV-HD1H2R2R
	3.3	0.12	12.0	3.0	B	16	PCE3348CT-ND	.20	.16	.15	.14	PCE3348TR-ND	2,000	67.73/M	EEV-HD1H3R3R
	4.7	0.12	7.2	3.0	C	21	PCE3349CT-ND	.23	.19	.18	.17	PCE3349TR-ND	1,000	80.43	EEV-HD1H4R7R
	10	0.12	4.0	5.0	D	33	PCE3350CT-ND	.27	.23	.21	.20	PCE3350TR-ND	1,000	95.67	EEV-HD1H100P
	22	0.14	2.0	11.0	E	50	PCE3374CT-ND	.45	.37	.34	.32	PCE3374TR-ND	1,000	155.77	EEV-HD1H220P
	33	0.14	1.5	16.5	F	74	PCE3375CT-ND	.58	.48	.44	.41	PCE3375TR-ND	500	101.17	EEV-HD1H330P
	47	0.14	0.8	23.5	G	94	PCE3376CT-ND	.67	.56	.52	.48	PCE3376TR-ND	500	118.10	EEV-HD1H470P
63	10	0.18	2.0	6.3	E	45	PCE3571CT-ND	.42	.39	.34	.26	PCE3571TR-ND	1,000	155.77	EEV-HD1J100P
	22	0.18	1.5	13.8	F	65	PCE3572CT-ND	.54	.51	.44	.41	PCE3572TR-ND	500	101.17	EEV-HD1J220P
	33	0.18	0.8	20.7	G	80	PCE3573CT-ND	.64	.60	.52	.48	PCE3573TR-ND	500	118.10	EEV-HD1J330P
100	3.3	0.18	2.0	3.3	E	30	PCE3576CT-ND	.42	.39	.34	.32	PCE3576TR-ND	1,000	155.77	EEV-HD2A3R3P
	4.7	0.18	1.5	4.7	F	50	PCE3577CT-ND	.54	.51	.44	.41	PCE3577TR-ND	500	101.17	EEV-HD2A4R7P
	10.0	0.18	1.5	10.0	F	55	PCE3574CT-ND	.54	.51	.44	.41	PCE3574TR-ND	500	101.17	EEV-HD2A100P
	22.0	0.18	0.8	22.0	G	70	PCE3575CT-ND	.64	.60	.52	.48	PCE3575TR-ND	500	118.10	EEV-HD2A220P

* Betriebsspannung

Alle Preisangaben in Euro und inklusive Zollgebühren.

Panasonic®

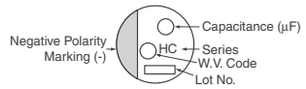

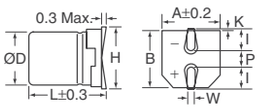

Serie HC

Aluminium-Elektrolyt-Kondensatoren, Oberflächenmontage, bleifrei

Spezifikationen:

- **Betriebstemperaturbereich:** -40 °C ~ 105 °C •**Kapazitätstoleranz:** ±20 % (120 Hz, +20 °C)
- **Nennspannung:** 6,3, 10, 16, 25, 35 • **Stoßspannung:** 8, 13, 20, 32, 44
- **Lebensdauer:** 3.000 - 5.000 Stunden bei Ø 8, Ø 10

Folgende spezifischen Werte:

Impedanz		Betriebsspannung				
120 Hz	Serie	6.3V	10V	16V	25V	35V
-25°C/Z+20°C	HC	3	3	2	2	2
-40°C/Z+20°C		8	5	4	3	3

Nennspannungsmarkierung	
J	6.3V
A	10V
C	16V
E	25V
V	35V

Serie	Gehäuse-Code	Abmessungen D	L	A,B	H	I	W	P	K
HC	B	4.0	5.8	4.3	5.5 Max.	1.8	0.65±0.1	1.0	0.35
	C	5.0	5.8	5.3	6.5 Max.	2.2	0.65±0.1	1.5	0.35
	D	6.3	5.8	6.6	7.8 Max.	2.6	0.65±0.1	1.8	0.35
	D8	6.3	7.7	6.6	7.8 Max.	2.6	0.65±0.1	1.8	0.35
	F	8.0	10.2	8.3	10.0 Max.	3.4	0.90±0.2	3.1	0.70±0.2
	G	10.0	10.2	10.3	12.0 Max.	3.5	0.90±0.2	4.6	0.70±0.2

Nenn-WV* (V DC)	Nom. Kap. (µF)	Tan δ ≤ spez. Werte (120 Hz, +20 °C)	Max. Leckstrom (µA)	Größen-code	Max. Mischstr. 100 kHz, 105 °C (mA rms)	Digi-Key Teilenr.	Gurtabschnittspreise 5	10	25	100	Digi-Key Teilenr.	Gegurtet auf Rolle Größe	Preisangaben	Panasonic Teilenr.
HC Series : — 40°C ~ 105°C (3000 — 5000 Stunden Lebensdauer)														
6.3	22	0.30	3.0	B	26	PCE3739CT-ND	.91	1.49	3.47	12.80	PCE3739TR-ND	2,000	64.34/M	EEE-HC0J220R
	47	0.30	3.0	C	46	PCE3740CT-ND	1.08	1.78	4.13	15.26	PCE3740TR-ND	1,000	76.19	EEE-HC0J470R
	100	0.30	6.3	D	71	PCE3741CT-ND	1.28	2.10	4.88	18.01	PCE3741TR-ND	1,000	89.74	EEE-HC0J101P
	220	0.30	13.8	D8	101	PCE3742CT-ND	1.74	2.86	6.65	24.53	PCE3742TR-ND	900	110.48	EEE-HC0J221XP
	330	0.30	20.7	F	230	PCE3743CT-ND	2.70	4.45	10.33	38.15	PCE3743TR-ND	500	95.24	EEE-HC0J331P
	1000	0.50	63.0	G	313	PCE3744CT-ND	3.17	5.22	12.11	44.70	PCE3744TR-ND	500	111.75	EEE-HC0J102P
10	33	0.26	3.3	C	43	PCE3745CT-ND	.91	1.49	3.47	12.80	PCE3745TR-ND	1,000	64.34	EEE-HC1A330R
	220	0.26	22.0	F	160	PCE3746CT-ND	2.70	4.45	10.33	38.15	PCE3746TR-ND	500	95.24	EEE-HC1A221P
16	10	0.20	3.0	B	28	PCE3747CT-ND	.91	1.49	3.47	12.80	PCE3747TR-ND	2,000	64.34/M	EEE-HC1C100R
	22	0.20	3.5	C	39	PCE3748CT-ND	1.08	1.78	4.13	15.26	PCE3748TR-ND	1,000	76.19	EEE-HC1C220R
	47	0.20	7.5	D	70	PCE3749CT-ND	1.28	2.10	4.88	18.01	PCE3749TR-ND	1,000	89.74	EEE-HC1C470P
	100	0.20	16.0	D8	81	PCE3750CT-ND	1.74	2.86	6.65	24.53	PCE3750TR-ND	900	110.48	EEE-HC1C101XP
	470	0.20	75.2	G	340	PCE3751CT-ND	3.17	5.22	12.11	44.70	PCE3751TR-ND	500	111.75	EEE-HC1C471P
25	33	0.16	8.2	D	65	PCE3752CT-ND	1.08	1.78	4.13	15.26	PCE3752TR-ND	1,000	76.19	EEE-HC1E330P
	47	0.16	11.7	D8	65	PCE3753CT-ND	1.74	2.86	6.65	24.53	PCE3753TR-ND	900	110.48	EEE-HC1E470XP
	100	0.16	25.0	F	130	PCE3754CT-ND	2.70	4.45	10.33	38.15	PCE3754TR-ND	500	95.24	EEE-HC1E101P
	330	0.16	82.5	G	238	PCE3755CT-ND	3.17	5.22	12.11	44.70	PCE3755TR-ND	500	111.75	EEE-HC1E331P
35	4.7	0.14	3.0	B	15	PCE3756CT-ND	.91	1.49	3.47	12.80	PCE3756TR-ND	2,000	64.34/M	EEE-HC1V4R7R
	10	0.14	3.5	C	28	PCE3757CT-ND	1.08	1.78	4.13	15.26	PCE3757TR-ND	1,000	76.19	EEE-HC1V100R
	22	0.14	7.7	D	55	PCE3758CT-ND	1.28	2.10	4.88	18.01	PCE3758TR-ND	1,000	89.74	EEE-HC1V220P
	33	0.14	11.5	D8	57	PCE3759CT-ND	1.74	2.86	6.65	24.53	PCE3759TR-ND	900	110.48	EEE-HC1V330XP
	220	0.14	77.0	G	220	PCE3760CT-ND	3.17	5.22	12.11	44.70	PCE3760TR-ND	500	111.75	EEE-HC1V221P

Panasonic® Serie FC

Aluminium-Elektrolytkondensatoren, Oberflächenmontage

MERKMALE: • Niedrige Impedanz (1/2 der Serie HA) • Lebensdauer: 1.000 Stunden @ 105 °C • Oberflächenmontage-Version • Hohe CV Volumetrische Effizienz • Band und Spulenverpackung für automatische Platzierung

Spezifikationen: • **Betriebstemperaturbereich:** -40 °C ~ 105 °C • **Kapazitätstoleranz:** ±20 % (120 Hz, +20 °C) • **Leckstrom:** I ≤0,01 CV oder 3 (µA), welcher Messwert auch immer nach 2 Minuten Anlegung der Nennbetriebsspannung bei +20 °C größer ist • **Niedrigtemperatur-Merkmale:** Impedanzverhältnis (120 Hz)

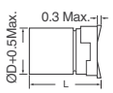

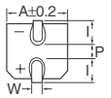

Folgende spezifischen Werte:

Impedanz		Betriebsspannung					
120Hz	Serie	6.3V	10V	16V	25V	35V	50V
-25°C/+20°C	FC	2	2	2	2	2	2
-40°C/+20°C		3	3	3	3	3	3

Serie	Gehäuse-Code	Abmessungen D	L	A	I	W	P
FC	B	4.0	5.4	4.3	1.8	0.65±0.1	1.0
	C	5.0	5.4	5.3	2.2	0.65±0.1	1.5
	D	6.3	5.4	6.6	2.6	0.65±0.1	1.8
	E	8.0	6.2	8.3	3.4	0.65±0.1	2.2
	F	8.0	10.2	8.3	3.4	0.90±0.2	3.1
	G	10.0	10.2	10.3	3.5	0.90±0.2	4.6

Nenn-WV* (V DC)	Nom. Kap. (µF)	Tan δ ≤ spez. Werte (120 Hz, +20 °C)	Impedanz (Ohm)	Max. Leckstrom (µA)	Größen code	Max. Mischstr. 100 kHz, 105 °C (mA rms)	Digi-Key Teilenr.	Gurtabschnittspreis pro Stück 5	10	25	100	Digi-Key Teilenr.	Gegurtet auf Rolle Größe	Preisangaben	Panasonic Teilenr.
Serie FC, lange Lebensdauer: -40 °C ~ 105 °C (1000 Stunden Lebensdauer)															
6.3	22	0.26	3.00	3.0	B	60	PCE3090CT-ND	.18	.15	.14	.13	PCE3090TR-ND	2,000	63.50/M	EEV-FC0J220R
	47	0.26	1.80	3.0	C	95	PCE3091CT-ND	.22	.18	.17	.16	PCE3091TR-ND	1,000	75.35	EEV-FC0J470R
	68	0.26	1.00	4.3	D	140	PCE3092CT-ND	.26	.21	.20	.18	PCE3092TR-ND	1,000	88.89	EEV-FC0J680P
	100	0.26	1.00	6.3	D	140	PCE3093CT-ND	.26	.21	.20	.18	PCE3093TR-ND	1,000	88.89	EEV-FC0J101P
	220	0.26	0.40	13.9	E	230	PCE3094CT-ND	.42	.34	.32	.30	PCE3094TR-ND	1,000	145.62	EEV-FC0J221P
	330	0.26	0.30	20.8	F	450	PCE3095CT-ND	.54	.44	.41	.38	PCE3095TR-ND	500	94.40	EEV-FC0J331P
	1000	0.26	0.15	63.0	G	670	PCE3243CT-ND	.63	.52	.48	.45	PCE3243TR-ND	500	110.48	EEV-FC0J102P
	1500	0.26	0.15	94.5	G	670	PCE3244CT-ND	.69	.57	.53	.49	PCE3244TR-ND	500	121.06	EEV-FC0J152P
10	33	0.19	1.80	3.3	C	95	PCE3096CT-ND	.22	.18	.17	.16	PCE3096TR-ND	1,000	75.35	EEV-FC1A330R
	100	0.19	0.40	10.0	E	230	PCE3097CT-ND	.42	.34	.32	.30	PCE3097TR-ND	1,000	145.62	EEV-FC1A101P
	150	0.19	0.40	15.0	E	230	PCE3098CT-ND	.42	.34	.32	.30	PCE3098TR-ND	1,000	145.62	EEV-FC1A151P
	220	0.19	0.30	22.0	F	450	PCE3099CT-ND	.54	.44	.41	.38	PCE3099TR-ND	500	94.40	EEV-FC1A221P
	470	0.19	0.15	47.0	G	670	PCE3100CT-ND	.63	.52	.48	.45	PCE3100TR-ND	500	110.48	EEV-FC1A471P
	1000	0.22	0.15	100.0	G	670	PCE3245CT-ND	.63	.52	.48	.45	PCE3245TR-ND	500	110.48	EEV-FC1A102P
16	10	0.16	3.00	3.0	B	60	PCE3101CT-ND	.18	.15	.14	.13	PCE3101TR-ND	2,000	63.50/M	EEV-FC1C100R
	22	0.16	1.80	3.5	C	95	PCE3102CT-ND	.22	.18	.17	.16	PCE3102TR-ND	1,000	75.35	EEV-FC1C220R
	47	0.16	1.00	7.5	D	140	PCE3103CT-ND	.26	.21	.20	.18	PCE3103TR-ND	1,000	88.89	EEV-FC1C470P
	68	0.16	0.40	10.9	E	230	PCE3104CT-ND	.42	.34	.32	.30	PCE3104TR-ND	1,000	145.62	EEV-FC1C680P
	100	0.16	0.40	16.0	E	230	PCE3105CT-ND	.42	.34	.32	.30	PCE3105TR-ND	1,000	145.62	EEV-FC1C101P
	220	0.16	0.15	35.2	G	670	PCE3106CT-ND	.63	.52	.48	.45	PCE3106TR-ND	500	110.48	EEV-FC1C221P
	330	0.16	0.15	52.8	G	670	PCE3107CT-ND	.63	.52	.48	.45	PCE3107TR-ND	500	110.48	EEV-FC1C331P
	470	0.16	0.15	75.2	G	670	PCE3246CT-ND	.63	.52	.48	.45	PCE3246TR-ND	500	110.48	EEV-FC1C471P
25	6.8	0.14	3.00	3.0	B	60	PCE3108CT-ND	.18	.15	.14	.13	PCE3108TR-ND	2,000	63.50/M	EEV-FC1E6R8R
	22	0.14	1.00	5.5	D	140	PCE3109CT-ND	.26	.21	.20	.18	PCE3109TR-ND	1,000	88.89	EEV-FC1E220P
	33	0.14	1.00	8.2	D	140	PCE3110CT-ND	.26	.21	.20	.18	PCE3110TR-ND	1,000	88.89	EEV-FC1E330P
	47	0.14	0.40	11.8	E	230	PCE3111CT-ND	.42	.34	.32	.30	PCE3111TR-ND	1,000	145.62	EEV-FC1E470P
	68	0.14	0.30	17.0	F	450	PCE3112CT-ND	.54	.44	.41	.38	PCE3112TR-ND	500	94.40	EEV-FC1E680P
	100	0.14	0.30	25.0	F	450	PCE3247CT-ND	.54	.44	.41	.38	PCE3247TR-ND	500	94.40	EEV-FC1E101P
	330	0.14	0.15	82.5	G	670	PCE3248CT-ND	.63	.52	.48	.45	PCE3248TR-ND	500	110.48	EEV-FC1E331P
	470	0.14	0.15	117.5	G	670	PCE3249CT-ND	.69	.57	.53	.49	PCE3249TR-ND	500	121.06	EEV-FC1E471P
35	1.0	0.12	3.00	3.0	B	50	PCE3113CT-ND	.18	.15	.14	.13	PCE3113TR-ND	2,000	63.50/M	EEV-FC1V1R0R
	2.2	0.12	3.00	3.0	B	50	PCE3114CT-ND	.18	.15	.14	.13	PCE3114TR-ND	2,000	63.50/M	EEV-FC1V2R2R
	3.3	0.12	3.00	3.0	B	50	PCE3115CT-ND	.18	.15	.14	.13	PCE3115TR-ND	2,000	63.50/M	EEV-FC1V3R3R
	4.7	0.12	3.00	3.0	B	60	PCE3116CT-ND	.18	.15	.14	.13	PCE3116TR-ND	2,000	63.50/M	EEV-FC1V4R7R
	6.8	0.12	1.80	3.0	C	95	PCE3117CT-ND	.22	.18	.17	.16	PCE3117TR-ND	1,000	75.35	EEV-FC1V6R8R
	10	0.12	1.80	3.5	C	95	PCE3118CT-ND	.22	.18	.17	.16	PCE3118TR-ND	1,000	75.35	EEV-FC1V100R
	22	0.12	1.00	7.7	D	140	PCE3119CT-ND	.26	.21	.20	.18	PCE3119TR-ND	1,000	88.89	EEV-FC1V220P
	33	0.12	0.40	11.6	E	230	PCE3120CT-ND	.42	.34	.32	.30	PCE3120TR-ND	1,000	145.62	EEV-FC1V330P
	47	0.12	0.40	16.5	E	230	PCE3121CT-ND	.42	.34	.32	.30	PCE3121TR-ND	1,000	145.62	EEV-FC1V470P
	100	0.12	0.15	35.0	G	670	PCE3122CT-ND	.63	.52	.48	.45	PCE3122TR-ND	500	110.48	EEV-FC1V101P
	220	0.12	0.15	77.0	G	670	PCE3250CT-ND	.63	.52	.48	.45	PCE3250TR-ND	500	110.48	EEV-FC1V221P
	330	0.12	0.15	115.5	G	670	PCE3251CT-ND	.69	.57	.53	.49	PCE3251TR-ND	500	121.06	EEV-FC1V331P
50	1	0.12	5.00	3.0	B	30	PCE3252CT-ND	.18	.15	.14	.13	PCE3252TR-ND	2,000	63.50/M	EEV-FC1H1R0R
	2.2	0.12	5.00	3.0	B	30	PCE3253CT-ND	.18	.15	.14	.13	PCE3253TR-ND	2,000	63.50/M	EEV-FC1H2R2R
	3.3	0.12	5.00	3.0	B	30	PCE3254CT-ND	.18	.15	.14	.13	PCE3254TR-ND	2,000	63.50/M	EEV-FC1H3R3R
	4.7	0.12	3.00	3.0	C	50	PCE3255CT-ND	.22	.18	.17	.16	PCE3255TR-ND	1,000	75.35	EEV-FC1H4R7R
	10	0.12	2.00	5.0	D	70	PCE3256CT-ND	.26	.21	.20	.18	PCE3256TR-ND	1,000	88.89	EEV-FC1H100P
	22	0.12	0.70	11.0	E	120	PCE3257CT-ND	.42	.34	.32	.30	PCE3257TR-ND	1,000	145.62	EEV-FC1H220P
	33	0.12	0.60	16.5	F	300	PCE3258CT-ND	.54	.44	.41	.38	PCE3258TR-ND	500	94.40	EEV-FC1H330P
	47	0.12	0.30	23.5	G	500	PCE3259CT-ND	.63	.52	.48	.45	PCE3259TR-ND	500	110.48	EEV-FC1H470P
	100	0.12	0.30	50.0	G	500	PCE3260CT-ND	.63	.52	.48	.45	PCE3260TR-ND	500	110.48	EEV-FC1H101P
	220	0.12	0.30	110.0	G	500	PCE3261CT-ND	.69	.57	.53	.49	PCE3261TR-ND	500	121.06	EEV-FC1H221P

* Betriebsspannung

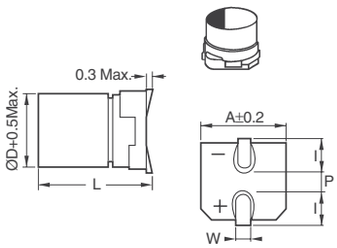

Merkmale:

• Niedrige Impedanz (40-60 % niedriger als Serie FC) • Kleine Größe (30-50 % kleiner als FC) • Lebensdauer: 2.000-5.000 Stunden @ 105 °C • Oberflächenmontage-Version • Hohe CV Volumetrische Effizienz • Band und Spulenverpackung für automatische Platzierung

Spezifikationen:

• **Betriebstemperaturbereich:** -55 °C ~ 105 °C • **Kapazitätstoleranz:** ±20 % (120 Hz, +20 °C). • **Leckstrom:** I ≤0,01 CV oder 3 (µA), welcher Messwert auch immer nach 2 Minuten Anlegung der Nennbetriebsspannung bei +20 °C größer ist • **Niedrigtemperatur-Merkmale:** Impedanzverhältnis (120 Hz)

Folgende spezifischen Werte.

Impedanz 120 Hz	Serie	Betriebsspannung 6.3V	10V	16V	25V	35V	50V	63V	80V	100V
-25°C/+20°C	FK	2	2	2	2	2	2	2	2	2
-40°C/+20°C		3	3	3	3	3	3	3	3	3
-55°C/+20°C		4	4	4	3	3	3	3	3	3

Serie	Gehäuse-Code	Abmessungen D	L	A	I	W	P
FK	B	4	5.8	4.3	1.8	0.65±0.1	1.0
	C	5	5.8	5.3	2.2	0.65±0.1	1.5
	D	6.3	5.8	6.6	2.6	0.65±0.1	1.8
	D8	6.3	7.7	6.6	2.6	0.65±0.1	1.8
	E	8	6.2	8.3	3.4	0.65±0.1	2.2
	F	8	10.2	8.3	3.4	0.90±0.2	3.1
	G	10	10.2	10.3	3.5	0.90±0.2	4.6
	H13	12.5	13.5	13.5	4.7	0.90±0.3	4.4
	J16	16	16.5	17.0	5.5	1.2±0.3	6.7
	K16	18	16.5	19.0	6.7	1.2±0.3	6.7

Nenn-WV* (V DC)	Nom. Kap. (µF)	Tan δ ≤ spez. Werte (120 Hz, +20 °C)	Impedanz (Ohm)	Max. Leckstrom (µA)	Größen-code	Max. Mischstr. 100 kHz, 105 °C (mA rms)	Digi-Key Teilenr.	Gurtabschnittspreis pro Stück 5	10	25	100	Digi-Key Teilenr.	Gegurtet auf Rolle Größe	Preisangaben	Panasonic Teilenr.
Serie FK: Niedrige Impedanz (40-60 % niedriger als FC), hohe Zuverlässigkeit, -55 °C ~ 105 °C (2.000 Stunden Lebensdauer, GP Suffix 5.000 Stunden)															
6.3	22	0.26	1.35	3.0	B	90	PCE3377CT-ND	.21	.17	.16	.15	PCE3377TR-ND	2,000	71.96/M	EEV-FK0J220R
	47	0.26	1.35	3.0	B	90	PCE3378CT-ND	.21	.17	.16	.15	PCE3378TR-ND	2,000	71.96/M	EEV-FK0J470UR
	47	0.26	0.70	3.0	C	160	PCE3379CT-ND	.25	.21	.19	.18	PCE3379TR-ND	1,000	86.35	EEV-FK0J470R
	100	0.26	0.70	6.3	C	160	PCE3380CT-ND	.25	.21	.19	.18	PCE3380TR-ND	1,000	86.35	EEV-FK0J101UR
	100	0.26	0.36	6.3	D	240	PCE3381CT-ND	.29	.24	.22	.21	PCE3381TR-ND	1,000	101.59	EEV-FK0J101P
	220	0.26	0.36	13.9	D	240	PCE3382CT-ND	.29	.24	.22	.21	PCE3382TR-ND	1,000	101.59	EEV-FK0J221P
	330	0.26	0.26	20.8	E	300	PCE3383CT-ND	.47	.39	.36	.34	PCE3383TR-ND	1,000	165.93	EEV-FK0J331P
	330	0.26	0.34	20.8	D8	280	PCE3507CT-ND	.40	.33	.30	.28	PCE3507TR-ND	900	124.96	EEV-FK0J331XP
	470	0.26	0.16	29.6	F	600	PCE3384CT-ND	.61	.51	.47	.44	PCE3384TR-ND	500	107.52	EEV-FK0J471P
	470	0.26	0.16	29.6	F	600	PCE3708CT-ND	.67	.56	.52	.48	PCE3708TR-ND	500	118.10	EEV-FK0J471GP
	1000	0.26	0.16	63.0	F	600	PCE3385CT-ND	.61	.51	.47	.44	PCE3385TR-ND	500	107.52	EEV-FK0J102P
	1000	0.26	0.16	63.0	F	600	PCE3706CT-ND	.67	.56	.52	.48	PCE3706TR-ND	500	118.10	EEV-FK0J102GP
	1500	0.26	0.08	94.5	G	850	PCE3386CT-ND	.72	.59	.55	.51	PCE3386TR-ND	500	126.14	EEV-FK0J152P
	1500	0.26	0.08	94.5	G	850	PCE3707CT-ND	.79	.65	.60	.56	PCE3707TR-ND	500	138.42	EEV-FK0J152GP
	3300	0.30	0.060	207.9	H13	1100	PCE3454CT-ND	1.20	.99	.92	.85	PCE3454TR-ND	200	84.66	EEV-FK0J332Q
	6800	0.36	0.035	428.4	J16	1800	PCE3455CT-ND	1.96	1.62	1.50	—	PCE3455TR-ND	125	86.56	EEV-FK0J682M
10	22	0.19	1.35	3.0	B	90	PCE3387CT-ND	.21	.17	.16	.15	PCE3387TR-ND	2,000	71.96/M	EEV-FK1A220R
	33	0.19	1.35	3.3	B	90	PCE3388CT-ND	.21	.17	.16	.15	PCE3388TR-ND	2,000	71.96/M	EEV-FK1A330UR
	33	0.19	0.70	3.3	C	160	PCE3389CT-ND	.25	.21	.19	.18	PCE3389TR-ND	1,000	86.35	EEV-FK1A330R
	150	0.19	0.36	15.0	D	240	PCE3508CT-ND	.29	.24	.22	.21	PCE3508TR-ND	1,000	101.59	EEV-FK1A151P
	220	0.19	0.34	22.0	D8	280	PCE3509CT-ND	.40	.33	.30	.28	PCE3509TR-ND	900	124.96	EEV-FK1A221XP
	220	0.19	0.26	22.0	E	300	PCE3390CT-ND	.47	.39	.36	.34	PCE3390TR-ND	1,000	165.93	EEV-FK1A221P
	330	0.19	0.16	33.0	F	600	PCE3391CT-ND	.61	.51	.47	.44	PCE3391TR-ND	500	107.52	EEV-FK1A331P
	330	0.19	0.16	33.0	F	600	PCE3710CT-ND	.67	.56	.52	.48	PCE3710TR-ND	500	118.10	EEV-FK1A331GP
	470	0.19	0.16	47.0	F	600	PCE3392CT-ND	.61	.51	.47	.44	PCE3392TR-ND	500	107.52	EEV-FK1A471P
	470	0.19	0.16	47.0	F	600	PCE3711CT-ND	.67	.56	.52	.48	PCE3711TR-ND	500	118.10	EEV-FK1A471GP
	680	0.49	0.016	68.0	G	600	PCE3510CT-ND	.61	.51	.47	.44	PCE3510TR-ND	500	107.52	EEV-FK1A681P
	1000	0.19	0.08	100.0	G	850	PCE3393CT-ND	.72	.59	.55	.51	PCE3393TR-ND	500	126.14	EEV-FK1A102P
	1000	0.19	0.08	100.0	G	850	PCE3709CT-ND	.79	.65	.60	.56	PCE3709TR-ND	500	138.42	EEV-FK1A102GP
	2200	0.21	0.060	220.0	H13	1100	PCE3456CT-ND	1.20	.99	.92	.85	PCE3456TR-ND	200	81.78	EEV-FK1A222Q
	4700	0.25	0.035	470.0	J16	1800	PCE3457CT-ND	1.96	1.62	1.50	—	PCE3457TR-ND	125	86.56	EEV-FK1A472M
	6800	0.29	0.033	680.0	K16	2060	PCE3458CT-ND	2.32	1.91	1.78	—	PCE3458TR-ND	125	102.13	EEV-FK1A682M
16	10	0.16	1.35	3.0	B	90	PCE3394CT-ND	.21	.17	.16	.15	PCE3394TR-ND	2,000	71.96/M	EEV-FK1C100R
	22	0.16	1.35	3.5	B	90	PCE3395CT-ND	.21	.17	.16	.15	PCE3395TR-ND	2,000	71.96/M	EEV-FK1C220UR
	22	0.16	0.70	3.5	C	160	PCE3396CT-ND	.25	.21	.19	.18	PCE3396TR-ND	1,000	86.35	EEV-FK1C220R
	47	0.16	0.70	7.5	C	160	PCE3397CT-ND	.25	.21	.19	.18	PCE3397TR-ND	1,000	86.35	EEV-FK1C470UR
	47	0.16	0.36	7.5	D	240	PCE3398CT-ND	.29	.24	.22	.21	PCE3398TR-ND	1,000	101.59	EEV-FK1C470P
	68	0.16	0.36	10.9	D	240	PCE3511CT-ND	.29	.24	.22	.21	PCE3511TR-ND	1,000	101.59	EEV-FK1C680P
	100	0.16	0.36	16.0	D	240	PCE3399CT-ND	.29	.24	.22	.21	PCE3399TR-ND	1,000	101.59	EEV-FK1C101P
	150	0.16	0.34	24.0	D8	280	PCE3512CT-ND	.40	.33	.30	.28	PCE3512TR-ND	900	124.96	EEV-FK1C151XP
	220	0.16	0.34	35.2	D8	280	PCE3513CT-ND	.40	.33	.30	.28	PCE3513TR-ND	900	124.96	EEV-FK1C221XP
	220	0.16	0.26	35.2	E	300	PCE3400CT-ND	.47	.39	.36	.34	PCE3400TR-ND	1,000	165.93	EEV-FK1C221P
	330	0.16	0.16	52.8	F	600	PCE3401CT-ND	.61	.51	.47	.44	PCE3401TR-ND	500	107.52	EEV-FK1C331P
	330	0.16	0.16	52.8	F	600	PCE3712CT-ND	.67	.56	.52	.48	PCE3712TR-ND	500	118.10	EEV-FK1C331GP
	470	0.16	0.16	75.2	F	600	PCE3402CT-ND	.61	.51	.47	.44	PCE3402TR-ND	500	107.52	EEV-FK1C471P
	470	0.16	0.16	75.2	F	600	PCE3713CT-ND	.67	.56	.52	.48	PCE3713TR-ND	500	118.10	EEV-FK1C471GP
	680	0.16	0.08	108.8	G	850	PCE3501CT-ND	.72	.59	.55	.51	PCE3501TR-ND	500	126.14	EEV-FK1C681P
	680	0.16	0.08	108.8	G	850	PCE3714CT-ND	.79	.65	.60	.56	PCE3714TR-ND	500	138.42	EEV-FK1C681GP
	1500	0.16	0.060	240.0	H13	1100	PCE3459CT-ND	1.20	.99	.92	.85	PCE3459TR-ND	200	81.78	EEV-FK1C152Q
	3300	0.20	0.035	528.0	J16	1800	PCE3460CT-ND	1.96	1.62	1.50	—	PCE3460TR-ND	125	86.56	EEV-FK1C332M
	4700	0.22	0.033	752.0	K16	2060	PCE3461CT-ND	2.32	1.91	1.78	—	PCE3461TR-ND	125	102.13	EEV-FK1C472M
25	10	0.14	1.35	3.0	B	90	PCE3403CT-ND	.21	.17	.16	.15	PCE3403TR-ND	2,000	71.96/M	EEV-FK1E100R
	22	0.14	0.70	5.5	C	160	PCE3404CT-ND	.25	.21	.19	.18	PCE3404TR-ND	1,000	86.35	EEV-FK1E220R
	33	0.14	0.70	8.3	C	160	PCE3405CT-ND	.25	.21	.19	.18	PCE3405TR-ND	1,000	86.35	EEV-FK1E330UR
	33	0.14	0.36	8.3	D	240	PCE3406CT-ND	.29	.24	.22	.21	PCE3406TR-ND	1,000	101.59	EEV-FK1E330P
	47	0.14	0.36	11.8	D	240	PCE3407CT-ND	.29	.24	.22	.21	PCE3407TR-ND	1,000	101.59	EEV-FK1E470P
	68	0.14	0.36	17.0	D	240	PCE3514CT-ND	.29	.24	.22	.21	PCE3514TR-ND	1,000	101.59	EEV-FK1E680P
	100	0.14	0.34	25.0	D8	280	PCE3515CT-ND	.40	.33	.30	.28	PCE3515TR-ND	900	124.96	EEV-FK1E101XP
	100	0.14	0.26	25.0	E	300	PCE3408CT-ND	.47	.39	.36	.34	PCE3408TR-ND	1,000	165.93	EEV-FK1E101P
	150	0.14	0.16	37.5	F	600	PCE3516CT-ND	.61	.51	.47	.44	PCE3516TR-ND	500	107.52	EEV-FK1E151P
	220	0.14	0.16	55.0	F	600	PCE3409CT-ND	.61	.51	.47	.44	PCE3409TR-ND	500	107.52	EEV-FK1E221P
	220	0.14	0.16	55.0	F	600	PCE3715CT-ND	.67	.56	.52	.48	PCE3715TR-ND	500	118.10	EEV-FK1E221GP
	330	0.14	0.16	82.5	F	600	PCE3410CT-ND	.61	.51	.47	.44	PCE3410TR-ND	500	107.52	EEV-FK1E331P
	330	0.14	0.16	82.5	F	600	PCE3716CT-ND	.67	.56	.52	.48	PCE3716TR-ND	500	118.10	EEV-FK1E331GP
	470	0.14	0.08	117.5	G	850	PCE3411CT-ND	.72	.59	.55	.51	PCE3411TR-ND	500	126.14	EEV-FK1E471P
	470	0.14	0.08	117.5	G	850	PCE3717CT-ND	.79	.65	.60	.56	PCE3717TR-ND	500	138.42	EEV-FK1E471GP
	1000	0.14	0.060	250.0	H13	1100	PCE3462CT-ND	1.20	.99	.92	.85	PCE3462TR-ND	200	81.78	EEV-FK1E102Q
	2200	0.16	0.035	550.0	J16	1800	PCE3463CT-ND	1.96	1.62	1.50	—	PCE3463TR-ND	125	86.56	EEV-FK1E222M
	3300	0.18	0.033	825.0	K16	2060	PCE3506CT-ND	2.32	1.91	1.78	—	PCE3506TR-ND	125	102.13	EEV-FK1E332M
35	4.7	0.12	1.35	3.0	B	90	PCE3412CT-ND	.21	.17	.16	.15	PCE3412TR-ND	2,000	71.96/M	EEV-FK1V4R7R
	10	0.12	1.35	3.5	B	90	PCE3413CT-ND	.21	.17	.16	.15	PCE3413TR-ND	2,000	71.96/M	EEV-FK1V100UR
	10	0.12	0.70	3.5	C	160	PCE3414CT-ND	.25	.21	.19	.18	PCE3414TR-ND	1,000	86.35	EEV-FK1V100R
	22	0.12	0.70	7.7	C	160	PCE3415CT-ND	.25	.21	.19	.18	PCE3415TR-ND	1,000	86.35	EEV-FK1V220R
	33	0.12	0.36	11.6	D	240	PCE3416CT-ND	.29	.24	.22	.21	PCE3416TR-ND	1,000	101.59	EEV-FK1V330P
	47	0.12	0.36	16.5	D	240	PCE3417CT-ND	.29	.24	.22	.21	PCE3417TR-ND	1,000	101.59	EEV-FK1V470P
	68	0.12	0.34	23.8	D8	280	PCE3517CT-ND	.40	.33	.30	.28	PCE3517TR-ND	900	124.96	EEV-FK1V680XP
	100	0.12	0.34	35.0	D8	280	PCE3518CT-ND	.40	.33	.30	.28	PCE3518TR-ND	900	124.96	EEV-FK1V101XP
	100	0.12	0.16	35.0	F	600	PCE3418CT-ND	.61	.51	.47	.44	PCE3418TR-ND	500	107.52	EEV-FK1V101P
	100	0.12	0.16	35.0	F	600	PCE3720CT-ND	.67	.56	.52	.48	PCE3720TR-ND	500	118.10	EEV-FK1V101GP
	150	0.12	0.16	52.5	F	600	PCE3519CT-ND	.61	.51	.47	.44	PCE3519TR-ND	500	107.52	EEV-FK1V151P
	220	0.12	0.16	77.0	F	600	PCE3419CT-ND	.61	.51	.47	.44	PCE3419TR-ND	500	107.52	EEV-FK1V221P
	220	0.12	0.16	77.0	F	600	PCE3721CT-ND	.67	.56	.52	.48	PCE3721TR-ND	500	118.10	EEV-FK1V221GP
	330	0.12	0.08	115.5	G	850	PCE3420CT-ND	.72	.59	.55	.51	PCE3420TR-ND	500	126.14	EEV-FK1V331P
	330	0.12	0.08	115.5	G	850	PCE3722CT-ND	.79	.65	.60	.56	PCE3722TR-ND	500	138.42	EEV-FK1V331GP
	470	0.12	0.060	164.5	H13	1100	PCE3464CT-ND	1.20	.99	.92	.85	PCE3464TR-ND	200	84.66	EEV-FK1V471Q
	680	0.12	0.060	238.0	H13	1100	PCE3465CT-ND	1.20	.99	.92	.85	PCE3465TR-ND	200	81.78	EEV-FK1V681Q
	1500	0.12	0.035	525.0	J16	1800	PCE3466CT-ND	1.96	1.62	1.50	—	PCE3466TR-ND	125	86.56	EEV-FK1V152M

* Betriebsspannung

(Forts.)

Alle Preisangaben in Euro und inklusive Zollgebühren.

Nenn-WV* (V DC)	Nom. Kap. (µF)	Tan δ ≤ spez. Werte (120 Hz, +20 °C)	Impedanz (Ohm)	Max. Leckstrom (µA)	Größen-code	Max. Mischstr. 100 kHz, 105 °C (mA rms)	Digi-Key Teilenr.	Gurtabschnittspreis pro Stück 5	10	25	100	Digi-Key Teilenr.	Gegurtet auf Rolle Größe	Preisangaben	Panasonic Teilenr.
50	4.7	0.10	2.90	3.0	B	60	PCE3467CT-ND	.21	.17	.16	.15	PCE3467TR-ND	2,000	71.96/M	EEV-FK1H4R7R
	10	0.10	1.52	5.0	C	85	PCE3468CT-ND	.25	.21	.19	.18	PCE3468TR-ND	1,000	86.35	EEV-FK1H100UR
	10	0.10	0.88	5.0	D	165	PCE3469CT-ND	.29	.24	.22	.21	PCE3469TR-ND	1,000	101.59	EEV-FK1H100P
	22	0.10	0.88	11.0	D	165	PCE3470CT-ND	.29	.24	.22	.21	PCE3470TR-ND	1,000	101.59	EEV-FK1H220P
	33	0.10	0.68	16.5	D8	195	PCE3520CT-ND	.40	.33	.30	.28	PCE3520TR-ND	900	124.96	EEV-FK1H330XP
	33	0.10	0.68	16.5	E	195	PCE3471CT-ND	.47	.39	.37	.34	PCE3471TR-ND	1,000	166.78	EEV-FK1H330P
	47	0.10	0.68	23.5	D8	195	PCE3521CT-ND	.40	.33	.30	.28	PCE3521TR-ND	900	124.96	EEV-FK1H470XP
	47	0.10	0.68	23.5	E	195	PCE3472CT-ND	.47	.39	.37	.34	PCE3472TR-ND	1,000	166.78	EEV-FK1H470P
	100	0.10	0.34	50.0	F	350	PCE3473CT-ND	.61	.51	.47	.44	PCE3473TR-ND	500	107.52	EEV-FK1H101P
	100	0.10	0.34	50.0	F	350	PCE3718CT-ND	.67	.56	.52	.48	PCE3718TR-ND	500	118.10	EEV-FK1H101GP
	150	0.10	0.18	75.0	G	670	PCE3522CT-ND	.72	.59	.55	.51	PCE3522TR-ND	500	126.14	EEV-FK1H151P
	220	0.10	0.18	110.0	G	670	PCE3474CT-ND	.72	.59	.55	.51	PCE3474TR-ND	500	126.14	EEV-FK1H221P
	220	0.10	0.18	110.0	G	670	PCE3719CT-ND	.79	.65	.60	.56	PCE3719TR-ND	500	138.42	EEV-FK1H221GP
	330	0.10	0.12	165.0	H13	900	PCE3475CT-ND	1.20	.99	.92	.85	PCE3475TR-ND	200	81.78	EEV-FK1H331Q
	680	0.10	0.073	340.0	J16	1610	PCE3523CT-ND	1.96	1.62	1.50	—	PCE3523TR-ND	125	86.56	EEV-FK1H681M
	1000	0.10	0.073	500.0	J16	1610	PCE3477CT-ND	1.96	1.62	1.50	—	PCE3477TR-ND	125	86.56	EEV-FK1H102M
63	4.7	0.08	3.00	3.0	C	50	PCE3478CT-ND	.26	.22	.20	.19	PCE3478TR-ND	1,000	90.59	EEV-FK1J4R7R
	10	0.08	1.50	6.3	D	80	PCE3479CT-ND	.31	.25	.24	.22	PCE3479TR-ND	1,000	106.67	EEV-FK1J100P
	22	0.08	1.20	13.9	D8	120	PCE3524CT-ND	.42	.34	.32	.30	PCE3524TR-ND	900	131.05	EEV-FK1J220XP
	22	0.08	1.20	13.9	E	120	PCE3480CT-ND	.50	.41	.38	.35	PCE3480TR-ND	1,000	174.40	EEV-FK1J220P
	33	0.08	0.65	20.8	F	250	PCE3481CT-ND	.64	.53	.49	.46	PCE3481TR-ND	500	113.02	EEV-FK1J330P
	47	0.08	0.65	29.6	F	250	PCE3482CT-ND	.64	.53	.49	.46	PCE3482TR-ND	500	113.02	EEV-FK1J470P
	68	0.08	0.35	42.8	G	400	PCE3525CT-ND	.75	.62	.58	.54	PCE3525TR-ND	500	132.49	EEV-FK1J680P
	100	0.08	0.35	63.0	G	400	PCE3483CT-ND	.75	.62	.58	.54	PCE3483TR-ND	500	132.49	EEV-FK1J101P
	150	0.08	0.16	94.5	H13	800	PCE3526CT-ND	1.26	1.04	.97	.89	PCE3526TR-ND	200	88.89	EEV-FK1J151Q
	220	0.08	0.16	138.6	H13	800	PCE3484CT-ND	1.26	1.04	.97	.89	PCE3484TR-ND	200	88.89	EEV-FK1J221Q
	470	0.08	0.082	296.1	J16	1410	PCE3485CT-ND	2.06	1.70	1.58	—	PCE3485TR-ND	125	90.91	EEV-FK1J471M
	680	0.08	0.080	428.4	K16	1690	PCE3486CT-ND	2.43	2.01	1.86	—	PCE3486TR-ND	125	107.20	EEV-FK1J681M
80	3.3	0.08	5.00	3.0	C	25	PCE3487CT-ND	.26	.22	.20	.19	PCE3487TR-ND	1,000	90.59	EEV-FK1K3R3R
	4.7	0.08	3.00	3.76	D	40	PCE3488CT-ND	.31	.25	.24	.22	PCE3488TR-ND	1,000	106.67	EEV-FK1K4R7P
	10	0.08	2.40	8.0	D8	60	PCE3527CT-ND	.42	.34	.32	.30	PCE3527TR-ND	900	131.05	EEV-FK1K100XP
	10	0.08	2.40	8.0	E	60	PCE3489CT-ND	.50	.41	.38	.35	PCE3489TR-ND	1,000	174.40	EEV-FK1K100P
	22	0.08	1.30	17.6	F	130	PCE3490CT-ND	.64	.53	.49	.46	PCE3490TR-ND	500	113.02	EEV-FK1K220P
	33	0.08	1.30	26.4	F	130	PCE3491CT-ND	.64	.53	.49	.46	PCE3491TR-ND	500	113.02	EEV-FK1K330P
	47	0.08	0.70	37.6	G	200	PCE3492CT-ND	.75	.62	.58	.54	PCE3492TR-ND	500	132.49	EEV-FK1K470P
	68	0.08	0.32	54.4	H13	500	PCE3528CT-ND	1.26	1.04	.97	.89	PCE3528TR-ND	200	88.89	EEV-FK1K680Q
	100	0.08	0.32	80.0	H13	500	PCE3493CT-ND	1.26	1.04	.97	.89	PCE3493TR-ND	200	88.89	EEV-FK1K101Q
	150	0.08	0.32	120.0	H13	500	PCE3494CT-ND	1.26	1.04	.97	.89	PCE3494TR-ND	200	85.85	EEV-FK1K151Q
	330	0.08	0.17	264.0	J16	793	PCE3495CT-ND	2.06	1.70	1.58	—	PCE3495TR-ND	125	90.91	EEV-FK1K331M
	470	0.08	0.153	376.0	K16	917	PCE3496CT-ND	2.43	2.01	1.86	—	PCE3496TR-ND	125	107.20	EEV-FK1K471M
100	22	0.07	1.30	22.0	F	130	PCE3502CT-ND	.64	.53	.49	.45	PCE3502TR-ND	500	111.75	EEV-FK2A220P
	33	0.07	0.70	33.0	G	200	PCE3503CT-ND	.74	.61	.57	.52	PCE3503TR-ND	500	129.95	EEV-FK2A330P
	47	0.07	0.32	47.0	H13	500	PCE3497CT-ND	1.26	1.04	.97	.89	PCE3497TR-ND	200	88.89	EEV-FK2A470Q
	68	0.07	0.32	68.0	H13	500	PCE3498CT-ND	1.26	1.04	.97	.89	PCE3498TR-ND	200	85.85	EEV-FK2A680Q
	100	0.07	0.17	100.0	J16	793	PCE3504CT-ND	2.06	1.70	1.58	—	PCE3504TR-ND	125	90.91	EEV-FK2A101M
	150	0.07	0.17	150.0	J16	793	PCE3499CT-ND	2.06	1.70	1.58	—	PCE3499TR-ND	125	90.91	EEV-FK2A151M
	220	0.07	0.153	220.0	K16	917	PCE3500CT-ND	2.43	2.01	1.86	—	PCE3500TR-ND	125	107.20	EEV-FK2A221M
	330	0.07	0.153	330.0	K16	917	PCE3505CT-ND	2.43	2.01	1.86	—	PCE3505TR-ND	125	107.20	EEV-FK2A331M

E

Panasonic® Serie EB Aluminium-Elektrolytkondensatoren, Oberflächenmontage

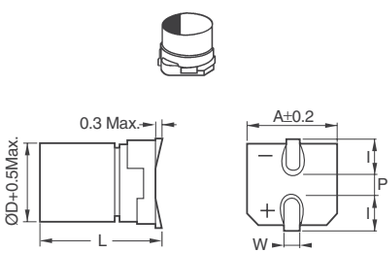

Merkmale:

• Lebensdauer: 3.000-5.000 Stunden @ 105 °C • Hohe Spannung • Oberflächen-montage-Version • Hohe CV Volumetrische Effizienz • Band und Spulenverpackung für automatische Platzierung

Spezifikationen:

• Betriebstemperaturbereich: -25 °C ~ 105 °C **• Kapazitätstoleranz:** ±20 % (120 Hz, +20 °C) **Leckstrom:** I ≤0,06 CV + 10 (µA) nach 2 Minuten Anwendung einer Nennbetriebsspannung bei +20 °C. **• Niedrigtemperatur-Merkmale:** Impedanzverhältnis (120 Hz)

Folgende spezifischen Werte:

Impedanz 120 Hz	Serie	Betriebsspannung 160V	200V	250V	350V	400V	450V
-25°C/+20°C	EB	2	2	3	5	6	6

Serie	Gehäuse-Code	Abmessungen D	L	A	I	W	P
EB	G13	10	13.5	10.3	3.5	0.90±0.2	4.6
	G17	10	16.5	10.3	3.5	0.90±0.2	4.6
	H16	12.5	16.5	13.5	4.7	0.90±0.3	4.4
	J16	16	16.5	17.0	5.5	1.2±0.3	6.7
	J21	16	21.5	17.0	5.5	1.2±0.3	6.7
	K16	18	16.5	19.0	6.5	1.2±0.3	6.7
	K21	18	21.5	19.0	6.5	1.2±0.3	6.7

Nenn-WV* (V DC)	Nom. Kap. (µF)	Tan δ ≤ spez. Werte (120 Hz, +20 °C)	Max. Leckstrom (µA)	Größen-code	Max. Mischstr. 100 kHz, 105 °C (mA rms)	Digi-Key Teilenr.	Gurtabschnittspreis pro Stück 5	10	25	Digi-Key Teilenr.	Gegurtet auf Rolle Größe	Preisangaben	Panasonic Teilenr.
Serie EB, lange Lebensdauer, hoher Mischstrom: –25 °C ~ 105 °C (3.000-5.000 Stunden Lebensdauer)													
160	10	0.15	106.0	G13	70	PCE3421CT-ND	.96	.79	.73	PCE3421TR-ND	250	84.24	EEV-EB2C100Q
	33	0.15	326.8	H16	470	PCE3422CT-ND	1.57	1.30	1.20	PCE3422TR-ND	150	83.05	EEV-EB2C330SQ
	47	0.15	461.2	J16	600	PCE3579CT-ND	1.96	1.62	1.50	PCE3579TR-ND	125	86.56	EEV-EB2C470SM
	68	0.15	662.8	J21	750	PCE3580CT-ND	2.32	1.91	1.78	PCE3580TR-ND	75	61.28	EEV-EB2C680M
	68	0.15	662.8	K16	750	PCE3581CT-ND	2.32	1.91	1.78	PCE3581TR-ND	125	102.13	EEV-EB2C680SM
	100	0.15	970.0	K21	1060	PCE3578CT-ND	2.76	2.27	2.11	PCE3578TR-ND	75	72.96	EEV-EB2C101M
200	22	0.15	274.0	H16	470	PCE3427CT-ND	1.57	1.30	1.20	PCE3427TR-ND	150	83.05	EEV-EB2D220SQ
	33	0.15	406.0	J16	600	PCE3583CT-ND	1.96	1.62	1.50	PCE3583TR-ND	125	86.56	EEV-EB2D330SM
	47	0.15	574.0	K16	600	PCE3584CT-ND	2.32	1.91	1.78	PCE3584TR-ND	125	102.13	EEV-EB2D470SM
	68	0.15	826.0	J21	750	PCE3585CT-ND	2.32	1.91	1.78	PCE3585TR-ND	75	61.28	EEV-EB2D680M
	100	0.15	1210.0	K21	1060	PCE3582CT-ND	2.76	2.27	2.11	PCE3582TR-ND	75	72.96	EEV-EB2D101M
250	10	0.15	160.0	G17	88	PCE3432CT-ND	1.10	.91	.84	PCE3432TR-ND	200	77.38	EEV-EB2E100Q
	22	0.15	340.0	J16	560	PCE3586CT-ND	1.96	1.62	1.50	PCE3586TR-ND	125	86.56	EEV-EB2E220SM
	33	0.15	505.0	K16	560	PCE3587CT-ND	2.32	1.91	1.78	PCE3587TR-ND	125	102.13	EEV-EB2E330SM
	47	0.15	715.0	J21	710	PCE3588CT-ND	2.32	1.91	1.78	PCE3588TR-ND	75	61.28	EEV-EB2E470M
	68	0.15	1030.0	K21	990	PCE3589CT-ND	2.76	2.27	2.11	PCE3589TR-ND	75	72.96	EEV-EB2E680M
350	10	0.20	220.0	J16	270	PCE3593CT-ND	1.96	1.62	1.50	PCE3593TR-ND	125	86.56	EEV-EB2V100SM
	22	0.20	472.0	K16	350	PCE3594CT-ND	2.32	1.91	1.78	PCE3594TR-ND	125	102.13	EEV-EB2V220SM
	33	0.20	703.0	J21	480	PCE3595CT-ND	2.32	1.91	1.78	PCE3595TR-ND	75	61.28	EEV-EB2V330M
	47	0.20	997.0	K21	670	PCE3596CT-ND	2.76	2.27	2.11	PCE3596TR-ND	75	72.96	EEV-EB2V470M
400	3.3	0.24	89.2	G13	40	PCE3441CT-ND	.96	.79	.73	PCE3441TR-ND	250	84.24	EEV-EB2G3R3Q
	4.7	0.24	122.8	G17	50	PCE3442CT-ND	1.10	.91	.84	PCE3442TR-ND	200	77.38	EEV-EB2G4R7Q
	10	0.24	250.0	J16	250	PCE3590CT-ND	1.96	1.62	1.50	PCE3590TR-ND	125	86.56	EEV-EB2G100SM
	22	0.24	538.0	J21	410	PCE3591CT-ND	2.32	1.91	1.78	PCE3591TR-ND	75	61.28	EEV-EB2G220M
	33	0.24	802.0	K21	600	PCE3592CT-ND	2.76	2.27	2.11	PCE3592TR-ND	75	72.96	EEV-EB2G330M
450	2.2	0.24	69.4	G13	29	PCE3446CT-ND	.96	.79	.73	PCE3446TR-ND	250	84.24	EEV-EB2W2R2Q
	3.3	0.24	99.1	G17	41	PCE3447CT-ND	1.10	.91	.84	PCE3447TR-ND	200	74.67	EEV-EB2W3R3Q
	4.7	0.24	136.9	H16	49	PCE3448CT-ND	1.57	1.30	1.20	PCE3448TR-ND	150	83.05	EEV-EB2W4R7SQ
	10	0.24	280.0	K16	310	PCE3597CT-ND	2.32	1.91	1.78	PCE3597TR-ND	125	102.13	EEV-EB2W100SM
	22	0.24	604.0	K21	560	PCE3598CT-ND	2.76	2.27	2.11	PCE3598TR-ND	75	72.96	EEV-EB2W220M

* Betriebsspannung

Panasonic® Serie TA Aluminium-Elektrolytkondensatoren, Oberflächenmontage

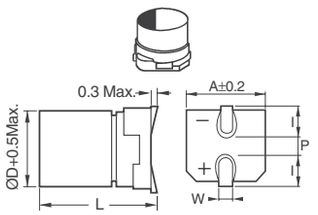

Merkmale: • Höchsttemperatur: 125 °C • Automobilanwendungen • Lebensdauer: 1.000 Stunden @ 125 °C • Oberflächenmontage-Version • Hohe CV Volumetrische Effizienz • Band und Spulenverpackung für automatische Platzierung

Spezifikationen: • **Betriebstemperaturbereich:** -40 °C ~ 125 °C • **Kapazitätstoleranz:** ±20 % (120 Hz, +20 °C) • **Leckstrom:** I ≤0,01 CV oder 3 (µA), welcher Messwert auch immer nach 2 Minuten Anlegung der Nennbetriebsspannung bei +20 °C • **Niedrigtemperatur-Merkmale:** Impedanzverhältnis (120 Hz)

Folgende spezifischen Werte.

Impedanz 120 Hz	Serie	Betriebsspannung 10V	16V	25V	35V	50V
-25°C/+20°C	TA	8	8	4	3	3
-40°C/+20°C		14	12	10	8	8

Serie	Gehäuse-Code	Abmessungen D	L	A	I	W	P
TA	E	8.0	6.2	8.3	3.4	0.65±0.1	2.2
	F	8.0	10.2	8.3	3.4	0.90±0.2	3.1
	G	10.0	10.2	10.3	3.5	0.90±0.2	4.6

Nenn-WV* (V DC)	Nom. Kap. (µF)	Tan δ ≤ spez. Werte (120 Hz, +20 °C)	Max. Leckstrom (µA)	Größen-code	Max. Mischstr. 100 kHz, 105 °C (mA rms)	Digi-Key Teilenr.	Gurtabschnittspreis pro Stück 5	10	25	100	Digi-Key Teilenr.	Gegurtet auf Rolle Größe	Preisangaben	Panasonic Teilenr.
Serie TA, lange Lebensdauer: -40 °C ~ 125 °C (1000 Stunden Lebensdauer)														
10	100	0.32	10.0	E	62	PCE3143CT-ND	.73	.60	.56	.52	PCE3143TR-ND	1,000	256.52	EEV-TA1A101P
	220	0.32	22.0	F	93	PCE3144CT-ND	.94	.78	.72	.67	PCE3144TR-ND	500	165.09	EEV-TA1A221P
	330	0.32	33.0	G	118	PCE3145CT-ND	1.11	.91	.85	.78	PCE3145TR-ND	500	194.29	EEV-TA1A331P
16	100	0.24	16.0	F	89	PCE3146CT-ND	.94	.78	.72	.67	PCE3146TR-ND	500	165.09	EEV-TA1C101P
	220	0.24	35.2	G	113	PCE3147CT-ND	1.11	.91	.85	.78	PCE3147TR-ND	500	194.29	EEV-TA1C221P
25	47	0.21	11.8	E	56	PCE3148CT-ND	.73	.60	.56	.52	PCE3148TR-ND	1,000	256.52	EEV-TA1E470P
	100	0.21	25.0	F	84	PCE3149CT-ND	.94	.78	.72	.67	PCE3149TR-ND	500	165.09	EEV-TA1E101P
35	33	0.18	11.6	E	53	PCE3150CT-ND	.73	.60	.56	.52	PCE3150TR-ND	1,000	256.52	EEV-TA1V330P
	47	0.18	16.5	F	79	PCE3151CT-ND	.94	.78	.72	.67	PCE3151TR-ND	500	165.09	EEV-TA1V470P
	100	0.18	3.5	G	101	PCE3152CT-ND	1.11	.91	.85	.78	PCE3152TR-ND	500	194.29	EEV-TA1V101P
50	10	0.18	5.0	E	25	PCE3153CT-ND	.73	.60	.56	.52	PCE3153TR-ND	1,000	256.52	EEV-TA1H100P
	22	0.18	11.0	E	50	PCE3154CT-ND	.73	.60	.56	.52	PCE3154TR-ND	1,000	256.52	EEV-TA1H220P
	33	0.18	16.5	F	74	PCE3155CT-ND	.94	.78	.72	.67	PCE3155TR-ND	500	165.09	EEV-TA1H330P
	47	0.18	23.5	G	94	PCE3156CT-ND	1.11	.91	.85	.78	PCE3156TR-ND	500	194.29	EEV-TA1H470P

Panasonic® Serie TG Aluminium-Elektrolytkondensatoren, Oberflächenmontage

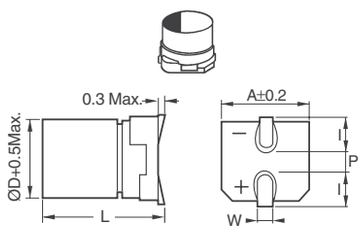

Merkmale: • Lebensdauer: 1.000-2.000 Stunden @ 125 °C • Automobilanwendungen• Oberflächen-montage-Version • Miniaturgröße (40 % kleiner als Serie TA) • Niedriger ESR (Niedrigtemperatur)

Spezifikationen: • **Betriebstemperaturbereich:** -40 °C ~ 125 °C • **Kapazitätstoleranz:** ±20 % (120 Hz, +20 °C) • **Leckstrom:** I ≤0,01 CV oder 3 (µA), welcher Messwert auch immer nach 2 Minuten Anlegung der Nennbetriebsspannung bei +20 °C • **Niedrigtemperatur-Merkmale:** Impedanzverhältnis (120 Hz)

Folgende spezifischen Werte:

Impedanz 120 Hz	Serie	Betriebsspannung 10V	16V	25V	35V	50V	63V	80V	100V
-25°C/+20°C	TG	3	2	2	2	2	2	2	2
-40°C/+20°C		6	4	4	3	3	3	3	3

Serie	Gehäuse-Code	Abmessungen D	L	A	I	W	P
TG	E	8.0	6.2	8.3	3.4	0.65±0.1	2.2
	F	8.0	10.2	8.3	3.4	0.90±0.2	3.1
	G	10.0	10.2	10.3	3.5	0.90±0.2	4.6
	H13	12.5	13.5	13.5	4.7	0.90±0.3	4.4
	J16	16.0	16.5	17.0	5.5	1.20±0.3	6.7
	K16	18.0	16.5	19.0	6.7	1.20±0.3	6.7

Nenn-WV* (V DC)	Nom. Kap. (µF)	Tan δ ≤ spez. Werte (120 Hz, +20 °C)	ESR (100 kHz) (+20 °C) Ω	Max. Leckstrom (µA)	Größen-code	Max. Mischstr. 100 kHz, 125 °C (mA rms)	Digi-Key Teilenr.	Gurtabschnittspreis pro Stück 5	10	25	100	Digi-Key Teilenr.	Gegurtet auf Rolle Größe	Preisangaben	Panasonic Teilenr.
Serie TG, lange Lebensdauer: -40 °C ~ 125 °C (1000-2000 Stunden Lebensdauer)															
10	100	0.30	1	10.0	E	100	PCE3607CT-ND	.63	.52	.48	.44	PCE3607TR-ND	1,000	220.12	EEV-TG1A101P
	220	0.30	1	22.0	F	197	PCE3610CT-ND	.78	.65	.60	.56	PCE3610TR-ND	1,000	257.37	EEV-TG1A221P
	220	0.30	0.5	22.0	E	100	PCE3611CT-ND	.65	.54	.50	.46	PCE3611TR-ND	1,000	227.74	EEV-TG1A221UP
	330	0.30	0.3	33.0	G	270	PCE3613CT-ND	.94	.77	.72	.67	PCE3613TR-ND	500	165.09	EEV-TG1A331P
	330	0.30	0.5	33.0	F	197	PCE3614CT-ND	.81	.67	.62	.57	PCE3614TR-ND	500	141.81	EEV-TG1A331UP
	470	0.30	0.3	47.0	G	270	PCE3617CT-ND	.96	.79	.74	.68	PCE3617TR-ND	500	168.90	EEV-TG1A471UP
	1000	0.30	0.12	100.0	H13	800	PCE3608CT-ND	1.57	1.29	1.20	1.11	PCE3608TR-ND	200	106.50	EEV-TG1A102Q
	1500	0.30	0.12	150.0	H13	800	PCE3609CT-ND	1.61	1.32	1.23	1.14	PCE3609TR-ND	200	113.11	EEV-TG1A152UQ
	2200	0.32	0.08	220.0	J16	1100	PCE3612CT-ND	2.56	2.11	1.96	—	PCE3612TR-ND	125	112.60	EEV-TG1A222M
	3300	0.34	0.075	330.0	K16	1300	PCE3615CT-ND	3.03	2.50	2.32	—	PCE3615TR-ND	125	133.55	EEV-TG1A332M
	3300	0.34	0.08	330.0	J16	1100	PCE3616CT-ND	2.60	2.14	1.99	—	PCE3616TR-ND	125	114.50	EEV-TG1A332UM
	4700	0.36	0.075	470.0	K16	1300	PCE3618CT-ND	3.03	2.50	2.32	—	PCE3618TR-ND	125	133.55	EEV-TG1A472M
16	100	0.23	0.5	16.0	F	197	PCE3619CT-ND	.78	.65	.60	.56	PCE3619TR-ND	500	138.00	EEV-TG1C101P
	220	0.23	0.3	35.2	G	270	PCE3622CT-ND	.94	.77	.72	.67	PCE3622TR-ND	500	165.09	EEV-TG1C221P
	220	0.23	0.5	35.2	F	197	PCE3623CT-ND	.81	.67	.62	.57	PCE3623TR-ND	500	141.81	EEV-TG1C221UP
	330	0.23	0.12	52.8	H13	800	PCE3626CT-ND	1.57	1.29	1.20	1.11	PCE3626TR-ND	200	106.50	EEV-TG1C331Q
	330	0.23	0.3	52.8	G	270	PCE3627CT-ND	.96	.79	.74	.68	PCE3627TR-ND	500	168.90	EEV-TG1C331UP
	470	0.23	0.12	75.2	H13	800	PCE3629CT-ND	1.57	1.29	1.20	1.11	PCE3629TR-ND	200	110.23	EEV-TG1C471Q
	680	0.23	0.12	108.8	H13	800	PCE3630CT-ND	1.57	1.29	1.20	1.11	PCE3630TR-ND	200	106.50	EEV-TG1C681Q
	1000	0.23	0.08	160.0	J16	1100	PCE3620CT-ND	2.47	2.04	1.89	—	PCE3620TR-ND	125	108.90	EEV-TG1C102M
	1000	0.23	0.12	160.0	H13	800	PCE3621CT-ND	1.61	1.32	1.23	1.14	PCE3621TR-ND	200	113.11	EEV-TG1C102UQ
	2200	0.25	0.075	352.0	K16	1300	PCE3624CT-ND	2.95	2.43	2.26	—	PCE3624TR-ND	125	129.85	EEV-TG1C222M
	2200	0.25	0.08	352.0	J16	1100	PCE3625CT-ND	2.52	2.07	1.93	—	PCE3625TR-ND	125	110.80	EEV-TG1C222UM
	3300	0.27	0.075	528.0	K16	1300	PCE3628CT-ND	2.95	2.43	2.26	—	PCE3628TR-ND	125	129.85	EEV-TG1C332M
25	47	0.18	1	11.75	E	100	PCE3640CT-ND	.63	.52	.48	.44	PCE3640TR-ND	1,000	220.12	EEV-TG1E470P
	100	0.18	0.5	25.0	F	197	PCE3631CT-ND	.78	.65	.60	.56	PCE3631TR-ND	500	138.00	EEV-TG1E101P
	100	0.18	1	25.0	E	100	PCE3632CT-ND	.65	.54	.50	.46	PCE3632TR-ND	1,000	227.74	EEV-TG1E101UP
	220	0.18	0.3	55.0	G	270	PCE3635CT-ND	.94	.77	.72	.67	PCE3635TR-ND	500	165.09	EEV-TG1E221P
	220	0.18	0.5	55.0	F	197	PCE3636CT-ND	.81	.67	.62	.57	PCE3636TR-ND	500	141.81	EEV-TG1E221UP
	330	0.18	0.12	82.5	H13	800	PCE3638CT-ND	1.57	1.29	1.20	1.11	PCE3638TR-ND	200	106.50	EEV-TG1E331Q
	330	0.18	0.3	82.5	G	270	PCE3639CT-ND	.96	.79	.74	.68	PCE3639TR-ND	500	168.90	EEV-TG1E331UP
	470	0.18	0.12	117.5	H13	800	PCE3641CT-ND	1.57	1.29	1.20	1.11	PCE3641TR-ND	200	106.50	EEV-TG1E471Q
	680	0.18	0.08	170.0	J16	1100	PCE3642CT-ND	2.47	2.04	1.89	—	PCE3642TR-ND	125	108.90	EEV-TG1E681M
	680	0.18	0.12	170.0	H13	800	PCE3643CT-ND	1.61	1.32	1.23	1.14	PCE3643TR-ND	200	109.21	EEV-TG1E681UQ
	1000	0.18	0.075	250.0	K16	1300	PCE3633CT-ND	2.95	2.43	2.26	—	PCE3633TR-ND	125	129.85	EEV-TG1E102M
	1000	0.18	0.08	250.0	J16	1100	PCE3634CT-ND	2.52	2.07	1.93	—	PCE3634TR-ND	125	110.80	EEV-TG1E102UM
	2200	0.20	0.075	550.0	K16	1300	PCE3637CT-ND	2.95	2.43	2.26	—	PCE3637TR-ND	125	129.85	EEV-TG1E222M
	33	0.16	1	11.55	E	100	PCE3686CT-ND	.63	.52	.48	.44	PCE3686TR-ND	1,000	220.12	EEV-TG1V330P
	47	0.16	0.5	16.45	F	197	PCE3688CT-ND	.78	.65	.60	.56	PCE3688TR-ND	500	138.00	EEV-TG1V470P
	47	0.16	1	16.45	E	100	PCE3689CT-ND	.65	.54	.50	.46	PCE3689TR-ND	1,000	227.74	EEV-TG1V470UP

* Betriebsspannung

(Forts.)

Alle Preisangaben in Euro und inklusive Zollgebühren.

Nenn-WV* (V DC)	Nom. Kap. (µF)	Tan δ ≤ spez. Werte (120 Hz, +20 °C)	ESR (100 kHz) (+20 °C) Ω	Max. Leckstrom (µA)	Größen-code	Max. Mischstr. 100 kHz, 125 °C (mA rms)	Digi-Key Teilenr.	Gurtabschnittspreis pro Stück 5	10	25	100	Digi-Key Teilenr.	Gegurtet auf Rolle Größe	Preisangaben	Panasonic Teilenr.
35	100	0.16	0.3	35.0	G	270	PCE3682CT-ND	.94	.77	.72	.67	PCE3682TR-ND	500	165.09	EEV-TG1V101P
	100	0.16	0.5	35.0	F	197	PCE3683CT-ND	.81	.67	.62	.57	PCE3683TR-ND	500	141.81	EEV-TG1V101UP
	220	0.16	0.3	77.0	G	270	PCE3685CT-ND	.96	.79	.74	.68	PCE3685TR-ND	500	168.90	EEV-TG1V221UP
	330	0.16	0.12	115.5	H13	800	PCE3687CT-ND	1.57	1.29	1.20	1.11	PCE3687TR-ND	1,000	477.48	EEV-TG1V331Q
	470	0.16	0.08	164.5	J16	1100	PCE3690CT-ND	2.47	2.04	1.89	—	PCE3690TR-ND	125	108.90	EEV-TG1V471M
	470	0.16	0.12	164.5	H13	800	PCE3691CT-ND	1.61	1.32	1.23	1.14	PCE3691TR-ND	200	109.21	EEV-TG1V471UQ
	680	0.16	0.075	238.0	K16	1300	PCE3692CT-ND	2.95	2.43	2.26	—	PCE3692TR-ND	125	129.85	EEV-TG1V681M
	680	0.16	0.08	238.0	J16	1100	PCE3693CT-ND	2.52	2.07	1.93	—	PCE3693TR-ND	125	110.80	EEV-TG1V681UM
	1000	0.16	0.075	350.0	K16	1300	PCE3684CT-ND	2.95	2.43	2.26	—	PCE3684TR-ND	125	129.85	EEV-TG1V102M
50	10	0.14	1.6	5.0	E	80	PCE3644CT-ND	.63	.52	.48	.44	PCE3644TR-ND	1,000	220.12	EEV-TG1H100P
	22	0.14	1.6	11.0	E	80	PCE3647CT-ND	.63	.52	.48	.44	PCE3647TR-ND	1,000	220.12	EEV-TG1H220P
	33	0.14	0.75	16.5	F	133	PCE3649CT-ND	.78	.65	.60	.56	PCE3649TR-ND	500	138.00	EEV-TG1H330P
	33	0.14	1.6	16.5	E	80	PCE3650CT-ND	.65	.54	.50	.46	PCE3650TR-ND	1,000	227.74	EEV-TG1H330UP
	47	0.14	0.5	23.5	G	221	PCE3652CT-ND	.94	.77	.72	.67	PCE3652TR-ND	500	165.09	EEV-TG1H470P
	47	0.14	0.75	23.5	F	133	PCE3653CT-ND	.81	.67	.62	.57	PCE3653TR-ND	500	141.81	EEV-TG1H470UP
	100	0.14	0.5	50.0	G	221	PCE3645CT-ND	.96	.79	.74	.68	PCE3645TR-ND	500	168.90	EEV-TG1H101UP
	220	0.14	0.23	110.0	H13	600	PCE3648CT-ND	1.57	1.29	1.20	1.11	PCE3648TR-ND	200	106.50	EEV-TG1H221Q
	330	0.14	0.23	165.0	H13	600	PCE3651CT-ND	1.57	1.29	1.20	1.11	PCE3651TR-ND	200	110.23	EEV-TG1H331Q
	470	0.14	0.15	235.0	J16	900	PCE3654CT-ND	2.47	2.04	1.89	—	PCE3654TR-ND	125	108.90	EEV-TG1H471M
	680	0.14	0.14	340.0	K16	950	PCE3655CT-ND	2.95	2.43	2.26	—	PCE3655TR-ND	125	129.85	EEV-TG1H681M
	680	0.14	0.15	340.0	J16	900	PCE3656CT-ND	2.52	2.07	1.93	—	PCE3656TR-ND	125	110.80	EEV-TG1H681UM
	1000	0.14	0.14	500.0	K16	950	PCE3646CT-ND	2.95	2.43	2.26	—	PCE3646TR-ND	125	129.85	EEV-TG1H102M
63	10	0.12	2.2	6.3	E	55	PCE3657CT-ND	.63	.52	.48	.44	PCE3657TR-ND	1,000	220.12	EEV-TG1J100P
	22	0.12	1	13.86	F	100	PCE3660CT-ND	.78	.65	.60	.56	PCE3660TR-ND	500	138.00	EEV-TG1J220P
	33	0.12	0.8	20.79	G	150	PCE3662CT-ND	.94	.77	.72	.67	PCE3662TR-ND	500	165.09	EEV-TG1J330P
	33	0.12	1	20.79	F	100	PCE3663CT-ND	.81	.67	.62	.57	PCE3663TR-ND	500	141.81	EEV-TG1J330UP
	47	0.12	0.8	29.61	G	150	PCE3665CT-ND	.94	.77	.72	.67	PCE3665TR-ND	500	165.09	EEV-TG1J470P
	47	0.12	1	29.61	F	100	PCE3666CT-ND	.81	.67	.62	.57	PCE3666TR-ND	500	141.81	EEV-TG1J470UP
	100	0.12	0.26	63.0	H13	350	PCE3658CT-ND	1.57	1.29	1.20	1.11	PCE3658TR-ND	200	110.23	EEV-TG1J101Q
	100	0.12	0.8	63.0	G	150	PCE3659CT-ND	.96	.79	.74	.68	PCE3659TR-ND	500	168.90	EEV-TG1J101UP
	220	0.12	0.26	138.6	H13	350	PCE3661CT-ND	1.57	1.29	1.20	1.11	PCE3661TR-ND	200	106.50	EEV-TG1J221Q
	330	0.12	0.18	207.9	J16	500	PCE3664CT-ND	2.47	2.04	1.89	—	PCE3664TR-ND	125	108.90	EEV-TG1J331M
	470	0.12	0.18	296.1	J16	500	PCE3667CT-ND	2.47	2.04	1.89	—	PCE3667TR-ND	125	108.90	EEV-TG1J471M
80	10	0.12	1.3	8.0	F	70	PCE3668CT-ND	.78	.65	.60	.56	PCE3668TR-ND	500	138.00	EEV-TG1K100P
	22	0.12	1	17.6	G	90	PCE3671CT-ND	.94	.77	.72	.67	PCE3671TR-ND	500	165.09	EEV-TG1K220P
	22	0.12	1.3	17.6	F	70	PCE3672CT-ND	.81	.67	.62	.57	PCE3672TR-ND	500	141.81	EEV-TG1K220UP
	33	0.12	1	26.4	G	90	PCE3675CT-ND	.94	.77	.72	.67	PCE3675TR-ND	500	165.09	EEV-TG1K330P
	33	0.12	1.3	26.4	F	70	PCE3676CT-ND	.81	.67	.62	.57	PCE3676TR-ND	500	141.81	EEV-TG1K330UP
	47	0.12	0.42	37.6	H13	250	PCE3679CT-ND	1.57	1.29	1.20	1.11	PCE3679TR-ND	200	106.50	EEV-TG1K470Q
	47	0.12	1	37.6	G	90	PCE3680CT-ND	.96	.79	.74	.68	PCE3680TR-ND	500	168.90	EEV-TG1K470UP
	100	0.12	0.3	80.0	J16	350	PCE3669CT-ND	2.47	2.04	1.89	—	PCE3669TR-ND	125	108.90	EEV-TG1K101M
	100	0.12	0.42	80.0	H13	250	PCE3670CT-ND	1.61	1.32	1.23	1.14	PCE3670TR-ND	200	109.21	EEV-TG1K101UQ
	220	0.12	0.28	176.0	K16	400	PCE3673CT-ND	2.95	2.43	2.26	—	PCE3673TR-ND	125	129.85	EEV-TG1K221M
	220	0.12	0.3	176.0	J16	350	PCE3674CT-ND	2.52	2.07	1.93	—	PCE3674TR-ND	125	110.80	EEV-TG1K221UM
	330	0.12	0.28	264.0	K16	400	PCE3677CT-ND	2.95	2.43	2.26	—	PCE3677TR-ND	125	129.85	EEV-TG1K331M
	330	0.12	0.3	264.0	J16	350	PCE3678CT-ND	2.52	2.07	1.93	—	PCE3678TR-ND	125	110.80	EEV-TG1K331UM
	470	0.12	0.28	376.0	K16	400	PCE3681CT-ND	2.95	2.43	2.26	—	PCE3681TR-ND	125	129.85	EEV-TG1K471M
100	10	0.10	1.3	10.0	F	70	PCE3694CT-ND	.78	.65	.60	.56	PCE3694TR-ND	500	138.00	EEV-TG2A100P
	22	0.10	1	22.0	G	90	PCE3696CT-ND	.94	.77	.72	.67	PCE3696TR-ND	500	165.09	EEV-TG2A220P
	22	0.10	1.3	22.0	F	70	PCE3697CT-ND	.81	.67	.62	.57	PCE3697TR-ND	500	141.81	EEV-TG2A220UP
	33	0.10	1	33.0	G	90	PCE3699CT-ND	.94	.77	.72	.67	PCE3699TR-ND	500	165.09	EEV-TG2A330P
	47	0.10	0.42	47.0	H13	250	PCE3701CT-ND	1.57	1.29	1.20	1.11	PCE3701TR-ND	200	106.50	EEV-TG2A470Q
	100	0.10	0.3	100.0	J16	350	PCE3695CT-ND	2.47	2.04	1.89	—	PCE3695TR-ND	125	108.90	EEV-TG2A101M
	220	0.10	0.28	220.0	K16	400	PCE3698CT-ND	2.95	2.43	2.26	—	PCE3698TR-ND	125	129.85	EEV-TG2A221M
	330	0.10	0.28	330.0	K16	400	PCE3700CT-ND	2.95	2.43	2.26	—	PCE3700TR-ND	125	129.85	EEV-TG2A331M

E

Panasonic TK-Serie Aluminium-Elektrolyt-Kondensatoren, Oberflächenmontage, bleifrei

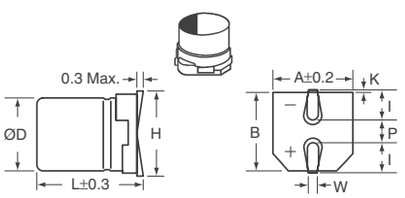

Spezifikationen: • Betriebstemperaturbereich: -40 °C ~ 125 °C **• Kapazitätstoleranz:** ±20 % (120 Hz, +20 °C) **• Nennspannung:** 10, 16, 25, 35 **• Stoßspannung:** 13, 20, 32, 44

Folgende spezifischen Werte:

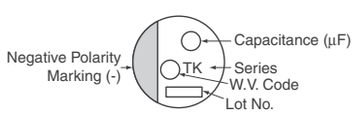

Impedanz 120 Hz	Serie	10	16	25	35
Z(-25°C)/Z(20°C)	TK	3	2	2	2
Z(-40°C)/Z(20°C)	TK	4	3	3	3

Nennspannungsmarkierung	
A	10V
C	16V
E	25V
V	35V

Größencode	D	L	A,B	H	I	W	P	K
F	8.0	10.2	8.3	10.0 Max.	3.4	0.90±0.2	3.1	0.70±0.2
G	10.0	10.2	10.3	12.0 Max.	3.5	0.90±0.2	4.6	0.70±0.2

Nenn-WV* (V DC)	Nom. Kap. (µF)	Tan δ ≤ spez. Werte (120 Hz, +20 °C)	Max. Leckstrom (µA)	Größen-code	Max. Mischstr. 100 kHz, 125 °C (mA rms)	ESR Ω max. 100 kHz +20°C	ESR Ω max. 100 kHz -40°C	Digi-Key Teilenr.	Gurtabschnittspreis pro Stück 5	10	25	100	Digi-Key Teilenr.	Gegurtet auf Rolle Größe	Preisangaben	Panasonic Teilenr.
Serie TK :- 40 °C ~ 125 °C Niedriger ESR-Wert (3.000 Stunden Lebensdauer)																
10	220	0.30	22.0	F	197	0.30	5.0	PCE3723CT-ND	.99	.81	.76	.70	PCE3723TR-ND	500	173.55	EEE-TK1A221P
	330	0.30	33.0	F	197	0.30	5.0	PCE3724CT-ND	.99	.81	.76	.70	PCE3724TR-ND	500	173.55	EEE-TK1A331UP
	330	0.30	33.0	G	270	0.20	3.0	PCE3725CT-ND	1.18	.98	.91	.84	PCE3725TR-ND	500	208.26	EEE-TK1A331P
	470	0.30	47.0	G	270	0.20	3.0	PCE3726CT-ND	1.18	.98	.91	.84	PCE3726TR-ND	500	208.26	EEE-TK1A471UP
16	100	0.23	16.0	F	197	0.30	5.0	PCE3727CT-ND	.99	.81	.76	.70	PCE3727TR-ND	500	173.55	EEE-TK1C101P
	220	0.23	35.2	F	197	0.30	5.0	PCE3728CT-ND	.99	.81	.76	.70	PCE3728TR-ND	500	173.55	EEE-TK1C221UP
	220	0.23	35.2	G	270	0.20	3.0	PCE3729CT-ND	1.18	.98	.91	.84	PCE3729TR-ND	500	208.26	EEE-TK1C221P
	330	0.23	52.8	G	270	0.20	3.0	PCE3730CT-ND	1.18	.98	.91	.84	PCE3730TR-ND	500	208.26	EEE-TK1C331UP
25	100	0.18	25.0	F	197	0.30	5.0	PCE3731CT-ND	.99	.81	.76	.70	PCE3731TR-ND	500	173.55	EEE-TK1E101P
	220	0.18	55.0	F	197	0.30	5.0	PCE3732CT-ND	.99	.81	.76	.70	PCE3732TR-ND	500	173.55	EEE-TK1E221UP
	220	0.18	55.0	G	270	0.20	3.0	PCE3733CT-ND	1.18	.98	.91	.84	PCE3733TR-ND	500	208.26	EEE-TK1E221P
	330	0.18	82.5	G	270	0.20	3.0	PCE3734CT-ND	1.18	.98	.91	.84	PCE3734TR-ND	500	208.26	EEE-TK1E331UP
35	47	0.16	16.4	F	197	0.30	5.0	PCE3735CT-ND	.99	.81	.76	.70	PCE3735TR-ND	500	173.55	EEE-TK1V470P
	100	0.16	35.0	F	197	0.30	5.0	PCE3736CT-ND	.99	.81	.76	.70	PCE3736TR-ND	500	173.55	EEE-TK1V101UP
	100	0.16	35.0	G	270	0.20	3.0	PCE3737CT-ND	1.18	.98	.91	.84	PCE3737TR-ND	500	208.26	EEE-TK1V101P
	220	0.16	77.0	G	270	0.20	3.0	PCE3738CT-ND	1.18	.98	.91	.84	PCE3738TR-ND	500	208.26	EEE-TK1V221UP

* Betriebsspannung

Panasonic SP-Cap
Specialty Polymer Capacitor

Serie CD Spezial-Elektrolyt-Chip-Kondensatoren aus Polymeraluminium, Oberflächenmontage

Merkmale: • Flachprofilausführung (1,8 mm hoch) der Größe D • Niedrige Impedanz bei hoher Frequenz (10 kHz-10 MHz), so niedrig wie Keramikkondensatoren (reduzierter ESR aufgrund einer Anwendung von Spezialpolymer mit hoher Leitfähigkeit) • Hervorragende lärmabsorbierende Funktion • Oberflächenmontage (Aufschmelzlötmethode verfügbar) • Sehr stabile Kapazität, Impedanz und ESR gegenüber Temp.
• Hervorragende Ermüdungsmerkmale aufgrund der Verwendung von Festelektrolyt

Spezifikationen: • **Betriebstemperaturbereich:** -40 °C ~ 105 °C • **Kapazitätstoleranz:** ±20 % (120 Hz/20 °C) • **DC-Leckstrom:** I ≤ 0,04 CV oder 3 (µA) nach 2 Minuten (welcher Wert auch immer größer ist)• **Dissipationsfaktor:** ≤ 0,06 (120 Hz/20 °C) • **Stoßspannung:** Nennbetriebsspannung x 1,25 • **Ermüdung:** Nach Anlegen der Nennbetriebsspannung für 1.000 Stunden bei 105 °C und nachfolgender Stabilisierung bei 20 °C muss der Kondensator folgende Limits erfüllen: Kapazitätsänderung (±10 % des ersten gemessenen Wertes) DF und DC-Leckstrom (erster spezifizierter Wert) • **Feuchtigkeitsbeständigkeit:** (Nach Lagerung für 500 Stunden bei 60 °C, 90-95 % RF): Kapazitätsänderung (+40 % des ersten gemessenen Wertes; -20 % (**6,3 V:** +50 %, -20 %) DF ≤ 200 % des ersten spezifizierten Wertes. DC-Leckstrom (erster spezifizierter Wert).

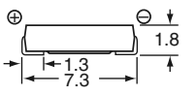

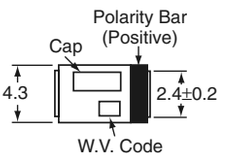

† **SP2-KIT-ND** ***Digi-Key® Kondensatorsatz Serie UD/UE/CD/S*** je15 der angegeben Werte (insgesamt 180 Stück) Das Kit besteht aus Teilen, einem Kunststoff-Ablagekasten mit Scharnieren und Auswahlhinweisen und einem Visitenkarten-CD ROM mit Datenblättern und Anwendungshinweisen **29.62**

WV**	Kap. (µF)	Impedanz (100kHz/ 20°C)	Mischstrom (100kHz/ 20 ~105°C)	Digi-Key Teilenr.	Gurtabschnittspreis pro Stück 1	10	100	Gegurtet auf Rolle* Preisangaben 3.500	Panasonic Teilenr.
2	100	0.018Ω	2.5A rms	PCE3271CT-ND	1.50	1.13	.98	450.40/M	EEF-CD0D101R
	120	0.018Ω	2.5A rms	PCE2107CT-ND	1.66	1.25	1.08	496.96/M	EEF-CD0D121R
	150	0.018Ω	2.5A rms	PCE3561CT-ND	1.39	1.31	1.14	522.36/M	EEF-CD0D151R
2.5	82	0.018Ω	2.5A rms	PCE3272CT-ND	1.50	1.13	.98	450.40/M	EEF-CD0E820R
	100	0.018Ω	2.5A rms	PCE2108CT-ND	1.66	1.25	1.08	496.96/M	EEF-CD0E101R
	120	0.018Ω	2.5A rms	PCE3562CT-ND	1.39	1.31	1.14	522.36/M	EEF-CD0E121R
4	56	0.018Ω	2.5A rms	PCE3274CT-ND	1.50	1.13	.98	450.40/M	EEF-CD0G560R
	68	0.018Ω	2.5A rms	PCE3977CT-ND	1.66	1.25	1.08	496.96/M	EEF-CD0G680R
	82	0.018Ω	2.5A rms	PCE2109CT-ND†	1.66	1.25	1.08	496.96/M	EEF-CD0G820R
	100	0.025Ω	1.8A rms	PCE3605CT-ND	1.32	1.16	1.00	496.96/M	EEF-CD0G101R
6.3	10	0.055Ω	1.4A rms	PCE3157CT-ND	1.40	1.05	.91	418.22/M	EEF-CD0J100R
	22	0.040Ω	1.6A rms	PCE3158CT-ND	1.43	1.08	.93	428.38/M	EEF-CD0J220R
	33	0.028Ω	2.0A rms	PCE3159CT-ND	1.46	1.10	.96	439.39/M	EEF-CD0J330R
	47	0.018Ω	2.5A rms	PCE3160CT-ND	1.50	1.13	.98	450.40/M	EEF-CD0J470R
	68	0.018Ω	2.5A rms	PCE2110CT-ND†	1.66	1.25	1.08	496.96/M	EEF-CD0J680R
8	8.2	0.055Ω	1.4A rms	PCE3161CT-ND	1.40	1.05	.91	418.22/M	EEF-CD0K8R2R
	15	0.040Ω	1.6A rms	PCE3162CT-ND	1.43	1.08	.93	428.38/M	EEF-CD0K150R
	22	0.028Ω	2.0A rms	PCE3163CT-ND	1.46	1.10	.96	439.39/M	EEF-CD0K220R
	33	0.018Ω	2.5A rms	PCE3164CT-ND	1.50	1.13	.98	450.40/M	EEF-CD0K330R
	47	0.025Ω	1.8A rms	PCE3606CT-ND	1.32	1.16	1.00	496.96/M	EEF-CD0K470R
12.5	4.7	0.080Ω	1A rms	PCE3165CT-ND	1.40	1.05	.91	418.22/M	EEF-CD1B4R7R
	10	0.060Ω	1A rms	PCE3166CT-ND	1.43	1.08	.93	428.38/M	EEF-CD1B100R
	15	0.050Ω	1.3A rms	PCE3167CT-ND	1.46	1.10	.96	439.39/M	EEF-CD1B150R
	22	0.030Ω	1.6A rms	PCE3168CT-ND	1.50	1.13	.98	450.40/M	EEF-CD1B220R
16	2.2	0.110Ω	1A rms	PCE3169CT-ND	1.40	1.05	.91	418.22/M	EEF-CD1C2R2R
	4.7	0.080Ω	1A rms	PCE3170CT-ND	1.43	1.08	.93	428.38/M	EEF-CD1C4R7R
	6.8	0.070Ω	1A rms	PCE3171CT-ND	1.46	1.10	.96	439.39/M	EEF-CD1C6R8R
	8.2	0.045Ω	1.3A rms	PCE3172CT-ND†	1.50	1.13	.98	450.40/M	EEF-CD1C8R2R

* Für Gegurtet auf Rolle Teilenummer CT-ND in TR-ND ändern. ** Betriebsspannung

Serie UD/UE

Spezial-Elektrolyt-Chip-Kondensatoren aus Polymeraluminium, Oberflächenmontage

Merkmale: • Niedrige Impedanz bei hoher Frequenz (10 kHz-10 MHz), so niedrig wie Keramikkondensatoren (reduzierter ESR aufgrund einer Anwendung von Spezialpolymer mit hoher Leitfähigkeit) • Stabile Temperatureigenschaften: Kapazität, Impedanz und ESR • Hervorragende lärmabsorbierende Funktion • Spannungsdrosselung nicht erforderlich • Hervorragende Ermüdungsmerkmale aufgrund der Verwendung von Festelektrolyt

Spezifikationen: • **Betriebstemp. Betriebstemperaturbereich:** -40 °C ~ 105 °C • **Kapazitätstoleranz:** ±20 % (120 Hz/20 °C) • **DC-Leckstrom:** 4 V I ≤ 0,06 CV, 6,3 bis 8 V I ≤ 0,04 CV nach 2 Minuten • **Dissipationsfaktor:** Serie UD, UE: max. ≤ 0,1 Serie CD max. ≤ 0,06 (120 Hz/+20 °C) • **Stoßspannung:** Nennbetriebsspannung x 1,25 • **Ermüdung:** Nach Anlegen der Nennbetriebsspannung für 1.000 Stunden bei 105 °C und nachfolgender Stabilisierung bei 20 °C muss der Kondensator folgende Limits erfüllen: Kapazitätsänderung (±10 % des ersten gemessenen Wertes) DF und DC-Leckstrom (erster spezifizierter Wert) DF (erster spezifizierter Wert). DC-Leckstrom (erster spezifizierter Wert). • **Feuchtigkeitsbeständigkeit:** (Nach Lagerung für 500 Stunden bei 60 °C, 90 % RF) Kapazitätsänderung (*2 V, 2,5 V:* +70 %, -20 %, *4 V:* +60 %, -20 %, *6,3 V:* +50 %, -20 %, *8 V:* +40 %, -20 % des ersten gemessenen Wertes.) DF ≤ 200 % des ersten spezifizierten Wertes. DC-Leckstrom (erster spezifizierter Wert).

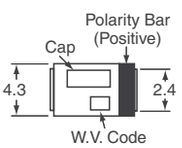

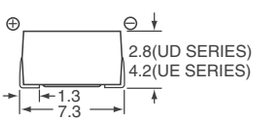

† **SP2-KIT-ND** ***Digi-Key® Kondensatorsatz Serie UD/UE/CD/S*** je15 der angegeben Werte (insgesamt 180 Stück)Das Kit besteht aus Teilen, einem Kunststoff-Ablagekasten mit Scharnieren und Auswahlhinweisen und einem Visitenkarten-CD ROM mit Datenblättern und Anwendungshinweisen **29.62**

WV** (V DC)	Kap. (µF)	ESR (100kHz/ 20°C) max.	Mischstrom (100kHz/ 20 ~ 105°C)	Digi-Key Teilenr.	Gurtabschnittspreis pro Stück 1	10	100	Digi-Key Teilenr.	Gegurtet auf Rolle Größe	Preisangaben	Panasonic Teilenr.
Serie UD											
2	180	.015Ω	3.0A	PCE3262CT-ND	3.01	2.26	1.96	PCE3262TR-ND	2,000	901.63/M	EEF-UD0D181R
	220	.015Ω	3.0A	PCE3973CT-ND	3.16	2.37	2.06	PCE3973TR-ND	2,000	947.35/M	EEF-UD0D221R
	270	.015Ω	3.0A	PCE2111CT-ND	3.30	2.48	2.15	PCE2111TR-ND	2,000	991.37/M	EEF-UD0D271R
	330	.015Ω	3.0A	PCE3563CT-ND	2.78	2.61	2.26	PCE3563TR-ND	2,000	1041.32/M	EEF-UD0D331R
2.5	150	.015Ω	3.0A	PCE3273CT-ND	3.01	2.26	1.96	PCE3273TR-ND	2,000	901.63/M	EEF-UD0E151R
	180	.015Ω	3.0A	PCE3974CT-ND	3.16	2.37	2.06	PCE3974TR-ND	2,000	947.35/M	EEF-UD0E181R
	220	.015Ω	3.0A	PCE2112CT-ND	3.30	2.48	2.15	PCE2112TR-ND	2,000	991.37/M	EEF-UD0E221R
	270	.015Ω	3.0A	PCE3564CT-ND	2.78	2.61	2.26	PCE3564TR-ND	2,000	1041.32/M	EEF-UD0E271R
4	120	.015Ω	3.0A	PCE3263CT-ND	3.01	2.26	1.96	PCE3263TR-ND	2,000	901.63/M	EEF-UD0G121R
	150	.015Ω	3.0A	PCE2113CT-ND	3.30	2.48	2.15	PCE2113TR-ND	2,000	991.37/M	EEF-UD0G151R
	180	.018Ω	2.5A	PCE3599CT-ND†	2.64	2.32	1.99	PCE3599TR-ND	2,000	991.37/M	EEF-UD0G181R
6.3	100	.015Ω	3.0A	PCE3264CT-ND	3.01	2.26	1.96	PCE3264TR-ND	2,000	901.63/M	EEF-UD0J101R
	120	.015Ω	3.0A	PCE2114CT-ND	3.30	2.48	2.15	PCE2114TR-ND	2,000	991.37/M	EEF-UD0J121R
	150	.018Ω	2.5A	PCE3600CT-ND†	2.64	2.32	1.99	PCE3600TR-ND	2,000	991.37/M	EEF-UD0J151R
8	68	.015Ω	3.0A	PCE3265CT-ND	3.01	2.26	1.96	PCE3265TR-ND	2,000	901.63/M	EEF-UD0K680R
	100	.018Ω	2.5A	PCE3601CT-ND	2.64	2.32	1.99	PCE3601TR-ND	2,000	991.37/M	EEF-UD0K101R
Serie UE											
2	270	.012Ω	3.3A	PCE3266CT-ND	4.01	3.01	2.61	PCE3266TR-ND	2,000	1203.87/M	EEF-UE0D271R
	330	.012Ω	3.3A	PCE3975CT-ND	4.22	3.17	2.74	PCE3975TR-ND	2,000	1263.98/M	EEF-UE0D331R
	390	.012Ω	3.3A	PCE2115CT-ND	4.42	3.32	2.88	PCE2115TR-ND	2,000	1324.93/M	EEF-UE0D391R
	470	.012Ω	3.3A	PCE3567CT-ND	3.71	3.48	3.02	PCE3567TR-ND	2,000	1390.97/M	EEF-UE0D471R
2.5	220	.012Ω	3.3A	PCE3267CT-ND	4.01	3.01	2.61	PCE3267TR-ND	2,000	1203.87/M	EEF-UE0E221R
	270	.012Ω	3.3A	PCE3976CT-ND	4.22	3.17	2.74	PCE3976TR-ND	2,000	1263.98/M	EEF-UE0E271R
	330	.012Ω	3.3A	PCE2116CT-ND	4.42	3.32	2.88	PCE2116TR-ND	2,000	1324.93/M	EEF-UE0E331R
	390	.012Ω	3.3A	PCE3568CT-ND	3.71	3.48	3.02	PCE3568TR-ND	2,000	1390.97/M	EEF-UE0E391R
4	180	.012Ω	3.3A	PCE3268CT-ND	4.01	3.01	2.61	PCE3268TR-ND	2,000	1203.87/M	EEF-UE0G181R
	220	.012Ω	3.3A	PCE2117CT-ND	4.42	3.32	2.88	PCE2117TR-ND	2,000	1324.93/M	EEF-UE0G221R
	270	.015Ω	3.0A	PCE3602CT-ND†	3.53	3.10	2.65	PCE3602TR-ND	2,000	1324.93/M	EEF-UE0G271R
6.3	150	.012Ω	3.3A	PCE3269CT-ND	4.01	3.01	2.61	PCE3269TR-ND	2,000	1203.87/M	EEF-UE0J151R
	180	.012Ω	3.3A	PCE2118CT-ND	4.42	3.32	2.88	PCE2118TR-ND	2,000	1324.93/M	EEF-UE0J181R
	220	.015Ω	3.0A	PCE3603CT-ND†	3.53	3.10	2.65	PCE3603TR-ND	2,000	1324.93/M	EEF-UE0J221R
8	100	.012Ω	3.3A	PCE3270CT-ND	4.01	3.01	2.61	PCE3270TR-ND	2,000	1203.87/M	EEF-UE0K101R
	150	.015Ω	3.0A	PCE3604CT-ND	3.53	3.10	2.65	PCE3604TR-ND	2,000	1324.93/M	EEF-UE0K151R

Serie S Spezial-Elektrolyt-Chip-Kondensatoren aus Polymeraluminium, Oberflächenmontage

Merkmale: • Niedrigerer ESR • Höherer Mischstrom

Spezifikationen:• **Betriebstemperaturbereich:** -40 °C ~ 105 °C • **Nenn-Betriebsspannung Bereich:** 2 ~ 6,3 V DC • Nennkapazitätsbereich 56 ~ 560 µF • **Kapazitätstoleranz:** ±20 % (120 Hz/20 °C) • **DC-Leckstrom:** I ≤ 0,06 CV nach 2 Minuten • **Dissipationsfaktor:** max. 0,06 (SL/SX), max. 0,10 (SD/SE) (120 Hz/20 °C) • **Stoßspannung:** Nennbetriebsspannung x 1,25 (15 °C~ 35 °C) • **Ermüdung:** Nach Anlegen der Nennbetriebsspannung für 1.000 Stunden bei 105 ±2 °C und nachfolgender Stabilisierung bei 20 °C muss der Kondensator folgende Limits erfüllen: Kapazitätsänderung: ±10 % des ersten gemessenen Wertes. D.F. und DC-Leckstrom sind ≤ die ersten spezifizierten Werte.

• **Feuchtigkeitsbeständigkeit:** (Nach Lagerung für 500 Stunden bei 60 °C, 90 % RF) Kapazitätsänderung (**2 Betriebssp./2,5 Betriebssp.:** +70 %, -20 %, **4 Betriebssp.:** +60 %, -20 %, **6,3 Betriebssp.:** +50 %, -20 % des ersten gemessenen Wertes.) DF ≤ 200 % des ersten spezifizierten Wertes. DC-Leckstrom, erster spezifizierter Wert.

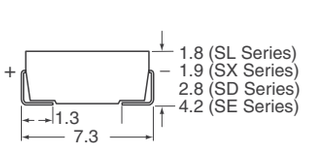

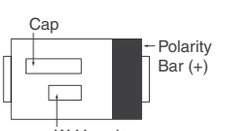

† **SP2-KIT-ND** ***Digi-Key® Kondensatorsatz Serie UD/UE/CD/S*** je 15 der angegeben Werte (insgesamt 180 Stück) Das Kit besteht aus Teilen, einem Kunststoff-Ablagekasten mit Scharnieren und Auswahlhinweisen und einem Visitenkarten-CD ROM mit Datenblättern und Anwendungshinweisen **29.62**

WV**	Kap. (µF)	ESR (100KHz/ 20°C)	Mischstrom (100KHz/ 105°C)	Digi-Key Teilenr.	Gurtabschnittspreis pro Stück 1	10	100	Gegurtet auf Rolle* Größe	Preisangaben	Panasonic Teilenr.
2	100	.009Ω	3A	PCE3978CT-ND	1.82	1.37	1.19	3,500	546.06/M	EEF-SL0D101R
2	120	.009Ω	3A	PCE3551CT-ND†	1.46	1.37	1.19	3,500	546.06/M	EEF-SL0D121R
2	150	.009Ω	3A	PCE3552CT-ND	1.53	1.44	1.25	3,500	575.69/M	EEF-SL0D151R
2	180	.009Ω	3A	PCE3702CT-ND	1.53	1.44	1.25	3,500	575.69/M	EEF-SL0D181R
2.5	100	.009Ω	3A	PCE3553CT-ND	1.46	1.37	1.19	3,500	546.06/M	EEF-SL0E101R
2.5	120	.009Ω	3A	PCE3554CT-ND	1.53	1.44	1.25	3,500	575.69/M	EEF-SL0E121R
4	82	.009Ω	3A	PCE3555CT-ND	1.46	1.37	1.19	3,500	546.06/M	EEF-SL0G820R
6.3	56	.009Ω	3A	PCE3556CT-ND	1.46	1.37	1.19	3,500	546.06/M	EEF-SL0J560R
2	180	.009Ω	3A	PCE3557CT-ND	1.68	1.59	1.38	3,500	632.42/M	EEF-SX0D181R
2	220	.009Ω	3A	PCE3703CT-ND†	1.68	1.59	1.38	3,500	632.42/M	EEF-SX0D221R
2.5	150	.009Ω	3A	PCE3558CT-ND	1.68	1.59	1.38	3,500	632.42/M	EEF-SX0E151R
2.5	180	.009Ω	3A	PCE3979CT-ND	2.11	1.59	1.38	3,500	632.42/M	EEF-SX0E181R
4	82	.009Ω	3A	PCE3980CT-ND	2.11	1.59	1.38	3,500	632.42/M	EEF-SX0G820R
4	100	.009Ω	3A	PCE3559CT-ND	1.68	1.59	1.38	3,500	632.42/M	EEF-SX0G101R
6.3	68	.009Ω	3A	PCE3560CT-ND	1.68	1.59	1.38	3,500	632.42/M	EEF-SX0J680R
2	270	.007Ω	3.5A	PCE3539CT-ND	2.91	2.73	2.37	2,000	1091.27/M	EEF-SD0D271R
2	330	.007Ω	3.5A	PCE3540CT-ND†	3.06	2.87	2.49	2,000	1145.45/M	EEF-SD0D331R
2	390	.007Ω	3.5A	PCE3704CT-ND	3.06	2.87	2.49	2,000	1145.45/M	EEF-SD0D391R
2.5	220	.007Ω	3.5A	PCE3541CT-ND	2.91	2.73	2.37	2,000	1091.27/M	EEF-SD0E221R
2.5	270	.007Ω	3.5A	PCE3542CT-ND	3.06	2.87	2.49	2,000	1145.45/M	EEF-SD0E271R
4	150	.007Ω	3.5A	PCE3543CT-ND	2.91	2.73	2.37	2,000	1091.27/M	EEF-SD0G151R
6.3	120	.007Ω	3.5A	PCE3544CT-ND	2.91	2.73	2.37	2,000	1091.27/M	EEF-SD0J121R
2	390	.005Ω	4A	PCE3545CT-ND	3.89	3.65	3.16	2,000	1457.00/M	EEF-SE0D391R
2	470	.005Ω	4A	PCE3546CT-ND†	4.08	3.83	3.32	2,000	1530.66/M	EEF-SE0D471R
2	560	.005Ω	4A	PCE3705CT-ND	4.08	3.83	3.32	2,000	1530.66/M	EEF-SE0D561R
2.5	330	.005Ω	4A	PCE3547CT-ND	3.89	3.65	3.16	2,000	1457.00/M	EEF-SE0E331R
2.5	390	.005Ω	4A	PCE3548CT-ND	4.08	3.83	3.32	2,000	1530.66/M	EEF-SE0E391R
4	220	.005Ω	4A	PCE3549CT-ND†	3.89	3.65	3.16	2,000	1457.00/M	EEF-SE0G221R
6.3	180	.005Ω	4A	PCE3550CT-ND	3.89	3.65	3.16	2,000	1457.00/M	EEF-SE0J181R

* Für Gegurtet auf Rolle Teilenummer CT-ND in TR-ND ändern. ** Betriebsspannung

Alle Preisangaben in Euro und inklusive Zollgebühren.

Panasonic SP-Cap Specialty Polymer Capacitor

Serie FD Spezialpolymer-Aluminium-Elektrolytkondensatoren, Oberflächenmontage

Merkmale: • Flachprofilausführung (1,1 mm hoch) • Niedrige Impedanz bei hoher Frequenz (10 kHz-10 MHz), so niedrig wie Keramikkondensatoren (reduzierter ESR aufgrund einer Anwendung von Spezialpolymer mit hoher Leitfähigkeit) • Hervorragende lärmabsorbierende Funktion • Oberflächenmontage (Aufschmelzlötmethode verfügbar) • Sehr stabile Kapazität, Impedanz und ESR gegenüber Temp. • Hervorragende Ermüdungsmerkmale aufgrund der Verwendung von Festelektrolyt

Spezifikationen: • **Betriebstemperaturbereich:** -40 °C ~ 105 °C • **Kapazitätstoleranz: 20 % (120 Hz/20 °C)** • **DC-Leckstrom:** I ≤ 0,04 CV oder 3 (µA) nach 2 Minuten (welcher Wert auch immer größer ist) (2 Betriebsspannung. bis 4 Betriebsspannung: I ≤ 0,06 CV) • **Dissipationsfaktor:** ≤0,06 (120 Hz/20 °C) • **Stoßspannung:** Nennbetriebsspannung x 1,25 (15 °C~ 35 °C) • **Ermüdung:** Nach Anlegen der Nennbetriebsspannung für 1.000 Stunden bei 105 °C und nachfolgender Stabilisierung bei 20 °C muss der Kondensator folgende Limits erfüllen: Kapazitätsänderung (±10 % des ersten gemessenen Wertes) DF und DC-Leckstrom (erster spezifizierter Wert) Tan (≤ erster spezifizierter Wert) DC-Leckstrom (erster spezifizierter Wert). • **Feuchtigkeitsbeständigkeit:** (Nach Lagerung für 500 Stunden bei 60 °C, 90 % RF) Kapazitätsänderung +40 %, -20 % des ersten gemessenen Wertes (**4 Betriebsspannung :** +60 %, -20 %; **6,3 Betriebsspannung :** +50 %, -20 %). DF ≤200 % des ersten spezifizierten Wertes. DC-Leckstrom (erster spezifizierter Wert).

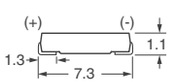

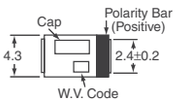

WV**	Kap. (µF)	Impedance (400kHz/ 20°C)	Mischstrom (100kHz/ 20 ~105°C)	Digi-Key Teilenr.	Gurtabschnittspreis pro Stück 1	10	100	Preisangabe für* Gegurtet auf Rolle	Panasonic Teilenr.
2	68	0.035	1.6	PCE2105CT-ND	1.66	1.25	1.08	496.96/M	EEF-FD0D680R
2.5	56	0.035	1.6	PCE2106CT-ND	1.66	1.25	1.08	496.96/M	EEF-FD0E560R
4	39	0.035	1.6	PCE3451CT-ND	1.66	1.25	1.08	496.96/M	EEF-FD0G390R
6.3	33	0.035	1.6	PCE3452CT-ND	1.66	1.25	1.08	496.96/M	EEF-FD0J330R
8	22	0.035	1.6	PCE3453CT-ND	1.66	1.25	1.08	496.96/M	EEF-FD0K220R

* Für Gegurtet auf Rolle Teilenummer CT-ND in TR-ND ändern. ** Betriebsspannung

Serie H Spezialpolymer-Aluminium-Elektrolytkondensatoren, Oberflächenmontage

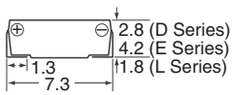

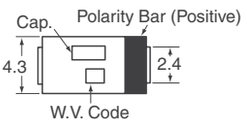

Merkmale: • Hohe Zuverlässigkeit (125 °C) • Niedriger ESR und hoher Mischstrom

Spezifikationen: • **Betriebstemperaturbereich:** -40 °C ~ 125 °C • **Kapazitätstoleranz:** ±20 % (120 Hz/20 °C) • **DC-Leckstrom:** I ≤ 0,1 CV nach 2 Minuten **Dissipationsfaktor:** • 0,1 max. (120 Hz/20 °C) • **Stoßspannung:** Nennbetriebsspannung x 1,25 (15 °C~ 35 °C) • **Limits** erfüllen.Ermüdung: Nach Anlegung der Nennbetriebsspannung für 1.000 Stunden oder einer gedrosselten Spannung (Betriebsspannung x 0,875 bei 115 °C oder Betriebsspannung x 0,75 bei 125 °C) und anschließender Stabilisierung bei 20 °C sollte der Kondensator die folgenden Limits erfüllen: Kapazitätsänderung: ±10 % des ersten gemessenen Wertes. D.F. ≤ Erster spezifizierter Wert. • **Feuchtigkeitsbeständigkeit:** (Nach Lagerung für 500 Stunden bei 60 °C, 90 % RF) Kapazitätsänderung (***2 V, 2,5 V:*** +70 %, -20 %, ***4 V:*** +60 %, -20 %, ***6,3 V:*** +50 %, -20 %, ***8 V:*** +40 %, -20 % des ersten gemessenen Wertes.) DF ≤ 200 % des ersten spezifizierten Wertes. DC-Leckstrom (erster spezifizierter Wert).

WV**	Kap. (µF)	ESR (100KHz/ 20°C)	Mischstrom (100KHz/ 125°C)	Digi-Key Teilenr.	Gurtabschnittspreis pro Stück 1	10	100	Gegurtet auf Rolle* Größe	Preisangaben	Panasonic Teilenr.
Serie D										
2	180	.015Ω	2.5A	PCE2119CT-ND	3.30	2.48	2.15	2,000	991.37/M	EEF-HD0D181R
2	220	.015Ω	2.5A	PCE3529CT-ND	2.78	2.61	2.26	2,000	1043.01/M	EEF-HD0D221R
2.5	150	.015Ω	2.5A	PCE2120CT-ND	3.30	2.48	2.15	2,000	991.37/M	EEF-HD0E151R
2.5	180	.015Ω	2.5A	PCE3530CT-ND	2.78	2.61	2.26	2,000	1043.01/M	EEF-HD0E181R
4	120	.015Ω	2.5A	PCE2121CT-ND	3.30	2.48	2.15	2,000	991.37/M	EEF-HD0G121R
6.3	100	.015Ω	2.5A	PCE2122CT-ND	3.30	2.48	2.15	2,000	991.37/M	EEF-HD0J101R
8	68	.015Ω	2.5A	PCE2123CT-ND	3.30	2.48	2.15	2,000	991.37/M	EEF-HD0K680R
Serie E										
2	270	.012Ω	3.0A	PCE2124CT-ND	4.42	3.32	2.88	2,000	1324.93/M	EEF-HE0D271R
2	330	.012Ω	3.0A	PCE3531CT-ND	3.71	3.48	3.02	2,000	1390.97/M	EEF-HE0D331R
2.5	220	.012Ω	3.0A	PCE2125CT-ND	4.42	3.32	2.88	2,000	1324.93/M	EEF-HE0E221R
2.5	270	.012Ω	3.0A	PCE3532CT-ND	3.71	3.48	3.02	2,000	1390.97/M	EEF-HE0E271R
4	180	.012Ω	3.0A	PCE2126CT-ND	4.42	3.32	2.88	2,000	1324.93/M	EEF-HE0G181R
6.3	150	.012Ω	3.0A	PCE2127CT-ND	4.42	3.32	2.88	2,000	1324.93/M	EEF-HE0J151R
8	100	.012Ω	3.0A	PCE2128CT-ND	4.42	3.32	2.88	2,000	1324.93/M	EEF-HE0K101R
Serie L										
2	100	.018Ω	1.8A	PCE3533CT-ND	1.32	1.25	1.08	3,500	496.96/M	EEF-HL0D101R
2.5	82	.018Ω	1.8A	PCE3534CT-ND	1.32	1.25	1.08	3,500	496.96/M	EEF-HL0E820R
4	56	.018Ω	1.8A	PCE3535CT-ND	1.32	1.25	1.08	3,500	496.96/M	EEF-HL0G560R
4	68	.018Ω	1.8A	PCE3536CT-ND	1.32	1.25	1.08	3,500	496.96/M	EEF-HL0G680R
6.3	47	.018Ω	1.8A	PCE3537CT-ND	1.32	1.25	1.08	3,500	496.96/M	EEF-HL0J470R
8	33	.018Ω	1.8A	PCE3538CT-ND	1.32	1.25	1.08	3,500	496.96/M	EEF-HL0K330R

* Für Gegurtet auf Rolle Teilenummer CT-ND in TR-ND ändern. ** Betriebsspannung

E

Serie SP/CB Spezialpolymer-Aluminium-Elektrolytkondensatoren, Oberflächenmontage

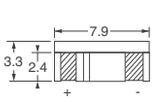

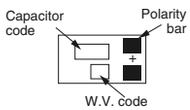

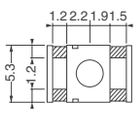

Merkmale: • **H**ervorragende lärmabsorbierende Funktion • Obflächenmontierbar (Anschwemm-/Aufschmelzlöten verfügbar) • Sehr stabile Kapazität, Impedanz und ESR gegenüber Temp. • Hervorragende Ermüdungsmerkmale aufgrund der Verwendung von Festelektrolyt

Spezifikationen: • **Betriebstemperaturbereich:** -40 °C ~ 105 °C • **Kapazitätstoleranz:** ±20 % (120 Hz, +20 °C) • **Leckstrom:** 1≤0,04 CV oder 3 µA nach 2 Minuten • **Dissipationsfaktor:** ≤ 0,06 (120 kHz/+ 20 °C)

• **Erlaubter Strom zwischen Anschlüssen derselben Polarität:** max. 2 A DC (Trifft nur zu, wenn jeder Anschluss einzeln geerdet ist, siehe Abb. 2.) • **Stoßspannung:** Nennbetriebsspannung x 1,25

• **Ermüdung:** Nach Anlegen der Nennbetriebsspannung für 1.000 Stunden bei 105 °C und nachfolgender Stabilisierung bei 20 °C muss der Kondensator folgende Limits erfüllen: Kapazitätsänderung (±10 % des ersten gemessenen Wertes) DF und DC-Leckstrom (erster spezifizierter Wert)

Nenn-WV** (VDC)	Nom. Kap. (µF)	Digi-Key Teilenr.	Gurtabschnittspreis pro Stück 1	10	100	Digi-Key Teilenr.	Preisangabe für Gegurtet auf Rolle 3.000	Panasonic Teilenr.
6.3	10	PCS1100BCT-ND	2.04	1.70	1.48	PCS1100BTR-ND	680.67/M	ECG-C0JB100R
6.3	22	PCS1220JBCT-ND	2.47	2.07	1.79	PCS1220JBTR-ND	826.28/M	ECG-C0JB220R
6.3	33	PCS1330BCT-ND	3.01	2.51	2.18	PCS1330BTR-ND	1005.76/M	ECG-C0JB330R
8	8.2	PCS18R2BCT-ND	2.04	1.70	1.48	PCS18R2BTR-ND	680.67/M	ECG-C0KB8R2R
8	15	PCS1150BCT-ND	2.47	2.07	1.79	PCS1150BTR-ND	826.28/M	ECG-C0KB150R
8	22	PCS1220BCT-ND	3.01	2.51	2.18	PCS1220BTR-ND	1005.76/M	ECG-C0KB220R
12.5	4.7	—	—	—	—	PCE2101TR-ND	1146.30/M	ECG-C1BA4R7R
16	4.7	PCS34R7BCT-ND	2.04	1.70	1.48	PCS34R7BTR-ND	680.67/M	ECG-C1CB4R7R
16	6.8	PCS36R8BCT-ND	2.47	2.07	1.79	PCS36R8BTR-ND	826.28/M	ECG-C1CB6R8R

** Betriebsspannung

Serie WA Spezialpolymer-Aluminium-Elektrolytkondensatoren, Oberflächenmontage

Merkmale: • Hervorragende lärmabsorbierende Eigenschaften • Hohe Spannung • Hohe Kapazität (µA) Nach 2 Minuten Anlegung von Nennarbeitsspannung bei 20 °C • **Stoßspannung:** Nennbetriebsspannung x 1,15 (15 bis 35 °C) • Ermüdung: Nach Anlegen der Nennbetriebsspannung für 2000 Stunden bei 105±2 °C und nachfolgender Stabilisierung bei 20 °C muss der Kondensator folgende Limits erfüllen: Kapazitätsänderung (±20 % des ersten gemessenen Wertes) DF und DC-Leckstrom (erster spezifizierter Wert) Tan δ: ≤ 150 % des ersten spezifizierten Wertes. DC-Leckstrom (erster spezifizierter Wert). • **Feuchtigkeitsbeständigkeit:** Nach Lagerung für 1.000 Stunden bei 60 °C, 90 bis 95 % RF: Kapazitätsänderung (±20 % des ersten gemessenen Wertes). Tan δ: ≤ 150 % des ersten spezifizierten Wertes. DC-Leckstrom (≤ erster spezifizierter Wert).

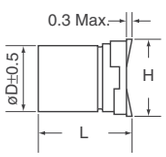

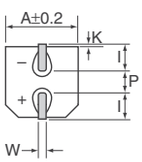

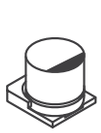

(mm)

* Referenzgröße

Größencode	D	L	A	H	I*	W	P*	K
E70	8.0	6.9 +0.1 -0.2	8.3	10.0 Max.	3.4	0.9±0.2	3.1	0.5±0.2
G	10.0	10.2±0.3	10.3	12.0 Max.	3.5	0.9±0.2	4.6	0.5±0.2

Nenn-WV** V DC	Kap. (µF)	Tan δ Max. 120Hz 20°C	L.C. (µA) Max.	ESR (m Ω) (100kHz, 20°C)	Zulässiger Mischstrom A rms (100kHz/ 20 ~ 105°C)	Gehäuse-Code	Digi-Key Teilenr.	Gurtabschnittspreis pro Stück 1	10	100	Digi-Key Teilenr.	Gegurtet auf Rolle Größe	Preisangaben	Panasonic Teilenr.
6.3	220	0.15	277	32	3.05	E70	PCE2130CT-ND	1.83	1.37	1.19	—	—	—	EEF-WA0J221P
6.3	470	0.12	592	20	5.10	G	PCE2133CT-ND	2.61	1.96	1.70	—	—	—	EEF-WA0J471P
6.3	680	0.12	856	15	5.10	G	PCE2135CT-ND	2.61	1.96	1.70	—	—	—	EEF-WA0J681P
10	120	0.15	240	35	2.80	E70	PCE2136CT-ND	1.83	1.37	1.19	PCE2136TR-ND	1,000	547.75	EEF-WA1A121P
16	220	0.12	704	27	4.10	G	PCE2144CT-ND	2.61	1.96	1.70	PCE2144TR-ND	500	391.13	EEF-WA1C221P

** Betriebsspannung

Allzweck 85 °C **** Im Lager vorrätige Blei (Pb) -freie/RoHS-konforme Teilenummern ****

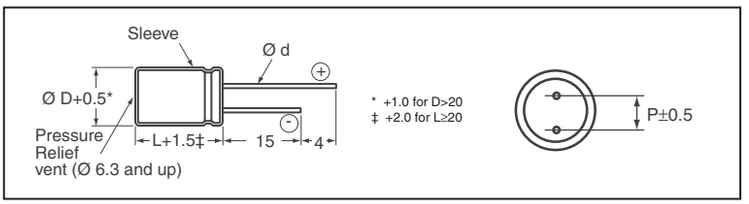

Merkmale: • Radiale Ableitung, Standardversion für Allzweckverwendung • Mini-Version • Haltbarkeit: 2.000 Stunden bei 85 °C

SPEZIFIKATIONEN:

Temperaturbereich	-40°C ~ 85°C (6.3V ~ 400V), -25°C ~ 85°C (450V)
Kapazitätstoleranz	±20 % bei 120 Hz, 20 °C

• Leckstrom:

Nennspannung: 6,3 ~100 V	Nennspannung: 160 V ~ 450 V
Nach 1 Minute angelegter Nennspannung ist der Leckstrom nicht größer als 0,03 CV oder 4 (µA), welcher Wert auch immer größer ist.	Nach 1 Minute angelegter Nennspannung, CV ≤ 1.000: I=0,1 CV+40 µA oder weniger
Nach 2 Minuten angelegter Nennspannung ist der Leckstrom nicht größer als 0,01 CV oder 3 (µA), welcher Wert auch immer größer ist.	Nach 1 Minute angelegter Nennspannung, CV > 1.000: I=0,04 CV+100 µA oder weniger

• Tan δ:
Für eine Kapazität von über 1.000 µF 0,02 pro 1.000 µF Steigerung addieren.
Messfrequenz: 120 Hz, Temperatur: 20 °C.

Nennspannung (V)	6.3	10	16	25	35	50	63	100	160 ~ 315	350 ~ 450
Tan δ (max.)	0.28	0.24	0.20	0.16	0.14	0.12	0.10	0.08	0.20	0.25

• Stabilität bei niedriger Temperatur:

Nennspannung (V)		6.3	10	16	25	35	50	63	100	160-200	250-350	400	450
Impedanzverhältnis max. ZT/Z20	Z-25°C/Z+20°C	5	4	3	2	2	2	2	2	3	4	6	15
	Z-40°C/Z+20°C	12	10	8	5	4	3	3	3	4	8	10	—

• Ermüdung: Nach 2.000 Stunden angelegter Nennspannung bei 85 °C erfüllen die Kondensatoren die auf der rechten Seite aufgeführten Anforderungen.

Kapazitätsveränderung	Innerhalb ±20 % des ersten gemessenen Wertes
Tan δ	200 % oder weniger des ersten spezifizierten Wertes
Leckstrom	Erster spezifizierter Wert oder weniger

• Lagerbeständigkeit: Nachdem die Kondensatoren 1.000 Stunden lang ohne Last bei 85 °C bleiben, erfüllen sie die vorstehend aufgeführten Ermüdungsspezifikationen

• Markierung: Aufdruck aus weißen Buchstaben auf schwarzer Hülse

Nenn-WV* (VDC)	Kap. (µF)	Leckstrom (µA)	Tan δ (max.) @120 Hz/20 °C	Zul. Mischstr. @ 120 Hz/85 °C (mA) rms	Abmessungen (mm) ØD	L	P	ød	Digi-Key Teilenr.	Preisangaben 1	10	100	Blei (Pb) -freies Nichicon Teil, Nr.
6.3	22	3.00	0.28	65	5.0	11.0	2.0	0.5	493-1000-ND	.17	1.05	7.09	UVR0J220MDD
	33	3.00	0.28	80	5.0	11.0	2.0	0.5	493-1001-ND	.17	1.05	7.09	UVR0J330MDD
	47	3.00	0.28	95	5.0	11.0	2.0	0.5	493-1002-ND	.17	1.05	7.09	UVR0J470MDD
	100	6.30	0.28	135	5.0	11.0	2.0	0.5	493-1003-ND	.20	1.29	8.66	UVR0J101MDD
	220	13.86	0.28	200	5.0	11.0	2.0	0.5	493-1004-ND	.20	1.35	9.55	UVR0J221MDD
	330	20.79	0.28	270	6.3	11.0	2.5	0.5	493-1005-ND	.22	1.52	10.71	UVR0J331MED
	470	29.61	0.28	320	6.3	11.0	2.5	0.5	493-1006-ND	.25	1.68	11.88	UVR0J471MED
	1000	63.00	0.28	540	8.0	11.5	3.5	0.6	493-1007-ND	.35	2.55	18.20	UVR0J102MPD
	2200	138.60	0.30	1000	10.0	20.0	5.0	0.6	493-1008-ND	.48	3.59	25.61	UVR0J222MPD
	3300	207.90	0.32	1190	10.0	20.0	5.0	0.6	493-1009-ND	.49	3.63	26.66	UVR0J332MPD
	4700	296.10	0.34	1550	12.5	20.0	5.0	0.6	493-1010-ND	.81	6.04	44.37	UVR0J472MHD
	6800	428.40	0.38	1920	12.5	25.0	5.0	0.6	493-1011-ND	1.06	7.95	59.63	UVR0J682MHD
	10000	630.00	0.46	2350	16.0	25.0	7.5	0.8	493-1012-ND	1.39	10.41	78.10	UVR0J103MHD
	15000	945.00	0.56	2850	16.0	35.5	7.5	0.8	493-1013-ND	1.62	12.14	91.05	UVR0J153MHD
	22000	1386.00	0.70	3350	18.0	40.0	7.5	0.8	493-1014-ND	1.67	12.63	95.33	UVR0J223MHD
	22000	1386.00	0.70	3200	22.0	30.0	10.0	1.0	493-1015-ND	1.67	12.63	95.33	UVR0J223MRD6
	33000	2079.00	0.92	3900	22.0	50.0	10.0	1.0	493-1016-ND	4.22	31.90	240.77	UVR0J333MRD
	33000	2079.00	0.92	3800	25.0	40.0	12.5	1.0	493-1017-ND	4.22	31.90	240.77	UVR0J333MRD6
10	22	3.00	0.24	65	5.0	11.0	2.0	0.5	493-1018-ND	.17	1.05	7.09	UVR1A220MDD
	33	3.30	0.24	85	5.0	11.0	2.0	0.5	493-1019-ND	.17	1.05	7.09	UVR1A330MDD
	47	4.70	0.24	100	5.0	11.0	2.0	0.5	493-1020-ND	.17	1.05	7.09	UVR1A470MDD
	100	10.00	0.24	145	5.0	11.0	2.0	0.5	493-1021-ND	.20	1.29	8.66	UVR1A101MDD
	220	22.00	0.24	240	6.3	11.0	2.5	0.5	493-1022-ND	.22	1.52	10.71	UVR1A221MED
	330	33.00	0.24	290	6.3	11.0	2.5	0.5	493-1023-ND	.25	1.72	12.11	UVR1A331MED
	470	47.00	0.24	350	6.3	11.0	2.5	0.5	493-1024-ND	.33	2.24	15.83	UVR1A471MED
	1000	100.00	0.24	650	10.0	12.5	5.0	0.6	493-1025-ND	.38	2.82	20.11	UVR1A102MPD
	2200	220.00	0.26	1100	10.0	20.0	5.0	0.6	493-1026-ND	.49	3.63	26.66	UVR1A222MPD
	3300	330.00	0.28	1450	12.5	20.0	5.0	0.6	493-1027-ND	.75	5.58	40.98	UVR1A332MHD
	4700	470.00	0.30	1800	12.5	25.0	5.0	0.6	493-1028-ND	.93	6.96	52.19	UVR1A472MHD
	6800	680.00	0.34	2250	16.0	25.0	7.5	0.8	493-1029-ND	1.40	10.49	78.67	UVR1A682MHD
	10000	1000.00	0.42	2700	16.0	35.5	7.5	0.8	493-1030-ND	1.62	12.14	91.05	UVR1A103MHD
	15000	1500.00	0.52	3100	18.0	35.5	7.5	0.8	493-1031-ND	1.68	12.62	94.68	UVR1A153MHD
	22000	2200.00	0.66	3700	20.0	40.0	10.0	1.0	493-1032-ND	2.29	17.34	130.88	UVR1A223MRD
	22000	2200.00	0.66	3300	25.0	30.0	12.5	1.0	493-1033-ND	2.29	17.34	130.88	UVR1A223MRD6
	33000	3300.00	0.88	4500	22.0	50.0	10.0	1.0	493-1034-ND	4.60	34.78	262.45	UVR1A333MRD
	33000	3300.00	0.88	4800	25.0	40.0	12.5	1.0	493-1035-ND	4.60	34.78	262.45	UVR1A333MRD6
16	10	3.00	0.20	50	5.0	11.0	2.0	0.5	493-1036-ND	.17	1.05	7.09	UVR1C100MDD
	22	3.52	0.20	75	5.0	11.0	2.0	0.5	493-1037-ND	.17	1.05	7.09	UVR1C220MDD
	33	5.28	0.20	90	5.0	11.0	2.0	0.5	493-1038-ND	.17	1.05	7.09	UVR1C330MDD
	47	7.52	0.20	110	5.0	11.0	2.0	0.5	493-1039-ND	.20	1.29	8.66	UVR1C470MDD
	100	16.00	0.20	160	5.0	11.0	2.0	0.5	493-1040-ND	.20	1.35	9.55	UVR1C101MDD
	220	35.20	0.20	260	6.3	11.0	2.5	0.5	493-1041-ND	.25	1.72	12.11	UVR1C221MED
	330	52.80	0.20	370	8.0	11.5	3.5	0.6	493-1042-ND	.33	2.24	15.83	UVR1C331MPD
	470	75.20	0.20	440	8.0	11.5	3.5	0.6	493-1043-ND	.30	2.23	15.87	UVR1C471MPD
	1000	160.00	0.20	790	10.0	16.0	5.0	0.6	493-1044-ND	.48	3.56	25.40	UVR1C102MPD
	2200	352.00	0.22	1300	12.5	20.0	5.0	0.6	493-1045-ND	.66	4.93	36.21	UVR1C222MHD
	3300	528.00	0.24	1700	12.5	25.0	5.0	0.6	493-1046-ND	1.02	7.59	56.96	UVR1C332MHD
	4700	752.00	0.26	2100	16.0	25.0	7.5	0.8	493-1047-ND	1.35	10.18	76.39	UVR1C472MHD
	6800	1088.00	0.30	2650	16.0	35.5	7.5	0.8	493-1048-ND	1.62	12.14	91.05	UVR1C682MHD
	10000	1600.00	0.38	2950	18.0	35.5	7.5	0.8	493-1049-ND	1.68	12.62	94.68	UVR1C103MHD
	10000	1600.00	0.38	3000	20.0	31.0	10.0	1.0	493-1050-ND	1.68	12.62	94.68	UVR1C103MRD6
	15000	2400.00	0.46	3400	20.0	40.0	10.0	1.0	493-1051-ND	2.36	17.88	134.95	UVR1C153MRD
	15000	2400.00	0.46	3300	25.0	30.0	12.5	1.0	493-1052-ND	2.36	17.88	134.95	UVR1C153MRD6
	22000	3520.00	0.58	4200	22.0	50.0	10.0	1.0	493-1053-ND	4.68	35.45	267.53	UVR1C223MRD
	22000	3520.00	0.58	4000	25.0	40.0	12.5	1.0	493-1054-ND	4.68	35.45	267.53	UVR1C223MRD6
	33000	5280.00	0.78	4800	25.0	50.0	12.5	1.0	493-1055-ND	5.22	39.55	298.51	UVR1C333MRD
25	4.7	3.00	0.16	35	5.0	11.0	2.0	0.5	493-1056-ND	.17	1.05	7.09	UVR1E4R7MDD
	10	3.00	0.16	55	5.0	11.0	2.0	0.5	493-1057-ND	.17	1.05	7.09	UVR1E100MDD
	22	5.50	0.16	80	5.0	11.0	2.0	0.5	493-1058-ND	.20	1.29	8.66	UVR1E220MDD
	33	8.25	0.16	95	5.0	11.0	2.0	0.5	493-1059-ND	.20	1.29	8.66	UVR1E330MDD
	47	11.75	0.16	115	5.0	11.0	2.0	0.5	493-1060-ND	.19	1.32	9.31	UVR1E470MDD
	100	25.00	0.16	190	6.3	11.0	2.5	0.5	493-1061-ND	.23	1.55	10.95	UVR1E101MED
	220	55.00	0.16	330	8.0	11.5	3.5	0.6	493-1062-ND	.33	2.24	15.83	UVR1E221MPD
	330	82.50	0.16	440	10.0	12.5	5.0	0.6	493-1063-ND	.35	2.58	18.41	UVR1E331MPD
	470	117.50	0.16	550	10.0	12.5	5.0	0.6	493-1064-ND	.35	2.55	18.20	UVR1E471MPD
	1000	250.00	0.16	960	10.0	20.0	5.0	0.6	493-1065-ND	.49	3.63	26.66	UVR1E102MPD

* Betriebsspannung

(Forts.)

Alle Preisangaben in Euro und inklusive Zollgebühren.

Nenn-WV* (VDC)	Kap. (µF)	Leckstrom (µA)	Tan δ (max.) @ 120 Hz/20 °C	Zul. Mischstr. @ 120 Hz/85 °C (mA) rms	Abmessungen (mm) ØD	L	P	ød	Digi-Key Teilenr.	Preisangaben 1	10	100	Blei (Pb) -freies Nichicon Teil, Nr.
25	2200	550.00	0.18	1550	12.5	25.0	5.0	0.6	493-1066-ND	1.02	7.59	56.96	UVR1E222MHD
	3300	825.00	0.20	1980	16.0	25.0	7.5	0.8	493-1067-ND	1.35	10.18	76.39	UVR1E332MHD
	4700	1175.00	0.22	2450	16.0	31.5	7.5	0.8	493-1068-ND	1.62	12.14	91.05	UVR1E472MHD
	6800	1700.00	0.26	2900	18.0	35.5	7.5	0.8	493-1069-ND	1.70	12.88	97.19	UVR1E682MHD
	6800	1700.00	0.26	2700	20.0	31.0	10.0	1.0	493-1070-ND	1.70	12.88	97.19	UVR1E682MRD6
	10000	2500.00	0.34	3000	20.0	40.0	10.0	1.0	493-1071-ND	2.49	18.82	142.06	UVR1E103MRD
	10000	2500.00	0.34	2900	25.0	30.0	12.5	1.0	493-1072-ND	2.49	18.82	142.06	UVR1E103MRD6
	15000	3750.00	0.42	3800	22.0	50.0	10.0	1.0	493-1073-ND	4.68	35.45	267.53	UVR1E153MRD
	15000	3750.00	0.42	3600	25.0	40.0	12.5	1.0	493-1074-ND	4.68	35.45	267.53	UVR1E153MRD6
	22000	5500.00	0.54	4500	25.0	50.0	12.5	1.0	493-1075-ND	5.22	39.55	298.51	UVR1E223MRD
35	4.7	3.00	0.14	40	5.0	11.0	2.0	0.5	493-1076-ND	.17	1.05	7.09	UVR1V4R7MDD
	10	3.50	0.14	60	5.0	11.0	2.0	0.5	493-1077-ND	.17	1.05	7.09	UVR1V100MDD
	22	7.70	0.14	90	5.0	11.0	2.0	0.5	493-1078-ND	.20	1.29	8.66	UVR1V220MDD
	33	11.55	0.14	105	5.0	11.0	2.0	0.5	493-1079-ND	.19	1.32	9.31	UVR1V330MDD
	47	16.45	0.14	130	5.0	11.0	2.0	0.5	493-1080-ND	.20	1.35	9.55	UVR1V470MDD
	100	35.00	0.14	210	6.3	11.0	2.5	0.5	493-1081-ND	.25	1.72	12.11	UVR1V101MED
	220	77.00	0.14	385	10.0	12.5	5.0	0.6	493-1082-ND	.35	2.58	18.41	UVR1V221MPD
	330	115.50	0.14	490	10.0	12.5	5.0	0.6	493-1083-ND	.40	2.94	20.95	UVR1V331MPD
	470	164.50	0.14	650	10.0	16.0	5.0	0.6	493-1084-ND	.48	3.59	25.61	UVR1V471MPD
	1000	350.00	0.14	1150	12.5	20.0	5.0	0.6	493-1085-ND	.78	5.82	42.78	UVR1V102MHD
	2200	770.00	0.16	1800	16.0	25.0	7.5	0.8	493-1086-ND	1.22	9.12	68.39	UVR1V222MHD
	3300	1155.00	0.18	2280	16.0	35.5	7.5	0.8	493-1087-ND	1.62	12.14	91.05	UVR1V332MHD
	4700	1645.00	0.20	2700	18.0	35.5	7.5	0.8	493-1088-ND	1.58	11.98	90.42	UVR1V472MHD
	4700	1645.00	0.20	2700	20.0	31.0	10.0	1.0	493-1089-ND	1.58	11.98	90.42	UVR1V472MRD6
	6800	2380.00	0.24	3000	20.0	40.0	10.0	1.0	493-1090-ND	2.36	17.88	134.95	UVR1V682MRD
	6800	2380.00	0.24	2900	25.0	30.0	12.5	1.0	493-1091-ND	2.36	17.88	134.95	UVR1V682MRD6
	10000	3500.00	0.32	3700	22.0	50.0	10.0	1.0	493-1092-ND	3.77	28.50	215.04	UVR1V103MRD
	10000	3500.00	0.32	3600	25.0	40.0	12.5	1.0	493-1093-ND	3.77	28.50	215.04	UVR1V103MRD6
	15000	5250.00	0.40	4300	25.0	50.0	12.5	1.0	493-1094-ND	5.22	39.55	298.51	UVR1V153MRD
50	0.1	3.00	0.12	1.3	5.0	11.0	2.0	0.5	493-1095-ND	.17	1.05	7.09	UVR1H0R1MDD
	0.22	3.00	0.12	2.9	5.0	11.0	2.0	0.5	493-1096-ND	.17	1.05	7.09	UVR1HR22MDD
	0.33	3.00	0.12	4.3	5.0	11.0	2.0	0.5	493-1097-ND	.17	1.05	7.09	UVR1HR33MDD
	0.47	3.00	0.12	6.2	5.0	11.0	2.0	0.5	493-1098-ND	.17	1.05	7.09	UVR1HR47MDD
	1	3.00	0.12	17	5.0	11.0	2.0	0.5	493-1099-ND	.17	1.05	7.09	UVR1H010MDD
	2.2	3.00	0.12	28	5.0	11.0	2.0	0.5	493-1100-ND	.17	1.05	7.09	UVR1H2R2MDD
	3.3	3.00	0.12	35	5.0	11.0	2.0	0.5	493-1101-ND	.17	1.05	7.09	UVR1H3R3MDD
	4.7	3.00	0.12	40	5.0	11.0	2.0	0.5	493-1102-ND	.17	1.05	7.09	UVR1H4R7MDD
	10	5.00	0.12	60	5.0	11.0	2.0	0.5	493-1103-ND	.20	1.29	8.66	UVR1H100MDD
	22	11.00	0.12	95	5.0	11.0	2.0	0.5	493-1104-ND	.19	1.32	9.31	UVR1H220MDD
	33	16.50	0.12	125	5.0	11.0	2.0	0.5	493-1105-ND	.21	1.42	10.02	UVR1H330MDD
	47	23.50	0.12	155	6.3	11.0	2.5	0.5	493-1106-ND	.23	1.55	10.95	UVR1H470MED
	100	50.00	0.12	260	8.0	11.5	3.5	0.6	493-1107-ND	.30	2.17	15.45	UVR1H101MPD
	220	110.00	0.12	430	10.0	12.5	5.0	0.6	493-1108-ND	.43	3.17	22.65	UVR1H221MPD
	330	165.00	0.12	590	10.0	16.0	5.0	0.6	493-1109-ND	.47	3.55	26.07	UVR1H331MPD
	470	235.00	0.12	760	12.5	20.0	5.0	0.6	493-1110-ND	.57	4.22	31.04	UVR1H471MHD
	1000	500.00	0.12	1350	12.5	25.0	5.0	0.6	493-1111-ND	.91	6.72	49.34	UVR1H102MHD
	2200	1100.00	0.14	2100	16.0	35.5	7.5	0.8	493-1112-ND	1.62	12.14	91.05	UVR1H222MHD
	3300	1650.00	0.16	2500	18.0	35.5	7.5	0.8	493-1113-ND	1.70	12.88	97.19	UVR1H332MHD
	3300	1650.00	0.16	2450	22.0	30.0	10.0	1.0	493-1114-ND	1.70	12.88	97.19	UVR1H332MRD6
	4700	2350.00	0.18	2900	20.0	40.0	10.0	1.0	493-1115-ND	2.95	22.39	168.98	UVR1H472MRD
	4700	2350.00	0.18	2900	25.0	30.0	12.5	1.0	493-1116-ND	2.95	22.39	168.98	UVR1H472MRD6
	6800	3400.00	0.22	3500	22.0	50.0	10.0	1.0	493-1117-ND	3.77	28.50	215.04	UVR1H682MRD
	6800	3400.00	0.22	3300	25.0	40.0	12.5	1.0	493-1118-ND	3.77	28.50	215.04	UVR1H682MRD6
	10000	5000.00	0.30	4000	25.0	50.0	12.5	1.0	493-1119-ND	5.22	39.55	298.51	UVR1H103MRD
63	10	6.30	0.10	65	5.0	11.0	2.0	0.5	493-1120-ND	.20	1.29	8.66	UVR1J100MDD
	22	13.86	0.10	100	5.0	11.0	2.0	0.5	493-1121-ND	.21	1.42	10.02	UVR1J220MDD
	33	20.79	0.10	140	6.3	11.0	2.5	0.5	493-1122-ND	.23	1.55	10.95	UVR1J330MED
	47	29.61	0.10	170	6.3	11.0	2.5	0.5	493-1123-ND	.25	1.72	12.11	UVR1J470MED
	100	63.00	0.10	300	10.0	12.5	5.0	0.6	493-1124-ND	.36	2.67	19.05	UVR1J101MPD
	220	138.60	0.10	490	10.0	16.0	5.0	0.6	493-1125-ND	.47	3.55	26.07	UVR1J221MPD
	330	207.90	0.10	710	10.0	20.0	5.0	0.6	493-1126-ND	.54	4.04	29.65	UVR1J331MPD
	470	296.10	0.10	900	12.5	20.0	5.0	0.6	493-1127-ND	.75	5.58	40.98	UVR1J471MHD
	1000	630.00	0.10	1300	16.0	25.0	7.5	0.8	493-1129-ND	1.19	8.94	67.05	UVR1J102MHD
	2200	1386.00	0.12	2300	18.0	35.5	7.5	0.8	493-1130-ND	1.59	12.05	90.92	UVR1J222MHD
	3300	2079.00	0.14	2700	20.0	40.0	10.0	1.0	493-1131-ND	2.92	22.12	166.95	UVR1J332MRD
	3300	2079.00	0.14	2600	25.0	30.0	12.5	1.0	493-1132-ND	2.92	22.12	166.95	UVR1J332MRD6
	4700	2961.00	0.16	3400	22.0	50.0	10.0	1.0	493-1133-ND	3.73	28.23	213.00	UVR1J472MRD
	4700	2961.00	0.16	3200	25.0	40.0	12.5	1.0	493-1134-ND	3.73	28.23	213.00	UVR1J472MRD6
	6800	4284.00	0.20	3900	25.0	50.0	12.5	1.0	493-1135-ND	5.04	38.16	288.01	UVR1J682MRD
100	0.1	3.00	0.08	2.1	5.0	11.0	2.0	0.5	493-1136-ND	.17	1.05	7.09	UVR2A0R1MDD
	0.22	3.00	0.08	4.7	5.0	11.0	2.0	0.5	493-1137-ND	.17	1.05	7.09	UVR2AR22MDD
	0.33	3.00	0.08	7	5.0	11.0	2.0	0.5	493-1138-ND	.17	1.05	7.09	UVR2AR33MDD
	0.47	3.00	0.08	10	5.0	11.0	2.0	0.5	493-1139-ND	.17	1.05	7.09	UVR2AR47MDD
	1	3.00	0.08	21	5.0	11.0	2.0	0.5	493-1140-ND	.17	1.05	7.09	UVR2A010MDD
	2.2	3.00	0.08	30	5.0	11.0	2.0	0.5	493-1141-ND	.17	1.05	7.09	UVR2A2R2MDD
	3.3	3.30	0.08	40	5.0	11.0	2.0	0.5	493-1142-ND	.20	1.29	8.66	UVR2A3R3MDD
	4.7	4.70	0.08	45	5.0	11.0	2.0	0.5	493-1143-ND	.20	1.29	8.66	UVR2A4R7MDD
	10	10.00	0.08	75	6.3	11.0	2.5	0.5	493-1144-ND	.21	1.42	10.02	UVR2A100MED
	22	22.00	0.08	130	6.3	11.0	2.5	0.5	493-1145-ND	.25	1.72	12.11	UVR2A220MED
	33	33.00	0.08	180	8.0	11.5	3.5	0.6	493-1146-ND	.33	2.24	15.83	UVR2A330MPD
	47	47.00	0.08	230	10.0	12.5	5.0	0.6	493-1147-ND	.31	2.29	16.30	UVR2A470MPD
	100	100.00	0.08	370	10.0	20.0	5.0	0.6	493-1148-ND	.50	3.67	26.24	UVR2A101MPD
	220	220.00	0.08	620	12.5	25.0	5.0	0.6	493-1149-ND	.81	6.04	44.37	UVR2A221MHD
	330	330.00	0.08	760	12.5	25.0	5.0	0.6	493-1150-ND	.91	6.72	49.34	UVR2A331MHD
	470	470.00	0.08	1000	16.0	25.0	7.5	0.8	493-1151-ND	1.19	8.94	67.05	UVR2A471MHD
	1000	1000.00	0.08	1380	18.0	40.0	7.5	0.8	493-1152-ND	1.62	12.14	91.05	UVR2A102MHD
	2200	2200.00	0.10	2400	22.0	50.0	10.0	1.0	493-1153-ND	3.92	29.68	224.01	UVR2A222MRD
	2200	2200.00	0.10	2400	25.0	40.0	12.5	1.0	493-1154-ND	3.92	29.68	224.01	UVR2A222MRD6
	3300	3300.00	0.12	2900	25.0	50.0	12.5	1.0	493-1155-ND	4.09	30.93	233.49	UVR2A332MRD

* Betriebsspannung

(Forts.)

E

Nenn-WV* (VDC)	Kap. (µF)	Leckstrom (µA)	Tan δ (max.) @ 120 Hz/20 °C	Zul. Mischstr. @ 120 Hz/85 °C (mA) rms	Abmessungen (mm) ØD	L	P	ød	Digi-Key Teilenr.	Preisangaben 1	10	100	Blei (Pb) -freies Nichicon Teil, Nr.
	0.47	47.52	0.20	15	6.3	11.0	2.5	0.5	493-1156-ND	.21	1.36	9.19	UVR2CR47MED
	1	56	0.20	22	6.3	11.0	2.5	0.5	493-1157-ND	.21	1.36	9.19	UVR2C010MED
	2.2	75.2	0.20	33	6.3	11.0	2.5	0.5	493-1158-ND	.21	1.46	10.24	UVR2C2R2MED
	3.3	92.8	0.20	40	6.3	11.0	2.5	0.5	493-1159-ND	.27	1.85	13.04	UVR2C3R3MED
	4.7	115.2	0.20	50	6.3	11.0	2.5	0.5	493-1160-ND	.20	1.39	9.78	UVR2C4R7MED
	10	200	0.20	80	8.0	11.5	3.5	0.6	493-1161-ND	.28	1.91	13.50	UVR2C100MPD
	22	392	0.20	155	10.0	16.0	5.0	0.6	493-1162-ND	.32	2.40	17.14	UVR2C220MPD
160	33	568	0.20	205	10.0	20.0	5.0	0.6	493-1163-ND	.50	3.67	26.24	UVR2C330MPD
	47	792	0.20	270	12.5	20.0	5.0	0.6	493-1164-ND	.56	4.17	30.64	UVR2C470MHD
	100	1640	0.20	430	12.5	25.0	5.0	0.6	493-1165-ND	.87	6.50	47.75	UVR2C101MHD
	220	3560	0.20	800	16.0	35.5	7.5	0.8	493-1166-ND	1.39	10.44	78.29	UVR2C221MHD
	330	5320	0.20	940	18.0	40.0	7.5	0.8	493-1167-ND	1.56	11.83	89.23	UVR2C331MHD
	330	5320	0.20	900	22.0	30.0	10.0	1.0	493-1168-ND	1.56	11.83	89.23	UVR2C331MRD6
	470	7560	0.20	1410	22.0	40.0	10.0	1.0	493-1169-ND	2.68	20.33	153.40	UVR2C471MRD
	470	7560	0.20	1290	25.0	30.0	12.5	1.0	493-1170-ND	2.68	20.33	153.40	UVR2C471MRD6
	1000	16040	0.20	1900	25.0	50.0	12.5	1.0	493-1171-ND	3.46	26.23	197.94	UVR2C102MRD
	0.47	49.4	0.20	15	6.3	11.0	2.5	0.5	493-1172-ND	.20	1.35	9.55	UVR2DR47MED
	1	60	0.20	22	6.3	11.0	2.5	0.5	493-1173-ND	.20	1.35	9.55	UVR2D010MED
	2.2	84	0.20	33	6.3	11.0	2.5	0.5	493-1174-ND	.23	1.55	10.95	UVR2D2R2MED
	3.3	106	0.20	40	6.3	11.0	2.5	0.5	493-1175-ND	.27	1.85	13.04	UVR2D3R3MED
	4.7	134	0.20	55	8.0	11.5	3.5	0.6	493-1176-ND	.28	2.07	14.82	UVR2D4R7MPD
	10	240	0.20	95	10.0	12.5	5.0	0.6	493-1177-ND	.36	2.61	18.63	UVR2D100MPD
	22	480	0.20	170	10.0	20.0	5.0	0.6	493-1178-ND	.52	3.79	27.09	UVR2D220MPD
200	33	700	0.20	230	12.5	20.0	5.0	0.6	493-1179-ND	.56	4.17	30.64	UVR2D330MHD
	47	980	0.20	270	12.5	20.0	5.0	0.6	493-1180-ND	.56	4.17	30.64	UVR2D470MHD
	100	2040	0.20	530	16.0	31.5	7.5	0.8	493-1181-ND	1.35	10.16	76.19	UVR2D101MHD
	220	4440	0.20	810	18.0	35.5	7.5	0.8	493-1182-ND	1.66	12.42	93.15	UVR2D221MHD
	330	6640	0.20	1130	20.0	40.0	10.0	1.0	493-1183-ND	2.83	21.40	161.53	UVR2D331MRD
	330	6640	0.20	1090	25.0	30.0	12.5	1.0	493-1184-ND	2.83	21.40	161.53	UVR2D331MRD6
	470	9440	0.20	1490	22.0	50.0	10.0	1.0	493-1185-ND	3.46	26.20	197.77	UVR2D471MRD
	470	9440	0.20	1550	25.0	40.0	12.5	1.0	493-1186-ND	3.46	26.20	197.77	UVR2D471MRD6
	0.47	51.75	0.20	15	6.3	11.0	2.5	0.5	493-1187-ND	.20	1.39	9.78	UVR2ER47MED
	1	65	0.20	22	6.3	11.0	2.5	0.5	493-1188-ND	.20	1.39	9.78	UVR2E010MED
	2.2	95	0.20	33	6.3	11.0	2.5	0.5	493-1189-ND	.24	1.52	10.24	UVR2E2R2MED
	3.3	122.5	0.20	46	8.0	11.5	3.5	0.6	493-1190-ND	.27	1.85	13.04	UVR2E3R3MPD
	4.7	157.5	0.20	55	8.0	11.5	3.5	0.6	493-1191-ND	.29	2.11	15.03	UVR2E4R7MPD
	10	290	0.20	105	10.0	16.0	5.0	0.6	493-1192-ND	.34	2.49	17.78	UVR2E100MPD
	22	590	0.20	190	12.5	20.0	5.0	0.6	493-1193-ND	.52	3.83	27.30	UVR2E220MHD
250	33	865	0.20	230	12.5	20.0	5.0	0.6	493-1194-ND	.56	4.17	30.64	UVR2E330MHD
	47	1215	0.20	300	12.5	25.0	5.0	0.6	493-1195-ND	.87	6.50	47.75	UVR2E470MHD
	100	2540	0.20	520	16.0	31.5	7.5	0.8	493-1196-ND	1.52	11.43	85.72	UVR2E101MHD
	220	5540	0.20	740	20.0	40.0	10.0	1.0	493-1197-ND	3.14	23.78	179.48	UVR2E221MRD
	220	5540	0.20	820	22.0	30.0	10.0	1.0	493-1198-ND	3.14	23.78	179.48	UVR2E221MRD6
	330	8290	0.20	1170	22.0	50.0	10.0	1.0	493-1199-ND	3.36	25.44	192.01	UVR2E331MRD
	330	8290	0.20	970	25.0	30.0	12.5	1.0	493-1200-ND	3.36	25.44	192.01	UVR2E331MRD6
	470	11790	0.20	1600	25.0	50.0	12.5	1.0	493-1201-ND	4.28	32.40	244.50	UVR2E471MRD
	1	71.5	0.20	22	6.3	11.0	2.5	0.5	493-1202-ND	.22	1.52	10.71	UVR2F010MED
	2.2	109.3	0.20	33	8.0	11.5	3.5	0.6	493-1203-ND	.30	2.05	14.43	UVR2F2R2MPD
	3.3	143.95	0.20	55	10.0	12.5	5.0	0.6	493-1204-ND	.33	2.43	17.36	UVR2F3R3MPD
	4.7	188.05	0.20	65	10.0	12.5	5.0	0.6	493-1205-ND	.37	2.73	19.47	UVR2F4R7MPD
	10	355	0.20	115	10.0	20.0	5.0	0.6	493-1206-ND	.48	3.56	25.40	UVR2F100MPD
	22	733	0.20	190	12.5	20.0	5.0	0.6	493-1207-ND	.56	4.17	30.64	UVR2F220MPD
315	33	1079.5	0.20	275	16.0	25.0	7.5	0.8	493-1208-ND	.94	7.06	52.95	UVR2F330MHD
	47	1520.5	0.20	340	16.0	25.0	7.5	0.8	493-1209-ND	1.20	8.99	67.43	UVR2F470MHD
	100	3190	0.20	560	18.0	35.5	7.5	0.8	493-1210-ND	1.53	11.48	86.10	UVR2F101MHD
	220	6970	0.20	850	22.0	50.0	10.0	1.0	493-1211-ND	4.25	32.17	242.80	UVR2F221MRD
	220	6970	0.20	770	25.0	30.0	12.5	1.0	493-1212-ND	4.25	32.17	242.80	UVR2F221MRD6
	330	10435	0.20	1250	25.0	50.0	12.5	1.0	493-1213-ND	4.85	36.73	277.18	UVR2F331MRD
	1	75	0.25	22	6.3	11.0	2.5	0.5	493-1214-ND	.23	1.55	10.95	UVR2V010MED
	2.2	117	0.25	38	8.0	11.5	3.5	0.6	493-1215-ND	.30	1.98	13.97	UVR2V2R2MPD
	3.3	155.5	0.25	55	10.0	12.5	5.0	0.6	493-1216-ND	.34	2.49	17.78	UVR2V3R3MPD
	4.7	204.5	0.25	65	10.0	12.5	5.0	0.6	493-1217-ND	.34	2.49	17.78	UVR2V4R7MPD
	10	390	0.25	115	10.0	20.0	5.0	0.6	493-1218-ND	.48	3.59	25.61	UVR2V100MPD
	22	810	0.25	200	12.5	25.0	5.0	0.6	493-1219-ND	.54	4.04	29.65	UVR2V220MHD
350	33	1195	0.25	275	16.0	25.0	7.5	0.8	493-1220-ND	.91	6.83	51.24	UVR2V330MHD
	47	1685	0.25	380	16.0	35.5	7.5	0.8	493-1221-ND	1.48	11.12	83.43	UVR2V470MHD
	100	3540	0.25	590	18.0	40.0	7.5	0.8	493-1222-ND	1.52	11.45	86.35	UVR2V101MHD
	100	3540	0.25	570	22.0	30.0	10.0	1.0	493-1223-ND	1.52	11.45	86.35	UVR2V101MRD6
	220	7740	0.25	850	22.0	50.0	10.0	1.0	493-1224-ND	4.85	36.73	277.18	UVR2V221MRD
	220	7740	0.25	890	25.0	40.0	12.5	1.0	493-1225-ND	4.85	36.73	277.18	UVR2V221MRD6
	1	80	0.25	25	8.0	11.5	3.5	0.6	493-1226-ND	.26	1.79	12.57	UVR2G010MPD
	2.2	128	0.25	45	10.0	12.5	5.0	0.6	493-1227-ND	.32	2.35	16.72	UVR2G2R2MPD
	3.3	172	0.25	55	10.0	12.5	5.0	0.6	493-1228-ND	.34	2.49	17.78	UVR2G3R3MPD
	4.7	228	0.25	70	10.0	16.0	5.0	0.6	493-1229-ND	.40	2.90	20.74	UVR2G4R7MPD
	10	440	0.25	130	12.5	20.0	5.0	0.6	493-1230-ND	.49	3.68	27.06	UVR2G100MHD
400	22	920	0.25	240	16.0	25.0	7.5	0.8	493-1231-ND	.91	6.83	51.24	UVR2G220MHD
	33	1360	0.25	300	16.0	31.5	7.5	0.8	493-1232-ND	1.22	9.14	68.57	UVR2G330MHD
	47	1920	0.25	370	16.0	35.5	7.5	0.8	493-1233-ND	1.61	12.06	90.48	UVR2G470MHD
	100	4040	0.25	550	20.0	40.0	10.0	1.0	493-1234-ND	3.19	24.16	182.36	UVR2G101MRD
	100	4040	0.25	530	25.0	30.0	12.5	1.0	493-1235-ND	3.19	24.16	182.36	UVR2G101MRD6
	220	8840	0.25	750	25.0	50.0	12.5	1.0	493-1236-ND	5.28	40.03	302.07	UVR2G221MRD
	1	85	0.25	23	8.0	11.5	3.5	0.6	493-1237-ND	.26	1.79	12.57	UVR2W010MPD
	2.2	139	0.25	35	10.0	12.5	5.0	0.6	493-1238-ND	.34	2.49	17.78	UVR2W2R2MPD
	3.3	188.5	0.25	45	10.0	16.0	5.0	0.6	493-1239-ND	.34	2.49	17.78	UVR2W3R3MPD
	4.7	251.5	0.25	55	10.0	20.0	5.0	0.6	493-1240-ND	.48	3.59	25.61	UVR2W4R7MPD
450	10	490	0.25	90	12.5	20.0	5.0	0.6	493-1241-ND	.54	4.04	29.65	UVR2W100MHD
	22	1030	0.25	165	16.0	25.0	7.5	0.8	493-1242-ND	.91	6.83	51.24	UVR2W220MHD
	33	1525	0.25	230	16.0	35.5	7.5	0.8	493-1243-ND	1.61	12.06	90.48	UVR2W330MHD
	47	2155	0.25	300	18.0	40.0	7.5	0.8	493-1244-ND	1.71	12.92	97.53	UVR2W470MHD
	47	2155	0.25	290	22.0	30.0	10.0	1.0	493-1245-ND	1.71	12.92	97.53	UVR2W470MRD6
	100	4540	0.25	350	22.0	40.0	10.0	1.0	493-1246-ND	3.81	28.88	217.91	UVR2W101MRD

* Betriebsspannung

Alle Preisangaben in Euro und inklusive Zollgebühren.

nichicon Serie VZ Aluminium-Elektrolytkondensatoren (radiale Ableitung)

Allzweck 105 °C **** Im Lager vorrätige Blei (Pb) -freie/RoHS-konforme Teilenummern ****

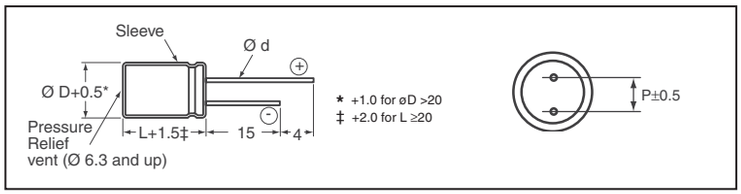

Merkmale: • Radiale Ableitung, Standardversion für Allzweckverwendung • Kleine Gehäusegröße • Breiter Temperaturbereich • Haltbarkeit: 1.000 Stunden bei 105 °C

SPEZIFIKATIONEN:

Temperaturbereich	-55 ~ 105°C (6.3 ~ 100V), -40 ~ 105°C (160 ~ 400V), -25 ~ 105°C (450V)
Kapazitätstoleranz	±20 % bei 120 Hz, 20 °C

• Leckstrom:

Nennspannung: 6,3 ~100	**Nennbetriebsspannungsbereich 160 ~ 450**
Nach 1 Minute angelegter Nennspannung ist der Leckstrom nicht größer als 0,03 CV oder 4 (µA), welcher Wert auch immer größer ist.	Nach 1 Minute angelegter Nennspannung, CV ≤ 1.000: I=0,1 CV+40 (µA) oder weniger.
Nach 2 Minuten angelegter Nennspannung ist der Leckstrom nicht größer als 0,01 CV oder 3 (µA), welcher Wert auch immer größer ist.	Nach 1 Minute angelegter Nennspannung, CV > 1.000: I=0,04 CV+100 (µA) oder weniger.

• Tan δ:
Für eine Kapazität von über 1.000 µF 0,02 pro 1.000 µF Steigerung addieren. Messfrequenz: 120 Hz, Temperatur: 20 °C.

Nennsp. (V)	6.3	10	16	25	35	50	63	100	160 ~ 315	350 ~ 450
Tan δ (max.)	0.28	0.24	0.20	0.16	0.14	0.12	0.10	0.08	0.20	0.25

• Stabilität bei niedriger Temperatur: Messfrequenz: 120 Hz

Nennspannung (V)		6.3	10	16	25	35	50	63	100	160 - 200	250 - 350	400	450
Impedanzverhältnis	Z-25°C/Z+20°C	5	4	3	2	2	2	2	2	3	4	6	15
ZT / Z20 (max.)	Z-40°C/Z+20°C	10	8	6	4	3	3	3	3	4	8	10	—

• Ermüdung:
Nach 1000 Stunden angelegter Nennspannung bei 105 °C erfüllen die Kondensatoren die auf der rechten Seite aufgeführten Anforderungen.

Kapazitätsveränderung	Innerhalb ±20 % des ersten gemessenen Wertes
Tan δ	200 % oder weniger des ersten spezifizierten Wertes
Leckstrom	Erster spezifizierter Wert oder weniger

• Lagerbeständigkeit: Nachdem die Kondensatoren 1000 Stunden lang ohne Last bei 105 °C bleiben, erfüllen sie die vorstehend aufgeführten Ermüdungsspezifikationen.

• Markierung: Aufdruck aus weißen Buchstaben auf schwarzer Hülse.

Nenn-spannung (V DC)	Kap. (µF)	Leckstrom (µA)	Tan δ (max.) @ 120 Hz/20 °C	Zul. Mischstr. @ 120 Hz/105 °C (mA) rms	Abmessungen (mm) ØD	L	P	ød	Digi-Key Teilenr.	Preisangaben 1	10	100	Blei (Pb) -freies Nichicon Teil, Nr.
6.3	22	3.00	0.28	45	5.0	11.0	2.0	0.5	493-1247-ND	.22	1.41	9.45	UVZ0J220MDD
	33	3.00	0.28	55	5.0	11.0	2.0	0.5	493-1248-ND	.22	1.41	9.45	UVZ0J330MDD
	47	3.00	0.28	65	5.0	11.0	2.0	0.5	493-1249-ND	.22	1.41	9.45	UVZ0J470MDD
	100	6.30	0.28	95	5.0	11.0	2.0	0.5	493-1250-ND	.21	1.46	10.24	UVZ0J101MDD
	220	13.86	0.28	145	5.0	11.0	2.0	0.5	493-1251-ND	.25	1.75	12.34	UVZ0J221MDD
	330	20.79	0.28	195	6.3	11.0	2.5	0.5	493-1252-ND	.30	1.98	13.97	UVZ0J331MED
	470	29.61	0.28	230	6.3	11.0	2.5	0.5	493-1253-ND	.30	2.08	14.67	UVZ0J471MED
	1000	63.00	0.28	390	8.0	11.5	3.5	0.6	493-1254-ND	.21	1.46	10.24	UVZ0J102MPD
	2200	138.60	0.30	710	10.0	20.0	5.0	0.6	493-1255-ND	.55	4.06	29.84	UVZ0J222MPD
	3300	207.90	0.32	840	10.0	20.0	5.0	0.6	493-1256-ND	.61	4.55	33.42	UVZ0J332MPD
	4700	296.10	0.34	1090	12.5	20.0	5.0	0.6	493-1257-ND	.90	6.76	50.67	UVZ0J472MHD
	6800	428.40	0.38	1350	12.5	25.0	5.0	0.6	493-1258-ND	1.26	9.47	71.06	UVZ0J682MHD
	10000	630.00	0.46	1650	16.0	25.0	7.5	0.8	493-1259-ND	1.66	12.42	93.15	UVZ0J103MHD
	15000	945.00	0.56	2010	16.0	35.5	7.5	0.8	493-1260-ND	1.90	14.43	108.87	UVZ0J153MHD
	22000	1386.00	0.70	2350	18.0	40.0	7.5	0.8	493-1261-ND	2.24	16.98	128.18	UVZ0J223MHD
	33000	2079.00	0.92	2800	22.0	50.0	10.0	1.0	493-1262-ND	4.15	31.43	237.22	UVZ0J333MRD
10	22	3.00	0.24	45	5.0	11.0	2.0	0.5	493-1263-ND	.22	1.41	9.45	UVZ1A220MDD
	33	3.30	0.24	58	5.0	11.0	2.0	0.5	493-1264-ND	.22	1.41	9.45	UVZ1A330MDD
	47	4.70	0.24	68	5.0	11.0	2.0	0.5	493-1265-ND	.22	1.41	9.45	UVZ1A470MDD
	100	10.00	0.24	105	5.0	11.0	2.0	0.5	493-1266-ND	.21	1.46	10.24	UVZ1A101MDD
	220	22.00	0.24	175	6.3	11.0	2.5	0.5	493-1267-ND	.30	1.98	13.97	UVZ1A221MED
	330	33.00	0.24	210	6.3	11.0	2.5	0.5	493-1268-ND	.31	2.12	14.90	UVZ1A331MED
	470	47.00	0.24	250	6.3	11.0	2.5	0.5	493-1269-ND	.34	2.52	17.99	UVZ1A471MED
	1000	100.00	0.24	460	10.0	12.5	5.0	0.6	493-1270-ND	.48	3.56	25.40	UVZ1A102MPD
	2200	220.00	0.26	760	10.0	20.0	5.0	0.6	493-1271-ND	.61	4.55	33.42	UVZ1A222MPD
	3300	330.00	0.28	1000	12.5	20.0	5.0	0.6	493-1272-ND	.90	6.66	48.94	UVZ1A332MHD
	4700	470.00	0.30	1260	12.5	25.0	5.0	0.6	493-1273-ND	1.10	8.28	62.10	UVZ1A472MHD
	6800	680.00	0.34	1570	16.0	25.0	7.5	0.8	493-1274-ND	1.67	12.50	93.72	UVZ1A682MHD
	10000	1000.00	0.42	1890	16.0	35.5	7.5	0.8	493-1275-ND	1.90	14.43	108.87	UVZ1A103MHD
	15000	1500.00	0.52	2180	18.0	35.5	7.5	0.8	493-1276-ND	2.02	15.35	115.81	UVZ1A153MHD
	22000	2200.00	0.66	2650	20.0	40.0	10.0	1.0	493-1277-ND	2.91	22.03	166.27	UVZ1A223MRD
	33000	3300.00	0.88	3250	22.0	50.0	10.0	1.0	493-1278-ND	4.61	34.89	263.29	UVZ1A333MRD
16	10	3.00	0.20	35	5.0	11.0	2.0	0.5	493-1279-ND	.22	1.41	9.45	UVZ1C100MDD
	22	3.52	0.20	54	5.0	11.0	2.0	0.5	493-1280-ND	.22	1.41	9.45	UVZ1C220MDD
	33	5.28	0.20	65	5.0	11.0	2.0	0.5	493-1281-ND	.22	1.41	9.45	UVZ1C330MDD
	47	7.52	0.20	79	5.0	11.0	2.0	0.5	493-1282-ND	.21	1.46	10.24	UVZ1C470MDD
	100	16.00	0.20	115	5.0	11.0	2.0	0.5	493-1283-ND	.25	1.75	12.34	UVZ1C101MDD
	220	35.20	0.20	190	6.3	11.0	2.5	0.5	493-1284-ND	.31	2.15	15.14	UVZ1C221MED
	330	52.80	0.20	265	8.0	11.5	3.5	0.6	493-1285-ND	.34	2.52	17.99	UVZ1C331MPD
	470	75.20	0.20	315	8.0	11.5	3.5	0.6	493-1286-ND	.37	2.76	19.68	UVZ1C471MPD
	1000	160.00	0.20	560	10.0	16.0	5.0	0.6	493-1287-ND	.55	4.06	29.84	UVZ1C102MPD
	2200	352.00	0.22	920	12.5	20.0	5.0	0.6	493-1288-ND	.86	6.50	48.76	UVZ1C222MHD
	3300	528.00	0.24	1170	12.5	25.0	5.0	0.6	493-1289-ND	1.20	9.04	67.81	UVZ1C332MHD
	4700	752.00	0.26	1480	16.0	25.0	7.5	0.8	493-1290-ND	1.63	12.17	91.25	UVZ1C472MHD
	6800	1088.00	0.30	1780	16.0	35.5	7.5	0.8	493-1291-ND	1.90	14.43	108.87	UVZ1C682MHD
	10000	1600.00	0.38	2060	18.0	35.5	7.5	0.8	493-1292-ND	2.02	15.35	115.81	UVZ1C103MHD
	15000	2400.00	0.48	2430	20.0	40.0	10.0	1.0	493-1293-ND	2.91	22.03	166.27	UVZ1C153MRD
	22000	3520.00	0.62	3000	22.0	50.0	10.0	1.0	493-1294-ND	4.61	34.89	263.29	UVZ1C223MRD
	33000	5280.00	0.84	3450	25.0	50.0	12.5	1.0	493-1295-ND	6.40	48.43	365.56	UVZ1C333MRD
25	4.7	3.00	0.16	25	5.0	11.0	2.0	0.5	493-1296-ND	.22	1.41	9.45	UVZ1E4R7MDD
	10	3.00	0.16	36	5.0	11.0	2.0	0.5	493-1297-ND	.19	1.17	7.87	UVZ1E100MDD
	22	5.50	0.16	58	5.0	11.0	2.0	0.5	493-1298-ND	.19	1.17	7.87	UVZ1E220MDD
	33	8.25	0.16	68	5.0	11.0	2.0	0.5	493-1299-ND	.21	1.46	10.24	UVZ1E330MDD
	47	11.75	0.16	83	5.0	11.0	2.0	0.5	493-1300-ND	.19	1.17	7.87	UVZ1E470MDD
	100	25.00	0.16	140	6.3	11.0	2.5	0.5	493-1301-ND	.24	1.48	9.97	UVZ1E101MED

(Forts.)

E

Nenn-spannung (V DC)	Kap. (µF)	Leckstrom (µA)	Tan δ (max.) @ 120 Hz/20 °C	Zul. Mischstr. @ 120 Hz/105 °C (mA) rms	Abmessungen (mm) ØD	L	P	ød	Digi-Key Teilenr.	Preisangaben 1	10	100	Blei (Pb) -freies Nichicon Teil, Nr.
	220	55.00	0.16	240	8.0	11.5	3.5	0.6	493-1302-ND	.34	2.52	17.99	UVZ1E221MPD
	330	82.50	0.16	315	10.0	12.5	5.0	0.6	493-1303-ND	.32	2.37	16.93	UVZ1E331MPD
	470	117.50	0.16	380	10.0	12.5	5.0	0.6	493-1304-ND	.29	2.13	15.24	UVZ1E471MPD
	1000	250.00	0.16	680	10.0	20.0	5.0	0.6	493-1305-ND	.54	4.04	29.65	UVZ1E102MPD
	2200	550.00	0.18	1090	12.5	25.0	5.0	0.6	493-1306-ND	1.20	9.04	67.81	UVZ1E222MHD
25	3300	825.00	0.20	1400	16.0	25.0	7.5	0.8	493-1307-ND	.98	7.37	55.24	UVZ1E332MHD
	4700	1175.00	0.22	1710	16.0	31.5	7.5	0.8	493-1308-ND	1.15	8.64	64.76	UVZ1E472MHD
	6800	1700.00	0.26	2040	18.0	35.5	7.5	0.8	493-1309-ND	2.24	17.01	128.34	UVZ1E682MHD
	10000	2500.00	0.34	2150	20.0	40.0	10.0	1.0	493-1310-ND	3.64	27.57	208.09	UVZ1E103MRD
	15000	3750.00	0.44	2750	22.0	50.0	10.0	1.0	493-1311-ND	4.61	34.89	263.29	UVZ1E153MRD
	22000	5500.00	0.58	3250	25.0	50.0	12.5	1.0	493-1312-ND	6.40	48.43	365.56	UVZ1E223MRD
	4.7	3.00	0.14	28	5.0	11.0	2.0	0.5	493-1313-ND	.22	1.41	9.45	UVZ1V4R7MDD
	10	3.50	0.14	41	5.0	11.0	2.0	0.5	493-1314-ND	.19	1.17	7.87	UVZ1V100MDD
	22	7.70	0.14	61	5.0	11.0	2.0	0.5	493-1315-ND	.19	1.17	7.87	UVZ1V220MDD
	33	11.55	0.14	75	5.0	11.0	2.0	0.5	493-1316-ND	.25	1.72	12.11	UVZ1V330MDD
	47	16.45	0.14	93	5.0	11.0	2.0	0.5	493-1317-ND	.19	1.17	7.87	UVZ1V470MDD
	100	35.00	0.14	150	6.3	11.0	2.5	0.5	493-1318-ND	.31	2.15	15.14	UVZ1V101MED
	220	77.00	0.14	275	10.0	12.5	5.0	0.6	493-1319-ND	.44	3.23	23.07	UVZ1V221MPD
35	330	115.50	0.14	350	10.0	12.5	5.0	0.6	493-1320-ND	.38	2.79	19.90	UVZ1V331MPD
	470	164.50	0.14	460	10.0	16.0	5.0	0.6	493-1321-ND	.55	4.11	30.24	UVZ1V471MPD
	1000	350.00	0.14	810	12.5	20.0	5.0	0.6	493-1322-ND	.86	6.50	48.76	UVZ1V102MHD
	2200	770.00	0.16	1260	16.0	25.0	7.5	0.8	493-1323-ND	1.45	10.87	81.53	UVZ1V222MHD
	3300	1155.00	0.18	1610	16.0	35.5	7.5	0.8	493-1324-ND	1.90	14.43	108.87	UVZ1V332MHD
	4700	1645.00	0.20	1910	18.0	35.5	7.5	0.8	493-1325-ND	2.03	15.39	116.15	UVZ1V472MHD
	6800	2380.00	0.24	2150	20.0	40.0	10.0	1.0	493-1326-ND	2.91	22.03	166.27	UVZ1V682MRD
	10000	3500.00	0.32	2650	22.0	50.0	10.0	1.0	493-1327-ND	4.61	34.89	263.29	UVZ1V103MRD
	15000	4200.00	0.36	3100	25.0	50.0	12.5	1.0	493-1328-ND	6.73	50.95	384.53	UVZ1V153MRD
	0.1	3.00	0.12	1.3	5.0	11.0	2.0	0.5	493-1329-ND	.22	1.41	9.45	UVZ1H0R1MDD
	0.22	3.00	0.12	2.9	5.0	11.0	2.0	0.5	493-1330-ND	.22	1.41	9.45	UVZ1HR22MDD
	0.33	3.00	0.12	4.3	5.0	11.0	2.0	0.5	493-1331-ND	.22	1.41	9.45	UVZ1HR33MDD
	0.47	3.00	0.12	7	5.0	11.0	2.0	0.5	493-1332-ND	.22	1.41	9.45	UVZ1HR47MDD
	1	3.00	0.12	13	5.0	11.0	2.0	0.5	493-1333-ND	.19	1.17	7.87	UVZ1H010MDD
	2.2	3.00	0.12	20	5.0	11.0	2.0	0.5	493-1334-ND	.19	1.17	7.87	UVZ1H2R2MDD
	3.3	3.00	0.12	25	5.0	11.0	2.0	0.5	493-1335-ND	.22	1.41	9.45	UVZ1H3R3MDD
	4.7	3.00	0.12	30	5.0	11.0	2.0	0.5	493-1336-ND	.19	1.17	7.87	UVZ1H4R7MDD
	10	5.00	0.12	46	5.0	11.0	2.0	0.5	493-1337-ND	.21	1.46	10.24	UVZ1H100MDD
	22	11.00	0.12	68	5.0	11.0	2.0	0.5	493-1338-ND	.25	1.72	12.11	UVZ1H220MDD
50	33	16.50	0.12	90	5.0	11.0	2.0	0.5	493-1339-ND	.28	1.88	13.27	UVZ1H330MDD
	47	23.50	0.12	115	6.3	11.0	2.5	0.5	493-1340-ND	.18	1.13	7.61	UVZ1H470MED
	100	50.00	0.12	190	8.0	11.5	3.5	0.6	493-1341-ND	.36	2.70	19.26	UVZ1H101MPD
	220	110.00	0.12	300	10.0	12.5	5.0	0.6	493-1342-ND	.49	3.63	26.66	UVZ1H221MPD
	330	165.00	0.12	410	10.0	16.0	5.0	0.6	493-1343-ND	.51	3.73	26.67	UVZ1H331MPD
	470	235.00	0.12	530	12.5	20.0	5.0	0.6	493-1344-ND	.91	6.78	50.86	UVZ1H471MHD
	1000	500.00	0.12	950	12.5	25.0	5.0	0.6	493-1345-ND	.86	6.34	46.55	UVZ1H102MHD
	2200	1100.00	0.14	1470	16.0	35.5	7.5	0.8	493-1346-ND	1.90	14.43	108.87	UVZ1H222MHD
	3300	1650.00	0.16	1770	18.0	35.5	7.5	0.8	493-1347-ND	2.29	17.32	130.72	UVZ1H332MHD
	4700	2350.00	0.18	2100	20.0	40.0	10.0	1.0	493-1348-ND	3.64	27.57	208.09	UVZ1H472MRD
	6800	3400.00	0.22	2500	22.0	50.0	10.0	1.0	493-1349-ND	4.61	34.89	263.29	UVZ1H682MRD
	10000	5000.00	0.30	2850	25.0	50.0	12.5	1.0	493-1350-ND	6.40	48.43	365.56	UVZ1H103MRD
	10	6.30	0.10	46	5.0	11.0	2.0	0.5	493-1351-ND	.21	1.46	10.24	UVZ1J100MDD
	22	13.86	0.10	71	5.0	11.0	2.0	0.5	493-1352-ND	.28	1.88	13.27	UVZ1J220MDD
	33	20.79	0.10	100	6.3	11.0	2.5	0.5	493-1353-ND	.30	2.01	14.21	UVZ1J330MED
	47	29.61	0.10	120	6.3	11.0	2.5	0.5	493-1354-ND	.31	2.15	15.14	UVZ1J470MED
	100	63.00	0.10	215	10.0	12.5	5.0	0.6	493-1355-ND	.35	2.55	18.20	UVZ1J101MPD
	220	138.60	0.10	335	10.0	16.0	5.0	0.6	493-1356-ND	.60	4.44	32.63	UVZ1J221MPD
63	330	207.90	0.10	510	10.0	20.0	5.0	0.6	493-1357-ND	.68	5.04	37.00	UVZ1J331MPD
	470	296.10	0.10	640	12.5	20.0	5.0	0.6	493-1358-ND	.90	6.66	48.94	UVZ1J471MHD
	1000	630.00	0.10	930	16.0	25.0	7.5	0.8	493-1359-ND	1.42	10.64	79.82	UVZ1J102MHD
	2200	1386.00	0.12	1650	18.0	35.5	7.5	0.8	493-1360-ND	1.78	13.46	101.59	UVZ1J222MHD
	3300	2079.00	0.14	1950	20.0	40.0	10.0	1.0	493-1361-ND	3.62	27.41	206.91	UVZ1J332MRD
	4700	2961.00	0.16	2450	22.0	50.0	10.0	1.0	493-1362-ND	4.56	34.58	260.92	UVZ1J472MRD
	6800	4284.00	0.20	2800	25.0	50.0	12.5	1.0	493-1363-ND	6.15	46.57	351.51	UVZ1J682MRD
	0.1	3.00	0.08	1.5	5.0	11.0	2.0	0.5	493-1364-ND	.22	1.41	9.45	UVZ2A0R1MDD
	0.22	3.00	0.08	3.4	5.0	11.0	2.0	0.5	493-1365-ND	.22	1.41	9.45	UVZ2AR22MDD
	0.33	3.00	0.08	5	5.0	11.0	2.0	0.5	493-1366-ND	.22	1.41	9.45	UVZ2AR33MDD
	0.47	3.00	0.08	7.1	5.0	11.0	2.0	0.5	493-1367-ND	.22	1.41	9.45	UVZ2AR47MDD
	1	3.00	0.08	15	5.0	11.0	2.0	0.5	493-1368-ND	.22	1.41	9.45	UVZ2A010MDD
	2.2	3.00	0.08	21	5.0	11.0	2.0	0.5	493-1369-ND	.22	1.41	9.45	UVZ2A2R2MDD
	3.3	3.30	0.08	29	5.0	11.0	2.0	0.5	493-1370-ND	.21	1.46	10.24	UVZ2A3R3MDD
	4.7	4.70	0.08	32	5.0	11.0	2.0	0.5	493-1371-ND	.21	1.46	10.24	UVZ2A4R7MDD
	10	10.00	0.08	54	6.3	11.0	2.5	0.5	493-1372-ND	.28	1.88	13.27	UVZ2A100MED
100	22	22.00	0.08	93	6.3	11.0	2.5	0.5	493-1373-ND	.31	2.15	15.14	UVZ2A220MED
	33	33.00	0.08	130	8.0	11.5	3.5	0.6	493-1374-ND	.34	2.52	17.99	UVZ2A330MPD
	47	47.00	0.08	165	10.0	12.5	5.0	0.6	493-1375-ND	.39	2.88	20.53	UVZ2A470MPD
	100	100.00	0.08	265	10.0	20.0	5.0	0.6	493-1376-ND	.54	4.01	29.44	UVZ2A101MPD
	220	220.00	0.08	440	12.5	25.0	5.0	0.6	493-1377-ND	.90	6.76	50.67	UVZ2A221MHD
	330	330.00	0.08	540	12.5	25.0	5.0	0.6	493-1378-ND	1.00	7.49	56.20	UVZ2A331MHD
	470	470.00	0.08	715	16.0	25.0	7.5	0.8	493-1379-ND	1.42	10.64	79.82	UVZ2A471MHD
	1000	1000.00	0.08	985	18.0	40.0	7.5	0.8	493-1380-ND	2.03	15.39	116.15	UVZ2A102MHD
	2200	2200.00	0.10	1750	22.0	50.0	10.0	1.0	493-1381-ND	5.11	38.75	292.42	UVZ2A222MRD
	3300	3300.00	0.12	2070	25.0	50.0	12.5	1.0	493-1382-ND	5.33	40.34	304.44	UVZ2A332MRD

(Forts.)

Alle Preisangaben in Euro und inklusive Zollgebühren.

Nenn-spannung (V DC)	Kap. (µF)	Leckstrom (µA)	Tan δ (max.) @ 120 Hz/20 °C	Zul. Mischstr. @ 120 Hz/105 °C (mA) rms	Abmessungen (mm) ØD	L	P	ød	Digi-Key Teilenr.	Preisangaben 1	10	100	Blei (Pb) -freies Nichicon Teil, Nr.
160	0.47	47.52	0.20	11	6.3	11.0	2.5	0.5	493-1383-ND	.21	1.46	10.24	UVZ2CR47MED
	1	56	0.20	16	6.3	11.0	2.5	0.5	493-1384-ND	.21	1.46	10.24	UVZ2C010MED
	2.2	75.2	0.20	25	6.3	11.0	2.5	0.5	493-1385-ND	.26	1.79	12.57	UVZ2C2R2MED
	3.3	92.8	0.20	30	6.3	11.0	2.5	0.5	493-1386-ND	.33	2.21	15.60	UVZ2C3R3MED
	4.7	115.2	0.20	34	6.3	11.0	2.5	0.5	493-1387-ND	.33	2.24	15.83	UVZ2C4R7MED
	10	200	0.20	41	8.0	11.5	3.5	0.6	493-1388-ND	.34	2.52	17.99	UVZ2C100MPD
	22	392	0.20	100	10.0	16.0	5.0	0.6	493-1389-ND	.49	3.61	25.82	UVZ2C220MPD
	33	568	0.20	145	10.0	20.0	5.0	0.6	493-1390-ND	.57	4.20	30.84	UVZ2C330MPD
	47	792	0.20	195	12.5	20.0	5.0	0.6	493-1391-ND	.64	4.79	35.22	UVZ2C470MHD
	100	1640	0.20	215	12.5	25.0	5.0	0.6	493-1392-ND	.93	7.01	52.57	UVZ2C101MHD
	220	3560	0.20	570	16.0	35.5	7.5	0.8	493-1393-ND	1.61	12.16	91.77	UVZ2C221MHD
	330	5320	0.20	750	18.0	40.0	7.5	0.8	493-1394-ND	2.00	15.12	114.12	UVZ2C331MHD
	470	7560	0.20	900	22.0	40.0	10.0	1.0	493-1395-ND	2.95	22.39	168.98	UVZ2C471MRD
	1000	16040	0.20	1310	25.0	50.0	12.5	1.0	493-1396-ND	3.89	29.41	221.98	UVZ2C102MRD
200	0.47	49.4	0.20	11	6.3	11.0	2.5	0.5	493-1397-ND	.25	1.72	12.11	UVZ2DR47MED
	1	60	0.20	16	6.3	11.0	2.5	0.5	493-1398-ND	.25	1.72	12.11	UVZ2D010MED
	2.2	84	0.20	25	6.3	11.0	2.5	0.5	493-1399-ND	.29	1.95	13.74	UVZ2D2R2MED
	3.3	106	0.20	30	6.3	11.0	2.5	0.5	493-1400-ND	.33	2.24	15.83	UVZ2D3R3MED
	4.7	134	0.20	39	8.0	11.5	3.5	0.6	493-1401-ND	.34	2.52	17.99	UVZ2D4R7MPD
	10	240	0.20	65	10.0	12.5	5.0	0.6	493-1402-ND	.42	3.14	22.43	UVZ2D100MPD
	22	480	0.20	120	10.0	20.0	5.0	0.6	493-1403-ND	.57	4.20	30.84	UVZ2D220MPD
	33	700	0.20	160	12.5	20.0	5.0	0.6	493-1404-ND	.64	4.79	35.22	UVZ2D330MHD
	47	980	0.20	195	12.5	20.0	5.0	0.6	493-1405-ND	.64	4.79	35.22	UVZ2D470MHD
	100	2040	0.20	375	16.0	31.5	7.5	0.8	493-1406-ND	1.56	11.68	87.62	UVZ2D101MHD
	220	4440	0.20	575	18.0	35.5	7.5	0.8	493-1407-ND	1.81	13.69	103.29	UVZ2D221MHD
	330	6640	0.20	705	20.0	40.0	10.0	1.0	493-1408-ND	3.03	22.98	173.38	UVZ2D331MRD
	470	9440	0.20	840	22.0	50.0	10.0	1.0	493-1409-ND	3.89	29.41	221.98	UVZ2D471MRD
250	0.47	51.75	0.20	10	6.3	11.0	2.5	0.5	493-1410-ND	.26	1.79	12.57	UVZ2ER47MED
	1	65	0.20	15	6.3	11.0	2.5	0.5	493-1411-ND	.26	1.79	12.57	UVZ2E010MED
	2.2	95	0.20	23	6.3	11.0	2.5	0.5	493-1412-ND	.33	2.21	15.60	UVZ2E2R2MED
	3.3	122.5	0.20	32	8.0	11.5	3.5	0.6	493-1413-ND	.33	2.24	15.83	UVZ2E3R3MPD
	4.7	157.5	0.20	39	8.0	11.5	3.5	0.6	493-1414-ND	.34	2.52	17.99	UVZ2E4R7MPD
	10	290	0.20	74	10.0	16.0	5.0	0.6	493-1415-ND	.49	3.61	25.82	UVZ2E100MPD
	22	590	0.20	130	12.5	20.0	5.0	0.6	493-1416-ND	.57	4.20	30.84	UVZ2E220MHD
	33	865	0.20	160	12.5	20.0	5.0	0.6	493-1417-ND	.64	4.79	35.22	UVZ2E330MHD
	47	1215	0.20	210	12.5	25.0	5.0	0.6	493-1418-ND	.93	7.01	52.57	UVZ2E470MHD
	100	2540	0.20	365	16.0	31.5	7.5	0.8	493-1419-ND	1.65	12.50	94.31	UVZ2E101MHD
	220	5540	0.20	600	20.0	40.0	10.0	1.0	493-1420-ND	2.00	15.12	114.12	UVZ2E221MRD
	330	8290	0.20	730	22.0	50.0	10.0	1.0	493-1421-ND	3.71	28.05	211.65	UVZ2E331MRD
	470	11790	0.20	870	25.0	50.0	12.5	1.0	493-1422-ND	4.72	35.76	269.90	UVZ2E471MRD
315	1	71.5	0.20	15	6.3	11.0	2.5	0.5	493-1423-ND	.27	1.85	13.04	UVZ2F010MED
	2.2	109.3	0.20	26	8.0	11.5	3.5	0.6	493-1424-ND	.28	2.07	14.82	UVZ2F2R2MPD
	3.3	143.95	0.20	38	10.0	12.5	5.0	0.6	493-1425-ND	.30	2.25	16.09	UVZ2F3R3MPD
	4.7	188.05	0.20	45	10.0	12.5	5.0	0.6	493-1426-ND	.38	2.79	19.90	UVZ2F4R7MPD
	10	355	0.20	80	10.0	20.0	5.0	0.6	493-1427-ND	.49	3.61	25.82	UVZ2F100MPD
	22	733	0.20	115	12.5	20.0	5.0	0.6	493-1428-ND	.57	4.20	30.84	UVZ2F220MHD
	33	1079.5	0.20	195	16.0	25.0	7.5	0.8	493-1429-ND	.87	6.55	49.15	UVZ2F330MHD
	47	1520.5	0.20	230	16.0	25.0	7.5	0.8	493-1430-ND	1.49	11.20	84.01	UVZ2F470MHD
	100	3190	0.20	395	18.0	35.5	7.5	0.8	493-1431-ND	1.85	14.07	106.16	UVZ2F101MHD
	220	6970	0.20	620	22.0	50.0	10.0	1.0	493-1432-ND	4.78	36.18	273.11	UVZ2F221MRD
	330	10435	0.20	760	25.0	50.0	12.5	1.0	493-1433-ND	6.79	51.40	387.91	UVZ2F331MRD
350	1	75	0.25	15	6.3	11.0	2.5	0.5	493-1434-ND	.29	2.13	15.24	UVZ2V010MED
	2.2	117	0.25	26	8.0	11.5	3.5	0.6	493-1435-ND	.31	2.29	16.30	UVZ2V2R2MPD
	3.3	155.5	0.25	38	10.0	12.5	5.0	0.6	493-1436-ND	.34	2.49	17.78	UVZ2V3R3MPD
	4.7	204.5	0.25	45	10.0	12.5	5.0	0.6	493-1437-ND	.38	2.82	20.11	UVZ2V4R7MPD
	10	390	0.25	80	10.0	20.0	5.0	0.6	493-1438-ND	.58	4.28	31.43	UVZ2V100MPD
	22	810	0.25	115	12.5	25.0	5.0	0.6	493-1439-ND	.70	5.20	38.20	UVZ2V220MHD
	33	1195	0.25	195	16.0	25.0	7.5	0.8	493-1440-ND	1.08	8.05	60.39	UVZ2V330MHD
	47	1685	0.25	270	16.0	35.5	7.5	0.8	493-1441-ND	1.63	12.27	92.01	UVZ2V470MHD
	100	3540	0.25	420	18.0	40.0	7.5	0.8	493-1442-ND	2.07	15.66	118.19	UVZ2V101MHD
	220	7740	0.25	620	22.0	50.0	10.0	1.0	493-1443-ND	5.26	39.77	300.20	UVZ2V221MRD
400	1	80	0.25	17	8.0	11.5	3.5	0.6	493-1444-ND	.31	2.31	16.51	UVZ2G010MPD
	2.2	128	0.25	30	10.0	12.5	5.0	0.6	493-1445-ND	.36	2.64	18.84	UVZ2G2R2MPD
	3.3	172	0.25	38	10.0	12.5	5.0	0.6	493-1446-ND	.39	2.84	20.32	UVZ2G3R3MPD
	4.7	228	0.25	50	10.0	16.0	5.0	0.6	493-1447-ND	.50	3.71	26.46	UVZ2G4R7MPD
	10	440	0.25	90	12.5	20.0	5.0	0.6	493-1448-ND	.65	4.88	35.81	UVZ2G100MHD
	22	920	0.25	165	16.0	25.0	7.5	0.8	493-1449-ND	1.03	7.77	58.29	UVZ2G220MHD
	33	1360	0.25	215	16.0	31.5	7.5	0.8	493-1450-ND	1.63	12.27	92.01	UVZ2G330MHD
	47	1920	0.25	270	16.0	35.5	7.5	0.8	493-1451-ND	1.68	12.74	96.17	UVZ2G470MHD
	100	4040	0.25	450	20.0	40.0	10.0	1.0	493-1452-ND	3.01	22.75	171.69	UVZ2G101MRD
	220	8840	0.25	660	25.0	50.0	12.5	1.0	493-1453-ND	5.34	40.43	305.11	UVZ2G221MRD
450	1	85	0.25	13	8.0	11.5	3.5	0.6	493-1454-ND	.32	2.37	16.93	UVZ2W010MPD
	2.2	139	0.25	23	10.0	12.5	5.0	0.6	493-1455-ND	.41	3.02	21.59	UVZ2W2R2MPD
	3.3	188.5	0.25	31	10.0	16.0	5.0	0.6	493-1456-ND	.48	3.61	26.46	UVZ2W3R3MPD
	4.7	251.5	0.25	40	10.0	20.0	5.0	0.6	493-1457-ND	.59	4.42	32.43	UVZ2W4R7MPD
	10	490	0.25	65	12.5	20.0	5.0	0.6	493-1458-ND	.89	6.65	49.91	UVZ2W100MHD
	22	1030	0.25	115	16.0	25.0	7.5	0.8	493-1459-ND	1.25	9.40	70.48	UVZ2W220MHD
	33	1525	0.25	165	16.0	35.5	7.5	0.8	493-1460-ND	1.57	11.89	89.74	UVZ2W330MHD
	47	2155	0.25	185	18.0	40.0	7.5	0.8	493-1461-ND	1.96	14.83	111.92	UVZ2W470MHD
	100	4540	0.25	270	22.0	40.0	10.0	1.0	493-1462-ND	4.05	30.62	231.12	UVZ2W101MRD

E

Niedrige Impedanz, hohe Zuverlässigkeit 105 °C ** Im Lager vorrätige Blei (Pb) -freie/RoHS-konforme Teilenummern **

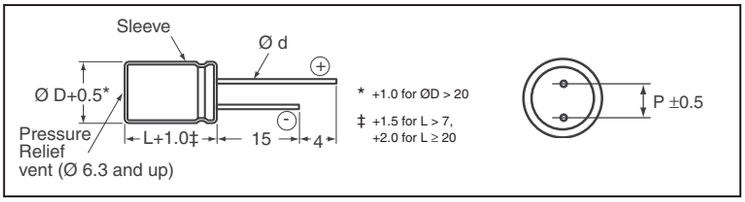

Merkmale: • Mini-Version • Niedrige Impedanz • Hohe Zuverlässigkeit, die 5.000 Stunden Volllast-Lebensdauer bei +105 °C standhält (3.000/2.000 Stunden für kleinere Gehäusegrößen, siehe Spez.) • Ideal zum Umschalten von Stromversorgungen

Spezifikationen:

Temperaturbereich	-55 ~ 105°C (6.3 ~ 100V), -40 ~ 105°C (160 ~ 400V), -25 ~ 105°C (450V)
Kapazitätstoleranz	±20 % bei 120 Hz, 20 °C

• Leckstrom:

Nennsp. (V)	6.3 ~ 100	160 ~ 450
Leckstrom	Nach 1 Minute angelegter Nennspannung ist der Leckstrom nicht größer als 0,03 CV oder 4 (µA), welcher Wert auch immer größer ist.	CV ≤ 1.000: I = 0,1 CV+ max. 40 (µA) (1 Minute) CV > 1.000: I = 0,04 CV+ max. 100 (µA) (1 Minute)

• Tan δ:
Für eine Kapazität von über 1.000 µF 0,02 pro 1.000 µF Steigerung addieren.
Messfrequenz: 120 Hz, Temperatur: 20 °C.

Nennsp. (V)	6.3	10	16	25	35	50	63	100	160 ~ 250	315 ~ 350	400 ~ 450
Tan δ (max.)	0.22	0.19	0.16	0.14	0.12	0.10	0.09	0.08	0.15	0.20	0.25

• Stabilität bei niedriger Temperatur:

Nennspannung (V)		6.3-10	16-25	35-50	63-100	160-200	250	315-350	400	450
Impedanz-verhältnis	Z-55°C/Z+20°C	3	3	3	3	—	—	—	—	—
	Z-40°C/Z+20°C	—	—	—	—	4	6	8	10	—
	Z-25°C/Z+20°C	—	—	—	—	3	3	4	6	15

• Ermüdung: Nach Anlegung von DC Bias-Spannung plus Nennmischstrom für 5.000 Stunden (2.000 Stunden für D = 4, 5 und 6,3, 3.000 Stunden für D = 8 und 10) bei 105 °C darf die Spitzenspannung die Nennspannung nicht übersteigen; die Kondensatoren erfüllen die rechts aufgeführten Anforderungen.

Kapazitätsveränderung	Innerhalb ±20 % des 1. gemessenen Wertes
Tan δ	200 % oder weniger des 1. spezifizierten Wertes
Leckstrom	1. spezifizierter Wert oder weniger

• Lagerbeständigkeit: Nachdem die Kondensatoren 1.000 Stunden lang ohne Last bei 105 °C bleiben, erfüllen sie die vorstehend aufgeführten spezifizierten Werte für Ermüdungsmerkmale

• Markierung: Aufdruck aus weißen Buchstaben auf dunkelbrauner Hülse

Nenn-spannung (VDC)	Kap (µF)	Leckstrom (µA)	Impedanz Ω max. 20 °C/100 KHz	Tan δ (max.) @ 120 Hz/20 °C	Zul. Mischstr. @ 100 KHz, 105 °C (mA rms)	Abmessungen (mm) ØD	L	P	ød	Digi-Key Teilenr.	Preisangaben 1	10	100	Blei (Pb) -freies Nichicon Teil, Nr.
6.3	22	4.158	0.600	0.22	180	5	11.0	2.0	0.50	493-1687-ND	.20	1.35	9.55	UPW0J220MDD
	27	5.103	2.000	0.22	65	4	7.0	1.5	0.45	493-1688-ND	.20	1.35	9.55	UPW0J270MDD
	33	6.237	0.600	0.22	180	5	11.0	2.0	0.50	493-1689-ND	.20	1.35	9.55	UPW0J330MDD
	33	6.237	0.950	0.22	120	5	7.0	2.0	0.45	493-1690-ND	.20	1.35	9.55	UPW0J330MDD6
	47	8.883	0.600	0.22	180	5	11.0	2.0	0.50	493-1691-ND	.20	1.35	9.55	UPW0J470MDD
	47	8.883	0.950	0.22	120	5	7.0	2.0	0.45	493-1692-ND	.20	1.35	9.55	UPW0J470MDD6
	56	10.584	0.950	0.22	120	5	7.0	2.0	0.45	493-1693-ND	.20	1.35	9.55	UPW0J560MDD
	68	12.852	1.300	0.22	120	4	11.0	1.5	0.45	493-1694-ND	.22	1.52	10.71	UPW0J680MDD
	100	18.9	0.600	0.22	180	5	11.0	2.0	0.50	493-1695-ND	.23	1.55	10.95	UPW0J101MDD
	120	22.68	0.450	0.22	200	6.3	7.0	2.5	0.45	493-1696-ND	.25	1.72	12.11	UPW0J121MDD
	150	28.35	0.500	0.22	235	5	15.0	2.0	0.50	493-1697-ND	.25	1.72	12.11	UPW0J151MDD6
	150	28.35	0.250	0.22	290	6.3	11.0	2.5	0.50	493-1698-ND	.25	1.72	12.11	UPW0J151MED
	220	41.58	0.250	0.22	290	6.3	11.0	2.5	0.50	493-1699-ND	.28	1.91	13.50	UPW0J221MED
	330	62.37	0.250	0.22	290	6.3	11.0	2.5	0.50	493-1700-ND	.34	2.28	16.07	UPW0J331MED
	330	62.37	0.230	0.22	430	6.3	15.0	2.5	0.50	493-1701-ND	.34	2.28	16.07	UPW0J331MED6
	470	88.83	0.117	0.22	555	8	11.5	3.5	0.60	493-1702-ND	.30	2.17	15.45	UPW0J471MPD
	560	105.84	0.117	0.22	555	8	11.5	3.5	0.60	493-1703-ND	.31	2.29	16.30	UPW0J561MPD
	680	128.52	0.090	0.22	755	10	12.5	5.0	0.60	493-1704-ND	.32	2.35	16.72	UPW0J681MPD
	820	154.98	0.085	0.22	730	8	15.0	3.5	0.60	493-1705-ND	.43	3.17	22.65	UPW0J821MPD
	820	154.98	0.090	0.22	755	10	12.5	5.0	0.60	493-1706-ND	.43	3.17	22.65	UPW0J821MPD6
	1000	189	0.090	0.22	755	10	12.5	5.0	0.60	493-1707-ND	.47	3.50	24.97	UPW0J102MPD
	1200	226.8	0.065	0.22	995	8	20.0	3.5	0.60	493-1708-ND	.48	3.53	25.19	UPW0J122MPD
	1200	226.8	0.068	0.22	1050	10	16.0	5.0	0.60	493-1709-ND	.52	3.84	28.25	UPW0J122MPD6
	1500	283.5	0.052	0.22	1220	10	20.0	5.0	0.60	493-1710-ND	.52	3.84	28.25	UPW0J152MPD
	2200	415.8	0.038	0.24	1655	12.5	20.0	5.0	0.60	493-1711-ND	.68	5.04	37.00	UPW0J222MHD
	2200	415.8	0.045	0.24	1440	10	25.0	5.0	0.60	493-1712-ND	.68	5.04	37.00	UPW0J222MPD6
	2700	510.3	0.035	0.24	1815	10	31.5	5.0	0.60	493-1713-ND	.86	6.39	46.95	UPW0J272MPD
	3300	623.7	0.038	0.26	1655	12.5	20.0	5.0	0.60	493-1714-ND	.89	6.61	48.54	UPW0J332MHD
	3900	737.1	0.030	0.26	1945	12.5	25.0	5.0	0.60	493-1715-ND	.98	7.37	55.24	UPW0J392MHD
	4700	888.3	0.022	0.28	2555	16	25.0	7.5	0.80	493-1716-ND	1.01	7.54	56.58	UPW0J472MHD
	4700	888.3	0.025	0.28	2310	12.5	31.5	5.0	0.80	493-1717-ND	1.01	7.54	56.58	UPW0J472MHD6
	5600	1058.4	0.022	0.30	2510	12.5	35.5	5.0	0.80	493-1718-ND	1.26	9.45	70.86	UPW0J562MHD
	5600	1058.4	0.029	0.30	2205	16	20.0	7.5	0.80	493-1719-ND	1.26	9.45	70.86	UPW0J562MHD6
	6800	1285.2	0.022	0.32	2555	16	25.0	7.5	0.80	493-1720-ND	1.29	9.65	72.38	UPW0J682MHD
	6800	1285.2	0.028	0.32	2490	18	20.0	7.5	0.80	493-1721-ND	1.29	9.65	72.38	UPW0J682MHD6
	8200	1549.8	0.018	0.36	3010	16	31.5	7.5	0.80	493-1722-ND	1.55	11.76	88.72	UPW0J822MHD
	10000	1890	0.016	0.40	3150	16	31.5	7.5	0.80	493-1723-ND	1.63	12.39	93.46	UPW0J103MHD
	10000	1890	0.020	0.40	2740	18	25.0	7.5	0.80	493-1724-ND	1.63	12.39	93.46	UPW0J103MHD6
	12000	2268	0.016	0.44	3635	18	31.5	7.5	0.80	493-1725-ND	1.90	14.45	109.04	UPW0J123MHD
	15000	2835	0.015	0.5	3680	18	35.5	7.5	0.80	493-1726-ND	2.01	15.26	115.14	UPW0J153MHD
10	22	6.6	0.600	0.19	180	5	11.0	2.0	0.50	493-1727-ND	.20	1.35	9.55	UPW1A220MDD
	22	6.6	2.000	0.19	65	4	7.0	1.5	0.45	493-1728-ND	.20	1.35	9.55	UPW1A220MDD6
	33	9.9	0.600	0.19	180	5	11.0	2.0	0.50	493-1729-ND	.20	1.35	9.55	UPW1A330MDD
	33	9.9	0.950	0.19	120	5	7.0	2.0	0.45	493-1730-ND	.20	1.35	9.55	UPW1A330MDD6
	39	11.7	0.950	0.19	120	5	7.0	2.0	0.45	493-1731-ND	.20	1.35	9.55	UPW1A390MDD
	47	14.1	0.600	0.19	180	5	11.0	2.0	0.50	493-1732-ND	.20	1.35	9.55	UPW1A470MDD
	47	14.1	1.300	0.19	120	4	11.0	1.5	0.45	493-1733-ND	.20	1.35	9.55	UPW1A470MDD6
	82	24.6	0.600	0.19	180	5	11.0	2.0	0.50	493-1734-ND	.23	1.55	10.95	UPW1A820MDD
	82	24.6	0.450	0.19	200	6.3	7.0	2.5	0.45	493-1735-ND	.23	1.55	10.95	UPW1A820MDD6
	100	30	0.600	0.19	180	5	11.0	2.0	0.50	493-1736-ND	.23	1.55	10.95	UPW1A101MDD
	100	30	0.500	0.19	235	5	15.0	2.0	0.50	493-1737-ND	.23	1.55	10.95	UPW1A101MDD6
	150	45	0.250	0.19	290	6.3	11.0	2.5	0.50	493-1738-ND	.28	1.91	13.50	UPW1A151MED
	180	54	0.250	0.19	290	6.3	11.0	2.5	0.50	493-1739-ND	.33	2.24	15.83	UPW1A181MED
	220	66	0.250	0.19	290	6.3	11.0	2.5	0.50	493-1740-ND	.29	2.11	15.03	UPW1A221MED
	220	66	0.230	0.19	430	6.3	15.0	2.5	0.50	493-1741-ND	.29	2.11	15.03	UPW1A221MED6
	330	99	0.117	0.19	555	8	11.5	3.5	0.60	493-1742-ND	.31	2.29	16.30	UPW1A331MPD
	470	141	0.117	0.19	555	8	11.5	3.5	0.60	493-1743-ND	.41	3.06	21.80	UPW1A471MPD
	680	204	0.090	0.19	755	10	12.5	5.0	0.60	493-1744-ND	.43	3.17	22.65	UPW1A681MPD
	680	204	0.085	0.19	730	8	15.0	3.5	0.60	493-1745-ND	.43	3.17	22.65	UPW1A681MPD6
	1000	300	0.068	0.19	1050	10	16.0	5.0	0.60	493-1746-ND	.52	3.90	28.65	UPW1A102MPD
	1000	300	0.065	0.19	995	8	20.0	3.5	0.60	493-1747-ND	.52	3.90	28.65	UPW1A102MPD6
	1200	360	0.052	0.19	1220	10	20.0	5.0	0.60	493-1748-ND	.58	4.36	32.04	UPW1A122MPD
	1500	450	0.052	0.19	1220	10	20.0	5.0	0.60	493-1749-ND	.61	4.52	33.23	UPW1A152MPD
	1500	450	0.045	0.19	1440	10	25.0	5.0	0.60	493-1750-ND	.61	4.52	33.23	UPW1A152MPD6
	2200	660	0.038	0.21	1655	12.5	20.0	5.0	0.60	493-1751-ND	.86	6.39	46.95	UPW1A222MHD
	2200	660	0.035	0.21	1815	10	31.5	5.0	0.60	493-1752-ND	.86	6.39	46.95	UPW1A222MPD6
	2700	810	0.030	0.21	1945	12.5	25.0	5.0	0.60	493-1753-ND	.89	6.61	48.54	UPW1A272MHD
	3300	990	0.030	0.23	1945	12.5	25.0	5.0	0.60	493-1754-ND	.76	5.69	41.78	UPW1A332MHD
	3300	990	0.025	0.23	2310	12.5	31.5	5.0	0.80	493-1755-ND	.76	5.69	41.78	UPW1A332MHD6
	3900	1170	0.022	0.23	2510	12.5	35.5	5.0	0.80	493-1756-ND	1.01	7.54	56.58	UPW1A392MHD
	3900	1170	0.029	0.23	2205	16	20.0	7.5	0.80	493-1757-ND	1.01	7.54	56.58	UPW1A392MHD6
	4700	1410	0.022	0.25	2555	16	25.0	7.5	0.80	493-1758-ND	1.23	9.19	68.96	UPW1A472MHD
	5600	1680	0.022	0.27	2555	16	25.0	7.5	0.80	493-1759-ND	1.55	11.76	88.72	UPW1A562MHD
	5600	1680	0.028	0.27	2490	18	20.0	7.5	0.80	493-1760-ND	1.55	11.76	88.72	UPW1A562MHD6
	6800	2040	0.018	0.29	3010	16	31.5	7.5	0.80	493-1761-ND	1.63	12.39	93.46	UPW1A682MHD

(Forts.)

Alle Preisangaben in Euro und inklusive Zollgebühren.

Nenn-spannung (VDC)	Kap (µF)	Leckstrom (µA)	Impedanz Ω max. 20 °C/100 KHz	Tan δ (max.) @ 120 Hz/20 °C	Zul. Mischstr. @ 100 KHz, 105 °C (mA rms)	Abmessungen (mm) ØD	L	P	ød	Digi-Key Teilenr.	Preisangaben 1	10	100	Blei (Pb) -freies Nichicon Teil, Nr.
	6800	2040	0.020	0.29	2740	18	25.0	7.5	0.80	493-1762-ND	1.63	12.39	93.46	UPW1A682MHD6
	8200	2460	0.016	0.33	3150	16	35.5	7.5	0.80	493-1763-ND	1.90	14.45	109.04	UPW1A822MHD
10	8200	2460	0.016	0.33	3635	18	31.5	7.5	0.80	493-1764-ND	1.90	14.45	109.04	UPW1A822MHD6
	10000	3000	0.015	0.37	3680	18	35.5	7.5	0.80	493-1765-ND	2.01	15.26	115.14	UPW1A103MHD
	15000	4500	0.014	0.47	3800	18	40.0	7.5	0.80	493-1766-ND	2.21	16.71	126.14	UPW1A153MHD
	10	4.8	0.600	0.16	180	5	11.0	2.0	0.50	493-1767-ND	.20	1.35	9.55	UPW1C100MDD
	15	7.2	2.000	0.16	65	4	7.0	1.5	0.45	493-1768-ND	.20	1.35	9.55	UPW1C150MDD
	22	10.56	0.600	0.16	180	5	11.0	2.0	0.50	493-1769-ND	.20	1.35	9.55	UPW1C220MDD
	22	10.56	0.950	0.16	120	5	7.0	2.0	0.45	493-1770-ND	.20	1.35	9.55	UPW1C220MDD6
	27	12.96	0.950	0.16	120	5	7.0	2.0	0.45	493-1771-ND	.20	1.35	9.55	UPW1C270MDD
	33	15.84	0.600	0.16	180	5	11.0	2.0	0.50	493-1772-ND	.20	1.35	9.55	UPW1C330MDD
	33	15.84	0.450	0.16	200	6.3	7.0	2.5	0.45	493-1773-ND	.20	1.35	9.55	UPW1C330MDD6
	39	18.72	1.300	0.16	120	4	11.0	1.5	0.45	493-1774-ND	.21	1.46	10.24	UPW1C390MDD
	47	22.56	0.600	0.16	180	5	11.0	2.0	0.50	493-1775-ND	.23	1.55	10.95	UPW1C470MDD
	56	26.88	0.600	0.16	180	5	11.0	2.0	0.50	493-1776-ND	.23	1.55	10.95	UPW1C560MDD
	56	26.88	0.450	0.16	200	6.3	7.0	2.5	0.45	493-1777-ND	.23	1.55	10.95	UPW1C560MDD6
	82	39.36	0.500	0.16	235	5	15.0	2.0	0.50	493-1778-ND	.25	1.72	12.11	UPW1C820MDD
	100	48	0.250	0.16	290	6.3	11.0	2.5	0.50	493-1779-ND	.28	1.91	13.50	UPW1C101MED
	120	57.6	0.250	0.16	290	6.3	11.0	2.5	0.50	493-1780-ND	.28	1.91	13.50	UPW1C121MED
	150	72	0.250	0.16	290	6.3	11.0	2.5	0.50	493-1781-ND	.33	2.24	15.83	UPW1C151MED
	180	86.4	0.230	0.16	430	6.3	15.0	2.5	0.50	493-1782-ND	.29	2.11	15.03	UPW1C181MED
	220	105.6	0.117	0.16	555	8	11.5	3.5	0.60	493-1783-ND	.31	2.29	16.30	UPW1C221MPD
	330	158.4	0.117	0.16	555	8	11.5	3.5	0.60	493-1784-ND	.43	3.17	22.65	UPW1C331MPD
	470	225.6	0.090	0.16	755	10	12.5	5.0	0.60	493-1785-ND	.45	3.32	23.70	UPW1C471MPD
	470	225.6	0.085	0.16	730	8	15.0	3.5	0.60	493-1786-ND	.45	3.32	23.70	UPW1C471MPD6
16	680	326.4	0.068	0.16	1050	10	16.0	5.0	0.60	493-1787-ND	.57	4.20	30.84	UPW1C681MPD
	680	326.4	0.065	0.16	995	8	20.0	3.5	0.60	493-1788-ND	.57	4.20	30.84	UPW1C681MPD6
	820	393.6	0.052	0.16	1220	10	20.0	5.0	0.60	493-1789-ND	.66	4.93	36.21	UPW1C821MPD
	1000	480	0.052	0.16	1220	10	20.0	5.0	0.60	493-1790-ND	.66	4.93	36.21	UPW1C102MPD
	1200	576	0.045	0.16	1440	10	25.0	5.0	0.60	493-1791-ND	.90	6.69	49.15	UPW1C122MPD
	1500	720	0.038	0.16	1655	12.5	20.0	5.0	0.60	493-1792-ND	.91	6.72	49.34	UPW1C152MHD
	1500	720	0.035	0.16	1815	10	31.5	5.0	0.60	493-1793-ND	.91	6.72	49.34	UPW1C152MPD6
	2200	1056	0.030	0.18	1945	12.5	25.0	5.0	0.60	493-1794-ND	.71	5.31	38.99	UPW1C222MHD
	2700	1296	0.025	0.18	2310	12.5	31.5	5.0	0.80	493-1795-ND	1.32	9.88	74.10	UPW1C272MHD
	2700	1296	0.029	0.18	2205	16	20.0	7.5	0.80	493-1796-ND	1.32	9.88	74.10	UPW1C272MHD6
	3300	1584	0.022	0.20	2555	16	25.0	7.5	0.80	493-1797-ND	1.35	10.16	76.19	UPW1C332MHD
	3300	1584	0.022	0.20	2510	12.5	35.5	5.0	0.80	493-1798-ND	1.35	10.16	76.19	UPW1C332MHD6
	3900	1872	0.022	0.20	2555	16	25.0	7.5	0.80	493-1799-ND	1.55	11.76	88.72	UPW1C392MHD
	3900	1872	0.028	0.20	2490	18	20.0	7.5	0.80	493-1800-ND	1.55	11.76	88.72	UPW1C392MHD6
	4700	2256	0.018	0.22	3010	16	31.5	7.5	0.80	493-1801-ND	1.55	11.76	88.72	UPW1C472MHD
	4700	2256	0.020	0.22	2740	18	25.0	7.5	0.80	493-1802-ND	1.55	11.76	88.72	UPW1C472MHD6
	5600	2688	0.016	0.24	3150	16	35.5	7.5	0.80	493-1803-ND	1.63	12.39	93.46	UPW1C562MHD
	5600	2688	0.016	0.24	3635	18	31.5	7.5	0.80	493-1804-ND	1.63	12.39	93.46	UPW1C562MHD6
	6800	3264	0.015	0.26	3680	18	35.5	7.5	0.80	493-1805-ND	1.90	14.45	109.04	UPW1C682MHD
	8200	3936	0.015	0.3	3680	18	35.5	7.5	0.80	493-1806-ND	2.01	15.26	115.14	UPW1C822MHD
	10000	4800	0.014	0.34	3800	18	40.0	7.5	0.80	493-1807-ND	2.21	16.71	126.14	UPW1C103MHD
	4.7	4	0.600	0.14	180	5	11.0	2.0	0.50	493-1808-ND	.20	1.35	9.55	UPW1E4R7MDD
	10	7.5	0.600	0.14	180	5	11.0	2.0	0.50	493-1809-ND	.20	1.35	9.55	UPW1E100MDD
	10	7.5	2.000	0.14	65	4	7.0	1.5	0.45	493-1810-ND	.20	1.35	9.55	UPW1E100MDD6
	22	16.5	0.600	0.14	180	5	11.0	2.0	0.50	493-1811-ND	.23	1.55	10.95	UPW1E220MDD
	22	16.5	0.950	0.14	120	5	7.0	2.0	0.45	493-1812-ND	.23	1.55	10.95	UPW1E220MDD6
	27	20.25	1.300	0.14	120	4	11.0	1.5	0.45	493-1813-ND	.23	1.55	10.95	UPW1E270MDD
	33	24.75	0.600	0.14	180	5	11.0	2.0	0.50	493-1814-ND	.23	1.55	10.95	UPW1E330MDD
	39	29.25	0.600	0.14	180	5	11.0	2.0	0.50	493-1815-ND	.27	1.85	13.04	UPW1E390MDD
	39	29.25	0.450	0.14	200	6.3	7.0	2.5	0.45	493-1816-ND	.27	1.85	13.04	UPW1E390MDD6
	47	35.25	0.600	0.14	180	5	11.0	2.0	0.50	493-1817-ND	.27	1.85	13.04	UPW1E470MDD
	56	42	0.500	0.14	235	5	15.0	2.0	0.50	493-1818-ND	.27	1.85	13.04	UPW1E560MDD
	82	61.5	0.250	0.14	290	6.3	11.0	2.5	0.50	493-1819-ND	.30	2.25	16.09	UPW1E820MED
	100	75	0.250	0.14	290	6.3	11.0	2.5	0.50	493-1820-ND	.30	2.25	16.09	UPW1E101MED
	120	90	0.230	0.14	430	6.3	15.0	2.5	0.50	493-1821-ND	.31	2.29	16.30	UPW1E121MED
	150	112.5	0.117	0.14	555	8	11.5	3.5	0.60	493-1822-ND	.31	2.31	16.51	UPW1E151MPD
	220	165	0.117	0.14	555	8	11.5	3.5	0.60	493-1823-ND	.43	3.17	22.65	UPW1E221MPD
	330	247.5	0.090	0.14	755	10	12.5	5.0	0.60	493-1824-ND	.44	3.23	23.07	UPW1E331MPD
	330	247.5	0.085	0.14	730	8	15.0	3.5	0.60	493-1825-ND	.44	3.23	23.07	UPW1E331MPD6
	470	352.5	0.068	0.14	1050	10	16.0	5.0	0.60	493-1826-ND	.58	4.36	32.04	UPW1E471MPD
25	470	352.5	0.065	0.14	995	8	20.0	3.5	0.60	493-1827-ND	.58	4.36	32.04	UPW1E471MPD6
	560	420	0.052	0.14	1220	10	20.0	5.0	0.60	493-1828-ND	.68	5.01	36.81	UPW1E561MPD
	680	510	0.052	0.14	1220	10	20.0	5.0	0.60	493-1829-ND	.68	5.01	36.81	UPW1E681MPD
	820	615	0.045	0.14	1440	10	25.0	5.0	0.60	493-1830-ND	.90	6.69	49.15	UPW1E821MPD
	1000	750	0.038	0.14	1655	12.5	20.0	5.0	0.60	493-1831-ND	.87	6.50	47.75	UPW1E102MHD
	1000	750	0.035	0.14	1815	10	31.5	5.0	0.60	493-1832-ND	.87	6.50	47.75	UPW1E102MPD6
	1500	1125	0.022	0.14	2555	16	25.0	7.5	0.80	493-1833-ND	1.02	7.59	56.96	UPW1E152MHD
	1500	1125	0.030	0.14	1945	12.5	25.0	5.0	0.60	493-1834-ND	1.02	7.59	56.96	UPW1E152MHD6
	1800	1350	0.025	0.14	2310	12.5	31.5	5.0	0.80	493-1835-ND	1.26	9.45	70.86	UPW1E182MHD
	1800	1350	0.029	0.14	2205	16	20.0	7.5	0.80	493-1836-ND	1.26	9.45	70.86	UPW1E182MHD6
	2200	1650	0.022	0.16	2555	16	25.0	7.5	0.80	493-1837-ND	1.32	9.88	74.10	UPW1E222MHD
	2200	1650	0.022	0.16	2510	12.5	35.5	5.0	0.80	493-1838-ND	1.32	9.88	74.10	UPW1E222MHD3
	2200	1650	0.028	0.16	2490	18	20.0	7.5	0.80	493-1839-ND	1.32	9.88	74.10	UPW1E222MHD6
	2700	2025	0.022	0.16	2555	16	25.0	7.5	0.80	493-1840-ND	1.49	11.31	85.34	UPW1E272MHD
	3300	2475	0.018	0.18	3010	16	31.5	7.5	0.80	493-1841-ND	1.56	11.83	89.23	UPW1E332MHD
	3300	2475	0.020	0.18	2740	18	25.0	7.5	0.80	493-1842-ND	1.56	11.83	89.23	UPW1E332MHD6
	3900	2925	0.016	0.18	3150	16	35.5	7.5	0.80	493-1843-ND	1.63	12.39	93.46	UPW1E392MHD
	3900	2925	0.016	0.18	3635	18	31.5	7.5	0.80	493-1844-ND	1.63	12.39	93.46	UPW1E392MHD6
	4700	3525	0.015	0.2	3680	18	35.5	7.5	0.80	493-1845-ND	1.57	11.89	89.74	UPW1E472MHD
	6800	5100	0.014	0.24	3800	18	40.0	7.5	0.80	493-1846-ND	2.36	17.88	134.95	UPW1E682MHD
	4.7	4.935	0.600	0.12	180	5	11.0	2.0	0.50	493-1847-ND	.20	1.35	9.55	UPW1V4R7MDD
	6.8	7.14	2.000	0.12	65	4	7.0	1.5	0.45	493-1848-ND	.20	1.35	9.55	UPW1V6R8MDD
	10	10.5	0.600	0.12	180	5	11.0	2.0	0.50	493-1849-ND	.20	1.35	9.55	UPW1V100MDD
	10	10.5	0.950	0.12	120	5	7.0	2.0	0.45	493-1850-ND	.20	1.35	9.55	UPW1V100MDD6
	12	12.6	0.950	0.12	120	5	7.0	2.0	0.45	493-1851-ND	.20	1.35	9.55	UPW1V120MDD
	18	18.9	1.300	0.12	120	4	11.0	1.5	0.45	493-1852-ND	.22	1.52	10.71	UPW1V180MDD
	22	23.1	0.600	0.12	180	5	11.0	2.0	0.50	493-1853-ND	.23	1.55	10.95	UPW1V220MDD
	27	28.35	0.600	0.12	180	5	11.0	2.0	0.50	493-1854-ND	.23	1.55	10.95	UPW1V270MDD
	27	28.35	0.450	0.12	200	6.3	7.0	2.5	0.45	493-1855-ND	.23	1.55	10.95	UPW1V270MDD6
35	33	34.65	0.600	0.12	180	5	11.0	2.0	0.50	493-1856-ND	.27	1.85	13.04	UPW1V330MDD
	39	40.95	0.500	0.12	235	5	15.0	2.0	0.50	493-1857-ND	.28	1.91	13.50	UPW1V390MDD
	47	49.35	0.250	0.12	290	6.3	11.0	2.5	0.50	493-1858-ND	.28	1.91	13.50	UPW1V470MED
	56	58.8	0.250	0.12	290	6.3	11.0	2.5	0.50	493-1859-ND	.28	1.91	13.50	UPW1V560MED
	82	86.1	0.230	0.12	430	6.3	15.0	2.5	0.50	493-1860-ND	.32	2.40	17.14	UPW1V820MED
	100	105	0.117	0.12	555	8	11.5	3.5	0.60	493-1861-ND	.31	2.29	16.30	UPW1V101MPD
	150	157.5	0.117	0.12	555	8	11.5	3.5	0.60	493-1862-ND	.34	2.49	17.78	UPW1V151MPD
	220	231	0.090	0.12	755	10	12.5	5.0	0.60	493-1863-ND	.48	3.53	25.19	UPW1V221MPD
	220	231	0.085	0.12	730	8	15.0	3.5	0.60	493-1864-ND	.48	3.53	25.19	UPW1V221MPD6
	330	346.5	0.068	0.12	1050	10	16.0	5.0	0.60	493-1865-ND	.59	4.39	32.23	UPW1V331MPD
	330	346.5	0.065	0.12	995	8	20.0	3.5	0.60	493-1866-ND	.59	4.39	32.23	UPW1V331MPD6

(Forts.)

E

Nenn-spannung (VDC)	Kap (µF)	Leckstrom (µA)	Impedanz Ω max. 20 °C/100 KHz	Tan δ (max.) @ 120 Hz/20 °C	Zul. Mischstr. @ 100 KHz, 105 °C (mA rms)	Abmessungen (mm) ØD	L	P	ød	Digi-Key Teilenr.	Preisangaben 1	10	100	Blei (Pb) -freies Nichicon Teil, Nr.
	390	409.5	0.052	0.12	1220	10	20.0	5.0	0.60	493-1867-ND	.75	5.55	40.79	UPW1V391MPD
	470	493.5	0.052	0.12	1220	10	20.0	5.0	0.60	493-1868-ND	.75	5.55	40.79	UPW1V471MPD
	560	588	0.045	0.12	1440	10	25.0	5.0	0.60	493-1869-ND	.91	6.72	49.34	UPW1V561MPD
	680	714	0.038	0.12	1655	12.5	20.0	5.0	0.60	493-1870-ND	.91	6.75	49.54	UPW1V681MHD
	680	714	0.035	0.12	1815	10	31.5	5.0	0.60	493-1871-ND	.91	6.75	49.54	UPW1V681MPD6
	1000	1050	0.030	0.12	1945	12.5	25.0	5.0	0.60	493-1872-ND	1.02	7.62	57.15	UPW1V102MHD
	1200	1260	0.025	0.12	2310	12.5	31.5	5.0	0.80	493-1873-ND	1.26	9.45	70.86	UPW1V122MHD
	1200	1260	0.029	0.12	2205	16	20.0	7.5	0.80	493-1874-ND	1.26	9.45	70.86	UPW1V122MHD6
35	1500	1575	0.022	0.12	2555	16	25.0	7.5	0.80	493-1875-ND	1.35	10.16	76.19	UPW1V152MHD
	1500	1575	0.022	0.12	2510	12.5	35.5	5.0	0.80	493-1876-ND	1.35	10.16	76.19	UPW1V152MHD6
	1800	1890	0.022	0.12	2555	16	25.0	7.5	0.80	493-1877-ND	1.49	11.31	85.34	UPW1V182MHD
	1800	1890	0.028	0.12	2490	18	20.0	7.5	0.80	493-1878-ND	1.49	11.31	85.34	UPW1V182MHD6
	2200	2310	0.018	0.14	3010	16	31.5	7.5	0.80	493-1879-ND	1.49	11.31	85.34	UPW1V222MHD
	2200	2310	0.020	0.14	2740	18	25.0	7.5	0.80	493-1880-ND	1.49	11.31	85.34	UPW1V222MHD6
	2700	2835	0.016	0.14	3150	16	35.5	7.5	0.80	493-1881-ND	1.63	12.39	93.46	UPW1V272MHD
	2700	2835	0.016	0.14	3635	18	31.5	7.5	0.80	493-1882-ND	1.63	12.39	93.46	UPW1V272MHD6
	3300	3465	0.015	0.16	3680	18	35.5	7.5	0.80	493-1883-ND	1.90	14.45	109.04	UPW1V332MHD
	4700	4935	0.014	0.18	3800	18	40.0	7.5	0.80	493-1884-ND	2.36	17.88	134.95	UPW1V472MHD
	0.47	4	5.000	0.1	25	5	11.0	2.0	0.50	493-1885-ND	.20	1.35	9.55	UPW1HR47MDD
	1	4	3.500	0.1	40	5	11.0	2.0	0.50	493-1886-ND	.20	1.35	9.55	UPW1H010MDD
	2.2	4	3.000	0.1	55	5	11.0	2.0	0.50	493-1887-ND	.20	1.35	9.55	UPW1H2R2MDD
	3.3	4.95	2.600	0.1	65	5	11.0	2.0	0.50	493-1888-ND	.20	1.35	9.55	UPW1H3R3MDD
	4.7	7.05	2.300	0.1	90	5	11.0	2.0	0.50	493-1889-ND	.20	1.35	9.55	UPW1H4R7MDD
	10	15	1.400	0.1	120	5	11.0	2.0	0.50	493-1890-ND	.22	1.52	10.71	UPW1H100MDD
	10	15	2.500	0.1	90	4	11.0	1.5	0.45	493-1891-ND	.22	1.52	10.71	UPW1H100MDD6
	18	27	1.300	0.1	155	5	11.0	2.0	0.50	493-1892-ND	.28	1.91	13.50	UPW1H180MDD
	22	33	1.200	0.1	170	5	11.0	2.0	0.50	493-1893-ND	.28	1.91	13.50	UPW1H220MDD
	27	40.5	0.900	0.1	215	5	15.0	2.0	0.50	493-1894-ND	.28	1.91	13.50	UPW1H270MDD
	33	49.5	0.430	0.1	300	6.3	11.0	2.5	0.50	493-1895-ND	.28	2.07	14.82	UPW1H330MED
	47	70.5	0.430	0.1	300	6.3	11.0	2.5	0.50	493-1896-ND	.30	2.19	15.66	UPW1H470MED
	56	84	0.400	0.1	360	6.3	15.0	2.5	0.50	493-1897-ND	.31	2.29	16.30	UPW1H560MED
	82	123	0.234	0.1	485	8	11.5	3.5	0.60	493-1898-ND	.43	3.17	22.65	UPW1H820MPD
	100	150	0.234	0.1	485	8	11.5	3.5	0.60	493-1899-ND	.43	3.17	22.65	UPW1H101MPD
	120	180	0.155	0.1	635	8	15.0	3.5	0.60	493-1900-ND	.47	3.50	24.97	UPW1H121MPD
	120	180	0.162	0.1	615	10	12.5	5.0	0.60	493-1901-ND	.47	3.50	24.97	UPW1H121MPD6
	150	225	0.162	0.1	615	10	12.5	5.0	0.60	493-1902-ND	.47	3.50	24.97	UPW1H151MPD
	180	270	0.120	0.1	860	8	20.0	3.5	0.60	493-1903-ND	.52	3.84	28.25	UPW1H181MPD
50	180	270	0.119	0.1	850	10	16.0	5.0	0.60	493-1904-ND	.52	3.84	28.25	UPW1H181MPD6
	220	330	0.119	0.1	850	10	16.0	5.0	0.60	493-1905-ND	.52	3.84	28.25	UPW1H221MPD
	220	330	0.090	0.1	1030	10	20.0	5.0	0.60	493-1906-ND	.52	3.84	28.25	UPW1H221MPD6
	270	405	0.082	0.1	1200	10	25.0	5.0	0.60	493-1907-ND	.70	5.23	38.40	UPW1H271MPD
	330	495	0.090	0.1	1030	10	20.0	5.0	0.60	493-1908-ND	.70	5.23	38.40	UPW1H331MPD
	330	495	0.060	0.1	1610	10	31.5	5.0	0.60	493-1909-ND	.70	5.23	38.40	UPW1H331MPD6
	390	585	0.063	0.1	1480	12.5	20.0	5.0	0.60	493-1910-ND	.91	6.72	49.34	UPW1H391MHD
	470	705	0.060	0.1	1500	12.5	20.0	5.0	0.60	493-1911-ND	.86	6.43	48.20	UPW1H471MHD
	560	840	0.050	0.1	1832	12.5	25.0	5.0	0.60	493-1912-ND	1.05	7.85	58.86	UPW1H561MHD
	680	1020	0.050	0.1	1832	12.5	25.0	5.0	0.60	493-1913-ND	1.05	7.85	58.86	UPW1H681MHD
	680	1020	0.048	0.1	1835	16	20.0	7.5	0.80	493-1914-ND	1.05	7.85	58.86	UPW1H681MHD6
	820	1230	0.034	0.1	2285	12.5	35.5	5.0	0.80	493-1915-ND	1.26	9.45	70.86	UPW1H821MHD
	820	1230	0.042	0.1	2420	18	20.0	7.5	0.80	493-1916-ND	1.26	9.45	70.86	UPW1H821MHD6
	1000	1500	0.034	0.1	2235	16	25.0	7.5	0.80	493-1917-ND	1.26	9.45	70.86	UPW1H102MHD
	1200	1800	0.028	0.1	2700	16	31.5	7.5	0.80	493-1918-ND	1.63	12.39	93.46	UPW1H122MHD
	1200	1800	0.029	0.1	2610	18	25.0	7.5	0.80	493-1919-ND	1.63	12.39	93.46	UPW1H122MHD6
	1500	2250	0.028	0.1	2700	16	31.5	7.5	0.80	493-1920-ND	1.63	12.39	93.46	UPW1H152MHD
	1500	2250	0.025	0.1	2790	16	35.5	7.5	0.80	493-1921-ND	1.63	12.39	93.46	UPW1H152MHD6
	1800	2700	0.025	0.1	3000	18	31.5	7.5	0.80	493-1922-ND	1.90	14.45	109.04	UPW1H182MHD
	2200	3300	0.023	0.12	3100	18	35.5	7.5	0.80	493-1923-ND	2.06	15.59	117.68	UPW1H222MHD
	4.7	8.883	4.700	0.09	68	5	11.0	2.0	0.50	493-1924-ND	.23	1.55	10.95	UPW1J4R7MDD
	6.8	12.852	2.500	0.09	95	5	11.0	2.0	0.50	493-1925-ND	.23	1.55	10.95	UPW1J6R8MDD
	6.8	12.852	3.500	0.09	80	4	11.0	1.5	0.45	493-1926-ND	.23	1.55	10.95	UPW1J6R8MDD6
	10	18.9	2.100	0.09	110	5	11.0	2.0	0.50	493-1927-ND	.23	1.55	10.95	UPW1J100MDD
	12	22.68	2.000	0.09	145	5	11.0	2.0	0.50	493-1928-ND	.28	1.91	13.50	UPW1J120MDD
	15	28.35	1.200	0.09	160	6.3	11.0	2.5	0.50	493-1929-ND	.28	2.07	14.82	UPW1J150MED
	18	34.02	1.300	0.09	200	5	15.0	2.0	0.50	493-1930-ND	.28	2.07	14.82	UPW1J180MDD
	22	41.58	0.710	0.09	250	6.3	11.0	2.5	0.50	493-1931-ND	.28	2.07	14.82	UPW1J220MED
	33	62.37	0.710	0.09	250	6.3	11.0	2.5	0.50	493-1932-ND	.30	2.19	15.66	UPW1J330MED
	39	73.71	0.700	0.09	330	6.3	15.0	2.5	0.50	493-1933-ND	.30	2.25	16.09	UPW1J390MED
	47	88.83	0.342	0.09	405	8	11.5	3.5	0.60	493-1934-ND	.34	2.49	17.78	UPW1J470MPD
	68	128.52	0.342	0.09	405	8	11.5	3.5	0.60	493-1935-ND	.43	3.17	22.65	UPW1J680MPD
	100	189	0.256	0.09	535	10	12.5	5.0	0.60	493-1936-ND	.47	3.50	24.97	UPW1J101MPD
	100	189	0.230	0.09	535	8	15.0	3.5	0.60	493-1937-ND	.47	3.50	24.97	UPW1J101MPD6
	120	226.8	0.194	0.09	600	10	16.0	5.0	0.60	493-1938-ND	.52	3.84	28.25	UPW1J121MPD
	150	283.5	0.194	0.09	660	10	16.0	5.0	0.60	493-1939-ND	.52	3.84	28.25	UPW1J151MPD
	180	340.2	0.150	0.09	1020	12.5	15.0	5.0	0.60	493-1940-ND	.75	5.55	40.79	UPW1J181MHD6
	180	340.2	0.147	0.09	885	10	20.0	5.0	0.60	493-1941-ND	.75	5.55	40.79	UPW1J181MPD
63	220	415.8	0.147	0.09	885	10	20.0	5.0	0.60	493-1942-ND	.90	6.69	49.15	UPW1J221MPD
	220	415.8	0.130	0.09	1050	10	25.0	5.0	0.60	493-1943-ND	.90	6.69	49.15	UPW1J221MPD6
	270	510.3	0.090	0.09	1410	16	15.0	7.5	0.80	493-1944-ND	.91	6.72	49.34	UPW1J271MHD
	330	623.7	0.085	0.09	1285	12.5	20.0	5.0	0.60	493-1945-ND	.91	6.72	49.34	UPW1J331MHD
	390	737.1	0.070	0.09	1720	12.5	25.0	5.0	0.60	493-1946-ND	1.05	7.85	58.86	UPW1J391MHD
	390	737.1	0.086	0.09	1690	18	15.0	7.5	0.80	493-1947-ND	1.05	7.85	58.86	UPW1J391MHD6
	470	888.3	0.070	0.09	1720	12.5	25.0	5.0	0.60	493-1948-ND	1.05	7.85	58.86	UPW1J471MHD
	470	888.3	0.059	0.09	1765	16	20.0	7.5	0.80	493-1949-ND	1.05	7.85	58.86	UPW1J471MHD3
	470	888.3	0.055	0.09	2090	12.5	31.5	5.0	0.80	493-1950-ND	1.05	7.85	58.86	UPW1J471MHD6
	680	1285.2	0.050	0.09	2160	16	25.0	7.5	0.80	493-1951-ND	1.26	9.45	70.86	UPW1J681MHD
	680	1285.2	0.055	0.09	2290	18	20.0	7.5	0.80	493-1952-ND	1.26	9.45	70.86	UPW1J681MHD3
	680	1285.2	0.047	0.09	2265	12.5	35.5	5.0	0.80	493-1953-ND	1.26	9.45	70.86	UPW1J681MHD6
	820	1549.8	0.043	0.09	2670	16	31.5	7.5	0.80	493-1954-ND	1.63	12.39	93.46	UPW1J821MHD
	820	1549.8	0.043	0.09	2585	18	25.0	7.5	0.80	493-1955-ND	1.63	12.39	93.46	UPW1J821MHD6
	1000	1890	0.043	0.09	2670	16	31.5	7.5	0.80	493-1956-ND	1.63	12.39	93.46	UPW1J102MHD
	1000	1890	0.036	0.09	2770	16	35.5	7.5	0.80	493-1957-ND	1.63	12.39	93.46	UPW1J102MHD6
	1200	2268	0.032	0.09	2950	18	31.5	7.5	0.80	493-1958-ND	1.90	14.45	109.04	UPW1J122MHD
	1500	2835	0.030	0.09	3095	18	35.5	7.5	0.80	493-1959-ND	2.06	15.59	117.68	UPW1J152MHD
	2200	4158	0.028	0.11	3200	18	40.0	7.5	0.80	493-1960-ND	2.36	17.88	134.95	UPW1J222MHD
	0.47	4	43.000	0.08	20	5	11.0	2.0	0.50	493-1961-ND	.23	1.55	10.95	UPW2AR47MDD
	1	4	20.000	0.08	30	5	11.0	2.0	0.50	493-1962-ND	.23	1.55	10.95	UPW2A010MDD
	2.2	6.6	9.800	0.08	44	5	11.0	2.0	0.50	493-1963-ND	.23	1.55	10.95	UPW2A2R2MDD
	3.3	9.9	6.600	0.08	58	5	11.0	2.0	0.50	493-1964-ND	.27	1.85	13.04	UPW2A3R3MDD
100	4.7	14.1	4.600	0.08	74	5	11.0	2.0	0.50	493-1965-ND	.27	1.85	13.04	UPW2A4R7MDD
	6.8	20.4	3.500	0.08	95	5	11.0	2.0	0.50	493-1966-ND	.27	1.85	13.04	UPW2A6R8MDD
	10	30	1.800	0.08	130	6.3	11.0	2.5	0.50	493-1967-ND	.30	2.19	15.66	UPW2A100MED
	15	45	0.830	0.08	180	8	11.5	3.5	0.60	493-1968-ND	.34	2.49	17.78	UPW2A150MPD
	18	54	0.800	0.08	200	6.3	15.0	2.5	0.50	493-1969-ND	.34	2.49	17.78	UPW2A180MED
	22	66	0.680	0.08	230	8	11.5	3.5	0.60	493-1970-ND	.43	3.17	22.65	UPW2A220MPD

(Forts.)

Alle Preisangaben in Euro und inklusive Zollgebühren.

Nenn-spannung (VDC)	Kap (µF)	Leckstrom (µA)	Impedanz Ω max. 20 °C/100 KHz	Tan δ (max.) @ 120 Hz/20 °C	Zul. Mischstr. @ 100 KHz, 105 °C (mA rms)	Abmessungen (mm) ØD	L	P	ød	Digi-Key Teilenr.	Preisangaben 1	10	100	Blei (Pb) -freies Nichicon Teil, Nr.
100	33	99	0.460	0.08	320	10	12.5	5.0	0.60	493-1971-ND	.47	3.50	24.97	UPW2A330MPD
	33	99	0.450	0.08	360	8	15.0	3.5	0.60	493-1972-ND	.47	3.50	24.97	UPW2A330MPD6
	47	141	0.370	0.08	420	10	16.0	5.0	0.60	493-1973-ND	.52	3.84	28.25	UPW2A470MPD
	47	141	0.370	0.08	420	8	20.0	3.5	0.60	493-1974-ND	.52	3.84	28.25	UPW2A470MPD6
	68	204	0.300	0.08	490	10	20.0	5.0	0.60	493-1975-ND	.75	5.55	40.79	UPW2A680MPD
	82	246	0.250	0.08	540	10	25.0	5.0	0.60	493-1976-ND	.90	6.69	49.15	UPW2A820MPD
	100	300	0.180	0.08	580	12.5	20.0	5.0	0.60	493-1977-ND	.91	6.72	49.34	UPW2A101MHD
	150	450	0.130	0.08	710	12.5	25.0	5.0	0.60	493-1978-ND	1.16	8.71	65.34	UPW2A151MHD
	180	540	0.120	0.08	790	12.5	31.5	5.0	0.80	493-1979-ND	1.19	8.91	66.86	UPW2A181MHD
	180	540	0.130	0.08	750	16	20.0	7.5	0.80	493-1980-ND	1.19	8.91	66.86	UPW2A181MHD6
	220	660	0.100	0.08	890	16	25.0	7.5	0.80	493-1981-ND	1.26	9.45	70.86	UPW2A221MHD
	220	660	0.110	0.08	850	18	20.0	7.5	0.80	493-1982-ND	1.26	9.45	70.86	UPW2A221MHD6
	330	990	0.090	0.08	1080	16	25.0	7.5	0.80	493-1983-ND	1.68	12.57	94.29	UPW2A331MHD
	390	1170	0.083	0.08	1260	18	25.0	7.5	0.80	493-1984-ND	1.55	11.73	88.55	UPW2A391MHD
	470	1410	0.076	0.08	1310	16	31.5	7.5	0.80	493-1985-ND	1.63	12.36	93.30	UPW2A471MHD
	560	1680	0.068	0.08	1370	18	31.5	7.5	0.80	493-1986-ND	1.90	14.45	109.04	UPW2A561MHD
	680	2040	0.064	0.08	1410	16	35.5	7.5	0.80	493-1987-ND	2.06	15.59	117.68	UPW2A681MHD
	1000	3000	0.047	0.08	1520	18	40.0	7.5	0.80	493-1988-ND	3.09	23.40	176.60	UPW2A102MHD
160	0.47	47.52	—	0.15	12	6.3	11.0	2.5	0.50	493-1989-ND	.30	2.19	15.66	UPW2CR47MED
	1	56	—	0.15	17	6.3	11.0	2.5	0.50	493-1990-ND	.30	2.19	15.66	UPW2C010MED
	2.2	75.2	—	0.15	25	6.3	11.0	2.5	0.50	493-1991-ND	.36	2.61	18.63	UPW2C2R2MED
	3.3	92.8	—	0.15	36	8	11.5	3.5	0.60	493-1992-ND	.46	3.38	24.13	UPW2C3R3MPD
	4.7	115.2	—	0.15	43	8	11.5	3.5	0.60	493-1993-ND	.46	3.38	24.13	UPW2C4R7MPD
	10	200	—	0.15	70	10	12.5	5.0	0.60	493-1994-ND	.50	3.74	27.46	UPW2C100MPD
	22	392	—	0.15	130	10	20.0	5.0	0.60	493-1995-ND	.71	5.31	38.99	UPW2C220MPD
	33	568	—	0.15	180	12.5	20.0	5.0	0.60	493-1996-ND	.87	6.50	47.75	UPW2C330MHD
	47	792	—	0.15	220	12.5	25.0	5.0	0.60	493-1997-ND	.96	7.19	53.91	UPW2C470MHD
	100	1640	—	0.15	330	16	25.0	7.5	0.80	493-1998-ND	1.41	10.59	79.44	UPW2C101MHD
	220	3560	—	0.15	500	18	35.5	7.5	0.80	493-1999-ND	2.27	17.21	129.87	UPW2C221MHD
	220	3560	—	0.15	500	20	31.0	10.0	1.00	493-2000-ND	2.27	17.21	129.87	UPW2C221MRD6
	330	5320	—	0.15	900	20	40.0	10.0	1.00	493-2001-ND	2.98	22.60	170.51	UPW2C331MRD
	470	7560	—	0.15	1200	22	50.0	10.0	1.00	493-2002-ND	4.50	34.03	256.86	UPW2C471MRD
200	0.47	49.4	—	0.15	12	6.3	11.0	2.5	0.50	493-2003-ND	.33	2.43	17.36	UPW2DR47MED
	1	60	—	0.15	17	6.3	11.0	2.5	0.50	493-2004-ND	.33	2.43	17.36	UPW2D010MED
	2.2	84	—	0.15	25	6.3	11.0	2.5	0.50	493-2005-ND	.42	3.14	22.43	UPW2D2R2MED
	3.3	106	—	0.15	36	8	11.5	3.5	0.60	493-2006-ND	.46	3.38	24.13	UPW2D3R3MPD
	4.7	134	—	0.15	50	10	12.5	5.0	0.60	493-2007-ND	.49	3.65	26.03	UPW2D4R7MPD
	10	240	—	0.15	80	10	16.0	5.0	0.60	493-2008-ND	.56	4.17	30.64	UPW2D100MPD
	22	480	—	0.15	140	10	20.0	5.0	0.60	493-2009-ND	.87	6.50	47.75	UPW2D220MPD
	33	700	—	0.15	190	12.5	25.0	5.0	0.60	493-2010-ND	.96	7.19	53.91	UPW2D330MHD
	47	980	—	0.15	220	12.5	25.0	5.0	0.60	493-2011-ND	1.02	7.59	56.96	UPW2D470MHD
	100	2040	—	0.15	335	16	31.5	7.5	0.80	493-2012-ND	1.97	14.92	112.60	UPW2D101MHD
	220	4440	—	0.15	515	18	40.0	7.5	0.80	493-2013-ND	2.73	20.73	156.45	UPW2D221MHD
	220	4440	—	0.15	515	20	35.0	10.0	1.00	493-2014-ND	2.73	20.73	156.45	UPW2D221MRD6
	330	6640	—	0.15	1100	22	40.0	10.0	1.00	493-2015-ND	4.73	35.83	270.40	UPW2D331MRD
	470	9440	—	0.15	1310	22	50.0	10.0	1.00	493-2016-ND	5.82	44.04	332.38	UPW2D471MRD
250	0.47	51.75	—	0.15	12	6.3	11.0	2.5	0.50	493-2017-ND	.36	2.61	18.63	UPW2ER47MED
	1	65	—	0.15	17	6.3	11.0	2.5	0.50	493-2018-ND	.36	2.61	18.63	UPW2E010MED
	2.2	95	—	0.15	29	8	11.5	3.5	0.60	493-2019-ND	.46	3.38	24.13	UPW2E2R2MPD
	3.3	122.5	—	0.15	42	10	12.5	5.0	0.60	493-2020-ND	.48	3.56	25.40	UPW2E3R3MPD
	4.7	157.5	—	0.15	50	10	12.5	5.0	0.60	493-2021-ND	.49	3.68	27.06	UPW2E4R7MPD
	10	290	—	0.15	88	10	20.0	5.0	0.60	493-2022-ND	.71	5.31	38.99	UPW2E100MPD
	22	590	—	0.15	155	12.5	25.0	5.0	0.60	493-2023-ND	.87	6.50	47.75	UPW2E220MHD
	33	865	—	0.15	190	12.5	25.0	5.0	0.60	493-2024-ND	.96	7.19	53.91	UPW2E330MHD
	47	1215	—	0.15	230	16	25.0	7.5	0.80	493-2025-ND	1.41	10.59	79.44	UPW2E470MHD
	100	2540	—	0.15	340	18	35.5	7.5	0.80	493-2026-ND	2.27	17.21	129.87	UPW2E101MHD
	100	2540	—	0.15	340	20	31.0	10.0	1.00	493-2027-ND	2.27	17.21	129.87	UPW2E101MRD6
	220	5540	—	0.15	525	20	40.0	10.0	1.00	493-2028-ND	3.11	23.54	177.62	UPW2E221MRD
	330	8290	—	0.15	1150	22	50.0	10.0	1.00	493-2029-ND	5.58	42.22	318.66	UPW2E331MRD
	470	11790	—	0.15	1350	25	50.0	12.5	1.00	493-2030-ND	7.18	54.39	410.43	UPW2E471MRD
315	0.47	54.805	—	0.2	11	8	11.5	3.5	0.60	493-2031-ND	.42	3.14	22.43	UPW2FR47MPD
	1	71.5	—	0.2	16	8	11.5	3.5	0.60	493-2032-ND	.42	3.14	22.43	UPW2F010MPD
	2.2	109.3	—	0.2	28	10	12.5	5.0	0.60	493-2033-ND	.48	3.56	25.40	UPW2F2R2MPD
	3.3	143.95	—	0.2	34	10	12.5	5.0	0.60	493-2034-ND	.51	3.77	26.88	UPW2F3R3MPD
	4.7	188.05	—	0.2	45	10	16.0	5.0	0.60	493-2035-ND	.60	4.47	32.83	UPW2F4R7MPD
	10	355	—	0.2	72	10	20.0	5.0	0.60	493-2036-ND	.73	5.39	39.60	UPW2F100MPD
	22	733	—	0.2	120	12.5	25.0	5.0	0.60	493-2037-ND	.85	6.37	47.82	UPW2F220MHD
	33	1079.5	—	0.2	155	16	25.0	7.5	0.80	493-2038-ND	1.48	11.12	83.43	UPW2F330MHD
	47	1520.5	—	0.2	190	16	35.5	7.5	0.80	493-2039-ND	1.97	14.92	112.60	UPW2F470MHD
	100	3190	—	0.2	285	18	40.0	7.5	0.80	493-2040-ND	2.65	20.08	151.54	UPW2F101MHD
	100	3190	—	0.2	285	20	35.0	10.0	1.00	493-2041-ND	2.65	20.08	151.54	UPW2F101MRD6
	220	6970	—	0.2	540	22	50.0	10.0	1.00	493-2042-ND	6.48	49.02	369.96	UPW2F221MRD
350	0.47	56.45	—	0.2	11	8	11.5	3.5	0.60	493-2043-ND	.43	3.17	22.65	UPW2VR47MPD
	1	75	—	0.2	17	10	12.5	5.0	0.60	493-2044-ND	.48	3.56	25.40	UPW2V010MPD
	2.2	117	—	0.2	31	10	16.0	5.0	0.60	493-2045-ND	.47	3.52	25.86	UPW2V2R2MPD
	3.3	155.5	—	0.2	38	10	16.0	5.0	0.60	493-2046-ND	.56	4.17	30.64	UPW2V3R3MPD
	4.7	204.5	—	0.2	49	10	20.0	5.0	0.60	493-2047-ND	.66	4.90	36.01	UPW2V4R7MPD
	10	390	—	0.2	82	12.5	20.0	5.0	0.60	493-2048-ND	.87	6.53	48.96	UPW2V100MHD
	22	810	—	0.2	130	16	25.0	7.5	0.80	493-2049-ND	1.41	10.59	79.44	UPW2V220MHD
	33	1195	—	0.2	160	16	31.5	7.5	0.80	493-2050-ND	1.52	11.56	87.20	UPW2V330MHD
	47	1685	—	0.2	200	18	35.5	7.5	0.80	493-2051-ND	2.27	17.21	129.87	UPW2V470MHD
	47	1685	—	0.2	200	20	31.0	10.0	1.00	493-2052-ND	2.27	17.21	129.87	UPW2V470MRD6
	100	3540	—	0.2	290	20	40.0	10.0	1.00	493-2053-ND	3.11	23.54	177.62	UPW2V101MRD
	220	7740	—	0.2	550	25	50.0	12.5	1.00	493-2054-ND	7.52	56.92	429.56	UPW2V221MRD
400	1	80	—	0.25	16	10	12.5	5.0	0.60	493-2055-ND	.48	3.61	26.46	UPW2G010MPD
	2.2	128	—	0.25	27	10	16.0	5.0	0.60	493-2056-ND	.58	4.25	31.24	UPW2G2R2MPD
	3.3	172	—	0.25	36	10	20.0	5.0	0.60	493-2057-ND	.66	4.90	36.01	UPW2G3R3MPD
	4.7	228	—	0.25	43	10	20.0	5.0	0.60	493-2058-ND	.87	6.50	47.75	UPW2G4R7MPD
	10	440	—	0.25	72	12.5	25.0	5.0	0.60	493-2059-ND	.96	7.19	53.91	UPW2G100MHD
	22	920	—	0.25	110	16	25.0	7.5	0.80	493-2060-ND	1.64	12.34	92.58	UPW2G220MHD
	33	1360	—	0.25	140	16	31.5	7.5	0.80	493-2061-ND	1.97	14.92	112.60	UPW2G330MHD
	47	1920	—	0.25	170	18	35.5	7.5	0.80	493-2062-ND	2.64	20.01	151.03	UPW2G470MHD
	47	1920	—	0.25	170	20	31.0	10.0	1.00	493-2063-ND	2.64	20.01	151.03	UPW2G470MRD6
	100	4040	—	0.25	350	22	50.0	10.0	1.00	493-2064-ND	4.88	36.90	278.53	UPW2G101MRD
450	1	85	—	0.25	18	10	12.5	5.0	0.60	493-2065-ND	.49	3.66	26.86	UPW2W010MPD
	2.2	139	—	0.25	29	10	20.0	5.0	0.60	493-2066-ND	.66	4.90	36.01	UPW2W2R2MPD
	3.3	188.5	—	0.25	41	12.5	20.0	5.0	0.60	493-2067-ND	.87	6.50	47.75	UPW2W3R3MHD
	4.7	251.5	—	0.25	49	12.5	20.0	5.0	0.60	493-2068-ND	.91	6.83	51.24	UPW2W4R7MHD
	10	490	—	0.25	75	16	25.0	7.5	0.80	493-2069-ND	1.41	10.59	79.44	UPW2W100MHD
	22	1030	—	0.25	115	16	31.5	7.5	0.80	493-2070-ND	1.71	12.94	97.70	UPW2W220MHD
	33	1525	—	0.25	145	18	35.5	7.5	0.80	493-2071-ND	2.64	20.01	151.03	UPW2W330MHD
	33	1525	—	0.25	145	20	31.0	10.0	1.00	493-2072-ND	2.64	20.01	151.03	UPW2W330MRD6
	47	2155	—	0.25	175	20	40.0	10.0	1.00	493-2073-ND	3.11	23.54	177.62	UPW2W470MRD
	100	4540	—	0.25	350	25	50.0	12.5	1.00	493-2074-ND	6.62	50.12	378.26	UPW2W101MRD

E

Extrem niedrige Impedanz, hohe Zuverlässigkeit 105 °C **** Im Lager vorrätige Blei (Pb) -freie/RoHS-konforme Teilenummern ****

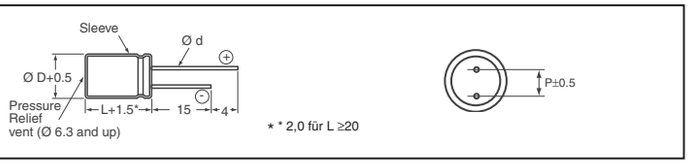

MERKMALE: • Mini-Version • Extrem niedrige Impedanz • Hohe Zuverlässigkeit und lange Lebensdauer von 4.000 Stunden bis 10.000 Stunden.

SPEZIFIKATIONEN:

Temperaturbereich	-40°C ~ 105°C
Kapazitätstoleranz	±20 % bei 120 Hz, 20 °C

• **Leckstrom:** Nach 2 Minuten angelegter Nennspannung ist der Leckstrom nicht größer als 0,01 CV oder 3 (µA), welcher Wert auch immer größer ist.

• **Tan δ:** Für eine Kapazität von über 1.000 µF 0,02 pro 1.000 µF Steigerung addieren. Messfrequenz: 120 Hz, Temperatur: 20 °C.

Nennspannung (V)	6.3	10	16	25	35	50	63	100
Tan δ (max.)	0.22	0.19	0.16	0.14	0.12	0.10	0.09	0.08

• **Stabilität bei niedriger Temperatur:** Messfrequenz: 120 Hz

Nennspannung (V)		6.3	10	16	25	35	50	63	100
Impedanzverhältnis	Z-20°C / Z+20°C	4	3	2	2	2	2	2	2
ZT / Z20 (max.)	Z-40°C / Z+20°C	8	6	4	3	3	3	3	3

• **Ermüdung:** Nach angelegter DC Bias-Spannung plus dem Nennmischstrom bei 105 °C darf die Spitzenspannung die Nennspannung nicht übersteigen und die Kondensatoren müssen folgende Anforderungen erfüllen.

Gehäusegröße		φD ≤ 6.3	φD = 8,10	φD ≥ 12.5
Nennspannung (V)	6.3 ~ 10WV	4.000 Stunden	6.000 Stunden	8.000 Stunden
	16 ~ 100WV	5.000 Stunden	7.000 Stunden	10.000 Stunden
Kapazitätsveränderung		Innerhalb ±25 % des ersten gemessenen Wertes		
Tan δ		200 % oder weniger des ersten spezifizierten Wertes		
Leckstrom		Erster spezifizierter Wert oder weniger		

• **Lagerbeständigkeit:** Nachdem die Kondensatoren 1000 Stunden lang ohne Last bei 105 °C bleiben, erfüllen sie die vorstehend aufgeführten Ermüdungsspezifikationen.

• **Markierung:** Aufdruck aus weißen Buchstaben auf schwarzer Hülse.

E

Nenn-spannung (V DC)	Kap (µF)	Leck-strom (µA)	Impedanz OHm (Ω) max. @ 20 °C /100 KHz	Tan δ (max.) @ 120 Hz/20 °C	Zul. Mischstr. @ 100 KHz/105 °C (mA) rms	Abmessungen (mm) ØD	L	P	Ød	Digi-Key Teilenr.	Preisangaben 1	10	100	Blei (Pb) -freies Nichicon Teil, Nr.
6.3	150	9.45	0.58	0.22	210	5.0	11.0	2.0	0.5	493-1463-ND	.19	1.32	9.31	UHE0J151MDD
	330	20.79	0.22	0.22	340	6.3	11.0	2.5	0.5	493-1464-ND	.25	1.72	12.11	UHE0J331MED
	680	42.84	0.13	0.22	640	8.0	11.5	3.5	0.6	493-1465-ND	.32	2.37	16.93	UHE0J681MPD
	820	51.66	0.080	0.22	865	10.0	12.5	5.0	0.6	493-1466-ND	.33	2.46	17.57	UHE0J821MPD
	1000	63	0.087	0.22	840	8.0	15.0	3.5	0.6	493-1467-ND	.29	1.95	13.74	UHE0J102MPD
	1200	75.6	0.069	0.22	1050	8.0	20.0	3.5	0.6	493-1468-ND	.41	2.96	21.17	UHE0J122MPD
	1200	75.6	0.060	0.22	1210	10.0	16.0	5.0	0.6	493-1469-ND	.41	2.96	21.17	UHE0J122MPD6
	1500	94.5	0.046	0.22	1400	10.0	20.0	5.0	0.6	493-1470-ND	.44	3.23	23.07	UHE0J152MPD
	1800	113.4	0.049	0.22	1450	12.5	15.0	5.0	0.6	493-1471-ND	.47	3.47	24.76	UHE0J182MHD
	2200	138.6	0.042	0.24	1650	10.0	25.0	5.0	0.6	493-1472-ND	.52	3.82	28.06	UHE0J222MPD
	2700	170.1	0.031	0.24	1910	10.0	31.5	5.0	0.6	493-1473-ND	.67	4.96	36.41	UHE0J272MPD6
	2700	170.1	0.042	0.24	1940	16.0	15.0	7.5	0.8	493-1474-ND	.67	4.96	36.41	UHE0J272MHD
	3300	207.9	0.035	0.26	1900	12.5	20.0	5.0	0.6	493-1475-ND	.69	5.10	37.40	UHE0J332MHD
	3900	245.7	0.027	0.26	2230	12.5	25.0	5.0	0.6	493-1476-ND	.81	6.04	44.37	UHE0J392MHD
	3900	245.7	0.043	0.26	2210	18.0	15.0	7.5	0.8	493-1477-ND	.81	6.04	44.37	UHE0J392MHD6
	4700	296.1	0.024	0.28	2650	12.5	31.5	5.0	0.8	493-1478-ND	.83	6.18	45.36	UHE0J472MHD
	5600	352.8	0.020	0.3	2880	12.5	35.5	5.0	0.8	493-1479-ND	.97	7.31	54.86	UHE0J562MHD
	5600	352.8	0.027	0.3	2530	16.0	20.0	7.5	0.8	493-1480-ND	.97	7.31	54.86	UHE0J562MHD6
	6800	428.4	0.017	0.32	3350	12.5	40.0	5.0	0.8	493-1481-ND	.99	7.42	55.62	UHE0J682MHD
	6800	428.4	0.021	0.32	2930	16.0	25.0	7.5	0.8	493-1482-ND	.99	7.42	55.62	UHE0J682MHD6
	6800	428.4	0.026	0.32	2860	18.0	20.0	7.5	0.8	493-1483-ND	.99	7.42	55.62	UHE0J682MHD3
	8200	516.6	0.017	0.36	3450	16.0	31.5	7.5	0.8	493-1484-ND	1.44	10.79	80.96	UHE0J822MHD
	10000	630	0.015	0.4	3610	16.0	35.5	7.5	0.8	493-1485-ND	1.44	10.79	80.96	UHE0J103MHD
	10000	630	0.019	0.4	3140	18.0	25.0	7.5	0.8	493-1486-ND	1.44	10.79	80.96	UHE0J103MHD6
	12000	756	0.013	0.44	4080	16.0	40.0	7.5	0.8	493-1487-ND	1.68	12.62	94.68	UHE0J123MHD
	12000	756	0.015	0.44	4170	18.0	31.5	7.5	0.8	493-1488-ND	1.68	12.62	94.68	UHE0J123MHD6
	15000	945	0.014	0.5	4220	18.0	35.5	7.5	0.8	493-1489-ND	1.56	11.78	88.89	UHE0J153MHD
	18000	1134	0.012	0.56	4280	18.0	40.0	7.5	0.8	493-1490-ND	1.64	12.45	93.97	UHE0J183MHD
10	100	10	0.58	0.19	210	5.0	11.0	2.0	0.5	493-1491-ND	.18	1.19	8.38	UHE1A101MDD
	220	22	0.22	0.19	340	6.3	11.0	2.5	0.5	493-1492-ND	.27	1.82	12.81	UHE1A221MED
	470	47	0.13	0.19	640	8.0	11.5	3.5	0.6	493-1493-ND	.32	2.37	16.93	UHE1A471MPD
	680	68	0.087	0.19	840	8.0	15.0	3.5	0.6	493-1494-ND	.33	2.46	17.57	UHE1A681MPD
	680	68	0.080	0.19	865	10.0	12.5	5.0	0.6	493-1495-ND	.33	2.46	17.57	UHE1A681MPD6
	1000	100	0.069	0.19	1050	8.0	20.0	3.5	0.6	493-1496-ND	.44	3.26	23.28	UHE1A102MPD
	1000	100	0.060	0.19	1210	10.0	16.0	5.0	0.6	493-1497-ND	.44	3.26	23.28	UHE1A102MPD6
	1200	120	0.046	0.19	1400	10.0	20.0	5.0	0.6	493-1498-ND	.51	3.73	26.67	UHE1A122MPD
	1500	150	0.042	0.19	1650	10.0	25.0	5.0	0.6	493-1499-ND	.47	3.55	26.07	UHE1A152MPD
	1500	150	0.049	0.19	1450	12.5	15.0	5.0	0.6	493-1500-ND	.47	3.55	26.07	UHE1A152MHD6
	2200	220	0.031	0.21	1910	10.0	31.5	5.0	0.6	493-1501-ND	.67	4.96	36.41	UHE1A222MPD
	2200	220	0.035	0.21	1900	12.5	20.0	5.0	0.6	493-1502-ND	.67	4.96	36.41	UHE1A222MHD6
	2200	220	0.042	0.21	1940	16.0	15.0	7.5	0.8	493-1503-ND	.67	4.96	36.41	UHE1A222MHD3
	2700	270	0.043	0.21	2210	18.0	15.0	7.5	0.8	493-1504-ND	.75	5.55	40.79	UHE1A272MHD
	3300	330	0.027	0.23	2230	12.5	25.0	5.0	0.6	493-1505-ND	.81	6.04	44.37	UHE1A332MHD
	3900	390	0.024	0.23	2650	12.5	31.5	5.0	0.8	493-1506-ND	.97	7.31	54.86	UHE1A392MHD
	3900	390	0.027	0.23	2530	16.0	20.0	7.5	0.8	493-1507-ND	.97	7.31	54.86	UHE1A392MHD6
	4700	470	0.020	0.25	2880	12.5	35.5	5.0	0.8	493-1508-ND	.97	7.31	54.86	UHE1A472MHD
	5600	560	0.017	0.27	3350	12.5	40.0	5.0	0.8	493-1509-ND	1.37	10.26	76.96	UHE1A562MHD
	5600	560	0.021	0.27	2930	16.0	25.0	7.5	0.8	493-1510-ND	1.37	10.26	76.96	UHE1A562MHD6
	5600	560	0.026	0.27	2860	18.0	20.0	7.5	0.8	493-1511-ND	1.37	10.26	76.96	UHE1A562MHD3
	6800	680	0.017	0.29	3450	16.0	31.5	7.5	0.8	493-1512-ND	1.44	10.79	80.96	UHE1A682MHD
	6800	680	0.019	0.29	3140	18.0	25.0	7.5	0.8	493-1513-ND	1.44	10.79	80.96	UHE1A682MHD6
	8200	820	0.015	0.33	3610	16.0	35.5	7.5	0.8	493-1514-ND	1.68	12.62	94.68	UHE1A822MHD
	8200	820	0.015	0.33	4170	18.0	31.5	7.5	0.8	493-1515-ND	1.68	12.62	94.68	UHE1A822MHD6
	10000	1000	0.013	0.37	4080	16.0	40.0	7.5	0.8	493-1516-ND	1.55	11.71	88.39	UHE1A103MHD
	10000	1000	0.014	0.37	4220	18.0	35.5	7.5	0.8	493-1517-ND	1.55	11.71	88.39	UHE1A103MHD6
	12000	1200	0.012	0.41	4280	18.0	40.0	7.5	0.8	493-1518-ND	1.63	12.36	93.30	UHE1A123MHD
16	56	8.96	0.58	0.16	210	5.0	11.0	2.0	0.5	493-1519-ND	.22	1.49	10.48	UHE1C560MDD
	120	19.2	0.22	0.16	340	6.3	11.0	2.5	0.5	493-1520-ND	.22	1.49	10.48	UHE1C121MED
	330	52.8	0.13	0.16	640	8.0	11.5	3.5	0.6	493-1521-ND	.33	2.46	17.57	UHE1C331MPD

(Forts.)

Alle Preisangaben in Euro und inklusive Zollgebühren.

Nenn-spannung (V DC)	Kap. (µF)	Leck-strom (µA)	Impedanz (Ω) max. @ 20 °C/100 KHz	Tan δ (max.) @ 120 Hz/20 °C	Zul. Mischstr. @ 100 KHz/105 °C (mA) rms	Abmessungen (mm) ØD	L	P	Ød	Digi-Key Teilenr.	Preisangaben 1	10	100	Blei (Pb) -freies Nichicon Teil, Nr.
	470	75.2	0.087	0.16	840	8.0	15.0	3.5	0.6	493-1522-ND	.35	2.55	18.20	UHE1C471MPD
	470	75.2	0.080	0.16	865	10.0	12.5	5.0	0.6	493-1523-ND	.35	2.55	18.20	UHE1C471MPD6
	680	108.8	0.069	0.16	1050	8.0	20.0	3.5	0.6	493-1524-ND	.51	3.73	26.67	UHE1C681MPD
	680	108.8	0.060	0.16	1210	10.0	16.0	5.0	0.6	493-1525-ND	.51	3.73	26.67	UHE1C681MPD6
	1000	160	0.046	0.16	1400	10.0	20.0	5.0	0.6	493-1526-ND	.52	3.82	28.06	UHE1C102MPD
	1000	160	0.049	0.16	1450	12.5	15.0	5.0	0.6	493-1527-ND	.52	3.82	28.06	UHE1C102MHD6
	1200	192	0.042	0.16	1650	10.0	25.0	5.0	0.6	493-1528-ND	.47	3.55	26.07	UHE1C122MPD
	1500	240	0.031	0.16	1910	10.0	31.5	5.0	0.6	493-1529-ND	.69	5.17	38.00	UHE1C152MPD
	1500	240	0.035	0.16	1900	12.5	20.0	5.0	0.6	493-1530-ND	.69	5.17	38.00	UHE1C152MHD6
	1500	240	0.042	0.16	1940	16.0	15.0	7.5	0.8	493-1531-ND	.69	5.17	38.00	UHE1C152MHD3
	2200	352	0.027	0.18	2230	12.5	25.0	5.0	0.6	493-1532-ND	.84	6.26	45.96	UHE1C222MHD
	2200	352	0.043	0.18	2210	18.0	15.0	7.5	0.8	493-1533-ND	.84	6.26	45.96	UHE1C222MHD6
16	2700	432	0.024	0.18	2650	12.5	31.5	5.0	0.8	493-1534-ND	.97	7.31	54.86	UHE1C272MHD
	2700	432	0.027	0.18	2530	16.0	20.0	7.5	0.8	493-1535-ND	.97	7.31	54.86	UHE1C272MHD6
	3300	528	0.020	0.20	2880	12.5	35.5	5.0	0.8	493-1536-ND	1.02	7.62	57.15	UHE1C332MHD
	3900	624	0.017	0.20	3350	12.5	40.0	5.0	0.8	493-1537-ND	1.02	7.62	57.15	UHE1C392MHD
	3900	624	0.021	0.20	2930	16.0	25.0	7.5	0.8	493-1538-ND	1.02	7.62	57.15	UHE1C392MHD6
	3900	624	0.026	0.20	2860	16.0	20.0	7.5	0.8	493-1539-ND	1.02	7.62	57.15	UHE1C392MHD3
	4700	752	0.017	0.22	3450	16.0	31.5	7.5	0.8	493-1540-ND	1.37	10.26	76.96	UHE1C472MHD
	4700	752	0.019	0.22	3140	18.0	25.0	7.5	0.8	493-1541-ND	1.37	10.26	76.96	UHE1C472MHD6
	5600	896	0.015	0.24	3610	16.0	35.5	7.5	0.8	493-1542-ND	1.68	12.62	94.68	UHE1C562MHD
	5600	896	0.015	0.24	4170	18.0	31.5	7.5	0.8	493-1543-ND	1.68	12.62	94.68	UHE1C562MHD6
	6800	1088	0.013	0.26	4080	16.0	40.0	7.5	0.8	493-1544-ND	1.55	11.71	88.39	UHE1C682MHD
	8200	1312	0.014	0.30	4220	18.0	35.5	7.5	0.8	493-1545-ND	1.55	11.71	88.39	UHE1C822MHD
	10000	1600	0.012	0.34	4280	18.0	40.0	7.5	0.8	493-1546-ND	1.88	14.25	107.52	UHE1C103MHD
	47	11.75	0.58	0.14	210	5.0	11.0	2.0	0.5	493-1547-ND	.22	1.49	10.48	UHE1E470MDD
	100	25	0.22	0.14	340	6.3	11.0	2.5	0.5	493-1548-ND	.28	1.91	13.50	UHE1E101MED
	220	55	0.13	0.14	640	8.0	11.5	3.5	0.6	493-1549-ND	.33	2.46	17.57	UHE1E221MPD
	330	82.5	0.087	0.14	840	8.0	15.0	3.5	0.6	493-1550-ND	.31	2.31	16.51	UHE1E331MPD
	330	82.5	0.080	0.14	865	10.0	12.5	5.0	0.6	493-1551-ND	.31	2.31	16.51	UHE1E331MPD6
	470	117.5	0.069	0.14	1050	8.0	20.0	3.5	0.6	493-1552-ND	.51	3.73	26.67	UHE1E471MPD
	470	117.5	0.06	0.14	1210	10.0	16.0	5.0	0.6	493-1553-ND	.51	3.73	26.67	UHE1E471MPD6
	680	170	0.046	0.14	1400	10.0	20.0	5.0	0.6	493-1554-ND	.53	3.95	29.05	UHE1E681MPD
	680	170	0.049	0.14	1450	12.5	15.0	5.0	0.6	493-1555-ND	.53	3.95	29.05	UHE1E681MHD6
	820	205	0.042	0.14	1650	10.0	25.0	5.0	0.6	493-1556-ND	.54	4.01	29.44	UHE1E821MPD
	1000	250	0.031	0.14	1910	10.0	31.5	5.0	0.6	493-1557-ND	.69	5.12	37.61	UHE1E102MPD
	1000	250	0.035	0.14	1900	12.5	20.0	5.0	0.6	493-1558-ND	.69	5.12	37.61	UHE1E102MHD6
	1000	250	0.042	0.14	1940	16.0	15.0	7.5	0.8	493-1559-ND	.69	5.12	37.61	UHE1E102MHD3
25	1200	300	0.043	0.14	2210	18.0	15.0	7.5	0.8	493-1560-ND	.78	5.77	42.38	UHE1E122MHD
	1500	375	0.027	0.14	2230	12.5	25.0	5.0	0.6	493-1561-ND	.84	6.26	45.96	UHE1E152MHD
	1800	450	0.024	0.14	2650	12.5	31.5	5.0	0.8	493-1562-ND	.97	7.31	54.86	UHE1E182MHD
	1800	450	0.027	0.14	2530	16.0	20.0	7.5	0.8	493-1563-ND	.97	7.31	54.86	UHE1E182MHD6
	2200	550	0.020	0.16	2880	12.5	35.5	5.0	0.8	493-1564-ND	1.02	7.62	57.15	UHE1E222MHD
	2200	550	0.026	0.16	2860	18.0	20.0	7.5	0.8	493-1565-ND	1.02	7.62	57.15	UHE1E222MHD6
	2700	675	0.017	0.16	3350	12.5	40.0	5.0	0.8	493-1566-ND	1.05	7.85	58.86	UHE1E272MHD
	2700	675	0.021	0.16	2930	16.0	25.0	7.5	0.8	493-1567-ND	1.05	7.85	58.86	UHE1E272MHD6
	3300	825	0.017	0.18	3450	16.0	31.5	7.5	0.8	493-1568-ND	1.38	10.34	77.53	UHE1E332MHD
	3300	825	0.019	0.18	3140	18.0	25.0	7.5	0.8	493-1569-ND	1.38	10.34	77.53	UHE1E332MHD6
	3900	975	0.015	0.18	3610	16.0	35.5	7.5	0.8	493-1570-ND	1.68	12.62	94.68	UHE1E392MHD
	3900	975	0.015	0.18	4170	18.0	31.5	7.5	0.8	493-1571-ND	1.68	12.62	94.68	UHE1E392MHD6
	4700	1175	0.013	0.20	4080	16.0	40.0	7.5	0.8	493-1572-ND	1.68	12.62	94.68	UHE1E472MHD
	4700	1175	0.014	0.20	4220	18.0	35.5	7.5	0.8	493-1573-ND	1.68	12.62	94.68	UHE1E472MHD6
	5600	1400	0.012	0.22	4280	18.0	40.0	7.5	0.8	493-1574-ND	1.88	14.25	107.52	UHE1E562MHD
	33	11.55	0.58	0.12	210	5.0	11.0	2.0	0.5	493-1575-ND	.22	1.49	10.48	UHE1V330MDD
	56	19.6	0.22	0.12	340	6.3	11.0	2.5	0.5	493-1576-ND	.28	1.88	13.27	UHE1V560MED
	150	52.5	0.13	0.12	640	8.0	11.5	3.5	0.6	493-1577-ND	.31	2.15	15.14	UHE1V151MPD
	220	77	0.087	0.12	840	8.0	15.0	3.5	0.6	493-1578-ND	.36	2.70	19.26	UHE1V221MPD
	220	77	0.080	0.12	865	10.0	12.5	5.0	0.6	493-1579-ND	.36	2.70	19.26	UHE1V221MPD6
	270	94.5	0.069	0.12	1050	8.0	20.0	3.5	0.6	493-1580-ND	.51	3.73	26.67	UHE1V271MPD
	330	115.5	0.060	0.12	1210	10.0	16.0	5.0	0.6	493-1581-ND	.51	3.73	26.67	UHE1V331MPD
	470	164.5	0.046	0.12	1400	10.0	20.0	5.0	0.6	493-1582-ND	.53	3.95	29.05	UHE1V471MPD
	470	164.5	0.049	0.12	1450	12.5	15.0	5.0	0.6	493-1583-ND	.53	3.95	29.05	UHE1V471MHD6
	560	196	0.042	0.12	1650	10.0	25.0	5.0	0.6	493-1584-ND	.54	4.01	29.44	UHE1V561MPD
	680	238	0.031	0.12	1910	10.0	31.5	5.0	0.6	493-1585-ND	.69	5.12	37.61	UHE1V681MPD
	680	238	0.035	0.12	1900	12.5	20.0	5.0	0.6	493-1586-ND	.69	5.12	37.61	UHE1V681MHD6
	680	238	0.042	0.12	1940	16.0	15.0	7.5	0.8	493-1587-ND	.69	5.12	37.61	UHE1V681MHD3
35	1000	350	0.027	0.12	2230	12.5	25.0	5.0	0.6	493-1588-ND	.84	6.26	45.96	UHE1V102MHD
	1000	350	0.043	0.12	2210	18.0	15.0	7.5	0.8	493-1589-ND	.84	6.26	45.96	UHE1V102MHD6
	1200	420	0.024	0.12	2650	12.5	31.5	5.0	0.8	493-1590-ND	.97	7.31	54.86	UHE1V122MHD
	1200	420	0.027	0.12	2530	16.0	20.0	7.5	0.8	493-1591-ND	.97	7.31	54.86	UHE1V122MHD6
	1500	525	0.020	0.12	2880	12.5	35.5	5.0	0.8	493-1592-ND	1.02	7.62	57.15	UHE1V152MHD
	1800	630	0.017	0.12	3350	12.5	40.0	5.0	0.8	493-1593-ND	1.02	7.62	57.15	UHE1V182MHD
	1800	630	0.021	0.12	2930	16.0	25.0	7.5	0.8	493-1594-ND	1.02	7.62	57.15	UHE1V182MHD6
	1800	630	0.026	0.12	2860	18.0	20.0	7.5	0.8	493-1595-ND	1.02	7.62	57.15	UHE1V182MHD3
	2200	770	0.017	0.14	3450	16.0	31.5	7.5	0.8	493-1596-ND	1.38	10.34	77.53	UHE1V222MHD
	2200	770	0.019	0.14	3140	18.0	25.0	7.5	0.8	493-1597-ND	1.38	10.34	77.53	UHE1V222MHD6
	2700	945	0.015	0.14	3610	16.0	35.5	7.5	0.8	493-1598-ND	1.68	12.62	94.68	UHE1V272MHD
	2700	945	0.015	0.14	4170	18.0	31.5	7.5	0.8	493-1599-ND	1.68	12.62	94.68	UHE1V272MHD6
	3300	1155	0.013	0.16	4080	16.0	40.0	7.5	0.8	493-1600-ND	1.68	12.62	94.68	UHE1V332MHD
	3300	1155	0.014	0.16	4220	18.0	35.5	7.5	0.8	493-1601-ND	1.68	12.62	94.68	UHE1V332MHD6
	3900	1365	0.012	0.16	4280	18.0	40.0	7.5	0.8	493-1602-ND	1.90	14.40	108.70	UHE1V392MHD

(Forts.)

E

Nenn-spannung (V DC)	Kap. (µF)	Leck-strom (µA)	Impedanz (Ω) max. @ 20 °C/100 KHz	Tan δ (max.) @ 120 Hz/20 °C	Zul. Mischstr. @ 100 KHz/105 °C (mA) rms	Abmessungen (mm) ØD	L	P	Ød	Digi-Key Teilenr.	Preisangaben 1	10	100	Blei (Pb) -freies Nichicon Teil, Nr.
	22	11	0.70	0.1	180	5.0	11.0	2.0	0.5	493-1603-ND	.22	1.49	10.48	UHE1H220MDD
	56	28	0.30	0.1	295	6.3	11.0	2.5	0.5	493-1604-ND	.28	1.91	13.50	UHE1H560MED
	100	50	0.17	0.1	555	8.0	11.5	3.5	0.6	493-1605-ND	.33	2.46	17.57	UHE1H101MPD
	120	60	0.12	0.1	730	8.0	15.0	3.5	0.6	493-1606-ND	.36	2.67	19.05	UHE1H121MPD
	150	75	0.12	0.1	760	10.0	12.5	5.0	0.6	493-1607-ND	.36	2.67	19.05	UHE1H151MPD
	180	90	0.091	0.1	910	8.0	20.0	3.5	0.6	493-1608-ND	.41	3.02	21.59	UHE1H181MPD
	220	110	0.084	0.1	1050	10.0	16.0	5.0	0.6	493-1609-ND	.44	3.23	23.07	UHE1H221MPD
	270	135	0.060	0.1	1220	10.0	20.0	5.0	0.6	493-1610-ND	.53	3.95	29.05	UHE1H271MPD
	270	135	0.061	0.1	1260	12.5	15.0	5.0	0.6	493-1611-ND	.53	3.95	29.05	UHE1H271MHD6
	330	165	0.055	0.1	1440	10.0	25.0	5.0	0.6	493-1612-ND	.54	4.01	29.44	UHE1H331MPD
	470	235	0.043	0.1	1690	10.0	31.5	5.0	0.6	493-1613-ND	.70	5.23	38.40	UHE1H471MPD
	470	235	0.045	0.1	1660	12.5	20.0	5.0	0.6	493-1614-ND	.70	5.23	38.40	UHE1H471MHD6
	470	235	0.055	0.1	1690	16.0	15.0	7.5	0.8	493-1615-ND	.70	5.23	38.40	UHE1H471MHD3
50	560	280	0.034	0.1	1950	12.5	25.0	5.0	0.6	493-1616-ND	.84	6.26	45.96	UHE1H561MHD
	560	280	0.054	0.1	1930	18.0	15.0	7.5	0.8	493-1617-ND	.84	6.26	45.96	UHE1H561MHD6
	680	340	0.030	0.1	2310	12.5	31.5	5.0	0.8	493-1618-ND	.86	6.45	47.35	UHE1H681MHD
	820	410	0.025	0.1	2510	12.5	35.5	5.0	0.8	493-1619-ND	.97	7.31	54.86	UHE1H821MHD
	820	410	0.034	0.1	2210	16.0	20.0	7.5	0.8	493-1620-ND	.97	7.31	54.86	UHE1H821MHD6
	1000	500	0.021	0.1	2920	12.5	40.0	5.0	0.8	493-1621-ND	.97	7.31	54.86	UHE1H102MHD
	1000	500	0.025	0.1	2555	16.0	25.0	7.5	0.8	493-1622-ND	.97	7.31	54.86	UHE1H102MHD6
	1000	500	0.036	0.1	2490	18.0	20.0	7.5	0.8	493-1623-ND	.97	7.31	54.86	UHE1H102MHD3
	1200	600	0.022	0.1	3010	16.0	31.5	7.5	0.8	493-1624-ND	1.37	10.26	76.96	UHE1H122MHD
	1200	600	0.026	0.1	2740	18.0	25.0	7.5	0.8	493-1625-ND	1.37	10.26	76.96	UHE1H122MHD6
	1500	750	0.019	0.1	3150	16.0	35.5	7.5	0.8	493-1626-ND	1.44	10.79	80.96	UHE1H152MHD
	1800	900	0.016	0.1	3710	16.0	40.0	7.5	0.8	493-1627-ND	1.55	11.71	88.39	UHE1H182MHD
	1800	900	0.021	0.1	3635	18.0	31.5	7.5	0.8	493-1628-ND	1.55	11.71	88.39	UHE1H182MHD6
	2200	1100	0.017	0.12	3680	18.0	35.5	7.5	0.8	493-1629-ND	1.59	12.02	90.76	UHE1H222MHD6
	2700	1350	0.014	0.12	3800	18.0	40.0	7.5	0.8	493-1630-ND	1.59	12.02	90.76	UHE1H272MHD
	15	9.45	2.3	0.09	55	5.0	11.0	2.0	0.5	493-1631-ND	.21	1.46	10.24	UHE1J150MDD
	33	20.79	1.2	0.09	115	6.3	11.0	2.5	0.5	493-1632-ND	.28	1.88	13.27	UHE1J330MED
	56	35.28	0.63	0.09	232	8.0	11.5	3.5	0.6	493-1633-ND	.34	2.28	16.07	UHE1J560MPD
	82	51.66	0.45	0.09	300	8.0	15.0	3.5	0.6	493-1634-ND	.36	2.67	19.05	UHE1J820MPD
	82	51.66	0.43	0.09	288	10.0	12.5	5.0	0.6	493-1635-ND	.36	2.67	19.05	UHE1J820MPD6
	120	75.6	0.33	0.09	362	8.0	20.0	3.5	0.6	493-1636-ND	.44	3.23	23.07	UHE1J121MPD
	120	75.6	0.31	0.09	357	10.0	16.0	5.0	0.6	493-1637-ND	.44	3.23	23.07	UHE1J121MPD6
	180	113.4	0.21	0.09	466	10.0	20.0	5.0	0.6	493-1638-ND	.53	3.95	29.05	UHE1J181MPD
	180	113.4	0.23	0.09	466	12.5	15.0	5.0	0.6	493-1639-ND	.53	3.95	29.05	UHE1J181MHD6
	220	138.6	0.20	0.09	531	10.0	25.0	5.0	0.6	493-1640-ND	.54	4.01	29.44	UHE1J221MPD
	270	170.1	0.15	0.09	663	10.0	31.5	5.0	0.6	493-1641-ND	.71	5.28	38.80	UHE1J271MPD
	270	170.1	0.16	0.09	690	12.5	20.0	5.0	0.6	493-1642-ND	.71	5.28	38.80	UHE1J271MHD6
	270	170.1	0.14	0.09	795	16.0	15.0	7.5	0.8	493-1643-ND	.71	5.28	38.80	UHE1J271MHD3
63	330	207.9	0.12	0.09	784	12.5	25.0	5.0	0.6	493-1644-ND	.82	6.10	44.77	UHE1J331MHD
	390	245.7	0.12	0.09	920	18.0	15.0	7.5	0.8	493-1645-ND	.84	6.26	45.96	UHE1J391MHD
	470	296.1	0.10	0.09	905	12.5	31.5	5.0	0.8	493-1646-ND	.86	6.45	47.35	UHE1J471MHD
	470	296.1	0.091	0.09	1040	16.0	20.0	7.5	0.8	493-1647-ND	.86	6.45	47.35	UHE1J471MHD6
	560	352.8	0.083	0.09	1050	12.5	35.5	5.0	0.8	493-1648-ND	.91	6.88	51.63	UHE1J561MHD
	560	352.8	0.073	0.09	1250	16.0	25.0	7.5	0.8	493-1649-ND	.91	6.88	51.63	UHE1J561MHD6
	680	428.4	0.071	0.09	1180	12.5	40.0	5.0	0.8	493-1650-ND	.97	7.31	54.86	UHE1J681MHD
	680	428.4	0.080	0.09	1240	18.0	20.0	7.5	0.8	493-1651-ND	.97	7.31	54.86	UHE1J681MHD6
	820	516.6	0.054	0.09	1570	16.0	31.5	7.5	0.8	493-1652-ND	1.37	10.26	76.96	UHE1J821MHD
	820	516.6	0.057	0.09	1490	18.0	25.0	7.5	0.8	493-1653-ND	1.37	10.26	76.96	UHE1J821MHD6
	1000	630	0.045	0.09	1790	16.0	35.5	7.5	0.8	493-1654-ND	1.37	10.26	76.96	UHE1J102MHD
	1000	630	0.047	0.09	1630	18.0	31.5	7.5	0.8	493-1655-ND	1.37	10.26	76.96	UHE1J102MHD6
	1200	756	0.040	0.09	2020	16.0	40.0	7.5	0.8	493-1656-ND	1.54	11.58	86.86	UHE1J122MHD
	1200	756	0.040	0.09	1790	18.0	35.5	7.5	0.8	493-1657-ND	1.54	11.58	86.86	UHE1J122MHD6
	1500	945	0.036	0.09	2330	18.0	40.0	7.5	0.8	493-1658-ND	1.63	12.32	92.96	UHE1J152MHD
	6.8	6.8	2.3	0.08	55	5.0	11.0	2.0	0.5	493-1659-ND	.21	1.46	10.24	UHE2A6R8MDD
	15	15	1.2	0.08	115	6.3	11.0	2.5	0.5	493-1660-ND	.28	1.88	13.27	UHE2A150MED
	27	27	0.63	0.08	232	8.0	11.5	3.5	0.6	493-1661-ND	.30	2.05	14.43	UHE2A270MPD
	39	39	0.45	0.08	300	8.0	15.0	3.5	0.6	493-1662-ND	.34	2.28	16.07	UHE2A390MPD
	47	47	0.43	0.08	288	10.0	12.5	5.0	0.6	493-1663-ND	.34	2.28	16.07	UHE2A470MPD
	56	56	0.33	0.08	362	8.0	20.0	3.5	0.6	493-1664-ND	.36	2.67	19.05	UHE2A560MPD
	68	68	0.31	0.08	357	10.0	16.0	5.0	0.6	493-1665-ND	.36	2.67	19.05	UHE2A680MPD
	82	82	0.21	0.08	466	10.0	20.0	5.0	0.6	493-1666-ND	.36	2.67	19.05	UHE2A820MPD
	82	82	0.23	0.08	466	12.5	15.0	5.0	0.6	493-1667-ND	.36	2.67	19.05	UHE2A820MHD6
	100	100	0.20	0.08	531	10.0	25.0	5.0	0.6	493-1668-ND	.38	2.79	19.90	UHE2A101MPD
	120	120	0.15	0.08	663	10.0	31.5	5.0	0.6	493-1669-ND	.47	3.50	24.97	UHE2A121MPD
	120	120	0.16	0.08	690	12.5	20.0	5.0	0.6	493-1670-ND	.47	3.50	24.97	UHE2A121MHD6
	150	150	0.14	0.08	795	16.0	15.0	7.5	0.8	493-1671-ND	.54	4.01	29.44	UHE2A151MHD
100	180	180	0.12	0.08	784	12.5	25.0	5.0	0.6	493-1672-ND	.54	4.01	29.44	UHE2A181MHD
	180	180	0.12	0.08	920	18.0	15.0	7.5	0.8	493-1673-ND	.54	4.01	29.44	UHE2A181MHD6
	220	220	0.10	0.08	905	12.5	31.5	5.0	0.8	493-1674-ND	.68	5.06	37.21	UHE2A221MHD
	220	220	0.091	0.08	1040	16.0	20.0	7.5	0.8	493-1675-ND	.68	5.06	37.21	UHE2A221MHD6
	270	270	0.083	0.08	1050	12.5	35.5	5.0	0.8	493-1676-ND	.71	5.28	38.80	UHE2A271MHD
	270	270	0.073	0.08	1250	16.0	25.0	7.5	0.8	493-1677-ND	.71	5.28	38.80	UHE2A271MHD6
	330	330	0.071	0.08	1180	12.5	40.0	5.0	0.8	493-1678-ND	1.35	10.11	75.81	UHE2A331MHD
	330	330	0.080	0.08	1240	18.0	20.0	7.5	0.8	493-1679-ND	1.35	10.11	75.81	UHE2A331MHD6
	390	390	0.054	0.08	1570	16.0	31.5	7.5	0.8	493-1680-ND	1.37	10.26	76.96	UHE2A391MHD
	390	390	0.057	0.08	1490	18.0	25.0	7.5	0.8	493-1681-ND	1.37	10.26	76.96	UHE2A391MHD6
	470	470	0.045	0.08	1790	16.0	35.5	7.5	0.8	493-1682-ND	1.37	10.26	76.96	UHE2A471MHD
	470	470	0.047	0.08	1630	18.0	31.5	7.5	0.8	493-1683-ND	1.37	10.26	76.96	UHE2A471MHD6
	560	560	0.040	0.08	2020	16.0	40.0	7.5	0.8	493-1684-ND	1.54	11.58	86.86	UHE2A561MHD
	680	680	0.040	0.08	1790	18.0	35.5	7.5	0.8	493-1685-ND	1.54	11.58	86.86	UHE2A681MHD
	820	820	0.036	0.08	2330	18.0	40.0	7.5	0.8	493-1686-ND	1.63	12.32	92.96	UHE2A821MHD

Alle Preisangaben in Euro und inklusive Zollgebühren.

nichicon Serie WX Aluminium-Elektrolytkondensatoren (SMT)

Allzweck 85 °C **** Im Lager vorrätige Blei (Pb) -freie/RoHS-konforme Teilenummern ****

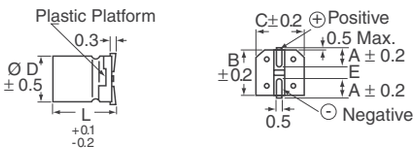

	Durchmesser (mm)				
	3	4	5	6.3	8
A	1.5	1.8	2.1	2.4	3.3
B	3.3	4.3	5.3	6.6	8.3
C	3.3	4.3	5.3	6.6	8.3
E	0.8	1.0	1.3	2.2	2.3

* Die Spannungsmarkierung für 6,3 V ist (6 V). Bei der Markierung von Ø 3 Einheiten wurde das „V" für die Nennspannung weggelassen.

† Bei der Markierung von Ø 3 Einheiten wird die Los-Nr. durch eine Zahl ausgedrückt (Monatscode).

Merkmale:

• Zur Oberflächenmontage auf hochdichten PC-Karten vorgesehen • Gültig für automatische Montagemaschinen, die Trägerband verwenden • Haltbarkeit: 2.000 Stunden bei 85 °C

SPEZIFIKATIONEN:

Temperaturbereich	-40°C ~ 85°C
Kapazitätstoleranz	±20 % bei 120 Hz, 20 °C
Leckstrom	Nach 2 Minuten angelegter Nennspannung ist der Leckstrom nicht größer als 0,01 CV oder 3 (µA), welcher Wert auch immer größer ist.

• **Tan δ:**

Nennsp. (V)	4	6.3	10	16	25	35	50
Tan δ (max.)	0.35 (0.40)	0.26 (0.30)	0.20 (0.24)	0.16 (0.19)	0.14 (0.16)	0.12 (0.14)	0.12 (0.14)

Messfrequenz: 120 Hz, Temperatur: 20 °C *(Werte in ( ) Ø 3 Gehäusegröße)*

• **Stabilität bei niedriger Temperatur:**

Nennspannungs(V)-		4	6.3	10	16	25	35	50
Impedanzverhältnis	Z -25°C / Z +20°C	7	4	3	2	2	2	2
ZT / Z20 (max.)	Z -40°C / Z +20°C	15	8	8	4	4	3	3

Messfrequenz: 120 Hz

• **Ermüdung:**
Nach 2.000 Stunden angelegter Nennspannung bei 85 °C erfüllen die Kondensatoren die rechts aufgeführten Anforderungen.

Kapazitätsveränderung	Innerhalb ±20 % des ersten Wertes (innerhalb ±25 % für 4V und Ø 3)
Tan δ:	200 % oder weniger des ersten spezifizierten Wertes
Leckstrom	Erster spezifizierter Wert oder weniger

• **Lagerbeständigkeit:** Nachdem die Kondensatoren 1.000 Stunden lang ohne Last bei 85 °C bleiben, erfüllen sie die vorstehend aufgeführten Ermüdungsspezifikationen.

• **Beständigkeit bei Löthitze:** Die Kondensatoren müssen 30 Sekunden auf einer Wärmeplatte mit gleichbleibender Hitze von 250 °C verbleiben. Nachdem sie von der Wärmeplatte genommen und bei Zimmertemperatur stabilisiert wurden, erfüllen sie die rechts aufgeführten Anforderungen.

Kapazitätsveränderung	Innerhalb ±10 % des ersten gemessenen Wertes
Tan δ	Erster spezifizierter Wert oder weniger
Leckstrom	Erster spezifizierter Wert oder weniger

• **Markierung:** Schwarzer Aufdruck oben auf Gehäuse.

Nenn-spannung (V DC)	Kap. (µF)	Tan δ (max.) @ 120 Hz/20 °C	Leckstrom (µA)	Zul. Mischstr. @ 120 Hz/85 °C (mA) rms	Durchm. D (mm)	Abm. L (mm)	Digi-Key Teilenr.	Gurtabschnittspreise 5	10	25	Digi-Key Teilenr.	Gegurtet auf Rolle Größe	Preisangaben	Blei (Pb) -freies Nichicon Teil, Nr.
4	22	0.35	3	19	3.0	5.4	493-2075-1-ND	.75	1.24	2.89	493-2075-2-ND	2,000	53.34/M	UWX0G220MCL2GB
	33	0.35	3	28	4.0	5.4	493-2076-1-ND	.75	1.24	2.89	493-2076-2-ND	2,000	53.34/M	UWX0G330MCL1GB
	47	0.35	3	33	4.0	5.4	493-2077-1-ND	.75	1.24	2.89	493-2077-2-ND	2,000	53.34/M	UWX0G470MCL1GB
	56	0.35	3	42	5.0	5.4	493-2078-1-ND	.80	1.30	3.03	493-2078-2-ND	1,000	55.88	UWX0G560MCL1GB
	100	0.35	4	56	5.0	5.4	493-2079-1-ND	.80	1.30	3.03	493-2079-2-ND	1,000	55.88	UWX0G101MCL1GB
	150	0.35	6	79	6.3	5.4	493-2080-1-ND	1.02	1.69	3.92	493-2080-2-ND	1,000	72.38	UWX0G151MCL1GB
	220	0.35	8.8	96	6.3	5.4	493-2081-1-ND	1.02	1.69	3.92	493-2081-2-ND	1,000	72.38	UWX0G221MCL1GB
	330	0.35	13.2	145	8.0	5.4	493-2082-1-ND	1.10	1.81	4.20	493-2082-2-ND	1,000	77.46	UWX0G331MCL1GB
6.3	22	0.26	3	21	3.0	5.4	493-2083-1-ND	.72	1.19	2.75	493-2083-2-ND	2,000	50.80/M	UWX0J220MCL2GB
	22	0.26	3	28	4.0	5.4	493-2084-1-ND	.72	1.19	2.75	493-2084-2-ND	2,000	50.80/M	UWX0J220MCL1GB
	33	0.26	3	37	5.0	5.4	493-2085-1-ND	.80	1.30	3.03	493-2085-2-ND	1,000	55.88	UWX0J330MCL1GB
	47	0.26	3	45	5.0	5.4	493-2086-1-ND	.75	1.24	2.89	493-2086-2-ND	1,000	53.34	UWX0J470MCL1GB
	56	0.26	3.528	52	6.3	5.4	493-2087-1-ND	.80	1.30	3.03	493-2087-2-ND	1,000	55.88	UWX0J560MCL1GB
	100	0.26	6.3	70	6.3	5.4	493-2088-1-ND	.80	1.30	3.03	493-2088-2-ND	1,000	55.88	UWX0J101MCL1GB
	150	0.26	9.45	71	6.3	5.4	493-2089-1-ND	1.08	1.78	4.13	493-2089-2-ND	1,000	76.19	UWX0J151MCL1GB
	220	0.26	13.86	110	8.0	5.4	493-2090-1-ND	1.10	1.81	4.20	493-2090-2-ND	1,000	77.46	UWX0J221MCL1GB
	330	0.26	20.79	170	8.0	5.4	493-2091-1-ND	1.10	1.81	4.20	493-2091-2-ND	1,000	77.46	UWX0J331MCL1GB
10	22	0.2	3	33	5.0	5.4	493-2092-1-ND	.72	1.19	2.75	493-2092-2-ND	1,000	50.80	UWX1A220MCL1GB
	33	0.2	3.3	41	5.0	5.4	493-2093-1-ND	.80	1.30	3.03	493-2093-2-ND	1,000	55.88	UWX1A330MCL1GB
	47	0.2	4.7	52	6.3	5.4	493-2094-1-ND	.80	1.30	3.03	493-2094-2-ND	1,000	55.88	UWX1A470MCL1GB
	56	0.2	5.6	57	6.3	5.4	493-2095-1-ND	.80	1.30	3.03	493-2095-2-ND	1,000	55.88	UWX1A560MCL1GB
	100	0.2	10	76	6.3	5.4	493-2096-1-ND	.80	1.30	3.03	493-2096-2-ND	1,000	55.88	UWX1A101MCL1GB
	150	0.2	15	111	8.0	5.4	493-2097-1-ND	1.39	2.29	5.30	493-2097-2-ND	1,000	97.78	UWX1A151MCL1GB
	220	0.2	22	135	8.0	5.4	493-2098-1-ND	1.10	1.81	4.20	493-2098-2-ND	1,000	77.46	UWX1A221MCL1GB
16	10	0.16	3	18	3.0	5.4	493-2099-1-ND	.72	1.19	2.75	493-2099-2-ND	2,000	50.80/M	UWX1C100MCL2GB
	10	0.16	3	23	4.0	5.4	493-2100-1-ND	.72	1.19	2.75	493-2100-2-ND	2,000	50.80/M	UWX1C100MCL1GB
	22	0.16	3.52	37	5.0	5.4	493-2101-1-ND	.72	1.19	2.75	493-2101-2-ND	1,000	50.80	UWX1C220MCL1GB
	33	0.16	5.28	49	6.3	5.4	493-2102-1-ND	.86	1.42	3.30	493-2102-2-ND	1,000	60.96	UWX1C330MCL1GB
	47	0.16	7.52	58	6.3	5.4	493-2103-1-ND	.80	1.30	3.03	493-2103-2-ND	1,000	55.88	UWX1C470MCL1GB
	56	0.16	8.96	63	6.3	5.4	493-2104-1-ND	.86	1.42	3.30	493-2104-2-ND	1,000	60.96	UWX1C560MCL1GB
	100	0.16	16	86	6.3	5.4	493-2105-1-ND	.88	1.46	3.37	493-2105-2-ND	1,000	62.23	UWX1C101MCL1GB
25	4.7	0.14	3	12	3.0	5.4	493-2106-1-ND	.72	1.19	2.75	493-2106-2-ND	2,000	50.80/M	UWX1E4R7MCL2GB
	4.7	0.14	3	16	4.0	5.4	493-2107-1-ND	.72	1.19	2.75	493-2107-2-ND	2,000	50.80/M	UWX1E4R7MCL1GB
	10	0.14	3	27	5.0	5.4	493-2108-1-ND	.80	1.30	3.03	493-2108-2-ND	1,000	55.88	UWX1E100MCL1GB
	22	0.14	5.5	42	6.3	5.4	493-2109-1-ND	.86	1.42	3.30	493-2109-2-ND	1,000	60.96	UWX1E220MCL1GB
	33	0.14	8.25	52	6.3	5.4	493-2110-1-ND	.99	1.63	3.78	493-2110-2-ND	1,000	69.84	UWX1E330MCL1GB
	47	0.14	11.75	70	8.0	5.4	493-2111-1-ND	1.10	1.81	4.20	493-2111-2-ND	1,000	77.46	UWX1E470MCL1GB
	56	0.14	14	76	8.0	5.4	493-2112-1-ND	1.10	1.81	4.20	493-2112-2-ND	1,000	77.46	UWX1E560MCL1GB
	100	0.14	25	110	8.0	5.4	493-2113-1-ND	1.46	2.40	5.57	493-2113-2-ND	1,000	102.86	UWX1E101MCL1GB
35	2.2	0.12	3	8.4	3.0	5.4	493-2114-1-ND	.72	1.19	2.75	493-2114-2-ND	2,000	50.80/M	UWX1V2R2MCL2GB
	3.3	0.12	3	10	3.0	5.4	493-2115-1-ND	.72	1.19	2.75	493-2115-2-ND	2,000	50.80/M	UWX1V3R3MCL2GB
	4.7	0.12	3	18	4.0	5.4	493-2116-1-ND	.72	1.19	2.75	493-2116-2-ND	2,000	50.80/M	UWX1V4R7MCL1GB
	10	0.12	3.5	29	5.0	5.4	493-2117-1-ND	.80	1.30	3.03	493-2117-2-ND	1,000	55.88	UWX1V100MCL1GB
	22	0.12	7.7	46	6.3	5.4	493-2118-1-ND	.86	1.42	3.30	493-2118-2-ND	1,000	60.96	UWX1V220MCL1GB
	33	0.12	11.55	62	8.0	5.4	493-2119-1-ND	1.10	1.81	4.20	493-2119-2-ND	1,000	77.46	UWX1V330MCL1GB
	47	0.12	16.45	80	8.0	5.4	493-2120-1-ND	1.10	1.81	4.20	493-2120-2-ND	1,000	77.46	UWX1V470MCL1GB
50	0.1	0.12	3	1	3.0	5.4	493-2121-1-ND	.75	1.24	2.89	493-2121-2-ND	2,000	53.34/M	UWX1H0R1MCL2GB
	0.1	0.12	3	1	4.0	5.4	493-2122-1-ND	.75	1.24	2.89	493-2122-2-ND	2,000	53.34/M	UWX1H0R1MCL1GB
	0.22	0.12	3	2	3.0	5.4	493-2123-1-ND	.75	1.24	2.89	493-2123-2-ND	2,000	53.34/M	UWX1HR22MCL2GB
	0.22	0.12	3	2	4.0	5.4	493-2124-1-ND	.75	1.24	2.89	493-2124-2-ND	2,000	53.34/M	UWX1HR22MCL1GB
	0.33	0.12	3	2.8	3.0	5.4	493-2125-1-ND	.75	1.24	2.89	493-2125-2-ND	2,000	53.34/M	UWX1HR33MCL2GB
	0.33	0.12	3	2.8	4.0	5.4	493-2126-1-ND	.75	1.24	2.89	493-2126-2-ND	2,000	53.34/M	UWX1HR33MCL1GB
	0.47	0.12	3	4	3.0	5.4	493-2127-1-ND	.75	1.24	2.89	493-2127-2-ND	2,000	53.34/M	UWX1HR47MCL2GB
	0.47	0.12	3	4	4.0	5.4	493-2128-1-ND	.75	1.24	2.89	493-2128-2-ND	2,000	53.34/M	UWX1HR47MCL1GB
	1	0.12	3	8	3.0	5.4	493-2129-1-ND	.75	1.24	2.89	493-2129-2-ND	2,000	53.34/M	UWX1H010MCL2GB
	1	0.12	3	8.4	4.0	5.4	493-2130-1-ND	.75	1.24	2.89	493-2130-2-ND	2,000	53.34/M	UWX1H010MCL1GB
	2.2	0.12	3	10	3.0	5.4	493-2131-1-ND	.80	1.30	3.03	493-2131-2-ND	2,000	55.88/M	UWX1H2R2MCL2GB
	2.2	0.12	3	13	4.0	5.4	493-2132-1-ND	.80	1.30	3.03	493-2132-2-ND	2,000	55.88/M	UWX1H2R2MCL1GB
	3.3	0.12	3	17	4.0	5.4	493-2133-1-ND	.81	1.34	3.10	493-2133-2-ND	2,000	57.15/M	UWX1H3R3MCL1GB
	4.7	0.12	3	20	5.0	5.4	493-2134-1-ND	.83	1.36	3.17	493-2134-2-ND	1,000	58.42	UWX1H4R7MCL1GB
	10	0.12	5	33	6.3	5.4	493-2135-1-ND	.86	1.42	3.30	493-2135-2-ND	1,000	60.96	UWX1H100MCL1GB
	22	0.12	11	52	8.0	5.4	493-2136-1-ND	1.24	2.05	4.75	493-2136-2-ND	1,000	87.62	UWX1H220MCL1GB
	33	0.12	16.5	71	8.0	5.4	493-2137-1-ND	1.24	2.05	4.75	493-2137-2-ND	1,000	87.62	UWX1H330MCL1GB

E

Serie WT Aluminium-Elektrolytkondensatoren (SMT)

Allzweck 105 °C **** Im Lager vorrätige Blei (Pb) -freie/RoHS-konforme Teilenummern ****

Durchmesser D (mm): Ø 3,0 bis Ø 8,0 x 5,4 L

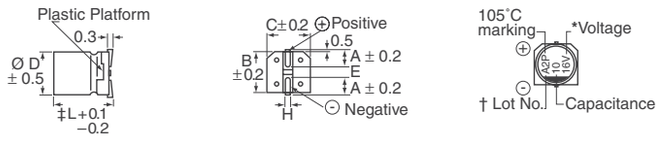

‡ ±0,3 für Ø 6,3 x 5,8, Ø 6,3 x 7,7

Durchmesser D (mm): Ø 8 x 10 L, Ø 10 x 10 L

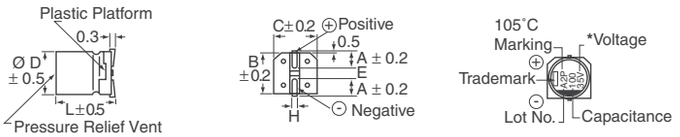

* Die Spannungsmarkierung für 6,3 V ist (6 V). Bei der Markierung von Ø 3 Einheiten wurde das „V" für die Nennspannung weggelassen.

† Bei der Markierung von Ø 3 Einheiten wird die Los-Nr. durch eine Zahl ausgedrückt (Monatscode).

	Durchmesser D (mm) x Abmessung L (mm)								
Abm.	3.0 x 5.4	4.0 x 5.4	5.0 x 5.4	6.3 x 5.4	6.3 x 5.8	6.3 x 7.7	8.0 x 5.4	8.0 x 10.0	10.0 x 10.0
A	1.5	1.8	2.1	2.4	2.4	2.4	3.3	2.9	3.2
B	3.3	4.3	5.3	6.6	6.6	6.6	8.3	8.3	10.3
C	3.3	4.3	5.3	6.6	6.6	6.6	8.3	8.3	10.3
E	0.8	1.0	1.3	2.2	2.2	2.2	2.3	3.1	4.5
L	5.4	5.4	5.4	5.4	5.8	7.7	5.4	10	10
H	0.5-0.8	0.5-0.8	0.5-0.8	0.5-0.8	0.5-0.8	0.5-0.8	0.5-0.8	0.8-1.1	0.8-1.1

MERKMALE:

• Chip-Typ, über einen weiteren Temperaturbereich von -55 °C ~105 °C einsetzbar • Zur Oberflächenmontage auf hochdichten PC-Karten vorgesehen • Gültig für automatische Montagemaschinen, die Trägerband verwenden

SPEZIFIKATIONEN:

Temperaturbereich	-55°C ~ 105°C
Kapazitätstoleranz	±20 % bei 120 Hz, 20 °C
Leckstrom	Nach 2 Minuten angelegter Nennspannung ist der Leckstrom nicht größer als 0,01 CV oder 3 (µA), welcher Wert auch immer größer ist.

• Tan δ:

Nennsp. (V)	4	6.3	10	16	25	35	50
Tan δ (max.)	0.40	0.30	0.24	0.20	0.16	0.14	0.14

Messfrequenz: 120 Hz, Temperatur: 20 °C

• Stabilität bei niedriger Temperatur:

Nennspannung (V)		4	6.3	10	16	25	35	50
Impedanzverhältnis	Z -25°C / Z +20°C	7	4	3	2	2	2	2
ZT / Z20 (max.)	Z -40°C / Z +20°C	15	8	8	4	4	3	3

Messfrequenz: 120 Hz

• Ermüdung: Nach 1000 Stunden angelegter Nennspannung bei 105 °C erfüllen die Kondensatoren die auf der rechten Seite aufgeführten Anforderungen.

Kapazitätsveränderung	Innerhalb ±25 % des ersten Wertes für Kondensatoren von Ø 3 (mm) Einheiten und 16 V oder geringer. Innerhalb ±20 % des ersten Wertes für Kondensatoren von 25 V oder mehr.
Tan δ	200 % oder weniger des ersten spezifizierten Wertes
Leckstrom	Erster spezifizierter Wert oder weniger

• Lagerbeständigkeit: Nachdem die Kondensatoren 1000 Stunden lang ohne Last bei 105 °C bleiben, erfüllen sie die vorstehend aufgeführten Ermüdungsspezifikationen.

• Beständigkeit bei Löthitze: Die Kondensatoren müssen 30 Sekunden auf einer Wärmeplatte mit gleichbleibender Hitze von 250 °C verbleiben. Nachdem sie von der Wärmeplatte genommen und bei Zimmertemperatur stabilisiert wurden, erfüllen sie die rechts aufgeführten Anforderungen.

Kapazitätsveränderung	Innerhalb ±10 % des ersten gemessenen Wertes
Tan δ	Erster spezifizierter Wert oder weniger
Leckstrom	Erster spezifizierter Wert oder weniger

• Markierung: Schwarzer Aufdruck oben auf Gehäuse.

Nenn-spannung (V DC)	Kap. (µF)	Tan δ (max.) @ 120 Hz/20 °C	Leckstrom (µA)	Zul. Mischstr. 120 Hz, 105 °C (mA rms)	Durchm. D (mm)	Abm. L (mm)	Digi-Key Teilenr.	Gurtabschnitts-preise 5	10	25	Digi-Key Teilenr.	Gegurtet auf Rolle Größe	Preisangaben	Blei (Pb) -freies Nichicon Teil, Nr.
4	22	0.4	3	22	4.0	5.4	493-2138-1-ND	.81	1.34	3.10	493-2138-2-ND	2,000	57.15/M	UWT0G220MCL1GB
	33	0.4	3	30	5.0	5.4	493-2139-1-ND	.81	1.34	3.10	493-2139-2-ND	1,000	57.15	UWT0G330MCL1GB
	47	0.4	3	36	5.0	5.4	493-2140-1-ND	.96	1.57	3.65	493-2140-2-ND	1,000	67.30	UWT0G470MCL1GB
	100	0.4	4	60	6.3	5.4	493-2141-1-ND	1.02	1.69	3.92	493-2141-2-ND	1,000	72.38	UWT0G101MCL1GB
	150	0.4	6	86	6.3	5.8	493-2142-1-ND	1.15	1.90	4.40	493-2142-2-ND	1,000	81.27	UWT0G151MCL1GS
	220	0.4	8.8	102	8.0	5.4	493-2144-1-ND	1.49	2.46	5.71	493-2144-2-ND	1,000	105.40	UWT0G221MCL1GB
	330	0.4	13.2	105	6.3	7.7	493-2145-1-ND	1.49	2.46	5.71	493-2145-2-ND	900	94.86	UWT0G331MCL1GS
	470	0.4	18.8	210	8.0	10.0	493-2146-1-ND	1.80	2.96	6.88	493-2146-2-ND	500	63.50	UWT0G471MNL1GS
	680	0.4	27.2	210	8.0	10.0	493-2147-1-ND	1.80	2.96	6.88	493-2147-2-ND	500	63.50	UWT0G681MNL1GS
	1000	0.4	40	230	8.0	10.0	493-2148-1-ND	1.80	2.96	6.88	493-2148-2-ND	500	63.50	UWT0G102MNL1GS
	1500	0.4	60	310	10.0	10.0	493-2149-1-ND	2.32	3.83	8.87	493-2149-2-ND	500	81.91	UWT0G152MNL1GS
6.3	22	0.3	3	22	4.0	5.4	493-2150-1-ND	.81	1.34	3.10	493-2150-2-ND	2,000	57.15/M	UWT0J220MCL1GB
	33	0.3	3	30	5.0	5.4	493-2151-1-ND	.81	1.34	3.10	493-2151-2-ND	1,000	57.15	UWT0J330MCL1GB
	47	0.3	3	36	5.0	5.4	493-2152-1-ND	.96	1.57	3.65	493-2152-2-ND	1,000	67.30	UWT0J470MCL1GB
	100	0.3	6.3	60	6.3	5.4	493-2153-1-ND	1.02	1.69	3.92	493-2153-2-ND	1,000	72.38	UWT0J101MCL1GB
	150	0.3	9.45	86	6.3	5.8	493-2154-1-ND	1.15	1.90	4.40	493-2154-2-ND	1,000	81.27	UWT0J151MCL1GS
	220	0.3	13.86	102	8.0	5.4	493-2156-1-ND	1.49	2.46	5.71	493-2156-2-ND	1,000	105.40	UWT0J221MCL1GB
	330	0.3	20.79	105	6.3	7.7	493-2157-1-ND	1.49	2.46	5.71	493-2157-2-ND	900	94.86	UWT0J331MCL1GS
	470	0.3	29.61	210	8.0	10.0	493-2158-1-ND	1.80	2.96	6.88	493-2158-2-ND	500	63.50	UWT0J471MNL1GS
	680	0.3	42.84	210	8.0	10.0	493-2159-1-ND	1.80	2.96	6.88	493-2159-2-ND	500	63.50	UWT0J681MNL1GS
	1000	0.3	63	230	8.0	10.0	493-2160-1-ND	1.80	2.96	6.88	493-2160-2-ND	500	63.50	UWT0J102MNL1GS
	1500	0.3	94.5	310	10.0	10.0	493-2161-1-ND	2.32	3.83	8.87	493-2161-2-ND	500	81.91	UWT0J152MNL1GS
10	22	0.24	3	27	5.0	5.4	493-2162-1-ND	1.04	1.72	3.99	493-2162-2-ND	1,000	73.65	UWT1A220MCL1GB
	33	0.24	3.3	35	5.0	5.4	493-2163-1-ND	1.04	1.72	3.99	493-2163-2-ND	1,000	73.65	UWT1A330MCL1GB
	47	0.24	4.7	46	6.3	5.4	493-2164-1-ND	1.15	1.90	4.40	493-2164-2-ND	1,000	81.27	UWT1A470MCL1GB
	100	0.24	10	60	6.3	5.4	493-2165-1-ND	1.15	1.90	4.40	493-2165-2-ND	1,000	81.27	UWT1A101MCL1GB
	150	0.24	15	86	6.3	5.8	493-2166-1-ND	1.15	1.90	4.40	493-2166-2-ND	1,000	81.27	UWT1A151MCL1GS
	220	0.24	22	105	6.3	7.7	493-2167-1-ND	1.49	2.46	5.71	493-2167-2-ND	900	94.86	UWT1A221MCL1GS
	330	0.24	33	195	8.0	10.0	493-2168-1-ND	1.80	2.96	6.88	493-2168-2-ND	500	63.50	UWT1A331MNL1GS
	470	0.24	47	210	8.0	10.0	493-2169-1-ND	1.80	2.96	6.88	493-2169-2-ND	500	63.50	UWT1A471MNL1GS
	680	0.24	68	310	10.0	10.0	493-2170-1-ND	2.32	3.83	8.87	493-2170-2-ND	500	81.91	UWT1A681MNL1GS
	1000	0.24	100	310	10.0	10.0	493-2171-1-ND	2.32	3.83	8.87	493-2171-2-ND	500	81.91	UWT1A102MNL1GS
16	10	0.2	3	14	3.0	5.4	493-2172-1-ND	.81	1.34	3.10	493-2172-2-ND	2,000	57.15/M	UWT1C100MCL2GB
	10	0.2	3	18	4.0	5.4	493-2173-1-ND	.81	1.34	3.10	493-2173-2-ND	2,000	57.15/M	UWT1C100MCL1GB
	22	0.2	3.52	30	5.0	5.4	493-2174-1-ND	1.17	1.93	4.47	493-2174-2-ND	1,000	82.54	UWT1C220MCL1GB
	33	0.2	5.28	40	6.3	5.4	493-2175-1-ND	1.17	1.93	4.47	493-2175-2-ND	1,000	82.54	UWT1C330MCL1GB
	47	0.2	7.52	50	6.3	5.4	493-2176-1-ND	1.24	2.05	4.75	493-2176-2-ND	1,000	87.62	UWT1C470MCL1GB
	100	0.2	16	60	6.3	5.4	493-2177-1-ND	1.24	2.05	4.75	493-2177-2-ND	1,000	87.62	UWT1C101MCL1GB
	150	0.2	24	95	6.3	7.7	493-2178-1-ND	1.49	2.46	5.71	493-2178-2-ND	900	94.86	UWT1C151MCL1GS
	220	0.2	35.2	105	6.3	7.7	493-2179-1-ND	1.49	2.46	5.71	493-2179-2-ND	900	94.86	UWT1C221MCL1GS
	330	0.2	52.8	195	8.0	10.0	493-2180-1-ND	1.80	2.96	6.88	493-2180-2-ND	500	63.50	UWT1C331MNL1GS
	470	0.2	75.2	230	8.0	10.0	493-2181-1-ND	1.80	2.96	6.88	493-2181-2-ND	500	63.50	UWT1C471MNL1GS
	680	0.2	108.8	310	10.0	10.0	493-2182-1-ND	2.32	3.83	8.87	493-2182-2-ND	500	81.91	UWT1C681MNL1GS

(Forts.)

Alle Preisangaben in Euro und inklusive Zollgebühren.

Nenn-spannung (V DC)	Kap. (µF)	Tan δ (Max.) @ 120 Hz/20 °C	Leckstrom (µA)	Zul. Mischstr. 120 Hz, 105 °C (mA rms)	Durchm. D (mm)	Abm. L (mm)	Digi-Key Teilenr.	Gurtabschnitts-preise 5	10	25	Digi-Key Teilenr.	Gegurtet auf Rolle Größe	Preisangaben	Blei (Pb) -freies Nichicon Teil, Nr.
25	4.7	0.16	3	10	3.0	5.4	493-2183-1-ND	.81	1.34	3.10	493-2183-2-ND	2,000	57.15/M	UWT1E4R7MCL2GB
	4.7	0.16	3	13	4.0	5.4	493-2184-1-ND	.81	1.34	3.10	493-2184-2-ND	2,000	57.15/M	UWT1E4R7MCL1GB
	10	0.16	3	23	5.0	5.4	493-2185-1-ND	1.15	1.90	4.40	493-2185-2-ND	1,000	81.27	UWT1E100MCL1GB
	22	0.16	5.5	38	6.3	5.4	493-2186-1-ND	1.24	2.05	4.75	493-2186-2-ND	1,000	87.62	UWT1E220MCL1GB
	33	0.16	8.25	48	6.3	5.4	493-2187-1-ND	1.31	2.17	5.02	493-2187-2-ND	1,000	92.70	UWT1E330MCL1GB
	47	0.16	11.75	66	8.0	5.4	493-2189-1-ND	1.49	2.46	5.71	493-2189-2-ND	1,000	105.40	UWT1E470MCL1GB
	100	0.16	25	91	6.3	7.7	493-2190-1-ND	1.49	2.46	5.71	493-2190-2-ND	900	94.86	UWT1E101MCL1GS
	150	0.16	37.5	140	8.0	10.0	493-2191-1-ND	1.80	2.96	6.88	493-2191-2-ND	500	63.50	UWT1E151MNL1GS
	220	0.16	55	155	8.0	10.0	493-2192-1-ND	1.80	2.96	6.88	493-2192-2-ND	500	63.50	UWT1E221MNL1GS
	330	0.16	82.5	190	8.0	10.0	493-2193-1-ND	1.80	2.96	6.88	493-2193-2-ND	500	63.50	UWT1E331MNL1GS
	470	0.16	117.5	300	10.0	10.0	493-2194-1-ND	2.32	3.83	8.87	493-2194-2-ND	500	81.91	UWT1E471MNL1GS
35	2.2	0.14	3	7.5	3.0	5.4	493-2195-1-ND	.81	1.34	3.10	493-2195-2-ND	2,000	57.15/M	UWT1V2R2MCL2GB
	3.3	0.14	3	9	3.0	5.4	493-2196-1-ND	.94	1.54	3.58	493-2196-2-ND	2,000	66.04/M	UWT1V3R3MCL2GB
	4.7	0.14	3	15	4.0	5.4	493-2197-1-ND	1.04	1.72	3.99	493-2197-2-ND	2,000	73.66/M	UWT1V4R7MCL1GB
	10	0.14	3.5	25	5.0	5.4	493-2198-1-ND	1.15	1.90	4.40	493-2198-2-ND	1,000	81.27	UWT1V100MCL1GB
	22	0.14	7.7	42	6.3	5.4	493-2199-1-ND	1.24	2.05	4.75	493-2199-2-ND	1,000	87.62	UWT1V220MCL1GB
	33	0.14	11.55	59	8.0	5.4	493-2201-1-ND	1.49	2.46	5.71	493-2201-2-ND	1,000	105.40	UWT1V330MCL1GB
	47	0.14	16.45	63	6.3	5.8	493-2202-1-ND	1.49	2.46	5.71	493-2202-2-ND	1,000	105.40	UWT1V470MCL1GS
	100	0.14	35	84	6.3	7.7	493-2203-1-ND	1.49	2.46	5.71	493-2203-2-ND	900	94.86	UWT1V101MCL1GS
	150	0.14	52.5	155	8.0	10.0	493-2204-1-ND	1.80	2.96	6.88	493-2204-2-ND	500	63.50	UWT1V151MNL1GS
	220	0.14	77	190	8.0	10.0	493-2205-1-ND	2.25	3.71	8.60	493-2205-2-ND	500	79.37	UWT1V221MNL1GS
	330	0.14	115.5	300	10.0	10.0	493-2206-1-ND	2.32	3.83	8.87	493-2206-2-ND	500	81.91	UWT1V331MNL1GS
50	0.1	0.14	3	1	3.0	5.4	493-2207-1-ND	.81	1.34	3.10	493-2207-2-ND	2,000	57.15/M	UWT1H0R1MCL2GB
	0.1	0.14	3	1	4.0	5.4	493-2208-1-ND	.81	1.34	3.10	493-2208-2-ND	2,000	57.15/M	UWT1H0R1MCL1GB
	0.22	0.14	3	2.6	3.0	5.4	493-2209-1-ND	.81	1.34	3.10	493-2209-2-ND	2,000	57.15/M	UWT1HR22MCL2GB
	0.22	0.14	3	2.6	4.0	5.4	493-2210-1-ND	.81	1.34	3.10	493-2210-2-ND	2,000	57.15/M	UWT1HR22MCL1GB
	0.33	0.14	3	3.2	3.0	5.4	493-2211-1-ND	.81	1.34	3.10	493-2211-2-ND	2,000	57.15/M	UWT1HR33MCL2GB
	0.33	0.14	3	3.2	4.0	5.4	493-2212-1-ND	.81	1.34	3.10	493-2212-2-ND	2,000	57.15/M	UWT1HR33MCL1GB
	0.47	0.14	3	3.8	3.0	5.4	493-2213-1-ND	.81	1.34	3.10	493-2213-2-ND	2,000	57.15/M	UWT1HR47MCL2GB
	0.47	0.14	3	3.8	4.0	5.4	493-2214-1-ND	.81	1.34	3.10	493-2214-2-ND	2,000	57.15/M	UWT1HR47MCL1GB
	1	0.14	3	5.9	3.0	5.4	493-2215-1-ND	.81	1.34	3.10	493-2215-2-ND	2,000	57.15/M	UWT1H010MCL2GB
	1	0.14	3	6.3	4.0	5.4	493-2216-1-ND	.81	1.34	3.10	493-2216-2-ND	2,000	57.15/M	UWT1H010MCL1GB
	2.2	0.14	3	9	3.0	5.4	493-2217-1-ND	.81	1.34	3.10	493-2217-2-ND	2,000	57.15/M	UWT1H2R2MCL2GB
	2.2	0.14	3	11	4.0	5.4	493-2218-1-ND	.81	1.34	3.10	493-2218-2-ND	2,000	57.15/M	UWT1H2R2MCL1GB
	3.3	0.14	3	14	4.0	5.4	493-2219-1-ND	.94	1.54	3.58	493-2219-2-ND	2,000	66.04/M	UWT1H3R3MCL1GB
	4.7	0.14	3	19	5.0	5.4	493-2220-1-ND	1.04	1.72	3.99	493-2220-2-ND	1,000	73.65	UWT1H4R7MCL1GB
	10	0.14	5	30	6.3	5.4	493-2221-1-ND	1.15	1.90	4.40	493-2221-2-ND	1,000	81.27	UWT1H100MCL1GB
	22	0.14	11	51	8.0	5.4	493-2223-1-ND	1.49	2.46	5.71	493-2223-2-ND	1,000	105.40	UWT1H220MCL1GB
	33	0.14	16.5	60	6.3	7.7	493-2224-1-ND	1.49	2.46	5.71	493-2224-2-ND	900	94.86	UWT1H330MCL1GS
	47	0.14	23.5	63	6.3	7.7	493-2225-1-ND	1.49	2.46	5.71	493-2225-2-ND	900	94.86	UWT1H470MCL1GS
	100	0.14	50	140	8.0	10.0	493-2226-1-ND	1.80	2.96	6.88	493-2226-2-ND	500	63.50	UWT1H101MNL1GS
	150	0.14	75	180	10.0	10.0	493-2227-1-ND	2.32	3.83	8.87	493-2227-2-ND	500	81.91	UWT1H151MNL1GS
	220	0.14	110	220	10.0	10.0	493-2228-1-ND	2.32	3.83	8.87	493-2228-2-ND	500	81.91	UWT1H221MNL1GS

E

nichicon Serie UD Aluminium-Elektrolytkondensatoren (SMT)

Niedrige Impedanz 105 °C **** Im Lager vorrätige Blei (Pb) -freie/RoHS-konforme Teilenummern ****

Durchmesser D (mm): Ø 4 - Ø 6,3 x 5,8 L

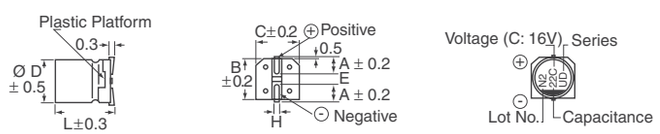

Durchmesser D (mm): Ø 8, Ø 10

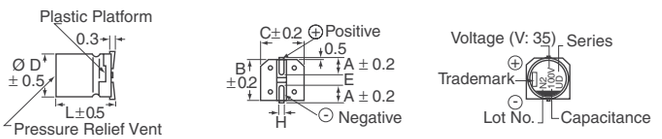

	Durchmesser D (mm) x Abmessung L (mm)					
Abm.	4.0 x 5.8	5.0 x 5.8	6.3 x 5.8	6.3 x 7.7	8.0 x 10.0	10.0 x 10.0
A	1.8	2.1	2.4	2.4	2.9	3.2
B	4.3	5.3	6.6	6.6	8.3	10.3
C	4.3	5.3	6.6	6.6	8.3	10.3
E	1.0	1.3	2.2	2.2	3.1	4.5
L	5.8	5.8	5.8	7.7	10	10
H	0.5-0.8	0.5-0.8	0.5-0.8	0.5-0.8	0.8-1.1	0.8-1.1

MERKMALE:

• Chip-Typ, niedrige Impedanz, Temperaturbereich bis zu 105 °C • Zur Oberflächenmontage auf hochdichten PC-Karten vorgesehen • Gültig für automatische Montagemaschinen, die Trägerband verwenden

SPEZIFIKATIONEN:

Temperaturbereich	-55°C ~ 105°C
Kapazitätstoleranz	±20 % bei 120 Hz, 20 °C
Leckstrom	Nach 2 Minuten angelegter Nennspannung ist der Leckstrom nicht größer als 0,01 CV oder 3 (µA), welcher Wert auch immer größer ist.

• **Tan δ:**

Nennsp. (V)	6.3	10	16	25	35	50
Tan δ (max.)	0.24 (0.28)	0.20 (0.24)	0.16 (0.20)	0.14 (0.16)	0.12 (0.14)	0.12 (0.14)

Messfrequenz: 120 Hz, Temperatur: 20 °C *(Werte in ( ) Ø 8 Gehäusegröße)*

• **Stabilität bei niedriger Temperatur:**

Nennspannung (V)		6.3	10	16	25	35	50
Impedanzverhältnis	Z -25°C / Z +20°C	3	2	2	2	2	2
ZT / Z20 (max.)	Z -55°C / Z +20°C	5	4	4	3	3	3

Messfrequenz: 120 Hz

• **Ermüdung:** Nach 1000 Stunden angelegter Nennspannung bei 105 °C erfüllen die Kondensatoren die auf der rechten Seite aufgeführten Anforderungen.

Kapazitätsveränderung	Innerhalb ±25 % des ersten gemessenen Wertes
Tan δ	200 % oder weniger des ersten spezifizierten Wertes
Leckstrom	Erster spezifizierter Wert oder weniger

• **Lagerbeständigkeit:** Nachdem die Kondensatoren 1000 Stunden lang ohne Last bei 105 °C bleiben, erfüllen sie die vorstehend aufgeführten Ermüdungsspezifikationen

• **Beständigkeit bei Löthitze:** Die Kondensatoren müssen 30 Sekunden auf einer Wärmeplatte mit gleichbleibender Hitze von 250 °C verbleiben. Nachdem sie von der Wärmeplatte genommen und bei Zimmertemperatur stabilisiert wurden, erfüllen sie die rechts aufgeführten Anforderungen.

Kapazitätsveränderung	Innerhalb ±10 % des ersten gemessenen Wertes
Tan δ	Erster spezifizierter Wert oder weniger
Leckstrom	Erster spezifizierter Wert oder weniger

• **Markierung:** Schwarzer Aufdruck oben auf Gehäuse.

(Forts.)

Nenn-spannung (V DC)	Kap. (µF)	Tan δ (max.) @ 120 Hz/20 °C	Impedanz (Ω) max. @ 20 °C/100 KHz	Leckstrom (µA)	Zul. Mischstr. @100 KHz, 105 °C (mA rms)	Durchm. D (mm)	Abm. L (mm)	Digi-Key Teilenr.	Gurtabschnitts-preise 5	10	25	Digi-Key Teilenr.	Gegurtet auf Rolle Größe	Preisangaben	Blei (Pb) -freies Nichicon Teil, Nr.
	27	0.24	1.8	3	80	4.0	5.8	493-2229-1-ND	2.57	4.24	9.84	493-2229-2-ND	2,000	181.60/M	UUD0J270MCL1GS
	33	0.24	0.76	3	150	5.0	5.8	493-2230-1-ND	2.90	4.77	11.07	493-2230-2-ND	1,000	204.45	UUD0J330MCL1GS
	47	0.24	0.76	3	150	5.0	5.8	493-2231-1-ND	2.90	4.77	11.07	493-2231-2-ND	1,000	204.45	UUD0J470MCL1GS
	56	0.24	0.76	3.528	150	5.0	5.8	493-2232-1-ND	2.90	4.77	11.07	493-2232-2-ND	1,000	204.45	UUD0J560MCL1GS
	68	0.24	0.44	4.284	230	6.3	5.8	493-2233-1-ND	3.13	5.16	11.97	493-2233-2-ND	1,000	220.96	UUD0J680MCL1GS
	100	0.24	0.44	6.3	230	6.3	5.8	493-2234-1-ND	3.13	5.16	11.97	493-2234-2-ND	1,000	220.96	UUD0J101MCL1GS
6.3	150	0.24	0.44	9.45	230	6.3	5.8	493-2235-1-ND	3.13	5.16	11.97	493-2235-2-ND	1,000	220.96	UUD0J151MCL1GS
	220	0.24	0.44	13.86	230	6.3	5.8	493-2236-1-ND	3.13	5.16	11.97	493-2236-2-ND	1,000	220.96	UUD0J221MCL1GS
	330	0.24	0.34	20.79	280	6.3	7.7	493-2237-1-ND	3.13	5.16	11.97	493-2237-2-ND	900	198.87	UUD0J331MCL1GS
	470	0.28	0.17	29.61	450	8.0	10.0	493-2238-1-ND	3.98	6.55	15.20	493-2238-2-ND	500	140.32	UUD0J471MNL1GS
	680	0.28	0.17	42.84	450	8.0	10.0	493-2239-1-ND	3.98	6.55	15.20	493-2239-2-ND	500	140.32	UUD0J681MNL1GS
	1000	0.28	0.17	63	450	8.0	10.0	493-2240-1-ND	3.98	6.55	15.20	493-2240-2-ND	500	140.32	UUD0J102MNL1GS
	1500	0.28	0.09	94.5	670	10.0	10.0	493-2241-1-ND	4.28	7.05	16.37	493-2241-2-ND	500	151.12	UUD0J152MNL1GS
	22	0.2	1.8	3	80	4.0	5.8	493-2242-1-ND	2.57	4.24	9.84	493-2242-2-ND	2,000	181.60/M	UUD1A220MCL1GS
	27	0.2	0.76	3	150	5.0	5.8	493-2243-1-ND	2.90	4.77	11.07	493-2243-2-ND	1,000	204.45	UUD1A270MCL1GS
	33	0.2	0.76	3.3	150	5.0	5.8	493-2244-1-ND	2.90	4.77	11.07	493-2244-2-ND	1,000	204.45	UUD1A330MCL1GS
	47	0.2	0.44	4.7	230	6.3	5.8	493-2245-1-ND	3.13	5.16	11.97	493-2245-2-ND	1,000	220.96	UUD1A470MCL1GS
	56	0.2	0.44	5.6	230	6.3	5.8	493-2246-1-ND	3.13	5.16	11.97	493-2246-2-ND	1,000	220.96	UUD1A560MCL1GS
	68	0.2	0.44	6.8	230	6.3	5.8	493-2247-1-ND	3.13	5.16	11.97	493-2247-2-ND	1,000	220.96	UUD1A680MCL1GS
10	100	0.2	0.44	10	230	6.3	5.8	493-2248-1-ND	3.13	5.16	11.97	493-2248-2-ND	1,000	220.96	UUD1A101MCL1GS
	150	0.2	0.44	15	230	6.3	5.8	493-2249-1-ND	3.13	5.16	11.97	493-2249-2-ND	1,000	220.96	UUD1A151MCL1GS
	220	0.2	0.34	22	280	6.3	7.7	493-2250-1-ND	3.31	5.45	12.66	493-2250-2-ND	900	210.30	UUD1A221MCL1GS
	330	0.24	0.17	33	450	8.0	10.0	493-2251-1-ND	3.98	6.55	15.20	493-2251-2-ND	500	140.32	UUD1A331MNL1GS
	470	0.24	0.17	47	450	8.0	10.0	493-2252-1-ND	3.98	6.55	15.20	493-2252-2-ND	500	140.32	UUD1A471MNL1GS
	680	0.24	0.09	68	670	10.0	10.0	493-2253-1-ND	4.28	7.05	16.37	493-2253-2-ND	500	151.12	UUD1A681MNL1GS
	1000	0.24	0.09	100	670	10.0	10.0	493-2254-1-ND	4.28	7.05	16.37	493-2254-2-ND	500	151.12	UUD1A102MNL1GS
	15	0.16	1.8	3	80	4.0	5.8	493-2255-1-ND	2.57	4.24	9.84	493-2255-2-ND	2,000	181.60/M	UUD1C150MCL1GS
	22	0.16	0.76	3.52	150	5.0	5.8	493-2256-1-ND	2.90	4.77	11.07	493-2256-2-ND	1,000	204.45	UUD1C220MCL1GS
	27	0.16	0.76	4.32	150	5.0	5.8	493-2257-1-ND	2.90	4.77	11.07	493-2257-2-ND	1,000	204.45	UUD1C270MCL1GS
	33	0.16	0.44	5.28	230	6.3	5.8	493-2258-1-ND	3.13	5.16	11.97	493-2258-2-ND	1,000	220.96	UUD1C330MCL1GS
	47	0.16	0.44	7.52	230	6.3	5.8	493-2259-1-ND	3.13	5.16	11.97	493-2259-2-ND	1,000	220.96	UUD1C470MCL1GS
	56	0.16	0.44	8.96	230	6.3	5.8	493-2260-1-ND	3.13	5.16	11.97	493-2260-2-ND	1,000	220.96	UUD1C560MCL1GS
16	68	0.16	0.44	10.88	230	6.3	5.8	493-2261-1-ND	3.13	5.16	11.97	493-2261-2-ND	1,000	220.96	UUD1C680MCL1GS
	100	0.16	0.44	16	230	6.3	5.8	493-2262-1-ND	3.13	5.16	11.97	493-2262-2-ND	1,000	220.96	UUD1C101MCL1GS
	150	0.16	0.34	24	280	6.3	7.7	493-2263-1-ND	3.31	5.45	12.66	493-2263-2-ND	900	210.30	UUD1C151MCL1GS
	220	0.16	0.34	35.2	280	6.3	7.7	493-2264-1-ND	3.31	5.45	12.66	493-2264-2-ND	900	210.30	UUD1C221MCL1GS
	330	0.2	0.17	52.8	450	8.0	10.0	493-2265-1-ND	3.98	6.55	15.20	493-2265-2-ND	500	140.32	UUD1C331MNL1GS
	470	0.2	0.17	75.2	450	8.0	10.0	493-2266-1-ND	3.98	6.55	15.20	493-2266-2-ND	500	140.32	UUD1C471MNL1GS
	680	0.2	0.09	108.8	670	10.0	10.0	493-2267-1-ND	4.28	7.05	16.37	493-2267-2-ND	500	151.12	UUD1C681MNL1GS
	10	0.14	1.8	3	80	4.0	5.8	493-2268-1-ND	2.57	4.24	9.84	493-2268-2-ND	2,000	181.60/M	UUD1E100MCL1GS
	15	0.14	0.76	3.75	150	5.0	5.8	493-2269-1-ND	2.90	4.77	11.07	493-2269-2-ND	1,000	204.45	UUD1E150MCL1GS
	22	0.14	0.76	5.5	150	5.0	5.8	493-2270-1-ND	2.90	4.77	11.07	493-2270-2-ND	1,000	204.45	UUD1E220MCL1GS
	27	0.14	0.44	6.75	230	6.3	5.8	493-2271-1-ND	3.13	5.16	11.97	493-2271-2-ND	1,000	220.96	UUD1E270MCL1GS
	33	0.14	0.44	8.25	230	6.3	5.8	493-2272-1-ND	3.13	5.16	11.97	493-2272-2-ND	1,000	220.96	UUD1E330MCL1GS
	47	0.14	0.44	11.75	230	6.3	5.8	493-2273-1-ND	3.13	5.16	11.97	493-2273-2-ND	1,000	220.96	UUD1E470MCL1GS
25	56	0.14	0.44	14	230	6.3	5.8	493-2274-1-ND	3.13	5.16	11.97	493-2274-2-ND	1,000	220.96	UUD1E560MCL1GS
	68	0.14	0.44	17	230	6.3	5.8	493-2275-1-ND	3.13	5.16	11.97	493-2275-2-ND	1,000	220.96	UUD1E680MCL1GS
	100	0.14	0.34	25	280	6.3	7.7	493-2276-1-ND	3.31	5.45	12.66	493-2276-2-ND	900	210.30	UUD1E101MCL1GS
	150	0.16	0.17	37.5	450	8.0	10.0	493-2277-1-ND	3.98	6.55	15.20	493-2277-2-ND	500	140.32	UUD1E151MNL1GS
	220	0.16	0.17	55	450	8.0	10.0	493-2278-1-ND	3.98	6.55	15.20	493-2278-2-ND	500	140.32	UUD1E221MNL1GS
	330	0.16	0.17	82.5	450	8.0	10.0	493-2279-1-ND	3.98	6.55	15.20	493-2279-2-ND	500	140.32	UUD1E331MNL1GS
	470	0.16	0.09	117.5	670	10.0	10.0	493-2280-1-ND	4.28	7.05	16.37	493-2280-2-ND	500	151.12	UUD1E471MNL1GS
	4.7	0.12	1.8	3	80	4.0	5.8	493-2281-1-ND	2.57	4.24	9.84	493-2281-2-ND	2,000	181.60/M	UUD1V4R7MCL1GS
	10	0.12	0.76	3.5	150	5.0	5.8	493-2282-1-ND	2.90	4.77	11.07	493-2282-2-ND	1,000	204.45	UUD1V100MCL1GS
	15	0.12	0.76	5.25	150	5.0	5.8	493-2283-1-ND	2.90	4.77	11.07	493-2283-2-ND	1,000	204.45	UUD1V150MCL1GS
	22	0.12	0.76	7.7	150	5.0	5.8	493-2284-1-ND	2.90	4.77	11.07	493-2284-2-ND	1,000	204.45	UUD1V220MCL1GS
	27	0.12	0.44	9.45	230	6.3	5.8	493-2285-1-ND	3.13	5.16	11.97	493-2285-2-ND	1,000	220.96	UUD1V270MCL1GS
	33	0.12	0.44	11.55	230	6.3	5.8	493-2286-1-ND	3.13	5.16	11.97	493-2286-2-ND	1,000	220.96	UUD1V330MCL1GS
35	47	0.12	0.44	16.45	230	6.3	5.8	493-2287-1-ND	3.13	5.16	11.97	493-2287-2-ND	1,000	220.96	UUD1V470MCL1GS
	56	0.12	0.34	19.6	280	6.3	7.7	493-2288-1-ND	3.31	5.45	12.66	493-2288-2-ND	900	210.30	UUD1V560MCL1GS
	68	0.12	0.34	23.8	280	6.3	7.7	493-2289-1-ND	3.31	5.45	12.66	493-2289-2-ND	900	210.30	UUD1V680MCL1GS
	100	0.14	0.17	35	450	8.0	10.0	493-2290-1-ND	3.98	6.55	15.20	493-2290-2-ND	500	140.32	UUD1V101MNL1GS
	150	0.14	0.17	52.5	450	8.0	10.0	493-2291-1-ND	3.98	6.55	15.20	493-2291-2-ND	500	140.32	UUD1V151MNL1GS
	220	0.14	0.17	77	450	8.0	10.0	493-2292-1-ND	3.98	6.55	15.20	493-2292-2-ND	500	140.32	UUD1V221MNL1GS
	330	0.14	0.09	115.5	670	10.0	10.0	493-2293-1-ND	4.28	7.05	16.37	493-2293-2-ND	500	151.12	UUD1V331MNL1GS
	1	0.12	5	3	30	4.0	5.8	493-2294-1-ND	2.57	4.24	9.84	493-2294-2-ND	2,000	181.60/M	UUD1H010MCL1GS
	2.2	0.12	5	3	30	4.0	5.8	493-2295-1-ND	2.57	4.24	9.84	493-2295-2-ND	2,000	181.60/M	UUD1H2R2MCL1GS
	3.3	0.12	5	3	30	4.0	5.8	493-2296-1-ND	2.57	4.24	9.84	493-2296-2-ND	2,000	181.60/M	UUD1H3R3MCL1GS
	4.7	0.12	1.52	3	85	5.0	5.8	493-2297-1-ND	2.90	4.77	11.07	493-2297-2-ND	1,000	204.45	UUD1H4R7MCL1GS
	10	0.12	0.88	5	165	6.3	5.8	493-2298-1-ND	3.13	5.16	11.97	493-2298-2-ND	1,000	220.96	UUD1H100MCL1GS
	15	0.12	0.88	7.5	165	6.3	5.8	493-2299-1-ND	3.13	5.16	11.97	493-2299-2-ND	1,000	220.96	UUD1H150MCL1GS
	22	0.12	0.88	11	165	6.3	5.8	493-2300-1-ND	3.13	5.16	11.97	493-2300-2-ND	1,000	220.96	UUD1H220MCL1GS
50	27	0.12	0.68	13.5	185	6.3	7.7	493-2301-1-ND	3.31	5.45	12.66	493-2301-2-ND	900	210.30	UUD1H270MCL1GS
	33	0.12	0.68	16.5	185	6.3	7.7	493-2302-1-ND	3.31	5.45	12.66	493-2302-2-ND	900	210.30	UUD1H330MCL1GS
	47	0.12	0.68	23.5	185	6.3	7.7	493-2303-1-ND	3.31	5.45	12.66	493-2303-2-ND	900	210.30	UUD1H470MCL1GS
	56	0.14	0.34	28	300	8.0	10.0	493-2304-1-ND	3.98	6.55	15.20	493-2304-2-ND	500	140.32	UUD1H560MNL1GS
	68	0.14	0.34	34	300	8.0	10.0	493-2305-1-ND	3.98	6.55	15.20	493-2305-2-ND	500	140.32	UUD1H680MNL1GS
	100	0.14	0.34	50	300	8.0	10.0	493-2306-1-ND	3.98	6.55	15.20	493-2306-2-ND	500	140.32	UUD1H101MNL1GS
	150	0.14	0.18	75	670	10.0	10.0	493-2307-1-ND	4.28	7.05	16.37	493-2307-2-ND	500	151.12	UUD1H151MNL1GS
	220	0.14	0.18	110	670	10.0	10.0	493-2308-1-ND	4.28	7.05	16.37	493-2308-2-ND	500	151.12	UUD1H221MNL1GS

Alle Preisangaben in Euro und inklusive Zollgebühren.

Serie SMG Aluminium-Elektrolytkondensatoren (radiale Ableitung)

Allzweck 85 °C Bleifrei/RoHS-konform

Merkmale: Minigröße, Allzweck, lösungsbeständig (außer 350-450 V), max. 85 °C **Spezifikationen:** • **Betriebstemperatur:** -40 °C ~85 °C (6,3-400 V), -25 °C ~85 °C (450 V) • **Kapazitätstoleranz:** ±20 %

Leckstrom @ 20 °C:

øD	DC-Spannung	Testdauer	Leckstrom (µA)	
≤ ø18	6.3-100V	Nach 1 Minute	I= 0,03 CV oder 4 µA, wobei der größere Wert maßgeblich ist	
	160-450V	Nach 1 Minute	CV≤ 1,000: I=0.1CV +40	CV>1,000: I=0.04CV +100
		Nach 5 Minuten	CV≤ 1,000: I=0.03CV +15	CV>1,000: I=0.02CV +25
≥ ø20	6.3-450V	Nach 3 Minuten	I=0.03CV	

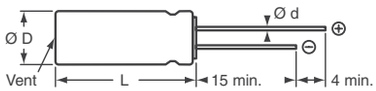

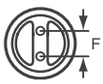

Nennbetriebs-spannung (V DC)	Kap. (µF)	Tan δ	Mischstrom (mA RMS) @ 85 °C 120 Hz	Abmessungen (mm) ØD	L	F	Ød	Digi-Key Teilenr.	Preisangaben 1	10	100	United Chemi-Con Teilenr.
6.3	33	0.34	77	5.0	11.0	2.0	0.5	565-1000-ND	.19	1.23	8.26	ESMG6R3ELL330ME11D
	47	0.34	92	5.0	11.0	2.0	0.5	565-1001-ND	.19	1.24	8.34	ESMG6R3ELL470ME11D
	100	0.34	134	5.0	11.0	2.0	0.5	565-1002-ND	.19	1.23	8.26	ESMG6R3ELL101ME11D
	220	0.34	200	5.0	11.0	2.0	0.5	565-1003-ND	.20	1.27	8.58	ESMG6R3ELL221ME11D
	330	0.34	270	6.3	11.0	2.5	0.5	565-1004-ND	.24	1.48	9.96	ESMG6R3ELL331MF11D
	470	0.34	320	6.3	11.0	2.5	0.5	565-1005-ND	.24	1.48	9.96	ESMG6R3ELL471MF11D
	2200	0.36	1000	10.0	20.0	5.0	0.6	565-1006-ND	.32	2.38	16.97	ESMG6R3ELL222MJ20S
	3300	0.38	1185	10.0	20.0	5.0	0.6	565-1007-ND	.37	2.73	19.46	ESMG6R3ELL332MJ20S
	4700	0.40	1545	12.5	20.0	5.0	0.6	565-1008-ND	.50	3.65	26.07	ESMG6R3ELL472MK20S
	6800	0.44	1915	12.5	25.0	5.0	0.6	565-1009-ND	.58	4.30	31.59	ESMG6R3ELL682MK25S
	10000	0.52	2330	16.0	25.0	7.5	0.8	565-1010-ND	.81	6.07	44.58	ESMG6R3ELL103ML25S
	10000	0.46	2310	20.0	25.0	10.0	1.0	565-1011-ND	1.36	10.21	76.60	ESMG6R3ELL103MN25S
	15000	0.56	2660	20.0	30.0	10.0	1.0	565-1012-ND	1.48	11.08	83.10	ESMG6R3ELL153MN30S
	22000	0.76	3320	18.0	40.0	7.5	0.8	565-1013-ND	1.33	9.95	74.61	ESMG6R3ELL223MM40S
	22000	0.70	3130	20.0	40.0	10.0	1.0	565-1014-ND	1.66	12.47	93.56	ESMG6R3ELL223MN40S
	27000	0.80	3280	22.0	40.0	10.0	1.0	565-1015-ND	1.63	12.35	93.20	ESMG6R3ELL273MP40S
	39000	1.04	3560	25.4	40.0	12.5	1.0	565-1016-ND	2.40	18.14	136.90	ESMG6R3ELL393MQ40S
10	22	0.24	66	5.0	11.0	2.0	0.5	565-1017-ND	.19	1.25	8.42	ESMG100ELL220ME11D
	33	0.24	83	5.0	11.0	2.0	0.5	565-1018-ND	.19	1.24	8.38	ESMG100ELL330ME11D
	47	0.24	100	5.0	11.0	2.0	0.5	565-1019-ND	.21	1.35	9.15	ESMG100ELL470ME11D
	100	0.24	146	5.0	11.0	2.0	0.5	565-1020-ND	.21	1.35	9.08	ESMG100ELL101ME11D
	220	0.24	240	5.0	11.0	2.0	0.5	565-1021-ND	.21	1.34	9.01	ESMG100ELL221ME11D
	330	0.24	290	6.3	11.0	2.5	0.5	565-1022-ND	.25	1.74	12.21	ESMG100ELL331MF11D
	470	0.24	350	6.3	11.0	2.5	0.5	565-1023-ND	.22	1.41	9.49	ESMG100ELL471MF11D
	1000	0.24	650	10.0	12.5	5.0	0.6	565-1024-ND	.45	3.33	23.78	ESMG100ELL102MJC5S
	2200	0.26	1070	10.0	20.0	5.0	0.6	565-1025-ND	.47	3.49	24.91	ESMG100ELL222MJ20S
	3300	0.28	1420	12.5	20.0	5.0	0.6	565-1026-ND	.48	3.61	26.50	ESMG100ELL332MK20S
	4700	0.30	1780	12.5	25.0	5.0	0.6	565-1027-ND	.62	4.57	33.58	ESMG100ELL472MK25S
	6800	0.34	2220	16.0	25.0	7.5	0.8	565-1028-ND	.85	6.32	46.42	ESMG100ELL682ML25S
	10000	0.42	2410	20.0	25.0	10.0	1.0	565-1029-ND	1.44	10.81	81.11	ESMG100ELL103MN25S
	15000	0.52	3080	18.0	35.5	7.5	0.8	565-1030-ND	1.15	8.64	64.77	ESMG100ELL153MMP1S
	22000	0.66	3480	22.0	40.0	10.0	1.0	565-1031-ND	1.85	13.98	105.51	ESMG100ELL223MP40S
	33000	0.88	3560	25.4	40.0	12.5	1.0	565-1032-ND	2.74	20.74	156.51	ESMG100ELL333MQ40S
16	10	0.20	50	5.0	11.0	2.0	0.5	565-1033-ND	1.65	12.36	92.69	ESMG160ELL100ME11D
	22	0.20	75	5.0	11.0	2.0	0.5	565-1034-ND	.19	1.25	8.42	ESMG160ELL220ME11D
	33	0.20	91	5.0	11.0	2.0	0.5	565-1035-ND	.19	1.21	8.15	ESMG160ELL330ME11D
	47	0.20	109	5.0	11.0	2.0	0.5	565-1036-ND	.21	1.35	9.15	ESMG160ELL470ME11D
	100	0.20	160	5.0	11.0	2.0	0.5	565-1037-ND	.21	1.37	9.23	ESMG160ELL101ME11D
	220	0.20	260	6.3	11.0	2.5	0.5	565-1038-ND	.24	1.48	10.00	ESMG160ELL221MF11D
	330	0.20	370	8.0	11.5	3.5	0.6	565-1039-ND	.25	1.70	11.99	ESMG160ELL331MHB5D
	470	0.20	440	8.0	11.5	3.5	0.6	565-1040-ND	.25	1.69	11.95	ESMG160ELL471MHB5D
	1000	0.20	785	10.0	16.0	5.0	0.6	565-1041-ND	.33	2.42	17.29	ESMG160ELL102MJ16S
	2200	0.22	1295	12.5	20.0	5.0	0.6	565-1042-ND	.47	3.43	24.51	ESMG160ELL222MK20S
	3300	0.24	1655	12.5	25.0	5.0	0.6	565-1043-ND	.56	4.18	30.71	ESMG160ELL332MK25S
	4700	0.26	2090	16.0	25.0	7.5	0.8	565-1044-ND	.77	5.75	42.21	ESMG160ELL472ML25S
	4700	0.26	1960	20.0	20.0	10.0	1.0	565-1045-ND	1.24	9.35	70.10	ESMG160ELL472MN20S
	6800	0.30	2520	16.0	31.5	7.5	0.8	565-1046-ND	.89	6.67	50.03	ESMG160ELL682MLN3S
	6800	0.30	2330	20.0	25.0	10.0	1.0	565-1047-ND	1.41	10.51	78.84	ESMG160ELL682MN25S
	8200	0.34	2500	20.0	30.0	10.0	1.0	565-1048-ND	1.48	11.12	83.38	ESMG160ELL822MN30S
	10000	0.38	2920	18.0	35.5	7.5	0.8	565-1049-ND	1.29	9.64	72.34	ESMG160ELL103MMP1S
	12000	0.42	2900	20.0	40.0	10.0	1.0	565-1050-ND	1.58	12.01	90.69	ESMG160ELL123MN40S
	12000	0.42	2900	22.0	35.0	10.0	1.0	565-1051-ND	1.49	11.29	85.16	ESMG160ELL123MP35S
	15000	0.48	3380	22.0	40.0	10.0	1.0	565-1052-ND	1.92	14.58	110.05	ESMG160ELL153MP40S
	22000	0.62	3720	25.4	40.0	12.5	1.0	565-1053-ND	2.59	19.64	148.21	ESMG160ELL223MQ40S
25	4.7	0.16	36	5.0	11.0	2.5	0.5	565-1054-ND	.19	1.21	8.15	ESMG250ELL4R7ME11D
	10	0.16	53	5.0	11.0	2.0	0.5	565-1055-ND	.21	1.33	8.96	ESMG250ELL100ME11D
	22	0.16	78	5.0	11.0	2.0	0.5	565-1056-ND	.19	1.25	8.42	ESMG250ELL220ME11D
	33	0.16	96	5.0	11.0	2.0	0.5	565-1057-ND	.19	1.23	8.26	ESMG250ELL330ME11D
	47	0.16	115	5.0	11.0	2.0	0.5	565-1058-ND	.19	1.24	8.34	ESMG250ELL470ME11D
	100	0.16	190	6.3	11.0	2.0	0.5	565-1059-ND	.23	1.46	9.89	ESMG250ELL101MF11D
	220	0.16	330	8.0	11.5	3.5	0.6	565-1060-ND	.25	1.70	12.02	ESMG250ELL221MHB5D
	330	0.16	440	8.0	11.5	3.5	0.6	565-1061-ND	.25	1.72	12.12	ESMG250ELL331MHB5D
	470	0.16	545	10.0	12.5	5.0	0.6	565-1062-ND	.33	2.25	15.89	ESMG250ELL471MJC5S
	1000	0.16	955	10.0	20.0	5.0	0.6	565-1063-ND	.35	2.55	18.22	ESMG250ELL102MJ20S
	2200	0.18	1540	12.5	25.0	5.0	0.6	565-1064-ND	.58	4.26	31.30	ESMG250ELL222MK25S
	3300	0.20	1975	16.0	25.0	7.5	0.8	565-1065-ND	.80	5.91	43.39	ESMG250ELL332ML25S
	3300	0.20	1850	20.0	20.0	10.0	1.0	565-1066-ND	.89	6.64	48.71	ESMG250ELL332MN20S
	4700	0.22	2420	16.0	31.5	7.5	0.8	565-1067-ND	.86	6.41	48.04	ESMG250ELL472MLN3S
	4700	0.22	2420	20.0	25.0	10.0	1.0	565-1068-ND	1.00	7.47	55.97	ESMG250ELL472MN25S
	6800	0.26	2880	18.0	35.5	7.5	0.8	565-1069-ND	1.30	9.69	72.62	ESMG250ELL682MMP1S
	6800	0.26	2680	20.0	35.0	10.0	1.0	565-1070-ND	1.30	9.69	72.62	ESMG250ELL682MN35S
	6800	0.26	2510	22.0	30.0	10.0	1.0	565-1071-ND	1.52	11.49	86.67	ESMG250ELL682MP30S
	8200	0.30	2810	20.0	40.0	10.0	1.0	565-1072-ND	1.85	13.94	105.27	ESMG250ELL822MN40S
	8200	0.30	2810	22.0	35.0	10.0	1.0	565-1073-ND	1.89	14.28	107.78	ESMG250ELL822MP35S
	10000	0.34	3240	22.0	40.0	10.0	1.0	565-1074-ND	1.87	14.18	107.04	ESMG250ELL103MP40S
	12000	0.38	3240	22.0	40.0	10.0	1.0	565-1075-ND	1.95	14.75	111.29	ESMG250ELL123MP40S
	15000	0.44	3610	25.4	40.0	12.5	1.0	565-1076-ND	2.71	20.54	155.00	ESMG250ELL153MQ40S
35	4.7	0.14	40	5.0	11.0	2.0	0.5	565-1077-ND	.19	1.21	8.15	ESMG350ELL4R7ME11D
	10	0.14	59	5.0	11.0	2.0	0.5	565-1078-ND	.19	1.21	8.19	ESMG350ELL100ME11D
	22	0.14	88	5.0	11.0	2.0	0.5	565-1079-ND	.19	1.25	8.42	ESMG350ELL220ME11D
	33	0.14	108	5.0	11.0	2.0	0.5	565-1080-ND	.19	1.23	8.26	ESMG350ELL330ME11D
	47	0.14	130	5.0	11.0	2.0	0.5	565-1081-ND	.19	1.25	8.46	ESMG350ELL470ME11D
	100	0.14	210	6.3	11.0	2.5	0.5	565-1082-ND	.24	1.50	10.07	ESMG350ELL101MF11D
	220	0.14	385	8.0	11.5	3.5	0.6	565-1083-ND	1.58	12.01	90.69	ESMG350ELL221MHB5D
	330	0.14	490	10.0	12.5	5.0	0.6	565-1084-ND	.33	2.25	15.89	ESMG350ELL331MJC5S
	470	0.14	645	10.0	16.0	5.0	0.6	565-1085-ND	.30	2.24	16.01	ESMG350ELL471MJ16S
	1000	0.14	1145	12.5	20.0	5.0	0.6	565-1086-ND	.49	3.61	25.75	ESMG350ELL102MK20S
	2200	0.16	1785	16.0	25.0	7.5	0.8	565-1087-ND	.81	6.07	44.58	ESMG350ELL222ML25S
	2200	0.16	1670	20.0	20.0	10.0	1.0	565-1088-ND	1.28	9.61	72.06	ESMG350ELL222MN20S
	3300	0.18	2050	20.0	25.0	10.0	1.0	565-1089-ND	1.49	11.19	83.95	ESMG350ELL332MN25S
	3900	0.18	2310	20.0	30.0	10.0	1.0	565-1090-ND	1.68	12.59	94.40	ESMG350ELL392MN30S
	4700	0.20	2700	18.0	35.5	7.5	0.8	565-1091-ND	1.18	8.86	66.42	ESMG350ELL472MMP1S
	4700	0.20	2510	20.0	35.0	10.0	1.0	565-1092-ND	1.51	11.42	86.18	ESMG350ELL472MN35S
	4700	0.20	2380	22.0	30.0	10.0	1.0	565-1093-ND	1.51	11.42	86.18	ESMG350ELL472MP30S
	5600	0.22	2690	20.0	40.0	10.0	1.0	565-1094-ND	1.68	12.68	95.72	ESMG350ELL562MN40S

(Forts.)

E

Nennbetriebs-spannung (V DC)	Kap. (µF)	Tan δ	Mischstrom (mA RMS) @ 85 °C 120 Hz	Abmessungen (mm) ØD	L	F	Ød	Digi-Key Teilenr.	Preisangaben 1	10	100	United Chemi-Con Teilenr.
	5600	0.22	2690	22.0	35.0	10.0	1.0	565-1095-ND	1.68	12.68	95.72	ESMG350ELL562MP35S
35	6800	0.24	3090	22.0	40.0	10.0	1.0	565-1096-ND	1.86	14.11	106.51	ESMG350ELL682MP40S
	10000	0.32	3480	25.4	40.0	12.5	1.0	565-1097-ND	2.68	20.34	153.50	ESMG350ELL103MQ40S
	0.10	0.12	1.3	5.0	11.0	2.0	0.5	565-1098-ND	.19	1.21	8.19	ESMG500ELLR10ME11D
	0.22	0.12	2.9	5.0	11.0	2.0	0.5	565-1099-ND	.19	1.24	8.38	ESMG500ELLR22ME11D
	0.33	0.12	4.3	5.0	11.0	2.0	0.5	565-1100-ND	.19	1.21	8.19	ESMG500ELLR33ME11D
	0.47	0.12	6.2	5.0	11.0	2.0	0.5	565-1101-ND	.19	1.21	8.19	ESMG500ELLR47ME11D
	1.0	0.12	17	5.0	11.0	2.0	0.5	565-1102-ND	.19	1.20	8.11	ESMG500ELL1R0ME11D
	2.2	0.12	28	5.0	11.0	2.0	0.5	565-1103-ND	.19	1.22	8.23	ESMG500ELL2R2ME11D
	3.3	0.12	35	5.0	11.0	2.0	0.5	565-1104-ND	.19	1.21	8.19	ESMG500ELL3R3ME11D
	4.7	0.12	41	5.0	11.0	2.0	0.5	565-1105-ND	.19	1.21	8.15	ESMG500ELL4R7ME11D
	10	0.12	60	5.0	11.0	2.0	0.5	565-1106-ND	.19	1.21	8.19	ESMG500ELL100ME11D
	22	0.12	95	5.0	11.0	2.0	0.5	565-1107-ND	.19	1.25	8.42	ESMG500ELL220ME11D
	33	0.12	125	5.0	11.0	2.0	0.5	565-1108-ND	.19	1.25	8.42	ESMG500ELL330ME11D
	47	0.12	155	6.3	11.0	2.5	0.5	565-1109-ND	.24	1.49	10.04	ESMG500ELL470MF11D
50	100	0.12	260	8.0	11.5	3.5	0.6	565-1110-ND	.25	1.70	12.02	ESMG500ELL101MHB5D
	220	0.12	430	10.0	12.5	5.0	0.6	565-1111-ND	.33	2.25	15.89	ESMG500ELL221MJC5S
	330	0.12	585	10.0	16.0	5.0	0.6	565-1112-ND	.31	2.33	16.63	ESMG500ELL331MJ16S
	470	0.12	755	10.0	20.0	5.0	0.6	565-1113-ND	.37	2.77	19.78	ESMG500ELL471MJ20S
	1000	0.12	1340	12.5	25.0	5.0	0.6	565-1114-ND	.60	4.50	33.05	ESMG500ELL102MK25S
	1500	0.12	1570	20.0	20.0	10.0	1.0	565-1115-ND	1.33	9.95	74.61	ESMG500ELL152MN20S
	2200	0.14	1880	20.0	25.0	10.0	1.0	565-1116-ND	1.09	8.18	61.33	ESMG500ELL222MN25S
	2700	0.14	2150	20.0	30.0	10.0	1.0	565-1117-ND	1.68	12.59	94.40	ESMG500ELL272MN30S
	3300	0.16	2500	18.0	35.5	7.5	0.8	565-1118-ND	1.39	10.44	78.29	ESMG500ELL332MMP1S
	3300	0.16	2420	20.0	35.0	10.0	1.0	565-1119-ND	1.63	12.32	92.96	ESMG500ELL332MN35S
	3300	0.16	2420	22.0	30.0	10.0	1.0	565-1120-ND	1.63	12.28	92.70	ESMG500ELL332MP30S
	3900	0.16	2590	22.0	35.0	10.0	1.0	565-1121-ND	1.72	12.99	97.99	ESMG500ELL392MP35S
	4700	0.18	2960	22.0	40.0	10.0	1.0	565-1122-ND	1.94	14.65	110.54	ESMG500ELL472MP40S
	6800	0.22	3360	25.4	40.0	12.5	1.0	565-1123-ND	2.95	22.33	168.57	ESMG500ELL682MQ40S
	10	0.09	65	5.0	11.0	2.0	0.5	565-1124-ND	.19	1.24	8.31	ESMG630ELL100ME11D
	22	0.09	100	5.0	11.0	2.0	0.5	565-1125-ND	.19	1.25	8.46	ESMG630ELL220ME11D
	33	0.09	140	6.3	11.0	2.5	0.5	565-1126-ND	.24	1.50	10.07	ESMG630ELL330MF11D
	47	0.09	170	6.3	11.0	2.5	0.5	565-1127-ND	.25	1.54	10.39	ESMG630ELL470MF11D
	100	0.09	300	10.0	12.5	5.0	0.6	565-1128-ND	.32	2.21	15.55	ESMG630ELL101MJC5S
	220	0.09	490	10.0	16.0	5.0	0.6	565-1129-ND	.31	2.33	16.63	ESMG630ELL221MJ16S
	330	0.09	710	10.0	20.0	5.0	0.6	565-1130-ND	.37	2.73	19.46	ESMG630ELL331MJ20S
63	470	0.09	900	12.5	20.0	5.0	0.6	565-1131-ND	.52	3.83	27.31	ESMG630ELL471MK20S
	820	0.09	1370	20.0	20.0	10.0	1.0	565-1132-ND	1.39	10.44	78.29	ESMG630ELL821MN20S
	1000	0.09	1300	16.0	25.0	7.5	0.8	565-1133-ND	.87	6.47	47.51	ESMG630ELL102ML25S
	1000	0.09	1600	20.0	25.0	10.0	1.0	565-1134-ND	1.35	10.18	76.32	ESMG630ELL102MN25S
	1500	0.09	1850	20.0	30.0	10.0	1.0	565-1135-ND	1.60	11.99	89.89	ESMG630ELL152MN30S
	2200	0.11	2330	20.0	35.0	10.0	1.0	565-1136-ND	1.62	12.22	92.21	ESMG630ELL222MN35S
	2200	0.11	2190	22.0	30.0	10.0	1.0	565-1137-ND	1.61	12.18	91.96	ESMG630ELL222MP30S
	3300	0.13	2810	22.0	40.0	10.0	1.0	565-1138-ND	2.02	15.31	115.55	ESMG630ELL332MP40S
	3900	0.13	3100	25.4	40.0	12.5	1.0	565-1139-ND	2.49	18.84	142.19	ESMG630ELL392MQ40S
	0.10	0.08	2.1	5.0	11.0	2.0	0.5	565-1140-ND	.19	1.25	8.42	ESMG101ELLR10ME11D
	0.22	0.08	4.7	5.0	11.0	2.0	0.5	565-1141-ND	.19	1.23	8.26	ESMG101ELLR22ME11D
	0.33	0.08	7.0	5.0	11.0	2.0	0.5	565-1142-ND	.19	1.23	8.26	ESMG101ELLR33ME11D
	0.47	0.08	10	5.0	11.0	2.0	0.5	565-1143-ND	.21	1.32	8.92	ESMG101ELLR47ME11D
	1.0	0.08	21	5.0	11.0	2.0	0.5	565-1144-ND	.19	1.23	8.26	ESMG101ELL1R0ME11D
	2.2	0.08	30	5.0	11.0	2.0	0.5	565-1145-ND	.19	1.21	8.15	ESMG101ELL2R2ME11D
	3.3	0.08	40	5.0	11.0	2.0	0.5	565-1146-ND	.19	1.21	8.19	ESMG101ELL3R3ME11D
	4.7	0.08	45	5.0	11.0	2.0	0.5	565-1147-ND	.19	1.22	8.23	ESMG101ELL4R7ME11D
	10	0.08	75	6.3	11.0	2.5	0.5	565-1148-ND	.23	1.46	9.89	ESMG101ELL100MF11D
	22	0.08	130	8.0	11.5	3.5	0.6	565-1149-ND	.23	1.55	10.96	ESMG101ELL220MHB5D
	33	0.08	180	8.0	11.5	3.5	0.6	565-1150-ND	.24	1.61	11.36	ESMG101ELL330MHB5D
100	47	0.08	230	10.0	12.5	5.0	0.6	565-1151-ND	.31	2.12	14.93	ESMG101ELL470MJC5S
	100	0.08	370	10.0	20.0	5.0	0.6	565-1152-ND	.64	4.78	35.11	ESMG101ELL101MJ20S
	220	0.08	620	12.5	25.0	5.0	0.6	565-1153-ND	.92	6.91	51.82	ESMG101ELL221MK25S
	330	0.08	760	12.5	25.0	5.0	0.6	565-1154-ND	.61	4.53	33.27	ESMG101ELL331MK25S
	330	0.08	870	20.0	20.0	10.0	1.0	565-1155-ND	.66	4.90	36.01	ESMG101ELL331MN20S
	470	0.08	1000	16.0	25.0	7.5	0.8	565-1156-ND	.81	6.05	44.45	ESMG101ELL471ML25S
	680	0.08	1360	20.0	30.0	10.0	1.0	565-1157-ND	1.66	12.44	93.28	ESMG101ELL681MN30S
	820	0.08	1540	22.0	30.0	10.0	1.0	565-1158-ND	1.67	12.51	93.84	ESMG101ELL821MP30S
	1000	0.08	1380	18.0	40.0	7.5	0.8	565-1159-ND	1.26	9.47	71.04	ESMG101ELL102MM40S
	1000	0.08	1720	20.0	35.0	10.0	1.0	565-1160-ND	1.49	11.29	85.20	ESMG101ELL102MN35S
	1200	0.08	1980	22.0	40.0	10.0	1.0	565-1161-ND	1.79	13.51	102.00	ESMG101ELL122MP40S
	1800	0.08	2490	25.4	40.0	12.5	1.0	565-1162-ND	2.90	21.94	165.55	ESMG101ELL182MQ40S
	3.3	0.20	40	6.3	11.0	2.5	0.5	565-1163-ND	.23	1.43	9.63	ESMG161ELL3R3MF11D
	4.7	0.20	48	6.3	11.0	2.5	0.5	565-1164-ND	.24	1.52	10.24	ESMG161ELL4R7MF11D
	10	0.20	94	10.0	12.5	5.0	0.6	565-1165-ND	.30	2.24	15.98	ESMG161ELL100MJC5S
	22	0.20	170	10.0	20.0	5.0	0.6	565-1166-ND	.36	2.68	19.17	ESMG161ELL220MJ20S
	33	0.20	205	10.0	20.0	5.0	0.6	565-1167-ND	.37	2.73	19.45	ESMG161ELL330MJ20S
	47	0.20	270	12.5	20.0	5.0	0.6	565-1168-ND	.52	3.78	27.00	ESMG161ELL470MK20S
	100	0.20	430	12.5	25.0	5.0	0.6	565-1169-ND	.57	4.23	31.08	ESMG161ELL101MK25S
160	220	0.20	760	16.0	31.5	7.5	0.8	565-1170-ND	.87	6.54	49.10	ESMG161ELL221MLN3S
	220	0.15	730	20.0	25.0	10.0	1.0	565-1171-ND	1.55	11.65	87.34	ESMG161ELL221MN25S
	330	0.20	995	18.0	35.5	7.5	0.8	565-1172-ND	1.13	8.46	63.45	ESMG161ELL331MMP1S
	330	0.15	920	20.0	30.0	10.0	1.0	565-1173-ND	1.58	11.98	90.44	ESMG161ELL331MN30S
	390	0.15	1160	22.0	30.0	10.0	1.0	565-1174-ND	1.64	12.42	93.70	ESMG161ELL391MP30S
	470	0.15	1340	20.0	40.0	10.0	1.0	565-1175-ND	1.93	14.61	110.30	ESMG161ELL471MN40S
	470	0.15	1340	22.0	35.0	10.0	1.0	565-1176-ND	2.00	15.11	114.05	ESMG161ELL471MP35S
	560	0.15	1470	22.0	40.0	10.0	1.0	565-1177-ND	2.12	16.01	120.84	ESMG161ELL561MP40S
	680	0.15	1570	25.4	40.0	12.5	1.0	565-1178-ND	2.84	21.44	161.84	ESMG161ELL681MQ40S
	3.3	0.20	40	6.3	11.0	2.5	0.5	565-1179-ND	.25	1.55	10.43	ESMG201ELL3R3MF11D
	4.7	0.20	55	8.0	11.5	3.5	0.6	565-1180-ND	.27	1.83	12.89	ESMG201ELL4R7MHB5D
	10	0.20	94	10.0	12.5	5.0	0.6	565-1181-ND	.34	2.51	17.91	ESMG201ELL100MJC5S
	22	0.20	170	10.0	20.0	5.0	0.6	565-1182-ND	.40	2.90	20.74	ESMG201ELL220MJ20S
	33	0.20	205	10.0	20.0	5.0	0.6	565-1183-ND	.49	3.61	25.75	ESMG201ELL330MJ20S
	47	0.20	270	12.5	20.0	5.0	0.6	565-1184-ND	.52	3.86	28.34	ESMG201ELL470MK20S
	100	0.20	475	16.0	25.0	7.5	0.8	565-1185-ND	.87	6.47	47.51	ESMG201ELL101ML25S
	100	0.15	460	20.0	20.0	10.0	1.0	565-1186-ND	1.34	10.02	75.17	ESMG201ELL101MN20S
	180	0.15	660	20.0	25.0	10.0	1.0	565-1187-ND	1.67	12.51	93.84	ESMG201ELL181MN25S
200	220	0.20	810	18.0	35.5	7.5	0.8	565-1188-ND	1.41	10.55	79.12	ESMG201ELL221MMP1S
	220	0.15	750	20.0	30.0	10.0	1.0	565-1189-ND	1.61	12.18	91.96	ESMG201ELL221MN30S
	270	0.15	830	20.0	30.0	10.0	1.0	565-1190-ND	1.71	12.94	97.71	ESMG201ELL271MN30S
	330	0.15	1070	20.0	35.0	10.0	1.0	565-1191-ND	1.90	14.44	109.03	ESMG201ELL331MN35S
	330	0.15	1070	22.0	30.0	10.0	1.0	565-1192-ND	2.41	18.24	137.67	ESMG201ELL331MP30S
	390	0.15	1190	20.0	40.0	10.0	1.0	565-1193-ND	2.12	16.01	120.84	ESMG201ELL391MN40S
	390	0.15	1160	22.0	30.0	10.0	1.0	565-1194-ND	4.91	37.16	280.46	ESMG201ELL391MP30S
	470	0.15	1350	22.0	40.0	10.0	1.0	565-1195-ND	2.35	17.74	133.89	ESMG201ELL471MP40S
	560	0.15	1430	22.0	40.0	10.0	1.0	565-1196-ND	2.82	21.33	161.02	ESMG201ELL561MP40S
	680	0.15	1620	25.4	40.0	12.5	1.0	565-1197-ND	3.41	25.83	194.96	ESMG201ELL681MQ40S
	2.2	0.20	32	6.3	11.0	2.5	0.5	565-1198-ND	.25	1.54	10.39	ESMG251ELL2R2MF11D
250	3.3	0.20	46	8.0	11.5	3.5	0.6	565-1199-ND	.25	1.74	12.30	ESMG251ELL3R3MHB5D
	4.7	0.20	55	8.0	11.5	3.5	0.6	565-1200-ND	.27	1.83	12.89	ESMG251ELL4R7MHB5D
	10	0.20	105	10.0	16.0	5.0	0.6	565-1201-ND	.37	2.73	19.46	ESMG251ELL100MJ16S

(Forts.)

Alle Preisangaben in Euro und inklusive Zollgebühren.

Nennbetriebs-spannung (V DC)	Kap. (µF)	Tan δ	Mischstrom (mA RMS) @ 85 °C 120 Hz	Abmessungen (mm) ØD	L	F	Ød	Digi-Key Teilenr.	Preisangaben 1	10	100	United Chemi-Con Teilenr.
250	22	0.20	170	10.0	20.0	5.0	0.6	565-1202-ND	.44	3.25	23.23	ESMG251ELL220MJ20S
	33	0.20	230	12.5	20.0	5.0	0.6	565-1203-ND	.52	3.90	28.63	ESMG251ELL330MK20S
	47	0.20	295	12.5	25.0	5.0	0.6	565-1204-ND	.65	4.83	35.42	ESMG251ELL470MK25S
	82	0.15	420	20.0	20.0	10.0	1.0	565-1205-ND	1.54	11.53	86.50	ESMG251ELL820MN20S
	100	0.20	515	16.0	31.5	7.5	0.8	565-1206-ND	1.02	7.61	57.09	ESMG251ELL101MLN3S
	120	0.15	530	20.0	25.0	10.0	1.0	565-1207-ND	1.62	12.25	92.46	ESMG251ELL121MN25S
	180	0.15	680	20.0	30.0	10.0	1.0	565-1208-ND	1.34	10.02	75.17	ESMG251ELL181MN30S
	220	0.20	825	18.0	40.0	7.5	0.8	565-1209-ND	1.66	12.58	94.97	ESMG251ELL221MM40S
	220	0.15	780	20.0	35.0	10.0	1.0	565-1210-ND	1.85	14.05	106.01	ESMG251ELL221MN35S
	220	0.15	820	22.0	30.0	10.0	1.0	565-1211-ND	1.83	13.82	104.27	ESMG251ELL221MP30S
	270	0.15	880	20.0	40.0	10.0	1.0	565-1212-ND	2.00	15.15	114.31	ESMG251ELL271MN40S
	270	0.15	880	22.0	35.0	10.0	1.0	565-1213-ND	1.52	11.51	86.93	ESMG251ELL271MP35S
	330	0.15	1060	22.0	40.0	10.0	1.0	565-1214-ND	2.35	17.74	133.89	ESMG251ELL331MP40S
	390	0.15	1200	25.4	40.0	12.5	1.0	565-1215-ND	3.23	24.50	184.89	ESMG251ELL391MQ40S
350	0.47	0.24	15	6.3	11.0	2.5	0.5	565-1216-ND	.27	1.82	12.81	ESMG351ELLR47MF11D
	1.0	0.24	22	6.3	11.0	2.5	0.5	565-1217-ND	.27	1.85	13.05	ESMG351ELL1R0MF11D
	2.2	0.24	38	8.0	11.5	3.5	0.6	565-1218-ND	.30	2.21	15.79	ESMG351ELL2R2MHB5D
	3.3	0.24	46	8.0	11.5	3.5	0.6	565-1219-ND	.29	2.15	15.36	ESMG351ELL3R3MHB5D
	4.7	0.24	65	10.0	12.5	5.0	0.6	565-1220-ND	.35	2.55	18.22	ESMG351ELL4R7MJC5S
	10	0.24	115	10.0	20.0	5.0	0.6	565-1221-ND	.42	3.12	22.30	ESMG351ELL100MJ20S
	22	0.24	185	12.5	20.0	5.0	0.6	565-1222-ND	.59	4.38	32.17	ESMG351ELL220MK20S
	33	0.24	275	16.0	25.0	7.5	0.8	565-1223-ND	.85	6.31	46.34	ESMG351ELL330ML25S
	47	0.24	325	16.0	25.0	7.5	0.8	565-1224-ND	.94	7.05	52.86	ESMG351ELL470ML25S
	47	0.15	310	20.0	20.0	10.0	1.0	565-1225-ND	1.49	11.19	83.95	ESMG351ELL470MN20S
	100	0.15	500	20.0	30.0	10.0	1.0	565-1226-ND	1.85	14.01	105.76	ESMG351ELL101MN30S
	220	0.15	890	25.4	40.0	12.5	1.0	565-1227-ND	3.44	26.00	196.20	ESMG351ELL221MQ40S
400	1.0	0.24	22	6.3	11.0	2.5	0.5	565-1228-ND	.27	1.85	13.05	ESMG401ELL1R0MF11D
	3.3	0.24	54	10.0	12.5	5.0	0.6	565-1229-ND	.36	2.59	18.53	ESMG401ELL3R3MJC5S
	4.7	0.24	71	10.0	16.0	5.0	0.6	565-1230-ND	.37	2.77	19.78	ESMG401ELL4R7MJ16S
	10	0.24	115	10.0	20.0	5.0	0.6	565-1231-ND	.44	3.25	23.23	ESMG401ELL100MJ20S
	22	0.24	205	12.5	25.0	5.0	0.6	565-1232-ND	.67	4.99	36.59	ESMG401ELL220MK25S
	33	0.24	275	16.0	25.0	7.5	0.8	565-1233-ND	.85	6.37	47.76	ESMG401ELL330ML25S
	33	0.15	260	20.0	20.0	10.0	1.0	565-1234-ND	.86	6.41	48.04	ESMG401ELL330MN20S
	47	0.24	350	16.0	31.5	7.5	0.8	565-1235-ND	1.06	7.95	59.64	ESMG401ELL470MLN3S
	56	0.15	350	20.0	25.0	10.0	1.0	565-1236-ND	1.52	11.49	86.67	ESMG401ELL560MN25S
	68	0.15	420	20.0	30.0	10.0	1.0	565-1237-ND	1.20	9.01	67.55	ESMG401ELL680MN30S
	100	0.15	520	20.0	35.0	10.0	1.0	565-1238-ND	1.67	12.65	95.47	ESMG401ELL101MN35S
	100	0.15	520	22.0	30.0	10.0	1.0	565-1239-ND	2.00	15.15	114.31	ESMG401ELL101MP30S
	120	0.15	580	20.0	40.0	10.0	1.0	565-1240-ND	2.27	17.21	129.88	ESMG401ELL121MN40S
	120	0.15	580	22.0	35.0	10.0	1.0	565-1241-ND	2.24	16.94	127.86	ESMG401ELL121MP35S
	180	0.15	790	25.4	40.0	12.5	1.0	565-1242-ND	3.34	25.33	191.17	ESMG401ELL181MQ40S
450	0.47	0.24	13	10.0	12.5	5.0	0.6	565-1243-ND	.36	2.59	18.53	ESMG451ELLR47MJC5S
	1.0	0.24	19	10.0	12.5	5.0	0.6	565-1244-ND	.35	2.55	18.22	ESMG451ELL1R0MJC5S
	2.2	0.24	32	10.0	12.5	5.0	0.6	565-1245-ND	.36	2.59	18.53	ESMG451ELL2R2MJC5S
	3.3	0.24	44	10.0	16.0	5.0	0.6	565-1246-ND	.40	2.95	21.05	ESMG451ELL3R3MJ16S
	4.7	0.24	56	10.0	20.0	5.0	0.6	565-1247-ND	.43	3.21	22.93	ESMG451ELL4R7MJ20S
	10	0.24	91	12.5	20.0	5.0	0.6	565-1248-ND	.49	3.66	26.87	ESMG451ELL100MK20S
	22	0.24	165	16.0	25.0	7.5	0.8	565-1249-ND	.88	6.55	48.13	ESMG451ELL220ML25S
	22	0.20	180	20.0	20.0	10.0	1.0	565-1250-ND	1.43	10.74	80.55	ESMG451ELL220MN20S
	33	0.24	215	16.0	31.5	7.5	0.8	565-1251-ND	1.25	9.42	70.66	ESMG451ELL330MLN3S
	33	0.20	240	20.0	25.0	10.0	1.0	565-1252-ND	1.49	11.25	84.91	ESMG451ELL330MN25S
	47	0.24	265	16.0	35.5	7.5	0.8	565-1253-ND	1.41	10.59	79.40	ESMG451ELL470MLP1S
	47	0.20	290	20.0	25.0	10.0	1.0	565-1254-ND	1.64	12.45	93.96	ESMG451ELL470MN25S
	56	0.20	320	20.0	30.0	10.0	1.0	565-1255-ND	2.09	15.85	119.59	ESMG451ELL560MN30S
	68	0.20	370	20.0	35.0	10.0	1.0	565-1256-ND	2.11	15.94	120.34	ESMG451ELL680MN35S
	68	0.20	370	22.0	30.0	10.0	1.0	565-1257-ND	2.18	16.54	124.85	ESMG451ELL680MP30S
	82	0.20	420	20.0	40.0	10.0	1.0	565-1258-ND	2.16	16.35	123.35	ESMG451ELL820MN40S
	82	0.20	420	22.0	35.0	10.0	1.0	565-1259-ND	2.16	16.37	123.60	ESMG451ELL820MP35S
	100	0.20	470	22.0	40.0	10.0	1.0	565-1260-ND	2.55	19.30	145.70	ESMG451ELL101MP40S
	120	0.20	520	25.4	40.0	12.5	1.0	565-1261-ND	3.51	26.63	200.98	ESMG451ELL121MQ40S

E

UNITED CHEMI-CON EUROPE CHEMI-CON

Serie KMG Aluminium-Elektrolytkondensatoren (radiale Ableitung)

Allzweck 105 °C Bleifrei/RoHS-konform

Merkmale: Minigröße, Allzweck, lösungsbeständig (außer 350-450 V), max. 105 °C **Spezifikationen:** • **Betriebstemperatur:** -55 °C ~105 °C (6,3-100 V), -40 °C ~105 °C (160-400 V), -25 °C ~ 105 °C (450 V) • **Kapazitätstoleranz:** ±20 %.

Leckstrom @ 20 °C:

DC-Spannung	Testdauer	Leckstrom (µA)	
6.3-100V	Nach 1 Minute	I= 0,03 CV oder 4 µA, wobei der größere Wert maßgeblich ist	
160-450V	Nach 1 Minute	CV≤ 1,000: I=0.1CV +40	CV>1,000: I=0.04CV +100
	Nach 5 Minuten	CV≤ 1,000: I=0.03CV +15	CV>1,000: I=0.02CV +25

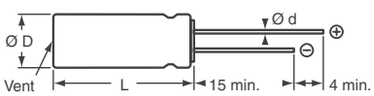

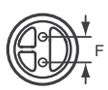

Nennbetriebs-spannung (V DC)	Kap. (µF)	Tan δ	Mischstrom (mA RMS) @ 85 °C 120 Hz	Abmessungen (mm) ØD	L	F	Ød	Digi-Key Teilenr.	Preisangaben 1	10	100	United Chemi-Con Teilenr.
6.3	47	0.34	64	5	11	2.0	0.5	565-1262-ND	.19	1.24	8.34	EKMG6R3ELL470ME11D
	100	0.34	94	5	11	2.0	0.5	565-1263-ND	.19	1.23	8.26	EKMG6R3ELL101ME11D
	220	0.34	140	5	11	2.0	0.5	565-1264-ND	.20	1.30	8.72	EKMG6R3ELL221ME11D
	330	0.34	190	6.3	11	2.5	0.5	565-1265-ND	.19	1.32	9.34	EKMG6R3ELL331MF11D
	470	0.34	230	6.3	11	2.5	0.5	565-1266-ND	.21	1.36	9.20	EKMG6R3ELL471MF11D
	1000	0.34	380	8	11.5	3.5	0.6	565-1267-ND	.24	1.58	11.18	EKMG6R3ELL102MHB5D
	2200	0.36	710	10	20	5.0	0.6	565-1268-ND	.32	2.35	16.84	EKMG6R3ELL222MJ20S
	3300	0.38	840	10	20	5.0	0.6	565-1269-ND	.34	2.51	17.99	EKMG6R3ELL332MJ20S
	4700	0.40	1090	12.5	20	5.0	0.6	565-1270-ND	.47	3.41	24.37	EKMG6R3ELL472MK20S
	6800	0.44	1350	12.5	25	5.0	0.6	565-1271-ND	.56	4.16	30.54	EKMG6R3ELL682MK25S
	10000	0.52	1650	16	25	7.5	0.8	565-1272-ND	.79	5.87	43.09	EKMG6R3ELL103ML25S
	20000	0.76	2350	18	40	7.5	0.8	565-1273-ND	1.34	10.02	75.21	EKMG6R3ELL223MM40S
10	22	0.24	46	5	11	2.0	0.5	565-1274-ND	.19	1.24	8.38	EKMG100ELL220ME11D
	33	0.24	57	5	11	2.0	0.5	565-1275-ND	.19	1.23	8.26	EKMG100ELL330ME11D
	47	0.24	68	5	11	2.0	0.5	565-1276-ND	.19	1.24	8.34	EKMG100ELL470ME11D
	100	0.24	100	5	11	2.0	0.5	565-1277-ND	.19	1.23	8.26	EKMG100ELL101ME11D
	220	0.24	170	6.3	11	2.5	0.5	565-1278-ND	.26	1.79	12.57	EKMG100ELL221MF11D
	330	0.24	200	6.3	11	2.5	0.5	565-1279-ND	.23	1.53	10.81	EKMG100ELL331MF11D
	470	0.24	250	8	11.5	3.5	0.6	565-1280-ND	.25	1.69	11.92	EKMG100ELL471MHB5D
	1000	0.24	460	10	12.5	5.0	0.6	565-1281-ND	.30	2.08	14.69	EKMG100ELL102MJC5S
	2200	0.26	760	10	20	5.0	0.6	565-1282-ND	.33	2.44	17.41	EKMG100ELL222MJ20S
	3300	0.28	1000	12.5	20	5.0	0.6	565-1283-ND	.45	3.29	23.51	EKMG100ELL332MK20S
	4700	0.30	1260	12.5	25	5.0	0.6	565-1284-ND	.52	3.90	28.65	EKMG100ELL472MK25S
	6800	0.34	1570	16	25	7.5	0.8	565-1285-ND	1.29	9.64	72.33	EKMG100ELL682ML25S
	10000	0.42	1890	16	35.5	7.5	0.8	565-1286-ND	.98	7.35	55.11	EKMG100ELL103MLP1S
	15000	0.52	2180	18	35.5	7.5	0.8	565-1287-ND	1.20	9.02	67.64	EKMG100ELL153MMP1S

(Forts.)

Nennbetriebs-spannung (V DC)	Kap. (µF)	Tan δ	Mischstrom (mA RMS) @ 85 °C 120 Hz	Abmessungen (mm) ØD	L	F	Ød	Digi-Key Teilenr.	Preisangaben 1	10	100	United Chemi-Con Teilenr.
	10	0.20	34	5	11	2.0	0.5	565-1288-ND	.19	1.21	8.19	EKMG160ELL100ME11D
	22	0.20	51	5	11	2.0	0.5	565-1289-ND	.19	1.24	8.38	EKMG160ELL220ME11D
	33	0.20	63	5	11	2.0	0.5	565-1290-ND	.19	1.23	8.26	EKMG160ELL330ME11D
	47	0.20	75	5	11	2.0	0.5	565-1291-ND	.19	1.24	8.34	EKMG160ELL470ME11D
	100	0.20	110	5	11	2.0	0.5	565-1292-ND	.25	1.54	10.40	EKMG160ELL101ME11D
	220	0.20	180	6.3	11	2.5	0.5	565-1293-ND	.23	1.53	10.81	EKMG160ELL221MF11D
16	330	0.20	260	8	11.5	3.5	0.6	565-1294-ND	.29	2.15	15.34	EKMG160ELL331MHB5D
	470	0.20	310	8	11.5	3.5	0.6	565-1295-ND	.23	1.57	11.01	EKMG160ELL471MHB5D
	1000	0.20	560	10	16	5.0	0.6	565-1296-ND	.49	3.62	25.89	EKMG160ELL102MJ16S
	2200	0.22	920	12.5	20	5.0	0.6	565-1297-ND	.59	4.43	32.48	EKMG160ELL222MK20S
	3300	0.24	1170	12.5	25	5.0	0.6	565-1298-ND	.53	3.96	29.07	EKMG160ELL332MK25S
	4700	0.26	1480	16	25	7.5	0.8	565-1299-ND	.74	5.46	40.11	EKMG160ELL472ML25S
	6800	0.30	1780	16	31.5	7.5	0.8	565-1300-ND	.91	6.72	49.37	EKMG160ELL682MLN3S
	10000	0.38	2060	18	35.5	7.5	0.8	565-1301-ND	1.19	8.88	66.61	EKMG160ELL103MMP1S
	4.7	0.16	25	5	11	2.0	0.5	565-1302-ND	.19	1.21	8.15	EKMG250ELL4R7ME11D
	10	0.16	36	5	11	2.0	0.5	565-1303-ND	.21	1.35	9.12	EKMG250ELL100ME11D
	22	0.16	54	5	11	2.0	0.5	565-1304-ND	.19	1.24	8.38	EKMG250ELL220ME11D
	33	0.16	67	5	11	2.0	0.5	565-1305-ND	.19	1.23	8.26	EKMG250ELL330ME11D
	47	0.16	80	5	11	2.0	0.5	565-1306-ND	.18	1.15	7.75	EKMG250ELL470ME11D
	100	0.16	130	6.3	11	2.5	0.5	565-1307-ND	.21	1.35	9.13	EKMG250ELL101MF11D
25	220	0.16	230	8	11.5	3.5	0.6	565-1308-ND	.30	2.02	14.28	EKMG250ELL221MHB5D
	330	0.16	310	8	11.5	3.5	0.6	565-1309-ND	.24	1.59	11.21	EKMG250ELL331MHB5D
	470	0.16	380	10	12.5	5.0	0.6	565-1310-ND	.39	2.90	20.68	EKMG250ELL471MJC5S
	1000	0.16	680	10	20	5.0	0.6	565-1311-ND	.34	2.48	17.70	EKMG250ELL102MJ20S
	2200	0.18	1090	12.5	25	5.0	0.6	565-1312-ND	1.13	8.50	63.73	EKMG250ELL222MK25S
	3300	0.20	1400	16	25	7.5	0.8	565-1313-ND	1.04	7.81	58.60	EKMG250ELL332ML25S
	4700	0.22	1710	16	31.5	7.5	0.8	565-1314-ND	.86	6.41	48.04	EKMG250ELL472MLN3S
	6800	0.26	2040	18	35.5	7.5	0.8	565-1315-ND	1.23	9.19	68.94	EKMG250ELL682MMP1S
	4.7	0.14	28	5	11	2.0	0.5	565-1316-ND	.19	1.21	8.15	EKMG350ELL4R7ME11D
	10	0.14	41	5	11	2.0	0.5	565-1317-ND	.19	1.21	8.19	EKMG350ELL100ME11D
	22	0.14	61	5	11	2.0	0.5	565-1318-ND	.19	1.24	8.38	EKMG350ELL220ME11D
	33	0.14	75	5	11	2.0	0.5	565-1319-ND	.21	1.34	9.03	EKMG350ELL330ME11D
	47	0.14	90	5	11	2.0	0.5	565-1320-ND	.24	1.52	10.26	EKMG350ELL470ME11D
35	100	0.14	150	6.3	11	2.5	0.5	565-1321-ND	.20	1.38	9.74	EKMG350ELL101MF11D
	220	0.14	270	8	11.5	3.5	0.6	565-1322-ND	.36	2.64	18.88	EKMG350ELL221MHB5D
	330	0.14	350	10	12.5	5.0	0.6	565-1323-ND	.30	2.08	14.69	EKMG350ELL331MJC5S
	470	0.14	460	10	16	5.0	0.6	565-1324-ND	.34	2.31	16.27	EKMG350ELL471MJ16S
	1000	0.14	810	12.5	20	5.0	0.6	565-1325-ND	.46	3.37	24.09	EKMG350ELL102MK20S
	2200	0.16	1260	16	25	7.5	0.8	565-1326-ND	.77	5.72	42.01	EKMG350ELL222ML25S
	4700	0.20	1910	18	35.5	7.5	0.8	565-1327-ND	1.23	9.19	68.94	EKMG350ELL472MMP1S
	0.10	0.12	1.3	5	11	2.0	0.5	565-1328-ND	.19	1.20	8.11	EKMG500ELLR10ME11D
	0.22	0.12	2.9	5	11	2.0	0.5	565-1329-ND	.19	1.24	8.38	EKMG500ELLR22ME11D
	0.33	0.12	4.3	5	11	2.0	0.5	565-1330-ND	.19	1.25	8.42	EKMG500ELLR33ME11D
	0.47	0.12	6.2	5	11	2.0	0.5	565-1331-ND	.18	1.13	7.60	EKMG500ELLR47ME11D
	1.0	0.12	13	5	11	2.0	0.5	565-1332-ND	.23	1.46	9.82	EKMG500ELL1R0ME11D
	2.2	0.12	20	5	11	2.0	0.5	565-1333-ND	.23	1.46	9.82	EKMG500ELL2R2ME11D
	3.3	0.12	25	5	11	2.0	0.5	565-1334-ND	.18	1.13	7.60	EKMG500ELL3R3ME11D
	4.7	0.12	30	5	11	2.0	0.5	565-1335-ND	.23	1.46	9.82	EKMG500ELL4R7ME11D
	10	0.12	40	5	11	2.0	0.5	565-1336-ND	.18	1.13	7.60	EKMG500ELL100ME11D
50	22	0.12	65	5	11	2.0	0.5	565-1337-ND	.21	1.43	10.11	EKMG500ELL220ME11D
	33	0.12	90	5	11	2.0	0.5	565-1338-ND	.18	1.15	7.78	EKMG500ELL330ME11D
	47	0.12	110	6.3	11	2.5	0.5	565-1339-ND	.19	1.33	9.40	EKMG500ELL470MF11D
	100	0.12	180	8	11.5	3.5	0.6	565-1340-ND	.24	1.59	11.21	EKMG500ELL101MHB5D
	220	0.12	300	10	12.5	5.0	0.6	565-1341-ND	.30	2.08	14.69	EKMG500ELL221MJC5S
	330	0.12	410	10	16	5.0	0.6	565-1342-ND	.29	2.15	15.37	EKMG500ELL331MJ16S
	470	0.12	530	10	20	5.0	0.6	565-1343-ND	.36	2.60	18.57	EKMG500ELL471MJ20S
	1000	0.12	950	12.5	25	5.0	0.6	565-1344-ND	.58	4.34	31.92	EKMG500ELL102MK25S
	2200	0.14	1470	16	35.5	7.5	0.8	565-1345-ND	1.27	9.38	66.99	EKMG500ELL222MLP1S
	3300	0.16	1770	18	35.5	7.5	0.8	565-1346-ND	1.31	9.85	73.89	EKMG500ELL332MMP1S
	10	0.10	46	5	11	2.0	0.5	565-1347-ND	.19	1.23	8.26	EKMG630ELL100ME11D
	22	0.10	71	5	11	2.0	0.5	565-1348-ND	.23	1.46	9.82	EKMG630ELL220ME11D
	33	0.10	100	6.3	11	2.5	0.5	565-1349-ND	.22	1.39	9.35	EKMG630ELL330MF11D
	47	0.10	120	6.3	11	2.5	0.5	565-1350-ND	.23	1.42	9.60	EKMG630ELL470MF11D
63	100	0.10	215	10	12.5	5.0	0.6	565-1351-ND	.30	2.19	15.64	EKMG630ELL101MJC5S
	220	0.10	335	10	16	5.0	0.6	565-1352-ND	.30	2.19	15.65	EKMG630ELL221MJ16S
	330	0.10	510	10	20	5.0	0.6	565-1353-ND	.34	2.51	17.99	EKMG630ELL331MJ20S
	470	0.10	640	12.5	20	5.0	0.6	565-1354-ND	.48	3.54	25.26	EKMG630ELL471MK20S
	1000	0.10	930	16	25	7.5	0.8	565-1355-ND	.85	6.32	46.36	EKMG630ELL102ML25S
	0.10	0.08	1.5	5	11	2.0	0.5	565-1356-ND	.20	1.28	8.61	EKMG101ELLR10ME11D
	0.22	0.08	3.4	5	11	2.0	0.5	565-1357-ND	.19	1.21	8.19	EKMG101ELLR22ME11D
	0.33	0.08	5.0	5	11	2.0	0.5	565-1358-ND	.19	1.21	8.19	EKMG101ELLR33ME11D
	0.47	0.08	7.1	5	11	2.0	0.5	565-1359-ND	.19	1.33	9.35	EKMG101ELLR47ME11D
	1.0	0.08	15	5	11	2.0	0.5	565-1360-ND	.21	1.43	10.11	EKMG101ELL1R0ME11D
	2.2	0.08	21	5	11	2.0	0.5	565-1361-ND	.24	1.52	10.23	EKMG101ELL2R2ME11D
	3.3	0.08	29	5	11	2.0	0.5	565-1362-ND	.28	1.87	13.22	EKMG101ELL3R3ME11D
	4.7	0.08	32	5	11	2.0	0.5	565-1363-ND	.21	1.43	10.11	EKMG101ELL4R7ME11D
100	10	0.08	54	6.3	11	2.5	0.5	565-1364-ND	.28	1.92	13.55	EKMG101ELL100MF11D
	22	0.08	93	8	11.5	3.5	0.6	565-1365-ND	.44	3.27	23.34	EKMG101ELL220MHB5D
	33	0.08	130	8	11.5	3.5	0.6	565-1366-ND	.24	1.61	11.33	EKMG101ELL330MHB5D
	47	0.08	165	10	12.5	5.0	0.6	565-1367-ND	.30	2.08	14.69	EKMG101ELL470MJC5S
	100	0.08	265	10	20	5.0	0.6	565-1368-ND	.34	2.48	17.70	EKMG101ELL101MJ20S
	220	0.08	440	12.5	25	5.0	0.6	565-1369-ND	1.08	8.14	61.01	EKMG101ELL221MK25S
	330	0.08	540	16	25	7.5	0.8	565-1370-ND	.74	5.50	40.38	EKMG101ELL331ML25S
	470	0.08	715	16	31.5	7.5	0.8	565-1371-ND	.95	7.10	53.28	EKMG101ELL471MLN3S
	1000	0.08	985	18	40	7.5	0.8	565-1372-ND	1.47	11.04	82.80	EKMG101ELL102MM40S
	3.3	0.20	28	6.3	11	2.5	0.5	565-1373-ND	.23	1.43	9.63	EKMG161ELL3R3MF11D
	4.7	0.20	34	6.3	11	2.5	0.5	565-1374-ND	.22	1.41	9.46	EKMG161ELL4R7MF11D
	10	0.20	67	10	12.5	5.0	0.6	565-1375-ND	.30	2.27	16.20	EKMG161ELL100MJC5S
	22	0.20	120	10	20	5.0	0.6	565-1376-ND	.38	2.80	20.03	EKMG161ELL220MJ20S
160	33	0.20	145	10	20	5.0	0.6	565-1377-ND	.47	3.55	26.08	EKMG161ELL330MJ20S
	47	0.20	195	12.5	20	5.0	0.6	565-1378-ND	.50	3.66	26.13	EKMG161ELL470MK20S
	100	0.20	335	16	25	7.5	0.8	565-1379-ND	1.55	11.64	87.33	EKMG161ELL101ML25S
	220	0.20	540	16	31.5	7.5	0.8	565-1380-ND	1.06	7.94	59.54	EKMG161ELL221MLN3S
	330	0.20	705	18	35.5	7.5	0.8	565-1381-ND	1.40	10.48	78.61	EKMG161ELL331MMP1S
	3.3	0.20	28	6.3	11	2.5	0.5	565-1382-ND	.25	1.55	10.43	EKMG201ELL3R3MF11D
	4.7	0.20	39	8	11.5	5.0	0.6	565-1383-ND	.27	1.82	12.84	EKMG201ELL4R7MHB5D
	10	0.20	74	10	16	5.0	0.6	565-1384-ND	.36	2.68	19.15	EKMG201ELL100MJ16S
200	22	0.20	120	10	20	5.0	0.6	565-1385-ND	.41	3.03	21.67	EKMG201ELL220MJ20S
	33	0.20	160	12.5	20	5.0	0.6	565-1386-ND	.50	3.70	27.17	EKMG201ELL330MK20S
	47	0.20	195	12.5	20	5.0	0.6	565-1387-ND	.53	3.98	29.22	EKMG201ELL470MK20S
	100	0.20	335	16	25	7.5	0.8	565-1388-ND	.86	6.43	47.21	EKMG201ELL101ML25S
	220	0.20	575	18	35.5	7.5	0.8	565-1389-ND	1.43	10.76	80.70	EKMG201ELL221MMP1S
	2.2	0.20	23	6.3	11	2.5	0.5	565-1390-ND	.23	1.42	9.60	EKMG251ELL2R2MF11D
	3.3	0.20	32	8	11	3.5	0.6	565-1391-ND	.24	1.61	11.36	EKMG251ELL3R3MHB5D
250	4.7	0.20	39	8	11.5	3.5	0.6	565-1392-ND	.25	1.68	11.87	EKMG251ELL4R7MF11D
	10	0.20	74	10	16	5.0	0.6	565-1393-ND	.49	3.62	25.90	EKMG251ELL100MJ16S
	22	0.20	130	12.5	20	5.0	0.6	565-1394-ND	.48	3.58	25.55	EKMG251ELL220MK20S

(Forts.)

Nennbetriebs-spannung (V DC)	Kap. (µF)	Tan δ	Mischstrom (mA RMS) @ 85 °C 120 Hz	Abmessungen (mm) ØD	L	F	Ød	Digi-Key Teilenr.	Preisangaben 1	10	100	United Chemi-Con Teilenr.
250	33	0.20	160	12.5	20	5.0	0.6	565-1395-ND	.52	3.83	28.07	EKMG251ELL330MK20S
	47	0.20	210	12.5	25	5.0	0.6	565-1396-ND	.62	4.61	33.81	EKMG251ELL470MK25S
	100	0.20	365	16	31.5	7.5	0.8	565-1397-ND	1.00	7.52	56.41	EKMG251ELL101MLN3S
	220	0.20	585	18	40	7.5	0.8	565-1398-ND	1.55	11.60	86.96	EKMG251ELL221MM40S
350	0.47	0.24	11	6.3	11	2.5	0.5	565-1399-ND	.25	1.68	11.90	EKMG351ELLR47MF11D
	1.0	0.24	15	6.3	11	2.5	0.5	565-1400-ND	.27	1.85	12.99	EKMG351ELL1R0MF11D
	2.2	0.24	26	8	11.5	3.5	0.6	565-1401-ND	.30	2.20	15.73	EKMG351ELL2R2MHB5D
	3.3	0.24	38	10	12.5	5.0	0.6	565-1402-ND	.35	2.55	18.22	EKMG351ELL3R3MJC5S
	4.7	0.24	50	10	16	5.0	0.6	565-1403-ND	.37	2.73	19.46	EKMG351ELL4R7MJ16S
	10	0.24	80	10	20	5.0	0.6	565-1404-ND	.42	3.09	22.09	EKMG351ELL100MJ20S
	22	0.24	130	12.5	20	5.0	0.6	565-1405-ND	.56	4.16	30.54	EKMG351ELL220MK20S
	33	0.24	195	16	25	7.5	0.8	565-1406-ND	.89	6.66	49.99	EKMG351ELL330ML25S
	47	0.24	230	16	25	7.5	0.8	565-1407-ND	1.04	7.80	58.50	EKMG351ELL470ML25S
400	1.0	0.24	15	6.3	11	2.5	0.5	565-1408-ND	.27	1.85	12.99	EKMG401ELL1R0MF11D
	2.2	0.24	26	8	11.5	3.5	0.6	565-1409-ND	.27	1.82	12.82	EKMG401ELL2R2MHB5D
	3.3	0.24	38	10	12.5	5.0	0.6	565-1410-ND	.33	2.44	17.41	EKMG401ELL3R3MJC5S
	4.7	0.24	50	10	16	5.0	0.6	565-1411-ND	.34	2.51	17.99	EKMG401ELL4R7MJ16S
	10	0.24	80	10	20	5.0	0.6	565-1412-ND	.43	3.17	22.65	EKMG401ELL100MJ20S
	22	0.24	145	12.5	25	5.0	0.6	565-1413-ND	.60	4.45	32.73	EKMG401ELL220MK25S
	33	0.24	195	16	25	7.5	0.8	565-1414-ND	.87	6.51	47.83	EKMG401ELL330ML25S
	47	0.24	250	16	31.5	7.5	0.8	565-1415-ND	.99	7.45	55.89	EKMG401ELL470MLN3S
	100	0.24	350	16	40	7.5	0.8	565-1416-ND	1.65	12.48	94.20	EKMG401ELL101ML40S
450	1.0	0.24	13	10	12.5	5.0	0.6	565-1417-ND	.33	2.44	17.41	EKMG451ELL1R0MJC5S
	2.2	0.24	23	10	12.5	5.0	0.6	565-1418-ND	.33	2.44	17.41	EKMG451ELL2R2MJC5S
	3.3	0.24	31	10	16	5.0	0.6	565-1419-ND	.37	2.73	19.45	EKMG451ELL3R3MJ16S
	4.7	0.24	40	10	20	5.0	0.6	565-1420-ND	.44	3.25	23.22	EKMG451ELL4R7MJ20S
	10	0.24	65	12.5	20	5.0	0.6	565-1421-ND	.57	4.20	30.81	EKMG451ELL100MK20S
	22	0.24	115	16	25	7.5	0.8	565-1422-ND	.87	6.50	47.75	EKMG451ELL220ML25S
	33	0.24	155	16	31.5	7.5	0.8	565-1423-ND	1.28	9.61	72.08	EKMG451ELL330MLN3S

UNITED CHEMI-CON EUROPE CHEMI-CON

Serie KXG Aluminium-Elektrolytkondensatoren (radiale Ableitung)

Lange Lebensdauer und hoher Mischstrom 105 °C Bleifrei/RoHS-konform

Merkmale: Minigröße, lange Haltbarkeit (8-10 K Stunden), für elektronische Ballaste, 105 °C Höchsttemperatur **Spezifikationen: • Betriebstemperatur:** -40 °C ~105 °C (160-400 V), -25 °C ~105 °C (450 V), **• Kapazitätstoleranz:** ±20 %

Leckstrom @ 20 °C:

CV-Produkt	Nach 1 Minute	Nach 5 Minuten
CV ≤ 1,000	I = 0.1CV +40µA	I = 0.03CV +15µA
CV > 1,000	I = 0.04CV +100µA	I=0.02CV +25µA

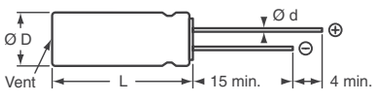

Nennbetriebs-spannung (V DC)	Kap. (µF)	Tan δ	Nennmischstrom (mA RMS) @ 105 °C 120 Hz	100KHz	Abmessungen (mm) ØD	L	F	Ød	Digi-Key Teilenr.	Preisangaben 1	10	100	United Chemi-Con Teilenr.
160	22	0.20	200	500	10.0	20.0	5.0	0.6	565-1424-ND	.36	2.67	19.05	EKXG161ELL220MJ20S
	33	0.20	250	625	10.0	20.0	5.0	0.6	565-1425-ND	.36	2.67	19.05	EKXG161ELL330MJ20S
	47	0.20	300	750	10.0	20.0	5.0	0.6	565-1426-ND	.44	3.26	23.28	EKXG161ELL470MJ20S
	100	0.20	620	1395	12.5	25.0	5.0	0.6	565-1427-ND	.69	5.15	37.80	EKXG161ELL101MK25S
	100	0.20	630	1420	16.0	20.0	7.5	0.8	565-1428-ND	.74	5.48	40.22	EKXG161ELL101ML20S
	150	0.20	770	1735	16.0	20.0	7.5	0.8	565-1429-ND	.84	6.23	45.76	EKXG161ELL151ML20S
	220	0.20	1020	2295	16.0	25.0	7.5	0.8	565-1430-ND	.95	7.11	53.34	EKXG161ELL221ML25S
	330	0.20	1390	3130	18.0	31.5	7.5	0.8	565-1431-ND	1.49	11.18	83.81	EKXG161ELL331MMN3S
200	10	0.20	125	315	10.0	16.0	5.0	0.6	565-1432-ND	.36	2.67	19.05	EKXG201ELL100MJ16S
	22	0.20	200	500	10.0	20.0	5.0	0.6	565-1433-ND	.41	2.96	21.17	EKXG201ELL220MJ20S
	33	0.20	260	650	10.0	20.0	5.0	0.6	565-1434-ND	.44	3.26	23.28	EKXG201ELL330MJ20S
	47	0.20	390	975	12.5	20.0	5.0	0.6	565-1435-ND	.55	4.06	29.84	EKXG201ELL470MK20S
	68	0.20	470	1175	12.5	20.0	5.0	0.6	565-1436-ND	.58	4.33	31.83	EKXG201ELL680MK20S
	100	0.20	630	1420	16.0	20.0	7.5	0.8	565-1437-ND	.81	6.08	44.64	EKXG201ELL101ML20S
	150	0.20	840	1890	16.0	25.0	7.5	0.8	565-1438-ND	.91	6.86	51.43	EKXG201ELL151ML25S
	220	0.20	1050	2365	18.0	25.0	7.5	0.8	565-1439-ND	1.33	9.96	74.66	EKXG201ELL221MM25S
	330	0.20	1430	3220	18.0	35.5	7.5	0.8	565-1440-ND	1.54	11.67	88.05	EKXG201ELL331MMP1S
250	10	0.20	140	350	10.0	20.0	5.0	0.6	565-1441-ND	.39	2.87	20.52	EKXG251ELL100MJ20S
	22	0.20	200	500	10.0	20.0	5.0	0.6	565-1442-ND	.48	3.56	25.40	EKXG251ELL220MJ20S
	33	0.20	320	800	12.5	20.0	5.0	0.6	565-1443-ND	.58	4.33	31.83	EKXG251ELL330MK20S
	47	0.20	390	975	12.5	20.0	5.0	0.6	565-1444-ND	.59	4.43	32.52	EKXG251ELL470MK20S
	68	0.20	520	1300	16.0	20.0	7.5	0.8	565-1445-ND	.87	6.50	47.75	EKXG251ELL680ML20S
	82	0.20	550	1375	16.0	20.0	7.5	0.8	565-1446-ND	.86	6.40	48.00	EKXG251ELL820ML20S
	100	0.20	680	1530	16.0	25.0	7.5	0.8	565-1447-ND	.95	7.11	53.34	EKXG251ELL101ML25S
	150	0.20	860	1935	18.0	25.0	7.5	0.8	565-1448-ND	1.30	9.74	73.11	EKXG251ELL151MM25S
350	6.8	0.24	110	275	10	16	5.0	0.6	565-1449-ND	.39	2.87	20.52	EKXG351ELL6R8MJ16S
	10	0.24	140	350	10	20	5.0	0.6	565-1450-ND	.45	3.28	23.46	EKXG351ELL100MJ20S
	22	0.24	260	650	12.5	20	5.0	0.6	565-1451-ND	.59	4.43	32.52	EKXG351ELL220MK20S
	33	0.24	360	900	16	20	7.5	0.8	565-1452-ND	.86	6.34	46.55	EKXG351ELL330ML20S
	47	0.24	430	1075	16	20	7.5	0.8	565-1453-ND	.89	6.68	50.12	EKXG351ELL470ML20S
	68	0.24	560	1400	16	25	7.5	0.8	565-1454-ND	1.15	8.64	64.76	EKXG351ELL680ML25S
	68	0.24	550	1375	18	20	7.5	0.8	565-1455-ND	1.32	9.91	74.29	EKXG351ELL680MM20S
	82	0.24	610	1525	18	25	7.5	0.8	565-1456-ND	1.46	10.92	81.91	EKXG351ELL820MM25S
	100	0.24	700	1575	18	25	7.5	0.8	565-1457-ND	1.60	12.11	91.43	EKXG351ELL101MM25S
	120	0.24	830	1865	18	31.5	7.5	0.8	565-1458-ND	1.66	12.56	94.82	EKXG351ELL121MMN3S
	150	0.24	960	2160	18	35.5	7.5	0.8	565-1459-ND	2.29	17.28	130.38	EKXG351ELL151MMP1S
400	6.8	0.24	110	275	10	16	5.0	0.6	565-1460-ND	.41	3.01	21.46	EKXG401ELL6R8MJ16S
	10	0.24	140	350	10	20	5.0	0.6	565-1461-ND	.48	3.56	25.40	EKXG401ELL100MJ20S
	15	0.24	220	550	12.5	20	5.0	0.6	565-1462-ND	.59	4.43	32.52	EKXG401ELL150MK20S
	22	0.24	260	650	12.5	20	5.0	0.6	565-1463-ND	.69	5.15	37.80	EKXG401ELL220MK20S
	33	0.24	360	900	16	20	7.5	0.8	565-1464-ND	.86	6.40	48.00	EKXG401ELL330ML20S
	47	0.24	470	1175	16	25	7.5	0.8	565-1465-ND	1.08	8.13	60.96	EKXG401ELL470ML25S
	47	0.24	450	1125	18	20	7.5	0.8	565-1466-ND	1.16	8.72	65.43	EKXG401ELL470MM20S
	68	0.24	585	1465	18	25	7.5	0.8	565-1467-ND	1.49	11.18	83.81	EKXG401ELL680MM25S
	82	0.24	610	1525	18	25	7.5	0.8	565-1468-ND	1.49	11.31	85.34	EKXG401ELL820MM25S
	100	0.24	765	1720	18	31.5	7.5	0.8	565-1469-ND	1.63	12.39	93.55	EKXG401ELL101MMN3S
	120	0.24	865	1945	18	35.5	7.5	0.8	565-1470-ND	1.90	14.36	108.36	EKXG401ELL121MMP1S
	150	0.24	985	2215	18	40	7.5	0.8	565-1471-ND	2.52	19.07	143.92	EKXG401ELL151MM40S
450	6.8	0.24	110	275	10	20	5.0	0.6	565-1472-ND	.50	3.65	26.08	EKXG451ELL6R8MJ20S
	10	0.24	180	450	12.5	20	5.0	0.6	565-1473-ND	.62	4.61	33.88	EKXG451ELL100MK20S
	15	0.24	240	600	12.5	25	5.0	0.6	565-1474-ND	.76	5.69	41.78	EKXG451ELL150MK25S
	22	0.24	290	725	16	20	7.5	0.8	565-1475-ND	.85	6.37	47.71	EKXG451ELL220ML20S
	33	0.24	390	975	16	25	7.5	0.8	565-1476-ND	1.06	7.95	59.62	EKXG451ELL330ML25S
	33	0.24	380	950	18	20	7.5	0.8	565-1477-ND	1.25	9.40	70.48	EKXG451ELL330MM20S
	47	0.24	480	1200	18	25	7.5	0.8	565-1478-ND	1.46	10.92	81.91	EKXG451ELL470MM25S
	68	0.24	630	1575	18	31.5	7.5	0.8	565-1479-ND	1.60	12.11	91.43	EKXG451ELL680MMN3S
	82	0.24	715	1785	18	35.5	7.5	0.8	565-1480-ND	1.90	14.36	108.36	EKXG451ELL820MMP1S
	100	0.24	800	1800	18	40	7.5	0.8	565-1481-ND	2.17	16.38	123.60	EKXG451ELL101MM40S

Serie KY Aluminium-Elektrolytkondensatoren (radiale Ableitung)

Niedrige Impedanz, lange Haltbarkeit 105 °C Bleifrei/RoHS-konform

Merkmale: Minigröße, niedrige Impedanz, lange Haltbarkeit (4-10 K Stunden), 105 °C Höchsttemperatur **Spezifikationen:** • **Betriebstemperatur:** -40 °C ~ 105 °C • **Kapazitätstoleranz:** ± 20 % • **Leckstrom:** I = 0,01 CV oder 3 (µA) nach 2 Minuten @ 20 °C (welcher Wert auch immer größer ist)

Dissipationsfaktor @ 20 °C 120 Hz:

Nenns pannung (V)	6.3	10	16	25	35	50
Tan δ (DF)	0.22	0.19	0.16	0.14	0.12	0.10

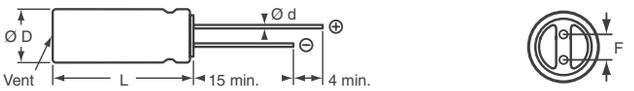

Nennbetriebs-spannung (V DC)	Kap. (µF)	Nennmischstrom (mA RMS) @ 105 °C 100 kHz	Maximale Impedanz (Ω / 100 kHz) 20°C	-10°C	Abmessungen (mm) ØD	L	F	Ød	Digi-Key Teilenr.	Preisangaben 1	10	100	United Chemi-Con Teilenr.
6.3	150	210	0.58	2.3	5.0	11.0	2.0	0.5	565-1482-ND	.19	1.17	7.87	EKY-6R3ELL151ME11D
	330	340	0.22	0.87	6.3	11.0	2.5	0.5	565-1483-ND	.19	1.17	7.86	EKY-6R3ELL331MF11D
	680	640	0.13	0.52	8.0	11.5	3.5	0.6	565-1484-ND	.25	1.65	11.64	EKY-6R3ELL681MHB5D
	820	865	0.080	0.32	10.0	12.5	5.0	0.6	565-1485-ND	.28	2.07	14.82	EKY-6R3ELL821MJC5S
	1000	840	0.087	0.35	8.0	15.0	3.5	0.6	565-1486-ND	.25	1.65	11.64	EKY-6R3ELL102MH15D
	1200	1050	0.069	0.27	8.0	20.0	3.5	0.6	565-1487-ND	.32	2.20	15.54	EKY-6R3ELL122MJ16S
	1200	1210	0.060	0.24	10.0	16.0	5.0	0.6	565-1488-ND	.27	1.81	12.79	EKY-6R3ELL122MH20D
	1500	1400	0.046	0.18	10.0	20.0	5.0	0.6	565-1489-ND	.30	2.24	15.98	EKY-6R3ELL152MJ20S
	1800	1450	0.049	0.16	12.5	15.0	5.0	0.6	565-1490-ND	.41	2.96	21.17	EKY-6R3ELL182MK15S
	2200	1650	0.042	0.17	10.0	25.0	5.0	0.6	565-1491-ND	.41	2.96	21.17	EKY-6R3ELL222MJ25S
	2700	1910	0.031	0.12	10.0	30.0	5.0	0.6	565-1492-ND	.41	2.96	21.17	EKY-6R3ELL272MJ30S
	3300	1900	0.035	0.12	12.5	20.0	5.0	0.6	565-1493-ND	.44	3.26	23.28	EKY-6R3ELL332MK20S
	3900	2230	0.027	0.089	12.5	25.0	5.0	0.6	565-1494-ND	.49	3.66	26.86	EKY-6R3ELL392MK25S
	4700	2650	0.024	0.078	12.5	30.5	5.0	0.6	565-1495-ND	.56	4.16	30.55	EKY-6R3ELL472MK30S
	5600	2880	0.020	0.065	12.5	35.0	5.0	0.6	565-1496-ND	.59	4.44	32.57	EKY-6R3ELL562MK35S
	6800	3350	0.017	0.056	12.5	40.0	5.0	0.6	565-1497-ND	.63	4.64	34.07	EKY-6R3ELL682MK40S
	10000	3140	0.019	0.049	18.0	25.0	7.5	0.8	565-1498-ND	.83	6.17	45.33	EKY-6R3ELL103MM25S
10	100	210	0.58	2.3	5.0	11.0	2.0	0.5	565-1499-ND	.16	.99	6.71	EKY-100ELL101ME11D
	220	340	0.22	0.87	6.3	11.0	2.5	0.5	565-1500-ND	.19	1.18	7.93	EKY-100ELL221MF11D
	470	640	0.13	0.52	8.0	11.5	3.5	0.6	565-1501-ND	.20	1.35	9.56	EKY-100ELL471MHB5D
	680	865	0.80	0.32	10.0	12.5	5.0	0.6	565-1502-ND	.25	1.74	12.31	EKY-100ELL681MJC5S
	680	840	0.87	0.35	8.0	15.0	3.5	0.6	565-1503-ND	.23	1.56	11.00	EKY-100ELL681MH15D
	1000	1050	0.069	0.27	8.0	20.0	3.5	0.6	565-1504-ND	.30	2.28	16.25	EKY-100ELL102MJ16S
	1000	1210	0.060	0.24	10.0	16.0	5.0	0.6	565-1505-ND	.28	1.87	13.17	EKY-100ELL102MH20D
	1200	1400	0.046	0.18	10.0	20.0	5.0	0.6	565-1506-ND	.30	2.24	15.98	EKY-100ELL122MJ20S
	1500	1650	0.042	0.17	10.0	25.0	5.0	0.6	565-1507-ND	.37	2.73	19.45	EKY-100ELL152MJ25S
	1500	1450	0.049	0.16	12.5	15.0	5.0	0.6	565-1508-ND	.40	2.95	21.05	EKY-100ELL152MK15S
	2200	1910	0.031	0.12	10.0	30.0	5.0	0.6	565-1509-ND	.41	2.98	21.31	EKY-100ELL222MJ30S
	2200	1900	0.035	0.12	12.5	20.0	5.0	0.6	565-1510-ND	.44	3.25	23.20	EKY-100ELL222MK20S
	2700	2210	0.043	0.11	18.0	15.0	7.5	0.8	565-1511-ND	.62	4.57	33.55	EKY-100ELL272MM15S
	3300	2230	0.027	0.089	12.5	25.0	5.0	0.6	565-1512-ND	.48	3.58	26.31	EKY-100ELL332MK25S
	3900	2650	0.024	0.078	12.5	30.0	5.0	0.6	565-1513-ND	.53	4.00	29.32	EKY-100ELL392MK30S
	3900	2530	0.027	0.078	16.0	20.0	7.5	0.8	565-1514-ND	.63	4.67	34.34	EKY-100ELL392ML20S
	4700	2880	0.020	0.065	12.5	35.0	5.0	0.6	565-1515-ND	.58	4.30	31.56	EKY-100ELL472MK35S
	5600	3350	0.017	0.056	12.5	40.0	5.0	0.6	565-1516-ND	.67	4.98	36.56	EKY-100ELL562MK40S
	5600	2930	0.021	0.060	16.0	25.0	7.5	0.8	565-1517-ND	.80	5.90	43.34	EKY-100ELL562ML25S
	6800	3450	0.017	0.050	16.0	31.5	7.5	0.8	565-1518-ND	.85	6.32	46.43	EKY-100ELL682MLN3S
	10000	4220	0.014	0.038	18.0	35.5	7.5	0.8	565-1519-ND	1.08	8.12	60.90	EKY-100ELL103MMP1S
16	56	210	0.58	2.3	5.0	11.0	2.0	0.5	565-1520-ND	.15	.98	6.63	EKY-160ELL560ME11D
	120	340	0.22	0.87	6.3	11.0	2.5	0.5	565-1521-ND	.20	1.28	8.61	EKY-160ELL121MF11D
	330	640	0.13	0.52	8.0	11.5	3.5	0.6	565-1522-ND	.19	1.35	9.50	EKY-160ELL331MHB5D
	470	840	0.087	0.35	8.0	15.0	3.5	0.6	565-1523-ND	.30	2.00	14.07	EKY-160ELL471MJC5S
	470	865	0.080	0.32	10.0	12.5	5.0	0.6	565-1524-ND	.23	1.55	10.94	EKY-160ELL471MJ15D
	680	1050	0.069	0.27	8.0	20.0	3.5	0.6	565-1525-ND	.32	2.20	15.54	EKY-160ELL681MJ16S
	680	1210	0.060	0.24	10.0	16.0	5.0	0.6	565-1526-ND	.26	1.78	12.56	EKY-160ELL681MH20D
	1000	1400	0.046	0.18	10.0	20.0	5.0	0.6	565-1527-ND	.30	2.28	16.25	EKY-160ELL102MJ20S
	1000	1450	0.049	0.16	12.5	15.0	5.0	0.6	565-1528-ND	.40	2.91	20.78	EKY-160ELL102MK15S
	1200	1650	0.042	0.17	10.0	25.0	5.0	0.6	565-1529-ND	.37	2.73	19.45	EKY-160ELL122MJ25S
	1500	1910	0.031	012	10.0	30.0	5.0	0.6	565-1530-ND	.40	2.91	20.78	EKY-160ELL152MJ30S
	1500	1900	0.035	0.12	12.5	20.0	5.0	0.6	565-1531-ND	.41	3.06	21.86	EKY-160ELL152MK20S
	2200	2230	0.027	0.089	12.5	25.0	5.0	0.6	565-1532-ND	.52	3.80	27.18	EKY-160ELL222MK25S
	2700	2650	0.024	0.078	12.5	30.0	5.0	0.6	565-1533-ND	.52	3.85	28.31	EKY-160ELL272MK30S
	2700	2530	0.027	0.078	16.0	20.0	7.5	0.8	565-1534-ND	.52	3.89	28.55	EKY-160ELL272ML20S
	3300	2880	0.020	0.065	12.5	35.0	5.0	0.6	565-1535-ND	.58	4.30	31.56	EKY-160ELL332MK35S
	3900	3350	0.017	0.056	12.5	40.0	5.0	0.6	565-1536-ND	.64	4.77	35.06	EKY-160ELL392MK40S
	3900	2930	0.021	0.060	16.0	25.0	7.5	0.8	565-1537-ND	.69	5.18	38.06	EKY-160ELL392ML25S
	4700	3450	0.017	0.050	16.0	31.5	7.5	0.8	565-1538-ND	.76	5.70	41.83	EKY-160ELL472MLN3S
	4700	3140	0.019	0.049	18.0	25.0	7.5	0.8	565-1539-ND	.82	6.10	44.84	EKY-160ELL472MM25S
	5600	3610	0.015	0.044	16.0	35.5	7.5	0.8	565-1540-ND	.85	6.31	46.34	EKY-160ELL562MLP1S
	5600	4170	0.015	0.040	18.0	31.5	7.5	0.8	565-1541-ND	.90	6.73	50.48	EKY-160ELL562MMN3S
	6800	4080	0.013	0.038	16.0	40.0	7.5	0.8	565-1542-ND	.85	6.37	47.71	EKY-160ELL682ML40S
	8200	4220	0.014	0.038	18.0	35.5	7.5	0.8	565-1543-ND	1.04	7.81	58.52	EKY-160ELL822MMP1S
25	47	210	0.58	2.3	5.0	11.0	2.0	0.5	565-1544-ND	.15	.98	6.63	EKY-250ELL470ME11D
	100	340	0.22	0.87	6.3	11.0	2.5	0.5	565-1545-ND	.18	1.14	7.71	EKY-250ELL101MF11D
	220	640	0.13	0.52	8.0	11.5	3.5	0.6	565-1546-ND	.20	1.35	9.53	EKY-250ELL221MHB5D
	330	840	0.087	0.35	8.0	15.0	3.5	0.6	565-1547-ND	.30	2.00	14.07	EKY-250ELL331MJC5S
	330	865	0.080	0.32	10.0	12.5	5.0	0.6	565-1548-ND	.23	1.57	11.12	EKY-250ELL331MH15D
	470	1050	0.069	0.27	8.0	20.0	3.5	0.6	565-1549-ND	.32	2.16	15.26	EKY-250ELL471MJ16S
	470	1210	0.060	0.24	10.0	16.0	5.0	0.6	565-1550-ND	.27	1.81	12.76	EKY-250ELL471MH20D
	680	1400	0.046	0.18	10.0	20.0	5.0	0.6	565-1551-ND	.30	2.24	15.98	EKY-250ELL681MJ20S
	680	1450	0.049	0.16	12.5	15.0	5.0	0.6	565-1552-ND	.39	2.87	20.52	EKY-250ELL681MK15S
	820	1650	0.042	0.17	10.0	25.0	5.0	0.6	565-1553-ND	.36	2.62	18.66	EKY-250ELL821MJ25S
	1000	1910	0.031	0.12	10.0	30.0	5.0	0.6	565-1554-ND	.40	2.95	21.05	EKY-250ELL102MJ30S
	1000	1900	0.035	0.12	12.5	20.0	5.0	0.6	565-1555-ND	.44	3.25	23.20	EKY-250ELL102MK20S
	1200	2210	0.043	0.11	18.0	15.0	7.5	0.8	565-1556-ND	.65	4.88	35.81	EKY-250ELL122MM15S
	1500	2230	0.027	0.089	12.5	25.0	5.0	0.6	565-1557-ND	.52	3.84	27.44	EKY-250ELL152MK25S
	1800	2650	0.024	0.078	12.5	30.0	5.0	0.6	565-1558-ND	.57	4.23	31.07	EKY-250ELL182MK30S
	1800	2530	0.027	0.078	16.0	20.0	7.5	0.8	565-1559-ND	.54	4.02	29.56	EKY-250ELL182ML20S
	2200	2880	0.020	0.065	12.5	35.0	5.0	0.6	565-1560-ND	.59	4.40	32.32	EKY-250ELL222MK35S
	2200	2860	0.026	0.067	18.0	20.0	7.5	0.8	565-1561-ND	.86	6.36	46.69	EKY-250ELL222MM20S
	2700	3350	0.017	0.056	12.5	40.0	5.0	0.6	565-1562-ND	.65	4.88	35.82	EKY-250ELL272MK40S
	2700	2930	0.021	0.060	16.0	25.0	7.5	0.8	565-1563-ND	.69	5.11	37.57	EKY-250ELL272ML25S
	3300	3450	0.017	0.050	16.0	31.5	7.5	0.8	565-1564-ND	.79	5.87	43.08	EKY-250ELL332MLN3S
	3300	3140	0.019	0.049	18.0	25.0	7.5	0.8	565-1565-ND	.80	5.90	43.34	EKY-250ELL332MM25S
	3900	4170	0.015	0.040	18.0	31.5	7.5	0.8	565-1566-ND	.96	7.20	53.95	EKY-250ELL392MMN3S
	4700	4220	0.014	0.038	18.0	35.5	7.5	0.8	565-1567-ND	.97	7.32	54.91	EKY-250ELL472MMP1S
	5600	4280	0.012	0.032	18.0	40.0	7.5	0.8	565-1568-ND	1.07	8.03	60.19	EKY-250ELL562MM40S
35	33	210	0.58	2.3	5.0	11.0	2.0	0.5	565-1569-ND	.17	1.09	7.39	EKY-350ELL330ME11D
	56	340	0.22	0.87	6.3	11.0	2.5	0.5	565-1570-ND	.19	1.15	7.78	EKY-350ELL560MF11D
	150	640	0.13	0.52	8.0	11.5	3.5	0.6	565-1571-ND	.19	1.35	9.46	EKY-350ELL151MHB5D
	220	840	0.087	0.35	8.0	15.0	3.5	0.6	565-1572-ND	.30	2.00	14.07	EKY-350ELL221MJC5S

(Forts.)

E

Alle Preisangaben in Euro und inklusive Zollgebühren.

Nennbetriebs-spannung (VDC)	Kap. (µF)	Nennmischstrom (mA RMS) @ 105 °C 100 kHz	Maximale Impedanz (Ω / 100 kHz) 20°C	-10°C	Abmessungen (mm) ØD	L	F	Ød	Digi-Key Teilenr.	Preisangaben 1	10	100	United Chemi-Con Teilenr.
	220	865	0.080	0.32	10.0	12.5	5.0	0.6	565-1573-ND	.23	1.57	11.03	EKY-350ELL221MH15D
	270	1050	0.069	0.27	8.0	20.0	3.5	0.6	565-1574-ND	.26	1.80	12.69	EKY-350ELL271MH20D
	330	1210	0.060	0.24	10.0	16.0	5.0	0.6	565-1575-ND	.30	2.28	16.25	EKY-350ELL331MJ16S
	470	1400	0.046	0.18	10.0	20.0	5.0	0.6	565-1576-ND	.35	2.57	18.40	EKY-350ELL471MJ20S
	470	1450	0.049	0.16	12.5	15.0	5.0	0.6	565-1577-ND	.39	2.88	20.58	EKY-350ELL471MK15S
	560	1650	0.042	0.17	10.0	25.0	5.0	0.6	565-1578-ND	.37	2.76	19.71	EKY-350ELL561MJ25S
	680	1910	0.031	0.12	10.0	30.0	5.0	0.6	565-1579-ND	.41	2.98	21.31	EKY-350ELL681MJ30S
	680	1900	0.035	0.12	12.5	20.0	5.0	0.6	565-1580-ND	.41	3.02	21.60	EKY-350ELL681MK20S
	1000	2230	0.027	0.089	12.5	25.0	5.0	0.6	565-1581-ND	.52	3.82	28.06	EKY-350ELL102MK25S
	1000	2210	0.043	0.11	18.0	15.0	7.5	0.8	565-1582-ND	.65	4.86	35.68	EKY-350ELL102MM15S
35	1200	2650	0.024	0.078	12.5	30.0	5.0	0.6	565-1583-ND	.48	3.58	26.31	EKY-350ELL122MK30S
	1200	2530	0.027	0.078	16.0	20.0	7.5	0.8	565-1584-ND	.58	4.33	31.81	EKY-350ELL122ML20S
	1500	2880	0.020	0.065	12.5	35.0	5.0	0.6	565-1585-ND	.59	4.44	32.57	EKY-350ELL152MK35S
	1800	3350	0.017	0.056	12.5	40.0	5.0	0.6	565-1586-ND	.65	4.88	35.82	EKY-350ELL182MK40S
	1800	2930	0.021	0.060	16.0	25.0	7.5	0.8	565-1587-ND	.63	4.72	34.70	EKY-350ELL182ML25S
	1800	2860	0.026	0.067	18.0	20.0	7.5	0.8	565-1588-ND	.75	5.54	40.65	EKY-350ELL182MM20S
	2200	3450	0.017	0.050	16.0	31.5	7.5	0.8	565-1589-ND	.80	5.94	43.63	EKY-350ELL222MLN3S
	2200	3140	0.019	0.049	18.0	25.0	7.5	0.8	565-1590-ND	.87	6.48	47.60	EKY-350ELL222MM25S
	2700	4170	0.015	0.040	18.0	31.5	7.5	0.8	565-1591-ND	.95	7.13	53.47	EKY-350ELL272MMN3S
	3300	4080	0.013	0.038	16.0	40.0	7.5	0.8	565-1592-ND	.90	6.65	48.85	EKY-350ELL332ML40S
	3300	4220	0.014	0.038	18.0	35.5	7.5	0.8	565-1593-ND	1.02	7.64	57.31	EKY-350ELL332MMP1S
	3900	4280	0.012	0.032	18.0	14.0	7.5	0.8	565-1594-ND	1.03	7.72	57.93	EKY-350ELL392MM40S
	2.2	43	2.5	10.0	5.0	11.0	2.0	0.5	565-1595-ND	.17	1.06	7.15	EKY-500ELL2R2ME11D
	3.3	53	2.2	8.8	5.0	11.0	2.0	0.5	565-1596-ND	.17	1.08	7.22	EKY-500ELL3R3ME11D
	4.7	88	1.9	7.6	5.0	11.0	2.0	0.5	565-1597-ND	.17	1.06	7.15	EKY-500ELL4R7ME11D
	10	100	1.5	6.0	5.0	11.0	2.0	0.5	565-1598-ND	.17	1.06	7.10	EKY-500ELL100ME11D
	22	180	0.70	2.8	5.0	11.0	2.0	0.5	565-1599-ND	.16	1.01	6.77	EKY-500ELL220ME11D
	56	295	0.30	1.2	6.3	11.0	2.5	0.5	565-1600-ND	.19	1.19	8.00	EKY-500ELL560MF11D
	100	555	0.17	0.68	8.0	11.5	3.5	0.6	565-1601-ND	.20	1.38	9.72	EKY-500ELL101MHB5D
	120	730	0.12	0.48	8.0	15.0	3.5	0.6	565-1602-ND	.24	1.59	11.23	EKY-500ELL121MH15D
	150	760	0.12	0.48	10.0	12.5	5.0	0.6	565-1603-ND	.30	2.00	14.07	EKY-500ELL151MJC5S
	180	910	0.091	0.36	8.0	20.0	3.5	0.6	565-1604-ND	.27	1.83	12.92	EKY-500ELL181MH20D
	220	1050	0.084	0.34	10.0	16.0	5.0	0.6	565-1605-ND	.34	2.29	16.12	EKY-500ELL221MJ16S
	270	1220	0.060	0.24	10.0	20.0	5.0	0.6	565-1606-ND	.29	2.12	15.20	EKY-500ELL271MJ20S
	270	1260	0.061	0.20	12.5	15.0	5.0	0.6	565-1607-ND	.40	2.95	21.05	EKY-500ELL271MK15S
	330	1440	0.055	0.22	10.0	25.0	5.0	0.6	565-1608-ND	.41	3.02	21.60	EKY-500ELL331MJ25S
50	470	1690	0.043	0.17	10.0	30.0	5.0	0.6	565-1609-ND	.42	3.13	22.38	EKY-500ELL471MJ30S
	470	1660	0.045	0.15	12.5	20.0	5.0	0.6	565-1610-ND	.44	3.25	23.20	EKY-500ELL471MK20S
	560	1950	0.034	0.11	12.5	25.0	5.0	0.6	565-1611-ND	.49	3.65	26.80	EKY-500ELL561MK25S
	560	1930	0.054	0.15	18.0	15.0	7.5	0.8	565-1612-ND	.62	4.61	33.82	EKY-500ELL561MM15S
	680	2310	0.030	0.10	12.5	30.0	5.0	0.6	565-1613-ND	.53	4.00	29.32	EKY-500ELL681MK30S
	820	2510	0.025	0.083	12.5	35.0	5.0	0.6	565-1614-ND	.60	4.50	33.06	EKY-500ELL821MK35S
	820	2210	0.034	0.10	16.0	20.0	7.5	0.8	565-1615-ND	.62	4.57	33.55	EKY-500ELL821ML20S
	1000	2920	0.021	0.069	12.5	40.0	5.0	0.6	565-1616-ND	.66	4.94	36.31	EKY-500ELL102MK40S
	1000	2555	0.025	0.075	16.0	25.0	7.5	0.8	565-1617-ND	.70	5.22	38.33	EKY-500ELL102ML25S
	1000	2490	0.036	0.097	18.0	20.0	7.5	0.8	565-1618-ND	.75	5.56	40.82	EKY-500ELL102MM20S
	1200	3010	0.022	0.066	16.0	31.5	7.5	0.8	565-1619-ND	.85	6.31	46.34	EKY-500ELL122MLN3S
	1200	2740	0.026	0.070	18.0	25.0	7.5	0.8	565-1620-ND	.86	6.43	48.21	EKY-500ELL122MM25S
	1500	3150	0.019	0.057	16.0	35.5	7.5	0.8	565-1621-ND	.86	6.45	47.35	EKY-500ELL152MLP1S
	1800	3710	0.016	0.048	16.0	40.0	7.5	0.8	565-1622-ND	.90	6.71	50.36	EKY-500ELL182ML40S
	2200	3680	0.017	0.046	18.0	35.5	7.5	0.8	565-1623-ND	1.08	8.12	60.90	EKY-500ELL222MMP1S
	2700	3800	0.014	0.038	18.0	40.0	7.5	0.8	565-1624-ND	1.22	9.12	68.35	EKY-500ELL272MM40S

E

UNITED CHEMI-CON EUROPE CHEMI-CON

Serie LXY Aluminium-Elektrolytkondensatoren (radiale Ableitung)

Hohe Zuverlässigkeit, niedrige Impedanz, 105 °C Bleifrei/RoHS-konform

Merkmale: Minigröße, niedrige Impedanz, lange Haltbarkeit (2-8 K Stunden), lösungsbeständig, 105 °C Höchsttemperatur **Spezifikationen: • Betriebstemperatur:** -55 °C ~ 105 °C **• Kapazitätstoleranz:** ±20 % **• Leckstrom:** I = 0,01 CV oder 3 (µA) nach 2 Minuten @ 20 °C (welcher Wert auch immer größer ist)

Dissipationsfaktor @ 20 °C 120 Hz:

Nenn-spannung (V)	10	16	25	35	50	63
Tan δ (DF)	0.19	0.16	0.14	0.12	0.10	0.10

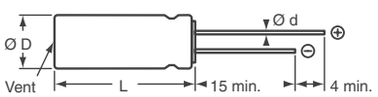

Nennbetriebs-spannung (V DC)	Kap. (µF)	Nennmischstrom (mA RMS) @ 105 °C 100 kHz	Maximale Impedanz (Ω / 100 kHz) 20°C	-10°C	Abmessungen (mm) ØD	L	F	Ød	Digi-Key Teilenr.	Preisangaben 1	10	100	United Chemi-Con Teilenr.
	82	163	0.75	1.5	5.0	11.5	2.0	0.5	565-1747-ND	.22	1.49	10.48	ELXY100ELL820MEB5D
	180	273	0.35	0.70	6.3	11.5	2.5	0.5	565-1748-ND	.27	1.82	12.81	ELXY100ELL181MFB5D
	220	390	0.25	0.50	6.3	15.0	2.5	0.5	565-1749-ND	.31	2.15	15.14	ELXY100ELL221MF15D
	330	445	0.17	0.34	8.0	12.0	3.5	0.6	565-1750-ND	.30	2.23	15.87	ELXY100ELL331MH12D
	390	625	0.12	0.24	10.0	12.5	5.0	0.6	565-1751-ND	.34	2.52	17.99	ELXY100ELL391MJC5S
	470	555	0.13	0.26	8.0	15.0	3.5	0.6	565-1752-ND	.36	2.67	19.05	ELXY100ELL471MH15D
	680	740	0.095	0.19	8.0	20.0	3.5	0.6	565-1753-ND	.42	3.12	22.22	ELXY100ELL681MJ16S
	680	825	0.084	0.17	10.0	16.0	5.0	0.6	565-1754-ND	.41	2.96	21.17	ELXY100ELL681MH20D
	1000	1040	0.062	0.13	10.0	20.0	5.0	0.6	565-1755-ND	.48	3.56	25.40	ELXY100ELL102MJ20S
	1200	1260	0.052	0.11	10.0	25.0	5.0	0.6	565-1756-ND	.51	3.79	27.85	ELXY100ELL122MJ25S
10	1500	1440	0.044	0.088	10.0	30.0	5.0	0.6	565-1757-ND	.55	4.06	29.84	ELXY100ELL152MJ30S
	1800	1340	0.046	0.092	12.5	20.0	5.0	0.6	565-1758-ND	.65	4.88	35.81	ELXY100ELL182MK20S
	2200	1690	0.034	0.068	12.5	25.0	5.0	0.6	565-1759-ND	.76	5.69	41.78	ELXY100ELL222MK25S
	2700	1950	0.030	0.060	12.5	30.0	5.0	0.6	565-1760-ND	.84	6.23	45.76	ELXY100ELL272MK30S
	3300	2220	0.024	0.048	12.5	35.0	5.0	0.6	565-1761-ND	.86	6.48	48.58	ELXY100ELL332MK35S
	3300	1630	0.038	0.076	16.0	20.0	7.5	0.8	565-1762-ND	.95	7.11	53.34	ELXY100ELL332ML20S
	3900	2390	0.022	0.044	12.5	40.0	5.0	0.6	565-1763-ND	.98	7.37	55.24	ELXY100ELL392MK40S
	3900	2070	0.028	0.056	16.0	25.0	7.5	0.8	565-1764-ND	1.02	7.62	57.15	ELXY100ELL392ML25S
	5600	2350	0.025	0.050	16.0	30.0	7.5	0.8	565-1765-ND	1.19	8.89	66.67	ELXY100ELL562ML30S
	6800	2550	0.022	0.044	16.0	35.0	7.5	0.8	565-1766-ND	1.35	10.16	76.19	ELXY100ELL682ML35S
	8200	2900	0.018	0.036	16.0	40.0	7.5	0.8	565-1767-ND	1.52	11.43	85.72	ELXY100ELL822ML40S
	56	163	0.75	1.5	5.0	11.5	2.0	0.5	565-1768-ND	.22	1.49	10.48	ELXY160ELL560MEB5D
	120	273	0.35	0.70	6.3	11.5	2.5	0.5	565-1769-ND	.27	1.82	12.81	ELXY160ELL121MFB5D
16	180	390	0.25	0.50	6.3	15.0	2.5	0.5	565-1770-ND	.30	1.98	13.97	ELXY160ELL181MF15D
	270	445	0.17	0.34	8.0	12.0	3.5	0.6	565-1771-ND	.34	2.52	17.99	ELXY160ELL271MJC5S
	270	625	0.12	0.24	10.0	12.5	5.0	0.6	565-1772-ND	.30	2.23	15.87	ELXY160ELL271MH12D
	330	555	0.13	0.26	8.0	15.0	3.5	0.6	565-1773-ND	.38	2.82	20.11	ELXY160ELL331MH15D

(Forts.)

Nennbetriebs-spannung	Kap.	Nennmischstrom (mA RMS)	Maximale Impedanz (Ω / 100 kHz)		Abmessungen (mm)				Digi-Key	Preisangaben			United Chemi-Con
(V DC)	(µF)	@ 105 °C 100 kHz	20°C	-10°C	ØD	L	F	Ød	Teilenr.	1	10	100	Teilenr.
	470	740	0.095	0.19	8.0	20.0	3.5	0.6	565-1774-ND	.42	3.12	22.22	ELXY160ELL471MJ16S
	470	825	0.084	0.17	10.0	16.0	5.0	0.6	565-1775-ND	.41	2.96	21.17	ELXY160ELL471MH20D
	680	1040	0.062	0.13	10.0	20.0	5.0	0.6	565-1776-ND	.48	3.56	25.40	ELXY160ELL681MJ20S
	820	1260	0.052	0.11	10.0	25.0	5.0	0.6	565-1777-ND	.51	3.79	27.85	ELXY160ELL821MJ25S
	1200	1440	0.044	0.088	10.0	30.0	5.0	0.6	565-1778-ND	.58	4.33	31.83	ELXY160ELL122MJ30S
	1200	1340	0.046	0.092	12.5	20.0	5.0	0.6	565-1779-ND	.65	4.88	35.81	ELXY160ELL122MK20S
	1500	1690	0.034	0.068	12.5	25.0	5.0	0.6	565-1780-ND	.76	5.69	41.78	ELXY160ELL152MK25S
16	2200	1950	0.030	0.060	12.5	30.0	5.0	0.6	565-1781-ND	.84	6.23	45.76	ELXY160ELL222MK30S
	2200	1630	0.038	0.076	16.0	20.0	7.5	0.8	565-1782-ND	.95	7.11	53.34	ELXY160ELL222ML20S
	2700	2220	0.024	0.048	12.5	35.0	5.0	0.6	565-1783-ND	.86	6.48	48.58	ELXY160ELL272MK35S
	2700	2070	0.028	0.056	16.0	25.0	7.5	0.8	565-1784-ND	1.02	7.62	57.15	ELXY160ELL272ML25S
	3300	2390	0.022	0.044	12.5	40.0	5.0	0.6	565-1785-ND	1.00	7.49	56.20	ELXY160ELL332MK40S
	3900	2350	0.025	0.050	16.0	30.0	7.5	0.8	565-1786-ND	1.15	8.64	64.76	ELXY160ELL392ML30S
	4700	2550	0.022	0.044	16.0	35.0	7.5	0.8	565-1787-ND	1.35	10.16	76.19	ELXY160ELL472ML35S
	5600	2900	0.018	0.036	16.0	40.0	7.5	0.8	565-1788-ND	1.52	11.43	85.72	ELXY160ELL562ML40S
	39	163	0.75	1.5	5.0	11.5	2.0	0.5	565-1789-ND	.25	1.65	11.64	ELXY250ELL390MEB5D
	82	273	0.35	0.70	6.3	11.5	2.5	0.5	565-1790-ND	.27	1.82	12.81	ELXY250ELL820MFB5D
	120	390	0.25	0.50	6.3	15.0	2.5	0.5	565-1791-ND	.31	2.15	15.14	ELXY250ELL121MF15D
	150	445	0.17	0.34	8.0	12.0	3.5	0.6	565-1792-ND	.30	2.23	15.87	ELXY250ELL151MH12D
	180	625	0.12	0.24	10.0	12.5	5.0	0.6	565-1793-ND	.34	2.52	17.99	ELXY250ELL181MJC5S
	220	555	0.13	0.26	8.0	15.0	3.5	0.6	565-1794-ND	.36	2.67	19.05	ELXY250ELL221MH15D
	330	740	0.095	0.19	8.0	20.0	3.5	0.6	565-1795-ND	.42	3.12	22.22	ELXY250ELL331MJ16S
	330	825	0.084	0.17	10.0	16.0	5.0	0.6	565-1796-ND	.41	2.96	21.17	ELXY250ELL331MH20D
	470	1040	0.062	0.13	10.0	20.0	5.0	0.6	565-1797-ND	.48	3.56	25.40	ELXY250ELL471MJ20S
25	560	1260	0.052	0.11	10.0	25.0	5.0	0.6	565-1798-ND	.51	3.79	27.85	ELXY250ELL561MJ25S
	820	1440	0.044	0.088	10.0	30.0	5.0	0.6	565-1799-ND	.58	4.33	31.83	ELXY250ELL821MJ30S
	820	1340	0.046	0.092	12.5	20.0	5.0	0.6	565-1800-ND	.65	4.88	35.81	ELXY250ELL821MK20S
	1000	1690	0.034	0.068	12.5	25.0	5.0	0.6	565-1801-ND	.73	5.42	39.79	ELXY250ELL102MK25S
	1500	1950	0.030	0.060	12.5	30.0	5.0	0.6	565-1802-ND	.84	6.23	45.76	ELXY250ELL152MK30S
	1500	1630	0.038	0.076	16.0	20.0	7.5	0.8	565-1803-ND	.95	7.11	53.34	ELXY250ELL152ML20S
	1800	2220	0.024	0.048	12.5	35.0	5.0	0.6	565-1804-ND	.86	6.48	48.58	ELXY250ELL182MK35S
	1800	2070	0.028	0.056	16.0	25.0	7.5	0.8	565-1805-ND	1.02	7.62	57.15	ELXY250ELL182ML25S
	2200	2390	0.022	0.044	12.5	40.0	5.0	0.6	565-1806-ND	.98	7.37	55.24	ELXY250ELL222MK40S
	2700	2350	0.025	0.050	16.0	30.0	7.5	0.8	565-1807-ND	1.15	8.64	64.76	ELXY250ELL272ML30S
	3300	2550	0.022	0.044	16.0	35.0	7.5	0.8	565-1808-ND	1.35	10.16	76.19	ELXY250ELL332ML35S
	3900	2900	0.018	0.036	16.0	40.0	7.5	0.8	565-1809-ND	1.52	11.43	85.72	ELXY250ELL392ML40S
	27	163	0.75	1.5	5.0	11.5	2.0	0.5	565-1812-ND	.25	1.75	12.34	ELXY350ELL270MEB5D
	56	273	0.35	0.70	6.3	11.5	2.5	0.5	565-1810-ND	.27	1.85	13.04	ELXY350ELL560MFB5D
	82	390	0.25	0.50	6.3	15.0	2.5	0.5	565-1813-ND	.30	1.98	13.97	ELXY350ELL820MF15D
	120	445	0.17	0.34	8.0	12.0	3.5	0.6	565-1814-ND	.30	2.23	15.87	ELXY350ELL121MH12D
	120	625	0.12	0.24	10.0	12.5	5.0	0.6	565-1811-ND	.21	1.46	10.24	ELXY350ELL121MJC5S
	180	555	0.13	0.26	8.0	15.0	3.5	0.6	565-1815-ND	.36	2.67	19.05	ELXY350ELL181MH15D
	220	740	0.095	0.19	8.0	20.0	3.5	0.6	565-1816-ND	.42	3.12	22.22	ELXY350ELL221MJ16S
	220	825	0.084	0.17	10.0	16.0	5.0	0.6	565-1817-ND	.41	2.96	21.17	ELXY350ELL221MH20D
	330	1040	0.062	0.13	10.0	20.0	5.0	0.6	565-1818-ND	.48	3.56	25.40	ELXY350ELL331MJ20S
	390	1260	0.052	0.11	10.0	25.0	5.0	0.6	565-1819-ND	.51	3.79	27.85	ELXY350ELL391MJ25S
35	560	1440	0.044	0.088	10.0	30.0	5.0	0.6	565-1820-ND	.58	4.33	31.83	ELXY350ELL561MJ30S
	560	1340	0.046	0.092	12.5	20.0	5.0	0.6	565-1821-ND	.65	4.88	35.81	ELXY350ELL561MK20S
	680	1690	0.034	0.068	12.5	25.0	5.0	0.6	565-1822-ND	.73	5.42	39.79	ELXY350ELL681MK25S
	1000	1950	0.030	0.060	12.5	30.0	5.0	0.6	565-1823-ND	.41	2.96	21.17	ELXY350ELL102MK30S
	1000	1630	0.038	0.076	16.0	20.0	7.5	0.8	565-1824-ND	.95	7.11	53.34	ELXY350ELL102ML20S
	1200	2220	0.024	0.048	12.5	35.0	5.0	0.6	565-1825-ND	.86	6.48	48.58	ELXY350ELL122MK35S
	1200	2070	0.028	0.056	16.0	25.0	7.5	0.8	565-1826-ND	1.02	7.62	57.15	ELXY350ELL122ML25S
	1500	2390	0.022	0.044	12.5	40.0	5.0	0.6	565-1827-ND	.98	7.37	55.24	ELXY350ELL152MK40S
	1800	2350	0.025	0.050	16.0	30.0	7.5	0.8	565-1828-ND	1.15	8.64	64.76	ELXY350ELL182ML30S
	2200	2550	0.022	0.044	16.0	35.0	7.5	0.8	565-1829-ND	1.35	10.16	76.19	ELXY350ELL222ML35S
	2700	2900	0.018	0.036	16.0	40.0	7.5	0.8	565-1830-ND	1.52	11.43	85.72	ELXY350ELL272ML40S
	18	129	1.2	2.4	5.0	11.5	2.0	0.5	565-1831-ND	.22	1.49	10.48	ELXY500ELL180MEB5D
	39	219	0.54	1.1	6.3	11.5	2.5	0.5	565-1832-ND	.27	1.82	12.81	ELXY500ELL390MFB5D
	56	310	0.34	0.68	6.3	15.0	2.5	0.5	565-1833-ND	.31	2.15	15.14	ELXY500ELL560MF15D
	68	340	0.30	0.60	8.0	12.0	3.5	0.6	565-1834-ND	.30	2.23	15.87	ELXY500ELL680MH12D
	82	470	0.20	0.40	8.0	15.0	3.5	0.6	565-1835-ND	.34	2.52	17.99	ELXY500ELL820MJC5S
	82	480	0.20	0.40	10.0	12.5	5.0	0.6	565-1836-ND	.36	2.67	19.05	ELXY500ELL820MH15D
	120	610	0.14	0.28	8.0	20.0	3.5	0.6	565-1837-ND	.42	3.12	22.22	ELXY500ELL121MJ16S
	120	755	0.13	0.26	10.0	16.0	5.0	0.6	565-1838-ND	.44	3.26	23.28	ELXY500ELL121MH20D
	180	945	0.088	0.18	10.0	20.0	5.0	0.6	565-1839-ND	.48	3.56	25.40	ELXY500ELL181MJ20S
	220	1150	0.073	0.15	10.0	25.0	5.0	0.6	565-1840-ND	.51	3.79	27.85	ELXY500ELL221MJ25S
50	330	1260	0.054	0.11	10.0	30.0	5.0	0.6	565-1841-ND	.58	4.33	31.83	ELXY500ELL331MJ30S
	330	1190	0.059	0.12	12.5	20.0	5.0	0.6	565-1842-ND	.49	3.66	26.86	ELXY500ELL331MK20S
	470	1490	0.044	0.088	12.5	25.0	5.0	0.6	565-1843-ND	.73	5.42	39.79	ELXY500ELL471MK25S
	560	1720	0.039	0.078	12.5	30.0	5.0	0.6	565-1844-ND	.84	6.23	45.76	ELXY500ELL561MK30S
	680	1890	0.033	0.066	12.5	35.0	5.0	0.6	565-1845-ND	.86	6.48	48.58	ELXY500ELL681MK35S
	680	1420	0.050	0.10	16.0	20.0	7.5	0.8	565-1846-ND	.95	7.11	53.34	ELXY500ELL681ML20S
	820	2030	0.029	0.058	12.5	40.0	5.0	0.6	565-1847-ND	.98	7.37	55.24	ELXY500ELL821MK40S
	820	1880	0.034	0.068	16.0	25.0	7.5	0.8	565-1848-ND	1.02	7.62	57.15	ELXY500ELL821ML25S
	1000	2150	0.030	0.060	16.0	30.0	7.5	0.8	565-1849-ND	.95	7.11	53.34	ELXY500ELL102ML30S
	1200	2320	0.027	0.054	16.0	35.0	7.5	0.8	565-1850-ND	1.35	10.16	76.19	ELXY500ELL122ML35S
	1500	2540	0.024	0.048	16.0	40.0	7.5	0.8	565-1851-ND	1.49	11.18	83.81	ELXY500ELL152ML40S
	10	103	1.9	4.8	5.0	11.5	2.0	0.5	565-1852-ND	.22	1.49	10.48	ELXY630ELL100MEB5D
	18	161	1.0	2.5	6.3	11.5	2.5	0.5	565-1853-ND	.27	1.82	12.81	ELXY630ELL180MFB5D
	33	233	0.61	1.6	6.3	15.0	2.5	0.5	565-1854-ND	.30	1.98	13.97	ELXY630ELL330MF15D
	47	274	0.47	1.2	8.0	12.0	3.5	0.6	565-1855-ND	.30	2.23	15.87	ELXY630ELL470MH12D
	56	418	0.27	0.68	10.0	12.5	5.0	0.6	565-1856-ND	.34	2.52	17.99	ELXY630ELL560MJC5S
	68	525	0.21	0.53	10.0	16.0	5.0	0.6	565-1857-ND	.42	3.12	22.22	ELXY630ELL680MJ16S
	68	360	034	0.85	8.0	15.0	3.5	0.6	565-1858-ND	.36	2.67	19.05	ELXY630ELL680MH15D
	82	500	0.21	0.53	8.0	20.0	3.5	0.6	565-1859-ND	.38	2.82	20.11	ELXY630ELL820MH20D
	120	650	0.16	0.40	10.0	20.0	5.0	0.6	565-1860-ND	.48	3.56	25.40	ELXY630ELL121MJ20S
	150	783	0.13	0.33	10.0	25.0	5.0	0.6	565-1861-ND	.51	3.79	27.85	ELXY630ELL151MJ25S
63	180	960	0.10	0.25	10.0	30.0	5.0	0.6	565-1862-ND	.55	4.06	29.84	ELXY630ELL181MJ30S
	220	870	0.11	0.28	12.5	20.0	5.0	0.6	565-1863-ND	.62	4.61	33.82	ELXY630ELL221MK20S
	270	1150	0.074	0.19	12.5	25.0	5.0	0.6	565-1864-ND	.52	3.83	28.12	ELXY630ELL271MK25S
	330	1100	0.085	0.22	16.0	20.0	7.5	0.8	565-1865-ND	.95	7.11	53.34	ELXY630ELL331ML20S
	390	1280	0.068	0.17	12.5	30.0	5.0	0.6	565-1866-ND	.84	6.23	45.76	ELXY630ELL391MK30S
	470	1390	0.063	0.16	12.5	35.0	5.0	0.6	565-1867-ND	.86	6.48	48.58	ELXY630ELL471MK35S
	470	1480	0.055	0.14	16.0	25.0	7.5	0.8	565-1868-ND	1.02	7.62	57.15	ELXY630ELL471ML25S
	560	1530	0.051	0.13	12.5	40.0	5.0	0.6	565-1869-ND	.98	7.37	55.24	ELXY630ELL561MK40S
	680	1720	0.046	0.12	16.0	30.0	7.5	0.8	565-1870-ND	1.12	8.38	62.86	ELXY630ELL681ML30S
	820	1910	0.040	0.10	16.0	35.0	7.5	0.8	565-1871-ND	1.35	10.16	76.19	ELXY630ELL821ML35S
	1000	2070	0.036	0.09	16.0	40.0	7.5	0.8	565-1872-ND	1.49	11.18	83.81	ELXY630ELL102ML40S

Alle Preisangaben in Euro und inklusive Zollgebühren.

Serie KZE Aluminium-Elektrolytkondensatoren (radiale Ableitung)

Sehr niedrige Impedanz 105 °C Bleifrei/RoHS-konform

Merkmale: Minigröße, sehr niedrige Impedanz, 105 °C Höchsttemperatur **Spezifikationen:** • **Betriebstemperatur:** -40 °C ~ 105 °C • **Kapazitätstoleranz:** ±20 % • **Leckstrom:** I = 0,01 CV oder 3 (µA) nach 2 Minuten @ 20 °C (welcher Wert auch immer größer ist)

Dissipationsfaktor @ 20 °C 120 Hz:

Nennspannung (V)	6.3	10	16	25	35	50	63	100
Tan δ (DF)	0.22	0.19	0.16	0.14	0.12	0.10	0.09	0.08

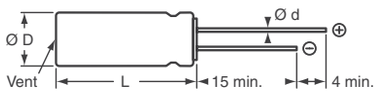

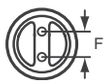

Nennbetriebs-spannung (VDC)	Kap. (µF)	Nennmischstrom (mA RMS) @ 105 °C 100 kHz	Maximale Impedanz (Ω / 100 kHz) 20°C	-10°C	Abmessungen (mm) ØD	L	F	Ød	Digi-Key Teilenr.	Preisangaben 1	10	100	United Chemi-Con Teilenr.
6.3	150	250	0.30	1.0	5.0	11.0	2.0	0.5	565-1625-ND	.16	.99	6.71	EKZE6R3ELL151ME11D
	220	380	0.15	0.45	8.0	7.0	3.5	0.45	565-1626-ND	.22	1.51	10.62	EKZE6R3ELL221MH07D
	330	405	0.13	0.41	6.3	11.0	2.5	0.5	565-1627-ND	.19	1.17	7.86	EKZE6R3ELL331MF11D
	560	760	0.072	0.22	8.0	11.5	3.5	0.6	565-1628-ND	.19	1.35	9.46	EKZE6R3ELL561MHB5D
	820	995	0.056	0.17	8.0	15.0	3.5	0.6	565-1629-ND	.22	1.49	10.51	EKZE6R3ELL821MH15D
	1000	1030	0.053	0.16	10.0	12.5	5.0	0.6	565-1630-ND	.29	1.96	13.78	EKZE6R3ELL102MJC5S
	1200	1430	0.038	0.12	10.0	16.0	5.0	0.6	565-1631-ND	.32	2.20	15.54	EKZE6R3ELL122MJ16S
	1200	1250	0.041	0.13	8.0	20.0	3.5	0.6	565-1632-ND	.27	1.81	12.79	EKZE6R3ELL122MH20D
	1500	1820	0.023	0.069	10.0	20.0	5.0	0.6	565-1633-ND	.30	2.17	15.47	EKZE6R3ELL152MJ20S
	2200	2150	0.022	0.066	10.0	25.0	5.0	0.6	565-1634-ND	.40	2.91	20.78	EKZE6R3ELL222MJ25S
	3300	2360	0.021	0.053	12.5	20.0	5.0	0.6	565-1635-ND	.41	3.06	21.86	EKZE6R3ELL332MK20S
	3900	2770	0.018	0.045	12.5	25.0	5.0	0.6	565-1636-ND	.51	3.77	26.91	EKZE6R3ELL392MK25S
	4700	3290	0.016	0.041	12.5	30.0	5.0	0.6	565-1637-ND	.53	4.00	29.32	EKZE6R3ELL472MK30S
	5600	3400	0.015	0.039	12.5	35.0	5.0	0.6	565-1638-ND	.55	4.12	30.30	EKZE6R3ELL562MK35S
	5600	3140	0.018	0.045	16.0	20.0	7.5	0.8	565-1639-ND	.57	4.20	30.82	EKZE6R3ELL562ML20S
	6800	3460	0.016	0.043	16.0	25.0	7.5	0.8	565-1640-ND	.65	4.84	35.57	EKZE6R3ELL682ML25S
10	100	250	0.30	1.0	5.0	11.0	2.0	0.5	565-1641-ND	.16	1.00	6.74	EKZE100ELL101MELLD
	220	405	0.13	0.41	6.3	11.0	2.5	0.5	565-1642-ND	.19	1.17	7.89	EKZE100ELL221MFLLD
	470	760	0.072	0.22	8.0	11.5	3.5	0.6	565-1643-ND	.20	1.35	9.56	EKZE100ELL471MHB5D
	680	995	0.056	0.17	8.0	15.0	3.5	0.6	565-1644-ND	.28	1.91	13.49	EKZE100ELL681MJC5S
	680	1030	0.053	0.16	10.0	12.5	5.0	0.6	565-1645-ND	.22	1.50	10.55	EKZE100ELL681MH15D
	1000	1250	0.041	0.13	8.0	20.0	3.5	0.6	565-1646-ND	.32	2.20	15.54	EKZE100ELL102MJ16S
	1000	1430	0.038	0.12	10.0	16.0	5.0	0.6	565-1647-ND	.28	1.87	13.17	EKZE100ELL102MH20D
	1200	1820	0.023	0.069	10.0	20.0	5.0	0.6	565-1648-ND	.30	2.17	15.47	EKZE100ELL122MJ20S
	1500	2150	0.022	0.066	10.0	25.0	5.0	0.6	565-1649-ND	.36	2.65	18.92	EKZE100ELL152MJ25S
	2200	2360	0.021	0.053	12.5	20.0	5.0	0.6	565-1650-ND	.45	3.32	23.72	EKZE100ELL222MK20S
	3300	2770	0.018	0.045	12.5	25.0	5.0	0.6	565-1651-ND	.48	3.58	26.31	EKZE100ELL332MK25S
	3900	3290	0.016	0.041	12.5	30.0	5.0	0.6	565-1652-ND	.52	3.92	28.80	EKZE100ELL392MK30S
	3900	3140	0.018	0.045	16.0	20.0	7.5	0.8	565-1653-ND	.57	4.20	30.82	EKZE100ELL392ML20S
	4700	3400	0.015	0.039	12.5	35.0	5.0	0.6	565-1654-ND	.60	4.47	32.81	EKZE100ELL472MK35S
	5600	3460	0.016	0.043	16.0	25.0	7.5	0.8	565-1655-ND	.69	5.08	37.33	EKZE100ELL562ML25S
16	56	250	0.30	1.0	5.0	11.0	2.0	0.5	565-1656-ND	.15	.98	6.63	EKZE160ELL560MELLD
	68	300	0.24	0.72	6.3	7.0	2.5	0.45	565-1657-ND	.20	1.39	9.79	EKZE160ELL680MF07D
	120	405	0.13	0.41	6.3	11.0	2.5	0.5	565-1658-ND	.18	1.14	7.71	EKZE160ELL121MFLLD
	330	760	0.072	0.22	8.0	11.5	3.5	0.6	565-1659-ND	.19	1.35	9.50	EKZE160ELL331MHB5D
	470	1030	0.053	0.16	10.0	12.5	5.0	0.6	565-1660-ND	.28	1.91	13.49	EKZE160ELL471MJC5S
	470	995	0.056	0.17	8.0	15.0	3.5	0.6	565-1661-ND	.23	1.55	10.90	EKZE160ELL471MH15D
	680	1430	0.038	0.12	10.0	16.0	5.0	0.6	565-1662-ND	.31	2.12	14.96	EKZE160ELL681MJ16S
	680	1250	0.041	0.13	8.0	20.0	3.5	0.6	565-1663-ND	.26	1.78	12.56	EKZE160ELL681MH20D
	1000	1820	0.023	0.069	10.0	20.0	5.0	0.6	565-1664-ND	.30	2.20	15.73	EKZE160ELL102MJ20S
	1200	2150	0.022	0.066	10.0	25.0	5.0	0.6	565-1665-ND	.38	2.84	20.26	EKZE160ELL122MJ25S
	1500	2360	0.021	0.053	12.5	20.0	5.0	0.6	565-1666-ND	.41	3.06	21.86	EKZE160ELL152MK20S
	2200	2770	0.018	0.045	12.5	25.0	5.0	0.6	565-1667-ND	.52	3.84	27.44	EKZE160ELL222MK25S
	2700	3290	0.016	0.041	12.5	30.0	5.0	0.6	565-1668-ND	.52	3.85	28.31	EKZE160ELL272MK30S
	2700	3140	0.018	0.045	16.0	20.0	7.5	0.8	565-1669-ND	.57	4.20	30.82	EKZE160ELL272ML20S
	3300	3400	0.015	0.039	12.5	35.0	5.0	0.6	565-1670-ND	.57	4.22	31.04	EKZE160ELL332MK35S
	3900	3460	0.016	0.043	16.0	25.0	7.5	0.8	565-1671-ND	.66	4.94	36.31	EKZE160ELL392ML25S
25	47	250	0.30	1.0	5.0	11.0	2.0	0.5	565-1672-ND	.15	.98	6.63	EKZE250ELL470ME11D
	100	405	0.13	0.41	6.3	11.0	2.5	0.5	565-1673-ND	.18	1.14	7.71	EKZE250ELL101MF11D
	220	760	0.072	0.22	8.0	11.5	3.5	0.6	565-1674-ND	.23	1.55	10.94	EKZE250ELL221MHB5D
	330	995	0.056	0.17	8.0	15.0	3.5	0.6	565-1675-ND	.30	2.00	14.07	EKZE250ELL331MJC5S
	330	1030	0.053	0.16	10.0	12.5	5.0	0.6	565-1676-ND	.22	1.51	10.65	EKZE250ELL331MH15D
	470	1430	0.038	0.12	10.0	16.0	5.0	0.6	565-1677-ND	.30	2.07	14.65	EKZE250ELL471MJ16S
	470	1250	0.041	0.13	8.0	20.0	3.5	0.6	565-1678-ND	.26	1.80	12.72	EKZE250ELL471MH20D
	680	1820	0.023	0.069	10.0	20.0	5.0	0.6	565-1679-ND	.30	2.20	15.73	EKZE250ELL681MJ20S
	820	2150	0.022	0.066	10.0	25.0	5.0	0.6	565-1680-ND	.38	2.84	20.26	EKZE250ELL821MJ25S
	1000	2360	0.021	0.053	12.5	20.0	5.0	0.6	565-1681-ND	.41	2.98	21.31	EKZE250ELL102MK20S
	1500	2770	0.018	0.045	12.5	25.0	5.0	0.6	565-1682-ND	.52	3.84	27.44	EKZE250ELL152MK25S
	1800	3290	0.016	0.041	12.5	30.0	5.0	0.6	565-1683-ND	.52	3.85	28.31	EKZE250ELL182MK30S
	1800	3140	0.018	0.045	16.0	20.0	7.5	0.8	565-1684-ND	.57	4.22	30.99	EKZE250ELL182ML20S
	2200	3400	0.015	0.039	12.5	35.0	5.0	0.6	565-1685-ND	.58	4.30	31.56	EKZE250ELL222MK35S
	2700	3460	0.016	0.043	16.0	25.0	7.5	0.8	565-1686-ND	.67	4.98	36.56	EKZE250ELL272ML25S
35	33	250	0.30	1.0	5.0	11.0	2.0	0.5	565-1687-ND	.15	.98	6.63	EKZE350ELL330ME11D
	56	405	0.13	0.41	6.3	11.0	2.5	0.5	565-1688-ND	.18	1.15	7.75	EKZE350ELL560MF11D
	150	760	0.072	0.22	8.0	11.5	3.5	0.6	565-1689-ND	.20	1.36	9.59	EKZE350ELL151MHB5D
	220	1030	0.053	0.16	10.0	12.5	5.0	0.6	565-1690-ND	.30	2.00	14.07	EKZE350ELL221MJC5S
	220	995	0.056	0.17	8.0	15.0	3.5	0.6	565-1691-ND	.23	1.57	11.03	EKZE350ELL221MH15D
	270	1250	0.041	0.13	8.0	20.0	3.5	0.6	565-1692-ND	.26	1.80	12.69	EKZE350ELL271MH20D
	330	1430	0.038	0.12	10.0	16.0	5.0	0.6	565-1693-ND	.32	2.16	15.26	EKZE350ELL331MJ16S
	470	1820	0.023	0.069	10.0	20.0	5.0	0.6	565-1694-ND	.32	2.35	16.81	EKZE350ELL471MJ20S
	560	2150	0.022	0.066	10.0	25.0	5.0	0.6	565-1695-ND	.38	2.84	20.26	EKZE350ELL561MJ25S
	680	2360	0.021	0.053	12.5	20.0	5.0	0.6	565-1696-ND	.41	3.02	21.60	EKZE350ELL681MK20S
	1000	2770	0.018	0.045	12.5	25.0	5.0	0.6	565-1697-ND	.48	3.58	26.31	EKZE350ELL102MK25S
	1200	3290	0.016	0.041	12.5	30.0	5.0	0.6	565-1698-ND	.52	3.92	28.80	EKZE350ELL122MK30S
	1200	3140	0.018	0.045	16.0	20.0	7.5	0.8	565-1699-ND	.56	4.16	30.55	EKZE350ELL122ML20S
	1500	3400	0.015	0.039	12.5	35.0	5.0	0.6	565-1700-ND	.58	4.36	32.05	EKZE350ELL152MK35S
	1800	3460	0.016	0.043	16.0	25.0	7.5	0.8	565-1701-ND	.68	5.01	36.84	EKZE350ELL182ML25S
50	10	210	0.50	1.5	5.0	7.0	2.0	0.5	565-1702-ND	.23	1.45	9.73	EKZE500ELL100ME07D
	22	238	0.34	1.18	5.0	11.0	2.0	0.5	565-1703-ND	.16	1.01	6.77	EKZE500ELL220ME11D
	56	385	0.14	0.50	6.3	11.0	2.5	0.5	565-1704-ND	.19	1.19	8.00	EKZE500ELL560MF11D
	100	724	0.074	0.22	8.0	11.5	3.5	0.6	565-1705-ND	.20	1.36	9.59	EKZE500ELL101MHB5D
	120	950	0.061	0.18	8.0	15	3.5	0.6	565-1706-ND	.24	1.59	11.23	EKZE500ELL121MH15D
	150	979	0.061	0.18	10.0	12.5	5.0	0.6	565-1707-ND	.30	2.00	14.07	EKZE500ELL151MJC5S
	180	1190	0.046	0.14	8.0	20.0	3.5	0.6	565-1708-ND	.27	1.83	12.89	EKZE500ELL181MH20D

(Forts.)

E

Nennbetriebs-spannung (V DC)	Kap. (µF)	Nennmischstrom (mA RMS) @ 105 °C 100 kHz	Maximale Impedanz (Ω / 100 kHz) 20°C	-10°C	Abmessungen (mm) ØD	L	F	Ød	Digi-Key Teilenr.	Preisangaben 1	10	100	United Chemi-Con Teilenr.
50	220	1370	0.042	0.12	10.0	16.0	5.0	0.6	565-1709-ND	.32	2.20	15.54	EKZE500ELL221MJ16S
	270	1580	0.030	0.090	10.0	20.0	5.0	0.6	565-1710-ND	.31	2.31	16.51	EKZE500ELL271MJ20S
	330	1870	0.028	0.085	10.0	25.0	5.0	0.6	565-1711-ND	.40	2.91	20.78	EKZE500ELL331MJ25S
	470	2050	0.027	0.068	12.5	20.0	5.0	0.6	565-1712-ND	.43	3.17	22.65	EKZE500ELL471MK20S
	560	2410	0.023	0.059	12.5	25.0	5.0	0.6	565-1713-ND	.48	3.58	26.30	EKZE500ELL561MK25S
	680	2860	0.021	0.052	12.5	30.0	5.0	0.6	565-1714-ND	.53	3.95	29.05	EKZE500ELL681MK30S
	820	2960	0.019	0.051	12.5	35.0	5.0	0.6	565-1715-ND	.59	4.44	32.57	EKZE500ELL821MK35S
	820	2730	0.023	0.059	16.0	20.0	7.5	0.8	565-1716-ND	.61	4.54	33.31	EKZE500ELL821ML20S
	1000	3010	0.021	0.056	16.0	25.0	7.5	0.8	565-1717-ND	.69	5.15	37.82	EKZE500ELL102ML25S
63	15	165	0.88	3.5	5.0	11.0	2.0	0.5	565-1718-ND	.16	1.02	6.85	EKZE630ELL150ME11D
	33	265	0.35	1.4	6.3	11.0	2.5	0.5	565-1719-ND	.19	1.19	8.03	EKZE630ELL330MF11D
	56	500	0.22	0.88	8.0	11.5	3.5	0.6	565-1720-ND	.20	1.36	9.59	EKZE630ELL560MHB5D
	82	690	0.11	0.44	10.0	12.5	5.0	0.6	565-1721-ND	.32	2.20	15.54	EKZE630ELL820MJC5S
	82	665	0.16	0.64	8.0	15.0	3.5	0.6	565-1722-ND	.24	1.58	11.16	EKZE630ELL820MH15D
	120	950	0.076	0.31	10.0	16.0	5.0	0.6	565-1723-ND	.32	2.20	15.54	EKZE630ELL121MJ16S
	180	1150	0.072	0.29	12.5	16.0	5.0	0.6	565-1724-ND	.42	3.10	22.12	EKZE630ELL181MK16S
	220	1350	0.046	0.19	10.0	25.0	5.0	0.6	565-1725-ND	.36	2.68	19.18	EKZE630ELL221MJ25S
	390	1900	0.031	0.093	12.5	25.0	5.0	0.6	565-1726-ND	.49	3.65	26.80	EKZE630ELL391MK25S
	470	2300	0.028	0.084	12.5	30.0	5.0	0.6	565-1727-ND	.53	4.00	29.32	EKZE630ELL471MK30S
	680	2800	0.021	0.063	12.5	40.0	5.0	0.6	565-1728-ND	.67	4.96	36.45	EKZE630ELL681MK40S
	1000	2900	0.019	0.057	16.0	35.5	7.5	0.8	565-1729-ND	.88	6.54	48.09	EKZE630ELL102MLP1S
	1500	3400	0.018	0.054	18.0	35.5	7.5	0.8	565-1730-ND	1.08	8.08	60.55	EKZE630ELL152MMP1S
	1800	3500	0.017	0.051	18.0	40.0	7.5	0.8	565-1731-ND	1.19	8.92	66.92	EKZE630ELL182MM40S
100	27	355	0.36	1.4	8.0	11.5	3.5	0.6	565-1732-ND	.20	1.37	9.66	EKZE101ELL270MHB5D
	39	450	0.25	1.0	8.0	15.0	3.5	0.6	565-1733-ND	.23	1.57	11.06	EKZE101ELL390MH15D
	47	480	0.17	0.66	10.0	12.5	5.0	0.6	565-1734-ND	.30	2.00	14.07	EKZE101ELL470MJC5S
	68	600	0.11	0.47	10.0	16.0	5.0	0.6	565-1735-ND	.34	2.29	16.12	EKZE101ELL680MJ16S
	100	750	0.11	0.34	12.5	16.0	5.0	0.6	565-1736-ND	.42	3.13	22.38	EKZE101ELL101MK16S
	120	900	0.069	0.28	10.0	25.0	5.0	0.6	565-1737-ND	.38	2.79	19.96	EKZE101ELL121MJ25S
	150	1100	0.062	0.18	12.5	20.0	5.0	0.6	565-1738-ND	.47	3.43	24.50	EKZE101ELL151MK20S
	220	1250	0.047	0.14	12.5	25.0	5.0	0.6	565-1739-ND	.53	4.00	29.32	EKZE101ELL221MK25S
	270	1500	0.042	0.13	12.5	30.0	5.0	0.6	565-1740-ND	.56	4.16	30.55	EKZE101ELL271MK30S
	330	1650	0.036	0.11	12.5	35.0	5.0	0.6	565-1741-ND	.63	4.67	34.32	EKZE101ELL331MK35S
	330	1500	0.045	0.14	18.0	20.0	7.5	0.8	565-1742-ND	.84	6.21	45.57	EKZE101ELL331MM20S
	470	1750	0.036	0.11	18.0	25.0	7.5	0.8	565-1743-ND	.91	6.82	51.09	EKZE101ELL471MM25S
	560	2000	0.029	0.086	16.0	35.5	7.5	0.8	565-1744-ND	1.18	8.86	66.42	EKZE101ELL561MLP1S
	680	2200	0.027	0.081	18.0	35.5	7.5	0.8	565-1745-ND	1.26	9.49	71.17	EKZE101ELL681MMP1S
	820	2700	0.026	0.077	18.0	40.0	7.5	0.8	565-1746-ND	1.30	9.72	72.91	EKZE101ELL821MM40S

E

UNITED CHEMI-CON EUROPE CHEMI-CON

Serie LXZ Aluminium-Elektrolytkondensatoren (radiale Ableitung)

Hohe Zuverlässigkeit, niedrigste Impedanz, 105 °C Bleifrei/RoHS-konform

Merkmale: Minigröße, niedrigste Impedanz, lange Haltbarkeit (2-8 K Stunden), lösungsbeständig, 105 °C Höchsttemperatur **Spezifikationen:** • **Betriebstemperatur:** -55 °C ~ 105 °C • **Kapazitätstoleranz:** ±20 %. • **Leckstrom:** I = 0,01 CV oder 3 (µA) nach 2 Minuten @ 20 °C (welcher Wert auch immer größer ist)

Dissipationsfaktor @ 20 °C 120 Hz:

Nennspannung (V)	6.3	10	16	25	35	50	63
Tan δ (DF)	0.22	0.19	0.16	0.14	0.12	0.10	0.08

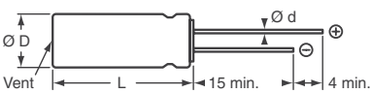

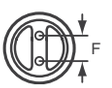

Nennbetriebs-spannung (V DC)	Kap. (µF)	Nennmischstrom (mA RMS) @ 105 °C 100 kHz	Maximale Impedanz (Ω / 100 kHz) 20°C	-10°C	Abmessungen (mm) ØD	L	F	Ød	Digi-Key Teilenr.	Preisangaben 1	10	100	United Chemi-Con Teilenr.
6.3	150	175	0.50	1.0	5.0	11.5	2.0	0.5	565-1873-ND	.25	1.65	11.64	ELXZ6R3ELL151MEB5D
	330	290	0.25	0.50	6.3	11.5	2.5	0.5	565-1874-ND	.25	1.65	11.64	ELXZ6R3ELL331MFB5D
	470	400	0.18	0.36	6.3	15.0	2.5	0.5	565-1875-ND	.28	2.07	14.82	ELXZ6R3ELL471MF15D
	680	555	0.12	0.24	8.0	12.0	3.5	0.6	565-1876-ND	.30	1.98	13.97	ELXZ6R3ELL681MH12D
	820	760	0.090	0.18	10.0	12.5	5.0	0.6	565-1877-ND	.28	2.07	14.82	ELXZ6R3ELL821MJC5S
	1000	730	0.090	0.18	8.0	15.0	3.5	0.6	565-1878-ND	.32	2.37	16.93	ELXZ6R3ELL102MH15D
	1200	1050	0.068	0.136	10.0	16.0	5.0	0.6	565-1879-ND	.32	2.37	16.93	ELXZ6R3ELL122MJ16S
	1200	810	0080	0.16	8.0	20.0	3.5	0.6	565-1880-ND	.36	2.67	19.05	ELXZ6R3ELL122MH20D
	1500	1220	0.052	0.104	10.0	20.0	5.0	0.6	565-1881-ND	.41	2.96	21.17	ELXZ6R3ELL152MJ20S
	2200	1440	0.045	0.090	10.0	25.0	5.0	0.6	565-1882-ND	.48	3.56	25.40	ELXZ6R3ELL222MJ25S
	2700	1690	0.037	0.074	10.0	30.0	5.0	0.6	565-1883-ND	.47	3.52	25.86	ELXZ6R3ELL272MJ30S
	3300	1660	0.038	0.076	12.5	20.0	5.0	0.6	565-1884-ND	.55	4.06	29.84	ELXZ6R3ELL332MK20S
	3900	1950	0.030	0.060	12.5	25.0	5.0	0.6	565-1885-ND	.62	4.61	33.82	ELXZ6R3ELL392MK25S
	4700	2310	0.025	0.050	12.5	30.0	5.0	0.6	565-1886-ND	.73	5.42	39.79	ELXZ6R3ELL472MK30S
	5600	2510	0.022	0.044	12.5	35.0	5.0	0.6	565-1887-ND	.80	5.96	43.77	ELXZ6R3ELL562MK35S
	5600	2210	0.029	0.058	16.0	20.0	7.5	0.8	565-1888-ND	.80	5.96	43.77	ELXZ6R3ELL562ML20S
	6800	2870	0.017	0.034	12.5	40.0	5.0	0.6	565-1889-ND	.85	6.35	47.62	ELXZ6R3ELL682MK40S
	6800	2560	0.022	0.044	16.0	25.0	7.5	0.8	565-1890-ND	.88	6.60	49.53	ELXZ6R3ELL682ML25S
	6800	2490	0.028	0.056	18.0	20.0	7.5	0.8	565-1891-ND	1.22	9.14	68.57	ELXZ6R3ELL682MM20S
	8200	3010	0.019	0.038	16.0	30.0	7.5	0.8	565-1892-ND	.91	6.86	51.43	ELXZ6R3ELL822ML30S
	10000	3150	0.017	0.034	16.0	35.0	7.5	0.8	565-1893-ND	1.12	8.38	62.86	ELXZ6R3ELL103ML35S
	10000	2740	0.020	0.040	18.0	25.0	7.5	0.8	565-1894-ND	1.15	8.64	64.76	ELXZ6R3ELL103MM25S
	12000	3710	0.015	0.030	16.0	40.0	7.5	0.8	565-1895-ND	1.22	9.14	68.57	ELXZ6R3ELL123ML40S
	12000	3330	0.018	0.036	18.0	30.0	7.5	0.8	565-1896-ND	1.22	9.14	68.57	ELXZ6R3ELL123MM30S
	15000	3680	0.016	0.032	18.0	35.0	7.5	0.8	565-1897-ND	1.46	10.92	81.91	ELXZ6R3ELL153MM35S
	18000	3800	0.015	0.030	18.0	40.0	7.5	0.8	565-1898-ND	1.52	11.45	86.35	ELXZ6R3ELL183MM40S
10	100	175	0.50	1.0	5.0	11.5	2.0	0.5	565-1899-ND	.19	1.32	9.31	ELXZ100ELL101MEB5D
	220	290	0.25	0.50	6.3	11.5	2.5	0.5	565-1900-ND	.25	1.65	11.64	ELXZ100ELL221MFB5D
	330	400	0.18	0.36	6.3	15.0	2.5	0.5	565-1901-ND	.25	1.65	11.64	ELXZ100ELL331MF15D
	470	555	0.12	0.24	8.0	12.0	3.5	0.6	565-1902-ND	.30	1.98	13.97	ELXZ100ELL471MH12D
	680	760	0.090	0.18	10.0	12.5	5.0	0.6	565-1903-ND	.28	2.07	14.82	ELXZ100ELL681MJC5S
	680	730	0.090	0.18	8.0	15.0	3.5	0.6	565-1904-ND	.32	2.37	16.93	ELXZ100ELL681MH15D
	1000	1050	0.068	0.136	10.0	16.0	5.0	0.6	565-1905-ND	.36	2.67	19.05	ELXZ100ELL102MJ16S
	1000	810	0.080	0.16	8.0	20.0	3.5	0.6	565-1906-ND	.36	2.67	19.05	ELXZ100ELL102MH20D
	1200	1220	0.052	0.104	10.0	20.0	5.0	0.6	565-1907-ND	.41	2.96	21.17	ELXZ100ELL122MJ20S
	1500	1440	0.045	0.090	10.0	25.0	5.0	0.6	565-1908-ND	.48	3.56	25.40	ELXZ100ELL152MJ25S

(Forts.)

Alle Preisangaben in Euro und inklusive Zollgebühren.

Nennbetriebs-spannung (V DC)	Kap. (µF)	Nennmischstrom (mA RMS) @ 105 °C 100 kHz	Maximale Impedanz (Ω / 100 kHz) 20°C	-10°C	Abmessungen (mm) ØD	L	F	Ød	Digi-Key Teilenr.	Preisangaben 1	10	100	United Chemi-Con Teilenr.
10	1800	1690	0.037	0.074	10.0	30.0	5.0	0.6	565-1909-ND	.47	3.52	25.86	ELXZ100ELL182MJ30S
	2200	1660	0.038	0.076	12.5	20.0	5.0	0.6	565-1910-ND	.55	4.06	29.84	ELXZ100ELL222MK20S
	3300	1950	0.030	0.060	12.5	25.0	5.0	0.6	565-1911-ND	.65	4.88	35.81	ELXZ100ELL332MK25S
	3900	2310	0.025	0.058	12.5	30.0	5.0	0.6	565-1912-ND	.73	5.42	39.79	ELXZ100ELL392MK30S
	3900	2210	0.029	0.058	16.0	20.0	7.5	0.8	565-1913-ND	.80	5.96	43.77	ELXZ100ELL392ML20S
	4700	2510	0.022	0.044	12.5	35.0	5.0	0.6	565-1914-ND	.80	5.96	43.77	ELXZ100ELL472MK35S
	5600	2870	0.017	0.034	12.5	40.0	5.0	0.6	565-1915-ND	.85	6.35	47.62	ELXZ100ELL562MK40S
	5600	2560	0.022	0.044	16.0	25.0	7.5	0.8	565-1916-ND	.91	6.86	51.43	ELXZ100ELL562ML25S
	5600	2490	0.028	0.056	18.0	20.0	7.5	0.8	565-1917-ND	.98	7.37	55.24	ELXZ100ELL562MM20S
	6800	3010	0.019	0.038	16.0	30.0	7.5	0.8	565-1918-ND	1.02	7.62	57.15	ELXZ100ELL682ML30S
	6800	2740	0.020	0.040	18.0	25.0	7.5	0.8	565-1919-ND	1.32	9.91	74.29	ELXZ100ELL682MM25S
	8200	3150	0.017	0.034	16.0	35.0	7.5	0.8	565-1920-ND	1.19	8.89	66.67	ELXZ100ELL822ML35S
	8200	3330	0.018	0.036	18.0	30.0	7.5	0.8	565-1921-ND	1.22	9.14	68.57	ELXZ100ELL822MM30S
	10000	3710	0.015	0.030	16.0	40.0	7.5	0.8	565-1922-ND	1.29	9.65	72.38	ELXZ100ELL103ML40S
	10000	3680	0.016	0.032	18.0	35.0	7.5	0.8	565-1923-ND	1.63	12.34	93.13	ELXZ100ELL103MM35S
	12000	3800	0.015	0.030	18.0	40.0	7.5	0.8	565-1924-ND	1.63	12.19	91.43	ELXZ100ELL123MM40S
16	47	175	0.50	1.0	5.0	11.5	2.0	0.5	565-1925-ND	.19	1.32	9.31	ELXZ160ELL470MEB5D
	100	290	0.25	0.50	6.3	11.5	2.5	0.5	565-1926-ND	.19	1.32	9.31	ELXZ160ELL101MFB5D
	220	400	0.18	0.36	6.3	15.0	2.5	0.5	565-1927-ND	.25	1.65	11.64	ELXZ160ELL221MF15D
	330	555	0.12	0.24	8.0	12.0	3.5	0.6	565-1928-ND	.30	1.98	13.97	ELXZ160ELL331MH12D
	470	760	0.090	0.18	10.0	12.5	5.0	0.6	565-1929-ND	.28	2.07	14.82	ELXZ160ELL471MJC5S
	470	730	0.090	0.18	8.0	15.0	3.5	0.6	565-1930-ND	.32	2.37	16.93	ELXZ160ELL471MH15D
	560	810	0.080	0.16	8.0	20.0	3.5	0.6	565-1931-ND	.36	2.67	19.05	ELXZ160ELL561MH20D
	680	1050	0.068	0.136	10.0	16.0	5.0	0.6	565-1932-ND	.36	2.67	19.05	ELXZ160ELL681MJ16S
	1000	1220	0.052	0.104	10.0	20.0	5.0	0.6	565-1933-ND	.41	2.96	21.17	ELXZ160ELL102MJ20S
	1200	1440	0.045	0.090	10.0	25.0	5.0	0.6	565-1934-ND	.48	3.56	25.40	ELXZ160ELL122MJ25S
	1500	1690	0.037	0.074	10.0	30.0	5.0	0.6	565-1935-ND	.47	3.52	25.86	ELXZ160ELL152MJ30S
	1500	1660	0.038	0.076	12.5	20.0	5.0	0.6	565-1936-ND	.55	4.06	29.84	ELXZ160ELL152MK20S
	2200	1950	0.030	0.060	12.5	25.0	5.0	0.6	565-1937-ND	.65	4.88	35.81	ELXZ160ELL222MK25S
	2700	2310	0.025	0.050	12.5	30.0	5.0	0.6	565-1938-ND	.73	5.42	39.79	ELXZ160ELL272MK30S
	2700	2210	0.029	0.058	16.0	20.0	7.5	0.8	565-1939-ND	.80	5.96	43.77	ELXZ160ELL272ML20S
	3300	2510	0.022	0.044	12.5	35.0	5.0	0.6	565-1940-ND	.84	6.23	45.76	ELXZ160ELL332MK35S
	3900	2870	0.017	0.034	12.5	40.0	5.0	0.6	565-1941-ND	1.15	8.64	64.76	ELXZ160ELL392MK40S
	3900	2560	0.022	0.044	16.0	25.0	7.5	0.8	565-1942-ND	.88	6.60	49.53	ELXZ160ELL392ML25S
	3900	2490	0.028	0.056	18.0	20.0	7.5	0.8	565-1943-ND	.95	7.11	53.34	ELXZ160ELL392MM20S
	4700	3010	0.019	0.038	16.0	30.0	7.5	0.8	565-1944-ND	.98	7.37	55.24	ELXZ160ELL472ML30S
	4700	2740	0.020	0.040	18.0	25.0	7.5	0.8	565-1945-ND	1.12	8.38	62.86	ELXZ160ELL472MM25S
	5600	3150	0.017	0.034	16.0	35.0	7.5	0.8	565-1946-ND	1.15	8.64	64.76	ELXZ160ELL562ML35S
	5600	3330	0.018	0.036	18.0	30.0	7.5	0.8	565-1947-ND	1.19	8.89	66.67	ELXZ160ELL562MM30S
	6800	3710	0.015	0.030	16.0	40.0	7.5	0.8	565-1948-ND	1.49	11.18	83.81	ELXZ160ELL682ML40S
	8200	3680	0.016	0.032	18.0	35.0	7.5	0.8	565-1949-ND	1.52	11.45	86.35	ELXZ160ELL822MM35S
	10000	3800	0.015	0.030	18.0	40.0	7.5	0.8	565-1950-ND	1.52	11.45	86.35	ELXZ160ELL103MM40S
25	47	175	0.50	1.0	5.0	11.5	2.0	0.5	565-1951-ND	.19	1.32	9.31	ELXZ250ELL470MEB5D
	100	290	0.25	0.50	6.3	11.5	2.5	0.5	565-1952-ND	.25	1.65	11.64	ELXZ250ELL101MFB5D
	150	400	0.18	0.36	6.3	15.0	2.5	0.5	565-1953-ND	.25	1.65	11.64	ELXZ250ELL151MF15D
	220	555	0.12	0.24	8.0	12.0	3.5	0.6	565-1954-ND	.28	2.07	14.82	ELXZ250ELL221MH12D
	330	760	0.090	0.18	10.0	12.5	5.0	0.6	565-1955-ND	.28	2.07	14.82	ELXZ250ELL331MJC5S
	330	730	0.090	0.18	8.0	15.0	3.5	0.6	565-1956-ND	.32	2.37	16.93	ELXZ250ELL331MH15D
	390	810	0.080	0.16	8.0	20.0	3.5	0.6	565-1957-ND	.36	2.67	19.05	ELXZ250ELL391MH20D
	470	1050	0.068	0.136	10.0	16.0	5.0	0.6	565-1958-ND	.32	2.37	16.93	ELXZ250ELL471MJ16S
	680	1220	0.052	0.104	10.0	20.0	5.0	0.6	565-1959-ND	.41	2.96	21.17	ELXZ250ELL681MJ20S
	820	1440	0.045	0.090	10.0	25.0	5.0	0.6	565-1960-ND	.48	3.56	25.40	ELXZ250ELL821MJ25S
	1000	1690	0.037	0.074	10.0	30.0	5.0	0.6	565-1961-ND	.47	3.52	25.86	ELXZ250ELL102MJ30S
	1000	1660	0.038	0.076	12.5	20.0	5.0	0.6	565-1962-ND	.51	3.79	27.85	ELXZ250ELL102MK20S
	1500	1950	0.030	0.060	12.5	25.0	5.0	0.6	565-1963-ND	.65	4.88	35.81	ELXZ250ELL152MK25S
	1800	2310	0.025	0.050	12.5	30.0	5.0	0.6	565-1964-ND	.73	5.42	39.79	ELXZ250ELL182MK30S
	1800	2210	0.029	0.058	16.0	20.0	7.5	0.8	565-1965-ND	.76	5.69	41.78	ELXZ250ELL182ML20S
	2200	2510	0.022	0.044	12.5	35.0	5.0	0.6	565-1966-ND	.84	6.23	45.76	ELXZ250ELL222MK35S
	2200	2490	0.028	0.056	18.0	20.0	7.5	0.8	565-1967-ND	.91	6.86	51.43	ELXZ250ELL222MM20S
	2700	2870	0.017	0.034	12.5	40.0	5.0	0.6	565-1968-ND	.85	6.35	47.62	ELXZ250ELL272MK40S
	2700	2560	0.022	0.044	16.0	25.0	7.5	0.8	565-1969-ND	.88	6.60	49.53	ELXZ250ELL272ML25S
	3300	3010	0.019	0.038	16.0	30.0	7.5	0.8	565-1970-ND	1.02	7.62	57.15	ELXZ250ELL332ML30S
	3300	2740	0.020	0.040	18.0	25.0	7.5	0.8	565-1971-ND	1.12	8.38	62.86	ELXZ250ELL332MM25S
	3900	3150	0.017	0.034	16.0	35.0	7.5	0.8	565-1972-ND	1.35	10.16	76.19	ELXZ250ELL392ML35S
	3900	3330	0.018	0.036	18.0	30.0	7.5	0.8	565-1973-ND	1.22	9.14	68.57	ELXZ250ELL392MM30S
	4700	3710	0.015	0.030	16.0	40.0	7.5	0.8	565-1974-ND	1.29	9.65	72.38	ELXZ250ELL472ML40S
	4700	3680	0.016	0.032	18.0	35.0	7.5	0.8	565-1975-ND	1.39	10.41	78.10	ELXZ250ELL472MM35S
	5600	3800	0.015	0.030	18.0	40.0	7.5	0.8	565-1976-ND	1.59	11.94	89.53	ELXZ250ELL562MM40S
35	33	175	0.50	1.0	5.0	11.5	2.0	0.5	565-1977-ND	.19	1.32	9.31	ELXZ350ELL330MEB5D
	56	290	0.25	0.50	6.3	11.5	2.5	0.5	565-1978-ND	.19	1.32	9.31	ELXZ350ELL560MFB5D
	100	400	0.18	0.36	6.3	15.0	2.5	0.5	565-1979-ND	.25	1.65	11.64	ELXZ350ELL101MF15D
	150	555	0.12	0.24	8.0	12.0	3.5	0.6	565-1980-ND	.28	2.07	14.82	ELXZ350ELL151MH12D
	220	760	0.090	0.18	10.0	12.5	5.0	0.6	565-1981-ND	.28	2.07	14.82	ELXZ350ELL221MJC5S
	220	730	0.090	0.18	8.0	15.0	3.5	0.6	565-1982-ND	.32	2.37	16.93	ELXZ350ELL221MH15D
	270	810	0.080	0.16	8.0	20.0	3.5	0.6	565-1983-ND	.36	2.67	19.05	ELXZ350ELL271MH20D
	330	1050	0.068	0.136	10.0	16.0	5.0	0.6	565-1984-ND	.36	2.67	19.05	ELXZ350ELL331MJ16S
	470	1220	0.052	0.104	10.0	20.0	5.0	0.6	565-1985-ND	.41	2.96	21.17	ELXZ350ELL471MJ20S
	560	1440	0.045	0.090	10.0	25.0	5.0	0.6	565-1986-ND	.48	3.56	25.40	ELXZ350ELL561MJ25S
	680	1690	0.037	0.074	10.0	30.0	5.0	0.6	565-1987-ND	.47	3.52	25.86	ELXZ350ELL681MJ30S
	680	1660	0.038	0.076	12.5	20.0	5.0	0.6	565-1988-ND	.51	3.79	27.85	ELXZ350ELL681MK20S
	1000	1950	0.030	0.060	12.5	25.0	5.0	0.6	565-1989-ND	.65	4.88	35.81	ELXZ350ELL102MK25S
	1200	2310	0.025	0.050	12.5	30.0	5.0	0.6	565-1990-ND	.73	5.42	39.79	ELXZ350ELL122MK30S
	1200	2210	0.029	0.058	16.0	20.0	7.5	0.8	565-1991-ND	.76	5.69	41.78	ELXZ350ELL122ML20S
	1500	2510	0.022	0.044	12.5	35.0	5.0	0.6	565-1992-ND	.80	5.96	43.77	ELXZ350ELL152MK35S
	1800	2870	0.017	0.034	12.5	40.0	5.0	0.6	565-1993-ND	.85	6.35	47.62	ELXZ350ELL182MK40S
	1800	2560	0.022	0.044	16.0	25.0	7.5	0.8	565-1994-ND	.88	6.60	49.53	ELXZ350ELL182ML25S
	1800	2490	0.028	0.056	18.0	20.0	7.5	0.8	565-1995-ND	.98	7.37	55.24	ELXZ350ELL182MM20S
	2200	3010	0.019	0.038	16.0	30.0	7.5	0.8	565-1996-ND	1.19	8.89	66.67	ELXZ350ELL222ML30S
	2200	2740	0.020	0.040	18.0	25.0	7.5	0.8	565-1997-ND	1.08	8.13	60.96	ELXZ350ELL222MM25S
	2700	3150	0.017	0.034	16.0	35.0	7.5	0.8	565-1998-ND	1.15	8.64	64.76	ELXZ350ELL272ML35S
	2700	3330	0.018	0.036	18.0	30.0	7.5	0.8	565-1999-ND	1.25	9.40	70.48	ELXZ350ELL272MM30S
	3300	3710	0.015	0.030	16.0	40.0	7.5	0.8	565-2000-ND	1.32	9.91	74.29	ELXZ350ELL332ML40S
	3300	3680	0.016	0.032	18.0	35.0	7.5	0.8	565-2001-ND	1.42	10.67	80.00	ELXZ350ELL332MM35S
	3900	3800	0.015	0.030	18.0	40.0	7.5	0.8	565-2002-ND	1.59	11.94	89.53	ELXZ350ELL392MM40S

(Forts.)

Nennbetriebs-spannung (V DC)	Kap. (µF)	Nennmischstrom (mA RMS) @ 105 °C 100 kHz	Maximale Impedanz (Ω / 100 kHz) 20°C	-10°C	Abmessungen (mm) ØD	L	F	Ød	Digi-Key Teilenr.	Preisangaben 1	10	100	United Chemi-Con Teilenr.
50	22	155	0.90	1.8	5.0	11.5	2.0	0.5	565-2003-ND	.19	1.32	9.31	ELXZ500ELL220MEB5D
	47	260	0.45	0.90	6.3	11.5	2.5	0.5	565-2004-ND	.19	1.32	9.31	ELXZ500ELL470MFB5D
	68	360	0.31	0.62	6.3	15.0	2.5	0.5	565-2026-ND	.25	1.65	11.64	ELXZ500ELL680MF15D
	100	485	0.22	0.44	8.0	12.0	3.5	0.6	565-2005-ND	.30	1.98	13.97	ELXZ500ELL101MH12D
	120	620	0.16	0.32	10.0	12.5	5.0	0.6	565-2008-ND	.32	2.37	16.93	ELXZ500ELL121MJC5S
	120	635	0.16	0.32	8.0	15.0	3.5	0.6	565-2009-ND	.28	2.07	14.82	ELXZ500ELL121MH15D
	180	850	0.13	0.26	10.0	16.0	5.0	0.6	565-2013-ND	.32	2.37	16.93	ELXZ500ELL181MJ16S
	180	730	0.12	0.24	8.0	20.0	3.5	0.6	565-2014-ND	.36	2.67	19.05	ELXZ500ELL181MH20D
	220	1050	0.088	0.18	10.0	20.0	5.0	0.6	565-2017-ND	.36	2.67	19.05	ELXZ500ELL221MJ20S
	330	1250	0.073	0.15	10.0	25.0	5.0	0.6	565-2020-ND	.48	3.56	25.40	ELXZ500ELL331MJ25S
	390	1500	0.054	0.11	10.0	30.0	5.0	0.6	565-2021-ND	.62	4.61	33.82	ELXZ500ELL391MJ30S
	390	1480	0.059	0.12	12.5	20.0	5.0	0.6	565-2022-ND	.51	3.79	27.85	ELXZ500ELL391MK20S
	560	1840	0.044	0.088	12.5	25.0	5.0	0.6	565-2023-ND	.62	4.61	33.82	ELXZ500ELL561MK25S
	680	2220	0.039	0.078	12.5	30.0	5.0	0.6	565-2024-ND	.65	4.88	35.81	ELXZ500ELL681MK30S
	680	1840	0.048	0.096	16.0	20.0	7.5	0.8	565-2025-ND	.73	5.42	39.79	ELXZ500ELL681ML20S
	820	2290	0.033	0.066	12.5	35.0	5.0	0.6	565-2027-ND	.76	5.69	41.78	ELXZ500ELL821MK35S
	820	1980	0.042	0.084	18.0	20.0	7.5	0.8	565-2028-ND	.91	6.86	51.43	ELXZ500ELL821MM20S
	1000	2500	0.029	0.058	12.5	40.0	5.0	0.6	565-2006-ND	.87	6.50	47.75	ELXZ500ELL102MK40S
	1000	2240	0.034	0.068	16..0	25.0	7.5	0.8	565-2007-ND	.85	6.35	47.62	ELXZ500ELL102ML25S
	1200	2700	0.028	0.056	16.0	30.0	7.5	0.8	565-2010-ND	1.08	8.13	60.96	ELXZ500ELL122ML30S
	1200	2610	0.029	0.058	18.0	25.0	7.5	0.8	565-2011-ND	.98	7.37	55.24	ELXZ500ELL122MM25S
	1500	2800	0.025	0.050	16.0	35.0	7.5	0.8	565-2012-ND	1.22	9.14	68.57	ELXZ500ELL152ML35S
	1800	3200	0.021	0.042	16.0	40.0	7.5	0.8	565-2015-ND	1.19	8.89	66.67	ELXZ500ELL182ML40S
	1800	3000	0.025	0.050	18.0	30.0	7.5	0.8	565-2016-ND	1.25	9.40	70.48	ELXZ500ELL182MM30S
	2200	3100	0.023	0.046	18.0	35.0	7.5	0.8	565-2018-ND	1.39	10.41	78.10	ELXZ500ELL222MM35S
	2700	3400	0.020	0.040	18.0	40.0	7.5	0.8	565-2019-ND	1.69	12.79	96.51	ELXZ500ELL272MM40S
63	12	145	1.9	4.0	5.0	11.5	2.0	0.5	565-2035-ND	.19	1.17	7.87	ELXZ630ELL120MEB5D
	22	240	1.0	2.0	6.3	11.5	2.5	0.5	565-2041-ND	.19	1.32	9.31	ELXZ630ELL220MFB5D
	39	330	0.61	1.4	6.3	15.0	2.5	0.5	565-2045-ND	.19	1.32	9.31	ELXZ630ELL390MF15D
	68	405	0.34	0.75	8.0	12.0	3.5	0.6	565-2051-ND	.36	2.67	19.05	ELXZ630ELL680MH12D
	100	540	0.255	0.51	10.0	12.5	5.0	0.6	565-2029-ND	.28	2.07	14.82	ELXZ630ELL101MJC5S
	100	535	0.27	0.65	8.0	15.0	3.5	0.6	565-2030-ND	.30	1.98	13.97	ELXZ630ELL101MH15D
	120	600	0.19	0.38	10.0	16.0	5.0	0.6	565-2032-ND	.28	2.07	14.82	ELXZ630ELL121MJ16S
	150	690	0.21	0.52	8.0	20.0	3.5	0.6	565-2036-ND	.28	2.07	14.82	ELXZ630ELL151MH20D
	180	890	0.145	0.29	10.0	20.0	5.0	0.6	565-2038-ND	.32	2.37	16.93	ELXZ630ELL181MJ20S
	220	1050	0.13	0.26	10.0	25.0	5.0	0.6	565-2040-ND	.41	2.96	21.17	ELXZ630ELL221MJ25S
	330	1300	0.090	0.18	10.0	30.0	5.0	0.6	565-2042-ND	.48	3.56	25.40	ELXZ630ELL331MJ30S
	330	1290	0.085	0.17	12.5	20.0	5.0	0.6	565-2043-ND	.47	3.52	25.86	ELXZ630ELL331MK20S
	390	1720	0.070	0.14	12.5	25.0	5.0	0.6	565-2044-ND	.55	4.06	29.84	ELXZ630ELL391MK25S
	470	2090	0.055	0.11	12.5	30.0	5.0	0.6	565-2046-ND	.58	4.33	31.83	ELXZ630ELL471MK30S
	470	1770	0.059	0.12	16.0	20.0	7.5	0.8	565-2047-ND	.65	4.88	35.81	ELXZ630ELL471ML20S
	680	2270	0.047	0.094	12.5	35.0	5.0	0.6	565-2048-ND	.73	5.42	39.79	ELXZ630ELL681MK35S
	680	2160	0.050	0.10	16.0	25.0	7.5	0.8	565-2049-ND	.76	5.69	41.78	ELXZ630ELL681ML25S
	680	2290	0.055	0.11	18.0	20.0	7.5	0.8	565-2050-ND	.85	6.35	47.62	ELXZ630ELL681MM20S
	820	2560	0.042	0.084	12.5	40.0	5.0	0.6	565-2052-ND	.80	5.96	43.77	ELXZ630ELL821MK40S
	820	2670	0.043	0.086	16.0	30.0	7.5	0.8	565-2053-ND	.87	6.50	47.75	ELXZ630ELL821ML30S
	820	2590	0.043	0.086	18.0	25.0	7.5	0.8	565-2054-ND	.91	6.86	51.43	ELXZ630ELL821MM25S
	1000	2770	0.036	0.072	16.0	35.0	7.5	0.8	565-2031-ND	1.08	8.13	60.96	ELXZ630ELL102ML35S
	1200	2850	0.030	0.060	16.0	40.0	7.5	0.8	565-2033-ND	1.05	7.87	59.05	ELXZ630ELL122ML40S
	1200	2950	0.032	0.064	18.0	30.0	7.5	0.8	565-2034-ND	1.15	8.64	64.76	ELXZ630ELL122MM30S
	1500	3100	0.030	0.060	18.0	35.0	7.5	0.8	565-2037-ND	1.35	10.16	76.19	ELXZ630ELL152MM35S
	1800	3210	0.025	0.050	18.0	40.0	7.5	0.8	565-2039-ND	1.46	10.92	81.91	ELXZ630ELL182MM40S

E

UNITED CHEMI-CON EUROPE CHEMI-CON

Alchip™ Serie MVA Aluminium-Elektrolytkondensatoren (SMT)

Allzweck 85 °C Bleifrei/RoHS-konform

Merkmale: Allzweck, lösungsbeständig (6,3-63 V), Höchsttemperatur 85 °C **Spezifikationen:** • **Betriebstemperatur:** -40 °C ~ 85 °C • **Kapazitätstoleranz:** ±20 %

Gehäuseabmessungen:

Größencode	D	L	A	B	C	W	P
D55	4	5.2	4.3	4.3	5.1	0.5 ~ 0.8	1.0
E55	5	5.2	5.3	5.3	5.9	0.5 ~ 0.8	1.4
F55	6.3	5.2	6.6	6.6	7.2	0.5 ~ 0.8	1.9
F60	6.3	5.7	6.6	6.6	7.2	0.5 ~ 0.8	1.9
F80	6.3	7.7	6.6	6.6	7.2	0.5 ~ 0.8	1.9
HA0	8	10.0	8.3	8.3	9.0	0.7 ~ 1.1	3.1
JA0	10	10.0	10.3	10.3	11.0	0.7 ~ 1.1	4.5
KE0	12.5	13.5	13.0	13.0	13.7	1.0 ~ 1.3	4.2
KG5	12.5	16.0	13.0	13.0	13.7	1.0 ~ 1.3	4.2
LH0	16	16.5	17.0	17.0	18.0	1.0 ~ 1.3	6.5
LN0	16	21.5	17.0	17.0	18.0	1.0 ~ 1.3	6.5
MH0	18	16.5	19.0	19.0	20.0	1.0 ~ 1.3	6.5
MN0	18	21.5	19.0	19.0	20.0	1.0 ~ 1.3	6.5

Anschlusscode: A
Größencode; D55 ~KG5

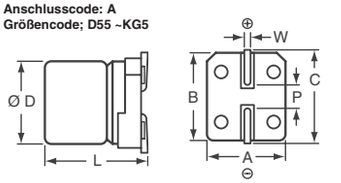

Anschlusscode: G
Größencode; LH0 ~MN0

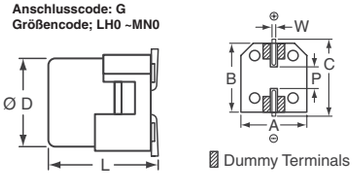

Leckstrom:

Gehäuse: D55-JA0	I = 0,01 CV oder 3 µA nach 2 Minuten @ 20 °C (welcher Wert auch immer größer ist)
Gehäuse: KE0-MN0	I = 0,03 CV oder 4 µA nach 1 Minute @ 20 °C (welcher Wert auch immer größer ist)

Nennbetriebs-spannung (V DC)	Kap. (µF)	Größen-code	Tan δ	Mischstrom (mA RMS) @ 85 °C 120 Hz	Abmessungen (mm) D	L	Digi-Key Teilenr.	Preisangaben 5	10	25	Digi-Key Teilenr.	Gegurtet auf Rolle Größe	Preisangaben	United Chemi-Con Teilenr.
6.3	33	D55	0.35	30	4.0	5.2	565-2055-1-ND	.43	.71	1.65	565-2055-2-ND	2,000	30.48/M	EMVA6R3ADA330MD55G
	47	D55	0.35	33	4.0	5.2	565-2056-1-ND	.61	1.01	2.34	565-2056-2-ND	2,000	43.18/M	EMVA6R3ADA470MD55G
	100	E55	0.35	55	5.0	5.2	565-2057-1-ND	.54	.89	2.07	565-2057-2-ND	1,000	38.10	EMVA6R3ADA101ME55G
	220	F55	0.35	88	6.3	5.2	565-2058-1-ND	.67	1.10	2.56	565-2058-2-ND	1,000	47.41	EMVA6R3ADA221MF55G
	330	F80	0.35	135	6.3	7.7	565-2059-1-ND	.74	1.22	2.83	565-2059-2-ND	900	47.24	EMVA6R3ADA331MF80G
	470	HA0	0.35	280	8.0	10.0	565-2060-1-ND	1.16	1.91	4.44	565-2060-2-ND	500	41.06	EMVA6R3ADA471MHA0G
	680	HA0	0.35	290	8.0	10.0	565-2061-1-ND	1.15	1.90	4.40	565-2061-2-ND	500	40.64	EMVA6R3ADA681MHA0G
	820	HA0	0.35	320	8.0	10.0	565-2062-1-ND	1.15	1.90	4.40	565-2062-2-ND	500	40.64	EMVA6R3ADA821MHA0G
	1000	JA0	0.35	430	10.0	10.0	565-2063-1-ND	1.85	3.06	7.09	565-2063-2-ND	500	65.61	EMVA6R3ADA102MJA0G
	1500	JA0	0.35	480	10.0	10.0	565-2064-1-ND	1.85	3.06	7.09	565-2064-2-ND	500	65.61	EMVA6R3ADA152MJA0G
	2200	KE0	0.40	890	12.5	13.5	565-2065-1-ND	4.14	6.82	15.82	565-2065-2-ND	200	58.42	EMVA6R3ARA222MKE0S
	3300	KG5	0.42	1000	12.5	16.0	565-2066-1-ND	4.50	7.41	17.19	565-2066-2-ND	150	47.62	EMVA6R3ARA332MKG5S
	3300	LH0	0.42	1200	16.0	16.5	565-2067-1-ND	6.30	10.37	24.08	565-2067-2-ND	125	55.56	EMVA6R3GDA332MLH0S
	4700	LH0	0.44	1400	16.0	16.5	565-2068-1-ND	5.99	9.88	22.93	565-2068-2-ND	125	52.91	EMVA6R3GDA472MLH0S
	6800	LN0	0.48	1750	16.0	21.5	565-2069-1-ND	7.20	11.85	27.51	565-2069-2-ND	75	38.10	EMVA6R3GDA682MLN0S

(Forts.)

Alle Preisangaben in Euro und inklusive Zollgebühren.

Nennbetriebs-spannung (V DC)	Kap. (µF)	Größen-code	Tan δ	Mischstrom (mA RMS) @ 85 °C 120 Hz	Abmessungen (mm) D	L	Digi-Key Teilenr.	Preisangaben 5	10	25	Digi-Key Teilenr.	Gegurtet auf Rolle Größe	Preisangaben	United Chemi-Con Teilenr.
6.3	6800	MH0	0.48	1700	18.0	16.5	565-2070-1-ND	8.09	13.33	30.95	565-2070-2-ND	125	71.44	EMVA6R3GDA682MMH0S
	10000	MN0	0.56	2000	18.0	21.5	565-2071-1-ND	7.56	12.45	28.89	565-2071-2-ND	75	40.00	EMVA6R3GDA103MMN0S
10	22	D55	0.30	26	4.0	5.2	565-2072-1-ND	.43	.71	1.65	565-2072-2-ND	2,000	30.48/M	EMVA100ADA220MD55G
	33	D55	0.30	30	4.0	5.2	565-2073-1-ND	.43	.71	1.65	565-2073-2-ND	2,000	30.48/M	EMVA100ADA330MD55G
	47	E55	0.30	44	5.0	5.2	565-2074-1-ND	.54	.89	2.07	565-2074-2-ND	1,000	38.10	EMVA100ADA470ME55G
	100	F55	0.30	70	6.3	5.2	565-2075-1-ND	.61	1.01	2.34	565-2075-2-ND	1,000	43.18	EMVA100ADA101MF55G
	150	F55	0.30	79	6.3	5.2	565-2076-1-ND	.62	1.02	2.35	565-2076-2-ND	1,000	43.18	EMVA100ADA151MF55G
	220	F80	0.30	130	6.3	7.7	565-2077-1-ND	.74	1.22	2.82	565-2077-2-ND	900	47.24	EMVA100ADA221MF80G
	330	HA0	0.30	270	8.0	10.0	565-2078-1-ND	1.08	1.78	4.13	565-2078-2-ND	500	38.10	EMVA100ADA331MHA0G
	470	HA0	0.30	280	8.0	10.0	565-2079-1-ND	1.08	1.79	4.15	565-2079-2-ND	500	38.10	EMVA100ADA471MHA0G
	1000	JA0	0.30	430	10.0	10.0	565-2080-1-ND	1.98	3.26	7.57	565-2080-2-ND	500	69.84	EMVA100ADA102MJA0G
	2200	KE0	0.36	960	12.5	13.5	565-2081-1-ND	4.00	6.60	15.32	565-2081-2-ND	200	56.55	EMVA100ADA222MKE0S
	3300	LH0	0.38	1300	16.0	16.5	565-2082-1-ND	6.30	10.37	24.08	565-2082-2-ND	125	55.56	EMVA100GDA332MLH0S
	4700	LN0	0.40	1550	16.0	21.5	565-2083-1-ND	7.20	11.85	27.51	565-2083-2-ND	75	38.10	EMVA100GDA472MLN0S
	4700	MH0	0.40	1600	18.0	16.5	565-2084-1-ND	8.09	13.33	30.95	565-2084-2-ND	125	71.44	EMVA100GDA472MMH0S
	6800	MN0	0.44	1850	18.0	21.5	565-2085-1-ND	5.76	9.48	22.01	565-2085-2-ND	75	30.48	EMVA100GDA682MMN0S
16	22	D55	0.26	26	4.0	5.2	565-2086-1-ND	.47	.76	1.77	565-2086-2-ND	2,000	33.02/M	EMVA160ADA220MD55G
	33	E55	0.26	37	5.0	5.2	565-2087-1-ND	.56	.92	2.14	565-2087-2-ND	1,000	39.79	EMVA160ADA330ME55G
	47	E55	0.26	44	5.0	5.2	565-2088-1-ND	.54	.89	2.07	565-2088-2-ND	1,000	38.10	EMVA160ADA470ME55G
	100	F55	0.26	70	6.3	5.2	565-2089-1-ND	.66	1.08	2.52	565-2089-2-ND	1,000	46.56	EMVA160ADA101MF55G
	150	F80	0.26	110	6.3	7.7	565-2090-1-ND	.80	1.31	3.05	565-2090-2-ND	900	50.29	EMVA160ADA151MF80G
	220	F80	0.26	130	6.3	7.7	565-2091-1-ND	.81	1.35	3.12	565-2091-2-ND	900	51.81	EMVA160ADA221MF80G
	330	HA0	0.26	270	8.0	10.0	565-2092-1-ND	1.15	1.90	4.41	565-2092-2-ND	500	40.64	EMVA160ADA331MHA0G
	470	HA0	0.26	280	8.0	10.0	565-2093-1-ND	1.08	1.79	4.16	565-2093-2-ND	500	38.52	EMVA160ADA471MHA0G
	680	JA0	0.26	380	10.0	10.0	565-2094-1-ND	2.01	3.31	7.68	565-2094-2-ND	500	71.11	EMVA160ADA681MJA0G
	1000	KE0	0.30	710	12.5	13.5	565-2095-1-ND	3.96	6.52	15.14	565-2095-2-ND	200	55.88	EMVA160ARA102MKE0S
	2200	LH0	0.32	1150	16.0	16.5	565-2096-1-ND	6.26	10.33	23.97	565-2096-2-ND	125	55.35	EMVA160GDA222MLH0S
	3300	LN0	0.34	1450	16.0	21.5	565-2097-1-ND	7.20	11.85	27.51	565-2097-2-ND	75	38.10	EMVA160GDA332MLN0S
	3300	MH0	0.34	1450	18.0	16.5	565-2098-1-ND	8.09	13.33	30.95	565-2098-2-ND	125	71.44	EMVA160GDA332MMH0S
	4700	MN0	0.36	1750	18.0	21.5	565-2099-1-ND	8.00	13.17	30.59	565-2099-2-ND	75	42.36	EMVA160GDA472MMN0S
25	10	D55	0.16	24	4.0	5.2	565-2100-1-ND	.43	.71	1.65	565-2100-2-ND	2,000	30.48/M	EMVA250ADA100MD55G
	22	E55	0.16	41	5.0	5.2	565-2101-1-ND	.52	.86	2.00	565-2101-2-ND	1,000	37.25	EMVA250ADA220ME55G
	33	E55	0.16	47	5.0	5.2	565-2102-1-ND	.57	.93	2.16	565-2102-2-ND	1,000	39.79	EMVA250ADA330ME55G
	47	F55	0.16	60	6.3	5.2	565-2103-1-ND	.65	1.08	2.50	565-2103-2-ND	1,000	46.56	EMVA250ADA470MF55G
	56	F55	0.16	66	6.3	5.2	565-2104-1-ND	.65	1.07	2.48	565-2104-2-ND	1,000	45.72	EMVA250ADA560MF55G
	100	F80	0.16	120	6.3	7.7	565-2105-1-ND	.80	1.30	3.04	565-2105-2-ND	900	50.29	EMVA250ADA101MF80G
	150	HA0	0.16	210	8.0	10.0	565-2106-1-ND	1.15	1.90	4.40	565-2106-2-ND	500	40.64	EMVA250ADA151MHA0G
	220	HA0	0.16	260	8.0	10.0	565-2107-1-ND	1.16	1.91	4.44	565-2107-2-ND	500	41.06	EMVA250ADA221MHA0G
	330	HA0	0.16	300	8.0	10.0	565-2108-1-ND	1.19	1.95	4.52	565-2108-2-ND	500	41.91	EMVA250ADA331MHA0G
	470	JA0	0.16	400	10.0	10.0	565-2109-1-ND	2.01	3.31	7.68	565-2109-2-ND	500	71.11	EMVA250ADA471MJA0G
	1000	KE0	0.26	820	12.5	13.5	565-2110-1-ND	4.20	6.92	16.06	565-2110-2-ND	200	59.26	EMVA250ADA102MKE0S
	2200	LN0	0.28	1450	16.0	21.5	565-2111-1-ND	6.86	11.29	26.21	565-2111-2-ND	75	36.32	EMVA250GDA222MLN0S
	2200	MH0	0.28	1400	18.0	16.5	565-2112-1-ND	8.09	13.33	30.95	565-2112-2-ND	125	71.44	EMVA250GDA222MMH0S
	3300	MN0	0.30	1800	18.0	21.5	565-2113-1-ND	8.09	13.33	30.95	565-2113-2-ND	75	42.86	EMVA250GDA332MMN0S
35	4.7	D55	014	18	4.0	5.2	565-2114-1-ND	.46	.76	1.76	565-2114-2-ND	2,000	32.17/M	EMVA350ADA4R7MD55G
	10	D55	0.14	24	4.0	5.2	565-2115-1-ND	.43	.71	1.65	565-2115-2-ND	2,000	30.48/M	EMVA350ADA100MD55G
	22	E55	0.14	41	5.0	5.2	565-2116-1-ND	.56	.92	2.14	565-2116-2-ND	1,000	39.79	EMVA350ADA220ME55G
	33	F55	0.14	54	6.3	5.2	565-2117-1-ND	.65	1.07	2.48	565-2117-2-ND	1,000	45.72	EMVA350ADA330MF55G
	47	F60	0.14	64	6.3	5.7	565-2118-1-ND	.72	1.19	2.75	565-2118-2-ND	1,000	50.80	EMVA350ADA470MF60G
	100	F80	0.14	120	6.3	7.7	565-2119-1-ND	.75	1.24	2.86	565-2119-2-ND	900	47.24	EMVA350ADA101MF80G
	150	HA0	0.14	210	8.0	10.0	565-2120-1-ND	1.06	1.75	4.06	565-2120-2-ND	500	37.67	EMVA350ADA151MHA0G
	220	HA0	0.14	260	8.0	10.0	565-2121-1-ND	1.09	1.80	4.18	565-2121-2-ND	500	38.52	EMVA350ADA221MHA0G
	330	JA0	0.14	360	10.0	10.0	565-2122-1-ND	1.98	3.26	7.57	565-2122-2-ND	500	69.84	EMVA350ADA331MJA0G
	470	KE0	0.22	600	12.5	13.5	565-2123-1-ND	4.14	6.82	15.82	565-2123-2-ND	200	57.06	EMVA350ARA471MKE0S
	1000	LH0	0.22	1100	16.0	16.5	565-2125-1-ND	6.30	10.37	24.08	565-2125-2-ND	125	55.56	EMVA350GDA102MLH0S
	2200	MN0	0.24	1700	18.0	21.5	565-2126-1-ND	8.09	13.33	30.95	565-2126-2-ND	75	42.86	EMVA350GDA222MMN0S
50	3.3	D55	0.12	15	4.0	5.2	565-2127-1-ND	.46	.76	1.76	565-2127-2-ND	2,000	32.17/M	EMVA500ADA3R3MD55G
	4.7	D55	0.12	18	4.0	5.2	565-2128-1-ND	.43	.71	1.65	565-2128-2-ND	2,000	30.48/M	EMVA500ADA4R7MD55G
	10	E55	0.12	30	5.0	5.2	565-2129-1-ND	.56	.92	2.14	565-2129-2-ND	1,000	39.79	EMVA500ADA100ME55G
	22	F55	0.12	47	6.3	5.2	565-2130-1-ND	.63	1.04	2.40	565-2130-2-ND	1,000	44.87	EMVA500ADA220MF55G
	33	F80	0.12	70	6.3	7.7	565-2131-1-ND	.78	1.28	2.96	565-2131-2-ND	900	49.53	EMVA500ADA330MF80G
	47	F80	0.12	85	6.3	7.7	565-2132-1-ND	.78	1.29	2.99	565-2132-2-ND	900	49.53	EMVA500ADA470MF80G
	100	HA0	0.12	190	8.0	10.0	565-2133-1-ND	1.08	1.78	4.13	565-2133-2-ND	500	38.10	EMVA500ADA101MHA0G
	220	JA0	0.12	320	10.0	10.0	565-2134-1-ND	1.85	3.06	7.09	565-2134-2-ND	500	65.61	EMVA500ADA221MJA0G
	330	KE0	0.18	600	12.5	13.5	565-2135-1-ND	4.20	6.92	16.06	565-2135-2-ND	200	59.26	EMVA500ARA331MKE0S
	470	KG5	0.18	740	12.5	16.0	565-2136-1-ND	4.50	7.41	17.19	565-2136-2-ND	150	47.62	EMVA500ARA471MKG5S
	470	LH0	0.18	850	16.0	16.5	565-2137-1-ND	6.05	9.97	23.15	565-2137-2-ND	125	53.45	EMVA500GDA471MLH0S
	1000	LN0	0.18	1300	16.0	21.5	565-2138-1-ND	7.20	11.85	27.51	565-2138-2-ND	75	38.10	EMVA500GDA102MLN0S
	1000	MN0	0.18	1400	18.0	21.5	565-2139-1-ND	8.09	13.33	30.95	565-2139-2-ND	75	42.86	EMVA500ADA102MMN0S
63	0.10	D55	0.12	1.3	4.0	5.2	565-2140-1-ND	.46	.75	1.75	565-2140-2-ND	2,000	32.17/M	EMVA630ADAR10MD55G
	0.22	D55	0.12	3.0	4.0	5.2	565-2141-1-ND	.46	.75	1.75	565-2141-2-ND	2,000	32.17/M	EMVA630ADAR22MD55G
	0.33	D55	0.12	4.0	4.0	5.2	565-2142-1-ND	.45	.75	1.72	565-2142-2-ND	2,000	32.17/M	EMVA630ADAR33MD55G
	0.47	D55	0.12	5.0	4.0	5.2	565-2143-1-ND	.46	.75	1.75	565-2143-2-ND	2,000	32.17/M	EMVA630ADAR47MD55G
	1.0	D55	0.12	8.0	4.0	5.2	565-2144-1-ND	.45	.75	1.72	565-2144-2-ND	2,000	32.17/M	EMVA630ADA1R0MD55G
	2.2	D55	0.12	12	4.0	5.2	565-2145-1-ND	.46	.75	1.75	565-2145-2-ND	2,000	32.17/M	EMVA630ADA2R2MD55G
	3.3	E55	0.12	17	5.0	5.2	565-2146-1-ND	.54	.89	2.07	565-2146-2-ND	1,000	38.10	EMVA630ADA3R3ME55G
	4.7	E55	0.12	20	5.0	5.2	565-2147-1-ND	.55	.91	2.12	565-2147-2-ND	1,000	38.94	EMVA630ADA4R7ME55G
	10	F55	0.12	32	6.3	5.2	565-2148-1-ND	.64	1.06	2.46	565-2148-2-ND	1,000	45.72	EMVA630ADA100MF55G
	22	F80	0.12	60	6.3	7.7	565-2149-1-ND	.74	1.21	2.81	565-2149-2-ND	900	46.48	EMVA630ADA220MF80G
	33	HA0	0.12	110	8.0	10.0	565-2150-1-ND	1.15	1.90	4.40	565-2150-2-ND	500	40.64	EMVA630ADA330MHA0G
	47	HA0	0.12	130	8.0	10.0	565-2151-1-ND	1.05	1.73	4.02	565-2151-2-ND	500	37.25	EMVA630ADA470MHA0G
	56	JA0	0.12	160	10.0	10.0	565-2152-1-ND	1.85	3.06	7.09	565-2152-2-ND	500	65.61	EMVA630ADA560MJA0G
	68	JA0	0.12	170	10.0	10.0	565-2153-1-ND	1.85	3.06	7.09	565-2153-2-ND	500	65.61	EMVA630ADA680MJA0G
	100	KE0	0.14	380	12.5	13.5	565-2154-1-ND	4.14	6.82	15.82	565-2154-2-ND	200	58.42	EMVA630ARA101MKE0S
	220	KE0	0.14	580	12.5	13.5	565-2155-1-ND	4.14	6.82	15.82	565-2155-2-ND	200	58.42	EMVA630ARA221MKE0S
	330	KG5	0.14	720	12.5	16.0	565-2156-1-ND	4.33	7.12	16.53	565-2156-2-ND	150	45.72	EMVA630ARA331MKG5S
	330	LH0	0.14	820	16.0	16.5	565-2157-1-ND	4.33	7.12	16.53	565-2157-2-ND	125	38.10	EMVA630GDA331MLH0S
	470	LH0	0.14	950	16.0	16.5	565-2158-1-ND	6.30	10.37	24.08	565-2158-2-ND	125	55.56	EMVA630GDA471MLH0S
	470	MH0	0.14	1000	18.0	16.5	565-2159-1-ND	8.09	13.33	30.95	565-2159-2-ND	125	71.44	EMVA630GDA471MMH0S
100	22	HA0	0.12	90	8.0	10.0	565-2160-1-ND	1.08	1.78	4.13	565-2160-2-ND	500	38.10	EMVA101ADA220MHA0G
	33	JA0	0.12	120	10.0	10.0	565-2161-1-ND	2.01	3.31	7.68	565-2161-2-ND	500	71.11	EMVA101ADA330MJA0G
	68	KE0	0.10	380	12.5	13.5	565-2162-1-ND	3.96	6.52	15.14	565-2162-2-ND	200	55.88	EMVA101ARA680MKE0S
	100	KE0	0.10	440	12.5	13.5	565-2163-1-ND	4.17	6.87	15.94	565-2163-2-ND	200	58.92	EMVA101ARA101MKE0S
	220	LN0	0.10	850	16.0	21.5	565-2164-1-ND	7.20	11.85	27.51	565-2164-2-ND	75	38.10	EMVA101GDA221MLN0S
	220	MH0	0.10	800	18.0	16.5	565-2165-1-ND	8.09	13.33	30.95	565-2165-2-ND	125	71.44	EMVA101GDA221MMH0S
	330	MN0	0.10	1000	18.0	21.5	565-2166-1-ND	7.93	13.07	30.34	565-2166-2-ND	75	42.03	EMVA101GDA331MMN0S

E

UNITED CHEMI-CON | EUROPE CHEMI-CON

Alchip™ Serie MVE Aluminium-Elektrolytkondensatoren (SMT)

Höchsttemperatur: 105 °C Bleifrei/RoHS-konform

Merkmale: Allzweck, lösungsbeständig (6,3-63 V), max. Temperatur 105 °C **Spezifikationen: • Betriebstemperatur:** -40 °C ~ 105 °C **• Kapazitätstoleranz:** ± 20 %

Gehäuseabmessungen:

Größencode	D	L	A	B	C	W	P
D55	4.0	5.2	4.3	4.3	5.1	0.5 ~ 0.8	1.0
E55	5.0	5.2	5.3	5.3	5.9	0.5 ~ 0.8	1.4
F55	6.3	5.2	6.6	6.6	7.2	0.5 ~ 0.8	1.9
F60	6.3	5.7	6.6	6.6	7.2	0.5 ~ 0.8	1.9
F80	6.3	7.7	6.6	6.6	7.2	0.5 ~ 0.8	1.9
HA0	8.0	10.0	8.3	8.3	9.0	0.7 ~ 1.1	3.1
JA0	10.0	10.0	10.3	10.3	11.0	0.7 ~ 1.1	4.5
KE0	12.5	13.5	13.0	13.0	13.7	1.0 ~ 1.3	4.2
KG5	12.5	16.0	13.0	13.0	13.7	1.0 ~ 1.3	4.2
LH0	16.0	16.5	17.0	17.0	18.0	1.0 ~ 1.3	6.5
LN0	16.0	21.5	17.0	17.0	18.0	1.0 ~ 1.3	6.5
MH0	18.0	16.5	19.0	19.0	20.0	1.0 ~ 1.3	6.5
MN0	18.0	21.5	19.0	19.0	20.0	1.0 ~ 1.3	6.5

Anschluss-Code: A
Größencode: D55 ~ KG5

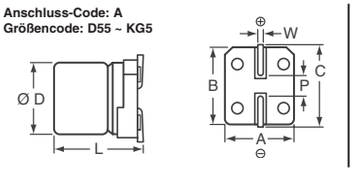

Anschluss-Code: G
Größencode: LH0 ~ MN0

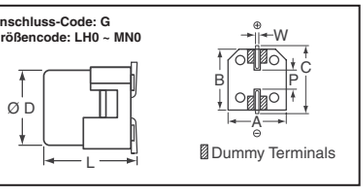

Leckstrom:

Gehäuse: D55-JA0	I = 0,01 CV oder 3 µA nach 2 Minuten @ 20 °C (welcher Wert auch immer größer ist)
Gehäuse: KE0-MN0	I = 0,03 CV oder 4 µA nach 1 Minute @ 20 °C (welcher Wert auch immer größer ist)

Nennbetriebs-spannung (V DC)	Kap. (µF)	Größen-code	Tan δ	Nennmischstrom (mA RMS) @ 105 °C 120 Hz	Abmessungen (mm) D	L	Digi-Key Teilenr.	Preisangaben 5	10	25	Digi-Key Teilenr.	Gegurtet auf Rolle Größe	Preisangaben	United Chemi-Con Teilenr.
	22	D55	0.30	22	4.0	5.2	565-2167-1-ND	.56	.91	2.12	565-2167-2-ND	2,000	38.95/M	EMVE6R3ADA220MD55G
	33	E55	0.30	34	5.0	5.2	565-2168-1-ND	.61	1.00	2.33	565-2168-2-ND	1,000	43.18	EMVE6R3ADA330ME55G
	47	E55	0.30	38	5.0	5.2	565-2169-1-ND	.61	1.00	2.33	565-2169-2-ND	1,000	43.18	EMVE6R3ADA470ME55G
	100	F55	0.30	69	6.3	5.2	565-2170-1-ND	.67	1.10	2.55	565-2170-2-ND	1,000	47.41	EMVE6R3ADA101MF55G
	220	F80	0.45	120	6.3	7.7	565-2171-1-ND	.82	1.35	3.14	565-2171-2-ND	900	51.81	EMVE6R3ADA221MF80G
	330	HA0	0.40	290	8.0	10.0	565-2172-1-ND	1.19	1.96	4.55	565-2172-2-ND	500	41.91	EMVE6R3ADA331MHA0G
	470	HA0	0.45	320	8.0	10.0	565-2173-1-ND	1.19	1.96	4.55	565-2173-2-ND	500	41.91	EMVE6R3ADA471MHA0G
	680	HA0	0.45	340	8.0	10.0	565-2174-1-ND	1.19	1.96	4.55	565-2174-2-ND	500	41.91	EMVE6R3ADA681MHA0G
6.3	1000	JA0	0.40	410	10.0	10.0	565-2175-1-ND	2.01	3.31	7.68	565-2175-2-ND	500	71.11	EMVE6R3ADA102MJA0G
	1500	JA0	0.45	550	10.0	10.0	565-2176-1-ND	2.01	3.31	7.68	565-2176-2-ND	500	71.11	EMVE6R3ADA152MJA0G
	2200	KE0	0.40	680	12.5	13.5	565-2177-1-ND	4.50	7.41	17.20	565-2177-2-ND	200	63.50	EMVE6R3ARA222MKE0S
	2200	LH0	0.40	840	16.0	16.5	565-2178-1-ND	4.77	7.85	18.22	565-2178-2-ND	125	42.02	EMVE6R3GDA222MLH0S
	3300	KG5	0.42	850	12.5	16.0	565-2179-1-ND	4.50	7.41	17.20	565-2179-2-ND	150	47.62	EMVE6R3ARA332MKG5S
	3300	MH0	0.42	1000	18.0	16.5	565-2180-1-ND	7.68	12.64	29.35	565-2180-2-ND	125	67.73	EMVE6R3GDA332MMH0S
	4700	LN0	0.44	1200	16.0	21.5	565-2181-1-ND	8.47	13.95	32.39	565-2181-2-ND	75	44.83	EMVE6R3GDA472MLN0S
	4700	MH0	0.44	1200	18.0	16.5	565-2182-1-ND	7.68	12.64	29.35	565-2182-2-ND	125	67.73	EMVE6R3GDA472MMH0S
	6800	LN0	0.48	1200	16.0	21.5	565-2183-1-ND	8.47	13.95	32.39	565-2183-2-ND	75	44.83	EMVE6R3GDA682MLN0S
	6800	MN0	0.48	1350	18.0	21.5	565-2184-1-ND	8.47	13.95	32.39	565-2184-2-ND	75	44.83	EMVE6R3GDA682MMN0S
	22	E55	0.24	30	5.0	5.2	565-2185-1-ND	.61	1.00	2.33	565-2185-2-ND	1,000	43.18	EMVE100ADA220ME55G
	33	E55	0.24	34	5.0	5.2	565-2186-1-ND	.60	.98	2.29	565-2186-2-ND	1,000	42.33	EMVE100ADA330ME55G
	47	F55	0.24	48	6.3	5.2	565-2187-1-ND	.66	1.08	2.52	565-2187-2-ND	1,000	46.56	EMVE100ADA470MF55G
	100	F55	0.30	69	6.3	5.2	565-2188-1-ND	.65	1.07	2.48	565-2188-2-ND	1,000	45.72	EMVE100ADA101MF55G
	150	F80	0.35	100	6.3	7.7	565-2189-1-ND	.82	1.35	3.14	565-2189-2-ND	900	51.81	EMVE100ADA151MF80G
	220	F80	0.35	120	6.3	7.7	565-2190-1-ND	.82	1.35	3.12	565-2190-2-ND	900	51.81	EMVE100ADA221MF80G
	330	HA0	0.35	290	8.0	10.0	565-2191-1-ND	1.17	1.92	4.46	565-2191-2-ND	500	41.06	EMVE100ADA331MHA0G
10	470	HA0	0.35	320	8.0	10.0	565-2192-1-ND	1.19	1.96	4.54	565-2192-2-ND	500	41.91	EMVE100ADA471MHA0G
	1000	JA0	0.35	410	10.0	10.0	565-2193-1-ND	2.01	3.31	7.68	565-2193-2-ND	500	71.11	EMVE100ADA102MJA0G
	2200	KG5	0.36	750	12.5	16.0	565-2194-1-ND	4.42	7.27	16.88	565-2194-2-ND	150	46.73	EMVE100ARA222MKG5S
	2200	LH0	0.36	850	16.0	16.5	565-2195-1-ND	4.42	7.27	16.88	565-2195-2-ND	125	38.94	EMVE100GDA222MLH0S
	3300	LH0	0.38	1000	16.0	16.5	565-2196-1-ND	4.77	7.85	18.22	565-2196-2-ND	125	42.02	EMVE100GDA332MLH0S
	3300	MH0	0.38	1100	18.0	16.5	565-2197-1-ND	7.68	12.64	29.35	565-2197-2-ND	125	67.73	EMVE100GDA332MMH0S
	4700	LN0	0.40	1300	16.0	21.5	565-2198-1-ND	8.47	13.95	32.39	565-2198-2-ND	75	44.83	EMVE100GDA472MLN0S
	4700	MNO	0.40	1350	18.0	21.5	565-2199-1-ND	8.47	13.95	32.39	565-2199-2-ND	75	44.83	EMVE100GDA472MMN0S
	10	D55	0.20	17	4.0	5.2	565-2201-1-ND	.54	.90	2.08	565-2201-2-ND	2,000	38.10/M	EMVE160ADA100MD55G
	22	E55	0.20	30	5.0	5.2	565-2202-1-ND	.60	.99	2.31	565-2202-2-ND	1,000	42.33	EMVE160ADA220ME55G
	33	F55	0.20	45	6.3	5.2	565-2203-1-ND	.67	1.10	2.55	565-2203-2-ND	1,000	47.41	EMVE160ADA330MF55G
	47	F55	0.20	48	6.3	5.2	565-2200-1-ND	.67	1.10	2.55	565-2200-2-ND	1,000	47.41	EMVE160ADA470MF55G
	100	F55	0.26	69	6.3	5.2	565-2204-1-ND	.66	1.08	2.52	565-2204-2-ND	1,000	46.56	EMVE160ADA101MF55G
	150	F80	0.28	100	6.3	7.7	565-2205-1-ND	.80	1.32	3.06	565-2205-2-ND	900	51.05	EMVE160ADA151MF80G
	220	F80	0.28	120	6.3	7.7	565-2206-1-ND	.81	1.34	3.10	565-2206-2-ND	900	51.81	EMVE160ADA221MF80G
16	330	HA0	0.28	290	8.0	10.0	565-2207-1-ND	1.17	1.92	4.46	565-2207-2-ND	500	41.06	EMVE160ADA331MHA0G
	470	HA0	0.28	320	8.0	10.0	565-2208-1-ND	1.19	1.97	4.57	565-2208-2-ND	500	42.33	EMVE160ADA471MHA0G
	680	JA0	0.28	470	10.0	10.0	565-2209-1-ND	2.01	3.31	7.68	565-2209-2-ND	500	71.11	EMVE160ADA681MJA0G
	1000	KE0	0.30	550	12.5	13.5	565-2210-1-ND	4.42	7.27	16.88	565-2210-2-ND	200	62.31	EMVE160ARA102MKE0S
	1000	LH0	0.30	650	16.0	16.5	565-2211-1-ND	4.42	7.27	16.88	565-2211-2-ND	125	38.94	EMVE160GDA102MLH0S
	2200	LH0	0.32	950	16.0	16.5	565-2212-1-ND	4.77	7.85	18.22	565-2212-2-ND	125	42.02	EMVE160GDA222MLH0S
	2200	MH0	0.32	1000	18.0	16.5	565-2213-1-ND	7.68	12.64	29.35	565-2213-2-ND	125	67.73	EMVE160GDA222MMH0S
	3300	LN0	0.34	1200	16.0	21.5	565-2214-1-ND	8.47	13.95	32.39	565-2214-2-ND	75	44.83	EMVE160GDA332MLN0S
	3300	MH0	0.34	1200	18.0	16.5	565-2215-1-ND	7.68	12.64	29.35	565-2215-2-ND	125	67.73	EMVE160GDA332MMH0S
	10	E55	0.16	27	5.0	5.2	565-2216-1-ND	.60	.99	2.31	565-2216-2-ND	1,000	42.33	EMVE250ADA100ME55G
	22	F55	0.16	44	6.3	5.2	565-2217-1-ND	.66	1.08	2.51	565-2217-2-ND	1,000	46.56	EMVE250ADA220MF55G
	33	F55	0.16	50	6.3	5.2	565-2218-1-ND	.66	1.08	2.52	565-2218-2-ND	1,000	46.56	EMVE250ADA330MF55G
	47	F55	0.16	60	6.3	5.2	565-2219-1-ND	.65	1.08	2.50	565-2219-2-ND	1,000	46.56	EMVE250ADA470MF55G
	100	F80	0.18	100	6.3	7.7	565-2220-1-ND	.81	1.34	3.10	565-2220-2-ND	900	51.81	EMVE250ADA101MF80G
	150	HA0	0.18	240	8.0	10.0	565-2221-1-ND	1.19	1.96	4.55	565-2221-2-ND	500	41.91	EMVE250ADA151MHA0G
25	220	HA0	0.18	320	8.0	10.0	565-2222-1-ND	1.17	1.92	4.45	565-2222-2-ND	500	41.06	EMVE250ADA221MHA0G
	330	JA0	0.16	450	10.0	10.0	565-2223-1-ND	2.01	3.31	7.68	565-2223-2-ND	500	71.11	EMVE250ADA331MJA0G
	470	JA0	0.18	490	10.0	10.0	565-2224-1-ND	2.01	3.31	7.68	565-2224-2-ND	500	71.11	EMVE250ADA471MJA0G
	1000	LH0	0.26	820	16.0	16.5	565-2225-1-ND	4.77	7.85	18.22	565-2225-2-ND	125	42.02	EMVE250GDA102MLH0S
	1000	MH0	0.26	880	18.0	16.5	565-2226-1-ND	7.68	12.64	29.35	565-2226-2-ND	125	67.73	EMVE250GDA102MMH0S
	2200	LN0	0.28	1250	16.0	21.5	565-2227-1-ND	7.04	11.60	26.92	565-2227-2-ND	75	37.28	EMVE250GDA222MLN0S
	2200	MN0	0.28	1300	18.0	21.5	565-2228-1-ND	8.47	13.95	32.39	565-2228-2-ND	75	44.83	EMVE250GDA222MMN0S
	4.7	D55	0.14	16	4.0	5.2	565-2229-1-ND	.54	.90	2.08	565-2229-2-ND	2,000	38.10/M	EMVE350ADA4R7MD55G
	10	E55	0.14	27	5.0	5.2	565-2230-1-ND	.61	1.00	2.32	565-2230-2-ND	1,000	43.18	EMVE350ADA100ME55G
	22	F55	0.14	44	6.3	5.2	565-2231-1-ND	.66	1.09	2.53	565-2231-2-ND	1,000	46.56	EMVE350ADA220MF55G
	33	F60	0.14	54	6.3	5.7	565-2232-1-ND	.68	1.12	2.60	565-2232-2-ND	1,000	48.26	EMVE350ADA330MF60G
	47	F80	0.16	80	6.3	7.7	565-2233-1-ND	.78	1.29	2.99	565-2233-2-ND	900	49.53	EMVE350ADA470MF80G
	100	F80	0.16	100	6.3	7.7	565-2234-1-ND	.82	1.35	3.14	565-2234-2-ND	900	51.81	EMVE350ADA101MF80G
35	150	HA0	0.16	260	8.0	10.0	565-2235-1-ND	1.16	1.91	4.44	565-2235-2-ND	500	41.06	EMVE350ADA151MHA0G
	220	JA0	0.16	375	10.0	10.0	565-2236-1-ND	2.01	3.31	7.68	565-2236-2-ND	500	71.11	EMVE350ADA221MJA0G
	330	JA0	0.16	450	10.0	10.0	565-2237-1-ND	2.01	3.31	7.68	565-2237-2-ND	500	71.11	EMVE350ADA331MJA0G
	470	KE0	0.22	520	12.5	13.5	565-2238-1-ND	4.17	6.87	15.94	565-2238-2-ND	200	58.92	EMVE350ARA471MKE0S
	470	LH0	0.22	650	16.0	16.5	565-2239-1-ND	4.17	6.87	15.94	565-2239-2-ND	125	36.83	EMVE350GDA471MLH0S
	1000	LH0	0.22	750	16.0	16.5	565-2240-1-ND	4.77	7.85	18.22	565-2240-2-ND	125	42.02	EMVE350GDA102MLH0S
	1000	MH0	0.22	1000	18.0	16.5	565-2241-1-ND	7.68	12.64	29.35	565-2241-2-ND	125	67.73	EMVE350GDA102MMH0S
	2200	MN0	0.24	1450	18.0	21.5	565-2242-1-ND	8.68	14.29	33.18	565-2242-2-ND	75	45.91	EMVE350GDA222MMN0S
	0.47	D55	0.12	5.0	4.0	5.2	565-2243-1-ND	.54	.90	2.07	565-2243-2-ND	2,000	38.10/M	EMVE500ADAR47MD55G
	1.0	D55	0.12	8.0	4.0	5.2	565-2244-1-ND	.54	.90	2.07	565-2244-2-ND	2,000	38.10/M	EMVE500ADA1R0MD55G
	2.2	D55	0.12	12	4.0	5.2	565-2245-1-ND	.54	.90	2.07	565-2245-2-ND	2,000	38.10/M	EMVE500ADA2R2MD55G
	3.3	D55	0.12	15	4.0	5.2	565-2246-1-ND	.54	.90	2.08	565-2246-2-ND	2,000	38.10/M	EMVE500ADA3R3MD55G
	4.7	E55	0.12	20	5.0	5.2	565-2247-1-ND	.60	.99	2.29	565-2247-2-ND	1,000	42.33	EMVE500ADA4R7ME55G
50	10	F55	0.12	32	6.3	5.2	565-2248-1-ND	.66	1.08	2.52	565-2248-2-ND	1,000	46.56	EMVE500ADA100MF55G
	22	F60	0.12	47	6.3	5.7	565-2249-1-ND	.68	1.12	2.59	565-2249-2-ND	1,000	48.26	EMVE500ADA220MF60G
	33	F80	0.14	65	6.3	7.7	565-2250-1-ND	.78	1.28	2.97	565-2250-2-ND	900	49.53	EMVE500ADA330MF80G
	47	F80	0.14	80	6.3	7.7	565-2251-1-ND	.80	1.30	3.04	565-2251-2-ND	900	50.29	EMVE500ADA470MF80G
	100	HA0	0.14	230	8.0	10.0	565-2252-1-ND	1.17	1.92	4.45	565-2252-2-ND	500	41.06	EMVE500ADA101MHA0G

(Forts.)

E

Alle Preisangaben in Euro und inklusive Zollgebühren.

Nenn-WV* (V DC)	Kap. (µF)	Größen-code	Tan δ	Nennmischstrom (mA RMS) @ 105 °C 120 Hz	Abmessungen (mm) D	L	Digi-Key Teilenr.	Preisangaben 5	10	25	Digi-Key Teilenr.	Gegurtet auf Rolle Größe	Preisangaben	United Chemi-Con Teilenr.
50	220	JA0	0.14	375	10.0	10.0	565-2253-1-ND	2.01	3.31	7.68	565-2253-2-ND	500	71.11	EMVE500ADA221MJA0G
	330	KE0	0.18	500	12.5	13.5	565-2254-1-ND	4.57	7.53	17.48	565-2254-2-ND	200	64.51	EMVE500ARA331MKE0S
	330	LH0	0.18	600	16.0	16.5	565-2255-1-ND	4.57	7.53	17.48	565-2255-2-ND	125	40.32	EMVE500GDA331MLH0S
	470	LH0	0.18	700	16.0	16.5	565-2256-1-ND	6.36	10.48	24.32	565-2256-2-ND	125	56.09	EMVE500GDA471MLH0S
	470	MH0	0.18	750	18.0	16.5	565-2257-1-ND	7.68	12.64	29.35	565-2257-2-ND	125	67.73	EMVE500GDA471MMH0S
	1000	MN0	0.18	1200	18.0	21.5	565-2258-1-ND	8.25	13.58	31.53	565-2258-2-ND	75	43.68	EMVE500GDA102MMN0S
63	0.47	D55	0.12	5.0	4.0	5.2	565-2259-1-ND	.56	.91	2.12	565-2259-2-ND	2,000	38.95/M	EMVE630ADAR47MD55G
	1.0	D55	0.12	8.0	4.0	5.2	565-2260-1-ND	.56	.91	2.12	565-2260-2-ND	2,000	38.95/M	EMVE630ADA1R0MD55G
	2.2	D55	0.12	12	4.0	5.2	565-2261-1-ND	.56	.91	2.12	565-2261-2-ND	2,000	38.95/M	EMVE630ADA2R2MD55G
	3.3	E55	0.12	17	5.0	5.2	565-2262-1-ND	.61	1.00	2.33	565-2262-2-ND	1,000	43.18	EMVE630ADA3R3ME55G
	4.7	F55	0.12	22	6.3	5.2	565-2263-1-ND	.66	1.09	2.53	565-2263-2-ND	1,000	46.56	EMVE630ADA4R7MF55G
	10	F55	0.12	32	6.3	5.2	565-2264-1-ND	.66	1.09	2.53	565-2264-2-ND	1,000	46.56	EMVE630ADA100MF55G
	22	F80	0.12	58	6.3	7.7	565-2265-1-ND	.82	1.35	3.14	565-2265-2-ND	900	51.81	EMVE630ADA220MF80G
	33	HA0	0.12	140	8.0	10.0	565-2266-1-ND	1.19	1.96	4.55	565-2266-2-ND	500	41.91	EMVE630ADA330MHA0G
	47	HA0	0.12	170	8.0	10.0	565-2267-1-ND	1.19	1.96	4.55	565-2267-2-ND	500	41.91	EMVE630ADA470MHA0G
	100	JA0	0.12	310	10.0	10.0	565-2268-1-ND	2.01	3.31	7.68	565-2268-2-ND	500	71.11	EMVE630ADA101MJA0G
	220	KE0	0.14	470	12.5	13.5	565-2269-1-ND	4.50	7.41	17.20	565-2269-2-ND	200	63.50	EMVE630ARA221MKE0S
	220	LH0	0.14	560	16.0	16.5	565-2270-1-ND	4.77	7.85	18.22	565-2270-2-ND	125	42.02	EMVE630GDA221MLH0S
	330	LH0	0.14	700	16.0	16.5	565-2271-1-ND	4.86	8.00	18.57	565-2271-2-ND	125	42.86	EMVE630GDA331MLH0S
	330	MH0	0.14	750	18.0	16.5	565-2272-1-ND	7.68	12.64	29.35	565-2272-2-ND	125	67.73	EMVE630GDA331MMH0S
	470	LN0	0.14	900	16.0	21.5	565-2273-1-ND	8.47	13.95	32.39	565-2273-2-ND	75	44.83	EMVE630GDA471MLN0S
	470	MH0	0.14	900	18.0	16.5	565-2274-1-ND	7.68	12.64	29.35	565-2274-2-ND	125	67.73	EMVE630GDA471MMH0S
100	22	HA0	0.12	100	8.0	10.0	565-2275-1-ND	1.22	2.00	4.65	565-2275-2-ND	500	42.75	EMVE101ADA220MHA0G
	33	JA0	0.12	150	10.0	10.0	565-2276-1-ND	2.01	3.31	7.68	565-2276-2-ND	500	71.11	EMVE101ADA330MJA0G
	47	KE0	0.10	250	12.5	13.5	565-2277-1-ND	4.23	6.97	16.17	565-2277-2-ND	200	59.77	EMVE101ARA470MKE0S
	68	KE0	0.10	300	12.5	13.5	565-2278-1-ND	4.33	7.12	16.53	565-2278-2-ND	200	60.96	EMVE101ARA680MKE0S
	100	LH0	0.10	450	16.0	16.5	565-2279-1-ND	6.11	10.07	23.38	565-2279-2-ND	125	53.97	EMVE101GDA101MLH0S
	100	KE0	0.10	380	12.5	13.5	565-2280-1-ND	4.23	6.97	16.17	565-2280-2-ND	200	59.77	EMVE101ARA101MKE0S
	220	LN0	0.10	750	16.0	21.5	565-2281-1-ND	8.47	13.95	32.39	565-2281-2-ND	75	44.83	EMVE101GDA221MLN0S
	220	MH0	0.10	750	18.0	16.5	565-2282-1-ND	7.66	12.61	29.28	565-2282-2-ND	125	67.63	EMVE101GDA221MMH0S
	330	MN0	0.10	980	18.0	21.5	565-2283-1-ND	8.37	13.78	32.00	565-2283-2-ND	75	44.32	EMVE101GDA331MMN0S

UNITED CHEMI-CON EUROPE CHEMI-CON

Alchip™ Serie MVH Aluminium-Elektrolytkondensatoren (SMT)

Höchsttemperatur: 125 °C Bleifrei/RoHS-konform

Merkmale: Hohe Temperatur (125 °C), lösungsbeständig (10-50 V) **Spezifikationen:** • **Betriebstemperatur:** -40 °C ~ 125 °C • **Kapazitätstoleranz:** ±20 %

Gehäuseabmessungen:

Größencode	D	L	A	B	C	W	P
F60	6.3	5.7	6.6	6.6	7.2	0.5 ~ 0.8	1.9
F80	6.3	7.7	6.6	6.6	7.2	0.5 ~ 0.8	1.9
H63	8.0	6.3	8.3	8.3	9.0	05 ~ 0.8	2.3
HA0	8.0	10.0	8.3	8.3	9.0	0.7 ~ 1.1	3.1
JA0	10.0	10.0	10.3	10.3	11.0	0.7 ~ 1.1	4.5
KE0	12.5	13.5	13.0	13.0	13.7	1.0 ~ 1.3	4.2
KG5	12.5	16.0	13.0	13.0	13.7	1.0 ~ 1.3	4.2
LH0	16.0	16.5	17.0	17.0	18.0	1.0 ~ 1.3	6.5
LN0	16.0	21.5	17.0	17.0	18.0	1.0 ~ 1.3	6.5
MH0	18.0	16.5	19.0	19.0	20.0	1.0 ~ 1.3	6.5
MN0	18.0	21.5	19.0	19.0	20.0	1.0 ~ 1.3	6.5

Anschluss-Code: A
Größencode: F60 ~ KG5

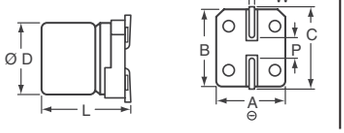

Anschluss-Code: G
Größencode: LH0 ~ MN0

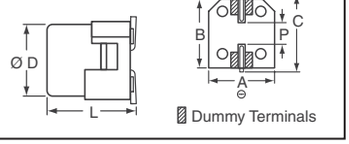

Leckstrom @ 20 °C 120 Hz:

Gehäuse F60 ~ JA0	I= 0,01 CV oder 3 µA, wobei der größere Wert maßgeblich ist
Gehäuse KE0 ~ MN0	I= 0,03 CV oder 4 µA, wobei der größere Wert maßgeblich ist

Dissipationsfaktor @ 20 °C 120 Hz:

Nennspannung (V)	10	16	25	35	50	63	100
Gehäuse: F60-JA0	0.24	0.20	0.16	0.14	0.14	0.12	0.10
Gehäuse: KE0-MN0	0.22	0.18	0.16	0.14	0.12	0.14	0.10

Nenn-WV* (V DC)	Kap. (µF)	Größen-code	Max. ESR (Ω) @ 100 kHz 20°C	-40°C	Nennmischstrom (mA RMS) 100KHz	Abmessungen (mm) D	L	Digi-Key Teilenr.	Preisangaben 5	10	25	Digi-Key Teilenr.	Gegurtet auf Rolle Größe	Preisangaben	United Chemi Con Teilenr.
10	100	F80	0.90	14.0	110	6.3	7.7	565-2284-1-ND	.82	1.35	3.14	565-2284-2-ND	900	51.81	EMVH100ADA101MF80G
	100	H63	0.90	14.0	110	8.0	6.3	565-2285-1-ND	1.06	1.74	4.05	565-2285-2-ND	1,000	74.50	EMVH100ADA101MH63G
	220	HA0	0.40	6.0	220	8.0	10.0	565-2286-1-ND	1.55	2.55	5.92	565-2286-2-ND	500	54.61	EMVH100ADA221MHA0G
	330	JA0	0.30	4.5	296	10.0	10.0	565-2287-1-ND	2.62	4.31	10.00	565-2287-2-ND	500	92.28	EMVH100ADA331MJA0G
	1000	KE0	0.14	2.1	750	12.5	13.5	565-2288-1-ND	4.68	7.70	17.89	565-2288-2-ND	200	66.03	EMVH100ARA102MKE0S
	2200	LH0	0.10	1.5	1000	16.0	16.5	565-2289-1-ND	6.91	11.38	26.41	565-2289-2-ND	125	60.96	EMVH100GDA222MLH0S
	2200	MH0	0.10	1.5	1200	18.0	16.5	565-2290-1-ND	8.28	13.63	31.65	565-2290-2-ND	125	73.02	EMVH100GDA222MMH0S
	3300	MH0	0.10	1.5	1200	18.0	16.5	565-2291-1-ND	8.28	13.63	31.65	565-2291-2-ND	125	73.02	EMVH100GDA332MMH0S
	4700	MN0	0.058	0.87	1550	18.0	21.5	565-2292-1-ND	9.53	15.70	36.45	565-2292-2-ND	75	50.48	EMVH100GDA472MMN0S
16	47	F60	1.6	24.0	69	6.3	5.7	565-2293-1-ND	.80	1.32	3.06	565-2293-2-ND	1,000	56.72	EMVH160ADA470MF60G
	470	KE0	0.14	2.1	750	12.5	13.5	565-2294-1-ND	4.57	7.53	17.48	565-2294-2-ND	200	64.51	EMVH160ARA471MKE0S
	680	KE0	0.14	2.1	750	12.5	13.5	565-2295-1-ND	4.76	7.83	18.18	565-2295-2-ND	200	67.22	EMVH160ARA681MKE0S
	680	LH0	0.10	1.5	1000	16.0	16.5	565-2296-1-ND	7.02	11.56	26.83	565-2296-2-ND	125	61.91	EMVH160GDA681MLH0S
	1000	MH0	0.10	1.5	1200	18.0	16.5	565-2297-1-ND	8.28	13.63	31.65	565-2297-2-ND	125	73.02	EMVH160GDA102MMH0S
	2200	MH0	0.10	1.5	1200	18.0	16.5	565-2298-1-ND	8.28	13.63	31.65	565-2298-2-ND	125	73.02	EMVH160GDA222MMH0S
25	33	F60	1.6	24.0	69	6.3	5.7	565-2299-1-ND	.80	1.32	3.06	565-2299-2-ND	1,000	56.72	EMVH250ADA330MF60G
	47	F80	0.90	14.0	110	6.3	7.7	565-2300-1-ND	.82	1.35	3.14	565-2300-2-ND	900	51.81	EMVH250ADA470MF80G
	47	H63	0.90	14.0	110	8.0	6.3	565-2301-1-ND	.99	1.63	3.78	565-2301-2-ND	1,000	69.42	EMVH250ADA470MH63G
	100	HA0	0.40	6.0	220	8.0	10.0	565-2302-1-ND	1.55	2.56	5.93	565-2302-2-ND	500	54.61	EMVH250ADA101MHA0G
	220	JA0	0.30	4.5	296	10.0	10.0	565-2303-1-ND	2.62	4.31	10.00	565-2303-2-ND	500	92.28	EMVH250ADA221MJA0G
	330	KE0	0.14	2.1	750	12.5	13.5	565-2304-1-ND	4.69	7.73	17.95	565-2304-2-ND	200	66.20	EMVH250ARA331MKE0S
	470	KE0	0.14	2.1	750	12.5	13.5	565-2305-1-ND	4.76	7.83	18.18	565-2305-2-ND	200	67.22	EMVH250ARA471MKE0S
	470	LH0	0.10	1.5	1000	16.0	16.5	565-2306-1-ND	7.02	11.56	26.83	565-2306-2-ND	125	61.91	EMVH250GDA471MLH0S
	680	LH0	0.10	1.5	1000	16.0	16.5	565-2307-1-ND	7.02	11.56	26.83	565-2307-2-ND	125	61.91	EMVH250GDA681MLH0S
	680	MH0	0.10	1.5	1200	18.0	16.5	565-2308-1-ND	8.21	13.53	31.41	565-2308-2-ND	125	72.49	EMVH250GDA681MMH0S
	1000	MN0	0.058	0.87	1550	18.0	21.5	565-2309-1-ND	8.81	14.52	33.70	565-2309-2-ND	75	46.67	EMVH250GDA102MMN0S
35	10	F60	1.6	24.0	69	6.3	5.7	565-2310-1-ND	.74	1.22	2.83	565-2310-2-ND	1,000	52.49	EMVH350ADA100MF60G
	22	F60	1.6	24.0	69	6.3	5.7	565-2311-1-ND	.75	1.24	2.89	565-2311-2-ND	1,000	53.34	EMVH350ADA220MF60G
	33	F80	0.90	14.0	110	6.3	7.7	565-2312-1-ND	.82	1.35	3.14	565-2312-2-ND	900	51.81	EMVH350ADA330MF80G
	33	H63	0.90	14.0	110	8.0	6.3	565-2313-1-ND	1.00	1.64	3.81	565-2313-2-ND	1,000	70.27	EMVH350ADA330MH63G
	47	HA0	0.40	6.0	220	8.0	10.0	565-2314-1-ND	1.44	2.37	5.50	565-2314-2-ND	500	50.80	EMVH350ADA470MHA0G
	100	JA0	0.30	4.5	296	10.0	10.0	565-2315-1-ND	2.64	4.35	10.10	565-2315-2-ND	500	93.13	EMVH350ADA101MJA0G
	330	KE0	0.14	2.1	750	12.5	13.5	565-2316-1-ND	4.68	7.70	17.89	565-2316-2-ND	200	66.03	EMVH350ARA331MKE0S
	330	LH0	0.10	1.5	1000	16.0	16.5	565-2317-1-ND	4.76	7.83	18.18	565-2317-2-ND	125	42.02	EMVH350GDA331MLH0S
	470	KG5	0.11	1.5	900	12.5	16.0	565-2318-1-ND	5.10	8.39	19.48	565-2318-2-ND	150	53.97	EMVH350ARA471MKG5S
	470	LH0	0.10	1.5	1000	16.0	16.5	565-2319-1-ND	7.14	11.75	27.28	565-2319-2-ND	125	62.97	EMVH350GDA471MLH0S
	680	MH0	0.10	1.5	1200	18.0	16.5	565-2320-1-ND	8.28	13.63	31.65	565-2320-2-ND	125	73.02	EMVH350GDA681MMH0S
50	10	F60	2.8	42.0	51	6.3	5.7	565-2321-1-ND	.73	1.19	2.77	565-2321-2-ND	1,000	50.80	EMVH500ADA100MF60G
	22	F80	2.0	30.0	83	6.3	7.7	565-2322-1-ND	.82	1.35	3.14	565-2322-2-ND	900	51.81	EMVH500ADA220MF80G
	22	H63	1.6	30.0	83	8.0	6.3	565-2323-1-ND	.92	1.52	3.52	565-2323-2-ND	1,000	65.19	EMVH500ADA220MH63G
	33	HA0	0.70	11.0	160	8.0	10.0	565-2324-1-ND	1.46	2.41	5.60	565-2324-2-ND	500	51.64	EMVH500ADA330MHA0G

*Betriebsspannung

(Forts.)

Alchip™ Serie MVH Aluminium-Elektrolytkondensatoren (SMT) *(Forts.)*

Nenn-WV* (V DC)	Kap. (µF)	Größen-code	Max. ESR (Ω) @ 100 kHz 20°C	Max. ESR (Ω) @ 100 kHz -40°C	Nennmischstrom (mA RMS) 100KHz	Abmessungen (mm) D	Abmessungen (mm) L	Digi-Key Teilenr.	Preisangaben 5	Preisangaben 10	Preisangaben 25	Digi-Key Teilenr.	Gegurtet auf Rolle Größe	Gegurtet auf Rolle Preisangaben	United Chemi-Con Teilenr.
	47	JA0	0.50	7.5	247	10.0	10.0	565-2325-1-ND	2.20	3.62	8.42	565-2325-2-ND	500	77.89	EMVH500ADA470MJA0G
	100	KE0	0.23	3.5	550	12.5	13.5	565-2326-1-ND	4.39	7.22	16.77	565-2326-2-ND	200	61.97	EMVH500ARA101MKE0S
	220	KE0	0.23	3.5	550	12.5	13.5	565-2327-1-ND	4.50	7.42	17.24	565-2327-2-ND	200	63.66	EMVH500ARA221MKE0S
50	220	LH0	0.15	2.3	850	16.0	16.5	565-2328-1-ND	7.50	12.36	28.69	565-2328-2-ND	125	66.25	EMVH500GDA221MLH0S
	330	KG5	0.18	2.7	700	12.5	16.0	565-2329-1-ND	5.32	8.75	20.31	565-2329-2-ND	150	56.26	EMVH500ARA331MKG5S
	330	LH0	0.15	2.3	850	16.0	16.5	565-2330-1-ND	5.32	8.75	20.31	565-2330-2-ND	125	46.88	EMVH500GDA331MLH0S
	470	MH0	0.15	2.3	920	18.0	16.5	565-2331-1-ND	7.56	12.45	28.89	565-2331-2-ND	125	66.67	EMVH500GDA471MMH0S
	10	F80	2.0	100	60	6.3	7.7	565-2332-1-ND	.80	1.30	3.03	565-2332-2-ND	900	50.29	EMVH630ADA100MF80G
	10	H63	2.0	110	60	8.0	6.3	565-2333-1-ND	.85	1.39	3.23	565-2333-2-ND	1,000	59.26	EMVH630ADA100MH63G
	22	HA0	0.70	35.0	100	8.0	10.0	565-2334-1-ND	1.24	2.05	4.75	565-2334-2-ND	500	44.02	EMVH630ADA220MHA0G
63	33	JA0	0.50	25.0	170	10.0	10.0	565-2335-1-ND	2.64	4.35	10.10	565-2335-2-ND	500	93.13	EMVH630ADA330MJA0G
	100	KE0	0.25	12.5	500	12.5	13.5	565-2336-1-ND	4.08	6.71	15.59	565-2336-2-ND	200	57.57	EMVH630ARA101MKE0S
	220	KG5	0.20	10.0	600	12.5	16.0	565-2337-1-ND	5.00	8.24	19.13	565-2337-2-ND	150	52.95	EMVH630ARA221MKG5S
	330	LH0	0.18	9.0	820	16.0	16.5	565-2338-1-ND	5.76	9.48	22.01	565-2338-2-ND	125	50.80	EMVH630GDA331MLH0S
	470	LN0	0.11	5.5	1100	16.0	21.5	565-2339-1-ND	5.76	9.48	22.01	565-2339-2-ND	75	30.48	EMVH630GDA471MLN0S
	10	HA0	0.75	50.0	70	8.0	10.0	565-2340-1-ND	1.23	2.02	4.70	565-2340-2-ND	500	43.18	EMVH101ADA100MHA0G
	22	JA0	0.55	35.0	115	10.0	10.0	565-2341-1-ND	2.62	4.31	10.00	565-2341-2-ND	500	92.28	EMVH101ADA220MJA0G
100	47	KE0	0.33	16.5	450	12.5	13.5	565-2342-1-ND	4.50	7.41	17.19	565-2342-2-ND	200	63.50	EMVH101ARA470MKE0S
	68	KG5	0.26	13.0	550	12.5	16.0	565-2343-1-ND	5.06	8.34	19.36	565-2343-2-ND	150	53.59	EMVH101ARA680MKG5S
	100	LH0	0.24	12.0	650	16.0	16.5	565-2344-1-ND	6.92	11.40	26.45	565-2344-2-ND	125	61.07	EMVH101GDA101MLH0S
	220	MN0	0.16	8.0	950	18.0	21.5	565-2345-1-ND	9.35	15.42	35.78	565-2345-2-ND	75	49.53	EMVH101GDA221MMN0S

Alchip™ Serie MVK Aluminium-Elektrolytkondensatoren (SMT)

Allgemeiner Verwendungszweck, niedriges Profil 105 °C Bleifrei/RoHS-konform

Merkmale: Allzweck, Niedrigprofil, lösungsbeständig, max. Temperatur 105 °C **Spezifikationen:** • **Betriebstemperaturbereich:** -40 °C ~ 105 °C • **Kapazitätstoleranz:** ±20 % • **Leckstrom @ 20 °C nach 2 Minuten:** I = 0,01 CV oder 3 µA (welcher Wert auch immer größer ist)

Gehäuseabmessungen:

Größencode	D	L	A	B	C	W	P
D55	4.0	5.2	4.3	4.3	5.1	0.5 ~ 0.8	1.0
D60	4.0	5.7	4.3	4.3	5.1	0.5 ~ 0.8	1.0
E55	5.0	5.2	5.3	5.3	5.9	0.5 ~ 0.8	1.4
E60	5.0	5.7	5.3	5.3	5.9	0.5 ~ 0.8	1.4
F55	6.3	5.2	6.6	6.6	7.2	0.5 ~ 0.8	1.9
F60	6.3	5.7	6.6	6.6	7.2	0.5 ~ 0.8	1.9
H63	8.0	6.3	8.3	8.3	9.0	0.5 ~ 0.8	2.3
HA0	8.0	10.0	8.3	8.3	9.0	0.7 ~ 1.1	3.1
JA0	10.0	10.0	10.3	10.3	11.0	0.7 ~ 1.1	4.5

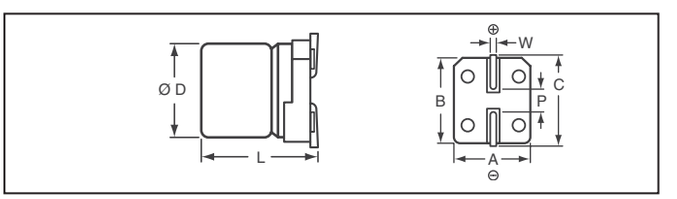

Nenn-WV* (V DC)	Kap. (µF)	Größen-code	Tan δ	Nennmischstrom (mA RMS) @ 85 °C 120 Hz	Abmessungen (mm) D	Abmessungen (mm) L	Digi-Key Teilenr.	Preisangaben 5	Preisangaben 10	Preisangaben 25	Digi-Key Teilenr.	Gegurtet auf Rolle Größe	Gegurtet auf Rolle Preisangaben	United Chemi-Con Teilenr.
	22	D55	0.30	21	4.0	5.2	565-2346-1-ND	.49	.81	1.88	565-2346-2-ND	2,000	34.71/M	EMVK6R3ADA220MD55G
	47	E55	0.30	36	5.0	5.2	565-2347-1-ND	.69	1.13	2.62	565-2347-2-ND	1,000	48.26	EMVK6R3ADA470ME55G
6.3	100	F55	0.30	56	6.3	5.2	565-2348-1-ND	.72	1.19	2.75	565-2348-2-ND	1,000	50.80	EMVK6R3ADA101MF55G
	330	HA0	0.40	290	8.0	10.0	565-2349-1-ND	1.35	2.23	5.16	565-2349-2-ND	500	47.83	EMVK6R3ADA331MHA0G
	1000	JA0	0.40	410	10.0	10.0	565-2350-1-ND	1.98	3.26	7.57	565-2350-2-ND	500	69.84	EMVK6R3ADA102MJA0G
	33	E55	0.24	34	5.0	5.2	565-2351-1-ND	.69	1.13	2.62	565-2351-2-ND	1,000	48.26	EMVK100ADA330ME55G
10	100	H63	0.30	90	8.0	6.3	565-2352-1-ND	.85	1.40	3.23	565-2352-2-ND	1,000	60.11	EMVK100ADA101MH63G
	220	HA0	0.30	180	8.0	10.0	565-2353-1-ND	1.35	2.23	5.16	565-2353-2-ND	500	47.83	EMVK100ADA221MHA0G
	10	D55	0.20	16	4.0	5.2	565-2354-1-ND	.52	.86	2.00	565-2354-2-ND	2,000	37.25/M	EMVK160ADA100MD55G
16	22	E55	0.20	30	5.0	5.2	565-2355-1-ND	.69	1.13	2.62	565-2355-2-ND	1,000	48.26	EMVK160ADA220ME55G
	47	F55	0.20	48	6.3	5.2	565-2356-1-ND	.72	1.19	2.75	565-2356-2-ND	1,000	50.80	EMVK160ADA470MF55G
	470	JA0	0.26	460	10.0	10.0	565-2357-1-ND	1.98	3.26	7.57	565-2357-2-ND	500	69.84	EMVK160ADA471MJA0G
	33	F55	0.16	45	6.3	5.2	565-2358-1-ND	.72	1.19	2.75	565-2358-2-ND	1,000	50.80	EMVK250ADA330MF55G
25	47	H63	0.16	80	8.0	6.3	565-2359-1-ND	.85	1.40	3.23	565-2359-2-ND	1,000	60.11	EMVK250ADA470MH63G
	100	HA0	0.16	180	8.0	10.0	565-2360-1-ND	1.35	2.23	5.16	565-2360-2-ND	500	47.83	EMVK250ADA101MHA0G
	330	JA0	0.16	450	10.0	10.0	565-2361-1-ND	1.98	3.26	7.57	565-2361-2-ND	500	69.84	EMVK250ADA331MJA0G
	4.7	D55	0.14	15	4.0	5.2	565-2362-1-ND	.52	.86	2.00	565-2362-2-ND	2,000	37.25/M	EMVK350ADA4R7MD55G
	10	E55	0.14	25	5.0	5.2	565-2363-1-ND	.69	1.13	2.62	565-2363-2-ND	1,000	48.26	EMVK350ADA100ME55G
35	22	F55	0.14	40	6.3	5.2	565-2364-1-ND	.72	1.19	2.75	565-2364-2-ND	1,000	50.80	EMVK350ADA220MF55G
	33	H63	0.14	80	8.0	6.3	565-2365-1-ND	.85	1.40	3.23	565-2365-2-ND	1,000	60.11	EMVK350ADA330MH63G
	220	JA0	0.14	375	10.0	10.0	565-2366-1-ND	1.98	3.26	7.57	565-2366-2-ND	500	69.84	EMVK350ADA221MJA0G
	0.10	D55	0.12	1.3	4.0	5.2	565-2367-1-ND	.52	.86	2.00	565-2367-2-ND	2,000	37.25/M	EMVK500ADAR10MD55G
	0.22	D55	0.12	2.6	4.0	5.2	565-2368-1-ND	.72	1.19	2.75	565-2368-2-ND	2,000	50.80/M	EMVK500ADAR22MD55G
	0.33	D55	0.12	3.2	4.0	5.2	565-2369-1-ND	.72	1.19	2.75	565-2369-2-ND	2,000	50.80/M	EMVK500ADAR33MD55G
	0.47	D55	0.12	3.8	4.0	5.2	565-2370-1-ND	.52	.86	2.00	565-2370-2-ND	2,000	37.25/M	EMVK500ADAR47MD55G
	1.0	D55	0.12	5.6	4.0	5.2	565-2371-1-ND	.52	.86	2.00	565-2371-2-ND	2,000	37.25/M	EMVK500ADA1R0MD55G
	2.2	D55	0.12	10	4.0	5.2	565-2372-1-ND	.52	.86	2.00	565-2372-2-ND	2,000	37.25/M	EMVK500ADA2R2MD55G
50	3.3	D55	0.12	14	4.0	5.2	565-2373-1-ND	.52	.86	2.00	565-2373-2-ND	2,000	37.25/M	EMVK500ADA3R3MD55G
	4.7	E55	0.12	19	5.0	5.2	565-2374-1-ND	.90	1.48	3.44	565-2374-2-ND	1,000	63.50	EMVK500ADA4R7ME55G
	10	F55	0.12	29	6.3	5.2	565-2375-1-ND	.72	1.19	2.75	565-2375-2-ND	1,000	50.80	EMVK500ADA100MF55G
	22	H63	0.12	70	8.0	6.3	565-2376-1-ND	.85	1.40	3.23	565-2376-2-ND	1,000	60.11	EMVK500ADA220MH63G
	33	HA0	0.12	140	8.0	10.0	565-2377-1-ND	1.24	2.03	4.72	565-2377-2-ND	500	43.60	EMVK500ADA330MHA0G
	47	HA0	0.12	170	8.0	10.0	565-2378-1-ND	1.35	2.23	5.16	565-2378-2-ND	500	47.83	EMVK500ADA470MHA0G
	100	JA0	0.12	310	10.0	10.0	565-2379-1-ND	1.98	3.26	7.57	565-2379-2-ND	500	69.84	EMVK500ADA101MJA0G
							Serie Bi-Polar							
	10	D60	0.35	14	4.0	5.7	565-2404-1-ND	.82	1.35	3.12	565-2404-2-ND	2,000	57.57/M	BMVK6R3ADA100MD60G
6.3	22	E60	0.35	25	5.0	5.7	565-2405-1-ND	.72	1.19	2.75	565-2405-2-ND	1,000	50.80	BMVK6R3ADA220ME60G
	47	F60	0.35	39	6.3	5.7	565-2406-1-ND	1.08	1.78	4.13	565-2406-2-ND	1,000	76.19	BMVK6R3ADA470MF60G
	6.8	D60	0.26	13	4.0	5.7	565-2380-1-ND	.81	1.34	3.10	565-2380-2-ND	2,000	57.57/M	BMVK100ADA6R8MD60G
10	15	E60	0.26	22	5.0	5.7	565-2381-1-ND	.72	1.19	2.75	565-2381-2-ND	1,000	50.80	BMVK100ADA150ME60G
	33	F60	0.26	35	6.3	5.7	565-2382-1-ND	1.08	1.78	4.13	565-2382-2-ND	1,000	76.19	BMVK100ADA330MF60G
	4.7	D60	0.24	12	4.0	5.7	565-2383-1-ND	.81	1.34	3.10	565-2383-2-ND	2,000	57.57/M	BMVK160ADA4R7MD60G
16	10	E60	0.24	20	5.0	5.7	565-2384-1-ND	.72	1.19	2.75	565-2384-2-ND	1,000	50.80	BMVK160ADA100ME60G
	22	F60	0.24	32	6.3	5.7	565-2385-1-ND	1.08	1.78	4.13	565-2385-2-ND	1,000	76.19	BMVK160ADA220MF60G
	3.3	D60	0.20	10	4.0	5.7	565-2386-1-ND	.81	1.34	3.11	565-2386-2-ND	2,000	57.57/M	BMVK250ADA3R3MD60G
25	6.8	E60	0.20	17	5.0	5.7	565-2387-1-ND	.72	1.19	2.75	565-2387-2-ND	1,000	50.80	BMVK250ADA6R8ME60G
	15	F60	0.20	28	6.3	5.7	565-2388-1-ND	1.08	1.79	4.14	565-2388-2-ND	1,000	76.19	BMVK250ADA150MF60G
	2.2	D60	0.18	8.8	4.0	5.7	565-2389-1-ND	2.34	3.85	8.94	565-2389-2-ND	2,000	165.09/M	BMVK350ADA2R2MD60G
35	4.7	E60	0.18	15	5.0	5.7	565-2390-1-ND	.72	1.19	2.75	565-2390-2-ND	1,000	50.80	BMVK350ADA4R7ME60G
	10	F60	0.18	23	6.3	5.7	565-2391-1-ND	1.08	1.78	4.13	565-2391-2-ND	1,000	76.19	BMVK350ADA100MF60G
	0.10	D60	0.18	1.3	4.0	5.7	565-2392-1-ND	.82	1.35	3.12	565-2392-2-ND	2,000	57.57/M	BMVK500ADAR10MD60G
	0.15	D60	0.18	1.9	4.0	5.7	565-2393-1-ND	.81	1.34	3.10	565-2393-2-ND	2,000	57.57/M	BMVK500ADAR15MD60G
	0.22	D60	0.18	2.3	4.0	5.7	565-2394-1-ND	.82	1.35	3.12	565-2394-2-ND	2,000	57.57/M	BMVK500ADAR22MD60G
	0.33	D60	0.18	2.8	4.0	5.7	565-2395-1-ND	.82	1.35	3.14	565-2395-2-ND	2,000	57.57/M	BMVK500ADAR33MD60G
	0.47	D60	0.18	3.4	4.0	5.7	565-2396-1-ND	.82	1.35	3.12	565-2396-2-ND	2,000	57.57/M	BMVK500ADAR47MD60G
50	0.68	D60	0.18	4.1	4.0	5.7	565-2397-1-ND	.81	1.34	3.10	565-2397-2-ND	2,000	57.57/M	BMVK500ADAR68MD60G
	1.0	D60	0.18	5.5	4.0	5.7	565-2398-1-ND	.82	1.35	3.12	565-2398-2-ND	2,000	57.57/M	BMVK500ADA1R0MD60G
	1.5	D60	0.18	7.5	4.0	5.7	565-2399-1-ND	.81	1.34	3.10	565-2399-2-ND	2,000	57.57/M	BMVK500ADA1R5MD60G
	2.2	E60	0.18	10	5.0	5.7	565-2400-1-ND	.72	1.19	2.75	565-2400-2-ND	1,000	50.80	BMVK500ADA2R2ME60G
	3.3	E60	0.18	13	5.0	5.7	565-2401-1-ND	.72	1.19	2.75	565-2401-2-ND	1,000	50.80	BMVK500ADA3R3ME60G
	4.7	F60	0.18	16	6.3	5.7	565-2402-1-ND	1.08	1.78	4.13	565-2402-2-ND	1,000	76.19	BMVK500ADA4R7MF60G
	6.8	F60	0.18	20	6.3	5.7	565-2403-1-ND	1.08	1.78	4.13	565-2403-2-ND	1,000	76.19	BMVK500ADA6R8MF60G

*Betriebsspannung

Alle Preisangaben in Euro und inklusive Zollgebühren.

Alchip™ Serie MVY Aluminium-Elektrolytkondensatoren (SMT)

Allzweck 105 °C Bleifrei/RoHS-konform

Merkmale: Niedrige Impedanz, lösungsbeständig (6,3-63 V), max. Temperatur 105 °C **Spezifikationen:** • **Betriebstemperaturbereich:** -55 °C ~ 105 °C (6,3 ~ 63V), -40 °C ~ 105 °C (100 V) • **Kapazitätstoleranz:** ± 20 % • **Leckstrom** @ 20 °C nach 2 Minuten: I = 0,01 CV oder 3 µA (welcher Wert auch immer größer ist)

Gehäuseabmessungen:

Größencode	D	L	A	B	C	W	P
D55	4	5.2	4.3	4.3	5.1	0.5 ~ 0.8	1.0
E55	5	5.2	5.3	5.3	5.9	0.5 ~ 0.8	1.4
F55	6.3	5.2	6.6	6.6	7.2	0.5 ~ 0.8	1.9
F80	6.3	7.7	6.6	6.6	7.2	0.5 ~ 0.8	1.9
HA0	8	10.0	8.3	8.3	9.0	0.7 ~ 1.1	3.1
JA0	10	10.0	10.3	10.3	11.0	0.7 ~ 1.1	4.5
KE0	12.5	13.5	13.0	13.0	13.7	1.0 ~ 1.3	4.2
KG5	12.5	16.0	13.0	13.0	13.7	1.0 ~ 1.3	4.2
LH0	16	16.5	17.0	17.0	18.0	1.0 ~ 1.3	6.5
LN0	16	21.5	17.0	17.0	18.0	1.0 ~ 1.3	6.5
MH0	18	16.5	19.0	19.0	20.0	1.0 ~ 1.3	6.5
MN0	18	21.5	19.0	19.0	20.0	1.0 ~ 1.3	6.5

Anschluss-Code: A
Größencode: D55 ~ KG5

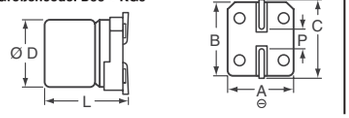

Anschluss-Code: G
Größencode: LH0 ~ MN0

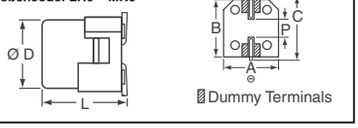

Dissipationsfaktor @ 20 °C 120 Hz:

Nennspannung (V DC)		6.3V	10V	16V	25V	35V	50V	63V	100V
Tan δ (max.)	D55 ~ F80	0.24	0.20	0.16	0.14	0.12	0.12	—	—
	HA0 ~ JA0	0.28	0.24	0.20	0.16	0.14	0.12	—	—
	KE0 ~ MN0	0.26	0.22	0.18	0.16	0.14	0.12	0.14	0.10

Wenn die Nennkapazität 1.000 µF übersteigt, 0,02 zum Wert einer jeden 1.000 µF-Überschreitung addieren.

Nenn-WV* (V DC)	Kap. (µF)	Größen-code	Max. Impedanz (Ω) @ 100 kHz 20 °C	Nennmischstrom (mA RMS) 85 °C 120 Hz	Abmessungen (mm) D	L	Digi-Key Teilenr.	Preisangaben 5	10	25	Digi-Key Teilenr.	Gegurtet auf Rolle Größe	Preisangaben	United Chemi-Con Teilenr.
6.3	22	D55	3.0	60	4.0	5.2	565-2407-1-ND	.54	.89	2.07	565-2407-2-ND	2,000	38.10/M	EMVY6R3ADA220MD55G
	33	E55	1.8	95	5.0	5.2	565-2408-1-ND	.72	1.19	2.75	565-2408-2-ND	1,000	50.80	EMVY6R3ADA330ME55G
	47	E55	1.8	95	5.0	5.2	565-2409-1-ND	.72	1.19	2.75	565-2409-2-ND	1,000	50.80	EMVY6R3ADA470ME55G
	100	F55	1.0	140	6.3	5.2	565-2410-1-ND	.72	1.19	2.75	565-2410-2-ND	1,000	50.80	EMVY6R3ADA101MF55G
	220	F55	1.0	140	6.3	5.2	565-2411-1-ND	.72	1.19	2.75	565-2411-2-ND	1,000	50.80	EMVY6R3ADA221MF55G
	330	F80	0.34	280	6.3	7.7	565-2412-1-ND	.90	1.48	3.44	565-2412-2-ND	900	57.15	EMVY6R3ADA331MF80G
	470	HA0	0.30	450	8.0	10.0	565-2413-1-ND	1.40	2.30	5.35	565-2413-2-ND	500	49.53	EMVY6R3ADA471MHA0G
	680	HA0	0.30	450	8.0	10.0	565-2414-1-ND	1.47	2.43	5.64	565-2414-2-ND	500	52.07	EMVY6R3ADA681MHA0G
	1000	HA0	0.30	450	8.0	10.0	565-2415-1-ND	1.44	2.37	5.50	565-2415-2-ND	500	50.80	EMVY6R3ADA102MHA0G
	1500	JA0	0.15	670	10.0	10.0	565-2416-1-ND	2.34	3.85	8.94	565-2416-2-ND	500	82.54	EMVY6R3ADA152MJA0G
	2200	KE0	0.070	820	12.5	13.5	565-2417-1-ND	4.60	7.58	17.59	565-2417-2-ND	200	65.02	EMVY6R3ARA222MKE0S
	2200	LH0	0.054	1260	16.0	16.5	565-2418-1-ND	6.64	10.94	25.38	565-2418-2-ND	125	58.63	EMVY6R3GDA222MLH0S
	3300	KG5	0.060	950	12.5	16.0	565-2419-1-ND	4.88	8.03	18.65	565-2419-2-ND	150	51.68	EMVY6R3ARA332MKG5S
	3300	MH0	0.054	1350	18.0	16.5	565-2420-1-ND	4.88	8.03	18.65	565-2420-2-ND	125	43.08	EMVY6R3GDA332MMH0S
	4700	LN0	0.038	1630	16.0	21.5	565-2421-1-ND	7.20	11.85	27.51	565-2421-2-ND	75	38.10	EMVY6R3GDA472MLN0S
	4700	MH0	0.054	1350	18.0	16.5	565-2422-1-ND	7.74	12.74	29.58	565-2422-2-ND	125	68.26	EMVY6R3GDA472MMH0S
	6800	LN0	0.038	1630	16.0	21.5	565-2423-1-ND	7.20	11.85	27.51	565-2423-2-ND	75	38.10	EMVY6R3GDA682MLN0S
	6800	MN0	0.038	1750	18.0	21.5	565-2424-1-ND	9.00	14.82	34.40	565-2424-2-ND	75	47.62	EMVY6R3GDA682MMN0S
	8200	MN0	0.038	1750	18.0	21.5	565-2425-1-ND	9.33	15.36	35.66	565-2425-2-ND	75	49.40	EMVY6R3GDA822MMN0S
10	22	E55	1.8	95	5.0	5.2	565-2426-1-ND	.72	1.19	2.75	565-2426-2-ND	1,000	50.80	EMVY100ADA220ME55G
	33	E55	1.8	95	5.0	5.2	565-2427-1-ND	.72	1.19	2.75	565-2427-2-ND	1,000	50.80	EMVY100ADA330ME55G
	47	F55	.0	140	6.3	5.2	565-2428-1-ND	.72	1.19	2.75	565-2428-2-ND	1,000	50.80	EMVY100ADA470MF55G
	100	F55	1.0	140	6.3	5.2	565-2429-1-ND	.76	1.25	2.90	565-2429-2-ND	1,000	53.34	EMVY100ADA101MF55G
	220	F80	0.34	280	6.3	7.7	565-2430-1-ND	.90	1.48	3.44	565-2430-2-ND	900	57.15	EMVY100ADA221MF80G
	330	HA0	0.30	450	8.0	10.0	565-2431-1-ND	1.27	2.09	4.86	565-2431-2-ND	500	44.87	EMVY100ADA331MHA0G
	470	HA0	0.30	450	8.0	10.0	565-2432-1-ND	1.27	2.09	4.86	565-2432-2-ND	500	44.87	EMVY100ADA471MHA0G
	680	JA0	0.15	670	10.0	10.0	565-2433-1-ND	2.43	4.00	9.30	565-2433-2-ND	500	85.93	EMVY100ADA681MJA0G
	1000	JA0	0.15	670	10.0	10.0	565-2434-1-ND	2.34	3.85	8.94	565-2434-2-ND	500	82.54	EMVY100ADA102MJA0G
	2200	KG5	0.060	950	12.5	16.0	565-2435-1-ND	4.78	7.88	18.30	565-2435-2-ND	150	50.67	EMVY100ARA222MKG5S
	2200	LH0	0.054	1260	16.0	16.5	565-2436-1-ND	4.78	7.88	18.30	565-2436-2-ND	125	42.23	EMVY100ADA222MLH0S
	3300	MH0	0.054	1350	18.0	16.5	565-2437-1-ND	9.00	14.82	34.40	565-2437-2-ND	125	79.37	EMVY100GDA332MMH0S
	3300	LH0	0.054	1260	16.0	16.5	565-2438-1-ND	7.87	12.97	30.11	565-2438-2-ND	125	69.53	EMVY100GDA332MLH0S
	4700	LN0	0.038	1630	16.0	21.5	565-2439-1-ND	7.20	11.85	27.51	565-2439-2-ND	75	38.10	EMVY100GDA472MLN0S
	4700	MN0	0.38	1750	18.0	21.5	565-2440-1-ND	9.00	14.82	34.40	565-2440-2-ND	75	47.62	EMVY100GDA472MMN0S
	6800	MN0	0.038	1750	18.0	21.5	565-2441-1-ND	9.39	15.47	35.90	565-2441-2-ND	75	49.72	EMVY100GDA682MMN0S
16	10	D55	3.0	60	4.0	5.2	565-2442-1-ND	.56	.92	2.15	565-2442-2-ND	2,000	39.79/M	EMVY160ADA100MD55G
	22	E55	1.8	95	5.0	5.2	565-2443-1-ND	.72	1.19	2.75	565-2443-2-ND	1,000	50.80	EMVY160ADA220ME55G
	33	F55	1.0	140	6.3	5.2	565-2444-1-ND	.80	1.30	3.04	565-2444-2-ND	1,000	55.88	EMVY160ADA330MF55G
	47	F55	1.0	140	6.3	5.2	565-2445-1-ND	.72	1.19	2.75	565-2445-2-ND	1,000	50.80	EMVY160ADA470MF55G
	100	F55	1.0	140	6.3	5.2	565-2446-1-ND	.72	1.19	2.75	565-2446-2-ND	1,000	50.80	EMVY160ADA101MF55G
	220	F80	0.34	280	6.3	7.7	565-2447-1-ND	.90	1.48	3.44	565-2447-2-ND	900	57.15	EMVY160ADA221MF80G
	330	HA0	0.30	450	8.0	10.0	565-2448-1-ND	1.26	2.07	4.82	565-2448-2-ND	500	44.45	EMVY160ADA331MHA0G
	470	HA0	0.30	450	8.0	10.0	565-2449-1-ND	1.44	2.37	5.50	565-2449-2-ND	500	50.80	EMVY160ADA471MHA0G
	680	JA0	0.15	670	10.0	10.0	565-2450-1-ND	2.43	4.00	9.30	565-2450-2-ND	500	85.93	EMVY160ADA681MJA0G
	1000	KE0	0.070	820	12.5	13.5	565-2451-1-ND	4.48	7.37	17.13	565-2451-2-ND	200	63.16	EMVY160ARA102MKE0S
	1000	LH0	0.054	1260	16.0	16.5	565-2452-1-ND	7.20	11.85	27.51	565-2452-2-ND	125	63.50	EMVY160GDA102MLH0S
	2200	LH0	0.054	1260	16.0	16.5	565-2453-1-ND	6.64	10.94	25.38	565-2453-2-ND	125	58.63	EMVY160GDA222MLH0S
	2200	MH0	0.054	1350	18.0	16.5	565-2454-1-ND	7.74	12.74	29.58	565-2454-2-ND	125	68.26	EMVY160GDA222MMH0S
	3300	LN0	0.038	1630	16.0	21.5	565-2455-1-ND	7.50	12.36	28.69	565-2455-2-ND	75	39.75	EMVY160GDA332MLN0S
	3300	MH0	0.054	1350	18.0	16.5	565-2456-1-ND	7.74	12.74	29.58	565-2456-2-ND	125	68.26	EMVY160GDA332MMH0S
	4700	MN0	0.038	1750	18.0	21.5	565-2457-1-ND	9.20	15.16	35.19	565-2457-2-ND	75	48.70	EMVY160GDA472MMN0S
25	10	E55	1.8	95	5.0	5.2	565-2458-1-ND	.69	1.13	2.61	565-2458-2-ND	1,000	48.26	EMVY250ADA100ME55G
	22	F55	1.0	140	6.3	5.2	565-2459-1-ND	.72	1.19	2.75	565-2459-2-ND	1,000	50.80	EMVY250ADA220MF55G
	33	F55	1.0	140	6.3	5.2	565-2460-1-ND	.72	1.19	2.75	565-2460-2-ND	1,000	50.80	EMVY250ADA330MF55G
	47	F55	1.0	140	6.3	5.2	565-2461-1-ND	.72	1.19	2.75	565-2461-2-ND	1,000	50.80	EMVY250ADA470MF55G
	100	F80	0.34	280	6.3	7.7	565-2462-1-ND	.90	1.48	3.44	565-2462-2-ND	900	57.15	EMVY250ADA101MF80G
	220	HA0	0.30	450	8.0	10.0	565-2463-1-ND	1.27	2.09	4.86	565-2463-2-ND	500	44.87	EMVY250ADA221MHA0G
	330	HA0	0.30	450	8.0	10.0	565-2464-1-ND	1.44	2.37	5.50	565-2464-2-ND	500	50.80	EMVY250ADA331MHA0G
	470	JA0	0.15	670	10.0	10.0	565-2465-1-ND	2.34	3.85	8.94	565-2465-2-ND	500	82.54	EMVY250ADA471MJA0G
	1000	LH0	0.054	1260	18.0	16.5	565-2466-1-ND	6.74	11.10	25.74	—	—	—	EMVY250GDA102MLH0S
	1000	MH0	0.054	1350	18.0	16.5	565-2467-1-ND	7.20	11.85	27.51	565-2467-2-ND	125	63.50	EMVY250GDA102MMH0S
	2200	LN0	0.038	1630	16.0	21.5	565-2468-1-ND	7.20	11.85	27.51	565-2468-2-ND	75	38.10	EMVY250GDA222MLN0S
	2200	MN0	0.038	1750	18.0	21.5	565-2469-1-ND	9.00	14.82	34.40	565-2469-2-ND	75	47.62	EMVY250GDA222MMN0S
	3300	MN0	0.038	1750	18.0	21.5	565-2470-1-ND	9.00	14.82	34.40	565-2470-2-ND	75	47.62	EMVY250GDA332MMN0S
35	4.7	D55	3.0	60	4.0	5.2	565-2471-1-ND	.56	.92	2.15	565-2471-2-ND	2,000	39.79/M	EMVY350ADA4R7MD55G
	10	E55	1.8	95	5.0	5.2	565-2472-1-ND	.72	1.19	2.75	565-2472-2-ND	1,000	50.80	EMVY350ADA100ME55G
	22	F55	1.0	140	6.3	5.2	565-2473-1-ND	.72	1.19	2.75	565-2473-2-ND	1,000	50.80	EMVY350ADA220MF55G
	33	F55	1.0	140	6.3	5.2	565-2474-1-ND	.72	1.19	2.75	565-2474-2-ND	1,000	50.80	EMVY350ADA330MF55G
	47	F55	1.0	140	6.3	5.2	565-2475-1-ND	.72	1.19	2.75	565-2475-2-ND	1,000	50.80	EMVY350ADA470MF55G
	68	F80	0.34	280	6.3	7.7	565-2476-1-ND	.90	1.48	3.44	565-2476-2-ND	900	57.15	EMVY350ADA680MF80G
	100	HA0	0.30	450	8.0	10.0	565-2477-1-ND	1.27	2.09	4.86	565-2477-2-ND	500	44.87	EMVY350ADA101MHA0G
	220	HA0	0.30	450	8.0	10.0	565-2478-1-ND	1.27	2.09	4.86	565-2478-2-ND	500	44.87	EMVY350ADA221MHA0G
	330	JA0	0.15	670	10.0	10.0	565-2479-1-ND	1.44	2.37	5.50	565-2479-2-ND	500	50.80	EMVY350ADA331MJA0G
	470	KE0	0.070	820	12.5	13.5	565-2480-1-ND	4.68	7.70	17.89	565-2480-2-ND	200	63.50	EMVY350ARA471MKE0S
	470	LH0	0.054	1260	16.0	16.5	565-2482-1-ND	6.61	10.89	25.27	565-2482-2-ND	125	58.31	EMVY350GDA471MLH0S
	1000	LH0	0.054	1260	16.0	16.5	565-2483-1-ND	7.56	12.45	28.89	565-2483-2-ND	125	66.67	EMVY350GDA102MMH0S
	1000	MH0	0.054	1350	18.0	16.5	565-2484-1-ND	6.86	11.29	26.21	565-2484-2-ND	125	60.53	EMVY350GDA102MMH0S
	2200	MN0	0.038	1750	18.0	21.5	565-2485-1-ND	9.00	14.82	34.40	565-2485-2-ND	75	47.62	EMVY350GDA222MMN0S
50	1.0	D55	5.0	30	4.0	5.2	565-2486-1-ND	.56	.92	2.15	565-2486-2-ND	2,000	39.79/M	EMVY500ADA1R0MD55G
	2.2	D55	5.0	30	4.0	5.2	565-2487-1-ND	.63	1.04	2.40	565-2487-2-ND	2,000	44.87/M	EMVY500ADA2R2MD55G
	3.3	D55	5.0	30	4.0	5.2	565-2488-1-ND	.61	1.01	2.34	565-2488-2-ND	2,000	43.18/M	EMVY500ADA3R3MD55G
	4.7	E55	3.0	50	5.0	5.2	565-2489-1-ND	.72	1.19	2.75	565-2489-2-ND	1,000	50.80	EMVY500ADA4R7ME55G
	10	F55	2.0	70	6.3	5.2	565-2490-1-ND	.72	1.19	2.75	565-2490-2-ND	1,000	50.80	EMVY500ADA100MF55G

*Betriebsspannung

(Forts.)

E

Nenn-WV* (V DC)	Kap. (µF)	Größen-code	Max. Impedanz (Ω) @ 100 kHz 20 °C	Nennmischstrom (mA RMS) 85 °C 120 Hz	Abmessungen (mm) D	L	Digi-Key Teilenr.	Preisangaben 5	10	25	Digi-Key Teilenr.	Gegurtet auf Rolle Größe	Preisangaben	United Chemi-Con Teilenr.
	22	F55	2.0	70	6.3	5.2	565-2491-1-ND	.72	1.19	2.75	565-2491-2-ND	1,000	50.80	EMVY500ADA220MF55G
	33	F80	0.60	170	6.3	7.7	565-2492-1-ND	.90	1.48	3.44	565-2492-2-ND	900	57.15	EMVY500ADA330MF80G
	47	F80	0.60	170	6.3	7.7	565-2493-1-ND	.90	1.48	3.44	565-2493-2-ND	900	57.15	EMVY500ADA470MF80G
	68	HA0	0.60	300	8.0	10.0	565-2494-1-ND	1.46	2.40	5.58	565-2494-2-ND	500	51.64	EMVY500ADA680MHA0G
	100	HA0	0.60	300	8.0	10.0	565-2495-1-ND	1.27	2.09	4.86	565-2495-2-ND	500	44.87	EMVY500ADA101MHA0G
50	220	JA0	0.30	500	10.0	10.0	565-2496-1-ND	2.52	4.15	9.63	565-2496-2-ND	500	88.89	EMVY500ADA221MJA0G
	330	KE0	0.11	650	12.5	13.5	565-2497-1-ND	3.78	6.22	14.44	565-2497-2-ND	200	53.34	EMVY500ARA331MKE0S
	330	LH0	0.087	900	16.0	16.5	565-2498-1-ND	7.20	11.85	27.51	565-2498-2-ND	125	63.50	EMVY500GDA331MLH0S
	470	LH0	0.087	900	16.0	16.5	565-2499-1-ND	6.67	10.99	25.51	565-2499-2-ND	125	58.84	EMVY500GDA471MLH0S
	470	MH0	0.087	1060	18.0	16.5	565-2500-1-ND	7.57	12.47	28.93	—	—	—	EMVY500BTR471MMH0S
	1000	MN0	0.050	1520	18.0	21.5	565-2501-1-ND	8.80	14.49	33.65	565-2501-2-ND	75	46.61	EMVY500GDA102MMN0S
	68	KE0	0.19	500	12.5	13.5	565-2502-1-ND	4.39	7.22	16.77	565-2502-2-ND	200	61.97	EMVY630ARA680MKE0S
	100	KE0	0.19	500	12.5	13.5	565-2503-1-ND	4.32	7.11	16.51	565-2503-2-ND	200	60.96	EMVY630ARA101MKE0S
	220	KE0	0.19	500	12.5	13.5	565-2504-1-ND	4.32	7.11	16.51	565-2504-2-ND	200	60.96	EMVY630ARA221MKE0S
63	220	LH0	0.12	845	16.0	16.5	565-2505-1-ND	5.93	9.78	22.70	565-2505-2-ND	125	52.39	EMVY630GDA221MLH0S
	330	LH0	0.12	845	16.0	16.5	565-2506-1-ND	5.93	9.78	22.70	565-2506-2-ND	125	52.39	EMVY630GDA331MLH0S
	470	LN0	0.085	1100	16.0	21.5	565-2507-1-ND	6.92	11.40	26.45	565-2507-2-ND	75	36.64	EMVY630GDA471MLN0S
	470	MH0	0.12	905	18.0	16.5	565-2508-1-ND	7.20	11.85	27.51	565-2508-2-ND	125	63.50	EMVY630GDA471MMH0S
	47	KE0	0.33	450	12.5	13.5	565-2509-1-ND	4.05	6.66	15.47	565-2509-2-ND	200	57.06	EMVY101ARA470MKE0S
	68	KE0	0.33	450	12.5	13.5	565-2510-1-ND	4.32	7.11	16.51	565-2510-2-ND	200	60.96	EMVY101ARA680MKE0S
	100	KE0	0.33	450	12.5	13.5	565-2511-1-ND	4.50	7.41	17.19	565-2511-2-ND	200	63.50	EMVY101ARA101MKE0S
100	100	LH0	0.24	650	16.0	16.5	565-2512-1-ND	6.26	10.33	23.97	565-2512-2-ND	125	55.35	EMVY101GDA101MLH0S
	220	LN0	0.16	900	16.0	21.5	565-2513-1-ND	7.20	11.85	27.51	565-2513-2-ND	75	38.10	EMVY101GDA221MLN0S
	220	MH0	0.24	700	18.0	16.5	565-2514-1-ND	7.63	12.56	29.17	565-2514-2-ND	125	67.30	EMVY101GDA221MMH0S
	330	MN0	0.16	950	18.0	21.5	565-2515-1-ND	8.53	14.04	32.59	565-2515-2-ND	75	45.15	EMVY101GDA331MMN0S

*Betriebsspannung

UNITED CHEMI-CON EUROPE CHEMI-CON

Alchip™ Serie MZA Aluminium-Elektrolytkondensatoren (SMT)

Sehr niedrige Impedanz 105 °C Bleifrei/RoHS-konform

Merkmale: Sehr niedrige Impedanz, lösungsbeständig, max. 105 °C **Spezifikationen:** • **Betriebstemperaturbereich:** -55 °C ~ 105 °C • **Kapazitätstoleranz:** ±20 % • **Leckstrom** @ 20 °C nach 2 Minuten: I = 0,01 CV oder 3 µA (welcher Wert auch immer größer ist)

Gehäuseabmessungen:

Größencode	D	L	A	B	C	W	P
D61	4	5.8	4.3	4.3	5.1	0.5 ~ 0.8	1.0
E61	5	5.8	5.3	5.3	5.9	0.5 ~ 0.8	1.4
F61	6.3	5.8	6.6	6.6	7.2	0.5 ~ 0.8	1.9
F80	6.3	5.7	6.6	6.6	7.2	0.5 ~ 0.8	1.9
HA0	8	10.0	8.3	8.3	9.0	0.7 ~ 1.1	3.1
JA0	10	10.0	10.3	10.3	11.0	0.7 ~ 1.1	4.5

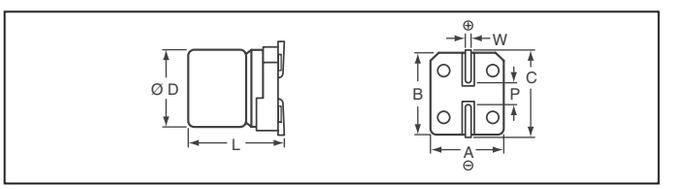

E

Nenn-WV* (V DC)	Kap. (µF)	Größen-code	Tan δ	Max. Impedanz (Ω) @ 100 kHz 20 °C	Nennmischstrom (mA RMS) 85 °C 120 Hz	Abmessungen (mm) D	L	Digi-Key Teilenr.	Preisangaben 5	10	25	Digi-Key Teilenr.	Gegurtet auf Rolle Größe	Preisangaben	United Chemi-Con Teilenr.
	22	D61	0.26	1.35	90	4.0	5.8	565-2516-1-ND	.72	1.19	2.75	565-2516-2-ND	2,000	50.80/M	EMZA6R3ADA220MD61G
	47	D61	0.26	1.35	90	4.0	5.8	565-2517-1-ND	.72	1.19	2.75	565-2517-2-ND	2,000	50.80/M	EMZA6R3ADA470MD61G
	47	E61	0.26	0.70	160	5.0	5.8	565-2518-1-ND	.74	1.21	2.81	565-2518-2-ND	1,000	51.64	EMZA6R3ADA470ME61G
	100	E61	0.26	0.70	160	5.0	5.8	565-2519-1-ND	.80	1.30	3.04	565-2519-2-ND	1,000	55.88	EMZA6R3ADA101ME61G
6.3	100	F61	0.26	0.36	240	6.3	5.8	565-2520-1-ND	.89	1.47	3.41	565-2520-2-ND	1,000	62.65	EMZA6R3ADA101MF61G
	220	F61	0.26	0.36	240	6.3	5.8	565-2521-1-ND	.89	1.47	3.41	565-2521-2-ND	1,000	62.65	EMZA6R3ADA221MF61G
	330	F80	0.26	0.34	280	6.3	7.7	565-2522-1-ND	1.12	1.84	4.27	565-2522-2-ND	900	70.86	EMZA6R3ADA331MF80G
	470	HA0	0.26	0.16	600	8.0	10.0	565-2523-1-ND	1.73	2.85	6.62	565-2523-2-ND	500	60.96	EMZA6R3ADA471MHA0G
	1000	HA0	0.26	0.16	600	8.0	10.0	565-2524-1-ND	1.73	2.85	6.62	565-2524-2-ND	500	60.96	EMZA6R3ADA102MHA0G
	1500	JA0	0.26	0.08	850	10.0	10.0	565-2525-1-ND	2.81	4.63	10.75	565-2525-2-ND	500	99.05	EMZA6R3ADA152MJA0G
	22	D61	0.19	1.35	90	4.0	5.8	565-2526-1-ND	.72	1.19	2.75	565-2526-2-ND	2,000	50.80/M	EMZA100ADA220MD61G
	33	D61	0.19	1.35	90	4.0	5.8	565-2527-1-ND	.72	1.19	2.75	565-2527-2-ND	2,000	50.80/M	EMZA100ADA330MD61G
	33	E61	0.19	0.70	160	5.0	5.8	565-2528-1-ND	.80	1.30	3.04	565-2528-2-ND	1,000	55.88	EMZA100ADA330ME61G
10	220	F80	0.19	0.34	280	6.3	7.7	565-2529-1-ND	1.12	1.84	4.27	565-2529-2-ND	900	70.86	EMZA100ADA221MF80G
	330	HA0	0.19	0.16	600	8.0	10.0	565-2530-1-ND	1.73	2.85	6.62	565-2530-2-ND	500	60.96	EMZA100ADA331MHA0G
	470	HA0	0.19	0.16	600	8.0	10.0	565-2531-1-ND	1.73	2.85	6.62	565-2531-2-ND	500	60.96	EMZA100ADA471MHA0G
	680	HA0	0.19	0.16	600	8.0	10.0	565-2532-1-ND	1.73	2.85	6.62	565-2532-2-ND	500	60.96	EMZA100ADA681MHA0G
	1000	JA0	0.19	0.08	850	10.0	10.0	565-2533-1-ND	2.81	4.63	10.75	565-2533-2-ND	500	99.05	EMZA100ADA102MJA0G
	10	D61	0.16	1.35	90	4.0	5.8	565-2534-1-ND	.72	1.19	2.75	565-2534-2-ND	2,000	50.80/M	EMZA160ADA100MD61G
	22	D61	0.16	1.35	90	4.0	5.8	565-2535-1-ND	.72	1.19	2.75	565-2535-2-ND	2,000	50.80/M	EMZA160ADA220MD61G
	22	E61	0.16	0.70	160	5.0	5.8	565-2536-1-ND	.80	1.30	3.04	565-2536-2-ND	1,000	55.88	EMZA160ADA220ME61G
	47	E61	0.16	0.70	160	5.0	5.8	565-2537-1-ND	.80	1.30	3.04	565-2537-2-ND	1,000	55.88	EMZA160ADA470ME61G
16	47	F61	0.16	0.36	240	6.3	5.8	565-2538-1-ND	.89	1.47	3.41	565-2538-2-ND	1,000	62.65	EMZA160ADA470MF61G
	100	F61	0.16	0.36	240	6.3	5.8	565-2539-1-ND	.89	1.47	3.41	565-2539-2-ND	1,000	62.65	EMZA160ADA101MF61G
	220	F80	0.16	0.34	280	6.3	7.7	565-2540-1-ND	1.12	1.84	4.27	565-2540-2-ND	900	70.86	EMZA160ADA221MF80G
	330	HA0	0.16	0.16	600	8.0	10.0	565-2541-1-ND	1.73	2.85	6.62	565-2541-2-ND	500	60.96	EMZA160ADA331MHA0G
	470	HA0	0.16	0.16	600	8.0	10.0	565-2542-1-ND	1.73	2.85	6.62	565-2542-2-ND	500	60.96	EMZA160ADA471MHA0G
	680	JA0	0.16	0.08	850	10.0	10.0	565-2543-1-ND	2.61	4.30	9.97	565-2543-2-ND	500	92.28	EMZA160ADA681MJA0G
	10	D61	0.14	1.35	90	4.0	5.8	565-2544-1-ND	.72	1.19	2.75	565-2544-2-ND	2,000	50.80/M	EMZA250ADA100MD61G
	22	E61	0.14	0.70	160	5.0	5.8	565-2545-1-ND	.80	1.30	3.04	565-2545-2-ND	1,000	55.88	EMZA250ADA220ME61G
	33	E61	0.14	0.70	160	5.0	5.8	565-2546-1-ND	.80	1.30	3.04	565-2546-2-ND	1,000	55.88	EMZA250ADA330ME61G
	33	F61	0.14	0.36	240	6.3	5.8	565-2547-1-ND	.89	1.47	3.41	565-2547-2-ND	1,000	62.65	EMZA250ADA330MF61G
25	47	F61	0.14	0.36	240	6.3	5.8	565-2548-1-ND	.90	1.48	3.44	565-2548-2-ND	1,000	63.50	EMZA250ADA470MF61G
	100	F80	0.14	0.34	280	6.3	7.7	565-2549-1-ND	1.08	1.78	4.13	565-2549-2-ND	900	68.57	EMZA250ADA101MF80G
	220	HA0	0.14	0.16	600	8.0	10.0	565-2550-1-ND	1.73	2.85	6.62	565-2550-2-ND	500	60.96	EMZA250ADA221MHA0G
	330	HA0	0.14	0.16	600	8.0	10.0	565-2551-1-ND	1.73	2.85	6.62	565-2551-2-ND	500	60.96	EMZA250ADA331MHA0G
	470	JA0	0.14	0.08	850	10.0	10.0	565-2552-1-ND	2.81	4.63	10.75	565-2552-2-ND	500	99.05	EMZA250ADA471MJA0G
	4.7	D61	0.12	1.35	90	4.0	5.8	565-2553-1-ND	.72	1.19	2.75	565-2553-2-ND	2,000	50.80/M	EMZA350ADA4R7MD61G
	10	D61	0.12	1.35	90	4.0	5.8	565-2554-1-ND	.72	1.19	2.75	565-2554-2-ND	2,000	50.80/M	EMZA350ADA100MD61G
	10	E61	0.12	0.70	160	5.0	5.8	565-2555-1-ND	.74	1.21	2.80	565-2555-2-ND	1,000	51.64	EMZA350ADA100ME61G
	22	E61	0.12	0.70	160	5.0	5.8	565-2556-1-ND	.74	1.21	2.80	565-2556-2-ND	1,000	51.64	EMZA350ADA220ME61G
35	33	F61	0.12	0.36	240	6.3	5.8	565-2557-1-ND	.89	1.47	3.41	565-2557-2-ND	1,000	62.65	EMZA350ADA330MF61G
	47	F61	0.12	0.36	240	6.3	5.8	565-2558-1-ND	.83	1.36	3.17	565-2558-2-ND	1,000	58.42	EMZA350ADA470MF61G
	100	F80	0.12	0.34	280	6.3	7.7	565-2559-1-ND	1.12	1.84	4.27	565-2559-2-ND	900	70.86	EMZA350ADA101MF80G
	100	HA0	0.12	0.16	600	8.0	10.0	565-2560-1-ND	1.73	2.85	6.62	565-2560-2-ND	500	60.96	EMZA350ADA101MHA0G
	220	HA0	0.12	0.16	600	8.0	10.0	565-2561-1-ND	1.62	2.67	6.19	565-2561-2-ND	500	57.15	EMZA350ADA221MHA0G
	330	JA0	0.12	0.08	850	10.0	10.0	565-2562-1-ND	2.81	4.63	10.75	565-2562-2-ND	500	99.05	EMZA350ADA331MJA0G
	4.7	D61	0.10	2.90	60	4.0	5.8	565-2563-1-ND	.72	1.19	2.75	565-2563-2-ND	2,000	50.80/M	EMZA500ADA4R7MD61G
	10	E61	0.10	1.52	85	5.0	5.8	565-2564-1-ND	.80	1.30	3.04	565-2564-2-ND	1,000	55.88	EMZA500ADA100ME61G
	10	F61	0.10	0.88	165	6.3	5.8	565-2565-1-ND	.83	1.36	3.17	565-2565-2-ND	1,000	58.42	EMZA500ADA100MF61G
	22	F61	0.10	0.88	165	6.3	5.8	565-2566-1-ND	.72	1.19	2.75	565-2566-2-ND	2,000	50.80/M	EMZA500ADA220MF61G
50	33	F80	0.10	0.68	195	6.3	7.7	565-2567-1-ND	1.12	1.84	4.27	565-2567-2-ND	900	70.86	EMZA500ADA330MF61G
	47	F80	0.10	0.68	195	6.3	7.7	565-2568-1-ND	1.12	1.84	4.27	565-2568-2-ND	900	70.86	EMZA500ADA470MF80G
	100	HA0	0.10	0.34	350	8.0	10.0	565-2569-1-ND	1.73	2.85	6.62	565-2569-2-ND	500	60.96	EMZA500ADA101MHA0G
	220	JA0	0.10	0.18	670	10.0	10.0	565-2570-1-ND	2.81	4.63	10.75	565-2570-2-ND	500	99.05	EMZA500ADA221MJA0G

*Betriebsspannung

Alle Preisangaben in Euro und inklusive Zollgebühren.

Series NPCAP™ PS Polymer-Aluminium-Elektrolytkondensatoren (radiale Ableitung)

Ultraniedriger ESR 105 °C — Bleifrei/RoHS-konform

Merkmale:

• Stabiles funktionsfähiges Polymeraluminium • Ultra-niedriger ESR • Hochtemperaturwiderstand • Lösungsbeständig • 105 °C Höchsttemperatur.

Spezifikationen:

• **Betriebstemperaturbereich:** -55 °C ~ 105 °C • **Kapazitätstoleranz:** ±20 % • **Dissipationsfaktor:** Max. 0,12 @ 20 °C 120 Hz • **Leckstrom:** I = 0,2 CV max. nach 2 Minuten @ 20 °C

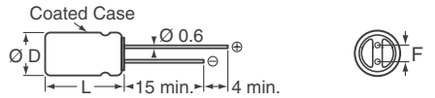

Nenn-WV* (V DC)	Kap. (µF)	Nennmischstrom (mA RMS) bei 105 °C 100 kHz	Max. ESR Ω @ 100 ~ 300 kHz 20 °C	Abmessungen (mm) ØD	L	F	Digi-Key Teilenr.	Stückpreis 1	10	100	United Chemi-Con Teilenr.
2.5	680	5230	10	8.0	11.5	3.5	565-3033-ND	.65	.49	.36	APS-2R5ELL681MHB5S
	1500	5500	8	10.0	12.5	5.0	565-3034-ND	.95	.72	.54	APS-2R5ELL152MJC5S
4	560	5230	10	8.0	11.5	3.5	565-3035-ND	.62	.47	.34	APS-4R0ELL561MHB5S
	820	5500	8	10.0	12.5	5.0	565-3036-ND	.88	.66	.50	APS-4R0ELL821MJC5S
6.3	390	4770	12	8.0	11.5	3.5	565-3037-ND	.62	.47	.34	APS-6R3ELL391MHB5S
	680	5500	10	10.0	12.5	5.0	565-3038-ND	.92	.70	.52	APS-6R3ELL681MJC5S
10	270	4420	14	8.0	11.5	3.5	565-3039-ND	.65	.49	.36	APS-100ELL271MHB5S
	470	5300	12	10.0	12.5	5.0	565-3040-ND	.92	.70	.52	APS-100ELL471MJC5S
16	180	4360	16	8.0	11.5	3.5	565-3041-ND	.63	.48	.35	APS-160ELL181MHB5S
	330	5050	14	10.0	12.5	5.0	565-3042-ND	.92	.70	.52	APS-160ELL331MJC5S
25	100	4320	20	10.0	12.5	5.0	565-3045-ND	1.81	1.37	1.04	APS-250ELL101MJC5S
	68	3320	24	8.0	11.5	3.5	565-3046-ND	.62	.47	.34	APS-250ELL680MHB5S

Series NPCAP™ PSA Polymer-Aluminium-Elektrolytkondensatoren (radiale Ableitung)

Superniedriger ESR 105 °C — Bleifrei/RoHS-konform

Merkmale:

• Stabiles funktionsfähiges Polymeraluminium • Superniedriger ESR (25-35 % niedriger als Serie PS) • Hochtemperaturwiderstand • Hoher Mischstrom • 105 °C Höchsttemperatur

Spezifikationen:

• **Betriebstemperaturbereich:** -55 °C ~ 105 °C • **Kapazitätstoleranz:** ±20 %. • **Dissipationsfaktor:** Max. 0,08 @ 20 °C 120 Hz • **Leckstrom:** I = 0,2 CV max. nach 2 Minuten @ 20 °C .

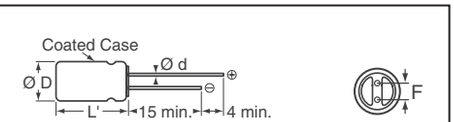

Nenn-WV* (V DC)	Kap. (µF)	Nennmischstrom (mA RMS) bei 105 °C 100 kHz	Max. ESR Ω @ 100 ~ 300 kHz 20 °C	Abmessungen (mm) ØD	L	F	Ød	Digi-Key Teilenr.	Stückpreis 1	10	100	United Chemi-Con Teilenr.
2.5	390	3160	20	6.3	10.5	2.5	0.5	565-3055-ND	.63	.47	.35	APSA2R5ELL391MFA5G
	680	5580	7	8.0	11.5	3.5	0.8	565-3056-ND	.65	.49	.36	APSA2R5ELL681MHB5S
	820	5580	7	8.0	11.5	3.5	0.8	565-3057-ND	.65	.49	.36	APSA2R5ELL821MHB5S
	1000	5860	6	10.0	11.5	5.0	0.8	565-3054-ND	.92	.70	.52	APSA2R5ELL102MJB5S
4	270	3160	20	6.3	10.5	2.5	0.5	565-3058-ND	.63	.47	.35	APSA4R0ELL271MFA5G
	390	3300	24	6.3	10.5	2.5	0.5	565-3059-ND	.63	.47	.35	APSA4R0ELL391MFA5G
	560	5580	7	8.0	11.5	3.5	0.8	565-3060-ND	.65	.49	.36	APSA4R0ELL561MHB5S
	820	5860	6	10.0	11.5	5.0	0.8	565-3061-ND	.91	.69	.52	APSA4R0ELL821MJB5S
6.3	220	3160	20	6.3	10.5	2.5	0.5	565-3062-ND	.63	.47	.35	APSA6R3ELL221MFA5G
	330	3190	28	6.3	10.5	2.5	0.5	565-3063-ND	.63	.47	.35	APSA6R3ELL331MFA5G
	390	5080	8	8.0	11.5	3.5	0.8	565-3064-ND	.65	.49	.36	APSA6R3ELL391MHB5S
	680	5860	7	10.0	11.5	5.0	0.8	565-3065-ND	.92	.70	.52	APSA6R3ELL681MJB5S
10	47	2820	25	6.3	10.5	2.5	0.5	565-3051-ND	.63	.47	.35	APSA100ELL470MFA5G
	68	2820	25	6.3	10.5	2.5	0.5	565-3052-ND	.63	.47	.35	APSA100ELL680MFA5G
	100	2820	25	6.3	10.5	2.5	0.5	565-3047-ND	.63	.47	.35	APSA100ELL101MFA5G
	150	2820	25	6.3	10.5	2.5	0.5	565-3048-ND	.63	.47	.35	APSA100ELL151MFA5G
	270	4710	9	8.0	11.5	3.5	0.8	565-3049-ND	.65	.49	.36	APSA100ELL271MHB5S
	470	5650	8	10.0	11.5	5.0	0.8	565-3050-ND	.92	.70	.52	APSA100ELL471MJB5S
16	100	2820	25	6.3	10.5	2.5	0.5	565-3053-ND	.63	.47	.35	APSA160ELL101MFA5G

Series NPCAP™ PXA Polymer-Aluminium-Elektrolytkondensatoren (SMT)

Ultraniedriger ESR 105 °C — Bleifrei/RoHS-konform

Merkmale:

• Stabiles funktionsfähiges Polymeraluminium • Ultra-niedriger ESR • Hochtemperaturwiderstand • Für bleifreies Löten • 105 °C Höchsttemperatur.

Spezifikationen:

• **Betriebstemperaturbereich:** -55 °C ~ 105 °C • **Kapazitätstoleranz:** ±20 % • **Dissipationsfaktor:** Max. 0,12 @ 20 °C 120 Hz

• **Leckstrom:** I = 0,2 CV max. nach 2 Minuten @ 20 °C .

Größencode	ØD	L	A	B	C	W	P
F55	6.3	5.2	6.6	6.6	7.2	0.5 ~ 0.8	1.9
F60	6.3	5.7	6.6	6.6	7.2	0.5 ~ 0.8	1.9
H70	8.0	6.7	8.3	8.3	9.0	0.7 ~ 1.1	3.1
J80	10.0	7.7	10.3	10.3	11.0	0.7 ~ 1.1	4.5
HC0	8.0	12.0	8.3	8.3	9.0	0.7 ~ 1.1	3.1
JC0	10.0	12.2	10.3	10.3	11.0	0.7 ~ 1.1	4.5

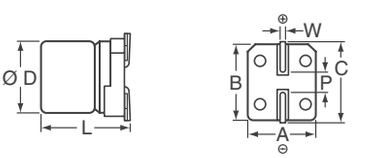

Nenn-WV* (V DC)	Kap. (µF)	Größen-code	Nennmischstrom (mA RMS) @ 85 °C 120 Hz	Max. ESR (Ω) @ 100 kHz ~ 20 °C	Abmessungen (mm) ØD	L	Digi-Key Teilenr.	Gurtabschnittspreise 5	10	25	Digi-Key Teilenr.	Gegurtet auf Rolle Größe	Preisangaben	United Chemi-Con Teilenr.
2.5	220	F55	2500	25	6.3	5.2	565-3087-1-ND	3.65	6.02	13.96	565-3087-2-ND	1,000	258.21	APXA2R5ARA221MF55G
	220	F60	2500	25	6.3	5.7	565-3088-1-ND	3.64	5.99	13.92	565-3088-2-ND	1,000	256.52	APXA2R5ARA221MF60G
	560	H70	3100	23	8.0	6.7	565-3089-1-ND	4.68	7.70	17.89	565-3089-2-ND	1,000	330.17	APXA2R5ARA561MH70G
	680	HC0	4770	12	8.0	12.0	565-3090-1-ND	7.37	12.15	28.20	565-3090-2-ND	400	208.26	APXA2R5ARA681MHC0G
	1000	J80	4240	19	10.0	7.7	565-3086-1-ND	6.65	10.96	25.45	565-3086-2-ND	500	234.93	APXA2R5ARA102MJ80G
4	100	F55	2450	26	6.3	5.2	565-3100-1-ND	3.65	6.02	13.96	565-3100-2-ND	1,000	258.21	APXA4R0ARA101MF55G
	100	F60	2450	26	6.3	5.7	565-3101-1-ND	3.64	5.99	13.92	565-3101-2-ND	1,000	256.52	APXA4R0ARA101MF60G
	150	F60	2450	26	6.3	5.7	565-3099-1-ND	3.63	5.99	13.89	565-3099-2-ND	1,000	256.52	APXA4R0ARA151MF60G
	220	H70	3020	25	8.0	6.7	565-3104-1-ND	4.72	7.76	18.02	565-3104-2-ND	1,000	332.71	APXA4R0ARA221MH70G
	330	H70	3020	25	8.0	6.7	565-3105-1-ND	4.72	7.76	18.02	565-3105-2-ND	1,000	332.71	APXA4R0ARA331MH70G
	470	J80	4130	20	10.0	7.7	565-3106-1-ND	6.65	10.96	25.45	565-3106-2-ND	500	234.93	APXA4R0ARA471MJ80G
	560	HC0	4770	12	8.0	12.0	565-3107-1-ND	7.37	12.15	28.20	565-3107-2-ND	400	208.26	APXA4R0ARA561MHC0G
	680	J80	4130	20	10.0	7.7	565-3108-1-ND	6.65	10.96	25.45	565-3108-2-ND	500	234.93	APXA4R0ARA681MJ80G
	820	JC0	5500	10	10.0	12.2	565-3109-1-ND	7.56	12.45	28.89	565-3109-2-ND	400	213.34	APXA4R0ARA821MJC0G
	1200	JC0	5500	10	10.0	12.2	565-3102-1-ND	7.56	12.45	28.89	565-3102-2-ND	400	213.34	APXA4R0ARA122MJC2G
6.3	68	F60	2400	27	6.3	5.7	565-3120-1-ND	3.63	5.99	13.89	565-3120-2-ND	1,000	256.52	APXA6R3ARA680MF60G
	82	F55	2400	27	6.3	5.2	565-3122-1-ND	3.65	6.02	13.96	565-3122-2-ND	1,000	258.21	APXA6R3ARA820MF55G
	82	F60	2400	27	6.3	5.7	565-3123-1-ND	3.63	5.99	13.89	565-3123-2-ND	1,000	256.52	APXA6R3ARA820MF60G
	100	F55	2400	27	6.3	5.2	565-3110-1-ND	3.65	6.02	13.96	565-3110-2-ND	1,000	258.21	APXA6R3ARA101MF55G

*Betriebsspannung

(Forts.)

Nenn-WV* (V DC)	Kap. (µF)	Größen-code	Nennmischstrom (mA RMS) @ 85 °C 120 Hz	Max. ESR (Ω) @ 100 kHz ~ 20 °C	Abmessungen (mm) ØD	L	Digi-Key Teilenr.	Gurtabschnittspreise 5	10	25	Digi-Key Teilenr.	Gegurtet auf Rolle Größe	Preisangaben	United Chemi-Con Teilenr.
6.3	100	F60	2400	27	6.3	5.7	565-3111-1-ND	3.42	5.63	13.07	565-3111-2-ND	1,000	241.28	APXA6R3ARA101MF60G
	120	F60	2400	27	6.3	5.7	565-3112-1-ND	3.42	5.63	13.07	565-3112-2-ND	1,000	241.28	APXA6R3ARA121MF60G
	150	H70	3020	25	8.0	6.7	565-3113-1-ND	4.68	7.70	17.89	565-3113-2-ND	1,000	330.17	APXA6R3ARA151MH70G
	220	H70	3020	25	8.0	6.7	565-3114-1-ND	4.68	7.70	17.89	565-3114-2-ND	1,000	330.17	APXA6R3ARA221MH70G
	330	J80	4130	20	10.0	7.7	565-3115-1-ND	6.65	10.96	25.45	565-3115-2-ND	500	234.93	APXA6R3ARA331MJ80G
	390	HC0	4770	12	8.0	12.0	565-3116-1-ND	7.37	12.15	28.20	565-3116-2-ND	400	208.26	APXA6R3ARA391MHC0G
	470	HC0	4770	12	8.0	12.0	565-3117-1-ND	7.37	12.15	28.20	565-3117-2-ND	400	208.26	APXA6R3ARA471MHC0G
	470	J80	4130	20	10.0	7.7	565-3118-1-ND	6.65	10.96	25.45	565-3118-2-ND	500	234.93	APXA6R3ARA471MJ80G
	680	JC0	5500	10	10.0	12.2	565-3119-1-ND	9.24	15.23	35.35	565-3119-2-ND	400	261.09	APXA6R3ARA681MJC0G
	820	JC0	5500	10	10.0	12.2	565-3121-1-ND	9.24	15.23	35.35	565-3121-2-ND	400	261.09	APXA6R3ARA821MJC0G
10	47	F60	2250	31	6.3	5.7	565-3073-1-ND	3.64	5.99	13.92	565-3073-2-ND	1,000	256.52	APXA100ARA470MF60G
	56	F55	2250	31	6.3	5.2	565-3075-1-ND	3.65	6.02	13.96	565-3075-2-ND	1,000	258.21	APXA100ARA560MF55G
	56	F60	2250	31	6.3	5.7	565-3076-1-ND	3.64	5.99	13.92	565-3076-2-ND	1,000	256.52	APXA100ARA560MF60G
	120	H70	2800	27	8.0	6.7	565-3066-1-ND	4.68	7.70	17.89	565-3066-2-ND	1,000	330.17	APXA100ARA121MH70G
	150	H70	2800	27	8.0	6.7	565-3067-1-ND	4.68	7.70	17.89	565-3067-2-ND	1,000	330.17	APXA100ARA151MH70G
	270	HC0	4420	14	8.0	12.0	565-3068-1-ND	7.37	12.15	28.20	565-3068-2-ND	400	208.26	APXA100ARA271MHC0G
	270	J80	3770	24	10.0	7.7	565-3069-1-ND	6.65	10.96	25.45	565-3069-2-ND	500	234.93	APXA100ARA271MJ80G
	330	HC0	4420	14	8.0	12.0	565-3070-1-ND	7.37	12.15	28.20	565-3070-2-ND	400	208.26	APXA100ARA331MHC0G
	330	J80	3770	24	10.0	7.7	565-3071-1-ND	6.65	10.96	25.45	565-3071-2-ND	500	234.93	APXA100ARA331MJ80G
	470	JC0	5300	12	10.0	12.2	565-3072-1-ND	10.07	16.59	38.52	565-3072-2-ND	400	284.46	APXA100ARA471MJC0G
	560	JC0	5300	12	10.0	12.2	565-3074-1-ND	7.56	12.45	28.89	565-3074-2-ND	400	213.34	APXA100ARA561MJC0G
16	33	F60	2050	37	6.3	5.7	565-3082-1-ND	3.63	5.99	13.89	565-3082-2-ND	1,000	256.52	APXA160ARA330MF60G
	39	F55	2050	37	6.3	5.2	565-3083-1-ND	3.65	6.02	13.96	565-3083-2-ND	1,000	258.21	APXA160ARA390MF55G
	39	F60	2050	37	6.3	5.7	565-3084-1-ND	3.64	5.99	13.92	565-3084-2-ND	1,000	256.52	APXA160ARA390MF60G
	82	H70	2700	30	8.0	6.7	565-3085-1-ND	4.68	7.70	17.89	565-3085-2-ND	1,000	330.17	APXA160ARA820MH70G
	150	J80	3430	26	10.0	7.7	565-3077-1-ND	6.65	10.96	25.45	565-3077-2-ND	500	234.93	APXA160ARA151MJ80G
	180	HC0	4360	16	8.0	12.0	565-3078-1-ND	7.37	12.15	28.20	565-3078-2-ND	400	208.26	APXA160ARA181MHC0G
	180	J80	3430	26	10.0	7.7	565-3079-1-ND	6.65	10.96	25.45	565-3079-2-ND	500	234.93	APXA160ARA181MJ80G
	220	JC0	5050	14	10.0	12.2	565-3080-1-ND	9.00	14.82	34.40	565-3080-2-ND	400	253.98	APXA160ARA221MJC0G
	330	JC0	5050	14	10.0	12.2	565-3081-1-ND	9.90	16.30	37.83	565-3081-2-ND	400	279.38	APXA160ARA331MJC0G

Serie NPCAP™ PXC Polymer-Aluminium-Elektrolytkondensatoren (SMT)

Superniedriger ESR 105 °C — Bleifrei/RoHS-konform

Merkmale:

• Stabiles funktionsfähiges Polymeraluminium • Superniedriger ESR (20-30 % niedriger als Serie PXA) • Hochtemperaturwiderstand • 105 °C Höchsttemperatur

Spezifikationen:

• **Betriebstemperaturbereich:** -55 °C ~ 105 °C • **Kapazitätstoleranz:** ±20 % • **Dissipationsfaktor:** Max. 0,12 @ 20 °C 120 Hz • **Leckstrom:** I = 0,2 CV max. nach 2 Minuten @ 20 °C .

Größencode	ØD	L	A	B	C	W	P
E60	5.0	5.7	5.3	5.3	5.9	0.5 ~ 0.8	1.4
F60	6.3	5.7	6.6	6.6	7.2	0.5 ~ 0.8	1.9
H70	8.0	6.7	8.3	8.3	9.0	0.7 ~ 1.1	3.1

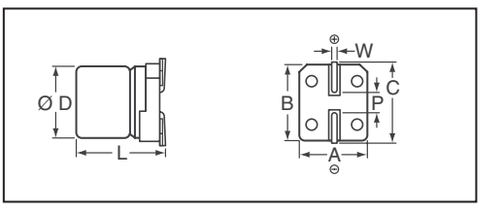

Nenn-WV* (V DC)	Kap. (µF)	Größen-code	Nennmischstrom (mA RMS) @ 85 °C	Max. ESR Ω @ 20 °C 100KHz	300KHz	Abmessungen (mm) ØD	L	Digi-Key Teilenr.	Gurtabschnittspreise 5	10	25	Digi-Key Teilenr.	Gegurtet auf Rolle Größe	Preisangaben	United Chemi-Con Teilenr.
2.5	180	E60	2000	30	22	5.0	5.7	565-3130-1-ND	3.61	5.93	13.77	565-3130-2-ND	1,000	253.98	APXC2R5ARA181ME60G
	270	F60	2700	20	18	6.3	5.7	565-3131-1-ND	3.93	6.48	15.03	565-3131-2-ND	1,000	277.68	APXC2R5ARA271MF60G
	470	H70	3420	17	16	8.0	6.7	565-3132-1-ND	5.05	8.31	19.28	565-3132-2-ND	1,000	355.57	APXC2R5ARA471MH70G
4	150	E60	2000	30	22	5.0	5.7	565-3133-1-ND	3.61	5.93	13.77	565-3133-2-ND	1,000	253.98	APXC4R0ARA151ME60G
	220	F60	2640	21	19	6.3	5.7	565-3134-1-ND	3.93	6.48	15.03	565-3134-2-ND	1,000	277.68	APXC4R0ARA221MF60G
	330	H70	3300	18	17	8.0	6.7	565-3135-1-ND	5.05	8.31	19.28	565-3135-2-ND	1,000	355.57	APXC4R0ARA331MH70G
6.3	100	E60	1780	35	26	5.0	5.7	565-3136-1-ND	3.61	5.93	13.77	565-3136-2-ND	1,000	253.98	APXC6R3ARA101ME60G
	180	F60	2580	22	19	6.3	5.7	565-3137-1-ND	3.93	6.48	15.03	565-3137-2-ND	1,000	277.68	APXC6R3ARA181MF60G
	220	H70	3300	18	17	8.0	6.7	565-3138-1-ND	5.05	8.31	19.28	565-3138-2-ND	1,000	355.57	APXC6R3ARA221MH70G
10	56	E60	1660	40	31	5.0	5.7	565-3125-1-ND	3.61	5.93	13.77	565-3125-2-ND	1,000	253.98	APXC100ARA560ME60G
	82	F60	2440	23	21	6.3	5.7	565-3126-1-ND	3.93	6.48	15.03	565-3126-2-ND	1,000	277.68	APXC100ARA820MF60G
	150	H70	3160	20	19	8.0	6.7	565-3124-1-ND	5.05	8.31	19.28	565-3124-2-ND	1,000	355.57	APXC100ARA151MH70G
16	27	E60	1570	45	35	5.0	5.7	565-3127-1-ND	3.61	5.93	13.77	565-3127-2-ND	1,000	253.98	APXC160ARA270ME60G
	39	F60	2300	25	23	6.3	5.7	565-3128-1-ND	3.93	6.48	15.03	565-3128-2-ND	1,000	277.68	APXC160ARA390MF60G
	82	H70	2830	25	23	8.0	6.7	565-3129-1-ND	5.05	8.31	19.28	565-3129-2-ND	1,000	355.57	APXC160ARA820MH70G

Serie NPCAP™ PXH Polymer-Aluminium-Elektrolytkondensatoren (SMT)

Superniedriger ESR 125 °C — Bleifrei/RoHS-konform

Merkmale:

• Stabiles funktionsfähiges Polymeraluminium • Superniedriger ESR • Hochtemperaturwiderstand • 125 °C Höchsttemperatur

Spezifikationen:

• **Betriebstemperaturbereich:** -55 °C ~ 125 °C • **Kapazitätstoleranz**: ±20 %. • **Dissipationsfaktor:** Max. 0,12 @ 20 °C 120 Hz.

Größencode	ØD	L	A	B	C	W	P
F60	6.3	5.7	6.6	6.6	7.2	0.5 ~ 0.8	1.9
H70	8.0	6.7	8.3	8.3	9.0	0.7 ~ 1.1	3.1
J80	10.0	7.7	10.3	10.3	11.0	0.7 ~ 1.1	4.5

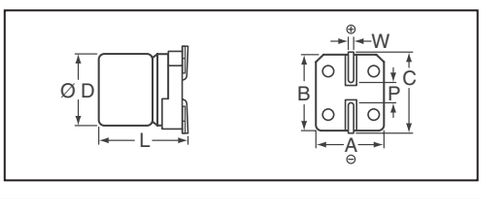

Nenn-WV* (V DC)	Kap. (µF)	Größen-code	Leckstrom µA max. nach 2 Minuten	Nennmischstrom (mA RMS) 100 kHz ~ 300 kHz -55°C ~ 105°C	105°C ~ 125°C	Max. ESR Ω @ 20 °C 100 kHz ~ 300 kHz	Abmessungen (mm) ØD	L	Digi-Key Teilenr.	Gurtabschnittspreise 5	10	25	Digi-Key Teilenr.	Gegurtet auf Rolle Größe	Preisangaben	United Chemi-Con Teilenr.
2.5	220	F60	110	2500	770	35	6.3	5.7	565-3148-1-ND	4.12	6.80	15.78	565-3148-2-ND	1,000	291.23	APXH2R5ARA221MF60G
	1000	J80	500	3700	1100	25	10.0	7.7	565-3147-1-ND	7.54	12.42	28.84	565-3147-2-ND	500	266.26	APXH2R5ARA102MJ80G
4	150	F60	120	2450	770	35	6.3	5.7	565-3152-1-ND	4.12	6.80	15.78	565-3152-2-ND	1,000	291.23	APXH4R0ARA151MF60G
	220	H70	176	3020	960	30	8.0	6.7	565-3153-1-ND	5.28	8.69	20.19	565-3153-2-ND	1,000	372.50	APXH4R0ARA221MH70G
	680	J80	544	3700	1100	25	10.0	7.7	565-3154-1-ND	7.54	12.42	28.84	565-3154-2-ND	500	266.26	APXH4R0ARA681MJ80G
6.3	82	F60	103	2400	720	40	6.3	5.7	565-3159-1-ND	4.12	6.80	15.78	565-3159-2-ND	1,000	291.23	APXH6R3ARA820MF60G
	100	F60	126	2400	720	40	6.3	5.7	565-3155-1-ND	4.12	6.80	15.78	565-3155-2-ND	1,000	291.23	APXH6R3ARA101MF60G
	150	H70	189	3020	960	30	8.0	6.7	565-3156-1-ND	5.28	8.69	20.19	565-3156-2-ND	1,000	372.50	APXH6R3ARA151MH70G
	220	H70	277	3020	960	30	8.0	6.7	565-3157-1-ND	5.28	8.69	20.19	565-3157-2-ND	1,000	372.50	APXH6R3ARA221MH70G
	470	J80	592	3700	1100	25	10.0	7.7	565-3158-1-ND	7.54	12.42	28.84	565-3158-2-ND	500	266.26	APXH6R3ARA471MJ80G
10	56	F60	112	2250	680	45	6.3	5.7	565-3143-1-ND	4.12	6.80	15.78	565-3143-2-ND	1,000	291.23	APXH100ARA560MF60G
	120	H70	240	2800	880	35	8.0	6.7	565-3139-1-ND	5.28	8.69	20.19	565-3139-2-ND	1,000	372.50	APXH100ARA121MH70G
	150	H70	300	2800	880	35	8.0	6.7	565-3140-1-ND	5.28	8.69	20.19	565-3140-2-ND	1,000	372.50	APXH100ARA151MH70G
	330	J80	660	3700	1010	30	10.0	7.7	565-3141-1-ND	7.54	12.42	28.84	565-3141-2-ND	500	266.26	APXH100ARA331MJ80G
16	39	F60	125	2050	650	50	6.3	5.7	565-3142-1-ND	4.12	6.80	15.78	565-3142-2-ND	1,000	291.23	APXH160ARA390MF60G
	82	H70	262	2700	830	40	8.0	6.7	565-3146-1-ND	5.28	8.69	20.19	565-3146-2-ND	1,000	372.50	APXH160ARA820MH70G
	150	J80	480	3020	930	35	10.0	7.7	565-3144-1-ND	7.54	12.42	28.84	565-3144-2-ND	500	266.26	APXH160ARA151MJ80G
	180	J80	576	3020	930	35	10.0	7.7	565-3145-1-ND	7.54	12.42	28.84	565-3145-2-ND	500	266.26	APXH160ARA181MJ80G
20	22	F60	88	1650	590	60	6.3	5.7	565-3149-1-ND	4.12	6.80	15.78	565-3149-2-ND	1,000	291.23	APXH200ARA220MF60G
	47	H70	188	2000	780	45	8.0	6.7	565-3150-1-ND	5.28	8.69	20.19	565-3150-2-ND	1,000	372.50	APXH200ARA470MH70G
	82	J80	328	2400	820	45	10.0	7.7	565-3151-1-ND	7.54	12.42	28.84	565-3151-2-ND	500	266.26	APXH200ARA820MJ80G

*Betriebsspannung

Serie SMH Aluminium-Elektrolytkondensatoren (Snap-In)

Allzweck 85 °C
Bleifrei/RoHS-konform

Merkmale: • Mehrzweck • Hohe CV • Hoher Mischstrom • 2.000 Stunden @ 85 °C

Spezifikationen: • Betriebstemperaturbereich: -40 °C ~ 85 °C • Kapazitätstoleranz: ±20 % • Leckstrom @ 20 °C: I = 0,02 CV oder 3 mA (welcher Wert auch immer kleiner ist)

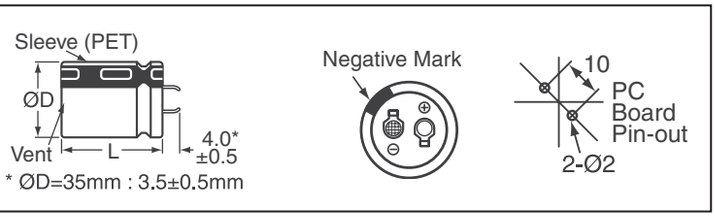

WV* (V DC)	Kap. (µF)	Gehäuse-größe Ø T x L (mm)	Tan δ	Max. Zul. Mischstr. (A RMS) @ 85 °C 120 Hz	Digi-Key Teilenr.	Preisangaben 1	10	100	United Chemi-Con Teilenr.
6.3	15000	22x25	0.60	2.44	565-2571-ND	2.23	16.83	126.99	ESMH6R3VSN153MP25T
	22000	22x30	0.60	3.06	565-2572-ND	2.33	17.63	133.08	ESMH6R3VSN223MP30T
	22000	25.4x25	0.60	3.07	565-2573-ND	2.55	19.29	145.62	ESMH6R3VSN223MQ25T
	27000	22x35	0.60	3.49	565-2574-ND	2.51	19.07	143.87	ESMH6R3VSN273MP35T
	27000	25.4x30	0.60	3.52	565-2575-ND	2.64	19.97	150.69	ESMH6R3VSN273MQ30T
	33000	22x40	0.60	3.97	565-2576-ND	2.69	20.39	153.92	ESMH6R3VSN333MP40T
	33000	25.4x35	0.60	4.02	565-2577-ND	2.85	21.60	163.00	ESMH6R3VSN333MQ35T
	39000	22x50	0.60	4.55	565-2578-ND	2.93	22.17	167.36	ESMH6R3VSN393MP50T
	39000	25.4x40	0.60	4.50	565-2579-ND	2.93	22.20	167.51	ESMH6R3VSN393MQ40T
	47000	25.4x45	0.60	5.09	565-2580-ND	3.23	24.42	184.24	ESMH6R3VSN473MQ45T
	47000	30x35	0.60	5.06	565-2581-ND	4.10	31.04	234.28	ESMH6R3VSN473MR35T
	56000	25.4x50	0.60	5.71	565-2582-ND	3.49	26.40	199.23	ESMH6R3VSN563MQ5OT
	56000	30x40	0.60	5.70	565-2583-ND	4.40	33.36	251.72	ESMH6R3VSN563MR40T
	68000	30x45	0.60	6.48	565-2585-ND	4.56	34.55	260.75	ESMH6R3VSN683MR45T
	68000	35x35	0.60	6.42	565-2584-ND	4.44	33.57	253.33	ESMH6R3VSN683MA35T
	82000	30x50	0.60	7.32	565-2586-ND	4.94	37.34	281.80	ESMH6R3VSN823MR50T
	82000	35x40	0.60	7.29	565-2587-ND	5.54	41.92	316.32	ESMH6R3VSN823MA40T
	100000	35x45	0.60	8.31	565-2588-ND	6.05	45.84	346.01	ESMH6R3VSN104MA45T
10	12000	22x25	0.50	2.39	565-2589-ND	2.23	16.83	126.99	ESMH100VSN123MP25T
	15000	22x30	0.50	2.76	565-2590-ND	2.29	17.28	130.38	ESMH100VSN153MP30T
	15000	25.4x25	0.50	2.77	565-2591-ND	2.54	19.23	145.14	ESMH100VSN153MQ25T
	18000	22x35	0.50	3.12	565-2592-ND	2.43	18.40	138.84	ESMH100VSN183MP35T
	22000	22x40	0.50	3.55	565-2593-ND	2.68	20.33	153.39	ESMH100VSN223MP40T
	22000	25.4x30	0.50	3.48	565-2594-ND	2.79	21.09	159.16	ESMH100VSN223MQ30T
	27000	22x45	0.50	4.04	565-2595-ND	2.83	21.39	161.48	ESMH100VSN273MP45T
	27000	25.4x35	0.50	3.98	565-2596-ND	2.95	22.30	168.30	ESMH100VSN273MQ35T
	33000	22x50	0.50	4.58	565-2597-ND	3.04	23.00	173.63	ESMH100VSN333MP50T
	33000	25.4x45	0.50	4.54	565-2598-ND	3.13	23.72	179.06	ESMH100VSN333MQ40T
	39000	25.4x45	0.50	5.08	565-2599-ND	3.44	26.00	196.20	ESMH100VSN393MQ45T
	39000	30x35	0.50	5.05	565-2600-ND	4.11	31.12	234.86	ESMH100VSN393MR35T
	47000	25.4x50	0.50	5.73	565-2601-ND	5.55	41.96	316.63	ESMH100VSN473MQ50T
	47000	30x40	0.50	5.72	565-2602-ND	4.55	34.51	260.46	ESMH100VSN473MR40T
	56000	30x45	0.50	6.44	565-2603-ND	4.73	35.81	270.30	ESMH100VSN563MR45T
	68000	35x40	0.50	7.27	565-2604-ND	5.59	42.31	319.34	ESMH100VSN683MA40T
	82000	35x50	0.50	8.49	565-2605-ND	6.21	47.05	355.03	ESMH100VSN823MA50T
16	8200	22x25	0.40	2.51	565-2606-ND	1.93	14.59	110.06	ESMH160VSN822MP25T
	10000	22x25	0.40	2.77	565-2607-ND	2.23	16.83	126.99	ESMH160VSN103MP25T
	12000	22x30	0.40	2.86	565-2608-ND	2.30	17.41	131.43	ESMH160VSN123MP30T
	15000	22x35	0.40	3.29	565-2609-ND	2.43	18.40	138.85	ESMH160VSN153MP35T
	15000	24.5x30	0.40	3.46	565-2610-ND	2.64	19.97	150.69	ESMH160VSN153MQ30T
	18000	22x40	0.40	3.72	565-2611-ND	2.58	19.52	147.31	ESMH160VSN183MP40T
	18000	25.4x35	0.40	3.98	565-2612-ND	2.58	19.52	147.31	ESMH160VSN183MQ35T
	22000	22x50	0.40	4.37	565-2613-ND	2.58	19.52	147.31	ESMH160VSN223MP50T
	22000	25.4x40	0.40	4.26	565-2614-ND	3.09	23.38	176.51	ESMH160VSN223MQ40T
	27000	25.4x45	0.40	4.72	565-2615-ND	3.20	24.23	182.87	ESMH160VSN273MQ45T
	27000	30x35	0.40	4.82	565-2616-ND	3.67	27.73	209.25	ESMH160VSN273MR35T
	33000	25.4x50	0.40	5.33	565-2617-ND	3.41	25.80	194.72	ESMH160VSN333MQ50T
	33000	30x40	0.40	5.36	565-2618-ND	4.43	33.50	252.85	ESMH160VSN333MR40T
	39000	30x45	0.40	6.01	565-2619-ND	5.16	39.04	294.62	ESMH160VSN393MR45T
	47000	30x50	0.40	6.79	565-2620-ND	4.54	34.33	259.06	ESMH160VSN473MR50T
	47000	35x40	0.40	6.76	565-2621-ND	4.98	37.69	284.46	ESMH160VSN473MA40T
	56000	35x45	0.40	7.62	565-2622-ND	5.51	41.73	314.94	ESMH160VSN563MA45T
	68000	35x50	0.40	8.63	565-2623-ND	6.16	46.66	352.19	ESMH160VSN683MA50T
	100000	35x80	0.30	0.00	565-2624-ND	8.86	67.08	506.26	ESMH160VSN104MA80T
25	5600	22x25	0.30	2.21	565-2625-ND	1.99	15.04	113.49	ESMH250VSN562MP25T
	6800	22x30	0.30	2.40	565-2626-ND	2.29	17.28	130.38	ESMH250VSN682MP30T
	6800	25.4x25	0.30	2.56	565-2627-ND	2.26	17.08	128.95	ESMH250VSN682MQ25T
	8200	22x35	0.30	2.72	565-2628-ND	2.50	18.91	142.74	ESMH250VSN822MP35T
	10000	22x40	0.30	3.09	565-2629-ND	2.33	17.63	133.01	ESMH250VSN103MP40T
	10000	25.4x30	0.30	3.12	565-2630-ND	2.82	21.32	160.85	ESMH250VSN103MQ30T
	12000	22x45	0.30	3.48	565-2631-ND	2.52	19.07	143.92	ESMH250VSN123MP45T
	12000	25.4x35	0.30	3.43	565-2632-ND	2.90	21.99	165.93	ESMH250VSN123MQ35T
	15000	22x50	0.30	4.00	565-2633-ND	2.67	20.19	152.39	ESMH250VSN153MP50T
	15000	25.4x40	0.30	3.95	565-2634-ND	2.99	22.66	170.99	ESMH250VSN153MQ40T
	18000	25.4x45	0.30	4.45	565-2635-ND	3.71	28.05	211.65	ESMH250VSN183MQ45T
	18000	30x35	0.30	4.46	565-2636-ND	3.67	27.82	209.95	ESMH250VSN183MR35T
	22000	25.4x50	0.30	5.02	565-2637-ND	3.44	26.02	196.41	ESMH250VSN223MQ50T
	22000	30x45	0.30	5.21	565-2638-ND	4.00	30.29	228.59	ESMH250VSN223MR45T
	27000	30x50	0.30	5.94	565-2639-ND	4.33	32.78	247.43	ESMH250VSN273MR50T
	27000	35x40	0.30	5.92	565-2640-ND	4.85	36.70	276.98	ESMH250VSN273MA40T
	33000	35x45	0.30	6.75	565-2641-ND	5.07	38.37	289.60	ESMH250VSN333MA45T
	39000	35x50	0.30	7.56	565-2642-ND	5.39	40.83	308.16	ESMH250VSN393MA50T
35	3900	22x25	0.25	2.22	565-2643-ND	2.01	15.17	114.50	ESMH350VSN392MP25T
	4700	22x30	0.25	2.41	565-2644-ND	2.04	15.46	116.66	ESMH350VSN472MP30T
35	4700	25.4x25	0.25	2.42	565-2645-ND	2.33	17.62	132.96	ESMH350VSN472MQ25T
	5600	22x35	0.25	2.75	565-2646-ND	2.43	18.41	138.92	ESMH350VSN562MP35T
	6800	22x40	0.25	2.80	565-2647-ND	2.34	17.67	133.36	ESMH350VSN682MP40T
	6800	25.4x30	0.25	2.74	565-2648-ND	2.33	17.66	133.27	ESMH350VSN682MQ30T
	8200	22x45	0.25	3.47	565-2649-ND	2.50	18.93	142.84	ESMH350VSN822MP45T
	8200	25.4x35	0.25	3.10	565-2650-ND	2.51	19.07	143.91	ESMH350VSN822MQ35T
	10000	22x50	0.25	3.57	565-2651-ND	2.64	19.97	150.69	ESMH350VSN103MP50T
	10000	25.4x40	0.25	3.53	565-2652-ND	3.05	23.10	174.31	ESMH350VSN103MQ40T
	10000	30x30	0.25	3.46	565-2653-ND	3.95	29.88	225.53	ESMH350VSN103MR30T
	12000	25.4x45	0.25	3.98	565-2654-ND	3.08	23.33	176.09	ESMH350VSN123MQ45T
	12000	30x35	0.25	4.01	565-2655-ND	4.17	31.57	238.28	ESMH350VSN123MR35T
	15000	25.4x50	0.25	4.54	565-2656-ND	3.33	25.20	190.21	ESMH350VSN153MQ50T
	15000	30x40	0.25	4.52	565-2657-ND	4.52	34.24	258.45	ESMH350VSN153MR40T
	15000	35x35	0.25	5.01	565-2658-ND	4.98	37.69	284.46	ESMH350VSN153MA35T
	18000	30x45	0.25	4.71	565-2659-ND	4.33	32.75	247.22	ESMH350VSN183MR45T
	18000	35x40	0.25	5.54	565-2660-ND	4.84	36.66	276.69	ESMH350VSN183MA40T
	22000	30x50	0.25	5.33	565-2661-ND	4.68	35.45	267.53	ESMH350VSN223MR50T
	22000	35x45	0.25	6.04	565-2662-ND	5.56	42.13	317.93	ESMH350VSN223MA45T
	27000	35x45	0.25	6.89	565-2663-ND	5.62	42.58	321.39	ESMH350VSN273MA50T
50	2200	22x25	0.20	1.91	565-2664-ND	2.01	15.21	114.80	ESMH500VSN222MP25T
	3300	22x30	0.20	2.37	565-2665-ND	2.40	18.14	136.91	ESMH500VSN332MP30T
	3900	22x35	0.20	2.65	565-2666-ND	2.56	19.34	145.95	ESMH500VSN392MP35T
	3900	25.4x30	0.20	2.68	565-2667-ND	2.47	18.68	141.03	ESMH500VSN392MQ30T
	4700	22x40	0.20	2.99	565-2668-ND	2.37	17.97	135.68	ESMH500VSN472MP40T
	4700	25.4x35	0.20	3.03	565-2669-ND	2.84	21.54	162.55	ESMH500VSN472MQ35T
	5600	22x45	0.20	3.36	565-2670-ND	2.57	19.46	146.92	ESMH500VSN562MP45T
	5600	25.4x35	0.20	3.31	565-2671-ND	2.98	22.56	170.31	ESMH500VSN562MQ35T
	6800	22x50	0.20	3.81	565-2672-ND	2.84	21.47	162.04	ESMH500VSN682MP50T
	6800	25.4x40	0.20	3.81	565-2673-ND	5.33	40.38	304.78	ESMH500VSN682MQ40T
	6800	30x35	0.20	3.85	565-2674-ND	3.62	27.46	207.24	ESMH500VSN682MR35T
	8200	25.4x50	0.20	4.37	565-2675-ND	3.73	28.27	213.34	ESMH500VSN822MQ50T
	8200	30x40	0.20	4.36	565-2676-ND	3.32	25.13	189.64	ESMH500VSN822MR40T
	10000	30x45	0.20	4.97	565-2677-ND	4.21	31.87	240.47	ESMH500VSN103MR45T
	10000	35x35	0.20	4.92	565-2678-ND	4.59	34.74	262.25	ESMH500VSN103MA35T
	12000	30x50	0.20	5.60	565-2679-ND	4.42	33.49	252.75	ESMH500VSN123MR50T
	12000	35x40	0.20	5.58	565-2680-ND	4.94	37.43	282.45	ESMH500VSN123MA40T
	15000	35x45	0.20	6.44	565-2681-ND	5.37	40.61	306.47	ESMH500VSN153MA45T
	18000	35x50	0.20	6.71	565-2682-ND	5.88	44.57	336.38	ESMH500VSN183MA50T
63	1800	22x25	0.15	1.82	565-2683-ND	2.34	17.69	133.53	ESMH630VSN182MP25T
	2200	22x30	0.15	2.31	565-2684-ND	2.42	18.30	138.15	ESMH630VSN222MP30T
	2700	22x35	0.15	2.40	565-2686-ND	2.57	19.51	147.27	ESMH630VSN272MP35T
	2700	25.4x25	0.15	2.40	565-2685-ND	2.70	20.42	154.08	ESMH630VSN272MQ25T
	3300	22x35	0.15	2.62	565-2688-ND	2.70	20.42	154.08	ESMH630VSN332MP35T
	3300	25.4x30	0.15	2.64	565-2687-ND	2.87	21.72	163.98	ESMH630VSN332MQ30T
	3900	22x40	0.15	2.93	565-2689-ND	2.85	21.62	163.17	ESMH630VSN392MP40T
	3900	25.4x35	0.15	2.97	565-2690-ND	3.09	23.40	176.61	ESMH630VSN392MQ35T
	4700	22x50	0.15	3.39	565-2691-ND	3.13	23.73	179.12	ESMH630VSN472MP50T
	4700	25.4x40	0.15	3.36	565-2692-ND	3.23	24.44	184.47	ESMH630VSN472MQ40T
	5600	25.4x45	0.15	3.77	565-2693-ND	3.54	26.83	202.45	ESMH630VSN562MQ45T
	5600	30x35	0.15	3.75	565-2694-ND	3.84	29.01	219.00	ESMH630VSN562MR35T
	6800	25.4x50	0.15	4.27	565-2695-ND	3.73	28.28	213.39	ESMH630VSN682MQ50T
	6800	30x40	0.15	4.27	565-2696-ND	4.08	30.90	233.23	ESMH630VSN682MR40T
	8200	30x45	0.15	4.83	565-2697-ND	5.13	38.83	293.05	ESMH630VSN822MR45T
	10000	30x50	0.15	5.49	565-2698-ND	4.97	37.62	283.96	ESMH630VSN103MR50T
	10000	35x40	0.15	5.47	565-2699-ND	6.01	45.50	343.41	ESMH630VSN103MA40T
	12000	35x45	0.15	6.19	565-2700-ND	6.51	49.27	371.85	ESMH630VSN123MA45T
100	820	22x25	0.15	1.86	565-2701-ND	2.05	15.48	116.83	ESMH101VSN821MP25T
	1200	22x30	0.15	2.09	565-2702-ND	2.49	18.85	142.23	ESMH101VSN122MP30T
	1500	22x35	0.15	2.41	565-2703-ND	2.67	20.19	152.39	ESMH101VSN152MP35T
	1500	25.4x30	0.15	2.43	565-2704-ND	2.67	20.19	152.39	ESMH101VSN152MQ30T
	1800	22x40	0.15	2.71	565-2705-ND	2.90	21.99	165.93	ESMH101VSN182MP40T
	1800	25.4x35	0.15	2.75	565-2706-ND	3.08	23.33	176.09	ESMH101VSN182MQ35T
	2200	22x45	0.15	3.08	565-2707-ND	2.96	22.43	169.32	ESMH101VSN222MP45T
	2200	25.4x40	0.15	3.13	565-2708-ND	3.32	25.13	189.64	ESMH101VSN222MQ40T
	2700	22x50	0.15	3.53	565-2709-ND	3.41	25.80	194.72	ESMH101VSN272MP50T
	2700	25.4x45	0.15	3.57	565-2710-ND	3.61	27.37	206.57	ESMH101VSN272MQ45T
	2700	30x35	0.15	3.55	565-2711-ND	4.72	35.68	269.22	ESMH101VSN272MR35T
	3300	25.4x50	0.15	4.06	565-2712-ND	4.09	30.96	233.66	ESMH101VSN332MQ50T
	3300	30x40	0.15	4.05	565-2713-ND	4.21	31.86	240.43	ESMH101VSN332MR40T
	3900	30x45	0.15	4.54	565-2714-ND	6.28	47.56	358.96	ESMH101VSN392MR45T
	4700	30x50	0.15	5.13	565-2715-ND	4.80	36.34	274.30	ESMH101VSN472MR50T
	4700	35x40	0.15	5.11	565-2716-ND	5.60	42.40	320.01	ESMH101VSN472MA40T
	5600	35x45	0.15	5.75	565-2717-ND	5.66	42.85	323.40	ESMH101VSN562MA45T
	6800	35x50	0.15	6.50	565-2718-ND	6.52	49.36	372.50	ESMH101VSN682MA50T

*Betriebsspannung

E

Serie SMQ Aluminium-Elektrolytkondensatoren (Snap-In)

Verkleinerte Allzweckversion 85 °C
Bleifrei/RoHS-konform

Merkmale: • Mehrzweck • Hohe Spannung • Hohe CV • Hoher Mischstrom • 2.000 Stunden @ 85 °C **Spezifikationen:** • Betriebstemperaturbereich: -25 °C ~ 85 °C • Kapazitätstoleranz: ±20 % • Leckstrom @ 20 °C: 120 Hz: 1≤3√ CV (uA) nach 5 Minuten @ 20 °C

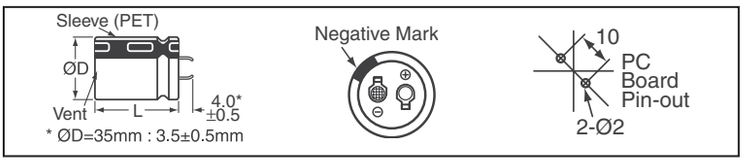

WV* (VDC)	Kap. (µF)	Gehäuse-größe Ø T x L (mm)	Tan δ	Max. Zul. Mischstr. (A RMS) @ 85 °C 120 Hz	Digi-Key Teilenr.	Preisangaben 1	10	100	United Chemi-Con Teilenr.
160	560	22x25	0.15	2.25	565-2719-ND	2.06	15.58	117.57	ESMQ161VSN561MP25S
	680	22x30	0.15	2.50	565-2720-ND	2.24	16.91	127.59	ESMQ161VSN681MP30S
	820	22x35	0.15	2.75	565-2721-ND	2.60	19.65	148.28	ESMQ161VSN821MP35S
	1000	22x40	0.15	3.00	565-2722-ND	2.84	21.49	162.15	ESMQ161VSN102MP40S
	1000	25.4x30	0.15	3.00	565-2723-ND	2.87	21.72	163.90	ESMQ161VSN102MQ30S
	1500	30x30	0.15	3.73	565-2724-ND	3.87	29.32	221.27	ESMQ161VSN152MR30S
	1800	25.4x45	0.15	4.20	565-2725-ND	4.11	31.10	234.68	ESMQ161VSN182MQ45S
	1800	30x35	0.15	4.20	565-2726-ND	4.44	33.66	254.02	ESMQ161VSN182MR35S
	2200	30x40	0.15	4.78	565-2727-ND	5.27	39.87	300.87	ESMQ161VSN222MR40S
	3300	35x45	0.15	5.75	565-2728-ND	7.66	58.01	437.79	ESMQ161VSN332MA45S
	3900	35x50	0.15	6.00	565-2729-ND	8.76	66.32	500.55	ESMQ161VSN392MA50S
200	390	22x25	0.15	1.68	565-2730-ND	1.96	14.86	112.11	ESMQ201VSN391MP25S
	470	22x30	0.15	1.85	565-2731-ND	2.36	17.86	134.80	ESMQ201VSN471MP30S
	560	22x30	0.15	2.43	565-2732-ND	2.46	18.57	140.10	ESMQ201VSN561MP30S
	680	22x35	0.15	2.68	565-2733-ND	2.25	17.08	128.86	ESMQ201VSN681MP35S
	680	25.4x30	0.15	2.68	565-2734-ND	2.97	22.51	169.89	ESMQ201VSN681MQ30S
	820	22x40	0.15	2.93	565-2735-ND	3.51	26.61	200.79	ESMQ201VSN821MP40S
	1000	22x45	0.15	3.25	565-2736-ND	3.59	27.21	205.35	ESMQ201VSN102MP45S
	1000	25.4x35	0.15	3.25	565-2737-ND	3.27	24.75	186.83	ESMQ201VSN102MQ35S
	1000	30x30	0.15	3.25	565-2738-ND	3.79	28.72	216.73	ESMQ201VSN102MR30S
	1200	25.4x40	0.15	3.50	565-2739-ND	3.87	29.30	221.13	ESMQ201VSN122MQ40S
	1500	25.4x50	0.15	3.87	565-2740-ND	4.76	36.01	271.76	ESMQ201VSN152MQ50S
	1800	30x45	0.15	4.32	565-2741-ND	5.79	43.85	330.89	ESMQ201VSN182MR45S
	2200	30x50	0.15	4.92	565-2742-ND	6.76	51.22	386.56	ESMQ201VSN222MR50S
	2200	35x40	0.15	4.92	565-2743-ND	7.37	55.75	420.73	ESMQ201VSN222MA40S
	2700	35x50	0.15	5.45	565-2744-ND	7.79	59.00	445.29	ESMQ201VSN272MA50S
250	390	22x30	0.15	1.91	565-2745-ND	2.40	18.20	137.34	ESMQ251VSN391MP30S
	470	22x35	0.15	2.11	565-2746-ND	2.90	21.94	165.55	ESMQ251VSN471MP35S
	470	25.4x30	0.15	2.11	565-2747-ND	2.62	19.86	149.90	ESMQ251VSN471MQ30S
	560	22x40	0.15	2.25	565-2748-ND	3.22	24.35	183.76	ESMQ251VSN561MP40S
	560	25.4x30	0.15	2.25	565-2749-ND	3.16	23.92	180.55	ESMQ251VSN561MQ30S
	680	22x45	0.15	2.50	565-2750-ND	3.59	27.21	205.35	ESMQ251VSN681MP45S
	680	25.4x35	0.15	2.50	565-2751-ND	3.57	27.06	204.21	ESMQ251VSN681MQ35S
	820	22x50	0.15	2.77	565-2752-ND	4.00	30.22	228.11	ESMQ251VSN821MP50S
	820	25.4x40	0.15	2.77	565-2753-ND	4.28	32.37	244.28	ESMQ251VSN821MQ40S
	1000	25.4x45	0.15	3.32	565-2754-ND	4.55	34.48	260.21	ESMQ251VSN102MQ45S
	1000	30x35	0.15	3.32	565-2755-ND	4.98	37.70	284.50	ESMQ251VSN102MR35S
	1200	30x40	0.15	3.53	565-2756-ND	5.66	42.88	323.62	ESMQ251VSN122MR40S
	1500	30x50	0.15	4.04	565-2757-ND	6.85	51.83	391.13	ESMQ251VSN152MR50S
	1500	35x40	0.15	4.04	565-2758-ND	7.38	55.87	421.65	ESMQ251VSN152MA40S
	1800	35x45	0.15	4.55	565-2759-ND	8.42	63.69	480.70	ESMQ251VSN182MA45S

WV* (VDC)	Kap. (µF)	Gehäuse-größe Ø T x L (mm)	Tan δ	Max. Zul. Mischstr. (A RMS) @ 85 °C 120 Hz	Digi-Key Teilenr.	Preisangaben 1	10	100	United Chemi-Con Teilenr.
350	150	22x25	0.15	1.12	565-2760-ND	2.31	17.48	131.91	ESMQ351VSN151MP25S
	270	25.4x30	0.15	1.66	565-2761-ND	2.94	22.21	167.63	ESMQ351VSN271MQ30S
	390	22x50	0.15	2.06	565-2762-ND	4.55	34.44	259.91	ESMQ351VSN391MP50S
	470	30x35	0.15	2.40	565-2763-ND	4.42	33.47	252.67	ESMQ351VSN471MR35S
	560	30x40	0.15	2.60	565-2764-ND	5.53	41.87	315.99	ESMQ351VSN561MR40S
	680	35x35	0.15	2.96	565-2765-ND	8.03	60.75	458.48	ESMQ351VSN681MA35S
	820	30x50	0.15	3.25	565-2766-ND	8.49	64.32	485.44	ESMQ351VSN821MR50S
	820	35x45	0.15	3.25	565-2767-ND	7.20	54.50	411.32	ESMQ351VSN821MA45S
	1000	35x50	0.15	3.54	565-2768-ND	8.15	61.74	465.99	ESMQ351VSN102MA50S
400	150	22x30	0.15	1.16	565-2769-ND	2.45	18.53	139.86	ESMQ401VSN151MP30S
	180	22x35	0.15	1.44	565-2770-ND	2.59	19.59	147.82	ESMQ401VSN181MP35S
	220	22x40	0.15	1.49	565-2771-ND	2.94	22.24	167.85	ESMQ401VSN221MP40S
	220	25.4x30	0.15	1.49	565-2772-ND	3.17	23.98	181.04	ESMQ401VSN221MQ30S
	270	22x45	0.15	1.67	565-2773-ND	3.66	27.72	209.22	ESMQ401VSN271MP45S
	270	25.4x35	0.15	1.67	565-2774-ND	3.65	27.63	208.55	ESMQ401VSN271MQ35S
	330	22x50	0.15	1.90	565-2775-ND	4.61	34.92	263.58	ESMQ401VSN331MP50S
	330	25.4x40	0.15	1.90	565-2776-ND	4.33	32.73	247.04	ESMQ401VSN331MQ40S
	390	25.4x45	0.15	2.13	565-2777-ND	4.83	36.62	276.38	ESMQ401VSN391MQ45S
	470	25.4x50	0.15	2.39	565-2778-ND	6.04	45.71	344.94	ESMQ401VSN471MQ50S
	470	30x40	0.15	2.39	565-2779-ND	5.93	44.93	339.08	ESMQ401VSN471MR40S
	560	30x45	0.15	2.69	565-2780-ND	7.19	54.39	410.49	ESMQ401VSN561MR45S
	680	30x50	0.15	2.96	565-2781-ND	8.62	65.24	492.37	ESMQ401VSN681MR50S
	680	35x40	0.15	2.96	565-2782-ND	9.24	69.98	528.14	ESMQ401VSN681MA40S
	820	35x45	0.15	3.25	565-2783-ND	10.71	81.06	611.76	ESMQ401VSN821MA45S
450	82	22x25	0.20	0.83	565-2784-ND	2.07	15.70	118.52	ESMQ451VSN820MP25S
	100	22x25	0.20	0.93	565-2785-ND	2.59	19.59	147.82	ESMQ451VSN101MP25S
	120	22x30	0.20	1.04	565-2786-ND	2.46	18.68	140.99	ESMQ451VSN121MP30S
	150	25.4x25	0.20	1.19	565-2787-ND	3.10	23.44	176.94	ESMQ451VSN151MQ25S
	180	22x40	0.20	1.35	565-2788-ND	3.23	24.47	184.66	ESMQ451VSN181MP40S
	180	25.4x30	0.20	1.35	565-2789-ND	3.71	28.08	211.94	ESMQ451VSN181MQ30S
	220	22x45	0.20	1.55	565-2790-ND	3.76	28.44	214.59	ESMQ451VSN221MP45S
	270	22x50	0.20	1.78	565-2792-ND	4.78	36.22	273.36	ESMQ451VSN271MP50S
	270	25.4x40	0.20	1.78	565-2793-ND	4.75	35.98	271.56	ESMQ451VSN271MQ40S
	330	25.4x50	0.20	2.01	565-2794-ND	5.41	40.94	308.98	ESMQ451VSN331MQ50S
	330	30x40	0.20	2.01	565-2795-ND	5.44	41.22	311.11	ESMQ451VSN331MR40S
	390	30x40	0.20	2.24	565-2796-ND	6.88	52.10	393.20	ESMQ451VSN391MR40S
	470	30x45	0.20	2.53	565-2797-ND	7.78	58.88	444.37	ESMQ451VSN471MR45S
	470	35x40	0.20	2.53	565-2798-ND	8.47	64.10	483.71	ESMQ451VSN471MA40S
	560	30x50	0.20	2.82	565-2799-ND	8.74	66.14	499.20	ESMQ451VSN561MR50S
	560	35x45	0.20	2.82	565-2800-ND	8.79	66.56	502.36	ESMQ451VSN561MA45S

Serie KMH Aluminium-Elektrolytkondensatoren (Snap-In)

Allzweck 105 °C
Bleifrei/RoHS-konform

Merkmale: • Mehrzweck • Hohe CV • Hoher Mischstrom • 2.000 Stunden @ 105 °C **Spezifikationen:** • Betriebstemperaturbereich: -40 °C ~ 105 °C • Kapazitätstoleranz: ±20 % • Leckstrom @ 20 °C: I = 0,02 CV oder 3 mA (welcher Wert auch immer kleiner ist)

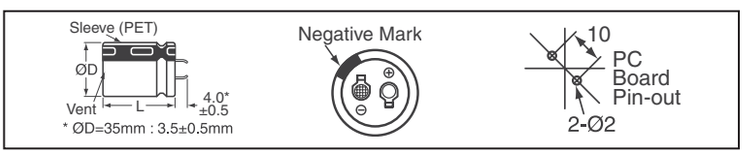

WV* (VDC)	Kap. (µF)	Gehäuse-größe Ø T x L (mm)	Tan δ	Max. Zul. Mischstr. (A RMS) @ 85 °C 120 Hz	Digi-Key Teilenr.	Preisangaben 1	10	100	United Chemi-Con Teilenr.
6.3	12000	22x25	0.60	1.54	565-2801-ND	2.22	16.81	126.81	EKMH6R3VSN123MP25T
	15000	22x25	0.60	1.72	565-2802-ND	2.23	16.83	126.99	EKMH6R3VSN153MP25T
	18000	22x30	0.60	1.95	565-2803-ND	2.29	17.28	130.38	EKMH6R3VSN183MP30T
	22000	22x35	0.60	2.23	565-2804-ND	2.36	17.88	134.93	EKMH6R3VSN223MP35T
	22000	25.4x30	0.60	2.25	565-2805-ND	2.61	19.74	149.00	EKMH6R3VSN223MQ30T
	27000	22x40	0.60	2.54	565-2806-ND	2.67	20.17	152.27	EKMH6R3VSN273MP40T
	27000	25.4x35	0.60	2.57	565-2807-ND	2.86	21.68	163.61	EKMH6R3VSN273MQ35T
	39000	30x35	0.60	3.26	565-2808-ND	4.06	30.79	232.37	EKMH6R3VSN393MR35T
	47000	25.4x50	0.60	3.69	565-2809-ND	3.40	25.79	194.64	EKMH6R3VSN473MQ50T
	47000	30x40	0.60	3.69	565-2810-ND	4.33	32.75	247.21	EKMH6R3VSN473MR40T
	56000	30x45	0.60	4.16	565-2811-ND	4.64	35.15	265.28	EKMH6R3VSN563MR45T
	68000	30x50	0.60	4.71	565-2812-ND	4.83	36.55	275.81	EKMH6R3VSN683MR50T
	68000	35x40	0.60	4.69	565-2813-ND	5.38	40.73	307.43	EKMH6R3VSN683MA40T
	82000	35x45	0.60	5.32	565-2814-ND	5.82	44.08	332.72	EKMH6R3VSN823MA45T
10	10000	22x25	0.50	1.55	565-2815-ND	2.18	16.50	124.50	EKMH100VSN103MP25T
	12000	22x30	0.50	1.77	565-2816-ND	2.25	17.05	128.68	EKMH100VSN123MP30T
	15000	22x30	0.50	1.97	565-2817-ND	2.37	17.94	135.39	EKMH100VSN153MP30T
	15000	25.4x25	0.50	1.96	565-2818-ND	2.55	19.29	145.62	EKMH100VSN153MQ25T
	18000	22x35	0.50	2.21	565-2820-ND	2.51	19.00	143.40	EKMH100VSN183MP35T
	18000	25.4x30	0.50	2.23	565-2819-ND	2.75	20.83	157.17	EKMH100VSN183MQ30T
	22000	25.4x35	0.50	2.54	565-2821-ND	2.82	21.35	161.15	EKMH100VSN223MQ35T
	27000	22x40	0.50	2.51	565-2822-ND	3.06	23.13	174.56	EKMH100VSN273MQ40T
	33000	25.4x45	0.50	3.30	565-2823-ND	3.23	24.42	184.36	EKMH100VSN333MQ45T
	33000	30x35	0.50	3.28	565-2824-ND	4.09	30.97	233.70	EKMH100VSN333MR35T
	39000	30x40	0.50	3.69	565-2825-ND	4.39	33.20	250.62	EKMH100VSN393MR40T
	39000	35x30	0.50	3.43	565-2826-ND	4.54	34.33	259.06	EKMH100VSN393MR45T
	47000	30x45	0.50	4.17	565-2827-ND	4.73	35.85	270.60	EKMH100VSN473MR45T
	56000	30x50	0.50	4.68	565-2828-ND	4.90	37.13	280.22	EKMH100VSN563MR50T
	56000	35x40	0.50	4.67	565-2829-ND	5.50	41.65	314.35	EKMH100VSN563MA40T
	68000	35x50	0.50	5.46	565-2830-ND	5.99	45.32	342.03	EKMH100VSN683MA50T
16	6800	22x25	0.40	1.57	565-2831-ND	1.94	14.65	110.63	EKMH160VSN682MP25T
	10000	22x30	0.40	1.97	565-2832-ND	2.33	17.64	133.17	EKMH160VSN103MP30T
	10000	25.4x25	0.40	1.97	565-2833-ND	2.20	16.67	125.82	EKMH160VSN103MQ25T
	12000	22x35	0.40	2.22	565-2834-ND	2.18	16.53	124.70	EKMH160VSN123MP35T

*Betriebsspannung

WV* (VDC)	Kap. (µF)	Gehäuse-größe Ø T x L (mm)	Tan δ	Max. Zul. Mischstr. (A RMS) @ 85 °C 120 Hz	Digi-Key Teilenr.	Preisangaben 1	10	100	United Chemi-Con Teilenr.
16	12000	25.4x30	0.40	2.24	565-2835-ND	2.55	19.29	145.62	EKMH160VSN123MQ30T
	15000	22x40	0.40	2.55	565-2836-ND	2.62	19.89	150.11	EKMH160VSN153MP40T
	15000	25.4x35	0.40	2.58	565-2837-ND	2.87	21.71	163.83	EKMH160VSN153MQ35T
	18000	22x45	0.40	2.87	565-2838-ND	2.82	21.32	160.85	EKMH160VSN183MP45T
	18000	25.4x40	0.40	2.92	565-2839-ND	3.09	23.42	176.74	EKMH160VSN183MQ40T
	22000	25.4x45	0.40	3.32	565-2840-ND	3.06	23.11	174.40	EKMH160VSN223MQ45T
	22000	30x35	0.40	3.29	565-2841-ND	4.01	30.40	229.41	EKMH160VSN223MR35T
	27000	25.4x50	0.40	3.78	565-2842-ND	3.26	24.68	186.25	EKMH160VSN273MQ50T
	27000	30x40	0.40	3.77	565-2843-ND	4.39	33.20	250.61	EKMH160VSN273MR40T
	33000	30x45	0.40	4.30	565-2844-ND	4.80	36.34	274.30	EKMH160VSN333MR45T
	39000	30x50	0.40	4.81	565-2845-ND	5.43	41.06	309.86	EKMH160VSN393MR50T
	39000	35x40	0.40	4.79	565-2846-ND	4.86	36.79	277.68	EKMH160VSN393MA40T
	47000	35x45	0.40	5.43	565-2847-ND	5.51	41.73	314.94	EKMH160VSN473MA45T
25	4700	22x25	0.30	1.50	565-2848-ND	2.22	16.76	126.52	EKMH250VSN472MP25T
	5600	22x25	0.30	1.63	565-2849-ND	2.28	17.22	129.93	EKMH250VSN562MP25T
	6800	22x30	0.30	1.86	565-2850-ND	2.42	18.36	138.56	EKMH250VSN682MP30T
	8200	22x35	0.30	2.11	565-2851-ND	2.43	18.40	138.84	EKMH250VSN822MP35T
	8200	25.4x30	0.30	2.12	565-2852-ND	2.70	20.42	154.08	EKMH250VSN822MQ30T
	10000	22x40	0.30	2.39	565-2853-ND	2.37	17.95	135.46	EKMH250VSN103MP40T
	10000	25.4x35	0.30	2.42	565-2854-ND	3.19	24.15	182.23	EKMH250VSN103MQ35T
	12000	22x45	0.30	2.69	565-2856-ND	2.55	19.29	145.62	EKMH250VSN123MP45T
	12000	25.4x40	0.30	2.74	565-2855-ND	3.05	23.10	174.39	EKMH250VSN123MQ40T
	15000	25.4x45	0.30	3.15	565-2857-ND	3.02	22.88	172.71	EKMH250VSN153MQ45T
	15000	30x35	0.30	3.13	565-2858-ND	4.10	31.04	234.33	EKMH250VSN153MR35T
	18000	25.4x50	0.30	3.54	565-2859-ND	3.32	25.13	189.64	EKMH250VSN183MQ50T
	18000	30x40	0.30	3.54	565-2860-ND	4.33	32.81	247.66	EKMH250VSN183MR40T
	22000	30x45	0.30	4.04	565-2861-ND	4.80	36.34	274.30	EKMH250VSN223MR45T
	27000	35x45	0.30	4.73	565-2862-ND	5.92	44.80	338.14	EKMH250VSN273MA45T
	33000	35x50	0.30	5.39	565-2863-ND	5.45	41.28	311.55	EKMH250VSN333MA50T
35	3300	22x25	0.25	1.40	565-2864-ND	2.25	17.05	128.66	EKMH350VSN332MP25T
	3900	22x30	0.25	1.57	565-2865-ND	2.29	17.28	130.38	EKMH350VSN392MP30T
	4700	22x30	0.25	1.72	565-2866-ND	2.35	17.85	134.66	EKMH350VSN472MP30T
	4700	25.4x25	0.25	1.80	565-2867-ND	2.60	19.69	148.64	EKMH350VSN472MQ25T

(Forts.)

Alle Preisangaben in Euro und inklusive Zollgebühren.

Serie KMH Aluminium-Elektrolytkondensatoren (Snap-In) *(Forts.)*

WV* (VDC)	Kap. (µF)	Gehäuse-größe Ø T x L (mm)	Tan δ	Max. Zul. Mischstr. (A RMS) @ 85 °C 120 Hz	Digi-Key Teilenr.	Preisangaben 1	10	100	United Chemi-Con Teilenr.
35	5600	22x35	0.25	1.95	565-2868-ND	2.31	17.50	132.07	EKMH350VSN562MP35T
	5600	25.4x30	0.25	1.96	565-2869-ND	2.82	21.32	160.85	EKMH350VSN562MQ30T
	6800	22x40	0.25	2.20	565-2870-ND	2.40	18.18	137.15	EKMH350VSN682MP40T
	6800	25.4x35	0.25	2.23	565-2871-ND	2.81	21.31	160.80	EKMH350VSN682MQ35T
	8200	22x50	0.25	2.55	565-2872-ND	2.67	20.19	152.39	EKMH350VSN822MP50T
	8200	25.4x40	0.25	2.53	565-2873-ND	3.01	22.76	171.74	EKMH350VSN822MQ40T
	10000	25.4x45	0.25	2.87	565-2874-ND	3.17	24.01	181.17	EKMH350VSN103MQ45T
	10000	30x35	0.25	2.90	565-2875-ND	4.03	30.51	230.28	EKMH350VSN103MR35T
	12000	25.4x50	0.25	3.24	565-2876-ND	3.85	29.17	220.12	EKMH350VSN123MQ50T
	15000	30x45	0.25	3.72	565-2877-ND	4.27	32.31	243.82	EKMH350VSN153MR45T
	15000	35x35	0.25	3.67	565-2878-ND	4.72	35.68	269.22	EKMH350VSN153MA35T
	18000	35x40	0.25	4.37	565-2879-ND	4.98	37.69	284.46	EKMH350VSN183MA40T
	22000	35x50	0.25	4.92	565-2880-ND	6.03	45.63	344.41	EKMH350VSN223MA50T
50	1800	22x25	0.20	1.33	565-2881-ND	1.99	15.07	113.73	EKMH500VSN182MP25T
	2700	22x30	0.20	1.69	565-2882-ND	2.31	17.50	132.07	EKMH500VSN272MP30T
	2700	25.4x25	0.20	1.70	565-2883-ND	2.30	17.43	131.59	EKMH500VSN272MQ25T
	3300	22x35	0.20	1.93	565-2884-ND	2.25	17.04	128.61	EKMH500VSN332MP35T
	3300	25.4x30	0.20	1.85	565-2885-ND	2.42	18.35	138.50	EKMH500VSN332MQ30T
	3900	22x40	0.20	2.16	565-2886-ND	2.37	17.95	135.46	EKMH500VSN392MP40T
	3900	25.4x35	0.20	2.18	565-2887-ND	2.82	21.32	160.85	EKMH500VSN392MQ35T
	4700	22x45	0.20	2.43	565-2888-ND	2.55	19.29	145.62	EKMH500VSN472MP45T
	4700	25.4x35	0.20	2.39	565-2889-ND	2.96	22.43	169.32	EKMH500VSN472MQ35T
	4700	30x30	0.20	2.25	565-2890-ND	3.81	28.84	217.67	EKMH500VSN472MR30T
	5600	22x50	0.20	2.75	565-2891-ND	2.96	22.43	169.32	EKMH500VSN562MP50T
	5600	25.4x4	0.20	2.70	565-2892-ND	3.16	23.92	180.57	EKMH500VSN562MQ40T
	5600	30x35	0.20	2.76	565-2893-ND	4.08	30.93	233.38	EKMH500VSN562MR35T
	6800	25.4x50	0.20	3.30	565-2894-ND	3.20	24.23	182.87	EKMH500VSN682MQ50T
	6800	35x30	0.20	3.25	565-2895-ND	3.67	27.82	209.96	EKMH500VSN682MA30T
	8200	30x45	0.20	3.60	565-2896-ND	4.02	30.48	230.01	EKMH500VSN822MR45T
	8200	35x35	0.20	3.55	565-2897-ND	4.62	34.98	263.99	EKMH500VSN822MA35T
	10000	30x50	0.20	4.04	565-2898-ND	4.33	32.85	247.88	EKMH500VSN103MR50T
	10000	35x40	0.20	4.03	565-2899-ND	4.97	37.61	283.85	EKMH500VSN103MA40T
	12000	35x45	0.20	4.55	565-2900-ND	5.26	39.79	300.33	EKMH500VSN123MA45T
63	1200	22x25	0.15	1.19	565-2901-ND	1.96	14.81	111.73	EKMH630VSN122MP25T

WV* (V DC)	Kap. (µF)	Gehäuse-größe Ø T x L (mm)	Tan δ	Max. Zul. Mischstr. (A RMS) @ 85 °C 120 Hz	Digi-Key Teilenr.	Preisangaben 1	10	100	United Chemi-Con Teilenr.
63	1500	22x25	0.15	1.33	565-2902-ND	2.07	15.70	118.52	EKMH630VSN152MP25T
	1800	22x30	0.15	1.51	565-2903-ND	2.06	15.60	117.75	EKMH630VSN182MP30T
	2200	22x35	0.15	1.73	565-2904-ND	2.18	16.52	124.67	EKMH630VSN222MP35T
	2200	25.4x30	0.15	1.74	565-2905-ND	2.40	18.13	136.77	EKMH630VSN222MQ30T
	2700	22x40	0.15	1.97	565-2907-ND	2.33	17.65	133.19	EKMH630VSN272MP40T
	2700	25.4x35	0.15	1.99	565-2906-ND	2.79	21.09	159.16	EKMH630VSN272MQ35T
	3300	22x50	0.15	2.29	565-2908-ND	2.51	19.02	143.60	EKMH630VSN332MP50T
	3300	25.4x40	0.15	2.27	565-2909-ND	2.95	22.31	168.35	EKMH630VSN332MQ40T
	3900	25.4x45	0.15	2.54	565-2910-ND	3.14	23.78	179.48	EKMH630VSN392MQ45T
	3900	30x35	0.15	2.55	565-2911-ND	3.47	26.25	198.10	EKMH630VSN392MR35T
	4700	25.4x50	0.15	2.86	565-2912-ND	3.14	23.78	179.48	EKMH630VSN472MQ50T
	4700	30x40	0.15	2.86	565-2913-ND	3.65	27.60	208.26	EKMH630VSN472MR40T
	5600	30x45	0.15	3.22	565-2914-ND	3.79	28.72	216.73	EKMH630VSN562MR45T
	6800	30x50	0.15	3.65	565-2915-ND	4.09	30.96	233.66	EKMH630VSN682MR50T
	6800	35x40	0.15	3.64	565-2916-ND	4.75	35.95	271.28	EKMH630VSN682MA40T
	8200	35x45	0.15	3.90	565-2917-ND	5.22	39.49	298.00	EKMH630VSN822MA45T
	10000	35x50	0.15	4.40	565-2918-ND	5.63	42.63	321.71	EKMH630VSN103MA40T
100	560	22x25	0.15	10.5	565-2919-ND	2.25	17.05	128.68	EKMH101VSN561MP25T
	820	22x30	0.15	1.32	565-2920-ND	2.19	16.60	125.30	EKMH101VSN821MP30T
	1000	22x35	0.15	1.50	565-2922-ND	2.86	21.65	163.37	EKMH101VSN102MP35T
	1000	25.4x30	0.15	1.51	565-2921-ND	2.82	21.32	160.85	EKMH101VSN102MQ30T
	1200	22x40	0.15	1.69	565-2924-ND	2.76	20.87	157.47	EKMH101VSN122MP40T
	1200	25.4x35	0.15	1.71	565-2923-ND	2.86	21.64	163.33	EKMH101VSN122MQ35T
	1500	22x45	0.15	1.94	565-2925-ND	2.70	20.42	154.08	EKMH101VSN152MP45T
	1500	25.4x40	0.15	1.98	565-2926-ND	2.76	20.87	157.47	EKMH101VSN152MQ40T
	1800	25.4x45	0.15	2.23	565-2928-ND	3.38	25.58	193.02	EKMH101VSN182MQ45T
	1800	30x35	0.15	2.50	565-2927-ND	3.63	27.49	207.48	EKMH101VSN182MR35T
	2200	25.4x50	0.15	2.53	565-2929-ND	3.29	24.91	187.95	EKMH101VSN222MQ50T
	2200	30x40	0.15	2.70	565-2930-ND	3.82	28.94	218.36	EKMH101VSN222MR40T
	2700	30x45	0.15	2.88	565-2931-ND	3.89	29.39	221.81	EKMH101VSN272MR45T
	3300	30x50	0.15	3.28	565-2932-ND	4.62	35.00	264.14	EKMH101VSN332MR50T
	3300	35x40	0.15	3.2	565-2933-ND	5.96	45.10	340.33	EKMH101VSN332MA40T
	3900	35x45	0.15	3.67	565-2934-ND	4.86	36.79	277.68	EKMH101VSN392MA45T
	4700	35x50	0.15	3.80	565-2935-ND	6.28	47.56	358.96	EKMH101VSN472MA50T

Serie KMQ Aluminium-Elektrolytkondensatoren (Snap-In)

Verkleinerte Allzweckversion 105 °C
Bleifrei/RoHS-konform

Merkmale: • Mehrzweck • Hohe Spannung • Hohe CV • Hoher Mischstrom • 2.000 Stunden @ 105 °C **Spezifikationen:** • Betriebstemperaturbereich: -25 °C ~ 105 °C • Kapazitätstoleranz: +20 % • Leckstrom @ 20 °C: 1≤3√ CV (uA) nach 5 Minuten @ 20 °C

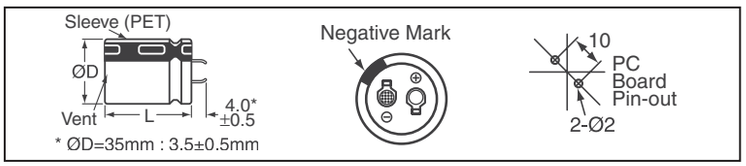

WV* (V DC)	Kap. (µF)	Gehäuse-größe Ø T x L (mm)	Tan δ	Max. Zul. Mischstr. (A RMS) @ 85 °C 120 Hz	Digi-Key Teilenr.	Preisangaben 1	10	100	United Chemi-Con Teilenr.
160	470	22x25	0.15	1.40	565-2936-ND	2.01	15.21	114.84	EKMQ161VSN471MP25S
	680	22x30	0.15	1.70	565-2937-ND	2.39	18.05	136.23	EKMQ161VSN681MP30S
	820	22x35	0.15	2.00	565-2938-ND	2.70	20.43	154.20	EKMQ161VSN821MP35S
	1000	22x40	0.15	2.20	565-2939-ND	3.00	22.69	171.25	EKMQ161VSN102MP40S
	1000	25.4x35	0.15	2.20	565-2940-ND	4.43	32.60	232.88	EKMQ161VSN102MQ35S
	1200	25.4x40	0.15	2.30	565-2941-ND	4.96	36.57	261.26	EKMQ161VSN122MQ40S
	1500	25.4x45	0.15	2.50	565-2942-ND	4.06	30.74	231.97	EKMQ161VSN152MQ45S
	1500	30x35	0.15	2.50	565-2943-ND	4.41	33.42	252.24	EKMQ161VSN152MR35S
	1800	30x40	0.15	2.70	565-2944-ND	4.88	37.00	279.28	EKMQ161VSN182MR40S
	2200	30x45	0.15	2.90	565-2945-ND	5.71	43.18	325.89	EKMQ161VSN222MR45S
	2200	35x35	0.15	2.90	565-2946-ND	6.26	47.46	358.18	EKMQ161VSN222MA35S
	2700	35x40	0.15	3.10	565-2947-ND	7.19	54.42	410.73	EKMQ161VSN272MA40S
	3300	35x50	0.15	3.30	565-2948-ND	8.52	64.49	486.68	EKMQ161VSN332MA50S
200	390	22x25	0.15	1.31	565-2949-ND	2.35	17.84	134.64	EKMQ201VSN391MP25S
	470	22x30	0.15	1.45	565-2950-ND	2.29	17.30	130.54	EKMQ201VSN471MP30S
	560	22x30	0.15	1.67	565-2951-ND	2.49	18.83	142.13	EKMQ201VSN561MP30S
	680	22x40	0.15	1.75	565-2952-ND	2.97	22.51	169.88	EKMQ201VSN681MP40S
	680	25.4x30	0.15	1.75	565-2953-ND	2.94	22.21	167.63	EKMQ201VSN681MQ30S
	820	22x45	0.15	2.04	565-2954-ND	3.38	25.58	193.08	EKMQ201VSN821MP45S
	820	25.4x35	0.15	2.04	565-2955-ND	3.26	24.65	186.05	EKMQ201VSN821MQ35S
	1000	22x50	0.15	2.30	565-2956-ND	3.77	28.51	215.14	EKMQ201VSN102MP50S
	1000	25.4x45	0.15	2.30	565-2957-ND	3.34	25.34	191.23	EKMQ201VSN102MQ45S
	1000	30x30	0.15	2.30	565-2958-ND	4.09	30.98	233.78	EKMQ201VSN102MR30S
	1200	25.4x50	0.15	2.65	565-2959-ND	3.84	29.06	219.32	EKMQ201VSN122MQ50S
	1200	30x35	0.15	2.65	565-2960-ND	4.64	35.10	264.94	EKMQ201VSN122MR35S
	1500	30x40	0.15	2.80	565-2961-ND	5.36	40.56	306.11	EKMQ201VSN152MR40S
	1800	30x45	0.15	3.08	565-2962-ND	4.21	31.88	240.64	EKMQ201VSN182MR45S
	1800	35x40	0.15	3.08	565-2963-ND	6.24	47.21	356.37	EKMQ201VSN182MA40S
	2200	35x45	0.15	3.48	565-2964-ND	9.32	70.60	532.84	EKMQ201VSN222MA45S
250	220	22x25	0.15	1.00	565-2965-ND	2.06	15.57	117.53	EKMQ251VSN221MP25S
	270	22x25	0.15	1.10	565-2966-ND	2.20	16.69	125.99	EKMQ251VSN271MP25S
	330	22x30	0.15	1.20	565-2967-ND	2.55	19.29	145.56	EKMQ251VSN331MP30S
	330	25.4x25	0.15	1.20	565-2968-ND	2.14	16.20	122.31	EKMQ251VSN331MQ25S
	390	22x35	0.15	1.30	565-2969-ND	2.83	21.38	161.35	EKMQ251VSN391MP35S
	470	22x40	0.15	1.40	565-2970-ND	2.83	21.39	161.47	EKMQ251VSN471MP40S
	470	25.4x30	0.15	1.40	565-2971-ND	2.61	19.74	149.00	EKMQ251VSN471MQ30S
	560	22x45	0.15	1.50	565-2972-ND	3.18	24.08	181.71	EKMQ251VSN561MP45S
	560	25.4x35	0.15	1.50	565-2973-ND	3.01	22.83	172.31	EKMQ251VSN561MQ35S
	680	22x50	0.15	1.70	565-2974-ND	3.79	28.72	216.73	EKMQ251VSN681MP50S
	680	25.4x40	0.15	1.70	565-2975-ND	11.65	88.17	665.43	EKMQ251VSN681MQ40S
	820	25.4x45	0.15	2.00	565-2976-ND	4.29	32.52	245.41	EKMQ251VSN821MQ45S
	820	30x35	0.15	2.00	565-2977-ND	4.44	33.57	253.35	EKMQ251VSN821MR35S
	1000	30x40	0.15	2.20	565-2978-ND	4.98	37.72	284.66	EKMQ251VSN102MR40S
	1200	30x45	0.15	2.30	565-2979-ND	5.93	44.92	339.04	EKMQ251VSN122MR45S
	1500	35x45	0.15	2.50	565-2980-ND	7.55	57.16	431.41	EKMQ251VSN152MA45S
	1800	35x50	0.15	2.70	565-2981-ND	8.58	64.93	490.09	EKMQ251VSN182MA50S
350	120	22x25	0.15	0.75	565-2982-ND	2.23	16.83	126.99	EKMQ351VSN121MP25S
	150	22x30	0.15	0.82	565-2983-ND	2.43	18.40	138.84	EKMQ351VSN151MP30S

*Betriebsspannung

WV* (VDC)	Kap. (µF)	Gehäuse-größe Ø T x L (mm)	Tan δ	Max. Zul. Mischstr. (A RMS) @ 85 °C 120 Hz	Digi-Key Teilenr.	Preisangaben 1	10	100	United Chemi-Con Teilenr.
350	180	22x30	0.15	0.90	565-2984-ND	2.79	21.09	159.16	EKMQ351VSN181MP30S
	220	22x35	0.15	1.00	565-2985-ND	3.14	23.78	179.48	EKMQ351VSN221MP35S
	220	25.4x30	0.15	1.00	565-2986-ND	2.88	21.77	164.24	EKMQ351VSN221MQ30S
	270	30x25	0.15	1.10	565-2987-ND	3.79	28.72	216.73	EKMQ351VSN271MR25S
	330	22x45	0.15	1.20	565-2988-ND	4.84	36.68	276.83	EKMQ351VSN331MP45S
	330	25.4x40	0.15	1.20	565-2989-ND	3.71	28.05	211.65	EKMQ351VSN331MQ40S
	390	25.4x45	0.15	1.30	565-2990-ND	4.09	30.96	233.66	EKMQ351VSN391MQ45S
	390	30x35	0.15	1.30	565-2991-ND	5.39	40.81	308.00	EKMQ351VSN391MR35S
	470	35x30	0.15	1.40	565-2992-ND	5.83	44.14	333.16	EKMQ351VSN471MA30S
	560	35x35	0.15	1.50	565-2993-ND	6.68	50.59	381.85	EKMQ351VSN561MA35S
	680	30x50	0.15	1.70	565-2994-ND	7.39	55.96	422.33	EKMQ351VSN681MR50S
	820	35x45	0.15	1.90	565-2995-ND	9.04	68.43	516.47	EKMQ351VSN821MA45S
400	100	22x25	0.15	0.70	565-2996-ND	2.13	16.15	121.91	EKMQ401VSN101MP25S
	120	22x30	0.15	0.75	565-2997-ND	2.30	17.41	131.45	EKMQ401VSN121MP30S
	150	22x30	0.15	0.88	565-2998-ND	2.84	21.49	162.15	EKMQ401VSN151MP30S
	150	25.4x25	0.15	0.88	565-2999-ND	2.64	19.97	150.69	EKMQ401VSN151MQ25S
	180	22x35	0.15	0.95	565-3000-ND	3.06	23.11	174.40	EKMQ401VSN181MP35S
	180	25.4x30	0.15	0.95	565-3001-ND	3.08	23.33	176.09	EKMQ401VSN181MQ30S
	220	22x45	0.15	1.10	565-3002-ND	3.46	26.19	197.63	EKMQ401VSN221MP45S
	220	25.4x35	0.15	1.10	565-3003-ND	3.46	26.23	197.94	EKMQ401VSN221MQ35S
	270	22x50	0.15	1.22	565-3004-ND	3.99	30.20	227.89	EKMQ401VSN271MP50S
	270	25.4x40	0.15	1.22	565-3005-ND	4.26	32.27	243.56	EKMQ401VSN271MQ40S
	330	25.4x45	0.15	1.44	565-3006-ND	4.70	35.60	268.66	EKMQ401VSN331MQ45S
	330	30x35	0.15	1.44	565-3007-ND	4.94	37.45	282.60	EKMQ401VSN331MR35S
	390	25.4x50	0.15	1.55	565-3008-ND	5.37	40.65	306.80	EKMQ401VSN391MQ50S
	390	30x40	0.15	1.55	565-3009-ND	5.66	42.88	323.62	EKMQ401VSN391MR40S
	470	30x45	0.15	1.68	565-3010-ND	6.63	50.20	378.88	EKMQ401VSN471MR45S
	470	35x35	0.15	1.68	565-3011-ND	6.93	52.46	395.93	EKMQ401VSN471MA35S
	560	30x50	0.15	1.90	565-3012-ND	7.63	57.74	435.73	EKMQ401VSN561MR50S
	560	35x40	0.15	1.90	565-3013-ND	8.00	60.60	457.34	EKMQ401VSN561MA40S
	680	35x45	0.15	2.12	565-3014-ND	9.38	71.00	535.80	EKMQ401VSN681MA45S
450	68	22x25	0.20	0.50	565-3015-ND	2.21	16.70	126.04	EKMQ451VSN680MP25S
	100	22x30	0.20	0.64	565-3016-ND	2.58	19.52	147.31	EKMQ451VSN101MP30S
	100	25.4x25	0.20	0.64	565-3017-ND	2.90	21.99	165.93	EKMQ451VSN101MQ25S
	120	22x35	0.20	0.72	565-3018-ND	2.94	22.21	167.63	EKMQ451VSN121MP35S
	150	22x40	0.20	0.79	565-3019-ND	3.73	28.27	213.34	EKMQ451VSN151MP40S
	150	25.4x30	0.20	0.79	565-3020-ND	3.73	28.27	213.34	EKMQ451VSN151MQ30S
	180	22x45	0.20	0.87	565-3021-ND	3.61	27.37	206.57	EKMQ451VSN181MP45S
	180	25.4x40	0.20	0.87	565-3022-ND	3.89	29.39	221.81	EKMQ451VSN181MQ40S
	220	25.4x45	0.20	1.00	565-3023-ND	4.74	35.90	270.91	EKMQ451VSN221MQ45S
	220	30x30	0.20	1.00	565-3024-ND	4.62	35.00	264.14	EKMQ451VSN221MR30S
	270	25.4x50	0.20	1.19	565-3025-ND	5.07	38.37	289.54	EKMQ451VSN271MQ50S
	270	30x40	0.20	1.19	565-3026-ND	6.22	47.11	355.57	EKMQ451VSN271MR40S
	330	30x45	0.20	1.38	565-3027-ND	6.08	46.01	347.27	EKMQ451VSN331MR45S
	330	35x35	0.20	1.38	565-3028-ND	6.49	49.14	370.81	EKMQ451VSN331MA35S
	390	30x50	0.20	1.55	565-3029-ND	6.82	51.60	389.44	EKMQ451VSN391MR50S
	390	35x40	0.20	1.55	565-3030-ND	8.89	67.30	507.96	EKMQ451VSN391MA40S
	470	35x45	0.20	1.74	565-3031-ND	8.89	67.30	507.96	EKMQ451VSN471MA45S
	560	35x50	0.20	1.90	565-3032-ND	9.71	73.54	555.03	EKMQ451VSN561MA50S

nichicon Festtantal-Elektrolyt-Chip-Kondensatoren

Merkmale:

F93 – Standardserie
• Allzweckchip, rechteckig, aus Harz geformt • ESR/Impedanz niedrig, hervorragende Hochfrequenzmerkmale • Ausgezeichnete Feuchtigkeitsbeständigkeit

Serie F91 - Niedriger ESR
• Rechteckiger Chip, aus Harz geformt • Niedriger ESR-Wert

F92 – Kompaktserie
• Flachprofilchip, rechteckig, aus Harz geformt • Ausgezeichnete Frequenzeigenschaften • Ausgezeichnete Feuchtigkeitsbeständigkeit

Serie F97 – Hohe Zuverlässigkeit
• Rechteckiger Chip, aus Harz geformt • Löthitzenbeständigkeit • Erstklassige Feuchtigkeits- und Umweltbeständigkeit • Hohe Zuverlässigkeit

Spezifikationen:
• Betriebstemperaturbereich: -55°C ~ 125°C

Abm. in mm

Gehäuse-Code	L	W1	W2	H	S
A (F93 / 97)	3.2 ± 0.2	1.6 ± 0.2	1.2 ± 0.1	1.6 ± 0.1	0.8 ± 0.2
A (F92)	3.2 ± 0.2	1.6 ± 0.2	1.2 ± 0.1	1.1 ± 0.1	0.8 ± 0.2
B	3.5 ± 0.2	2.8 ± 0.2	2.2 ± 0.1	1.9 ± 0.2	0.8 ± 0.2
C	6.0 ± 0.2	3.2 ± 0.2	2.2 ± 0.1	2.5 ± 0.2	1.3 ± 0.2
N	7.3 ± 0.2	4.3 ± 0.2	2.4 ± 0.1	2.8 ± 0.2	1.3 ± 0.2
P	2.0 ± 0.2	1.25 ± 0.1	0.9 ± 0.1	1.1 ± 0.1	0.5 ± 0.2

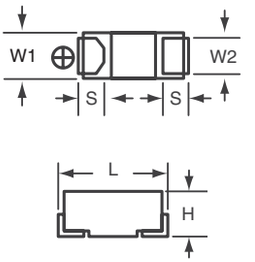

Nenn-spannung	Kap. (µF)	Kapazitäts-toleranz	Gehäu-segröße	Leckstrom (µA)	Dissipations-faktor (% @ 120 Hz)	Mit elektrostatischer Abschirmung (Ω @ 100 kHz)	Digi-Key Teilenr.	Gurtabschnitts-preise 10	100	Digi-Key Teilenr.	Gegurtet auf Rolle Größe	Preisangaben	Nichicon Teilenr.
F93 – Standardserie													
	3.3	±20%	A	0.5	6	4.5	493-2346-1-ND	1.63	14.22	493-2346-2-ND	2,000	63.50/M	F930J335MAA
	4.7	±20%	A	0.5	6	4.0	493-2347-1-ND	1.68	14.64	493-2347-2-ND	2,000	65.19/M	F930J475MAA
	6.8	±20%	A	0.5	6	3.5	493-2349-1-ND	1.73	15.05	493-2349-2-ND	2,000	67.73/M	F930J685MAA
	10	±20%	A	0.6	6	3.0	493-2340-1-ND	1.73	15.05	493-2340-2-ND	2,000	67.73/M	F930J106MAA
	15	±20%	A	0.9	8	2.9	493-2341-1-ND	1.88	16.41	493-2341-2-ND	2,000	73.66/M	F930J156MAA
6.3	15	±20%	B	0.9	6	2.0	493-2342-1-ND	2.11	18.41	493-2342-2-ND	2,000	82.12/M	F930J156MBA
	22	±20%	A	1.4	8	2.5	493-2343-1-ND	1.96	17.14	493-2343-2-ND	2,000	77.04/M	F930J226MAA
	22	±20%	B	1.4	6	1.9	493-2344-1-ND	2.25	19.66	493-2344-2-ND	2,000	88.05/M	F930J226MBA
	47	±20%	B	3.0	8	1.0	493-2348-1-ND	2.92	25.51	493-2348-2-ND	2,000	114.29/M	F930J476MBA
	68	±20%	C	4.3	8	0.8	493-2350-1-ND	4.73	41.37	493-2350-2-ND	500	99.48	F930J686MCC
	220	±20%	N	13.9	10	0.5	493-2345-1-ND	8.75	76.44	493-2345-2-ND	500	183.71	F930J227MNC
	2.2	±20%	A	0.5	6	5.0	493-2356-1-ND	1.63	14.22	493-2356-2-ND	2,000	63.50/M	F931A225MAA
	3.3	±20%	A	0.5	6	4.5	493-2358-1-ND	1.63	14.22	493-2358-2-ND	2,000	63.50/M	F931A335MAA
	4.7	±20%	A	0.5	6	4.0	493-2361-1-ND	1.55	13.51	493-2361-2-ND	2,000	60.11/M	F931A475MAA
	10	±20%	A	1.0	6	3.0	493-2351-1-ND	1.47	12.87	493-2351-2-ND	2,000	57.57/M	F931A106MAA
	10	±20%	B	1.0	6	2.1	493-2352-1-ND	2.11	18.41	493-2352-2-ND	2,000	82.12/M	F931A106MBA
	15	±20%	B	1.5	6	2.0	493-2354-1-ND	2.25	19.66	493-2354-2-ND	2,000	88.05/M	F931A156MBA
	22	±20%	B	2.2	8	1.9	493-2357-1-ND	2.21	19.30	493-2357-2-ND	2,000	86.36/M	F931A226MBA
10	33	±20%	B	3.3	8	1.4	493-2359-1-ND	3.06	26.74	493-2359-2-ND	2,000	119.37/M	F931A336MBA
	33	±20%	C	3.3	6	1.1	493-2360-1-ND	4.44	38.86	493-2360-2-ND	500	93.13	F931A336MCC
	47	±20%	C	4.7	8	0.9	493-2362-1-ND	4.73	41.37	493-2362-2-ND	500	99.48	F931A476MCC
	68	±20%	N	6.8	6	0.6	493-2363-1-ND	6.75	58.94	493-2363-2-ND	500	141.38	F931A686MNC
	100	±20%	N	10.0	10	0.6	493-2353-1-ND	7.44	64.99	493-2353-2-ND	500	156.20	F931A107MNC
	150	±20%	N	15.0	10	0.6	493-2355-1-ND	8.86	77.46	493-2355-2-ND	500	185.83	F931A157MNC
	1	±20%	A	0.5	4	7.5	493-2364-1-ND	1.63	14.22	493-2364-2-ND	2,000	63.50/M	F931C105MAA
	1.5	±20%	A	0.5	6	6.0	493-2366-1-ND	1.63	14.22	493-2366-2-ND	2,000	63.50/M	F931C155MAA
	2.2	±20%	A	0.5	6	5.0	493-2368-1-ND	1.55	13.51	493-2368-2-ND	2,000	60.11/M	F931C225MAA
	3.3	±20%	A	0.5	6	4.5	493-2370-1-ND	1.55	13.51	493-2370-2-ND	2,000	60.11/M	F931C335MAA
	4.7	±20%	A	0.8	6	4.0	493-2372-1-ND	1.55	13.51	493-2372-2-ND	2,000	60.11/M	F931C475MAA
	6.8	±20%	A	1.1	6	3.5	493-2374-1-ND	1.77	15.48	493-2374-2-ND	2,000	69.42/M	F931C685MAA
16	6.8	±20%	B	1.1	6	2.5	493-2375-1-ND	2.11	18.41	493-2375-2-ND	2,000	82.12/M	F931C685MBA
	10	±20%	B	1.6	6	2.0	493-2365-1-ND	2.20	19.23	493-2365-2-ND	2,000	86.36/M	F931C106MBA
	15	±20%	B	2.4	8	2.0	493-2367-1-ND	2.40	20.91	493-2367-2-ND	2,000	93.98/M	F931C156MBA
	22	±20%	C	3.5	6	1.1	493-2369-1-ND	4.44	38.86	493-2369-2-ND	500	93.13	F931C226MCC
	33	±20%	C	5.3	8	1.1	493-2371-1-ND	4.73	41.37	493-2371-2-ND	500	99.48	F931C336MCC
	47	±20%	N	7.5	6	0.7	493-2373-1-ND	6.41	56.01	493-2373-2-ND	500	134.61	F931C476MNC
	68	±20%	N	10.9	8	0.6	493-2376-1-ND	7.56	66.04	493-2376-2-ND	500	158.74	F931C686MNC
	1.5	±20%	A	0.5	6	6.3	493-2378-1-ND	1.63	14.22	493-2378-2-ND	2,000	63.50/M	F931D155MAA
	2.2	±20%	A	0.5	6	5.0	493-2380-1-ND	1.55	13.51	493-2380-2-ND	2,000	60.11/M	F931D225MAA
	3.3	±20%	A	0.7	6	4.5	493-2382-1-ND	2.01	17.57	493-2382-2-ND	2,000	78.74/M	F931D335MAA
	4.7	±20%	A	0.9	6	4.0	493-2384-1-ND	2.54	22.20	493-2384-2-ND	2,000	99.05/M	F931D475MAA
20	4.7	±20%	B	0.9	6	2.8	493-2385-1-ND	2.54	22.20	493-2385-2-ND	2,000	99.05/M	F931D475MBA
	6.8	±20%	B	1.4	6	2.5	493-2386-1-ND	2.68	23.42	493-2386-2-ND	2,000	104.98/M	F931D685MBA
	10	±20%	B	2.0	6	2.1	493-2377-1-ND	3.51	30.69	493-2377-2-ND	2,000	137.15/M	F931D106MBA
	15	±20%	C	3.0	6	1.2	493-2379-1-ND	4.44	38.86	493-2379-2-ND	500	93.13	F931D156MCC
	22	±20%	C	4.4	8	1.1	493-2381-1-ND	4.73	41.37	493-2381-2-ND	500	99.48	F931D226MCC
	33	±20%	N	6.6	6	0.7	493-2383-1-ND	6.75	58.94	493-2383-2-ND	500	141.38	F931D336MNC
	.68	±20%	A	0.5	4	7.6	493-2394-1-ND	1.63	14.22	493-2394-2-ND	2,000	63.50/M	F931E684MAA
	1	±20%	A	0.5	4	7.5	493-2387-1-ND	1.63	14.22	493-2387-2-ND	2,000	63.50/M	F931E105MAA
	1.5	±20%	A	0.5	6	6.7	493-2389-1-ND	1.68	14.64	493-2389-2-ND	2,000	65.19/M	F931E155MAA
	2.2	±20%	A	0.6	6	6.3	493-2390-1-ND	1.77	15.48	493-2390-2-ND	2,000	69.42/M	F931E225MAA
25	3.3	±20%	B	0.8	6	3.1	493-2392-1-ND	2.68	23.42	493-2392-2-ND	2,000	104.98/M	F931E335MBA
	4.7	±20%	B	1.2	6	2.8	493-2393-1-ND	2.81	24.58	493-2393-2-ND	2,000	110.06/M	F931E475MBA
	6.8	±20%	C	1.7	6	1.8	493-2395-1-ND	4.11	35.94	493-2395-2-ND	500	86.35	F931E685MCC
	10	±20%	C	2.5	6	1.5	493-2388-1-ND	4.44	38.86	493-2388-2-ND	500	93.13	F931E106MCC
	22	±20%	N	5.5	6	0.7	493-2391-1-ND	6.60	57.68	493-2391-2-ND	500	138.42	F931E226MNC
	.47	±20%	A	0.5	4	10.0	493-2402-1-ND	1.63	14.22	493-2402-2-ND	2,000	63.50/M	F931V474MAA
	.68	±20%	A	0.5	4	7.6	493-2404-1-ND	1.63	14.22	493-2404-2-ND	2,000	63.50/M	F931V684MAA
	1	±20%	A	0.5	4	7.5	493-2396-1-ND	1.68	14.64	493-2396-2-ND	2,000	65.19/M	F931V105MAA
	1.5	±20%	A	0.5	6	7.5	493-2398-1-ND	1.55	13.51	493-2398-2-ND	2,000	60.11/M	F931V155MAA
	2.2	±20%	B	0.8	6	3.8	493-2400-1-ND	2.11	18.41	493-2400-2-ND	2,000	82.12/M	F931V225MBA
35	3.3	±20%	B	1.2	6	3.5	493-2401-1-ND	2.81	24.58	493-2401-2-ND	2,000	110.06/M	F931V335MBA
	4.7	±20%	C	1.6	6	1.8	493-2403-1-ND	4.21	36.77	493-2403-2-ND	500	88.47	F931V475MCC
	6.8	±20%	C	2.4	6	1.8	493-2405-1-ND	4.69	40.95	493-2405-2-ND	500	98.21	F931V685MCC
	10	±20%	C	3.5	6	1.6	493-2397-1-ND	6.98	61.03	493-2397-2-ND	500	146.46	F931V106MCC
	15	±20%	N	5.3	6	0.7	493-2399-1-ND	6.98	61.03	493-2399-2-ND	500	146.46	F931V156MNC

(Forts.)

Alle Preisangaben in Euro und inklusive Zollgebühren.

Nenn-spannung	Kap. (µF)	Kapazitäts-toleranz	Gehäuse-größe	Leckstrom (µA)	Dissipations-faktor (% @ 120 Hz)	Mit elektrostatischer Abschirmung (Ω @ 100 kHz)	Digi-Key Teilenr.	Gurtabschnitts-preise 10	100	Digi-Key Teilenr.	Gegurtet auf Rolle Größe	Preisangaben	Nichicon Teilenr.
Serie F91 - Niedriger ESR													
6.3	100	±20%	C	6.3	10	.250	493-2309-1-ND	9.50	82.97	493-2309-2-ND	500	199.37	F910J107MCC
	150	±20%	N	9.5	10	.100	493-2310-1-ND	14.12	123.38	493-2310-2-ND	500	296.31	F910J157MNC
	220	±20%	N	13.9	10	.100	493-2311-1-ND	14.40	125.79	493-2311-2-ND	500	302.24	F910J227MNC
10	47	±20%	C	4.7	8	.400	493-2314-1-ND	9.50	82.97	493-2314-2-ND	500	199.37	F911A476MCC
	100	±20%	N	10	10	.100	493-2312-1-ND	14.12	123.38	493-2312-2-ND	500	296.31	F911A107MNC
	150	±20%	N	15.0	10	.100	493-2313-1-ND	14.40	125.79	493-2313-2-ND	500	302.24	F911A157MNC
16	33	±20%	C	5.3	8	.400	493-2315-1-ND	9.50	82.97	493-2315-2-ND	500	199.37	F911C336MCC
	47	±20%	N	7.5	6	.150	493-2316-1-ND	12.71	110.99	493-2316-2-ND	500	266.68	F911C476MNC
20	15	±20%	C	3	6	.450	493-2317-1-ND	9.50	82.97	493-2317-2-ND	500	199.37	F911D156MCC
	33	±20%	N	6.6	6	.200	493-2318-1-ND	14.12	123.38	493-2318-2-ND	500	296.31	F911D336MNC
25	10	±20%	C	2.5	6	.450	493-2319-1-ND	9.50	82.97	493-2319-2-ND	500	199.37	F911E106MCC
	22	±20%	N	5.5	6	.200	493-2320-1-ND	14.12	123.38	493-2320-2-ND	500	296.31	F911E226MNC
	33	±20%	N	8.3	8	.200	493-2321-1-ND	14.12	123.38	493-2321-2-ND	500	296.31	F911E336MNC
35	6.8	±20%	C	2.4	6	.600	493-2325-1-ND	9.50	82.97	493-2325-2-ND	500	199.37	F911V685MCC
	10	±20%	N	3.5	6	.300	493-2322-1-ND	14.12	123.38	493-2322-2-ND	500	296.31	F911V106MNC
	15	±20%	N	5.3	6	.300	493-2323-1-ND	14.12	123.38	493-2323-2-ND	500	296.31	F911V156MNC
	22	±20%	N	7.7	8	.300	493-2324-1-ND	14.12	123.38	493-2324-2-ND	500	296.31	F911V226MNC
F92 – Kompaktserie													
4	2.2	±20%	P	0.5	8	12.0	493-2326-1-ND	2.49	21.75	493-2326-2-ND	3,000	97.36/M	F920G225MPA
	22	±20%	P	0.9	20	5.0	493-2327-1-ND	3.65	31.85	493-2327-2-ND	3,000	142.23/M	F920G226MPA
6.3	1.5	±20%	P	0.5	8	12.0	493-2329-1-ND	2.49	21.75	493-2329-2-ND	3,000	97.36/M	F920J155MPA
	10	±20%	P	0.6	10	6.0	493-2328-1-ND	3.50	30.56	493-2328-2-ND	3,000	137.15/M	F920J106MPA
10	1	±20%	P	0.5	8	12.0	493-2330-1-ND	2.49	21.75	493-2330-2-ND	3,000	97.36/M	F921A105MPA
	2.2	±20%	P	0.5	8	12.0	493-2331-1-ND	4.83	42.14	493-2331-2-ND	3,000	188.80/M	F921A225MPA
	3.3	±20%	P	0.5	8	12.0	493-2332-1-ND	3.54	30.95	493-2332-2-ND	3,000	138.85/M	F921A335MPA
	4.7	±20%	P	0.5	8	6.0	493-2333-1-ND	4.97	43.43	493-2333-2-ND	3,000	194.72/M	F921A475MPA
16	.68	±20%	P	0.5	8	12.0	493-2335-1-ND	2.58	22.59	493-2335-2-ND	3,000	100.75/M	F921C684MPA
	1	±20%	P	0.5	8	12.0	493-2334-1-ND	2.63	23.00	493-2334-2-ND	3,000	103.29/M	F921C105MPA
35	0.1	±20%	A	0.5	4	10.0	493-2336-1-ND	1.82	15.89	493-2336-2-ND	2,500	71.12/M	F921V104MAA
	.15	±20%	A	0.5	4	10.0	493-2337-1-ND	1.82	15.89	493-2337-2-ND	2,500	71.12/M	F921V154MAA
	.22	±20%	A	0.5	4	10.0	493-2338-1-ND	1.82	15.89	493-2338-2-ND	2,500	71.12/M	F921V224MAA
	.33	±20%	A	0.5	4	10.0	493-2339-1-ND	1.90	16.60	493-2339-2-ND	2,500	74.50/M	F921V334MAA
Serie F97 – Hohe Zuverlässigkeit													
6.3	3.3	±20%	A	0.5	6	4.5	493-2407-1-ND	1.82	15.89	493-2407-2-ND	2,000	71.12/M	F970J335MAA
	6.8	±20%	B	0.5	6	2.5	493-2409-1-ND	3.55	30.98	493-2409-2-ND	2,000	138.84/M	F970J685MBA
	22	±20%	C	1.4	6	1.1	493-2406-1-ND	6.44	56.30	493-2406-2-ND	500	135.03	F970J226MCC
	47	±20%	N	3.0	6	0.7	493-2408-1-ND	7.82	68.36	493-2408-2-ND	500	164.24	F970J476MNC
	68	±20%	N	4.3	6	0.6	493-2410-1-ND	7.07	61.77	493-2410-2-ND	500	148.16	F970J686MNC
10	2.2	±20%	A	0.5	6	5.0	493-2412-1-ND	1.82	15.89	493-2412-2-ND	2,000	71.12/M	F971A225MAA
	4.7	±20%	B	0.5	6	2.8	493-2414-1-ND	3.55	30.98	493-2414-2-ND	2,000	138.84/M	F971A475MBA
	15	±20%	C	1.5	6	1.2	493-2411-1-ND	6.44	56.30	493-2411-2-ND	500	135.03	F971A156MCC
	33	±20%	N	3.3	6	0.7	493-2413-1-ND	7.82	68.36	493-2413-2-ND	500	164.24	F971A336MNC
	47	±20%	N	4.7	6	0.7	493-2415-1-ND	7.07	61.77	493-2415-2-ND	500	148.16	F971A476MNC
16	1	±20%	A	0.5	4	7.5	493-2416-1-ND	3.45	30.17	493-2416-2-ND	2,000	134.61/M	F971C105MAA
	1.5	±20%	A	0.5	4	6.3	493-2418-1-ND	1.82	15.89	493-2418-2-ND	2,000	71.12/M	F971C155MAA
	3.3	±20%	B	0.5	6	3.1	493-2420-1-ND	3.55	30.98	493-2420-2-ND	2,000	138.84/M	F971C335MBA
	4.7	±20%	B	0.8	6	2.8	493-2422-1-ND	3.12	27.22	493-2422-2-ND	2,000	121.91/M	F971C475MBA
	10	±20%	C	1.6	6	1.5	493-2417-1-ND	6.44	56.30	493-2417-2-ND	500	135.03	F971C106MCC
	22	±20%	N	3.5	6	0.7	493-2419-1-ND	7.82	68.36	493-2419-2-ND	500	164.24	F971C226MNC
	33	±20%	N	5.3	6	0.7	493-2421-1-ND	7.07	61.77	493-2421-2-ND	500	148.16	F971C336MNC
20	.68	±20%	A	0.5	4	7.6	493-2425-1-ND	3.45	30.17	493-2425-2-ND	2,000	134.61/M	F971D684MAA
	2.2	±20%	B	0.5	6	3.8	493-2424-1-ND	3.55	30.98	493-2424-2-ND	2,000	138.84/M	F971D225MBA
	6.8	±20%	C	1.4	6	1.8	493-2426-1-ND	6.44	56.30	493-2426-2-ND	500	135.03	F971D685MCC
	15	±20%	N	3.0	6	0.7	493-2423-1-ND	7.82	68.36	493-2423-2-ND	500	164.24	F971D156MNC
25	.47	±20%	A	0.5	4	10.0	493-2429-1-ND	3.45	30.17	493-2429-2-ND	2,000	134.61/M	F971E474MAA
	1.5	±20%	B	0.5	4	4.0	493-2428-1-ND	3.55	30.98	493-2428-2-ND	2,000	138.84/M	F971E155MBA
	4.7	±20%	C	1.2	6	1.8	493-2430-1-ND	6.44	56.30	493-2430-2-ND	500	135.03	F971E475MCC
	10	±20%	N	2.5	6	1.0	493-2427-1-ND	7.82	68.36	493-2427-2-ND	500	164.24	F971E106MNC
35	.1	±20%	A	0.5	4	15.0	493-2431-1-ND	3.45	30.17	493-2431-2-ND	2,000	134.61/M	F971V104MAA
	.15	±20%	A	0.5	4	15.0	493-2433-1-ND	3.45	30.17	493-2433-2-ND	2,000	134.61/M	F971V154MAA
	.22	±20%	A	0.5	4	12.0	493-2435-1-ND	3.45	30.17	493-2435-2-ND	2,000	134.61/M	F971V224MAA
	.33	±20%	A	0.5	4	12.0	493-2437-1-ND	3.45	30.17	493-2437-2-ND	2,000	134.61/M	F971V334MAA
	.47	±20%	B	0.5	4	5.0	493-2439-1-ND	3.55	30.98	493-2439-2-ND	2,000	138.84/M	F971V474MBA
	.68	±20%	B	0.5	4	5.0	493-2441-1-ND	3.55	30.98	493-2441-2-ND	2,000	138.84/M	F971V684MBA
	1	±20%	B	0.5	4	4.0	493-2432-1-ND	3.55	30.98	493-2432-2-ND	2,000	138.84/M	F971V105MBA
	1.5	±20%	C	0.5	4	2.0	493-2434-1-ND	4.64	40.54	493-2434-2-ND	750	146.04	F971V155MCMBMA
	2.2	±20%	C	0.8	6	2.0	493-2436-1-ND	5.53	48.26	493-2436-2-ND	500	115.98	F971V225MCC
	3.3	±20%	C	1.2	6	2.0	493-2438-1-ND	6.44	56.30	493-2438-2-ND	500	135.03	F971V335MCC
	4.7	±20%	N	1.6	6	1.0	493-2440-1-ND	7.59	66.36	493-2440-2-ND	500	159.16	F971V475MNC
	6.8	±20%	N	2.4	6	1.0	493-2442-1-ND	7.82	68.36	493-2442-2-ND	500	164.24	F971V685MNC

Panasonic® Serie EF — In Harz getauchte Festtantal-Kondensatoren

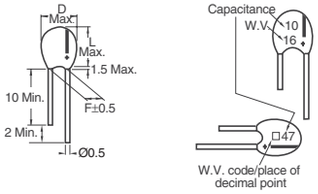

Spezifikationen:

- **Betriebstemperaturbereich:** -55 °C ~ 105 °C (4 ~ 6,3 V, -55 °C ~ 85 °C)
- **Nennbetriebsspannungsbereich:** 6,3 ~ 50 W V DC
- **Nennkapazitätsbereich:** 0,1 ~ 330 µF
- **Kapazitätstoleranz:** Wie spezifiziert
- **Leckstrom:** I = 0,008 CV oder 0,05 µA, welcher Wert auch immer größer ist; I in µA, C in µF, V in Volt
- Ableitungen sind mindestens 0,394" lang

Betriebsspannung (DC)	Stoßspannung (DC)
6.3	8
10	13
16	20
25	32
35	44
50	63

QUERREFERENZEN - PANASONIC SERIE EF
Sprague: 196D; **Kemet:** T350/T360; **Mepco:** 49GS; **NEC:** DN; **Nichicon:** 599; **Hitachi:** TSD-3; **Matsuo:** 202; **AVX:** Tap.

WV** (DC)	Kap. (µF)	Kap. Tol. (%)	Abmessungen (mm) D	L	F	Digi-Key Teilenr.	Preisangaben 1	10	100	1,000	5,000	10,000	Panasonic Teilenr.
6.3	68	±20	5.5	9.5	2.5	P2018-ND	1.58	13.59	106.44	676.43	629.03/M	588.39/M	ECS-F0JE686
	100	±20	6.0	11.0	2.5	P2019-ND	2.41	20.67	161.95	1028.62	957.51/M	894.86/M	ECS-F0JE107
	150	±20	7.5	12.5	5.0	P2020-ND	5.47	46.88	367.26	2332.38	2170.69/M	2029.30/M	ECS-F0JE157
10	15	±10	4.5	7.0	2.5	P2027-ND	.69	5.89	46.16	292.92	272.61/M	254.83/M	ECS-F1AE156K
	22	±10	4.7	8.0	2.5	P2028-ND	.91	7.82	61.28	389.44	362.35/M	338.64/M	ECS-F1AE226K
	33	±10	5.2	8.5	2.5	P2029-ND	1.10	9.42	73.82	469.02	436.00/M	408.07/M	ECS-F1AE336K
	68	±20	6.0	11.0	2.5	P2031-ND	2.41	20.67	161.95	1028.62	957.51/M	894.86/M	ECS-F1AE686
	100	±20	7.5	12.5	5.0	P2032-ND	5.47	46.88	367.26	2332.38	2170.69/M	2029.30/M	ECS-F1AE107
16	2.2	±10	3.5	5.5	2.5	P2034-ND*	.41	3.53	27.66	175.25	163.40/M	153.24/M	ECS-F1CE225K
	4.7	±10	3.7	6.5	2.5	P2036-ND*	.50	4.27	33.42	212.50	197.26/M	184.56/M	ECS-F1CE475K
	6.8	±10	4.0	7.0	2.5	P2037-ND*	.59	5.11	39.99	253.98	236.21/M	220.97/M	ECS-F1CE685K
	10	±10	4.5	7.0	2.5	P2038-ND*	.84	7.16	56.10	356.42	331.87/M	309.86/M	ECS-F1CE106K
	15	±10	4.7	8.0	2.5	P2039-ND*	.97	8.25	64.66	410.60	381.82/M	357.27/M	ECS-F1CE156K
	33	±10	5.5	9.5	2.5	P2041-ND	1.57	13.44	105.25	668.81	622.26/M	581.62/M	ECS-F1CE336K
	47	±20	6.0	11.0	2.5	P2042-ND	2.41	20.67	161.95	1028.62	957.51/M	894.86/M	ECS-F1CE476
	68	±20	7.5	12.5	5.0	P2043-ND	5.47	46.88	367.26	2332.38	2170.69/M	2029.30/M	ECS-F1CE686
25	2.2	±10	3.5	5.5	2.5	P2045-ND	.46	3.91	30.64	194.72	181.18/M	169.32/M	ECS-F1EE225K
	4.7	±10	4.0	7.0	2.5	P2047-ND	.70	6.02	47.16	299.70	278.54/M	260.76/M	ECS-F1EE475K
	10	±10	5.2	8.5	2.5	P2049-ND	1.36	11.71	91.72	582.46	541.83/M	507.12/M	ECS-F1EE106K
	33	±20	7.5	12.5	5.0	P2052-ND	3.32	28.45	222.83	1415.52	1317.31/M	1231.81/M	ECS-F1EE336
35	0.1	±20	3.3	5.0	2.5	P2053-ND*	.33	2.82	22.09	140.54	130.38/M	121.91/M	ECS-F1VE104
	0.15	±20	3.3	5.0	2.5	P2054-ND*	.33	2.82	22.09	140.54	130.38/M	121.91/M	ECS-F1VE154
	1.0	±10	3.5	5.5	2.5	P2059-ND*	.47	4.09	32.04	203.18	189.64/M	176.94/M	ECS-F1VE105K
	1.5	±10	3.5	5.5	2.5	P2060-ND	.46	3.91	30.64	194.72	181.18/M	169.32/M	ECS-F1VE155K
	10	±10	5.5	9.5	2.5	P2065-ND	1.57	13.46	105.44	669.66	623.10/M	582.47/M	ECS-F1VE106K
	22	±20	7.5	12.5	5.0	P2101-ND	3.40	29.16	228.40	1450.23	1349.48/M	1262.29/M	ECS-F1VE226
50	0.15	±20	3.3	5.0	2.5	P2068-ND	.36	3.10	24.27	154.08	143.08/M	133.77/M	ECS-F1HE154
	0.33	±20	3.5	5.5	2.5	P2070-ND	.40	3.40	26.66	169.32	157.47/M	147.31/M	ECS-F1HE334
	0.47	±20	3.7	6.5	2.5	P2071-ND	.43	3.71	29.05	184.56	171.86/M	160.86/M	ECS-F1HE474
	0.68	±20	3.7	6.5	2.5	P2072-ND	.53	4.57	35.81	227.74	211.65/M	198.11/M	ECS-F1HE684
	1.0	±10	4.0	7.0	2.5	P2073-ND	.66	5.69	44.57	282.76	263.30/M	246.37/M	ECS-F1HE105K
	1.5	±10	4.5	7.0	2.5	P2074-ND	1.11	9.52	74.61	474.10	441.08/M	412.30/M	ECS-F1HE155K
	4.7	±10	5.5	9.5	2.5	P2077-ND	2.58	22.12	173.29	1100.58	1024.39/M	957.51/M	ECS-F1HE475K

* In F-KIT-ND inbegriffen. **Betriebsspannung

Panasonic® Serie TE — Tantal-Electrolyt-Chip-Kondensatoren

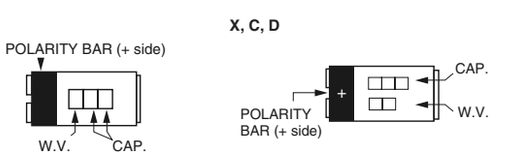

Abmessungen (mm)

EIA-Größe	Größen-code	L ± 0.2	W_1 ± 0.2	W_2 ± 0.1	H ± 0.2	P ± 0.3
A	Y	3.2	1.6	1.2	1.6	0.8
B	X	3.5	2.8	2.2	1.9	0.8
C	C	6.0	3.2	2.2	2.5	1.3
D	D	7.3	4.3	2.4	2.8	1.3

Verpackung, Menge	Größe Y, X	2,000 Stück pro Spule
	Größe C, D	750 Stück pro Spule

Merkmale: • Breiter Kapazitätsbereich • Hochleistung bzgl. Temperatur- und Frequenzmerkmalen • Hervorragende Lötbarkeit • Hervorragende Anschlusskonstruktion, kein Biegen von P.W.B • Niedrige Induktionsstruktur

Spezifikationen: • **Betriebstemperaturbereich:** -55 °C ~ 125 °C • **Kapazitätstoleranz:** ±20 % bei 120 Hz, 20 °C • **DC-Leckstrom:** I = 0,01 CV oder 0,5 µA (welcher Wert auch immer größer ist). DC-Leckstrom soll nach 2 Minuten Anwendung oder Nennbetriebsspannung bei 20 °C gemessen werden • **Tan ∂:** ≤3,3 µF – max. 0,04; 4,7 ~ 68 µF - max. 0,06; 100 µF – max. 0,08 • **Löthitzebeständigkeit:** Der Kondensator muss einem Eintauchen in ein Lötbad für 5 ±1 s bei 260 ±5 °C standhalten. • **Feuchtigkeitsbeständigkeit:** Kondensator muss für 500 Stunden bei 40 °C und 90-95 % RF ohne Last gestestet werden. Nach dem Test sollte der Kondensator folgende Limits erfüllen:

Kapazitätsveränderung	±10 % des ersten gemessenen Wertes.
DC-Leckstrom	≤ Strom des ersten spezifizierten Wertes.
Tan δ	≤ erster spezifizierter Wert.

• **Ermüdung:** Nach 2.000 Stunden Anwendung von DC-Betriebsspannung bei +85 °C oder gedrosselter Spannung bei 125 °C sollte der Kondensator folgende Anforderungen erfüllen:

Kapazitätsveränderung	±10 % des ersten gemessenen Wertes.
DC-Leckstrom	≤ 125 % des ersten spezifizierten Wertes.
Tan δ	≤ erster spezifizierter Wert.

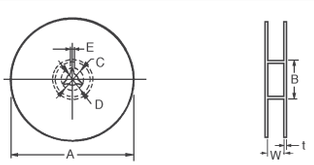

Abmessungen (mm)

	∂A ± 2	∂B Min.	C ± 0.5	D ± 0.8	E ± 0.5	W ± 1.5	t ± 0.5
12mm tape	178	50	13.0	21.0	2.0	14.0	2.0
8mm tape	178	50	13.0	21.0	2.0	10.0	2.0

Größen-code	W ± 0.3	P ± 0.1	T_1 ± 0.2	F ± 0.1	T_2	ØD ± 0.1
Y X	8.0	4.0	1.9 2.1	3.5	0.2	1.1
C D	12.0	8.0	3.0 3.3	5.5	0.3	1.6

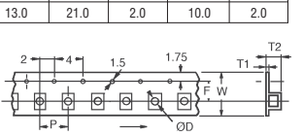

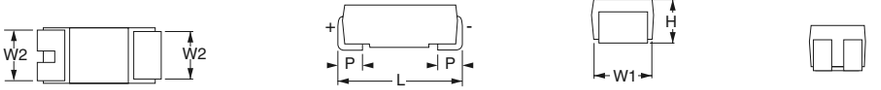

WV** (DC)	Kap. (µF)	EIA-Größe	Größen-code	Digi-Key Teilenr.	Gurtabschnittspreis pro Stück 10	100	500	Digi-Key Teilenr.	Gegurtet auf Rolle Größe	Preisangaben	Panasonic Teilenr.
6.3	3.3	A	Y	PCS1335CT-ND	.19	.16	.13	PCS1335TR-ND	2,000	71.96/M	ECS-T0JY335R
	10	A	Y	PCS1106CT-ND	.20	.17	.14	PCS1106TR-ND	2,000	76.20/M	ECS-T0JY106R
	15	A	Y	P11303CT-ND	.20	.18	.14	P11303TR-ND	2,000	78.74/M	ECS-T0JY156R
	22	A	Y	P11304CT-ND	.22	.20	.16	P11304TR-ND	2,000	86.36/M	ECS-T0JY226R
	22	B	X	PCS1226CT-ND	.26	.23	.18	PCS1226TR-ND	2,000	99.90/M	ECS-T0JX226R
	47	B	X	P11305CT-ND	.33	.29	.23	P11305TR-ND	2,000	129.53/M	ECS-T0JX476R
	68	D	D	PCS1686CT-ND	.76	.67	.53	—	—	—	ECS-T0JD686R
	100	D	D	P11307CT-ND	.81	.71	.56	P11307TR-ND	750	253.35	ECS-T0JD107R
	220	D	D	P11308CT-ND	.95	.83	.66	P11308TR-ND	750	297.16	ECS-T0JD227R
10	2.2	A	Y	PCS2225CT-ND	.19	.16	.13	PCS2225TR-ND	2,000	71.96/M	ECS-T1AY225R
	4.7	A	Y	PCS2475CT-ND	.19	.17	.13	PCS2475TR-ND	2,000	74.50/M	ECS-T1AY475R
	10	A	Y	P11309CT-ND	.20	.18	.14	P11309TR-ND	2,000	78.74/M	ECS-T1AY106R
	10	B	X	PCS2106CT-ND	.24	.21	.17	PCS2106TR-ND	2,000	93.13/M	ECS-T1AX106R
	15	B	X	PCS2156CT-ND	.26	.23	.18	—	—	—	ECS-T1AX156R
	22	C	C	PCS2226CT-ND	.50	.44	.35	PCS2226TR-ND	750	156.83	ECS-T1AC226R
	33	B	X	P11311CT-ND	.33	.29	.23	P11311TR-ND	2,000	129.53/M	ECS-T1AX336R
	33	D	D	PCS2336CT-ND	.71	.62	.49	PCS2336TR-ND	750	222.87	ECS-T1AD336R
	47	C	C	P11312CT-ND	.54	.47	.37	P11312TR-ND	750	166.99	ECS-T1AC476R
	47	D	D	PCS2476CT-ND	.72	.63	.50	PCS2476TR-ND	750	226.68	ECS-T1AD476R
	100	D	D	P11313CT-ND	.85	.75	.59	P11313TR-ND	750	266.68	ECS-T1AD107R
	150	D	D	P11314CT-ND	.95	.83	.66	P11314TR-ND	750	297.16	ECS-T1AD157R
16	0.68	A	Y	PCS3684CT-ND	.19	.16	.13	—	—	—	ECS-T1CY684R
	1.0	A	Y	PCS3105CT-ND	.19	.16	.13	PCS3105TR-ND	2,000	71.96/M	ECS-T1CY105R
	2.2	A	Y	PCS3225CT-ND	.19	.16	.13	PCS3225TR-ND	2,000	71.96/M	ECS-T1CY225R
	3.3	A	Y	PCS3335CT-ND	.19	.17	.13	—	—	—	ECS-T1CY335R
	4.7	A	Y	PCS3475CT-ND	.20	.17	.14	PCS3475TR-ND	2,000	76.20/M	ECS-T1CY475R
	6.8	A	Y	P11315CT-ND	.20	.18	.14	P11315TR-ND	2,000	78.74/M	ECS-T1CY685R
	6.8	B	X	PCS3685CT-ND	.24	.21	.17	PCS3685TR-ND	2,000	93.13/M	ECS-T1CX685R
	10	B	X	PCS3106CT-ND	.25	.22	.18	PCS3106TR-ND	2,000	97.36/M	ECS-T1CX106R
	22	C	C	P11317CT-ND	.53	.46	.37	P11317TR-ND	750	165.72	ECS-T1CC226R
	33	D	D	PCS3336CT-ND	.76	.67	.53	PCS3336TR-ND	750	238.11	ECS-T1CD336R
20	0.68	A	Y	PCS4684CT-ND	.19	.16	.13	PCS4684TR-ND	2,000	71.96/M	ECS-T1DY684R
	3.3	A	Y	P11321CT-ND	.20	.17	.14	—	—	—	ECS-T1DY335R
	3.3	B	X	PCS4335CT-ND	.24	.21	.17	PCS4335TR-ND	2,000	93.13/M	ECS-T1DX335R
	4.7	B	X	PCS4475CT-ND	.24	.21	.17	PCS4475TR-ND	2,000	93.13/M	ECS-T1DX475R
	6.8	C	C	PCS4685CT-ND	.47	.41	.32	—	—	—	ECS-T1DC685R
	10	C	C	PCS4106CT-ND	.50	.44	.35	PCS4106TR-ND	750	156.83	ECS-T1DC106R
	15	C	C	P11325CT-ND	.53	.46	.37	—	—	—	ECS-T1DC156R
	15	D	D	PCS4156CT-ND	.71	.62	.49	PCS4156TR-ND	750	222.87	ECS-T1DD156R
	22	C	C	P11326CT-ND	.54	.47	.37	P11326TR-ND	750	166.99	ECS-T1DC226R
25	1.0	A	Y	PCS5105CT-ND	.19	.16	.13	PCS5105TR-ND	2,000	71.96/M	ECS-T1EY105R
	1.5	B	X	PCS5155CT-ND	.25	.22	.18	—	—	—	ECS-T1EX155R
	2.2	B	X	PCS5225CT-ND	.25	.22	.18	PCS5225TR-ND	2,000	97.36/M	ECS-T1EX225R
	3.3	B	X	PCS5335CT-ND	.26	.23	.18	PCS5335TR-ND	2,000	99.90/M	ECS-T1EX335R
	4.7	B	X	P11330CT-ND	.26	.23	.18	P11330TR-ND	2,000	101.59/M	ECS-T1EX475R
	4.7	C	C	PCS5475CT-ND	.48	.42	.33	PCS5475TR-ND	750	148.58	ECS-T1EC475R
	6.8	C	C	PCS5685CT-ND	.51	.45	.36	PCS5685TR-ND	750	160.64	ECS-T1EC685R
	10	C	C	P11331CT-ND	.53	.46	.37	P11331TR-ND	750	165.72	ECS-T1EC106R
	15	D	D	PCS5156CT-ND	.79	.69	.55	PCS5156TR-ND	750	246.36	ECS-T1ED156R
	22	D	D	PCS5226CT-ND	.79	.69	.55	PCS5226TR-ND	750	246.36	ECS-T1ED226R
35	.1	A	Y	PCS6104CT-ND	.21	.18	.15	PCS6104TR-ND	2,000	80.43/M	ECS-T1VY104R
	.15	A	Y	PCS6154CT-ND	.21	.18	.15	PCS6154TR-ND	2,000	80.43/M	ECS-T1VY154R
	.22	A	Y	PCS6224CT-ND	.21	.18	.15	PCS6224TR-ND	2,000	80.43/M	ECS-T1VY224R
	.33	A	Y	PCS6334CT-ND	.21	.18	.15	PCS6334TR-ND	2,000	80.43/M	ECS-T1VY334R
	.68	A	Y	PCS6684CT-ND	.19	.16	.13	PCS6684TR-ND	2,000	71.96/M	ECS-T1VY684R
	1.0	B	X	PCS6105CT-ND	.24	.21	.17	PCS6105TR-ND	2,000	93.13/M	ECS-T1VX105R
	3.3	B	X	P11333CT-ND	.26	.23	.18	P11333TR-ND	2,000	101.59/M	ECS-T1VX335R
	3.3	C	C	PCS6335CT-ND	.48	.42	.33	PCS6335TR-ND	750	148.58	ECS-T1VC335R
	6.8	C	C	P11334CT-ND	.53	.46	.37	P11334TR-ND	750	165.72	ECS-T1VC685R
	10	D	D	PCS6106CT-ND	.79	.69	.55	PCS6106TR-ND	750	246.36	ECS-T1VD106R

**Betriebsspannung

Alle Preisangaben in Euro und inklusive Zollgebühren.

Panasonic® Serie TES — Tantal-Electrolyt-Chip-Kondensatoren

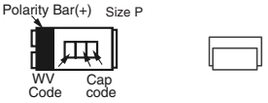

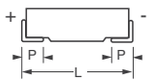

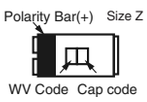

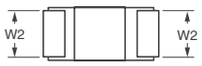

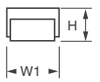

Eigenschaften bei hoher und niedriger Temperatur:

Größencode	L ± 0.2	W1 ± 0.2	H max.	P	W2 ± 0.1
Z	2.0	1.25	1.2	0.5 ± 0.2	0.9
P	3.2	1.6	1.2	0.8 ± 0.3	1.2

Merkmale:

- Ultra-Mini-Größen
- Flachprofilausführung (max. 1,2 mm hoch)

Spezifikationen:

- **Betriebstemperaturbereich:** -55 °C ~ 125 °C
- **Nennbetriebsspannungsbereich** 2,5~20 V DC
- **Nennkapazitätsbereich** 0,1 ~ 4,7 µF
- **Kapazitätstoleranz:** ±20 % (120 Hz, +20 °)
- **Leckstrom:** I ≤0,01 CV oder 0,5 (µA), was immer größer ist, gemessen nach 2 Minuten Anwendung einer Nennbetriebsspannung bei 20 °C • Tan δ: 0,04 max. für ≤3,3 µF, 0,08 max. für 2,5 Betriebssp., 0,10 max. für Größe Z

WV* (DC)	Kap. (µF)	Größen-code	Digi-Key Teilenr.	Gurtabschnittspreis pro Stück 10	100	500	Digi-Key Teilenr.	Gegurtet auf Rolle 3.000	6.000	Panasonic Teilenr.
4	2.2	Z	PCS0255CCT-ND	.28	.25	.20	—	—	—	ECS-T0GZ225R
	2.2	P	PCS0255BCT-ND	.63	.55	.44	PCS0255BTR-ND	247.21/M	232.82/M	ECS-T0GP225R
	3.3	P	PCS0335BCT-ND	.63	.55	.44	—	—	—	ECS-T0GP335R
6.3	1.5	Z	PCS1155CCT-ND	.28	.25	.20	—	—	—	ECS-T0JZ155R
	2.2	P	PCS1225BCT-ND	.63	.55	.44	PCS1225BTR-ND	247.21/M	232.82/M	ECS-T0JP225R
	10	Z	P11337CT-ND	.66	.57	.45	P11337TR-ND	257.37/M	242.98/M	ECS-T0JZ106R
10	1.0	Z	PCS2105CCT-ND	.28	.25	.20	PCS2105CTR-ND	110.06/M	104.14/M	ECS-T1AZ105R
	4.7	Z	P11340CT-ND	.64	.56	.44	P11340TR-ND	250.60/M	236.21/M	ECS-T1AZ475R
16	0.68	P	PCS3684BCT-ND	.63	.55	.44	—	—	—	ECS-T1CP684R
	0.68	Z	PCS3684CCT-ND	.29	.26	.20	PCS3684CTR-ND	114.29/M	107.52/M	ECS-T1CZ684R
	1.0	P	PCS3105BCT-ND	.72	.63	.50	PCS3105BTR-ND	280.23/M	264.99/M	ECS-T1CP105R
20	0.15	P	PCS4154BCT-ND	.63	.55	.44	PCS4154BTR-ND	247.21/M	232.82/M	ECS-T1DP154R
	0.33	P	PCS4334BCT-ND	.63	.55	.44	—	—	—	ECS-T1DP334R
	0.68	P	PCS4684BCT-ND	.63	.55	.44	—	—	—	ECS-T1DP684R

Panasonic® Serie TEL

Merkmale: • Niedriger ESR-Wert **Spezifikationen:**

• **Kategorietemperaturbereich:** -55 °C ~ 125 °C • **Kapazitätstoleranz:** ±20 % (120 Hz/+20 °C). • **DC-Leckstrom:** I<0,01 CV oder 0,5 (µA) nach 2 Minuten Anwendung einer Nennbetriebsspannung bei 20 °C. (je nachdem, welcher Wert größer ist) • **Löthitzebeständigkeit:** Der Kondensator muss einem Eintauchen in ein Lötbad für 5 ±1 s bei 260 ±5 °C standhalten. • **Ermüdung:** Nach 2.000 Stunden Anwendung einer DC-Nennbetriebsspannung bei 85 °C oder gedrosselter Spannung bei 125 °C sollte der Kondensator folgende Anforderungen erfüllen:

Kapazitätsveränderung	±10 % des ersten gemessenen Wertes
D.F.	< erster spezifizierter Wert
DC-Leckstrom	<125 % des ersten spezifizierten Wertes

EIA-Code	Größencode	L±0.2	W1±0.2	W2±0.1	H±0.2	P±0.3
6032	C	6.0	3.2	2.2	2.5	1.3
7343	D	7.3	4.3	2.4	2.8	1.3

Feuchtigkeitsbeständigkeit:
Nach Lagerung für 500 Stunden bei +40 °C und 90 ~ 95 % RF ohne Last sollte der Kondensator folgende Limits erfüllen:

Kapazitätsveränderung	±10 % des ersten gemessenen Wertes
D.F.	< erster spezifizierter Wert
DC-Leckstrom	< erster spezifizierter Wert

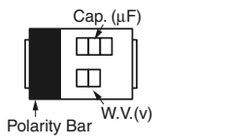

(für 6,3 Betriebsspannung abgekürzt auf 6 V)

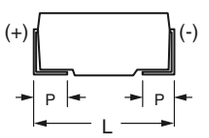

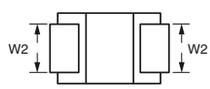

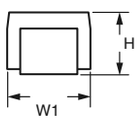

WV* (DC)	Kap. (µF)	Größen-code	D.F. (120Hz) (20°C)	L.C. (µA)	ESR (100kHz) Ω	Mischstr. (100 kHz) (20 °C) (mA)	Digi-Key Teilenr.	Gurtabschnittspreis pro Stück 10	100	500	Digi-Key Teilenr.	Gegurtet auf Rolle 750	1.500	Panasonic Teilenr.
6.3	150	D	0.08	9.5	0.1	1225	P11285CT-ND	1.43	1.25	.99	P11285TR-ND	449.54	580.77/M	EEJ-L0JD157R
10	100	D	0.08	10	0.1	1225	P11288CT-ND	1.43	1.25	.99	P11288TR-ND	449.54	580.77/M	EEJ-L1AD107R
	150	D	0.10	15	0.1	1225	P11289CT-ND	1.60	1.40	1.10	—	—	—	EEJ-L1AD157R
16	33	C	0.06	5.3	0.4	524	P11290CT-ND	.90	.79	.62	P11290TR-ND	281.92	364.04/M	EEJ-L1CC336R
	47	D	0.06	7.6	0.15	1000	P11291CT-ND	1.36	1.19	.94	P11291TR-ND	427.96	552.83/M	EEJ-L1CD476R
20	10	C	0.06	2	0.45	494	P11292CT-ND	.85	.74	.59	P11292TR-ND	265.41	342.88/M	EEJ-L1DC106R
	33	D	0.06	6.6	0.2	866	P11294CT-ND	1.36	1.19	.94	—	—	—	EEJ-L1DD336R
25	22	D	0.06	5.5	0.2	866	P11297CT-ND	1.32	1.16	.91	P11297TR-ND	414.62	535.90/M	EEJ-L1ED226R
	33	D	0.08	8.3	0.2	866	P11298CT-ND	1.43	1.25	.99	P11298TR-ND	449.54	580.77/M	EEJ-L1ED336R
35	6.8	C	0.06	2.4	0.6	428	P11299CT-ND	.89	.78	.61	P11299TR-ND	278.11	359.81/M	EEJ-L1VC685R
	10	D	0.06	3.5	0.3	707	P11300CT-ND	1.32	1.16	.91	P11300TR-ND	414.62	535.90/M	EEJ-L1VD106R
	22	D	0.08	7.7	0.3	866	P11302CT-ND	1.43	1.25	.99	P11302TR-ND	449.54	580.77/M	EEJ-L1VD226R

Panasonic® Serie TEH — In Harz gegossene Chip-Tantal-Elektrolytkondensatoren

Spezifikationen: •Betriebstemperaturbereich: -55 °C ~ 125 °C
• **Nennbetriebsspannungsbereich:** 6,3 ~ 35 V • **Nennkapazitätsbereich** 0,1 µF ~ 68 µF • **Kapazitätstoleranz:** ±20 % bei 120 Hz, 20 °C • **DC-Leckstrom:** I = 0,01 CV oder 0,5 µA (welcher Wert auch immer größer ist). DC-Leckstrom soll nach 2 Minuten Anwendung oder Nennbetriebsspannung bei 20 °C gemessen werden.. • **Tan ∂:** weniger als 3,3 µF – max. 0,04; 4,7 ~ 68 µF – max. 0,06 • **Stabilität bei niedriger und hoher Temperatur**

Kapazitätsveränderung	Innerhalb ±10 % des ersten gemessenen Wertes.
DC-Leckstrom Strom	Weniger als 125 % des ersten spezifizierten Wertes.
Tan δ	Weniger als der erste spezifizierte Wert.

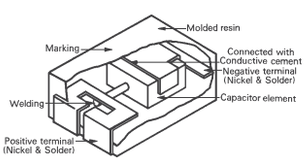

QUERREFERENZEN - PANASONIC SERIE TE
Sprague: 293D; **Kemet:** T491; **Mepco:** 49MC; **NEC:** SV; **Nichicon:** F93; **Hitachi:** TMC; **Matsuo:** 267.

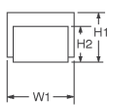

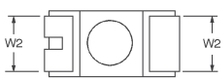

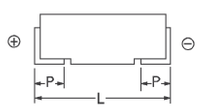

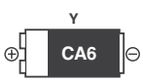

Abmessungen (mm)

EIA-Größe	Größen-code	L ±0.2	W_1 ±0.2	W_2 ±0.1	H_1 ±0.2	H_2 Typ.	P ±0.3
A	Y	3.2	1.6	1.2	1.6	1.0	0.8
B	X	3.5	2.8	2.2	1.9	1.2	0.8
C	C	6.0	3.2	2.2	2.5	1.5	1.3
D	D	7.3	4.3	2.4	2.8	1.6	1.3

WV* (DC)	Kap. (µF)	EIA-Größe	Größen-code	Digi-Key Teilenr.	Gurtabschnittspreise 10	100	Digi-Key Teilenr.	Gegurtet auf Rolle 750	1.500	2.000	4.000	6.000	Panasonic Teilenr.
6.3	3.3	A	Y	PCT1335CT-ND	2.04	17.82	PCT1335TR-ND	—	—	80.43/M	77.04/M	76.20/M	ECS-H0JY335R
	6.8	B	X	PCT1685CT-ND	2.46	21.55	—	—	—	—	—	—	ECS-H0JX685R
	15	C	C	PCT1156CT-ND	5.10	44.52	—	—	—	—	—	—	ECS-H0JC156R
	68	D	D	PCT1686CT-ND	8.32	72.67	PCT1686TR-ND	261.60	338.64/M	—	—	309.86/M	ECS-H0JD686R
10	2.2	A	Y	PCT2225CT-ND	2.04	17.82	—	—	—	—	—	—	ECS-H1AY225R
	4.7	B	X	PCT2475CT-ND	2.46	21.55	PCT2475TR-ND	—	—	97.36/M	93.13/M	92.28/M	ECS-H1AX475R
	10	C	C	PCT2106CT-ND	5.10	44.52	PCT2106TR-ND	160.64	207.42/M	—	—	189.64/M	ECS-H1AC106R
	15	C	C	PCT2156CT-ND	5.10	44.52	PCT2156TR-ND	160.64	207.42/M	—	—	189.64/M	ECS-H1AC156R
	47	D	D	PCT2476CT-ND	7.94	69.40	PCT2476TR-ND	250.17	323.40/M	—	—	295.47/M	ECS-H1AD476R
16	0.68	A	Y	PCT3684CT-ND	2.04	17.82	—	—	—	—	—	—	ECS-H1CY684R
	1.0	A	Y	PCT3105CT-ND	2.04	17.82	PCT3105TR-ND	—	—	80.43/M	77.04/M	76.20/M	ECS-H1CY105R
	2.2	B	X	PCT3225CT-ND	2.46	21.55	PCT3225TR-ND	—	—	97.36/M	93.13/M	92.28/M	ECS-H1CX225R
	6.8	C	C	PCT3685CT-ND	5.10	44.52	—	—	—	—	—	—	ECS-H1CC685R
	10	C	C	PCT3106CT-ND	5.10	44.52	PCT3106TR-ND	160.64	207.42/M	—	—	189.64/M	ECS-H1CC106R
	33	D	D	PCT3336CT-ND	8.32	72.67	PCT3336TR-ND	261.60	338.64/M	—	—	309.86/M	ECS-H1CD336R
20	0.68	A	Y	PCT4684CT-ND	2.04	17.82	PCT4684TR-ND	—	—	80.43/M	77.04/M	76.20/M	ECS-H1DY684R
	4.7	C	C	PCT4475CT-ND	5.10	44.52	—	—	—	—	—	—	ECS-H1DC475R
	6.8	C	C	PCT4685CT-ND	5.10	44.52	—	—	—	—	—	—	ECS-H1DC685R
	15	D	D	PCT4156CT-ND	7.46	65.15	—	—	—	—	—	—	ECS-H1DD156R
25	1.5	B	X	PCT5155CT-ND	2.63	22.97	PCT5155TR-ND	—	—	104.13/M	99.06/M	98.21/M	ECS-H1EX155R
	10	D	D	PCT5106CT-ND	7.41	64.70	PCT5106TR-ND	233.03	301.39/M	—	—	276.00/M	ECS-H1ED106R
35	.15	A	Y	PCT6154CT-ND	2.04	17.82	—	—	—	—	—	—	ECS-H1VY154R
	.22	A	Y	PCT6224CT-ND	2.04	17.82	PCT6224TR-ND	—	—	80.43/M	77.04/M	76.20/M	ECS-H1VY224R
	.33	A	Y	PCT6334CT-ND	2.04	17.82	PCT6334TR-ND	—	—	80.43/M	77.04/M	76.20/M	ECS-H1VY334R
	.47	B	X	PCT6474CT-ND	2.63	22.97	PCT6474TR-ND	—	—	104.13/M	99.06/M	98.21/M	ECS-H1VX474R
	1.0	B	X	PCT6105CT-ND	2.63	22.97	PCT6105TR-ND	—	—	104.13/M	99.06/M	98.21/M	ECS-H1VX105R
	1.5	C	C	PCT6155CT-ND	5.21	45.45	—	—	—	—	—	—	ECS-H1VC155R
	3.3	D	D	PCT6335CT-ND	7.41	64.70	—	—	—	—	—	—	ECS-H1VD335R

* Betriebsspannung

Serie TAP
Tantal-getauchte Radialkondensatoren

TAP ist ein Gerät von professioneller Güte, das mit einer flammenhemmenden Beschichtung hergestellt wird, niedrigen Leckstrom und niedrige Impedanz aufweist und sehr klein und sehr temperaturstabil ist.. • **Kapazitätstoleranz:** 10 % • **Temperaturbereich:** -55 °C ~ +125 °C

2,5 mm Stil LS

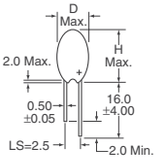

5,0 mm Stil LS

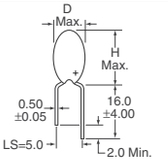

Kap. (µF)	Abmessungen (mm) D	H	LS	DF % Max.	DCL (µA) 100 kHz	ESR max. (Ω)@ 100 kHz	Digi-Key Teilenr.	Stückpreis 1	10	100	AVX Teilenr.
6,3 Volt @ 85 °C (4 Volt @ 125 °C)											
3.3	4.50	7.00	2.5	6	0.5	13.0	478-1885-ND	.39	.34	.27	TAP335K006SCS
4.7	4.50	7.00	2.5	6	0.5	10.0	478-1902-ND	.39	.34	.27	TAP475K006SCS
6.8	4.50	7.00	2.5	6	0.5	8.0	478-1917-ND	.39	.34	.27	TAP685K006SCS
10	4.50	7.50	2.5	8	0.5	6.0	478-1837-ND	.49	.42	.33	TAP106K006SCS
15	5.00	8.50	2.5	8	0.8	5.0	478-1855-ND	.55	.47	.37	TAP156K006SCS
22	5.00	9.00	2.5	8	1.1	3.7	478-1873-ND	.55	.47	.37	TAP226K006SCS
33	5.50	9.00	2.5	8	1.7	3.0	478-1892-ND	.69	.60	.47	TAP336K006SCS
47	6.00	10.00	2.5	8	2.4	2.0	478-1909-ND	.77	.66	.52	TAP476K006SCS
68	6.50	10.00	2.5	8	3.4	1.8	478-1924-ND	.92	.79	.62	TAP686K006SCS
100	7.00	10.5	2.5	10	5.0	1.6	478-1844-ND	2.19	1.88	1.48	TAP107K006SCS
150	8.50	12.5	5.0	10	7.6	0.9	478-1862-ND	2.76	2.37	1.86	TAP157K006CCS
220	9.00	13.0	5.0	10	11.0	0.9	478-1880-ND	5.51	4.73	3.71	TAP227K006CCS
330	10.0	17.0	5.0	10	16.6	0.7	478-1898-ND	6.87	5.90	4.62	TAP337K006CCS
10 Volt @ 85 °C (6,3 Volt @ 125 °C)											
2.2	4.50	7.00	2.5	6	0.5	13.0	478-1867-ND	.39	.34	.27	TAP225K010SCS
3.3	4.50	7.00	2.5	6	0.5	10.0	478-1886-ND	.39	.34	.27	TAP335K010SCS
4.7	4.50	7.00	2.5	6	0.5	8.0	478-1903-ND	.39	.34	.27	TAP475K010SCS
6.8	4.50	7.50	2.5	6	0.5	6.0	478-1918-ND	.49	.42	.33	TAP685K010SCS
10	5.00	8.50	2.5	8	0.8	5.0	478-1838-ND	.55	.47	.37	TAP106K010SCS
15	5.00	9.00	2.5	8	1.2	3.7	478-1856-ND	.55	.47	.37	TAP156K010SCS
22	5.50	9.00	2.5	8	1.7	2.7	478-1874-ND	.69	.59	.46	TAP226K010SCS
33	6.00	10.0	2.5	8	2.6	2.1	478-1893-ND	.80	.69	.54	TAP336K010SCS
47	6.50	10.0	2.5	8	3.7	1.7	478-1910-ND	1.42	1.22	.96	TAP476K010SCS
68	7.00	10.5	2.5	8	5.4	1.3	478-1925-ND	2.19	1.88	1.48	TAP686K010SCS
100	8.50	12.5	2.5	10	8.0	1.0	478-1845-ND	2.76	2.37	1.86	TAP107K010SCS
150	9.00	16.0	5.0	10	12.0	0.8	478-1863-ND	5.51	4.73	3.71	TAP157K010CCS
220	10.0	17.0	5.0	10	17.6	0.6	478-1881-ND	6.87	5.90	4.62	TAP227K010CCS
330	10.0	18.5	5.0	10	20.0	0.5	478-1899-ND	6.87	5.90	4.62	TAP337K010CCS
16 Volt @ 85 °C (10 Volt @ 125 °C)											
1.5	4.50	7.00	2.5	4	0.5	10.0	478-1850-ND	.39	.34	.27	TAP155K016SCS
2.2	4.50	7.00	2.5	6	0.5	8.0	478-1868-ND	.37	.32	.25	TAP225K016SCS
3.3	4.50	7.00	2.5	6	0.5	6.0	478-1887-ND	.37	.32	.25	TAP335K016SCS
4.7	4.50	7.50	2.5	6	0.6	5.0	478-1904-ND	.47	.40	.32	TAP475K016SCS
6.8	5.00	8.50	2.5	6	0.8	4.0	478-1919-ND	.55	.47	.37	TAP685K016SCS
10	5.00	9.00	5.0	8	1.2	3.2	478-1839-ND	.57	.49	.38	TAP106K016CCS
15	5.50	9.00	2.5	8	1.9	2.5	478-1857-ND	.75	.64	.50	TAP156K016SCS
22	6.00	10.0	2.5	8	2.8	2.0	478-1875-ND	.75	.64	.50	TAP226K016SCS
33	6.00	10.0	2.5	8	4.2	1.6	478-1894-ND	1.48	1.27	1.00	TAP336K016SCS
47	8.00	11.5	2.5	8	6.0	1.3	478-1911-ND	2.33	2.00	1.57	TAP476K016SCS
68	9.00	12.5	2.5	8	8.7	1.0	478-1926-ND	2.82	2.42	1.89	TAP686K016SCS
100	9.00	16.0	5.0	10	12.8	0.8	478-1846-ND	5.93	5.08	3.98	TAP107K016CCS
150	9.00	16.0	5.0	10	19.2	0.6	478-1864-ND	6.82	5.85	4.58	TAP157K016CCS
220	10.0	18.5	5.0	10	20.0	0.5	478-1882-ND	8.39	7.19	5.64	TAP227K016CCS
20 Volt @ 85 °C (13 Volt @ 125 °C)											
1.0	4.50	7.00	2.5	4	0.5	10.0	478-1833-ND	.39	.34	.27	TAP105K020SCS
1.5	4.50	7.00	2.5	4	0.5	9.0	478-1851-ND	.39	.34	.27	TAP155K020SCS
2.2	4.50	7.00	2.5	6	0.5	7.0	478-1869-ND	.39	.34	.27	TAP225K020SCS
3.3	4.50	7.50	2.5	6	0.5	5.5	478-1888-ND	.49	.42	.33	TAP335K020SCS
4.7	5.00	8.50	2.5	6	0.7	4.5	478-1905-ND	.55	.47	.37	TAP475K020SCS
6.8	5.00	9.00	2.5	6	1.0	3.6	478-1920-ND	.55	.47	.37	TAP685K020SCS
10	5.50	9.00	2.5	8	1.6	2.9	478-1840-ND	.75	.64	.50	TAP106K020SCS
15	6.00	10.0	2.5	8	2.4	2.3	478-1858-ND	.80	.69	.54	TAP156K020SCS

Kap. (µF)	Abmessungen (mm) D	H	LS	DF % Max.	DCL (µA) Max.	ESR Max. (Ω)@ 100 kHz	Digi-Key Teilenr.	Stückpreis 1	10	100	AVX Teilenr.
20 Volt @ 85 °C (13 Volt @ 125 °C) (Forts.)											
22	7.00	10.5	2.5	8	3.5	1.8	478-1876-ND	1.48	1.27	1.00	TAP226K020SCS
33	8.00	11.5	2.5	8	5.2	1.4	478-1895-ND	2.13	1.83	1.44	TAP336K020SCS
47	8.50	12.5	2.5	8	7.5	1.2	478-1912-ND	2.64	2.26	1.78	TAP476K020SCS
68	9.00	16.0	5.0	8	10.8	0.9	478-1927-ND	5.99	5.13	4.02	TAP686K020CCS
100	9.00	16.0	5.0	10	16.0	0.6	478-1847-ND	6.85	5.87	4.60	TAP107K020CCS
25 Volt @ 85 °C (16 Volt @ 125 °C)											
1.0	4.50	7.00	2.5	4	0.5	10.0	478-1834-ND	.39	.34	.27	TAP105K025SCS
1.5	4.50	7.00	2.5	4	0.5	8.0	478-1852-ND	.39	.34	.27	TAP155K025SCS
2.2	4.50	7.00	2.5	6	0.5	6.0	478-1870-ND	.39	.34	.27	TAP225K025SCS
3.3	4.50	7.50	2.5	6	0.6	5.0	478-1889-ND	.49	.42	.33	TAP335K025SCS
4.7	5.00	8.50	2.5	6	0.9	4.0	478-1906-ND	.55	.47	.37	TAP475K025SCS
6.8	5.00	9.00	2.5	6	1.3	3.1	478-1921-ND	.55	.47	.37	TAP685K025SCS
10	5.50	9.00	2.5	8	2.0	2.5	478-1841-ND	.63	.54	.42	TAP106K025SCS
15	6.00	10.00	2.5	8	3.0	2.0	478-1859-ND	1.68	1.44	1.13	TAP156K025SCS
22	7.00	10.5	2.5	8	4.4	1.5	478-1877-ND	2.07	1.78	1.40	TAP226K025SCS
33	8.00	11.5	2.5	8	6.6	1.2	478-1896-ND	2.77	2.38	1.87	TAP336K025SCS
47	9.00	13.0	2.5	8	9.4	1.0	478-1913-ND	4.24	3.64	2.85	TAP476K025SCS
68	9.00	16.0	5.0	8	13.6	0.8	478-1928-ND	6.87	5.90	4.62	TAP686K025CCS
35 Volt @ 85 °C (23 Volt @ 125 °C)											
0.1	4.50	7.00	2.5	4	0.5	26.0	478-1831-ND	.39	.34	.27	TAP104K035SCS
0.15	4.50	7.00	2.5	4	0.5	21.0	478-1848-ND	.39	.34	.27	TAP154K035SCS
0.22	4.50	7.00	2.5	4	0.5	17.0	478-1865-ND	.39	.34	.27	TAP224K035SCS
0.33	4.50	7.00	2.5	4	0.5	15.0	478-1883-ND	.39	.34	.27	TAP334K035SCS
0.47	4.50	7.00	2.5	4	0.5	13.0	478-1900-ND	.39	.34	.27	TAP474K035SCS
0.68	4.50	7.00	2.5	4	0.5	10.0	478-1915-ND	.39	.34	.27	TAP684K035SCS
1.0	4.50	7.00	2.5	4	0.5	8.0	478-1835-ND	.39	.33	.26	TAP105K035SCS
1.5	4.50	7.00	2.5	4	0.5	6.0	478-1853-ND	.39	.34	.27	TAP155K035SCS
2.2	4.50	7.50	2.5	6	0.6	5.0	478-1871-ND	.45	.39	.30	TAP225K035SCS
3.3	5.00	8.50	2.5	6	0.9	4.0	478-1890-ND	.55	.47	.37	TAP335K035SCS
4.7	5.50	9.00	2.5	6	1.3	3.0	478-1907-ND	.65	.56	.44	TAP475K035SCS
6.8	6.00	10.0	2.5	6	1.9	2.5	478-1922-ND	.75	.65	.51	TAP685K035SCS
10	6.00	10.0	2.5	8	2.8	2.0	478-1842-ND	1.26	1.08	.85	TAP106K035SCS
15	7.00	10.5	2.5	8	4.2	1.6	478-1860-ND	2.64	2.26	1.78	TAP156K035SCS
22	8.50	12.5	2.5	8	6.1	1.3	478-1878-ND	2.51	2.15	1.69	TAP226K035SCS
33	9.00	13.0	5.0	8	9.2	1.0	478-1897-ND	4.60	3.94	3.09	TAP336K035CCS
47	9.00	16.0	5.0	8	10.0	0.8	478-1914-ND	6.87	5.90	4.62	TAP476K035CCS
50 Volt @ 85 °C (33 Volt @ 125 °C)											
0.1	4.50	7.00	2.5	4	0.5	26.0	478-1832-ND	.44	.38	.30	TAP104K050SCS
0.15	4.50	7.00	2.5	4	0.5	21.0	478-1849-ND	.41	.35	.28	TAP154K050SCS
0.22	4.50	7.00	2.5	4	0.5	17.0	478-1866-ND	.44	.38	.30	TAP224K050SCS
0.33	4.50	7.00	2.5	4	0.5	15.0	478-1884-ND	.44	.38	.30	TAP334K050SCS
0.47	4.50	7.00	2.5	4	0.5	13.0	478-1901-ND	.44	.38	.30	TAP474K050SCS
0.68	4.50	7.50	2.5	4	0.5	10.0	478-1916-ND	.49	.42	.33	TAP684K050SCS
1.0	5.00	8.50	2.5	4	0.5	8.0	478-1836-ND	.49	.42	.33	TAP105K050SCS
1.5	5.00	9.00	2.5	4	0.6	6.0	478-1854-ND	.75	.64	.50	TAP155K050SCS
2.2	5.50	9.00	2.5	6	0.8	3.5	478-1872-ND	.79	.68	.53	TAP225K050SCS
3.3	6.00	10.0	2.5	6	1.3	3.0	478-1891-ND	.86	.74	.58	TAP335K050SCS
4.7	6.50	10.0	2.5	6	1.8	2.5	478-1908-ND	1.08	.93	.73	TAP475K050SCS
6.8	7.00	10.5	2.5	6	2.7	2.0	478-1923-ND	2.55	2.19	1.72	TAP685K050SCS
10	8.00	11.5	2.5	8	4.0	1.6	478-1843-ND	4.44	3.81	2.99	TAP106K050SCS
15	8.50	12.5	5.0	8	6.0	1.2	478-1861-ND	4.89	4.20	3.29	TAP156K050CCS
22	9.00	12.5	5.0	8	8.8	1.0	478-1879-ND	8.00	6.86	5.38	TAP226K050CCS

Alle Preisangaben in Euro und inklusive Zollgebühren.

Serie TAJ Standard-Tantal-Kondensatoren zur Oberflächenmontage

Die Standardserie TAJ umfasst die Größen, die von den großen OEMs weltweit erkannt werden.

• **Temperaturbereich:** -55 °C ~ 85 °C bei Nennspannung und ~ zu 125 °C bei Drosselspannungen in Anwendungen mit empfohlenem Reihenwiderstand

Größen-code	EIA-Code	L	W	H	W_1	A	S Min.
A	3216-18	3.20	1.60	1.60	1.20	0.80	1.10
B	3528-21	3.50	2.80	1.90	2.20	0.80	1.40
C	6032-28	6.00	3.20	2.60	2.20	1.30	2.90
D	7343-31	7.30	4.30	2.90	2.40	1.30	4.40
E	7343-43	7.30	4.30	4.10	2.40	1.30	4.40
V	7361-38	7.30	6.10	3.45	3.10	1.40	4.40

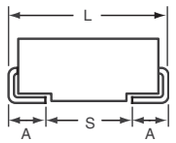

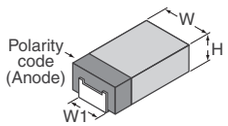

Nenn-spannung (V)	Kapazität (µF)	Kapazitäts-toleranz %	Gehäuse-größe	DF % Max.	DCL (µA) Max.	ESR max. (mΩ) @ 100 kHz	Digi-Key Teilenr.	Gurtabschnittspreis pro Stück 1	10	100	Digi-Key Teilenr.	Gegurtet auf Rolle Größe	Preisangaben	AVX Teilenr.
4	33	10	A	6	1.3	3000	478-1665-1-ND	.42	.37	.33	478-1665-2-ND	2,000	143.92/M	TAJA336K004R
	47	10	A	8	1.9	2600	478-1669-1-ND	.42	.37	.33	478-1669-2-ND	2,000	143.92/M	TAJA476K004R
	68	10	B	6	2.7	1800	478-2344-1-ND	.55	.48	.42	478-2344-2-ND	2,000	187.10/M	TAJB686K004R
	100	10	B	8	4	900	478-1676-1-ND	.97	.85	.74	478-1676-2-ND	2,000	331.02/M	TAJB107K004R
	150	10	B	8	6	1500	478-2345-1-ND	.85	.74	.65	478-2345-2-ND	2,000	287.85/M	TAJB157K004R
	220	10	C	8	8.8	1200	478-2346-1-ND	1.99	1.74	1.52	478-2346-2-ND	500	338.22	TAJC227K004R
	330	10	C	8	13.2	900	478-2347-1-ND	2.06	1.79	1.57	478-2347-2-ND	500	349.22	TAJC337K004R
	1000	10	E	14	40	400	478-2348-1-ND	9.10	7.92	6.92	478-2348-2-ND	400	1237.73	TAJE108K004R
6.3	10	10	A	6	0.6	4000	478-1653-1-ND	.34	.30	.26	478-1653-2-ND	2,000	115.14/M	TAJA106K006R
	10	20	A	6	0.6	4000	478-1656-1-ND	.32	.28	.25	478-1656-2-ND	2,000	108.37/M	TAJA106M006R
	22	10	B	6	1.4	2500	478-1681-1-ND	.45	.40	.35	478-1681-2-ND	2,000	153.24/M	TAJB226K006R
	33	10	A	8	2.1	2500	478-1666-1-ND	.53	.47	.41	478-1666-2-ND	2,000	180.33/M	TAJA336K006R
	33	20	A	8	2.1	2500	478-1667-1-ND	.53	.47	.41	478-1667-2-ND	2,000	180.33/M	TAJA336M006R
	47	10	B	6	3	2000	478-1692-1-ND	.55	.48	.42	478-1692-2-ND	2,000	187.10/M	TAJB476K006R
	68	10	B	8	4	900	478-1696-1-ND	.63	.56	.49	478-1696-2-ND	2,000	215.89/M	TAJB686K006R
	100	10	B	10	6.3	1700	478-1677-1-ND	1.06	.93	.81	478-1677-2-ND	2,000	359.81/M	TAJB107K006R
	100	10	C	6	6.3	900	478-1703-1-ND	1.02	.89	.78	478-1703-2-ND	500	184.98	TAJC107K006R
	150	10	C	6	9.5	1300	478-1709-1-ND	1.65	1.44	1.26	478-1709-2-ND	500	300.54	TAJC157K006R
	220	10	C	8	13.9	1200	478-1713-1-ND	1.78	1.55	1.36	478-1713-2-ND	500	323.40	TAJC227K006R
	470	10	D	12	28	400	478-1741-1-ND	2.67	2.33	2.03	478-1741-2-ND	500	485.53	TAJD477K006R
	680	10	E	10	42.8	500	478-2349-1-ND	7.37	6.41	5.60	478-2349-2-ND	400	1001.70	TAJE687K006R
10	4.7	10	A	6	0.5	5000	478-2350-1-ND	.36	.32	.28	478-2350-2-ND	2,000	122.76/M	TAJA475K010R
	6.8	10	A	6	0.7	4000	478-2351-1-ND	.38	.34	.29	478-2351-2-ND	2,000	129.53/M	TAJA685K010R
	10	10	A	6	1	3000	478-1654-1-ND	.36	.32	.28	478-1654-2-ND	2,000	122.76/M	TAJA106K010R
	10	20	A	6	1	3000	478-1657-1-ND	.34	.30	.26	478-1657-2-ND	2,000	115.14/M	TAJA106M010R
	10	10	B	6	1	2500	478-1672-1-ND	.45	.39	.34	478-1672-2-ND	2,000	151.54/M	TAJB106K010R
	15	10	A	6	1.5	3200	478-1660-1-ND	.42	.37	.33	478-1660-2-ND	2,000	143.92/M	TAJA156K010R
	15	20	A	6	1.5	3200	478-1661-1-ND	.42	.37	.33	478-1661-2-ND	2,000	137.15/M	TAJA156M010R
	22	10	A	8	2.2	3000	478-1663-1-ND	.42	.37	.33	478-1663-2-ND	2,000	143.92/M	TAJA226K010R
	33	10	B	6	3.3	1800	478-1687-1-ND	.97	.85	.74	478-1687-2-ND	2,000	331.02/M	TAJB336K010R
	47	10	B	8	4.7	1000	478-1693-1-ND	.75	.65	.57	478-1693-2-ND	2,000	252.29/M	TAJB476K010R
	68	10	C	6	6.8	1300	478-1721-1-ND	1.06	.93	.81	478-1721-2-ND	500	192.60	TAJC686K010R
	100	10	C	8	10	1200	478-1704-1-ND	1.06	.93	.81	478-1704-2-ND	500	192.60	TAJC107K010R
	150	10	C	8	15	900	478-2352-1-ND	1.90	1.66	1.45	478-2352-2-ND	500	323.82	TAJC157K010R
	150	10	D	6	15	900	478-2343-1-ND	2.24	1.96	1.71	478-2343-2-ND	500	381.39	TAJD157K010R
	220	10	D	8	22	500	478-1731-1-ND	2.24	1.96	1.71	478-1731-2-ND	500	408.48	TAJD227K010R
	330	10	D	8	33	900	478-1736-1-ND	4.06	3.54	3.09	478-1736-2-ND	500	739.51	TAJD337K010R
	330	10	E	8	33	900	478-1748-1-ND	4.44	3.87	3.38	478-1748-2-ND	400	647.14	TAJE337K010R
	470	10	E	10	47	500	478-1749-1-ND	6.01	5.23	4.57	478-1749-2-ND	400	875.05	TAJE477K010R
16	1	10	A	4	0.5	11000	478-1649-1-ND	.37	.33	.29	478-1649-2-ND	2,000	126.99/M	TAJA105K016R
	1	20	A	4	0.5	11000	478-1652-1-ND	.33	.29	.26	478-1652-2-ND	2,000	112.60/M	TAJA105M016R
	2.2	10	A	6	0.5	6500	478-2353-1-ND	.36	.32	.28	478-2353-2-ND	2,000	122.76/M	TAJA225K016R
	3.3	10	A	6	0.5	5000	478-2354-1-ND	.36	.32	.28	478-2354-2-ND	2,000	122.76/M	TAJA335K016R
	4.7	10	B	6	0.8	3500	478-1689-1-ND	.45	.39	.34	478-1689-2-ND	2,000	151.54/M	TAJB475K016R
	6.8	10	A	6	1.1	3500	478-1670-1-ND	.41	.35	.31	478-1670-2-ND	2,000	137.15/M	TAJA685K016R
	10	10	A	8	1.6	3000	478-1655-1-ND	.42	.37	.33	478-1655-2-ND	2,000	143.92/M	TAJA106K016R
	10	10	B	6	1.6	2800	478-1673-1-ND	.47	.41	.36	478-1673-2-ND	2,000	158.32/M	TAJB106K016R
	10	20	B	6	1.6	2800	478-1675-1-ND	.45	.40	.35	478-1675-2-ND	2,000	153.24/M	TAJB106M016R
	10	10	C	6	1.6	2000	478-1698-1-ND	.41	.35	.31	478-1698-2-ND	500	73.23	TAJC106K016R
	10	20	C	6	1.6	2000	478-1702-1-ND	.34	.30	.26	478-1702-2-ND	500	61.80	TAJC106M016R
	15	10	B	6	2.4	2500	478-2355-1-ND	.51	.45	.39	478-2355-2-ND	2,000	172.71/M	TAJB156K016R
	22	10	B	6	3.5	2300	478-1682-1-ND	.47	.41	.36	478-1682-2-ND	2,000	158.32/M	TAJB226K016R
	22	20	B	6	3.5	2300	478-1684-1-ND	.47	.41	.36	478-1684-2-ND	2,000	158.32/M	TAJB226M016R
	33	10	B	8	5..3	2100	478-1688-1-ND	.80	.70	.62	478-1688-2-ND	2,000	273.45/M	TAJB336K016R
	33	10	C	6	5.3	1500	478-1715-1-ND	.53	.47	.41	478-1715-2-ND	500	96.51	TAJC336K016R
	47	10	C	6	7.5	1400	478-1718-1-ND	.85	.74	.65	478-1718-2-ND	500	154.08	TAJC476K016R
	47	10	D	6	7.5	900	478-1739-1-ND	.70	.61	.54	478-1739-2-ND	500	126.99	TAJD476K016R
	68	10	D	6	10.9	900	478-1744-1-ND	1.35	1.18	1.03	478-1744-2-ND	500	246.36	TAJD686K016R
	100	10	D	6	16	900	478-1723-1-ND	1.10	.96	.84	478-1723-2-ND	500	200.22	TAJD107K016R
	150	10	D	6	24	900	478-2356-1-ND	2.75	2.40	2.10	478-2356-2-ND	500	467.75	TAJD157K016R
	220	10	E	10	35.2	500	478-2357-1-ND	6.98	6.08	5.31	478-2357-2-ND	400	949.89	TAJE227K016R
20	1	10	A	4	0.5	9000	478-1650-1-ND	.38	.34	.29	478-1650-2-ND	2,000	129.53/M	TAJA105K020R
	1.5	10	A	6	0.5	6500	478-1658-1-ND	.30	.26	.23	478-1658-2-ND	2,000	100.75/M	TAJA155K020R
	2.2	10	A	6	0.5	5300	478-2358-1-ND	.38	.34	.29	478-2358-2-ND	2,000	129.53/M	TAJA225K020R
	3.3	10	A	6	0.7	4500	478-1664-1-ND	.41	.35	.31	478-1664-2-ND	2,000	137.15/M	TAJA335K020R
	3.3	10	B	6	0.7	3000	478-1685-1-ND	.42	.37	.33	478-1685-2-ND	2,000	144.77/M	TAJB335K020R
	4.7	10	A	6	0.9	4000	478-1668-1-ND	.41	.35	.31	478-1668-2-ND	2,000	137.15/M	TAJA475K020R
	6.8	10	B	6	1.4	2500	478-1694-1-ND	.47	.41	.36	478-1694-2-ND	2,000	158.32/M	TAJB685K020R
	6.8	10	C	6	1.4	2000	478-1719-1-ND	.47	.41	.36	478-1719-2-ND	500	84.66	TAJC685K020R
	10	10	B	6	2	2100	478-1674-1-ND	.42	.37	.33	478-1674-2-ND	2,000	143.92/M	TAJB106K020R
	10	10	C	6	2	1900	478-1699-1-ND	.39	.34	.30	478-1699-2-ND	500	70.69	TAJC106K020R
	15	10	B	6	3	2000	478-1679-1-ND	.51	.45	.39	478-1679-2-ND	2,000	172.71/M	TAJB156K020R
	15	10	C	6	3	1700	478-1707-1-ND	.75	.65	.57	478-1707-2-ND	500	135.03	TAJC156K020R
	22	10	B	6	4.4	1800	478-1683-1-ND	.53	.47	.41	478-1683-2-ND	2,000	180.33/M	TAJB226K020R
	22	10	C	6	4.4	1600	478-1711-1-ND	.85	.74	.65	478-1711-2-ND	500	154.08	TAJC226K020R
	33	10	C	6	6.6	1500	478-1716-1-ND	.85	.74	.65	478-1716-2-ND	500	154.08	TAJC336K020R
	33	10	D	6	6.6	900	478-1734-1-ND	.63	.56	.49	478-1734-2-ND	500	115.56	TAJD336K020R
	47	10	C	6	9.4	900	478-2359-1-ND	1.68	1.46	1.28	478-2359-2-ND	500	284.46	TAJC476K020R
	68	10	D	6	13.6	900	478-1745-1-ND	1.95	1.70	1.48	478-1745-2-ND	500	354.30	TAJD686K020R
	100	10	D	6	20	900	478-1724-1-ND	2.75	2.40	2.10	478-1724-2-ND	500	500.76	TAJD107K020R
	100	10	E	6	20	900	478-1746-1-ND	2.61	2.27	1.98	478-1746-2-ND	400	378.94	TAJE107K020R
	150	10	E	8	30	300	478-2360-1-ND	4.65	4.05	3.54	478-2360-2-ND	400	632.24	TAJE157K020R

(Forts.)

E

Nenn-spannung (V)	Kapazität (µF)	Kapazitäts-toleranz %	Gehäuse-größe	DF % Max.	DCL (µA) Max.	ESR Max. (mΩ) @100kHz	Digi-Key Teilenr.	Gurtabschnittspreis pro Stück 1	10	100	Digi-Key Teilenr.	Gegurtet auf Rolle Größe	Preisangaben	AVX Teilenr.
	.47	10	A	4	0.5	14000	478-2339-1-ND	.85	.74	.65	478-2339-2-ND	2,000	287.85/M	TAJA474K025R
	.68	10	A	4	0.5	10000	478-2362-1-ND	.85	.74	.65	478-2362-2-ND	2,000	287.85/M	TAJA684K025R
	1	10	A	4	0.5	8000	478-2363-1-ND	.41	.35	.31	478-2363-2-ND	2,000	137.15/M	TAJA105K025R
	1.5	10	A	6	0.5	7500	478-2364-1-ND	.38	.34	.29	478-2364-2-ND	2,000	129.53/M	TAJA155K025R
	2.2	10	A	6	0.6	7000	478-1662-1-ND	.41	.35	.31	478-1662-2-ND	2,000	137.15/M	TAJA225K025R
	3.3	10	B	6	0.8	3500	478-2365-1-ND	.63	.56	.49	478-2365-2-ND	2,000	215.89/M	TAJB335K025R
	4.7	10	B	6	1.2	2800	478-1690-1-ND	.47	.41	.36	478-1690-2-ND	2,000	158.32/M	TAJB475K025R
25	6.8	10	B	6	1.7	2800	478-1695-1-ND	.55	.48	.42	478-1695-2-ND	2,000	187.10/M	TAJB685K025R
	10	10	C	6	2.5	1800	478-1700-1-ND	.45	.39	.34	478-1700-2-ND	500	80.85	TAJC106K025R
	15	10	D	6	3.8	1000	478-1726-1-ND	.70	.61	.54	478-1726-2-ND	500	126.99	TAJD156K025R
	22	20	C	6	5.5	1400	478-1712-1-ND	.89	.78	.68	478-1712-2-ND	500	161.70	TAJC226M025R
	22	10	D	6	5.5	900	478-1729-1-ND	.70	.61	.54	478-1729-2-ND	500	126.99	TAJD226K025R
	33	10	D	6	8.3	900	478-2366-1-ND	2.75	2.40	2.10	478-2366-2-ND	500	467.75	TAJD336K025R
	47	10	D	6	11.8	900	478-1740-1-ND	3.29	2.87	2.51	478-1740-2-ND	500	599.39	TAJD476K025R
	68	10	E	6	17	900	478-1750-1-ND	6.98	6.08	5.31	478-1750-2-ND	400	1016.94	TAJE686K025R
	100	10	V	8	25	400	478-2367-1-ND	7.83	6.82	5.96	478-2367-2-ND	400	1065.02	TAJV107K025R
	.1	10	A	4	0.5	24000	478-2368-1-ND	.85	.74	.65	478-2368-2-ND	2,000	287.85/M	TAJA104K035R
	.15	10	A	4	0.5	21000	478-2336-1-ND	.85	.74	.65	478-2336-2-ND	2,000	287.85/M	TAJA154K035R
	.22	10	A	4	0.5	18000	478-2337-1-ND	.85	.74	.65	478-2337-2-ND	2,000	287.85/M	TAJA224K035R
	.33	10	A	4	0.5	15000	478-2338-1-ND	.85	.74	.65	478-2338-2-ND	2,000	287.85/M	TAJA334K035R
	.47	10	A	4	0.5	12000	478-2340-1-ND	.85	.74	.65	478-2340-2-ND	2,000	287.85/M	TAJA474K035R
	.47	10	B	4	0.5	10000	478-2373-1-ND	1.27	1.11	.97	478-2373-2-ND	2,000	431.77/M	TAJB474K035R
	.68	10	A	4	0.5	8000	478-2341-1-ND	.85	.74	.65	478-2341-2-ND	2,000	287.85/M	TAJA684K035R
	1	10	A	4	0.5	7500	478-1651-1-ND	.42	.37	.33	478-1651-2-ND	2,000	143.92/M	TAJA105K035R
	1	10	B	4	0.5	6500	478-1671-1-ND	.42	.37	.33	478-1671-2-ND	2,000	144.77/M	TAJB105K035R
	1.5	10	A	6	0.5	7500	478-1659-1-ND	.59	.52	.46	478-1659-2-ND	2,000	201.49/M	TAJA155K035R
	1.5	10	B	6	0.5	5200	478-1678-1-ND	.51	.45	.39	478-1678-2-ND	2,000	172.71/M	TAJB155K035R
	1.5	10	C	6	0.5	4500	478-1705-1-ND	.79	.69	.60	478-1705-2-ND	500	142.65	TAJC155K035R
	2.2	10	B	6	0.8	4200	478-1680-1-ND	.45	.39	.34	478-1680-2-ND	2,000	151.54/M	TAJB225K035R
	2.2	10	C	6	0.8	3500	478-1710-1-ND	.47	.41	.36	478-1710-2-ND	500	84.66	TAJC225K035R
35	3.3	10	B	6	1.2	3500	478-1686-1-ND	.47	.41	.36	478-1686-2-ND	2,000	158.32/M	TAJB335K035R
	3.3	10	C	6	1.2	2500	478-1714-1-ND	.45	.39	.34	478-1714-2-ND	500	80.85	TAJC335K035R
	3.3	10	D	6	1.2	2500	478-1732-1-ND	.63	.56	.49	478-1732-2-ND	500	115.56	TAJD335K035R
	4.7	10	B	6	1.2	3100	478-1691-1-ND	.55	.48	.42	478-1691-2-ND	2,000	187.10/M	TAJB475K035R
	4.7	10	C	6	1.6	2200	478-1717-1-ND	.45	.39	.34	478-1717-2-ND	500	80.85	TAJC475K035R
	4.7	10	D	6	1.6	1500	478-1737-1-ND	.70	.61	.54	478-1737-2-ND	500	126.99	TAJD475K035R
	6.8	10	C	6	2.4	1800	478-1720-1-ND	.53	.47	.41	478-1720-2-ND	500	96.51	TAJC685K035R
	6.8	10	D	6	2.4	1300	478-1742-1-ND	.70	.61	.54	478-1742-2-ND	500	126.99	TAJD685K035R
	10	10	C	6	3.5	1600	478-1701-1-ND	.80	.70	.62	478-1701-2-ND	500	146.46	TAJC106K035R
	10	10	D	6	3.5	1000	478-1722-1-ND	.75	.65	.57	478-1722-2-ND	500	135.03	TAJD106K035R
	15	10	C	6	5.3	1400	478-1708-1-ND	1.06	.93	.81	478-1708-2-ND	500	192.60	TAJC156K035R
	15	10	D	6	5.3	900	478-1727-1-ND	.89	.78	.68	478-1727-2-ND	500	161.70	TAJD156K035R
	22	10	D	6	7.7	900	478-1730-1-ND	1.61	1.40	1.23	478-1730-2-ND	500	292.92	TAJD226K035R
	22	10	E	6	7.7	900	478-1747-1-ND	3.60	3.14	2.74	478-1747-2-ND	400	523.88	TAJE226K035R
	33	10	D	6	11.6	900	478-1735-1-ND	2.03	1.77	1.55	478-1735-2-ND	500	369.96	TAJD336K035R
	0.1	10	A	4	0.5	22000	478-1648-1-ND	.63	.56	.49	478-1648-2-ND	2,000	215.89/M	TAJA104K050R
	.15	10	A	4	0.5	15000	478-2375-1-ND	.85	.74	.65	478-2375-2-ND	2,000	287.85/M	TAJA154K050R
	.22	10	A	4	0.5	18000	478-2376-1-ND	.85	.74	.65	478-2376-2-ND	2,000	287.85/M	TAJA224K050R
	.33	10	B	4	0.5	12000	478-2377-1-ND	1.27	1.11	.97	478-2377-2-ND	2,000	431.77/M	TAJB334K050R
	.47	10	B	4	0.7	9500	478-2378-1-ND	1.27	1.11	.97	478-2378-2-ND	2,000	431.77/M	TAJB474K050R
	.68	10	B	4	0.5	8000	478-2379-1-ND	1.27	1.11	.97	478-2379-2-ND	2,000	431.77/M	TAJB684K050R
	.68	10	C	4	0.5	7000	478-2342-1-ND	1.90	1.66	1.45	478-2342-2-ND	500	323.82	TAJC684K050R
50	1	10	C	4	0.5	5500	478-1697-1-ND	.63	.56	.49	478-1697-2-ND	500	115.56	TAJC105K050R
	1.5	10	C	6	0.8	4500	478-1706-1-ND	1.90	1.66	1.45	478-1706-2-ND	500	346.68	TAJC155K050R
	1.5	10	D	6	0.8	4000	478-1725-1-ND	3.89	3.39	2.96	478-1725-2-ND	500	708.60	TAJD155K050R
	2.2	10	D	6	1.1	2500	478-1728-1-ND	1.21	1.05	.92	478-1728-2-ND	500	219.69	TAJD225K050R
	3.3	10	D	6	1.7	2000	478-1733-1-ND	1.19	1.04	.91	478-1733-2-ND	500	215.88	TAJD335K050R
	4.7	10	D	6	2.4	1400	478-1738-1-ND	1.21	1.05	.92	478-1738-2-ND	500	219.69	TAJD475K050R
	6.8	10	D	6	3.4	1000	478-1743-1-ND	4.44	3.87	3.38	478-1743-2-ND	500	808.93	TAJD685K050R
	10	10	D	6	5	800	478-2380-1-ND	4.44	3.87	3.38	478-2380-2-ND	500	755.59	TAJD106K050R

E

Serie TPS Tantalkondensatoren zur Oberflächenbefestigung mit niedriger ESR

Oberflächenmontierte TPS-Produkte weisen von Natur aus niedrigen ESR (equivalent series resistance = effektiver Reihenverlustwiderstand) auf und können höheren Mischstrom bewältigen, produzieren weniger Mischstrom und weisen weniger Strom- und Wärmeverlust als Standardprodukte auf. Sie sorgen daher für die effizienteste Nutzung der Schaltkreisleistung.

TPS wurde für Höchstleistungen in typischen Versorgungsanwendungen entwickelt, hergestellt und vorkonditioniert.

• **Temperaturbereich:** -55 °C ~ 125 °C

Gehäuse-größe	EIA-Code	L	W	H	W_1	A	S Min.
A	3216-18	3.20	1.60	1.60	1.20	0.80	1.10
B	3528-21	3.50	2.80	1.90	2.20	0.80	1.40
C	6032-28	6.00	3.20	2.60	2.20	1.30	2.90
D	7343-31	7.30	4.30	2.90	2.40	1.30	4.40
E	7343-43	7.30	4.30	4.10	2.40	1.30	4.40
V	7361-38	7.30	6.10	3.45	3.10	1.40	4.40

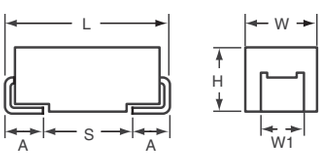

Nenn-spannung (V)	Kapazi-tät (µF)	Kapazitäts-toleranz %	Gehäuse-größe	DF % Max.	DCL (µA) Max.	ESR Max. (mΩ) @100kHz	Digi-Key Teilenr.	Gurtabschnittspreis pro Stück 1	10	100	Digi-Key Teilenr.	Gegurtet auf Rolle Größe	Preisangaben	AVX Teilenr.
	47	10	A	8	1.9	500	478-2381-1-ND	.85	.74	.65	478-2381-2-ND	2,000	287.85/M	TPSA476K004R0500
	220	10	D	8	8.8	100	478-2382-1-ND	3.56	3.10	2.71	478-2382-2-ND	500	647.23	TPSD227K004R0100
	330	10	D	8	13.2	35	478-2383-1-ND	12.40	10.80	9.43	478-2383-2-ND	500	2257.46	TPSD337K004R0035
4	330	10	D	8	13.2	100	478-2384-1-ND	9.65	8.40	7.34	478-2384-2-ND	500	1756.70	TPSD337K004R0100
	470	10	D	12	18.8	45	478-2385-1-ND	7.62	6.63	5.80	478-2385-2-ND	500	1386.73	TPSD477K004R0045
	680	10	D	14	27.2	100	478-2386-1-ND	10.96	9.54	8.34	478-2386-2-ND	500	1995.44	TPSD687K004R0100
	1000	10	V	16	40	40	478-2387-1-ND	15.87	13.82	12.07	478-2387-2-ND	400	2311.22	TPSV108K004R0040
	10	10	A	6	0.6	1500	478-2388-1-ND	.85	.74	.65	478-2388-2-ND	2,000	287.85/M	TPSA106K006R1500
	22	10	A	6	1.4	900	478-1754-1-ND	.63	.56	.49	478-1754-2-ND	2,000	215.89/M	TPSA226K006R0900
	33	10	A	8	2.1	600	478-1755-1-ND	.85	.74	.65	478-1755-2-ND	2,000	287.85/M	TPsSA336K006R0600
6.3	47	10	B	6	3	250	478-2389-1-ND	1.06	.93	.81	478-2389-2-ND	2,000	359.81/M	TPSB476K006R0250
	68	20	B	8	4.3	500	478-1761-1-ND	1.02	.89	.78	478-1761-2-ND	2,000	345.42/M	TPSB686M006R0500
	100	10	C	6	6.3	150	478-1764-1-ND	1.69	1.48	1.29	478-1764-2-ND	500	308.16	TPSC107K006R0150
	150	10	C	6	9.5	150	478-2390-1-ND	2.24	1.96	1.71	478-2390-2-ND	500	408.48	TPSC157K006R0150

(Forts.)

Alle Preisangaben in Euro und inklusive Zollgebühren.

Nenn-spannung (V)	Kapazität (µF)	Kapazitäts-toleranz %	Gehäuse-größe	DF % Max.	DCL (µA) Max.	ESR Max. (mΩ) @100kHz	Digi-Key Teilenr.	Gurtabschnittspreis pro Stück 1	10	100	Digi-Key Teilenr.	Gegurtet auf Rolle Größe	Preisangaben	AVX Teilenr.
	220	10	C	8	13.9	125	478-1768-1-ND	1.57	1.37	1.20	478-1768-2-ND	500	284.88	TPSC227K006R0125
	330	20	E	8	20.8	100	478-1804-1-ND	8.04	7.00	6.12	478-1804-2-ND	400	1171.02	TPSE337M006R0100
6.3	470	20	D	12	29.6	100	478-1790-1-ND	5.88	5.12	4.48	478-1790-2-ND	500	1070.95	TPSD477M006R0100
	470	20	D	12	29.6	200	478-1791-1-ND	4.78	4.17	3.64	478-1791-2-ND	500	870.73	TPSD477M006R0200
	680	10	E	10	42.8	45	478-1809-1-ND	12.28	10.68	9.33	478-1809-2-ND	400	1787.34	TPSE687K006R0045
	2.2	10	A	6	0.5	1800	478-1753-1-ND	.63	.56	.49	478-1753-2-ND	2,000	215.89/M	TPSA225K010R1800
	4.7	10	A	6	0.5	1400	478-2391-1-ND	.85	.74	.65	478-2391-2-ND	2,000	287.85/M	TPSA475K010R1400
	6.8	10	A	6	0.7	1800	478-2392-1-ND	.85	.74	.65	478-2392-2-ND	2,000	287.85/M	TPSA685K010R1800
	10	10	A	6	1	900	478-1751-1-ND	.59	.52	.46	478-1751-2-ND	2,000	201.49/M	TPSA106K010R0900
	15	10	A	6	1.5	1000	478-1752-1-ND	.63	.56	.49	478-1752-2-ND	2,000	215.89/M	TPSA156K010R1000
	22	10	B	6	2.2	400	478-2393-1-ND	1.06	.93	.81	478-2393-2-ND	2,000	359.81/M	TPSB226K010R0400
	33	10	B	6	3.3	425	478-1759-1-ND	1.02	.89	.78	478-1759-2-ND	2,000	345.42/M	TPSB336K010R0425
	33	10	C	6	3.3	375	478-1770-1-ND	1.69	1.48	1.29	478-1770-2-ND	500	308.16	TPSC336K010R0375
10	47	10	B	8	4.7	650	478-1760-1-ND	1.06	.93	.81	478-1760-2-ND	2,000	359.81/M	TPSB476K010R0650
	100	10	C	8	10	100	478-1765-1-ND	1.59	1.39	1.21	478-1765-2-ND	500	289.11	TPSC107K010R0100
	100	10	D	6	10	65	478-1776-1-ND	3.30	2.88	2.51	478-1776-2-ND	500	601.09	TPSD107K010R0065
	100	10	D	6	10	100	478-1777-1-ND	1.99	1.74	1.52	478-1777-2-ND	500	361.92	TPSD107K010R0100
	100	20	D	6	10	100	478-1779-1-ND	1.99	1.74	1.52	478-1779-2-ND	500	361.92	TPSD107M010R0100
	150	10	D	8	15	100	478-1781-1-ND	2.96	2.58	2.26	478-1781-2-ND	500	539.28	TPSD157K010R0100
	220	10	D	8	22	150	478-1784-1-ND	5.71	4.98	4.35	478-1784-2-ND	500	1040.05	TPSD227K010R0150
	220	10	E	8	22	100	478-1799-1-ND	8.04	7.00	6.12	478-1799-2-ND	400	1171.02	TPSE227K010R0100
	330	10	D	10	33	100	478-1787-1-ND	5.80	5.05	4.41	478-1787-2-ND	500	1055.29	TPSD337K010R0100
	470	10	E	10	47	100	478-1807-1-ND	12.61	10.98	9.59	478-1807-2-ND	400	1836.78	TPSE477K010R0100
	2.2	10	A	6	0.5	1800	478-2394-1-ND	.85	.74	.65	478-2394-2-ND	2,000	287.85/M	TPSA225K016R1800
	3.3	10	A	6	0.5	3500	478-2395-1-ND	.85	.74	.65	478-2395-2-ND	2,000	287.85/M	TPSA335K016R3500
	4.7	10	B	6	0.8	1500	478-2396-1-ND	1.06	.93	.81	478-2396-2-ND	2,000	359.81/M	TPSB475K016R1500
	6.8	10	B	6	1.1	1200	478-2397-1-ND	1.06	.93	.81	478-2397-2-ND	2,000	359.81/M	TPSB685K016R1200
	10	10	B	6	1.6	800	478-2398-1-ND	1.06	.93	.81	478-2398-2-ND	2,000	359.81/M	TPSB106K016R0800
	15	10	B	6	2.4	800	478-1757-1-ND	.85	.74	.65	478-1757-2-ND	2,000	287.85/M	TPSB156K016R0800
	22	10	B	6	3.5	600	478-1758-1-ND	.85	.74	.65	478-1758-2-ND	2,000	287.85/M	TPSB226K016R0600
	22	10	C	6	3.5	375	478-1767-1-ND	.75	.65	.57	478-1767-2-ND	500	135.03	TPSC226K016R0375
16	33	10	C	6	5.3	300	478-1771-1-ND	1.48	1.29	1.13	478-1771-2-ND	500	269.64	TPSC336K016R0300
	47	10	C	6	7.5	350	478-1773-1-ND	2.16	1.88	1.65	478-1773-2-ND	500	392.82	TPSC476K016R0350
	47	10	D	6	7.5	150	478-1788-1-ND	3.30	2.88	2.51	478-1788-2-ND	500	601.09	TPSD476K016R0150
	68	10	C	6	10.9	200	478-1774-1-ND	1.22	1.06	.93	478-1774-2-ND	500	220.96	TPSC686K016R0200
	100	10	D	6	16	125	478-1778-1-ND	3.56	3.10	2.71	478-1778-2-ND	500	647.23	TPSD107K016R0125
	100	10	E	6	16	100	478-1793-1-ND	7.83	6.82	5.96	478-1793-2-ND	400	1140.20	TPSE107K016R0100
	100	10	E	6	16	125	478-1794-1-ND	7.20	6.27	5.47	478-1794-2-ND	400	1047.75	TPSE107K016R0125
	150	10	D	6	24	150	478-1782-1-ND	4.23	3.69	3.22	478-1782-2-ND	500	770.41	TPSD157K016R0150
	220	10	E	10	35.2	150	478-1800-1-ND	8.47	7.37	6.44	478-1800-2-ND	400	1232.65	TPSE227K016R0150
	1	10	A	4	0.5	3000	478-2399-1-ND	.85	.74	.65	478-2399-2-ND	2,000	287.85/M	TPSA105K020R3000
	2.2	10	A	6	0.5	3000	478-2400-1-ND	.85	.74	.65	478-2400-2-ND	2,000	287.85/M	TPSA225K020R3000
	3.3	10	A	6	0.7	2500	478-2401-1-ND	.85	.74	.65	478-2401-2-ND	2,000	287.85/M	TPSA335K020R2500
	4.7	10	B	6	0.9	1000	478-2402-1-ND	1.06	.93	.81	478-2402-2-ND	2,000	359.81/M	TPSB475K020R1000
	6.8	10	B	6	1.4	1000	478-2403-1-ND	1.06	.93	.81	478-2403-2-ND	2,000	359.81/M	TPSB685K020R1000
	10	10	B	6	2	1000	478-1756-1-ND	1.06	.93	.81	478-1756-2-ND	2,000	359.81/M	TPSB106K020R1000
20	15	10	C	6	3	450	478-1766-1-ND	1.78	1.55	1.36	478-1766-2-ND	500	323.40	TPSC156K020R0450
	22	10	C	6	4.4	150	478-2404-1-ND	2.20	1.92	1.68	478-2404-2-ND	500	374.20	TPSC226K020R0150
	33	10	D	6	6.6	200	478-1785-1-ND	3.30	2.88	2.51	478-1785-2-ND	500	601.09	TPSD336K020R0200
	47	10	E	6	9.4	125	478-1805-1-ND	6.56	5.71	4.99	478-1805-2-ND	400	955.30	TPSE476K020R0125
	47	10	E	6	9.4	150	478-1806-1-ND	4.61	4.01	3.51	478-1806-2-ND	400	671.18	TPSE476K020R0150
	68	10	E	6	13.6	150	478-1808-1-ND	7.62	6.63	5.80	478-1808-2-ND	400	1109.38	TPSE686K020R0150
	68	10	D	6	13.6	300	478-1792-1-ND	3.09	2.69	2.35	478-1792-2-ND	500	562.57	TPSD686K020R0300
	100	10	E	6	20	150	478-1795-1-ND	4.87	4.24	3.70	478-1795-2-ND	400	708.77	TPSE107K020R0150
	.68	10	A	4	0.5	6000	478-2405-1-ND	.85	.74	.65	478-2405-2-ND	2,000	287.85/M	TPSA684K025R6000
	1.5	10	A	6	0.5	3000	478-2406-1-ND	.85	.74	.65	478-2406-2-ND	2,000	287.85/M	TPSA155K025R3000
	3.3	10	B	6	0.8	2000	478-2407-1-ND	1.06	.93	.81	478-2407-2-ND	2,000	359.81/M	TPSB335K025R2000
	4.7	10	B	6	1.2	900	478-2408-1-ND	1.06	.93	.81	478-2408-2-ND	2,000	359.81/M	TPSB475K025R0900
	6.8	10	C	6	1.7	600	478-2409-1-ND	1.35	1.18	1.03	478-2409-2-ND	500	230.28	TPSC685K025R0600
	10	10	C	6	2.5	500	478-1762-1-ND	.75	.65	.57	478-1762-2-ND	500	135.03	TPSC106K025R0500
25	10	20	C	6	2.5	500	478-1763-1-ND	.75	.65	.57	478-1763-2-ND	500	135.03	TPSC106M025R0500
	22	10	D	6	5.5	200	478-1783-1-ND	3.30	2.88	2.51	478-1783-2-ND	500	601.09	TPSD226K025R0200
	33	10	D	6	8.3	300	478-1786-1-ND	3.05	2.66	2.32	478-1786-2-ND	500	554.52	TPSD336K025R0300
	33	10	E	6	8.3	300	478-1801-1-ND	5.71	4.98	4.35	478-1801-2-ND	400	832.04	TPSE336K025R0300
	33	20	E	6	8.3	175	478-1802-1-ND	5.93	5.16	4.51	478-1802-2-ND	400	862.85	TPSE336M025R0175
	33	20	E	6	8.3	200	478-1803-1-ND	5.76	5.01	4.38	478-1803-2-ND	400	838.13	TPSE336M025R0200
	47	10	D	6	11.8	150	478-1789-1-ND	5.71	4.98	4.35	478-1789-2-ND	500	1040.05	TPSD476K025R0150
	68	10	E	6	17	125	478-2410-1-ND	8.68	7.55	6.60	478-2410-2-ND	400	1263.47	TPSE686K025R0125
	.68	10	A	4	0.5	6000	478-2411-1-ND	.85	.74	.65	478-2411-2-ND	2,000	287.85/M	TPSA684K035R6000
	1	10	B	4	0.5	2000	478-2412-1-ND	1.06	.93	.81	478-2412-2-ND	2,000	359.81/M	TPSB105K035R2000
	1.5	10	B	6	0.5	2500	478-2413-1-ND	1.06	.93	.81	478-2413-2-ND	2,000	359.81/M	TPSB155K035R2500
	2.2	10	B	6	0.8	2000	478-2414-1-ND	1.06	.93	.81	478-2414-2-ND	2,000	359.81/M	TPSB225K035R2000
	3.3	10	C	6	1.2	700	478-1769-1-ND	1.65	1.44	1.26	478-1769-2-ND	500	300.54	TPSC335K035R0700
	4.7	10	C	6	1.6	600	478-1772-1-ND	1.65	1.44	1.26	478-1772-2-ND	500	300.54	TPSC475K035R0600
35	6.8	10	D	6	2.4	400	478-2415-1-ND	3.43	2.99	2.61	478-2415-2-ND	500	623.94	TPSD685K035R0400
	10	10	D	6	3.5	300	478-1775-1-ND	1.21	1.05	.92	478-1775-2-ND	500	219.69	TPSD106K035R0300
	15	10	D	6	5.3	300	478-1780-1-ND	2.54	2.21	1.94	478-1780-2-ND	500	462.24	TPSD156K035R0300
	22	10	E	6	7.7	125	478-1796-1-ND	8.25	7.19	6.28	478-1796-2-ND	400	1201.83	TPSE226K035R0125
	22	10	E	6	7.7	200	478-1797-1-ND	7.83	6.82	5.96	478-1797-2-ND	400	1140.20	TPSE226K035R0200
	22	10	E	6	7.7	300	478-1798-1-ND	7.41	6.45	5.63	478-1798-2-ND	400	1078.57	TPSE226K035R0300
	33	10	D	6	11.6	300	478-2416-1-ND	7.83	6.82	5.96	478-2416-2-ND	500	1425.25	TPSD336K035R0300
	47	10	E	6	16.5	250	478-2417-1-ND	9.86	8.59	7.50	478-2417-2-ND	400	1436.17	TPSE476K035R0250
	.15	10	A	4	0.5	9000	478-2418-1-ND	.85	.74	.65	478-2418-2-ND	2,000	287.85/M	TPSA154K050R9000
	.22	10	A	4	0.5	7000	478-2419-1-ND	.85	.74	.65	478-2419-2-ND	2,000	287.85/M	TPSA224K050R7000
	2.2	10	D	6	1.1	1200	478-2420-1-ND	5.93	5.16	4.51	478-2420-2-ND	500	1078.57	TPSD225K050R1200
50	3.3	10	D	6	1.7	800	478-2421-1-ND	6.14	5.34	4.67	478-2421-2-ND	500	1117.09	TPSD335K050R0800
	4.7	10	D	6	2.4	500	478-2422-1-ND	6.14	5.34	4.67	478-2422-2-ND	500	1117.09	TPSD475K050R0500
	6.8	10	D	6	3.4	500	478-2423-1-ND	3.81	3.32	2.90	478-2423-2-ND	500	693.37	TPSD685K050R0500
	10	10	E	6	5	500	478-2424-1-ND	14.98	13.04	11.39	478-2424-2-ND	400	2181.86	TPSE106K050R0500

Serie TPM

Multianoden-Tantalkondensatoren zur Oberflächenbefestigung mit ultra-niedriger ESR

Niedriger ESR, hohe Kapazität und hoher Mischstrom sind die Hauptparameter für Prozessorfiltern. Multianodenkonfiguration innerhalb einer standardmäßigen E-Gehäuse-Packung erfüllt diese Anforderungen.

• **Temperaturbereich:** -55 °C ~ 125 °C

Gehäuse-größe	EIA-Code	L ±0.20	W +0.20, -0.10	H +0.20, -0.10	W_1 ±0.20	A +0.30, -0.20	S Min.
E	7343-43	7.30	4.30	4.10	2.40	1.30	4.40

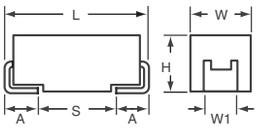

Abm. in mm.

Nenn-spannung (V)	Kapazität (µF)	Kap. Tol. %	Gehäuse-größe	DF % Max.	DCL (µA) Max.	ESR Max. (mΩ) @100kHz	Digi-Key Teilenr.	Gurtabschnittspreis pro Stück 1	10	100	Digi-Key Teilenr.	Gegurtet auf Rolle Größe	Preisangaben	AVX Teilenr.
4	680	10	E	6	27	23	478-1815-1-ND	10.37	9.03	7.89	478-1815-2-ND	400	1510.00	TPME687K004R0023
	680	20	E	6	27	23	478-1816-1-ND	9.52	8.29	7.24	478-1816-2-ND	400	1386.73	TPME687M004R0023
	1000	10	E	6	40	18	478-1819-1-ND	10.58	9.21	8.05	478-1819-2-ND	400	1540.81	TPME108K004R0018
	1000	20	E	6	40	18	478-1820-1-ND	9.95	8.66	7.57	478-1820-2-ND	400	1448.36	TPME108M004R0018
6.3	470	10	E	6	28	30	478-1812-1-ND	8.47	7.37	6.44	478-1812-2-ND	400	1232.65	TPME477K006R0030
	470	20	E	6	28	30	478-1813-1-ND	8.25	7.19	6.28	478-1813-2-ND	400	1201.83	TPME477M006R0030
	680	10	E	6	41	23	478-1817-1-ND	10.37	9.03	7.89	478-1817-2-ND	400	1510.00	TPME687K006R0023
	680	20	E	6	41	23	478-1818-1-ND	9.52	8.29	7.24	478-1818-2-ND	400	1386.73	TPME687M006R0023
10	330	10	E	6	33	35	478-1810-1-ND	8.47	7.37	6.44	478-1810-2-ND	400	1232.65	TPME337K010R0035
	330	20	E	6	33	35	478-1811-1-ND	8.25	7.19	6.28	478-1811-2-ND	400	1201.83	TPME337M010R0035
	470	20	E	6	47	30	478-1814-1-ND	8.25	7.19	6.28	478-1814-2-ND	400	1201.83	TPME477M010R0030

Serie TAC Standard-Microchip-Tantal-Kondensatoren zur Oberflächenmontage

Der weltweit kleinste Tantalkondensator ist so klein, dass genug Platz bleibt, um Ihre Ideen gedeihen zu lassen. Der TACmicrochip™ ist ein Riesenfortschritt in Richtung Minimierung ohne Leistungsverlust. Er bietet den größten Energiespeicher in einem kleinen Gehäuse (bis zu 0402), verbesserten Frequenzbetrieb aufgrund einzigartiger ESR-Leistung mit Stabilität in Bezug auf Temperatur und Spannung.

Code	EIA Code	EIA-Metrik	L	W	H	Mindestter minierungsab stand (S)	Mindestter minier ungslänge (L)
K	0402	1005-07	1.00	0.50	0.50	0.40	0.10
L	0603	1608-10	1.60	0.85	0.85	0.65	0.15
R	0805	2012-15	2.00	1.35	1.35	0.85	0.15
A	1206	3216-18	3.20	1.60	1.60	2.00	0.15

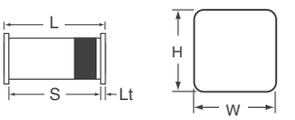

Abm. in mm.

Nenn-spannung (V)	Kapazität (µF)	Kap. Tol. %	Gehäuse-größe	DF % Max.	DCL (µA) Max.	ESR Max. (Ω) @100kHz	Digi-Key Teilenr.	Gurtabschnittspreis pro Stück 1	10	100	Digi-Key Teilenr.	Gegurtet auf Rolle Größe	Preisangaben	AVX Teilenr.
4	10	20	0603	10	0.5	7.5	478-2549-1-ND	1.48	1.29	1.13	478-2549-2-ND	500	269.64	TACL106M004XTA
	22	20	0603	20	0.9	7.5	478-2550-1-ND	1.48	1.29	1.13	478-2550-2-ND	500	269.64	TACL226M004XTA
	10	20	0805	8	0.5	5	478-2559-1-ND	2.33	2.03	1.77	478-2559-2-ND	500	423.72	TACR106M004XTA
	22	20	0805	8	0.9	5	478-2560-1-ND	2.33	2.03	1.77	478-2560-2-ND	500	423.72	TACR226M004XTA
	100	20	1206	20	4.0	1	478-2566-1-ND	2.75	2.40	2.10	478-2566-2-ND	500	500.76	TACA107M004XTA
6.3	2.2	20	0402	8	0.5	15	478-2547-1-ND	3.30	2.88	2.51	478-2547-2-ND	1000	1202.17	TACK225M006QTA
	1.5	20	0603	6	0.5	7.5	478-2551-1-ND	1.48	1.29	1.13	478-2551-2-ND	500	269.64	TACL155M006XTA
	2.2	20	0603	6	0.5	7.5	478-2552-1-ND	1.48	1.29	1.13	478-2552-2-ND	500	269.64	TACL225M006XTA
	10	20	0603	10	0.6	6	478-2553-1-ND	1.48	1.29	1.13	478-2553-2-ND	500	269.64	TACL106M006XTA
	10	20	0805	8	0.6	5	478-2561-1-ND	2.33	2.03	1.77	478-2561-2-ND	500	423.72	TACR106M006XTA
	22	20	0805	10	1.4	5	478-2562-1-ND	2.33	2.03	1.77	478-2562-2-ND	500	423.72	TACR226M006XTA
10	1.0	20	0402	6	0.5	15	478-2548-1-ND	3.30	2.88	2.51	478-2548-2-ND	1000	1202.17	TACK105M010QTA
	1.0	20	0603	6	0.5	7.5	478-2554-1-ND	1.48	1.29	1.13	478-2554-2-ND	500	269.64	TACL105M010XTA
	2.2	20	0603	6	0.5	7.5	478-2555-1-ND	1.48	1.29	1.13	478-2555-2-ND	500	269.64	TACL225M010XTA
	3.3	20	0603	8	0.5	7.5	478-2556-1-ND	1.48	1.29	1.13	478-2556-2-ND	500	269.64	TACL335M010XTA
	4.7	20	0603	10	0.5	6	478-2557-1-ND	1.48	1.29	1.13	478-2557-2-ND	500	269.64	TACL475M010XTA
	3.3	20	0805	8	0.5	5	478-2563-1-ND	2.33	2.03	1.77	478-2563-2-ND	500	423.72	TACR335M010XTA
	4.7	20	0805	8	0.5	6	478-2564-1-ND	2.33	2.03	1.77	478-2564-2-ND	500	423.72	TACR475M010XTA
16	1.0	20	0603	6	0.5	7.5	478-2558-1-ND	1.48	1.29	1.13	478-2558-2-ND	500	269.64	TACL105M016XTA
	10	20	0805	10	1.6	5	478-2565-1-ND	2.33	2.03	1.77	478-2565-2-ND	500	423.72	TACR106M016XTA

OxiCap™ Niobiumoxyd-Kondensatoren

Bei elektronischen Verbraucherprodukten ist das Preis-Leistungsverhältnis ein wichtiger Gesichtspunkt. Der Festelektrolytkondensator OxiCap™ wurde von AVX in Standard-EIA-Gehäusegrößen entwickelt, um diese Voraussetzung zu erfüllen und eine Hochleistungsalternative zu Aluminium und anderen, derzeit auf dem Markt erhältlichen SMT-Kondensatortechnologien zu bieten. Die nicht-verbrennende OxiCap-Technologie baut auf NbO Niobiumoxyd-Keramikmaterial als Anodenmaterial auf, das denselben Herstellungsprozess wie Tantalkondensatoren durchläuft. Der lasercodierte orangefarbene Gußkörper bietet totale Rückverfolgbarkeit.

Gehäuse-größe	EIA-Code	L ±0.20	W +0.20, -0.10	H +0.20, -0.10	W_1 ±0.20	A +0.30, -0.20	S Min.
A	3216-18	3.20	1.60	1.60	1.20	0.80	1.10
B	3528-21	3.50	2.80	1.90	2.20	0.80	1.40
C	6032-28	6.00	3.20	2.60	2.20	1.30	2.90
D	7343-31	7.30	4.30	2.90	2.40	1.30	4.40
E	7343-43	7.30	4.30	4.10	2.40	1.30	4.40

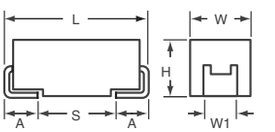

Abm. in mm.

Serie NOJ

• **Temperaturbereich:** -55 °C ~ 105 °C

Nenn-spannung (V)	Kapazität (µF)	Kapazitäts-toleranz %	Gehäuse-größe	DF % Max.	DCL (µA) Max.	ESR Max. (mΩ) @100kHz	Digi-Key Teilenr.	Gurtabschnittspreis pro Stück 1	10	100	Digi-Key Teilenr.	Gegurtet auf Rolle Größe	Preisangaben	AVX Teilenr.
4	100	20	C	6	8	400	478-1824-1-ND	.63	.56	.49	478-1824-2-ND	500	115.56	NOJC107M004RWJ
6.3	10	20	A	6	1.2	2200	478-1821-1-ND	.34	.30	.26	478-1821-2-ND	2,000	115.14/M	NOJA106M006RWJ
	15	20	B	6	1.8	2000	478-1822-1-ND	.47	.41	.36	478-1822-2-ND	2,000	158.32/M	NOJB156M006RWJ
	22	20	B	6	2.64	1900	478-1823-1-ND	.42	.37	.33	478-1823-2-ND	2,000	143.92/M	NOJB226M006RWJ
	100	20	D	6	12.0	400	478-1825-1-ND	.89	.78	.68	478-1825-2-ND	500	161.70	NOJD107M006RWJ
	150	20	D	6	18.0	400	478-1826-1-ND	1.06	.93	.81	478-1826-2-ND	500	192.60	NOJD157M006RWJ
	220	20	E	12	26.4	400	478-1827-1-ND	2.54	2.21	1.94	478-1827-2-ND	400	369.79	NOJE227M006RWJ
	330	20	E	12	39.6	300	478-1828-1-ND	3.33	2.90	2.53	478-1828-2-ND	400	483.92	NOJE337M006RWJ

Serie NOS - Niedriger ESR

• **Temperaturbereich:** -55 °C ~ 125 °C

Nenn-spannung (V)	Kapazität (µF)	Kapazitäts-toleranz %	Gehäuse-größe	DF % Max.	DCL (µA) Max.	ESR Max. (mΩ) @100kHz	Digi-Key Teilenr.	Gurtabschnittspreis pro Stück 1	10	100	Digi-Key Teilenr.	Gegurtet auf Rolle Größe	Preisangaben	AVX Teilenr.
4	330	20	D	8	26.4	100	478-1830-1-ND	3.05	2.66	2.32	478-1830-2-ND	500	554.52	NOSD337M004R0100
6.3	100	20	D	6	12.6	100	478-1829-1-ND	1.99	1.74	1.52	478-1829-2-ND	500	361.92	NOSD107M006R0100

Alle Preisangaben in Euro und inklusive Zollgebühren.

Tantal-getauchte / Radialkondensatoren

T350 und T356 "UltraDip II"-Serie

Die KEMET "Ultra Dip II"- Serie der getauchten Festtantalkondensatoren in Miniaturausführung bieten dem Designer den Vorteil von kompakter Größe plus niedrigen Leckstrom und niedrige DF-Leistungsmerkmale beim Filtern, Umgehen, Koppeln, Blockieren und bei Fernbedienungs-Timingschaltkreisen.

Das Plastikgehäuse bietet eine feste Trennbeschichtung und weist Präzisionsabstände bei der Ableitungsverdrahtung von ±0,015 Zoll auf.

Alle Gehäusegrößen sind mit Kapazität, Spannung, Polarität und Lieferanten-ID bedruckt; die selbstisolierenden Gehäuse sind stoßfest und vibrationsbeständig.

Das goldfarbene Epoxidharz ermöglicht Lasermarkierung mit einmaliger Permanenz und Lesbarkeit.

Festtantalgeräte weisen kein Versagen wegen Degradierung während der Lagerung auf.

Diese Kondensatoren weisen niedrige DCL, ESR und Impedanz auf und verfügen über hervorragende Temperaturstabilität. *Die ESR-Werte dienen nur zur Bezugnahme.*

Kapazitätstoleranz (%): ±10 **Betriebstemperatur:** -55 ° ~ 85 °C (125 °C mit Spannungsdrosselung)

Serie T350

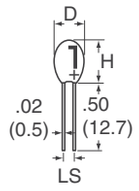

Serie T356

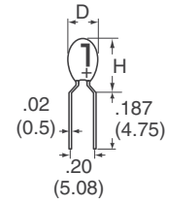

WV* (DC)	Kap. (µF)	ESRΩ @ 100KHz @ +25°C	D.C.L. µA@ 25°C	Max. DF % @25°C 120Hz	Abm. (mm) D	H	LS	Digi-Key Teilenr.	Stückpreis 1	10	100	Kemet Teilenr.
Serie T350												
6.3	4.7	10	0.5	5	4.5	7.1	2.54	399-1377-ND	.33	.29	.23	T350A475K006AS
	6.8	8	0.5	5	4.5	7.1	2.54	399-1378-ND	.41	.35	.28	T350A685K006AS
	10	6	0.5	6	4.5	7.6	2.54	399-1379-ND	.50	.43	.34	T350B106K006AS
	15	5	0.7	6	5.0	8.4	2.54	399-1380-ND	.56	.48	.38	T350C156K006AS
	22	3.7	1.1	6	5.0	8.6	2.54	399-1381-ND	.66	.57	.45	T350D226K006AS
	33	3	1.6	6	5.5	8.9	2.54	399-1382-ND	.70	.61	.48	T350E336K006AS
	47	2	2.3	6	6.0	9.9	2.54	399-1383-ND	.79	.68	.54	T350F476K006AS
	68	1.8	3.3	6	6.3	10.2	2.54	399-1384-ND	.93	.80	.63	T350G686K006AS
	100	1.6	4.8	8	7.6	10.2	2.54	399-1385-ND	2.20	1.89	1.48	T350H107K006AS
	150	0.9	7.2	8	8.4	12.7	5.08	399-1386-ND	2.82	2.42	1.90	T350J157K006AS
10	2.2	13	0.5	5	4.5	7.1	2.54	399-1387-ND	.41	.35	.28	T350A225K010AS
	3.3	10	0.5	5	4.5	7.1	2.54	399-1388-ND	.41	.35	.28	T350A335K010AS
	4.7	8	0.5	5	4.5	7.1	2.54	399-1389-ND	.41	.35	.28	T350A475K010AS
	6.8	6	0.5	5	4.5	7.6	2.54	399-1390-ND	.56	.48	.38	T350B685K010AS
	10	5	0.8	6	5.0	8.4	2.54	399-1391-ND	.56	.48	.38	T350C106K010AS
	15	3.7	1.2	6	5.5	8.9	2.54	399-1392-ND	.66	.57	.45	T350E156K010AS
	22	2.7	1.8	6	5.5	8.9	2.54	399-1393-ND	.75	.64	.51	T350E226K010AS
	33	2.1	2.6	6	6.0	9.9	2.54	399-1394-ND	.87	.76	.60	T350F336K010AS
	47	1.7	3.8	6	7.6	10.2	2.54	399-1395-ND	1.53	1.32	1.04	T350H476K010AS
	68	1.3	5.4	6	7.6	10.2	2.54	399-1396-ND	2.20	1.89	1.48	T350H686K010AS
	100	1	8.0	8	8.4	12.7	5.08	399-1397-ND	2.82	2.42	1.90	T350J107K010AS
16	1.5	10	0.5	5	4.5	7.1	2.54	399-1398-ND	.41	.35	.28	T350A155K016AS
	2.2	8	0.5	5	4.5	7.1	2.54	399-1399-ND	.41	.35	.28	T350A225K016AS
	3.3	6	0.5	5	4.5	7.1	2.54	399-1400-ND	.41	.35	.28	T350A335K016AS
	4.7	5	0.6	5	4.5	7.6	2.54	399-1401-ND	.50	.43	.34	T350B475K016AS
	6.8	4	0.9	5	5.0	8.4	2.54	399-1402-ND	.58	.50	.40	T350C685K016AS
	10	3.2	1.3	6	5.5	8.9	2.54	399-1403-ND	.60	.52	.41	T350E106K016AS
	15	2.5	1.8	6	5.5	8.9	2.54	399-1404-ND	.79	.68	.53	T350E156K016AS
	22	2	2.6	6	6.0	9.9	2.54	399-1405-ND	.79	.68	.54	T350F226K016AS
	33	1.6	4.0	6	7.6	10.2	2.54	399-1406-ND	1.53	1.32	1.04	T350H336K016AS
	47	1.3	5.6	6	8.4	12.7	5.08	399-1407-ND	2.35	2.02	1.58	T350J476K016AS
	68	1	8.2	6	8.9	13.5	5.08	399-1408-ND	2.82	2.42	1.90	T350K686K016AS
	100	0.8	10.0	8	8.9	16.0	5.08	399-1409-ND	6.04	5.19	4.06	T350L107K016AS
20	10	2.9	1.6	6	5.5	8.9	2.54	399-1410-ND	.75	.64	.51	T350E106K020AS
	100	0.6	10.0	8	10.2	17.0	5.08	399-1411-ND	6.93	5.94	4.66	T350M107K020AS
25	1.0	10	0.5	3	4.5	7.1	2.54	399-1412-ND	.41	.35	.28	T350A105K025AS
	1.5	8	0.5	5	4.5	7.1	2.54	399-1413-ND	.41	.35	.28	T350A155K025AS
	2.2	6	0.5	5	4.5	7.6	2.54	399-1414-ND	.50	.43	.34	T350B225K025AS
	3.3	5	0.7	5	4.5	7.6	2.54	399-1415-ND	.50	.43	.41	T350B335K025AS
	4.7	4	0.9	5	5.0	8.4	2.54	399-1416-ND	.60	.52	.41	T350C475K025AS
	6.8	3.1	1.4	5	5.5	8.9	2.54	399-1417-ND	.79	.68	.53	T350E685K025AS
	10	2.5	2.0	6	5.5	8.9	2.54	399-1418-ND	.79	.68	.53	T350E106K025AS
	15	2	3.0	6	6.3	10.2	2.54	399-1419-ND	1.70	1.45	1.14	T350G156K025AS
	22	1.5	4.4	6	7.6	10.2	2.54	399-1420-ND	2.21	1.89	1.49	T350H226K025AS
	33	1.2	6.6	6	8.4	12.7	5.08	399-1421-ND	2.82	2.42	1.90	T350J336K025AS
	47	1	9.4	6	8.9	13.5	5.08	399-1422-ND	4.29	3.68	2.89	T350K476K025AS
35	.10	26	0.5	3	4.5	7.1	2.54	399-1423-ND	.41	.35	.28	T350A104K035AS
	.15	21	0.5	3	4.5	7.1	2.54	399-1424-ND	.41	.35	.28	T350A154K035AS
	.22	17	0.5	3	4.5	7.1	2.54	399-1425-ND	.41	.35	.28	T350A224K035AS
	.33	15	0.5	3	4.5	7.1	2.54	399-1426-ND	.41	.35	.28	T350A334K035AS
	.47	13	0.5	3	4.5	7.1	2.54	399-1427-ND	.41	.35	.28	T350A474K035AS
	.68	10	0.5	3	4.5	7.1	2.54	399-1428-ND	.41	.35	.28	T350A684K035AS
	1.0	8	0.5	3	4.5	7.1	2.54	399-1429-ND	.41	.35	.28	T350A105K035AS
	1.5	6	0.5	5	4.5	7.6	2.54	399-1430-ND	.46	.40	.31	T350B155K035AS
	2.2	5	0.6	5	5.0	8.4	2.54	399-1431-ND	.50	.44	.34	T350C225K035AS
	3.3	4	0.9	5	5.0	8.6	2.54	399-1432-ND	.63	.54	.43	T350D335K035AS
	4.7	3	1.3	5	5.5	8.9	2.54	399-1433-ND	.66	.57	.45	T350E475K035AS
	6.8	2.5	1.9	5	6.0	9.9	2.54	399-1434-ND	.75	.65	.51	T350F685K035AS
	10	2	2.8	6	6.3	10.2	2.54	399-1435-ND	1.27	1.09	.86	T350G106K035AS
	15	1.6	4.2	6	8.4	12.7	5.08	399-1436-ND	2.66	2.28	1.79	T350J156K035AS
	22	1.3	6.2	6	8.9	13.5	5.08	399-1437-ND	—	—	1.79	T350K226K035AS
	47	0.8	10.0	6	10.2	17.0	5.08	399-1438-ND	—	—	4.66	T350M476K035AS
50	.10	26	0.5	3	4.5	7.1	2.54	399-1439-ND	.45	.39	.31	T350A104K050AS
	.15	21	0.5	3	4.5	7.1	2.54	399-1440-ND	.45	.39	.30	T350A154K050AS
	.22	17	0.5	3	4.5	7.1	2.54	399-1441-ND	.45	.39	.30	T350A224K050AS
	.33	15	0.5	3	4.5	7.1	2.54	399-1442-ND	.45	.39	.30	T350A334K050AS
	.47	13	0.5	3	4.5	7.6	2.54	399-1443-ND	.50	.43	.34	T350B474K050AS
	.68	10	0.5	3	4.5	7.6	2.54	399-1444-ND	.50	.43	.34	T350B684K050AS
	1.0	8	0.5	3	4.5	7.6	2.54	399-1445-ND	.50	.44	.34	T350B105K050AS
	1.5	5	0.6	5	5.5	8.9	2.54	399-1446-ND	.75	.64	.51	T350E155K050AS
	2.2	3.5	0.9	5	5.5	8.9	2.54	399-1447-ND	.79	.68	.53	T350E225K050AS
	3.3	3	1.3	5	6.0	9.9	2.54	399-1448-ND	.87	.76	.60	T350F335K050AS
	4.7	2.5	1.9	5	6.3	10.2	2.54	399-1449-ND	1.10	.94	.74	T350G475K050AS
	6.8	2	2.7	5	8.4	12.7	5.08	399-1450-ND	—	—	1.72	T350J685K050AS
	10	1.6	4.0	6	8.9	13.5	5.08	399-1451-ND	4.50	3.86	3.03	T350K106K050AS

*Betriebsspannung

WV* (DC)	Kap. (µF)	ESRΩ @ 100KHz @ +25°C	D.C.L. µA@ 25°C	Max. DF % @25°C 120Hz	Abm. (mm) D	H	LS	Digi-Key Teilenr.	Stückpreis 1	10	100	Kemet Teilenr.
Serie T356												
6.3	4.7	10	0.5	5	4.5	8.6	5.08	399-1302-ND	.33	.29	.23	T356A475K006AS
	6.8	8	0.5	5	4.5	8.6	5.08	399-1303-ND	.41	.35	.28	T356A685K006AS
	10	6	0.5	6	4.5	8.9	5.08	399-1304-ND	.50	.43	.34	T356B106K006AS
	15	5	0.7	6	5.0	9.6	5.08	399-1305-ND	.56	.48	.38	T356C156K006AS
	22	3.7	1.1	6	5.0	9.9	5.08	399-1306-ND	.66	.57	.45	T356D226K006AS
	33	3	1.6	6	5.5	10.2	5.08	399-1307-ND	.70	.61	.48	T356E336K006AS
	47	2	2.3	6	6.0	11.2	5.08	399-1308-ND	.79	.68	.54	T356F476K006AS
	68	1.8	3.3	6	6.3	11.4	5.08	399-1309-ND	.93	.80	.63	T356G686K006AS
	100	1.6	4.8	8	7.6	11.9	5.08	399-1310-ND	2.20	1.89	1.48	T356H107K006AS
	150	0.9	7.2	8	8.4	14.0	5.08	399-1311-ND	2.82	2.42	1.90	T356J157K006AS
10	2.2	13	0.5	5	4.5	8.6	5.08	399-1312-ND	.41	.35	.28	T356A225K010AS
	3.3	10	0.5	5	4.5	8.6	5.08	399-1313-ND	.41	.35	.28	T356A335K010AS
	4.7	8	0.5	5	4.5	8.6	5.08	399-1314-ND	.41	.35	.28	T356A475K010AS
	6.8	6	0.5	5	4.5	8.9	5.08	399-1315-ND	.56	.48	.38	T356B685K010AS
	10	5	0.8	6	5.0	9.6	5.08	399-1316-ND	.56	.48	.38	T356C106K010AS
	15	3.7	1.2	6	5.5	10.2	5.08	399-1317-ND	.66	.57	.45	T356E156K010AS
	22	2.7	1.8	6	5.5	10.2	5.08	399-1318-ND	.75	.64	.51	T356E226K010AS
	33	2.1	2.6	6	6.0	11.2	5.08	399-1319-ND	.87	.75	.59	T356F336K010AS
	47	1.7	3.8	6	7.6	11.9	5.08	399-1320-ND	1.53	1.32	1.04	T356H476K010AS
	68	1.3	5.4	6	7.6	11.9	5.08	399-1321-ND	2.20	1.89	1.48	T356H686K010AS
	100	1	8.0	8	8.4	14.0	5.08	399-1322-ND	2.82	2.42	1.90	T356J107K010AS
16	1.5	10	0.5	5	4.5	8.6	5.08	399-1323-ND	.41	.35	.28	T356A155K016AS
	2.2	8	0.5	5	4.5	8.6	5.08	399-1324-ND	.41	.35	.28	T356A225K016AS
	3.3	6	0.5	5	4.5	8.6	5.08	399-1325-ND	.41	.35	.28	T356A335K016AS
	4.7	5	0.6	5	4.5	8.9	5.08	399-1326-ND	.50	.43	.34	T356B475K016AS
	6.8	4	0.9	5	5.0	9.6	5.08	399-1327-ND	.58	.50	.39	T356C685K016AS
	10	3.2	1.3	6	5.5	10.2	5.08	399-1328-ND	.61	.52	.41	T356E106K016AS
	15	2.5	1.8	6	5.5	10.2	5.08	399-1329-ND	.79	.68	.54	T356E156K016AS
	22	2	2.6	6	6.0	11.2	5.08	399-1330-ND	.79	.68	.54	T356F226K016AS
	33	1.6	4.0	6	7.6	11.9	5.08	399-1331-ND	1.53	1.32	1.04	T356H336K016AS
	47	1.3	5.6	6	8.4	14.0	5.08	399-1332-ND	2.35	2.02	1.58	T356J476K016AS
	68	1	8.2	6	8.9	15.5	5.08	399-1333-ND	2.82	2.42	1.90	T356K686K016AS
	100	0.8	10.0	8	8.9	18.1	5.08	399-1334-ND	6.04	5.19	4.06	T356L107K016AS
20	10	2.9	1.6	6	5.5	10.2	5.08	399-1335-ND	.75	.65	.51	T356E106K020AS
	100	0.6	10.0	8	10.2	18.8	5.08	399-1336-ND	6.93	5.94	4.66	T356M107K020AS
25	1.0	10	0.5	3	4.5	8.6	5.08	399-1337-ND	.41	.36	.28	T356A105K025AS
	1.5	8	0.5	5	4.5	8.6	5.08	399-1338-ND	.41	.35	.28	T356A155K025AS
	2.2	6	0.5	5	4.5	8.9	5.08	399-1339-ND	.50	.43	.34	T356B225K025AS
	3.3	5	0.7	5	4.5	8.9	5.08	399-1340-ND	.50	.43	.34	T356B335K025AS
	4.7	4	0.9	5	5.0	9.6	5.08	399-1341-ND	.60	.52	.41	T356C475K025AS
	6.8	3.1	1.4	5	5.5	10.2	5.08	399-1342-ND	.79	.68	.53	T356E685K025AS
	10	2.5	2.0	6	5.5	10.2	5.08	399-1343-ND	.79	.68	.53	T356E106K025AS
	15	2	3.0	6	6.3	11.4	5.08	399-1344-ND	1.69	1.45	1.14	T356G156K025AS
	22	1.5	4.4	6	7.6	11.9	5.08	399-1345-ND	2.20	1.89	1.48	T356H226K025AS
	33	1.2	6.6	6	8.4	14.0	5.08	399-1346-ND	2.82	2.42	1.90	T356J336K025AS
	47	1	9.4	6	8.9	15.5	5.08	399-1347-ND	—	—	2.89	T356K476K025AS
35	.10	26	0.5	3	4.5	8.6	5.08	399-1348-ND	.41	.35	.28	T356A104K035AS
	.15	21	0.5	3	4.5	8.6	5.08	399-1349-ND	.41	.35	.28	T356A154K035AS
	.22	17	0.5	3	4.5	8.6	5.08	399-1350-ND	.41	.35	.28	T356A224K035AS
	.33	15	0.5	3	4.5	8.6	5.08	399-1351-ND	.41	.35	.28	T356A334K035AS
	.47	13	0.5	3	4.5	8.6	5.08	399-1352-ND	.41	.35	.28	T356A474K035AS
	.68	10	0.5	3	4.5	8.6	5.08	399-1353-ND	.41	.35	.28	T356A684K035AS
	1.0	8	0.5	3	4.5	8.6	5.08	399-1354-ND	.41	.35	.28	T356A105K035AS
	1.5	6	0.5	5	4.5	8.9	5.08	399-1355-ND	.46	.40	.31	T356B155K035AS
	2.2	5	0.6	5	5.0	9.6	5.08	399-1356-ND	.50	.44	.34	T356C225K035AS
	3.3	4	0.9	5	5.0	9.9	5.08	399-1357-ND	.63	.54	.42	T356D335K035AS
	4.7	3	1.3	5	5.5	10.2	5.08	399-1358-ND	.66	.57	.45	T356E475K035AS
	6.8	2.5	1.9	5	6.0	11.2	5.08	399-1359-ND	.75	.64	.51	T356F685K035AS
	10	2	2.8	6	6.3	11.4	5.08	399-1360-ND	1.27	1.09	.86	T356G106K035AS
	15	1.6	4.2	6	8.4	14.0	5.08	399-1361-ND	—	—	1.79	T356J156K035AS
	22	1.3	6.2	6	8.9	15.5	5.08	399-1362-ND	—	—	1.79	T356K226K035AS
	47	0.8	10.0	6	10.2	18.8	5.08	399-1363-ND	6.93	5.94	4.66	T356M476K035AS
50	.10	26	0.5	3	4.5	8.6	5.08	399-1364-ND	.45	.39	.30	T356A104K050AS
	.15	21	0.5	3	4.5	8.6	5.08	399-1365-ND	.45	.39	.30	T356A154K050AS
	.22	17	0.5	3	4.5	8.6	5.08	399-1366-ND	.45	.39	.30	T356A224K050AS
	.33	15	0.5	3	4.5	8.6	5.08	399-1367-ND	.45	.39	.30	T356A334K050AS
	.47	13	0.5	3	4.5	8.9	5.08	399-1368-ND	.50	.43	.34	T356B474K050AS
	.68	10	0.5	3	4.5	8.9	5.08	399-1369-ND	.50	.43	.34	T356B684K050AS
	1.0	8	0.5	3	4.5	8.9	5.08	399-1370-ND	.50	.43	.34	T356B105K050AS
	1.5	5	0.6	5	5.5	10.2	5.08	399-1371-ND	.75	.64	.51	T356E155K050AS
	2.2	3.5	0.9	5	5.5	10.2	5.08	399-1372-ND	.79	.68	.54	T356E225K050AS
	3.3	3	1.3	5	6.0	11.2	5.08	399-1373-ND	.88	.76	.60	T356F335K050AS
	4.7	2.5	1.9	5	6.3	11.4	5.08	399-1374-ND	1.10	.94	.74	T356G475K050AS
	6.8	2	2.7	5	8.4	14.0	5.08	399-1375-ND	2.56	2.20	1.72	T356J685K050AS
	10	1.6	4.0	6	8.9	15.5	5.08	399-1376-ND	4.50	3.86	3.03	T356K106K050AS

E

Axiale gegossene Tantalkondensatoren

Serie T322

Die KEMET T322 Serie umfasst eine komplette Linie von gegossenen Festtantalkondensatoren mit erweitertem Bereich. Diese Kondensatoren bieten ein extrem hohes Kapazität-Volumen-Verhältnis und behalten trotzdem ihre hervorragenden Leistungsmerkmale bei.

Anwendungen:

Abkoppeln, Blockieren, Umgehen und Filtern in kommerziellen Computern, EDV, Kommunikations- und anderen elektronischen Geräten. Der von diesem Kondensator gebotene niedrige ESR/Impedanzwert bei hohen Frequenzen macht ihn besonders zum Abkoppeln von Hochgeschwindigkeitscomputern geeignet. *Die ESR-Werte dienen nur zur Bezugnahme.*

Spezifikationen:

• Kapazitätstoleranz (%): ±10 • Betriebstemperatur: -55 °C ~ 85 °C (125 °C mit Spannungsminderung)

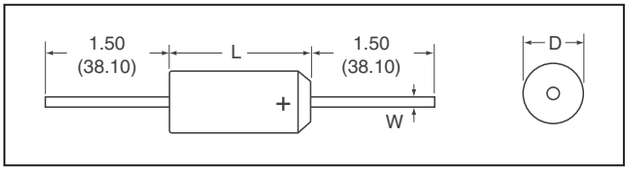

Betriebs-spannung (DC)	Kap. (µF)	ESR Ω @ 100KHz @ +25°C	DC Leckstrom µA @ 25°C	Max. DF % @ +25 °C 120 Hz	Abmessungen (mm) D	L	W	Digi-Key Teilenr.	Stückpreis 1	10	100	Kemet Teilenr.
	3.3	13	0.5	4	2.4	6.6	.51	399-1452-ND	.55	.48	.37	T322A335K006AS
	4.7	10	0.5	4	2.4	6.6	.51	399-1453-ND	.55	.48	.37	T322A475K006AS
	6.8	8	0.5	6	2.8	7.4	.51	399-1454-ND	.60	.52	.41	T322B685K006AS
	10	6	0.5	6	2.8	7.4	.51	399-1455-ND	.60	.52	.41	T322B106K006AS
	15	5	0.7	6	2.8	7.4	.51	399-1456-ND	.60	.52	.41	T322B156K006AS
	22	3.7	1.1	6	4.6	8.8	.51	399-1457-ND	1.15	.99	.78	T322C226K006AS
6.3	33	3.0	1.5	6	4.6	8.8	.51	399-1458-ND	1.15	.99	.78	T322C336K006AS
	47	2.0	2.3	6	4.6	10.7	.51	399-1459-ND	1.29	1.11	.87	T322D476K006AS
	68	1.8	3.3	6	4.6	10.7	.51	399-1460-ND	1.39	1.20	.94	T322D686K006AS
	100	1.6	4.8	8	7.1	13.5	.64	399-1461-ND	3.50	3.01	2.36	T322E107K006AS
	150	0.9	5.0	8	7.1	13.5	.64	399-1462-ND	3.50	3.01	2.36	T322E157K006AS
	220	0.9	10.0	8	7.1	13.5	.64	399-1463-ND	4.66	4.00	3.14	T322E227K006AS
	330	0.7	10.0	8	7.6	18.0	.64	399-1464-ND	9.28	7.96	6.24	T322F337K006AS
	2.2	13	0.5	4	2.4	6.6	.51	399-1465-ND	.55	.48	.37	T322A225K010AS
	3.3	10	0.5	4	2.4	6.6	.51	399-1466-ND	.55	.48	.37	T322A335K010AS
	4.7	8	0.5	4	2.8	7.4	.51	399-1467-ND	.60	.52	.41	T322B475K010AS
	6.8	6	0.5	6	2.8	7.4	.51	399-1468-ND	.60	.52	.41	T322B685K010AS
	10	5	0.8	6	2.8	7.4	.51	399-1469-ND	.60	.52	.41	T322B106K010AS
	15	3.7	1.2	6	4.6	8.8	.51	399-1470-ND	1.15	.99	.78	T322C156K010AS
10	22	2.7	1.5	6	4.6	8.8	.51	399-1471-ND	1.15	.99	.78	T322C226K010AS
	33	2.1	2.6	6	4.6	10.7	.51	399-1472-ND	1.29	1.11	.87	T322D336K010AS
	47	1.7	3.8	6	4.6	10.7	.51	399-1473-ND	1.39	1.20	.94	T322D476K010AS
	68	1.3	5.0	6	7.1	13.5	.64	399-1474-ND	3.50	3.01	2.36	T322E686K010AS
	100	1.0	8.0	8	7.1	13.5	.64	399-1475-ND	3.50	3.01	2.36	T322E107K010AS
	150	0.8	10.0	8	7.1	13.5	.64	399-1476-ND	4.66	4.00	3.14	T322E157K010AS
	220	0.6	10.0	8	7.6	18.0	.64	399-1477-ND	9.28	7.96	6.24	T322F227K010AS
	1.5	10	0.5	4	2.4	6.6	.51	399-1478-ND	.55	.48	.37	T322A155K015AS
	2.2	8	0.5	4	2.4	6.6	.51	399-1479-ND	.55	.48	.37	T322A225K015AS
	3.3	6	0.5	4	2.8	7.4	.51	399-1480-ND	.60	.52	.41	T322B335K015AS
	4.7	5	0.6	4	2.8	7.4	.51	399-1481-ND	.68	.59	.46	T322B475K015AS
	6.8	4	0.8	6	2.8	7.4	.51	399-1482-ND	.68	.59	.46	T322B685K015AS
	10	3.2	1.2	6	4.6	8.8	.51	399-1483-ND	1.15	.99	.78	T322C106K015AS
	15	2.5	1.5	6	4.6	8.8	.51	399-1484-ND	1.15	.99	.78	T322C156K015AS
15	22	2.0	2.6	6	4.6	10.7	.51	399-1485-ND	1.29	1.11	.87	T322D226K015AS
	33	1.6	4.0	6	4.6	10.7	.51	399-1486-ND	1.39	1.20	.94	T322D336K015AS
	47	1.3	5.0	6	7.1	13.5	.64	399-1487-ND	3.50	3.01	2.36	T322E476K015AS
	56	1.3	6.7	6	7.1	13.5	.64	399-1488-ND	3.50	3.01	2.36	T322E566K015AS
	68	1.0	8.2	6	7.1	13.5	.64	399-1489-ND	3.50	3.01	2.36	T322E686K015AS
	100	0.8	10.0	8	7.1	13.5	.64	399-1490-ND	4.66	4.00	3.14	T322E107K015AS
	150	0.6	10.0	8	7.6	18.0	.64	399-1491-ND	9.28	7.96	6.24	T322F157K015AS
	1.0	10	0.5	4	2.4	6.6	.51	399-1492-ND	.55	.48	.37	T322A105K020AS
	1.5	9	0.5	4	2.4	6.6	.51	399-1493-ND	.55	.48	.37	T322A155K020AS
	2.2	7	0.5	4	2.8	7.4	.51	399-1494-ND	.60	.52	.41	T322B225K020AS
	3.3	5.5	0.5	4	2.8	7.4	.51	399-1495-ND	.60	.52	.41	T322B335K020AS
	4.7	4.5	0.8	4	2.8	7.4	.51	399-1496-ND	.68	.59	.46	T322B475K020AS
20	10	2.9	1.6	6	4.6	8.8	.51	399-1497-ND	1.15	.99	.78	T322C106K020AS
	15	2.3	2.4	6	4.6	10.7	.51	399-1498-ND	1.29	1.11	.87	T322D156K020AS
	22	1.8	3.5	6	4.6	10.7	.51	399-1499-ND	1.39	1.20	.94	T322D226K020AS
	33	1.4	5.0	6	7.1	13.5	.64	399-1500-ND	3.50	3.01	2.36	T322E336K020AS
	47	1.2	7.5	6	7.1	13.5	.64	399-1501-ND	3.50	3.01	2.36	T322E476K020AS
	68	0.9	10.0	6	7.1	13.5	.64	399-1502-ND	4.66	4.00	3.14	T322E686K020AS
	100	0.6	10.0	8	7.6	18.0	.64	399-1503-ND	9.28	7.96	6.24	T322F107K020AS
	.47	16	0.5	3	2.4	6.6	.51	399-1504-ND	.55	.48	.37	T322A474K025AS
	.68	12	0.5	3	2.4	6.6	.51	399-1505-ND	.55	.48	.37	T322A684K025AS
	1.0	10	0.5	3	2.4	6.6	.51	399-1506-ND	.55	.48	.37	T322A105K025AS
	1.5	8	0.5	3	2.8	7.4	.51	399-1507-ND	.68	.59	.46	T322B155K025AS
	2.2	6	0.5	3	2.8	7.4	.51	399-1508-ND	.68	.59	.46	T322B225K025AS
	3.3	5	0.7	3	2.8	7.4	.51	399-1509-ND	.68	.59	.46	T322B335K025AS
25	4.7	4	0.9	4	4.6	8.8	.51	399-1510-ND	1.15	.99	.78	T322C475K025AS
	6.8	3.1	1.4	4	4.6	8.8	.51	399-1511-ND	1.15	.99	.78	T322C685K025AS
	15	2	3.0	4	4.6	10.7	.51	399-1512-ND	1.39	1.20	.94	T322D156K025AS
	22	1.5	4.4	6	7.1	13.5	.64	399-1513-ND	3.50	3.01	2.36	T322E226K025AS
	33	1.2	6.6	6	7.1	13.5	.64	399-1514-ND	3.50	3.01	2.36	T322E336K025AS
	47	1.0	9.4	6	7.1	13.5	.64	399-1515-ND	—	—	3.14	T322E476K025AS
	68	0.8	10.0	6	7.6	18.0	.64	399-1516-ND	9.28	7.96	6.24	T322F686K025AS
	.10	26	0.5	3	2.4	6.6	.51	399-1517-ND	.55	.48	.37	T322A104K035AS
35	.15	21	0.5	3	2.4	6.6	.51	399-1518-ND	.55	.48	.37	T322A154K035AS
	.22	17	0.5	3	2.4	6.6	.51	399-1519-ND	.55	.48	.37	T322A224K035AS

(Forts.)

E

Alle Preisangaben in Euro und inklusive Zollgebühren.

Betriebs-spannung (DC)	Kap. (µF)	ESR Ω@ 100KHz @ +25°C	DC Leckstrom µA @ 25°C	Max. DF % @ 25°C 120Hz	Abmessungen (mm) D	L	W	Digi-Key Teilenr.	Stückpreis 1	10	100	Kemet Teilenr.
35	.33	15	0.5	3	2.4	6.6	.51	399-1520-ND	.55	.48	.37	T322A334K035AS
	.47	13	0.5	3	2.4	6.6	.51	399-1521-ND	.55	.48	.37	T322A474K035AS
	.68	10	0.5	3	2.8	7.4	.51	399-1522-ND	.60	.52	.41	T322B684K035AS
	1.0	8	0.5	3	2.8	7.4	.51	399-1523-ND	.60	.52	.41	T322B105K035AS
	1.5	6	0.5	3	2.8	7.4	.51	399-1524-ND	.68	.59	.46	T322B155K035AS
	2.2	5	0.6	3	4.6	8.8	.51	399-1525-ND	1.15	.99	.78	T322C225K035AS
	3.3	4	0.9	4	4.6	8.8	.51	399-1526-ND	1.15	.99	.78	T322C335K035AS
	4.7	3	1.3	4	4.6	8.8	.51	399-1527-ND	1.15	.99	.78	T322C475K035AS
	6.8	2.5	1.9	4	4.6	10.7	.51	399-1528-ND	1.29	1.11	.87	T322D685K035AS
	10	2	2.8	4	4.6	10.7	.51	399-1529-ND	1.39	1.20	.94	T322D106K035AS
	15	1.6	4.2	6	7.1	13.5	.64	399-1530-ND	3.50	3.01	2.36	T322E156K035AS
	22	1.3	6.2	6	7.1	13.5	.64	399-1531-ND	3.50	3.01	2.36	T322E226K035AS
	33	1	9.2	6	7.1	13.5	.64	399-1532-ND	—	—	3.14	T322E336K035AS
	47	0.8	10.0	6	7.6	18.0	.64	399-1533-ND	9.28	7.96	6.24	T322F476K035AS
50	.10	26	0.5	3	2.4	6.6	.51	399-1534-ND	.63	.54	.42	T322A104K050AS
	.15	21	0.5	3	2.4	6.6	.51	399-1535-ND	.63	.54	.42	T322A154K050AS
	.22	17	0.5	3	2.4	6.6	.51	399-1536-ND	.63	.54	.42	T322A224K050AS
	.33	15	0.5	3	2.8	7.4	.51	399-1537-ND	.74	.63	.50	T322B334K050AS
	.47	13	0.5	3	2.8	7.4	.51	399-1538-ND	.74	.63	.50	T322B474K050AS
	.68	10	0.5	3	2.8	7.4	.51	399-1539-ND	.74	.63	.50	T322B684K050AS
	1.0	8	0.5	3	2.8	7.4	.51	399-1540-ND	.81	.70	.55	T322B105K050AS
	1.5	5	0.6	4	4.6	8.8	.51	399-1541-ND	1.30	1.12	.88	T322C155K050AS
	2.2	3.5	0.9	4	4.6	8.8	.51	399-1542-ND	1.30	1.12	.88	T322C225K050AS
	3.3	3	1.3	4	4.6	10.7	.51	399-1543-ND	1.74	1.50	1.17	T322D335K050AS
	4.7	2.5	1.9	4	4.6	10.7	.51	399-1544-ND	—	—	1.17	T322D475K050AS
	6.8	2	2.7	4	7.1	13.5	.64	399-1545-ND	3.84	3.30	2.59	T322E685K050AS
	10	1.6	4.0	6	7.1	13.5	.64	399-1546-ND	3.84	3.30	2.59	T322E106K050AS
	15	1.2	6.0	6	7.6	18.0	.64	399-1547-ND	11.53	9.89	7.75	T322F156K050AS
	22	1	8.8	6	7.6	18.0	.64	399-1548-ND	—	—	7.75	T322F226K050AS

E

Wet Tantalkondensatoren, hohe Temperatur

Anwendungen:

• Filter, Umgehungsschaltungen • Kopplungs- und Timing-Schaltungen • Impedanzkreise für niedrige Stromquellen • Hoch ladende Stromschaltkreise

Merkmale:

• Betriebstemperaturbereich: -55 °C ~ 200 °C, Drosselspannung • Volt, 6-125 • Niedriger ESR-Wert • Tantalumgehäuse

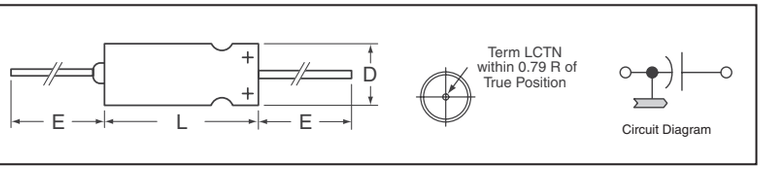

Betriebsspannung (DC)	Kap. (µF)	Kap. Tol.	Max. DC Leckstrom µA@25°C	Max. DF @25°C 120Hz	Max. ESR Ω @25°C 120Hz	Max. Nennmischstrom (mA RMS) @ 85 °C 40 kHz	Abmessungen - mm L (Max.)	D (Max.)	E ± 6.35	Kemet Gehäuse-größe	MIL-PRF-39006/22/ 25/30/31 Gehäusegröße	Digi-Key Teilenr.	Stückpreis 1	10	100	Kemet Teilenr.
6V@85°C (3V@200°C)	30	10%	1	9	3.98	820	12.29	5.56	38.10	A	T1	399-3412-ND	25.40	19.05	15.24	T197A306K006AS
8V@85°C (4V@200°C)	56	10%	1	14	3.32	900	12.29	5.56	38.10	A	T1	399-3415-ND	25.40	19.05	15.24	T197A566K008AS
10V@85°C	20	10%	1	6	3.98	820	12.29	5.56	38.10	A	T1	399-3409-ND	25.40	19.05	15.24	T197A206K010AS
(5V@200°C)	47	10%	1	13	3.67	855	12.29	5.56	38.10	A	T1	399-3414-ND	25.40	19.05	15.24	T197A476K010AS
15V@85°C	15	10%	1	5	4.42	780	12.29	5.56	38.10	A	T1	399-3406-ND	25.40	19.05	15.24	T197A156K015AS
(7.5V@200°C)	100	10%	2	30	3.98	900	12.29	5.56	38.10	A	T1	399-3424-ND	28.78	21.59	17.28	T198A107K015AS
	10	10%	1	4	5.31	715	12.29	5.56	38.10	A	T1	399-3404-ND	25.40	19.05	15.24	T197A106K025AS
25V@85°C	22	10%	1	7	4.22	800	12.29	5.56	38.10	A	T1	399-3410-ND	25.40	19.05	15.24	T197A226K025AS
(12.5V@200°C)	68	10%	2	22	4.29	850	12.29	5.56	38.10	A	T1	399-3428-ND	28.78	21.59	17.28	T198A686K025AS
	270	10%	3	55	2.70	1400	17.07	7.92	57.15	B	T2	399-3432-ND	37.25	27.94	22.36	T198B277K025AS
30V@85°C	15	20%	1	5	4.42	780	12.29	5.56	38.10	A	T1	399-3407-ND	25.40	19.05	15.24	T197A156M030AS
(15V@200°C)	56	10%	2	22	5.21	800	12.29	5.56	38.10	A	T1	399-3427-ND	28.78	21.59	17.28	T198A566K030AS
	10	10%	1	4	5.31	715	12.29	5.56	38.10	A	T1	399-3405-ND	25.40	19.05	15.24	T197A106K050AS
50V@85°C	47	10%	1	13	3.67	1155	17.07	7.92	57.15	B	T2	399-3420-ND	33.86	25.40	20.32	T197B476K050AS
(25V@200°C)	33	10%	2	12.3	4.95	700	12.29	5.56	38.10	A	T1	399-3426-ND	28.78	21.59	17.28	T198A336K050AS
	120	10%	4	22.5	2.49	1200	17.07	7.92	57.15	B	T2	399-3430-ND	37.25	27.94	22.36	T198B127K050AS
	330	10%	9	38	1.53	1900	27.76	10.31	57.15	D	T4	399-3434-ND	59.26	44.45	35.56	T198D337K050AS
60V@85°C	39	10%	1	12	4.08	1110	17.07	7.92	57.15	B	T2	399-3419-ND	33.86	25.40	20.32	T197B396K060AS
(30V@200°C)	100	10%	4	19	2.52	1100	17.07	7.92	57.15	B	T2	399-3429-ND	37.25	27.94	22.36	T198B107K060AS
	6.8	10%	1	3.5	6.83	610	12.29	5.56	38.10	A	T1	399-3416-ND	25.40	19.05	15.24	T197A685K075AS
75V@85°C	15	10%	1	6	5.31	890	17.07	7.92	57.15	B	T2	399-3417-ND	33.86	25.40	20.32	T197B156K075AS
(37.5V@200°C)	22	10%	3	8.5	5.13	600	12.29	5.56	38.10	A	T1	399-3425-ND	28.78	21.59	17.28	T198A226K075AS
	33	10%	1	10	4.02	1000	17.07	7.92	57.15	B	T2	399-3418-ND	33.86	25.40	20.32	T197B336K075AS
	82	10%	4	15.2	2.46	1000	17.07	7.92	57.15	B	T2	399-3433-ND	37.25	27.94	22.36	T198B826K075AS
100V@85°C	2.5	10%	1	2	10.62	505	12.29	5.56	38.10	A	T1	399-3411-ND	25.40	19.05	15.24	T197A255K100AS
(50V@200°C)	10	10%	3	4.5	5.97	800	12.29	5.56	38.10	A	T1	399-3423-ND	28.78	21.59	17.28	T198A106K100AS
	1.7	10%	1	2	15.61	415	12.29	5.56	38.10	A	T1	399-3408-ND	25.40	19.05	15.24	T197A175K125AS
125V@85°C	3.6	10%	1	3	11.05	520	12.29	5.56	38.10	A	T1	399-3413-ND	25.40	19.05	15.24	T197A365K125AS
(62.5V@200°C)	27	10%	5	7.2	3.54	1200	17.07	7.92	57.15	B	T2	399-3431-ND	37.25	27.94	22.36	T198B276K125AS
	56	10%	10	6.5	1.54	1800	27.76	10.31	57.15	D	T4	399-3422-ND	52.49	39.37	31.50	T197D566K125AS
	82	10%	12	17.4	2.82	1900	27.76	10.31	57.15	D	T4	399-3435-ND	59.26	44.45	35.56	T198D826K125AS

KEMET® Tantal-Elektrolyt-Chip-Kondensatoren zur Oberflächenmontage

Die Festtantal-Chip-Kondensatoren von KEMET wurden unter Berücksichtigung der Anforderungen der Oberflächenmontagen-Technologie entwickelt und hergestellt. Diese Geräte dehnen die Vorteile der Festtantal-Technologie auf die heute üblichen oberflächenmontierten Schaltkreisanwendungen aus.

Betriebstemperaturbereich: -55 °C ~ 125 °C (Serie T520: -55 °C ~ 105 °C)

Serie T491 — Industriell

Die erste Wahl unter den Oberflächenmontage-Designs. Dieses Produkt erfüllt oder übertrifft die Anforderungen des EIA-Standards 535BAAC. Formgestaltung und Abmessungen dieser Serie entsprechen diesem globalen Standard.

Dieses Produkt wurde speziell für stark automatisierte Oberflächenmontageprozesse und -geräte entwickelt.

Serie T494 — Niedriger ESR, industrielle Qualität

Serie T494 weist niedrigen ESR auf und ist in denselben Gehäusegrößen und CV-Klassifizierungen wie Serie T491 erhältlich. Serie T494 bietet niedrige ESR-Leistung mit dem finanziellen Vorteil eines Geräts von industrieller Qualität. Diese Serie ist zum Ausgangsfiltern bestimmt.

Serie T495 — Niedriger ESR, sto_spannungsfest

In erster Linie zur Ausgangsfilterung in Stromversorgungen mit Umschaltmodus und in DC-DC-Wandlern vorgesehen. Die Standard CV-Werte T495 sind ein hervorragender Grund, dieses Produkt für Batterie-Erde-Eingangsfilteranwendungen zu wählen.

Diese Serie bietet mehrere wichtige Vorteile: Sehr niedrigen ESR, hohe Mischstromkapazität, hervorragende Kapazitätsstabilität und größeres Widerstandsvermögen bei hohem Einschaltstrom.

Serie T496 — Gesichert

KEMET bietet auch einen „ausfallsicheren" Festtantal-Chip-Kondensator mit Sicherung an. Das eingebaute Sicherungselement bietet erstklassigen Schutz vor schädigenden Kurzschlusskonditionen in Anwendungen mit hohen Fehlerströmen. Schutz vor teueren Schaltkreisschäden aufgrund der umgekehrten Installation wird für dieses Gerät ebenfalls angeboten.

Serie T510 — Ultra-niedriger ESR

Die KEMET-Serie T510 bietet den niedrigsten ESR in der Branche in der beliebten EIA-7343-43 Gehäusegröße. Der ultra-niedrige ESR und die hohe Mischstromkapazität machen sie zur idealen Wahl für SMPS-Filterung und Stromabkopplungen.

KEMET hat eine innovative Konstruktionsplattform entwickelt, die mehrere Kondensatorelemente enthält; parallel, in einem einzigen Gehäuse.

Serie T520 — KO-CAP Polymertantal

Der KO-CAP ist ein Tantalkondensator mit Ta-Anode und Ta_2O_5-Dielektrikum. Ein leitfähiges organisches Polymer ersetzt das MnO_2 als Kathodenplatte des Kondensators. Dies führt zu sehr niedrigemESR und verbesserter Kapazitätserhaltung bei hoher Frequenz. Der KO-CAP bietet auch einen großzügigen Versagensmodus, der die Zündfehler beseitigt, die bei Standard-MnO_2-Tantalversionen auftreten können.

KO-CAPs können mit Spannungen bis zu 80 % der Nennspannung betrieben werden und dies bei gleicher oder besserer Zuverlässigkeit als mit 50 % Nennspannung betriebene Standardtantalkondensatoren.

Die Serie T520 vereint die besten Funktionen von Mehrschicht-Keramikkondensatoren (niedriger ESR und Kapazitätserhaltung bei hoher Frequenz), Aluminium-Elektrolytkondensatoren (großzügiger Fehlermodus) und bewährter Tantaltechnologie (volumetrische Effizienz, Oberflächenmontagenkapazität und kein abnutzungsbetroffener Mechanismus).

Der KO-CAP kann die Komponentenzahl reduzieren, die Durchgangslöchermontage durch die Beseitigung von verbleiten Aluminiumkondensatoren unnötig machen und eine wesentlich kostengünstigere Lösung im Vergleich zu teueren Hochkapazitäts-Keramikkondensatoren bieten.

Serie T525 — KO-CAP Polymertantal

Der T525 ist für Power-Management-Anwendungen gedacht. Diese Serie bietet die gleichen Vorteile wie der T520 KO-CAP, einschließlich eines sehr niedrigen ESR, verbesserter Kapazitätserhaltung bei hoher Frequenz und eines großzügigen Fehlermodus zusammen mit der 125 °C Kapazität.

Serie T530 — KO-MAT Polymertantal

Der KO-MAT ist ein volumetrisch effizienter Kondensator mit organischem Tantal-Chip und extrem niedrigem ESR, der hohe Kapazitätserhaltung bietet und gleichzeitig Wärmevorfälle verhindert (Zündfehler).

Organisches Polymer gibt keinen Sauerstoff ab, wenn die Dielektrik versagt, und verhindert somit eine Entzündung. Organisches Polymer ist leitfähiger als MnO_2 — bei niedrigerem ESR.

Höhere Kapazitätserhaltung bei höheren Frequenzen bedeutet, dass weniger Teile die gewünschte Kapazität erreichen müssen.

Mit dem KO-MAT können Tantalkondensatoren in Schaltungen verwendet werden, wo dies unmöglich schien, wie z.B. bei Eingangsfiltern.

Der erste Schwerpunkt liegt im Stromversorgungs- und Mikroprozessor-Schaltungsbereich

Kondensatormarkierungen

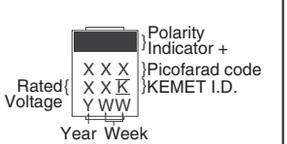

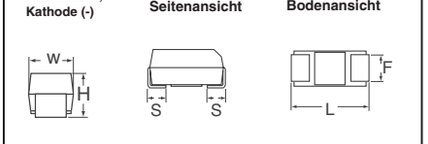

Größen-code	EIA-Code	L	W	H	F ±0.1	S ±0.3
A	3216-18	3.2±0.2	1.6±0.2	1.6±0.2	1.2	0.8
B	3528-21	3.5±0.2	2.8±0.2	1.9±0.2	2.2	0.8
C	6032-28	6.0±0.3	3.2±0.3	2.5±0.3	2.2	1.3
D	7343-31	7.3±0.3	4.3±0.3	2.8±0.3	2.4	1.3
E	7260-38	7.3±0.3	6.0±0.3	3.6±0.2	4.1	1.3
R	2012-12	2.0±0.2	1.3±0.2	1.2 Max.	0.9	0.5
T	3528-12	3.5±0.2	2.8±0.2	1.2 Max.	2.2	0.8
V	7343-20	7.3±0.3	4.3±0.3	2.0 Max.	2.4	1.3
X	7343-43	7.3±0.3	4.3±0.3	4.0±0.3	2.4	1.3

E

Betriebs-spannung (DC)	Kap. (µF)	Kap. Tol. (%)	DC-Leckstrom µA@+25°C max.	DF % @+25°C 120Hz max.	ESR Ω @+25°C 100KHz max.	Größen-code	Digi-Key Teilenr.	Gurtabschnittspreis pro Stück 1	10	100	Digi-Key Teilenr.	Gegurtet auf Rolle Größe	Preisangaben	Kemet Teilenr.
Serie T491 — Industriell														
4	68	±10	2.8	30.0	4.0	A	399-3338-1-ND	.42	.37	.33	399-3338-2-ND	2,000	143.92/M	T491A686K004AS
	68	±10	2.7	6.0	0.8	D	399-1549-1-ND	.55	.48	.42	399-1549-2-ND	500	99.90	T491D686K004AS
	100	±20	4	30.0	4.0	A	399-3339-1-ND	.41	.35	.31	399-3339-2-ND	2,000	136.73/M	T491A107M004AS
	100	±20	4	8.0	1.0	B	399-3000-1-ND	.79	.69	.60	399-3000-2-ND	2,000	266.68/M	T491B107M004AS
	100	±20	4	30.0	5.0	T	399-3337-1-ND	1.35	1.18	1.03	399-3337-2-ND	2,500	458.86/M	T491T107M004AT
	100	±20	4	8.0	0.8	D	399-1550-1-ND	.55	.48	.42	399-1550-2-ND	500	99.90	T491D107M004AS
	150	±20	6	12.0	2.0	B	399-3340-1-ND	.79	.69	.60	399-3340-2-ND	2,000	266.26/M	T491B157M004AS
	330	±10	13.2	10.0	1.2	C	399-3304-1-ND	1.69	1.48	1.29	399-3304-2-ND	500	308.16	T491C337K004AS
6.3	6.8	±10	0.5	8.0	15	R	399-3230-1-ND	.98	.86	.75	399-3230-2-ND	2,500	333.56/M	T491R685K006AS
	10	±10	0.6	6.0	4.0	A	399-1551-1-ND	.17	.15	.13	399-1551-2-ND	2,000	57.57/M	T491A106K006AS
	10	±20	0.6	6.0	4.0	A	399-1552-1-ND	.17	.15	.13	399-1552-2-ND	2,000	57.57/M	T491A106M006AS
	10	±10	0.6	6.0	3.5	B	399-1553-1-ND	.24	.21	.19	399-1553-2-ND	2,000	81.03/M	T491B106K006AS
	22	±10	1.4	6.0	3.5	B	399-1554-1-ND	.25	.22	.19	399-1554-2-ND	2,000	84.90/M	T491B226K006AS
	22	±10	1.4	6.0	1.8	C	399-1555-1-ND	.33	.29	.26	399-1555-2-ND	500	60.56	T491C226K006AS
	47	±20	3	12.0	3.5	A	399-3341-1-ND	.41	.35	.31	399-3341-2-ND	2,000	136.73/M	T491A476M006AS
	47	±10	2.9	6.0	1.6	C	399-1556-1-ND	.36	.32	.28	399-1556-2-ND	500	65.61	T491C476K006AS
	68	±20	4.1	8.0	1.0	B	399-3001-1-ND	.79	.69	.60	399-3001-2-ND	2,000	266.68/M	T491B686M006AS
	68	±10	4.1	6.0	1.2	C	399-1557-1-ND	.44	.39	.34	399-1557-2-ND	500	79.98	T491C686K006AS
	68	±10	4.1	6.0	0.8	D	399-1558-1-ND	.55	.48	.42	399-1558-2-ND	500	99.90	T491D686K006AS
	100	±20	6.3	15.0	3.0	B	399-3195-1-ND	.79	.69	.60	399-3195-2-ND	2,000	266.26/M	T491B107M006AS
	220	±20	13.2	10.0	1.2	C	399-3208-1-ND	1.65	1.44	1.26	399-3208-2-ND	500	300.46	T491C227M006AS
	470	±20	28.2	12.0	0.5	D	399-3002-1-ND	3.92	3.41	2.98	399-3002-2-ND	500	712.84	T491D477M006AS
	680	±20	40.8	12.0	0.5	E	399-3094-1-ND	8.04	7.00	6.12	399-3094-2-ND	500	1463.77	T491E687M006AS
10	2.2	±10	0.5	6.0	8.0	A	399-1559-1-ND	.16	.15	.13	399-1559-2-ND	2,000	55.03/M	T491A225K010AS
	3.3	±10	0.5	6.0	6.0	A	399-1560-1-ND	.16	.15	.13	399-1560-2-ND	2,000	54.97/M	T491A335K010AS
	3.3	±10	0.3	8.0	15	R	399-3305-1-ND	.98	.86	.75	399-3305-2-ND	2,500	333.90/M	T491R335K010AS
	4.7	±10	0.5	6.0	6.0	A	399-1561-1-ND	.16	.15	.13	399-1561-2-ND	2,000	54.95/M	T491A475K010AS
	4.7	±20	0.5	6.0	6.0	A	399-1562-1-ND	.16	.15	.13	399-1562-2-ND	2,000	55.03/M	T491A475M010AS
	4.7	±10	0.5	6.0	3.5	B	399-1565-1-ND	.24	.21	.19	399-1565-2-ND	2,000	81.28/M	T491B475K010AS
	4.7	±20	0.5	6.0	3.5	B	399-1566-1-ND	.24	.21	.19	399-1566-2-ND	2,000	81.03/M	T491B475M010AS
	6.8	±10	0.7	6.0	3.5	B	399-1567-1-ND	.24	.21	.19	399-1567-2-ND	2,000	81.28/M	T491B685K010AS
	10	±10	1	6.0	4.0	A	399-1563-1-ND	.19	.17	.15	399-1563-2-ND	2,000	62.65/M	T491A106K010AS
	10	±20	1	6.0	4.0	A	399-1564-1-ND	.19	.17	.15	399-1564-2-ND	2,000	62.65/M	T491A106M010AS
	10	±10	1	6.0	3.5	B	399-1568-1-ND	.24	.21	.19	399-1568-2-ND	2,000	81.28/M	T491B106K010AS
	10	±20	1	6.0	3.5	B	399-1569-1-ND	.24	.21	.19	399-1569-2-ND	2,000	81.03/M	T491B106M010AS
	10	±10	1	6.0	1.8	C	399-1571-1-ND	.33	.29	.26	399-1571-2-ND	500	60.53	T491C106K010AS
	15	±10	1.5	6.0	3.5	B	399-1570-1-ND	.25	.22	.19	399-1570-2-ND	2,000	84.66/M	T491B156K010AS
	15	±10	1.5	6.0	1.8	C	399-1572-1-ND	.33	.29	.26	399-1572-2-ND	500	55.88	T491C156K010AS
	22	±20	2.2	10.0	6.0	A	399-3096-1-ND	.41	.35	.31	399-3096-2-ND	2,000	137.15/M	T491A226M010AS
	22	±10	2.2	6.0	1.8	C	399-1573-1-ND	.33	.29	.26	399-1573-2-ND	500	60.53	T491C226K010AS
	33	±10	3.3	6.0	0.8	D	399-1574-1-ND	.55	.48	.42	399-1574-2-ND	500	99.90	T491D336K010AS
	47	±20	4.7	8.0	1.0	B	399-3003-1-ND	.79	.69	.60	399-3003-2-ND	2,000	266.26/M	T491B476M010AS
	47	±10	4.7	6.0	1.2	C	399-1575-1-ND	.44	.39	.34	399-1575-2-ND	500	80.04	T491C476K010AS
	47	±20	4.7	6.0	1.2	C	399-1576-1-ND	.44	.39	.34	399-1576-2-ND	500	80.02	T491C476M010AS
	47	±10	4.7	6.0	0.8	D	399-1577-1-ND	.55	.48	.42	399-1577-2-ND	500	99.90	T491D476K010AS
	47	±20	4.7	6.0	0.8	D	399-1578-1-ND	.55	.48	.42	399-1578-2-ND	500	100.00	T491D476M010AS
	100	±10	10	8.0	0.7	D	399-1579-1-ND	.66	.58	.51	399-1579-2-ND	500	120.34	T491D107K010AS
	100	±20	10	8.0	0.7	D	399-1580-1-ND	.66	.58	.51	399-1580-2-ND	500	120.34	T491D107M010AS
	150	±10	15	10.0	1.2	C	399-3231-1-ND	1.69	1.48	1.29	399-3231-2-ND	500	308.16	T491C157K010AS
	150	±20	15	8.0	0.7	D	399-1581-1-ND	.85	.74	.65	399-1581-2-ND	500	154.08	T491D157M010AS
	220	±10	22	12.0	0.7	V	399-3367-1-ND	2.96	2.58	2.26	399-3367-2-ND	1,000	1007.45	T491V227K010AS
	220	±10	22	8.0	0.5	X	399-1582-1-ND	1.88	1.64	1.43	399-1582-2-ND	500	341.52	T491X227K010AS
	330	±20	33	10.0	0.5	D	399-3097-1-ND	3.92	3.41	2.98	399-3097-2-ND	500	712.84	T491D337M010AS
	470	±20	47	12.0	0.5	E	399-3095-1-ND	8.04	7.00	6.12	399-3095-2-ND	500	1463.77	T491E477M010AS
16	1.0	±10	0.5	4.0	10.0	A	399-1583-1-ND	.16	.15	.13	399-1583-2-ND	2,000	54.97/M	T491A105K016AS
	1.0	±20	0.5	4.0	10.0	A	399-1584-1-ND	.16	.15	.13	399-1584-2-ND	2,000	55.03/M	T491A105M016AS
	1.5	±10	0.5	6.0	8.0	A	399-1585-1-ND	.16	.15	.13	399-1585-2-ND	2,000	55.03/M	T491A155K016AS
	2.2	±10	0.5	6.0	6.0	A	399-1586-1-ND	.16	.15	.13	399-1586-2-ND	2,000	55.03/M	T491A225K016AS
	3.3	±10	0.5	6.0	3.5	B	399-1589-1-ND	.24	.21	.19	399-1589-2-ND	2,000	81.28/M	T491B335K016AS

HINWEIS: Teile mit verbesserten Toleranzen oder Spannungen dürfen innerhalb derselben Gehäusegröße ersetzt werden. Diese Teile werden dieselbe oder eine bessere Leistung bieten als jene, die Sie bestellt haben. *(Forts.)*

Alle Preisangaben in Euro und inklusive Zollgebühren.

Betriebs-spannung (DC)	Kap. (µF)	Kap. Tol. (%)	DC-Leckstrom µA@+25°C max.	DF % @+25°C 120Hz max.	ESR Ω @+25°C 100KHz max.	Größen-code	Digi-Key Teilenr.	Gurtabschnittspreis pro Stück 1	10	100	Digi-Key Teilenr.	Gegurtet auf Rolle Größe	Preisangaben	Kemet Teilenr.
	4.7	±10	0.8	6.0	6.0	A	399-1587-1-ND	.17	.15	.13	399-1587-2-ND	2,000	57.56/M	T491A475K016AS
	4.7	±20	0.8	6.0	6.0	A	399-1588-1-ND	.17	.15	.13	399-1588-2-ND	2,000	57.57/M	T491A475M016AS
	4.7	±10	0.8	6.0	3.5	B	399-1590-1-ND	.24	.21	.19	399-1590-2-ND	2,000	81.03/M	T491B475K016AS
	4.7	±20	0.8	6.0	3.5	B	399-1591-1-ND	.24	.21	.19	399-1591-2-ND	2,000	81.28/M	T491B475M016AS
	6.8	±20	1.1	6.0	1.9	C	399-1592-1-ND	.33	.29	.26	399-1592-2-ND	500	60.56	T491C685M016AS
	10	±20	1.6	10.0	7.0	A	399-3098-1-ND	.20	.18	.16	399-3098-2-ND	2,000	67.63/M	T491A106M016AS
	10	±10	1.6	6.0	3.5	B	399-1593-1-ND	.25	.22	.19	399-1593-2-ND	2,000	84.66/M	T491B106K016AS
	10	±20	1.6	6.0	3.5	B	399-1594-1-ND	.25	.22	.19	399-1594-2-ND	2,000	84.66/M	T491B106M016AS
	10	±10	1.6	6.0	1.8	C	399-1595-1-ND	.33	.29	.26	399-1595-2-ND	500	60.53	T491C106K016AS
	10	±20	1.6	6.0	1.8	C	399-1596-1-ND	.33	.29	.26	399-1596-2-ND	500	60.53	T491C106M016AS
	22	±20	3.5	6.0	2.2	B	399-3099-1-ND	.45	.40	.35	399-3099-2-ND	2,000	154.08/M	T491B226M016AS
	22	±10	3.6	6.0	1.6	C	399-1597-1-ND	.36	.32	.28	399-1597-2-ND	500	65.61	T491C226K016AS
16	22	±20	3.6	6.0	1.6	C	399-1598-1-ND	.36	.32	.28	399-1598-2-ND	500	65.61	T491C226M016AS
	22	±10	3.6	6.0	0.8	D	399-1600-1-ND	.55	.48	.42	399-1600-2-ND	500	99.90	T491D226K016AS
	33	±10	5.3	6.0	1.2	C	399-1599-1-ND	.44	.39	.34	399-1599-2-ND	500	80.04	T491C336K016AS
	33	±10	5.3	6.0	0.8	D	399-1601-1-ND	.55	.48	.42	399-1601-2-ND	500	99.90	T491D336K016AS
	33	±20	5.3	6.0	0.8	D	399-1602-1-ND	.55	.48	.42	399-1602-2-ND	500	100.00	T491D336M016AS
	47	±10	7.5	6.0	0.8	D	399-1603-1-ND	.55	.48	.42	399-1603-2-ND	500	100.00	T491D476K016AS
	100	±10	16	8.0	0.7	D	399-1604-1-ND	.85	.74	.65	399-1604-2-ND	500	154.23	T491D107K016AS
	100	±20	16	8.0	0.7	D	399-1605-1-ND	.85	.74	.65	399-1605-2-ND	500	154.08	T491D107M016AS
	100	±10	16	12	0.7	V	399-3366-1-ND	2.88	2.51	2.19	399-3366-2-ND	1,000	978.67	T491V107K016AS
	100	±10	16	8.0	0.7	X	399-1606-1-ND	1.54	1.34	1.17	399-1606-2-ND	500	279.66	T491X107K016AS
	100	±20	16	8.0	0.7	X	399-1607-1-ND	1.54	1.34	1.17	399-1607-2-ND	500	279.66	T491X107M016AS
	150	±10	24	12.0	0.7	D	399-3365-1-ND	1.18	1.03	.90	399-3365-2-ND	500	213.55	T491D157K016AS
	150	±10	24	8.0	0.5	X	399-1608-1-ND	1.88	1.64	1.43	399-1608-2-ND	500	341.60	T491X157K016AS
	1.0	±10	0.5	4.0	10.0	A	399-1609-1-ND	.16	.15	.13	399-1609-2-ND	2,000	55.03/M	T491A105K020AS
	1.0	±20	0.5	4.0	10.0	A	399-1610-1-ND	.16	.15	.13	399-1610-2-ND	2,000	54.98/M	T491A105M020AS
	1.0	±20	0.2	6.0	20.0	R	399-3209-1-ND	.94	.82	.72	399-3209-2-ND	2,500	319.51/M	T491R105M020AS
	2.2	±10	0.5	6.0	3.5	B	399-1611-1-ND	.24	.21	.19	399-1611-2-ND	2,000	81.28/M	T491B225K020AS
	4.7	±10	1	6.0	3.5	B	399-1612-1-ND	.24	.21	.19	399-1612-2-ND	2,000	81.28/M	T491B475K020AS
	6.8	±10	1.4	6.0	1.9	C	399-1613-1-ND	.33	.29	.26	399-1613-2-ND	500	60.56	T491C685K020AS
	10	±10	2	6.0	1.8	C	399-1614-1-ND	.33	.29	.26	399-1614-2-ND	500	60.56	T491C106K020AS
20	22	±10	4.4	6.0	1.2	C	399-1615-1-ND	.44	.39	.34	399-1615-2-ND	500	80.00	T491C226K020AS
	22	±10	4.4	6.0	0.8	D	399-1616-1-ND	.55	.48	.42	399-1616-2-ND	500	100.00	T491D226K020AS
	22	±20	4.4	6.0	0.8	D	399-1617-1-ND	.55	.48	.42	399-1617-2-ND	500	100.00	T491D226M020AS
	33	±10	6.6	6.0	0.8	D	399-1618-1-ND	.55	.48	.42	399-1618-2-ND	500	99.90	T491D336K020AS
	47	±10	9.4	6.0	0.7	D	399-1619-1-ND	.66	.58	.51	399-1619-2-ND	500	120.34	T491D476K020AS
	68	±10	13.6	8.0	0.7	D	399-1620-1-ND	1.18	1.03	.90	399-1620-2-ND	500	213.77	T491D686K020AS
	68	±10	13.6	6.0	0.7	X	399-1621-1-ND	1.54	1.34	1.17	399-1621-2-ND	500	279.80	T491X686K020AS
	100	±20	20	8.0	0.5	X	399-1622-1-ND	1.88	1.64	1.43	399-1622-2-ND	500	341.52	T491X107M020AS
	.47	±10	0.5	4.0	14.0	A	399-1623-1-ND	.16	.15	.13	399-1623-2-ND	2,000	54.98/M	T491A474K025AS
	1.0	±10	0.5	4.0	8.0	A	399-1624-1-ND	.17	.15	.13	399-1624-2-ND	2,000	57.57/M	T491A105K025AS
	1.5	±10	0.5	6.0	5.0	B	399-1625-1-ND	.24	.21	.19	399-1625-2-ND	2,000	81.28/M	T491B155K025AS
	2.2	±10	0.6	6.0	4.5	B	399-1626-1-ND	.25	.22	.19	399-1626-2-ND	2,000	84.92/M	T491B225K025AS
	2.2	±10	0.6	6.0	3.5	C	399-1627-1-ND	.33	.29	.26	399-1627-2-ND	500	60.53	T491C225K025AS
	2.2	±20	0.6	6.0	3.5	C	399-1628-1-ND	.33	.29	.26	399-1628-2-ND	500	60.56	T491C225M025AS
	4.7	±10	1.2	6.0	2.4	C	399-1629-1-ND	.33	.29	.26	399-1629-2-ND	500	60.53	T491C475K025AS
	4.7	±20	1.2	6.0	2.4	C	399-1630-1-ND	.33	.29	.26	399-1630-2-ND	500	60.56	T491C475M025AS
	6.8	±10	1.7	8.0	3.0	B	399-3363-1-ND	.45	.40	.35	399-3363-2-ND	2,000	153.86/M	T491B685K025AS
	6.8	±10	1.7	6.0	1.9	C	399-1631-1-ND	.33	.29	.26	399-1631-2-ND	500	60.53	T491C685K025AS
	6.8	±20	1.7	6.0	1.9	C	399-1632-1-ND	.33	.29	.26	399-1632-2-ND	500	60.56	T491C685M025AS
25	10	±10	2.5	6.0	1.5	C	399-1633-1-ND	.36	.32	.28	399-1633-2-ND	500	65.61	T491C106K025AS
	10	±20	2.5	6.0	1.5	C	399-1634-1-ND	.36	.32	.28	399-1634-2-ND	500	65.61	T491C106M025AS
	10	±10	2.5	6.0	1.0	D	399-1635-1-ND	.55	.48	.42	399-1635-2-ND	500	100.00	T491D106K025AS
	10	±20	2.5	6.0	1.0	D	399-1636-1-ND	.55	.48	.42	399-1636-2-ND	500	100.00	T491D106M025AS
	15	±10	3.8	6.0	1.0	D	399-1637-1-ND	.55	.48	.42	399-1637-2-ND	500	100.00	T491D156K025AS
	15	±20	3.8	6.0	1.0	D	399-1638-1-ND	.55	.48	.42	399-1638-2-ND	500	99.90	T491D156M025AS
	22	±10	5.5	8.0	1.5	C	399-3364-1-ND	.58	.51	.45	399-3364-2-ND	500	105.40	T491C226K025AS
	22	±10	5.5	6.0	0.8	D	399-1639-1-ND	.55	.48	.42	399-1639-2-ND	500	99.90	T491D226K025AS
	22	±20	5.5	6.0	0.8	D	399-1640-1-ND	.55	.48	.42	399-1640-2-ND	500	99.90	T491D226M025AS
	33	±10	8.3	6.0	0.7	X	399-1641-1-ND	1.54	1.34	1.17	399-1641-2-ND	500	279.80	T491X336K025AS
	33	±20	8.3	6.0	0.7	X	399-1642-1-ND	1.54	1.34	1.17	399-1642-2-ND	500	279.80	T491X336M025AS
	47	±20	11.8	10.0	0.7	D	399-3210-1-ND	1.18	1.03	.90	399-3210-2-ND	500	213.55	T491D476M025AS
	68	±20	17.0	8.0	0.7	X	399-3211-1-ND	1.88	1.64	1.43	399-3211-2-ND	500	341.52	T491X686M025AS
	.10	±10	0.5	4.0	10.0	A	399-1643-1-ND	.16	.15	.13	399-1643-2-ND	2,000	55.03/M	T491A104K035AS
	.10	±20	0.5	4.0	10.0	A	399-1644-1-ND	.16	.15	.13	399-1644-2-ND	2,000	55.03/M	T491A104M035AS
	.33	±10	0.5	4.0	15.0	A	399-1645-1-ND	.16	.15	.13	399-1645-2-ND	2,000	55.03/M	T491A334K035AS
	1.0	±10	0.5	4.0	5.0	B	399-1646-1-ND	.24	.21	.19	399-1646-2-ND	2,000	81.28/M	T491B105K035AS
	1.0	±20	0.5	4.0	5.0	B	399-1647-1-ND	.24	.21	.19	399-1647-2-ND	2,000	81.28/M	T491B105M035AS
	2.2	±10	0.8	6.0	3.5	C	399-1648-1-ND	.33	.29	.26	399-1648-2-ND	500	60.56	T491C225K035AS
	3.3	±20	1.2	6.0	3.5	B	399-3100-1-ND	.45	.40	.35	399-3100-2-ND	2,000	153.86/M	T491B335M035AS
	3.3	±20	1.2	6.0	2.5	C	399-1649-1-ND	.33	.29	.26	399-1649-2-ND	500	60.55	T491C335M035AS
	4.7	±10	1.7	6.0	2.5	C	399-1650-1-ND	.36	.32	.28	399-1650-2-ND	500	65.63	T491C475K035AS
35	4.7	±10	1.7	6.0	1.5	D	399-1651-1-ND	.55	.48	.42	399-1651-2-ND	500	100.00	T491D475K035AS
	6.8	±20	2.4	6.0	2.0	C	399-1652-1-ND	.44	.39	.34	399-1652-2-ND	500	80.00	T491C685M035AS
	6.8	±10	2.4	6.0	1.3	D	399-1653-1-ND	.55	.48	.42	399-1653-2-ND	500	100.00	T491D685K035AS
	10	±10	3.5	6.0	1.0	D	399-1654-1-ND	.55	.48	.42	399-1654-2-ND	500	100.00	T491D106K035AS
	10	±20	3.5	6.0	1.0	D	399-1655-1-ND	.55	.48	.42	399-1655-2-ND	500	99.90	T491D106M035AS
	15	±10	5.3	6.0	0.8	D	399-1656-1-ND	.66	.58	.51	399-1656-2-ND	500	120.22	T491D156K035AS
	15	±10	5.3	6.0	0.9	X	399-3232-1-ND	1.54	1.34	1.17	399-3232-2-ND	500	279.80	T491X156K035AS
	22	±10	7.7	6.0	0.7	X	399-1657-1-ND	1.54	1.34	1.17	399-1657-2-ND	500	279.66	T491X226K035AS
	22	±20	7.7	6.0	0.7	X	399-1658-1-ND	1.54	1.34	1.17	399-1658-2-ND	500	279.80	T491X226M035AS
	47	±10	16.5	8.0	0.6	X	399-3306-1-ND	2.22	1.94	1.69	399-3306-2-ND	500	404.23	T491X476K035AS
	.33	±20	0.5	4.0	10.0	B	399-1659-1-ND	.29	.26	.22	399-1659-2-ND	2,000	98.45/M	T491B334M050AS
	.47	±10	0.5	4.0	8.0	C	399-1660-1-ND	.41	.36	.32	399-1660-2-ND	500	74.96	T491C474K050AS
	1.0	±10	0.5	4.0	5.5	C	399-1661-1-ND	.41	.36	.32	399-1661-2-ND	500	74.95	T491C105K050AS
50	2.2	±10	1.1	6.0	2.5	D	399-1662-1-ND	.68	.59	.52	399-1662-2-ND	500	122.88	T491D225K050AS
	3.3	±20	1.7	6.0	2.0	D	399-1663-1-ND	.68	.59	.52	399-1663-2-ND	500	122.88	T491D335M050AS
	4.7	±10	2.4	6.0	1.5	D	399-1664-1-ND	.68	.59	.52	399-1664-2-ND	500	122.76	T491D475K050AS
	6.8	±20	3.4	6.0	1.0	D	399-3109-1-ND	.81	.71	.62	399-3109-2-ND	500	148.31	T491D685M050AS
Serie T494 — Niedriger ESR, industrielle Qualität														
	68	±10	2.8	30.0	3.0	A	399-3343-1-ND	.72	.63	.55	399-3343-2-ND	2,000	244.67/M	T494A686K004AS
	100	±20	4	30.0	3.0	A	399-3344-1-ND	.70	.61	.54	399-3344-2-ND	2,000	237.47/M	T494A107M004AS
4	100	±20	4	8.0	1.0	B	399-3004-1-ND	1.18	1.03	.90	399-3004-2-ND	2,000	400.44/M	T494B107M004AS
	100	±20	4	30.0	4.5	T	399-3342-1-ND	1.68	1.47	1.28	399-3342-2-ND	2,500	572.30/M	T494T107M004AT
	150	±20	6	12.0	1.0	B	399-3345-1-ND	1.18	1.03	.90	399-3345-2-ND	2,000	400.44/M	T494B157M004AS
	330	±10	13.2	10.0	0.9	C	399-3310-1-ND	2.20	1.92	1.68	399-3310-2-ND	500	400.44	T494C337K004AS
	6.8	±10	0.5	8.0	10	R	399-3233-1-ND	1.23	1.07	.94	399-3233-2-ND	2,500	417.38/M	T494R685K006AS
	47	±20	3	12.0	2.5	A	399-3346-1-ND	.70	.61	.54	399-3346-2-ND	2,000	237.47/M	T494A476M006AS
6.3	68	±20	4.1	8.0	1.0	B	399-3005-1-ND	1.18	1.03	.90	399-3005-2-ND	2,000	400.44/M	T494B686M006AS
	100	±20	6.3	15.0	1.5	B	399-3196-1-ND	1.18	1.03	.90	399-3196-2-ND	2,000	400.44/M	T494B107M006AS
	220	±20	13.2	10.0	0.3	C	399-3212-1-ND	2.15	1.87	1.64	399-3212-2-ND	500	390.60	T494C227M006AS
	470	±20	28.2	12.0	0.5	D	399-3006-1-ND	6.94	6.04	5.28	399-3006-2-ND	500	1263.55	T494D477M006AS

HINWEIS: Teile mit verbesserten Toleranzen oder Spannungen dürfen innerhalb derselben Gehäusegröße ersetzt werden. Diese Teile werden dieselbe oder eine bessere Leistung bieten als jene, die Sie bestellt haben. *(Forts.)*

E

Betriebs-spannung (DC)	Kap. (µF)	Kap. Tol. (%)	DC-Leckstrom µA@+25°C max.	DF % @+25°C 120Hz max.	ESR Ω @+25°C 100KHz max.	Größen-code	Digi-Key Teilenr.	Gurtabschnittspreis pro Stück 1	10	100	Digi-Key Teilenr.	Gegurtet auf Rolle Größe	Preisangaben	Kemet Teilenr.
10	2.2	±10	0.5	6.0	6.0	A	399-1772-1-ND	.51	.45	.39	399-1772-2-ND	2,000	172.71/M	T494A225K010AS
	3.3	±10	0.3	8.0	10	R	399-3311-1-ND	1.23	1.07	.94	399-3311-2-ND	2,500	417.38/M	T494R335K010AS
	4.7	±10	0.5	6.0	1.5	B	399-1773-1-ND	.70	.61	.54	399-1773-2-ND	2,000	237.47/M	T494B475K010AS
	10	±20	1	6.0	0.8	B	399-1774-1-ND	.68	.59	.52	399-1774-2-ND	2,000	230.28/M	T494B106M010AS
	22	±20	2.2	10.0	4.5	A	399-3103-1-ND	.70	.61	.54	399-3103-2-ND	2,000	237.47/M	T494A226M010AS
	33	±10	3.3	6.0	2.00	B	399-1775-1-ND	1.14	1.00	.87	399-1775-2-ND	2,000	388.59/M	T494B336K010AS
	47	±20	4.7	8.0	1.0	B	399-3007-1-ND	1.18	1.03	.90	399-3007-2-ND	2,000	400.11/M	T494B476M010AS
	47	±10	4.7	6.0	0.30	C	399-1776-1-ND	1.38	1.20	1.05	399-1776-2-ND	500	250.38	T494C476K010AS
	100	±10	10	8.0	0.15	D	399-1777-1-ND	2.20	1.92	1.68	399-1777-2-ND	500	400.61	T494D107K010AS
	150	±10	15	10.0	0.9	C	399-3234-1-ND	2.20	1.92	1.68	399-3234-2-ND	500	400.44	T494C157K010AS
	220	±10	22	12	0.5	V	399-3372-1-ND	3.84	3.34	2.92	399-3372-2-ND	1,000	1302.92	T494V227K010AS
	330	±20	33	10.0	0.15	D	399-3104-1-ND	6.94	6.04	5.28	399-3104-2-ND	500	1263.55	T494D337M010AS
	330	±10	33	10.0	0.10	X	399-1778-1-ND	8.53	7.42	6.49	399-1778-2-ND	500	1552.37	T494X337K010AS
16	10	±20	1.6	10.0	3.0	A	399-3105-1-ND	.66	.58	.50	399-3105-2-ND	2,000	223.08/M	T494A106M016AS
	10	±10	1.6	6.0	0.8	B	399-1779-1-ND	.76	.67	.58	399-1779-2-ND	2,000	259.06/M	T494B106K016AS
	22	±20	3.5	6.0	0.8	B	399-3106-1-ND	1.10	.96	.84	399-3106-2-ND	2,000	374.20/M	T494B226M016AS
	22	±10	3.6	6.0	0.35	C	399-1780-1-ND	1.21	1.06	.93	399-1780-2-ND	500	220.34	T494C226K016AS
	22	±20	3.6	6.0	0.35	C	399-1781-1-ND	1.08	.95	.83	399-1781-2-ND	500	197.26	T494C226M016AS
	22	±10	3.6	6.0	0.25	D	399-1782-1-ND	1.85	1.61	1.41	399-1782-2-ND	500	335.52	T494D226K016AS
	100	±10	16	12	0.5	V	399-3371-1-ND	3.74	3.26	2.85	399-3371-2-ND	1,000	1272.27	T494V107K016AS
	150	±10	24	12	0.4	D	399-3370-1-ND	6.05	5.27	4.61	399-3370-2-ND	500	1101.68	T494D157K016AS
	150	±10	24	8.0	0.15	X	399-1783-1-ND	7.43	6.47	5.65	399-1783-2-ND	500	1352.02	T494X157K016AS
20	1.0	±20	0.2	6.0	15.0	R	399-3213-1-ND	1.18	1.03	.90	399-3213-2-ND	2,500	399.39/M	T494R105M020AS
	100	±20	20	8.0	0.15	X	399-1784-1-ND	7.04	6.13	5.36	399-1784-2-ND	500	1281.75	T494X107M020AS
25	6.8	±10	1.7	8.0	2.0	B	399-3368-1-ND	1.14	1.00	.87	399-3368-2-ND	2,000	388.59/M	T494B685K025AS
	10	±10	2.5	6.0	0.6	C	399-1785-1-ND	1.21	1.06	.93	399-1785-2-ND	500	220.54	T494C106K025AS
	10	±20	2.5	6.0	0.6	C	399-1786-1-ND	1.08	.95	.83	399-1786-2-ND	500	197.30	T494C106M025AS
	10	±10	2.5	6.0	0.4	D	399-1787-1-ND	1.85	1.61	1.41	399-1787-2-ND	500	335.68	T494D106K025AS
	22	±10	5.5	8.0	1.0	C	399-3369-1-ND	1.43	1.25	1.09	399-3369-2-ND	500	260.40	T494C226K025AS
	47	±20	11.8	10.0	0.2	D	399-3214-1-ND	5.78	5.03	4.40	399-3214-2-ND	500	1051.48	T494D476M025AS
	68	±20	17.0	8.0	0.3	X	399-3215-1-ND	7.04	6.13	5.36	399-3215-2-ND	500	1281.75	T494X686M025AS
35	3.3	±20	1.2	6.0	1.3	B	399-3107-1-ND	1.10	.96	.84	399-3107-2-ND	2,000	374.20/M	T494B335M035AS
	4.7	±10	1.7	6.0	0.7	D	399-1788-1-ND	1.85	1.61	1.41	399-1788-2-ND	500	335.52	T494D475K035AS
	10	±20	3.5	6.0	0.4	D	399-1789-1-ND	1.79	1.56	1.36	399-1789-2-ND	500	325.50	T494D106M035AS
	22	±10	7.7	6.0	0.30	X	399-1790-1-ND	6.05	5.27	4.61	399-1790-2-ND	500	1101.68	T494X226K035AS
	47	±10	16.5	8.0	0.5	X	399-3312-1-ND	8.53	7.42	6.49	399-3312-2-ND	500	1552.24	T494X476K035AS
50	2.2	±10	1.1	6.0	0.8	D	399-1791-1-ND	2.42	2.11	1.85	399-1791-2-ND	500	440.67	T494D225K050AS
	4.7	±10	2.4	6.0	0.6	D	399-1792-1-ND	2.42	2.11	1.85	399-1792-2-ND	500	440.66	T494D475K050AS
	6.8	±20	3.4	6.0	0.7	D	399-3108-1-ND	2.75	2.40	2.10	399-3108-2-ND	500	500.76	T494D685M050AS
	15	±10	7.5	8.0	0.4	X	399-3235-1-ND	8.25	7.19	6.28	399-3235-2-ND	500	1502.29	T494X156K050AS
Serie T495 — Niedriger ESR, sto_spannungsfest														
4	150	±20	6	12.0	0.9	B	399-3347-1-ND	1.61	1.40	1.23	399-3347-2-ND	2,000	546.91/M	T495B157M004ASE900
	330	±10	13.2	12.0	0.7	C	399-3307-1-ND	1.95	1.70	1.48	399-3307-2-ND	500	354.30	T495C337K004ASE700
6.3	100	±20	6.3	15.0	0.70	B	399-3197-1-ND	1.61	1.40	1.23	399-3197-2-ND	2,000	546.91/M	T495B107M006ASE700
	220	±10	13.9	10.0	0.225	C	399-3236-1-ND	1.95	1.70	1.48	399-3236-2-ND	500	354.30	T495C227K006ASE225
	330	±10	20.8	8.0	0.10	D	399-3198-1-ND	2.03	1.77	1.55	399-3198-2-ND	500	369.96	T495D337K006ASE100
	330	±10	19.8	8.0	0.10	X	399-1793-1-ND	1.78	1.55	1.36	399-1793-2-ND	500	323.40	T495X337K006ASE100
	470	±10	29.6	12.0	0.125	D	399-3348-1-ND	6.39	5.57	4.86	399-3348-2-ND	500	1163.23	T495D477K006ASE125
10	100	±10	10	8.0	0.10	D	399-1794-1-ND	1.49	1.30	1.14	399-1794-2-ND	500	184.98	T495D107K010ASE100
	150	±20	15	8.0	0.15	V	399-3110-1-ND	3.26	2.84	2.48	399-3110-2-ND	1,000	1108.20	T495V157M010ASE150
	220	±10	22	8.0	0.125	D	399-3313-1-ND	2.54	2.21	1.94	399-3313-2-ND	500	462.24	T495D227K010ASE125
	220	±20	22	12	0.15	V	399-3373-1-ND	3.34	2.91	2.55	399-3373-2-ND	1,000	1136.98	T495V227M010ASE150
	220	±10	22	8.0	0.10	X	399-1795-1-ND	1.61	1.40	1.23	399-1795-2-ND	500	292.92	T495X227K010ASE100
	330	±10	33	10.0	0.125	D	399-3349-1-ND	6.39	5.57	4.86	399-3349-2-ND	500	1163.23	T495D337K010ASE125
	330	±10	33	10	0.06	X	399-3199-1-ND	2.54	2.21	1.94	399-3199-2-ND	500	462.24	T495X337K010ASE060
16	68	±10	10.9	6.0	0.15	D	399-3200-1-ND	1.02	.89	.78	399-3200-2-ND	500	184.98	T495D686K016ASE150
	100	±10	16	8.0	0.10	X	399-1796-1-ND	2.03	1.77	1.55	399-1796-2-ND	500	369.79	T495X107K016ASE100
	100	±20	16	8.0	0.10	X	399-1797-1-ND	2.12	1.85	1.61	399-1797-2-ND	500	385.20	T495X107M016ASE100
	150	±10	24	8.0	0.10	X	399-3201-1-ND	2.12	1.85	1.61	399-3201-2-ND	500	385.20	T495X157K016ASE100
20	47	±10	7.5	4.0	0.15	X	399-1798-1-ND	2.12	1.85	1.61	399-1798-2-ND	500	385.20	T495X476K020ASE150
	47	±10	9.4	6.0	0.175	D	399-3202-1-ND	1.19	1.04	.91	399-3202-2-ND	500	215.71	T495D476K020ASE175
	68	±10	13.6	8.0	0.15	D	399-3308-1-ND	6.39	5.57	4.86	399-3308-2-ND	500	1163.23	T495D686K020ASE150
	68	±10	13.6	6.0	0.15	X	399-1799-1-ND	1.78	1.55	1.36	399-1799-2-ND	500	323.40	T495X686K020ASE150
25	33	±10	6.6	4.0	0.175	X	399-1800-1-ND	2.23	1.94	1.69	399-1800-2-ND	500	338.98	T495X336K025ASE175
	33	±10	8.3	6.0	0.3	D	399-3203-1-ND	1.19	1.04	.91	399-3203-2-ND	500	215.88	T495D336K025ASE300
	47	±20	11.8	6.0	0.2	X	399-3204-1-ND	2.12	1.85	1.61	399-3204-2-ND	500	385.20	T495X476M025ASE200
	68	±10	17	8.0	0.2	X	399-3205-1-ND	2.12	1.85	1.61	399-3205-2-ND	500	385.20	T495X686K025ASE200
35	6.8	±10	2.4	6.0	0.4	D	399-3206-1-ND	1.02	.89	.78	399-3206-2-ND	500	184.98	T495D685K035ASE400
	22	±10	7.7	6.0	0.3	D	399-3207-1-ND	2.03	1.77	1.55	399-3207-2-ND	500	369.96	T495D226K035ASE300
	22	±10	7.7	6.0	0.275	X	399-1801-1-ND	1.69	1.48	1.29	399-1801-2-ND	500	526.19	T495X226K035ASE275
	47	±10	16.5	8.0	0.3	X	399-3350-1-ND	16.42	14.28	12.48	399-3350-2-ND	500	2986.80	T495X476K035ASE300
50	6.8	±10	3.4	6.0	0.3	D	399-3237-1-ND	1.19	1.04	.91	399-3237-2-ND	500	215.88	T495D685K050ASE300
	15	±10	7.5	8.0	0.3	X	399-3309-1-ND	2.12	1.85	1.61	399-3309-2-ND	500	385.20	T495X156K050ASE300
Serie T496 — Gesichert														
4	330	±10	13.2	8.0	0.7	X	399-1665-1-ND	6.35	5.53	4.83	399-1665-2-ND	500	1155.61	T496X337K004AS
	330	±20	13.2	8.0	0.7	X	399-1666-1-ND	5.93	5.16	4.51	399-1666-2-ND	500	1078.57	T496X337M004AS
6.3	10	±10	0.6	6.0	3.5	B	399-1667-1-ND	1.52	1.33	1.16	399-1667-2-ND	2,000	518.12/M	T496B106K006AS
	10	±20	0.6	6.0	3.5	B	399-1668-1-ND	1.40	1.22	1.07	399-1668-2-ND	2,000	474.95/M	T496B106M006AS
	100	±10	6	8.0	0.8	D	399-1669-1-ND	3.30	2.88	2.51	399-1669-2-ND	500	601.09	T496D107K006AS
	100	±20	6	8.0	0.8	D	399-1670-1-ND	3.17	2.77	2.42	399-1670-2-ND	500	577.80	T496D107M006AS
	100	±10	6	8.0	0.9	X	399-1671-1-ND	5.93	5.16	4.51	399-1671-2-ND	500	1078.57	T496X107K006AS
	100	±20	6	8.0	0.9	X	399-1672-1-ND	5.50	4.79	4.19	399-1672-2-ND	500	1001.53	T496X107M006AS
10	4.7	±10	0.5	6.0	3.5	B	399-1673-1-ND	1.52	1.33	1.16	399-1673-2-ND	2,000	518.12/M	T496B475K010AS
	4.7	±20	0.5	6.0	3.5	B	399-1674-1-ND	1.40	1.22	1.07	399-1674-2-ND	2,000	474.95/M	T496B475M010AS
	22	±10	2.2	6.0	2.0	C	399-1675-1-ND	2.54	2.21	1.94	399-1675-2-ND	500	462.24	T496C226K010AS
	22	±20	2.2	6.0	2.0	C	399-1676-1-ND	2.33	2.03	1.77	399-1676-2-ND	500	423.72	T496C226M010AS
	33	±10	3.3	6.0	1.0	D	399-1677-1-ND	3.30	2.88	2.51	399-1677-2-ND	500	600.92	T496D336K010AS
	33	±20	3.3	6.0	1.0	D	399-1678-1-ND	3.17	2.77	2.42	399-1678-2-ND	500	577.80	T496D336M010AS
	47	±10	4.7	6.0	1.0	D	399-1679-1-ND	3.30	2.88	2.51	399-1679-2-ND	500	601.09	T496D476K010AS
	47	±20	4.7	6.0	1.0	D	399-1680-1-ND	3.17	2.77	2.42	399-1680-2-ND	500	577.80	T496D476M010AS
	68	±10	6.8	6.0	0.9	X	399-1683-1-ND	5.93	5.16	4.51	399-1683-2-ND	500	1078.57	T496X686K010AS
	68	±20	6.8	6.0	0.9	X	399-1684-1-ND	5.50	4.79	4.19	399-1684-2-ND	500	1001.53	T496X686M010AS
	100	±10	10	8.0	0.7	D	399-1681-1-ND	3.51	3.06	2.68	399-1681-2-ND	500	639.61	T496D107K010AS
	100	±20	10	8.0	0.7	D	399-1682-1-ND	3.39	2.95	2.58	399-1682-2-ND	500	616.32	T496D107M010AS
	220	±10	22	8.0	0.5	X	399-1685-1-ND	7.62	6.63	5.80	399-1685-2-ND	500	1386.73	T496X227K010AS
	220	±20	22	8.00	0.5	X	399-1686-1-ND	7.20	6.27	5.47	399-1686-2-ND	500	1309.69	T496X227M010AS
16	2.2	±10	0.5	6.0	3.5	B	399-1687-1-ND	1.52	1.33	1.16	399-1687-2-ND	2,000	518.12/M	T496B225K016AS
	2.2	±20	0.5	6.0	3.5	B	399-1688-1-ND	1.40	1.22	1.07	399-1688-2-ND	2,000	474.95/M	T496B225M016AS
	4.7	±10	0.8	6.0	3.5	B	399-1689-1-ND	1.52	1.33	1.16	399-1689-2-ND	2,000	518.12/M	T496B475K016AS
	4.7	±20	0.8	6.0	3.5	B	399-1690-1-ND	1.40	1.22	1.07	399-1690-2-ND	2,000	474.95/M	T496B475M016AS
	10	±10	1.6	6.0	3.5	B	399-1691-1-ND	1.61	1.40	1.23	399-1691-2-ND	2,000	546.91/M	T496B106K016AS
	10	±20	1.6	6.0	3.5	B	399-1692-1-ND	1.52	1.33	1.16	399-1692-2-ND	2,000	518.12/M	T496B106M016AS

HINWEIS: Teile mit verbesserten Toleranzen oder Spannungen dürfen innerhalb derselben Gehäusegröße ersetzt werden. Diese Teile werden dieselbe oder eine bessere Leistung bieten als jene, die Sie bestellt haben. *(Forts.)*

Betriebs-spannung (DC)	Kap. (µF)	Kap. Tol. (%)	DC-Leckstrom µA@+25°C max.	DF % @+25°C 120Hz max.	ESR Ω @+25°C 100KHz max.	Größen-code	Digi-Key Teilenr.	Gurtabschnittspreis pro Stück 1	10	100	Digi-Key Teilenr.	Gegurtet auf Rolle Größe	Preisangaben	Kemet Teilenr.
16	10	±10	1.6	6.0	2.0	C	399-1693-1-ND	2.54	2.21	1.94	399-1693-2-ND	500	462.24	T496C106K016AS
	10	±20	1.6	6.0	2.0	C	399-1694-1-ND	2.33	2.03	1.77	399-1694-2-ND	500	423.72	T496C106M016AS
	15	±10	2.4	6.0	2.0	C	399-1695-1-ND	2.54	2.21	1.94	399-1695-2-ND	500	462.24	T496C156K016AS
	15	±20	2.4	6.0	2.0	C	399-1696-1-ND	2.33	2.03	1.77	399-1696-2-ND	500	423.72	T496C156M016AS
	22	±10	3.6	6.0	1.6	C	399-1697-1-ND	2.67	2.33	2.03	399-1697-2-ND	500	485.53	T496C226K016AS
	22	±20	3.6	6.0	1.6	C	399-1698-1-ND	2.46	2.14	1.87	399-1698-2-ND	500	447.00	T496C226M016AS
	33	±10	5.3	6.0	1.0	D	399-1699-1-ND	3.30	2.88	2.51	399-1699-2-ND	500	601.09	T496D336K016AS
	33	±20	5.3	6.0	1.0	D	399-1700-1-ND	3.17	2.77	2.42	399-1700-2-ND	500	577.80	T496D336M016AS
	47	±10	7.5	6.0	0.8	D	399-1701-1-ND	3.30	2.88	2.51	399-1701-2-ND	500	600.92	T496D476K016AS
	47	±20	7.5	6.0	0.8	D	399-1702-1-ND	3.17	2.77	2.42	399-1702-2-ND	500	577.80	T496D476M016AS
	47	±10	7.5	6.0	0.9	X	399-1703-1-ND	5.93	5.16	4.51	399-1703-2-ND	500	1078.57	T496X476K016AS
	47	±20	7.5	6.0	0.9	X	399-1704-1-ND	5.50	4.79	4.19	399-1704-2-ND	500	1001.53	T496X476M016AS
	100	±10	16	8.0	0.7	X	399-1705-1-ND	6.35	5.53	4.83	399-1705-2-ND	500	1155.61	T496X107K016AS
	100	±20	16	8.0	0.7	X	399-1706-1-ND	5.93	5.16	4.51	399-1706-2-ND	500	1078.57	T496X107M016AS
20	2.2	±10	0.5	6.0	3.5	B	399-1707-1-ND	1.52	1.33	1.16	399-1707-2-ND	2,000	518.12/M	T496B225K020AS
	2.2	±20	0.5	6.0	3.5	B	399-1708-1-ND	1.40	1.22	1.07	399-1708-2-ND	2,000	474.95/M	T496B225M020AS
	6.8	±10	1.4	6.0	2.0	C	399-1709-1-ND	2.54	2.21	1.94	399-1709-2-ND	500	462.24	T496C685K020AS
	6.8	±20	1.4	6.0	2.0	C	399-1710-1-ND	2.33	2.03	1.77	399-1710-2-ND	500	423.72	T496C685M020AS
	10	±10	2	6.0	2.0	C	399-1711-1-ND	2.54	2.21	1.94	399-1711-2-ND	500	462.24	T496C106K020AS
	10	±20	2	6.0	2.0	C	399-1712-1-ND	2.33	2.03	1.77	399-1712-2-ND	500	423.72	T496C106M020AS
	22	±10	4.4	6.0	1.0	D	399-1713-1-ND	3.30	2.88	2.51	399-1713-2-ND	500	600.92	T496D226K020AS
	22	±20	4.4	6.0	1.0	D	399-1714-1-ND	3.17	2.77	2.42	399-1714-2-ND	500	577.80	T496D226M020AS
	33	±10	6.6	6.0	0.9	X	399-1715-1-ND	5.93	5.16	4.51	399-1715-2-ND	500	1078.57	T496X336K020AS
	33	±20	6.6	6.0	0.9	X	399-1716-1-ND	5.50	4.79	4.19	399-1716-2-ND	500	1001.53	T496X336M020AS
25	4.7	±10	1.2	6.0	2.5	C	399-1717-1-ND	2.54	2.21	1.94	399-1717-2-ND	500	462.24	T496C475K025AS
	4.7	±20	1.2	6.0	2.5	C	399-1718-1-ND	2.33	2.03	1.77	399-1718-2-ND	500	423.72	T496C475M025AS
	10	±10	2.5	6.0	1.2	D	399-1719-1-ND	3.30	2.88	2.51	399-1719-2-ND	500	600.92	T496D106K025AS
	10	±20	2.5	6.0	1.2	D	399-1720-1-ND	3.17	2.77	2.42	399-1720-2-ND	500	577.80	T496D106M025AS
	22	±10	5.5	6.0	0.8	D	399-1721-1-ND	3.30	2.88	2.51	399-1721-2-ND	500	601.09	T496D226K025AS
	22	±20	5.5	6.0	0.8	D	399-1722-1-ND	3.17	2.77	2.42	399-1722-2-ND	500	577.80	T496D226M025AS
	22	±10	5.5	6.0	0.9	X	399-1723-1-ND	5.93	5.16	4.51	399-1723-2-ND	500	1078.57	T496X226K025AS
	22	±20	5.5	6.0	0.9	X	399-1724-1-ND	5.50	4.79	4.19	399-1724-2-ND	500	1001.53	T496X226M025AS
35	1.0	±10	0.5	4.0	5.0	B	399-1725-1-ND	1.52	1.33	1.16	399-1725-2-ND	2,000	518.12/M	T496B105K035AS
	1.0	±20	0.5	4.0	5.0	B	399-1726-1-ND	1.40	1.22	1.07	399-1726-2-ND	2,000	474.95/M	T496B105M035AS
	2.2	±10	0.8	6.0	3.5	C	399-1727-1-ND	2.54	2.21	1.94	399-1727-2-ND	500	462.24	T496C225K035AS
	2.2	±20	0.8	6.0	3.5	C	399-1728-1-ND	2.33	2.03	1.77	399-1728-2-ND	500	423.72	T496C225M035AS
	4.7	±10	1.7	6.0	1.5	D	399-1729-1-ND	3.30	2.88	2.51	399-1729-2-ND	500	601.09	T496D475K035AS
	4.7	±20	1.7	6.0	1.5	D	399-1730-1-ND	3.17	2.77	2.42	399-1730-2-ND	500	577.80	T496D475M035AS
	6.8	±10	2.4	6.0	1.3	D	399-1731-1-ND	3.30	2.88	2.51	399-1731-2-ND	500	600.92	T496D685K035AS
	6.8	±20	2.4	6.0	1.3	D	399-1732-1-ND	3.17	2.77	2.42	399-1732-2-ND	500	577.80	T496D685M035AS
	10	±10	3.5	6.0	1.0	X	399-1733-1-ND	5.93	5.16	4.51	399-1733-2-ND	500	1078.57	T496X106K035AS
	10	±20	3.5	6.0	1.0	X	399-1734-1-ND	5.50	4.79	4.19	399-1734-2-ND	500	1001.53	T496X106M035AS
	15	±10	5.3	6.0	0.9	X	399-1735-1-ND	6.35	5.53	4.83	399-1735-2-ND	500	1155.61	T496X156K035AS
	15	±20	5.3	6.0	0.9	X	399-1736-1-ND	5.93	5.16	4.51	399-1736-2-ND	500	1078.57	T496X156M035AS
50	1.0	±10	0.5	4.0	5.5	C	399-1737-1-ND	2.86	2.49	2.18	399-1737-2-ND	500	520.24	T496C105K050AS
	1.0	±20	0.5	4.0	5.5	C	399-1738-1-ND	2.79	2.44	2.13	399-1738-2-ND	500	508.38	T496C105M050AS
	4.7	±10	2.4	6.0	1.5	X	399-1739-1-ND	6.77	5.90	5.15	399-1739-2-ND	500	1232.65	T496X475K050AS
	4.7	±20	2.4	6.0	1.5	X	399-1740-1-ND	6.35	5.53	4.83	399-1740-2-ND	500	1155.61	T496X475M050AS
Serie T510 — Ultra-niedrige ESR														
4	680	±10	27.2	6.0	0.030	X	399-1749-1-ND	12.49	10.87	9.50	399-1749-2-ND	500	2272.70	T510X687K004AS
	680	±20	27.2	6.0	0.030	X	399-1750-1-ND	11.85	10.32	9.01	399-1750-2-ND	500	2157.14	T510X687M004AS
	1000	±10	40	6.0	0.018	E	399-1741-1-ND	15.24	13.26	11.59	399-1741-2-ND	500	2773.46	T510E108K004AS
	1000	±10	40	6.0	0.010	E	399-1742-1-ND	15.66	13.63	11.91	399-1742-2-ND	500	2850.50	T510E108K004AS4115
	1000	±20	40	6.0	0.018	E	399-1743-1-ND	14.18	12.34	10.78	399-1743-2-ND	500	2580.86	T510E108M004AS
	1000	±20	40	6.0	0.010	E	399-1744-1-ND	14.60	12.71	11.10	399-1744-2-ND	500	2657.90	T510E108M004AS4115
6.3	470	±10	28.2	6.0	0.030	X	399-1751-1-ND	12.49	10.87	9.50	399-1751-2-ND	500	2272.70	T510X477K006AS
	470	±20	28.2	6.0	0.030	X	399-1752-1-ND	11.85	10.32	9.01	399-1752-2-ND	500	2157.14	T510X477M006AS
	680	±10	40.8	6.0	0.023	E	399-1745-1-ND	15.24	13.26	11.59	399-1745-2-ND	500	2773.46	T510E687K006AS
	680	±10	40.8	6.0	0.012	E	399-1746-1-ND	15.66	13.63	11.91	399-1746-2-ND	500	2850.50	T510E687K006AS4115
	680	±20	40.8	6.0	0.023	E	399-1747-1-ND	14.18	12.34	10.78	399-1747-2-ND	500	2580.86	T510E687M006AS
	680	±20	40.8	6.0	0.012	E	399-1748-1-ND	14.18	12.34	10.78	399-1748-2-ND	500	2657.90	T510E687M006AS4115
10	330	±10	33	6.0	0.035	X	399-1753-1-ND	12.49	10.87	9.50	399-1753-2-ND	500	2272.70	T510X337K010AS
	330	±20	33	6.0	0.035	X	399-1754-1-ND	11.85	10.32	9.01	399-1754-2-ND	500	2157.14	T510X337M010AS
25	100	±20	25	8.0	0.050	E	399-3374-1-ND	13.76	11.97	10.46	399-3374-2-ND	500	2503.82	T510E107M025AS
Serie T520 — KO-CAP Polymertantal														
2	470	±20	94	10.0	0.040	V	399-3156-1-ND	3.81	3.32	2.90	399-3156-2-ND	1,000	1295.30	T520V477M002ASE040
2.5	100	±20	25	8.0	0.070	B	399-3157-1-ND	.93	.81	.71	399-3157-2-ND	2,000	316.63/M	T520B107M2R5ASE070
	100	±20	25	8.0	0.040	B	399-3314-1-ND	1.10	.96	.84	399-3314-2-ND	2,000	374.20/M	T520B107M2R5ASE040
	220	±20	55	8.0	0.070	B	399-3375-1-ND	1.06	.93	.81	399-3375-2-ND	2,000	359.81/M	T520B227M2R5ASE070
	220	±20	55	10.0	0.045	V	399-3240-1-ND	2.96	2.58	2.26	399-3240-2-ND	1,000	1007.45	T520V227M2R5ASE045
	220	±20	55	10.0	0.025	V	399-3239-1-ND	3.17	2.77	2.42	399-3239-2-ND	1,000	1079.42	T520V227M2R5ASE025
	220	±20	55	10.0	0.015	V	399-3238-1-ND	3.39	2.95	2.58	399-3238-2-ND	1,000	1151.38	T520V227M2R5ASE015
	220	±20	55	10.0	0.012	V	399-3392-1-ND	3.39	2.95	2.58	399-3392-2-ND	1,000	1151.38	T520V227M2R5ASE012
	220	±20	55	10.0	0.009	V	399-3391-1-ND	3.60	3.14	2.74	399-3391-2-ND	1,000	1223.34	T520V227M2R5ASE009
	330	±20	83	10.0	0.025	V	399-3242-1-ND	3.81	3.32	2.90	399-3242-2-ND	1,000	1295.30	T520V337M2R5ASE025
	330	±20	83	10.0	0.015	V	399-3241-1-ND	4.02	3.50	3.06	399-3241-2-ND	1,000	1367.26	T520V337M2R5ASE015
	330	±20	99	10.0	0.009	V	399-3351-1-ND	4.23	3.69	3.22	399-3351-2-ND	1,000	1439.22	T520V337M2R5ASE009
	470	±20	118	10.0	0.009	D	399-3379-1-ND	4.23	3.69	3.22	399-3379-2-ND	500	770.41	T520D477M2R5ASE009
	470	±20	118	10.0	0.009	V	399-3395-1-ND	4.23	3.69	3.22	399-3395-2-ND	1,000	1439.22	T520V477M2R5ASE009
	470	±20	118	10.0	0.015	V	399-3158-1-ND	3.81	3.32	2.90	399-3158-2-ND	1,000	1295.30	T520V477M2R5ASE015
	470	±20	118	10.0	0.012	V	399-3159-1-ND	4.02	3.50	3.06	399-3159-2-ND	1,000	1367.26	T520V477M2R5ASE012
	680	±20	170	10.0	0.040	D	399-3244-1-ND	3.81	3.32	2.90	399-3244-2-ND	500	693.37	T520D687M2R5ASE040
	680	±20	170	10.0	0.015	D	399-3243-1-ND	4.02	3.50	3.06	399-3243-2-ND	500	731.89	T520D687M2R5ASE015
3	100	±20	30	8.0	0.070	B	399-3059-1-ND	.93	.81	.71	399-3059-2-ND	2,000	316.63/M	T520B107M003ASE070
	100	±20	30	8.0	0.040	B	399-3315-1-ND	1.10	.96	.84	399-3315-2-ND	2,000	374.20/M	T520B107M003ASE040
	150	±20	45	8.0	0.070	B	399-3160-1-ND	1.06	.93	.81	399-3160-2-ND	2,000	359.81/M	T520B157M003ASE070
	150	±20	45	8.0	0.040	B	399-3316-1-ND	1.23	1.07	.94	399-3316-2-ND	2,000	417.38/M	T520B157M003ASE040
	330	±20	99	10.0	0.025	V	399-3161-1-ND	3.81	3.32	2.90	399-3161-2-ND	1,000	1295.30	T520V337M003ASE025
	330	±20	99	10.0	0.015	V	399-3162-1-ND	4.02	3.50	3.06	399-3162-2-ND	1,000	1367.26	T520V337M003ASE015
	680	±20	204	10.0	0.040	D	399-3163-1-ND	3.81	3.32	2.90	399-3163-2-ND	500	693.37	T520D687M003ASE040
	680	±20	204	10.0	0.015	D	399-3164-1-ND	4.02	3.50	3.06	399-3164-2-ND	500	731.89	T520D687M003ASE015
	1000	±20	300	10.0	0.030	X	399-3165-1-ND	7.62	6.63	5.80	399-3165-2-ND	500	1386.73	T520X108M003ASE030
	1000	±20	300	10.0	0.015	X	399-3166-1-ND	7.83	6.82	5.96	399-3166-2-ND	500	1425.25	T520X108M003ASE015
4	15	±20	6	8.0	0.100	T	399-3245-1-ND	1.06	.93	.81	399-3245-2-ND	2,500	359.81/M	T520T156M004ATE100
	47	±20	19	8.0	0.070	T	399-3380-1-ND	1.14	1.00	.87	399-3380-2-ND	2,500	388.59/M	T520T476M004ATE070
	68	±20	27	8.0	0.070	B	399-3060-1-ND	.93	.81	.71	399-3060-2-ND	2,000	316.63/M	T520B686M004ASE070
	68	±20	27	8.0	0.040	B	399-3317-1-ND	1.10	.96	.84	399-3317-2-ND	2,000	374.20/M	T520B686M004ASE040
	100	±20	40	8.0	0.070	B	399-3167-1-ND	.93	.81	.71	399-3167-2-ND	2,000	316.63/M	T520B107M004ASE070
	100	±20	40	8.0	0.040	B	399-3318-1-ND	1.10	.96	.84	399-3318-2-ND	2,000	374.20/M	T520B107M004ASE040
	150	±20	60	8.0	0.070	B	399-3319-1-ND	1.06	.93	.81	399-3319-2-ND	2,000	359.81/M	T520B157M004ASE070
	150	±20	60	8.0	0.040	B	399-3320-1-ND	1.23	1.07	.94	399-3320-2-ND	2,000	417.38/M	T520B157M004ASE040
	150	±20	60	10.0	0.025	V	399-3247-1-ND	3.17	2.77	2.42	399-3247-2-ND	1,000	1079.42	T520V157M004ASE025

HINWEIS: Teile mit verbesserten Toleranzen oder Spannungen dürfen innerhalb derselben Gehäusegröße ersetzt werden. Diese Teile werden dieselbe oder eine bessere Leistung bieten als jene, die Sie bestellt haben. *(Forts.)*

E

Betriebs-spannung (DC)	Kap. (µF)	Kap. Tol. (%)	DC-Leckstrom µA@+25°C max.	DF % @+25°C 120Hz max.	ESR Ω @+25°C 100KHz max.	Größen-code	Digi-Key Teilenr.	Gurtabschnittspreis pro Stück 1	10	100	Digi-Key Teilenr.	Gegurtet auf Rolle Größe	Preisangaben	Kemet Teilenr.
4	150	±20	60	10.0	0.012	V	399-3384-1-ND	3.39	2.95	2.58	399-3384-2-ND	1,000	1151.38	T520V157M004ASE012
	150	±20	60	10.0	0.009	V	399-3383-1-ND	3.60	3.14	2.74	399-3383-2-ND	1,000	1223.34	T520V157M004ASE009
	150	±20	60	10.0	0.015	V	399-3246-1-ND	3.39	2.95	2.58	399-3246-2-ND	1,000	1151.38	T520V157M004ASE015
	220	±20	88	10.0	0.065	D	399-3321-1-ND	1.57	1.37	1.20	399-3321-2-ND	500	284.88	T520D227M004ASE065
	220	±20	88	10.0	0.045	V	399-1755-1-ND	3.17	2.77	2.42	399-1755-2-ND	1,000	1079.42	T520V227M004ASE045
	220	±20	88	10.0	0.025	V	399-1756-1-ND	3.39	2.95	2.58	399-1756-2-ND	1,000	1151.38	T520V227M004ASE025
	220	±20	88	10.0	0.012	V	399-3388-1-ND	3.60	3.14	2.74	399-3388-2-ND	1,000	1223.34	T520V227M004ASE012
	220	±20	88	10.0	0.009	V	399-3387-1-ND	3.81	3.32	2.90	399-3387-2-ND	1,000	1295.30	T520V227M004ASE009
	330	±20	132	10.0	0.045	D	399-3252-1-ND	1.57	1.37	1.20	399-3252-2-ND	500	284.88	T520D337M004ASE045
	330	±20	132	10.0	0.040	D	399-3250-1-ND	1.78	1.55	1.36	399-3250-2-ND	500	323.40	T520D337M004ASE040
	330	±20	132	10.0	0.015	D	399-3248-1-ND	1.99	1.74	1.52	399-3248-2-ND	500	361.92	T520D337M004ASE015
	330	±20	132	10.0	0.009	D	399-3378-1-ND	2.20	1.92	1.68	399-3378-2-ND	500	400.61	T520D337M004ASE009
	330	±20	132	10.0	0.040	V	399-3251-1-ND	3.17	2.77	2.42	399-3251-2-ND	1,000	1079.42	T520V337M004ASE040
	330	±20	132	10.0	0.025	V	399-3249-1-ND	3.39	2.95	2.58	399-3249-2-ND	1,000	1151.38	T520V337M004ASE025
	330	±20	132	10.0	0.012	V	399-3394-1-ND	3.60	3.14	2.74	399-3394-2-ND	1,000	1223.34	T520V337M004ASE012
	330	±20	132	10.0	0.009	V	399-3393-1-ND	3.81	3.32	2.90	399-3393-2-ND	1,000	1295.30	T520V337M004ASE009
	470	±20	188	10.0	0.040	D	399-1757-1-ND	1.82	1.59	1.39	399-1757-2-ND	500	331.27	T520D477M004ASE040
	470	±20	188	10.0	0.025	D	399-3253-1-ND	2.03	1.77	1.55	399-3253-2-ND	500	369.79	T520D477M004ASE025
	470	±20	188	10.0	0.018	D	399-3168-1-ND	2.03	1.77	1.55	399-3168-2-ND	500	369.96	T520D477M004ASE018
	470	±20	188	10.0	0.015	D	399-3352-1-ND	2.24	1.96	1.71	399-3352-2-ND	500	408.32	T520D477M004ASE015
	470	±20	188	10.0	0.012	D	399-3353-1-ND	2.24	1.96	1.71	399-3353-2-ND	500	408.48	T520D477M004ASE012
	680	±20	272	10.0	0.035	X	399-3169-1-ND	7.62	6.63	5.80	399-3169-2-ND	500	1386.73	T520X687M004ASE035
	680	±20	272	10.0	0.015	X	399-3170-1-ND	7.83	6.82	5.96	399-3170-2-ND	500	1425.25	T520X687M004ASE015
6.3	15	±20	9.5	8.0	0.100	T	399-3254-1-ND	1.06	.93	.81	399-3254-2-ND	2,500	359.81/M	T520T156M006ATE100
	33	±20	21	8.0	0.070	B	399-3171-1-ND	.93	.81	.71	399-3171-2-ND	2,000	316.63/M	T520B336M006ASE070
	33	±20	21	8.0	0.040	B	399-3322-1-ND	1.10	.96	.84	399-3322-2-ND	2,000	374.20/M	T520B336M006ASE040
	33	±20	20.8	8.0	0.070	T	399-3354-1-ND	1.14	1.00	.87	399-3354-2-ND	2,500	388.59/M	T520T336M006ATE070
	47	±20	30	8.0	0.070	B	399-3061-1-ND	.93	.81	.71	399-3061-2-ND	2,000	316.63/M	T520B476M006ASE070
	47	±20	30	8.0	0.040	B	399-3323-1-ND	1.10	.96	.84	399-3323-2-ND	2,000	374.20/M	T520B476M006ASE040
	68	±20	43	8.0	0.070	B	399-3172-1-ND	.93	.81	.71	399-3172-2-ND	2,000	316.63/M	T520B686M006ASE070
	68	±20	43	8.0	0.040	B	399-3324-1-ND	1.10	.96	.84	399-3324-2-ND	2,000	374.20/M	T520B686M006ASE040
	100	±20	63	8.0	0.070	B	399-3173-1-ND	1.02	.89	.78	399-3173-2-ND	2,000	345.42/M	T520B107M006ASE070
	100	±20	63	8.0	0.040	B	399-3325-1-ND	1.19	1.04	.91	399-3325-2-ND	2,000	402.98/M	T520B107M006ASE040
	100	±20	63	10.0	0.012	V	399-3382-1-ND	3.39	2.95	2.58	399-3382-2-ND	1,000	1151.38	T520V107M006ASE012
	100	±20	63	10.0	0.009	V	399-3381-1-ND	3.60	3.14	2.74	399-3381-2-ND	1,000	1223.34	T520V107M006ASE009
	150	±20	95	10.0	0.055	D	399-1759-1-ND	1.57	1.37	1.20	399-1759-2-ND	500	285.05	T520D157M006ASE055
	150	±20	94.5	10.0	0.025	D	399-3334-1-ND	1.78	1.55	1.36	399-3334-2-ND	500	323.57	T520D157M006ASE025
	150	±20	95	10.0	0.015	D	399-3177-1-ND	1.78	1.55	1.36	399-3177-2-ND	500	323.40	T520D157M006ASE015
	150	±20	95	10.0	0.045	V	399-1758-1-ND	3.17	2.77	2.42	399-1758-2-ND	1,000	1079.42	T520V157M006ASE045
	150	±20	95	10.0	0.040	V	399-3255-1-ND	3.17	2.77	2.42	399-3255-2-ND	1,000	1079.42	T520V157M006ASE040
	150	±20	95	10.0	0.025	V	399-3174-1-ND	3.39	2.95	2.58	399-3174-2-ND	1,000	1151.38	T520V157M006ASE025
	150	±20	95	10.0	0.012	V	399-3386-1-ND	3.60	3.14	2.74	399-3386-2-ND	1,000	1223.34	T520V157M006ASE012
	150	±20	95	10.0	0.009	V	399-3385-1-ND	3.81	3.32	2.90	399-3385-2-ND	1,000	1295.30	T520V157M006ASE009
	220	±20	139	10.0	0.050	D	399-1760-1-ND	1.57	1.37	1.20	399-1760-2-ND	500	285.05	T520D227M006ASE050
	220	±20	139	10.0	0.040	D	399-1761-1-ND	1.78	1.55	1.36	399-1761-2-ND	500	323.57	T520D227M006ASE040
	220	±20	139	10.0	0.009	D	399-3377-1-ND	2.20	1.92	1.68	399-3377-2-ND	500	400.61	T520D227M006ASE009
	220	±20	139	10.0	0.040	V	399-3175-1-ND	3.81	3.32	2.90	399-3175-2-ND	1,000	1295.30	T520V227M006ASE040
	220	±20	139	10.0	0.025	V	399-3176-1-ND	4.02	3.50	3.06	399-3176-2-ND	1,000	1367.26	T520V227M006ASE025
	220	±20	139	10.0	0.012	V	399-3390-1-ND	4.23	3.69	3.22	399-3390-2-ND	1,000	1439.22	T520V227M006ASE012
	220	±20	139	10.0	0.009	V	399-3389-1-ND	4.44	3.87	3.38	399-3389-2-ND	1,000	1511.18	T520V227M006ASE009
	330	±20	208	10.0	0.045	D	399-1762-1-ND	1.57	1.37	1.20	399-1762-2-ND	500	284.88	T520D337M006ASE045
	330	±20	208	10.0	0.040	D	399-1763-1-ND	1.78	1.55	1.36	399-1763-2-ND	500	323.57	T520D337M006ASE040
	330	±20	208	10.0	0.025	D	399-3326-1-ND	1.78	1.55	1.36	399-3326-2-ND	500	285.05	T520D337M006ASE025
	330	±20	208	10.0	0.015	D	399-3327-1-ND	1.99	1.74	1.52	399-3327-2-ND	500	362.09	T520D337M006ASE015
	330	±20	208	10.0	0.040	V	399-3355-1-ND	3.81	3.32	2.90	399-3355-2-ND	1,000	1295.30	T520V337M006ASE040
	330	±20	208	10.0	0.025	V	399-3356-1-ND	4.02	3.50	3.06	399-3356-2-ND	1,000	1367.26	T520V337M006ASE025
	470	±20	296	10.0	0.040	X	399-1764-1-ND	10.37	9.03	7.89	399-1764-2-ND	500	1887.49	T520X477M006ASE040
	470	±20	296	10.0	0.035	X	399-1765-1-ND	10.58	9.21	8.05	399-1765-2-ND	500	1964.54	T520X477M006ASE035
8	33	±20	26	8.0	0.040	B	399-3328-1-ND	1.10	.96	.84	399-3328-2-ND	2,000	374.20/M	T520B336M008ASE040
	33	±20	27	8.0	0.070	B	399-3256-1-ND	.93	.81	.71	399-3256-2-ND	2,000	316.63/M	T520B336M008ASE070
	150	±20	120	10.0	0.055	D	399-3259-1-ND	2.96	2.58	2.26	399-3259-2-ND	500	539.28	T520D157M008ASE055
	150	±20	120	10.0	0.040	D	399-3258-1-ND	3.17	2.77	2.42	399-3258-2-ND	500	577.80	T520D157M008ASE040
	150	±20	120	10.0	0.025	D	399-3257-1-ND	3.39	2.95	2.58	399-3257-2-ND	500	616.32	T520D157M008ASE025
10	33	±20	33	8.0	0.070	B	399-3178-1-ND	.93	.81	.71	399-3178-2-ND	2,000	316.63/M	T520B336M010ASE070
	33	±20	33	8.0	0.040	B	399-3329-1-ND	1.10	.96	.84	399-3329-2-ND	2,000	374.20/M	T520B336M010ASE040
	68	±20	68	10.0	0.060	V	399-1766-1-ND	3.17	2.77	2.42	399-1766-2-ND	1,000	1079.42	T520V686M010ASE060
	68	±20	68	10.0	0.045	V	399-3330-1-ND	3.39	2.95	2.58	399-3330-2-ND	1,000	1079.42	T520V686M010ASE045
	100	±20	100	10.0	0.080	D	399-1767-1-ND	1.57	1.37	1.20	399-1767-2-ND	500	284.88	T520D107M010ASE080
	100	±20	100	10.0	0.055	D	399-1768-1-ND	1.78	1.55	1.36	399-1768-2-ND	500	323.40	T520D107M010ASE055
	100	±20	100	10.0	0.050	V	399-3179-1-ND	3.60	3.14	2.74	399-3179-2-ND	1,000	1223.34	T520V107M010ASE050
	100	±20	100	10.0	0.045	V	399-3335-1-ND	3.60	3.14	2.74	399-3335-2-ND	1,000	1223.34	T520V107M010ASE045
	100	±20	100	10.0	0.025	V	399-3180-1-ND	3.81	3.32	2.90	399-3180-2-ND	1,000	1295.30	T520V107M010ASE025
	150	±20	150	10.0	0.055	D	399-1769-1-ND	1.57	1.37	1.20	399-1769-2-ND	500	284.88	T520D157M010ASE055
	150	±20	150	10.0	0.040	D	399-1770-1-ND	1.78	1.55	1.36	399-1770-2-ND	500	323.57	T520D157M010ASE040
	220	±20	220	10.0	0.040	D	399-3181-1-ND	1.82	1.59	1.39	399-3181-2-ND	500	331.27	T520D227M010ASE040
	220	±20	220	10.0	0.025	D	399-3260-1-ND	2.03	1.77	1.55	399-3260-2-ND	500	369.96	T520D227M010ASE025
	220	±20	220	10.0	0.018	D	399-3182-1-ND	2.03	1.77	1.55	399-3182-2-ND	500	369.96	T520D227M010ASE018
	330	±20	330	10.0	0.040	X	399-1771-1-ND	10.37	9.03	7.89	399-1771-2-ND	500	1887.49	T520X337M010ASE040
	330	±20	330	10.0	0.025	X	399-3183-1-ND	10.58	9.21	8.05	399-3183-2-ND	500	1926.02	T520X337M010ASE025
16	33	±20	53	10.0	0.060	V	399-3184-1-ND	3.81	3.32	2.90	399-3184-2-ND	1,000	1295.30	T520V336M016ASE060
	47	±20	75	10.0	0.070	D	399-3102-1-ND	2.75	2.40	2.10	399-3102-2-ND	500	500.76	T520D476M016ASE070
	47	±20	76	10.0	0.070	V	399-3331-1-ND	3.81	3.32	2.90	399-3331-2-ND	1,000	1295.30	T520V476M016ASE070
25	15	±20	37.5	10.0	0.080	D	399-3336-1-ND	2.75	2.40	2.10	399-3336-2-ND	500	500.76	T520D156M025ASE080
	15	±20	38	10.0	0.060	D	399-3376-1-ND	2.96	2.58	2.26	399-3376-2-ND	500	531.58	T520D156M025ASE060
Serie T525 — KO-CAP Polymertantal														
2.5	330	±20	83	10.0	0.025	D	399-3261-1-ND	4.22	3.67	3.21	399-3261-2-ND	500	766.60	T525D337M2R5ATE025
	470	±20	118	10.0	0.025	D	399-3262-1-ND	4.22	3.67	3.21	399-3262-2-ND	500	766.60	T525D477M2R5ATE025
	680	±20	170	10.0	0.025	D	399-3263-1-ND	4.22	3.67	3.21	399-3263-2-ND	500	766.60	T525D687M2R5ATE025
3	100	±20	30	8.0	0.080	B	399-3264-1-ND	1.10	.96	.84	399-3264-2-ND	2,000	374.20/M	T525B107M003ATE080
	150	±20	45	8.0	0.080	B	399-3265-1-ND	1.10	.96	.84	399-3265-2-ND	2,000	374.20/M	T525B157M003ATE080
	330	±20	99	10.0	0.025	D	399-3266-1-ND	4.22	3.67	3.21	399-3266-2-ND	500	766.60	T525D337M003ATE025
	470	±20	141	10.0	0.025	D	399-3267-1-ND	4.22	3.67	3.21	399-3267-2-ND	500	766.60	T525D477M003ATE025
	680	±20	204	10.0	0.025	D	399-3268-1-ND	4.22	3.67	3.21	399-3268-2-ND	500	766.60	T525D687M003ATE025
4	68	±20	27.2	8.0	0.080	B	399-3269-1-ND	1.10	.96	.84	399-3269-2-ND	2,000	374.20/M	T525B686M004ATE080
	100	±20	40	8.0	0.080	B	399-3270-1-ND	1.10	.96	.84	399-3270-2-ND	2,000	374.20/M	T525B107M004ATE080
	220	±20	88	10.0	0.025	D	399-3271-1-ND	4.22	3.67	3.21	399-3271-2-ND	500	766.60	T525D227M004ATE025
	330	±20	132	10.0	0.025	D	399-3272-1-ND	4.22	3.67	3.21	399-3272-2-ND	500	766.60	T525D337M004ATE025
	470	±20	188	10.0	0.040	D	399-3151-1-ND	4.22	3.67	3.21	399-3151-2-ND	500	766.60	T525D477M004ATE040
	470	±20	188	10.0	0.025	D	399-3273-1-ND	4.43	3.85	3.37	399-3273-2-ND	500	805.12	T525D477M004ATE025

HINWEIS: Teile mit verbesserten Toleranzen oder Spannungen dürfen innerhalb derselben Gehäusegröße ersetzt werden. Diese Teile werden dieselbe oder eine bessere Leistung bieten als jene, die Sie bestellt haben. *(Forts.)*

Alle Preisangaben in Euro und inklusive Zollgebühren.

Betriebs-spannung (DC)	Kap. (µF)	Kap. Tol. (%)	DC-Leckstrom µA@+25°C max.	DF % @+25°C 120Hz max.	ESR Ω @+25°C 100KHz max.	Größen-code	Digi-Key Teilenr.	Gurtabschnittspreis pro Stück 1	10	100	Digi-Key Teilenr.	Gegurtet auf Rolle Größe	Preisangaben	Kemet Teilenr.
6.3	33	±20	20.8	8.0	0.080	B	399-3274-1-ND	1.10	.96	.84	399-3274-2-ND	2,000	374.20/M	T525B336M006ATE080
	47	±20	29.6	8.0	0.080	B	399-3275-1-ND	1.10	.96	.84	399-3275-2-ND	2,000	374.20/M	T525B476M006ATE080
	68	±20	42.8	8.0	0.080	B	399-3276-1-ND	1.10	.96	.84	399-3276-2-ND	2,000	374.20/M	T525B686M006ATE080
	150	±20	95	10.0	0.025	D	399-3277-1-ND	4.43	3.85	3.37	399-3277-2-ND	500	805.12	T525D157M006ATE025
	220	±20	139	10.0	0.025	D	399-3278-1-ND	4.43	3.85	3.37	399-3278-2-ND	500	805.12	T525D227M006ATE025
	330	±20	208	10.0	0.040	D	399-3152-1-ND	4.22	3.67	3.21	399-3152-2-ND	500	766.60	T525D337M006ATE040
	330	±20	208	10.0	0.025	D	399-3279-1-ND	4.43	3.85	3.37	399-3279-2-ND	500	805.12	T525D337M006ATE025
10	33	±20	33	8.0	0.080	B	399-3280-1-ND	1.10	.96	.84	399-3280-2-ND	2,000	374.20/M	T525B336M010ATE080
	100	±20	100	10.0	0.055	D	399-3153-1-ND	4.22	3.67	3.21	399-3153-2-ND	500	766.60	T525D107M010ATE055
	100	±20	100	10.0	0.025	D	399-3281-1-ND	4.43	3.85	3.37	399-3281-2-ND	500	805.12	T525D107M010ATE025
	150	±20	150	10.0	0.055	D	399-3154-1-ND	4.22	3.67	3.21	399-3154-2-ND	500	766.60	T525D157M010ATE055
	150	±20	150	10.0	0.025	D	399-3282-1-ND	4.43	3.85	3.37	399-3282-2-ND	500	805.12	T525D157M010ATE025
	220	±20	220	10.0	0.025	D	399-3283-1-ND	4.43	3.85	3.37	399-3283-2-ND	500	805.12	T525D227M010ATE025
16	47	±20	75.2	10.0	0.065	D	399-3155-1-ND	4.22	3.67	3.21	399-3155-2-ND	500	766.60	T525D476M016ATE065
	47	±20	76	10.0	0.035	D	399-3284-1-ND	4.43	3.85	3.37	399-3284-2-ND	500	805.12	T525D476M016ATE035
Serie T530 — KO-MAT Polymertantal														
2.5	470	±20	118	8.0	0.006	D	399-3399-1-ND	8.89	7.74	6.76	399-3399-2-ND	500	1617.85	T530D447M2R5ASE006
	560	±20	140	8.0	0.005	D	399-3357-1-ND	9.31	8.11	7.08	399-3357-2-ND	500	1694.89	T530D567M2R5ASE005
	680	±20	170	8.0	0.010	D	399-3332-1-ND	8.68	7.55	6.60	399-3332-2-ND	500	1579.33	T530D687M2R5ASE010
	1,000	±20	250	8.0	0.006	X	399-3400-1-ND	10.37	9.03	7.89	399-3400-2-ND	500	1887.49	T530X108M2R5ASE006
3	680	±20	204	8.0	0.010	D	399-3333-1-ND	8.68	7.55	6.60	399-3333-2-ND	500	1579.33	T530D687M003ASE010
	1000	±20	300	8.0	0.010	X	399-3062-1-ND	9.95	8.66	7.57	399-3062-2-ND	500	1810.45	T530X108M003ASE010
	1500	±20	450	8.0	0.008	X	399-3185-1-ND	11.01	9.58	8.37	399-3185-2-ND	500	2003.06	T530X158M003ASE008
4	330	±20	132	8.0	0.006	D	399-3398-1-ND	8.89	7.74	6.76	399-3398-2-ND	500	1617.85	T530D337M004ASE006
	470	±20	188	8.0	0.010	D	399-3285-1-ND	8.68	7.55	6.60	399-3285-2-ND	500	1579.33	T530D477M004ASE010
	680	±20	272	8.0	0.010	X	399-3063-1-ND	9.95	8.66	7.57	399-3063-2-ND	500	1810.45	T530X687M004ASE010
	680	±20	272	8.0	0.006	X	399-3403-1-ND	10.37	9.03	7.89	399-3403-2-ND	500	1887.49	T530X687M004ASE006
6.3	220	±20	139	8.0	0.006	D	399-3397-1-ND	8.89	7.74	6.76	399-3397-2-ND	500	1617.85	T530D227M006ASE006
	330	±20	208	8.0	0.010	D	399-3286-1-ND	8.47	7.37	6.44	399-3286-2-ND	500	1540.81	T530D337M006ASE010
	470	±20	296	8.0	0.010	X	399-3064-1-ND	9.95	8.66	7.57	399-3064-2-ND	500	1810.45	T530X477M006ASE010
	470	±20	297	8.0	0.006	X	399-3402-1-ND	10.37	9.03	7.89	399-3402-2-ND	500	1887.49	T530X477M006ASE006
10	150	±20	150	8.0	0.006	D	399-3396-1-ND	8.89	7.74	6.76	399-3396-2-ND	500	1617.85	T530D157M010ASE006
	220	±20	220	8.0	0.010	D	399-3358-1-ND	8.47	7.37	6.44	399-3358-2-ND	500	1540.81	T530D227M010ASE010
	330	±20	330	8.0	0.010	X	399-3065-1-ND	9.95	8.66	7.57	399-3065-2-ND	500	1810.45	T530X337M010ASE010
	330	±20	330	8.0	0.006	X	399-3401-1-ND	10.37	9.03	7.89	399-3401-2-ND	500	1887.49	T530X337M010ASE006

HINWEIS: Teile mit verbesserten Toleranzen oder Spannungen dürfen innerhalb derselben Gehäusegröße ersetzt werden. Diese Teile werden dieselbe oder eine bessere Leistung bieten als jene, die Sie bestellt haben.

E

Serie A700 AO-CAP Organische Aluminium-Kondensatoren

Der AO-CAP von KEMET bestimmt die Serie A700 und wurde für Power-Management-Anwendungen entwickelt. Die Struktur des AO-CAP verwendet Aluminium als Anodenmaterial, Aluminiumoxyd als Dielektrik und ein leitfähiges organisches Polymer als Gegenelektrodenmaterial. Der AO-CAP bietet viele Vorteile:

- Extrem niedriger ESR
- Hohe Kapazitätserhaltung für bessere Leistung bei hohen Betriebsfrequenzen
- Keine Spannungsdrosselung bis zu 125 °C
- Robustes Oberflächenmontageverfahren
- Kein durch Austrocknen verursachtes Versagen von Mechanismen
- Pb-frei

Die Serie A700 hat ein Gußgehäuse und Wickelanschlüsse. Dies bietet guten Schutz vor Rissen (Flex) und stellt eine ideale Alternative zu Hochkapazitätskeramik dar; ferner werden echte oberflächenmontierbare Lösungen für die in der Industrie bereits vorhandenen organischen Aluminium-Kondensatoren ermöglicht. Die Hochfrequenzleistung des AO-CAP kann die Zahl der benötigten Komponenten reduzieren, was Platz auf der Platine spart und eine kostengünstigere Lösung darstellt.

Beachten Sie bitte, dass es sich bei dem AO-CAP um ein völlig blei(Pb)-freies Gerät handelt. Der AO-CAP bietet hervorragende Überspannungsstromleistung und langfristige Zuverlässigkeit. Ein Drosseln der Anwendungsspannung zur Senkung der Fehlerrate wird nicht empfohlen. **Betriebstemperatur:** -55 °C ~ 125 °C. Die ungefähre Kapazitätsverschiebung über den Temperaturbereich ist -15 % für -55 °C und +15 % für +125 °C. **Kapazitätstoleranz:** ±20%

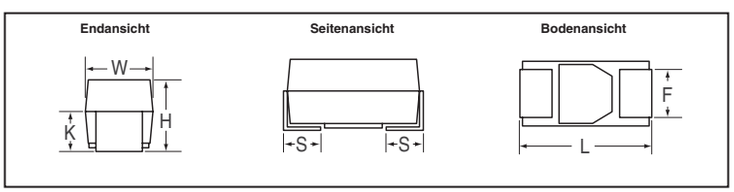

Gehäusegröße							
Kemet	EIA	L	W	H	K Min.	F ±0.1	S ±0.2
V	7343-20	7.3 ± 0.3	4.3 ± 0.3	1.9 ± 0.1	1.1	2.4	1.3
D	7343-31	7.3 ± 0.3	4.3 ± 0.3	2.8 ± 0.3	1.3	2.4	1.3
X	7343-43	7.3 ± 0.3	4.3 ± 0.3	4.0 ± 0.3	2.1	2.4	1.3

Betriebs-spannung (DC)	Kap (µF)	Größen-code	DC-Leckstrom µA @ max. +25 °C	DF % @ max. +25 °C 120 Hz	ESR Ω @ max. +25 °C 100 KHz	A rms 100 KHz bei max. ESR 25 °C ~ 105 °C	Digi-Key Teilenr.	Gurtabschnittspreis pro Stück 1	10	100	Digi-Key Teilenr.	Gegurtet auf Rolle Größe	Preisangaben	Kemet Teilenr.
2	100	V	12.0	6%	0.028	2.1	399-3030-1-ND	1.68	1.58	1.37	399-3030-2-ND	1,000	838.13	A700V107M002ATE028
	150	V	18.0	6%	0.028	2.1	399-3031-1-ND	1.68	1.58	1.37	399-3031-2-ND	1,000	838.13	A700V157M002ATE028
	180	D	21.6	6%	0.018	2.9	399-3032-1-ND	2.52	2.37	2.05	399-3032-2-ND	500	630.72	A700D187M002ATE018
	220	D	26.4	6%	0.018	2.9	399-3033-1-ND	2.52	2.37	2.05	399-3033-2-ND	500	630.72	A700D227M002ATE018
	220	D	26.4	6%	0.015	3.2	399-3034-1-ND	2.69	2.53	2.19	399-3034-2-ND	500	673.05	A700D227M002ATE015
	220	D	26.4	6%	0.012	3.5	399-3035-1-ND	2.86	2.69	2.33	399-3035-2-ND	500	715.38	A700D227M002ATE012
	270	X	26.4	6%	0.015	3.2	399-3036-1-ND	3.39	3.18	2.76	399-3036-2-ND	500	846.60	A700X277M002ATE015
	330	X	39.6	6%	0.015	3.3	399-3037-1-ND	3.39	3.18	2.76	399-3037-2-ND	500	846.60	A700X337M002ATE015
	390	X	46.8	6%	0.015	3.3	399-3038-1-ND	3.39	3.18	2.76	399-3038-2-ND	500	846.60	A700X397M002ATE015
	390	X	46.8	6%	0.010	4.1	399-3039-1-ND	3.56	3.34	2.89	399-3039-2-ND	500	888.93	A700X397M002ATE010
	470	X	56.4	6%	0.015	4.5	399-3040-1-ND	3.39	3.18	2.76	399-3040-2-ND	500	846.60	A700X477M002ATE015
2.5	82	V	12.3	6%	0.028	2.1	399-3041-1-ND	1.68	1.58	1.37	399-3041-2-ND	1,000	838.13	A700V826M2R5ATE028
	150	D	22.5	6%	0.018	2.9	399-3042-1-ND	2.52	2.37	2.05	399-3042-2-ND	500	630.72	A700D157M2R5ATE018
	220	X	33.0	6%	0.015	3.3	399-3043-1-ND	3.39	3.18	2.76	399-3043-2-ND	500	846.60	A700X227M2R5ATE015
4	82	V	19.7	6%	0.028	2.1	399-3044-1-ND	1.68	1.58	1.37	399-3044-2-ND	1,000	838.13	A700V826M004ATE028
	120	D	28.8	6%	0.018	2.9	399-3045-1-ND	2.52	2.37	2.05	399-3045-2-ND	500	630.72	A700D127M004ATE018
	150	D	36.0	6%	0.018	2.9	399-3046-1-ND	2.52	2.37	2.05	399-3046-2-ND	500	630.72	A700D157M004ATE018
	180	X	43.2	6%	0.015	3.3	399-3047-1-ND	3.39	3.18	2.76	399-3047-2-ND	500	846.60	A700X187M004ATE015
	220	X	52.8	6%	0.015	3.3	399-3048-1-ND	3.39	3.18	2.76	399-3048-2-ND	500	846.60	A700X227M004ATE015
	270	X	64.8	6%	0.015	3.3	399-3049-1-ND	3.39	3.18	2.76	399-3049-2-ND	500	846.60	A700X277M004ATE015
6.3	33	V	8.3	6%	0.028	2.1	399-3050-1-ND	1.68	1.58	1.37	399-3050-2-ND	1,000	838.13	A700V336M006ATE028
	47	V	11.8	6%	0.028	2.1	399-3051-1-ND	1.68	1.58	1.37	399-3051-2-ND	1,000	838.13	A700V476M006ATE028
	56	V	14.1	6%	0.028	2.1	399-3052-1-ND	1.68	1.58	1.37	399-3052-2-ND	1,000	838.13	A700V566M006ATE028
	68	V	17.1	6%	0.028	2.1	399-3053-1-ND	1.68	1.58	1.37	399-3053-2-ND	1,000	838.13	A700V686M006ATE028
	100	D	25.2	6%	0.018	2.9	399-3054-1-ND	2.52	2.37	2.05	399-3054-2-ND	500	630.72	A700D107M006ATE018
	150	X	37.8	6%	0.015	3.3	399-3055-1-ND	3.39	3.18	2.76	399-3055-2-ND	500	846.60	A700X157M006ATE015
	180	X	43.2	6%	0.015	3.3	399-3056-1-ND	3.39	3.18	2.76	399-3056-2-ND	500	846.60	A700X187M006ATE015
8	33	V	10.6	6%	0.028	2.1	399-3057-1-ND	1.68	1.58	1.37	399-3057-2-ND	1,000	838.13	A700V336M008ATE028
10	33	V	13.2	6%	0.028	2.1	399-3058-1-ND	1.68	1.58	1.37	399-3058-2-ND	1,000	838.13	A700V336M010ATE028

HINWEIS: Teile mit verbesserten Toleranzen oder Spannungen dürfen innerhalb derselben Gehäusegröße ersetzt werden. Diese Teile werden dieselbe oder eine bessere Leistung bieten als jene, die Sie bestellt haben.

Tantal-Kondensatoren zur Oberflächenmontage

Serie B45196P – Hohe Zuverlässigkeit in der Leistung
Konstruktion: •Festelektrolyt • Herkömmliche TA-MnO_2-Technologie • Flammenhemmendes Plastikgehäuse (UL 94 V-0)
Merkmale: • Hervorragende Zuverlässigkeit • Hohe volumetrische Effizienz • Hervorragende Lötbarkeit • Stabile Temperatur- und Frequenzeigenschaften • Niedriger Leckstrom, geringer Dissipationsfaktor • Niedrige Selbstinduktanz • Hohe Resistenz gegenüber Stoß und Vibration • Sehr niedrige Versagensrate • Betriebstemperatur bis zu 150 °C
Spezifikationen: • Betriebstemperatur: -55 °C ~ 125 °C • Lebensdauer: >500.000 Std. • Klimakategorie IEC 60068-1

Serie B45197A - SpeedPower; niedriger ESR:
Konstruktion: • Festelektrolyt • Herkömmliche TA-MnO_2-Technologie • Flammenhemmendes Plastikgehäuse (UL 94 V-0)
Merkmale: • Hohe volumetrische Effizienz • Hervorragende Lötbarkeit • Stabile Temperatur- und Frequenzeigenschaften • Niedriger Leckstrom, geringer Dissipationsfaktor • Niedrige Selbstinduktanz • Hohe Resistenz gegenüber Stoß und Vibration • Niedriger ESR-Wert
Spezifikationen: • Betriebstemperatur: -55 °C ~ 125 °C • Lebensdauer: >500.000 Std. • Klimakategorie IEC 60068-1

B45294R & B45296R Polymer-Serie mit ultra-niedrigem ESR:
Konstruktion: • Festelektrolyt • Tantal-Polymer-Technologie (Kathode besteht aus einem leitfähigen Festpolymer) • Flammenhemmendes Plastikgehäuse (UL 94 V-0) • Verzinnte Anschlüsse
Merkmale: • Hohe volumetrische Effizienz • Ultra-niedriger ESR • Hervorragende Lötbarkeit • Stabile Temperatur- und Frequenzeigenschaften • Hohe ESR-Stabilität während des Temperaturanstiegs • Hoher zulässiger Mischstrom • Nur wenig Minderung erforderlich • Niedrige Selbstinduktanz • Hohe Resistenz gegenüber Stoß und Vibration • Bei Anwendungen mit hoher Stoßspannung, keine Fehlermodus-Zündung
Spezifikationen: • Betriebstemperatur: -55 °C ~ 105 °C • Lebensdauer: >500.000 Std. • Klimakategorie IEC 60068-1

Multianoden-Serie B45396R, ultra-niediger ESR:
Konstruktion: • Festelektrolyt • Herkömmliche TA-MnO_2 -Technologie • Drei parallele Tantalkondensatoren mit niedrigem ESR in einem Gehäuse („Multianode") • Flammwidriges Kunststoffgehäuse (UL94V-0) • Verzinnte Anschlüsse
Merkmale: • Hohe volumetrische Effizienz • Ultra-niedriger ESR, hoher Mischstrom • Hervorragende Lötbarkeit • Stabile Temperatur- und Frequenzeigenschaften • Niedriger Leckstrom, geringer Dissipationsfaktor • Niedrige Selbstinduktivität • Hohe Resistenz gegenüber Stoß und Vibration
Spezifikationen: • Betriebstemperatur: -55 °C ~ 125 °C • Lebensdauer: >500.000 Std. • Klimakategorie: IEC 60068-1

Polymer-Multianoden-Serie B45496R, ultra-niediger ESR:
Konstruktion: • Festelektrolyt • Tantal-Polymer-Technologie (Kathode besteht aus einem leitfähigen Festpolymer) • Drei parallele Tantalkondensatoren mit niedrigem ESR in einem Gehäuse („Multianode") • Flammenhemmendes Plastikgehäuse (UL 94 V-0) • Verzinnte Anschlüsse
Merkmale: • Hohe volumetrische Effizienz • Ultra-niedriger ESR, hoher Mischstrom • Hervorragende Lötbarkeit • Stabile Temperatur- und Frequenzeigenschaften • Hohe ESR-Stabilität während des Temperaturanstiegs • Hoher zulässiger Mischstrom • Nur wenig Minderung erforderlich • Niedriger Dissipationsfaktor • Hohe Resistenz gegenüber Stoß und Vibration
Spezifikationen: • Betriebstemperatur: -55 °C ~ 105 °C • Lebensdauer: >500.000 Std. • Klimakategorie IEC 60068-1

Gehäusegröße	Abmessungen (mm)			
	L	W	H	L_2 typ.
A	3.2	1.6	1.6	3.0
B	3.5	2.8	1.9	3.3
C	6.0	3.2	2.5	5.8
D	7.3	4.3	2.8	7.1
E	7.3	4.3	4.1	7.1
V	7.3	4.3	1.9	7.1

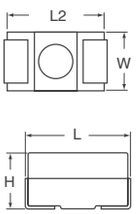

Nenn-spannung (DC)	Kapazität (µF)	Kap. Toleranz (%)	Gehäuse-größe	Max. Leckstrom DC (µA)	ESR max. @ 100 KHz 20 °C (mΩ)	Digi-Key Teilenr.	Gurtabschnitts-preise 1	10	100	Digi-Key Teilenr.	Gegurtet auf Rolle Größe	Preisangaben	Epcos Teilenr.
Leistung - Tantalkondensatoren mit hoher Zuverlässigkeit													
6.3	47	10	C	3.0	800.0	495-1491-1-ND	.43	3.73	32.56	495-1491-2-ND	750	116.83	B45196P1476K309
10	4.7	10	A	0.5	2900.0	495-1492-1-ND	.23	1.98	17.34	495-1492-2-ND	2,000	77.89/M	B45196P2475K109
10	47	10	D	4.7	600.0	495-1493-1-ND	.66	5.75	50.25	495-1493-2-ND	750	180.33	B45196P2476K409
16	22	10	C	3.6	1000.0	495-1494-1-ND	.47	4.06	35.39	495-1494-2-ND	750	126.99	B45196P3226K309
16	47	10	D	7.5	600.0	495-1495-1-ND	.73	6.32	55.21	495-1495-2-ND	750	198.10	B45196P3476K409
20	2.2	10	B	0.5	3600.0	495-1496-1-ND	.27	2.39	20.88	495-1496-2-ND	2,000	93.13/M	B45196P4225K209
35	0.33	10	A	0.5	11000	495-1497-1-ND	.22	1.95	16.98	495-1497-2-ND	2,000	76.20/M	B45196P6334K109
35	1.0	10	B	0.5	4400.0	495-1498-1-ND	.29	2.51	21.94	495-1498-2-ND	2,000	98.21/M	B45196P6105K209
35	2.2	10	C	0.8	2200.0	495-1499-1-ND	.50	4.38	38.22	495-1499-2-ND	750	137.15	B45196P6225K309
35	6.8	10	D	2.4	900.0	495-1500-1-ND	.80	6.93	60.51	495-1500-2-ND	750	217.15	B45196P6685K409
35	10	10	D	3.5	700.0	495-1501-1-ND	.80	6.93	60.51	495-1501-2-ND	750	217.15	B45196P6106K409
SpeedPower - Tantalkondensatoren mit niedrigem ESR													
4.0	680	10	E	27.0	150.0	495-1502-1-ND	1.80	15.68	136.95	495-1502-2-ND	400	262.45	B45197A0687K509
4.0	1000	10	E	40.0	150.0	495-1503-1-ND	1.94	16.89	147.57	495-1503-2-ND	400	282.76	B45197A0108K509
6.3	22	10	C	1.4	375	495-1504-1-ND	.52	4.58	39.98	495-1504-2-ND	750	143.50	B45197A1226K309
6.3	33	10	C	2.1	350	495-1505-1-ND	.52	4.58	39.98	495-1505-2-ND	750	143.50	B45197A1336K309
6.3	47	10	C	3.0	325	495-1506-1-ND	.58	5.06	44.23	495-1506-2-ND	750	158.74	B45197A1476K309
6.3	68	10	C	4.3	400	495-1507-1-ND	.61	5.31	46.36	495-1507-2-ND	750	166.36	B45197A1686K309
6.3	68	10	D	4.3	175	495-1508-1-ND	.74	6.44	56.27	495-1508-2-ND	750	201.91	B45197A1686K409
6.3	100	10	C	6.3	150	495-1509-1-ND	.64	5.59	48.83	495-1509-2-ND	750	175.25	B45197A1107K309
6.3	100	10	D	6.3	125	495-1510-1-ND	.74	6.44	56.27	495-1510-2-ND	750	201.91	B45197A1107K409
6.3	150	10	D	9.5	100	495-1511-1-ND	.83	7.26	63.34	495-1511-2-ND	750	227.31	B45197A1157K409
6.3	150	10	E	9.5	100	495-1512-1-ND	1.39	12.07	105.45	495-1512-2-ND	400	202.17	B45197A1157K509
6.3	220	10	D	14	100	495-1513-1-ND	.89	7.70	67.24	495-1513-2-ND	750	241.28	B45197A1227K409
6.3	220	10	E	14	100	495-1514-1-ND	1.39	12.07	105.45	495-1514-2-ND	400	202.17	B45197A1227K509
6.3	330	10	D	21	100	495-1515-1-ND	1.00	8.67	75.73	495-1515-2-ND	750	271.76	B45197A1337K409
6.3	330	10	E	21	100	495-1516-1-ND	1.50	13.00	113.60	495-1516-2-ND	400	217.75	B45197A1337K509
6.3	470	10	D	30	150	495-1517-1-ND	1.22	10.62	92.72	495-1517-2-ND	750	333.35	B45197A1477K409
6.3	470	10	E	30	100	495-1518-1-ND	1.55	13.49	117.84	495-1518-2-ND	400	225.87	B45197A1477K509
6.3	680	10	E	43	100	495-1519-1-ND	1.74	15.11	131.99	495-1519-2-ND	400	252.96	B45197A1687K509
10	10	10	C	1.0	400	495-1520-1-ND	.52	4.58	39.98	495-1520-2-ND	750	143.50	B45197A2106K309
10	15	10	C	1.5	400	495-1521-1-ND	.52	4.58	39.98	495-1521-2-ND	750	143.50	B45197A2156K309
10	22	10	C	2.2	375	495-1522-1-ND	.52	4.58	39.98	495-1522-2-ND	750	143.50	B45197A2226K309
10	22	10	B	2.2	800	495-1677-1-ND	.59	5.15	44.95	495-1677-2-ND	2,000	201.06/M	B45197A2226K209
10	33	10	C	3.3	375	495-1523-1-ND	.58	5.06	44.23	495-1523-2-ND	750	158.74	B45197A2336K309
10	47	10	C	4.7	300	495-1524-1-ND	.61	5.31	46.36	495-1524-2-ND	750	166.36	B45197A2476K309
10	47	10	D	4.7	200	495-1525-1-ND	.74	6.44	56.27	495-1525-2-ND	750	201.91	B45197A2476K409
10	68	20	C	6.8	250	495-1526-1-ND	.63	5.47	47.77	495-1526-2-ND	750	171.44	B45197A2686M309
10	68	10	D	6.8	150	495-1527-1-ND	.74	6.44	56.27	495-1527-2-ND	750	201.91	B45197A2686K409
10	100	10	C	10	250	495-1528-1-ND	.80	6.88	60.16	495-1528-2-ND	750	215.88	B45197A2107K309
10	100	10	D	10	100	495-1529-1-ND	.83	7.26	63.34	495-1529-2-ND	750	227.31	B45197A2107K409
10	100	10	E	10	100	495-1530-1-ND	1.39	12.07	105.45	495-1530-2-ND	400	202.17	B45197A2107K509
10	150	10	D	15	100	495-1531-1-ND	.89	7.70	67.24	495-1531-2-ND	750	241.28	B45197A2157K409
10	150	10	E	15	100	495-1532-1-ND	1.39	12.07	105.45	495-1532-2-ND	400	202.17	B45197A2157K509
10	220	10	D	22	100	495-1533-1-ND	1.00	8.67	75.73	495-1533-2-ND	750	271.76	B45197A2227K409
10	220	10	E	22	100	495-1534-1-ND	1.50	13.00	113.60	495-1534-2-ND	400	217.75	B45197A2227K509
10	330	10	D	33	150	495-1535-1-ND	1.22	10.62	92.72	495-1535-2-ND	750	333.35	B45197A2337K409
10	330	10	E	33	100	495-1536-1-ND	1.55	13.49	117.84	495-1536-2-ND	400	225.87	B45197A2337K509
10	470	10	E	47	100	495-1537-1-ND	1.74	15.11	131.99	495-1537-2-ND	400	252.96	B45197A2477K509
16	10	10	C	1.6	450	495-1538-1-ND	.52	4.58	39.98	495-1538-2-ND	750	143.50	B45197A3106K309
16	10	10	B	1.6	800	495-1676-1-ND	.55	4.78	41.75	495-1676-2-ND	2,000	186.81/M	B45197A3106K209

(Forts.)

Alle Preisangaben in Euro und inklusive Zollgebühren.

Tantal-Kondensatoren zur Oberflächenmontage *(Forts.)*

Nenn-spannung (DC)	Kapazität (µf)	Kap. Toleranz (%)	Gehäuse-größe	Max. Leckstrom DC (µA)	ESR max. @ 100KHz 20°C (mΩ)	Digi-Key Teilenr.	Gurtabschnitts-preise 1	10	100	Digi-Key Teilenr.	Gegurtet auf Rolle Größe	Preisangaben	Epcos Teilenr.
16	15	10	C	2.4	400	495-1539-1-ND	.52	4.58	39.98	495-1539-2-ND	750	143.50	B45197A3156K309
16	22	10	C	3.5	350	495-1540-1-ND	.58	5.06	44.23	495-1540-2-ND	750	158.74	B45197A3226K309
16	33	10	C	5.3	300	495-1541-1-ND	.61	5.31	46.36	495-1541-2-ND	750	166.36	B45197A3336K309
16	33	10	D	5.3	200	495-1542-1-ND	.74	6.44	56.27	495-1542-2-ND	750	201.91	B45197A3336K409
16	47	10	C	7.5	300	495-1543-1-ND	.64	5.59	48.83	495-1543-2-ND	750	175.25	B45197A3476K309
16	47	10	D	7.5	175	495-1544-1-ND	.74	6.44	56.27	495-1544-2-ND	750	201.91	B45197A3476K409
16	68	20	C	11	250	495-1545-1-ND	.77	6.72	58.75	495-1545-2-ND	750	210.80	B45197A3686M309
16	68	10	D	11	150	495-1546-1-ND	.83	7.26	63.34	495-1546-2-ND	750	227.31	B45197A3686K409
16	68	10	E	11	150	495-1547-1-ND	1.39	12.07	105.45	495-1547-2-ND	400	202.17	B45197A3686K509
16	100	10	D	16	150	495-1548-1-ND	.89	7.70	67.24	495-1548-2-ND	750	241.28	B45197A3107K409
16	100	10	E	16	100	495-1549-1-ND	1.39	12.07	105.45	495-1549-2-ND	400	202.17	B45197A3107K509
16	150	10	D	24	150	495-1550-1-ND	1.11	9.64	84.22	495-1550-2-ND	750	302.24	B45197A3157K409
16	150	10	E	24	100	495-1551-1-ND	1.50	13.00	113.60	495-1551-2-ND	400	217.75	B45197A3157K509
16	220	10	E	35	100	495-1552-1-ND	1.79	15.55	135.89	495-1552-2-ND	400	260.41	B45197A3227K509
20	6.8	10	C	1.4	475	495-1553-1-ND	.55	4.82	42.11	495-1553-2-ND	750	151.12	B45197A4685K309
20	10	10	C	2.0	450	495-1554-1-ND	.55	4.82	42.11	495-1554-2-ND	750	151.12	B45197A4106K309
20	15	10	C	3.0	400	495-1555-1-ND	.58	5.06	44.23	495-1555-2-ND	750	158.74	B45197A4156K309
20	22	10	D	4.4	200	495-1556-1-ND	.77	6.72	58.75	495-1556-2-ND	750	210.80	B45197A4226K409
20	33	10	D	6.6	200	495-1557-1-ND	.77	6.72	58.75	495-1557-2-ND	750	210.80	B45197A4336K409
20	33	10	E	6.6	200	495-1558-1-ND	1.46	12.64	110.41	495-1558-2-ND	400	211.65	B45197A4336K509
20	47	10	D	9.4	250	495-1559-1-ND	.83	7.26	63.34	495-1559-2-ND	750	227.31	B45197A4476K409
20	47	10	E	9.4	150	495-1560-1-ND	1.46	12.64	110.41	495-1560-2-ND	400	211.65	B45197A4476K509
20	68	10	D	14	300	495-1561-1-ND	.89	7.70	67.24	495-1561-2-ND	750	241.28	B45197A4686K409
20	68	10	E	14	200	495-1562-1-ND	1.50	13.00	113.60	495-1562-2-ND	400	217.75	B45197A4686K509
20	100	10	E	20	150	495-1563-1-ND	1.55	13.49	117.84	495-1563-2-ND	400	225.87	B45197A4107K509
25	4.7	10	C	1.2	525	495-1564-1-ND	.55	4.82	42.11	495-1564-2-ND	750	151.12	B45197A5475K309
25	10	10	C	2.5	450	495-1565-1-ND	.58	5.06	44.23	495-1565-2-ND	750	158.74	B45197A5106K309
25	15	10	D	3.8	230	495-1566-1-ND	.77	6.72	58.75	495-1566-2-ND	750	210.80	B45197A5156K409
25	22	10	D	5.5	230	495-1567-1-ND	.77	6.72	58.75	495-1567-2-ND	750	210.80	B45197A5226K409
25	22	10	E	5.5	230	495-1568-1-ND	1.46	12.64	110.41	495-1568-2-ND	400	211.65	B45197A5226K509
25	33	10	D	8.3	230	495-1569-1-ND	.83	7.26	63.34	495-1569-2-ND	750	227.31	B45197A5336K409
25	33	10	E	8.3	200	495-1570-1-ND	1.46	12.64	110.41	495-1570-2-ND	400	211.65	B45197A5336K509
25	47	10	D	12	250	495-1571-1-ND	.89	7.70	67.24	495-1571-2-ND	750	241.28	B45197A5476K409
25	47	10	E	12	200	495-1572-1-ND	1.50	13.00	113.60	495-1572-2-ND	400	217.75	B45197A5476K509
25	68	10	E	17	200	495-1573-1-ND	1.55	13.49	117.84	495-1573-2-ND	400	225.87	B45197A5686K509
35	3.3	10	C	1.2	550	495-1574-1-ND	.58	5.02	43.88	495-1574-2-ND	750	157.47	B45197A6335K309
35	4.7	10	D	1.6	300	495-1575-1-ND	.85	7.37	64.41	495-1575-2-ND	750	231.12	B45197A6475K409
35	6.8	10	D	2.4	300	495-1576-1-ND	.85	7.37	64.41	495-1576-2-ND	750	231.12	B45197A6685K409
35	6.8	10	E	2.4	300	495-1577-1-ND	1.52	13.28	116.07	495-1577-2-ND	400	222.49	B45197A6685K509
35	10	10	D	3.5	260	495-1578-1-ND	.85	7.37	64.41	495-1578-2-ND	750	231.12	B45197A6106K409
35	10	10	E	3.5	260	495-1579-1-ND	1.52	13.28	116.07	495-1579-2-ND	400	222.49	B45197A6106K509
35	15	10	D	5.3	260	495-1580-1-ND	.85	7.37	64.41	495-1580-2-ND	750	231.12	B45197A6156K409
35	15	10	E	5.3	260	495-1581-1-ND	1.52	13.28	116.07	495-1581-2-ND	400	222.49	B45197A6156K509
35	22	10	D	7.7	260	495-1582-1-ND	1.19	10.29	89.88	495-1582-2-ND	750	323.19	B45197A6226K409
35	22	10	E	7.7	260	495-1583-1-ND	1.52	13.25	115.72	495-1583-2-ND	400	221.81	B45197A6226K509
35	33	10	E	12	260	495-1584-1-ND	1.71	14.87	129.88	495-1584-2-ND	400	248.90	B45197A6336K509
35	47	10	E	16	230	495-1585-1-ND	1.80	15.68	136.95	495-1585-2-ND	400	262.45	B45197A6476K509
50	4.7	10	D	2.4	300	495-1586-1-ND	1.03	8.99	78.56	495-1586-2-ND	750	281.92	B45197A7475K409
50	6.8	10	D	3.4	400	495-1587-1-ND	1.03	8.99	78.56	495-1587-2-ND	750	281.92	B45197A7685K409
50	6.8	10	E	3.4	300	495-1588-1-ND	1.87	16.29	142.26	495-1588-2-ND	400	272.61	B45197A7685K509
50	10	10	E	5.0	300	495-1589-1-ND	1.87	16.29	142.26	495-1589-2-ND	400	272.61	B45197A7106K509
Polymer-Tantal-Kondensatoren mit ultra-niedrigem ESR													
2.5	220	20	V	55	35	495-1590-1-ND	1.95	16.93	147.92	495-1590-2-ND	1,000	662.04	B76002V2279M035
2.5	330	20	V	83	45	495-1591-1-ND	1.79	15.61	136.40	495-1591-2-ND	1,000	610.40	B76002V3379M045
4.0	220	20	V	88	45	495-1592-1-ND	1.68	14.62	127.75	495-1592-2-ND	1,000	571.46	B76004V2279M045
6.3	100	20	V	63	45	495-1593-1-ND	1.68	14.62	127.75	495-1593-2-ND	1,000	571.46	B76006V1079M045
6.3	150	20	V	95	35	495-1594-1-ND	1.95	16.93	147.92	495-1594-2-ND	1,000	662.04	B76006V1579M045
6.3	220	20	V	139	45	495-1595-1-ND	1.68	14.62	127.75	495-1595-2-ND	1,000	571.46	B76006V2279M045
6.3	220	20	V	139	40	495-1596-1-ND	1.95	16.93	147.92	495-1596-2-ND	1,000	662.04	B76006V2279M040
10	100	20	V	100	55	495-1597-1-ND	1.95	16.93	147.92	495-1597-2-ND	1,000	662.04	B76010V1079M080
4.0	470	20	D	188	55	495-1598-1-ND	1.95	16.93	147.92	495-1598-2-ND	750	531.45	B76004D4779M040
6.3	220	20	D	139	50	495-1599-1-ND	1.99	17.30	151.11	495-1599-2-ND	750	542.88	B76006D2279M050
6.3	220	20	D	139	40	495-1600-1-ND	2.07	18.05	157.64	495-1600-2-ND	750	566.38	B76006D2279M045
6.3	330	20	D	208	45	495-1601-1-ND	2.03	17.70	154.65	495-1601-2-ND	750	555.58	B76006D3379M045
6.3	330	20	D	208	40	495-1602-1-ND	2.24	19.49	170.22	495-1602-2-ND	750	611.46	B76006D3379M040
6.3	470	20	E	296	35	495-1603-1-ND	3.41	29.66	259.04	495-1603-2-ND	400	496.11	B76006E4779M035
10	100	20	D	100	55	495-1604-1-ND	2.24	19.49	170.22	495-1604-2-ND	750	611.46	B76010D1079M055
10	220	20	D	220	40	495-1605-1-ND	2.18	19.01	166.00	495-1605-2-ND	750	596.22	B76010D2279M040
Multianoden-Kondensatoren mit ultra-niedrigem ESR													
4.0	680	10	E	27	30	495-1606-1-ND	6.95	60.44	527.99	495-1606-2-ND	400	1011.52	B45396R0687K509
4.0	1000	10	E	40	30	495-1607-1-ND	7.85	68.30	596.64	495-1607-2-ND	400	1142.91	B45396R0108K509
6.3	470	10	E	30	30	495-1608-1-ND	6.95	60.44	527.99	495-1608-2-ND	400	1011.52	B45396R1477K509
10	330	10	E	33	35	495-1609-1-ND	6.95	60.44	527.99	495-1609-2-ND	400	1011.52	B45396R2337K509
Polymer-Multianoden-Tantalkondensatoren mit ultra-niedrigem ESR													
4.0	680	20	E	270	18	495-1612-1-ND	7.79	67.74	591.69	495-1612-2-ND	400	1133.43	B76304E6879M018
6.3	470	20	E	300	20	495-1613-1-ND	8.18	71.13	621.41	495-1613-2-ND	400	1190.66	B76306E4779M020

E

Alle Preisangaben in Euro und inklusive Zollgebühren.

QUERREFERENZEN - PANASONIC SERIE ECQ-B

Sprague: 225P, 418P; **Mepco:** 713D1, 711D1, 719D1; **TRW:** 601PE, 601CPE; **Packtron:** PE, FM; **Secor:** MFDW, MFDR; **Roederstein:** KT1805, KT1806, KT1807, KT1898; **Wima:** FKS; **CSF Thompson:** ED (Dip); **Rubycon:** F2X, F2S, F3U; **Nichicon:** TDY; **Nissei:** AMZ, AMX, AMR, AMM.

SPEZIFIKATIONEN:

• **Betriebstemp. Bereich:** -40 °C ~ +85 °C • **Nennspannung:** DC 50 V, 100 V, 200 V • **Kapazitätsbereich:** 0,0001 ~ 0,47 µF • **Kapazitätstoleranz:** ±5 % (J), ±10 % (K) • **Dissipationsfaktor:** 1,0 % (20 °C, 1 kHz) • **Haltespannung:** Zwischen Anschlüssen: Nennspannung (V DC) x 250 % 1 ~ 5 s • **Isolierwiderstand:** C ≤0,33 µF: min. 30.000 MΩ (20 °C, 50 V DC 60s: ECQB1H(F), C>0,33 µF: min. 10.000MΩ·µF 20 °C, 100 V DC, 60 s, ECQB1(F), ECQB2(F) • **Konstruktion:** Polyesterfolie, nicht induktiv, Epoxidbeschichtung.

MERKMALE

Hohe volumetrische Effizienz; Nicht-induktive Konstruktion; niedriger Verlust, hohe Stabilität; und Epoxidharzbeschichtung.

ANWENDUNGEN:

Sperrung, Bypass und Kopplung von DC und Signal an VHF-Bereich; Impuls-, Logik- und Timing-Schaltkreise; Impulsbildende Netzwerke (Light-Duty); Filter- und Rauschunterdrückungsschaltkreise; und Mehrzweckverwendung.

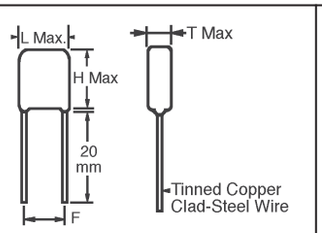

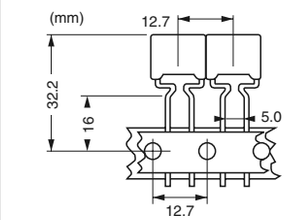

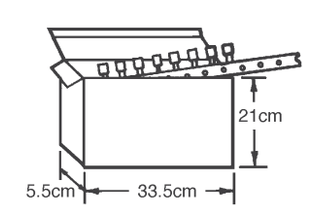

Panasonic Polyesterkondensatoren

Digi-Key®-Kit der Serie B

300 Kondensatoren insgesamt.

P4550-KIT-ND **25.36**

Einschließlich der nachstehend aufgeführten Teile (*).

P4551-ND . . . 80 Stck.	P4555-ND . . . 30 Stck.	P4559-ND . . . 30 Stck.
P4552-ND . . . 10 Stck.	P4556-ND . . . 10 Stck.	P4560-ND . . . 10 Stck.
P4553-ND . . . 20 Stck.	P4557-ND . . . 20 Stck.	P4561-ND . . . 30 Stck.
P4554-ND . . . 20 Stck.	P4558-ND . . . 20 Stck.	P4562-ND . . . 20 Stck.

E

Volt	Kap. µF	Toleranz	Abmessungen (mm) L	T	H	F	Digi-Key Teilenr.	Preisangaben 10	100	1.000	5.000	10.000	Panasonic Teilenr.
	.0001	±10%	7.0	3.0	6.0	5.0	P4570-ND	.61	4.06	32.17	30.48/M	27.94/M	ECQ-B1H101KF
	.00012	±10%	7.0	3.0	6.0	5.0	P4571-ND	.61	4.06	32.17	30.48/M	27.94/M	ECQ-B1H121KF
	.00015	±10%	7.0	3.0	6.0	5.0	P4572-ND	.61	4.06	32.17	30.48/M	27.94/M	ECQ-B1H151KF
	.00018	±10%	7.0	3.0	6.0	5.0	P4573-ND	.61	4.06	32.17	30.48/M	27.94/M	ECQ-B1H181KF
	.00022	±10%	7.0	3.0	6.0	5.0	P4574-ND	.61	4.06	32.17	30.48/M	27.94/M	ECQ-B1H221KF
	.00027	±10%	7.0	3.0	6.0	5.0	P4575-ND	.61	4.06	32.17	30.48/M	27.94/M	ECQ-B1H271KF
	.00033	±10%	7.0	3.0	6.0	5.0	P4576-ND	.61	4.06	32.17	30.48/M	27.94/M	ECQ-B1H331KF
	.00039	±10%	7.0	3.0	6.0	5.0	P4577-ND	.61	4.06	32.17	30.48/M	27.94/M	ECQ-B1H391KF
	.00047	±5%	7.0	3.0	6.0	5.0	P4578-ND	.61	4.06	32.17	30.48/M	27.94/M	ECQ-B1H471JF
	.00056	±5%	7.0	3.0	6.0	5.0	P4579-ND	.61	4.06	32.17	30.48/M	27.94/M	ECQ-B1H561JF
	.00068	±5%	7.0	3.0	6.0	5.0	P4580-ND	.61	4.06	32.17	30.48/M	27.94/M	ECQ-B1H681JF
	.00082	±5%	7.0	3.0	6.0	5.0	P4581-ND	.61	4.06	32.17	30.48/M	27.94/M	ECQ-B1H821JF
	.001	±5%	7.0	3.0	6.0	5.0	P4551-ND*	.61	4.06	32.17	30.48/M	27.94/M	ECQ-B1H102JF
	.0012	±5%	7.0	3.0	6.0	5.0	P4552-ND*	.61	4.06	32.17	30.48/M	27.94/M	ECQ-B1H122JF
	.0015	±5%	7.0	3.0	6.0	5.0	P4553-ND*	.61	4.06	32.17	30.48/M	27.94/M	ECQ-B1H152JF
	.0018	±5%	7.0	3.0	6.0	5.0	P4554-ND*	.61	4.06	32.17	30.48/M	27.94/M	ECQ-B1H182JF
	.0022	±5%	7.0	3.0	6.0	5.0	P4555-ND*	.61	4.06	32.17	30.48/M	27.94/M	ECQ-B1H222JF
	.0027	±5%	7.0	3.0	6.0	5.0	P4556-ND*	.61	4.06	32.17	30.48/M	27.94/M	ECQ-B1H272JF
	.0033	±5%	7.0	3.0	6.0	5.0	P4557-ND*	.61	4.06	32.17	30.48/M	27.94/M	ECQ-B1H332JF
	.0039	±5%	7.0	3.0	6.0	5.0	P4558-ND*	.61	4.06	32.17	30.48/M	27.94/M	ECQ-B1H392JF
	.0047	±5%	7.0	3.0	6.0	5.0	P4559-ND*	.61	4.06	32.17	30.48/M	27.94/M	ECQ-B1H472JF
50WV	.0056	±5%	7.0	3.0	6.0	5.0	P4560-ND*	.61	4.06	32.17	30.48/M	27.94/M	ECQ-B1H562JF
(Groß-	.0068	±5%	7.0	3.0	6.0	5.0	P4561-ND*	.61	4.06	32.17	30.48/M	27.94/M	ECQ-B1H682JF
packung)	.0082	±5%	7.0	3.0	6.0	5.0	P4562-ND*	.61	4.06	32.17	30.48/M	27.94/M	ECQ-B1H822JF
	.01	±5%	7.0	3.0	6.0	5.0	P4582-ND	.61	4.06	32.17	30.48/M	27.94/M	ECQ-B1H103JF
	.012	±5%	7.3	3.3	6.3	5.0	P4583-ND	.63	4.23	33.02	32.17/M	28.79/M	ECQ-B1H123JF
	.015	±5%	7.5	3.0	6.0	5.0	P4584-ND	.66	4.40	34.71	33.02/M	30.48/M	ECQ-B1H153JF
	.018	±5%	7.5	3.0	6.0	5.0	P4585-ND	.69	4.57	35.56	34.71/M	31.33/M	ECQ-B1H183JF
	.022	±5%	7.5	3.0	6.0	5.0	P4586-ND	.69	4.57	35.56	34.71/M	31.33/M	ECQ-B1H223JF
	.027	±5%	7.5	3.5	6.5	5.0	P4587-ND	.71	4.74	37.25	35.56/M	32.18/M	ECQ-B1H273JF
	.033	±5%	7.5	3.5	6.5	5.0	P4569-ND	.74	4.91	38.10	37.25/M	33.87/M	ECQ-B1H333JF
	.039	±5%	7.5	3.5	6.5	5.0	P4588-ND	.76	5.08	39.79	38.10/M	34.72/M	ECQ-B1H393JF
	.047	±5%	7.5	4.0	7.0	5.0	P4589-ND	.79	5.25	40.64	39.79/M	35.56/M	ECQ-B1H473JF
	.056	±5%	8.0	4.0	7.5	5.0	P4590-ND	.84	5.59	44.02	42.33/M	38.10/M	ECQ-B1H563JF
	.068	±5%	8.0	4.3	8.5	5.0	P4591-ND	.97	6.43	49.95	48.26/M	44.03/M	ECQ-B1H683JF
	.082	±5%	8.0	4.5	9.0	5.0	P4592-ND	1.02	6.77	53.34	50.80/M	46.57/M	ECQ-B1H823JF
	.1	±5%	8.0	5.0	10.0	5.0	P4593-ND	1.09	7.28	56.72	55.03/M	49.95/M	ECQ-B1H104JF
	.12	±5%	11.0	5.0	11.6	7.5	P4594-ND	2.67	17.78	138.84	134.61/M	121.91/M	ECQ-B1H124JF
	.15	±5%	11.0	5.0	12.0	7.5	P4595-ND	2.87	19.13	149.85	144.77/M	131.23/M	ECQ-B1H154JF
	.18	±5%	11.0	5.5	12.4	7.5	P4596-ND	3.00	19.98	155.77	150.70/M	137.15/M	ECQ-B1H184JF
	.22	±5%	11.0	6.0	13.0	7.5	P4597-ND	3.35	22.35	174.40	168.48/M	153.24/M	ECQ-B1H224JF
	.27	±5%	13.0	6.0	14.4	10.0	P4598-ND	4.19	27.94	218.42	210.81/M	191.34/M	ECQ-B1H274JF
	.33	±5%	13.0	6.5	15.0	10.0	P4599-ND	4.52	30.14	235.35	227.74/M	206.57/M	ECQ-B1H334JF
	.39	±5%	13.0	7.0	15.4	10.0	P4734-ND	4.88	32.51	253.98	245.52/M	222.66/M	ECQ-B1H394JF
	.47	±5%	13.0	7.5	16.2	10.0	P4735-ND	5.36	35.73	279.38	270.07/M	244.67/M	ECQ-B1H474JF
	.0001	±5%	7.2	3.0	6.0	5.0	P4773-ND	1.73	11.51	89.74	87.20/M	78.74/M	ECQ-B1101JF
	.00012	±5%	7.2	3.0	6.0	5.0	P4774-ND	1.73	11.51	89.74	87.20/M	78.74/M	ECQ-B1121JF
	.00015	±5%	7.2	3.0	6.0	5.0	P4775-ND	1.73	11.51	89.74	87.20/M	78.74/M	ECQ-B1151JF
	.00018	±5%	7.2	3.0	6.0	5.0	P4776-ND	1.73	11.51	89.74	87.20/M	78.74/M	ECQ-B1181JF
	.00022	±5%	7.2	3.0	6.0	5.0	P4777-ND	1.73	11.51	89.74	87.20/M	78.74/M	ECQ-B1221JF
	.00027	±5%	7.2	3.0	6.0	5.0	P4778-ND	1.73	11.51	89.74	87.20/M	78.74/M	ECQ-B1271JF
	.00033	±5%	7.2	3.0	6.0	5.0	P4779-ND	1.73	11.51	89.74	87.20/M	78.74/M	ECQ-B1331JF
	.00039	±5%	7.2	3.0	6.0	5.0	P4780-ND	1.73	11.51	89.74	87.20/M	78.74/M	ECQ-B1391JF
	.00047	±5%	7.2	3.0	6.0	5.0	P4781-ND	.98	6.55	50.80	49.11/M	44.87/M	ECQ-B1471JF
	.00056	±5%	7.2	3.0	6.0	5.0	P4782-ND	.98	6.55	50.80	49.11/M	44.87/M	ECQ-B1561JF
	.00068	±5%	7.2	3.0	6.0	5.0	P4783-ND	.98	6.55	50.80	49.11/M	44.87/M	ECQ-B1681JF
100WV	.00082	±5%	7.2	3.0	6.0	5.0	P4784-ND	.98	6.55	50.80	49.11/M	44.87/M	ECQ-B1821JF
(Groß-	.001	±5%	7.2	3.0	6.0	5.0	P4785-ND	.98	6.55	50.80	49.11/M	44.87/M	ECQ-B1102JF
packung)	.0012	±5%	7.2	3.0	6.0	5.0	P4786-ND	.98	6.55	50.80	49.11/M	44.87/M	ECQ-B1122JF
	.0015	±5%	7.2	3.0	6.0	5.0	P4787-ND	.98	6.55	50.80	49.11/M	44.87/M	ECQ-B1152JF
	.0018	±5%	7.2	3.0	6.5	5.0	P4788-ND	.98	6.55	50.80	49.11/M	44.87/M	ECQ-B1182JF
	.0022	±5%	7.2	3.0	6.5	5.0	P4789-ND	.98	6.55	50.80	49.11/M	44.87/M	ECQ-B1222JF
	.0027	±5%	7.2	3.0	6.5	5.0	P4790-ND	.98	6.55	50.80	49.11/M	44.87/M	ECQ-B1272JF
	.0033	±5%	7.2	3.0	6.5	5.0	P4791-ND	.98	6.55	50.80	49.11/M	44.87/M	ECQ-B1332JF
	.0039	±5%	7.2	3.0	6.5	5.0	P4792-ND	.98	6.55	50.80	49.11/M	44.87/M	ECQ-B1392JF
	.0047	±5%	7.2	3.0	6.5	5.0	P4793-ND	.98	6.55	50.80	49.11/M	44.87/M	ECQ-B1472JF
	.0056	±5%	7.2	3.0	6.5	5.0	P4794-ND	.98	6.55	50.80	49.11/M	44.87/M	ECQ-B1562JF
	.0068	±5%	7.2	3.0	6.5	5.0	P4795-ND	.98	6.55	50.80	49.11/M	44.87/M	ECQ-B1682JF
	.0082	±5%	7.2	3.2	7.0	5.0	P4796-ND	.98	6.55	50.80	49.11/M	44.87/M	ECQ-B1822JF
	.01	±5%	7.2	3.2	7.0	5.0	P4797-ND	.98	6.55	50.80	49.11/M	44.87/M	ECQ-B1103JF

(Forts.)

Alle Preisangaben in Euro und inklusive Zollgebühren.

Volt	Kap. µF	Toleranz	Abmessungen (mm) L	T	H	F	Digi-Key Teilenr.	Preisangaben 10	100	1.000	5.000	10.000	Panasonic Teilenr.
100WV (Groß-packung)	.012	±5%	7.2	3.5	7.0	5.0	P4798-ND	.98	6.55	50.80	49.11/M	44.87/M	ECQ-B1123JF
	.015	±5%	7.2	4.0	7.5	5.0	P4799-ND	1.02	6.79	53.34	51.65/M	46.57/M	ECQ-B1153JF
	.018	±5%	7.5	4.5	8.0	5.0	P4647-ND	1.08	7.25	56.72	55.03/M	49.95/M	ECQ-B1183JF
	.022	±5%	7.5	4.5	9.0	5.0	P4648-ND	1.17	7.81	60.96	59.27/M	53.34/M	ECQ-B1223JF
	.027	±5%	7.5	5.0	9.5	5.0	P4649-ND	1.22	8.14	63.50	61.81/M	55.88/M	ECQ-B1273JF
	.033	±5%	7.5	5.5	10.0	5.0	P4650-ND	1.24	8.30	65.19	62.65/M	56.73/M	ECQ-B1333JF
	.039	±5%	7.5	6.0	11.2	5.0	P4651-ND	1.24	8.30	65.19	62.65/M	56.73/M	ECQ-B1393JF
	.047	±5%	7.5	6.5	11.8	5.0	P4652-ND	1.26	8.38	65.19	63.50/M	57.57/M	ECQ-B1473JF
	.056	±5%	10.0	5.0	12.0	7.5	P4653-ND	1.26	8.38	65.19	63.50/M	57.57/M	ECQ-B1563JF
	.068	±5%	10.0	5.5	12.4	7.5	P4654-ND	1.29	8.57	66.88	64.35/M	58.42/M	ECQ-B1683JF
	.082	±5%	10.0	5.5	14.0	7.5	P4655-ND	1.31	8.77	68.57	66.04/M	60.11/M	ECQ-B1823JF
	.1	±5%	10.5	6.0	14.6	7.5	P4656-ND	1.35	8.96	70.27	67.73/M	60.96/M	ECQ-B1104JF
	.12	±5%	10.5	7.0	15.2	7.5	P4657-ND	2.15	14.34	111.75	108.37/M	98.21/M	ECQ-B1124JF
	.15	±5%	13.0	7.0	13.8	10.0	P4658-ND	2.58	17.20	134.61	129.53/M	117.68/M	ECQ-B1154JF
	.18	±5%	13.0	7.5	14.4	10.0	P4659-ND	3.01	20.06	156.62	151.55/M	137.15/M	ECQ-B1184JF
	.22	±5%	13.0	8.0	15.2	10.0	P4660-ND	3.44	22.93	179.48	173.56/M	156.63/M	ECQ-B1224JF
	.27	±5%	13.0	8.5	17.2	10.0	P4661-ND	3.87	25.79	201.49	194.72/M	176.94/M	ECQ-B1274JF
	.33	±5%	13.0	9.0	18.0	10.0	P4662-ND	4.30	28.65	223.50	216.73/M	196.42/M	ECQ-B1334JF
	.39	±5%	13.0	10.5	19.0	10.0	P4663-ND	5.16	34.37	268.37	259.91/M	235.36/M	ECQ-B1394JF
	.47	±5%	13.0	11.5	19.2	10.0	P4664-ND	6.44	42.96	335.25	324.25/M	294.62/M	ECQ-B1474JF
200WV (Groß-packung)	.001	±5%	8.5	4.0	7.0	5.0	P4537A-ND	1.19	7.87	61.80	59.27/M	54.19/M	ECQ-B2102JF
	.0012	±5%	8.5	4.0	7.5	5.0	P4538A-ND	1.19	7.87	61.80	59.27/M	54.19/M	ECQ-B2122JF
	.0015	±5%	8.5	4.0	7.5	5.0	P4539A-ND	1.19	7.87	61.80	59.27/M	54.19/M	ECQ-B2152JF
	.0018	±5%	8.5	4.5	7.5	5.0	P4540A-ND	1.19	7.87	61.80	59.27/M	54.19/M	ECQ-B2182JF
	.0022	±5%	8.5	4.5	7.5	5.0	P4541A-ND	1.19	7.87	61.80	59.27/M	54.19/M	ECQ-B2222JF
	.0027	±5%	8.5	4.5	8.0	5.0	P4542A-ND	1.19	7.87	61.80	59.27/M	54.19/M	ECQ-B2272JF
	.0033	±5%	11.0	4.5	7.5	7.5	P4543A-ND	1.19	7.87	61.80	59.27/M	54.19/M	ECQ-B2332JF
	.0039	±5%	11.0	4.5	7.5	7.5	P4544A-ND	1.19	7.87	61.80	59.27/M	54.19/M	ECQ-B2392JF
	.0047	±5%	11.0	4.5	8.5	7.5	P4545A-ND	1.19	7.87	61.80	59.27/M	54.19/M	ECQ-B2472JF
	.0056	+5%	11.0	4.5	8.5	7.5	P4546A-ND	1.19	7.87	61.80	59.27/M	54.19/M	ECQ-B2562JF
	.0068	±5%	11.0	4.5	9.0	7.5	P4547A-ND	1.19	7.87	61.80	59.27/M	54.19/M	ECQ-B2682JF
	.0082	±5%	11.0	4.5	9.0	7.5	P4548A-ND	1.19	7.87	61.80	59.27/M	54.19/M	ECQ-B2822JF
	.01	±5%	11.0	4.5	10.0	7.5	P4549A-ND	1.19	7.87	61.80	59.27/M	54.19/M	ECQ-B2103JF
	.012	±5%	11.0	5.0	10.5	7.5	P4550A-ND	1.19	7.87	61.80	59.27/M	54.19/M	ECQ-B2123JF
	.015	±5%	11.0	5.5	10.5	7.5	P4551A-ND	1.22	8.14	63.50	61.81/M	55.88/M	ECQ-B2153JF
	.018	±5%	11.0	5.5	12.2	7.5	P4552A-ND	1.31	8.72	67.73	66.04/M	60.11/M	ECQ-B2183JF
	.022	±5%	11.0	6.0	12.6	7.5	P4553A-ND	1.41	9.38	73.65	71.12/M	64.35/M	ECQ-B2223JF
	.027	±5%	11.0	6.5	13.2	7.5	P4554A-ND	1.46	9.79	76.19	73.66/M	66.89/M	ECQ-B2273JF
	.033	±5%	11.0	7.0	13.6	7.5	P4555A-ND	1.50	9.97	77.89	75.35/M	68.58/M	ECQ-B2333JF
	.039	±5%	13.5	5.0	14.4	10.0	P4556A-ND	1.50	9.97	77.89	75.35/M	68.58/M	ECQ-B2393JF
	.047	±5%	13.5	5.5	14.8	10.0	P4557A-ND	1.51	10.06	78.73	76.20/M	68.58/M	ECQ-B2473JF
	.056	±5%	13.5	6.0	15.4	10.0	P4558A-ND	1.51	10.06	78.73	76.20/M	68.58/M	ECQ-B2563JF
	.068	±5%	16.0	5.5	15.0	12.5	P4559A-ND	1.54	10.29	80.43	77.89/M	70.27/M	ECQ-B2683JF
	.082	±5%	16.0	6.0	15.4	12.5	P4560A-ND	1.57	10.51	82.12	79.58/M	71.97/M	ECQ-B2823JF
	.1	±5%	16.0	7.0	16.0	12.5	P4561A-ND	1.62	10.75	83.81	81.28/M	73.66/M	ECQ-B2104JF
	.12	±5%	19.0	6.5	17.6	15.0	P4562A-ND	2.58	17.22	134.61	130.38/M	117.68/M	ECQ-B2124JF
	.15	±5%	19.0	7.5	18.4	15.0	P4563A-ND	3.10	20.64	160.85	155.78/M	141.39/M	ECQ-B2154JF
	.18	±5%	19.0	8.0	19.0	15.0	P4564A-ND	3.61	24.08	187.95	182.02/M	165.09/M	ECQ-B2184JF
	.22	±5%	19.0	9.0	20.0	15.0	P4565A-ND	4.13	27.51	215.04	207.42/M	188.80/M	ECQ-B2224JF
	.27	±5%	24.0	8.0	19.4	20.0	P4566A-ND	4.64	30.95	242.13	233.67/M	211.65/M	ECQ-B2274JF
	.33	±5%	24.0	9.0	20.4	20.0	P4567A-ND	5.16	34.39	268.37	259.91/M	235.36/M	ECQ-B2334JF
	.39	±5%	24.0	10.0	21.2	20.0	P4568A-ND	6.19	41.25	322.55	311.55/M	282.77/M	ECQ-B2394JF
	.47	±5%	24.0	11.5	22.2	20.0	P4569A-ND	7.74	51.57	402.98	389.44/M	353.04/M	ECQ-B2474JF

Volt	Kap. µF	Toleranz	Abmessungen (mm) L	T	H	F	Digi-Key Teilenr.	Preisangabe gegurtet in Schachtel 500	1.000	2.000	5.000	6.000	10.000	25.000	26.000	Panasonic Teilenr.
50WV (Ammo-Box-Verp.)	.0001	±10%	7.0	3.0	6.0	5.0	P4570TB-ND	—	—	32.17/M	—	30.48/M	27.94/M	—	24.56/M	ECQ-B1H101KF3
	.00012	±10%	7.0	3.0	6.0	5.0	P4571TB-ND	—	—	32.17/M	—	30.48/M	27.94/M	—	24.56/M	ECQ-B1H121KF3
	.00015	±10%	7.0	3.0	6.0	5.0	P4572TB-ND	—	—	32.17/M	—	30.48/M	27.94/M	—	24.56/M	ECQ-B1H151KF3
	.00018	±10%	7.0	3.0	6.0	5.0	P4573TB-ND	—	—	32.17/M	—	30.48/M	27.94/M	—	24.56/M	ECQ-B1H181KF3
	.00022	±10%	7.0	3.0	6.0	5.0	P4574TB-ND	—	—	32.17/M	—	30.48/M	27.94/M	—	24.56/M	ECQ-B1H221KF3
	.00027	±10%	7.0	3.0	6.0	5.0	P4575TB-ND	—	—	32.17/M	—	30.48/M	27.94/M	—	24.56/M	ECQ-B1H271KF3
	.00033	±10%	7.0	3.0	6.0	5.0	P4576TB-ND	—	—	32.17/M	—	30.48/M	27.94/M	—	24.56/M	ECQ-B1H331KF3
	.00039	±10%	7.0	3.0	6.0	5.0	P4577TB-ND	—	—	32.17/M	—	30.48/M	27.94/M	—	24.56/M	ECQ-B1H391KF3
	.00047	±5%	7.0	3.0	6.0	5.0	P4578TB-ND	—	—	32.17/M	—	30.48/M	27.94/M	—	24.56/M	ECQ-B1H471JF3
	.00056	±5%	7.0	3.0	6.0	5.0	P4579TB-ND	—	—	32.17/M	—	30.48/M	27.94/M	—	24.56/M	ECQ-B1H561JF3
	.00068	±5%	7.0	3.0	6.0	5.0	P4580TB-ND	—	—	32.17/M	—	30.48/M	27.94/M	—	24.56/M	ECQ-B1H681JF3
	.00082	±5%	7.0	3.0	6.0	5.0	P4581TB-ND	—	—	32.17/M	—	30.48/M	27.94/M	—	24.56/M	ECQ-B1H821JF3
	.001	±5%	7.0	3.0	6.0	5.0	P4551TB-ND	—	—	32.17/M	—	30.48/M	27.94/M	—	24.56/M	ECQ-B1H102JF3
	.0012	±5%	7.0	3.0	6.0	5.0	P4552TB-ND	—	—	32.17/M	—	30.48/M	27.94/M	—	24.56/M	ECQ-B1H122JF3
	.0015	±5%	7.0	3.0	6.0	5.0	P4553TB-ND	—	—	32.17/M	—	30.48/M	27.94/M	—	24.56/M	ECQ-B1H152JF3
	.0018	±5%	7.0	3.0	6.0	5.0	P4554TB-ND	—	—	32.17/M	—	30.48/M	27.94/M	—	24.56/M	ECQ-B1H182JF3
	.0022	±5%	7.0	3.0	6.0	5.0	P4555TB-ND	—	—	32.17/M	—	30.48/M	27.94/M	—	24.56/M	ECQ-B1H222JF3
	.0027	±5%	7.0	3.0	6.0	5.0	P4556TB-ND	—	—	32.17/M	—	30.48/M	27.94/M	—	24.56/M	ECQ-B1H272JF3
	.0033	±5%	7.0	3.0	6.0	5.0	P4557TB-ND	—	—	32.17/M	—	30.48/M	27.94/M	—	24.56/M	ECQ-B1H332JF3
	.0039	±5%	7.0	3.0	6.0	5.0	P4558TB-ND	—	—	32.17/M	—	30.48/M	27.94/M	—	24.56/M	ECQ-B1H392JF3
	.0047	±5%	7.0	3.0	6.0	5.0	P4559TB-ND	—	—	32.17/M	—	30.48/M	27.94/M	—	24.56/M	ECQ-B1H472JF3
	.0056	±5%	7.0	3.0	6.0	5.0	P4560TB-ND	—	—	32.17/M	—	30.48/M	27.94/M	—	24.56/M	ECQ-B1H562JF3
	.0068	±5%	7.0	3.0	6.0	5.0	P4561TB-ND	—	—	32.17/M	—	30.48/M	27.94/M	—	24.56/M	ECQ-B1H682JF3
	.0082	±5%	7.0	3.0	6.0	5.0	P4562TB-ND	—	—	32.17/M	—	30.48/M	27.94/M	—	24.56/M	ECQ-B1H822JF3
	.01	±5%	7.0	3.0	6.0	5.0	P4582TB-ND	—	—	32.17/M	—	30.48/M	27.94/M	—	24.56/M	ECQ-B1H103JF3
	.012	±5%	7.3	3.3	6.3	5.0	P4583TB-ND	—	—	33.02/M	—	32.17/M	28.79/M	—	25.40/M	ECQ-B1H123JF3
	.015	±5%	7.5	3.0	6.0	5.0	P4584TB-ND	—	—	34.71/M	—	33.02/M	30.48/M	—	26.25/M	ECQ-B1H153JF3
	.018	±5%	7.5	3.0	6.0	5.0	P4585TB-ND	—	—	35.56/M	—	34.71/M	31.33/M	—	27.94/M	ECQ-B1H183JF3
	.022	±5%	7.5	3.0	6.0	5.0	P4586TB-ND	—	—	37.25/M	—	35.56/M	32.18/M	—	28.79/M	ECQ-B1H223JF3
	.027	±5%	7.5	3.5	6.5	5.0	P4587TB-ND	—	—	37.25/M	—	35.56/M	32.18/M	—	28.79/M	ECQ-B1H273JF3
	.033	±5%	7.5	3.5	6.5	5.0	P4569TB-ND	—	—	38.10/M	—	37.25/M	33.87/M	—	29.64/M	ECQ-B1H333JF3
	.039	±5%	7.5	4.0	7.0	5.0	P4588TB-ND	—	—	39.79/M	—	38.10/M	34.72/M	—	30.48/M	ECQ-B1H393JF3
	.047	±5%	7.5	4.0	7.5	5.0	P4589TB-ND	—	42.33	—	40.64/M	—	37.25/M	33.02/M	—	ECQ-B1H473JF3
	.056	±5%	8.0	4.3	7.5	5.0	P4590TB-ND	—	44.02	—	42.33/M	—	38.10/M	33.87/M	—	ECQ-B1H563JF3
	.068	±5%	8.0	4.3	8.5	5.0	P4591TB-ND	—	49.95	—	48.26/M	—	44.03/M	38.95/M	—	ECQ-B1H683JF3
	.082	±5%	8.0	4.5	9.0	5.0	P4592TB-ND	—	53.34	—	50.80/M	—	46.57/M	40.64/M	—	ECQ-B1H823JF3
	.1	±5%	8.0	5.0	10.0	5.0	P4593TB-ND	—	56.72	—	55.03/M	—	49.95/M	44.03/M	—	ECQ-B1H104JF3
	.12	±5%	11.0	5.0	11.6	5.0	P4594TB-ND	—	129.53	—	125.30/M	—	113.45/M	99.90/M	—	ECQ-B1H124JF3
	.15	±5%	11.0	5.0	12.0	5.0	P4595TB-ND	—	152.39	—	147.31/M	—	133.77/M	118.53/M	—	ECQ-B1H154JF3
	.18	±5%	11.0	5.5	12.4	5.0	P4596TB-ND	74.08	—	—	143.08/M	—	130.38/M	115.14/M	—	ECQ-B1H184JF3
	.22	±5%	11.0	6.0	13.0	5.0	P4597TB-ND	—	180.33	—	174.40/M	—	158.32/M	139.69/M	—	ECQ-B1H224JF3

E

V-Serie ±5 % Stapel-Metall-Schichtkondensatoren

In den meisten Fällen zum Ersatz von monolithischen Keramikkondensatoren geeignet

MERKMALE: • Hohe volumetrische Effizienz • Niedriger Dissipationsfaktor • Gestapelte und nicht-induktive Konstruktion • Betriebstemperaturbereich: -40 °C ~ +85 °C • Temperaturkoeffizient Δc/c: 200 ppm • Dissipationsfaktor (max.): 1,0 % • Isolierwiderstand (25 °C): 1000MΩ µF • Selbstheilend

ANWENDUNGEN: •Blockieren, Umgehen und Koppeln von DC • Impuls-, Logik- und Timing-Schaltungen • Einfache Impulsbildung (Light Duty) • Filter und Lärmunterdrückung

QUERREFERENZEN - PANASONIC SERIE ECQ-V
Sprague: 453P/454P. **CSF Thompson:** IRD. **Siemens:** B32509.

(Zum Umrechnen von mm in Zoll durch 25,4 teilen.)

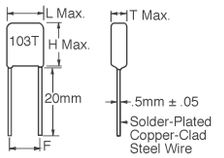

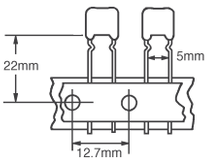

* Alle Klebeteile haben einen Anschlussabstand von 5 mm.

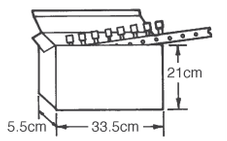

*** Panasonic Serie V Stapel-Metall-Schichtkondensatoren**
Digi-Key®
Kondensator-Kit, Serie V

P4542-KIT-ND* **(50 V K)** **42.29**
P4700-KIT-ND† **(100 V K)**.....**42.29**

Schließt je 10 der nachstehend aufgeführten Teile ein (* oder †). 180 Kondensatoren. jeweils 10 der in der Tabelle aufgeführten Werte. Preis umfasst notizbuchartigen Lagerbehälter und Hinweise auf Bin-Lagerung und schnellen Zugriff.

Betriebs-spannung	Kap. µF	Abmessungen (mm) L	T	H	F	Digi-Key Teilenr.	Preisangaben 10	100	1.000	5.000	10.000	Panasonic Teilenr.
						Großpackung						
50	0.01	7.3	3.2	5.0	5.0	P4513-ND*	.80	6.69	39.79	37.25/M	34.72/M	ECQ-V1H103JL
	0.012	7.3	3.2	5.0	5.0	P4514-ND	1.00	8.30	49.95	45.72/M	43.18/M	ECQ-V1H123JL
	0.015	7.3	3.2	5.0	5.0	P4515-ND*	1.00	8.30	49.95	45.72/M	43.18/M	ECQ-V1H153JL
	0.018	7.3	3.2	5.0	5.0	P4516-ND	1.00	8.30	49.95	45.72/M	43.18/M	ECQ-V1H183JL
	0.022	7.3	3.2	5.0	5.0	P4517-ND*	1.06	8.79	52.49	49.11/M	45.72/M	ECQ-V1H223JL
	0.027	7.3	3.2	5.0	5.0	P4518-ND*	1.08	9.02	54.18	49.95/M	46.57/M	ECQ-V1H273JL
	0.033	7.3	3.2	5.0	5.0	P4519-ND*	1.13	9.48	56.72	52.49/M	49.11/M	ECQ-V1H333JL
	0.039	7.3	3.2	5.0	5.0	P4520-ND	1.18	9.78	58.42	54.19/M	50.80/M	ECQ-V1H393JL
	0.047	7.3	3.2	5.0	5.0	P4521-ND*	.86	7.11	42.33	39.79/M	37.25/M	ECQ-V1H473JL
	0.056	7.3	3.2	5.0	5.0	P4522-ND	.86	7.11	42.33	39.79/M	37.25/M	ECQ-V1H563JL
	0.068	7.3	3.2	5.0	5.0	P4523-ND*	.88	7.37	44.02	40.64/M	38.10/M	ECQ-V1H683JL
	0.082	7.3	3.6	5.0	5.0	P4524-ND*	.91	7.60	45.72	42.33/M	39.79/M	ECQ-V1H823JL
	0.1	7.3	4.0	5.0	5.0	P4525-ND*	.91	7.60	45.72	42.33/M	39.79/M	ECQ-V1H104JL
	0.12	7.3	4.0	5.0	5.0	P4526-ND	.97	8.07	48.26	44.87/M	41.49/M	ECQ-V1H124JL
	0.15	10.2	3.4	9.0	7.5	P4538-ND	1.75	14.60	87.20	81.28/M	76.20/M	ECQ-V1H154JC
	0.15	7.3	4.4	5.5	5.0	P4665-ND*	1.00	8.30	49.95	45.72/M	43.18/M	ECQ-V1H154JL
	0.18	7.3	4.5	5.5	5.0	P4666-ND*	1.06	8.79	52.49	49.11/M	45.72/M	ECQ-V1H184JL
	0.22	7.3	4.8	5.5	5.0	P4667-ND	1.13	9.48	56.72	52.49/M	49.11/M	ECQ-V1H224JL
	0.27	7.3	4.6	7.0	5.0	P4668-ND*	1.19	9.97	59.26	55.03/M	51.65/M	ECQ-V1H274JL
	0.33	7.3	5.2	7.0	5.0	P4669-ND*	1.28	10.67	63.50	59.27/M	55.03/M	ECQ-V1H334JL
	0.39	7.3	5.7	7.3	5.0	P4670-ND	1.40	11.62	69.42	64.35/M	60.11/M	ECQ-V1H394JL
	0.47	7.3	6.0	7.3	5.0	P4671-ND*	1.54	12.81	76.19	71.12/M	66.89/M	ECQ-V1H474JL
	0.56	7.3	5.8	10.0	5.0	P4672-ND*	1.82	15.18	90.59	84.66/M	78.74/M	ECQ-V1H564JL
	0.68	7.3	6.5	10.0	5.0	P4673-ND*	2.73	22.77	136.30	126.15/M	118.53/M	ECQ-V1H684JL
	0.82	7.3	6.8	10.0	5.0	P4674-ND*	2.73	22.77	136.30	126.15/M	118.53/M	ECQ-V1H824JL
	1.0	7.3	8.0	11.0	5.0	P4675-ND*	3.27	27.26	162.55	151.55/M	141.39/M	ECQ-V1H105JL
63	0.18	10.2	3.5	9.0	7.5	P4539-ND	1.04	8.68	51.64	48.26/M	44.87/M	ECQ-V1J184JM
	0.22	10.2	3.5	9.0	7.5	P4540-ND	1.13	9.35	55.88	51.65/M	48.26/M	ECQ-V1J224JM
	0.27	10.2	3.5	9.0	7.5	P4541-ND	1.19	9.85	58.42	55.03/M	50.80/M	ECQ-V1J274JM
	0.33	10.2	3.8	9.0	7.5	P4549-ND	1.26	10.52	62.65	58.42/M	55.03/M	ECQ-V1J334JM
	0.39	10.2	4.0	9.0	7.5	P4543-ND	1.38	11.47	68.57	63.50/M	59.27/M	ECQ-V1J394JM
	0.47	10.2	4.5	9.0	7.5	P4544-ND	1.52	12.64	75.35	70.27/M	66.04/M	ECQ-V1J474JM
	0.56	10.2	4.9	9.0	7.5	P4545-ND	1.79	14.98	89.74	82.97/M	77.89/M	ECQ-V1J564JM
	0.68	10.2	5.5	10.0	7.5	P4546-ND	2.69	22.46	133.76	124.45/M	116.84/M	ECQ-V1J684JM
	0.82	10.2	6.1	10.0	7.5	P4547-ND	2.69	22.46	133.76	124.45/M	116.84/M	ECQ-V1J824JM
	1.0	10.2	6.9	10.0	7.5	P4548-ND	3.23	26.88	160.85	149.01/M	139.69/M	ECQ-V1J105JM
100	0.01	7.3	3.2	7.0	5.0	P4713-ND†	1.08	9.02	54.18	49.95/M	46.57/M	ECQ-V1103JM
	0.012	7.3	3.2	7.0	5.0	P4714-ND	1.08	9.02	54.18	49.95/M	46.57/M	ECQ-V1123JM
	0.015	7.3	3.2	7.0	5.0	P4715-ND†	1.08	9.02	54.18	49.95/M	46.57/M	ECQ-V1153JM
	0.018	7.3	3.2	7.0	5.0	P4716-ND	1.14	9.55	56.72	53.34/M	49.95/M	ECQ-V1183JM
	0.022	7.3	3.2	7.0	5.0	P4717-ND†	1.18	9.78	58.42	54.19/M	50.80/M	ECQ-V1223JM
	0.027	7.3	3.2	7.0	5.0	P4718-ND†	1.24	10.31	61.80	57.57/M	53.34/M	ECQ-V1273JM
	0.033	7.3	3.2	7.0	5.0	P4719-ND†	1.28	10.62	63.50	59.27/M	55.03/M	ECQ-V1333JM
	0.039	7.3	3.2	7.0	5.0	P4720-ND†	.93	7.75	46.56	43.18/M	40.64/M	ECQ-V1393JM
	0.047	7.3	4.0	7.0	5.0	P4721-ND†	.93	7.75	46.56	43.18/M	40.64/M	ECQ-V1473JM
	0.056	7.3	4.2	7.0	5.0	P4722-ND†	.96	8.00	47.41	44.03/M	41.49/M	ECQ-V1563JM
	0.068	7.3	4.5	7.0	5.0	P4723-ND†	.99	8.28	49.10	45.72/M	43.18/M	ECQ-V1683JM
	0.082	7.3	5.0	7.0	5.0	P4724-ND†	.99	8.28	49.10	45.72/M	43.18/M	ECQ-V1823JM
	0.1	7.3	5.8	7.0	5.0	P4725-ND†	1.06	8.79	52.49	49.11/M	45.72/M	ECQ-V1104JM
	0.12	10.0	3.4	9.0	7.5	P4726-ND	1.08	9.02	54.18	49.95/M	46.57/M	ECQ-V1124JM
	0.15	10.0	3.8	9.0	7.5	P4727-ND†	1.14	9.55	56.72	53.34/M	49.95/M	ECQ-V1154JM
	0.18	10.0	4.0	9.0	7.5	P4728-ND†	1.24	10.31	61.80	57.57/M	53.34/M	ECQ-V1184JM
	0.22	10.0	4.3	9.0	7.5	P4729-ND†	1.30	10.84	64.34	60.11/M	55.88/M	ECQ-V1224JM
	0.27	10.0	5.2	10.0	7.5	P4730-ND†	1.39	11.58	69.42	64.35/M	60.11/M	ECQ-V1274JM
	0.33	10.0	5.9	10.0	7.5	P4731-ND†	1.52	12.64	75.35	70.27/M	66.04/M	ECQ-V1334JM
	0.39	10.0	7.5	11.0	7.5	P4732-ND†	1.67	13.91	82.97	77.04/M	71.97/M	ECQ-V1394JM
	0.47	10.0	8.1	11.0	7.5	P4733-ND†	1.98	16.49	98.21	91.44/M	85.51/M	ECQ-V1474JM

Betriebs-spannung	Kap. µF	Abmessungen (mm) L	T	H	F	Digi-Key Teilenr.	Preisangaben 1.000	2.000	5.000	6.000	10.000	26.000	Panasonic Teilenr.
						Ammo-Box-Verpackung							
50	0.01	7.3	3.2	7.0	5.0	P4513TB-ND	—	48.26/M	—	44.87/M	41.49/M	38.95/M	ECQ-V1H103JL3
	0.012	7.3	3.2	7.0	5.0	P4514TB-ND	—	49.95/M	—	45.72/M	43.18/M	40.64/M	ECQ-V1H123JL3
	0.015	7.3	3.2	7.0	5.0	P4515TB-ND	—	49.95/M	—	45.72/M	43.18/M	40.64/M	ECQ-V1H153JL3
	0.018	7.3	3.2	7.0	5.0	P4516TB-ND	—	49.95/M	—	45.72/M	43.18/M	40.64/M	ECQ-V1H183JL3
	0.022	7.3	3.2	5.0	5.0	P4517TB-ND	—	37.25/M	—	34.71/M	32.18/M	30.48/M	ECQ-V1H223JL3
	0.027	7.3	3.2	7.0	5.0	P4518TB-ND	—	54.18/M	—	49.95/M	46.57/M	44.03/M	ECQ-V1H273JL3
	0.033	7.3	3.2	7.0	5.0	P4519TB-ND	—	56.72/M	—	52.49/M	49.11/M	46.57/M	ECQ-V1H333JL3
	0.039	7.3	3.2	5.0	5.0	P4520TB-ND	—	58.42/M	—	54.19/M	50.80/M	47.41/M	ECQ-V1H393JL3
	0.047	7.3	3.2	7.0	5.0	P4521TB-ND	—	42.33/M	—	39.79/M	37.25/M	34.72/M	ECQ-V1H473JL3
	0.056	7.3	3.2	5.0	5.0	P4522TB-ND	—	42.33/M	—	39.79/M	37.25/M	34.72/M	ECQ-V1H563JL3
	0.068	7.3	3.9	7.0	5.0	P4523TB-ND	—	44.03/M	—	40.64/M	38.10/M	35.56/M	ECQ-V1H683JL3
	0.082	7.3	4.1	7.0	5.0	P4524TB-ND	—	45.72/M	—	42.33/M	39.79/M	37.26/M	ECQ-V1H823JL3
	0.1	7.3	4.4	7.0	5.0	P4525TB-ND	—	45.72/M	—	42.33/M	39.79/M	37.26/M	ECQ-V1H104JL3
	0.12	7.3	4.7	7.0	5.0	P4526TB-ND	—	45.72/M	—	42.33/M	39.79/M	37.26/M	ECQ-V1H124JL3
	0.15	10.0	3.4	9.0	5.0	P4527TB-ND	49.95	—	45.72/M	—	43.18/M	—	ECQ-V1H154JL3
	0.18	10.0	3.5	9.0	5.0	P4528TB-ND	52.49	—	49.11/M	—	45.72/M	—	ECQ-V1H184JL3
	0.22	10.0	3.7	9.0	5.0	P4529TB-ND	56.72	—	52.49/M	—	49.11/M	—	ECQ-V1H224JL3
	0.27	10.0	4.0	9.0	5.0	P4530TB-ND	59.26	—	55.03/M	—	51.65/M	—	ECQ-V1H274JL3
	0.33	10.0	4.2	9.0	5.0	P4531TB-ND	63.50	—	59.27/M	—	55.03/M	—	ECQ-V1H334JL3
	0.39	10.0	4.9	9.0	5.0	P4532TB-ND	69.42	—	64.35/M	—	60.11/M	—	ECQ-V1H394JL3
	0.47	10.0	5.5	10.0	5.0	P4533TB-ND	76.19	—	71.12/M	—	66.89/M	—	ECQ-V1H474JL3
	0.56	10.0	6.1	10.0	5.0	P4534TB-ND	90.59	—	84.66/M	—	78.74/M	—	ECQ-V1H564JL3
	0.68	10.0	6.8	10.0	5.0	P4535TB-ND	136.30	—	126.15/M	—	118.53/M	—	ECQ-V1H684JL3
	0.82	7.3	6.8	10.0	5.0	P4536TB-ND	136.30	—	126.15/M	—	118.53/M	—	ECQ-V1H824JL3
	1.0	7.3	8.0	11.0	5.0	P4537TB-ND	162.55	—	151.55/M	—	141.39/M	—	ECQ-V1H105JL3

Alle Preisangaben in Euro und inklusive Zollgebühren.

Serie E Metallisierte Polyesterkondensatoren

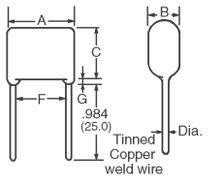

ALLGEMEINE SPEZIFIKATIONEN: ELEKTRIK. Nennspannung 100 V DC, 250 V DC, 400 V DC, 630 V DC. **Kapazitätstoleranz:** ±10 % (K)

Isolierwiderstand: Weniger als 0,33 µF: 9.000MΩ; über 0,33 µF: 3.000MΩ **Dissipationsfaktor** = 1,0 % bei 1 KHz **Haltespannung:** Nennspannung x 1,5 (1 min.) **Betriebstemperaturbereich** -40 °C ~ +85 °C

QUERREFERENZEN - PANASONIC SERIE ECQ-E

Sprague: DF/450P/451P/453P; **Westlake:** 160/168/185/167/184/186; **Mepco:** 713A1/719A1/C280; **TRW:** X601PE/X601CPE; **Packtron:** MF/RB; **Secor:** MMKS/MMKR/MMDR; **RIFA:** PHE353/PHE354; **Roederstein:** MKT1818/MKT1822; **WIMA:** MKS; **CSF Thompson:** MD/MC; **Siemens:** B325X-XX; **Rubycon:** MC/MN; **Nichicon:** DDXM.

Betriebs-spannung	Kap. µF	Abmessungen (mm) A	B	C	F	G	Durchm.	Digi-Key Teilenr.	Preisangaben 1	10	100	1.000	5.000	10.000	Panasonic Teilenr.
	.1	12.0	4.0	7.4	10.0	1.0	.6	E1104-ND	.29	2.49	19.50	124.45	116.83/M	107.52/M	ECQ-E1104KZ
	.12	12.0	4.5	7.4	10.0	1.0	.6	E1124-ND	.30	2.57	20.10	127.84	120.22/M	110.91/M	ECQ-E1124KZ
	.15	12.0	4.0	9.5	10.0	1.0	.6	E1154-ND	.30	2.64	20.69	132.07	124.45/M	114.30/M	ECQ-E1154KZ
	.18	12.0	4.5	10.0	10.0	1.0	.6	E1184-ND	.33	2.79	21.88	139.69	131.23/M	121.07/M	ECQ-E1184KZ
	.22	12.0	5.0	10.5	10.0	1.0	.6	E1224-ND	.35	3.00	23.48	149.85	140.54/M	129.53/M	ECQ-E1224KZ
	.27	17.0	4.5	8.0	15.0	1.0	.6	E1274-ND	.39	3.30	25.86	165.09	154.93/M	143.08/M	ECQ-E1274KZ
	.33	17.0	4.5	10.0	15.0	1.0	.6	E1334-ND	.43	3.68	28.85	183.71	173.56/M	159.17/M	ECQ-E1334KZ
	.39	17.0	5.0	10.0	15.0	1.0	.6	E1394-ND	.45	3.81	29.84	190.49	179.48/M	165.09/M	ECQ-E1394KZ
	.47	17.0	5.5	11.0	15.0	1.0	.6	E1474-ND	.47	4.01	31.43	200.64	188.80/M	173.56/M	ECQ-E1474KZ
	.56	17.0	6.5	11.5	15.0	1.0	.6	E1564-ND	.54	4.62	36.21	230.28	217.58/M	199.80/M	ECQ-E1564KZ
	.68	17.0	7.0	12.0	15.0	1.0	.8	E1684-ND	.61	5.26	41.19	262.45	247.21/M	227.74/M	ECQ-E1684KZ
	.82	17.0	7.5	13.0	15.0	1.0	.8	E1824-ND	.67	5.77	45.17	287.84	270.92/M	249.75/M	ECQ-E1824KZ
100	1.0	17.0	8.0	14.0	15.0	1.0	.8	E1105-ND	.73	6.27	49.15	313.24	294.62/M	271.76/M	ECQ-E1105KZ
	1.2	17.0	8.5	16.0	15.0	1.0	.8	E1125-ND	.85	7.26	56.90	362.34	341.18/M	314.09/M	ECQ-E1125KZ
	1.5	25.5	7.5	14.5	22.5	1.0	.8	E1155-ND	.99	8.48	66.45	423.30	398.75/M	367.43/M	ECQ-E1155KZ
	1.8	25.5	8.5	16.0	22.5	1.0	.8	E1185-ND	1.10	9.42	73.82	469.86	442.78/M	408.07/M	ECQ-E1185KZ
	2.2	25.5	9.5	16.5	22.5	1.0	.8	E1225-ND	1.24	10.67	83.56	532.51	501.19/M	461.40/M	ECQ-E1225KZ
	2.7	25.5	10.0	18.5	22.5	1.0	.8	E1275-ND	1.41	12.11	94.90	604.47	569.77/M	524.05/M	ECQ-E1275KZ
	3.3	25.5	10.0	19.0	22.5	1.0	.8	E1335-ND	1.80	15.44	120.96	770.41	726.39/M	668.82/M	ECQ-E1335KZ
	3.9	30.5	11.0	18.0	27.5	1.5	.8	E1395-ND	2.04	17.50	137.08	872.84	822.90/M	757.71/M	ECQ-E1395KZ
	4.7	30.5	11.0	20.5	27.5	1.5	.8	E1475-ND	2.30	19.73	154.59	984.60	927.88/M	854.22/M	ECQ-E1475KZ
	5.6	30.5	12.5	21.0	27.5	1.5	.8	E1565-ND	2.73	23.47	183.83	1170.85	1103.12/M	1015.92/M	ECQ-E1565KZ
	6.8	30.5	13.0	24.0	27.5	1.5	.8	E1685-ND	3.11	26.64	208.70	1329.16	1252.97/M	1153.07/M	ECQ-E1685KZ
	8.2	30.5	15.0	25.0	27.5	1.5	.8	E1825-ND	3.59	30.73	240.73	1533.19	1445.15/M	1330.01/M	ECQ-E1825KZ
	10.0	30.5	16.0	27.0	27.5	1.5	.8	E1106-ND	4.17	35.76	280.12	1784.63	1681.35/M	1548.44/M	ECQ-E1106KZ
	.01	12.5	5.0	8.5	10.0	1.0	.6	E2103-ND*	.26	2.26	17.71	112.60	106.68/M	98.21/M	ECQ-E2103KS
	.012	12.5	5.0	8.5	10.0	1.0	.6	E2123-ND*	.26	2.26	17.71	112.60	106.68/M	98.21/M	ECQ-E2123KS
	.015	12.5	5.0	8.5	10.0	1.0	.6	E2153-ND	.26	2.26	17.71	112.60	106.68/M	98.21/M	ECQ-E2153KS
	.018	12.5	5.0	8.5	10.0	1.0	.6	E2183-ND	.26	2.26	17.71	112.60	106.68/M	98.21/M	ECQ-E2183KS
	.022	12.5	5.0	8.5	10.0	1.0	.6	E2223-ND*	.26	2.26	17.71	112.60	106.68/M	98.21/M	ECQ-E2223KS
	.027	12.5	5.0	8.5	10.0	1.0	.6	E2273-ND	.26	2.26	17.71	112.60	106.68/M	98.21/M	ECQ-E2273KS
	.033	12.5	5.0	8.5	10.0	1.0	.6	E2333-ND*	.26	2.26	17.71	112.60	106.68/M	98.21/M	ECQ-E2333KS
	.039	12.5	5.0	8.5	10.0	1.0	.6	E2393-ND	.26	2.26	17.71	112.60	106.68/M	98.21/M	ECQ-E2393KS
	.047	12.5	5.0	8.0	10.0	1.0	.6	E2473-ND*	.22	1.85	14.53	92.28	87.20/M	80.43/M	ECQ-E2473KS
	.056	12.5	5.5	8.5	10.0	1.0	.6	E2563-ND	.27	2.34	18.30	116.83	110.06/M	100.75/M	ECQ-E2563KS
	.068	12.5	5.5	8.5	10.0	1.0	.6	E2683-ND*	.28	2.39	18.70	119.37	112.60/M	103.29/M	ECQ-E2683KS
	.082	12.5	5.5	10.0	10.0	1.0	.6	E2823-ND	.29	2.49	19.50	124.45	116.83/M	107.52/M	ECQ-E2823KS
	.10	12.5	5.5	10.5	10.0	1.0	.6	E2104-ND*	.22	1.86	14.59	93.13	87.20/M	80.43/M	ECQ-E2104KS
	.12	17.5	5.5	10.0	15.0	1.0	.8	E2124-ND	.34	2.90	22.68	144.77	136.31/M	125.30/M	ECQ-E2124KS
250	.15	17.5	6.0	10.5	15.0	1.0	.8	E2154-ND*	.36	3.15	24.67	157.47	148.16/M	136.31/M	ECQ-E2154KS
	.18	17.5	6.0	10.5	15.0	1.0	.8	E2184-ND	.39	3.30	25.86	165.09	154.93/M	143.08/M	ECQ-E2184KS
	.22	17.5	6.0	11.0	15.0	1.0	.8	E2224-ND*	.32	2.79	21.87	139.69	131.23/M	121.07/M	ECQ-E2224KS
	.27	23.0	6.0	10.5	20.0	1.0	.8	E2274-ND	.47	3.99	31.24	198.95	187.10/M	172.71/M	ECQ-E2274KS
	.33	23.0	6.0	11.0	20.0	1.0	.8	E2334-ND*	.51	4.37	34.22	217.58	205.73/M	188.80/M	ECQ-E2334KS
	.39	23.0	6.5	11.5	20.0	1.0	.8	E2394-ND	.55	4.70	36.81	234.51	220.97/M	203.19/M	ECQ-E2394KS
	.47	23.0	7.0	12.0	20.0	1.0	.8	E2474-ND*	.58	5.03	39.39	250.59	236.21/M	217.58/M	ECQ-E2474KS
	.56	23.0	7.5	13.0	20.0	1.0	.8	E2564-ND	.64	5.51	43.18	275.15	259.06/M	238.75/M	ECQ-E2564KS
	.68	23.0	8.5	14.0	20.0	1.0	.8	E2684-ND	.71	6.07	47.55	303.08	285.31/M	262.45/M	ECQ-E2684KS
	.82	31.0	7.5	13.0	27.5	1.0	.8	E2824-ND	.78	6.68	52.33	333.56	314.09/M	289.54/M	ECQ-E2824KS
	1.0	31.0	8.5	14.0	27.5	1.0	.8	E2105-ND*	.83	7.09	55.51	353.88	333.56/M	306.47/M	ECQ-E2105KS
	1.2	31.0	8.5	16.0	27.5	1.0	.8	E2125-ND*	.91	7.77	60.88	387.74	365.74/M	336.10/M	ECQ-E2125KS
	1.5	31.0	9.5	17.0	27.5	1.0	.8	E2155-ND*	1.17	10.01	78.39	499.49	470.71/M	433.46/M	ECQ-E2155KS
	1.8	31.0	9.5	18.5	27.5	1.0	.8	E2185-ND	1.41	12.06	94.51	601.93	567.23/M	522.36/M	ECQ-E2185KS
	2.2	31.0	10.5	19.5	27.5	1.0	.8	E2225-ND*	1.41	12.11	94.90	604.47	569.77/M	524.05/M	ECQ-E2225KS
	.01	14.0	5.0	8.5	10.5	1.0	.6	E4103-ND	.36	3.05	23.87	152.39	143.08/M	132.07/M	ECQ-E4103KZ
	.012	14.0	5.5	8.5	10.5	1.0	.6	E4123-ND	.36	3.05	23.87	152.39	143.08/M	132.07/M	ECQ-E4123KZ
	.015	14.0	5.0	8.5	10.5	1.0	.6	E4153-ND	.36	3.15	24.67	157.47	148.16/M	136.31/M	ECQ-E4153KZ
	.018	14.0	5.5	8.5	10.5	1.0	.6	E4183-ND	.36	3.15	24.67	157.47	148.16/M	136.31/M	ECQ-E4183KZ
	.022	14.0	5.5	10.0	10.5	1.0	.6	E4223-ND	.37	3.17	24.87	158.31	149.01/M	137.15/M	ECQ-E4223KZ
	.027	14.0	5.5	10.5	10.5	1.0	.6	E4273-ND	.40	3.38	26.46	168.47	159.16/M	146.47/M	ECQ-E4273KZ
	.033	14.0	6.0	11.0	10.5	1.0	.6	E4333-ND	.41	3.56	27.85	177.79	166.78/M	154.09/M	ECQ-E4333KZ
	.039	14.0	6.5	11.5	10.5	1.0	.6	E4393-ND	.42	3.61	28.25	180.33	169.32/M	155.78/M	ECQ-E4393KZ
	.047	14.0	7.0	12.0	10.5	1.0	.6	E4473-ND	.42	3.61	28.25	180.33	169.32/M	155.78/M	ECQ-E4473KZ
	.056	17.0	6.5	11.0	13.5	1.0	.6	E4563-ND	.46	3.89	30.44	193.87	182.87/M	168.48/M	ECQ-E4563KZ
	.068	17.0	7.0	12.0	13.5	1.0	.6	E4683-ND	.48	4.11	32.23	205.72	193.03/M	177.79/M	ECQ-E4683KZ
	.082	17.0	7.5	12.5	13.5	1.0	.6	E4823-ND	.50	4.29	33.63	214.19	201.49/M	185.41/M	ECQ-E4823KZ
	.10	17.0	7.5	14.5	13.5	1.0	.6	E4104-ND	.49	4.22	33.03	210.80	198.11/M	182.87/M	ECQ-E4104KZ
	.12	17.0	8.5	15.5	13.5	1.0	.6	E4124-ND	.56	4.80	37.61	239.59	226.05/M	207.42/M	ECQ-E4124KZ
400	.15	17.0	9.0	16.5	13.5	1.0	.8	E4154-ND	.61	5.26	41.19	262.45	247.21/M	227.74/M	ECQ-E4154KZ
	.18	17.0	10.0	17.0	13.5	1.0	.8	E4184-ND	.65	5.61	43.97	280.22	264.14/M	242.98/M	ECQ-E4184KZ
	.22	24.5	8.5	15.5	20.5	1.0	.8	E4224-ND	.70	6.02	47.16	300.54	282.77/M	260.76/M	ECQ-E4224KZ
	.27	24.5	9.0	16.5	20.5	1.0	.8	E4274-ND	.78	6.65	52.13	331.87	313.25/M	287.85/M	ECQ-E4274KZ
	.33	24.5	9.5	17.0	20.5	1.0	.8	E4334-ND	.84	7.16	56.10	357.27	336.95/M	309.86/M	ECQ-E4334KZ
	.39	29.5	9.5	16.5	25.5	1.5	.8	E4394-ND	.91	7.77	60.88	387.74	365.74/M	336.10/M	ECQ-E4394KZ
	.47	29.5	10.0	17.5	25.5	1.5	.8	E4474-ND	.98	8.38	65.65	418.22	393.67/M	363.20/M	ECQ-E4474KZ
	.56	29.5	11.0	18.0	25.5	1.5	.8	E4564-ND	1.07	9.14	71.62	456.32	430.08/M	396.21/M	ECQ-E4564KZ
	.68	29.5	12.0	19.0	25.5	1.5	.8	E4684-ND	1.19	10.24	80.18	510.50	480.87/M	442.78/M	ECQ-E4684KZ
	.82	29.5	13.0	21.0	25.5	1.5	.8	E4824-ND	1.30	11.18	87.54	557.91	525.74/M	483.41/M	ECQ-E4824KZ
	1.0	29.5	15.0	22.0	25.5	1.5	.8	E4105-ND	1.42	12.22	95.70	609.55	574.00/M	529.13/M	ECQ-E4105KZ
	1.2	29.5	15.0	25.0	25.5	1.5	.8	E4125-ND	2.01	17.27	135.29	861.84	811.89/M	747.55/M	ECQ-E4125KZ
	1.5	43.5	13.0	22.0	38.5	1.5	.8	E4155-ND	2.17	18.59	145.63	927.87	873.70/M	805.12/M	ECQ-E4155KZ
	1.8	43.5	14.5	24.0	38.5	1.5	.8	E4185-ND	2.57	22.02	172.49	1098.89	1035.40/M	953.28/M	ECQ-E4185KZ
	2.2	43.5	16.0	25.5	38.5	1.5	.8	E4225-ND	2.94	25.14	196.96	1254.66	1181.86/M	1088.73/M	ECQ-E4225KZ
	.01	14.0	5.5	8.5	10.5	1.0	.6	E6103-ND	.38	3.28	25.67	163.39	154.09/M	142.23/M	ECQ-E6103KZ
	.015	14.0	6.0	10.5	10.5	1.0	.6	E6153-ND	.41	3.50	27.46	175.25	165.09/M	151.55/M	ECQ-E6153KZ
	.018	14.0	6.0	11.0	10.5	1.0	.6	E6183-ND	.42	3.61	28.25	180.33	169.32/M	155.78/M	ECQ-E6183KZ
	.022	14.0	6.5	12.0	10.5	1.0	.6	E6223-ND	.44	3.76	29.44	187.95	176.94/M	162.55/M	ECQ-E6223KZ
	.027	17.0	5.5	12.5	13.5	1.0	.6	E6273-ND	.46	3.89	30.44	193.87	182.87/M	168.48/M	ECQ-E6273KZ
	.033	17.0	6.0	12.0	13.5	1.0	.6	E6333-ND	.47	4.01	31.43	200.64	188.80/M	173.56/M	ECQ-E6333KZ
	.039	17.0	6.5	12.0	13.5	1.0	.6	E6393-ND	.48	4.11	32.23	205.72	193.03/M	177.79/M	ECQ-E6393KZ
	.047	17.0	7.0	13.5	13.5	1.0	.6	E6473-ND	.49	4.22	33.03	210.80	198.11/M	182.87/M	ECQ-E6473KZ
	.056	17.0	7.5	14.0	13.5	1.0	.6	E6563-ND	.52	4.52	35.41	225.20	212.50/M	195.57/M	ECQ-E6563KZ
	.068	17.0	8.5	15.0	13.5	1.0	.6	E6683-ND	.57	4.88	38.20	242.97	229.43/M	210.81/M	ECQ-E6683KZ
	.082	17.0	9.0	16.0	13.5	1.0	.8	E6823-ND	.61	5.21	40.79	259.91	244.67/M	225.20/M	ECQ-E6823KZ
	.10	24.5	7.0	14.0	20.5	1.5	.8	E6104-ND	.65	5.56	43.57	277.68	261.60/M	240.44/M	ECQ-E6104KZ
	.12	24.5	8.5	15.5	20.5	1.5	.8	E6124-ND	.72	6.15	48.15	306.47	288.69/M	265.84/M	ECQ-E6124KZ
630	.15	24.5	9.0	16.5	20.5	1.5	.8	E6154-ND	.80	6.88	53.92	343.72	323.41/M	298.01/M	ECQ-E6154KZ
	.18	24.5	10.0	17.0	20.5	1.5	.8	E6184-ND	.86	7.34	57.50	366.58	345.42/M	317.48/M	ECQ-E6184KZ
	.22	29.5	9.5	17.0	25.5	1.5	.8	E6224-ND	.93	8.00	62.67	399.60	375.89/M	346.26/M	ECQ-E6224KZ
	.27	29.5	10.5	17.5	25.5	1.5	.8	E6274-ND	1.05	9.02	70.63	449.54	424.15/M	390.29/M	ECQ-E6274KZ
	.33	29.5	11.5	18.5	25.5	1.5	.8	E6334-ND	1.19	10.16	79.58	507.11	477.49/M	439.39/M	ECQ-E6334KZ
	.39	29.5	12.0	19.5	25.5	1.5	.8	E6394-ND	1.29	11.05	86.55	551.14	519.82/M	478.33/M	ECQ-E6394KZ
	.47	29.5	13.0	20.5	25.5	1.5	.8	E6474-ND	1.39	11.91	93.31	594.31	559.61/M	515.58/M	ECQ-E6474KZ
	.56	29.5	15.0	21.5	25.5	1.5	.8	E6564-ND	1.65	14.12	110.62	704.37	663.74/M	611.25/M	ECQ-E6564KZ
	.68	43.5	12.5	19.5	38.5	1.5	.8	E6684-ND	2.13	18.29	143.24	912.63	860.15/M	791.58/M	ECQ-E6684KZ
	.82	43.5	14.0	21.0	38.5	1.5	.8	E6824-ND	2.35	20.06	157.17	1001.53	943.12/M	868.62/M	ECQ-E6824KZ
	1.0	43.5	14.5	24.0	38.5	1.5	.8	E6105-ND	2.84	24.36	190.80	1215.72	1145.45/M	1054.02/M	ECQ-E6105KZ
	1.2	43.5	16.0	25.5	38.5	1.5	.8	E6125-ND	2.99	25.60	200.54	1277.52	1203.87/M	1108.20/M	ECQ-E6125KZ
	1.5	43.5	18.5	27.0	38.5	1.5	.8	E6155-ND	3.65	31.29	245.11	1561.13	1471.39/M	1354.56/M	ECQ-E6155KZ

*** E-KIT-ND** ***Digi-Key® Kondensator-Kit, Serie E*** jeweils 10 aller angegebenen Werte (außer Nr. E2104, das 30 Stück enthält) - 170 Stück insgesamt. Notizbuchartiger Lagerbehälter **50.75**

Metall-Polypropylen-Schichtkondensatoren

Serie MKP

Konstruktion: • Dielektrik: Polypropylen • Stapel-Wickel-Technologie • Plastikgehäuse (UL 94 V-0) • Epoxidharzversiegelung

Merkmale: • Sehr hohe Impulsstärke • Sehr gute selbstheilende Eigenschaften • Kleine Abmessungen • Hohe Kontaktzuverlässigkeit

Typische Anwendungen: • Stromsparende Lampen • TV S-Korrektur • Anwendungen mit hoher Impulslast • AC-Anwendungen **Anschlussklemmen:** • Parallele Drahtleitungen, verzinnt **Technische Daten:** • Untere Kategorietemperatur T_{min}: -55 °C • Obere Kategorietemperatur T_{max}: 100 °C **Lebensdauer:** 200.000 Std.

Abmessungen (mm)	
Ableitungsabstand (e)	ød
7.5	0.5
10.0	0.5*, 0.6
15.0	0.8

* 0.5 for capacitor width b = 4

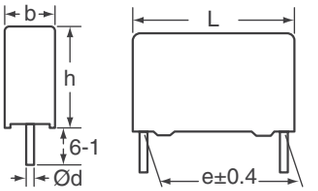

WV* (DC)	WV* (AC)	Kap (µF)	Tole-ranz	Abmessungen (mm) b	h	L	e	Digi-Key Teilenr.	Preisangaben 1	10	100	Epcos Teilenr.
160	90	0.033	±5%	4.0	8.5	10.0	7.5	495-1271-ND	.30	2.24	15.94	B32620A5333J
		0.047	±5%	4.0	7.0	13.0	10.0	495-1272-ND	.36	2.66	18.96	B32621A5473J
		0.068	±5%	5.0	10.5	10.0	7.5	495-1274-ND	.38	2.79	19.92	B32620A5683J
		0.068	±5%	4.0	9.0	13.0	10.0	495-1273-ND	.38	2.79	19.92	B32621A5683J
		0.10	±5%	5.0	10.5	10.0	7.5	495-1275-ND	.40	2.90	20.74	B32620A5104J
		0.10	±5%	5.0	11.0	13.0	10.0	495-1375-ND	.46	3.35	23.92	B32621A5104J
		0.15	±5%	6.0	12.0	10.3	7.5	495-1276-ND	.38	2.87	21.05	B32620A5154J
		0.15	±5%	5.0	11.0	13.0	10.0	495-1277-ND	.48	3.56	26.20	B32621A5154J
		0.22	±5%	6.0	12.0	13.0	10.0	495-1278-ND	.55	4.08	29.98	B32621A5224J
250	140	0.0022	±5%	4.0	7.0	13.0	10.0	495-1279-ND	.27	2.02	14.48	B32621A3222J
		0.0033	±5%	4.0	9.0	13.0	10.0	495-1280-ND	.32	2.35	16.76	B32621A3332J
		0.0047	±5%	4.0	9.0	13.0	10.0	495-1281-ND	.32	2.35	16.76	B32621A3472J
		0.0068	±5%	4.0	9.0	13.0	10.0	495-1282-ND	.32	2.35	16.76	B32621A3682J
		0.01	±5%	4.0	9.0	13.0	10.0	495-1283-ND	.31	2.29	16.30	B32621A3103J
		0.015	±5%	4.0	9.0	13.0	10.0	495-1284-ND	.32	2.39	17.06	B32621A3153J
		0.022	±5%	4.0	8.5	10.0	7.5	495-1286-ND	.30	2.17	15.48	B32620A3223J
		0.022	±5%	4.0	9.0	13.0	10.0	495-1285-ND	.34	2.51	17.93	B32621A3223J
		0.033	±5%	4.0	8.5	10.0	7.5	495-1288-ND	.30	2.24	15.96	B32620A3333J
		0.033	±5%	4.0	9.0	13.0	10.0	495-1287-ND	.36	2.65	18.92	B32621A3333J
		0.047	±5%	5.0	10.5	10.0	7.5	495-1290-ND	.33	2.42	17.30	B32620A3473J
		0.047	±5%	4.0	9.0	13.0	10.0	495-1289-ND	.38	2.81	20.09	B32621A3473J
		0.068	±5%	5.0	10.5	10.0	7.5	495-1291-ND	.36	2.65	18.92	B32620A3683J
		0.068	±5%	5.0	11.0	13.0	10.0	495-1292-ND	.41	3.04	21.74	B32621A3683J
		0.10	±5%	6.0	12.0	10.3	7.5	495-1294-ND	.42	3.13	22.39	B32620A3104J
	160	0.15	±5%	5.0	10.5	18.0	15.0	495-1295-ND	.32	2.38	17.49	B32652A3154J
		0.22	±5%	6.0	11.0	18.0	15.0	495-1296-ND	.35	2.59	19.04	B32652A3224J
		0.33	±5%	7.0	12.5	18.0	15.0	495-1297-ND	.41	3.03	22.28	B32652A3334J
		0.47	±5%	8.5	14.5	18.0	15.0	495-1298-ND	.49	3.62	26.62	B32652A3474J
		0.68	±5%	9.0	17.5	18.0	15.0	495-1299-ND	.56	4.15	30.48	B32652A3684J
400	200	0.0068	±5%	4.0	8.5	10.0	7.5	495-1300-ND	.30	2.17	15.48	B32620A4682J
		0.01	±5%	4.0	8.5	10.0	7.5	495-1301-ND	.30	2.17	15.48	B32620A4103J
		0.01	±5%	4.0	9.0	13.0	10.0	495-1302-ND	.33	2.42	17.30	B32621A4103J
		0.015	±5%	5.0	10.5	10.0	7.5	495-1304-ND	.31	2.33	16.64	B32620A4153J
		0.015	±5%	4.0	9.0	13.0	10.0	495-1303-ND	.34	2.51	17.93	B32621A4153J
		0.022	±5%	5.0	10.5	10.0	7.5	495-1305-ND	.34	2.46	17.61	B32620A4223J
		0.022	±5%	5.0	11.0	13.0	10.0	495-1306-ND	.37	2.77	19.75	B32621A4223J
		0.033	±5%	6.0	12.0	10.3	7.5	495-1308-ND	.40	2.90	20.74	B32620A4333J
		0.033	±5%	5.0	11.0	13.0	10.0	495-1307-ND	.41	3.07	21.97	B32621A4333J
		0.047	±5%	6.0	12.0	13.0	10.0	495-1309-ND	.46	3.39	24.20	B32621A4473J
		0.068	±5%	5.0	10.5	18.0	15.0	495-1310-ND	.38	2.81	20.09	B32652A4683J
		0.10	±5%	5.0	10.5	18.0	15.0	495-1311-ND	.43	3.18	22.71	B32652A4104J
		0.15	±5%	6.0	11.0	18.0	15.0	495-1312-ND	.41	3.08	22.60	B32652A4154J
		0.22	±5%	7.0	12.5	18.0	15.0	495-1313-ND	.42	3.18	23.36	B32652A4224J
		0.33	±5%	8.5	14.5	18.0	15.0	495-1314-ND	.45	3.37	24.75	B32652A4334J
		0.47	±5%	9.0	17.5	18.0	15.0	495-1315-ND	.57	4.19	30.80	B32652A4474J
630	400	0.0015	±5%	4.0	8.5	10.0	7.5	495-1316-ND	.28	2.05	14.65	B32620A6152J
		0.0022	±5%	4.0	8.5	10.0	7.5	495-1318-ND	.28	2.05	14.65	B32620A6222J
		0.0022	±5%	4.0	7.0	13.0	10.0	495-1317-ND	.31	2.30	16.47	B32621A6222J
		0.0033	±5%	4.0	8.5	10.0	7.5	495-1319-ND	.30	2.17	15.48	B32620A6332J
		0.0033	±5%	4.0	9.0	13.0	10.0	495-1320-ND	.32	2.35	16.79	B32621A6332J
		0.0047	±5%	4.0	8.5	10.0	7.5	495-1322-ND	.31	2.33	16.64	B32620A6472J
		0.0047	±5%	4.0	9.0	13.0	10.0	495-1321-ND	.34	2.46	17.61	B32621A6472J

WV* (DC)	WV* (AC)	Kap (µF)	Tole-ranz	Abmessungen (mm) b	h	L	e	Digi-Key Teilenr.	Preisangaben 1	10	100	Epcos Teilenr.
630	400	0.0068	±5%	5.0	10.5	10.0	7.5	495-1323-ND	.34	2.46	17.61	B32620A6682J
		0.0068	±5%	4.0	9.0	13.0	10.0	495-1324-ND	.37	2.72	19.43	B32621A6682J
		0.01	±5%	5.0	10.5	10.0	7.5	495-1325-ND	.37	2.72	19.43	B32620A6103J
		0.01	±5%	4.0	9.0	13.0	10.0	495-1326-ND	.41	3.00	21.40	B32621A6103J
		0.015	±5%	6.0	12.0	10.3	7.5	495-1327-ND	.45	3.29	23.54	B32620A6153J
		0.015	±5%	5.0	11.0	13.0	10.0	495-1328-ND	.49	3.63	25.93	B32621A6153J
		0.022	±5%	6.0	12.0	13.0	10.0	495-1329-ND	.46	3.41	25.07	B32621A6223J
	250	0.033	±5%	5.0	10.5	18.0	15.0	495-1330-ND	.41	3.06	21.88	B32652A6333J
		0.047	±5%	5.0	10.5	18.0	15.0	495-1331-ND	.44	3.23	23.05	B32652A6473J
		0.068	±5%	6.0	11.0	18.0	15.0	495-1332-ND	.41	3.12	22.90	B32652A6683J
		0.10	±5%	7.0	12.5	18.0	15.0	495-1333-ND	.44	3.27	23.99	B32652A6104J
		0.15	±5%	8.5	14.5	18.0	15.0	495-1334-ND	.54	4.00	29.40	B32652A6154J
		0.22	±5%	9.0	17.5	18.0	15.0	495-1335-ND	.57	4.19	30.80	B32652A6224J
1000	250	0.01	±5%	5.0	10.5	18.0	15.0	495-1349-ND	.38	2.81	20.08	B32652A0103J
		0.015	±5%	5.0	10.5	18.0	15.0	495-1351-ND	.39	2.86	20.41	B32652A0153J
		0.022	±5%	5.0	10.5	18.0	15.0	495-1352-ND	.41	3.06	21.89	B32652A0223J
		0.033	±5%	6.0	11.0	18.0	15.0	495-1353-ND	.46	3.36	24.03	B32652A0333J
		0.047	±5%	7.0	12.5	18.0	15.0	495-1354-ND	.46	3.41	25.07	B32652A0473J
		0.068	±5%	8.5	14.5	18.0	15.0	495-1355-ND	.48	3.58	26.30	B32652A0683J
		0.10	±5%	9.0	17.5	18.0	15.0	495-1356-ND	.56	4.13	30.33	B32652A0104J
	500	0.0015	±5%	4.0	8.5	10.0	7.5	495-1338-ND	.29	2.12	15.15	B32620A152J
		0.0022	±5%	4.0	8.5	10.0	7.5	495-1339-ND	.30	2.17	15.48	B32620A222J
		0.0022	±5%	4.0	7.0	13.0	10.0	495-1340-ND	.34	2.46	17.61	B32621A222J
		0.0033	±5%	5.0	10.5	10.0	7.5	495-1343-ND	.31	2.29	16.30	B32620A332J
		0.0033	±5%	4.0	9.0	13.0	10.0	495-1342-ND	.34	2.51	17.95	B32621A332J
		0.0047	±5%	5.0	10.5	10.0	7.5	495-1346-ND	.34	2.46	17.61	B32620A472J
		0.0047	±5%	4.0	9.0	13.0	10.0	495-1344-ND	.40	2.90	20.74	B32621A472J
		0.0068	±5%	6.0	12.0	10.3	7.5	495-1347-ND	.41	3.00	21.40	B32620A682J
		0.0068	±5%	5.0	11.0	13.0	10.0	495-1348-ND	.41	3.08	22.01	B32621A682J
		0.01	±5%	6.0	12.0	13.0	10.0	495-1350-ND	.47	3.48	24.85	B32621A103J
	600	0.00047	±5%	4.0	8.5	10.0	7.5	495-1336-ND	.43	2.95	20.82	B32620J471J
		0.00068	±5%	5.0	10.5	10.0	7.5	495-1337-ND	.29	2.13	15.24	B32620J681J
		0.0022	±5%	5.0	10.5	10.0	7.5	495-1341-ND	.35	2.54	18.16	B32620J222J
		0.0047	±5%	6.0	12.0	10.3	7.5	495-1345-ND	.36	2.65	18.93	B32620J472J
1250	500	0.0068	±5%	5.0	10.5	18.0	15.0	495-1357-ND	.41	3.02	21.57	B32652A7682J
		0.01	±5%	6.0	11.0	18.0	15.0	495-1358-ND	.42	3.16	23.21	B32652A7103J
		0.015	±5%	7.0	12.5	18.0	15.0	495-1359-ND	.47	3.54	26.00	B32652A7153J
		0.022	±5%	8.5	14.5	18.0	15.0	495-1360-ND	.51	3.79	27.85	B32652A7223J
		0.033	±5%	9.0	17.5	18.0	15.0	495-1361-ND	.57	4.19	30.80	B32652A7333J
1600	500	0.0033	±5%	5.0	10.5	18.0	15.0	495-1367-ND	.34	2.51	17.95	B32652A1332J
		0.0047	±5%	6.0	11.0	18.0	15.0	495-1369-ND	.36	2.70	19.26	B32652A1472J
		0.0068	±5%	7.0	12.5	18.0	15.0	495-1371-ND	.36	2.74	20.12	B32652A1682J
		0.01	±5%	8.5	14.5	18.0	15.0	495-1373-ND	.46	3.41	25.07	B32652A1103J
		0.015	±5%	9.0	17.5	18.0	15.0	495-1374-ND	.56	4.13	30.32	B32652A1153J
	700	0.0022	±5%	5.0	10.5	18.0	15.0	495-1364-ND	.41	3.03	22.28	B32652J1222J
		0.0033	±5%	6.0	11.0	18.0	15.0	495-1366-ND	.45	3.37	24.75	B32652J1332J
		0.0047	±5%	7.0	12.5	18.0	15.0	495-1368-ND	.48	3.58	26.30	B32652J1472J
		0.0068	±5%	8.5	14.5	18.0	15.0	495-1370-ND	.51	3.79	27.85	B32652J1682J
		0.01	±5%	9.0	17.5	18.0	15.0	495-1372-ND	.57	4.19	30.80	B32652J1103J
2000	700	0.001	±5%	5.0	10.5	18.0	15.0	495-1376-ND	.42	3.12	22.22	B32652A2102J
		0.0015	±5%	6.0	11.0	18.0	15.0	495-1377-ND	.44	3.23	23.05	B32652A2152J
		0.0022	±5%	7.0	12.5	18.0	15.0	495-1378-ND	.47	3.48	24.85	B32652A2222J
		0.0033	±5%	8.5	14.5	18.0	15.0	495-1379-ND	.49	3.61	25.85	B32652A2332J

* Betriebsspannung

EMI-Unterdrückungskondensatoren

Serie X2

Konstruktion: • Dielektrik: Polypropylen (MKP) • Plastikgehäuse (UL 94 V-0) • Epoxidharzversiegelung, flammenhemmend • Imprägniert
Merkmale: • Sehr kleine Abmessungen • Selbstheilende Eigenschaften **Anschlussklemmen:** • Parallele Drahtleitungen, verzinnt **Technische Daten:** • Untere Kategorietemperatur T_{min}: -40 °C • Obere Kategorietemperatur T_{max}: 100 °C • Zulässige Dauerspannung (AC): 275 V (50/60Hz) • Zulässige Dauerspannung (DC): 560 V

Konformitäts-markierungen	Standards	Zertifikat
	EN 132400 / IEC 384-14, 2. Ausgabe	18643-4670-1010/A1G
	UL 1414 (V_R = 250Vac)	E97863/97NK11940A
	Genehmigt von UL gemäß CSA C22.2 Nr. 0; 1 (VR = 250 V AC) †	E97863/97NK11940A

Abmessungen (mm)	
Ableitungsabstand (e)	ød
10.0	0.6
15.0	0.8
22.5	0.8
27.5	0.8

†Nicht für 1,5 und 2,2 µF

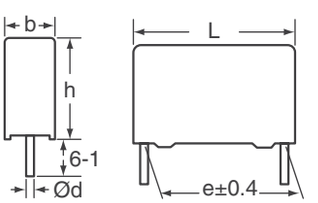

WV* (AC)	Kap (µF)	Tole-ranz	Abmessungen (mm) b	h	L	e	Digi-Key Teilenr.	Preisangaben 1	10	100	Epcos Teilenr.
275VAC	0.01	±20%	4.0	9.0	13.0	10.0	495-1380-ND	.30	2.03	14.34	B81130C1103M
	0.015	±20%	4.0	9.0	13.0	10.0	495-1381-ND	.30	2.03	14.34	B81130C1153M
	0.022	±20%	5.0	10.5	18.0	15.0	495-1382-ND	.30	2.03	14.34	B81130B1223M
	0.022	±20%	5.0	11.0	13.0	10.0	495-1383-ND	.30	2.03	14.34	B81130C1223M
	0.033	±20%	5.0	10.5	18.0	15.0	495-1384-ND	.30	2.03	14.34	B81130B1333M
	0.033	±20%	5.0	11.0	13.0	10.0	495-1385-ND	.30	2.03	14.34	B81130C1333M
	0.047	±20%	5.0	10.5	18.0	15.0	495-1387-ND	.30	2.03	14.34	B81130B1473M
	0.047	±20%	6.0	12.0	13.0	10.0	495-1386-ND	.30	2.03	14.34	B81130C1473M
	0.068	±20%	6.0	11.0	18.0	15.0	495-1388-ND	.32	2.16	15.14	B81130C1683M
	0.10	±20%	6.0	12.0	18.0	15.0	495-1389-ND	.33	2.21	15.53	B81130C1104M
	0.15	±20%	6.0	15.0	26.5	22.5	495-1390-ND	.43	3.15	22.47	B81130B1154M

WV* (AC)	Kap (µF)	Tole-ranz	Abmessungen (mm) b	h	L	e	Digi-Key Teilenr.	Preisangaben 1	10	100	Epcos Teilenr.
275VAC	0.15	±20%	8.5	14.5	18.0	15.0	495-1391-ND	.32	2.38	17.02	B81130C1154M
	0.22	±20%	7.0	16.0	26.5	22.5	495-1393-ND	.49	3.55	25.36	B81130B1224M
	0.22	±20%	9.0	17.5	18.0	15.0	495-1392-ND	.42	3.09	22.10	B81130C1224M
	0.33	±20%	8.5	16.5	26.5	22.5	495-1394-ND	.57	4.16	29.70	B81130C1334M
	0.47	±20%	11.0	21.0	31.5	27.5	495-1395-ND	.84	6.26	45.96	B81130B1474M
	0.47	±20%	10.5	16.5	26.5	22.5	495-1396-ND	.53	3.94	28.93	B81130C1474M
	0.68	±20%	11.0	21.0	31.5	27.5	495-1397-ND	.94	6.96	52.16	B81130B1684M
	0.68	±20%	11.0	20.5	26.5	22.5	495-1398-ND	.84	6.21	45.62	B81130C1684M
	1.0	±20%	12.5	21.5	31.5	27.5	495-1399-ND	.98	7.39	55.41	B81130C1105M
	1.5	±20%	15.0	24.5	31.5	27.5	495-1400-ND	1.63	12.17	91.26	B81130C1155M
	2.2	±20%	18.0	27.5	31.5	27.5	495-1401-ND	2.03	15.36	115.88	B81130C1225M

* Betriebsspannung

Alle Preisangaben in Euro und inklusive Zollgebühren.

Metall-Polyester-Schichtkondensatoren

Serie MKT

Konstruktion: • Dielektrik: Polyethylenterephthalat (Polyester) • Stapel- und Wickelkondensator-Technologie • Plastikgehäuse (UL 94 V-0) •Epoxidharzversiegelung

Merkmale: • Hohe Impulsstärke • Hohe Kontaktzuverlässigkeit

Anschlussklemmen: • Parallele Drahtleitungen, verzinnt Technische Daten: • Untere Kategorietemperatur T_{min}: -55 °C • Obere Kategorietemperatur T_{max}: 100 °C (125 °C für 1.000 Stunden und VC = 0,5 VR) • Servicedauer: 200.000 Std.

Abmessungen (mm)	
Ableitungsabstand (e)	ød
5.0	0.5
7.5	0.5
10.0	0.5*, 0.6
15.0	0.8

* 0,5 für Kondensatorbreite b = 4

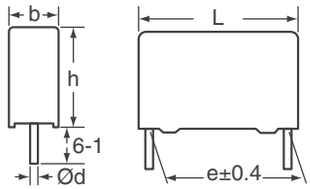

WV* (DC)	WV* (AC)	Kap (µF)	Toleranz	Abmessungen (mm) b	h	L	e	Digi-Key Teilenr.	Preisangaben 1	10	100	Epcos Teilenr.
		0.33	±5%	3.0	6.5	7.2	5.0	495-1085-ND	.24	1.58	11.15	B32529C5334J
		0.47	±5%	3.5	8.0	7.2	5.0	495-1086-ND	.27	1.84	12.97	B32529C5474J
		0.68	±5%	4.5	9.5	7.3	5.0	495-1117-ND	.30	2.18	15.58	B32529C5684J
50	32	1.0	±5%	4.5	9.5	7.3	5.0	495-1087-ND	.35	2.58	18.44	B32529C5105J
		1.5	±5%	6.0	10.5	7.5	5.0	495-1088-ND	.60	4.47	32.85	B32529C5155J
		2.2	±5%	7.8	13.0	7.8	5.0	495-1089-ND	1.19	8.88	66.64	B32529D5225J
		3.3	±5%	7.8	13.0	7.8	5.0	495-1090-ND	1.57	11.87	89.60	B32529D5335J
		0.001	±5%	2.5	6.5	7.2	5.0	495-1091-ND	.14	1.09	7.35	B32529C102J
		0.0015	±5%	2.5	6.5	7.2	5.0	495-1092-ND	.14	1.09	7.35	B32529C152J
		0.0022	±5%	2.5	6.5	7.2	5.0	495-1093-ND	.14	1.09	7.35	B32529C222J
		0.0033	±5%	2.5	6.5	7.2	5.0	495-1094-ND	.14	1.09	7.35	B32529C332J
		0.0047	±5%	2.5	6.5	7.2	5.0	495-1095-ND	.14	1.09	7.35	B32529C472J
		0.0068	±5%	2.5	6.5	7.2	5.0	495-1096-ND	.14	1.09	7.35	B32529C682J
		0.01	±5%	2.5	6.5	7.2	5.0	495-1097-ND	.14	1.09	7.35	B32529C103J
		0.015	±5%	2.5	6.5	7.2	5.0	495-1098-ND	.14	1.09	7.35	B32529C153J
		0.022	±5%	2.5	6.5	7.2	5.0	495-1099-ND	.14	1.09	7.35	B32529C223J
		0.033	±5%	2.5	6.5	7.2	5.0	495-1100-ND	.14	1.09	7.35	B32529C333J
		0.047	±5%	2.5	6.5	7.2	5.0	495-1101-ND	.14	1.09	7.35	B32529C473J
		0.068	±5%	2.5	6.5	7.2	5.0	495-1102-ND	.14	1.09	7.35	B32529C683J
		0.10	±5%	2.5	7.0	10.0	7.5	495-1104-ND	.21	1.46	10.31	B32520C104J
		0.10	±5%	2.5	6.5	7.2	5.0	495-1103-ND	.14	1.09	7.35	B32529C104J
		0.15	±5%	2.5	6.5	7.2	5.0	495-1105-ND	.17	1.31	8.82	B32529C154J
		0.22	±5%	2.5	7.0	10.0	7.5	495-1107-ND	.27	1.85	13.04	B32520C224J
		0.22	±5%	2.5	6.5	7.2	5.0	495-1106-ND	.19	1.46	9.79	B32529C224J
		0.33	±5%	2.5	7.0	10.0	7.5	495-1109-ND	.32	2.18	15.39	B32520C334J
		0.33	±5%	3.0	6.5	7.2	5.0	495-1108-ND	.29	1.94	13.69	B32529C334J
		0.47	±5%	3.0	8.0	10.0	7.5	495-1112-ND	.30	2.21	15.81	B32520C474J
63	40	0.47	±5%	4.0	7.0	13.0	10.0	495-1111-ND	.30	2.26	16.15	B32521C474J
		0.47	±5%	3.5	8.0	7.2	5.0	495-1110-ND	.31	2.12	14.99	B32529C474J
		0.68	±5%	4.0	8.5	10.0	7.5	495-1115-ND	.43	3.18	22.71	B32520C684J
		0.68	±5%	4.0	7.0	13.0	10.0	495-1113-ND	.43	3.18	22.71	B32521C684J
		0.68	±5%	5.0	10.5	18.0	15.0	495-1116-ND	.51	3.73	26.67	B32522C684J
		0.68	±5%	4.5	9.5	7.3	5.0	495-1114-ND	.36	2.60	18.57	B32529C684J
		1.0	±5%	5.0	10.5	10.0	7.5	495-1121-ND	.47	3.45	25.39	B32520C105J
		1.0	±5%	4.0	9.0	13.0	10.0	495-1118-ND	.47	3.45	25.39	B32521C105J
		1.0	±5%	5.0	10.5	18.0	15.0	495-1120-ND	.53	3.94	28.93	B32522C105J
		1.0	±5%	4.5	9.5	7.3	5.0	495-1119-ND	.38	2.79	19.96	B32529C105J
		1.5	±5%	5.0	10.5	10.0	7.5	495-1124-ND	.68	5.04	36.99	B32520C155J
		1.5	±5%	5.0	11.0	13.0	10.0	495-1170-ND	.68	5.04	36.99	B32521C155J
		1.5	±5%	5.0	10.5	18.0	15.0	495-1123-ND	.77	5.73	42.10	B32522C155J
		1.5	±5%	6.0	10.5	7.5	5.0	495-1122-ND	.89	6.62	48.65	B32529C155J
		2.2	±5%	6.0	12.0	10.3	7.5	495-1128-ND	.97	7.31	54.78	B32520C225J
		2.2	±5%	5.0	11.0	13.0	10.0	495-1125-ND	.93	6.98	52.31	B32521C225J
		2.2	±5%	5.0	10.5	18.0	15.0	495-1126-ND	.94	7.05	52.90	B32522C225J
		2.2	±5%	7.8	13.0	7.8	5.0	495-1127-ND	1.08	8.06	60.44	B32529D225J
		3.3	±5%	6.0	12.0	13.0	10.0	495-1129-ND	1.24	9.32	69.93	B32521C335J
		3.3	±5%	6.0	11.0	18.0	15.0	495-1130-ND	1.26	9.46	70.98	B32522C335J
		4.7	±5%	7.0	12.5	18.0	15.0	495-1131-ND	1.35	10.26	77.43	B32522C475J
		0.001	±5%	2.5	6.5	7.2	5.0	495-1132-ND	.14	1.09	7.35	B32529C1102J
		0.0015	±5%	2.5	6.5	7.2	5.0	495-1133-ND	.14	1.09	7.35	B32529C1152J
		0.0022	±5%	2.5	6.5	7.2	5.0	495-1134-ND	.14	1.09	7.35	B32529C1222J
		0.0033	±5%	2.5	6.5	7.2	5.0	495-1135-ND	.14	1.09	7.35	B32529C1332J
		0.0047	±5%	2.5	6.5	7.2	5.0	495-1136-ND	.14	1.09	7.35	B32529C1472J
		0.0068	±5%	2.5	6.5	7.2	5.0	495-1137-ND	.14	1.09	7.35	B32529C1682J
		0.01	±5%	2.5	6.5	7.2	5.0	495-1138-ND	.14	1.09	7.35	B32529C1103J
		0.015	±5%	2.5	6.5	7.2	5.0	495-1139-ND	.14	1.09	7.35	B32529C1153J
		0.022	±5%	2.5	6.5	7.2	5.0	495-1140-ND	.14	1.09	7.35	B32529C1223J
		0.033	±5%	2.5	6.5	7.2	5.0	495-1141-ND	.14	1.09	7.35	B32529C1333J
		0.047	±5%	2.5	7.0	10.0	7.5	495-1144-ND	.19	1.46	9.79	B32520C1473J
		0.047	±5%	2.5	6.5	7.2	5.0	495-1143-ND	.14	1.09	7.35	B32529C1473J
		0.068	±5%	2.5	7.0	10.0	7.5	495-1145-ND	.20	1.39	9.78	B32520C1683J
		0.068	±5%	2.5	6.5	7.2	5.0	495-1146-ND	.14	1.09	7.35	B32529C1683J
		0.10	±5%	2.5	7.0	10.0	7.5	495-1148-ND	.21	1.46	10.31	B32520C1104J
		0.10	±5%	4.0	7.0	13.0	10.0	495-1149-ND	.25	1.67	11.78	B32521C1104J
		0.10	±5%	2.5	6.5	7.2	5.0	495-1147-ND	.14	1.09	7.35	B32529C1104J
		0.15	±5%	3.0	8.0	10.0	7.5	495-1150-ND	.25	1.69	11.95	B32520C1154J
		0.15	±5%	4.0	7.0	13.0	10.0	495-1152-ND	.26	1.79	12.67	B32521C1154J
100	63	0.15	±5%	3.0	6.5	7.2	5.0	495-1151-ND	.23	1.54	10.87	B32529C1154J
		0.22	±5%	3.0	8.0	10.0	7.5	495-1153-ND	.29	1.95	13.76	B32520C1224J
		0.22	±5%	4.0	7.0	13.0	10.0	495-1154-ND	.32	2.16	15.20	B32521C1224J
		0.22	±5%	3.5	8.0	7.2	5.0	495-1155-ND	.24	1.60	11.29	B32529C1224J
		0.33	±5%	4.0	8.5	10.0	7.5	495-1156-ND	.29	2.12	15.15	B32520C1334J
		0.33	±5%	4.0	7.0	13.0	10.0	495-1159-ND	.29	2.14	15.31	B32521C1334J
		0.33	±5%	5.0	10.5	18.0	15.0	495-1157-ND	.47	3.48	24.85	B32522C1334J
		0.33	±5%	3.5	8.0	7.2	5.0	495-1158-ND	.32	2.16	15.20	B32529C1334J
		0.47	±5%	5.0	10.5	10.0	7.5	495-1162-ND	.34	2.51	17.95	B32520C1474J
		0.47	±5%	4.0	9.0	13.0	10.0	495-1163-ND	.37	2.72	19.43	B32521C1474J
		0.47	±5%	5.0	10.5	18.0	15.0	495-1161-ND	.48	3.57	25.52	B32522C1474J
		0.47	±5%	4.5	9.5	7.3	5.0	495-1160-ND	.30	2.18	15.60	B32529C1474J
		0.68	±5%	6.0	12.0	10.3	7.5	495-1165-ND	.44	3.27	23.37	B32520C1684J
		0.68	±5%	5.0	11.0	13.0	10.0	495-1164-ND	.45	3.32	23.70	B32521C1684J
		0.68	±5%	5.0	10.5	18.0	15.0	495-1166-ND	.48	3.56	26.14	B32522C1684J
		1.0	±5%	6.0	12.0	13.0	10.0	495-1167-ND	.58	4.34	31.87	B32521C1105J
		1.0	±5%	5.0	10.5	18.0	15.0	495-1168-ND	.59	4.40	32.35	B32522C1105J
		1.0	±5%	7.8	13.0	7.8	5.0	495-1169-ND	.68	5.03	36.95	B32529D1105J
		1.5	±5%	6.0	11.0	18.0	15.0	495-1171-ND	.76	5.69	41.78	B32522C1155J
		2.2	±5%	7.0	12.5	18.0	15.0	495-1172-ND	.98	7.39	55.41	B32522C1225J
		3.3	±5%	8.5	14.5	18.0	15.0	495-1173-ND	1.36	10.25	76.90	B32522C1335J
		0.001	±5%	2.5	6.5	7.2	5.0	495-1174-ND	.14	1.13	7.59	B32529C3102J
250	160	0.0015	±5%	2.5	6.5	7.2	5.0	495-1175-ND	.14	1.13	7.59	B32529C3152J
		0.0022	±5%	2.5	6.5	7.2	5.0	495-1176-ND	.14	1.13	7.59	B32529C3222J
		0.0033	±5%	2.5	6.5	7.2	5.0	495-1177-ND	.14	1.13	7.59	B32529C3332J

WV* (DC)	WV* (AC)	Kap (µF)	Toleranz	Abmessungen (mm) b	h	L	e	Digi-Key Teilenr.	Preisangaben 1	10	100	Epcos Teilenr.
		0.0047	±5%	2.5	6.5	7.2	5.0	495-1178-ND	.14	1.13	7.59	B32529C3472J
		0.0068	±5%	2.5	6.5	7.2	5.0	495-1179-ND	.14	1.13	7.59	B32529C3682J
		0.01	±5%	2.5	6.5	7.2	5.0	495-1180-ND	.14	1.13	7.59	B32529C3103J
		0.015	±5%	2.5	7.0	10.0	7.5	495-1181-ND	.19	1.48	10.00	B32520C3153J
		0.015	±5%	2.5	6.5	7.2	5.0	495-1182-ND	.14	1.13	7.59	B32529C3153J
		0.022	±5%	2.5	7.0	10.0	7.5	495-1184-ND	.19	1.48	10.00	B32520C3223J
		0.022	±5%	2.5	6.5	7.2	5.0	495-1183-ND	.14	1.13	7.59	B32529C3223J
		0.033	±5%	2.5	7.0	10.0	7.5	495-1186-ND	.19	1.26	8.87	B32520C3333J
		0.033	±5%	4.0	7.0	13.0	10.0	495-1185-ND	.20	1.41	9.92	B32521C3333J
		0.033	±5%	3.0	6.5	7.2	5.0	495-1187-ND	.20	1.52	10.29	B32529C3333J
		0.047	±5%	2.5	7.0	10.0	7.5	495-1188-ND	.19	1.31	9.24	B32520C3473J
		0.047	±5%	4.0	7.0	13.0	10.0	495-1189-ND	.22	1.49	10.50	B32521C3473J
		0.047	±5%	3.5	8.0	7.2	5.0	495-1190-ND	.21	1.60	10.79	B32529C3473J
		0.068	±5%	3.0	8.0	10.0	7.5	495-1191-ND	.22	1.52	10.68	B32520C3683J
		0.068	±5%	4.0	7.0	13.0	10.0	495-1193-ND	.24	1.62	11.41	B32521C3683J
		0.068	±5%	4.5	9.5	7.3	5.0	495-1192-ND	.21	1.41	9.99	B32529C3683J
250	160	0.10	±5%	4.0	8.5	10.0	7.5	495-1197-ND	.23	1.57	11.04	B32520C3104J
		0.10	±5%	4.0	7.0	13.0	10.0	495-1194-ND	.25	1.67	11.78	B32521C3104J
		0.10	±5%	5.0	10.5	18.0	15.0	495-1195-ND	.33	2.42	17.30	B32522C3104J
		0.10	±5%	4.5	9.5	7.3	5.0	495-1196-ND	.24	1.60	11.27	B32529C3104J
		0.15	±5%	5.0	10.5	10.0	7.5	495-1199-ND	.32	2.16	15.20	B32520C3154J
		0.15	±5%	4.0	9.0	13.0	10.0	495-1201-ND	.33	2.26	15.92	B32521C3154J
		0.15	±5%	5.0	10.5	18.0	15.0	495-1198-ND	.35	2.58	18.44	B32522C3154J
		0.15	±5%	5.0	10.0	7.5	5.0	495-1200-ND	.34	2.28	16.09	B32529C3154J
		0.22	±5%	5.0	11.0	13.0	10.0	495-1203-ND	.34	2.51	17.95	B32521C3224J
		0.22	±5%	5.0	10.5	18.0	15.0	495-1202-ND	.36	2.61	18.61	B32522C3224J
		0.22	±5%	7.8	13.0	7.8	5.0	495-1204-ND	.37	2.73	19.56	B32529D3224J
		0.33	±5%	5.0	11.0	13.0	10.0	495-1206-ND	.38	2.83	20.17	B32521C3334J
		0.33	±5%	5.0	10.5	18.0	15.0	495-1205-ND	.39	2.85	20.40	B32522C3334J
		0.47	±5%	6.0	12.0	13.0	10.0	495-1208-ND	.48	3.57	25.52	B32521C3474J
		0.47	±5%	6.0	11.0	18.0	15.0	495-1207-ND	.48	3.57	25.52	B32522C3474J
		0.68	±5%	7.0	12.5	18.0	15.0	495-1209-ND	.55	4.09	30.02	B32522C3684J
		1.0	±5%	8.5	14.5	18.0	15.0	495-1210-ND	.63	4.64	34.04	B32522C3105J
		1.0	±5%	8.5	14.5	18.0	15.0	495-1211-ND	.52	3.85	28.31	B32522N3105J
		0.001	±5%	2.5	7.0	10.0	7.5	495-1212-ND	.19	1.48	10.00	B32520C6102J
		0.001	±5%	2.5	6.5	7.2	5.0	495-1213-ND	.16	1.24	8.32	B32529C6102J
		0.0015	±5%	2.5	7.0	10.0	7.5	495-1215-ND	.19	1.48	10.00	B32520C6152J
		0.0015	±5%	2.5	6.5	7.2	5.0	495-1214-ND	.16	1.24	8.32	B32529C6152J
		0.0022	±5%	2.5	7.0	10.0	7.5	495-1216-ND	.19	1.48	10.00	B32520C6222J
		0.0022	±5%	2.5	6.5	7.2	5.0	495-1217-ND	.16	1.24	8.32	B32529C6222J
		0.0033	±5%	2.5	7.0	10.0	7.5	495-1218-ND	.19	1.48	10.00	B32520C6332J
		0.0033	±5%	2.5	6.5	7.2	5.0	495-1219-ND	.16	1.24	8.32	B32529C6332J
		0.0047	±5%	2.5	7.0	10.0	7.5	495-1221-ND	.19	1.48	10.00	B32520C6472J
		0.0047	±5%	2.5	6.5	7.2	5.0	495-1220-ND	.16	1.24	8.32	B32529C6472J
		0.0068	±5%	2.5	7.0	10.0	7.5	495-1222-ND	.19	1.48	10.00	B32520C6682J
		0.0068	±5%	2.5	6.5	7.2	5.0	495-1223-ND	.16	1.24	8.32	B32529C6682J
		0.010	±5%	2.5	7.0	10.0	7.5	495-1226-ND	.19	1.48	10.00	B32520C6103J
		0.01	±5%	4.0	7.0	13.0	10.0	495-1225-ND	.24	1.62	11.41	B32521C6103J
		0.01	±5%	3.0	6.5	7.2	5.0	495-1224-ND	.21	1.60	10.79	B32529C6103J
		0.015	±5%	3.0	8.0	10.0	7.5	495-1227-ND	.21	1.41	9.96	B32520C6153J
		0.015	±5%	4.0	7.0	13.0	10.0	495-1229-ND	.27	1.82	12.85	B32521C6153J
		0.015	±5%	3.5	8.0	7.2	5.0	495-1228-ND	.22	1.67	11.26	B32529C6153J
		0.022	±5%	4.0	8.5	10.0	7.5	495-1232-ND	.21	1.44	10.15	B32520C6223J
		0.022	±5%	4.0	7.0	13.0	10.0	495-1230-ND	.27	1.82	12.85	B32521C6223J
		0.022	±5%	4.5	9.5	7.3	5.0	495-1231-ND	.24	1.60	11.29	B32529B6223J
400	200	0.033	±5%	5.0	10.5	10.0	7.5	495-1233-ND	.27	1.82	12.85	B32520C6333J
		0.033	±5%	4.0	9.0	13.0	10.0	495-1234-ND	.28	1.88	13.22	B32521C6333J
		0.033	±5%	5.0	10.0	7.5	5.0	495-1235-ND	.29	1.94	13.69	B32529B6333J
		0.047	±5%	5.0	10.5	10.0	7.5	495-1238-ND	.30	2.06	14.49	B32520C6473J
		0.047	±5%	5.0	11.0	13.0	10.0	495-1239-ND	.26	1.94	13.82	B32521C6473J
		0.047	±5%	5.0	10.5	18.0	15.0	495-1236-ND	.37	2.73	19.47	B32522C6473J
		0.047	±5%	6.0	10.5	7.5	5.0	495-1237-ND	.33	2.25	15.86	B32529B6473J
		0.068	±5%	6.0	12.0	10.3	7.5	495-1240-ND	.36	2.49	17.56	B32520C6683J
		0.068	±5%	5.0	11.0	13.0	10.0	495-1242-ND	.31	2.29	16.30	B32521C6683J
		0.068	±5%	5.0	10.5	18.0	15.0	495-1241-ND	.38	2.81	20.09	B32522C6683J
		0.10	±5%	6.0	12.0	13.0	10.0	495-1243-ND	.36	2.65	18.92	B32521C6104J
		0.10	±5%	5.0	10.5	18.0	15.0	495-1244-ND	.40	2.90	20.74	B32522C6104J
		0.10	±5%	5.0	10.5	18.0	15.0	495-1245-ND	.31	2.30	16.47	B32522N6104J
		0.10	±5%	7.8	13.0	7.8	5.0	495-1246-ND	.46	3.38	24.11	B32529D6104J
		0.15	±5%	6.0	11.0	18.0	15.0	495-1247-ND	.42	3.12	22.22	B32522C6154J
		0.15	±5%	5.0	10.5	18.0	15.0	495-1248-ND	.35	2.58	18.44	B32522N6154J
		0.22	±5%	7.0	12.5	18.0	15.0	495-1249-ND	.46	3.37	24.04	B32522C6224J
		0.22	±5%	6.0	11.0	18.0	15.0	495-1250-ND	.41	3.04	21.74	B32522N6224J
		0.33	±5%	8.5	14.5	18.0	15.0	495-1251-ND	.50	3.68	26.33	B32522C6334J
		0.33	±5%	8.5	14.5	18.0	15.0	495-1252-ND	.48	3.55	25.36	B32522N6334J
		0.47	±5%	8.5	14.5	18.0	15.0	495-1253-ND	.65	4.87	35.75	B32522N6474J
		0.68	±5%	9.0	17.5	18.0	15.0	495-1254-ND	.77	5.67	40.49	B32522N6684J
		0.0068	±5%	4.0	9.0	13.0	10.0	495-1260-ND	.40	2.90	20.74	B32521N8682J
		0.01	±5%	4.0	9.0	13.0	10.0	495-1261-ND	.41	3.00	21.40	B32521N8103J
		0.015	±5%	5.0	11.0	13.0	10.0	495-1263-ND	.41	3.00	21.40	B32521N8153J
		0.022	±5%	5.0	11.0	13.0	10.0	495-1264-ND	.41	3.04	21.74	B32521N8223J
	200	0.033	±5%	6.0	12.0	13.0	10.0	495-1265-ND	.42	3.13	22.39	B32521N8333J
		0.033	±5%	5.0	10.5	18.0	15.0	495-1266-ND	.42	3.13	22.39	B32522Q8333J
		0.047	±5%	5.0	10.5	18.0	15.0	495-1267-ND	.42	3.13	22.39	B32522Q8473J
630		0.068	±5%	6.0	11.0	18.0	15.0	495-1268-ND	.53	4.12	27.77	B32522Q8683J
		0.10	±5%	7.0	12.5	18.0	15.0	495-1269-ND	.44	3.27	23.37	B32522Q8104J
		0.001	±5%	2.5	6.5	7.2	5.0	495-1255-ND	.26	1.75	12.39	B32529C8102J
		0.0022	±5%	2.5	6.5	7.2	5.0	495-1256-ND	.26	1.75	12.39	B32529C8222J
	400	0.0033	±5%	3.5	8.0	7.2	5.0	495-1257-ND	.28	1.88	13.25	B32529C8332J
		0.0047	±5%	3.5	8.0	7.2	5.0	495-1258-ND	.25	1.63	11.55	B32529C8472J
		0.0068	±5%	3.5	8.0	7.2	5.0	495-1259-ND	.29	1.94	13.69	B32529C8682J
		0.01	±5%	5.0	10.0	7.5	5.0	495-1262-ND	.33	2.25	15.86	B32529C8103J

* Betriebsspannung

E

Panasonic® Serie ECQ-E(B) Mini-Metall-Polyester-Schichtkondensatoren

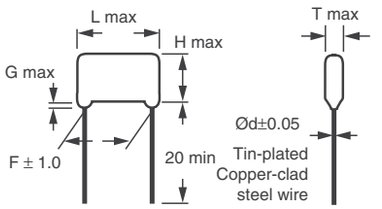

Die Serie ECQ-E(B) ist eine verkleinerte Version der gängigen Serie ECQ-E(F). Sie bietet ähnliche elektrische Merkmale in einem kleineren Gehäuse.

MERKMALE:

- Nicht-induktive Konstruktion
- Gewickelte, metallisierte Polyesterdielektrik

ANWENDUNGEN:

- Blockieren, Umgehen, Filtern, Timing, Störungsunterdrückung, Niedrigimpuls-Anwendungen.

SPEZIFIKATIONEN:

Betriebstemperaturbereich: -40 °C ~ +85 °C

Nennspannung: 250 V CD

Kapazitätstoleranz: ±10 % (K) @ 1 kHz

Verlustfaktor: ≤1,0 % (20 °C, 1 kHz)

WHaltespannung: 250 V DC X 150 % für 60 Sekunden zwischen Anschlüssen

Isolierwiderstand: ≥9.000MΩ (C ≤0,33 µF) @ 100 V DC, 20° für 60 Sekunden. ≥ 3.000 MΩ · µF (C >0,33 µF) @ 100 V DC, 20° für 60 Sekunden.

Spannung (VDC)	Kap. (µF)	Abmessungen (mm) L	T	H	F	G	dø	Digi-Key Teilenr.	Preisangaben 1	10	100	500	1.000	Panasonic Teilenr.
250	0.01	7.9	4.2	7.1	5.0	1.0	0.5	P10955-ND	.25	1.74	12.29	42.47	66.88	ECQ-E2103KB
	0.012	7.9	4.2	7.1	5.0	1.0	0.5	P10956-ND	.25	1.74	12.29	42.47	66.88	ECQ-E2123KB
	0.015	7.9	4.2	7.1	5.0	1.0	0.5	P10957-ND	.25	1.74	12.29	42.47	66.88	ECQ-E2153KB
	0.018	7.9	4.3	7.2	5.0	1.0	0.5	P10958-ND	.25	1.74	12.29	42.47	66.88	ECQ-E2183KB
	0.022	7.9	4.3	7.2	5.0	1.0	0.5	P10959-ND	.25	1.74	12.29	42.47	66.88	ECQ-E2223KB
	0.027	7.9	4.3	7.2	5.0	1.0	0.5	P10960-ND	.25	1.74	12.29	42.47	66.88	ECQ-E2273KB
	0.033	7.9	4.3	7.2	5.0	1.0	0.5	P10961-ND	.25	1.74	12.29	42.47	66.88	ECQ-E2333KB
	0.039	7.9	4.5	7.4	5.0	1.0	0.5	P10962-ND	.25	1.74	12.29	42.47	66.88	ECQ-E2393KB
	0.047	7.9	4.5	7.4	5.0	1.0	0.5	P10963-ND	.21	1.42	10.06	34.74	55.03	ECQ-E2473KB
	0.056	7.9	4.7	7.7	5.0	1.0	0.5	P10964-ND	.25	1.74	12.29	42.47	66.88	ECQ-E2563KB
	0.068	7.9	5.1	8.0	5.0	1.0	0.5	P10965-ND	.21	1.57	11.18	40.23	62.65	ECQ-E2683KB
	0.082	7.9	5.4	8.6	5.0	1.0	0.5	P10966-ND	.23	1.71	12.19	43.89	68.57	ECQ-E2823KB
	0.1	7.9	5.9	9.0	5.0	1.0	0.5	P10967-ND	.25	1.71	12.08	41.75	66.03	ECQ-E2104KB
	0.12	7.9	5.7	10.6	5.0	1.0	0.5	P10968-ND	.27	1.99	14.22	51.20	79.58	ECQ-E2124KB
	0.15	7.9	6.3	11.2	5.0	1.0	0.5	P10969-ND	.29	2.11	15.05	54.17	84.66	ECQ-E2154KB
	0.18	10.3	5.0	9.7	7.5	1.0	0.5	P10970-ND	.30	2.22	15.86	57.07	88.89	ECQ-E2184KB
	0.22	10.3	5.4	10.1	7.5	1.0	0.5	P10971-ND	.31	2.30	16.47	59.28	92.28	ECQ-E2224KB
	0.27	10.3	5.9	10.8	7.5	1.0	0.5	P10972-ND	.36	2.70	19.30	69.49	108.36	ECQ-E2274KB
	0.33	10.3	6.4	11.3	7.5	1.0	0.5	P10973-ND	.40	2.93	20.94	75.36	116.83	ECQ-E2334KB
	0.39	12.3	5.7	10.9	10.0	1.0	0.6	P10974-ND	.39	2.91	21.41	77.43	122.76	ECQ-E2394KB
	0.47	12.3	6.2	11.4	10.0	1.0	0.6	P10975-ND	.36	2.66	19.50	70.52	111.75	ECQ-E2474KB
	0.56	12.3	6.7	11.9	10.0	1.0	0.6	P10976-ND	.46	3.41	25.03	90.53	143.92	ECQ-E2564KB
	0.68	12.3	7.3	12.7	10.0	1.0	0.6	P10977-ND	.50	3.75	27.51	99.53	158.31	ECQ-E2684KB
	0.82	15.3	6.3	13.3	12.5	1.0	0.6	P10978-ND	.56	4.17	30.56	110.53	175.25	ECQ-E2824KB
	1.0	15.3	7.0	14.0	12.5	1.0	0.6	P10979-ND	.45	3.33	24.45	88.44	140.54	ECQ-E2105KB
	1.2	15.3	7.6	14.6	12.5	1.0	0.6	P10980-ND	.66	4.92	36.11	130.61	207.42	ECQ-E2125KB
	1.5	15.3	8.6	15.7	12.5	1.0	0.6	P10981-ND	.77	5.78	43.35	154.15	256.52	ECQ-E2155KB
	1.8	20.8	7.6	14.6	17.5	1.0	0.8	P10982-ND	.85	6.37	47.74	169.73	281.92	ECQ-E2185KB
	2.2	20.8	8.4	15.6	17.5	1.0	0.8	P10983-ND	.93	7.00	52.50	186.66	310.70	ECQ-E2225KB
	2.7	20.8	9.3	16.7	17.5	1.0	0.8	P10984-ND	1.05	7.90	59.26	210.70	350.49	ECQ-E2275KB
	3.3	20.8	10.5	17.9	17.5	1.0	0.8	P10985-ND	1.28	9.56	71.70	254.93	424.15	ECQ-E2335KB
	3.9	20.8	10.8	19.8	17.5	1.0	0.8	P10986-ND	1.80	13.63	102.90	385.86	668.81	ECQ-E2395KB
	4.7	20.8	11.9	21.0	17.5	1.0	0.8	P10987-ND	2.00	15.14	114.27	428.53	742.47	ECQ-E2475KB

E

Panasonic® Serie ECQ-E(F)

Mini-Metall-Polyester-Schichtkondensatoren

Die Serie ECQ-E(F) besteht aus einer doppelseitig metallisierten Polyesterschicht mit hoher dielektrischer Konstante, die große C-Werte in kleinen Abmessungen ermöglicht und einen wirtschaftlichen Kondensator darstellt, der die hohen Anforderungen eines professionellen Schaltungsdesigns erfüllt.

MERKMALE:

- Selbstheilende Eigenschaft
- Flammenhemmende Epoxidharzbeschichtung

ANWENDUNGEN:

- Blockieren, Umgehen, Filtern, Timing, Störungsunterdrückung, Niedrigimpuls-Anwendungen.

SPEZIFIKATIONEN:

Referenzstandard: JIS C5115, C5151

Betriebstemperaturbereich: -40 °C ~ +85 °C (+105 °C, 75 % Nennspannung)

Nennspannung: 100 V, 250 V, 400 V, 630 V

Kapazitätstoleranz: ±10 % (K)

Dissipationsfaktor: max. 1,0 % (20 °C 1 KHz)

Haltespannung: Nennspannung 100 V DC ~ 630 V (V DC) X 150 % 1 Minute zwischen Anschlüssen

Isolierwiderstand: DC 100 V ~ 630 V: C ≤0,33 µF 9.000MΩ Min., C > 0,33 µF 3.000ΩV µF Min.

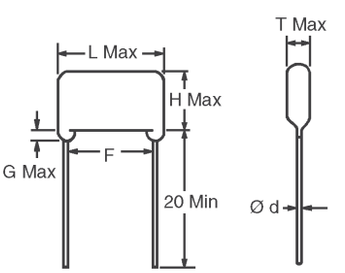

Betriebsspannung (VDC)	Kapazität (µF)	Abmessungen (mm) L	T	H	F	G	d	Digi-Key Teilenr.	Preisangaben 1	10	100	500	1.000	Panasonic Teilenr.
100	.01	7.8	4.6	7.7	5.0	1.0	0.5	EF1103-ND	.36	2.64	18.84	67.81	105.83	ECQ-E1103KF
	.012	7.8	4.5	7.6	5.0	1.0	0.5	EF1123-ND	.36	2.64	18.84	67.81	105.83	ECQ-E1123KF
	.015	7.8	4.5	7.6	5.0	1.0	0.5	EF1153-ND	.36	2.64	18.84	67.81	105.83	ECQ-E1153KF
	.018	7.8	4.6	7.7	5.0	1.0	0.5	EF1183-ND	.36	2.64	18.84	67.81	105.83	ECQ-E1183KF
	.022	7.8	4.9	8.0	5.0	1.0	0.5	EF1223-ND	.36	2.64	18.84	67.81	105.83	ECQ-E1223KF
	.027	7.8	4.7	7.8	5.0	1.0	0.5	EF1273-ND	.36	2.64	18.84	67.81	105.83	ECQ-E1273KF
	.033	7.8	4.6	7.7	5.0	1.0	0.5	EF1333-ND	.36	2.64	18.84	67.81	105.83	ECQ-E1333KF
	.039	7.8	4.9	8.0	5.0	1.0	0.5	EF1393-ND	.36	2.64	18.84	67.81	105.83	ECQ-E1393KF
	.047	7.8	4.5	7.5	5.0	1.0	0.5	EF1473-ND	.36	2.64	18.84	67.81	105.83	ECQ-E1473KF
	.056	7.8	4.8	7.9	5.0	1.0	0.5	EF1563-ND	.36	2.64	18.84	67.81	105.83	ECQ-E1563KF
	.068	7.8	4.8	7.9	5.0	1.0	0.5	EF1683-ND	.36	2.64	18.84	67.81	105.83	ECQ-E1683KF
	.082	7.8	4.7	9.9	5.0	1.0	0.5	EF1823-ND	.36	2.64	18.84	67.81	105.83	ECQ-E1823KF
	.1	7.8	5.0	10.0	5.0	1.0	0.5	EF1104-ND	.36	2.64	18.84	67.81	105.83	ECQ-E1104KF
	.12	10.3	4.5	7.5	7.5	1.0	0.6	EF1124-ND	.38	2.79	19.90	71.62	111.75	ECQ-E1124KF
	.15	10.3	4.5	7.5	7.5	1.0	0.6	EF1154-ND	.39	2.84	20.32	73.15	113.44	ECQ-E1154KF
	.18	10.3	4.8	7.9	7.5	1.0	0.6	EF1184-ND	.41	3.08	22.01	79.24	123.60	ECQ-E1184KF
	.22	10.3	5.0	8.0	7.5	1.0	0.6	EF1224-ND	.44	3.26	23.28	83.81	130.38	ECQ-E1224KF
	.27	10.3	4.5	12.0	7.5	1.0	0.6	EF1274-ND	.48	3.56	25.40	91.43	142.23	ECQ-E1274KF
	.33	10.3	6.0	10.7	7.5	1.0	0.6	EF1334-ND	.55	4.03	28.78	103.62	160.85	ECQ-E1334KF
	.39	10.3	6.3	11.0	7.5	1.0	0.6	EF1394-ND	.57	4.15	29.63	106.67	165.93	ECQ-E1394KF
	.47	10.3	6.0	12.0	7.5	1.0	0.6	EF1474-ND	.58	4.33	30.90	111.24	172.71	ECQ-E1474KF
	.56	12.0	5.5	10.9	10.0	1.0	0.6	EF1564-ND	.62	4.61	33.82	122.33	194.72	ECQ-E1564KF
	.68	12.0	6.0	11.9	10.0	1.0	0.6	EF1684-ND	.70	5.23	38.40	138.88	220.96	ECQ-E1684KF
	.82	12.0	6.0	13.5	10.0	1.0	0.6	EF1824-ND	.77	5.71	41.98	151.84	241.28	ECQ-E1824KF
	1.0	12.0	6.7	14.0	10.0	1.0	0.6	EF1105-ND	.84	6.23	45.76	165.51	263.29	ECQ-E1105KF
	1.2	18.5	5.5	12.8	15.0	1.0	0.6	EF1125-ND	.97	7.20	52.92	191.42	303.93	ECQ-E1125KF
	1.5	18.5	6.0	13.4	15.0	1.0	0.8	EF1155-ND	.97	7.27	54.52	193.84	322.55	ECQ-E1155KF
	1.8	18.5	6.5	14.4	15.0	1.0	0.8	EF1185-ND	1.17	8.74	65.53	232.98	387.74	ECQ-E1185KF
	2.2	18.5	7.0	15.0	15.0	1.0	0.8	EF1225-ND	1.32	9.91	74.29	264.14	439.39	ECQ-E1225KF
	2.7	18.5	8.0	15.8	15.0	1.0	0.8	EF1275-ND	1.51	11.28	84.58	300.71	500.34	ECQ-E1275KF
	3.3	18.5	8.5	16.5	15.0	1.0	0.8	EF1335-ND	1.91	14.32	107.43	381.99	634.95	ECQ-E1335KF
	3.9	26.0	7.0	16.4	22.5	1.0	0.8	EF1395-ND	1.90	14.38	108.53	407.00	705.22	ECQ-E1395KF
	4.7	26.0	7.5	17.0	22.5	1.0	0.8	EF1475-ND	2.14	16.25	122.59	459.70	796.65	ECQ-E1475KF
	5.6	26.0	8.3	17.5	22.5	1.0	0.8	EF1565-ND	2.55	19.27	145.45	545.42	945.65	ECQ-E1565KF
	6.8	26.0	9.0	18.5	22.5	1.0	0.8	EF1685-ND	2.90	21.89	165.26	619.71	1074.34	ECQ-E1685KF
	8.2	26.0	10.0	20.0	22.5	1.5	0.8	EF1825-ND	3.34	25.24	190.49	714.32	1238.58	ECQ-E1825KF
	10.0	26.0	11.5	21.0	22.5	1.5	0.8	EF1106-ND	3.88	29.37	221.64	831.15	1440.91	ECQ-E1106KF

(Forts.)

Alle Preisangaben in Euro und inklusive Zollgebühren.

Betriebs-spannung (V DC)	Kapazität (µF)	Abmessungen (mm) L	T	H	F	G	d	Digi-Key Teilenr.	Preisangaben 1	10	100	500	1.000	Panasonic Teilenr.
	.01	10.3	4.3	7.4	7.5	1.0	0.6	EF2103-ND	.19	1.45	10.35	37.26	57.57	ECQ-E2103KF
	.012	10.3	4.4	7.5	7.5	1.0	0.6	EF2123-ND	.24	1.62	11.39	39.33	61.80	ECQ-E2123KF
	.015	10.3	4.4	7.5	7.5	1.0	0.6	EF2153-ND	.24	1.62	11.39	39.33	61.80	ECQ-E2153KF
	.018	10.3	4.4	7.5	7.5	1.0	0.6	EF2183-ND	.24	1.62	11.39	39.33	61.80	ECQ-E2183KF
	.022	10.3	4.4	7.5	7.5	1.0	0.6	EF2223-ND	.19	1.45	10.35	37.26	57.57	ECQ-E2223KF
	.027	10.3	4.4	7.5	7.5	1.0	0.6	EF2273-ND	.24	1.62	11.39	39.33	61.80	ECQ-E2273KF
	.033	10.3	4.5	7.5	7.5	1.0	0.6	EF2333-ND	.19	1.45	10.35	37.26	57.57	ECQ-E2333KF
	.039	10.3	4.5	7.5	7.5	1.0	0.6	EF2393-ND	.24	1.62	11.39	39.33	61.80	ECQ-E2393KF
	.047	10.3	4.5	7.5	7.5	1.0	0.6	EF2473-ND	.24	1.62	11.39	39.33	61.80	ECQ-E2473KF
	.056	10.3	4.8	7.9	7.5	1.0	0.6	EF2563-ND	.28	1.89	13.32	46.00	72.81	ECQ-E2563KF
	.068	10.3	4.5	7.5	7.5	1.0	0.6	EF2683-ND	.25	1.82	13.00	46.78	72.81	ECQ-E2683KF
	.082	10.3	4.9	8.0	7.5	1.0	0.6	EF2823-ND	.21	1.57	11.24	40.46	62.65	ECQ-E2823KF
	.1	10.3	5.8	8.4	7.5	1.0	0.6	EF2104-ND	.26	1.75	12.36	42.71	67.73	ECQ-E2104KF
	.12	10.3	6.0	9.0	7.5	1.0	0.6	EF2124-ND	.25	1.85	13.21	47.55	73.65	ECQ-E2124KF
	.15	10.3	6.0	10.8	7.5	1.0	0.6	EF2154-ND	.27	1.97	14.10	50.75	78.73	ECQ-E2154KF
	.18	12.0	5.0	10.3	10.0	1.0	0.6	EF2184-ND	.32	2.37	16.96	61.03	94.82	ECQ-E2184KF
	.22	12.0	5.5	10.5	10.0	1.0	0.6	EF2224-ND	.34	2.46	17.61	63.39	98.21	ECQ-E2224KF
	.27	12.0	6.0	11.5	10.0	1.0	0.6	EF2274-ND	.36	2.68	19.16	68.96	107.52	ECQ-E2274KF
250	.33	12.0	6.5	12.0	10.0	1.0	0.6	EF2334-ND	.34	2.54	18.63	67.36	106.67	ECQ-E2334KF
	.39	18.5	4.9	12.0	15.0	1.0	0.6	EF2394-ND	.43	3.24	23.80	86.07	136.30	ECQ-E2394KF
	.47	18.5	5.3	12.5	15.0	1.0	0.6	EF2474-ND	.43	3.24	23.80	86.07	136.30	ECQ-E2474KF
	.56	18.5	5.5	13.0	15.0	1.0	0.6	EF2564-ND	.45	3.33	24.43	88.37	140.54	ECQ-E2564KF
	.68	18.5	6.0	13.5	15.0	1.0	0.8	EF2684-ND	.46	3.38	24.83	89.81	142.23	ECQ-E2684KF
	.82	18.5	6.5	14.5	15.0	1.0	0.8	EF2824-ND	.47	3.52	25.86	93.55	149.00	ECQ-E2824KF
	1.0	18.5	7.4	15.0	15.0	1.0	0.8	EF2105-ND	.49	3.67	26.90	97.29	154.93	ECQ-E2105KF
	1.2	18.5	8.0	15.9	15.0	1.0	0.8	EF2125-ND	.61	4.50	33.10	119.74	190.49	ECQ-E2125KF
	1.5	18.5	9.0	16.8	15.0	1.0	0.8	EF2155-ND	.63	4.76	35.66	126.79	210.80	ECQ-E2155KF
	1.8	26.0	7.5	15.5	22.5	1.0	0.8	EF2185-ND	.81	6.08	45.56	162.01	269.22	ECQ-E2185KF
	2.2	26.0	8.5	16.3	22.5	1.0	0.8	EF2225-ND	.78	5.81	43.58	154.96	257.37	ECQ-E2225KF
	2.7	26.0	9.4	17.0	22.5	1.0	0.8	EF2275-ND	.99	7.45	55.87	198.65	330.17	ECQ-E2275KF
	3.3	26.0	10.3	18.0	22.5	1.5	0.8	EF2335-ND	1.01	7.53	56.46	200.75	333.56	ECQ-E2335KF
	3.9	26.0	11.0	20.5	22.5	1.5	0.8	EF2395-ND	.97	7.28	54.94	206.05	357.27	ECQ-E2395KF
	4.7	26.0	12.0	21.5	22.5	1.5	0.8	EF2475-ND	1.08	8.17	61.63	231.12	400.44	ECQ-E2475KF
	5.6	31.0	11.8	21.0	27.5	1.5	0.8	EF2565-ND	1.85	13.98	105.49	395.57	685.75	ECQ-E2565KF
	6.8	31.0	13.0	22.4	27.5	1.5	0.8	EF2685-ND	1.96	14.87	112.17	420.66	728.92	ECQ-E2685KF
	8.2	31.0	14.3	23.5	27.5	1.5	0.8	EF2825-ND	2.12	16.05	121.17	454.37	787.34	ECQ-E2825KF
	10.0	31.0	15.9	25.8	27.5	1.5	0.8	EF2106-ND	3.79	28.70	216.59	812.23	1407.90	ECQ-E2106KF
	.01	10.3	4.3	7.4	7.5	1.0	0.6	EF4103-ND	.23	1.67	11.89	42.82	66.88	ECQ-E4103KF
	.012	10.3	4.4	7.5	7.5	1.0	0.6	EF4123-ND	.23	1.67	11.89	42.82	66.88	ECQ-E4123KF
	.015	10.3	4.4	7.5	7.5	1.0	0.6	EF4153-ND	.23	1.67	11.89	42.82	66.88	ECQ-E4153KF
	.018	10.3	4.4	7.5	7.5	1.0	0.6	EF4183-ND	.23	1.67	11.89	42.82	66.88	ECQ-E4183KF
	.022	10.3	4.8	7.9	7.5	1.0	0.6	EF4223-ND	.41	2.96	21.17	76.19	118.52	ECQ-E4223KF
	.027	10.3	5.5	8.0	7.5	1.0	0.6	EF4273-ND	.41	2.96	21.17	76.19	118.52	ECQ-E4273KF
	.033	10.3	6.0	9.0	7.5	1.0	0.6	EF4333-ND	.41	2.96	21.17	76.19	118.52	ECQ-E4333KF
	.039	12.0	4.9	8.0	10.0	1.0	0.6	EF4393-ND	.34	2.49	17.78	64.00	99.90	ECQ-E4393KF
	.047	12.0	5.0	8.3	10.0	1.0	0.6	EF4473-ND	.41	2.96	21.17	76.19	118.52	ECQ-E4473KF
	.056	12.0	5.0	10.0	10.0	1.0	0.6	EF4563-ND	.41	3.06	21.80	78.48	121.91	ECQ-E4563KF
	.068	12.0	5.4	10.5	10.0	1.0	0.6	EF4683-ND	.47	3.45	24.66	88.77	138.00	ECQ-E4683KF
	.082	12.0	5.8	11.0	10.0	1.0	0.6	EF4823-ND	.43	3.17	22.69	81.68	126.99	ECQ-E4823KF
	.1	12.0	6.3	12.0	10.0	1.0	0.6	EF4104-ND	.45	3.32	23.70	85.34	132.92	ECQ-E4104KF
	.12	18.5	5.0	10.0	15.0	1.0	0.6	EF4124-ND	.47	3.44	25.25	91.32	144.77	ECQ-E4124KF
400	.15	18.5	5.0	12.4	15.0	1.0	0.6	EF4154-ND	.47	3.56	26.08	94.35	149.85	ECQ-E4154KF
	.18	18.5	5.4	12.5	15.0	1.0	0.6	EF4184-ND	.51	3.78	27.73	100.31	159.16	ECQ-E4184KF
	.22	18.5	5.9	13.0	15.0	1.0	0.6	EF4224-ND	.59	4.43	32.49	117.52	186.25	ECQ-E4224KF
	.27	18.5	6.5	14.3	15.0	1.0	0.8	EF4274-ND	.60	4.45	32.70	118.30	187.95	ECQ-E4274KF
	.33	18.5	7.0	14.9	15.0	1.0	0.8	EF4334-ND	.64	4.79	35.18	127.23	202.34	ECQ-E4334KF
	.39	18.5	7.5	15.4	15.0	1.0	0.8	EF4394-ND	.70	5.22	38.27	138.45	220.12	ECQ-E4394KF
	.47	18.5	7.8	17.0	15.0	1.0	0.8	EF4474-ND	.80	5.98	43.87	158.68	252.29	ECQ-E4474KF
	.56	26.0	6.5	16.0	22.5	1.0	0.8	EF4564-ND	.81	6.08	45.56	162.01	269.22	ECQ-E4564KF
	.68	26.0	7.0	16.5	22.5	1.0	0.8	EF4684-ND	.65	4.88	36.65	130.31	216.73	ECQ-E4684KF
	.82	26.0	7.9	17.3	22.5	1.0	0.8	EF4824-ND	.93	7.00	52.50	186.66	310.70	ECQ-E4824KF
	1.0	26.0	8.5	18.9	22.5	1.0	0.8	EF4105-ND	.99	7.42	55.68	197.97	329.33	ECQ-E4105KF
	1.2	26.0	9.5	18.9	22.5	1.0	0.8	EF4125-ND	1.50	11.34	85.57	320.90	556.22	ECQ-E4125KF
	1.5	31.0	9.5	19.0	27.5	1.0	0.8	EF4155-ND	1.93	14.59	110.06	412.72	715.38	ECQ-E4155KF
	1.8	31.0	11.0	20.5	27.5	1.5	0.8	EF4185-ND	1.93	14.59	110.06	412.72	715.38	ECQ-E4185KF
	2.2	31.0	11.0	22.0	27.5	1.5	0.8	EF4225-ND	2.49	18.82	142.04	532.66	923.64	ECQ-E4225KF
	.01	12.0	4.5	7.5	10.0	1.0	0.6	EF6103-ND	.27	2.01	14.31	51.51	80.43	ECQ-E6103KF
	.012	12.0	4.5	7.8	10.0	1.0	0.6	EF6123-ND	.34	2.50	17.85	64.23	99.90	ECQ-E6123KF
	.015	12.0	5.0	8.2	10.0	1.0	0.6	EF6153-ND	.37	2.78	19.81	71.32	110.90	ECQ-E6153KF
	.018	12.0	4.9	10.0	10.0	1.0	0.6	EF6183-ND	.38	2.84	20.26	72.92	113.44	ECQ-E6183KF
	.022	12.0	5.3	10.5	10.0	1.0	0.6	EF6223-ND	.39	2.90	20.70	74.52	115.98	ECQ-E6223KF
	.027	12.0	5.5	10.9	10.0	1.0	0.6	EF6273-ND	.40	2.93	20.91	75.28	116.83	ECQ-E6273KF
	.033	12.0	6.0	11.9	10.0	1.0	0.6	EF6333-ND	.41	3.04	21.74	78.25	121.91	ECQ-E6333KF
	.039	12.0	6.0	13.4	10.0	1.0	0.6	EF6393-ND	.41	2.99	21.36	76.88	119.37	ECQ-E6393KF
	.047	12.0	6.5	13.5	10.0	1.0	0.6	EF6473-ND	.41	2.99	21.36	76.88	119.37	ECQ-E6473KF
	.056	18.5	5.4	10.5	15.0	1.0	0.6	EF6563-ND	.41	3.05	22.36	80.88	128.68	ECQ-E6563KF
	.068	18.5	5.8	11.0	15.0	1.0	0.6	EF6683-ND	.42	3.16	23.18	83.84	132.92	ECQ-E6683KF
	.082	18.5	6.5	12.0	15.0	1.0	0.6	EF6823-ND	.43	3.24	23.80	86.07	136.30	ECQ-E6823KF
	.1	18.5	6.3	14.0	15.0	1.0	0.6	EF6104-ND	.47	3.50	25.67	92.83	147.31	ECQ-E6104KF
	.12	18.5	6.3	14.5	15.0	1.0	0.8	EF6124-ND	.49	3.63	26.70	96.57	153.23	ECQ-E6124KF
	.15	18.5	7.5	15.4	15.0	1.0	0.8	EF6154-ND	.51	3.80	27.93	101.03	160.85	ECQ-E6154KF
630	.18	18.5	8.0	16.0	15.0	1.0	0.8	EF6184-ND	.71	5.27	38.70	139.97	222.66	ECQ-E6184KF
	.22	18.5	9.0	16.5	15.0	1.0	0.8	EF6224-ND	.75	5.64	41.38	149.68	237.89	ECQ-E6224KF
	.27	26.0	7.0	16.5	22.5	1.0	0.8	EF6274-ND	.72	5.42	40.61	144.40	240.43	ECQ-E6274KF
	.33	26.0	7.8	17.0	22.5	1.0	0.8	EF6334-ND	.74	5.55	41.60	147.92	245.51	ECQ-E6334KF
	.39	26.0	8.5	17.9	22.5	1.0	0.8	EF6394-ND	.92	6.93	51.91	184.56	306.47	ECQ-E6394KF
	.47	26.0	9.3	18.5	22.5	1.0	0.8	EF6474-ND	1.04	7.82	58.65	208.53	347.11	ECQ-E6474KF
	.56	26.0	10.0	20.0	22.5	1.5	0.8	EF6564-ND	1.09	8.19	61.41	218.36	363.19	ECQ-E6564KF
	.68	26.0	11.5	21.0	22.5	1.5	0.8	EF6684-ND	1.02	7.70	58.11	217.91	377.58	ECQ-E6684KF
	.82	31.0	11.3	20.5	27.5	1.5	0.8	EF6824-ND	1.47	11.13	84.00	315.00	546.06	ECQ-E6824KF
	1.0	31.0	12.5	21.9	27.5	1.5	0.8	EF6105-ND	1.54	11.67	88.05	330.17	572.30	ECQ-E6105KF
	1.2	31.0	13.5	23.0	27.5	1.5	0.8	EF6125-ND	1.56	11.78	88.93	333.48	578.23	ECQ-E6125KF
	1.5	31.0	15.3	24.7	27.5	1.5	0.8	EF6155-ND	1.77	13.37	100.91	378.43	656.12	ECQ-E6155KF
	1.8	31.0	16.8	27.0	27.5	1.5	0.8	EF6185-ND	1.96	14.87	112.17	420.66	728.92	ECQ-E6185KF
	2.2	31.0	19.5	29.0	27.5	1.5	0.8	EF6225-ND	3.02	22.87	172.57	647.14	1121.75	ECQ-E6225KF

Metall-Polyester-Schichtkondensatoren

MKT 370, 371, 372, 373

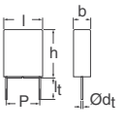

MERKMALE: • Induktionsarme gewickelte Zelle aus metallisierter (PETP) Folie • Epoxidharzverguss in flammenhemmendem Gehäuse • Radiale Anschlüsse aus lötbeschichtetem Draht • Hält Lösungsmitteln und Spülflüssigkeiten stand • Kleine Abstandshalterzacken zum Entfernen von Lötflussmittel • Für hohe Paketdichte (HDP) geeignet **ANWENDUNGEN:** • Sperrung und Kopplung • Bypass und Energiereservoir **SPEZIFIKATIONEN:** **Nenntemperatur:** 85 °C **Max. Anwendungstemperatur:** 105 °C

Spann. (DC)	Kap. (µF)	Toleranz	Abmessungen (mm) b	h	l	P	l_t	ød$_t$	Digi-Key Teilenr.	Preisangaben 10	100	1.000	BC Components Teilenr.
MKT Serie 370													
63	.056	±10%	2.5	6.5	7.2	5.08	4.0	.50	BC1633-ND	1.13	7.53	56.51	2222 370 11563
	.068	±10%	2.5	6.5	7.2	5.08	4.0	.50	BC1635-ND	1.13	7.59	56.89	2222 370 11683
	.082	±10%	2.5	6.5	7.2	5.08	4.0	.50	BC1637-ND	1.15	7.65	57.40	2222 370 11823
	.10	±10%	2.5	6.5	7.2	5.08	4.0	.50	BC1621-ND	1.03	6.91	51.81	2222 370 11104
	.12	±10%	2.5	6.5	7.2	5.08	4.0	.50	BC1623-ND	1.25	8.35	62.61	2222 370 11124
	.15	±5%	2.5	6.5	7.2	5.08	4.0	.50	3014PH-ND	1.49	9.92	74.42	2222 370 12154
	.15	±10%	2.5	6.5	7.2	5.08	4.0	.50	BC1625-ND	1.39	9.28	69.59	2222 370 11154
	.18	±10%	2.5	6.5	7.2	5.08	4.0	.50	BC1627-ND	1.54	10.28	77.08	2222 370 11184
	.22	±5%	3.5	8.0	7.2	5.08	4.0	.50	3015PH-ND	1.82	12.12	90.92	2222 370 12224
	.22	±10%	3.5	8.0	7.2	5.08	4.0	.50	BC1628-ND	1.70	11.33	84.96	2222 370 11224
	.27	±10%	3.5	8.0	7.2	5.08	4.0	.50	BC1629-ND	1.96	13.04	97.78	2222 370 11274
	.33	±5%	3.5	8.0	7.2	5.08	4.0	.50	3016PH-ND	2.30	15.37	115.31	2222 370 12334
	.33	±10%	3.5	8.0	7.2	5.08	4.0	.50	BC1630-ND	2.16	14.39	107.94	2222 370 11334
	.39	±10%	3.5	8.0	7.2	5.08	4.0	.50	BC1631-ND	2.46	16.36	122.67	2222 370 11394
	.47	±5%	3.5	8.0	7.2	5.08	4.0	.50	3017PH-ND	2.95	19.64	147.31	2222 370 12474
	.47	±10%	3.5	8.0	7.2	5.08	4.0	.50	BC1632-ND	2.74	18.29	137.15	2222 370 11474
	.56	±10%	4.5	9.0	7.2	5.08	4.0	.50	BC1634-ND	3.23	21.50	161.28	2222 370 11564
	.68	±5%	4.5	9.0	7.2	5.08	4.0	.50	3018PH-ND	3.96	26.41	198.10	2222 370 12684
	.68	±10%	4.5	9.0	7.2	5.08	4.0	.50	BC1636-ND	3.71	24.72	185.41	2222 370 11684
	.82	±10%	6.0	11.0	7.2	5.08	4.0	.50	BC1638-ND	3.91	26.08	195.56	2222 370 11824
	1.0	±5%	6.0	11.0	7.2	5.08	4.0	.50	3019PH-ND	4.62	30.82	231.12	2222 370 12105
	1.0	±10%	6.0	11.0	7.2	5.08	4.0	.50	BC1622-ND	4.29	28.62	214.61	2222 370 11105
	1.2*	±10%	6.0	11.0	7.2	5.08	4.0	.50	BC1624-ND	4.67	31.15	233.66	2222 370 11125
	1.5*	±10%	6.0	11.0	7.2	5.08	4.0	.50	BC1626-ND	4.70	31.32	234.93	2222 370 11155
100	.012	±10%	2.5	6.5	7.2	5.08	4.0	.50	BC1640-ND	.98	6.57	49.27	2222 370 21123
	.015	±10%	2.5	6.5	7.2	5.08	4.0	.50	BC1642-ND	1.01	6.69	50.16	2222 370 21153
	.018	±10%	2.5	6.5	7.2	5.08	4.0	.50	BC1644-ND	1.02	6.82	51.18	2222 370 21183
	.022	±10%	2.5	6.5	7.2	5.08	4.0	.50	BC1646-ND	1.04	6.94	52.07	2222 370 21223
	.027	±10%	2.5	6.5	7.2	5.08	4.0	.50	BC1648-ND	1.06	7.08	53.08	2222 370 21273
	.033	±10%	2.5	6.5	7.2	5.08	4.0	.50	BC1650-ND	1.08	7.20	53.97	2222 370 21333
	.039	±10%	2.5	6.5	7.2	5.08	4.0	.50	BC1652-ND	1.10	7.33	54.99	2222 370 21393
	.047	±5%	2.5	6.5	7.2	5.08	4.0	.50	3011PH-ND	1.19	7.96	59.69	2222 370 22473
	.047	±10%	2.5	6.5	7.2	5.08	4.0	.50	BC1654-ND	1.12	7.45	55.88	2222 370 21473
	.056	±10%	2.5	6.5	7.2	5.08	4.0	.50	BC1656-ND	1.35	9.01	67.56	2222 370 21563
	.068	±5%	2.5	6.5	7.2	5.08	4.0	.50	3012PH-ND	1.55	10.33	77.46	2222 370 22683
	.068	±10%	2.5	6.5	7.2	5.08	4.0	.50	BC1657-ND	1.45	9.65	72.38	2222 370 21683
	.082	±10%	2.5	6.5	7.2	5.08	4.0	.50	BC1658-ND	1.54	10.28	77.08	2222 370 21823
	.10	±5%	3.5	8.0	7.2	5.08	4.0	.50	3013PH-ND	1.75	11.70	87.75	2222 370 22104
	.10	±10%	3.5	8.0	7.2	5.08	4.0	.50	BC1639-ND	1.64	10.94	82.04	2222 370 21104
	.12	±10%	3.5	8.0	7.2	5.08	4.0	.50	BC1641-ND	1.77	11.82	88.64	2222 370 21124
	.15	±10%	3.5	8.0	7.2	5.08	4.0	.50	BC1643-ND	1.96	13.04	97.78	2222 370 21154
	.18	±10%	3.5	8.0	7.2	5.08	4.0	.50	BC1645-ND	2.16	14.39	107.94	2222 370 21184
	.22	±10%	4.5	9.0	7.2	5.08	4.0	.50	BC1647-ND	2.35	15.63	117.21	2222 370 21224
	.27	±10%	4.5	9.0	7.2	5.08	4.0	.50	BC1649-ND	2.59	17.27	129.53	2222 370 21274
	.33	±10%	4.5	9.0	7.2	5.08	4.0	.50	BC1651-ND	2.79	18.63	139.69	2222 370 21334
	.39	±10%	6.0	11.0	7.2	5.08	4.0	.50	BC1653-ND	3.17	21.17	158.74	2222 370 21394
	.47	±10%	6.0	11.0	7.2	5.08	4.0	.50	BC1655-ND	3.45	23.03	172.71	2222 370 21474
250	.0047	±5%	2.5	6.5	7.2	5.08	4.0	.50	3005PH-ND	1.03	6.87	51.56	2222 370 42472
	.0068	±5%	2.5	6.5	7.2	5.08	4.0	.50	3006PH-ND	1.03	6.87	51.56	2222 370 42682
	.010	±5%	2.5	6.5	7.2	5.08	4.0	.50	3007PH-ND	1.06	7.03	52.70	2222 370 42103
	.015	±5%	2.5	6.5	7.2	5.08	4.0	.50	3008PH-ND	1.09	7.28	54.61	2222 370 42153
	.022	±5%	3.5	8.0	7.2	5.08	4.0	.50	3009PH-ND	1.24	8.26	61.97	2222 370 42223
	.033	±5%	3.5	8.0	7.2	5.08	4.0	.50	3010PH-ND	1.45	9.63	72.26	2222 370 42333
400	.0010	±5%	2.5	6.5	7.2	5.08	4.0	.50	3001PH-ND	1.03	6.87	51.56	2222 370 52102
	.0010	±10%	2.5	6.5	7.2	5.08	4.0	.50	BC1659-ND	.97	6.43	48.26	2222 370 51102
	.0012	±10%	2.5	6.5	7.2	5.08	4.0	.50	BC1661-ND	.97	6.43	48.26	2222 370 51122
	.0015	±5%	2.5	6.5	7.2	5.08	4.0	.50	3002PH-ND	1.03	6.87	51.56	2222 370 52152
	.0015	±10%	2.5	6.5	7.2	5.08	4.0	.50	BC1663-ND	.97	6.43	48.26	2222 370 51152
	.0018	±10%	2.5	6.5	7.2	5.08	4.0	.50	BC1665-ND	.97	6.43	48.26	2222 370 51182
	.0022	±5%	2.5	6.5	7.2	5.08	4.0	.50	3003PH-ND	1.03	6.87	51.56	2222 370 52222
	.0022	±10%	2.5	6.5	7.2	5.08	4.0	.50	BC1667-ND	.97	6.43	48.26	2222 370 51222
	.0027	±10%	2.5	6.5	7.2	5.08	4.0	.50	BC1669-ND	.97	6.43	48.26	2222 370 51272
	.0033	±5%	2.5	6.5	7.2	5.08	4.0	.50	3004PH-ND	1.03	6.87	51.56	2222 370 52332
	.0033	±10%	2.5	6.5	7.2	5.08	4.0	.50	BC1671-ND	.97	6.43	48.26	2222 370 51332
	.0039	±10%	2.5	6.5	7.2	5.08	4.0	.50	BC1673-ND	.98	6.57	49.27	2222 370 51392
	.0047	±10%	2.5	6.5	7.2	5.08	4.0	.50	BC1675-ND	1.01	6.69	50.16	2222 370 51472
	.0056	±10%	2.5	6.5	7.2	5.08	4.0	.50	BC1677-ND	1.02	6.82	51.18	2222 370 51562
	.0068	±10%	2.5	6.5	7.2	5.08	4.0	.50	BC1678-ND	1.04	6.94	52.07	2222 370 51682
	.0082	±10%	2.5	6.5	7.2	5.08	4.0	.50	BC1679-ND	1.06	7.08	53.08	2222 370 51822
	.01	±10%	3.5	8.0	7.2	5.08	4.0	.50	BC1660-ND	1.08	7.20	53.97	2222 370 51103
	.012	±10%	3.5	8.0	7.2	5.08	4.0	.50	BC1662-ND	1.10	7.33	54.99	2222 370 51123
	.015	±10%	3.5	8.0	7.2	5.08	4.0	.50	BC1664-ND	1.12	7.45	55.88	2222 370 51153
	.018	±10%	4.5	9.0	7.2	5.08	4.0	.50	BC1666-ND	1.16	7.72	57.91	2222 370 51183
	.022	±10%	4.5	9.0	7.2	5.08	4.0	.50	BC1668-ND	1.25	8.36	62.73	2222 370 51223
	.027	±10%	4.5	9.0	7.2	5.08	4.0	.50	BC1670-ND	1.37	9.14	68.57	2222 370 51273
400	.033	±10%	6.0	11.0	7.2	5.08	4.0	.50	BC1672-ND	1.46	9.77	73.27	2222 370 51333
	.039	±10%	6.0	11.0	7.2	5.08	4.0	.50	BC1674-ND	1.57	10.41	78.10	2222 370 51393
	.047	±10%	6.0	11.0	7.2	5.08	4.0	.50	BC1676-ND	1.68	11.19	83.94	2222 370 51473
MKT Serie 371													
63	.056	±10%	2.5	6.5	10.0	7.62	4.0	.50	BC1688-ND	1.66	11.07	83.05	2222 371 11563
	.068	±10%	2.5	6.5	10.0	7.62	4.0	.50	BC1690-ND	1.67	11.14	83.56	2222 371 11683
	.082	±10%	2.5	6.5	10.0	7.62	4.0	.50	BC1692-ND	1.68	11.21	84.07	2222 371 11823
	.12	±10%	3.0	8.0	10.0	7.62	4.0	.50	BC1680-ND	1.76	11.75	88.13	2222 371 11124
	.15	±10%	3.0	8.0	10.0	7.62	4.0	.50	BC1681-ND	1.88	12.55	94.10	2222 371 11154
	.18	±10%	3.0	8.0	10.0	7.62	4.0	.50	BC1682-ND	2.03	13.53	101.47	2222 371 11184
	.22	±10%	3.0	8.0	10.0	7.62	4.0	.50	BC1683-ND	2.18	14.51	108.83	2222 371 11224
	.27	±10%	4.0	9.0	10.0	7.62	4.0	.50	BC1684-ND	2.40	16.00	120.01	2222 371 11274
	.33	±10%	4.0	9.0	10.0	7.62	4.0	.50	BC1685-ND	2.67	17.78	133.34	2222 371 11334
	.39	±10%	4.0	9.0	10.0	7.62	4.0	.50	BC1686-ND	2.92	19.47	146.04	2222 371 11394
	.47	±10%	4.0	9.0	10.0	7.62	4.0	.50	BC1687-ND	3.28	21.84	163.82	2222 371 11474
	.56	±10%	4.0	9.0	10.0	7.62	4.0	.50	BC1689-ND	3.66	24.38	182.87	2222 371 11564
	.68	±10%	4.0	9.0	10.0	7.62	4.0	.50	BC1691-ND	4.06	27.09	203.18	2222 371 11684
	.82	±10%	5.0	10.5	10.0	7.62	4.0	.50	BC1693-ND	4.44	29.63	222.23	2222 371 11824
100	.018	±10%	2.5	6.5	10.0	7.62	4.0	.50	BC1697-ND	1.64	10.94	82.04	2222 371 21183
	.022	±10%	2.5	6.5	10.0	7.62	4.0	.50	BC1699-ND	1.64	10.94	82.04	2222 371 21223
	.027	±10%	2.5	6.5	10.0	7.62	4.0	.50	BC1701-ND	1.64	10.94	82.04	2222 371 21273
	.033	±10%	2.5	6.5	10.0	7.62	4.0	.50	BC1703-ND	1.65	11.01	82.54	2222 371 21333
	.039	±10%	2.5	6.5	10.0	7.62	4.0	.50	BC1705-ND	1.65	11.01	82.54	2222 371 21393
	.047	±10%	2.5	6.5	10.0	7.62	4.0	.50	BC1707-ND	1.65	11.01	82.54	2222 371 21473
	.056	±10%	3.0	8.0	10.0	7.62	4.0	.50	BC1709-ND	1.68	11.21	84.07	2222 371 21563
	.068	±10%	3.0	8.0	10.0	7.62	4.0	.50	BC1710-ND	1.72	11.48	86.10	2222 371 21683
	.082	±10%	3.0	8.0	10.0	7.62	4.0	.50	BC1711-ND	1.74	11.62	87.12	2222 371 21823
	.10	±10%	3.0	8.0	10.0	7.62	4.0	.50	BC1694-ND	1.76	11.75	88.13	2222 371 21104
	.12	±10%	4.0	9.0	10.0	7.62	4.0	.50	BC1695-ND	1.79	11.89	89.15	2222 371 21124
	.15	±10%	4.0	9.0	10.0	7.62	4.0	.50	BC1696-ND	1.96	13.04	97.78	2222 371 21154
	.18	±10%	4.0	9.0	10.0	7.62	4.0	.50	BC1698-ND	1.67	11.11	83.31	2222 371 21184
	.22	±10%	4.0	9.0	10.0	7.62	4.0	.50	BC1700-ND	2.27	15.14	113.53	2222 371 21224
	.27	±10%	5.0	10.5	10.0	7.62	4.0	.50	BC1702-ND	2.49	16.61	124.58	2222 371 21274
	.33	±10%	5.0	10.5	10.0	7.62	4.0	.50	BC1704-ND	2.79	18.63	139.69	2222 371 21334
	.39	±10%	5.0	10.5	10.0	7.62	4.0	.50	BC1706-ND	3.07	20.49	153.66	2222 371 21394
	.47	±10%	5.0	10.5	10.0	7.62	4.0	.50	BC1708-ND	3.43	22.86	171.44	2222 371 21474
250	.0082	±10%	2.5	6.5	10.0	7.62	4.0	.50	BC1724-ND	2.00	13.29	99.69	2222 371 41822
	.01	±10%	2.5	6.5	10.0	7.62	4.0	.50	BC1712-ND	2.01	13.41	100.58	2222 371 41103
	.012	±10%	2.5	6.5	10.0	7.62	4.0	.50	BC1714-ND	2.01	13.41	100.58	2222 371 41123
	.015	±10%	2.5	6.5	10.0	7.62	4.0	.50	BC1715-ND	2.01	13.41	100.58	2222 371 41153
	.018	±10%	3.0	8.0	10.0	7.62	4.0	.50	BC1716-ND	2.03	13.53	101.47	2222 371 41183
	.022	±10%	3.0	8.0	10.0	7.62	4.0	.50	BC1717-ND	2.03	13.53	101.47	2222 371 41223
	.027	±10%	3.0	8.0	10.0	7.62	4.0	.50	BC1718-ND	2.05	13.65	102.35	2222 371 41273
	.033	±10%	3.0	8.0	10.0	7.62	4.0	.50	BC1719-ND	2.07	13.78	103.37	2222 371 41333
	.039	±10%	3.0	8.0	10.0	7.62	4.0	.50	BC1720-ND	2.08	13.90	104.26	2222 371 41393
	.047	±10%	3.0	8.0	10.0	7.62	4.0	.50	BC1721-ND	1.69	11.25	84.33	2222 371 41473
	.056	±10%	4.0	9.0	10.0	7.62	4.0	.50	BC1722-ND	2.14	14.27	107.05	2222 371 41563
	.068	±10%	4.0	9.0	10.0	7.62	4.0	.50	BC1723-ND	2.14	14.27	107.05	2222 371 41683
	.082	±10%	4.0	9.0	10.0	7.62	4.0	.50	BC1725-ND	2.18	14.51	108.83	2222 371 41823
	.10	±10%	4.0	9.0	10.0	7.62	4.0	.50	BC1713-ND	1.79	11.93	90.41	2222 371 41104
400	.0039	±10%	2.5	6.5	10.0	7.62	4.0	.50	BC1729-ND	1.97	13.16	98.67	2222 371 51392
	.0047	±10%	2.5	6.5	10.0	7.62	4.0	.50	BC1730-ND	1.97	13.16	98.67	2222 371 51472
	.0056	±10%	2.5	6.5	10.0	7.62	4.0	.50	BC1731-ND	1.97	13.16	98.67	2222 371 51562
	.0068	±10%	2.5	6.5	10.0	7.62	4.0	.50	BC1732-ND	1.97	13.16	98.67	2222 371 51682
	.0082	±10%	3.0	8.0	10.0	7.62	4.0	.50	BC1733-ND	2.00	13.29	99.69	2222 371 51822
	.01	±10%	3.0	8.0	10.0	7.62	4.0	.50	BC1726-ND	2.00	13.29	99.69	2222 371 51103
	.012	±10%	4.0	9.0	10.0	7.62	4.0	.50	BC1727-ND	2.01	13.41	100.58	2222 371 51123
	.015	±10%	4.0	9.0	10.0	7.62	4.0	.50	BC1728-ND	2.01	13.41	100.58	2222 371 51153
MKT Serie 372													
100	.10	±10%	4.0	10.0	12.5	10.0	4.0	.60	BC1734-ND	2.14	14.27	107.05	2222 372 21104
	.12	±10%	4.0	10.0	12.5	10.0	4.0	.60	BC1735-ND	2.16	14.39	107.94	2222 372 21124
	.15	±10%	4.0	10.0	12.5	10.0	4.0	.60	BC1736-ND	2.24	14.88	111.62	2222 372 21154
	.18	±10%	4.0	10.0	12.5	10.0	4.0	.60	BC1737-ND	2.30	15.37	115.31	2222 372 21184
	.22	±10%	4.0	10.0	12.5	10.0	4.0	.60	BC1738-ND	2.44	16.24	121.78	2222 372 21224
	.27	±10%	4.0	10.0	12.5	10.0	4.0	.60	BC1739-ND	2.59	17.27	129.53	2222 372 21274
	.33	±10%	4.0	10.0	12.5	10.0	4.0	.60	BC1740-ND	2.79	18.63	139.69	2222 372 21334
	.39	±10%	5.0	11.0	12.5	10.0	4.0	.60	BC1741-ND	3.05	20.32	152.39	2222 372 21394
	.47	±10%	5.0	11.0	12.5	10.0	4.0	.60	BC1742-ND	3.33	22.18	166.36	2222 372 21474
250	.047	±10%	4.0	10.0	12.5	10.0	4.0	.60	BC1746-ND	2.07	13.78	103.37	2222 372 41473
	.056	±10%	4.0	10.0	12.5	10.0	4.0	.60	BC1747-ND	2.07	13.78	103.37	2222 372 41563
	.068	±10%	4.0	10.0	12.5	10.0	4.0	.60	BC1748-ND	1.67	11.11	83.31	2222 372 41683
	.082	±10%	4.0	10.0	12.5	10.0	4.0	.60	BC1749-ND	1.69	11.25	84.33	2222 372 41823
	.10	±10%	4.0	10.0	12.5	10.0	4.0	.60	BC1743-ND	1.72	11.38	85.35	2222 372 41104
	.12	±10%	5.0	11.0	12.5	10.0	4.0	.60	BC1744-ND	2.16	14.39	107.94	2222 372 41124
	.15	±10%	5.0	11.0	12.5	10.0	4.0	.60	BC1745-ND	2.30	15.37	115.31	2222 372 41154
400	.0047	±10%	4.0	10.0	12.5	10.0	4.0	.60	BC1758-ND	2.03	13.53	101.47	2222 372 51472
	.0056	±10%	4.0	10.0	12.5	10.0	4.0	.60	BC1760-ND	2.03	13.53	101.47	2222 372 51562
	.0068	±10%	4.0	10.0	12.5	10.0	4.0	.60	BC1761-ND	2.03	13.53	101.47	2222 372 51682
	.0082	±10%	4.0	10.0	12.5	10.0	4.0	.60	BC1762-ND	2.03	13.53	101.47	2222 372 51822
	.01	±10%	4.0	10.0	12.5	10.0	4.0	.60	BC1750-ND	2.03	13.53	101.47	2222 372 51103

*U_{Rdc} = 50V und U_{Rac} = 32V.

(Forts.)

E

Alle Preisangaben in Euro und inklusive Zollgebühren.

Spann. (DC)	Kap. (µF)	Tole-ranz	Abmessungen (mm) b	h	l	P	l_t	ød_t	Digi-Key Teilenr.	Preisangaben 10	100	1.000	BC Components Teilenr.
400	.012	±10%	4.0	10.0	12.5	10.0	4.0	.60	BC1751-ND	2.03	13.53	101.47	2222 372 51123
	.015	±10%	4.0	10.0	12.5	10.0	4.0	.60	BC1752-ND	2.03	13.53	101.47	2222 372 51153
	.018	±10%	4.0	10.0	12.5	10.0	4.0	.60	BC1753-ND	2.03	13.53	101.47	2222 372 51183
	.022	±10%	4.0	10.0	12.5	10.0	4.0	.60	BC1754-ND	2.03	13.53	101.47	2222 372 51223
	.027	±10%	4.0	10.0	12.5	10.0	4.0	.60	BC1755-ND	2.03	13.53	101.47	2222 372 51273
	.033	±10%	4.0	10.0	12.5	10.0	4.0	.60	BC1756-ND	2.03	13.53	101.47	2222 372 51333
	.039	±10%	5.0	11.0	12.5	10.0	4.0	.60	BC1757-ND	2.05	13.65	102.35	2222 372 51393
	.047	±10%	5.0	11.0	12.5	10.0	4.0	.60	BC1759-ND	2.05	13.65	102.35	2222 372 51473
MKT Serie 373													
100	.33	±10%	5.0	11.0	17.5	15.0	5.0	.60	BC1768-ND	3.05	20.32	152.39	2222 373 21334
	.39	±10%	5.0	11.0	17.5	15.0	5.0	.60	BC1769-ND	3.15	21.00	157.47	2222 373 21394
	.47	±10%	5.0	11.0	17.5	15.0	5.0	.60	BC1770-ND	3.25	21.67	162.55	2222 373 21474
	.56	±10%	5.0	11.0	17.5	15.0	5.0	.60	BC1771-ND	3.66	24.38	182.87	2222 373 21564
	.68	±10%	5.0	11.0	17.5	15.0	5.0	.60	BC1772-ND	4.06	27.09	203.18	2222 373 21684
	.82	±10%	6.0	12.0	17.5	15.0	5.0	.60	BC1773-ND	4.44	29.63	222.23	2222 373 21824
	1.0	±10%	6.0	12.0	17.5	15.0	5.0	.60	BC1763-ND	4.85	32.34	242.55	2222 373 21105
	1.2	±10%	7.0	13.5	17.5	15.0	5.0	.80	BC1764-ND	5.49	36.57	274.30	2222 373 21125
	1.5	±10%	7.0	13.5	17.5	15.0	5.0	.80	BC1765-ND	6.48	43.18	323.82	2222 373 21155
	1.8	±10%	8.5	15.0	17.5	15.0	5.0	.80	BC1766-ND	7.70	51.30	384.78	2222 373 21185
	2.2	±10%	8.5	15.0	17.5	15.0	5.0	.80	BC1767-ND	9.12	60.79	455.89	2222 373 21225
	1.2	±10%	10.0	16.5	17.5	15.0	5.0	.80	BC1791-ND	6.45	43.01	322.55	2222 373 43125
250	2.7	±10%	10.0	19.5	26.0	22.5	5.0	.80	BC1792-ND	12.62	84.15	631.14	2222 373 43275
	.15	±10%	5.0	11.0	17.5	15.0	5.0	.60	BC1775-ND	2.44	16.24	121.78	2222 373 41154
	.18	±10%	5.0	11.0	17.5	15.0	5.0	.60	BC1777-ND	2.64	17.61	132.07	2222 373 41184
	.22	±10%	5.0	11.0	17.5	15.0	5.0	.60	BC1779-ND	2.84	18.96	142.23	2222 373 41224
	.27	±10%	6.0	12.0	17.5	15.0	5.0	.60	BC1781-ND	3.05	20.32	152.39	2222 373 41274
	.33	±10%	6.0	12.0	17.5	15.0	5.0	.60	BC1782-ND	3.25	21.67	162.55	2222 373 41334
	.39	±10%	6.0	12.0	17.5	15.0	5.0	.60	BC1784-ND	3.66	24.38	182.87	2222 373 41394
	.47	±10%	6.0	12.0	17.5	15.0	5.0	.60	BC1786-ND	4.06	27.09	203.18	2222 373 41474
	.56	±10%	7.0	13.5	17.5	15.0	5.0	.80	BC1788-ND	4.44	29.63	222.23	2222 373 41564

Spann. (DC)	Kap. (µF)	Tole-ranz	Abmessungen (mm) b	h	l	P	l_t	ød_t	Digi-Key Teilenr.	Preisangaben 10	100	1.000	BC Components Teilenr.
250	.68	±10%	7.0	13.5	17.5	15.0	5.0	.80	BC1789-ND	4.67	31.15	233.66	2222 373 41684
	.82	±10%	8.5	15.0	17.5	15.0	5.0	.80	BC1790-ND	4.85	32.34	242.55	2222 373 41824
	1.0	±10%	8.5	15.0	17.5	15.0	5.0	.80	BC1774-ND	5.26	35.05	262.87	2222 373 41105
	1.5	±10%	8.5	18.0	26.0	22.5	5.0	.80	BC1776-ND	8.10	54.01	405.10	2222 373 41155
	1.8	±10%	10.0	19.5	26.0	22.5	5.0	.80	BC1778-ND	9.73	64.85	486.37	2222 373 41185
	2.2	±10%	10.0	19.5	26.0	22.5	5.0	.80	BC1780-ND	11.35	75.69	567.65	2222 373 41225
	3.3	±10%	13.0	23.0	31.0	27.5	5.0	.80	BC1783-ND	15.21	101.42	760.67	2222 373 41335
	3.9	±10%	15.0	25.0	31.0	27.5	5.0	.80	BC1785-ND	17.83	118.86	891.47	2222 373 41395
	4.7	±10%	15.0	25.0	31.0	27.5	5.0	.80	BC1787-ND	21.41	142.74	1070.53	2222 373 41475
400	.047	±10%	5.0	11.0	17.5	15.0	5.0	.60	BC1801-ND	2.64	17.61	132.07	2222 373 51473
	.056	±10%	5.0	11.0	17.5	15.0	5.0	.60	BC1802-ND	2.69	17.95	134.61	2222 373 51563
	.068	±10%	5.0	11.0	17.5	15.0	5.0	.60	BC1803-ND	2.74	18.29	137.15	2222 373 51683
	.082	±10%	5.0	11.0	17.5	15.0	5.0	.60	BC1805-ND	2.79	18.63	139.69	2222 373 51823
	.10	±10%	5.0	11.0	17.5	15.0	5.0	.60	BC1793-ND	2.87	19.13	143.50	2222 373 51104
	.12	±10%	6.0	12.0	17.5	15.0	5.0	.60	BC1794-ND	3.25	21.67	162.55	2222 373 51124
	.15	±10%	6.0	12.0	17.5	15.0	5.0	.60	BC1795-ND	3.66	24.38	182.87	2222 373 51154
	.18	±10%	7.0	13.5	17.5	15.0	5.0	.80	BC1797-ND	4.06	27.09	203.18	2222 373 51184
	.22	±10%	7.0	13.5	17.5	15.0	5.0	.80	BC1798-ND	4.44	29.63	222.23	2222 373 51224
	.27	±10%	8.5	15.0	17.5	15.0	5.0	.80	BC1799-ND	5.08	33.86	253.98	2222 373 51274
	.33	±10%	8.5	15.0	17.5	15.0	5.0	.80	BC1800-ND	5.66	37.76	283.19	2222 373 51334
	.39	±10%	8.5	15.0	17.5	15.0	5.0	.80	BC1808-ND	5.97	39.79	298.43	2222 373 53394
	.47	±10%	8.5	15.0	17.5	15.0	5.0	.80	BC1809-ND	6.15	40.98	307.32	2222 373 53474
	.56	±10%	10.0	16.5	17.5	15.0	5.0	.80	BC1810-ND	7.16	47.75	358.11	2222 373 53564
	.68	±10%	10.0	19.5	26.0	22.5	5.0	.80	BC1804-ND	8.10	54.01	405.10	2222 373 51684
	.82	±10%	8.5	18.0	26.0	22.5	5.0	.80	BC1811-ND	8.76	58.42	438.12	2222 373 53824
	1.0	±10%	10.0	19.5	26.0	22.5	5.0	.80	BC1806-ND	9.22	61.46	460.97	2222 373 53105
	1.2	±10%	10.0	19.5	26.0	22.5	5.0	.80	BC1807-ND	11.63	77.55	581.61	2222 373 53125
	1.5	±10%	15.0	25.0	31.0	27.5	5.0	.80	BC1796-ND	14.17	94.48	708.60	2222 373 51155

$*U_{Rdc}$ = 50V und U_{Rac} = 32V.

AVX TPC

Schichtkondensatoren, mitttlere Leistung

Die Serien FFB und FFV3 verwenden ein nicht-imprägniertes metallisiertes Polypropylen oder Polyesterdielektrikum mit dem gesteuerten Selbstheilprozess; es wurde speziell behandelt, um eine sehr hohe Dielektrikumstärke in Betriebsumgebungen mit bis zu 105 °C zu bieten. Sie wurden zur Platinenmontage entwickelt. Außerdem können sie aufgrund ihrer Leistung als Alternative zur Elektrolyt-Technologie dienen, da sie weitaus stärkeren Stromspitzen standhalten können. Eine einzigartige Funktion dieser Technologie (im Gegensatz zu Elektrolyt-Technologie) ist die Reaktion des Kondensators am Ende seiner Lebensdauer. Bei einem Elektrolyt-Kondensator besteht ein hohes Risiko einer Explosion des Gehäuses. Bei diesen Schichtkondensatoren verliert der Kondensator jedoch lediglich etwa 2% seiner Kapazität am Ende seiner Lebensdauer. Beachten Sie bitte, dass es sich hierbei um theoretische Angaben handelt und dass der Kondensator weiterhin funktioniert, selbst nach dieser 2%igen Leistungsminderung. **Anwendungen:** Die Serien FFB und FFV3 eignen sich aufgrund niedriger Blindleistung besonders gut zum DC-Filtern. **Allgemeine Eigenschaften:** • Klimakategorie: 40/105/56 IEC 68 (Serie FFV3) 55/105/56 IEC 68 (FFB) • Testspannung zwischen Anschlüssen bei 25 °C ist 1,5 X Vndc

Abb. 1

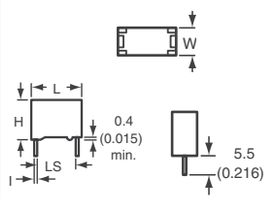

Abb. 2

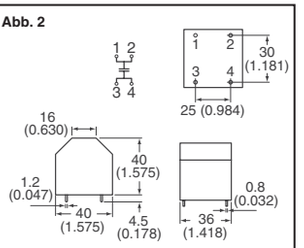

Abb.	Typ	Spannung	Kapazität (µF)	Toleranz (%)	Irms Maximum (A)	Rs (mΩ)	Abmessungen (mm) L	W	H	l	LS	Digi-Key Teilenr.	Stückpreis 1	10	100	1.000	AVX Teilenr.
Serie FFB																	
1	Poly-ester	75VDC (45Vrms)	33	10	3.0	3.0	31.1	13.0	22.4	0.80	27.5	478-2589-ND	6.73	5.39	4.72	4.04	FFB14D0336K
			68	10	6.2	1.7	31.1	17.3	29.8	0.80	27.5	478-2590-ND	12.70	10.16	8.89	7.62	FFB34D0686K
			110	10	10	1.4	32.0	22.0	37.0	1.00	27.5	478-2591-ND	22.65	18.12	15.86	13.59	FFB54D0117K
		100VDC (60Vrms)	20	10	2.6	3.0	31.1	13.0	22.4	0.80	27.5	478-2592-ND	5.36	4.29	3.75	3.22	FFB14E0206K
			47	10	6.0	1.7	31.1	20.8	31.3	1.00	27.5	478-2593-ND	11.54	9.23	8.08	6.93	FFB44E0476K
			68	10	9.0	1.4	32.0	22.0	37.0	1.00	27.5	478-2594-ND	17.95	14.36	12.57	10.77	FFB54E0686K
		300VDC (90Vrms)	7.5	10	2.4	16	31.1	13.0	22.4	.80	27.5	478-2595-ND	3.39	2.71	2.38	2.04	FFB14H0755K
			18	10	6.0	7.0	31.1	20.8	31.3	1.00	27.5	478-2596-ND	7.58	6.07	5.31	4.55	FFB44H0186K
			27	10	9.0	5.0	32.0	22.0	37.0	1.00	27.5	478-2597-ND	12.34	9.88	8.64	7.41	FFB54H0276K
		400VDC (105Vrms)	6.2	10	2.5	17	31.1	13.0	22.4	.80	27.5	478-2598-ND	3.24	2.60	2.27	1.95	FFB14I0625K
			15	10	6.2	7.0	31.1	20.8	31.3	1.0	27.5	478-2599-ND	7.11	5.69	4.98	4.27	FFB44I0156K
			20	10	8.2	5.5	32.0	22.0	37.0	1.00	27.5	478-2600-ND	10.90	8.72	7.63	6.54	FFB54I0206K
	Poly-pro-pylene	525VDC (105Vrms)	3.9	10	5.1	30	31.1	13.0	22.4	.80	27.5	478-2601-ND	4.60	3.68	3.22	2.76	FFB16J0395K
			10	10	12	12	31.1	20.8	31.3	1.00	27.5	478-2602-ND	8.96	7.17	6.27	5.38	FFB46J0106K
			13	10	12	9.0	32.0	22.0	3.0	1.00	27.5	478-2603-ND	11.30	9.05	7.92	6.79	FFB56J0136K
		720VDC (120Vrms)	3.3	10	5.0	31	31.1	13.0	22.4	.80	27.5	478-2604-ND	4.36	3.49	3.06	2.62	FFB16A0335K
			7.5	10	11.4	14	31.1	20.8	31.3	1.00	27.5	478-2605-ND	8.53	6.83	5.98	5.12	FFB46A0755K
			10	10	12	11	32.0	22.0	37.0	1.00	27.5	478-2606-ND	10.73	8.59	7.52	6.44	FFB56A0106K
		900VDC (150Vrms)	2.0	10	3.6	41	31.1	13.0	22.4	.80	27.5	478-2607-ND	4.15	3.32	2.91	2.49	FFB16C0205K
			5.1	10	9.3	16	31.1	20.8	31.3	1.00	27.5	478-2608-ND	8.11	6.49	5.68	4.87	FFB46C0515K
			6.8	10	12	12	32.0	22.0	37.0	1.00	27.5	478-2609-ND	10.20	8.17	7.15	6.13	FFB56C0685K
		1100VDC (180Vrms)	1.5	10	3.3	45	31.1	13.0	22.4	.80	27.5	478-2610-ND	3.96	3.17	2.78	2.38	FFB16L0155K
			3.0	10	6.6	23	31.1	20.8	31.3	1.00	27.5	478-2611-ND	7.69	6.15	5.38	4.61	FFB46L0305K
			4.7	10	10.3	15	32.0	22.0	37.0	1.00	27.5	478-2612-ND	9.68	7.74	6.78	5.81	FFB56L0475K

Abb.	Typ	Spannung	Kapazität (µF)	Toleranz (%)	Irms Maximum (A)	Rs (mΩ)	Digi-Key Teilenr.	Stückpreis 1	10	100	1000	AVX Teilenr.
Serie FFV3												
2	Polyester	75VDC (45Vrms)	160	10	28	.47	478-2613-ND	30.34	26.55	22.76	21.24	FFV34D0167K
		100VDC (60Vrms)	100	10	24	.55	478-2614-ND	26.58	23.26	19.94	18.61	FFV34E0107K
		300VDC (90Vrms)	50	10	26	2.25	478-2615-ND	25.28	22.12	18.96	17.70	FFV34H0506K
		400VDC (105Vrms)	40	10	23	2.21	478-2616-ND	22.77	19.93	17.09	15.95	FFV34I0406K
	Polypro-pylen	500VDC (105Vrms)	20	10	27	5.88	478-2617-ND	18.96	16.60	14.23	13.28	FFV36J0206K
		700VDC (120Vrms)	20	10	30	5.15	478-2618-ND	17.71	15.50	13.29	12.40	FFV36A0206K
		900VDC (150Vrms)	13	10	25	6.33	478-2619-ND	15.81	13.84	11.87	11.08	FFV36C0136K
		1100VDC (180Vrms)	9.0	10	20	7.61	478-2620-ND	15.19	13.29	11.40	10.64	FFV36L0905K

Panasonic® PPS-Schichtkondensatoren - ECHS

Nicht induktive Konstruktion unter Verwendung von PPS-Folie, konzipiert für starke Hitzebeständigkeit u. Hochfrequenzanwendungen.

Merkmale: • Breiter Betriebstemperaturbereich von -40 °C ~ +125 °C • Ausgezeichneter Temperaturkoeffizient -100 PPM/°C • Ausgezeichnete Frequenzeigenschaften

Anwendungen: • Kfz • Oszillationsschaltkreise

Elektrische Spezifikationen:

• Temperaturbereich: -40 °C ~ +125 °C • Nennspannung: 50 V DC, 100 V DC • Kapazitätsbereich: 0,0001 ~ 0,47 µF • Kapazitätstoleranz: ±2 % (G) & ±5 % (J) • Dissipationsfaktor: max. 0,3 % bei 1 kHz und 20 °C • Haltespannung: 1-5 Sekunden bei 250 % der Nennspannung zwischen Anschlüssen • Isolationswiderstand: min. 45.000MΩ, für Werte gleich oder kleiner als 0,33 µF. Mind. 15.000MΩ/µF, für Werte größer als 0,33 µF (20 °C, 100 V DC, 60 s)

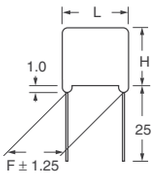

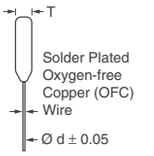

WV* DC	Kap. µF	Tole-ranz	Abmessungen (mm) L	T	H	F	d	Digi-Key Teilenr.	Stückpreis 1	10	100	1.000	Panasonic Teilenr.
50	.001	2%	8.5	4.0	7.6	5.0	0.60	PS1H102G-ND	.56	.49	.41	.24	ECH-S1H102GZ
	.0012	2%	8.5	4.0	7.8	5.0	0.60	PS1H122G-ND	.56	.49	.41	.24	ECH-S1H122GZ
	.0015	2%	8.5	4.0	7.6	5.0	0.60	PS1H152G-ND	.56	.49	.41	.24	ECH-S1H152GZ
	.0018	2%	8.5	4.0	7.6	5.0	0.60	PS1H182G-ND	.56	.49	.41	.24	ECH-S1H182GZ
	.0022	2%	8.5	4.0	7.8	5.0	0.60	PS1H222G-ND	.56	.49	.41	.24	ECH-S1H222GZ
	.0027	2%	8.5	4.0	7.8	5.0	0.60	PS1H272G-ND	.56	.49	.41	.24	ECH-S1H272GZ
	.0033	2%	8.5	4.0	8.0	5.0	0.60	PS1H332G-ND	.56	.49	.41	.24	ECH-S1H332GZ
	.0039	2%	8.5	4.0	7.8	5.0	0.60	PS1H392G-ND	.56	.49	.41	.24	ECH-S1H392GZ
	.0047	2%	8.5	4.0	8.0	5.0	0.60	PS1H472G-ND	.56	.49	.41	.24	ECH-S1H472GZ
	.0056	2%	8.5	4.0	8.2	5.0	0.60	PS1H562G-ND	.56	.49	.41	.24	ECH-S1H562GZ
	.0068	2%	8.5	4.0	7.6	5.0	0.60	PS1H682G-ND	.56	.49	.41	.24	ECH-S1H682GZ
	.0082	2%	8.5	4.0	7.6	5.0	0.60	PS1H822G-ND	.56	.49	.41	.24	ECH-S1H822GZ
	.01	2%	8.5	4.0	7.6	5.0	0.60	PS1H103G-ND	.60	.52	.43	.26	ECH-S1H103GZ
	.012	2%	8.5	4.0	8.0	5.0	0.60	PS1H123G-ND	.65	.56	.47	.28	ECH-S1H123GZ
	.015	2%	12.0	4.5	7.8	7.5	0.60	PS1H153G-ND	.67	.58	.48	.29	ECH-S1H153GZ
	.018	2%	12.0	4.5	8.0	7.5	0.60	PS1H183G-ND	.74	.63	.53	.32	ECH-S1H183GZ
	.022	2%	12.0	4.5	8.2	7.5	0.60	PS1H223G-ND	.80	.69	.58	.35	ECH-S1H223GZ
	.027	2%	12.0	4.5	10.4	7.5	0.60	PS1H273G-ND	.87	.75	.63	.38	ECH-S1H273GZ
	.033	2%	12.0	4.5	10.6	7.5	0.60	PS1H333G-ND	.96	.82	.69	.41	ECH-S1H333GZ
	.039	2%	12.0	5.0	10.4	7.5	0.60	PS1H393G-ND	1.03	.89	.74	.45	ECH-S1H393GZ
	.047	2%	12.0	5.0	10.8	7.5	0.60	PS1H473G-ND	1.11	.96	.80	.48	ECH-S1H473GZ
	.056	2%	12.0	5.5	11.0	7.5	0.60	PS1H563G-ND	1.23	1.06	.88	.53	ECH-S1H563GZ
	.068	2%	14.5	5.0	11.2	10.00	0.60	PS1H683G-ND	1.35	1.16	.97	.58	ECH-S1H683GZ
	.082	2%	14.5	5.5	11.6	10.00	0.60	PS1H823G-ND	1.48	1.27	1.06	.64	ECH-S1H823GZ
	.1	2%	14.5	6.0	12.0	10.00	0.60	PS1H104G-ND	1.65	1.42	1.18	.71	ECH-S1H104GZ
	.12	2%	14.5	6.5	12.4	10.00	0.60	PS1H124G-ND	1.87	1.61	1.34	.80	ECH-S1H124GZ
	.15	2%	17.0	6.5	12.4	12.50	0.60	PS1H154G-ND	2.15	1.85	1.54	.92	ECH-S1H154GZ
	.18	2%	17.0	6.5	14.0	12.50	0.60	PS1H184G-ND	2.41	2.07	1.73	1.04	ECH-S1H184GZ
	.22	2%	17.0	7.0	14.4	12.50	0.60	PS1H224G-ND	2.73	2.34	1.95	1.17	ECH-S1H224GZ
	.27	2%	17.0	7.5	15.2	12.50	0.80	PS1H274G-ND	3.08	2.65	2.21	1.32	ECH-S1H274GZ
	.33	2%	17.0	8.5	15.8	12.50	0.80	PS1H334G-ND	3.46	2.97	2.48	1.49	ECH-S1H334GZ
	.39	2%	17.0	9.0	16.4	12.50	0.80	PS1H394G-ND	3.84	3.29	2.74	1.65	ECH-S1H394GZ
	.47	2%	17.0	10.0	17.2	12.50	0.80	PS1H474G-ND	4.33	3.72	3.10	1.86	ECH-S1H474GZ
	.001	5%	8.5	4.0	7.6	5.0	0.60	PS1H102J-ND	.22	.19	.16	.10	ECH-S1H102JZ
	.0012	5%	8.5	4.0	7.8	5.0	0.60	PS1H122J-ND	.22	.19	.16	.10	ECH-S1H122JZ
	.0015	5%	8.5	4.0	7.6	5.0	0.60	PS1H152J-ND	.22	.19	.16	.10	ECH-S1H152JZ
	.0018	5%	8.5	4.0	7.6	5.0	0.60	PS1H182J-ND	.22	.19	.16	.10	ECH-S1H182JZ
	.0022	5%	8.5	4.0	7.8	5.0	0.60	PS1H222J-ND	.22	.19	.16	.10	ECH-S1H222JZ
	.0027	5%	8.5	4.0	7.8	5.0	0.60	PS1H272J-ND	.22	.19	.16	.10	ECH-S1H272JZ
	.0033	5%	8.5	4.0	8.0	5.0	0.60	PS1H332J-ND	.22	.19	.16	.10	ECH-S1H332JZ
	.0039	5%	8.5	4.0	7.8	5.0	0.60	PS1H392J-ND	.22	.19	.16	.10	ECH-S1H392JZ
	.0047	5%	8.5	4.0	8.0	5.0	0.60	PS1H472J-ND	.22	.19	.16	.10	ECH-S1H472JZ
	.0056	5%	8.5	4.0	8.2	5.0	0.60	PS1H562J-ND	.22	.19	.16	.10	ECH-S1H562JZ
	.0068	5%	8.5	4.0	7.6	5.0	0.60	PS1H682J-ND	.22	.19	.16	.10	ECH-S1H682JZ
	.0082	5%	8.5	4.0	7.6	5.0	0.60	PS1H822J-ND	.22	.19	.16	.10	ECH-S1H822JZ
	.01	5%	8.5	4.0	7.8	5.0	0.60	PS1H103J-ND	.24	.21	.17	.11	ECH-S1H103JZ
	.012	5%	8.5	4.0	8.0	5.0	0.60	PS1H123J-ND	.27	.23	.20	.12	ECH-S1H123JZ
	.015	5%	12.0	4.5	7.8	7.5	0.60	PS1H153J-ND	.30	.27	.22	.14	ECH-S1H153JZ
	.018	5%	12.0	4.5	8.0	7.5	0.60	PS1H183J-ND	.32	.28	.23	.14	ECH-S1H183JZ
	.022	5%	12.0	4.5	8.2	7.5	0.60	PS1H223J-ND	.37	.33	.27	.16	ECH-S1H223JZ
	.027	5%	12.0	4.5	10.4	7.5	0.60	PS1H273J-ND	.40	.35	.29	.18	ECH-S1H273JZ
	.033	5%	12.0	4.5	10.6	7.5	0.60	PS1H333J-ND	.42	.37	.31	.19	ECH-S1H333JZ
	.039	5%	12.0	5.0	10.4	7.5	0.60	PS1H393J-ND	.44	.38	.32	.19	ECH-S1H393JZ
	.047	5%	12.0	5.0	10.8	7.5	0.60	PS1H473J-ND	.46	.40	.33	.20	ECH-S1H473JZ
	.056	5%	12.0	5.5	11.0	7.5	0.60	PS1H563J-ND	.52	.45	.37	.23	ECH-S1H563JZ
50	.068	5%	14.5	5.0	11.2	10.00	0.60	PS1H683J-ND	.58	.50	.42	.25	ECH-S1H683JZ
	.082	5%	14.5	5.5	11.6	10.00	0.60	PS1H823J-ND	.64	.56	.47	.28	ECH-S1H823JZ
	.1	5%	14.5	6.0	12.0	10.00	0.60	PS1H104J-ND	.75	.64	.53	.32	ECH-S1H104JZ
	.12	5%	14.5	6.5	12.4	10.00	0.60	PS1H124J-ND	.85	.73	.61	.37	ECH-S1H124JZ
	.15	5%	17.0	6.5	12.4	12.50	0.60	PS1H154J-ND	.99	.86	.71	.43	ECH-S1H154JZ
	.18	5%	17.0	6.5	14.0	12.50	0.60	PS1H184J-ND	1.14	.98	.82	.49	ECH-S1H184JZ
	.22	5%	17.0	7.0	14.4	12.50	0.60	PS1H224J-ND	1.30	1.12	.93	.56	ECH-S1H224JZ
	.27	5%	17.0	7.5	15.2	12.50	0.80	PS1H274J-ND	1.43	1.23	1.03	.62	ECH-S1H274JZ
	.33	5%	17.0	8.5	15.8	12.50	0.80	PS1H334J-ND	1.59	1.37	1.14	.69	ECH-S1H334JZ
	.39	5%	17.0	9.0	16.4	12.50	0.80	PS1H394J-ND	1.79	1.54	1.29	.77	ECH-S1H394JZ
	.47	5%	17.0	10.0	17.2	12.50	0.80	PS1H474J-ND	2.01	1.73	1.44	.86	ECH-S1H474JZ
100	.0001	5%	8.5	4.0	6.5	5.0	0.60	PS1101J-ND	.51	.44	.36	.22	ECH-S1101JZ
	.00012	5%	8.5	4.0	6.5	5.0	0.60	PS1121J-ND	.51	.44	.36	.22	ECH-S1121JZ
	.00015	5%	8.5	4.0	6.5	5.0	0.60	PS1151J-ND	.51	.44	.36	.22	ECH-S1151JZ
	.00018	5%	8.5	4.0	6.5	5.0	0.60	PS1181J-ND	.51	.44	.36	.22	ECH-S1181JZ
	.00022	5%	8.5	4.0	6.5	5.0	0.60	PS1221J-ND	.51	.44	.36	.22	ECH-S1221JZ
	.00027	5%	8.5	4.0	6.5	5.0	0.60	PS1271J-ND	.51	.44	.36	.22	ECH-S1271JZ
	.00033	5%	8.5	4.0	6.5	5.0	0.60	PS1331J-ND	.51	.44	.36	.22	ECH-S1331JZ
	.00039	5%	8.5	4.0	6.5	5.0	0.60	PS1391J-ND	.51	.44	.36	.22	ECH-S1391JZ
	.00047	5%	8.5	4.0	6.5	5.0	0.60	PS1471J-ND	.51	.44	.36	.22	ECH-S1471JZ
	.00056	5%	8.5	4.0	6.5	5.0	0.60	PS1561J-ND	.51	.44	.36	.22	ECH-S1561JZ
	.00068	5%	8.5	4.0	6.5	5.0	0.60	PS1681J-ND	.51	.44	.36	.22	ECH-S1681JZ
	.00082	5%	8.5	4.0	6.5	5.0	0.60	PS1821J-ND	.51	.44	.36	.22	ECH-S1821JZ
	.001	5%	10.0	4.5	7.0	5.0	0.60	PS1102J-ND	.33	.29	.24	.15	ECH-S1102JZ
	.0012	5%	10.0	4.5	7.0	5.0	0.60	PS1122J-ND	.33	.29	.24	.15	ECH-S1122JZ
	.0015	5%	10.0	4.5	7.0	5.0	0.60	PS1152J-ND	.33	.29	.24	.15	ECH-S1152JZ
	.0018	5%	10.0	4.5	7.0	5.0	0.60	PS1182J-ND	.33	.29	.24	.15	ECH-S1182JZ
	.0022	5%	10.0	4.5	7.5	5.0	0.60	PS1222J-ND	.33	.29	.24	.15	ECH-S1222JZ
	.0027	5%	10.0	4.5	7.0	5.0	0.60	PS1272J-ND	.33	.29	.24	.15	ECH-S1272JZ
	.0033	5%	10.0	4.5	7.5	5.0	0.60	PS1332J-ND	.33	.29	.24	.15	ECH-S1332JZ
	.0039	5%	10.0	4.5	7.0	5.0	0.60	PS1392J-ND	.33	.29	.24	.15	ECH-S1392JZ
	.0047	5%	10.0	5.0	7.5	5.0	0.60	PS1472J-ND	.34	.29	.25	.15	ECH-S1472JZ
	.0056	5%	12.0	4.5	8.0	7.5	0.60	PS1562J-ND	.40	.35	.29	.18	ECH-S1562JZ
	.0068	5%	12.0	4.5	7.8	7.5	0.60	PS1682J-ND	.40	.35	.29	.18	ECH-S1682JZ
	.0082	5%	12.0	4.5	8.0	7.5	0.60	PS1822J-ND	.40	.35	.29	.18	ECH-S1822JZ
	.01	5%	12.0	4.5	8.0	7.5	0.60	PS1103J-ND	.40	.35	.29	.18	ECH-S1103JZ
	.012	5%	12.0	5.0	8.2	7.5	0.60	PS1123J-ND	.47	.41	.34	.21	ECH-S1123JZ
	.015	5%	12.0	5.0	8.4	7.5	0.60	PS1153J-ND	.47	.41	.34	.21	ECH-S1153JZ
	.018	5%	12.0	5.5	8.8	7.5	0.60	PS1183J-ND	.47	.41	.34	.21	ECH-S1183JZ
	.022	5%	12.0	5.0	10.8	7.5	0.60	PS1223J-ND	.49	.43	.36	.22	ECH-S1223JZ
	.027	5%	12.0	5.5	11.2	7.5	0.60	PS1273J-ND	.52	.45	.38	.23	ECH-S1273JZ
	.033	5%	14.5	5.5	11.2	10.0	0.60	PS1333J-ND	.52	.46	.38	.23	ECH-S1333JZ
	.039	5%	14.5	6.0	11.6	10.0	0.60	PS1393J-ND	.58	.51	.42	.26	ECH-S1393JZ
	.047	5%	14.5	6.0	11.8	10.0	0.60	PS1473J-ND	.59	.51	.43	.26	ECH-S1473JZ
	.056	5%	14.5	6.5	12.2	10.0	0.60	PS1563J-ND	.66	.57	.47	.29	ECH-S1563JZ
	.068	5%	17.0	6.5	12.2	12.5	0.60	PS1683J-ND	.84	.72	.60	.36	ECH-S1683JZ
	.082	5%	17.0	6.5	13.8	12.5	0.60	PS1823J-ND	.89	.77	.64	.38	ECH-S1823JZ
	.1	5%	17.0	7.0	14.2	12.5	0.60	PS1104J-ND	.91	.79	.66	.40	ECH-S1104JZ
	.12	5%	17.0	7.5	14.8	12.5	0.60	PS1124J-ND	1.08	.93	.78	.47	ECH-S1124JZ
	.15	5%	20.5	7.5	15.0	15.0	0.80	PS1154J-ND	1.48	1.27	1.06	.64	ECH-S1154JZ
	.18	5%	20.5	7.5	15.6	15.0	0.80	PS1184J-ND	1.73	1.48	1.24	.74	ECH-S1184JZ
	.22	5%	20.5	8.5	16.2	15.0	0.80	PS1224J-ND	1.73	1.48	1.24	.74	ECH-S1224JZ
	.27	5%	20.5	9.0	17.6	15.0	0.80	PS1274J-ND	1.85	1.59	1.32	.79	ECH-S1274JZ
	.33	5%	20.5	10.0	18.4	15.0	0.80	PS1334J-ND	2.26	1.94	1.62	.97	ECH-S1334JZ
	.39	5%	20.5	10.5	19.2	15.0	0.80	PS1394J-ND	2.46	2.12	1.77	1.06	ECH-S1394JZ
	.47	5%	20.5	11.5	20.2	15.0	0.80	PS1474J-ND	2.52	2.17	1.81	1.09	ECH-S1474JZ

* Betriebsspannung

Panasonic® Metall-Polyester-/Polypropylen-Folienkondensatoren

Typ ECHAX– Mit einem Sicherheitsmechanismus ausgerüstet

Merkmale:

•Nicht-induktive Konstruktion •Ausgezeichnete Sicherheitsmerkmale •Flammhemmendes, in Expoxidharz getauchtes Gehäuse • Klein und kompakt

Anwendung:

• Motorbetrieb • Leuchtstoffröhrenballast

Elektrische Spezifikationen:

• Temperaturbereich: -25 °C ~ +70 °C • Nennspannung: 180, 220 und 250 V AC • Kapazitätsbereich: 1,0 ~ 6,0 µF • Kapazitätstoleranz: ±5 % (J)

• Verlustfaktor: max. 0,4 % bei 50/60 Hz und 20 °C

• Haltespannung: Zwischen Anschlüssen; V AC (Nennspannung) x 175 % 60s. Zwischen Klemmen zu Gehäuse; 2.000 V AC 60 s

• Isolationswiderstand: Zwischen Anschlüssen; min. 1.000Ω F (20 °C 100 V DC 60s). Zwischen Klemmen zu Gehäuse; min. 1.000MΩ (20 °C 500 V DC 60s)

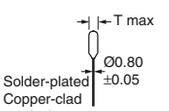

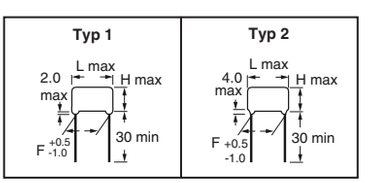

WV* (AC)	Kap. µF	Tole-ranz	Abmessungen (mm) L	T	H	F	Typ	Digi-Key Teilenr.	Stückpreis 1	10	100	1.000	Panasonic Teilenr.
180	1.0	5%	26.5	8.5	17.5	22.5	1	P10937-ND	2.19	1.89	1.48	.95	ECH-A18105JX
	2.0	5%	26.5	11.5	21.0	22.5	1	P10938-ND	3.42	2.93	2.30	1.47	ECH-A18205JX
	3.0	5%	26.5	14.0	24.0	22.5	1	P10939-ND	4.29	3.69	2.89	1.85	ECH-A18305JX
	4.0	5%	31.5	14.5	24.0	27.5	1	P10940-ND	5.08	4.36	3.41	2.18	ECH-A18405JX
	5.0	5%	31.5	16.5	26.0	27.5	1	P10941-ND	5.05	4.33	3.39	2.17	ECH-A18505JX
	6.0	5%	37.0	16.5	25.5	32.5	1	P10942-ND	7.16	6.14	4.81	3.07	ECH-A18605JX
220	1.0	5%	26.5	10.0	19.5	22.5	1	P10943-ND	2.66	2.28	1.79	1.14	ECH-A22105JX
	2.0	5%	26.5	14.0	23.5	22.5	1	P10944-ND	3.69	3.17	2.48	1.59	ECH-A22205JX
	3.0	5%	31.5	15.5	25.0	27.5	1	P10945-ND	4.44	3.80	2.98	1.91	ECH-A22305JX
	4.0	5%	37.0	16.0	25.5	32.5	1	P10946-ND	3.00	2.57	2.01	1.29	ECH-A22405JX
	5.0	5%	37.0	18.0	27.5	32.5	1	P10947-ND	5.63	4.83	3.79	2.42	ECH-A22505JX
	6.0	5%	37.0	19.5	29.5	32.5	1	P10948-ND	7.15	6.14	4.81	3.07	ECH-A22605JX
250	1.0	5%	26.5	12.0	21.5	22.5	1	P10949-ND	2.77	2.38	1.87	1.19	ECH-A25105JX
	2.0	5%	31.5	15.0	24.5	27.5	1	P10950-ND	4.06	3.49	2.73	1.75	ECH-A25205JX
	3.0	5%	37.0	16.5	26.0	32.5	1	P10951-ND	4.60	3.94	3.09	1.97	ECH-A25305JX
	4.0	5%	37.0	19.5	29.0	32.5	1	P10952-ND	6.19	5.31	4.16	2.66	ECH-A25405JX
	5.0	5%	40.5	20.0	30.0	30.0	2	P10953-ND	7.62	6.54	5.12	3.27	ECH-A25505JX
	6.0	5%	40.5	22.0	32.0	30.0	2	P10954-ND	9.24	7.92	6.21	3.96	ECH-A25605JX

* Betriebsspannung

Alle Preisangaben in Euro und inklusive Zollgebühren.

Panasonic® SMT-Kondensatoren

ECW-U (PEN-Folie, Standardtyp) und ECH-U (PPS-Folie, hohe Qualität)

Merkmale: • Kleine Größe • Hohe Feuchtebeständigkeit
Anwendungen: Typ ECH-U: • Zeitkonstante • Filterung • Oszillation und Resonanz **Typ ECW-U:** • Kopplung • Bypass • Mehrzweck

Größen-code	Abm. (mm)† L	W	Größen-code	Abm. (mm)† L	W
0603 (1608)	1.6	0.8	2820 (7150)	7.1	5.0
0805 (2012)	2.0	1.25	2825 (7163)	7.1	6.3
1206 (3216)	3.2	1.6	3022 (7755)	7.7	5.5
1210 (3225)	3.2	2.5	3925 (9863)	9.8	6.3
1913 (4833)	4.8	3.3	3931 (9880)	9.8	8.0
2416 (6041)	6.0	4.1	6031 (1580)	15.2	8.0
2420 (6050)	6.0	5.0	6039 (1510)	15.2	10.0

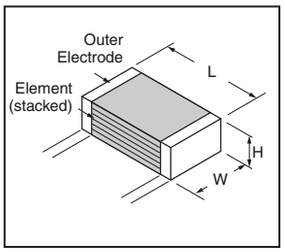

† Für H-Maße siehe Tabelle.

Serie ECW-U(B)

Spezifikationen: • Betriebstemperatur: -55 °C ~ 105 °C • Nennspannung: 16 V DC, 50 V DC • Kapazitätstoleranz: 5 % • Haltespannung (zwischen Anschlüssen): Nennspannung x 175 % 1 ~ 5s • Verlustfaktor: ≤ 1,0 % (20 °C, 1 kHz) • Isolationswiderstand: C ≤ 0,33 µF: ≥ 3.000MΩ (20 °C, 10 V DC, 50 V DC 60s) • Aufschmelzlötbedingungen: max. 240 °C und 30S. max. bei mehr als 210 °C (Temp. an Kond.oberfläche).

Artikel-code	WV* DC	Kap. µF	Abm. H (mm)	Digi-Key Teilenr.	Gurtabschnittspreis pro Stück 10	100	500	Digi-Key Teilenr.	Gegurtet auf Rolle Größe	Preisangaben	Panasonic Teilenr.
ECW-U(B) (Standardtyp) 5 % Toleranz, nur f. Aufschmelzlöten NICHT FÜR NEUKONSTRUKTION EMPFOHLEN											
1206 (3216) Größe	50	.0033	0.8	PCF1040CT-ND	.43	.37	.29	PCF1040TR-ND	3,000	169.32/M	ECW-U1H332JB5
		.0039	0.8	PCF1041CT-ND	.43	.37	.29	PCF1041TR-ND	3,000	169.32/M	ECW-U1H392JB5
		.0047	0.8	PCF1042CT-ND	.43	.37	.29	PCF1042TR-ND	3,000	169.32/M	ECW-U1H472JB5
		.0056	0.8	PCF1043CT-ND	.45	.39	.30	PCF1043TR-ND	3,000	179.48/M	ECW-U1H562JB5
		.0068	0.8	PCF1044CT-ND	.45	.39	.30	PCF1044TR-ND	3,000	179.48/M	ECW-U1H682JB5
		.0082	1.0	PCF1045CT-ND	.46	.40	.31	PCF1045TR-ND	3,000	182.87/M	ECW-U1H822JB5
		.01	1.0	PCF1046CT-ND	.47	.40	.31	PCF1046TR-ND	3,000	184.56/M	ECW-U1H103JB5
1210 (3225) Größe	50	.012	1.0	PCF1047CT-ND	.47	.41	.32	PCF1047TR-ND	2,000	187.95/M	ECW-U1H123JB5
		.015	1.0	PCF1048CT-ND	.48	.42	.32	PCF1048TR-ND	2,000	190.49/M	ECW-U1H153JB5
		.018	1.4	PCF1049CT-ND	.49	.43	.33	PCF1049TR-ND	2,000	195.57/M	ECW-U1H183JB5
		.022	1.4	PCF1050CT-ND	.50	.44	.34	PCF1050TR-ND	2,000	199.80/M	ECW-U1H223JB5
		.027	1.4	PCF1051CT-ND	.51	.45	.34	PCF1051TR-ND	2,000	203.19/M	ECW-U1H273JB5
		.033	2.0	PCF1052CT-ND	.52	.45	.35	PCF1052TR-ND	2,000	204.88/M	ECW-U1H333JB5
		.039	2.0	PCF1053CT-ND	.54	.47	.36	PCF1053TR-ND	2,000	213.35/M	ECW-U1H393JB5
		.047	2.0	PCF1054CT-ND	.55	.48	.37	PCF1054TR-ND	2,000	218.43/M	ECW-U1H473JB5
1913 (4833)	50	.082	2.0	PCF1057CT-ND	.71	.62	.47	PCF1057TR-ND	3,000	282.77/M	ECW-U1H823JB9

Serie ECW-U(C)

Spezifikationen: • Betriebstemperatur: (16 V DC, 50 V DC) -55 °C ~ 105 °C; (100 V DC, 250 V DC) -40 °C ~ 85 °C • Nennspannung: 16, 50, 100 und 250 V DC • Haltespannung zwischen Anschlüssen): (16 V DC, 50 V DC) Nennspannung x 175 % 1 bis 5s; (100 V DC oder 250 V DC) Nennspannung x 150 % 60s • Verlustfaktor: ≤ 1,0 % (20 °C, 1 kHz) • Isolationswiderstand: (C ≤ 0,33 µF) ≥ 3.000 MΩ; (C > 0,33 µF) 1.000 MΩ • Aufschmelzlötbedingungen: (16 V DC, 50 V DC) max. 240 °C und 30S. max. bei mehr als 210 °C (Temp. an Kond.oberfläche); (100 V DC, 250 V DC) max. 230 °C und 30S. max. bei mehr als 210 °C (Temp. an Kond.oberfläche).

Artikel-code	WV* DC	Kap. µF	Abm. H (mm)	Digi-Key Teilenr.	Gurtabschnittspreis pro Stück 10	100	500	Digi-Key Teilenr.	Gegurtet auf Rolle Größe	Preisangaben	Panasonic Teilenr.
ECW-U(C) (Standardtyp) 5 % Toleranz, nur f. Aufschmelzlöten											
1913 (4833) Größe	16	.12	1.4	PCF1137CT-ND	.61	.53	.41	PCF1137TR-ND	3,000	241.28/M	ECW-U1C124JC9
		.15	2.0	PCF1138CT-ND	.64	.56	.43	PCF1138TR-ND	3,000	253.98/M	ECW-U1C154JC9
		.18	4.8	PCF1139CT-ND	.70	.61	.47	PCF1139TR-ND	3,000	279.38/M	ECW-U1C184JC9
		.22	4.8	PCF1140CT-ND	.77	.67	.51	PCF1140TR-ND	2,000	304.78/M	ECW-U1C224JC9
2416 (6041) Größe	16	.27	1.8	PCF1141CT-ND	.83	.72	.56	PCF1141TR-ND	3,000	330.18/M	ECW-U1C274JC9
		.33	2.0	PCF1142CT-ND	.89	.78	.60	PCF1142TR-ND	3,000	355.58/M	ECW-U1C334JC9
		.39	2.4	PCF1143CT-ND	.96	.83	.64	PCF1143TR-ND	2,000	380.97/M	ECW-U1C394JC9
		.47	2.8	PCF1144CT-ND	1.02	.89	.68	PCF1144TR-ND	2,000	406.37/M	ECW-U1C474JC9
1913 (4833) Größe	50	.056	2.0	PCF1145CT-ND	.51	.45	.34	PCF1145TR-ND	3,000	203.19/M	ECW-U1H563JC9
		.068	2.0	PCF1146CT-ND	.51	.45	.34	PCF1146TR-ND	3,000	203.19/M	ECW-U1H683JC9
		.082	2.4	PCF1147CT-ND	.58	.50	.39	PCF1147TR-ND	2,000	228.58/M	ECW-U1H823JC9
		.1	2.8	PCF1148CT-ND	.64	.56	.43	PCF1148TR-ND	2,000	253.98/M	ECW-U1H104JC9
2416 (6041) Größe	50	.12	1.8	PCF1149CT-ND	.77	.67	.51	PCF1149TR-ND	3,000	304.78/M	ECW-U1H124JC9
		.15	2.0	PCF1150CT-ND	.89	.78	.60	PCF1150TR-ND	3,000	355.58/M	ECW-U1H154JC9
		.18	2.4	PCF1151CT-ND	1.02	.89	.68	PCF1151TR-ND	2,000	406.37/M	ECW-U1H184JC9
		.22	2.8	PCF1152CT-ND	1.15	1.00	.77	PCF1152TR-ND	2,000	457.17/M	ECW-U1H224JC9
1913 (4833) Größe	100	.012	1.4	PCF1209CT-ND	.45	.39	.30	PCF1209TR-ND	3,000	176.10/M	ECW-U1123JC9
		.015	1.4	PCF1210CT-ND	.45	.39	.30	PCF1210TR-ND	3,000	176.10/M	ECW-U1153JC9
		.018	1.4	PCF1211CT-ND	.45	.39	.30	PCF1211TR-ND	3,000	176.10/M	ECW-U1183JC9
		.022	1.4	PCF1212CT-ND	.45	.39	.30	PCF1212TR-ND	3,000	176.10/M	ECW-U1223JC9
		.027	1.4	PCF1213CT-ND	.45	.39	.30	PCF1213TR-ND	3,000	176.10/M	ECW-U1273JC9
		.033	1.4	PCF1214CT-ND	.45	.39	.30	PCF1214TR-ND	3,000	176.10/M	ECW-U1333JC9
		.039	1.4	PCF1215CT-ND	.45	.39	.30	PCF1215TR-ND	3,000	176.10/M	ECW-U1393JC9

* Betriebsspannung

Artikel-code	WV* DC	Kap. µF	Abm. H (mm)	Digi-Key Teilenr.	Gurtabschnittspreis pro Stück 10	100	500	Digi-Key Teilenr.	Gegurtet auf Rolle Größe	Preisangaben	Panasonic Teilenr.
1913 (4833) Größe	100	.047	2.0	PCF1216CT-ND	.56	.48	.37	PCF1216TR-ND	3,000	220.97/M	ECW-U1473JC9
		.056	2.0	PCF1217CT-ND	.56	.48	.37	PCF1217TR-ND	3,000	220.97/M	ECW-U1563JC9
		.068	2.4	PCF1218CT-ND	.67	.58	.45	PCF1218TR-ND	2,000	264.99/M	ECW-U1683JC9
		.082	2.8	PCF1219CT-ND	.72	.63	.48	PCF1219TR-ND	2,000	287.00/M	ECW-U1823JC9
2416 (6041) Größe	100	.1	1.8	PCF1220CT-ND	.78	.68	.52	PCF1220TR-ND	3,000	309.86/M	ECW-U1104JC9
		.12	2.4	PCF1221CT-ND	.89	.77	.59	PCF1221TR-ND	2,000	352.19/M	ECW-U1124JC9
		.15	2.8	PCF1222CT-ND	1.00	.86	.67	PCF1222TR-ND	2,000	397.06/M	ECW-U1154JC9
1913 (4833) Größe	250	.001	1.4	PCF1361CT-ND	.50	.44	.34	PCF1361TR-ND	3,000	198.11/M	ECW-U2102JC9
		.0012	1.4	PCF1362CT-ND	.50	.44	.34	PCF1362TR-ND	3,000	198.11/M	ECW-U2122JC9
		.0015	1.4	PCF1363CT-ND	.50	.44	.34	PCF1363TR-ND	3,000	198.11/M	ECW-U2152JC9
		.0018	1.4	PCF1364CT-ND	.50	.44	.34	PCF1364TR-ND	3,000	198.11/M	ECW-U2182JC9
		.0022	1.4	PCF1365CT-ND	.50	.44	.34	PCF1365TR-ND	3,000	198.11/M	ECW-U2222JC9
		.0027	1.4	PCF1366CT-ND	.50	.44	.34	PCF1366TR-ND	3,000	198.11/M	ECW-U2272JC9
		.0033	1.4	PCF1367CT-ND	.50	.44	.34	PCF1367TR-ND	3,000	198.11/M	ECW-U2332JC9
		.0039	1.4	PCF1368CT-ND	.50	.44	.34	PCF1368TR-ND	3,000	198.11/M	ECW-U2392JC9
		.0047	1.4	PCF1369CT-ND	.50	.44	.34	PCF1369TR-ND	3,000	198.11/M	ECW-U2472JC9
		.0056	1.4	PCF1370CT-ND	.50	.44	.34	PCF1370TR-ND	3,000	198.11/M	ECW-U2562JC9
		.0068	1.4	PCF1371CT-ND	.50	.44	.34	PCF1371TR-ND	3,000	198.11/M	ECW-U2682JC9
		.0082	1.4	PCF1372CT-ND	.50	.44	.34	PCF1372TR-ND	3,000	198.11/M	ECW-U2822JC9
		.01	1.4	PCF1373CT-ND	.50	.44	.34	PCF1373TR-ND	3,000	198.11/M	ECW-U2103JC9
		.012	1.4	PCF1374CT-ND	.50	.44	.34	PCF1374TR-ND	3,000	198.11/M	ECW-U2123JC9
		.015	1.4	PCF1375CT-ND	.50	.44	.34	PCF1375TR-ND	3,000	198.11/M	ECW-U2153JC9
2416 (6041) Größe	250	.018	2.0	PCF1376CT-ND	.56	.48	.37	PCF1376TR-ND	3,000	220.97/M	ECW-U2183JC9
		.022	2.0	PCF1377CT-ND	.56	.48	.37	PCF1377TR-ND	3,000	220.97/M	ECW-U2223JC9
		.027	2.4	PCF1378CT-ND	.67	.58	.45	PCF1378TR-ND	2,000	264.99/M	ECW-U2273JC9
		.033	2.8	PCF1379CT-ND	.72	.63	.48	PCF1379TR-ND	2,000	287.00/M	ECW-U2333JC9
		.039	2.0	PCF1380CT-ND	.78	.68	.52	PCF1380TR-ND	3,000	309.86/M	ECW-U2393JC9
		.047	2.4	PCF1381CT-ND	.83	.72	.56	PCF1381TR-ND	2,000	330.18/M	ECW-U2473JC9
		.056	2.8	PCF1382CT-ND	.89	.77	.59	PCF1382TR-ND	2,000	352.19/M	ECW-U2563JC9
		.068	3.2	PCF1383CT-ND	.84	.73	.56	PCF1383TR-ND	2,000	332.72/M	ECW-U2683JC9
2420 (6050) Größe	250	.082	3.2	PCF1384CT-ND	1.33	1.15	.89	PCF1384TR-ND	1,500	528.28/M	ECW-U2823JC9
		.1	3.8	PCF1385CT-ND	1.17	1.01	.78	PCF1385TR-ND	1,500	466.48/M	ECW-U2104JC9
		.12	4.5	PCF1386CT-ND	1.47	1.28	.98	PCF1386TR-ND	1,500	586.70/M	ECW-U2124JC9
ECW-U(C) (Standardtyp) 10 % Toleranz, nur f. Aufschmelzlöten											
1913 (4833) Größe	100	.012	1.4	PCF1223CT-ND	.40	.35	.27	PCF1223TR-ND	3,000	159.16/M	ECW-U1123KC9
		.015	1.4	PCF1224CT-ND	.40	.35	.27	PCF1224TR-ND	3,000	159.16/M	ECW-U1153KC9
		.018	1.4	PCF1225CT-ND	.40	.35	.27	PCF1225TR-ND	3,000	159.16/M	ECW-U1183KC9
		.022	1.4	PCF1226CT-ND	.40	.35	.27	PCF1226TR-ND	3,000	159.16/M	ECW-U1223KC9
		.027	1.4	PCF1227CT-ND	.40	.35	.27	PCF1227TR-ND	3,000	159.16/M	ECW-U1273KC9
		.033	1.4	PCF1228CT-ND	.40	.35	.27	PCF1228TR-ND	3,000	159.16/M	ECW-U1333KC9
		.039	1.4	PCF1229CT-ND	.40	.35	.27	PCF1229TR-ND	3,000	159.16/M	ECW-U1393KC9
		.047	2.0	PCF1230CT-ND	.50	.44	.34	PCF1230TR-ND	3,000	198.11/M	ECW-U1473KC9
		.056	2.0	PCF1231CT-ND	.50	.44	.34	PCF1231TR-ND	3,000	198.11/M	ECW-U1563KC9
		.068	2.4	PCF1232CT-ND	.60	.52	.40	PCF1232TR-ND	2,000	237.90/M	ECW-U1683KC9
		.082	2.8	PCF1233CT-ND	.65	.57	.44	PCF1233TR-ND	2,000	259.06/M	ECW-U1823KC9
2416 (6041) Größe	100	.1	1.8	PCF1234CT-ND	.70	.61	.47	PCF1234TR-ND	3,000	277.69/M	ECW-U1104KC9
		.12	2.4	PCF1235CT-ND	.80	.69	.53	PCF1235TR-ND	2,000	317.48/M	ECW-U1124KC9
		.15	2.8	PCF1236CT-ND	.90	.78	.60	PCF1236TR-ND	2,000	357.27/M	ECW-U1154KC9
2820 (7150) Größe	100	.18	2.0	PCF1237CT-ND	1.00	.86	.67	PCF1237TR-ND	1,500	397.06/M	ECW-U1184KC9
		.22	2.4	PCF1238CT-ND	1.11	.96	.74	PCF1238TR-ND	1,500	441.08/M	ECW-U1224KC9
		.27	2.9	PCF1239CT-ND	1.14	.99	.76	PCF1239TR-ND	1,500	452.09/M	ECW-U1274KC9
		.33	3.5	PCF1240CT-ND	1.16	1.00	.77	PCF1240TR-ND	1,500	460.56/M	ECW-U1334KC9
3022 (7755)	100	.39	3.4	PCF1241CT-ND	1.19	1.03	.80	PCF1241TR-ND	1,000	474.94	ECW-U1394KCV
		.47	4.0	PCF1242CT-ND	1.22	1.06	.81	PCF1242TR-ND	1,000	485.95	ECW-U1474KCV
3925 (9863) Größe	100	.56	3.0	PCF1243CT-ND	1.27	1.10	.85	PCF1243TR-ND	1,000	506.27	ECW-U1564KCV
		.68	3.6	PCF1244CT-ND	1.33	1.15	.89	PCF1244TR-ND	1,000	528.28	ECW-U1684KCV
		.82	4.3	PCF1245CT-ND	1.38	1.20	.92	PCF1245TR-ND	1,000	551.14	ECW-U1824KCV
		1.0	5.1	PCF1246CT-ND	1.44	1.25	.96	PCF1246TR-ND	1,000	573.15	ECW-U1105KCV
1913 (4833) Größe	250	.001	1.4	PCF1247CT-ND	.45	.39	.30	PCF1247TR-ND	3,000	176.10/M	ECW-U2102KC9
		.0012	1.4	PCF1248CT-ND	.45	.39	.30	PCF1248TR-ND	3,000	176.10/M	ECW-U2122KC9
		.0015	1.4	PCF1249CT-ND	.45	.39	.30	PCF1249TR-ND	3,000	176.10/M	ECW-U2152KC9
		.0018	1.4	PCF1250CT-ND	.45	.39	.30	PCF1250TR-ND	3,000	176.10/M	ECW-U2182KC9
		.0022	1.4	PCF1251CT-ND	.45	.39	.30	PCF1251TR-ND	3,000	176.10/M	ECW-U2222KC9
		.0027	1.4	PCF1252CT-ND	.45	.39	.30	PCF1252TR-ND	3,000	176.10/M	ECW-U2272KC9
		.0033	1.4	PCF1253CT-ND	.45	.39	.30	PCF1253TR-ND	3,000	176.10/M	ECW-U2332KC9
		.0039	1.4	PCF1254CT-ND	.45	.39	.30	PCF1254TR-ND	3,000	176.10/M	ECW-U2392KC9
		.0047	1.4	PCF1255CT-ND	.45	.39	.30	PCF1255TR-ND	3,000	176.10/M	ECW-U2472KC9
		.0056	1.4	PCF1256CT-ND	.45	.39	.30	PCF1256TR-ND	3,000	176.10/M	ECW-U2562KC9
		.0068	1.4	PCF1257CT-ND	.45	.39	.30	PCF1257TR-ND	3,000	176.10/M	ECW-U2682KC9
		.0082	1.4	PCF1258CT-ND	.45	.39	.30	PCF1258TR-ND	3,000	176.10/M	ECW-U2822KC9
		.01	1.4	PCF1259CT-ND	.45	.39	.30	PCF1259TR-ND	3,000	176.10/M	ECW-U2103KC9
		.012	1.4	PCF1260CT-ND	.45	.39	.30	PCF1260TR-ND	3,000	176.10/M	ECW-U2123KC9
		.015	1.4	PCF1261CT-ND	.45	.39	.30	PCF1261TR-ND	3,000	176.10/M	ECW-U2153KC9
		.018	2.0	PCF1262CT-ND	.50	.44	.34	PCF1262TR-ND	3,000	198.11/M	ECW-U2183KC9
		.022	2.0	PCF1263CT-ND	.50	.44	.34	PCF1263TR-ND	3,000	198.11/M	ECW-U2223KC9
		.027	2.4	PCF1264CT-ND	.60	.52	.40	PCF1264TR-ND	2,000	237.90/M	ECW-U2273KC9
		.033	2.8	PCF1265CT-ND	.65	.57	.44	PCF1265TR-ND	2,000	259.06/M	ECW-U2333KC9
2416 (6041) Größe	250	.039	2.0	PCF1266CT-ND	.70	.61	.47	PCF1266TR-ND	3,000	277.69/M	ECW-U2393KC9
		.047	2.4	PCF1267CT-ND	.75	.65	.50	PCF1267TR-ND	2,000	298.85/M	ECW-U2473KC9
		.056	2.8	PCF1268CT-ND	.80	.69	.53	PCF1268TR-ND	2,000	317.48/M	ECW-U2563KC9

(Forts.)

E

Artikel-code	WV* DC	Kap. µF	Abm. H (mm)	Digi-Key Teilenr.	Gurtabschnittspreis pro Stück 10	100	500	Digi-Key Teilenr.	Gegurtet auf Rolle Größe	Preisangaben	Panasonic Teilenr.
ECW-U(C) (Standardtyp) 10 % Toleranz, nur f. Aufschmelzlöten											
2420 (6050) Größe	250	.068	3.2	PCF1269CT-ND	.85	.74	.57	PCF1269TR-ND	2,000	337.80/M	ECW-U2683KC9
		.082	3.2	PCF1270CT-ND	.90	.78	.60	PCF1270TR-ND	1,500	357.27/M	ECW-U2823KC9
		.1	3.8	PCF1271CT-ND	.95	.82	.63	PCF1271TR-ND	1,500	377.59/M	ECW-U2104KC9
		.12	2.8	PCF1272CT-ND	1.00	.86	.67	PCF1272TR-ND	1,500	397.06/M	ECW-U2124KC9
2825 (7163) Größe	250	.15	3.5	PCF1273CT-ND	1.22	1.06	.81	PCF1273TR-ND	1,000	485.95	ECW-U2154KCV
		.18	4.1	PCF1274CT-ND	1.33	1.15	.89	PCF1274TR-ND	1,000	528.28	ECW-U2184KCV
		.22	5.1	PCF1275CT-ND	1.44	1.25	.96	PCF1275TR-ND	1,000	573.15	ECW-U2224KCV
3925 (9863)	250	.27	3.9	PCF1276CT-ND	1.55	1.34	1.03	PCF1276TR-ND	1,000	617.17	ECW-U2274KCV
		.33	4.8	PCF1277CT-ND	1.66	1.44	1.11	PCF1277TR-ND	1,000	660.35	ECW-U2334KCV
3931 (9880)	250	.39	4.4	PCF1278CT-ND	1.77	1.53	1.18	PCF1278TR-ND	1,000	705.22	ECW-U2394KCV
		.47	5.3	PCF1279CT-ND	1.88	1.63	1.25	PCF1279TR-ND	1,000	749.24	ECW-U2474KCV
6031 (1580)	250	.56	3.7	PCF1280CT-ND	2.21	1.91	1.48	PCF1280TR-ND	750	660.98	ECW-U2564KCZ
		.68	4.4	PCF1281CT-ND	2.76	2.39	1.84	PCF1281TR-ND	750	826.07	ECW-U2684KCZ
6039 (1510)	250	.82	4.2	PCF1282CT-ND	3.03	2.63	2.03	PCF1282TR-ND	750	908.61	ECW-U2824KCZ
		1.0	5.1	PCF1283CT-ND	3.31	2.87	2.21	PCF1283TR-ND	750	990.52	ECW-U2105KCZ

Serie ECW-U(X)

Spezifikationen: • Betriebstemperatur: -55 °C ~ 105 °C • Nennspannung: 100 V DC • Haltespannung (zwischen Anschlüssen): Nennspannung x 175 % 1 ~ 5s • Verlustfaktor: ≤ 1,0 % (20 °C, 1 kHz) • Isolationswiderstand: ≥ 3.000MΩ (20 °C, 100 V DC 60s) • Aufschmelzlötbedingungen: max. 240 °C und 30s. max. bei mehr als 210 °C (Temp. an Kond.oberfläche).

Artikel-code	WV* DC	Kap. µF	Abm. H (mm)	Digi-Key Teilenr.	Gurtabschnittspreis pro Stück 10	100	500	Digi-Key Teilenr.	Gegurtet auf Rolle Größe	Preisangaben	Panasonic Teilenr.
ECW-U(X) (Standardtyp) 5 % Toleranz, nur f. Aufschmelzlöten											
1206 (3216) Größe	100	.001	1.1	PCF1348CT-ND	.39	.34	.26	PCF1348TR-ND	3,000	155.78/M	ECW-U1102JX5
		.0012	1.1	PCF1349CT-ND	.39	.34	.26	PCF1349TR-ND	3,000	155.78/M	ECW-U1122JX5
		.0015	1.1	PCF1350CT-ND	.39	.34	.26	PCF1350TR-ND	3,000	155.78/M	ECW-U1152JX5
		.0018	1.1	PCF1351CT-ND	.39	.34	.26	PCF1351TR-ND	3,000	155.78/M	ECW-U1182JX5
		.0022	1.1	PCF1352CT-ND	.39	.34	.26	PCF1352TR-ND	3,000	155.78/M	ECW-U1222JX5
		.0027	1.1	PCF1353CT-ND	.39	.34	.26	PCF1353TR-ND	3,000	155.78/M	ECW-U1272JX5
		.0033	1.5	PCF1354CT-ND	.39	.34	.26	PCF1354TR-ND	2,000	155.78/M	ECW-U1332JX5
		.0039	1.5	PCF1355CT-ND	.39	.34	.26	PCF1355TR-ND	2,000	155.78/M	ECW-U1392JX5
		.0047	1.5	PCF1356CT-ND	.39	.34	.26	PCF1356TR-ND	2,000	155.78/M	ECW-U1472JX5
1210 (3225) Größe	100	.0056	1.5	PCF1357CT-ND	.42	.36	.28	PCF1357TR-ND	2,000	165.09/M	ECW-U1562JX5
		.0068	1.5	PCF1358CT-ND	.42	.36	.28	PCF1358TR-ND	2,000	165.09/M	ECW-U1682JX5
		.0082	2.1	PCF1359CT-ND	.42	.36	.28	PCF1359TR-ND	2,000	165.09/M	ECW-U1822JX5
		.01	2.1	PCF1360CT-ND	.42	.36	.28	PCF1360TR-ND	2,000	165.09/M	ECW-U1103JX5

ECW-U Serie (V16) und (V17)

Spezifikationen: • Betriebstemperatur: -55 °C ~ 105 °C • Nennspannung: 250 V DC, 400 V DC • Haltespannung zwischen Klemmen: (250 V DC) 400 V DC für 60s; (400 V DC) 600 V DC für 60s • Verlustfaktor: ≤ 1,0 % (20 °C, 1 kHz) • Isolationswiderstand: (250 V DC) ≥ 3.000MΩ • Aufschmelzlötbedingungen: max. 230 °C und 30s. max. bei mehr als 210 °C (Temp. an Kond.oberfläche).

Artikel-code	WV* DC	Kap. µF	Abm. H (mm)	Digi-Key Teilenr.	Gurtabschnittspreis pro Stück 10	100	500	Digi-Key Teilenr.	Gegurtet auf Rolle Größe	Preisangaben	Panasonic Teilenr.
ECW-U(V16) (Standardtyp) 5 % Toleranz, nur f. Aufschmelzlöten											
1913 (4883) Größe	250	.001	1.4	PCF1390CT-ND	.40	.35	.27	PCF1390TR-ND	3,000	159.16/M	ECW-U2102V16
		.0012	1.4	PCF1391CT-ND	.40	.35	.27	PCF1391TR-ND	3,000	159.16/M	ECW-U2122V16
		.0015	1.4	PCF1392CT-ND	.40	.35	.27	PCF1392TR-ND	3,000	159.16/M	ECW-U2152V16
		.0018	1.4	PCF1393CT-ND	.40	.35	.27	PCF1393TR-ND	3,000	159.16/M	ECW-U2182V16
		.0022	1.4	PCF1394CT-ND	.40	.35	.27	PCF1394TR-ND	3,000	159.16/M	ECW-U2222V16
		.0033	1.4	PCF1395CT-ND	.40	.35	.27	PCF1395TR-ND	3,000	159.16/M	ECW-U2332V16
		.0047	1.4	PCF1396CT-ND	.40	.35	.27	PCF1396TR-ND	3,000	159.16/M	ECW-U2472V16
		.0056	1.4	PCF1397CT-ND	.40	.35	.27	PCF1397TR-ND	3,000	159.16/M	ECW-U2562V16
		.0068	1.4	PCF1398CT-ND	.40	.35	.27	PCF1398TR-ND	3,000	159.16/M	ECW-U2682V16
		.0082	1.4	PCF1399CT-ND	.40	.35	.27	PCF1399TR-ND	3,000	159.16/M	ECW-U2822V16
		.01	1.4	PCF1400CT-ND	.40	.35	.27	PCF1400TR-ND	3,000	159.16/M	ECW-U2103V16
		.012	1.4	PCF1401CT-ND	.40	.35	.27	PCF1401TR-ND	3,000	159.16/M	ECW-U2123V16
		.015	1.4	PCF1402CT-ND	.40	.35	.27	PCF1402TR-ND	3,000	159.16/M	ECW-U2153V16
		.018	2.0	PCF1403CT-ND	.45	.39	.30	PCF1403TR-ND	3,000	176.94/M	ECW-U2183V16
		.022	2.0	PCF1404CT-ND	.45	.39	.30	PCF1404TR-ND	3,000	176.94/M	ECW-U2223V16
		.027	2.4	PCF1405CT-ND	.53	.46	.36	PCF1405TR-ND	2,000	210.81/M	ECW-U2273V16
		.033	2.8	PCF1406CT-ND	.58	.50	.39	PCF1406TR-ND	2,000	228.58/M	ECW-U2333V16
2416 (6041) Größe	250	.039	2.0	PCF1407CT-ND	.62	.54	.42	PCF1407TR-ND	3,000	246.36/M	ECW-U2393V16
		.047	2.4	PCF1408CT-ND	.66	.58	.45	PCF1408TR-ND	2,000	264.14/M	ECW-U2473V16
		.056	2.8	PCF1409CT-ND	.71	.62	.47	PCF1409TR-ND	2,000	281.92/M	ECW-U2563V16
		.068	3.2	PCF1410CT-ND	.75	.65	.50	PCF1410TR-ND	2,000	299.70/M	ECW-U2683V16
2420 (6050) Größe	250	.082	3.2	PCF1411CT-ND	.80	.69	.53	PCF1411TR-ND	1,500	317.48/M	ECW-U2823V16
		.1	3.8	PCF1412CT-ND	.84	.73	.56	PCF1412TR-ND	1,500	334.41/M	ECW-U2104V16
		.12	4.5	PCF1413CT-ND	.88	.77	.59	PCF1413TR-ND	1,500	352.19/M	ECW-U2124V16
ECW-U(V17) (Standardtyp) 5 % Toleranz, nur f. Aufschmelzlöten											
1913 (4833) Größe	400	.001	1.4	PCF1414CT-ND	.45	.39	.30	PCF1414TR-ND	3,000	176.94/M	ECW-U4102V17
		.0012	1.4	PCF1415CT-ND	.45	.39	.30	PCF1415TR-ND	3,000	176.94/M	ECW-U4122V17
		.0015	1.4	PCF1416CT-ND	.45	.39	.30	PCF1416TR-ND	3,000	176.94/M	ECW-U4152V17
		.0018	1.4	PCF1417CT-ND	.45	.39	.30	PCF1417TR-ND	3,000	176.94/M	ECW-U4182V17
		.0022	1.4	PCF1418CT-ND	.45	.39	.30	PCF1418TR-ND	3,000	176.94/M	ECW-U4222V17
		.0027	1.4	PCF1419CT-ND	.45	.39	.30	PCF1419TR-ND	3,000	176.94/M	ECW-U4272V17
		.0033	1.4	PCF1420CT-ND	.45	.39	.30	PCF1420TR-ND	3,000	176.94/M	ECW-U4332V17
		.0039	1.4	PCF1421CT-ND	.45	.39	.30	PCF1421TR-ND	3,000	176.94/M	ECW-U4392V17
		.0047	1.4	PCF1422CT-ND	.45	.39	.30	PCF1422TR-ND	3,000	176.94/M	ECW-U4472V17
		.0056	2.0	PCF1423CT-ND	.45	.39	.30	PCF1423TR-ND	3,000	176.94/M	ECW-U4562V17
		.0068	2.0	PCF1424CT-ND	.45	.39	.30	PCF1424TR-ND	3,000	176.94/M	ECW-U4682V17
		.0082	2.4	PCF1425CT-ND	.51	.44	.34	PCF1425TR-ND	2,000	202.34/M	ECW-U4822V17
		.01	2.8	PCF1426CT-ND	.53	.46	.36	PCF1426TR-ND	2,000	210.81/M	ECW-U4103V17
2416 (6041) Größe	400	.012	2.0	PCF1427CT-ND	.58	.50	.39	PCF1427TR-ND	3,000	228.59/M	ECW-U4123V17
		.015	2.4	PCF1428CT-ND	.62	.54	.42	PCF1428TR-ND	2,000	246.36/M	ECW-U4153V17
		.018	2.8	PCF1429CT-ND	.66	.58	.45	PCF1429TR-ND	2,000	264.14/M	ECW-U4183V17
		.022	3.2	PCF1430CT-ND	.71	.62	.47	PCF1430TR-ND	2,000	281.92/M	ECW-U4223V17
2420 (6050)	400	.027	3.0	PCF1431CT-ND	.78	.67	.52	PCF1431TR-ND	1,500	309.01/M	ECW-U4273V17
		.033	3.6	PCF1432CT-ND	.84	.73	.56	PCF1432TR-ND	1,500	334.41/M	ECW-U4333V17
2820 (7150)	400	.039	3.2	PCF1433CT-ND	.84	.73	.56	PCF1433TR-ND	1,500	334.41/M	ECW-U4393V17
		.047	3.8	PCF1434CT-ND	.88	.77	.59	PCF1434TR-ND	1,500	352.19/M	ECW-U4473V17
2825 (7163)	400	.056	3.6	PCF1435CT-ND	.88	.77	.59	PCF1435TR-ND	1,000	352.19	ECW-U4563V17
		.068	4.4	PCF1436CT-ND	.93	.81	.62	PCF1436TR-ND	1,000	369.96	ECW-U4683V17
3925 (9863)	400	.082	3.4	PCF1437CT-ND	.93	.81	.62	PCF1437TR-ND	1,000	369.96	ECW-U4823V17
		.1	4.0	PCF1438CT-ND	1.00	.86	.67	PCF1438TR-ND	1,000	396.21	ECW-U4104V17
3931 (9880)	400	.12	3.8	PCF1439CT-ND	1.00	.86	.67	PCF1439TR-ND	1,000	396.21	ECW-U4124V17
		.15	4.6	PCF1440CT-ND	1.06	.92	.71	PCF1440TR-ND	1,000	423.30	ECW-U4154V17

Serie ECH-U(B)

• Betriebstemperatur: -55 °C ~ 125 °C50VDC • Nennspannung: 50 V DC • Kapazitätstoleranz: 2 %, 5 % • Haltespannung (zwischen Anschlüssen): Nennspannung x 175 % 1 bis 5s • Verlustfaktor: ≤ 0,6 % (20 °C, 1 kHz) • Isolationswiderstand: ≥ 3.000MΩ (20 °C, 60s) • Aufschmelzlötbedingungen: (Anschwemmlöten) max. 260 °C und 5s. (Aufschmelzlöten) max. 260 °C, max. bei mehr als 230 °C (Temp. an Kond.oberfläche).

Artikel-code	WV* DC	Kap. µF	Abm. H (mm)	Digi-Key Teilenr.	Gurtabschnittspreis pro Stück 10	100	500	Digi-Key Teilenr.	Gegurtet auf Rolle Größe	Preisangaben	Panasonic Teilenr.
ECH-U(B) (hohe Qualitättyp) 2 % Toleranz Aufschmelz-/Anschwemmlöten NICHT FÜR NEUKONSTRUKTION EMPFOHLEN											
0805 (2012) Größe	50	.0001	0.8	PCF1089CT-ND	.53	.46	.35	PCF1089TR-ND	3,000	209.96/M	ECH-U1H101GB5
		.00012	0.8	PCF1090CT-ND	.53	.46	.35	PCF1090TR-ND	3,000	209.96/M	ECH-U1H121GB5
		.00015	0.8	PCF1091CT-ND	.53	.46	.35	PCF1091TR-ND	3,000	209.96/M	ECH-U1H151GB5
		.00018	0.8	PCF1092CT-ND	.53	.46	.35	PCF1092TR-ND	3,000	209.96/M	ECH-U1H181GB5
		.00022	0.8	PCF1093CT-ND	.53	.46	.35	PCF1093TR-ND	3,000	209.96/M	ECH-U1H221GB5
		.00027	0.8	PCF1094CT-ND	.53	.46	.35	PCF1094TR-ND	3,000	209.96/M	ECH-U1H271GB5
		.00033	0.8	PCF1095CT-ND	.53	.46	.35	PCF1095TR-ND	3,000	209.96/M	ECH-U1H331GB5
		.00039	0.8	PCF1096CT-ND	.53	.46	.35	PCF1096TR-ND	3,000	209.96/M	ECH-U1H391GB5
		.00047	0.8	PCF1097CT-ND	.53	.46	.35	PCF1097TR-ND	3,000	209.96/M	ECH-U1H471GB5
		.00056	0.8	PCF1098CT-ND	.53	.46	.35	PCF1098TR-ND	3,000	209.96/M	ECH-U1H561GB5
		.00068	0.8	PCF1099CT-ND	.53	.46	.35	PCF1099TR-ND	3,000	209.96/M	ECH-U1H681GB5
		.00082	0.8	PCF1100CT-ND	.53	.46	.35	PCF1100TR-ND	3,000	209.96/M	ECH-U1H821GB5
		.001	0.8	PCF1101CT-ND	.53	.46	.35	PCF1101TR-ND	3,000	209.96/M	ECH-U1H102GB5
		.0012	0.8	PCF1102CT-ND	.53	.46	.35	PCF1102TR-ND	3,000	209.96/M	ECH-U1H122GB5
		.0015	0.8	PCF1103CT-ND	.53	.46	.35	PCF1103TR-ND	3,000	209.96/M	ECH-U1H152GB5
		.0018	0.8	PCF1104CT-ND	.53	.46	.35	PCF1104TR-ND	3,000	209.96/M	ECH-U1H182GB5
		.0022	0.8	PCF1105CT-ND	.53	.46	.35	PCF1105TR-ND	3,000	209.96/M	ECH-U1H222GB5
		.0027	0.8	PCF1106CT-ND	.53	.46	.35	PCF1106TR-ND	3,000	209.96/M	ECH-U1H272GB5
1206 (3216) Größe	50	.0033	0.8	PCF1107CT-ND	.62	.54	.41	PCF1107TR-ND	3,000	245.52/M	ECH-U1H332GB5
		.0039	0.8	PCF1108CT-ND	.63	.55	.42	PCF1108TR-ND	3,000	250.60/M	ECH-U1H392GB5
		.0047	0.8	PCF1109CT-ND	.65	.56	.43	PCF1109TR-ND	3,000	258.22/M	ECH-U1H472GB5
		.0056	0.8	PCF1110CT-ND	.67	.58	.45	PCF1110TR-ND	3,000	265.84/M	ECH-U1H562GB5
		.0068	0.8	PCF1111CT-ND	.69	.60	.46	PCF1111TR-ND	3,000	273.46/M	ECH-U1H682GB5
		.0082	1.0	PCF1112CT-ND	.71	.61	.47	PCF1112TR-ND	3,000	281.07/M	ECH-U1H822GB5
		.01	1.0	PCF1113CT-ND	.72	.63	.49	PCF1113TR-ND	3,000	288.69/M	ECH-U1H103GB5
1210 (3225) Größe	50	.012	1.0	PCF1114CT-ND	.74	.64	.49	PCF1114TR-ND	2,000	293.77/M	ECH-U1H123GB5
		.015	1.0	PCF1115CT-ND	.76	.66	.51	PCF1115TR-ND	2,000	302.24/M	ECH-U1H153GB5
		.018	1.4	PCF1116CT-ND	.78	.68	.52	PCF1116TR-ND	2,000	311.55/M	ECH-U1H183GB5
		.022	1.4	PCF1117CT-ND	.81	.70	.54	PCF1117TR-ND	2,000	322.56/M	ECH-U1H223GB5
		.027	1.4	PCF1118CT-ND	.85	.74	.57	PCF1118TR-ND	2,000	337.80/M	ECH-U1H273GB5
		.033	2.0	PCF1119CT-ND	.89	.77	.59	PCF1119TR-ND	2,000	353.03/M	ECH-U1H333GB5
		.039	2.0	PCF1120CT-ND	.93	.81	.62	PCF1120TR-ND	2,000	369.97/M	ECH-U1H393GB5
ECH-U(B) (hohe Qualitättyp) 5 % Toleranz Aufschmelz-/Anschwemmlöten NICHT FÜR NEUKONSTRUKTION EMPFOHLEN											
0805 (2012) Größe	16	.0033	0.8	PCF1070CT-ND	.42	.36	.28	PCF1070TR-ND	3,000	165.09/M	ECH-U1C332JB5
		.0039	0.8	PCF1071CT-ND	.42	.36	.28	PCF1071TR-ND	3,000	165.09/M	ECH-U1C392JB5
		.0047	0.8	PCF1072CT-ND	.42	.36	.28	PCF1072TR-ND	3,000	165.09/M	ECH-U1C472JB5
		.0056	0.8	PCF1073CT-ND	.42	.36	.28	PCF1073TR-ND	3,000	165.09/M	ECH-U1C562JB5
		.0068	0.8	PCF1074CT-ND	.42	.36	.28	PCF1074TR-ND	3,000	165.09/M	ECH-U1C682JB5
		.0082	1.0	PCF1075CT-ND	.42	.36	.28	PCF1075TR-ND	3,000	165.09/M	ECH-U1C822JB5
		.01	1.0	PCF1076CT-ND	.34	.30	.23	PCF1076TR-ND	3,000	135.46/M	ECH-U1C103JB5
1206 (3216) Größe	16	.012	0.8	PCF1077CT-ND	.44	.38	.29	PCF1077TR-ND	3,000	174.40/M	ECH-U1C123JB5
		.015	0.8	PCF1078CT-ND	.46	.40	.31	PCF1078TR-ND	3,000	180.33/M	ECH-U1C153JB5
		.018	0.8	PCF1079CT-ND	.46	.40	.31	PCF1079TR-ND	3,000	180.33/M	ECH-U1C183JB5
		.022	0.8	PCF1080CT-ND	.49	.43	.33	PCF1080TR-ND	3,000	194.72/M	ECH-U1C223JB5
		.027	1.0	PCF1081CT-ND	.50	.44	.34	PCF1081TR-ND	3,000	199.80/M	ECH-U1C273JB5
		.033	1.0	PCF1082CT-ND	.52	.45	.35	PCF1082TR-ND	3,000	205.73/M	ECH-U1C333JB5
		.039	1.4	PCF1083CT-ND	.54	.47	.36	PCF1083TR-ND	2,000	215.04/M	ECH-U1C393JB5
		.047	1.4	PCF1084CT-ND	.47	.41	.32	PCF1084TR-ND	2,000	187.10/M	ECH-U1C473JB5

* Betriebsspannung

(Forts.)

Alle Preisangaben in Euro und inklusive Zollgebühren.

Artikel-code	WV* DC	Kap. µF	Abm. H (mm)	Digi-Key Teilenr.	Gurtabschnittspreis pro Stück 10	100	500	Digi-Key Teilenr.	Gegurtet auf Rolle Größe	Preisangaben	Panasonic Teilenr.
ECH-U(B) (hohe Qualitättyp) 5 % Toleranz Aufschmelz-/Anschwemmlöten NICHT FÜR NEUKONSTRUKTION EMPFOHLEN											
1210 (3225) Größe	16	.056	1.4	PCF1085CT-ND	.63	.54	.42	PCF1085TR-ND	2,000	248.90/M	ECH-U1C563JB5
		.068	1.4	PCF1086CT-ND	.67	.58	.45	PCF1086TR-ND	2,000	266.68/M	ECH-U1C683JB5
		.082	2.0	PCF1087CT-ND	.72	.63	.48	PCF1087TR-ND	2,000	287.00/M	ECH-U1C823JB5
		.1	2.0	PCF1088CT-ND	.76	.66	.51	PCF1088TR-ND	2,000	303.93/M	ECH-U1C104JB5
0805 (2012) Größe	50	.0001	0.8	PCF1000CT-ND•	.43	.37	.29	PCF1000TR-ND	3,000	169.32/M	ECH-U1H101JB5
		.00012	0.8	PCF1001CT-ND	.43	.37	.29	PCF1001TR-ND	3,000	169.32/M	ECH-U1H121JB5
		.00015	0.8	PCF1002CT-ND•	.43	.37	.29	PCF1002TR-ND	3,000	169.32/M	ECH-U1H151JB5
		.00018	0.8	PCF1003CT-ND	.43	.37	.29	PCF1003TR-ND	3,000	169.32/M	ECH-U1H181JB5
		.00022	0.8	PCF1004CT-ND•	.43	.37	.29	PCF1004TR-ND	3,000	169.32/M	ECH-U1H221JB5
		.00027	0.8	PCF1005CT-ND	.43	.37	.29	PCF1005TR-ND	3,000	169.32/M	ECH-U1H271JB5
		.00033	0.8	PCF1006CT-ND•	.43	.37	.29	PCF1006TR-ND	3,000	169.32/M	ECH-U1H331JB5
		.00039	0.8	PCF1007CT-ND	.43	.37	.29	PCF1007TR-ND	3,000	169.32/M	ECH-U1H391JB5
		.00047	0.8	PCF1008CT-ND•	.43	.37	.29	PCF1008TR-ND	3,000	169.32/M	ECH-U1H471JB5
		.00056	0.8	PCF1009CT-ND	.43	.37	.29	PCF1009TR-ND	3,000	169.32/M	ECH-U1H561JB5
		.00068	0.8	PCF1010CT-ND	.43	.37	.29	PCF1010TR-ND	3,000	169.32/M	ECH-U1H681JB5
		.00082	0.8	PCF1011CT-ND	.43	.37	.29	PCF1011TR-ND	3,000	169.32/M	ECH-U1H821JB5
		.001	0.8	PCF1012CT-ND•	.34	.29	.23	PCF1012TR-ND	3,000	133.77/M	ECH-U1H102JB5
		.0012	0.8	PCF1013CT-ND	.43	.37	.29	PCF1013TR-ND	3,000	169.32/M	ECH-U1H122JB5
		.0015	0.8	PCF1014CT-ND•	.43	.37	.29	PCF1014TR-ND	3,000	169.32/M	ECH-U1H152JB5
		.0018	0.8	PCF1015CT-ND	.43	.37	.29	PCF1015TR-ND	3,000	169.32/M	ECH-U1H182JB5
		.0022	0.8	PCF1016CT-ND•	.33	.29	.22	PCF1016TR-ND	3,000	130.38/M	ECH-U1H222JB5
		.0027	0.8	PCF1017CT-ND	.43	.37	.29	PCF1017TR-ND	3,000	169.32/M	ECH-U1H272JB5
1206 (3216) Größe	50	.0033	0.8	PCF1018CT-ND•	.50	.43	.34	PCF1018TR-ND	3,000	198.11/M	ECH-U1H332JB5
		.0039	0.8	PCF1019CT-ND	.51	.45	.34	PCF1019TR-ND	3,000	203.19/M	ECH-U1H392JB5
		.0047	0.8	PCF1020CT-ND•	.53	.46	.35	PCF1020TR-ND	3,000	209.96/M	ECH-U1H472JB5
		.0056	0.8	PCF1021CT-ND	.54	.47	.36	PCF1021TR-ND	3,000	215.04/M	ECH-U1H562JB5
		.0068	0.8	PCF1022CT-ND•	.56	.48	.37	PCF1022TR-ND	3,000	220.97/M	ECH-U1H682JB5
		.0082	1.0	PCF1023CT-ND	.57	.49	.38	PCF1023TR-ND	3,000	225.20/M	ECH-U1H822JB5
		.01	1.0	PCF1024CT-ND•	.59	.51	.39	PCF1024TR-ND	3,000	233.66/M	ECH-U1H103JB5
1210 (3225) Größe	50	.012	1.0	PCF1025CT-ND	.60	.52	.40	PCF1025TR-ND	2,000	238.74/M	ECH-U1H123JB5
		.015	1.0	PCF1026CT-ND•	.62	.54	.41	PCF1026TR-ND	2,000	245.52/M	ECH-U1H153JB5
		.018	1.4	PCF1027CT-ND	.63	.55	.42	PCF1027TR-ND	2,000	251.44/M	ECH-U1H183JB5
		.022	1.4	PCF1028CT-ND•	.66	.57	.44	PCF1028TR-ND	2,000	260.76/M	ECH-U1H223JB5
		.027	1.4	PCF1029CT-ND	.68	.59	.46	PCF1029TR-ND	2,000	270.91/M	ECH-U1H273JB5
		.033	2.0	PCF1030CT-ND•	.56	.49	.38	PCF1030TR-ND	2,000	222.66/M	ECH-U1H333JB5
		.039	2.0	PCF1031CT-ND	.75	.65	.50	PCF1031TR-ND	2,000	297.16/M	ECH-U1H393JB5

Serie ECH-U(C)

Spezifikationen: • Betriebstemperatur: -55 °C ~ 125 °C • Nennspannung: 50 V DC, 100 V DC • Kapazitätstoleranz: 2 %, 5 % • Haltespannung (zwischen Anschlüssen): Nennspannung x 175 % 1 bis 5s • Verlustfaktor: ≤ 0,6 % (20 °C, 1 kHz) • Isolationswiderstand: ≥ 3.000MΩ (20 °C, 60s) • Aufschmelzlötbedingungen: (Anschwemmlöten) max. 260 °C und 5s. (Aufschmelzlöten) max. 260 °C, max. bei mehr als 230 °C (Temp. an Kond.oberfläche).

Artikel-code	WV* DC	Kap. µF	Abm. H (mm)	Digi-Key Teilenr.	Gurtabschnittspreis pro Stück 10	100	500	Digi-Key Teilenr.	Gegurtet auf Rolle Größe	Preisangaben	Panasonic Teilenr.
ECH-U(C) (hohe Qualitättyp) 2 % Toleranz Aufschmelz-/Anschwemmlöten											
1913 (4833) Größe	50	.047	1.4	PCF1162CT-ND	.44	.39	.30	PCF1162TR-ND	3,000	175.25/M	ECH-U1H473GC9
		.056	2.0	PCF1163CT-ND	.47	.41	.32	PCF1163TR-ND	3,000	187.10/M	ECH-U1H563GC9
		.068	2.0	PCF1164CT-ND	.50	.43	.33	PCF1164TR-ND	3,000	198.11/M	ECH-U1H683GC9
		.082	2.4	PCF1165CT-ND	.55	.48	.37	PCF1165TR-ND	2,000	219.27/M	ECH-U1H823GC9
		.1	2.8	PCF1166CT-ND	.61	.53	.41	PCF1166TR-ND	2,000	241.28/M	ECH-U1H104GC9
2416 (6041) Größe	50	.12	1.8	PCF1167CT-ND	.75	.65	.50	PCF1167TR-ND	3,000	296.31/M	ECH-U1H124GC9
		.15	2.4	PCF1168CT-ND	.85	.74	.57	PCF1168TR-ND	2,000	338.64/M	ECH-U1H154GC9
		.18	2.8	PCF1169CT-ND	.97	.84	.65	PCF1169TR-ND	2,000	386.05/M	ECH-U1H184GC9
		.22	3.2	PCF1170CT-ND	1.10	.95	.73	PCF1170TR-ND	2,000	437.69/M	ECH-U1H224GC9
1913 (4833) Größe	100	.01	1.4	PCF1494CT-ND	.60	.52	.40	PCF1494TR-ND	3,000	237.90/M	ECH-U1103GC9
		.012	1.4	PCF1495CT-ND	.60	.52	.40	PCF1495TR-ND	3,000	237.90/M	ECH-U1123GC9
		.015	2.0	PCF1496CT-ND	.60	.52	.40	PCF1496TR-ND	3,000	237.90/M	ECH-U1153GC9
		.018	2.0	PCF1497CT-ND	.60	.52	.40	PCF1497TR-ND	3,000	237.90/M	ECH-U1183GC9
		.022	2.4	PCF1498CT-ND	.66	.57	.44	PCF1498TR-ND	2,000	262.45/M	ECH-U1223GC9
		.027	2.8	PCF1499CT-ND	.68	.59	.46	PCF1499TR-ND	2,000	270.91/M	ECH-U1273GC9
2416 (6041) Größe	100	.033	1.8	PCF1500CT-ND	.80	.70	.54	PCF1500TR-ND	3,000	320.02/M	ECH-U1333GC9
		.039	2.0	PCF1501CT-ND	.82	.71	.55	PCF1501TR-ND	3,000	327.64/M	ECH-U1393GC9
		.047	2.4	PCF1502CT-ND	.87	.75	.58	PCF1502TR-ND	2,000	344.57/M	ECH-U1473GC9
		.056	2.8	PCF1503CT-ND	.89	.77	.59	PCF1503TR-ND	2,000	353.03/M	ECH-U1563GC9
		.068	3.2	PCF1504CT-ND	.95	.82	.63	PCF1504TR-ND	2,000	377.59/M	ECH-U1683GC9
2820 (7150) Größe	100	.082	2.8	PCF1505CT-ND	1.19	1.04	.80	PCF1505TR-ND	1,500	475.79/M	ECH-U1823GC9
		.1	3.0	PCF1506CT-ND	1.19	1.04	.80	PCF1506TR-ND	1,500	475.79/M	ECH-U1104GC9
		.12	3.4	PCF1507CT-ND	1.25	1.08	.83	PCF1507TR-ND	1,500	496.11/M	ECH-U1124GC9
2825 (7163) Größe	100	.15	3.4	PCF1508CT-ND	1.37	1.19	.91	PCF1508TR-ND	1,000	545.21	ECH-U1154GCV
		.18	4.0	PCF1509CT-ND	1.53	1.32	1.02	PCF1509TR-ND	1,000	608.71	ECH-U1184GCV
		.22	4.8	PCF1510CT-ND	1.67	1.44	1.11	PCF1510TR-ND	1,000	664.58	ECH-U1224GCV
ECH-U(C) (hohe Qualitättyp) 5 % Toleranz Aufschmelz-/Anschwemmlöten											
1913 (4833) Größe	50	.047	1.4	PCF1153CT-ND•	.42	.37	.28	PCF1153TR-ND	3,000	166.78/M	ECH-U1H473JC9
		.056	2.0	PCF1154CT-ND	.45	.39	.30	PCF1154TR-ND	3,000	178.64/M	ECH-U1H563JC9
		.068	2.0	PCF1155CT-ND•	.47	.41	.32	PCF1155TR-ND	3,000	187.95/M	ECH-U1H683JC9
		.082	2.4	PCF1156CT-ND	.53	.46	.35	PCF1156TR-ND	2,000	209.11/M	ECH-U1H823JC9
		.1	2.8	PCF1157CT-ND•	.57	.50	.38	PCF1157TR-ND	2,000	227.74/M	ECH-U1H104JC9
2416 (6041) Größe	50	.12	1.8	PCF1158CT-ND	.71	.62	.48	PCF1158TR-ND	3,000	281.92/M	ECH-U1H124JC9
		.15	2.4	PCF1159CT-ND	.81	.70	.54	PCF1159TR-ND	2,000	321.71/M	ECH-U1H154JC9
		.18	2.8	PCF1160CT-ND	1.06	.92	.71	PCF1160TR-ND	2,000	423.30/M	ECH-U1H184JC9
		.22	3.2	PCF1161CT-ND	1.05	.91	.70	PCF1161TR-ND	2,000	418.22/M	ECH-U1H224JC9
1913 (4833) Größe	100	.01	1.4	PCF1477CT-ND	.54	.47	.36	PCF1477TR-ND	3,000	213.35/M	ECH-U1103JC9
		.012	1.4	PCF1478CT-ND	.54	.47	.36	PCF1478TR-ND	3,000	213.35/M	ECH-U1123JC9
		.015	2.0	PCF1479CT-ND	.54	.47	.36	PCF1479TR-ND	3,000	213.35/M	ECH-U1153JC9
		.018	2.0	PCF1480CT-ND	.54	.47	.36	PCF1480TR-ND	3,000	213.35/M	ECH-U1183JC9
		.022	2.4	PCF1481CT-ND	.56	.49	.37	PCF1481TR-ND	2,000	221.81/M	ECH-U1223JC9
		.027	2.8	PCF1482CT-ND	.58	.50	.39	PCF1482TR-ND	2,000	229.43/M	ECH-U1273JC9

* Betriebsspannung

Artikel-code	WV* DC	Kap. µF	Abm. H (mm)	Digi-Key Teilenr.	Gurtabschnittspreis pro Stück 10	100	500	Digi-Key Teilenr.	Gegurtet auf Rolle Größe	Preisangaben	Panasonic Teilenr.
2416 (6041) Größe	100	.033	1.8	PCF1483CT-ND	.68	.59	.46	PCF1483TR-ND	3,000	270.92/M	ECH-U1333JC9
		.039	2.0	PCF1484CT-ND	.71	.62	.48	PCF1484TR-ND	3,000	282.77/M	ECH-U1393JC9
		.047	2.4	PCF1485CT-ND	.74	.64	.50	PCF1485TR-ND	2,000	295.47/M	ECH-U1473JC9
		.056	2.8	PCF1486CT-ND	.75	.65	.50	PCF1486TR-ND	2,000	299.70/M	ECH-U1563JC9
		.068	3.2	PCF1487CT-ND	.78	.68	.52	PCF1487TR-ND	2,000	311.55/M	ECH-U1683JC9
2820 (7150) Größe	100	.082	2.8	PCF1488CT-ND	1.07	.93	.72	PCF1488TR-ND	1,500	426.69/M	ECH-U1823JC9
		.1	3.0	PCF1489CT-ND	1.11	.96	.74	PCF1489TR-ND	1,500	442.78/M	ECH-U1104JC9
		.12	3.4	PCF1490CT-ND	1.12	.97	.75	PCF1490TR-ND	1,500	447.01/M	ECH-U1124JC9
2825 (7163) Größe	100	.15	3.4	PCF1491CT-ND	1.22	1.06	.81	PCF1491TR-ND	1,000	485.10	ECH-U1154JCV
		.18	4.0	PCF1492CT-ND	1.34	1.16	.90	PCF1492TR-ND	1,000	535.05	ECH-U1184JCV
		.22	4.8	PCF1493CT-ND	1.46	1.26	.97	PCF1493TR-ND	1,000	580.77	ECH-U1224JCV

• ***PCF1-KIT-ND Digi-Key® Kondensatorsatz Serie ECH-U*** je 10 Stck der angegebenen Teile (180 Stck). Notizheftartige Aufbewahrung in Fach, Aufbewahrungsanleitung inbegriffen **50.75**

Serie ECH-U(X)

Spezifikationen: • Betriebstemperatur: -55 °C ~ 125 °C • Nennspannung: 10 V DC, 16 V DC, 50 V DC • Kapazitätstoleranz: 2 %, 5 % • Haltespannung (zwischen Anschlüssen): Nennspannung x 175 % 1 bis 5s • Verlustfaktor: ≤ 0,6 % (20 °C, 1 kHz) • Isolationswiderstand: ≥ 3.000MΩ (20 °C, 60s) • Aufschmelzlötbedingungen: max. 260 °C, max. bei mehr als 230 °C (Temp. an Kond.oberfläche).

Artikel-code	WV* DC	Kap. µF	Abm. H (mm)	Digi-Key Teilenr.	Gurtabschnittspreis pro Stück 10	100	500	Digi-Key Teilenr.	Gegurtet auf Rolle Größe	Preisangaben	Panasonic Teilenr.
ECH-U(X) (hohe Qualitättyp) 2 % Toleranz, nur f. Aufschmelzlöten											
0603 (1608) Größe	10	.0033	0.7	PCF1523CT-ND	.25	.22	.17	PCF1523TR-ND	4,000	99.90/M	ECH-U01332GX5
		.0039	0.7	PCF1524CT-ND	.25	.22	.17	PCF1524TR-ND	4,000	99.90/M	ECH-U01392GX5
		.0047	0.7	PCF1525CT-ND	.25	.22	.17	PCF1525TR-ND	4,000	99.90/M	ECH-U01472GX5
		.0056	0.7	PCF1526CT-ND	.25	.22	.17	PCF1526TR-ND	4,000	99.90/M	ECH-U01562GX5
	16	.0001	.7	PCF1441CT-ND	.24	.21	.16	PCF1441TR-ND	4,000	93.13/M	ECH-U1C101GX5
		.00012	.7	PCF1442CT-ND	.24	.21	.16	PCF1442TR-ND	4,000	93.13/M	ECH-U1C121GX5
		.00015	.7	PCF1443CT-ND	.24	.21	.16	PCF1443TR-ND	4,000	93.13/M	ECH-U1C151GX5
		.00018	.7	PCF1444CT-ND	.24	.21	.16	PCF1444TR-ND	4,000	93.13/M	ECH-U1C181GX5
		.00022	.7	PCF1445CT-ND	.24	.21	.16	PCF1445TR-ND	4,000	93.13/M	ECH-U1C221GX5
		.00027	.7	PCF1446CT-ND	.24	.21	.16	PCF1446TR-ND	4,000	93.13/M	ECH-U1C271GX5
		.00033	.7	PCF1447CT-ND	.24	.21	.16	PCF1447TR-ND	4,000	93.13/M	ECH-U1C331GX5
		.00039	.7	PCF1448CT-ND	.24	.21	.16	PCF1448TR-ND	4,000	93.13/M	ECH-U1C391GX5
		.00047	.7	PCF1449CT-ND	.24	.21	.16	PCF1449TR-ND	4,000	93.13/M	ECH-U1C471GX5
		.00056	.7	PCF1450CT-ND	.24	.21	.16	PCF1450TR-ND	4,000	93.13/M	ECH-U1C561GX5
		.00068	.7	PCF1451CT-ND	.24	.21	.16	PCF1451TR-ND	4,000	93.13/M	ECH-U1C681GX5
		.00082	.7	PCF1452CT-ND	.24	.21	.16	PCF1452TR-ND	4,000	93.13/M	ECH-U1C821GX5
		.001	.7	PCF1453CT-ND	.24	.21	.16	PCF1453TR-ND	4,000	93.13/M	ECH-U1C102GX5
		.0012	.7	PCF1454CT-ND	.24	.21	.16	PCF1454TR-ND	4,000	93.13/M	ECH-U1C122GX5
		.0015	.7	PCF1455CT-ND	.24	.21	.16	PCF1455TR-ND	4,000	93.13/M	ECH-U1C152GX5
		.0018	.7	PCF1456CT-ND	.24	.21	.16	PCF1456TR-ND	4,000	93.13/M	ECH-U1C182GX5
		.0022	.7	PCF1457CT-ND	.24	.21	.16	PCF1457TR-ND	4,000	93.13/M	ECH-U1C222GX5
		.0027	.7	PCF1458CT-ND	.24	.21	.16	PCF1458TR-ND	4,000	93.13/M	ECH-U1C272GX5
0805 (2012) Größe	10	.0068	0.9	PCF1527CT-ND	.25	.22	.17	PCF1527TR-ND	3,000	99.90/M	ECH-U01682GX5
		.0082	0.9	PCF1528CT-ND	.25	.22	.17	PCF1528TR-ND	3,000	99.90/M	ECH-U01822GX5
		.01	0.9	PCF1529CT-ND	.25	.22	.17	PCF1529TR-ND	3,000	99.90/M	ECH-U01103GX5
		.012	0.9	PCF1530CT-ND	.31	.27	.21	PCF1530TR-ND	3,000	121.07/M	ECH-U01123GX5
		.015	0.9	PCF1531CT-ND	.31	.27	.21	PCF1531TR-ND	3,000	121.07/M	ECH-U01153GX5
		.018	0.9	PCF1532CT-ND	.31	.27	.21	PCF1532TR-ND	3,000	121.07/M	ECH-U01183GX5
		.022	1.1	PCF1533CT-ND	.31	.27	.21	PCF1533TR-ND	3,000	121.07/M	ECH-U01223GX5
		.027	1.1	PCF1534CT-ND	.33	.29	.22	PCF1534TR-ND	3,000	132.07/M	ECH-U01273GX5
	16	.0033	0.9	PCF1171CT-ND	.27	.24	.18	PCF1171TR-ND	3,000	107.52/M	ECH-U1C332GX5
		.0039	0.9	PCF1172CT-ND	.27	.24	.18	PCF1172TR-ND	3,000	107.52/M	ECH-U1C392GX5
		.0047	0.9	PCF1173CT-ND	.27	.24	.18	PCF1173TR-ND	3,000	107.52/M	ECH-U1C472GX5
		.0056	0.9	PCF1174CT-ND	.27	.24	.18	PCF1174TR-ND	3,000	107.52/M	ECH-U1C562GX5
		.0068	0.9	PCF1175CT-ND	.27	.24	.18	PCF1175TR-ND	3,000	107.52/M	ECH-U1C682GX5
		.0082	1.1	PCF1176CT-ND	.30	.26	.20	PCF1176TR-ND	3,000	117.68/M	ECH-U1C822GX5
		.01	1.1	PCF1177CT-ND	.30	.26	.20	PCF1177TR-ND	3,000	117.68/M	ECH-U1C103GX5
1206 (3216) Größe	16	.012	0.9	PCF1178CT-ND	.33	.29	.22	PCF1178TR-ND	3,000	130.38/M	ECH-U1C123GX5
		.015	0.9	PCF1179CT-ND	.33	.29	.22	PCF1179TR-ND	3,000	130.38/M	ECH-U1C153GX5
		.018	0.9	PCF1180CT-ND	.33	.29	.22	PCF1180TR-ND	3,000	130.38/M	ECH-U1C183GX5
		.022	0.9	PCF1181CT-ND	.33	.29	.22	PCF1181TR-ND	3,000	130.38/M	ECH-U1C223GX5
		.027	1.1	PCF1182CT-ND	.36	.31	.24	PCF1182TR-ND	3,000	142.23/M	ECH-U1C273GX5
		.033	1.1	PCF1183CT-ND	.36	.31	.24	PCF1183TR-ND	3,000	142.23/M	ECH-U1C333GX5
		.039	1.5	PCF1184CT-ND	.39	.34	.26	PCF1184TR-ND	2,000	154.08/M	ECH-U1C393GX5
		.047	1.5	PCF1185CT-ND	.39	.34	.26	PCF1185TR-ND	2,000	154.08/M	ECH-U1C473GX5
1210 (3225) Größe	16	.056	1.5	PCF1186CT-ND	.45	.39	.30	PCF1186TR-ND	2,000	176.94/M	ECH-U1C563GX5
		.068	1.5	PCF1187CT-ND	.45	.39	.30	PCF1187TR-ND	2,000	176.94/M	ECH-U1C683GX5
		.082	2.1	PCF1188CT-ND	.54	.47	.36	PCF1188TR-ND	2,000	213.35/M	ECH-U1C823GX5
		0.1	2.1	PCF1189CT-ND	.54	.47	.36	PCF1189TR-ND	2,000	213.35/M	ECH-U1C104GX5
0805 (2012) Größe	50	.0001	0.9	PCF1284CT-ND	.26	.23	.18	PCF1284TR-ND	3,000	103.29/M	ECH-U1H101GX5
		.00012	0.9	PCF1285CT-ND	.26	.23	.18	PCF1285TR-ND	3,000	103.29/M	ECH-U1H121GX5
		.00015	0.9	PCF1286CT-ND	.26	.23	.18	PCF1286TR-ND	3,000	103.29/M	ECH-U1H151GX5
		.00018	0.9	PCF1287CT-ND	.26	.23	.18	PCF1287TR-ND	3,000	103.29/M	ECH-U1H181GX5
		.00022	0.9	PCF1288CT-ND	.26	.23	.18	PCF1288TR-ND	3,000	103.29/M	ECH-U1H221GX5
		.00027	0.9	PCF1289CT-ND	.26	.23	.18	PCF1289TR-ND	3,000	103.29/M	ECH-U1H271GX5
		.00033	0.9	PCF1290CT-ND	.26	.23	.18	PCF1290TR-ND	3,000	103.29/M	ECH-U1H331GX5
		.00039	0.9	PCF1291CT-ND	.26	.23	.18	PCF1291TR-ND	3,000	103.29/M	ECH-U1H391GX5
		.00047	0.9	PCF1292CT-ND	.26	.23	.18	PCF1292TR-ND	3,000	103.29/M	ECH-U1H471GX5
		.00056	0.9	PCF1293CT-ND	.26	.23	.18	PCF1293TR-ND	3,000	103.29/M	ECH-U1H561GX5
		.00068	0.9	PCF1294CT-ND	.26	.23	.18	PCF1294TR-ND	3,000	103.29/M	ECH-U1H681GX5
		.00082	0.9	PCF1295CT-ND	.26	.23	.18	PCF1295TR-ND	3,000	103.29/M	ECH-U1H821GX5
		.001	0.9	PCF1296CT-ND	.26	.23	.18	PCF1296TR-ND	3,000	103.29/M	ECH-U1H102GX5
		.0012	0.9	PCF1297CT-ND	.26	.23	.18	PCF1297TR-ND	3,000	103.29/M	ECH-U1H122GX5
		.0015	0.9	PCF1298CT-ND	.26	.23	.18	PCF1298TR-ND	3,000	103.29/M	ECH-U1H152GX5
		.0018	0.9	PCF1299CT-ND	.26	.23	.18	PCF1299TR-ND	3,000	103.29/M	ECH-U1H182GX5
		.0022	0.9	PCF1300CT-ND	.26	.23	.18	PCF1300TR-ND	3,000	103.29/M	ECH-U1H222GX5
		.0027	0.9	PCF1301CT-ND	.26	.23	.18	PCF1301TR-ND	3,000	103.29/M	ECH-U1H272GX5

(Forts.)

E

Artikel-code	WV* DC	Kap µF	Abm. H (mm)	Digi-Key Teilenr.	Gurtabschnittspreis pro Stück 10	100	500	Digi-Key Teilenr.	Gegurtet auf Rolle Größe	Preisangaben	Panasonic Teilenr.
ECH-U(X) (hohe Qualitättyp) 2 % Toleranz, nur f. Aufschmelzlöten											
1206 (3216) Größe	50	.0033	0.9	PCF1302CT-ND	.33	.29	.22	PCF1302TR-ND	3,000	130.38/M	ECH-U1H332GX5
		.0039	0.9	PCF1303CT-ND	.33	.29	.22	PCF1303TR-ND	3,000	130.38/M	ECH-U1H392GX5
		.0047	0.9	PCF1304CT-ND	.33	.29	.22	PCF1304TR-ND	3,000	130.38/M	ECH-U1H472GX5
		.0056	0.9	PCF1305CT-ND	.33	.29	.22	PCF1305TR-ND	3,000	130.38/M	ECH-U1H562GX5
		.0068	0.9	PCF1306CT-ND	.33	.29	.22	PCF1306TR-ND	3,000	130.38/M	ECH-U1H682GX5
		.0082	1.1	PCF1307CT-ND	.36	.31	.24	PCF1307TR-ND	3,000	142.23/M	ECH-U1H822GX5
		.01	1.1	PCF1308CT-ND	.36	.31	.24	PCF1308TR-ND	3,000	142.23/M	ECH-U1H103GX5
1210 (3225) Größe	50	.012	1.1	PCF1309CT-ND	.36	.31	.24	PCF1309TR-ND	2,000	142.23/M	ECH-U1H123GX5
		.015	1.1	PCF1310CT-ND	.36	.31	.24	PCF1310TR-ND	2,000	142.23/M	ECH-U1H153GX5
		.018	1.5	PCF1311CT-ND	.39	.34	.26	PCF1311TR-ND	2,000	154.08/M	ECH-U1H183GX5
		.022	1.5	PCF1312CT-ND	.39	.34	.26	PCF1312TR-ND	2,000	154.08/M	ECH-U1H223GX5
		.027	1.5	PCF1313CT-ND	.39	.34	.26	PCF1313TR-ND	2,000	154.08/M	ECH-U1H273GX5
		.033	2.1	PCF1314CT-ND	.45	.39	.30	PCF1314TR-ND	2,000	176.94/M	ECH-U1H333GX5
		.039	2.1	PCF1315CT-ND	.45	.39	.30	PCF1315TR-ND	2,000	176.94/M	ECH-U1H393GX5
ECH-U(X) (hohe Qualitättyp) 5 % Toleranz, nur f. Aufschmelzlöten											
0603 (1608) Größe	10	.0033	0.7	PCF1511CT-ND	.24	.21	.16	PCF1511TR-ND	4,000	93.98/M	ECH-U01332JX5
		.0039	0.7	PCF1512CT-ND	.24	.21	.16	PCF1512TR-ND	4,000	93.98/M	ECH-U01392JX5
		.0047	0.7	PCF1513CT-ND	.24	.21	.16	PCF1513TR-ND	4,000	93.98/M	ECH-U01472JX5
		.0056	0.7	PCF1514CT-ND	.24	.21	.16	PCF1514TR-ND	4,000	93.98/M	ECH-U01562JX5
	16	.0001	.7	PCF1459CT-ND	.23	.20	.15	PCF1459TR-ND	4,000	88.90/M	ECH-U1C101JX5
		.00012	.7	PCF1460CT-ND	.23	.20	.15	PCF1460TR-ND	4,000	88.90/M	ECH-U1C121JX5
		.00015	.7	PCF1461CT-ND	.23	.20	.15	PCF1461TR-ND	4,000	88.90/M	ECH-U1C151JX5
		.00018	.7	PCF1462CT-ND	.23	.20	.15	PCF1462TR-ND	4,000	88.90/M	ECH-U1C181JX5
		.00022	.7	PCF1463CT-ND	.23	.20	.15	PCF1463TR-ND	4,000	88.90/M	ECH-U1C221JX5
		.00027	.7	PCF1464CT-ND	.23	.20	.15	PCF1464TR-ND	4,000	88.90/M	ECH-U1C271JX5
		.00033	.7	PCF1465CT-ND	.23	.20	.15	PCF1465TR-ND	4,000	88.90/M	ECH-U1C331JX5
		.00039	.7	PCF1466CT-ND	.23	.20	.15	PCF1466TR-ND	4,000	88.90/M	ECH-U1C391JX5
		.00047	.7	PCF1467CT-ND	.23	.20	.15	PCF1467TR-ND	4,000	88.90/M	ECH-U1C471JX5
		.00056	.7	PCF1468CT-ND	.23	.20	.15	PCF1468TR-ND	4,000	88.90/M	ECH-U1C561JX5
		.00068	.7	PCF1469CT-ND	.23	.20	.15	PCF1469TR-ND	4,000	88.90/M	ECH-U1C681JX5
		.00082	.7	PCF1470CT-ND	.23	.20	.15	PCF1470TR-ND	4,000	88.90/M	ECH-U1C821JX5
		.001	.7	PCF1471CT-ND	.23	.20	.15	PCF1471TR-ND	4,000	88.90/M	ECH-U1C102JX5
		.0012	.7	PCF1472CT-ND	.23	.20	.15	PCF1472TR-ND	4,000	88.90/M	ECH-U1C122JX5
		.0015	.7	PCF1473CT-ND	.23	.20	.15	PCF1473TR-ND	4,000	88.90/M	ECH-U1C152JX5
		.0018	.7	PCF1474CT-ND	.23	.20	.15	PCF1474TR-ND	4,000	88.90/M	ECH-U1C182JX5
		.0022	.7	PCF1475CT-ND	.23	.20	.15	PCF1475TR-ND	4,000	88.90/M	ECH-U1C222JX5
		.0027	.7	PCF1476CT-ND	.23	.20	.15	PCF1476TR-ND	4,000	88.90/M	ECH-U1C272JX5
0805 (2012) Größe	10	.0068	0.9	PCF1515CT-ND	.24	.21	.16	PCF1515TR-ND	3,000	93.98/M	ECH-U01682JX5
		.0082	0.9	PCF1516CT-ND	.24	.21	.16	PCF1516TR-ND	3,000	93.98/M	ECH-U01822JX5
		.01	0.9	PCF1517CT-ND	.24	.21	.16	PCF1517TR-ND	3,000	93.98/M	ECH-U01103JX5
		.012	0.9	PCF1518CT-ND	.29	.25	.20	PCF1518TR-ND	3,000	115.14/M	ECH-U01123JX5
		.015	0.9	PCF1519CT-ND	.29	.25	.20	PCF1519TR-ND	3,000	115.14/M	ECH-U01153JX5
		.018	0.9	PCF1520CT-ND	.29	.25	.20	PCF1520TR-ND	3,000	115.14/M	ECH-U01183JX5
		.022	1.1	PCF1521CT-ND	.29	.25	.20	PCF1521TR-ND	3,000	115.14/M	ECH-U01223JX5
		.027	1.1	PCF1522CT-ND	.32	.28	.22	PCF1522TR-ND	3,000	126.15/M	ECH-U01273JX5
0805 (2012) Größe	16	.0033	0.9	PCF1190CT-ND	.26	.22	.17	PCF1190TR-ND	3,000	101.60/M	ECH-U1C332JX5
		.0039	0.9	PCF1191CT-ND	.26	.22	.17	PCF1191TR-ND	3,000	101.60/M	ECH-U1C392JX5
		.0047	0.9	PCF1192CT-ND	.26	.22	.17	PCF1192TR-ND	3,000	101.60/M	ECH-U1C472JX5
		.0056	0.9	PCF1193CT-ND	.26	.22	.17	PCF1193TR-ND	3,000	101.60/M	ECH-U1C562JX5
		.0068	0.9	PCF1194CT-ND	.26	.22	.17	PCF1194TR-ND	3,000	101.60/M	ECH-U1C682JX5
		.0082	1.1	PCF1195CT-ND	.29	.25	.19	PCF1195TR-ND	3,000	113.45/M	ECH-U1C822JX5
		.01	1.1	PCF1196CT-ND	.29	.25	.19	PCF1196TR-ND	3,000	113.45/M	ECH-U1C103JX5
1206 (3216) Größe	16	.012	0.9	PCF1197CT-ND	.31	.27	.21	PCF1197TR-ND	3,000	123.61/M	ECH-U1C123JX5
		.015	0.9	PCF1198CT-ND	.31	.27	.21	PCF1198TR-ND	3,000	123.61/M	ECH-U1C153JX5
		.018	0.9	PCF1199CT-ND	.31	.27	.21	PCF1199TR-ND	3,000	123.61/M	ECH-U1C183JX5
		.022	0.9	PCF1200CT-ND	.31	.27	.21	PCF1200TR-ND	3,000	123.61/M	ECH-U1C223JX5
		.027	1.1	PCF1201CT-ND	.34	.30	.23	PCF1201TR-ND	3,000	136.31/M	ECH-U1C273JX5
		.033	1.1	PCF1202CT-ND	.34	.30	.23	PCF1202TR-ND	3,000	136.31/M	ECH-U1C333JX5
		.039	1.5	PCF1203CT-ND	.37	.32	.25	PCF1203TR-ND	2,000	146.46/M	ECH-U1C393JX5
		.047	1.5	PCF1204CT-ND	.37	.32	.25	PCF1204TR-ND	2,000	146.46/M	ECH-U1C473JX5
1210 (3225) Größe	16	.056	1.5	PCF1205CT-ND	.43	.37	.29	PCF1205TR-ND	2,000	169.32/M	ECH-U1C563JX5
		.068	1.5	PCF1206CT-ND	.43	.37	.29	PCF1206TR-ND	2,000	169.32/M	ECH-U1C683JX5
		.082	2.1	PCF1207CT-ND	.51	.44	.34	PCF1207TR-ND	2,000	202.34/M	ECH-U1C823JX5
		0.1	2.1	PCF1208CT-ND	.51	.44	.34	PCF1208TR-ND	2,000	202.34/M	ECH-U1C104JX5
0805 (2012) Größe	50	.0001	0.9	PCF1316CT-ND	.25	.21	.17	PCF1316TR-ND	3,000	96.52/M	ECH-U1H101JX5
		.00012	0.9	PCF1317CT-ND	.25	.21	.17	PCF1317TR-ND	3,000	96.52/M	ECH-U1H121JX5
		.00015	0.9	PCF1318CT-ND	.25	.21	.17	PCF1318TR-ND	3,000	96.52/M	ECH-U1H151JX5
		.00018	0.9	PCF1319CT-ND	.25	.21	.17	PCF1319TR-ND	3,000	96.52/M	ECH-U1H181JX5
		.00022	0.9	PCF1320CT-ND	.25	.21	.17	PCF1320TR-ND	3,000	96.52/M	ECH-U1H221JX5
		.00027	0.9	PCF1321CT-ND	.25	.21	.17	PCF1321TR-ND	3,000	96.52/M	ECH-U1H271JX5
		.00033	0.9	PCF1322CT-ND	.25	.21	.17	PCF1322TR-ND	3,000	96.52/M	ECH-U1H331JX5
		.00039	0.9	PCF1323CT-ND	.25	.21	.17	PCF1323TR-ND	3,000	96.52/M	ECH-U1H391JX5
		.00047	0.9	PCF1324CT-ND	.25	.21	.17	PCF1324TR-ND	3,000	96.52/M	ECH-U1H471JX5
		.00056	0.9	PCF1325CT-ND	.25	.21	.17	PCF1325TR-ND	3,000	96.52/M	ECH-U1H561JX5
		.00068	0.9	PCF1326CT-ND	.25	.21	.17	PCF1326TR-ND	3,000	96.52/M	ECH-U1H681JX5
		.00082	0.9	PCF1327CT-ND	.25	.21	.17	PCF1327TR-ND	3,000	96.52/M	ECH-U1H821JX5
		.001	0.9	PCF1328CT-ND	.25	.21	.17	PCF1328TR-ND	3,000	96.52/M	ECH-U1H102JX5
		.0012	0.9	PCF1329CT-ND	.25	.21	.17	PCF1329TR-ND	3,000	96.52/M	ECH-U1H122JX5
		.0015	0.9	PCF1330CT-ND	.25	.21	.17	PCF1330TR-ND	3,000	96.52/M	ECH-U1H152JX5
		.0018	0.9	PCF1331CT-ND	.25	.21	.17	PCF1331TR-ND	3,000	96.52/M	ECH-U1H182JX5
		.0022	0.9	PCF1332CT-ND	.25	.21	.17	PCF1332TR-ND	3,000	96.52/M	ECH-U1H222JX5
		.0027	0.9	PCF1333CT-ND	.25	.21	.17	PCF1333TR-ND	3,000	96.52/M	ECH-U1H272JX5
1206 (3216) Größe	50	.0033	0.9	PCF1334CT-ND	.31	.27	.21	PCF1334TR-ND	3,000	123.61/M	ECH-U1H332JX5
		.0039	0.9	PCF1335CT-ND	.31	.27	.21	PCF1335TR-ND	3,000	123.61/M	ECH-U1H392JX5
		.0047	0.9	PCF1336CT-ND	.31	.27	.21	PCF1336TR-ND	3,000	123.61/M	ECH-U1H472JX5
		.0056	0.9	PCF1337CT-ND	.31	.27	.21	PCF1337TR-ND	3,000	123.61/M	ECH-U1H562JX5
		.0068	0.9	PCF1338CT-ND	.31	.27	.21	PCF1338TR-ND	3,000	123.61/M	ECH-U1H682JX5
		.0082	1.1	PCF1339CT-ND	.34	.30	.23	PCF1339TR-ND	3,000	136.31/M	ECH-U1H822JX5
		.01	1.1	PCF1340CT-ND	.34	.30	.23	PCF1340TR-ND	3,000	136.31/M	ECH-U1H103JX5
1210 (3225) Größe	50	.012	1.1	PCF1341CT-ND	.34	.30	.23	PCF1341TR-ND	2,000	136.31/M	ECH-U1H123JX5
		.015	1.1	PCF1342CT-ND	.37	.32	.25	PCF1342TR-ND	2,000	144.77/M	ECH-U1H153JX5
		.018	1.5	PCF1343CT-ND	.37	.32	.25	PCF1343TR-ND	2,000	146.46/M	ECH-U1H183JX5
		.022	1.5	PCF1344CT-ND	.37	.32	.25	PCF1344TR-ND	2,000	146.46/M	ECH-U1H223JX5
		.027	1.5	PCF1345CT-ND	.37	.32	.25	PCF1345TR-ND	2,000	146.46/M	ECH-U1H273JX5
		.033	2.1	PCF1346CT-ND	.43	.37	.29	PCF1346TR-ND	2,000	169.32/M	ECH-U1H333JX5
		.039	2.1	PCF1347CT-ND	.43	.37	.29	PCF1347TR-ND	2,000	169.32/M	ECH-U1H393JX5

E

Panasonic® SMT-Kondensatoren ECP-U (SF Submicron)

MERKMALE: • Kleine Größe • Niedriger ESR-Wert • Ausgezeichnete Klangqualität

ANWENDUNGEN: • Kopplung • Entkopplung • Rauschreduzierung

SPEZIFIKATIONEN: ECP-U (B) Typ: • Betriebstemperatur: -40 °C ~ 105 °C • Verlustfaktor: max. 1,5 % (20 °C, 1 kHz) • Haltespannung: Zwischen Anschlüssen Nennspannung (V DC) x 175 %, 1 Min. • Isolationswiderstand: C ≤ 0,33 µF: min. 1.000MΩ (20 °C, 25 V DC 60 s), C > 0,33 µF: min. 300MΩ (20 °C ,25 V DC 60s) • Aufschmelzlötbedingungen: max. 250 °C und 30 Sek. max. bei mehr als 220 °C (Temp. an Kond. oberfläche) **ECP-U (A) Typ:** • Betriebstemperatur: -40 °C ~ 85 °C • Verlustfaktor: max. 1,5 % (20 °C, 1 kHz) • Haltespannung: Zwischen Klemmen Nennspannung (V DC) x 175 %, 1 bis 5s • Isolationswiderstand: C ≤ 0,33 µF: min. 1.000MΩ (20 °C, 25 V DC 60s), C > 0,33 µF: min. 300MΩ (20 °C, 16 V DC 60s) • Aufschmelzlötbedingungen: max. 240 °C und 30s. max. bei mehr als 210 °C (Temp. an Kond. oberfläche)

Hinweis: Lötpaste/-flussmittel muss weniger als 0,1 Gew.-% Halogengehalt aufweisen.

Lagerung: Das unverpackte Produkt muss zusammen mit gut getrocknetem Silica-Gel (von 5 g bis 10 g) im Polyethylenbeutel aufbewahrt oder bei einer Temperatur von 25 °C und einer Feuchte von weniger als 50 % relativer Luftfeuchtigkeit gelagert werden
Dieser Kondensator darf nur bei der Aufschmelzmethode eingesetzt werden. Nicht beim Anschwemmlöten, Tauchlöten oder Vapor-Phase-Löten verwenden.

Die empfohlene Lötpastendicke liegt zwischen 0,10 mm und 0,15 mm.

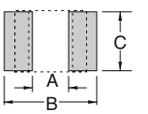

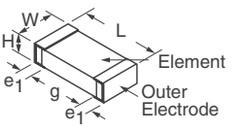

Typen-/Größencode	Abm. des Stegs (mm) A	B	C
K0 (1608)	0.6	2.0	0.7
J1-J2 (2012)	0.8	2.4	1.1
H1-H2-H3 (3216)	1.8	3.6	1.4
G2 (3225)	1.8	3.6	2.3

Artikel-code	WV* DC	Kap. µF	Abmessungen (mm) L	W	H	e1	g	Typ	Digi-Key Teilenr.	Gurtabschnittspreis pro Stück 10	100	500	Digi-Key Teilenr.	Gegurtet auf Rolle Größe	Preisangaben	Panasonic Teilenr.
Typ ECP-U (B) — 5 % Toleranz																
0603	25	.01	1.6	0.8	0.6	0.40 ± 0.2	0.4min.	K0	PCF1535CT-ND	.26	.23	.18	—	—	—	ECP-U1E103JB5
	25	.015	1.6	0.8	0.6	0.40 ± 0.2	0.4min.	K0	PCF1536CT-ND	.26	.23	.18	—	—	—	ECP-U1E153JB5
	25	.022	1.6	0.8	0.6	0.40 ± 0.2	0.4min.	K0	PCF1537CT-ND	.26	.23	.18	—	—	—	ECP-U1E223JB5
	25	.033	1.6	0.8	0.6	0.40 ± 0.2	0.4min.	K0	PCF1538CT-ND	.26	.23	.18	—	—	—	ECP-U1E333JB5
0805	25	.047	2.0	1.25	0.8	0.45 ± 0.25	0.6min.	J1	PCF1539CT-ND	.28	.24	.19	—	—	—	ECP-U1E473JB5
	25	.068	2.0	1.25	0.8	0.45 ± 0.25	0.6min.	J1	PCF1540CT-ND	.28	.24	.19	—	—	—	ECP-U1E683JB5
Typ ECP-U (B) — 10 % Toleranz																
1206	25	0.22	3.2	1.6	0.8	0.65 ± 0.3	1.0min.	H1	PCF1543CT-ND	.30	.26	.20	—	—	—	ECP-U1E224KB5
	25	0.33	3.2	1.6	0.8	0.65 ± 0.3	1.0min.	H1	PCF1544CT-ND	.34	.30	.23	PCF1544TR-ND	3,000	133.77/M	ECP-U1E334KB5
Typ ECP-U (A) — 20 % Toleranz																
0805	16	.10	2.0	1.25	1.0	0.45 ± 0.25	0.6min.	J2	PCF1126CT-ND	.28	.25	.19	PCF1126TR-ND	3,000	111.75/M	ECP-U1C104MA5
1206	16	.15	3.2	1.6	0.8	0.65 ± 0.3	1.0min.	H1	PCF1127CT-ND	.34	.29	.23	PCF1127TR-ND	3,000	133.77/M	ECP-U1C154MA5
	16	.22	3.2	1.6	0.8	0.65 ± 0.3	1.0min.	H1	PCF1128CT-ND	.39	.34	.27	PCF1128TR-ND	3,000	156.62/M	ECP-U1C224MA5
	16	.33	3.2	1.6	1.0	0.65 ± 0.3	1.0min.	H2	PCF1129CT-ND	.39	.34	.27	PCF1129TR-ND	3,000	156.62/M	ECP-U1C334MA5
	16	.47	3.2	1.6	1.4	0.65 ± 0.3	1.0min.	H3	PCF1130CT-ND	.45	.39	.30	PCF1130TR-ND	2,000	177.79/M	ECP-U1C474MA5
	16	.68	3.2	1.6	1.4	0.65 ± 0.3	1.0min.	H3	PCF1131CT-ND	.45	.39	.30	PCF1131TR-ND	2,000	177.79/M	ECP-U1C684MA5
1210	16	1.0	3.2	2.5	1.4	0.65 ± 0.3	1.0min.	G2	PCF1132CT-ND	.50	.43	.34	PCF1132TR-ND	2,000	198.11/M	ECP-U1C105MA5

* Betriebsspannung

Alle Preisangaben in Euro und inklusive Zollgebühren.

Panasonic® Serie M Polyester- und Schichtkondensatoren der Serie M

Merkmale:
Hoher Isolationswiderstand. Nicht induktive Konstruktion: mit verzinnten Kupferanschlussdrähten, die an die Folien geschweißt sind. Hohe Spitzenstromkapazität. Lösungsmittelbeständiger, harzbeschichteter Körper.

Anwendungen:
Sperrung, Bypass und Kopplung von D.C. und Signalen zum VHF-Bereich. Impuls-, Logik- und Timing-Schaltkreise. Impulsbildende Netzwerke (Light-Duty). Filter- und Rauschunterdrückungsschaltkreise. Mehrzweckverwendung.

Spezifikationen:
Referenzstandard: JIS C5113 Merkmal M. Betriebstemperatur: -40 °C ~ 85 °C Konstruktion: Polyesterfolie, nicht induktiv, Phenol-/Epoxidharzbeschichtung, Wachsimprägnierung.

Elektrische Spezifikationen:
Kapazitätstoleranz: ±10 % (K). Isolationswiderstand: Größer als 10.000MV. Verlustfaktor: Weniger als 1,0 % bei 1 kHz. Dielektrische Haltespannung: 250 % der Nennspannung für 5 Sekunden. Betriebstemperatur: -40 °C ~ 80 °C

PANASONIC ECQ QUERREFERENZEN

Sprague: 225P, 418P; **Mepco:** 713D1, 711D1, 719D1; **TWR:** 601PE, 601CPE; **Pactron:** PE, FM; **Secor:** MFDN, MFDR; **Roederstein:** KT1805, KT1806, KT1807, KT1808; **Wima:** FKS; **CSF Thompson:** ED (Dip); **Rubycon:** F2X, F2S, F3U; **Nichicon:** TDY; **Nissiei:** AMZ, AMX, AMR, AMM.

Style: Straight Radial Leads

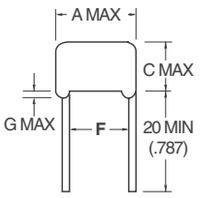

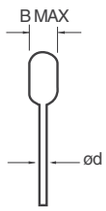

Tinned Copper Clad-Steel Wire

Typical Capacitance Change

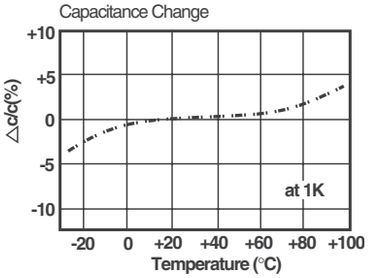

Kap µF	Abmessungen (mm) A	B	C	F±1.25	G	d	Digi-Key Teilenr.	Preisangaben 10	100	1,000	5,000	10,000	Panasonic Teilenr.
200 Betriebsspannung DC													
.001	9.0	5.0	9.0	5.5	2	0.6	P1029-ND*	1.39	11.60	69.42	64.35/M	60.11/M	ECQ-M2102KZ
.0012	9.0	5.0	9.0	5.5	2	0.6	P1030-ND	1.19	9.85	58.42	55.03/M	50.80/M	ECQ-M2122KZ
.0015	9.0	5.0	9.5	5.5	3	0.6	P1031-ND*	1.19	9.85	58.42	55.03/M	50.80/M	ECQ-M2152KZ
.0018	9.0	5.5	9.5	5.5	3	0.6	P1032-ND	1.19	9.85	58.42	55.03/M	50.80/M	ECQ-M2182KZ
.0022	9.0	6.0	10.0	5.5	3	0.6	P1033-ND*	1.16	9.65	57.57	53.34/M	49.95/M	ECQ-M2222KZ
.0027	9.0	5.0	9.0	5.5	3	0.6	P1034-ND	1.23	10.23	60.96	56.73/M	53.34/M	ECQ-M2272KZ
.0033	9.0	5.0	9.0	5.5	3	0.6	P1035-ND*	1.28	10.67	63.50	59.27/M	55.03/M	ECQ-M2332KZ
.0039	12.0	5.5	9.5	7.5	3	0.6	P1036-ND	1.19	9.85	58.42	55.03/M	50.80/M	ECQ-M2392KZ
.0047	12.0	6.0	9.5	7.5	3	0.6	P1037-ND*	1.23	10.20	60.96	56.73/M	53.34/M	ECQ-M2472KZ
.0056	12.0	6.0	9.5	7.5	3	0.6	P1038-ND	1.19	9.85	58.42	55.03/M	50.80/M	ECQ-M2562KZ
.0068	12.0	6.0	10.5	7.5	3	0.6	P1039-ND*	1.17	9.72	58.42	54.19/M	50.80/M	ECQ-M2682KZ
.0082	14.0	5.5	10.0	9.5	3	0.6	P1040-ND	1.19	9.85	58.42	55.03/M	50.80/M	ECQ-M2822KZ
.01	14.0	6.0	10.0	9.5	3	0.6	P1041-ND*	1.33	11.07	66.03	61.81/M	57.57/M	ECQ-M2103KZ
.012	14.0	6.0	10.5	9.5	3	0.6	P1042-ND	1.34	11.12	66.03	61.81/M	57.57/M	ECQ-M2123KZ
.015	14.0	6.5	11.5	9.5	3	0.6	P1043-ND*	1.20	10.03	60.11	55.88/M	52.49/M	ECQ-M2153KZ
.018	17.0	5.5	10.0	12.5	3	0.6	P1044-ND	1.46	12.15	72.81	67.73/M	63.50/M	ECQ-M2183KZ
.022	17.0	5.5	11.0	12.5	3	0.6	P1045-ND*	1.48	12.36	73.65	68.58/M	64.35/M	ECQ-M2223KZ
.027	17.0	6.0	11.0	12.5	3	0.6	P1046-ND	1.35	11.24	66.88	62.65/M	58.42/M	ECQ-M2273KZ
.033	17.0	6.5	11.5	12.5	3	0.6	P1047-ND*	1.44	11.96	71.11	66.04/M	61.81/M	ECQ-M2333KZ
.039	17.0	6.0	13.5	12.5	3	0.6	P1048-ND	1.72	14.31	85.51	79.58/M	74.51/M	ECQ-M2393KZ
.047	17.0	6.5	14.0	12.5	3	0.6	P1049-ND*	1.52	12.72	76.19	70.27/M	66.04/M	ECQ-M2473KZ
.056	20.0	6.5	14.0	14.5	3	0.6	P1050-ND	1.63	13.55	81.27	75.35/M	70.27/M	ECQ-M2563KZ
.068	20.0	7.0	14.5	14.5	3	0.6	P1051-ND*	1.72	14.31	85.51	79.58/M	74.51/M	ECQ-M2683KZ
.082	20.0	7.5	15.0	15.0	3	0.6	P1052-ND	1.76	14.65	87.20	81.28/M	76.20/M	ECQ-M2823KZ
.1	20.0	8.0	17.0	15.0	3	0.6	P1053-ND*	2.44	20.32	121.06	112.60/M	105.83/M	ECQ-M2104KZ

Kap µF	Abmessungen (mm) A	B	C	F±1.25	G	d	Digi-Key Teilenr.	Preisangaben 10	100	1.000	5.000	10.000	Panasonic Teilenr.
.12	20.0	8.5	17.5	15.0	3	0.8	P1054-ND	2.57	21.46	127.84	119.37/M	111.76/M	ECQ-M2124KZ
.15	20.0	9.5	18.5	15.0	3	0.8	P1055-ND*	2.46	20.53	122.76	114.30/M	106.68/M	ECQ-M2154KZ
.18	23.0	13.0	22.0	18.5	3	0.8	P1056-ND	1.19	9.85	58.42	55.03/M	50.80/M	ECQ-M2184KZ
.22	23.0	14.0	23.0	18.5	3	0.8	P1057-ND*	3.66	30.48	182.02	169.32/M	158.32/M	ECQ-M2224KZ
400 Betriebsspannung DC													
.001	11.0	5.5	9.5	6.5	2	0.6	P1058-ND†	1.16	9.68	57.57	53.34/M	49.95/M	ECQ-M4102KZ
.0012	11.0	6.0	10.0	6.5	2	0.6	P1059-ND†	1.16	9.68	57.57	53.34/M	49.95/M	ECQ-M4122KZ
.0015	11.0	6.0	10.0	6.5	2	0.6	P1060-ND†	1.16	9.68	57.57	53.34/M	49.95/M	ECQ-M4152KZ
.0018	11.0	6.0	10.0	6.5	2	0.6	P1061-ND†	1.16	9.68	57.57	53.34/M	49.95/M	ECQ-M4182KZ
.0022	11.0	6.5	10.5	6.5	2	0.6	P1062-ND†	1.16	9.68	57.57	53.34/M	49.95/M	ECQ-M4222KZ
.0027	12.0	6.0	10.0	7.5	2	0.6	P1063-ND	1.16	9.68	57.57	53.34/M	49.95/M	ECQ-M4272KZ
.0033	12.0	6.5	10.5	7.5	2	0.6	P1064-ND†	1.16	9.68	57.57	53.34/M	49.95/M	ECQ-M4332KZ
.0039	12.0	6.5	10.5	7.5	2	0.6	P1065-ND	1.16	9.68	57.57	53.34/M	49.95/M	ECQ-M4392KZ
.0047	14.0	6.0	10.0	9.5	2	0.6	P1066-ND†	1.16	9.68	57.57	53.34/M	49.95/M	ECQ-M4472KZ
.0056	14.0	6.0	10.0	9.5	2	0.6	P1067-ND	1.16	9.68	57.57	53.34/M	49.95/M	ECQ-M4562KZ
.0068	14.0	6.5	10.5	9.5	3	0.6	P1068-ND†	1.16	9.68	57.57	53.34/M	49.95/M	ECQ-M4682KZ
.0082	14.0	6.5	12.0	9.5	3	0.6	P1069-ND	1.19	9.95	59.26	55.03/M	51.65/M	ECQ-M4822KZ
.01	14.0	7.0	12.5	9.5	3	0.6	P1070-ND†	1.19	9.95	59.26	55.03/M	51.65/M	ECQ-M4103KZ
.012	17.0	6.0	12.0	12.5	3	0.6	P1071-ND	1.26	10.48	62.65	58.42/M	54.19/M	ECQ-M4123KZ
.015	17.0	6.5	12.5	12.5	3	0.6	P1072-ND†	1.26	10.48	62.65	58.42/M	54.19/M	ECQ-M4153KZ
.018	17.0	7.0	13.0	12.5	3	0.6	P1073-ND	1.26	10.48	62.65	58.42/M	54.19/M	ECQ-M4183KZ
.022	17.0	7.5	13.5	12.5	3	0.6	P1074-ND†	1.39	11.56	68.57	64.35/M	60.11/M	ECQ-M4223KZ
.027	20.0	7.0	14.5	15.0	2	0.7	P1075-ND	1.52	12.61	75.35	70.27/M	65.19/M	ECQ-M4273KZ
.033	20.0	7.5	15.0	15.0	2	0.7	P1076-ND†	1.61	13.42	80.43	74.50/M	69.43/M	ECQ-M4333KZ
.039	20.0	8.5	16.0	15.0	3	0.7	P1077-ND	1.71	14.22	84.66	78.74/M	73.66/M	ECQ-M4393KZ
.047	20.0	9.0	16.5	15.0	3	0.7	P1078-ND†	1.84	15.31	91.43	84.66/M	79.58/M	ECQ-M4473KZ
.056	23.0	8.5	15.5	18.0	3	0.7	P1079-ND	1.99	16.58	99.05	92.28/M	86.36/M	ECQ-M4563KZ
.068	23.0	9.0	16.5	18.0	3	0.7	P1080-ND†	2.25	18.78	111.75	104.14/M	97.36/M	ECQ-M4683KZ
.082	24.0	9.5	17.0	18.0	3	0.8	P1081-ND	2.57	21.46	127.84	119.37/M	111.76/M	ECQ-M4823KZ
.1	24.0	10.0	19.0	18.0	3	0.8	P1082-ND†	2.80	23.32	138.84	129.53/M	121.07/M	ECQ-M4104KZ

*M200-KIT-ND ***Digi-Key® Kondensatorsatz der Serie M*** Sortiment mit 200 Volt. jeweils 10 der angegebenen Teile. Heftartiges Aufbewahrungsetui und Lagerhaltungsanleitung inbegriffen. **25.36**

†M400-KIT-ND ***Digi-Key® Kondensatorsatz der Serie M*** Sortiment mit 400 Volt. jeweils 10 der angegebenen Teile. Heftartiges Aufbewahrungsetui und Lagerhaltungsanleitung inbegriffen **25.36**

Panasonic® Metallisierte Polyesterkondensatoren – Typ ECQE(C)

Merkmale:
- Kastenbauweise (Gehäuse erfüllt die Brandschutzklasse UL94V-0 und die Anforderungen nach IEC950)
- Betriebstemperaturbereich: -25 °C ~ 85 °C (105 °C*)

(* Erfordert Spannungs-, Strom- und Stromimpulsleistungsminderung)

Anwendung:
Entstörung für aktive Schaltkreise

Elektrische Spezifikationen:
- Nennspannung: 450 V DC
- Kapazitätstoleranz: ±10 %
- Haltespannung: Zwischen Anschlüssen: 1 Minute bei 150% der Nennspannung (Spannungsanlegung über einen Widerstand von 2 kµ oder mehr, beim Laden oder Entladen.) Zwischen verbundenen Anschüssen und Gehäuse: 1-5s bei 200 % Nennspannung
- Isolationswiderstand zwischen Anschlüssen: 9.000MΩ oder mehr (wenn C ≤0,33 mF) 3.000MΩ/µF oder mehr (wenn C >0,33µF) bei 100 V DC ±15 V für 60 ±5 S, bei 20 °C
- Verlustfaktor: 1,0% oder weniger (gemessen bei einer Frequenz von 1 ±0,2 kHz, bei 20 °C)

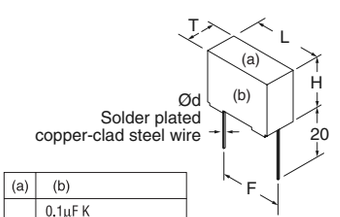

(a)	(b)
Ⓜ	0.1µF K Ⓜ450V ECQEC□ (Date Code)

Betriebs-spannung DC	Kap. µF	Tole-ranz	Abmessungen (mm) L	T	H	F	d	Digi-Key Teilenr.	Stückpreis 1	10	100	1.000	Panasonic Teilenr.
450	.10	10%	18.5	5.5	14.5	15.0	0.6	P10755-ND	.52	.45	.38	.23	ECQ-E2W104KC
	.15	10%	18.5	6.0	16.5	15.0	0.6	P10756-ND	.63	.55	.46	.27	ECQ-E2W154KC
	.22	10%	18.5	7.0	18.0	15.0	0.6	P10757-ND	.75	.65	.54	.33	ECQ-E2W224KC
	.33	10%	18.0	9.0	17.5	15.0	0.8	P10758-ND	.93	.80	.67	.40	ECQ-E2W334KC
	.47	10%	18.0	9.5	17.5	15.0	0.8	P10759-ND	1.10	.95	.79	.47	ECQ-E2W474KC
	.68	10%	25.5	10.5	20.0	22.5	0.8	P10760-ND	1.50	1.29	1.08	.65	ECQ-E2W684KC
	1.0	10%	25.5	12.5	22.0	22.5	0.8	P10761-ND	1.96	1.69	1.41	.84	ECQ-E2W105KC
	1.5	10%	25.5	15.5	24.5	22.5	0.8	P10762-ND	2.60	2.23	1.86	1.11	ECQ-E2W155KC
	2.2	10%	31.0	14.0	24.5	27.5	0.8	P10763-ND	3.41	2.93	2.44	1.46	ECQ-E2W225KC

Panasonic Serie P Polypropylen-Kondensatoren

Merkmale:
• Breiter Kapazitätsbereich • Enge Kapazitätstoleranz • Hoher Isolationswiderstand • Niedriger Dissipationsfaktor • Nicht induktive Konst. • Epoxidharzbeschichtung

Anwendungen:
• Sperrung, Bypass und Kopplung von DC und Signal zu UHF-Bereich • Impuls-, Logik- und Timing-Schaltkreis • Impulsbildendes Netzwerk (Light-Duty) • Filter- und Rauschunterdrückungsschaltkreis

Elektrische Spezifikationen:
• Referenzstandard: EIAJ RC-3670A • Temperaturbereich: –40 °C ~ +85 °C • Verlustfaktor: max. 0,1 % bei 1 kHz und 25 °C • Haltespannung: 1-5 S bei 250 % der Nennspannung • Isolationswiderstand: min. 45.000MΩ, für Werte weniger als 0,33µF. Min. 15.000MΩ/µF für 0,33µF und höher. (Gemessen nach einer 2-minütigen Ladung bei Nennspannung und 25 °C.)

PANASONIC ECQ-P QUERREFERENZEN Sprague: 715P **Westlake:** 173/174 **Mepco:** 719E1/719H1 **Secor:** PFDS/PFDR **Roderstein:** KP1835 **Wima:** FKP **CSF Thompson:** PL/PS **Rubycon:** PP **Nissel:** APS/APA.

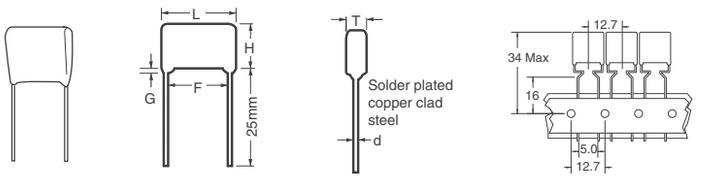

WV DC*	Kap. µF	Tole-ranz	Abmessungen (mm) L	T	H	F	d	Digi-Key Teilenr.	Preisangabe gegurtet in Schachtel 500	1.000	5.000	Panasonic Teilenr.
50	.0001	5%	8.5	4.5	7.5	5.0	0.5	P3101TB-ND	—	116.83	112.60/M	ECQ-P1H101JZ3
	.00012	5%	8.5	4.5	7.5	5.0	0.5	P3121TB-ND	—	116.83	112.60/M	ECQ-P1H121JZ3
	.00015	5%	8.5	4.5	7.5	5.0	0.5	P3151TB-ND	—	116.83	112.60/M	ECQ-P1H151JZ3
	.00018	5%	8.5	4.5	7.5	5.0	0.5	P3181TB-ND	—	116.83	112.60/M	ECQ-P1H181JZ3
	.00022	5%	8.5	4.5	7.5	5.0	0.5	P3221TB-ND	—	116.83	112.60/M	ECQ-P1H221JZ3
	.00027	5%	8.5	4.5	7.5	5.0	0.5	P3271TB-ND	—	116.83	112.60/M	ECQ-P1H271JZ3
	.00033	5%	8.5	4.5	7.5	5.0	0.5	P3331TB-ND	—	116.83	112.60/M	ECQ-P1H331JZ3
	.00039	5%	8.5	4.5	7.5	5.0	0.5	P3391TB-ND	—	116.83	112.60/M	ECQ-P1H391JZ3
	.00047	5%	8.5	4.5	7.5	5.0	0.5	P3471TB-ND	—	116.83	112.60/M	ECQ-P1H471JZ3
	.00056	5%	8.5	4.5	7.5	5.0	0.5	P3561TB-ND	—	116.83	112.60/M	ECQ-P1H561JZ3
	.00068	5%	8.5	4.5	7.5	5.0	0.5	P3681TB-ND	—	116.83	112.60/M	ECQ-P1H681JZ3
	.00082	5%	8.5	4.5	7.5	5.0	0.5	P3821TB-ND	—	116.83	112.60/M	ECQ-P1H821JZ3
	.001	2%	8.5	4.5	7.5	5.0	0.5	P3102TB-ND	—	163.39	158.32/M	ECQ-P1H102GZ3
	.0012	2%	8.5	4.5	7.5	5.0	0.5	P3122TB-ND	—	163.39	158.32/M	ECQ-P1H122GZ3
	.0015	2%	8.5	4.5	7.5	5.0	0.5	P3152TB-ND	—	163.39	158.32/M	ECQ-P1H152GZ3
	.0018	2%	8.5	4.5	7.5	5.0	0.5	P3182TB-ND	—	163.39	158.32/M	ECQ-P1H182GZ3
	.0022	2%	8.5	4.5	7.5	5.0	0.5	P3222TB-ND	—	163.39	158.32/M	ECQ-P1H222GZ3
	.0027	2%	8.5	4.5	7.5	5.0	0.5	P3272TB-ND	—	163.39	158.32/M	ECQ-P1H272GZ3
	.0033	2%	8.5	4.5	7.5	5.0	0.5	P3332TB-ND	—	163.39	158.32/M	ECQ-P1H332GZ3
	.0039	2%	8.5	4.5	7.5	5.0	0.5	P3392TB-ND	—	163.39	158.32/M	ECQ-P1H392GZ3
	.0047	2%	8.5	4.5	7.5	5.0	0.5	P3472TB-ND	—	163.39	158.32/M	ECQ-P1H472GZ3
	.0056	2%	8.5	4.5	8.0	5.0	0.5	P3562TB-ND	—	174.40	168.48/M	ECQ-P1H562GZ3
	.0068	2%	8.5	5.0	8.0	5.0	0.5	P3682TB-ND	—	174.40	168.48/M	ECQ-P1H682GZ3
	.0082	2%	12.0	5.5	9.0	5.0	0.6	P3822TB-ND	—	187.10	181.18/M	ECQ-P1H822GZ3
	.01	2%	12.0	5.0	8.5	5.0	0.6	P3103TB-ND	—	187.10	181.18/M	ECQ-P1H103GZ3
	.012	2%	12.0	5.5	9.0	5.0	0.6	P3123TB-ND	—	187.10	181.18/M	ECQ-P1H123GZ3
	.015	2%	12.0	5.0	9.0	5.0	0.6	P3153TB-ND	—	187.10	181.18/M	ECQ-P1H153GZ3
	.018	2%	12.0	5.5	9.5	5.0	0.6	P3183TB-ND	—	201.49	194.72/M	ECQ-P1H183GZ3
	.022	2%	12.0	5.5	10.5	5.0	0.6	P3223TB-ND	—	201.49	194.72/M	ECQ-P1H223GZ3
	.027	2%	12.0	6.0	11.0	5.0	0.6	P3273TB-ND	115.56	—	223.51/M	ECQ-P1H273GZ3
	.033	2%	12.0	6.5	00.5	5.0	0.6	P3333TB-ND	115.56	—	223.51/M	ECQ-P1H333GZ3

WV DC*	Kap. µF	Tole-ranz	Abmessungen (mm) L	T	H	F	G	d	Digi-Key Teilenr.	Preisangabe gegurtet in Schachtel 1	10	100	1.000	Panasonic Teilenr.
50	.0001	5%	8.5	4.5	7.5	5.0	1.0	0.5	P3101-ND*	.19	1.68	14.04	83.81	ECQ-P1H101JZ
	.00012	5%	8.5	4.5	7.5	5.0	1.0	0.5	P3121-ND	.19	1.68	14.04	83.81	ECQ-P1H121JZ
	.00015	5%	8.5	4.5	7.5	5.0	1.0	0.5	P3151-ND	.19	1.68	14.04	83.81	ECQ-P1H151JZ
	.00018	5%	8.5	4.5	7.5	5.0	1.0	0.5	P3181-ND	.19	1.68	14.04	83.81	ECQ-P1H181JZ
	.00022	5%	8.5	4.5	7.5	5.0	1.0	0.5	P3221-ND*	.19	1.68	14.04	83.81	ECQ-P1H221JZ
	.00027	5%	8.5	4.5	7.5	5.0	1.0	0.5	P3271-ND	.19	1.68	14.04	83.81	ECQ-P1H271JZ
	.00033	5%	8.5	4.5	7.5	5.0	1.0	0.5	P3331-ND*	.19	1.68	14.04	83.81	ECQ-P1H331JZ
	.00039	5%	8.5	4.5	7.5	5.0	1.0	0.5	P3391-ND	.19	1.68	14.04	83.81	ECQ-P1H391JZ
	.00047	5%	8.5	4.5	7.5	5.0	1.0	0.5	P3471-ND*	.19	1.68	14.04	83.81	ECQ-P1H471JZ
	.00056	5%	8.5	4.5	7.5	5.0	1.0	0.5	P3561-ND	.19	1.68	14.04	83.81	ECQ-P1H561JZ
	.00068	5%	8.5	4.5	7.5	5.0	1.0	0.5	P3681-ND	.19	1.68	14.04	83.81	ECQ-P1H681JZ
	.00082	5%	8.5	4.5	7.5	5.0	1.0	0.5	P3821-ND	.19	1.68	14.04	83.81	ECQ-P1H821JZ
	.001	2%	8.5	4.5	7.5	5.0	1.0	0.5	P3102-ND*	.39	3.30	27.51	164.24	ECQ-P1H102GZ
	.0012	2%	8.5	4.5	7.5	5.0	1.0	0.5	P3122-ND	.39	3.30	27.51	164.24	ECQ-P1H122GZ
	.0015	2%	8.5	4.5	7.5	5.0	1.0	0.5	P3152-ND	.39	3.30	27.51	164.24	ECQ-P1H152GZ
	.0018	2%	8.5	4.5	7.5	5.0	1.0	0.5	P3182-ND	.39	3.30	27.51	164.24	ECQ-P1H182GZ
	.0022	2%	8.5	4.5	7.5	5.0	1.0	0.5	P3222-ND*	.39	3.30	27.51	164.24	ECQ-P1H222GZ
	.0027	2%	8.5	4.5	7.5	5.0	1.0	0.5	P3272-ND	.39	3.30	27.51	164.24	ECQ-P1H272GZ
	.0033	2%	8.5	4.5	7.5	5.0	1.0	0.5	P3332-ND*	.39	3.30	27.51	164.24	ECQ-P1H332GZ
	.0039	2%	8.5	4.5	7.5	5.0	1.0	0.5	P3392-ND	.39	3.30	27.51	164.24	ECQ-P1H392GZ
	.0047	2%	8.5	4.5	7.5	5.0	1.0	0.5	P3472-ND*	.39	3.30	27.51	164.24	ECQ-P1H472GZ
	.0056	2%	8.5	4.5	8.0	5.0	1.0	0.5	P3562-ND	.41	3.56	29.63	176.94	ECQ-P1H562GZ
	.0068	2%	8.5	5.0	8.0	5.0	1.0	0.5	P3682-ND	.41	3.56	29.63	176.94	ECQ-P1H682GZ
	.0082	2%	12.0	5.5	9.0	7.5	1.0	0.6	P3822-ND	.41	3.56	29.63	176.94	ECQ-P1H822GZ
	.01	2%	12.0	5.0	8.5	7.5	1.0	0.6	P3103-ND*	.45	3.81	31.75	189.64	ECQ-P1H103GZ
	.012	2%	12.0	5.5	9.0	7.5	1.0	0.6	P3123-ND	.45	3.81	31.75	189.64	ECQ-P1H123GZ
	.015	2%	12.0	5.0	9.0	7.5	1.0	0.6	P3153-ND	.45	3.81	31.75	189.64	ECQ-P1H153GZ
	.018	2%	12.0	5.5	9.5	7.5	1.0	0.6	P3183-ND	.48	4.11	34.29	204.88	ECQ-P1H183GZ
	.022	2%	12.0	5.5	10.5	7.5	1.0	0.6	P3223-ND*	.48	4.11	34.29	204.88	ECQ-P1H223GZ
	.027	2%	12.0	6.0	11.0	7.5	1.0	0.6	P3273-ND	.50	4.29	35.77	213.34	ECQ-P1H273GZ
	.033	2%	12.0	6.5	11.5	7.5	1.0	0.6	P3333-ND*	.50	4.29	35.77	213.34	ECQ-P1H333GZ
	.039	2%	14.5	5.5	12.0	10.0	1.0	0.6	P3393-ND	.54	4.67	38.94	232.82	ECQ-P1H393GZ
	.047	2%	14.5	6.0	12.5	10.0	1.0	0.6	P3473-ND*	.54	4.67	38.94	232.82	ECQ-P1H473GZ
	.056	2%	14.5	6.5	13.5	10.0	1.0	0.6	P3563-ND	.61	5.21	43.39	259.06	ECQ-P1H563GZ
	.068	2%	14.5	7.0	14.0	10.0	1.0	0.6	P3683-ND	.73	6.27	52.28	312.40	ECQ-P1H683GZ
	.082	2%	17.0	7.0	14.0	12.5	1.0	0.6	P3823-ND	.73	6.27	52.28	312.40	ECQ-P1H823GZ
	.1	2%	17.0	7.5	14.5	12.5	1.0	0.6	P3104-ND*	.73	6.27	52.28	312.40	ECQ-P1H104GZ
	.12	2%	17.0	8.5	15.5	12.5	1.0	0.6	P3124-ND	.90	7.67	63.92	381.82	ECQ-P1H124GZ
	.15	2%	20.0	8.0	15.5	15.0	1.0	0.6	P3154-ND	.90	7.67	63.92	381.82	ECQ-P1H154GZ
	.18	2%	20.0	9.0	16.0	15.0	1.0	0.6	P3184-ND	1.08	9.32	77.68	463.94	ECQ-P1H184GZ
	.22	2%	20.0	9.5	17.0	15.0	1.0	0.6	P3224-ND*	1.08	9.32	77.68	463.94	ECQ-P1H224GZ
	.27	2%	20.0	10.5	18.0	15.0	1.0	0.6	P3274-ND	1.34	11.48	95.67	571.46	ECQ-P1H274GZ
	.33	2%	22.5	10.0	19.5	17.5	1.0	0.8	P3334-ND*	1.34	11.48	95.67	571.46	ECQ-P1H334GZ
	.39	2%	22.5	11.0	20.0	17.5	1.0	0.8	P3394-ND	1.60	13.71	114.29	682.36	ECQ-P1H394GZ
	.47	2%	22.5	12.0	21.0	17.5	1.0	0.8	P3474-ND	1.60	13.71	114.29	682.36	ECQ-P1H474GZ

P3100-KIT-ND** ***Digi-Key® Kondensatorsatz Serie P-Series jeweils 10 der angegebenen Teile. Heftartige Aufbewahrung und Lagerhaltungsanleitung inbegriffen. **59.22**

Serie ECQ-P (Z) Polypropylen-Schichtkondensatoren

Nicht induktive Konstruktion unter Verwendung von Polypropylenfolie mit Epoxidharzbeschichtung.

Merkmale:
• Hervorragende Temperatur- und Frequenzeigenschaften
• Hervorragende langfristige Stabilität

Anwendungen:
• Dolby-Schaltkreise
• Oszillationsschaltkreise

Elektrische Spezifikationen:
• Betriebstemperaturbereich: -40 °C ~ +85 °C
• Nennspannung: 50VDC, (über 70° ist Spannungsdrosselung erforderlich. Details im Datenblatt.)
• Verlustfaktor: max. 0,1 % bei 1 kHz und 20 °C
• Haltespannung: Zwischen Klemmen Nennspannung (V DC) x 250 %, 1 bis 5 s • Isolierwiderstand: C ≤ 0,33µF: min. 45.000MΩ, C ≤ 0,33µF: min. 15.000MΩ µF (20 °C Nennspannung - 60 s)

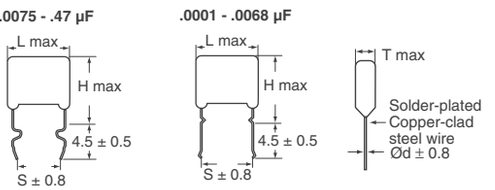

WV DC*	Kap. µF	Tole-ranz	Abmessungen (mm) L	T	H	S	d	Digi-Key Teilenr.	Preisangaben 1	10	100	1.000	Panasonic Teilenr.
50	0.0001	5%	8.5	4.5	12.5	5.0	0.50	P3889-ND	.19	1.64	13.71	82.29	ECQ-P1H101JZW
	0.00012	5%	8.5	4.5	12.5	5.0	0.50	P3890-ND	.19	1.64	13.71	82.29	ECQ-P1H121JZW
	0.00015	5%	8.5	4.5	12.5	5.0	0.50	P3891-ND	.19	1.64	13.71	82.29	ECQ-P1H151JZW
	0.00018	5%	8.5	4.5	12.5	5.0	0.50	P3892-ND	.19	1.64	13.71	82.29	ECQ-P1H181JZW
	0.00022	5%	8.5	4.5	12.5	5.0	0.50	P3893-ND	.19	1.64	13.71	82.29	ECQ-P1H221JZW
	0.00027	5%	8.5	4.5	12.5	5.0	0.50	P3894-ND	.19	1.64	13.71	82.29	ECQ-P1H271JZW
	0.00033	5%	8.5	4.5	12.5	5.0	0.50	P3895-ND	.19	1.64	13.71	82.29	ECQ-P1H331JZW
	0.00039	5%	8.5	4.5	12.5	5.0	0.50	P3896-ND	.19	1.64	13.71	82.29	ECQ-P1H391JZW
	0.00047	5%	8.5	4.5	12.5	5.0	0.50	P3897-ND	.19	1.64	13.71	82.29	ECQ-P1H471JZW
	0.00056	5%	8.5	4.5	12.5	5.0	0.50	P3898-ND	.19	1.64	13.71	82.29	ECQ-P1H561JZW
	0.00068	5%	8.5	4.5	12.5	5.0	0.50	P3899-ND	.19	1.64	13.71	82.29	ECQ-P1H681JZW
	0.00082	5%	8.5	4.5	12.5	5.0	0.50	P3900-ND	.19	1.64	13.71	82.29	ECQ-P1H821JZW
	0.0011	2%	8.5	4.5	12.5	5.0	0.50	P3901-ND	.30	2.57	21.42	128.51	ECQ-P1H102GZW
	0.0012	2%	8.5	4.5	12.5	5.0	0.50	P3902-ND	.30	2.57	21.42	128.51	ECQ-P1H122GZW
	0.0015	2%	8.5	4.5	12.5	5.0	0.50	P3903-ND	.30	2.57	21.42	128.51	ECQ-P1H152GZW
	0.0018	2%	8.5	4.5	12.5	5.0	0.50	P3904-ND	.30	2.57	21.42	128.51	ECQ-P1H182GZW
	0.0022	2%	8.5	4.5	12.5	5.0	0.50	P3905-ND	.30	2.57	21.42	128.51	ECQ-P1H222GZW
	0.0027	2%	8.5	4.5	12.5	5.0	0.50	P3906-ND	.30	2.57	21.42	128.51	ECQ-P1H272GZW
	0.0033	2%	8.5	4.5	12.5	5.0	0.50	P3907-ND	.30	2.57	21.42	128.51	ECQ-P1H332GZW
	0.0039	2%	8.5	4.5	12.5	5.0	0.50	P3908-ND	.30	2.57	21.42	128.51	ECQ-P1H392GZW
	0.0047	2%	8.5	4.5	12.5	5.0	0.50	P3909-ND	.30	2.57	21.42	128.51	ECQ-P1H472GZW
	0.0056	2%	8.5	4.5	13.0	5.0	0.50	P3910-ND	.32	2.78	23.11	138.67	ECQ-P1H562GZW
	0.0068	2%	8.5	5.0	13.0	5.0	0.50	P3911-ND	.32	2.78	23.11	138.67	ECQ-P1H682GZW
	0.0082	2%	12.0	5.5	14.0	5.0	0.60	P3912-ND	.32	2.78	23.11	138.67	ECQ-P1H822GZW
	0.01	2%	12.0	5.0	13.5	5.0	0.60	P3913-ND	.35	3.01	25.06	150.36	ECQ-P1H103GZW
	0.012	2%	12.0	5.0	14.0	5.0	0.60	P3914-ND	.35	3.01	25.06	150.36	ECQ-P1H123GZW
	0.015	2%	12.0	5.0	14.0	5.0	0.60	P3915-ND	.35	3.01	25.06	150.36	ECQ-P1H153GZW
	0.018	2%	12.0	5.5	14.5	5.0	0.60	P3916-ND	.38	3.27	27.26	163.56	ECQ-P1H183GZW
	0.022	2%	12.0	5.5	15.5	5.0	0.60	P3917-ND	.38	3.27	27.26	163.56	ECQ-P1H223GZW
	0.027	2%	12.0	6.0	16.0	5.0	0.60	P3918-ND	.38	3.27	27.26	163.56	ECQ-P1H273GZW
	0.033	2%	12.0	6.5	16.5	5.0	0.60	P3919-ND	.40	3.42	28.47	170.80	ECQ-P1H333GZW
	0.039	2%	14.5	5.5	17.0	5.0	0.60	P3920-ND	.44	3.74	31.15	186.93	ECQ-P1H393GZW

WV DC*	Kap. µF	Tole-ranz	Abmessungen (mm) L	T	H	S	d	Digi-Key Teilenr.	Preisangaben 1	10	100	1.000	Panasonic Teilenr.
50	0.047	2%	14.5	6.0	17.5	5.0	0.60	P3921-ND	.51	4.35	36.28	217.66	ECQ-P1H473GZW
	0.056	2%	14.5	6.5	18.5	5.0	0.60	P3922-ND	.51	4.35	36.28	217.66	ECQ-P1H563GZW
	0.068	2%	14.5	7.0	19.0	5.0	0.60	P3923-ND	.51	4.35	36.28	217.66	ECQ-P1H683GZW
	0.082	2%	17.0	7.0	19.0	7.5	0.60	P3924-ND	.51	4.35	36.28	217.66	ECQ-P1H823GZW
	0.1	2%	17.0	7.5	19.5	7.5	0.60	P3925-ND	.69	5.98	49.81	298.81	ECQ-P1H104GZW
	0.12	2%	17.0	8.5	20.5	7.5	0.60	P3926-ND	.87	7.46	62.18	373.10	ECQ-P1H124GZW
	0.15	2%	20.0	8.0	20.5	10.0	0.60	P3927-ND	.87	7.46	62.18	373.10	ECQ-P1H154GZW
	0.18	2%	20.0	9.0	21.0	10.0	0.60	P3928-ND	.93	7.97	66.42	398.49	ECQ-P1H184GZW
	0.22	2%	20.0	9.5	22.0	10.0	0.60	P3929-ND	1.12	9.58	79.82	478.88	ECQ-P1H224GZW
	0.27	2%	20.0	10.5	23.0	10.0	0.60	P3930-ND	1.12	9.58	79.82	478.88	ECQ-P1H274GZW
	0.33	2%	22.5	10.0	24.5	12.5	0.80	P3931-ND	1.13	9.64	80.33	481.93	ECQ-P1H334GZW
	0.39	2%	22.5	11.0	25.0	12.5	0.80	P3932-ND	1.35	11.56	96.39	578.31	ECQ-P1H394GZW
	0.47	2%	22.5	12.0	26.0	12.5	0.80	P3933-ND	1.35	11.56	96.39	578.31	ECQ-P1H474GZW
	0.001	1%	8.5	4.5	12.5	5.0	0.50	P3824-ND	.53	4.59	38.22	229.34	ECQ-P1H102FZW
	0.0011	1%	8.5	4.5	12.5	5.0	0.50	P3825-ND	.53	4.59	38.22	229.34	ECQ-P1H112FZW
	0.0012	1%	8.5	4.5	12.5	5.0	0.50	P3826-ND	.53	4.59	38.22	229.34	ECQ-P1H122FZW
	0.0013	1%	8.5	4.5	12.5	5.0	0.50	P3827-ND	.53	4.59	38.22	229.34	ECQ-P1H132FZW
	0.0015	1%	8.5	4.5	12.5	5.0	0.50	P3828-ND	.53	4.59	38.22	229.34	ECQ-P1H152FZW
	0.0016	1%	8.5	4.5	12.5	5.0	0.50	P3829-ND	.53	4.59	38.22	229.34	ECQ-P1H162FZW
	0.0018	1%	8.5	4.5	12.5	5.0	0.50	P3830-ND	.53	4.59	38.22	229.34	ECQ-P1H182FZW
	0.002	1%	8.5	4.5	12.5	5.0	0.50	P3831-ND	.53	4.59	38.22	229.34	ECQ-P1H202FZW
	0.0022	1%	8.5	4.5	12.5	5.0	0.50	P3832-ND	.53	4.59	38.22	229.34	ECQ-P1H222FZW
	0.0024	1%	8.5	4.5	12.5	5.0	0.50	P3833-ND	.53	4.59	38.25	229.47	ECQ-P1H242FZW
	0.0027	1%	8.5	4.5	12.5	5.0	0.50	P3834-ND	.53	4.59	38.25	229.47	ECQ-P1H272FZW
	0.003	1%	8.5	4.5	12.5	5.0	0.50	P3835-ND	.53	4.59	38.25	229.47	ECQ-P1H302FZW
	0.0033	1%	8.5	4.5	12.5	5.0	0.50	P3836-ND	.53	4.59	38.25	229.47	ECQ-P1H332FZW
	0.0036	1%	8.5	4.5	12.5	5.0	0.50	P3837-ND	.53	4.59	38.25	229.47	ECQ-P1H362FZW
	0.0039	1%	8.5	4.5	12.5	5.0	0.50	P3838-ND	.53	4.59	38.25	229.47	ECQ-P1H392FZW
	0.0043	1%	8.5	4.5	12.5	5.0	0.50	P3839-ND	.53	4.59	38.25	229.47	ECQ-P1H432FZW
	0.0047	1%	8.5	4.5	12.5	5.0	0.50	P3840-ND	.53	4.59	38.25	229.47	ECQ-P1H472FZW

*Betriebsspannung DC

(Forts.)

Alle Preisangaben in Euro und inklusive Zollgebühren.

WV DC*	Kap. µF	Tole-ranz	Abmessungen (mm) L	T	H	S	d	Digi-Key Teilenr.	Preisangaben 1	10	100	1.000	Panasonic Teilenr.
50	0.0051	1%	8.5	4.5	13.0	5.0	0.50	P3841-ND	.53	4.59	38.25	229.47	ECQ-P1H512FZW
	0.0056	1%	8.5	4.5	13.0	5.0	0.50	P3842-ND	.53	4.59	38.25	229.47	ECQ-P1H562FZW
	0.0062	1%	8.5	5.0	13.0	5.0	0.50	P3843-ND	.53	4.59	38.25	229.47	ECQ-P1H622FZW
	0.0068	1%	8.5	5.0	13.0	5.0	0.50	P3844-ND	.53	4.59	38.25	229.47	ECQ-P1H682FZW
	0.0075	1%	12.0	5.0	14.0	5.0	0.60	P3845-ND	.53	4.59	38.25	229.47	ECQ-P1H752FZW
	0.0082	1%	12.0	5.5	14.0	5.0	0.60	P3846-ND	.53	4.59	38.25	229.47	ECQ-P1H822FZW
	0.0091	1%	12.0	5.0	13.5	5.0	0.60	P3847-ND	.53	4.59	38.25	229.47	ECQ-P1H912FZW
	0.01	1%	12.0	5.0	13.5	5.0	0.60	P3848-ND	.53	4.59	38.25	229.47	ECQ-P1H103FZW
	0.011	1%	12.0	5.0	14.0	5.0	0.60	P3849-ND	.55	4.71	39.22	235.31	ECQ-P1H113FZW
	0.012	1%	12.0	5.5	14.0	5.0	0.60	P3850-ND	.55	4.71	39.22	235.31	ECQ-P1H123FZW
	0.013	1%	12.0	5.0	14.0	5.0	0.60	P3851-ND	.55	4.71	39.22	235.31	ECQ-P1H133FZW
	0.015	1%	12.0	5.0	14.0	5.0	0.60	P3852-ND	.55	4.71	39.22	235.31	ECQ-P1H153FZW
	0.016	1%	12.0	5.5	14.0	5.0	0.60	P3853-ND	.55	4.71	39.22	235.31	ECQ-P1H163FZW
	0.018	1%	12.0	5.5	14.5	5.0	0.60	P3854-ND	.55	4.71	39.22	235.31	ECQ-P1H183FZW
	0.02	1%	12.0	5.5	14.5	5.0	0.60	P3855-ND	.63	5.38	44.79	268.71	ECQ-P1H203FZW
	0.022	1%	12.0	5.5	15.5	5.0	0.60	P3856-ND	.52	4.45	37.08	222.49	ECQ-P1H223FZW
	0.024	1%	12.0	6.0	15.5	5.0	0.60	P3857-ND	.63	5.38	44.79	268.71	ECQ-P1H243FZW
	0.027	1%	12.0	6.0	16.0	5.0	0.60	P3858-ND	.63	5.38	44.79	268.71	ECQ-P1H273FZW
	0.03	1%	12.0	6.5	16.0	5.0	0.60	P3859-ND	.71	6.09	50.75	304.52	ECQ-P1H303FZW
	0.033	1%	12.0	6.5	16.5	5.0	0.60	P3860-ND	.71	6.09	50.75	304.52	ECQ-P1H333FZW
	0.036	1%	14.5	5.5	17.0	5.0	0.60	P3861-ND	.71	6.09	50.75	304.52	ECQ-P1H363FZW
	0.039	1%	14.5	5.5	17.0	5.0	0.60	P3862-ND	.71	6.09	50.75	304.52	ECQ-P1H393FZW
	0.043	1%	14.5	6.0	17.0	5.0	0.60	P3863-ND	.71	6.09	50.75	304.52	ECQ-P1H433FZW
	0.047	1%	14.5	6.0	17.5	5.0	0.60	P3864-ND	.71	6.09	50.75	304.52	ECQ-P1H473FZW

WV DC*	Kap. µF	Tole-ranz	Abmessungen (mm) L	T	H	S	d	Digi-Key Teilenr.	Preisangaben 1	10	100	1.000	Panasonic Teilenr.
50	0.051	1%	14.5	6.5	18.5	5.0	0.60	P3865-ND	.94	8.03	66.88	401.29	ECQ-P1H513FZW
	0.056	1%	14.5	6.5	18.5	5.0	0.60	P3866-ND	.94	8.03	66.88	401.29	ECQ-P1H563FZW
	0.062	1%	14.5	7.0	19.0	5.0	0.60	P3867-ND	.94	8.03	66.88	401.29	ECQ-P1H623FZW
	0.068	1%	14.5	7.0	19.0	5.0	0.60	P3868-ND	.94	8.03	66.88	401.29	ECQ-P1H683FZW
	0.075	1%	17.0	6.5	18.5	7.5	0.60	P3869-ND	.94	8.03	66.88	401.29	ECQ-P1H753FZW
	0.082	1%	17.0	7.0	19.0	7.5	0.60	P3870-ND	.94	8.03	66.88	401.29	ECQ-P1H823FZW
	0.091	1%	17.0	7.0	19.0	7.5	0.60	P3871-ND	.94	8.03	66.91	401.42	ECQ-P1H913FZW
	0.1	1%	17.0	7.5	19.5	7.5	0.60	P3872-ND	.97	8.36	69.62	417.67	ECQ-P1H104FZW
	0.11	1%	17.0	8.0	20.5	7.5	0.60	P3873-ND	1.21	10.35	86.25	517.48	ECQ-P1H114FZW
	0.12	1%	17.0	8.5	20.5	7.5	0.60	P3874-ND	1.21	10.35	86.25	517.48	ECQ-P1H124FZW
	0.13	1%	17.0	8.5	21.0	7.5	0.60	P3875-ND	1.21	10.35	86.25	517.48	ECQ-P1H134FZW
	0.15	1%	20.0	8.0	20.5	10.0	0.60	P3876-ND	1.21	10.35	86.25	517.48	ECQ-P1H154FZW
	0.16	1%	20.0	8.5	20.5	10.0	0.60	P3877-ND	1.21	10.35	86.25	517.48	ECQ-P1H164FZW
	0.18	1%	20.0	9.0	21.0	10.0	0.60	P3878-ND	1.21	10.35	86.25	517.48	ECQ-P1H184FZW
	0.20	1%	20.0	9.5	21.5	10.0	0.60	P3879-ND	1.21	10.35	86.25	517.48	ECQ-P1H204FZW
	0.22	1%	20.0	9.5	22.0	10.0	0.60	P3880-ND	1.21	10.35	86.25	517.48	ECQ-P1H224FZW
	0.24	1%	20.0	10.0	22.5	10.0	0.60	P3881-ND	1.60	13.71	114.21	685.24	ECQ-P1H244FZW
	0.27	1%	20.0	10.5	23.0	10.0	0.60	P3882-ND	1.68	14.39	119.96	719.78	ECQ-P1H274FZW
	0.30	1%	22.5	9.5	24.0	12.5	0.80	P3883-ND	1.68	14.39	119.96	719.78	ECQ-P1H304FZW
	0.33	1%	22.5	10.0	24.5	12.5	0.80	P3884-ND	1.87	16.06	133.81	802.83	ECQ-P1H334FZW
	0.36	1%	22.5	10.5	25.0	12.5	0.80	P3885-ND	1.87	16.06	133.81	802.83	ECQ-P1H364FZW
	0.39	1%	22.5	11.0	25.0	12.5	0.80	P3886-ND	2.07	17.72	147.65	885.88	ECQ-P1H394FZW
	0.43	1%	22.5	11.5	25.5	12.5	0.80	P3887-ND	2.21	18.96	158.04	948.23	ECQ-P1H434FZW
	0.47	1%	22.5	12.0	26.0	12.5	0.80	P3888-ND	2.34	20.06	167.12	1002.71	ECQ-P1H474FZW

Serie ECQP (U) Polypropylen-Schichtkondensatoren

Nicht induktive Konstruktion unter Verwendung von Polypropylenfolie mit flammenhemmender Epoxidharzbeschichtung.

Merkmale:

• Verlustarm und ausgezeichnete Frequenzeigenschaften • Ausgezeichnete Temperatureigenschaften • Hoher Isolationswiderstand

Anwendungen:

• Hochfrequenz- und Hochstromschaltkreise • Mehrzweckschaltkreis

Elektrische Spezifikationen:

• Referenzstandard: EIAJ RC-3670B Eigenschaft P • Temperaturbereich: -40°C ~ 85°C Leistungsminderung der Nennspannung bei mehr als 85°C (Nennspannung x 50 %) • Verlustfaktor: max. 0,1% bei 1 kHz und 20°C • Haltespannung: 1-5 S bei 250 % der Nennspannung zwischen Anschlüssen • Isolationswiderstand: min. 45.000 MΩ, für Werte weniger als 0,33 µF. Min. 15.000MΩ/µF, für Werte größer als 0,33µF (20°C, 100 V DC, 60s)

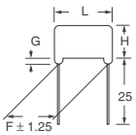

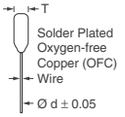

WV DC*	Kap. µF	Tole-ranz	Abmessungen (mm) L	T	H	F	G	d	Digi-Key Teilenr.	Preisangaben 1	10	100	1.000	Panasonic Teilenr.
400	.0082	5%	19.5	6.0	16.0	10.0	1.0	0.60	P3475-ND	.33	2.82	23.52	140.54	ECQ-P4822JU
	.01	5%	19.5	6.5	16.5	10.0	1.0	0.60	P3476-ND	.34	2.90	24.21	144.77	ECQ-P4103JU
	.012	5%	19.5	6.5	18.5	10.0	1.0	0.60	P3477-ND	.36	3.03	25.27	150.69	ECQ-P4123JU
	.015	5%	19.5	6.0	18.5	10.0	1.0	0.60	P3478-ND	.36	3.15	26.27	156.62	ECQ-P4153JU
	.018	5%	19.5	6.0	19.0	10.0	1.0	0.60	P3479-ND	.38	3.28	27.29	162.55	ECQ-P4183JU
	.022	5%	19.5	6.0	19.4	10.0	1.0	0.60	P3480-ND	.40	3.38	28.15	168.47	ECQ-P4223JU
	.027	5%	19.5	6.5	20.0	10.0	1.0	0.60	P3481-ND	.41	3.47	28.89	172.71	ECQ-P4273JU
	.033	5%	19.5	7.0	21.8	15.0	1.0	0.60	P3482-ND	.41	3.59	29.88	178.63	ECQ-P4333JU
	.039	5%	19.5	7.5	22.8	15.0	1.0	0.60	P3483-ND	.43	3.67	30.63	182.87	ECQ-P4393JU
	.047	5%	19.5	8.0	23.4	15.0	1.0	0.60	P3484-ND	.51	4.34	36.22	215.88	ECQ-P4473JU
	.056	5%	24.5	7.0	22.0	15.0	1.5	0.80	P3485-ND	.51	4.39	36.57	218.42	ECQ-P4563JU
	.068	5%	24.5	7.5	23.0	15.0	1.5	0.80	P3486-ND	.55	4.72	39.37	235.35	ECQ-P4683JU
	.082	5%	24.5	8.5	23.8	15.0	1.5	0.80	P3487-ND	.59	5.08	42.36	253.13	ECQ-P4823JU
	.1	5%	24.5	9.0	26.6	20.0	1.5	0.80	P3488-ND	.69	5.93	49.38	294.62	ECQ-P4104JU
	.12	5%	24.5	10.0	27.4	20.0	1.5	0.80	P3489-ND	.70	6.06	50.48	301.39	ECQ-P4124JU
	.15	5%	24.5	11.0	28.6	20.0	1.5	0.80	P3490-ND	.80	6.79	56.55	337.79	ECQ-P4154JU
	.18	5%	29.5	10.5	26.0	20.0	1.5	0.80	P3491-ND	.87	7.46	62.18	371.66	ECQ-P4184JU
	.22	5%	29.5	11.5	27.0	20.0	1.5	0.80	P3492-ND	.97	8.32	69.34	413.99	ECQ-P4224JU
	.27	5%	29.5	13.0	28.4	20.0	1.5	0.80	P3493-ND	1.11	9.51	79.20	473.25	ECQ-P4274JU
	.33	5%	29.5	15.0	29.8	20.0	1.5	0.80	P3494-ND	1.22	10.45	87.06	519.81	ECQ-P4334JU
	.39	5%	35.0	15.0	30.0	20.0	1.5	0.80	P3495-ND	1.28	10.96	91.39	545.21	ECQ-P4394JU
	.47	5%	35.0	16.5	31.4	20.0	1.5	0.80	P3496-ND	1.36	11.70	97.49	581.61	ECQ-P4474JU
630	.001	5%	14.5	.0	15.5	10.0	1.0	0.60	P3497-ND	.28	2.37	19.73	117.68	ECQ-P6102JU
	.0012	5%	14.5	5.5	15.5	10.0	1.0	0.60	P3498-ND	.28	2.37	19.73	117.68	ECQ-P6122JU

WV DC*	Kap. µF	Tole-ranz	Abmessungen (mm) L	T	H	F	G	d	Digi-Key Teilenr.	Preisangaben 1	10	100	1.000	Panasonic Teilenr.
630	.0015	5%	14.5	5.5	15.5	10.0	1.0	0.60	P3499-ND	.28	2.37	19.73	117.68	ECQ-P6152JU
	.0018	5%	14.5	5.5	15.5	10.0	1.0	0.60	P3500-ND	.28	2.37	19.73	117.68	ECQ-P6182JU
	.0022	5%	14.5	5.5	15.5	10.0	1.0	0.60	P3501-ND	.28	2.37	19.73	117.68	ECQ-P6222JU
	.0027	5%	14.5	5.5	16.0	10.0	1.0	0.60	P3502-ND	.28	2.37	19.73	117.68	ECQ-P6272JU
	.0033	5%	14.5	6.0	16.5	10.0	1.0	0.60	P3503-ND	.28	2.37	19.73	117.68	ECQ-P6332JU
	.0039	5%	14.5	6.0	18.5	10.0	1.0	0.60	P3504-ND	.28	2.37	19.73	117.68	ECQ-P6392JU
	.0047	5%	14.5	6.5	18.5	10.0	1.0	0.60	P3505-ND	.28	2.37	19.73	117.68	ECQ-P6472JU
	.0056	5%	14.5	7.0	19.0	10.0	1.0	0.60	P3506-ND	.28	2.37	19.73	117.68	ECQ-P6562JU
	.0068	5%	19.5	5.5	18.6	10.0	1.0	0.60	P3507-ND	.30	2.61	21.74	129.53	ECQ-P6682JU
	.0082	5%	19.5	6.0	19.0	10.0	1.0	0.60	P3508-ND	.33	2.81	23.41	139.69	ECQ-P6822JU
	.01	5%	19.5	6.0	19.4	10.0	1.0	0.60	P3509-ND	.35	3.01	25.08	149.85	ECQ-P6103JU
	.012	5%	19.5	6.5	19.8	10.0	1.0	0.60	P3510-ND	.37	3.21	26.75	160.01	ECQ-P6123JU
	.015	5%	19.5	7.0	20.4	15.0	1.0	0.60	P3511-ND	.40	3.41	28.43	169.32	ECQ-P6153JU
	.018	5%	19.5	7.0	22.6	15.0	1.0	0.60	P3512-ND	.42	3.61	30.10	179.48	ECQ-P6183JU
	.022	5%	19.5	8.0	23.4	15.0	1.0	0.60	P3513-ND	.43	3.73	31.10	185.41	ECQ-P6223JU
	.027	5%	19.5	8.5	24.2	15.0	1.0	0.60	P3514-ND	.47	4.01	33.44	199.80	ECQ-P6273JU
	.033	5%	24.5	8.0	23.2	15.0	1.5	0.80	P3515-ND	.48	4.13	34.44	205.72	ECQ-P6333JU
	.039	5%	24.5	8.5	23.8	15.0	1.5	0.80	P3516-ND	.53	4.57	38.12	227.74	ECQ-P6393JU
	.047	5%	24.5	9.0	24.6	15.0	1.5	0.80	P3517-ND	.61	5.22	43.47	259.91	ECQ-P6473JU
	.056	5%	24.5	10.0	27.4	20.0	1.5	0.80	P3518-ND	.61	5.22	43.47	259.91	ECQ-P6563JU
	.068	5%	24.5	11.0	28.4	20.0	1.5	0.80	P3519-ND	.68	5.78	48.15	287.84	ECQ-P6683JU
	.082	5%	29.5	10.5	25.6	25.0	1.5	0.80	P3520-ND	.73	6.26	52.18	311.55	ECQ-P6823JU
	.1	5%	29.5	11.5	26.8	25.0	1.5	0.80	P3521-ND	.79	6.78	56.51	337.79	ECQ-P6104JU

Serie ECWF(B) Metall-Polypropylen-Schichtkondensatoren

Für Anwendungen, in denen Hochstrom und Hochfrequenz erforderlich sind.

Merkmale:

• Geringer Verlust

• Ausgezeichnete Frequenzei-genschaften • Flammenhemmende Epoxidharzbeschichtung

Anwendungen:

• Hochfrequenz und Hochstromschaltkreise (TV, Display, Monitor, Netzteil usw.)

Elektrische Spezifikationen:

• Betriebstemperatur: -25 °C ~ 85 °C • Nennspannung: 250 V DC (150 Vrms, 250 Vp-p), 400 V DC (200 Vrms, 400 Vp-p) • Dissipationsfaktor: 0,068 ~ 0,51 µF: max. 0,05 % (20 °C, 1 kHz) 250 V DC, 0,56 ~ 4,7 µF: max. 0,1 % (20 °C, 0,2 kHz) 250 V DC, 068 ~ 4,7 µF: max. 0,1 % (20 °C, 0,1 kHz) 250 V DC, 068 ~ 1,5 µF: max. 0,1 % (20 °C, 1 kHz) 400 V DC • Haltespannung: Zwischen Klemmen. Nennspannung: (V DC) x 150 % für 60 s • Isolations-widerstand: min. 9.000MΩ, für Werte von 0,068 ~ 0,33 µF, min. 3.000MΩ/µF, für 0,36 ~ 4,7 µF (20 °C, 100 V DC, 60 s)

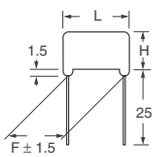

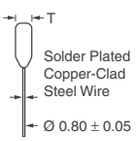

WV DC*	Kap. µF	Tole-ranz	Abmessungen (mm) L	T	H	F	Digi-Key Teilenr.	Preisangaben 1	10	100	1.000	5.000	Panasonic Teilenr.
250	.068	5%	18.0	6.0	13.0	15.0	PF2683-ND	.41	3.54	29.49	176.94	165.94/M	ECW-F2683JB
	.082	5%	18.0	6.5	13.5	15.0	PF2823-ND	.41	3.54	29.49	176.94	165.94/M	ECW-F2823JB
	.1	5%	18.0	7.0	14.0	15.0	PF2104-ND	.41	3.54	29.49	176.94	165.94/M	ECW-F2104JB
	.12	5%	18.0	7.5	14.5	15.0	PF2124-ND	.42	3.62	30.18	180.33	170.17/M	ECW-F2124JB
	.15	5%	18.0	8.5	15.0	15.0	PF2154-ND	.47	3.99	33.21	198.95	187.10/M	ECW-F2154JB
	.18	5%	18.0	6.5	13.5	15.0	PF2184-ND	.47	4.00	33.40	199.80	188.80/M	ECW-F2184JB
	.22	5%	18.0	7.0	14.0	15.0	PF2224-ND	.47	4.08	34.03	204.03	192.18/M	ECW-F2224JB
	.27	5%	18.0	8.0	14.5	15.0	PF2274-ND	.49	4.19	34.95	209.11	197.26/M	ECW-F2274JB
	.33	5%	18.0	8.5	15.0	15.0	PF2334-ND	.50	4.30	35.85	215.04	202.34/M	ECW-F2334JB
	.39	5%	18.0	9.0	16.0	15.0	PF2394-ND	.52	4.52	37.67	225.20	212.50/M	ECW-F2394JB
	.47	5%	23.0	8.0	15.0	20.0	PF2474-ND	.55	4.73	39.43	236.20	222.66/M	ECW-F2474JB
	.56	5%	23.0	8.5	15.5	20.0	PF2564-ND	.58	4.95	41.25	247.21	232.82/M	ECW-F2564JB
	.68	5%	23.0	9.5	16.5	20.0	PF2684-ND	.60	5.16	43.03	257.37	242.98/M	ECW-F2684JB
	.82	5%	23.0	10.5	17.0	20.0	PF2824-ND	.62	5.27	43.92	263.29	248.06/M	ECW-F2824JB
	1.0	5%	23.0	11.5	18.0	20.0	PF2105-ND	.67	5.71	47.52	284.46	268.38/M	ECW-F2105JB
	1.2	5%	23.0	12.5	19.5	20.0	PF2125-ND	1.17	10.04	83.69	501.19	472.41/M	ECW-F2125JB
	1.5	5%	23.0	14.0	21.0	20.0	PF2155-ND	1.25	10.76	89.64	536.74	505.42/M	ECW-F2155JB
	1.8	5%	28.0	12.5	21.0	25.0	PF2185-ND	1.36	11.65	97.11	581.61	547.75/M	ECW-F2185JB
	2.2	5%	28.0	14.0	22.5	25.0	PF2225-ND	1.46	12.55	104.58	626.48	590.08/M	ECW-F2225JB
	2.7	5%	28.0	15.5	24.0	25.0	PF2275-ND	1.68	14.46	120.50	721.30	679.82/M	ECW-F2275JB

*Betriebsspannung DC

WV DC*	Kap. µF	Tole-ranz	Abmessungen (mm) L	T	H	F	Digi-Key Teilenr.	Preisangaben 1	10	100	1.000	5.000	Panasonic Teilenr.
250	3.3	5%	28.0	17.0	26.0	25.0	PF2335-ND	2.36	20.24	168.69	1009.99	951.58/M	ECW-F2335JB
	3.9	5%	33.0	16.5	25.5	30.0	PF2395-ND	2.57	22.01	183.46	1098.89	1035.40/M	ECW-F2395JB
	4.7	5%	33.0	18.0	27.0	30.0	PF2475-ND	2.66	22.77	189.79	1136.14	1070.95/M	ECW-F2475JB
400	.068	5%	18.0	6.5	13.0	15.0	PF4683-ND	1.30	11.12	87.06	555.71	518.67/M	ECW-F4683JB
	.082	5%	18.0	7.0	13.5	15.0	PF4823-ND	1.30	11.12	87.06	555.71	518.67/M	ECW-F4823JB
	.1	5%	18.0	7.5	14.0	15.0	PF4104-ND	1.30	11.12	87.06	555.71	518.67/M	ECW-F4104JB
	.12	5%	18.0	8.0	15.0	15.0	PF4124-ND	1.30	11.19	87.70	559.77	522.46/M	ECW-F4124JB
	.15	5%	18.0	8.5	15.5	15.0	PF4154-ND	1.44	12.31	96.39	615.27	574.25/M	ECW-F4154JB
	.18	5%	18.0	9.5	16.5	15.0	PF4184-ND	1.45	12.39	97.05	619.46	578.16/M	ECW-F4184JB
	.22	5%	20.0	9.5	16.5	17.0	PF4224-ND	1.47	12.62	98.90	631.27	589.19/M	ECW-F4224JB
	.27	5%	20.0	10.5	17.0	17.0	PF4274-ND	1.53	13.15	103.01	657.55	613.72/M	ECW-F4274JB
	.33	5%	20.0	11.5	18.0	17.0	PF4334-ND	1.58	13.55	106.12	677.36	632.21/M	ECW-F4334JB
	.39	5%	23.0	13.5	20.5	20.0	PF4394-ND	1.63	13.94	109.25	697.30	650.82/M	ECW-F4394JB
	.47	5%	23.0	14.5	21.5	20.0	PF4474-ND	1.72	14.75	115.49	737.18	688.04/M	ECW-F4474JB
	.56	5%	23.0	13.0	20.0	20.0	PF4564-ND	1.81	15.54	121.72	776.92	725.13/M	ECW-F4564JB
	.68	5%	23.0	14.5	21.5	20.0	PF4684-ND	1.90	16.34	127.96	816.80	762.35/M	ECW-F4684JB
	.82	5%	28.0	14.0	20.5	25.0	PF4824-ND	2.00	17.14	134.21	856.67	799.57/M	ECW-F4824JB
	1.0	5%	28.0	15.0	22.0	25.0	PF4105-ND	2.09	17.93	140.44	896.42	836.66/M	ECW-F4105JB
	1.2	5%	28.0	16.5	23.5	25.0	PF4125-ND	2.24	19.12	149.83	956.36	892.61/M	ECW-F4125JB
	1.5	5%	28.0	18.5	25.5	25.0	PF4155-ND	2.37	20.32	159.18	1016.05	948.31/M	ECW-F4155JB

Panasonic® Kondensatoren mit metallisierter Polypropylenfolie - ECWF(L)

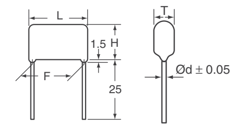

Nicht induktive Konstruktion unter Verwendung von Polypropylenfolie mit flammenhemmender Epoxidharzbeschichtung.

Merkmale: • Miniaturisiert **Empfohlene Anwendungen:** • Beleuchtung • Netzteil • Industrieller Gebrauch • Geeignet für Hochstrom- und Hochfrequenzschaltkreise **Elektrische Spezifikationen:** • Betriebstemperatur: -40 °C ~ 85 °C (105 °C) • Nennspannung: 400 V DC, 630V DC • Anschlussdrahtmaterial: 400V: 0,022µF ~ 0,11µF verzinnt, kupferkaschiert, Stahldraht 0,12µF ~ 2,4µF verzinnter Kupferdraht 630V: 0,01µF ~ 0,043µF verzinnt, kupferkaschiert, Stahldraht 0,047µF ~ 1,3µF verzinnt, Kupferdraht • Kapazitätstoleranz: ±3% (H), ±5% (J) • Haltespannung: Nennspannung x 150% für 60s • Isolationswiderstand: min. 9.000MΩ, für Werte weniger als 0,33µF. Min. 3.000MΩ/µF, für Werte größer als 0,33µF (20 °C, 100V DC, 60s) • Verlustfaktor: max. 0,05% bei 1 kHz und 20 °C

WV* DC	Kap. µF	Toleranz	Abmessungen (mm) L	T	H	F	d	Digi-Key Teilenr.	Preisangaben 1	10	100	1.000	Panasonic Teilenr.
	.022	±3%	12.5	5.8	8.6	10.0	0.6	P12059-ND	1.12	9.56	74.86	477.86	ECW-F4223HL
	.024	±3%	12.5	6.0	8.8	10.0	0.6	P12061-ND	1.12	9.56	74.86	477.86	ECW-F4243HL
	.027	±3%	12.5	6.2	9.0	10.0	0.6	P12063-ND	1.17	9.99	78.27	499.58	ECW-F4273HL
	.03	±3%	12.5	6.4	9.3	10.0	0.6	P12065-ND	1.17	9.99	78.27	499.58	ECW-F4303HL
	.033	±3%	12.5	6.7	9.5	10.0	0.6	P12067-ND	1.22	10.43	81.67	521.29	ECW-F4333HL
	.036	±3%	12.5	5.7	8.4	10.0	0.6	P12069-ND	1.22	10.43	81.67	521.29	ECW-F4363HL
	.039	±3%	12.5	5.8	8.6	10.0	0.6	P12071-ND	1.27	10.86	85.07	543.01	ECW-F4393HL
	.043	±3%	12.5	6.0	8.8	10.0	0.6	P12073-ND	1.27	10.86	85.07	543.01	ECW-F4433HL
	.047	±3%	12.5	6.2	9.0	10.0	0.6	P12075-ND	1.32	11.29	88.50	564.85	ECW-F4473HL
	.051	±3%	12.5	6.4	9.2	10.0	0.6	P12077-ND	1.32	11.29	88.50	564.85	ECW-F4513HL
	.056	±3%	12.5	6.6	9.4	10.0	0.6	P12079-ND	1.37	11.73	91.90	586.57	ECW-F4563HL
	.062	±3%	13.0	6.8	9.6	10.0	0.8	P12081-ND	1.37	11.73	91.90	586.57	ECW-F4623HL
	.068	±3%	13.0	7.0	9.9	10.0	0.8	P12083-ND	1.40	11.95	93.58	597.36	ECW-F4683HL
	.075	±3%	13.0	7.3	10.1	10.0	0.8	P12085-ND	1.40	11.95	93.58	597.36	ECW-F4753HL
	.082	±3%	13.0	7.5	10.4	10.0	0.8	P12087-ND	1.40	11.95	93.58	597.36	ECW-F4823HL
	.091	±3%	13.0	7.8	10.7	10.0	0.8	P12089-ND	1.40	11.95	93.58	597.36	ECW-F4913HL
	.1	±3%	15.5	6.5	11.0	12.5	0.8	P12091-ND	1.40	11.95	93.58	597.36	ECW-F4104HL
	.11	±3%	15.5	6.8	11.3	12.5	0.8	P12093-ND	1.42	12.20	95.57	610.06	ECW-F4114HL
	.12	±3%	15.5	7.0	11.5	12.5	0.8	P12095-ND	1.43	12.23	95.85	611.84	ECW-F4124HL
	.13	±3%	15.5	7.2	11.8	12.5	0.8	P12097-ND	1.50	12.85	100.67	642.57	ECW-F4134HL
	.15	±3%	15.5	7.6	12.2	12.5	0.8	P12099-ND	1.57	13.47	105.50	673.43	ECW-F4154HL
	.16	±3%	15.5	7.8	12.4	12.5	0.8	P12101-ND	1.57	13.50	105.78	675.21	ECW-F4164HL
	.18	±3%	15.5	8.2	12.8	12.5	0.8	P12103-ND	1.58	13.54	106.06	676.98	ECW-F4184HL
	.2	±3%	15.5	8.6	13.3	12.5	0.8	P12105-ND	1.60	13.72	107.48	686.00	ECW-F4204HL
	.22	±3%	15.5	9.0	13.6	12.5	0.8	P12107-ND	1.61	13.79	108.05	689.68	ECW-F4224HL
	.24	±3%	18.0	8.3	13.0	15.0	0.8	P12192-ND	1.63	13.99	109.60	699.59	ECW-F4244HL
	.27	±3%	18.0	8.8	13.4	15.0	0.8	P12193-ND	1.65	14.17	111.01	708.60	ECW-F4274HL
	.3	±3%	18.0	9.2	13.9	15.0	0.8	P12194-ND	1.68	14.36	112.45	717.75	ECW-F4304HL
	.33	±3%	18.0	9.6	14.3	15.0	0.8	P12195-ND	1.69	14.54	113.86	726.76	ECW-F4334HL
	.36	±3%	18.0	9.9	14.7	15.0	0.8	P12196-ND	1.74	14.90	116.70	744.92	ECW-F4364HL
	.39	±3%	18.0	10.3	15.1	15.0	0.8	P12197-ND	1.78	15.26	119.57	763.21	ECW-F4394HL
	.43	±3%	18.0	10.7	15.6	15.0	0.8	P12198-ND	1.82	15.63	122.42	781.37	ECW-F4434HL
	.47	±3%	18.0	11.2	16.1	15.0	0.8	P12199-ND	1.86	15.99	125.26	799.53	ECW-F4474HL
	.51	±3%	20.5	10.3	16.8	17.5	0.8	P12200-ND	1.90	16.36	128.11	817.69	ECW-F4514HL
	.56	±3%	20.5	10.7	17.3	17.5	0.8	P12201-ND	1.95	16.72	130.95	835.85	ECW-F4564HL
	.62	±3%	20.5	11.3	17.9	17.5	0.8	P12202-ND	1.99	17.08	133.80	854.01	ECW-F4624HL
	.68	±3%	20.5	11.8	18.5	17.5	0.8	P12203-ND	2.03	17.44	136.64	872.17	ECW-F4684HL
	.75	±3%	20.5	12.3	19.1	17.5	0.8	P12204-ND	2.07	17.80	139.49	890.33	ECW-F4754HL
	.82	±3%	23.0	11.8	18.5	20.0	0.8	P12205-ND	2.12	18.17	142.33	908.49	ECW-F4824HL
	.91	±3%	23.0	12.4	19.2	20.0	0.8	P12206-ND	2.18	18.72	146.61	935.79	ECW-F4914HL
	1.0	±3%	23.0	13.0	19.8	20.0	0.8	P12207-ND	2.24	19.26	150.88	963.09	ECW-F4105HL
	1.1	±3%	23.0	13.6	20.5	20.0	0.8	P12208-ND	2.31	19.80	155.14	990.27	ECW-F4115HL
	1.2	±3%	28.0	12.3	19.1	25.0	0.8	P12209-ND	2.37	20.35	159.42	1017.57	ECW-F4125HL
	1.3	±3%	28.0	12.8	19.6	25.0	0.8	P12210-ND	2.46	21.08	165.11	1053.89	ECW-F4135HL
	1.5	±3%	28.0	13.7	20.7	25.0	0.8	P12211-ND	2.54	21.81	170.80	1090.21	ECW-F4155HL
	1.6	±3%	28.0	14.2	21.2	25.0	0.8	P12212-ND	2.65	22.71	177.92	1135.67	ECW-F4165HL
	1.8	±3%	28.0	15.2	22.2	25.0	0.8	P12213-ND	2.76	23.62	185.02	1181.01	ECW-F4185HL
	2.0	±3%	28.0	16.0	23.1	25.0	0.8	P12214-ND	2.86	24.53	192.14	1226.47	ECW-F4205HL
	2.2	±3%	28.0	16.8	24.0	25.0	0.8	P12215-ND	2.97	25.44	199.27	1271.93	ECW-F4225HL
400	2.4	±3%	28.0	17.5	24.8	25.0	0.8	P12216-ND	3.07	26.35	206.39	1317.39	ECW-F4245HL
WV*	.022	±5%	12.5	5.8	8.6	10.0	0.6	P12060-ND	.93	7.97	62.39	398.24	ECW-F4223JL
	.024	±5%	12.5	6.0	8.8	10.0	0.6	P12062-ND	.93	7.97	62.39	398.24	ECW-F4243JL
	.027	±5%	12.5	6.2	9.0	10.0	0.6	P12064-ND	.97	8.33	65.24	416.40	ECW-F4273JL
	.03	±5%	12.5	6.4	9.3	10.0	0.6	P12066-ND	.97	8.33	65.24	416.40	ECW-F4303JL
	.033	±5%	12.5	6.7	9.5	10.0	0.6	P12068-ND	1.02	8.69	68.06	434.43	ECW-F4333JL
	.036	±5%	12.5	5.7	8.4	10.0	0.6	P12070-ND	1.02	8.69	68.06	434.43	ECW-F4363JL
	.039	±5%	12.5	5.8	8.6	10.0	0.6	P12072-ND	1.06	9.05	70.90	452.59	ECW-F4393JL
	.043	±5%	12.5	6.0	8.8	10.0	0.6	P12074-ND	1.06	9.05	70.90	452.59	ECW-F4433JL
	.047	±5%	12.5	6.2	9.0	10.0	0.6	P12076-ND	1.10	9.41	73.73	470.62	ECW-F4473JL
	.051	±5%	12.5	6.4	9.2	10.0	0.6	P12078-ND	1.10	9.41	73.73	470.62	ECW-F4513JL
	.056	±5%	12.5	6.6	9.4	10.0	0.6	P12080-ND	1.14	9.78	76.57	488.78	ECW-F4563JL
	.062	±5%	13.0	6.8	9.6	10.0	0.8	P12082-ND	1.14	9.78	76.57	488.78	ECW-F4623JL
	.068	±5%	13.0	7.0	9.9	10.0	0.8	P12084-ND	1.19	10.13	79.40	506.82	ECW-F4683JL
	.075	±5%	13.0	7.3	10.1	10.0	0.8	P12086-ND	1.19	10.13	79.40	506.82	ECW-F4753JL
	.082	±5%	13.0	7.5	10.4	10.0	0.8	P12088-ND	1.19	10.13	79.40	506.82	ECW-F4823JL
	.091	±5%	13.0	7.8	10.7	10.0	0.8	P12090-ND	1.19	10.13	79.40	506.82	ECW-F4913JL
	.1	±5%	15.5	6.5	11.0	12.5	0.8	P12092-ND	1.19	10.13	79.40	506.82	ECW-F4104JL
	.11	±5%	15.5	6.8	11.3	12.5	0.8	P12094-ND	1.19	10.18	79.70	508.72	ECW-F4114JL
	.12	±5%	15.5	7.0	11.5	12.5	0.8	P12096-ND	1.19	10.21	79.98	510.50	ECW-F4124JL
	.13	±5%	15.5	7.2	11.8	12.5	0.8	P12098-ND	1.25	10.72	83.94	535.77	ECW-F4134JL
	.15	±5%	15.5	7.6	12.2	12.5	0.8	P12100-ND	1.31	11.23	87.92	561.17	ECW-F4154JL
	.16	±5%	15.5	7.8	12.4	12.5	0.8	P12102-ND	1.31	11.26	88.20	562.95	ECW-F4164JL
	.18	±5%	15.5	8.2	12.8	12.5	0.8	P12104-ND	1.32	11.29	88.50	564.85	ECW-F4184JL
	.2	±5%	15.5	8.6	13.3	12.5	0.8	P12106-ND	1.34	11.45	89.63	572.09	ECW-F4204JL
	.22	±5%	15.5	9.0	13.6	12.5	0.8	P12108-ND	1.35	11.51	90.19	575.65	ECW-F4224JL
	.24	±5%	18.0	8.3	13.0	15.0	0.8	P12217-ND	1.38	11.81	92.52	590.50	ECW-F4244JL
	.27	±5%	18.0	8.8	13.4	15.0	0.8	P12218-ND	1.40	12.00	93.95	599.65	ECW-F4274JL
	.3	±5%	18.0	9.2	13.9	15.0	0.8	P12219-ND	1.42	12.17	95.38	608.79	ECW-F4304JL
	.33	±5%	18.0	9.6	14.3	15.0	0.8	P12220-ND	1.44	12.36	96.79	617.81	ECW-F4334JL
	.36	±5%	18.0	9.9	14.7	15.0	0.8	P12221-ND	1.46	12.54	98.22	626.95	ECW-F4364JL
	.39	±5%	18.0	10.3	15.1	15.0	0.8	P12222-ND	1.48	12.72	99.64	635.97	ECW-F4394JL
	.43	±5%	18.0	10.7	15.6	15.0	0.8	P12223-ND	1.52	13.08	102.48	654.13	ECW-F4434JL
	.47	±5%	18.0	11.2	16.1	15.0	0.8	P12224-ND	1.57	13.44	105.33	672.29	ECW-F4474JL
	.51	±5%	20.5	10.3	16.8	17.5	0.8	P12225-ND	1.61	13.81	108.17	690.44	ECW-F4514JL
	.56	±5%	20.5	10.7	17.3	17.5	0.8	P12226-ND	1.65	14.17	111.01	708.60	ECW-F4564JL
	.62	±5%	20.5	11.3	17.9	17.5	0.8	P12227-ND	1.69	14.54	113.86	726.76	ECW-F4624JL
	.68	±5%	20.5	11.8	18.5	17.5	0.8	P12228-ND	1.74	14.90	116.70	744.92	ECW-F4684JL
	.75	±5%	20.5	12.3	19.1	17.5	0.8	P12229-ND	1.78	15.26	119.57	763.21	ECW-F4754JL
	.82	±5%	23.0	11.8	18.5	20.0	0.8	P12230-ND	1.82	15.63	122.42	781.37	ECW-F4824JL
	.91	±5%	23.0	12.4	19.2	20.0	0.8	P12231-ND	1.86	15.99	125.26	799.53	ECW-F4914JL
	1.0	±5%	23.0	13.0	19.8	20.0	0.8	P12232-ND	1.90	16.36	128.11	817.69	ECW-F4105JL
	1.1	±5%	23.0	13.6	20.5	20.0	0.8	P12233-ND	1.97	16.90	132.37	844.86	ECW-F4115JL
	1.2	±5%	28.0	12.3	19.1	25.0	0.8	P12234-ND	2.03	17.44	136.64	872.17	ECW-F4125JL
	1.3	±5%	28.0	12.8	19.6	25.0	0.8	P12235-ND	2.10	17.99	140.92	899.47	ECW-F4135JL
	1.5	±5%	28.0	13.7	20.7	25.0	0.8	P12236-ND	2.16	18.53	145.17	926.65	ECW-F4155JL
	1.6	±5%	28.0	14.2	21.2	25.0	0.8	P12237-ND	2.24	19.26	150.88	963.09	ECW-F4165JL
	1.8	±5%	28.0	15.2	22.2	25.0	0.8	P12238-ND	2.33	19.99	156.58	999.41	ECW-F4185JL
	2.0	±5%	28.0	16.0	23.1	25.0	0.8	P12239-ND	2.44	20.89	163.67	1044.75	ECW-F4205JL
	2.2	±5%	28.0	16.8	24.0	25.0	0.8	P12240-ND	2.54	21.81	170.80	1090.21	ECW-F4225JL
	2.4	±5%	28.0	17.5	24.8	25.0	0.8	P12241-ND	2.65	22.71	177.92	1135.67	ECW-F4245JL

WV* DC	Kap. µF	Toleranz	Abmessungen (mm) L	T	H	F	d	Digi-Key Teilenr.	Preisangaben 1	10	100	1.000	Panasonic Teilenr.
	.01	±3%	12.5	5.2	8.0	10.0	0.6	P12109-ND	1.13	9.65	75.62	482.69	ECW-F6103HL
	.011	±3%	12.5	5.4	8.2	10.0	0.6	P12111-ND	1.13	9.65	75.62	482.69	ECW-F6113HL
	.012	±3%	12.5	5.5	8.3	10.0	0.6	P12113-ND	1.13	9.65	75.62	482.69	ECW-F6123HL
	.013	±3%	12.5	5.6	8.5	10.0	0.6	P12115-ND	1.13	9.65	75.62	482.69	ECW-F6133HL
	.015	±3%	12.5	5.9	8.7	10.0	0.6	P12117-ND	1.13	9.65	75.62	482.69	ECW-F6153HL
	.016	±3%	12.5	6.0	8.9	10.0	0.6	P12119-ND	1.13	9.65	75.62	482.69	ECW-F6163HL
	.018	±3%	12.5	6.2	9.1	10.0	0.6	P12121-ND	1.19	10.13	79.40	506.82	ECW-F6183HL
	.02	±3%	12.5	6.5	9.3	10.0	0.6	P12123-ND	1.19	10.13	79.40	506.82	ECW-F6203HL
	.022	±3%	12.5	6.2	9.0	10.0	0.6	P12125-ND	1.02	8.79	68.82	439.26	ECW-F6223HL
	.024	±3%	12.5	6.4	9.2	10.0	0.6	P12127-ND	1.24	10.62	83.18	530.95	ECW-F6243HL
	.027	±3%	13.0	6.6	9.5	10.0	0.8	P12129-ND	1.30	11.10	86.96	555.07	ECW-F6273HL
	.03	±3%	13.0	6.9	9.7	10.0	0.8	P12131-ND	1.30	11.10	86.96	555.07	ECW-F6303HL
	.033	±3%	13.0	7.1	10.0	10.0	0.8	P12133-ND	1.35	11.59	90.76	579.33	ECW-F6333HL
	.036	±3%	13.0	7.3	10.2	10.0	0.8	P12135-ND	1.35	11.59	90.76	579.33	ECW-F6363HL
	.039	±3%	13.0	7.6	10.4	10.0	0.8	P12137-ND	1.41	12.07	94.54	603.46	ECW-F6393HL
	.043	±3%	13.0	7.9	10.7	10.0	0.8	P12139-ND	1.41	12.07	94.54	603.46	ECW-F6433HL
	.047	±3%	15.5	6.4	10.8	12.5	0.8	P12141-ND	1.46	12.56	98.32	627.58	ECW-F6473HL
	.051	±3%	15.5	6.6	11.0	12.5	0.8	P12143-ND	1.46	12.56	98.32	627.58	ECW-F6513HL
	.056	±3%	15.5	6.8	11.2	12.5	0.8	P12145-ND	1.52	13.04	102.10	651.71	ECW-F6563HL
	.062	±3%	15.5	7.1	11.5	12.5	0.8	P12147-ND	1.52	13.04	102.10	651.71	ECW-F6623HL
	.068	±3%	15.5	7.4	11.8	12.5	0.8	P12149-ND	1.55	13.27	103.99	663.78	ECW-F6683HL
	.075	±3%	15.5	7.7	12.1	12.5	0.8	P12151-ND	1.55	13.27	103.99	663.78	ECW-F6753HL
	.082	±3%	15.5	8.0	12.4	12.5	0.8	P12153-ND	1.55	13.27	103.99	663.78	ECW-F6823HL
	.091	±3%	15.5	8.3	12.7	12.5	0.8	P12155-ND	1.55	13.27	103.99	663.78	ECW-F6913HL
	.1	±3%	18.0	7.7	12.1	15.0	0.8	P12157-ND	1.55	13.27	103.99	663.78	ECW-F6104HL
	.11	±3%	18.0	8.0	12.4	15.0	0.8	P12159-ND	1.58	13.55	106.20	677.87	ECW-F6114HL
	.12	±3%	18.0	8.3	12.7	15.0	0.8	P12161-ND	1.58	13.60	106.50	679.78	ECW-F6124HL
	.13	±3%	18.0	8.5	13.0	15.0	0.8	P12163-ND	1.67	14.28	111.87	714.06	ECW-F6134HL
	.15	±3%	18.0	9.1	13.5	15.0	0.8	P12165-ND	1.74	14.97	117.22	748.23	ECW-F6154HL
	.16	±3%	18.0	9.3	13.8	15.0	0.8	P12167-ND	1.75	15.00	117.54	750.26	ECW-F6164HL
	.18	±3%	18.0	9.8	14.2	15.0	0.8	P12169-ND	1.75	15.04	117.86	752.29	ECW-F6184HL
	.2	±3%	18.0	10.3	14.7	15.0	0.8	P12171-ND	1.78	15.25	119.43	762.32	ECW-F6204HL
	.22	±3%	18.0	10.8	15.5	15.0	0.8	P12173-ND	1.79	15.32	120.05	766.26	ECW-F6224HL
	.24	±3%	18.0	11.2	15.9	15.0	0.8	P12242-ND	1.79	15.41	120.68	770.32	ECW-F6244HL
	.27	±3%	20.5	10.4	16.7	17.5	0.8	P12243-ND	1.82	15.63	122.42	781.37	ECW-F6274HL
	.3	±3%	20.5	10.9	17.2	17.5	0.8	P12244-ND	1.85	15.81	123.82	790.39	ECW-F6304HL
	.33	±3%	20.5	11.4	17.7	17.5	0.8	P12245-ND	1.86	15.99	125.26	799.53	ECW-F6334HL
	.36	±3%	20.5	11.9	18.5	17.5	0.8	P12246-ND	1.89	16.17	126.67	808.55	ECW-F6364HL
	.39	±3%	20.5	12.4	19.0	17.5	0.8	P12247-ND	1.90	16.36	128.11	817.69	ECW-F6394HL
	.43	±3%	20.5	13.0	19.5	17.5	0.8	P12248-ND	1.95	16.72	130.95	835.85	ECW-F6434HL
	.47	±3%	20.5	13.5	20.1	17.5	0.8	P12249-ND	1.99	17.08	133.80	854.01	ECW-F6474HL
	.51	±3%	28.0	11.1	17.3	25.0	0.8	P12250-ND	2.03	17.44	136.64	872.17	ECW-F6514HL
	.56	±3%	28.0	11.6	17.8	25.0	0.8	P12251-ND	2.07	17.80	139.49	890.33	ECW-F6564HL
	.62	±3%	28.0	12.1	18.7	25.0	0.8	P12252-ND	2.12	18.17	142.33	908.49	ECW-F6624HL
	.68	±3%	28.0	12.7	19.3	25.0	0.8	P12253-ND	2.18	18.72	146.61	935.79	ECW-F6684HL
	.75	±3%	28.0	13.3	19.9	25.0	0.8	P12254-ND	2.24	19.26	150.88	963.09	ECW-F6754HL
	.82	±3%	28.0	13.9	20.5	25.0	0.8	P12255-ND	2.31	19.80	155.14	990.27	ECW-F6824HL
	.91	±3%	28.0	14.6	21.2	25.0	0.8	P12256-ND	2.37	20.35	159.42	1017.57	ECW-F6914HL
	1.0	±3%	28.0	15.5	22.3	25.0	0.8	P12257-ND	2.46	21.08	165.11	1053.89	ECW-F6105HL
	1.1	±3%	28.0	16.3	23.0	25.0	0.8	P12258-ND	2.54	21.81	170.80	1090.21	ECW-F6115HL
	1.2	±3%	28.0	17.0	23.7	25.0	0.8	P12259-ND	2.65	22.71	177.92	1135.67	ECW-F6125HL
630	1.3	±3%	28.0	17.6	24.4	25.0	0.8	P12260-ND	2.76	23.62	185.02	1181.01	ECW-F6135HL
WV*	.01	±5%	12.5	5.2	8.0	10.0	0.6	P12110-ND	.94	8.04	63.03	402.30	ECW-F6103JL
	.011	±5%	12.5	5.4	8.2	10.0	0.6	P12112-ND	.94	8.04	63.03	402.30	ECW-F6113JL
	.012	±5%	12.5	5.5	8.3	10.0	0.6	P12114-ND	.94	8.04	63.03	402.30	ECW-F6123JL
	.013	±5%	12.5	5.6	8.5	10.0	0.6	P12116-ND	.94	8.04	63.03	402.30	ECW-F6133JL
	.015	±5%	12.5	5.9	8.7	10.0	0.6	P12118-ND	.94	8.04	63.03	402.30	ECW-F6153JL
	.016	±5%	12.5	6.0	8.9	10.0	0.6	P12120-ND	.94	8.04	63.03	402.30	ECW-F6163JL
	.018	±5%	12.5	6.2	9.1	10.0	0.6	P12122-ND	.98	8.45	66.17	422.37	ECW-F6183JL
	.02	±5%	12.5	6.5	9.3	10.0	0.6	P12124-ND	.98	8.45	66.17	422.37	ECW-F6203JL
	.022	±5%	12.5	6.2	9.0	10.0	0.6	P12126-ND	1.03	8.86	69.34	442.56	ECW-F6223JL
	.024	±5%	12.5	6.4	9.2	10.0	0.6	P12128-ND	1.03	8.86	69.34	442.56	ECW-F6243JL
	.027	±5%	13.0	6.6	9.5	10.0	0.8	P12130-ND	1.08	9.25	72.48	462.62	ECW-F6273JL
	.03	±5%	13.0	6.9	9.7	10.0	0.8	P12132-ND	1.08	9.25	72.48	462.62	ECW-F6303JL
	.033	±5%	13.0	7.1	10.0	10.0	0.8	P12134-ND	1.13	9.65	75.62	482.69	ECW-F6333JL
	.036	±5%	13.0	7.3	10.2	10.0	0.8	P12136-ND	1.13	9.65	75.62	482.69	ECW-F6363JL
	.039	±5%	13.0	7.6	10.4	10.0	0.8	P12138-ND	1.18	10.06	78.78	502.88	ECW-F6393JL
	.043	±5%	13.0	7.9	10.7	10.0	0.8	P12140-ND	1.18	10.06	78.78	502.88	ECW-F6433JL
	.047	±5%	15.5	6.4	10.8	12.5	0.8	P12142-ND	1.22	10.46	81.93	522.94	ECW-F6473JL
	.051	±5%	15.5	6.6	11.0	12.5	0.8	P12144-ND	1.22	10.46	81.93	522.94	ECW-F6513JL
	.056	±5%	15.5	6.8	11.2	12.5	0.8	P12146-ND	1.27	10.86	85.07	543.01	ECW-F6563JL
	.062	±5%	15.5	7.1	11.5	12.5	0.8	P12148-ND	1.27	10.86	85.07	543.01	ECW-F6623JL
	.068	±5%	15.5	7.4	11.8	12.5	0.8	P12150-ND	1.31	11.27	88.23	563.20	ECW-F6683JL
	.075	±5%	15.5	7.7	12.1	12.5	0.8	P12152-ND	1.31	11.27	88.23	563.20	ECW-F6753JL
	.082	±5%	15.5	8.0	12.4	12.5	0.8	P12154-ND	1.31	11.27	88.23	563.20	ECW-F6823JL
	.091	±5%	15.5	8.3	12.7	12.5	0.8	P12156-ND	1.31	11.27	88.23	563.20	ECW-F6913JL
	.1	±5%	18.0	7.7	12.1	15.0	0.8	P12158-ND	1.31	11.27	88.23	563.20	ECW-F6104JL
	.11	±5%	18.0	8.0	12.4	15.0	0.8	P12160-ND	1.32	11.30	88.55	565.23	ECW-F6114JL
	.12	±5%	18.0	8.3	12.7	15.0	0.8	P12162-ND	1.32	11.34	88.87	567.26	ECW-F6124JL
	.13	±5%	18.0	8.5	13.0	15.0	0.8	P12164-ND	1.39	11.90	93.27	595.33	ECW-F6134JL
	.15	±5%	18.0	9.1	13.5	15.0	0.8	P12166-ND	1.46	12.47	97.69	623.52	ECW-F6154JL
	.16	±5%	18.0	9.3	13.8	15.0	0.8	P12168-ND	1.46	12.51	98.00	625.55	ECW-F6164JL
	.18	±5%	18.0	9.8	14.2	15.0	0.8	P12170-ND	1.46	12.56	98.32	627.58	ECW-F6184JL
	.2	±5%	18.0	10.3	14.7	15.0	0.8	P12172-ND	1.48	12.72	99.58	635.58	ECW-F6204JL
	.22	±5%	18.0	10.8	15.5	15.0	0.8	P12174-ND	1.49	12.79	100.21	639.65	ECW-F6224JL
	.24	±5%	18.0	11.2	15.9	15.0	0.8	P12261-ND	1.51	12.91	101.14	645.62	ECW-F6244JL
	.27	±5%	20.5	10.4	16.7	17.5	0.8	P12262-ND	1.55	13.27	103.91	663.27	ECW-F6274JL
	.3	±5%	20.5	10.9	17.2	17.5	0.8	P12263-ND	1.57	13.44	105.33	672.29	ECW-F6304JL
	.33	±5%	20.5	11.4	17.7	17.5	0.8	P12264-ND	1.59	13.63	106.76	681.43	ECW-F6334JL
	.36	±5%	20.5	11.9	18.5	17.5	0.8	P12265-ND	1.61	13.81	108.17	690.44	ECW-F6364JL
	.39	±5%	20.5	12.4	19.0	17.5	0.8	P12266-ND	1.63	13.99	109.60	699.59	ECW-F6394JL
	.43	±5%	20.5	13.0	19.5	17.5	0.8	P12267-ND	1.65	14.17	111.01	708.60	ECW-F6434JL
	.47	±5%	20.5	13.5	20.1	17.5	0.8	P12268-ND	1.68	14.36	112.45	717.75	ECW-F6474JL
	.51	±5%	28.0	11.1	17.3	25.0	0.8	P12269-ND	1.69	14.54	113.86	726.76	ECW-F6514JL
	.56	±5%	28.0	11.6	17.8	25.0	0.8	P12270-ND	1.74	14.90	116.70	744.92	ECW-F6564JL
	.62	±5%	28.0	12.1	18.7	25.0	0.8	P12271-ND	1.78	15.26	119.57	763.21	ECW-F6624JL
	.68	±5%	28.0	12.7	19.3	25.0	0.8	P12272-ND	1.82	15.63	122.42	781.37	ECW-F6684JL
	.75	±5%	28.0	13.3	19.9	25.0	0.8	P12273-ND	1.86	15.99	125.26	799.53	ECW-F6754JL
	.82	±5%	28.0	13.9	20.5	25.0	0.8	P12274-ND	1.90	16.36	128.11	817.69	ECW-F6824JL
	.91	±5%	28.0	14.6	21.2	25.0	0.8	P12275-ND	1.97	16.90	132.37	844.86	ECW-F6914JL
	1.0	±5%	28.0	15.5	22.3	25.0	0.8	P12276-ND	2.03	17.44	136.64	872.17	ECW-F6105JL
	1.1	±5%	28.0	16.3	23.0	25.0	0.8	P12277-ND	2.10	17.99	140.92	899.47	ECW-F6115JL
	1.2	±5%	28.0	17.0	23.7	25.0	0.8	P12278-ND	2.16	18.53	145.17	926.65	ECW-F6125JL
	1.3	±5%	28.0	17.6	24.4	25.0	0.8	P12279-ND	2.24	19.26	150.88	963.09	ECW-F6135JL

* Betriebsspannung

E

Panasonic® Hochspannungskondensatoren mit metallisierter Polypropylenfolie - ECWH(V)

Für Anwendungen, in denen Hochfrequenzen und Hochimpulse erforderlich sind.

Merkmale: • Geringer Verlust und natürlicher Temperaturanstieg • Ausgezeichnete elektrische Eigenschaften • Flammenhemmende Epoxidharzbeschichtung

Empfohlene Anwendungen: • Hochimpulsschaltreise (TV, Displays, elektronisches Vorschaltglied usw.)

Elektrische Spezifikationen: • Betriebstemperatur: -25 °C ~ 85 °C • Nennspannung: 1.250VDC) 1.600VDC) • Kapazitätstoleranz: ±5 % • Dissipationsfaktor: 0,1 % oder weniger bei 1 kHz, 0,2 % oder weniger bei 10 kHz • Haltespannung: Zwischen Klemmen - Nennspann. (VDC) x 150 % für 60s Anschluss an Gehäuse - 1.500V AC für 60s • Isolationswiderstand: min. 30.000 MΩ, bei 500 V DC), 20 ° für 60s

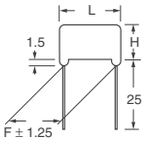

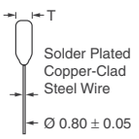

WV* DC	Kap. µF	Tole-ranz	Abmessungen (mm) L	T	H	F	Digi-Key Teilenr.	Preisangaben 1	10	100	1.000	5.000	Panasonic Teilenr.
1250 WV*	.0010	±5%	18.0	6.5	13.5	15.0	P10470-ND	.67	5.72	44.83	286.11	267.04/M	ECW-H12102JV
	.0012	±5%	18.0	7.0	13.5	15.0	P10471-ND	.67	5.72	44.83	286.11	267.04/M	ECW-H12122JV
	.0015	±5%	18.0	6.5	13.5	15.0	P10472-ND	.69	5.99	46.88	299.19	279.25/M	ECW-H12152JV
	.0018	±5%	18.0	7.0	14.0	15.0	P10473-ND	.69	5.99	46.88	299.19	279.25/M	ECW-H12182JV
	.0022	±5%	18.0	6.5	13.5	15.0	P10474-ND	.73	6.22	48.75	311.13	290.39/M	ECW-H12222JV
	.0027	±5%	18.0	7.0	14.0	15.0	P10475-ND	.75	6.43	50.42	321.79	300.34/M	ECW-H12272JV
	.0033	±5%	18.0	7.5	14.5	15.0	P10476-ND	.77	6.60	51.71	330.05	308.05/M	ECW-H12332JV
	.0039	±5%	18.0	6.0	12.5	15.0	P10477-ND	.77	6.60	51.71	330.05	308.05/M	ECW-H12392JV
	.0047	±5%	18.0	6.0	13.0	15.0	P10478-ND	.77	6.60	51.71	330.05	308.05/M	ECW-H12472JV
	.0056	±5%	18.0	6.5	13.5	15.0	P10479-ND	.80	6.87	53.78	343.25	320.37/M	ECW-H12562JV
	.0068	±5%	18.0	7.0	13.5	15.0	P10480-ND	.89	7.63	59.74	381.35	355.93/M	ECW-H12682JV
	.0082	±5%	18.0	7.5	14.0	15.0	P10481-ND	.93	7.98	62.53	399.13	372.52/M	ECW-H12822JV
	.010	±5%	18.0	8.0	15.0	15.0	P10482-ND	.96	8.22	64.42	411.19	383.78/M	ECW-H12103JV
	.012	±5%	18.0	8.5	15.5	15.0	P10483-ND	1.01	8.60	67.38	430.12	401.44/M	ECW-H12123JV
	.015	±5%	18.0	9.5	16.0	15.0	P10484-ND	1.11	9.47	74.21	473.67	442.10/M	ECW-H12153JV
	.018	±5%	23.0	7.5	16.0	20.0	P10485-ND	1.23	10.56	82.70	527.90	492.71/M	ECW-H12183JV
	.022	±5%	23.0	8.5	16.5	20.0	P10486-ND	1.34	11.49	89.97	574.25	535.97/M	ECW-H12223JV
	.027	±5%	23.0	9.0	17.5	20.0	P10487-ND	1.63	13.92	109.04	696.03	649.63/M	ECW-H12273JV
	.033	±5%	23.0	10.0	18.5	20.0	P10488-ND	1.82	15.61	122.26	780.35	728.33/M	ECW-H12333JV
	.039	±5%	23.0	10.5	19.5	20.0	P10489-ND	1.85	15.81	123.91	790.89	738.17/M	ECW-H12393JV
	.047	±5%	23.0	11.5	20.5	20.0	P10490-ND	1.97	16.87	132.16	843.59	787.36/M	ECW-H12473JV
	.056	±5%	28.0	11.5	20.5	25.0	P10491-ND	2.09	17.92	140.42	896.30	836.55/M	ECW-H12563JV
	.068	±5%	28.0	12.5	21.5	25.0	P10492-ND	2.22	18.98	148.68	949.00	885.73/M	ECW-H12683JV

WV* DC	Kap. µF	Tole-ranz	Abmessungen (mm) L	T	H	F	Digi-Key Teilenr.	Preisangaben 1	10	100	1.000	5.000	Panasonic Teilenr.
1250 WV	.082	±5%	28.0	14.0	22.5	25.0	P10493-ND	2.34	20.03	156.93	1001.70	934.92/M	ECW-H12823JV
	.10	±5%	28.0	15.5	24.0	25.0	P10494-ND	2.46	21.09	165.19	1054.40	984.11/M	ECW-H12104JV
1600 WV*	.0010	±5%	18.0	6.5	13.5	15.0	P10495-ND	.53	4.57	35.83	228.71	213.47/M	ECW-H16102JV
	.0012	±5%	18.0	7.0	13.5	15.0	P10496-ND	.53	4.57	35.83	228.71	213.47/M	ECW-H16122JV
	.0015	±5%	18.0	6.5	13.5	15.0	P10497-ND	.53	4.57	35.83	228.71	213.47/M	ECW-H16152JV
	.0018	±5%	18.0	7.0	14.0	15.0	P10498-ND	.53	4.57	35.83	228.71	213.47/M	ECW-H16182JV
	.0022	±5%	18.0	6.0	12.5	15.0	P10499-ND	.53	4.57	35.83	228.71	213.47/M	ECW-H16222JV
	.0027	±5%	18.0	6.0	13.0	15.0	P10500-ND	.53	4.57	35.83	228.71	213.47/M	ECW-H16272JV
	.0033	±5%	18.0	6.5	13.5	15.0	P10501-ND	.53	4.57	35.83	228.71	213.47/M	ECW-H16332JV
	.0039	±5%	18.0	7.0	14.0	15.0	P10502-ND	.53	4.57	35.83	228.71	213.47/M	ECW-H16392JV
	.0047	±5%	23.0	6.5	14.5	20.0	P10503-ND	.64	5.49	43.02	274.55	256.25/M	ECW-H16472JV
	.0056	±5%	23.0	6.5	15.0	20.0	P10504-ND	.64	5.49	43.02	274.55	256.25/M	ECW-H16562JV
	.0068	±5%	23.0	7.0	15.5	20.0	P10505-ND	.64	5.49	43.02	274.55	256.25/M	ECW-H16682JV
	.0082	±5%	23.0	7.5	16.0	20.0	P10506-ND	.64	5.49	43.02	274.55	256.25/M	ECW-H16822JV
	.010	±5%	23.0	8.0	16.5	20.0	P10507-ND	.64	5.49	43.02	274.55	256.25/M	ECW-H16103JV
	.012	±5%	23.0	9.0	17.0	20.0	P10508-ND	1.52	12.96	101.52	648.03	604.83/M	ECW-H16123JV
	.015	±5%	23.0	9.5	18.0	20.0	P10509-ND	1.52	12.96	101.52	648.03	604.83/M	ECW-H16153JV
	.018	±5%	23.0	10.5	19.5	20.0	P10510-ND	1.52	12.96	101.52	648.03	604.83/M	ECW-H16183JV
	.022	±5%	28.0	9.5	18.0	25.0	P10511-ND	2.01	17.22	134.87	860.87	803.48/M	ECW-H16223JV
	.027	±5%	28.0	10.5	19.5	25.0	P10512-ND	2.35	20.21	158.26	1010.21	942.86/M	ECW-H16273JV
	.033	±5%	28.0	11.5	20.5	25.0	P10513-ND	2.35	20.21	158.26	1010.21	942.86/M	ECW-H16333JV
	.039	±5%	28.0	13.5	22.0	25.0	P10514-ND	2.35	20.21	158.26	1010.21	942.86/M	ECW-H16393JV
	.047	±5%	28.0	15.0	23.5	25.0	P10515-ND	2.35	20.21	158.26	1010.21	942.86/M	ECW-H16473JV
	.056	±5%	28.0	16.0	24.5	25.0	P10516-ND	2.35	20.21	158.26	1010.21	942.86/M	ECW-H16563JV

Hochspannungskondensatoren mit metallisierter Polypropylenfolie - ECWH(L)

Für Anwendungen, in denen Hochfrequenzen und Hochimpulse erforderlich sind.

Merkmale: • Nicht-induktive Konstruktion • Ausgezeichnete elektrische Eigenschaften • Flammenhemmende Epoxidharzbeschichtung

Empfohlene Anwendungen: • Hochimpulsschaltreise (TV, Displays, elektronisches Vorschaltglied usw.)

Elektrische Spezifikationen: • Betriebstemperatur: -40 °C ~ 110 °C • Nennspannung: 1.250V DC) 1.600V DC) • Anschlussmaterial: 800 V: 0,001 µF ~ 0,039 µF verzinnter, verkupferter Stahldraht 0,043 µF ~ 0,056 µF verzinnter Kupferdraht 1.250V: 0,001 µF ~ 0,0091 µF verzinnter, verkupferter Stahldraht 0,01 µF ~ 0,022 µF verzinnter Kupferdraht 1.600V: 0,001 µF ~ 0,0043 µF verzinnter, verkupferter Stahldraht 0,0047 µF ~ 0,022 µF verzinnter Kupferdraht • Kapazitätstoleranz: ±3 % (H), ±5 % (J) • Dissipationsfaktor: 0,1 % oder weniger bei 1 kHz 0,2 % oder weniger bei 10 kHz • Haltespannung: Zwischen Anschlüssen. - Nennspannung: (V DC) x 140 % für 60s; Anschluss an Gehäuse: 1.500V AC für 60s • Isolationswiderstand: min. 30.000MΩ, bei 500V DC), 20 ° für 60s

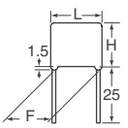

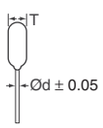

WV* DC	Kap. µF	Tole-ranz	Abmessungen (mm) L	T	H	F	d	Digi-Key Teilenr.	Preisangaben 1	10	100	1.000	Panasonic Teilenr.
800 WV*	0.001	±3%	18	5.0	11.5	15	0.6	P12738-ND	.68	5.82	45.56	290.81	ECW-H8102HL
	0.0011	±3%	18	5.0	12.0	15	0.6	P12739-ND	.69	5.91	46.26	295.25	ECW-H8112HL
	0.0012	±3%	18	5.0	12.0	15	0.6	P12740-ND	.70	5.99	46.97	299.82	ECW-H8122HL
	0.0013	±3%	18	5.5	12.0	15	0.6	P12429-ND	.71	6.09	47.69	304.40	ECW-H8132HL
	0.0015	±3%	18	5.5	12.5	15	0.6	P12430-ND	.72	6.18	48.41	308.97	ECW-H8152HL
	0.0016	±3%	18	5.5	12.5	15	0.6	P12431-ND	.73	6.27	49.12	313.54	ECW-H8162HL
	0.0018	±3%	18	6.0	12.5	15	0.6	P12432-ND	.75	6.36	49.81	317.98	ECW-H8182HL
	0.002	±3%	18	6.0	13.0	15	0.6	P12433-ND	.75	6.45	50.53	322.55	ECW-H8202HL
	0.0022	±3%	18	5.0	11.5	15	0.6	P12434-ND	.76	6.54	51.25	327.13	ECW-H8222HL
	0.0024	±3%	18	5.0	12.0	15	0.6	P12435-ND	.77	6.64	51.96	331.70	ECW-H8242HL
	0.0027	±3%	18	5.0	12.0	15	0.6	P12436-ND	.79	6.72	52.66	336.14	ECW-H8272HL
	0.003	±3%	18	5.5	12.0	15	0.6	P12437-ND	.80	6.82	53.38	340.71	ECW-H8302HL
	0.0033	±3%	18	5.5	12.0	15	0.6	P12438-ND	.80	6.91	54.10	345.29	ECW-H8332HL
	0.0036	±3%	18	5.5	12.5	15	0.6	P12439-ND	.81	7.00	54.81	349.86	ECW-H8362HL
	0.0039	±3%	18	5.5	12.5	15	0.6	P12440-ND	.83	7.09	55.51	354.30	ECW-H8392HL
	0.0043	±3%	18	5.0	12.0	15	0.6	P12441-ND	.84	7.18	56.22	358.87	ECW-H8432HL
	0.0047	±3%	18	5.0	12.0	15	0.6	P12442-ND	.85	7.27	56.94	363.45	ECW-H8472HL
	0.0051	±3%	18	5.5	12.0	15	0.6	P12443-ND	.87	7.45	58.37	372.59	ECW-H8512HL
	0.0056	±3%	18	5.5	12.0	15	0.6	P12444-ND	.89	7.64	59.79	381.60	ECW-H8562HL
	0.0062	±3%	18	5.5	12.5	15	0.6	P12445-ND	.91	7.81	61.22	390.75	ECW-H8622HL
	0.0068	±3%	18	6.0	12.5	15	0.6	P12446-ND	.93	7.99	62.63	399.76	ECW-H8682HL
	0.0075	±3%	18	6.0	13.0	15	0.6	P12447-ND	.96	8.18	64.06	408.91	ECW-H8752HL
	0.0082	±3%	18	6.0	13.0	15	0.6	P12448-ND	.97	8.36	65.48	417.92	ECW-H8822HL
	0.0091	±3%	18	6.5	13.0	15	0.6	P12449-ND	1.00	8.54	66.91	427.07	ECW-H8912HL
	0.01	±3%	18	6.5	13.5	15	0.6	P12450-ND	1.02	8.72	68.32	436.08	ECW-H8103HL
	0.011	±3%	18	7.0	13.5	15	0.6	P12451-ND	1.04	8.91	69.75	445.23	ECW-H8113HL
	0.012	±3%	18	5.0	11.5	15	0.6	P12452-ND	1.06	9.08	71.17	454.24	ECW-H8123HL
	0.013	±3%	18	5.0	12.0	15	0.6	P12453-ND	1.10	9.45	74.01	472.40	ECW-H8133HL
	0.015	±3%	18	5.5	12.0	15	0.6	P12454-ND	1.14	9.81	76.87	490.69	ECW-H8153HL
	0.016	±3%	18	5.5	12.0	15	0.6	P12455-ND	1.19	10.18	79.72	508.85	ECW-H8163HL
	0.018	±3%	18	5.5	12.5	15	0.6	P12456-ND	1.23	10.54	82.57	527.01	ECW-H8183HL
	0.02	±3%	18	6.0	12.5	15	0.6	P12457-ND	1.27	10.90	85.41	545.17	ECW-H8203HL
	0.022	±3%	18	6.0	13.0	15	0.6	P12458-ND	1.34	11.45	89.66	572.34	ECW-H8223HL
	0.024	±3%	18	6.0	13.0	15	0.6	P12459-ND	1.40	12.00	93.95	599.65	ECW-H8243HL
	0.027	±3%	23	5.0	13.5	20	0.6	P12460-ND	1.46	12.54	98.22	626.95	ECW-H8273HL

WV* DC	Kap. µF	Tole-ranz	Abmessungen (mm) L	T	H	F	d	Digi-Key Teilenr.	Preisangaben 1	10	100	1.000	Panasonic Teilenr.
800 WV*	0.03	±3%	23	5.5	13.5	20	0.6	P12461-ND	1.52	13.08	102.48	654.13	ECW-H8303HL
	0.033	±3%	23	5.5	14.0	20	0.6	P12462-ND	1.61	13.81	108.17	690.44	ECW-H8333HL
	0.036	±3%	23	5.5	14.0	20	0.6	P12463-ND	1.69	14.54	113.88	726.89	ECW-H8363HL
	0.039	±3%	23	6.0	14.0	20	0.6	P12464-ND	1.80	15.44	120.98	772.23	ECW-H8393HL
	0.043	±3%	23	6.0	14.5	20	0.8	P12465-ND	1.90	16.36	128.11	817.69	ECW-H8433HL
	0.047	±3%	23	6.0	14.5	20	0.8	P12466-ND	2.01	17.26	135.23	863.15	ECW-H8473HL
	0.051	±3%	23	6.5	15.0	20	0.8	P12467-ND	2.14	18.35	143.76	917.63	ECW-H8513HL
	0.056	±3%	23	6.5	15.0	20	0.8	P12468-ND	2.29	19.62	153.73	981.25	ECW-H8563HL
	0.001	±5%	18	5.0	11.5	15	0.6	P12469-ND	.60	5.18	40.57	258.93	ECW-H8102JL
	0.0011	±5%	18	5.0	12.0	15	0.6	P12470-ND	.62	5.27	41.28	263.50	ECW-H8112JL
	0.0012	±5%	18	5.0	12.0	15	0.6	P12471-ND	.63	5.36	42.00	268.08	ECW-H8122JL
	0.0013	±5%	18	5.5	12.0	15	0.6	P12472-ND	.63	5.45	42.71	272.65	ECW-H8132JL
	0.0015	±5%	18	5.5	12.5	15	0.6	P12473-ND	.64	5.55	43.41	277.09	ECW-H8152JL
	0.0016	±5%	18	5.5	12.5	15	0.6	P12474-ND	.66	5.63	44.12	281.66	ECW-H8162JL
	0.0018	±5%	18	6.0	12.5	15	0.6	P12475-ND	.67	5.72	44.84	286.24	ECW-H8182JL
	0.002	±5%	18	6.0	13.0	15	0.6	P12476-ND	.68	5.82	45.56	290.81	ECW-H8202JL
	0.0022	±5%	18	5.0	11.5	15	0.6	P12477-ND	.69	5.91	46.26	295.25	ECW-H8222JL
	0.0024	±5%	18	5.0	12.0	15	0.6	P12478-ND	.70	5.99	46.97	299.82	ECW-H8242JL
	0.0027	±5%	18	5.0	12.0	15	0.6	P12479-ND	.71	6.09	47.69	304.40	ECW-H8272JL
	0.003	±5%	18	5.5	12.0	15	0.6	P12480-ND	.72	6.18	48.41	308.97	ECW-H8302JL
	0.0033	±5%	18	5.5	12.0	15	0.6	P12481-ND	.73	6.27	49.12	313.54	ECW-H8332JL
	0.0036	±5%	18	5.5	12.5	15	0.6	P12482-ND	.75	6.36	49.81	317.98	ECW-H8362JL
	0.0039	±5%	18	5.5	12.5	15	0.6	P12483-ND	.75	6.45	50.53	322.55	ECW-H8392JL
	0.0043	±5%	18	5.0	12.0	15	0.6	P12484-ND	.76	6.54	51.25	327.13	ECW-H8432JL
	0.0047	±5%	18	5.0	12.0	15	0.6	P12485-ND	.77	6.64	51.96	331.70	ECW-H8472JL
	0.0051	±5%	18	5.5	12.0	15	0.6	P12486-ND	.79	6.72	52.66	336.14	ECW-H8512JL
	0.0056	±5%	18	5.5	12.0	15	0.6	P12487-ND	.80	6.82	53.38	340.71	ECW-H8562JL
	0.0062	±5%	18	5.5	12.5	15	0.6	P12488-ND	.80	6.91	54.10	345.29	ECW-H8622JL
	0.0068	±5%	18	6.0	12.5	15	0.6	P12489-ND	.81	7.00	54.81	349.86	ECW-H8682JL
	0.0075	±5%	18	6.0	13.0	15	0.6	P12490-ND	.83	7.09	55.51	354.30	ECW-H8752JL
	0.0082	±5%	18	6.0	13.0	15	0.6	P12491-ND	.84	7.18	56.22	358.87	ECW-H8822JL
	0.0091	±5%	18	6.5	13.0	15	0.6	P12492-ND	.85	7.27	56.94	363.45	ECW-H8912JL
	0.01	±5%	18	6.5	13.5	15	0.6	P12493-ND	.87	7.45	58.37	372.59	ECW-H8103JL
	0.011	±5%	18	7.0	13.5	15	0.6	P12494-ND	.89	7.64	59.79	381.60	ECW-H8113JL
	0.012	±5%	18	5.0	11.5	15	0.6	P12495-ND	.91	7.81	61.22	390.75	ECW-H8123JL

(Forts.)

* Betriebsspannung

E

WV* DC	Kap. µF	Toleranz	Abmessungen (mm) L	T	H	F	d	Digi-Key Teilenr.	Preisangaben 1	10	100	1.000	Panasonic Teilenr.
800 WV*	0.013	±5%	18	5.0	12.0	15	0.6	P12496-ND	.93	7.99	62.63	399.76	ECW-H8133JL
	0.015	±5%	18	5.5	12.0	15	0.6	P12497-ND	.96	8.18	64.06	408.91	ECW-H8153JL
	0.016	±5%	18	5.5	12.0	15	0.6	P12498-ND	1.00	8.54	66.91	427.07	ECW-H8163JL
	0.018	±5%	18	5.5	12.5	15	0.6	P12499-ND	1.04	8.91	69.75	445.23	ECW-H8183JL
	0.02	±5%	18	6.0	12.5	15	0.6	P12500-ND	1.10	9.45	74.01	472.40	ECW-H8203JL
	0.022	±5%	18	6.0	13.0	15	0.6	P12501-ND	1.17	10.00	78.29	499.71	ECW-H8223JL
	0.024	±5%	18	6.0	13.0	15	0.6	P12502-ND	1.23	10.54	82.57	527.01	ECW-H8243JL
	0.027	±5%	23	5.0	13.5	20	0.6	P12503-ND	1.30	11.08	86.82	554.18	ECW-H8273JL
	0.03	±5%	23	5.5	13.5	20	0.6	P12504-ND	1.35	11.63	91.10	581.49	ECW-H8303JL
	0.033	±5%	23	5.5	14.0	20	0.6	P12505-ND	1.44	12.36	96.79	617.81	ECW-H8333JL
	0.036	±5%	23	5.5	14.0	20	0.6	P12506-ND	1.52	13.08	102.48	654.13	ECW-H8363JL
	0.039	±5%	23	6.0	14.0	20	0.6	P12507-ND	1.61	13.81	108.17	690.44	ECW-H8393JL
	0.043	±5%	23	6.0	14.5	20	0.8	P12508-ND	1.69	14.54	113.88	726.89	ECW-H8433JL
	0.047	±5%	23	6.0	14.5	20	0.8	P12509-ND	1.80	15.44	120.98	772.23	ECW-H8473JL
	0.051	±5%	23	6.5	15.0	20	0.8	P12510-ND	1.90	16.36	128.11	817.69	ECW-H8513JL
	0.056	±5%	23	6.5	15.0	20	0.8	P12511-ND	2.03	17.44	136.64	872.17	ECW-H8563JL
1250 WV*	0.001	±3%	18	5.0	11.5	15	0.6	P12512-ND	.75	6.36	49.81	317.98	ECW-H12102HL
	0.0011	±3%	18	5.0	12.0	15	0.6	P12513-ND	.75	6.45	50.53	322.55	ECW-H12112HL
	0.0012	±3%	18	5.0	12.0	15	0.6	P12514-ND	.76	6.54	51.25	327.13	ECW-H12122HL
	0.0013	±3%	18	5.5	12.0	15	0.6	P12515-ND	.77	6.64	51.96	331.70	ECW-H12132HL
	0.0015	±3%	18	5.5	12.5	15	0.6	P12516-ND	.79	6.72	52.66	336.14	ECW-H12152HL
	0.0016	±3%	18	5.5	12.5	15	0.6	P12517-ND	.80	6.82	53.38	340.71	ECW-H12162HL
	0.0018	±3%	18	6.0	12.5	15	0.6	P12518-ND	.80	6.91	54.10	345.29	ECW-H12182HL
	0.002	±3%	18	6.0	13.0	15	0.6	P12519-ND	.81	7.00	54.81	349.86	ECW-H12202HL
	0.0022	±3%	18	5.0	11.5	15	0.6	P12520-ND	.83	7.09	55.51	354.30	ECW-H12222HL
	0.0024	±3%	18	5.0	12.0	15	0.6	P12521-ND	.84	7.18	56.22	358.87	ECW-H12242HL
	0.0027	±3%	18	5.0	12.0	15	0.6	P12522-ND	.85	7.27	56.94	363.45	ECW-H12272HL
	0.003	±3%	18	5.5	12.0	15	0.6	P12523-ND	.87	7.45	58.37	372.59	ECW-H12302HL
	0.0033	±3%	18	5.5	12.0	15	0.6	P12524-ND	.89	7.64	59.79	381.60	ECW-H12332HL
	0.0036	±3%	18	5.5	12.5	15	0.6	P12525-ND	.91	7.81	61.22	390.75	ECW-H12362HL
	0.0039	±3%	18	5.5	12.5	15	0.6	P12526-ND	.93	7.99	62.63	399.76	ECW-H12392HL
	0.0043	±3%	18	6.0	12.5	15	0.6	P12527-ND	.96	8.18	64.06	408.91	ECW-H12432HL
	0.0047	±3%	18	5.0	12.0	15	0.6	P12528-ND	.97	8.36	65.48	417.92	ECW-H12472HL
	0.0051	±3%	18	5.5	12.0	15	0.6	P12529-ND	1.00	8.54	66.91	427.07	ECW-H12512HL
	0.0056	±3%	18	5.5	12.0	15	0.6	P12530-ND	1.02	8.72	68.32	436.08	ECW-H12562HL
	0.0062	±3%	18	5.5	12.5	15	0.6	P12531-ND	1.04	8.91	69.75	445.23	ECW-H12622HL
	0.0068	±3%	18	6.0	12.5	15	0.6	P12532-ND	1.06	9.08	71.17	454.24	ECW-H12682HL
	0.0075	±3%	18	6.0	13.0	15	0.6	P12533-ND	1.10	9.45	74.01	472.40	ECW-H12752HL
	0.0082	±3%	18	6.0	13.0	15	0.6	P12534-ND	1.14	9.81	76.87	490.69	ECW-H12822HL
	0.0091	±3%	18	6.5	13.0	15	0.6	P12535-ND	1.19	10.18	79.72	508.85	ECW-H12912HL
	0.01	±3%	18	6.5	13.5	15	0.8	P12536-ND	1.23	10.54	82.57	527.01	ECW-H12103HL
	0.011	±3%	18	7.0	13.5	15	0.8	P12537-ND	1.27	10.90	85.41	545.17	ECW-H12113HL
	0.012	±3%	18	7.0	14.0	15	0.8	P12538-ND	1.31	11.27	88.26	563.33	ECW-H12123HL
	0.013	±3%	18	7.5	14.0	15	0.8	P12539-ND	1.35	11.63	91.10	581.49	ECW-H12133HL
	0.015	±3%	18	8.0	14.5	15	0.8	P12540-ND	1.40	12.00	93.95	599.65	ECW-H12153HL
	0.016	±3%	18	8.0	15.0	15	0.8	P12541-ND	1.44	12.36	96.79	617.81	ECW-H12163HL
	0.018	±3%	23	6.5	15.0	20	0.8	P12542-ND	1.48	12.72	99.64	635.97	ECW-H12183HL
	0.02	±3%	23	6.5	15.0	20	0.8	P12543-ND	1.52	13.08	102.48	654.13	ECW-H12203HL
	0.022	±3%	23	7.0	15.5	20	0.8	P12544-ND	1.57	13.44	105.33	672.29	ECW-H12223HL
	0.001	±5%	18	5.0	11.5	15	0.6	P12545-ND	.67	5.72	44.84	286.24	ECW-H12102JL
	0.0011	±5%	18	5.0	12.0	15	0.6	P12546-ND	.68	5.82	45.56	290.81	ECW-H12112JL
	0.0012	±5%	18	5.0	12.0	15	0.6	P12547-ND	.69	5.91	46.26	295.25	ECW-H12122JL
	0.0013	±5%	18	5.5	12.0	15	0.6	P12548-ND	.70	5.99	46.97	299.82	ECW-H12132JL
	0.0015	±5%	18	5.5	12.5	15	0.6	P12549-ND	.71	6.09	47.69	304.40	ECW-H12152JL
	0.0016	±5%	18	5.5	12.5	15	0.6	P12550-ND	.72	6.18	48.41	308.97	ECW-H12162JL
	0.0018	±5%	18	6.0	12.5	15	0.6	P12551-ND	.73	6.27	49.12	313.54	ECW-H12182JL
	0.002	±5%	18	6.0	13.0	15	0.6	P12552-ND	.75	6.36	49.81	317.98	ECW-H12202JL
	0.0022	±5%	18	5.0	11.5	15	0.6	P12553-ND	.75	6.45	50.53	322.55	ECW-H12222JL
	0.0024	±5%	18	5.0	12.0	15	0.6	P12554-ND	.76	6.54	51.25	327.13	ECW-H12242JL
	0.0027	±5%	18	5.0	12.0	15	0.6	P12555-ND	.77	6.64	51.96	331.70	ECW-H12272JL
	0.003	±5%	18	5.5	12.0	15	0.6	P12556-ND	.79	6.72	52.66	336.14	ECW-H12302JL
	0.0033	±5%	18	5.5	12.0	15	0.6	P12557-ND	.80	6.82	53.38	340.71	ECW-H12332JL
	0.0036	±5%	18	5.5	12.5	15	0.6	P12558-ND	.80	6.91	54.10	345.29	ECW-H12362JL
	0.0039	±5%	18	5.5	12.5	15	0.6	P12559-ND	.81	7.00	54.81	349.86	ECW-H12392JL
	0.0043	±5%	18	6.0	12.5	15	0.6	P12560-ND	.83	7.09	55.51	354.30	ECW-H12432JL
	0.0047	±5%	18	5.0	12.0	15	0.6	P12561-ND	.84	7.18	56.22	358.87	ECW-H12472JL
	0.0051	±5%	18	5.5	12.0	15	0.6	P12562-ND	.85	7.27	56.94	363.45	ECW-H12512JL
	0.0056	±5%	18	5.5	12.0	15	0.6	P12563-ND	.87	7.45	58.37	372.59	ECW-H12562JL
	0.0062	±5%	18	5.5	12.5	15	0.6	P12564-ND	.89	7.64	59.79	381.60	ECW-H12622JL
	0.0068	±5%	18	6.0	12.5	15	0.6	P12565-ND	.91	7.81	61.22	390.75	ECW-H12682JL
	0.0075	±5%	18	6.0	13.0	15	0.6	P12566-ND	.93	7.99	62.63	399.76	ECW-H12752JL
	0.0082	±5%	18	6.0	13.0	15	0.6	P12567-ND	.96	8.18	64.06	408.91	ECW-H12822JL
	0.0091	±5%	18	6.5	13.0	15	0.6	P12568-ND	.97	8.36	65.48	417.92	ECW-H12912JL
	0.01	±5%	18	6.5	13.5	15	0.8	P12569-ND	1.00	8.54	66.91	427.07	ECW-H12103JL
	0.011	±5%	18	7.0	13.5	15	0.8	P12570-ND	1.02	8.72	68.32	436.08	ECW-H12113JL
	0.012	±5%	18	7.0	14.0	15	0.8	P12571-ND	1.04	8.91	69.75	445.23	ECW-H12123JL
1250 WV*	0.013	±5%	18	7.5	14.0	15	0.8	P12572-ND	1.06	9.08	71.17	454.24	ECW-H12133JL
	0.015	±5%	18	8.0	14.5	15	0.8	P12573-ND	1.10	9.45	74.01	472.40	ECW-H12153JL
	0.016	±5%	18	8.0	15.0	15	0.8	P12574-ND	1.14	9.81	76.87	490.69	ECW-H12163JL
	0.018	±5%	23	6.5	15.0	20	0.8	P12575-ND	1.19	10.18	79.72	508.85	ECW-H12183JL
	0.02	±5%	23	6.5	15.0	20	0.8	P12576-ND	1.23	10.54	82.57	527.01	ECW-H12203JL
	0.022	±5%	23	7.0	15.5	20	0.8	P12577-ND	1.27	10.90	85.41	545.17	ECW-H12223JL
1600 WV*	0.001	±3%	18	5.0	11.5	15	0.6	P12578-ND	.74	6.30	49.34	314.94	ECW-H16102HL
	0.0011	±3%	18	5.0	12.0	15	0.6	P12579-ND	.75	6.37	49.96	318.87	ECW-H16112HL
	0.0012	±3%	18	5.0	12.0	15	0.6	P12580-ND	.75	6.46	50.58	322.81	ECW-H16122HL
	0.0013	±3%	18	5.5	12.0	15	0.6	P12581-ND	.76	6.54	51.19	326.75	ECW-H16132HL
	0.0015	±3%	18	5.5	12.5	15	0.6	P12582-ND	.77	6.61	51.80	330.68	ECW-H16152HL
	0.0016	±3%	18	5.5	12.5	15	0.6	P12583-ND	.78	6.70	52.42	334.62	ECW-H16162HL
	0.0018	±3%	18	6.0	12.5	15	0.6	P12584-ND	.79	6.77	53.04	338.56	ECW-H16182HL
	0.002	±3%	18	6.0	13.0	15	0.6	P12585-ND	.80	6.85	53.66	342.49	ECW-H16202HL
	0.0024	±3%	18	6.5	13.0	15	0.6	P12587-ND	.82	7.01	54.89	350.37	ECW-H16242HL
	0.0027	±3%	18	5.0	12.0	15	0.6	P12588-ND	.83	7.09	55.51	354.30	ECW-H16272HL
	0.003	±3%	18	5.5	12.0	15	0.6	P12589-ND	.86	7.32	57.36	366.11	ECW-H16302HL
	0.0033	±3%	18	5.5	12.0	15	0.6	P12590-ND	.86	7.40	57.98	370.05	ECW-H16332HL
	0.0036	±3%	18	5.5	12.5	15	0.6	P12591-ND	.87	7.48	58.59	373.99	ECW-H16362HL
	0.0039	±3%	18	5.5	12.5	15	0.6	P12592-ND	.88	7.56	59.21	377.92	ECW-H16392HL
	0.0043	±3%	18	6.0	12.5	15	0.6	P12593-ND	.89	7.64	59.82	381.86	ECW-H16432HL
	0.0047	±3%	18	7.0	13.5	15	0.8	P12594-ND	.90	7.71	60.44	385.80	ECW-H16472HL
	0.0051	±3%	18	7.0	14.0	15	0.8	P12595-ND	.91	7.80	61.06	389.73	ECW-H16512HL
	0.0056	±3%	18	7.5	14.0	15	0.8	P12596-ND	.92	7.87	61.67	393.67	ECW-H16562HL
	0.0062	±3%	18	7.5	14.5	15	0.8	P12597-ND	.94	8.03	62.91	401.54	ECW-H16622HL
	0.0068	±3%	18	8.0	14.5	15	0.8	P12598-ND	.96	8.19	64.14	409.42	ECW-H16682HL
	0.0075	±3%	18	8.0	15.0	15	0.8	P12599-ND	.97	8.35	65.37	417.29	ECW-H16752HL
	0.0082	±3%	18	8.5	15.5	15	0.8	P12600-ND	.99	8.50	66.61	425.16	ECW-H16822HL
	0.0091	±3%	18	9.0	15.5	15	0.8	P12601-ND	1.03	8.82	69.07	440.91	ECW-H16912HL
	0.01	±3%	23	7.0	15.0	20	0.8	P12602-ND	1.07	9.13	71.55	456.66	ECW-H16103HL
	0.011	±3%	23	7.0	15.5	20	0.8	P12603-ND	1.10	9.45	74.01	472.40	ECW-H16113HL
	0.012	±3%	23	7.5	15.5	20	0.8	P12604-ND	1.16	9.92	77.71	496.02	ECW-H16123HL
	0.013	±3%	23	7.5	16.0	20	0.8	P12605-ND	1.21	10.40	81.41	519.64	ECW-H16133HL
	0.015	±3%	23	8.0	16.5	20	0.8	P12606-ND	1.27	10.86	85.11	543.26	ECW-H16153HL
	0.016	±3%	23	8.0	16.5	20	0.8	P12607-ND	1.34	11.50	90.04	574.76	ECW-H16163HL
	0.018	±3%	23	8.5	17.0	20	0.8	P12608-ND	1.41	12.12	94.98	606.25	ECW-H16183HL
	0.02	±3%	23	9.0	17.5	20	0.8	P12609-ND	1.51	12.91	101.14	645.62	ECW-H16203HL
	0.022	±3%	23	9.5	18.0	20	0.8	P12610-ND	1.62	13.86	108.55	692.86	ECW-H16223HL
	0.001	±5%	18	5.0	11.5	15	0.6	P12611-ND	.66	5.67	44.40	283.44	ECW-H16102JL
	0.0011	±5%	18	5.0	12.0	15	0.6	P12612-ND	.67	5.75	45.02	287.38	ECW-H16112JL
	0.0012	±5%	18	5.0	12.0	15	0.6	P12613-ND	.68	5.82	45.64	291.32	ECW-H16122JL
	0.0013	±5%	18	5.5	12.0	15	0.6	P12614-ND	.69	5.91	46.26	295.25	ECW-H16132JL
	0.0015	±5%	18	5.5	12.5	15	0.6	P12615-ND	.69	5.99	46.88	299.19	ECW-H16152JL
	0.0016	±5%	18	5.5	12.5	15	0.6	P12616-ND	.71	6.06	47.49	303.13	ECW-H16162JL
	0.0018	±5%	18	6.0	12.5	15	0.6	P12617-ND	.72	6.14	48.10	307.06	ECW-H16182JL
	0.002	±5%	18	6.0	13.0	15	0.6	P12618-ND	.73	6.22	48.72	311.00	ECW-H16202JL
	0.0022	±5%	18	6.0	13.0	15	0.6	P12619-ND	.74	6.30	49.34	314.94	ECW-H16222JL
	0.0024	±5%	18	6.5	13.0	15	0.6	P12620-ND	.75	6.37	49.96	318.87	ECW-H16242JL
	0.0027	±5%	18	5.0	12.0	15	0.6	P12621-ND	.75	6.46	50.58	322.81	ECW-H16272JL
	0.003	±5%	18	5.5	12.0	15	0.6	P12622-ND	.76	6.54	51.19	326.75	ECW-H16302JL
	0.0033	±5%	18	5.5	12.0	15	0.6	P12623-ND	.77	6.61	51.80	330.68	ECW-H16332JL
	0.0036	±5%	18	5.5	12.5	15	0.6	P12624-ND	.78	6.70	52.42	334.62	ECW-H16362JL
	0.0039	±5%	18	5.5	12.5	15	0.6	P12625-ND	.79	6.77	53.04	338.56	ECW-H16392JL
	0.0043	±5%	18	6.0	12.5	15	0.6	P12626-ND	.80	6.85	53.66	342.49	ECW-H16432JL
	0.0047	±5%	18	7.0	13.5	15	0.8	P12627-ND	.80	6.93	54.28	346.43	ECW-H16472JL
	0.0051	±5%	18	7.0	14.0	15	0.8	P12628-ND	.82	7.01	54.89	350.37	ECW-H16512JL
	0.0056	±5%	18	7.5	14.0	15	0.8	P12629-ND	.83	7.09	55.51	354.30	ECW-H16562JL
	0.0062	±5%	18	7.5	14.5	15	0.8	P12630-ND	.85	7.25	56.74	362.18	ECW-H16622JL
	0.0068	±5%	18	8.0	14.5	15	0.8	P12631-ND	.86	7.40	57.98	370.05	ECW-H16682JL
	0.0075	±5%	18	8.0	15.0	15	0.8	P12632-ND	.88	7.56	59.21	377.92	ECW-H16752JL
	0.0082	±5%	18	8.5	15.5	15	0.8	P12633-ND	.90	7.71	60.44	385.80	ECW-H16822JL
	0.0091	±5%	18	9.0	15.5	15	0.8	P12634-ND	.92	7.87	61.67	393.67	ECW-H16912JL
	0.011	±5%	23	7.0	15.5	20	0.8	P12636-ND	.99	8.50	66.61	425.16	ECW-H16113JL
	0.012	±5%	23	7.5	15.5	20	0.8	P12637-ND	1.03	8.82	69.07	440.91	ECW-H16123JL
	0.013	±5%	23	7.5	16.0	20	0.8	P12638-ND	1.07	9.13	71.55	456.66	ECW-H16133JL
	0.015	±5%	23	8.0	16.5	20	0.8	P12639-ND	1.14	9.76	76.47	488.15	ECW-H16153JL
	0.016	±5%	23	8.0	16.5	20	0.8	P12640-ND	1.21	10.40	81.41	519.64	ECW-H16163JL
	0.018	±5%	23	8.5	17.0	20	0.8	P12641-ND	1.29	11.02	86.34	551.14	ECW-H16183JL
	0.02	±5%	23	9.0	17.5	20	0.8	P12642-ND	1.38	11.81	92.52	590.50	ECW-H16203JL
	0.022	±5%	23	9.5	18.0	20	0.8	P12643-ND	1.47	12.60	98.68	629.87	ECW-H16223JL

* Betriebsspannung

Alle Preisangaben in Euro und inklusive Zollgebühren.

Filterkondensatoren mit metallisiertem Polypropylen

Serie MKP 416 bis 420

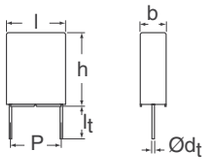

Anwendungen: • Verlustarm aufgrund niedrigen Kontaktwiderstands und verlustarmem Dielektrikum bei Anwendungen, in denen Hochfrequenz auftritt oder eine hohe Stabilität bevorzugt wird
• Durch die kleinen Abmessungen eignen sie sich für Schaltkreise mit hoher Paketdichte
Spezifikationen: • **Nenntemperatur (DC):** 85°C • **Kapazitätstoleranz:** ±2%

Spannung (VDC)	Kapazität (µF)	Abmessungen (mm) b	h	l	P	l_t	ød$_t$	Digi-Key Teilenr.	Stückpreis 1	10	100	BC Components Teilenr.
								Serie MKP 416				
63	.036	4.5	9.0	7.2	5.0	4.0	.50	BC2065-ND	.46	.39	.26	2222 416 43603
	.039	4.5	9.0	7.2	5.0	4.0	.50	BC2066-ND	.46	.39	.26	2222 416 43903
	.043	4.5	9.0	7.2	5.0	4.0	.50	BC2067-ND	.46	.39	.26	2222 416 44303
	.047	4.5	9.0	7.2	5.0	4.0	.50	BC2068-ND	.47	.41	.27	2222 416 44703
	.051	6.0	11.0	7.2	5.0	4.0	.50	BC2069-ND	.47	.41	.27	2222 416 45103
	.056	6.0	11.0	7.2	5.0	4.0	.50	BC2070-ND	.48	.42	.28	2222 416 45603
	.062	6.0	11.0	7.2	5.0	4.0	.50	BC2071-ND	.49	.43	.29	2222 416 46203
	.068	6.0	11.0	7.2	5.0	4.0	.50	BC2072-ND	.51	.44	.30	2222 416 46803
	.075	6.0	11.0	7.2	5.0	4.0	.50	BC2073-ND	.51	.44	.30	2222 416 47503
	.082	6.0	11.0	7.2	5.0	4.0	.50	BC2074-ND	.52	.45	.30	2222 416 48203
	.091	6.0	11.0	7.2	5.0	4.0	.50	BC2075-ND	.52	.45	.30	2222 416 49103
	.10	6.0	11.0	7.2	5.0	4.0	.50	BC2054-ND	.52	.45	.30	2222 416 41004
	.11	6.0	11.0	7.2	5.0	4.0	.50	BC2055-ND	.55	.47	.32	2222 416 41104
	.12	6.0	11.0	7.2	5.0	4.0	.50	BC2056-ND	.57	.49	.33	2222 416 41204
	.13	5.0	11.0	12.5	10.0	4.0	.60	BC2057-ND	.57	.49	.33	2222 416 41304
	.15	5.0	11.0	12.5	10.0	4.0	.60	BC2058-ND	.58	.50	.33	2222 416 41504
	.16	6.0	12.0	12.5	10.0	4.0	.60	BC2059-ND	.59	.51	.34	2222 416 41604
	.18	6.0	12.0	12.5	10.0	4.0	.60	BC2060-ND	.60	.52	.35	2222 416 41804
	.20	6.0	12.0	12.5	10.0	4.0	.60	BC2061-ND	.61	.53	.36	2222 416 42004
	.22	6.0	12.0	12.5	10.0	4.0	.60	BC2062-ND	.63	.55	.37	2222 416 42204
	.24	6.0	12.0	12.5	10.0	4.0	.60	BC2063-ND	.66	.57	.38	2222 416 42404
	.27	6.0	12.0	12.5	10.0	4.0	.60	BC2064-ND	.69	.59	.40	2222 416 42704
	.30	6.0	12.0	17.5	15.0	3.5	.60	BC2078-ND	.67	.58	.39	2222 416 73004
	.33	6.0	12.0	17.5	15.0	3.5	.60	BC2079-ND	.69	.59	.39	2222 416 73304
	.36	6.0	12.0	17.5	15.0	3.5	.60	BC2080-ND	.71	.62	.41	2222 416 73604
	.39	6.0	12.0	17.5	15.0	3.5	.60	BC2081-ND	.75	.65	.43	2222 416 73904
	.43	7.0	13.5	17.5	15.0	3.5	.80	BC2082-ND	.78	.67	.45	2222 416 74304
	.47	7.0	13.5	17.5	15.0	3.5	.80	BC2083-ND	.81	.70	.47	2222 416 74704
	.51	7.0	13.5	17.5	15.0	3.5	.80	BC2084-ND	.85	.73	.49	2222 416 75104
	.56	7.0	13.5	17.5	15.0	3.5	.80	BC2085-ND	.86	.74	.50	2222 416 75604
	.62	8.5	15.0	17.5	15.0	3.5	.80	BC2086-ND	.91	.79	.53	2222 416 76204
	.68	8.5	15.0	17.5	15.0	3.5	.80	BC2087-ND	.96	.82	.55	2222 416 76804
	.75	8.5	15.0	17.5	15.0	3.5	.80	BC2088-ND	1.01	.87	.58	2222 416 77504
	.82	8.5	15.0	17.5	15.0	3.5	.80	BC2089-ND	1.08	.94	.63	2222 416 78204
	.91	10.0	16.5	17.5	15.0	3.5	.80	BC2090-ND	1.17	1.01	.67	2222 416 79104
	1.0	10.0	16.5	17.5	15.0	3.5	.80	BC2076-ND	1.23	1.06	.71	2222 416 71005
	1.1	10.0	16.5	17.5	15.0	3.5	.80	BC2077-ND	1.34	1.15	.77	2222 416 71105
								Serie MKP 417				
160	.024	4.5	9.0	7.2	5.0	4.0	.50	BC2100-ND	.48	.42	.28	2222 417 42403
	.027	4.5	9.0	7.2	5.0	4.0	.50	BC2102-ND	.48	.42	.28	2222 417 42703
	.03	4.5	9.0	7.2	5.0	4.0	.50	BC2103-ND	.49	.43	.29	2222 417 43003
	.033	4.5	9.0	7.2	5.0	4.0	.50	BC2104-ND	.49	.43	.29	2222 417 43303
	.036	6.0	11.0	7.2	5.0	4.0	.50	BC2105-ND	.49	.43	.29	2222 417 43603
	.039	6.0	11.0	7.2	5.0	4.0	.50	BC2106-ND	.49	.43	.29	2222 417 43903
	.043	6.0	11.0	7.2	5.0	4.0	.50	BC2107-ND	.49	.43	.29	2222 417 44303
	.047	6.0	11.0	7.2	5.0	4.0	.50	BC2108-ND	.51	.44	.30	2222 417 44703
	.051	6.0	11.0	7.2	5.0	4.0	.50	BC2109-ND	.52	.45	.30	2222 417 45103
	.056	6.0	11.0	7.2	5.0	4.0	.50	BC2110-ND	.53	.46	.31	2222 417 45603
	.062	6.0	11.0	7.2	5.0	4.0	.50	BC2111-ND	.55	.47	.32	2222 417 46203
	.068	6.0	11.0	7.2	5.0	4.0	.50	BC2112-ND	.57	.49	.33	2222 417 46803
	.075	4.0	10.0	12.5	10.0	4.0	.60	BC2113-ND	.57	.49	.33	2222 417 47503
	.082	4.0	10.0	12.5	10.0	4.0	.60	BC2114-ND	.57	.49	.33	2222 417 48203
	.091	4.0	10.0	12.5	10.0	4.0	.60	BC2115-ND	.58	.50	.33	2222 417 49103
	.10	4.0	10.0	12.5	10.0	4.0	.60	BC2091-ND	.58	.50	.33	2222 417 41004
	.11	5.0	11.0	12.5	10.0	4.0	.60	BC2092-ND	.60	.52	.35	2222 417 41104
	.12	5.0	11.0	12.5	10.0	4.0	.60	BC2093-ND	.61	.53	.36	2222 417 41204
	.13	5.0	11.0	12.5	10.0	4.0	.60	BC2094-ND	.61	.53	.36	2222 417 41304
	.15	5.0	11.0	12.5	10.0	4.0	.60	BC2095-ND	.63	.55	.37	2222 417 41504
	.16	6.0	12.0	12.5	10.0	4.0	.60	BC2096-ND	.65	.56	.38	2222 417 41604
	.18	6.0	12.0	12.5	10.0	4.0	.60	BC2097-ND	.66	.57	.38	2222 417 41804
	.20	6.0	12.0	12.5	10.0	4.0	.60	BC2098-ND	.67	.58	.39	2222 417 42004
	.22	6.0	12.0	12.5	10.0	4.0	.60	BC2099-ND	.56	.48	.32	2222 417 42204
	.24	6.0	12.0	12.5	10.0	4.0	.60	BC2101-ND	.71	.61	.41	2222 417 42404
	.27	5.0	11.0	17.5	15.0	3.5	.80	BC2118-ND	.67	.58	.39	2222 417 72704
	.30	6.0	12.0	17.5	15.0	3.5	.60	BC2119-ND	.72	.62	.42	2222 417 73004
	.33	6.0	12.0	17.5	15.0	3.5	.60	BC2120-ND	.74	.64	.43	2222 417 73304
	.36	6.0	12.0	17.5	15.0	3.5	.60	BC2121-ND	.77	.66	.45	2222 417 73604
	.39	6.0	12.0	17.5	15.0	3.5	.60	BC2122-ND	.81	.70	.47	2222 417 73904
	.43	7.0	13.5	17.5	15.0	3.5	.80	BC2123-ND	.84	.73	.49	2222 417 74304
	.47	7.0	13.5	17.5	15.0	3.5	.80	BC2124-ND	.71	.61	.41	2222 417 74704
	.51	7.0	13.5	17.5	15.0	3.5	.80	BC2125-ND	.91	.79	.53	2222 417 75104
	.56	7.0	13.5	17.5	15.0	3.5	.80	BC2126-ND	.93	.80	.54	2222 417 75604
	.62	8.5	15.0	17.5	15.0	3.5	.80	BC2127-ND	.99	.85	.57	2222 417 76204
	.75	8.5	15.0	17.5	15.0	3.5	.80	BC2129-ND	1.09	.94	.63	2222 417 77504
	.82	8.5	15.0	17.5	15.0	3.5	.80	BC2130-ND	1.18	1.01	.68	2222 417 78204
	.91	10.0	16.5	17.5	15.0	3.5	.80	BC2131-ND	1.26	1.09	.73	2222 417 79104
	1.0	10.0	16.5	17.5	15.0	3.5	.80	BC2116-ND	1.07	.92	.61	2222 417 71005

Spannung (VDC)	Kapazität (µF)	Abmessungen (mm) b	h	l	P	l_t	ød$_t$	Digi-Key Teilenr.	Stückpreis 1	10	100	BC Components Teilenr.
								Serie MKP 418				
250	.01	3.5	8.0	7.2	5.0	4.0	.50	BC2132-ND	.33	.28	.19	2222 418 41003
	.011	3.5	8.0	7.2	5.0	4.0	.50	BC2134-ND	.41	.36	.24	2222 418 41103
	.012	3.5	8.0	7.2	5.0	4.0	.50	BC2136-ND	.41	.36	.24	2222 418 41203
	.013	3.5	8.0	7.2	5.0	4.0	.50	BC2138-ND	.41	.36	.24	2222 418 41303
	.015	3.5	8.0	7.2	5.0	4.0	.50	BC2140-ND	.44	.38	.26	2222 418 41503
	.016	4.5	9.0	7.2	5.0	4.0	.50	BC2141-ND	.46	.39	.26	2222 418 41603
	.018	4.5	9.0	7.2	5.0	4.0	.50	BC2142-ND	.47	.41	.27	2222 418 41803
	.02	4.5	9.0	7.2	5.0	4.0	.50	BC2143-ND	.48	.42	.28	2222 418 42003
	.022	4.5	9.0	7.2	5.0	4.0	.50	BC2144-ND	.40	.35	.23	2222 418 42203
	.024	4.5	9.0	7.2	5.0	4.0	.50	BC2145-ND	.51	.44	.30	2222 418 42403
	.027	6.0	11.0	7.2	5.0	4.0	.50	BC2146-ND	.52	.45	.30	2222 418 42703
	.03	6.0	11.0	7.2	5.0	4.0	.50	BC2147-ND	.53	.46	.31	2222 418 43003
	.033	6.0	11.0	7.2	5.0	4.0	.50	BC2148-ND	.53	.46	.31	2222 418 43303
	.036	6.0	11.0	7.2	5.0	4.0	.50	BC2149-ND	.55	.47	.32	2222 418 43603
	.039	6.0	11.0	7.2	5.0	4.0	.50	BC2150-ND	.55	.47	.32	2222 418 43903
	.043	6.0	11.0	7.2	5.0	4.0	.50	BC2151-ND	.57	.49	.33	2222 418 44303
	.047	4.0	10.0	12.5	10.0	4.0	.60	BC2152-ND	.58	.50	.33	2222 418 44703
	.051	4.0	10.0	12.5	10.0	4.0	.60	BC2153-ND	.59	.51	.34	2222 418 45103
	.056	4.0	10.0	12.5	10.0	4.0	.60	BC2154-ND	.59	.51	.34	2222 418 45603
	.062	4.0	10.0	12.5	10.0	4.0	.60	BC2155-ND	.60	.52	.35	2222 418 46203
	.068	4.0	10.0	12.5	10.0	4.0	.60	BC2156-ND	.61	.53	.36	2222 418 46803
	.075	5.0	11.0	12.5	10.0	4.0	.60	BC2157-ND	.61	.53	.36	2222 418 47503
	.082	5.0	11.0	12.5	10.0	4.0	.60	BC2158-ND	.63	.55	.37	2222 418 48203
	.091	5.0	11.0	12.5	10.0	4.0	.60	BC2159-ND	.65	.56	.38	2222 418 49103
	.10	6.0	12.0	12.5	10.0	4.0	.60	BC2133-ND	.66	.57	.38	2222 418 41004
	.11	6.0	12.0	12.5	10.0	4.0	.60	BC2135-ND	.67	.58	.39	2222 418 41104
	.12	6.0	12.0	12.5	10.0	4.0	.60	BC2137-ND	.69	.59	.40	2222 418 41204
	.13	6.0	12.0	12.5	10.0	4.0	.60	BC2139-ND	.71	.61	.41	2222 418 41304
	.15	5.0	11.0	17.5	15.0	3.5	.60	BC2160-ND	.63	.55	.37	2222 418 71504
	.16	5.0	11.0	17.5	15.0	3.5	.60	BC2161-ND	.65	.57	.38	2222 418 71604
	.18	6.0	12.0	17.5	15.0	3.5	.60	BC2162-ND	.69	.59	.40	2222 418 71804
	.20	6.0	12.0	17.5	15.0	3.5	.60	BC2163-ND	.71	.62	.41	2222 418 72004
	.22	6.0	12.0	17.5	15.0	3.5	.60	BC2164-ND	.60	.51	.34	2222 418 72204
	.24	6.0	12.0	17.5	15.0	3.5	.60	BC2165-ND	.76	.66	.44	2222 418 72404
	.27	7.0	13.5	17.5	15.0	3.5	.80	BC2166-ND	.79	.68	.46	2222 418 72704
	.30	7.0	13.5	17.5	15.0	3.5	.80	BC2167-ND	.81	.70	.47	2222 418 73004
	.33	7.0	13.5	17.5	15.0	3.5	.80	BC2168-ND	.85	.73	.49	2222 418 73304
	.36	7.0	13.5	17.5	15.0	3.5	.80	BC2169-ND	.89	.77	.51	2222 418 73604
	.39	8.5	15.0	17.5	15.0	3.5	.80	BC2170-ND	.95	.81	.55	2222 418 73904
	.43	8.5	15.0	17.5	15.0	3.5	.80	BC2171-ND	1.00	.86	.58	2222 418 74304
	.47	8.5	15.0	17.5	15.0	3.5	.80	BC2172-ND	1.06	.91	.61	2222 418 74704
	.51	8.5	15.0	17.5	15.0	3.5	.80	BC2173-ND	1.13	.97	.65	2222 418 75104
	.56	10.0	16.5	17.5	15.0	3.5	.80	BC2174-ND	1.19	1.03	.69	2222 418 75604
	.62	10.0	16.5	17.5	15.0	3.5	.80	BC2175-ND	1.26	1.09	.73	2222 418 76204
	.68	10.0	16.5	17.5	15.0	3.5	.80	BC2176-ND	1.34	1.15	.77	2222 418 76804
								Serie MKP 419				
400	.001	3.5	8.0	7.2	5.0	4.0	.50	BC2177-ND	.31	.28	.19	2222 419 41002
	.0011	3.5	8.0	7.2	5.0	4.0	.50	BC2179-ND	.31	.28	.19	2222 419 41102
	.0012	3.5	8.0	7.2	5.0	4.0	.50	BC2181-ND	.31	.28	.19	2222 419 41202
	.0013	3.5	8.0	7.2	5.0	4.0	.50	BC2183-ND	.31	.28	.19	2222 419 41302
	.0015	3.5	8.0	7.2	5.0	4.0	.50	BC2185-ND	.36	.31	.21	2222 419 41502
	.0016	3.5	8.0	7.2	5.0	4.0	.50	BC2187-ND	.36	.31	.21	2222 419 41602
	.0018	3.5	8.0	7.2	5.0	4.0	.50	BC2189-ND	.36	.31	.21	2222 419 41802
	.002	3.5	8.0	7.2	5.0	4.0	.50	BC2191-ND	.36	.31	.21	2222 419 42002
	.0022	3.5	8.0	7.2	5.0	4.0	.50	BC2193-ND	.36	.31	.21	2222 419 42202
	.0024	3.5	8.0	7.2	5.0	4.0	.50	BC2195-ND	.36	.31	.21	2222 419 42402
	.0027	3.5	8.0	7.2	5.0	4.0	.50	BC2197-ND	.37	.32	.22	2222 419 42702
	.003	3.5	8.0	7.2	5.0	4.0	.50	BC2199-ND	.37	.32	.22	2222 419 43002
	.0033	3.5	8.0	7.2	5.0	4.0	.50	BC2201-ND	.37	.32	.22	2222 419 43302
	.0036	3.5	8.0	7.2	5.0	4.0	.50	BC2203-ND	.37	.32	.22	2222 419 43602
	.0039	3.5	8.0	7.2	5.0	4.0	.50	BC2205-ND	.37	.32	.22	2222 419 43902
	.0043	4.5	9.0	7.2	5.0	4.0	.50	BC2207-ND	.37	.32	.22	2222 419 44302
	.0047	4.5	9.0	7.2	5.0	4.0	.50	BC2209-ND	.37	.32	.22	2222 419 44702
	.0051	4.5	9.0	7.2	5.0	4.0	.50	BC2211-ND	.39	.33	.23	2222 419 45102
	.0056	4.5	9.0	7.2	5.0	4.0	.50	BC2213-ND	.39	.33	.23	2222 419 45602
	.0062	4.5	9.0	7.2	5.0	4.0	.50	BC2215-ND	.40	.34	.23	2222 419 46202
	.0068	4.5	9.0	7.2	5.0	4.0	.50	BC2217-ND	.40	.34	.23	2222 419 46802
	.0075	4.5	9.0	7.2	5.0	4.0	.50	BC2219-ND	.41	.36	.24	2222 419 47502
	.0082	4.5	9.0	7.2	5.0	4.0	.50	BC2220-ND	.42	.37	.25	2222 419 48202
	.0091	4.5	9.0	7.2	5.0	4.0	.50	BC2221-ND	.42	.37	.25	2222 419 49102
	.011	4.5	9.0	7.2	5.0	4.0	.50	BC2180-ND	.46	.39	.26	2222 419 41103
	.012	4.5	9.0	7.2	5.0	4.0	.50	BC2182-ND	.47	.41	.27	2222 419 41203
	.013	6.0	11.0	7.2	5.0	4.0	.50	BC2184-ND	.47	.41	.27	2222 419 41303
	.015	6.0	11.0	7.2	5.0	4.0	.50	BC2186-ND	.48	.42	.28	2222 419 41503
	.016	6.0	11.0	7.2	5.0	4.0	.50	BC2188-ND	.49	.43	.29	2222 419 41603
	.018	6.0	11.0	7.2	5.0	4.0	.50	BC2190-ND	.51	.44	.30	2222 419 41803
	.02	6.0	11.0	7.2	5.0	4.0	.50	BC2192-ND	.52	.45	.30	2222 419 42003
	.022	4.0	10.0	12.5	10.0	4.0	.60	BC2194-ND	.52	.45	.30	2222 419 42203
	.024	4.0	10.0	12.5	10.0	4.0	.60	BC2196-ND	.55	.47	.32	2222 419 42403
	.027	4.0	10.0	12.5	10.0	4.0	.60	BC2198-ND	.57	.49	.33	2222 419 42703
	.03	4.0	10.0	12.5	10.0	4.0	.60	BC2200-ND	.58	.50	.33	2222 419 43003
	.033	4.0	10.0	12.5	10.0	4.0	.60	BC2202-ND	.59	.51	.34	2222 419 43303

(Forts.)

E

Spannung (VDC)	Kapazität (µF)	Abmessungen (mm) b	h	l	P	l_t	ød$_t$	Digi-Key Teilenr.	Stückpreis 1	10	100	BC Components Teilenr.
400	.036	5.0	11.0	12.5	10.0	4.0	.60	BC2204-ND	.60	.52	.35	2222 419 43603
	.039	5.0	11.0	12.5	10.0	4.0	.60	BC2206-ND	.61	.53	.36	2222 419 43903
	.043	5.0	11.0	12.5	10.0	4.0	.60	BC2208-ND	.63	.55	.37	2222 419 44303
	.047	6.0	12.0	12.5	10.0	4.0	.60	BC2210-ND	.63	.55	.37	2222 419 44703
	.051	6.0	12.0	12.5	10.0	4.0	.60	BC2212-ND	.65	.56	.38	2222 419 45103
	.056	6.0	12.0	12.5	10.0	4.0	.60	BC2214-ND	.66	.57	.38	2222 419 45603
	.062	6.0	12.0	12.5	10.0	4.0	.60	BC2216-ND	.67	.58	.39	2222 419 46203
	.068	6.0	12.0	12.5	10.0	4.0	.60	BC2218-ND	.69	.59	.40	2222 419 46803
	.075	5.0	11.0	17.5	15.0	3.5	.60	BC2236-ND	.67	.58	.39	2222 419 77503
	.082	5.0	11.0	17.5	15.0	3.5	.60	BC2237-ND	.67	.58	.39	2222 419 78203
	.091	6.0	12.0	17.5	15.0	3.5	.60	BC2238-ND	.69	.59	.39	2222 419 79103
	.10	6.0	12.0	17.5	15.0	3.5	.60	BC2222-ND	.69	.60	.40	2222 419 71004
	.11	6.0	12.0	17.5	15.0	3.5	.60	BC2223-ND	.69	.60	.40	2222 419 71104
	.12	6.0	12.0	17.5	15.0	3.5	.60	BC2224-ND	.70	.61	.41	2222 419 71204
	.13	6.0	12.0	17.5	15.0	3.5	.60	BC2225-ND	.73	.63	.42	2222 419 71304
	.15	7.0	13.5	17.5	15.0	3.5	.80	BC2226-ND	.76	.66	.44	2222 419 71504
	.16	7.0	13.5	17.5	15.0	3.5	.80	BC2227-ND	.79	.68	.46	2222 419 71604
	.18	7.0	13.5	17.5	15.0	3.5	.80	BC2228-ND	.83	.72	.48	2222 419 71804
	.20	8.5	15.0	17.5	15.0	3.5	.80	BC2229-ND	.87	.75	.50	2222 419 72004
	.22	8.5	15.0	17.5	15.0	3.5	.80	BC2230-ND	.91	.79	.53	2222 419 72204
	.24	8.5	15.0	17.5	15.0	3.5	.80	BC2231-ND	.98	.84	.56	2222 419 72404
	.27	8.5	15.0	17.5	15.0	3.5	.80	BC2232-ND	1.03	.89	.59	2222 419 72704
	.30	10.0	16.5	17.5	15.0	3.5	.80	BC2233-ND	1.10	.95	.63	2222 419 73004
	.33	10.0	16.5	17.5	15.0	3.5	.80	BC2234-ND	1.17	1.00	.67	2222 419 73304
	.36	10.0	16.5	17.5	15.0	3.5	.80	BC2235-ND	1.22	1.05	.70	2222 419 73604
Serie MKP 420												
630	.0015	3.5	8.0	7.2	5.0	4.0	.50	BC2243-ND	.39	.33	.23	2222 420 41502
	.0016	3.5	8.0	7.2	5.0	4.0	.50	BC2245-ND	.39	.33	.23	2222 420 41602
	.0018	3.5	8.0	7.2	5.0	4.0	.50	BC2247-ND	.39	.33	.23	2222 420 41802
	.002	3.5	8.0	7.2	5.0	4.0	.50	BC2249-ND	.39	.33	.23	2222 420 42002
	.0022	3.5	8.0	7.2	5.0	4.0	.50	BC2251-ND	.39	.33	.23	2222 420 42202
	.0024	3.5	8.0	7.2	5.0	4.0	.50	BC2253-ND	.39	.33	.23	2222 420 42402
	.0027	3.5	8.0	7.2	5.0	4.0	.50	BC2255-ND	.40	.34	.23	2222 420 42702
	.003	4.5	9.0	7.2	5.0	4.0	.50	BC2257-ND	.40	.34	.23	2222 420 43002
	.0033	4.5	9.0	7.2	5.0	4.0	.50	BC2259-ND	.40	.34	.23	2222 420 43302
	.0036	4.5	9.0	7.2	5.0	4.0	.50	BC2261-ND	.40	.34	.23	2222 420 43602
	.0039	4.5	9.0	7.2	5.0	4.0	.50	BC2263-ND	.40	.34	.23	2222 420 43902
	.0043	6.0	11.0	7.2	5.0	4.0	.50	BC2265-ND	.40	.34	.23	2222 420 44302

Spannung (VDC)	Kapazität (µF)	Abmessungen (mm) b	h	l	P	l_t	ød$_t$	Digi-Key Teilenr.	Stückpreis 1	10	100	BC Components Teilenr.
630	.0047	6.0	11.0	7.2	5.0	4.0	.50	BC2267-ND	.40	.34	.23	2222 420 44702
	.0051	6.0	11.0	7.2	5.0	4.0	.50	BC2269-ND	.41	.36	.24	2222 420 45102
	.0056	6.0	11.0	7.2	5.0	4.0	.50	BC2270-ND	.41	.36	.24	2222 420 45602
	.0062	6.0	11.0	7.2	5.0	4.0	.50	BC2271-ND	.42	.37	.25	2222 420 46202
	.0068	6.0	11.0	7.2	5.0	4.0	.50	BC2272-ND	.42	.37	.25	2222 420 46802
	.0075	6.0	11.0	7.2	5.0	4.0	.50	BC2273-ND	.44	.38	.26	2222 420 47502
	.0082	6.0	11.0	7.2	5.0	4.0	.50	BC2274-ND	.47	.41	.27	2222 420 48202
	.0091	6.0	11.0	7.2	5.0	4.0	.50	BC2275-ND	.47	.41	.27	2222 420 49102
	.01	4.0	10.0	12.5	10.0	4.0	.60	BC2239-ND	.40	.35	.23	2222 420 41003
	.011	4.0	10.0	12.5	10.0	4.0	.60	BC2240-ND	.51	.44	.30	2222 420 41103
	.012	4.0	10.0	12.5	10.0	4.0	.60	BC2241-ND	.52	.45	.30	2222 420 41203
	.013	4.0	10.0	12.5	10.0	4.0	.60	BC2242-ND	.53	.46	.31	2222 420 41303
	.015	4.0	10.0	12.5	10.0	4.0	.60	BC2244-ND	.55	.47	.32	2222 420 41503
	.016	4.0	10.0	12.5	10.0	4.0	.60	BC2246-ND	.55	.47	.32	2222 420 41603
	.018	5.0	11.0	12.5	10.0	4.0	.60	BC2248-ND	.57	.49	.33	2222 420 41803
	.02	5.0	11.0	12.5	10.0	4.0	.60	BC2250-ND	.58	.50	.33	2222 420 42003
	.022	5.0	11.0	12.5	10.0	4.0	.60	BC2252-ND	.48	.41	.28	2222 420 42203
	.024	5.0	11.0	12.5	10.0	4.0	.60	BC2254-ND	.60	.52	.35	2222 420 42403
	.027	6.0	12.0	12.5	10.0	4.0	.60	BC2256-ND	.61	.53	.36	2222 420 42703
	.03	6.0	12.0	12.5	10.0	4.0	.60	BC2258-ND	.63	.55	.37	2222 420 43003
	.033	6.0	12.0	12.5	10.0	4.0	.60	BC2260-ND	.52	.45	.31	2222 420 43303
	.039	6.0	12.0	12.5	10.0	4.0	.60	BC2264-ND	.67	.58	.39	2222 420 43903
	.043	6.0	12.0	12.5	10.0	4.0	.60	BC2266-ND	.69	.59	.40	2222 420 44303
	.051	6.0	12.0	17.5	15.0	3.5	.60	BC2282-ND	.67	.58	.39	2222 420 75103
	.056	6.0	12.0	17.5	15.0	3.5	.60	BC2283-ND	.69	.59	.40	2222 420 75603
	.062	7.0	13.5	17.5	15.0	3.5	.80	BC2284-ND	.69	.60	.40	2222 420 76203
	.068	7.0	13.5	17.5	15.0	3.5	.80	BC2285-ND	.70	.61	.41	2222 420 76803
	.075	7.0	13.5	17.5	15.0	3.5	.80	BC2286-ND	.72	.62	.42	2222 420 77503
	.082	7.0	13.5	17.5	15.0	3.5	.80	BC2287-ND	.75	.64	.43	2222 420 78203
	.091	8.5	15.0	17.5	15.0	3.5	.80	BC2288-ND	.76	.66	.44	2222 420 79103
	.10	8.5	15.0	17.5	15.0	3.5	.80	BC2276-ND	.79	.68	.46	2222 420 71004
	.11	8.5	15.0	17.5	15.0	3.5	.80	BC2277-ND	.84	.72	.48	2222 420 71104
	.12	8.5	15.0	17.5	15.0	3.5	.80	BC2278-ND	.88	.76	.51	2222 420 71204
	.13	10.0	16.5	17.5	15.0	3.5	.80	BC2279-ND	.93	.80	.54	2222 420 71304
	.15	10.0	16.5	17.5	15.0	3.5	.80	BC2280-ND	.98	.85	.57	2222 420 71504
	.16	10.0	16.5	17.5	15.0	3.5	.80	BC2281-ND	1.03	.89	.59	2222 420 71604

E

Doppelt metallisierte Polypropylen-Schichtkondensatoren, AC und Impuls

Serie MMKP 383

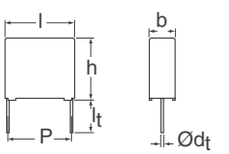

Merkmale: • Niedriger Übergangswiderstand • Verlustarmes Dielektrikum • Kleine Abmessungen für hohe Paketdichte **Anwendungen:** • Elektronische Beleuchtung, z.B. Vorschaltglied • Motorsteuerungsschaltkreise • S-Korrektur • Bei steilen Impulsen, z.B. Schaltnetzteilen (SMPS) • Für Rücklaufanwendungen bitte die Serie 1400V verwenden • Für Verkapselungsprozesse für heißen Asphalt **Spezifikationen: • Nenntemperatur (DC):** 85°C **• Nenntemperatur (AC):** 105°C **• Max. Anwendungstemperatur:** 105°C **• Kapazitätstoleranz:** ±5%

Spannung (V DC)	Kapazität (µF)	Abmessungen (mm) b	h	l	P	l_t	ød$_t$	Digi-Key Teilenr.	Stückpreis 1	10	100	BC Components Teilenr.
250DC/ 125AC	.082	5.0	11.0	17.5	15.0	3.5	.80	BC1845-ND	.46	.39	.26	2222 383 00823
	.091	5.0	11.0	17.5	15.0	3.5	.80	BC1847-ND	.51	.44	.30	2222 383 00913
	.10	5.0	11.0	17.5	15.0	3.5	.80	BC1812-ND	.48	.42	.28	2222 383 00104
	.11	6.0	12.0	17.5	15.0	3.5	.80	BC1814-ND	.54	.47	.31	2222 383 00114
	.12	6.0	12.0	17.5	15.0	3.5	.80	BC1816-ND	.52	.44	.30	2222 383 00124
	.13	6.0	12.0	17.5	15.0	3.5	.80	BC1818-ND	.57	.49	.33	2222 383 00134
	.15	6.0	12.0	17.5	15.0	3.5	.80	BC1820-ND	.54	.47	.32	2222 383 00154
	.16	7.0	13.5	17.5	15.0	3.5	.80	BC1822-ND	.63	.54	.36	2222 383 00164
	.18	7.0	13.5	17.5	15.0	3.5	.80	BC1824-ND	.59	.52	.35	2222 383 00184
	.20	7.0	13.5	17.5	15.0	3.5	.80	BC1826-ND	.68	.58	.39	2222 383 00204
	.22	8.5	15.0	17.5	15.0	3.5	.80	BC1828-ND	.64	.56	.38	2222 383 00224
	.24	8.5	15.0	17.5	15.0	3.5	.80	BC1830-ND	.73	.63	.42	2222 383 00244
	.27	8.5	15.0	17.5	15.0	3.5	.80	BC1832-ND	.69	.60	.40	2222 383 00274
	.30	8.5	15.0	17.5	15.0	3.5	.80	BC1834-ND	.81	.70	.47	2222 383 00304
	.33	10.0	16.5	17.5	15.0	3.5	.80	BC1835-ND	.78	.68	.45	2222 383 00334
	.36	10.0	16.5	17.5	15.0	3.5	.80	BC1836-ND	.87	.75	.50	2222 383 00364
	.39	10.0	16.5	17.5	15.0	3.5	.80	BC1837-ND	.83	.72	.48	2222 383 00394
	.43	7.0	16.5	26.0	22.5	3.5	.80	BC1838-ND	.99	.85	.57	2222 383 00434
	.51	8.5	18.0	26.0	22.5	3.5	.80	BC1840-ND	.83	.72	.48	2222 383 00514
	.56	8.5	18.0	26.0	22.5	3.5	.80	BC1841-ND	.78	.68	.45	2222 383 00564
	.62	8.5	18.0	26.0	22.5	3.5	.80	BC1842-ND	1.18	1.01	.68	2222 383 00624
	.68	10.0	19.5	26.0	22.5	3.5	.80	BC1843-ND	1.12	.96	.64	2222 383 00684
	.75	10.0	19.5	26.0	22.5	3.5	.80	BC1844-ND	1.29	1.11	.74	2222 383 00754
	.82	10.0	19.5	26.0	22.5	3.5	.80	BC1846-ND	1.23	1.05	.70	2222 383 00824
	.91	11.0	21.0	31.0	27.5	3.5	.80	BC1848-ND	1.72	1.48	.99	2222 383 00914
	1.0	11.0	21.0	31.0	27.5	3.5	.80	BC1813-ND	1.27	1.09	.72	2222 383 00105
	1.1	11.0	21.0	31.0	27.5	3.5	.80	BC1815-ND	1.85	1.58	1.06	2222 383 00115
	1.2	11.0	21.0	31.0	27.5	3.5	.80	BC1817-ND	1.75	1.51	1.01	2222 383 00125
	1.3	13.0	23.0	31.0	27.5	3.5	.80	BC1819-ND	2.12	1.83	1.22	2222 383 00135
	1.5	13.0	23.0	31.0	27.5	3.5	.80	BC1821-ND	2.02	1.74	1.16	2222 383 00155
	1.6	13.0	23.0	31.0	27.5	3.5	.80	BC1823-ND	2.46	2.11	1.41	2222 383 00165
	1.8	15.0	25.0	31.0	27.5	3.5	.80	BC1825-ND	1.81	1.55	1.04	2222 383 00185
	2.0	15.0	25.0	31.0	27.5	3.5	.80	BC1827-ND	2.23	1.92	1.28	2222 383 00205
	2.2	18.0	28.0	31.0	27.5	3.5	.80	BC1829-ND	2.75	2.36	1.58	2222 383 00225
	2.4	18.0	28.0	31.0	27.5	3.5	.80	BC1831-ND	3.26	2.80	1.87	2222 383 00245
	2.7	18.0	28.0	31.0	27.5	3.5	.80	BC1833-ND	2.39	2.05	1.38	2222 383 00275

Spannung (V DC)	Kapazität (µF)	Abmessungen (mm) b	h	l	P	l_t	ød$_t$	Digi-Key Teilenr.	Stückpreis 1	10	100	BC Components Teilenr.
630DC/ 220AC	.03	5.0	11.0	17.5	15.0	3.5	.80	BC1861-ND	.47	.41	.27	2222 383 20303
	.033	5.0	11.0	17.5	15.0	3.5	.80	BC1863-ND	.45	.39	.26	2222 383 20333
	.036	5.0	11.0	17.5	15.0	3.5	.80	BC1865-ND	.49	.43	.29	2222 383 20363
	.039	6.0	12.0	17.5	15.0	3.5	.80	BC1867-ND	.47	.41	.27	2222 383 20393
	.043	6.0	12.0	17.5	15.0	3.5	.80	BC1869-ND	.52	.44	.30	2222 383 20433
	.047	6.0	12.0	17.5	15.0	3.5	.80	BC1871-ND	.48	.42	.28	2222 383 20473
	.051	6.0	12.0	17.5	15.0	3.5	.80	BC1873-ND	.53	.46	.31	2222 383 20513
	.056	6.0	12.0	17.5	15.0	3.5	.80	BC1875-ND	.51	.44	.29	2222 383 20563
	.062	7.0	13.5	17.5	15.0	3.5	.80	BC1877-ND	.58	.50	.33	2222 383 20623
	.068	7.0	13.5	17.5	15.0	3.5	.80	BC1879-ND	.55	.47	.32	2222 383 20683
	.075	7.0	13.5	17.5	15.0	3.5	.80	BC1881-ND	.61	.53	.36	2222 383 20753
	.082	8.5	15.0	17.5	15.0	3.5	.80	BC1883-ND	.59	.51	.34	2222 383 20823
	.091	8.5	15.0	17.5	15.0	3.5	.80	BC1885-ND	.65	.57	.38	2222 383 20913
	.10	8.5	15.0	17.5	15.0	3.5	.80	BC1849-ND	.61	.53	.36	2222 383 20104
	.11	8.5	15.0	17.5	15.0	3.5	.80	BC1851-ND	.73	.63	.42	2222 383 20114
	.12	10.0	16.5	17.5	15.0	3.5	.80	BC1852-ND	.69	.60	.40	2222 383 20124
	.13	10.0	16.5	17.5	15.0	3.5	.80	BC1853-ND	.76	.66	.44	2222 383 20134
	.15	10.0	16.5	17.5	15.0	3.5	.80	BC1854-ND	.73	.63	.42	2222 383 20154
	.16	8.5	18.0	26.0	22.5	3.5	.80	BC1855-ND	.89	.76	.51	2222 383 20164
	.18	8.5	18.0	26.0	22.5	3.5	.80	BC1856-ND	.84	.73	.49	2222 383 20184
	.20	8.5	18.0	26.0	22.5	3.5	.80	BC1857-ND	.95	.82	.55	2222 383 20204
	.22	8.5	18.0	26.0	22.5	3.5	.80	BC1858-ND	.90	.78	.52	2222 383 20224
	.24	10.0	19.5	26.0	22.5	3.5	.80	BC1859-ND	1.02	.89	.59	2222 383 20244
	.27	10.0	19.5	26.0	22.5	3.5	.80	BC1860-ND	.98	.85	.57	2222 383 20274
	.30	10.0	19.5	26.0	22.5	3.5	.80	BC1862-ND	1.41	1.22	.81	2222 383 20304
	.33	11.0	21.0	31.0	27.5	3.5	.80	BC1864-ND	1.34	1.15	.77	2222 383 20334
	.36	11.0	21.0	31.0	27.5	3.5	.80	BC1866-ND	1.50	1.29	.86	2222 383 20364
	.39	11.0	21.0	31.0	27.5	3.5	.80	BC1868-ND	1.43	1.23	.82	2222 383 20394
	.43	11.0	21.0	31.0	27.5	3.5	.80	BC1870-ND	1.68	1.44	.96	2222 383 20434
	.47	13.0	23.0	31.0	27.5	3.5	.80	BC1872-ND	1.60	1.37	.92	2222 383 20474
	.51	13.0	23.0	31.0	27.5	3.5	.80	BC1874-ND	1.81	1.55	1.04	2222 383 20514
	.56	13.0	23.0	31.0	27.5	3.5	.80	BC1876-ND	1.73	1.49	.99	2222 383 20564
	.62	15.0	25.0	31.0	27.5	3.5	.80	BC1878-ND	2.03	1.74	1.16	2222 383 20624
	.68	15.0	25.0	31.0	27.5	3.5	.80	BC1880-ND	1.94	1.67	1.11	2222 383 20684
	.75	15.0	25.0	31.0	27.5	3.5	.80	BC1882-ND	2.42	2.08	1.39	2222 383 20754
	.82	18.0	28.0	31.0	27.5	3.5	.80	BC1884-ND	2.29	1.97	1.32	2222 383 20824

(Forts.)

Spannung (V DC)	Kapazität (µF)	Abmessungen (mm) b	h	l	P	l_t	ød$_t$	Digi-Key Teilenr.	Stückpreis 1	10	100	BC Components Teilenr.
630DC/ 220AC	.91	18.0	28.0	31.0	27.5	3.5	.80	BC1886-ND	2.70	2.32	1.55	2222 383 20914
	1.0	18.0	28.0	31.0	27.5	3.5	.80	BC1850-ND	2.57	2.21	1.47	2222 383 20105
1000DC/ 350AC	.012	5.0	11.0	17.5	15.0	3.5	.80	BC1889-ND	.55	.47	.32	2222 383 30123
	.013	5.0	11.0	17.5	15.0	3.5	.80	BC1891-ND	.59	.52	.35	2222 383 30133
	.015	5.0	11.0	17.5	15.0	3.5	.80	BC1893-ND	.57	.49	.33	2222 383 30153
	.016	5.0	11.0	17.5	15.0	3.5	.80	BC1895-ND	.63	.54	.36	2222 383 30163
	.018	6.0	12.0	17.5	15.0	3.5	.80	BC1897-ND	.59	.52	.35	2222 383 30183
	.02	6.0	12.0	17.5	15.0	3.5	.80	BC1899-ND	.66	.57	.38	2222 383 30203
	.022	6.0	12.0	17.5	15.0	3.5	.80	BC1901-ND	.63	.55	.37	2222 383 30223
	.024	6.0	12.0	17.5	15.0	3.5	.80	BC1903-ND	.71	.61	.41	2222 383 30243
	.027	7.0	13.5	17.5	15.0	3.5	.80	BC1905-ND	.68	.58	.39	2222 383 30273
	.03	7.0	13.5	17.5	15.0	3.5	.80	BC1907-ND	.76	.66	.44	2222 383 30303
	.033	7.0	13.5	17.5	15.0	3.5	.80	BC1909-ND	.73	.63	.42	2222 383 30333
	.036	8.5	15.0	17.5	15.0	3.5	.80	BC1911-ND	.80	.69	.46	2222 383 30363
	.039	8.5	15.0	17.5	15.0	3.5	.80	BC1913-ND	.76	.66	.44	2222 383 30393
	.043	8.5	15.0	17.5	15.0	3.5	.80	BC1915-ND	.86	.75	.50	2222 383 30433
	.047	8.5	15.0	17.5	15.0	3.5	.80	BC1917-ND	.83	.71	.48	2222 383 30473
	.051	10.0	16.5	17.5	15.0	3.5	.80	BC1919-ND	.92	.79	.53	2222 383 30513
	.056	10.0	16.5	17.5	15.0	3.5	.80	BC1920-ND	.87	.75	.50	2222 383 30563
	.062	10.0	16.5	17.5	15.0	3.5	.80	BC1921-ND	1.02	.88	.59	2222 383 30623
	.068	7.0	16.5	26.0	22.5	3.5	.80	BC1922-ND	.97	.83	.56	2222 383 30683
	.075	8.5	18.0	26.0	22.5	3.5	.80	BC1923-ND	1.13	.97	.65	2222 383 30753
	.082	8.5	18.0	26.0	22.5	3.5	.80	BC1924-ND	1.08	.92	.62	2222 383 30823
	.091	8.5	18.0	26.0	22.5	3.5	.80	BC1925-ND	1.26	1.09	.73	2222 383 30913
	.10	10.0	19.5	26.0	22.5	3.5	.80	BC1887-ND	1.20	1.04	.69	2222 383 30104
	.11	10.0	19.5	26.0	22.5	3.5	.80	BC1888-ND	1.52	1.30	.87	2222 383 30114
	.12	10.0	19.5	26.0	22.5	3.5	.80	BC1890-ND	1.44	1.24	.83	2222 383 30124
	.13	10.0	19.5	26.0	22.5	3.5	.80	BC1892-ND	1.71	1.47	.98	2222 383 30134
	.15	11.0	21.0	31.0	27.5	3.5	.80	BC1894-ND	1.63	1.40	.94	2222 383 30154
	.16	11.0	21.0	31.0	27.5	3.5	.80	BC1896-ND	1.90	1.63	1.09	2222 383 30164
	.18	11.0	21.0	31.0	27.5	3.5	.80	BC1898-ND	1.82	1.57	1.05	2222 383 30184
	.20	13.0	23.0	31.0	27.5	3.5	.80	BC1900-ND	2.08	1.79	1.20	2222 383 30204
	.22	13.0	23.0	31.0	27.5	3.5	.80	BC1902-ND	2.01	1.72	1.15	2222 383 30224
	.24	13.0	23.0	31.0	27.5	3.5	.80	BC1904-ND	2.33	2.00	1.33	2222 383 30244
	.27	15.0	25.0	31.0	27.5	3.5	.80	BC1906-ND	2.23	1.91	1.27	2222 383 30274
	.30	15.0	25.0	31.0	27.5	3.5	.80	BC1908-ND	2.64	2.27	1.51	2222 383 30304
	.33	15.0	25.0	31.0	27.5	3.5	.80	BC1910-ND	2.52	2.16	1.44	2222 383 30334
	.36	18.0	28.0	31.0	27.5	3.5	.80	BC1912-ND	2.86	2.46	1.64	2222 383 30364
	.39	18.0	28.0	31.0	27.5	3.5	.80	BC1914-ND	2.73	2.34	1.56	2222 383 30394
	.43	18.0	28.0	31.0	27.5	3.5	.80	BC1916-ND	3.18	2.73	1.82	2222 383 30434
	.47	18.0	28.0	31.0	27.5	3.5	.80	BC1918-ND	3.02	2.60	1.73	2222 383 30474
1400DC/ 500AC	.0022	5.0	11.0	17.5	15.0	3.5	.80	BC1938-ND	.31	.27	.18	2222 383 40222
	.0024	5.0	11.0	17.5	15.0	3.5	.80	BC1940-ND	.43	.38	.25	2222 383 40242
	.0027	5.0	11.0	17.5	15.0	3.5	.80	BC1942-ND	.41	.36	.24	2222 383 40272
	.003	5.0	11.0	17.5	15.0	3.5	.80	BC1944-ND	.46	.39	.26	2222 383 40302
	.0033	5.0	11.0	17.5	15.0	3.5	.80	BC1946-ND	.43	.38	.25	2222 383 40332
	.0036	5.0	11.0	17.5	15.0	3.5	.80	BC1948-ND	.47	.41	.27	2222 383 40362
	.0039	5.0	11.0	17.5	15.0	3.5	.80	BC1950-ND	.45	.39	.26	2222 383 40392
	.0043	6.0	12.0	17.5	15.0	3.5	.80	BC1952-ND	.48	.42	.28	2222 383 40432
	.0047	6.0	12.0	17.5	15.0	3.5	.80	BC1954-ND	.47	.40	.27	2222 383 40472
	.0051	6.0	12.0	17.5	15.0	3.5	.80	BC1956-ND	.52	.44	.30	2222 383 40512
	.0056	6.0	12.0	17.5	15.0	3.5	.80	BC1958-ND	.38	.33	.22	2222 383 40562
	.0062	7.0	13.5	17.5	15.0	3.5	.80	BC1960-ND	.54	.47	.32	2222 383 40622
	.0068	7.0	13.5	17.5	15.0	3.5	.80	BC1962-ND	.52	.45	.30	2222 383 40682
	.0075	7.0	13.5	17.5	15.0	3.5	.80	BC1964-ND	.57	.49	.33	2222 383 40752
	.0082	7.0	13.5	17.5	15.0	3.5	.80	BC1966-ND	.54	.47	.32	2222 383 40822
	.0091	8.5	15.0	17.5	15.0	3.5	.80	BC1968-ND	.61	.53	.35	2222 383 40912
	.01	8.5	15.0	17.5	15.0	3.5	.80	BC1926-ND	.44	.38	.26	2222 383 40103
	.011	8.5	15.0	17.5	15.0	3.5	.80	BC1928-ND	.65	.57	.38	2222 383 40113
	.012	8.5	15.0	17.5	15.0	3.5	.80	BC1930-ND	.63	.54	.36	2222 383 40123
	.013	10.0	16.5	17.5	15.0	3.5	.80	BC1932-ND	.71	.61	.41	2222 383 40133
	.015	10.0	16.5	17.5	15.0	3.5	.80	BC1934-ND	.68	.58	.39	2222 383 40153
	.016	10.0	16.5	17.5	15.0	3.5	.80	BC1935-ND	.78	.68	.45	2222 383 40163
	.018	7.0	16.5	26.0	22.5	3.5	.80	BC1936-ND	.75	.64	.43	2222 383 40183
	.02	7.0	16.5	26.0	22.5	3.5	.80	BC1937-ND	.85	.73	.49	2222 383 40203
	.022	8.5	18.0	26.0	22.5	3.5	.80	BC1939-ND	.80	.70	.47	2222 383 40223
	.024	8.5	18.0	26.0	22.5	3.5	.80	BC1941-ND	.92	.79	.53	2222 383 40243
	.027	8.5	18.0	26.0	22.5	3.5	.80	BC1943-ND	.87	.75	.50	2222 383 40273
	.03	10.0	19.5	26.0	22.5	3.5	.80	BC1945-ND	1.02	.88	.59	2222 383 40303
	.033	10.0	19.5	26.0	22.5	3.5	.80	BC1947-ND	.97	.84	.56	2222 383 40333
	.036	10.0	19.5	26.0	22.5	3.5	.80	BC1949-ND	1.13	.98	.66	2222 383 40363
	.039	10.0	19.5	26.0	22.5	3.5	.80	BC1951-ND	1.08	.93	.62	2222 383 40393
	.043	11.0	21.0	31.0	27.5	3.5	.80	BC1953-ND	1.35	1.16	.78	2222 383 40433
	.047	11.0	21.0	31.0	27.5	3.5	.80	BC1955-ND	1.29	1.11	.74	2222 383 40473
	.051	11.0	21.0	31.0	27.5	3.5	.80	BC1957-ND	1.52	1.30	.87	2222 383 40513
	.056	11.0	21.0	31.0	27.5	3.5	.80	BC1959-ND	1.44	1.24	.83	2222 383 40563
	.062	13.0	23.0	31.0	27.5	3.5	.80	BC1961-ND	1.69	1.45	.97	2222 383 40623
	.068	13.0	23.0	31.0	27.5	3.5	.80	BC1963-ND	1.60	1.38	.92	2222 383 40683
	.075	13.0	23.0	31.0	27.5	3.5	.80	BC1965-ND	1.90	1.64	1.10	2222 383 40753
	.082	15.0	25.0	31.0	27.5	3.5	.80	BC1967-ND	1.82	1.57	1.05	2222 383 40823
	.091	15.0	25.0	31.0	27.5	3.5	.80	BC1969-ND	2.11	1.81	1.21	2222 383 40913
	.10	15.0	25.0	31.0	27.5	3.5	.80	BC1927-ND	1.54	1.33	.89	2222 383 40104
	.11	18.0	28.0	31.0	27.5	3.5	.80	BC1929-ND	2.36	2.03	1.35	2222 383 40114
	.12	18.0	28.0	31.0	27.5	3.5	.80	BC1931-ND	1.73	1.49	.99	2222 383 40124
	.13	18.0	28.0	31.0	27.5	3.5	.80	BC1933-ND	2.38	2.05	1.37	2222 383 40134

Spannung (V DC)	Kapazität (µF)	Abmessungen (mm) b	h	l	P	l_t	ød$_t$	Digi-Key Teilenr.	Stückpreis 1	10	100	BC Components Teilenr.
1600DC/ 550AC	.0033	5.0	11.0	17.5	15.0	3.5	.80	BC1987-ND	.46	.40	.27	2222 383 50332
	.0036	5.0	11.0	17.5	15.0	3.5	.80	BC1989-ND	.49	.43	.29	2222 383 50362
	.0039	5.0	11.0	17.5	15.0	3.5	.80	BC1991-ND	.47	.41	.27	2222 383 50392
	.0043	6.0	12.0	17.5	15.0	3.5	.80	BC1993-ND	.52	.45	.30	2222 383 50432
	.0047	6.0	12.0	17.5	15.0	3.5	.80	BC1995-ND	.49	.43	.29	2222 383 50472
	.0051	6.0	12.0	17.5	15.0	3.5	.80	BC1997-ND	.54	.47	.32	2222 383 50512
	.0056	6.0	12.0	17.5	15.0	3.5	.80	BC1999-ND	.52	.45	.30	2222 383 50562
	.0062	7.0	13.5	17.5	15.0	3.5	.80	BC2001-ND	.57	.49	.33	2222 383 50622
	.0068	7.0	13.5	17.5	15.0	3.5	.80	BC2003-ND	.54	.47	.32	2222 383 50682
	.0075	7.0	13.5	17.5	15.0	3.5	.80	BC2005-ND	.61	.53	.35	2222 383 50752
	.0082	8.5	15.0	17.5	15.0	3.5	.80	BC2007-ND	.58	.50	.33	2222 383 50822
	.0091	8.5	15.0	17.5	15.0	3.5	.80	BC2009-ND	.63	.55	.37	2222 383 50912
	.01	8.5	15.0	17.5	15.0	3.5	.80	BC1970-ND	.61	.53	.35	2222 383 50103
	.011	8.5	15.0	17.5	15.0	3.5	.80	BC1972-ND	.69	.60	.40	2222 383 50113
	.012	10.0	16.5	17.5	15.0	3.5	.80	BC1974-ND	.65	.57	.38	2222 383 50123
	.013	10.0	16.5	17.5	15.0	3.5	.80	BC1976-ND	.75	.65	.43	2222 383 50133
	.015	10.0	16.5	17.5	15.0	3.5	.80	BC1978-ND	.71	.61	.41	2222 383 50153
	.016	7.0	16.5	26.0	22.5	3.5	.80	BC1980-ND	.83	.72	.48	2222 383 50163
	.018	7.0	16.5	26.0	22.5	3.5	.80	BC1981-ND	.79	.68	.45	2222 383 50183
	.02	7.0	16.5	26.0	22.5	3.5	.80	BC1982-ND	.90	.77	.52	2222 383 50203
	.022	8.5	18.0	26.0	22.5	3.5	.80	BC1983-ND	.85	.73	.49	2222 383 50223
	.024	8.5	18.0	26.0	22.5	3.5	.80	BC1984-ND	.97	.83	.56	2222 383 50243
	.027	8.5	18.0	26.0	22.5	3.5	.80	BC1985-ND	.92	.79	.53	2222 383 50273
	.03	8.5	18.0	26.0	22.5	3.5	.80	BC1986-ND	1.08	.93	.62	2222 383 50303
	.033	10.0	19.5	26.0	22.5	3.5	.80	BC1988-ND	1.02	.88	.59	2222 383 50333
	.036	10.0	19.5	26.0	22.5	3.5	.80	BC1990-ND	1.20	1.04	.69	2222 383 50363
	.039	10.0	19.5	26.0	22.5	3.5	.80	BC1992-ND	1.14	.98	.66	2222 383 50393
	.043	11.0	21.0	31.0	27.5	3.5	.80	BC1994-ND	1.55	1.33	.89	2222 383 50433
	.047	11.0	21.0	31.0	27.5	3.5	.80	BC1996-ND	1.47	1.27	.85	2222 383 50473
	.051	11.0	21.0	31.0	27.5	3.5	.80	BC1998-ND	1.66	1.42	.95	2222 383 50513
	.056	11.0	21.0	31.0	27.5	3.5	.80	BC2000-ND	1.57	1.36	.91	2222 383 50563
	.062	13.0	23.0	31.0	27.5	3.5	.80	BC2002-ND	1.85	1.58	1.06	2222 383 50623
	.068	13.0	23.0	31.0	27.5	3.5	.80	BC2004-ND	1.76	1.52	1.01	2222 383 50683
	.075	13.0	23.0	31.0	27.5	3.5	.80	BC2006-ND	2.14	1.84	1.23	2222 383 50753
	.082	15.0	25.0	31.0	27.5	3.5	.80	BC2008-ND	2.03	1.74	1.16	2222 383 50823
	.091	15.0	25.0	31.0	27.5	3.5	.80	BC2010-ND	2.28	1.96	1.31	2222 383 50913
	.10	15.0	25.0	31.0	27.5	3.5	.80	BC1971-ND	2.17	1.86	1.24	2222 383 50104
	.11	18.0	28.0	31.0	27.5	3.5	.80	BC1973-ND	2.65	2.28	1.52	2222 383 50114
	.12	18.0	28.0	31.0	27.5	3.5	.80	BC1975-ND	2.54	2.18	1.46	2222 383 50124
	.13	18.0	28.0	31.0	27.5	3.5	.80	BC1977-ND	2.97	2.55	1.70	2222 383 50134
	.15	18.0	28.0	31.0	27.5	3.5	.80	BC1979-ND	2.84	2.44	1.63	2222 383 50154
2500DC/ 900AC	.001	6.0	15.5	26.0	22.5	3.5	.80	BC2011-ND	.54	.46	.31	2222 383 70102
	.0011	6.0	15.5	26.0	22.5	3.5	.80	BC2013-ND	.73	.63	.42	2222 383 70112
	.0012	6.0	15.5	26.0	22.5	3.5	.80	BC2015-ND	.69	.60	.40	2222 383 70122
	.0013	6.0	15.5	26.0	22.5	3.5	.80	BC2017-ND	.73	.63	.42	2222 383 70132
	.0015	6.0	15.5	26.0	22.5	3.5	.80	BC2019-ND	.69	.60	.40	2222 383 70152
	.0016	6.0	15.5	26.0	22.5	3.5	.80	BC2021-ND	.74	.63	.42	2222 383 70162
	.0018	6.0	15.5	26.0	22.5	3.5	.80	BC2023-ND	.70	.61	.41	2222 383 70182
	.002	6.0	15.5	26.0	22.5	3.5	.80	BC2025-ND	.74	.63	.42	2222 383 70202
	.0022	6.0	15.5	26.0	22.5	3.5	.80	BC2027-ND	.55	.47	.32	2222 383 70222
	.0024	6.0	15.5	26.0	22.5	3.5	.80	BC2029-ND	.75	.64	.43	2222 383 70242
	.0027	6.0	15.5	26.0	22.5	3.5	.80	BC2031-ND	.55	.47	.32	2222 383 70272
	.003	6.0	15.5	26.0	22.5	3.5	.80	BC2033-ND	.75	.65	.43	2222 383 70302
	.0033	6.0	15.5	26.0	22.5	3.5	.80	BC2035-ND	.72	.62	.42	2222 383 70332
	.0036	6.0	15.5	26.0	22.5	3.5	.80	BC2037-ND	.76	.66	.44	2222 383 70362
	.0039	6.0	15.5	26.0	22.5	3.5	.80	BC2039-ND	.73	.63	.42	2222 383 70392
	.0043	6.0	15.5	26.0	22.5	3.5	.80	BC2041-ND	.79	.68	.45	2222 383 70432
	.0047	6.0	15.5	26.0	22.5	3.5	.80	BC2043-ND	.75	.64	.43	2222 383 70472
	.0051	6.0	15.5	26.0	22.5	3.5	.80	BC2045-ND	.80	.69	.46	2222 383 70512
	.0056	6.0	15.5	26.0	22.5	3.5	.80	BC2047-ND	.76	.66	.44	2222 383 70562
	.0062	7.0	16.5	26.0	22.5	3.5	.80	BC2049-ND	.83	.71	.48	2222 383 70622
	.0068	7.0	16.5	26.0	22.5	3.5	.80	BC2050-ND	.79	.68	.45	2222 383 70682
	.0075	7.0	16.5	26.0	22.5	3.5	.80	BC2051-ND	.68	.59	.39	2222 383 70752
	.0082	8.5	18.0	26.0	22.5	3.5	.80	BC2052-ND	.84	.73	.49	2222 383 70822
	.0091	8.5	18.0	26.0	22.5	3.5	.80	BC2053-ND	.72	.62	.42	2222 383 70912
	.01	8.5	18.0	26.0	22.5	3.5	.80	BC2012-ND	.89	.76	.51	2222 383 70103
	.011	8.5	18.0	26.0	22.5	3.5	.80	BC2014-ND	1.00	.86	.58	2222 383 70113
	.012	10.0	19.5	26.0	22.5	3.5	.80	BC2016-ND	.95	.82	.55	2222 383 70123
	.013	10.0	19.5	26.0	22.5	3.5	.80	BC2018-ND	1.10	.95	.63	2222 383 70133
	.015	10.0	19.5	26.0	22.5	3.5	.80	BC2020-ND	1.05	.90	.60	2222 383 70153
	.016	9.0	19.0	31.0	27.5	3.5	.80	BC2022-ND	1.36	1.17	.78	2222 383 70163
	.018	11.0	21.0	31.0	27.5	3.5	.80	BC2024-ND	1.30	1.11	.74	2222 383 70183
	.02	11.0	21.0	31.0	27.5	3.5	.80	BC2026-ND	1.50	1.29	.86	2222 383 70203
	.022	11.0	21.0	31.0	27.5	3.5	.80	BC2028-ND	1.44	1.24	.83	2222 383 70223
	.024	11.0	21.0	31.0	27.5	3.5	.80	BC2030-ND	1.30	1.12	.75	2222 383 70243
	.027	13.0	23.0	31.0	27.5	3.5	.80	BC2032-ND	1.61	1.39	.93	2222 383 70273
	.03	13.0	23.0	31.0	27.5	3.5	.80	BC2034-ND	1.84	1.58	1.05	2222 383 70303
	.033	13.0	23.0	31.0	27.5	3.5	.80	BC2036-ND	1.75	1.50	1.00	2222 383 70333
	.036	15.0	25.0	31.0	27.5	3.5	.80	BC2038-ND	2.06	1.77	1.18	2222 383 70363
	.039	15.0	25.0	31.0	27.5	3.5	.80	BC2040-ND	1.96	1.68	1.12	2222 383 70393
	.043	15.0	25.0	31.0	27.5	3.5	.80	BC2042-ND	2.42	2.08	1.39	2222 383 70433
	.047	18.0	28.0	31.0	27.5	3.5	.80	BC2044-ND	1.77	1.52	1.02	2222 383 70473
	.051	18.0	28.0	31.0	27.5	3.5	.80	BC2046-ND	2.58	2.21	1.48	2222 383 70513
	.056	18.0	28.0	31.0	27.5	3.5	.80	BC2048-ND	2.46	2.11	1.41	2222 383 70563

Kondensatoren, trockengeschmiert, AC

Stapeltyp

Die Stapeltypkonstruktion von Panasonic bietet eine erhebliche Verringerung der Gehäusegröße (im Vergleich zu Typen mit Ölschmierung) und verfügt über einen integrierten Montagefuß. **Merkmale:** • Kompakte Größe im Vergleich zu Kondensatoren mit Ölfüllung • 0,187 Zoll (4,75 mm) Klemmenstandard (0,250 zoll. [6,35 mm] erhältlich) • 180, 200, 230 sind Standardspannungen • U.L. 810 (Aktennr. E76560) und nach CSA-Norm (CSA-C22.2 Nr. 0-M91 Aktennr. LR99617) • JIS-Standard ist erhältlich. (JIS C 4908) • Primäranwendungen: Kühltechnik, Motorbetrieb, Beleuchtung usw. • Flammenwidriges Kunststoffgehäuse mit 94 V-0-Klassifizierung

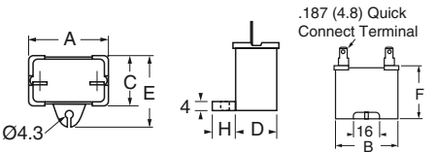

Spannung V AC	Kap. µF	Abmessungen A	B	C	D	E	F	H	Digi-Key Teilenr.	Preisangaben 1	10	100	500	Panasonic Teilenr.
Stapelausführung - SQ-Gehäuse														
180	7.5	39.5	38.0	17.5	16.0	28.0	30.5	11.0	P9400-ND	2.88	23.03	195.73	863.53	JSU18X755AQF
180	10	39.5	38.0	22.0	20.5	32.5	30.5	11.0	P9401-ND	3.45	27.60	234.59	1034.97	JSU18X106AQJ
180	12	39.5	38.0	22.0	20.5	34.2	32.0	13.0	P9402-ND	3.85	30.82	261.94	1155.61	JSU18X126AQH
180	15	39.5	38.0	26.7	25.2	37.0	32.0	11.0	P9403-ND	4.72	37.76	320.95	1415.94	JSU18X156AQP
180	20	39.5	38.0	26.7	25.2	37.0	41.0	11.0	P9404-ND	5.50	44.02	374.20	1650.87	JSU18X206AQD
210	10	39.5	38.0	22.0	20.5	34.2	32.0	13.0	P9405-ND	3.56	28.45	241.79	1066.72	JSU21X106AQB
210	12	39.5	38.0	26.7	25.2	37.0	32.0	11.0	P9406-ND	3.98	31.83	270.57	1193.71	JSU21X126AQE
210	15	39.5	38.0	26.7	25.2	37.0	41.0	11.0	P9407-ND	4.78	38.27	325.26	1434.99	JSU21X156AQH
230	10	39.5	38.0	22.0	20.5	34.2	32.0	13.0	P9408-ND	4.17	33.36	283.53	1250.85	JSU23X106AQC
230	12	39.5	38.0	26.7	25.2	37.0	41.0	11.0	P9409-ND	4.60	36.74	312.31	1377.84	JSU23X126AQE
230	15	39.5	38.0	26.7	25.2	37.0	41.0	11.0	P9410-ND	5.95	47.58	404.42	1784.21	JSU23X156AQE
Wickelausführung - Q-Gehäuse														
250	10	49.7	48.3	24.0	22.5	34.5	34.5	11.5	P9411-ND	5.71	45.72	388.59	1714.37	SPU25X106AQSD
250	12	50.0	48.5	26.7	25.3	37.5	38.0	11.5	P9412-ND	6.50	51.98	441.84	1949.30	SPU25X126AQSA
250	15	50.0	48.5	30.5	28.8	41.0	36.0	11.5	P9413-ND	7.69	61.46	522.44	2304.87	SPU25X156AQSA

Gewickelter Typ

Die gewickelte Konstruktion von Panasonic ermöglicht den Einsatz der trockengeschmierten Technik auch bei Anwendungen mit höherer Spannung und im Mikrofarad-Bereich, was bei unserem Stapeltyp nicht möglich ist.
Merkmale: • Ersatz für typische ölgefüllte Aluminium- oder Kunststoffkondensatoren • Kompakte Größe — ideal wo Platz gespart werden muss • Durch den integrierten Montagewinkel erübrigt sich ein Befestigungsriemen • Erfüllt U.L. 810 (Aktennr. E76560) • Primäre Anwendungen: Motorbetrieb, Beleuchtung usw. • Anschlüsse: 0,187 Zoll (4,75 mm)

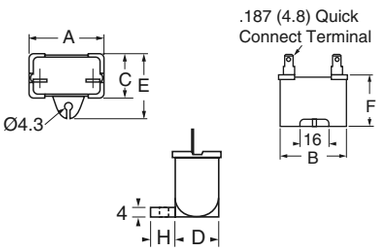

Axiale Keramikkondensatoren

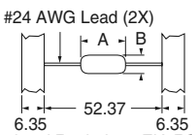

Taped and Reeled per EIA RS-296E

Größen-code	A	B
15	3.81mm Max	2.54mm Max.
20	5.08mm Max	3.05mm Max.

MECHANISCHE PARAMETER:

Anschlussstärke 2,2 kg (5 lbs.) Mindestziehkraft bis Zerstörung, gemäß Methode B5 von RS-198-CII, Testbedingung A.
Anschlussdrahtmaterialien: Nr.24 AWG (0,020" ±0,001") verzinnt, kupferkaschierter Stahl. 30 % Leitfähigkeit.
Körper: konforme Expoxidbeschichtung.

ELEKTRISCHE PARAMETER:

Kapazität: Gemessen @ 1MHz @ 1,0 ±0,2 VRMS @ 25°C für C0G-Typen mit C ≤1.000 pF. **Kapazität:** Gemessen @ 1MHz @ 1,0 ± 0,2 VRMS @ 25 °C für C0G-Typen mit C ≤1.000 pF. Gemessen @ 1 KHz @ 1,0 VRMS ± 0,2 VRMS @ 25 °C für X7R-Typen. Gemessen @ 1 KHz @ 0,5 VRMS ±1 VRMS @ 25 °C für X7R-Typen.

Dissipationsfaktor: max. 0,1% für C0G-Typen, max. 2,5% für X7R-Typen und 4,0% für Z5U-Typen; Messbedingungen entsprechen denen einer Kapazitätsmessung.

Durchschlagsfestigkeit: Teile werden bis zu 5 Sekunden lang bis zu 250 % der Nennspannung @ 25 °C ausgesetzt und dürfen keine Anzeichen eines Durchschlags aufweisen.

Isolationswiderstand: Wenn @ 25°C und Nennspannung gemessen, müssen folgende Mindestwerte erfüllt werden: 100.000MΩ oder 1.000MΩ x µF (je nachdem, was niedriger ist) für C0G- und X7R-Typen, 10.000MΩ oder 1.000MΩ x µF (je nachdem, was niedriger ist) für Z5U-Typen.

Körperisolierung: min. 500 V DC gemäß RS-198-CII.

Betriebstemperaturbereich: -55 °C ~ 125 °C für C0G, -55 °C ~ 125 °C für X7R, -55 °C ~ 85 °C für Z5U

Verpackung: Monoaxiale Teile werden gegurtet auf Rolle und in Form gemäß EIA RS-296 geliefert.

Typ	Spann.	Kap.	Kap. Tol. (%)	Größen-code	Digi-Key Teilenr.	Gurtabschnittspreise 10	100	1.000	Digi-Key Teilenr.	Gegurtet auf Rolle Größe	Preisangaben	BC Components Teilenr.
COG	100V	10pf	±5	15	1011PHCT-ND	.99	7.15	49.53	1011PHTR-ND	7,000	33.02/M	A100J15C0GH5TAA
		15pf	±5	15	1012PHCT-ND	.99	7.15	49.53	1012PHTR-ND	7,000	33.02/M	A150J15C0GH5TAA
		18pf	±5	15	1013PHCT-ND	.99	7.15	49.53	1013PHTR-ND	7,000	33.02/M	A180J15C0GH5TAA
		22pf	±5	15	1014PHCT-ND	.99	7.15	49.53	1014PHTR-ND	7,000	33.02/M	A220J15C0GH5TAA
		27pf	±5	15	1015PHCT-ND	.99	7.15	49.53	1015PHTR-ND	7,000	33.02/M	A270J15C0GH5TAA
		33pf	±5	15	1016PHCT-ND	.99	7.15	49.53	1016PHTR-ND	7,000	33.02/M	A330J15C0GH5TAA
		47pf	±5	15	1017PHCT-ND	.99	7.15	49.53	1017PHTR-ND	7,000	33.02/M	A470J15C0GH5TAA
		68pf	±5	15	1018PHCT-ND	.99	7.15	49.53	1018PHTR-ND	7,000	33.02/M	A680J15C0GH5TAA
		82pf	±5	15	1019PHCT-ND	.99	7.15	49.53	1019PHTR-ND	7,000	33.02/M	A820J15C0GH5TAA
	50V	100pf	±5	15	1001PHCT-ND	.63	4.60	31.82	1001PHTR-ND	7,000	21.17/M	A101J15C0GF5TAA
		150pf	±5	15	1002PHCT-ND	.81	5.86	40.58	—	—	—	A151J15C0GF5TAA
		180pf	±5	15	1003PHCT-ND	.81	5.86	40.58	1003PHTR-ND	7,000	27.10/M	A181J15C0GF5TAA
		220pf	±5	15	1004PHCT-ND	.81	5.86	40.58	1004PHTR-ND	7,000	27.10/M	A221J15C0GF5TAA
		330pf	±5	15	1005PHCT-ND	.99	7.15	49.53	1005PHTR-ND	7,000	33.02/M	A331J15C0GF5TAA
		390pf	±5	15	1006PHCT-ND	.99	7.15	49.53	—	—	—	A391J15C0GF5TAA
		470pf	±5	15	1007PHCT-ND	.99	7.15	49.53	1007PHTR-ND	7,000	33.02/M	A471J15C0GF5TAA
		560pf	±5	15	1008PHCT-ND	1.19	8.64	59.81	1008PHTR-ND	7,000	39.79/M	A561J15C0GF5TAA
		680pf	±5	15	1009PHCT-ND	1.19	8.64	59.81	1009PHTR-ND	7,000	39.79/M	A681J15C0GF5TAA
		1000pf	±5	15	1010PHCT-ND	1.12	8.09	56.00	1010PHTR-ND	7,000	37.25/M	A102J15C0GF5TAA
X7R	100V	220pf	±10	15	1110PHCT-ND	.66	4.79	33.14	—	—	—	A221K15X7RH5TAA
		270pf	±10	15	1111PHCT-ND	.66	4.79	33.14	1111PHTR-ND	7,000	22.02/M	A271K15X7RH5TAA
		330pf	±10	15	1112PHCT-ND	.66	4.79	33.14	1112PHTR-ND	7,000	22.02/M	A331K15X7RH5TAA
		470pf	±10	15	1113PHCT-ND	.66	4.79	33.14	1113PHTR-ND	7,000	22.02/M	A471K15X7RH5TAA
		680pf	±10	15	1114PHCT-ND	.66	4.79	33.14	1114PHTR-ND	7,000	22.02/M	A681K15X7RH5TAA
		820pf	±10	15	1115PHCT-ND	.66	4.79	33.14	1115PHTR-ND	7,000	22.02/M	A821K15X7RH5TAA
		.001µf	±10	15	1116PHCT-ND	.65	4.71	32.58	1116PHTR-ND	7,000	22.02/M	A102K15X7RH5TAA
		.0012µf	±10	15	1117PHCT-ND	.69	5.01	34.67	1117PHTR-ND	7,000	22.86/M	A122K15X7RH5TAA
		.0015µf	±10	15	1118PHCT-ND	.69	5.01	34.67	1118PHTR-ND	7,000	22.86/M	A152K15X7RH5TAA
		.0022µf	±10	15	1119PHCT-ND	.69	5.01	34.67	1119PHTR-ND	7,000	22.86/M	A222K15X7RH5TAA
	50V	.0033µf	±10	15	1101PHCT-ND	.61	4.40	30.48	1101PHTR-ND	7,000	20.32/M	A332K15X7RF5TAA
		.0047µf	±10	15	1102PHCT-ND	.61	4.40	30.48	1102PHTR-ND	7,000	20.32/M	A472K15X7RF5TAA
		.01µf	±10	15	1103PHCT-ND	.58	4.18	28.95	1103PHTR-ND	7,000	19.48/M	A103K15X7RF5TAA
		.015µf	±10	15	1104PHCT-ND	.68	4.90	33.91	—	—	—	A153K15X7RF5TAA
		.022µf	±10	15	1105PHCT-ND	.66	4.76	32.96	1105PHTR-ND	7,000	22.02/M	A223K15X7RF5TAA
		.033µf	±10	15	1106PHCT-ND	.70	5.09	35.24	1106PHTR-ND	7,000	23.71/M	A333K15X7RF5TAA
		.047µf	±10	15	1107PHCT-ND	.72	5.17	35.81	1107PHTR-ND	7,000	23.71/M	A473K15X7RF5TAA
		.056µf	±10	15	1108PHCT-ND	1.02	7.40	51.24	1108PHTR-ND	7,000	33.87/M	A563K15X7RF5TAA
		.1µf	±10	15	1109PHCT-ND	1.03	7.43	51.43	1109PHTR-ND	7,000	34.29/M	A104K15X7RF5TAA
Z5U	50V	.022µf	±20	15	1207PHCT-ND	1.30	9.35	64.76	—	—	—	A223M15Z5UF5TAA
		.033µf	±20	15	1208PHCT-ND	1.17	8.42	58.29	1208PHTR-ND	7,000	38.86/M	A333M15Z5UF5TAA
		.047µf	±20	15	1209PHCT-ND	1.11	7.98	55.24	—	—	—	A473M15Z5UF5TAA
		.22µf	±20	15	1211PHCT-ND	2.56	18.49	128.01	—	—	—	A224M15Z5UF5TAA
		.22µf	+80, -20	20	1204PHCT-ND	2.50	18.02	124.77	—	—	—	A224Z20Z5UF5TAA
		.27µf	+80, -20	20	1212PHCT-ND	2.41	17.41	120.58	—	—	—	A274Z20Z5UF5TAA

Alle Preisangaben in Euro und inklusive Zollgebühren.

Panasonic

Keramikscheibenkondensatoren für Sicherheitsvorschriften – Typ NS-A

(IEC384-14, 2. Ausg., Unterklasse Y1/X1)

Geknickter Anschluss

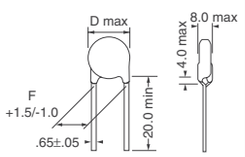

Gerader Anschluss

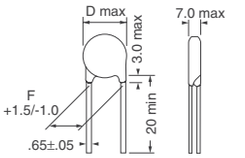

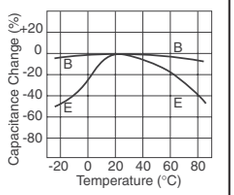

Gerät der Klasse II. Der Typ NS-A wird von UL und CSA (UL1414/250 V AC und CSA C22.2 Nr. 1anerkannt).

SPEZIFIKATIONEN:

- **Betriebstemperaturbereich:** -25 °C ~ 85 °C

Zutreffende Normen	Nennspannung
UL	250 VAC
CSA	125 VAC
IEC 384-14 2. Ausg. (EN 132 400) Sub-Class Y1	250 VAC
SEV 1016 (3.300 bis 4.700 pF)	250 VAC
BSI (BS415: 1.990), VDE 560-2, SEV1016 (100 bis 2.200 pF)	400 VAC

- **Dielektrische Haltespannung:** 4.000 V AC (50/60 Hz) für 1 Minute
- **Kapazität:** Innerhalb der Toleranz, wenn sie bei 1 kHz ±20 %, 1 Vrms und 20 °C gemessen wird
- **Dissipationsfaktor (Tan δ):** max. 0,025, gemessen bei 1 kHz ±20 %, 1 Vrms und 20 °C
- **Isolationswiderstand:** 10.000 MΩ bei 500 V DC und Elektrisierung von 1 Minute
- **Temperatureigenschaften**

Temp. eig.	Kap. änderung	Temp. Bereich
B/Y5P/2B4	±10% Maximal	-25°C ~ 85°C
E/Y5U/2E4	+20/-55% Maximal	-25°C ~ 85°C
Die Referenztemperatur: 20 °C		

Nennkapazität (pF)	Kapazitätstoleranz (%)	Temperatureigenschaften	Abmessungen (mm) D	F	Geknicker Anschluss -Bleifrei/RoHS-konform Digi-Key Teilenr.	Preisangaben 10	100	1000	Panasonic Teilenr.	Gerader Anschluss (Nicht für Neukonstruktionen empfohlen) Digi-Key Teilenr.	Preisangaben 5	10	100	Panasonic Teilenr.
100	±20	B	11.00	10.0	P9521-ND	3.70	24.80	126.23	ECK-ANA101MB	P10446-ND	2.90	4.27	30.48	ECK-DNA101MB
150	±20	B	11.00	10.0	P9522-ND	3.70	24.81	126.26	ECK-ANA151MB	P10447-ND	2.90	4.27	30.48	ECK-DNA151MB
220	±20	B	11.00	10.0	P9523-ND	3.70	24.80	126.23	ECK-ANA221MB	P10448-ND	2.95	4.39	32.23	ECK-DNA221MB
470	±20	B	11.00	10.0	P9524-ND	3.70	24.80	126.23	ECK-ANA471MB	P10449-ND	2.95	4.39	32.23	ECK-DNA471MB
1000	±20	B	11.00	10.0	P9525-ND	3.70	24.80	126.23	ECK-ANA102MB	P10450-ND	3.29	4.90	36.01	ECK-DNA102MB
1500	±20	E	11.00	10.0	P9526-ND	3.70	24.80	126.23	ECK-ANA152ME	P10451-ND	3.64	5.42	39.79	ECK-DNA152ME
2200	±20	E	11.00	10.0	P9527-ND	3.70	24.80	126.23	ECK-ANA222ME	P10452-ND	4.11	6.12	44.96	ECK-DNA222ME
3300	±20	E	13.00	10.0	P9528-ND	3.96	26.57	135.24	ECK-ANA332ME	P10453-ND	4.75	7.07	51.93	ECK-DNA332ME
4700	±20	E	16.00	10.0	P9529-ND	4.17	27.55	165.26	ECK-ANA472ME	P10454-ND	5.33	7.94	58.30	ECK-DNA472ME

Keramikscheibenkondensatoren für Sicherheitsvorschriften – Typ NS-B (IEC384-14, 2. Ausg., Unterklasse Y2)

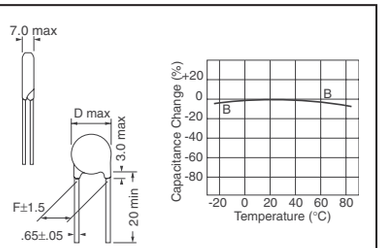

Gerät der Klasse I. Der Typ NS-B wird von UL und CSA (UL1414/250 V AC und CSA C22.2 Nr. 1anerkannt).

SPEZIFIKATIONEN:

- **Betriebstemperaturbereich:** -25°C ~ 85°C
- **Nennspannung: Temperatureigenschaften:**
  - **Dielektrische Haltespannung:** 2.600VAC (50/60 Hz) für 1 Minute
  - **Kapazität:** Innerhalb der Toleranz, wenn sie bei 1 kHz ±20 %, 1 Vrms und 20 °C gemessen wird
  - **Dissipationsfaktor (Tan δ):** max. 0,025, gemessen bei 1 kHz ±20 %, 1 Vrms und 20°C
  - **Isolationswiderstand:** 10.000 MΩ bei 500 V DC und Elektrisierung von 1 Minute

Zutreffende Normen	Nennspannung
UL	250 VAC
CSA	125 VAC
IEC 384-14 2. Ausg. (EN 132 400) Sub-Class Y2	250 VAC
SEV 1016 (3.300 bis 4.700 pF)	250 VAC
BSI (BS415: 1990), VDE 560-2, SEV1016 (100 to 2.200 pF)	400 VAC

Temp. eig.	Kap. änderung	Temp.bereich:
B/Y5P/2B4	±10% Max.	-25°C ~ 85°C
E/Y5U/2E4	+20/-55% Max.	-25°C ~ 85°C
Die Referenztemperatur: 20 °C		

Nennkapazität (pF)	Kapazität stoleranz (%)	Temperatureigenschaften	Abmessungen (mm) D	F	Digi-Key Teilenr.	Preisangaben 5	10	100	Panasonic Teilenr.
100	±20	B	10.5	7.5	P10442-ND	1.42	2.09	14.93	ECK-DNB101MB
150	±20	B	10.5	7.5	P10443-ND	1.44	2.12	15.17	ECK-DNB151MB
220	±20	B	10.5	7.5	P10445-ND	1.44	2.12	15.17	ECK-DNB221MB

E

Keramikscheibenkondensatoren für Sicherheitsvorschriften – Typ TS (IEC384-14, 2nd Ed., Unterklasse Y2/X1)

Zugelassen von UL und CSA für Nennspannung 250 V AC.

EMPFOHLENE ANWENDUNGEN:
Rauschunterdrückungsschaltkreis für Schaltnetzteil.

SPEZIFIKATIONEN:

- **Betriebstemperaturbereich:** -25 °C ~ 125 °C
- **Nennspannung:** 250 V AC
- **Spannungsfestigkeit:** 2.600 V AC für 1 Minute
- **Kapazität:** Innerhalb der Toleranz, wenn sie bei 1 kHz ±20 %, 1 Vrms und 20 °C gemessen wird
- **Dissipationsfaktor (Tan δ):** max. 0,025, gemessen bei 1 kHz ±20 %, 1 Vrms und 20 °C
- **Isolationswiderstand:** 10.000 MΩ bei 500 V DC und Elektrisierung von 1 Minute
- **Temperatureigenschaften:**

Tempera tureigenschaften	Kapazitätsveränderung	Temperaturbereich
B/Y5P/2B4	±10% Maximal	-25°C ~ 85°C
E/Y5U/2E4	+20/-55% Maximal	-25°C ~ 85°C
F/Y5V/2F4	+30/-80% Maximal	-25°C ~ 85°C
Die Referenztemperatur: 20 °C		

Abb. 1

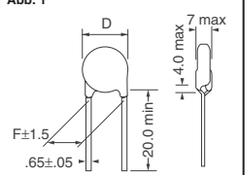

Abb. 2

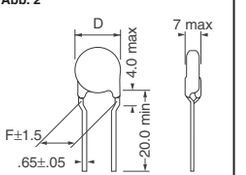

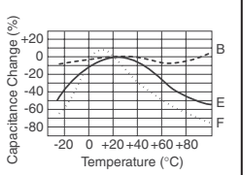

Abb.	Nennkap. (pF)	Kap. Tol. (%)	Temp. eig.	Abmessungen (mm) D ± 1.0	F	Digi-Key Teilenr.	Preisangaben 5	10	100	Panasonic Teilenr.
	100	±20	B	7.0	7.5	P10455-ND	1.90	2.59	17.37	ECK-ATS101MB
	150	±20	B	7.0	7.5	P10456-ND	1.90	2.59	17.37	ECK-ATS151MB
	220	±20	B	7.0	7.5	P10457-ND	1.90	2.59	17.37	ECK-ATS221MB
	330	±20	B	7.0	7.5	P10458-ND	1.90	2.59	17.37	ECK-ATS331MB
1	470	±20	B	7.0	7.5	P10459-ND	1.90	2.59	17.37	ECK-ATS471MB
	680	±20	B	7.0	7.5	P10460-ND	1.90	2.59	17.37	ECK-ATS681MB
	1000	±20	E	7.0	7.5	P10461-ND	1.97	2.69	18.07	ECK-ATS102ME
	1000	±20	B	9.5	7.5	P9657-ND	2.04	2.76	19.49	ECK-ATS102MB
	1500	±20	E	8.0	7.5	P10462-ND	2.24	3.06	20.56	ECK-ATS152ME
	2200	±20	E	9.0	7.5	P10463-ND	2.28	3.12	20.91	ECK-ATS222ME
2	3300	±20	E	11.5	7.5	P10464-ND	2.74	3.75	25.17	ECK-ATS332ME
1	4700	±20	E	14.0	10.0	P10465-ND	2.84	3.85	25.51	ECK-ATS472ME
2	4700	±20	F	11.5	7.5	P10466-ND	2.74	3.75	25.17	ECK-ATS472MF
	4700	±20	E	14.0	7.5	P10468-ND	2.84	3.85	25.51	ECK-ATS472ME6
1	10000	±20	F	16.0*	10.0	P10467-ND	3.16	4.29	28.40	ECK-ATS103MF
2	10000	±20	F	16.0*	7.5	P10469-ND	3.16	4.29	28.40	ECK-ATS103MF6

** D ist ±1,5.

Keramikscheibenkondensatoren für Sicherheitsvorschriften – Typ VS (Unterklasse Y2/X1)

Typ VS wird von VDE (IEC60384-14) und UL/CSA anerkannt

MERKMALE: • Miniaturgröße, 30 % kleiner als konventioneller Typ TS

EMPFOHLENE ANWENDUNGEN: • AC-Adapter, Batterieladegerät für PC, Handy • Terminal-Peripheriegerät als MODEM, xDSL

SPEZIFIKATIONEN: • **Betriebstemperaturbereich:** -25 °C ~ 125 °C (-25 °C ~ 85 °C für UL und CSA) • **Nennspannung:** 250 V AC/Y2, 440 V AC/X1 • Spannungsfestigkeit: 1.500 V AC, 1 Minute • **Dissipationsfaktor (Tan δ):** max. 0,025, gemessen bei 1 kHz ±20 %, 1,0 ±0,2 Vrms und 20 °C (für Temperatureigenschaften B, E und F). • **Isolationswiderstand:** 10.000 MΩ bei 500 V DC und Elektrisierung von 1 Minute

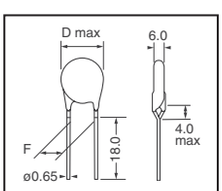

Temp. eig.	Kap. änderung	Temp. Bereich
SL	+350 ~ -1000ppm/°C	+20°C ~ 85°C
B	±10% Maximum	-20°C ~ 85°C
E	+20, -55% Maximal	-20°C ~ 85°C
F	+30, -80% Maximal	-20°C ~ 85°C
Die Referenztemperatur: 20 °C		

Nennkap. (pF)	Kap. Tol. (%)	Temp. eig.	Abmessungen (mm) D	F	Digi-Key Teilenr.	Gurtabschnittspreise 1	10	100	Digi-Key Teilenr.	Band und Box Größe	Preisangaben	Panasonic Teilenr.
5	±0.5pF	SL	8.0	5.0	P11408CT-ND	.27	1.85	13.04	P11408TB-ND	1,000	71.11	ECC-NVS050DG
10	±0.5pF	SL	8.0	5.0	P11409CT-ND	.44	3.01	20.20	P11409TB-ND	1,000	103.29	ECC-NVS100DG
22	±5%	SL	8.0	5.0	P11410CT-ND	.44	3.01	20.20	P11410TB-ND	1,000	103.29	ECC-NVS220JG
47	±5%	SL	8.0	5.0	P11411CT-ND	.44	3.01	20.20	P11411TB-ND	1,000	103.29	ECC-NVS470JG
100	±10%	B	8.0	5.0	P11412CT-ND	.44	3.01	20.20	P11412TB-ND	1,000	103.29	ECK-NVS101KB
150	±10%	B	8.0	5.0	P11413CT-ND	.44	3.01	20.20	P11413TB-ND	1,000	103.29	ECK-NVS151KB
220	±10%	B	8.0	5.0	P11414CT-ND	.44	3.01	20.20	P11414TB-ND	1,000	103.29	ECK-NVS221KB
330	±10%	B	8.0	5.0	P11415CT-ND	.44	3.01	20.20	P11415TB-ND	1,000	103.29	ECK-NVS331KB
470	±10%	B	8.0	5.0	P11416CT-ND	.44	3.01	20.20	P11416TB-ND	1,000	103.29	ECK-NVS471KB
1000	±10%	B	9.0	5.0	P11417CT-ND	.29	2.12	15.17	P11417TB-ND	1,000	84.66	ECK-NVS102KB
1000	±20%	E	8.0	5.0	P11418CT-ND	.48	3.28	21.97	P11418TB-ND	1,000	111.75	ECK-NVS102ME
1500	±20%	E	8.0	5.0	P11419CT-ND	.48	3.28	21.97	P11419TB-ND	1,000	111.75	ECK-NVS152ME
2200	±20%	E	9.0	5.0	P11420CT-ND	.52	3.54	23.74	P11420TB-ND	1,000	121.06	ECK-NVS222ME
4700	±20%	E	11.0	5.0	P11421CT-ND	.63	4.25	28.12	P11421TB-ND	1,000	168.47	ECK-NVS472ME
4700	±20%	F	10.0	5.0	P11422CT-ND	.59	4.03	26.67	P11422TB-ND	1,000	160.01	ECK-NVS472MF
10000	±20%	F	14.0	7.5	P11423CT-ND	.69	4.69	31.01	P11423TB-ND	500	117.25	ECK-NVS103MF

KEMET Keramikkondensatoren “AXIMAX”, mit Überzugslack, axiale Ableitungen

Die “Aximax”-Serie der Vielschicht-Keramikkondensatoren basiert auf einem Kondensatorelement, das aus formulierten dielektrischen Materialien besteht, die in dünnen Schichten vergossen wurden, durchsetzt mit Metallelektroden, die abwechselnd auf entgegengesetzten Kanten der laminierten Struktur freiliegen. Die gesamte Struktur wird bei hoher Temperatur gebrannt und ergibt einen monolithischen Block, der hohe Kapazitätswerte auf physisch kleinem Raum bietet. Nach dem Brennen werden an den entgegengesetzten Enden des Chips leitungsfähige Abschlüsse angebracht, die den Kontakt mit den freiliegenden Elektroden herstellen.

Keramikkondensatoren mit KEMET-Ableitungen werden mit drei gängigen Temperatureigenschaften angeboten: **C0G:** Klasse 1, mit einem Temperaturkoeffizienten von 0 ±30 ppm pro Grad C über einen Betriebsemperaturbereich von -55 °C ~ +125 °C (auch als „NP0“ bekannt). **X7R:** Klasse II, mit einer maximalen Kapazitätsänderung von ±15 % über einen Betriebstemperaturbereich von 55 °C ~ + 125 °C. **Z5U:** Klasse III, mit einer maximalen Kapazitätsänderung von +22 % - 56 % über einen Betriebstemperaturbereich von +10 °C ~ +85 °C.

Typ	L max. Zoll (mm)	D max. Zoll (mm)
C410	.170 (4.32)	.100 (2.54)
C412	.170 (4.32)	.120 (3.05)
C420	.260 (6.60)	.100 (2.54)
C430	.290 (7.37)	.150 (3.81)
C440	.400 (10.16)	.150 (3.81)

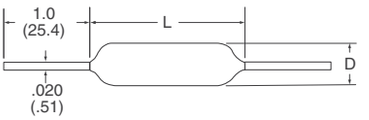

Dielek-trikum	Spann.	Kap.	Kap.Tol. (%)	Größen-code	Digi-Key Teilenr.	Gurtabschnittspreise 1	10	100	1,000	Digi-Key Teilenr.	Gegurtet auf Rolle Größe	Preisangaben	Kemet Teilenr.
C0G	100	10pF	±5	410	399-1806-1-ND	.25	2.36	17.08	118.30	399-1806-2-ND	5,000	78.74/M	C410C100J1G5CA7200
	100	15pF	±5	410	399-1807-1-ND	.25	2.36	17.08	118.30	399-1807-2-ND	5,000	78.86/M	C410C150J1G5CA7200
	100	22pF	±5	410	399-1808-1-ND	.25	2.36	17.08	118.30	399-1808-2-ND	5,000	78.74/M	C410C220J1G5CA7200
	100	33pF	±5	410	399-1809-1-ND	.25	2.36	17.08	118.30	399-1809-2-ND	5,000	78.74/M	C410C330J1G5CA7200
	100	47pF	±5	410	399-1810-1-ND	.25	2.36	17.08	118.30	399-1810-2-ND	5,000	78.74/M	C410C470J1G5CA7200
	100	68pF	±5	410	399-1811-1-ND	.25	2.36	17.08	118.30	399-1811-2-ND	5,000	78.74/M	C410C680J1G5CA7200
	100	100pF	±5	410	399-1812-1-ND	.22	2.10	15.19	105.15	399-1812-2-ND	5,000	70.10/M	C410C101J1G5CA7200
	100	150pF	±5	410	399-1813-1-ND	.25	2.36	17.08	118.30	399-1813-2-ND	5,000	78.86/M	C410C151J1G5CA7200
	100	220pF	±5	410	399-1814-1-ND	.25	2.36	17.08	118.30	399-1814-2-ND	5,000	78.74/M	C410C221J1G5CA7200
	100	330pF	±5	410	399-1815-1-ND	.25	2.36	17.08	118.30	399-1815-2-ND	5,000	78.74/M	C410C331J1G5CA7200
	100	470pF	±5	410	399-1816-1-ND	.25	2.36	17.08	118.30	399-1816-2-ND	5,000	78.86/M	C410C471J1G5CA7200
	100	680pF	±5	410	399-1817-1-ND	.25	2.36	17.08	118.30	399-1817-2-ND	5,000	78.74/M	C410C681J1G5CA7200
	100	1000pF	±5	410	399-1818-1-ND	.23	2.19	15.82	109.53	399-1818-2-ND	5,000	72.81/M	C410C102J1G5CA7200
	100	1500pF	±5	420	399-1819-1-ND	.37	3.50	25.31	175.25	399-1819-2-ND	5,000	116.83/M	C420C152J1G5CA7200
	100	2200pF	±5	420	399-1820-1-ND	.39	3.68	26.58	184.01	399-1820-2-ND	5,000	122.76/M	C420C222J1G5CA7200
	100	3300pF	±5	430	399-1821-1-ND	.63	6.04	43.67	302.30	399-1821-2-ND	2,500	201.54/M	C430C332J1G5CA7200
	100	4700pF	±5	430	399-1822-1-ND	.63	6.04	43.67	302.30	399-1822-2-ND	2,500	201.50/M	C430C472J1G5CA7200
	100	6800pF	±5	430	399-1823-1-ND	.86	8.15	58.86	407.45	399-1823-2-ND	2,500	271.76/M	C430C682J1G5CA7200
	100	.01µF	±5	440	399-1824-1-ND	.99	9.42	68.04	471.07	399-1824-2-ND	2,500	314.05/M	C440C103J1G5CA7200
	100	.015µF	±5	440	399-1825-1-ND	.99	9.42	68.04	471.07	399-1825-2-ND	2,500	314.09/M	C440C153J1G5CA7200
	50	680pF	±5	410	399-1826-1-ND	.25	2.41	17.41	120.58	399-1826-2-ND	5,000	80.39/M	C410C681J5G5CA7200
	50	1000pF	±5	410	399-1827-1-ND	.23	2.19	15.82	109.53	399-1827-2-ND	5,000	72.81/M	C410C102J5G5CA7200
	50	1500pF	±5	412	399-1828-1-ND	.39	3.68	26.58	184.01	399-1828-2-ND	5,000	122.76/M	C412C152J5G5CA7200
	50	2200pF	±5	412	399-1829-1-ND	.39	3.68	26.58	184.01	399-1829-2-ND	5,000	122.68/M	C412C222J5G5CA7200
	50	1500pF	±5	420	399-1830-1-ND	.39	3.68	26.58	184.01	399-1830-2-ND	5,000	122.76/M	C420C152J5G5CA7200
	50	2200pF	±5	420	399-1831-1-ND	.39	3.68	26.58	184.01	399-1831-2-ND	5,000	122.76/M	C420C222J5G5CA7200
	50	3300pF	±5	430	399-1832-1-ND	.72	6.79	49.06	339.64	399-1832-2-ND	2,500	226.05/M	C430C332J5G5CA7200
	50	4700pF	±5	430	399-1833-1-ND	.72	6.79	49.06	339.64	399-1833-2-ND	2,500	226.43/M	C430C472J5G5CA7200
	50	6800pF	±5	430	399-1834-1-ND	.72	6.79	49.06	339.64	399-1834-2-ND	2,500	226.05/M	C430C682J5G5CA7200
	50	.01µF	±5	440	399-1835-1-ND	.99	9.42	68.04	471.07	399-1835-2-ND	2,500	314.09/M	C440C103J5G5CA7200
	50	.015µF	±5	440	399-1836-1-ND	1.22	11.56	83.53	578.31	399-1836-2-ND	2,500	385.21/M	C440C153J5G5CA7200
X7R	100	470pF	±10	410	399-1837-1-ND	.19	1.80	13.01	90.10	399-1837-2-ND	5,000	60.07/M	C410C471K1R5CA7200
	100	680pF	±10	410	399-1838-1-ND	.19	1.80	13.01	90.10	399-1838-2-ND	5,000	60.11/M	C410C681K1R5CA7200
	100	1000pF	±10	410	399-1839-1-ND	.18	1.68	12.11	83.81	399-1839-2-ND	5,000	55.88/M	C410C102K1R5CA7200
	100	1500pF	±10	410	399-1840-1-ND	.19	1.80	13.01	90.10	399-1840-2-ND	5,000	60.11/M	C410C152K1R5CA7200
	100	2200pF	±10	410	399-1841-1-ND	.19	1.80	13.01	90.10	399-1841-2-ND	5,000	60.07/M	C410C222K1R5CA7200
	100	3300pF	±10	410	399-1842-1-ND	.19	1.80	13.01	90.10	399-1842-2-ND	5,000	60.11/M	C410C332K1R5CA7200
	100	4700pF	±10	410	399-1843-1-ND	.19	1.80	13.01	90.10	399-1843-2-ND	5,000	60.07/M	C410C472K1R5CA7200
	100	6800pF	±10	410	399-1844-1-ND	.19	1.80	13.01	90.10	399-1844-2-ND	5,000	60.07/M	C410C682K1R5CA7200
	100	.01µF	±10	410	399-1845-1-ND	.15	1.42	10.29	71.24	399-1845-2-ND	5,000	47.41/M	C410C103K1R5CA7200
	100	.015µF	±10	412	399-1846-1-ND	.22	2.10	15.14	104.77	399-1846-2-ND	5,000	70.27/M	C412C153K1R5CA7200
	100	.022µF	±10	412	399-1847-1-ND	.28	2.68	19.37	134.10	399-1847-2-ND	5,000	89.40/M	C412C223K1R5CA7200
	100	.015µF	±10	420	399-1848-1-ND	.22	2.10	15.14	104.77	399-1848-2-ND	5,000	69.85/M	C420C153K1R5CA7200
	100	.022µF	±10	420	399-1849-1-ND	.31	2.94	21.19	146.67	399-1849-2-ND	5,000	98.21/M	C420C223K1R5CA7200
	100	.033µF	±10	420	399-1850-1-ND	.31	2.94	21.19	146.67	399-1850-2-ND	5,000	98.21/M	C420C333K1R5CA7200
	100	.047µF	±10	430	399-1851-1-ND	.40	3.78	27.24	188.58	399-1851-2-ND	2,500	125.72/M	C430C473K1R5CA7200
	100	.068µF	±10	430	399-1852-1-ND	.55	5.20	37.53	259.82	399-1852-2-ND	2,500	173.56/M	C430C683K1R5CA7200
	100	.1µF	±10	430	399-1853-1-ND	.44	4.19	30.27	209.53	399-1853-2-ND	2,500	139.69/M	C430C104K1R5CA7200
	100	.15µF	±10	440	399-1854-1-ND	.81	7.71	55.69	385.54	399-1854-2-ND	2,500	257.37/M	C440C154K1R5CA7200
	50	.01µF	±10	410	399-1855-1-ND	.14	1.34	9.69	67.05	399-1855-2-ND	5,000	44.70/M	C410C103K5R5CA7200
	50	.015µF	±10	410	399-1856-1-ND	.25	2.30	16.64	115.25	399-1856-2-ND	5,000	76.83/M	C410C153K5R5CA7200
	50	.022µF	±10	410	399-1857-1-ND	.25	2.30	16.64	115.25	399-1857-2-ND	5,000	77.04/M	C410C223K5R5CA7200
	50	.033µF	±10	410	399-1858-1-ND	.25	2.30	16.64	115.25	399-1858-2-ND	5,000	76.83/M	C410C333K5R5CA7200
	50	.047µF	±10	410	399-1859-1-ND	.26	2.51	18.16	125.72	399-1859-2-ND	5,000	83.82/M	C410C473K5R5CA7200
	50	.068µF	±10	412	399-1860-1-ND	.26	2.51	18.16	125.72	399-1860-2-ND	5,000	83.82/M	C412C683K5R5CA7200
	50	.1µF	±10	412	399-1861-1-ND	.17	1.59	11.51	79.62	399-1861-2-ND	5,000	53.34/M	C412C104K5R5CA7200
	50	.068µF	±10	420	399-1862-1-ND	.26	2.51	18.16	125.72	399-1862-2-ND	5,000	83.82/M	C420C683K5R5CA7200
	50	.1µF	±10	420	399-1863-1-ND	.17	1.59	11.51	79.62	399-1863-2-ND	5,000	53.09/M	C420C104K5R5CA7200
	50	.15µF	±10	430	399-1864-1-ND	.55	5.20	37.53	259.82	399-1864-2-ND	2,500	173.56/M	C430C154K5R5CA7200
	50	.22µF	±10	430	399-1865-1-ND	.81	7.71	55.69	385.54	399-1865-2-ND	2,500	257.37/M	C430C224K5R5CA7200
	50	.33µF	±10	440	399-1866-1-ND	.90	8.47	61.14	423.26	399-1866-2-ND	2,500	281.92/M	C440C334K5R5CA7200
	50	.47µF	±10	440	399-1867-1-ND	1.33	12.57	90.80	628.60	399-1867-2-ND	2,500	419.07/M	C440C474K5R5CA7200
Z5U	100	.01µF	±20	410	399-1868-1-ND	.12	1.09	7.87	54.48	399-1868-2-ND	5,000	36.32/M	C410C103M1U5CA7200
	100	.015µF	±20	410	399-1869-1-ND	.16	1.55	11.20	77.53	399-1869-2-ND	5,000	51.65/M	C410C153M1U5CA7200
	100	.022µF	±20	410	399-1870-1-ND	.16	1.55	11.20	77.53	399-1870-2-ND	5,000	51.69/M	C410C223M1U5CA7200
	100	.033µF	±20	420	399-1871-1-ND	.25	2.43	17.56	121.53	399-1871-2-ND	5,000	81.28/M	C420C333M1U5CA7200
	100	.047µF	±20	420	399-1872-1-ND	.25	2.43	17.56	121.53	399-1872-2-ND	5,000	81.02/M	C420C473M1U5CA7200
	100	.068µF	±20	430	399-1873-1-ND	.44	4.19	30.27	209.53	399-1873-2-ND	2,500	139.69/M	C430C683M1U5CA7200
	100	.1µF	±20	430	399-1874-1-ND	.29	2.73	19.67	136.20	399-1874-2-ND	2,500	90.80/M	C430C104M1U5CA7200
	100	.15µF	±20	430	399-1875-1-ND	.48	4.61	33.30	230.49	399-1875-2-ND	2,500	153.66/M	C430C154M1U5CA7200
	100	.22µF	±20	440	399-1876-1-ND	.48	4.61	33.30	230.49	399-1876-2-ND	2,500	154.08/M	C440C224M1U5CA7200
	50	.033µF	±20	410	399-1877-1-ND	.15	1.42	10.29	71.24	399-1877-2-ND	5,000	47.41/M	C410C333M5U5CA7200
	50	.047µF	±20	410	399-1878-1-ND	.15	1.42	10.29	71.24	399-1878-2-ND	5,000	47.41/M	C410C473M5U5CA7200
	50	.068µF	±20	410	399-1879-1-ND	.15	1.42	10.29	71.24	399-1879-2-ND	5,000	47.50/M	C410C683M5U5CA7200
	50	.1µF	±20	410	399-1880-1-ND	.11	1.01	7.26	50.29	399-1880-2-ND	5,000	33.53/M	C410C104M5U5CA7200
	50	.15µF	±20	410	399-1881-1-ND	.22	2.10	15.14	104.77	399-1881-2-ND	5,000	70.27/M	C410C154M5U5CA7200
	50	.22µF	±20	410	399-1882-1-ND	.22	2.10	15.14	104.77	399-1882-2-ND	5,000	70.27/M	C410C224M5U5CA7200
	50	.33µF	±20	412	399-1883-1-ND	.34	3.23	23.31	161.35	399-1883-2-ND	5,000	107.56/M	C412C334M5U5CA7200
	50	.33µF	±20	420	399-1884-1-ND	.34	3.23	23.31	161.35	399-1884-2-ND	5,000	107.52/M	C420C334M5U5CA7200
	50	.47µF	±20	430	399-1885-1-ND	.55	5.24	37.83	261.92	399-1885-2-ND	2,500	174.62/M	C430C474M5U5CA7200
	50	.68µF	±20	430	399-1886-1-ND	.55	5.24	37.83	261.92	399-1886-2-ND	2,500	174.40/M	C430C684M5U5CA7200
	50	1µF	±20	440	399-1887-1-ND	.71	6.71	48.43	335.25	399-1887-2-ND	2,500	223.51/M	C440C105M5U5CA7200

E

Alle Preisangaben in Euro und inklusive Zollgebühren.

KEMET Keramikkondensatoren “GOLDEN MAX”, mit Überzugslack, Radialableitungen

Die "Golden Max"-Serie der Vielschicht-Keramikkondensatoren basiert auf einem Kondensatorelement, das aus formulierten dielektrischen Materialien besteht, die in dünnen Schichten vergossen wurden, durchsetzt mit Metallelektroden, die abwechselnd auf entgegengesetzten Kanten der laminierten Struktur freiliegen. Die gesamte Struktur wird bei hoher Temperatur gebrannt und ergibt einen monolithischen Block, der hohe Kapazitätswerte auf physisch kleinem Raum bietet. Nach dem Brennen werden an den entgegengesetzten Enden des Chips leitungsfähige Abschlüsse angebracht, die den Kontakt mit den freiliegenden Elektroden herstellen.

Keramikkondensatoren mit KEMET-Ableitungen werden mit drei gängigen Temperatureigenschaften angeboten: **C0G:** Klasse 1, mit einem Temperaturkoeffizienten von 0 ±30 ppm pro Grad C über einen Betriebsemperaturbereich von -55 °C ~ +125 °C (auch als „NP0“ bekannt). **X7R:** Klasse II, mit einer maximalen Kapazitätsänderung von ±15 % über einen Betriebstemperaturbereich von -55 °C ~ +125 °C. **Z5U:** Klasse III, mit einer maximalen Kapazitätsänderung von +22%-56% über einen Betriebstemperaturbereich von +10 °C ~ +85 °C.

Serie: C315 C320 C330 C340

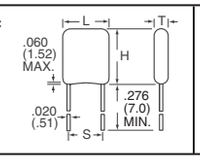

Serie: C317 C322

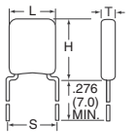

Dielektrikum	V DC	Kap.	Abmessungen - Zoll (mm) S (1)+ 0,030	L max.	H max.	T max.	Digi-Key Teilenr.	Preisangaben 1	10	100	500	Kemet Teilenr.
Serie C315												
	100	150pF	.100 (2.54)	.150 (3.81)	.210 (5.33)	.100 (2.54)	399-1900-ND	.23	1.66	11.85	42.67	C315C151J1G5CA
	100	220pF	.100 (2.54)	.150 (3.81)	.210 (5.33)	.100 (2.54)	399-1901-ND	.23	1.66	11.85	42.67	C315C221J1G5CA
	100	330pF	.100 (2.54)	.150 (3.81)	.210 (5.33)	.100 (2.54)	399-1902-ND	—	—	—	42.67	C315C331J1G5CA
	100	470pF	.100 (2.54)	.150 (3.81)	.210 (5.33)	.100 (2.54)	399-1903-ND	—	—	—	42.67	C315C471J1G5CA
	100	680pF	.100 (2.54)	.150 (3.81)	.210 (5.33)	.100 (2.54)	399-1904-ND	.32	2.39	17.06	61.41	C315C681J1G5CA
	100	1000pF	.100 (2.54)	.150 (3.81)	.210 (5.33)	.100 (2.54)	399-1905-ND	.26	1.93	13.76	49.53	C315C102J1G5CA
	200	10pF	.100 (2.54)	.150 (3.81)	.210 (5.33)	.100 (2.54)	399-1888-ND	.22	1.63	11.64	41.91	C315C100J2G5CA
C0G	200	15pF	.100 (2.54)	.150 (3.81)	.210 (5.33)	.100 (2.54)	399-1889-ND	.24	1.76	12.57	45.26	C315C150J2G5CA
±5%	200	22pF	.100 (2.54)	.150 (3.81)	.210 (5.33)	.100 (2.54)	399-1890-ND	.24	1.76	12.57	45.26	C315C220J2G5CA
	200	27pF	.100 (2.54)	.150 (3.81)	.210 (5.33)	.100 (2.54)	399-1891-ND	—	—	—	45.26	C315C270J2G5CA
	200	33pF	.100 (2.54)	.150 (3.81)	.210 (5.33)	.100 (2.54)	399-1892-ND	—	—	—	45.26	C315C330J2G5CA
	200	47pF	.100 (2.54)	.150 (3.81)	.210 (5.33)	.100 (2.54)	399-1893-ND	.24	1.76	12.57	45.26	C315C470J2G5CA
	200	68pF	.100 (2.54)	.150 (3.81)	.210 (5.33)	.100 (2.54)	399-1894-ND	.25	1.85	13.27	47.77	C315C680J2G5CA
	200	100pF	.100 (2.54)	.150 (3.81)	.210 (5.33)	.100 (2.54)	399-1895-ND	.24	1.76	12.57	45.26	C315C101J2G5CA
	200	150pF	.100 (2.54)	.150 (3.81)	.210 (5.33)	.100 (2.54)	399-1896-ND	.27	1.99	14.22	51.20	C315C151J2G5CA
	200	220pF	.100 (2.54)	.150 (3.81)	.210 (5.33)	.100 (2.54)	399-1897-ND	.27	1.99	14.22	51.20	C315C221J2G5CA
	200	330pF	.100 (2.54)	.150 (3.81)	.210 (5.33)	.100 (2.54)	399-1898-ND	.32	2.39	17.06	61.41	C315C331J2G5CA
	200	470pF	.100 (2.54)	.150 (3.81)	.210 (5.33)	.100 (2.54)	399-1899-ND	.32	2.39	17.06	61.41	C315C471J2G5CA
	50	3300pF	.100 (2.54)	.150 (3.81)	.210 (5.33)	.100 (2.54)	399-2001-ND	.16	1.18	8.38	30.17	C315C332K5R5CA
	50	4700pF	.100 (2.54)	.150 (3.81)	.210 (5.33)	.100 (2.54)	399-2002-ND	.18	1.30	9.31	33.53	C315C472K5R5CA
	50	6800pF	.100 (2.54)	.150 (3.81)	.210 (5.33)	.100 (2.54)	399-2003-ND	.18	1.30	9.31	33.53	C315C682K5R5CA
	50	.01µF	.100 (2.54)	.150 (3.81)	.210 (5.33)	.100 (2.54)	399-2004-ND	.17	1.28	9.10	32.76	C315C103K5R5CA
	50	.015µF	.100 (2.54)	.150 (3.81)	.210 (5.33)	.100 (2.54)	399-2005-ND	.18	1.30	9.31	33.53	C315C153K5R5CA
	50	.022µF	.100 (2.54)	.150 (3.81)	.210 (5.33)	.100 (2.54)	399-2006-ND	.19	1.41	10.02	36.04	C315C223K5R5CA
	50	.033µF	.100 (2.54)	.150 (3.81)	.210 (5.33)	.100 (2.54)	399-2007-ND	.19	1.41	10.02	36.04	C315C333K5R5CA
	100	1000pF	.100 (2.54)	.150 (3.81)	.210 (5.33)	.100 (2.54)	399-1994-ND	.14	1.08	7.69	27.66	C315C102K1R5CA
	100	1500pF	.100 (2.54)	.150 (3.81)	.210 (5.33)	.100 (2.54)	399-1995-ND	.16	1.18	8.38	30.17	C315C152K1R5CA
	100	2200pF	.100 (2.54)	.150 (3.81)	.210 (5.33)	.100 (2.54)	399-1996-ND	.16	1.18	8.38	30.17	C315C222K1R5CA
X7R	100	3300pF	.100 (2.54)	.150 (3.81)	.210 (5.33)	.100 (2.54)	399-1997-ND	—	—	—	30.17	C315C332K1R5CA
±10%	100	4700pF	.100 (2.54)	.150 (3.81)	.210 (5.33)	.100 (2.54)	399-1998-ND	.18	1.30	9.31	33.53	C315C472K1R5CA
	100	6800pF	.100 (2.54)	.150 (3.81)	.210 (5.33)	.100 (2.54)	399-1999-ND	.18	1.30	9.31	33.53	C315C682K1R5CA
	100	.01µF	.100 (2.54)	.150 (3.81)	.210 (5.33)	.100 (2.54)	399-2000-ND	.16	1.18	8.38	30.17	C315C103K1R5CA
	200	100pF	.100 (2.54)	.150 (3.81)	.210 (5.33)	.100 (2.54)	399-1985-ND	.19	1.40	9.95	35.81	C315C101K2R5CA
	200	150pF	.100 (2.54)	.150 (3.81)	.210 (5.33)	.100 (2.54)	399-1986-ND	.20	1.52	10.90	39.24	C315C151K2R5CA
	200	220pF	.100 (2.54)	.150 (3.81)	.210 (5.33)	.100 (2.54)	399-1987-ND	.20	1.52	10.90	39.24	C315C221K2R5CA
	200	330pF	.100 (2.54)	.150 (3.81)	.210 (5.33)	.100 (2.54)	399-1988-ND	.20	1.52	10.90	39.24	C315C331K2R5CA
	200	470pF	.100 (2.54)	.150 (3.81)	.210 (5.33)	.100 (2.54)	399-1989-ND	.20	1.52	10.90	39.24	C315C471K2R5CA
	200	680pF	.100 (2.54)	.150 (3.81)	.210 (5.33)	.100 (2.54)	399-1990-ND	.20	1.52	10.90	39.24	C315C681K2R5CA
	200	1000pF	.100 (2.54)	.150 (3.81)	.210 (5.33)	.100 (2.54)	399-1991-ND	.19	1.40	9.95	35.81	C315C102K2R5CA
	200	1500pF	.100 (2.54)	.150 (3.81)	.210 (5.33)	.100 (2.54)	399-1992-ND	.20	1.52	10.90	39.24	C315C152K2R5CA
	200	2200pF	.100 (2.54)	.150 (3.81)	.210 (5.33)	.100 (2.54)	399-1993-ND	—	—	—	39.24	C315C222K2R5CA
	50	4700pF	.100 (2.54)	.150 (3.81)	.210 (5.33)	.100 (2.54)	399-2119-ND	.16	1.16	8.28	29.79	C315C472M5U5CA
	50	6800pF	.100 (2.54)	.150 (3.81)	.210 (5.33)	.100 (2.54)	399-2120-ND	.16	1.16	8.28	29.79	C315C682M5U5CA
	50	.01µF	.100 (2.54)	.150 (3.81)	.210 (5.33)	.100 (2.54)	399-2121-ND	—	—	—	26.29	C315C103M5U5CA
	50	.015µF	.100 (2.54)	.150 (3.81)	.210 (5.33)	.100 (2.54)	399-2122-ND	.15	1.13	8.04	28.95	C315C153M5U5CA
	50	.022µF	.100 (2.54)	.150 (3.81)	.210 (5.33)	.100 (2.54)	399-2123-ND	—	—	—	28.95	C315C223M5U5CA
	50	.033µF	.100 (2.54)	.150 (3.81)	.210 (5.33)	.100 (2.54)	399-2124-ND	.15	1.13	8.04	28.95	C315C333M5U5CA
	50	.047µF	.100 (2.54)	.150 (3.81)	.210 (5.33)	.100 (2.54)	399-2125-ND	.15	1.13	8.04	28.95	C315C473M5U5CA
Z5U	50	.068µF	.100 (2.54)	.150 (3.81)	.210 (5.33)	.100 (2.54)	399-2126-ND	.17	1.26	9.02	32.46	C315C683M5U5CA
±20%	50	.1µF	.100 (2.54)	.150 (3.81)	.210 (5.33)	.100 (2.54)	399-2127-ND	.14	1.02	7.31	26.29	C315C104M5U5CA
	100	1000pF	.100 (2.54)	.150 (3.81)	.210 (5.33)	.100 (2.54)	399-2111-ND	.14	1.06	7.56	27.20	C315C102M1U5CA
	100	1500pF	.100 (2.54)	.150 (3.81)	.210 (5.33)	.100 (2.54)	399-2112-ND	.16	1.16	8.28	29.79	C315C152M1U5CA
	100	2200pF	.100 (2.54)	.150 (3.81)	.210 (5.33)	.100 (2.54)	399-2113-ND	.16	1.16	8.28	29.79	C315C222M1U5CA
	100	3300pF	.100 (2.54)	.150 (3.81)	.210 (5.33)	.100 (2.54)	399-2114-ND	.16	1.16	8.28	29.79	C315C332M1U5CA
	100	4700pF	.100 (2.54)	.150 (3.81)	.210 (5.33)	.100 (2.54)	399-2115-ND	.16	1.16	8.28	29.79	C315C472M1U5CA
	100	6800pF	.100 (2.54)	.150 (3.81)	.210 (5.33)	.100 (2.54)	399-2116-ND	.16	1.16	8.28	29.79	C315C682M1U5CA
	100	.01µF	.100 (2.54)	.150 (3.81)	.210 (5.33)	.100 (2.54)	399-2117-ND	.14	1.06	7.56	27.20	C315C103M1U5CA
	100	.015µF	.100 (2.54)	.150 (3.81)	.210 (5.33)	.100 (2.54)	399-2118-ND	.18	1.30	9.25	33.30	C315C153M1U5CA
Serie C317												
	100	150pF	.200 (5.08)	.150 (3.81)	.230 (5.84)	.100 (2.54)	399-1918-ND	.23	1.66	11.85	42.67	C317C151J1G5CA
	100	220pF	.200 (5.08)	.150 (3.81)	.230 (5.84)	.100 (2.54)	399-1919-ND	.23	1.66	11.85	42.67	C317C221J1G5CA
	100	330pF	.200 (5.08)	.150 (3.81)	.230 (5.84)	.100 (2.54)	399-1920-ND	.23	1.66	11.85	42.67	C317C331J1G5CA
	100	470pF	.200 (5.08)	.150 (3.81)	.230 (5.84)	.100 (2.54)	399-1921-ND	.23	1.66	11.85	42.67	C317C471J1G5CA
	100	680pF	.200 (5.08)	.150 (3.81)	.230 (5.84)	.100 (2.54)	399-1922-ND	.32	2.39	17.06	61.41	C317C681J1G5CA
	100	1000pF	.200 (5.08)	.150 (3.81)	.230 (5.84)	.100 (2.54)	399-1923-ND	.26	1.93	13.76	49.53	C317C102J1G5CA
	200	10pF	.200 (5.08)	.150 (3.81)	.230 (5.84)	.100 (2.54)	399-1906-ND	—	—	—	41.91	C317C100J2G5CA
C0G	200	15pF	.200 (5.08)	.150 (3.81)	.230 (5.84)	.100 (2.54)	399-1907-ND	—	—	—	45.26	C317C150J2G5CA
±5%	200	22pF	.200 (5.08)	.150 (3.81)	.230 (5.84)	.100 (2.54)	399-1908-ND	.24	1.76	12.57	45.26	C317C220J2G5CA
	200	33pF	.200 (5.08)	.150 (3.81)	.230 (5.84)	.100 (2.54)	399-1909-ND	—	—	—	45.26	C317C330J2G5CA
	200	39pF	.200 (5.08)	.150 (3.81)	.230 (5.84)	.100 (2.54)	399-1910-ND	.24	1.76	12.57	45.26	C317C390J2G5CA
	200	47pF	.200 (5.08)	.150 (3.81)	.230 (5.84)	.100 (2.54)	399-1911-ND	—	—	—	45.26	C317C470J2G5CA
	200	68pF	.200 (5.08)	.150 (3.81)	.230 (5.84)	.100 (2.54)	399-1912-ND	.25	1.85	13.27	47.77	C317C680J2G5CA
	200	100pF	.200 (5.08)	.150 (3.81)	.230 (5.84)	.100 (2.54)	399-1913-ND	—	—	—	45.26	C317C101J2G5CA
	200	150pF	.200 (5.08)	.150 (3.81)	.230 (5.84)	.100 (2.54)	399-1914-ND	—	—	—	51.20	C317C151J2G5CA
	200	220pF	.200 (5.08)	.150 (3.81)	.230 (5.84)	.100 (2.54)	399-1915-ND	.27	1.99	14.22	51.20	C317C221J2G5CA
	200	330pF	.200 (5.08)	.150 (3.81)	.230 (5.84)	.100 (2.54)	399-1916-ND	—	—	—	61.41	C317C331J2G5CA
	200	470pF	.200 (5.08)	.150 (3.81)	.230 (5.84)	.100 (2.54)	399-1917-ND	.32	2.39	17.06	61.41	C317C471J2G5CA
	50	3300pF	.200 (5.08)	.150 (3.81)	.230 (5.84)	.100 (2.54)	399-2024-ND	.16	1.18	8.38	30.17	C317C332K5R5CA
	50	4700pF	.200 (5.08)	.150 (3.81)	.230 (5.84)	.100 (2.54)	399-2025-ND	.18	1.30	9.31	33.53	C317C472K5R5CA
	50	6800pF	.200 (5.08)	.150 (3.81)	.230 (5.84)	.100 (2.54)	399-2026-ND	.18	1.30	9.31	33.53	C317C682K5R5CA
	50	.01µF	.200 (5.08)	.150 (3.81)	.230 (5.84)	.100 (2.54)	399-2027-ND	.17	1.28	9.10	32.76	C317C103K5R5CA
	50	.015µF	.200 (5.08)	.150 (3.81)	.230 (5.84)	.100 (2.54)	399-2028-ND	.18	1.30	9.31	33.53	C317C153K5R5CA
	50	.022µF	.200 (5.08)	.150 (3.81)	.230 (5.84)	.100 (2.54)	399-2029-ND	—	—	—	36.04	C317C223K5R5CA
	50	.033µF	.200 (5.08)	.150 (3.81)	.230 (5.84)	.100 (2.54)	399-2030-ND	—	—	—	36.04	C317C333K5R5CA
	100	1000pF	.200 (5.08)	.150 (3.81)	.230 (5.84)	.100 (2.54)	399-2017-ND	.14	1.08	7.69	27.66	C317C102K1R5CA
	100	1500pF	.200 (5.08)	.150 (3.81)	.230 (5.84)	.100 (2.54)	399-2018-ND	.16	1.18	8.38	30.17	C317C152K1R5CA
X7R	100	2200pF	.200 (5.08)	.150 (3.81)	.230 (5.84)	.100 (2.54)	399-2019-ND	.16	1.18	8.38	30.17	C317C222K1R5CA
±10%	100	3300pF	.200 (5.08)	.150 (3.81)	.230 (5.84)	.100 (2.54)	399-2020-ND	.16	1.18	8.38	30.17	C317C332K1R5CA
	100	4700pF	.200 (5.08)	.150 (3.81)	.230 (5.84)	.100 (2.54)	399-2021-ND	.18	1.30	9.31	33.53	C317C472K1R5CA
	100	6800pF	.200 (5.08)	.150 (3.81)	.230 (5.84)	.100 (2.54)	399-2022-ND	.18	1.30	9.31	33.53	C317C682K1R5CA
	100	.01µF	.200 (5.08)	.150 (3.81)	.230 (5.84)	.100 (2.54)	399-2023-ND	.16	1.18	8.38	30.17	C317C103K1R5CA
	200	100pF	.200 (5.08)	.150 (3.81)	.230 (5.84)	.100 (2.54)	399-2008-ND	.19	1.40	9.95	35.81	C317C101K2R5CA
	200	150pF	.200 (5.08)	.150 (3.81)	.230 (5.84)	.100 (2.54)	399-2009-ND	.20	1.52	10.90	39.24	C317C151K2R5CA
	200	220pF	.200 (5.08)	.150 (3.81)	.230 (5.84)	.100 (2.54)	399-2010-ND	.20	1.52	10.90	39.24	C317C221K2R5CA
	200	330pF	.200 (5.08)	.150 (3.81)	.230 (5.84)	.100 (2.54)	399-2011-ND	.20	1.52	10.90	39.24	C317C331K2R5CA
	200	470pF	.200 (5.08)	.150 (3.81)	.230 (5.84)	.100 (2.54)	399-2012-ND	.20	1.52	10.90	39.24	C317C471K2R5CA
	200	680pF	.200 (5.08)	.150 (3.81)	.230 (5.84)	.100 (2.54)	399-2013-ND	.20	1.52	10.90	39.24	C317C681K2R5CA

(Forts.)

E

Dielektrikum	VDC	Kap.	Abmessungen - Zoll (mm) S (1)+ 0,030	L max.	H max.	T max.	Digi-Key Teilenr.	Preisangaben 1	10	100	500	Kemet Teilenr.
X7R ±10%	200	1000pF	.200 (5.08)	.150 (3.81)	.230 (5.84)	.100 (2.54)	399-2014-ND	.19	1.40	9.95	35.81	C317C102K2R5CA
	200	1500pF	.200 (5.08)	.150 (3.81)	.230 (5.84)	.100 (2.54)	399-2015-ND	.20	1.52	10.90	39.24	C317C152K2R5CA
	200	2200pF	.200 (5.08)	.150 (3.81)	.230 (5.84)	.100 (2.54)	399-2016-ND	.20	1.52	10.90	39.24	C317C222K2R5CA
Z5U ±20%	50	6800pF	.200 (5.08)	.150 (3.81)	.230 (5.84)	.100 (2.54)	399-2136-ND	.16	1.16	8.28	29.79	C317C682M5U5CA
	50	.01µF	.200 (5.08)	.150 (3.81)	.230 (5.84)	.100 (2.54)	399-2137-ND	.14	1.02	7.31	26.29	C317C103M5U5CA
	50	.015µF	.200 (5.08)	.150 (3.81)	.230 (5.84)	.100 (2.54)	399-2138-ND	.15	1.13	8.04	28.95	C317C153M5U5CA
	50	.022µF	.200 (5.08)	.150 (3.81)	.230 (5.84)	.100 (2.54)	399-2139-ND	.15	1.13	8.04	28.95	C317C223M5U5CA
	50	.033µF	.200 (5.08)	.150 (3.81)	.230 (5.84)	.100 (2.54)	399-2140-ND	.15	1.13	8.04	28.95	C317C333M5U5CA
	50	.047µF	.200 (5.08)	.150 (3.81)	.230 (5.84)	.100 (2.54)	399-2141-ND	.15	1.13	8.04	28.95	C317C473M5U5CA
	50	.068µF	.200 (5.08)	.150 (3.81)	.230 (5.84)	.100 (2.54)	399-2142-ND	.17	1.26	9.02	32.46	C317C683M5U5CA
	50	.1µF	.200 (5.08)	.150 (3.81)	.230 (5.84)	.100 (2.54)	399-2143-ND	.14	1.02	7.31	—	C317C104M5U5CA
	100	1000pF	.200 (5.08)	.150 (3.81)	.230 (5.84)	.100 (2.54)	399-2128-ND	—	—	—	27.20	C317C102M1U5CA
	100	1500pF	.200 (5.08)	.150 (3.81)	.230 (5.84)	.100 (2.54)	399-2129-ND	.16	1.16	8.28	29.79	C317C152M1U5CA
	100	2200pF	.200 (5.08)	.150 (3.81)	.230 (5.84)	.100 (2.54)	399-2130-ND	.16	1.16	8.28	29.79	C317C222M1U5CA
	100	3300pF	.200 (5.08)	.150 (3.81)	.230 (5.84)	.100 (2.54)	399-2131-ND	.16	1.16	8.28	29.79	C317C332M1U5CA
	100	4700pF	.200 (5.08)	.150 (3.81)	.230 (5.84)	.100 (2.54)	399-2132-ND	.16	1.16	8.28	29.79	C317C472M1U5CA
	100	6800pF	.200 (5.08)	.150 (3.81)	.230 (5.84)	.100 (2.54)	399-2133-ND	.16	1.16	8.28	29.79	C317C682M1U5CA
	100	.01µF	.200 (5.08)	.150 (3.81)	.230 (5.84)	.100 (2.54)	399-2134-ND	—	—	—	27.20	C317C103M1U5CA
	100	.015µF	.200 (5.08)	.150 (3.81)	.230 (5.84)	.100 (2.54)	399-2135-ND	.18	1.30	9.25	33.30	C317C153M1U5CA
Serie C320												
C0G ±5%	100	680pF	.100 (2.54)	.200 (5.08)	.260 (6.60)	.125 (3.18)	399-1940-ND	.33	2.41	17.23	62.02	C320C681J1G5CA
	100	1000pF	.100 (2.54)	.200 (5.08)	.260 (6.60)	.125 (3.18)	399-1941-ND	.26	1.94	13.87	49.91	C320C102J1G5CA
	100	1500pF	.100 (2.54)	.200 (5.08)	.260 (6.60)	.125 (3.18)	399-1942-ND	.33	2.46	17.52	63.09	C320C152J1G5CA
	100	2200pF	.100 (2.54)	.200 (5.08)	.260 (6.60)	.125 (3.18)	399-1943-ND	—	—	—	63.09	C320C222J1G5CA
	100	3300pF	.100 (2.54)	.200 (5.08)	.260 (6.60)	.125 (3.18)	399-1944-ND	.38	2.79	19.96	71.85	C320C332J1G5CA
	100	4700pF	.100 (2.54)	.200 (5.08)	.260 (6.60)	.125 (3.18)	399-1945-ND	.41	3.00	21.42	77.11	C320C472J1G5CA
	200	10pF	.100 (2.54)	.200 (5.08)	.260 (6.60)	.125 (3.18)	399-1924-ND	.23	1.66	11.85	42.67	C320C100J2G5CA
	200	15pF	.100 (2.54)	.200 (5.08)	.260 (6.60)	.125 (3.18)	399-1925-ND	.25	1.79	12.81	46.10	C320C150J2G5CA
	200	22pF	.100 (2.54)	.200 (5.08)	.260 (6.60)	.125 (3.18)	399-1926-ND	—	—	—	46.10	C320C220J2G5CA
	200	33pF	.100 (2.54)	.200 (5.08)	.260 (6.60)	.125 (3.18)	399-1927-ND	—	—	—	46.10	C320C330J2G5CA
	200	47pF	.100 (2.54)	.200 (5.08)	.260 (6.60)	.125 (3.18)	399-1928-ND	.25	1.79	12.81	46.10	C320C470J2G5CA
	200	68pF	.100 (2.54)	.200 (5.08)	.260 (6.60)	.125 (3.18)	399-1929-ND	.25	1.89	13.50	48.61	C320C680J2G5CA
	200	100pF	.100 (2.54)	.200 (5.08)	.260 (6.60)	.125 (3.18)	399-1930-ND	.25	1.79	12.81	46.10	C320C101J2G5CA
	200	150pF	.100 (2.54)	.200 (5.08)	.260 (6.60)	.125 (3.18)	399-1931-ND	.27	2.01	14.35	51.66	C320C151J2G5CA
	200	220pF	.100 (2.54)	.200 (5.08)	.260 (6.60)	.125 (3.18)	399-1932-ND	—	—	—	51.66	C320C221J2G5CA
	200	330pF	.100 (2.54)	.200 (5.08)	.260 (6.60)	.125 (3.18)	399-1933-ND	—	—	—	62.02	C320C331J2G5CA
	200	470pF	.100 (2.54)	.200 (5.08)	.260 (6.60)	.125 (3.18)	399-1934-ND	.33	2.41	17.23	62.02	C320C471J2G5CA
	200	680pF	.100 (2.54)	.200 (5.08)	.260 (6.60)	.125 (3.18)	399-1935-ND	.36	2.61	18.65	67.13	C320C681J2G5CA
	200	1000pF	.100 (2.54)	.200 (5.08)	.260 (6.60)	.125 (3.18)	399-1936-ND	—	—	—	64.61	C320C102J2G5CA
	200	1500pF	.100 (2.54)	.200 (5.08)	.260 (6.60)	.125 (3.18)	399-1937-ND	.38	2.79	19.96	71.85	C320C152J2G5CA
	200	2200pF	.100 (2.54)	.200 (5.08)	.260 (6.60)	.125 (3.18)	399-1938-ND	.38	2.79	19.96	71.85	C320C222J2G5CA
	200	3300pF	.100 (2.54)	.200 (5.08)	.260 (6.60)	.125 (3.18)	399-1939-ND	.47	3.45	24.59	88.54	C320C332J2G5CA
X7R ±10%	50	.015µF	.100 (2.54)	.200 (5.08)	.260 (6.60)	.125 (3.18)	399-2049-ND	.18	1.33	9.48	34.13	C320C153K5R5CA
	50	.022µF	.100 (2.54)	.200 (5.08)	.260 (6.60)	.125 (3.18)	399-2050-ND	.19	1.43	10.20	36.73	C320C223K5R5CA
	50	.033µF	.100 (2.54)	.200 (5.08)	.260 (6.60)	.125 (3.18)	399-2051-ND	.19	1.43	10.20	36.73	C320C333K5R5CA
	50	.047µF	.100 (2.54)	.200 (5.08)	.260 (6.60)	.125 (3.18)	399-2052-ND	.22	1.63	11.62	—	C320C473K5R5CA
	50	.068µF	.100 (2.54)	.200 (5.08)	.260 (6.60)	.125 (3.18)	399-2053-ND	.22	1.63	11.62	41.83	C320C683K5R5CA
	50	.1µF	.100 (2.54)	.200 (5.08)	.260 (6.60)	.125 (3.18)	399-2054-ND	—	—	—	34.13	C320C104K5R5CA
	50	.15µF	.100 (2.54)	.200 (5.08)	.260 (6.60)	.125 (3.18)	399-2055-ND	.31	2.29	16.36	58.90	C320C154K5R5CA
	50	.22µF	.100 (2.54)	.200 (5.08)	.260 (6.60)	.125 (3.18)	399-2056-ND	.45	3.32	23.70	85.34	C320C224K5R5CA
	100	4700pF	.100 (2.54)	.200 (5.08)	.260 (6.60)	.125 (3.18)	399-2040-ND	.18	1.34	9.57	34.44	C320C472K1R5CA
	100	6800pF	.100 (2.54)	.200 (5.08)	.260 (6.60)	.125 (3.18)	399-2041-ND	.18	1.34	9.57	34.44	C320C682K1R5CA
	100	.01µF	.100 (2.54)	.200 (5.08)	.260 (6.60)	.125 (3.18)	399-2042-ND	—	—	—	31.01	C320C103K1R5CA
	100	.015µF	.100 (2.54)	.200 (5.08)	.260 (6.60)	.125 (3.18)	399-2043-ND	.20	1.47	10.52	37.87	C320C153K1R5CA
	100	.022µF	.100 (2.54)	.200 (5.08)	.260 (6.60)	.125 (3.18)	399-2044-ND	.23	1.71	12.19	43.89	C320C223K1R5CA
	100	.033µF	.100 (2.54)	.200 (5.08)	.260 (6.60)	.125 (3.18)	399-2045-ND	.23	1.71	12.19	43.89	C320C333K1R5CA
	100	.047µF	.100 (2.54)	.200 (5.08)	.260 (6.60)	.125 (3.18)	399-2046-ND	.29	2.11	15.07	54.25	C320C473K1R5CA
	100	.068µF	.100 (2.54)	.200 (5.08)	.260 (6.60)	.125 (3.18)	399-2047-ND	.29	2.11	15.07	54.25	C320C683K1R5CA
	100	.1µF	.100 (2.54)	.200 (5.08)	.260 (6.60)	.125 (3.18)	399-2048-ND	.29	2.11	15.07	54.25	C320C104K1R5CA
	200	1000pF	.100 (2.54)	.200 (5.08)	.260 (6.60)	.125 (3.18)	399-2031-ND	.19	1.43	10.23	36.80	C320C102K2R5CA
	200	1500pF	.100 (2.54)	.200 (5.08)	.260 (6.60)	.125 (3.18)	399-2032-ND	.21	1.57	11.20	40.31	C320C152K2R5CA
	200	2200pF	.100 (2.54)	.200 (5.08)	.260 (6.60)	.125 (3.18)	399-2033-ND	—	—	—	40.31	C320C222K2R5CA
	200	3300pF	.100 (2.54)	.200 (5.08)	.260 (6.60)	.125 (3.18)	399-2034-ND	.21	1.57	11.20	40.31	C320C332K2R5CA
	200	4700pF	.100 (2.54)	.200 (5.08)	.260 (6.60)	.125 (3.18)	399-2035-ND	.23	1.70	12.17	43.81	C320C472K2R5CA
	200	6800pF	.100 (2.54)	.200 (5.08)	.260 (6.60)	.125 (3.18)	399-2036-ND	.23	1.70	12.17	43.81	C320C682K2R5CA
	200	.01µF	.100 (2.54)	.200 (5.08)	.260 (6.60)	.125 (3.18)	399-2037-ND	.21	1.57	11.20	40.31	C320C103K2R5CA
	200	.015µF	.100 (2.54)	.200 (5.08)	.260 (6.60)	.125 (3.18)	399-2038-ND	.26	1.95	13.88	49.98	C320C153K2R5CA
	200	.022µF	.100 (2.54)	.200 (5.08)	.260 (6.60)	.125 (3.18)	399-2039-ND	.26	1.95	13.88	49.98	C320C223K2R5CA
Z5U ±20%	50	.033µF	.100 (2.54)	.200 (5.08)	.260 (6.60)	.125 (3.18)	399-2152-ND	.15	1.13	8.04	28.95	C320C333M5U5CA
	50	.047µF	.100 (2.54)	.200 (5.08)	.260 (6.60)	.125 (3.18)	399-2153-ND	.15	1.13	8.04	28.95	C320C473M5U5CA
	50	.068µF	.100 (2.54)	.200 (5.08)	.260 (6.60)	.125 (3.18)	399-2154-ND	.17	1.26	9.02	32.46	C320C683M5U5CA
	50	.1µF	.100 (2.54)	.200 (5.08)	.260 (6.60)	.125 (3.18)	399-2155-ND	—	—	—	26.29	C320C104M5U5CA
	50	.15µF	.100 (2.54)	.200 (5.08)	.260 (6.60)	.125 (3.18)	399-2156-ND	.20	1.46	10.48	37.72	C320C154M5U5CA
	50	.22µF	.100 (2.54)	.200 (5.08)	.260 (6.60)	.125 (3.18)	399-2157-ND	.27	1.97	14.12	50.82	C320C224M5U5CA
	50	.33µF	.100 (2.54)	.200 (5.08)	.260 (6.60)	.125 (3.18)	399-2158-ND	.27	1.97	14.12	50.82	C320C334M5U5CA
	50	.47µF	.100 (2.54)	.200 (5.08)	.260 (6.60)	.125 (3.18)	399-2159-ND	.34	2.49	17.78	64.00	C320C474M5U5CA
	100	.01µF	.100 (2.54)	.200 (5.08)	.260 (6.60)	.125 (3.18)	399-2144-ND	.14	1.06	7.56	27.20	C320C103M1U5CA
	100	.015µF	.100 (2.54)	.200 (5.08)	.260 (6.60)	.125 (3.18)	399-2145-ND	.18	1.30	9.25	33.30	C320C153M1U5CA
	100	.022µF	.100 (2.54)	.200 (5.08)	.260 (6.60)	.125 (3.18)	399-2146-ND	.18	1.30	9.25	33.30	C320C223M1U5CA
	100	.033µF	.100 (2.54)	.200 (5.08)	.260 (6.60)	.125 (3.18)	399-2147-ND	.20	1.46	10.48	37.72	C320C333M1U5CA
	100	.047µF	.100 (2.54)	.200 (5.08)	.260 (6.60)	.125 (3.18)	399-2148-ND	.20	1.46	10.48	37.72	C320C473M1U5CA
	100	.068µF	.100 (2.54)	.200 (5.08)	.260 (6.60)	.125 (3.18)	399-2149-ND	.24	1.74	12.43	44.73	C320C683M1U5CA
	100	.1µF	.100 (2.54)	.200 (5.08)	.260 (6.60)	.125 (3.18)	399-2150-ND	.18	1.30	9.25	33.30	C320C104M1U5CA
	100	.15µF	.100 (2.54)	.200 (5.08)	.260 (6.60)	.125 (3.18)	399-2151-ND	.32	2.35	16.81	60.50	C320C154M1U5CA
Serie C322												
C0G ±5%	100	680pF	.200 (5.08)	.200 (5.08)	.260 (6.60)	.125 (3.18)	399-1962-ND	—	—	—	62.02	C322C681J1G5CA
	100	1000pF	.200 (5.08)	.200 (5.08)	.260 (6.60)	.125 (3.18)	399-1963-ND	.26	1.94	13.87	49.91	C322C102J1G5CA
	100	1500pF	.200 (5.08)	.200 (5.08)	.260 (6.60)	.125 (3.18)	399-1964-ND	.33	2.46	17.52	63.09	C322C152J1G5CA
	100	2200pF	.200 (5.08)	.200 (5.08)	.260 (6.60)	.125 (3.18)	399-1965-ND	.33	2.46	17.52	63.09	C322C222J1G5CA
	100	3300pF	.200 (5.08)	.200 (5.08)	.260 (6.60)	.125 (3.18)	399-1966-ND	.38	2.79	19.96	71.85	C322C332J1G5CA
	100	4700pF	.200 (5.08)	.200 (5.08)	.260 (6.60)	.125 (3.18)	399-1967-ND	.41	3.00	21.42	77.11	C322C472J1G5CA
	200	10pF	.200 (5.08)	.200 (5.08)	.260 (6.60)	.125 (3.18)	399-1946-ND	.23	1.66	11.85	42.67	C322C100J2G5CA
	200	15pF	.200 (5.08)	.200 (5.08)	.260 (6.60)	.125 (3.18)	399-1947-ND	.25	1.79	12.81	46.10	C322C150J2G5CA
	200	22pF	.200 (5.08)	.200 (5.08)	.260 (6.60)	.125 (3.18)	399-1948-ND	.25	1.79	12.81	46.10	C322C220J2G5CA
	200	33pF	.200 (5.08)	.200 (5.08)	.260 (6.60)	.125 (3.18)	399-1949-ND	.25	1.79	12.81	46.10	C322C330J2G5CA
	200	47pF	.200 (5.08)	.200 (5.08)	.260 (6.60)	.125 (3.18)	399-1950-ND	.25	1.79	12.81	46.10	C322C470J2G5CA
	200	68pF	.200 (5.08)	.200 (5.08)	.260 (6.60)	.125 (3.18)	399-1951-ND	—	—	—	48.61	C322C680J2G5CA
	200	100pF	.200 (5.08)	.200 (5.08)	.260 (6.60)	.125 (3.18)	399-1952-ND	.25	1.79	12.81	46.10	C322C101J2G5CA
	200	150pF	.200 (5.08)	.200 (5.08)	.260 (6.60)	.125 (3.18)	399-1953-ND	.27	2.01	14.35	51.66	C322C151J2G5CA
	200	220pF	.200 (5.08)	.200 (5.08)	.260 (6.60)	.125 (3.18)	399-1954-ND	.27	2.01	14.35	51.66	C322C221J2G5CA
	200	330pF	.200 (5.08)	.200 (5.08)	.260 (6.60)	.125 (3.18)	399-1955-ND	.33	2.41	17.23	62.02	C322C331J2G5CA
	200	470pF	.200 (5.08)	.200 (5.08)	.260 (6.60)	.125 (3.18)	399-1956-ND	.33	2.41	17.23	62.02	C322C471J2G5CA
	200	680pF	.200 (5.08)	.200 (5.08)	.260 (6.60)	.125 (3.18)	399-1957-ND	.36	2.61	18.65	67.13	C322C681J2G5CA
	200	1000pF	.200 (5.08)	.200 (5.08)	.260 (6.60)	.125 (3.18)	399-1958-ND	.34	2.51	17.95	64.61	C322C102J2G5CA
	200	1500pF	.200 (5.08)	.200 (5.08)	.260 (6.60)	.125 (3.18)	399-1959-ND	.38	2.79	19.96	71.85	C322C152J2G5CA
	200	2200pF	.200 (5.08)	.200 (5.08)	.260 (6.60)	.125 (3.18)	399-1960-ND	.38	2.79	19.96	71.85	C322C222J2G5CA
	200	3300pF	.200 (5.08)	.200 (5.08)	.260 (6.60)	.125 (3.18)	399-1961-ND	.47	3.45	24.59	88.54	C322C332J2G5CA

(Forts.)

Alle Preisangaben in Euro und inklusive Zollgebühren.

Dielektrikum	VDC	Kap.	Abmessungen - Zoll (mm) S (1)+ 0,030	L max.	H max.	T max.	Digi-Key Teilenr.	Preisangaben 1	10	100	500	Kemet Teilenr.
	50	.01µF	.200 (5.08)	.200 (5.08)	.260 (6.60)	.125 (3.18)	399-2075-ND	—	—	—	28.19	C322C103K5R5CA
	50	.015µF	.200 (5.08)	.200 (5.08)	.260 (6.60)	.125 (3.18)	399-2076-ND	.18	1.33	9.48	34.13	C322C153K5R5CA
	50	.022µF	.200 (5.08)	.200 (5.08)	.260 (6.60)	.125 (3.18)	399-2077-ND	.19	1.43	10.20	36.73	C322C223K5R5CA
	50	.033µF	.200 (5.08)	.200 (5.08)	.260 (6.60)	.125 (3.18)	399-2078-ND	.19	1.43	10.20	36.73	C322C333K5R5CA
	50	.047µF	.200 (5.08)	.200 (5.08)	.260 (6.60)	.125 (3.18)	399-2079-ND	.22	1.63	11.62	41.83	C322C473K5R5CA
	50	.068µF	.200 (5.08)	.200 (5.08)	.260 (6.60)	.125 (3.18)	399-2080-ND	.22	1.63	11.62	41.83	C322C683K5R5CA
	50	.1µF	.200 (5.08)	.200 (5.08)	.260 (6.60)	.125 (3.18)	399-2081-ND	.18	1.33	9.48	34.13	C322C104K5R5CA
	50	.15µF	.200 (5.08)	.200 (5.08)	.260 (6.60)	.125 (3.18)	399-2082-ND	.31	2.29	16.36	58.90	C322C154K5R5CA
	50	.22µF	.200 (5.08)	.200 (5.08)	.260 (6.60)	.125 (3.18)	399-2083-ND	—	—	—	85.34	C322C224K5R5CA
	100	4700pF	.200 (5.08)	.200 (5.08)	.260 (6.60)	.125 (3.18)	399-2066-ND	.18	1.34	9.57	34.44	C322C472K1R5CA
	100	6800pF	.200 (5.08)	.200 (5.08)	.260 (6.60)	.125 (3.18)	399-2067-ND	.18	1.34	9.57	34.44	C322C682K1R5CA
X7R	100	.01µF	.200 (5.08)	.200 (5.08)	.260 (6.60)	.125 (3.18)	399-2068-ND	—	—	—	31.01	C322C103K1R5CA
±10%	100	.015µF	.200 (5.08)	.200 (5.08)	.260 (6.60)	.125 (3.18)	399-2069-ND	.20	1.47	10.52	37.87	C322C153K1R5CA
	100	.022µF	.200 (5.08)	.200 (5.08)	.260 (6.60)	.125 (3.18)	399-2070-ND	.23	1.71	12.19	43.89	C322C223K1R5CA
	100	.033µF	.200 (5.08)	.200 (5.08)	.260 (6.60)	.125 (3.18)	399-2071-ND	.23	1.71	12.19	43.89	C322C333K1R5CA
	100	.047µF	.200 (5.08)	.200 (5.08)	.260 (6.60)	.125 (3.18)	399-2072-ND	.29	2.11	15.07	54.25	C322C473K1R5CA
	100	.068µF	.200 (5.08)	.200 (5.08)	.260 (6.60)	.125 (3.18)	399-2073-ND	.29	2.11	15.07	54.25	C322C683K1R5CA
	100	.1µF	.200 (5.08)	.200 (5.08)	.260 (6.60)	.125 (3.18)	399-2074-ND	.29	2.11	15.07	54.25	C322C104K1R5CA
	200	1000pF	.200 (5.08)	.200 (5.08)	.260 (6.60)	.125 (3.18)	399-2057-ND	.19	1.43	10.23	36.80	C322C102K2R5CA
	200	1500pF	.200 (5.08)	.200 (5.08)	.260 (6.60)	.125 (3.18)	399-2058-ND	.21	1.57	11.20	40.31	C322C152K2R5CA
	200	2200pF	.200 (5.08)	.200 (5.08)	.260 (6.60)	.125 (3.18)	399-2059-ND	.21	1.57	11.20	40.31	C322C222K2R5CA
	200	3300pF	.200 (5.08)	.200 (5.08)	.260 (6.60)	.125 (3.18)	399-2060-ND	.21	1.57	11.20	40.31	C322C332K2R5CA
	200	4700pF	.200 (5.08)	.200 (5.08)	.260 (6.60)	.125 (3.18)	399-2061-ND	.23	1.70	12.17	43.81	C322C472K2R5CA
	200	6800pF	.200 (5.08)	.200 (5.08)	.260 (6.60)	.125 (3.18)	399-2062-ND	.23	1.70	12.17	43.81	C322C682K2R5CA
	200	.01µF	.200 (5.08)	.200 (5.08)	.260 (6.60)	.125 (3.18)	399-2063-ND	.21	1.57	11.20	40.31	C322C103K2R5CA
	200	.015µF	.200 (5.08)	.200 (5.08)	.260 (6.60)	.125 (3.18)	399-2064-ND	.26	1.95	13.88	49.98	C322C153K2R5CA
	200	.022µF	.200 (5.08)	.200 (5.08)	.260 (6.60)	.125 (3.18)	399-2065-ND	.26	1.95	13.88	49.98	C322C223K2R5CA
	50	.033µF	.200 (5.08)	.200 (5.08)	.260 (6.60)	.125 (3.18)	399-2168-ND	.15	1.13	8.04	28.95	C322C333M5U5CA
	50	.047µF	.200 (5.08)	.200 (5.08)	.260 (6.60)	.125 (3.18)	399-2169-ND	.15	1.13	8.04	28.95	C322C473M5U5CA
	50	.068µF	.200 (5.08)	.200 (5.08)	.260 (6.60)	.125 (3.18)	399-2170-ND	.17	1.26	9.02	32.46	C322C683M5U5CA
	50	.1µF	.200 (5.08)	.200 (5.08)	.260 (6.60)	.125 (3.18)	399-2171-ND	.14	1.02	7.31	26.29	C322C104M5U5CA
	50	.15µF	.200 (5.08)	.200 (5.08)	.260 (6.60)	.125 (3.18)	399-2172-ND	.20	1.46	10.48	37.72	C322C154M5U5CA
	50	.22µF	.200 (5.08)	.200 (5.08)	.260 (6.60)	.125 (3.18)	399-2173-ND	.27	1.97	14.12	50.82	C322C224M5U5CA
	50	.33µF	.200 (5.08)	.200 (5.08)	.260 (6.60)	.125 (3.18)	399-2174-ND	.27	1.97	14.12	50.82	C322C334M5U5CA
Z5U	50	.47µF	.200 (5.08)	.200 (5.08)	.260 (6.60)	.125 (3.18)	399-2175-ND	.34	2.49	17.78	64.00	C322C474M5U5CA
±20%	100	.01µF	.200 (5.08)	.200 (5.08)	.260 (6.60)	.125 (3.18)	399-2160-ND	—	—	—	27.20	C322C103M1U5CA
	100	.015µF	.200 (5.08)	.200 (5.08)	.260 (6.60)	.125 (3.18)	399-2161-ND	.18	1.30	9.25	33.30	C322C153M1U5CA
	100	.022µF	.200 (5.08)	.200 (5.08)	.260 (6.60)	.125 (3.18)	399-2162-ND	.18	1.30	9.25	33.30	C322C223M1U5CA
	100	.033µF	.200 (5.08)	.200 (5.08)	.260 (6.60)	.125 (3.18)	399-2163-ND	.20	1.46	10.48	37.72	C322C333M1U5CA
	100	.047µF	.200 (5.08)	.200 (5.08)	.260 (6.60)	.125 (3.18)	399-2164-ND	.20	1.46	10.48	37.72	C322C473M1U5CA
	100	.068µF	.200 (5.08)	.200 (5.08)	.260 (6.60)	.125 (3.18)	399-2165-ND	.24	1.74	12.43	44.73	C322C683M1U5CA
	100	.1µF	.200 (5.08)	.200 (5.08)	.260 (6.60)	.125 (3.18)	399-2166-ND	.18	1.30	9.25	33.30	C322C104M1U5CA
	100	.15µF	.200 (5.08)	.200 (5.08)	.260 (6.60)	.125 (3.18)	399-2167-ND	.32	2.35	16.81	60.50	C322C154M1U5CA
					Serie C330							
	100	3300pF	.200 (5.08)	.300 (7.62)	.360 (9.14)	.150 (3.81)	399-1973-ND	.71	5.22	37.25	134.10	C330C332J1G5CA
	100	4700pF	.200 (5.08)	.300 (7.62)	.360 (9.14)	.150 (3.81)	399-1974-ND	.71	5.22	37.25	134.10	C330C472J1G5CA
	100	6800pF	.200 (5.08)	.300 (7.62)	.360 (9.14)	.150 (3.81)	399-1975-ND	.77	5.66	40.41	145.45	C330C682J1G5CA
	100	.01µF	.200 (5.08)	.300 (7.62)	.360 (9.14)	.150 (3.81)	399-1976-ND	.94	6.96	49.66	178.76	C330C103J1G5CA
C0G	100	.015µF	.200 (5.08)	.300 (7.62)	.360 (9.14)	.150 (3.81)	399-1977-ND	1.19	8.79	62.80	226.07	C330C153J1G5CA
±5%	100	.022µF	.200 (5.08)	.300 (7.62)	.360 (9.14)	.150 (3.81)	399-1978-ND	1.78	13.09	93.46	336.47	C330C223J1G5CA
	200	3300pF	.200 (5.08)	.300 (7.62)	.360 (9.14)	.150 (3.81)	399-1968-ND	.80	5.86	41.86	150.71	C330C332J2G5CA
	200	4700pF	.200 (5.08)	.300 (7.62)	.360 (9.14)	.150 (3.81)	399-1969-ND	.80	5.86	41.86	150.71	C330C472J2G5CA
	200	6800pF	.200 (5.08)	.300 (7.62)	.360 (9.14)	.150 (3.81)	399-1970-ND	1.13	8.28	59.16	212.96	C330C682J2G5CA
	200	.01µF	.200 (5.08)	.300 (7.62)	.360 (9.14)	.150 (3.81)	399-1971-ND	1.07	7.87	56.24	202.45	C330C103J2G5CA
	200	.015µF	.200 (5.08)	.300 (7.62)	.360 (9.14)	.150 (3.81)	399-1972-ND	2.11	15.51	110.76	398.72	C330C153J2G5CA
	50	.15µF	.200 (5.08)	.300 (7.62)	.360 (9.14)	.150 (3.81)	399-2097-ND	.51	3.75	26.79	96.46	C330C154K5R5CA
	50	.22µF	.200 (5.08)	.300 (7.62)	.360 (9.14)	.150 (3.81)	399-2098-ND	.65	4.81	34.37	123.74	C330C224K5R5CA
	50	.33µF	.200 (5.08)	.300 (7.62)	.360 (9.14)	.150 (3.81)	399-2099-ND	.71	5.17	36.98	133.11	C330C334K5R5CA
	50	.47µF	.200 (5.08)	.300 (7.62)	.360 (9.14)	.150 (3.81)	399-2100-ND	.70	5.17	36.98	133.11	C330C474K5R5CA
	50	.68µF	.200 (5.08)	.300 (7.62)	.360 (9.14)	.150 (3.81)	399-2101-ND	1.47	10.79	77.05	277.35	C330C684K5R5CA
	50	1µF	.200 (5.08)	.300 (7.62)	.360 (9.14)	.150 (3.81)	399-2102-ND	1.19	8.73	62.36	224.47	C330C105K5R5CA
	100	.068µF	.200 (5.08)	.300 (7.62)	.360 (9.14)	.150 (3.81)	399-2091-ND	.39	2.84	20.34	73.22	C330C683K1R5CA
	100	.1µF	.200 (5.08)	.300 (7.62)	.360 (9.14)	.150 (3.81)	399-2092-ND	.34	2.51	17.95	64.61	C330C104K1R5CA
X7R	100	.15µF	.200 (5.08)	.300 (7.62)	.360 (9.14)	.150 (3.81)	399-2093-ND	.52	3.89	27.75	99.89	C330C154K1R5CA
±10%	100	.22µF	.200 (5.08)	.300 (7.62)	.360 (9.14)	.150 (3.81)	399-2094-ND	.77	5.69	40.66	146.37	C330C224K1R5CA
	100	.33µF	.200 (5.08)	.300 (7.62)	.360 (9.14)	.150 (3.81)	399-2095-ND	.96	7.06	50.46	181.65	C330C334K1R5CA
	100	.47µF	.200 (5.08)	.300 (7.62)	.360 (9.14)	.150 (3.81)	399-2096-ND	1.47	10.89	77.74	279.86	C330C474K1R5CA
	200	.015µF	.200 (5.08)	.300 (7.62)	.360 (9.14)	.150 (3.81)	399-2084-ND	.39	2.90	20.70	74.52	C330C153K2R5CA
	200	.022µF	.200 (5.08)	.300 (7.62)	.360 (9.14)	.150 (3.81)	399-2085-ND	.39	2.90	20.70	74.52	C330C223K2R5CA
	200	.033µF	.200 (5.08)	.300 (7.62)	.360 (9.14)	.150 (3.81)	399-2086-ND	.39	2.90	20.70	74.52	C330C333K2R5CA
	200	.047µF	.200 (5.08)	.300 (7.62)	.360 (9.14)	.150 (3.81)	399-2087-ND	.39	2.90	20.70	74.52	C330C473K2R5CA
	200	.056µF	.200 (5.08)	.300 (7.62)	.360 (9.14)	.150 (3.81)	399-2088-ND	.39	2.90	20.70	74.52	C330C563K2R5CA
	200	.068µF	.200 (5.08)	.300 (7.62)	.360 (9.14)	.150 (3.81)	399-2089-ND	.53	3.92	28.01	100.80	C330C683K2R5CA
	200	.1µF	.200 (5.08)	.300 (7.62)	.360 (9.14)	.150 (3.81)	399-2090-ND	.82	5.97	42.61	153.38	C330C104K2R5CA
	50	.33µF	.200 (5.08)	.300 (7.62)	.360 (9.14)	.150 (3.81)	399-2181-ND	.44	3.24	23.14	83.28	C330C334M5U5CA
	50	.47µF	.200 (5.08)	.300 (7.62)	.360 (9.14)	.150 (3.81)	399-2182-ND	.44	3.24	23.14	83.28	C330C474M5U5CA
	50	.68µF	.200 (5.08)	.300 (7.62)	.360 (9.14)	.150 (3.81)	399-2183-ND	.61	4.46	31.90	114.82	C330C684M5U5CA
	50	1µF	.200 (5.08)	.300 (7.62)	.360 (9.14)	.150 (3.81)	399-2184-ND	.56	4.06	28.98	104.31	C330C105M5U5CA
	50	1.5µF	.200 (5.08)	.300 (7.62)	.360 (9.14)	.150 (3.81)	399-2185-ND	.90	6.61	47.22	169.99	C330C155M5U5CA
Z5U	50	2.2µF	.200 (5.08)	.300 (7.62)	.360 (9.14)	.150 (3.81)	399-2186-ND	.94	6.94	49.53	178.30	C330C225M5U5CA
±20%	100	.1µF	.200 (5.08)	.300 (7.62)	.360 (9.14)	.150 (3.81)	399-2176-ND	.35	2.56	18.27	65.76	C330C104M1U5CA
	100	.15µF	.200 (5.08)	.300 (7.62)	.360 (9.14)	.150 (3.81)	399-2177-ND	.41	3.00	21.42	77.11	C330C154M1U5CA
	100	.22µF	.200 (5.08)	.300 (7.62)	.360 (9.14)	.150 (3.81)	399-2178-ND	.47	3.41	24.34	87.62	C330C224M1U5CA
	100	.33µF	.200 (5.08)	.300 (7.62)	.360 (9.14)	.150 (3.81)	399-2179-ND	.47	3.41	24.34	87.62	C330C334M1U5CA
	100	.47µF	.200 (5.08)	.300 (7.62)	.360 (9.14)	.150 (3.81)	399-2180-ND	.56	4.09	29.21	105.15	C330C474M1U5CA
					Serie C340							
	100	.033µF	.200 (5.08)	.400 (10.16)	.460 (11.68)	.150 (3.81)	399-1982-ND	3.84	28.27	201.91	726.89	C340C333J1G5CA
	100	.047µF	.200 (5.08)	.400 (10.16)	.460 (11.68)	.150 (3.81)	399-1983-ND	4.28	31.54	225.28	811.01	C340C473J1G5CA
C0G	100	.068µF	.200 (5.08)	.400 (10.16)	.460 (11.68)	.150 (3.81)	399-1984-ND	—	—	181.77	—	C340C683J1G5CA
±5%	200	.022µF	.200 (5.08)	.400 (10.16)	.460 (11.68)	.150 (3.81)	399-1979-ND	3.84	28.27	201.91	726.89	C340C223J2G5CA
	200	.033µF	.200 (5.08)	.400 (10.16)	.460 (11.68)	.150 (3.81)	399-1980-ND	4.28	31.54	225.28	811.01	C340C333J2G5CA
	200	.047µF	.200 (5.08)	.400 (10.16)	.460 (11.68)	.150 (3.81)	399-1981-ND	4.80	35.35	252.46	908.84	C340C473J2G5CA
	50	1.5µF	.200 (5.08)	.400 (10.16)	.460 (11.68)	.150 (3.81)	399-2109-ND	3.01	22.15	158.21	569.55	C340C155K5R5CA
	50	2.2µF	.200 (5.08)	.400 (10.16)	.460 (11.68)	.150 (3.81)	399-2110-ND	3.76	27.71	197.89	712.41	C340C225K5R5CA
	100	.47µF	.200 (5.08)	.400 (10.16)	.460 (11.68)	.150 (3.81)	399-2106-ND	1.57	11.56	82.54	297.16	C340C474K1R5CA
X7R	100	.68µF	.200 (5.08)	.400 (10.16)	.460 (11.68)	.150 (3.81)	399-2107-ND	3.92	28.91	206.49	743.35	C340C684K1R5CA
±10%	100	1µF	.200 (5.08)	.400 (10.16)	.460 (11.68)	.150 (3.81)	399-2108-ND	—	—	148.67	—	C340C105K1R5CA
	200	.1µF	.200 (5.08)	.400 (10.16)	.460 (11.68)	.150 (3.81)	399-2103-ND	—	—	32.00	—	C340C104K2R5CA
	200	.15µF	.200 (5.08)	.400 (10.16)	.460 (11.68)	.150 (3.81)	399-2104-ND	3.50	25.78	184.14	662.89	C340C154K2R5CA
	200	.22µF	.200 (5.08)	.400 (10.16)	.460 (11.68)	.150 (3.81)	399-2105-ND	3.92	28.91	206.49	743.35	C340C224K2R5CA
	50	2.2µF	.200 (5.08)	.400 (10.16)	.460 (11.68)	.150 (3.81)	399-2191-ND	—	—	101.64	—	C340C225M5U5CA
	50	3.3µF	.200 (5.08)	.400 (10.16)	.460 (11.68)	.150 (3.81)	399-2192-ND	—	—	127.06	—	C340C335M5U5CA
	50	4.7µF	.200 (5.08)	.400 (10.16)	.460 (11.68)	.150 (3.81)	399-2193-ND	4.05	29.82	212.99	766.74	C340C475M5U5CA
Z5U	100	.47µF	.200 (5.08)	.400 (10.16)	.460 (11.68)	.150 (3.81)	399-2187-ND	.56	4.09	29.21	105.15	C340C474M1U5CA
±20%	100	.68µF	.200 (5.08)	.400 (10.16)	.460 (11.68)	.150 (3.81)	399-2188-ND	1.51	11.07	79.11	284.81	C340C684M1U5CA
	100	1µF	.200 (5.08)	.400 (10.16)	.460 (11.68)	.150 (3.81)	399-2189-ND	2.66	19.60	139.97	503.87	C340C105M1U5CA
	100	1.5µF	.200 (5.08)	.400 (10.16)	.460 (11.68)	.150 (3.81)	399-2190-ND	—	—	122.67	—	C340C155M1U5CA

ECQ - UN, EW, UF

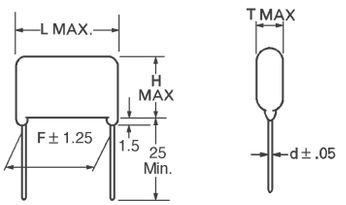

ECQ - UV, UG, UL

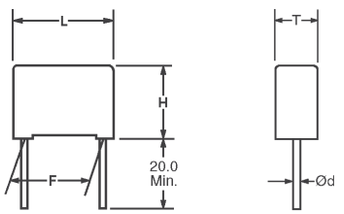

Elektrische Spezifikationen:

- **Betriebstemperaturbereich:** -40 °C ~ +85 °C (-40 °C ~ +100 °C für ECQ-UG/UL)
- **Kapazitätstoleranz:** ±20 % (M)
- **Verlustfaktor:** Weniger als 1,0 % (bei 20 °C 1 kHz)

Serie ECQ-UN: **Nennspannung:** 250 V AC. **Normen: UL (UL1414);** Kondensatoren für direktes Einschalten, Antennenkopplung u. Line-Bypass-Kondensatoren. Eintragungsnr. E62674. **CSA (CSA C22.2)**, Nr. 0-M1982, Nr. 1-M1981. Kondensator für direktes Einschalten, Antennenisolierung u. Line-Bypass. Eintragungsnr. LR35752. **VDE (VED0565-1);** Klasse X2 Eintragungsnr. 4811.6-4670-1041. **SEV (SEV1055);** Klasse X, Ref. Nr. 89, 5 50251,05. **DEMKO (AFSNIT21)**; Klasse X2, Ref Nr. 70726EC. **SEMKO (SS4430414);** Klasse X2 Eintragungsnr. 8602146. **NEMKO (NEMKO)**; Klasse X2 Ref. Nr. E 25082 02. **EI (E384-14)**; Klasse X2, Reg. Nr. 062521 01 ~ 14 (0,001 ~ 0,012 µF), Reg. Nr. 062522 01 ~ 15 (0,015 ~ 0,22 µF).

Serie ECQ-EW: **Nennspannung:** 250 V AC. **Normen: UL (UL 1283);** elektromagnetische Störfilter Klasse X, Eintragungsnr. E79502. **SEMKO (SS 443 04 14)**; Klasse X2 Reg. Nr. 8932009. **DEMKO (AFSNIT21);** Klasse X2, Ref Nr. 94911EC. **VDE (VDE0565-1);** Klasse X2 Eintragungsnr. 4811. 6-4670-1035.

Serie ECQ-UF: **Nennspannung:** 250 V AC **Normen: SEMKO (SEMKO 101)** Reg. Nr. 61-88271/1-B2794, Nr. **DEMKO (AFSNIT)**; Klasse Y/X, Ref Nr. 61254EC. **VDE (VDE0565-1)**; Klasse X2 Eintragungsnr. 4811-6-1-4670-1032. **BSI (BS415)**; zertifiziert, Nr. 6026. **UL (UL1414)** Kondensator für direktes Einschalten, Antennenkopplung u. Line-Bypass. Eintragungsnr. E62674. **CSA (CSA C22.2)** Nr. 0-M1982, Nr.1-M198, Kondensator für direktes Einschalten, Antennenisolierung u. Line-Bypass-Kondensator, Eintragungsnr. LR35752.

ECQ-UV Series: **Nennspannung:** 250 V AC **Normen: UL (UL1414)**; Kondensatoren für direktes Einschalten, Antennenkopplung u. Line-Bypass. Eintragungsnr. E62674. **(UL1283)**; elektromagnetische Störfilter, Eintragungsnr. E79502. **CSA (CSA C22.2)**; Kondensator für direktes Einschalten, Antennenisolierung u. Line-Bypass, Nr. 0-M1982, Nr. 1-M1981. **SEMKO (SS 443 04 14)**; Klasse X2/Y Reg. Nr. 8804123. **DEMKO (AFSNIT21)**; Klasse X2/Y Ref. Nr. 89275EC. **NEMKO (NEMKO 132)**; Klasse X2 Ref. Nr. 37892, Klasse Y Ref Nr. 37894. **EI (IEC 443 04 14)**; Klasse X2/Y Reg. Nr. 110918-01-02. **VDE (VDE0565-1)**; Klasse X2 Eintragungsnr. 4811.6-4670-1070. **SEV (SEV 1055)**; Klasse X, Ref. Nr. 88,1 00318,01.

Serie ECQ-UG — Klasse X2: **Nennspannung:** 250/275 V AC, **Normen: UL (UL1414)**; Kondensatoren für direktes Einschalten, Antennenkopplung u. Line-Bypass. **CSA (Standard C22.2 Nr. 1-94)**; Kondensatoren für direktes Einschalten. Kondensatoren für Antennenisolierung u. Line-Bypass **SEMKO, DEMKO, NEMKO, FIMCO, VDE, SEV;** IEC384-14, 1993, EN132400, Klasse X2.

Serie ECQ-UG — Klasse X1: **Nennspannung:** 250/300 V AC, **Normen: UL (UL1414);** Kondensatoren für direktes Einschalten, Antennenkopplung u. Line-Bypass. **CSA (Standard C22.2 Nr. 1-94)**; Kondensatoren für direktes Einschalten. Kondensatoren für Antennenisolierung u. Line-Bypass **FIMCO und VDE**; IEC384-14, 1993, A1 - 1995, EN132400, Klasse X1.

Serie ECQ-UL: **Nennspannung:** 250/275 V AC **Normen: UL (UL1414)**; Kondensatoren für direktes Einschalten. Kondensatoren für Antennenisolierung u. Line-Bypass **CSA (Standard C22.2 Nr. I-94)**; Kondensator für direktes Einschalten, Antennenisolierung u. Line-Bypass. **VDE**; IEC384-14, 1993, EN132400, Klasse X2.

E

Spannung (VAC)	Kap. (µF)	Abmessungen (mm) L	T	H	F	dø	Digi-Key Teilenr.	Stückpreis 1	10	100	Panasonic Teilenr.
							ECQ-UN				
250	0.0047	17.0	6.5	13.5	13.5	0.6	P4600-ND†	.79	.68	.57	ECQ-U2A472MN
	0.01	17.0	7.0	14.0	13.5	0.6	P4601-ND†	.79	.68	.57	ECQ-U2A103MN
	0.047	25.5	7.0	14.0	21.5	0.6	P4602-ND†	1.00	.86	.72	ECQ-U2A473MN
	0.1	30.5	7.5	17.01	26.5	0.8	P4603-ND†	1.22	1.05	.88	ECQ-U2A104MN
							ECQ-EW				
250	0.047	17.0	7.5	13.0	13.5	0.6	P4604-ND†	.67	.58	.49	ECQ-E2A473MW
	0.1	24.0	8.0	13.5	20.5	0.8	P4605-ND†	.80	.69	.58	ECQ-E2A104MW
	0.22	24.0	10.5	17.5	20.5	0.8	P4606-ND†	1.13	.98	.82	ECQ-E2A224MW
	0.47	29.0	13.0	20.5	25.5	0.8	P4607-ND†	1.52	1.30	1.09	ECQ-E2A474MW
							ECQ-UF				
250	0.0047	20.0	7.0	14.5	16.5	0.6	P4608-ND†	.76	.66	.55	ECQ-U2A472MF
	0.01	23.0	7.5	15.0	19.5	0.6	P4609-ND†	.80	.69	.58	ECQ-U2A103MF
							ECQ-UV				
250	0.001	17.5	4.0	10.5	15.0	0.6	P4617-ND	.64	.56	.47	ECQ-U2A102MV
	0.0012	17.5	4.0	10.5	15.0	0.6	P4618-ND	.64	.56	.47	ECQ-U2A122MV
	0.0015	17.5	4.0	10.5	15.0	0.6	P4619-ND	.64	.56	.47	ECQ-U2A152MV
	0.0018	17.5	4.0	10.5	15.0	0.6	P4620-ND	.64	.56	.47	ECQ-U2A182MV
	0.0022	17.5	4.0	10.5	15.0	0.6	P4621-ND	.64	.56	.47	ECQ-U2A222MV
	0.0027	17.5	4.0	10.5	15.0	0.6	P4622-ND	.64	.56	.47	ECQ-U2A272MV
	0.0033	17.5	4.0	10.5	15.0	0.6	P4623-ND	.64	.56	.47	ECQ-U2A332MV
	0.0039	17.5	4.0	10.5	15.0	0.6	P4624-ND	.64	.56	.47	ECQ-U2A392MV
	0.0047	17.5	4.0	10.5	15.0	0.6	P4625-ND	.64	.56	.47	ECQ-U2A472MV
	0.0056	17.5	4.0	10.5	15.0	0.6	P4626-ND	.64	.56	.47	ECQ-U2A562MV
	0.0068	17.5	4.0	10.5	15.0	0.6	P4627-ND	.64	.56	.47	ECQ-U2A682MV
	0.0082	17.5	4.0	10.5	15.0	0.6	P4628-ND	.64	.56	.47	ECQ-U2A822MV
	0.01	17.5	4.0	10.5	15.0	0.6	P4629-ND	.64	.56	.47	ECQ-U2A103MV
	0.012	17.5	4.0	10.5	15.0	0.6	P4630-ND	.64	.56	.47	ECQ-U2A123MV
	0.015	17.5	4.0	10.5	15.0	0.6	P4631-ND	.64	.56	.47	ECQ-U2A153MV
	0.018	17.5	4.5	10.5	15.0	0.6	P4632-ND	.64	.56	.47	ECQ-U2A183MV
	0.022	17.5	4.5	10.5	15.0	0.6	P4633-ND	.64	.56	.47	ECQ-U2A223MV
	0.027	17.5	4.5	13.0	15.0	0.6	P4634-ND	.64	.56	.47	ECQ-U2A273MV
	0.033	17.5	4.5	13.0	15.0	0.6	P4635-ND	.64	.56	.47	ECQ-U2A333MV
	0.039	17.5	5.5	12.5	15.0	0.6	P4636-ND	.64	.56	.47	ECQ-U2A393MV
	0.047	17.5	5.5	12.5	15.0	0.6	P4637-ND	.76	.66	.55	ECQ-U2A473MV
	0.056	17.5	7.0	14.0	15.0	0.6	P4638-ND	.66	.57	.48	ECQ-U2A563MV
	0.068	17.5	7.0	14.0	15.0	0.6	P4639-ND	.66	.57	.48	ECQ-U2A683MV
	0.082	17.5	8.0	15.0	15.0	0.6	P4640-ND	.66	.57	.48	ECQ-U2A823MV
	0.1	17.5	8.0	15.0	15.0	0.8	P4610-ND	.66	.57	.48	ECQ-U2A104MV
	0.12	25.5	6.5	16.5	22.5	0.6	P4641-ND	.96	.82	.69	ECQ-U2A124MV
	0.15	25.5	6.5	16.5	22.5	0.8	P4611-ND	1.00	.86	.72	ECQ-U2A154MV
	0.18	25.5	8.5	17.0	22.5	0.6	P4642-ND	1.00	.86	.72	ECQ-U2A184MV
	0.22	25.5	8.5	17.0	22.5	0.8	P4612-ND	1.08	.93	.78	ECQ-U2A224MV
	0.27	30.5	10.0	18.0	27.5	0.6	P4643-ND	1.52	1.30	1.09	ECQ-U2A274MV
	0.33	30.5	10.0	18.0	27.5	0.8	P4613-ND	1.52	1.31	1.09	ECQ-U2A334MV
	0.39	30.5	12.0	20.0	27.5	0.6	P4644-ND	1.52	1.31	1.09	ECQ-U2A394MV
	0.47	30.5	12.0	20.0	27.5	0.8	P4614-ND	1.69	1.45	1.21	ECQ-U2A474MV
	0.56	30.5	13.5	23.5	27.5	0.6	P4645-ND	1.75	1.50	1.25	ECQ-U2A564MV
	0.68	30.5	13.5	23.5	27.5	0.8	P4615-ND	2.00	1.72	1.43	ECQ-U2A684MV
	0.82	30.5	16.5	26.5	27.5	0.6	P4646-ND	2.25	1.93	1.61	ECQ-U2A824MV
	1.0	30.5	16.5	26.5	27.5	0.8	P4616-ND	2.33	2.00	1.67	ECQ-U2A105MV
							ECQ-UG — Klasse X2				
250/275	0.033	15.0	6.0	13.0	12.5	0.60	P10520-ND	.80	.69	.54	ECQ-U2A333MG
	0.047	15.0	6.0	13.0	12.5	0.60	P10521-ND	.82	.71	.56	ECQ-U2A473MG
	0.068	15.0	8.0	15.0	12.5	0.60	P10522-ND	.91	.78	.61	ECQ-U2A683MG
	0.1	15.0	8.0	16.5	12.5	0.60	P10523-ND	.91	.78	.62	ECQ-U2A104MG
	0.1	17.5	6.0	15.0	15.0	0.80	P10524-ND	.77	.66	.52	ECQ-U2A104BC1

Spannung (VAC)	Kap. (µF)	Abmessungen (mm) L	T	H	F	dø	Digi-Key Teilenr.	Stückpreis 1	10	100	Panasonic Teilenr.
250/275	0.15	17.5	8.0	16.5	15.0	0.80	P10525-ND	1.13	.97	.76	ECQ-U2A154MG
	0.22	17.5	9.0	17.5	15.0	0.80	P10526-ND	1.18	1.01	.79	ECQ-U2A224MG
	0.33	25.5	9.0	18.5	22.5	0.80	P10527-ND	1.95	1.67	1.31	ECQ-U2A334MG
	0.47	25.5	10.5	20.0	22.5	0.80	P10528-ND	1.99	1.71	1.34	ECQ-U2A474MG
	0.68	25.5	12.5	22.0	22.5	0.80	P10529-ND	2.70	2.32	1.82	ECQ-U2A684MG
	1.0	25.5	15.5	24.5	22.5	0.80	P10530-ND	3.01	2.58	2.02	ECQ-U2A105MG
							ECQ-UG — Klasse X1				
250/300	0.01	15.0	5.0	11.5	12.5	0.60	P11110-ND	.31	.27	.22	ECQ-U3A103MG
	0.015	15.0	5.0	11.5	12.5	0.60	P11111-ND	.31	.27	.22	ECQ-U3A153MG
	0.022	15.0	5.0	11.5	12.5	0.60	P11112-ND	.31	.27	.22	ECQ-U3A223MG
	0.033	15.0	6.0	13.0	12.5	0.60	P11113-ND	.31	.27	.22	ECQ-U3A333MG
	0.047	15.0	6.0	13.0	12.5	0.60	P11114-ND	.31	.27	.22	ECQ-U3A473MG
	0.068	15.0	8.0	15.0	12.5	0.60	P11115-ND	.31	.27	.22	ECQ-U3A683MG
	0.1	15.0	8.0	15.0	12.5	0.60	P11116-ND	.31	.27	.22	ECQ-U3A104MG
	0.15	17.5	8.0	16.5	15.0	0.80	P11117-ND	.43	.38	.30	ECQ-U3A154MG
	0.22	17.5	9.0	17.5	15.0	0.80	P11118-ND	.52	.45	.35	ECQ-U3A224MG
	0.33	25.5	9.0	18.5	22.5	0.80	P11119-ND	.78	.67	.53	ECQ-U3A334MG
	0.47	25.5	10.5	20.0	22.5	0.80	P11120-ND	1.03	.89	.70	ECQ-U3A474MG
	0.68	25.5	12.5	22.0	22.5	0.80	P11121-ND	1.38	1.19	.93	ECQ-U3A684MG
	1.0	27.0	16.5	25.5	22.5	0.80	P11122-ND	1.72	1.48	1.16	ECQ-U3A105MG
							ECQ-UL				
250/275	0.001	15.0	5.0	11.5	12.5	0.60	P10988-ND	.17	.15	.12	ECQ-U2A102ML
	0.0012	15.0	5.0	11.5	12.5	0.60	P10989-ND	.17	.15	.12	ECQ-U2A122ML
	0.0015	15.0	5.0	11.5	12.5	0.60	P10990-ND	.17	.15	.12	ECQ-U2A152ML
	0.0018	15.0	5.0	11.5	12.5	0.60	P10991-ND	.17	.15	.12	ECQ-U2A182ML
	0.0022	15.0	5.0	11.5	12.5	0.60	P10992-ND	.17	.15	.12	ECQ-U2A222ML
	0.0027	15.0	5.0	11.5	12.5	0.60	P10993-ND	.17	.15	.12	ECQ-U2A272ML
	0.0033	15.0	5.0	11.5	12.5	0.60	P10994-ND	.17	.15	.12	ECQ-U2A332ML
	0.0039	15.0	5.0	11.5	12.5	0.60	P10995-ND	.17	.15	.12	ECQ-U2A392ML
	0.0047	15.0	5.0	11.5	12.5	0.60	P10996-ND	.17	.15	.12	ECQ-U2A472ML
	0.0056	15.0	5.0	11.5	12.5	0.60	P10997-ND	.17	.15	.12	ECQ-U2A562ML
	0.0068	15.0	5.0	11.5	12.5	0.60	P10998-ND	.17	.15	.12	ECQ-U2A682ML
	0.0082	15.0	5.0	11.5	12.5	0.60	P10999-ND	.17	.15	.12	ECQ-U2A822ML
	0.01	15.0	5.0	11.5	12.5	0.60	P10724-ND	.17	.15	.12	ECQ-U2A103ML
	0.012	15.0	5.0	11.5	12.5	0.60	P11000-ND	.17	.15	.12	ECQ-U2A123ML
	0.015	15.0	5.0	11.5	12.5	0.60	P10725-ND	.17	.15	.12	ECQ-U2A153ML
	0.018	15.0	5.0	13.0	12.5	0.60	P11001-ND	.17	.15	.12	ECQ-U2A183ML
	0.022	15.0	5.0	11.5	12.5	0.60	P10726-ND	.17	.15	.12	ECQ-U2A223ML
	0.027	15.0	5.0	11.5	12.5	0.60	P11002-ND	.17	.15	.12	ECQ-U2A273ML
	0.033	15.0	6.0	13.0	12.5	0.60	P10727-ND	.17	.15	.12	ECQ-U2A333ML
	0.039	15.0	6.0	13.0	12.5	0.60	P11003-ND	.17	.15	.12	ECQ-U2A393ML
	0.047	15.0	6.0	13.0	12.5	0.60	P10728-ND	.17	.15	.12	ECQ-U2A473ML
	0.056	17.5	4.5	11.5	15.0	0.60	P11004-ND	.17	.15	.12	ECQ-U2A563ML
	0.068	17.5	4.5	11.5	15.0	0.60	P10729-ND	.17	.15	.12	ECQ-U2A683ML
	0.082	17.5	5.5	12.0	15.0	0.60	P11005-ND	.17	.15	.12	ECQ-U2A823ML
	0.1	17.5	5.5	12.0	15.0	0.60	P10730-ND	.17	.15	.12	ECQ-U2A104ML
	0.12	17.5	6.5	14.5	15.0	0.60	P11006-ND	.18	.16	.13	ECQ-U2A124ML
	0.15	17.5	6.5	14.5	15.0	0.60	P10731-ND	.19	.17	.14	ECQ-U2A154ML
	0.18	17.5	8.0	16.0	15.0	0.60	P11007-ND	.22	.19	.15	ECQ-U2A184ML
	0.22	17.5	8.0	16.0	15.0	0.60	P10732-ND	.24	.21	.16	ECQ-U2A224ML
	0.27	17.5	9.5	17.5	15.0	0.80	P11008-ND	.28	.24	.19	ECQ-U2A274ML
	0.33	17.5	9.5	17.5	15.0	0.80	P10733-ND	.31	.27	.22	ECQ-U2A334ML
	0.39	25.5	8.5	17.5	22.5	0.80	P11009-ND	.36	.31	.24	ECQ-U2A394ML
	0.47	25.5	8.5	17.5	22.5	0.80	P10734-ND	.40	.34	.27	ECQ-U2A474ML
	0.56	25.5	10.5	19.5	22.5	0.80	P11010-ND	.49	.43	.34	ECQ-U2A564ML
	0.68	25.5	10.5	19.5	22.5	0.80	P10735-ND	.58	.50	.39	ECQ-U2A684ML
	0.82	25.5	12.5	22.0	22.5	0.80	P11011-ND	.61	.53	.42	ECQ-U2A824ML
	1.0	25.5	12.0	22.0	22.5	0.80	P10736-ND	.64	.56	.44	ECQ-U2A105ML
	1.2	30.5	16.5	26.5	27.5	0.80	P11012-ND	.78	.67	.53	ECQ-U2A125ML
	1.5	30.5	16.5	26.5	27.5	0.80	P10737-ND	.91	.78	.61	ECQ-U2A155ML
	1.8	30.5	19.0	29.5	27.5	0.80	P11013-ND	.99	.85	.67	ECQ-U2A185ML
	2.2	30.5	19.0	29.5	27.5	0.80	P10738-ND	1.08	.93	.73	ECQ-U2A225ML

† P4650-KIT-ND *Digi-Key® Kondensatorsatz Serie X-Y* je 10 aller angegebenen Werte. (100 Stck) Heftartige Schachtel inbegriffen.. ..... **50.75**

Alle Preisangaben in Euro und inklusive Zollgebühren.

Störungsunterdrückungs-Schichtkondensatoren MKP 338 X1 und MKP 338 X2

MERKMALE:

• **Besteht** aus einer induktionsarmen gewickelten Zelle aus metallisierter Polypropylenfolie, in einem flammhemmenden Gehäuse vergossen **X1-Anwendungen:** • Für elektromagnetische X1-Entstörung • Speziell für die Anforderungen der „IEC 60384-14, 2. Auflage, und EN 132400" entwickelt, bei denen eine 4 kV-Impulsspitzenspannungsprüfung gemäß Spezifikationen UL1414 und CSA-C22.2 Nr. 1 erforderlich ist. **X2-Anwendungen:** • Für elektromagnetische X 2-Entstörung • Speziell für die Anforderungen der „IEC 60384-14, 2. Auflage, und EN 132400" entwickelt, bei denen für X2 eine 2,5 kV-Impulsspitzenspannungsprüfung gemäß Spezifikationen UL1414 und CSA-C22.2 Nr. 1 erforderlich ist. **X1-Spezifikationen: Nennspannung (AC), 50 ~ 60 Hz:** 440 V **Nennspannung (DC):** 1000 V **Nenntemperatur:** 105 °C **C-Tol:** ±20 % **Schutzklasse:** X1 für direktes Einschalten **X2 Spezifikationen:Nennspannung (AC), 50 ~ 60 Hz:** 275 V **Nennspannung (DC):** 630 V **Nenntemperatur:** 105 °C **C-Tol:** ±20 % **Schutzklasse:** X2 für direktes Einschalten

Zulassungsbestimmungen (X1)	Spannung	Wert	Eintragungsnummern
UL1414	250V (AC)	10nF ~ 1µF	E112471
UL1283 and CSA 22.2.8	440V (AC)	10nF ~ 1µF	Anhängig
EN132400	440V (AC)	10nF ~ 1µF	ENEC/B04/2001

Zulassungsbestimmungen (X2)	Spannung	Wert	Eintragungsnummern
UL1414	250V (AC)	1nF ~ 1µF	E112471
UL1283	305V (AC)	1nF ~ 3.3µF	E109565
(CSA-C22.2 Nr. 1	250V (AC)	1nF ~ 1µF	1087424 (LR94054-15)
(CSA-C22.2 Nr. 8	275V (AC)	1nF ~ 3.3µF	1078568
CCEE	275V (AC)	1nF ~ 3.3µF	CH0038043-99
EN132400	275V (AC)	1nF ~ 3.3µF	ENEC/B05/2001

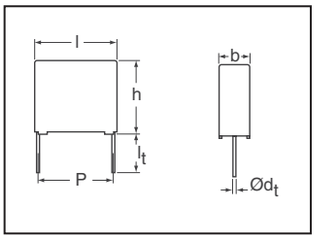

Spannung	Kap. (µF)	Abmessungen (mm) b	h	l	P	l_t	ød_t	Digi-Key Teilenr.	Stückpreis 1	10	100	BC Components Teilenr.
Serie MKP 338 X1 (±20 % Toleranz)												
440 (AC)	.01	5.0	11.0	17.5	15.0	3.5	.60	BC1574-ND	.64	.56	.37	2222 338 10103
	.01	5.0	11.0	17.5	15.0	25.0	.60	BC1587-ND	.64	.56	.37	2222 338 14103
	.015	5.0	11.0	17.5	15.0	3.5	.60	BC1577-ND	.65	.56	.38	2222 338 10153
	.015	5.0	11.0	17.5	15.0	25.0	.60	BC1590-ND	.65	.56	.38	2222 338 14153
	.022	5.0	11.0	17.5	15.0	3.5	.60	BC1579-ND	.66	.57	.38	2222 338 10223
	.022	5.0	11.0	17.5	15.0	25.0	.60	BC1592-ND	.66	.57	.38	2222 338 14223
	.033	6.0	12.0	17.5	15.0	3.5	.60	BC1581-ND	.57	.49	.33	2222 338 10333
	.033	6.0	12.0	17.5	15.0	25.0	.60	BC1594-ND	.57	.49	.33	2222 338 14333
	.047	7.0	13.5	17.5	15.0	3.5	.80	BC1583-ND	.58	.50	.33	2222 338 10473
	.047	7.0	13.5	17.5	15.0	25.0	.80	BC1596-ND	.58	.50	.33	2222 338 14473
	.068	8.5	15.0	17.5	15.0	3.5	.80	BC1585-ND	.59	.52	.35	2222 338 10683
	.068	8.5	15.0	17.5	15.0	25.0	.80	BC1598-ND	.59	.52	.35	2222 338 14683
	.10	10.0	16.5	17.5	15.0	3.5	.80	BC1575-ND	.63	.55	.37	2222 338 10104
	.10	10.0	16.5	17.5	15.0	25.0	.80	BC1588-ND	.63	.55	.37	2222 338 14104
	.15	8.5	18.0	26.0	22.5	3.5	.80	BC1578-ND	.75	.65	.44	2222 338 10154
	.15	8.5	18.0	26.0	22.5	25.0	.80	BC1591-ND	.75	.65	.44	2222 338 14154
	.22	10.0	19.5	26.0	22.5	3.5	.80	BC1580-ND	.91	.78	.52	2222 338 10224
	.22	10.0	19.5	26.0	22.5	25.0	.80	BC1593-ND	.91	.78	.52	2222 338 14224
	.33	13.0	23.0	31.0	27.5	3.5	.80	BC1582-ND	1.02	.88	.59	2222 338 10334
	.33	13.0	23.0	31.0	27.5	25.0	.80	BC1595-ND	1.02	.88	.59	2222 338 14334
	.47	15.0	25.0	31.0	27.5	3.5	.80	BC1584-ND	.64	.56	.37	2222 338 10474
	.47	15.0	25.0	31.0	27.5	25.0	.80	BC1597-ND	.64	.56	.37	2222 338 14474
	.68	18.0	28.0	31.0	27.5	3.5	.80	BC1586-ND	2.16	1.86	1.24	2222 338 10684
	1.0	21.0	31.0	31.0	27.5	3.5	.80	BC1576-ND	2.71	2.33	1.55	2222 338 10105
	1.0	21.0	31.0	31.0	27.5	25.0	.80	BC1589-ND	2.71	2.33	1.55	2222 338 14105

Spannung	Kap. (µF)	Abmessungen (mm) b	h	l	P	l_t	ød_t	Digi-Key Teilenr.	Stückpreis 1	10	100	BC Components Teilenr.
Serie MKP 338 X2 (±20 % Toleranz)												
275 (AC)	.001	4.0	9.0	10.0	7.5	3.5	.50	BC1599-ND	.30	.26	.17	2222 338 20102
	.0015	4.0	9.0	10.0	7.5	3.5	.50	BC1603-ND	.30	.26	.17	2222 338 20152
	.0022	4.0	9.0	10.0	7.5	3.5	.50	BC1607-ND	.31	.28	.19	2222 338 20222
	.0033	4.0	9.0	10.0	7.5	3.5	.50	BC1611-ND	.34	.30	.20	2222 338 20332
	.0047	4.0	9.0	10.0	7.5	3.5	.50	BC1615-ND	.36	.31	.21	2222 338 20472
	.0068	4.0	9.0	10.0	7.5	3.5	.50	BC1618-ND	.37	.33	.22	2222 338 20682
	.01	4.0	9.0	10.0	7.5	3.5	.50	BC1600-ND	.40	.34	.23	2222 338 20103
	.015	4.0	9.0	10.0	7.5	3.5	.50	BC1604-ND	.40	.35	.23	2222 338 20153
	.022	4.0	9.0	10.0	7.5	3.5	.50	BC1608-ND	.41	.35	.24	2222 338 20223
	.033	5.0	10.5	10.0	7.5	3.5	.50	BC1612-ND	.35	.30	.20	2222 338 20333
	.047	6.0	11.5	10.0	7.5	3.5	.50	BC1616-ND	.36	.31	.21	2222 338 20473
	.068	6.0	12.0	12.5	10.0	3.5	.60	BC1619-ND	.36	.32	.21	2222 338 20683
	.10	6.0	12.0	12.5	10.0	3.5	.60	BC1601-ND	.39	.34	.23	2222 338 20104
	.15	7.0	13.5	17.5	15.0	3.5	.80	BC1605-ND	.41	.36	.24	2222 338 20154
	.22	8.5	15.0	17.5	15.0	3.5	.80	BC1609-ND	.52	.45	.30	2222 338 20224
	.33	10.0	16.5	17.5	15.0	3.5	.80	BC1613-ND	.59	.52	.35	2222 338 20334
	.47	8.5	18.0	26.0	22.5	3.5	.80	BC1617-ND	.94	.81	.54	2222 338 20474
	.68	10.0	19.5	26.0	22.5	3.5	.80	BC1620-ND	1.26	1.08	.72	2222 338 20684
	1.0	12.0	22.0	26.0	22.5	3.5	.80	BC1602-ND	1.57	1.36	.91	2222 338 20105
	1.5	15.0	25.0	31.0	27.5	3.5	.80	BC1606-ND	2.08	1.79	1.19	2222 338 20155
	2.2	18.0	28.0	31.0	27.5	3.5	.80	BC1610-ND	2.53	2.17	1.45	2222 338 20225
	3.3	21.0	31.0	31.0	27.5	3.5	.80	BC1614-ND	3.73	3.20	2.14	2222 338 20335

E

Keramikscheibenkondensatoren

EIA-Temperaturkoeffizientcode	C0G	Y5V	Y5P
Kapazitätstemperaturkoeffizient	30PPM/°C	+22%, -82%	±10%
Betriebstemperaturbereich	-25 ~ 85°C	-30 ~ 85°C	-30 ~ 85°C
Kapazitätstoleranz	±5%	+80/-20%	±10%
Q-Faktor	C ≥ 30pF Q ≥ 1000 C < 30pF: Q ≥ 400 +20°C	— —	— —
Dissipationsfaktor	—	max. 4,0 %	max. 2,5 %
Isolationswiderstand	10.000MΩ	min.10.000MΩ	min.10.000MΩ

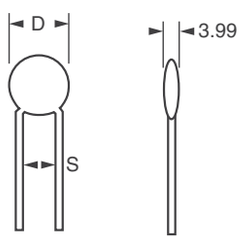

Toleranz	Abm. (mm) D	S	Kap. Wert	Digi-Key Teilenr.	Preisangaben 10	100	500	1.000	BC Components Teilenr.
Typ C0G, 100 V									
±.5	5.00	6.35	10pF	1326PH-ND	1.16	9.08	33.02	48.26	D100D20C0GH63L6
5%	5.00	6.35	15pF	1328PH-ND	.75	5.82	21.17	31.32	D150J20C0GH63L6
5%	5.00	6.35	18pF	1329PH-ND	.51	3.96	14.39	21.17	D180J20C0GH63L6
5%	5.00	6.35	22pF	1330PH-ND	1.16	9.08	33.02	48.26	D220J20C0GH63L6
5%	5.00	6.35	27pF	1331PH-ND	1.16	9.08	33.02	48.26	D270J20C0GH63L6
5%	5.00	6.35	33pF	1332PH-ND	1.16	9.08	33.02	48.26	D330J20C0GH63L6
5%	6.50	6.35	39pF	1333PH-ND	.51	3.96	14.39	21.17	D390J25C0GH63L6
5%	6.50	6.35	56pF	1335PH-ND	.71	5.59	20.32	29.63	D560J25C0GH63L6
5%	6.50	6.35	68pF	1336PH-ND	1.46	11.41	41.48	60.96	D680J25C0GH63L6
5%	7.37	6.35	100pF	1338PH-ND	1.54	12.11	44.02	65.19	D101J29C0GH63L6
5%	7.37	6.35	120pF	1339PH-ND	.57	4.43	16.09	23.70	D121J33C0GH63L6
5%	10.01	6.35	150pF	1340PH-ND	1.48	11.64	42.33	62.65	D151J33C0GH63L6
5%	10.01	6.35	220pF	1342PH-ND	1.75	13.74	49.95	73.65	D221J39C0GH63L6
Typ C0G, 500 V									
5%	5.00	6.35	15pF	1356PH-ND	1.16	9.08	33.02	48.26	D150J20C0GL63L6
5%	6.50	6.35	22pF	1358PH-ND	1.16	9.08	33.02	48.26	D220J25C0GL63L6
Typ Y5P, 100 V									
10%	5.00	6.35	100pF	1371PH-ND	.57	4.43	16.09	23.70	D101K20Y5PH63L6
10%	5.00	6.35	220pF	1375PH-ND	1.16	9.08	33.02	48.26	D221K20Y5PH63L6

Toleranz	Abm. (mm) D	S	Kap. Wert	Digi-Key Teilenr.	Preisangaben 10	100	500	1.000	BC Components Teilenr.
10%	5.00	6.35	330pF	1377PH-ND	1.16	9.08	33.02	48.26	D331K20Y5PH63L6
10%	5.00	6.35	1000pF	1383PH-ND	1.16	9.08	33.02	48.26	D102K20Y5PH63L6
10%	6.50	6.35	2200pF	1387PH-ND	1.46	11.41	41.48	60.96	D222K25Y5PH63L6
10%	8.83	6.35	2700pF	1388PH-ND	.71	5.59	20.32	29.63	D272K33Y5PL63L6
10%	7.37	6.35	3300pF	1389PH-ND	1.54	12.11	44.02	65.19	D332K29Y5PH63L6
10%	8.83	6.35	4700pF	1391PH-ND	.93	7.29	26.50	38.94	D472K33Y5PH63L6
Typ Y5V, 100 V									
+80/-20	5.00	6.35	1500pF	1395PH-ND	.65	5.12	18.63	27.09	D152Z20Y5VH63L6
Typ Y5P, 500 V									
10%	5.00	6.35	100pF	1401PH-ND	1.16	9.08	33.02	48.26	D101K20Y5PL63L6
10%	5.00	6.35	150pF	1402PH-ND	1.16	9.08	33.02	48.26	D151K20Y5PL63L6
10%	5.00	6.35	220pF	1404PH-ND	1.16	9.08	33.02	48.26	D221K20Y5PL63L6
10%	5.00	6.35	270pF	1405PH-ND	1.16	9.08	33.02	48.26	D271K20Y5PL63L6
10%	5.00	6.35	330pF	1406PH-ND	1.16	9.08	33.02	48.26	D331K20Y5PL63L6
10%	5.00	6.35	470pF	1408PH-ND	1.16	9.08	33.02	48.26	D471K20Y5PL63L6
10%	6.50	6.35	1000pF	1412PH-ND	1.36	10.71	38.94	57.57	D102K25Y5PL63L6
10%	9.91	9.52	2200pF	1415PH-ND	1.01	7.92	28.78	42.33	D222K33Y5PL63L0
10%	11.99	9.52	3300pF	1417PH-ND	1.46	11.41	41.48	60.96	D332K39Y5PL63L0
10%	17.53	9.52	0.01µF	1424PH-ND	2.58	20.26	73.65	108.36	D103K69Y5PLABEC

Alle Preisangaben in Euro und inklusive Zollgebühren.

EPCOS

Monolithische Keramikkondensatoren

Typ C0G, X7R, Z5U

Merkmale:
- Hohe Kapazität pro Einheitsvolumen
- Geeignet für automatische Montage gemäß IEC-Standard
- Hohe Zuverlässigkeit und Feuchthitzebeständigkeit
- Nichtpolar
- Geringer Verlust
- Impulsstärke

Anwendungen:
- Datenverarbeitung
- Kommunikationstechnik
- Mess- und Regelgeräte
- Fotobranche
- Unterhaltungsbranche
- Medizintechnik
- Elektroniksysteme im Automobilbereich

Temperaturbereich:
- C0G/X7R: -55 °C ~ 125 °C
- Z5U: -25 °C ~ 85 °C

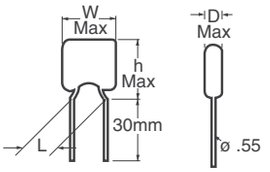

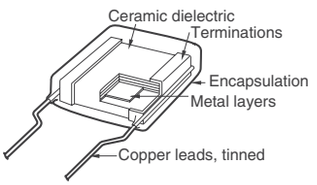

Markierung: Nennkapazität, Toleranz, Hersteller-Logo, Keramikmaterial, Spannung

Kapazitätsänderung i. Vgl. zu Temperatur

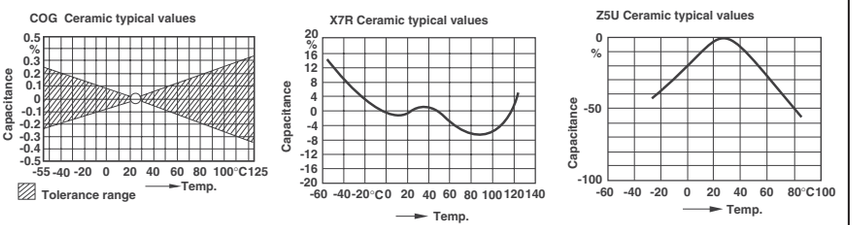

Typ	V DC	Kap.	Abm. (mm) W*	D*	H*	L	Digi-Key Teilenr.	Preisangaben 1	10	100	500	1.000	EPCOS Teilenr.
C0G ±5%	50	100pF	5.0	2.5	5.5	2.5	P4925-ND	.32	2.17	15.26	52.72	83.25	B37979N5101J000
	50	120pF	5.0	2.5	5.5	2.5	P4926-ND	.32	2.17	15.26	52.72	83.25	B37979N5121J000
	50	150pF	5.0	2.5	5.5	2.5	P4927-ND	.32	2.17	15.26	52.72	83.25	B37979N5151J000
	50	180pF	5.0	2.5	5.5	2.5	P4928-ND	.32	2.17	15.26	52.72	83.25	B37979N5181J000
	50	220pF	5.0	2.5	5.5	2.5	P4929-ND	.32	2.17	15.26	52.72	83.25	B37979N5221J000
	50	270pF	5.0	2.5	5.5	2.5	P4930-ND	.32	2.17	15.26	52.72	83.25	B37979N5271J000
	50	330pF	5.0	2.5	5.5	2.5	P4931-ND	.32	2.17	15.26	52.72	83.25	B37979N5331J000
	50	390pF	5.0	2.5	5.5	2.5	P4932-ND	.37	2.54	17.94	61.97	97.85	B37979N5391J000
	50	470pF	5.0	2.5	5.5	2.5	P4933-ND	.37	2.54	17.94	61.97	97.85	B37979N5471J000
	50	560pF	5.0	2.5	5.5	2.5	P4934-ND	.37	2.54	17.94	61.97	97.85	B37979N5561J000
	50	680pF	5.0	3.1	6.5	5.0	P4935-ND	.39	2.86	20.45	73.60	114.49	B37979G5681J000
	50	820pF	5.0	3.1	6.5	5.0	P4936-ND	.39	2.86	20.45	73.60	114.49	B37979G5821J000
	50	1000pF	5.0	3.1	6.5	5.0	P4937-ND	.39	2.86	20.45	73.60	114.49	B37979G5102J000
	50	1200pF	5.0	3.1	6.5	5.0	P4938-ND	.47	3.45	24.59	88.50	137.67	B37979G5122J000
	50	1500pF	5.0	3.1	6.5	5.0	P4939-ND	.47	3.45	24.59	88.50	137.67	B37979G5152J000
	50	1800pF	5.0	3.1	6.5	5.0	P4940-ND	.58	4.22	30.18	108.65	169.02	B37979G5182J000
	50	2200pF	5.0	3.1	6.5	5.0	P4941-ND	.58	4.22	30.18	108.65	169.02	B37979G5222J000
	50	2700pF	5.0	3.1	6.5	5.0	P4942-ND	.69	5.14	37.75	136.55	216.87	B37986G5272J000
	50	3300pF	5.0	3.1	6.5	5.0	P4943-ND	.69	5.14	37.75	136.55	216.87	B37986G5332J000
	50	4700pF	5.0	3.1	6.5	5.0	P4944-ND	.85	6.29	46.22	167.17	265.50	B37986G5472J000
	50	5600pF	7.5	3.8	9.0	5.0	P4945-ND	1.38	10.34	77.55	275.72	458.38	B37986G5562J000
	50	6800pF	7.5	3.8	9.0	5.0	P4946-ND	1.38	10.34	77.55	275.72	458.38	B37986G5682J000
	50	.01µF	7.5	3.8	9.0	5.0	P4948-ND	1.63	12.21	91.57	325.57	541.26	B37986G5103J000
	100	10pF	5.0	2.5	5.5	2.54	P4837-ND	.32	2.17	15.26	52.72	83.25	B37979N1100J000
	100	12pF	5.0	2.5	5.5	2.54	P4838-ND	.32	2.17	15.26	52.72	83.25	B37979N1120J000
	100	15pF	5.0	2.5	5.5	2.54	P4839-ND	.32	2.17	15.26	52.72	83.25	B37979N1150J000
	100	18pF	5.0	2.5	5.5	2.54	P4840-ND	.32	2.17	15.26	52.72	83.25	B37979N1180J000
	100	22pF	5.0	2.5	5.5	2.54	P4841-ND	.32	2.17	15.26	52.72	83.25	B37979N1220J000
	100	27pF	5.0	2.5	5.5	2.54	P4842-ND	.32	2.17	15.26	52.72	83.25	B37979N1270J000
	100	33pF	5.0	2.5	5.5	2.54	P4843-ND	.32	2.17	15.26	52.72	83.25	B37979N1330J000
	100	47pF	5.0	2.5	5.5	2.54	P4845-ND	.32	2.17	15.26	52.72	83.25	B37979N1470J000
	100	56pF	5.0	2.5	5.5	2.54	P4846-ND	.32	2.17	15.26	52.72	83.25	B37979N1560J000
	100	68pF	5.0	2.5	5.5	2.54	P4847-ND	.32	2.17	15.26	52.72	83.25	B37979N1680J000
	100	82pF	5.0	2.5	5.5	2.54	P4848-ND	.32	2.17	15.26	52.72	83.25	B37979N1820J000
	100	100pF	5.0	2.5	5.5	2.54	P4849-ND	.32	2.17	15.26	52.72	83.25	B37979N1101J000
	100	120pF	5.0	2.5	5.5	2.54	P4850-ND	.32	2.17	15.26	52.72	83.25	B37979N1121J000
	100	150pF	5.0	2.5	5.5	2.54	P4851-ND	.32	2.17	15.26	52.72	83.25	B37979N1151J000
	100	180pF	5.0	2.5	5.5	2.54	P4852-ND	.32	2.17	15.26	52.72	83.25	B37979N1181J000
	100	220pF	5.0	3.1	6.5	5.08	P4853-ND	.42	2.89	20.35	70.29	110.99	B37979G1221J000
	100	270pF	5.0	3.1	6.5	5.08	P4854-ND	.42	2.89	20.35	70.29	110.99	B37979G1271J000
	100	330pF	5.0	3.1	6.5	5.08	P4855-ND	.42	2.89	20.35	70.29	110.99	B37979G1331J000
	100	390pF	5.0	3.1	6.5	5.08	P4856-ND	.42	2.89	20.35	70.29	110.99	B37979N1391J000
	100	470pF	5.0	3.1	6.5	5.08	P4857-ND	.42	2.89	20.35	70.29	110.99	B37979G1471J000
	100	560pF	5.0	3.1	6.5	5.08	P4858-ND	.41	3.06	21.91	78.86	122.67	B37979N1561J000
	100	680pF	5.0	3.1	6.5	5.08	P4859-ND	.41	3.06	21.91	78.86	122.67	B37979G1681J000

* Max. Abmessungen. Ist-Abmessungen sind u.U. kleiner.

Typ	V DC	Kap.	Abm. (mm) W*	D*	H*	L	Digi-Key Teilenr.	Preisangaben 1	10	100	500	1.000	EPCOS Teilenr.
C0G ±5%	100	820pF	5.0	3.1	6.5	5.08	P4860-ND	.48	3.58	25.56	92.01	143.12	B37979G1821J000
	100	1000pF	5.0	3.1	6.5	5.08	P4861-ND	.48	3.58	25.56	92.01	143.12	B37979G1102J000
	100	1200pF	5.0	3.1	6.5	5.08	P4862-ND	.58	4.29	30.67	110.41	171.74	B37986G1122J000
	100	1500pF	5.0	3.1	6.5	5.08	P4863-ND	.58	4.29	30.67	110.41	171.74	B37986G1152J000
	100	2200pF	7.5	3.8	9.0	5.08	P4865-ND	1.06	7.88	57.88	209.37	332.53	B37986G1222J000
X7R ±10%	50	3300pF	5.0	2.5	5.5	2.5	P4949-ND	.30	2.01	14.19	49.02	77.40	B37981M5332K000
	50	4700pF	5.0	2.5	5.5	2.5	P4950-ND	.30	2.01	14.19	49.02	77.40	B37981M5472K000
	50	6800pF	5.0	2.5	5.5	2.5	P4951-ND	.30	2.01	14.19	49.02	77.40	B37981M5682K000
	50	.010µF	5.0	2.5	5.5	2.5	P4922-ND	.30	2.01	14.19	49.02	77.40	B37981M5103K000
	50	.015µF	5.0	2.5	5.5	2.5	P4952-ND	.30	2.01	14.19	49.02	77.40	B37981M5153K000
	50	.022µF	5.0	2.5	5.5	2.5	P4953-ND	.34	2.28	16.07	55.49	87.62	B37981M5223K000
	50	.033µF	5.0	2.5	5.5	5.0	P4954-ND	.41	2.81	19.81	68.45	108.07	B37981F5333K000
	50	.047µF	5.0	2.5	5.5	5.0	P4955-ND	.41	2.81	19.81	68.45	108.07	B37981F5473K000
	50	.068µF	5.0	2.5	5.5	5.0	P4956-ND	.41	3.00	21.42	77.11	119.95	B37987F5683K000
	50	.10µF	5.0	2.5	5.5	5.0	P4923-ND	.47	3.45	24.59	88.50	137.67	B37987F5104K000
	50	.15µF	5.0	2.5	5.5	5.0	P4957-ND	.55	4.05	28.92	104.11	161.95	B37987F5154K000
	50	.22µF	7.5	3.8	9.0	5.0	P4958-ND	1.00	7.45	54.68	197.78	314.13	B37987F5224K000
	50	.33µF	7.5	3.8	9.0	5.0	P4959-ND	1.23	9.16	67.26	243.30	386.42	B37984M5334K000
	50	.47µF	7.5	3.8	9.0	5.0	P4960-ND	1.47	11.07	83.03	295.19	490.76	B37984M5474K000
	50	.68µF	7.5	3.8	9.0	5.0	P4961-ND	2.05	15.33	115.00	408.91	679.81	B37984M5684K000
	50	1.0µF	10.0	5.0	11.5	5.0	P4962-ND	2.64	19.97	150.71	565.17	979.63	B37984M5105K000
	100	680pF	5.0	2.5	5.5	2.54	P4897-ND	.30	2.01	14.19	49.02	77.40	B37981M1681K000
	100	1000pF	5.0	2.5	5.5	2.54	P4898-ND	.30	2.01	14.19	49.02	77.40	B37981M1102K000
	100	1500pF	5.0	2.5	5.5	2.54	P4899-ND	.30	2.01	14.19	49.02	77.40	B37981M1152K000
	100	2200pF	5.0	2.5	5.5	2.54	P4900-ND	.30	2.01	14.19	49.02	77.40	B37981M1222K000
	100	3300pF	5.0	2.5	5.5	2.54	P4901-ND	.30	2.01	14.19	49.02	77.40	B37981M1332K000
	100	4700pF	5.0	2.5	5.5	2.54	P4902-ND	.30	2.01	14.19	49.02	77.40	B37981M1472K000
	100	6800pF	5.0	3.1	6.5	2.54	P4903-ND	.37	2.54	17.94	61.97	97.85	B37981M1682K000
	100	.010µF	5.0	3.1	6.5	2.54	P4904-ND	.37	2.54	17.94	61.97	97.85	B37981M1103K000
	100	.015µF	5.0	3.1	6.5	2.54	P4905-ND	.37	2.54	17.94	61.97	97.85	B37981M1153K000
	100	.022µF	5.0	3.1	6.5	2.54	P4906-ND	.41	2.73	19.28	66.59	105.15	B37987M1223K000
	100	.033µF	5.0	3.1	6.5	2.54	P4907-ND	.46	3.12	21.95	75.85	119.75	B37987M1333K000
	100	.047µF	5.0	3.1	6.5	2.54	P4908-ND	.43	3.20	22.88	82.37	128.12	B37987M1473K000
	100	.068µF	5.0	3.1	6.5	2.54	P4909-ND	.51	3.72	26.53	95.51	148.57	B37987M1683K000
	100	.10µF	5.0	3.1	6.5	2.54	P4910-ND	.63	4.63	33.10	119.17	185.37	B37987M1104K000
	100	.15µF	7.5	3.8	9.0	5.08	P4911-ND	1.05	7.79	57.20	206.89	328.59	B37987F1154K000
Z5U ±20%	50	.010µF	5.0	2.5	5.5	2.5	P4963-ND	.27	1.82	12.85	44.40	70.10	B37982N5103M000
	50	.022µF	5.0	2.5	5.5	2.5	P4964-ND	.27	1.82	12.85	44.40	70.10	B37982N5223M000
	50	.047µF	5.0	2.5	5.5	2.5	P4965-ND	.31	2.12	14.99	51.79	81.78	B37982N5473M000
	50	.10µF	5.0	3.1	6.5	2.5	P4924-ND	.36	2.47	17.41	60.12	94.93	B37982N5104M000
	50	.22µF	5.0	3.1	6.5	2.5	P4966-ND	.47	3.45	24.59	88.50	137.67	B37988N5224M000
	50	.47µF	7.5	3.8	9.0	5.0	P4967-ND	.84	6.23	45.76	165.51	262.87	B37988G5474M000
	50	1.0µF	7.5	3.8	9.0	5.0	P4968-ND	1.22	9.07	66.58	240.82	382.48	B37988G5105M000
	50	2.2µF	10.0	5.0	11.5	5.0	P4969-ND	2.74	20.79	156.94	588.54	1020.13	B37985N5225M000

Alle Preisangaben in Euro und inklusive Zollgebühren.

Vielschicht-Keramikkondensatoren

COG
Merkmale: • Gute thermische Stabilität • Hoher Isolationswiderstand • Niedriger Dissipationsfaktor • Niedrige Induktivität
Anwendungen: • Schwingkreise • Timing-Elemente • Kopplung und Filterung, besonders bei HF-Schaltkreisen
Elektrische Daten: • Dielektrikum: Klasse 1 • Betriebstemperaturbereich: -55 °C ~ 125 °C
X7R
Merkmale: • Hohe volumetrische Effizienz • Nichtlineare Kapazitätsänderung • Hoher Isolationswiderstand • Hohe Impulsstärke
Anwendungen: • Blockierung • Kopplung • Entkopplung • Entstörung
Elektrische Daten: • Standard: EIA • Dielektrikum: Klasse 2 • Betriebstemperaturbereich: -55 °C ~ 125 °C
Z5U (Y5U)
Merkmale: • Extrem hohe volumetrische Effizienz • Nichtlineare Kapazitätsänderung • Y5U-Eigenschaft wird ebenfalls erfüllt
Anwendungen: • Blockierung • Kopplung • Entkopplung • Entstörung
Elektrische Daten: • Standard: EIA • Dielektrikum: Klasse 2 • Betriebstemperaturbereich: -30 °C ~ 85 °C

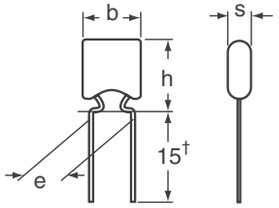

† Lose Teile haben eine Anschlusslänge von 30 mm

Typ	VDC	Kap.	Toleranz	Abmessungen (mm) h	b	s	e	Digi-Key Teilenr.	Gurtabschnittspreise 10	100	1,000	Digi-Key Teilenr.	Ammopack Größe	Preisangaben	Epcos Teilenr.
	100	10pF	±5%	5.5	5.0	2.5	2.5	495-1000-1-ND	1.39	10.59	73.34	495-1000-3-ND	2,500	48.90/M	B37979N1100J054
	100	12pF	±5%	5.5	5.0	2.5	2.5	495-1001-1-ND	1.39	10.59	73.34	495-1001-3-ND	2,500	48.90/M	B37979N1120J054
	100	15pF	±5%	5.5	5.0	2.5	2.5	495-1002-1-ND	1.39	10.59	73.34	495-1002-3-ND	2,500	48.90/M	B37979N1150J054
	100	18pF	±5%	5.5	5.0	2.5	2.5	495-1003-1-ND	1.39	10.59	73.34	495-1003-3-ND	2,500	48.90/M	B37979N1180J054
	100	22pF	±5%	5.5	5.0	2.5	2.5	495-1004-1-ND	1.39	10.59	73.34	495-1004-3-ND	2,500	48.90/M	B37979N1220J054
	100	27pF	±5%	5.5	5.0	2.5	2.5	495-1005-1-ND	1.39	10.59	73.34	495-1005-3-ND	2,500	48.90/M	B37979N1270J054
	100	33pF	±5%	5.5	5.0	2.5	2.5	495-1006-1-ND	1.39	10.59	73.34	495-1006-3-ND	2,500	48.90/M	B37979N1330J054
	100	39pF	±5%	5.5	5.0	2.5	2.5	495-1007-1-ND	1.39	10.59	73.34	495-1007-3-ND	2,500	48.90/M	B37979N1390J054
	100	47pF	±5%	5.5	5.0	2.5	2.5	495-1008-1-ND	1.39	10.59	73.34	495-1008-3-ND	2,500	48.90/M	B37979N1470J054
	100	56pF	±5%	5.5	5.0	2.5	2.5	495-1009-1-ND	1.39	10.59	73.34	495-1009-3-ND	2,500	48.90/M	B37979N1560J054
	100	68pF	±5%	5.5	5.0	2.5	2.5	495-1010-1-ND	1.39	10.59	73.34	495-1010-3-ND	2,500	48.90/M	B37979N1680J054
	100	82pF	±5%	5.5	5.0	2.5	2.5	495-1011-1-ND	1.39	10.59	73.34	495-1011-3-ND	2,500	48.90/M	B37979N1820J054
	100	100pF	±5%	5.5	5.0	2.5	2.5	495-1012-1-ND	1.39	10.59	73.34	495-1012-3-ND	2,500	48.90/M	B37979N1101J054
	100	120pF	±5%	5.5	5.0	2.5	2.5	495-1483-1-ND	1.39	10.59	73.34	495-1483-3-ND	2,500	48.90/M	B37979N1121J054
	100	150pF	±5%	5.5	5.0	2.5	2.5	495-1013-1-ND	1.39	10.59	73.34	495-1013-3-ND	2,500	48.90/M	B37979N1151J054
	100	180pF	±5%	5.5	5.0	2.5	2.5	495-1484-1-ND	1.39	10.59	73.34	495-1484-3-ND	2,500	48.90/M	B37979N1181J054
	100	220pF	±5%	5.5	5.0	2.5	5.0	495-1014-1-ND	1.95	14.88	103.06	495-1014-3-ND	2,500	68.71/M	B37979G1221J054
	100	270pF	±5%	5.5	5.0	2.5	5.0	495-1015-1-ND	1.95	14.88	103.06	495-1015-3-ND	2,500	68.71/M	B37979G1271J054
	100	330pF	±5%	5.5	5.0	2.5	5.0	495-1016-1-ND	1.95	14.88	103.06	495-1016-3-ND	2,500	68.71/M	B37979G1331J054
	100	390pF	±5%	5.5	5.0	2.5	2.5	495-1485-1-ND	1.95	14.88	103.06	495-1485-3-ND	2,500	68.71/M	B37979N1391J054
	100	470pF	±5%	5.5	5.0	2.5	5.0	495-1017-1-ND	1.95	14.88	103.06	495-1017-3-ND	2,500	68.71/M	B37979G1471J054
	100	560pF	±5%	5.5	5.0	2.5	2.5	495-1486-1-ND	2.19	16.79	116.20	495-1486-3-ND	2,500	77.47/M	B37979N1561J054
	100	680pF	±5%	5.5	5.0	2.5	5.0	495-1018-1-ND	2.19	16.79	116.20	495-1018-3-ND	2,500	77.47/M	B37979G1681J054
	100	820pF	±5%	5.5	5.0	2.5	5.0	495-1019-1-ND	2.59	19.81	137.15	495-1019-3-ND	2,500	91.44/M	B37979G1821J054
	100	1000pF	±5%	5.5	5.0	2.5	5.0	495-1020-1-ND	2.59	19.81	137.15	495-1020-3-ND	2,500	91.44/M	B37979G1102J054
C0G	100	1200pF	±5%	6.5	5.0	2.5	5.0	495-1021-1-ND	3.16	24.13	167.06	495-1021-3-ND	2,500	111.38/M	B37986G1122J054
	100	1500pF	±5%	6.5	5.0	2.5	5.0	495-1022-1-ND	3.16	24.13	167.06	495-1022-3-ND	2,500	111.38/M	B37986G1152J054
	100	1800pF	±5%	6.5	5.0	2.5	5.0	495-1023-1-ND	5.96	45.59	315.64	495-1023-3-ND	2,500	210.43/M	B37986G1182J054
	100	2200pF	±5%	6.5	5.0	2.5	5.0	495-1024-1-ND	5.96	45.59	315.64	495-1024-3-ND	2,500	210.43/M	B37986G1222J054
	50	100pF	±5%	5.5	5.0	2.5	2.5	495-1025-1-ND	1.39	10.59	73.34	495-1025-3-ND	2,500	48.90/M	B37979N5101J054
	50	120pF	±5%	5.5	5.0	2.5	2.5	495-1026-1-ND	1.39	10.59	73.34	495-1026-3-ND	2,500	48.90/M	B37979N5121J054
	50	150pF	±5%	5.5	5.0	2.5	2.5	495-1027-1-ND	1.39	10.59	73.34	495-1027-2-ND‡	2,500	48.90/M	B37979N5151J051
	50	180pF	±5%	5.5	5.0	2.5	2.5	495-1028-1-ND	1.39	10.59	73.34	495-1028-2-ND‡	2,500	48.90/M	B37979N5181J051
	50	220pF	±5%	5.5	5.0	2.5	2.5	495-1029-1-ND	1.39	10.59	73.34	495-1029-3-ND	2,500	48.90/M	B37979N5221J054
	50	270pF	±5%	5.5	5.0	2.5	2.5	495-1489-1-ND	1.39	10.59	73.34	495-1489-2-ND‡	2,500	48.90/M	B37979N5271J051
	50	330pF	±5%	5.5	5.0	2.5	2.5	495-1030-1-ND	1.39	10.59	73.34	495-1030-2-ND‡	2,500	48.90/M	B37979N5331J051
	50	390pF	±5%	5.5	5.0	2.5	2.5	495-1031-1-ND	1.59	12.19	84.39	495-1031-2-ND‡	2,500	56.26/M	B37979N5391J051
	50	470pF	±5%	5.5	5.0	2.5	2.5	495-1032-1-ND	1.59	12.19	84.39	495-1032-3-ND	2,500	56.26/M	B37979N5471J054
	50	560pF	±5%	5.5	5.0	2.5	2.5	495-1033-1-ND	1.59	12.19	84.39	495-1033-2-ND‡	2,500	56.26/M	B37979N5561J051
	50	680pF	±5%	5.5	5.0	2.5	5.0	495-1034-1-ND	2.10	16.04	111.06	495-1034-3-ND	2,500	74.04/M	B37979G5681J054
	50	820pF	±5%	5.5	5.0	2.5	5.0	495-1035-1-ND	2.10	16.04	111.06	495-1035-3-ND	2,500	74.04/M	B37979G5821J054
	50	1000pF	±5%	5.5	5.0	2.5	5.0	495-1036-1-ND	2.10	16.04	111.06	495-1036-3-ND	2,500	74.04/M	B37979G5102J054
	50	1500pF	±5%	5.5	5.0	2.5	5.0	495-1038-1-ND	2.49	19.04	131.82	495-1038-3-ND	2,500	87.88/M	B37979G5152J054
	50	1800pF	±5%	5.5	5.0	2.5	5.0	495-1039-1-ND	3.00	22.89	158.48	495-1039-2-ND‡	2,500	105.66/M	B37979G5182J051
	50	2200pF	±5%	5.5	5.0	2.5	5.0	495-1040-1-ND	1.39	10.59	73.34	495-1040-3-ND	2,500	48.90/M	B37979G5222J054
	50	2700pF	±5%	6.5	5.0	2.5	5.0	495-1041-1-ND	4.00	30.57	211.63	495-1041-3-ND	2,500	141.09/M	B37986G5272J054
	50	3300pF	±5%	6.5	5.0	2.5	5.0	495-1042-1-ND	4.00	30.57	211.63	495-1042-3-ND	2,500	141.09/M	B37986G5332J054
	50	4700pF	±5%	6.5	5.0	2.5	5.0	495-1043-1-ND	4.84	37.00	256.21	495-1043-3-ND	2,500	170.81/M	B37986G5472J054
	50	5600pF	±5%	6.5	5.0	2.5	5.0	495-1044-1-ND	8.67	66.31	459.07	495-1044-3-ND	2,500	306.05/M	B37986G5562J054
	50	6800pF	±5%	6.5	5.0	2.5	5.0	495-1045-1-ND	8.67	66.31	459.07	495-1045-3-ND	2,500	306.05/M	B37986G5682J054
	50	8200pF	±5%	6.5	5.0	2.5	5.0	495-1046-1-ND	9.96	76.22	527.64	495-1046-3-ND	2,500	351.77/M	B37986G5822J054
	50	10000pF	±5%	6.5	5.0	2.5	5.0	495-1047-1-ND	9.96	76.22	527.64	495-1047-3-ND	2,500	351.77/M	B37986G5103J054
	100	470pF	±20%	5.5	5.0	2.5	2.5	495-1048-1-ND	1.24	9.55	66.10	495-1048-3-ND	2,500	44.07/M	B37981M1471M054
	100	680pF	±10%	5.5	5.0	2.5	2.5	495-1049-1-ND	1.24	9.55	66.10	495-1049-3-ND	2,500	44.07/M	B37981M1681K054
	100	1000pF	±10%	5.5	5.0	2.5	2.5	495-1050-1-ND	1.24	9.55	66.10	495-1050-3-ND	2,500	44.07/M	B37981M1102K054
	100	1500pF	±10%	5.5	5.0	2.5	2.5	495-1051-1-ND	1.24	9.55	66.10	495-1051-3-ND	2,500	44.07/M	B37981M1152K054
	100	2200pF	±10%	5.5	5.0	2.5	2.5	495-1487-1-ND	1.24	9.55	66.10	495-1487-3-ND	2,500	44.07/M	B37981M1222K054
	100	3300pF	±10%	5.5	5.0	2.5	2.5	495-1052-1-ND	1.24	9.55	66.10	495-1052-3-ND	2,500	44.07/M	B37981M1332K054
	100	4700pF	±10%	5.5	5.0	2.5	2.5	495-1053-1-ND	1.24	9.55	66.10	495-1053-3-ND	2,500	44.07/M	B37981M1472K054
	100	6800pF	±10%	5.5	5.0	2.5	2.5	495-1054-1-ND	1.60	12.22	84.58	495-1054-3-ND	2,500	56.39/M	B37981M1682K054
	100	10000pF	±10%	5.5	5.0	2.5	2.5	495-1055-1-ND	1.60	12.22	84.58	495-1055-3-ND	2,500	56.39/M	B37981M1103K054
	100	15000pF	±10%	5.5	5.0	2.5	2.5	495-1488-1-ND	1.60	12.22	84.58	495-1488-3-ND	2,500	56.39/M	B37981M1153K054
	100	22000pF	±10%	6.5	5.0	2.5	2.5	495-1056-1-ND	1.78	13.56	93.91	495-1056-3-ND	2,500	62.61/M	B37987M1223K054
	100	33000pF	±10%	6.5	5.0	2.5	2.5	495-1057-1-ND	1.95	14.88	103.06	495-1057-3-ND	2,500	68.71/M	B37987M1333K054
	100	47000pF	±10%	6.5	5.0	2.5	2.5	495-1058-1-ND	2.35	18.00	124.58	495-1058-3-ND	2,500	83.06/M	B37987M1473K054
	100	68000pF	±10%	6.5	5.0	2.5	2.5	495-1059-1-ND	2.94	22.45	155.44	495-1059-3-ND	2,500	103.63/M	B37987M1683K054
X7R	100	.1uF	±10%	6.5	5.0	2.5	2.5	495-1060-1-ND	3.52	26.94	186.49	495-1060-3-ND	2,500	124.33/M	B37987M1104K054
	100	.15uF	±10%	6.5	5.0	2.5	5.0	495-1061-1-ND	6.01	45.95	318.11	495-1061-3-ND	2,500	212.08/M	B37987F1154K054
	50	3300pF	±10%	5.5	5.0	2.5	2.5	495-1062-1-ND	1.19	9.08	62.86	495-1062-2-ND‡	2,500	41.91/M	B37981M5332K051
	50	4700pF	±10%	5.5	5.0	2.5	2.5	495-1063-1-ND	1.19	9.08	62.86	495-1063-3-ND	2,500	41.91/M	B37981M5472K054
	50	10000pF	±10%	5.5	5.0	2.5	2.5	495-1065-1-ND	1.19	9.08	62.86	495-1065-3-ND	2,500	41.91/M	B37981M5103K054
	50	15000pF	±10%	5.5	5.0	2.5	2.5	495-1066-1-ND	1.19	9.08	62.86	495-1066-3-ND	2,500	41.91/M	B37981M5153K054
	50	22000pF	±10%	5.5	5.0	2.5	2.5	495-1067-1-ND	1.51	11.53	79.82	495-1067-3-ND	2,500	53.22/M	B37981M5223K054
	50	33000pF	±10%	5.5	5.0	2.5	5.0	495-1068-1-ND	1.76	13.49	93.34	495-1068-3-ND	2,500	62.23/M	B37981F5333K054
	50	47000pF	±10%	5.5	5.0	2.5	5.0	495-1069-1-ND	1.76	13.49	93.34	495-1069-3-ND	2,500	62.23/M	B37981F5473K054
	50	68000pF	±10%	6.5	5.0	2.5	5.0	495-1070-1-ND	2.16	16.51	114.29	495-1070-3-ND	2,500	76.20/M	B37987F5683K054
	50	.1uF	±10%	6.5	5.0	2.5	5.0	495-1071-1-ND	2.77	21.16	146.49	495-1071-3-ND	2,500	97.66/M	B37987F5104K054
	50	.15uF	±10%	6.5	5.0	2.5	5.0	495-1072-1-ND	3.67	28.06	194.29	495-1072-3-ND	2,500	129.53/M	B37987F5154K054
	50	.22uF	±10%	6.5	5.0	2.5	5.0	495-1073-1-ND	6.00	45.89	317.73	495-1073-3-ND	2,500	211.82/M	B37987F5224K054
	50	.33uF	±10%	9.0	7.5	2.5	5.0	495-1074-1-ND	7.31	55.97	387.45	495-1074-3-ND	2,000	258.30/M	B37984M5334K054
	50	.47uF	±10%	9.0	7.5	2.5	5.0	495-1075-1-ND	9.50	72.64	502.88	495-1075-3-ND	2,000	335.26/M	B37984M5474K054
	50	.68uF	±10%	9.0	7.5	2.5	5.0	495-1076-1-ND	13.42	102.63	710.51	495-1076-3-ND	2,000	473.68/M	B37984M5684K054
	50	1.0uF	±10%	9.0	7.5	2.5	5.0	495-1077-1-ND	19.43	148.58	1028.62	495-1077-3-ND	2,000	685.75/M	B37984M5105K054
	50	10000pF	±20%	5.5	5.0	2.5	2.5	495-1078-1-ND	1.19	9.08	62.86	495-1078-3-ND	2,500	41.91/M	B37982N5103M054
	50	22000pF	±20%	5.5	5.0	2.5	2.5	495-1079-1-ND	1.19	9.08	62.86	495-1079-3-ND	2,500	41.91/M	B37982N5223M054
Z5U (Y5U)	50	47000pF	±20%	5.5	5.0	2.5	2.5	495-1080-1-ND	1.37	10.51	72.77	495-1080-3-ND	2,500	48.52/M	B37982N5473M054
	50	.1uF	±20%	5.5	5.0	2.5	2.5	495-1081-1-ND	1.56	11.95	82.67	495-1081-3-ND	2,500	55.12/M	B37982N5104M054
	50	.22uF	±20%	6.5	5.0	2.5	2.5	495-1082-1-ND	2.49	19.04	131.82	495-1082-3-ND	2,500	87.88/M	B37988N5224M054
	50	.47uF	±20%	6.5	5.0	2.5	2.5	495-1083-1-ND	4.72	36.05	249.54	495-1083-3-ND	2,500	166.36/M	B37988N5474M054
	50	1.0uF	±20%	6.5	5.0	2.5	5.0	495-1490-1-ND	7.19	54.94	380.40	495-1490-3-ND	2,500	253.60/M	B37988G5105M054
	50	2.2uF	±20%	9.0	7.5	2.5	5.0	495-1084-1-ND	19.83	151.61	1049.57	495-1084-3-ND	2,000	699.72/M	B37985N5225M054

‡ Gegurtet auf Rolle

E

SpinGuard® Keramikkondensatoren, Axialanschluss

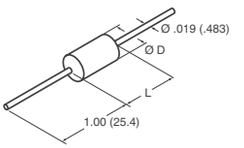

Die SpinGuard-Serie umfasst die in der Branche führenden Mehrschichtkondensatoren mit Überzuglack und Axialanschluss.

Anwendungen: • Entkopplung • Filterung

Dielek-trikum	VDC	Kap.	Kap. Tol. (%)	Abmessungen - Zoll (mm) L Max.	Abmessungen - Zoll (mm) D Max.	Digi-Key Teilenr.	Gurtabschnittspreise 1	10	100	1000	Digi-Key Teilenr.	Gegurtet auf Rolle Größe	Gegurtet auf Rolle Preisangaben	AVX Teilenr.
C0G	200	22pF	±5	.170 (4.32)	.100 (2.54)	478-2426-1-ND	.14	1.30	9.35	64.76	478-2426-2-ND	7,500	43.18/M	SA102A220JAA
	200	100pF	±5	.170 (4.32)	.100 (2.54)	478-2425-1-ND	.14	1.30	9.35	64.76	478-2425-2-ND	7,500	43.18/M	SA102A101JAA
	50	1000pF	±5	.170 (4.32)	.100 (2.54)	478-2431-1-ND	.16	1.52	11.01	76.19	478-2431-2-ND	7,500	50.80/M	SA105A102JAA
X7R	100	1000pF	±10	.170 (4.32)	.100 (2.54)	478-2427-1-ND	.11	1.07	7.70	53.34	478-2427-2-ND	7,500	35.56/M	SA101C102KAA
	100	10000pF	±10	.170 (4.32)	.100 (2.54)	478-2428-1-ND	.11	1.07	7.70	53.34	478-2428-2-ND	7,500	35.56/M	SA101C103KAA
	100	56000pF	±10	.290 (7.37)	.150 (3.81)	478-2429-1-ND	.26	2.48	17.89	123.82	478-2429-2-ND	5,000	82.97/M	SA301C563KAA
	100	.10µF	±10	.290 (7.37)	.150 (3.81)	478-2430-1-ND	.27	2.59	18.71	129.53	478-2430-2-ND	5,000	86.36/M	SA301C104KAA
	50	10000pF	±10	.170 (4.32)	.100 (2.54)	478-2432-1-ND	.11	1.03	7.43	51.43	478-2432-2-ND	7,500	34.72/M	SA105C103KAA
	50	47000pF	±10	.170 (4.32)	.100 (2.54)	478-2433-1-ND	.15	1.41	10.18	70.48	478-2433-2-ND	7,500	47.41/M	SA105C473KAA
	50	.10µF	±10	.170 (4.32)	.100 (2.54)	478-2434-1-ND	.12	1.14	8.25	57.15	478-2434-2-ND	7,500	38.10/M	SA105C104KAA
	50	.10µF	±10	.170 (4.32)	.120 (3.05)	478-2435-1-ND	.14	1.30	9.35	64.76	478-2435-2-ND	5,000	43.18/M	SA115C104KAA
	50	.10µF	±10	.260 (6.60)	.100 (2.54)	478-2436-1-ND	.18	1.72	12.39	85.72	478-2436-2-ND	5,000	57.57/M	SA205C104KAA
	50	.22µF	±10	.290 (7.37)	.150 (3.81)	478-2437-1-ND	.45	4.27	30.82	213.34	478-2437-2-ND	5,000	142.23/M	SA305C224KAA
Z5U	100	.10µF	±20	.170 (4.32)	.120 (3.05)	478-2438-1-ND	.11	1.07	7.70	53.34	478-2438-2-ND	5,000	35.56/M	SA111E104MAA
	50	10000pF	±20	.170 (4.32)	.100 (2.54)	478-2439-1-ND	.11	1.07	7.70	53.34	478-2439-2-ND	7,500	35.56/M	SA105E103MAA
	50	.10µF	±20	.170 (4.32)	.100 (2.54)	478-2440-1-ND	.11	1.07	7.70	53.34	478-2440-2-ND	7,500	35.56/M	SA105E104MAA
	50	.10µF	+80/-20	.170 (4.32)	.100 (2.54)	478-2441-1-ND	.11	1.07	7.70	53.34	478-2441-2-ND	7,500	35.56/M	SA105E104ZAA
	50	.47µF	±20	.290 (7.37)	.150 (3.81)	478-2442-1-ND	.36	3.43	24.76	171.44	478-2442-2-ND	5,000	114.30/M	SA305E474MAA
	50	1.0µF	±20	.290 (7.37)	.150 (3.81)	478-2443-1-ND	.52	4.92	35.50	245.73	478-2443-2-ND	5,000	164.24/M	SA305E105MAA

SkyCap® Keramikkondensatoren, Axialanschluss

E

Die SpinGuard-Serie umfasst die in der Branche führenden Mehrschichtkondensatoren mit Überzuglack und Axialanschluss.

Anwendungen: • Entkopplung • Filterung • Kfz

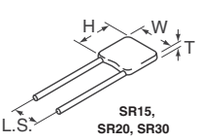

SR15, SR20, SR30

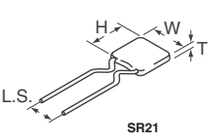

SR21

Dielek-trikum	VDC	Kap.	Kap. Tol. (%)	Abmessungen - Zoll (mm) W Max.	H Max.	T Max.	L.S.	Digi-Key Teilenr.	Preisangaben 1	10	100	500	1000	AVX Teilenr.
C0G	200	10pF	±10	.150 (3.81)	.150 (3.81)	.100 (2.54)	.100 (2.54)	478-2444-ND	.17	1.28	9.10	32.76	50.97	SR152A100KAA
	200	15pF	±10	.150 (3.81)	.150 (3.81)	.100 (2.54)	.100 (2.54)	478-2445-ND	.17	1.28	9.10	32.76	50.97	SR152A150KAA
	200	22pF	±10	.150 (3.81)	.150 (3.81)	.100 (2.54)	.100 (2.54)	478-2446-ND	.17	1.28	9.10	32.76	50.97	SR152A220KAA
	200	33pF	±10	.150 (3.81)	.150 (3.81)	.100 (2.54)	.100 (2.54)	478-2447-ND	.17	1.28	9.10	32.76	50.97	SR152A330KAA
	200	47pF	±10	.150 (3.81)	.150 (3.81)	.100 (2.54)	.100 (2.54)	478-2448-ND	.17	1.28	9.10	32.76	50.97	SR152A470KAA
	200	68pF	±10	.150 (3.81)	.150 (3.81)	.100 (2.54)	.100 (2.54)	478-2449-ND	.17	1.28	9.10	32.76	50.97	SR152A680KAA
	100	100pF	±10	.150 (3.81)	.150 (3.81)	.100 (2.54)	.100 (2.54)	478-2450-ND	.14	1.07	7.62	27.43	42.67	SR151A101KAA
	100	150pF	±10	.150 (3.81)	.150 (3.81)	.100 (2.54)	.100 (2.54)	478-2451-ND	.14	1.07	7.62	27.43	42.67	SR151A151KAA
	100	220pF	±10	.150 (3.81)	.150 (3.81)	.100 (2.54)	.100 (2.54)	478-2452-ND	.16	1.16	8.25	29.72	46.22	SR151A221KAA
	100	330pF	±10	.150 (3.81)	.150 (3.81)	.100 (2.54)	.100 (2.54)	478-2453-ND	.16	1.22	8.68	31.24	48.59	SR151A331KAA
	100	470pF	±10	.150 (3.81)	.150 (3.81)	.100 (2.54)	.100 (2.54)	478-2454-ND	.17	1.28	9.10	32.76	50.97	SR151A471KAA
	100	680pF	±10	.150 (3.81)	.150 (3.81)	.100 (2.54)	.100 (2.54)	478-2455-ND	.19	1.36	9.74	35.05	54.52	SR151A681KAA
X7R	100	1000pF	±10	.150 (3.81)	.150 (3.81)	.100 (2.54)	.100 (2.54)	478-2456-ND	.16	1.22	8.68	31.24	48.59	SR151C102KAA
	100	1500pF	±10	.150 (3.81)	.150 (3.81)	.100 (2.54)	.100 (2.54)	478-2457-ND	.16	1.22	8.68	31.24	48.59	SR151C152KAA
	100	2200pF	±10	.150 (3.81)	.150 (3.81)	.100 (2.54)	.100 (2.54)	478-2458-ND	.20	1.52	10.79	38.86	60.45	SR151C222KAA
	100	3300pF	±10	.150 (3.81)	.150 (3.81)	.100 (2.54)	.100 (2.54)	478-2459-ND	.20	1.52	10.79	38.86	60.45	SR151C332KAA
	100	4700pF	±10	.150 (3.81)	.150 (3.81)	.100 (2.54)	.100 (2.54)	478-2460-ND	.23	1.66	11.85	42.67	66.37	SR151C472KAA
	100	6800pF	±10	.150 (3.81)	.150 (3.81)	.100 (2.54)	.100 (2.54)	478-2461-ND	.23	1.66	11.85	42.67	66.37	SR151C682KAA
	100	10000pF	±10	.150 (3.81)	.150 (3.81)	.100 (2.54)	.100 (2.54)	478-2462-ND	.20	1.48	10.58	38.10	59.26	SR151C103KAA
	100	10000pF	±10	.200 (5.08)	.200 (5.08)	.125 (3.175)	.200 (5.08)	478-2463-ND	.18	1.30	9.31	33.53	52.15	SR211C103KAA
	100	15000pF	±10	.200 (5.08)	.200 (5.08)	.125 (3.175)	.200 (5.08)	478-2464-ND	.18	1.34	9.52	34.29	53.34	SR211C153KAA
	100	22000pF	±10	.200 (5.08)	.200 (5.08)	.125 (3.175)	.200 (5.08)	478-2465-ND	.20	1.52	10.79	38.86	60.45	SR211C223KAA
	100	33000pF	±10	.200 (5.08)	.200 (5.08)	.125 (3.175)	.200 (5.08)	478-2466-ND	.20	1.52	10.79	38.86	60.45	SR211C333KAA
	100	47000pF	±10	.200 (5.08)	.200 (5.08)	.125 (3.175)	.200 (5.08)	478-2467-ND	.20	1.52	10.79	38.86	60.45	SR211C473KAA
	100	68000pF	±10	.200 (5.08)	.200 (5.08)	.125 (3.175)	.200 (5.08)	478-2468-ND	.20	1.52	10.79	38.86	60.45	SR211C683KAA
	100	.10µF	±10	.200 (5.08)	.200 (5.08)	.125 (3.175)	.200 (5.08)	478-2469-ND	.20	1.52	10.79	38.86	60.45	SR211C104KAA
	50	68000pF	±10	.200 (5.08)	.200 (5.08)	.125 (3.175)	.100 (2.54)	478-2470-ND	.18	1.34	9.52	34.29	53.34	SR205C683KAA
	50	.10µF	±10	.200 (5.08)	.200 (5.08)	.125 (3.175)	.100 (2.54)	478-2471-ND	.20	1.52	10.79	38.86	60.45	SR205C104KAA
	50	.10µF	±10	.200 (5.08)	.200 (5.08)	.125 (3.175)	.200 (5.08)	478-2472-ND	.20	1.52	10.79	38.86	60.45	SR215C104KAA
	50	.47µF	±10	.300 (7.62)	.300 (7.62)	.150 (3.81)	.200 (5.08)	478-2473-ND	.86	6.32	45.08	162.29	252.46	SR305C474KAA
Z5U	100	.10µF	+80/-20	.200 (5.08)	.200 (5.08)	.125 (3.175)	.200 (5.08)	478-2474-ND	.23	1.66	11.85	42.67	66.37	SR211E104ZAA
	100	.22µF	+80/-20	.200 (5.08)	.200 (5.08)	.125 (3.175)	.200 (5.08)	478-2475-ND	.30	2.17	15.45	55.62	86.52	SR211E224ZAA
	50	.10µF	±20	.200 (5.08)	.200 (5.08)	.125 (3.175)	.100 (2.54)	478-2476-ND	.14	1.01	7.20	25.91	40.30	SR205E104MAA
	50	.10µF	±20	.200 (5.08)	.200 (5.08)	.125 (3.175)	.200 (5.08)	478-2477-ND	.13	.95	6.77	24.38	37.93	SR215E104MAA
	50	.33µF	±20	.200 (5.08)	.200 (5.08)	.125 (3.175)	.200 (5.08)	478-2478-ND	.31	2.29	16.30	58.67	91.26	SR215E334MAA
	50	1.0µF	±20	.300 (7.62)	.300 (7.62)	.150 (3.81)	.200 (5.08)	478-2479-ND	.50	3.67	26.24	94.48	146.97	SR305E105MAA

Alle Preisangaben in Euro und inklusive Zollgebühren.

Mono-Kap™ Vielschicht-Keramikkondensatoren mit Drahtanschlüssen

Diese Kondensatoren mit Überzugslack und Drahtanschlüssen in radialer Bauform wurden für gewerbliche und industrielle Anwendungen wie Timing, Kopplung/Entkopplung, Signalvergleich und Vormagnetisierung entwickelt.

Größencode	Abmessungen (mm)			SH Max.	
	W Max.	H Max.	T Max.	2.54 mm LS	5.08 mm LS
15	4.0	4.0	2.5	5.58	6.5
20	5.0	5.0	3.2	6.58	7.5

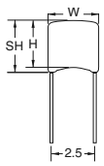

Rastermaß 2,5 mm

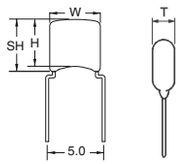

Rastermaß 5,08 mm

Kap. Wert	Größencode	LS	Digi-Key Teilenr.	Gurtabschnittspreise 10	100	Digi-Key Teilenr.	Gegurtet auf Rolle	BC Components Teilenr.
Typ COG 50 V ±5 %								
10 pF	15	2.54	BC1001CT-ND	.62	4.46	BC1001TR-ND	81.27/4000	K100J15C0GF5TL2
12 pF	15	2.54	BC1002CT-ND	.62	4.46	BC1002TR-ND	81.27/4000	K120J15C0GF5TL2
15 pF	15	2.54	BC1003CT-ND	.62	4.46	BC1003TR-ND	81.27/4000	K150J15C0GF5TL2
18 pF	15	2.54	BC1004CT-ND	.62	4.46	BC1004TR-ND	81.27/4000	K180J15C0GF5TL2
22 pF	15	2.54	BC1005CT-ND	.62	4.46	BC1005TR-ND	81.27/4000	K220J15C0GF5TL2
27 pF	15	2.54	BC1006CT-ND	.62	4.46	BC1006TR-ND	81.27/4000	K270J15C0GF5TL2
33 pF	15	2.54	BC1007CT-ND	.62	4.46	BC1007TR-ND	82.29/4000	K330J15C0GF5TL2
39 pF	15	2.54	BC1008CT-ND	.62	4.46	BC1008TR-ND	81.27/4000	K390J15C0GF5TL2
47 pF	15	2.54	BC1009CT-ND	.62	4.46	BC1009TR-ND	81.27/4000	K470J15C0GF5TL2
56 pF	15	2.54	BC1010CT-ND	.62	4.46	BC1010TR-ND	81.27/4000	K560J15C0GF5TL2
68 pF	15	2.54	BC1011CT-ND	.62	4.46	BC1011TR-ND	81.27/4000	K680J15C0GF5TL2
82 pF	15	2.54	BC1012CT-ND	.62	4.46	BC1012TR-ND	81.27/4000	K820J15C0GF5TL2
100 pF	15	2.54	BC1013CT-ND	.62	4.46	BC1013TR-ND	81.27/4000	K101J15C0GF5TL2
120 pF	15	2.54	BC1014CT-ND	.75	5.37	BC1014TR-ND	98.21/4000	K121J15C0GF5TL2
150 pF	15	2.54	BC1015CT-ND	.75	5.37	BC1015TR-ND	98.21/4000	K151J15C0GF5TL2
180 pF	15	2.54	BC1016CT-ND	.75	5.37	BC1016TR-ND	98.21/4000	K181J15C0GF5TL2
220 pF	15	2.54	BC1017CT-ND	.75	5.37	BC1017TR-ND	98.21/4000	K221J15C0GF5TL2
270 pF	15	2.54	BC1018CT-ND	.91	6.60	BC1018TR-ND	121.91/4000	K271J15C0GF5TL2
330 pF	15	2.54	BC1019CT-ND	.91	6.60	BC1019TR-ND	121.91/4000	K331J15C0GF5TL2
390 pF	15	2.54	BC1020CT-ND	.91	6.60	BC1020TR-ND	121.91/4000	K391J15C0GF5TL2
470 pF	15	2.54	BC1021CT-ND	.91	6.60	BC1021TR-ND	121.91/4000	K471J15C0GF5TL2
560 pF	15	2.54	BC1022CT-ND	1.12	8.09	BC1022TR-ND	149.00/4000	K561J15C0GF5TL2
680 pF	15	2.54	BC1023CT-ND	1.12	8.09	BC1023TR-ND	149.00/4000	K681J15C0GF5TL2
820 pF	15	2.54	BC1024CT-ND	1.12	8.09	BC1024TR-ND	149.00/4000	K821J15C0GF5TL2
1000 pF	15	2.54	BC1025CT-ND	.91	6.60	BC1025TR-ND	121.91/4000	K102J15C0GF5TL2
1200 pF	15	2.54	BC1026CT-ND	1.63	11.75	BC1026TR-ND	216.73/4000	K122J15C0GF5TL2
1500 pF	15	2.54	BC1027CT-ND	1.39	10.04	BC1027TR-ND	186.25/4000	K152J15C0GF5TL2
1800 pF	15	2.54	BC1028CT-ND	1.63	11.75	BC1028TR-ND	216.73/4000	K182J15C0GF5TL2
2200 pF	15	2.54	BC1029CT-ND	1.89	13.65	BC1029TR-ND	250.59/4000	K222J15C0GF5TL2
10 pF	15	5.08	BC1030CT-ND	.62	4.46	BC1030TR-ND	81.27/4000	K100J15C0GF5TH5
12 pF	15	5.08	BC1031CT-ND	.62	4.46	—	—	K120J15C0GF5TH5
15 pF	15	5.08	BC1032CT-ND	.62	4.46	BC1032TR-ND	81.27/4000	K150J15C0GF5TH5
18 pF	15	5.08	BC1033CT-ND	.62	4.46	BC1033TR-ND	81.27/4000	K180J15C0GF5TH5
22 pF	15	5.08	BC1034CT-ND	.62	4.46	BC1034TR-ND	81.27/4000	K220J15C0GF5TH5
27 pF	15	5.08	BC1035CT-ND	.62	4.46	BC1035TR-ND	81.27/4000	K270J15C0GF5TH5
33 pF	15	5.08	BC1036CT-ND	.62	4.46	BC1036TR-ND	81.27/4000	K330J15C0GF5TH5
47 pF	15	5.08	BC1038CT-ND	.62	4.46	BC1038TR-ND	81.27/4000	K470J15C0GF5TH5
56 pF	15	5.08	BC1039CT-ND	.62	4.46	BC1039TR-ND	81.27/4000	K560J15C0GF5TH5
68 pF	15	5.08	BC1040CT-ND	.62	4.46	BC1040TR-ND	81.27/4000	K680J15C0GF5TH5
82 pF	15	5.08	BC1041CT-ND	.62	4.46	BC1041TR-ND	81.27/4000	K820J15C0GF5TH5
100 pF	15	5.08	BC1042CT-ND	.62	4.46	BC1042TR-ND	81.27/4000	K101J15C0GF5TH5
150 pF	15	5.08	BC1043CT-ND	.75	5.37	BC1043TR-ND	98.21/4000	K151J15C0GF5TH5
220 pF	15	5.08	BC1044CT-ND	.75	5.37	BC1044TR-ND	98.21/4000	K221J15C0GF5TH5
330 pF	15	5.08	BC1045CT-ND	.91	6.60	BC1045TR-ND	121.91/4000	K331J15C0GF5TH5
470 pF	15	5.08	BC1046CT-ND	.91	6.60	BC1046TR-ND	121.91/4000	K471J15C0GF5TH5
1000 pF	15	5.08	BC1048CT-ND	.91	6.60	BC1048TR-ND	121.91/4000	K102J15C0GF5TH5
1500 pF	15	5.08	BC1049CT-ND	1.63	11.75	—	—	K152J15C0GF5TH5
2200 pF	15	5.08	BC1050CT-ND	1.89	13.65	BC1050TR-ND	250.59/4000	K222J15C0GF5TH5
3300 pF	20	5.08	BC1051CT-ND	4.19	30.29	BC1051TR-ND	419.07/3000	K332J20C0GF5TH5
4700 pF	20	5.08	BC1052CT-ND	4.19	30.29	BC1052TR-ND	419.07/3000	K472J20C0GF5TH5
Typ COG 100 V ±5 %								
10 pF	15	2.54	BC1054CT-ND	.94	6.80	BC1054TR-ND	125.30/4000	K100J15C0GH5TL2
22 pF	15	2.54	BC1055CT-ND	.94	6.80	BC1055TR-ND	125.30/4000	K220J15C0GH5TL2
47 pF	15	2.54	BC1056CT-ND	.94	6.80	—	—	K470J15C0GH5TL2
100 pF	15	2.54	BC1057CT-ND	.94	6.80	BC1057TR-ND	125.30/4000	K101J15C0GH5TL2
220 pF	15	2.54	BC1058CT-ND	1.17	8.45	BC1058TR-ND	155.77/4000	K221J15C0GH5TL2
22 pF	15	5.08	BC1062CT-ND	.94	6.80	—	—	K220J15C0GH5TH5
47 pF	15	5.08	BC1063CT-ND	.94	6.80	—	—	K470J15C0GH5TH5
100 pF	15	5.08	BC1064CT-ND	.94	6.80	BC1064TR-ND	125.30/4000	K101J15C0GH5TH5
220 pF	15	5.08	BC1065CT-ND	1.17	8.45	BC1065TR-ND	155.77/4000	K221J15C0GH5TH5
470 pF	15	5.08	BC1066CT-ND	1.46	10.59	BC1066TR-ND	196.41/4000	K471J15C0GH5TH5
1000 pF	20	5.08	BC1067CT-ND	2.30	16.64	—	—	K102J20C0GH5TH5
Typ X7R 50 V ±10 %								
220 pF	15	2.54	BC1068CT-ND	.57	4.07	BC1068TR-ND	74.50/4000	K221K15X7RF5TL2
330 pF	15	2.54	BC1069CT-ND	.57	4.07	—	—	K331K15X7RF5TL2
470 pF	15	2.54	BC1070CT-ND	.57	4.07	—	—	K471K15X7RF5TL2
680 pF	15	2.54	BC1071CT-ND	.57	4.07	BC1071TR-ND	74.50/4000	K681K15X7RF5TL2
1000 pF	15	2.54	BC1072CT-ND	.57	4.07	BC1072TR-ND	74.50/4000	K102K15X7RF5TL2
2200 pF	15	2.54	BC1074CT-ND	.57	4.10	BC1074TR-ND	74.50/4000	K222K15X7RF5TL2
3300 pF	15	2.54	BC1075CT-ND	.57	4.10	BC1075TR-ND	74.50/4000	K332K15X7RF5TL2
4700 pF	15	2.54	BC1076CT-ND	.57	4.10	BC1076TR-ND	74.50/4000	K472K15X7RF5TL2
6800 pF	15	2.54	BC1077CT-ND	.57	4.10	BC1077TR-ND	74.50/4000	K682K15X7RF5TL2
.01 µF	15	2.54	BC1078CT-ND	.57	4.07	BC1078TR-ND	74.50/4000	K103K15X7RF5TL2

Kap. Wert	Größencode	LS	Digi-Key Teilenr.	Gurtabschnittspreise 10	100	Digi-Key Teilenr.	Gegurtet auf Rolle	BC Components Teilenr.
.015 µF	15	2.54	BC1079CT-ND	.63	4.57	—	—	K153K15X7RF5TL2
.022 µF	15	2.54	BC1080CT-ND	.63	4.60	BC1080TR-ND	84.66/4000	K223K15X7RF5TL2
.033 µF	15	2.54	BC1081CT-ND	.68	4.90	BC1081TR-ND	91.43/4000	K333K15X7RF5TL2
.047 µF	15	2.54	BC1082CT-ND	.68	4.87	BC1082TR-ND	91.43/4000	K473K15X7RF5TL2
.068 µF	15	2.54	BC1083CT-ND	.97	6.96	BC1083TR-ND	128.68/4000	K683K15X7RF5TL2
.1 µF	15	2.54	BC1084CT-ND	.65	4.73	BC1084TR-ND	87.37/4000	K104K15X7RF5TL2
220 pF	15	5.08	BC1085CT-ND	.57	4.07	BC1085TR-ND	74.50/4000	K221K15X7RF5TH5
330 pF	15	5.08	BC1086CT-ND	.57	4.07	BC1086TR-ND	74.50/4000	K331K15X7RF5TH5
470 pF	15	5.08	BC1087CT-ND	.57	4.07	BC1087TR-ND	74.50/4000	K471K15X7RF5TH5
680 pF	15	5.08	BC1088CT-ND	.57	4.07	—	—	K681K15X7RF5TH5
1000 pF	15	5.08	BC1089CT-ND	.57	4.07	BC1089TR-ND	74.50/4000	K102K15X7RF5TH5
1500 pF	15	5.08	BC1090CT-ND	.57	4.10	—	—	K152K15X7RF5TH5
2200 pF	15	5.08	BC1091CT-ND	.57	4.10	BC1091TR-ND	74.50/4000	K222K15X7RF5TH5
3300 pF	15	5.08	BC1092CT-ND	.57	4.10	BC1092TR-ND	74.50/4000	K332K15X7RF5TH5
4700 pF	15	5.08	BC1093CT-ND	.57	4.10	BC1093TR-ND	74.50/4000	K472K15X7RF5TH5
6800 pF	15	5.08	BC1094CT-ND	.57	4.10	BC1094TR-ND	74.50/4000	K682K15X7RF5TH5
.01 µF	15	5.08	BC1095CT-ND	.57	4.07	BC1095TR-ND	74.50/4000	K103K15X7RF5TH5
.015 µF	15	5.08	BC1096CT-ND	.63	4.57	BC1096TR-ND	84.66/4000	K153K15X7RF5TH5
.022 µF	15	5.08	BC1097CT-ND	.63	4.60	BC1097TR-ND	84.66/4000	K223K15X7RF5TH5
.033 µF	15	5.08	BC1098CT-ND	.68	4.90	BC1098TR-ND	91.43/4000	K333K15X7RF5TH5
.047 µF	15	5.08	BC1099CT-ND	.68	4.87	BC1099TR-ND	91.43/4000	K473K15X7RF5TH5
.068 µF	20	5.08	BC1100CT-ND	.97	6.96	—	—	K683K20X7RF5TH5
.1 µF	15	5.08	BC1101CT-ND	.65	4.73	BC1101TR-ND	87.37/4000	K104K15X7RF5TH5
.15 µF	20	5.08	BC1102CT-ND	1.42	10.26	BC1102TR-ND	142.23/3000	K154K20X7RF5TH5
.22 µF	20	5.08	BC1103CT-ND	1.88	13.56	BC1103TR-ND	187.95/3000	K224K20X7RF5TH5
Typ X7R 100 V ±10 %								
1000 pF	15	2.54	BC1108CT-ND	.63	4.57	BC1108TR-ND	84.66/4000	K102K15X7RH5TL2
2200 pF	15	2.54	BC1109CT-ND	.68	4.87	—	—	K222K15X7RH5TL2
4700 pF	15	2.54	BC1110CT-ND	.68	4.87	BC1110TR-ND	91.43/4000	K472K15X7RH5TL2
.01 µF	15	2.54	BC1111CT-ND	.81	5.89	BC1111TR-ND	108.36/4000	K103K15X7RH5TL2
.022 µF	20	2.54	BC1112CT-ND	1.22	8.83	BC1112TR-ND	162.55/4000	K223K20X7RH5TL2
.047 µF	20	2.54	BC1113CT-ND	1.75	12.63	—	—	K473K20X7RH5TL2
.1 µF	20	2.54	BC1114CT-ND	1.59	11.51	BC1114TR-ND	159.25/3000	K104K20X7RH5TL2
220 pF	15	5.08	BC1115CT-ND	.63	4.60	—	—	K221K15X7RH5TH5
470 pF	15	5.08	BC1116CT-ND	.63	4.60	BC1116TR-ND	84.66/4000	K471K15X7RH5TH5
1000 pF	15	5.08	BC1117CT-ND	.63	4.57	BC1117TR-ND	84.66/4000	K102K15X7RH5TH5
2200 pF	15	5.08	BC1118CT-ND	.68	4.87	BC1118TR-ND	91.43/4000	K222K15X7RH5TH5
4700 pF	15	5.08	BC1119CT-ND	.68	4.87	—	—	K472K15X7RH5TH5
.01 µF	15	5.08	BC1120CT-ND	.81	5.89	BC1120TR-ND	108.36/4000	K103K15X7RH5TH5
.022 µF	15	5.08	BC1121CT-ND	1.22	8.83	—	—	K223K15X7RH5TH5
.047 µF	20	5.08	BC1122CT-ND	1.75	12.63	BC1122TR-ND	175.25/3000	K473K20X7RH5TH5
.1 µF	20	5.08	BC1123CT-ND	1.59	11.51	BC1123TR-ND	160.01/3000	K104K20X7RH5TH5
Typ Z5U 50 V ±20 %								
.15 µF	15	2.54	BC1128CT-ND	1.52	11.01	—	—	K154M15Z5UF5TL2
Typ Z5U 100 V ±20 %								
.022 µF	20	2.54	BC1141CT-ND	1.24	8.91	—	—	K223M20Z5UH5TL2
.047 µF	20	2.54	BC1142CT-ND	1.68	12.11	—	—	K473M20Z5UH5TL2
Typ Y5V 25 V +80 -20 %								
.01 µF	15	2.54	BC1146CT-ND	.96	6.88	BC1146TR-ND	126.99/4000	K103Z15Y5VE5TL2
.022 µF	15	2.54	BC1147CT-ND	1.11	7.98	BC1147TR-ND	147.31/4000	K223Z15Y5VE5TL2
.1 µF	15	2.54	BC1148CT-ND	1.11	7.98	BC1148TR-ND	147.31/4000	K104Z15Y5VE5TL2
.22 µF	15	2.54	BC1149CT-ND	1.83	13.21	BC1149TR-ND	243.82/4000	K224Z15Y5VE5TL2
.47 µF	20	2.54	BC1150CT-ND	2.45	17.69	BC1150TR-ND	244.96/3000	K474Z20Y5VE5TL2
1 µF	20	2.54	BC1151CT-ND	3.81	27.51	BC1151TR-ND	380.97/3000	K105Z20Y5VE5TL2
.01 µF	15	5.08	BC1152CT-ND	.96	6.88	BC1152TR-ND	126.99/4000	K103Z15Y5VE5TH5
.022 µF	15	5.08	BC1153CT-ND	.87	6.27	—	—	K223Z15Y5VE5TH5
.1 µF	15	5.08	BC1154CT-ND	1.11	7.98	BC1154TR-ND	147.31/4000	K104Z15Y5VE5TH5
.22 µF	15	5.08	BC1155CT-ND	1.83	13.21	BC1155TR-ND	243.82/4000	K224Z15Y5VE5TH5
.47 µF	20	5.08	BC1156CT-ND	2.45	17.69	BC1156TR-ND	244.96/3000	K474Z20Y5VE5TH5
1 µF	20	5.08	BC1157CT-ND	3.81	27.51	BC1157TR-ND	380.97/3000	K105Z20Y5VE5TH5
Typ Y5V 50 V +80 -20 %								
.01 µF	15	2.54	BC1158CT-ND	.58	4.21	BC1158TR-ND	77.89/4000	K103Z15Y5VF5TL2
.022 µF	15	2.54	BC1159CT-ND	.58	4.21	BC1159TR-ND	77.89/4000	K223Z15Y5VF5TL2
.1 µF	15	2.54	BC1160CT-ND	.53	3.88	BC1160TR-ND	71.62/4000	K104Z15Y5VF5TL2
1 µF	20	2.54	BC1162CT-ND	1.45	10.43	BC1162TR-ND	144.77/3000	K105Z20Y5VF5TL2
.01 µF	15	5.08	BC1163CT-ND	.58	4.21	BC1163TR-ND	77.89/4000	K103Z15Y5VF5TH5
.022 µF	15	5.08	BC1164CT-ND	.58	4.21	—	—	K223Z15Y5VF5TH5
.1 µF	15	5.08	BC1165CT-ND	.53	3.88	BC1165TR-ND	71.11/4000	K104Z15Y5VF5TH5
.47 µF	20	5.08	BC1167CT-ND	1.59	11.47	BC1167TR-ND	160.01/3000	K474Z20Y5VF5TH5
1 µF	20	5.08	BC1168CT-ND	1.45	10.43	BC1168TR-ND	144.77/3000	K105Z20Y5VF5TH5

E

Panasonic

Keramikscheibenkondensatoren für hohe Spannung

KBP-Merkmale Y5P, 1 ~ 3 kV DC

MERKMALE: • Breiter Betriebstemperaturbereich: -25 °C ~ 125 °C • Verbessertes Spannungs- Temperaturanstiegsverhältnis durch verlustarmes Keramikdielektrikum • Mit flammhemmender isolierender Beschichtung • Einfache Montage aufgrund geknickter Anschlüsse

Empfohlene Anwendungen: • Überspannungsschutzkreis für Schaltnetzteile • Horizontaler Schwingkreis von TV- und CRT-Display • Beleuchtungsapparat, Invertertyp • Hohe Spannungsimpulse und DC-Schaltkreise

Spezifikationen: • **Eigenschaft:** KBP • **Breiter Betriebstemperaturbereich:** -25 °C ~ 125 °C • **Nennspannung:** 1-3 kV DC • **Dielektrische Haltespannung:** Nennspannung 1 ~ 3 kV DC: 200 % der Nennspannung für 1 ~ 5 S • **Kapazität:** Innerhalb der Toleranz, gemessen bei 1 kHz ±20 %, 1 ~ 5 Vrms und 20 °C • **Q- oder Dissipationsfaktor:** Tan δ: ≥ 0,025 • **Isolationswiderstand:** 10.000 MΩ bei 500 V DC und Elektrisierung von 1 Minute • **Temperatureigenschaften:** Temperaturkoeffizient: +350 ~ -1.000 ppm/°C (Temperaturbereich: 20 °C ~ 85 °C) • **Y5P:** max. Kapazitätsveränderung von ±10 % über Temperaturbereich von -25 °C ~ 85 °C

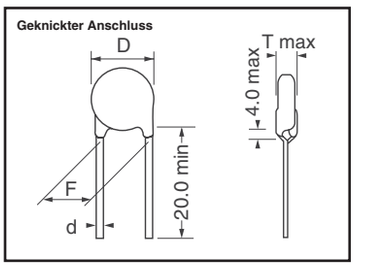

Spannung	Kapazität	Toleranz	Temp. eig.	Abmessungen (mm) D	T	F	d	Geknicker Anschluss -Bleifrei/RoHS-konform Digi-Key Teilenr.	Preisangaben 10	100	1.000	Panasonic Teilenr.	Gerader Anschluss (Nicht für Neukonstruktionen empfohlen) Digi-Key Teilenr.	Preisangaben 10	100	1.000	Panasonic Teilenr.
1K	100pF	±10%	Y5P	6.0	4.5	5.00	.6	P9530-ND	1.86	12.06	53.21	ECK-A3A101KBP	P4116-ND	2.21	15.60	85.08	ECK-D3A101KBP
	120pF	±10%	Y5P	6.0	4.5	5.00	.6	P9531-ND	1.86	12.06	53.21	ECK-A3A121KBP	P4117-ND	2.21	15.60	85.08	ECK-D3A121KBP
	150pF	±10%	Y5P	6.0	4.5	5.00	.6	P9532-ND	1.86	12.06	53.21	ECK-A3A151KBP	P4118-ND	2.15	15.14	82.54	ECK-D3A151KBP
	180pF	±10%	Y5P	6.0	4.5	5.00	.6	P9533-ND	1.86	12.06	53.21	ECK-A3A181KBP	P4119-ND	2.15	15.14	82.54	ECK-D3A181KBP
	220pF	±10%	Y5P	6.0	4.5	5.00	.6	P9534-ND	1.86	12.06	53.21	ECK-A3A221KBP	P4120-ND	2.15	15.14	82.54	ECK-D3A221KBP
	270pF	±10%	Y5P	6.0	4.5	5.00	.6	P9535-ND	1.86	12.06	53.21	ECK-A3A271KBP	P4121-ND	2.15	15.14	82.54	ECK-D3A271KBP
	330pF	±10%	Y5P	8.0	4.5	5.00	.6	P9536-ND	1.86	12.06	53.21	ECK-A3A331KBP	P4122-ND	2.52	17.99	100.75	ECK-D3A331KBP
	390pF	±20%	Y5P	8.0	4.5	5.00	.6	P9537-ND	1.86	12.06	53.21	ECK-A3A391KBP	P4123-ND	2.52	17.99	100.75	ECK-D3A391KBP
	470pF	±10%	Y5P	8.0	4.5	5.00	.6	P9538-ND	1.86	12.06	53.21	ECK-A3A471KBP	P4124-ND	2.52	17.99	100.75	ECK-D3A471KBP
	560pF	±10%	Y5P	8.0	4.5	5.00	.6	P9539-ND	2.12	13.79	60.83	ECK-A3A561KBP	P4125-ND	2.52	17.99	100.75	ECK-D3A561KBP
	680pF	±10%	Y5P	8.0	4.5	5.00	.6	P9540-ND	2.12	13.79	60.83	ECK-A3A681KBP	P4126-ND	2.64	18.63	101.59	ECK-D3A681KBP
	820pF	±10%	Y5P	10.0	4.5	5.00	.6	P9541-ND	2.12	13.79	60.83	ECK-A3A821KBP	P4127-ND	2.52	17.99	100.75	ECK-D3A821KBP
	1000pF	±10%	Y5P	10.0	4.5	5.00	.6	P9542-ND	2.40	15.52	68.45	ECK-A3A102KBP	P4128-ND	2.52	17.99	100.75	ECK-D3A102KBP
	1200pF	±10%	Y5P	10.0	4.5	5.00	.6	P9543-ND	2.40	15.52	68.45	ECK-A3A122KBP	P4129-ND	3.14	22.43	125.64	ECK-D3A122KBP
	1500pF	±10%	Y5P	11.0	4.5	5.00	.6	P9544-ND	2.40	15.52	68.45	ECK-A3A152KBP	—	—	—	—	—
	1800pF	±10%	Y5P	11.0	4.5	5.00	.6	P9545-ND	3.06	19.84	87.50	ECK-A3A182KBP	P4131-ND	3.14	22.43	125.64	ECK-D3A182KBP
	2200pF	±10%	Y5P	13.0	4.5	5.00	.6	P9546-ND	2.91	19.53	99.44	ECK-A3A222KBP	P4199-ND	3.14	22.43	125.64	ECK-D3A222KBP
	2700pF	±10%	Y5P	13.0	4.5	5.00	.6	P9547-ND	2.91	19.53	99.44	ECK-A3A272KBP	P4211-ND	3.14	22.43	125.64	ECK-D3A272KBP
	3300pF	±10%	Y5P	13.5	4.5	10.00	.65	P9548-ND	4.00	26.85	136.66	ECK-A3A332KBP	P4134-ND	3.56	25.40	142.23	ECK-D3A332KBP
	3900pF	±10%	Y5P	15.5	4.5	10.00	.65	P9549-ND	4.00	26.85	136.66	ECK-A3A392KBP	P4135-ND	4.58	33.63	193.15	ECK-D3A392KBP
	4700pF	±10%	Y5P	18.0	4.5	10.00	.65	P9550-ND	3.97	26.25	157.49	ECK-A3A472KBP	P4136-ND	5.42	39.79	228.58	ECK-D3A472KBP
	5600pF	±10%	Y5P	18.0	4.5	10.00	.65	P9551-ND	4.66	30.80	184.81	ECK-A3A562KBP	P4137-ND	5.42	39.79	228.58	ECK-D3A562KBP
	10000pF	±10%	Y5P	22.0	5.0	10.00	.65	P9552-ND	8.39	62.90	371.80	ECK-A3A103KBP	P4140-ND	8.10	60.77	359.19	ECK-D3A103KBP
2K	100pF	±10%	Y5P	7.0	5.0	7.5	.65	P9553-ND	2.81	18.84	95.89	ECK-A3D101KBP	P4474A-ND	3.20	22.86	128.01	ECK-D3D101KBP
	120pF	±10%	Y5P	7.0	5.0	7.5	.65	P9554-ND	2.81	18.84	95.89	ECK-A3D121KBP	P4475A-ND	3.20	22.86	128.01	ECK-D3D121KBP
	150pF	±10%	Y5P	7.0	5.0	7.5	.65	P9555-ND	2.81	18.84	95.89	ECK-A3D151KBP	—	—	—	—	—
	180pF	±10%	Y5P	7.0	5.0	7.5	.65	P9556-ND	2.81	18.84	95.89	ECK-A3D181KBP	P4477A-ND	3.20	22.86	128.01	ECK-D3D181KBP
	220pF	±10%	Y5P	7.0	5.0	7.5	.65	P9557-ND	2.81	18.84	95.89	ECK-A3D221KBP	P4478A-ND	3.20	22.86	128.01	ECK-D3D221KBP
	270pF	±10%	Y5P	7.0	5.0	7.5	.65	P9558-ND	2.81	18.84	95.89	ECK-A3D271KBP	P4479A-ND	3.20	22.86	128.01	ECK-D3D271KBP
	330pF	±10%	Y5P	7.0	5.0	7.5	.65	P9559-ND	2.81	18.84	95.89	ECK-A3D331KBP	P4480A-ND	3.20	22.86	128.01	ECK-D3D331KBP
	390pF	±10%	Y5P	7.0	5.0	7.5	.65	P9560-ND	2.81	18.84	95.89	ECK-A3D391KBP	P4481A-ND	3.20	22.86	128.01	ECK-D3D391KBP
	470pF	±10%	Y5P	7.5	5.0	7.5	.65	P9561-ND	2.81	18.84	95.89	ECK-A3D471KBP	P4482A-ND	3.44	24.55	137.49	ECK-D3D471KBP
	560pF	±10%	Y5P	8.0	5.0	7.5	.65	P9562-ND	2.81	18.84	95.89	ECK-A3D561KBP	P4483A-ND	3.44	24.55	137.49	ECK-D3D561KBP
	680pF	±10%	Y5P	9.0	5.0	7.5	.65	P9563-ND	3.33	22.31	113.55	ECK-A3D681KBP	P4484A-ND	3.61	25.82	144.60	ECK-D3D681KBP
	820pF	±10%	Y5P	9.0	5.0	7.5	.65	P9564-ND	3.33	22.31	113.55	ECK-A3D821KBP	P4485A-ND	3.61	25.82	144.60	ECK-D3D821KBP
	1000pF	±10%	Y5P	10.0	5.0	7.5	.65	P9565-ND	4.42	29.64	150.88	ECK-A3D102KBP	P4486A-ND	4.42	31.54	176.60	ECK-D3D102KBP
	1200pF	±10%	Y5P	10.5	5.0	7.5	.65	P9566-ND	4.42	29.64	150.88	ECK-A3D122KBP	P4487A-ND	4.58	33.63	193.15	ECK-D3D122KBP
	1500pF	±10%	Y5P	12.0	5.0	7.5	.65	P9567-ND	4.18	27.68	166.07	ECK-A3D152KBP	P4488A-ND	5.33	39.20	225.15	ECK-D3D152KBP
	1800pF	±10%	Y5P	12.5	5.0	7.5	.65	P9568-ND	4.18	27.68	166.07	ECK-A3D182KBP	P4489A-ND	5.33	39.20	225.15	ECK-D3D182KBP
	2200pF	±10%	Y5P	14.0	5.0	10.0	.65	P9569-ND	4.70	31.09	186.52	ECK-A3D222KBP	—	—	—	—	—
	2700pF	±10%	Y5P	16.0	5.0	10.0	.65	P9570-ND	4.70	31.09	186.52	ECK-A3D272KBP	—	—	—	—	—
	3300pF	±10%	Y5P	17.0	5.0	10.0	.65	P9571-ND	5.95	39.38	236.24	ECK-A3D332KBP	P4492A-ND	9.83	73.72	435.75	ECK-D3D332KBP
	3900pF	±10%	Y5P	18.0	5.0	10.0	.65	P9572-ND	5.95	39.38	236.24	ECK-A3D392KBP	P4493A-ND	10.44	78.29	462.78	ECK-D3D392KBP
	4700pF	±10%	Y5P	25.0	5.0	10.0	.65	P9573-ND	7.49	56.20	332.16	ECK-A3D472KBP	P4494A-ND	11.43	85.72	506.69	ECK-D3D472KBP
	5600pF	±10%	Y5P	25.0	5.0	10.0	.65	P9574-ND	7.49	56.20	332.16	ECK-A3D562KBP	P4495A-ND	11.43	85.72	506.69	ECK-D3D562KBP
3K	100pF	±10%	Y5P	7.5	6.0	7.5	.65	P9575-ND	2.91	19.53	99.44	ECK-A3F101KBP	P4496A-ND	3.26	23.28	130.38	ECK-D3F101KBP
	120pF	±10%	Y5P	7.5	6.0	7.5	.65	P9576-ND	2.91	19.53	99.44	ECK-A3F121KBP	P4497A-ND	3.26	23.28	130.38	ECK-D3F121KBP
	150pF	±10%	Y5P	7.5	6.0	7.5	.65	P9577-ND	2.91	19.53	99.44	ECK-A3F151KBP	P4498A-ND	3.26	23.28	130.38	ECK-D3F151KBP
	180pF	±10%	Y5P	7.5	6.0	7.5	.65	P9578-ND	2.91	19.53	99.44	ECK-A3F181KBP	—	—	—	—	—
	220pF	±10%	Y5P	7.5	6.0	7.5	.65	P9579-ND	2.91	19.53	99.44	ECK-A3F221KBP	P4500A-ND	3.26	23.28	130.38	ECK-D3F221KBP
	270pF	±10%	Y5P	7.5	6.0	7.5	.65	P9580-ND	2.91	19.53	99.44	ECK-A3F271KBP	P4501A-ND	3.26	23.28	130.38	ECK-D3F271KBP
	330pF	±10%	Y5P	8.0	6.0	7.5	.65	P9581-ND	2.91	19.53	99.44	ECK-A3F331KBP	P4502A-ND	3.47	24.76	138.67	ECK-D3F331KBP
	390pF	±10%	Y5P	9.0	6.0	7.5	.65	P9582-ND	3.38	22.66	115.32	ECK-A3F391KBP	P4503A-ND	3.67	26.24	146.97	ECK-D3F391KBP
	470pF	±10%	Y5P	9.5	6.0	7.5	.65	P9583-ND	3.38	22.66	115.32	ECK-A3F471KBP	P4504A-ND	3.95	28.15	157.64	ECK-D3F471KBP
	560pF	±10%	Y5P	10.0	6.0	7.5	.65	P9584-ND	3.38	22.66	115.32	ECK-A3F561KBP	P4505A-ND	4.21	30.05	168.30	ECK-D3F561KBP
	680pF	±10%	Y5P	11.0	6.0	7.5	.65	P9585-ND	3.84	25.39	152.35	ECK-A3F681KBP	P4506A-ND	5.33	39.20	225.15	ECK-D3F681KBP
	820pF	±10%	Y5P	11.0	6.0	7.5	.65	P9586-ND	3.84	25.39	152.35	ECK-A3F821KBP	P4507A-ND	5.33	39.20	225.15	ECK-D3F821KBP
	1000pF	±10%	Y5P	12.5	6.0	7.5	.65	P9587-ND	4.52	29.94	179.67	ECK-A3F102KBP	P4508A-ND	5.44	39.99	229.72	ECK-D3F102KBP
	1200pF	±10%	Y5P	14.5	6.0	10.0	.65	P9588-ND	4.91	32.52	195.10	ECK-A3F122KBP	P4509A-ND	8.20	61.53	363.69	ECK-D3F122KBP
	1500pF	±10%	Y5P	14.5	6.0	10.0	.65	P9589-ND	4.91	32.52	195.10	ECK-A3F152KBP	P4510A-ND	8.08	60.57	358.06	ECK-D3F152KBP
	1800pF	±10%	Y5P	14.5	6.0	10.0	.65	P9590-ND	4.91	32.52	195.10	ECK-A3F182KBP	—	—	—	—	—
	2200pF	±10%	Y5P	17.0	6.0	10.0	.65	P9591-ND	5.95	39.38	236.24	ECK-A3F222KBP	P4512A-ND	11.73	88.00	520.20	ECK-D3F222KBP
	2700pF	±10%	Y5P	18.5	6.0	10.0	.65	P9592-ND	5.95	39.38	236.24	ECK-A3F272KBP	—	—	—	—	—

E

Alle Preisangaben in Euro und inklusive Zollgebühren.

Typ RS, Klasse 1 Sicherheit

Die Keramikscheibenkondensatoren, Typ RS, entsprechen den folgenden Sicherheitsvorschriften: • UL1414 (125 V AC) und CSA (125 V AC)

Spezifikationen:

Betriebstemperaturbereich: -25 °C ~ 85 °C			
Nennspannung	Zutreffende Normen	Nennspannung	
	UL, CSA	125VAC	
Dielektrische Haltespannung	T.C.	Spannung	
	B, E	2.600 V AC für 1 Min.	
	V	2.500 V AC für 1 Min.	
Kapazität	Innerhalb der Toleranz, gemessen bei 1 kHz, 5 Vrms und 20 °C		
Dissipationsfaktor	B, E: max. 0,025 V: max. 0,05, gemessen bei 1 kHz, max. 5 Vrms und 20 °C		
Isolationswiderst.	10.000 MΩ bei 500 V DC, 1 Min.		
Temperatureigenschaften	T.C.	Kap. änderung	Temp. Bereich
	B	max. ±10 %	-25°C ~ 85°C
	E	max. +20/-55 %	-25°C ~ 85°C
	V	max. +30/-80 %	0°C ~ 70°C
Die Referenztemperatur: 20 °C			

Klasse 2, hohe dielektrische Konstante

MERKMALE: •Hohe Kapazität in kleiner Größe • Mindestharzbeschichtung an Anschluss

Anwendungen: • Kopplung und By-Pass, wenn Verlustarmut und hohe Stabilität der Kapazität nicht so wichtig sind

Spezifikationen: • Betriebstemperaturbereich: -25 °C ~ 85 °C • Nennspannung: 25 V DC, 50 V DC, 500 V DC • Dielektrische Haltespannung: 250 % der Nennspannung für 1 ~ 5 Sekunden (wenn die Prüfspannung zwischen Klemmen angelegt wird, entstehen keine Schäden) • Kapazität: gemessen bei 1 kHz ±10 %, 1 Vrms und 20 °C innerhalb der spezifizierten Toleranz - Standardkapazitätstoleranz [Y5P]: ±10 % [Y5V, Z4V]: +80/-20 % • Verlustfaktor: [Y5P]: D.F. ≤0,025 [Y5V, Z4V]: D.F. ≤0,05 • Isolationswiderstand: C ≤0,02 µF: ≥10.000 MΩ, C >0,02 µF: CR-Produkte ≥200 MΩ (gemessen bei Nennspannung und Elektrisierung von 1 Minute) • Temperatureigenschaften

$$\text{Kap. Veränderung} = \frac{\triangle C}{C20} \times 100\%$$

Wobei C20: Kapazitätswert in pF bei spezifizierter Referenztemperatur von 20 °C.
△C: Kapazitätsabwanderungen in pF vom Kapazitätswert bei 20 °C über dem spezifizierten Temperaturbereich.

Temperatur-eigenschaften	Max. Kapazitätsver-änderung	Temperaturbereich
Y5P	± 10%	-25°C ~ 85°C
Y5V	+30/-80%	-25°C ~ 85°C
Z4V	+30/-80%	0°C ~ 70°C

Klasse 1, Temperaturausgleich

MERKMALE: • Breiter Produktbereich für Temperaturausgleich • Linearer Kapazitätstemperaturkoeffizient • Hohe Stabilität der Kapazität und enge Toleranz • Verlustarm bei breitem Frequenzbereich

Anwendungen: • Temperaturausgleich von Resonanzkreisen und Filtern • Wenn Verlustarmut und hohe Stabilität der Kapazitätstoleranz sowie ein hoher Isolationswiderstand erforderlich sind

Spezifikationen: • Betriebstemperaturbereich: -25 °C ~ 85 °C • Nennspannung: 50 V DC, 500 V DC • Dielektrische Haltespannung: 300 % der Nennspannung für 1 ~ 5 Sekunden (wenn die Prüfspannung zwischen Klemmen angelegt wird, entstehen keine Schäden) • Kapazität: gemessen bei 1 MHz ±20 %, max. 5 Vrms. max. und 20 °C innerhalb der spezifizierten Toleranz - Standardkapazitätstoleranz: ±0.25 pF (1 ~ 5 pF), ±0,5 pF (1 ~ 10 pF), ±1 pF (10 pF), ±5 % (über 10 pF NP0), ±10 % (über 10 pF GP) • Q-Faktor: Kap. <30 pF: Q≥400+20XC (c: Nennkapazität in pF), Kap≥30 pF: Q≥1.000 • Isolationswiderstand: ≥10.000 MΩ (gemessen bei Nennspannung und Elektrisierung von 1 Minute) • Temperaturkoeffizient der Kapazitanz: Temperaturbereich: -25 °C ~ 85 °C, Referenztemperatur:

$$20°C,\ T.C. = \frac{\triangle C}{C_{20} \times \triangle T}$$

Wobei: C20: Kapazitätswert in pF bei spezifizierter Referenztemperatur von 20 °C. △C: Kapazitätabwanderung in pF vom Kapazitätswert bei 20 °C. △T: Der spezifizierte Temperaturbereich, gemessen in °C.

Kapazität (pF)	Nenntemperaturkoeffizient (ppm/°C)	
	NP0	GP
1 ~ 2	±250	+350
3	±120	~
4 und darüber	±60	-1000

Spannung	Kapazität	Toleranz	Temp. Eigenschaften	Abm. (mm) Durchmesser	Dicke	Rastermaß	Digi-Key Teilenr.	Preisangaben 10	100	1.000	Panasonic Teilenr.
RS Sicherheitstyp Klasse 1											
125	150pF	±20%	B	9.5	7.0	7.5	P4463A-ND	2.42	17.30	96.90	ECK-DRS151MB
	1500pF	±20%	E	10.0	7.0	7.5	P4467A-ND	3.58	25.60	143.36	ECK-DRS152ME
	4700pF	+80, -20%	V	11.5	7.0	7.5	P4472A-ND	3.02	21.57	120.80	ECK-DRS472ZV
Klasse 2, hohe dielektrische Konstante											
25	.033µF	+80, -20%	Z4V	8.5	3.5	5.0	P4305A-ND	1.09	7.35	37.93	ECK-F1E333ZV
	.047µF	+80%-20%	Z4V	8.5	3.5	6.35	P4307-ND	1.13	7.64	39.44	ECK-F1E473ZVE
50	6800pF	+80, -20%	Y5V	6.5	3.5	5.0	P4065A-ND	.87	5.88	30.34	ECK-F1H682ZF
	6800pF	±10%	SB	6.5	3.5	5.0	P4157-ND	2.25	15.91	86.76	ECF-F1H682KB

Spannung	Kapazität	Toleranz	Temp. Eigenschaften	Abm. (mm) Durchmesser	Dicke	Rastermaß	Digi-Key Teilenr.	Preisangaben 10	100	1.000	Panasonic Teilenr.
500	150pF	±10%	Y5P	6.0	4.0	5.0	P4102A-ND	.96	6.47	33.37	ECK-D2H151KB5
	390pF	±10%	Y5P	6.0	4.0	5.0	P4107A-ND	.96	6.47	33.37	ECK-D2H391KB5
Klasse 1, Temperaturausgleich											
50	1000pF	±5%	GP	10.5	3.5	5.0	P4036A-ND	1.55	10.96	59.74	ECC-F1H102J
500	15pF	±10%	GP	6.0	3.5	5.0	P4002A-ND	1.41	9.45	48.76	ECC-D2H150K5
	82pF	±10%	GP	7.0	3.5	5.0	P4011A-ND	1.41	9.45	48.76	ECC-D2H820K5
	15pF	±5%	NP0	6.0	3.5	5.0	P4402A-ND	2.15	15.14	82.54	ECC-D2H150JC5
	47pF	±5%	NP0	8.5	3.5	5.0	P4408A-ND	2.54	17.93	97.78	ECC-D2H470JC5
	82pF	±5%	NP0	13.0	3.5	9.5	P4411-ND	2.52	18.02	100.89	ECC-D2H820JCE

E

Arrays mit Vielschicht-Keramikchipkondensatoren

Serie ECJ-T und ECJ-R

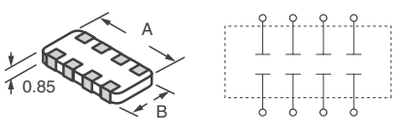

MERKMALE: • Vier Kondensatoren, gebaut nach dem Miniaturgrößentyp 0805 und 1206 • Verbesserung der Platzierungszeit auf Montagemaschinen • Geringe Eigeninduktivität und ausgezeichnete Frequenzeigenschaften
EMPFOHLENE ANWENDUNGEN: • Eingangs-/Ausgangsschaltkreis der Computer-Mutterplatine - serielle, Video- und Parallelanschlüsse

Größencode	Typ	WV* DC	Kondensatoren	Abmessungen (mm) A	B	Toleranz	Digi-Key Teilenr.	Gurtabschnittspreise 1	10	100	500	1.000	Digi-Key Teilenr.	Gegurtet auf Rolle 4.000	Panasonic Teilenr.
0805	NP0	50	10pF	2.0	1.25	±1pF	P11999CT-ND	.31	2.11	14.87	51.40	81.15	P11999TR-ND	70.27/M	ECJ-TVC1H100F
			22pF			±10%	P12001CT-ND	.31	2.11	14.87	51.40	81.15	P12001TR-ND	70.27/M	ECJ-TVC1H220K
			47pF			±10%	P12003CT-ND	.31	2.11	14.87	51.40	81.15	P12003TR-ND	70.27/M	ECJ-TVC1H470K
			100pF			±10%	P12000CT-ND	.31	2.11	14.87	51.40	81.15	P12000TR-ND	70.27/M	ECJ-TVC1H101K
			220pF			±10%	P12002CT-ND	.31	2.11	14.87	51.40	81.15	P12002TR-ND	70.27/M	ECJ-TVC1H221K
	X7R	50	470pF	2.0	1.25	±20%	P11998CT-ND	.31	2.11	14.87	51.40	81.15	P11998TR-ND	70.27/M	ECJ-TVB1H471M
			1000pF				P11996CT-ND	.31	2.11	14.87	51.40	81.15	P11996TR-ND	70.27/M	ECJ-TVB1H102M
			2200pF				P11997CT-ND	.31	2.11	14.87	51.40	81.15	P11997TR-ND	70.27/M	ECJ-TVB1H222M
		25	4700pF	2.0	1.25	±20%	P11995CT-ND	.31	2.11	14.87	51.40	81.15	P11995TR-ND	70.27/M	ECJ-TVB1E472M
		16	.01µF	2.0	1.25	±20%	P11994CT-ND	.27	1.99	14.22	51.20	79.65	P11994TR-ND	73.66/M	ECJ-TVB1C103M
	X5R	10	.1µF	2.0	1.25	±20%	P12977CT-ND	.24	2.07	17.75	73.98	127.24	P12977TR-ND	82.97/M	ECJ-TVB1A104M
		6.3	1µF	2.0	1.25	±20%	P11985CT-ND	.36	2.68	19.67	71.17	113.04	P11985TR-ND	109.22/M	ECJ-TVB0J105M
	Y5V	16	.1µF	2.0	1.25	+80%/-20%	P12004CT-ND	.27	1.99	14.22	51.20	79.65	P12004TR-ND	73.66/M	ECJ-TVF1C104Z
1206	NP0	50	10pF	3.2	1.6	±1pF	P10580CT-ND	.24	2.07	17.73	73.87	127.05	P10580TR-ND	82.97/M	ECJ-RVC1H100F
			12pF			±10%	P10581CT-ND	.34	3.00	25.65	106.88	183.84	P10581TR-ND	119.37/M	ECJ-RVC1H120K
			15pF			±10%	P10582CT-ND	.24	2.07	17.73	73.87	127.05	P10582TR-ND	82.97/M	ECJ-RVC1H150K
			18pF			±10%	P10583CT-ND	.34	3.00	25.65	106.88	183.84	P10583TR-ND	119.37/M	ECJ-RVC1H180K
			22pF			±10%	P10584CT-ND	.24	2.07	17.73	73.87	127.05	P10584TR-ND	82.97/M	ECJ-RVC1H220K
			27pF				P10585CT-ND	.41	3.61	30.99	129.11	222.06	P10585TR-ND	144.77/M	ECJ-RVC1H270K
			33pF				P10586CT-ND	.24	2.07	17.73	73.87	127.05	P10586TR-ND	82.97/M	ECJ-RVC1H330K
			39pF			±10%	P10587CT-ND	.41	3.61	30.99	129.11	222.06	P10587TR-ND	144.77/M	ECJ-RVC1H390K
			47pF				P10588CT-ND	.26	2.29	19.68	82.02	141.07	P10588TR-ND	92.28/M	ECJ-RVC1H470K
			56pF				P10589CT-ND	.42	3.71	31.75	132.28	227.52	P10589TR-ND	148.16/M	ECJ-RVC1H560K
			68pF				P10590CT-ND	.32	2.79	23.85	99.37	170.92	P10590TR-ND	110.91/M	ECJ-RVC1H680K
			82pF				P10591CT-ND	.42	3.71	31.75	132.28	227.52	P10591TR-ND	148.16/M	ECJ-RVC1H820K
			100pF			±10%	P10592CT-ND	.32	2.79	23.85	99.37	170.92	P10592TR-ND	110.91/M	ECJ-RVC1H101K
			120pF				P10593CT-ND	.43	3.79	32.51	135.46	232.98	P10593TR-ND	151.55/M	ECJ-RVC1H121K
			150pF				P10594CT-ND	.32	2.79	23.85	99.37	170.92	P10594TR-ND	110.91/M	ECJ-RVC1H151K
			180pF				P10595CT-ND	.44	3.85	33.02	137.57	236.62	P10595TR-ND	154.08/M	ECJ-RVC1H181K
			220pF				P10596CT-ND	.32	2.79	23.85	99.37	170.92	P10596TR-ND	110.91/M	ECJ-RVC1H221K
			270pF				P10597CT-ND	.44	3.85	33.02	137.57	236.62	P10597TR-ND	154.08/M	ECJ-RVC1H271K
			330pF			±10%	P10598CT-ND	.32	2.79	23.85	99.37	170.92	P10598TR-ND	110.91/M	ECJ-RVC1H331K
			390pF				P10599CT-ND	.44	3.85	33.02	137.57	236.62	P10599TR-ND	154.08/M	ECJ-RVC1H391K
			470pF				P10600CT-ND	.32	2.79	23.85	99.37	170.92	P10600TR-ND	110.91/M	ECJ-RVC1H471K
	X7R	50	330pF	3.2	1.6	±20%	P10601CT-ND	.34	2.96	25.40	105.83	182.02	P10601TR-ND	118.53/M	ECJ-RVB1H331M
			470pF				P10602CT-ND	.18	1.58	13.56	56.51	97.20	P10602TR-ND	63.50/M	ECJ-RVB1H471M
			680pF				P10603CT-ND	.18	1.58	13.56	56.51	97.20	P10603TR-ND	63.50/M	ECJ-RVB1H681M
			1000pF				P10604CT-ND	.18	1.58	13.56	56.51	97.20	P10604TR-ND	63.50/M	ECJ-RVB1H102M
			1500pF				P10605CT-ND	.18	1.58	13.56	56.51	97.20	P10605TR-ND	63.50/M	ECJ-RVB1H152M
			2200pF				P10606CT-ND	.18	1.58	13.56	56.51	97.20	P10606TR-ND	63.50/M	ECJ-RVB1H222M
			3300pF				P10607CT-ND	.19	1.70	14.60	60.85	104.67	P10607TR-ND	68.58/M	ECJ-RVB1H332M
			4700pF			±20%	P10608CT-ND	.19	1.70	14.60	60.85	104.67	P10608TR-ND	68.58/M	ECJ-RVB1H472M
			6800pF				P10609CT-ND	.19	1.70	14.60	60.85	104.67	P10609TR-ND	68.58/M	ECJ-RVB1H682M
			10000pF				P10610CT-ND	.19	1.70	14.60	60.85	104.67	P10610TR-ND	68.58/M	ECJ-RVB1H103M
		16	.1µF	3.2	1.6	±20%	P11148CT-ND	.29	2.51	21.56	89.85	154.54	P11148TR-ND	100.75/M	ECJ-RVB1C104M
	X5R	6.3	1µF	3.2	1.6	±20%	P12976CT-ND	.08	.69	5.92	24.66	42.41	P12976TR-ND	27.94/M	ECJ-RVB0J105M
	Y5V	25	.1µF	3.2	1.6	+80%/-20%	P10611CT-ND	.15	1.30	11.20	46.67	80.27	P10611TR-ND	52.49/M	ECJ-RVF1E104Z
		10	1µF	3.2	1.6	+80%/-20%	P11993CT-ND	.44	3.25	23.20	83.51	129.90	P11993TR-ND	120.22/M	ECJ-RVF1A105Z

* Betriebsspannung

Panasonic® Vielschicht-Keramikchipkondensatoren 2-facher Array-Typ

MERKMALE: • Zwei Kondensatoren, nach dem Miniaturgrößentyp 0504 gebaut
SPEZIFIKATIONEN:• Betriebstemperaturbereich für NPO: -55 °C ~ 85 °C • Betriebstemperaturbereich für X5R: -55 °C ~ 125 °C **EMPFOHLENE ANWENDUNGEN:** • Stabilisierung von Stromversorgungsspannung und Rauschfilterung als Entkopplungskondensatoren für digitale IC-Stromschaltkreise • Bypass-Kondensatoren für CPU-Digitalsignale

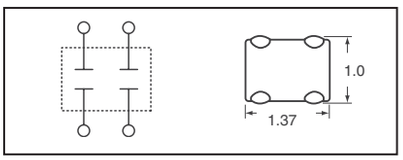

Größen code	Typ	WV DC*	Kap.	Tol.	Digi-Key Teilenr.	Gurtabschnittspreise 1	10	100	500	1.000	Digi-Key Teilenr.	Preisangabe für gegurtet auf Rolle 4.000	Panasonic Teilenr.
0504	NPO	50	10pF	±1pF	P12981CT-ND	.22	1.95	16.66	69.42	119.40	P12981TR-ND	77.89/M	ECJ-UVC1H100F
			22pF	±10pF	P12983CT-ND	.22	1.95	16.66	69.42	119.40	P12983TR-ND	77.89/M	ECJ-UVC1H220K
			47pF	±10pF	P12984CT-ND	.22	1.95	16.66	69.42	119.40	P12984TR-ND	77.89/M	ECJ-UVC1H470K
			100pF	±10%	P12982CT-ND	.22	1.95	16.66	69.42	119.40	P12982TR-ND	77.89/M	ECJ-UVC1H101K
	X5R	16	1µF	±20%	P12979CT-ND	.54	4.75	40.71	169.64	291.78	P12979TR-ND	189.64/M	ECJ-UVBPC105M
			1µF	±20%	P11983CT-ND	.62	4.61	33.82	122.33	194.29	P11983TR-ND	187.10/M	ECJ-UVB1C105M
		10	.1µF	±20%	P11982CT-ND	.39	2.87	20.51	73.83	114.85	P11982TR-ND	106.68/M	ECJ-UVB1A104M
			1µF	±20%	P11984CT-ND	.52	3.91	28.75	103.99	165.15	P11984TR-ND	159.16/M	ECJ-UVB1A105M
			1µF	±20%	P12978CT-ND	.47	4.10	35.15	146.46	251.91	P12978TR-ND	164.24/M	ECJ-UVBPA105M
		6.3	1µF	±20%	P11981CT-ND	.44	3.28	24.11	87.22	138.52	P11981TR-ND	133.77/M	ECJ-UVB0J105M
			1µF	±20%	P12980CT-ND	.38	3.37	28.88	120.33	206.96	P12980TR-ND	134.61/M	ECJ-UVBPJ105M
			2.2µF	±20%	P11986CT-ND	.30	2.29	16.87	61.02	96.92	P11986TR-ND	93.13/M	ECJ-UVBPJ225M

*Betriebsspannung DC

Keramikscheibenkondensatoren Typ KGE Hochspannung - Nennwert 1 bis 3 kV DC, Temperaturmerkmal SL/GP

MERKMALE:

• Betriebstemperaturbereich: -25 °C ~ 105 °C • Verlustarm bei breitem Frequenzbereich und stabil bei hohen Spannungsimpulsen • Temperaturstabil (Eigensch.l SL/GP) • Mit flammhemmender isolierender Beschichtung

EMPFOHLENE ANWENDUNGEN: • Ballastschaltkreis von Inverter für LCD-Hintergrundbeleuchtung • Überspannungsschutzkreis für Schaltnetzteile • Horizontaler Schwingkreis von TV- und CRT-Display • Beleuchtungsapparat, Invertertyp • Hohe Spannungsimpulse und DC-Schaltkreise

SPEZIFIKATIONEN:

• **Betriebstemperaturbereich:** -25 °C ~ 105 °C • **Nennspannung:** 1 kV DC, 2 kV DC, 3 kV DC • **Dielektrische Haltespannung:** 200 % der Nennspannung für 1 bis 5 S • **Kapazität: Innerhalb Toleranz**, gemessen bei 1MHz ±20 %, 1 bis 5 Vrms und 20 °C • **Q-Faktor: Kapazität <30 pF: Q ≥400 + 20 xC (C:** Nennkapazität in pF). Kapazität ≥30 pF: Q ≥1.000 bei 1 MHz ±20 %, 1 bis 5 Vrms, und 20 °C • **Isolationswiderstand:** 10.000MΩ bei 500 V DC und Elektrisierung von 1 Minute • **Temperatureigenschaften:** Temperaturkoeffizient: +350 ~ -1.000 ppm/°C über dem Temperaturbereich von 20 °C ~ 85 °C

Spannung	Kapazität	Temperatur-toleranz	Eigenschaften	Abmessungen (mm) Durchmesser	Dicke	Rastermaß	Geknicker Anschluss -Bleifrei/RoHS-konform Digi-Key Teilenr.	Preisangaben 10	100	1.000	Panasonic Teilenr.	Gerader Anschluss (Nicht für Neukonstruktionen empfohlen) Digi-Key Teilenr.	Preisangaben 10	100	1.000	Panasonic Teilenr.
1K	12pF	±5%	GP	6.0	5.0	5.0	P9593-ND	2.68	17.95	91.38	ECC-A3A120JGE	P10793-ND	2.38	16.76	91.43	ECC-D3A120JGE
	15pF						P9594-ND	2.68	17.95	91.38	ECC-A3A150JGE	P10794-ND	2.38	16.76	91.43	ECC-D3A150JGE
	18pF						P9595-ND	2.68	17.95	91.38	ECC-A3A180JGE	P10795-ND	2.38	16.76	91.43	ECC-D3A180JGE
	22pF						P9596-ND	2.68	17.95	91.38	ECC-A3A220JGE	P10796-ND	2.38	16.76	91.43	ECC-D3A220JGE
	27pF						P9597-ND	2.68	17.95	91.38	ECC-A3A270JGE	P10797-ND	2.38	16.76	91.43	ECC-D3A270JGE
	33pF	±5%	GP	6.0	5.0	5.0	P9598-ND	2.68	17.95	91.38	ECC-A3A330JGE	P10798-ND	2.51	17.69	96.51	ECC-D3A330JGE
	39pF						P9599-ND	2.68	17.95	91.38	ECC-A3A390JGE	P10799-ND	2.51	17.69	96.51	ECC-D3A390JGE
	47pF						P9614-ND	2.68	17.95	91.38	ECC-A3A470JGE	P10800-ND	2.51	17.69	96.51	ECC-D3A470JGE
	56pF						P9615-ND	2.68	17.95	91.38	ECC-A3A560JGE	P10801-ND	2.51	17.69	96.51	ECC-D3A560JGE
	68pF						P9616-ND	2.68	17.95	91.38	ECC-A3A680JGE	P10802-ND	2.51	17.69	96.51	ECC-D3A680JGE
	82pF	±5%	GP	6.0	5.0	5.0	P9617-ND	2.68	17.95	91.38	ECC-A3A820JGE	P10803-ND	2.51	17.69	96.51	ECC-D3A820JGE
	100pF			7.0			P9618-ND	2.84	19.05	96.95	ECC-A3A101JGE	P10804-ND	2.71	19.09	104.13	ECC-D3A101JGE
	120pF			7.0			P9619-ND	2.84	19.05	96.95	ECC-A3A121JGE	P10805-ND	2.71	19.09	104.13	ECC-D3A121JGE
	150pF			8.0			P9620-ND	2.84	19.05	96.95	ECC-A3A151JGE	P10806-ND	2.61	18.63	104.30	ECC-D3A151JGE
	180pF			8.0			P9621-ND	2.84	19.05	96.95	ECC-A3A181JGE	P10807-ND	2.61	18.63	104.30	ECC-D3A181JGE
	220pF	±5%	GP	9.0	5.0	5.0	P9622-ND	3.01	20.17	102.64	ECC-A3A221JGE	P10808-ND	2.79	19.90	111.41	ECC-D3A221JGE
	270pF			9.0	5.0	5.0	P9623-ND	3.01	20.17	102.64	ECC-A3A271JGE	P10809-ND	2.84	20.32	113.78	ECC-D3A271JGE
	330pF			11.0	5.0	5.0	P9624-ND	3.61	24.17	123.03	ECC-A3A331JGE	—	—	—	—	—
	390pF			11.0		5.0	P9625-ND	3.61	24.17	123.03	ECC-A3A391JGE	P10811-ND	3.32	23.70	132.75	ECC-D3A391JGE
	470pF			13.0		7.5	P9626-ND	4.21	28.22	143.65	ECC-A3A471JGE	P10812-ND	3.73	26.67	149.34	ECC-D3A471JGE
2K	12pF	±5%	GP	7.0	5.5	7.5	P9627-ND	3.28	21.95	111.77	ECC-A3D120JGE	P10813-ND	2.67	19.05	106.67	ECC-D3D120JGE
	15pF						P9628-ND	3.28	21.95	111.77	ECC-A3D150JGE	P10814-ND	2.67	19.05	106.67	ECC-D3D150JGE
	18pF						P9629-ND	3.28	21.95	111.77	ECC-A3D180JGE	P10815-ND	2.67	19.05	106.67	ECC-D3D180JGE
	22pF						P9630-ND	3.28	21.95	111.77	ECC-A3D220JGE	P10816-ND	2.67	19.05	106.67	ECC-D3D220JGE
	27pF						P9631-ND	3.28	21.95	111.77	ECC-A3D270JGE	P10817-ND	2.67	19.05	106.67	ECC-D3D270JGE
	33pF	±5%	GP	7.0	5.5	7.5	P9632-ND	3.28	21.95	111.77	ECC-A3D330JGE	P10818-ND	2.73	19.47	109.04	ECC-D3D330JGE
	39pF						P9633-ND	3.28	21.95	111.77	ECC-A3D390JGE	P10819-ND	2.73	19.47	109.04	ECC-D3D390JGE
	47pF						P9634-ND	3.28	21.95	111.77	ECC-A3D470JGE	P10820-ND	2.73	19.47	109.04	ECC-D3D470JGE
	56pF						P9635-ND	3.28	21.95	111.77	ECC-A3D560JGE	P10821-ND	2.84	20.32	113.78	ECC-D3D560JGE
	68pF						P9636-ND	3.28	21.95	111.77	ECC-A3D680JGE	P10822-ND	2.84	20.32	113.78	ECC-D3D680JGE
	82pF						P9637-ND	3.28	21.95	111.77	ECC-A3D820JGE	P10823-ND	2.96	21.17	118.52	ECC-D3D820JGE
	100pF	±5%	GP	8.0	5.5	7.5	P9638-ND	3.39	22.70	115.56	ECC-A3D101JGE	P10824-ND	2.96	21.17	118.52	ECC-D3D101JGE
	120pF			8.0			P9639-ND	3.39	22.70	115.56	ECC-A3D121JGE	P10825-ND	3.08	22.01	123.26	ECC-D3D121JGE
	150pF			9.0			P9640-ND	3.93	26.35	134.17	ECC-A3D151JGE	P10826-ND	3.20	22.86	128.01	ECC-D3D151JGE
	180pF			10.0			P9641-ND	3.99	26.36	158.18	ECC-A3D181JGE	P10827-ND	3.26	23.28	130.38	ECC-D3D181JGE
	220pF			10.0			P9642-ND	3.99	26.36	158.18	ECC-A3D221JGE	—	—	—	—	—
3K	12pF	±5%	GP	7.0	6.0	7.5	P9643-ND	3.34	22.35	113.78	ECC-A3F120JGE	P10829-ND	3.44	24.55	137.49	ECC-D3F120JGE
	15pF						P9644-ND	3.34	22.35	113.78	ECC-A3F150JGE	P10830-ND	3.44	24.55	137.49	ECC-D3F150JGE
	18pF						P9645-ND	3.34	22.35	113.78	ECC-A3F180JGE	P10831-ND	3.44	24.55	137.49	ECC-D3F180JGE
	22pF						P9646-ND	3.34	22.35	113.78	ECC-A3F220JGE	P10832-ND	3.44	24.55	137.49	ECC-D3F220JGE
	27pF						P9647-ND	3.34	22.35	113.78	ECC-A3F270JGE	P10833-ND	3.44	24.55	137.49	ECC-D3F270JGE
	33pF	±5%	GP	7.0	6.0	7.5	P9648-ND	3.34	22.35	113.78	ECC-A3F330JGE	—	—	—	—	—
	39pF			7.0			P9649-ND	3.34	22.35	113.78	ECC-A3F390JGE	P10835-ND	3.56	25.40	142.23	ECC-D3F390JGE
	47pF			7.0			P9650-ND	3.34	22.35	113.78	ECC-A3F470JGE	P10836-ND	3.56	25.40	142.23	ECC-D3F470JGE
	56pF			8.0			P9651-ND	3.34	22.35	113.78	ECC-A3F560JGE	P10837-ND	3.67	26.24	146.97	ECC-D3F560JGE
	68pF			8.0			P9652-ND	3.34	22.35	113.78	ECC-A3F680JGE	P10838-ND	3.67	26.24	146.97	ECC-D3F680JGE
	82pF	±5%	GP	9.0	6.0	7.5	P9653-ND	4.15	27.82	141.64	ECC-A3F820JGE	—	—	—	—	—
	100pF			10.0			P9654-ND	4.15	27.82	141.64	ECC-A3F101JGE	P10840-ND	4.21	30.05	168.30	ECC-D3F101JGE
	120pF			10.0			P9655-ND	4.15	27.82	141.64	ECC-A3F121JGE	P10841-ND	4.27	30.48	170.67	ECC-D3F121JGE
	150pF			11.0			P9656-ND	4.17	27.57	165.38	ECC-A3F151JGE	P10842-ND	4.39	31.32	175.42	ECC-D3F151JGE
6K	10pF	±0.5pF	GP	7.0	6.0	7.5	P12181-ND	4.57	30.27	181.61	ECC-A3J100DGE	—	—	—	—	—
	12pF	±5	GP	7.0	6.0	7.5	P12182-ND	4.57	30.27	181.61	ECC-A3J120JGE	—	—	—	—	—
	15pF			7.0			P12183-ND	4.57	30.27	181.61	ECC-A3J150JGE	—	—	—	—	—
	18pF			7.0			P12184-ND	4.57	30.27	181.61	ECC-A3J180JGE	—	—	—	—	—
	22pF			7.0			P12185-ND	4.57	30.27	181.61	ECC-A3J220JGE	—	—	—	—	—
	27pF	±5	GP	8.0	6.0	7.5	P12186-ND	5.38	35.66	213.95	ECC-A3J270JGE	—	—	—	—	—
	33pF			8.0			P12187-ND	5.38	35.66	213.95	ECC-A3J330JGE	—	—	—	—	—
	39pF			8.5			P12188-ND	5.38	35.66	213.95	ECC-A3J390JGE	—	—	—	—	—
	47pF			9.0			P12189-ND	5.71	37.73	226.41	ECC-A3J470JGE	—	—	—	—	—
	100pF			12.5			P12190-ND	8.75	65.60	387.79	ECC-A3J101JGE	—	—	—	—	—
	150pF			15.0			P12191-ND	9.19	68.88	407.16	ECC-A3J151JGE	—	—	—	—	—

Serie HD Keramikscheibenkondensatoren für hohe Spannung Typ Y5P

Merkmale: • Verbessertes Spannungs- Temperaturanstiegsverhältnis **Eigenschaften:** • Hohe Zuverlässigkeit durch Zink-Kupfer-Elektrode **Anwendung:** • Horizontaler Schwingkreis von TV- und CRT-Display **Spezifikationen:** • Betriebstemperaturbereich: -25 °C ~ 125 °C • Dielektrische Haltespannung: 200 % der Nennspannung für 5 S • Kapazität: Gemessen bei 1 kHz ±20%, 1 bis 5 Vrms und 20 °C innerhalb der spezifizierten Toleranz (±10 %) • Tan des Verlustwinkels: Gemessen bei 1 kHz ±20 %, 1 bis 5 Vrms und 20 °C bei 1,5 % oder weniger • Isolationswiderstand: 500 ±50 V DC und 1 Minute Elektrisierung bei 10.000 MΩ oder mehr • Temperatureigenschaften: Y5P ±10 % (Temperaturbereich: -20 °C ~ 85 °C)

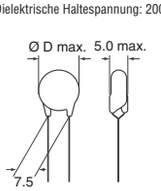

Spannung (kdc)	Kapazität (pF)	Toleranz (%)	Temperatureigen-schaften	Abmessung Durchmesser (mm)	Digi-Key Teilenr.	Preisangaben 10	100	1,000	Panasonic Teilenr.
2	100	±10	Y5P	7.0	P12175-ND	2.81	18.84	95.89	ECK-AHD101KB
	150	±10	Y5P	7.0	P12176-ND	2.81	18.84	95.89	ECK-AHD151KB
	220	±10	Y5P	7.0	P12177-ND	2.81	18.84	95.89	ECK-AHD221KB
	330	±10	Y5P	7.0	P12178-ND	2.81	18.84	95.89	ECK-AHD331KB
	470	±10	Y5P	9.0	P12179-ND	2.81	18.84	95.89	ECK-AHD471KB
	680	±10	Y5P	10.0	P12180-ND	2.81	18.84	95.89	ECK-AHD681KB

Alle Preisangaben in Euro und inklusive Zollgebühren.

Panasonic

Hochspannungs-Keramikkondensatoren (SMD)

MERKMALE: • In Harz gegossen zum Aufschmelzlöten • Hohe Zuverlässigkeit durch Scheibenkondensatorelement, vergossen • Ausgezeichnetes Spannungs- Temperaturanstiegsverhältnis durch verlustarmes Keramikdielektrikum • Temperaturstabil (SL/GP) und (B/Y5P)

SPEZIFIKATIONEN: • Betriebstemperaturbereich: -25 °C ~ 105 °C • Isolationswiderstand: 10.000 MΩ bei 500 V DC und Elektrisierung von 1 Minute • Q oder Dissipationsfaktor (Tan d): *Temp.-Eigenschaften:* C <30 pF: Q ≥400 +20 C (C:Kap.pF), C ≥30 pF: Q ≥1.000 bei 1 MHz, 1-5 Vrms und 20 °C *B/Y5P Temperatureigenschaften:* D.F. (Tan d) ≤0,025 bei 1 kHz, 1-5 Vrms und 20 °C • Temperatureigenschaften *SL/GP* Temperaturkoeffizient: +350 ~ -1.000 ppm/°C *B/Y5P* Max. Kapazitätsänderung : ΔC/C≤±10 % (Temperaturbereich: -25 °C ~ +85 °C) • Kapazität: *SL/GP Temperatureigenschaften:* 1 MHz, 1-5 Vrms und 20 °C *B/Y5P Temperatureigenschaften:* 1 MHz, 1-5 Vrms und 20 °C • Dielektrische Haltespannung *SL/GP Temperatureigenschaften,* (Spannung 4 kV DC): 150 % der Nennspannung für 1-5 S *SL/GP Temperatureigenschaften,* (Spannung 2-3 kV DC): 200 % der Nennspannung für 1-5 S *B/Y5P Temperatureigenschaften:* 200 % der Nennspannung für 1-5 S

EMPFOHLENE ANWENDUNGEN:
- Ausgangsschaltkreis von Inverter für LCD-Hintergrundbeleuchtung
- Überspannungsschutzkreis für Schaltnetzteile
- Hochspannungsschaltkreis

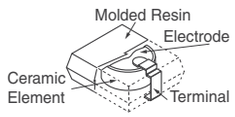

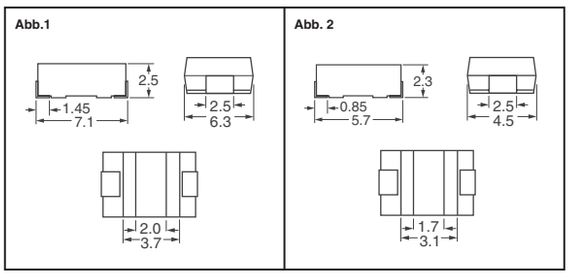

Spannung	Kapazität	Kapaz. Tol. %	Temp.-eig.	Digi-Key Teilenr.	Gurtabschnittspreis pro Stück 1	10	100	Digi-Key Teilenr.	Gegurtet auf Rolle Größe	Preisangaben	Panasonic Teilenr.
Abb. 1											
1kVDC	390pF	±10	B/Y5P	PCC2099CT-ND	1.08	.77	.58	PCC2099TR-ND	2,000	329.33/M	ECK-T3A391KB
	470pF	±10	B/Y5P	PCC2100CT-ND	1.08	.77	.58	PCC2100TR-ND	2,000	329.33/M	ECK-T3A471KB
2kVDC	68pF	±5	SL/GP	PCC2091CT-ND	1.08	.77	.58	PCC2091TR-ND	2,000	324.25/M	ECK-T3D680JG
	100pF	±10	B/Y5P	PCC2092CT-ND	1.08	.77	.58	PCC2092TR-ND	2,000	329.33/M	ECK-T3D101KB
	120pF	±10	B/Y5P	PCC2093CT-ND	1.08	.77	.58	PCC2093TR-ND	2,000	329.33/M	ECK-T3D121KB
	150pF	±10	B/Y5P	PCC2094CT-ND	1.08	.77	.58	PCC2094TR-ND	2,000	329.33/M	ECK-T3D151KB
	180pF	±10	B/Y5P	PCC2095CT-ND	1.08	.77	.58	PCC2095TR-ND	2,000	329.33/M	ECK-T3D181KB
	220pF	±10	B/Y5P	PCC2096CT-ND	1.08	.77	.58	PCC2096TR-ND	2,000	329.33/M	ECK-T3D221KB
	270pF	±10	B/Y5P	PCC2097CT-ND	1.08	.77	.58	PCC2097TR-ND	2,000	329.33/M	ECK-T3D271KB
	330pF	±10	B/Y5P	PCC2098CT-ND	1.08	.77	.58	PCC2098TR-ND	2,000	329.33/M	ECK-T3D331KB
3kVDC	10pF	±5	SL/GP	PCC100JCT-ND	1.19	.84	.63	PCC100JTR-ND	2,000	362.35/M	ECC-T3F100JG
	12pF	±5	SL/GP	PCC120JCT-ND	1.19	.84	.63	PCC120JTR-ND	2,000	362.35/M	ECC-T3F120JG
	15pF	±5	SL/GP	PCC150JCT-ND	1.19	.84	.63	PCC150JTR-ND	2,000	362.35/M	ECC-T3F150JG
	18pF	±5	SL/GP	PCC180JCT-ND	1.19	.84	.63	PCC180JTR-ND	2,000	362.35/M	ECC-T3F180JG
	22pF	±5	SL/GP	PCC220JCT-ND	1.19	.84	.63	PCC220JTR-ND	2,000	362.35/M	ECC-T3F220JG
	27pF	±5	SL/GP	PCC270JCT-ND	1.19	.84	.63	PCC270JTR-ND	2,000	362.35/M	ECC-T3F270JG
	33pF	±5	SL/GP	PCC330JCT-ND	1.19	.84	.63	PCC330JTR-ND	2,000	362.35/M	ECC-T3F330JG
	39pF	±5	SL/GP	PCC390JCT-ND	1.19	.84	.63	PCC390JTR-ND	2,000	362.35/M	ECC-T3F390JG
	47pF	±5	SL/GP	PCC470JCT-ND	1.19	.84	.63	PCC470JTR-ND	2,000	362.35/M	ECC-T3F470JG
	56pF	±5	SL/GP	PCC560JCT-ND	1.19	.84	.63	PCC560JTR-ND	2,000	362.35/M	ECC-T3F560JG
4kVDC	10pF	±5	SL/GP	PCC2082CT-ND	1.22	.92	.69	PCC2082TR-ND	2,000	395.36/M	ECC-T3G100JG
	12pF	±5	SL/GP	PCC2083CT-ND	1.22	.92	.69	PCC2083TR-ND	2,000	395.36/M	ECC-T3G120JG
	15pF	±5	SL/GP	PCC2084CT-ND	1.22	.92	.69	PCC2084TR-ND	2,000	395.36/M	ECC-T3G150JG
	18pF	±5	SL/GP	PCC2085CT-ND	1.22	.92	.69	PCC2085TR-ND	2,000	395.36/M	ECC-T3G180JG
	22pF	±5	SL/GP	PCC2086CT-ND	1.22	.92	.69	PCC2086TR-ND	2,000	395.36/M	ECC-T3G220JG
	27pF	±5	SL/GP	PCC2087CT-ND	1.22	.92	.69	PCC2087TR-ND	2,000	395.36/M	ECC-T3G270JG
	33pF	±5	SL/GP	PCC2088CT-ND	1.22	.92	.69	PCC2088TR-ND	2,000	395.36/M	ECC-T3G330JG
	39pF	±5	SL/GP	PCC2089CT-ND	1.22	.92	.69	PCC2089TR-ND	2,000	395.36/M	ECC-T3G390JG
	47pF	±5	SL/GP	PCC2090CT-ND	1.22	.92	.69	PCC2090TR-ND	2,000	395.36/M	ECC-T3G470JG
Abb. 2											
3kVDC	10pF	±0.5	SL/GP	PCC2368CT-ND	1.19	.84	.63	PCC2368TR-ND	3,000	362.35/M	ECC-T3F100DG2
	12pF	±5	SL/GP	PCC2369CT-ND	1.19	.84	.63	PCC2369TR-ND	3,000	362.35/M	ECC-T3F120JG2
	15pF	±5	SL/GP	PCC2370CT-ND	1.19	.84	.63	PCC2370TR-ND	3,000	362.35/M	ECC-T3F150JG2
	18pF	±5	SL/GP	PCC2371CT-ND	1.19	.84	.63	PCC2371TR-ND	3,000	362.35/M	ECC-T3F180JG2
	22pF	±5	SL/GP	PCC2372CT-ND	1.19	.84	.63	PCC2372TR-ND	3,000	362.35/M	ECC-T3F220JG2
	27pF	±5	SL/GP	PCC2373CT-ND	1.19	.84	.63	PCC2373TR-ND	3,000	362.35/M	ECC-T3F270JG2
	33pF	±5	SL/GP	PCC2374CT-ND	1.19	.84	.63	PCC2374TR-ND	3,000	362.35/M	ECC-T3F330JG2
4kVDC	10pF	±0.5	SL/GP	PCC2375CT-ND	1.19	.84	.63	PCC2375TR-ND	3,000	362.35/M	ECC-T3G100DG2
	12pF	±5	SL/GP	PCC2376CT-ND	1.19	.84	.63	PCC2376TR-ND	3,000	362.35/M	ECC-T3G120JG2
	15pF	±5	SL/GP	PCC2377CT-ND	1.19	.84	.63	PCC2377TR-ND	3,000	362.35/M	ECC-T3G150JG2
	18pF	±5	SL/GP	PCC2378CT-ND	1.19	.84	.63	PCC2378TR-ND	3,000	362.35/M	ECC-T3G180JG2
	22pF	±5	SL/GP	PCC2379CT-ND	1.19	.84	.63	PCC2379TR-ND	3,000	362.35/M	ECC-T3G220JG2
	27pF	±5	SL/GP	PCC2380CT-ND	1.19	.84	.63	PCC2380TR-ND	3,000	362.35/M	ECC-T3G270JG2

E

Keramikscheibenkondensatoren für Sicherheitsvorschriften - Typ BC (SMD)

MERKMALE: • In Harz gegossen zum Aufschmelzlöten bei Oberflächenmontagen • Hohe Zuverlässigkeit durch Scheibenkondensatorelement, vergossen • Entspricht IEC 384-14 Unterklasse Y2/X1 und den japanischen Inlandssicherheitsvorschriften • Eine Standardgröße für einen breiten Kapazitätsbereich von 1.000 pF bis 4.700 pF

ANWENDUNGEN: • Integriertes Leistungsmodul • DC-DC-Umsetzer • FAX-Modulator-Demodulator

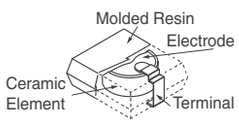

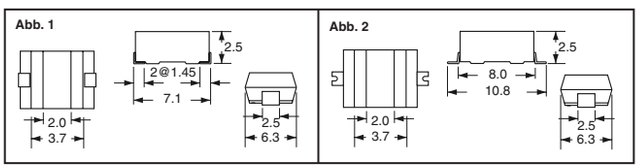

Spannung	Kapazität	Kap. Tol. %	Temp.-eig.	Digi-Key Teilenr.	Gurtabschnittspreis pro Stück 1	10	100	Digi-Key Teilenr.	Gegurtet auf Rolle 2.000	Panasonic Teilenr.
Abb. 1 – J-Lead										
250VAC	1000pF	±20	E	P10739CT-ND	1.21	.95	.87	P10739TR-ND	690.83/M	ECK-TBC102ME
	1500pF	±20	E	P10740CT-ND	1.21	.95	.87	P10740TR-ND	690.83/M	ECK-TBC152ME
	2200pF	±20	E	P10741CT-ND	1.21	.95	.87	P10741TR-ND	690.83/M	ECK-TBC222ME
	3300pF	±20	F	P10742CT-ND	1.21	.95	.87	P10742TR-ND	690.83/M	ECK-TBC332MF
	4700pF	±20	F	P10743CT-ND	1.21	.95	.87	P10743TR-ND	690.83/M	ECK-TBC472MF
Abb. 2 – Gull-Wing										
250VAC	1000pF	±20	E	P10744CT-ND	1.01	.80	.73	—	—	ECK-TBC102MEM
	1500pF	±20	E	P10745CT-ND	1.01	.80	.73	P10745TR-ND	577.21/M	ECK-TBC152MEM
	2200pF	±20	E	P10746CT-ND	1.01	.80	.73	P10746TR-ND	577.21/M	ECK-TBC222MEM
	3300pF	±20	F	P10747CT-ND	1.01	.80	.73	P10747TR-ND	577.21/M	ECK-TBC332MFM

Keramikkondensatoren für Sicherheitsvorschriften - Typ FC (Unterklasse Y2) (SMD)

MERKMALE: • Sicherheitskondensator für Aufschmelzlötverfahren • Zugelassen durch SEMKO (IEC60384-14/EN132400 Unterklasse Y2) und UL/CSA (Line-Bypass-Kondensatoren) • Hohe Zuverlässigkeit durch Scheibenkonden-satorelement, in Harz vergossen

EMPFOHLENE ANWENDUNGEN: • DC-DC-Umsetzer, Leistungsmodul • MODEM, xDSL • Anwendung EX. (MODEM)

NENNGRÖSSEN: • **Abmessungen:** 5,7 L x 4,5 B x 2,3 H (mm) • **Breiter Betriebstemperaturbereich:** -25 °C ~ 100 °C • **Spannungsfestigkeit:** 1.500 V AC, 1 Minute

Temp.-eig.	Kap.-änderung	Temp.-Bereich
SL	+350 ~ -1000ppm/°C	+20°C ~ +85°C
B	max. ±10 %	-20°C ~ +85°C
E	max. +20/-55 %	-20°C ~ +85°C
F	max. +30/-80 %	-20°C ~ +85°C
Die Referenztemperatur: 20 °C		

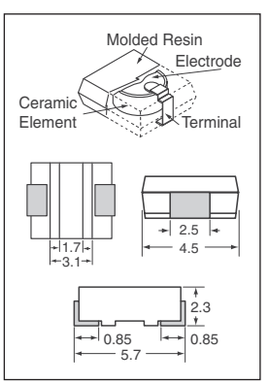

Spannung	Kap.	Kap. Tol. %	Temp.-eig.	Digi-Key Teilenr.	Gurtabschnittspreis pro Stück 1	10	100	Digi-Key Teilenr.	Gegurtet auf Rolle 3.000	Panasonic Teilenr.
250VAC	5pF	±0.5pF	SL	P11424CT-ND	1.18	.93	.85	P11424TR-ND	673.90/M	ECC-TFC050DG
	10pF	±0.5pF	SL	P11425CT-ND	1.18	.93	.85	P11425TR-ND	673.90/M	ECC-TFC100DG
	22pF	±5%	SL	P11426CT-ND	1.18	.93	.85	P11426TR-ND	673.90/M	ECC-TFC220JG
	47pF	±10%	B	P11427CT-ND	1.21	.95	.87	P11427TR-ND	690.83/M	ECK-TFC470KB
	100pF	±10%	B	P11428CT-ND	1.21	.95	.87	P11428TR-ND	690.83/M	ECK-TFC101KB
	150pF	±10%	B	P11429CT-ND	1.21	.95	.87	P11429TR-ND	690.83/M	ECK-TFC151KB
	220pF	±10%	B	P11430CT-ND	1.21	.95	.87	P11430TR-ND	690.83/M	ECK-TFC221KB
	330pF	±10%	B	P11431CT-ND	1.21	.95	.87	P11431TR-ND	690.83/M	ECK-TFC331KB
	470pF	±10%	B	P11432CT-ND	1.21	.95	.87	P11432TR-ND	690.83/M	ECK-TFC471KB
	1000pF	±10%	B	P11433CT-ND	1.41	1.12	1.01	P11433TR-ND	807.66/M	ECK-TFC102KB
	1000pF	±20%	E	P11434CT-ND	1.21	.95	.87	P11434TR-ND	690.83/M	ECK-TFC102ME
	1500pF	±20%	F	P11435CT-ND	1.21	.95	.87	P11435TR-ND	690.83/M	ECK-TFC152MF
	2200pF	±20%	F	P11436CT-ND	1.21	.95	.87	P11436TR-ND	690.83/M	ECK-TFC222MF

Keramikscheibenkondensatoren - Typ GL

ZUGELASSEN NACH UL 1414• CSA C22.2

MERKMALE:
- Nennleistung: 250V AC
- CSA-Nennleistung: 125V AC

ANWENDUNGEN:
- Antennenkopplung
- Line-Bypass und direktes Einschalten
- Überspannungsschutz mit Schaltfunktion usw.

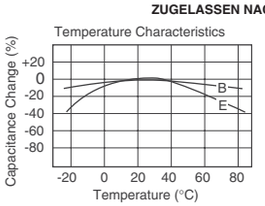

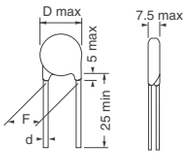

Spannung	Kapazität	Toleranz	Temp.-eig.	Abmessungen (mm) Durchm.	Dicke	Rastermaß	Digi-Key Teilenr.	Stückpreis 1	10	100	1.000	Panasonic Teilenr.
250	100pF	±20%	B	8.0	5.5	7.5	P4484-ND	.52	.39	.28	.16	ECK-DGL101MB
	150pF	±20%	B	8.0	5.5	7.5	P4485-ND	.52	.39	.28	.16	ECK-DGL150MB
	680pF	±20%	B	9.0	5.5	7.5	P4489-ND	.55	.41	.29	.17	ECK-DGL681MB
	1000pF	±20%	E	9.0	5.5	7.5	P4490-ND	.44	.33	.24	.13	ECK-DGL102ME
	1500pF	±20%	E	11.0	5.5	7.5	P4491-ND	.59	.44	.33	.19	ECK-DGL152ME

Vielschicht-Kapazitäts-Chipkondensatoren (MLCC)

Jetzt mit Kapazitätswerten von 1 µF (in 0402) bis zu 100 µF (in 1210) erhältlich

Mehr Optionen bei Kondensatoren

Dank der Fortschritte in der Keramiktechnologie haben Sie bei der Wahl des besten Kondensators für Ihre Anwendung eine größere Auswahl. Sie müssen sich nicht mehr auf Aluminium-Elektrolyt-, Tantal- oder Chipfilmkondensatoren beschränken. MLCC-Kondensatoren hoher Kapazität von Panasonic bieten jetzt höhere Kapazität und bessere Leistung. Die für MLCCs typische höhere Zuverlässigkeit, ESR und Impedanz ist nun auch in höheren Kapazitätswerten erhältlich.

Konstruktionsvorzüge

Mehrere technische Verbesserungen haben es Panasonic ermöglicht, die Kapazität zu erhöhen (1 µF und höher), die Gehäuse zu verkleinern (von 1210 bis auf 0402) und eine höchstmögliche Betriebsspannung (6,3 bis 50 V) beizubehalten. Diese mechanischen und elektrischen Eigenschaften ermöglichen es Ihnen, Produkte herzustellen, die kleiner, leichter, leistungsfähiger, preisgünstiger und konkurrenzfähiger sind.

Elektrische Leistungsvorteile von MLCCs

Niedrigere Impedanzwerte und effektiver Reihenverlustwiderstand (ESR) der MLCC-Kondensatoren im Vgl. zu Tantalkondensatoren, besonders im höheren Frequenzbereich von 100 kHz bis 1 MHz, bieten einen Leistungsvorteil für Ihre Entkopplungsanforderungen.

Niedriger effektiver Reihenverlustwiderstand (ESR)

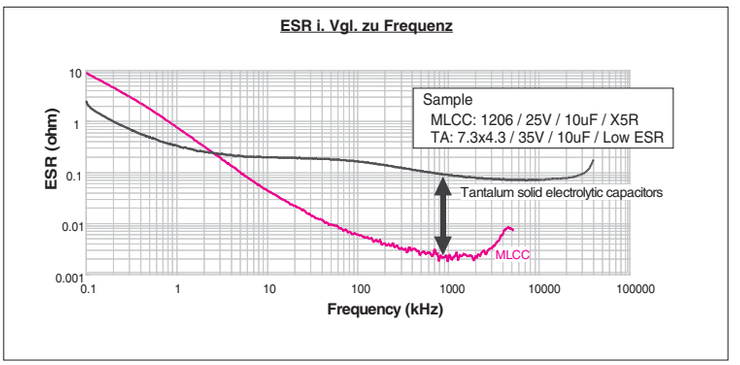

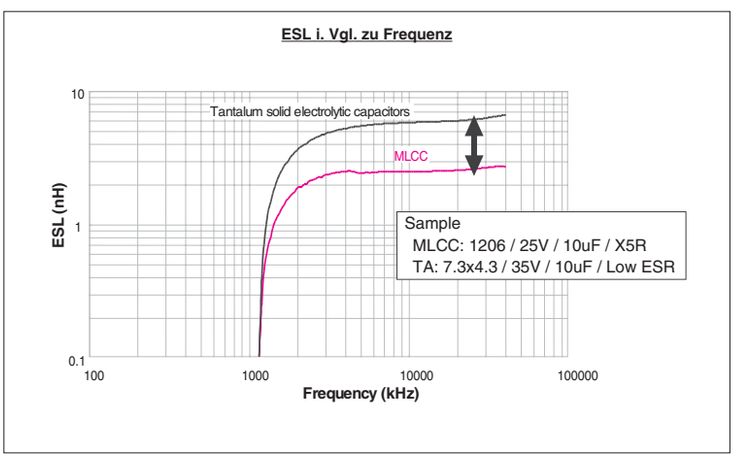

Niedrigere Impedanz (Z)

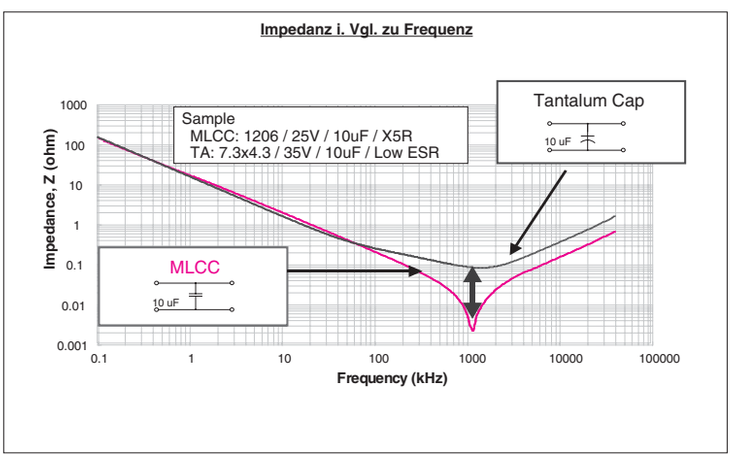

Mehrschicht-Keramikchipkondensatoren (MLCC) mit hoher Kapazität - Konstruktionskit

PCC18A-KIT-ND **42.29**

Enthält je 20 Stück in 20 veschiedenen Werten - 400 Stück insgesamt. Werte von 1 µF bis 22 µF in den Gehäusegrößen 0402 - 1206, 0405 Array und 0612 Umkehrgeometrie. Temperatureigenschaften: X5R. Für Details bitte bei Digi-Key® anrufen.

Mikrowellen-Vielschicht-Keramikchipkondensatoren (Hi-Q)

Jetzt in Gehäusegrößen von 0402 (0,1 ~ 15 pF) und 0201 (0,1 ~ 3 pF) erhältlich

Funktionen und Haupteigenschaften:

- Hohe Q-Werte im Vergleich zu Standard MLCCs, aufgrund ihrer einzigartigen Materialien, wie z.B. silberne Innenelektroden (siehe Grafiken)
- Kleine Gehäuse: 0201 (0,6 x 0,3 mm) und 0402 (1,0 x 0,5 mm), breiter Bereich von Kapazätswerten (0,1 bis 15 pF, in 0,1-Stufen)
- Enge Kapazitätstoleranzen (z.B. +/-0,05 pF für 0,5 pF und geringer)
- Sehr stabile C0G Temperatureigenschaften (0 +/-30 ppm / °C) 25 V Nennbetriebsspannung
- Bleifreie Teilenummern: ECD-G0Exxxx (0402) und ECD-GZExxxx (0201) (dielektrisches Material, Elektroden und Anschlüsse)

Vorteile:

Hervorragende elektrische Leistung in RF- und Mikrowellenschaltkreisen, wie z.B. bei Impedanzabstimmung, Resonanzschaltkreisen und Kopplung.

Typische Anwendungen:

Ihre kleine Größe macht sie besonders für RF- und Mikrowellenschaltkreise geeignet, die in folgenden Bausteinen enthalten sind: RF-Vorderend-Module, Leistungsverstärkermodule (PA), Duplexer, Spannungsgesteuerte Oszillatoren (VCO), Filterschaltungen (z.B.: Band-Pass-Filter), Impedanzabstimmungskreise, Resonanzschaltkreise, Kopplung und Bluetooth, Wireless LAN und Modem-Produkte.

Hi-Q-Kits sind für Gehäusegrößen 0201 und 0402 erhältlich. Für Details bitte bei Digi-Key® anrufen.

Q vs Freq. / 0402

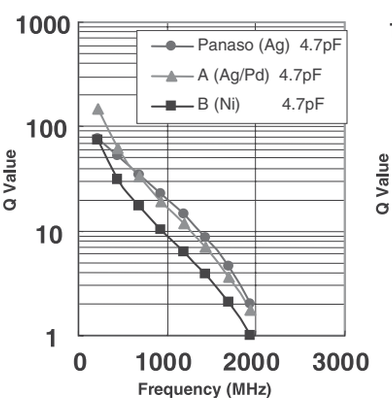

Q vs Freq. / 0201

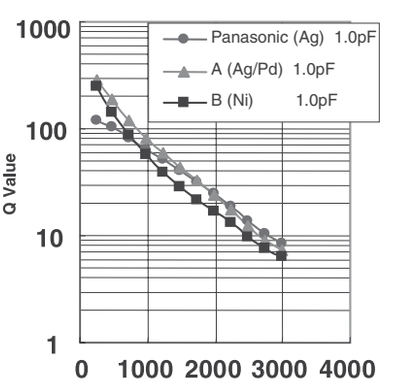

Alle Preisangaben in Euro und inklusive Zollgebühren.

Panasonic®

Vielschicht-Keramikchipkondensatoren

0201, 0402, 0508, 0603, 0612, 0805, 1206, 1210 und 1812

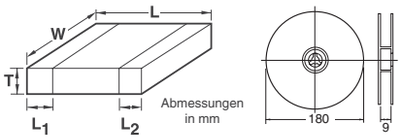

MERKMALE:

- Kleine Größe und breiter Kapazitätsbereich
- Ausgezeichnete Feuchtigkeitseigenschaften und lange Lebensdauer aufgrund der monolithischen Konstruktion
- Ausgezeichnete Lötfähigkeit und Beständigkeit gegen Lötwärme aufgrund von Klemmen mit drei Schichten aus Silbernickel und Lot
- Geringe Eigeninduktivität und ausgezeichnete Frequenzeigenschaften

EMPFOHLENE ANWENDUNGEN:

Klasse 1 (Typ T.C.): Temperaturausgleich, abgestimmte Kreise und Filterkreise, wobei Verlustarmut und hohe Stabilität der Kapazität und ein hoher Isolationswiderstand erforderlich sind.

Klasse 2 (Typ HI-K): Kopplung und Bypass, wobei Verlustarmut und eine hohe Kapazitätsstabilität nicht so wichtig sind.

Größencode (EIA)	L◊	W◊	L1 / L2
0201	0.6±0.03	0.3±0.03	0.15±0.05
0402	1.00±0.05	0.50±0.05	0.20±0.10
0508	1.25±0.15	2.00±0.15	0.20±0.10
0603	1.60±0.10	0.80±0.10	0.30±0.20
0612	1.60±0.20	3.20±0.20	0.30±0.20
0805	2.00±0.10	1.25±0.10	0.50±0.25
1206	3.20±0.15	1.60±0.15	0.60±0.30
1210	3.20±0.30	2.50±0.20	0.60±0.30
1812	4.50±0.30	3.20±0.30	0.90±0.60

◊ **Siehe Datenblatt für Größentoleranzen.**

Typ NP0 - Klasse 1:
- Betriebstemperaturbereich: -55 °C ~ 125 °C

Temperaturwirkungsgrad

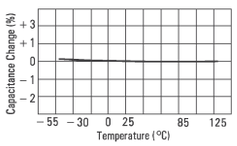

Typ X7R - Klasse 2:
- Betriebstemperaturbereich: -55 °C ~ 125 °C

Typ X5R - Klasse 2:
- Betriebstemperaturbereich: -55 °C ~ 85 °C

Temperaturwirkungsgrad

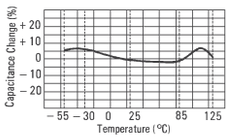

Typ X5S - Klasse 2:
- Betriebstemperaturbereich: -55 °C ~ 85 °C

Temperaturwirkungsgrad

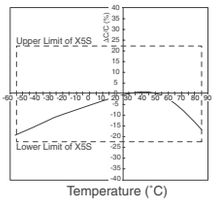

Typ Y5V - Klasse 2:
- Betriebstemperaturbereich: -30 °C ~ 85 °C (Typ F: -25 °C - 85 °C)

Temperaturwirkungsgrad

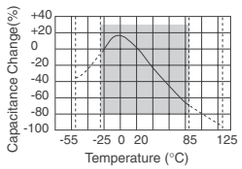

† HINWEIS: Panasonic ist dabei, alle MLCC-Teilenummern in ein standardisiertes System zu überführen. Es handelt sich hier lediglich um die Änderung einer Teilenummer, welche die elektrischen oder mechanischen Spezifikationen in keiner Weise beeinflusst. Als Folge dieser Änderung wird Digi-Key Teile entweder mit der alten oder der neuen Nummer versenden. Teile, denen keine neue Panasonic-Teilenummer zugewiesen wurde, sind ab März 2001 nur noch beschränkt verfügbar und werden für Neukonstruktionen nicht empfohlen. Bitte wenden Sie sich direkt an Digi-Key, wenn Sie einen Ersatz benötigen.

Größen-code	Typ	WV DC*	Kap.	Toleranz	Abm. T (mm)	Digi-Key Teilenr.	Gurtabschnitts-preise 10	100	500	1.000	Digi-Key Teilenr.	Gegurtet auf Rolle Größe	Preisangaben	Alte † Panasonic Teilenr.	Neue † Panasonic Teilenr.
0201	NP0	25	0.5pF	±.25pF	0.30	PCC2101CT-ND	.15	1.08	3.89	6.04	PCC2101TR-ND	15,000	5.08/M	ECJ-ZEC1E0R5C	ECJ-ZEC1E0R5C
			1.0pF	±.25pF	0.30	PCC2102CT-ND	.15	1.08	3.89	6.04	PCC2102TR-ND	15,000	5.08/M	ECJ-ZEC1E010C	ECJ-ZEC1E010C
			1.5pF	±.25pF	0.30	PCC2103CT-ND	.15	1.08	3.89	6.04	PCC2103TR-ND	15,000	5.08/M	ECJ-ZEC1E1R5C	ECJ-ZEC1E1R5C
			2.0pF	±.25pF	0.30	PCC2104CT-ND	.15	1.08	3.89	6.04	PCC2104TR-ND	15,000	5.08/M	ECJ-ZEC1E020C	ECJ-ZEC1E020C
			3.0pF	±.25pF	0.30	PCC2105CT-ND	.15	1.08	3.89	6.04	PCC2105TR-ND	15,000	5.08/M	ECJ-ZEC1E030C	ECJ-ZEC1E030C
			4.0pF	±.25pF	0.30	PCC2106CT-ND	.15	1.08	3.89	6.04	PCC2106TR-ND	15,000	5.08/M	ECJ-ZEC1E040C	ECJ-ZEC1E040C
			5.0pF	±.25pF	0.30	PCC2107CT-ND	.15	1.08	3.89	6.04	PCC2107TR-ND	15,000	5.08/M	ECJ-ZEC1E050C	ECJ-ZEC1E050C
			6.0pF	±.5pF	0.30	PCC2108CT-ND	.15	1.08	3.89	6.04	PCC2108TR-ND	15,000	5.08/M	ECJ-ZEC1E060D	ECJ-ZEC1E060D
			7.0pF	±.5pF	0.30	PCC2109CT-ND	.15	1.08	3.89	6.04	PCC2109TR-ND	15,000	5.08/M	ECJ-ZEC1E070D	ECJ-ZEC1E070D
			8.0pF	±.5pF	0.30	PCC2110CT-ND	.15	1.08	3.89	6.04	PCC2110TR-ND	15,000	5.08/M	ECJ-ZEC1E080D	ECJ-ZEC1E080D
			9.0pF	±.5pF	0.30	PCC2111CT-ND	.15	1.08	3.89	6.04	PCC2111TR-ND	15,000	5.08/M	ECJ-ZEC1E090D	ECJ-ZEC1E090D
			10pF	±.5pF	0.30	PCC2112CT-ND	.15	1.08	3.89	6.04	PCC2112TR-ND	15,000	5.08/M	ECJ-ZEC1E100D	ECJ-ZEC1E100D
			12pF	±5%	0.30	PCC2113CT-ND	.15	1.08	3.89	6.04	PCC2113TR-ND	15,000	5.08/M	ECJ-ZEC1E120J	ECJ-ZEC1E120J
			15pF	±5%	0.30	PCC2114CT-ND	.15	1.08	3.89	6.04	PCC2114TR-ND	15,000	5.08/M	ECJ-ZEC1E150J	ECJ-ZEC1E150J
			18pF	±5%	0.30	PCC2115CT-ND	.15	1.08	3.89	6.04	PCC2115TR-ND	15,000	5.08/M	ECJ-ZEC1E180J	ECJ-ZEC1E180J
			22pF	±5%	0.30	PCC2116CT-ND	.15	1.08	3.89	6.04	PCC2116TR-ND	15,000	5.08/M	ECJ-ZEC1E220J	ECJ-ZEC1E220J
			27pF	±5%	0.30	PCC2117CT-ND	.15	1.08	3.89	6.04	PCC2117TR-ND	15,000	5.08/M	ECJ-ZEC1E270J	ECJ-ZEC1E270J
			33pF	±5%	0.30	PCC2118CT-ND	.15	1.08	3.89	6.04	PCC2118TR-ND	15,000	5.08/M	ECJ-ZEC1E330J	ECJ-ZEC1E330J
		16	39pF	±5%	0.30	PCC2119CT-ND	.15	1.08	3.89	6.04	PCC2119TR-ND	15,000	5.08/M	ECJ-ZEC1C390J	ECJ-ZEC1C390J
			47pF	±5%	0.30	PCC2120CT-ND	.15	1.08	3.89	6.04	PCC2120TR-ND	15,000	5.08/M	ECJ-ZEC1C470J	ECJ-ZEC1C470J
			56pF	±5%	0.30	PCC2121CT-ND	.15	1.08	3.89	6.04	PCC2121TR-ND	15,000	5.08/M	ECJ-ZEC1C560J	ECJ-ZEC1C560J
			68pF	±5%	0.30	PCC2122CT-ND	.15	1.08	3.89	6.04	PCC2122TR-ND	15,000	5.08/M	ECJ-ZEC1C680J	ECJ-ZEC1C680J
			82pF	±5%	0.30	PCC2123CT-ND	.15	1.08	3.89	6.04	PCC2123TR-ND	15,000	5.08/M	ECJ-ZEC1C820J	ECJ-ZEC1C820J
			100pF	±5%	0.30	PCC2124CT-ND	.15	1.08	3.89	6.04	PCC2124TR-ND	15,000	5.08/M	ECJ-ZEC1C101J	ECJ-ZEC1C101J
	X7R	50	150pF	±10%	0.30	PCC2388CT-ND	.28	1.80	5.82	7.41	PCC2388TR-ND	15,000	5.93/M	ECJ-ZEB1H151K	ECJ-ZEB1H151K
			220pF	±10%	0.30	PCC2389CT-ND	.28	1.80	5.82	7.41	PCC2389TR-ND	15,000	5.93/M	ECJ-ZEB1H221K	ECJ-ZEB1H221K
			330pF	±10%	0.30	PCC2390CT-ND	.28	1.80	5.82	7.41	PCC2390TR-ND	15,000	5.93/M	ECJ-ZEB1H331K	ECJ-ZEB1H331K
			470pF	±10%	0.30	PCC2391CT-ND	.28	1.80	5.82	7.41	PCC2391TR-ND	15,000	5.93/M	ECJ-ZEB1H471K	ECJ-ZEB1H471K
			680pF	±10%	0.30	PCC2392CT-ND	.28	1.80	5.82	7.41	PCC2392TR-ND	15,000	5.93/M	ECJ-ZEB1H681K	ECJ-ZEB1H681K
			1000pF	±10%	0.30	PCC2387CT-ND	.28	1.80	5.82	7.41	PCC2387TR-ND	15,000	5.93/M	ECJ-ZEB1H102K	ECJ-ZEB1H102K
		25	150pF	±10%	0.30	PCC2125CT-ND	.15	1.08	3.89	6.04	PCC2125TR-ND	15,000	5.08/M	ECJ-ZEB1E151K	ECJ-ZEB1E151K
			220pF	±10%	0.30	PCC2126CT-ND	.15	1.08	3.89	6.04	PCC2126TR-ND	15,000	5.08/M	ECJ-ZEB1E221K	ECJ-ZEB1E221K
			331pF	±10%	0.30	PCC2127CT-ND	.15	1.08	3.89	6.04	PCC2127TR-ND	15,000	5.08/M	ECJ-ZEB1E331K	ECJ-ZEB1E331K
			470pF	±10%	0.30	PCC2128CT-ND	.15	1.08	3.89	6.04	PCC2128TR-ND	15,000	5.08/M	ECJ-ZEB1E471K	ECJ-ZEB1E471K
			680pF	±10%	0.30	PCC2129CT-ND	.15	1.08	3.89	6.04	PCC2129TR-ND	15,000	5.08/M	ECJ-ZEB1E681K	ECJ-ZEB1E681K
			1000pF	±10%	0.30	PCC2130CT-ND	.15	1.08	3.89	6.04	PCC2130TR-ND	15,000	5.08/M	ECJ-ZEB1E102K	ECJ-ZEB1E102K
			1500pF	±10%	0.30	PCC2385CT-ND	.28	1.80	5.82	7.41	PCC2385TR-ND	15,000	5.93/M	ECJ-ZEB1E152K	ECJ-ZEB1E152K
			2200pF	±10%	0.30	PCC2386CT-ND	.28	1.80	5.82	7.41	PCC2386TR-ND	15,000	5.93/M	ECJ-ZEB1E222K	ECJ-ZEB1E222K
		16	1500pF	±10%	0.30	PCC2131CT-ND	.15	1.08	3.89	6.04	PCC2131TR-ND	15,000	5.08/M	ECJ-ZEB1C152K	ECJ-ZEB1C152K
			2200pF	±10%	0.30	PCC2132CT-ND	.15	1.08	3.89	6.04	PCC2132TR-ND	15,000	5.08/M	ECJ-ZEB1C222K	ECJ-ZEB1C222K
			3300pF	±10%	0.30	PCC2384CT-ND	.28	1.80	5.82	7.41	PCC2384TR-ND	15,000	5.93/M	ECJ-ZEB1C332K	ECJ-ZEB1C332K
		10	3300pF	±10%	0.30	PCC2133CT-ND	.15	1.08	3.89	6.04	PCC2133TR-ND	15,000	5.08/M	ECJ-ZEB1A332K	ECJ-ZEB1A332K
	X5R	6.3	4700pF	±10%	0.30	PCC2134CT-ND	.15	1.08	3.89	6.04	PCC2134TR-ND	15,000	5.08/M	ECJ-ZEB0J472K	ECJ-ZEB0J472K
			6800pF	±10%	0.30	PCC2135CT-ND	.15	1.08	3.89	6.04	PCC2135TR-ND	15,000	5.08/M	ECJ-ZEB0J682K	ECJ-ZEB0J682K
			10000pF	±10%	0.30	PCC2136CT-ND	.15	1.08	3.89	6.04	PCC2136TR-ND	15,000	5.08/M	ECJ-ZEB0J103K	ECJ-ZEB0J103K
			0.1µF	±10%	0.30	PCC2366CT-ND	.45	2.95	9.55	12.15	PCC2366TR-ND	15,000	9.32/M	ECJ-ZEB0J104K	ECJ-ZEB0J104K
			0.1µF	±20%	0.30	PCC2336CT-ND	.30	2.00	6.76	10.29	PCC2336TR-ND	15,000	8.47/M	ECJ-ZEB0J104M	ECJ-ZEB0J104M
		10	4700pF	±10%	0.30	PCC2382CT-ND	.28	1.80	5.82	7.41	PCC2382TR-ND	15,000	5.93/M	ECJ-ZEB1A472K	ECJ-ZEB1A472K
			6800pF	±10%	0.03	PCC2383CT-ND	.28	1.80	5.82	7.41	PCC2383TR-ND	15,000	5.93/M	ECJ-ZEB1A682K	ECJ-ZEB1A682K
			.01µF	±10%	0.30	PCC2381CT-ND	.28	1.80	5.82	7.41	PCC2381TR-ND	15,000	5.93/M	ECJ-ZEB1A103K	ECJ-ZEB1A103K
0402	NPO	50	0.5pF	±.25pF	0.50	PCC0R5CQCT-ND•	.16	1.14	3.95	6.22	PCC0R5CQTR-ND	10,000	5.08/M	ECU-E1H0R5CCQ	ECJ-0EC1H0R5C
			1.0pF	±.25pF	0.50	PCC010CQCT-ND•	.16	1.14	3.95	6.22	PCC010CQTR-ND	10,000	5.08/M	ECU-E1H010CCQ	ECJ-0EC1H010C
			1.5pF	±.25pF	0.50	PCC1R5CQCT-ND•	.16	1.14	3.95	6.22	PCC1R5CQTR-ND	10,000	5.08/M	ECU-E1H1R5CCQ	ECJ-0EC1H1R5C
			2.0pF	±.25pF	0.50	PCC020CQCT-ND•	.16	1.14	3.95	6.22	PCC020CQTR-ND	10,000	5.08/M	ECU-E1H020CCQ	ECJ-0EC1H020C
			3.0pF	±.25pF	0.50	PCC030CQCT-ND•	.16	1.14	3.95	6.22	PCC030CQTR-ND	10,000	5.08/M	ECU-E1H030CCQ	ECJ-0EC1H030C
			4.0pF	±.25pF	0.50	PCC040CQCT-ND•	.16	1.14	3.95	6.22	PCC040CQTR-ND	10,000	5.08/M	ECU-E1H040CCQ	ECJ-0EC1H040C
			5.0pF	±.25pF	0.50	PCC050CQCT-ND•	.16	1.14	3.95	6.22	PCC050CQTR-ND	10,000	5.08/M	ECU-E1H050CCQ	ECJ-0EC1H050C
			6.0pF	±.5pF	0.50	PCC060CQCT-ND•	.16	1.14	3.95	6.22	PCC060CQTR-ND	10,000	5.08/M	ECU-E1H060DCQ	ECJ-0EC1H060D
			7.0pF	±.5pF	0.50	PCC070CQCT-ND•	.16	1.14	3.95	6.22	PCC070CQTR-ND	10,000	5.08/M	ECU-E1H070DCQ	ECJ-0EC1H070D
			8.0pF	±.5pF	0.50	PCC080CQCT-ND•	.16	1.14	3.95	6.22	PCC080CQTR-ND	10,000	5.08/M	ECU-E1H080DCQ	ECJ-0EC1H080D
			9.0pF	±.5pF	0.50	PCC090CQCT-ND•	.16	1.14	3.95	6.22	PCC090CQTR-ND	10,000	5.08/M	ECU-E1H090DCQ	ECJ-0EC1H090D
			10pF	±.5pF	0.50	PCC100CQCT-ND•	.16	1.14	3.95	6.22	PCC100CQTR-ND	10,000	5.08/M	ECU-E1H100DCQ	ECJ-0EC1H100D
			11pF	±5%	0.50	PCC110CQCT-ND	.24	1.69	5.87	9.26	—	—	—	ECU-E1H110JCQ	(Nicht für neue Designs)
			12pF	±5%	0.50	PCC120CQCT-ND•	.16	1.14	3.95	6.22	PCC120CQTR-ND	10,000	5.08/M	ECU-E1H120JCQ	ECJ-0EC1H120J
			15pF	±5%	0.50	PCC150CQCT-ND•	.16	1.14	3.95	6.22	PCC150CQTR-ND	10,000	5.08/M	ECU-E1H150JCQ	ECJ-0EC1H150J
			18pF	±5%	0.50	PCC180CQCT-ND•	.16	1.14	3.95	6.22	PCC180CQTR-ND	10,000	5.08/M	ECU-E1H180JCQ	ECJ-0EC1H180J
			22pF	±5%	0.50	PCC220CQCT-ND•	.16	1.14	3.95	6.22	PCC220CQTR-ND	10,000	5.08/M	ECU-E1H220JCQ	ECJ-0EC1H220J
			27pF	±5%	0.50	PCC270CQCT-ND•	.16	1.14	3.95	6.22	PCC270CQTR-ND	10,000	5.08/M	ECU-E1H270JCQ	ECJ-0EC1H270J
			33pF	±5%	0.50	PCC330CQCT-ND•	.16	1.14	3.95	6.22	PCC330CQTR-ND	10,000	5.08/M	ECU-E1H330JCQ	ECJ-0EC1H330J
			39pF	±5%	0.50	PCC390CQCT-ND•	.16	1.14	3.95	6.22	PCC390CQTR-ND	10,000	5.08/M	ECU-E1H390JCQ	ECJ-0EC1H390J
			47pF	±5%	0.50	PCC470CQCT-ND•	.16	1.14	3.95	6.22	PCC470CQTR-ND	10,000	5.08/M	ECU-E1H470JCQ	ECJ-0EC1H470J
			56pF	±5%	0.50	PCC560CQCT-ND•	.16	1.14	3.95	6.22	PCC560CQTR-ND	10,000	5.08/M	ECU-E1H560JCQ	ECJ-0EC1H560J
			68pF	±5%	0.50	PCC680CQCT-ND•	.16	1.14	3.95	6.22	PCC680CQTR-ND	10,000	5.08/M	ECU-E1H680JCQ	ECJ-0EC1H680J

‡ Reduzierte DC-Vorspannungseigenschaften *Betriebsspannung DC

(Forts.)

E

Größen-code	Typ	WV DC*	Kap.	Toleranz	Abm. T (mm)	Digi-Key Teilenr.	Gurtabschnitts-preise 10	100	500	1.000	Digi-Key Teilenr.	Gegurtet auf Rolle Größe	Preisangaben	Alte † Panasonic Teilenr.	Neue † Panasonic Teilenr.
0402	NPO	50	82pF	±5%	0.50	PCC820CQCT-ND•	.16	1.14	3.95	6.22	PCC820CQTR-ND	10,000	5.08/M	ECU-E1H820JCQ	ECJ-0EC1H820J
			100pF	±5%	0.50	PCC101CQCT-ND•	.17	1.21	4.18	6.60	PCC101CQTR-ND	10,000	5.93/M	ECU-E1H101JCQ	ECJ-0EC1H101J
			120pF	±5%	0.50	PCC121CQCT-ND•	.17	1.21	4.18	6.60	PCC121CQTR-ND	10,000	5.93/M	ECU-E1H121JCQ	ECJ-0EC1H121J
			150pF	±5%	0.50	PCC151CQCT-ND•	.17	1.21	4.18	6.60	PCC151CQTR-ND	10,000	5.93/M	ECU-E1H151JCQ	ECJ-0EC1H151J
			180pF	±5%	0.50	PCC181CQCT-ND•	.15	1.10	3.96	6.16	PCC181CQTR-ND	10,000	5.93/M	ECU-E1H181JCQ	ECJ-0EC1H181J
			220pF	±5%	0.50	PCC221CQCT-ND•	.15	1.10	3.96	6.16	PCC221CQTR-ND	10,000	5.93/M	ECU-E1H221JCQ	ECJ-0EC1H221J
	X7R	50	100pF	±10%	0.50	PCC1709CT-ND•	.16	1.14	3.95	6.22	PCC1709TR-ND	10,000	5.08/M	ECU-E1H101KBQ	ECJ-0EB1H101K
			120pF	±10%	0.50	PCC1710CT-ND•	.16	1.14	3.95	6.22	PCC1710TR-ND	10,000	5.08/M	ECU-E1H121KBQ	ECJ-0EB1H121K
			150pF	±10%	0.50	PCC1711CT-ND•	.16	1.14	3.95	6.22	PCC1711TR-ND	10,000	5.08/M	ECU-E1H151KBQ	ECJ-0EB1H151K
			180pF	±10%	0.50	PCC1712CT-ND•	.16	1.14	3.95	6.22	PCC1712TR-ND	10,000	5.08/M	ECU-E1H181KBQ	ECJ-0EB1H181K
			220pF	±10%	0.50	PCC1713CT-ND•	.16	1.14	3.95	6.22	PCC1713TR-ND	10,000	5.08/M	ECU-E1H221KBQ	ECJ-0EB1H221K
			270pF	±10%	0.50	PCC1714CT-ND•	.16	1.14	3.95	6.22	PCC1714TR-ND	10,000	5.08/M	ECU-E1H271KBQ	ECJ-0EB1H271K
			330pF	±10%	0.50	PCC1715CT-ND•	.16	1.14	3.95	6.22	PCC1715TR-ND	10,000	5.08/M	ECU-E1H331KBQ	ECJ-0EB1H331K
			390pF	±10%	0.50	PCC1716CT-ND•	.16	1.14	3.95	6.22	PCC1716TR-ND	10,000	5.08/M	ECU-E1H391KBQ	ECJ-0EB1H391K
			470pF	±10%	0.50	PCC1717CT-ND•	.16	1.14	3.95	6.22	PCC1717TR-ND	10,000	5.08/M	ECU-E1H471KBQ	ECJ-0EB1H471K
			560pF	±10%	0.50	PCC1718CT-ND•	.16	1.14	3.95	6.22	PCC1718TR-ND	10,000	5.08/M	ECU-E1H561KBQ	ECJ-0EB1H561K
			680pF	±10%	0.50	PCC1719CT-ND•	.16	1.14	3.95	6.22	PCC1719TR-ND	10,000	5.08/M	ECU-E1H681KBQ	ECJ-0EB1H681K
			820pF	±10%	0.50	PCC1720CT-ND•	.16	1.14	3.95	6.22	PCC1720TR-ND	10,000	5.08/M	ECU-E1H821KBQ	ECJ-0EB1H821K
			1000pF	±10%	0.50	PCC1721CT-ND•	.16	1.14	3.95	6.22	PCC1721TR-ND	10,000	5.08/M	ECU-E1H102KBQ	ECJ-0EB1H102K
			1200pF	±10%	0.50	PCC1722CT-ND•	.16	1.14	3.95	6.22	PCC1722TR-ND	10,000	5.08/M	ECU-E1H122KBQ	ECJ-0EB1H122K
			1500pF	±10%	0.50	PCC1723CT-ND•	.16	1.14	3.95	6.22	PCC1723TR-ND	10,000	5.08/M	ECU-E1H152KBQ	ECJ-0EB1H152K
			1800pF	±10%	0.50	PCC1724CT-ND•	.16	1.14	3.95	6.22	PCC1724TR-ND	10,000	5.08/M	ECU-E1H182KBQ	ECJ-0EB1H182K
			2200pF	±10%	0.50	PCC1725CT-ND•	.16	1.14	3.95	6.22	PCC1725TR-ND	10,000	5.08/M	ECU-E1H222KBQ	ECJ-0EB1H222K
			2700pF	±10%	0.50	PCC1726CT-ND•	.16	1.14	3.95	6.22	PCC1726TR-ND	10,000	5.08/M	ECU-E1H272KBQ	ECJ-0EB1H272K
			3300pF	±10%	0.50	PCC1727CT-ND•	.16	1.14	3.95	6.22	PCC1727TR-ND	10,000	5.08/M	ECU-E1H332KBQ	ECJ-0EB1H332K
			3900pF	±10%	0.50	PCC1728CT-ND•	.16	1.14	3.95	6.22	PCC1728TR-ND	10,000	5.08/M	ECU-E1H392KBQ	ECJ-0EB1H392K
		25	100pF	±10%	0.50	PCC1702CT-ND	2.38	16.76	57.91	91.43	PCC1702TR-ND	10,000	76.20/M	ECU-E1E101KBQ	ECJ-0EB1E101K
			120pF	±10%	0.50	PCC1703CT-ND	2.38	16.76	57.91	91.43	PCC1703TR-ND	10,000	76.20/M	ECU-E1E121KBQ	ECJ-0EB1E121K
			150pF	±10%	0.50	PCC1704CT-ND	2.38	16.76	57.91	91.43	PCC1704TR-ND	10,000	76.20/M	ECU-E1E151KBQ	ECJ-0EB1E151K
			180pF	±10%	0.50	PCC1705CT-ND	2.38	16.76	57.91	91.43	PCC1705TR-ND	10,000	76.20/M	ECU-E1E181KBQ	ECJ-0EB1E181K
			220pF	±10%	0.50	PCC1706CT-ND	2.38	16.76	57.91	91.43	PCC1706TR-ND	10,000	76.20/M	ECU-E1E221KBQ	ECJ-0EB1E221K
			270pF	±10%	0.50	PCC271BQCT-ND	2.45	17.23	59.52	93.97	PCC271BQTR-ND	10,000	78.74/M	ECU-E1E271KBQ	ECJ-0EB1E271K
			330pF	±10%	0.50	PCC331BQCT-ND	2.45	17.23	59.52	93.97	PCC331BQTR-ND	10,000	78.74/M	ECU-E1E331KBQ	ECJ-0EB1E331K
			391pF	±10%	0.50	PCC391BQCT-ND	2.45	17.23	59.52	93.97	PCC391BQTR-ND	10,000	78.74/M	ECU-E1E391KBQ	ECJ-0EB1E391K
			470pF	±10%	0.50	PCC471BQCT-ND	2.45	17.23	59.52	93.97	PCC471BQTR-ND	10,000	78.74/M	ECU-E1E471KBQ	ECJ-0EB1E471K
			560pF	±10%	0.50	PCC561BQCT-ND	2.45	17.23	59.52	93.97	PCC561BQTR-ND	10,000	78.74/M	ECU-E1E561KBQ	ECJ-0EB1E561K
			680pF	±10%	0.50	PCC681BQCT-ND	2.45	17.23	59.52	93.97	PCC681BQTR-ND	10,000	78.74/M	ECU-E1E681KBQ	ECJ-0EB1E681K
			820pF	±10%	0.50	PCC821BQCT-ND	2.45	17.23	59.52	93.97	PCC821BQTR-ND	10,000	78.74/M	ECU-E1E821KBQ	ECJ-0EB1E821K
			1000pF	±10%	0.50	PCC102BQCT-ND	2.45	17.23	59.52	93.97	PCC102BQTR-ND	10,000	78.74/M	ECU-E1E102KBQ	ECJ-0EB1E102K
			1200pF	±10%	0.50	PCC122BQCT-ND	2.45	17.23	59.52	93.97	PCC122BQTR-ND	10,000	78.74/M	ECU-E1E122KBQ	ECJ-0EB1E122K
			1500pF	±10%	0.50	PCC152BQCT-ND	2.45	17.23	59.52	93.97	PCC152BQTR-ND	10,000	78.74/M	ECU-E1E152KBQ	ECJ-0EB1E152K
			1800pF	±10%	0.50	PCC182BQCT-ND	2.45	17.23	59.52	93.97	PCC182BQTR-ND	10,000	78.74/M	ECU-E1E182KBQ	ECJ-0EB1E182K
			2200pF	±10%	0.50	PCC222BQCT-ND	2.45	17.23	59.52	93.97	PCC222BQTR-ND	10,000	78.74/M	ECU-E1E222KBQ	ECJ-0EB1E222K
			2700pF	±10%	0.50	PCC272BQCT-ND	2.64	18.63	64.34	101.59	PCC272BQTR-ND	10,000	84.66/M	ECU-E1E272KBQ	ECJ-0EB1E272K
			3300pF	±10%	0.50	PCC332BQCT-ND	2.87	20.26	69.97	110.48	PCC332BQTR-ND	10,000	92.28/M	ECU-E1E332KBQ	ECJ-0EB1E332K
			3900pF	±10%	0.50	PCC392BQCT-ND	2.97	20.95	72.38	114.29	PCC392BQTR-ND	10,000	95.67/M	ECU-E1E392KBQ	ECJ-0EB1E392K
			4700pF	±10%	0.50	PCC472BQCT-ND•	.16	1.14	3.95	6.22	PCC472BQTR-ND	10,000	5.08/M	ECU-E1E472KBQ	ECJ-0EB1E472K
			5600pF	±10%	0.50	PCC1707CT-ND•	.16	1.14	3.95	6.22	PCC1707TR-ND	10,000	5.08/M	ECU-E1E562KBQ	ECJ-0EB1E562K
			6800pF	±10%	0.50	PCC1708CT-ND•	.16	1.14	3.95	6.22	PCC1708TR-ND	10,000	5.08/M	ECU-E1E682KBQ	ECJ-0EB1E682K
			8200pF	±10%	0.50	PCC2271CT-ND	.16	1.14	3.95	6.22	PCC2271TR-ND	10,000	5.08/M	ECJ-0EB1E822K	ECJ-0EB1E822K
			.01µF	±10%	0.50	PCC2270CT-ND	.16	1.14	3.95	6.22	PCC2270TR-ND	10,000	5.08/M	ECJ-0EB1E103K	ECJ-0EB1E103K
		16	5600pF	±10%	0.50	PCC562BQCT-ND	2.05	14.43	49.86	78.73	PCC562BQTR-ND	10,000	66.04/M	ECU-E1C562KBQ	ECJ-0EB1C562K
			6800pF	±10%	0.50	PCC682BQCT-ND	2.12	14.90	51.47	81.27	PCC682BQTR-ND	10,000	67.73/M	ECU-E1C682KBQ	ECJ-0EB1C682K
			8200pF	±10%	0.50	PCC822BQCT-ND•	2.15	15.14	52.28	82.54	PCC822BQTR-ND	10,000	68.58/M	ECU-E1C822KBQ	ECJ-0EB1C822K
			10000pF	±10%	0.50	PCC103BQCT-ND•	.16	1.14	3.95	6.22	PCC103BQTR-ND	10,000	5.08/M	ECU-E1C103KBQ	ECJ-0EB1C103K
			12000pF	±10%	0.50	PCC1700CT-ND•	.16	1.14	3.95	6.22	PCC1700TR-ND	10,000	5.08/M	ECU-E1C123KBQ	ECJ-0EB1C123K
			15000pF	±10%	0.50	PCC1701CT-ND•	.18	1.24	4.27	6.73	PCC1701TR-ND	10,000	5.93/M	ECU-E1C153KBQ	ECJ-0EB1C153K
			18000pF	±10%	0.50	PCC2137CT-ND•	.32	2.26	7.81	12.33	PCC2137TR-ND	10,000	6.78/M	ECJ-0EB1C183K	ECJ-0EB1C183K
			22000pF	±10%	0.50	PCC2138CT-ND•	.21	1.52	5.23	8.25	PCC2138TR-ND	10,000	6.78/M	ECJ-0EB1C223K	ECJ-0EB1C223K
	X5R	16	.1µF	±10%	0.50	PCC2363CT-ND	.79	5.15	16.64	21.19	PCC2363TR-ND	10,000	16.94/M	ECJ-0EB1C104K	ECJ-0EB1C104K
		10	27000pF	±10%	0.50	PCC2139CT-ND	.22	1.56	5.39	8.51	PCC2139TR-ND	10,000	6.78/M	ECJ-0EB1A273K	ECJ-0EB1A273K
			33000pF	±10%	0.50	PCC2140CT-ND	.22	1.56	5.39	8.51	PCC2140TR-ND	10,000	6.78/M	ECJ-0EB1A333K	ECJ-0EB1A333K
			39000pF	±10%	0.50	PCC2141CT-ND	.22	1.56	5.39	8.51	PCC2141TR-ND	10,000	6.78/M	ECJ-0EB1A393K	ECJ-0EB1A393K
			47000pF	±10%	0.50	PCC2142CT-ND	.22	1.56	5.39	8.51	PCC2142TR-ND	10,000	6.78/M	ECJ-0EB1A473K	ECJ-0EB1A473K
			56000pF	±10%	0.50	PCC2143CT-ND	.22	1.56	5.39	8.51	PCC2143TR-ND	10,000	6.78/M	ECJ-0EB1A563K	ECJ-0EB1A563K
			68000pF	±10%	0.50	PCC2144CT-ND	.22	1.56	5.39	8.51	PCC2144TR-ND	10,000	6.78/M	ECJ-0EB1A683K	ECJ-0EB1A683K
			82000pF	±10%	0.50	PCC2145CT-ND	.22	1.56	5.39	8.51	PCC2145TR-ND	10,000	6.78/M	ECJ-0EB1A823K	ECJ-0EB1A823K
			.1µF	±10%	0.50	PCC2146CT-ND•	.22	1.56	5.39	8.51	PCC2146TR-ND	10,000	6.78/M	ECJ-0EB1A104K	ECJ-0EB1A104K
			1.0µF	±20%	0.50	PCC2364CT-ND	1.70	11.00	33.96	48.51	PCC2364TR-ND	10,000	43.18/M	ECJ-0EB1A105M	ECJ-0EB1A105M
		6.3	.22µF	±10%	0.50	PCC2269CT-ND	.58	3.94	13.33	20.32	PCC2269TR-ND	10,000	16.09/M	ECJ-0EB0J224K	ECJ-0EB0J224K
			.47µF	±10%	0.50	PCC2394CT-ND	.75	4.93	15.95	20.30	PCC2394TR-ND	10,000	16.09/M	ECJ-0EB0J474K	ECJ-0EB0J474K
			1µF	±20%	0.50	PCC2257CT-ND	.95	6.68	23.09	36.45	PCC2257TR-ND	10,000	30.48/M	ECJ-0EB0J105M	ECJ-0EB0J105M
			1µF	±10%	0.50	PCC2393CT-ND	1.57	10.22	33.06	42.08	PCC2393TR-ND	10,000	33.87/M	ECJ-0EB0J105K	ECJ-0EB0J105K
	Y5V	50	1000pF	+80%/-20%	0.50	PCC1741CT-ND	.16	1.14	3.95	6.22	PCC1741TR-ND	10,000	5.08/M	ECU-E1H102ZFQ	ECJ-0EF1H102Z
			1500pF	+80%/-20%	0.50	PCC1742CT-ND	2.18	15.37	53.08	83.81	PCC1742TR-ND	10,000	70.27/M	ECU-E1H152ZFQ	ECJ-0EF1H152Z
			2200pF	+80%/-20%	0.50	PCC1743CT-ND	.16	1.14	3.95	6.22	PCC1743TR-ND	10,000	5.08/M	ECU-E1H222ZFQ	ECJ-0EF1H222Z
			3300pF	+80%/-20%	0.50	PCC1744CT-ND	2.18	15.37	53.08	83.81	PCC1744TR-ND	10,000	70.27/M	ECU-E1H332ZFQ	ECJ-0EF1H332Z
			4700pF	+80%/-20%	0.50	PCC1745CT-ND	.16	1.14	3.95	6.22	PCC1745TR-ND	10,000	5.08/M	ECU-E1H472ZFQ	ECJ-0EF1H472Z
			6800pF	+80%/-20%	0.50	PCC1746CT-ND	2.18	15.37	53.08	83.81	PCC1746TR-ND	10,000	70.27/M	ECU-E1H682ZFQ	ECJ-0EF1H682Z
			10000pF	+80%/-20%	0.50	PCC1747CT-ND	.16	1.14	3.95	6.22	PCC1747TR-ND	10,000	5.08/M	ECU-E1H103ZFQ	ECJ-0EF1H103Z
		25	1000pF	+80%/-20%	0.50	PCC1732CT-ND	.16	1.14	3.95	6.22	PCC1732TR-ND	10,000	5.08/M	ECU-E1E102ZFQ	ECJ-0EF1E102Z
			1500pF	+80%/-20%	0.50	PCC1733CT-ND	2.18	15.37	53.08	83.81	PCC1733TR-ND	10,000	70.27/M	ECU-E1E152ZFQ	ECJ-0EF1E152Z
			2200pF	+80%/-20%	0.50	PCC1734CT-ND	.16	1.14	3.95	6.22	PCC1734TR-ND	10,000	5.08/M	ECU-E1E222ZFQ	ECJ-0EF1E222Z
			3300pF	+80%/-20%	0.50	PCC1735CT-ND	2.18	15.37	53.08	83.81	PCC1735TR-ND	10,000	70.27/M	ECU-E1E332ZFQ	ECJ-0EF1E332Z
			4700pF	+80%/-20%	0.50	PCC1736CT-ND	.16	1.14	3.95	6.22	PCC1736TR-ND	10,000	5.08/M	ECU-E1E472ZFQ	ECJ-0EF1E472Z
			6800pF	+80%/-20%	0.50	PCC1737CT-ND	2.18	15.37	53.08	83.81	PCC1737TR-ND	10,000	70.27/M	ECU-E1E682ZFQ	ECJ-0EF1E682Z
			10000pF	+80%/-20%	0.50	PCC1738CT-ND	.16	1.14	3.95	6.22	PCC1738TR-ND	10,000	5.08/M	ECU-E1E103ZFQ	ECJ-0EF1E103Z
			15000pF	+80%/-20%	0.50	PCC1739CT-ND	2.15	15.14	52.28	82.54	PCC1739TR-ND	10,000	68.58/M	ECU-E1E153ZFQ	ECJ-0EF1E153Z
			22000pF	+80%/-20%	0.50	PCC1740CT-ND	.16	1.14	3.95	6.22	PCC1740TR-ND	10,000	5.08/M	ECU-E1E223ZFQ	ECJ-0EF1E223Z
		16	15000pF	+80%/-20%	0.50	PCC153FQCT-ND	2.61	18.40	63.54	100.32	PCC153FQTR-ND	10,000	83.82/M	ECU-E1C153ZFQ	ECJ-0EF1C153Z
			22000pF	+80%/-20%	0.50	PCC223FQCT-ND	.16	1.14	3.95	6.22	PCC223FQTR-ND	10,000	5.08/M	ECU-E1C223ZFQ	ECJ-0EF1C223Z
			33000pF	+80%/-20%	0.50	PCC333FQCT-ND	2.87	20.26	69.97	110.48	PCC333FQTR-ND	10,000	92.28/M	ECU-E1C333ZFQ	ECJ-0EF1C333Z
			47000pF	+80%/-20%	0.50	PCC1729CT-ND	.16	1.14	3.95	6.22	PCC1729TR-ND	10,000	5.08/M	ECU-E1C473ZFQ	ECJ-0EF1C473Z
			68000pF	+80%/-20%	0.50	PCC1730CT-ND	2.87	20.26	69.97	110.48	PCC1730TR-ND	10,000	92.28/M	ECU-E1C683ZFQ	ECJ-0EF1C683Z
			.1µF	+80%/-20%	0.50	PCC1731CT-ND	.16	1.14	3.95	6.22	PCC1731TR-ND	10,000	5.08/M	ECU-E1C104ZFQ	ECJ-0EF1C104Z
		10	.22µF	+80%/-20%	0.50	PCC2272CT-ND	.62	4.15	14.05	21.40	PCC2272TR-ND	10,000	16.94/M	ECJ-0EF1A224Z	ECJ-0EF1A224Z
		6.3	1µF	+80%/-20%	0.50	PCC2268CT-ND	.80	5.38	18.23	27.77	PCC2268TR-ND	10,000	22.02/M	ECJ-0EF0J105Z	ECJ-0EF0J105Z
0508	X7R	50	.01µF	±10%	0.85	PCC2187CT-ND	1.73	12.32	44.34	73.91	PCC2187TR-ND	4,000	64.35/M	ECJ-VVB1H103K	ECY-29RH103KV
		25	.1µF	±10%	0.85	PCC2188CT-ND	1.73	12.32	44.34	73.91	PCC2188TR-ND	4,000	64.35/M	ECJ-VVB1E104K	ECY-29RE104KV
	X5R	10	1µF	±10%	0.85	PCC2189CT-ND	1.93	13.76	49.53	82.54	PCC2189TR-ND	4,000	71.96/M	ECJ-VVB1A105K	ECY-29RA105KV

‡ Reduzierte DC-Vorspannungseigenschaften *Betriebsspannung DC

(Forts.)

Alle Preisangaben in Euro und inklusive Zollgebühren.

Größen-code	Typ	WV DC*	Kap.	Toleranz	Abm. T (mm)	Digi-Key Teilenr.	Gurtabschnitts-preise 10	100	500	1.000	Digi-Key Teilenr.	Gegurtet auf Rolle Größe	Preisangaben	Alte † Panasonic Teilenr.	Neue † Panasonic Teilenr.
0603	NPO	100	10pF	±0.5pF	0.80	PCC1941CT-ND	.36	2.44	8.27	13.38	PCC1941TR-ND	4,000	11.01/M	ECJ-1VC2A100D	ECJ-1VC2A100D
			15pF	±5%	0.80	PCC1942CT-ND	.36	2.44	8.27	13.38	PCC1942TR-ND	4,000	11.01/M	ECJ-1VC2A150J	ECJ-1VC2A150J
			22pF	±5%	0.80	PCC1943CT-ND	.36	2.44	8.27	13.38	PCC1943TR-ND	4,000	11.01/M	ECJ-1VC2A220J	ECJ-1VC2A220J
			33pF	±5%	0.80	PCC1944CT-ND	.30	2.17	7.48	12.60	PCC1944TR-ND	4,000	10.16/M	ECJ-1VC2A330J	ECJ-1VC2A330J
			47pF	±5%	0.80	PCC1945CT-ND	.30	2.17	7.48	12.60	PCC1945TR-ND	4,000	10.16/M	ECJ-1VC2A470J	ECJ-1VC2A470J
			68pF	±5%	0.80	PCC1946CT-ND	.30	2.17	7.48	12.60	PCC1946TR-ND	4,000	10.16/M	ECJ-1VC2A680J	ECJ-1VC2A680J
			100pF	±5%	0.80	PCC1947CT-ND	.30	2.17	7.48	12.60	PCC1947TR-ND	4,000	10.16/M	ECJ-1VC2A101J	ECJ-1VC2A101J
		50	0.5pF	±0.25pF	0.80	PCC0R5CVCT-ND•	.26	1.79	6.04	9.79	PCC0R5CVTR-ND	4,000	7.62/M	ECU-V1H0R5CCV	ECJ-1VC1H0R5C
			1pF	±0.25pF	0.80	PCC010CVCT-ND•	.26	1.79	6.04	9.79	PCC010CVTR-ND	4,000	7.62/M	ECU-V1H010CCV	ECJ-1VC1H010C
			1.5pF	±0.25pF	0.80	PCC1R5CVCT-ND•	.26	1.79	6.04	9.79	PCC1R5CVTR-ND	4,000	7.62/M	ECU-V1H1R5CCV	ECJ-1VC1H1R5C
			2pF	±0.25pF	0.80	PCC020CVCT-ND•	.26	1.79	6.04	9.79	PCC020CVTR-ND	4,000	7.62/M	ECU-V1H020CCV	ECJ-1VC1H020C
			3pF	±0.25pF	0.80	PCC030CVCT-ND•	.26	1.79	6.04	9.79	PCC030CVTR-ND	4,000	7.62/M	ECU-V1H030CCV	ECJ-1VC1H030C
			4pF	±0.25pF	0.80	PCC040CVCT-ND•	.26	1.79	6.04	9.79	PCC040CVTR-ND	4,000	7.62/M	ECU-V1H040CCV	ECJ-1VC1H040C
			5pF	±0.25pF	0.80	PCC050CVCT-ND•	.26	1.79	6.04	9.79	PCC050CVTR-ND	4,000	7.62/M	ECU-V1H050CCV	ECJ-1VC1H050C
			6pF	±0.5pF	0.80	PCC060CVCT-ND•	.26	1.79	6.04	9.79	PCC060CVTR-ND	4,000	7.62/M	ECU-V1H060DCV	ECJ-1VC1H060D
			7pF	±0.5pF	0.80	PCC070CVCT-ND•	.26	1.79	6.04	9.79	PCC070CVTR-ND	4,000	7.62/M	ECU-V1H070DCV	ECJ-1VC1H070D
			8pF	±0.5pF	0.80	PCC080CVCT-ND•	.26	1.79	6.04	9.79	PCC080CVTR-ND	4,000	7.62/M	ECU-V1H080DCV	ECJ-1VC1H080D
			9pF	±0.5pF	0.80	PCC090CVCT-ND•	.26	1.79	6.04	9.79	PCC090CVTR-ND	4,000	7.62/M	ECU-V1H090DCV	ECJ-1VC1H090D
			10pF	±0.5pF	0.80	PCC100CVCT-ND•	.26	1.79	6.04	9.79	PCC100CVTR-ND	4,000	7.62/M	ECU-V1H100DCV	ECJ-1VC1H100D
			12pF	±5%	0.80	PCC120ACVCT-ND	.26	1.79	6.04	9.79	PCC120ACVTR-ND	4,000	7.62/M	ECU-V1H120JCV	ECJ-1VC1H120J
			15pF	±5%	0.80	PCC150ACVCT-ND•	.26	1.79	6.04	9.79	PCC150ACVTR-ND	4,000	7.62/M	ECU-V1H150JCV	ECJ-1VC1H150J
			18pF	±5%	0.80	PCC180ACVCT-ND•	.26	1.79	6.04	9.79	PCC180ACVTR-ND	4,000	7.62/M	ECU-V1H180JCV	ECJ-1VC1H180J
		50	22pF	±5%	0.80	PCC220ACVCT-ND•	.26	1.79	6.04	9.79	PCC220ACVTR-ND	4,000	7.62/M	ECU-V1H220JCV	ECJ-1VC1H220J
			27pF	±5%	0.80	PCC270ACVCT-ND•	.26	1.79	6.04	9.79	PCC270ACVTR-ND	4,000	7.62/M	ECU-V1H270JCV	ECJ-1VC1H270J
			33pF	±5%	0.80	PCC330ACVCT-ND•	.26	1.79	6.04	9.79	PCC330ACVTR-ND	4,000	7.62/M	ECU-V1H330JCV	ECJ-1VC1H330J
			39pF	±5%	0.80	PCC390ACVCT-ND•	.26	1.79	6.04	9.79	PCC390ACVTR-ND	4,000	7.62/M	ECU-V1H390JCV	ECJ-1VC1H390J
			47pF	±5%	0.80	PCC470ACVCT-ND•	.26	1.79	6.04	9.79	PCC470ACVTR-ND	4,000	7.62/M	ECU-V1H470JCV	ECJ-1VC1H470J
			56pF	±5%	0.80	PCC560ACVCT-ND•	.26	1.79	6.04	9.79	PCC560ACVTR-ND	4,000	7.62/M	ECU-V1H560JCV	ECJ-1VC1H560J
			68pF	±5%	0.80	PCC680ACVCT-ND•	.26	1.79	6.04	9.79	PCC680ACVTR-ND	4,000	7.62/M	ECU-V1H680JCV	ECJ-1VC1H680J
			82pF	±5%	0.80	PCC820ACVCT-ND•	.26	1.79	6.04	9.79	PCC820ACVTR-ND	4,000	7.62/M	ECU-V1H820JCV	ECJ-1VC1H820J
			100pF	±5%	0.80	PCC101ACVCT-ND•	.26	1.79	6.04	9.79	PCC101ACVTR-ND	4,000	7.62/M	ECU-V1H101JCV	ECJ-1VC1H101J
			120pF	±5%	0.80	PCC121ACVCT-ND•	.26	1.79	6.04	9.79	PCC121ACVTR-ND	4,000	7.62/M	ECU-V1H121JCV	ECJ-1VC1H121J
			150pF	±5%	0.80	PCC151ACVCT-ND•	.26	1.79	6.04	9.79	PCC151ACVTR-ND	4,000	7.62/M	ECU-V1H151JCV	ECJ-1VC1H151J
			180pF	±5%	0.80	PCC181ACVCT-ND•	.26	1.79	6.04	9.79	PCC181ACVTR-ND	4,000	7.62/M	ECU-V1H181JCV	ECJ-1VC1H181J
			220pF	±5%	0.80	PCC221ACVCT-ND•	.26	1.79	6.04	9.79	PCC221ACVTR-ND	4,000	7.62/M	ECU-V1H221JCV	ECJ-1VC1H221J
			270pF	±5%	0.80	PCC271ACVCT-ND•	.26	1.79	6.04	9.79	PCC271ACVTR-ND	4,000	7.62/M	ECU-V1H271JCV	ECJ-1VC1H271J
			330pF	±5%	0.80	PCC331ACVCT-ND•	.26	1.79	6.04	9.79	PCC331ACVTR-ND	4,000	7.62/M	ECU-V1H331JCV	ECJ-1VC1H331J
			390pF	±5%	0.80	PCC391ACVCT-ND•	.26	1.79	6.04	9.79	PCC391ACVTR-ND	4,000	7.62/M	ECU-V1H391JCV	ECJ-1VC1H391J
			470pF	±5%	0.80	PCC2147CT-ND	.26	1.79	6.04	9.79	PCC2147TR-ND	4,000	7.62/M	ECJ-1VC1H471J	ECJ-1VC1H471J
			560pF	±5%	0.80	PCC2148CT-ND	.44	2.94	9.96	16.12	PCC2148TR-ND	4,000	12.70/M	ECJ-1VC1H561J	ECJ-1VC1H561J
			680pF	±5%	0.80	PCC2149CT-ND	.44	2.94	9.96	16.12	PCC2149TR-ND	4,000	12.70/M	ECJ-1VC1H681J	ECJ-1VC1H681J
			820pF	±5%	0.80	PCC2150CT-ND	.44	2.94	9.96	16.12	PCC2150TR-ND	4,000	12.70/M	ECJ-1VC1H821J	ECJ-1VC1H821J
			1000pF	±5%	0.80	PCC2151CT-ND	.54	3.67	12.45	20.15	PCC2151TR-ND	4,000	16.09/M	ECJ-1VC1H102J	ECJ-1VC1H102J
	X7R	200	220pF	±10%	0.80	PCC1953CT-ND	.37	2.61	9.01	15.17	PCC1953TR-ND	4,000	12.70/M	ECJ-1VB2D221K	ECJ-1VB2D221K
			330pF	±10%	0.80	PCC1954CT-ND	.37	2.61	9.01	15.17	PCC1954TR-ND	4,000	12.70/M	ECJ-1VB2D331K	ECJ-1VB2D331K
			470pF	±10%	0.80	PCC1955CT-ND	.37	2.61	9.01	15.17	PCC1955TR-ND	4,000	12.70/M	ECJ-1VB2D471K	ECJ-1VB2D471K
			680pF	±10%	0.80	PCC1956CT-ND	.37	2.61	9.01	15.17	PCC1956TR-ND	4,000	12.70/M	ECJ-1VB2D681K	ECJ-1VB2D681K
			1000pF	±10%	0.80	PCC1957CT-ND	.37	2.61	9.01	15.17	PCC1957TR-ND	4,000	12.70/M	ECJ-1VB2D102K	ECJ-1VB2D102K
		100	220pF	±10%	0.80	PCC1948CT-ND	.34	2.29	7.74	12.52	PCC1948TR-ND	4,000	10.16/M	ECJ-1VB2A221K	ECJ-1VB2A221K
			330pF	±10%	0.80	PCC1949CT-ND	.34	2.29	7.74	12.52	PCC1949TR-ND	4,000	10.16/M	ECJ-1VB2A331K	ECJ-1VB2A331K
			470pF	±10%	0.80	PCC1950CT-ND	.34	2.29	7.74	12.52	PCC1950TR-ND	4,000	10.16/M	ECJ-1VB2A471K	ECJ-1VB2A471K
			680pF	±10%	0.80	PCC1951CT-ND	.34	2.29	7.74	12.52	PCC1951TR-ND	4,000	10.16/M	ECJ-1VB2A681K	ECJ-1VB2A681K
			1000pF	±10%	0.80	PCC1952CT-ND	.34	2.29	7.74	12.52	PCC1952TR-ND	4,000	10.16/M	ECJ-1VB2A102K	ECJ-1VB2A102K
		50	220pF	±10%	0.80	PCC221BVCT-ND	.70	4.72	16.00	25.91	PCC221BVTR-ND	4,000	20.32/M	ECU-V1H221KBV	(Nicht für neue Designs)
			1000pF	±10%	0.80	PCC102BVCT-ND	.74	4.99	16.89	27.35	PCC102BVTR-ND	4,000	22.02/M	ECU-V1H102KBV	(Nicht für neue Designs)
			1000pF	±10%	0.80	PCC1772CT-ND•	.25	1.63	5.51	8.92	PCC1772TR-ND	4,000	6.78/M	ECJ-1VB1H102K	ECJ-1VB1H102K
			1200pF	±10%	0.80	PCC1773CT-ND•	.25	1.63	5.51	8.92	PCC1773TR-ND	4,000	6.78/M	ECJ-1VB1H122K	ECJ-1VB1H122K
			1500pF	±10%	0.80	PCC1774CT-ND•	.25	1.63	5.51	8.92	PCC1774TR-ND	4,000	6.78/M	ECJ-1VB1H152K	ECJ-1VB1H152K
			1800pF	±10%	0.80	PCC1775CT-ND•	.25	1.63	5.51	8.92	PCC1775TR-ND	4,000	6.78/M	ECJ-1VB1H182K	ECJ-1VB1H182K
			2200pF	±10%	0.80	PCC1776CT-ND•	.19	1.29	4.36	7.05	PCC1776TR-ND	4,000	5.93/M	ECJ-1VB1H222K	ECJ-1VB1H222K
			2700pF	±10%	0.80	PCC1777CT-ND•	.25	1.63	5.51	8.92	PCC1777TR-ND	4,000	6.78/M	ECJ-1VB1H272K	ECJ-1VB1H272K
			3300pF	±10%	0.80	PCC1778CT-ND•	.25	1.63	5.51	8.92	PCC1778TR-ND	4,000	6.78/M	ECJ-1VB1H332K	ECJ-1VB1H332K
			3900pF	±10%	0.80	PCC1779CT-ND•	.25	1.63	5.51	8.92	PCC1779TR-ND	4,000	6.78/M	ECJ-1VB1H392K	ECJ-1VB1H392K
			4700pF	±10%	0.80	PCC1780CT-ND•	.25	1.63	5.51	8.92	PCC1780TR-ND	4,000	6.78/M	ECJ-1VB1H472K	ECJ-1VB1H472K
			5600pF	±10%	0.80	PCC1781CT-ND•	.25	1.63	5.51	8.92	PCC1781TR-ND	4,000	6.78/M	ECJ-1VB1H562K	ECJ-1VB1H562K
			6800pF	±10%	0.80	PCC1782CT-ND•	.25	1.63	5.51	8.92	PCC1782TR-ND	4,000	6.78/M	ECJ-1VB1H682K	ECJ-1VB1H682K
			8200pF	±10%	0.80	PCC1783CT-ND•	.25	1.63	5.51	8.92	PCC1783TR-ND	4,000	6.78/M	ECJ-1VB1H822K	ECJ-1VB1H822K
			10000pF	±10%	0.80	PCC1784CT-ND•	.23	1.55	5.25	8.49	PCC1784TR-ND	4,000	6.78/M	ECJ-1VB1H103K	ECJ-1VB1H103K
			12000pF	±10%	0.80	PCC123BVCT-ND	.40	2.68	9.10	14.74	PCC123BVTR-ND	4,000	11.86/M	ECU-V1H123KBV	(Nicht für neue Designs)
			12000pF	±10%	0.80	PCC1785CT-ND•	.29	1.91	6.49	10.51	PCC1785TR-ND	4,000	8.47/M	ECJ-1VB1H123K	ECJ-1VB1H123K
			15000pF	±10%	0.80	PCC1786CT-ND•	.29	1.91	6.49	10.51	PCC1786TR-ND	4,000	8.47/M	ECJ-1VB1H153K	ECJ-1VB1H153K
			.018µF	±10%	0.80	PCC2281CT-ND	.29	1.91	6.49	9.89	PCC2281TR-ND	4,000	8.47/M	ECJ-1VB1H183K	ECJ-1VB1H183K
			.022µF	±10%	0.80	PCC2282CT-ND	.29	1.91	6.49	9.89	PCC2282TR-ND	4,000	8.47/M	ECJ-1VB1H223K	ECJ-1VB1H223K
			.027µF	±10%	0.80	PCC2283CT-ND	.49	3.34	11.29	17.20	PCC2283TR-ND	4,000	14.40/M	ECJ-1VB1H273K	ECJ-1VB1H273K
			.033µF	±10%	0.80	PCC2284CT-ND	.49	3.34	11.29	17.20	PCC2284TR-ND	4,000	14.40/M	ECJ-1VB1H333K	ECJ-1VB1H333K
			.039µF	±10%	0.80	PCC2285CT-ND	.49	3.34	11.29	17.20	PCC2285TR-ND	4,000	14.40/M	ECJ-1VB1H393K	ECJ-1VB1H393K
			.047µF	±10%	0.80	PCC2286CT-ND	.49	3.34	11.29	17.20	PCC2286TR-ND	4,000	14.40/M	ECJ-1VB1H473K	ECJ-1VB1H473K
			0.1µF	±10%	0.80	PCC2398CT-ND	.76	4.97	16.07	20.45	PCC2398TR-ND	4,000	17.78/M	ECJ-1VB1H104K	ECJ-1VB1H104K
		25	10000pF	±10%	0.80	PCC1763CT-ND	.23	1.55	5.25	8.49	PCC1763TR-ND	4,000	6.78/M	ECJ-1VB1E103K	ECJ-1VB1E103K
			12000pF	±10%	0.80	PCC1764CT-ND	.29	1.91	6.49	10.51	PCC1764TR-ND	4,000	8.47/M	ECJ-1VB1E123K	ECJ-1VB1E123K
			15000pF	±10%	0.80	PCC1765CT-ND	.29	1.91	6.49	10.51	PCC1765TR-ND	4,000	8.47/M	ECJ-1VB1E153K	ECJ-1VB1E153K
			18000pF	±10%	0.80	PCC1766CT-ND•	.29	1.91	6.49	10.51	PCC1766TR-ND	4,000	8.47/M	ECJ-1VB1E183K	ECJ-1VB1E183K
			22000pF	±10%	0.80	PCC1767CT-ND•	.29	1.91	6.49	10.51	PCC1767TR-ND	4,000	8.47/M	ECJ-1VB1E223K	ECJ-1VB1E223K
			27000pF	±10%	0.80	PCC1768CT-ND•	.29	1.91	6.49	10.51	PCC1768TR-ND	4,000	8.47/M	ECJ-1VB1E273K	ECJ-1VB1E273K
			33000pF	±10%	0.80	PCC1769CT-ND•	.29	1.91	6.49	10.51	PCC1769TR-ND	4,000	8.47/M	ECJ-1VB1E333K	ECJ-1VB1E333K
			39000pF	±10%	0.80	PCC1770CT-ND•	.29	1.91	6.49	10.51	PCC1770TR-ND	4,000	8.47/M	ECJ-1VB1E393K	ECJ-1VB1E393K
			47000pF	±10%	0.80	PCC1771CT-ND•	.29	1.91	6.49	10.51	PCC1771TR-ND	4,000	8.47/M	ECJ-1VB1E473K	ECJ-1VB1E473K
			.056µF	±10%	0.80	PCC2278CT-ND	.38	2.57	8.71	13.27	PCC2278TR-ND	4,000	11.01/M	ECJ-1VB1E563K	ECJ-1VB1E563K
			.068µF	±10%	0.80	PCC2279CT-ND	.38	2.57	8.71	13.27	PCC2279TR-ND	4,000	11.01/M	ECJ-1VB1E683K	ECJ-1VB1E683K
			.082µF	±10%	0.80	PCC2280CT-ND	.38	2.57	8.71	13.27	PCC2280TR-ND	4,000	11.01/M	ECJ-1VB1E823K	ECJ-1VB1E823K
			.1µF	±10%	0.80	PCC2277CT-ND	.38	2.57	8.71	13.27	PCC2277TR-ND	4,000	11.01/M	ECJ-1VB1E104K	ECJ-1VB1E104K
		16	10000pF	±10%	0.80	PCC1750CT-ND	.30	2.00	6.76	10.94	PCC1750TR-ND	4,000	8.47/M	ECJ-1VB1C103K	ECJ-1VB1C103K
			12000pF	±10%	0.80	PCC1751CT-ND	.30	2.00	6.76	10.94	PCC1751TR-ND	4,000	8.47/M	ECJ-1VB1C123K	ECJ-1VB1C123K
			15000pF	±10%	0.80	PCC1752CT-ND	.30	2.00	6.76	10.94	PCC1752TR-ND	4,000	8.47/M	ECJ-1VB1C153K	ECJ-1VB1C153K
			18000pF	±10%	0.80	PCC1753CT-ND	.30	2.00	6.76	10.94	PCC1753TR-ND	4,000	8.47/M	ECJ-1VB1C183K	ECJ-1VB1C183K
			22000pF	±10%	0.80	PCC1754CT-ND	.30	2.00	6.76	10.94	PCC1754TR-ND	4,000	8.47/M	ECJ-1VB1C223K	ECJ-1VB1C223K
			27000pF	±10%	0.80	PCC1755CT-ND	.30	2.00	6.76	10.94	PCC1755TR-ND	4,000	8.47/M	ECJ-1VB1C273K	ECJ-1VB1C273K
			33000pF	±10%	0.80	PCC1756CT-ND	.30	2.00	6.76	10.94	PCC1756TR-ND	4,000	8.47/M	ECJ-1VB1C333K	ECJ-1VB1C333K
			39000pF	±10%	0.80	PCC1757CT-ND	.30	2.00	6.76	10.94	PCC1757TR-ND	4,000	8.47/M	ECJ-1VB1C393K	ECJ-1VB1C393K
			47000pF	±10%	0.80	PCC1758CT-ND	.30	2.00	6.76	10.94	PCC1758TR-ND	4,000	8.47/M	ECJ-1VB1C473K	ECJ-1VB1C473K
			56000pF	±10%	0.80	PCC1759CT-ND•	.30	2.00	6.76	10.94	PCC1759TR-ND	4,000	8.47/M	ECJ-1VB1C563K	ECJ-1VB1C563K
			68000pF	±10%	0.80	PCC1760CT-ND•	.30	2.00	6.76	10.94	PCC1760TR-ND	4,000	8.47/M	ECJ-1VB1C683K	ECJ-1VB1C683K

‡ Reduzierte DC-Vorspannungseigenschaften *Betriebsspannung DC

(Forts.)

E

Größen-code	Typ	WV DC*	Kap.	Toleranz	Abm. T (mm)	Digi-Key Teilenr.	Gurtabschnitts-preise 10	100	500	1.000	Digi-Key Teilenr.	Gegurtet auf Rolle Größe	Preisangaben	Alte † Panasonic Teilenr.	Neue † Panasonic Teilenr.
0603	X7R	16	82000pF	±10%	0.80	PCC1761CT-ND•	.30	2.00	6.76	10.94	PCC1761TR-ND	4,000	8.47/M	ECJ-1VB1C823K	ECJ-1VB1C823K
			.1µF	±10%	0.80	PCC1762CT-ND•	.30	2.00	6.76	10.94	PCC1762TR-ND	4,000	8.47/M	ECJ-1VB1C104K	ECJ-1VB1C104K
	X5R	16	1.0µF	±10%	0.80	PCC2224CT-ND	.74	5.25	18.90	29.39	PCC2224TR-ND	4,000	27.09/M	ECJ-1VB1C105K	ECJ-1VB1C105K
		10	.12µF	±10%	0.80	PCC1906CT-ND•	1.49	10.48	36.19	60.96	PCC1906TR-ND	4,000	49.95/M	ECJ-1VB1A124K	ECJ-1VB1A124K
			.15µF	±10%	0.80	PCC1748CT-ND•	.25	1.77	6.11	10.29	PCC1748TR-ND	4,000	8.47/M	ECJ-1VB1A154K	ECJ-1VB1A154K
			.18µF	±10%	0.80	PCC1907CT-ND•	1.52	10.71	37.00	62.31	PCC1907TR-ND	4,000	50.80/M	ECJ-1VB1A184K	ECJ-1VB1A184K
			.22µF	±10%	0.80	PCC1749CT-ND•	.39	2.75	9.49	15.98	PCC1749TR-ND	4,000	12.70/M	ECJ-1VB1A224K	ECJ-1VB1A224K
			.33µF	±10%	0.80	PCC2274CT-ND	.39	2.75	9.49	15.98	PCC2274TR-ND	4,000	13.55/M	ECJ-1VB1A334K	ECJ-1VB1A334K
			.47µF	±10%	0.80	PCC2275CT-ND	.39	2.75	9.49	15.98	PCC2275TR-ND	4,000	13.55/M	ECJ-1VB1A474K	ECJ-1VB1A474K
			.68µF	±10%	0.80	PCC2276CT-ND	.82	5.54	18.76	28.58	PCC2276TR-ND	4,000	23.71/M	ECJ-1VB1A684K	ECJ-1VB1A684K
			1µF	±10%	0.80	PCC2174CT-ND	.63	4.47	16.08	26.79	PCC2174TR-ND	4,000	22.86/M	ECJ-1VB1A105K	ECJ-1VB1A105K
			2.2µF	±20%	0.80	PCC2365CT-ND	1.14	7.69	25.14	39.11	PCC2365TR-ND	4,000	37.25/M	ECJ-1VB1A225M	ECJ-1VB1A225M
			2.2µF	±10%	0.80	PCC2397CT-ND	1.46	9.50	29.33	41.91	PCC2397TR-ND	4,000	40.64/M	ECJ-1VB1A225K	ECJ-1VB1A225K
		6.3	.27µF	±10%	0.80	PCC1908CT-ND	1.98	13.97	48.26	81.27	PCC1908TR-ND	4,000	66.04/M	ECJ-1VB0J274K	ECJ-1VB0J274K
			.33µF	±10%	0.80	PCC1909CT-ND	1.98	13.97	48.26	81.27	PCC1909TR-ND	4,000	66.04/M	ECJ-1VB0J334K	ECJ-1VB0J334K
			.39µF	±10%	0.80	PCC1910CT-ND	1.98	13.97	48.26	81.27	PCC1910TR-ND	4,000	66.04/M	ECJ-1VB0J394K	ECJ-1VB0J394K
			.47µF	±10%	0.80	PCC1911CT-ND	.38	2.70	9.33	15.71	PCC1911TR-ND	4,000	12.70/M	ECJ-1VB0J474K	ECJ-1VB0J474K
			.56µF	±10%	0.80	PCC1912CT-ND	2.05	14.43	49.86	83.98	PCC1912TR-ND	4,000	68.58/M	ECJ-1VB0J564K	ECJ-1VB0J564K
			.68µF	±10%	0.80	PCC1913CT-ND	.38	2.70	9.33	15.71	PCC1913TR-ND	4,000	12.70/M	ECJ-1VB0J684K	ECJ-1VB0J684K
			.82µF	±10%	0.80	PCC1914CT-ND	2.12	14.90	51.47	86.69	PCC1914TR-ND	4,000	70.27/M	ECJ-1VB0J824K	ECJ-1VB0J824K
			1µF	±10%	0.80	PCC1915CT-ND•	.43	3.07	10.62	17.88	PCC1915TR-ND	4,000	14.40/M	ECJ-1VB0J105K	ECJ-1VB0J105K
			2.2µF	±10%	0.80	PCC2273CT-ND	.99	6.98	24.13	38.10	PCC2273TR-ND	4,000	33.02/M	ECJ-1VB0J225K	ECJ-1VB0J225K
			4.7µF	±10%	0.80	PCC2396CT-ND	1.67	10.79	33.34	47.62	PCC2396TR-ND	4,000	45.72/M	ECJ-1VB0J475K	ECJ-1VB0J475K
			4.7µF	±20%	0.80	PCC2318CT-ND	1.24	8.73	30.16	47.62	PCC2318TR-ND	4,000	41.49/M	ECJ-1VB0J475M	ECJ-1VB0J475M
			10µF	±20%	0.80	PCC2395CT-ND	3.47	23.28	76.19	118.52	PCC2395TR-ND	4,000	112.60/M	ECJ-1VB0J106M	ECJ-1VB0J106M
		4.0	10µF	±20%	0.80	PCC2367CT-ND	2.75	18.19	68.73	109.15	PCC2367TR-ND	4,000	104.98/M	ECJ-1VB0G106M	ECJ-1VB0G106M
	X5S	25	1.0µF	±20%	0.80	PCC2354CT-ND	1.41	9.96	34.42	54.35	PCC2354TR-ND	4,000	47.41/M	ECJ-1V41E105M	ECJ-1V41E105M
	Y5V	50	1500pF	+80%/-20%	0.80	PCC1796CT-ND	.59	4.02	13.61	22.04	PCC1796TR-ND	4,000	17.78/M	ECU-V1H152ZFV	(Nicht für neue Designs)
			10000pF	+80%/-20%	0.80	PCC1801CT-ND	.25	1.63	5.51	8.92	PCC1801TR-ND	4,000	6.78/M	ECJ-1VF1H103Z	ECJ-1VF1H103Z
			15000pF	+80%/-20%	0.80	PCC1802CT-ND	.58	3.94	13.33	21.59	PCC1802TR-ND	4,000	16.94/M	ECJ-1VF1H153Z	ECJ-1VF1H153Z
			22000pF	+80%/-20%	0.80	PCC1803CT-ND	.26	1.76	5.96	9.64	PCC1803TR-ND	4,000	7.62/M	ECJ-1VF1H223Z	ECJ-1VF1H223Z
			33000pF	+80%/-20%	0.80	PCC1804CT-ND	.74	4.99	16.89	27.35	PCC1804TR-ND	4,000	22.02/M	ECJ-1VF1H333Z	ECJ-1VF1H333Z
			47000pF	+80%/-20%	0.80	PCC1805CT-ND	.26	1.76	5.96	9.64	PCC1805TR-ND	4,000	7.62/M	ECJ-1VF1H473Z	ECJ-1VF1H473Z
			68000pF	+80%/-20%	0.80	PCC2152CT-ND	.97	6.56	22.22	35.98	PCC2152TR-ND	4,000	28.79/M	ECJ-1VF1H683Z	ECJ-1VF1H683Z
			.1µF	+80%/-20%	0.80	PCC2153CT-ND	.30	2.07	7.03	11.37	PCC2153TR-ND	4,000	9.32/M	ECJ-1VF1H104Z	ECJ-1VF1H104Z
		25	68000pF	+80%/-20%	0.80	PCC1793CT-ND	.93	6.30	21.33	34.54	PCC1793TR-ND	4,000	27.09/M	ECJ-1VF1E683Z	ECJ-1VF1E683Z
			.1µF	+80%/-20%	0.80	PCC1794CT-ND	.28	1.86	6.32	10.22	PCC1794TR-ND	4,000	8.47/M	ECJ-1VF1E104Z	ECJ-1VF1E104Z
		16	.1µF	+80%/-20%	0.80	PCC1788CT-ND	.23	1.52	5.16	8.35	PCC1788TR-ND	4,000	6.78/M	ECJ-1VF1C104Z	ECJ-1VF1C104Z
			.15µF	+80%/-20%	0.80	PCC1789CT-ND	.86	5.77	19.56	31.66	PCC1789TR-ND	4,000	25.40/M	ECJ-1VF1C154Z	ECJ-1VF1C154Z
			.22µF	+80%/-20%	0.80	PCC1790CT-ND	.32	2.18	7.38	11.95	PCC1790TR-ND	4,000	9.32/M	ECJ-1VF1C224Z	ECJ-1VF1C224Z
			.33µF	+80%/-20%	0.80	PCC1791CT-ND	1.17	7.87	26.67	43.18	PCC1791TR-ND	4,000	34.71/M	ECJ-1VF1C334Z	ECJ-1VF1C334Z
			.47µF	+80%/-20%	0.80	PCC1792CT-ND	.32	2.18	7.38	11.95	PCC1792TR-ND	4,000	9.32/M	ECJ-1VF1C474Z	ECJ-1VF1C474Z
		10	.68µF	+80%/-20%	0.80	PCC2154CT-ND	1.62	11.41	39.41	66.37	PCC2154TR-ND	4,000	54.19/M	ECJ-1VF1A684Z	ECJ-1VF1A684Z
			1µF	+80%/-20%	0.80	PCC1787CT-ND	.30	2.14	7.40	12.46	PCC1787TR-ND	4,000	10.16/M	ECJ-1VF1A105Z	ECJ-1VF1A105Z
		6.3	2.2µF	+80%/-20%	0.80	PCC2181CT-ND	.91	6.54	23.54	39.24	PCC2181TR-ND	4,000	33.87/M	ECJ-1VF0J225Z	ECJ-1VF0J225Z
	F	25	1µF	±80%/-20%	0.80	PCC2399CT-ND	.50	3.24	10.48	13.33	PCC2399TR-ND	4,000	11.86/M	ECJ-1VF1E105Z	ECJ-1VF1E105Z
		16	1µF	+80%/-20%	0.80	PCC2287CT-ND	.44	2.94	9.96	15.17	PCC2287TR-ND	4,000	12.70/M	ECJ-1VF1C105Z	ECJ-1VF1C105Z
		10	2.2µF	+80%/-20%	0.80	PCC2229CT-ND	.99	7.07	25.45	39.59	PCC2229TR-ND	4,000	36.41/M	ECJ-1VF1A225Z	ECJ-1VF1A225Z
0612	X7R	50	15000pF	±10%	0.85	PCC2173CT-ND	2.61	18.63	67.03	111.73	PCC2173TR-ND	4,000	96.52/M	ECJ-WVB1H153K	ECY-39RH153KV
		16	.33µF	±10%	0.85	PCC2185CT-ND	6.60	47.17	169.81	283.03	PCC2185TR-ND	4,000	245.52/M	ECJ-WVB1C334K	ECY-39RC334KV
	X5R	50	.1µF	±10%	0.85	PCC2313CT-ND	2.02	14.25	49.22	77.72	PCC2313TR-ND	4,000	67.73/M	ECY-39RH104KV	ECY-39RH104KV
		16	1µF	±10%	0.85	PCC2186CT-ND	2.06	14.67	52.80	88.00	PCC2186TR-ND	4,000	76.20/M	ECJ-WVB1C105K	ECY-39RC105KV
		6.3	10µF	±20%	0.85	PCC2355CT-ND	11.28	84.56	300.64	499.82	PCC2355TR-ND	4,000	480.87/M	ECY-39RJ106MV	ECY-39RJ106MV
0805	NPO	200	10pF	±0.5pF	0.85	PCC1971CT-ND	.93	6.65	23.92	39.87	PCC1971TR-ND	4,000	34.71/M	ECJ-2VC2D100D	ECJ-2VC2D100D
			15pF	±5%	0.85	PCC1972CT-ND	.93	6.65	23.92	39.87	PCC1972TR-ND	4,000	34.71/M	ECJ-2VC2D150J	ECJ-2VC2D150J
			22pF	±5%	0.85	PCC1973CT-ND	.93	6.65	23.92	39.87	PCC1973TR-ND	4,000	34.71/M	ECJ-2VC2D220J	ECJ-2VC2D220J
			33pF	±5%	0.85	PCC1974CT-ND	.93	6.65	23.92	39.87	PCC1974TR-ND	4,000	34.71/M	ECJ-2VC2D330J	ECJ-2VC2D330J
			47pF	±5%	0.85	PCC1975CT-ND	.93	6.65	23.92	39.87	PCC1975TR-ND	4,000	34.71/M	ECJ-2VC2D470J	ECJ-2VC2D470J
			68pF	±5%	1.25	PCC1976CT-ND	3.20	22.86	82.29	137.15	PCC1976TR-ND	2,000	127.84/M	ECJ-2YC2D680J	ECJ-2YC2D680J
			100pF	±5%	1.25	PCC1977CT-ND	3.23	23.07	83.05	138.42	PCC1977TR-ND	2,000	129.53/M	ECJ-2YC2D101J	ECJ-2YC2D101J
			150pF	±5%	1.25	PCC1978CT-ND	3.35	23.92	86.10	143.50	PCC1978TR-ND	2,000	133.77/M	ECJ-2YC2D151J	ECJ-2YC2D151J
			220pF	±5%	1.25	PCC1979CT-ND	3.35	23.92	86.10	143.50	PCC1979TR-ND	2,000	133.77/M	ECJ-2YC2D221J	ECJ-2YC2D221J
			330pF	±5%	1.25	PCC1980CT-ND	3.35	23.92	86.10	143.50	PCC1980TR-ND	2,000	133.77/M	ECJ-2YC2D331J	ECJ-2YC2D331J
		100	10pF	±0.5pF	0.85	PCC1958CT-ND	.92	6.49	22.44	37.79	PCC1958TR-ND	4,000	30.48/M	ECJ-2VC2A100D	ECJ-2VC2A100D
			15pF	±5%	0.85	PCC1959CT-ND	.92	6.49	22.44	37.79	PCC1959TR-ND	4,000	30.48/M	ECJ-2VC2A150J	ECJ-2VC2A150J
			22pF	±5%	0.85	PCC1960CT-ND	.92	6.49	22.44	37.79	PCC1960TR-ND	4,000	30.48/M	ECJ-2VC2A220J	ECJ-2VC2A220J
			33pF	±5%	0.85	PCC1961CT-ND	.92	6.49	22.44	37.79	PCC1961TR-ND	4,000	30.48/M	ECJ-2VC2A330J	ECJ-2VC2A330J
			47pF	±5%	0.85	PCC1962CT-ND	.92	6.49	22.44	37.79	PCC1962TR-ND	4,000	30.48/M	ECJ-2VC2A470J	ECJ-2VC2A470J
			68pF	±5%	0.85	PCC1963CT-ND	1.03	7.26	25.09	42.26	PCC1963TR-ND	4,000	34.71/M	ECJ-2VC2A680J	ECJ-2VC2A680J
			100pF	±5%	0.85	PCC1964CT-ND	1.03	7.26	25.09	42.26	PCC1964TR-ND	4,000	34.71/M	ECJ-2VC2A101J	ECJ-2VC2A101J
			150pF	±5%	0.85	PCC1965CT-ND	1.03	7.26	25.09	42.26	PCC1965TR-ND	4,000	34.71/M	ECJ-2VC2A151J	ECJ-2VC2A151J
			220pF	±5%	0.85	PCC1966CT-ND	1.03	7.26	25.09	42.26	PCC1966TR-ND	4,000	34.71/M	ECJ-2VC2A221J	ECJ-2VC2A221J
			330pF	±5%	0.85	PCC1967CT-ND	1.03	7.26	25.09	42.26	PCC1967TR-ND	4,000	34.71/M	ECJ-2VC2A331J	ECJ-2VC2A331J
			470pF	±5%	0.85	PCC1968CT-ND	1.03	7.26	25.09	42.26	PCC1968TR-ND	4,000	34.71/M	ECJ-2VC2A471J	ECJ-2VC2A471J
			680pF	±5%	0.85	PCC1969CT-ND	.92	6.60	23.77	39.62	PCC1969TR-ND	4,000	34.71/M	ECJ-2VC2A681J	ECJ-2VC2A681J
			1000pF	±5%	0.85	PCC1970CT-ND	1.09	7.81	28.12	46.86	PCC1970TR-ND	4,000	40.64/M	ECJ-2VC2A102J	ECJ-2VC2A102J
		50	0.5pF	±0.25pF	0.60	PCC0R5CNCT-ND•	.82	5.51	18.67	28.45	PCC0R5CNTR-ND	5,000	23.71/M	ECU-V1H0R5CCN	ECJ-2VC1H0R5C
			1.0pF	±0.25pF	0.60	PCC010CNCT-ND•	.82	5.51	18.67	28.45	PCC010CNTR-ND	5,000	23.71/M	ECU-V1H010CCN	ECJ-2VC1H010C
			1.5pF	±0.25pF	0.60	PCC1R5CNCT-ND•	.82	5.51	18.67	28.45	PCC1R5CNTR-ND	5,000	23.71/M	ECU-V1H1R5CCN	ECJ-2VC1H1R5C
			2.0pF	±0.25pF	0.60	PCC020CNCT-ND•	.82	5.51	18.67	28.45	PCC020CNTR-ND	5,000	23.71/M	ECU-V1H020CCN	ECJ-2VC1H020C
			3.0pF	±0.25pF	0.60	PCC030CNCT-ND•	.82	5.51	18.67	28.45	PCC030CNTR-ND	5,000	23.71/M	ECU-V1H030CCN	ECJ-2VC1H030C
			4.0pF	±0.25pF	0.60	PCC040CNCT-ND•	.82	5.51	18.67	28.45	PCC040CNTR-ND	5,000	23.71/M	ECU-V1H040CCN	ECJ-2VC1H040C
			5.0pF	±0.25pF	0.60	PCC050CNCT-ND•	.82	5.51	18.67	28.45	PCC050CNTR-ND	5,000	23.71/M	ECU-V1H050CCN	ECJ-2VC1H050C
			6.0pF	±0.5pF	0.60	PCC060CNCT-ND•	.82	5.51	18.67	28.45	PCC060CNTR-ND	5,000	23.71/M	ECU-V1H060DCN	ECJ-2VC1H060D
			7.0pF	±0.5pF	0.60	PCC070CNCT-ND•	.82	5.51	18.67	28.45	PCC070CNTR-ND	5,000	23.71/M	ECU-V1H070DCN	ECJ-2VC1H070D
			8.0pF	±0.5pF	0.60	PCC080CNCT-ND•	.82	5.51	18.67	28.45	PCC080CNTR-ND	5,000	23.71/M	ECU-V1H080DCN	ECJ-2VC1H080D
			9.0pF	±0.5pF	0.60	PCC090CNCT-ND•	.82	5.51	18.67	28.45	PCC090CNTR-ND	5,000	23.71/M	ECU-V1H090DCN	ECJ-2VC1H090D
			10pF	±0.5pF	0.60	PCC100CNCT-ND•	.82	5.51	18.67	28.45	PCC100CNTR-ND	5,000	23.71/M	ECU-V1H100DCN	ECJ-2VC1H100D
			12pF	±5%	0.60	PCC120CNCT-ND	.82	5.51	18.67	28.45	PCC120CNTR-ND	5,000	23.71/M	ECU-V1H120JCN	ECJ-2VC1H120J
			15pF	±5%	0.60	PCC150CNCT-ND•	.82	5.51	18.67	28.45	PCC150CNTR-ND	5,000	23.71/M	ECU-V1H150JCN	ECJ-2VC1H150J
			18pF	±5%	0.60	PCC180CNCT-ND	.82	5.51	18.67	28.45	PCC180CNTR-ND	5,000	23.71/M	ECU-V1H180JCN	ECJ-2VC1H180J
			22pF	±5%	0.60	PCC220CNCT-ND•	.58	3.94	13.33	20.32	PCC220CNTR-ND	5,000	16.94/M	ECU-V1H220JCN	ECJ-2VC1H220J
			27pF	±5%	0.60	PCC270CGCT-ND	.41	2.81	9.52	14.49	PCC270CGTR-ND	5,000	11.86/M	ECU-V1H270JCG	ECJ-2VC1H270J
			33pF	±5%	0.60	PCC330CGCT-ND•	.41	2.81	9.52	14.49	PCC330CGTR-ND	5,000	11.86/M	ECU-V1H330JCG	ECJ-2VC1H330J
			39pF	±5%	0.60	PCC390CGCT-ND	.41	2.81	9.52	14.49	PCC390CGTR-ND	5,000	11.86/M	ECU-V1H390JCG	ECJ-2VC1H390J
			47pF	±5%	0.60	PCC470CGCT-ND•	.41	2.81	9.52	14.49	PCC470CGTR-ND	5,000	11.86/M	ECU-V1H470JCG	ECJ-2VC1H470J
			56pF	±5%	0.60	PCC560CGCT-ND	.41	2.81	9.52	14.49	PCC560CGTR-ND	5,000	11.86/M	ECU-V1H560JCG	ECJ-2VC1H560J

‡ Reduzierte DC-Vorspannungseigenschaften *Betriebsspannung DC

(Forts.)

Alle Preisangaben in Euro und inklusive Zollgebühren.

Größen-code	Typ	WV DC*	Kap.	Toleranz	Abm. T (mm)	Digi-Key Teilenr.	Gurtabschnitts-preise 10	100	500	1.000	Digi-Key Teilenr.	Gegurtet auf Rolle Größe	Preisangaben	Alte † Panasonic Teilenr.	Neue † Panasonic Teilenr.
0805	NP0	50	68pF	±5%	0.60	PCC680CGCT-ND•	.41	2.81	9.52	14.49	PCC680CGTR-ND	5,000	11.86/M	ECU-V1H680JCG	ECJ-2VC1H680J
			82pF	±5%	0.60	PCC820CGCT-ND	.41	2.81	9.52	14.49	PCC820CGTR-ND	5,000	11.86/M	ECU-V1H820JCG	ECJ-2VC1H820J
			100pF	±5%	0.60	PCC101CGCT-ND•	.41	2.81	9.52	14.49	PCC101CGTR-ND	5,000	11.86/M	ECU-V1H101JCG	ECJ-2VC1H101J
			120pF	±5%	0.60	PCC121CGCT-ND•	.41	2.81	9.52	14.49	PCC121CGTR-ND	5,000	11.86/M	ECU-V1H121JCG	ECJ-2VC1H121J
			150pF	±5%	0.60	PCC151CGCT-ND•	.41	2.81	9.52	14.49	PCC151CGTR-ND	5,000	11.86/M	ECU-V1H151JCG	ECJ-2VC1H151J
			180pF	±5%	0.60	PCC181CGCT-ND•	.41	2.81	9.52	14.49	PCC181CGTR-ND	5,000	11.86/M	ECU-V1H181JCG	ECJ-2VC1H181J
			220pF	±5%	0.60	PCC221CGCT-ND•	.41	2.81	9.52	14.49	PCC221CGTR-ND	5,000	11.86/M	ECU-V1H221JCG	ECJ-2VC1H221J
			270pF	±5%	0.60	PCC271CGCT-ND•	.41	2.81	9.52	14.49	PCC271CGTR-ND	5,000	11.86/M	ECU-V1H271JCG	ECJ-2VC1H271J
			330pF	±5%	0.60	PCC331CGCT-ND•	.41	2.81	9.52	14.49	PCC331CGTR-ND	5,000	11.86/M	ECU-V1H331JCG	ECJ-2VC1H331J
			390pF	±5%	0.60	PCC391CGCT-ND•	.41	2.81	9.52	14.49	PCC391CGTR-ND	5,000	11.86/M	ECU-V1H391JCG	ECJ-2VC1H391J
			470pF	±5%	0.60	PCC471CGCT-ND•	.41	2.81	9.52	14.49	PCC471CGTR-ND	5,000	11.86/M	ECU-V1H471JCX	ECJ-2VC1H471J
			560pF	±5%	0.60	PCC561CGCT-ND•	.41	2.81	9.52	14.49	PCC561CGTR-ND	5,000	11.86/M	ECU-V1H561JCX	ECJ-2VC1H561J
			680pF	±5%	0.60	PCC681CGCT-ND•	.41	2.81	9.52	14.49	PCC681CGTR-ND	5,000	11.86/M	ECU-V1H681JCX	ECJ-2VC1H681J
			820pF	±5%	0.60	PCC821CGCT-ND•	.64	4.33	14.67	22.35	PCC821CGTR-ND	5,000	18.63/M	ECU-V1H821JCX	ECJ-2VC1H821J
			1000pF	±5%	0.60	PCC102CGCT-ND•	.64	4.33	14.67	22.35	PCC102CGTR-ND	5,000	18.63/M	ECU-V1H102JCX	ECJ-2VC1H102J
			1200pF	±5%	0.60	PCC2155CT-ND	1.36	9.16	31.03	47.27	PCC2155TR-ND	5,000	38.10/M	ECJ-2VC1H122J	ECJ-2VC1H122J
			1500pF	±5%	0.60	PCC2156CT-ND	1.36	9.16	31.03	47.27	PCC2156TR-ND	5,000	38.10/M	ECJ-2VC1H152J	ECJ-2VC1H152J
			1800pF	±5%	0.60	PCC2157CT-ND	1.81	12.21	41.34	62.99	PCC2157TR-ND	5,000	50.80/M	ECJ-2VC1H182J	ECJ-2VC1H182J
			2200pF	±5%	0.60	PCC2158CT-ND	1.81	12.21	41.34	62.99	PCC2158TR-ND	5,000	50.80/M	ECJ-2VC1H222J	ECJ-2VC1H222J
			2700pF	±5%	0.60	PCC2159CT-ND	1.81	12.21	41.34	62.99	PCC2159TR-ND	4,000	50.80/M	ECJ-2VC1H272J	ECJ-2VC1H272J
		200	220pF	±10%	0.85	PCC1993CT-ND	.62	4.40	15.85	26.41	PCC1993TR-ND	4,000	22.86/M	ECJ-2VB2D221K	ECJ-2VB2D221K
			330pF	±10%	0.85	PCC1994CT-ND	.62	4.40	15.85	26.41	PCC1994TR-ND	4,000	22.86/M	ECJ-2VB2D331K	ECJ-2VB2D331K
			470pF	±10%	0.85	PCC1995CT-ND	.62	4.40	15.85	26.41	PCC1995TR-ND	4,000	22.86/M	ECJ-2VB2D471K	ECJ-2VB2D471K
			680pF	±10%	0.85	PCC1996CT-ND	.62	4.40	15.85	26.41	PCC1996TR-ND	4,000	22.86/M	ECJ-2VB2D681K	ECJ-2VB2D681K
			1000pF	±10%	0.85	PCC1997CT-ND	.62	4.40	15.85	26.41	PCC1997TR-ND	4,000	22.86/M	ECJ-2VB2D102K	ECJ-2VB2D102K
			1500pF	±10%	0.85	PCC1998CT-ND	.62	4.40	15.85	26.41	PCC1998TR-ND	4,000	22.86/M	ECJ-2VB2D152K	ECJ-2VB2D152K
			2200pF	±10%	0.85	PCC1999CT-ND	.62	4.40	15.85	26.41	PCC1999TR-ND	4,000	22.86/M	ECJ-2VB2D222K	ECJ-2VB2D222K
			3300pF	±10%	0.85	PCC2000CT-ND	.62	4.40	15.85	26.41	PCC2000TR-ND	4,000	22.86/M	ECJ-2VB2D332K	ECJ-2VB2D332K
			4700pF	±10%	0.85	PCC2001CT-ND	.62	4.40	15.85	26.41	PCC2001TR-ND	4,000	22.86/M	ECJ-2VB2D472K	ECJ-2VB2D472K
			6800pF	±10%	1.25	PCC2002CT-ND	2.90	20.74	74.67	124.45	PCC2002TR-ND	2,000	115.99/M	ECJ-2YB2D682K	ECJ-2YB2D682K
			10000pF	±10%	1.25	PCC2003CT-ND	5.50	40.39	146.08	249.20	PCC2003TR-ND	2,000	231.97/M	ECJ-2YB2D103K	ECJ-2YB2D103K
		100	220pF	±10%	0.85	PCC1981CT-ND	.56	3.96	13.67	23.03	PCC1981TR-ND	4,000	18.63/M	ECJ-2VB2A221K	ECJ-2VB2A221K
			330pF	±10%	0.85	PCC1982CT-ND	.56	3.96	13.67	23.03	PCC1982TR-ND	4,000	18.63/M	ECJ-2VB2A331K	ECJ-2VB2A331K
			470pF	±10%	0.85	PCC1983CT-ND	.56	3.96	13.67	23.03	PCC1983TR-ND	4,000	18.63/M	ECJ-2VB2A471K	ECJ-2VB2A471K
			680pF	±10%	0.85	PCC1984CT-ND	.56	3.96	13.67	23.03	PCC1984TR-ND	4,000	18.63/M	ECJ-2VB2A681K	ECJ-2VB2A681K
			1000pF	±10%	0.85	PCC1985CT-ND	.56	3.96	13.67	23.03	PCC1985TR-ND	4,000	18.63/M	ECJ-2VB2A102K	ECJ-2VB2A102K
			1500pF	±10%	0.85	PCC1986CT-ND	.56	3.96	13.67	23.03	PCC1986TR-ND	4,000	18.63/M	ECJ-2VB2A152K	ECJ-2VB2A152K
			2200pF	±10%	0.85	PCC1987CT-ND	.56	3.96	13.67	23.03	PCC1987TR-ND	4,000	18.63/M	ECJ-2VB2A222K	ECJ-2VB2A222K
			3300pF	±10%	0.85	PCC1988CT-ND	.56	3.96	13.67	23.03	PCC1988TR-ND	4,000	18.63/M	ECJ-2VB2A332K	ECJ-2VB2A332K
			4700pF	±10%	0.85	PCC1989CT-ND	.64	4.56	15.76	26.55	PCC1989TR-ND	4,000	21.17/M	ECJ-2VB2A472K	ECJ-2VB2A472K
			6800pF	±10%	0.85	PCC1990CT-ND	.64	4.56	15.76	26.55	PCC1990TR-ND	4,000	21.17/M	ECJ-2VB2A682K	ECJ-2VB2A682K
			10000pF	±10%	0.85	PCC1991CT-ND	.80	5.70	20.50	34.16	PCC1991TR-ND	4,000	29.63/M	ECJ-2VB2A103K	ECJ-2VB2A103K
			15000pF	±10%	1.25	PCC1992CT-ND	3.61	25.82	92.96	154.93	PCC1992TR-ND	2,000	144.77/M	ECJ-2YB2A153K	ECJ-2YB2A153K
		50	1000pF	±10%	0.60	PCC102BNCT-ND•	.46	3.10	10.49	15.98	PCC102BNTR-ND	5,000	13.55/M	ECU-V1H102KBN	ECJ-2VB1H102K
			1200pF	±10%	0.60	PCC122BNCT-ND•	.46	3.10	10.49	15.98	PCC122BNTR-ND	5,000	13.55/M	ECU-V1H122KBN	ECJ-2VB1H122K
			1500pF	±10%	0.60	PCC152BNCT-ND•	.46	3.10	10.49	15.98	PCC152BNTR-ND	5,000	13.55/M	ECU-V1H152KBN	ECJ-2VB1H152K
			1800pF	±10%	0.60	PCC182BNCT-ND•	.46	3.10	10.49	15.98	PCC182BNTR-ND	5,000	13.55/M	ECU-V1H182KBN	ECJ-2VB1H182K
			2200pF	±10%	0.60	PCC222BNCT-ND•	.31	2.10	7.11	10.84	PCC222BNTR-ND	5,000	9.32/M	ECU-V1H222KBN	ECJ-2VB1H222K
			2700pF	±10%	0.60	PCC272BNCT-ND•	.46	3.10	10.49	15.98	PCC272BNTR-ND	5,000	13.55/M	ECU-V1H272KBN	ECJ-2VB1H272K
			3300pF	±10%	0.60	PCC332BNCT-ND•	.46	3.10	10.49	15.98	PCC332BNTR-ND	5,000	13.55/M	ECU-V1H332KBN	ECJ-2VB1H332K
			3900pF	±10%	0.60	PCC392BNCT-ND•	.46	3.10	10.49	15.98	PCC392BNTR-ND	5,000	13.55/M	ECU-V1H392KBN	ECJ-2VB1H392K
			4700pF	±10%	0.60	PCC472BNCT-ND•	.31	2.10	7.11	10.84	PCC472BNTR-ND	5,000	9.32/M	ECU-V1H472KBG	ECJ-2VB1H472K
			5600pF	±10%	0.60	PCC562BNCT-ND•	.46	3.10	10.49	15.98	PCC562BNTR-ND	5,000	13.55/M	ECU-V1H562KBG	ECJ-2VB1H562K
			6800pF	±10%	0.60	PCC682BNCT-ND•	.46	3.10	10.49	15.98	PCC682BNTR-ND	5,000	13.55/M	ECU-V1H682KBG	ECJ-2VB1H682K
			8200pF	±10%	0.60	PCC822BNCT-ND•	.46	3.10	10.49	15.98	PCC822BNTR-ND	5,000	13.55/M	ECU-V1H822KBG	ECJ-2VB1H822K
			10000pF	±10%	0.60	PCC103BNCT-ND•	.46	3.10	10.49	15.98	PCC103BNTR-ND	5,000	13.55/M	ECU-V1H103KBG	ECJ-2VB1H103K
			12000pF	±10%	0.60	PCC123BGCT-ND•	.46	3.10	10.49	15.98	PCC123BGTR-ND	5,000	13.55/M	ECU-V1H123KBX	ECJ-2VB1H123K
			15000pF	±10%	0.60	PCC153BGCT-ND•	.46	3.10	10.49	15.98	PCC153BGTR-ND	5,000	13.55/M	ECU-V1H153KBX	ECJ-2VB1H153K
			18000pF	±10%	0.60	PCC183BGCT-ND•	.46	3.10	10.49	15.98	PCC183BGTR-ND	5,000	13.55/M	ECU-V1H183KBX	ECJ-2VB1H183K
			22000pF	±10%	0.60	PCC223BGCT-ND•	.31	2.10	7.11	10.84	PCC223BGTR-ND	5,000	9.32/M	ECU-V1H223KBX	ECJ-2VB1H223K
			27000pF	±10%	1.00	PCC273BGCT-ND	.31	2.11	7.13	11.54	PCC273BGTR-ND	4,000	9.32/M	ECU-V1H273KBX	(Nicht für neue Designs)
	X7R		27000pF	±10%	0.85	PCC1833CT-ND•	.36	2.46	8.36	13.53	PCC1833TR-ND	4,000	11.01/M	ECJ-2VB1H273K	ECJ-2VB1H273K
			33000pF	±10%	0.85	PCC1834CT-ND•	.50	3.36	11.38	18.42	PCC1834TR-ND	4,000	14.40/M	ECJ-2VB1H333K	ECJ-2VB1H333K
			39000pF	±10%	0.85	PCC1835CT-ND•	.85	5.70	19.29	31.23	PCC1835TR-ND	4,000	24.56/M	ECJ-2VB1H393K	ECJ-2VB1H393K
			47000pF	±10%	1.25	PCC1836CT-ND•	1.36	9.19	31.11	50.37	PCC1836TR-ND	2,000	47.41/M	ECJ-2YB1H473K	ECJ-2YB1H473K
			56000pF	±10%	1.25	PCC1837CT-ND•	1.36	9.19	31.11	50.37	PCC1837TR-ND	2,000	47.41/M	ECJ-2YB1H563K	ECJ-2YB1H563K
			68000pF	±10%	1.25	PCC1838CT-ND•	1.36	9.19	31.11	50.37	PCC1838TR-ND	2,000	47.41/M	ECJ-2YB1H683K	ECJ-2YB1H683K
			82000pF	±10%	1.25	PCC1839CT-ND•	1.36	9.19	31.11	50.37	PCC1839TR-ND	2,000	47.41/M	ECJ-2YB1H823K	ECJ-2YB1H823K
			.1µF	±10%	1.25	PCC1840CT-ND•	1.36	9.19	31.11	50.37	PCC1840TR-ND	2,000	47.41/M	ECJ-2YB1H104K	ECJ-2YB1H104K
		25	39000pF	±10%	0.85	PCC1819CT-ND	.93	6.30	21.33	34.54	PCC1819TR-ND	4,000	27.09/M	ECJ-2VB1E393K	ECJ-2VB1E393K
			47000pF	±10%	0.85	PCC1820CT-ND	.52	3.55	12.00	19.43	PCC1820TR-ND	4,000	15.24/M	ECJ-2VB1E473K	ECJ-2VB1E473K
			56000pF	±10%	0.85	PCC1825CT-ND	.52	3.55	12.00	19.43	PCC1825TR-ND	4,000	15.24/M	ECJ-2VB1E563K	ECJ-2VB1E563K
			68000pF	±10%	0.85	PCC1826CT-ND	.52	3.55	12.00	19.43	PCC1826TR-ND	4,000	15.24/M	ECJ-2VB1E683K	ECJ-2VB1E683K
			82000pF	±10%	0.85	PCC1827CT-ND	.52	3.55	12.00	19.43	PCC1827TR-ND	4,000	15.24/M	ECJ-2VB1E823K	ECJ-2VB1E823K
			.1µF	±10%	0.85	PCC1828CT-ND	.52	3.55	12.00	19.43	PCC1828TR-ND	4,000	15.24/M	ECJ-2VB1E104K	ECJ-2VB1E104K
			.12µF	±10%	1.25	PCC1829CT-ND•	1.22	8.62	29.76	50.12	PCC1829TR-ND	2,000	47.41/M	ECJ-2YB1E124K	ECJ-2YB1E124K
			.15µF	±10%	1.25	PCC1830CT-ND•	1.25	8.85	30.56	51.47	PCC1830TR-ND	2,000	48.26/M	ECJ-2YB1E154K	ECJ-2YB1E154K
			.18µF	±10%	1.25	PCC1831CT-ND•	1.29	9.08	31.37	52.83	PCC1831TR-ND	2,000	49.95/M	ECJ-2YB1E184K	ECJ-2YB1E184K
			.22µF	±10%	1.25	PCC1832CT-ND•	1.62	11.41	39.41	66.37	PCC1832TR-ND	2,000	62.65/M	ECJ-2YB1E224K	ECJ-2YB1E224K
		16	47000pF	±10%	0.85	PCC1808CT-ND	1.02	6.82	23.11	37.42	PCC1808TR-ND	4,000	29.63/M	ECJ-2VB1C473K	ECJ-2VB1C473K
			56000pF	±10%	0.85	PCC1809CT-ND	1.13	7.61	25.78	41.74	PCC1809TR-ND	4,000	33.02/M	ECJ-2VB1C563K	ECJ-2VB1C563K
			68000pF	±10%	0.85	PCC1810CT-ND	1.06	7.45	25.74	43.35	PCC1810TR-ND	4,000	35.56/M	ECJ-2VB1C683K	ECJ-2VB1C683K
			82000pF	±10%	0.85	PCC1811CT-ND	1.06	7.45	25.74	43.35	PCC1811TR-ND	4,000	35.56/M	ECJ-2VB1C823K	ECJ-2VB1C823K
			.1µF	±10%	0.85	PCC1812CT-ND	.63	4.40	15.20	25.60	PCC1812TR-ND	4,000	21.17/M	ECJ-2VB1C104K	ECJ-2VB1C104K
			.12µF	±10%	0.85	PCC1813CT-ND	1.22	8.62	29.76	50.12	PCC1813TR-ND	4,000	40.64/M	ECJ-2VB1C124K	ECJ-2VB1C124K
			.15µF	±10%	0.85	PCC1814CT-ND	.63	4.40	15.20	25.60	PCC1814TR-ND	4,000	21.17/M	ECJ-2VB1C154K	ECJ-2VB1C154K
			.18µF	±10%	0.85	PCC1815CT-ND	1.75	12.49	44.95	74.92	PCC1815TR-ND	4,000	65.19/M	ECJ-2VB1C184K	ECJ-2VB1C184K
			.22µF	±10%	0.85	PCC1816CT-ND	.56	4.00	14.40	24.00	PCC1816TR-ND	4,000	21.17/M	ECJ-2VB1C224K	ECJ-2VB1C224K
			.27µF	±10%	1.25	PCC1916CT-ND	2.01	14.39	51.81	86.35	PCC1916TR-ND	2,000	80.43/M	ECJ-2YB1C274K	ECJ-2YB1C274K
			.33µF	±10%	1.25	PCC1817CT-ND	2.07	14.82	53.34	88.89	PCC1817TR-ND	2,000	82.97/M	ECJ-2YB1C334K	ECJ-2YB1C334K
			.39µF	±10%	1.25	PCC1917CT-ND	2.01	14.39	51.81	86.35	PCC1917TR-ND	2,000	80.43/M	ECJ-2YB1C394K	ECJ-2YB1C394K
			.47µF	±10%	1.25	PCC1818CT-ND•	2.07	14.82	53.34	88.89	PCC1818TR-ND	2,000	82.97/M	ECJ-2YB1C474K	ECJ-2YB1C474K
	X5R	25	1µF	±10%	1.25	PCC2319CT-ND	1.09	7.81	28.12	43.74	PCC2319TR-ND	3,000	42.33/M	ECJ-2FB1E105K	ECJ-2FB1E105K
			2.2µF	±10%	1.25	PCC2320CT-ND	1.40	9.87	34.10	53.84	PCC2320TR-ND	3,000	48.26/M	ECJ-2FB1E225K	ECJ-2FB1E225K
			4.7µF	±20%	1.25	PCC2321CT-ND	1.94	13.84	49.83	77.51	PCC2321TR-ND	3,000	74.50/M	ECJ-2FB1E475M	ECJ-2FB1E475M
		16	.68µF	±10%	1.25	PCC2290CT-ND	1.08	7.30	24.71	37.66	PCC2290TR-ND	3,000	32.17/M	ECJ-2FB1C684K	ECJ-2FB1C684K
			1µF	±10%	0.85	PCC2314CT-ND	1.21	8.16	27.65	42.13	PCC2314TR-ND	4,000	35.56/M	ECJ-GVB1C105K	ECJ-GVB1C105K
			1µF	±10%	1.25	PCC2249CT-ND	1.08	7.30	24.71	37.66	PCC2249TR-ND	3,000	32.17/M	ECJ-2FB1C105K	ECJ-2FB1C105K
			2.2µF	±20%	0.85	PCC2408CT-ND	2.27	14.68	45.34	64.76	PCC2408TR-ND	4,000	62.65/M	ECJ-GVB1C225M	ECJ-GVB1C225M
			2.2µF	±10%	1.25	PCC2322CT-ND	1.36	9.59	33.14	52.32	PCC2322TR-ND	3,000	47.41/M	ECJ-2FB1C225K	ECJ-2FB1C225K
			4.7µF	±10%	1.25	PCC2323CT-ND	1.90	13.59	48.92	76.09	PCC2323TR-ND	3,000	73.66/M	ECJ-2FB1C475K	ECJ-2FB1C475K

‡ Reduzierte DC-Vorspannungseigenschaften *Betriebsspannung DC

(Forts.)

E

Größen-code	Typ	WV DC*	Kap.	Toleranz	Abm. T (mm)	Digi-Key Teilenr.	Gurtabschnitts-preise 10	100	500	1.000	Digi-Key Teilenr.	Gegurtet auf Rolle Größe	Preisangaben	Alte † Panasonic Teilenr.	Neue † Panasonic Teilenr.
0805	X5R	10	.56µF	±10%	1.25	PCC1918CT-ND	3.38	24.13	86.86	144.77	PCC1918TR-ND	2,000	135.46/M	ECJ-2YB1A564K	ECJ-2YB1A564K
			.68µF	±10%	1.25	PCC1806CT-ND	3.47	24.76	89.15	148.58	PCC1806TR-ND	2,000	138.84/M	ECJ-2YB1A684K	ECJ-2YB1A684K
			.68µF	±10%	1.25	PCC2289CT-ND	.97	6.56	22.22	33.86	PCC2289TR-ND	3,000	28.79/M	ECJ-2FB1A684K	ECJ-2FB1A684K
			.82µF	±10%	1.25	PCC1919CT-ND	3.41	25.07	90.67	154.67	PCC1919TR-ND	2,000	143.92/M	ECJ-2YB1A824K	ECJ-2YB1A824K
			1µF	±10%	1.25	PCC1807CT-ND	3.50	25.67	92.83	158.36	PCC1807TR-ND	2,000	147.31/M	ECJ-2YB1A105K	ECJ-2YB1A105K
			2.2µF	±20%	1.25	PCC2175CT-ND	2.03	14.50	52.19	86.99	PCC2175TR-ND	3,000	75.35/M	ECJ-2FB1A225M	ECJ-2FB1A225M
			2.2µF	±10%	1.25	PCC2324CT-ND	2.03	14.50	52.19	81.19	PCC2324TR-ND	3,000	77.89/M	ECJ-2FB1A225K	ECJ-2FB1A225K
			3.3µF	±10%	1.25	PCC2288CT-ND	2.03	14.50	52.19	81.19	PCC2288TR-ND	3,000	77.89/M	ECJ-2FB1A335K	ECJ-2FB1A335K
			4.7µF	±20%	0.85	PCC2407CT-ND	3.18	21.38	69.95	108.81	PCC2407TR-ND	4,000	103.29/M	ECJ-GVB1A475M	ECJ-GVB1A475M
			4.7µF	±10%	1.25	PCC2325CT-ND	3.51	25.13	90.44	140.69	PCC2325TR-ND	3,000	135.46/M	ECJ-2FB1A475K	ECJ-2FB1A475K
			10µF	±10%	1.25	PCC2403CT-ND	6.71	44.40	167.75	266.42	PCC2403TR-ND	3,000	262.45/M	ECJ-2FB1A106K	ECJ-2FB1A106K
		6.3	1.5µF	±10%	1.25	PCC1921CT-ND	3.68	27.06	97.87	166.95	PCC1921TR-ND	2,000	155.78/M	ECJ-2YB0J155K	ECJ-2YB0J155K
			2.2µF	±10%	0.85	PCC2310CT-ND	1.52	10.67	36.84	58.16	PCC2310TR-ND	4,000	50.80/M	ECJ-GVB0J225K	ECJ-GVB0J225K
			2.2µF	±10%	1.25	PCC1923CT-ND	4.01	29.44	106.50	181.68	PCC1923TR-ND	2,000	169.32/M	ECJ-2YB0J225K	ECJ-2YB0J225K
			3.3µF	±10%	1.25	PCC1925CT-ND	4.33	31.83	115.14	196.41	PCC1925TR-ND	2,000	182.87/M	ECJ-2YB0J335K	ECJ-2YB0J335K
			4.7µF	±20%	0.85	PCC2315CT-ND	2.69	19.24	69.26	107.74	PCC2315TR-ND	4,000	99.90/M	ECJ-GVB0J475M	ECJ-GVB0J475M
			4.7µF	±20%	1.25	PCC2176CT-ND	2.35	16.75	60.27	100.45	PCC2176TR-ND	3,000	87.20/M	ECJ-2FB0J475M	ECJ-2FB0J475M
			4.7µF	±10%	1.25	PCC2402CT-ND	2.99	20.02	65.53	101.93	PCC2402TR-ND	3,000	105.83/M	ECJ-2FB0J475K	ECJ-2FB0J475K
			4.7µF	±10%	0.85	PCC2406CT-ND	2.99	20.02	65.53	101.93	PCC2406TR-ND	4,000	96.52/M	ECJ-GVB0J475K	ECJ-GVB0J475K
			10µF	±20%	0.85	PCC2405CT-ND	3.78	24.97	94.35	149.84	PCC2405TR-ND	4,000	143.93/M	ECJ-GVB0J106M	ECJ-GVB0J106M
			10µF	±20%	0.85	PCC2327CT-ND‡	3.29	23.49	84.58	131.56	PCC2327TR-ND‡	4,000	121.91/M	ECJ-CV50J106M	ECJ-CV50J106M
			10µF	±20%	1.25	PCC2225CT-ND	2.29	17.14	60.96	101.34	PCC2225TR-ND	3,000	99.06/M	ECJ-2FB0J106M	ECJ-2FB0J106M
			10µF	±10%	1.25	PCC2400CT-ND	2.79	18.48	69.80	110.86	PCC2400TR-ND	3,000	109.21/M	ECJ-2FB0J106K	ECJ-2FB0J106K
			22µF	±20%	1.25	PCC2401CT-ND	7.04	52.74	187.54	311.79	PCC2401TR-ND	3,000	304.78/M	ECJ-2FB0J226M	ECJ-2FB0J226M
	Y5V	50	10000pF	+80%/-20%	0.60	PCC1858CT-ND	.37	2.50	8.45	12.87	PCC1858TR-ND	5,000	11.01/M	ECJ-2VF1H103Z	ECJ-2VF1H103Z
			15000pF	+80%/-20%	0.60	PCC1859CT-ND	.51	3.41	11.56	17.61	PCC1859TR-ND	5,000	15.24/M	ECJ-2VF1H153Z	ECJ-2VF1H153Z
			22000pF	+80%/-20%	0.60	PCC1860CT-ND	.43	2.89	9.78	14.90	PCC1860TR-ND	5,000	12.70/M	ECJ-2VF1H223Z	ECJ-2VF1H223Z
			33000pF	+80%/-20%	0.60	PCC1861CT-ND	.58	3.94	13.33	20.32	PCC1861TR-ND	5,000	16.94/M	ECJ-2VF1H333Z	ECJ-2VF1H333Z
			47000pF	+80%/-20%	0.60	PCC1862CT-ND	.49	3.34	11.29	17.20	PCC1862TR-ND	5,000	14.40/M	ECJ-2VF1H473Z	ECJ-2VF1H473Z
			68000pF	+80%/-20%	0.60	PCC1863CT-ND	.74	4.99	16.89	25.74	PCC1863TR-ND	5,000	22.02/M	ECJ-2VF1H683Z	ECJ-2VF1H683Z
			.1µF	+80%/-20%	0.85	PCC1864CT-ND	.61	4.10	13.87	22.45	PCC1864TR-ND	4,000	17.78/M	ECJ-2VF1H104Z	ECJ-2VF1H104Z
			.15µF	+80%/-20%	0.85	PCC1865CT-ND	1.24	8.40	28.45	46.06	PCC1865TR-ND	4,000	36.41/M	ECJ-2VF1H154Z	ECJ-2VF1H154Z
			.22µF	+80%/-20%	0.85	PCC1866CT-ND	.85	5.70	19.29	31.23	PCC1866TR-ND	4,000	24.56/M	ECJ-2VF1H224Z	ECJ-2VF1H224Z
		25	68000pF	+80%/-20%	0.60	PCC1852CT-ND	.74	4.99	16.89	25.74	PCC1852TR-ND	5,000	22.02/M	ECJ-2VF1E683Z	ECJ-2VF1E683Z
			.1µF	+80%/-20%	0.60	PCC1853CT-ND	.44	2.96	10.05	15.31	PCC1853TR-ND	5,000	12.70/M	ECJ-2VF1E104Z	ECJ-2VF1E104Z
			.15µF	+80%/-20%	0.60	PCC1854CT-ND	1.02	6.82	23.11	35.22	PCC1854TR-ND	5,000	29.64/M	ECJ-2VF1E154Z	ECJ-2VF1E154Z
			.22µF	+80%/-20%	0.85	PCC1855CT-ND	.52	3.46	11.73	19.00	PCC1855TR-ND	4,000	15.24/M	ECJ-2VF1E224Z	ECJ-2VF1E224Z
			.33µF	+80%/-20%	1.25	PCC1856CT-ND	1.95	13.74	47.45	79.92	PCC1856TR-ND	2,000	75.35/M	ECJ-2YF1E334Z	ECJ-2YF1E334Z
			.47µF	+80%/-20%	1.25	PCC1857CT-ND	2.01	14.21	49.06	82.63	PCC1857TR-ND	2,000	77.89/M	ECJ-2YF1E474Z	ECJ-2YF1E474Z
		16	.1µF	+80%/-20%	0.60	PCC1843CT-ND	.49	3.28	11.12	16.93	PCC1843TR-ND	5,000	14.40/M	ECJ-2VF1C104Z	ECJ-2VF1C104Z
			.15µF	+80%/-20%	0.60	PCC1844CT-ND	1.02	6.82	23.11	35.22	PCC1844TR-ND	5,000	29.64/M	ECJ-2VF1C154Z	ECJ-2VF1C154Z
			.22µF	+80%/-20%	0.60	PCC1845CT-ND	.49	3.28	11.12	16.93	PCC1845TR-ND	5,000	14.40/M	ECJ-2VF1C224Z	ECJ-2VF1C224Z
			.33µF	+80%/-20%	0.85	PCC1846CT-ND	1.36	9.19	31.11	50.37	PCC1846TR-ND	4,000	39.79/M	ECJ-2VF1C334Z	ECJ-2VF1C334Z
			.47µF	+80%/-20%	0.85	PCC1847CT-ND	.47	3.35	11.58	19.51	PCC1847TR-ND	4,000	16.09/M	ECJ-2VF1C474Z	ECJ-2VF1C474Z
			.68µF	+80%/-20%	0.85	PCC1848CT-ND	1.65	11.64	40.21	67.73	PCC1848TR-ND	4,000	55.03/M	ECJ-2VF1C684Z	ECJ-2VF1C684Z
			1µF	+80%/-20%	0.85	PCC1849CT-ND	.61	4.34	15.62	26.03	PCC1849TR-ND	4,000	22.86/M	ECJ-2VF1C105Z	ECJ-2VF1C105Z
			1.5µF	+80%/-20%	1.25	PCC1850CT-ND	2.90	20.74	74.67	124.45	PCC1850TR-ND	2,000	115.99/M	ECJ-2YF1C155Z	ECJ-2YF1C155Z
			2.2µF	+80%/-20%	1.25	PCC1851CT-ND	3.26	23.28	83.81	139.69	PCC1851TR-ND	2,000	130.38/M	ECJ-2YF1C225Z	ECJ-2YF1C225Z
			2.2µF	+80%/-20%	0.85	PCC2410CT-ND	1.52	9.96	32.25	41.04	PCC2410TR-ND	4,000	36.41/M	ECJ-GVF1C225Z	ECJ-GVF1C225Z
			4.7µF	+80%/-20%	0.85	PCC2411CT-ND	2.01	13.01	40.18	57.40	PCC2411TR-ND	4,000	55.88/M	ECJ-GVF1C475Z	ECJ-GVF1C475Z
		10	4.7µF	+80%/-20%	1.25	PCC1842CT-ND	3.74	27.46	99.31	169.40	PCC1842TR-ND	2,000	157.47/M	ECJ-2YF1A475Z	ECJ-2YF1A475Z
			4.7µF	+80%/-20%	0.85	PCC2409CT-ND	2.16	14.14	45.75	58.23	PCC2409TR-ND	4,000	51.65/M	ECJ-GVF1A475Z	ECJ-GVF1A475Z
		6.3	10µF	+80%/-20%	1.25	PCC2182CT-ND	1.70	12.13	43.66	72.77	PCC2182TR-ND	3,000	62.65/M	ECJ-2FF0J106Z	ECJ-2FF0J106Z
	F	50	1µF	+80%/20%	1.25	PCC2404CT-ND	1.44	9.43	30.50	38.82	PCC2404TR-ND	3,000	38.95/M	ECJ-2FF1H105Z	ECJ-2FF1H105Z
		25	1.0µF	+80%/-20%	1.25	PCC2230CT-ND	.80	5.61	19.39	30.60	PCC2230TR-ND	3,000	27.09/M	ECJ-2FF1E105Z	ECJ-2FF1E105Z
			2.2µF	+80%/-20%	1.25	PCC2231CT-ND	.86	6.18	22.25	34.61	PCC2231TR-ND	3,000	33.02/M	ECJ-2FF1E225Z	ECJ-2FF1E225Z
		16	4.7µF	+80%/-20%	1.25	PCC2232CT-ND	1.54	11.03	39.70	61.75	PCC2232TR-ND	3,000	58.42/M	ECJ-2FF1C475Z	ECJ-2FF1C475Z
		10	10µF	+80%/-20%	1.25	PCC2233CT-ND	1.64	12.07	43.68	69.38	PCC2233TR-ND	3,000	68.58/M	ECJ-2FF1A106Z	ECJ-2FF1A106Z
1206	NPO	200	470pF	±5%	1.15	PCC2007CT-ND•	4.79	35.22	127.37	217.28	PCC2007TR-ND	2,000	202.34/M	ECJ-3YC2D471J	ECJ-3YC2D471J
			680pF	±5%	1.15	PCC2008CT-ND•	5.99	43.97	159.03	271.29	PCC2008TR-ND	2,000	252.29/M	ECJ-3YC2D681J	ECJ-3YC2D681J
			1000pF	±5%	1.15	PCC2009CT-ND•	6.96	51.13	184.94	315.49	PCC2009TR-ND	2,000	293.77/M	ECJ-3YC2D102J	ECJ-3YC2D102J
		100	1500pF	±5%	0.85	PCC2004CT-ND•	3.76	27.62	99.88	170.39	PCC2004TR-ND	4,000	152.39/M	ECJ-3VC2A152J	ECJ-3VC2A152J
			2200pF	±5%	0.85	PCC2005CT-ND•	3.76	27.62	99.88	170.39	PCC2005TR-ND	4,000	152.39/M	ECJ-3VC2A222J	ECJ-3VC2A222J
			3300pF	±5%	0.85	PCC2006CT-ND•	3.76	27.62	99.88	170.39	PCC2006TR-ND	4,000	152.39/M	ECJ-3VC2A332J	ECJ-3VC2A332J
		50	.5pF	±0.25pF	0.60	PCC0R5CCT-ND	.94	6.36	21.52	32.80	PCC0R5CTR-ND	5,000	27.94/M	ECU-V1H0R5CCM	(Nicht für neue Designs)
			3.9pF	±0.25pF	0.60	PCC3R9CCT-ND	.79	5.31	17.99	27.41	PCC3R9CTR-ND	5,000	22.86/M	ECU-V1H3R9CCM	(Nicht für neue Designs)
			5.6pF	±0.25pF	0.60	PCC5R6CCT-ND	.96	6.43	21.77	33.17	—	—	—	ECU-V1H5R6CCM	(Nicht für neue Designs)
			56pF	±5%	0.60	PCC560CCT-ND	1.14	7.73	26.17	39.87	PCC560CTR-ND	5,000	33.87/M	ECU-V1H560JCM	(Nicht für neue Designs)
			120pF	±5%	0.60	PCC121CCT-ND	1.14	7.71	26.13	39.81	PCC121CTR-ND	5,000	33.87/M	ECU-V1H121JCH	(Nicht für neue Designs)
			2700pF	±5%	0.60	PCC2160CT-ND•	11.89	83.81	289.54	457.16	PCC2160TR-ND	5,000	396.21/M	ECJ-3VC1H272J	ECJ-3VC1H272J
			3300pF	±5%	0.60	PCC2161CT-ND•	4.43	31.22	107.86	170.29	PCC2161TR-ND	5,000	147.31/M	ECJ-3VC1H332J	ECJ-3VC1H332J
			3900pF	±5%	0.60	PCC2162CT-ND•	4.43	31.22	107.86	170.29	PCC2162TR-ND	5,000	147.31/M	ECJ-3VC1H392J	ECJ-3VC1H392J
			4700pF	±5%	0.60	PCC2163CT-ND•	4.43	31.22	107.86	170.29	PCC2163TR-ND	5,000	147.31/M	ECJ-3VC1H472J	ECJ-3VC1H472J
			5600pF	±5%	0.85	PCC2164CT-ND•	8.08	56.95	196.72	310.62	PCC2164TR-ND	4,000	269.22/M	ECJ-3VC1H562J	ECJ-3VC1H562J
			6800pF	±5%	0.85	PCC2165CT-ND•	8.60	60.68	209.59	330.94	PCC2165TR-ND	4,000	287.00/M	ECJ-3VC1H682J	ECJ-3VC1H682J
			8200pF	±5%	1.15	PCC2166CT-ND•	8.37	62.83	223.37	404.85	PCC2166TR-ND	3,000	371.66/M	ECJ-3YC1H822J	ECJ-3FC1H822J
			10000pF	±5%	1.15	PCC2167CT-ND•	13.24	93.38	322.60	509.36	PCC2167TR-ND	3,000	441.45/M	ECJ-3YC1H103J	ECJ-3FC1H103J
	X7R	630	1000pF	±10%	1.15	PCC2291CT-ND	2.06	14.69	52.88	82.26	PCC2291TR-ND	3,000	79.58/M	ECJ-3FB2J102K	ECJ-3FB2J102K
			2200pF	±10%	1.15	PCC2293CT-ND	2.06	14.69	52.88	82.26	PCC2293TR-ND	3,000	79.58/M	ECJ-3FB2J222K	ECJ-3FB2J222K
			4700pF	±10%	1.15	PCC2294CT-ND	2.06	14.69	52.88	82.26	PCC2294TR-ND	3,000	79.58/M	ECJ-3FB2J472K	ECJ-3FB2J472K
			.01µF	±10%	1.15	PCC2292CT-ND	2.06	14.69	52.88	82.26	PCC2292TR-ND	3,000	79.58/M	ECJ-3FB2J103K	ECJ-3FB2J103K
		200	15000pF	±10%	1.15	PCC2013CT-ND	5.91	43.37	156.87	267.61	PCC2013TR-ND	2,000	248.90/M	ECJ-3YB2D153K	ECJ-3YB2D153K
			22000pF	±10%	1.15	PCC2014CT-ND	5.91	43.37	156.87	267.61	PCC2014TR-ND	2,000	248.90/M	ECJ-3YB2D223K	ECJ-3YB2D223K
		100	22000pF	±10%	1.15	PCC2010CT-ND	3.85	27.51	99.05	165.09	PCC2010TR-ND	2,000	154.08/M	ECJ-3YB2A223K	ECJ-3YB2A223K
			33000pF	±10%	1.15	PCC2011CT-ND	4.27	30.48	109.72	182.87	PCC2011TR-ND	2,000	171.02/M	ECJ-3YB2A333K	ECJ-3YB2A333K
			47000pF	±10%	1.15	PCC2012CT-ND	4.27	30.48	109.72	182.87	PCC2012TR-ND	2,000	171.02/M	ECJ-3YB2A473K	ECJ-3YB2A473K
			0.1µF	±10%	1.60	PCC2239CT-ND	2.68	19.67	71.17	113.04	PCC2239TR-ND	2,000	111.75/M	ECJ-3YB2A104K	ECJ-3YB2A104K
		50	390pF	±10%	0.60	PCC391BCT-ND	.91	6.14	20.78	31.67	PCC391BTR-ND	5,000	27.10/M	ECU-V1H391KBM	(Nicht für neue Designs)
			1200pF	±10%	0.60	PCC122BCT-ND	.99	6.67	22.59	34.42	PCC122BTR-ND	5,000	28.79/M	ECU-V1H122KBM	(Nicht für neue Designs)
			3300pF	±10%	0.60	PCC332BCT-ND	1.00	6.72	22.76	34.68	PCC332BTR-ND	5,000	29.64/M	ECU-V1H332KBM	(Nicht für neue Designs)
			8200pF	±10%	0.60	PCC822BCT-ND	1.22	8.23	27.88	42.48	PCC822BTR-ND	5,000	35.56/M	ECU-V1H822KBM	(Nicht für neue Designs)
			18000pF	±10%	0.60	PCC183BCT-ND	1.46	9.85	33.36	50.84	—	—	—	ECU-V1H183KBM	(Nicht für neue Designs)
			33000pF	±10%	0.60	PCC333BCT-ND	1.80	12.14	41.13	62.67	—	—	—	ECU-V1H333KBW	(Nicht für neue Designs)
			39000pF	±10%	0.60	PCC393BCT-ND	1.84	12.39	41.97	63.95	PCC393BTR-ND	5,000	54.19/M	ECU-V1H393KBW	(Nicht für neue Designs)
			47000pF	±10%	0.60	PCC473BCT-ND	1.62	11.40	39.39	62.20	PCC473BTR-ND	5,000	54.19/M	ECU-V1H473KBW	(Nicht für neue Designs)
			.1µF	±10%	1.00	PCC104BCT-ND	3.35	23.92	86.10	143.50	PCC104BTR-ND	4,000	124.45/M	ECU-V1H104KBW	ECJ-3VB1H104K
			.22µF	±10%	1.60	PCC2299CT-ND	1.92	13.55	46.81	73.91	PCC2299TR-ND	2,000	66.88/M	ECJ-3YB1H224K	ECJ-3YB1H224K
		25	.1µF	±10%	0.85	PCC1883CT-ND	1.43	10.11	34.91	58.79	PCC1883TR-ND	4,000	47.41/M	ECJ-3VB1E104K	ECJ-3VB1E104K
			.12µF	±10%	0.85	PCC1884CT-ND	1.75	12.34	42.63	71.79	PCC1884TR-ND	4,000	58.42/M	ECJ-3VB1E124K	ECJ-3VB1E124K
			.15µF	±10%	0.85	PCC1885CT-ND	1.43	10.11	34.91	58.79	PCC1885TR-ND	4,000	47.41/M	ECJ-3VB1E154K	ECJ-3VB1E154K

‡ Reduzierte DC-Vorspannungseigenschaften *Betriebsspannung DC

(Forts.)

Alle Preisangaben in Euro und inklusive Zollgebühren.

Größen-code	Typ	WV DC*	Kap.	Toleranz	Abm. T (mm)	Digi-Key Teilenr.	Gurtabschnitts-preise 10	100	500	1.000	Digi-Key Teilenr.	Gegurtet auf Rolle Größe	Preisangaben	Alte † Panasonic Teilenr.	Neue † Panasonic Teilenr.
1206	X7R	25	.18µF	±10%	0.85	PCC1886CT-ND	2.05	14.43	49.86	83.98	PCC1886TR-ND	4,000	68.58/M	ECJ-3VB1E184K	ECJ-3VB1E184K
			.22µF	±10%	0.85	PCC1887CT-ND	1.43	10.11	34.91	58.79	PCC1887TR-ND	4,000	47.41/M	ECJ-3VB1E224K	ECJ-3VB1E224K
			.27µF	±10%	0.85	PCC1888CT-ND	2.05	14.43	49.86	83.98	PCC1888TR-ND	4,000	68.58/M	ECJ-3VB1E274K	ECJ-3VB1E274K
			.33µF	±10%	0.85	PCC1889CT-ND	1.49	10.50	36.28	61.09	PCC1889TR-ND	4,000	49.95/M	ECJ-3VB1E334K	ECJ-3VB1E334K
			.39µF	±10%	1.15	PCC1890CT-ND	2.84	20.32	73.15	121.91	PCC1890TR-ND	2,000	113.45/M	ECJ-3YB1E394K	ECJ-3YB1E394K
			.47µF	±10%	1.15	PCC2412CT-ND	2.01	12.98	40.09	57.27	PCC2412TR-ND	3,000	57.57/M	ECJ-3FB1E474K	ECJ-3FB1E474K
			.47µF	±10%	1.15	PCC1891CT-ND	3.53	25.19	90.67	151.12	PCC1891TR-ND	2,000	141.38/M	ECJ-3YB1E474K	ECJ-3YB1E474K
			.56µF	±10%	1.60	PCC1926CT-ND	3.44	24.55	88.39	147.31	PCC1926TR-ND	2,000	137.15/M	ECJ-3YB1E564K	ECJ-3YB1E564K
			.68µF	±10%	1.60	PCC1892CT-ND	1.34	9.55	34.36	57.27	PCC1892TR-ND	2,000	53.34/M	ECJ-3YB1E684K	ECJ-3YB1E684K
			.82µF	±10%	1.60	PCC1927CT-ND	3.61	26.46	95.71	163.27	PCC1927TR-ND	2,000	152.39/M	ECJ-3YB1E824K	ECJ-3YB1E824K
			1µF	±10%	1.60	PCC1893CT-ND	2.12	15.54	56.21	95.88	PCC1893TR-ND	2,000	88.90/M	ECJ-3YB1E105K	ECJ-3YB1E105K
		16	.1µF	±10%	0.85	PCC1870CT-ND	1.42	10.18	36.65	61.08	PCC1870TR-ND	4,000	53.34/M	ECJ-3VB1C104K	ECJ-3VB1C104K
			.12µF	±10%	0.85	PCC1871CT-ND	2.05	14.60	52.57	87.62	PCC1871TR-ND	4,000	76.20/M	ECJ-3VB1C124K	ECJ-3VB1C124K
			.15µF	±10%	0.85	PCC1872CT-ND	1.57	11.22	40.38	67.30	PCC1872TR-ND	4,000	58.42/M	ECJ-3VB1C154K	ECJ-3VB1C154K
			.18µF	±10%	0.85	PCC1873CT-ND	2.25	16.09	57.91	96.51	PCC1873TR-ND	4,000	83.82/M	ECJ-3VB1C184K	ECJ-3VB1C184K
			.22µF	±10%	0.85	PCC1874CT-ND	1.72	12.28	44.19	73.65	PCC1874TR-ND	4,000	63.50/M	ECJ-3VB1C224K	ECJ-3VB1C224K
			.27µF	±10%	0.85	PCC1875CT-ND	2.46	17.57	63.24	105.40	PCC1875TR-ND	4,000	91.44/M	ECJ-3VB1C274K	ECJ-3VB1C274K
			.33µF	±10%	0.85	PCC1876CT-ND	1.06	7.53	27.13	45.21	PCC1876TR-ND	4,000	38.95/M	ECJ-3VB1C334K	ECJ-3VB1C334K
			.39µF	±10%	0.85	PCC1877CT-ND	2.96	21.17	76.19	126.99	PCC1877TR-ND	4,000	110.06/M	ECJ-3VB1C394K	ECJ-3VB1C394K
			.47µF	±10%	0.85	PCC1878CT-ND	1.13	8.13	29.26	48.76	PCC1878TR-ND	4,000	42.33/M	ECJ-3VB1C474K	ECJ-3VB1C474K
			.56µF	±10%	0.85	PCC1879CT-ND	3.34	24.48	88.51	150.99	PCC1879TR-ND	4,000	135.46/M	ECJ-3VB1C564K	ECJ-3VB1C564K
			.68µF	±10%	0.85	PCC1880CT-ND	1.16	8.49	30.73	52.42	PCC1880TR-ND	4,000	49.11/M	ECJ-3VB1C684K	ECJ-3VB1C684K
			.82µF	±10%	1.15	PCC1881CT-ND	4.58	33.63	121.61	207.46	PCC1881TR-ND	2,000	193.03/M	ECJ-3YB1C824K	ECJ-3YB1C824K
			1µF	±10%	1.15	PCC1882CT-ND	5.33	39.20	141.76	241.83	PCC1882TR-ND	2,000	225.20/M	ECJ-3YB1C105K	ECJ-3YB1C105K
			1.5µF	±10%	1.60	PCC1929CT-ND	6.18	45.36	164.07	279.89	PCC1929TR-ND	2,000	260.76/M	ECJ-3YB1C155K	ECJ-3YB1C155K
			2.2µF	±10%	1.60	PCC1931CT-ND	3.09	23.15	82.29	149.15	PCC1931TR-ND	2,000	137.15/M	ECJ-3YB1C225K	ECJ-3YB1C225K
	X5R	25	2.2µF	±10%	1.60	PCC2296CT-ND	3.28	24.15	87.36	138.75	PCC2296TR-ND	2,000	133.77/M	ECJ-3YB1E225K	ECJ-3YB1E225K
			4.7µF	±10%	1.60	PCC2297CT-ND	4.61	33.82	122.33	194.29	PCC2297TR-ND	2,000	187.10/M	ECJ-3YB1E475K	ECJ-3YB1E475K
			4.7µF	±20%	1.60	PCC2241CT-ND	4.32	32.38	115.14	191.42	PCC2241TR-ND	2,000	187.10/M	ECJ-3YB1E475M	ECJ-3YB1E475M
			4.7µF	±20%	1.60	PCC2226CT-ND	4.32	32.38	115.14	191.42	PCC2226TR-ND	2,000	187.10/M	ECJ-3YB1C475M	ECJ-3YB1C475M
			10µF	±20%	1.60	PCC2326CT-ND	4.60	33.75	122.05	215.38	PCC2326TR-ND	2,000	193.87/M	ECJ-3YB1E106M	ECJ-3YB1E106M
			10µF	±10%	1.60	PCC2414CT-ND	4.61	30.54	115.36	183.21	PCC2414TR-ND	2,000	182.87/M	ECJ-3YB1E106K	ECJ-3YB1E106K
		16	1.2µF	±10%	1.60	PCC1932CT-ND	5.53	40.59	146.80	250.42	—	—	—	ECJ-3YB1A125K	(Nicht für neue Designs)
			1.5µF	±10%	1.60	PCC1867CT-ND	2.42	18.18	64.61	117.11	PCC1867TR-ND	2,000	107.52/M	ECJ-3YB1A155K	ECJ-3YB1A155K
			4.7µF	±10%	1.60	PCC2250CT-ND	4.61	33.82	122.33	194.29	PCC2250TR-ND	2,000	194.72/M	ECJ-3YB1C475K	ECJ-3YB1C475K
			10µF	±10%	1.60	PCC2413CT-ND	8.14	61.07	217.14	360.99	PCC2413TR-ND	2,000	360.65/M	ECJ-3YB1C106K	ECJ-3YB1C106K
			10µF	±20%	0.85	PCC2417CT-ND	3.79	25.45	83.28	129.55	PCC2417TR-ND	4,000	122.76/M	ECJ-HVB1C106M	ECJ-HVB1C106M
			10µF	±20%	1.60	PCC2227CT-ND	8.75	65.59	233.19	387.68	PCC2227TR-ND	2,000	379.28/M	ECJ-3YB1C106M	ECJ-3YB1C106M
			22µF	±20%	1.60	PCC2332CT-ND	11.80	89.06	333.98	—	PCC2332TR-ND	2,000	569.76/M	ECJ-3YB1C226M	ECJ-3YB1C226M
		10	2.2µF	±10%	0.85	PCC2312CT-ND	3.46	25.42	91.97	146.06	PCC2312TR-ND	4,000	140.54/M	ECJ-HVB1A225K	ECJ-HVB1A225K
			2.2µF	±10%	1.60	PCC1868CT-ND	3.04	22.80	81.07	146.94	PCC1868TR-ND	2,000	134.61/M	ECJ-3YB1A225K	ECJ-3YB1A225K
			2.7µF	±10%	1.60	PCC1934CT-ND	7.21	54.10	192.35	348.63	PCC1934TR-ND	2,000	320.02/M	ECJ-3YB1A275K	(Nicht für neue Designs)
			3.3µF	±10%	1.60	PCC1869CT-ND	3.04	22.80	81.07	146.94	PCC1869TR-ND	2,000	134.61/M	ECJ-3YB1A335K	ECJ-3YB1A335K
			4.7µF	±10%	1.60	PCC2295CT-ND	4.00	29.34	106.15	168.58	PCC2295TR-ND	2,000	168.48/M	ECJ-3YB1A475K	ECJ-3YB1A475K
			4.7µF	±20%	1.60	PCC2177CT-ND	3.75	28.10	99.90	181.07	PCC2177TR-ND	2,000	165.94/M	ECJ-3YB1A475M	ECJ-3YB1A475M
			10µF	±20%	1.60	PCC2178CT-ND	4.55	34.18	121.50	220.23	PCC2178TR-ND	2,000	202.34/M	ECJ-3YB1A106M	ECJ-3YB1A106M
			22µF	±20%	1.60	PCC2331CT-ND	10.03	75.25	267.53	—	PCC2331TR-ND	2,000	435.15/M	ECJ-3YB1A226M	ECJ-3YB1A226M
		6.3	4.7µF	±10%	1.60	PCC1936CT-ND	3.52	26.44	94.01	170.39	PCC1936TR-ND	2,000	156.62/M	ECJ-3YB0J475K	ECJ-3YB0J475K
			4.7µF	±10%	0.85	PCC2311CT-ND	4.00	29.40	106.36	168.92	PCC2311TR-ND	4,000	162.55/M	ECJ-HVB0J475K	ECJ-HVB0J475K
			4.7µF	±20%	0.85	PCC2316CT-ND	4.00	29.40	106.36	168.92	PCC2316TR-ND	4,000	162.55/M	ECJ-HVB0J475M	ECJ-HVB0J475M
			5.6µF	±10%	1.60	PCC1937CT-ND	8.64	64.76	230.28	417.37	—	—	—	ECJ-3YB0J565K	(Nicht für neue Designs)
			6.8µF	±10%	1.60	PCC1938CT-ND	8.64	64.76	230.28	417.37	PCC1938TR-ND	2,000	382.67/M	ECJ-3YB0J685K	ECJ-3YB0J685K
			8.2µF	±10%	1.60	PCC1939CT-ND	9.80	73.53	261.43	473.84	PCC1939TR-ND	2,000	434.31/M	ECJ-3YB0J825K	(Nicht für neue Designs)
			10µF	±10%	1.60	PCC1940CT-ND	6.35	47.62	169.32	306.89	PCC1940TR-ND	2,000	281.92/M	ECJ-3YB0J106K	ECJ-3YB0J106K
			10µF	±20%	0.85	PCC2317CT-ND	6.77	50.76	180.50	300.08	PCC2317TR-ND	4,000	288.69/M	ECJ-HVB0J106M	ECJ-HVB0J106M
			10µF	±20%	0.85	PCC2328CT-ND‡	4.93	36.21	130.97	208.01	PCC2328TR-ND‡	4,000	200.65/M	ECJ-DV50J106M	ECJ-DV50J106M
			22µF	±20%	0.85	PCC2329CT-ND‡	8.61	64.58	229.60	381.71	PCC2329TR-ND‡	4,000	367.43/M	ECJ-DV50J226M	ECJ-DV50J226M
			22µF	±20%	1.60	PCC2242CT-ND	10.90	82.26	308.46	534.66	PCC2242TR-ND	2,000	526.59/M	ECJ-3YB0J226M	ECJ-3YB0J226M
			22µF	±20%	0.85	PCC2416CT-ND	8.64	64.76	230.28	382.83	PCC2416TR-ND	4,000	368.27/M	ECJ-HVB0J226M	ECJ-HVB0J226M
	Y5V	25	.47µF	+80%/-20%	0.85	PCC1901CT-ND	1.08	7.57	26.14	44.02	PCC1901TR-ND	4,000	35.56/M	ECJ-3VF1E474Z	ECJ-3VF1E474Z
			.68µF	+80%/-20%	1.15	PCC1902CT-ND	2.43	17.36	62.48	104.13	PCC1902TR-ND	2,000	97.36/M	ECJ-3YF1E684Z	ECJ-3YF1E684Z
			1µF	+80%/-20%	1.15	PCC1903CT-ND	2.79	19.90	71.62	119.37	PCC1903TR-ND	2,000	111.75/M	ECJ-3YF1E105Z	ECJ-3YF1E105Z
			1.5µF	+80%/-20%	1.15	PCC1904CT-ND	3.55	26.07	94.27	160.81	PCC1904TR-ND	2,000	149.85/M	ECJ-3YF1E155Z	ECJ-3YF1E155Z
			2.2µF	+80%/-20%	1.15	PCC1905CT-ND	3.55	26.07	94.27	160.81	PCC1905TR-ND	2,000	149.85/M	ECJ-3YF1E225Z	ECJ-3YF1E225Z
		16	.68µF	+80%/-20%	0.85	PCC1895CT-ND	3.14	22.43	80.77	134.61	PCC1895TR-ND	4,000	116.83/M	ECJ-3VF1C684Z	ECJ-3VF1C684Z
			1µF	+80%/-20%	0.85	PCC1896CT-ND	1.03	7.39	26.59	44.32	PCC1896TR-ND	4,000	38.10/M	ECJ-3VF1C105Z	ECJ-3VF1C105Z
			1.5µF	+80%/-20%	0.85	PCC1897CT-ND	3.53	25.19	90.67	151.12	PCC1897TR-ND	4,000	131.23/M	ECJ-3VF1C155Z	(Nicht für neue Designs)
			2.2µF	+80%/-20%	0.85	PCC1898CT-ND	1.41	10.03	36.12	60.19	PCC1898TR-ND	4,000	52.49/M	ECJ-3VF1C225Z	ECJ-3VF1C225Z
			4.7µF	+80%/-20%	1.15	PCC1900CT-ND	5.71	41.98	151.84	259.02	PCC1900TR-ND	2,000	241.28/M	ECJ-3YF1C475Z	ECJ-3YF1C475Z
			10µF	+80%/-20%	1.25	PCC2420CT-ND	2.84	19.00	62.17	96.72	PCC2420TR-ND	3,000	96.52/M	ECJ-MFF1C106Z	ECJ-MFF1C106Z
		10	10µF	+80%/-20%	1.60	PCC1894CT-ND	2.45	18.35	65.22	118.22	PCC1894TR-ND	2,000	108.37/M	ECJ-3YF1A106Z	ECJ-3YF1A106Z
			10µF	+80%/-20%	1.25	PCC2418CT-ND	2.78	18.65	61.03	94.94	PCC2418TR-ND	3,000	94.82/M	ECJ-MFF1A106Z	ECJ-MFF1A106Z
			22µF	+80%/-20%	1.25	PCC2419CT-ND	3.99	26.36	99.59	158.18	PCC2419TR-ND	3,000	155.78/M	ECJ-MFF1A226Z	ECJ-MFF1A226Z
	F	50	1.0µF	+80%/-20%	1.15	PCC2234CT-ND	1.79	12.85	46.25	71.94	PCC2234TR-ND	3,000	68.58/M	ECJ-3FF1H105Z	ECJ-3FF1H105Z
		25	4.7µF	+80%/-20%	1.15	PCC2235CT-ND	1.63	11.98	43.32	68.80	PCC2235TR-ND	3,000	67.73/M	ECJ-3FF1E475Z	ECJ-3FF1E475Z
			10µF	+80%/-20%	1.60	PCC2415CT-ND	3.28	22.05	72.16	112.24	PCC2415TR-ND	2,000	112.60/M	ECJ-3YF1E106Z	ECJ-3YF1E106Z
		16	10µF	+80%/-20%	1.60	PCC2300CT-ND	2.93	20.94	75.36	117.22	PCC2300TR-ND	2,000	113.45/M	ECJ-3YF1C106Z	ECJ-3YF1C106Z
		10	22µF	+80%/-20%	1.60	PCC2236CT-ND	4.41	33.05	117.51	195.36	PCC2236TR-ND	2,000	191.33/M	ECJ-3YF1A226Z	ECJ-3YF1A226Z
1210	X7R	100	0.22µF	±10%	2.00	PCC2304CT-ND	6.94	52.06	185.10	307.73	PCC2304TR-ND	2,000	307.32/M	ECJ-4YB2A224K	(Nicht für neue Designs)
			0.47µF	±10%	2.00	PCC2240CT-ND	5.85	42.97	155.44	246.87	PCC2240TR-ND	2,000	242.98/M	ECJ-4YB2A474K	(Nicht für neue Designs)
			0.68µF	±10%	2.50	PCC2305CT-ND	6.10	45.72	162.55	—	PCC2305TR-ND	1,000	270.07	ECJ-4YB2A684K	(Nicht für neue Designs)
			0.68µF	±20%	2.50	PCC2247CT-ND	6.10	45.72	162.55	—	PCC2247TR-ND	1,000	270.07	ECJ-4YB2A684M	(Nicht für neue Designs)
	X5R	50	1µF	±10%	2.00	PCC2303CT-ND	4.94	36.33	131.40	208.70	PCC2303TR-ND	2,000	200.65/M	ECJ-4YB1H105K	(Nicht für neue Designs)
		25	2.2µF	±10%	2.00	PCC2302CT-ND	5.09	37.39	135.22	214.76	PCC2302TR-ND	2,000	206.57/M	ECJ-4YB1E225K	(Nicht für neue Designs)
			4.7µF	±10%	2.00	PCC2251CT-ND	5.64	41.42	149.82	237.95	PCC2251TR-ND	2,000	237.90/M	ECJ-4YB1E475K	(Nicht für neue Designs)
			10µF	±20%	2.50	PCC2243CT-ND	10.67	80.00	284.46	—	PCC2243TR-ND	1,000	473.25	ECJ-4YB1E106M	(Nicht für neue Designs)
			22µF	±20%	2.50	PCC2333CT-ND	22.15	167.12	626.70	—	PCC2333TR-ND	1,000	1086.19	ECJ-4YB1E226M	(Nicht für neue Designs)
		16	4.7µF	±10%	2.00	PCC2168CT-ND	4.88	36.56	129.97	235.57	PCC2168TR-ND	2,000	215.89/M	ECJ-4YB1C475K	(Nicht für neue Designs)
			10µF	±10%	2.00	PCC2169CT-ND	9.12	68.39	243.14	440.70	PCC2169TR-ND	2,000	403.83/M	ECJ-4YB1C106K	(Nicht für neue Designs)
			22µF	±20%	2.00	PCC2330CT-ND	14.77	111.48	418.05	—	PCC2330TR-ND	1,000	724.69	ECJ-4YB1C226M	(Nicht für neue Designs)
			47µF	±20%	2.50	PCC2335CT-ND	28.95	218.42	819.09	—	PCC2335TR-ND	1,000	1419.75	ECJ-4YB1C476M	(Nicht für neue Designs)
		10	10µF	±10%	2.00	PCC2170CT-ND	7.59	56.96	202.51	367.04	PCC2170TR-ND	2,000	336.95/M	ECJ-4YB1A106K	(Nicht für neue Designs)
			10µF	±20%	1.40	PCC2238CT-ND	6.17	46.27	164.51	273.50	PCC2238TR-ND	2,000	267.53/M	ECJ-8YB1A106M	(Nicht für neue Designs)
			22µF	±20%	2.50	PCC2228CT-ND	13.62	102.83	385.61	—	PCC2228TR-ND	1,000	667.97	ECJ-4YB1A226M	(Nicht für neue Designs)
			47µF	±20%	2.50	PCC2334CT-ND	28.05	211.65	793.69	—	PCC2334TR-ND	1,000	1375.73	ECJ-4YB1A476M	(Nicht für neue Designs)
	X5R	6.3	22µF	±20%	2.50	PCC2179CT-ND	14.54	109.08	387.81	—	PCC2179TR-ND	1,000	645.11	ECJ-4YB0J226M	(Nicht für neue Designs)
			47µF	±10%	2.50	PCC2301CT-ND	27.24	205.64	771.15	—	PCC2301TR-ND	1,000	1336.78	ECJ-4YB0J476M	(Nicht für neue Designs)
			100µF	±20%	2.50	PCC2267CT-ND	48.93	369.24	1384.64	—	PCC2267TR-ND	1,000	2400.11	ECJ-4YB0J107M	(Nicht für neue Designs)
	Y5V	25	10µF	+80%/-20%	1.60	PCC2171CT-ND	5.08	38.11	135.52	245.64	PCC2171TR-ND	2,000	225.20/M	ECJ-4YF1E106Z	(Nicht für neue Designs)
		10	22µF	+80%/-20%	2.00	PCC2172CT-ND	6.04	45.28	160.99	291.80	PCC2172TR-ND	2,000	267.53/M	ECJ-4YF1A226Z	(Nicht für neue Designs)

‡ Reduzierte DC-Vorspannungseigenschaften *Betriebsspannung DC

(Forts.)

E

Größen-code	Typ	WV DC*	Kap.	Toleranz	Abm. T (mm)	Digi-Key Teilenr.	Gurtabschnitts-preise 10	100	500	1.000	Digi-Key Teilenr.	Gegurtet auf Rolle Größe	Preisangaben	Alte † Panasonic Teilenr.	Neue † Panasonic Teilenr.
1210	F	6.3	47µF	+80%/-20%	2.00	PCC2237CT-ND	13.62	102.83	385.61	668.38	PCC2237TR-ND	2,000	657.81/M	ECJ-4YF0J476Z	(Nicht für neue Designs)
		16	10µF	+80%/-20%	2.00	PCC2306CT-ND	5.23	38.42	138.96	—	PCC2306TR-ND	2,000	220.97/M	ECJ-4YF1C106Z	(Nicht für neue Designs)
			22µF	+80%/-20%	2.00	PCC2307CT-ND	8.35	62.60	222.55	—	PCC2307TR-ND	2,000	369.97/M	ECJ-4YF1C226Z	(Nicht für neue Designs)
		50	4.7µF	+80%/-20%	2.00	PCC2309CT-ND	5.90	44.25	157.33	—	PCC2309TR-ND	2,000	261.60/M	ECJ-4YF1H475Z	(Nicht für neue Designs)
			10µF	+80%/-20%	2.00	PCC2308CT-ND	5.90	44.25	157.33	—	PCC2308TR-ND	2,000	261.60/M	ECJ-4YF1H106Z	(Nicht für neue Designs)
1812	X7R	100	1.0µF	±20%	2.50	PCC2248CT-ND	11.53	87.02	—	—	PCC2248TR-ND	500	326.36	ECJ-5YB2A105M	ECJ-5YB2A105M
	X5R	25	10µF	±20%	2.50	PCC2180CT-ND	17.63	132.20	—	—	PCC2180TR-ND	500	390.71	ECJ-5YB1E106M	ECJ-5YB1E106M
		16	22µF	±20%	3.20	PCC2244CT-ND	26.92	203.17	—	—	PCC2244TR-ND	500	761.94	ECJ-5YB1C226M	ECJ-5YB1C226M
		6.3	47µF	±20%	3.20	PCC2245CT-ND	23.06	174.04	—	—	PCC2245TR-ND	500	652.73	ECJ-5YB0J476M	ECJ-5YB0J476M
	Y5V	35	10µF	+80%/-20%	2.50	PCC2183CT-ND	18.85	141.32	—	—	PCC2183TR-ND	500	417.80	ECJ-5YF1V106Z	ECJ-5YF1V106Z
		16	22µF	+80%/-20%	2.50	PCC2184CT-ND	14.54	109.07	—	—	PCC2184TR-ND	500	322.55	ECJ-5YF1C226Z	ECJ-5YF1C226Z
	F	6.3	100µF	+80%/-20%	3.20	PCC2246CT-ND	31.14	235.02	—	—	PCC2246TR-ND	500	881.31	ECJ-5YF0J107Z	ECJ-5YF0J107Z

‡ Reduzierte DC-Vorspannungseigenschaften *Betriebsspannung DC

Heftartige Kit-Schachteln von Digi-Key®

Heftartige Kit-Schachtel mit Klettverschluss kann als normale Kit-Schachtel oder vertikal wie ein Buch gelagert werden. Jedes Fach ist mit einem leicht lesbaren Kit-Index bezeichnet.

- **PCC7-KIT-ND** ***Kit der Serie 0805/NP0*** Jeweils 10 der angegebenen Werte (insgesamt 300 Stück) **25.36**
- **PCC9-KIT-ND** ***Kit der Serie 0603/NP0*** Jeweils 10 der angegebenen Werte (insgesamt 300 Stück) **25.36**
- **PCC13-KIT-ND** ***Kit der Serie 0402/NP0*** Jeweils 10 der angegebenen Werte (insgesamt 280 Stück) **42.29**
- **PCC14-KIT-ND** ***Kit der Serie 0402/X7R*** Jeweils 10 der angegebenen Werte (insgesamt 300 Stück) **38.90**
- **PCC15-KIT-ND** ***Kit der Serie 0603/X7R-X5R*** Jeweils 10 der angegebenen Werte (insgesamt 300 Stück) **25.36**
- **PCC16-KIT-ND** ***Kit der Serie 0805/X7R*** Jeweils 10 der angegebenen Werte (insgesamt 300 Stück) **25.36**
- **PCC17-KIT-ND** ***Kit der Serie* 1206/NP0** Jeweils 10 der genannten Werte (insgesamt 140 Stück) **76.15**

Panasonic

Mehrschicht-Chipkondensatoren, hoher Q-Wert (Mikrowelle) 0201 und 0402 hohe Genauigkeit/hohe Frequenz

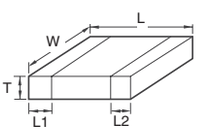

Abmessungen in mm

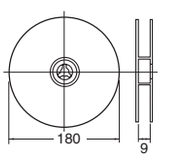

Größencode (EIA)	L	W	T	L1 / L2
0201	0.60±0.03	0.30±0.03	0.30	0.15±0.05
0402	1.00±0.05	0.50±0.05	0.50	0.20±0.10

Merkmale:

• Bleifrei • Betriebstemperaturbereich: -55 °C ~ 125 °C • Niedrige Kap. mit enger Toleranz • Hoher Q-Wert / niedr. ESR-Wert bei hoher Frequ. • Ultrastabile C0G-Leistung (0±30 ppm/°C) • 0201 und 0402 Miniaturgrößen

Anwendungen (bei Mikrowellenfrequ.): • Impedanzanpassungskreis • Schwingkreis • Kopplungskreis

Anwendungsbeispiele: • RF-Module, VCO, BPF, DUP, PA usw. • Handy, Bluetooth, Wireless LAN usw.

E

Größen-code	Typ	WV DC**	Kap.	Toleranz	Digi-Key Teilenr.	Gurtabschnittspreis pro Stück 10	100	500	1.000	Digi-Key Teilenr.	Gegurtet auf Rolle Größe	Preisangaben	Panasonic Teilenr.
0201	C0G	25	.10pF	±0.05pF	PCC2337CT-ND*	.18	.12	.09	.08	PCC2337TR-ND	15,000	65.19/M	ECD-GZER108
			.20pF	±0.05pF	PCC2338CT-ND*	.18	.12	.09	.08	PCC2338TR-ND	15,000	65.19/M	ECD-GZER208
			.30pF	±0.05pF	PCC2339CT-ND*	.18	.12	.09	.08	PCC2339TR-ND	15,000	65.19/M	ECD-GZER308
			.40pF	±0.05pF	PCC2340CT-ND*	.18	.12	.09	.08	PCC2340TR-ND	15,000	65.19/M	ECD-GZER408
			.50pF	±0.05pF	PCC2341CT-ND*	.18	.12	.09	.08	PCC2341TR-ND	15,000	65.19/M	ECD-GZER508
			.60pF	±0.075pF	PCC2342CT-ND*	.18	.12	.09	.08	PCC2342TR-ND	15,000	65.19/M	ECD-GZER609
			.70pF	±0.075pF	PCC2343CT-ND*	.18	.12	.09	.08	PCC2343TR-ND	15,000	65.19/M	ECD-GZER709
			.80pF	±0.075pF	PCC2344CT-ND*	.18	.12	.09	.08	PCC2344TR-ND	15,000	65.19/M	ECD-GZER809
			.90pF	±0.075pF	PCC2345CT-ND*	.18	.12	.09	.08	PCC2345TR-ND	15,000	65.19/M	ECD-GZER909
			1.0pF	±0.10pF	PCC2346CT-ND*	.18	.12	.09	.08	PCC2346TR-ND	15,000	65.19/M	ECD-GZE1R0B
			1.1pF	±0.10pF	PCC2347CT-ND*	.18	.12	.09	.08	PCC2347TR-ND	15,000	65.19/M	ECD-GZE1R1B
			1.2pF	±0.10pF	PCC2348CT-ND*	.18	.12	.09	.08	PCC2348TR-ND	15,000	65.19/M	ECD-GZE1R2B
			1.3pF	±0.10pF	PCC2349CT-ND*	.18	.12	.09	.08	PCC2349TR-ND	15,000	65.19/M	ECD-GZE1R3B
			1.5pF	±0.10pF	PCC2350CT-ND*	.18	.12	.09	.08	PCC2350TR-ND	15,000	65.19/M	ECD-GZE1R5B
			1.6pF	±0.10pF	PCC2351CT-ND*	.18	.12	.09	.08	PCC2351TR-ND	15,000	65.19/M	ECD-GZE1R6B
			1.8pF	±0.10pF	PCC2352CT-ND*	.18	.12	.09	.08	PCC2352TR-ND	15,000	65.19/M	ECD-GZE1R8B
			2.0pF	±0.10pF	PCC2353CT-ND*	.18	.12	.09	.08	PCC2353TR-ND	15,000	65.19/M	ECD-GZE2R0B
			2.2pF	±0.10pF	PCC2356CT-ND*	.18	.12	.09	.08	PCC2356TR-ND	15,000	65.19/M	ECD-GZE2R2B
			2.4pF	±0.10pF	PCC2357CT-ND*	.18	.12	.09	.08	PCC2357TR-ND	15,000	65.19/M	ECD-GZE2R4B
			2.7pF	±0.10pF	PCC2358CT-ND*	.18	.12	.09	.08	PCC2358TR-ND	15,000	65.19/M	ECD-GZE2R7B
			3.0pF	±0.10pF	PCC2359CT-ND*	.18	.12	.09	.08	PCC2359TR-ND	15,000	65.19/M	ECD-GZE3R0B
			3.3pF	±0.25pF	PCC2360CT-ND*	.29	.19	.12	.09	PCC2360TR-ND	15,000	71.12/M	ECD-GZE3R3C
			3.9pF	±0.25pF	PCC2361CT-ND	.29	.19	.12	.09	PCC2361TR-ND	15,000	71.12/M	ECD-GZE3R9C
			4.7pF	±0.25pF	PCC2362CT-ND	.29	.19	.12	.09	PCC2362TR-ND	15,000	71.12/M	ECD-GZE4R7C
0402	C0G	25	.10pF	±0.05pF	PCC2190CT-ND†	.22	.15	.11	.09	PCC2190TR-ND	10,000	79.58/M	ECD-G0ER108
			.20pF	±0.05pF	PCC2192CT-ND†	.22	.15	.11	.09	PCC2192TR-ND	10,000	79.58/M	ECD-G0ER208
			.30pF	±0.05pF	PCC2194CT-ND†	.22	.15	.11	.09	PCC2194TR-ND	10,000	79.58/M	ECD-G0ER308
			.35pF	±0.05pF	PCC2195CT-ND	.22	.15	.11	.09	—	—	—	ECD-G0ER358
			.40pF	±0.05pF	PCC2196CT-ND†	.22	.15	.11	.09	PCC2196TR-ND	10,000	79.58/M	ECD-G0ER408
			.50pF	±0.05pF	PCC2198CT-ND†	.22	.15	.11	.09	PCC2198TR-ND	10,000	79.58/M	ECD-G0ER508
			.55pF	±0.075pF	PCC2199CT-ND	.22	.15	.11	.09	PCC2199TR-ND	10,000	79.58/M	ECD-G0ER559
			.60pF	±0.075pF	PCC2200CT-ND†	.22	.15	.11	.09	PCC2200TR-ND	10,000	79.58/M	ECD-G0ER609
			.70pF	±0.075pF	PCC2202CT-ND†	.22	.15	.11	.09	PCC2202TR-ND	10,000	79.58/M	ECD-G0ER709
			.80pF	±0.075pF	PCC2204CT-ND†	.22	.15	.11	.09	PCC2204TR-ND	10,000	79.58/M	ECD-G0ER809
			.90pF	±0.075pF	PCC2206CT-ND†	.22	.15	.11	.09	PCC2206TR-ND	10,000	79.58/M	ECD-G0ER909
			1.0pF	±0.10pF	PCC2252CT-ND†	.22	.15	.11	.09	PCC2252TR-ND	10,000	79.58/M	ECD-G0E1R0B
			1.1pF	±0.10pF	PCC2209CT-ND†	.22	.15	.11	.09	PCC2209TR-ND	10,000	79.58/M	ECD-G0E1R1B
			1.2pF	±0.10pF	PCC2210CT-ND†	.22	.15	.11	.09	PCC2210TR-ND	10,000	79.58/M	ECD-G0E1R2B
			1.3pF	±0.10pF	PCC2211CT-ND†	.22	.15	.11	.09	PCC2211TR-ND	10,000	79.58/M	ECD-G0E1R3B
			1.5pF	±0.10pF	PCC2213CT-ND†	.22	.15	.11	.09	PCC2213TR-ND	10,000	79.58/M	ECD-G0E1R5B
			1.6pF	±0.10pF	PCC2214CT-ND†	.22	.15	.11	.09	PCC2214TR-ND	10,000	79.58/M	ECD-G0E1R6B
			1.8pF	±0.10pF	PCC2216CT-ND†	.22	.15	.11	.09	PCC2216TR-ND	10,000	79.58/M	ECD-G0E1R8B
			2.0pF	±0.10pF	PCC2218CT-ND†	.22	.15	.11	.09	PCC2218TR-ND	10,000	79.58/M	ECD-G0E2R0B
			2.2pF	±0.10pF	PCC2253CT-ND†	.22	.15	.11	.09	PCC2253TR-ND	10,000	79.58/M	ECD-G0E2R2B
			2.4pF	±0.10pF	PCC2254CT-ND†	.22	.15	.11	.09	PCC2254TR-ND	10,000	79.58/M	ECD-G0E2R4B
			2.7pF	±0.10pF	PCC2255CT-ND†	.22	.15	.11	.09	PCC2255TR-ND	10,000	79.58/M	ECD-G0E2R7B
			3.0pF	±0.10pF	PCC2256CT-ND†	.22	.15	.11	.09	PCC2256TR-ND	10,000	79.58/M	ECD-G0E3R0B
			3.3pF	±0.25pF	PCC2258CT-ND†	.22	.15	.11	.09	PCC2258TR-ND	10,000	79.58/M	ECD-G0E3R3C
			3.9pF	±0.25pF	PCC2259CT-ND†	.22	.15	.11	.09	PCC2259TR-ND	10,000	79.58/M	ECD-G0E3R9C
			4.7pF	±0.25pF	PCC2260CT-ND†	.22	.15	.11	.09	PCC2260TR-ND	10,000	79.58/M	ECD-G0E4R7C
			5.6pF	±0.25pF	PCC2261CT-ND†	.22	.15	.11	.09	PCC2261TR-ND	10,000	79.58/M	ECD-G0E5R6C
			6.8pF	±0.25pF	PCC2262CT-ND†	.22	.15	.11	.09	PCC2262TR-ND	10,000	79.58/M	ECD-G0E6R8C
			8.2pF	±0.25pF	PCC2263CT-ND†	.22	.15	.11	.09	PCC2263TR-ND	10,000	79.58/M	ECD-G0E8R2C
			10.0pF	±0.25pF	PCC2264CT-ND†	.22	.15	.11	.09	PCC2264TR-ND	10,000	79.58/M	ECD-G0E100C
			12pF	±5%	PCC2265CT-ND†	.22	.15	.11	.09	PCC2265TR-ND	10,000	79.58/M	ECD-G0E120J
			15pF	±5%	PCC2266CT-ND†	.22	.15	.11	.09	PCC2266TR-ND	10,000	79.58/M	ECD-G0E150J

**Betriebsspannung DC

- ***PCC19-KIT-ND** ***Digi-Key® Kondensatorsatz Serie 0201/High-Q*** Jeweils 20 der genannten 21 Werte (insgesamt 420 Stück) **49.95**
- **†PCC20-KIT-ND** ***Digi-Key® Kondensatorsatz Serie 0402/High-Q*** Jeweils 20 der genannten 30 Werte (insgesamt 600 Stück) **49.95**

Alle Preisangaben in Euro und inklusive Zollgebühren.

Vielschicht-Keramikchipkondensatoren

C0G (NP0) Dielektrikum: • Keramikmaterialien der EIA-Klasse I • C0G- (NP0) Keramiken bieten eines der stabilsten Kondensator-Dielektrika • Die Kapazitätsänderung im Temperaturverlauf beträgt 0 ±30 ppm/°C, was weniger als ±0,3 % Δ C von -55 °C ~ 125 °C darstellt • Betriebstemperaturbereich: -55 °C ~ 125 °C

X7R-Dielektrikum: • X7R-Formulierungen werden als „temperaturstabile" Keramik bezeichnet und gehören zu den Materialien der EIA-Klasse II • Die Temperaturvariation der Kapazität liegt innerhalb von ±15 % von -55 °C ~ 125 °C • Betriebstemperaturbereich: -55 °C ~ 125 °C

X5R-Dielektrikum: • Mehrzweck-Dielektrikum für Keramikkondensatoren • Dielektrikum der EIA-Klasse II • Die Temperaturvariation der Kapazität liegt innerhalb von ±15 % von -55 °C ~ 85 °C • Betriebstemperaturbereich: -55 °C ~ 85 °C

Y5V-Dielektrikum: • Y5V-Formulierungen sind für allgemeine Zwecke in einem begrenzten Temperaturbereich gedacht • Sie haben eine breite Temperatureigenschaft von +22 %-82 % Kapazitätsänderung über den Betriebstemperaturbereich von -30 °C ~ 85 °C

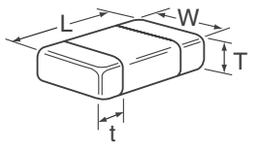

Größencode	L	W	t
0201	0.60±0.03	0.30±0.03	0.15±0.05
0402	1.00±0.10	0.50±0.10	0.25±0.15
0603	1.60±0.15	0.81±0.15	0.35±0.15
0805	2.01±0.20	1.25±0.20	0.50±0.25
1206	3.20±0.20	1.60±0.20	0.50±0.25
1210	3.20±0.20	2.50±0.20	0.50±0.25
1812	4.50±0.30	3.20±0.20	0.61±0.36

Größen-code	Typ	Betriebs-spannung DC	Kapazität	Toleranz	Abm. T (mm)	Digi-Key Teilenr.	Gurtabschnittspreise 10	100	500	Digi-Key Teilenr.	Gegurtet auf Rolle Größe	Preisangaben	AVX Teilenr.
0201	C0G (NP0)	25V	.5pF	±.25pF	0.33	478-1000-1-ND	2.33	13.76	39.69	478-1000-2-ND	15,000	38.10/M	02013A0R5CAT2A
			1.0pF	±.25pF	0.33	478-1001-1-ND	2.33	13.76	39.69	478-1001-2-ND	15,000	38.10/M	02013A1R0CAT2A
			1.2pF	±.25pF	0.33	478-1002-1-ND	4.19	24.76	71.44	478-1002-2-ND	15,000	68.58/M	02013A1R2CAT2A
			1.5pF	±.25pF	0.33	478-1003-1-ND	2.33	13.76	39.69	478-1003-2-ND	15,000	38.10/M	02013A1R5CAT2A
			1.8pF	±.25pF	0.33	478-1004-1-ND	4.19	24.76	71.44	478-1004-2-ND	15,000	68.58/M	02013A1R8CAT2A
			2.2pF	±.25pF	0.33	478-1005-1-ND	4.19	24.76	71.44	478-1005-2-ND	15,000	68.58/M	02013A2R2CAT2A
			2.7pF	±.25pF	0.33	478-1006-1-ND	4.19	24.76	71.44	478-1006-2-ND	15,000	68.58/M	02013A2R7CAT2A
			3.3pF	±.25pF	0.33	478-1007-1-ND	4.19	24.76	71.44	478-1007-2-ND	15,000	68.58/M	02013A3R3CAT2A
			3.9pF	±.25pF	0.33	478-1008-1-ND	4.19	24.76	71.44	478-1008-2-ND	15,000	68.58/M	02013A3R9CAT2A
			4.7pF	±.25pF	0.33	478-1009-1-ND	4.19	24.76	71.44	478-1009-2-ND	15,000	68.58/M	02013A4R7CAT2A
			5.6pF	±.25pF	0.33	478-1010-1-ND	4.19	24.76	71.44	478-1010-2-ND	15,000	68.58/M	02013A5R6CAT2A
			6.8pF	±.25pF	0.33	478-1011-1-ND	4.19	24.76	71.44	478-1011-2-ND	15,000	68.58/M	02013A6R8CAT2A
			8.2pF	±.25pF	0.33	478-1012-1-ND	4.19	24.76	71.44	478-1012-2-ND	15,000	68.58/M	02013A8R2CAT2A
			9.0pF	±.25pF	0.33	478-1013-1-ND	2.33	13.76	39.69	478-1013-2-ND	15,000	38.10/M	02013A9R0CAT2A
			10pF	±5%	0.33	478-1014-1-ND	2.33	13.76	39.69	478-1014-2-ND	15,000	38.10/M	02013A100JAT2A
			12pF	±5%	0.33	478-1015-1-ND	2.33	13.76	39.69	478-1015-2-ND	15,000	38.10/M	02013A120JAT2A
			15pF	±5%	0.33	478-1016-1-ND	2.33	13.76	39.69	478-1016-2-ND	15,000	38.10/M	02013A150JAT2A
			18pF	±5%	0.33	478-1017-1-ND	2.33	13.76	39.69	478-1017-2-ND	15,000	38.10/M	02013A180JAT2A
			22pF	±5%	0.33	478-1018-1-ND	2.33	13.76	39.69	478-1018-2-ND	15,000	38.10/M	02013A220JAT2A
			27pF	±5%	0.33	478-1019-1-ND	2.33	13.76	39.69	478-1019-2-ND	15,000	38.10/M	02013A270JAT2A
			33pF	±5%	0.33	478-1020-1-ND	2.33	13.76	39.69	478-1020-2-ND	15,000	38.10/M	02013A330JAT2A
		16V	39pF	±5%	0.33	478-1021-1-ND	2.33	13.76	39.69	478-1021-2-ND	15,000	38.10/M	0201YA390JAT2A
			47pF	±5%	0.33	478-1022-1-ND	2.33	13.76	39.69	478-1022-2-ND	15,000	38.10/M	0201YA470JAT2A
			56pF	±5%	0.33	478-1023-1-ND	2.33	13.76	39.69	478-1023-2-ND	15,000	38.10/M	0201YA560JAT2A
			68pF	±5%	0.33	478-1024-1-ND	2.33	13.76	39.69	478-1024-2-ND	15,000	38.10/M	0201YA680JAT2A
		10V	82pF	±5%	0.33	478-1025-1-ND	2.33	13.76	39.69	478-1025-2-ND	15,000	38.10/M	0201ZA820JAT2A
			100pF	±5%	0.33	478-1026-1-ND	4.66	27.51	79.37	478-1026-2-ND	15,000	76.20/M	0201ZA101JAT2A
	X7R	16V	100pF	±10%	0.33	478-1027-1-ND	4.19	24.76	71.44	478-1027-2-ND	15,000	68.58/M	0201YC101KAT2A
			120pF	±10%	0.33	478-1028-1-ND	4.19	24.76	71.44	478-1028-2-ND	15,000	68.58/M	0201YC121KAT2A
			150pF	±10%	0.33	478-1029-1-ND	2.33	13.76	39.69	478-1029-2-ND	15,000	38.10/M	0201YC151KAT2A
			180pF	±10%	0.33	478-1030-1-ND	4.19	24.76	71.44	478-1030-2-ND	15,000	68.58/M	0201YC181KAT2A
			220pF	±10%	0.33	478-1031-1-ND	2.33	13.76	39.69	478-1031-2-ND	15,000	38.10/M	0201YC221KAT2A
			270pF	±10%	0.33	478-1032-1-ND	4.19	24.76	71.44	478-1032-2-ND	15,000	68.58/M	0201YC271KAT2A
			330pF	±10%	0.33	478-1033-1-ND	2.33	13.76	39.69	478-1033-2-ND	15,000	38.10/M	0201YC331KAT2A
			390pF	±10%	0.33	478-1034-1-ND	4.19	24.76	71.44	478-1034-2-ND	15,000	68.58/M	0201YC391KAT2A
			470pF	±10%	0.33	478-1035-1-ND	2.33	13.76	39.69	478-1035-2-ND	15,000	38.10/M	0201YC471KAT2A
			560pF	±10%	0.33	478-1036-1-ND	4.47	26.41	76.19	478-1036-2-ND	15,000	72.81/M	0201YC561KAT2A
			680pF	±10%	0.33	478-1037-1-ND	2.33	13.76	39.69	478-1037-2-ND	15,000	38.10/M	0201YC681KAT2A
			820pF	±10%	0.33	478-1038-1-ND	4.47	26.41	76.19	478-1038-2-ND	15,000	72.81/M	0201YC821KAT2A
			1000pF	±10%	0.33	478-1039-1-ND	2.33	13.76	39.69	478-1039-2-ND	15,000	38.10/M	0201YC102KAT2A
	X5R	10V	1200pF	±10%	0.33	478-1040-1-ND	5.12	30.27	87.31	478-1040-2-ND	15,000	83.82/M	0201ZD122KAT2A
			1500pF	±10%	0.33	478-1041-1-ND	5.12	30.27	87.31	478-1041-2-ND	15,000	83.82/M	0201ZD152KAT2A
			1800pF	±10%	0.33	478-1042-1-ND	5.12	30.27	87.31	478-1042-2-ND	15,000	83.82/M	0201ZD182KAT2A
			2200pF	±10%	0.33	478-1043-1-ND	5.59	33.02	95.24	478-1043-2-ND	15,000	91.44/M	0201ZD222KAT2A
			2700pF	±10%	0.33	478-1044-1-ND	5.59	33.02	95.24	478-1044-2-ND	15,000	91.44/M	0201ZD272KAT2A
			3300pF	±10%	0.33	478-1045-1-ND	2.33	13.76	39.69	478-1045-2-ND	15,000	38.10/M	0201ZD332KAT2A
			3900pF	±10%	0.33	478-1046-1-ND	5.59	33.02	95.24	478-1046-2-ND	15,000	91.44/M	0201ZD392KAT2A
			4700pF	±10%	0.33	478-1047-1-ND	2.33	13.76	39.69	478-1047-2-ND	15,000	38.10/M	0201ZD472KAT2A
			5600pF	±10%	0.33	478-1048-1-ND	6.05	35.77	103.18	478-1048-2-ND	15,000	99.06/M	0201ZD562KAT2A
			6800pF	±10%	0.33	478-1049-1-ND	2.33	13.76	39.69	478-1049-2-ND	15,000	38.10/M	0201ZD682KAT2A
			8200pF	±10%	0.33	478-1050-1-ND	6.52	38.52	111.12	478-1050-2-ND	15,000	106.68/M	0201ZD822KAT2A
			.01µF	±10%	0.33	478-1051-1-ND	2.33	13.76	39.69	478-1051-2-ND	15,000	38.10/M	0201ZD103KAT2A
	Y5V	10V	.01µF	+80 -20%	0.33	478-1052-1-ND	6.98	41.27	119.06	478-1052-2-ND	15,000	114.30/M	0201ZG103ZAT2A
		6.3V	.015µF	+80 -20%	0.33	478-1053-1-ND	6.98	41.27	119.06	478-1053-2-ND	15,000	114.30/M	02016G153ZAT2A
			.022µF	+80 -20%	0.33	478-1054-1-ND	6.98	41.27	119.06	478-1054-2-ND	15,000	114.30/M	02016G223ZAT2A
			.033µF	+80 -20%	0.33	478-1055-1-ND	6.98	41.27	119.06	478-1055-2-ND	15,000	114.30/M	02016G333ZAT2A
			.047µF	+80 -20%	0.33	478-1056-1-ND	5.59	33.02	95.24	478-1056-2-ND	15,000	91.44/M	02016G473ZAT2A
0402	C0G (NP0)	50V	.5pF	±.25pF	0.56	478-1057-1-ND	2.79	16.51	47.62	478-1057-2-ND	10,000	45.72/M	04025A0R5CAT2A
			1.0pF	±.25pF	0.56	478-1058-1-ND	.93	5.50	15.87	478-1058-2-ND	10,000	15.24/M	04025A1R0CAT2A
			1.2pF	±.25pF	0.56	478-1059-1-ND	3.73	22.01	63.50	478-1059-2-ND	10,000	60.96/M	04025A1R2CAT2A
			1.5pF	±.25pF	0.56	478-1060-1-ND	.93	5.50	15.87	478-1060-2-ND	10,000	15.24/M	04025A1R5CAT2A
			1.8pF	±.25pF	0.56	478-1061-1-ND	2.79	16.51	47.62	478-1061-2-ND	10,000	45.72/M	04025A1R8CAT2A
			2.2pF	±.25pF	0.56	478-1062-1-ND	2.79	16.51	47.62	478-1062-2-ND	10,000	45.72/M	04025A2R2CAT2A
			2.7pF	±.25pF	0.56	478-1063-1-ND	2.79	16.51	47.62	478-1063-2-ND	10,000	45.72/M	04025A2R7CAT2A
			3.3pF	±.25pF	0.56	478-1064-1-ND	2.79	16.51	47.62	478-1064-2-ND	10,000	45.72/M	04025A3R3CAT2A
			3.9pF	±.25pF	0.56	478-1065-1-ND	3.73	22.01	63.50	478-1065-2-ND	10,000	60.96/M	04025A3R9CAT2A
			4.7pF	±.25pF	0.56	478-1066-1-ND	3.73	22.01	63.50	478-1066-2-ND	10,000	60.96/M	04025A4R7CAT2A
			5.6pF	±.25pF	0.56	478-1067-1-ND	2.79	16.51	47.62	478-1067-2-ND	10,000	45.72/M	04025A5R6CAT2A
			6.8pF	±.25pF	0.56	478-1068-1-ND	3.73	22.01	63.50	478-1068-2-ND	10,000	60.96/M	04025A6R8CAT2A
			8.2pF	±.25pF	0.56	478-1069-1-ND	2.79	16.51	47.62	478-1069-2-ND	10,000	45.72/M	04025A8R2CAT2A
			10pF	±5%	0.56	478-1070-1-ND	.93	5.50	15.87	478-1070-2-ND	10,000	15.24/M	04025A100JAT2A
			12pF	±5%	0.56	478-1071-1-ND	.93	5.50	15.87	478-1071-2-ND	10,000	15.24/M	04025A120JAT2A
			15pF	±5%	0.56	478-1072-1-ND	.93	5.50	15.87	478-1072-2-ND	10,000	15.24/M	04025A150JAT2A
			18pF	±5%	0.56	478-1073-1-ND	.93	5.50	15.87	478-1073-2-ND	10,000	15.24/M	04025A180JAT2A
			22pF	±5%	0.56	478-1074-1-ND	.93	5.50	15.87	478-1074-2-ND	10,000	15.24/M	04025A220JAT2A
			27pF	±5%	0.56	478-1075-1-ND	.93	5.50	15.87	478-1075-2-ND	10,000	15.24/M	04025A270JAT2A
			33pF	±5%	0.56	478-1076-1-ND	.93	5.50	15.87	478-1076-2-ND	10,000	15.24/M	04025A330JAT2A
			39pF	±5%	0.56	478-1077-1-ND	.93	5.50	15.87	478-1077-2-ND	10,000	15.24/M	04025A390JAT2A
			47pF	±5%	0.56	478-1078-1-ND	.93	5.50	15.87	478-1078-2-ND	10,000	15.24/M	04025A470JAT2A
			56pF	±5%	0.56	478-1079-1-ND	.93	5.50	15.87	478-1079-2-ND	10,000	15.24/M	04025A560JAT2A
			68pF	±5%	0.56	478-1080-1-ND	.93	5.50	15.87	478-1080-2-ND	10,000	15.24/M	04025A680JAT2A
			82pF	±5%	0.56	478-1081-1-ND	2.79	16.51	47.62	478-1081-2-ND	10,000	45.72/M	04025A820JAT2A
			100pF	±5%	0.56	478-1082-1-ND	2.33	13.76	39.69	478-1082-2-ND	10,000	38.10/M	04025A101JAT2A
			120pF	±5%	0.56	478-1083-1-ND	.93	5.50	15.87	478-1083-2-ND	10,000	15.24/M	04025A121JAT2A
			150pF	±5%	0.56	478-1084-1-ND	.93	5.50	15.87	478-1084-2-ND	10,000	15.24/M	04025A151JAT2A
			180pF	±5%	0.56	478-1085-1-ND	.93	5.50	15.87	478-1085-2-ND	10,000	15.24/M	04025A181JAT2A
			220pF	±5%	0.56	478-1086-1-ND	2.79	16.51	47.62	478-1086-2-ND	10,000	45.72/M	04025A221JAT2A

(Forts.)

E

Größen-code	Typ	Betriebs-spannung DC	Kapazität	Toleranz	Abm. T (mm)	Digi-Key Teilenr.	Gurtabschnittspreise 10	100	500	Digi-Key Teilenr.	Gegurtet auf Rolle Größe	Preisangaben	AVX Teilenr.
0402	C0G (NP0)	25V	270pF	±5%	0.56	478-1087-1-ND	5.59	33.02	95.24	478-1087-2-ND	10,000	91.44/M	04023A271JAT2A
			330pF	±5%	0.56	478-1088-1-ND	5.59	33.02	95.24	478-1088-2-ND	10,000	91.44/M	04023A331JAT2A
	X7R	50V	100pF	±10%	0.56	478-1089-1-ND	1.86	11.01	31.75	478-1089-2-ND	10,000	30.48/M	04025C101KAT2A
			120pF	±10%	0.56	478-1090-1-ND	.93	5.50	15.87	478-1090-2-ND	10,000	15.24/M	04025C121KAT2A
			150pF	±10%	0.56	478-1091-1-ND	.93	5.50	15.87	478-1091-2-ND	10,000	15.24/M	04025C151KAT2A
			180pF	±10%	0.56	478-1092-1-ND	.93	5.50	15.87	478-1092-2-ND	10,000	15.24/M	04025C181KAT2A
			220pF	±10%	0.56	478-1093-1-ND	2.79	16.51	47.62	478-1093-2-ND	10,000	45.72/M	04025C221KAT2A
			270pF	±10%	0.56	478-1094-1-ND	2.79	16.51	47.62	478-1094-2-ND	10,000	45.72/M	04025C271KAT2A
			330pF	±10%	0.56	478-1095-1-ND	2.79	16.51	47.62	478-1095-2-ND	10,000	45.72/M	04025C331KAT2A
			390pF	±10%	0.56	478-1096-1-ND	.93	5.50	15.87	478-1096-2-ND	10,000	15.24/M	04025C391KAT2A
			470pF	±10%	0.56	478-1097-1-ND	2.79	16.51	47.62	478-1097-2-ND	10,000	45.72/M	04025C471KAT2A
			560pF	±10%	0.56	478-1098-1-ND	.93	5.50	15.87	478-1098-2-ND	10,000	15.24/M	04025C561KAT2A
			680pF	±10%	0.56	478-1099-1-ND	.93	5.50	15.87	478-1099-2-ND	10,000	15.24/M	04025C681KAT2A
			820pF	±10%	0.56	478-1100-1-ND	.93	5.50	15.87	478-1100-2-ND	10,000	15.24/M	04025C821KAT2A
			1000pF	±10%	0.56	478-1101-1-ND	.93	5.50	15.87	478-1101-2-ND	10,000	15.24/M	04025C102KAT2A
			1200pF	±10%	0.56	478-1102-1-ND	.93	5.50	15.87	478-1102-2-ND	10,000	15.24/M	04025C122KAT2A
			1500pF	±10%	0.56	478-1103-1-ND	2.79	16.51	47.62	478-1103-2-ND	10,000	45.72/M	04025C152KAT2A
			1800pF	±10%	0.56	478-1104-1-ND	2.79	16.51	47.62	478-1104-2-ND	10,000	45.72/M	04025C182KAT2A
			2200pF	±10%	0.56	478-1105-1-ND	2.33	13.76	39.69	478-1105-2-ND	10,000	38.10/M	04025C222KAT2A
			2700pF	±10%	0.56	478-1106-1-ND	2.79	16.51	47.62	478-1106-2-ND	10,000	45.72/M	04025C272KAT2A
			3300pF	±10%	0.56	478-1107-1-ND	.93	5.50	15.87	478-1107-2-ND	10,000	15.24/M	04025C332KAT2A
			3900pF	±10%	0.56	478-1108-1-ND	2.79	16.51	47.62	478-1108-2-ND	10,000	45.72/M	04025C392KAT2A
			4700pF	±10%	0.56	478-1109-1-ND	.93	5.50	15.87	478-1109-2-ND	10,000	15.24/M	04025C472KAT2A
			5600pF	±10%	0.56	478-1110-1-ND	1.86	11.01	31.75	478-1110-2-ND	10,000	30.48/M	04025C562KAT2A
			6800pF	±10%	0.56	478-1111-1-ND	1.86	11.01	31.75	478-1111-2-ND	10,000	30.48/M	04025C682KAT2A
			8200pF	±10%	0.56	478-1112-1-ND	1.86	11.01	31.75	478-1112-2-ND	10,000	30.48/M	04025C822KAT2A
		25V	.01µF	±10%	0.56	478-1113-1-ND	2.79	16.51	47.62	478-1113-2-ND	10,000	45.72/M	04023C103KAT2A
		16V	.01µF	±10%	0.56	478-1114-1-ND	.93	5.50	15.87	478-1114-2-ND	10,000	15.24/M	0402YC103KAT2A
			.012µF	±10%	0.56	478-1115-1-ND	.93	5.50	15.87	478-1115-2-ND	10,000	15.24/M	0402YC123KAT2A
			.015µF	±10%	0.56	478-1116-1-ND	.93	5.50	15.87	478-1116-2-ND	10,000	15.24/M	0402YC153KAT2A
			.018µF	±10%	0.56	478-1117-1-ND	.93	5.50	15.87	478-1117-2-ND	10,000	15.24/M	0402YC183KAT2A
			.022µF	±10%	0.56	478-1118-1-ND	.93	5.50	15.87	478-1118-2-ND	10,000	15.24/M	0402YC223KAT2A
		10V	.027µF	±10%	0.56	478-1119-1-ND	3.54	20.91	60.32	478-1119-2-ND	10,000	57.57/M	0402ZC273KAT2A
			.033µF	±10%	0.56	478-1120-1-ND	3.73	22.01	63.50	478-1120-2-ND	10,000	60.96/M	0402ZC333KAT2A
			.039µF	±10%	0.56	478-1121-1-ND	3.73	22.01	63.50	478-1121-2-ND	10,000	60.96/M	0402ZC393KAT2A
	X5R	16V	.027µF	±10%	0.56	478-1122-1-ND	.93	5.50	15.87	478-1122-2-ND	10,000	15.24/M	0402YD273KAT2A
			.033µF	±10%	0.56	478-1123-1-ND	.93	5.50	15.87	478-1123-2-ND	10,000	15.24/M	0402YD333KAT2A
			.039µF	±10%	0.56	478-1124-1-ND	.93	5.50	15.87	478-1124-2-ND	10,000	15.24/M	0402YD393KAT2A
			.047µF	±10%	0.56	478-1125-1-ND	.93	5.50	15.87	478-1125-2-ND	10,000	15.24/M	0402YD473KAT2A
			.10µF	±10%	0.56	478-1126-1-ND	5.12	30.27	87.31	478-1126-2-ND	10,000	83.82/M	0402YD104KAT2A
		10V	.068µF	±10%	0.56	478-1128-1-ND	.93	5.50	15.87	478-1128-2-ND	10,000	15.24/M	0402ZD683KAT2A
			.10µF	±10%	0.56	478-1129-1-ND	.93	5.50	15.87	478-1129-2-ND	10,000	15.24/M	0402ZD104KAT2A
		6.3V	.15µF	±10%	0.56	478-1130-1-ND	5.59	33.02	95.24	478-1130-2-ND	10,000	91.44/M	04026D154KAT2A
			.18µF	±10%	0.56	478-1131-1-ND	6.52	38.52	111.12	478-1131-2-ND	10,000	106.68/M	04026D184KAT2A
			.22µF	±10%	0.56	478-1132-1-ND	5.59	33.02	95.24	478-1132-2-ND	10,000	91.44/M	04026D224KAT2A
			1.0µF	±10%	0.56	478-2583-1-ND	4.66	27.51	79.37	478-2583-2-ND	10,000	76.20/M	04026D105KAT2A
	Y5V	50V	.01µF	+80 -20%	0.56	478-1133-1-ND	1.86	11.01	31.75	478-1133-2-ND	10,000	30.48/M	04025G103ZAT2A
			.022µF	+80 -20%	0.56	478-1134-1-ND	1.86	11.01	31.75	478-1134-2-ND	10,000	30.48/M	04025G223ZAT2A
			.033µF	+80 -20%	0.56	478-1135-1-ND	4.19	24.76	71.44	—	—	—	04025G333ZAT2A
		16V	.047µF	+80 -20%	0.56	478-1136-1-ND	1.86	11.01	31.75	478-1136-2-ND	10,000	30.48/M	0402YG473ZAT2A
			.068µF	+80 -20%	0.56	478-1137-1-ND	1.86	11.01	31.75	478-1137-2-ND	10,000	30.48/M	0402YG683ZAT2A
			.10µF	+80 -20%	0.56	478-1138-1-ND	1.86	11.01	31.75	478-1138-2-ND	10,000	30.48/M	0402YG104ZAT2A
		10V	.22µF	+80 -20%	0.56	478-1139-1-ND	1.86	11.01	31.75	478-1139-2-ND	10,000	30.48/M	0402ZG224ZAT2A
0603	C0G (NP0)	100V	10pF	±5%	0.86	478-1140-1-ND	1.77	10.46	30.16	478-1140-2-ND	4,000	28.79/M	06031A100JAT2A
			15pF	±5%	0.86	478-1141-1-ND	.93	5.50	15.87	478-1141-2-ND	4,000	15.24/M	06031A150JAT2A
			22pF	±5%	0.86	478-1142-1-ND	.93	5.50	15.87	478-1142-2-ND	4,000	15.24/M	06031A220JAT2A
			33pF	±5%	0.86	478-1143-1-ND	.93	5.50	15.87	478-1143-2-ND	4,000	15.24/M	06031A330JAT2A
			47pF	±5%	0.86	478-1144-1-ND	.93	5.50	15.87	478-1144-2-ND	4,000	15.24/M	06031A470JAT2A
			68pF	±5%	0.86	478-1145-1-ND	.93	5.50	15.87	478-1145-2-ND	4,000	15.24/M	06031A680JAT2A
			100pF	±5%	0.86	478-1146-1-ND	.93	5.50	15.87	478-1146-2-ND	4,000	15.24/M	06031A101JAT2A
			150pF	±5%	0.86	478-1147-1-ND	4.19	24.76	71.44	478-1147-2-ND	4,000	68.58/M	06031A151JAT2A
			220pF	±5%	0.86	478-1148-1-ND	1.96	11.56	33.34	478-1148-2-ND	4,000	32.17/M	06031A221JAT2A
			330pF	±5%	0.86	478-1149-1-ND	3.54	20.91	60.32	478-1149-2-ND	4,000	57.57/M	06031A331JAT2A
		50V	.5pF	±.25pF	0.86	478-1150-1-ND	1.77	10.46	30.16	478-1150-2-ND	4,000	28.79/M	06035A0R5CAT2A
			1.0pF	±.25pF	0.86	478-1151-1-ND	1.77	10.46	30.16	478-1151-2-ND	4,000	28.79/M	06035A1R0CAT2A
			1.2pF	±.25pF	0.86	478-1152-1-ND	1.77	10.46	30.16	478-1152-2-ND	4,000	28.79/M	06035A1R2CAT2A
			1.5pF	±.25pF	0.86	478-1153-1-ND	1.77	10.46	30.16	478-1153-2-ND	4,000	28.79/M	06035A1R5CAT2A
			1.8pF	±.25pF	0.86	478-1154-1-ND	1.77	10.46	30.16	478-1154-2-ND	4,000	28.79/M	06035A1R8CAT2A
			2.2pF	±.25pF	0.86	478-1155-1-ND	1.77	10.46	30.16	478-1155-2-ND	4,000	28.79/M	06035A2R2CAT2A
			2.7pF	±.25pF	0.86	478-1156-1-ND	1.77	10.46	30.16	478-1156-2-ND	4,000	28.79/M	06035A2R7CAT2A
			3.3pF	±.25pF	0.86	478-1157-1-ND	1.77	10.46	30.16	478-1157-2-ND	4,000	28.79/M	06035A3R3CAT2A
			3.9pF	±.25pF	0.86	478-1158-1-ND	1.77	10.46	30.16	478-1158-2-ND	4,000	28.79/M	06035A3R9CAT2A
			4.7pF	±.25pF	0.86	478-1159-1-ND	1.77	10.46	30.16	478-1159-2-ND	4,000	28.79/M	06035A4R7CAT2A
			5.6pF	±.25pF	0.86	478-1160-1-ND	1.77	10.46	30.16	478-1160-2-ND	4,000	28.79/M	06035A5R6CAT2A
			6.8pF	±.25pF	0.86	478-1161-1-ND	1.77	10.46	30.16	478-1161-2-ND	4,000	28.79/M	06035A6R8CAT2A
			8.2pF	±.25pF	0.86	478-1162-1-ND	1.77	10.46	30.16	478-1162-2-ND	4,000	28.79/M	06035A8R2CAT2A
			10pF	±5%	0.86	478-1163-1-ND	1.58	9.35	26.99	478-1163-2-ND	4,000	26.25/M	06035A100JAT2A
			12pF	±5%	0.86	478-1164-1-ND	1.40	8.25	23.81	478-1164-2-ND	4,000	22.86/M	06035A120JAT2A
			15pF	±5%	0.86	478-1165-1-ND	.93	5.50	15.87	478-1165-2-ND	4,000	15.24/M	06035A150JAT2A
			18pF	±5%	0.86	478-1166-1-ND	1.77	10.46	30.16	478-1166-2-ND	4,000	28.79/M	06035A180JAT2A
			22pF	±5%	0.86	478-1167-1-ND	.93	5.50	15.87	478-1167-2-ND	4,000	15.24/M	06035A220JAT2A
			27pF	±5%	0.86	478-1168-1-ND	.93	5.50	15.87	478-1168-2-ND	4,000	15.24/M	06035A270JAT2A
			33pF	±5%	0.86	478-1169-1-ND	1.40	8.25	23.81	478-1169-2-ND	4,000	22.86/M	06035A330JAT2A
			39pF	±5%	0.86	478-1170-1-ND	1.77	10.46	30.16	478-1170-2-ND	4,000	28.79/M	06035A390JAT2A
			47pF	±5%	0.86	478-1171-1-ND	.93	5.50	15.87	478-1171-2-ND	4,000	15.24/M	06035A470JAT2A
			56pF	±5%	0.86	478-1172-1-ND	1.77	10.46	30.16	478-1172-2-ND	4,000	28.79/M	06035A560JAT2A
			68pF	±5%	0.86	478-1173-1-ND	1.86	11.01	31.75	478-1173-2-ND	4,000	30.48/M	06035A680JAT2A
			82pF	±5%	0.86	478-1174-1-ND	1.77	10.46	30.16	478-1174-2-ND	4,000	28.79/M	06035A820JAT2A
			100pF	±5%	0.86	478-1175-1-ND	.93	5.50	15.87	478-1175-2-ND	4,000	15.24/M	06035A101JAT2A
			120pF	±5%	0.86	478-1176-1-ND	1.86	11.01	31.75	478-1176-2-ND	4,000	30.48/M	06035A121JAT2A
			150pF	±5%	0.86	478-1177-1-ND	.93	5.50	15.87	478-1177-2-ND	4,000	15.24/M	06035A151JAT2A
			180pF	±5%	0.86	478-1178-1-ND	.93	5.50	15.87	478-1178-2-ND	4,000	15.24/M	06035A181JAT2A
			220pF	±5%	0.86	478-1179-1-ND	1.86	11.01	31.75	478-1179-2-ND	4,000	30.48/M	06035A221JAT2A
			270pF	±5%	0.86	478-1180-1-ND	.93	5.50	15.87	478-1180-2-ND	4,000	15.24/M	06035A271JAT2A
			330pF	±5%	0.86	478-1181-1-ND	1.86	11.01	31.75	478-1181-2-ND	4,000	30.48/M	06035A331JAT2A

(Forts.)

Alle Preisangaben in Euro und inklusive Zollgebühren.

Größen-code	Typ	Betriebs-spannung DC	Kapazität	Toleranz	Abm. T (mm)	Digi-Key Teilenr.	Gurtabschnittspreise 10	100	500	Digi-Key Teilenr.	Gegurtet auf Rolle Größe	Preisangaben	AVX Teilenr.
0603	C0G (NP0)	50V	390pF	±5%	0.86	478-1182-1-ND	1.86	11.01	31.75	478-1182-2-ND	4,000	30.48/M	06035A391JAT2A
			470pF	±5%	0.86	478-1183-1-ND	.93	5.50	15.87	478-1183-2-ND	4,000	15.24/M	06035A471JAT2A
			560pF	±5%	0.86	478-1184-1-ND	1.86	11.01	31.75	478-1184-2-ND	4,000	30.48/M	06035A561JAT2A
			680pF	±5%	0.86	478-1185-1-ND	1.86	11.01	31.75	478-1185-2-ND	4,000	30.48/M	06035A681JAT2A
			820pF	±5%	0.86	478-1186-1-ND	2.33	13.76	39.69	478-1186-2-ND	4,000	38.10/M	06035A821JAT2A
			1000pF	±5%	0.86	478-1187-1-ND	1.40	8.25	23.81	478-1187-2-ND	4,000	22.86/M	06035A102JAT2A
		25V	1200pF	±5%	0.86	478-1188-1-ND	6.05	35.77	103.18	478-1188-2-ND	4,000	99.06/M	06033A122JAT2A
			1500pF	±5%	0.86	478-1189-1-ND	6.05	35.77	103.18	478-1189-2-ND	4,000	99.06/M	06033A152JAT2A
	X7R	200V	220pF	±10%	0.86	478-1190-1-ND	.93	5.50	15.87	478-1190-2-ND	4,000	15.24/M	06032C221KAT2A
			330pF	±10%	0.86	478-1191-1-ND	.93	5.50	15.87	478-1191-2-ND	4,000	15.24/M	06032C331KAT2A
			470pF	±10%	0.86	478-1192-1-ND	.93	5.50	15.87	478-1192-2-ND	4,000	15.24/M	06032C471KAT2A
			680pF	±10%	0.86	478-1193-1-ND	.93	5.50	15.87	478-1193-2-ND	4,000	15.24/M	06032C681KAT2A
			1000pF	±10%	0.86	478-1194-1-ND	.93	5.50	15.87	478-1194-2-ND	4,000	15.24/M	06032C102KAT2A
		100V	220pF	±10%	0.86	478-1195-1-ND	.93	5.50	15.87	478-1195-2-ND	4,000	15.24/M	06031C221KAT2A
			330pF	±10%	0.86	478-1196-1-ND	.93	5.50	15.87	478-1196-2-ND	4,000	15.24/M	06031C331KAT2A
			470pF	±10%	0.86	478-1197-1-ND	.93	5.50	15.87	478-1197-2-ND	4,000	15.24/M	06031C471KAT2A
			680pF	±10%	0.86	478-1198-1-ND	.93	5.50	15.87	478-1198-2-ND	4,000	15.24/M	06031C681KAT2A
			1000pF	±10%	0.86	478-1199-1-ND	.93	5.50	15.87	478-1199-2-ND	4,000	15.24/M	06031C102KAT2A
			1500pF	±10%	0.86	478-1200-1-ND	1.77	10.46	30.16	478-1200-2-ND	4,000	28.79/M	06031C152KAT2A
			2200pF	±10%	0.86	478-1201-1-ND	1.77	10.46	30.16	478-1201-2-ND	4,000	28.79/M	06031C222KAT2A
			3300pF	±10%	0.86	478-1202-1-ND	1.77	10.46	30.16	478-1202-2-ND	4,000	28.79/M	06031C332KAT2A
			4700pF	±10%	0.86	478-1203-1-ND	1.77	10.46	30.16	478-1203-2-ND	4,000	28.79/M	06031C472KAT2A
			6800pF	±10%	0.86	478-1204-1-ND	1.77	10.46	30.16	478-1204-2-ND	4,000	28.79/M	06031C682KAT2A
			.01µF	±10%	0.86	478-1205-1-ND	3.82	22.56	65.09	478-1205-2-ND	4,000	62.65/M	06031C103KAT2A
		50V	180pF	±10%	0.86	478-1206-1-ND	1.77	10.46	30.16	478-1206-2-ND	4,000	28.79/M	06035C181KAT2A
			220pF	±10%	0.86	478-1207-1-ND	1.77	10.46	30.16	478-1207-2-ND	4,000	28.79/M	06035C221KAT2A
			270pF	±10%	0.86	478-1208-1-ND	1.77	10.46	30.16	478-1208-2-ND	4,000	28.79/M	06035C271KAT2A
			330pF	±10%	0.86	478-1209-1-ND	1.77	10.46	30.16	478-1209-2-ND	4,000	28.79/M	06035C331KAT2A
			390pF	±10%	0.86	478-1210-1-ND	1.77	10.46	30.16	478-1210-2-ND	4,000	28.79/M	06035C391KAT2A
			470pF	±10%	0.86	478-1211-1-ND	1.77	10.46	30.16	478-1211-2-ND	4,000	28.79/M	06035C471KAT2A
			560pF	±10%	0.86	478-1212-1-ND	1.77	10.46	30.16	478-1212-2-ND	4,000	28.79/M	06035C561KAT2A
			680pF	±10%	0.86	478-1213-1-ND	1.77	10.46	30.16	478-1213-2-ND	4,000	28.79/M	06035C681KAT2A
			820pF	±10%	0.86	478-1214-1-ND	1.77	10.46	30.16	478-1214-2-ND	4,000	28.79/M	06035C821KAT2A
			1000pF	±10%	0.86	478-1215-1-ND	.75	4.40	12.70	478-1215-2-ND	4,000	11.86/M	06035C102KAT2A
			1200pF	±10%	0.86	478-1216-1-ND	.93	5.50	15.87	478-1216-2-ND	4,000	15.24/M	06035C122KAT2A
			1500pF	±10%	0.86	478-1217-1-ND	.93	5.50	15.87	478-1217-2-ND	4,000	15.24/M	06035C152KAT2A
			1800pF	±10%	0.86	478-1218-1-ND	.93	5.50	15.87	478-1218-2-ND	4,000	15.24/M	06035C182KAT2A
			2200pF	±10%	0.86	478-1219-1-ND	.93	5.50	15.87	478-1219-2-ND	4,000	15.24/M	06035C222KAT2A
			2700pF	±10%	0.86	478-1220-1-ND	.93	5.50	15.87	478-1220-2-ND	4,000	15.24/M	06035C272KAT2A
			3300pF	±10%	0.86	478-1221-1-ND	1.86	11.01	31.75	478-1221-2-ND	4,000	30.48/M	06035C332KAT2A
			3900pF	±10%	0.86	478-1222-1-ND	.93	5.50	15.87	478-1222-2-ND	4,000	15.24/M	06035C392KAT2A
			4700pF	±10%	0.86	478-1223-1-ND	1.58	9.35	26.99	478-1223-2-ND	4,000	26.25/M	06035C472KAT2A
			5600pF	±10%	0.86	478-1224-1-ND	.93	5.50	15.87	478-1224-2-ND	4,000	15.24/M	06035C562KAT2A
			6800pF	±10%	0.86	478-1225-1-ND	1.77	10.46	30.16	478-1225-2-ND	4,000	28.79/M	06035C682KAT2A
			8200pF	±10%	0.86	478-1226-1-ND	.93	5.50	15.87	478-1226-2-ND	4,000	15.24/M	06035C822KAT2A
			.01µF	±10%	0.86	478-1227-1-ND	.75	4.40	12.70	478-1227-2-ND	4,000	11.86/M	06035C103KAT2A
			.012µF	±10%	0.86	478-1228-1-ND	.93	5.50	15.87	478-1228-2-ND	4,000	15.24/M	06035C123KAT2A
			.015µF	±10%	0.86	478-1229-1-ND	.93	5.50	15.87	478-1229-2-ND	4,000	15.24/M	06035C153KAT2A
			.018µF	±10%	0.86	478-1230-1-ND	.93	5.50	15.87	478-1230-2-ND	4,000	15.24/M	06035C183KAT2A
			.022µF	±10%	0.86	478-1231-1-ND	.93	5.50	15.87	478-1231-2-ND	4,000	15.24/M	06035C223KAT2A
			.027µF	±10%	0.86	478-1232-1-ND	.93	5.50	15.87	478-1232-2-ND	4,000	15.24/M	06035C273KAT2A
			.033µF	±10%	0.86	478-1233-1-ND	.93	5.50	15.87	478-1233-2-ND	4,000	15.24/M	06035C333KAT2A
			.039µF	±10%	0.86	478-1234-1-ND	.93	5.50	15.87	478-1234-2-ND	4,000	15.24/M	06035C393KAT2A
		25V	.047µF	±10%	0.86	478-1235-1-ND	.93	5.50	15.87	478-1235-2-ND	4,000	15.24/M	06033C473KAT2A
		16V	.056µF	±10%	0.86	478-1236-1-ND	.93	5.50	15.87	478-1236-2-ND	4,000	15.24/M	0603YC563KAT2A
			.068µF	±10%	0.86	478-1237-1-ND	.93	5.50	15.87	478-1237-2-ND	4,000	15.24/M	0603YC683KAT2A
			.082µF	±10%	0.86	478-1238-1-ND	.93	5.50	15.87	478-1238-2-ND	4,000	15.24/M	0603YC823KAT2A
			.10µF	±10%	0.86	478-1239-1-ND	.75	4.40	12.70	478-1239-2-ND	4,000	11.86/M	0603YC104KAT2A
		10V	.12µF	±10%	0.86	478-1240-1-ND	3.26	19.26	55.56	478-1240-2-ND	4,000	53.34/M	0603ZC124KAT2A
			.15µF	±10%	0.86	478-1241-1-ND	3.26	19.26	55.56	478-1241-2-ND	4,000	53.34/M	0603ZC154KAT2A
			.18µF	±10%	0.86	478-1242-1-ND	3.73	22.01	63.50	478-1242-2-ND	4,000	60.96/M	0603ZC184KAT2A
			.22µF	±10%	0.86	478-1243-1-ND	.93	5.50	15.87	478-1243-2-ND	4,000	15.24/M	0603ZC224KAT2A
	X5R	25V	.10µF	±10%	0.86	478-1244-1-ND	3.26	19.26	55.56	478-1244-2-ND	4,000	53.34/M	06033D104KAT2A
			.22µF	±10%	0.86	478-1245-1-ND	4.19	24.76	71.44	478-1245-2-ND	4,000	68.58/M	06033D224KAT2A
		16V	.22µF	±10%	0.86	478-1246-1-ND	3.73	22.01	63.50	478-1246-2-ND	4,000	60.96/M	0603YD224KAT2A
			.33µF	±10%	0.86	478-1247-1-ND	1.58	9.35	26.99	478-1247-2-ND	4,000	26.25/M	0603YD334KAT2A
			.47µF	±10%	0.86	478-1248-1-ND	1.58	9.35	26.99	478-1248-2-ND	4,000	26.25/M	0603YD474KAT2A
			1.0µF	±10%	0.86	478-1249-1-ND	1.86	11.01	31.75	478-1249-2-ND	4,000	30.48/M	0603YD105KAT2A
		10V	.68µF	±10%	0.86	478-1250-1-ND	1.86	11.01	31.75	478-1250-2-ND	4,000	30.48/M	0603ZD684KAT2A
			1.0µF	±10%	0.86	478-1251-1-ND	1.49	8.80	25.40	478-1251-2-ND	4,000	24.56/M	0603ZD105KAT2A
		6.3V	1.0µF	±10%	0.86	478-2581-1-ND	5.59	33.02	95.24	478-2581-2-ND	4,000	91.44/M	06036D105KAT2A
			2.2µF	±10%	0.86	478-1252-1-ND	3.73	22.01	63.50	478-1252-2-ND	4,000	60.96/M	06036D225KAT2A
			4.7µF	±20%	0.86	478-2582-1-ND	7.45	44.02	126.99	478-2582-2-ND	4,000	121.91/M	06036D475MAT2A
		4V	4.7µF	±10%	0.94	478-1253-1-ND	5.59	33.02	95.24	478-1253-2-ND	4,000	91.44/M	06034D475KAT2A
	Y5V	50V	.01µF	+80 -20%	0.86	478-1254-1-ND	.93	5.50	15.87	478-1254-2-ND	4,000	15.24/M	06035G103ZAT2A
			.022µF	+80 -20%	0.86	478-1255-1-ND	.93	5.50	15.87	478-1255-2-ND	4,000	15.24/M	06035G223ZAT2A
			.033µF	+80 -20%	0.86	478-1256-1-ND	.93	5.50	15.87	478-1256-2-ND	4,000	15.24/M	06035G333ZAT2A
			.047µF	+80 -20%	0.86	478-1257-1-ND	.93	5.50	15.87	478-1257-2-ND	4,000	15.24/M	06035G473ZAT2A
			.068µF	+80 -20%	0.86	478-1258-1-ND	.93	5.50	15.87	478-1258-2-ND	4,000	15.24/M	06035G683ZAT2A
		25V	.10µF	+80 -20%	0.86	478-1259-1-ND	.93	5.50	15.87	478-1259-2-ND	4,000	15.24/M	06033G104ZAT2A
			.15µF	+80 -20%	0.86	478-1260-1-ND	1.86	11.01	31.75	478-1260-2-ND	4,000	30.48/M	06033G154ZAT2A
			.22µF	+80 -20%	0.86	478-1261-1-ND	.93	5.50	15.87	478-1261-2-ND	4,000	15.24/M	06033G224ZAT2A
		16V	.33µF	+80 -20%	0.86	478-1262-1-ND	1.86	11.01	31.75	478-1262-2-ND	4,000	30.48/M	0603YG334ZAT2A
			.47µF	+80 -20%	0.86	478-1263-1-ND	.93	5.50	15.87	478-1263-2-ND	4,000	15.24/M	0603YG474ZAT2A
			1.0µF	+80 -20%	0.86	478-1264-1-ND	.93	5.50	15.87	478-1264-2-ND	4,000	15.24/M	0603YG105ZAT2A
		10V	1.0µF	+80 -20%	0.86	478-1265-1-ND	.93	5.50	15.87	478-1265-2-ND	4,000	15.24/M	0603ZG105ZAT2A
0805	C0G (NP0)	200V	10pF	±5%	0.94	478-1266-1-ND	3.14	18.55	53.50	478-1266-2-ND	4,000	51.65/M	08052A100JAT2A
			15pF	±5%	0.94	478-1267-1-ND	1.86	11.01	31.75	478-1267-2-ND	4,000	30.48/M	08052A150JAT2A
			22pF	±5%	0.94	478-1268-1-ND	1.86	11.01	31.75	478-1268-2-ND	4,000	30.48/M	08052A220JAT2A
			33pF	±5%	0.94	478-1269-1-ND	1.86	11.01	31.75	478-1269-2-ND	4,000	30.48/M	08052A330JAT2A
			47pF	±5%	0.94	478-1270-1-ND	1.86	11.01	31.75	478-1270-2-ND	4,000	30.48/M	08052A470JAT2A
			68pF	±5%	0.94	478-1271-1-ND	6.98	41.27	119.06	478-1271-2-ND	4,000	114.29/M	08052A680JAT2A
			100pF	±5%	0.94	478-1272-1-ND	6.98	41.27	119.06	478-1272-2-ND	4,000	114.29/M	08052A101JAT2A
			150pF	±5%	0.94	478-1273-1-ND	6.98	41.27	119.06	478-1273-2-ND	4,000	114.29/M	08052A151JAT2A
			220pF	±5%	0.94	478-1274-1-ND	6.98	41.27	119.06	478-1274-2-ND	4,000	114.29/M	08052A221JAT2A
			330pF	±5%	1.27	478-1275-1-ND	6.98	41.27	119.06	478-1275-2-ND	2,000	114.29/M	08052A331JAT2A

(Forts.)

E

Größen-code	Typ	Betriebs-spannung DC	Kapazität	Toleranz	Abm. T (mm)	Digi-Key Teilenr.	Gurtabschnittspreise 10	100	500	Digi-Key Teilenr.	Gegurtet auf Rolle Größe	Preisangaben	AVX Teilenr.
0805	C0G (NP0)	200V	470pF	±5%	1.27	478-1276-1-ND	3.35	19.81	57.15	478-1276-2-ND	2,000	55.03/M	08052A471JAT2A
			680pF	±5%	1.27	478-1277-1-ND	4.94	29.17	84.14	—	—	—	08052A681JAT2A
		100V	10pF	±5%	0.71	478-1278-1-ND	1.86	11.01	31.75	478-1278-2-ND	4,000	30.48/M	08051A100JAT2A
			15pF	±5%	0.71	478-1279-1-ND	1.86	11.01	31.75	478-1279-2-ND	4,000	30.48/M	08051A150JAT2A
			22pF	±5%	0.71	478-1280-1-ND	1.86	11.01	31.75	478-1280-2-ND	4,000	30.48/M	08051A220JAT2A
			33pF	±5%	0.71	478-1281-1-ND	1.96	11.56	33.34	478-1281-2-ND	4,000	32.17/M	08051A330JAT2A
			47pF	±5%	0.71	478-1282-1-ND	1.86	11.01	31.75	478-1282-2-ND	4,000	30.48/M	08051A470JAT2A
			68pF	±5%	0.71	478-1283-1-ND	1.86	11.01	31.75	478-1283-2-ND	4,000	30.48/M	08051A680JAT2A
			100pF	±5%	0.71	478-1284-1-ND	1.86	11.01	31.75	478-1284-2-ND	4,000	30.48/M	08051A101JAT2A
			150pF	±5%	0.71	478-1285-1-ND	1.86	11.01	31.75	478-1285-2-ND	4,000	30.48/M	08051A151JAT2A
			220pF	±5%	0.71	478-1286-1-ND	2.51	14.86	42.86	478-1286-2-ND	4,000	41.49/M	08051A221JAT2A
			330pF	±5%	0.94	478-1287-1-ND	1.86	11.01	31.75	478-1287-2-ND	4,000	30.48/M	08051A331JAT2A
			470pF	±5%	0.94	478-1288-1-ND	1.86	11.01	31.75	478-1288-2-ND	4,000	30.48/M	08051A471JAT2A
			680pF	±5%	0.94	478-1289-1-ND	1.86	11.01	31.75	478-1289-2-ND	4,000	30.48/M	08051A681JAT2A
			1000pF	±5%	0.94	478-1290-1-ND	2.79	16.51	47.62	478-1290-2-ND	4,000	45.72/M	08051A102JAT2A
		50V	.5pF	±.25pF	0.71	478-1291-1-ND	1.86	11.01	31.75	478-1291-2-ND	4,000	30.48/M	08055A0R5CAT2A
			1.0pF	±.25pF	0.71	478-1292-1-ND	1.86	11.01	31.75	478-1292-2-ND	4,000	30.48/M	08055A1R0CAT2A
			1.2pF	±.25pF	0.71	478-1293-1-ND	1.96	11.56	33.34	478-1293-2-ND	4,000	32.17/M	08055A1R2CAT2A
			1.5pF	±.25pF	0.71	478-1294-1-ND	1.86	11.01	31.75	478-1294-2-ND	4,000	30.48/M	08055A1R5CAT2A
			1.8pF	±.25pF	0.71	478-1295-1-ND	1.96	11.56	33.34	478-1295-2-ND	4,000	32.17/M	08055A1R8CAT2A
			2.2pF	±.25pF	0.71	478-1296-1-ND	1.96	11.56	33.34	478-1296-2-ND	4,000	32.17/M	08055A2R2CAT2A
			2.7pF	±.25pF	0.71	478-1297-1-ND	1.96	11.56	33.34	478-1297-2-ND	4,000	32.17/M	08055A2R7CAT2A
			3.3pF	±.25pF	0.71	478-1298-1-ND	1.96	11.56	33.34	478-1298-2-ND	4,000	32.17/M	08055A3R3CAT2A
			3.9pF	±.25pF	0.71	478-1299-1-ND	1.96	11.56	33.34	478-1299-2-ND	4,000	32.17/M	08055A3R9CAT2A
			4.7pF	±.25pF	0.71	478-1300-1-ND	1.96	11.56	33.34	478-1300-2-ND	4,000	32.17/M	08055A4R7CAT2A
			5.6pF	±.25pF	0.71	478-1301-1-ND	1.96	11.56	33.34	478-1301-2-ND	4,000	32.17/M	08055A5R6CAT2A
			6.8pF	±.25pF	0.71	478-1302-1-ND	1.96	11.56	33.34	478-1302-2-ND	4,000	32.17/M	08055A6R8CAT2A
			8.2pF	±.25pF	0.71	478-1303-1-ND	1.96	11.56	33.34	478-1303-2-ND	4,000	32.17/M	08055A8R2CAT2A
			10pF	±5%	0.71	478-1304-1-ND	.93	5.50	15.87	478-1304-2-ND	4,000	15.24/M	08055A100JAT2A
			12pF	±5%	0.71	478-1305-1-ND	.93	5.50	15.87	478-1305-2-ND	4,000	15.24/M	08055A120JAT2A
			15pF	±5%	0.71	478-1306-1-ND	.93	5.50	15.87	478-1306-2-ND	4,000	15.24/M	08055A150JAT2A
			18pF	±5%	0.71	478-1307-1-ND	.93	5.50	15.87	478-1307-2-ND	4,000	15.24/M	08055A180JAT2A
			22pF	±5%	0.71	478-1308-1-ND	.93	5.50	15.87	478-1308-2-ND	4,000	15.24/M	08055A220JAT2A
			27pF	±5%	0.71	478-1309-1-ND	.93	5.50	15.87	478-1309-2-ND	4,000	15.24/M	08055A270JAT2A
			33pF	±5%	0.71	478-1310-1-ND	.93	5.50	15.87	478-1310-2-ND	4,000	15.24/M	08055A330JAT2A
			39pF	±5%	0.71	478-1311-1-ND	.93	5.50	15.87	478-1311-2-ND	4,000	15.24/M	08055A390JAT2A
			47pF	±5%	0.71	478-1312-1-ND	.93	5.50	15.87	478-1312-2-ND	4,000	15.24/M	08055A470JAT2A
			56pF	±5%	0.71	478-1313-1-ND	.93	5.50	15.87	478-1313-2-ND	4,000	15.24/M	08055A560JAT2A
			68pF	±5%	0.71	478-1314-1-ND	.93	5.50	15.87	478-1314-2-ND	4,000	15.24/M	08055A680JAT2A
			82pF	±5%	0.71	478-1315-1-ND	.93	5.50	15.87	478-1315-2-ND	4,000	15.24/M	08055A820JAT2A
			100pF	±5%	0.71	478-1316-1-ND	.93	5.50	15.87	478-1316-2-ND	4,000	15.24/M	08055A101JAT2A
			120pF	±5%	0.71	478-1317-1-ND	.93	5.50	15.87	478-1317-2-ND	4,000	15.24/M	08055A121JAT2A
			150pF	±5%	0.71	478-1318-1-ND	.93	5.50	15.87	478-1318-2-ND	4,000	15.24/M	08055A151JAT2A
			180pF	±5%	0.71	478-1319-1-ND	1.40	8.25	23.81	478-1319-2-ND	4,000	22.86/M	08055A181JAT2A
			220pF	±5%	0.71	478-1320-1-ND	.93	5.50	15.87	478-1320-2-ND	4,000	15.24/M	08055A221JAT2A
			270pF	±5%	0.71	478-1321-1-ND	1.86	11.01	31.75	478-1321-2-ND	4,000	30.48/M	08055A271JAT2A
			330pF	±5%	0.71	478-1322-1-ND	.93	5.50	15.87	478-1322-2-ND	4,000	15.24/M	08055A331JAT2A
			390pF	±5%	0.94	478-1323-1-ND	1.12	6.60	19.05	478-1323-2-ND	4,000	18.63/M	08055A391JAT2A
			470pF	±5%	0.94	478-1324-1-ND	1.12	6.60	19.05	478-1324-2-ND	4,000	18.63/M	08055A471JAT2A
			560pF	±5%	0.94	478-1325-1-ND	1.40	8.25	23.81	478-1325-2-ND	4,000	22.86/M	08055A561JAT2A
			680pF	±5%	0.94	478-1326-1-ND	1.86	11.01	31.75	478-1326-2-ND	4,000	30.48/M	08055A681JAT2A
			820pF	±5%	0.94	478-1327-1-ND	1.40	8.25	23.81	478-1327-2-ND	4,000	22.86/M	08055A821JAT2A
			1000pF	±5%	0.94	478-1328-1-ND	1.86	11.01	31.75	478-1328-2-ND	4,000	30.48/M	08055A102JAT2A
			1500pF	±5%	0.94	478-1329-1-ND	2.51	14.86	42.86	478-1329-2-ND	4,000	41.49/M	08055A152JAT2A
			2200pF	±5%	1.27	478-1330-1-ND	2.51	14.86	42.86	478-1330-2-ND	2,000	41.49/M	08055A222JAT2A
			3300pF	±5%	1.27	478-1331-1-ND	3.82	22.56	65.09	478-1331-2-ND	2,000	62.65/M	08055A332JAT2A
		25V	4700pF	±5%	1.40	478-1332-1-ND	5.59	33.02	95.24	478-1332-2-ND	2,000	91.44/M	08053A472JAT2A
		16V	6800pF	±5%	1.40	478-1333-1-ND	6.52	38.52	111.12	478-1333-2-ND	2,000	106.67/M	0805YA682JAT2A
			.01µF	±5%	1.40	478-1334-1-ND	7.45	44.02	126.99	478-1334-2-ND	3,000	121.91/M	0805YA103JAT2A
	X7R	200V	220pF	±10%	0.71	478-1335-1-ND	6.98	41.27	119.06	478-1335-2-ND	4,000	114.29/M	08052C221KAT2A
			330pF	±10%	0.71	478-1336-1-ND	3.26	19.26	55.56	478-1336-2-ND	4,000	53.34/M	08052C331KAT2A
			470pF	±10%	0.71	478-1337-1-ND	3.26	19.26	55.56	478-1337-2-ND	4,000	53.34/M	08052C471KAT2A
			680pF	±10%	0.71	478-1338-1-ND	3.26	19.26	55.56	478-1338-2-ND	4,000	53.34/M	08052C681KAT2A
			1000pF	±10%	0.71	478-1339-1-ND	6.98	41.27	119.06	478-1339-2-ND	4,000	114.29/M	08052C102KAT2A
			1500pF	±10%	0.94	478-1340-1-ND	7.45	44.02	126.99	478-1340-2-ND	4,000	121.91/M	08052C152KAT2A
			2200pF	±10%	0.94	478-1341-1-ND	3.26	19.26	55.56	478-1341-2-ND	4,000	53.34/M	08052C222KAT2A
			3300pF	±10%	0.94	478-1342-1-ND	3.26	19.26	55.56	478-1342-2-ND	4,000	53.34/M	08052C332KAT2A
			4700pF	±10%	0.94	478-1343-1-ND	3.26	19.26	55.56	478-1343-2-ND	4,000	53.34/M	08052C472KAT2A
			6800pF	±10%	0.94	478-1344-1-ND	5.59	33.02	95.24	478-1344-2-ND	4,000	91.44/M	08052C682KAT2A
			.01µF	±10%	0.94	478-1345-1-ND	10.24	60.53	174.61	478-1345-2-ND	4,000	167.63/M	08052C103KAT2A
			.015µF	±10%	0.94	478-1346-1-ND	12.11	71.54	206.36	478-1346-2-ND	4,000	198.11/M	08052C153KAT2A
			.022µF	±10%	1.27	478-1347-1-ND	3.96	23.39	67.47	478-1347-2-ND	2,000	65.19/M	08052C223KAT2A
		100V	220pF	±10%	0.71	478-1348-1-ND	.93	5.50	15.87	478-1348-2-ND	4,000	15.24/M	08051C221KAT2A
			330pF	±10%	0.71	478-1349-1-ND	.93	5.50	15.87	478-1349-2-ND	4,000	15.24/M	08051C331KAT2A
			470pF	±10%	0.71	478-1350-1-ND	.93	5.50	15.87	478-1350-2-ND	4,000	15.24/M	08051C471KAT2A
			680pF	±10%	0.71	478-1351-1-ND	.93	5.50	15.87	478-1351-2-ND	4,000	15.24/M	08051C681KAT2A
			1000pF	±10%	0.71	478-1352-1-ND	.93	5.50	15.87	478-1352-2-ND	4,000	15.24/M	08051C102KAT2A
			1500pF	±10%	0.71	478-1353-1-ND	.93	5.50	15.87	478-1353-2-ND	4,000	15.24/M	08051C152KAT2A
			2200pF	±10%	0.71	478-1354-1-ND	.93	5.50	15.87	478-1354-2-ND	4,000	15.24/M	08051C222KAT2A
			3300pF	±10%	0.71	478-1355-1-ND	.93	5.50	15.87	478-1355-2-ND	4,000	15.24/M	08051C332KAT2A
			4700pF	±10%	0.94	478-1356-1-ND	.93	5.50	15.87	478-1356-2-ND	4,000	15.24/M	08051C472KAT2A
			6800pF	±10%	0.94	478-1357-1-ND	.93	5.50	15.87	478-1357-2-ND	4,000	15.24/M	08051C682KAT2A
			.01µF	±10%	0.94	478-1358-1-ND	.93	5.50	15.87	478-1358-2-ND	4,000	15.24/M	08051C103KAT2A
			.015µF	±10%	0.94	478-1359-1-ND	2.24	13.21	38.10	478-1359-2-ND	4,000	36.41/M	08051C153KAT2A
			.022µF	±10%	0.94	478-1360-1-ND	2.24	13.21	38.10	478-1360-2-ND	4,000	36.41/M	08051C223KAT2A
			.033µF	±10%	1.27	478-1361-1-ND	3.07	18.16	52.39	478-1361-2-ND	2,000	49.95/M	08051C333KAT2A
			.047µF	±10%	1.27	478-1362-1-ND	3.07	18.16	52.39	478-1362-2-ND	2,000	49.95/M	08051C473KAT2A
			220pF	±10%	0.71	478-1363-1-ND	1.96	11.56	33.34	478-1363-2-ND	4,000	32.17/M	08055C221KAT2A
		50V	270pF	±10%	0.71	478-1364-1-ND	1.96	11.56	33.34	478-1364-2-ND	4,000	32.17/M	08055C271KAT2A
			330pF	±10%	0.71	478-1365-1-ND	1.96	11.56	33.34	478-1365-2-ND	4,000	32.17/M	08055C331KAT2A
			390pF	±10%	0.71	478-1366-1-ND	1.96	11.56	33.34	478-1366-2-ND	4,000	32.17/M	08055C391KAT2A
			470pF	±10%	0.71	478-1367-1-ND	1.96	11.56	33.34	478-1367-2-ND	4,000	32.17/M	08055C471KAT2A
			560pF	±10%	0.71	478-1368-1-ND	1.96	11.56	33.34	478-1368-2-ND	4,000	32.17/M	08055C561KAT2A
			680pF	±10%	0.71	478-1369-1-ND	1.96	11.56	33.34	478-1369-2-ND	4,000	32.17/M	08055C681KAT2A
			820pF	±10%	0.71	478-1370-1-ND	1.96	11.56	33.34	478-1370-2-ND	4,000	32.17/M	08055C821KAT2A
			1000pF	±10%	0.71	478-1371-1-ND	.93	5.50	15.87	478-1371-2-ND	4,000	15.24/M	08055C102KAT2A

(Forts.)

Alle Preisangaben in Euro und inklusive Zollgebühren.

Größen-code	Typ	Betriebs-spannung DC	Kapazität	Toleranz	Abm. T (mm)	Digi-Key Teilenr.	Gurtabschnittspreise 10	100	500	Digi-Key Teilenr.	Gegurtet auf Rolle Größe	Preisangaben	AVX Teilenr.
0805	X7R	50V	1200pF	±10%	0.71	478-1372-1-ND	.93	5.50	15.87	478-1372-2-ND	4,000	15.24/M	08055C122KAT2A
			1500pF	±10%	0.71	478-1373-1-ND	.93	5.50	15.87	478-1373-2-ND	4,000	15.24/M	08055C152KAT2A
			1800pF	±10%	0.71	478-1374-1-ND	.93	5.50	15.87	478-1374-2-ND	4,000	15.24/M	08055C182KAT2A
			2200pF	±10%	0.71	478-1375-1-ND	.93	5.50	15.87	478-1375-2-ND	4,000	15.24/M	08055C222KAT2A
			2700pF	±10%	0.71	478-1376-1-ND	1.86	11.01	31.75	478-1376-2-ND	4,000	30.48/M	08055C272KAT2A
			3300pF	±10%	0.71	478-1377-1-ND	.93	5.50	15.87	478-1377-2-ND	4,000	15.24/M	08055C332KAT2A
			3900pF	±10%	0.71	478-1378-1-ND	1.86	11.01	31.75	478-1378-2-ND	4,000	30.48/M	08055C392KAT2A
			4700pF	±10%	0.71	478-1379-1-ND	.93	5.50	15.87	478-1379-2-ND	4,000	15.24/M	08055C472KAT2A
			5600pF	±10%	0.71	478-1380-1-ND	1.86	11.01	31.75	478-1380-2-ND	4,000	30.48/M	08055C562KAT2A
			6800pF	±10%	0.71	478-1381-1-ND	1.86	11.01	31.75	478-1381-2-ND	4,000	30.48/M	08055C682KAT2A
			8200pF	±10%	0.71	478-1382-1-ND	1.96	11.56	33.34	478-1382-2-ND	3,000	32.17/M	08055C822KAT2A
			.01µF	±10%	0.71	478-1383-1-ND	.93	5.50	15.87	478-1383-2-ND	4,000	15.24/M	08055C103KAT2A
			.012µF	±10%	0.94	478-1384-1-ND	.93	5.50	15.87	478-1384-2-ND	4,000	15.24/M	08055C123KAT2A
			.015µF	±10%	0.94	478-1385-1-ND	1.86	11.01	31.75	478-1385-2-ND	4,000	30.48/M	08055C153KAT2A
			.018µF	±10%	0.94	478-1386-1-ND	1.86	11.01	31.75	478-1386-2-ND	4,000	30.48/M	08055C183KAT2A
			.022µF	±10%	0.94	478-1387-1-ND	.93	5.50	15.87	478-1387-2-ND	4,000	15.24/M	08055C223KAT2A
			.027µF	±10%	0.94	478-1388-1-ND	.93	5.50	15.87	478-1388-2-ND	4,000	15.24/M	08055C273KAT2A
			.033µF	±10%	0.94	478-1389-1-ND	1.86	11.01	31.75	478-1389-2-ND	4,000	30.48/M	08055C333KAT2A
			.039µF	±10%	0.94	478-1390-1-ND	.93	5.50	15.87	478-1390-2-ND	4,000	15.24/M	08055C393KAT2A
			.047µF	±10%	0.94	478-1391-1-ND	.93	5.50	15.87	478-1391-2-ND	4,000	15.24/M	08055C473KAT2A
			.056µF	±10%	0.94	478-1392-1-ND	.93	5.50	15.87	478-1392-2-ND	4,000	15.24/M	08055C563KAT2A
			.068µF	±10%	0.94	478-1393-1-ND	.93	5.50	15.87	478-1393-2-ND	4,000	15.24/M	08055C683KAT2A
			.082µF	±10%	0.94	478-1394-1-ND	.93	5.50	15.87	478-1394-2-ND	4,000	15.24/M	08055C823KAT2A
			.10µF	±10%	0.94	478-1395-1-ND	.93	5.50	15.87	478-1395-2-ND	4,000	15.24/M	08055C104KAT2A
			.12µF	±10%	1.27	478-1396-1-ND	1.86	11.01	31.75	478-1396-2-ND	2,000	30.48/M	08055C124KAT2A
		25V	.15µF	±10%	0.94	478-1397-1-ND	1.86	11.01	31.75	478-1397-2-ND	4,000	30.48/M	08053C154KAT2A
			.18µF	±10%	0.94	478-1398-1-ND	1.86	11.01	31.75	478-1398-2-ND	2,000	30.48/M	08053C184KAT2A
			.22µF	±10%	0.94	478-1399-1-ND	1.86	11.01	31.75	478-1399-2-ND	2,000	30.48/M	08053C224KAT2A
		16V	.22µF	±10%	0.94	478-1400-1-ND	1.40	8.25	23.81	478-1400-2-ND	4,000	22.86/M	0805YC224KAT2A
			.27µF	±10%	1.27	478-1401-1-ND	3.73	22.01	63.50	478-1401-2-ND	2,000	60.96/M	0805YC274KAT2A
			.33µF	±10%	1.27	478-1402-1-ND	3.73	22.01	63.50	478-1402-2-ND	2,000	60.96/M	0805YC334KAT2A
			.47µF	±10%	1.27	478-1403-1-ND	3.73	22.01	63.50	478-1403-2-ND	2,000	60.96/M	0805YC474KAT2A
		10V	.68µF	±10%	1.40	478-1404-1-ND	5.59	33.02	95.24	478-1404-2-ND	2,000	91.44/M	0805ZC684KAT2A
			1.0µF	±10%	1.40	478-1405-1-ND	9.31	55.03	158.74	478-1405-2-ND	2,000	152.39/M	0805ZC105KAT2A
	X5R	25V	.33µF	±10%	1.40	478-1406-1-ND	7.36	43.47	125.41	478-1406-2-ND	3,000	120.22/M	08053D334KAT2A
			.47µF	±10%	1.40	478-1407-1-ND	7.36	43.47	125.41	478-1407-2-ND	3,000	120.22/M	08053D474KAT2A
			.68µF	±10%	1.40	478-1408-1-ND	7.36	43.47	125.41	478-1408-2-ND	3,000	120.22/M	08053D684KAT2A
			1.0µF	±10%	1.40	478-1409-1-ND	10.24	60.53	174.61	478-1409-2-ND	3,000	167.63/M	08053D105KAT2A
		16V	.68µF	±10%	1.40	478-1410-1-ND	3.26	19.26	55.56	478-1410-2-ND	3,000	53.34/M	0805YD684KAT2A
			1.0µF	±10%	1.40	478-1411-1-ND	2.33	13.76	39.69	478-1411-2-ND	2,000	38.10/M	0805YD105KAT2A
			2.2µF	±10%	1.40	478-2580-1-ND	8.38	49.53	142.86	478-2580-2-ND	3,000	137.15/M	0805YD225KAT2A
		10V	1.0µF	±10%	1.40	478-1412-1-ND	3.73	22.01	63.50	478-1412-2-ND	2,000	60.96/M	0805ZD105KAT2A
			2.2µF	±10%	1.40	478-1413-1-ND	3.73	22.01	63.50	478-1413-2-ND	3,000	60.96/M	0805ZD225KAT2A
			3.3µF	±10%	1.40	478-1414-1-ND	5.59	33.02	95.24	478-1414-2-ND	3,000	91.44/M	0805ZD335KAT2A
			4.7µF	±10%	1.40	478-1415-1-ND	6.05	35.77	103.18	478-1415-2-ND	3,000	99.06/M	0805ZD475KAT2A
		6.3V	4.7µF	±10%	1.40	478-1416-1-ND	5.12	30.27	87.31	478-1416-2-ND	3,000	83.82/M	08056D475KAT2A
			10µF	±10%	1.40	478-1417-1-ND	9.31	55.03	158.74	478-1417-2-ND	3,000	152.39/M	08056D106KAT2A
	Y5V	50V	.01µF	+80 -20%	0.71	478-1418-1-ND	.93	5.50	15.87	478-1418-2-ND	4,000	15.24/M	08055G103ZAT2A
			.022µF	+80 -20%	0.71	478-1419-1-ND	.93	5.50	15.87	478-1419-2-ND	4,000	15.24/M	08055G223ZAT2A
			.047µF	+80 -20%	0.71	478-1420-1-ND	.93	5.50	15.87	478-1420-2-ND	4,000	15.24/M	08055G473ZAT2A
			.10µF	+80 -20%	0.71	478-1421-1-ND	.93	5.50	15.87	478-1421-2-ND	4,000	15.24/M	08055G104ZAT2A
			.22µF	+80 -20%	0.94	478-1422-1-ND	1.40	8.25	23.81	478-1422-2-ND	4,000	22.86/M	08055G224ZAT2A
		25V	.10µF	+80 -20%	0.71	478-1423-1-ND	.93	5.50	15.87	478-1423-2-ND	4,000	15.24/M	08053G104ZAT2A
			.22µF	+80 -20%	0.94	478-1424-1-ND	1.40	8.25	23.81	478-1424-2-ND	4,000	22.86/M	08053G224ZAT2A
			.47µF	+80 -20%	1.40	478-1425-1-ND	1.86	11.01	31.75	478-1425-2-ND	3,000	30.48/M	08053G474ZAT2A
			1.0µF	+80 -20%	1.40	478-1426-1-ND	2.79	16.51	47.62	478-1426-2-ND	3,000	45.72/M	08053G105ZAT2A
		16V	1.0µF	+80 -20%	1.40	478-1427-1-ND	4.66	27.51	79.37	478-1427-2-ND	3,000	76.20/M	0805YG105ZAT2A
			2.2µF	+80 -20%	1.40	478-1428-1-ND	6.05	35.77	103.18	478-1428-2-ND	3,000	99.06/M	0805YG225ZAT2A
		10V	4.7µF	+80 -20%	1.52	478-1429-1-ND	7.92	46.77	134.93	478-1429-2-ND	3,000	129.53/M	0805ZG475ZAT2A
1206	C0G (NP0)	200V	100pF	±5%	0.94	478-1430-1-ND	3.50	20.64	59.52	478-1430-2-ND	4,000	57.57/M	12062A101JAT2A
			150pF	±5%	0.94	478-1431-1-ND	3.82	22.56	65.09	478-1431-2-ND	4,000	62.65/M	12062A151JAT2A
			220pF	±5%	0.94	478-1432-1-ND	3.82	22.56	65.09	478-1432-2-ND	4,000	62.65/M	12062A221JAT2A
			330pF	±5%	0.94	478-1433-1-ND	3.82	22.56	65.09	478-1433-2-ND	4,000	62.65/M	12062A331JAT2A
			470pF	±5%	0.94	478-1434-1-ND	6.98	41.27	119.06	478-1434-2-ND	4,000	114.29/M	12062A471JAT2A
			680pF	±5%	0.94	478-1435-1-ND	6.98	41.27	119.06	478-1435-2-ND	4,000	114.29/M	12062A681JAT2A
			1000pF	±5%	1.78	478-1436-1-ND	6.98	41.27	119.06	478-1436-2-ND	2,000	114.29/M	12062A102JAT2A
			1500pF	±5%	1.78	478-1437-1-ND	4.24	25.04	72.22	478-1437-2-ND	2,000	69.42/M	12062A152JAT2A
		100V	10pF	±5%	0.94	478-1438-1-ND	6.52	38.52	111.12	478-1438-2-ND	4,000	106.68/M	12061A100JAT2A
			15pF	±5%	0.94	478-1439-1-ND	6.52	38.52	111.12	478-1439-2-ND	4,000	106.68/M	12061A150JAT2A
			22pF	±5%	0.94	478-1440-1-ND	6.52	38.52	111.12	478-1440-2-ND	4,000	106.68/M	12061A220JAT2A
			33pF	±5%	0.94	478-1441-1-ND	6.52	38.52	111.12	478-1441-2-ND	4,000	106.68/M	12061A330JAT2A
			47pF	±5%	0.94	478-1442-1-ND	6.52	38.52	111.12	478-1442-2-ND	4,000	106.68/M	12061A470JAT2A
			68pF	±5%	0.94	478-1443-1-ND	2.98	17.61	50.80	478-1443-2-ND	4,000	49.11/M	12061A680JAT2A
			100pF	±5%	0.94	478-1444-1-ND	6.52	38.52	111.12	478-1444-2-ND	4,000	106.68/M	12061A101JAT2A
			150pF	±5%	0.94	478-1445-1-ND	6.98	41.27	119.06	478-1445-2-ND	4,000	114.29/M	12061A151JAT2A
			220pF	±5%	0.94	478-1446-1-ND	6.98	41.27	119.06	478-1446-2-ND	4,000	114.29/M	12061A221JAT2A
			330pF	±5%	0.94	478-1447-1-ND	7.45	44.02	126.99	478-1447-2-ND	4,000	121.91/M	12061A331JAT2A
			470pF	±5%	0.94	478-1448-1-ND	7.45	44.02	126.99	478-1448-2-ND	4,000	121.91/M	12061A471JAT2A
			680pF	±5%	0.94	478-1449-1-ND	4.34	25.64	73.98	478-1449-2-ND	4,000	71.12/M	12061A681JAT2A
			1000pF	±5%	0.94	478-1450-1-ND	7.45	44.02	126.99	478-1450-2-ND	4,000	121.91/M	12061A102JAT2A
			1500pF	±5%	1.27	478-1451-1-ND	5.87	34.67	100.01	478-1451-2-ND	2,000	95.67/M	12061A152JAT2A
			2200pF	±5%	1.52	478-1452-1-ND	5.87	34.67	100.01	478-1452-2-ND	2,000	95.67/M	12061A222JAT2A
			3300pF	±5%	1.52	478-1453-1-ND	5.87	34.67	100.01	478-1453-2-ND	2,000	95.67/M	12061A332JAT2A
			4700pF	±5%	1.52	478-1454-1-ND	7.92	46.77	134.93	478-1454-2-ND	2,000	129.53/M	12061A472JAT2A
		50V	.5pF	±.25pF	0.94	478-1455-1-ND	2.98	17.61	50.80	478-1455-2-ND	4,000	49.11/M	12065A0R5CAT2A
			1.0pF	±.25pF	0.94	478-1456-1-ND	2.98	17.61	50.80	478-1456-2-ND	4,000	49.11/M	12065A1R0CAT2A
			1.2pF	±.25pF	0.94	478-1457-1-ND	2.98	17.61	50.80	478-1457-2-ND	4,000	49.11/M	12065A1R2CAT2A
			1.5pF	±.25pF	0.94	478-1458-1-ND	2.98	17.61	50.80	478-1458-2-ND	4,000	49.11/M	12065A1R5CAT2A
			1.8pF	±.25pF	0.94	478-1459-1-ND	2.98	17.61	50.80	478-1459-2-ND	4,000	49.11/M	12065A1R8CAT2A
			2.2pF	±.25pF	0.94	478-1460-1-ND	2.98	17.61	50.80	478-1460-2-ND	4,000	49.11/M	12065A2R2CAT2A
			2.7pF	±.25pF	0.94	478-1461-1-ND	2.98	17.61	50.80	478-1461-2-ND	4,000	49.11/M	12065A2R7CAT2A
			3.3pF	±.25pF	0.94	478-1462-1-ND	2.98	17.61	50.80	478-1462-2-ND	4,000	49.11/M	12065A3R3CAT2A
			3.9pF	±.25pF	0.94	478-1463-1-ND	2.98	17.61	50.80	478-1463-2-ND	4,000	49.11/M	12065A3R9CAT2A
			4.7pF	±.25pF	0.94	478-1464-1-ND	2.98	17.61	50.80	478-1464-2-ND	4,000	49.11/M	12065A4R7CAT2A
			5.6pF	±.25pF	0.94	478-1465-1-ND	2.98	17.61	50.80	478-1465-2-ND	4,000	49.11/M	12065A5R6CAT2A
			6.8pF	±.25pF	0.94	478-1466-1-ND	2.98	17.61	50.80	478-1466-2-ND	4,000	49.11/M	12065A6R8CAT2A

(Forts.)

E

Größen-code	Typ	Betriebs-spannung DC	Kapazität	Toleranz	Abm. T (mm)	Digi-Key Teilenr.	Gurtabschnittspreise 10	100	500	Digi-Key Teilenr.	Gegurtet auf Rolle Größe	Preisangaben	AVX Teilenr.
1206	C0G (NP0)	50V	8.2pF	±.25pF	0.94	478-1467-1-ND	2.98	17.61	50.80	478-1467-2-ND	4,000	49.11/M	12065A8R2CAT2A
			10pF	±5%	0.94	478-1468-1-ND	3.54	20.91	60.32	478-1468-2-ND	4,000	57.57/M	12065A100JAT2A
			12pF	±5%	0.94	478-1469-1-ND	3.54	20.91	60.32	478-1469-2-ND	4,000	57.57/M	12065A120JAT2A
			15pF	±5%	0.94	478-1470-1-ND	3.54	20.91	60.32	478-1470-2-ND	4,000	57.57/M	12065A150JAT2A
			18pF	±5%	0.94	478-1471-1-ND	3.54	20.91	60.32	478-1471-2-ND	4,000	57.57/M	12065A180JAT2A
			22pF	±5%	0.94	478-1472-1-ND	3.13	18.49	53.34	478-1472-2-ND	4,000	50.80/M	12065A220JAT2A
			27pF	±5%	0.94	478-1473-1-ND	3.54	20.91	60.32	478-1473-2-ND	4,000	57.57/M	12065A270JAT2A
			33pF	±5%	0.94	478-1474-1-ND	3.54	20.91	60.32	478-1474-2-ND	4,000	57.57/M	12065A330JAT2A
			39pF	±5%	0.94	478-1475-1-ND	3.54	20.91	60.32	478-1475-2-ND	4,000	57.57/M	12065A390JAT2A
			47pF	±5%	0.94	478-1476-1-ND	3.54	20.91	60.32	478-1476-2-ND	4,000	57.57/M	12065A470JAT2A
			56pF	±5%	0.94	478-1477-1-ND	3.54	20.91	60.32	478-1477-2-ND	4,000	57.57/M	12065A560JAT2A
			68pF	±5%	0.94	478-1478-1-ND	3.54	20.91	60.32	478-1478-2-ND	4,000	57.57/M	12065A680JAT2A
			82pF	±5%	0.94	478-1479-1-ND	3.54	20.91	60.32	478-1479-2-ND	4,000	57.57/M	12065A820JAT2A
			100pF	±5%	0.94	478-1480-1-ND	3.54	20.91	60.32	478-1480-2-ND	4,000	57.57/M	12065A101JAT2A
			120pF	±5%	0.94	478-1481-1-ND	3.54	20.91	60.32	478-1481-2-ND	4,000	57.57/M	12065A121JAT2A
			150pF	±5%	0.94	478-1482-1-ND	4.38	25.86	74.61	478-1482-2-ND	4,000	71.96/M	12065A151JAT2A
			180pF	±5%	0.94	478-1483-1-ND	4.34	25.64	73.98	478-1483-2-ND	2,500	71.12/M	12065A181JAT2A
			220pF	±5%	0.94	478-1484-1-ND	4.38	25.86	74.61	478-1484-2-ND	4,000	71.96/M	12065A221JAT2A
			270pF	±5%	0.94	478-1485-1-ND	4.34	25.64	73.98	478-1485-2-ND	4,000	71.12/M	12065A271JAT2A
			330pF	±5%	0.94	478-1486-1-ND	4.38	25.86	74.61	478-1486-2-ND	4,000	71.96/M	12065A331JAT2A
			390pF	±5%	0.94	478-1487-1-ND	4.34	25.64	73.98	478-1487-2-ND	4,000	71.12/M	12065A391JAT2A
			470pF	±5%	0.94	478-1488-1-ND	4.34	25.64	73.98	478-1488-2-ND	4,000	71.12/M	12065A471JAT2A
			560pF	±5%	0.94	478-1489-1-ND	4.34	25.64	73.98	478-1489-2-ND	4,000	71.12/M	12065A561JAT2A
			680pF	±5%	0.94	478-1490-1-ND	4.34	25.64	73.98	478-1490-2-ND	4,000	71.12/M	12065A681JAT2A
			820pF	±5%	0.94	478-1491-1-ND	4.34	25.64	73.98	478-1491-2-ND	4,000	71.12/M	12065A821JAT2A
			1000pF	±5%	0.94	478-1492-1-ND	4.34	25.64	73.98	478-1492-2-ND	4,000	71.12/M	12065A102JAT2A
			1200pF	±5%	0.94	478-1493-1-ND	4.65	27.46	79.21	478-1493-2-ND	4,000	76.20/M	12065A122JAT2A
			1500pF	±5%	0.94	478-1494-1-ND	4.65	27.46	79.21	478-1494-2-ND	4,000	76.20/M	12065A152JAT2A
			1800pF	±5%	1.27	478-1495-1-ND	5.59	33.02	95.24	478-1495-2-ND	2,000	91.44/M	12065A182JAT2A
			2200pF	±5%	1.27	478-1496-1-ND	4.96	29.33	84.61	478-1496-2-ND	2,000	81.28/M	12065A222JAT2A
			2700pF	±5%	1.27	478-1497-1-ND	4.96	29.33	84.61	478-1497-2-ND	2,000	81.28/M	12065A272JAT2A
			3300pF	±5%	1.27	478-1498-1-ND	5.87	34.67	100.01	478-1498-2-ND	2,000	95.67/M	12065A332JAT2A
			3900pF	±5%	1.27	478-1499-1-ND	4.96	29.33	84.61	478-1499-2-ND	2,000	81.28/M	12065A392JAT2A
			4700pF	±5%	1.27	478-1500-1-ND	5.87	34.67	100.01	478-1500-2-ND	2,000	95.67/M	12065A472JAT2A
			5600pF	±5%	1.27	478-1501-1-ND	5.87	34.67	100.01	478-1501-2-ND	2,000	95.67/M	12065A562JAT2A
		25V	6800pF	±5%	1.27	478-1502-1-ND	7.92	46.77	134.93	478-1502-2-ND	2,000	129.53/M	12063A682JAT2A
			8200pF	±5%	1.27	478-1503-1-ND	7.92	46.77	134.93	478-1503-2-ND	2,000	129.53/M	12063A822JAT2A
			.01µF	±5%	1.27	478-1504-1-ND	7.92	46.77	134.93	478-1504-2-ND	2,000	129.53/M	12063A103JAT2A
	X7R	200V	1000pF	±10%	0.94	478-1505-1-ND	3.73	22.01	63.50	478-1505-2-ND	4,000	60.96/M	12062C102KAT2A
			1500pF	±10%	0.94	478-1506-1-ND	3.73	22.01	63.50	478-1506-2-ND	4,000	60.96/M	12062C152KAT2A
			2200pF	±10%	0.94	478-1507-1-ND	3.73	22.01	63.50	478-1507-2-ND	4,000	60.96/M	12062C222KAT2A
			3300pF	±10%	0.94	478-1508-1-ND	3.73	22.01	63.50	478-1508-2-ND	4,000	60.96/M	12062C332KAT2A
			4700pF	±10%	0.94	478-1509-1-ND	3.73	22.01	63.50	478-1509-2-ND	4,000	60.96/M	12062C472KAT2A
			6800pF	±10%	0.94	478-1510-1-ND	3.73	22.01	63.50	478-1510-2-ND	4,000	60.96/M	12062C682KAT2A
			.01µF	±10%	0.94	478-1511-1-ND	3.73	22.01	63.50	478-1511-2-ND	4,000	60.96/M	12062C103KAT2A
			.015µF	±10%	1.27	478-1512-1-ND	6.98	41.27	119.06	478-1512-2-ND	2,000	114.29/M	12062C153KAT2A
			.022µF	±10%	1.27	478-1513-1-ND	3.91	23.11	66.67	478-1513-2-ND	2,000	64.34/M	12062C223KAT2A
			.033µF	±10%	1.27	478-1514-1-ND	3.91	23.11	66.67	478-1514-2-ND	2,000	64.34/M	12062C333KAT2A
			.047µF	±10%	1.27	478-1515-1-ND	3.91	23.11	66.67	478-1515-2-ND	2,000	64.34/M	12062C473KAT2A
			.068µF	±10%	1.52	478-1516-1-ND	11.18	66.03	190.49	478-1516-2-ND	2,000	182.87/M	12062C683KAT2A
		100V	1000pF	±10%	0.94	478-1517-1-ND	2.70	15.96	46.04	478-1517-2-ND	4,000	44.03/M	12061C102KAT2A
			1500pF	±10%	0.94	478-1518-1-ND	2.70	15.96	46.04	478-1518-2-ND	4,000	44.03/M	12061C152KAT2A
			2200pF	±10%	0.94	478-1519-1-ND	2.70	15.96	46.04	478-1519-2-ND	4,000	44.03/M	12061C222KAT2A
			3300pF	±10%	0.94	478-1520-1-ND	2.70	15.96	46.04	478-1520-2-ND	4,000	44.03/M	12061C332KAT2A
			4700pF	±10%	0.94	478-1521-1-ND	2.70	15.96	46.04	478-1521-2-ND	4,000	44.03/M	12061C472KAT2A
			6800pF	±10%	0.94	478-1522-1-ND	2.70	15.96	46.04	478-1522-2-ND	4,000	44.03/M	12061C682KAT2A
			.01µF	±10%	0.94	478-1523-1-ND	2.70	15.96	46.04	478-1523-2-ND	4,000	44.03/M	12061C103KAT2A
			.015µF	±10%	0.94	478-1524-1-ND	2.79	16.51	47.62	478-1524-2-ND	4,000	45.72/M	12061C153KAT2A
			.022µF	±10%	0.94	478-1525-1-ND	2.79	16.51	47.62	478-1525-2-ND	4,000	45.72/M	12061C223KAT2A
			.033µF	±10%	0.94	478-1526-1-ND	2.79	16.51	47.62	478-1526-2-ND	4,000	45.72/M	12061C333KAT2A
			.047µF	±10%	0.94	478-1527-1-ND	6.98	41.27	119.06	478-1527-2-ND	4,000	114.29/M	12061C473KAT2A
			.068µF	±10%	0.94	478-1528-1-ND	2.98	17.61	50.80	478-1528-2-ND	4,000	49.11/M	12061C683KAT2A
			.10µF	±10%	1.27	478-1529-1-ND	3.26	19.26	55.56	478-1529-2-ND	2,000	53.34/M	12061C104KAT2A
		50V	1000pF	±10%	0.94	478-1530-1-ND	2.57	15.14	43.65	478-1530-2-ND	4,000	42.33/M	12065C102KAT2A
			1200pF	±10%	0.94	478-1531-1-ND	2.57	15.14	43.65	478-1531-2-ND	4,000	42.33/M	12065C122KAT2A
			1500pF	±10%	0.94	478-1532-1-ND	2.57	15.14	43.65	478-1532-2-ND	4,000	42.33/M	12065C152KAT2A
			1800pF	±10%	0.94	478-1533-1-ND	2.57	15.14	43.65	478-1533-2-ND	4,000	42.33/M	12065C182KAT2A
			2200pF	±10%	0.94	478-1534-1-ND	2.57	15.14	43.65	478-1534-2-ND	4,000	42.33/M	12065C222KAT2A
			2700pF	±10%	0.94	478-1535-1-ND	2.57	15.14	43.65	478-1535-2-ND	4,000	42.33/M	12065C272KAT2A
			3300pF	±10%	0.94	478-1536-1-ND	2.57	15.14	43.65	478-1536-2-ND	4,000	42.33/M	12065C332KAT2A
			3900pF	±10%	0.94	478-1537-1-ND	2.57	15.14	43.65	478-1537-2-ND	4,000	42.33/M	12065C392KAT2A
			4700pF	±10%	0.94	478-1538-1-ND	3.17	18.71	53.97	478-1538-2-ND	4,000	51.65/M	12065C472KAT2A
			5600pF	±10%	0.94	478-1539-1-ND	2.57	15.14	43.65	478-1539-2-ND	4,000	42.33/M	12065C562KAT2A
			6800pF	±10%	0.94	478-1540-1-ND	2.57	15.14	43.65	478-1540-2-ND	4,000	42.33/M	12065C682KAT2A
			8200pF	±10%	0.94	478-1541-1-ND	2.57	15.14	43.65	478-1541-2-ND	4,000	42.33/M	12065C822KAT2A
			.01µF	±10%	0.94	478-1542-1-ND	2.57	15.14	43.65	478-1542-2-ND	4,000	42.33/M	12065C103KAT2A
			.012µF	±10%	0.94	478-1543-1-ND	2.70	15.96	46.04	478-1543-2-ND	4,000	44.03/M	12065C123KAT2A
			.015µF	±10%	0.94	478-1544-1-ND	2.70	15.96	46.04	478-1544-2-ND	4,000	44.03/M	12065C153KAT2A
			.018µF	±10%	0.94	478-1545-1-ND	2.70	15.96	46.04	478-1545-2-ND	4,000	44.03/M	12065C183KAT2A
			.022µF	±10%	0.94	478-1546-1-ND	2.70	15.96	46.04	478-1546-2-ND	4,000	44.03/M	12065C223KAT2A
			.027µF	±10%	0.94	478-1547-1-ND	2.70	15.96	46.04	478-1547-2-ND	4,000	44.03/M	12065C273KAT2A
			.033µF	±10%	0.94	478-1548-1-ND	2.70	15.96	46.04	478-1548-2-ND	4,000	44.03/M	12065C333KAT2A
			.039µF	±10%	0.94	478-1549-1-ND	2.70	15.96	46.04	478-1549-2-ND	4,000	44.03/M	12065C393KAT2A
			.047µF	±10%	0.94	478-1550-1-ND	2.70	15.96	46.04	478-1550-2-ND	4,000	44.03/M	12065C473KAT2A
			.056µF	±10%	0.94	478-1551-1-ND	2.98	17.61	50.80	478-1551-2-ND	4,000	49.11/M	12065C563KAT2A
			.068µF	±10%	0.94	478-1553-1-ND	2.98	17.61	50.80	478-1553-2-ND	4,000	49.11/M	12065C683KAT2A
			.082µF	±10%	0.94	478-1555-1-ND	2.98	17.61	50.80	478-1555-2-ND	4,000	49.11/M	12065C823KAT2A
			.10µF	±10%	0.94	478-1556-1-ND	1.86	11.01	31.75	478-1556-2-ND	4,000	30.48/M	12065C104KAT2A
			.12µF	±10%	0.94	478-1557-1-ND	2.79	16.51	47.62	478-1557-2-ND	4,000	45.72/M	12065C124KAT2A
			.15µF	±10%	0.94	478-1558-1-ND	2.79	16.51	47.62	478-1558-2-ND	4,000	45.72/M	12065C154KAT2A
			.18µF	±10%	0.94	478-1559-1-ND	2.79	16.51	47.62	478-1559-2-ND	4,000	45.72/M	12065C184KAT2A
			.22µF	±10%	0.94	478-1560-1-ND	2.79	16.51	47.62	478-1560-2-ND	3,000	45.72/M	12065C224KAT2A
			.27µF	±10%	1.27	478-1561-1-ND	3.73	22.01	63.50	478-1561-2-ND	2,000	60.96/M	12065C274KAT2A
			.33µF	±10%	1.27	478-1562-1-ND	5.59	33.02	95.24	478-1562-2-ND	2,000	91.44/M	12065C334KAT2A
		25V	.47µF	±10%	1.27	478-1563-1-ND	4.66	27.51	79.37	478-1563-2-ND	2,000	76.20/M	12063C474KAT2A
			.56µF	±10%	1.78	478-1564-1-ND	5.59	33.02	95.24	478-1564-2-ND	2,000	91.44/M	12063C564KAT2A
			.68µF	±10%	1.78	478-1565-1-ND	5.59	33.02	95.24	478-1565-2-ND	2,500	91.44/M	12063C684KAT2A

(Forts.)

Alle Preisangaben in Euro und inklusive Zollgebühren.

Größen-code	Typ	Betriebs-spannung DC	Kapazität	Toleranz	Abm. T (mm)	Digi-Key Teilenr.	Gurtabschnittspreise 10	100	500	Digi-Key Teilenr.	Gegurtet auf Rolle Größe	Preisangaben	AVX Teilenr.
1206	X7R	25V	.82µF	±10%	1.78	478-1566-1-ND	5.59	33.02	95.24	478-1566-2-ND	2,500	91.44/M	12063C824KAT2A
			1.0µF	±10%	1.78	478-1567-1-ND	3.73	22.01	63.50	478-1567-2-ND	2,500	60.96/M	12063C105KAT2A
		16V	1.0µF	±10%	1.40	478-2576-1-ND	9.22	54.48	157.15	478-2576-2-ND	2,000	150.70/M	1206YC105KAT2A
		10V	2.2µF	±10%	1.78	478-1568-1-ND	11.18	66.03	190.49	478-1568-2-ND	2,000	182.87/M	1206ZC225KAT2A
	X5R	25V	2.2µF	±10%	1.78	478-1569-1-ND	7.45	44.02	126.99	478-1569-2-ND	2,500	121.92/M	12063D225KAT2A
			4.7µF	±10%	1.78	478-1570-1-ND	9.31	55.03	158.74	478-1570-2-ND	2,500	152.39/M	12063D475KAT2A
			4.7µF	±20%	2.79	478-2577-1-ND	9.31	55.03	158.74	478-2577-2-ND	2,500	152.39/M	12063D475MAT2A
		16V	2.2µF	±10%	1.78	478-1571-1-ND	8.38	49.53	142.86	478-1571-2-ND	2,500	137.15/M	1206YD225KAT2A
			4.7µF	±10%	1.78	478-1572-1-ND	17.23	101.80	293.67	478-1572-2-ND	4,000	281.92/M	1206YD475KAT2A
			10µF	±10%	1.78	478-1573-1-ND	17.69	104.56	301.60	478-1573-2-ND	2,500	289.54/M	1206YD106KAT2A
		10V	4.7µF	±10%	1.78	478-1574-1-ND	8.38	49.53	142.86	478-1574-2-ND	2,000	137.15/M	1206ZD475KAT2A
			10µF	±10%	1.78	478-1575-1-ND	10.24	60.53	174.61	478-1575-2-ND	2,500	167.63/M	1206ZD106KAT2A
		6.3V	22µF	±10%	1.78	478-1576-1-ND	20.95	123.82	357.16	478-1576-2-ND	2,500	342.88/M	12066D226KAT2A
			10µF	±10%	1.78	478-2578-1-ND	12.11	71.54	206.36	478-2578-2-ND	2,500	198.11/M	12066D106KAT2A
			10µF	±20%	1.78	478-2579-1-ND	12.11	71.54	206.36	478-2579-2-ND	2,500	198.11/M	12066D106MAT2A
	Y5V	50V	.10µF	+80 -20%	0.94	478-1577-1-ND	2.79	16.51	47.62	478-1577-2-ND	4,000	45.72/M	12065G104ZAT2A
			.22µF	+80 -20%	0.94	478-1578-1-ND	5.12	30.27	87.31	478-1578-2-ND	4,000	83.82/M	12065G224ZAT2A
			.47µF	+80 -20%	0.94	478-1579-1-ND	4.19	24.76	71.44	478-1579-2-ND	3,000	68.58/M	12065G474ZAT2A
			1.0µF	+80 -20%	0.94	478-1580-1-ND	3.26	19.26	55.56	478-1580-2-ND	4,000	53.34/M	12065G105ZAT2A
		25V	2.2µF	+80 -20%	1.27	478-1581-1-ND	4.66	27.51	79.37	478-1581-2-ND	3,000	76.20/M	12063G225ZAT2A
		16V	4.7µF	+80 -20%	1.52	478-1582-1-ND	7.45	44.02	126.99	478-1582-2-ND	3,000	121.91/M	1206YG475ZAT2A
		10V	10µF	+80 -20%	1.78	478-1583-1-ND	9.31	55.03	158.74	478-1583-2-ND	2,500	152.39/M	1206ZG106ZAT2A
1210	C0G (NP0)	200V	680pF	±5%	0.94	478-1584-1-ND	7.92	46.77	134.93	478-1584-2-ND	4,000	129.53/M	12102A681JAT2A
			1000pF	±5%	0.94	478-1585-1-ND	7.92	46.77	134.93	478-1585-2-ND	4,000	129.53/M	12102A102JAT2A
			1500pF	±5%	1.27	478-1586-1-ND	8.38	49.53	142.86	478-1586-2-ND	2,000	137.15/M	12102A152JAT2A
			2200pF	±5%	1.78	478-1587-1-ND	11.64	68.79	198.43	478-1587-2-ND	2,000	190.49/M	12102A222JAT2A
		100V	680pF	±5%	0.94	478-1588-1-ND	4.19	24.76	71.44	478-1588-2-ND	4,000	68.58/M	12101A681JAT2A
			1000pF	±5%	0.94	478-1589-1-ND	4.19	24.76	71.44	478-1589-2-ND	4,000	68.58/M	12101A102JAT2A
			1500pF	±5%	0.94	478-1590-1-ND	6.05	35.77	103.18	478-1590-2-ND	4,000	99.06/M	12101A152JAT2A
			2200pF	±5%	1.27	478-1591-1-ND	6.05	35.77	103.18	478-1591-2-ND	4,000	99.06/M	12101A222JAT2A
			3300pF	±5%	1.27	478-1592-1-ND	6.05	35.77	103.18	478-1592-2-ND	4,000	99.06/M	12101A332JAT2A
			4700pF	±5%	1.27	478-1593-1-ND	10.24	60.53	174.61	478-1593-2-ND	2,000	167.63/M	12101A472JAT2A
		50V	680pF	±5%	0.94	478-1594-1-ND	4.19	24.76	71.44	478-1594-2-ND	4,000	68.58/M	12105A681JAT2A
			1000pF	±5%	0.94	478-1595-1-ND	4.19	24.76	71.44	478-1595-2-ND	4,000	68.58/M	12105A102JAT2A
			1500pF	±5%	0.94	478-1596-1-ND	6.05	35.77	103.18	478-1596-2-ND	4,000	99.06/M	12105A152JAT2A
			2200pF	±5%	0.94	478-1597-1-ND	6.05	35.77	103.18	478-1597-2-ND	4,000	99.06/M	12105A222JAT2A
			3300pF	±5%	0.94	478-1598-1-ND	6.05	35.77	103.18	478-1598-2-ND	4,000	99.06/M	12105A332JAT2A
			4700pF	±5%	0.94	478-1599-1-ND	7.92	46.77	134.93	478-1599-2-ND	2,000	129.53/M	12105A472JAT2A
			6800pF	±5%	0.94	478-1600-1-ND	23.75	140.32	404.78	478-1600-2-ND	4,000	388.59/M	12105A682JAT2A
			.01µF	±5%	1.40	478-1601-1-ND	23.75	140.32	404.78	478-1601-2-ND	2,000	388.59/M	12105A103JAT2A
	X7R	100V	1000pF	±10%	0.94	478-1602-1-ND	4.66	27.51	79.37	478-1602-2-ND	4,000	76.20/M	12101C102KAT2A
			1500pF	±10%	0.94	478-1603-1-ND	4.19	24.76	71.44	478-1603-2-ND	4,000	68.58/M	12101C152KAT2A
			2200pF	±10%	0.94	478-1604-1-ND	4.66	27.51	79.37	478-1604-2-ND	4,000	76.20/M	12101C222KAT2A
			3300pF	±10%	0.94	478-1605-1-ND	4.66	27.51	79.37	478-1605-2-ND	4,000	76.20/M	12101C332KAT2A
			4700pF	±10%	0.94	478-1606-1-ND	4.66	27.51	79.37	478-1606-2-ND	4,000	76.20/M	12101C472KAT2A
			6800pF	±10%	0.94	478-1607-1-ND	4.66	27.51	79.37	478-1607-2-ND	4,000	76.20/M	12101C682KAT2A
			.01µF	±10%	0.94	478-1608-1-ND	4.66	27.51	79.37	478-1608-2-ND	4,000	76.20/M	12101C103KAT2A
			.015µF	±10%	0.94	478-1609-1-ND	4.66	27.51	79.37	478-1609-2-ND	4,000	76.20/M	12101C153KAT2A
			.022µF	±10%	0.94	478-1610-1-ND	4.66	27.51	79.37	478-1610-2-ND	4,000	76.20/M	12101C223KAT2A
			.033µF	±10%	0.94	478-1611-1-ND	4.66	27.51	79.37	478-1611-2-ND	4,000	76.20/M	12101C333KAT2A
			.047µF	±10%	0.94	478-1612-1-ND	4.66	27.51	79.37	478-1612-2-ND	4,000	76.20/M	12101C473KAT2A
			.068µF	±10%	0.94	478-1613-1-ND	4.66	27.51	79.37	478-1613-2-ND	4,000	76.20/M	12101C683KAT2A
			.10µF	±10%	0.94	478-1614-1-ND	4.66	27.51	79.37	478-1614-2-ND	4,000	76.20/M	12101C104KAT2A
			.15µF	±10%	1.27	478-1615-1-ND	5.77	34.12	98.42	478-1615-2-ND	2,000	94.82/M	12101C154KAT2A
			.22µF	±10%	1.52	478-1616-1-ND	6.52	38.52	111.12	478-1616-2-ND	2,000	106.67/M	12101C224KAT2A
			.47µF	±10%	2.79	478-2568-1-ND	6.52	38.52	111.12	478-2568-2-ND	1,000	106.67	12101C474KAT2A
			.68µF	±10%	2.79	478-2569-1-ND	8.85	52.28	150.80	478-2569-2-ND	2,000	144.77/M	12101C684KAT2A
			1.0µF	±10%	2.79	478-2570-1-ND	12.11	71.54	206.36	478-2570-2-ND	1,000	198.10	12101C105KAT2A
			1.0µF	±20%	2.79	478-2571-1-ND	12.11	71.54	206.36	478-2571-2-ND	1,000	198.10	12101C105MAT2A
		50V	.10µF	±10%	0.94	478-1617-1-ND	7.45	44.02	126.99	478-1617-2-ND	4,000	121.91/M	12105C104KAT2A
			.15µF	±10%	0.94	478-1618-1-ND	5.77	34.12	98.42	478-1618-2-ND	4,000	94.82/M	12105C154KAT2A
			.22µF	±10%	0.94	478-1619-1-ND	5.77	34.12	98.42	478-1619-2-ND	4,000	94.82/M	12105C224KAT2A
			.33µF	±10%	0.94	478-1620-1-ND	10.24	60.53	174.61	478-1620-2-ND	4,000	167.63/M	12105C334KAT2A
			.47µF	±10%	1.27	478-1621-1-ND	10.24	60.53	174.61	478-1621-2-ND	2,000	167.63/M	12105C474KAT2A
			1.0µF	±10%	2.29	478-1622-1-ND	16.30	96.30	277.79	478-1622-2-ND	2,000	266.68/M	12105C105KAT2A
		25V	2.2µF	±10%	2.29	478-1623-1-ND	18.16	107.31	309.54	478-1623-2-ND	2,000	297.16/M	12103C225KAT2A
		16V	4.7µF	±10%	2.79	478-1624-1-ND	20.02	118.31	341.29	478-1624-2-ND	1,000	327.63	1210YC475KAT2A
		10V	10µF	±10%	2.79	478-1625-1-ND	24.68	145.83	420.66	478-1625-2-ND	1,000	403.83	1210ZC106KAT2A
	X5R	25V	4.7µF	±10%	2.79	478-1626-1-ND	15.37	90.80	261.92	478-1626-2-ND	1,000	251.44	12103D475KAT2A
			10µF	±10%	2.29	478-1627-1-ND	21.42	126.57	365.10	478-1627-2-ND	2,000	350.49/M	12103D106KAT2A
		16V	4.7µF	±10%	1.78	478-1628-1-ND	14.90	88.05	253.98	478-1628-2-ND	2,500	243.82/M	1210YD475KAT2A
			10µF	±10%	2.29	478-1629-1-ND	22.35	132.07	380.97	478-1629-2-ND	2,000	365.73/M	1210YD106KAT2A
			10µF	±20%	2.79	478-2572-1-ND	25.14	148.58	428.59	478-2572-2-ND	2,000	411.45/M	1210YD106MAT2A
			22µF	±10%	2.79	478-1630-1-ND	39.58	233.87	674.64	478-1630-2-ND	1,000	647.65	1210YD226KAT2A
		6.3V	22µF	±20%	2.79	478-2573-1-ND	35.39	209.11	603.20	478-2573-2-ND	1,000	579.07	12106D226MAT2A
			47µF	±20%	2.79	478-2574-1-ND	66.12	390.71	1127.04	478-2574-2-ND	1,000	1081.95	12106D476MAT2A
			100µF	±20%	2.79	478-2575-1-ND	66.12	390.71	1127.04	478-2575-2-ND	1,000	1081.95	12106D107MAT2A
		10V	10µF	±10%	2.29	478-1631-1-ND	19.09	112.81	325.42	478-1631-2-ND	2,000	312.40/M	1210ZD106KAT2A
			22µF	±10%	2.79	478-1632-1-ND	29.80	176.09	507.96	478-1632-2-ND	1,000	487.64	1210ZD226KAT2A
		6.3V	47µF	±10%	2.79	478-1633-1-ND	66.12	390.71	1127.04	478-1633-2-ND	1,000	1081.95	12106D476KAT2A
	Y5V	16V	10µF	+80 -20%	1.78	478-1634-1-ND	25.14	148.58	428.59	478-1634-2-ND	2,500	411.45/M	1210YG106ZAT2A
		10V	22µF	+80 -20%	2.29	478-1635-1-ND	36.78	217.36	627.02	478-1635-2-ND	2,000	601.94/M	1210ZG226ZAT2A
1812	C0G (NP0)	50V	.01µF	±5%	1.52	478-1636-1-ND	20.49	121.06	349.22	478-1636-2-ND	1,000	335.25	18125A103JAT2A
			.015µF	±5%	1.52	478-1637-1-ND	34.92	206.36	595.27	478-1637-2-ND	1,000	571.46	18125A153JAT2A
		25V	.022µF	±5%	1.27	478-1638-1-ND	39.58	233.87	674.64	478-1638-2-ND	1,000	647.65	18123A223JAT2A
			.033µF	±5%	1.27	478-1639-1-ND	39.58	233.87	674.64	478-1639-2-ND	1,000	647.65	18123A333JAT2A
	X7R	100V	.22µF	±10%	1.02	478-1640-1-ND	15.83	93.55	269.85	478-1640-2-ND	1,000	259.06	18121C224KAT2A
			.47µF	±10%	1.52	478-1641-1-ND	22.82	134.82	388.91	478-1641-2-ND	1,000	373.35	18121C474KAT2A
			1.0µF	±10%	2.29	478-1642-1-ND	28.40	167.84	—	478-1642-2-ND	700	325.35	18121C105KAT2A
		50V	2.2µF	±10%	2.79	478-2567-1-ND	25.14	148.58	—	478-2567-2-ND	500	205.72	18125C225KAT2A
	X5R	50V	1.0µF	±10%	1.27	478-1643-1-ND	23.75	140.32	404.78	478-1643-2-ND	1,000	388.59	18125C105KAT2A
		25V	10µF	±10%	2.79	478-1644-1-ND	38.65	228.37	—	478-1644-2-ND	500	316.21	18123D106KAT2A
		10V	22µF	±10%	2.79	478-1645-1-ND	38.65	228.37	—	478-1645-2-ND	500	316.21	1812ZD226KAT2A
		6.3V	47µF	±10%	2.79	478-1646-1-ND	69.84	412.72	—	478-1646-2-ND	500	571.46	18126D476KAT2A
			100µF	±10%	3.05	478-1647-1-ND	102.44	605.32	—	478-1647-2-ND	500	838.13	18126D107KAT2A

E

Serie SQ RF/Mikrowellen-Mehrschicht-Chipkondensatoren

Merkmale: • Hohe stromtragende Kapazität, High-Q-Faktor, sehr niedriger ESR, sehr hohe Reihenresonanz, hervorragende Stabilität unter Stress aufgrund von Spannungsveränderungen, Frequenz, Zeit und Temperatur

Spezifikationen: • Betriebstemperatur: -55 °C ~ 125 °C • Temperaturkoeffizient: 90 ±20 ppm/°C 5TR • Dielektrische Haltespannung: 2,5 x Nennspannung (1,5 x Nennspannung für Teile, die für 500 V zugelassen sind)

Größencode	L	W	T (min. /max.)
0605	.055+.015-.010	.055±.015	.020 / .057
1210	.110+.020-.010	.110±.010	.030 / .102

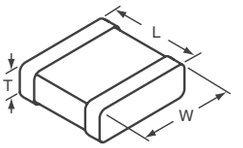

Größen-code	Betriebs-spannung DC	Kapazität	Toleranz	Digi-Key Teilenr.	Gurtabschnittspreise 10	100	500	Digi-Key Teilenr.	Gegurtet auf Rolle Größe	Preisangaben	AVX Teilenr.
0605	150V	.10pF	±.10pF	478-2667-1-ND†	11.41	103.71	466.69	478-2667-2-ND	2,000	622.25/M	SQCAEM0R1BAJME
		.20pF	±.10pF	478-2668-1-ND†	11.41	103.71	466.69	478-2668-2-ND	2,000	622.25/M	SQCAEM0R2BAJME
		.30pF	±.10pF	478-2669-1-ND†	11.41	103.71	466.69	478-2669-2-ND	2,000	622.25/M	SQCAEM0R3BAJME
		.40pF	±.10pF	478-2670-1-ND†	11.41	103.71	466.69	478-2670-2-ND	2,000	622.25/M	SQCAEM0R4BAJME
		.50pF	±.10pF	478-2671-1-ND†	11.41	103.71	466.69	478-2671-2-ND	2,000	622.25/M	SQCAEM0R5BAJME
		.60pF	±.10pF	478-2672-1-ND†	11.41	103.71	466.69	478-2672-2-ND	2,000	622.25/M	SQCAEM0R6BAJME
		.70pF	±.10pF	478-2673-1-ND†	11.41	103.71	466.69	478-2673-2-ND	2,000	622.25/M	SQCAEM0R7BAJME
		.80pF	±.10pF	478-2674-1-ND†	11.41	103.71	466.69	478-2674-2-ND	2,000	622.25/M	SQCAEM0R8BAJME
		.90pF	±.10pF	478-2675-1-ND†	11.41	103.71	466.69	478-2675-2-ND	2,000	622.25/M	SQCAEM0R9BAJME
		1.0pF	±.10pF	478-2676-1-ND†	11.41	103.71	466.69	478-2676-2-ND	2,000	622.25/M	SQCAEM1R0BAJME
		1.1pF	±.10pF	478-2677-1-ND†	11.41	103.71	466.69	478-2677-2-ND	2,000	622.25/M	SQCAEM1R1BAJME
		1.2pF	±.10pF	478-2678-1-ND†	11.41	103.71	466.69	478-2678-2-ND	2,000	622.25/M	SQCAEM1R2BAJME
		1.5pF	±.10pF	478-2679-1-ND†	11.41	103.71	466.69	478-2679-2-ND	2,000	622.25/M	SQCAEM1R5BAJME
		1.6pF	±.25pF	478-2680-1-ND†	9.31	84.66	380.97	478-2680-2-ND	2,000	507.96/M	SQCAEM1R6CAJME
		1.8pF	±.25pF	478-2681-1-ND†	9.31	84.66	380.97	478-2681-2-ND	2,000	507.96/M	SQCAEM1R8CAJME
		2.0pF	±.25pF	478-2682-1-ND†	9.31	84.66	380.97	478-2682-2-ND	2,000	507.96/M	SQCAEM2R0CAJME
		2.2pF	±.10pF	478-2683-1-ND††	11.41	103.71	466.69	478-2683-2-ND	2,000	622.25/M	SQCAEM2R2BAJME
		2.4pF	±.10pF	478-2684-1-ND††	11.41	103.71	466.69	478-2684-2-ND	2,000	622.25/M	SQCAEM2R4BAJME
		2.7pF	±.10pF	478-2685-1-ND††	11.41	103.71	466.69	478-2685-2-ND	2,000	622.25/M	SQCAEM2R7BAJME
		3.0pF	±.10pF	478-2686-1-ND††	11.41	103.71	466.69	478-2686-2-ND	2,000	622.25/M	SQCAEM3R0BAJME
		3.3pF	±.10pF	478-2687-1-ND††	11.41	103.71	466.69	478-2687-2-ND	2,000	622.25/M	SQCAEM3R3BAJME
		3.9pF	±.25pF	478-2688-1-ND††	9.31	84.66	380.97	478-2688-2-ND	2,000	507.96/M	SQCAEM3R9CAJME
		4.7pF	±.25pF	478-2689-1-ND††	9.31	84.66	380.97	478-2689-2-ND	2,000	507.96/M	SQCAEM4R7CAJME
		5.6pF	±.25pF	478-2690-1-ND††	9.31	84.66	380.97	478-2690-2-ND	2,000	507.96/M	SQCAEM5R6CAJME
		6.8pF	±.25pF	478-2691-1-ND††	14.21	129.11	580.98	478-2691-2-ND	2,000	774.64/M	SQCAEM6R8CAJME
		8.2pF	±.25pF	478-2692-1-ND††	14.21	129.11	580.98	478-2692-2-ND	2,000	774.64/M	SQCAEM8R2CAJME
		10pF	±5%	478-2693-1-ND††	11.64	105.83	476.21	478-2693-2-ND	2,000	634.95/M	SQCAEM100JAJME
		12pF	±5%	478-2694-1-ND††	11.64	105.83	476.21	478-2694-2-ND	2,000	634.95/M	SQCAEM120JAJME
		15pF	±5%	478-2695-1-ND††	11.64	105.83	476.21	478-2695-2-ND	2,000	634.95/M	SQCAEM150JAJME
		18pF	±5%	478-2696-1-ND††	11.64	105.83	476.21	478-2696-2-ND	2,000	634.95/M	SQCAEM180JAJME
		20pF	±5%	478-2697-1-ND††	11.64	105.83	476.21	478-2697-2-ND	2,000	634.95/M	SQCAEM200JAJME
		22pF	±5%	478-2698-1-ND††	11.64	105.83	476.21	478-2698-2-ND	2,000	634.95/M	SQCAEM220JAJME
		24pF	±5%	478-2699-1-ND††	11.64	105.83	476.21	478-2699-2-ND	2,000	634.95/M	SQCAEM240JAJME
		27pF	±5%	478-2700-1-ND††	11.64	105.83	476.21	478-2700-2-ND	2,000	634.95/M	SQCAEM270JAJME
		30pF	±5%	478-2701-1-ND††	11.64	105.83	476.21	478-2701-2-ND	2,000	634.95/M	SQCAEM300JAJME
		33pF	±5%	478-2702-1-ND††	11.64	105.83	476.21	478-2702-2-ND	2,000	634.95/M	SQCAEM330JAJME
		39pF	±5%	478-2703-1-ND††	11.64	105.83	476.21	478-2703-2-ND	2,000	634.95/M	SQCAEM390JAJME
		47pF	±5%	478-2704-1-ND††	11.64	105.83	476.21	478-2704-2-ND	2,000	634.95/M	SQCAEM470JAJME
		56pF	±5%	478-2705-1-ND††	11.64	105.83	476.21	478-2705-2-ND	2,000	634.95/M	SQCAEM560JAJME
		68pF	±5%	478-2706-1-ND††	11.64	105.83	476.21	478-2706-2-ND	2,000	634.95/M	SQCAEM680JAJME
		82pF	±5%	478-2707-1-ND††	11.64	105.83	476.21	478-2707-2-ND	2,000	634.95/M	SQCAEM820JAJME
		100pF	±5%	478-2708-1-ND††	11.64	105.83	476.21	478-2708-2-ND	2,000	634.95/M	SQCAEM101JAJME
1210	500V	1.0pF	±.10pF	478-2621-1-ND•	9.50	86.35	388.59	478-2621-2-ND	2,000	518.12/M	SQCB7M1R0BAJME
		1.2pF	±.10pF	478-2622-1-ND•	9.50	86.35	388.59	478-2622-2-ND	2,000	518.12/M	SQCB7M1R2BAJME
		1.5pF	±.10pF	478-2623-1-ND•	9.50	86.35	388.59	478-2623-2-ND	2,000	518.12/M	SQCB7M1R5BAJME
		1.8pF	±.10pF	478-2624-1-ND•	9.50	86.35	388.59	478-2624-2-ND	2,000	518.12/M	SQCB7M1R8BAJME
		2.0pF	±.10pF	478-2625-1-ND•	9.50	86.35	388.59	478-2625-2-ND	2,000	518.12/M	SQCB7M2R0BAJME
		2.2pF	±.10pF	478-2626-1-ND•	9.50	86.35	388.59	478-2626-2-ND	2,000	518.12/M	SQCB7M2R2BAJME
		2.4pF	±.10pF	478-2627-1-ND•	9.50	86.35	388.59	478-2627-2-ND	2,000	518.12/M	SQCB7M2R4BAJME
		2.7pF	±.10pF	478-2628-1-ND•	9.50	86.35	388.59	478-2628-2-ND	2,000	518.12/M	SQCB7M2R7BAJME
		3.0pF	±.10pF	478-2629-1-ND•	9.50	86.35	388.59	478-2629-2-ND	2,000	518.12/M	SQCB7M3R0BAJME
		3.3pF	±.10pF	478-2630-1-ND•	9.50	86.35	388.59	478-2630-2-ND	2,000	518.12/M	SQCB7M3R3BAJME
		3.9pF	±.25pF	478-2631-1-ND•	8.01	72.81	327.63	478-2631-2-ND	2,000	436.85/M	SQCB7M3R9CAJME
		4.7pF	±.25pF	478-2632-1-ND•	8.01	72.81	327.63	478-2632-2-ND	2,000	436.85/M	SQCB7M4R7CAJME
		5.6pF	±.25pF	478-2633-1-ND•	8.01	72.81	327.63	478-2633-2-ND	2,000	436.85/M	SQCB7M5R6CAJME
		6.8pF	±.25pF	478-2634-1-ND•	11.92	108.36	487.64	478-2634-2-ND	2,000	650.19/M	SQCB7M6R8CAJME
		8.2pF	±.25pF	478-2635-1-ND•	11.92	108.36	487.64	478-2635-2-ND	2,000	650.19/M	SQCB7M8R2CAJME
		10pF	±5%	478-2636-1-ND•	9.69	88.05	396.21	478-2636-2-ND	2,000	528.28/M	SQCB7M100JAJME
		12pF	±5%	478-2637-1-ND•	9.69	88.05	396.21	478-2637-2-ND	2,000	528.28/M	SQCB7M120JAJME
		15pF	±5%	478-2638-1-ND•	9.69	88.05	396.21	478-2638-2-ND	2,000	528.28/M	SQCB7M150JAJME
		18pF	±5%	478-2639-1-ND•	9.69	88.05	396.21	478-2639-2-ND	2,000	528.28/M	SQCB7M180JAJME
		20pF	±5%	478-2640-1-ND•	9.69	88.05	396.21	478-2640-2-ND	2,000	528.28/M	SQCB7M200JAJME
		22pF	±5%	478-2641-1-ND•	9.69	88.05	396.21	478-2641-2-ND	2,000	528.28/M	SQCB7M220JAJME
		24pF	±5%	478-2642-1-ND•	9.69	88.05	396.21	478-2642-2-ND	2,000	528.28/M	SQCB7M240JAJME
		27pF	±5%	478-2643-1-ND•	9.69	88.05	396.21	478-2643-2-ND	2,000	528.28/M	SQCB7M270JAJME
		30pF	±5%	478-2644-1-ND•	9.69	88.05	396.21	478-2644-2-ND	2,000	528.28/M	SQCB7M300JAJME
		33pF	±5%	478-2645-1-ND•	9.69	88.05	396.21	478-2645-2-ND	2,000	528.28/M	SQCB7M330JAJME
		39pF	±5%	478-2646-1-ND•	9.69	88.05	396.21	478-2646-2-ND	2,000	528.28/M	SQCB7M390JAJME
		47pF	±5%	478-2647-1-ND•	9.69	88.05	396.21	478-2647-2-ND	2,000	528.28/M	SQCB7M470JAJME
		56pF	±5%	478-2648-1-ND•	9.69	88.05	396.21	478-2648-2-ND	2,000	528.28/M	SQCB7M560JAJME
		68pF	±5%	478-2649-1-ND•	9.69	88.05	396.21	478-2649-2-ND	2,000	528.28/M	SQCB7M680JAJME
		82pF	±5%	478-2650-1-ND•	9.69	88.05	396.21	478-2650-2-ND	2,000	528.28/M	SQCB7M820JAJME
		100pF	±5%	478-2651-1-ND•	9.69	88.05	396.21	478-2651-2-ND	2,000	528.28/M	SQCB7M101JAJME
	300V	120pF	±5%	478-2652-1-ND•	9.69	88.05	396.21	478-2652-2-ND	2,000	528.28/M	SQCB9M121JAJME
		150pF	±5%	478-2653-1-ND•	9.69	88.05	396.21	478-2653-2-ND	2,000	528.28/M	SQCB9M151JAJME
		180pF	±5%	478-2654-1-ND•	9.69	88.05	396.21	478-2654-2-ND	2,000	528.28/M	SQCB9M181JAJME
		200pF	±5%	478-2655-1-ND•	9.69	88.05	396.21	478-2655-2-ND	2,000	528.28/M	SQCB9M201JAJME
	200V	220pF	±5%	478-2656-1-ND•	9.69	88.05	396.21	478-2656-2-ND	2,000	528.28/M	SQCB2M221JAJME
		240pF	±5%	478-2657-1-ND•	9.69	88.05	396.21	478-2657-2-ND	2,000	528.28/M	SQCB2M241JAJME
		270pF	±5%	478-2658-1-ND•	9.69	88.05	396.21	478-2658-2-ND	2,000	528.28/M	SQCB2M271JAJME
		300pF	±5%	478-2659-1-ND•	9.69	88.05	396.21	478-2659-2-ND	2,000	528.28/M	SQCB2M301JAJME
		330pF	±5%	478-2660-1-ND•	9.69	88.05	396.21	478-2660-2-ND	2,000	528.28/M	SQCB2M331JAJME
		390pF	±5%	478-2661-1-ND•	9.69	88.05	396.21	478-2661-2-ND	2,000	528.28/M	SQCB2M391JAJME
		470pF	±5%	478-2662-1-ND•	9.69	88.05	396.21	478-2662-2-ND	2,000	528.28/M	SQCB2M471JAJME
	150V	560pF	±10%	478-2663-1-ND•	12.11	110.06	495.26	478-2663-2-ND	2,000	660.35/M	SQCBEM561KAJME
		680pF	±10%	478-2664-1-ND•	12.11	110.06	495.26	478-2664-2-ND	1,000	660.35	SQCBEM681KAJME
		820pF	±10%	478-2665-1-ND•	12.11	110.06	495.26	478-2665-2-ND	2,000	660.35/M	SQCBEM821KAJME
		1000pF	±10%	478-2666-1-ND•	12.11	110.06	495.26	478-2666-2-ND	1,000	660.35	SQCBEM102KAJME

SQ P90 Kits

• 478-2836-ND	*SQCB/KITSQ001*	Jeweils 10 der angegebenen Werte (insgesamt 460 Stück)	101.34
† 478-2837-ND	*QCA/KITSQ002*	Jeweils 10 der angegebenen Werte (insgesamt 160 Stück)	101.34
†† 478-2838-ND	*SQCA/KITSQ003*	Jeweils 10 der angegebenen Werte (insgesamt 260 Stück)	101.34

Alle Preisangaben in Euro und inklusive Zollgebühren.

Serie Accu-P®

Dünnfilm RF/Mikrowellen-Mehrschicht-Chipkondensatoren

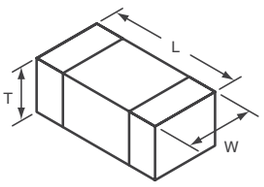

Merkmale: • Niedriger ESR, High Q, sehr niedrige Kapazitätswerte, sehr enge Kapazitätstoleranzen, hohe RF-Leitungs-Handling-Kapazität, von Hand lötbar

Spezifikationen: • Betriebstemperatur: -55 °C ~ 125 °C • Isolationswiderstand: ≥10^{11} Ω (≥10^{10} Ω für Größen 0201 und 0402) • Dielektrische Absorption: 0,01 %

Größencode	L	W	T
0201	0.60 (0.023)	0.325 (0.0128)	0.225 (0.009)
0402	1.00 (0.039)	0.55 (0.022)	0.40 (0.016)
0603	1.60 (0.063)	0.81 (0.032)	0.63 (0.025)

Größen-	Betriebs-			Digi-Key	Gurtabschnittspreise			Digi-Key	Gegurtet auf Rolle		AVX
code	spannung DC	Kapazität	Toleranz	Teilenr.	10	100	500	Teilenr.	Größe	Preisangaben	Teilenr.
0201	25V	.10pF	±.02pF	478-2709-1-ND∞	10.94	72.38	273.45	478-2709-2-ND	5,000	418.22/M	02013J0R1PBWTR
		.20pF	±.02pF	478-2710-1-ND∞	10.94	72.38	273.45	478-2710-2-ND	5,000	418.22/M	02013J0R2PBWTR
		.30pF	±.02pF	478-2711-1-ND∞	10.94	72.38	273.45	478-2711-2-ND	5,000	418.22/M	02013J0R3PBWTR
		.40pF	±.02pF	478-2712-1-ND∞	4.32	28.57	107.94	478-2712-2-ND	5,000	165.09/M	02013J0R4PBWTR
		.50pF	±.02pF	478-2713-1-ND∞	10.94	72.38	273.45	478-2713-2-ND	5,000	418.22/M	02013J0R5PBWTR
		.60pF	±.02pF	478-2714-1-ND∞	10.94	72.38	273.45	478-2714-2-ND	5,000	418.22/M	02013J0R6PBWTR
		.70pF	±.02pF	478-2715-1-ND∞	10.94	72.38	273.45	478-2715-2-ND	5,000	418.22/M	02013J0R7PBWTR
		.80pF	±.02pF	478-2716-1-ND	10.94	72.38	273.45	478-2716-2-ND	5,000	418.22/M	02013J0R8PBWTR
		.90pF	±.02pF	478-2717-1-ND	10.94	72.38	273.45	478-2717-2-ND	5,000	418.22/M	02013J0R9PBWTR
		1.0pF	±.05pF	478-2718-1-ND†	5.18	34.29	129.53	478-2718-2-ND	5,000	198.11/M	02013J1R0ABWTR
		1.1pF	±.05pF	478-2719-1-ND†	5.18	34.29	129.53	478-2719-2-ND	5,000	198.11/M	02013J1R1ABWTR
		1.2pF	±.05pF	478-2720-1-ND†	5.18	34.29	129.53	478-2720-2-ND	5,000	198.11/M	02013J1R2ABWTR
		1.3pF	±.05pF	478-2721-1-ND†	5.18	34.29	129.53	478-2721-2-ND	5,000	198.11/M	02013J1R3ABWTR
		1.4pF	±.05pF	478-2722-1-ND	5.18	34.29	129.53	478-2722-2-ND	5,000	198.11/M	02013J1R4ABWTR
		1.5pF	±.05pF	478-2723-1-ND†	5.18	34.29	129.53	478-2723-2-ND	5,000	198.11/M	02013J1R5ABWTR
		1.6pF	±.05pF	478-2724-1-ND	5.18	34.29	129.53	478-2724-2-ND	5,000	198.11/M	02013J1R6ABWTR
		1.7pF	±.05pF	478-2725-1-ND	5.18	34.29	129.53	478-2725-2-ND	5,000	198.11/M	02013J1R7ABWTR
		1.8pF	±.05pF	478-2726-1-ND†	5.18	34.29	129.53	478-2726-2-ND	5,000	198.11/M	02013J1R8ABWTR
		1.9pF	±.05pF	478-2727-1-ND	5.18	34.29	129.53	478-2727-2-ND	5,000	198.11/M	02013J1R9ABWTR
		2.0pF	±.05pF	478-2728-1-ND†	5.18	34.29	129.53	478-2728-2-ND	5,000	198.11/M	02013J2R0ABWTR
		2.1pF	±.10pF	478-2729-1-ND	3.45	22.86	86.35	478-2729-2-ND	5,000	132.07/M	02013J2R1BBWTR
		2.2pF	±.10pF	478-2730-1-ND•†	3.45	22.86	86.35	478-2730-2-ND	5,000	132.07/M	02013J2R2BBWTR
		2.3pF	±.10pF	478-2731-1-ND	3.45	22.86	86.35	478-2731-2-ND	5,000	132.07/M	02013J2R3BBWTR
		2.4pF	±.10pF	478-2732-1-ND•†	3.45	22.86	86.35	478-2732-2-ND	5,000	132.07/M	02013J2R4BBWTR
		2.5pF	±.10pF	478-2733-1-ND	3.45	22.86	86.35	478-2733-2-ND	5,000	132.07/M	02013J2R5BBWTR
		2.6pF	±.10pF	478-2734-1-ND	3.45	22.86	86.35	478-2734-2-ND	5,000	132.07/M	02013J2R6BBWTR
		2.7pF	±.10pF	478-2735-1-ND•†	2.88	19.05	71.96	478-2735-2-ND	5,000	110.06/M	02013J2R7BBWTR
	16V	2.8pF	±.10pF	478-2736-1-ND	3.45	22.86	86.35	478-2736-2-ND	5,000	132.07/M	0201YJ2R8BBWTR
		2.9pF	±.10pF	478-2737-1-ND	3.45	22.86	86.35	478-2737-2-ND	5,000	132.07/M	0201YJ2R9BBWTR
		3.0pF	±.10pF	478-2738-1-ND•†	3.45	22.86	86.35	478-2738-2-ND	5,000	132.07/M	0201YJ3R0BBWTR
		3.1pF	±.10pF	478-2739-1-ND	3.45	22.86	86.35	478-2739-2-ND	5,000	132.07/M	0201YJ3R1BBWTR
		3.3pF	±.10pF	478-2740-1-ND•†	3.45	22.86	86.35	478-2740-2-ND	5,000	132.07/M	0201YJ3R3BBWTR
		3.6pF	±.10pF	478-2741-1-ND•†	3.45	22.86	86.35	478-2741-2-ND	5,000	132.07/M	0201YJ3R6BBWTR
		3.9pF	±.10pF	478-2742-1-ND•†	3.45	22.86	86.35	478-2742-2-ND	5,000	132.07/M	0201YJ3R9BBWTR
	10V	4.1pF	±.10pF	478-2743-1-ND	3.45	22.86	86.35	478-2743-2-ND	5,000	132.07/M	0201ZK4R1BBWTR
		4.3pF	±.10pF	478-2744-1-ND	3.45	22.86	86.35	478-2744-2-ND	5,000	132.07/M	0201ZK4R3BBWTR
		4.5pF	±.10pF	478-2745-1-ND	3.45	22.86	86.35	478-2745-2-ND	5,000	132.07/M	0201ZK4R5BBWTR
		4.7pF	±.10pF	478-2746-1-ND•†	3.45	22.86	86.35	478-2746-2-ND	5,000	132.07/M	0201ZK4R7BBWTR
		5.6pF	±.10pF	478-2747-1-ND•	3.45	22.86	86.35	478-2747-2-ND	5,000	132.07/M	0201ZK5R6BBWTR
		6.8pF	±.10pF	478-2748-1-ND•	3.45	22.86	86.35	478-2748-2-ND	5,000	132.07/M	0201ZK6R8BBWTR
		7.5pF	±.10pF	478-2749-1-ND•	3.45	22.86	86.35	478-2749-2-ND	5,000	132.07/M	0201ZK7R5BBWTR
		8.2pF	±.10pF	478-2750-1-ND•	3.45	22.86	86.35	478-2750-2-ND	5,000	132.07/M	0201ZK8R2BBWTR
		10pF	±2%	478-2751-1-ND•	5.18	34.29	129.53	478-2751-2-ND	5,000	198.11/M	0201ZK100GBWTR
		12pF	±2%	478-2752-1-ND•	5.18	34.29	129.53	478-2752-2-ND	5,000	198.11/M	0201ZK120GBWTR
0402	25V	.10pF	±.02pF	478-2753-1-ND††	12.95	85.72	323.82	478-2753-2-ND	5,000	495.27/M	04023J0R1PBWTR
		.20pF	±.02pF	478-2754-1-ND††	12.95	85.72	323.82	478-2754-2-ND	5,000	495.27/M	04023J0R2PBWTR
		.30pF	±.02pF	478-2755-1-ND††	12.95	85.72	323.82	478-2755-2-ND	5,000	495.27/M	04023J0R3PBWTR
		.40pF	±.02pF	478-2756-1-ND††	12.95	85.72	323.82	478-2756-2-ND	5,000	495.27/M	04023J0R4PBWTR
		.50pF	±.02pF	478-2757-1-ND††	12.95	85.72	323.82	478-2757-2-ND	5,000	495.27/M	04023J0R5PBWTR
		.60pF	±.02pF	478-2758-1-ND††	12.95	85.72	323.82	478-2758-2-ND	5,000	495.27/M	04023J0R6PBWTR
		.70pF	±.02pF	478-2759-1-ND††	12.95	85.72	323.82	478-2759-2-ND	5,000	495.27/M	04023J0R7PBWTR
		.80pF	±.02pF	478-2760-1-ND	12.95	85.72	323.82	478-2760-2-ND	5,000	495.27/M	04023J0R8PBWTR
		.90pF	±.02pF	478-2761-1-ND	12.95	85.72	323.82	478-2761-2-ND	5,000	495.27/M	04023J0R9PBWTR
		1.0pF	±.05pF	478-2762-1-ND§	5.18	34.29	129.53	478-2762-2-ND	5,000	198.11/M	04023J1R0ABWTR
		1.1pF	±.05pF	478-2763-1-ND§	5.18	34.29	129.53	478-2763-2-ND	5,000	198.11/M	04023J1R1ABWTR
		1.2pF	±.05pF	478-2764-1-ND§	5.18	34.29	129.53	478-2764-2-ND	5,000	198.11/M	04023J1R2ABWTR
		1.3pF	±.05pF	478-2765-1-ND§	5.18	34.29	129.53	478-2765-2-ND	5,000	198.11/M	04023J1R3ABWTR
		1.4pF	±.05pF	478-2766-1-ND§	5.18	34.29	129.53	478-2766-2-ND	5,000	198.11/M	04023J1R4ABWTR
		1.5pF	±.05pF	478-2767-1-ND§	5.18	34.29	129.53	478-2767-2-ND	5,000	198.11/M	04023J1R5ABWTR
		1.6pF	±.05pF	478-2768-1-ND§	8.92	59.05	223.08	478-2768-2-ND	5,000	341.18/M	04023J1R6ABWTR
		1.7pF	±.05pF	478-2769-1-ND§	5.18	34.29	129.53	478-2769-2-ND	5,000	198.11/M	04023J1R7ABWTR
		1.8pF	±.05pF	478-2770-1-ND§	5.18	34.29	129.53	478-2770-2-ND	5,000	198.11/M	04023J1R8ABWTR
		1.9pF	±.05pF	478-2771-1-ND§	5.18	34.29	129.53	478-2771-2-ND	5,000	198.11/M	04023J1R9ABWTR
		2.0pF	±.05pF	478-2772-1-ND§	5.18	34.29	129.53	478-2772-2-ND	5,000	198.11/M	04023J2R0ABWTR
		2.1pF	±.10pF	478-2773-1-ND§	3.45	22.86	86.35	478-2773-2-ND	5,000	132.07/M	04023J2R1BBWTR
		2.2pF	±.10pF	478-2774-1-ND§	3.45	22.86	86.35	478-2774-2-ND	5,000	132.07/M	04023J2R2BBWTR
		2.3pF	±.10pF	478-2775-1-ND§	3.45	22.86	86.35	478-2775-2-ND	5,000	132.07/M	04023J2R3BBWTR
		2.4pF	±.10pF	478-2776-1-ND§	3.45	22.86	86.35	478-2776-2-ND	5,000	132.07/M	04023J2R4BBWTR
		2.5pF	±.10pF	478-2777-1-ND§	3.45	22.86	86.35	478-2777-2-ND	5,000	132.07/M	04023J2R5BBWTR
		2.6pF	±.10pF	478-2778-1-ND§	3.45	22.86	86.35	478-2778-2-ND	5,000	132.07/M	04023J2R6BBWTR
		2.7pF	±.10pF	478-2779-1-ND§	3.45	22.86	86.35	478-2779-2-ND	5,000	132.07/M	04023J2R7BBWTR
		2.8pF	±.10pF	478-2780-1-ND§	3.45	22.86	86.35	478-2780-2-ND	5,000	132.07/M	04023J2R8BBWTR
		2.9pF	±.10pF	478-2781-1-ND§	3.45	22.86	86.35	478-2781-2-ND	5,000	132.07/M	04023J2R9BBWTR
		3.0pF	±.10pF	478-2782-1-ND§	3.45	22.86	86.35	478-2782-2-ND	5,000	132.07/M	04023J3R0BBWTR
		3.1pF	±.10pF	478-2783-1-ND§	3.45	22.86	86.35	478-2783-2-ND	5,000	132.07/M	04023J3R1BBWTR
		3.3pF	±.10pF	478-2784-1-ND§	3.45	22.86	86.35	478-2784-2-ND	5,000	132.07/M	04023J3R3BBWTR
		3.6pF	±.10pF	478-2785-1-ND§	3.45	22.86	86.35	478-2785-2-ND	5,000	132.07/M	04023J3R6BBWTR
		3.9pF	±.10pF	478-2786-1-ND§	3.45	22.86	86.35	478-2786-2-ND	5,000	132.07/M	04023J3R9BBWTR
		4.1pF	±.10pF	478-2787-1-ND§	3.45	22.86	86.35	478-2787-2-ND	5,000	132.07/M	04023J4R1BBWTR
		4.3pF	±.10pF	478-2788-1-ND§	3.45	22.86	86.35	478-2788-2-ND	5,000	132.07/M	04023J4R3BBWTR
		4.5pF	±.10pF	478-2789-1-ND§	3.45	22.86	86.35	478-2789-2-ND	5,000	132.07/M	04023J4R5BBWTR
		4.7pF	±.10pF	478-2790-1-ND§	3.45	22.86	86.35	478-2790-2-ND	5,000	132.07/M	04023J4R7BBWTR
		5.6pF	±.10pF	478-2791-1-ND	3.45	22.86	86.35	478-2791-2-ND	5,000	132.07/M	04023J5R6BBWTR
		6.8pF	±.10pF	478-2792-1-ND	3.45	22.86	86.35	478-2792-2-ND	5,000	132.07/M	04023J6R8BBWTR
	16V	8.2pF	±.10pF	478-2793-1-ND	3.45	22.86	86.35	478-2793-2-ND	5,000	132.07/M	0402YJ8R2BBWTR
		10pF	±2%	478-2794-1-ND	5.18	34.29	129.53	478-2794-2-ND	5,000	198.11/M	0402YJ100GBWTR
		12pF	±2%	478-2795-1-ND	5.18	34.29	129.53	478-2795-2-ND	5,000	198.11/M	0402YJ120GBWTR
	10V	15pF	±2%	478-2796-1-ND	5.18	34.29	129.53	478-2796-2-ND	5,000	198.11/M	0402ZJ150GBWTR
		18pF	±2%	478-2797-1-ND	5.18	34.29	129.53	478-2797-2-ND	5,000	198.11/M	0402ZK180GBWTR
		22pF	±2%	478-2798-1-ND	5.18	34.29	129.53	478-2798-2-ND	5,000	198.11/M	0402ZK220GBWTR
0603	50V	.10pF	±.02pF	478-2799-1-ND◊	12.95	85.72	323.82	478-2799-2-ND	3,000	495.26/M	06035J0R1PBTTR
		.20pF	±.02pF	478-2800-1-ND◊	12.95	85.72	323.82	478-2800-2-ND	3,000	495.26/M	06035J0R2PBTTR
		.30pF	±.02pF	478-2801-1-ND◊	12.95	85.72	323.82	478-2801-2-ND	3,000	495.26/M	06035J0R3PBTTR
		.40pF	±.02pF	478-2802-1-ND◊	12.95	85.72	323.82	478-2802-2-ND	3,000	495.26/M	06035J0R4PBTTR
		.50pF	±.02pF	478-2803-1-ND◊	12.95	85.72	323.82	478-2803-2-ND	3,000	495.26/M	06035J0R5PBTTR
		.60pF	±.02pF	478-2804-1-ND◊	12.95	85.72	323.82	478-2804-2-ND	3,000	495.26/M	06035J0R6PBTTR

(Forts.)

E

Größen-code	Betriebs-spannung DC	Kapazität	Toleranz	Digi-Key Teilenr.	Gurtabschnittspreise 10	100	500	Digi-Key Teilenr.	Gegurtet auf Rolle Größe	Preisangaben	AVX Teilenr.
0603	50V	.70pF	±.02pF	478-2805-1-ND◊	12.95	85.72	323.82	478-2805-2-ND	3,000	495.26/M	06035J0R7PBTTR
		.80pF	±.02pF	478-2806-1-ND◊	12.95	85.72	323.82	478-2806-2-ND	3,000	495.26/M	06035J0R8PBTTR
		.90pF	±.02pF	478-2807-1-ND◊	12.95	85.72	323.82	478-2807-2-ND	3,000	495.26/M	06035J0R9PBTTR
		1.0pF	±.10pF	478-2808-1-ND◊	6.62	43.81	165.51	478-2808-2-ND	3,000	253.14/M	06035J1R0BBTTR
		1.1pF	±.10pF	478-2809-1-ND◊	6.62	43.81	165.51	478-2809-2-ND	3,000	253.14/M	06035J1R1BBTTR
		1.2pF	±.10pF	478-2810-1-ND◊	6.62	43.81	165.51	478-2810-2-ND	3,000	253.14/M	06035J1R2BBTTR
		1.5pF	±.10pF	478-2811-1-ND◊	6.62	43.81	165.51	478-2811-2-ND	3,000	253.14/M	06035J1R5BBTTR
		1.8pF	±.10pF	478-2812-1-ND◊	6.62	43.81	165.51	478-2812-2-ND	3,000	253.14/M	06035J1R8BBTTR
		2.0pF	±.10pF	478-2813-1-ND◊	6.62	43.81	165.51	478-2813-2-ND	3,000	253.14/M	06035J2R0BBTTR
		2.2pF	±.10pF	478-2814-1-ND◊	6.62	43.81	165.51	478-2814-2-ND	3,000	253.14/M	06035J2R2BBTTR
		2.4pF	±.10pF	478-2815-1-ND◊	6.62	43.81	165.51	478-2815-2-ND	3,000	253.14/M	06035J2R4BBTTR
		2.7pF	±.10pF	478-2816-1-ND◊	6.62	43.81	165.51	478-2816-2-ND	3,000	253.14/M	06035J2R7BBTTR
		3.0pF	±.10pF	478-2817-1-ND◊	6.62	43.81	165.51	478-2817-2-ND	3,000	253.14/M	06035J3R0BBTTR
		3.3pF	±.10pF	478-2818-1-ND◊	6.62	43.81	165.51	478-2818-2-ND	3,000	253.14/M	06035J3R3BBTTR
		3.9pF	±.10pF	478-2819-1-ND◊	6.62	43.81	165.51	478-2819-2-ND	3,000	253.14/M	06035J3R9BBTTR
		4.7pF	±.10pF	478-2820-1-ND◊	6.62	43.81	165.51	478-2820-2-ND	3,000	253.14/M	06035J4R7BBTTR
		5.6pF	±.10pF	478-2821-1-ND◊	6.62	43.81	165.51	478-2821-2-ND	3,000	253.14/M	06035J5R6BBTTR
		6.8pF	±.10pF	478-2822-1-ND◊	6.62	43.81	165.51	478-2822-2-ND	3,000	253.14/M	06035J6R8BBTTR
		8.2pF	±.10pF	478-2823-1-ND◊	6.62	43.81	165.51	478-2823-2-ND	3,000	253.14/M	06035J8R2BBTTR
		10pF	±2%	478-2824-1-ND◊	6.62	43.81	165.51	478-2824-2-ND	3,000	253.14/M	06035J100GBTTR
		12pF	±2%	478-2825-1-ND◊	6.62	43.81	165.51	478-2825-2-ND	3,000	253.14/M	06035J120GBTTR
	25V	15pF	±2%	478-2826-1-ND◊	6.62	43.81	165.51	478-2826-2-ND	3,000	253.14/M	06033J150GBTTR
		18pF	±2%	478-2827-1-ND◊	6.62	43.81	165.51	478-2827-2-ND	3,000	253.14/M	06033K180GBTTR
		22pF	±2%	478-2828-1-ND◊	6.62	43.81	165.51	478-2828-2-ND	3,000	253.14/M	06033J220GBTTR

Designer Kits

∞	**478-2834-ND**	***Accu-P/Type.2000***	Jeweils 20 der angegebenen Werte plus folgende Werte: (pF) 0,05, 0,15, 0,25, 0,35, 0,45, 0,55, 0,65, 0,75 sind nicht bei Digi-Key® vorrätig. (insgesamt 600 Stück) **151.33**
†	**478-2831-ND**	***Accu-P/Type.1800***	Jeweils 20 der angegebenen Werte plus folgende Werte: (pF) 1,4, 1,6, 1,7, 1,9, 2,1, 2,3, 2,5, 2,6, 2,8, 2,9, 3,1, 3,4, 4,1, 4,3, 4,5 sind nicht bei Digi-Key® vorrätig. (insgesamt 600 Stück) **151.33**
•	**478-2835-ND**	***Accu-P/Type.1700***	Jeweils 20 der angegebenen Werte plus folgende Werte: (pF) 0,1, 0,2, 0,3, 0,4, 0,5, 0,6, 0,7, 0,8, 0,9, 1,0, 1,1, 1,2, 1,3, 1,5, 1,8, 2.0 sind nicht bei Digi-Key® vorrätig. (insgesamt 300 Stück) **151.33**
††	**478-2832-ND**	***Accu-P/Type.2100***	Jeweils 20 der angegebenen Werte plus folgende Werte: (pF) 0,05, 0,15, 0,25, 0,35, 0,45, 0,55, 0,65, 0,75 sind nicht bei Digi-Key® vorrätig. (insgesamt 600 Stück) **151.33**
§	**478-2833-ND**	***Accu-P/Type.1400***	Jeweils 20 der angegebenen Wert plus folgender Wert: (pF) 3,4 nicht bei Digi-Key® vorrätig. (insgesamt 300 Stück) **151.33**
◊	**478-2829-ND**	***Accu-P/Type.900***	Jeweils 20 der angegebenen Werte (insgesamt 600 Stück) **126.11**

Durchführungskondensatoren 0805/1206

Erhältlich in Standardgröße 0805 und 1206. Die Durchführungskondensatoren von AVX sind die ideale Wahl für EMI-Unterdrückung, Breitband E/A-Filterung oder Vcc-Stromleitungskonditionierung. Die einzigartige Konstruktion eines Durchführungskondensators erlaubt eine niedrige parallele Induktivität und bietet hervorragende Entkoppelkapazität für alle High Di/Dt-Umgebungen. Beachtliche Geräuschsenkung in Digitalschaltkreisen auf <5GHz

- Nennstroms: 300mA • Isolationswiderstand: 1.000MΩ • DC-Widerstand: <0,6Ω
- Betriebstemperatur: -55 °C ~ 125 °C

DRAUFSICHT

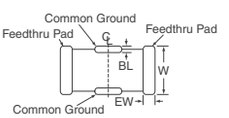

SEITENANSICHT

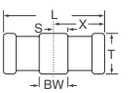

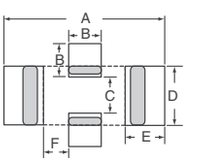

Abmessungen (mm)

Serie	A	B	C	D	E	F	L	W	T	BW	BL	EW	X	S
0805	3.45	0.51	0.76	1.27	1.02	0.46	2.01 ±0.20	1.25 ±0.20	1.14 Max.	0.46 ±0.10	0.18 +0.25/-0.08	0.25 ±0.13	1.02 ±0.10	0.23 ±0.15
1206	4.54	0.94	1.02	1.65	1.09	0.71	3.20 ±0.20	1.60 ±0.20	1.27 Max.	0.89 ±0.10	0.18 +0.25/-0.08	0.38 ±0.18	1.60 ±0.10	0.46 ±0.15

Größen-code	Typ	Betriebs-spannung DC	Kapazität	Kapazitätstoleranz %	Digi-Key Teilenr.	Gurtabschnittspreis pro Stück 10	100	500	Digi-Key Teilenr.	Gegurtet auf Rolle 1.000	AVX Teilenr.
0805	NPO	100V	220pF	+50%, -20%	478-2232-1-ND	.91	.54	.31	478-2232-2-ND	147.82	W2F11A2218AT1F
	NPO	100V	470pF	+50%, -20%	478-2233-1-ND	.91	.54	.31	478-2233-2-ND	147.82	W2F11A4718AT1F
	X7R	50V	1000pF	+50%, -20%	478-2234-1-ND	.95	.57	.33	478-2234-2-ND	155.44	W2F15C1028AT1F
	X7R	50V	10,000pF	+50%, -20%	478-2235-1-ND	.95	.57	.33	478-2235-2-ND	155.44	W2F15C1038AT1F
	X7R	50V	22,000pF	+50%, -20%	478-2236-1-ND	.95	.57	.33	478-2236-2-ND	155.44	W2F15C2238AT1F
	X7R	50V	47,000pF	+50%, -20%	478-2237-1-ND	.95	.57	.33	478-2237-2-ND	155.44	W2F15C4738AT1F
1206	NPO	100V	47pF	+50%, -20%	478-2238-1-ND	.94	.56	.32	478-2238-2-ND	152.39	W3F11A4708AT1F
	X7R	50V	2200pF	+50%, -20%	478-2239-1-ND	.98	.58	.34	478-2239-2-ND	160.01	W3F15C2228AT1F

Kondensatoren mit niedriger Induktivität 0612/0508 IDC (InterDigitated Capacitors)

Sehr niedrige äquivalente Reiheninduktivität, oberflächenmontierbar, Hochgeschwindigkeits-Entkopplungskondensator. Gemessene Induktivitäten von 120 pH (für 0612) und 95 pH (für 0508) sind die niedrigsten in der FR4 montierbaren Gerätegruppe. Gegensätzlicher Stromfluss schafft entgegengesetzte Magnetfelder. Dadurch heben sich die Felder gegenseitig auf, wodurch die äquivalente Reiheninduktivität effektiv gesenkt wird Perfekte Lösung zum Entkoppeln von Hochgeschwindigkeits-Mikroprozessoren, indem es den Ingenieuren ermöglicht wird, die Stromzufuhrinduktivität des gesamten Systems mithilfe von acht „vias" zu senken. Insgesamte Reduzierung der Entkoppelkomponenten aufgrund äußerst niedriger Reiheninduktivität und hoher Kapazität.

Eigenschaften:

- Temperaturkoeffizient: ±15 % (OVDC) • Dissipationsfaktor: 4V und 6,3V = max. 6,5%, 10V = max. 5,0%, 16V = max. 3,5%
- Insolationswiderstand (@ +25 °C, RV DC): Min. 100.000MΩ oder min.1.000MΩ per µF (maßgebend ist der jeweils niedrigere Wert) • CTE (ppm/C): 12,0 • Wärmeleitfähigkeit: 4-5 W/M K • Erhältliche Anschlüsse: Vernickelt und gelötet • Max. Dicke: 0,037 Zoll (0,95 mm)
- Betriebstemperaturbereich: **X7R:** -55 °C ~ 125 °C, **X5R:** -55 °C ~ 85 °C

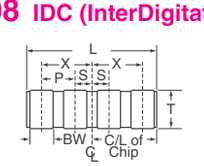

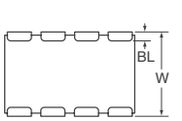

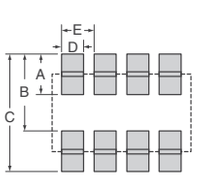

Abmessungen (mm)

Serie	A	B	C	D	E	L	T	W	BW	BL	P	X	S
0508	0.64	1.27	1.91	0.28	0.51	2.03 ±0.20	0.965 Max.	1.27 ±0.20	0.254 ±0.10	0.18 +0.25/-0.08	0.508 REF	0.76 ±0.10	0.254 ±0.10
0612	0.89	1.65	2.54	0.46	0.76	3.20 ±0.20	1.22 Max.	1.60 ±0.20	0.41 ±0.10	0.18 +0.25/-0.08	0.76 REF	1.14 ±0.10	0.38 ±0.10

Größen-code	Typ	Betriebs-spannung DC	Kapazität	Kapazitätstoleranz %	Digi-Key Teilenr.	Gurtabschnittspreis pro Stück 10	100	500	Digi-Key Teilenr.	Gegurtet auf Rolle Größe	Preisangaben	AVX Teilenr.
0508	X7R	16V	47000pF	±20%	478-2326-1-ND	2.98	1.77	1.02	478-2326-2-ND	4,000	487.65/M	W2L1YC473MAT1S
		16V	68000pF	±20%	478-2327-1-ND	2.98	1.77	1.02	478-2327-2-ND	4,000	487.65/M	W2L1YC683MAT1S
		16V	.1µF	±20%	478-2121-1-ND	3.08	1.82	1.05	478-2121-2-ND	4,000	502.88/M	W2L1YC104MAT1A
		16V	.22µF	±20%	478-2329-1-ND	3.36	1.99	1.15	478-2329-2-ND	4,000	548.60/M	W2L1YC224MAT1A
		10V	.1µF	±20%	478-2122-1-ND	3.08	1.82	1.05	478-2122-2-ND	4,000	502.88/M	W2L1ZC104MAT1S
		10V	.22µF	±20%	478-2328-1-ND	3.26	1.93	1.12	478-2328-2-ND	4,000	533.36/M	W3L1ZC224MAT1A
		10V	.47µF	±20%	478-2123-1-ND	3.26	1.93	1.12	478-2123-2-ND	4,000	533.36/M	W2L1ZC474MAT1A
		4.0V	.33µF	±20%	478-2330-1-ND	3.64	2.15	1.24	478-2330-2-ND	4,000	594.32/M	W2L14C334MAT1A
		4.0V	1.0µF	±20%	478-2126-1-ND	3.64	2.15	1.24	478-2126-2-ND	4,000	594.32/M	W2L14C105MAT1A
	X5R	10V	.33µF	±20%	478-2331-1-ND	3.54	2.10	1.21	478-2331-2-ND	4,000	579.08/M	W2L1ZD334MAT1S
		10V	.47µF	±20%	478-2124-1-ND	3.26	1.93	1.12	478-2124-2-ND	4,000	533.36/M	W2L1ZD474MAT1S
		6.3V	1.0µF	±20%	478-2125-1-ND	3.73	2.21	1.27	478-2125-2-ND	4,000	609.56/M	W2L16D105MAT1A
		4.0V	1.5µF	±20%	478-2127-1-ND	3.26	1.93	1.12	478-2127-2-ND	4,000	533.36/M	W2L14D155MAT1A
0612	X7R	16V	.22µF	±20%	478-2335-1-ND	3.26	1.93	1.12	478-2335-2-ND	4,000	533.36/M	W3L1YC224MAT1S
		16V	.33µF	±20%	478-2334-1-ND	3.36	1.99	1.15	478-2334-2-ND	4,000	548.60/M	W3L1YC334MAT1A
		16V	.47µF	±20%	478-2128-1-ND	3.46	2.05	1.18	478-2128-2-ND	4,000	565.36/M	W3L1YC474MAT1A
		10V	.68µF	±20%	478-2333-1-ND	3.59	2.12	1.23	478-2333-2-ND	2,000	586.70/M	W3L1ZC684MAT1A
		10V	1.0µF	±20%	478-2129-1-ND	3.92	2.32	1.34	478-2129-2-ND	2,000	640.03/M	W3L1ZC105MAT1A
		4.0V	2.2µF	±20%	478-2131-1-ND	4.20	2.48	1.43	478-2131-2-ND	2,000	685.75/M	W3L14C225MAT1A
	X5R	10V	2.2µF	±20%	478-2332-1-ND	3.92	2.32	1.34	478-2332-2-ND	4,000	640.03/M	W3L1ZD225MAT1A
		6.3V	2.2µF	±20%	478-2130-1-ND	4.20	2.48	1.43	478-2130-2-ND	4,000	685.75/M	W3L16D225MAT1A
		4.0V	3.3µF	±20%	478-2132-1-ND	4.20	2.48	1.43	478-2132-2-ND	4,000	685.75/M	W3L14D335MAT1A

Alle Preisangaben in Euro und inklusive Zollgebühren.

KEMET® Vielschicht-Keramikchipkondensatoren

KEMET-Vielschicht-Keramikchipkondensatoren werden in Werken produziert, die speziell für die Fertigung von Chipkondensatoren ausgelegt sind. Der Prozess weist einen hohen Mechanisierungsgrad sowie eine präzise Kontrolle der Rohstoffe und Prozessbedingungen auf. Die Fertigung wird durch umfassende technologische und technische Fertigkeiten sowie Qualitätssicherungsprogramme ergänzt. Bei den Endabschlüssen wird standardmäßig eine Nickelschutzschicht mit Verzinnung verwendet, um eine ausgezeichnete Lötfähigkeit sicherzustellen.

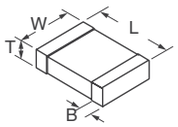

Größencode (EIA)	L	W	B
0402	1.00±0.05	0.50±0.05	0.20 – 0.40
0603	1.60±0.15	0.80±0.15	0.35±0.15
0805	2.00±0.20	1.25±0.20	0.50±0.25
1206	3.20±0.20	1.60±0.20	0.50±0.25
1210	3.20±0.20	2.50±0.20	0.50±0.25
1808	4.50±0.30	2.00±0.20	0.60±0.35
1812	4.50±0.30	3.20±0.30	0.60±0.35
1825	4.50±0.30	6.40±0.40	0.60±0.35
2225	5.60±0.40	6.40±0.40	0.60±0.35

Gehäuse-größe	Typ	Betriebs-spannung DC	Kapazität	Toleranz	Abm. T (mm)	Digi-Key Teilenr.	Gurtabschnittspreise 10	100	500	Digi-Key Teilenr.	Gegurtet auf Rolle Größe	Preisangaben	Kemet Teilenr.
0402	C0G (NP0)	50	.5pF	±0.25pF	0.5	399-1000-1-ND	3.28	19.43	56.04	399-1000-2-ND	10,000	54.19/M	C0402C508C5GACTU
		50	1.2pF	±0.25pF	0.5	399-1001-1-ND	.52	3.03	8.73	399-1001-2-ND	10,000	8.47/M	C0402C129C5GACTU
		50	1.5pF	±0.25pF	0.5	399-1002-1-ND	.52	3.03	8.73	399-1002-2-ND	10,000	8.47/M	C0402C159C5GACTU
		50	1.8pF	±0.25pF	0.5	399-1003-1-ND	.52	3.03	8.73	399-1003-2-ND	10,000	8.47/M	C0402C189C5GACTU
		50	2.0pF	±0.25pF	0.5	399-1004-1-ND	3.46	20.47	59.05	399-1004-2-ND	10,000	56.73/M	C0402C209C5GACTU
		50	2.7pF	±0.25pF	0.5	399-1005-1-ND	.52	3.03	8.73	399-1005-2-ND	10,000	8.47/M	C0402C279C5GACTU
		50	3.0pF	±0.25pF	0.5	399-1006-1-ND	3.46	20.47	59.05	399-1006-2-ND	10,000	56.73/M	C0402C309C5GACTU
		50	3.3pF	±0.25pF	0.5	399-1007-1-ND	.52	3.03	8.73	399-1007-2-ND	10,000	8.47/M	C0402C339C5GACTU
		50	5.6pF	±0.5pF	0.5	399-1008-1-ND	2.89	17.06	49.21	399-1008-2-ND	10,000	47.41/M	C0402C569D5GACTU
		50	8.2pF	±0.5pF	0.5	399-1009-1-ND	2.89	17.06	49.21	399-1009-2-ND	10,000	47.41/M	C0402C829D5GACTU
		50	9.1pF	±0.5pF	0.5	399-1010-1-ND	3.46	20.47	59.05	399-1010-2-ND	10,000	56.73/M	C0402C919D5GACTU
		50	10pF	±5%	0.5	399-1011-1-ND	.42	2.48	7.15	399-1011-2-ND	10,000	6.78/M	C0402C100J5GACTU
		50	11pF	±5%	0.5	399-1012-1-ND	3.91	23.11	66.67	399-1012-2-ND	10,000	64.35/M	C0402C110J5GACTU
		50	12pF	±5%	0.5	399-1013-1-ND	.45	2.64	7.62	399-1013-2-ND	10,000	7.62/M	C0402C120J5GACTU
		50	15pF	±5%	0.5	399-1014-1-ND	.45	2.64	7.62	399-1014-2-ND	10,000	7.62/M	C0402C150J5GACTU
		50	22pF	±5%	0.5	399-1015-1-ND	.45	2.64	7.62	399-1015-2-ND	10,000	7.62/M	C0402C220J5GACTU
		50	27pF	±5%	0.5	399-1016-1-ND	.45	2.64	7.62	399-1016-2-ND	10,000	7.62/M	C0402C270J5GACTU
		50	33pF	±5%	0.5	399-1017-1-ND	.45	2.64	7.62	399-1017-2-ND	10,000	7.62/M	C0402C330J5GACTU
		50	39pF	±5%	0.5	399-1018-1-ND	.45	2.64	7.62	399-1018-2-ND	10,000	7.62/M	C0402C390J5GACTU
		50	47pF	±5%	0.5	399-1019-1-ND	.45	2.64	7.62	399-1019-2-ND	10,000	7.62/M	C0402C470J5GACTU
		50	56pF	±5%	0.5	399-1020-1-ND	.45	2.64	7.62	399-1020-2-ND	10,000	7.62/M	C0402C560J5GACTU
		50	75pF	±5%	0.5	399-3191-1-ND	3.91	23.11	66.67	399-3191-2-ND	10,000	64.35/M	C0402C750J5GACTU
		50	82pF	±5%	0.5	399-3192-1-ND	3.26	19.26	55.56	399-3192-2-ND	10,000	53.34/M	C0402C820J5GACTU
		50	91pF	±5%	0.5	399-3193-1-ND	3.91	23.11	66.67	399-3193-2-ND	10,000	64.35/M	C0402C910J5GACTU
		50	100pF	±5%	0.5	399-3194-1-ND	3.26	19.26	55.56	399-3194-2-ND	10,000	53.34/M	C0402C101J5GACTU
		25	82pF	±5%	0.5	399-1021-1-ND	3.26	19.26	55.56	399-1021-2-ND	10,000	53.34/M	C0402C820J3GACTU
		25	100pF	±5%	0.5	399-1022-1-ND	.45	2.64	7.62	399-1022-2-ND	10,000	7.62/M	C0402C101J3GACTU
	X7R	50	220pF	±10%	0.5	399-1030-1-ND	3.45	20.36	58.74	399-1030-2-ND	10,000	56.73/M	C0402C221K5RACTU
		50	330pF	±10%	0.5	399-1023-1-ND	3.45	20.36	58.74	399-1023-2-ND	10,000	56.73/M	C0402C331K5RACTU
		50	470pF	±10%	0.5	399-1025-1-ND	3.45	20.36	58.74	399-1025-2-ND	10,000	56.73/M	C0402C471K5RACTU
		50	560pF	±10%	0.5	399-1026-1-ND	.62	3.63	10.48	399-1026-2-ND	10,000	10.16/M	C0402C561K5RACTU
		50	680pF	±10%	0.5	399-1027-1-ND	.62	3.63	10.48	399-1027-2-ND	10,000	10.16/M	C0402C681K5RACTU
		50	1000pF	±10%	0.5	399-1032-1-ND	.47	2.75	7.94	399-1032-2-ND	10,000	7.62/M	C0402C102K5RACTU
		50	1200pF	±10%	0.5	399-1028-1-ND	.62	3.63	10.48	399-1028-2-ND	10,000	10.16/M	C0402C122K5RACTU
		50	1500pF	±10%	0.5	399-1029-1-ND	3.45	20.36	58.74	399-1029-2-ND	10,000	56.73/M	C0402C152K5RACTU
		50	1800pF	±10%	0.5	399-3067-1-ND	3.45	20.36	58.74	399-3067-2-ND	10,000	56.73/M	C0402C182K5RACTU
		50	2200pF	±10%	0.5	399-3068-1-ND	3.45	20.36	58.74	399-3068-2-ND	10,000	56.73/M	C0402C222K5RACTU
		50	2700pF	±10%	0.5	399-3069-1-ND	3.45	20.36	58.74	399-3069-2-ND	10,000	56.73/M	C0402C272K5RACTU
		50	3300pF	±10%	0.5	399-3070-1-ND	3.45	20.36	58.74	399-3070-2-ND	10,000	56.73/M	C0402C332K5RACTU
		50	3900pF	±10%	0.5	399-3071-1-ND	3.45	20.36	58.74	399-3071-2-ND	10,000	56.73/M	C0402C392K5RACTU
		50	4700pF	±10%	0.5	399-3072-1-ND	3.45	20.36	58.74	399-3072-2-ND	10,000	56.73/M	C0402C472K5RACTU
		50	5600pF	±10%	0.5	399-3073-1-ND	2.07	12.22	35.24	399-3073-2-ND	10,000	33.87/M	C0402C562K5RACTU
		50	6800pF	±10%	0.5	399-3074-1-ND	2.07	12.22	35.24	399-3074-2-ND	10,000	33.87/M	C0402C682K5RACTU
		50	8200pF	±10%	0.5	399-3075-1-ND	2.07	12.22	35.24	399-3075-2-ND	10,000	33.87/M	C0402C822K5RACTU
		50	10000pF	±10%	0.5	399-3066-1-ND	1.96	11.56	33.34	399-3066-2-ND	10,000	32.18/M	C0402C103K5RACTU
		25	470pF	±10%	0.5	399-1024-1-ND	3.45	20.36	58.74	399-1024-2-ND	10,000	56.73/M	C0402C471K3RACTU
		25	1000pF	±10%	0.5	399-1031-1-ND	3.26	19.26	55.56	399-1031-2-ND	10,000	53.34/M	C0402C102K3RACTU
		25	2200pF	±10%	0.5	399-1033-1-ND	.53	3.14	9.05	399-1033-2-ND	10,000	8.47/M	C0402C222K3RACTU
		25	3900pF	±10%	0.5	399-1034-1-ND	.47	2.75	7.94	399-1034-2-ND	10,000	7.62/M	C0402C392K3RACTU
		25	4700pF	±10%	0.5	399-1035-1-ND	.47	2.75	7.94	399-1035-2-ND	10,000	7.62/M	C0402C472K3RACTU
		25	5600pF	±10%	0.5	399-1276-1-ND	2.07	12.22	35.24	399-1276-2-ND	10,000	33.87/M	C0402C562K3RACTU
		25	8200pF	±10%	0.5	399-1277-1-ND	2.07	12.22	35.24	399-1277-2-ND	10,000	33.87/M	C0402C822K3RACTU
		25	10000pF	±5%	0.5	399-1279-1-ND	4.56	26.96	77.79	399-1279-2-ND	10,000	74.51/M	C0402C103J3RACTU
		25	10000pF	±10%	0.5	399-1278-1-ND	.47	2.75	7.94	399-1278-2-ND	10,000	7.62/M	C0402C103K3RACTU
		16	5600pF	±10%	0.5	399-1036-1-ND	3.45	20.36	58.74	399-1036-2-ND	10,000	56.73/M	C0402C562K4RACTU
		16	8200pF	±10%	0.5	399-1037-1-ND	3.45	20.36	58.74	399-1037-2-ND	10,000	56.73/M	C0402C822K4RACTU
		16	10000pF	±5%	0.5	399-1039-1-ND	4.56	26.96	77.79	399-1039-2-ND	10,000	74.51/M	C0402C103J4RACTU
		16	10000pF	±10%	0.5	399-1038-1-ND	.47	2.75	7.94	399-1038-2-ND	10,000	7.62/M	C0402C103K4RACTU
	X5R	10	12000pF	±10%	0.5	399-3009-1-ND	1.96	11.56	33.34	399-3009-2-ND	10,000	32.18/M	C0402C123K8PACTU
		10	15000pF	±10%	0.5	399-3011-1-ND	1.96	11.56	33.34	399-3011-2-ND	10,000	32.18/M	C0402C153K8PACTU
		10	18000pF	±10%	0.5	399-3013-1-ND	1.96	11.56	33.34	399-3013-2-ND	10,000	32.18/M	C0402C183K8PACTU
		10	22000pF	±10%	0.5	399-3015-1-ND	2.05	12.11	34.92	399-3015-2-ND	10,000	33.87/M	C0402C223K8PACTU
		10	27000pF	±10%	0.5	399-3017-1-ND	2.05	12.11	34.92	399-3017-2-ND	10,000	33.87/M	C0402C273K8PACTU
		10	33000pF	±10%	0.5	399-3019-1-ND	2.14	12.66	36.51	399-3019-2-ND	10,000	34.72/M	C0402C333K8PACTU
		10	47000pF	±10%	0.5	399-3021-1-ND	2.24	13.21	38.10	399-3021-2-ND	10,000	36.41/M	C0402C473K8PACTU
		10	68000pF	±10%	0.5	399-3023-1-ND	2.33	13.76	39.69	399-3023-2-ND	10,000	38.10/M	C0402C683K8PACTU
		10	.1µF	±10%	0.5	399-3027-1-ND	.70	4.13	11.90	399-3027-2-ND	10,000	11.86/M	C0402C104K8PACTU
		6.3	12000pF	±10%	0.5	399-3008-1-ND	1.96	11.56	33.34	399-3008-2-ND	10,000	32.18/M	C0402C123K9PACTU
		6.3	15000pF	±10%	0.5	399-3010-1-ND	1.96	11.56	33.34	399-3010-2-ND	10,000	32.18/M	C0402C153K9PACTU
		6.3	18000pF	±10%	0.5	399-3012-1-ND	1.96	11.56	33.34	399-3012-2-ND	10,000	32.18/M	C0402C183K9PACTU
		6.3	22000pF	±10%	0.5	399-3014-1-ND	2.05	12.11	34.92	399-3014-2-ND	10,000	33.87/M	C0402C223K9PACTU
		6.3	27000pF	±10%	0.5	399-3016-1-ND	2.05	12.11	34.92	399-3016-2-ND	10,000	33.87/M	C0402C273K9PACTU
		6.3	33000pF	±10%	0.5	399-3018-1-ND	2.14	12.66	36.51	399-3018-2-ND	10,000	34.72/M	C0402C333K9PACTU
		6.3	47000pF	±10%	0.5	399-3020-1-ND	2.24	13.21	38.10	399-3020-2-ND	10,000	36.41/M	C0402C473K9PACTU
		6.3	68000pF	±10%	0.5	399-3022-1-ND	2.33	13.76	39.69	399-3022-2-ND	10,000	38.10/M	C0402C683K9PACTU
		6.3	.1µF	±10%	0.5	399-3026-1-ND	.37	2.20	6.35	399-3026-2-ND	10,000	5.93/M	C0402C104K9PACTU
0603	C0G (NP0)	50	.5pF	±0.25pF	0.8	399-1044-1-ND	4.13	24.43	70.48	399-1044-2-ND	4,000	67.73/M	C0603C508C5GACTU
		50	1.0pF	±0.25pF	0.8	399-1045-1-ND	3.45	20.36	58.74	399-1045-2-ND	4,000	56.73/M	C0603C109C5GACTU
		50	1.5pF	±0.25pF	0.8	399-1046-1-ND	3.45	20.36	58.74	399-1046-2-ND	4,000	56.73/M	C0603C159C5GACTU
		50	2.0pF	±0.25pF	0.8	399-1047-1-ND	4.13	24.43	70.48	399-1047-2-ND	4,000	67.73/M	C0603C209C5GACTU
		50	3.0pF	±0.25pF	0.8	399-1048-1-ND	4.13	24.43	70.48	399-1048-2-ND	4,000	67.73/M	C0603C309C5GACTU
		50	10pF	±5%	0.8	399-1049-1-ND	.61	3.58	10.32	399-1049-2-ND	4,000	10.16/M	C0603C100J5GACTU
		50	12pF	±5%	0.8	399-1050-1-ND	1.96	11.56	33.34	399-1050-2-ND	4,000	32.17/M	C0603C120J5GACTU
		50	15pF	±5%	0.8	399-1051-1-ND	.61	3.58	10.32	399-1051-2-ND	4,000	10.16/M	C0603C150J5GACTU
		50	18pF	±5%	0.8	399-1052-1-ND	1.96	11.56	33.34	399-1052-2-ND	4,000	32.17/M	C0603C180J5GACTU
		50	22pF	±5%	0.8	399-1053-1-ND	.61	3.58	10.32	399-1053-2-ND	4,000	10.16/M	C0603C220J5GACTU
		50	27pF	±5%	0.8	399-1054-1-ND	.61	3.58	10.32	399-1054-2-ND	4,000	10.16/M	C0603C270J5GACTU
		50	33pF	±5%	0.8	399-1055-1-ND	1.96	11.56	33.34	399-1055-2-ND	4,000	32.17/M	C0603C330J5GACTU
		50	47pF	±5%	0.8	399-1056-1-ND	.61	3.58	10.32	399-1056-2-ND	4,000	10.16/M	C0603C470J5GACTU
		50	56pF	±5%	0.8	399-1057-1-ND	1.96	11.56	33.34	399-1057-2-ND	4,000	32.17/M	C0603C560J5GACTU
		50	68pF	±5%	0.8	399-1058-1-ND	1.96	11.56	33.34	399-1058-2-ND	4,000	32.17/M	C0603C680J5GACTU

HINWEIS: **Teile mit verbesserten Toleranzen oder Spannungen dürfen innerhalb derselben Gehäusegröße ersetzt werden. Diese Teile werden dieselbe oder eine bessere Leistung bieten als jene, die Sie bestellt haben.**

(Forts.)

Gehäuse-größe	Typ	Betriebs-spannung DC	Kapazität	Toleranz	Abm. T (mm)	Digi-Key Teilenr.	Gurtabschnittspreise 10	100	500	Digi-Key Teilenr.	Gegurtet auf Rolle Größe	Preisangaben	Kemet Teilenr.
0603	C0G (NP0)	50	82pF	±5%	0.8	399-1060-1-ND	1.96	11.56	33.34	399-1060-2-ND	4,000	32.17/M	C0603C820J5GACTU
		50	82pF	±10%	0.8	399-1059-1-ND	1.86	11.01	31.75	399-1059-2-ND	4,000	30.48/M	C0603C820K5GACTU
		50	100pF	±5%	0.8	399-1061-1-ND	.61	3.58	10.32	399-1061-2-ND	4,000	10.16/M	C0603C101J5GACTU
		50	120pF	±5%	0.8	399-1062-1-ND	2.14	12.66	36.51	399-1062-2-ND	4,000	34.71/M	C0603C121J5GACTU
		50	150pF	±5%	0.8	399-1063-1-ND	.93	5.50	15.87	399-1063-2-ND	4,000	15.24/M	C0603C151J5GACTU
		50	180pF	±5%	0.8	399-1064-1-ND	.82	4.84	13.97	399-1064-2-ND	4,000	13.55/M	C0603C181J5GACTU
		50	220pF	±5%	0.8	399-1066-1-ND	.82	4.84	13.97	399-1066-2-ND	4,000	13.55/M	C0603C221J5GACTU
		50	220pF	±10%	0.8	399-1065-1-ND	2.24	13.21	38.10	399-1065-2-ND	4,000	36.41/M	C0603C221K5GACTU
		50	270pF	±5%	0.8	399-1067-1-ND	.75	4.40	12.70	399-1067-2-ND	4,000	11.86/M	C0603C271J5GACTU
		50	330pF	±5%	0.8	399-1068-1-ND	2.51	14.86	42.86	399-1068-2-ND	4,000	41.49/M	C0603C331J5GACTU
		50	390pF	±5%	0.8	399-1069-1-ND	2.51	14.86	42.86	399-1069-2-ND	4,000	41.49/M	C0603C391J5GACTU
		50	560pF	±5%	0.8	399-3287-1-ND	2.70	15.96	46.04	399-3287-2-ND	4,000	44.03/M	C0603C561J5GACTU
		50	620pF	±5%	0.8	399-3288-1-ND	3.26	19.26	55.56	399-3288-2-ND	4,000	53.34/M	C0603C621J5GACTU
		50	680pF	±5%	0.8	399-3289-1-ND	2.70	15.96	46.04	399-3289-2-ND	4,000	44.03/M	C0603C681J5GACTU
		50	750pF	±5%	0.8	399-3290-1-ND	3.35	19.81	57.15	399-3290-2-ND	4,000	55.03/M	C0603C751J5GACTU
		50	820pF	±5%	0.8	399-3291-1-ND	2.79	16.51	47.62	399-3291-2-ND	4,000	45.72/M	C0603C821J5GACTU
		50	910pF	±5%	0.8	399-3292-1-ND	3.46	20.47	59.05	399-3292-2-ND	4,000	56.73/M	C0603C911J5GACTU
		50	1000pF	±5%	0.8	399-3293-1-ND	2.89	17.06	49.21	399-3293-2-ND	4,000	47.41/M	C0603C102J5GACTU
	X7R	100	5600pF	±10%	0.8	399-3186-1-ND	2.79	16.51	47.62	399-3186-2-ND	4,000	45.72/M	C0603C562K1RACTU
		100	6800pF	±10%	0.8	399-3187-1-ND	2.79	16.51	47.62	399-3187-2-ND	4,000	45.72/M	C0603C682K1RACTU
		100	8200pF	±10%	0.8	399-3188-1-ND	2.79	16.51	47.62	399-3188-2-ND	4,000	45.72/M	C0603C822K1RACTU
		100	10000pF	±5%	0.8	399-3190-1-ND	4.19	24.76	71.44	399-3190-2-ND	4,000	68.58/M	C0603C103J1RACTU
		100	10000pF	±10%	0.8	399-3189-1-ND	2.79	16.51	47.62	399-3189-2-ND	4,000	45.72/M	C0603C103K1RACTU
		100	.012µF	±10%	0.8	399-3473-1-ND	2.79	16.51	47.62	399-3473-2-ND	4,000	45.72/M	C0603C123K1RACTU
		100	.015µF	±10%	0.8	399-3474-1-ND	2.79	16.51	47.62	399-3474-2-ND	4,000	45.72/M	C0603C153K1RACTU
		100	.018µF	±10%	0.8	399-3475-1-ND	2.79	16.51	47.62	399-3475-2-ND	4,000	45.72/M	C0603C183K1RACTU
		100	.022µF	±10%	0.8	399-3476-1-ND	2.79	16.51	47.62	399-3476-2-ND	4,000	45.72/M	C0603C223K1RACTU
		100	.027µF	±10%	0.8	399-3477-1-ND	2.79	16.51	47.62	399-3477-2-ND	4,000	45.72/M	C0603C273K1RACTU
		100	.033µF	±10%	0.8	399-3478-1-ND	2.79	16.51	47.62	399-3478-2-ND	4,000	45.72/M	C0603C333K1RACTU
		100	.039µF	±10%	0.8	399-3479-1-ND	2.79	16.51	47.62	399-3479-2-ND	4,000	45.72/M	C0603C393K1RACTU
		50	220pF	±10%	0.8	399-1071-1-ND	.65	3.85	11.12	399-1071-2-ND	4,000	11.01/M	C0603C221K5RACTU
		50	220pF	±20%	0.8	399-1070-1-ND	2.33	13.76	39.69	399-1070-2-ND	4,000	38.10/M	C0603C221M5RACTU
		50	270pF	±10%	0.8	399-1072-1-ND	2.42	14.31	41.27	399-1072-2-ND	4,000	39.79/M	C0603C271K5RACTU
		50	330pF	±10%	0.8	399-1073-1-ND	2.42	14.31	41.27	399-1073-2-ND	4,000	39.79/M	C0603C331K5RACTU
		50	390pF	±10%	0.8	399-1074-1-ND	2.42	14.31	41.27	399-1074-2-ND	4,000	39.79/M	C0603C391K5RACTU
		50	470pF	±10%	0.8	399-1075-1-ND	.56	3.30	9.52	399-1075-2-ND	4,000	9.32/M	C0603C471K5RACTU
		50	560pF	±10%	0.8	399-1076-1-ND	2.42	14.31	41.27	399-1076-2-ND	4,000	39.79/M	C0603C561K5RACTU
		50	680pF	±10%	0.8	399-1077-1-ND	2.42	14.31	41.27	399-1077-2-ND	4,000	39.79/M	C0603C681K5RACTU
		50	820pF	±10%	0.8	399-1078-1-ND	2.42	14.31	41.27	399-1078-2-ND	4,000	39.79/M	C0603C821K5RACTU
		50	1000pF	±5%	0.8	399-1083-1-ND	.68	4.02	11.59	399-1083-2-ND	4,000	11.01/M	C0603C102J5RACTU
		50	1000pF	±10%	0.8	399-1082-1-ND	.45	2.64	7.62	399-1082-2-ND	4,000	7.62/M	C0603C102K5RACTU
		50	1500pF	±10%	0.8	399-1084-1-ND	2.42	14.31	41.27	399-1084-2-ND	4,000	39.79/M	C0603C152K5RACTU
		50	2200pF	±10%	0.8	399-1085-1-ND	.54	3.19	9.21	399-1085-2-ND	4,000	8.47/M	C0603C222K5RACTU
		50	3300pF	±10%	0.8	399-1086-1-ND	2.42	14.31	41.27	399-1086-2-ND	4,000	39.79/M	C0603C332K5RACTU
		50	4700pF	±5%	0.8	399-1088-1-ND	3.63	21.46	61.91	399-1088-2-ND	4,000	59.27/M	C0603C472J5RACTU
		50	4700pF	±10%	0.8	399-1087-1-ND	2.42	14.31	41.27	399-1087-2-ND	4,000	39.79/M	C0603C472K5RACTU
		50	6800pF	±5%	0.8	399-1090-1-ND	3.63	21.46	61.91	399-1090-2-ND	4,000	59.27/M	C0603C682J5RACTU
		50	6800pF	±10%	0.8	399-1089-1-ND	2.42	14.31	41.27	399-1089-2-ND	4,000	39.79/M	C0603C682K5RACTU
		50	10000pF	±5%	0.8	399-1092-1-ND	.68	4.02	11.59	399-1092-2-ND	4,000	11.01/M	C0603C103J5RACTU
		50	10000pF	±10%	0.8	399-1091-1-ND	.36	2.09	6.04	399-1091-2-ND	4,000	5.93/M	C0603C103K5RACTU
		50	22000pF	±10%	0.8	399-1280-1-ND	2.70	15.96	46.04	399-1280-2-ND	4,000	44.03/M	C0603C223K5RACTU
		25	22000pF	±10%	0.8	399-1094-1-ND	1.96	11.56	33.34	399-1094-2-ND	4,000	32.17/M	C0603C223K3RACTU
		25	.10µF	±5%	0.8	399-1282-1-ND	3.91	23.11	66.67	399-1282-2-ND	4,000	64.35/M	C0603C104J3RACTU
		25	.10µF	±10%	0.8	399-1281-1-ND	1.00	5.89	16.98	399-1281-2-ND	4,000	16.09/M	C0603C104K3RACTU
		25	.10µF	±20%	0.8	399-1283-1-ND	2.73	16.18	46.67	399-1283-2-ND	4,000	44.87/M	C0603C104M3RACTU
		16	22000pF	±10%	0.8	399-1093-1-ND	1.96	11.56	33.34	399-1093-2-ND	4,000	32.17/M	C0603C223K4RACTU
		16	.10µF	±5%	0.8	399-1097-1-ND	.70	4.13	11.90	399-1097-2-ND	4,000	11.86/M	C0603C104J4RACTU
		16	.10µF	±10%	0.8	399-1096-1-ND	.47	2.75	7.94	399-1096-2-ND	4,000	7.62/M	C0603C104K4RACTU
		16	.10µF	±20%	0.8	399-1099-1-ND	.47	2.75	7.94	399-1099-2-ND	4,000	7.62/M	C0603C104M4RACTU
		10	.10µF	±10%	0.8	399-1095-1-ND	.75	4.40	12.70	399-1095-2-ND	4,000	11.86/M	C0603C104K8RACTU
	X5R	10	.27µF	±10%	0.8	399-3111-1-ND	2.20	12.99	37.46	399-3111-2-ND	4,000	35.56/M	C0603C274K8PACTU
		10	.33µF	±10%	0.8	399-3112-1-ND	2.20	12.99	37.46	399-3112-2-ND	4,000	35.56/M	C0603C334K8PACTU
		10	.39µF	±10%	0.8	399-3113-1-ND	2.20	12.99	37.46	399-3113-2-ND	4,000	35.56/M	C0603C394K8PACTU
		10	.47µF	±10%	0.8	399-3114-1-ND	2.20	12.99	37.46	399-3114-2-ND	4,000	35.56/M	C0603C474K8PACTU
		10	.56µF	±10%	0.8	399-3115-1-ND	2.20	12.99	37.46	399-3115-2-ND	4,000	35.56/M	C0603C564K8PACTU
		10	.68µF	±10%	0.8	399-3116-1-ND	2.20	12.99	37.46	399-3116-2-ND	4,000	35.56/M	C0603C684K8PACTU
		10	.82µF	±10%	0.8	399-3117-1-ND	2.20	12.99	37.46	399-3117-2-ND	4,000	35.56/M	C0603C824K8PACTU
		10	1.0µF	±10%	0.8	399-3118-1-ND	1.68	9.91	28.57	399-3118-2-ND	4,000	27.09/M	C0603C105K8PACTU
		6.3	1.2µF	±10%	0.8	399-3359-1-ND	2.57	15.14	43.65	399-3359-2-ND	4,000	42.33/M	C0603C125K9PACTU
		6.3	1.5µF	±10%	0.8	399-3360-1-ND	2.57	15.14	43.65	399-3360-2-ND	4,000	42.33/M	C0603C155K9PACTU
		6.3	1.8µF	±10%	0.8	399-3361-1-ND	2.75	16.24	46.83	399-3361-2-ND	4,000	44.87/M	C0603C185K9PACTU
		6.3	2.2µF	±10%	0.8	399-3362-1-ND	3.73	22.01	63.50	399-3362-2-ND	4,000	60.96/M	C0603C225K9PACTU
		6.3	2.7µF	±10%	0.8	399-3480-1-ND	5.12	30.27	87.31	399-3480-2-ND	4,000	83.82/M	C0603C275K9PACTU
		6.3	3.3µF	±10%	0.8	399-3481-1-ND	5.12	30.27	87.31	399-3481-2-ND	4,000	83.82/M	C0603C335K9PACTU
		6.3	4.7µF	±10%	0.8	399-3482-1-ND	5.12	30.27	87.31	399-3482-2-ND	4,000	83.82/M	C0603C475K9PACTU
	Y5V	25	.10µF	+80%, -20%	0.8	399-1100-1-ND	.47	2.75	7.94	399-1100-2-ND	4,000	7.62/M	C0603C104Z3VACTU
		25	.10µF	±20%	0.8	399-1101-1-ND	.52	3.03	8.73	399-1101-2-ND	4,000	8.47/M	C0603C104M3VACTU
		25	.15µF	+80%, -20%	0.8	399-1290-1-ND	2.46	14.53	41.91	399-1290-2-ND	4,000	40.64/M	C0603C154Z3VACTU
		25	.22µF	+80%, -20%	0.8	399-1103-1-ND	2.62	15.52	44.77	399-1103-2-ND	4,000	43.18/M	C0603C224Z3VACTU
		25	.33µF	+80%, -20%	0.8	399-1292-1-ND	2.89	17.06	49.21	399-1292-2-ND	4,000	47.41/M	C0603C334Z3VACTU
		16	.10µF	+80%, -20%	0.8	399-1098-1-ND	.47	2.75	7.94	399-1098-2-ND	4,000	7.62/M	C0603C104Z4VACTU
		16	.15µF	+80%, -20%	0.8	399-1289-1-ND	2.40	14.15	40.80	399-1289-2-ND	4,000	38.95/M	C0603C154Z4VACTU
		16	.22µF	+80%, -20%	0.8	399-1102-1-ND	.91	5.34	15.40	399-1102-2-ND	4,000	14.40/M	C0603C224Z4VACTU
		16	.33µF	+80%, -20%	0.8	399-1291-1-ND	2.51	14.86	42.86	399-1291-2-ND	4,000	41.49/M	C0603C334Z4VACTU
		10	.47µF	+80%, -20%	0.8	399-3218-1-ND	2.47	14.59	42.07	399-3218-2-ND	4,000	40.64/M	C0603C474Z8VACTU
		10	.68µF	+80%, -20%	1.0	399-3220-1-ND	3.35	19.81	57.15	399-3220-2-ND	4,000	55.03/M	C0603C684Z8VACTU
		10	1µF	+80%, -20%	1.25	399-3216-1-ND	1.12	6.60	19.05	399-3216-2-ND	4,000	18.63/M	C0603C105Z8VACTU
		6.3	.47µF	+80%, -20%	0.8	399-3219-1-ND	2.47	14.59	42.07	399-3219-2-ND	4,000	40.64/M	C0603C474Z9VACTU
		6.3	.68µF	+80%, -20%	1.0	399-3221-1-ND	3.35	19.81	57.15	399-3221-2-ND	4,000	55.03/M	C0603C684Z9VACTU
		6.3	1µF	+80%, -20%	1.25	399-3217-1-ND	1.12	6.60	19.05	399-3217-2-ND	4,000	18.63/M	C0603C105Z9VACTU
0805	C0G (NP0)	100	10pF	±5%	0.78	399-1109-1-ND	1.02	6.05	17.47	399-1109-2-ND	4,000	16.94/M	C0805C100J1GACTU
		100	100pF	±5%	0.78	399-1123-1-ND	1.02	6.05	17.47	399-1123-2-ND	4,000	16.94/M	C0805C101J1GACTU
		100	220pF	±5%	0.78	399-1128-1-ND	2.61	15.41	44.45	399-1128-2-ND	4,000	42.33/M	C0805C221J1GACTU
		100	330pF	±5%	0.78	399-1131-1-ND	1.02	6.05	17.47	399-1131-2-ND	4,000	16.94/M	C0805C331J1GACTU
		100	1000pF	±5%	0.9	399-1137-1-ND	3.45	20.36	58.74	399-1137-2-ND	4,000	56.73/M	C0805C102J1GACTU
		50	1.0pF	±0.25pF	0.78	399-1104-1-ND	3.26	19.26	55.56	399-1104-2-ND	4,000	53.34/M	C0805C109C5GACTU
		50	1.5pF	±0.25pF	0.78	399-1105-1-ND	3.26	19.26	55.56	399-1105-2-ND	4,000	53.34/M	C0805C159C5GACTU
		50	2.0pF	±0.25pF	0.78	399-1106-1-ND	3.91	23.11	66.67	399-1106-2-ND	4,000	64.35/M	C0805C209C5GACTU

HINWEIS: **Teile mit verbesserten Toleranzen oder Spannungen dürfen innerhalb derselben Gehäusegröße ersetzt werden. Diese Teile werden dieselbe oder eine bessere Leistung bieten als jene, die Sie bestellt haben.** *(Forts.)*

Gehäuse-größe	Typ	Betriebs-spannung DC	Kapazität	Toleranz	Abm. T (mm)	Digi-Key Teilenr.	Gurtabschnittspreise 10	100	500	Digi-Key Teilenr.	Gegurtet auf Rolle Größe	Preisangaben	Kemet Teilenr.
		50	3.0pF	±0.25pF	0.78	399-1107-1-ND	3.91	23.11	66.67	399-1107-2-ND	4,000	64.35/M	C0805C309C5GACTU
		50	10pF	±5%	0.78	399-1108-1-ND	.82	4.84	13.97	399-1108-2-ND	4,000	13.55/M	C0805C100J5GACTU
		50	12pF	±5%	0.78	399-1110-1-ND	.82	4.84	13.97	399-1110-2-ND	4,000	13.55/M	C0805C120J5GACTU
		50	15pF	±5%	0.78	399-1111-1-ND	.82	4.84	13.97	399-1111-2-ND	4,000	13.55/M	C0805C150J5GACTU
		50	18pF	±5%	0.78	399-1112-1-ND	.82	4.84	13.97	399-1112-2-ND	4,000	13.55/M	C0805C180J5GACTU
		50	22pF	±5%	0.78	399-1113-1-ND	.82	4.84	13.97	399-1113-2-ND	4,000	13.55/M	C0805C220J5GACTU
		50	27pF	±5%	0.78	399-1114-1-ND	.82	4.84	13.97	399-1114-2-ND	4,000	13.55/M	C0805C270J5GACTU
		50	33pF	±5%	0.78	399-1115-1-ND	.82	4.84	13.97	399-1115-2-ND	4,000	13.55/M	C0805C330J5GACTU
		50	39pF	±5%	0.78	399-1116-1-ND	1.86	11.01	31.75	399-1116-2-ND	4,000	30.48/M	C0805C390J5GACTU
		50	47pF	±5%	0.78	399-1117-1-ND	.82	4.84	13.97	399-1117-2-ND	4,000	13.55/M	C0805C470J5GACTU
		50	56pF	±5%	0.78	399-1118-1-ND	.82	4.84	13.97	399-1118-2-ND	4,000	13.55/M	C0805C560J5GACTU
		50	68pF	±5%	0.78	399-1119-1-ND	.82	4.84	13.97	399-1119-2-ND	4,000	13.55/M	C0805C680J5GACTU
	C0G (NP0)	50	82pF	±5%	0.78	399-1120-1-ND	1.86	11.01	31.75	399-1120-2-ND	4,000	30.48/M	C0805C820J5GACTU
		50	100pF	±5%	0.78	399-1122-1-ND	.82	4.84	13.97	399-1122-2-ND	4,000	13.55/M	C0805C101J5GACTU
		50	100pF	±10%	0.78	399-1121-1-ND	.82	4.84	13.97	399-1121-2-ND	4,000	13.55/M	C0805C101K5GACTU
		50	120pF	±5%	0.78	399-1124-1-ND	.93	5.50	15.87	399-1124-2-ND	4,000	15.24/M	C0805C121J5GACTU
		50	150pF	±5%	0.78	399-1125-1-ND	.93	5.50	15.87	399-1125-2-ND	4,000	15.24/M	C0805C151J5GACTU
		50	180pF	±5%	0.78	399-1126-1-ND	2.05	12.11	34.92	399-1126-2-ND	4,000	33.87/M	C0805C181J5GACTU
		50	220pF	±5%	0.78	399-1127-1-ND	.93	5.50	15.87	399-1127-2-ND	4,000	15.24/M	C0805C221J5GACTU
		50	270pF	±5%	0.78	399-1129-1-ND	2.24	13.21	38.10	399-1129-2-ND	4,000	36.41/M	C0805C271J5GACTU
		50	330pF	±5%	0.78	399-1130-1-ND	1.21	7.15	20.64	399-1130-2-ND	4,000	19.48/M	C0805C331J5GACTU
		50	390pF	±5%	0.78	399-1132-1-ND	2.42	14.31	41.27	399-1132-2-ND	4,000	39.79/M	C0805C391J5GACTU
		50	470pF	±5%	0.78	399-1133-1-ND	1.35	7.98	23.02	399-1133-2-ND	4,000	22.02/M	C0805C471J5GACTU
		50	560pF	±5%	0.78	399-1134-1-ND	2.61	15.41	44.45	399-1134-2-ND	4,000	42.33/M	C0805C561J5GACTU
		50	680pF	±5%	0.78	399-1135-1-ND	2.79	16.51	47.62	399-1135-2-ND	4,000	45.72/M	C0805C681J5GACTU
		50	1000pF	±5%	0.78	399-1136-1-ND	1.12	6.60	19.05	399-1136-2-ND	4,000	18.63/M	C0805C102J5GACTU
		100	1000pF	±10%	0.78	399-1148-1-ND	.89	5.23	15.08	399-1148-2-ND	4,000	14.40/M	C0805C102K1RACTU
		100	10000pF	±10%	0.78	399-1159-1-ND	.93	5.50	15.87	399-1159-2-ND	4,000	15.24/M	C0805C103K1RACTU
		100	.056µF	±10%	1.0	399-3483-1-ND	3.00	17.72	51.12	399-3483-2-ND	2,500	49.11/M	C0805C563K1RACTU
		100	.068µF	±10%	1.0	399-3484-1-ND	3.00	17.72	51.12	399-3484-2-ND	2,500	49.11/M	C0805C683K1RACTU
		100	.082µF	±10%	1.0	399-3485-1-ND	3.00	17.72	51.12	399-3485-2-ND	2,500	49.11/M	C0805C823K1RACTU
		100	.10µF	±10%	1.0	399-3486-1-ND	3.00	17.72	51.12	399-3486-2-ND	2,500	49.11/M	C0805C104K1RACTU
		100	.12µF	±10%	1.25	399-3488-1-ND	3.00	17.72	51.12	399-3488-2-ND	2,500	49.11/M	C0805C124K1RACTU
		50	220pF	±10%	0.78	399-1138-1-ND	3.07	18.16	52.39	399-1138-2-ND	4,000	49.95/M	C0805C221K5RACTU
		50	270pF	±10%	0.78	399-1139-1-ND	3.07	18.16	52.39	399-1139-2-ND	4,000	49.95/M	C0805C271K5RACTU
		50	330pF	±10%	0.78	399-1140-1-ND	3.07	18.16	52.39	399-1140-2-ND	4,000	49.95/M	C0805C331K5RACTU
		50	390pF	±10%	0.78	399-1141-1-ND	3.07	18.16	52.39	399-1141-2-ND	4,000	49.95/M	C0805C391K5RACTU
		50	470pF	±10%	0.78	399-1142-1-ND	.63	3.74	10.79	399-1142-2-ND	4,000	10.16/M	C0805C471K5RACTU
		50	560pF	±10%	0.78	399-1143-1-ND	2.33	13.76	39.69	399-1143-2-ND	4,000	38.10/M	C0805C561K5RACTU
		50	680pF	±10%	0.78	399-1144-1-ND	2.33	13.76	39.69	399-1144-2-ND	4,000	38.10/M	C0805C681K5RACTU
		50	820pF	±10%	0.78	399-1145-1-ND	2.33	13.76	39.69	399-1145-2-ND	4,000	38.10/M	C0805C821K5RACTU
		50	1000pF	±5%	0.78	399-1149-1-ND	.70	4.13	11.90	399-1149-2-ND	4,000	11.86/M	C0805C102J5RACTU
		50	1000pF	±10%	0.78	399-1147-1-ND	.42	2.48	7.15	399-1147-2-ND	4,000	6.78/M	C0805C102K5RACTU
		50	1000pF	±20%	0.78	399-1146-1-ND	.42	2.48	7.15	399-1146-2-ND	4,000	6.78/M	C0805C102M5RACTU
		50	1500pF	±10%	0.78	399-1150-1-ND	2.33	13.76	39.69	399-1150-2-ND	4,000	38.10/M	C0805C152K5RACTU
		50	2200pF	±10%	0.78	399-1151-1-ND	.45	2.64	7.62	399-1151-2-ND	4,000	7.62/M	C0805C222K5RACTU
		50	2700pF	±10%	0.78	399-1152-1-ND	2.33	13.76	39.69	399-1152-2-ND	4,000	38.10/M	C0805C272K5RACTU
		50	3300pF	±10%	0.78	399-1153-1-ND	2.33	13.76	39.69	399-1153-2-ND	4,000	38.10/M	C0805C332K5RACTU
0805	X7R	50	3900pF	±10%	0.78	399-1154-1-ND	2.33	13.76	39.69	399-1154-2-ND	4,000	38.10/M	C0805C392K5RACTU
		50	4700pF	±10%	0.78	399-1155-1-ND	.45	2.64	7.62	399-1155-2-ND	4,000	7.62/M	C0805C472K5RACTU
		50	5600pF	±10%	0.78	399-1156-1-ND	2.33	13.76	39.69	399-1156-2-ND	4,000	38.10/M	C0805C562K5RACTU
		50	6800pF	±10%	0.78	399-1157-1-ND	2.33	13.76	39.69	399-1157-2-ND	4,000	38.10/M	C0805C682K5RACTU
		50	10000pF	±10%	0.78	399-1158-1-ND	.42	2.48	7.15	399-1158-2-ND	4,000	6.78/M	C0805C103K5RACTU
		50	10000pF	±20%	0.78	399-1160-1-ND	.42	2.48	7.15	399-1160-2-ND	4,000	6.78/M	C0805C103M5RACTU
		50	15000pF	±10%	0.9	399-1161-1-ND	2.61	15.41	44.45	399-1161-2-ND	4,000	42.33/M	C0805C153K5RACTU
		50	18000pF	±10%	0.78	399-1162-1-ND	2.61	15.41	44.45	399-1162-2-ND	4,000	42.33/M	C0805C183K5RACTU
		50	22000pF	±10%	0.78	399-1163-1-ND	.65	3.85	11.12	399-1163-2-ND	4,000	11.01/M	C0805C223K5RACTU
		50	27000pF	±10%	0.78	399-1164-1-ND	.65	3.85	11.12	399-1164-2-ND	4,000	11.01/M	C0805C273K5RACTU
		50	33000pF	±10%	0.78	399-1165-1-ND	2.89	17.06	49.21	399-1165-2-ND	4,000	47.41/M	C0805C333K5RACTU
		50	47000pF	±10%	0.9	399-1166-1-ND	.80	4.68	13.49	399-1166-2-ND	4,000	12.70/M	C0805C473K5RACTU
		50	.10µF	±5%	0.9	399-1171-1-ND	1.02	6.05	17.47	399-1171-2-ND	4,000	16.94/M	C0805C104J5RACTU
		50	.10µF	±10%	0.9	399-1170-1-ND	.70	4.13	11.90	399-1170-2-ND	4,000	11.86/M	C0805C104K5RACTU
		50	.10µF	±20%	0.9	399-1169-1-ND	.70	4.13	11.90	399-1169-2-ND	4,000	11.86/M	C0805C104M5RACTU
		50	.12µF	±10%	1.0	399-3487-1-ND	5.41	31.98	92.23	399-3487-2-ND	4,000	88.90/M	C0805C124K5RACTU
		50	.15µF	±10%	0.9	399-3489-1-ND	5.84	34.51	99.53	399-3489-2-ND	4,000	95.67/M	C0805C154K5RACTU
		50	.18µF	±10%	0.9	399-3490-1-ND	6.41	37.86	109.21	399-3490-2-ND	4,000	104.98/M	C0805C184K5RACTU
		50	.22µF	±10%	0.9	399-3491-1-ND	7.62	45.01	129.85	399-3491-2-ND	4,000	124.45/M	C0805C224K5RACTU
		25	.10µF	±10%	0.9	399-1168-1-ND	.70	4.13	11.90	399-1168-2-ND	4,000	11.86/M	C0805C104K3RACTU
		25	.56µF	±10%	1.25	399-3492-1-ND	9.74	57.51	165.88	399-3492-2-ND	2,500	159.16/M	C0805C564K3RACTU
		16	.10µF	±10%	0.9	399-1167-1-ND	.70	4.13	11.90	399-1167-2-ND	4,000	11.86/M	C0805C104K4RACTU
		16	1.0µF	±10%	1.25	399-1284-1-ND	1.54	9.08	26.19	399-1284-2-ND	2,500	25.40/M	C0805C105K4RACTU
		10	1.0µF	±10%	1.25	399-1172-1-ND	1.40	8.25	23.81	399-1172-2-ND	2,500	22.86/M	C0805C105K8RACTU
		10	1.2µF	±10%	0.9	399-3119-1-ND	3.82	22.56	65.09	399-3119-2-ND	4,000	62.65/M	C0805C125K8PACTU
		10	1.5µF	±10%	1.0	399-3121-1-ND	4.00	23.66	68.26	399-3121-2-ND	2,500	65.19/M	C0805C155K8PACTU
		10	1.8µF	±10%	1.25	399-3123-1-ND	4.19	24.76	71.44	399-3123-2-ND	2,500	68.58/M	C0805C185K8PACTU
		10	2.2µF	±10%	1.25	399-3125-1-ND	3.82	22.56	65.09	399-3125-2-ND	2,500	62.65/M	C0805C225K8PACTU
		10	2.7µF	±10%	0.9	399-3127-1-ND	5.94	35.11	101.28	399-3127-2-ND	4,000	97.36/M	C0805C275K8PACTU
		10	3.3µF	±10%	1.0	399-3129-1-ND	5.94	35.11	101.28	399-3129-2-ND	2,500	97.36/M	C0805C335K8PACTU
		10	3.9µF	±10%	1.25	399-3131-1-ND	5.94	35.11	101.28	399-3131-2-ND	2,500	97.36/M	C0805C395K8PACTU
		10	4.7µF	±10%	1.25	399-3133-1-ND	4.19	24.76	71.44	399-3133-2-ND	2,500	68.58/M	C0805C475K8PACTU
		6.3	1.2µF	±10%	0.9	399-3120-1-ND	3.82	22.56	65.09	399-3120-2-ND	4,000	62.65/M	C0805C125K9PACTU
	X5R	6.3	1.5µF	±10%	1.0	399-3122-1-ND	4.00	23.66	68.26	399-3122-2-ND	2,500	65.19/M	C0805C155K9PACTU
		6.3	1.8µF	±10%	1.25	399-3124-1-ND	4.19	24.76	71.44	399-3124-2-ND	2,500	68.58/M	C0805C185K9PACTU
		6.3	2.2µF	±10%	1.25	399-3126-1-ND	3.82	22.56	65.09	399-3126-2-ND	2,500	62.65/M	C0805C225K9PACTU
		6.3	2.7µF	±10%	0.9	399-3128-1-ND	5.94	35.11	101.28	399-3128-2-ND	4,000	97.36/M	C0805C275K9PACTU
		6.3	3.3µF	±10%	1.0	399-3130-1-ND	5.94	35.11	101.28	399-3130-2-ND	2,500	97.36/M	C0805C335K9PACTU
		6.3	3.9µF	±10%	1.25	399-3132-1-ND	5.94	35.11	101.28	399-3132-2-ND	2,500	97.36/M	C0805C395K9PACTU
		6.3	4.7µF	±10%	1.25	399-3134-1-ND	4.75	28.06	80.96	399-3134-2-ND	2,500	77.89/M	C0805C475K9PACTU
		6.3	5.6µF	±10%	1.25	399-3135-1-ND	12.22	72.26	208.42	399-3135-2-ND	2,500	199.80/M	C0805C565K9PACTU
		6.3	6.8µF	±10%	1.25	399-3136-1-ND	12.22	72.26	208.42	399-3136-2-ND	2,500	199.80/M	C0805C685K9PACTU
		6.3	8.2µF	±10%	1.25	399-3137-1-ND	12.22	72.26	208.42	399-3137-2-ND	2,500	199.80/M	C0805C825K9PACTU
		6.3	10µF	±10%	1.25	399-3138-1-ND	7.45	44.02	126.99	399-3138-2-ND	3,000	121.91/M	C0805C106K9PACTU
		50	.10µF	+80%, -20%	0.9	399-1177-1-ND	.67	3.96	11.43	399-1177-2-ND	4,000	11.01/M	C0805C104Z5VACTU
		25	1.0µF	+80%, -20%	1.25	399-1293-1-ND	5.03	29.72	85.72	399-1293-2-ND	2,500	82.12/M	C0805C105Z3VACTU
	Y5V	16	1.5µF	+80%, -20%	1.25	399-1294-1-ND	5.53	32.69	94.29	399-1294-2-ND	2,500	90.59/M	C0805C155Z4VACTU
		16	2.2µF	+80%, -20%	1.25	399-1295-1-ND	6.08	35.94	103.66	399-1295-2-ND	2,500	99.90/M	C0805C225Z4VACTU
		10	3.3µF	+80%, -20%	1.0	399-3222-1-ND	7.82	46.22	133.34	399-3222-2-ND	2,500	127.84/M	C0805C335Z8VACTU

HINWEIS: **Teile mit verbesserten Toleranzen oder Spannungen dürfen innerhalb derselben Gehäusegröße ersetzt werden. Diese Teile werden dieselbe oder eine bessere Leistung bieten als jene, die Sie bestellt haben.** *(Forts.)*

Gehäuse-größe	Typ	Betriebs-spannung DC	Kapazität	Toleranz	Abm. T (mm)	Digi-Key Teilenr.	Gurtabschnittspreise 10	100	500	Digi-Key Teilenr.	Gegurtet auf Rolle Größe	Preisangaben	Kemet Teilenr.
0805	Y5V	10	4.7µF	+80%, -20%	1.25	399-3224-1-ND	8.75	51.73	149.21	399-3224-2-ND	2,500	143.08/M	C0805C475Z8VACTU
		6.3	3.3µF	+80%, -20%	1.0	399-3223-1-ND	7.82	46.22	133.34	399-3223-2-ND	2,500	127.84/M	C0805C335Z9VACTU
		6.3	4.7µF	+80%, -20%	1.25	399-3225-1-ND	8.75	51.73	149.21	399-3225-2-ND	2,500	143.08/M	C0805C475Z9VACTU
		6.3	6.8µF	+80%, -20%	1.25	399-3294-1-ND	10.15	59.98	173.03	399-3294-2-ND	2,500	165.94/M	C0805C685Z9VACTU
	Z5U	6.3	10µF	+80%, -20%	1.25	399-3295-1-ND	9.22	54.48	157.15	399-3295-2-ND	3,000	150.70/M	C0805C106Z9VACTU
		50	10000pF	+80%, -20%	0.78	399-1173-1-ND	.54	3.19	9.21	399-1173-2-ND	4,000	8.47/M	C0805C103Z5UACTU
		50	10000pF	±20%	0.78	399-1174-1-ND	.54	3.19	9.21	399-1174-2-ND	4,000	8.47/M	C0805C103M5UACTU
		50	.10µF	+80%, -20%	0.9	399-1175-1-ND	.63	3.74	10.79	399-1175-2-ND	4,000	10.16/M	C0805C104Z5UACTU
		50	.10µF	±20%	0.9	399-1176-1-ND	.63	3.74	10.79	399-1176-2-ND	4,000	10.16/M	C0805C104M5UACTU
1206	C0G (NP0)	100	100pF	±5%	0.78	399-1206-1-ND	1.68	9.91	28.57	399-1206-2-ND	4,000	27.09/M	C1206C101J1GACTU
		100	470pF	±5%	0.78	399-1214-1-ND	4.62	27.29	78.73	399-1214-2-ND	4,000	75.35/M	C1206C471J1GACTU
		100	1000pF	±5%	0.78	399-1219-1-ND	3.26	19.26	55.56	399-1219-2-ND	4,000	53.34/M	C1206C102J1GACTU
		50	1.0pF	±0.25pF	0.78	399-1178-1-ND	6.16	36.43	105.09	399-1178-2-ND	4,000	100.75/M	C1206C109C5GACTU
		50	1.5pF	±0.25pF	0.78	399-1179-1-ND	6.16	36.43	105.09	399-1179-2-ND	4,000	100.75/M	C1206C159C5GACTU
		50	1.8pF	±0.25pF	0.78	399-1180-1-ND	6.16	36.43	105.09	399-1180-2-ND	4,000	100.75/M	C1206C189C5GACTU
		50	2.2pF	±0.25pF	0.78	399-1181-1-ND	6.16	36.43	105.09	399-1181-2-ND	4,000	100.75/M	C1206C229C5GACTU
		50	2.7pF	±0.25pF	0.78	399-1182-1-ND	6.16	36.43	105.09	399-1182-2-ND	4,000	100.75/M	C1206C279C5GACTU
		50	3.3pF	±0.25pF	0.78	399-1183-1-ND	6.16	36.43	105.09	399-1183-2-ND	4,000	100.75/M	C1206C339C5GACTU
		50	3.9pF	±0.25pF	0.78	399-1184-1-ND	6.16	36.43	105.09	399-1184-2-ND	4,000	100.75/M	C1206C399C5GACTU
		50	4.7pF	±0.25pF	0.78	399-1185-1-ND	6.16	36.43	105.09	399-1185-2-ND	4,000	100.75/M	C1206C479C5GACTU
		50	5.1pF	±0.25pF	0.78	399-1186-1-ND	8.92	52.72	152.07	399-1186-2-ND	4,000	145.62/M	C1206C519C5GACTU
		50	5.6pF	±0.25pF	0.78	399-1187-1-ND	7.43	43.91	126.68	399-1187-2-ND	4,000	121.91/M	C1206C569C5GACTU
		50	6.8pF	±0.5pF	0.78	399-1188-1-ND	3.52	20.80	60.01	399-1188-2-ND	4,000	57.57/M	C1206C689D5GACTU
		50	7.5pF	±0.5pF	0.78	399-1189-1-ND	4.22	24.98	72.07	399-1189-2-ND	4,000	69.42/M	C1206C759D5GACTU
		50	8.2pF	±0.5pF	0.78	399-1190-1-ND	3.52	20.80	60.01	399-1190-2-ND	4,000	57.57/M	C1206C829D5GACTU
		50	9.1pF	±0.5pF	0.78	399-1191-1-ND	4.22	24.98	72.07	399-1191-2-ND	4,000	69.42/M	C1206C919D5GACTU
		50	10pF	±5%	0.78	399-1192-1-ND	1.45	8.53	24.60	399-1192-2-ND	4,000	23.71/M	C1206C100J5GACTU
		50	12pF	±5%	0.78	399-1193-1-ND	1.45	8.53	24.60	399-1193-2-ND	4,000	23.71/M	C1206C120J5GACTU
		50	15pF	±5%	0.78	399-1194-1-ND	1.45	8.53	24.60	399-1194-2-ND	4,000	23.71/M	C1206C150J5GACTU
		50	18pF	±5%	0.78	399-1195-1-ND	1.45	8.53	24.60	399-1195-2-ND	4,000	23.71/M	C1206C180J5GACTU
		50	20pF	±5%	0.78	399-1196-1-ND	4.22	24.98	72.07	399-1196-2-ND	4,000	69.42/M	C1206C200J5GACTU
		50	22pF	±5%	0.78	399-1197-1-ND	1.45	8.53	24.60	399-1197-2-ND	4,000	23.71/M	C1206C220J5GACTU
		50	27pF	±5%	0.78	399-1198-1-ND	1.45	8.53	24.60	399-1198-2-ND	4,000	23.71/M	C1206C270J5GACTU
		50	33pF	±5%	0.78	399-1199-1-ND	1.45	8.53	24.60	399-1199-2-ND	4,000	23.71/M	C1206C330J5GACTU
		50	39pF	±5%	0.78	399-1200-1-ND	3.52	20.80	60.01	399-1200-2-ND	4,000	57.57/M	C1206C390J5GACTU
		50	47pF	±5%	0.78	399-1201-1-ND	1.45	8.53	24.60	399-1201-2-ND	4,000	23.71/M	C1206C470J5GACTU
		50	51pF	±5%	0.78	399-1202-1-ND	4.22	24.98	72.07	399-1202-2-ND	4,000	69.42/M	C1206C510J5GACTU
		50	56pF	±5%	0.78	399-1203-1-ND	3.52	20.80	60.01	399-1203-2-ND	4,000	57.57/M	C1206C560J5GACTU
		50	68pF	±5%	0.78	399-1204-1-ND	3.52	20.80	60.01	399-1204-2-ND	4,000	57.57/M	C1206C680J5GACTU
		50	100pF	±5%	0.78	399-1205-1-ND	1.45	8.53	24.60	399-1205-2-ND	4,000	23.71/M	C1206C101J5GACTU
		50	120pF	±5%	0.78	399-1207-1-ND	3.52	20.80	60.01	399-1207-2-ND	4,000	57.57/M	C1206C121J5GACTU
		50	220pF	±10%	0.78	399-1208-1-ND	3.62	21.41	61.75	399-1208-2-ND	4,000	59.27/M	C1206C221K5GACTU
		50	270pF	±10%	0.78	399-1209-1-ND	3.72	21.96	63.33	399-1209-2-ND	4,000	60.96/M	C1206C271K5GACTU
		50	330pF	±10%	0.78	399-1210-1-ND	3.72	21.96	63.33	399-1210-2-ND	4,000	60.96/M	C1206C331K5GACTU
		50	390pF	±10%	0.78	399-1211-1-ND	3.82	22.56	65.09	399-1211-2-ND	4,000	62.65/M	C1206C391K5GACTU
		50	470pF	±5%	0.78	399-1213-1-ND	1.86	11.01	31.75	399-1213-2-ND	4,000	30.48/M	C1206C471J5GACTU
		50	470pF	±10%	0.78	399-1212-1-ND	3.82	22.56	65.09	399-1212-2-ND	4,000	62.65/M	C1206C471K5GACTU
		50	560pF	±10%	0.78	399-1215-1-ND	4.01	23.72	68.41	399-1215-2-ND	4,000	66.04/M	C1206C561K5GACTU
		50	680pF	±10%	0.78	399-1216-1-ND	4.21	24.87	71.75	399-1216-2-ND	4,000	68.58/M	C1206C681K5GACTU
		50	820pF	±10%	0.78	399-1217-1-ND	4.40	26.03	75.08	399-1217-2-ND	4,000	71.96/M	C1206C821K5GACTU
		50	1000pF	±5%	0.78	399-1218-1-ND	2.79	16.51	47.62	399-1218-2-ND	4,000	45.72/M	C1206C102J5GACTU
		50	4700pF	±2%	0.9	399-1220-1-ND	29.11	172.02	496.22	—	—	—	C1206C472G5GACTU
		50	4700pF	±5%	0.9	399-3503-1-ND	8.31	49.15	141.75	399-3503-2-ND	4,000	136.31/M	C1206C472J5GACTU
	X7R	1000	1000pF	±10%	0.75	399-3437-1-ND	4.19	24.76	71.44	399-3437-2-ND	2,000	68.58/M	C1206C102KDRACTU
		500	1000pF	±10%	1.15	399-3436-1-ND	3.73	22.01	63.50	399-3436-2-ND	2,000	60.96/M	C1206C102KCRACTU
		500	.01µF	±10%	1.4	399-3438-1-ND	6.98	41.27	119.06	399-3438-2-ND	2,000	114.29/M	C1206C103KCRACTU
		100	1000pF	±10%	0.78	399-1222-1-ND	1.58	9.35	26.99	399-1222-2-ND	4,000	26.25/M	C1206C102K1RACTU
		100	10000pF	±5%	0.78	399-1238-1-ND	1.68	9.91	28.57	399-1238-2-ND	4,000	27.09/M	C1206C103J1RACTU
		100	10000pF	±10%	0.78	399-1236-1-ND	1.12	6.60	19.05	399-1236-2-ND	4,000	18.63/M	C1206C103K1RACTU
		100	10000pF	±20%	0.78	399-1235-1-ND	1.12	6.60	19.05	399-1235-2-ND	4,000	18.63/M	C1206C103M1RACTU
		100	56000pF	±10%	0.78	399-1802-1-ND	4.69	27.73	80.00	399-1802-2-ND	4,000	77.04/M	C1206C563K1RACTU
		100	68000pF	±10%	0.78	399-1803-1-ND	5.09	30.05	86.67	399-1803-2-ND	4,000	82.97/M	C1206C683K1RACTU
		100	82000pF	±10%	0.78	399-1804-1-ND	5.34	31.59	91.12	399-1804-2-ND	4,000	87.20/M	C1206C823K1RACTU
		100	.10µF	±10%	0.78	399-1805-1-ND	2.01	11.84	34.13	399-1805-2-ND	4,000	33.02/M	C1206C104K1RACTU
		100	.27µF	±10%	1.25	399-3494-1-ND	11.18	66.09	190.65	399-3494-2-ND	2,500	182.87/M	C1206C274K1RACTU
		100	.39µF	±10%	1.6	399-3497-1-ND	13.53	79.96	230.65	399-3497-2-ND	2,000	221.81/M	C1206C394K1RACTU
		50	1000pF	±10%	0.78	399-1221-1-ND	1.12	6.60	19.05	399-1221-2-ND	4,000	18.63/M	C1206C102K5RACTU
		50	1200pF	±10%	0.78	399-1223-1-ND	2.79	16.51	47.62	399-1223-2-ND	4,000	45.72/M	C1206C122K5RACTU
		50	1500pF	±10%	0.78	399-1224-1-ND	2.79	16.51	47.62	399-1224-2-ND	4,000	45.72/M	C1206C152K5RACTU
		50	1800pF	±10%	0.78	399-1225-1-ND	2.79	16.51	47.62	399-1225-2-ND	4,000	45.72/M	C1206C182K5RACTU
		50	2200pF	±10%	0.78	399-1226-1-ND	1.45	8.53	24.60	399-1226-2-ND	4,000	23.71/M	C1206C222K5RACTU
		50	2700pF	±10%	0.78	399-1227-1-ND	2.79	16.51	47.62	399-1227-2-ND	4,000	45.72/M	C1206C272K5RACTU
		50	3300pF	±10%	0.78	399-1228-1-ND	2.79	16.51	47.62	399-1228-2-ND	4,000	45.72/M	C1206C332K5RACTU
		50	3900pF	±10%	0.78	399-1229-1-ND	2.79	16.51	47.62	399-1229-2-ND	4,000	45.72/M	C1206C392K5RACTU
		50	4700pF	±10%	0.78	399-1230-1-ND	1.45	8.53	24.60	399-1230-2-ND	4,000	23.71/M	C1206C472K5RACTU
		50	5600pF	±10%	0.78	399-1231-1-ND	2.79	16.51	47.62	399-1231-2-ND	4,000	45.72/M	C1206C562K5RACTU
		50	6800pF	±10%	0.78	399-1232-1-ND	2.79	16.51	47.62	399-1232-2-ND	4,000	45.72/M	C1206C682K5RACTU
		50	8200pF	±10%	0.78	399-1233-1-ND	2.79	16.51	47.62	399-1233-2-ND	4,000	45.72/M	C1206C822K5RACTU
		50	10000pF	±5%	0.78	399-1237-1-ND	1.40	8.25	23.81	399-1237-2-ND	4,000	22.86/M	C1206C103J5RACTU
		50	10000pF	±10%	0.78	399-1234-1-ND	1.02	6.05	17.47	399-1234-2-ND	4,000	16.94/M	C1206C103K5RACTU
		50	12000pF	±10%	0.78	399-1239-1-ND	3.17	18.71	53.97	399-1239-2-ND	4,000	51.65/M	C1206C123K5RACTU
		50	15000pF	±10%	0.78	399-1240-1-ND	3.17	18.71	53.97	399-1240-2-ND	4,000	51.65/M	C1206C153K5RACTU
		50	18000pF	±10%	0.78	399-1241-1-ND	3.17	18.71	53.97	399-1241-2-ND	4,000	51.65/M	C1206C183K5RACTU
		50	22000pF	±10%	0.78	399-1242-1-ND	1.40	8.25	23.81	399-1242-2-ND	4,000	22.86/M	C1206C223K5RACTU
		50	27000pF	±10%	0.78	399-1243-1-ND	3.17	18.71	53.97	399-1243-2-ND	4,000	51.65/M	C1206C273K5RACTU
		50	33000pF	±10%	0.78	399-1244-1-ND	3.17	18.71	53.97	399-1244-2-ND	4,000	51.65/M	C1206C333K5RACTU
		50	39000pF	±10%	0.78	399-1245-1-ND	3.26	19.26	55.56	399-1245-2-ND	4,000	53.34/M	C1206C393K5RACTU
		50	47000pF	±10%	0.78	399-1246-1-ND	1.40	8.25	23.81	399-1246-2-ND	4,000	22.86/M	C1206C473K5RACTU
		50	68000pF	±5%	0.78	399-1247-1-ND	3.41	20.14	58.10	399-1247-2-ND	4,000	55.88/M	C1206C683J5RACTU
		50	.10µF	±5%	0.78	399-1250-1-ND	2.14	12.66	36.51	399-1250-2-ND	4,000	34.71/M	C1206C104J5RACTU
		50	.10µF	±10%	0.78	399-1249-1-ND	1.02	6.05	17.47	399-1249-2-ND	4,000	16.94/M	C1206C104K5RACTU
		50	.10µF	±20%	0.78	399-1248-1-ND	1.02	6.05	17.47	399-1248-2-ND	4,000	16.94/M	C1206C104M5RACTU
		50	.22µF	±5%	0.9	399-1252-1-ND	11.64	68.79	198.43	399-1252-2-ND	2,500	190.49/M	C1206C224J5RACTU
		50	.22µF	±10%	0.9	399-1251-1-ND	2.33	13.76	39.69	399-1251-2-ND	2,500	38.10/M	C1206C224K5RACTU
		50	.27µF	±10%	0.9	399-3493-1-ND	7.92	46.77	134.93	399-3493-2-ND	4,000	129.53/M	C1206C274K5RACTU
		50	.33µF	±10%	0.9	399-3495-1-ND	8.38	49.53	142.86	399-3495-2-ND	4,000	137.15/M	C1206C334K5RACTU
		50	.39µF	±10%	0.9	399-3496-1-ND	8.85	52.28	150.80	399-3496-2-ND	4,000	144.77/M	C1206C394K5RACTU
		50	.47µF	±10%	0.9	399-3498-1-ND	9.31	55.03	158.74	399-3498-2-ND	4,000	152.39/M	C1206C474K5RACTU

HINWEIS: **Teile mit verbesserten Toleranzen oder Spannungen dürfen innerhalb derselben Gehäusegröße ersetzt werden. Diese Teile werden dieselbe oder eine bessere Leistung bieten als jene, die Sie bestellt haben.** *(Forts.)*

Gehäuse-größe	Typ	Betriebs-spannung DC	Kapazität	Toleranz	Abm. T (mm)	Digi-Key Teilenr.	Gurtabschnittspreise 10	100	500	Digi-Key Teilenr.	Gegurtet auf Rolle Größe	Preisangaben	Kemet Teilenr.
		50	.56µF	±10%	0.9	399-3499-1-ND	10.76	63.56	183.34	399-3499-2-ND	4,000	176.10/M	C1206C564K5RACTU
		50	.68µF	±10%	1.0	399-3500-1-ND	13.83	81.72	235.73	399-3500-2-ND	2,500	226.05/M	C1206C684K5RACTU
		25	.33µF	±10%	0.78	399-1285-1-ND	8.38	49.53	142.86	399-1285-2-ND	4,000	137.15/M	C1206C334K3RACTU
		25	1.0µF	±10%	1.6	399-1255-1-ND	2.42	14.31	41.27	399-1255-2-ND	2,000	39.79/M	C1206C105K3RACTU
		25	1.2µF	±10%	1.6	399-3501-1-ND	12.48	73.74	212.71	399-3501-2-ND	2,000	204.03/M	C1206C125K3RACTU
	X7R	25	1.5µF	±10%	1.6	399-3502-1-ND	13.22	78.14	225.41	399-3502-2-ND	2,000	216.73/M	C1206C155K3RACTU
		16	.33µF	±10%	0.78	399-1253-1-ND	8.38	49.53	142.86	399-1253-2-ND	4,000	137.15/M	C1206C334K4RACTU
		16	1.0µF	±10%	1.1	399-1254-1-ND	2.61	15.41	44.45	399-1254-2-ND	2,500	42.34/M	C1206C105K4RACTU
		16	1.2µF	±10%	1.0	399-1286-1-ND	12.11	71.54	206.36	399-1286-2-ND	4,000	198.11/M	C1206C125K4RACTU
		16	2.2µF	±10%	1.6	399-1257-1-ND	4.00	23.66	68.26	399-1257-2-ND	2,000	65.19/M	C1206C225K4RACTU
		10	1.2µF	±10%	1.0	399-1256-1-ND	12.11	71.54	206.36	399-1256-2-ND	4,000	198.11/M	C1206C125K8RACTU
		25	2.7µF	±10%	1.2	399-3139-1-ND	8.38	49.53	142.86	399-3139-2-ND	2,500	137.15/M	C1206C275K3PACTU
		25	3.3µF	±10%	1.6	399-3140-1-ND	9.31	55.03	158.74	399-3140-2-ND	2,000	152.39/M	C1206C335K3PACTU
		25	3.9µF	±10%	1.6	399-3141-1-ND	9.31	55.03	158.74	399-3141-2-ND	2,000	152.39/M	C1206C395K3PACTU
		25	4.7µF	±10%	1.6	399-3142-1-ND	6.98	41.27	119.06	399-3142-2-ND	2,000	114.29/M	C1206C475K3PACTU
		16	2.2µF	±10%	1.1	399-1263-1-ND	7.45	44.02	126.99	399-1263-2-ND	2,500	121.92/M	C1206C225K4PACTU
		16	3.3µF	±10%	1.6	399-1264-1-ND	9.31	55.03	158.74	399-1264-2-ND	2,000	152.39/M	C1206C335K4PACTU
1206	X5R	16	4.7µF	±10%	1.6	399-1265-1-ND	7.31	43.20	124.61	399-1265-2-ND	2,000	119.37/M	C1206C475K4PACTU
		6.3	6.8µF	±10%	1.6	399-3025-1-ND	12.67	74.84	215.88	399-3025-2-ND	2,000	207.42/M	C1206C685K9PACTU
		6.3	10µF	±10%	1.6	399-3029-1-ND	6.05	35.77	103.18	399-3029-2-ND	2,000	99.05/M	C1206C106K9PACTU
		6.3	12µF	±10%	1.6	399-3226-1-ND	17.23	101.80	293.67	399-3226-2-ND	2,000	281.92/M	C1206C126K9PACTU
		6.3	15µF	±10%	1.6	399-3227-1-ND	18.16	107.31	309.54	399-3227-2-ND	2,000	297.16/M	C1206C156K9PACTU
		6.3	18µF	±10%	1.6	399-3228-1-ND	20.02	118.31	341.29	399-3228-2-ND	2,000	327.64/M	C1206C186K9PACTU
		6.3	22µF	±10%	1.6	399-3229-1-ND	14.90	88.05	253.98	399-3229-2-ND	2,000	243.82/M	C1206C226K9PACTU
		25	1.0µF	+80%, -20%	0.78	399-1296-1-ND	5.22	30.82	88.89	399-1296-2-ND	4,000	85.51/M	C1206C105Z3VACTU
		16	1.5µF	+80%, -20%	0.9	399-1297-1-ND	6.98	41.27	119.06	399-1297-2-ND	4,000	114.29/M	C1206C155Z4VACTU
		16	2.2µF	+80%, -20%	1.0	399-1260-1-ND	6.98	41.27	119.06	399-1260-2-ND	2,500	114.30/M	C1206C225Z4VACTU
		16	3.3µF	+80%, -20%	1.2	399-1261-1-ND	7.92	46.77	134.93	399-1261-2-ND	2,500	129.53/M	C1206C335Z4VACTU
	Y5V	16	4.7µF	+80%, -20%	1.7	399-1262-1-ND	3.73	22.01	63.50	399-1262-2-ND	2,500	45.72/M	C1206C475Z4VACTU
		10	6.8µF	+80%, -20%	1.7	399-1298-1-ND	11.07	65.37	188.58	399-1298-2-ND	2,000	181.17/M	C1206C685Z8VACTU
		10	10µF	+80%, -20%	1.7	399-1299-1-ND	6.52	38.52	111.12	399-1299-2-ND	2,000	106.67/M	C1206C106Z8VACTU
		6.3	15µF	+80%, -20%	1.7	399-3024-1-ND	18.63	110.06	317.48	399-3024-2-ND	2,000	304.78/M	C1206C156Z9VACTU
		6.3	22µF	+80%, -20%	1.7	399-3028-1-ND	21.88	129.32	373.04	399-3028-2-ND	2,000	358.11/M	C1206C226Z9VACTU
	Z5U	50	.10µF	+80%, -20%	0.78	399-1258-1-ND	1.02	6.05	17.47	399-1258-2-ND	4,000	16.94/M	C1206C104Z5UACTU
		50	.10µF	±20%	0.78	399-1259-1-ND	1.02	6.05	17.47	399-1259-2-ND	4,000	16.94/M	C1206C104M5UACTU
	C0G(NP0)	50	10000pF	±5%	1.1	399-1266-1-ND	29.44	173.95	501.77	399-1266-2-ND	2,500	481.72/M	C1210C103J5GACTU
		2000	100pF	±10%	1.4	399-3439-1-ND	11.18	66.03	190.49	399-3439-2-ND	2,000	182.87/M	C1210C101KGRACTU
		2000	680pF	±10%	1.3	399-3441-1-ND	11.18	66.03	190.49	399-3441-2-ND	2,000	182.87/M	C1210C681KGRACTU
		1500	220pF	±10%	1.4	399-3440-1-ND	11.18	66.03	190.49	399-3440-2-ND	2,000	182.87/M	C1210C221KFRACTU
		100	.10µF	±10%	0.95	399-1268-1-ND	3.45	20.36	58.74	399-1268-2-ND	2,500	56.73/M	C1210C104K1RACTU
		50	.10µF	±10%	0.78	399-1267-1-ND	3.07	18.16	52.39	399-1267-2-ND	4,000	49.95/M	C1210C104K5RACTU
		50	.22µF	±10%	0.9	399-1269-1-ND	3.73	22.01	63.50	399-1269-2-ND	2,500	60.96/M	C1210C224K5RACTU
		50	.39µF	±10%	0.95	399-3087-1-ND	15.37	90.80	261.92	399-3087-2-ND	4,000	251.44/M	C1210C394K5RACTU
	X7R	50	.47µF	±10%	0.95	399-3089-1-ND	15.37	90.80	261.92	399-3089-2-ND	4,000	251.44/M	C1210C474K5RACTU
		50	.56µF	±10%	0.95	399-3091-1-ND	15.37	90.80	261.92	399-3091-2-ND	4,000	251.44/M	C1210C564K5RACTU
		50	.68µF	±10%	0.95	399-3092-1-ND	15.37	90.80	261.92	399-3092-2-ND	4,000	251.44/M	C1210C684K5RACTU
		50	.82µF	±10%	1.1	399-3093-1-ND	16.76	99.05	285.73	399-3093-2-ND	2,500	274.30/M	C1210C824K5RACTU
		50	1.0µF	±10%	1.55	399-3076-1-ND	5.82	34.40	99.21	399-3076-2-ND	2,000	95.67/M	C1210C105K5RACTU
		25	1.2µF	±10%	1.55	399-3078-1-ND	16.76	99.05	285.73	399-3078-2-ND	4,000	274.30/M	C1210C125K3RACTU
		25	1.5µF	±10%	1.55	399-3080-1-ND	16.76	99.05	285.73	399-3080-2-ND	2,000	274.30/M	C1210C155K3RACTU
		25	1.8µF	±10%	1.55	399-3082-1-ND	13.97	82.54	238.11	399-3082-2-ND	2,000	228.58/M	C1210C185K3RACTU
		25	2.2µF	±10%	1.85	399-3084-1-ND	13.97	82.54	238.11	399-3084-2-ND	2,000	228.58/M	C1210C225K3RACTU
		25	1.2µF	±10%	0.95	399-3077-1-ND	7.92	46.77	134.93	399-3077-2-ND	2,000	129.53/M	C1210C125K3PACTU
		25	1.5µF	±10%	0.95	399-3079-1-ND	7.92	46.77	134.93	399-3079-2-ND	2,000	129.53/M	C1210C155K3PACTU
		25	1.8µF	±10%	0.95	399-3081-1-ND	7.92	46.77	134.93	399-3081-2-ND	4,000	129.53/M	C1210C185K3PACTU
		25	2.2µF	±10%	1.25	399-3083-1-ND	9.31	55.03	158.74	399-3083-2-ND	2,500	152.39/M	C1210C225K3PACTU
		25	2.7µF	±10%	1.25	399-3143-1-ND	12.57	74.29	214.30	399-3143-2-ND	2,500	205.73/M	C1210C275K3PACTU
		25	3.3µF	±10%	1.55	399-3144-1-ND	12.57	74.29	214.30	399-3144-2-ND	2,000	205.73/M	C1210C335K3PACTU
		25	3.9µF	±10%	1.85	399-3145-1-ND	15.37	90.80	261.92	399-3145-2-ND	2,000	251.44/M	C1210C395K3PACTU
		25	4.7µF	±10%	2.1	399-3146-1-ND	15.37	90.80	261.92	399-3146-2-ND	2,000	251.44/M	C1210C475K3PACTU
1210		16	5.6µF	±10%	1.85	399-3147-1-ND	20.49	121.06	349.22	399-3147-2-ND	2,500	335.26/M	C1210C565K4PACTU
		16	8.2µF	±10%	2.1	399-3149-1-ND	20.49	121.06	349.22	399-3149-2-ND	1,800	335.26/M	C1210C825K4PACTU
		16	10µF	±10%	2.1	399-3150-1-ND	30.73	181.60	523.83	399-3150-2-ND	2,000	502.88/M	C1210C106K4PACTU
		16	2.7µF	±10%	1.25	399-3085-1-ND	12.57	74.29	214.30	399-3085-2-ND	2,500	205.73/M	C1210C275K4PACTU
		16	3.3µF	±10%	1.55	399-3086-1-ND	12.57	74.29	214.30	399-3086-2-ND	2,000	205.73/M	C1210C335K4PACTU
	X5R	16	3.9µF	±10%	1.85	399-3088-1-ND	15.37	90.80	261.92	399-3088-2-ND	2,000	251.44/M	C1210C395K4PACTU
		16	4.7µF	±10%	2.1	399-3090-1-ND	15.37	90.80	261.92	399-3090-2-ND	2,000	251.44/M	C1210C475K4PACTU
		16	6.8µF	±10%	1.85	399-1288-1-ND	20.49	121.06	349.22	399-1288-2-ND	2,000	335.26/M	C1210C685K4PACTU
		10	4.7µF	±10%	2.1	399-1273-1-ND	15.37	90.80	261.92	399-1273-2-ND	2,000	251.44/M	C1210C475K8PACTU
		10	6.8µF	±10%	1.85	399-1274-1-ND	20.49	121.06	349.22	399-1274-2-ND	2,000	335.26/M	C1210C685K8PACTU
		10	10µF	±10%	2.1	399-1275-1-ND	30.73	181.60	523.83	399-1275-2-ND	2,000	502.88/M	C1210C106K8PACTU
		10	12µF	±10%	0.95	399-3296-1-ND	19.56	115.56	333.35	399-3296-2-ND	2,000	320.02/M	C1210C126K8PACTU
		10	15µF	±10%	0.95	399-3298-1-ND	20.49	121.06	349.22	399-3298-2-ND	2,500	335.26/M	C1210C156K8PACTU
		10	18µF	±10%	1.4	399-3300-1-ND	21.42	126.57	365.10	399-3300-2-ND	2,500	350.50/M	C1210C186K8PACTU
		10	22µF	±10%	1.55	399-3302-1-ND	22.35	132.07	380.97	399-3302-2-ND	2,000	365.73/M	C1210C226K8PACTU
		6.3	12µF	±10%	0.95	399-3297-1-ND	19.56	115.56	333.35	399-3297-2-ND	2,500	320.02/M	C1210C126K9PACTU
		6.3	15µF	±10%	0.95	399-3299-1-ND	20.49	121.06	349.22	399-3299-2-ND	2,500	335.26/M	C1210C156K9PACTU
		6.3	18µF	±10%	1.4	399-3301-1-ND	21.42	126.57	365.10	399-3301-2-ND	2,500	350.50/M	C1210C186K9PACTU
		6.3	22µF	±10%	1.55	399-3303-1-ND	17.69	104.56	301.60	399-3303-2-ND	2,000	289.54/M	C1210C226K9PACTU
		16	4.7µF	+80%, -20%	1.25	399-1270-1-ND	13.04	77.04	222.23	399-1270-2-ND	2,500	213.35/M	C1210C475Z4VACTU
		16	6.8µF	+80%, -20%	1.55	399-1271-1-ND	15.83	93.55	269.85	399-1271-2-ND	2,500	259.06/M	C1210C685Z4VACTU
	Y5V	16	10µF	+80%, -20%	1.85	399-1272-1-ND	7.36	43.47	125.41	399-1272-2-ND	2,000	120.22/M	C1210C106Z4VACTU
		10	15µF	+80%, -20%	1.85	399-1300-1-ND	22.12	130.70	377.00	399-1300-2-ND	2,500	362.35/M	C1210C156Z8VACTU
		10	22µF	+80%, -20%	2.1	399-1301-1-ND	16.76	99.05	285.73	399-1301-2-ND	1,500	274.30/M	C1210C226Z8VACTU
1808	X7R	3000	100pF	±10%	1.4	399-3442-1-ND	15.83	93.55	269.85	399-3442-2-ND	1,000	259.06	C1808C101KHRACTU
		2000	1000pF	±10%	1.65	399-3443-1-ND	17.23	101.80	293.67	399-3443-2-ND	1,000	281.92	C1808C102KGRACTU
		1000	.01µF	±10%	1.9	399-3444-1-ND	15.83	93.55	269.85	399-3444-2-ND	1,000	259.06	C1808C103KDRACTU
	C0G(NP0)	1000	1000pF	±10%	1.4	399-3445-1-ND	15.37	90.80	261.92	399-3445-2-ND	1,000	251.44	C1812C102KDGACTU
		3000	1000pF	±10%	1.65	399-3448-1-ND	18.16	107.31	309.54	399-3448-2-ND	1,000	297.16	C1812C102KHRACTU
		2000	1000pF	±10%	1.65	399-3447-1-ND	15.37	90.80	261.92	399-3447-2-ND	1,000	251.44	C1812C102KGRACTU
		1000	1000pF	±10%	1.0	399-3446-1-ND	13.04	77.04	222.23	399-3446-2-ND	1,000	213.34	C1812C102KDRACTU
		1000	4700pF	±10%	1.0	399-3452-1-ND	13.50	79.79	230.17	399-3452-2-ND	1,000	220.96	C1812C472KDRACTU
1812	X7R	1000	.01µF	±10%	1.5	399-3450-1-ND	13.97	82.54	238.11	399-3450-2-ND	1,000	228.58	C1812C103KDRACTU
		500	.01µF	±10%	1.15	399-3449-1-ND	12.57	74.29	214.30	399-3449-2-ND	1,000	205.72	C1812C103KCRACTU
		500	.047µF	±10%	1.65	399-3453-1-ND	13.97	82.54	238.11	399-3453-2-ND	1,000	228.58	C1812C473KCRACTU
		50	.47µF	±10%	1.0	399-3454-1-ND	17.51	103.45	298.43	399-3454-2-ND	1,000	286.15	C1812C474K5RACTU
		50	.68µF	±10%	1.1	399-3455-1-ND	22.54	133.17	384.14	399-3455-2-ND	1,000	369.12	C1812C684K5RACTU
		50	1.0µF	±10%	1.3	399-3451-1-ND	18.63	110.06	317.48	399-3451-2-ND	1,000	304.78	C1812C105K5RACTU
1825	X7R	50	.47µF	±10%	1.1	399-3457-1-ND	46.10	272.39	785.75	399-3457-2-ND	1,000	754.32	C1825C474K5RACTU
		50	1.0µF	±10%	1.1	399-3456-1-ND	51.22	302.66	873.06	399-3456-2-ND	1,000	838.13	C1825C105K5RACTU
		500	.10µF	±10%	1.15	399-3458-1-ND	69.84	412.72	1190.53	399-3458-2-ND	1,000	1142.91	C2225C104KCRACTU
2225	X7R	500	.22µF	±10%	1.7	399-3460-1-ND	69.84	412.72	1190.53	399-3460-2-ND	1,000	1142.91	C2225C224KCRACTU
		50	1.0µF	±10%	1.0	399-3459-1-ND	56.34	332.93	960.37	399-3459-2-ND	1,000	921.95	C2225C105K5RACTU
		50	2.2µF	±10%	1.3	399-3461-1-ND	88.94	525.53	1515.95	399-3461-2-ND	1,000	1455.31	C2225C225K5RACTU

HINWEIS: **Teile mit verbesserten Toleranzen oder Spannungen dürfen innerhalb derselben Gehäusegröße ersetzt werden. Diese Teile werden dieselbe oder eine bessere Leistung bieten als jene, die Sie bestellt haben.**

Murata Electronics

Monolithische Keramikchipkondensatoren Serie GJM

Größen-code	Abmessungen (mm) L	W	e	g (min.)
0201	0.6±-0.03	0.3±-0.03	0.1 ~ 0.2	0.2
0402	1.0±-0.05	0.5±-0.05	0.15 ~ 0.3	0.4

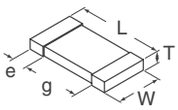

Serie GJM: Die Serie Murata GJM besteh aus High Q, ultrakleinen Kondenstoren für Anwendungen mit hohen Frequenzen (500 MHz ~ 10 GHz), geeignet für VCO- und PA-Modulanwendungen. Die Kondensatoren der Serie GJM werden mit Kupferelektroden für niedigen ESR und geringen Stromverbrauch durch die hohe Q-Leistung (niedriger Verlust) hergestellt. Diese Serie ist in EIA-Größen 0201 und 0402 erhältlich. Sie sind bleifrei/RoHS-konform **Merkmale:** • Besserer Q-Wert / niedr. ESR-Wert bei VHF, UHF und Mikrowellenfrequenzen • Innenelektrode aus Kupfer • Niedriger Stromverbrauch, verbessertes Ertragsverhältnis, aufgrund des besseren Q-Wertes oder des niedrigeren ESR • VCO oder PA-Modulanwendungen **Betriebstemperaturbereich:** • C0G (NP0): -55 °C ~ 125 °C

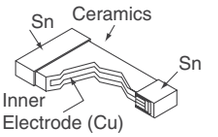

Größen-code	Typ	Betriebs-spannung DC	Kapazität	Toleranz	Abmessung T (mm)	Digi-Key Teilenr.	Gurtabschnittspreise 10	100	500	Digi-Key Teilenr.	Gegurtet auf Rolle Größe	Preisangaben	Murata Teilenr.
0201	C0G (NP0)	25	.75pF	±.25pF	0.3	490-3052-1-ND	.98	5.78	16.67	490-3052-2-ND	15,000	16.01/M	GJM0335C1ER75CB01D
			1.0pF			490-3053-1-ND	.98	5.78	16.67	490-3053-2-ND	15,000	16.01/M	GJM0335C1E1R0CB01D
			1.1pF			490-3054-1-ND	.98	5.78	16.67	490-3054-2-ND	15,000	16.01/M	GJM0335C1E1R1CB01D
			1.2pF			490-3055-1-ND	.98	5.78	16.67	490-3055-2-ND	15,000	16.01/M	GJM0335C1E1R2CB01D
			1.3pF			490-3056-1-ND	.98	5.78	16.67	490-3056-2-ND	15,000	16.01/M	GJM0335C1E1R3CB01D
			1.5pF	±.25pF	0.3	490-3057-1-ND	.98	5.78	16.67	490-3057-2-ND	15,000	16.01/M	GJM0335C1E1R5CB01D
			1.6pF			490-3058-1-ND	.98	5.78	16.67	490-3058-2-ND	15,000	16.01/M	GJM0335C1E1R6CB01D
			1.8pF			490-3059-1-ND	.98	5.78	16.67	490-3059-2-ND	15,000	16.01/M	GJM0335C1E1R8CB01D
			2.0pF			490-3060-1-ND	.98	5.78	16.67	490-3060-2-ND	15,000	16.01/M	GJM0335C1E2R0CB01D
			2.2pF			490-3061-1-ND	.98	5.78	16.67	490-3061-2-ND	15,000	16.01/M	GJM0335C1E2R2CB01D
			2.4pF	±.25pF	0.3	490-3062-1-ND	.98	5.78	16.67	490-3062-2-ND	15,000	16.01/M	GJM0335C1E2R4CB01D
			2.7pF			490-3063-1-ND	.98	5.78	16.67	490-3063-2-ND	15,000	16.01/M	GJM0335C1E2R7CB01D
			3.0pF			490-3064-1-ND	.98	5.78	16.67	490-3064-2-ND	15,000	16.01/M	GJM0335C1E3R0CB01D
			3.3pF			490-3065-1-ND	.98	5.78	16.67	490-3065-2-ND	15,000	16.01/M	GJM0335C1E3R3CB01D
			3.6pF			490-3066-1-ND	.98	5.78	16.67	490-3066-2-ND	15,000	16.01/M	GJM0335C1E3R6CB01D
			3.9pF	±.25pF	0.3	490-3067-1-ND	.98	5.78	16.67	490-3067-2-ND	15,000	16.01/M	GJM0335C1E3R9CB01D
			4.0pF			490-3068-1-ND	.98	5.78	16.67	490-3068-2-ND	15,000	16.01/M	GJM0335C1E4R0CB01D
			4.3pF			490-3069-1-ND	.98	5.78	16.67	490-3069-2-ND	15,000	16.01/M	GJM0335C1E4R3CB01D
			4.7pF			490-3070-1-ND	.98	5.78	16.67	490-3070-2-ND	15,000	16.01/M	GJM0335C1E4R7CB01D
			5.0pF			490-3071-1-ND	.98	5.78	16.67	490-3071-2-ND	15,000	16.01/M	GJM0335C1E5R0CB01D
			5.1pF	±.25pF	0.3	490-3072-1-ND	.98	5.78	16.67	490-3072-2-ND	15,000	16.01/M	GJM0335C1E5R1CB01D
			5.6pF			490-3073-1-ND	.98	5.78	16.67	490-3073-2-ND	15,000	16.01/M	GJM0335C1E5R6CB01D
			6.0pF			490-3074-1-ND	.98	5.78	16.67	490-3074-2-ND	15,000	16.01/M	GJM0335C1E6R0CB01D
			6.8pF			490-3076-1-ND	.98	5.78	16.67	490-3076-2-ND	15,000	16.01/M	GJM0335C1E6R8CB01D
0402	C0G (NP0)	50	1.0pF	±.25pF	0.5	490-3083-1-ND	.59	3.52	10.16	490-3083-2-ND	10,000	9.76/M	GJM1555C1H1R0CB01D
			1.1pF			490-3084-1-ND	.59	3.52	10.16	490-3084-2-ND	10,000	9.76/M	GJM1555C1H1R1CB01D
			1.2pF			490-3085-1-ND	.59	3.52	10.16	490-3085-2-ND	10,000	9.76/M	GJM1555C1H1R2CB01D
			1.3pF			490-3086-1-ND	.59	3.52	10.16	490-3086-2-ND	10,000	9.76/M	GJM1555C1H1R3CB01D
			1.5pF			490-3087-1-ND	.59	3.52	10.16	490-3087-2-ND	10,000	9.76/M	GJM1555C1H1R5CB01D
			1.6pF	±.25pF	0.5	490-3088-1-ND	.65	3.85	11.12	490-3088-2-ND	10,000	10.67/M	GJM1555C1H1R6CB01D
			1.8pF			490-3089-1-ND	.59	3.52	10.16	490-3089-2-ND	10,000	9.76/M	GJM1555C1H1R8CB01D
			2.0pF			490-3090-1-ND	.59	3.52	10.16	490-3090-2-ND	10,000	9.76/M	GJM1555C1H2R0CB01D
			2.2pF			490-3091-1-ND	.59	3.52	10.16	490-3091-2-ND	10,000	9.76/M	GJM1555C1H2R2CB01D
			2.4pF			490-3092-1-ND	.59	3.52	10.16	490-3092-2-ND	10,000	9.76/M	GJM1555C1H2R4CB01D
			2.7pF	±.25pF	0.5	490-3093-1-ND	.59	3.52	10.16	490-3093-2-ND	10,000	9.76/M	GJM1555C1H2R7CB01D
			3.0pF			490-3094-1-ND	.59	3.52	10.16	490-3094-2-ND	10,000	9.76/M	GJM1555C1H3R0CB01D
			3.3pF			490-3095-1-ND	.59	3.52	10.16	490-3095-2-ND	10,000	9.76/M	GJM1555C1H3R3CB01D
			3.6pF			490-3096-1-ND	.59	3.52	10.16	490-3096-2-ND	10,000	9.76/M	GJM1555C1H3R6CB01D
			3.9pF			490-3097-1-ND	.59	3.52	10.16	490-3097-2-ND	10,000	9.76/M	GJM1555C1H3R9CB01D
			4.0pF	±.25pF	0.5	490-3098-1-ND	.59	3.52	10.16	490-3098-2-ND	10,000	9.76/M	GJM1555C1H4R0CB01D
			4.3pF			490-3099-1-ND	.59	3.52	10.16	490-3099-2-ND	10,000	9.76/M	GJM1555C1H4R3CB01D
			4.7pF			490-3100-1-ND	.59	3.52	10.16	490-3100-2-ND	10,000	9.76/M	GJM1555C1H4R7CB01D
			5.0pF			490-3101-1-ND	.59	3.52	10.16	490-3101-2-ND	10,000	9.76/M	GJM1555C1H5R0CB01D
			5.1pF			490-3102-1-ND	.59	3.52	10.16	490-3102-2-ND	10,000	9.76/M	GJM1555C1H5R1CB01D
			5.6pF	±.25pF	0.5	490-3103-1-ND	.59	3.52	10.16	490-3103-2-ND	10,000	9.76/M	GJM1555C1H5R6CB01D
			6.0pF			490-3104-1-ND	.59	3.52	10.16	490-3104-2-ND	10,000	9.76/M	GJM1555C1H6R0CB01D
			6.2pF			490-3105-1-ND	.59	3.52	10.16	490-3105-2-ND	10,000	9.76/M	GJM1555C1H6R2CB01D
			6.8pF			490-3106-1-ND	.59	3.52	10.16	490-3106-2-ND	10,000	9.76/M	GJM1555C1H6R8CB01D
			7.0pF			490-3107-1-ND	.59	3.52	10.16	490-3107-2-ND	10,000	9.76/M	GJM1555C1H7R0CB01D
			7.5pF	±.25pF	0.5	490-3108-1-ND	.59	3.52	10.16	490-3108-2-ND	10,000	9.76/M	GJM1555C1H7R5CB01D
			9.0pF	±.25pF		490-3111-1-ND	.59	3.52	10.16	490-3111-2-ND	10,000	9.76/M	GJM1555C1H9R0CB01D
			9.1pF	±.25pF		490-3112-1-ND	.59	3.52	10.16	490-3112-2-ND	10,000	9.76/M	GJM1555C1H9R1CB01D
			12pF	±5%		490-3115-1-ND	.59	3.52	10.16	490-3115-2-ND	10,000	9.76/M	GJM1555C1H120JB01D
			15pF	±5%		490-3117-1-ND	.59	3.52	10.16	490-3117-2-ND	10,000	9.76/M	GJM1555C1H150JB01D
			18pF	±5%		490-3119-1-ND	.59	3.52	10.16	490-3119-2-ND	10,000	9.76/M	GJM1555C1H180JB01D

Arrays mit Vielschicht-Keramikchipkondensatoren Serie GNM

Serie GNM Das Kondensatoren-Array von Murata (Serie GNM) umfasst folgende Vorteile: • Kosteneinsparung bei der Platzierung (ein Platzierungszyklus anstatt vier oder zwei • Hochdichte Montage aufgrund der gesparten Montagefläche • Kondensator-Arrays werden in zwei oder vier Kondensatorkomponenten angeboten • Bleifreie/RoHS-konforme **Merkmale:** • Hochdichte Montage aufgrund der gesparten Montagefläche • Montage von kostensparenden **Anwendungen:** • Allgemeine elektronische Geräte • Handys, Pager, Camcorder, Personalcomputer, LCD **Betriebstemperaturbereich:** • X7R: -55 °C ~ 125 °C • X5R: -55 °C ~ 85 °C

Größen-code	Abmessungen (mm) L	W	P
0504	1.37±0.15	1.0±0.15	0.64±0.05
0805	2.0±0.15	1.250±0.15	1,0 ±0,1 (2-Element) 0,5 ±0,05 (4-Element)
1206	3.2±0.15	1.6±0.15	0.8±0.1

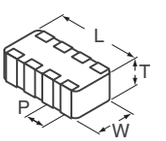

Größen-code	Typ	Betriebs-spannung DC	Kapazität	Toleranz	Abmessung T (mm)	Digi-Key Teilenr.	Gurtabschnittspreise 10	100	500	Digi-Key Teilenr.	Gegurtet auf Rolle Größe	Preisangaben	Murata Teilenr.
2-Element													
0504	X7R	25	2200pF	±20%	0.6	490-3399-1-ND	.51	4.34	18.10	490-3399-2-ND	4,000	20.27/M	GNM1M2R71E222MA01D
		25	4700pF			490-3400-1-ND	.51	4.34	18.10	490-3400-2-ND	4,000	20.27/M	GNM1M2R71E472MA01D
		25	10000pF			490-3401-1-ND	.51	4.34	18.10	490-3401-2-ND	4,000	20.27/M	GNM1M2R71E103MA01D
		16	22000pF			490-3402-1-ND	.52	4.39	18.31	490-3402-2-ND	4,000	20.51/M	GNM1M2R71C223MA01D
		16	47000pF			490-3403-1-ND	.54	4.62	19.26	490-3403-2-ND	4,000	21.58/M	GNM1M2R71C473MA01D
	X5R	10	.1µF	±20%	0.6	490-3404-1-ND	.54	4.62	19.26	490-3404-2-ND	4,000	21.58/M	GNM1M2R61A104MA01D
		10	1.0µF		0.8	490-3405-1-ND	1.06	9.04	37.67	490-3405-2-ND	4,000	42.20/M	GNM1M2R61A105ME14D
		6.3	1.0µF		0.8	490-3406-1-ND	1.06	9.04	37.67	490-3406-2-ND	4,000	42.20/M	GNM1M2R60J105ME12D
0805	X5R	16	1.0µF	±20%	0.85	490-3414-1-ND	1.00	8.53	35.56	490-3414-2-ND	4,000	39.83/M	GNM212R61C105MA16D
		10	1.0µF			490-3413-1-ND	1.15	9.85	41.06	490-3413-2-ND	4,000	45.99/M	GNM212R61A105MA13D
4-Element													
0805	X7R	50	1000pF	±20%	0.6	490-3407-1-ND	.80	6.83	28.47	490-3407-2-ND	4,000	31.89/M	GNM214R71H102MA01D
		25	2200pF		0.6	490-3408-1-ND	.84	7.19	29.95	490-3408-2-ND	4,000	33.55/M	GNM214R71E222MA01D
		25	4700pF		0.6	490-3409-1-ND	.84	7.19	29.95	490-3409-2-ND	4,000	33.55/M	GNM214R71E472MA01D
		25	10000pF		0.6	490-3410-1-ND	.80	6.83	28.47	490-3410-2-ND	4,000	31.89/M	GNM214R71E103MA01D
		16	22000pF		0.85	490-3411-1-ND	.87	7.49	31.22	490-3411-2-ND	4,000	34.97/M	GNM214R71C223MA01D
		16	47000pF		0.85	490-3412-1-ND	.89	7.64	31.86	490-3412-2-ND	4,000	35.68/M	GNM214R71C473MA01D
1206	X7R	16	47000pF	±20%	1.0	490-3443-1-ND	1.75	15.01	62.55	490-3443-2-ND	3,000	70.05/M	GNM314R71C473MA01L
		16	68000pF		1.0	490-3444-1-ND	2.33	19.94	83.08	490-3444-2-ND	3,000	93.04/M	GNM314R71C683MA01L
		6.3	1.0µF		1.15	490-3446-1-ND	2.52	21.61	90.06	490-3446-2-ND	3,000	100.87/M	GNM314R70J105MA01L

Alle Preisangaben in Euro und inklusive Zollgebühren.

Vielschicht-Keramikchipkondensatoren

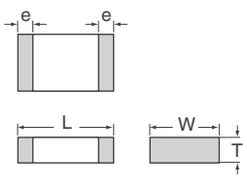

Größen code	Abmessungen (mm)		
	L	W	e
0201	0.6	0.3	0.1 ~ 0.2
0402	1.0	0.5	0.15 ~ 0.3
0603	1.6	0.8	0.20 ~ 0.5
0805	2.0	1.25	0.20 ~ 0.70
1206	3.2	1.6	0.30 ~ 0.80
1210	3.2	2.5	0.3
1812	4.5	3.2	0.3
2220	5.7	5.0	0.3

Serie GRM

Die Serie GRM von Murata umfasst ein komplettes Sortiment von Keramikchipkondensatoren verschiedenster Größen und für verschiedene Spannungen. Diese Kondensatoren verfügen über Temperatureigenschaften von C0G bis Z5U. Die Serie GRM ist mit einer verzinnten (Sn) Nickel-(Ni)-Barrierenterminierung versehen, die eine hohe Resistenz gegenüber Migration bietet und bleifrei/RoHS-konform ist. Strenge Maßtoleranzen ermöglichen eine extrem zuverlässige und schnelle automatische Chip-Platzierung auf Leiterplatten.

Serie GRM und Hi-Cap:

Das Murata Hi-Cap, Ta Ersatz-Sortiment steht mit einer Kapazität von 1 µF und mehr sowie in Spannungen von 6,3 V ~ 50 V zur Verfügung. Warum sollte man Keramikchips Ta- und Al-Kondensatoren vorziehen? Keramikchips bieten größere Zuverlässigkeit, bessere elektrische Leistung, keine Polarität und ermöglichen die Verwendung platzsparender Designs mit verschiedenen Gehäuseoptionen. Diese Linie hochvolumiger Mehrschicht-Kapazitätskeramikchipkondensatoren (MLCC) bietet hervorragende HF-Rauschabsorption im Vergleich zu Ta- und Al-Kondensatoren. Für Bypass-/Entkopplungsanwendungen entspricht MLCC der Hälfte oder 1/5 des Kapazitätswertes eines Ta-Kondensators, weil die Impedanz (ESR) des MLCC bei hohen Frequenzen /über 100 kHz) niedriger ist. Murata Hi-Cap kann einen guten Ersatz für Ihre Ta-Kondensatoren darstellen.

Betriebstemperaturbereich:

• C0G (NP0): -55 °C ~ 125 °C • X7R: -55 °C ~ 125 °C • X5R: -55 °C ~ 85 °C
• Y5V: -30 °C ~ 85 °C • Z5U: 10 °C ~ 85 °C

Größen-code	Typ	Betriebs-spannung DC	Kapazität	Toleranz	Abmessung T (mm)	Digi-Key Teilenr.	Gurtabschnittspreise 10	100	500	Digi-Key Teilenr.	Gegurtet auf Rolle Größe	Preisangaben	Murata Teilenr.
0201	C0G (NP0)	25	.5pF	±.25pF	0.3	490-1241-1-ND	.43	2.53	7.31	490-1241-2-ND	15,000	7.01/M	GRM0335C1ER50CD01D
			1.0pF	±.25pF	0.3	490-3122-1-ND	.45	2.64	7.62	490-3122-2-ND	15,000	7.32/M	GRM0335C1E1R0CD01D
			1.1pF	±.25pF	0.3	490-3123-1-ND	.36	2.15	6.19	490-3123-2-ND	15,000	5.95/M	GRM0335C1E1R1CD01D
			1.2pF	±.25pF	0.3	490-1242-1-ND	.45	2.64	7.62	490-1242-2-ND	15,000	7.32/M	GRM0335C1E1R2CD01D
			1.3pF	±.25pF	0.3	490-3124-1-ND	.36	2.15	6.19	490-3124-2-ND	15,000	5.95/M	GRM0335C1E1R3CD01D
			1.5pF	±.25pF	0.3	490-1243-1-ND	.45	2.64	7.62	490-1243-2-ND	15,000	7.32/M	GRM0335C1E1R5CD01D
			1.8pF	±.25pF	0.3	490-1244-1-ND	.45	2.64	7.62	490-1244-2-ND	15,000	7.32/M	GRM0335C1E1R8CD01D
			2.0pF	±.25pF	0.3	490-1245-1-ND	.45	2.64	7.62	490-1245-2-ND	15,000	7.32/M	GRM0335C1E2R0CD01D
			2.2pF	±.25pF	0.3	490-1246-1-ND	.45	2.64	7.62	490-1246-2-ND	15,000	7.32/M	GRM0335C1E2R2CD01D
			2.4pF	±.25pF	0.3	490-1247-1-ND	.45	2.64	7.62	490-1247-2-ND	15,000	7.32/M	GRM0335C1E2R4CD01D
			3.0pF	±.25pF	0.3	490-3127-1-ND	.36	2.15	6.19	490-3127-2-ND	15,000	5.95/M	GRM0335C1E3R0CD01D
			3.3pF	±.25pF	0.3	490-1248-1-ND	.45	2.64	7.62	490-1248-2-ND	15,000	7.32/M	GRM0335C1E3R3CD01D
			3.6pF	±.25pF	0.3	490-1249-1-ND	.45	2.64	7.62	490-1249-2-ND	15,000	7.32/M	GRM0335C1E3R6CD01D
			4.0pF	±.25pF	0.3	490-3129-1-ND	.36	2.15	6.19	490-3129-2-ND	15,000	5.95/M	GRM0335C1E4R0CD01D
			4.3pF	±.25pF	0.3	490-3130-1-ND	.36	2.15	6.19	490-3130-2-ND	15,000	5.95/M	GRM0335C1E4R3CD01D
			4.7pF	±.25pF	0.3	490-3131-1-ND	.36	2.15	6.19	490-3131-2-ND	15,000	5.95/M	GRM0335C1E4R7CD01D
			5.0pF	±.25pF	0.3	490-3132-1-ND	.36	2.15	6.19	490-3132-2-ND	15,000	5.95/M	GRM0335C1E5R0CD01D
			5.1pF	±.5pF	0.3	490-3133-1-ND	.36	2.15	6.19	490-3133-2-ND	15,000	5.95/M	GRM0335C1E5R1DD01D
			6.0pF	±.5pF	0.3	490-3135-1-ND	.36	2.15	6.19	490-3135-2-ND	15,000	5.95/M	GRM0335C1E6R0DD01D
			7.0pF	±.5pF	0.3	490-1250-1-ND	.45	2.64	7.62	490-1250-2-ND	15,000	7.32/M	GRM0335C1E7R0DD01D
			8.0pF	±.5pF	0.3	490-3139-1-ND	.36	2.15	6.19	490-3139-2-ND	15,000	5.95/M	GRM0335C1E8R0DD01D
			9.0pF	±.5pF	0.3	490-1251-1-ND	.45	2.64	7.62	490-1251-2-ND	15,000	7.32/M	GRM0335C1E9R0DD01D
			10pF	±5%	0.3	490-3142-1-ND	.45	2.64	7.62	490-3142-2-ND	15,000	7.32/M	GRM0335C1E100JD01D
			12pF	±5%	0.3	490-3144-1-ND	.36	2.15	6.19	490-3144-2-ND	15,000	5.95/M	GRM0335C1E120JD01D
			13pF	±5%	0.3	490-3145-1-ND	.36	2.15	6.19	490-3145-2-ND	15,000	5.95/M	GRM0335C1E130JD01D
			15pF	±5%	0.3	490-3146-1-ND	.36	2.15	6.19	490-3146-2-ND	15,000	5.95/M	GRM0335C1E150JD01D
			18pF	±5%	0.3	490-3148-1-ND	.45	2.64	7.62	490-3148-2-ND	15,000	7.32/M	GRM0335C1E180JD01D
			20pF	±5%	0.3	490-1252-1-ND	.45	2.64	7.62	490-1252-2-ND	15,000	7.32/M	GRM0335C1E200JD01D
			22pF	±5%	0.3	490-1253-1-ND	.45	2.64	7.62	490-1253-2-ND	15,000	7.32/M	GRM0335C1E220JD01D
			24pF	±5%	0.3	490-3149-1-ND	.36	2.15	6.19	490-3149-2-ND	15,000	5.95/M	GRM0335C1E240JD01D
			27pF	±5%	0.3	490-3150-1-ND	.36	2.15	6.19	490-3150-2-ND	15,000	5.95/M	GRM0335C1E270JD01D
			30pF	±5%	0.3	490-1254-1-ND	.45	2.64	7.62	490-1254-2-ND	15,000	7.32/M	GRM0335C1E300JD01D
			33pF	±5%	0.3	490-1255-1-ND	.45	2.64	7.62	490-1255-2-ND	15,000	7.32/M	GRM0335C1E330JD01D
			39pF	±5%	0.3	490-3152-1-ND	.36	2.15	6.19	490-3152-2-ND	15,000	5.95/M	GRM0335C1E390JD01D
			47pF	±5%	0.3	490-1256-1-ND	.45	2.64	7.62	490-1256-2-ND	15,000	7.32/M	GRM0335C1E470JD01D
			68pF	±5%	0.3	490-3157-1-ND	.36	2.15	6.19	490-3157-2-ND	15,000	5.95/M	GRM0335C1E680JD01D
			82pF	±5%	0.3	490-1257-1-ND	.45	2.64	7.62	490-1257-2-ND	15,000	7.32/M	GRM0335C1E820JD01D
			100pF	±5%	0.3	490-3160-1-ND	.45	2.64	7.62	490-3160-2-ND	15,000	7.32/M	GRM0335C1E101JD01D
	X7R	25	100pF	±10%	0.3	490-3172-1-ND	.36	2.15	6.19	490-3172-2-ND	15,000	5.95/M	GRM033R71E101KA01D
			150pF	±10%	0.3	490-3174-1-ND	.36	2.15	6.19	490-3174-2-ND	15,000	5.95/M	GRM033R71E151KA01D
			220pF	±10%	0.3	490-3176-1-ND	.36	2.15	6.19	490-3176-2-ND	15,000	5.95/M	GRM033R71E221KA01D
			330pF	±10%	0.3	490-3178-1-ND	.36	2.15	6.19	490-3178-2-ND	15,000	5.95/M	GRM033R71E331KA01D
			470pF	±10%	0.3	490-3180-1-ND	.36	2.15	6.19	490-3180-2-ND	15,000	5.95/M	GRM033R71E471KA01D
			680pF	±10%	0.3	490-3182-1-ND	.36	2.15	6.19	490-3182-2-ND	15,000	5.95/M	GRM033R71E681KA01D
			820pF	±10%	0.3	490-3183-1-ND	.36	2.15	6.19	490-3183-2-ND	15,000	5.95/M	GRM033R71E821KA01D
			1000pF	±10%	0.3	490-3184-1-ND	.36	2.15	6.19	490-3184-2-ND	15,000	5.95/M	GRM033R71E102KA01D
			1500pF	±10%	0.3	490-3185-1-ND	.38	2.26	6.51	490-3185-2-ND	15,000	6.25/M	GRM033R71E152KA01D
		16	100pF	±10%	0.3	490-1258-1-ND	.45	2.64	7.62	490-1258-2-ND	15,000	7.32/M	GRM033R71C101KD01D
			150pF	±10%	0.3	490-3186-1-ND	.36	2.15	6.19	490-3186-2-ND	15,000	5.95/M	GRM033R71C151KD01D
			220pF	±10%	0.3	490-3187-1-ND	.36	2.15	6.19	490-3187-2-ND	15,000	5.95/M	GRM033R71C221KD01D
			330pF	±10%	0.3	490-3189-1-ND	.36	2.15	6.19	490-3189-2-ND	15,000	5.95/M	GRM033R71C331KD01D
			470pF	±10%	0.3	490-1259-1-ND	.45	2.64	7.62	490-1259-2-ND	15,000	7.32/M	GRM033R71C471KD01D
			680pF	±10%	0.3	490-1260-1-ND	.45	2.64	7.62	490-1260-2-ND	15,000	7.32/M	GRM033R71C681KD01D
			1000pF	±10%	0.3	490-1261-1-ND	.45	2.64	7.62	490-1261-2-ND	15,000	7.32/M	GRM033R71C102KD01D
			3300pF	±10%	0.3	490-3191-1-ND	.38	2.26	6.51	490-3191-2-ND	15,000	6.25/M	GRM033R71C332KA88D
		10	4700pF	±10%	0.3	490-3192-1-ND	.38	2.26	6.51	490-3192-2-ND	15,000	6.25/M	GRM033R71A472KA01D
			6800pF	±10%	0.3	490-3193-1-ND	.38	2.26	6.51	490-3193-2-ND	15,000	6.25/M	GRM033R71A682KA01D
			10000pF	±10%	0.3	490-3194-1-ND	.38	2.26	6.51	490-3194-2-ND	15,000	6.25/M	GRM033R71A103KA01D
		6.3	10000pF	±10%	0.3	490-1262-1-ND	.73	4.29	12.39	490-1262-2-ND	15,000	11.89/M	GRM033R70J103KA01D
	X5R	10	1500pF	±10%	0.3	490-3161-1-ND	.38	2.26	6.51	490-3161-2-ND	15,000	6.25/M	GRM033R61A152KA01D
			2200pF	±10%	0.3	490-3162-1-ND	.38	2.26	6.51	490-3162-2-ND	15,000	6.25/M	GRM033R61A222KA01D
			3300pF	±10%	0.3	490-3163-1-ND	.38	2.26	6.51	490-3163-2-ND	15,000	6.25/M	GRM033R61A332KA01D
			4700pF	±10%	0.3	490-3164-1-ND	.38	2.26	6.51	490-3164-2-ND	15,000	6.25/M	GRM033R61A472KA01D
			6800pF	±10%	0.3	490-3165-1-ND	.38	2.26	6.51	490-3165-2-ND	15,000	6.25/M	GRM033R61A682KA01D
			10000pF	±10%	0.3	490-3166-1-ND	.38	2.26	6.51	490-3166-2-ND	15,000	6.25/M	GRM033R61A103KA01D
		6.3	15000pF	±10%	0.3	490-3168-1-ND	.44	2.59	7.46	490-3168-2-ND	15,000	7.17/M	GRM033R60J153KE01D
			22000pF	±10%	0.3	490-3169-1-ND	.47	2.75	7.94	490-3169-2-ND	15,000	7.62/M	GRM033R60J223KE01D
			33000pF	±10%	0.3	490-3170-1-ND	.50	2.97	8.58	490-3170-2-ND	15,000	8.23/M	GRM033R60J333KE01D
			68000pF	±10%	0.3	490-3171-1-ND	.55	3.25	9.36	490-3171-2-ND	15,000	9.00/M	GRM033R60J683KE19D
			.1µF	±10%	0.3	490-3167-1-ND	.59	3.52	10.16	490-3167-2-ND	15,000	9.76/M	GRM033R60J104KE19D
	Y5V	10	4700pF	+80%, -20%	0.3	490-3197-1-ND	.40	2.37	6.82	490-3197-2-ND	15,000	6.56/M	GRM033F51A472ZD01D
			10000pF	+80%, -20%	0.3	490-3195-1-ND	.40	2.37	6.82	490-3195-2-ND	15,000	6.56/M	GRM033F51A103ZD01D
0402	C0G (NP0)	50	.5pF	±.25pF	0.5	490-1263-1-ND	.29	1.71	4.92	490-1263-2-ND	10,000	4.73/M	GRM1555C1HR50CZ01D
			.75pF	±.25pF	0.5	490-1264-1-ND	.29	1.71	4.92	490-1264-2-ND	10,000	4.73/M	GRM1555C1HR75CZ01D
			1.2pF	±.25pF	0.5	490-1265-1-ND	.29	1.71	4.92	490-1265-2-ND	10,000	4.73/M	GRM1555C1H1R2CZ01D
			1.5pF	±.25pF	0.5	490-1266-1-ND	.29	1.71	4.92	490-1266-2-ND	10,000	4.73/M	GRM1555C1H1R5CZ01D
			1.8pF	±.25pF	0.5	490-3203-1-ND	.25	1.49	4.28	490-3203-2-ND	10,000	4.12/M	GRM1555C1H1R8CZ01D
			2.2pF	±.25pF	0.5	490-1267-1-ND	.29	1.71	4.92	490-1267-2-ND	10,000	4.73/M	GRM1555C1H2R2CZ01D
			2.4pF	±.25pF	0.5	490-1268-1-ND	.29	1.71	4.92	490-1268-2-ND	10,000	4.73/M	GRM1555C1H2R4CZ01D
			2.7pF	±.25pF	0.5	490-1269-1-ND	.29	1.71	4.92	490-1269-2-ND	10,000	4.73/M	GRM1555C1H2R7CZ01D
			3.0pF	±.25pF	0.5	490-3205-1-ND	.25	1.49	4.28	490-3205-2-ND	10,000	4.12/M	GRM1555C1H3R0CZ01D
			3.3pF	±.25pF	0.5	490-1270-1-ND	.29	1.71	4.92	490-1270-2-ND	10,000	4.73/M	GRM1555C1H3R3CZ01D
			3.6pF	±.25pF	0.5	490-1271-1-ND	.29	1.71	4.92	490-1271-2-ND	10,000	4.73/M	GRM1555C1H3R6CZ01D
			3.9pF	±.25pF	0.5	490-1272-1-ND	.29	1.71	4.92	490-1272-2-ND	10,000	4.73/M	GRM1555C1H3R9CZ01D
			4.0pF	±.25pF	0.5	490-3206-1-ND	.25	1.49	4.28	490-3206-2-ND	10,000	4.12/M	GRM1555C1H4R0CZ01D
			4.7pF	±.25pF	0.5	490-1273-1-ND	.29	1.71	4.92	490-1273-2-ND	10,000	4.73/M	GRM1555C1H4R7CZ01D
			5.0pF	±.25pF	0.5	490-1274-1-ND	.29	1.71	4.92	490-1274-2-ND	10,000	4.73/M	GRM1555C1H5R0CZ01D

† Neue Keramikformel

(Forts.)

E

Größen-code	Typ	Betriebs-spannung DC	Kapazität	Toleranz	Abmessung T (mm)	Digi-Key Teilenr.	Gurtabschnittspreise 10	100	500	Digi-Key Teilenr.	Gegurtet auf Rolle Größe	Preisangaben	Murata Teilenr.
0402	C0G (NP0)	50	5.1pF	±.5pF	0.5	490-3208-1-ND	.25	1.49	4.28	490-3208-2-ND	10,000	4.12/M	GRM1555C1H5R1DZ01D
			5.6pF	±.5pF	0.5	490-1275-1-ND	.29	1.71	4.92	490-1275-2-ND	10,000	4.73/M	GRM1555C1H5R6DZ01D
			6.0pF	±.5pF	0.5	490-3209-1-ND	.25	1.49	4.28	490-3209-2-ND	10,000	4.12/M	GRM1555C1H6R0DZ01D
			6.8pF	±.5pF	0.5	490-1276-1-ND	.29	1.71	4.92	490-1276-2-ND	10,000	4.73/M	GRM1555C1H6R8DZ01D
			7.0pF	±.5pF	0.5	490-1277-1-ND	.29	1.71	4.92	490-1277-2-ND	10,000	4.73/M	GRM1555C1H7R0DZ01D
			7.5pF	±.5pF	0.5	490-3211-1-ND	.25	1.49	4.28	490-3211-2-ND	10,000	4.12/M	GRM1555C1H7R5DZ01D
			8.0pF	±.5pF	0.5	490-3212-1-ND	.25	1.49	4.28	490-3212-2-ND	10,000	4.12/M	GRM1555C1H8R0DZ01D
			9.0pF	±.5pF	0.5	490-3214-1-ND	.25	1.49	4.28	490-3214-2-ND	10,000	4.12/M	GRM1555C1H9R0DZ01D
			10pF	±5%	0.5	490-1278-1-ND	.30	1.76	5.08	490-1278-2-ND	10,000	4.88/M	GRM1555C1H100JZ01D
			12pF	±5%	0.5	490-1279-1-ND	.29	1.71	4.92	490-1279-2-ND	10,000	4.73/M	GRM1555C1H120JZ01D
			15pF	±5%	0.5	490-1280-1-ND	.29	1.71	4.92	490-1280-2-ND	10,000	4.73/M	GRM1555C1H150JZ01D
			18pF	±5%	0.5	490-1281-1-ND	.29	1.71	4.92	490-1281-2-ND	10,000	4.73/M	GRM1555C1H180JZ01D
			20pF	±5%	0.5	490-1282-1-ND	.38	2.26	6.51	490-1282-2-ND	10,000	6.25/M	GRM1555C1H200JZ01D
			22pF	±5%	0.5	490-1283-1-ND	.29	1.71	4.92	490-1283-2-ND	10,000	4.73/M	GRM1555C1H220JZ01D
			24pF	±5%	0.5	490-3219-1-ND	.33	1.93	5.55	490-3219-2-ND	10,000	5.34/M	GRM1555C1H240JZ01D
			27pF	±5%	0.5	490-1284-1-ND	.29	1.71	4.92	490-1284-2-ND	10,000	4.73/M	GRM1555C1H270JZ01D
			30pF	±5%	0.5	490-1285-1-ND	.38	2.26	6.51	490-1285-2-ND	10,000	6.25/M	GRM1555C1H300JZ01D
			33pF	±5%	0.5	490-3220-1-ND	.25	1.49	4.28	490-3220-2-ND	10,000	4.12/M	GRM1555C1H330JZ01D
			39pF	±5%	0.5	490-1286-1-ND	.29	1.71	4.92	490-1286-2-ND	10,000	4.73/M	GRM1555C1H390JZ01D
			43pF	±5%	0.5	490-3222-1-ND	.33	1.93	5.55	490-3222-2-ND	10,000	5.34/M	GRM1555C1H430JZ01D
			47pF	±5%	0.5	490-1287-1-ND	.29	1.71	4.92	490-1287-2-ND	10,000	4.73/M	GRM1555C1H470JZ01D
			51pF	±5%	0.5	490-3223-1-ND	.33	1.93	5.55	490-3223-2-ND	10,000	5.34/M	GRM1555C1H510JZ01D
			56pF	±5%	0.5	490-1288-1-ND	.25	1.49	4.28	490-1288-2-ND	10,000	4.12/M	GRM1555C1H560JD01D
			68pF	±5%	0.5	490-1289-1-ND	.29	1.71	4.92	490-1289-2-ND	10,000	4.73/M	GRM1555C1H680JD01D
			75pF	±5%	0.5	490-3225-1-ND	.33	1.93	5.55	490-3225-2-ND	10,000	5.34/M	GRM1555C1H750JZ01D
			82pF	±5%	0.5	490-1290-1-ND	.25	1.49	4.28	490-1290-2-ND	10,000	4.12/M	GRM1555C1H820JZ01D
			100pF	±5%	0.5	490-1291-1-ND	.29	1.71	4.92	490-1291-2-ND	10,000	4.73/M	GRM1555C1H101JD01D
			100pF	±5%	0.5	490-3458-1-ND†	.25	1.49	4.28	490-3458-2-ND†	10,000	4.12/M	GRM1555C1H101JZ01D
			110pF	±5%	0.5	490-3227-1-ND	.43	2.53	7.31	490-3227-2-ND	10,000	7.01/M	GRM1555C1H111JA01D
			120pF	±5%	0.5	490-1292-1-ND	.37	2.20	6.35	490-1292-2-ND	10,000	6.10/M	GRM1555C1H121JA01D
			150pF	±5%	0.5	490-3229-1-ND	.33	1.93	5.55	490-3229-2-ND	10,000	5.34/M	GRM1555C1H151JA01D
			160pF	±5%	0.5	490-3230-1-ND	.43	2.53	7.31	490-3230-2-ND	10,000	7.01/M	GRM1555C1H161JA01D
			180pF	±5%	0.5	490-3231-1-ND	.33	1.93	5.55	490-3231-2-ND	10,000	5.34/M	GRM1555C1H181JA01D
			200pF	±5%	0.5	490-3232-1-ND	.43	2.53	7.31	490-3232-2-ND	10,000	7.01/M	GRM1555C1H201JA01D
			220pF	±5%	0.5	490-1293-1-ND	.38	2.26	6.51	490-1293-2-ND	10,000	6.25/M	GRM1555C1H221JA01D
			270pF	±5%	0.5	490-1294-1-ND	.50	2.97	8.58	490-1294-2-ND	10,000	8.23/M	GRM1555C1H271JA01D
			330pF	±5%	0.5	490-1295-1-ND	.50	2.97	8.58	490-1295-2-ND	10,000	8.23/M	GRM1555C1H331JA01D
			390pF	±5%	0.5	490-1296-1-ND	.54	3.19	9.21	490-1296-2-ND	10,000	8.84/M	GRM1555C1H391JA01D
			470pF	±5%	0.5	490-1297-1-ND	.54	3.19	9.21	490-1297-2-ND	10,000	8.84/M	GRM1555C1H471JA01D
			510pF	±5%	0.5	490-3237-1-ND	.50	2.97	8.58	490-3237-2-ND	10,000	8.23/M	GRM1555C1H511JA01D
			560pF	±5%	0.5	490-3238-1-ND	.47	2.75	7.94	490-3238-2-ND	10,000	7.62/M	GRM1555C1H561JA01D
			620pF	±5%	0.5	490-3239-1-ND	.50	2.97	8.58	490-3239-2-ND	10,000	8.23/M	GRM1555C1H621JA01D
			680pF	±5%	0.5	490-3240-1-ND	.47	2.75	7.94	490-3240-2-ND	10,000	7.62/M	GRM1555C1H681JA01D
			820pF	±5%	0.5	490-3242-1-ND	.59	3.52	10.16	490-3242-2-ND	10,000	9.76/M	GRM1555C1H821JA01D
			1000pF	±5%	0.5	490-3244-1-ND	.66	3.91	11.27	490-3244-2-ND	10,000	10.82/M	GRM1555C1H102JA01D
	X7R	50	220pF	±10%	0.5	490-1298-1-ND	.33	1.93	5.55	490-1298-2-ND	10,000	5.34/M	GRM155R71H221KA01D
			270pF	±10%	0.5	490-1299-1-ND	.35	2.04	5.88	490-1299-2-ND	10,000	5.64/M	GRM155R71H271KA01D
			470pF	±10%	0.5	490-1300-1-ND	.33	1.93	5.55	490-1300-2-ND	10,000	5.34/M	GRM155R71H471KA01D
			560pF	±10%	0.5	490-1301-1-ND	.35	2.04	5.88	490-1301-2-ND	10,000	5.64/M	GRM155R71H561KA01D
			680pF	±10%	0.5	490-1302-1-ND	.35	2.04	5.88	490-1302-2-ND	10,000	5.64/M	GRM155R71H681KA01D
			820pF	±10%	0.5	490-3250-1-ND	.31	1.87	5.40	490-3250-2-ND	10,000	5.19/M	GRM155R71H821KA01D
			1000pF	±10%	0.5	490-1303-1-ND	.27	1.60	4.61	490-1303-2-ND	10,000	4.42/M	GRM155R71H102KA01D
			1200pF	±10%	0.5	490-1304-1-ND	.38	2.26	6.51	490-1304-2-ND	10,000	6.25/M	GRM155R71H122KA01D
			1500pF	±10%	0.5	490-3245-1-ND	.34	1.98	5.71	490-3245-2-ND	10,000	5.49/M	GRM155R71H152KA01D
			2200pF	±10%	0.5	490-1305-1-ND	.27	1.60	4.61	490-1305-2-ND	10,000	4.42/M	GRM155R71H222KA01D
			2700pF	±10%	0.5	490-1306-1-ND	.38	2.26	6.51	490-1306-2-ND	10,000	6.25/M	GRM155R71H272KA01D
			3900pF	±10%	0.5	490-1307-1-ND	.38	2.26	6.51	490-1307-2-ND	10,000	6.25/M	GRM155R71H392KA01D
			4700pF	±10%	0.5	490-1308-1-ND	.27	1.60	4.61	490-1308-2-ND	10,000	4.42/M	GRM155R71H472KA01D
		25	4700pF	±10%	0.5	490-1309-1-ND	.27	1.60	4.61	490-1309-2-ND	10,000	4.42/M	GRM155R71E472KA01D
			6800pF	±10%	0.5	490-1310-1-ND	.38	2.26	6.51	490-1310-2-ND	10,000	6.25/M	GRM155R71E682KA01D
			8200pF	±10%	0.5	490-1311-1-ND	.45	2.64	7.62	490-1311-2-ND	10,000	7.32/M	GRM155R71E822KA01D
			10000pF	±10%	0.5	490-1312-1-ND	.27	1.60	4.61	490-1312-2-ND	10,000	4.42/M	GRM155R71E103KA01D
			15000pF	±10%	0.5	490-3251-1-ND	.43	2.53	7.31	490-3251-2-ND	10,000	7.01/M	GRM155R71E153KA61D
			22000pF	±10%	0.5	490-3252-1-ND	.36	2.09	6.04	490-3252-2-ND	10,000	5.80/M	GRM155R71E223KA61D
			33000pF	±10%	0.5	490-3253-1-ND	.69	4.07	11.75	490-3253-2-ND	10,000	11.28/M	GRM155R71E333KA88D
			47000pF	±10%	0.5	490-3254-1-ND	.44	2.59	7.46	490-3254-2-ND	10,000	7.17/M	GRM155R71E473KA88D
		16	10000pF	±10%	0.5	490-1313-1-ND	.27	1.60	4.61	490-1313-2-ND	10,000	4.42/M	GRM155R71C103KA01D
			15000pF	±10%	0.5	490-1314-1-ND	.45	2.64	7.62	490-1314-2-ND	10,000	7.32/M	GRM155R71C153KA01D
			22000pF	±10%	0.5	490-3256-1-ND	.30	1.76	5.08	490-3256-2-ND	10,000	4.88/M	GRM155R71C223KA01D
			.1µF	±10%	0.5	490-3261-1-ND	.31	1.87	5.40	490-3261-2-ND	10,000	5.19/M	GRM155R71C104KA88D
		10	33000pF	±10%	0.5	490-1315-1-ND	.78	4.62	13.33	490-1315-2-ND	10,000	12.81/M	GRM155R71A333KA01D
			47000pF	±10%	0.5	490-1316-1-ND	.49	2.92	8.42	490-1316-2-ND	10,000	8.08/M	GRM155R71A473KA01D
	X5R	10	68000pF	±10%	0.5	490-1317-1-ND	.78	4.62	13.33	490-1317-2-ND	10,000	12.81/M	GRM155R61A683KA01D
			.1µF	±10%	0.5	490-1318-1-ND	.43	2.53	7.31	490-1318-2-ND	10,000	7.01/M	GRM155R61A104KA01D
			.33µF	±10%	0.5	490-3263-1-ND	1.41	8.36	24.13	490-3263-2-ND	10,000	23.17/M	GRM155R61A334KE15D
			.47µF	±10%	0.5	490-3264-1-ND	1.39	8.20	23.65	490-3264-2-ND	10,000	22.71/M	GRM155R61A474KE15D
		6.3	.33µF	±10%	0.5	490-3265-1-ND	1.41	8.36	24.13	490-3265-2-ND	10,000	23.17/M	GRM155R60J334KE01D
			.47µF	±10%	0.5	490-3266-1-ND	1.39	8.20	23.65	490-3266-2-ND	10,000	22.71/M	GRM155R60J474KE19D
			1.0µF	±10%	0.5	490-1320-1-ND	1.67	9.85	28.41	490-1320-2-ND	10,000	27.28/M	GRM155R60J105KE19D
			1.0µF	±20%	0.5	490-1319-1-ND	1.67	9.85	28.41	490-1319-2-ND	10,000	27.28/M	GRM155R60J105ME19D
	Y5V	50	2200pF	+80, -20%	0.5	490-1321-1-ND	.37	2.20	6.35	490-1321-2-ND	10,000	6.10/M	GRM155F51H222ZA01D
			4700pF	+80, -20%	0.5	490-1322-1-ND	.37	2.20	6.35	490-1322-2-ND	10,000	6.10/M	GRM155F51H472ZA01D
			10000pF	+80, -20%	0.5	490-1323-1-ND	.29	1.71	4.92	490-1323-2-ND	10,000	4.73/M	GRM155F51H103ZA01D
		25	10000pF	+80, -20%	0.5	490-1324-1-ND	.29	1.71	4.92	490-1324-2-ND	10,000	4.73/M	GRM155F51E103ZA01D
			22000pF	+80, -20%	0.5	490-1325-1-ND	.30	1.82	5.24	490-1325-2-ND	10,000	5.03/M	GRM155F51E223ZA01D
			47000pF	+80, -20%	0.5	490-3270-1-ND	.27	1.60	4.61	490-3270-2-ND	10,000	4.42/M	GRM155F51E473ZA01D
			.1µF	+80, -20%	0.5	490-3271-1-ND	.26	1.54	4.44	490-3271-2-ND	10,000	4.27/M	GRM155F51E104ZA01D
		16	22000pF	+80, -20%	0.5	490-3272-1-ND	.27	1.60	4.61	490-3272-2-ND	10,000	4.42/M	GRM155F51C223ZA01D
			47000pF	+80, -20%	0.5	490-1326-1-ND	.30	1.82	5.24	490-1326-2-ND	10,000	5.03/M	GRM155F51C473ZA01D
			.1µF	+80, -20%	0.5	490-1327-1-ND	.30	1.76	5.08	490-1327-2-ND	10,000	4.88/M	GRM155F51C104ZA01D
			.22µF	+80, -20%	0.5	490-3273-1-ND	.59	3.52	10.16	490-3273-2-ND	10,000	9.76/M	GRM155F51C224ZA01D
			.47µF	+80, -20%	0.5	490-3274-1-ND	.58	3.47	10.00	490-3274-2-ND	10,000	9.60/M	GRM155F51C474ZA01D
		10	.33µF	+80, -20%	0.5	490-3275-1-ND	.59	3.52	10.16	490-3275-2-ND	10,000	9.76/M	GRM155F51A334ZE01D
			.47µF	+80, -20%	0.5	490-3276-1-ND	.63	3.69	10.63	490-3276-2-ND	10,000	10.21/M	GRM155F51A474ZE01D
		6.3	.1µF	+80, -20%	0.5	490-3277-1-ND	.26	1.54	4.44	490-3277-2-ND	10,000	4.27/M	GRM155F50J104ZA01D
			.68µF	+80, -20%	0.5	490-3278-1-ND	.66	3.91	11.27	490-3278-2-ND	10,000	10.82/M	GRM155F50J684ZE01D
0603	C0G (NP0)	100	10pF	±.25pF	0.8	490-3279-1-ND	.47	2.75	7.94	490-3279-2-ND	4,000	7.62/M	GRM1885C2A100RA01D
			11pF	±5%	0.8	490-1328-1-ND	.50	2.97	8.58	490-1328-2-ND	4,000	8.23/M	GRM1885C2A110JA01D
			12pF	±5%	0.8	490-1329-1-ND	.47	2.75	7.94	490-1329-2-ND	4,000	7.62/M	GRM1885C2A120JA01D
			13pF	±5%	0.8	490-1330-1-ND	.52	3.08	8.89	490-1330-2-ND	4,000	8.54/M	GRM1885C2A130JA01D

† Neue Keramikformel

(Forts.)

Vielschicht-Keramikchipkondensatoren *(Forts.)*

Größen-code	Typ	Betriebs-spannung DC	Kapazität	Toleranz	Abmessung T (mm)	Digi-Key Teilenr.	Gurtabschnittspreise 10	100	500	Digi-Key Teilenr.	Gegurtet auf Rolle Größe	Preisangaben	Murata Teilenr.
			15pF	±5%	0.8	490-1331-1-ND	.47	2.75	7.94	490-1331-2-ND	4,000	7.62/M	GRM1885C2A150JA01D
			16pF	±5%	0.8	490-1332-1-ND	.52	3.08	8.89	490-1332-2-ND	4,000	8.54/M	GRM1885C2A160JA01D
			18pF	±5%	0.8	490-1333-1-ND	.47	2.75	7.94	490-1333-2-ND	4,000	7.62/M	GRM1885C2A180JA01D
			20pF	±5%	0.8	490-1334-1-ND	.50	2.97	8.58	490-1334-2-ND	4,000	8.23/M	GRM1885C2A200JA01D
			22pF	±5%	0.8	490-1335-1-ND	.47	2.75	7.94	490-1335-2-ND	4,000	7.62/M	GRM1885C2A220JA01D
			24pF	±5%	0.8	490-1336-1-ND	.52	3.08	8.89	490-1336-2-ND	4,000	8.54/M	GRM1885C2A240JA01D
			27pF	±5%	0.8	490-1337-1-ND	.47	2.75	7.94	490-1337-2-ND	4,000	7.62/M	GRM1885C2A270JA01D
			30pF	±5%	0.8	490-1338-1-ND	.52	3.08	8.89	490-1338-2-ND	4,000	8.54/M	GRM1885C2A300JA01D
			33pF	±5%	0.8	490-1339-1-ND	.47	2.75	7.94	490-1339-2-ND	4,000	7.62/M	GRM1885C2A330JA01D
			36pF	±5%	0.8	490-1340-1-ND	.52	3.08	8.89	490-1340-2-ND	4,000	8.54/M	GRM1885C2A360JA01D
			39pF	±5%	0.8	490-1341-1-ND	.47	2.75	7.94	490-1341-2-ND	4,000	7.62/M	GRM1885C2A390JA01D
			43pF	±5%	0.8	490-1342-1-ND	.50	2.97	8.58	490-1342-2-ND	4,000	8.23/M	GRM1885C2A430JA01D
			47pF	±5%	0.8	490-1343-1-ND	.47	2.75	7.94	490-1343-2-ND	4,000	7.62/M	GRM1885C2A470JA01D
			51pF	±5%	0.8	490-1344-1-ND	.50	2.97	8.58	490-1344-2-ND	4,000	8.23/M	GRM1885C2A510JA01D
			56pF	±5%	0.8	490-1345-1-ND	.47	2.75	7.94	490-1345-2-ND	4,000	7.62/M	GRM1885C2A560JA01D
			62pF	±5%	0.8	490-1346-1-ND	.50	2.97	8.58	490-1346-2-ND	4,000	8.23/M	GRM1885C2A620JA01D
			68pF	±5%	0.8	490-1347-1-ND	.47	2.75	7.94	490-1347-2-ND	4,000	7.62/M	GRM1885C2A680JA01D
			75pF	±5%	0.8	490-1348-1-ND	.50	2.97	8.58	490-1348-2-ND	4,000	8.23/M	GRM1885C2A750JA01D
			82pF	±5%	0.8	490-1349-1-ND	.47	2.75	7.94	490-1349-2-ND	4,000	7.62/M	GRM1885C2A820JA01D
			91pF	±5%	0.8	490-1350-1-ND	.50	2.97	8.58	490-1350-2-ND	4,000	8.23/M	GRM1885C2A910JA01D
		100	100pF	±5%	0.8	490-1351-1-ND	.47	2.75	7.94	490-1351-2-ND	4,000	7.62/M	GRM1885C2A101JA01D
			110pF	±5%	0.8	490-1352-1-ND	.69	4.07	11.75	490-1352-2-ND	4,000	11.28/M	GRM1885C2A111JA01D
			120pF	±5%	0.8	490-1353-1-ND	.67	3.96	11.43	490-1353-2-ND	4,000	10.98/M	GRM1885C2A121JA01D
			130pF	±5%	0.8	490-1354-1-ND	.69	4.07	11.75	490-1354-2-ND	4,000	11.28/M	GRM1885C2A131JA01D
			150pF	±5%	0.8	490-1355-1-ND	.53	3.14	9.05	490-1355-2-ND	4,000	8.69/M	GRM1885C2A151JA01D
			160pF	±5%	0.8	490-1356-1-ND	.69	4.07	11.75	490-1356-2-ND	4,000	11.28/M	GRM1885C2A161JA01D
			180pF	±5%	0.8	490-1357-1-ND	.67	3.96	11.43	490-1357-2-ND	4,000	10.98/M	GRM1885C2A181JA01D
			200pF	±5%	0.8	490-1358-1-ND	.72	4.24	12.22	490-1358-2-ND	4,000	11.74/M	GRM1885C2A201JA01D
			220pF	±5%	0.8	490-1359-1-ND	.59	3.52	10.16	490-1359-2-ND	4,000	9.76/M	GRM1885C2A221JA01D
			240pF	±5%	0.8	490-1360-1-ND	.78	4.62	13.33	490-1360-2-ND	4,000	12.80/M	GRM1885C2A241JA01D
			270pF	±5%	0.8	490-1361-1-ND	.75	4.40	12.70	490-1361-2-ND	4,000	12.19/M	GRM1885C2A271JA01D
			300pF	±5%	0.8	490-1362-1-ND	.80	4.73	13.66	490-1362-2-ND	4,000	13.11/M	GRM1885C2A301JA01D
			330pF	±5%	0.8	490-1363-1-ND	.63	3.74	10.79	490-1363-2-ND	4,000	10.37/M	GRM1885C2A331JA01D
			360pF	±5%	0.8	490-1364-1-ND	.80	4.73	13.66	490-1364-2-ND	4,000	13.11/M	GRM1885C2A361JA01D
			390pF	±5%	0.8	490-1365-1-ND	.78	4.62	13.33	490-1365-2-ND	4,000	12.80/M	GRM1885C2A391JA01D
			430pF	±5%	0.8	490-1366-1-ND	.80	4.73	13.66	490-1366-2-ND	4,000	13.11/M	GRM1885C2A431JA01D
			470pF	±5%	0.8	490-1367-1-ND	.68	4.02	11.59	490-1367-2-ND	4,000	11.13/M	GRM1885C2A471JA01D
			510pF	±5%	0.8	490-1368-1-ND	.91	5.34	15.40	490-1368-2-ND	4,000	14.79/M	GRM1885C2A511JA01D
			560pF	±5%	0.8	490-1369-1-ND	.86	5.12	14.76	490-1369-2-ND	4,000	14.18/M	GRM1885C2A561JA01D
			680pF	±5%	0.8	490-3280-1-ND	1.02	6.05	17.47	490-3280-2-ND	4,000	16.77/M	GRM1885C2A681JA01D
			1000pF	±5%	0.8	490-3281-1-ND	1.08	6.33	18.25	490-3281-2-ND	4,000	17.53/M	GRM1885C2A102JA01D
			.5pF	±.25pF	0.8	490-1370-1-ND	.58	3.47	10.00	490-1370-2-ND	4,000	9.60/M	GRM1885C1HR50CZ01D
			.75pF	±.25pF	0.8	490-1371-1-ND	.58	3.47	10.00	490-1371-2-ND	4,000	9.60/M	GRM1885C1HR75CZ01D
			1.0pF	±.25pF	0.8	490-1372-1-ND	.58	3.47	10.00	490-1372-2-ND	4,000	9.60/M	GRM1885C1H1R0CZ01D
			1.1pF	±.25pF	0.8	490-1373-1-ND	.58	3.47	10.00	490-1373-2-ND	4,000	9.60/M	GRM1885C1H1R1CZ01D
			1.2pF	±.25pF	0.8	490-1374-1-ND	.58	3.47	10.00	490-1374-2-ND	4,000	9.60/M	GRM1885C1H1R2CZ01D
			1.3pF	±.25pF	0.8	490-1375-1-ND	.58	3.47	10.00	490-1375-2-ND	4,000	9.60/M	GRM1885C1H1R3CZ01D
			1.5pF	±.25pF	0.8	490-1376-1-ND	.58	3.47	10.00	490-1376-2-ND	4,000	9.60/M	GRM1885C1H1R5CZ01D
			1.6pF	±.25pF	0.8	490-1377-1-ND	.58	3.47	10.00	490-1377-2-ND	4,000	9.60/M	GRM1885C1H1R6CZ01D
			1.8pF	±.25pF	0.8	490-1378-1-ND	.58	3.47	10.00	490-1378-2-ND	4,000	9.60/M	GRM1885C1H1R8CZ01D
0603	C0G (NP0)		2.0pF	±.25pF	0.8	490-1379-1-ND	.58	3.47	10.00	490-1379-2-ND	4,000	9.60/M	GRM1885C1H2R0CZ01D
			2.2pF	±.25pF	0.8	490-1380-1-ND	.58	3.47	10.00	490-1380-2-ND	4,000	9.60/M	GRM1885C1H2R2CZ01D
			2.4pF	±.25pF	0.8	490-1381-1-ND	.58	3.47	10.00	490-1381-2-ND	4,000	9.60/M	GRM1885C1H2R4CZ01D
			2.7pF	±.25pF	0.8	490-1382-1-ND	.58	3.47	10.00	490-1382-2-ND	4,000	9.60/M	GRM1885C1H2R7CZ01D
			3.0pF	±.25pF	0.8	490-1383-1-ND	.58	3.47	10.00	490-1383-2-ND	4,000	9.60/M	GRM1885C1H3R0CZ01D
			3.3pF	±.25pF	0.8	490-1384-1-ND	.58	3.47	10.00	490-1384-2-ND	4,000	9.60/M	GRM1885C1H3R3CZ01D
			3.6pF	±.25pF	0.8	490-1385-1-ND	.58	3.47	10.00	490-1385-2-ND	4,000	9.60/M	GRM1885C1H3R6CZ01D
			3.9pF	±.25pF	0.8	490-1386-1-ND	.58	3.47	10.00	490-1386-2-ND	4,000	9.60/M	GRM1885C1H3R9CZ01D
			4.0pF	±.25pF	0.8	490-1387-1-ND	.58	3.47	10.00	490-1387-2-ND	4,000	9.60/M	GRM1885C1H4R0CZ01D
			4.3pF	±.25pF	0.8	490-1388-1-ND	.58	3.47	10.00	490-1388-2-ND	4,000	9.60/M	GRM1885C1H4R3CZ01D
			4.7pF	±.25pF	0.8	490-1389-1-ND	.58	3.47	10.00	490-1389-2-ND	4,000	9.60/M	GRM1885C1H4R7CZ01D
			5.0pF	±.25pF	0.8	490-1390-1-ND	.58	3.47	10.00	490-1390-2-ND	4,000	9.60/M	GRM1885C1H5R0CZ01D
			5.1pF	±.5pF	0.8	490-1391-1-ND	.58	3.47	10.00	490-1391-2-ND	4,000	9.60/M	GRM1885C1H5R1DZ01D
			5.6pF	±.5pF	0.8	490-1392-1-ND	.58	3.47	10.00	490-1392-2-ND	4,000	9.60/M	GRM1885C1H5R6DZ01D
			6.0pF	±.5pF	0.8	490-1393-1-ND	.58	3.47	10.00	490-1393-2-ND	4,000	9.60/M	GRM1885C1H6R0DZ01D
			6.2pF	±.5pF	0.8	490-1394-1-ND	.58	3.47	10.00	490-1394-2-ND	4,000	9.60/M	GRM1885C1H6R2DZ01D
			6.8pF	±.25pF	0.8	490-1395-1-ND	.68	4.02	11.59	490-1395-2-ND	4,000	11.13/M	GRM1885C1H6R8CZ01D
			6.8pF	±.5pF	0.8	490-1396-1-ND	.58	3.47	10.00	490-1396-2-ND	4,000	9.60/M	GRM1885C1H6R8DZ01D
			7.0pF	±.5pF	0.8	490-1397-1-ND	.58	3.47	10.00	490-1397-2-ND	4,000	9.60/M	GRM1885C1H7R0DZ01D
			7.5pF	±.5pF	0.8	490-1398-1-ND	.58	3.47	10.00	490-1398-2-ND	4,000	9.60/M	GRM1885C1H7R5DZ01D
			8.0pF	±.5pF	0.8	490-1399-1-ND	.58	3.47	10.00	490-1399-2-ND	4,000	9.60/M	GRM1885C1H8R0DZ01D
		50	8.2pF	±.5pF	0.8	490-1400-1-ND	.58	3.47	10.00	490-1400-2-ND	4,000	9.60/M	GRM1885C1H8R2DZ01D
			9.0pF	±.5pF	0.8	490-1401-1-ND	.58	3.47	10.00	490-1401-2-ND	4,000	9.60/M	GRM1885C1H9R0DZ01D
			9.1pF	±.5pF	0.8	490-1402-1-ND	.58	3.47	10.00	490-1402-2-ND	4,000	9.60/M	GRM1885C1H9R1DZ01D
			10pF	±5%	0.8	490-1403-1-ND	.58	3.47	10.00	490-1403-2-ND	4,000	9.60/M	GRM1885C1H100JA01D
			11pF	±5%	0.8	490-1404-1-ND	.61	3.58	10.32	490-1404-2-ND	4,000	9.91/M	GRM1885C1H110JA01D
			12pF	±5%	0.8	490-1405-1-ND	.58	3.47	10.00	490-1405-2-ND	4,000	9.60/M	GRM1885C1H120JA01D
			13pF	±5%	0.8	490-1406-1-ND	.61	3.58	10.32	490-1406-2-ND	4,000	9.91/M	GRM1885C1H130JA01D
			15pF	±5%	0.8	490-1407-1-ND	.58	3.47	10.00	490-1407-2-ND	4,000	9.60/M	GRM1885C1H150JA01D
			16pF	±5%	0.8	490-1408-1-ND	.61	3.58	10.32	490-1408-2-ND	4,000	9.91/M	GRM1885C1H160JA01D
			18pF	±5%	0.8	490-1409-1-ND	.58	3.47	10.00	490-1409-2-ND	4,000	9.60/M	GRM1885C1H180JA01D
			20pF	±5%	0.8	490-1410-1-ND	.61	3.58	10.32	490-1410-2-ND	4,000	9.91/M	GRM1885C1H200JA01D
			22pF	±5%	0.8	490-1411-1-ND	.58	3.47	10.00	490-1411-2-ND	4,000	9.60/M	GRM1885C1H220JA01D
			24pF	±5%	0.8	490-1412-1-ND	.61	3.58	10.32	490-1412-2-ND	4,000	9.91/M	GRM1885C1H240JA01D
			27pF	±5%	0.8	490-1413-1-ND	.58	3.47	10.00	490-1413-2-ND	4,000	9.60/M	GRM1885C1H270JA01D
			30pF	±5%	0.8	490-1414-1-ND	.61	3.58	10.32	490-1414-2-ND	4,000	9.91/M	GRM1885C1H300JA01D
			33pF	±5%	0.8	490-1415-1-ND	.58	3.47	10.00	490-1415-2-ND	4,000	9.60/M	GRM1885C1H330JA01D
			36pF	±5%	0.8	490-1416-1-ND	.61	3.58	10.32	490-1416-2-ND	4,000	9.91/M	GRM1885C1H360JA01D
			39pF	±5%	0.8	490-1417-1-ND	.58	3.47	10.00	490-1417-2-ND	4,000	9.60/M	GRM1885C1H390JA01D
			43pF	±5%	0.8	490-1418-1-ND	.61	3.58	10.32	490-1418-2-ND	4,000	9.91/M	GRM1885C1H430JA01D
			47pF	±5%	0.8	490-1419-1-ND	.58	3.47	10.00	490-1419-2-ND	4,000	9.60/M	GRM1885C1H470JA01D
			51pF	±5%	0.8	490-1420-1-ND	.61	3.58	10.32	490-1420-2-ND	4,000	9.91/M	GRM1885C1H510JA01D
			56pF	±5%	0.8	490-1421-1-ND	.58	3.47	10.00	490-1421-2-ND	4,000	9.60/M	GRM1885C1H560JA01D
			62pF	±5%	0.8	490-1422-1-ND	.61	3.58	10.32	490-1422-2-ND	4,000	9.91/M	GRM1885C1H620JA01D
			68pF	±5%	0.8	490-1423-1-ND	.58	3.47	10.00	490-1423-2-ND	4,000	9.60/M	GRM1885C1H680JA01D
			75pF	±5%	0.8	490-1424-1-ND	.61	3.58	10.32	490-1424-2-ND	4,000	9.91/M	GRM1885C1H750JA01D
			82pF	±5%	0.8	490-1425-1-ND	.58	3.47	10.00	490-1425-2-ND	4,000	9.60/M	GRM1885C1H820JA01D
			91pF	±5%	0.8	490-1426-1-ND	.61	3.58	10.32	490-1426-2-ND	4,000	9.91/M	GRM1885C1H910JA01D
			100pF	±5%	0.8	490-1427-1-ND	.58	3.47	10.00	490-1427-2-ND	4,000	9.60/M	GRM1885C1H101JA01D
			110pF	±5%	0.8	490-1428-1-ND	.87	5.17	14.93	490-1428-2-ND	4,000	14.33/M	GRM1885C1H111JA01D
			120pF	±5%	0.8	490-1429-1-ND	.84	4.95	14.29	490-1429-2-ND	4,000	13.72/M	GRM1885C1H121JA01D

† Neue Keramikformel

(Forts.)

E

Vielschicht-Keramikchipkondensatoren *(Forts.)*

Größen-code	Typ	Betriebs-spannung DC	Kapazität	Toleranz	Abmessung T (mm)	Digi-Key Teilenr.	Gurtabschnittspreise 10	100	500	Digi-Key Teilenr.	Gegurtet auf Rolle Größe	Preisangaben	Murata Teilenr.
0603	C0G (NP0)	50	130pF	±5%	0.8	490-1430-1-ND	.89	5.23	15.08	490-1430-2-ND	4,000	14.48/M	GRM1885C1H131JA01D
			150pF	±5%	0.8	490-1431-1-ND	1.04	6.16	17.78	490-1431-2-ND	4,000	17.07/M	GRM1885C1H151JA01D
			160pF	±5%	0.8	490-1432-1-ND	.87	5.17	14.93	490-1432-2-ND	4,000	14.33/M	GRM1885C1H161JA01D
			180pF	±5%	0.8	490-1433-1-ND	.84	4.95	14.29	490-1433-2-ND	4,000	13.72/M	GRM1885C1H181JA01D
			200pF	±5%	0.8	490-1434-1-ND	.89	5.23	15.08	490-1434-2-ND	4,000	14.48/M	GRM1885C1H201JA01D
			220pF	±5%	0.8	490-1435-1-ND	.86	5.06	14.60	490-1435-2-ND	4,000	14.02/M	GRM1885C1H221JA01D
			240pF	±5%	0.8	490-1436-1-ND	.92	5.45	15.71	490-1436-2-ND	4,000	15.09/M	GRM1885C1H241JA01D
			270pF	±5%	0.8	490-1437-1-ND	1.03	6.11	17.62	490-1437-2-ND	4,000	16.92/M	GRM1885C1H271JA01D
			300pF	±5%	0.8	490-1438-1-ND	.96	5.67	16.35	490-1438-2-ND	4,000	15.70/M	GRM1885C1H301JA01D
			330pF	±5%	0.8	490-1439-1-ND	.94	5.56	16.03	490-1439-2-ND	4,000	15.39/M	GRM1885C1H331JA01D
			360pF	±5%	0.8	490-1440-1-ND	.96	5.67	16.35	490-1440-2-ND	4,000	15.70/M	GRM1885C1H361JA01D
			390pF	±5%	0.8	490-1441-1-ND	.93	5.50	15.87	490-1441-2-ND	4,000	15.24/M	GRM1885C1H391JA01D
			430pF	±5%	0.8	490-1442-1-ND	1.00	5.89	16.98	490-1442-2-ND	4,000	16.31/M	GRM1885C1H431JA01D
			470pF	±5%	0.8	490-1443-1-ND	.87	5.17	14.93	490-1443-2-ND	4,000	14.33/M	GRM1885C1H471JA01D
			510pF	±5%	0.8	490-1444-1-ND	1.13	6.71	19.37	490-1444-2-ND	4,000	18.60/M	GRM1885C1H511JA01D
			560pF	±5%	0.8	490-1445-1-ND	1.06	6.27	18.10	490-1445-2-ND	4,000	17.38/M	GRM1885C1H561JA01D
			620pF	±5%	0.8	490-1446-1-ND	.80	4.68	13.49	490-1446-2-ND	4,000	12.96/M	GRM1885C1H621JA01D
			680pF	±5%	0.8	490-1447-1-ND	1.03	6.11	17.62	490-1447-2-ND	4,000	16.92/M	GRM1885C1H681JA01D
			750pF	±5%	0.8	490-1448-1-ND	.99	5.83	16.83	490-1448-2-ND	4,000	16.16/M	GRM1885C1H751JA01D
			820pF	±5%	0.8	490-1449-1-ND	.95	5.61	16.20	490-1449-2-ND	4,000	15.55/M	GRM1885C1H821JA01D
			910pF	±5%	0.8	490-1450-1-ND	.99	5.83	16.83	490-1450-2-ND	4,000	16.16/M	GRM1885C1H911JA01D
			1000pF	±5%	0.8	490-1451-1-ND	1.09	6.44	18.57	490-1451-2-ND	4,000	17.83/M	GRM1885C1H102JA01D
			1100pF	±5%	0.8	490-1452-1-ND	1.00	5.89	16.98	490-1452-2-ND	4,000	16.31/M	GRM1885C1H112JA01D
			1200pF	±5%	0.8	490-1453-1-ND	1.00	5.89	16.98	490-1453-2-ND	4,000	16.31/M	GRM1885C1H122JA01D
			1300pF	±5%	0.8	490-1454-1-ND	1.02	6.05	17.47	490-1454-2-ND	4,000	16.77/M	GRM1885C1H132JA01D
			1500pF	±5%	0.8	490-1455-1-ND	.99	5.83	16.83	490-1455-2-ND	4,000	16.16/M	GRM1885C1H152JA01D
			1600pF	±5%	0.8	490-1456-1-ND	1.10	6.49	18.74	490-1456-2-ND	4,000	17.99/M	GRM1885C1H162JA01D
			1800pF	±5%	0.8	490-1457-1-ND	1.08	6.33	18.25	490-1457-2-ND	4,000	17.53/M	GRM1885C1H182JA01D
			2000pF	±5%	0.8	490-1458-1-ND	1.13	6.71	19.37	490-1458-2-ND	4,000	18.60/M	GRM1885C1H202JA01D
			2200pF	±5%	0.8	490-1459-1-ND	1.06	6.27	18.10	490-1459-2-ND	4,000	17.38/M	GRM1885C1H222JA01D
			2400pF	±5%	0.8	490-3282-1-ND	1.31	7.76	22.38	490-3282-2-ND	4,000	21.49/M	GRM1885C1H242JA01D
			2700pF	±5%	0.8	490-3283-1-ND	1.32	7.81	22.54	490-3283-2-ND	4,000	21.64/M	GRM1885C1H272JA01D
	X7R	100	220pF	±10%	0.8	490-1460-1-ND	.56	3.30	9.52	490-1460-2-ND	4,000	9.15/M	GRM188R72A221KA01D
			220pF	±20%	0.8	490-1461-1-ND	.56	3.30	9.52	490-1461-2-ND	4,000	9.15/M	GRM188R72A221MA01D
			270pF	±10%	0.8	490-1462-1-ND	.57	3.36	9.69	490-1462-2-ND	4,000	9.30/M	GRM188R72A271KA01D
			330pF	±10%	0.8	490-1464-1-ND	.57	3.36	9.69	490-1464-2-ND	4,000	9.30/M	GRM188R72A331KA01D
			330pF	±20%	0.8	490-1463-1-ND	.57	3.36	9.69	490-1463-2-ND	4,000	9.30/M	GRM188R72A331MA01D
			390pF	±10%	0.8	490-1465-1-ND	.57	3.36	9.69	490-1465-2-ND	4,000	9.30/M	GRM188R72A391KA01D
			470pF	±10%	0.8	490-1467-1-ND	.57	3.36	9.69	490-1467-2-ND	4,000	9.30/M	GRM188R72A471KA01D
			470pF	±20%	0.8	490-1466-1-ND	.56	3.30	9.52	490-1466-2-ND	4,000	9.15/M	GRM188R72A471MA01D
			560pF	±10%	0.8	490-1468-1-ND	.58	3.41	9.85	490-1468-2-ND	4,000	9.45/M	GRM188R72A561KA01D
			680pF	±10%	0.8	490-1469-1-ND	.57	3.36	9.69	490-1469-2-ND	4,000	9.30/M	GRM188R72A681KA01D
			680pF	±20%	0.8	490-1470-1-ND	.57	3.36	9.69	490-1470-2-ND	4,000	9.30/M	GRM188R72A681MA01D
			820pF	±10%	0.8	490-1471-1-ND	.57	3.36	9.69	490-1471-2-ND	4,000	9.30/M	GRM188R72A821KA01D
			1000pF	±10%	0.8	490-1472-1-ND	.47	2.75	7.94	490-1472-2-ND	4,000	7.62/M	GRM188R72A102KA01D
			1000pF	±20%	0.8	490-1473-1-ND	.46	2.70	7.78	490-1473-2-ND	4,000	7.47/M	GRM188R72A102MA01D
			1200pF	±10%	0.8	490-1474-1-ND	.52	3.08	8.89	490-1474-2-ND	4,000	8.54/M	GRM188R72A122KA01D
			1500pF	±10%	0.8	490-1475-1-ND	.50	2.97	8.58	490-1475-2-ND	4,000	8.23/M	GRM188R72A152KA01D
			1500pF	±20%	0.8	490-1476-1-ND	.49	2.92	8.42	490-1476-2-ND	4,000	8.08/M	GRM188R72A152MA01D
			1800pF	±10%	0.8	490-1477-1-ND	.53	3.14	9.05	490-1477-2-ND	4,000	8.69/M	GRM188R72A182KA01D
			2200pF	±10%	0.8	490-1478-1-ND	.47	2.75	7.94	490-1478-2-ND	4,000	7.62/M	GRM188R72A222KA01D
			2200pF	±20%	0.8	490-1479-1-ND	.46	2.70	7.78	490-1479-2-ND	4,000	7.47/M	GRM188R72A222MA01D
			2700pF	±10%	0.8	490-1480-1-ND	.57	3.36	9.69	490-1480-2-ND	4,000	9.30/M	GRM188R72A272KA01D
			3300pF	±10%	0.8	490-1481-1-ND	.50	2.97	8.58	490-1481-2-ND	4,000	8.23/M	GRM188R72A332KA01D
			3300pF	±20%	0.8	490-1482-1-ND	.49	2.92	8.42	490-1482-2-ND	4,000	8.08/M	GRM188R72A332MA01D
			22000pF	±10%	0.8	490-3284-1-ND	.66	3.91	11.27	490-3284-2-ND	4,000	10.82/M	GRM188R72A223KAC4D
			.1µF	±10%	0.8	490-3285-1-ND	1.80	10.68	30.80	490-3285-2-ND	4,000	29.57/M	GRM188R72A104KA35D
		50	220pF	±10%	0.8	490-1483-1-ND	.86	5.06	14.60	490-1483-2-ND	4,000	14.02/M	GRM188R71H221KA01D
			220pF	±20%	0.8	490-1484-1-ND	.86	5.06	14.60	490-1484-2-ND	4,000	14.02/M	GRM188R71H221MA01D
			270pF	±10%	0.8	490-1485-1-ND	.50	2.97	8.58	490-1485-2-ND	4,000	8.23/M	GRM188R71H271KA01D
			330pF	±10%	0.8	490-1486-1-ND	.50	2.97	8.58	490-1486-2-ND	4,000	8.23/M	GRM188R71H331KA01D
			330pF	±20%	0.8	490-1487-1-ND	.49	2.92	8.42	490-1487-2-ND	4,000	8.08/M	GRM188R71H331MA01D
			390pF	±10%	0.8	490-1555-1-ND	.58	3.41	9.85	490-1555-2-ND	4,000	9.45/M	GRM188R71H391KA01D
			470pF	±10%	0.8	490-1489-1-ND	.56	3.30	9.52	490-1489-2-ND	4,000	9.15/M	GRM188R71H471KA01D
			470pF	±20%	0.8	490-1488-1-ND	.56	3.30	9.52	490-1488-2-ND	4,000	9.15/M	GRM188R71H471MA01D
			560pF	±10%	0.8	490-1490-1-ND	.57	3.36	9.69	490-1490-2-ND	4,000	9.30/M	GRM188R71H561KA01D
			680pF	±10%	0.8	490-1491-1-ND	.57	3.36	9.69	490-1491-2-ND	4,000	9.30/M	GRM188R71H681KA01D
			680pF	±20%	0.8	490-1492-1-ND	.48	2.86	8.25	490-1492-2-ND	4,000	7.93/M	GRM188R71H681MA01D
			820pF	±10%	0.8	490-1493-1-ND	.58	3.41	9.85	490-1493-2-ND	4,000	9.45/M	GRM188R71H821KA01D
			1000pF	±10%	0.8	490-1494-1-ND	.48	2.86	8.25	490-1494-2-ND	4,000	7.93/M	GRM188R71H102KA01D
			1000pF	±20%	0.8	490-1495-1-ND	.48	2.86	8.25	490-1495-2-ND	4,000	7.93/M	GRM188R71H102MA01D
			1200pF	±10%	0.8	490-1496-1-ND	.52	3.03	8.73	490-1496-2-ND	4,000	8.39/M	GRM188R71H122KA01D
			1500pF	±10%	0.8	490-1498-1-ND	.55	3.25	9.36	490-1498-2-ND	4,000	8.99/M	GRM188R71H152KA01D
			1500pF	±20%	0.8	490-1497-1-ND	.55	3.25	9.36	490-1497-2-ND	4,000	8.99/M	GRM188R71H152MA01D
			1800pF	±10%	0.8	490-1499-1-ND	.56	3.30	9.52	490-1499-2-ND	4,000	9.15/M	GRM188R71H182KA01D
			2200pF	±10%	0.8	490-1500-1-ND	.35	2.04	5.88	490-1500-2-ND	4,000	5.64/M	GRM188R71H222KA01D
			2200pF	±20%	0.8	490-1501-1-ND	.35	2.04	5.88	490-1501-2-ND	4,000	5.64/M	GRM188R71H222MA01D
			2700pF	±10%	0.8	490-1502-1-ND	.58	3.41	9.85	490-1502-2-ND	4,000	9.45/M	GRM188R71H272KA01D
			3300pF	±10%	0.8	490-1503-1-ND	.55	3.25	9.36	490-1503-2-ND	4,000	8.99/M	GRM188R71H332KA01D
			3300pF	±20%	0.8	490-1560-1-ND	.55	3.25	9.36	490-1560-2-ND	4,000	8.99/M	GRM188R71H332MA01D
			3900pF	±10%	0.8	490-1504-1-ND	.58	3.41	9.85	490-1504-2-ND	4,000	9.45/M	GRM188R71H392KA01D
			4700pF	±10%	0.8	490-1506-1-ND	.53	3.14	9.05	490-1506-2-ND	4,000	8.69/M	GRM188R71H472KA01D
			4700pF	±20%	0.8	490-1505-1-ND	.53	3.14	9.05	490-1505-2-ND	4,000	8.69/M	GRM188R71H472MA01D
			8200pF	±10%	0.8	490-1510-1-ND	.63	3.74	10.79	490-1510-2-ND	4,000	10.37/M	GRM188R71H822KA01D
			6800pF	±20%	0.8	490-1509-1-ND	.61	3.58	10.32	490-1509-2-ND	4,000	9.91/M	GRM188R71H682MA01D
			5600pF	±10%	0.8	490-1507-1-ND	.63	3.69	10.63	490-1507-2-ND	4,000	10.21/M	GRM188R71H562KA01D
			6800pF	±10%	0.8	490-1508-1-ND	.61	3.58	10.32	490-1508-2-ND	4,000	9.91/M	GRM188R71H682KA01D
			10000pF	±10%	0.8	490-1512-1-ND	.46	2.70	7.78	490-1512-2-ND	4,000	7.47/M	GRM188R71H103KA01D
			10000pF	±20%	0.8	490-1511-1-ND	.46	2.70	7.78	490-1511-2-ND	4,000	7.47/M	GRM188R71H103MA01D
			12000pF	±10%	0.8	490-1513-1-ND	.65	3.85	11.12	490-1513-2-ND	4,000	10.67/M	GRM188R71H123KA01D
			15000pF	±10%	0.8	490-1514-1-ND	.58	3.41	9.85	490-1514-2-ND	4,000	9.45/M	GRM188R71H153KA01D
			15000pF	±20%	0.8	490-1515-1-ND	.48	2.86	8.25	490-1515-2-ND	4,000	7.93/M	GRM188R71H153MA01D
			18000pF	±10%	0.8	490-1516-1-ND	.65	3.85	11.12	490-1516-2-ND	4,000	10.67/M	GRM188R71H183KA01D
			22000pF	±10%	0.8	490-1517-1-ND	.63	3.69	10.63	490-1517-2-ND	4,000	10.21/M	GRM188R71H223KA01D
			22000pF	±20%	0.8	490-1518-1-ND	.50	2.97	8.58	490-1518-2-ND	4,000	8.23/M	GRM188R71H223MA01D
			33000pF	±10%	0.8	490-3286-1-ND	.66	3.91	11.27	490-3286-2-ND	4,000	10.82/M	GRM188R71H333KA61D
			47000pF	±10%	0.8	490-3287-1-ND	.65	3.85	11.12	490-3287-2-ND	4,000	10.67/M	GRM188R71H473KA61D
			68000pF	±10%	0.8	490-3288-1-ND	.73	4.29	12.39	490-3288-2-ND	4,000	11.89/M	GRM188R71H683KA93D
			.1µF	±10%	0.8	490-1519-1-ND	.59	3.52	10.16	490-1519-2-ND	4,000	9.76/M	GRM188R71H104KA93D
		25	10000pF	±10%	0.8	490-1520-1-ND	.46	2.70	7.78	490-1520-2-ND	4,000	7.47/M	GRM188R71E103KA01D
			33000pF	±10%	0.8	490-1521-1-ND	.86	5.06	14.60	490-1521-2-ND	4,000	14.02/M	GRM188R71E333KA01D
			47000pF	±10%	0.8	490-1522-1-ND	.92	5.45	15.71	490-1522-2-ND	4,000	15.09/M	GRM188R71E473KA01D

† Neue Keramikformel

(Forts.)

Größen-code	Typ	Betriebs-spannung DC	Kapazität	Toleranz	Abmessung T (mm)	Digi-Key Teilenr.	Gurtabschnittspreise 10	100	500	Digi-Key Teilenr.	Gegurtet auf Rolle Größe	Preisangaben	Murata Teilenr.
			68000pF	±10%	0.8	490-1523-1-ND	.65	3.85	11.12	490-1523-2-ND	4,000	10.67/M	GRM188R71E683KA01D
		25	.1µF	±10%	0.8	490-1524-1-ND	1.00	5.89	16.98	490-1524-2-ND	4,000	16.31/M	GRM188R71E104KA01D
			.22µF	±10%	0.8	490-3290-1-ND	1.14	6.77	19.52	490-3290-2-ND	4,000	18.75/M	GRM188R71E224KA88D
			.47µF	±10%	0.8	490-3291-1-ND	1.38	8.14	23.49	490-3291-2-ND	4,000	22.56/M	GRM188R71E474KA12D
			10000pF	±10%	0.8	490-1525-1-ND	.46	2.70	7.78	490-1525-2-ND	4,000	7.47/M	GRM188R71C103KA01D
			12000pF	±10%	0.8	490-1526-1-ND	.59	3.52	10.16	490-1526-2-ND	4,000	9.76/M	GRM188R71C123KA01D
			22000pF	±10%	0.8	490-1527-1-ND	.61	3.58	10.32	490-1527-2-ND	4,000	9.91/M	GRM188R71C223KA01D
			33000pF	±10%	0.8	490-1528-1-ND	.76	4.51	13.02	490-1528-2-ND	4,000	12.50/M	GRM188R71C333KA01D
			47000pF	±10%	0.8	490-1529-1-ND	.89	5.23	15.08	490-1529-2-ND	4,000	14.48/M	GRM188R71C473KA01D
	X7R	16	56000pF	±10%	0.8	490-1530-1-ND	1.08	6.38	18.41	490-1530-2-ND	4,000	17.68/M	GRM188R71C563KA01D
			68000pF	±10%	0.8	490-1531-1-ND	1.02	6.00	17.30	490-1531-2-ND	4,000	16.61/M	GRM188R71C683KA01D
			.1µF	±10%	0.8	490-1532-1-ND	.76	4.51	13.02	490-1532-2-ND	4,000	12.50/M	GRM188R71C104KA01D
			.15µF	±10%	0.8	490-3292-1-ND	.92	5.45	15.71	490-3292-2-ND	4,000	15.09/M	GRM188R71C154KA01D
			.22µF	±10%	0.8	490-3293-1-ND	1.14	6.77	19.52	490-3293-2-ND	4,000	18.75/M	GRM188R71C224KA01D
			.33µF	±10%	0.8	490-3294-1-ND	1.31	7.76	22.38	490-3294-2-ND	4,000	21.49/M	GRM188R71C334KA01D
			.47µF	±10%	0.8	490-3295-1-ND	1.32	7.81	22.54	490-3295-2-ND	4,000	21.64/M	GRM188R71C474KA88D
			.15µF	±10%	0.8	490-1533-1-ND	2.68	15.85	45.72	490-1533-2-ND	4,000	43.89/M	GRM188R71A154KA01D
		10	.15µF	±20%	0.8	490-1534-1-ND	1.05	6.22	17.94	490-1534-2-ND	4,000	17.22/M	GRM188R71A154MA01D
			.22µF	±10%	0.8	490-1535-1-ND	2.22	13.10	37.78	490-1535-2-ND	4,000	36.27/M	GRM188R71A224KA01D
		16	1.0µF	±10%	0.8	490-1536-1-ND	1.30	7.65	22.06	490-1536-2-ND	4,000	21.19/M	GRM188R61C105KA93D
			.33µF	±10%	0.8	490-1538-1-ND	1.43	8.47	24.45	490-1538-2-ND	4,000	23.47/M	GRM188R61A334KA61D
			.47µF	±10%	0.8	490-1539-1-ND	1.60	9.46	27.30	490-1539-2-ND	4,000	26.21/M	GRM188R61A474KA61D
			.47µF	±20%	0.8	490-1540-1-ND	1.24	7.37	21.28	490-1540-2-ND	4,000	20.42/M	GRM188R61A474MA61D
			.68µF	±10%	0.8	490-1541-1-ND	1.68	9.91	28.57	490-1541-2-ND	4,000	27.43/M	GRM188R61A684KA61D
		10	.68µF	±20%	0.8	490-1542-1-ND	1.67	9.85	28.41	490-1542-2-ND	4,000	27.28/M	GRM188R61A684MA61D
			1.0µF	±10%	0.8	490-1543-1-ND	1.52	9.02	26.03	490-1543-2-ND	4,000	25.00/M	GRM188R61A105KA61D
			1.0µF	±20%	0.8	490-1544-1-ND	1.11	6.55	18.89	490-1544-2-ND	4,000	18.14/M	GRM188R61A105MA61D
	X5R		2.2µF	±10%	0.8	490-1545-1-ND	2.84	16.79	48.42	490-1545-2-ND	4,000	46.48/M	GRM188R61A225KE34D
			2.2µF	±20%	0.8	490-1546-1-ND	2.38	14.04	40.48	490-1546-2-ND	4,000	38.86/M	GRM188R61A225ME34D
			.33µF	±10%	0.8	490-1547-1-ND	1.59	9.41	27.14	490-1547-2-ND	4,000	26.06/M	GRM188R60J334KA01D
			.47µF	±10%	0.8	490-1548-1-ND	1.24	7.37	21.28	490-1548-2-ND	4,000	20.42/M	GRM188R60J474KA01D
			1.0µF	±10%	0.8	490-1550-1-ND	1.11	6.55	18.89	490-1550-2-ND	4,000	18.14/M	GRM188R60J105KA01D
		6.3	1.0µF	±20%	0.8	490-1549-1-ND	1.11	6.55	18.89	490-1549-2-ND	4,000	18.14/M	GRM188R60J105MA01D
			2.2µF	±10%	0.5	490-3267-1-ND	2.57	15.19	43.81	490-3267-2-ND	4,000	42.06/M	GRM185R60J225KE26D
			2.2µF	±10%	0.8	490-1552-1-ND	3.45	20.42	58.89	490-1552-2-ND	4,000	56.54/M	GRM188R60J225KE01D
			2.2µF	±20%	0.8	490-1551-1-ND	3.45	20.42	58.89	490-1551-2-ND	4,000	56.54/M	GRM188R60J225ME01D
			4.7µF	±10%	0.8	490-3297-1-ND	5.22	30.82	88.89	490-3297-2-ND	4,000	85.34/M	GRM188R60J475KE19D
0603		100	2200pF	+80, -20%	0.8	490-1553-1-ND	1.20	7.10	20.48	490-1553-2-ND	4,000	19.66/M	GRM188F52A222ZD01D
			3300pF	+80, -20%	0.8	490-1554-1-ND	1.20	7.10	20.48	490-1554-2-ND	4,000	19.66/M	GRM188F52A332ZD01D
			1000pF	+80, -20%	0.8	490-1556-1-ND	.48	2.86	8.25	490-1556-2-ND	4,000	7.93/M	GRM188F51H102ZA01D
			1500pF	+80, -20%	0.8	490-1557-1-ND	.53	3.14	9.05	490-1557-2-ND	4,000	8.69/M	GRM188F51H152ZA01D
			2200pF	+80, -20%	0.8	490-1558-1-ND	.48	2.86	8.25	490-1558-2-ND	4,000	7.93/M	GRM188F51H222ZA01D
			3300pF	+80, -20%	0.8	490-1559-1-ND	.53	3.14	9.05	490-1559-2-ND	4,000	8.69/M	GRM188F51H332ZA01D
			6800pF	+80, -20%	0.8	490-1562-1-ND	.62	3.63	10.48	490-1562-2-ND	4,000	10.06/M	GRM188F51H682ZA01D
			4700pF	+80, -20%	0.8	490-1561-1-ND	.48	2.86	8.25	490-1561-2-ND	4,000	7.93/M	GRM188F51H472ZA01D
		50	10000pF	+80, -20%	0.8	490-1563-1-ND	.48	2.86	8.25	490-1563-2-ND	4,000	5.95/M	GRM188F51H103ZA01D
			15000pF	+80, -20%	0.8	490-1564-1-ND	.57	3.36	9.69	490-1564-2-ND	4,000	9.30/M	GRM188F51H153ZA01D
			22000pF	+80, -20%	0.8	490-1565-1-ND	.40	2.37	6.82	490-1565-2-ND	4,000	6.56/M	GRM188F51H223ZA01D
			33000pF	+80, -20%	0.8	490-1566-1-ND	.58	3.47	10.00	490-1566-2-ND	4,000	9.60/M	GRM188F51H333ZA01D
			47000pF	+80, -20%	0.8	490-1567-1-ND	.61	3.58	10.32	490-1567-2-ND	4,000	9.91/M	GRM188F51H473ZA01D
			.1µF	+80, -20%	0.8	490-1568-1-ND	.41	2.42	6.98	490-1568-2-ND	4,000	6.71/M	GRM188F51H104ZA01D
			.22µF	+80, -20%	0.8	490-1569-1-ND	.78	4.62	13.33	490-1569-2-ND	4,000	12.80/M	GRM188F51H224ZA01D
			1000pF	+80, -20%	0.8	490-1570-1-ND	.48	2.86	8.25	490-1570-2-ND	4,000	7.93/M	GRM188F51E102ZA01D
			4700pF	+80, -20%	0.8	490-1571-1-ND	.48	2.86	8.25	490-1571-2-ND	4,000	7.93/M	GRM188F51E472ZA01D
			10000pF	+80, -20%	0.8	490-1572-1-ND	.48	2.86	8.25	490-1572-2-ND	4,000	7.93/M	GRM188F51E103ZA01D
			33000pF	+80, -20%	0.8	490-1573-1-ND	.48	2.86	8.25	490-1573-2-ND	4,000	7.93/M	GRM188F51E333ZA01D
	Y5V	25	47000pF	+80, -20%	0.8	490-1574-1-ND	.45	2.64	7.62	490-1574-2-ND	4,000	7.32/M	GRM188F51E473ZA01D
			.1µF	+80, -20%	0.8	490-1575-1-ND	.46	2.70	7.78	490-1575-2-ND	4,000	7.47/M	GRM188F51E104ZA01D
			.22µF	+80, -20%	0.8	490-3299-1-ND	.70	4.13	11.90	490-3299-2-ND	4,000	11.43/M	GRM188F51E224ZA01D
			.47µF	+80, -20%	0.8	490-3300-1-ND	.70	4.13	11.90	490-3300-2-ND	4,000	11.43/M	GRM188F51E474ZA01D
			47000pF	+80, -20%	0.8	490-1576-1-ND	.45	2.64	7.62	490-1576-2-ND	4,000	7.32/M	GRM188F51C473ZA01D
			.1µF	+80, -20%	0.8	490-1577-1-ND	.46	2.70	7.78	490-1577-2-ND	4,000	7.47/M	GRM188F51C104ZA01D
			.15µF	+80, -20%	0.8	490-1578-1-ND	.91	5.39	15.56	490-1578-2-ND	4,000	14.94/M	GRM188F51C154ZA01D
		16	.22µF	+80, -20%	0.8	490-3301-1-ND	.66	3.91	11.27	490-3301-2-ND	4,000	10.82/M	GRM188F51C224ZA01D
			.33µF	+80, -20%	0.8	490-1579-1-ND	1.45	8.53	24.60	490-1579-2-ND	4,000	23.62/M	GRM188F51C334ZA01D
			.47µF	+80, -20%	0.8	490-1580-1-ND	.75	4.46	12.86	490-1580-2-ND	4,000	12.35/M	GRM188F51C474ZA01D
			.68µF	+80, -20%	0.8	490-1581-1-ND	.82	4.84	13.97	490-1581-2-ND	4,000	13.41/M	GRM188F51C684ZA01D
			1.0µF	+80, -20%	0.8	490-1582-1-ND	.63	3.74	10.79	490-1582-2-ND	4,000	10.37/M	GRM188F51C105ZA01D
			.47µF	+80, -20%	0.8	490-1583-1-ND	.82	4.84	13.97	490-1583-2-ND	4,000	13.41/M	GRM188F51A474ZA01D
			.68µF	+80, -20%	0.8	490-1584-1-ND	1.85	10.90	31.43	490-1584-2-ND	4,000	30.18/M	GRM188F51A684ZA01D
		10	1.0µF	+80, -20%	0.8	490-1585-1-ND	.63	3.74	10.79	490-1585-2-ND	4,000	10.37/M	GRM188F51A105ZA01D
			2.2µF	+80, -20%	0.8	490-1586-1-ND	1.42	8.42	24.29	490-1586-2-ND	4,000	23.32/M	GRM188F51A225ZE01D
			4.7µF	+80, -20%	0.8	490-3302-1-ND	1.57	9.24	26.67	490-3302-2-ND	4,000	25.60/M	GRM188F51A475ZE20D
		6.3	2.2µF	+80, -20%	0.8	490-1587-1-ND	1.42	8.42	24.29	490-1587-2-ND	4,000	23.32/M	GRM188F50J225ZE01D
			4.7µF	+80, -20%	0.8	490-3303-1-ND	1.57	9.24	26.67	490-3303-2-ND	4,000	25.60/M	GRM188F50J475ZE20D
	Z5U	50	10000pF	±20%	0.8	490-1588-1-ND	.55	3.25	9.36	490-1588-2-ND	4,000	8.99/M	GRM188E41H103MA01D
			10pF	±5%	0.85	490-1590-1-ND	1.61	9.52	27.46	490-1590-2-ND	4,000	26.37/M	GRM2195C2A100JZ01D
			22pF	±5%	0.85	490-1591-1-ND	1.76	10.40	30.00	490-1591-2-ND	4,000	28.81/M	GRM2195C2A220JZ01D
			33pF	±5%	0.85	490-1592-1-ND	1.65	9.74	28.10	490-1592-2-ND	4,000	26.98/M	GRM2195C2A330JZ01D
			47pF	±5%	0.85	490-1593-1-ND	1.56	9.19	26.51	490-1593-2-ND	4,000	25.45/M	GRM2195C2A470JZ01D
			56pF	±5%	0.85	490-1594-1-ND	1.56	9.19	26.51	490-1594-2-ND	4,000	25.45/M	GRM2195C2A560JZ01D
			68pF	±5%	0.85	490-1595-1-ND	1.54	9.08	26.19	490-1595-2-ND	4,000	25.15/M	GRM2195C2A680JZ01D
			75pF	±5%	0.85	490-1596-1-ND	1.47	8.69	25.08	490-1596-2-ND	4,000	24.08/M	GRM2195C2A750JZ01D
			82pF	±5%	0.85	490-1597-1-ND	1.73	10.18	29.37	490-1597-2-ND	4,000	28.20/M	GRM2195C2A820JZ01D
			91pF	±5%	0.85	490-1598-1-ND	1.54	9.08	26.19	490-1598-2-ND	4,000	25.15/M	GRM2195C2A910JZ01D
			100pF	±5%	0.6	490-1599-1-ND	.84	4.95	14.29	490-1599-2-ND	4,000	13.72/M	GRM2165C2A101JA01D
			110pF	±5%	0.6	490-1600-1-ND	.93	5.50	15.87	490-1600-2-ND	4,000	15.24/M	GRM2165C2A111JA01D
	C0G		120pF	±5%	0.6	490-1601-1-ND	.91	5.34	15.40	490-1601-2-ND	4,000	14.79/M	GRM2165C2A121JA01D
0805	NP0	100	130pF	±5%	0.6	490-1602-1-ND	.93	5.50	15.87	490-1602-2-ND	4,000	15.24/M	GRM2165C2A131JA01D
			150pF	±5%	0.6	490-1603-1-ND	.91	5.34	15.40	490-1603-2-ND	4,000	14.79/M	GRM2165C2A151JA01D
			160pF	±5%	0.6	490-1604-1-ND	.93	5.50	15.87	490-1604-2-ND	4,000	15.24/M	GRM2165C2A161JA01D
			180pF	±5%	0.6	490-1605-1-ND	.90	5.28	15.24	490-1605-2-ND	4,000	14.63/M	GRM2165C2A181JA01D
			200pF	±5%	0.6	490-1606-1-ND	.93	5.50	15.87	490-1606-2-ND	4,000	15.24/M	GRM2165C2A201JA01D
			220pF	±5%	0.6	490-1607-1-ND	1.00	5.89	16.98	490-1607-2-ND	4,000	16.31/M	GRM2165C2A221JA01D
			240pF	±5%	0.6	490-1608-1-ND	1.11	6.55	18.89	490-1608-2-ND	4,000	18.14/M	GRM2165C2A241JA01D
			270pF	±5%	0.6	490-1609-1-ND	1.05	6.22	17.94	490-1609-2-ND	4,000	17.22/M	GRM2165C2A271JA01D
			330pF	±5%	0.6	490-1610-1-ND	1.20	7.10	20.48	490-1610-2-ND	4,000	19.66/M	GRM2165C2A331JA01D
			390pF	±5%	0.6	490-3306-1-ND	1.21	7.15	20.64	490-3306-2-ND	4,000	19.81/M	GRM2165C2A391JA01D
			470pF	±5%	0.6	490-1611-1-ND	1.30	7.65	22.06	490-1611-2-ND	4,000	21.19/M	GRM2165C2A471JA01D
			560pF	±5%	0.6	490-1612-1-ND	1.35	7.98	23.02	490-1612-2-ND	4,000	22.10/M	GRM2165C2A561JA01D
			680pF	±5%	0.85	490-1613-1-ND	1.42	8.42	24.29	490-1613-2-ND	4,000	23.32/M	GRM2195C2A681JA01D

† Neue Keramikformel

(Forts.)

E

Vielschicht-Keramikchipkondensatoren *(Forts.)*

Größen-code	Typ	Betriebs-spannung DC	Kapazität	Toleranz	Abmessung T (mm)	Digi-Key Teilenr.	Gurtabschnittspreise 10	100	500	Digi-Key Teilenr.	Gegurtet auf Rolle Größe	Preisangaben	Murata Teilenr.
0805	C0G (NP0)	100	820pF	±5%	0.85	490-3311-1-ND	1.42	8.42	24.29	490-3311-2-ND	4,000	23.32/M	GRM2195C2A821JA01D
			1000pF	±5%	0.85	490-1614-1-ND	1.24	7.32	21.11	490-1614-2-ND	4,000	20.27/M	GRM2195C2A102JA01D
			1200pF	±5%	0.85	490-3313-1-ND	1.15	6.82	19.68	490-3313-2-ND	4,000	18.90/M	GRM2195C2A122JA01D
			1500pF	±5%	0.85	490-3314-1-ND	1.15	6.82	19.68	490-3314-2-ND	4,000	18.90/M	GRM2195C2A152JA01D
		50	100pF	±5%	0.6	490-1615-1-ND	.63	3.69	10.63	490-1615-2-ND	4,000	10.21/M	GRM2165C1H101JA01D
			150pF	±5%	0.6	490-3315-1-ND	.78	4.62	13.33	490-3315-2-ND	4,000	12.80/M	GRM2165C1H151JA01D
			220pF	±5%	0.6	490-1616-1-ND	.95	5.61	16.20	490-1616-2-ND	4,000	15.55/M	GRM2165C1H221JA01D
			330pF	±5%	0.6	490-3316-1-ND	1.08	6.33	18.25	490-3316-2-ND	4,000	17.53/M	GRM2165C1H331JA01D
			470pF	±5%	0.6	490-1617-1-ND	1.35	7.98	23.02	490-1617-2-ND	4,000	22.10/M	GRM2165C1H471JA01D
			620pF	±5%	0.6	490-1618-1-ND	1.46	8.64	24.92	490-1618-2-ND	4,000	23.93/M	GRM2165C1H621JA01D
			680pF	±5%	0.6	490-1619-1-ND	1.47	8.69	25.08	490-1619-2-ND	4,000	24.08/M	GRM2165C1H681JA01D
			750pF	±5%	0.6	490-1620-1-ND	1.50	8.86	25.56	490-1620-2-ND	4,000	24.54/M	GRM2165C1H751JA01D
			910pF	±5%	0.6	490-1621-1-ND	1.47	8.69	25.08	490-1621-2-ND	4,000	24.08/M	GRM2165C1H911JA01D
			1000pF	±5%	0.6	490-1622-1-ND	1.13	6.66	19.21	490-1622-2-ND	4,000	18.44/M	GRM2165C1H102JA01D
			1100pF	±5%	0.6	490-1623-1-ND	1.23	7.26	20.95	490-1623-2-ND	4,000	20.12/M	GRM2165C1H112JA01D
			1300pF	±5%	0.6	490-1624-1-ND	1.30	7.65	22.06	490-1624-2-ND	4,000	21.19/M	GRM2165C1H132JA01D
			1600pF	±5%	0.6	490-1625-1-ND	1.26	7.43	21.43	490-1625-2-ND	4,000	20.58/M	GRM2165C1H162JA01D
			1800pF	±5%	0.6	490-1626-1-ND	1.24	7.32	21.11	490-1626-2-ND	4,000	20.27/M	GRM2165C1H182JA01D
			2000pF	±5%	0.6	490-1627-1-ND	1.47	8.69	25.08	490-1627-2-ND	4,000	24.08/M	GRM2165C1H202JA01D
			2200pF	±5%	0.6	490-1628-1-ND	1.37	8.09	23.33	490-1628-2-ND	4,000	22.40/M	GRM2165C1H222JA01D
			2400pF	±5%	0.6	490-1629-1-ND	1.62	9.58	27.62	490-1629-2-ND	4,000	26.52/M	GRM2165C1H242JA01D
			2700pF	±5%	0.6	490-1630-1-ND	1.57	9.24	26.67	490-1630-2-ND	4,000	25.60/M	GRM2165C1H272JA01D
			3000pF	±5%	0.6	490-1631-1-ND	1.79	10.57	30.48	490-1631-2-ND	4,000	29.26/M	GRM2165C1H302JA01D
			3300pF	±5%	0.6	490-1632-1-ND	1.74	10.24	29.53	490-1632-2-ND	4,000	28.35/M	GRM2165C1H332JA01D
			3900pF	±5%	0.6	490-3045-1-ND	1.92	11.34	32.70	490-3045-2-ND	4,000	31.40/M	GRM2165C1H392JA01D
			4700pF	±5%	0.6	490-3044-1-ND	2.03	12.00	34.61	490-3044-2-ND	4,000	30.02/M	GRM2165C1H472JA01D
			5100pF	±5%	0.85	490-1635-1-ND	2.29	13.49	38.89	490-1635-2-ND	4,000	37.34/M	GRM2195C1H512JA01D
			5600pF	±5%	0.85	490-1636-1-ND	2.26	13.38	38.57	490-1636-2-ND	4,000	37.03/M	GRM2195C1H562JA01D
			6200pF	±5%	0.85	490-1637-1-ND	2.79	16.51	47.62	490-1637-2-ND	4,000	45.72/M	GRM2195C1H622JA01D
			6800pF	±5%	0.85	490-1638-1-ND	2.73	16.18	46.67	490-1638-2-ND	4,000	44.81/M	GRM2195C1H682JA01D
			7500pF	±5%	0.85	490-1639-1-ND	2.96	17.50	50.48	490-1639-2-ND	4,000	48.46/M	GRM2195C1H752JA01D
			8200pF	±5%	0.85	490-1640-1-ND	2.91	17.23	49.69	490-1640-2-ND	4,000	47.70/M	GRM2195C1H822JA01D
			9100pF	±5%	0.85	490-1641-1-ND	3.07	18.16	52.39	490-1641-2-ND	4,000	50.29/M	GRM2195C1H912JA01D
			10000pF	±5%	0.85	490-1642-1-ND	4.11	24.27	70.01	490-1642-2-ND	4,000	67.21/M	GRM2195C1H103JA01D
			12000pF	±5%	0.85	490-3320-1-ND	4.27	25.20	72.71	490-3320-2-ND	4,000	69.80/M	GRM2195C1H123JA01D
			15000pF	±5%	0.85	490-1643-1-ND	4.46	26.36	76.03	490-1643-2-ND	4,000	73.00/M	GRM2195C1H153JA01D
			18000pF	±5%	1.25	490-3321-1-ND	4.44	26.19	75.56	490-3321-2-ND	3,000	72.54/M	GRM21B5C1H183JA01L
			22000pF	±5%	1.25	490-1644-1-ND	3.87	22.84	65.87	490-1644-2-ND	3,000	63.24/M	GRM21B5C1H223JA01L
	X7R	100	3900pF	±10%	0.85	490-1645-1-ND	1.15	6.82	19.68	490-1645-2-ND	4,000	18.90/M	GRM219R72A392KA01D
			4700pF	±10%	0.85	490-1646-1-ND	.91	5.34	15.40	490-1646-2-ND	4,000	14.79/M	GRM219R72A472KA01D
			4700pF	±20%	0.85	490-1647-1-ND	.86	5.06	14.60	490-1647-2-ND	4,000	14.02/M	GRM219R72A472MA01D
			5600pF	±10%	0.85	490-1648-1-ND	1.18	6.93	20.01	490-1648-2-ND	4,000	19.20/M	GRM219R72A562KA01D
			6800pF	±10%	0.85	490-1649-1-ND	.96	5.67	16.35	490-1649-2-ND	4,000	15.70/M	GRM219R72A682KA01D
			6800pF	±20%	0.85	490-1650-1-ND	.91	5.39	15.56	490-1650-2-ND	4,000	14.94/M	GRM219R72A682MA01D
			8200pF	±10%	1.25	490-1651-1-ND	1.17	6.88	19.84	490-1651-2-ND	3,000	19.05/M	GRM21BR72A822KA01L
			10000pF	±10%	1.25	490-1652-1-ND	.99	5.83	16.83	490-1652-2-ND	3,000	16.16/M	GRM21BR72A103KA01L
			10000pF	±20%	1.25	490-1653-1-ND	.99	5.83	16.83	490-1653-2-ND	3,000	16.16/M	GRM21BR72A103MA01L
			12000pF	±10%	1.25	490-1654-1-ND	1.29	7.59	21.91	490-1654-2-ND	3,000	21.03/M	GRM21BR72A123KA01L
			15000pF	±10%	1.25	490-1655-1-ND	1.03	6.11	17.62	490-1655-2-ND	3,000	16.92/M	GRM21BR72A153KA01L
			15000pF	±20%	1.25	490-1656-1-ND	1.03	6.11	17.62	490-1656-2-ND	3,000	16.92/M	GRM21BR72A153MA01L
			18000pF	±10%	1.25	490-1657-1-ND	1.29	7.59	21.91	490-1657-2-ND	3,000	21.03/M	GRM21BR72A183KA01L
			22000pF	±10%	1.25	490-1658-1-ND	1.26	7.43	21.43	490-1658-2-ND	3,000	20.58/M	GRM21BR72A223KA01L
			22000pF	±20%	1.25	490-1659-1-ND	1.26	7.43	21.43	490-1659-2-ND	3,000	20.58/M	GRM21BR72A223MA01L
			33000pF	±10%	1.25	490-3323-1-ND	1.63	9.63	27.78	490-3323-2-ND	3,000	26.67/M	GRM21BR72A333KA01L
			47000pF	±10%	1.25	490-3325-1-ND	1.52	8.97	25.87	490-3325-2-ND	3,000	24.84/M	GRM21BR72A473KA01L
			.47µF	±10%	1.25	490-3326-1-ND	5.97	35.28	101.75	490-3326-2-ND	3,000	97.68/M	GRM21BR72A474KA73L
		50	10000pF	±10%	0.6	490-1664-1-ND	.47	2.75	7.94	490-1664-2-ND	4,000	7.62/M	GRM216R71H103KA01D
			22000pF	±10%	0.6	490-1665-1-ND	.69	4.07	11.75	490-1665-2-ND	4,000	11.28/M	GRM216R71H223KA01D
			33000pF	±10%	0.85	490-1660-1-ND	.91	5.34	15.40	490-1660-2-ND	4,000	14.79/M	GRM219R71H333KA01D
			47000pF	±10%	1.25	490-1661-1-ND	1.27	7.48	21.59	490-1661-2-ND	3,000	20.73/M	GRM21BR71H473KA01L
			56000pF	±10%	1.25	490-1662-1-ND	1.36	8.03	23.18	490-1662-2-ND	3,000	22.25/M	GRM21BR71H563KA01L
			68000pF	±10%	1.25	490-1663-1-ND	1.69	10.02	28.89	490-1663-2-ND	3,000	27.74/M	GRM21BR71H683KA01L
			.1µF	±10%	1.25	490-1666-1-ND	1.13	6.66	19.21	490-1666-2-ND	3,000	18.44/M	GRM21BR71H104KA01L
			.15µF	±10%	1.25	490-1667-1-ND	2.21	13.05	37.62	490-1667-2-ND	3,000	36.12/M	GRM21BR71H154KA01L
			.15µF	±20%	1.25	490-1668-1-ND	2.21	13.05	37.62	490-1668-2-ND	3,000	36.12/M	GRM21BR71H154MA01L
			.18µF	±10%	1.25	490-1669-1-ND	2.85	16.84	48.58	490-1669-2-ND	3,000	46.63/M	GRM21BR71H184KA01L
			.22µF	±10%	1.25	490-1670-1-ND	2.26	13.38	38.57	490-1670-2-ND	3,000	37.03/M	GRM21BR71H224KA01L
			.22µF	±20%	1.25	490-1671-1-ND	2.24	13.21	38.10	490-1671-2-ND	3,000	36.58/M	GRM21BR71H224MA01L
			.33µF	±10%	0.85	490-3327-1-ND	2.62	15.47	44.61	490-3327-2-ND	4,000	42.82/M	GRM219R71H334KA88D
			.47µF	±10%	1.25	490-3328-1-ND	2.82	16.68	48.10	490-3328-2-ND	3,000	46.18/M	GRM21BR71H474KA88L
		25	68000pF	±10%	0.85	490-1672-1-ND	1.21	7.15	20.64	—	—	—	GRM219R71E683KA01L
			68000pF	±10%	0.85	490-3046-1-ND	1.18	6.93	20.01	490-3046-2-ND	4,000	19.20/M	GRM219R71E683KA01D
			.1µF	±10%	1.25	490-1673-1-ND	1.12	6.60	19.05	490-1673-2-ND	3,000	18.29/M	GRM21BR71E104KA01L
			.15µF	±10%	1.25	490-1674-1-ND	1.78	10.51	30.32	490-1674-2-ND	3,000	29.11/M	GRM21BR71E154KA01L
			.22µF	±10%	0.85	490-1675-1-ND	1.60	9.46	27.30	490-1675-2-ND	4,000	26.21/M	GRM219R71E224KA01D
			.27µF	±10%	0.85	490-1676-1-ND	3.28	19.37	55.88	490-1676-2-ND	4,000	53.64/M	GRM219R71E274KA01D
			.33µF	±10%	1.25	490-1677-1-ND	2.92	17.28	49.85	490-1677-2-ND	3,000	47.85/M	GRM21BR71E334KA01L
			.39µF	±10%	1.25	490-1679-1-ND	4.17	24.65	71.11	490-1679-2-ND	3,000	68.27/M	GRM21BR71E394KA01L
			.47µF	±10%	1.25	490-1680-1-ND	3.11	18.38	53.02	490-1680-2-ND	3,000	50.90/M	GRM21BR71E474KC01L
			.47µF	±20%	1.25	490-1681-1-ND	3.25	19.21	55.40	490-1681-2-ND	3,000	53.19/M	GRM21BR71E474MA01L
			2.2µF	±10%	1.25	490-3331-1-ND	3.38	19.98	57.62	490-3331-2-ND	3,000	55.32/M	GRM21BR71E225KA73L
		16	68000pF	±10%	0.85	490-1682-1-ND	1.18	6.93	20.01	490-1682-2-ND	4,000	19.20/M	GRM219R71C683KA01D
			.1µF	±10%	0.85	490-1683-1-ND	.72	4.24	12.22	490-1683-2-ND	4,000	11.74/M	GRM219R71C104KA01D
			.22µF	±10%	0.85	490-1684-1-ND	1.59	9.41	27.14	490-1684-2-ND	4,000	26.06/M	GRM219R71C224KA01D
			.47µF	±10%	0.85	490-1685-1-ND	2.81	16.62	47.94	490-1685-2-ND	4,000	46.02/M	GRM219R71C474KC01D
			.47µF	±20%	0.85	490-1686-1-ND	2.81	16.62	47.94	490-1686-2-ND	4,000	46.02/M	GRM219R71C474MC01D
			.47µF	±10%	1.25	490-3333-1-ND	3.06	18.11	52.23	490-3333-2-ND	3,000	50.14/M	GRM21BR71C474KA01L
			.56µF	±10%	0.85	490-1687-1-ND	4.09	24.16	69.68	490-1687-2-ND	4,000	66.90/M	GRM219R71C564KC01D
			.68µF	±10%	0.85	490-1688-1-ND	2.24	13.21	38.10	490-1688-2-ND	4,000	36.58/M	GRM219R71C684KC01D
			.68µF	±20%	0.85	490-1689-1-ND	2.04	12.06	34.76	490-1689-2-ND	4,000	33.38/M	GRM219R71C684MC01D
			.82µF	±10%	1.25	490-1690-1-ND	4.75	28.06	80.96	490-1690-2-ND	3,000	77.72/M	GRM21BR71C824KC01L
			1.0µF	±10%	1.25	490-1691-1-ND	2.13	12.61	36.35	490-1691-2-ND	3,000	34.90/M	GRM21BR71C105KA01L
			1.0µF	±20%	1.25	490-1692-1-ND	1.96	11.62	33.49	490-1692-2-ND	3,000	32.16/M	GRM21BR71C105MA01L
		10	.22µF	±10%	0.6	490-1693-1-ND	1.59	9.41	27.14	490-1693-2-ND	4,000	26.06/M	GRM216R71A224KC01D
			.33µF	±10%	0.6	490-1694-1-ND	1.93	11.40	32.86	490-1694-2-ND	4,000	31.55/M	GRM216R71A334KC01D
			1.0µF	±10%	1.25	490-1695-1-ND	2.13	12.61	36.35	490-1695-2-ND	3,000	34.90/M	GRM21BR71A105KA01L
			2.2µF	±10%	1.25	490-1696-1-ND	2.70	15.96	46.04	490-1696-2-ND	3,000	44.20/M	GRM21BR71A225KA01L
			2.2µF	±20%	1.25	490-1697-1-ND	2.70	15.96	46.04	490-1697-2-ND	3,000	44.20/M	GRM21BR71A225MA01L
		6.3	2.2µF	±10%	1.25	490-1698-1-ND	3.04	17.94	51.75	490-1698-2-ND	3,000	49.68/M	GRM21BR70J225KA01L
			2.2µF	±20%	1.25	490-1699-1-ND	2.70	15.96	46.04	490-1699-2-ND	3,000	44.20/M	GRM21BR70J225MA01L

† Neue Keramikformel

(Forts.)

Alle Preisangaben in Euro und inklusive Zollgebühren.

Größen-code	Typ	Betriebs-spannung DC	Kapazität	Toleranz	Abmessung T (mm)	Digi-Key Teilenr.	Gurtabschnittspreise 10	100	500	Digi-Key Teilenr.	Gegurtet auf Rolle Größe	Preisangaben	Murata Teilenr.
			1.0µF	±10%	0.6	490-1700-1-ND	2.76	16.29	46.99	490-1700-2-ND	4,000	45.11/M	GRM216R61E105KA12D
		25	2.2µF	±10%	0.85	490-1701-1-ND	4.22	24.98	72.07	490-1701-2-ND	4,000	69.19/M	GRM219R61E225KA12D
			2.2µF	±10%	1.25	490-3334-1-ND	3.08	18.22	52.54	490-3334-2-ND	3,000	50.44/M	GRM21BR61E225KA12L
			4.7µF	±10%	1.25	490-3335-1-ND	3.54	20.91	60.32	490-3335-2-ND	3,000	57.91/M	GRM21BR61E475KA12L
			2.2µF	±10%	1.25	490-3336-1-ND	2.58	15.25	43.97	490-3336-2-ND	3,000	42.21/M	GRM21BR61C225KA88L
		16	3.3µF	±10%	1.25	490-3337-1-ND	3.24	19.15	55.24	490-3337-2-ND	3,000	53.03/M	GRM21BR61C335KA88L
			4.7µF	±10%	1.25	490-3338-1-ND	3.56	21.08	60.79	490-3338-2-ND	3,000	58.37/M	GRM21BR61C475KA88L
			1.0µF	±10%	0.85	490-1702-1-ND	1.37	8.09	23.33	490-1702-2-ND	4,000	22.40/M	GRM219R61A105KC01D
			1.0µF	±20%	0.85	490-1703-1-ND	1.36	8.03	23.18	490-1703-2-ND	4,000	22.25/M	GRM219R61A105MA01D
			2.2µF	±10%	0.6	490-1704-1-ND	2.38	14.04	40.48	490-1704-2-ND	4,000	38.86/M	GRM216R61A225KE24D
		10	2.2µF	±20%	0.6	490-1705-1-ND	2.38	14.04	40.48	490-1705-2-ND	4,000	38.86/M	GRM216R61A225ME24D
			3.3µF	±10%	0.85	490-1706-1-ND	3.40	20.09	57.94	490-1706-2-ND	4,000	55.63/M	GRM219R61A335KE19D
	X5R		4.7µF	±10%	0.85	490-1707-1-ND	5.42	32.03	92.39	490-1707-2-ND	4,000	88.69/M	GRM219R61A475KE19D
			4.7µF	±20%	0.85	490-1708-1-ND	5.41	31.98	92.23	490-1708-2-ND	4,000	88.54/M	GRM219R61A475ME19D
			10µF	±10%	1.25	490-1709-1-ND	5.93	35.06	101.12	490-1709-2-ND	3,000	97.07/M	GRM21BR61A106KE19L
			1.5µF	±10%	0.85	490-1710-1-ND	3.17	18.71	53.97	490-1710-2-ND	4,000	51.82/M	GRM219R60J155KC01D
			1.5µF	±20%	0.85	490-1711-1-ND	3.15	18.60	53.66	490-1711-2-ND	4,000	51.51/M	GRM219R60J155MC01D
			2.2µF	±10%	1.25	490-1712-1-ND	3.15	18.60	53.66	490-1712-2-ND	3,000	51.51/M	GRM21BR60J225KA01L
			3.3µF	±10%	1.25	490-1713-1-ND	5.06	29.94	86.35	490-1713-2-ND	3,000	82.90/M	GRM21BR60J335KA11L
		6.3	3.3µF	±20%	1.25	490-1714-1-ND	4.39	25.92	74.76	490-1714-2-ND	3,000	71.78/M	GRM21BR60J335MA11L
			4.7µF	±10%	0.85	490-1715-1-ND	5.42	32.03	92.39	490-1715-2-ND	4,000	88.69/M	GRM219R60J475KE01D
			4.7µF	±20%	0.85	490-1716-1-ND	5.42	32.03	92.39	490-1716-2-ND	4,000	88.69/M	GRM219R60J475ME01D
			10µF	±10%	0.85	490-3340-1-ND	5.29	31.26	90.16	490-3340-2-ND	4,000	86.56/M	GRM219R60J106KE19D
			10µF	±10%	1.25	490-1717-1-ND	5.93	35.06	101.12	490-1717-2-ND	3,000	97.07/M	GRM21BR60J106KE19L
			10µF	±20%	1.25	490-1718-1-ND	4.47	26.41	76.19	490-1718-2-ND	3,000	73.15/M	GRM21BR60J106ME19L
			22µF	±20%	1.25	490-1719-1-ND	17.51	103.45	298.43	490-1719-2-ND	3,000	286.49/M	GRM21BR60J226ME39L
		100	10000pF	+80, -20%	1.25	490-3342-1-ND	1.74	10.29	29.68	490-3342-2-ND	3,000	28.50/M	GRM21BF52A103ZD01L
			10000pF	+80, -20%	0.6	490-1720-1-ND	.47	2.75	7.94	490-1720-2-ND	4,000	7.62/M	GRM216F51H103ZA01D
			33000pF	+80, -20%	0.6	490-1721-1-ND	.63	3.74	10.79	490-1721-2-ND	4,000	10.37/M	GRM216F51H333ZA01D
			68000pF	+80, -20%	0.6	490-1722-1-ND	.73	4.29	12.39	490-1722-2-ND	4,000	11.89/M	GRM216F51H683ZA01D
		50	.1µF	+80, -20%	0.85	490-1723-1-ND	.63	3.69	10.63	490-1723-2-ND	4,000	10.21/M	GRM219F51H104ZA01D
			.15µF	+80, -20%	0.85	490-1724-1-ND	1.35	7.98	23.02	490-1724-2-ND	4,000	22.10/M	GRM219F51H154ZA01D
0805			.22µF	+80, -20%	0.6	490-3047-1-ND	1.35	7.98	23.02	490-3047-2-ND	4,000	22.10/M	GRM216F51H224ZA01D
			.1µF	+80, -20%	0.6	490-1726-1-ND	.48	2.86	8.25	490-1726-2-ND	4,000	7.93/M	GRM216F51E104ZA01D
			.15µF	+80, -20%	0.6	490-1727-1-ND	1.15	6.82	19.68	490-1727-2-ND	4,000	18.90/M	GRM216F51E154ZA01D
			.22µF	+80, -20%	0.85	490-1728-1-ND	1.22	7.21	20.79	490-1728-2-ND	4,000	19.97/M	GRM219F51E224ZA01D
			.33µF	+80, -20%	1.25	490-1729-1-ND	1.77	10.46	30.16	490-1729-2-ND	3,000	28.96/M	GRM21BF51E334ZA01L
		25	.47µF	+80, -20%	0.6	490-3346-1-ND	1.26	7.43	21.43	490-3346-2-ND	4,000	20.58/M	GRM216F51E474ZA01L
			.47µF	+80, -20%	1.25	490-1730-1-ND	1.60	9.46	27.30	490-1730-2-ND	3,000	26.21/M	GRM21BF51E474ZA01L
			1.0µF	+80, -20%	0.85	490-1731-1-ND	.96	5.67	16.35	490-1731-2-ND	4,000	15.70/M	GRM219F51E105ZA01D
			1.5µF	+80, -20%	1.25	490-1732-1-ND	1.51	8.91	25.72	490-1732-2-ND	3,000	24.69/M	GRM21BF51E155ZA01L
	Y5V		2.2µF	+80, -20%	1.25	490-1733-1-ND	2.10	12.39	35.72	490-1733-2-ND	3,000	34.29/M	GRM21BF51E225ZA01L
			4.7µF	+80, -20%	1.25	490-3345-1-ND	2.62	15.47	44.61	490-3345-2-ND	3,000	42.82/M	GRM21BF51E475ZA01L
			.1µF	+80, -20%	0.6	490-1734-1-ND	.63	3.69	10.63	490-1734-2-ND	4,000	10.21/M	GRM216F51C104ZA01D
			.22µF	+80, -20%	0.85	490-1735-1-ND	1.24	7.37	21.28	490-1735-2-ND	4,000	20.42/M	GRM219F51C224ZA01D
			.33µF	+80, -20%	0.85	490-1736-1-ND	1.79	10.57	30.48	490-1736-2-ND	4,000	29.26/M	GRM219F51C334ZA01D
			.47µF	+80, -20%	1.25	490-1737-1-ND	1.78	10.51	30.32	490-1737-2-ND	3,000	29.11/M	GRM21BF51C474ZA01L
		16	.68µF	+80, -20%	1.25	490-1738-1-ND	2.61	15.41	44.45	490-1738-2-ND	3,000	42.67/M	GRM21BF51C684ZA01L
			1.0µF	+80, -20%	0.85	490-1739-1-ND	.93	5.50	15.87	490-1739-2-ND	4,000	15.24/M	GRM219F51C105ZA01D
			1.5µF	+80, -20%	1.25	490-1740-1-ND	1.80	10.68	30.80	490-1740-2-ND	3,000	29.57/M	GRM21BF51C155ZA01L
			2.2µF	+80, -20%	1.25	490-1741-1-ND	2.02	11.95	34.45	490-1741-2-ND	3,000	33.07/M	GRM21BF51C225ZA01L
			10µF	+80, -20%	1.25	490-3347-1-ND	2.88	17.01	49.05	490-3347-2-ND	3,000	47.09/M	GRM21BF51C106ZE15L
			1.5µF	+80, -20%	1.25	490-1742-1-ND	1.51	8.91	25.72	490-1742-2-ND	3,000	24.69/M	GRM21BF51A155ZA01L
			2.2µF	+80, -20%	1.25	490-1743-1-ND	2.02	11.95	34.45	490-1743-2-ND	3,000	33.07/M	GRM21BF51A225ZA01L
		10	3.3µF	+80, -20%	0.85	490-1744-1-ND	2.92	17.28	49.85	490-1744-2-ND	4,000	47.85/M	GRM219F51A335ZA01D
			4.7µF	+80, -20%	1.25	490-1745-1-ND	2.50	14.75	42.54	490-1745-2-ND	3,000	40.84/M	GRM21BF51A475ZA01L
			10µF	+80, -20%	1.25	490-3332-1-ND	3.13	18.49	53.34	490-3332-2-ND	3,000	51.21/M	GRM21BF51A106ZE15L
		6.3	10µF	+80, -20%	1.25	490-1746-1-ND	3.13	18.49	53.34	490-1746-2-ND	3,000	51.21/M	GRM21BF50J106ZE01L
	Z5U	50	47000pF	±20%	0.6	490-1747-1-ND	.71	4.18	12.06	490-1747-2-ND	4,000	11.59/M	GRM216E41H473MA01D
			.1µF	±20%	0.85	490-1748-1-ND	.74	4.35	12.54	490-1748-2-ND	4,000	12.04/M	GRM219E41H104MA01D
			1000pF	±5%	0.85	490-3348-1-ND	2.59	15.30	44.13	490-3348-2-ND	4,000	42.37/M	GRM3195C2A102JA01D
			1500pF	±5%	0.85	490-3349-1-ND	3.47	20.53	59.21	490-3349-2-ND	4,000	56.84/M	GRM3195C2A152JA01D
		100	2200pF	±5%	0.85	490-3350-1-ND	4.17	24.60	70.95	490-3350-2-ND	4,000	68.12/M	GRM3195C2A222JA01D
			3300pF	±5%	0.85	490-3351-1-ND	3.94	23.28	67.14	490-3351-2-ND	4,000	64.46/M	GRM3195C2A332JA01D
			4700pF	±5%	0.85	490-3352-1-ND	5.60	33.13	95.56	490-3352-2-ND	4,000	91.74/M	GRM3195C2A472JA01D
			5600pF	±5%	0.85	490-3353-1-ND	5.99	35.44	102.23	490-3353-2-ND	4,000	98.14/M	GRM3195C2A562JA01D
			1000pF	±5%	0.85	490-1749-1-ND	5.98	35.33	101.91	490-1749-2-ND	4,000	97.84/M	GRM3195C1H102JA01D
			1500pF	±5%	0.85	490-3354-1-ND	7.45	44.02	126.99	490-3354-2-ND	4,000	121.91/M	GRM3195C1H152JA01D
			2200pF	±5%	0.85	490-3355-1-ND	6.48	38.25	110.32	490-3355-2-ND	4,000	105.91/M	GRM3195C1H222JA01D
			3300pF	±5%	0.85	490-3356-1-ND	7.29	43.09	124.29	490-3356-2-ND	4,000	119.32/M	GRM3195C1H332JA01D
			4700pF	±5%	0.85	490-3357-1-ND	3.88	22.89	66.03	490-3357-2-ND	4,000	63.40/M	GRM3195C1H472JA01D
			5600pF	±5%	0.85	490-1750-1-ND	4.17	24.65	71.11	490-1750-2-ND	4,000	68.27/M	GRM3195C1H562JA01D
			6200pF	±5%	0.85	490-1751-1-ND	4.39	25.92	74.76	490-1751-2-ND	4,000	71.78/M	GRM3195C1H622JA01D
			6800pF	±5%	0.85	490-1752-1-ND	4.44	26.25	75.72	490-1752-2-ND	4,000	72.69/M	GRM3195C1H682JA01D
			8200pF	±5%	0.85	490-1753-1-ND	4.74	28.01	80.80	490-1753-2-ND	4,000	77.57/M	GRM3195C1H822JA01D
	C0G (NP0)		10000pF	±5%	0.85	490-1754-1-ND	4.99	29.50	85.08	490-1754-2-ND	4,000	81.68/M	GRM3195C1H103JA01D
			11000pF	±5%	0.85	490-1755-1-ND	5.38	31.81	91.75	490-1755-2-ND	4,000	88.08/M	GRM3195C1H113JA01D
		50	12000pF	±5%	0.85	490-1756-1-ND	5.33	31.54	90.96	490-1756-2-ND	4,000	87.32/M	GRM3195C1H123JA01D
			13000pF	±5%	0.85	490-1757-1-ND	5.38	31.81	91.75	490-1757-2-ND	4,000	88.08/M	GRM3195C1H133JA01D
			15000pF	±5%	0.85	490-1758-1-ND	5.40	31.92	92.07	490-1758-2-ND	4,000	88.39/M	GRM3195C1H153JA01D
1206			18000pF	±5%	0.85	490-1759-1-ND	5.46	32.25	93.02	490-1759-2-ND	4,000	89.30/M	GRM3195C1H183JA01D
			20000pF	±5%	0.85	490-1760-1-ND	5.49	32.47	93.66	490-1760-2-ND	4,000	89.91/M	GRM3195C1H203JA01D
			22000pF	±5%	0.85	490-1761-1-ND	5.53	32.69	94.29	490-1761-2-ND	4,000	90.52/M	GRM3195C1H223JA01D
			27000pF	±5%	0.85	490-1762-1-ND	5.60	33.13	95.56	490-1762-2-ND	4,000	91.74/M	GRM3195C1H273JA01D
			33000pF	±5%	0.85	490-1763-1-ND	5.71	33.74	97.31	490-1763-2-ND	4,000	93.42/M	GRM3195C1H333JA01D
			39000pF	±5%	1.15	490-3358-1-ND	6.07	35.88	103.50	490-3358-2-ND	3,000	99.36/M	GRM31M5C1H393JA01L
			47000pF	±5%	1.15	490-1764-1-ND	6.18	36.54	105.40	490-1764-2-ND	3,000	101.19/M	GRM31M5C1H473JA01L
			56000pF	±5%	1.6	490-3359-1-ND	6.69	39.51	113.98	490-3359-2-ND	2,000	109.42/M	GRM31C5C1H563JA01L
			68000pF	±5%	1.6	490-3360-1-ND	6.81	40.23	116.04	490-3360-2-ND	2,000	111.40/M	GRM31C5C1H683JA01L
			82000pF	±5%	1.6	490-1765-1-ND	7.13	42.10	121.44	490-1765-2-ND	2,000	116.58/M	GRM31C5C1H823JA01L
			39000pF	±5%	0.85	490-3361-1-ND	6.03	35.61	102.70	490-3361-2-ND	4,000	98.60/M	GRM3195C1E393JA01D
		25	68000pF	±5%	1.6	490-1766-1-ND	6.81	40.23	116.04	490-1766-2-ND	2,000	111.40/M	GRM31C5C1E683JA01L
			.1µF	±5%	1.6	490-1767-1-ND	7.43	43.91	126.68	490-1767-2-ND	2,000	121.61/M	GRM31C5C1E104JA01L
			27000pF	±10%	1.15	490-1768-1-ND	4.93	29.11	83.97	490-1768-2-ND	3,000	80.62/M	GRM31MR72A273KA01L
			33000pF	±10%	1.15	490-1770-1-ND	5.12	30.27	87.31	490-1770-2-ND	3,000	83.82/M	GRM31MR72A333KA01L
			33000pF	±20%	1.15	490-1769-1-ND	1.55	9.13	26.35	490-1769-2-ND	3,000	25.30/M	GRM31MR72A333MA01L
	X7R	100	39000pF	±10%	1.15	490-1771-1-ND	1.56	9.19	26.51	490-1771-2-ND	3,000	25.45/M	GRM31MR72A393KA01L
			47000pF	±10%	1.15	490-1773-1-ND	5.56	32.86	94.77	490-1773-2-ND	3,000	90.98/M	GRM31MR72A473KA01L
			47000pF	±20%	1.15	490-1772-1-ND	5.56	32.86	94.77	490-1772-2-ND	3,000	90.98/M	GRM31MR72A473MA01L
			68000pF	±10%	1.15	490-3363-1-ND	1.85	10.90	31.43	490-3363-2-ND	3,000	30.18/M	GRM31MR72A683KA01L

† Neue Keramikformel

(Forts.)

E

Vielschicht-Keramikchipkondensatoren *(Forts.)*

Größen-code	Typ	Betriebs-spannung DC	Kapazität	Toleranz	Abmessung T (mm)	Digi-Key Teilenr.	Gurtabschnittspreise 10	100	500	Digi-Key Teilenr.	Gegurtet auf Rolle Größe	Preisangaben	Murata Teilenr.
1206	X7R	50	10000pF	±10%	0.85	490-1774-1-ND	1.24	7.32	21.11	490-1774-2-ND	4,000	20.27/M	GRM319R71H103KA01D
			.1µF	±10%	0.85	490-1775-1-ND	1.47	8.69	25.08	490-1775-2-ND	4,000	24.08/M	GRM319R71H104KA01D
			.22µF	±10%	0.85	490-1776-1-ND	2.66	15.69	45.24	490-1776-2-ND	4,000	43.43/M	GRM319R71H224KA01D
			.27µF	±10%	0.85	490-1777-1-ND	3.61	21.30	61.43	490-1777-2-ND	4,000	58.98/M	GRM319R71H274KA01D
			.33µF	±10%	0.85	490-1778-1-ND	3.65	21.57	62.23	490-1778-2-ND	4,000	59.74/M	GRM319R71H334KA01D
			.33µF	±20%	0.85	490-1779-1-ND	3.60	21.24	61.28	490-1779-2-ND	4,000	58.83/M	GRM319R71H334MA01D
			.39µF	±10%	1.15	490-1780-1-ND	5.25	31.04	89.53	490-1780-2-ND	3,000	85.95/M	GRM31MR71H394KA01L
			.47µF	±10%	1.15	490-1781-1-ND	5.25	31.04	89.53	490-1781-2-ND	3,000	85.95/M	GRM31MR71H474KA01L
			.47µF	±20%	1.15	490-1782-1-ND	5.25	31.04	89.53	490-1782-2-ND	3,000	85.95/M	GRM31MR71H474MA01L
			2.2µF	±10%	1.6	490-3367-1-ND	5.28	31.21	90.00	490-3367-2-ND	2,000	86.41/M	GRM31CR71H225KA88L
		25	.33µF	±10%	0.85	490-1783-1-ND	3.65	21.57	62.23	490-1783-2-ND	4,000	59.74/M	GRM319R71E334KA01D
			.47µF	±10%	0.85	490-1784-1-ND	4.22	24.98	72.07	490-1784-2-ND	4,000	69.19/M	GRM319R71E474KA01D
			.68µF	±10%	0.85	490-1787-1-ND	4.92	29.06	83.81	490-1787-2-ND	4,000	80.46/M	GRM319R71E684KA01D
			.68µF	±20%	0.85	490-1786-1-ND	5.05	29.83	86.04	490-1786-2-ND	4,000	82.60/M	GRM319R71E684MA01D
			.82µF	±10%	1.15	490-1788-1-ND	5.18	30.60	88.26	490-1788-2-ND	3,000	84.73/M	GRM31MR71E824KA01L
			1.0µF	±10%	1.15	490-1789-1-ND	2.90	17.12	49.37	490-1789-2-ND	3,000	47.40/M	GRM31MR71E105KC01L
			1.0µF	±20%	1.15	490-1790-1-ND	2.90	17.12	49.37	490-1790-2-ND	3,000	47.40/M	GRM31MR71E105MC01L
			2.2µF	±10%	1.15	490-3368-1-ND	3.88	22.89	66.03	490-3368-2-ND	3,000	63.40/M	GRM31MR71E225KA93L
			4.7µF	±10%	1.6	490-1809-1-ND	5.22	30.88	89.05	490-1809-2-ND	2,000	85.49/M	GRM31CR71E475KA88L
		16	.47µF	±10%	0.85	490-1791-1-ND	3.83	22.62	65.24	490-1791-2-ND	3,000	62.63/M	GRM319R71C474KC01L
			.56µF	±10%	0.85	490-1792-1-ND	4.50	26.58	76.67	490-1792-2-ND	4,000	73.61/M	GRM319R71C564KA01D
			.68µF	±10%	1.15	490-1793-1-ND	4.77	28.17	81.27	490-1793-2-ND	3,000	78.03/M	GRM31MR71C684KA01L
			1.0µF	±10%	0.85	490-1794-1-ND	2.23	13.16	37.94	490-1794-2-ND	4,000	36.42/M	GRM319R71C105KC11D
			1.0µF	±20%	0.85	490-1795-1-ND	2.23	13.16	37.94	490-1795-2-ND	4,000	36.42/M	GRM319R71C105MC11D
			1.5µF	±10%	1.15	490-1797-1-ND	2.95	17.45	50.32	490-1797-2-ND	3,000	48.31/M	GRM31MR71C155KA35L
			1.5µF	±20%	1.15	490-1796-1-ND	2.95	17.45	50.32	490-1796-2-ND	3,000	48.31/M	GRM31MR71C155MA35L
			2.2µF	±10%	1.15	490-1799-1-ND	3.63	21.46	61.91	490-1799-2-ND	3,000	59.43/M	GRM31MR71C225KA35L
			2.2µF	±20%	1.15	490-1798-1-ND	2.99	17.67	50.96	490-1798-2-ND	3,000	48.92/M	GRM31MR71C225MA35L
		10	1.0µF	±10%	0.85	490-1800-1-ND	2.24	13.21	38.10	490-1800-2-ND	4,000	36.58/M	GRM319R71A105KC01D
			1.0µF	±20%	0.85	490-1801-1-ND	2.23	13.16	37.94	490-1801-2-ND	4,000	36.42/M	GRM319R71A105MC01D
			2.2µF	±10%	1.15	490-1803-1-ND	3.48	20.58	59.37	490-1803-2-ND	3,000	57.00/M	GRM31MR71A225KA01L
			2.2µF	±20%	1.15	490-1802-1-ND	3.48	20.58	59.37	490-1802-2-ND	3,000	57.00/M	GRM31MR71A225MA01L
			4.7µF	±10%	1.6	490-1805-1-ND	5.42	32.03	92.39	490-1805-2-ND	2,000	88.69/M	GRM31CR71A475KA01L
			4.7µF	±20%	1.6	490-1804-1-ND	5.42	32.03	92.39	490-1804-2-ND	2,000	88.69/M	GRM31CR71A475MA01L
			10µF	±10%	1.6	490-3371-1-ND	5.27	31.15	89.85	490-3371-2-ND	2,000	86.25/M	GRM31CR71A106KA01L
		6.3	10µF	±10%	1.6	490-1806-1-ND	7.09	41.93	120.96	490-1806-2-ND	2,000	116.12/M	GRM31CR70J106KA01L
	X5R	25	1.0µF	±10%	0.85	490-1807-1-ND	2.47	14.59	42.07	490-1807-2-ND	4,000	40.39/M	GRM319R61E105KC36D
			2.2µF	±10%	0.6	490-1808-1-ND	4.53	26.74	77.15	490-1808-2-ND	4,000	74.06/M	GRM316R61E225KA12D
			4.7µF	±10%	0.85	490-3372-1-ND	6.82	40.34	116.36	490-3372-2-ND	4,000	111.70/M	GRM319R61E475KA12D
			10µF	±10%	1.6	490-3373-1-ND	8.66	51.18	147.63	490-3373-2-ND	2,000	141.72/M	GRM31CR61E106KA12L
		16	1.0µF	±10%	1.15	490-1810-1-ND	2.69	15.91	45.88	490-1810-2-ND	3,000	44.04/M	GRM31MR61C105KA01L
			2.2µF	±10%	1.15	490-1811-1-ND	2.99	17.67	50.96	490-1811-2-ND	3,000	48.92/M	GRM31MR61C225KA35L
			4.7µF	±10%	0.85	490-3374-1-ND	6.61	39.07	112.71	490-3374-2-ND	4,000	108.20/M	GRM319R61C475KA88D
			4.7µF	±10%	1.6	490-1812-1-ND	7.28	43.03	124.14	490-1812-2-ND	2,000	119.17/M	GRM31CR61C475KA01L
			4.7µF	±20%	1.6	490-1813-1-ND	4.92	29.06	83.81	490-1813-2-ND	2,000	80.46/M	GRM31CR61C475MA01L
			10µF	±10%	1.6	490-1814-1-ND	6.71	39.62	114.29	490-1814-2-ND	2,000	109.72/M	GRM31CR61C106KC31L
		10	2.2µF	±10%	0.85	490-1815-1-ND	2.83	16.73	48.26	490-1815-2-ND	4,000	46.33/M	GRM319R61A225KA01D
			2.2µF	±20%	0.85	490-1816-1-ND	2.81	16.62	47.94	490-1816-2-ND	4,000	46.02/M	GRM319R61A225MA01D
			3.3µF	±10%	0.85	490-1817-1-ND	6.02	35.55	102.55	490-1817-2-ND	4,000	98.45/M	GRM319R61A335KA01D
			4.7µF	±10%	0.85	490-3377-1-ND	5.55	32.75	94.45	490-3377-2-ND	4,000	90.67/M	GRM319R61A475KA01D
			4.7µF	±10%	0.6	490-1818-1-ND	3.95	23.33	67.30	490-1818-2-ND	4,000	64.62/M	GRM316R61A475KE19D
			10µF	±10%	0.85	490-3378-1-ND	12.30	72.70	209.69	490-3378-2-ND	4,000	201.31/M	GRM319R61A106KE19D
			10µF	±10%	1.6	490-1820-1-ND	7.09	41.93	120.96	490-1820-2-ND	2,000	116.12/M	GRM31CR61A106KA01L
			10µF	±20%	1.15	490-1819-1-ND	5.76	34.01	98.10	490-1819-2-ND	3,000	94.18/M	GRM31MR61A106ME19L
		6.3	4.7µF	±10%	1.15	490-1821-1-ND	4.34	25.64	73.98	—	—	—	GRM31MR60J475KA01L
			4.7µF	±10%	1.15	490-3043-1-ND	4.34	25.64	73.98	490-3043-2-ND	3,000	71.02/M	GRM31MR60J475KC11L
			10µF	±10%	0.85	490-1823-1-ND	13.04	77.04	222.23	490-1823-2-ND	4,000	213.35/M	GRM319R60J106KE01D
			10µF	±20%	0.85	490-1822-1-ND	13.03	76.99	222.07	490-1822-2-ND	4,000	213.19/M	GRM319R60J106ME01D
			10µF	±10%	1.15	490-3379-1-ND	5.28	31.21	90.00	490-3379-2-ND	3,000	86.41/M	GRM31MR60J106KE19L
			22µF	±10%	1.6	490-1824-1-ND	14.02	82.82	238.90	490-1824-2-ND	2,000	229.35/M	GRM31CR60J226KE19L
	Y5V	100	47000pF	+80, -20%	1.15	490-3380-1-ND	5.97	35.28	101.75	490-3380-2-ND	3,000	97.68/M	GRM31MF52A473ZD01L
		50	.1µF	+80, -20%	0.85	490-1825-1-ND	1.15	6.82	19.68	490-1825-2-ND	4,000	18.90/M	GRM319F51H104ZA01D
			.33µF	+80, -20%	0.85	490-1826-1-ND	1.90	11.23	32.38	490-1826-2-ND	4,000	31.09/M	GRM319F51H334ZA01D
			.47µF	+80, -20%	1.15	490-1827-1-ND	3.63	21.46	61.91	490-1827-2-ND	3,000	59.43/M	GRM31MF51H474ZA01L
			2.2µF	+80, -20%	1.15	490-3381-1-ND	2.62	15.47	44.61	490-3381-2-ND	3,000	42.82/M	GRM31MF51H225ZA01L
			4.7µF	+80, -20%	1.6	490-1828-1-ND	3.59	21.19	61.12	490-1828-2-ND	2,000	58.67/M	GRM31CF51H475ZA01L
		25	.22µF	+80, -20%	0.85	490-1829-1-ND	1.78	10.51	30.32	490-1829-2-ND	4,000	29.11/M	GRM319F51E224ZA01D
			.47µF	+80, -20%	0.85	490-1830-1-ND	2.32	13.71	39.53	490-1830-2-ND	4,000	37.95/M	GRM319F51E474ZA01D
			.68µF	+80, -20%	1.15	490-1831-1-ND	3.17	18.77	54.13	490-1831-2-ND	3,000	51.97/M	GRM31MF51E684ZA01L
			1.0µF	+80, -20%	1.15	490-1832-1-ND	1.52	8.97	25.87	490-1832-2-ND	3,000	24.84/M	GRM31MF51E105ZA01L
			4.7µF	+80, -20%	1.15	490-1833-1-ND	3.17	18.77	54.13	490-1833-2-ND	3,000	51.97/M	GRM31MF51E475ZA01L
			10µF	+80, -20%	1.6	490-3382-1-ND	4.94	29.17	84.14	490-3382-2-ND	2,000	80.77/M	GRM31CF51E106ZA01L
		16	.47µF	+80, -20%	0.85	490-1834-1-ND	2.31	13.65	39.37	490-1834-2-ND	3,000	37.80/M	GRM319F51C474ZA01L
			1.0µF	+80, -20%	0.85	490-1835-1-ND	1.55	9.13	26.35	490-1835-2-ND	4,000	25.30/M	GRM319F51C105ZA01D
			1.5µF	+80, -20%	1.15	490-1836-1-ND	2.79	16.51	47.62	490-1836-2-ND	3,000	45.72/M	GRM31MF51C155ZA01L
			2.2µF	+80, -20%	1.15	490-1837-1-ND	2.86	16.90	48.73	490-1837-2-ND	3,000	46.79/M	GRM31MF51C225ZA01L
			3.3µF	+80, -20%	1.15	490-1838-1-ND	3.28	19.43	56.04	490-1838-2-ND	3,000	53.80/M	GRM31MF51C335ZA01L
			4.7µF	+80, -20%	1.15	490-1839-1-ND	2.90	17.12	49.37	490-1839-2-ND	3,000	47.40/M	GRM31MF51C475ZA01L
			10µF	+80, -20%	1.15	490-3383-1-ND	4.17	24.65	71.11	490-3383-2-ND	3,000	68.27/M	GRM31MF51C106ZA12L
		10	2.2µF	+80, -20%	0.85	490-1840-1-ND	2.45	14.48	41.75	490-1840-2-ND	4,000	40.08/M	GRM319F51A225ZA01D
			3.3µF	+80, -20%	0.85	490-1841-1-ND	3.23	19.10	55.08	490-1841-2-ND	4,000	52.88/M	GRM319F51A335ZA01D
			4.7µF	+80, -20%	1.15	490-1842-1-ND	2.90	17.12	49.37	490-1842-2-ND	3,000	47.40/M	GRM31MF51A475ZA01L
			10µF	+80, -20%	1.15	490-1843-1-ND	4.60	27.18	78.42	490-1843-2-ND	3,000	75.28/M	GRM31MF51A106ZA01L
			22µF	+80, -20%	1.6	490-1844-1-ND	8.03	47.49	136.99	490-1844-2-ND	2,000	131.51/M	GRM31CF51A226ZE01L
		6.3	10µF	+80, -20%	1.15	490-1845-1-ND	3.70	21.85	63.02	490-1845-2-ND	3,000	60.50/M	GRM31MF50J106ZA01L
			22µF	+80, -20%	1.6	490-1846-1-ND	8.03	47.49	136.99	490-1846-2-ND	2,000	131.51/M	GRM31CF50J226ZE01L
	Z5U	50	.22µF	±20%	0.85	490-1847-1-ND	2.01	11.89	34.29	490-1847-2-ND	4,000	32.92/M	GRM319E41H224MA01D
1210	X7R	100	56000pF	±10%	1.35	490-1848-1-ND	6.70	39.57	114.13	490-1848-2-ND	2,000	109.57/M	GRM32NR72A563KA01L
			68000pF	±10%	1.35	490-1850-1-ND	7.01	41.44	119.53	490-1850-2-ND	2,000	114.75/M	GRM32NR72A683KA01L
			68000pF	±20%	1.35	490-1849-1-ND	6.73	39.79	114.77	490-1849-2-ND	2,000	110.18/M	GRM32NR72A683MA01L
			82000pF	±10%	1.35	490-1851-1-ND	6.92	40.89	117.94	490-1851-2-ND	2,000	113.23/M	GRM32NR72A823KA01L
			.1µF	±10%	1.35	490-1853-1-ND	7.15	42.26	121.91	490-1853-2-ND	2,000	117.04/M	GRM32NR72A104KA01L
			.1µF	±20%	1.35	490-1852-1-ND	7.15	42.26	121.91	490-1852-2-ND	2,000	117.04/M	GRM32NR72A104MA01L
			.68µF	±10%	1.6	490-1854-1-ND	10.37	61.30	176.84	490-1854-2-ND	2,000	169.76/M	GRM32CR72A684KA01L
			.68µF	±20%	1.6	490-1855-1-ND	10.37	61.30	176.84	490-1855-2-ND	2,000	169.76/M	GRM32CR72A684MA01L
			1.0µF	±10%	2.5	490-1857-1-ND	11.10	65.59	189.22	490-1857-2-ND	1,000	181.65	GRM32ER72A105KA01L
			1.0µF	±20%	2.5	490-1856-1-ND	11.10	65.59	189.22	490-1856-2-ND	1,000	181.65	GRM32ER72A105MA01L
			2.2µF	±10%	2.5	490-3385-1-ND	24.78	146.44	422.40	490-3385-2-ND	1,000	405.50	GRM32ER72A225KA35L

† Neue Keramikformel

(Forts.)

Alle Preisangaben in Euro und inklusive Zollgebühren.

Vielschicht-Keramikchipkondensatoren *(Forts.)*

Größen-code	Typ	Betriebs-spannung DC	Kapazität	Toleranz	Abmessung T (mm)	Digi-Key Teilenr.	Gurtabschnittspreise 10	100	500	Digi-Key Teilenr.	Gegurtet auf Rolle Größe	Preisangaben	Murata Teilenr.
1210	X7R	50	.56µF	±10%	1.35	490-1858-1-ND	6.71	39.62	114.29	490-1858-2-ND	2,000	109.72/M	GRM32NR71H564KA01L
			.68µF	±10%	1.35	490-1860-1-ND	7.05	41.66	120.17	490-1860-2-ND	2,000	115.36/M	GRM32NR71H684KA01L
			.68µF	±20%	1.35	490-1859-1-ND	7.05	41.66	120.17	490-1859-2-ND	2,000	115.36/M	GRM32NR71H684MA01L
			.82µF	±10%	1.8	490-1861-1-ND	7.62	45.01	129.85	490-1861-2-ND	1,000	124.65	GRM32RR71H824KA01L
			1.0µF	±10%	1.8	490-1863-1-ND	5.58	32.97	95.08	490-1863-2-ND	1,000	91.28	GRM32RR71H105KA01L
			1.0µF	±20%	1.8	490-1862-1-ND	5.58	32.97	95.08	490-1862-2-ND	1,000	91.28	GRM32RR71H105MA01L
			3.3µF	±10%	2.0	490-3386-1-ND	16.85	99.55	287.16	490-3386-2-ND	1,000	275.67	GRM32DR71H335KA88L
			4.7µF	±10%	2.5	490-1864-1-ND	18.61	109.95	317.16	490-1864-2-ND	1,000	304.47	GRM32ER71H475KA88L
		25	2.2µF	±10%	1.8	490-1865-1-ND	7.97	47.05	135.72	490-1865-2-ND	1,000	130.29	GRM32RR71E225KC01L
			2.2µF	±20%	1.8	490-1866-1-ND	7.08	41.82	120.64	490-1866-2-ND	1,000	115.81	GRM32RR71E225MC01L
			10µF	±10%	2.0	490-1867-1-ND	15.00	88.66	255.72	490-1867-2-ND	1,000	245.50	GRM32DR71E106KA12L
		16	3.3µF	±10%	1.35	490-1871-1-ND	10.41	61.52	177.47	490-1871-2-ND	2,000	170.37/M	GRM32NR71C335KC01L
			3.3µF	±20%	1.35	490-1870-1-ND	10.41	61.52	177.47	490-1870-2-ND	2,000	170.37/M	GRM32NR71C335MC01L
			10µF	±10%	2.0	490-1875-1-ND	13.89	82.10	236.84	490-1875-2-ND	1,000	227.36	GRM32DR71C106KA01L
			10µF	±20%	2.0	490-1874-1-ND	13.89	82.10	236.84	490-1874-2-ND	1,000	227.36	GRM32DR71C106MA01L
			2.2µF	±10%	1.15	490-1869-1-ND	8.80	52.01	150.01	490-1869-2-ND	3,000	144.01/M	GRM32MR71C225KC01L
			2.2µF	±20%	1.15	490-1868-1-ND	7.83	46.28	133.50	490-1868-2-ND	3,000	128.16/M	GRM32MR71C225MC01L
			4.7µF	±10%	1.8	490-1872-1-ND	10.12	59.76	172.39	490-1872-2-ND	1,000	165.49	GRM32RR71C475KC01L
			4.7µF	±20%	1.8	490-1873-1-ND	10.12	59.76	172.39	490-1873-2-ND	1,000	165.49	GRM32RR71C475MC01L
		10	22µF	±10%	2.5	490-1876-1-ND	22.45	132.68	382.71	490-1876-2-ND	1,000	367.41	GRM32ER71A226KE20L
	X5R	25	4.7µF	±10%	1.8	490-1877-1-ND	10.68	63.06	181.92	490-1877-2-ND	1,000	174.64	GRM32RR61E475KC31L
			10µF	±10%	2.0	490-1878-1-ND	15.00	88.66	255.72	490-1878-2-ND	1,000	245.50	GRM32DR61E106KA12L
		16	4.7µF	±10%	1.8	490-1879-1-ND	9.71	57.40	165.56	490-1879-2-ND	1,000	158.94	GRM32RR61C475KC01L
			10µF	±10%	2.0	490-1880-1-ND	13.21	78.03	225.09	490-1880-2-ND	1,000	216.09	GRM32DR61C106KA01L
			22µF	±10%	2.5	490-1882-1-ND	23.77	140.49	405.26	490-1882-2-ND	1,000	389.05	GRM32ER61C226KE20L
			22µF	±20%	2.5	490-1881-1-ND	23.77	140.49	405.26	490-1881-2-ND	1,000	389.05	GRM32ER61C226ME20L
		10	10µF	±10%	2.5	490-1883-1-ND	12.54	74.07	213.66	490-1883-2-ND	1,000	205.11	GRM32ER61A106KC01L
			10µF	±20%	2.5	490-1884-1-ND	12.54	74.07	213.66	490-1884-2-ND	1,000	205.11	GRM32ER61A106MC01L
			22µF	±10%	2.5	490-3388-1-ND	22.70	134.11	386.85	490-3388-2-ND	1,000	371.37	GRM32ER61A226KE20L
		6.3	22µF	±10%	2.0	490-1886-1-ND	23.67	139.88	403.51	490-1886-2-ND	1,000	387.37	GRM32DR60J226KA01L
			22µF	±20%	2.0	490-1885-1-ND	23.67	139.88	403.51	490-1885-2-ND	1,000	387.37	GRM32DR60J226MA01L
			33µF	±20%	2.0	490-3389-1-ND	23.61	139.50	402.40	490-3389-2-ND	1,000	386.30	GRM32DR60J336ME19L
			47µF	±20%	2.5	490-1887-1-ND	29.70	175.49	506.22	490-1887-2-ND	1,000	485.97	GRM32ER60J476ME20L
			100µF	±20%	2.5	490-3390-1-ND	62.89	371.62	1071.96	490-3390-2-ND	1,000	1029.08	GRM32ER60J107ME20L
	Y5V	100	.1µF	+80, -20%	1.35	490-1888-1-ND	5.19	30.66	88.42	490-1888-2-ND	2,000	84.88/M	GRM32NF52A104ZA01L
		50	.68µF	+80, -20%	1.35	490-1889-1-ND	6.66	39.35	113.50	490-1889-2-ND	2,000	108.96/M	GRM32NF51H684ZA01L
			1.0µF	+80, -20%	1.8	490-1890-1-ND	4.83	28.51	82.23	490-1890-2-ND	1,000	78.94	GRM32RF51H105ZA01L
			10µF	+80, -20%	2.0	490-1891-1-ND	9.52	56.24	162.23	490-1891-2-ND	1,000	155.74	GRM32DF51H106ZA01L
		25	4.7µF	+80, -20%	0.85	490-1892-1-ND	5.99	35.39	102.07	490-1892-2-ND	4,000	97.99/M	GRM329F51E475ZA01D
			10µF	+80, -20%	1.35	490-1893-1-ND	8.17	48.26	139.21	490-1893-2-ND	2,000	133.65/M	GRM32NF51E106ZA01L
		16	10µF	+80, -20%	1.35	490-1894-1-ND	8.03	47.44	136.84	490-1894-2-ND	2,000	131.36/M	GRM32NF51C106ZA01L
			22µF	+80, -20%	1.6	490-3392-1-ND	11.09	65.54	189.05	490-3392-2-ND	2,000	181.50/M	GRM32CF51C226ZA12L
		10	10µF	+80, -20%	0.85	490-3393-1-ND	6.73	39.79	114.77	490-3393-2-ND	4,000	110.18/M	GRM329F51A106ZA01D
			22µF	+80, -20%	1.6	490-1895-1-ND	10.49	61.96	178.74	490-1895-2-ND	2,000	171.59/M	GRM32CF51A226ZA01L
		6.3	100µF	+80, -20%	2.5	490-3394-1-ND	39.35	232.50	670.67	490-3394-2-ND	1,000	643.84	GRM32EF50J107ZE20L
	Z5U	50	1.0µF	±20%	1.8	490-1896-1-ND	4.99	29.50	85.08	490-1896-2-ND	1,000	81.68	GRM32RE41H105MA01L
1812	C0G (NP0)	50	9100pF	±5%	1.8	490-1897-1-ND	41.74	246.64	711.47	490-1897-2-ND	1,000	683.00	GRM43R5C1H912JD01L
			11000pF	±5%	1.8	490-1898-1-ND	50.26	297.00	856.71	490-1898-2-ND	1,000	822.44	GRM43R5C1H113JD01L
			13000pF	±5%	1.8	490-1899-1-ND	59.90	353.95	1021.00	490-1899-2-ND	1,000	980.16	GRM43R5C1H133JD01L
	X7R	100	.12µF	±10%	1.8	490-1900-1-ND	9.76	57.67	166.36	490-1900-2-ND	1,000	159.70	GRM43RR72A124KA01L
			.15µF	±10%	1.8	490-1901-1-ND	10.34	61.08	176.20	490-1901-2-ND	1,000	169.15	GRM43RR72A154KA01L
			.18µF	±10%	1.8	490-1902-1-ND	13.33	78.80	227.31	490-1902-2-ND	1,000	218.22	GRM43RR72A184KA01L
			.22µF	±10%	1.8	490-1903-1-ND	14.45	85.41	246.36	490-1903-2-ND	1,000	236.51	GRM43RR72A224KA01L
			.22µF	±20%	1.8	490-1904-1-ND	14.45	85.41	246.36	490-1904-2-ND	1,000	236.51	GRM43RR72A224MA01L
			.47µF	±10%	2.0	490-1905-1-ND	25.81	152.54	440.02	490-1905-2-ND	1,000	422.42	GRM43DR72A474KA01L
			1.5µF	±10%	2.0	490-1906-1-ND	27.91	164.93	475.74	490-1906-2-ND	1,000	456.71	GRM43DR72A155KA01L
			1.5µF	±20%	2.0	490-1907-1-ND	27.91	164.93	475.74	490-1907-2-ND	1,000	456.71	GRM43DR72A155MA01L
			2.2µF	±10%	2.5	490-1908-1-ND	30.00	177.30	—	490-1908-2-ND	500	245.50	GRM43ER72A225KA01L
			2.2µF	±20%	2.5	490-1909-1-ND	30.00	177.30	—	490-1909-2-ND	500	245.50	GRM43ER72A225MA01L
		50	1.5µF	±10%	2.0	490-1910-1-ND	22.72	134.27	387.32	490-1910-2-ND	1,000	371.83	GRM43DR71H155KA01L
			1.5µF	±20%	2.0	490-1911-1-ND	22.72	134.27	387.32	490-1911-2-ND	1,000	371.83	GRM43DR71H155MA01L
			2.2µF	±10%	2.5	490-1912-1-ND	24.20	143.02	—	490-1912-2-ND	500	198.03	GRM43ER71H225KA01L
			2.2µF	±20%	2.5	490-1913-1-ND	24.20	143.02	—	490-1913-2-ND	500	198.03	GRM43ER71H225MA01L
		25	4.7µF	±10%	2.5	490-1914-1-ND	23.34	137.90	—	490-1914-2-ND	500	190.94	GRM43ER71E475KA01L
			4.7µF	±20%	2.5	490-1915-1-ND	23.34	137.90	—	490-1915-2-ND	500	190.94	GRM43ER71E475MA01L
		10	22µF	±10%	2.5	490-1916-1-ND	27.79	164.21	—	490-1916-2-ND	500	227.36	GRM43ER71A226KE01L
	X5R	16	22µF	±10%	2.5	490-1917-1-ND	27.79	164.21	—	490-1917-2-ND	500	227.36	GRM43ER61C226KE01L
		10	47µF	±10%	2.5	490-1918-1-ND	43.85	259.08	—	490-1918-2-ND	500	358.72	GRM43ER61A476KE19L
		6.3	33µF	±10%	2.0	490-1919-1-ND	39.88	235.69	679.87	490-1919-2-ND	1,000	652.68	GRM43DR60J336KE01L
			33µF	±20%	2.0	490-1920-1-ND	39.88	235.69	679.87	490-1920-2-ND	1,000	652.68	GRM43DR60J336ME01L
			47µF	±10%	2.5	490-1921-1-ND	43.85	259.08	—	490-1921-2-ND	500	358.72	GRM43ER60J476KE01L
			47µF	±20%	2.5	490-1922-1-ND	43.85	259.08	—	490-1922-2-ND	500	358.72	GRM43ER60J476ME01L
			100µF	±20%	2.8	490-1923-1-ND	71.99	425.43	—	490-1923-2-ND	500	589.06	GRM43SR60J107ME20L
	Y5V	100	.15µF	+80, -20%	1.8	490-1924-1-ND	11.09	65.54	189.05	490-1924-2-ND	1,000	181.49	GRM43RF52A154ZA01L
		50	1.5µF	+80, -20%	1.8	490-1925-1-ND	51.87	306.51	884.17	490-1925-2-ND	1,000	848.80	GRM43RF51H155ZD01L
2220	C0G (NP0)	50	16000pF	±5%	1.35	490-1926-1-ND	65.21	385.31	1111.48	490-1926-2-ND	1,000	1067.02	GRM55N5C1H163JD01L
			20000pF	±5%	1.8	490-1927-1-ND	81.27	480.18	1385.15	490-1927-2-ND	1,000	1329.74	GRM55R5C1H203JD01L
			24000pF	±5%	1.8	490-1928-1-ND	94.97	561.19	1618.81	490-1928-2-ND	1,000	1554.05	GRM55R5C1H243JD01L
			30000pF	±5%	1.8	490-1929-1-ND	104.97	620.29	1789.29	490-1929-2-ND	1,000	1717.72	GRM55R5C1H303JD01L
			36000pF	±5%	1.8	490-1930-1-ND	115.47	682.31	1968.18	490-1930-2-ND	1,000	1889.46	GRM55R5C1H363JD01L
			43000pF	±5%	1.8	490-1931-1-ND	118.85	702.28	2025.81	490-1931-2-ND	1,000	1944.78	GRM55R5C1H433JD01L
	X7R	100	1.0µF	±10%	2.0	490-1932-1-ND	35.68	210.87	608.28	490-1932-2-ND	1,000	583.95	GRM55DR72A105KA01L
			1.0µF	±20%	2.0	490-1933-1-ND	35.68	210.87	608.28	490-1933-2-ND	1,000	583.95	GRM55DR72A105MA01L
			4.7µF	±10%	2.5	490-1934-1-ND	63.11	372.88	—	490-1934-2-ND	500	516.29	GRM55ER72A475KA01L
		50	1.0µF	±10%	1.8	490-1936-1-ND	39.15	231.34	667.33	490-1936-2-ND	1,000	640.64	GRM55RR71H105KA01L
			1.0µF	±20%	1.8	490-1935-1-ND	39.15	231.34	667.33	490-1935-2-ND	1,000	640.64	GRM55RR71H105MA01L
			1.5µF	±10%	1.8	490-1938-1-ND	50.51	298.48	860.99	490-1938-2-ND	1,000	826.55	GRM55RR71H155KA01L
			1.5µF	±20%	1.8	490-1937-1-ND	50.51	298.48	860.99	490-1937-2-ND	1,000	826.55	GRM55RR71H155MA01L
			3.3µF	±10%	2.0	490-1939-1-ND	50.51	298.48	860.99	490-1939-2-ND	1,000	826.55	GRM55DR71H335KA01L
			3.3µF	±20%	2.0	490-1940-1-ND	50.51	298.48	860.99	490-1940-2-ND	1,000	826.55	GRM55DR71H335MA01L
			4.7µF	±10%	2.5	490-1941-1-ND	47.92	283.13	—	490-1941-2-ND	500	392.02	GRM55ER71H475KA01L
			4.7µF	±20%	2.5	490-1942-1-ND	48.90	288.96	—	490-1942-2-ND	500	400.09	GRM55ER71H475MA01L
		25	10µF	±10%	2.0	490-1943-1-ND	91.26	539.28	1555.63	490-1943-2-ND	1,000	1493.40	GRM55DR71E106KA01L
			10µF	±20%	2.0	490-1944-1-ND	91.26	539.28	1555.63	490-1944-2-ND	1,000	1493.40	GRM55DR71E106MA01L
			15µF	±10%	2.5	490-1945-1-ND	45.56	269.26	—	490-1945-2-ND	500	372.82	GRM55ER71E156KA01L
			15µF	±20%	2.5	490-1946-1-ND	45.56	269.26	—	490-1946-2-ND	500	372.82	GRM55ER71E156MA01L
	X5R	6.3	100µF	±10%	3.2	490-1947-1-ND	112.60	665.36	—	490-1947-2-ND	300	552.75	GRM55FR60J107KA01L
	Y5V	100	.47µF	+80, -20%	1.8	490-1948-1-ND	29.88	176.59	509.39	490-1948-2-ND	1,000	489.01	GRM55RF52A474ZA01L
			.68µF	+80, -20%	1.8	490-1949-1-ND	57.06	337.17	972.58	490-1949-2-ND	1,000	933.68	GRM55RF52A684ZD01L
		50	3.3µF	+80, -20%	1.8	490-1950-1-ND	86.95	513.75	1481.97	490-1950-2-ND	1,000	1422.69	GRM55RF51H335ZD01L
			4.7µF	+80, -20%	1.8	490-1951-1-ND	106.31	628.16	1811.99	490-1951-2-ND	1,000	1739.51	GRM55RF51H475ZD01L

† Neue Keramikformel

E

Vielschicht-Keramikchipkondensatoren

Merkmale: • Mithilfe von Präzisionstechnologien, die eine Verwendung von mehreren dünneren dielektrischen Keramikschichten ermöglichen, wurde eine hohe Kapazität erreicht. • Die monolithische Struktur gewährleistet eine erstklassige mechanische Festigkeit und Zuverlässigkeit. • Die extrem genaue automatische Montage wird durch die Gewährleistung äußerst präziser Maßtoleranzen erleichtert. • Diese Kondensatoren bestehen lediglich aus Keramik und Metallen, bieten eine extrem verlässliche Leistung und weisen praktisch keine Leistungsminderung auf, selbst wenn sie extremen Temperaturen ausgesetzt sind. **Anwendungen:** • Mobiltelefone • Tragbare/Handgeräte (PDAs, MP3-Player usw.) • RF-Module (VCO, TCXO, PA usw.) **Betriebstemperatur:** • C0G: -55 °C ~ 125 °C • X7R: -55 °C ~ 125 °C • X5R: -55 °C ~ 85 °C • Y5V: -30 °C ~ 85 °C

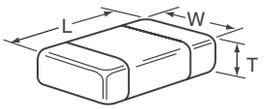

EIA-Code	EIAJ Code	Abm. (mm) L	W	EIA-Code	EIAJ Code	Abm. (mm) L	W
0201	0603	0.6	0.3	0805	2012	2.0	1.25
0306	0816	0.8	1.6	1206	3216	3.2	1.6
0402	1005	1.0	0.5	1210	3225	3.2	2.5
0508	1220	1.25	2.0	1812	4532	4.5	3.2
0603	1608	1.6	0.8	2220	5750	5.7	5.0
0612	1632	1.6	3.2				

Gehäuse-größe	Typ	Betriebs-spannung DC	Kapazität	Toleranz	Abm. T (mm)	Digi-Key Teilenr.	Gurtabschnittspreise 10	100	500	Digi-Key Teilenr.	Gegurtet auf Rolle Größe	Preisangaben	TDK Teilenr.
0201	C0G (NP0)	50	1.0pF	±0.25pF	0.3	445-1760-1-ND	.43	2.53	7.31	445-1760-2-ND	15,000	7.01/M	C0603C0G1H010C
		50	1.5pF	±0.25pF	0.3	445-1770-1-ND	.43	2.53	7.31	445-1770-2-ND	15,000	7.01/M	C0603C0G1H1R5C
		50	2.0pF	±0.25pF	0.3	445-1761-1-ND	.43	2.53	7.31	445-1761-2-ND	15,000	7.01/M	C0603C0G1H020C
		50	2.2pF	±0.25pF	0.3	445-1771-1-ND	.43	2.53	7.31	445-1771-2-ND	15,000	7.01/M	C0603C0G1H2R2C
		50	3.0pF	±0.25pF	0.3	445-1762-1-ND	.43	2.53	7.31	445-1762-2-ND	15,000	7.01/M	C0603C0G1H030C
		50	3.3pF	±0.25pF	0.3	445-1772-1-ND	.43	2.53	7.31	445-1772-2-ND	15,000	7.01/M	C0603C0G1H3R3C
		50	4.0pF	±0.25pF	0.3	445-1763-1-ND	.43	2.53	7.31	445-1763-2-ND	15,000	7.01/M	C0603C0G1H040C
		50	4.7pF	±0.25pF	0.3	445-1773-1-ND	.43	2.53	7.31	445-1773-2-ND	15,000	7.01/M	C0603C0G1H4R7C
		50	5.0pF	±0.25pF	0.3	445-1764-1-ND	.43	2.53	7.31	445-1764-2-ND	15,000	7.01/M	C0603C0G1H050C
		50	6.0pF	±0.5pF	0.3	445-1765-1-ND	.43	2.53	7.31	445-1765-2-ND	15,000	7.01/M	C0603C0G1H060D
		50	6.8pF	±0.5pF	0.3	445-1774-1-ND	.43	2.53	7.31	445-1774-2-ND	15,000	7.01/M	C0603C0G1H6R8D
		50	7.0pF	±0.5pF	0.3	445-1766-1-ND	.43	2.53	7.31	445-1766-2-ND	15,000	7.01/M	C0603C0G1H070D
		50	8.0pF	±0.5pF	0.3	445-1767-1-ND	.43	2.53	7.31	445-1767-2-ND	15,000	7.01/M	C0603C0G1H080D
		50	9.0pF	±0.5pF	0.3	445-1768-1-ND	.43	2.53	7.31	445-1768-2-ND	15,000	7.01/M	C0603C0G1H090D
		50	10pF	±0.5pF	0.3	445-1769-1-ND	.43	2.53	7.31	445-1769-2-ND	15,000	7.01/M	C0603C0G1H100D
		50	12pF	±5%	0.3	445-1775-1-ND	.43	2.53	7.31	445-1775-2-ND	15,000	7.01/M	C0603C0G1H120J
		50	15pF	±5%	0.3	445-1776-1-ND	.43	2.53	7.31	445-1776-2-ND	15,000	7.01/M	C0603C0G1H150J
		50	18pF	±5%	0.3	445-1777-1-ND	.43	2.53	7.31	445-1777-2-ND	15,000	7.01/M	C0603C0G1H180J
		50	22pF	±5%	0.3	445-1778-1-ND	.43	2.53	7.31	445-1778-2-ND	15,000	7.01/M	C0603C0G1H220J
		50	27pF	±5%	0.3	445-1779-1-ND	.43	2.53	7.31	445-1779-2-ND	15,000	7.01/M	C0603C0G1H270J
		50	33pF	±5%	0.3	445-1780-1-ND	.43	2.53	7.31	445-1780-2-ND	15,000	7.01/M	C0603C0G1H330J
		50	39pF	±5%	0.3	445-1781-1-ND	.43	2.53	7.31	445-1781-2-ND	15,000	7.01/M	C0603C0G1H390J
		50	47pF	±5%	0.3	445-1782-1-ND	.43	2.53	7.31	445-1782-2-ND	15,000	7.01/M	C0603C0G1H470J
		50	56pF	±5%	0.3	445-1783-1-ND	.43	2.53	7.31	445-1783-2-ND	15,000	7.01/M	C0603C0G1H560J
		50	68pF	±5%	0.3	445-1784-1-ND	.43	2.53	7.31	445-1784-2-ND	15,000	7.01/M	C0603C0G1H680J
		50	82pF	±5%	0.3	445-1785-1-ND	.43	2.53	7.31	445-1785-2-ND	15,000	7.01/M	C0603C0G1H820J
		50	100pF	±5%	0.3	445-1786-1-ND	.43	2.53	7.31	445-1786-2-ND	15,000	7.01/M	C0603C0G1H101J
	X5R	50	100pF	±10%	0.3	445-1787-1-ND	.43	2.53	7.31	445-1787-2-ND	15,000	7.01/M	C0603X5R1H101K
		50	220pF	±10%	0.3	445-1788-1-ND	.43	2.53	7.31	445-1788-2-ND	15,000	7.01/M	C0603X5R1H221K
		50	470pF	±10%	0.3	445-1789-1-ND	.43	2.53	7.31	445-1789-2-ND	15,000	7.01/M	C0603X5R1H471K
		25	1000pF	±10%	0.3	445-1790-1-ND	.43	2.53	7.31	445-1790-2-ND	15,000	7.01/M	C0603X5R1E102K
		25	2200pF	±10%	0.3	445-1791-1-ND	.43	2.53	7.31	445-1791-2-ND	15,000	7.01/M	C0603X5R1E222K
		16	4700pF	±10%	0.3	445-1792-1-ND	.43	2.53	7.31	445-1792-2-ND	15,000	7.01/M	C0603X5R1C472K
		10	10000pF	±10%	0.3	445-1793-1-ND	.43	2.53	7.31	445-1793-2-ND	15,000	7.01/M	C0603X5R1A103K
		6.3	22000pF	±10%	0.3	445-1794-1-ND	.53	3.14	9.05	445-1794-2-ND	15,000	8.69/M	C0603X5R0J223K
		6.3	47000pF	±10%	0.3	445-1795-1-ND	.53	3.14	9.05	445-1795-2-ND	15,000	8.69/M	C0603X5R0J473K
		6.3	0.1µF	±10%	0.3	445-1796-1-ND	.63	3.69	10.63	445-1796-2-ND	15,000	10.21/M	C0603X5R0J104K
	Y5V	16	10000pF	+80/-20%	0.3	445-1797-1-ND	.43	2.53	7.31	445-1797-2-ND	15,000	7.01/M	C0603Y5V1C103Z
0306	X7R	16	0.01µF	±10%	0.5	445-1798-1-ND	2.57	15.14	43.65	445-1798-2-ND	4,000	41.91/M	C0816X7R1C103K
		16	0.022µF	±10%	0.5	445-1799-1-ND	2.77	16.35	47.15	445-1799-2-ND	4,000	45.26/M	C0816X7R1C223K
		16	0.047µF	±10%	0.5	445-1800-1-ND	3.07	18.16	52.39	445-1800-2-ND	4,000	50.29/M	C0816X7R1C473K
		16	0.1µF	±10%	0.5	445-1801-1-ND	3.28	19.37	55.88	445-1801-2-ND	4,000	53.64/M	C0816X7R1C104K
	X5R	10	0.22µF	±10%	0.5	445-1802-1-ND	3.48	20.58	59.37	445-1802-2-ND	4,000	57.00/M	C0816X5R1A224K
0402	C0G (NP0)	50	10pF	±0.5pF	0.5	445-1235-1-ND	.47	2.75	7.94	445-1235-2-ND	10,000	7.62/M	C1005C0G1H100D
		50	12pF	±5%	0.5	445-1236-1-ND	.48	2.86	8.25	445-1236-2-ND	10,000	7.93/M	C1005C0G1H120J
		50	15pF	±5%	0.5	445-1237-1-ND	.48	2.86	8.25	445-1237-2-ND	10,000	7.93/M	C1005C0G1H150J
		50	18pF	±5%	0.5	445-1238-1-ND	.48	2.86	8.25	445-1238-2-ND	10,000	7.93/M	C1005C0G1H180J
		50	22pF	±5%	0.5	445-1239-1-ND	.47	2.75	7.94	445-1239-2-ND	10,000	7.62/M	C1005C0G1H220J
		50	27pF	±5%	0.5	445-1240-1-ND	.48	2.86	8.25	445-1240-2-ND	10,000	7.93/M	C1005C0G1H270J
		50	33pF	±5%	0.5	445-1241-1-ND	.48	2.86	8.25	445-1241-2-ND	10,000	7.93/M	C1005C0G1H330J
		50	39pF	±5%	0.5	445-1242-1-ND	.48	2.86	8.25	445-1242-2-ND	10,000	7.93/M	C1005C0G1H390J
		50	47pF	±5%	0.5	445-1243-1-ND	.47	2.75	7.94	445-1243-2-ND	10,000	7.62/M	C1005C0G1H470J
		50	56pF	±5%	0.5	445-1244-1-ND	.48	2.86	8.25	445-1244-2-ND	10,000	7.93/M	C1005C0G1H560J
		50	68pF	±5%	0.5	445-1245-1-ND	.48	2.86	8.25	445-1245-2-ND	10,000	7.93/M	C1005C0G1H680J
		50	82pF	±5%	0.5	445-1246-1-ND	.48	2.86	8.25	445-1246-2-ND	10,000	7.93/M	C1005C0G1H820J
		50	100pF	±5%	0.5	445-1247-1-ND	.47	2.75	7.94	445-1247-2-ND	10,000	7.62/M	C1005C0G1H101J
		50	120pF	±5%	0.5	445-1248-1-ND	.54	3.19	9.21	445-1248-2-ND	10,000	8.84/M	C1005C0G1H121J
		50	150pF	±5%	0.5	445-1249-1-ND	.54	3.19	9.21	445-1249-2-ND	10,000	8.84/M	C1005C0G1H151J
		50	180pF	±5%	0.5	445-1250-1-ND	.61	3.61	10.41	445-1250-2-ND	10,000	10.00/M	C1005C0G1H181J
		50	220pF	±5%	0.5	445-1251-1-ND	.61	3.61	10.41	445-1251-2-ND	10,000	10.00/M	C1005C0G1H221J
		50	270pF	±5%	0.5	445-1252-1-ND	.71	4.20	12.11	445-1252-2-ND	10,000	11.63/M	C1005C0G1H271J
		50	330pF	±5%	0.5	445-1253-1-ND	.71	4.20	12.11	445-1253-2-ND	10,000	11.63/M	C1005C0G1H331J
	X7R	50	220pF	±10%	0.5	445-1254-1-ND	.48	2.86	8.25	445-1254-2-ND	10,000	7.93/M	C1005X7R1H221K
		50	470pF	±10%	0.5	445-1255-1-ND	.48	2.86	8.25	445-1255-2-ND	10,000	7.93/M	C1005X7R1H471K
		50	1000pF	±10%	0.5	445-1256-1-ND	.47	2.75	7.94	445-1256-2-ND	10,000	7.62/M	C1005X7R1H102K
		50	2200pF	±10%	0.5	445-1257-1-ND	.48	2.86	8.25	445-1257-2-ND	10,000	7.93/M	C1005X7R1H222K
		50	4700pF	±10%	0.5	445-1258-1-ND	.48	2.86	8.25	445-1258-2-ND	10,000	7.93/M	C1005X7R1H472K
		25	4700pF	±10%	0.5	445-1259-1-ND	.48	2.86	8.25	445-1259-2-ND	10,000	7.93/M	C1005X7R1E472K
		25	10000pF	±10%	0.5	445-1260-1-ND	.48	2.86	8.25	445-1260-2-ND	10,000	7.93/M	C1005X7R1E103K
		25	22000pF	±10%	0.5	445-1261-1-ND	.65	3.85	11.12	445-1261-2-ND	10,000	10.67/M	C1005X7R1E223K
		16	10000pF	±10%	0.5	445-1262-1-ND	.47	2.75	7.94	445-1262-2-ND	10,000	7.62/M	C1005X7R1C103K
		16	22000pF	±10%	0.5	445-1263-1-ND	.61	3.58	10.32	445-1263-2-ND	10,000	9.91/M	C1005X7R1C223K
		16	47000pF	±10%	0.5	445-1264-1-ND	1.01	5.94	17.14	445-1264-2-ND	10,000	16.46/M	C1005X7R1C473K
	X5R	10	0.1µF	±10%	0.5	445-1265-1-ND	1.26	7.43	21.43	445-1265-2-ND	10,000	20.58/M	C1005X5R1A104K
		6.3	0.1µF	±10%	0.5	445-1266-1-ND	1.26	7.43	21.43	445-1266-2-ND	10,000	20.58/M	C1005X5R0J104K
		6.3	0.22µF	±20%	0.5	445-1267-1-ND	2.33	13.76	39.69	445-1267-2-ND	10,000	38.10/M	C1005X5R0J224M
		6.3	1.0µF	±20%	0.5	445-1415-1-ND	1.68	9.91	28.57	445-1415-2-ND	10,000	27.43/M	C1005X5R0J105M
	Y5V	16	0.1µF	+80/-20%	0.5	445-1268-1-ND	.75	4.40	12.70	445-1268-2-ND	10,000	12.20/M	C1005Y5V1C104Z

(Forts.)

Alle Preisangaben in Euro und inklusive Zollgebühren.

Gehäuse-größe	Typ	Betriebs-spannung DC	Kapazität	Toleranz	Abm. T (mm)	Digi-Key Teilenr.	Gurtabschnittspreise 10	100	500	Digi-Key Teilenr.	Gegurtet auf Rolle Größe	Preisangaben	TDK Teilenr.
0508	X7R	50	0.01µF	±10%	0.85	445-1803-1-ND	2.87	16.95	48.89	445-1803-2-ND	4,000	46.94/M	C1220X7R1H103K
		50	0.022µF	±10%	0.85	445-1804-1-ND	3.07	18.16	52.39	445-1804-2-ND	4,000	50.29/M	C1220X7R1H223K
		50	0.047µF	±10%	0.85	445-1805-1-ND	3.28	19.37	55.88	445-1805-2-ND	4,000	53.64/M	C1220X7R1H473K
		25	0.1µF	±10%	0.85	445-1806-1-ND	3.48	20.58	59.37	445-1806-2-ND	4,000	57.00/M	C1220X7R1E104K
		16	0.22µF	±10%	0.85	445-1807-1-ND	3.69	21.79	62.86	445-1807-2-ND	4,000	60.35/M	C1220X7R1C224K
	X5R	10	0.47µF	±10%	0.85	445-1808-1-ND	3.89	23.00	66.36	445-1808-2-ND	4,000	63.70/M	C1220X5R1A474K
		10	1.0µF	±10%	0.85	445-1809-1-ND	4.10	24.21	69.84	445-1809-2-ND	4,000	67.05/M	C1220X5R1A105K
0603	C0G (NP0)	50	10pF	±0.5pF	0.8	445-1269-1-ND	.42	2.48	7.15	445-1269-2-ND	4,000	6.86/M	C1608C0G1H100D
		50	12pF	±5%	0.8	445-1270-1-ND	.45	2.64	7.62	445-1270-2-ND	4,000	7.32/M	C1608C0G1H120J
		50	15pF	±5%	0.8	445-1271-1-ND	.45	2.64	7.62	445-1271-2-ND	4,000	7.32/M	C1608C0G1H150J
		50	18pF	±5%	0.8	445-1272-1-ND	.45	2.64	7.62	445-1272-2-ND	4,000	7.32/M	C1608C0G1H180J
		50	22pF	±5%	0.8	445-1273-1-ND	.42	2.48	7.15	445-1273-2-ND	4,000	6.86/M	C1608C0G1H220J
		50	27pF	±5%	0.8	445-1274-1-ND	.45	2.64	7.62	445-1274-2-ND	4,000	7.32/M	C1608C0G1H270J
		50	33pF	±5%	0.8	445-1275-1-ND	.45	2.64	7.62	445-1275-2-ND	4,000	7.32/M	C1608C0G1H330J
		50	39pF	±5%	0.8	445-1276-1-ND	.45	2.64	7.62	445-1276-2-ND	4,000	7.32/M	C1608C0G1H390J
		50	47pF	±5%	0.8	445-1277-1-ND	.42	2.48	7.15	445-1277-2-ND	4,000	6.86/M	C1608C0G1H470J
		50	56pF	±5%	0.8	445-1278-1-ND	.45	2.64	7.62	445-1278-2-ND	4,000	7.32/M	C1608C0G1H560J
		50	68pF	±5%	0.8	445-1279-1-ND	.45	2.64	7.62	445-1279-2-ND	4,000	7.32/M	C1608C0G1H680J
		50	82pF	±5%	0.8	445-1280-1-ND	.45	2.64	7.62	445-1280-2-ND	4,000	7.32/M	C1608C0G1H820J
		50	100pF	±5%	0.8	445-1281-1-ND	.42	2.48	7.15	445-1281-2-ND	4,000	6.86/M	C1608C0G1H101J
		50	120pF	±5%	0.8	445-1282-1-ND	.45	2.64	7.62	445-1282-2-ND	4,000	7.32/M	C1608C0G1H121J
		50	150pF	±5%	0.8	445-1283-1-ND	.45	2.64	7.62	445-1283-2-ND	4,000	7.32/M	C1608C0G1H151J
		50	180pF	±5%	0.8	445-1284-1-ND	.52	3.03	8.73	445-1284-2-ND	4,000	8.39/M	C1608C0G1H181J
		50	220pF	±5%	0.8	445-1285-1-ND	.52	3.03	8.73	445-1285-2-ND	4,000	8.39/M	C1608C0G1H221J
		50	270pF	±5%	0.8	445-1286-1-ND	.61	3.58	10.32	445-1286-2-ND	4,000	9.91/M	C1608C0G1H271J
		50	330pF	±5%	0.8	445-1287-1-ND	.61	3.58	10.32	445-1287-2-ND	4,000	9.91/M	C1608C0G1H331J
		50	390pF	±5%	0.8	445-1288-1-ND	.70	4.13	11.90	445-1288-2-ND	4,000	11.43/M	C1608C0G1H391J
		50	470pF	±5%	0.8	445-1289-1-ND	.70	4.13	11.90	445-1289-2-ND	4,000	11.43/M	C1608C0G1H471J
		50	560pF	±5%	0.8	445-1290-1-ND	.80	4.68	13.49	445-1290-2-ND	4,000	12.96/M	C1608C0G1H561J
		50	680pF	±5%	0.8	445-1291-1-ND	.80	4.68	13.49	445-1291-2-ND	4,000	12.96/M	C1608C0G1H681J
		50	820pF	±5%	0.8	445-1292-1-ND	.98	5.78	16.67	445-1292-2-ND	4,000	16.00/M	C1608C0G1H821J
		50	1000pF	±5%	0.8	445-1293-1-ND	.98	5.78	16.67	445-1293-2-ND	4,000	16.00/M	C1608C0G1H102J
		50	1200pF	±5%	0.8	445-1294-1-ND	1.51	8.89	25.64	445-1294-2-ND	4,000	24.61/M	C1608C0G1H122J
		50	1500pF	±5%	0.8	445-1295-1-ND	1.51	8.89	25.64	445-1295-2-ND	4,000	24.61/M	C1608C0G1H152J
		50	1800pF	±5%	0.8	445-1296-1-ND	1.69	10.00	28.84	445-1296-2-ND	4,000	27.69/M	C1608C0G1H182J
		50	2200pF	±5%	0.8	445-1297-1-ND	1.69	10.00	28.84	445-1297-2-ND	4,000	27.69/M	C1608C0G1H222J
		50	3300pF	±5%	0.8	445-1599-1-ND	1.82	10.73	30.95	445-1599-2-ND	4,000	29.72/M	C1608C0G1H332J
	X7R	100	1000pF	±10%	0.8	445-1298-1-ND	1.01	5.94	17.14	445-1298-2-ND	4,000	16.46/M	C1608X7R2A102K
		100	1000pF	±20%	0.8	445-1299-1-ND	.92	5.45	15.71	445-1299-2-ND	4,000	15.09/M	C1608X7R2A102M
		100	2200pF	±10%	0.8	445-1300-1-ND	1.01	5.94	17.14	445-1300-2-ND	4,000	16.46/M	C1608X7R2A222K
		100	2200pF	±20%	0.8	445-1301-1-ND	.92	5.45	15.71	445-1301-2-ND	4,000	15.09/M	C1608X7R2A222M
		100	4700pF	±10%	0.8	445-1302-1-ND	1.01	5.94	17.14	445-1302-2-ND	4,000	16.46/M	C1608X7R2A472K
		100	4700pF	±20%	0.8	445-1303-1-ND	.92	5.45	15.71	445-1303-2-ND	4,000	15.09/M	C1608X7R2A472M
		100	10000pF	±10%	0.8	445-1304-1-ND	1.01	5.94	17.14	445-1304-2-ND	4,000	16.46/M	C1608X7R2A103K
		100	10000pF	±20%	0.8	445-1305-1-ND	.92	5.45	15.71	445-1305-2-ND	4,000	15.09/M	C1608X7R2A103M
		50	220pF	±10%	0.8	445-1306-1-ND	.45	2.64	7.62	445-1306-2-ND	4,000	7.32/M	C1608X7R1H221K
		50	470pF	±10%	0.8	445-1307-1-ND	.45	2.64	7.62	445-1307-2-ND	4,000	7.32/M	C1608X7R1H471K
		50	1000pF	±10%	0.8	445-1308-1-ND	.42	2.48	7.15	445-1308-2-ND	4,000	6.86/M	C1608X7R1H102K
		50	2200pF	±10%	0.8	445-1309-1-ND	.45	2.64	7.62	445-1309-2-ND	4,000	7.32/M	C1608X7R1H222K
		50	4700pF	±10%	0.8	445-1310-1-ND	.45	2.64	7.62	445-1310-2-ND	4,000	7.32/M	C1608X7R1H472K
		50	10000pF	±10%	0.8	445-1311-1-ND	.42	2.48	7.15	445-1311-2-ND	4,000	6.86/M	C1608X7R1H103K
		50	22000pF	±10%	0.8	445-1312-1-ND	.61	3.58	10.32	445-1312-2-ND	4,000	9.91/M	C1608X7R1H223K
		50	47000pF	±10%	0.8	445-1313-1-ND	.89	5.23	15.08	445-1313-2-ND	4,000	14.48/M	C1608X7R1H473K
		50	0.1µF	±10%	0.8	445-1314-1-ND	.84	4.95	14.29	445-1314-2-ND	4,000	16.00/M	C1608X7R1H104K
		25	47000pF	±10%	0.8	445-1315-1-ND	.89	5.23	15.08	445-1315-2-ND	4,000	14.48/M	C1608X7R1E473K
		25	0.1µF	±10%	0.8	445-1316-1-ND	.82	4.84	13.97	445-1316-2-ND	4,000	13.41/M	C1608X7R1E104K
		16	0.1µF	±10%	0.8	445-1317-1-ND	.82	4.84	13.97	445-1317-2-ND	4,000	13.41/M	C1608X7R1C104K
		16	0.22µF	±10%	0.8	445-1318-1-ND	1.66	9.80	28.26	445-1318-2-ND	4,000	27.13/M	C1608X7R1C224K
		16	1.0µF	±10%	0.8	445-1604-1-ND	1.49	8.80	25.40	445-1604-2-ND	4,000	24.39/M	C1608X7R1C105K
	X5R	16	1.0µF	±10%	0.8	445-1416-1-ND	3.85	22.77	65.69	445-1416-2-ND	4,000	63.06/M	C1608X5R1C105K
		10	0.22µF	±10%	0.8	445-1319-1-ND	1.57	9.24	26.67	445-1319-2-ND	4,000	25.60/M	C1608X5R1A224K
		10	0.47µF	±10%	0.8	445-1320-1-ND	2.59	15.30	44.13	445-1320-2-ND	4,000	42.37/M	C1608X5R1A474K
		10	1.0µF	±10%	0.8	445-1321-1-ND	3.54	20.91	60.32	445-1321-2-ND	4,000	57.91/M	C1608X5R1A105K
		6.3	1.0µF	±10%	0.8	445-1322-1-ND	3.54	20.91	60.32	445-1322-2-ND	4,000	57.91/M	C1608X5R0J105K
		6.3	2.2µF	±20%	0.8	445-1323-1-ND	5.12	30.27	87.31	445-1323-2-ND	4,000	83.82/M	C1608X5R0J225M
		6.3	4.7µF	±20%	0.8	445-1417-1-ND	3.35	19.81	57.15	445-1417-2-ND	4,000	54.86/M	C1608X5R0J475M
	Y5V	50	0.1µF	+80/-20%	0.8	445-1324-1-ND	.42	2.48	7.15	445-1324-2-ND	4,000	6.86/M	C1608Y5V1H104Z
		25	0.1µF	+80/-20%	0.8	445-1325-1-ND	.42	2.48	7.15	445-1325-2-ND	4,000	6.86/M	C1608Y5V1E104Z
		16	0.1µF	+80/-20%	0.8	445-1326-1-ND	.42	2.48	7.15	445-1326-2-ND	4,000	6.86/M	C1608Y5V1C104Z
		16	1.0µF	+80/-20%	0.8	445-1327-1-ND	1.63	9.63	27.78	445-1327-2-ND	4,000	26.67/M	C1608Y5V1C105Z
		10	1.0µF	+80/-20%	0.8	445-1328-1-ND	1.63	9.63	27.78	445-1328-2-ND	4,000	26.67/M	C1608Y5V1A105Z
0612	X7R	50	0.01µF	±10%	0.7	445-1810-1-ND	3.07	18.16	52.39	445-1810-2-ND	4,000	50.29/M	C1632X7R1H103K
		50	0.022µF	±10%	0.7	445-1811-1-ND	3.28	19.37	55.88	445-1811-2-ND	4,000	53.64/M	C1632X7R1H223K
		50	0.047µF	±10%	0.7	445-1812-1-ND	3.48	20.58	59.37	445-1812-2-ND	4,000	57.00/M	C1632X7R1H473K
		50	0.1µF	±10%	0.7	445-1813-1-ND	3.69	21.79	62.86	445-1813-2-ND	4,000	60.35/M	C1632X7R1H104K
		50	0.22µF	±10%	1.15	445-1814-1-ND	3.89	23.00	66.36	445-1814-2-ND	2,000	63.70/M	C1632X7R1H224K
		25	0.22µF	±10%	0.7	445-1815-1-ND	3.69	21.79	62.86	445-1815-2-ND	4,000	60.35/M	C1632X7R1E224K
		25	0.47µF	±10%	1.15	445-1816-1-ND	4.10	24.21	69.84	445-1816-2-ND	2,000	67.05/M	C1632X7R1E474K
		16	0.47µF	±10%	0.7	445-1817-1-ND	3.89	23.00	66.36	445-1817-2-ND	4,000	63.70/M	C1632X7R1C474K
		16	1.0µF	±10%	1.15	445-1818-1-ND	5.12	30.27	87.31	445-1818-2-ND	2,000	83.82/M	C1632X7R1C105K
	X5R	10	1.0µF	±10%	0.7	445-1819-1-ND	4.92	29.06	83.81	445-1819-2-ND	4,000	80.46/M	C1632X5R1A105K
		10	2.2µF	±10%	1.15	445-1820-1-ND	6.15	36.32	104.77	445-1820-2-ND	2,000	100.58/M	C1632X5R1A225K
		6.3	4.7µF	±10%	1.3	445-1821-1-ND	7.17	42.37	122.23	445-1821-2-ND	2,000	117.34/M	C1632X5R0J475K

(Forts.)

E

Gehäuse-größe	Typ	Betriebs-spannung DC	Kapazität	Toleranz	Abm. T (mm)	Digi-Key Teilenr.	Gurtabschnittspreise 10	100	500	Digi-Key Teilenr.	Gegurtet auf Rolle Größe	Preisangaben	TDK Teilenr.
0805	C0G (NP0)	50	100pF	±5%	0.6	445-1329-1-ND	1.01	5.94	17.14	445-1329-2-ND	4,000	16.46/M	C2012C0G1H101J
		50	1000pF	±5%	0.6	445-1330-1-ND	1.86	11.01	31.75	445-1330-2-ND	4,000	30.48/M	C2012C0G1H102J
		50	1500pF	±5%	0.6	445-1331-1-ND	1.35	7.98	23.02	445-1331-2-ND	4,000	22.10/M	C2012C0G1H152J
		50	2200pF	±5%	0.6	445-1332-1-ND	1.73	10.18	29.37	445-1332-2-ND	4,000	28.20/M	C2012C0G1H222J
		50	2700pF	±5%	0.6	445-1600-1-ND	1.69	10.00	28.84	445-1600-2-ND	2,000	27.69/M	C2012C0G1H272J
		50	3300pF	±5%	0.6	445-1333-1-ND	1.96	11.56	33.34	445-1333-2-ND	2,000	32.00/M	C2012C0G1H332J
		50	4700pF	±5%	0.85	445-1334-1-ND	2.72	16.05	46.30	445-1334-2-ND	4,000	44.45/M	C2012C0G1H472J
		50	6800pF	±5%	1.25	445-1335-1-ND	3.80	22.46	64.78	445-1335-2-ND	2,000	62.19/M	C2012C0G1H682J
		50	10000pF	±5%	1.25	445-1336-1-ND	6.52	38.52	111.12	445-1336-2-ND	2,000	106.67/M	C2012C0G1H103J
	X7R	100	1000pF	±10%	0.85	445-1337-1-ND	1.09	6.44	18.57	445-1337-2-ND	4,000	17.83/M	C2012X7R2A102K
		100	1000pF	±20%	0.85	445-1338-1-ND	1.01	5.94	17.14	445-1338-2-ND	4,000	16.46/M	C2012X7R2A102M
		100	2200pF	±10%	0.85	445-1339-1-ND	1.09	6.44	18.57	445-1339-2-ND	4,000	17.83/M	C2012X7R2A222K
		100	2200pF	±20%	0.85	445-1340-1-ND	1.01	5.94	17.14	445-1340-2-ND	4,000	16.46/M	C2012X7R2A222M
		100	4700pF	±10%	0.85	445-1341-1-ND	1.09	6.44	18.57	445-1341-2-ND	4,000	17.83/M	C2012X7R2A472K
		100	4700pF	±20%	0.85	445-1342-1-ND	1.01	5.94	17.14	445-1342-2-ND	4,000	16.46/M	C2012X7R2A472M
		100	10000pF	±10%	0.85	445-1343-1-ND	1.09	6.44	18.57	445-1343-2-ND	4,000	17.83/M	C2012X7R2A103K
		100	10000pF	±20%	0.85	445-1344-1-ND	1.01	5.94	17.14	445-1344-2-ND	4,000	16.46/M	C2012X7R2A103M
		100	22000pF	±10%	1.25	445-1345-1-ND	1.26	7.43	21.43	445-1345-2-ND	2,000	20.57/M	C2012X7R2A223K
		100	22000pF	±20%	1.25	445-1346-1-ND	1.18	6.93	20.01	445-1346-2-ND	2,000	19.20/M	C2012X7R2A223M
		100	0.1µF	±10%	1.25	445-1418-1-ND	6.05	35.77	103.18	445-1418-2-ND	2,000	99.05/M	C2012X7R2A104K
		50	1000pF	±10%	0.6	445-1347-1-ND	.72	4.28	12.33	445-1347-2-ND	4,000	11.84/M	C2012X7R1H102K
		50	10000pF	±10%	0.6	445-1348-1-ND	.65	3.85	11.12	445-1348-2-ND	4,000	10.67/M	C2012X7R1H103K
		50	0.1µF	±10%	0.85	445-1349-1-ND	1.38	8.14	23.49	445-1349-2-ND	2,000	22.56/M	C2012X7R1H104K
		50	0.22µF	±10%	1.25	445-1350-1-ND	2.01	11.84	34.13	445-1350-2-ND	2,000	32.77/M	C2012X7R1H224K
		25	0.1µF	±10%	0.85	445-1351-1-ND	1.38	8.14	23.49	445-1351-2-ND	2,000	22.56/M	C2012X7R1E104K
		25	0.22µF	±10%	1.25	445-1352-1-ND	2.01	11.84	34.13	445-1352-2-ND	2,000	32.77/M	C2012X7R1E224K
		25	0.47µF	±10%	1.25	445-1353-1-ND	2.98	17.61	50.80	445-1353-2-ND	2,000	48.77/M	C2012X7R1E474K
		25	1.0µF	±10%	1.25	445-1354-1-ND	5.03	29.72	85.72	445-1354-2-ND	2,000	82.29/M	C2012X7R1E105K
		16	0.22µF	±10%	1.25	445-1355-1-ND	2.01	11.84	34.13	445-1355-2-ND	2,000	32.77/M	C2012X7R1C224K
		16	0.33µF	±10%	1.25	445-1356-1-ND	2.79	16.51	47.62	445-1356-2-ND	2,000	45.72/M	C2012X7R1C334K
		16	0.47µF	±10%	1.25	445-1357-1-ND	2.98	17.61	50.80	445-1357-2-ND	2,000	48.77/M	C2012X7R1C474K
		16	1.0µF	±10%	1.25	445-1358-1-ND	3.63	21.46	61.91	445-1358-2-ND	2,000	59.43/M	C2012X7R1C105K
		16	2.2µF	±10%	1.25	445-1420-1-ND	5.22	30.86	89.00	445-1420-2-ND	2,000	85.45/M	C2012X7R1C225K
		10	1.0µF	±10%	0.85	445-1359-1-ND	4.07	24.05	69.39	445-1359-2-ND	2,000	66.61/M	C2012X7R1A105K
		10	4.7µF	±20%	1.25	445-1605-1-ND	5.08	30.00	86.51	445-1605-2-ND	2,000	83.05/M	C2012X7R1A475M
	X5R	25	1.0µF	±10%	1.25	445-1419-1-ND	3.39	20.04	57.80	445-1419-2-ND	2,000	55.49/M	C2012X5R1E105K
		10	1.0µF	±10%	0.85	445-1587-1-ND	3.35	19.81	57.15	445-1587-2-ND	4,000	54.86/M	C2012X5R1A105K/0.85
		10	2.2µF	±10%	0.85	445-1588-1-ND	6.33	37.42	107.94	445-1588-2-ND	4,000	103.63/M	C2012X5R1A225K/0.85
		6.3	4.7µF	±10%	1.25	445-1421-1-ND	11.52	68.10	196.44	445-1421-2-ND	2,000	188.58/M	C2012X5R0J475K
		6.3	4.7µF	±20%	1.25	445-1362-1-ND	11.64	68.79	198.43	445-1362-2-ND	2,000	190.49/M	C2012X5R0J475M
		6.3	10µF	±20%	1.25	445-1363-1-ND	9.94	58.72	169.37	445-1363-2-ND	2,000	198.11/M	C2012X5R0J106M
		6.3	22µF	±20%	1.25	445-1422-1-ND	12.57	74.29	214.30	445-1422-2-ND	2,000	205.73/M	C2012X5R0J226M
	Y5V	50	1.0µF	+80/-20%	1.25	445-1364-1-ND	1.54	9.08	26.19	445-1364-2-ND	2,000	25.15/M	C2012Y5V1H105Z
		25	1.0µF	+80/-20%	0.85	445-1590-1-ND	1.54	9.08	26.19	445-1590-2-ND	4,000	25.15/M	C2012Y5V1E105Z/0.85
		25	2.2µF	+80/-20%	1.25	445-1366-1-ND	3.26	19.26	55.56	445-1366-2-ND	2,000	53.34/M	C2012Y5V1E225Z
		16	1.0µF	+80/-20%	0.85	445-1589-1-ND	1.54	9.08	26.19	445-1589-2-ND	4,000	25.15/M	C2012Y5V1C105Z/0.85
		16	2.2µF	+80/-20%	1.25	445-1368-1-ND	3.26	19.26	55.56	445-1368-2-ND	2,000	53.34/M	C2012Y5V1C225Z
		16	4.7µF	+80/-20%	1.25	445-1369-1-ND	5.96	35.22	101.59	445-1369-2-ND	2,000	97.53/M	C2012Y5V1C475Z
		10	4.7µF	+80/-20%	1.25	445-1370-1-ND	5.96	35.22	101.59	445-1370-2-ND	2,000	97.53/M	C2012Y5V1A475Z
		10	10µF	+80/-20%	1.25	445-1371-1-ND	8.85	52.28	150.80	445-1371-2-ND	2,000	144.77/M	C2012Y5V1A106Z
		6.3	10µF	+80/-20%	1.25	445-1372-1-ND	7.54	44.57	128.58	445-1372-2-ND	2,000	123.44/M	C2012Y5V0J106Z
		6.3	22µF	+80/-20%	1.25	445-1373-1-ND	15.09	89.15	257.15	445-1373-2-ND	2,000	246.87/M	C2012Y5V0J226Z
1206	C0G (NP0)	50	4700pF	±5%	0.6	445-1374-1-ND	3.73	22.01	63.50	445-1374-2-ND	4,000	60.96/M	C3216C0G1H472J
		50	10000pF	±5%	0.85	445-1375-1-ND	8.38	49.53	142.86	445-1375-2-ND	2,000	137.15/M	C3216C0G1H103J
		50	22000pF	±5%	1.15	445-1376-1-ND	11.18	66.03	190.49	445-1376-2-ND	2,000	182.87/M	C3216C0G1H223J
	X7R	100	0.1µF	±10%	1.6	445-1377-1-ND	6.05	35.77	103.18	445-1377-2-ND	2,000	99.05/M	C3216X7R2A104K
		100	0.1µF	±20%	1.6	445-1378-1-ND	5.50	32.52	93.79	445-1378-2-ND	2,000	90.05/M	C3216X7R2A104M
		50	0.22µF	±10%	1.6	445-1379-1-ND	3.07	18.16	52.39	445-1379-2-ND	2,000	50.29/M	C3216X7R1H224K
		50	0.47µF	±10%	1.6	445-1380-1-ND	3.78	22.29	64.29	445-1380-2-ND	2,000	61.72/M	C3216X7R1H474K
		50	1.0µF	±10%	1.6	445-1423-1-ND	3.49	20.61	59.43	445-1423-2-ND	2,000	57.05/M	C3216X7R1H105K
		25	1.0µF	±10%	0.85	445-1592-1-ND	3.82	22.56	65.09	445-1592-2-ND	4,000	62.48/M	C3216X7R1E105K/0.85
		25	2.2µF	±10%	1.6	445-1382-1-ND	5.78	34.19	98.61	445-1382-2-ND	2,000	94.67/M	C3216X7R1E225K
		25	4.7µF	±10%	1.6	445-1606-1-ND	5.22	30.88	89.05	445-1606-2-ND	2,000	85.49/M	C3216X7R1E475K
		25	4.7µF	±20%	1.6	445-1424-1-ND	10.63	62.83	181.23	445-1424-2-ND	2,000	173.98/M	C3216X7R1E475M
		16	1.0µF	±10%	0.85	445-1591-1-ND	3.26	19.26	55.56	445-1591-2-ND	4,000	53.34/M	C3216X7R1C105K/0.85
		16	2.2µF	±10%	1.6	445-1384-1-ND	6.97	41.16	118.74	445-1384-2-ND	2,000	113.99/M	C3216X7R1C225K
		16	4.7µF	±10%	1.6	445-1385-1-ND	11.14	65.86	189.98	445-1385-2-ND	2,000	182.38/M	C3216X7R1C475K
		16	4.7µF	±20%	1.6	445-1425-1-ND	10.03	59.27	170.98	445-1425-2-ND	2,000	164.14/M	C3216X7R1C475M
		16	10µF	±20%	1.6	445-1601-1-ND	13.88	81.99	236.52	445-1601-2-ND	2,000	227.06/M	C3216X7R1C106M
		10	10µF	±20%	1.6	445-1602-1-ND	12.57	74.29	214.30	445-1602-2-ND	2,000	205.73/M	C3216X7R1A106M
	X5R	16	10µF	±20%	1.6	445-1426-1-ND	10.73	63.39	182.87	445-1426-2-ND	2,000	175.55/M	C3216X5R1C106M
		10	4.7µF	±10%	1.6	445-1386-1-ND	9.13	53.93	155.56	445-1386-2-ND	2,000	149.34/M	C3216X5R1A475K
		10	10µF	±20%	1.6	445-1387-1-ND	14.34	84.74	244.46	445-1387-2-ND	2,000	234.68/M	C3216X5R1A106M
		6.3	10µF	±10%	1.6	445-1388-1-ND	14.90	88.05	253.98	445-1388-2-ND	2,000	243.82/M	C3216X5R0J106K
		6.3	10µF	±20%	1.6	445-1389-1-ND	13.97	82.54	238.11	445-1389-2-ND	2,000	228.58/M	C3216X5R0J106M
		6.3	22µF	±20%	1.6	445-1427-1-ND	20.95	123.82	357.16	445-1427-2-ND	2,000	342.88/M	C3216X5R0J226M
		6.3	47µF	±20%	1.6	445-1428-1-ND	33.53	198.10	571.46	445-1428-2-ND	2,000	548.60/M	C3216X5R0J476M
	Y5V	16	4.7µF	+80/-20%	0.85	445-1594-1-ND	4.84	28.62	82.54	445-1594-2-ND	4,000	79.25/M	C3216Y5V1C475Z/0.85
		16	10µF	+80/-20%	1.6	445-1391-1-ND	7.92	46.77	134.93	445-1391-2-ND	2,000	129.53/M	C3216Y5V1C106Z
		10	10µF	+80/-20%	0.85	445-1593-1-ND	7.92	46.77	134.93	445-1593-2-ND	4,000	129.53/M	C3216Y5V1A106Z/0.85
		10	22µF	+80/-20%	1.6	445-1393-1-ND	21.88	129.32	373.04	445-1393-2-ND	2,000	358.11/M	C3216Y5V1A226Z
		6.3	47µF	+80/-20%	1.6	445-1394-1-ND	33.53	198.10	571.46	445-1394-2-ND	2,000	548.60/M	C3216Y5V0J476Z
1210	COG (NPO)	50	39000pF	±5%	2.0	445-1603-1-ND	27.38	161.79	466.69	445-1603-2-ND	2,000	448.02/M	C3225C0G1H393J
	X7R	100	0.47µF	±20%	2.0	445-1395-1-ND	18.44	108.96	314.30	445-1395-2-ND	1,000	301.73	C3225X7R2A474M
		100	1.0µF	±20%	2.0	445-1429-1-ND	20.95	123.82	357.16	445-1429-2-ND	1,000	342.87	C3225X7R2A105M
		50	1.0µF	±10%	1.6	445-1430-1-ND	9.22	54.48	157.15	445-1430-2-ND	1,000	150.86	C3225X7R1H105K

(Forts.)

Alle Preisangaben in Euro und inklusive Zollgebühren.

Gehäuse-größe	Typ	Betriebs-spannung DC	Kapazität	Toleranz	Abm. T (mm)	Digi-Key Teilenr.	Gurtabschnittspreise 10	100	500	Digi-Key Teilenr.	Gegurtet auf Rolle Größe	Preisangaben	TDK Teilenr.
1210	X7R	50	1.0µF	±20%	1.6	445-1396-1-ND	9.31	55.03	158.74	445-1396-2-ND	1,000	152.39	C3225X7R1H105M
		50	2.2µF	±10%	2.5	445-1431-1-ND	10.06	59.43	171.44	445-1431-2-ND	1,000	164.58	C3225X7R1H225K
		50	3.3µF	±20%	2.5	445-1432-1-ND	12.57	74.29	214.30	445-1432-2-ND	1,000	205.72	C3225X7R1H335M
		25	2.2µF	±20%	1.6	445-1397-1-ND	15.65	92.45	266.68	445-1397-2-ND	1,000	256.01	C3225X7R1E225M
		25	4.7µF	±10%	2.0	445-1433-1-ND	18.25	107.87	311.16	445-1433-2-ND	1,000	298.71	C3225X7R1E475K
		25	4.7µF	±20%	2.0	445-1398-1-ND	18.44	108.96	314.30	445-1398-2-ND	1,000	301.73	C3225X7R1E475M
		25	10µF	±20%	2.5	445-1434-1-ND	20.28	119.85	345.73	445-1434-2-ND	1,000	331.90	C3225X7R1E106M
		16	4.7µF	±10%	1.6	445-1435-1-ND	16.41	96.97	279.73	445-1435-2-ND	2,000	268.54/M	C3225X7R1C475K
		16	10µF	±20%	2.0	445-1399-1-ND	18.63	110.06	317.48	445-1399-2-ND	1,000	304.78	C3225X7R1C106M
	X5R	16	10µF	±20%	2.0	445-1400-1-ND	18.63	110.06	317.48	445-1400-2-ND	1,000	304.78	C3225X5R1C106M
		16	22µF	±20%	2.5	445-1436-1-ND	11.73	69.34	200.01	445-1436-2-ND	1,000	192.01	C3225X5R1C226M
		10	10µF	±10%	2.0	445-1401-1-ND	16.76	99.05	285.73	445-1401-2-ND	1,000	274.30	C3225X5R1A106K
		10	10µF	±20%	2.0	445-1402-1-ND	15.37	90.80	261.92	445-1402-2-ND	1,000	251.44	C3225X5R1A106M
		10	22µF	±20%	2.3	445-1403-1-ND	32.50	192.05	554.00	445-1403-2-ND	1,000	531.83	C3225X5R1A226M
		6.3	22µF	±20%	2.0	445-1595-1-ND	27.01	159.58	460.34	445-1595-2-ND	1,000	441.93	C3225X5R0J226M/2.00
		6.3	47µF	±20%	2.5	445-1405-1-ND	46.56	275.15	793.69	445-1405-2-ND	1,000	761.94	C3225X5R0J476M
		6.3	100µF	±20%	2.5	445-1437-1-ND	67.05	396.21	1142.91	445-1437-2-ND	1,000	1097.19	C3225X5R0J107M
	Y5V	25	10µF	+80/-20%	1.6	445-1598-1-ND	10.06	59.43	171.44	445-1598-2-ND	2,000	164.58/M	C3225Y5V1E106Z/1.60
		16	10µF	+80/-20%	1.15	445-1597-1-ND	8.38	49.53	142.86	445-1597-2-ND	2,000	137.15/M	C3225Y5V1C106Z/1.15
		10	22µF	+80/-20%	2.0	445-1408-1-ND	19.56	115.56	333.35	—	—	—	C3225Y5V1A226Z
		10	22µF	+80/-20%	1.15	445-1596-1-ND	23.28	137.57	396.84	445-1596-2-ND	2,000	380.97/M	C3225Y5V1A226Z/1.15
		10	47µF	+80/-20%	2.0	445-1409-1-ND	62.86	371.45	1071.48	445-1409-2-ND	1,000	1028.62	C3225Y5V1A476Z
		6.3	100µF	+80/-20%	2.5	445-1410-1-ND	83.81	495.26	1428.64	445-1410-2-ND	1,000	1371.49	C3225Y5V0J107Z
1812	X7R	100	1.0µF	±10%	2.3	445-1438-1-ND	29.76	175.82	—	445-1438-2-ND	500	243.44	C4532X7R2A105K
		100	1.0µF	±20%	2.3	445-1411-1-ND	32.59	192.60	—	445-1411-2-ND	500	266.68	C4532X7R2A105M
		100	2.2µF	±20%	2.3	445-1439-1-ND	32.27	190.68	—	445-1439-2-ND	500	264.01	C4532X7R2A225M
		50	2.2µF	±20%	1.6	445-1447-1-ND	25.14	148.58	428.59	445-1447-2-ND	1,000	411.45	C4532X7R1H225M
		50	4.7µF	±20%	2.3	445-1448-1-ND	28.50	168.39	485.74	445-1448-2-ND	1,000	466.31	C4532X7R1H475M
		50	6.8µF	±20%	2.5	445-1449-1-ND	53.64	316.97	—	445-1449-2-ND	500	438.88	C4532X7R1H685M
		25	4.7µF	±20%	1.6	445-1446-1-ND	20.95	123.82	—	445-1446-2-ND	1,000	342.87	C4532X7R1E475M
		25	10µF	±20%	2.5	445-1445-1-ND	36.04	212.96	—	445-1445-2-ND	500	294.87	C4532X7R1E106M
		25	22µF	±20%	2.5	445-1607-1-ND	31.49	186.11	—	445-1607-2-ND	500	257.69	C4532X7R1E226M
		16	22µF	±20%	2.5	445-1442-1-ND	36.88	217.91	—	445-1442-2-ND	500	301.73	C4532X7R1C226M
	X5R	25	22µF	±20%	2.5	445-1444-1-ND	37.67	222.60	—	445-1444-2-ND	500	308.20	C4532X5R1E226M
		16	33µF	±20%	2.5	445-1443-1-ND	48.87	288.74	—	445-1443-2-ND	500	399.79	C4532X5R1C336M
		10	22µF	±20%	2.0	445-1412-1-ND	37.25	220.12	—	445-1412-2-ND	500	304.78	C4532X5R1A226M
		10	33µF	±20%	2.0	445-1441-1-ND	46.10	272.39	—	445-1441-2-ND	500	377.16	C4532X5R1A336M
		10	47µF	±20%	2.8	445-1440-1-ND	58.67	346.68	—	445-1440-2-ND	500	480.02	C4532X5R1A476M
		6.3	100µF	±20%	2.8	445-1413-1-ND	93.13	550.29	—	445-1413-2-ND	500	761.94	C4532X5R0J107M
	Y5V	10	100µF	+80/-20%	2.5	445-1414-1-ND	100.58	594.31	—	445-1414-2-ND	500	822.90	C4532Y5V1A107Z
2220	X7R	100	4.7µF	±20%	2.3	445-1450-1-ND	46.20	272.99	—	445-1450-2-ND	500	377.98	C5750X7R2A475M
		50	10µF	±20%	2.3	445-1454-1-ND	38.14	225.35	—	445-1454-2-ND	500	312.01	C5750X7R1H106M
		25	22µF	±20%	2.5	445-1453-1-ND	67.05	396.21	—	445-1453-2-ND	500	548.60	C5750X7R1E226M
	X5R	16	47µF	±20%	2.3	445-1452-1-ND	82.14	485.36	—	445-1452-2-ND	500	672.03	C5750X5R1C476M
		10	68µF	±20%	2.3	445-1451-1-ND	76.48	451.92	—	445-1451-2-ND	500	625.75	C5750X5R1A686M

Serie CKG gestapelte 2-Chip-Mehrschicht-Keramikkondenstoren

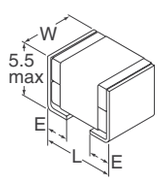

Serie	Abm. (mm) L	W	E
CKG45N	5.5	4.0	1.4
CKG57N	6.5	5.5	1.9

Merkmale:
• Keine Polarität • Auf einem Einzelkondensatorplatz kann die doppelte Kapazität erzielt werden • Einzigartige Konstruktion bietet hohe Zuverlässigkeit • Metallkappen absorbieren Stress von thermalen und mechanischen Schocks und gewährleisten hervorragende Leistung auf Aluminium-Schaltkreissubstraten • Niedrige ESR und ESL versprechen hervorragende Merkmale für Hochfrequenzstromversorgungen mit Umschaltfunktion

Anwendungen:
• Glättschaltkreise, temperaturvariable Anwendungen • Wartungsfreie Stromversorgungen, DC-DC-Wandler und Automobilsektor

Betriebstemperatur: • X7R: -55 °C ~ 125 °C • X5R: -55 °C ~ 85 °C

Serie	Typ	Betriebs-spannung DC	Kapazität	Toleranz	Digi-Key Teilenr.	Gurtabschnittspreise 1	10	100	Digi-Key Teilenr.	Gegurtet auf Rolle Größe	Preisangaben	TDK Teilenr.
CKG45N	X5R	50	10µf	20%	445-1660-1-ND	5.93	51.56	450.39	445-1660-2-ND	1,000	2133.43	CKG45NX5R1H106M
CKG57N	X7R	100	2.2µf	20%	445-1658-1-ND	5.08	44.19	386.05	445-1658-2-ND	1,000	1828.66	CKG57NX7R2A225M
		100	4.7µf	20%	445-1659-1-ND	5.40	46.95	410.18	445-1659-2-ND	1,000	1942.95	CKG57NX7R2A475M
	X5R	50	22µf	20%	445-1655-1-ND	6.35	55.24	482.56	445-1655-2-ND	1,000	2285.82	CKG57NX5R1H226M
		25	47µf	20%	445-1657-1-ND	6.26	54.50	476.13	445-1657-2-ND	1,000	2255.34	CKG57NX5R1E476M
		16	100µf	20%	445-1656-1-ND	7.20	62.61	546.90	445-1656-2-ND	1,000	2590.60	CKG57NX5R1C107M

Serie CLL - MLCC-Kondensatoren mit ultraniedriger Induktivität

MERKMALE:
• Eine einzigartige interne Struktur zur Löschung von Magnetfeldern zwecks Senkung der Induktivität.
• Kompakt und leicht
• Dieses Produkt unterstützt bleifreies Löten.

Anwendungen:
• Stromversorgungsschaltkreise für CPUs und digitale integrierte Hochgeschwindigkeitsschaltungen.

Betriebstemperatur:
• X7R und X7S: -55 °C ~ 125 °C

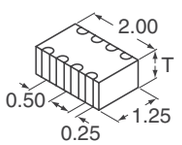

Bleifrei/RoHS-konform

Gehäuse-größe	Typ	Betriebs-spannung DC	Kapazität	Toleranz	Abm. T (mm)	Digi-Key Teilenr.	Gurtabschnittspreise 10	100	500	Digi-Key Teilenr.	Gegurtet auf Rolle Größe	Preisangaben	TDK Teilenr.
0508	X7R	16	0.047µF	±20%	0.55	445-1931-1-ND	6.29	37.15	107.15	445-1931-2-ND	4,000	102.87/M	CLLD11X7R1C473M
		16	0.068µF	±20%	0.55	445-1932-1-ND	6.29	37.15	107.15	445-1932-2-ND	4,000	102.87/M	CLLD11X7R1C683M
		10	0.1µF	±20%	0.55	445-1933-1-ND	6.29	37.15	107.15	445-1933-2-ND	4,000	102.87/M	CLLD11X7R1A104M
		10	0.22µF	±20%	0.55	445-1934-1-ND	6.29	37.15	107.15	445-1934-2-ND	4,000	102.87/M	CLLD11X7R1A224M
		10	0.33µF	±20%	0.95	445-1938-1-ND	6.98	41.27	119.06	445-1938-2-ND	4,000	114.29/M	CLLD11X7R1A334M
		10	0.47µF	±20%	0.95	445-1939-1-ND	6.98	41.27	119.06	445-1939-2-ND	4,000	114.29/M	CLLD11X7R1A474M
		6.3	0.33µF	±20%	0.55	445-1935-1-ND	6.29	37.15	107.15	445-1935-2-ND	4,000	102.87/M	CLLD11X7R0J334M
		6.3	0.68µF	±20%	0.95	445-1940-1-ND	6.98	41.27	119.06	445-1940-2-ND	4,000	114.29/M	CLLD11X7R0J684M
	X7S	6.3	0.47µF	±20%	0.55	445-1936-1-ND	6.29	37.15	107.15	445-1936-2-ND	4,000	102.87/M	CLLD11X7S0J474M
		4	0.68µF	±20%	0.55	445-1937-1-ND	6.29	37.15	107.15	445-1937-2-ND	4,000	102.87/M	CLLD11X7S0G684M
		4	1.0µF	±20%	0.95	445-1941-1-ND	6.98	41.27	119.06	445-1941-2-ND	4,000	114.29/M	CLLD11X7S0G105M
		4	1.5µF	±20%	0.95	445-1942-1-ND	8.38	49.53	142.86	445-1942-2-ND	4,000	137.15/M	CLLD11X7S0G155M
		4	2.2µF	±20%	0.95	445-1943-1-ND	8.38	49.53	142.86	445-1943-2-ND	4,000	137.15/M	CLLD11X7S0G255M

Vielschicht-Keramikchipkondensator-Array, 2-Element Serie CKC

Merkmale: • Zwei in ein Einzelprodukt eingepasste Kondensatoren tragen zu niedrigeren Installationskosten bei • Der elektrostatische Kapazitätsbereich und die Form wurden speziell zur Erfüllung der Anforderungen des Handy-Markts entwickelt. • Geringere Kreuzkopplung (Signalstörung) zwischen den Anschlüssen.

Anwendungen: • Geeignet für Schaltungen, die mehrere identische Kondensatoren in einem bestimmten Bereich einer Karte voraussetzen, wie z. B. Schnittstellen und HF-Rausch-Bypass-Schaltungen in Handys, Schnittstellen einschließlich E/A-Kabeln an PCs und Peripheriegeräten sowie CPU Bus-Leitungen

Betriebstemperaturen: • C0G (NPO) und X7R: -55 °C ~ 125 °C • X5R: -55 °C ~ 85 °C

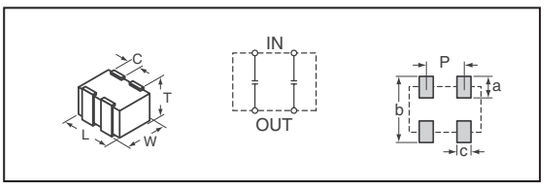

Gehäuse-größe	Abmessungen (mm)							
	L	W	T	C	P	a	b	c
0504	1.37±0.15	1.0±0.15	0.9 max.	0.36±0.1	0.64±0.1	0.45	1.20	0.30
0805	2.0±0.15	1.25±0.15	1.0 max.	0.45±0.1	1.0±0.1	0.60	1.60	0.50

Gehäuse-größe	Typ	Betriebs-spannung DC	Kapazität	Toleranz	Digi-Key Teilenr.	Gurtabschnittspreise 10	100	500	Digi-Key Teilenr.	Gegurtet auf Rolle Größe	Preisangaben	TDK Teilenr.
0504	C0G (NP0)	50	10pF	±1pF	445-1858-1-ND	.58	4.95	20.64	445-1858-2-ND	4,000	23.12/M	CKCM25C0G1H100F
		50	15pF	±10%	445-1859-1-ND	.58	4.95	20.64	445-1859-2-ND	4,000	23.12/M	CKCM25C0G1H150K
		50	22pF	±10%	445-1860-1-ND	.58	4.95	20.64	445-1860-2-ND	4,000	23.12/M	CKCM25C0G1H220K
		50	33pF	±10%	445-1861-1-ND	.58	4.95	20.64	445-1861-2-ND	4,000	23.12/M	CKCM25C0G1H330K
		50	47pF	±10%	445-1862-1-ND	.58	4.95	20.64	445-1862-2-ND	4,000	23.12/M	CKCM25C0G1H470K
		50	68pF	±10%	445-1863-1-ND	.58	4.95	20.64	445-1863-2-ND	4,000	23.12/M	CKCM25C0G1H680K
		50	100pF	±10%	445-1864-1-ND	.58	4.95	20.64	445-1864-2-ND	4,000	23.12/M	CKCM25C0G1H101K
	X7R	50	1000pF	±20%	445-1865-1-ND	.58	4.95	20.64	445-1865-2-ND	4,000	23.12/M	CKCM25X7R1H102M
		50	2200pF	±20%	445-1866-1-ND	.58	4.95	20.64	445-1866-2-ND	4,000	23.12/M	CKCM25X7R1H222M
		25	4700pF	±20%	445-1867-1-ND	.58	4.95	20.64	445-1867-2-ND	4,000	23.12/M	CKCM25X7R1E472M
		16	10000pF	±20%	445-1868-1-ND	.58	4.95	20.64	445-1868-2-ND	4,000	23.12/M	CKCM25X7R1C103M
	X5R	10	22000pF	±20%	445-1869-1-ND	.67	5.71	23.81	445-1869-2-ND	4,000	26.67/M	CKCM25X5R1A223M
		10	47000pF	±20%	445-1870-1-ND	.67	5.71	23.81	445-1870-2-ND	4,000	26.67/M	CKCM25X5R1A473M
		6.3	.10µF	±20%	445-1871-1-ND	.67	5.71	23.81	445-1871-2-ND	4,000	26.67/M	CKCM25X5R0J104M
		6.3	.22µF	±20%	445-1872-1-ND	1.02	8.76	36.51	445-1872-2-ND	4,000	40.89/M	CKCM25X5R0J224M
		6.3	.47µF	±20%	445-1873-1-ND	1.02	8.76	36.51	445-1873-2-ND	4,000	40.89/M	CKCM25X5R0J474M
		6.3	1.0µF	±20%	445-1874-1-ND	1.02	8.76	36.51	445-1874-2-ND	4,000	40.89/M	CKCM25X5R0J105M
0805	C0G (NP0)	50	10pF	±1pF	445-1875-1-ND	.80	6.86	28.57	445-1875-2-ND	4,000	32.01/M	CKCL22C0G1H100F
		50	15pF	±10%	445-1876-1-ND	.80	6.86	28.57	445-1876-2-ND	4,000	32.01/M	CKCL22C0G1H150K
		50	22pF	±10%	445-1877-1-ND	.80	6.86	28.57	445-1877-2-ND	4,000	32.01/M	CKCL22C0G1H220K
		50	33pF	±10%	445-1878-1-ND	.80	6.86	28.57	445-1878-2-ND	4,000	32.01/M	CKCL22C0G1H330K
		50	47pF	±10%	445-1879-1-ND	.80	6.86	28.57	445-1879-2-ND	4,000	32.01/M	CKCL22C0G1H470K
		50	68pF	±10%	445-1880-1-ND	.80	6.86	28.57	445-1880-2-ND	4,000	32.01/M	CKCL22C0G1H680K
		50	100pF	±10%	445-1881-1-ND	.80	6.86	28.57	445-1881-2-ND	4,000	32.01/M	CKCL22C0G1H101K
		50	150pF	±10%	445-1882-1-ND	.89	7.62	31.75	445-1882-2-ND	4,000	35.56/M	CKCL22C0G1H151K
		50	220pF	±10%	445-1883-1-ND	.89	7.62	31.75	445-1883-2-ND	4,000	35.56/M	CKCL22C0G1H221K
		50	330pF	±10%	445-1884-1-ND	.98	8.38	34.92	445-1884-2-ND	4,000	39.12/M	CKCL22C0G1H331K
		50	470pF	±10%	445-1885-1-ND	.98	8.38	34.92	445-1885-2-ND	4,000	39.12/M	CKCL22C0G1H471K
	X7R	50	1000pF	±20%	445-1886-1-ND	.80	6.86	28.57	445-1886-2-ND	4,000	32.01/M	CKCL22X7R1H102M
		50	2200pF	±20%	445-1887-1-ND	.80	6.86	28.57	445-1887-2-ND	4,000	32.01/M	CKCL22X7R1H222M
		50	4700pF	±20%	445-1888-1-ND	.80	6.86	28.57	445-1888-2-ND	4,000	32.01/M	CKCL22X7R1H472M
		50	10000pF	±20%	445-1889-1-ND	.80	6.86	28.57	445-1889-2-ND	4,000	32.01/M	CKCL22X7R1H103M
		25	22000pF	±20%	445-1890-1-ND	.80	6.86	28.57	445-1890-2-ND	4,000	32.01/M	CKCL22X7R1E223M
		25	47000pF	±20%	445-1891-1-ND	.89	7.62	31.75	445-1891-2-ND	4,000	35.56/M	CKCL22X7R1E473M
		16	.10µF	±20%	445-1892-1-ND	.89	7.62	31.75	445-1892-2-ND	4,000	35.56/M	CKCL22X7R1C104M
	X5R	10	.22µF	±20%	445-1893-1-ND	1.02	8.76	36.51	445-1893-2-ND	4,000	40.89/M	CKCL22X5R1A224M
		6.3	.47µF	±20%	445-1894-1-ND	1.02	8.76	36.51	445-1894-2-ND	4,000	40.89/M	CKCL22X5R0J474M
		6.3	1.0µF	±20%	445-1895-1-ND	1.11	9.52	39.69	445-1895-2-ND	4,000	44.45/M	CKCL22X5R0J105M

Vielschicht-Keramikchipkondensator-Array, 4-Element Serie CKC

Abmessungen in mm.

Merkmale: • Die Serie CKC umfasst integrierte Einzelchipkondensatoren (4 Elemente), die sich als Gegenmaßnahme in EMC-Anwendungen als äußerst wirksam erwiesen haben. • Sie sind besonders wirksam, wenn sie als Bypass für Rauschen in digitalen Signalleitungen verwendet werden, wo sie EMC um die Steckverbinder herum verhindern.

Anwendungen: • Zur Verwendung als Bypass für Digital- und Analogsignalleitungsrauschen, das von Telekommunikationsgeräten und anderen gängigen elektronischen Schaltungen verursacht wird.

Betriebstemperaturen: • C0G (NPO) und X7R: -55 °C ~ 125 °C
• X5R: -55 °C ~ 85 °C

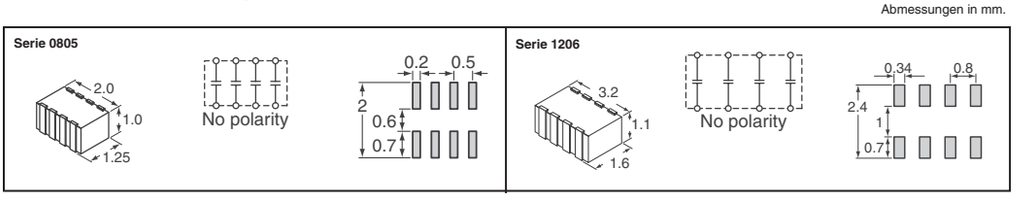

Gehäuse-größe	Typ	Betriebs-spannung DC	Kapazität	Toleranz	Digi-Key Teilenr.	Gurtabschnittspreise 10	100	500	Digi-Key Teilenr.	Gegurtet auf Rolle Größe	Preisangaben	TDK Teilenr.
0805	C0G (NP0)	50	10pF	±1pF	445-1822-1-ND	.80	6.86	28.57	445-1822-2-ND	4,000	32.01/M	CKCL44C0G1H100F
		50	15pF	±10%	445-1823-1-ND	.80	6.86	28.57	445-1823-2-ND	4,000	32.01/M	CKCL44C0G1H150K
		50	22pF	±10%	445-1824-1-ND	.80	6.86	28.57	445-1824-2-ND	4,000	32.01/M	CKCL44C0G1H220K
		50	33pF	±10%	445-1825-1-ND	.80	6.86	28.57	445-1825-2-ND	4,000	32.01/M	CKCL44C0G1H330K
		50	47pF	±10%	445-1826-1-ND	.80	6.86	28.57	445-1826-2-ND	4,000	32.01/M	CKCL44C0G1H470K
		50	68pF	±10%	445-1827-1-ND	.80	6.86	28.57	445-1827-2-ND	4,000	32.01/M	CKCL44C0G1H680K
		50	100pF	±10%	445-1828-1-ND	.80	6.86	28.57	445-1828-2-ND	4,000	32.01/M	CKCL44C0G1H101K
		50	150pF	±10%	445-1829-1-ND	.80	6.86	28.57	445-1829-2-ND	4,000	32.01/M	CKCL44C0G1H151K
	X7R	50	220pF	±20%	445-1830-1-ND	.80	6.86	28.57	445-1830-2-ND	4,000	32.01/M	CKCL44X7R1H221M
		50	470pF	±20%	445-1831-1-ND	.80	6.86	28.57	445-1831-2-ND	4,000	32.01/M	CKCL44X7R1H471M
		50	1000pF	±20%	445-1832-1-ND	.80	6.86	28.57	445-1832-2-ND	4,000	32.01/M	CKCL44X7R1H102M
		50	2200pF	±20%	445-1833-1-ND	.80	6.86	28.57	445-1833-2-ND	4,000	32.01/M	CKCL44X7R1H222M
		50	4700pF	±20%	445-1834-1-ND	.80	6.86	28.57	445-1834-2-ND	4,000	32.01/M	CKCL44X7R1H472M
		25	10000pF	±20%	445-1835-1-ND	.80	6.86	28.57	445-1835-2-ND	4,000	32.01/M	CKCL44X7R1E103M
		16	22000pF	±20%	445-1836-1-ND	.89	7.62	31.75	445-1836-2-ND	4,000	35.56/M	CKCL44X7R1C223M
	X5R	10	47000pF	±20%	445-1837-1-ND	.89	7.62	31.75	445-1837-2-ND	4,000	35.56/M	CKCL44X5R1A473M
		6.3	.10µF	±20%	445-1838-1-ND	1.02	8.76	36.51	445-1838-2-ND	4,000	40.89/M	CKCL44X5R0J104M
1206	C0G (NP0)	50	10pF	±1pF	445-1839-1-ND	.89	7.62	31.75	445-1839-2-ND	2,000	35.56/M	CKCA43C0G1H100F
		50	15pF	±10%	445-1840-1-ND	.89	7.62	31.75	445-1840-2-ND	2,000	35.56/M	CKCA43C0G1H150K
		50	22pF	±10%	445-1841-1-ND	.89	7.62	31.75	445-1841-2-ND	2,000	35.56/M	CKCA43C0G1H220K
		50	33pF	±10%	445-1842-1-ND	1.19	10.16	42.33	445-1842-2-ND	2,000	47.41/M	CKCA43C0G1H330K
		50	47pF	±10%	445-1843-1-ND	.89	7.62	31.75	445-1843-2-ND	2,000	35.56/M	CKCA43C0G1H470K
		50	68pF	±10%	445-1844-1-ND	.89	7.62	31.75	445-1844-2-ND	2,000	35.56/M	CKCA43C0G1H680K
		50	100pF	±10%	445-1845-1-ND	.89	7.62	31.75	445-1845-2-ND	2,000	35.56/M	CKCA43C0G1H101K
		50	150pF	±10%	445-1846-1-ND	.89	7.62	31.75	445-1846-2-ND	2,000	35.56/M	CKCA43C0G1H151K
		50	220pF	±10%	445-1847-1-ND	.89	7.62	31.75	445-1847-2-ND	2,000	35.56/M	CKCA43C0G1H221K
		50	330pF	±10%	445-1848-1-ND	.98	8.38	34.92	445-1848-2-ND	2,000	39.12/M	CKCA43C0G1H331K
		50	470pF	±10%	445-1849-1-ND	.98	8.38	34.92	445-1849-2-ND	2,000	39.12/M	CKCA43C0G1H471K
	X7R	50	470pF	±20%	445-1850-1-ND	.89	7.62	31.75	445-1850-2-ND	2,000	35.56/M	CKCA43X7R1H471M
		50	1000pF	±20%	445-1851-1-ND	.89	7.62	31.75	445-1851-2-ND	2,000	35.56/M	CKCA43X7R1H102M
		50	2200pF	±20%	445-1852-1-ND	.89	7.62	31.75	445-1852-2-ND	2,000	35.56/M	CKCA43X7R1H222M
		50	4700pF	±20%	445-1853-1-ND	.89	7.62	31.75	445-1853-2-ND	2,000	35.56/M	CKCA43X7R1H472M
		50	10000pF	±20%	445-1854-1-ND	.89	7.62	31.75	445-1854-2-ND	2,000	35.56/M	CKCA43X7R1H103M
		50	22000pF	±20%	445-1855-1-ND	1.02	8.76	36.51	445-1855-2-ND	2,000	40.89/M	CKCA43X7R1H223M
		25	47000pF	±20%	445-1856-1-ND	1.02	8.76	36.51	445-1856-2-ND	2,000	40.89/M	CKCA43X7R1E473M
		16	.10µF	±20%	445-1857-1-ND	1.11	9.52	39.69	445-1857-2-ND	2,000	44.45/M	CKCA43X7R1C104M

Alle Preisangaben in Euro und inklusive Zollgebühren.

YAGEO Mehrschicht-Keramikchipkondensatoren zur Oberflächenmontage– 0402, 0603, 0805, 1206, 1812

Merkmale:

- Hohe Kapazität pro Einheitsvolumen
- Für hochfrequente Anwendungen
- NiSn-Abschlüsse

Anwendungen:

- Verbraucherelektronik
- Telekommunikation
- Kfz
- Datenverarbeitung

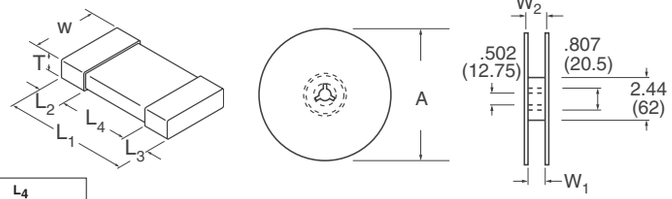

Abmessungen - Zoll (mm)

Gehäuse-größe	L_1	W	T		L_2 und L_3		L_4
			Min.	Max.	Min.	Max.	Min.
0402	.040" (1.0mm)	.020" (0.5mm)	.018" (0.45mm)	.022" (0.55mm)	.008" (0.20mm)	.012" (0.30mm)	.016" (0.40mm)
0603	.063" (1.6mm)	.032" (0.8mm)	.029" (0.73mm)	.035" (0.87mm)	.010" (0.25mm)	.026" (0.65mm)	.016" (0.40mm)
0805	.079" (2.0mm)	.049" (1.25mm)	.020" (0.51mm)	.053" (1.35mm)	.010" (0.25mm)	.030" (0.75mm)	.022" (0.55mm)
1206	.126" (3.2mm)	.063" (1.6mm)	.020" (0.51mm)	.069" (1.75mm)	.010" (0.25mm)	030" (0.75mm)	.056" (1.40mm)
1812	.177" (4.5mm)	.126" (3.2mm)	.020" (0.51mm)	.072" (1.80mm)	.010" (0.25mm)	030" (0.75mm)	.088" (2.20mm)

Gehäusegröße	Gurtbreite Zoll (mm)	A Zoll (mm)	W1 Zoll (mm)	W2 Max. Zoll (mm)
0402, 0603 0805, 1206	.315" (8mm)	7.087" (180mm)	.331" (8.4mm)	.567" (14.4mm)
1812	.472" (12mm)	7.087" (180mm)	.488" (12.4mm)	.724" (18.4mm)

Gehäuse-größe	Typ	Betriebs-spannung DC	Kapazität	Toleranz	Digi-Key Teilenr.	Gurtabschnittspreise 10	100	500	Digi-Key Teilenr.	Gegurtet auf Rolle Größe	Preisangaben	Yageo Teilenr.
0402	NP0	50	.5pF	±0.25pF	311-1001-1-ND	.80	4.73	13.66	311-1001-2-ND	10,000	13.11/M	0402CG508C9B200
		50	1.2pF	±0.25pF	311-1002-1-ND	.84	4.95	14.29	311-1002-2-ND	10,000	13.72/M	0402CG129C9B200
		50	1.5pF	±0.25pF	311-1003-1-ND	.84	4.95	14.29	311-1003-2-ND	10,000	13.72/M	0402CG159C9B200
		50	1.8pF	±0.25pF	311-1004-1-ND	1.74	10.29	29.68	311-1004-2-ND	10,000	28.50/M	0402CG189C9B200
		50	2.0pF	±0.25pF	311-1006-1-ND	1.90	11.23	32.40	311-1006-2-ND	10,000	31.11/M	0402CG209C9B200
		50	2.7pF	±0.25pF	311-1005-1-ND	.84	4.95	14.29	311-1005-2-ND	10,000	13.72/M	0402CG279C9B200
		50	3.0pF	±0.25pF	311-1007-1-ND	.84	4.95	14.29	311-1007-2-ND	10,000	13.72/M	0402CG309C9B200
		50	3.3pF	±0.25pF	311-1008-1-ND	.84	4.95	14.29	311-1008-2-ND	10,000	13.72/M	0402CG339C9B200
		50	5.0pF	±0.25pF	311-1010-1-ND	.84	4.95	14.29	311-1010-2-ND	10,000	13.72/M	0402CG509C9B200
		50	5.6pF	±0.5pF	311-1011-1-ND	1.96	11.59	33.43	311-1011-2-ND	10,000	32.10/M	0402CG569D9B200
		50	8.2pF	±0.5pF	311-1012-1-ND	.84	4.95	14.29	311-1012-2-ND	10,000	13.72/M	0402CG829D9B200
		50	9.1pF	±0.5pF	311-1013-1-ND	.59	3.60	11.85	311-1013-2-ND	10,000	15.24/M	0402CG919D9B200
		50	10pF	±5%	311-1014-1-ND	.65	3.85	11.12	311-1014-2-ND	10,000	10.67/M	0402CG100D9B200
		50	11pF	±5%	311-1015-1-ND	.92	5.45	15.71	311-1015-2-ND	10,000	15.09/M	0402CG110J9B200
		50	12pF	±5%	311-1016-1-ND	.75	4.40	12.70	311-1016-2-ND	10,000	12.20/M	0402CG120J9B200
		50	15pF	±5%	311-1017-1-ND	.75	4.40	12.70	311-1017-2-ND	10,000	12.20/M	0402CG150J9B200
		50	22pF	±5%	311-1018-1-ND	.75	4.40	12.70	311-1018-2-ND	10,000	12.20/M	0402CG220J9B200
		50	27pF	±5%	311-1019-1-ND	.80	4.68	13.49	311-1019-2-ND	10,000	12.96/M	0402CG270J9B200
		50	33pF	±5%	311-1020-1-ND	.80	4.68	13.49	311-1020-2-ND	10,000	12.96/M	0402CG330J9B200
		50	39pF	±5%	311-1009-1-ND	.71	4.18	12.06	311-1009-2-ND	10,000	11.59/M	0402CG390J9B200
		50	47pF	±5%	311-1021-1-ND	.75	4.40	12.70	311-1021-2-ND	10,000	12.20/M	0402CG470J9B200
		50	56pF	±5%	311-1022-1-ND	.80	4.68	13.49	311-1022-2-ND	10,000	12.96/M	0402CG560J9B200
		50	82pF	±5%	311-1023-1-ND	.84	4.95	14.29	311-1023-2-ND	10,000	13.72/M	0402CG820J9B200
		50	100pF	±5%	311-1024-1-ND	.70	4.13	11.90	311-1024-2-ND	10,000	11.43/M	0402CG101J9B200
		50	150pF	±5%	311-1025-1-ND	.65	3.96	13.04	311-1025-2-ND	10,000	16.77/M	0402CG151J9B200
		25	220pF	±5%	311-1026-1-ND	.84	4.95	14.29	311-1026-2-ND	10,000	13.72/M	0402CG221J8B200
	X7R	50	220pF	±10%	311-1035-1-ND	.65	3.85	11.12	311-1035-2-ND	10,000	10.67/M	04022R221K9B20D
		50	330pF	±10%	311-1027-1-ND	.65	3.85	11.12	311-1027-2-ND	10,000	10.67/M	04022R331K9B20D
		50	470pF	±10%	311-1028-1-ND	.65	3.85	11.12	311-1028-2-ND	10,000	10.67/M	04022R471K9B20D
		50	560pF	±10%	311-1029-1-ND	.65	3.85	11.12	311-1029-2-ND	10,000	10.67/M	04022R561K9B20D
		50	680pF	±10%	311-1030-1-ND	.65	3.85	11.12	311-1030-2-ND	10,000	10.67/M	04022R681K9B20D
		50	1200pF	±10%	311-1031-1-ND	.65	3.85	11.12	311-1031-2-ND	10,000	10.67/M	04022R122K9B20D
		50	1500pF	±10%	311-1032-1-ND	.65	3.85	11.12	311-1032-2-ND	10,000	10.67/M	04022R152K9B20D
		50	2700pF	±10%	311-1033-1-ND	.65	3.85	11.12	311-1033-2-ND	10,000	10.67/M	04022R272K9B20D
		50	3300pF	±10%	311-1034-1-ND	.70	4.13	11.90	311-1034-2-ND	10,000	11.43/M	04022R332K9B20D
		50	1000pF	±10%	311-1036-1-ND	.70	4.13	11.90	311-1036-2-ND	10,000	11.43/M	04022R102K9B20D
		50	2200pF	±10%	311-1037-1-ND	.65	3.85	11.12	311-1037-2-ND	10,000	10.67/M	04022R222K9B20D
		25	3900pF	±10%	311-1038-1-ND	.70	4.13	11.90	311-1038-2-ND	10,000	11.43/M	0402KRX7R8BB392
		25	4700pF	±10%	311-1039-1-ND	.65	3.85	11.12	311-1039-2-ND	10,000	10.67/M	04022R472K8B20D
		16	5600pF	±10%	311-1040-1-ND	.65	3.85	11.12	311-1040-2-ND	10,000	10.67/M	0402KRX7R7BB562
		16	8200pF	±10%	311-1041-1-ND	.80	4.68	13.49	311-1041-2-ND	10,000	12.96/M	04022R822K7B20D
		16	10000pF	±10%	311-1042-1-ND	.65	3.85	11.12	311-1042-2-ND	10,000	10.67/M	04022R103K7B20D
	Y5V	16	22000pF	-20%/+80%	311-1043-1-ND	.73	4.29	12.39	311-1043-2-ND	10,000	11.89/M	04022F223Z7B20D
		16	33000pF	-20%/+80%	311-1044-1-ND	.75	4.40	12.70	311-1044-2-ND	10,000	12.20/M	04022F333Z7B20D
		16	10000pF	-20%/+80%	311-1045-1-ND	.63	3.69	10.63	311-1045-2-ND	10,000	10.21/M	04022F103Z7B20D
		16	47000pF	-20%/+80%	311-1046-1-ND	.80	4.68	13.49	311-1046-2-ND	10,000	12.96/M	04022F473Z7B20D
		16	.10µF	-20%/+80%	311-1047-1-ND	.75	4.40	12.70	311-1047-2-ND	10,000	12.20/M	04022F104Z7B20D
0603	NP0	50	.5pF	±0.25pF	311-1048-1-ND	.63	3.74	10.79	311-1048-2-ND	4,000	10.37/M	0603CG508C9B200
		50	1.0pF	±0.25pF	311-1049-1-ND	.56	3.30	9.52	311-1049-2-ND	4,000	9.15/M	0603CG109C9B200
		50	1.5pF	±0.25pF	311-1050-1-ND	.56	3.30	9.52	311-1050-2-ND	4,000	9.15/M	0603CG159C9B200
		50	2.0pF	±0.25pF	311-1051-1-ND	.61	3.58	10.32	311-1051-2-ND	4,000	9.91/M	0603CG209C9B200
		50	3.0pF	±0.25pF	311-1052-1-ND	.61	3.58	10.32	311-1052-2-ND	4,000	9.91/M	0603CG309C9B200
		50	4.0pF	±0.25pF	311-1053-1-ND	.63	3.74	10.79	311-1053-2-ND	4,000	10.37/M	0603CG409C9B200
		50	5.0pF	±0.25pF	311-1054-1-ND	.61	3.58	10.32	311-1054-2-ND	4,000	9.91/M	0603CG509C9B200
		50	6.0pF	±0.5pF	311-1055-1-ND	.56	3.30	9.52	311-1055-2-ND	4,000	9.15/M	0603CG609C9B200
		50	7.0pF	±0.5pF	311-1056-1-ND	.63	3.74	10.79	311-1056-2-ND	4,000	10.37/M	0603CG709D9B200
		50	8.0pF	±0.5pF	311-1057-1-ND	.63	3.74	10.79	311-1057-2-ND	4,000	10.37/M	0603CG809D9B200
		50	10pF	±5%	311-1058-1-ND	.48	2.86	8.25	311-1058-2-ND	4,000	7.93/M	0603CG100J9B200
		50	12pF	±5%	311-1059-1-ND	.47	2.75	7.94	311-1059-2-ND	4,000	7.62/M	0603CG120J9B200
		50	15pF	±5%	311-1060-1-ND	.48	2.86	8.25	311-1060-2-ND	4,000	7.93/M	0603CG150J9B200
		50	18pF	±5%	311-1061-1-ND	.48	2.86	8.25	311-1061-2-ND	4,000	7.93/M	0603CG180J9B200
		50	22pF	±5%	311-1062-1-ND	.49	2.92	8.42	311-1062-2-ND	4,000	8.08/M	0603CG220J9B200
		50	27pF	±5%	311-1063-1-ND	.56	3.30	9.52	311-1063-2-ND	4,000	9.15/M	0603CG270J9B200
		50	33pF	±5%	311-1064-1-ND	.55	3.25	9.36	311-1064-2-ND	4,000	8.99/M	0603CG330J9B200

(Forts.)

E

Gehäuse-größe	Typ	Betriebs-spannung DC	Kapazität	Toleranz	Digi-Key Teilenr.	Gurtabschnittspreise 10	100	500	Digi-Key Teilenr.	Gegurtet auf Rolle Größe	Preisangaben	Yageo Teilenr.
0603	NP0	50	47pF	±5%	311-1065-1-ND	.55	3.25	9.36	311-1065-2-ND	4,000	8.99/M	0603CG470J9B200
		50	56pF	±5%	311-1066-1-ND	.58	3.41	9.85	311-1066-2-ND	4,000	9.45/M	0603CG560J9B200
		50	68pF	±5%	311-1067-1-ND	.58	3.41	9.85	311-1067-2-ND	4,000	9.45/M	0603CG680J9B200
		50	82pF	±5%	311-1068-1-ND	.62	3.63	10.48	311-1068-2-ND	4,000	10.06/M	0603CG820J9B200
		50	100pF	±5%	311-1069-1-ND	.52	3.08	8.89	311-1069-2-ND	4,000	8.54/M	0603CG101J9B200
		50	120pF	±5%	311-1070-1-ND	.62	3.63	10.48	311-1070-2-ND	4,000	10.06/M	0603CG121J9B200
		50	150pF	±5%	311-1071-1-ND	.73	4.29	12.39	311-1071-2-ND	4,000	11.89/M	0603CG151J9B200
		50	180pF	±5%	311-1072-1-ND	.80	4.68	13.49	311-1072-2-ND	4,000	12.96/M	0603CG181J9B200
		50	220pF	±5%	311-1073-1-ND	.86	5.12	14.76	311-1073-2-ND	4,000	14.18/M	0603CG221J9B200
		50	270pF	±5%	311-1074-1-ND	.59	3.60	11.85	311-1074-2-ND	4,000	12.70/M	0603CG271J9B200
		50	330pF	±5%	311-1075-1-ND	.65	3.96	13.04	311-1075-2-ND	4,000	13.97/M	0603CG331J9B200
		50	390pF	±5%	311-1076-1-ND	.71	4.32	14.22	311-1076-2-ND	4,000	15.24/M	0603CG391J9B200
	X7R	50	220pF	±10%	311-1077-1-ND	.47	2.75	7.94	311-1077-2-ND	4,000	7.62/M	06032R221K9B20D
		50	270pF	±10%	311-1185-1-ND	.47	2.75	7.94	311-1185-2-ND	4,000	7.62/M	06032R271K9B20D
		50	330pF	±10%	311-1186-1-ND	.47	2.75	7.94	311-1186-2-ND	4,000	7.62/M	06032R331K9B20D
		50	390pF	±10%	311-1187-1-ND	.47	2.75	7.94	311-1187-2-ND	4,000	7.62/M	06032R391K9B20D
		50	470pF	±10%	311-1078-1-ND	.47	2.75	7.94	311-1078-2-ND	4,000	7.62/M	06032R471K9B20D
		50	560pF	±10%	311-1079-1-ND	.47	2.75	7.94	311-1079-2-ND	4,000	7.62/M	06032R561K9B20D
		50	680pF	±10%	311-1188-1-ND	.47	2.75	7.94	311-1188-2-ND	4,000	7.62/M	06032R681K9B20D
		50	820pF	±10%	311-1189-1-ND	.47	2.75	7.94	311-1189-2-ND	4,000	7.62/M	06032R821K9B20D
		50	1000pF	±10%	311-1080-1-ND	.47	2.75	7.94	311-1080-2-ND	4,000	7.62/M	06032R102K9B20D
		50	1500pF	±10%	311-1184-1-ND	.48	2.86	8.25	311-1184-2-ND	4,000	7.93/M	06032R152K9B20D
		50	2200pF	±10%	311-1081-1-ND	.47	2.75	7.94	311-1081-2-ND	4,000	7.62/M	06032R222K9B20D
		50	3300pF	±10%	311-1082-1-ND	.48	2.86	8.25	311-1082-2-ND	4,000	7.93/M	06032R332K9B20D
		50	4700pF	±10%	311-1083-1-ND	.47	2.75	7.94	311-1083-2-ND	4,000	7.62/M	06032R472K9B20D
		50	6800pF	±10%	311-1084-1-ND	.46	2.70	7.78	311-1084-2-ND	4,000	7.47/M	06032R682K9B20D
		50	10000pF	±10%	311-1085-1-ND	.50	2.97	8.58	311-1085-2-ND	4,000	8.23/M	06032R103K9B20D
		25	22000pF	±10%	311-1086-1-ND	.75	4.40	12.70	311-1086-2-ND	4,000	12.19/M	06032R223K8B20D
		16	.10µF	±10%	311-1088-1-ND	.89	5.23	15.08	311-1088-2-ND	4,000	14.48/M	06032R104K7B20D
	Y5V	25	.10µF	-20%/+80%	311-1087-1-ND	.54	3.19	9.21	311-1087-2-ND	4,000	8.84/M	06032F104Z8B20D
0805	NP0	50	1.0pF	±0.25pF	311-1089-1-ND	.63	3.74	10.79	311-1089-2-ND	4,000	10.37/M	0805CG109C9B200
		50	1.5pF	±0.25pF	311-1090-1-ND	.63	3.74	10.79	311-1090-2-ND	4,000	10.37/M	0805CG159C9B200
		50	2.0pF	±0.25pF	311-1091-1-ND	.69	4.07	11.75	311-1091-2-ND	4,000	11.28/M	0805CG209C9B200
		50	3.0pF	±0.25pF	311-1092-1-ND	.69	4.07	11.75	311-1092-2-ND	4,000	11.28/M	0805CG309C9B200
		50	4.0pF	±0.25pF	311-1093-1-ND	.69	4.07	11.75	311-1093-2-ND	4,000	11.28/M	0805CG409C9B200
		50	.50pF	±0.25pF	311-1094-1-ND	.73	4.29	12.39	311-1094-2-ND	4,000	11.89/M	0805CG508C9B200
		50	6.0pF	±0.5pF	311-1095-1-ND	.69	4.07	11.75	311-1095-2-ND	4,000	11.28/M	0805CG609D9B200
		50	7.0pF	±0.5pF	311-1096-1-ND	.69	4.07	11.75	311-1096-2-ND	4,000	11.28/M	0805CG709D9B200
		50	8.0pF	±0.5pF	311-1097-1-ND	.69	4.07	11.75	311-1097-2-ND	4,000	11.28/M	0805CG809D9B200
		50	9.0pF	±0.5pF	311-1098-1-ND	.69	4.07	11.75	311-1098-2-ND	4,000	11.28/M	0805CG909D9B200
		50	10pF	±5%	311-1099-1-ND	.56	3.30	9.52	311-1099-2-ND	4,000	9.15/M	0805CG100J9B200
		50	12pF	±5%	311-1100-1-ND	.63	3.74	10.79	311-1100-2-ND	4,000	10.37/M	0805CG120J9B200
		50	15pF	±5%	311-1101-1-ND	.63	3.74	10.79	311-1101-2-ND	4,000	10.37/M	0805CG150J9B200
		50	18pF	±5%	311-1102-1-ND	.63	3.74	10.79	311-1102-2-ND	4,000	10.37/M	0805CG180J9B200
		50	22pF	±5%	311-1103-1-ND	.57	3.36	9.69	311-1103-2-ND	4,000	9.30/M	0805CG220J9B200
		50	27pF	±5%	311-1104-1-ND	.63	3.74	10.79	311-1104-2-ND	4,000	10.37/M	0805CG270J9B200
		50	33pF	±5%	311-1105-1-ND	.64	3.80	10.96	311-1105-2-ND	4,000	10.52/M	0805CG330J9B200
		50	39pF	±5%	311-1106-1-ND	.65	3.85	11.12	311-1106-2-ND	4,000	10.67/M	0805CG390J9B200
		50	47pF	±5%	311-1107-1-ND	.66	3.91	11.27	311-1107-2-ND	4,000	10.82/M	0805CG470J9B200
		50	56pF	±5%	311-1108-1-ND	.69	4.07	11.75	311-1108-2-ND	4,000	11.28/M	0805CG560J9B200
		50	68pF	±5%	311-1109-1-ND	.70	4.13	11.90	311-1109-2-ND	4,000	11.43/M	0805CG680J9B200
		50	82pF	±5%	311-1110-1-ND	.84	4.95	14.29	311-1110-2-ND	4,000	13.72/M	0805CG820J9B200
		50	100pF	±5%	311-1111-1-ND	.80	4.76	13.71	311-1111-2-ND	4,000	13.17/M	0805CG101J9B200
		50	120pF	±5%	311-1112-1-ND	.82	4.84	13.97	311-1112-2-ND	4,000	13.41/M	0805CG121J9B200
		50	150pF	±5%	311-1113-1-ND	.82	4.84	13.97	311-1113-2-ND	4,000	13.41/M	0805CG151J9B200
		50	180pF	±5%	311-1114-1-ND	.84	4.95	14.29	311-1114-2-ND	4,000	13.72/M	0805CG181J9B200
		50	220pF	±5%	311-1115-1-ND	.84	4.95	14.29	311-1115-2-ND	4,000	13.72/M	0805CG221J9B200
		50	270pF	±5%	311-1116-1-ND	.64	3.89	12.80	311-1116-2-ND	4,000	13.72/M	0805CG271J9B200
		50	330pF	±5%	311-1117-1-ND	.86	5.06	14.60	311-1117-2-ND	4,000	14.02/M	0805CG331J9B200
		50	390pF	±5%	311-1118-1-ND	.59	3.60	11.85	311-1118-2-ND	4,000	12.70/M	0805CG391J9B200
		50	470pF	±5%	311-1119-1-ND	.65	3.96	13.04	311-1119-2-ND	4,000	13.97/M	0805CG471J9B200
		50	560pF	±5%	311-1120-1-ND	.71	4.32	14.22	311-1120-2-ND	4,000	15.24/M	0805CG561J9B200
		50	680pF	±5%	311-1121-1-ND	.78	4.75	15.65	311-1121-2-ND	4,000	16.77/M	0805CG681J9B200
		50	1000pF	±5%	311-1122-1-ND	.89	5.40	17.78	311-1122-2-ND	4,000	19.05/M	0805CG102J9B200
	X7R	50	220pF	±10%	311-1123-1-ND	.52	3.03	8.73	311-1123-2-ND	4,000	8.39/M	08052R221K9B20D
		50	270pF	±10%	311-1191-1-ND	.65	3.85	11.12	311-1191-2-ND	4,000	10.67/M	08052R271K9B20D
		50	330pF	±10%	311-1192-1-ND	.65	3.85	11.12	311-1192-2-ND	4,000	10.67/M	08052R331K9B20D
		50	390pF	±10%	311-1193-1-ND	.65	3.85	11.12	311-1193-2-ND	4,000	10.67/M	08052R391K9B20D
		50	470pF	±10%	311-1124-1-ND	.54	3.19	9.21	311-1124-2-ND	4,000	8.84/M	08052R471K9B20D
		50	560pF	±10%	311-1125-1-ND	.54	3.19	9.21	311-1125-2-ND	4,000	8.84/M	08052R561K9B20D
		50	680pF	±10%	311-1126-1-ND	.54	3.19	9.21	311-1126-2-ND	4,000	8.84/M	08052R681K9B20D
		50	820pF	±10%	311-1194-1-ND	.65	3.85	11.12	311-1194-2-ND	4,000	10.67/M	08052R821K9B20D
		50	1000pF	±10%	311-1127-1-ND	.54	3.19	9.21	311-1127-2-ND	4,000	8.84/M	08052R102K9B20D
		50	1500pF	±10%	311-1128-1-ND	.54	3.19	9.21	311-1128-2-ND	4,000	8.84/M	08052R152K9B20D
		50	2200pF	±10%	311-1129-1-ND	.52	3.03	8.73	311-1129-2-ND	4,000	8.39/M	08052R222K9B20D
		50	2700pF	±10%	311-1130-1-ND	.52	3.03	8.73	311-1130-2-ND	4,000	8.39/M	08052R272K9B20D
		50	3300pF	±10%	311-1131-1-ND	.54	3.19	9.21	311-1131-2-ND	4,000	8.84/M	08052R332K9B20D
		50	3900pF	±10%	311-1132-1-ND	.54	3.19	9.21	311-1132-2-ND	4,000	8.84/M	08052R392K9B20D
		50	4700pF	±10%	311-1133-1-ND	.54	3.19	9.21	311-1133-2-ND	4,000	8.84/M	08052R472K9B20D

(Forts.)

Alle Preisangaben in Euro und inklusive Zollgebühren.

Gehäuse-größe	Typ	Betriebs-spannung DC	Kapazität	Toleranz	Digi-Key Teilenr.	Gurtabschnittspreise 10	100	500	Digi-Key Teilenr.	Gegurtet auf Rolle Größe	Preisangaben	Yageo Teilenr.
0805	X7R	50	5600pF	±10%	311-1134-1-ND	.54	3.19	9.21	311-1134-2-ND	4,000	8.84/M	08052R562K9B20D
		50	6800pF	±10%	311-1135-1-ND	.48	2.86	8.25	311-1135-2-ND	4,000	7.93/M	08052R682K9B20D
		50	10000pF	±10%	311-1136-1-ND	.56	3.30	9.52	311-1136-2-ND	4,000	9.15/M	C08052KRX7R9BB103
		50	18000pF	±10%	311-1137-1-ND	.56	3.30	9.52	311-1137-2-ND	4,000	9.15/M	08052R183K9B20D
		50	22000pF	±10%	311-1138-1-ND	.65	3.85	11.12	311-1138-2-ND	4,000	10.67/M	08052R223K9B20D
		50	27000pF	±10%	311-1139-1-ND	.70	4.13	11.90	311-1139-2-ND	4,000	11.43/M	08052R273K9B20D
		50	.10µF	±10%	311-1140-1-ND	.77	4.68	15.41	311-1140-2-ND	4,000	16.51/M	08052R104K9B20D
		25	.10µF	±10%	311-1141-1-ND	.58	3.56	11.73	311-1141-2-ND	4,000	12.58/M	08052R104K8B20D
		16	.10µF	±10%	311-1142-1-ND	.69	4.21	13.87	311-1142-2-ND	4,000	14.86/M	08052R104K7B20D
		50	15000pF	±10%	311-1143-1-ND	.56	3.30	9.52	311-1143-2-ND	4,000	9.15/M	08052R153K9B20D
	Y5V	10	3.3µF	±20%+80%	311-1190-1-ND	1.48	9.97	33.78	311-1190-2-ND	3,000	43.43/M	08052F335Z6BB0D
1206	NP0	50	.5pF	±0.25pF	311-1145-1-ND	.83	5.04	16.59	311-1145-2-ND	4,000	17.78/M	1206CG508C9B200
		50	1pF	±0.25pF	311-1212-1-ND	.78	5.25	17.78	311-1212-2-ND	4,000	22.86/M	1206CG109C9B200
		50	1.5pF	±0.25pF	311-1214-1-ND	.78	5.25	17.78	311-1214-2-ND	4,000	22.86/M	1206CG159C9B200
		50	1.8pF	±0.25pF	311-1215-1-ND	.78	5.25	17.78	311-1215-2-ND	4,000	22.86/M	1206CG189C9B200
		50	2.2pF	±0.25pF	311-1146-1-ND	.80	4.89	16.12	311-1146-2-ND	4,000	17.27/M	1206CG229C9B200
		50	2.7pF	±0.25pF	311-1216-1-ND	.78	5.25	17.78	311-1216-2-ND	4,000	22.86/M	1206CG279C9B200
		50	3.3pF	±0.25pF	311-1147-1-ND	.80	4.86	16.00	311-1147-2-ND	4,000	17.15/M	1206CG339C9B200
		50	3.9pF	±0.25pF	311-1217-1-ND	.78	5.25	17.78	311-1217-2-ND	4,000	22.86/M	1206CG399C9B200
		50	4.7pF	±0.25pF	311-1218-1-ND	.78	5.25	17.78	311-1218-2-ND	4,000	22.86/M	1206CG479C9B200
		50	5.1pF	±0.25pF	311-1148-1-ND	.86	5.22	17.19	311-1148-2-ND	4,000	18.42/M	1206CG519C9B200
		50	5.6pF	±0.25pF	311-1149-1-ND	.80	4.86	16.00	311-1149-2-ND	4,000	17.15/M	1206CG569C9B200
		50	6.8pF	±0.5pF	311-1220-1-ND	.78	5.25	17.78	311-1220-2-ND	4,000	22.86/M	1206CG689D9B200
		50	7.5pF	±0.5pF	311-1221-1-ND	.88	5.91	20.01	311-1221-2-ND	4,000	25.72/M	1206CG759D9B200
		50	8.2pF	±0.5pF	311-1222-1-ND	.78	5.25	17.78	311-1222-2-ND	4,000	22.86/M	1206CG829D9B200
		50	9.1pF	±0.5pF	311-1223-1-ND	.97	6.56	22.22	311-1223-2-ND	4,000	28.58/M	1206CG919D9B200
		50	10pF	±5%	311-1150-1-ND	.76	4.64	15.29	311-1150-2-ND	4,000	16.39/M	1206CG100J9B200
		50	12pF	±5%	311-1213-1-ND	1.13	6.84	22.52	311-1213-2-ND	4,000	24.13/M	1206CG120J9B200
		50	15pF	±5%	311-1151-1-ND	1.23	7.48	24.63	311-1151-2-ND	4,000	26.39/M	1206CG150J9B200
		50	18pF	±5%	311-1152-1-ND	1.44	8.75	28.80	311-1152-2-ND	4,000	30.86/M	1206CG180J9B200
		50	20pF	±5%	311-1153-1-ND	.80	4.86	16.00	311-1153-2-ND	4,000	17.15/M	1206CG200J9B200
		50	22pF	±5%	311-1154-1-ND	.82	5.00	16.47	311-1154-2-ND	4,000	17.66/M	1206CG220J9B200
		50	27pF	±5%	311-1155-1-ND	1.47	8.97	29.52	311-1155-2-ND	4,000	31.64/M	1206CG270J9B200
		50	33pF	±5%	311-1156-1-ND	1.14	6.96	22.93	311-1156-2-ND	4,000	24.56/M	1206CG330J9B200
		50	39pF	±5%	311-1157-1-ND	.91	5.53	18.20	311-1157-2-ND	4,000	19.51/M	1206CG390J9B200
		50	47pF	±5%	311-1158-1-ND	.83	5.04	16.59	311-1158-2-ND	4,000	17.78/M	1206CG470J9B200
		50	51pF	±5%	311-1219-1-ND	1.32	8.92	30.22	311-1219-2-ND	4,000	38.86/M	1206CG510J9B200
		50	56pF	±5%	311-1159-1-ND	.99	6.03	19.86	311-1159-2-ND	4,000	21.29/M	1206CG560J9B200
		50	68pF	±5%	311-1160-1-ND	.95	5.76	18.96	311-1160-2-ND	4,000	20.32/M	1206CG680J9B200
		50	100pF	±5%	311-1161-1-ND	.89	5.40	17.78	311-1161-2-ND	4,000	19.05/M	1206CG101J9B200
		50	120pF	±5%	311-1162-1-ND	.99	6.02	19.83	311-1162-2-ND	4,000	21.25/M	1206CG121J9B200
		50	1000pF	±5%	311-1163-1-ND	.93	6.30	21.33	311-1163-2-ND	4,000	27.43/M	1206CG102J9B200
	X7R	1KV	1000pF	±10%	311-1144-1-ND	1.68	12.02	43.28	311-1144-2-ND	3,000	62.52/M	12062R102KEBB0D
		50	220pF	±10%	311-1164-1-ND	.76	4.64	15.29	311-1164-2-ND	4,000	16.39/M	12062R221K9B20D
		50	270pF	±10%	311-1165-1-ND	.76	4.64	15.29	311-1165-2-ND	4,000	16.39/M	12062R271K9B20D
		50	330pF	±10%	311-1166-1-ND	.76	4.64	15.29	311-1166-2-ND	4,000	16.39/M	12062R331K9B20D
		50	390pF	±10%	311-1205-1-ND	.83	5.04	16.59	311-1205-2-ND	4,000	17.78/M	12062R391K9B20D
		50	470pF	±10%	311-1167-1-ND	.71	4.32	14.22	311-1167-2-ND	4,000	15.24/M	12062R471K9B20D
		50	560pF	±10%	311-1168-1-ND	.71	4.32	14.22	311-1168-2-ND	4,000	15.24/M	12062R561K9B20D
		50	680pF	±10%	311-1169-1-ND	.71	4.32	14.22	311-1169-2-ND	4,000	15.24/M	12062R681K9B20D
		50	820pF	±10%	311-1210-1-ND	.80	4.86	16.00	311-1210-2-ND	4,000	17.15/M	12062R821K9B20D
		50	1000pF	±10%	311-1170-1-ND	.71	4.32	14.22	311-1170-2-ND	4,000	15.24/M	12062R102K9B20D
		50	1200pF	±10%	311-1197-1-ND	.83	5.04	16.59	311-1197-2-ND	4,000	17.78/M	12062R122K9B20D
		50	1500pF	±10%	311-1200-1-ND	.83	5.04	16.59	311-1200-2-ND	4,000	17.78/M	12062R152K9B20D
		50	1800pF	±10%	311-1201-1-ND	.83	5.04	16.59	311-1201-2-ND	4,000	17.78/M	12062R182K9B20D
		50	2200pF	±10%	311-1171-1-ND	.76	4.64	15.29	311-1171-2-ND	4,000	16.39/M	12062R222K9B20D
		50	2700pF	±10%	311-1203-1-ND	.83	5.04	16.59	311-1203-2-ND	4,000	17.78/M	12062R272K9B20D
		50	3300pF	±10%	311-1172-1-ND	.76	4.64	15.29	311-1172-2-ND	4,000	16.39/M	12062R332K9B20D
		50	3900pF	±10%	311-1206-1-ND	.83	5.04	16.59	311-1206-2-ND	4,000	17.78/M	12062R392K9B20D
		50	4700pF	±10%	311-1173-1-ND	.71	4.32	14.22	311-1173-2-ND	4,000	15.24/M	12062R472K9B20D
		50	5600pF	±10%	311-1208-1-ND	.89	5.40	17.78	311-1208-2-ND	4,000	19.05/M	12062R562K9B20D
		50	6800pF	±10%	311-1209-1-ND	.89	5.40	17.78	311-1209-2-ND	4,000	19.05/M	12062R682K9B20D
		50	8200pF	±10%	311-1211-1-ND	.95	5.76	18.96	311-1211-2-ND	4,000	20.32/M	12062R822K9B20D
		50	10000pF	±10%	311-1174-1-ND	.71	4.32	14.22	311-1174-2-ND	4,000	15.24/M	12062R103K9B20D
		50	12000pF	±10%	311-1198-1-ND	1.58	9.60	31.62	311-1198-2-ND	4,000	33.88/M	12062R123K9B20D
		50	15000pF	±10%	311-1175-1-ND	.76	4.64	15.29	311-1175-2-ND	4,000	16.39/M	12062R153K9B20D
		50	18000pF	±10%	311-1202-1-ND	1.13	6.84	22.52	311-1202-2-ND	4,000	24.13/M	12062R183K9B20D
		50	22000pF	±10%	311-1176-1-ND	.82	5.00	16.47	311-1176-2-ND	4,000	17.66/M	12062R223K9B20D
		50	27000pF	±10%	311-1204-1-ND	.78	5.25	17.78	311-1204-2-ND	4,000	22.86/M	12062R273K9B20D
		50	33000pF	±10%	311-1177-1-ND	.76	4.64	15.29	311-1177-2-ND	4,000	16.39/M	12062R333K9B20D
		50	39000pF	±10%	311-1207-1-ND	.78	5.25	17.78	311-1207-2-ND	4,000	22.86/M	12062R393K9B20D
		50	47000pF	±10%	311-1178-1-ND	.88	5.36	17.66	311-1178-2-ND	4,000	18.93/M	12062R473K9B20D
		50	.10µF	±10%	311-1179-1-ND	.83	5.04	16.59	311-1179-2-ND	4,000	17.78/M	12062R104K9B20D
		25	.33µF	±10%	311-1180-1-ND	1.95	13.74	47.45	311-1180-2-ND	3,000	64.94/M	12062R334K8BB0D
		16	1.0µF	±10%	311-1181-1-ND	2.07	14.82	53.34	311-1181-2-ND	3,000	77.04/M	12062R105K7BB0D
		10	1.2µF	±10%	311-1199-1-ND	2.61	18.63	67.05	311-1199-2-ND	4,000	96.85/M	12062R125K6B20D
	Y5V	16	3.3µF	±20%+80%	311-1196-1-ND	1.48	9.97	33.78	311-1196-2-ND	3,000	43.43/M	12062F335Z7BB0D
1812	NP0	3KV	220pF	±5%	311-1182-1-ND	5.15	37.80	136.73	311-1182-2-ND	1,500	209.12/M	1812CG221JGBB00
	X7R	1KV	1000pF	±10%	311-1183-1-ND	3.74	27.46	99.31	311-1183-2-ND	1,000	151.88	18122R102KEBB0D

E

Vielschicht-Keramikchipkondensatoren

Merkmale:

- Die kleine Größe ist perfekt für leicht tragbare Geräte.
- Präzise Einheitlichkeit erleichert äußerst effiziente automatische Montage.
- Verbesserte Lötfähigkeit durch Sperrschicht und Endterminierung.

(Abmessungen in mm)

Größencode	L1	L2	L3	W	T
0402	1.0±0.05	0.1 Min.	0.3 Min.	0.5±0.05	0.5±0.05
0603	1.6±0.1	0.15 Min.	0.4 Min.	0.8±0.1	0.8±0.1

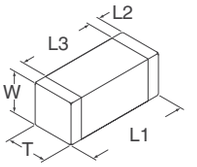

Größen-code	Typ	Betriebs-spannung DC	Kapazität	Toleranz	Digi-Key Teilenr.	Gurtabschnittspreise 10	100	500	Digi-Key Teilenr.	Gegurtet auf Rolle Größe	Preisangaben	Rohm Teilenr.
0402	C0G	50	0.5pF	±0.25pF	511-1000-1-ND	.38	2.27	6.54	511-1000-2-ND	10,000	5.93/M	MCH155A0R5CK
			0.75pF	±0.25pF	511-1001-1-ND	.38	2.27	6.54	511-1001-2-ND	10,000	5.93/M	MCH155AR75CK
			1.0pF	±0.25pF	511-1002-1-ND	.38	2.27	6.54	511-1002-2-ND	10,000	5.93/M	MCH155A010CK
			1.1pF	±0.25pF	511-1003-1-ND	.38	2.27	6.54	511-1003-2-ND	10,000	5.93/M	MCH155A1R1CK
			1.2pF	±0.25pF	511-1004-1-ND	.38	2.27	6.54	511-1004-2-ND	10,000	5.93/M	MCH155A1R2CK
			1.3pF	±0.25pF	511-1005-1-ND	.38	2.27	6.54	511-1005-2-ND	10,000	5.93/M	MCH155A1R3CK
			1.5pF	±0.25pF	511-1006-1-ND	.38	2.27	6.54	511-1006-2-ND	10,000	5.93/M	MCH155A1R5CK
			1.6pF	±0.25pF	511-1007-1-ND	.38	2.27	6.54	511-1007-2-ND	10,000	5.93/M	MCH155A1R6CK
			1.8pF	±0.25pF	511-1008-1-ND	.38	2.27	6.54	511-1008-2-ND	10,000	5.93/M	MCH155A1R8CK
			2.0pF	±0.25pF	511-1009-1-ND	.38	2.27	6.54	511-1009-2-ND	10,000	5.93/M	MCH155A020CK
			2.2pF	±0.25pF	511-1010-1-ND	.38	2.27	6.54	511-1010-2-ND	10,000	5.93/M	MCH155A2R2CK
			2.4pF	±0.25pF	511-1011-1-ND	.38	2.27	6.54	511-1011-2-ND	10,000	5.93/M	MCH155A2R4CK
			2.7pF	±0.25pF	511-1012-1-ND	.38	2.27	6.54	511-1012-2-ND	10,000	5.93/M	MCH155A2R7CK
			3.0pF	±0.25pF	511-1013-1-ND	.38	2.27	6.54	511-1013-2-ND	10,000	5.93/M	MCH155A030CK
			3.3pF	±0.25pF	511-1014-1-ND	.38	2.27	6.54	511-1014-2-ND	10,000	5.93/M	MCH155A3R3CK
			3.6pF	±0.25pF	511-1015-1-ND	.38	2.27	6.54	511-1015-2-ND	10,000	5.93/M	MCH155A3R6CK
			3.9pF	±0.25pF	511-1016-1-ND	.38	2.27	6.54	511-1016-2-ND	10,000	5.93/M	MCH155A3R9CK
			4.0pF	±0.25pF	511-1017-1-ND	.38	2.27	6.54	511-1017-2-ND	10,000	5.93/M	MCH155A040CK
			4.3pF	±0.25pF	511-1018-1-ND	.38	2.27	6.54	511-1018-2-ND	10,000	5.93/M	MCH155A4R3CK
			4.7pF	±0.25pF	511-1019-1-ND	.38	2.27	6.54	511-1019-2-ND	10,000	5.93/M	MCH155A4R7CK
			5.0pF	±0.25pF	511-1020-1-ND	.38	2.27	6.54	511-1020-2-ND	10,000	5.93/M	MCH155A050CK
			5.1pF	±0.5pF	511-1021-1-ND	.38	2.27	6.54	511-1021-2-ND	10,000	5.93/M	MCH155A5R1DK
			5.6pF	±0.5pF	511-1022-1-ND	.38	2.27	6.54	511-1022-2-ND	10,000	5.93/M	MCH155A5R6DK
			6.0pF	±0.5pF	511-1023-1-ND	.38	2.27	6.54	511-1023-2-ND	10,000	5.93/M	MCH155A060DK
			6.2pF	±0.5pF	511-1024-1-ND	.38	2.27	6.54	511-1024-2-ND	10,000	5.93/M	MCH155A6R2DK
			6.8pF	±0.5pF	511-1025-1-ND	.38	2.27	6.54	511-1025-2-ND	10,000	5.93/M	MCH155A6R8DK
			7.0pF	±0.5pF	511-1026-1-ND	.38	2.27	6.54	511-1026-2-ND	10,000	5.93/M	MCH155A070DK
			7.5pF	±0.5pF	511-1027-1-ND	.38	2.27	6.54	511-1027-2-ND	10,000	5.93/M	MCH155A7R5DK
			8.0pF	±0.5pF	511-1028-1-ND	.38	2.27	6.54	511-1028-2-ND	10,000	5.93/M	MCH155A080DK
			8.2pF	±0.5pF	511-1029-1-ND	.38	2.27	6.54	511-1029-2-ND	10,000	5.93/M	MCH155A8R2DK
			9.0pF	±0.5pF	511-1030-1-ND	.38	2.27	6.54	511-1030-2-ND	10,000	5.93/M	MCH155A090DK
			9.1pF	±0.5pF	511-1031-1-ND	.38	2.27	6.54	511-1031-2-ND	10,000	5.93/M	MCH155A9R1DK
			10pF	±0.5pF	511-1032-1-ND	.38	2.27	6.54	511-1032-2-ND	10,000	5.93/M	MCH155A100DK
			11pF	±5%	511-1033-1-ND	.38	2.27	6.54	511-1033-2-ND	10,000	5.93/M	MCH155A110JK
			12pF	±5%	511-1034-1-ND	.38	2.27	6.54	511-1034-2-ND	10,000	5.93/M	MCH155A120JK
			13pF	±5%	511-1035-1-ND	.41	2.41	6.97	511-1035-2-ND	10,000	6.78/M	MCH155A130JK
			15pF	±5%	511-1036-1-ND	.38	2.27	6.54	511-1036-2-ND	10,000	5.93/M	MCH155A150JK
			16pF	±5%	511-1037-1-ND	.38	2.27	6.54	511-1037-2-ND	10,000	5.93/M	MCH155A160JK
			18pF	±5%	511-1038-1-ND	.38	2.27	6.54	511-1038-2-ND	10,000	5.93/M	MCH155A180JK
			20pF	±5%	511-1039-1-ND	.38	2.27	6.54	511-1039-2-ND	10,000	5.93/M	MCH155A200JK
			22pF	±5%	511-1040-1-ND	.38	2.27	6.54	511-1040-2-ND	10,000	5.93/M	MCH155A220JK
			24pF	±5%	511-1041-1-ND	.38	2.27	6.54	511-1041-2-ND	10,000	5.93/M	MCH155A240JK
			27pF	±5%	511-1042-1-ND	.38	2.27	6.54	511-1042-2-ND	10,000	5.93/M	MCH155A270JK
			30pF	±5%	511-1043-1-ND	.38	2.27	6.54	511-1043-2-ND	10,000	5.93/M	MCH155A300JK
			33pF	±5%	511-1044-1-ND	.38	2.27	6.54	511-1044-2-ND	10,000	5.93/M	MCH155A330JK
			36pF	±5%	511-1045-1-ND	.38	2.27	6.54	511-1045-2-ND	10,000	5.93/M	MCH155A360JK
			39pF	±5%	511-1046-1-ND	.38	2.27	6.54	511-1046-2-ND	10,000	5.93/M	MCH155A390JK
			43pF	±5%	511-1047-1-ND	.38	2.27	6.54	511-1047-2-ND	10,000	5.93/M	MCH155A430JK
			47pF	±5%	511-1048-1-ND	.38	2.27	6.54	511-1048-2-ND	10,000	5.93/M	MCH155A470JK
			51pF	±5%	511-1049-1-ND	.38	2.27	6.54	511-1049-2-ND	10,000	5.93/M	MCH155A510JK
			56pF	±5%	511-1050-1-ND	.38	2.27	6.54	511-1050-2-ND	10,000	5.93/M	MCH155A560JK
			62pF	±5%	511-1051-1-ND	.38	2.27	6.54	511-1051-2-ND	10,000	5.93/M	MCH155A620JK
			68pF	±5%	511-1052-1-ND	.38	2.27	6.54	511-1052-2-ND	10,000	5.93/M	MCH155A680JK
			75pF	±5%	511-1053-1-ND	.43	2.57	7.40	511-1053-2-ND	10,000	6.78/M	MCH155A750JK
			82pF	±5%	511-1054-1-ND	.38	2.27	6.54	511-1054-2-ND	10,000	5.93/M	MCH155A820JK
			91pF	±5%	511-1055-1-ND	.43	2.57	7.40	511-1055-2-ND	10,000	6.78/M	MCH155A910JK
			100pF	±5%	511-1056-1-ND	.38	2.27	6.54	511-1056-2-ND	10,000	5.93/M	MCH155A101JK
			110pF	±5%	511-1057-1-ND	.48	2.85	8.24	511-1057-2-ND	10,000	7.62/M	MCH155A111JK
			120pF	±5%	511-1058-1-ND	.38	2.27	6.54	511-1058-2-ND	10,000	5.93/M	MCH155A121JK
			130pF	±5%	511-1059-1-ND	.48	2.85	8.24	511-1059-2-ND	10,000	7.62/M	MCH155A131JK
			150pF	±5%	511-1060-1-ND	.48	2.85	8.24	511-1060-2-ND	10,000	7.62/M	MCH155A151JK
			160pF	±5%	511-1061-1-ND	.56	3.29	9.51	511-1061-2-ND	10,000	9.32/M	MCH155A161JK
			180pF	±5%	511-1062-1-ND	.45	2.63	7.60	511-1062-2-ND	10,000	7.62/M	MCH155A181JK
			200pF	±5%	511-1063-1-ND	.56	3.29	9.51	511-1063-2-ND	10,000	9.32/M	MCH155A201JK
			220pF	±5%	511-1064-1-ND	.56	3.29	9.51	511-1064-2-ND	10,000	9.32/M	MCH155A221JK
	X7R	50	220pF	±10%	511-1065-1-ND	.38	2.27	6.54	511-1065-2-ND	10,000	5.93/M	MCH155CN221KK
			330pF	±10%	511-1066-1-ND	.38	2.27	6.54	511-1066-2-ND	10,000	5.93/M	MCH155CN331KK
			470pF	±10%	511-1067-1-ND	.38	2.27	6.54	511-1067-2-ND	10,000	5.93/M	MCH155CN471KK
			680pF	±10%	511-1068-1-ND	.38	2.27	6.54	511-1068-2-ND	10,000	5.93/M	MCH155CN681KK
			1,000pF	±10%	511-1069-1-ND	.38	2.27	6.54	511-1069-2-ND	10,000	5.93/M	MCH155CN102KK
			1,500pF	±10%	511-1070-1-ND	.38	2.27	6.54	511-1070-2-ND	10,000	5.93/M	MCH155CN152KK
			2,200pF	±10%	511-1071-1-ND	.38	2.27	6.54	511-1071-2-ND	10,000	5.93/M	MCH155CN222KK
			2,700pF	±10%	511-1072-1-ND	.38	2.27	6.54	511-1072-2-ND	10,000	5.93/M	MCH155CN272KK
			3,300pF	±10%	511-1073-1-ND	.38	2.27	6.54	511-1073-2-ND	10,000	5.93/M	MCH155CN332KK
			4,700pF	±10%	511-1074-1-ND	.38	2.27	6.54	511-1074-2-ND	10,000	5.93/M	MCH155CN472KK
			6,800pF	±10%	511-1075-1-ND	.38	2.27	6.54	511-1075-2-ND	10,000	5.93/M	MCH155CN682KK
		25	10,000pF	±10%	511-1077-1-ND	.38	2.27	6.54	511-1077-2-ND	10,000	5.93/M	MCH152CN103KK
		16	10,000pF	±10%	511-1078-1-ND	.38	2.27	6.54	511-1078-2-ND	10,000	5.93/M	MCH153CN103KK
	Y5V	50	1,000pF	+80/-20%	511-1079-1-ND	.38	2.27	6.54	511-1079-2-ND	10,000	5.93/M	MCH155FN102ZK
			2,200pF	+80/-20%	511-1080-1-ND	.38	2.27	6.54	511-1080-2-ND	10,000	5.93/M	MCH155FN222ZK
			4,700pF	+80/-20%	511-1081-1-ND	.38	2.27	6.54	511-1081-2-ND	10,000	5.93/M	MCH155FN472ZK
			10,000pF	+80/-20%	511-1082-1-ND	.38	2.27	6.54	511-1082-2-ND	10,000	5.93/M	MCH155FN103ZK
		25	22,000pF	+80/-20%	511-1083-1-ND	.38	2.27	6.54	511-1083-2-ND	10,000	5.93/M	MCH152FN223ZK
		16	47,000pF	+80/-20%	511-1084-1-ND	.38	2.27	6.54	511-1084-2-ND	10,000	5.93/M	MCH153FN473ZK
			.10 µF	+80/-20%	511-1085-1-ND	.38	2.27	6.54	511-1085-2-ND	10,000	5.93/M	MCH153FN104ZK
0603	C0G	50	0.5pF	±0.25pF	511-1086-1-ND	.43	2.57	7.40	511-1086-2-ND	4,000	6.78/M	MCH185A0R5CK
			0.75pF	±0.25pF	511-1087-1-ND	.48	2.85	8.24	511-1087-2-ND	4,000	7.62/M	MCH185AR75CK
			1.0pF	±0.25pF	511-1088-1-ND	.43	2.57	7.40	511-1088-2-ND	4,000	6.78/M	MCH185A010CK

(Forts.)

Alle Preisangaben in Euro und inklusive Zollgebühren.

Größen-code	Typ	Betriebs-spannung DC	Kapazität	Toleranz	Digi-Key Teilenr.	Gurtabschnittspreise 10	100	500	Digi-Key Teilenr.	Gegurtet auf Rolle Größe	Preisangaben	Rohm Teilenr.
0603	C0G	50	1.2pF	±0.25pF	511-1089-1-ND	.48	2.85	8.24	511-1089-2-ND	4,000	7.62/M	MCH185A1R2CK
			1.3pF	±0.25pF	511-1090-1-ND	.48	2.85	8.24	511-1090-2-ND	4,000	7.62/M	MCH185A1R3CK
			1.5pF	±0.25pF	511-1091-1-ND	.48	2.85	8.24	511-1091-2-ND	4,000	7.62/M	MCH185A1R5CK
			1.8pF	±0.25pF	511-1092-1-ND	.48	2.85	8.24	511-1092-2-ND	4,000	7.62/M	MCH185A1R8CK
			2.0pF	±0.25pF	511-1093-1-ND	.43	2.57	7.40	511-1093-2-ND	4,000	6.78/M	MCH185A020CK
			2.2pF	±0.25pF	511-1094-1-ND	.48	2.85	8.24	511-1094-2-ND	4,000	7.62/M	MCH185A2R2CK
			2.4pF	±0.25pF	511-1095-1-ND	.48	2.85	8.24	511-1095-2-ND	4,000	7.62/M	MCH185A2R4CK
			2.7pF	±0.25pF	511-1096-1-ND	.48	2.85	8.24	511-1096-2-ND	4,000	7.62/M	MCH185A2R7CK
			3.0pF	±0.25pF	511-1097-1-ND	.43	2.57	7.40	511-1097-2-ND	4,000	6.78/M	MCH185A030CK
			3.3pF	±0.25pF	511-1098-1-ND	.48	2.85	8.24	511-1098-2-ND	4,000	7.62/M	MCH185A3R3CK
			3.6pF	±0.25pF	511-1099-1-ND	.48	2.85	8.24	511-1099-2-ND	4,000	7.62/M	MCH185A3R6CK
			3.9pF	±0.25pF	511-1100-1-ND	.48	2.85	8.24	511-1100-2-ND	4,000	7.62/M	MCH185A3R9CK
			4.0pF	±0.25pF	511-1101-1-ND	.43	2.57	7.40	511-1101-2-ND	4,000	6.78/M	MCH185A040CK
			4.7pF	±0.25pF	511-1102-1-ND	.48	2.85	8.24	511-1102-2-ND	4,000	7.62/M	MCH185A4R7CK
			5.0pF	±0.25pF	511-1103-1-ND	.43	2.57	7.40	511-1103-2-ND	4,000	6.78/M	MCH185A050CK
			5.1pF	±0.5pF	511-1104-1-ND	.48	2.85	8.24	511-1104-2-ND	4,000	7.62/M	MCH185A5R1DK
			5.6pF	±0.5pF	511-1105-1-ND	.48	2.85	8.24	511-1105-2-ND	4,000	7.62/M	MCH185A5R6DK
			6.0pF	±0.5pF	511-1106-1-ND	.43	2.57	7.40	511-1106-2-ND	4,000	6.78/M	MCH185A060DK
			6.2pF	±0.5pF	511-1107-1-ND	.48	2.85	8.24	511-1107-2-ND	4,000	7.62/M	MCH185A6R2DK
			6.8pF	±0.5pF	511-1108-1-ND	.48	2.85	8.24	511-1108-2-ND	4,000	7.62/M	MCH185A6R8DK
			7.0pF	±0.5pF	511-1109-1-ND	.43	2.57	7.40	511-1109-2-ND	4,000	6.78/M	MCH185A070DK
			7.5pF	±0.5pF	511-1110-1-ND	.48	2.85	8.24	511-1110-2-ND	4,000	7.62/M	MCH185A7R5DK
			8.0pF	±0.5pF	511-1111-1-ND	.43	2.57	7.40	511-1111-2-ND	4,000	6.78/M	MCH185A080DK
			8.2pF	±0.5pF	511-1112-1-ND	.48	2.85	8.24	511-1112-2-ND	4,000	7.62/M	MCH185A8R2DK
			9.0pF	±0.5pF	511-1113-1-ND	.43	2.57	7.40	511-1113-2-ND	4,000	6.78/M	MCH185A090DK
			10pF	±0.5pF	511-1114-1-ND	.43	2.57	7.40	511-1114-2-ND	4,000	6.78/M	MCH185A100DK
			11pF	±5%	511-1115-1-ND	.48	2.85	8.24	511-1115-2-ND	4,000	7.62/M	MCH185A110JK
			12pF	±5%	511-1116-1-ND	.48	2.85	8.24	511-1116-2-ND	4,000	7.62/M	MCH185A120JK
			13pF	±5%	511-1117-1-ND	.48	2.85	8.24	511-1117-2-ND	4,000	7.62/M	MCH185A130JK
			15pF	±5%	511-1118-1-ND	.48	2.85	8.24	511-1118-2-ND	4,000	7.62/M	MCH185A150JK
			16pF	±5%	511-1119-1-ND	.48	2.85	8.24	511-1119-2-ND	4,000	7.62/M	MCH185A160JK
			18pF	±5%	511-1120-1-ND	.48	2.85	8.24	511-1120-2-ND	4,000	7.62/M	MCH185A180JK
			20pF	±5%	511-1121-1-ND	.48	2.85	8.24	511-1121-2-ND	4,000	7.62/M	MCH185A200JK
			22pF	±5%	511-1122-1-ND	.48	2.85	8.24	511-1122-2-ND	4,000	7.62/M	MCH185A220JK
			24pF	±5%	511-1123-1-ND	.48	2.85	8.24	511-1123-2-ND	4,000	7.62/M	MCH185A240JK
			27pF	±5%	511-1124-1-ND	.48	2.85	8.24	511-1124-2-ND	4,000	7.62/M	MCH185A270JK
			30pF	±5%	511-1125-1-ND	.48	2.85	8.24	511-1125-2-ND	4,000	7.62/M	MCH185A300JK
			33pF	±5%	511-1126-1-ND	.48	2.85	8.24	511-1126-2-ND	4,000	7.62/M	MCH185A330JK
			36pF	±5%	511-1127-1-ND	.48	2.85	8.24	511-1127-2-ND	4,000	7.62/M	MCH185A360JK
			39pF	±5%	511-1128-1-ND	.48	2.85	8.24	511-1128-2-ND	4,000	7.62/M	MCH185A390JK
			43pF	±5%	511-1129-1-ND	.48	2.85	8.24	511-1129-2-ND	4,000	7.62/M	MCH185A430JK
			47pF	±5%	511-1130-1-ND	.48	2.85	8.24	511-1130-2-ND	4,000	7.62/M	MCH185A470JK
			51pF	±5%	511-1131-1-ND	.48	2.85	8.24	511-1131-2-ND	4,000	7.62/M	MCH185A510JK
			56pF	±5%	511-1132-1-ND	.48	2.85	8.24	511-1132-2-ND	4,000	7.62/M	MCH185A560JK
			62pF	±5%	511-1133-1-ND	.48	2.85	8.24	511-1133-2-ND	4,000	7.62/M	MCH185A620JK
			68pF	±5%	511-1134-1-ND	.48	2.85	8.24	511-1134-2-ND	4,000	7.62/M	MCH185A680JK
			75pF	±5%	511-1135-1-ND	.48	2.85	8.24	511-1135-2-ND	4,000	7.62/M	MCH185A750JK
			82pF	±5%	511-1136-1-ND	.48	2.85	8.24	511-1136-2-ND	4,000	7.62/M	MCH185A820JK
			91pF	±5%	511-1137-1-ND	.48	2.85	8.24	511-1137-2-ND	4,000	7.62/M	MCH185A910JK
			100pF	±5%	511-1138-1-ND	.48	2.85	8.24	511-1138-2-ND	4,000	7.62/M	MCH185A101JK
			110pF	±5%	511-1139-1-ND	.48	2.85	8.24	511-1139-2-ND	4,000	7.62/M	MCH185A111JK
			120pF	±5%	511-1140-1-ND	.48	2.85	8.24	511-1140-2-ND	4,000	7.62/M	MCH185A121JK
			130pF	±5%	511-1141-1-ND	.48	2.85	8.24	511-1141-2-ND	4,000	7.62/M	MCH185A131JK
			150pF	±5%	511-1142-1-ND	.48	2.85	8.24	511-1142-2-ND	4,000	7.62/M	MCH185A151JK
			160pF	±5%	511-1143-1-ND	.64	3.81	10.99	511-1143-2-ND	4,000	10.16/M	MCH185A161JK
			180pF	±5%	511-1144-1-ND	.48	2.85	8.24	511-1144-2-ND	4,000	7.62/M	MCH185A181JK
			200pF	±5%	511-1145-1-ND	.64	3.81	10.99	511-1145-2-ND	4,000	10.16/M	MCH185A201JK
			220pF	±5%	511-1146-1-ND	.56	3.29	9.51	511-1146-2-ND	4,000	9.32/M	MCH185A221JK
			240pF	±5%	511-1147-1-ND	.64	3.81	10.99	511-1147-2-ND	4,000	10.16/M	MCH185A241JK
			270pF	±5%	511-1148-1-ND	.56	3.29	9.51	511-1148-2-ND	4,000	9.32/M	MCH185A271JK
			300pF	±5%	511-1149-1-ND	.64	3.81	10.99	511-1149-2-ND	4,000	10.16/M	MCH185A301JK
			330pF	±5%	511-1150-1-ND	.72	4.24	12.24	511-1150-2-ND	4,000	11.86/M	MCH185A331JK
			360pF	±5%	511-1151-1-ND	.88	5.20	14.98	511-1151-2-ND	4,000	14.40/M	MCH185A361JK
			390pF	±5%	511-1152-1-ND	.72	4.24	12.24	511-1152-2-ND	4,000	11.86/M	MCH185A391JK
			430pF	±5%	511-1153-1-ND	.96	5.64	16.25	511-1153-2-ND	4,000	15.24/M	MCH185A431JK
			470pF	±5%	511-1154-1-ND	.72	4.24	12.24	511-1154-2-ND	4,000	11.86/M	MCH185A471JK
			510pF	±5%	511-1155-1-ND	.88	5.20	14.98	511-1155-2-ND	4,000	14.40/M	MCH185A511JK
			560pF	±5%	511-1156-1-ND	.72	4.24	12.24	511-1156-2-ND	4,000	11.86/M	MCH185A561JK
			680pF	±5%	511-1157-1-ND	1.12	6.59	19.00	511-1157-2-ND	4,000	18.63/M	MCH185A681JK
			750pF	±5%	511-1158-1-ND	1.12	6.59	19.00	511-1158-2-ND	4,000	18.63/M	MCH185A751JK
			820pF	±5%	511-1159-1-ND	.96	5.64	16.25	511-1159-2-ND	4,000	15.24/M	MCH185A821JK
	X7R	50	220pF	±10%	511-1160-1-ND	.48	2.85	8.24	511-1160-2-ND	4,000	7.62/M	MCH185CN221KK
			330pF	±10%	511-1161-1-ND	.48	2.85	8.24	511-1161-2-ND	4,000	7.62/M	MCH185CN331KK
			470pF	±10%	511-1162-1-ND	.48	2.85	8.24	511-1162-2-ND	4,000	7.62/M	MCH185CN471KK
			680pF	±10%	511-1163-1-ND	.48	2.85	8.24	511-1163-2-ND	4,000	7.62/M	MCH185CN681KK
			1,000pF	±10%	511-1164-1-ND	.48	2.85	8.24	511-1164-2-ND	4,000	7.62/M	MCH185CN102KK
			1,500pF	±10%	511-1165-1-ND	.48	2.85	8.24	511-1165-2-ND	4,000	7.62/M	MCH185CN152KK
			2,200pF	±10%	511-1166-1-ND	.48	2.85	8.24	511-1166-2-ND	4,000	7.62/M	MCH185CN222KK
			2,700pF	±10%	511-1167-1-ND	.48	2.85	8.24	511-1167-2-ND	4,000	7.62/M	MCH185CN272KK
			3,300pF	±10%	511-1168-1-ND	.48	2.85	8.24	511-1168-2-ND	4,000	7.62/M	MCH185CN332KK
			4,700pF	±10%	511-1169-1-ND	.48	2.85	8.24	511-1169-2-ND	4,000	7.62/M	MCH185CN472KK
			6,800pF	±10%	511-1170-1-ND	.48	2.85	8.24	511-1170-2-ND	4,000	7.62/M	MCH185CN682KK
			10,000pF	±10%	511-1171-1-ND	.48	2.85	8.24	511-1171-2-ND	4,000	7.62/M	MCH185CN103KK
			12,000pF	±10%	511-1172-1-ND	.48	2.85	8.24	511-1172-2-ND	4,000	7.62/M	MCH185CN123KK
			15,000pF	±10%	511-1173-1-ND	.48	2.85	8.24	511-1173-2-ND	4,000	7.62/M	MCH185CN153KK
			22,000pF	±10%	511-1174-1-ND	.48	2.85	8.24	511-1174-2-ND	4,000	7.62/M	MCH185CN223KK
			.10µF	±10%	511-1175-1-ND	.80	4.76	13.73	511-1175-2-ND	4,000	13.55/M	MCH185CN104KK
		25	33,000pF	±10%	511-1176-1-ND	.56	3.29	9.51	511-1176-2-ND	4,000	9.32/M	MCH182CN333KK
			47,000pF	±10%	511-1177-1-ND	.64	3.81	10.99	511-1177-2-ND	4,000	10.16/M	MCH182CN473KK
			68,000pF	±10%	511-1178-1-ND	.64	3.81	10.99	511-1178-2-ND	4,000	10.16/M	MCH182CN683KK
			.10µF	±10%	511-1179-1-ND	.52	3.07	8.87	511-1179-2-ND	4,000	8.47/M	MCH182CN104KK
	Y5V	50	1,000pF	+80/-20%	511-1180-1-ND	.48	2.85	8.24	511-1180-2-ND	4,000	7.62/M	MCH185FN102ZK
			2,200pF	+80/-20%	511-1181-1-ND	.48	2.85	8.24	511-1181-2-ND	4,000	7.62/M	MCH185FN222ZK
			4,700pF	+80/-20%	511-1182-1-ND	.48	2.85	8.24	511-1182-2-ND	4,000	7.62/M	MCH185FN472ZK
			10,000pF	+80/-20%	511-1183-1-ND	.48	2.85	8.24	511-1183-2-ND	4,000	7.62/M	MCH185FN103ZK
			22,000pF	+80/-20%	511-1184-1-ND	.48	2.85	8.24	511-1184-2-ND	4,000	7.62/M	MCH185FN223ZK
			47,000pF	+80/-20%	511-1185-1-ND	.48	2.85	8.24	511-1185-2-ND	4,000	7.62/M	MCH185FN473ZK
		25	.10 µF	+80/-20%	511-1186-1-ND	.37	2.19	6.33	511-1186-2-ND	4,000	5.93/M	MCH182FN104ZK
		16	.22µF	+80/-20%	511-1187-1-ND	.41	2.41	6.97	511-1187-2-ND	4,000	6.78/M	MCH183FN224ZK

Vielschicht-Keramikchipkondensatoren zur Oberflächenmontage

Merkmale:
- Hohe Kapazität pro Einheitsvolumen
- Für hochfrequente Anwendungen
- Ni-Sperrenterminierung

Anwendungen:
- Verbraucherelektronik
- Telekommunikation
- Kfz
- Datenverarbeitung

Der Kondensator besteht aus einem rechteckigen Block eines Keramikdielektrikums, in dem eine Anzahl verzahnter Metallelektroden enthalten sind.

Diese Stuktur ermöglicht eine hohe Kapazität pro Einheitsvolumen.

Die inneren Elektroden sind durch Tauchbeschichtungen aus Silber oder Kupfer mit einer vernickelten Schutzschicht mit den zwei Abschlüssen verbunden und zum Schluss mit einer Verzinnungsschicht versehen (NiSn).

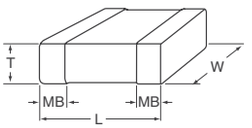

Gehäuse-größe	L	W	T Min.	T Max.	MB
0402	.040" (1.0mm)	.020" (0.5mm)	.018" (.45mm)	.022" (.55mm)	.010" (.25mm)
0603	.063" (1.6mm)	.030" (0.8mm)	.029" (.73mm)	.035" (.87mm)	.015" (.40mm)
0805	.080" (2.0mm)	.050" (1.25mm)	.020" (.50mm)	.053" (1.35mm)	.020" (.50mm)
1206	.125" (3.2mm)	.063" (1.60mm)	.020" (.50mm)	.069" (1.75mm)	.025" (.60mm)
1812	.180" (4.5mm)	.125" (3.2mm)	.020" (.50mm)	.072" (1.80mm)	.030" (.75mm)

Gehäuse-größe	Typ	Betriebs-spannung DC	Kapazität	Toleranz	Digi-Key Teilenr.	Gurtabschnittspreise 10	100	500	Digi-Key Teilenr.	Gegurtet auf Rolle Größe	Preisangaben	BC Components Teilenr.
0402	NPO	50	1.5pF	±0.25pF	BC1189CT-ND	.56	3.30	9.52	—	—	—	VJ0402A1R5CXACW1BC
		50	1.8pF	±0.25pF	BC1190CT-ND	.25	1.43	4.13	BC1190TR-ND	10,000	3.31/M	VJ0402A1R8CXACW1BC
		50	2.7pF	±0.25pF	BC1191CT-ND	.25	1.43	4.13	BC1191TR-ND	10,000	3.31/M	VJ0402A2R7CXACW1BC
		50	3.3pF	±0.25pF	BC1192CT-ND	.25	1.43	4.13	BC1192TR-ND	10,000	3.31/M	VJ0402A3R3CXACW1BC
		50	5.6pF	±0.50pF	BC1193CT-ND	.25	1.43	4.13	BC1193TR-ND	10,000	3.31/M	VJ0402A5R6DXACW1BC
		50	8.2pF	±0.50pF	BC1194CT-ND	.25	1.43	4.13	BC1194TR-ND	10,000	3.31/M	VJ0402A8R2DXACW1BC
		50	10pF	±5%	BC1195CT-ND	.25	1.43	4.13	BC1195TR-ND	10,000	3.31/M	VJ0402A100JXACW1BC
		50	12pF	±5%	BC1196CT-ND	.25	1.43	4.13	BC1196TR-ND	10,000	3.31/M	VJ0402A120JXACW1BC
		50	22pF	±5%	BC1197CT-ND	.25	1.43	4.13	BC1197TR-ND	10,000	3.31/M	VJ0402A220JXACW1BC
		50	27pF	±5%	BC1198CT-ND	.56	3.30	9.52	—	—	—	VJ0402A270JXACW1BC
		50	33pF	±5%	BC1199CT-ND	.25	1.43	4.13	BC1199TR-ND	10,000	3.31/M	VJ0402A330JXACW1BC
		50	39pF	±5%	BC1200CT-ND	.25	1.43	4.13	—	—	—	VJ0402A390JXACW1BC
		50	47pF	±5%	BC1201CT-ND	.25	1.43	4.13	BC1201TR-ND	10,000	3.31/M	VJ0402A470JXACW1BC
		50	56pF	±5%	BC1202CT-ND	.25	1.43	4.13	—	—	—	VJ0402A560JXACW1BC
		50	100pF	±5%	BC1204CT-ND	.25	1.43	4.13	BC1204TR-ND	10,000	3.31/M	VJ0402A101JXACW1BC
	X7R	50	220pF	±10%	BC1205CT-ND	.24	1.38	3.97	BC1205TR-ND	10,000	3.18/M	VJ0402Y221KXACW1BC
		50	330pF	±10%	BC1206CT-ND	.24	1.38	3.97	BC1206TR-ND	10,000	3.18/M	VJ0402Y331KXACW1BC
		50	470pF	±10%	BC1207CT-ND	.24	1.38	3.97	BC1207TR-ND	10,000	3.18/M	VJ0402Y471KXACW1BC
		50	560pF	±10%	BC1208CT-ND	.24	1.38	3.97	—	—	—	VJ0402Y561KXACW1BC
		50	1000pF	±10%	BC1210CT-ND	.58	3.41	9.85	BC1210TR-ND	10,000	3.18/M	VJ0402Y102KXACW1BC
		50	1500pF	±10%	BC1212CT-ND	.24	1.38	3.97	BC1212TR-ND	10,000	3.18/M	VJ0402Y152KXACW1BC
		16	4700pF	±10%	BC1214CT-ND	.24	1.38	3.97	BC1214TR-ND	10,000	3.18/M	VJ0402Y472KXJCW1BC
		16	10000pF	±10%	BC1217CT-ND	.24	1.38	3.97	BC1217TR-ND	10,000	3.18/M	VJ0402Y103KXJCW1BC
	Y5V	16	10000pF	+80/-20%	BC1218CT-ND	.24	1.38	3.97	BC1218TR-ND	10,000	3.18/M	VJ0402V103ZXJCW1BC
		16	33000pF	+80/-20%	BC1220CT-ND	.47	2.75	7.94	—	—	—	VJ0402V333ZXJCW1BC
		16	47000pF	+80/-20%	BC1221CT-ND	.24	1.38	3.97	BC1221TR-ND	10,000	3.18/M	VJ0402V473ZXJCW1BC
		16	.10µF	+80/-20%	BC1222CT-ND	.21	1.27	3.65	BC1222TR-ND	10,000	2.93/M	VJ0402V104ZXJCW1BC
0603	NPO	50	1.0pF	±0.25pF	BC1223CT-ND	.25	1.49	4.28	BC1223TR-ND	4,000	4.12/M	VJ0603A1R0CXACW1BC
		50	10pF	±5%	BC1225CT-ND	.25	1.49	4.28	BC1225TR-ND	4,000	4.12/M	VJ0603A100JXACW1BC
		50	12pF	±5%	BC1226CT-ND	.25	1.49	4.28	BC1226TR-ND	4,000	4.12/M	VJ0603A120JXACW1BC
		50	18pF	±5%	BC1228CT-ND	.25	1.49	4.28	BC1228TR-ND	4,000	4.12/M	VJ0603A180JXACW1BC
		50	22pF	±5%	BC1229CT-ND	.25	1.49	4.28	BC1229TR-ND	4,000	4.12/M	VJ0603A220JXACW1BC
		50	27pF	±5%	BC1230CT-ND	.25	1.49	4.28	BC1230TR-ND	4,000	4.12/M	VJ0603A270JXACW1BC
		50	33pF	±5%	BC1231CT-ND	.25	1.49	4.28	BC1231TR-ND	4,000	4.12/M	VJ0603A330JXACW1BC
		50	47pF	±5%	BC1232CT-ND	.25	1.49	4.28	BC1232TR-ND	4,000	4.12/M	VJ0603A470JXACW1BC
		50	56pF	±5%	BC1233CT-ND	.25	1.49	4.28	BC1233TR-ND	4,000	4.12/M	VJ0603A560JXACW1BC
		50	68pF	±5%	BC1234CT-ND	.25	1.49	4.28	—	—	—	VJ0603A680JXACW1BC
		50	100pF	±5%	BC1236CT-ND	.25	1.49	4.28	BC1236TR-ND	4,000	4.12/M	VJ0603A101JXACW1BC
		50	150pF	±5%	BC1238CT-ND	.31	1.87	5.40	BC1238TR-ND	4,000	5.18/M	VJ0603A151JXACW1BC
		50	180pF	±5%	BC1239CT-ND	.35	2.04	5.88	BC1239TR-ND	4,000	5.64/M	VJ0603A181JXACW1BC
		50	220pF	±5%	BC1240CT-ND	.35	2.04	5.88	BC1240TR-ND	4,000	5.64/M	VJ0603A221JXACW1BC
		50	270pF	±5%	BC1241CT-ND	.44	2.59	7.46	BC1241TR-ND	4,000	7.17/M	VJ0603A271JXACW1BC
		50	330pF	±5%	BC1242CT-ND	.44	2.59	7.46	BC1242TR-ND	4,000	7.17/M	VJ0603A331JXACW1BC
	X7R	50	220pF	±10%	BC1244CT-ND	.25	1.43	4.13	BC1244TR-ND	4,000	3.97/M	VJ0603Y221KXACW1BC
		50	560pF	±10%	BC1246CT-ND	.25	1.43	4.13	BC1246TR-ND	4,000	3.97/M	VJ0603Y561KXACW1BC
		50	1000pF	±10%	BC1247CT-ND	.25	1.43	4.13	BC1247TR-ND	4,000	3.97/M	VJ0603Y102KXACW1BC
		50	2200pF	±10%	BC1248CT-ND	.25	1.43	4.13	BC1248TR-ND	4,000	3.97/M	VJ0603Y222KXACW1BC
		50	3300pF	±10%	BC1249CT-ND	.25	1.43	4.13	BC1249TR-ND	4,000	3.97/M	VJ0603Y332KXACW1BC
		50	4700pF	±10%	BC1250CT-ND	.25	1.43	4.13	BC1250TR-ND	4,000	3.97/M	VJ0603Y472KXACW1BC
		50	10000pF	±10%	BC1252CT-ND	.25	1.43	4.13	BC1252TR-ND	4,000	3.97/M	VJ0603Y103KXACW1BC
		16	.10µF	±10%	BC1254CT-ND	.53	3.14	9.05	BC1254TR-ND	4,000	8.69/M	VJ0603Y104KXJCW1BC
	Y5V	25	.10µF	+80/-20%	BC1255CT-ND	.25	1.43	4.13	BC1255TR-ND	4,000	3.97/M	VJ0603V104ZXXCW1BC
0805	NPO	50	10pF	±5%	BC1256CT-ND	.44	2.59	7.46	BC1256TR-ND	4,000	7.17/M	VJ0805A100JXACW1BC
		50	12pF	±5%	BC1257CT-ND	.44	2.59	7.46	BC1257TR-ND	4,000	7.17/M	VJ0805A120JXACW1BC
		50	15pF	±5%	BC1258CT-ND	.44	2.59	7.46	BC1258TR-ND	4,000	7.17/M	VJ0805A150JXACW1BC
		50	18pF	±5%	BC1259CT-ND	.44	2.59	7.46	BC1259TR-ND	4,000	7.17/M	VJ0805A180JXACW1BC
		50	22pF	±5%	BC1260CT-ND	.44	2.59	7.46	BC1260TR-ND	4,000	7.17/M	VJ0805A220JXACW1BC
		50	33pF	±5%	BC1262CT-ND	.44	2.59	7.46	BC1262TR-ND	4,000	7.17/M	VJ0805A330JXACW1BC
		50	39pF	±5%	BC1263CT-ND	.44	2.59	7.46	BC1263TR-ND	4,000	7.17/M	VJ0805A390JXACW1BC
		50	47pF	±5%	BC1264CT-ND	.44	2.59	7.46	BC1264TR-ND	4,000	7.17/M	VJ0805A470JXACW1BC
		50	68pF	±5%	BC1266CT-ND	.44	2.59	7.46	BC1266TR-ND	4,000	7.17/M	VJ0805A680JXACW1BC
		50	100pF	±5%	BC1268CT-ND	.44	2.59	7.46	BC1268TR-ND	4,000	7.17/M	VJ0805A101JXACW1BC
		50	120pF	±5%	BC1269CT-ND	.58	3.41	9.85	BC1269TR-ND	4,000	9.45/M	VJ0805A121JXACW1BC
		50	150pF	±5%	BC1270CT-ND	.69	4.07	11.75	BC1270TR-ND	4,000	11.28/M	VJ0805A151JXACW1BC
		50	330pF	±5%	BC1274CT-ND	.83	4.90	14.13	BC1274TR-ND	4,000	13.57/M	VJ0805A331JXACW1BC
		50	470pF	±5%	BC1276CT-ND	.83	4.90	14.13	BC1276TR-ND	4,000	13.57/M	VJ0805A471JXACW1BC
		50	1000pF	±5%	BC1279CT-ND	.86	5.06	14.60	BC1279TR-ND	4,000	14.02/M	VJ0805A102JXACW1BC
	X7R	50	220pF	±10%	BC1280CT-ND	.44	2.59	7.46	BC1280TR-ND	4,000	7.17/M	VJ0805Y221KXACW1BC
		50	1000pF	±10%	BC1284CT-ND	.44	2.59	7.46	BC1284TR-ND	4,000	7.17/M	VJ0805Y102KXACW1BC
		50	1500pF	±10%	BC1285CT-ND	.44	2.59	7.46	BC1285TR-ND	4,000	7.17/M	VJ0805Y152KXACW1BC
		50	2700pF	±10%	BC1287CT-ND	.44	2.59	7.46	BC1287TR-ND	4,000	7.17/M	VJ0805Y272KXACW1BC
		50	3300pF	±10%	BC1288CT-ND	.44	2.59	7.46	BC1288TR-ND	4,000	7.17/M	VJ0805Y332KXACW1BC
		50	3900pF	±10%	BC1289CT-ND	.44	2.59	7.46	BC1289TR-ND	4,000	7.17/M	VJ0805Y392KXACW1BC
		50	4700pF	±10%	BC1290CT-ND	.44	2.59	7.46	BC1290TR-ND	4,000	7.17/M	VJ0805Y472KXACW1BC
		50	5600pF	±10%	BC1291CT-ND	.44	2.59	7.46	BC1291TR-ND	4,000	7.17/M	VJ0805Y562KXACW1BC
		50	10000pF	±10%	BC1293CT-ND	.44	2.59	7.46	BC1293TR-ND	4,000	7.17/M	VJ0805Y103KXACW1BC
		50	27000pF	±10%	BC1297CT-ND	.53	3.14	9.05	BC1297TR-ND	4,000	8.69/M	VJ0805Y273KXACW1BC
		50	.10µF	±10%	BC1298CT-ND	.61	3.58	10.32	BC1298TR-ND	3,000	9.91/M	VJ0805Y104KXATW1BC
		25	.10µF	±10%	BC1299CT-ND	.58	3.41	9.85	BC1299TR-ND	4,000	9.45/M	VJ0805Y104KXXCW1BC
		16	.10µF	±10%	BC1300CT-ND	.58	3.41	9.85	BC1300TR-ND	4,000	9.45/M	VJ0805Y104KXJCW1BC
1206	NPO	50	10pF	±5%	BC1304CT-ND	1.23	7.26	20.95	BC1304TR-ND	4,000	20.12/M	VJ1206A100JXACW1BC
		50	15pF	±5%	BC1305CT-ND	1.23	7.26	20.95	BC1305TR-ND	4,000	20.12/M	VJ1206A150JXACW1BC
		50	22pF	±5%	BC1307CT-ND	1.23	7.26	20.95	BC1307TR-ND	4,000	20.12/M	VJ1206A220JXACW1BC
		50	27pF	±5%	BC1308CT-ND	1.23	7.26	20.95	BC1308TR-ND	4,000	20.12/M	VJ1206A270JXACW1BC
		50	33pF	±5%	BC1309CT-ND	1.23	7.26	20.95	BC1309TR-ND	4,000	20.12/M	VJ1206A330JXACW1BC
		50	39pF	±5%	BC1310CT-ND	1.23	7.26	20.95	BC1310TR-ND	4,000	20.12/M	VJ1206A390JXACW1BC
		50	47pF	±5%	BC1311CT-ND	1.23	7.26	20.95	BC1311TR-ND	4,000	20.12/M	VJ1206A470JXACW1BC
		50	100pF	±5%	BC1314CT-ND	1.23	7.26	20.95	BC1314TR-ND	4,000	20.12/M	VJ1206A101JXACW1BC
		50	1000pF	±5%	BC1316CT-ND	1.89	11.18	32.22	BC1316TR-ND	4,000	30.94/M	VJ1206A102JXACW1BC
	X7R	50	2200pF	±10%	BC1318CT-ND	1.14	6.77	19.52	BC1318TR-ND	4,000	18.75/M	VJ1206Y222KXACW1BC
		50	10000pF	±10%	BC1321CT-ND	1.14	6.77	19.52	BC1321TR-ND	4,000	18.75/M	VJ1206Y103KXACW1BC
		50	.10µF	±10%	BC1326CT-ND	1.14	6.77	19.52	—	—	—	VJ1206Y104KXACW1BC
1812	X7R	1KV	1000pF	±10%	BC1329CT-ND	12.85	75.94	219.06	—	—	—	VJ1812Y102KXGTW1BC

Alle Preisangaben in Euro und inklusive Zollgebühren.

THIN FILM TECHNOLOGY

SSM SUSUMU CO., LTD — Serie HTC High Precision, Dünnfilm-Chipkondensatoren

Besonderheiten:

- Enge Toleranz
- Niedriger ESR
- Umgedrehte Verwendung auch möglich, was Platz spart

Betriebstemperaturbereich: -40 °C ~ 85 °C **Temperaturkoeffizient ppm/°C:** 0±60 ppm/°C

Case Size	Dimensions in mm L	W	P	T
0201	0.60	0.30	0.07	0.28
0402	1.00	0.50	0.15	0.38

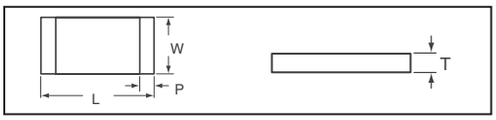

WV† DC	Kap. (pF)	Toleranz	Digi-Key Teilenr.	Gurtabschnittspreis pro Stück 10	100	500	Preis. f. geg. auf Rolle* 5,000	Susumu Teilenr.
Serie 0201								
25	.10	±0.035pf	408-1050-1-ND	.62	.37	.21	100.58/M	HTC0603-1E-R10-T35-L5
	.15	±0.035pf	408-1051-1-ND	.62	.37	.21	100.58/M	HTC0603-1E-R15-T35-L5
	.20	±0.035pf	408-1052-1-ND	.62	.37	.21	100.58/M	HTC0603-1E-R20-T35-L5
	.25	±0.035pf	408-1053-1-ND	.62	.37	.21	100.58/M	HTC0603-1E-R25-T35-L5
	.30	±0.035pf	408-1054-1-ND	.62	.37	.21	100.58/M	HTC0603-1E-R30-T35-L5
	.35	±0.035pf	408-1055-1-ND	.62	.37	.21	100.58/M	HTC0603-1E-R35-T35-L5
	.40	±0.035pf	408-1056-1-ND	.62	.37	.21	100.58/M	HTC0603-1E-R40-T35-L5
	.45	±0.035pf	408-1057-1-ND	.62	.37	.21	100.58/M	HTC0603-1E-R45-T35-L5
	.50	±0.035pf	408-1058-1-ND	.62	.37	.21	100.58/M	HTC0603-1E-R50-T35-L5
	.60	±0.035pf	408-1059-1-ND	.62	.37	.21	100.58/M	HTC0603-1E-R60-T35-L5
	.70	±0.035pf	408-1060-1-ND	.62	.37	.21	100.58/M	HTC0603-1E-R70-T35-L5
	.80	±5%	408-1061-1-ND	.62	.37	.21	100.58/M	HTC0603-1E-R80-J-L5
	.90	±5%	408-1062-1-ND	.62	.37	.21	100.58/M	HTC0603-1E-R90-J-L5
	1.0	±5%	408-1063-1-ND	.62	.37	.21	100.58/M	HTC0603-1E-1R0-J-L5
	1.2	±5%	408-1064-1-ND	.62	.37	.21	100.58/M	HTC0603-1E-1R2-J-L5
	1.5	±5%	408-1065-1-ND	.62	.37	.21	100.58/M	HTC0603-1E-1R5-J-L5
	1.8	±5%	408-1066-1-ND	.62	.37	.21	100.58/M	HTC0603-1E-1R8-J-L5
Serie 0402								
25	.10	±0.035pf	408-1067-1-ND	.77	.46	.27	124.96/M	HTC1005-1E-R10-T35-L5
	.15	±0.035pf	408-1068-1-ND	.77	.46	.27	124.96/M	HTC1005-1E-R15-T35-L5
	.20	±0.035pf	408-1069-1-ND	.77	.46	.27	124.96/M	HTC1005-1E-R20-T35-L5
	.25	±0.035pf	408-1070-1-ND	.77	.46	.27	124.96/M	HTC1005-1E-R25-T35-L5
	.35	±0.035pf	408-1072-1-ND	.77	.46	.27	124.96/M	HTC1005-1E-R35-T35-L5

WV† DC	Kap. (pF)	Toleranz	Digi-Key Teilenr.	Gurtabschnittspreis pro Stück 10	100	500	Preis. f. geg. auf Rolle* 5,000	Susumu Teilenr.
Serie 0401 (Forts.)								
25	.35	±0.035pf	408-1072-1-ND	.77	.46	.27	124.96/M	HTC1005-1E-R35-T35-L5
	.40	±0.035pf	408-1073-1-ND	.77	.46	.27	124.96/M	HTC1005-1E-R40-T35-L5
	.45	±0.035pf	408-1074-1-ND	.77	.46	.27	124.96/M	HTC1005-1E-R45-T35-L5
	.50	±0.035pf	408-1075-1-ND	.77	.46	.27	124.96/M	HTC1005-1E-R50-T35-L5
	.60	±0.035pf	408-1076-1-ND	.77	.46	.27	124.96/M	HTC1005-1E-R60-T35-L5
	.70	±0.035pf	408-1077-1-ND	.77	.46	.27	124.96/M	HTC1005-1E-R70-T35-L5
	.80	±5%	408-1078-1-ND	.77	.46	.27	124.96/M	HTC1005-1E-R80-J-L5
	.90	±5%	408-1079-1-ND	.77	.46	.27	124.96/M	HTC1005-1E-R90-J-L5
	1.0	±5%	408-1080-1-ND	.77	.46	.27	124.96/M	HTC1005-1E-1R0-J-L5
	1.2	±5%	408-1081-1-ND	.77	.46	.27	124.96/M	HTC1005-1E-1R2-J-L5
	1.5	±5%	408-1082-1-ND	.77	.46	.27	124.96/M	HTC1005-1E-1R5-J-L5
	1.8	±5%	408-1083-1-ND	.77	.46	.27	124.96/M	HTC1005-1E-1R8-J-L5
	2.2	±5%	408-1084-1-ND	.77	.46	.27	124.96/M	HTC1005-1E-2R2-J-L5
	2.7	±5%	408-1085-1-ND	.77	.46	.27	124.96/M	HTC1005-1E-2R7-J-L5
	3.3	±5%	408-1086-1-ND	.77	.46	.27	124.96/M	HTC1005-1E-3R3-J-L5
	3.9	±5%	408-1087-1-ND	.77	.46	.27	124.96/M	HTC1005-1E-3R9-J-L5
	4.7	±5%	408-1088-1-ND	.77	.46	.27	124.96/M	HTC1005-1E-4R7-J-L5
	5.6	±5%	408-1089-1-ND	.77	.46	.27	124.96/M	HTC1005-1E-5R6-J-L5
	6.8	±5%	408-1090-1-ND	.77	.46	.27	124.96/M	HTC1005-1E-6R8-J-L5
	8.2	±5%	408-1091-1-ND	.77	.46	.27	124.96/M	HTC1005-1E-8R2-J-L5
	10	±5%	408-1092-1-ND	.77	.46	.27	124.96/M	HTC1005-1E-10R-J-L5

*Für „Gegurtet auf Rolle“ die Teilenummer von „1-ND“ auf „2-ND“ ändern. † Betriebsspannung

CDE CORNELL DUBILIER Waldom ELECTRONICS

Glimmerkondensatoren zur Oberflächenmontage

Glimmerkondensatoren von Cornell Dubilier sind aus reinem India Ruby Muskovit gefertigt. Muskovit ist einer der trägsten und stabilsten Stoffe der Welt. Wenn es als Isolator (Dielektrikum) in einem Kondensator verwendet wird, entsteht ein elektronisches Bauteil mit höchstmöglicher Stabilität und Zuverlässigkeit.

Die Kapazitätsänderung von Null auf volle Betriebsnennspannung beträgt im Allgemeinen weniger als ±0,1 %. Die Reiheninduktivität dieser Kondensatoren beträgt sogar nur acht Nanohenry (nH). Die Stabilitätseigenschaften gelten auch für Frequenz; deshalb sind Glimmerkondensatoren im Gigahertz-Bereich so nützlich.

- Niedrige Impedanz bis über 1 GHz
- Kapazitätsänderung nahe Null, alle Umgebungen

SPEZIFIKATIONEN:

Kapazitätstoleranz:

- **Suffix-Buchstabe der Teilenr. des Herstellers:** D = ±0,5 pF
- **Suffix-Buchstabe der Teilenr. des Herstellers:** J = ±5 %

Temperaturbereich: -55 °C ~ +125 °C

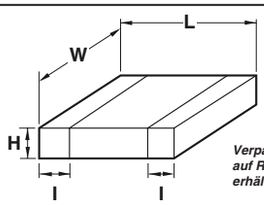

Verpackung: Gegurtet auf Rolle mit Lieferzeit erhältlich.

Größen-code	V DC	Nenntemperatur-koeffizient ppm/°C	Kapazität	Abmessungen - Zoll (mm) L	B	H	I (max.)	Digi-Key Teilenr.	Stückpreis 1	10	100	Cornell Dubilier Teilenr.
0805	100	100±100	2.0pF	.079 (2.0)	.049 (1.25)	.055 (1.4)	.035 (.9)	338-1034-ND	.86	.74	.62	MC08CA020D
		100±100	3.0pF	.079 (2.0)	.049 (1.25)	.055 (1.4)	.035 (.9)	338-1014-ND	.86	.74	.62	MC08CA030D
		100±100	5.0pF	.079 (2.0)	.049 (1.25)	.055 (1.4)	.035 (.9)	338-1027-ND	.86	.74	.62	MC08CA050D
		100±100	10pF	.079 (2.0)	.049 (1.25)	.055 (1.4)	.035 (.9)	338-1010-ND	.86	.74	.62	MC08CA100D
		50±50	15pF	.079 (2.0)	.049 (1.25)	.055 (1.4)	.035 (.9)	338-1009-ND	.86	.74	.62	MC08EA150J
		50±50	20pF	.079 (2.0)	.049 (1.25)	.055 (1.4)	.035 (.9)	338-1012-ND	.86	.74	.62	MC08EA200J
		50±50	22pF	.079 (2.0)	.049 (1.25)	.055 (1.4)	.035 (.9)	338-1037-ND	.86	.74	.62	MC08EA220J
		50±50	27pF	.079 (2.0)	.049 (1.25)	.055 (1.4)	.035 (.9)	338-1031-ND	.86	.74	.62	MC08EA270J
1210	100	25±25	47pF	.126 (3.2)	.098 (2.5)	.059 (1.5)	.043 (1.1)	338-1017-ND	1.01	.87	.72	MC12FA470J
		25±25	68pF	.126 (3.2)	.098 (2.5)	.059 (1.5)	.043 (1.1)	338-1041-ND	1.01	.87	.72	MC12FA680J
		25±25	100pF	.126 (3.2)	.098 (2.5)	.059 (1.5)	.043 (1.1)	338-1001-ND	1.07	.92	.77	MC12FA101J
		25±25	150pF	.126 (3.2)	.098 (2.5)	.059 (1.5)	.043 (1.1)	338-1007-ND	1.10	.94	.79	MC12FA151J
		25±25	150pF	.126 (3.2)	.098 (2.5)	.059 (1.5)	.043 (1.1)	338-1028-ND†	2.64	2.26	1.89	MC12FA151F
		25±25	200pF	.126 (3.2)	.098 (2.5)	.059 (1.5)	.043 (1.1)	338-1024-ND	1.19	1.02	.85	MC12FA201J
		25±25	220pF	.126 (3.2)	.098 (2.5)	.059 (1.5)	.043 (1.1)	338-1003-ND	1.19	1.02	.85	MC12FA221J
		25±25	240pF	.126 (3.2)	.098 (2.5)	.059 (1.5)	.043 (1.1)	338-1029-ND	1.19	1.02	.85	MC12FA241J
1812	100	25±25	470pF	.177 (4.5)	.126 (3.2)	.079 (2.0)	.051 (1.3)	338-1022-ND	1.57	1.35	1.13	MC18FA471J
2220	100	25±25	1000pF	.224 (5.7)	.197 (5.0)	.079 (2.0)	.051 (1.3)	338-1008-ND	2.49	2.14	1.78	MC22FA102J
		25±25	2000pF	.224 (5.7)	.197 (5.0)	.079 (2.0)	.051 (1.3)	338-1019-ND	3.29	2.82	2.35	MC22FA202J
1210	500	100±100	5.0pF	.126 (3.2)	.098 (2.5)	.059 (1.5)	.043 (1.1)	338-1032-ND	1.07	.92	.77	MC12CD050D
		100±100	10pF	.126 (3.2)	.098 (2.5)	.059 (1.5)	.043 (1.1)	338-1002-ND	1.07	.92	.77	MC12CD100D
		50±50	15pF	.126 (3.2)	.098 (2.5)	.059 (1.5)	.043 (1.1)	338-1013-ND	1.10	.94	.79	MC12ED150J
		50±50	18pF	.126 (3.2)	.098 (2.5)	.059 (1.5)	.043 (1.1)	338-1030-ND	1.10	.94	.79	MC12ED180J
		25±25	33pF	.126 (3.2)	.098 (2.5)	.059 (1.5)	.043 (1.1)	338-1006-ND	1.10	.94	.79	MC12FD330J
		25±25	47pF	.126 (3.2)	.098 (2.5)	.059 (1.5)	.043 (1.1)	338-1023-ND	1.10	.94	.79	MC12FD470J
		25±25	62pF	.126 (3.2)	.098 (2.5)	.059 (1.5)	.043 (1.1)	338-1038-ND	1.10	.94	.79	MC12FD620J
		25±25	68pF	.126 (3.2)	.098 (2.5)	.059 (1.5)	.043 (1.1)	338-1033-ND	1.10	.94	.79	MC12FD680J
		25±25	100pF	.126 (3.2)	.098 (2.5)	.059 (1.5)	.043 (1.1)	338-1015-ND	1.34	1.15	.96	MC12FD101J
1812	500	25±25	100pF	.177 (4.5)	.126 (3.2)	.079 (2.0)	.051 (1.3)	338-1025-ND	1.34	1.15	.96	MC18FD101J
		25±25	120pF	.177 (4.5)	.126 (3.2)	.079 (2.0)	.051 (1.3)	338-1020-ND	1.34	1.15	.96	MC18FD121J
		25±25	220pF	.177 (4.5)	.126 (3.2)	.079 (2.0)	.051 (1.3)	338-1016-ND	1.48	1.27	1.06	MC18FD221J
		25±25	300pF	.177 (4.5)	.126 (3.2)	.079 (2.0)	.051 (1.3)	338-1026-ND	1.63	1.40	1.17	MC18FD301J
		25±25	330pF	.177 (4.5)	.126 (3.2)	.079 (2.0)	.051 (1.3)	338-1039-ND	1.63	1.40	1.17	MC18FD331J
		25±25	390pF	.177 (4.5)	.126 (3.2)	.079 (2.0)	.051 (1.3)	338-1021-ND	1.87	1.60	1.34	MC18FD391J
		25±25	470pF	.177 (4.5)	.126 (3.2)	.079 (2.0)	.051 (1.3)	338-1018-ND	1.87	1.60	1.34	MC18FD471J
2220	500	25±25	500pF	.224 (5.7)	.197 (5.0)	.079 (2.0)	.051 (1.3)	338-1040-ND	2.29	1.96	1.63	MC22FD501J
		25±25	750pF	.224 (5.7)	.197 (5.0)	.079 (2.0)	.051 (1.3)	338-1011-ND	2.55	2.19	1.83	MC22FD751J
		25±25	1000pF	.224 (5.7)	.197 (5.0)	.079 (2.0)	.051 (1.3)	338-1004-ND	2.84	2.44	2.04	MC22FD102J
2220	1000	25±25	430pF	.224 (5.7)	.197 (5.0)	.079 (2.0)	.051 (1.3)	338-1005-ND	2.54	2.18	1.82	MC22FF431J
		25±25	470pF	.224 (5.7)	.197 (5.0)	.079 (2.0)	.051 (1.3)	338-1036-ND	2.54	2.18	1.82	MC22FF471J
		25±25	1000pF	.224 (5.7)	.197 (5.0)	.079 (2.0)	.051 (1.3)	338-1035-ND	3.42	2.94	2.45	MC22FF102J

† 1 % Toleranz

Glimmerkondensatoren mit Tauchbeschichtung aus Silber— Radialer Anschlussdraht

Glimmerkondensatoren von Cornell Dubilier sind aus reinem India Ruby Muskovit gefertigt. Muskovit ist einer der trägsten und stabilsten Stoffe der Welt. Wenn es als Isolator (Dielektrikum) in einem Kondensator verwendet wird, entsteht ein elektronisches Bauteil mit höchstmöglicher Stabilität und Zuverlässigkeit.

Die Kapazitätsänderung von Null auf volle Betriebsnennspannung beträgt im Allgemeinen weniger als ±0,1 %. Die Reiheninduktivität dieser Kondensatoren beträgt sogar nur acht Nanohenry (nH). Die Stabilitätseigenschaften gelten auch für Frequenz; deshalb sind Glimmerkondensatoren im Gigahertz-Bereich so nützlich.

Glimmerkondensatoren sind so effizient, dass weniger als 0,05 % der angelegten Volt-Ampere als Wärme verloren geht. Die Standardtypen der Glimmerkondensatoren mit einer Tauchbeschichtung aus Silber werden produziert, indem auf ultradünne Glimmerplättchen reines Silber aufgebracht wird. Die Plättchen werden gestapelt und durch Messingklammern mit kupferkaschierten Stahldrähten befestigt, die an jede Klammer geschweißt werden. Die zusätzliche Metallmasse fungiert als Wärmesenke und ermöglicht es diesen Kondensatoren, Stoßspannungen von bis zu 100.000 Volt pro Mikrosekunde zu absorbieren.

SPEZIFIKATIONEN:

Kapazitätstoleranz:

- **Buchstabe der Teilenr. des Herstellers:** D03 = ±1/2 pF
- **Buchstabe der Teilenr. des Herstellers:** J03 = ±5 %
- **Buchstabe der Teilenr. des Herstellers:** F03 = ±1 %

Temperaturbereich: -55 °C ~ +125 °C

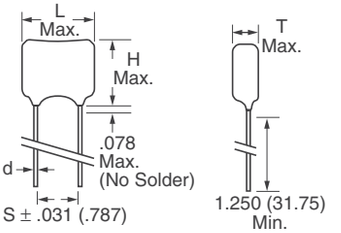

Spannung	Kapazität	Nenntemperatur-koeffizient ppm/°C	Abmessungen - Zoll (mm) L Max.	H Max.	T Max.	S	d	Digi-Key Teilenr.	Stückpreis 1	10	100	Cornell Dubilier Teilenr.
Standard												
100	1000pF	0 ~ 70	.480 (12.2)	.400 (10.2)	.230 (5.8)	.234 (5.9)	.025 (.6)	338-1048-ND	3.22	2.76	2.30	CD15FA102J03
	1000pF	0 ~ 70	.480 (12.2)	.400 (10.2)	.230 (5.8)	.234 (5.9)	.025 (.6)	338-1092-ND	5.43	4.66	3.88	CD15FA102F03
300	680pF	0 ~ 70	.470 (11.9)	.390 (9.9)	.210 (5.3)	.234 (5.9)	.025 (.6)	338-1060-ND	2.95	2.54	2.12	CD15FC681J03
	560pF	0 ~ 70	.460 (11.7)	.380 (9.7)	.210 (5.3)	.234 (5.9)	.025 (.6)	338-1081-ND	2.45	2.10	1.76	CD15FC561J03
500	5pF	-200 ~ 200	.360 (9.1)	.330 (8.4)	.190 (4.8)	.141 (3.6)	.016 (.4)	338-1064-ND	1.88	1.61	1.34	CD10CD050D03
	10pF	-200 ~ 200	.450 (11.4)	.360 (9.1)	.170 (4.3)	.234 (5.9)	.025 (.6)	338-1061-ND	.97	.83	.69	CD15CD100J03
	10pF	-200 ~ 200	.450 (11.4)	.360 (9.1)	.170 (4.3)	.234 (5.9)	.025 (.6)	338-1068-ND	.97	.83	.69	CD15CD100D03
	15pF	-200 ~ 200	.360 (9.1)	.330 (8.4)	.190 (4.8)	.141 (3.6)	.016 (.4)	338-1088-ND	1.88	1.61	1.34	CD10CD150J03
	15pF	-200 ~ 200	.450 (11.4)	.360 (9.1)	.170 (4.3)	.234 (5.9)	.025 (.6)	338-1054-ND	.92	.79	.66	CD15CD150J03
	20pF	-20 ~ 100	.360 (9.1)	.330 (8.4)	.190 (4.8)	.141 (3.6)	.016 (.4)	338-1095-ND	1.43	1.23	1.03	CD10ED200J03
	20pF	-20 ~ 100	.450 (11.4)	.360 (9.1)	.170 (4.3)	.234 (5.9)	.025 (.6)	338-1051-ND	.92	.79	.66	CD15ED200J03
	22pF	-20 ~ 100	.360 (9.1)	.330 (8.4)	.190 (4.8)	.141 (3.6)	.016 (.4)	338-1070-ND	1.43	1.23	1.03	CD10ED220J03
	22pF	-20 ~ 100	.450 (11.4)	.360 (9.1)	.170 (4.3)	.234 (5.9)	.025 (.6)	338-1049-ND	.96	.83	.69	CD15ED220J03
	27pF	-20 ~ 100	.450 (11.4)	.360 (9.1)	.170 (4.3)	.234 (5.9)	.025 (.6)	338-1085-ND	.96	.83	.69	CD15ED270J03
	30pF	-20 ~ 100	.370 (9.4)	.340 (8.6)	.190 (4.8)	.141 (3.6)	.016 (.4)	338-1076-ND	1.43	1.23	1.03	CD10ED300J03
	30pF	-20 ~ 100	.450 (11.4)	.360 (9.1)	.170 (4.3)	.234 (5.9)	.025 (.6)	338-1056-ND	.96	.83	.69	CD15ED300J03
	33pF	-20 ~ 100	.370 (9.4)	.340 (8.6)	.190 (4.8)	.141 (3.6)	.016 (.4)	338-1072-ND	1.43	1.23	1.03	CD10ED330J03
	33pF	-20 ~ 100	.450 (11.4)	.360 (9.1)	.170 (4.3)	.234 (5.9)	.025 (.6)	338-1047-ND	.96	.83	.69	CD15ED330J03
	39pF	-20 ~ 100	.450 (11.4)	.360 (9.1)	.170 (4.3)	.234 (5.9)	.025 (.6)	338-1093-ND	.96	.83	.69	CD15ED390J03
	47pF	-20 ~ 100	.450 (11.4)	.360 (9.1)	.170 (4.3)	.234 (5.9)	.025 (.6)	338-1053-ND	.94	.81	.67	CD15ED470J03
	68pF	-20 ~ 100	.450 (11.4)	.360 (9.1)	.170 (4.3)	.234 (5.9)	.025 (.6)	338-1091-ND	.98	.85	.71	CD15ED680J03
	100pF	0 ~ 70	.370 (9.4)	.350 (8.9)	.200 (5.1)	.141 (3.6)	.016 (.4)	338-1050-ND	1.74	1.50	1.25	CD10FD101J03
	100pF	0 ~ 70	.460 (11.7)	.360 (9.1)	.180 (4.6)	.234 (5.9)	.025 (.6)	338-1042-ND	.98	.85	.71	CD15FD101J03
	120pF	0 ~ 70	.460 (11.7)	.370 (9.4)	.180 (4.6)	.234 (5.9)	.025 (.6)	338-1058-ND	1.07	.92	.77	CD15FD121J03
	150pF	0 ~ 70	.460 (11.7)	.370 (9.4)	.190 (4.8)	.234 (5.9)	.025 (.6)	338-1052-ND	1.13	.97	.81	CD15FD151J03
	180pF	0 ~ 70	.460 (11.7)	.370 (9.4)	.190 (4.8)	.234 (5.9)	.025 (.6)	338-1082-ND	1.30	1.11	.93	CD15FD181J03
	200pF	0 ~ 70	.460 (11.7)	.380 (9.7)	.190 (4.8)	.234 (5.9)	.025 (.6)	338-1063-ND	1.30	1.11	.93	CD15FD201J03
	220pF	0 ~ 70	.460 (11.7)	.380 (9.7)	.200 (5.1)	.234 (5.9)	.025 (.6)	338-1046-ND	1.34	1.15	.96	CD15FD221J03
	240pF	0 ~ 70	.460 (11.7)	.380 (9.7)	.200 (5.1)	.234 (5.9)	.025 (.6)	338-1079-ND	1.44	1.24	1.03	CD15FD241J03
	270pF	0 ~ 70	.470 (11.9)	.390 (9.9)	.210 (5.3)	.234 (5.9)	.025 (.6)	338-1062-ND	1.57	1.35	1.12	CD15FD271J03
	300pF	0 ~ 70	.470 (11.9)	.390 (9.9)	.210 (5.3)	.234 (5.9)	.025 (.6)	338-1065-ND	1.69	1.45	1.21	CD15FD301J03
	330pF	0 ~ 70	.470 (11.9)	.390 (9.9)	.210 (5.3)	.234 (5.9)	.025 (.6)	338-1045-ND	1.83	1.57	1.31	CD15FD331J03
	390pF	0 ~ 70	.470 (11.9)	.390 (9.9)	.210 (5.3)	.234 (5.9)	.025 (.6)	338-1057-ND	1.98	1.70	1.42	CD15FD391J03
	470pF	0 ~ 70	.470 (11.9)	.400 (10.2)	.220 (5.6)	.234 (5.9)	.025 (.6)	338-1043-ND	2.30	1.98	1.65	CD15FD471J03
	470pF	0 ~ 70	.640 (16.3)	.510 (13.0)	.200 (5.1)	.344 (8.7)	.032 (.8)	338-1089-ND	1.43	1.23	1.03	CD19FD471J03
	500pF	0 ~ 70	.470 (11.9)	.400 (10.2)	.220 (5.6)	.234 (5.9)	.025 (.6)	338-1069-ND	2.36	2.03	1.69	CD15FD501J03
	510pF	0 ~ 70	.470 (11.9)	.400 (10.2)	.220 (5.6)	.234 (5.9)	.025 (.6)	338-1077-ND	2.46	2.11	1.76	CD15FD511J03
	680pF	0 ~ 70	.650 (16.5)	.510 (13.0)	.210 (5.3)	.344 (8.7)	.032 (.8)	338-1086-ND	1.68	1.45	1.21	CD19FD681J03
	820pF	0 ~ 70	.650 (16.5)	.510 (13.0)	.210 (5.3)	.344 (8.7)	.032 (.8)	338-1094-ND	1.67	1.44	1.20	CD19FD821J03
	1000pF	0 ~ 70	.650 (16.5)	.520 (13.2)	.220 (5.6)	.344 (8.7)	.025 (.6)	338-1044-ND	1.79	1.54	1.28	CD19FD102J03
	1500pF	0 ~ 70	.660 (16.8)	.520 (13.2)	.230 (5.8)	.344 (8.7)	.032 (.8)	338-1071-ND	2.31	1.99	1.66	CD19FD152J03
	2000pF	0 ~ 70	.670 (17.0)	.530 (13.5)	.240 (6.1)	.344 (8.7)	.032 (.8)	338-1074-ND	2.95	2.53	2.11	CD19FD202J03
	2200pF	0 ~ 70	.670 (17.0)	.530 (13.5)	.250 (6.4)	.344 (8.7)	.032 (.8)	338-1055-ND	2.95	2.54	2.12	CD19FD222J03
	4700pF	0 ~ 70	.700 (17.8)	.580 (14.7)	.350 (8.9)	.344 (8.7)	.032 (.8)	338-1067-ND	5.96	5.11	4.26	CD19FD472J03
	10000pF	0 ~ 70	.800 (20.3)	.890 (22.6)	.340 (8.6)	.438 (11.1)	.040 (1.0)	338-1078-ND	10.85	9.31	7.76	CD30FD103J03
Miniatur												
300	5pF	-200 ~ 200	.270 (6.9)	.190 (4.8)	.110 (2.8)	.120 (3.0)	.016 (.4)	338-1073-ND	1.64	1.41	1.18	CD5CC050D03
	10pF	-200 ~ 200	.270 (6.9)	.190 (4.8)	.110 (2.8)	.120 (3.0)	.016 (.4)	338-1090-ND	1.17	1.00	.84	CD5CC100J03
	15pF	-200 ~ 200	.270 (6.9)	.190 (4.8)	.120 (3.0)	.120 (3.0)	.016 (.4)	338-1083-ND	1.23	1.05	.88	CD5CC150J03
	20pF	-20 ~ 100	.270 (6.9)	.200 (5.1)	.120 (3.0)	.120 (3.0)	.016 (.4)	338-1075-ND	1.24	1.07	.90	CD5EC200J03
	22pF	-20 ~ 100	.270 (6.9)	.200 (5.1)	.120 (3.0)	.120 (3.0)	.016 (.4)	338-1080-ND	1.30	1.12	.93	CD5EC220J03
	30pF	-20 ~ 100	.270 (6.9)	.200 (5.1)	.130 (3.3)	.120 (3.0)	.016 (.4)	338-1087-ND	1.40	1.20	1.00	CD5EC300J03
	33pF	-20 ~ 100	.270 (6.9)	.200 (5.1)	.130 (3.3)	.120 (3.0)	.016 (.4)	338-1066-ND	1.44	1.24	1.03	CD5EC330J03
	47pF	-20 ~ 100	.270 (6.9)	.210 (5.3)	.140 (3.6)	.120 (3.0)	.016 (.4)	338-1084-ND	1.61	1.38	1.15	CD5EC470J03
	100pF	0 ~ 70	.270 (6.9)	.240 (6.1)	.180 (4.6)	.120 (3.0)	.016 (.4)	338-1059-ND	2.38	2.04	1.70	CD5FC101J03

Alle Preisangaben in Euro und inklusive Zollgebühren.

Keramik-Trimmkondensatoren– Serie TZ03

Abm. in mm

Das farbcodierte Gehäuse erleichtert die Identifikation des Kapazitätsbereichs. Eine Abdichtung verhindert die Penetration von Flussmittel und Staub. Ein kreuzförmiger Schlitz ermöglicht eine automatische Einstellung.

Spezifikationen:
- Isolationswiderstand: Min. 10.000 MΩ
- Drehmoment: 2,0-15,0 mNm
- Betriebstemperaturbereich: -25 °C ~ 85 °C

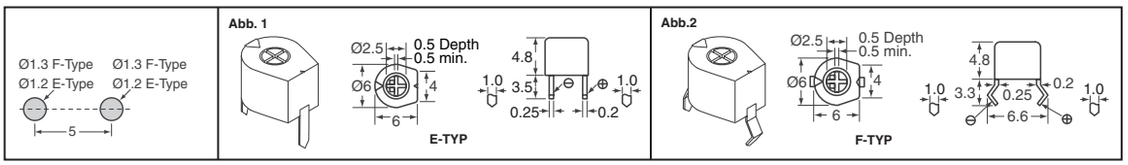

Abb.	C min. (pF) max.	C max. (pF)	TC	Q	Nenn-spannung	Halte-spannung	Stator-/ Gehäusefarbe	Digi-Key Teilenr.	Stückpreis 1	10	100	Murata Teilenr.
1	1.25	2.3 + 50/-0%	NPO ± 200ppm/°C	Min. 300 @ 1 MHz, Cmax.	100Vdc	220Vdc	Schwarz	490-1972-ND	.32	.28	.26	TZ03Z2R3E169B00
	1.5	5.0 + 50/-0%	NPO ± 200ppm/°C	Min. 500 @ 1 MHz, Cmax.	100Vdc	220Vdc	Blau	490-1966-ND	.32	.28	.26	TZ03Z050E169B00
	2.0	7.0 + 50/-0%	NPO ± 200ppm/°C	Min. 500 @ 1 MHz, Cmax.	100Vdc	220Vdc	Blau	490-1968-ND	.32	.28	.26	TZ03Z070E169B00
	2.7	10.0 + 50/-0%	NPO ± 200ppm/°C	Min. 500 @ 1 MHz, Cmax.	100Vdc	220Vdc	Blau	490-1970-ND	.32	.28	.26	TZ03Z100E169B00
	3.0	11.0 + 50/-0%	N450 ± 300ppm/°C	Min. 500 @ 1 MHz, Cmax.	100Vdc	220Vdc	Weiß	490-1964-ND	.32	.28	.26	TZ03T110E169B00
	4.2	20.0 + 50/-0%	N750 ± 300ppm/°C	Min. 500 @ 1 MHz, Cmax.	100Vdc	220Vdc	Rot	490-1958-ND	.32	.28	.26	TZ03R200E169B00
	5.2	30.0 + 50/-0%	N750 ± 300ppm/°C	Min. 500 @ 1 MHz, Cmax.	100Vdc	220Vdc	Grün	490-1960-ND	.32	.28	.26	TZ03R300E169B00
	6.8	45.0 + 50/-0%	N1200 ± 500ppm/°C	Min. 300 @ 1 MHz, Cmax.	100Vdc	220Vdc	Gelb	490-1952-ND	.32	.28	.26	TZ03P450E169B00
	9.8	60.0 + 50/-0%	N1200 ± 500ppm/°C	Min. 300 @ 1 MHz, Cmax.	100Vdc	220Vdc	Braun	490-1954-ND	.32	.28	.26	TZ03P600E169B00
	6.0	50.0 + 100/-0%	NPO ± 300ppm/°C	Min. 300 @ 1 MHz, Cmax.	50Vdc	110Vdc	Orange	490-1974-ND	.79	.68	.62	TZ03Z500E169B00
	9.0	90.0 + 100/-0%	N750 ± 300ppm/°C	Min. 300 @ 1 MHz, Cmax.	50Vdc	110Vdc	Schwarz+Punkt	490-1962-ND	.79	.68	.62	TZ03R900E169B00
	10.0	120.0 + 100/-0%	N750 ± 300ppm/°C	Min. 300 @ 1 MHz, Cmax.	50Vdc	110Vdc	Schwarz	490-1956-ND	.79	.68	.62	TZ03R121E169B00
2	1.25	2.3 + 50/-0%	NPO ± 200ppm/°C	Min. 300 @ 1 MHz, Cmax.	100Vdc	220Vdc	Schwarz	490-1973-ND	.32	.28	.26	TZ03Z2R3F169B00
	1.5	5.0 + 50/-0%	NPO ± 200ppm/°C	Min. 500 @ 1 MHz, Cmax.	100Vdc	220Vdc	Blau	490-1967-ND	.32	.28	.26	TZ03Z050F169B00
	2.0	7.0 + 50/-0%	NPO ± 200ppm/°C	Min. 500 @ 1 MHz, Cmax.	100Vdc	220Vdc	Blau	490-1969-ND	.32	.28	.26	TZ03Z070F169B00
	2.7	10.0 + 50/-0%	NPO ± 200ppm/°C	Min. 500 @ 1 MHz, Cmax.	100Vdc	220Vdc	Blau	490-1971-ND	.32	.28	.26	TZ03Z100F169B00
	3.0	11.0 + 50/-0%	N450 ± 300ppm/°C	Min. 500 @ 1 MHz, Cmax.	100Vdc	220Vdc	Weiß	490-1965-ND	.32	.28	.26	TZ03T110F169B00
	4.2	20.0 + 50/-0%	N750 ± 300ppm/°C	Min. 500 @ 1 MHz, Cmax.	100Vdc	220Vdc	Rot	490-1959-ND	.32	.28	.26	TZ03R200F169B00
	5.2	30.0 + 50/-0%	N750 ± 300ppm/°C	Min. 500 @ 1 MHz, Cmax.	100Vdc	220Vdc	Grün	490-1961-ND	.32	.28	.26	TZ03R300F169B00
	6.8	45.0 + 50/-0%	N1200 ± 500ppm/°C	Min. 300 @ 1 MHz, Cmax.	100Vdc	220Vdc	Gelb	490-1953-ND	.32	.28	.26	TZ03P450F169B00
	9.8	60.0 + 50/-0%	N1200 ± 500ppm/°C	Min. 300 @ 1 MHz, Cmax.	100Vdc	220Vdc	Braun	490-1955-ND	.32	.28	.26	TZ03P600F169B00
	6.0	50.0 + 100/-0%	NPO ± 300ppm/°C	Min. 300 @ 1 MHz, Cmax.	50Vdc	110Vdc	Orange	490-1975-ND	.79	.68	.62	TZ03Z500F169B00
	9.0	90.0 + 100/-0%	N750 ± 300ppm/°C	Min. 300 @ 1 MHz, Cmax.	50Vdc	110Vdc	Schwarz+Punkt	490-1963-ND	.79	.68	.62	TZ03R900F169B00
	10.0	120.0 + 100/-0%	N750 ± 300ppm/°C	Min. 300 @ 1 MHz, Cmax.	50Vdc	110Vdc	Schwarz	490-1957-ND	.79	.68	.62	TZ03R121F169B00
—	Einstell-Tool zur manuellen Einstellung							490-2607-ND	5.31	—	—	KMDR010

E

Keramik-Trimmkondensatoren– Serie TZY2

Abm. in mm

Die neue Form der Abdeckung kann im Vergleich mit derzeitigen Produkten das Eindringen von Flussmittel besser verhindern. Verbesserung der Adhäsion zwischen Rotor und Stator resultiert in erstklassiger Stabilität. Die besondere Konstruktion ohne Kunststoffmaterialien ermöglicht eine erstklassige Lötwärmebeständigkeit und führt zu ausgezeichneten Leistungen nach dem Aufschmelzlöten.

Spezifikationen:
- Isolationswiderstand: Min. 10.000 MΩ • Drehmoment: 0,5-5,0 mNm
- Betriebstemperaturbereich: -25 °C ~ 85 °C

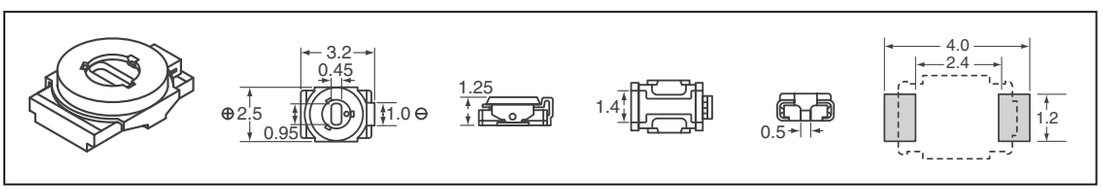

C min. (pF) max.	C max. (pF)	TC	Q	Nennspannung	Haltespannung	Digi-Key Teilenr.	Stückpreis 5	25	100	Digi-Key Teilenr.	Gegurtet auf Rolle 2.000	Murata Teilenr.
0.5	1.0 + 100/-0%	NPO ± 300ppm/°C	Min. 200 @ 200 MHz, Cmax.	25Vdc	55Vdc	490-2009-1-ND	.76	.66	.52	490-2009-2-ND	282.56/M	TZY2Z010A001R00
0.65	2.5 + 100/-0%	NPO ± 300ppm/°C	Min. 200 @ 200 MHz, Cmax.	25Vdc	55Vdc	490-2008-1-ND	.58	.51	.40	490-2008-2-ND	216.27/M	TZY2Z2R5A001R00
1.5	3.0 + 100/-0%	NPO ± 300pm/°C	Min. 300 @ 1 MHz, Cmax.	25Vdc	55Vdc	490-2005-1-ND	.58	.51	.40	490-2005-2-ND	216.27/M	TZY2Z030A001R00
2.5	6.0 + 100/-0%	NPO ± 300ppm/°C	Min. 500 @ 1 MHz, Cmax.	25Vdc	55Vdc	490-2006-1-ND	.58	.51	.40	490-2006-2-ND	216.27/M	TZY2Z060A001R00
3.0	10.0 + 100/-0%	NPO ± 300ppm/°C	Min. 500 @ 1 MHz, Cmax.	25Vdc	55Vdc	490-2007-1-ND	.58	.51	.40	490-2007-2-ND	216.27/M	TZY2Z100A001R00
4.5	20.0 + 100/-0%	N750 ± 500ppm/°C	Min. 500 @ 1 MHz, Cmax.	25Vdc	55Vdc	490-2003-1-ND	.58	.51	.40	490-2003-2-ND	216.27/M	TZY2R200A001R00
5.5	25.0 + 100/-0%	N750 ± 500ppm/°C	Min. 300 @ 1 MHz, Cmax.	25Vdc	55Vdc	490-2004-1-ND	.58	.51	.40	490-2004-2-ND	216.27/M	TZY2R250A001R00
8.0	45.0 + 100/-0%	N1000 ± 500ppm/°C	Min. 300 @ 1 MHz, Cmax.	25Vdc	55Vdc	490-2002-1-ND	.71	.62	.49	490-2002-2-ND	263.76/M	TZY2K450A001R00
Einstell-Tool zur manuellen Einstellung						490-2608-ND	13.56/1			—	—	KMDR060

Keramik-Trimmkondensatoren– Serie TZR1

Abm. in mm

Die besondere Konstruktion ohne Kunststoffmaterialien ermöglicht eine erstklassige Lötwärmebeständigkeit und führt zu ausgezeichneten Leistungen nach dem Aufschmelzlöten. Dieses Produkt enthält keine schädlichen Stoffe (Blei usw.).

Spezifikationen:
- Isolationswiderstand: Min. 10.000 MΩ • Drehmoment: 0,1-1,0 mNm
- Betriebstemperaturbereich: -25 °C ~ 85 °C

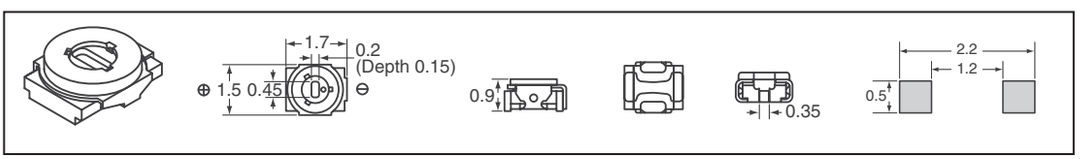

C min. (pF) max.	C max. (pF)	TC	Q	Nenn-spannung	Haltespannung	Digi-Key Teilenr.	Stückpreis 5	25	100	Digi-Key Teilenr.	Gegurtet auf Rolle Größe	Preisangaben	Murata Teilenr.
0.55	1.0 + 100/-0%	NPO ± 300ppm/°C	Min. 200 @ 200 MHz, Cmax.	25Vdc	55Vdc	490-2012-1-ND	1.80	1.58	1.24	490-2012-2-ND	3,000	673.30/M	TZR1Z010A001R00
0.7	1.5 + 100/-0%	NPO ± 300ppm/°C	Min. 200 @ 200 MHz, Cmax.	25Vdc	55Vdc	490-2013-1-ND	1.80	1.58	1.24	490-2013-2-ND	3,000	673.30/M	TZR1Z1R5A001R00
1.5	4.0 + 100/-0%	NPO ± 500ppm/°C	Min. 300 @ 1 MHz, Cmax.	25Vdc	55Vdc	490-2010-1-ND	1.22	1.07	.84	490-2010-2-ND	3,000	457.29/M	TZR1Z040A001R00
3.0	8.0 + 100/-0%	N750 ± 500ppm/°C	Min. 300 @ 1 MHz, Cmax.	25Vdc	55Vdc	490-2011-1-ND	1.22	1.07	.84	490-2011-2-ND	3,000	457.29/M	TZR1R080A001R00
Einstell-Tool zur manuellen Einstellung						490-2609-ND	22.99/1			—	—	—	KMDR160

Keramik-Trimmkondensatoren, SMD – Serie TZC3

Farbcodierter Stator ermöglicht leichte Identifikation der Kapazität und reduziert Montagefehler. Kann mit konventionellen Justierwerkzeugen mit einer Stärke von 0,5 mm justiert werden. Wurde für die automatische Platzierung in Oberflächenmontagenanwendungen entwickelt. Wärmebeständiges Harz hält Aufschmelzlöttemperaturen stand.

Spezifikationen: • Isolationswiderstand: Min. 10.000 MΩ • Drehmoment: 1,5-10,0 mNm • Betriebstemperaturbereich: -25 °C ~ 85 °C

Abm. in mm

Abb.1

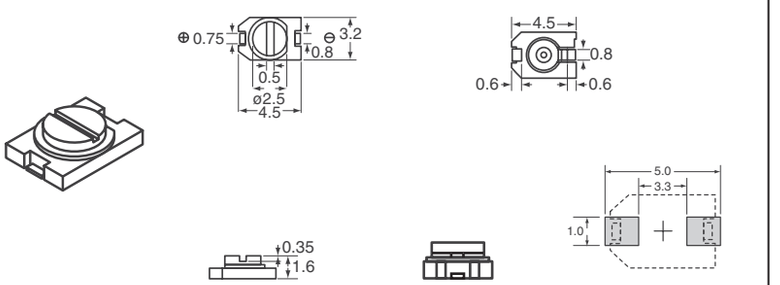

Abb. 2

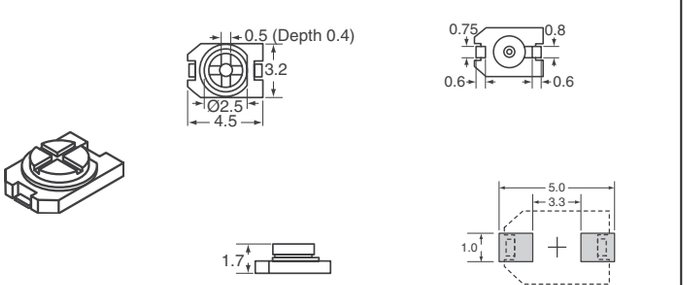

Abb.	C min. (pF) max.	C max. (pF)	TC	Q	Nenn-spannung	Halte-spannung	Stator-/ Gehäuse farbe	Digi-Key Teilenr.	Stückpreis 5	25	100	Digi-Key Teilenr.	Gegurtet auf Rolle 1.000	Murata Teilenr.
1	1.4	3.0 ± 50/-0%	NPO ± 300ppm/°C	Min. 300 @ 1 MHz, Cmax.	100Vdc	220Vdc	Braun	490-1998-1-ND	.54	.48	.38	490-1998-2-ND	202.30	TZC3Z030A110R00
	2.0	6.0 ± 50/-0%	NPO ± 300ppm/°C	Min. 500 @ 1 MHz, Cmax.	100Vdc	220Vdc	Blau	490-2000-1-ND	.54	.48	.38	490-2000-2-ND	202.30	TZC3Z060A110R00
	3.0	10.0 ± 50/-0%	N750 ± 300ppm/°C	Min. 500 @ 1 MHz, Cmax.	100Vdc	220Vdc	Weiß	490-1996-1-ND	.54	.48	.38	490-1996-2-ND	202.30	TZC3R100A110R00
	5.0	20.0 ± 50/-0%	N1200 ± 500ppm/°C	Min. 300 @ 1 MHz, Cmax.	100Vdc	220Vdc	Rot	490-1992-1-ND	.54	.48	.38	490-1992-2-ND	202.30	TZC3P200A110R00
	6.5	30.0 ± 50/-0%	N1200 ± 500ppm/°C	Min. 300 @ 1 MHz, Cmax.	100Vdc	220Vdc	Grün	490-1994-1-ND	.54	.48	.38	490-1994-2-ND	202.30	TZC3P300A110R00
2	1.4	3.0 ± 50/-0%	NPO ± 300ppm/°C	Min. 300 @ 1 MHz, Cmax.	100Vdc	220Vdc	Braun	490-1999-1-ND	.54	.48	.38	490-1999-2-ND	202.30	TZC3Z030A310R00
	2.0	6.0 ± 50/-0%	NPO ± 300ppm/°C	Min. 500 @ 1 MHz, Cmax.	100Vdc	220Vdc	Blau	490-2001-1-ND	.54	.48	.38	490-2001-2-ND	202.30	TZC3Z060A310R00
	3.0	10.0 ± 50/-0%	N750 ± 300ppm/°C	Min. 500 @ 1 MHz, Cmax.	100Vdc	220Vdc	Weiß	490-1997-1-ND	.54	.48	.38	490-1997-2-ND	202.30	TZC3R100A310R00
	5.0	20.0 ± 50/-0%	N1200 ± 500ppm/°C	Min. 300 @ 1 MHz, Cmax.	100Vdc	220Vdc	Rot	490-1993-1-ND	.54	.48	.38	490-1993-2-ND	202.30	TZC3P200A310R00
	6.5	30.0 ± 50/-0%	N1200 ± 500ppm/°C	Min. 300 @ 1 MHz, Cmax.	100Vdc	220Vdc	Grün	490-1995-1-ND	.54	.48	.38	490-1995-2-ND	202.30	TZC3P300A310R00
—	Einstell-Tool zur manuellen Einstellung							490-2607-ND	5.31/1			—	—	KMDR010

E

Keramik-Trimmkondensatoren, SMD – Serie TZB4

Das farbcodierte Gehäuse erleichtert die Identifikation des Kapazitätsbereichs. Wurde für die automatische Platzierung in Oberflächenmontagenanwendungen entwickelt. Kann vorübergehend mit Klebemitteln an der Leiterplatte befestigt werden.

Spezifikationen: • Isolationswiderstand: Min. 10.000 MΩ • Drehmoment: 1,5-10,0 mNm • Betriebstemperaturbereich: -25 °C ~ 85 °C

Abm. in mm

Abb.1

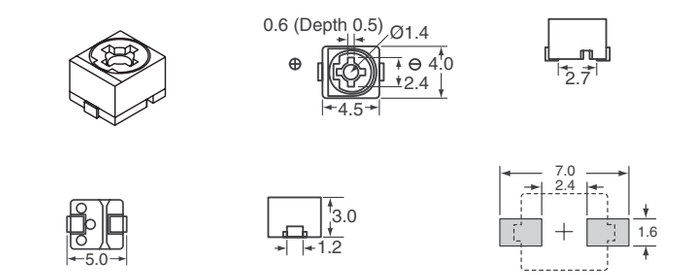

Abb.2

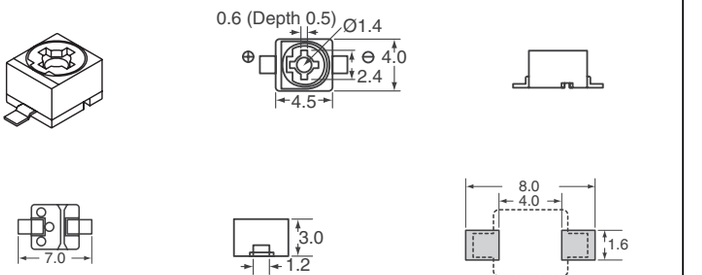

Abb.	C min. (pF) max.	C max. (pF)	TC	Q	Nenn-spannung	Halte-spannung	Stator-/ Gehäusefarbe	Digi-Key Teilenr.	Stückpreis 5	25	100	Digi-Key Teilenr.	Gegurtet auf Rolle 500	Murata Teilenr.
1	1.4	3.0 + 50/-0%	NPO ± 200ppm/°C	Min. 300 @ 1 MHz, Cmax.	100Vdc	220Vdc	Braun	490-1984-1-ND	.65	.57	.45	490-1984-2-ND	134.36	TZB4Z030AA10R00
	2.0	6.0 + 50/-0%	NPO ± 200ppm/°C	Min. 500 @ 1 MHz, Cmax.	100Vdc	220Vdc	Blau	490-1986-1-ND	.65	.57	.45	490-1986-2-ND	134.36	TZB4Z060AA10R00
	3.0	10.0 + 50/-0%	NPO ± 300ppm/°C	Min. 500 @ 1 MHz, Cmax.	100Vdc	220Vdc	Weiß	490-1988-1-ND	.65	.57	.45	490-1988-2-ND	134.36	TZB4Z100AA10R00
	4.0	25.0 + 100/-0%	NPO ± 300ppm/°C	Min. 300 @ 1 MHz, Cmax.	50Vdc	110Vdc	Schwarz+Markierung	490-1990-1-ND	1.15	1.01	.79	490-1990-2-ND	238.21	TZB4Z250AA10R00
	4.5	20.0 + 50/-0%	N750 ± 300ppm/°C	Min. 500 @ 1 MHz, Cmax.	100Vdc	220Vdc	Rot	490-1980-1-ND	.65	.57	.45	490-1980-2-ND	134.36	TZB4R200AA10R00
	6.5	30.0 + 50/-0%	N1200 ± 500ppm/°C	Min. 300 @ 1 MHz, Cmax.	100Vdc	220Vdc	Grün	490-1976-1-ND	.65	.57	.45	490-1976-2-ND	134.36	TZB4P300AA10R00
	7.0	50.0 + 100/-0%	N750 ± 300ppm/°C	Min. 300 @ 1 MHz, Cmax.	50Vdc	110Vdc	Schwarz+Markierung	490-1982-1-ND	1.15	1.01	.79	490-1982-2-ND	238.21	TZB4R500AA10R00
	8.5	40.0 + 50/-0%	N1200 ± 500ppm/°C	Min. 300 @ 1 MHz, Cmax.	100Vdc	220Vdc	Gelb	490-1978-1-ND	.65	.57	.45	490-1978-2-ND	134.36	TZB4P400AA10R00
2	1.4	3.0 + 50/-0%	NPO ± 200ppm/°C	Min. 300 @ 1 MHz, Cmax.	100Vdc	220Vdc	Braun	490-1985-1-ND	.65	.57	.45	490-1985-2-ND	134.36	TZB4Z030BA10R00
	2.0	6.0 + 50/-0%	NPO ± 200ppm/°C	Min. 500 @ 1 MHz, Cmax.	100Vdc	220Vdc	Blau	490-1987-1-ND	.65	.57	.45	490-1987-2-ND	134.36	TZB4Z060BA10R00
	3.0	10.0 + 50/-0%	NPO ± 300ppm/°C	Min. 500 @ 1 MHz, Cmax.	100Vdc	220Vdc	Weiß	490-1989-1-ND	.65	.57	.45	490-1989-2-ND	134.36	TZB4Z100BA10R00
	4.0	25.0 + 100/-0%	NPO ± 300ppm/°C	Min. 300 @ 1 MHz, Cmax.	50Vdc	110Vdc	Schwarz+Markierung	490-1991-1-ND	1.15	1.01	.79	490-1991-2-ND	238.21	TZB4Z250BA10R00
	4.5	20.0 + 50/-0%	N750 ± 300ppm/°C	Min. 500 @ 1 MHz, Cmax.	100Vdc	220Vdc	Rot	490-1981-1-ND	.65	.57	.45	490-1981-2-ND	134.36	TZB4R200BA10R00
	6.5	30.0 + 50/-0%	N1200 ± 500ppm/°C	Min. 300 @ 1 MHz, Cmax.	100Vdc	220Vdc	Grün	490-1977-1-ND	.65	.57	.45	490-1977-2-ND	134.36	TZB4P300BA10R00
	7.0	50.0 + 100/-0%	N750 ± 300ppm/°C	Min. 300 @ 1 MHz, Cmax.	50Vdc	110Vdc	Schwarz+Markierung	490-1983-1-ND	1.15	1.01	.79	490-1983-2-ND	238.21	TZB4R500BA10R00
	8.5	40.0 + 50/-0%	N1200 ± 500ppm/°C	Min. 300 @ 1 MHz, Cmax.	100Vdc	220Vdc	Gelb	490-1979-1-ND	.65	.57	.45	490-1979-2-ND	134.36	TZB4P400BA10R00
—	Einstell-Tool zur manuellen Einstellung							490-2607-ND	5.31/1			—	—	KMDR010

Alle Preisangaben in Euro und inklusive Zollgebühren.

SMD-Trimmkondensatoren, Serie GSX

SPEZIFIKATIONEN:
• **Betriebstemperaturbereich:** -25 °C ~ 85 °C • **Nennspannung:** 100 V DC • **Dielektrische Haltespannung:** 200 V DC
• **solationswiderstand:** Min. 10^4 MΩ • **Drehmoment:** 20 ~ 300 g-cm (0,28 ~ 4,2 oz-in)

Kapazität (pF) Min.	Max.	TCC (ppm / °C)	Q (min.) 10 MHz	Farb-code	Digi-Key Teilenr.	Gurtabschnitts-preise 10	100	Digi-Key Teilenr.	Preisangabe gegurtet auf Rolle 3.000	Sprague-Goodman Teilenr.
0.5	4.5	N100	1000	Orange	SG2018CT-ND	10.92	93.97	SG2018TR-ND	465.63/M	GSX364
0.6	9.0	N100	1000	Schwarz	SG2017CT-ND	12.45	106.67	SG2017TR-ND	529.47/M	GSX358
0.8	15.0	N100	1000	Blau	SG2019CT-ND	13.80	118.52	SG2019TR-ND	592.62/M	GSX365
1.0	20.0	N100	1000	Grün	SG2020CT-ND	19.84	170.12	SG2020TR-ND	850.59/M	GSX366

SG9005-ND 4 x 4,5 mm Typ (SG1020 bis SG1033) **11.01**

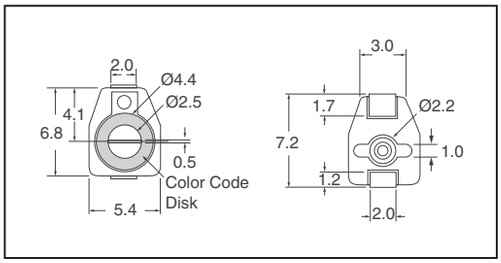

Trimmkondensatoren der Serie GCL

SPEZIFIKATIONEN:
• **Betriebstemperaturbereich:** -25 °C ~ 85 °C
• **Nennspannung:** 50 V DC
• **Dielektrische Haltespannung:** 100 V DC
• **Isolationswiderstand:** min. 500 MΩ
• **Drehmoment:** 0,21-3 oz-in (15-200 g-cm)

Kapazität (pF) Min.	Max.	TCC (ppm / °C)	Q (min.) 1 MHz	Farb-code	Digi-Key Teilenr.	Preisangaben 1	10	100	Sprague-Goodman Teilenr.
0.8	20.0	P350	1000	Grün	SG1035-ND	.50	4.24	29.64	GCL20000
1.0	40.0	P350	1000	Blau	SG1037-ND	.79	6.77	47.41	GCL40000

SG9005-ND 4 x 4,5 mm Typ (SG1020 bis SG1033) **11.01**

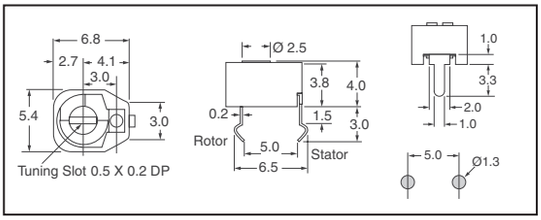

Keramik-Trimmkondensatoren der Serie GKG

Abb.	Kapazität (pF) Min.	Max.	TCC (ppm / °C)	Q (min.)	Farb-code	Digi-Key Teilenr.	Preisangaben 1	10	100	Sprague-Goodman Teilenr.
Keramik-Trimmkondensatoren, Einstellung oben										
1	2.5	6.0	0±200	500	Blau	SG1021-ND	.47	4.06	37.25	GKG6R021
	3.5	10.0	0±200	500	Weiß	SG1022-ND	.47	4.06	37.25	GKG10021
	5.5	20.0	N900±350	500	Rot	SG1023-ND	.47	4.06	37.25	GKG20021
	15.0	50.0	N1700±500	300	Orange	SG1026-ND	.47	4.06	37.25	GKG50021
Keramik-Trimmkondensatoren, Einstellung oben										
2	1.7	3.0	0±200	300	Roter Punkt*	SG1027-ND	.47	4.06	37.25	GKG3R024
	2.5	6.0	0±200	500	Blau	SG1028-ND	.47	4.06	37.25	GKG6R024
	3.5	10.0	0±200	500	Weiß	SG1029-ND	.47	4.06	37.25	GKG10024
	5.5	20.0	N900±350	500	Rot	SG1030-ND	.47	4.06	37.25	GKG20024
	7.5	30.0	N1100±450	300	Grün	SG1031-ND	.47	4.06	37.25	GKG30024
	15.0	50.0	N1700±500	300	Orange	SG1033-ND	.47	4.06	37.25	GKG50024
Keramik-Trimmkondensatoren, Einstellung unten										
3A	1.0	3.0	NPO±250	300	Schwarz	SG3R016-ND	.24	2.07	17.78	GKG3R016
	2.0	5.0	NPO±250	300	Blau	SG5R016-ND	.24	2.07	17.78	GKG5R016
	3.0	10.0	NPO±250	300	Weiß	SG10016-ND	.24	2.07	17.78	GKG10016
	5.0	20.0	N750±250	300	Rot	SG20016-ND	.24	2.07	17.78	GKG20016
	6.5	30.0	N1000±500	200	Grün	SG30016-ND	.24	2.07	17.78	GKG30016
	7.0	40.0	N2200±800	200	Gelb	SG40016-ND	.24	2.07	17.78	GKG40016
	10.0	50.0	N2200±800	200	Braun	SG50016-ND	.37	3.26	27.94	GKG50016
	12.0	60.0	N2200±800	200	Braun	SG60016-ND	.37	3.26	27.94	GKG60016
	15.0	70.0	N2200±800	200	Braun	SG70016-ND	.37	3.26	27.94	GKG70016
Keramik-Trimmkondensatoren, Einstellung oben										
3B	1.0	3.0	NPO±250	300	Schwarz	SG3R015-ND	.20	1.78	15.24	GKG3R015
	2.0	5.0	NPO±250	300	Blau	SG5R015-ND	.20	1.78	15.24	GKG5R015
	3.0	10.0	NPO±250	300	Weiß	SG10015-ND	.20	1.78	15.24	GKG10015
	5.0	20.0	N750±250	300	Rot	SG20015-ND	.21	1.78	16.30	GKG20015
	6.5	30.0	N1000±500	200	Grün	SG30015-ND	.20	1.78	15.24	GKG30015
	7.0	40.0	N2200±800	200	Gelb	SG40015-ND	.20	1.78	15.24	GKG40015
	12.0	60.0	N2200±800	200	Braun	SG60015-ND	.34	2.96	25.40	GKG60015
	15.0	70.0	N2200±800	200	Braun	SG70015-ND	.34	2.96	25.40	GKG70015

* Markierung auf Unterseite des Kondensators

SPEZIFIKATIONEN: • **Betriebstemperaturbereich:** -25 °C ~ 85 °C • **Nennspannung:** 100 V DC • **Dielektrische Haltespannung:** 220 V DC • **Isolationswiderstand:** min. 10^4 Megaohm

Justierwerkzeug

SG9007-ND 5 mm Typ (Abb. 3) **11.01**
SG9005-ND 4 x 4,5 mm Typ (Abb. 1 u. 2) **11.01**

Abb. 1

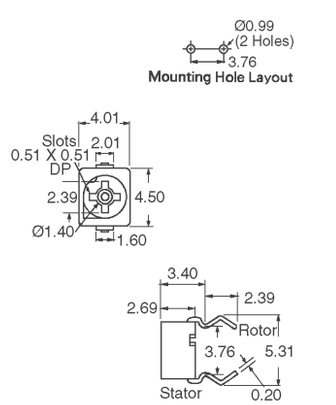

Abb. 2

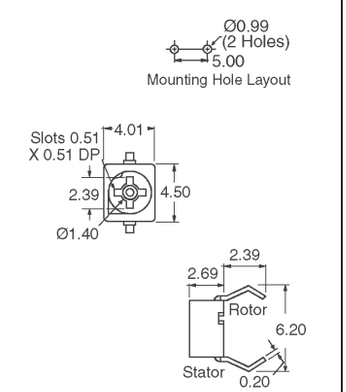

Abb. 3

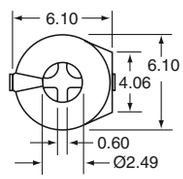

Abb. 3A

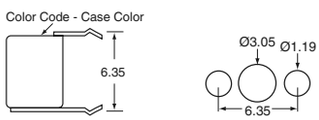

Abb. 3B

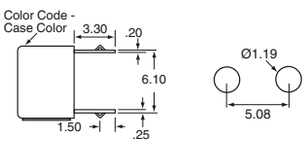

SURFTRIM® Variable Kondensatoren zur Oberflächenmontage

• Vollständig versiegelte Konstruktion • 4 x 4,5 x 2,7 mm

MERKMALE:

•Prozessabdichtung bietet Schutz gegen Verschmutzungen (Flussmittel, Lösungsmittel usw.) während der Produktion.

• Für Dampfphasen-Aufschwemmlöten.

SPEZIFIKATIONEN:
• **Betriebstemperaturbereich:** -25 °C ~ 85 °C
• **Dielektrische Haltespannung:** 220 V DC
• **Isolationswiderstand:** min. 10^4 Megaohm
• **Nennspannung:** 100 V DC
• **Drehmoment:** 15 ~ 100 g-cm (0,2 ~ 1,39 oz-in)

Abb.	Kapazität (pF) Min.	Max.	TCC (ppm / °C)	Q (min.) 1MHz	Farb-code	Digi-Key Teilenr.	Gurtabschnitts-preise 5	25	100	Digi-Key Teilenr.	Preis für gegur-tet auf Rolle 700	Sprague-Goodman Teilenr.
1	1.4	3.0	0±200	300	Roter Punkt*	SG2000CT-ND	4.57	20.01	62.86	SG2000TR-ND	265.49	GKG3R066-07
	2.0	6.0	0±200	500	Blau	SG2001CT-ND	4.57	20.01	62.86	SG2001TR-ND	265.49	GKG6R066-07
	3.0	10.0	0±300	500	Weiß	SG2002CT-ND	4.57	20.01	62.86	SG2002TR-ND	265.49	GKG10066-07
	4.5	20.0	N750±300	500	Rot	SG2003CT-ND	4.57	20.01	62.86	SG2003TR-ND	265.49	GKG20066-07
	6.5	30.0	N900±450	300	Grün	SG2004CT-ND	4.57	20.01	62.86	SG2004TR-ND	265.49	GKG30066-07
2	1.4	3.0	0±200	300	Roter Punkt*	SG2007CT-ND	5.42	23.70	74.50	SG2007TR-ND	314.68	GKG3R067-07
	2.0	6.0	0±200	500	Blau	SG2008CT-ND	5.42	23.70	74.50	SG2008TR-ND	314.68	GKG6R067-07
	3.0	10.0	0±300	500	Weiß	SG2009CT-ND	5.42	23.70	74.50	SG2009TR-ND	314.68	GKG10067-07
	4.5	20.0	N750±300	500	Rot	SG2010CT-ND	5.42	23.70	74.50	SG2010TR-ND	314.68	GKG20067-07
	6.5	30.0	N900±450	300	Grün	SG2011CT-ND	5.42	23.70	74.50	SG2011TR-ND	314.68	GKG30067-07

* Markierung auf Unterseite des Kondensators

SG9005-ND Justierwerkzeug **11.01**

Abb. 1

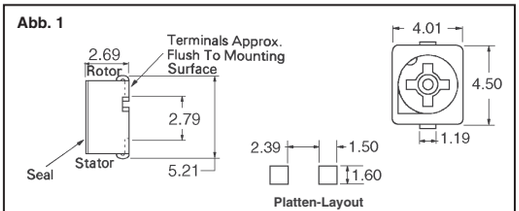

Abb. 2

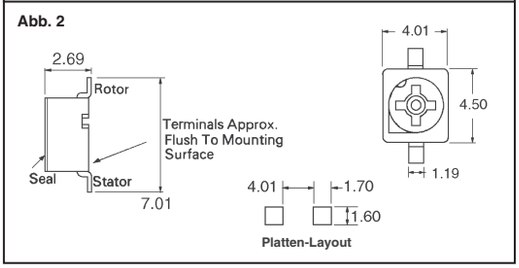

SURFTRIM® Keramikdielektrikum-Trimmkondensatoren zur Oberflächenmontage

Serie GKRP, GKYA und GKY

Justierwerkzeug

GTT-11-ND	(SG2026 - SG2029)	3.23
GTT-9-ND	(SG2021 - SG2025)	3.23
GTT-21-ND	(SG2026 - SG2029)	33.86

SERIE GKRP:
• Zur Waschbarkeit abgedichtet • Niedrige Bauhöhe • Verpackungsstandard Träger auf Rolle • NPO-Temperaturkoeffizient (bis zu max. 10 pF) • Eigenresonanzfrequenz über 1GHz
SPEZIFIKATIONEN:
• **Betriebstemperaturbereich:** -40 °C ~ 85 °C • **Dielektrische Haltespannung**: 75V DC • **Isolationswiderstand:** min. 10^4 MΩ • **Nennspannung:** 25V DC • **Drehmoment:** 0,14 ~ 2,1 oz-in

SERIE GKYA:
• Für Aufschmelzlöten geeignet • Niedriges Montageprofil (nur 1,6mm) • Staubsicher • Eigenresonanzfrequenz über 1GHz
SPEZIFIKATIONEN: • **Betriebstemperaturbereich:** -25 °C ~ 85 °C • **Nennspannung:** 50V DC (110V DC für 10pF und höher) • **Dielektrische Haltespannung**: 110V DC (220V DC für 10 pF und höher) • Isolationswiderstand: min. 10^4 MΩ • **Drehmoment:** 10 ~ 70 g-cm (0,14 ~ 0,98 oz-in)

SERIE GKY:
• Für Aufschmelzlöten • Verpackungsstandard Träger auf Rolle
SPEZIFIKATIONEN:
• **Betriebstemperaturbereich:** -25 °C ~ 85 °C • **Dielektrische Haltespannung:** 220V DC • **Isolationswiderstand:** min. 10^4 MΩ • Nennspannung: 100V DC • Drehmoment: 0,14 ~ 2,08 oz-in

Serie GKRP — 3,2 mm x 2,5 mm x 1,3 mm

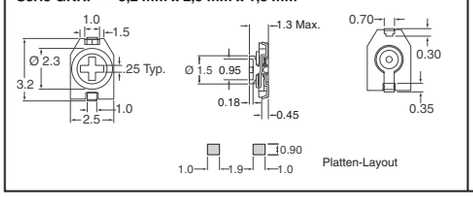

Serie GKYA — 4,5 mm x 3,2 mm x 1,6 mm

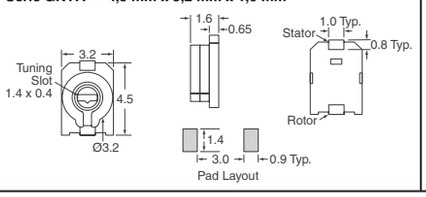

Serie GKY — 4,5 mm x 3,2 mm x 1,8 mm

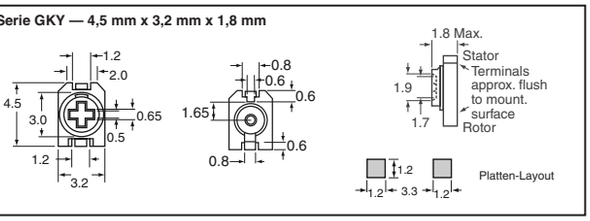

Kapazität (pF) Min.	Max.	TCC (ppm/°C)	Q (min.) 1 MHz	Farbcode	Digi-Key Teilenr.	Gurtabschnittspreise 5	25	100	Digi-Key Teilenr.	Gegurtet auf Rolle Größe	Preisangaben	Sprague-Goodman Teilenr.
SERIE GKRP												
3.0	5	0 ±500	150	—	SG2026CT-ND	6.94	30.38	95.45	SG2026TR-ND	2,000	520.66/M	GKRP5R066
3.0	10	0 ±500	150	—	SG2027CT-ND	6.94	30.38	95.45	SG2027TR-ND	2,000	520.66/M	GKRP10066
5.0	20	N750 ±500	150	—	SG2028CT-ND	6.94	30.38	95.45	SG2028TR-ND	2,000	520.66/M	GKRP20066
7.0	30	N750 ±500	150	—	SG2029CT-ND	6.94	30.38	95.45	SG2029TR-ND	2,000	520.66/M	GKRP30066
SERIE GKYA												
1.2	3.0	0 ±200	300	Schwarz	SG2030CT-ND	2.88	12.60	39.58	SG2030TR-ND	1,000	238.91	GKYA3R006
2.2	6.0	0 ±600	300	Blau	SG2031CT-ND	2.88	12.60	39.58	SG2031TR-ND	1,000	238.91	GKYA6R066
3.0	10.0	N600 ±300	300	—	SG2032CT-ND	2.88	12.60	39.58	SG2032TR-ND	1,000	238.91	GKYA10066
5.5	20.0	N1200 ±500	300	Rot	SG2033CT-ND	2.88	12.60	39.58	SG2033TR-ND	1,000	238.91	GKYA20066
8.0	27.0	N1200 ±500	300	Grün	SG2034CT-ND	2.88	12.60	39.58	SG2034TR-ND	1,000	238.91	GKYA27066
SERIE GKY												
1.7	3.0	0 ±300	500	Braun	SG2024CT-ND	4.40	19.26	60.53	SG2024TR-ND	1,000	365.39	GKY3R066
2.5	6.0	0 ±300	500	Blau	SG2025CT-ND	4.40	19.26	60.53	SG2025TR-ND	1,000	365.39	GKY6R066
3.0	10.0	N400 ±400	500	Weiß	SG2021CT-ND	4.40	19.26	60.53	SG2021TR-ND	1,000	365.39	GKY10066
5.0	20.0	N900 ±400	300	Rot	SG2022CT-ND	4.40	19.26	60.53	SG2022TR-ND	1,000	365.39	GKY20066
6.0	30.0	N1200 ±500	300	Grün	SG2023CT-ND	4.40	19.26	60.53	SG2023TR-ND	1,000	365.39	GKY30066

E

FILMTRIM® Kunststoff-Dielektrik-Kondensatoren, Einstellung oben und unten/Seite

Serie GYA, GYB — 8 mm; Serie GYC, GYD, GZC, GZD — 10 mm

Justierwerkzeug SG9004-ND 13.07

MERKMALE: • Kompakte Größe • Äußerst stabiles TCC für Single-Turn-Trimmer • Kostengünstig für gewerbliche/industrielle Anwendungen • Lineare Kapazitätsänderung i. Vgl. zur Rotation

SPEZIFIKATIONEN: • **Dielektrische Konstruktion:** Serie GYA, GYB, GYC, GYD: Polypropylen; Serie GZC und GZD: Polycarbonat • **Nennspannung:** 100V DC Betriebsspannung • **Dielektrische Haltespannung**: 200V DC • **Betriebstemperatur:** Serie GYA und GYB: –40 °C ~ 70 °C; Serie GYC, GYD, GZC, GZD: –40 °C ~ 85 °C • **Kontaktwiderstand:** <0,010Ω • **Isolationswiderstand:** Min. 10.000MΩ • **Drehmoment:** Serie GYA und GYB: 0,2-3,0 in.-oz.; Serie GYC, GYD, GZC, GZD: 0,2-5,5 in.-oz.. • **Q (min.) @ 1 MHz:** Serie GYA, GYB, GYC, GYD: 1000; Serie GZC und GZD: 200

Abb.	Kapazität (pF) Min.	Max.	TCC (ppm/°C)	Abmessungen A	B	C	Farbcode	Digi-Key Teilenr.	Preisangaben 1	10	100	Sprague-Goodman Teilenr.
8mm												
1A	1.6	5.0	0±300	8.51	7.87	10.2	Grau	SG3000-ND	.86	7.37	67.52	GYA5R000
	2.0	10.0	0±300	8.51	7.87	10.2	Gelb	SG3001-ND	.86	7.37	67.52	GYA10000
	2.0	15.0	0±400	8.51	7.87	10.2	Blau	SG3002-ND	.92	7.87	72.17	GYA15000
	2.2	22.0	0±400	8.51	7.87	10.2	Grün	SG3003-ND	.92	7.87	72.17	GYA22000
	2.3	27.0	0±350	8.51	7.87	10.2	Rot	SG3004-ND	.95	8.13	74.50	GYA27000
	3.0	36.0	0±300	8.51	7.87	10.2	Violett	SG3005-ND	1.40	11.94	109.42	GYA36000
2A	1.6	5.0	0±300	8.51	7.87	10.2	Grau	SG3020-ND	1.48	12.70	116.41	GYB5R000
	2.0	10.0	0±300	8.51	7.87	10.2	Gelb	SG3021-ND	1.48	12.70	116.41	GYB10000
	2.0	15.0	0±400	8.51	7.87	10.2	Blau	SG3022-ND	1.60	13.71	125.72	GYB15000
	2.2	22.0	0±400	8.51	7.87	10.2	Grün	SG3023-ND	1.60	13.71	125.72	GYB22000
	2.3	27.0	0±350	8.51	7.87	10.2	Rot	SG3024-ND	1.66	14.22	130.38	GYB27000
10mm												
1B	2.0	15.0	0±400	11	10.16	10.2	Blau	SG3006-ND	1.19	10.16	93.13	GYC15000
	3.0	20.0	0±400	11	10.16	10.2	Grün	SG3007-ND	1.22	10.41	95.45	GYC20000
	3.5	40.0	0±350	11	10.16	10.2	Transparent	SG3008-ND	1.16	9.91	90.80	GYC40000
	4.5	65.0	0±350	11	10.16	10.2	Gelb	SG3009-ND	1.19	10.16	93.13	GYC65000
2B	2.0	15.0	0±400	11	10.16	10.2	Blau	SG3025-ND	1.60	13.71	125.72	GYD15000
	3.0	20.0	0±400	11	10.16	10.2	Grün	SG3026-ND	1.63	13.97	128.05	GYD20000
	3.0	40.0	0±350	11	10.16	10.2	Transparent	SG3027-ND	1.72	14.73	135.03	GYD40000
	4.5	65.0	0±350	11	10.16	10.2	Gelb	SG3028-ND	1.93	16.51	151.33	GYD65000
1B	8.0	80.0	0±200	11	10.16	11.4	Rot	SG3010-ND	1.57	13.46	123.39	GZC80000
	9.0	100.0	0±400	11	10.16	11.4	Violett	SG3011-ND	2.52	21.59	197.89	GZC10100
	9.0	120.0	0±350	11	10.16	11.4	Orange	SG3012-ND	3.71	31.75	291.02	GZC12100
	10.0	150.0	0±350	11	10.16	12.0	Orange	SG3013-ND	4.33	37.08	339.91	GZC15100
	10.0	180.0	0±350	11	10.16	12.0	Orange	SG3014-ND	5.10	43.68	400.44	GZC18100
2B	9.0	100.0	0±400	11	10.16	11.4	Violett	SG3016-ND	3.17	27.18	249.11	GZD10100
	9.0	120.0	0±350	11	10.16	11.4	Orange	SG3017-ND	4.27	36.57	335.25	GZD12100
	10.0	150.0	0±350	11	10.16	12.0	Orange	SG3018-ND	4.83	41.40	379.49	GZD15100
	10.0	180.0	0±350	11	10.16	12.0	Orange	SG3019-ND	5.43	46.48	426.05	GZD18100

Abb. 1

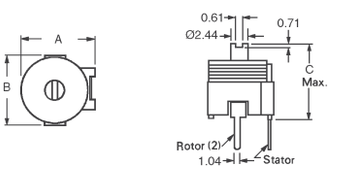

Abb. 1A - 8 mm

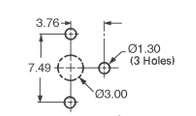

Mounting Hole Layout 3 Lead

Abb. 1B - 10 mm

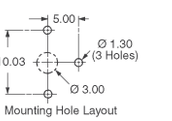

Mounting Hole Layout

Abb. 2

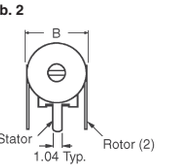

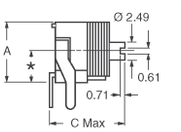

★ 8mm = 4.6; 10mm = 6.25

Abb. 2A - 8 mm

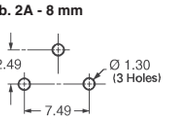

Mounting Hole Layout

Abb. 2B - 10 mm

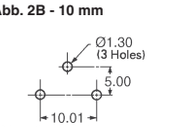

Mounting Hole Layout

BC COMPONENTS

SMD-Trimmkondensatoren

Foliendielektrikum-Kondensatoren

Beschreibung: SMD-Trimmkondensatoren verwenden ein PTE-Teflonfoliendielektrikum und erzielen eine ausgezeichnete langfristige Stabilität sowie einen niedrigen Temperaturkoeffizienten der Kapazität. Diese Kondensatoren bestehen aus Messingrotoren und Statoren, die durch ein Foliendielektrikum getrennt werden und in einem Kunststoffgehäuse untergebracht sind.
Spezifikationen: • **Isolationswiderstand zwischen Stator und Rotor:** min. 10.000MΩ • **Nennspannung:** 100V DC • **Minimum Q @ 10 MHz:** 1.000 • **Temperaturkoeffizient:** –100 ±100 PPM/°C • **Lötmaximum:** 260°C für 5S • **Betriebstemperaturbereich:** -40°C ~ 85°C • **Effektiver Drehwinkel:** 360° • **Betriebsdrehmoment:** 20 - 300g.cm • **Verhältnis von Drehmomentmax. bis -min.:** Innerhalb 3:1

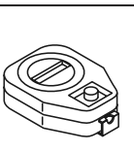

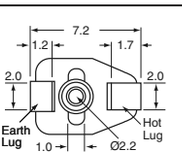

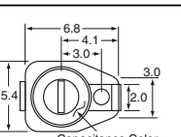

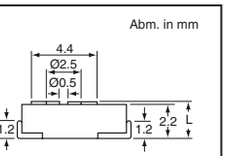

Kapazität (pF) Min.	Max.	Abm. L (mm)	Farbcode	Digi-Key Teilenr.	Stückpreis 1	10	100	500	1.000	BC Components Teilenr.
0.3 ±0.2	5, -0.5/+3	2.2	Orange	2807S505-ND	1.42	1.24	1.12	.95	.83	2807S0R505NHA4BAA
0.4 ±0.2	10, -1/+5	2.2	Schwarz	2807S610-ND	1.42	1.24	1.12	.95	.83	2807S0R610NHB4BAA
0.5 ±0.3	15, -0/+7	2.4	Blau	2807S815-ND	1.42	1.24	1.12	.95	.83	2807S0R815NHC4BAA
0.7 ±0.3	20, -0/+10	2.55	Grün	2807S020-ND	1.42	1.24	1.12	.95	.83	2807S1R020NHD4BAA

Alle Preisangaben in Euro und inklusive Zollgebühren.

Phoenix
Passive Components

Hochspannungswiderstand — HVR

Eine mehrlagige Metallschicht wird auf einem hochwertigen Keramikträger aufgebracht. Nachdem eine spiralförmige Nut in die Widerstandsschicht geschnitten wird, werden verzinnte Drähte aus Elektrolytkupfer an die Endkappen geschweißt. Die Widerstände werden mit hellblauem Lack beschichtet, der elektrischen, mechanischen und klimatischen Schutz bietet. Die Verkapselung ist gemäß MIL-STD-202, Methode 215, und IEC 60068-2-45 gegen alle Reinigungslösungen beständig.

Merkmale:

• Metallschichttechnologie • Hohe Impulsbelastbarkeit (Flashes)

Spezifikationen:

• Grenzspannung: 1.600 V DC (HVR25), 3.500 V DC (HVR37), 10.000 V DC (HVR68) • Temperaturkoeffizient: ±250 ppm/°C

HVR25, 5 %, Hochspannungs-Metallschichtwiderstände — 0,25 W

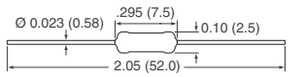

100K	160K	270K	430K	680K		
110K	180K	300K	470K	750K		
120K	200K	330K	510K	820K		
130K	220K	360K	560K	910K		
150K	240K	390K	620K	1.0M		

Beschreibung	Wertebereich	Digi-Key Teilenr.	Preisangaben 5	200	1.000	5.000	10.000	Hersteller Teilenr.
0,25 W, Hochspannungs-Metallschichtfestwiderstand; Gegurtet auf Rolle (5.000/Rolle)	100K~1.0MΩ	PPCQJ(Wert)TR-ND	—	—	—	60.11/M	51.65/M	5043HVxxxxxJ12AFX
0,25 W, Hochspannungs-Metallschichtfestwiderstand; Gurtabschnitt	100K~1.0MΩ	PPCQJ(Wert)CT-ND	1.85	28.23	73.02	—	—	5043HVxxxxxJ12AFX

HVR37 5 % Hochspannungs-Metallschichtwiderstände — 0,50 W

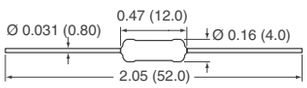

100K	180K	330K	560K	1.0M	1.8M	3.3M	5.6M	10M	18M	33M
110K	200K	360K	620K	1.1M	2.0M	3.6M	6.2M	11M	20M	
120K	220K	390K	680K	1.2M	2.2M	3.9M	6.8M	12M	22M	
130K	240K	430K	750K	1.3M	2.4M	4.3M	7.5M	13M	24M	
150K	270K	470K	820K	1.5M	2.7M	4.7M	8.2M	15M	27M	
160K	300K	510K	910K	1.6M	3.0M	5.1M	9.1M	16M	30M	

Beschreibung	Wertebereich	Digi-Key Teilenr.	Preisangaben 5	200	1.000	5.000	10.000	Hersteller Teilenr.
0,50 W, Hochspannungs-Metallschichtfestwiderstand; Gegurtet auf Rolle (5.000/Rolle)	100K~33MΩ	PPCHJ(Wert)TR-ND	—	—	—	85.51/M	72.81/M	5053HVxxxxxJ12AFX
0,50 W, Hochspannungs-Metallschichtfestwiderstand; Gurtabschnitt	100K~33MΩ	PPCHJ(Wert)CT-ND	2.50	38.05	98.42	—	—	5053HVxxxxxJ12AFX

HVR68 5 % Hochspannungs-Metallschichtwiderstände — 1 W

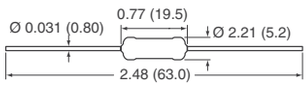

100K	160K	270K	430K	680K	1.1M	1.8M	3.0M	4.7M	7.5M
110K	180K	300K	470K	750K	1.2M	2.0M	3.3M	5.1M	8.2M
120K	200K	330K	510K	820K	1 3M	2.2M	3.6M	5.6M	9.1M
130K	220K	360K	560K	910K	1.5M	2.4M	3.9M	6.2M	10M
150K	240K	390K	620K	1.0M	1.6M	2.7M	4.3M	6.8M	

Beschreibung	Wertebereich	Digi-Key Teilenr.	Preisangaben 5	200	500	2.500	5.000	Hersteller Teilenr.
1 W, Hochspannungs-Metallschichtfestwiderstand; Ammo Box (500 Stck.)	100K~1.0MΩ	PPC1J(Wert)TB-ND	—	—	187.52	320.02/M	289.54/M	5073HVxxxxxJ08AFX
1 W, Hochspannungs-Metallschichtfestwiderstand; Gurtabschnitt	100K~1.0MΩ	PPC1J(Wert)CT-ND	9.81	149.76	—	—	—	5073HVxxxxxJ08AFX
1 W, Hochspannungs-Metallschichtfestwiderstand; Ammo Box (500 Stck.)	1.1M~10MΩ	PPC1J(Wert)TB-ND	—	—	190.49	325.10/M	294.62/M	5073HVxxxxxJ08AFX
1 W, Hochspannungs-Metallschichtfestwiderstand; Gurtabschnitt	1.1M~10MΩ	PPC1J(Wert)CT-ND	9.97	152.22	—	—	—	5073HVxxxxxJ08AFX

F

HVR25 1 % Hochspannungs-Metallschichtwiderstände — 0,25 W

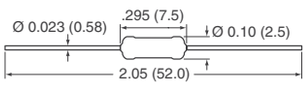

100K	118K	137K	160K	182K	215K	243K	280K	324K	365K	422K	475K	549K	620K	715K	825K	953K
102K	120K	140K	162K	187K	220K	249K	287K	330K	374K	430K	487K	560K	634K	732K	845K	976K
105K	121K	143K	165K	191K	221K	255K	294K	332K	383K	432K	499K	562K	649K	750K	866K	1.0M
107K	124K	147K	169K	196K	226K	261K	300K	340K	390K	442K	510K	576K	665K	768K	887K	
110K	127K	150K	174K	200K	232K	267K	301K	348K	392K	453K	511K	590K	680K	787K	909K	
113K	130K	154K	178K	205K	237K	270K	309K	357K	402K	464K	523K	604K	681K	806K	910K	
115K	133K	158K	180K	210K	240K	274K	316K	360K	412K	470K	536K	619K	698K	820K	931K	

Beschreibung	Wertebereich	Digi-Key Teilenr.	Preisangaben 5	200	1.000	5.000	10.000	Hersteller Teilenr.
0,25 W, Hochspannungs-Metallschichtfestwiderstand; Gegurtet auf Rolle (5.000/Rolle)	100K~1.0MΩ	PPCQF(Wert)TR-ND	—	—	—	93.98/M	79.58/M	5043HVxxxxxF12AFX
0,25 W, Hochspannungs-Metallschichtfestwiderstand; Gurtabschnitt	100K~1.0MΩ	PPCQF(Wert)CT-ND	2.69	41.13	106.36	—	—	5043HVxxxxxF12AFX

HVR37 1 % Hochspannungs-Metallschichtwiderstände — 0,50 W

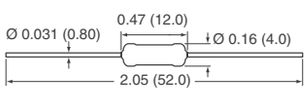

100K	133K	178K	232K	300K	383K	487K	620K	820K	1.07M	1.43M	1.87M	2.43M	3.16M	4.00M	5.11M	6.65M	8.66M
102K	137K	180K	237K	301K	390K	499K	634K	825K	1.10M	1.47M	1.91M	2.49M	3.24M	4.12M	5.23M	6.80M	8.87M
105K	140K	182K	240K	309K	392K	510K	649K	845K	1.13M	1.50M	1.96M	2.55M	3.30M	4.22M	5.36M	6.81M	9.09M
107K	143K	187K	243K	316K	402K	511K	665K	866K	1.15M	1.54M	2.00M	2.61M	3.32M	4.30M	5.49M	6.98M	9.10M
110K	147K	191K	249K	324K	412K	523K	680K	887K	1.18M	1.58M	2.05M	2.67M	3.40M	4.32M	5.60M	7.15M	9.31M
113K	150K	196K	255K	330K	422K	536K	681K	909K	1.20M	1.60M	2.10M	2.70M	3.48M	4.42M	5.62M	7.32M	9.53M
115K	154K	200K	261K	332K	430K	549K	698K	910K	1.21M	1.62M	2.15M	2.74M	3.57M	4.53M	5.76M	7.50M	9.76M
118K	158K	205K	267K	340K	432K	560K	715K	931K	1.24M	1.65M	2.20M	2.80M	3.60M	4.64M	5.90M	7.68M	10M
120K	160K	210K	270K	348K	442K	562K	732K	953K	1.27M	1.69M	2.21M	2.87M	3.65M	4.70M	6.04M	7.87M	
121K	162K	215K	274K	357K	453K	576K	750K	976K	1.30M	1.74M	2.26M	2.94M	3.74M	4.75M	6.19M	8.06M	
124K	165K	220K	280K	360K	464K	590K	768K	1.00M	1.33M	1.78M	2.32M	3.00M	3.83M	4.87M	6.20M	8.20M	
127K	169K	221K	287K	365K	470K	604K	787K	1.02M	1.37M	1.80M	2.37M	3.01M	3.90M	4.99M	6.34M	8.25M	
130K	174K	226K	294K	374K	475K	619K	806K	1.05M	1.40M	1.82M	2.40M	3.09M	3.92M	5.10M	6.49M	8.45M	

Beschreibung	Wertebereich	Digi-Key Teilenr.	Preisangaben 5	200	1.000	5.000	10.000	Hersteller Teilenr.
0,50 W, Hochspannungs-Metallschichtfestwiderstand; Gegurtet auf Rolle (5.000/Rolle)	100K~1.20MΩ	PPCHF(Wert)TR-ND	—	—	—	117.68/M	99.90/M	5053HVxxxxxF12AFX
0,50 W, Hochspannungs-Metallschichtfestwiderstand; Gurtabschnitt	100K~1.20MΩ	PPCHF(Wert)CT-ND	3.30	50.33	130.16	—	—	5053HVxxxxxF12AFX
0,50 W, Hochspannungs-Metallschichtfestwiderstand; Gegurtet auf Rolle (5.000/Rolle)	1.21M~10MΩ	PPCHF(Wert)TR-ND	—	—	—	121.07/M	103.29/M	5053HVxxxxxF12AFX
0,50 W, Hochspannungs-Metallschichtfestwiderstand; Gurtabschnitt	1.21M~10MΩ	PPCHF(Wert)CT-ND	3.38	51.56	133.34	—	—	5053HVxxxxxF12AFX

Phoenix
Passive Components

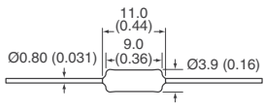

Phoenix-Passive Components, Standard-Widerstandswerte

560	1.20K	2.70K	5.60K
680	1.50K	3.30K	6.80K
820	1.80K	3.90K	8.20K
1.00K	2.20K	4.70K	10.0K

SR 37 10 % Metallschicht-Überspannungswiderstände — 0,50 W

Eine mehrlagige Metallschicht wird auf einem hochwertigen Keramikträger aufgebracht. Verzinnte Elektrolyt-Kupferdrähte werden an die Endkappen geschweißt. Die Widerstände sind mit einem blauen, flammwidrigen Lack beschichtet, der elektrischen, mechanischen und klimatischen Schutz bietet. Die Verkapselung ist gemäß MIL-STD, Methode 215, und IEC 60068-2-45 gegen alle Reinigungslösungen beständig.

Merkmale: • Hohe Impulsbelastbarkeit • Guter Ersatz f. Kohleschichtwiderstände

Anwendungen: Verstärker, Fernseher, Monitore, Stromversorgungen und Motorgeschwindigkeitssteuerungen

Eigenschaften: • Widerstandstoleranz: ±10 % **• Temperaturkoeffizient:** ±250 ppm/°C **• Maximale Verlustleistung bei T_{UMG} = 70 °C:** 0,50 W **• Dielektrische Haltespannung:** 500 V

Beschreibung	Wertebereich	Digi-Key Teilenr.	Preisangaben 5	200	1.000	5.000	10.000	Phoenix Passive Components Teilenr.
0,50 W, 10 % Metallschicht-Überspannungswiderstand; Gegurtet auf Rolle (5.000/Rolle)	560 - 10.0KΩ	PPC(Wert)LTR-ND	—	—	—	66.64/M	60.35/M	2306 245 33xxx
0,50 W, 10 % Metallschicht-Überspannungswiderstand; Gurtabschnitt	560 - 10.0KΩ	PPC(Wert)LCT-ND	1.08	24.53	84.74	—	—	2306 245 33xxx

Metallschichtfestwiderstände — vom Typ SFR25, 1 %, 0,40 W Serie 5043ED

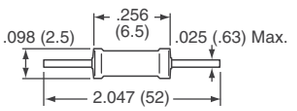

Eine homogeneMetalllegierungsschicht wird auf einem hochwertigen Keramikträger aufgebracht. Nachdem eine spiralförmige Nut in die Widerstandsschicht geschnitten wird, werden verzinnte Drähte aus Elektrolytkupfer an die Endkappen geschweißt. Die Widerstände werden mit hellgrünem, nicht brennbarem Lack beschichtet, der elektrischen, mechanischen und klimatischen Schutz bietet. Die Verkapselung ist gemäß MIL-STD-202E, Methode 215, und IEC 60068-2-45 gegen alle Reinigungslösungen beständig.

EIGENSCHAFTEN:

• Widerstandstoleranz: ±1 % **• Temp.-Koeffizient:** R ≤1MΩ = ±100 ppm/°C, R >1MΩ = ±250 ppm/°C **• Absolute maximale Verlustleistung bei T_{UMG} = 70 °C:** 0,40 W **• Wärmewiderstand, R_{TH}:** 200K/W **• Maximale kontinuierliche Betriebsspannung:** 250 V (DC oder RMS) **• Rauschen R ≤ 1 MΩ:** maximal 0,1 µV/V **• Betriebstemperaturbereich:** -55 °C ~ 155 °C

Phoenix-Passive Components, Standard-Widerstandswerte

10.0	39.2	88.7	210	430	787	1.43K	2.55K	4.53K	7.15K	13.3K	26.7K	45.3K	90.9K	232K	442K	1.50M
10.2	40.2	90.9	220	432	806	1.47K	2.67K	4.64K	7.32K	13.7K	27.4K	46.4K	97.6K	243K	464K	1.54M
11.0	43.2	95.3	221	442	825	1.50K	2.74K	4.75K	7.50K	14.0K	28.7K	47.5K	100K	249K	475K	1.58M
11.3	46.4	100	232	453	845	1.54K	2.87K	4.87K	7.68K	14.3K	29.4K	49.9K	110K	255K	499K	1.60M
11.5	47.5	105	237	475	866	1.58K	2.94K	4.99K	8.06K	15.0K	30.1K	51.1K	120K	270K	511K	1.62M
13.0	49.9	110	243	487	909	1.62K	3.01K	5.10K	8.25K	15.8K	30.9K	53.6K	121K	274K	562K	1.65M
15.0	51.1	118	249	499	931	1.69K	3.09K	5.11K	9.09K	16.2K	31.6K	54.9K	124K	280K	604K	1.78M
18.2	53.6	121	267	511	953	1.74K	3.16K	5.23K	9.53K	16.9K	32.4K	56.0K	127K	294K	619K	1.80M
19.1	56.2	124	274	536	1.00K	1.78K	3.24K	5.36K	9.76K	17.4K	33.2K	56.2K	130K	301K	634K	1.82M
20.0	57.6	127	280	562	1.05K	1.82K	3.32K	5.49K	10.0K	18.2K	34.0K	60.4K	140K	309K	681K	1.96M
21.5	60.4	133	294	590	1.07K	1.87K	3.48K	5.60K	10.2K	18.7K	34.8K	61.9K	150K	324K	715K	2.00M
22.1	61.9	140	301	604	1.10K	1.91K	3.57K	5.62K	10.7K	19.6K	35.7K	63.4K	165K	332K	750K	
23.2	62.0	150	324	619	1.15K	2.00K	3.65K	5.90K	11.0K	20.0K	36.0K	64.9K	169K	340K	1.00M	
24.3	63.4	158	332	649	1.18K	2.10K	3.74K	6.04K	11.3K	20.5K	37.4K	68.1K	182K	348K	1.05M	
24.9	68.1	169	340	665	1.21K	2.15K	3.83K	6.19K	11.5K	21.5K	38.3K	71.5K	191K	365K	1.10M	
26.1	69.8	178	348	681	1.24K	2.21K	3.92K	6.34K	11.8K	22.1K	39.2K	75.0K	196K	374K	1.15M	
27.4	75.0	182	374	698	1.27K	2.32K	4.02K	6.49K	12.1K	24.3K	40.2K	78.7K	200K	392K	1.21M	
33.2	80.6	196	392	715	1.30K	2.37K	4.22K	6.65K	12.4K	24.9K	41.2K	82.5K	210K	402K	1.30M	
34.8	82.0	200	402	750	1.33K	2.43K	4.32K	6.81K	12.7K	25.5K	42.2K	86.6K	221K	422K	1.43M	
36.5	82.5	205	422	768	1.40K	2.49K	4.42K	6.98K	13.0K	26.1K	43.2K	88.7K	226K	432K	1.47M	

Beschreibung	Wertebereich	Digi-Key Teilenr.	Preisangaben 5	200	1.000	5.000	10.000	Phoenix Passive Components Teilenr.
0,40 W, 1 % Metallschichtfestwiderstand; Gegurtet auf Rolle (5.000/Rolle)	10.0 - 2.00MΩ	PPC(Wert)YTR-ND	—	—	—	16.83/M	14.36/M	5043EDxxxxxF12AF5
0,40 W, 1 % Metallschichtfestwiderstand; Gurtabschnitt	10.0 - 2.00MΩ	PPC(Wert)YCT-ND	.75	11.42	29.53	—	—	5043EDxxxxxF12AF5

SFR16S 1 % Metallschichtfestwiderstände —0,50 W Serie 5033ED

F

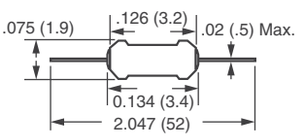

Eine homogene Metalllegierungsschicht wird auf einem hochwertigen Keramikträger aufgebracht. Nachdem eine spiralförmige Nut in die Widerstandsschicht geschnitten wird, werden verzinnte Drähte aus Elektrolytkupfer an die Endkappen geschweißt. Die Widerstände sind mit hellblauem, nicht brennbarem Lack beschichtet, der elektrischen, mechanischen und klimatischen Schutz bietet. Die Verkapselung ist gemäß MIL-STD-202E, Methode 215, und IEC 60068-2-45 gegen alle Reinigungslösungen beständig.

EIGENSCHAFTEN: • Widerstandstoleranz: ±1 % **• Temperaturkoeffizient:** R ≤200 KΩ = ±100 ppm/°C, R >200 KΩ = ±250 ppm/°C **• Absolute maximale Verlustleistung bei T_{UMG} = 70°C:** 0,50W **• Wärmewiderstand, R_{TH}:** 170K/W **• Maximale kontinuierliche Betriebsspannung:** 200 V (DC oder RMS) **• Betriebstemperaturbereich:** -55 °C ~ 155 °C

Phoenix-Passive Components, Standard-Widerstandswerte

10.0	47.5	100	301	590	1.05K	2.49K	4.99K	9.76K	17.8K	35.7K	73.2K	182K	499K
10.7	48.7	121	309	604	1.21K	2.55K	5.11K	10.0K	18.2K	36.5K	75.0K	191K	549K
20.0	49.9	124	324	665	1.24K	2.74K	5.23K	10.2K	18.7K	39.2K	82.5K	200K	562K
22.1	51.1	147	332	681	1.30K	2.80K	5.36K	11.0K	20.0K	40.2K	90.9K	220K	634K
22.6	54.9	150	365	698	1.50K	3.01K	5.49K	12.1K	20.5K	41.2K	100K	221K	681K
26.1	57.6	158	383	715	1.58K	3.09K	5.62K	12.4K	22.1K	43.2K	105K	249K	806K
27.4	60.4	162	390	750	1.65K	3.24K	5.90K	12.7K	23.7K	47.5K	110K	294K	820K
28.0	63.4	191	392	787	1.69K	3.32K	6.49K	13.0K	24.3K	48.7K	115K	301K	931K
30.1	64.9	200	402	806	1.82K	3.65K	6.81K	13.3K	24.9K	49.9K	121K	324K	1.00M
33.2	68.1	221	432	825	1.96K	3.83K	6.98K	14.0K	25.5K	51.1K	124K	332K	1.02M
35.7	75.0	226	475	866	2.00K	3.92K	7.50K	14.7K	26.7K	54.9K	150K	348K	1.07M
37.4	76.8	249	499	909	2.21K	4.02K	8.20K	15.0K	28.0K	56.2K	154K	402K	1.10M
38.3	82.5	267	511	953	2.26K	4.32K	8.25K	15.8K	30.1K	60.4K	158K	412K	1.21M
39.2	90.9	274	549	1.00K	2.37K	4.53K	9.09K	16.2K	32.4K	68.1K	165K	432K	1.82M
41.2	93.1	280	562	1.02K	2.43K	4.75K	9.53K	16.9K	33.2K	69.8K	169K	475K	2.00M

Beschreibung	Wertebereich	Digi-Key Teilenr.	Preisangaben 5	200	1.000	5.000	10.000	Phoenix Passive Components Teilenr.
0,50 W, 1 % Metallschichtfestwiderstand; Gegurtet auf Rolle (5.000/Rolle)	10.0 - 2.00MΩ	PPC(Wert)XTR-ND	—	—	—	19.69/M	16.80/M	5033EDxxxxxF12AF5
0,50 W, 1 % Metallschichtfestwiderstand; Gurtabschnitt	10.0 - 2.00MΩ	PPC(Wert)XCT-ND	.82	12.52	32.38	—	—	5033EDxxxxxF12AF5

MRS25 1 % Metallschichtfestwiderstände — 0,60 W, Serie 5053MC

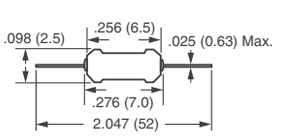

Eine homogene Metalllegierungsschicht wird auf einem hochwertigen Keramikträger aufgebracht. Nachdem eine spiralförmige Nut in die Widerstandsschicht geschnitten wird, werden verzinnte Drähte aus Elektrolytkupfer an die Endkappen geschweißt. Die Widerstände werden mit einem grünen, flammwidrigen Lack beschichtet, der elektrischen, mechanischen und klimatischen Schutz bietet. Die Verkapselung ist gemäß MIL-STD-202E, Methode 215, und IEC 60068-2-45 gegen alle Reinigungslösungen beständig.

EIGENSCHAFTEN: • Widerstandstoleranz: ±1 % **• Temperaturkoeffizient:** ±50 ppm/°C **• Absolute maximale Verlustleistung bei T_{UMG} = 70°C:** 0,60W **• Wärmewiderstand, R_{TH}:** 150K/W **• Maximale kontinuierliche Betriebsspannung:** 350 V (DC oder RMS) **• Betriebstemperaturbereich:** -55 °C ~ 155 °C

Phoenix-Passive Components, Standard-Widerstandswerte

10.0	38.3	90.9	182	332	619	1.50K	3.01K	5.90K	11.3K	24.9K	56.2K	221K	442K	1.10M
10.7	42.2	93.1	191	365	665	1.58K	3.16K	6.04K	12.1K	26.7K	66.5K	226K	475K	1.20M
12.4	44.2	100	200	392	681	1.62K	3.32K	6.19K	12.4K	27.4K	68.1K	243K	499K	1.50M
13.3	46.4	102	210	402	750	1.65K	3.40K	6.49K	13.0K	28.0K	75.0K	249K	511K	1.80M
14.0	47.5	110	215	422	768	1.69K	3.74K	6.81K	14.0K	30.1K	76.8K	255K	576K	2.00M
15.0	49.9	121	221	432	825	1.82K	3.92K	6.98K	14.3K	34.0K	78.7K	267K	619K	2.20M
18.2	51.1	130	243	442	909	2.00K	4.02K	7.15K	15.0K	39.2K	82.5K	280K	649K	
20.0	54.9	137	249	464	931	2.21K	4.22K	7.50K	16.9K	40.2K	90.9K	294K	665K	
22.1	56.2	140	255	475	953	2.26K	4.32K	7.68K	17.4K	41.2K	100K	301K	681K	
23.7	60.4	143	267	499	1.00K	2.32K	4.64K	8.25K	18.2K	43.2K	121K	316K	750K	
24.9	61.9	150	274	511	1.10K	2.43K	4.75K	8.66K	18.7K	44.2K	150K	324K	787K	
27.4	71.5	154	280	549	1.21K	2.49K	4.99K	9.09K	19.1K	47.5K	162K	332K	806K	
30.9	75.0	165	301	562	1.24K	2.67K	5.11K	9.76K	20.0K	48.7K	165K	348K	825K	
33.2	78.7	169	316	576	1.30K	2.74K	5.36K	10.0K	21.0K	49.9K	182K	374K	931K	
35.7	82.5	178	324	604	1.40K	2.94K	5.49K	10.2K	22.1K	51.1K	200K	392K	976K	

Beschreibung	Wertebereich	Digi-Key Teilenr.	Preisangaben 5	200	1.000	5.000	10.000	Phoenix Passive Components Teilenr.
0,60 W, 1 % Metallschichtfestwiderstand; Gegurtet auf Rolle (5.000/Rolle)	10.0-2.20MΩ	PPC(Wert)ZTR-ND	—	—	—	26.99/M	23.03/M	5053MCxxxxxF12AF5
0,60 W, 1 % Metallschichtfestwiderstand; Gurtabschnitt	10.0-2.20MΩ	PPC(Wert)ZCT-ND	1.01	15.35	39.69	—	—	5053MCxxxxxF12AF5

Alle Preisangaben in Euro und inklusive Zollgebühren.

PR01 Typ 5 % Hochleistungs-Metallschichtfestwiderstände — 1 W

Serie 5073NW

Eine homogene Metalllegierungsschicht wird auf einem hochwertigen Keramikträger aufgebracht. Nachdem eine spiralförmige Nut in die Widerstandsschicht geschnitten wird, werden verzinnte Drähte aus Elektrolytkupfer an die Endkappen geschweißt. Die Widerstände sind mit rotem, flammwidrigem Lack beschichtet, der elektrischen, mechanischen und klimatischen Schutz bietet. Die Verkapselung ist gemäß MIL-STD-202E, Methode 215, und IEC 60068-2-45 gegen alle Reinigungslösungen beständig.

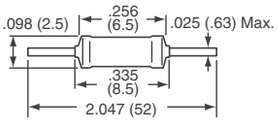

EIGENSCHAFTEN:

• **Widerstandstoleranz:** ±5 % • **Temperaturkoeffizient:** ±250 ppm/°C • **Absolute maximale Verlustleistung bei TUMG = 70°C:** 1.0W • **Thermischer Widerstand, RTH:** 135K/W • **Maximale Dauerbetriebsspannung:** 350 V (DC oder RMS) • **Betriebstemperaturbereich:** -55 °C ~ 155 °C

Phoenix-Passive Components, Standard-Widerstandswerte

1.0	3.3	10	33	100	330	1.0K	3.3K	10K	43K	180K	750K
1.1	3.6	11	36	110	360	1.1K	3.6K	12K	47K	200K	820K
1.2	3.9	12	39	120	390	1.2K	3.9K	15K	51K	220K	1.0M
1.3	4.3	13	43	130	430	1.3K	4.3K	16K	56K	240K	
1.5	4.7	15	47	150	470	1.5K	4.7K	18K	62K	270K	
1.6	5.1	16	51	160	510	1.6K	5.1K	20K	68K	300K	
1.8	5.6	18	56	180	560	1.8K	5.6K	22K	82K	330K	
2.0	6.2	20	62	200	620	2.0K	6.2K	24K	91K	390K	
2.2	6.8	22	68	220	680	2.2K	6.8K	27K	100K	470K	
2.4	7.5	24	75	240	750	2.4K	7.5K	30K	120K	510K	
2.7	8.2	27	82	270	820	2.7K	8.2K	33K	130K	560K	
3.0	9.1	30	91	300	910	3.0K	9.1K	39K	150K	680K	

Beschreibung	Wert rechts	Digi-Key Teilenr.	Preisangaben 5	200	1.000	5.000	10.000	Hersteller Teilenr.
1 W, Hochleistungs-Metallschichtfestwiderstand; Gegurtet auf Rolle (5.000/Rolle)	1.0 - 1.0MΩ	PPC(Wert)W-1TR-ND	—	—	—	45.40/M	38.74/M	5073NWxxxxxJ12AFX
1 W Hochleistungs-Metallschichtfestwiderstand; Gurtabschnitt	1.0 - 1.0MΩ	PPC(Wert)W-1CT-ND	1.47	22.47	58.10	—	—	5073NWxxxxxJ12AFX

PR02 Typ 5 % Hochleistungs-Metallschichtfestwiderstände — 2 W Serie 5083NW

Eine homogene Metalllegierungsschicht wird auf einem hochwertigen Keramikträger aufgebracht. Nachdem eine spiralförmige Nut in die Widerstandsschicht geschnitten wird, werden verzinnte Drähte aus Elektrolytkupfer an die Endkappen geschweißt. Die Widerstände sind mit rotem, flammwidrigem Lack beschichtet, der elektrischen, mechanischen und klimatischen Schutz bietet. Die Verkapselung ist gemäß MIL-STD-202E, Methode 215, und IEC 60068-2-45 gegen alle Reinigungslösungen beständig.

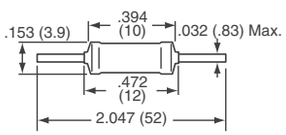

EIGENSCHAFTEN:

• **Widerstandstoleranz:** ±5 % • **Temperaturkoeffizient:** ±250 ppm/°C • **Absolute maximale Verlustleistung bei TUMG = 70°C:** 2,0W • **Thermischer Widerstand, RTH:** 75K/W • **Maximale kontinuierliche Betriebsspannung:** 500 V (DC oder RMS) • **Betriebstemperaturbereich:** -55 °C ~ 155 °C

Phoenix-Passive Components, Standard-Widerstandswerte

1.0	3.0	8.2	24	68	200	560	1.8K	5.1K	15K	43K	150K	510K
1.1	3.3	9.1	27	75	220	620	2.0K	5.6K	16K	47K	160K	560K
1.2	3.6	10	30	82	240	680	2.2K	6.2K	18K	51K	180K	620K
1.3	3.9	11	33	91	270	750	2.4K	6.8K	20K	56K	200K	680K
1.5	4.3	12	36	100	300	820	2.7K	7.5K	22K	62K	220K	750K
1.6	4.7	13	39	110	330	1.0K	3.0K	8.2K	24K	68K	240K	1.0M
1.8	5.1	15	43	120	360	1.1K	3.3K	9.1K	27K	75K	270K	
2.0	5.6	16	47	130	390	1.2K	3.6K	10K	30K	82K	300K	
2.2	6.2	18	51	150	430	1.3K	3.9K	11K	33K	91K	330K	
2.4	6.8	20	56	160	470	1.5K	4.3K	12K	36K	100K	390K	
2.7	7.5	22	62	180	510	1.6K	4.7K	13K	39K	120K	470K	

Beschreibung	Wertebereich	Digi-Key Teilenr.	Preisangaben 5	200	500	1.000	5.000	Hersteller Teilenr.
2 W, Hochleistungs-Metallschichtfestwiderstand; Gegurtet auf Rolle (5.000/Rolle)	1.0 - 1.0MΩ	PPC(Wert)W-2TR-ND	—	—	—	88.26/M	75.32/M	5083NWxxxxxJ12AFX
2 W, Hochleistungs-Metallschichtfestwiderstand; Gurtabschnitt	1.0 - 1.0MΩ	PPC(Wert)W-2CT-ND	2.56	39.04	100.96	—	—	5083NWxxxxxJ12AFX

PR03 Typ 5 % Hochleistungs-Metallschichtfestwiderstände — 3 W, Serie 5093NW

Eine homogene Metalllegierungsschicht wird auf einem hochwertigen Keramikträger aufgebracht. Nachdem eine spiralförmige Nut in die Widerstandsschicht geschnitten wird, werden verzinnte Drähte aus Elektrolytkupfer an die Endkappen geschweißt. Die Widerstände sind mit rotem, flammwidrigem Lack beschichtet, der elektrischen, mechanischen und klimatischen Schutz bietet. Die Verkapselung ist gemäß MIL-STD-202E, Methode 215, und IEC 60068-2-45 gegen alle Reinigungslösungen beständig.

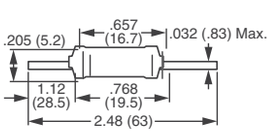

EIGENSCHAFTEN:

• **Widerstandstoleranz:** ±5 % • **Temperaturkoeffizient:** ±250 ppm/°C • **Absolute maximale Verlustleistung TUMG = 70°C:** 3W • **Thermischer Widerstand, RTH:** 60K/W • **Maximale kontinuierliche Betriebsspannung:** 750 V (DC oder RMS) • **Betriebstemperaturbereich:** -55 °C ~ 155 °C

Phoenix-Passive Components, Standard-Widerstandswerte

10	51	200	820	4.7K	16K	47K	160K	750K
12	56	220	1.0K	5.1K	18K	51K	200K	1.0M
15	62	240	1.1K	6.8K	20K	56K	220K	
18	68	300	1.2K	7.5K	22K	62K	240K	
20	75	330	1.5K	8.2K	24K	75K	330K	
24	100	390	2.0K	10K	27K	82K	360K	
27	110	470	2.4K	11K	30K	100K	390K	
33	120	510	2.7K	12K	33K	120K	430K	
43	150	560	3.0K	13K	36K	130K	470K	
47	180	680	3.9K	15K	39K	150K	510K	

Beschreibung	Wertebereich	Digi-Key Teilenr.	Preisangaben 5	100	500	1.000	5.000	Hersteller Teilenr.
3 W, Hochleistungs-Metallschichtfestwiderstände; Band u. Box (500/AMMO-Packung)	10 - 1.0MΩ	PPC(Wert)W-3JTB-ND	—	—	69.08	128.23	114.42/M	5093NWxxxxxJA8AFX
3 W, Hochleistungs-Metallschichtfestwiderstände; Gurtabschnitt	10 - 1.0MΩ	PPC(Wert)W-3JCT-ND	1.77	20.02	—	—	—	5093NWxxxxxJA8AFX

NFR25/NFR25H Typ 5 % Metallschicht-Schmelzlegierungswiderstände — 0,33 und 0,5 W

Serie 5063F und 5065F

Die Widerstände sind mit einem grauen, schwer entflammbaren Lack beschichtet, der elektrischen, mechanischen und klimatischen Schutz bietet. Die Verkapselung ist gemäß MIL-STD-202E, Methode 215, und IEC 60068-2-45 gegen alle Reinigungslösungen beständig. **Merkmale:** • Schmelzlegierungswiderstände • Definiertes Unterbrechungsverhalten (Schmelzzeit) • Nicht entflammbarer Lack • Hohe Stabilität, Zuverlässigkeit und Einheitlichkeit • Zum Schutz von Leiterplatten und Designs geeignet

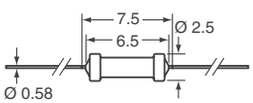

EIGENSCHAFTEN:

• **Widerstandstoleranz:** ±5 % • **Maximale Verlustleistung bei TUMG = 70°C:** *NFR25:* 0,33W; *NFR25H:* 0,5W • **Maximal zulässige Spannung:** *NFR25:* 250 V; *NFR25H:* 350 V • **Betriebstemperaturbereich:** -55 °C ~ 155 °C

Phoenix-Passive Components, Standard-Widerstandswerte

.22	2.2	22	330	2.2K
.33	3.3	33	470	3.3K
.47	4.7	47	680	4.7K
.68	6.8	100	68	6.8K
1.0	10	150	1.0K	10K
1.5	15	220	1.5K	15K

Beschreibung	Wertebereich	Teilenr.	Preisangaben 5	200	1.000	5.000	10.000	Hersteller Teilenr.
NFR25, 0,33 W Hochleistungs-Metallschicht-Schmelzlegierungswiderstände; Gegurtet auf Rolle (5.000/Rolle)	.22 - 15KΩ	PPC(Wert)ATR-ND	—	—	—	101.28/M	86.43/M	5063FxxxxxxJ12AFX
NFR25, 0,33 W Hochleistungs-Metallschicht-Schmelzlegierungswiderstände; Gurtabschnitt	.22 - 15KΩ	PPC(Wert)ACT-ND	2.89	44.07	113.98	—	—	5063FxxxxxxJ12AFX
NFR25H, 0,5 W Hochleistungs-Metallschicht-Schmelzlegierungswiderstände; Gegurtet auf Rolle (5.000/Rolle)	.22 - 15KΩ	PPC(Wert)BTR-ND	—	—	—	144.46/M	123.27/M	5065FxxxxxxJ12AFX
NFR25H, 0,5 W Hochleistungs-Metallschicht-Schmelzlegierungswiderstände; Gurtabschnitt	.22 - 15KΩ	PPC(Wert)BCT-ND	3.98	60.77	157.15	—	—	5065FxxxxxxJ12AFX

NFR01/02/03 Typ 5 % Hochleistungs-Metallschicht-Schmelzlegierungswiderstände — 1, 2 und 3 W

Serie 5073FM, 5083FM und 5093FM

Die Widerstände sind mit rotem, flammwidrigem Lack beschichtet, der elektrischen, mechanischen und klimatischen Schutz bietet. Die Verkapselung ist gemäß MIL-STD-202E, Methode 215, und IEC 60068-2-45 gegen alle Reinigungslösungen beständig.

Merkmale: • Schmelzlegierungswiderstände • Definiertes Unterbrechungsverhalten (Schmelzzeit) • Nicht entflammbarer Lack • Hohe Stabilität, Zuverlässigkeit und Einheitlichkeit • Zum Schutz von Platinen und Designs geeignet

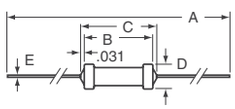

EIGENSCHAFTEN: • **Widerstandstoleranz:** ±5 % **Maximaler Verlust bei 70 °C:** • *NFR01:* 1 W; *NFR02:* 2 W; *NFR03:* 3 W **Maximal zulässige Spannung:** • *NFR01:* 350 V; *NFR02:* 500 V; *NFR03:* 500 V • **Temperaturkoeffizient:** ≤±250 ppm/°C

	Abmessungen (mm)				
Typ	A	B	C	D	E
NFR01	52 ±1.5	6.5	8.5	2.5	0.58 ±0.05 Cu.
NFR02	52 ±1.5	10.0	12.0	4.0	0.8 ±0.03 Cu.
NFR03	63 ±1.5	16.7	19.5	5.3	0.8 ±0.03 Cu.

Phoenix-Passive Components, Standard-Widerstandswerte

.47	2.2	10	47	220	1.0K
.68	3.3	15	68	330	
1.0	4.7	22	100	470	
1.5	6.8	33	150	680	

Beschreibung	Wertebereich	Digi-Key Teilenr.	Preisangaben 5	100	200	500	1.000	5.000	10.000	Hersteller Teilenr.
NFR01, 1 W Hochleistungs-Metallschicht-Schmelzlegierungswiderstände; Gegurtet auf Rolle (5.000/Rolle)	.47 - 1.0KΩ	PPC(Wert)CTR-ND	—	—	—	—	—	135.25/M	115.41/M	5073FMxxxxxJ12AFX
NFR01, 1 W Hochleistungs-Metallschicht-Schmelzlegierungswiderstände; Gurtabschnitt	.47 - 1.0KΩ	PPC(Wert)CCT-ND	3.75	—	57.20	—	147.94	—	—	5073FMxxxxxJ12AFX
NFR02, 2 W Hochleistungs-Metallschicht-Schmelzlegierungswiderstände; Gegurtet auf Rolle (5.000/Rolle)	.47 - 1.0KΩ	PPC(Wert)DTR-ND	—	—	—	—	—	219.06/M	186.93/M	5083FMxxxxxJ12AFX
NFR02, 2 W Hochleistungs-Metallschicht-Schmelzlegierungswiderstände; Gurtabschnitt	.47 - 1.0KΩ	PPC(Wert)DCT-ND	5.88	—	89.61	—	231.76	—	—	5083FMxxxxxJ12AFX
NFR03, 3 W Hochleistungs-Metallschicht-Schmelzlegierungswiderstände; Band und Box (500/AMMO Pck.)	.47 - 1.0KΩ	PPC(Wert)ETB-ND	—	—	—	376.57	699.00	623.69/M	564.86/M	5093FMxxxxxJ08AFX
NFR03, 3 W Hochleistungs-Metallschicht-Schmelzlegierungswiderstände; Gurtabschnitt	.47 - 1.0KΩ	PPC(Wert)ECT-ND	9.08	102.66	—	—	—	—	—	5093FMxxxxxJ08AFX

F

THIN FILM TECHNOLOGY

SSM SUSUMU CO., LTD

0603/0805 SMD 0,05 % Dünnschicht-Chip-Widerstände — Serie RG für Ultra-Präzision/Ultra-Zuverlässigkeit - 1/16, 1/10 W

SSM verwendet herkömmliche Eigenschaften von Dünnschichtwiderständen, um die mit einem Betrieb bei hohen Temperaturen verbundenen Probleme bezüglich Umwelt, Widerstandsstabilität und Haltbarkeit erfolgreich zu lösen. Deshalb nennen wir diese Serie „RG" (Resistor Great). Komponenten von höherer Zuverlässigkeit sind angesichts der steigenden Qualitätsanforderungen in den Automobil- und Messgerätebereichen sowie in der Medizin unerlässlich. Susumu bietet eine Lösung mit den Dünnschicht-Chip-Widerständen der Serie RG. Die Serie RG liefert hervorragenden T.C.R., ist rauscharm und bietet Linearspezifikationen, die für HF-Anwendungen erforderlich sind. Enge Toleranzen vereinfachen die Schaltkreise und machen Trimmpotentiometer unnötig. Dies führt zu Kosteneinsparungen.

Leistung: Inorganischer Schutzüberzug sorgt für hohe Zuverlässigkeit, Haltbarkeit und Schutz vor Wärme und Feuchtigkeit.

Thermische Lastminderung: Die Serie RG kann bei 85 °C 100 % der Nennleistung mindern. Für Anwendungen bei über 85 °C muss der Benutzer die Widerstände gemäß der angegebenen Minderungskurve mindern.

Anwendungen: Geeignet für Automobilanwendungen, Messgeräte und andere Anwendungen, bei denen es um Genauigkeit und Zuverlässigkeit geht.

Artikel	Testbedingungen	Hochzuverlässige Leistung	
		Maximale	Typisch
Kurzzeitige Überlast	2,5-mal Nennlast X 5 Sek.	+/-0.05%	+/-0.01%
Lastbeständigkeit	85 °C Nennlast bei einem Zyklus von 90 Min. ein/ 30 Min. aus über 1.000 Std.	+/-0.1%	+/-0.01%
Temperatur Feuchtigk. Bias	85 °C, 85 % RH 1/10 Leistungslast bei einem Zyklus von 90 Min.ein/30 Min. aus über 1.000 Std.	+/-0.1%	+/-0.01%
A/A Wärmeschock	-55 °C (30 Min.)/ Zimmertemp.(2 Min.)/ +155 °C (30 Min.)/ Zimmertemp.(2 Min.)/ Zimmertemp.(2 Min.) unbelastet 1.000 Zyklen	+/-0.1%	+/-0.05%
Hohe Temperatur	155 °C unbelastet 1.000 h	+/-0.1%	+/-0.01%

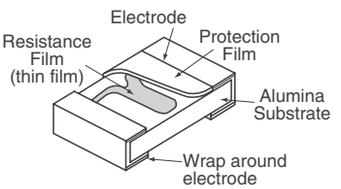

Abmessung (mm)	RG1608 (0603)	RG2012 (0805)
L	1.6 ±0.2	2.0 ±0.2
W	0.8 ±0.2	1.25 ±0.2
P	0.3 ±0.2	0.4 ±0.2
T	0.4 ±0.1	0.4 ±0.1

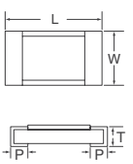

Typ	RG1608	RG2012
Paketgröße	0603	0805
Leistung	1/16W	1/10W
Widerstandstoleranz	±0.05%(W)	±0.05%(W)
T.C.R. ppm/°C	±10 (N)	±10 (N)
Widerstandswerte	E-24	E-24
Max. Betriebsspannung	75V	100V
Betriebstemperatur	-55 °C ~ 155 °C (100 % Leistung bei 85 °C)	

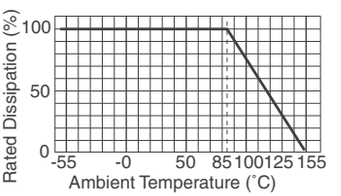

0,05 %, 1/16 W - Serie 0603 — Widerstandswerte

47	180	680	2.7K	10.0K	39.0K	150K
51	200	750	3.0K	11.0K	43.0K	160K
56	220	820	3.3K	12.0K	47.0K	180K
62	240	910	3.6K	13.0K	51.0K	200K
68	270	1.0K	3.9K	15.0K	56.0K	220K
75	300	1.1K	4.3K	16.0K	62.0K	240K
82	330	1.2K	4.7K	18.0K	68.0K	270K
91	360	1.3K	5.1K	20.0K	75.0K	
100	390	1.5K	5.6K	22.0K	82.0K	
110	430	1.6K	6.2K	24.0K	91.0K	
120	470	1.8K	6.8K	27.0K	100K	
130	510	2.0K	7.5K	30.0K	110K	
150	560	2.2K	8.2K	33.0K	120K	
160	620	2.4K	9.1K	36.0K	130K	

0,05 %, 1/10 W - Serie 0805 — Widerstandswerte

47	200	820	3.6K	15.0K	62.0K	270K
51	220	910	3.9K	16.0K	68.0K	300K
56	240	1.0K	4.3K	18.0K	75.0K	330K
62	270	1.1K	4.7K	20.0K	82.0K	360K
68	300	1.2K	5.1K	22.0K	91.0K	390K
75	330	1.3K	5.6K	24.0K	100K	430K
82	360	1.5K	6.2K	27.0K	110K	470K
91	390	1.6K	6.8K	30.0K	120K	
100	430	1.8K	7.5K	33.0K	130K	
110	470	2.0K	8.2K	36.0K	150K	
120	510	2.2K	9.1K	39.0K	160K	
130	560	2.4K	10.0K	43.0K	180K	
150	620	2.7K	11.0K	47.0K	200K	
160	680	3.0K	12.0K	51.0K	220K	
180	750	3.3K	13.0K	56.0K	240K	

F

Beschreibung	Wertebereich	Digi-Key Teilenr.	Gurtabschnittspreise 10	50	200	Digi-Key Teilenr.	Paketgröße	Preisangaben für Gegurtet auf Rolle 1.000	5.000	10.000	25.000	Susumu Teilenr.
0.05%, 0603, 1/16W	47 ~ 270KΩ	RG16N(Wert)WCT-ND	23.75	63.90	146.80	RG16N(Wert)WTR-ND	1,000	287.84	270.92/M	253.98/M	237.05/M	RG1608N-xxx-W-T1
0.05%, 0805, 1/10W	47 ~ 470KΩ	RG20N(Wert)WCT-ND	26.08	70.17	161.19	RG20N(Wert)WTR-ND	1,000	316.63	298.01/M	279.38/M	260.76/M	RG2012N-xxx-W-T1

0,05 % SMD-Widerstände

Digi-Key® Sortimentkits

Digi-Key® 0603, 0,05 %, 1/16 W, Serie RG, SMD-Widerstandskits

RG1608NW-1-KIT-ND Je 10 der Werte 47 Ω ~ 750 Ω **148.96**
RG1608NW-2-KIT-ND Je 10 der Werte 820 Ω ~ 13,0 KΩ **148.96**
RG1608NW-3-KIT-ND Je 10 der Werte 15,0 KΩ ~ 270 KΩ **148.96**

Digi-Key® 0805, 0,05 %, 1/10 W, Serie RG, SMD-Widerstandskits

RG2012NW-1-KIT-ND Je 10 der Werte 47,0 Ω ~ 910 Ω **169.28**
RG2012NW-2-KIT-ND Je 10 der Werte 1,0 KΩ ~ 20,0 KΩ **169.28**
RG2012NW-3-KIT-ND Je 10 der Werte 22,0 KΩ ~ 470 KΩ **169.28**

0402/0603/0805 SMD 1 % Hochleistungs-Metallschicht-Chip-Widerstände - Serie RP — 1/3, 1/5, 1/6 W

Die Serie RP der Stromabtastwiderstände von Susumu bietet hervorragende Wärmeverteilung, die die Verwendung von höheren Leistungen in kleineren Paketen ermöglicht. Ihre patentierte Struktur schafft keine „hot spots", sondern verteilt die Wärme gleichmäßig über die ganze Widerstandsfläche.

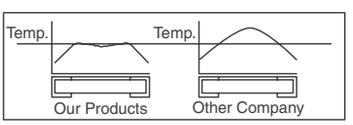

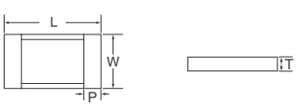

Widerstandswerte

.10	.18	.33	.56	1.0	1.8	3.3	5.6	10	18	33	56	100	
.12	.22	.39	.68	1.2	2.2	3.9	6.8	12	22	39	68		
.15	.27	.47	.82	1.5	2.7	4.7	8.2	15	27	47	82		

Abmessung (mm)	RP1005 (0402)	RP1608 (0603)	RP2012 (0805)
L	1.0 ±0.05	1.6 ±0.2	2.0 ±0.2
W	0.5 ±0.05	0.8 ±0.2	1.25 ±0.2
P	0.2 ±0.10	0.3 ±0.2	0.4 ±0.2
T	0.35 ±0.05	0.4 ±0.1	0.4 ±0.1

Betriebstemperatur: -40 °C ~ 125 °C

Typ	RP1005	RP1608	RP2012
Paketgröße	0402	0603	0805
Leistung	1/6W	1/5W	1/3W
Widerstandstoleranz	±1		
T.C.R. ppm/°C	0 ~ +200		
Widerstandswerte	E-24		
Max. Betriebsspannung	$\sqrt{P*R}$		

Beschreibung	Wertebereich	Digi-Key Teilenr.	Gurtabschnittspreise 10	50	200	Digi-Key Teilenr.	Paketgröße	Preisangaben für Gegurtet auf Rolle 5.000	10.000	25.000	50.000	Susumu Teilenr.
1%, 0402, 1/6W	.10 ~ 47Ω	RP10S(Wert)FCT-ND	8.15	21.93	50.37	RP10S(Wert)FTR-ND	1,000	—	89.41/M	—	78.23/M	RP1005S-xxx-F
1%, 0603, 1/5W	.10 ~ 68Ω	RP16S(Wert)FCT-ND	5.82	15.66	35.98	RP16S(Wert)FTR-ND	1,000	66.21/M	62.31/M	58.42/M	54.53/M	RP1608S-xxx-F
1%, 0805, 1/3W	.10 ~ 100Ω	RP20T(Wert)FCT-ND	4.54	12.22	28.06	RP20T(Wert)FTR-ND	1,000	50.38/M	47.41/M	44.45/M	41.49/M	RP2012T-xxx-F
1%, 0805, 1/3W	12 ~ 100Ω	RP20S(Wert)FCT-ND	4.54	12.22	28.06	RP20S(Wert)FTR-ND	1,000	50.38/M	47.41/M	44.45/M	41.49/M	RP2012S-xxx-F

Digi-Key® Sortimentkits, 1 % SMD-Widerstände

Digi-Key® 0402, 1 %, 1/6 W, Serie RP, SMD-Widerstandskits

RP1005SF-1-KIT-ND Je 10 der Werte 0,10 Ω ~ 47 Ω **50.75**

Digi-Key® 0603, 1 %, 1/5 W, Serie RP, SMD-Widerstandskits

RP1608SF-1-KIT-ND Je 10 der Werte 0,10 Ω ~ 68 Ω **42.29**

Digi-Key® 0805, 1 %, 1/3 W, Serie RP, SMD-Widerstandskits

RP2012SF-1-KIT-ND Je 10 der Werte 12 Ω ~ 100 Ω **11.81**

RP2012TF-1-KIT-ND Je 10 der Werte 0,10 Ω ~ 10 Ω **25.36**

Alle Preisangaben in Euro und inklusive Zollgebühren.

THIN FILM TECHNOLOGY

SUSUMU CO., LTD

0603/0805/0201/0402 SMD 0,1 % und 0,5 % Dünnschicht-Chip-Widerstände – Serie RR für hohe Präzision - 1/10, 1/16, 1/20 W

Susumu produziert Dünnschichtwiderstände seit 1986 und spielt eine führende Rolle bei Dünnschichtprodukten weltweit. Die Spitzenposition von Susumu in der Dünnschichtwiderstandsbranche ist auf die Umsätze der Dünnschichtwiderstände der Serie RR zurückzuführen. Die Serie RR bietet hervorragende T.C.R.-Toleranzen, Linearitätsspez. und geringes Stromrauschen. Diese Spezifikationen tragen zur Schaltkreisvereinfachung bei und führen zu Kostenersparnissen, da sie Trimmerpotentiometer zur Einstellung im Schaltkreis unnötig machen.

Vergleich des Stromrauschens
Serie RR — Dünnschicht im Vergleich zu Dickschicht
Warum die Serie RR niedrigere Stromrauschwerte aufweist

Widerstandsmaterial der Serie RR
Ni-Cr-Legierung
Stromfluss ist
praktisch gleichbleibend

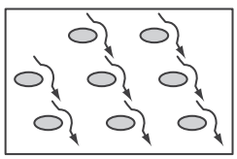

Widerstandsmaterial aus Dickfilm
Metall und Isolatorverbund
Stromfluss ist
nicht gleichbleibend

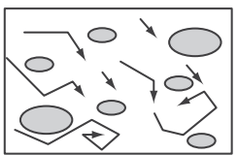

Abmessung (mm)	RR0306 (0201)	RR0510 (0402)	RR0816 (0603)	RR1220 (0805)
L	0.60 ±0.05	1.00 ±0.05	1.60 ±0.20	2.00 ±0.20
W	0.30 ±0.05	0.50 ±0.05	0.80 ±0.20	1.25 ±0.20
P	0.12 ±0.05	0.20 ±0.10	0.30 ±0.20	0.40 ±0.20
T	0.23 ±0.03	0.35 ±0.05	0.40 ±0.10	0.40 ±0.10

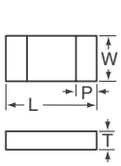

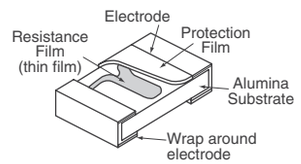

Typ	RR0816	RR1220	RR0306	RR0510	RR0816	RR1220
Paketgröße	(0603)	(0805)	(0201)	(0402)	(0603)	(0805)
Leistung	1/16W	1/10W	1/20W	1/16W	1/16W	1/10W
Widerstandstoleranz	±0.1% (B)	±0.1% (B)	±0.5% (D)	±0.5% (D)	±0.5% (D)	±0.5% (D)
T.C.R. ppm/°C	±25 (P)	±25 (P)	±25 (P)	±100 (R) ±25 (P)	±50 (Q) ±25 (P)	±25 (P) ±50 (Q)
Widerstandswerte	E-24/E-96	E-24/E-96	E-24	E-24/E-96	E-24/E-96	E-24/E-96
Max. Betriebsspannung	75V	100V	15V	25V	75V	100V

0,1 %, 1/16 W - Serie 0603 — Widerstandswerte

100	180	267	402	523	825	1.18K	1.58K	2.1K	2.49K	3.3K	3.9K	4.75K	6.19K	8.2K	10.0K	12.7K	17.4K	25.5K	33.0K	40.2K	51.1K	73.2K	93.1K	127K	221K	324K
107	200	270	422	549	845	1.2K	1.6K	2.15K	2.55K	3.32K	3.92K	4.87K	6.2K	8.25K	10.2K	13.0K	18.0K	26.7K	33.2K	41.2K	53.6K	75.0K	95.3K	130K	226K	330K
110	220	300	430	560	887	1.21K	1.65K	2.2K	2.61K	3.4K	4.02K	4.99K	6.8K	8.45K	10.5K	13.7K	18.7K	27.0K	34.8K	42.2K	56.0K	76.8K	100K	140K	232K	332K
115	221	301	432	562	910	1.24K	1.69K	2.21K	2.67K	3.48K	4.12K	5.1K	6.81K	8.66K	10.7K	14.3K	20.0K	27.4K	35.7K	43.0K	56.2K	80.6K	102K	150K	249K	
120	232	330	453	604	1.0K	1.3K	1.74K	2.26K	2.7K	3.57K	4.22K	5.11K	7.15K	9.09K	11.0K	14.7K	22.0K	30.0K	36.0K	43.2K	57.6K	82.0K	105K	160K	270K	
133	237	348	470	680	1.05K	1.33K	1.8K	2.32K	2.8K	3.6K	4.3K	5.6K	7.5K	9.1K	11.3K	15.0K	22.1K	30.1K	36.5K	47.0K	60.4K	84.5K	110K	180K	280K	
147	240	357	475	750	1.07K	1.4K	1.82K	2.37K	2.87K	3.65K	4.32K	5.62K	7.68K	9.31K	12.0K	15.4K	23.2K	30.9K	38.3K	47.5K	66.5K	86.6K	113K	200K	300K	
150	249	360	499	787	1.1K	1.5K	1.91K	2.4K	3.0K	3.74K	4.64K	5.9K	7.87K	9.53K	12.1K	16.0K	24.0K	31.6K	39.0K	49.9K	68.0K	88.7K	120K	215K	301K	
162	261	390	510	820	1.15K	1.54K	2.0K	2.43K	3.24K	3.83K	4.7K	6.04K	8.06K	9.76K	12.4K	16.5K	24.9K	32.4K	39.2K	51.0K	68.1K	90.9K	124K	220K	309K	

0,1 %, 1/10 W - Serie 0805 — Widerstandswerte

100	162	274	392	549	845	1.21K	1.69K	2.2K	2.94K	3.65K	4.75K	6.2K	8.66K	11.3K	15.0K	18.0K	23.2K	28.7K	38.3K	48.7K	64.9K	86.6K	124K	200K	330K	750K
102	180	300	402	562	909	1.24K	1.74K	2.21K	3.0K	3.9K	4.87K	6.49K	8.87K	11.5K	15.4K	18.2K	24.0K	30.0K	39.0K	49.9K	66.5K	88.7K	133K	220K	360K	820K
110	187	301	453	604	953	1.27K	1.78K	2.32K	3.01K	3.92K	4.99K	6.8K	9.09K	12.0K	15.8K	18.7K	24.3K	30.1K	39.2K	51.0K	68.0K	90.9K	140K	237K	390K	1.0M
120	196	316	470	619	1.0K	1.3K	1.8K	2.4K	3.09K	4.02K	5.1K	6.81K	9.1K	12.1K	16.0K	19.1K	24.9K	31.6K	40.2K	51.1K	68.1K	97.6K	150K	243K	430K	
124	200	324	475	649	1.02K	1.33K	1.82K	2.49K	3.16K	4.22K	5.11K	7.15K	9.53K	12.4K	16.2K	20.0K	25.5K	33.0K	43.0K	53.6K	71.5K	100K	169K	249K	499K	
127	220	330	499	698	1.05K	1.5K	1.91K	2.55K	3.3K	4.3K	5.49K	7.5K	10.0K	13.0K	16.5K	21.0K	26.1K	33.2K	45.3K	56.0K	75.0K	102K	180K	270K	510K	
130	240	332	510	732	1.07K	1.54K	2.0K	2.61K	3.32K	4.32K	5.62K	7.87K	10.2K	13.3K	16.9K	21.5K	26.7K	34.8K	46.4K	56.2K	80.6K	110K	182K	280K	560K	
140	249	374	511	750	1.15K	1.6K	2.05K	2.7K	3.57K	4.64K	5.76K	8.2K	10.5K	13.7K	17.4K	22K	27.0K	36.0K	47K	60.4K	82.0K	115K	191K	300K	649K	
150	267	390	536	820	1.2K	1.62K	2.15K	2.74K	3.6K	4.7K	6.04K	8.25K	11.0K	14.3K	17.8K	22.1K	27.4K	36.5K	47.5K	62.0K	82.5K	120K	196K	301K	680K	

0,5 %, 1/20 W - Serie 0201 — Widerstandswerte

47	130	3.3K	5.6K
82	220	3.9K	6.8K
100	470	4.3K	8.2K
120	560	4.7K	

0,5 %, 1/16 W - Serie 0402 — Widerstandswerte

10	27	47	62	110	180	300	470	750	1.2K	2.0K	3.3K	5.1K	7.5K	12.0K	20.0K	33.0K	51.0K	82.0K
15	30	49.9	68	120	200	330	510	820	1.3K	2.2K	3.6K	5.6K	8.2K	13.0K	22.0K	36.0K	56.0K	100K
20	33	51	75	130	220	360	560	910	1.5K	2.4K	3.9K	5.76K	9.1K	15.0K	24.0K	39.0K	62.0K	
22	36	56	82	150	240	390	620	1.0K	1.6K	2.7K	4.3K	6.2K	10.0K	16.0K	27.0K	43.0K	68.0K	
24	39	56.2	100	160	270	430	680	1.1K	1.8K	3.0K	4.7K	6.8K	11.3K	18.0K	30.0K	47.0K	75.0K	

0,5 %, 1/16 W - Serie 0603 — Widerstandswerte

10	22	38.3	56	120	200	332	475	681	1.1K	1.69K	2.55K	3.4K	4.99K	6.34K	8.66K	11.5K	16.2K	21.5K	28.7K	39.0K	52.3K	69.8K	120K	210K	309K
11	22.1	39	56.2	121	210	348	499	715	1.2K	1.78K	2.67K	3.57K	5.1K	6.65K	8.87K	12.0K	16.5K	22.0K	29.4K	40.2K	53.6K	75.0K	124K	220K	324K
11.8	24	39.2	62	124	220	360	510	750	1.21K	1.8K	2.7K	3.6K	5.11K	6.8K	9.09K	12.1K	17.4K	22.1K	30.0K	43.0K	56.0K	78.7K	130K	221K	330K
12	24.9	40.2	68	130	221	390	560	806	1.24K	1.96K	2.74K	3.9K	5.23K	6.81K	9.1K	12.4K	17.8K	22.6K	30.1K	43.2K	56.2K	80.6K	140K	240K	332K
12.1	27	43	68.1	147	240	392	562	820	1.3K	2.0K	2.87K	3.92K	5.36K	6.98K	9.31K	13.0K	18.0K	23.2K	32.4K	44.2K	59.0K	82.0K	147K	243K	357K
13	30	47	75	150	267	402	590	825	1.37K	2.1K	3.0K	4.02K	5.49K	7.15K	9.53K	13.3K	18.2K	24.0K	33.0K	47.0K	60.4K	84.5K	150K	249K	360K
15	33	47.5	82	154	270	422	604	845	1.4K	2.2K	3.01K	4.22K	5.6K	7.5K	9.76K	14.0K	18.7K	24.3K	33.2K	47.5K	61.9K	90.9K	160K	255K	
16	33.2	49.9	82.5	160	274	430	619	910	1.47K	2.21K	3.09K	4.3K	5.62K	8.06K	10.0K	14.3K	19.6K	24.9K	34.0K	48.7K	62.0K	91.0K	165K	270K	
18	34	51	91	165	300	432	620	1.0K	1.5K	2.4K	3.16K	4.7K	5.9K	8.2K	10.2K	15.0K	20.0K	27.0K	34.8K	49.9K	66.5K	100K	178K	284K	
20	36	51.1	100	180	301	464	649	1.02K	1.6K	2.43K	3.3K	4.75K	6.04K	8.25K	10.5K	15.8K	20.5K	27.4K	36.0K	51.0K	68.0K	107K	180K	300K	
21.5	37.4	54.9	110	182	330	470	680	1.07K	1.62K	2.49K	3.32K	4.87K	6.2K	8.45K	11.0K	16.0K	21.0K	28.0K	37.4K	51.1K	68.1K	110K	200K	301K	

0,5 %, 1/10 W - Serie 0805 — Widerstandswerte

10	22	36	68	127	226	430	820	1.6K	2.2K	3.16K	3.92K	5.11K	6.81K	9.53K	13.3K	17.4K	24.0K	33.0K	45.3K	62.0K	86.6K	150K	270K	620K
11	22.6	39	75	130	240	470	910	1.65K	2.21K	3.24K	4.02K	5.36K	6.98K	10.0K	13.7K	18.0K	24.3K	33.2K	47.0K	64.9K	88.7K	160K	300K	680K
12	24	40.2	80.6	133	249	499	1.0K	1.78K	2.37K	3.3K	4.3K	5.49K	7.15K	10.2K	14.0K	18.7K	24.9K	35.7K	47.5K	66.5K	90.9K	178K	330K	750K
12.4	24.9	43	82	140	267	510	1.1K	1.8K	2.4K	3.32K	4.32K	5.6K	7.5K	10.5K	14.3K	19.1K	25.5K	36.0K	48.7K	68.0K	91.0K	180K	332K	820K
13	27	47	82.5	150	270	560	1.13K	1.82K	2.43K	3.4K	4.42K	5.62K	7.87K	11.0K	15.0K	20.0K	26.1K	36.5K	49.9K	71.5K	100K	191K	360K	910K
15	27.4	47.5	91	160	300	576	1.15K	1.87K	2.49K	3.48K	4.53K	5.76K	8.06K	11.8K	15.4K	21.0K	26.7K	39.0K	51.0K	73.2K	102K	200K	390K	1.0M
16	30	49.9	100	178	330	604	1.2K	1.91K	2.7K	3.6K	4.7K	5.9K	8.2K	12.0K	15.8K	21.5K	27.0K	39.2K	51.1K	75.0K	105K	205K	430K	
18	30.1	51	110	180	332	620	1.21K	2.0K	2.8K	3.65K	4.75K	6.04K	8.25K	12.1K	16.0K	22.0K	27.4K	40.2K	53.6K	80.6K	110K	220K	470K	
19.6	32.4	56	120	200	360	680	1.3K	2.05K	2.94K	3.74K	4.87K	6.2K	8.45K	12.4K	16.2K	22.1K	30.0K	41.2K	56.0K	82.0K	115K	240K	510K	
20	33	61.9	121	215	390	681	1.5K	2.1K	3.0K	3.83K	4.99K	6.65K	9.09K	12.7K	16.5K	23.2K	30.1K	43.0K	56.2K	82.5K	120K	249K	560K	
21.5	35.7	62	124	220	392	750	1.58K	2.15K	3.01K	3.9K	5.1K	6.8K	9.1K	13.0K	16.9K	23.7K	32.4K	44.2K	59.0K	84.5K	130K	255K	604K	

Beschreibung	Wertebereich (Ω)	Digi-Key Teilenr.	Gurtabschnittspreise 10	50	200	Digi-Key Teilenr.	Paket-größe	Preisangaben für Gegurtet auf Rolle 5.000	10.000	25.000	30.000	Susumu Teilenr.
.1%, 0603, 1/16W	100 ~ 332K	RR08P(Wert)BCT-ND	4.89	13.16	30.22	RR08P(Wert)BTR-ND	5,000	54.69/M	51.48/M	48.26/M	—	RR0816P-xxx-B
.1%, 0805, 1/10W	100 ~ 1.0M	RR12P(Wert)BCT-ND	4.89	13.16	30.22	RR12P(Wert)BTR-ND	5,000	54.69/M	51.48/M	48.26/M	—	RR1220P-xxx-B
.5%, 0201, 1/20W	47 ~ 8.2K	RR03P(Wert)DCT-ND	2.57	6.89	15.83	RR03P(Wert)DTR-ND	5,000	25.91/M	24.39/M	22.86/M	—	RR0306P-xxx-D
.5%, 0402, 1/16W	10 ~ 82	RR05R(Wert)DCT-ND	1.03	2.79	6.41	RR05R(Wert)DTR-ND	10,000	—	7.47/M	—	7.06/M	RR0510R-xxx-D
	100 ~ 100K	RR05P(Wert)DCT-ND	1.22	2.79	6.41	RR05P(Wert)DTR-ND	10,000	—	7.47/M	—	7.06/M	RR0510P-xxx-D
.5%, 0603, 1/16W	10 ~ 91	RR08Q(Wert)DCT-ND	1.19	3.19	7.34	RR08Q(Wert)DTR-ND	5,000	9.45/M	8.93/M	8.40/M	—	RR0816Q-xxx-D
	100 ~ 360K	RR08P(Wert)DCT-ND	1.19	3.19	7.34	RR08P(Wert)DTR-ND	5,000	9.45/M	8.93/M	8.40/M	—	RR0816P-xxx-D
.5%, 0805, 1/10W	10 ~ 91	RR12Q(Wert)DCT-ND	1.19	3.19	7.34	RR12Q(Wert)DTR-ND	5,000	9.45/M	8.93/M	8.40/M	—	RR1220Q-xxx-D
	100 ~ 1.0M	RR12P(Wert)DCT-ND	1.19	3.19	7.34	RR12P(Wert)DTR-ND	5,000	9.45/M	8.93/M	8.40/M	—	RR1220P-xxx-D

0,1 % und 0,5 % SMD-Widerstände

Digi-Key® Sortimentkits

Digi-Key®0603, 0,1 %, 1/16 W, Serie RR, SMD-Widerstandskits

RR0816PB-1-KIT-ND Je 10 der Werte 100 Ω ~ 1,0 KΩ **50.75**
RR0816PB-2-KIT-ND Je 10 der Werte 1,05 KΩ ~ 3,9 KΩ **50.75**
RR0816PB-3-KIT-ND Je 10 der Werte 3,92 KΩ ~ 15,0 KΩ **50.75**
RR0816PB-4-KIT-ND Je 10 der Werte 15,4 KΩ ~ 75,0 KΩ **50.75**
RR0816PB-5-KIT-ND Je 10 der Werte 76,8 KΩ ~ 332 KΩ **42.29**

Digi-Key® 0805, 0,1 %, 1/10 W, Serie RR, SMD-Widerstandskits

RR1220PB-1-KIT-ND Je 10 der Werte 100 Ω ~ 1,02 KΩ **50.75**
RR1220PB-2-KIT-ND Je 10 der Werte 1,05 KΩ ~ 4,75 KΩ **50.75**
RR1220PB-3-KIT-ND Je 10 der Werte 4,87 KΩ ~ 21,0 KΩ **50.75**
RR1220PB-4-KIT-ND Je 10 der Werte 21,5 KΩ ~ 88,7 KΩ **50.75**
RR1220PB-5-KIT-ND Je 10 der Werte 90,9 KΩ ~ 1,0 MΩ **42.29**

Digi-Key® 0201, 0,5 %, 1/20 W, Serie RR, SMD-Widerstandskits

RR0306PD-1-KIT-ND Je 10 der Werte 47 Ω ~ 8,2 KΩ **8.42**

Digi-Key® 0402, 0,5 %, 1/16 W, Serie RR, SMD-Widerstandskits

RR0510RD-1-KIT-ND Je 10 der Werte 10,0 Ω ~ 82,0 Ω **4.19**
RR0510PD-1-KIT-ND Je 10 der Werte 100 Ω ~ 4,3 KΩ **8.42**
RR0510PD-2-KIT-ND Je 10 der Werte 4,7 KΩ ~ 100 KΩ **6.73**

Digi-Key® 0603, 0,5 %, 1/16 W, Serie RR, SMD-Widerstandskits

RR0816QD-1-KIT-ND Je 10 der Werte 11 Ω ~ 91,0 Ω **11.81**
RR0816PD-1-KIT-ND Je 10 der Werte 100 Ω ~ 806 Ω **13.50**
RR0816PD-2-KIT-ND Je 10 der Werte 820 Ω ~ 4,75 KΩ **13.50**
RR0816PD-3-KIT-ND Je 10 der Werte 4,87 KΩ ~ 18,0 KΩ **13.50**
RR0816PD-4-KIT-ND Je 10 der Werte 18,2 KΩ ~ 68,1 KΩ **13.50**
RR0816PD-5-KIT-ND Je 10 der Werte 69,8 KΩ ~ 360 KΩ **10.96**

Digi-Key®0805, 0,5 %, 1/10 W, Serie RR, SMD-Widerstandskits

RR1220QD-1-KIT-ND Je 10 der Werte 10 Ω ~ 91Ω **10.96**
RR1220PD-1-KIT-ND Je 10 der Werte 100 Ω ~ 1,6 KΩ **13.50**
RR1220PD-2-KIT-ND Je 10 der Werte 1,65 KΩ ~ 5,9 KΩ **13.50**
RR1220PD-3-KIT-ND Je 10 der Werte 6,04 KΩ ~ 24,3 KΩ **13.50**
RR1220PD-4-KIT-ND Je 10 der Werte 24,9 KΩ ~ 110 KΩ **13.50**
RR1220PD-5-KIT-ND Je 10 der Werte 115 KΩ ~ 1 MΩ **8.42**

F

0402 / 0805 / 0815 / 0830 /1206 / 2512 SMD 1 %, 2 % und 5 % Dünnschicht-Chip-Widerstände – Serie RL für niedrigen Widerstand - 1/8, 1/4, 1/2, 1 und 2 W

Die Serie RL der Stromabtastwiderstände von Susumu bietet hervorragende Wärmeverteilung, die die Verwendung von höheren Leistungen bei kleineren Paketen ermöglicht. Ihre patentierte Struktur schafft keine „hot spots", sondern verteilt die Wärme gleichmäßig über die ganze Widerstandsfläche.
Eine spezielle Konstruktion gewährleistet kleine Abmessungen und verminderte Oberflächentemperaturen dank Wärmeabstrahlung und -leitung. Diese Konstruktion minimiert auch den Wärmeeinfluss auf umliegende Bereiche. Patent 2963671.

RL0510, RL1220, RL1632, RL3264

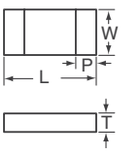

RL3720, RL3720W, RL7520W

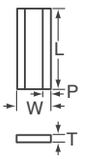

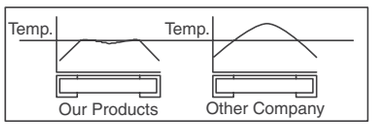

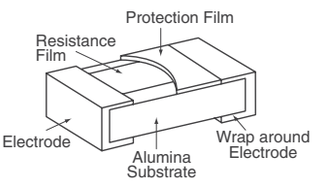

Abmessung (mm)	RL0510 (0402)	RL1220 (0805)	RL3720 (0815)	RL3720W (0815)	RL7520W (0830)	RL1632 (1206)	RL3264 (2512)
L	1.00 ±0.10	2.00 ±0.20	3.75 ±0.30	3.75 ±0.30	7.50 ±0.30	3.2 ±0.20	6.40 ±0.20
W	0.50 ±0.10	1.25 ±0.20	2.00 ±0.20	2.00 ±0.20	2.00 ±0.20	1.60 ±0.20	3.20 ±0.20
P	0.20 ±0.10	0.40 ±0.20	0.40 ±0.20	0.40 ±0.20	0.40 ±0.20	1.00 ±0.15	2.00 ±0.15
T	0.35 ±0.10	0.40 ±0.20	0.40 ±0.10	0.40, +0.15/-0.10	0.40, +0.15/-0.10	0.50 ±0.15	0.50 ±0.15

Typ	RL0510S-xxx-F RL0510S-xxx-G	RL1220S-xxx-F RL1220T-xxx-G RL1220S-xxx-G RL1220T-xxx-J	RL3720T-xxx-F RL3720S-xxx-F RL3720T-xxx-G RL3720S-xxx-G	RL3720WT-xxx-F RL3720WS-xxx-F RL3720WT-xxx-G RL3720WT-xxx-J	RL7520WT-xxx-F RL7520WS-xxx-F RL7520WT-xxx-G RL7520WT-xxx-J	RL1632T-xxx-F RL1632S-xxx-F RL1632R-xxx-F RL1632T-xxx-G	RL3264T-xxx-F RL3264S-xxx-F RL3264R-xxx-F RL3264T-xxx-G
Paketgröße	**(0402)**	**(0805)**	**(0815)**	**(0815)**	**(0830)**	**(1206)**	**(2512)**
Leistung	1/8W	1/4W	1/2W	1W	2W	1/2W	1W
Widerstandstoleranz	±1%(F) ±2%(G)	±1%(F) ±2 %(G) ±5%(J)	±1%(F) ±2%(G) ±5%(J)	±1%(F) ±2%(G) ±5%(J)	±1%(F) ±2%(G) ±5%(J)	±1%(F) ±2%(G)	±1%(F) ±2%(G)
T.C.R. ppm/°C	0~+200(S)	0~+200(S) 0~+350(T)	0~+350(T) 0~+200(S)	0~+200(S) 0~+350(T)	0~+200(S) 0~+350(T)	+100(R) 0~+200(S) 0~+350(T)	+100(R) 0~+200(S) 0~+350(T)
Widerstandswerte	E-6	E-12	E-6	E-6	E-6	E-12	E-12

1 %, 1/8 W - Serie 0402 — Widerstandswerte

.15	.22	1.0	1.5	2.2	3.3	4.7

1 %, 1/4 W - Serie 0805 — Widerstandswerte

.10	.22	.47	.91	2.0	4.70	9.1
.11	.24	.50	1.00	2.20	4.70	10.0
.12	.27	.51	1.1	2.4	5.1	
.13	.30	.56	1.2	2.70	5.6	
.15	.33	.62	1.30	3.00	6.2	
.16	.36	.68	1.50	3.30	6.8	
.18	.39	.75	1.6	3.6	7.5	
.20	.43	.82	1.80	3.9	8.2	

1 %, 1/2 W - Serie 0815 — Widerstandswerte

.018	.022	.047	.10

1 %, 1/2 W - Serie 1206 — Widerstandswerte

.027	.051	.10	.20	.39	.75	1.5	3.0
.030	.056	.11	.22	.43	.82	1.6	3.3
.033	.062	.12	.24	.47	.91	1.8	3.6
.036	.068	.13	.27	.51	1.0	2.0	3.9
.039	.075	.15	.30	.56	1.1	2.2	4.3
.043	.082	.16	.33	.62	1.2	2.4	4.7
.047	.091	.18	.36	.68	1.3	2.7	

1 %, 1 W - Serie 0815 — Widerstandswerte

.01	.02	.10	.22	.43	.68
.015	.05	.15	.33	.47	1.00

1 %, 1 W - Serie 2512 — Widerstandswerte

.027	.039	.056	.082	.12	.18	.27	.39
.033	.047	.068	.10	.15	.22	.33	.47

1 %, 2 W - Serie 0830 — Widerstandswerte

.01	.02	10	15	22	33	47

2 %, 1/8 W - Serie 0402 — Widerstandswerte

.15	.22	1.0	2.2

2 %, 1/4 W - Serie 0805 — Widerstandswerte

.022	.056	.10	.20	.33	.82	1.80	4.70
.033	.068	.12	.22	.36	1.00	2.20	10.0
.047	.075	.15	.24	.47	1.30	2.70	
.05	.082	.18	.30	.68	1.50	3.30	

2 %, 1/2 W - Serie 1206 — Widerstandswerte

.010	.012	.015	.018	.022
.011	.013	.016	.020	.024

2 %, 1/2 W - Serie 0815 — Widerstandswerte

.018	.02	.022	.04	.047	.10

2 %, 1 W - Serie 0815 — Widerstandswerte

.01	.012	.018	.022	.028	.033	.047	.068
.011	.015	.02	.025	.030	.04	.05	

2 %, 1 W - Serie 2512 — Widerstandswerte

.010	.015	.022
.012	.018	

2 %, 2 W - Serie 0830 — Widerstandswerte

.01	.015	.022	.039	.050
.012	.02	.033	.047	.068

5 %, 1/4 W - Serie 0805 — Widerstandswerte

.010	.013	.018	.024	.030	.039	.05	.062	.082
.011	.015	.020	.025	.033	.043	.051	.068	.091
.012	.016	.022	.027	.036	.047	.056	.075	

5 %, 1 W - Serie 0815 — Widerstandswerte

.004	.005	.008

5 %, 2 W - Serie 0830 — Widerstandswerte

.001	.003	.005	.009
.002	.004	.006	

Beschreibung	Wertebereich (Ω)	Digi-Key Teilenr.	Gurtabschnittspreise 10	50	200	Digi-Key Teilenr.	Paket-größe	Preisangaben für Gegurtet auf Rolle 4.000	5.000	10.000	Susumu Teilenr.
1%, 0402, 1/8W	.15 ~ 4.7	RL05S(Wert)FCT-ND	5.00	13.47	30.94	RL05S(Wert)FTR-ND	10,000	—	—	52.83/M	RL0510S-xxx-F
2%, 0402, 1/8W	.15 ~ 2.2	RL05S(Wert)GCT-ND	4.77	12.84	29.50	RL05S(Wert)GTR-ND	10,000	—	—	50.12/M	RL0510S-xxx-G
1%, 0805, 1/4W	.10 ~ 10.0	RL12S(Wert)FCT-ND	2.91	7.83	17.99	RL12S(Wert)FTR-ND	5,000	—	30.23/M	28.45/M	RL1220S-xxx-F
2%, 0805, 1/4W	.022 ~ .082	RL12T(Wert)GCT-ND	4.54	12.22	28.06	RL12T(Wert)GTR-ND	5,000	—	50.38/M	47.41/M	RL1220T-xxx-G
	.10 ~ 10.0	RL12S(Wert)GCT-ND	2.91	7.83	17.99	RL12S(Wert)GTR-ND	5,000	—	30.23/M	28.45/M	RL1220S-xxx-G
5%, 0805, 1/4W	.010 ~ .091	RL12T(Wert)JCT-ND	3.50	9.40	21.59	RL12T(Wert)JTR-ND	5,000	—	37.42/M	35.22/M	RL1220T-xxx-J
1%, 0815, 1/2W	.018 ~ .047	RL37T(Wert)FCT-ND	11.46	30.86	70.89	RL37T(Wert)FTR-ND	4,000	128.01/M	—	—	RL3720T-xxx-F
	.10	RL37S(Wert)FCT-ND	11.52	31.01	71.24	RL37S(Wert)FTR-ND	4,000	128.69/M	—	—	RL3720S-xxx-F
2%, 0815, 1/2W	.018 ~ .047	RL37T(Wert)GCT-ND	11.52	31.01	71.24	RL37T(Wert)GTR-ND	4,000	128.69/M	—	—	RL3720T-xxx-G
	.10	RL37S(Wert)GCT-ND	10.48	28.19	64.76	RL37S(Wert)GTR-ND	4,000	116.50/M	—	—	RL3720S-xxx-G
1%, 0815, 1W	.01 ~ .05	RL37WT(Wert)FCT-ND	15.14	40.72	93.55	RL37WT(Wert)FTR-ND	4,000	170.68/M	—	—	RL3720WT-xxx-F
1%, 0815, 1W	.10 ~ 1.00	RL37WS(Wert)FCT-ND	15.14	40.72	93.55	RL37WS(Wert)FTR-ND	4,000	170.68/M	—		RL3720WS- xxx-F
2%, 0815, 1W	.01 ~ .068	RL37WT(Wert)GCT-ND	13.97	37.59	86.35	RL37WT(Wert)GTR-ND	4,000	157.13/M	—	—	RL3720WT-xxx-G
5%, 0815, 1W	.004 ~ .008	RL37WT(Wert)JCT-ND	16.76	45.11	103.62	RL37WT(Wert)JTR-ND	4,000	189.64/M	—	—	RL3720WT-xxx-J
1%, 0830, 2W	.01 ~ .02	RL75WT(Wert)FCT-ND	15.89	42.76	98.23	RL75WT(Wert)FTR-ND	4,000	184.90/M	—	—	RL7520WT-xxx-F
1%, 0830, 2W	.10 ~ .47	RL75WS(Wert)FCT-ND	16.36	44.01	101.11	RL75WS(Wert)FTR-ND	4,000	184.90/M	—	—	RL7520WS-xxx-F
2%, 0830, 2W	.01 ~ .068	RL75WT(Wert)GCT-ND	15.71	42.29	97.15	RL75WT(Wert)GTR-ND	4,000	177.45/M	—	—	RL7520WT-xxx-G
5%, 0830, 2W	.001 ~ .009	RL75WT(Wert)JCT-ND	17.93	48.24	110.82	RL75WT(Wert)JTR-ND	4,000	203.19/M	—	—	RL7520WT-xxx-J
1%, 1206, 1/2W	.027 ~ .030	RL16T(Wert)FCT-ND	9.78	26.31	60.45	RL16T(Wert)FTR-ND	5,000	—	115.14/M	108.37/M	RL1632T-xxx-F
1%, 1206, 1/2W	.033 ~ .051	RL16S(Wert)FCT-ND	9.78	26.31	60.45	RL16S(Wert)FTR-ND	5,000	—	115.14/M	108.37/M	RL1632S-xxx-F
1%, 1206, 1/2W	.056 ~ 4.7	RL16R(Wert)FCT-ND	9.78	26.31	60.45	RL16R(Wert)FTR-ND	5,000	—	115.14/M	108.37/M	RL1632R-xxx-F
2%, 1206, 1/2W	.010 ~ .024	RL16T(Wert)GCT-ND	9.78	26.31	60.45	RL16T(Wert)GTR-ND	5,000	—	115.14/M	108.37/M	RL1632T-xxx-G
1%, 2512, 1W	.027	RL32T(Wert)FCT-ND	23.75	63.90	146.80	RL32T(Wert)FTR-ND	5,000	—	287.85/M	270.92/M	RL3264T-xxx-F
1%, 2512, 1W	.033 ~ .047	RL32S(Wert)FCT-ND	23.75	63.90	146.80	RL32S(Wert)FTR-ND	5,000	—	287.85/M	270.92/M	RL3264S-xxx-F
1%, 2512, 1W	.056 ~ .47	RL32R(Wert)FCT-ND	23.75	63.90	146.80	RL32R(Wert)FTR-ND	5,000	—	287.85/M	270.92/M	RL3264R-xxx-F
2%, 2512, 1W	.010 ~ .022	RL32T(Wert)GCT-ND	23.75	63.90	146.80	RL32T(Wert)GTR-ND	5,000	—	287.85/M	270.92/M	RL3264T-xxx-G

1 % und 2 % SMD-Widerstände

Digi-Key® Sortimentkits

Digi-Key® 0805, 1 %, 1/4 W, Serie RL, SMD-Chip-Widerstandskits
RL1220SF-1-KIT-ND Je 10 der Werte 0,10 Ω ~ 6,8 Ω **16.89**

Digi-Key® 0805, 2 %, 1/4 W, Serie RL, SMD-Chip-Widerstandskits
RL1220SG-1-KIT-ND Je 10 der Werte 0,10 Ω ~ 10,0 Ω **13.50**

Alle Preisangaben in Euro und inklusive Zollgebühren.

ROHM Dickschicht-Chipwiderstände, Oberflächenmontage, 1 % u. 5 %

Größencode:	0402		0603		0805		1206	
Toleranz:	1%	5%	1%	5%	1%	5%	1%	5%
Nennspannung:	50V		50V		150V		200V	
Nennstrom @ 70 °C:	0.063W		0.063W	0.100W	0.125W		0.25W	
Widerstandsbereich (Ω)	TEMPERATURKOEFFIZIENT (PPM/°C)							
1.0 ≤ R < 2.2	—	—	—	—	—	500±350	—	500±350
1.0 ≤ R < 10	—	+500/-250	—	—	±250	—	±250	—
2.2 ≤ R < 10	—	—	—	±500	—	±500	—	±500
10 ≤ R ≤ 2.2M	±100	—	±100	—	±100	—	±100	—
10 ≤ R ≤ 10M	—	±200	—	±200	—	±200	—	±200

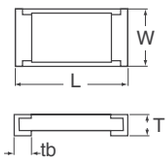

Typ	Abmessungen (mm) W	L	T	t_b
0402	0.5	1.0	0.35	0.25
0603	0.8	1.6	0.45	0.3
0805	1.25	2.0	0.55	0.4
1206	1.6	3.2	0.55	0.5

MCR18 1 %, 1/4 W — Serie 1206

Widerstandswerte

1.00	23.7	82.0	309	1.10K	4.02K	15.0K	53.6K	205K	698K
1.10	24.0	82.5	316	1.13K	4.12K	15.4K	54.9K	210K	715K
1.20	24.3	84.5	324	1.15K	4.22K	15.8K	56.0K	215K	732K
1.30	24.9	86.6	330	1.18K	4.30K	16.0K	56.2K	220K	750K
1.50	25.5	88.7	332	1.20K	4.32K	16.2K	57.6K	221K	768K
1.60	26.1	90.9	340	1.21K	4.42K	16.5K	59.0K	226K	787K
1.80	26.7	91.0	348	1.24K	4.53K	16.9K	60.4K	232K	806K
2.00	27.0	93.1	357	1.27K	4.64K	17.4K	61.9K	237K	820K
2.20	27.4	95.3	360	1.30K	4.70K	17.8K	62.0K	240K	825K
2.40	28.0	97.6	365	1.33K	4.75K	18.0K	63.4K	243K	845K
2.70	28.7	100	374	1.37K	4.87K	18.2K	64.9K	249K	866K
3.00	29.4	102	383	1.40K	4.99K	18.7K	66.5K	255K	887K
3.30	30.0	105	390	1.43K	5.10K	19.1K	68.0K	261K	909K
3.60	30.1	107	392	1.47K	5.11K	19.6K	68.1K	267K	910K
3.90	30.9	110	402	1.50K	5.23K	20.0K	69.8K	270K	931K
4.30	31.6	113	412	1.54K	5.36K	20.5K	71.5K	274K	953K
4.70	32.4	115	422	1.58K	5.49K	21.0K	73.2K	280K	976K
5.10	33.0	118	430	1.60K	5.60K	21.5K	75.0K	287K	1.00M
5.60	33.2	120	432	1.62K	5.62K	22.0K	76.8K	294K	1.02M
6.20	34.0	121	442	1.65K	5.76K	22.1K	78.7K	300K	1.05M
6.80	34.8	124	453	1.69K	5.90K	22.6K	80.6K	301K	1.07M
7.50	35.7	127	464	1.74K	6.04K	23.2K	82.0K	309K	1.10M
8.20	36.0	130	470	1.78K	6.19K	23.7K	82.5K	316K	1.13M
9.10	36.5	133	475	1.80K	6.20K	24.0K	84.5K	324K	1.15M
10.0	37.4	137	487	1.82K	6.34K	24.3K	86.6K	330K	1.18M
10.2	38.3	140	499	1.87K	6.49K	24.9K	88.7K	332K	1.20M
10.5	39.0	143	510	1.91K	6.65K	25.5K	90.9K	340K	1.21M
10.7	39.2	147	511	1.96K	6.80K	26.1K	91.0K	348K	1.24M
11.0	40.2	150	523	2.00K	6.81K	26.7K	93.1K	357K	1.27M
11.3	41.2	154	536	2.05K	6.98K	27.0K	95.3K	360K	1.30M
11.5	42.2	158	549	2.10K	7.15K	28.0K	97.6K	365K	1.33M
11.8	43.0	160	560	2.15K	7.32K	28.7K	100K	374K	1.37M
12.0	43.2	162	562	2.20K	7.50K	29.4K	102K	383K	1.40M
12.1	44.2	165	576	2.21K	7.68K	30.0K	105K	390K	1.43M
12.4	45.3	169	590	2.26K	7.87K	30.1K	107K	392K	1.47M
12.7	46.4	174	604	2.32K	8.06K	30.9K	110K	402K	1.50M
13.0	47.0	178	619	2.37K	8.20K	31.6K	113K	412K	1.54M
13.3	47.5	180	620	2.40K	8.25K	32.4K	115K	422K	1.58M
13.7	48.7	182	634	2.43K	8.45K	33.0K	118K	430K	1.60M
14.0	49.9	187	649	2.49K	8.66K	33.2K	120K	432K	1.62M
14.3	51.0	191	665	2.55K	8.87K	34.0K	121K	442K	1.65M
14.7	51.1	196	680	2.61K	9.09K	34.8K	124K	453K	1.69M
15.0	52.3	200	681	2.67K	9.10K	35.7K	127K	464K	1.74M
15.4	53.6	205	698	2.70K	9.31K	36.0K	130K	470K	1.78M
15.8	54.9	210	715	2.74K	9.53K	36.5K	133K	475K	1.80M
16.0	56.0	215	732	2.80K	9.76K	37.4K	137K	487K	1.82M
16.2	56.2	220	750	2.87K	10.0K	38.3K	140K	499K	1.87M
16.5	57.6	221	768	2.94K	10.2K	39.0K	143K	510K	1.91M
16.9	59.0	226	787	3.00K	10.5K	39.2K	147K	511K	1.96M
17.4	60.4	232	806	3.01K	10.7K	40.2K	150K	523K	2.00M
17.8	61.9	237	820	3.09K	11.0K	41.2K	154K	536K	2.05M
18.0	62.0	240	825	3.16K	11.3K	42.2K	158K	549K	2.10M
18.2	63.4	243	845	3.24K	11.5K	43.0K	160K	560K	2.15M
18.7	64.9	249	866	3.30K	11.8K	43.2K	162K	562K	2.20M
19.1	66.5	255	887	3.32K	12.0K	44.2K	165K	576K	
19.6	68.0	261	909	3.40K	12.1K	45.3K	169K	590K	
20.0	68.1	267	910	3.48K	12.4K	46.4K	174K	604K	
20.5	69.8	270	931	3.57K	12.7K	47.0K	178K	619K	
21.0	71.5	274	953	3.60K	13.0K	47.5K	180K	620K	
21.5	73.2	280	976	3.65K	13.3K	48.7K	182K	634K	
22.0	75.0	287	1.00K	3.74K	13.7K	49.9K	187K	649K	
22.1	76.8	294	1.02K	3.83K	14.0K	51.0K	191K	665K	
22.6	78.7	300	1.05K	3.90K	14.3K	51.1K	196K	680K	
23.2	80.6	301	1.07K	3.92K	14.7K	52.3K	200K	681K	

Wertebereich	Digi-Key Teilenr.	Preisangaben 10	50	200	5.000	10.000	Rohm Teilenr.
Gegurtet auf Rolle (5.000 pro Rolle)							
1.00 - 9.10Ω	RHM(Wert)FTR-ND	—	—	—	60.76/M	50.63/M	MCR18EZHFLxxxx
10.0 - 2.20MΩ	RHM(Wert)FTR-ND	—	—	—	7.72/M	6.44/M	MCR18EZHFxxxx
Gurtabschnitt							
1.00 - 9.10Ω	RHM(Wert)FCT-ND	1.72	6.10	20.09	—	—	MCR18EZHFLxxxx
10.0 - 2.20MΩ	RHM(Wert)FCT-ND	.40	1.41	4.62	—	—	MCR18EZHFxxxx

MCR10 1 %, 1/8 W – Serie 0805

Widerstandswerte

1.00	28.0	95.3	357	1.24K	4.42K	16.2K	56.0K	210K	698K
1.10	28.7	97.6	360	1.27K	4.53K	16.5K	56.2K	215K	715K
1.30	29.4	100	365	1.30K	4.64K	16.9K	57.6K	220K	732K
1.50	30.0	102	374	1.33K	4.70K	17.4K	59.0K	221K	750K
1.80	30.1	105	383	1.37K	4.75K	17.8K	60.4K	226K	768K
2.00	30.9	107	390	1.40K	4.87K	18.0K	61.9K	232K	787K
2.20	31.6	110	392	1.43K	4.99K	18.2K	62.0K	237K	806K
3.00	32.4	113	402	1.47K	5.10K	18.7K	63.4K	240K	820K
3.90	33.0	115	412	1.50K	5.11K	19.1K	64.9K	243K	825K
4.70	33.2	118	422	1.54K	5.23K	19.6K	66.5K	249K	845K
5.60	34.0	120	430	1.58K	5.36K	20.0K	68.0K	255K	866K
6.20	34.8	121	432	1.60K	5.49K	20.5K	68.1K	261K	887K
6.80	35.7	124	442	1.62K	5.60K	21.0K	69.8K	267K	909K
7.50	36.0	127	453	1.65K	5.62K	21.5K	71.5K	270K	931K
10.0	36.5	130	464	1.69K	5.76K	22.0K	73.2K	274K	953K
10.2	37.4	133	470	1.74K	5.90K	22.1K	75.0K	280K	976K
10.5	38.3	137	475	1.78K	6.04K	22.6K	76.8K	287K	1.00M
10.7	39.0	140	487	1.80K	6.19K	23.2K	78.7K	294K	1.02M
11.0	39.2	143	499	1.82K	6.20K	23.7K	80.6K	300K	1.05M
11.3	40.2	147	510	1.87K	6.34K	24.0K	82.0K	301K	1.10M
11.5	41.2	150	511	1.91K	6.49K	24.3K	82.5K	309K	1.13M
11.8	42.2	154	523	1.96K	6.65K	24.9K	84.5K	316K	1.15M
12.0	43.0	158	536	2.00K	6.80K	25.5K	86.6K	324K	1.18M
12.1	43.2	160	549	2.05K	6.81K	26.1K	88.7K	330K	1.20M
12.4	44.2	162	560	2.10K	6.98K	26.7K	90.9K	332K	1.21M
12.7	45.3	165	562	2.15K	7.15K	27.0K	91.0K	340K	1.24M
13.0	46.4	169	576	2.20K	7.32K	27.4K	93.1K	348K	1.27M
13.3	47.0	174	590	2.21K	7.50K	28.0K	95.3K	357K	1.30M
13.7	47.5	178	604	2.26K	7.68K	28.7K	97.6K	360K	1.33M
14.0	48.7	180	619	2.32K	7.87K	29.4K	100K	365K	1.37M
14.3	49.9	182	620	2.37K	8.06K	30.0K	102K	374K	1.40M
14.7	51.0	187	634	2.40K	8.20K	30.1K	105K	383K	1.43M
15.0	51.1	191	649	2.43K	8.25K	30.9K	107K	390K	1.47M
15.4	52.3	196	665	2.49K	8.45K	31.6K	110K	392K	1.50M
15.8	53.6	200	680	2.55K	8.66K	32.4K	113K	402K	1.54M
16.0	54.9	205	681	2.61K	8.87K	33.0K	115K	412K	1.58M
16.2	56.0	210	698	2.67K	9.09K	33.2K	118K	422K	1.62M
16.5	56.2	215	715	2.70K	9.10K	34.0K	120K	430K	1.65M
16.9	57.6	220	732	2.74K	9.31K	34.8K	121K	432K	1.69M
17.4	59.0	221	750	2.80K	9.53K	35.7K	124K	442K	1.74M
17.8	60.4	226	768	2.87K	9.76K	36.0K	127K	453K	1.80M
18.0	61.9	232	787	2.94K	10.0K	36.5K	130K	464K	1.82M
18.2	62.0	237	806	3.00K	10.2K	37.4K	133K	470K	1.87M
18.7	63.4	240	820	3.01K	10.5K	38.3K	137K	475K	1.91M
19.1	64.9	243	825	3.09K	10.7K	39.0K	140K	487K	1.96M
19.6	66.5	249	845	3.16K	11.0K	39.2K	143K	499K	2.00M
20.0	68.0	255	866	3.24K	11.3K	40.2K	147K	510K	2.05M
20.5	68.1	261	887	3.30K	11.5K	41.2K	150K	511K	2.10M
21.0	69.8	267	909	3.32K	11.8K	42.2K	154K	523K	2.15M
21.5	71.5	270	910	3.40K	12.0K	43.0K	158K	536K	2.20M
22.0	73.2	274	931	3.48K	12.1K	43.2K	160K	549K	
22.1	75.0	280	953	3.57K	12.4K	44.2K	162K	560K	
22.6	76.8	287	976	3.60K	12.7K	45.3K	165K	562K	
23.2	78.7	294	1.00K	3.65K	13.0K	46.4K	169K	576K	
23.7	80.6	300	1.02K	3.74K	13.3K	47.0K	174K	590K	
24.0	82.0	301	1.05K	3.83K	13.7K	47.5K	178K	604K	
24.3	82.5	309	1.07K	3.90K	14.0K	48.7K	180K	619K	
24.9	84.5	316	1.10K	3.92K	14.3K	49.9K	182K	620K	
25.5	86.6	324	1.13K	4.02K	14.7K	51.0K	187K	634K	
26.1	88.7	330	1.15K	4.12K	15.0K	51.1K	191K	649K	
26.7	90.9	332	1.18K	4.22K	15.4K	52.3K	196K	665K	
27.0	91.0	340	1.20K	4.30K	15.8K	53.6K	200K	680K	
27.4	93.1	348	1.21K	4.32K	16.0K	54.9K	205K	681K	

Wertebereich	Digi-Key Teilenr.	Preisangaben 10	50	200	5.000	10.000	Rohm Teilenr.
Gegurtet auf Rolle (5.000 pro Rolle)							
1.00 - 7.50Ω	RHM(Wert)CTR-ND	—	—	—	39.73/M	33.11/M	MCR10EZHFLxxxx
10.0 - 2.20MΩ	RHM(Wert)CTR-ND	—	—	—	4.68/M	3.90/M	MCR10EZHFxxxx
Gurtabschnitt							
1.00 - 7.50Ω	RHM(Wert)CCT-ND	1.19	4.23	13.96	—	—	MCR10EZHFLxxxx
10.0 - 2.20MΩ	RHM(Wert)CCT-ND	.32	1.13	3.73	—	—	MCR10EZHFxxxx

(Forts.)

F

Alle Preisangaben in Euro und inklusive Zollgebühren.

MCR03 1 %, 1/10 W — Serie 0603

Widerstandswerte

10.0	33.2	107	357	1.13K	3.65K	11.8K	38.3K	124K	402K
10.2	34.0	110	360	1.15K	3.74K	12.0K	39.0K	127K	412K
10.5	34.8	113	365	1.18K	3.83K	12.1K	39.2K	130K	422K
10.7	35.7	115	374	1.20K	3.90K	12.4K	40.2K	133K	430K
11.0	36.0	118	383	1.21K	3.92K	12.7K	41.2K	137K	432K
11.3	36.5	120	390	1.24K	4.02K	13.0K	42.2K	140K	442K
11.5	37.4	121	392	1.27K	4.12K	13.3K	43.0K	143K	453K
11.8	38.3	124	402	1.30K	4.22K	13.7K	43.2K	147K	464K
12.0	39.0	127	412	1.33K	4.30K	14.0K	44.2K	150K	470K
12.1	39.2	130	422	1.37K	4.32K	14.3K	45.3K	154K	475K
12.4	40.2	133	430	1.40K	4.42K	14.7K	46.4K	158K	487K
12.7	41.2	137	432	1.43K	4.53K	15.0K	47.0K	160K	499K
13.0	42.2	140	442	1.47K	4.64K	15.4K	47.5K	162K	510K
13.3	43.0	143	453	1.50K	4.70K	15.8K	48.7K	165K	511K
13.7	43.2	147	464	1.54K	4.75K	16.0K	49.9K	169K	523K
14.0	44.2	150	470	1.58K	4.87K	16.2K	51.0K	174K	536K
14.3	45.3	154	475	1.60K	4.99K	16.5K	51.1K	178K	549K
14.7	46.4	158	487	1.62K	5.10K	16.9K	52.3K	180K	560K
15.0	47.0	160	499	1.65K	5.11K	17.4K	53.6K	182K	562K
15.4	47.5	162	510	1.69K	5.23K	17.8K	54.9K	187K	576K
15.8	48.7	165	511	1.74K	5.36K	18.0K	56.2K	191K	590K
16.0	49.9	169	523	1.78K	5.49K	18.2K	57.6K	196K	604K
16.2	51.0	174	536	1.80K	5.60K	18.7K	59.0K	200K	619K
16.5	51.1	178	549	1.82K	5.62K	19.1K	60.4K	205K	620K
16.9	52.3	180	560	1.87K	5.76K	19.6K	61.9K	210K	634K
17.4	53.6	182	562	1.91K	5.90K	20.0K	62.0K	215K	649K
17.8	54.9	187	576	1.96K	6.04K	20.5K	63.4K	220K	665K
18.0	56.0	191	590	2.00K	6.19K	21.0K	64.9K	221K	680K
18.2	56.2	196	604	2.05K	6.20K	21.5K	66.5K	226K	681K
18.7	57.6	200	619	2.10K	6.34K	22.0K	68.0K	232K	698K
19.1	59.0	205	620	2.15K	6.49K	22.1K	68.1K	237K	715K
19.6	60.4	210	634	2.20K	6.65K	22.6K	69.8K	240K	732K
20.0	61.9	215	649	2.21K	6.80K	23.2K	71.5K	243K	750K
20.5	62.0	220	665	2.26K	6.81K	23.7K	73.2K	249K	768K
21.0	63.4	221	680	2.32K	6.98K	24.0K	75.0K	255K	787K
21.5	64.9	226	681	2.37K	7.15K	24.3K	76.8K	261K	806K
22.0	66.5	232	698	2.40K	7.32K	24.9K	78.7K	267K	820K
22.1	68.0	237	715	2.43K	7.50K	25.5K	80.6K	270K	825K
22.6	68.1	240	732	2.49K	7.68K	26.1K	82.0K	274K	845K
23.2	69.8	243	750	2.55K	7.87K	26.7K	82.5K	280K	866K
23.7	71.5	249	768	2.61K	8.06K	27.0K	84.5K	287K	887K
24.0	73.2	255	787	2.67K	8.20K	27.4K	86.6K	294K	909K
24.3	75.0	261	806	2.70K	8.25K	28.0K	88.7K	300K	910K
24.9	76.8	267	820	2.74K	8.45K	28.7K	90.9K	301K	931K
25.5	78.7	270	825	2.80K	8.66K	29.4K	91.0K	309K	953K
26.1	80.6	274	845	2.87K	8.87K	30.0K	93.1K	316K	976K
26.7	82.0	280	866	2.94K	9.09K	30.1K	95.3K	324K	1.00M
27.0	82.5	287	887	3.00K	9.10K	30.9K	97.6K	330K	1.20M
27.4	84.5	294	909	3.01K	9.31K	31.6K	100K	332K	1.21M
28.0	88.7	300	910	3.09K	9.53K	32.4K	102K	340K	1.50M
28.7	90.9	301	931	3.16K	9.76K	33.0K	105K	348K	2.00M
29.4	91.0	309	953	3.24K	10.0K	33.2K	107K	357K	
30.0	93.1	316	976	3.30K	10.2K	34.0K	110K	360K	
30.1	95.3	324	1.00K	3.32K	10.5K	34.8K	113K	365K	
30.9	97.6	330	1.02K	3.40K	10.7K	35.7K	115K	374K	
31.6	100	332	1.05K	3.48K	11.0K	36.0K	118K	383K	
32.4	102	340	1.07K	3.57K	11.3K	36.5K	120K	390K	
33.0	105	348	1.10K	3.60K	11.5K	37.4K	121K	392K	

Wertebereich	Digi-Key Teilenr.	10	50	200	Preisangaben 5.000	10.000	Rohm Teilenr.
Gegurtet auf Rolle (5.000 pro Rolle)							
10.00 - 2.00MΩ	RHM(Wert)HTR-ND	—	—	—	3.81/M	3.43/M	MCR03EZPFXxxxx
Gurtabschnitt							
10.00 - 2.00MΩ	RHM(Wert)HCT-ND	.64	1.73	3.96	—	—	MCR03EZPFXxxxx

MCR01 1 %, 1/16 W — Serie 0402

Widerstandswerte

1.00	75.0	510	2.21K	6.80K	14.0K	30.1K	53.6K	100K	270K
4.70	100	511	2.40K	7.50K	15.0K	33.0K	56.0K	110K	300K
10.0	120	560	2.70K	7.87K	16.0K	35.7K	60.4K	120K	301K
22.0	150	620	3.01K	8.06K	16.2K	36.0K	61.9K	121K	332K
24.9	160	680	3.30K	8.20K	17.4K	39.0K	62.0K	124K	360K
26.1	180	715	3.74K	8.87K	18.0K	39.2K	64.9K	127K	430K
28.0	220	910	3.90K	9.10K	19.1K	40.2K	68.0K	150K	442K
33.0	280	1.00K	3.92K	9.53K	20.0K	42.2K	78.7K	180K	470K
36.0	300	1.10K	4.30K	10.0K	21.0K	43.0K	80.6K	187K	499K
39.0	301	1.20K	4.64K	10.7K	22.0K	45.3K	82.0K	200K	510K
49.9	330	1.21K	5.10K	11.0K	22.1K	46.4K	82.5K	210K	560K
51.0	332	1.50K	5.36K	11.3K	24.9K	47.0K	88.7K	220K	562K
56.0	430	1.80K	5.49K	11.5K	26.1K	47.5K	90.9K	226K	620K
62.0	464	1.82K	5.62K	12.0K	27.0K	49.9K	91.0K	240K	649K
68.0	470	1.96K	6.20K	12.1K	28.0K	51.0K	95.3K	249K	768K
68.1	499	2.20K	6.49K	13.0K	30.0K	51.1K	97.6K	261K	1.00M

Wertebereich	Digi-Key Teilenr.	10	50	200	Preisangaben 10.000	30.000	Rohm Teilenr.
Gegurtet auf Rolle (10.000 pro Rolle)							
1.00 - 4.70Ω	RHM(Wert)LTR-ND	—	—	—	4.48/M	3.99/M	MCR01MZPFLxxxx
10.0 - 1.00MΩ	RHM(Wert)LTR-ND	—	—	—	4.48/M	3.99/M	MCR01MZPFxxxx
Gurtabschnitt							
1.00 - 4.70Ω	RHM(Wert)LCT-ND	.69	1.87	4.29	—	—	MCR01MZPFLxxxx
10.0 - 1.00MΩ	RHM(Wert)LCT-ND	.69	1.87	4.29	—	—	MCR01MZPFxxxx

MCR01 5 %, 1/16 W — Serie 0402

Widerstandswerte

0.0	5.1	30	82	300	820	3.0K	7.5K	30K	110K	470K
1.0	5.6	33	91	330	910	3.3K	8.2K	33K	120K	560K
1.1	8.2	36	100	360	1.0K	3.6K	10K	39K	150K	680K
2.0	10	39	150	390	1.2K	3.9K	11K	43K	180K	1.0M
2.2	12	43	160	430	1.5K	4.3K	12K	47K	200K	1.5M
3.0	15	47	180	470	1.8K	4.7K	15K	56K	220K	3.0M
3.3	18	51	200	510	2.0K	5.1K	18K	62K	270K	3.3M
3.9	20	56	220	560	2.2K	5.6K	22K	68K	300K	
4.3	22	68	240	620	2.4K	6.2K	24K	82K	330K	
4.7	27	75	270	680	2.7K	6.8K	27K	100K	430K	

Wertebereich	Digi-Key Teilenr.	10	50	200	Preisangaben 10.000	30.000	Rohm Teilenr.
Gegurtet auf Rolle (10.000 pro Rolle)							
0.0 - 3.3MΩ	RHM(Wert)JTR-ND	—	—	—	3.16/M	2.81/M	MCR01MZPJxxx
Gurtabschnitt							
0.0 - 3.3MΩ	RHM(Wert)JCT-ND	.63	1.68	3.87	—	—	MCR01MZPJxxx

MCR03 5 %, 1/10 W — Serie 0603

Widerstandswerte

0.0	4.7	22	100	470	2.2K	10K	47K	220K	1.0M	4.7M
1.0	5.1	24	110	510	2.4K	11K	51K	240K	1.1M	5.1M
1.1	5.6	27	120	560	2.7K	12K	56K	270K	1.2M	5.6M
1.2	6.2	30	130	620	3.0K	13K	62K	300K	1.3M	6.2M
1.3	6.8	33	150	680	3.3K	15K	68K	330K	1.5M	6.8M
1.5	7.5	36	160	750	3.6K	16K	75K	360K	1.6M	8.2M
1.6	8.2	39	180	820	3.9K	18K	82K	390K	1.8M	10M
1.8	9.1	43	200	910	4.3K	20K	91K	430K	2.0M	
2.2	10	47	220	1.0K	4.7K	22K	100K	470K	2.2M	
2.4	11	51	240	1.1K	5.1K	24K	110K	510K	2.4M	
2.7	12	56	270	1.2K	5.6K	27K	120K	560K	2.7M	
3.0	13	62	300	1.3K	6.2K	30K	130K	620K	3.0M	
3.3	15	68	330	1.5K	6.8K	33K	150K	680K	3.3M	
3.6	16	75	360	1.6K	7.5K	36K	160K	750K	3.6M	
3.9	18	82	390	1.8K	8.2K	39K	180K	820K	3.9M	
4.3	20	91	430	2.0K	9.1K	43K	200K	910K	4.3M	

Wertebereich	Digi-Key Teilenr.	10	50	200	Preisangaben 5.000	10.000	Rohm Teilenr.
Gegurtet auf Rolle (5.000 pro Rolle)							
0.0 - 10MΩ	RHM(Wert)GTR-ND	—	—	—	2.65/M	2.38/M	MCR03EZPJxxx
Gurtabschnitt							
0.0 - 10MΩ	RHM(Wert)GCT-ND	.58	1.57	3.62	—	—	MCR03EZPJxxx

MCR10 5 %, 1/8 W — Serie 0805

Widerstandswerte

0.0	4.3	20	91	430	2.0K	9.1K	43K	200K	910K	4.3M
1.0	4.7	22	100	470	2.2K	10K	47K	220K	1.0M	4.7M
1.1	5.1	24	110	510	2.4K	11K	51K	240K	1.1M	5.1M
1.2	5.6	27	120	560	2.7K	12K	56K	270K	1.2M	5.6M
1.3	6.2	30	130	620	3.0K	13K	62K	300K	1.3M	6.2M
1.5	6.8	33	150	680	3.3K	15K	68K	330K	1.5M	6.8M
1.6	7.5	36	160	750	3.6K	16K	75K	360K	1.6M	7.5M
1.8	8.2	39	180	820	3.9K	18K	82K	390K	1.8M	8.2M
2.0	9.1	43	200	910	4.3K	20K	91K	430K	2.0M	9.1M
2.2	10	47	220	1.0K	4.7K	22K	100K	470K	2.2M	10M
2.4	11	51	240	1.1K	5.1K	24K	110K	510K	2.4M	
2.7	12	56	270	1.2K	5.6K	27K	120K	560K	2.7M	
3.0	13	62	300	1.3K	6.2K	30K	130K	620K	3.0M	
3.3	15	68	330	1.5K	6.8K	33K	150K	680K	3.3M	
3.6	16	75	360	1.6K	7.5K	36K	160K	750K	3.6M	
3.9	18	82	390	1.8K	8.2K	39K	180K	820K	3.9M	

Wertebereich	Digi-Key Teilenr.	10	50	200	Preisangaben 5.000	10.000	Rohm Teilenr.
Gegurtet auf Rolle (5.000 pro Rolle)							
0.0 - 10MΩ	RHM(Wert)ATR-ND	—	—	—	3.81/M	3.43/M	MCR10EZHJxxx
Gurtabschnitt							
0.0 - 10MΩ	RHM(Wert)ACT-ND	.64	1.73	3.96	—	—	MCR10EZHJxxx

MCR18 5 %, 1/4 W — Serie 1206

Widerstandswerte

0.0	4.7	24	130	680	3.6K	18K	91K	470K	2.4M
1.0	5.1	27	150	750	3.9K	20K	100K	510K	2.7M
1.1	5.6	30	160	820	4.3K	22K	110K	560K	3.0M
1.2	6.2	33	180	910	4.7K	24K	120K	620K	3.3M
1.3	6.8	36	200	1.0K	5.1K	27K	130K	680K	3.6M
1.5	7.5	39	220	1.1K	5.6K	30K	150K	750K	3.9M
1.6	8.2	43	240	1.2K	6.2K	33K	160K	820K	4.3M
1.8	9.1	51	270	1.3K	6.8K	36K	180K	910K	4.7M
2.0	10	56	300	1.5K	7.5K	39K	200K	1.0M	5.1M
2.2	11	62	330	1.6K	8.2K	43K	220K	1.1M	5.6M
2.4	12	68	360	1.8K	9.1K	47K	240K	1.2M	6.2M
2.7	13	75	390	2.0K	10K	51K	270K	1.3M	6.8M
3.0	15	82	430	2.2K	11K	56K	300K	1.5M	7.5M
3.3	16	91	470	2.4K	12K	62K	330K	1.6M	8.2M
3.6	18	100	510	2.7K	13K	68K	360K	1.8M	9.1M
3.9	20	110	560	3.0K	15K	75K	390K	2.0M	10M
4.3	22	120	620	3.3K	16K	82K	430K	2.2M	

Wertebereich	Digi-Key Teilenr.	10	50	200	Preisangaben 5.000	10.000	Rohm Teilenr.
Gegurtet auf Rolle (5.000 pro Rolle)							
0.0 - 10MΩ	RHM(Wert)ETR-ND	—	—	—	6.73/M	6.06/M	MCR18EZHJxxx
Gurtabschnitt							
0.0 - 10MΩ	RHM(Wert)ECT-ND	.77	2.08	4.78	—	—	MCR18EZHJxxx

F

Alle Preisangaben in Euro und inklusive Zollgebühren.

YAGEO Dickschicht-Chipwiderstände, Oberflächenmontage, 1 % u. 5 %

BESCHREIBUNG: Die Widerstände sind aus einem hochwertigen Keramikträger (Aluminiumoxid) hergestellt. Interne Metallelektroden sind jedem Ende beigefügt und durch eine auf die Oberfläche des Substrats aufgetragene Widerstandspaste verbunden. Die Zusammensetzung der Paste wird dem ungefähren geforderten Widerstand angepasst, und der Wert wird durch Laserschnitt der Widerstandschicht in den Toleranzbereich gebracht. Die Widerstandsschicht wird durch einen Schutzfilm abgedeckt. Abschließend werden die beiden Endanschlüsse hinzugefügt. Um das Löten zu vereinfachen, besteht die äußere Schicht der Anschlüsse aus einer Blei/Zinn-Legierung.

Größencode	0402		0603	
	1%	5%	1%	5%
Temperaturkoeffizient				
$1\Omega \le R \le 10\Omega$	0/+500	0/+500	0/+500	0/+500
$10\Omega \le R \le 10M\Omega$	≤±200	≤±200x10^{-6}/K	≤±100	≤±200x10^{-6}/K
Maximale Dissipation bei T_{AMB} = 70°C	0.063W		0.1W	
Maximal zulässige Spannung	50V (DC or RMS)		50V (DC or RMS)	

Größencode	0805		1206	
	1%	5%	1%	5%
Temperaturkoeffizient				
$1\Omega \le R \le 10\Omega$	0/+500	0/+500	0/+500	0/+500
$10\Omega \le R \le 10M\Omega$	≤±100	≤±200x10^{-6}/K	≤±100	≤±200x10^{-6}/K
Maximale Dissipation bei T_{AMB} = 70°C	0.125W		0.25W	
Maximal zulässige Spannung	150V (DC or RMS)		200V (DC or RMS)	

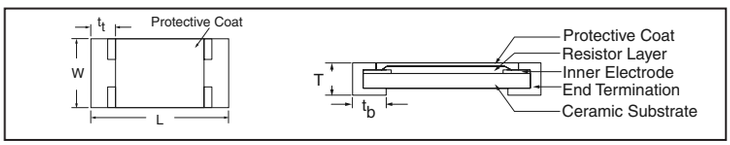

Typ	Abmessung (mm)				
	L	W	T	t_t	t_b
0402	1.00	0.50	0.35	0.20	0.25
0603	1.60	0.80	0.45	0.30	0.30
0805	2.00	1.25	0.55	0.40	0.40
1206	3.20	1.60	0.55	0.45	0.50

1 %, 1/10 W — Serie 0603

Widerstandswerte

1.00	15.4	34.0	73.2	178	390	866	2.05K	4.42K	9.76K	23.2K	49.9K	118K	270K	576K
2.00	15.8	34.8	75.0	180	392	887	2.10K	4.53K	10.0K	23.7K	51.0K	120K	274K	590K
2.10	16.0	35.7	76.8	182	402	909	2.15K	4.64K	10.2K	24.0K	51.1K	121K	280K	604K
2.15	16.2	36.0	78.7	187	412	910	2.20K	4.70K	10.5K	24.3K	52.3K	124K	287K	619K
2.21	16.5	36.5	80.6	191	422	931	2.21K	4.75K	10.7K	24.9K	53.6K	127K	294K	620K
2.43	16.9	37.4	82.0	196	430	953	2.26K	4.87K	11.0K	25.5K	54.9K	130K	300K	634K
2.49	17.4	38.3	82.5	200	432	976	2.32K	4.99K	11.3K	26.1K	56.2K	133K	301K	649K
2.74	17.8	39.0	84.5	205	442	1.00K	2.37K	5.10K	11.5K	26.7K	57.6K	137K	309K	665K
3.01	18.0	39.2	88.7	210	453	1.02K	2.40K	5.11K	11.8K	27.0K	59.0K	140K	316K	680K
3.32	18.2	40.2	90.9	215	464	1.05K	2.43K	5.23K	12.0K	27.4K	60.4K	143K	324K	681K
3.92	18.7	41.2	91.0	220	470	1.07K	2.49K	5.36K	12.1K	28.0K	61.9K	147K	330K	698K
4.02	19.1	42.2	93.1	221	475	1.10K	2.55K	5.49K	12.4K	28.7K	62.0K	150K	332K	715K
4.42	19.6	43.0	95.3	226	487	1.13K	2.61K	5.60K	12.7K	29.4K	63.4K	154K	340K	732K
4.75	20.0	43.2	97.6	232	499	1.15K	2.67K	5.62K	13.0K	30.0K	64.9K	158K	348K	750K
5.11	20.5	44.2	100	237	510	1.18K	2.70K	5.76K	13.3K	30.1K	66.5K	160K	357K	768K
5.23	21.0	45.3	102	240	511	1.20K	2.74K	5.90K	13.7K	30.9K	68.0K	162K	360K	787K
5.62	21.5	46.4	105	243	523	1.21K	2.80K	6.04K	14.0K	31.6K	68.1K	165K	365K	806K
5.76	22.0	47.0	107	249	536	1.24K	2.87K	6.19K	14.3K	32.4K	69.8K	169K	374K	820K
6.04	22.1	47.5	110	255	549	1.27K	2.94K	6.20K	14.7K	33.0K	71.5K	174K	383K	825K
6.81	22.6	48.7	113	261	560	1.30K	3.00K	6.34K	15.0K	33.2K	73.2K	178K	390K	845K
7.50	23.2	49.9	115	267	562	1.33K	3.01K	6.49K	15.4K	34.0K	75.0K	180K	392K	866K
10.0	23.7	51.0	118	270	576	1.37K	3.09K	6.65K	15.8K	34.8K	76.8K	182K	402K	887K
10.2	24.0	51.1	120	274	590	1.40K	3.16K	6.80K	16.0K	35.7K	78.7K	187K	412K	909K
10.5	24.3	52.3	121	280	604	1.43K	3.24K	6.81K	16.2K	36.0K	80.6K	191K	422K	910K
10.7	24.9	53.6	124	287	619	1.47K	3.30K	6.98K	16.5K	36.5K	82.5K	196K	430K	931K
11.0	25.5	54.9	127	294	620	1.50K	3.32K	7.15K	16.9K	37.4K	84.5K	200K	432K	953K
11.3	26.1	56.0	130	300	634	1.54K	3.40K	7.32K	17.4K	38.3K	86.6K	205K	442K	976K
11.5	26.7	56.2	133	301	649	1.58K	3.48K	7.50K	17.8K	39.0K	88.7K	210K	453K	1.00M
11.8	27.0	57.6	137	309	665	1.60K	3.57K	7.68K	18.0K	39.2K	90.9K	215K	464K	1.20M
12.0	27.4	59.0	140	316	680	1.62K	3.60K	7.87K	18.2K	40.2K	91.0K	220K	470K	1.21M
12.1	28.0	60.4	143	324	681	1.65K	3.65K	8.06K	18.7K	41.2K	93.1K	221K	475K	1.50M
12.4	28.7	61.9	147	330	698	1.69K	3.74K	8.20K	19.1K	42.2K	95.3K	226K	487K	2.00M
12.7	29.4	62.0	150	332	715	1.74K	3.83K	8.25K	19.6K	43.0K	97.6K	232K	499K	2.21M
13.0	30.0	63.4	154	340	732	1.78K	3.90K	8.45K	20.0K	43.2K	100K	237K	510K	2.49M
13.3	30.1	64.9	158	348	750	1.80K	3.92K	8.66K	20.5K	44.2K	102K	240K	511K	2.94M
13.7	30.9	66.5	160	357	768	1.82K	4.02K	8.87K	21.0K	45.3K	105K	243K	523K	3.01M
14.0	31.6	68.0	162	360	787	1.87K	4.12K	9.09K	21.5K	46.4K	107K	249K	536K	4.70M
14.3	32.4	68.1	165	365	806	1.91K	4.22K	9.10K	22.0K	47.0K	110K	255K	549K	4.75M
14.7	33.0	69.8	169	374	825	1.96K	4.30K	9.31K	22.1K	47.5K	113K	261K	560K	10.0M
15.0	33.2	71.5	174	383	845	2.00K	4.32K	9.53K	22.6K	48.7K	115K	267K	562K	

Wertebereich	Digi-Key Teilenr.	Preisangaben 10	50	200	5.000	10.000	Yageo Teilenr.
1/10 W, 1 % Dickschicht-Chipwiderstände; Gegurtet auf Rolle (5.000/Rolle)							
1.00 - 7.50 Ω	311-(Wert)HTR-ND	—	—	—	4.07/M	3.66/M	9C06031AXXXXFGHFT
10.0 - 10.0M Ω	311-(Wert)HTR-ND	—	—	—	4.07/M	3.66/M	9C06031AXXXXFKHFT
1/10 W, 1 % Dickschicht-Chipwiderstände (Gurtabschnitt)							
1.00 - 7.50 Ω	311-(Wert)HCT-ND	.65	1.75	4.03	—	—	9C06031AXXXXFGHFT
10.0 - 10.0M Ω	311-(Wert)HCT-ND	.65	1.75	4.03	—	—	9C06031AXXXXFKHFT

Digi-Key™ Serie 0603, 1 % Dickschicht-Chipwiderstände, Sortimentkits, 1/10 W

PHH1-KIT-ND Je 50 der Werte 1,00 Ω ~ 7,5 Ω, 22 Werte (insgesamt 1.100 Stück) **16.89**

PHH2-KIT-ND Je 50 der Werte 10,0 Ω ~ 97,6 Ω, 113 Werte (insgesamt 5.650 Stück) **67.69**

PHH3-KIT-ND Je 50 der Werte 100 Ω ~ 976 Ω, 114 Werte (insgesamt 5.700 Stück) **67.69**

PHH4-KIT-ND Je 50 der Werte 1,00 KΩ ~ 9,76 KΩ, 114 Werte (insgesamt 5.700 Stück) **67.69**

PHH5-KIT-ND Je 50 der Werte 10,0 KΩ ~ 97,6 KΩ, 114 Werte (insgesamt 5.700 Stück) **67.69**

PHH6-KIT-ND Je 50 der Werte 100 KΩ ~ 1,00 MΩ, 116 Werte (insgesamt 5.800 Stück) **67.69**

1 %, 1/16 W — Serie 0402

Widerstandswerte

1.00	51.0	220	511	1.80K	3.92K	7.87K	12.0K	21.0K	36.0K	51.0K	82.0K	124K	261K	560K
4.70	56.0	280	560	1.82K	4.30K	8.06K	12.1K	22.0K	39.0K	51.1K	82.5K	127K	270K	562K
10.0	62.0	300	620	1.96K	4.64K	8.20K	13.0K	22.1K	39.2K	53.6K	88.7K	150K	300K	620K
22.0	68.0	301	680	2.20K	5.10K	8.87K	14.0K	24.9K	40.2K	56.0K	90.9K	180K	301K	649K
24.9	68.1	330	715	2.21K	5.36K	9.10K	15.0K	26.1K	42.2K	60.4K	91.0K	187K	332K	768K
26.1	75.0	332	910	2.40K	5.49K	9.53K	16.0K	27.0K	43.0K	61.9K	95.3K	200K	360K	1.00M
28.0	100	430	1.00K	2.70K	5.62K	10.0K	16.2K	28.0K	45.3K	62.0K	97.6K	210K	430K	3.30M
33.0	120	464	1.10K	3.01K	6.20K	10.7K	17.4K	30.0K	46.4K	64.9K	100K	220K	442K	3.60M
36.0	150	470	1.20K	3.30K	6.49K	11.0K	18.0K	30.1K	47.0K	68.0K	110K	226K	470K	
39.0	160	499	1.21K	3.74K	6.80K	11.3K	19.1K	33.0K	47.5K	78.7K	120K	240K	499K	
49.9	180	510	1.50K	3.90K	7.50K	11.5K	20.0K	35.7K	49.9K	80.6K	121K	249K	510K	

Wertebereich	Digi-Key Teilenr.	Preisangaben 10	50	200	10.000	30.000	Yageo Teilenr.
1/16 W, 1 % Dickschicht-Chipwiderstände; (Gegurtet auf Rolle) 10.000/Rolle							
1.00 - 4.70 Ω	311-(Wert)LTR-ND	—	—	—	6.40/M	5.69/M	9C04021AXXXXFGHF3
10.0 - 3.60M Ω	311-(Wert)LTR-ND	—	—	—	6.40/M	5.69/M	9C04021AXXXXFLHF3
1/16 W, 1 % Dickschicht-Chipwiderstände (Gurtabschnitt)							
1.00 - 4.70 Ω	311-(Wert)LCT-ND	.80	2.13	4.89	—	—	9C0402A1XXXXFGHF3
10.0 - 3.60M Ω	311-(Wert)LCT-ND	.80	2.13	4.89	—	—	9C0402A1XXXXFLHF3

Digi-Key™ Sortimentkits, Serie 0402
1 % Dickschicht-Chipwiderstandskits - 1/16 W

PHL1-KIT-ND Je 50 der Werte 1,00 Ω ~ 75 Ω, 17 Werte (insgesamt 850 Stück) **17.74**

PHL2-KIT-ND Je 50 der Werte 100 Ω ~ 910 Ω, 22 Werte (insgesamt 1.100 Stück) **21.97**

PHL3-KIT-ND Je 50 der Werte 1,00 KΩ ~ 9,53 KΩ, 33 Werte (insgesamt 1.650 Stück) **30.44**

PHL4-KIT-ND Je 50 der Werte 10,0 KΩ ~ 97,6 KΩ, 56 Werte (insgesamt 2.800 Stück) **50.75**

PHL5-KIT-ND Je 50 der Werte 100 KΩ ~ 1,00 MΩ, 32 Werte (insgesamt 1.600 Stück) **33.82**

1 %, 1/8 W — Serie 0805

Widerstandswerte

1.00	3.01	8.66	24.9	63.4	180	475	1.30K	3.57K	9.10K	26.1K	66.5K	187K	487K	1.43M	4.42M
1.02	3.09	8.87	25.5	64.9	182	487	1.33K	3.60K	9.31K	26.7K	68.0K	191K	499K	1.47M	4.53M
1.05	3.16	9.09	26.1	66.5	187	499	1.37K	3.65K	9.53K	27.0K	68.1K	196K	510K	1.50M	4.64M
1.07	3.24	9.31	26.7	68.0	191	510	1.40K	3.74K	9.76K	27.4K	69.8K	200K	511K	1.54M	4.70M
1.10	3.32	9.53	27.0	68.1	196	511	1.43K	3.83K	10.0K	28.0K	71.5K	205K	523K	1.58M	4.75M
1.13	3.40	9.76	27.4	69.8	200	523	1.47K	3.90K	10.2K	28.7K	73.2K	210K	536K	1.62M	4.87M
1.15	3.48	10.0	28.0	71.5	205	536	1.50K	3.92K	10.5K	29.4K	75.0K	215K	549K	1.65M	4.99M
1.18	3.57	10.2	28.7	73.2	210	549	1.54K	4.02K	10.7K	30.0K	76.8K	220K	560K	1.69M	5.11M
1.21	3.65	10.5	29.4	75.0	215	560	1.58K	4.12K	11.0K	30.1K	78.7K	221K	562K	1.74M	5.23M
1.24	3.74	10.7	30.0	76.8	221	562	1.60K	4.22K	11.3K	30.9K	80.6K	226K	576K	1.80M	5.36M
1.27	3.83	11.0	30.1	78.7	226	576	1.62K	4.30K	11.5K	31.6K	82.0K	232K	590K	1.82M	5.49M
1.30	3.90	11.3	30.9	80.6	232	590	1.65K	4.32K	11.8K	32.4K	82.5K	237K	604K	1.87M	5.62M
1.33	3.92	11.5	31.6	82.0	237	604	1.69K	4.42K	12.0K	33.0K	84.5K	240K	619K	1.91M	5.76M
1.37	4.02	11.8	32.4	82.5	240	619	1.74K	4.53K	12.1K	33.2K	86.6K	243K	620K	1.96M	5.90M
1.40	4.12	12.0	33.0	84.5	243	620	1.78K	4.64K	12.4K	34.0K	88.7K	249K	634K	2.00M	6.04M
1.43	4.22	12.1	33.2	86.6	249	634	1.80K	4.70K	12.7K	34.8K	90.9K	255K	649K	2.05M	6.19M
1.47	4.32	12.4	34.0	88.7	255	649	1.82K	4.75K	13.0K	35.7K	91.0K	261K	665K	2.10M	6.34M
1.50	4.42	12.7	34.8	90.9	261	665	1.87K	4.87K	13.3K	36.0K	93.1K	267K	680K	2.15M	6.49M
1.54	4.53	13.0	35.7	91.0	267	680	1.91K	4.99K	13.7K	36.5K	95.3K	270K	681K	2.20M	6.65M
1.58	4.64	13.3	36.0	93.1	270	681	1.96K	5.10K	14.0K	37.4K	97.6K	274K	698K	2.21M	6.81M
1.62	4.70	13.7	36.5	95.3	274	698	2.00K	5.11K	14.3K	38.3K	100K	280K	715K	2.26M	6.98M
1.65	4.75	14.0	37.4	97.6	280	715	2.05K	5.23K	14.7K	39.0K	102K	287K	732K	2.32M	7.15M
1.69	4.87	14.3	38.3	100	287	732	2.10K	5.36K	15.0K	39.2K	105K	294K	750K	2.37M	7.32M
1.74	4.99	14.7	39.0	102	294	750	2.15K	5.49K	15.4K	40.2K	107K	300K	768K	2.43M	7.50M
1.78	5.11	15.0	39.2	105	300	768	2.20K	5.60K	15.8K	41.2K	110K	301K	787K	2.49M	7.68M
1.80	5.23	15.4	40.2	107	301	787	2.21K	5.62K	16.0K	42.2K	113K	309K	806K	2.55M	7.87M
1.82	5.36	15.8	41.2	110	309	806	2.26K	5.76K	16.2K	43.0K	115K	316K	820K	2.61M	8.06M
1.87	5.49	16.0	42.2	113	316	820	2.32K	5.90K	16.5K	43.2K	118K	324K	825K	2.67M	8.25M
1.91	5.60	16.2	43.0	115	324	825	2.37K	6.04K	16.9K	44.2K	120K	330K	845K	2.74M	8.45M
1.96	5.62	16.5	43.2	118	330	845	2.40K	6.19K	17.4K	45.3K	121K	332K	866K	2.80M	8.66M
2.00	5.76	16.9	44.2	120	332	866	2.43K	6.20K	17.8K	46.4K	124K	340K	887K	2.87M	8.87M
2.05	5.90	17.4	45.3	121	340	887	2.49K	6.34K	18.0K	47.0K	127K	348K	909K	2.94M	9.09M
2.10	6.04	17.8	46.4	124	348	909	2.55K	6.49K	18.2K	47.5K	130K	357K	931K	3.01M	9.31M
2.15	6.19	18.0	47.0	127	357	910	2.61K	6.65K	18.7K	48.7K	133K	360K	953K	3.09M	9.53M
2.20	6.20	18.2	47.5	130	360	931	2.67K	6.80K	19.1K	49.9K	137K	365K	976K	3.16M	9.76M
2.21	6.34	18.7	48.7	133	365	953	2.70K	6.81K	19.6K	51.0K	140K	374K	1.00M	3.24M	10.0M
2.26	6.49	19.1	49.9	137	374	976	2.74K	6.98K	20.0K	51.1K	143K	383K	1.05M	3.30M	
2.32	6.65	19.6	51.0	140	383	1.00K	2.80K	7.15K	20.5K	52.3K	147K	390K	1.10M	3.32M	
2.37	6.80	20.0	51.1	143	390	1.02K	2.87K	7.32K	21.0K	53.6K	150K	392K	1.13M	3.40M	
2.43	6.81	20.5	52.3	147	392	1.05K	2.94K	7.50K	21.5K	54.9K	154K	402K	1.15M	3.48M	
2.49	6.98	21.0	53.6	150	402	1.07K	3.00K	7.68K	22.0K	56.0K	158K	412K	1.18M	3.57M	
2.55	7.15	21.5	54.9	154	412	1.10K	3.01K	7.87K	22.1K	56.2K	160K	422K	1.20M	3.65M	
2.61	7.32	22.0	56.0	158	422	1.13K	3.09K	8.06K	22.6K	57.6K	162K	430K	1.21M	3.74M	
2.67	7.50	22.1	56.2	160	430	1.15K	3.16K	8.20K	23.2K	59.0K	165K	432K	1.24M	3.83M	
2.74	7.68	22.6	57.6	162	432	1.18K	3.24K	8.25K	23.7K	60.4K	169K	442K	1.27M	3.92M	
2.80	7.87	23.2	59.0	165	442	1.20K	3.30K	8.45K	24.0K	61.9K	174K	453K	1.30M	4.02M	
2.87	8.06	23.7	60.4	169	453	1.21K	3.32K	8.66K	24.3K	62.0K	178K	464K	1.33M	4.12M	
2.94	8.25	24.0	61.9	174	464	1.24K	3.40K	8.87K	24.9K	63.4K	180K	470K	1.37M	4.22M	
3.00	8.45	24.3	62.0	178	470	1.27K	3.48K	9.09K	25.5K	64.9K	182K	475K	1.40M	4.32M	

Wertebereich	Digi-Key Teilenr.	Preisangaben 10	50	200	5.000	10.000	Yageo Teilenr.
1/8 W, 1 % Dickschicht-Chipwiderstände (Gegurtet auf Rolle) 5.000/Rolle							
1.00 - 9.76 Ω	311-(Wert)CTR-ND	—	—	—	4.58/M	4.12/M	9C08052AXXXXFGHFT
10.0 - 10.0M Ω	311-(Wert)CTR-ND	—	—	—	4.58/M	4.12/M	9C08052AXXXXFKHFT
1/8 W, 1 % Dickschicht-Chipwiderstände (Gurtabschnitt)							
1.00 - 9.76 Ω	311-(Wert)CCT-ND	.68	1.82	4.17	—	—	9C08052AXXXXFGHFT
10.0 - 10.0M Ω	311-(Wert)CCT-ND	.68	1.82	4.17	—	—	9C08052AXXXXFKHFT

Digi-Key™ Serie 0805, 1 % Dickschicht-Chipwiderstände, Sortimentkits, 1/8 W

PHC1A-KIT-ND Je 50 der Werte 1,00 Ω ~ 9,76 Ω, 104 Werte (insgesamt 5.200 Stück) **67.69**

PHC1-KIT-ND Je 200 der Werte 1,00 Ω ~ 9,76 Ω, 104 Werte (insgesamt 20.800 Stück) **143.88**

PHC2A-KIT-ND Je 50 der Werte 10,0 Ω ~ 97,6 Ω, 114 Werte (insgesamt 5.700 Stück) **67.69**

PHC2-KIT-ND Je 200 der Werte 10,0 Ω ~ 97,6 Ω, 114 Werte (insgesamt 22.800 Stück) **143.88**

PHC3A-KIT-ND Je 50 der Werte 100 Ω ~ 976 Ω, 114 Werte (insgesamt 5.700 Stück) **67.69**

PHC3-KIT-ND Je 200 der Werte 100 Ω ~ 976 Ω, 114 Werte (insgesamt 22.800 Stück) **143.88**

PHC4A-KIT-ND Je 50 der Werte 1,00 KΩ ~ 9,76 KΩ, 114 Werte (insgesamt 5.700 Stück) **67.69**

PHC4-KIT-ND Je 200 der Werte 1,00 KΩ ~ 9,76 KΩ, 114 Werte (insgesamt 22.800 Stück) **143.88**

PHC5A-KIT-ND Je 50 der Werte 10,0 KΩ ~ 97,6 KΩ, 113 Werte (insgesamt 5.650 Stück) **67.69**

PHC5-KIT-ND Je 200 der Werte 10,0 KΩ ~ 97,6 KΩ, 113 Werte (insgesamt 22.600 Stück) **143.88**

PHC6A-KIT-ND Je 50 der Werte 100 KΩ ~ 1,00 MΩ, 115 Werte (insgesamt 5.750 Stück) **67.69**

PHC6-KIT-ND Je 200 der Werte 100 KΩ ~ 1,00 MΩ, 115 Werte (insgesamt 23.000 Stück) **143.88**

(Forts.)

F

1 %, 1/4 W — Serie 1206

Widerstandswerte

1.00	2.87	7.68	22.1	59.0	174	464	1.30K	3.60K	9.53K	28.0K	75.0K	220K	562K	1.62M	4.30M
1.02	2.94	7.87	22.6	60.4	178	470	1.33K	3.65K	9.76K	28.7K	76.8K	221K	576K	1.65M	4.32M
1.05	3.00	8.06	23.2	61.9	180	475	1.37K	3.74K	10.0K	29.4K	78.7K	226K	590K	1.69M	4.42M
1.07	3.01	8.20	23.7	62.0	182	487	1.40K	3.83K	10.2K	30.0K	80.6K	232K	604K	1.74M	4.53M
1.10	3.09	8.25	24.0	63.4	187	499	1.43K	3.90K	10.5K	30.1K	82.0K	237K	619K	1.78M	4.64M
1.13	3.16	8.45	24.3	64.9	191	510	1.47K	3.92K	10.7K	30.9K	82.5K	240K	620K	1.80M	4.70M
1.15	3.24	8.66	24.9	66.5	196	511	1.50K	4.02K	11.0K	32.4K	84.5K	243K	634K	1.82M	4.75M
1.18	3.30	8.87	25.5	68.0	200	523	1.54K	4.12K	11.3K	33.0K	86.6K	249K	649K	1.87M	4.87M
1.20	3.32	9.09	26.1	68.1	205	536	1.58K	4.22K	11.5K	33.2K	88.7K	255K	665K	1.91M	4.99M
1.21	3.40	9.10	26.7	69.8	210	549	1.60K	4.30K	11.8K	34.0K	90.9K	261K	680K	1.92M	5.10M
1.24	3.48	9.31	27.0	71.5	215	560	1.62K	4.32K	12.0K	34.8K	91.0K	267K	681K	1.96M	5.11M
1.27	3.57	9.53	27.4	73.2	220	562	1.65K	4.42K	12.1K	35.7K	93.1K	270K	698K	2.00M	5.23M
1.30	3.60	9.76	28.0	75.0	221	576	1.69K	4.53K	12.4K	36.0K	95.3K	274K	715K	2.05M	5.36M
1.33	3.65	10.0	28.7	76.8	226	590	1.74K	4.64K	12.7K	36.5K	97.6K	280K	732K	2.10M	5.49M
1.37	3.74	10.2	29.4	78.7	232	604	1.78K	4.70K	13.0K	37.4K	100K	287K	750K	2.15M	5.60M
1.40	3.83	10.5	30.0	80.6	237	619	1.80K	4.75K	13.3K	38.3K	102K	294K	768K	2.20M	5.62M
1.43	3.90	10.7	30.1	82.5	240	620	1.82K	4.87K	13.7K	39.0K	105K	300K	787K	2.21M	5.76M
1.47	3.92	11.0	30.9	84.5	243	634	1.87K	4.99K	14.0K	39.2K	107K	301K	806K	2.26M	5.90M
1.50	4.12	11.3	31.6	86.6	249	649	1.91K	5.10K	14.3K	40.2K	110K	309K	820K	2.32M	6.04M
1.54	4.22	11.5	32.4	88.7	255	665	1.96K	5.11K	14.7K	41.2K	113K	316K	825K	2.37M	6.19M
1.58	4.30	11.8	33.0	90.9	261	680	2.00K	5.23K	15.0K	42.2K	115K	324K	845K	2.40M	6.20M
1.60	4.32	12.0	33.2	91.0	267	681	2.05K	5.36K	15.4K	43.0K	118K	330K	866K	2.43M	6.34M
1.62	4.42	12.1	34.0	93.1	270	698	2.10K	5.49K	15.8K	43.2K	120K	332K	887K	2.49M	6.49M
1.65	4.53	12.4	34.8	95.3	274	715	2.15K	5.60K	16.0K	44.2K	121K	340K	909K	2.55M	6.65M
1.69	4.64	12.7	35.7	97.6	280	732	2.20K	5.62K	16.2K	45.3K	124K	348K	910K	2.61M	6.80M
1.74	4.70	13.0	36.0	100	287	768	2.21K	5.76K	16.5K	46.4K	127K	357K	931K	2.67M	6.81M
1.78	4.75	13.3	36.5	102	294	787	2.26K	5.90K	16.9K	47.0K	130K	360K	953K	2.70M	6.98M
1.80	4.87	13.7	37.4	105	300	806	2.32K	6.04K	17.4K	47.5K	133K	365K	976K	2.74M	7.15M
1.82	4.99	14.0	38.3	107	301	820	2.37K	6.19K	17.8K	48.7K	137K	374K	1.00M	2.80M	7.32M
1.87	5.10	14.3	39.0	110	309	825	2.40K	6.20K	18.0K	49.9K	140K	383K	1.02M	2.87M	7.50M
1.91	5.11	14.7	39.2	113	316	845	2.43K	6.34K	18.2K	51.0K	143K	390K	1.05M	2.94M	7.68M
1.96	5.23	15.0	40.2	115	324	866	2.49K	6.49K	18.7K	51.1K	147K	392K	1.07M	3.00M	7.87M
2.00	5.36	15.4	41.2	118	330	887	2.55K	6.65K	19.1K	52.3K	150K	402K	1.10M	3.01M	8.06M
2.05	5.49	15.8	42.2	120	332	909	2.61K	6.80K	19.6K	53.6K	154K	412K	1.13M	3.09M	8.20M
2.10	5.60	16.0	43.0	121	340	910	2.67K	6.81K	20.0K	54.9K	158K	422K	1.15M	3.16M	8.25M
2.15	5.62	16.2	43.2	124	348	931	2.70K	6.98K	20.5K	56.0K	160K	430K	1.18M	3.24M	8.45M
2.20	5.76	16.5	44.2	127	357	953	2.74K	7.15K	21.0K	56.2K	162K	432K	1.20M	3.30M	8.66M
2.21	5.90	16.9	45.3	130	360	976	2.80K	7.32K	21.5K	57.6K	165K	442K	1.21M	3.32M	8.87M
2.26	6.04	17.4	46.4	133	365	1.00K	2.87K	7.50K	22.0K	59.0K	169K	453K	1.24M	3.40M	9.09M
2.32	6.19	17.8	47.0	137	374	1.02K	2.94K	7.68K	22.1K	60.4K	174K	464K	1.27M	3.48M	9.10M
2.37	6.20	18.0	47.5	140	383	1.05K	3.00K	7.87K	22.6K	61.9K	178K	470K	1.30M	3.57M	9.31M
2.40	6.34	18.2	48.7	143	390	1.07K	3.01K	8.06K	23.2K	62.0K	180K	475K	1.33M	3.60M	9.53M
2.43	6.49	18.7	49.9	147	392	1.10K	3.09K	8.20K	23.7K	63.4K	182K	487K	1.37M	3.65M	9.76M
2.49	6.65	19.1	51.1	150	402	1.13K	3.16K	8.25K	24.0K	64.9K	187K	499K	1.40M	3.74M	10.0M
2.55	6.80	19.6	52.3	154	412	1.15K	3.24K	8.45K	24.3K	66.5K	191K	510K	1.43M	3.83M	
2.61	6.81	20.0	53.6	158	422	1.18K	3.30K	8.66K	24.9K	68.0K	196K	511K	1.47M	3.90M	
2.67	6.98	20.5	54.9	160	430	1.20K	3.32K	8.87K	25.5K	68.1K	200K	523K	1.50M	3.92M	
2.70	7.15	21.0	56.0	162	432	1.21K	3.40K	9.09K	26.1K	69.8K	205K	536K	1.54M	4.02M	
2.74	7.32	21.5	56.2	165	442	1.24K	3.48K	9.10K	26.7K	71.5K	210K	549K	1.58M	4.12M	
2.80	7.50	22.0	57.6	169	453	1.27K	3.57K	9.31K	27.0K	73.2K	215K	560K	1.60M	4.22M	

Wertebereich	Digi-Key Teilenr.	Preisangaben 10	50	200	5.000	10.000	Yageo Teilenr.
1/4 W, 1 % Dickschicht-Chipwiderstände (Gegurtet auf Rolle) 5.000/Rolle							
1.00 - 9.76Ω	311-(Wert)FTR-ND	—	—	—	6.10/M	5.49/M	9C12063AXXXXFGHFT
10.0 - 10.0M Ω	311-(Wert)FTR-ND	—	—	—	6.10/M	5.49/M	9C12063AXXXXFKHFT
1/4 W, 1 % Dickschicht-Chipwiderstände (Gurtabschnitt)							
1.00 - 9.76Ω	311-(Wert)FCT-ND	.75	2.01	4.61	—	—	9C12063AXXXXFGHFT
10.0 - 10.0M Ω	311-(Wert)FCT-ND	.75	2.01	4.61	—	—	9C12063AXXXXFKHFT

Digi-Key™ Serie 1206, 1 % Dickschicht-Chipwiderstände, Sortimentkits, 1/4 W

PHF1A-KIT-ND Je 50 der Werte 1,00 Ω ~ 9,76 Ω, 114 Werte (insgesamt 5.700 Stück) **106.63**

PHF1-KIT-ND Je 200 der Werte 1,00 ~ 9,76 Ω, 114 Werte (insgesamt 22.800 Stück) **203.14**

PHF2A-KIT-ND Je 50 der Werte 10,0 ~ 97,6 Ω, 114 Werte (insgesamt 5.700 Stück) **106.63**

PHF2-KIT-ND Je 200 der Werte 10,0 Ω ~ 97,6 Ω, 114 Werte (insgesamt 22.800 Stück) **203.14**

PHF3A-KIT-ND Je 50 der Werte 100 Ω ~ 976 Ω, 114 Werte (insgesamt 5.700 Stück) **106.63**

PHF3-KIT-ND Je 200 der Werte 100 Ω ~ 976 Ω, 114 Werte (insgesamt 22.800 Stück) **203.14**

PHF4A-KIT-ND Je 50 der Werte 1,00 KΩ ~ 9,76 KΩ, 114 Werte (insgesamt 5.700 Stück) **106.63**

PHF4-KIT-ND Je 200 der Werte 1,00 KΩ ~ 9,76 KΩ, 114 Werte (insgesamt 22.800 Stück) **203.14**

PHF5A-KIT-ND Je 50 der Werte 10,0 KΩ ~ 97,6 KΩ, 113 Werte (insgesamt 5.650 Stück) **106.63**

PHF5-KIT-ND Je 200 der Werte 10,0 KΩ ~ 97,6 KΩ, 113 Werte (insgesamt 22.600 Stück) **203.14**

PHF6A-KIT-ND Je 50 der Werte 100 KΩ ~ 1,00 MΩ, 115 Werte (insgesamt 5.750 Stück) **106.63**

PHF6-KIT-ND Je 200 der Werte 100 KΩ ~ 1,00 MΩ, 115 Werte (insgesamt 23.000 Stück) **203.14**

5 %, 1/16 W — Serie 0402

Widerstandswerte

0.0	3.9	12	33	68	180	360	680	2.0K	3.9K	7.5K	22K	47K	120K	330K	3.0M
1.0	4.3	15	36	75	200	390	820	2.2K	4.3K	8.2K	24K	56K	150K	430K	3.3M
1.1	4.7	18	39	82	220	430	910	2.4K	4.7K	10K	27K	62K	180K	470K	
2.0	5.1	20	43	91	240	470	1.0K	2.7K	5.1K	11K	30K	68K	200K	560K	
2.2	5.6	22	47	100	270	510	1.2K	3.0K	5.6K	12K	33K	82K	220K	680K	
3.0	8.2	27	51	150	300	560	1.5K	3.3K	6.2K	15K	39K	100K	270K	1.0M	
3.3	10	30	56	160	330	620	1.8K	3.6K	6.8K	18K	43K	110K	300K	1.5M	

Wertebereich	Digi-Key Teilenr.	Preisangaben 10	50	200	10.000	30.000	Yageo Teilenr.
1/16 W, 5 % Dickschicht-Chipwiderstände (Gegurtet auf Rolle) 10.000/Rolle							
0.0 - 3.30M Ω	311-(Wert)JTR-ND	—	—	—	4.12/M	3.66/M	9C04021AXXXXJLHF3
1/16 W, 5 % Dickschicht-Chipwiderstände (Gurtabschnitt)							
0.0 - 3.30M Ω	311-(Wert)JCT-ND	.68	1.82	4.17	—	—	9C04021AXXXXJLHF3

Digi-Key™ Serie 0402, 5 % Dickschicht-Chipwiderstände, Sortimentkits, 1/16 W

PHJ1A-KIT-ND Je 50 jedes zweiten Wertes von 1,0, 2,0, 3,0, 3,9 usw. bis 1,0 MΩ, 52 Werte (insgesamt 2.600 Stück) **38.90**

PHJ1-KIT-ND Je 200 jedes zweiten Wertes von 1,0, 2,0, 3,0, 3,9 usw. bis 1,0 MΩ, 52 Werte (insgesamt 10.400 Stück) **72.77**

PHJ2A-KIT-ND Je 50 jedes zweiten Wertes von 1,1, 2,2, 3,3, 4,3 usw. bis 680 KΩ, 51 Werte (insgesamt 2.550 Stück) **38.90**

PHJ2-KIT-ND Je 200 jedes zweiten Wertes von 1,1, 2,2, 3,3, 4,3 usw. bis 680 KΩ, 51 Werte (insgesamt 10.200 Stück) **72.77**

5 %, 1/10 W — Serie 0603

Widerstandswerte

0.0	3.0	8.2	24	68	200	560	1.6K	4.7K	13K	39K	110K	330K	910K	2.7M	8.2M
1.0	3.3	9.1	27	75	220	620	1.8K	5.1K	15K	43K	120K	360K	1.0M	3.0M	10M
1.1	3.6	10	30	82	240	680	2.0K	5.6K	16K	47K	130K	390K	1.1M	3.3M	
1.2	3.9	11	33	91	270	750	2.2K	6.2K	18K	51K	150K	430K	1.2M	3.6M	
1.3	4.3	12	36	100	300	820	2.4K	6.8K	20K	56K	160K	470K	1.3M	3.9M	
1.5	4.7	13	39	110	330	910	2.7K	7.5K	22K	62K	180K	510K	1.5M	4.3M	
1.6	5.1	15	43	120	360	1.0K	3.0K	8.2K	24K	68K	200K	560K	1.6M	4.7M	
1.8	5.6	16	47	130	390	1.1K	3.3K	9.1K	27K	75K	220K	620K	1.8M	5.1M	
2.2	6.2	18	51	150	430	1.2K	3.6K	10K	30K	82K	240K	680K	2.0M	5.6M	
2.4	6.8	20	56	160	470	1.3K	3.9K	11K	33K	91K	270K	750K	2.2M	6.2M	
2.7	7.5	22	62	180	510	1.5K	4.3K	12K	36K	100K	300K	820K	2.4M	6.8M	

Wertebereich	Digi-Key Teilenr.	Preisangaben 10	50	200	5.000	10.000	Yageo Teilenr.
1/10 W, 5 % Dickschicht-Chipwiderstände (Gegurtet auf Rolle) 5.000/Rolle							
0.0 - 10M Ω	311-(Wert)GTR-ND	—	—	—	2.80/M	2.52/M	9C06031AXXXXJLHFT
1/10 W, 5 % Dickschicht-Chipwiderstände (Gurtabschnitt)							
0.0 - 10M Ω	311-(Wert)GCT-ND	.59	1.60	3.67	—	—	9C06031AXXXXJLHFT

Digi-Key™ Serie 0603, 5 % Dickschicht-Chipwiderstände, Sortimentkits, 1/10 W

PHG1A-KIT-ND Je 50 jedes zweiten Wertes von 1,0, 1,2, 1,5, 1,8 usw. bis 910 KΩ, 72 Werte (insgesamt 3.600 Stück) **42.29**

PHG1-KIT-ND Je 200 jedes zweiten Wertes von 1,0, 1,2, 1,5, 1,8 usw. bis 910 KΩ, 72 Werte (insgesamt 14.400 Stück) **76.15**

PHG2A-KIT-ND Je 50 jedes zweiten Wertes von 1,1, 1,3, 1,6, 2,2 usw. bis 1,0 MΩ, 72 Werte (insgesamt 3.600 Stück) **42.29**

PHG2-KIT-ND Je 200 jedes zweiten Wertes von 1,1, 1,3, 1,6, 2,2 usw. bis 1,0 MΩ, 72 Werte (insgesamt 14.400 Stück) **76.15**

5 %, 1/8 W — Serie 0805

Widerstandswerte

0.0	2.7	7.5	22	62	180	560	1.6K	4.7K	13K	39K	110K	330K	910K	2.7M	7.5M
1.0	3.0	8.2	24	68	200	620	1.8K	5.1K	15K	43K	120K	360K	1.0M	3.0M	8.2M
1.1	3.3	9.1	27	75	240	680	2.0K	5.6K	16K	47K	130K	390K	1.1M	3.3M	9.1M
1.2	3.6	10	30	82	270	750	2.2K	6.2K	18K	51K	150K	430K	1.2M	3.6M	10M
1.3	3.9	11	33	91	300	820	2.4K	6.8K	20K	56K	160K	470K	1.3M	3.9M	
1.5	4.3	12	36	100	330	910	2.7K	7.5K	22K	62K	180K	510K	1.5M	4.3M	
1.6	4.7	13	39	110	360	1.0K	3.0K	8.2K	24K	68K	200K	560K	1.6M	4.7M	
1.8	5.1	15	43	120	390	1.1K	3.3K	9.1K	27K	75K	220K	620K	1.8M	5.1M	
2.0	5.6	16	47	130	430	1.2K	3.6K	10K	30K	82K	240K	680K	2.0M	5.6M	
2.2	6.2	18	51	150	470	1.3K	3.9K	11K	33K	91K	270K	750K	2.2M	6.2M	
2.4	6.8	20	56	160	510	1.5K	4.3K	12K	36K	100K	300K	820K	2.4M	6.8M	

Wertebereich	Digi-Key Teilenr.	Preisangaben 10	50	200	5.000	10.000	Yageo Teilenr.
1/8 W, 5 % Dickschicht-Chipwiderstände (Gegurtet auf Rolle) 5.000/Rolle							
0.0 - 10M Ω	311-(Wert)ATR-ND	—	—	—	3.81/M	3.43/M	9C08052AXXXXJLHFT
1/8 W, 5 % Dickschicht-Chipwiderstände (Gurtabschnitt)							
0.0 - 10M Ω	311-(Wert)ACT-ND	.64	1.73	3.96	—	—	9C08052AXXXXJLHFT

Digi-Key™ Serie 0805, 5 % Dickschicht-Chipwiderstände, Sortimentkits, 1/8 W

PHA1A-KIT-ND Je 50 jedes zweiten Wertes von 1,0, 1,2, 1,5, 1,8 usw. bis 1,0 MΩ, 73 Werte (insgesamt 3.650 Stück) **50.75**

PHA1-KIT-ND Je 200 jedes zweiten Wertes von 1,0, 1,2, 1,5, 1,8 usw. bis 1,0 MΩ, 73 Werte (insgesamt 14.600 Stück) **93.08**

PHA2A-KIT-ND Je 50 jedes zweiten Wertes von 1,1, 1,3, 1,6, 2,0 usw. bis 910 KΩ, 72 Werte (insgesamt 3.600 Stück) **50.75**

PHA2-KIT-ND Je 200 jedes zweiten Wertes von 1,1, 1,3, 1,6, 2,0 usw. bis 910 KΩ, 72 Werte (insgesamt 14.400 Stück) **93.08**

5%, 1/4 W — 1206 Series

Widerstandswerte

0.0	2.7	7.5	27	82	270	750	2.2K	6.2K	18K	51K	150K	430K	1.2M	3.6M	10M
1.0	3.0	8.2	30	100	300	820	2.4K	6.8K	20K	56K	160K	470K	1.3M	3.9M	11M
1.1	3.3	9.1	33	110	330	910	2.7K	7.5K	22K	62K	180K	510K	1.5M	4.3M	12M
1.2	3.6	10	36	120	360	1.0K	3.0K	8.2K	24K	68K	200K	560K	1.6M	4.7M	13M
1.3	3.9	12	39	130	390	1.1K	3.3K	9.1K	27K	75K	220K	620K	1.8M	5.1M	
1.5	4.3	15	43	150	430	1.2K	3.6K	10K	30K	82K	240K	680K	2.0M	5.6M	
1.6	4.7	16	51	160	470	1.3K	3.9K	11K	33K	91K	270K	750K	2.2M	6.2M	
1.8	5.1	18	56	180	510	1.5K	4.3K	12K	36K	100K	300K	820K	2.4M	6.8M	
2.0	5.6	20	62	200	560	1.6K	4.7K	13K	39K	110K	330K	910K	2.7M	7.5M	
2.2	6.2	22	68	220	620	1.8K	5.1K	15K	43K	120K	360K	1.0M	3.0M	8.2M	
2.4	6.8	24	75	240	680	2.0K	5.6K	16K	47K	130K	390K	1.1M	3.3M	9.1M	

Wertebereich	Digi-Key Teilenr.	Preisangaben 10	50	200	5.000	10.000	Yageo Teilenr.
1/4 W, 5 % Dickschicht-Chipwiderstände (Gegurtet auf Rolle) 5.000/Rolle							
0.0 - 13M Ω	311-(Wert)ETR-ND	—	—	—	4.32/M	3.89/M	9C12063AXXXXJLHFT
1/4 W, 5 % Dickschicht-Chipwiderstände (Gurtabschnitt)							
0.0 - 13M Ω	311-(Wert)ECT-ND	.66	1.79	4.11	—	—	9C12063AXXXXJLHFT

Digi-Key™ Serie 1206, 5 % Dickschicht-Chipwiderstände, Sortimentkits, 1/4 W

PHE1A-KIT-ND Je 50 jedes zweiten Wertes von 1,0, 1,2, 1,5, 1,8 usw. bis 910 KΩ, 72 Werte (insgesamt 3.600 Stück) **50.75**

PHE1-KIT-ND Je 200 jedes zweiten Wertes von 1,0, 1,2, 1,5, 1,8 usw. bis 910 KΩ, 72 Werte (insgesamt 14.400 Stück) **93.08**

PHE2A-KIT-ND Je 50 jedes zweiten Wertes von 1,1, 1,3, 1,6, 2,0 usw. bis 1,0 MΩ, 72 Werte (insgesamt 3.600 Stück) **50.75**

PHE2-KIT-ND Je 200 jedes zweiten Wertes von 1,1, 1,3, 1,6, 2,0 usw. bis 1,0 MΩ, 72 Werte (insgesamt 14.400 Stück) **93.08**

Alle Preisangaben in Euro und inklusive Zollgebühren.

Panasonic® 0201/0402/0603/0805/1206/1210/2010/2512

1 % Präzisions-Dickschicht-Chipwiderstände

Oberflächenmontage erhältlich in 1/20, 1/16, 1/10, 1/8, 1/4, 1/2 und 1 Watt

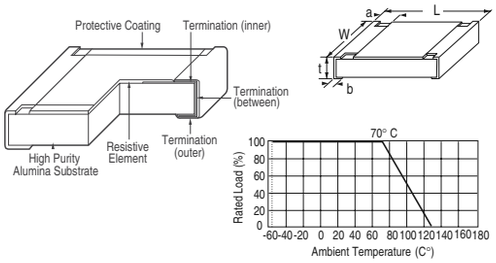

Größe	Nennleistung bei 70 °C	Max. RCWV*	Maximale Überlastspannung	Abmessungen L	W	a	b	t	Temperaturkoeffizient	Panasonic Teilenr.
0201	1/20 W	15 V	30 V	0.60	0.30	0.12	0.15	0.25	10 ~ 1MΩ±100ppm/°C	ERJ-1GEFxxxC
0402	1/16 W	50 V	100 V	1.00	0.50	0.20	0.25	0.35	10 ~ 91Ω±100ppm/°C, 100 ~ 100K±50ppm/°C 10 ~ 1MΩ±100ppm/°C	ERJ-2RKFxxxxX
0603	1/16 W - (1/10 W)**	50 V	100 V	1.60	0.80	0.30	0.30	0.45	10 ~ 1MΩ±100ppm/°C	ERJ-3EKFxxxxV
0805	1/10 W - (1/8 W)**	150 V	200 V	2.00	1.25	0.40	0.40	0.60	10 ~ 2.2MΩ±100ppm/°C	ERJ-6ENFxxxxV
1206	1/8 W - (1/4 W)**	200 V	400 V	3.20	1.60	0.50	0.50	0.60		ERJ-8ENFxxxxV
1210	1/4 W	200 V	400 V	3.20	2.50	0.50	0.50	0.60	10 ~ 1MΩ±100ppm/°C	ERJ-14NFxxxxU
2010	1/2 W	200 V	400 V	5.00	2.50	0.60	0.60	0.60		ERJ-12SFxxxxU
2512	1 W	200 V	400 V	6.40	3.20	0.65	0.60	0.60		ERJ-1TYFxxxU

*Die kontinuierliche Nennbetriebsspannung (RCWV) wird nach RCWV = $\sqrt{\text{Nennleistung x Widerstandswerte berechnet}}$, oder es wird die o.a. max. RCWV verwendet (maßgebend ist der jeweils niedrigere Wert)
** Erhältlich für Impulslastminderung (RCWV x 2,5 RCWV x 2,0, R ≥1,1 KΩ) v600

Beschreibung	Wertebereich (Ω)	Digi-Key Teilenr.	Gurtabschnittspreise 10	50	200	1.000	Digi-Key Teilenr.	Paket-größe	Preisangaben für Gegurtet auf Rolle 4.000	5.000	10.000	12.000	15.000	24.000	25.000	30.000	Panasonic Teilenr.
0201, 1/20 W	Siehe Tabelle	P(Wert)ABCT-ND	2.24	6.01	13.82	47.14	P(Wert)ABTR-ND	15,000	—	—	—	—	34.75/M	—	—	30.89/M	ERJ-1GEFxxxC
0402, 1/16 W	10.0 ~ 1.00M	P(Wert)LCT-ND	.83	2.24	5.15	17.56	P(Wert)LTR-ND	10,000	—	—	7.20/M	—	—	—	—	6.41/M	ERJ-2RKFxxxxX
0603, 1/16 W	10.0 ~ 2.20M	P(Wert)HCT-ND	.76	2.05	4.72	16.08	P(Wert)HTR-ND	5,000	—	6.23/M	5.60/M	—	—	—	4.98/M	—	ERJ-3EKFxxxxV
0805, 1/10 W	10.0 ~ 2.20M	P(Wert)CCT-ND	.77	2.07	4.75	16.20	P(Wert)CTR-ND	5,000	—	6.61/M	5.95/M	—	—	—	5.29/M	—	ERJ-6ENFxxxxV
1206, 1/8 W	10.0 ~ 2.20M	P(Wert)FCT-ND	.99	2.67	6.12	20.87	P(Wert)FTR-ND	5,000	—	11.43/M	10.29/M	—	—	—	9.15/M	—	ERJ-8ENFxxxxV
1210, 1/4 W	10.0 ~ 1.00M	P(Wert)AACT-ND	3.20	8.62	19.79	67.52	P(Wert)AATR-ND	5,000	—	59.69/M	53.72/M	—	—	—	47.75/M	—	ERJ-14NFxxxxU
2010, 1/2 W	Siehe Tabelle	P(Wert)ACCT-ND	5.82	15.66	35.98	122.76	P(Wert)ACTR-ND	5,000	—	116.83/M	105.15/M	—	—	—	93.47/M	—	ERJ-12SFxxxxU
2512, 1 W	Siehe Tabelle	PT(Wert)AECT-ND	5.99	21.23	69.93	289.71	PT(Wert)AETR-ND	4,000	231.63/M	—	—	193.03/M	—	160.22/M	—	—	ERJ-1TYFxxxU

Panasonic-Standard-Widerstandswerte

10.0	25.5	64.9	165	422	1.07K	2.74K	6.98K	17.8K	45.3K	115K	294K	750K
10.2	26.1	66.5	169	432	1.10K	2.80K	7.15K	18.2K	46.4K	118K	301K	768K
10.5	26.7	68.1	174	442	1.13K	2.87K	7.32K	18.7K	47.5K	121K	309K	787K
10.7	27.4	69.8	178	453	1.15K	2.94K	7.50K	19.1K	48.7K	124K	316K	806K
11.0	28.0	71.5	182	464	1.18K	3.01K	7.68K	19.6K	49.9K	127K	324K	825K
11.3	28.7	73.2	187	475	1.21K	3.09K	7.87K	20.0K	51.1K	130K	332K	845K
11.5	29.4	75.0	191	487	1.24K	3.16K	8.06K	20.5K	52.3K	133K	340K	866K
11.8	30.1	76.8	196	499	1.27K	3.24K	8.25K	21.0K	53.6K	137K	348K	887K
12.1	30.9	78.7	200	511	1.30K	3.32K	8.45K	21.5K	54.9K	140K	357K	909K
12.4	31.6	80.6	205	523	1.33K	3.40K	8.66K	22.1K	56.2K	143K	365K	931K
12.7	32.4	82.5	210	536	1.37K	3.48K	8.87K	22.6K	57.6K	147K	374K	953K
13.0	33.2	84.5	215	549	1.40K	3.57K	9.09K	23.2K	59.0K	150K	383K	976K
13.3	34.0	86.6	221	562	1.43K	3.65K	9.31K	23.7K	60.4K	154K	392K	1.00M
13.7	34.8	88.7	226	576	1.47K	3.74K	9.53K	24.3K	61.9K	158K	402K	1.10M
14.0	35.7	90.9	232	590	1.50K	3.83K	9.76K	24.9K	63.4K	162K	412K	1.20M
14.3	36.5	93.1	237	604	1.54K	3.92K	10.0K	25.5K	64.9K	165K	422K	1.30M
14.7	37.4	95.3	243	619	1.58K	4.02K	10.2K	26.1K	66.5K	169K	432K	1.50M
15.0	38.3	97.6	249	634	1.62K	4.12K	10.5K	26.7K	68.1K	174K	442K	1.60M
15.4	39.2	100	255	649	1.65K	4.22K	10.7K	27.4K	69.8K	178K	453K	1.80M
15.8	40.2	102	261	665	1.69K	4.32K	11.0K	28.0K	71.5K	182K	464K	2.00M
16.2	41.2	105	267	681	1.74K	4.42K	11.3K	28.7K	73.2K	187K	475K	2.20M
16.5	42.2	107	274	698	1.78K	4.53K	11.5K	29.4K	75.0K	191K	487K	
16.9	43.2	110	280	715	1.82K	4.64K	11.8K	30.1K	76.8K	196K	499K	
17.4	44.2	113	287	732	1.87K	4.75K	12.1K	30.9K	78.7K	200K	511K	
17.8	45.3	115	294	750	1.91K	4.87K	12.4K	31.6K	80.6K	205K	523K	
18.2	46.4	118	301	768	1.96K	4.99K	12.7K	32.4K	82.5K	210K	536K	
18.7	47.5	121	309	787	2.00K	5.11K	13.0K	33.2K	84.5K	215K	549K	
19.1	48.7	124	316	806	2.05K	5.23K	13.3K	34.0K	86.6K	221K	562K	
19.6	49.9	127	324	825	2.10K	5.36K	13.7K	34.8K	88.7K	226K	576K	
20.0	51.1	130	332	845	2.15K	5.49K	14.0K	35.7K	90.9K	232K	590K	
20.5	52.3	133	340	866	2.21K	5.62K	14.3K	36.5K	93.1K	237K	604K	
21.0	53.6	137	348	887	2.26K	5.76K	14.7K	37.4K	95.3K	243K	619K	
21.5	54.9	140	357	909	2.32K	5.90K	15.0K	38.3K	97.6K	249K	634K	
22.1	56.2	143	365	931	2.37K	6.04K	15.4K	39.2K	100K	255K	649K	
22.6	57.6	147	374	953	2.43K	6.19K	15.8K	40.2K	102K	261K	665K	
23.2	59.0	150	383	976	2.49K	6.34K	16.2K	41.2K	105K	267K	681K	
23.7	60.4	154	392	1.00K	2.55K	6.49K	16.5K	42.2K	107K	274K	698K	
24.3	61.9	158	402	1.02K	2.61K	6.65K	16.9K	43.2K	110K	280K	715K	
24.9	63.4	162	412	1.05K	2.67K	6.81K	17.4K	44.2K	113K	287K	732K	

Panasonic 0201 Werte

10	39	150	560	2.2K	8.2K	33K	120K	470K
11	43	160	620	2.4K	9.1K	36K	130K	510K
12	47	180	680	2.7K	10K	39K	150K	560K
13	51	200	750	3.0K	11K	43K	160K	620K
15	56	220	820	3.3K	12K	47K	180K	680K
16	62	240	910	3.6K	13K	51K	200K	750K
18	68	270	1.0K	3.9K	15K	56K	220K	820K
20	75	300	1.1K	4.3K	16K	62K	240K	910K
22	82	330	1.2K	4.7K	18K	68K	270K	1.0M
24	91	360	1.3K	5.1K	20K	75K	300K	
27	100	390	1.5K	5.6K	22K	82K	330K	
30	110	430	1.6K	6.2K	24K	91K	360K	
33	120	470	1.8K	6.8K	27K	100K	390K	
36	130	510	2.0K	7.5K	30K	110K	430K	

Panasonic 2512 Werte

10	100	270	1K	10K	100K	150K	330K	1M

Panasonic 2010 Werte

10.0	27.4	75.0	205	562	1.54K	4.22K	11.5K	31.6K	86.6K	237K	649K
10.5	28.7	78.7	215	590	1.62K	4.42K	12.1K	33.2K	90.9K	249K	681K
11.0	30.1	82.5	226	619	1.69K	4.64K	12.7K	34.8K	95.3K	261K	715K
11.5	31.6	86.6	237	649	1.78K	4.87K	13.3K	36.5K	100K	274K	750K
12.1	33.2	90.9	249	681	1.87K	5.11K	14.0K	38.3K	105K	287K	787K
12.7	34.8	95.3	261	715	1.96K	5.36K	14.7K	40.2K	110K	301K	825K
13.3	36.5	100	274	750	2.05K	5.62K	15.4K	42.2K	115K	316K	866K
14.0	38.3	105	287	787	2.15K	5.90K	16.2K	44.2K	121K	332K	909K
14.7	40.2	110	301	825	2.26K	6.19K	16.9K	46.4K	127K	348K	953K
15.4	42.2	115	316	866	2.37K	6.49K	17.8K	48.7K	133K	365K	1.00M
16.2	44.2	121	332	909	2.49K	6.81K	18.7K	51.1K	140K	383K	
16.9	46.4	127	348	953	2.61K	7.15K	19.6K	53.6K	147K	402K	
17.8	48.7	133	365	1.00K	2.74K	7.50K	20.5K	56.2K	154K	422K	
18.7	51.1	140	383	1.05K	2.87K	7.87K	21.5K	59.0K	162K	442K	
19.6	53.6	147	402	1.10K	3.01K	8.25K	22.6K	61.9K	169K	464K	
20.5	56.2	154	422	1.15K	3.16K	8.66K	23.7K	64.9K	178K	487K	
21.5	59.0	162	442	1.21K	3.32K	9.09K	24.9K	68.1K	187K	511K	
22.6	61.9	169	464	1.27K	3.48K	9.53K	26.1K	71.5K	196K	536K	
23.7	64.9	178	487	1.33K	3.65K	10.0K	27.4K	75.0K	205K	562K	
24.9	68.1	187	511	1.40K	3.83K	10.5K	28.7K	78.7K	215K	590K	
26.1	71.5	196	536	1.47K	4.02K	11.0K	30.1K	82.5K	226K	619K	

F

Panasonic 1 % Chipwiderstände

Digi-Key® Sortimentkits

Digi-Key® 0402, 1 % Chipwiderstandskits

RSM1L-ND Je 50 der Werte 10 Ω - 97,6 Ω **160.01**
RSM2L-ND Je 50 der Werte 100 Ω - 976 Ω **160.01**
RSM3L-ND Je 50 der Werte 1 KΩ - 9,76 KΩ **160.01**
RSM4L-ND Je 50 der Werte 10 KΩ - 97,6 KΩ **160.01**
RSM5L-ND Je 50 der Werte 100 KΩ - 1 MΩ **160.01**

Digi-Key® 0603, 1 % Chipwiderstandskits

RSM1H-ND Je 50 der Werte 10 Ω - 97,6 Ω **109.21**
RSM2H-ND Je 50 der Werte 100 Ω - 976 Ω **109.21**
RSM3H-ND Je 50 der Werte 1 KΩ - 9,76 KΩ **109.21**
RSM4H-ND Je 50 der Werte 10 KΩ - 97,6 KΩ **109.21**
RSM5H-ND Je 50 der Werte 100 KΩ - 1 MΩ **109.21**

Digi-Key® 1206, 1 % Chipwiderstandkits

RSM1FA-ND Je 50 der Werte 10 Ω - 97,6 Ω **110.02**
RSM1F-ND Je 200 der Werte 10 Ω - 97,6 Ω **253.13**

RSM2FA-ND Je 50 der Werte 100 Ω - 976 Ω **110.02**
RSM2F-ND Je 200 der Werte 100 Ω - 976 Ω **253.13**

RSM3FA-ND Je 50 der Werte 1 KΩ - 9,76 KΩ **101.55**
RSM3F-ND Je 200 der Werte 1 KΩ - 9,76 KΩ **253.13**

RSM4FA-ND Je 50 der Werte 10 KΩ - 97,6 KΩ **110.02**
RSM4F-ND Je 200 der Werte 10 KΩ - 97,6 KΩ **253.13**

RSM5FA-ND Je 50 der Werte 100 KΩ - 1 MΩ **110.02**
RSM5F-ND Je 200 der Werte 100 KΩ - 1 MΩ **253.13**

Digi-Key® 0805, 1 % Chipwiderstandkits

RSM1CA-ND Je 50 der Werte 10 Ω - 97,6 Ω **101.55**
RSM1C-ND Je 200 der Werte 10 Ω - 97,6 Ω **253.13**

RSM2CA-ND Je 50 der Werte 100 Ω - 976 Ω **101.55**
RSM2C-ND Je 200 der Werte 100 Ω - 976 Ω **253.13**

RSM3CA-ND Je 50 der Werte 1 KΩ - 9,76 KΩ **101.55**
RSM3C-ND Je 200 der Werte 1 KΩ - 9,76 KΩ **253.13**

RSM4CA-ND Je 50 der Werte 10 KΩ - 97,6 KΩ **101.55**
RSM4C-ND Je 200 der Werte 10 KΩ - 97,6 KΩ **253.13**

RSM5CA-ND Je 50 der Werte 100 KΩ - 1 MΩ **101.55**
RSM5C-ND Je 200 der Werte 100 KΩ - 1 MΩ **253.13**

Panasonic® 0201/0402/0603/0805/1206/1210/2010/2512

5 % Dickschicht-Chipwiderstände f. Oberflächenmontage - 1/20, 1/16, 1/10, 1/8, 1/4, 1/2 und 1 W

Serie 0201 — Standard-Widerstandswerte
Die vollständigen Teilenummern für Bestellungen sind unten angegeben.

10	47	220	1.0K	4.7K	22K	100K	470K
12	56	270	1.2K	5.6K	27K	120K	560K
15	68	330	1.5K	6.8K	33K	150K	680K
18	82	390	1.8K	8.2K	39K	180K	820K
22	100	470	2.2K	10K	47K	220K	1.0M
27	120	560	2.7K	12K	56K	270K	
33	150	680	3.3K	15K	68K	330K	
39	180	820	3.9K	18K	82K	390K	

Serie 0402/0603/0805/1206/1210/2010/2512 - Standard-Widerstandswerte
Die vollständigen Teilenummern für Bestellungen sind unten angegeben.

* 12 M, 15 M, 18 M und 22 M haben eine Toleranz v. 10 %

1.0	2.4	5.6	13	33	75	180	430	1.0K	2.4K	5.6K	13K	33K	75K	180K	430K	1.0M	2.4M	5.6M	18M*
1.1	2.7	6.2	15	36	82	200	470	1.1K	2.7K	6.2K	15K	36K	82K	200K	470K	1.1M	2.7M	6.2M	22M*
1.2	3.0	6.8	16	39	91	220	510	1.2K	3.0K	6.8K	16K	39K	91K	220K	510K	1.2M	3.0M	6.8M	
1.3	3.3	7.5	18	43	100	240	560	1.3K	3.3K	7.5K	18K	43K	100K	240K	560K	1.3M	3.3M	7.5M	
1.5	3.6	8.2	20	47	110	270	620	1.5K	3.6K	8.2K	20K	47K	110K	270K	620K	1.5M	3.6M	8.2M	
1.6	3.9	9.1	22	51	120	300	680	1.6K	3.9K	9.1K	22K	51K	120K	300K	680K	1.6M	3.9M	9.1M	
1.8	4.3	10	24	56	130	330	750	1.8K	4.3K	10K	24K	56K	130K	330K	750K	1.8M	4.3M	10M	
2.0	4.7	11	27	62	150	360	820	2.0K	4.7K	11K	27K	62K	150K	360K	820K	2.0M	4.7M	12M*	
2.2	5.1	12	30	68	160	390	910	2.2K	5.1K	12K	30K	68K	160K	390K	910K	2.2M	5.1M	15M*	

Digi-Key® 1206 1/4 W, 5 % Chipwiderstands-Sortimente

CR1A-KIT-ND Je 50 jeden zweiten Wertes von 10, 12, 15, 18 usw. bis 1,0 M (3.050 Stück) **67.69**
CR1-KIT-ND Je 200 (gleiche Werte wie obenstehendes Kit) .. **109.21**

CR2A-KIT-ND Je 50 jeden zweiten Wertes von 11, 13, 16, 20 usw. bis 910 K (3.000 Stück) **67.69**
CR2-KIT-ND Je 200 (gleiche Werte wie obenstehendes Kit) ... **109.21**

Digi-Key® 0805 1/8 W, 5 % Chipwiderstands-Sortimente

CR3A-KIT-ND Je 50 jeden zweiten Wertes von 10, 12, 15, 18 usw. bis 1,0 M (3.050 Stück) **67.69**
CR3-KIT-ND Je 200 (gleiche Werte wie obenstehendes Kit) **109.21**

CR4A-KIT-ND Je 50 jeden zweiten Wertes von 11, 13, 16, 20 usw. bis 910 K (3.000 Stück) **67.69**
CR4-KIT-ND Je 200 (gleiche Werte wie obenstehendes Kit) **109.21**

Digi-Key® 0603 1/10 W, 5 % Chipwiderstands-Sortimente

CR5A-KIT-ND Je 50 jeden zweiten Wertes von 10, 12, 15, 18 usw. bis 1,0 M (3.050 Stück) **72.77**
CR5-KIT-ND Je 200 (gleiche Werte wie obenstehendes Kit) .. **109.21**

CR6A-KIT-ND Je 50 jeden zweiten Wertes von 11, 13, 16, 20 usw. bis 910 K (3.000 Stück) **72.77**
CR6-KIT-ND Je 200 (gleiche Werte wie obenstehendes Kit) .. **109.21**

Digi-Key® 0402 1/16 W, 5 % Chipwiderstands-Sortimente

CR7A-KIT-ND Je 50 jeden zweiten Wertes von 10, 12, 15, 18, 22 usw. bis 1,0 M (3.050 Stück) **76.15**
CR7-KIT-ND Je 200 (gleiche Werte wie obenstehendes Kit) .. **143.08**

CR8A-KIT-ND Je 50 jeden zweiten Wertes von 11, 13, 16, 20 usw. bis 910 K (3.000 Stück) **76.15**
CR8-KIT-ND Je 200 (gleiche Werte wie obenstehendes Kit) .. **143.08**

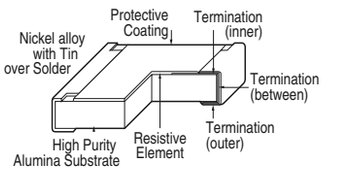

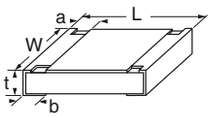

Typ	Nenn-strom	Max. RCWV	Überlast-spannung	Abmessungen (mm) L	W	t	a	b	Temperaturkoeffizient (ppm/°C)	Panasonic Teilenr.
0201	1/20W	15V	30V	0.60	0.30	0.20	0.15	0.15		ERJ-1GEJ
0402	1/16W	50V	100V	1.00	0.50	0.35	0.20	0.25		ERJ-2GEJ
0603	1/10W	50V	100V	1.60	0.80	0.45	0.30	0.30	<10Ω: -100ppm/°C ~ +600ppm/°C	ERJ-3GEY
0805	1/8W	150V	200V	2.00	1.25	0.60	0.40	0.40		ERJ-6GEY
1206	1/4W	200V	400V	3.20	1.60	0.60	0.50	0.50	10Ω ~ 1MΩ: ±200ppm°C	ERJ-8GEY
1210	1/4W	200V	400V	3.20	2.50	0.60	0.50	0.50		ERJ-14Y
2010	1/2W	200V	400V	5.00	2.50	0.60	0.60	0.60	1MΩ >: -400ppm/°C ~ +600ppm/°C	ERJ-12ZY
2512	1W	250V	500V	6.40	3.20	0.60	0.65	0.60		ERJ-1TY

Beschreibung	Wertebereich	Digi-Key Teilenr.	Preisangaben 10	50	200	1.000	Digi-Key Teilenr.	Paket-größe	Preisangaben für Gegurtet auf Rolle 4.000	5.000	10.000	12.000	15.000	Panasonic Teilenr.
0201, 1/20 W, 5%	(10-1.0MΩ)	P(Wert)AGCT-ND†	1.62	4.35	10.01	34.13	P(Wert)AGTR-ND†	15,000	—	—	—	—	22.63/M	ERJ-1GEJxxxC
0402, 1/16 W, 5%	(1~10MΩ)	P(Wert)JCT-ND†	.71	1.91	4.39	14.98	P(Wert)JTR-ND†	10,000	—	—	4.80/M	—	—	ERJ-2GEJxxxX
0603, 1/10 W, 5%	(1~22MΩ)*	P(Wert)GCT-ND†	.68	1.82	4.17	14.24	P(Wert)GTR-ND†	5,000	—	3.81/M	3.43/M	—	—	ERJ-3GEYJxxxV
0805, 1/8 W, 5%	(1~22MΩ)*	P(Wert)ACT-ND†	.65	1.75	4.03	13.75	P(Wert)ATR-ND†	5,000	—	4.07/M	3.66/M	—	—	ERJ-6GEYJxxxV
1206, 1/4 W, 5%	(1~22MΩ)*	P(Wert)ECT-ND†	.80	2.14	4.93	16.82	P(Wert)ETR-ND†	5,000	—	7.24/M	6.52/M	—	—	ERJ-8GEYJxxxV
1210, 1/4 W, 5%	(1~10MΩ)	P(Wert)VCT-ND	2.29	6.14	14.10	48.12	P(Wert)VTR-ND	5,000	—	39.62/M	35.66/M	—	—	ERJ-14YJxxxU
2010, 1/2 W, 5%	(1~10MΩ)	P(Wert)WCT-ND	3.39	9.12	20.94	71.44	P(Wert)WTR-ND	5,000	—	63.75/M	57.38/M	—	—	ERJ-12ZYJxxxU
2512, 1 W, 5%	(1~2.2MΩ)	PT(Wert)XCT-ND	3.35	11.88	39.11	162.04	PT(Wert)XTR-ND	4,000	125.98/M	—	—	104.98/M	—	ERJ-1TYJxxxU

† 0,0 Ω (Nullohm) Wert auch erhältlich. * 12 M, 15 M, 18 M und 22 M haben eine Toleranz v. 10 %.

F

Panasonic® 0402/0603/0805/1206/1210/2010/2512, 5% und 0402/0603/0805/1206, 1 %

Dickschicht-Chipwiderstände mit ultraniedrigem Widerstand f. Oberflächenmontage erhältlich in 1/10, 1/8, 1/4, 1/2 und 1 W

Serie 0402, 5 % Standard-Widerstandswerte
Die vollständigen Teilenummern für Bestellungen sind unten angegeben.

.047	.056	.068	.082
.051	.062	.075	.091

Serie 0402, 1 % Standard-Widerstandswerte
Die vollständigen Teilenummern für Bestellungen sind unten angegeben.

.10	.13	.18	.24	.33	.43	.56	.75
.11	.15	.20	.27	.36	.47	.62	.82
.12	.16	.22	.30	.39	.51	.68	.91

Serie 0603/0805/1206/1210/2010/2512, 5% und 0603/0805/1206, 1 % Standard-Widerstandswerte
Die vollständigen Teilenummern für Bestellungen sind unten angegeben.

.10	.22	.47	1.0	2.2	4.7	9.1
.12	.27	.56	1.2	2.7	5.6	
.15	.33	.68	1.5	3.3	6.8	
.18	.39	.82	1.8	3.9	8.2	

Serie 2512, 1 % Standard-Widerstandswerte
Die vollständigen Teilenummern für Bestellungen sind unten angegeben.

.22	.36	.56	.91	1.5	2.4	3.9	6.2
.24	.39	.62	1.0	1.6	2.7	4.3	6.8
.27	.43	.68	1.1	1.8	3.0	4.7	7.5
.30	.47	.75	1.2	2.0	3.3	5.1	8.2
.33	.51	.82	1.3	2.2	3.6	5.6	9.1

Nenndauerbetriebsspannung (RCWV): Die Nennspannung bei jedem Widerstand kann anhand der folgenden Gleichung errechnet werden:
$RCWV=\sqrt{P \times R}$
RCWV(V):P(W):R(Ω)
Max. Überlastspannung = RCWV x 2,5

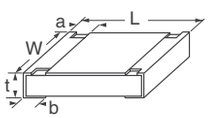

Typ	Typ (Nennleistung)	Abmessungen (mm) L	W	t	a	b	Temperaturkoeffizient (ppm/°C)	Panasonic Teilenr.
0402	1/8 W (5%)	1.00	0.50	0.35	0.24	0.24	±300ppm/°C	ERJ-2BWJ
0402	1/8 W (1%)	1.00	0.50	0.20	0.27	0.35	.1 ~ .20Ω ±300ppm / °C/.22 ~ 1.0 Ω + ±250ppm/C	ERJ-2BS/Q
0603	1/10 W	1.6	0.8	0.45	0.30	0.30	.1 ~ .82Ω ±300ppm / °C/1.0 ~ 8.2 Ω + ±200ppm/C	ERJ-3RS/Q
0805	1/8 W	2.00	1.25	0.60	0.40	0.40	.1 ~ .91Ω ±250ppm / °C/1.0 ~ 9.1 Ω + ±200ppm/C	ERJ-6RS/Q
1206	1/4 W	3.20	1.60	0.60	0.50	0.50	.1 ~ .91Ω ±250ppm / °C/1.0 ~ 9.1 Ω + ±200ppm/C	ERJ-8RS/Q
1210	1/4 W	3.20	2.50	0.60	0.50	0.50	.1 ~ .91Ω ±200ppm / °C/1.0 ~ 9.1 Ω + ±100ppm/C	ERJ-14RS/Q
2010	1/2 W	5.00	2.50	0.60	0.60	0.60	.22 ~ 1.0Ω ±200ppm / °C	ERJ-12ZQJ
2512	1 W	6.40	3.20	0.60	0.65	0.60	.1 ~ .91Ω ±200ppm / °C/1.0 ~ 9.1 Ω + ±100ppm/C	ERJ-1TRS/Q

Beschreibung	Wertebereich	Digi-Key Teilenr.	Preisangaben 10	50	200	1.000	Digi-Key Teilenr.	Paket-größe	Preisangaben für Gegurtet auf Rolle 4.000	5.000	10.000	12.000	Panasonic Teilenr..
0402, 1/8 W, 5%	(.047 ~ .091Ω)	P(Wert)AMCT-ND	4.39	15.54	51.20	212.12	P(Wert)AMTR-ND	10,000	—	—	139.52/M	—	ERJ-2BWJRxxX
0402, 1/8 W, 1%	(.10 ~ .20Ω)	P(Wert)AKCT-ND	7.48	20.15	46.28	157.92	P(Wert)AKTR-ND	10,000	—	—	137.89/M	—	ERJ-2BSFRxxX
0402, 1/8 W, 1%	(.22 ~ .91Ω)	P(Wert)AKCT-ND	5.74	15.43	35.46	120.99	P(Wert)AKTR-ND	10,000	—	—	103.51/M	—	ERJ-2BQFRxxX
0603, 1/10 W, 5%	(.10 ~ .18Ω)	P(Wert)AHCT-ND	2.76	7.42	17.06	58.21	P(Wert)AHTR-ND	5,000	—	50.06/M	45.06/M	—	ERJ-3RSJxxxV
0603, 1/10 W, 5%	(.22 ~ 8.2Ω)	P(Wert)AHCT-ND	1.62	4.34	9.97	34.02	P(Wert)AHTR-ND	5,000	—	25.05/M	22.54/M	—	ERJ-3RQJxxxV
0603, 1/10 W, 1%	(.10 ~ .18Ω)	P(Wert)AJCT-ND	4.54	12.22	28.06	95.75	P(Wert)AJTR-ND	5,000	—	88.90/M	80.01/M	—	ERJ-3RSFxxxV
0603, 1/10 W, 1%	(.22 ~ 8.2Ω)	P(Wert)AJCT-ND	2.57	6.89	15.83	54.01	P(Wert)AJTR-ND	5,000	—	45.72/M	41.15/M	—	ERJ-3RQFxxxV
0805, 1/8 W, 5%	(.10 ~ .18Ω)	P(Wert)BCT-ND	11.88	31.95	73.40	250.42	P(Wert)BTR-ND	5,000	—	248.90/M	224.01/M	—	ERJ-6RSJxxxV
0805, 1/8 W, 5%	(.22 ~ 9.1Ω)	P(Wert)BCT-ND	5.36	14.41	33.10	112.94	P(Wert)BTR-ND	5,000	—	87.63/M	78.87/M	—	ERJ-6RQJxxxV
0805, 1/8 W, 1%	(.22 ~ 9.1Ω)	P(Wert)DCT-ND	1.78	6.30	20.74	85.93	P(Wert)DTR-ND	5,000	—	62.99/M	52.49/M	—	ERJ-6RQFxxxV0
1206, 1/4 W, 5%	(.10 ~ .18Ω)	P(Wert)PCT-ND	10.59	28.51	65.48	223.42	P(Wert)PTR-ND	5,000	—	220.97/M	198.87/M	—	ERJ-8RSJxxxV
1206, 1/4 W, 5%	(.22 ~ 9.1Ω)	P(Wert)PCT-ND	5.12	13.78	31.66	108.03	P(Wert)PTR-ND	5,000	—	101.60/M	91.44/M	—	ERJ-8RQJxxxV
1206, 1/4 W, 1%	(.22 ~ 9.1Ω)	P(Wert)RCT-ND	2.29	8.09	26.67	110.48	P(Wert)RTR-ND	5,000	—	83.31/M	69.43/M	—	ERJ-8RQFxxxV
1210, 1/4 W, 5%	(.10 ~ .18Ω)	P(Wert)SCT-ND	4.67	16.55	54.52	225.87	P(Wert)STR-ND	5,000	—	178.81/M	149.01/M	—	ERJ-14RSJxxxU
1210, 1/4 W, 5%	(.22 ~ 9.1Ω)	P(Wert)SCT-ND	2.90	10.25	33.78	139.94	P(Wert)STR-ND	5,000	—	107.69/M	89.74/M	—	ERJ-14RQJxxxU
2010, 1/2 W, 5%	(.22 ~ 1.0Ω)	P(Wert)AFCT-ND	4.75	16.82	55.41	229.56	P(Wert)AFTR-ND	5,000	—	181.85/M	151.55/M	—	ERJ-12ZQJxxxU
2512, 1 W, 5%	(.10 ~ .18Ω)	PT(Wert)UCT-ND	9.04	36.73	131.10	587.71	PT(Wert)UTR-ND	4,000	500.98/M	—	—	423.05/M	ERJ-1TRSJxxxU
2512, 1 W, 5%	(.22 ~ 9.1Ω)	PT(Wert)UCT-ND	7.61	26.96	88.81	367.91	PT(Wert)UTR-ND	4,000	296.35/M	—	—	246.96/M	ERJ-1TRQJxxxU
2512, 1 W, 1%	(.22 ~ 9.1Ω)	PT(Wert)YCT-ND	5.72	23.25	82.98	372.00	PT(Wert)YTR-ND	4,000	314.30/M	—	—	265.41/M	ERJ-1TRQFxxxU

Alle Preisangaben in Euro und inklusive Zollgebühren.

Panasonic® SMD Dickschicht-Chipwiderstände/Schwachwiderstandstyp

0603, 0805, 1206, 1210, 1812, 2010, 2512 — Für Stromsensoranwendungen

Merkmale: • Betriebstemperatur: ERJ-L: -55 °C ~ 125 °C, ERJ-M: -55 °C ~ 170 °C (Lastminderung über 70 °C erforderlich) • Widerstandsbereich: • 1 ~ 100 mΩ

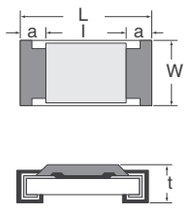

Paket	Abmessungen (mm) L	W	a	t	l
0603	1.60	0.80	0.30	0.45	1.00
0805	2.00	1.25	0.40	0.60	1.20
1206	3.20	1.60	0.50	0.60	2.20
1210	3.20	2.50	0.50	0.60	2.20
1812	4.50	3.20	0.50	0.60	3.50
2010	5.00	2.50	0.60	0.60	3.80
2512 (Typ S)	6.40	3.20	1.00	0.80	4.40
2512 (Typ T)	6.40	3.20	2.10	0.80	2.20
2512 (Typ L)	6.40	3.20	0.65	1.10	5.10

Die vollständigen Teilenummern für Bestellungen sind unten angegeben.

Standard-Widerstandswerte (mΩ) für 0603, 0805, 1206

Wert (Herst. Code)	Wert (Herst. Code)	Wert (Herst. Code)	Wert (Herst. Code)
47 (47M)	50 (50M)	75† (75M)	100 (10C)

† Panasonic-Teilenr.: ERJ-LxxUJxxxV

Standard-Widerstandswerte (mΩ) für 1210, 1812, 2010

Wert (Herst. Code)	Wert (Herst. Code)	Wert (Herst. Code)	Wert (Herst. Code)	Wert (Herst. Code)
20 (20M)	25† (25M)	39 (39M)	50 (50M)	100 (10C)
22 (22M)	33 (33M)	47 (47M)	75† (75M)	

† Panasonic-Teilenr.: ERJ-LxxUFxxxU

Standard-Widerstandswerte (mΩ) für 2512

Wert (Herst. Code)	Wert (Herst. Code)	Wert (Herst. Code)	Wert (Herst. Code)	Wert (Herst. Code)
1.0 (1M0)	3.0 (3M0)	8.0 (8M0)	15 (15M)	47* (47M)
1.5 (1M5)	4.0 (4M0)	10 (10M)	16 (16M)	50 (50M)
2.0 (2M0)	5.0 (5M0)	12 (12M)	20 (20M)	100 (10C)

*In 1 % Toleranz nicht erhältlich

Beschreibung	Typ	Wertebereich (mΩ)	Temperatur-koeffizient	Digi-Key Teilenr.	Gurtabschnittspreise 10	50	200	Digi-Key Teilenr.	Gegurtet auf Rolle Größe	Preisangaben	Panasonic Teilenr.
0603, 1/10 W, 5%	L	47 ~ 100	±200ppm	P(Wert)NJCT-ND	5.19	15.48	36.40	P(Wert)NJTR-ND	5,000	115.56/M	ERJ-L03KJXXXV
0805, 1/8 W, 5%	L	47 ~ 100	±100ppm	P(Wert)NLCT-ND	5.67	16.92	39.79	P(Wert)NLTR-ND	5,000	127.42/M	ERJ-L06KJXXXV
1206, 1/4 W, 5%	L	47 ~ 100	±100ppm	P(Wert)NPCT-ND	6.52	19.43	45.72	P(Wert)NPTR-ND	5,000	148.16/M	ERJ-L08KJXXXV
1210, 1/4 W, 1%	L	20 ~ 39 47 ~ 100	±300ppm ±100ppm	P(Wert)NACT-ND	4.52	16.01	52.74	P(Wert)NATR-ND	5,000	172.71/M	ERJ-L14KFXXXU
1812, 1/2 W, 1%	L	20 ~ 39 47 ~ 100	±300ppm ±100ppm	P(Wert)NBCT-ND	5.89	23.94	85.44	P(Wert)NBTR-ND	5,000	323.83/M	ERJ-L12KFXXXU
2010, 1/2 W, 1%	L	47 ~ 100	±100ppm	P(Wert)NCCT-ND	5.89	23.94	85.44	P(Wert)NCTR-ND	5,000	323.83/M	ERJ-L1DKFXXXU
2512, 1 W, 5%	T	1.0 ~ 1.5 2.0	350 ±100ppm 100 ±50ppm	P(Wert)TCT-ND	6.57	26.69	95.26	P(Wert)TTR-ND	3,000	361.92/M	ERJ-M1WTJXXXU
	S	3.0 ~ 4.0 5.0 ~ 20	±350ppm ±100ppm	P(Wert)TCT-ND	6.57	26.69	95.26	P(Wert)TTR-ND	3,000	361.92/M	ERJ-M1WSJXXXU
	L	47 ~ 100	±100ppm	P(Wert)TCT-ND	6.67	27.10	96.73	P(Wert)TTR-ND	3,000	367.64/M	ERJ-L1WKJXXXU
2512, 1 W, 1%	T	1.0 ~ 1.5 2.0 ~ 4.0	350 ±100ppm 100 ±50ppm	P(Wert)NDCT-ND	8.11	32.95	117.60	P(Wert)NDTR-ND	3,000	448.60/M	ERJ-M1WTFXXXU
	S	3.0 ~ 4.0 5.0 ~ 20	±350ppm ±100ppm	P(Wert)MCT-ND	6.91	28.06	100.17	P(Wert)MTR-ND	3,000	380.97/M	ERJ-M1WSFXXXU
	L	50 ~ 100	±100ppm	P(Wert)MCT-ND	7.96	32.33	115.39	P(Wert)MTR-ND	3,000	440.02/M	ERJ-L1WKFXXXU

Panasonic® Anti-Surge-Dickschicht-Chipwiderstände

F

Merkmale:

- Betriebstemperatur: -55 °C ~ 155 °C
- Verbesserte Anti-Surge-Eigenschaften im Vergleich zu Metallschichtwiderständen
- Hohe Zuverlässigkeit durch metallglasiertes Dickschicht-Widerstandselement und drei Elektrodenschichten
- Sowohl für Aufschmelz- als auch Schwalllöten geeignet
- Dickschichtwiderstand mit ausgezeichneten Anti-Impuls-Merkmalen und hoher Nennleistung

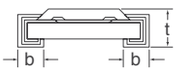

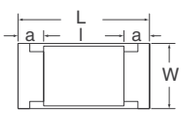

Typ	Abmessungen (mm) L	W	a	b	t	l
0805	2.00	1.25	0.25	0.40	0.60	1.50
1206	3.20	1.60	0.40	0.50	0.60	2.24
1210	3.20	2.50	0.35	0.50	0.60	2.50

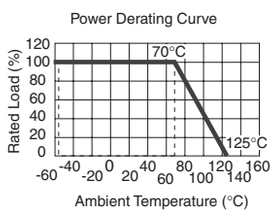

Typ	Nennleistung bei 70 °C (W)	Grenzelementspannung (max. RCWV) [1] (V)	Maximale Überlastspannung [2] (V)	Widerstandstoleranz (%)	Widerstandsbereich (Ω) min.	max.	Nenntemperaturkoeffizient x10^{-6} °C (ppm/°C)	Standard-Widerstandswerte
ERJP06	0.125	150	200	±5	10 33	30 1.0M	±300 ±200	E24 (3 Stellen)
ERJP08	0.25	200	400	±5	10	1.0M	±200	E24 (3 Stellen)
ERJP14	0.5	200	400	±5	1.0	1.0M	±200	E24 (3 Stellen)

(1) Die kontinuierliche Nennbetriebsspannung (RCWV) wird nach RCWV = $\sqrt{\text{Nennleistung x Widerstandswerte berechnet}}$, oder es wird die o.a. Grenzelementspannung verwendet (maßgebend ist der jeweils niedrigere Wert)

(2) Überlast (kurzzeitige Überlast) -Testspannung (SOTV) wird anhand von SOTV = 2,5 x Nennleistung berechnet, oder es wird die o.a. max. Überlastspannung verwendet, wobei der niedrigere Wert maßgeblich ist.

Standard-Widerstandswerte

Die vollständigen Teilenummern für Bestellungen sind unten angegeben.

1.0	2.0	3.9	7.5	15	30	56	110	220	430	820	1.6K	3.3K	6.2K	12K	24K	47K	91K	180K	360K	680K
1.1	2.2	4.3	8.2	16	33	62	120	240	470	910	1.8K	3.6K	6.8K	13K	27K	51K	100K	200K	390K	750K
1.2	2.4	4.7	9.1	18	36	68	130	270	510	1.0K	2.0K	3.9K	7.5K	15K	30K	56K	110K	220K	430K	820K
1.3	2.7	5.1	10	20	39	75	150	300	560	1.1K	2.2K	4.3K	8.2K	16K	33K	62K	120K	240K	470K	910K
1.5	3.0	5.6	11	22	43	82	160	330	620	1.2K	2.4K	4.7K	9.1K	18K	36K	68K	130K	270K	510K	1.0M
1.6	3.3	6.2	12	24	47	91	180	360	680	1.3K	2.7K	5.1K	10K	20K	39K	75K	150K	300K	560K	
1.8	3.6	6.8	13	27	51	100	200	390	750	1.5K	3.0K	5.6K	11K	22K	43K	82K	160K	330K	620K	

Beschreibung	Wertebereich (Ω)	Digi-Key Teilenr.	Gurtabschnittspreise 10	50	200	1.000	Digi-Key Teilenr.	Preisangaben für Gegurtet auf Rolle 5.000	10.000	25.000	50.000	Panasonic Teilenr.
0805, 1/8 W, 5%	10 ~ 1.0M	P(Wert)ADCT-ND	1.40	4.17	9.82	29.46	P(Wert)ADTR-ND	22.52/M	19.31/M	17.70/M	16.09/M	ERJ-P06JXXXV
1206, 1/4 W, 5%	10 ~ 1.0M	P(Wert)ALCT-ND	1.70	5.07	11.94	35.81	P(Wert)ALTR-ND	29.93/M	25.66/M	23.52/M	21.38/M	ERJ-P08JXXXV
1210, 1/2 W, 5%	1.0 ~ 1.0M	P(Wert)ASCT-ND	3.01	9.00	21.17	63.50	P(Wert)ASTR-ND	62.23/M	53.34/M	48.90/M	35.56/M	ERJ-P14JXXXU

Panasonic® Wärmeempfindliche Metallschicht-Chipwiderstände

Merkmale:

- Für temperaturkorrigierende Schaltkreise empfohlen
- Temperaturkoeffizient 1000 x 10^{-6}/°C (ppm/°C) ~ 4700 x 10^{-6}/°C (ppm/°C)
- Schnelle Reaktion auf Temperaturänderungen
- Hervorragende lineare Widerstandsänderung in breitem Temperaturbereich (-40 °C ~ 125 °C)
- Hohe Zuverlässigkeit, hohe Platzierdichte
- Sowohl für Aufschmelz- als auch Schwalllöten geeignet

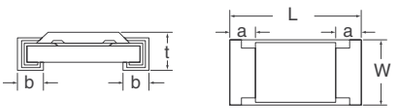

Typ	Abmessungen (mm) L	W	a	b	t
0402	1.00	0.50	0.15	0.25	0.35
0603	1.60	0.80	0.30	0.30	0.45
0805	2.00	1.25	0.40	0.40	0.50

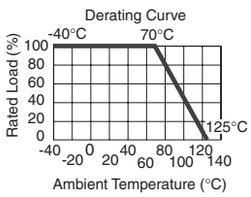

Standard-Widerstandswerte (Ω)

Die vollständigen Teilenummern für Bestellungen sind unten angegeben.

5.6	27	120	560	2.7K
6.8	33	150	680	3.3K
8.2	39	180	820	3.9K
10	47	220	1.0K	4.7K
12	56	270	1.2K	5.6K
15	68	330	1.5K	6.8K
18	82	390	1.8K	8.2K
22	100	470	2.2K	10K

Beschreibung	T.C.R. (ppm/°C)	Wertebereich (Ω)	T.C.R.-Toleranz	Digi-Key Teilenr.	Gurtabschnittspreise 10	50	200	Digi-Key Teilenr.	Preisangaben für Gegurtet auf Rolle 5.000	10.000	25.000	30.000	Panasonic Teilenr.
0402, 1/32 W, 5%	+2700	47 ~ 1.0K	—	P(Wert)CLCT-ND	3.49	12.36	40.71	P(Wert)CLTR-ND	—	82.17/M	—	76.69/M	ERA-W27JXXXX
	+3300	22 ~ 390	—	P(Wert)CMCT-ND	3.49	12.36	40.71	P(Wert)CMTR-ND	—	82.17/M	—	76.69/M	ERA-W33JXXXX
0603, 1/16 W, 5%	+1500	10 ~ 10K	±200 x ppm/°C	P(Wert)CFCT-ND	4.67	16.55	54.52	P(Wert)CFTR-ND	123.68/M	111.76/M	104.31/M	—	ERA-V15JXXXV
	+2700	47 ~ 3.3K	±10%	P(Wert)CGCT-ND	4.67	16.55	54.52	P(Wert)CGTR-ND	123.68/M	111.76/M	104.31/M	—	ERA-V27JXXXV
	+3300	22 ~ 1.2K	±10%	P(Wert)CHCT-ND	4.67	16.55	54.52	P(Wert)CHTR-ND	123.68/M	111.76/M	104.31/M	—	ERA-V33JXXXV
	+3900	5.6 ~ 390	±10%	P(Wert)CJCT-ND	4.67	16.55	54.52	P(Wert)CJTR-ND	123.68/M	111.76/M	104.31/M	—	ERA-V39JXXXV
0805, 1/10 W, 5%	+1500	10 ~ 10K	±200 x ppm/°C	P(Wert)CBCT-ND	4.67	16.55	54.52	P(Wert)CBTR-ND	123.68/M	111.76/M	104.31/M	—	ERA-S15JXXXV
	+2700	47 ~ 4.7K	±10%	P(Wert)CCCT-ND	4.67	16.55	54.52	P(Wert)CCTR-ND	123.68/M	111.76/M	104.31/M	—	ERA-S27JXXXV
	+3300	22 ~ 1.8K	±10%	P(Wert)CDCT-ND	4.67	16.55	54.52	P(Wert)CDTR-ND	123.68/M	111.76/M	104.31/M	—	ERA-S33JXXXV
	+3900	5.6 ~ 470	±10%	P(Wert)CECT-ND	4.67	16.55	54.52	P(Wert)CETR-ND	123.68/M	111.76/M	104.31/M	—	ERA-S39JXXXV

Panasonic® 1 u. 2 W — 5 % SMD-Metallschichtfestwiderstände

Merkmale:

- Flammwidrige Bauart
- Hohe Zuverlässigkeit
- Gemäß ISO 9001-System zugelassen

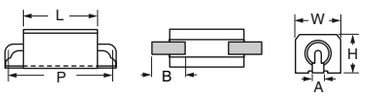

Typ	Abmessungen (mm) P	L	W	H	A	B
1 W	12.5	9.0	5.6	5.0	1.5	3.0
2 W	15.0	12.0	6.4	5.8	1.5	4.0

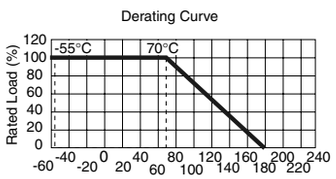

Standard-Widerstandswerte (Ω)

Die vollständigen Teilenummern für Bestellungen sind unten angegeben.

.022	.082	.33	1.2	4.7
.027	.10	.39	1.5	5.6
.033	.12	.47	1.8	6.8
.039	.15	.56	2.2	8.2
.047	.18	.68	2.7	
.056	.22	.82	3.3	
.068	.27	1.0	3.9	

Beschreibung	Wertebereich (Ω)	Digi-Key Teilenr.	Gurtabschnittspreise 10	50	200	Digi-Key Teilenr.	Paket-größe	Preisangaben für Gegurtet auf Rolle 1.000	2.000	5.000	6.000	Panasonic Teilenr.
1 W, 5%	.022 ~ .082	PRX1W(Wert)CT-ND	47.40	127.55	293.03	PRX1W(Wert)TR-ND	2,000	—	682.70/M	—	546.16/M	ERX-1HQJxxMH
	.10 ~ .18	PRX1W(Wert)CT-ND	32.28	86.85	199.54	PRX1W(Wert)TR-ND	2,000	—	462.72/M	—	370.18/M	ERX-1HZJxxxH
	.22 ~ 8.2	PRX1W(Wert)CT-ND	28.50	76.69	176.16	PRX1W(Wert)TR-ND	2,000	—	407.73/M	—	326.18/M	ERX-1HJxxxH
2 W, 5%	.022 ~ .082	PRX2W(Wert)CT-ND	50.66	136.32	313.17	PRX2W(Wert)TR-ND	1,000	730.11	—	584.09/M	—	ERX-2HQJxxMH
	.10 ~ .18	PRX2W(Wert)CT-ND	36.97	99.48	228.55	PRX2W(Wert)TR-ND	1,000	530.99	—	424.79/M	—	ERX-2HZJxxxH
	.22 ~ 8.2	PRX2W(Wert)CT-ND	32.28	86.85	199.54	PRX2W(Wert)TR-ND	1,000	462.72	—	370.18/M	—	ERX-2HJxxxH

Panasonic® ERA 0603/0805 0,1 % Metallschicht-Chipwiderstände

Oberflächenmontage — In 1/16 u. 1/10 W erhältlich

Merkmale:

- Hohe Zuverlässigkeit
- Niedriger T.C.R. und geringes Stromrauschen
- Hervorragende Nicht-Linearität

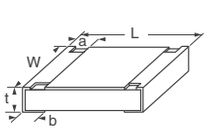

Typ	Typ (Nennleistung)	Max. RCWV	Max. Überlast-spannung	Abmessungen (mm) L	W	t	a	b	Temperaturkoeffizient	Panasonic Teilenr.
0603	1/16 W	75V	150V	1.60	0.80	0.45	0.30	0.30	±25ppm / °C	ERA-3YE
0805	1/10 W	100V	200V	2.00	1.25	0.50	0.40	0.40	±25ppm / °C	ERA-6YE

Standard-Widerstandswerte

Die vollständigen Teilenummern für Bestellungen sind unten angegeben.

100	150	220	330	470	680	1.0K	1.5K	2.2K	3.3K	4.7K	6.8K	10K	15K	22K	33K	47K	68K	100K
110	160	240	360	510	750	1.1K	1.6K	2.4K	3.6K	5.1K	7.5K	11K	16K	24K	36K	51K	75K	
120	180	270	390	560	820	1.2K	1.8K	2.7K	3.9K	5.6K	8.2K	12K	18K	27K	39K	56K	82K	
130	200	300	430	620	910	1.3K	2.0K	3.0K	4.3K	6.2K	9.1K	13K	20K	30K	43K	62K	91K	

Beschreibung	Wertebereich (Ω)	Digi-Key Teilenr.	Gurtabschnittspreise 10	50	200	1.000	Digi-Key Teilenr.	Paket-größe	Preisangaben für Gegurtet auf Rolle 5.000	10.000	25.000	50.000	Panasonic Teilenr.
0603, 1/16 W, .1%	100 ~ 33K	P(Wert)YCT-ND	5.03	17.81	58.67	243.06	P(Wert)YTR-ND	5,000	133.51/M	120.65/M	112.60/M	108.58/M	ERA-3YEBxxxV
0805, 1/10 W, .1%	100 ~ 100K	P(Wert)ZCT-ND	5.28	18.71	61.63	255.33	P(Wert)ZTR-ND	5,000	140.54/M	126.99/M	118.53/M	114.30/M	ERA-6YEBxxxV

Alle Preisangaben in Euro und inklusive Zollgebühren.

Panasonic® 5 % Miniatur-Kohleschichtwiderstände

Merkmale:
- Hohe Zuverlässigkeit durch Kohleschicht
- 52-mm Axialgurt-Stil für automatische Einsetzmaschine
- 4-farbige Codemarkierung
- Schwer entflammbarer Typ mit UL 94 V-0 zugelassener Beschichtung
- Gemäß ISO 9001-System zugelassen
- Referenznorm: IEC 60115-2, JIS C 5201-2
- Miniaturausführung

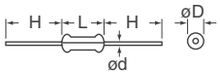

Typ	Abmessungen (mm) L	D	d	H	Masse (mg)
1/4W, 5%	3.20	1.70	0.45	20 min.	107
1/2W, 5%	6.35	2.30	0.60	20 min.	228

Typ	Nennleistung bei 70 °C (W)	Grenzelement-spannung (Max. RCWV) [1] (V)	Maximale Überlast-spannung [2] (V)	Max. diskontinuierliche Überlastspannung [3] (V)	Dielektrische Haltespannung (V AC)	Standard-Widerstandswert	Widerstandstoleranz (%)	Widerstandsbereich (Ω) min.	max.
ERDS2T	0.25	250	500	750	300	E24	±5 (J)	0	2.2M
ERDS1T	0.5	300	600	750	500	E24	±5 (J)	1	3.3M

Leistungsminderungskurve

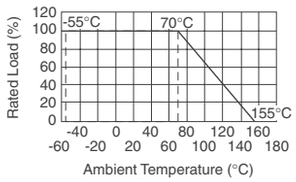

(1) Nennspannung = √(Nennleistung x Widerstandswert) oder Grenzelementspannung (max. RCWV), wobei der jeweils niedrigere Wert maßgeblich ist. (RCWV: kontinuierliche Nennarbeitsspannung).
(2) Überlast (kurzzeitige Überlast) -Testspannung (SOTV) wird anhand von SOTV = 2,5 x Nennleistung berechnet, oder es wird die o.a. max. Überlastspannung verwendet, wobei der niedrigere Wert maßgeblich ist.
(3) Diskontinuierliche Überlasttestspannung (IOTV) wird anhand von IOTV = 4 x Nennleistung (IOTV = 3 x Nennleistung für Typ ERDS2) berechnet, oder es wird die o.a. max. diskontinuierliche Überlastspannung verwendet, wobei der niedrigere Wert maßgeblich ist.

Standard-Widerstandswerte

Die vollständigen Teilenummern für Bestellungen sind unten angegeben.

0.0‡	2.0	4.3	9.1	20	43	91	200	430	910	2.0K	4.3K	9.1K	20K	43K	91K	200K	430K	910K	2.0M
1.0	2.2	4.7	10	22	47	100	220	470	1.0K	2.2K	4.7K	10K	22K	47K	100K	220K	470K	1.0M	2.2M
1.1	2.4	5.1	11	24	51	110	240	510	1.1K	2.4K	5.1K	11K	24K	51K	110K	240K	510K	1.1M	2.4M*
1.2	2.7	5.6	12	27	56	120	270	560	1.2K	2.7K	5.6K	12K	27K	56K	120K	270K	560K	1.2M	2.7M*
1.3	3.0	6.2	13	30	62	130	300	620	1.3K	3.0K	6.2K	13K	30K	62K	130K	300K	620K	1.3M	3.0M*
1.5	3.3	6.8	15	33	68	150	330	680	1.5K	3.3K	6.8K	15K	33K	68K	150K	330K	680K	1.5M	3.3M*
1.6	3.6	7.5	16	36	75	160	360	750	1.6K	3.6K	7.5K	16K	36K	75K	160K	360K	750K	1.6M	
1.8	3.9	8.2	18	39	82	180	390	820	1.8K	3.9K	8.2K	18K	39K	82K	180K	390K	820K	1.8M	

* Nur in 1/2 Watt-Ausführung erhältlich ‡ Nicht in 1/2 W-Ausführung erhältlich

Beschreibung	Wertebereich (Ω)	Digi-Key Teilenr.	Preisangaben 10	50	200	1.000	Digi-Key Teilenr.	Paket-größe	Preisangabe gegurtet in Schachtel 2.000	5.000	6.000	10.000	Panasonic Teilenr.
ERDS2T 1/4W, 5%	0.0-2.2M	P(Wert)BACT-ND	.57	1.81	4.13	13.43	P(Wert)BATB-ND	5,000	—	5.78/M	—	5.34/M	ERD-S2TJXXXV
ERDS1T 1/2W, 5%	1.0-3.3M	P(Wert)BBCT-ND	.80	2.57	5.86	19.04	P(Wert)BBTB-ND	2,000	12.80/M	—	11.81/M	10.83/M	ERD-S1TJXXXV

Panasonic® 1 % Miniatur-Metallschichtwiderstände

Merkmale:
- Niedriger T.C.R., geringes Rauschen, hohe Zuverlässigkeit
- Gurt-Stil für automatische Einsetzmaschine
- 5-farbige Codemarkierung
- Gemäß ISO 9001-System zugelassen
- Referenznorm: IEC 60115-2, JIS C 5201-2

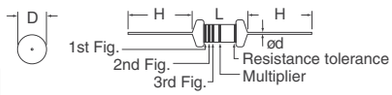

Typ	Nenn-leistung bei 70 °C (W)	Grenzelement-spannung (Max. RCWV) [1] (V)	Max. Überlast-spannung [2] (V)	Dielektrische Haltespannung (V)	T.C.R. x10^{-6}/°C (ppm/°C)	Widerstands-toleranz (%)	Widerstands-bereich (Ω) min.	max.	Widerstands-wert
EROS2P	0.25	250	500	300	±50	F(±1)	10	1M	E24

Typ	Abmessungen (mm) L	D	d	H	Masse (mg)
1/4W, 1%	3.20	1.70	0.45	30	107

Leistungsminderungskurve

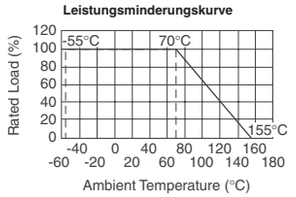

(1) Nennspannung = √(Nennleistung x Widerstandswert) oder Grenzelementspannung (max. RCWV), wobei der jeweils niedrigere Wert maßgeblich ist. (RCWV: kontinuierliche Nennarbeitsspannung).
(2) Überlast (kurzzeitige Überlast) -Testspannung (SOTV) wird anhand von SOTV = 2,5 x Nennleistung berechnet, oder es wird die o.a. max. Überlastspannung verwendet, wobei der niedrigere Wert maßgeblich ist.

Standard-Widerstandswerte

Die vollständigen Teilenummern für Bestellungen sind unten angegeben.

10.0	20.0	39.0	75.0	150	300	560	1.10K	2.20K	4.30K	8.20K	16.0K	33.0K	62.0K	120K	240K	470K	910K
11.0	22.0	43.0	82.0	160	330	620	1.20K	2.40K	4.70K	9.10K	18.0K	36.0K	68.0K	130K	270K	510K	1.00M
12.0	24.0	47.0	91.0	180	360	680	1.30K	2.70K	5.10K	10.0K	20.0K	39.0K	75.0K	150K	300K	560K	
13.0	27.0	51.0	100	200	390	750	1.50K	3.00K	5.60K	11.0K	22.0K	43.0K	82.0K	160K	330K	620K	
15.0	30.0	56.0	110	220	430	820	1.60K	3.30K	6.20K	12.0K	24.0K	47.0K	91.0K	180K	360K	680K	
16.0	33.0	62.0	120	240	470	910	1.80K	3.60K	6.80K	13.0K	27.0K	51.0K	100K	200K	390K	750K	
18.0	36.0	68.0	130	270	510	1.00K	2.00K	3.90K	7.50K	15.0K	30.0K	56.0K	110K	220K	430K	820K	

Beschreibung	Wertebereich (Ω)	Digi-Key Teilenr.	Preisangaben 10	50	200	1.000	Digi-Key Teilenr.	Paket-größe	Preisangabe gegurtet in Schachtel 5.000	10.000	50.000	100.000	Panasonic Teilenr.
EROS2P 1/4W, 1%	10.0-1.0M	P(Wert)CACT-ND	1.45	4.19	11.05	28.57	P(Wert)CATB-ND	5,000	15.88/M	13.55/M	11.01/M	9.32/M	ERO-S2PHFXXXV

Panasonic® 5 % Metalloxidschicht-Widerstände

Jetzt als Gegurtet auf Rolle erhältlich

Matsushita-Metalloxidschicht-Festwiderstände zeichnen sich durch kleine Maße aus und haben bei Größengleichheit mit konventionellen Modellen eine höhere Nennleistung.

Merkmale:
Das exklusiv formulierte anorganische Isoliermaterial ist schwer entflammbar und entspricht den Anforderungen von UL94 (VE-O), und wenn bei 16 Mal kleineren Spannungen als RCWV betrieben, flammen die Matsushita-Metalloxydschichtwiderstände nicht und bilden keine Lichtbögen.

Die Beschichtung und die Markierungen widerstehen der Normalwäsche mit Lösemitteln wie Freon (TE, TMC, TF) und Trichloroethan.

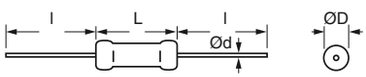

Typ	Maximale Betriebsspannung	Abmessungen (mm) L	l	D	d
1W	350	9.0	30.0	2.8	0.65
2W	350	12.0	30.0	4.0	0.80
3W	350	15.0	38.0	5.5	0.80

Eigenschaften:

Temperaturkoeffizient	R. Nennleistung von 1, 2, 3 ±350 ppm/°C
Spannungskoeffizient	Max. 25 ppm/V
Isolationswiderst.	Min. 10.000 MΩ
Temperaturwechsel	Max. ±(1 % + 0,05 Ω)
Kurzzeitige Überlastung	Max. ±(2 % + 0,05 Ω)
Feuchtigkeit (Dauerzustand)	Max. ±(2 % + 0,05 Ω)
Lastbeständigkeit bei Feuchtigkeit	Max. ±(5 % + 0,05 Ω)
Lastbeständigkeit	Max. ±(5 % + 0,05 Ω)
Beständigkeit gegenüber Löthitze	Max. ±(1 % + 0,05 Ω)
Niedrigfrequenz-Vibration	Max. ±(1 % + 0,05 Ω)
Thermischer Schock	Max. ±(2 % + 0,05 Ω)
Rauschen	Max. 1,0 µV/V

Standard-Widerstandswerte

Die vollständigen Teilenummern für Bestellungen sind unten angegeben.

0.47	0.82	1.5	2.7	4.7	8.2	15	27	47	82	150	270	470	820	1.5K	2.7K	4.7K	8.2K	15K	27K	47K	82K
0.51	0.91	1.6	3.0	5.1	9.1	16	30	51	91	160	300	510	910	1.6K	3.0K	5.1K	9.1K	16K	30K	51K	91K
0.56	1.0	1.8	3.3	5.6	10	18	33	56	100	180	330	560	1.0K	1.8K	3.3K	5.6K	10K	18K	33K	56K	100K
0.62	1.1	2.0	3.6	6.2	11	20	36	62	110	200	360	620	1.1K	2.0K	3.6K	6.2K	11K	20K	36K	62K	
0.68	1.2	2.2	3.9	6.8	12	22	39	68	120	220	390	680	1.2K	2.2K	3.9K	6.8K	12K	22K	39K	68K	
0.75	1.3	2.4	4.3	7.5	13	24	43	75	130	240	430	750	1.3K	2.4K	4.3K	7.5K	13K	24K	43K	75K	

Beschreibung	Digi-Key Teilenr.	Preisangaben 1	5	100	1M	5M	10M
1 W, 5 % Metalloxidschichtwiderstände Großpackung (0,47-68 KΩ)	P(Wert)W-1BK-ND (i.e., P20W-1BK-ND)	.19	.73	8.28	57.08	50.83/M	45.67/M
1 W, 5 % Metalloxidschichtwiderstände Gegurtet auf Rolle (0,47-68 KΩ)	P(Wert)W-1TR-ND (i.e., P1.0KW-1TR-ND)	—	—	—	—	54.99/M	49.40/M
2 W, 5 % Metalloxidschichtwiderstände Großpackung (0,47-100 KΩ)	P(Wert)W-2BK-ND (i.e., P20W-2BK-ND)	.24	.87	11.23	68.73	61.16/M	54.86/M
2 W, 5 % Metalloxidschichtwiderstände Gegurtet auf Rolle (0,47-100 KΩ)	P(Wert)W-2TR-ND (i.e., P1.0KW-2TR-ND)	239.77/3M		426.98/6M	767.27/12M		1492.00/27M
3 W, 5 % Metalloxidschichtwiderstände Großpackung (0,47-100 KΩ)	P(Wert)W-3BK-ND (i.e., P20W-3BK-ND)	.43	2.01	25.86	155.14	149.40/M	143.65/M
3 W, 5 % Metalloxidschichtwiderstände Gegurtet auf Rolle (0,47-100 KΩ)	P(Wert)W-3TR-ND (i.e., P1.0KW-3TR-ND)	267.11/1,500		951.32/6M	1495.80/10,500		3139.52/25,500

F

YAGEO Gewickelte und rechteckige Metalloxidschichtwiderstände, 5 %, 5 und 10 W

Typ axiale Leitung

• Betriebstemperaturbereich: -55 °C ~ 250 °C

• Besonders klein und dauerhaft, mechanisch sicher. Ausgezeichnete elektrische Eigenschaften. • Die verwendeten Materialien und die Konstruktionstechnik gewährleisten hervorragende Flammen-, Lichtbogen- und Feuchtigkeitsbeständigkeit und selbstlöschende Eigenschaften. Sie widerstehen auch den härtesten Belastungstests. • Zutreffende Spezifikationen: EIA RS-344 und EIA RC649.

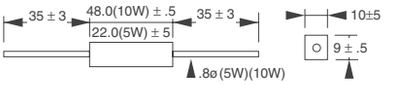

5 W Standardwiderstandswerte — Die vollständigen Teilenummern für Bestellungen sind unten angegeben.

0.30	0.62	1.2	2.2	3.9	6.8	12	22	39	68	120	220	390	680	1.2K
0.33	0.68	1.3	2.4	4.3	7.5	13	24	43	75	130	240	430	750	1.3K
0.39	0.75	1.5	2.7	4.7	8.2	15	27	47	82	150	270	470	820	1.5K
0.43	0.82	1.6	3.0	5.1	9.1	16	30	51	91	160	300	510	910	1.6K
0.47	0.91	1.8	3.3	5.6	10	18	33	56	100	180	330	560	1.0K	1.8K
0.51	1.0	2.0	3.6	6.2	11	20	36	62	110	200	360	620	1.1K	2.0K
0.56	1.1													

10 W Standardwiderstandswerte — Die vollständigen Teilenummern für Bestellungen sind unten angegeben.

1.0	1.8	3.3	5.6	10	18	33	56	100	180	300	470	750	1.2K	2.0K
1.1	2.0	3.6	6.2	11	20	36	62	110	200	330	510	820	1.3K	2.2K
1.2	2.2	3.9	6.8	12	22	39	68	120	220	360	560	910	1.5K	2.4K
1.3	2.4	4.3	7.5	13	24	43	75	130	240	390	620	1.0K	1.6K	2.7K
1.5	2.7	4.7	8.2	15	27	47	82	150	270	430	680	1.1K	1.8K	3.0K
1.6	3.0	5.1	9.1	16	30	51	91	160						

Beschreibung	Digi-Key Teilenr.	Preisangaben 1	10	100	1M	5M	10M
5 W, 5 % Drahtwiderstände, rechteckig, Großpackung 0,3 ~ 180 Ω	(Wert)W-5-ND (d.h. 0.30W-5-ND)	.28	2.35	18.83	112.97	101.21/M	89.44/M
5 W, 5 % Metalloxidschichtwiderstände, rechteckig, Großpackung 200 Ω ~ 2,0 KΩ	(Wert)W-5-ND (d.h. 200W-5-ND)	.28	2.35	18.83	112.97	101.21/M	89.44/M
10 W, 5 % Drahtwiderstände, rechteckig, Großpackung 1 ~ 270 Ω	(Wert)W-10-ND (d.h. 1.0W-10-ND)	.41	3.45	27.58	165.48	148.24/M	131.00/M
10 W, 5 % Metalloxidschichtwiderstände, rechteckig, Großpackung 300 Ω ~ 3 KΩ	(Wert)W-10-ND (d.h. 300W-10-ND)	.41	3.45	27.58	165.48	148.24/M	131.00/M

Eigenschaften

Temperaturkoeffizient	±300 PPM/°C
Isolationswiderstand	100 MΩ
Lebensdauer unter Belastung (1.000 Stunden)	±5% + 0.05Ω
Kurzzeitige Überlastung	±2% + 0.05Ω
Dielektrische Haltespannung	±2% + 0.05Ω
Feuchtigkeitsbeständigkeit	±5% + 0.05Ω
Erschütterung und Vibration	±1%+ 0.05Ω
Löteffekt	±2% + 0.05Ω

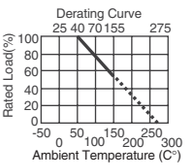

Digi-Key® 5-W Widerstandssortiment

RS105-ND 0,3 Ω - 0,91 Ω — Je 5, 60 Widerstände **20.28**

RS205-ND 1,0 Ω - 9,1 Ω — Je 4, 96 Widerstände **27.90**

RS305-ND 10 Ω - 91 Ω — Je 4, 96 Widerstände **27.90**

RS405-ND 100 Ω - 2 KΩ — Je 3, 96 Widerstände **27.90**

Digi-Key® 10-Watt Widerstände, Sortimentkit

Je 2 aller weiter oben aufgeführten 10-Watt Widerstandswerte.
Insgesamt 168 Widerstände.

RS110-ND **61.76**

YAGEO Nullohm Jumper-Drähte

Anwendungen:

Sie werden im Allgemeinen aus den folgenden Gründen verwendet:

• Unfähigkeit, zwei Punkte auf einer Leiterplatte zu verbinden Andere Schaltkreise müssen überbrückt werden.

• Eine nachträgliche Konstruktionsänderung, die neue Verbindungspunkte notwendig macht.

• Schaltkreisabstimmung durch Änderung der Verbindungspunkte.

Spezifikationen:

• Maximaler Widerstand: 0,004 Ω bei 1/8 W, 0.003 Ω bei 1/4 W • Typischer Widerstand: 0,002 Ω für beide • Anschlussmaterial: Kupfer verzinnt • Gehäusematerial: Elektro-Qualität, Hochleistungs-Formmasse • Mindest-Isolationswiderstand — Trocken: 10.000 meg, Feucht: 100 meg • Min. dielektrische Haltespannung — Luft: 500 V RMS, Reduziert: 325 V RMS • Brennbarkeit der Isolierung: Widerstandsisolierung ist selbstlöschend innerhalb von 10 Sekunden, nachdem die extern angewandte Flamme entfernt ist • Nennstrom: 25 A bei 25 °C, auf 0 A vermindert bei 150 °C.

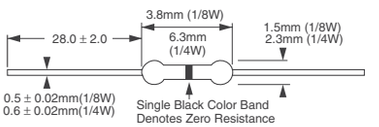

Beschreibung	Digi-Key Teilenr.	Preisangaben 5	200	1M	5M	10M	50M
1/8 W, Nullohm Jumper, Großpackung	0.0EBK-ND	.19	5.91	11.85	10.87/M	9.85/M	9.09/M
1/8 W, Nullohm Jumper, Gurt/Spule (5.000 Stck./Spule)	0.0ETR-ND	—	—	—	13.38/M	12.59/M	10.30/M
1/4 W, Nullohm Jumper, Großpackung	0.0QBK-ND	.25	4.70	9.55	8.79/M	7.97/M	7.36/M
1/4 W, Nullohm Jumper, Gurt/Spule (5.000 Stck./Spule)	0.0QTR-ND	—	—	—	10.25/M	9.64/M	7.91/M

F

YAGEO 5 % Kohleschichtwiderstände

In 1/6, 1/4 und 1/2 W erhältlich

Standard-Widerstandswerte

Die vollständigen Teilenummern für Bestellungen sind unten angegeben.

1.0	1.8	3.3	5.6	10	18	33	56	100	180	330	560	1.0K	1.8K	3.3K	5.6K	10K	18K	33K	56K	100K	180K	330K	560K	1.0M	1.8M	3.3M	5.6M	10M
1.1	2.0	3.6	6.2	11	20	36	62	110	200	360	620	1.1K	2.0K	3.6K	6.2K	11K	20K	36K	62K	110K	200K	360K	620K	1.1M	2.0M	3.6M	6.2M	
1.2	2.2	3.9	6.8	12	22	39	68	120	220	390	680	1.2K	2.2K	3.9K	6.8K	12K	22K	39K	68K	120K	220K	390K	680K	1.2M	2.2M	3.9M	6.8M	
1.3	2.4	4.3	7.5	13	24	43	75	130	240	430	750	1.3K	2.4K	4.3K	7.5K	13K	24K	43K	75K	130K	240K	430K	750K	1.3M	2.4M	4.3M	7.5M	
1.5	2.7	4.7	8.2	15	27	47	82	150	270	470	820	1.5K	2.7K	4.7K	8.2K	15K	27K	47K	82K	150K	270K	470K	820K	1.5M	2.7M	4.7M	8.2M	
1.6	3.0	5.1	9.1	16	30	51	91	160	300	510	910	1.6K	3.0K	5.1K	9.1K	16K	30K	51K	91K	160K	300K	510K	910K	1.6M	3.0M	5.1M	9.1M	

Serie CFR

Typ (Nennleistung)	Abmessungen (mm) L	D	d	Max. Betriebsspannung	Max. Überlastspannung	Dielektrische Haltespannung	Umgebungs-Nenntemperatur	Temperaturwechsel	Widerstandsbereich	Widerstandstoleranz
1/6 Watt *	3.3 ± 0.4	1.8 ± 0.3	0.5 ± 0.05	150V	300V	300V	70°C	−55°C ~ 155°C	1.0Ω ~ 10 MΩ	±5%
1/4 Watt	6.3 ± 0.5	2.3 ± 0.3	0.6 ± 0.05	250V	500V	500V	70°C	−55°C ~ 155°C	1.0Ω ~ 10MΩ	±5%
1/2 Watt	9.0 ± 0.5	3.2 ± 0.5	0.6 ± 0.05	350V	700V	500V	70°C	−55°C ~ 155°C	1.0Ω ~ 10MΩ	±5%

Merkmale:

• Geringste Kosten in der Industrie!
• In 1/6, 1/4, 1/2 W erhältlich; als Großverpackung oder Gurt/Spule (ausgenommen 1/2 W)
• Übertrifft die Eigenschaften von MIL-R-11 Kohleschichtw.
• Standardtoleranz ±5 %
• Außergewöhnliche Langzeitstabilität

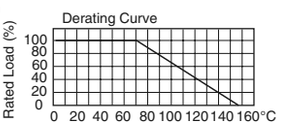

Eigenschaften: • Betriebstemperaturbereich: -55 °C ~ 155 °C • Lötbarkeit: 235 °C für 5 ±0,5 Sekunden • Kurzzeitige Überlastung: 2,5-fache RCWV für 5 Sekunden • Lösungsmittelbeständigkeit: Trichroethan für 1 Min. mit Ultraschall • Impulsüberlastung: 4-fache RCWV 10.000 Zyklen (1 Sek. ein, 25 Sek. aus)

Beschreibung	Digi-Key Teilenr.	Preisangaben 5	200	1M	5M	10M	50M
1/6 W, 5 % Kohlefilmwiderstände (* Nennleistung bei 70 °C = 1/6 W) Großpackung	(Wert)EBK-ND (d.h. 1.0EBK-ND)	.22	3.64	10.56	9.47/M	8.74/M	8.01/M
1/6 W, 5 % Kohlefilmwiderstände - Gegurtet auf Rolle (*Nennleistung bei 70 °C = 1/6 W) (5.000 Stck./Rolle — Bestellung in Mengen von 5.000)	(Wert)ETR-ND (d.h. 1.0ETR-ND)	—	—	—	11.40/M	10.52/M	8.42/M
1/4 W, 5 % Kohlefilmwiderstände, Großpackung	(Wert)QBK-ND (d.h. 1.0QBK-ND)	.23	3.23	7.24	6.88/M	6.40/M	5.19/M
1/4 W, 5 % Kohlefilmwiderstände - Gegurtet auf Rolle (5.000 Stck./Rolle — Bestellung in Mengen von 5.000)	(Wert)QTR-ND (d.h. 1.0QTR-ND)	—	—	—	7.40/M	6.84/M	5.47/M
1/2 W, 5 % Kohlefilmwiderstände, Großpackung	(Wert)H-ND (d.h. 1.0H-ND)	.22	3.18	10.35	9.55/M	8.76/M	7.96/M

„E" = Sechstel-Watt; „Q" = Viertel-Watt; „H" = Halb-Watt. Bitte genau angeben. Halb-Watt nur als Großpackung erhältlich.

Digi-Key® 1/6-W Widerstandssortiment

RSE200-ND Je 200 aller Standard werte, 5 % 1/6 W Kohlefilmwiderstände in der Serie 1,0 Ω - 10 MΩ (insgesamt 33.800 Stück)..... **346.26**

RS112-ND Je 5 von 73 Standardwerten, 5 % 1/6 W Kohlefilmwiderstände in den Serien 1,0 Ω, 1,2 Ω, 1,5 Ω, 1,8 Ω, 2,2 Ω usw. bis 1,0 MΩ (insgesamt 365 Stück) **14.36**

RS212-ND Je 5 von 72 Standardwerten, 5 % 1/6 W Kohlefilmwiderstände in den Serien 1,1 Ω, 1,3 Ω, 1,6 Ω, 2 Ω, 2,4 Ω usw. bis 910 KΩ (insgesamt 360 Stück) **14.38**

Digi-Key® 1/4-W Widerstandssortiment

RSQ200-ND Je 200 aller Standard werte, 5 % 1/4-W Kohlefilmwiderstände in der Serie 1,0 Ω - 10 MΩ (insgesamt 33.800 Stück) **202.34**

RS125-ND Je 5 von 73 Standardwerten, 5 % 1/4-W Kohlefilmwiderstände in den Serien 1,0 Ω, 1,2 Ω, 1,5 Ω, 1,8 Ω, 2,2 Ω usw. bis 1,0 MΩ (insgesamt 365 Stück) .. **12.66**

RS225-ND Je 5 von 72 Standardwerten, 5 % 1/4 Watt Kohlefilmwiderstände in den Serien 1,1 Ω, 1,3 Ω, 1,6 Ω, 2,0 Ω, 2,4 Ω usw. bis 910 kΩ (insgesamt 360 Stück) .. **12.66**

Digi-Key® 1/2-W Widerstandssortiment

RSH200-ND Je 200 aller Standard werte, 5 % 1/2-W Kohlefilmwiderstände in der Serie 1,0 Ω - 10 MΩ (insgesamt 33.800 Stück)..... **283.61**

RS150-ND Je 5 von 73 Standardwerten, 5 % 1/2 Watt Kohlefilmwiderstände in den Serien 1,0 Ω 1,2 Ω, 1,5 Ω, 1,8 Ω, 2,2 Ω usw. bis 1,0 MΩ (insgesamt 365 Stück)..... **14.35**

RS250-ND Je 5 von 72 Standardwerten, 5 % 1/2 Watt Kohlefilmwiderstände in den Serien 1,1 Ω, 1,3 Ω, 1,6 Ω, 2 Ω, 2,4 Ω usw. bis 910 KΩ (insgesamt 360 Stück)..... **14.35**

Alle Preisangaben in Euro und inklusive Zollgebühren.

YAGEO 1% Metallschichtfestwiderstände, 1/4 W

Serie MFR

Die Metallschichtwiderstände der Serie MFR wurden unter Verwendung eines Vakuumzerstäubungssystems hergestellt, um mehrere Schichten Mischmetall und passivative Materialien auf ein vorsichtig behandeltes, hochwertiges Keramiksubstrat aufzutragen. Die Widerstände erhalten mehrere hellblaue Lackschichten.

Allgemeine Spezifikationen:

Nennleistung: 1/4 W **Max. Betriebsspannung:** 250 V. **Max. Überlastspannung:** 500 V. **Umgebungs-Nenntemperatur:** 70 °C. **Temperaturwechsel:** -65 °C ~ 150 °C **Widerstandsbereich:** 10,0 Ω ~ 1,00 MΩ **Widerstandstoleranz:** ±1 %.

Elektrische Spezifikationen:

Alle Messungen werden bei +25 °C, 1KHz, und 65 % relativer Luftfeuchtigkeit vorgenommen, sofern nicht anderweitig angegeben. **Typ:** MF-25 **Ausführung:** RN-55 **Nennleistung:** 1/4 W **Widerstandstoleranz:** ±1 % **Temperaturkoeffizient:** ±100 ppm/°C

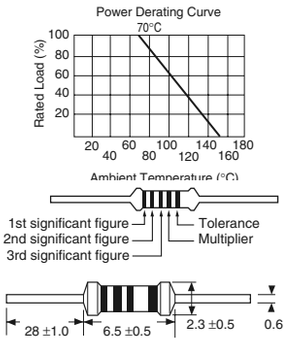

Eigenschaften

Temperaturzyklus: -65°C ~ 150°C	(%) .....±0.25
Niedrigtemperaturbetrieb: -65 °C	(%) .....±0.25
Kurzzeitige Überlast	(%) .....±0.20
Anschlusszugfestigkeit: 5 lbs Ziehkraft	(%) .....±0.20
Beständigkeit gegenüber Löthitze: 350 °C	(%) .....±0.10
Feuchtigkeitsbeständigkeit, Mil Std 202	(%) .....±0.50
Lebensdauer 1.000 Std. (Nennleistung)	(%) .....±0.50
Schock, 50 G, 11 ms	(%) .....±0.20
Vibration - Hochfrequenz, 10-2.000 Hz	(%) .....±0.20
Isolationswiderstand	(%) .....$=10^{10}$Ω
Ausfallrate	(%) .....10^{-9}/h

1 % Metallschichtwiderstände

Digi-Key® Sortimentkits

35% SAVINGS

gegenüber separat gekauften Teilen

Je 5 der Werte 10 Ω ~ 97,6 Ω
RS1X-ND.....**25.36**

Je 5 der Werte 100 Ω ~ 976 Ω
RS2X-ND.....**25.36**

Je 5 der Werte 1 KΩ ~ 9,76 KΩ
RS3X-ND.....**25.36**

Je 5 der Werte 10 KΩ ~ 97,6 KΩ
RS4X-ND.....**25.36**

Je 5 der Werte 100 KΩ ~ 1 MΩ
RS5X-ND.....**25.36**

Beschreibung	Wertebereich	Digi-Key Teilenr.	Preisangaben 5	200	1M	5M	10M	50M	100M	500M	1.000M
1/4 W, 1 % Metallschichtwiderstände, Großpackung	10.0 ~ 1.00M Ω 10.0 ~ 1.0M Ω	(Wert)XBK-ND (d.h. 10.0XBK-ND)	.41	6.27	16.22	13.85/M	11.90/M	9.52/M	—	—	—
1/4 W, 1 % Metallschichtwiderstände in Vielfachen von 5.000 bestellen (5.000 Stk./Rolle)	10.0 ~ 1.00M Ω 10.0 ~ 1.00M Ω	(Wert)XTR-ND (d.h. 10.0XTR-ND)	—	—	—	15.72/M	13.41/M	10.90/M	9.22/M	7.55/M	6.71/M

YAGEO Standard-Widerstandswerte

10.0	18.7	34.8	64.9	121	226	422	787	1.47K	2.74K	5.11K	9.53K	17.8K	33.2K	61.9K	115K	215K	402K	750K
10.2	19.1	35.7	66.5	124	232	432	806	1.50K	2.80K	5.23K	9.76K	18.2K	34.0K	63.4K	118K	221K	412K	768K
10.5	19.6	36.5	68.1	127	237	442	825	1.54K	2.87K	5.36K	10.0K	18.7K	34.8K	64.9K	121K	226K	422K	787K
10.7	20.0	37.4	69.8	130	243	453	845	1.58K	2.94K	5.49K	10.2K	19.1K	35.7K	66.5K	124K	232K	432K	806K
11.0	20.5	38.3	71.5	133	249	464	866	1.62K	3.01K	5.62K	10.5K	19.6K	36.5K	68.1K	127K	237K	442K	825K
11.3	21.0	39.2	73.2	137	255	475	887	1.65K	3.09K	5.76K	10.7K	20.0K	37.4K	69.8K	130K	243K	453K	845K
11.5	21.5	40.2	75.0	140	261	487	909	1.69K	3.16K	5.90K	11.0K	20.5K	38.3K	71.5K	133K	249K	464K	866K
11.8	22.1	41.2	76.8	143	267	499	931	1.74K	3.24K	6.04K	11.3K	21.0K	39.2K	73.2K	137K	255K	475K	887K
12.1	22.6	42.2	78.7	147	274	511	953	1.78K	3.32K	6.19K	11.5K	21.5K	40.2K	75.0K	140K	261K	487K	909K
12.4	23.2	43.2	80.6	150	280	523	976	1.82K	3.40K	6.34K	11.8K	22.1K	41.2K	76.8K	143K	267K	499K	931K
12.7	23.7	44.2	82.5	154	287	536	1.00K	1.87K	3.48K	6.49K	12.1K	22.6K	42.2K	78.7K	147K	274K	511K	953K
13.0	24.3	45.3	84.5	158	294	549	1.02K	1.91K	3.57K	6.65K	12.4K	23.2K	43.2K	80.6K	150K	280K	523K	976K
13.3	24.9	46.4	86.6	162	301	562	1.05K	1.96K	3.65K	6.81K	12.7K	23.7K	44.2K	82.5K	154K	287K	536K	1.00M
13.7	25.5	47.5	88.7	165	309	576	1.07K	2.00K	3.74K	6.98K	13.0K	24.3K	45.3K	84.5K	158K	294K	549K	
14.0	26.1	48.7	90.9	169	316	590	1.10K	2.05K	3.83K	7.15K	13.3K	24.9K	46.4K	86.6K	162K	301K	562K	
14.3	26.7	49.9	93.1	174	324	604	1.13K	2.10K	3.92K	7.32K	13.7K	25.5K	47.5K	88.7K	165K	309K	576K	
14.7	27.4	51.1	95.3	178	332	619	1.15K	2.15K	4.02K	7.50K	14.0K	26.1K	48.7K	90.9K	169K	316K	590K	
15.0	28.0	52.3	97.6	182	340	634	1.18K	2.21K	4.12K	7.68K	14.3K	26.7K	49.9K	93.1K	174K	324K	604K	
15.4	28.7	53.6	100	187	348	649	1.21K	2.26K	4.22K	7.87K	14.7K	27.4K	51.1K	95.3K	178K	332K	619K	
15.8	29.4	54.9	102	191	357	665	1.24K	2.32K	4.32K	8.06K	15.0K	28.0K	52.3K	97.6K	182K	340K	634K	
16.2	30.1	56.2	105	196	365	681	1.27K	2.37K	4.42K	8.25K	15.4K	28.7K	53.6K	100K	187K	348K	649K	
16.5	30.9	57.6	107	200	374	698	1.30K	2.43K	4.53K	8.45K	15.8K	29.4K	54.9K	102K	191K	357K	665K	
16.9	31.6	59.0	110	205	383	715	1.33K	2.49K	4.64K	8.66K	16.2K	30.1K	56.2K	105K	196K	365K	681K	
17.4	32.4	60.4	113	210	392	732	1.37K	2.55K	4.75K	8.87K	16.5K	30.9K	57.6K	107K	200K	374K	698K	
17.8	33.2	61.9	115	215	402	750	1.40K	2.61K	4.87K	9.09K	16.9K	31.6K	59.0K	110K	205K	383K	715K	
18.2	34.0	63.4	118	221	412	768	1.43K	2.67K	4.99K	9.31K	17.4K	32.4K	60.4K	113K	210K	392K	732K	

F

YAGEO 5 % Metalloxidschicht-Widerstände

Serie RSF

These Metal Oxide These Metalloxidwiderstände bieten eine kostengünstigere Alternative zu Kohleschicht- und Allweck-Metallschichten. Sie können viele Mehrzweck-Drahtwiderstände ersetzen. Diese Metalloxidwiderstände bestehen die Überlasttests gemäß UL Spezifikation Nr. 1412, ohne feuergefährdend zu sein. Sie widerstehen Lösungsmitteln gemäß Artikel Mil-Std-202E, ohne mechanischen oder elektrischen Schaden zu verursachen.

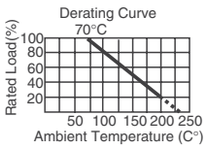

Merkmale: Hohe Stoß- und Überlastkapazität. Nicht-induktive Konstruktion. Beschichtung und Markierung widerstehen Trichlorethylen, Freon und anderen Reinigungsmitteln. Widerstände der Serie RFS sind mit mehreren Schichten eines grauen, flammensicheren Lacks überzogen.

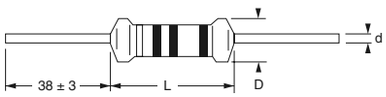

Typ	Max. Betriebsspann.	Abmessungen (mm) L	D	d
1W	350	11.5 ± 1.0	4.5 ± 0.5	0.8 ± 0.05
2W	350	15.5 ± 1.0	5.0 ± 0.5	0.8 ± 0.05

Digi-Key® 1- u. 2-W Widerstandssortimente

255 Widerstände pro Sortiment Je 5 der in der Tabelle aufgeführten Werte:

	0.47Ω - 56Ω	62Ω- 7.5KΩ	8.2KΩ - 1.0M	
1 W	RS101-ND	RS201-ND	RS301-ND	**22.82**
2 W	RS102-ND	RS202-ND	RS302-ND	**25.36**

Eigenschaften:

Temperatur-koeffizient	±300 PPM
Isolationswiderst.	10,000 MΩ Min
Lastbeständigkeit (1.000 Stunden)	◂1% Typ. ±3% Max
Kurzzeitige Überlastung	±0.5% Max
Temperaturwechsel	±0.5% Max
Feuchtigkeitsbeständigkeit	±1.0% Max
Erschütterung und Vibration	±0.2% Max
Löteffekt	±0.5% Max
Spannungskoeffizient	.001%/V
Stromrauschen	◂.1μV/V

Standardwiderstandswerte — Die vollständigen Teilenummern für Bestellungen sind unten angegeben.

0.47	0.82	1.5	2.7	4.3	6.8	11	18	30	47	75	120	200	330	510	820	1.3K	2.2K	3.6K	5.6K	9.1K	15K	24K	39K	62K	100K	160K	270K	430K	680K
0.51	0.91	1.6	3.0	4.7	7.5	12	20	33	51	82	130	220	360	560	910	1.5K	2.4K	3.9K	6.2K	10K	16K	27K	43K	68K	110K	180K	300K	470K	750K
0.56	1.0	1.8	3.3	5.1	8.2	13	22	36	56	91	150	240	390	620	1.0K	1.6K	2.7K	4.3K	6.8K	11K	18K	30K	47K	75K	120K	200K	330K	510K	820K
0.62	1.1	2.0	3.6	5.6	9.1	15	24	39	62	100	160	270	430	680	1.1K	1.8K	3.0K	4.7K	7.5K	12K	20K	33K	51K	82K	130K	220K	360K	560K	910K
0.68	1.2	2.2	3.9	6.2	10	16	27	43	68	110	180	300	470	750	1.2K	2.0K	3.3K	5.1K	8.2K	13K	22K	36K	56K	91K	150K	240K	390K	620K	1.0M
0.75	1.3	2.4																											

Beschreibung	Digi-Key Teilenr.	Preisangaben 10	10	100	1M	5M	10M
1 W, 5 % Metalloxidschichtwiderstände Großpackung (0,47-0,91 Ω)	(Wert)W-1-ND (d.h. 0.47W-1-ND)	.19	1.37	8.80	53.80	47.94/M	43.05/M
1 W, 5 % Metalloxidschichtwiderstände Großpackung (1.0-1.0MΩ)	(Wert)W-1-ND (d.h. 1.0W-1-ND)	.13	.95	6.10	37.25	33.19/M	29.80/M
2 W, 5 % Metalloxidschichtwiderstände Großpackung (0.47-0.91Ω)	(Wert)W-2-ND (d.h. 0.47W-2-ND)	.19	1.46	9.42	57.58	51.30/M	46.06/M
2 W, 5 % Metalloxidschichtwiderstände Großpackung (1.0-1.0MΩ)	(Wert)W-2-ND (d.h. 1.0W-2-ND)	.15	1.14	7.32	44.77	39.89/M	35.82/M

Silikonbeschichtete Drahtwiderstände – 1, 3, 5 W, 1 %

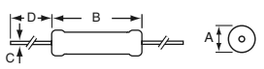

Serie	A ±.81mm	B ±.81mm	C	D
ALSR-1	2.79	9.78	.51	38.10
ALSR-3	5.08	13.46	.81	38.10
ALSR-5	7.92	23.80	.81	38.10

Elektrische Daten

Serie	ALSR-1	ALSR-3, ALSR-5
Widerstandstoleranz	±1%	±1%
Dielektrische Haltespannung	500 VAC	1000 VAC
Kurzzeitige Überlast	5-fache Nennleistung für 5 Sekunden	

WIDERSTANDSWERTTABELLE

.10	.50	5.0	22	40	100	225	400	750	1.5K	3.5K	6.8K	20.0K
.13	.75	7.5	25	47	120	250	470	800	1.8K	3.9K	7.5K	25.0K
.15	1.0	10	27	50	125	270	500	820	2.0K	4.0K	8.0K	
.20	1.5	12	30	56	150	300	560	900	2.2K	4.7K	8.2K	
.25	2.0	15	33	68	180	330	600	1.0K	2.5K	5.0K	10.0K	
.30	3.0	18	35	75	200	350	680	1.1K	2.7K	5.6K	12.5K	
.33	4.0	20	39	82	220	390	700	1.2K	3.0K	6.0K	15.0K	

Widerstands-bereich (Ω)	Leistung	Digi-Key* Teilenr.	Stückpreis 1	10	25	50	100	Huntington Teilenr.
.10-.75	1	ALSR1F-(Wert)-ND	1.68	1.50	—	1.27	.93	ALSR-1-(Wert)-1%
1.0-900	1	ALSR1F-(Wert)-ND	1.65	1.48	—	1.25	.92	ALSR-1-(Wert)-1%
1.0K-3.0K	1	ALSR1F-(Wert)-ND	1.71	1.53	—	1.29	.95	ALSR-1-(Wert)-1%
.10-900	3	ALSR3F-(Wert)-ND	1.17	—	.98	—	.82	ALSR-3-(Wert)-1%
1.0K-2.7K	3	ALSR3F-(Wert)-ND	1.17	—	.98	—	.82	ALSR-3-(Wert)-1%
3.0K-4.7K	3	ALSR3F-(Wert)-ND	1.17	—	.98	—	.82	ALSR-3-(Wert)-1%
5.0K-10.0K	3	ALSR3F-(Wert)-ND	1.17	—	.98	—	.82	ALSR-3-(Wert)-1%
.10-900	5	ALSR5F-(Wert)-ND	1.14	—	.96	—	.80	ALSR-5-(Wert)-1%
1.0K-4.7K	5	ALSR5F-(Wert)-ND	1.10	—	.93	—	.78	ALSR-5-(Wert)-1%
5.0K-8.2K	5	ALSR5F-(Wert)-ND	1.10	—	.93	—	.78	ALSR-5-(Wert)-1%
10.0K-20.0K	5	ALSR5F-(Wert)-ND	1.14	—	.96	—	.80	ALSR-5-(Wert)-1%
25.0K	5	ALSR5F-(Wert)-ND	1.14	—	.96	—	.80	ALSR-5-(Wert)-1%

* Um die vollständige Teilenummer zu erhalten, setzen Sie den Digi-Key-Wert (aus der Widerstandswerttabelle) für (Wert) ein.

Silikonbeschichtete Drahtwiderstände – 1, 3, 5, 10 W, 5 %

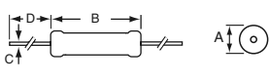

Serie	A ±.81mm	B ±.81mm	C	D
ALSR-1	2.79	9.78	.51	38.10
ALSR-3	5.08	13.46	.81	38.10
ALSR-5	7.92	23.80	.81	38.10
ALSR-10	7.92	45.72	.81	38.10

Elektrische Daten

Serie	ALSR-1	ALSR-3	ALSR-5	ALSR-10
Widerstandstoleranz	±5%	±5%	±5%	±5%
Nennstrom	1 W bei 25°C	3 W bei 25°C	5 W bei 25°C	10 W bei 25°C
Dielektrische Haltespannung	500 VAC	1000 VAC	1000 VAC	1000 VAC
Kurzzeitige Überlast	5-fache Nennleistung für 5 Sekunden		10-fache Nennleistung für 5 Sekunden	

WIDERSTANDSWERTTABELLE

.10	2.0	25	75	270	680	1.75K	4.0K	8.5K	20.0K
.13	3.0	27	82	300	700	1.8K	4.5K	9.0K	22.0K
.15	4.0	30	100	330	750	2.0K	4.7K	10.0K	22.5K
.20	5.0	33	120	350	800	2.2K	5.0K	11.0K	25.0K
.25	7.5	35	125	390	820	2.25K	5.6K	12.0K	
.30	10	39	150	400	900	2.5K	6.0K	12.5K	
.33	12	40	180	450	1.0K	2.7K	6.8K	13.5K	
.50	15	47	200	470	1.1K	3.0K	7.0K	15.0K	
.75	18	50	220	500	1.2K	3.3K	7.5K	16.0K	
1.0	20	56	225	560	1.25K	3.5K	8.0K	17.5K	
1.5	22	68	250	600	1.5K	3.9K	8.2K	18.0K	

Widerstands-bereich (Ω)	Leistung	Digi-Key* Teilenr.	Stückpreis 1	10	50	100	Huntington Teilenr.
.10-.75	1	ALSR1J-(Wert)-ND	1.38	1.23	1.04	.77	ALSR-1-(Wert)
1.0-900	1	ALSR1J-(Wert)-ND	1.35	1.21	1.02	.75	ALSR-1-(Wert)
1.0K-5.6K	1	ALSR1J-(Wert)-ND	1.57	1.40	1.19	.87	ALSR-1-(Wert)
6.0K-10.0K	1	ALSR1J-(Wert)-ND	1.57	1.40	1.19	.87	ALSR-1-(Wert)
.10-900	3	ALSR3J-(Wert)-ND	1.19	1.06	.90	.66	ALSR-3-(Wert)
1.0K-4.7K	3	ALSR3J-(Wert)-ND	1.19	1.06	.90	.66	ALSR-3-(Wert)
5.0K-10.0K	3	ALSR3J-(Wert)-ND	1.30	1.16	.98	.72	ALSR-3-(Wert)
.10-.75	5	ALSR5J-(Wert)-ND	1.32	1.18	1.00	.74	ALSR-5-(Wert)
1.0-7.5	5	ALSR5J-(Wert)-ND	1.32	1.18	1.00	.74	ALSR-5-(Wert)
10-2.7K	5	ALSR5J-(Wert)-ND	1.32	1.18	1.00	.74	ALSR-5-(Wert)
3.0K-4.7K	5	ALSR5J-(Wert)-ND	1.32	1.18	1.00	.74	ALSR-5-(Wert)
5.0K-9.0K	5	ALSR5J-(Wert)-ND	1.32	1.18	1.00	.74	ALSR-5-(Wert)
10.0K-22.5K	5	ALSR5J-(Wert)-ND	1.32	1.18	1.00	.74	ALSR-5-(Wert)
25.0K	5	ALSR5J-(Wert)-ND	1.30	1.16	.98	.72	ALSR-5-(Wert)
.10-.75	10	ALSR10-(Wert)-ND	1.68	1.50	1.27	.93	ALSR-10-(Wert)
1.0-680, 750-900	10	ALSR10-(Wert)-ND	1.43	1.28	1.08	.80	ALSR-10-(Wert)
1.0K-2.7K	10	ALSR10-(Wert)-ND	1.54	1.38	1.17	.86	ALSR-10-(Wert)
3.0K-9.0K	10	ALSR10-(Wert)-ND	1.79	1.60	1.35	1.00	ALSR-10-(Wert)
10.0K-22.5K	10	ALSR10-(Wert)-ND	1.96	1.75	1.48	1.09	ALSR-10-(Wert)
25.0K	10	ALSR10-(Wert)-ND	1.96	1.75	1.48	1.09	ALSR-10-(Wert)

* Um die vollständige Teilenummer zu erhalten, setzen Sie den Digi-Key-Wert (aus der Widerstandswerttabelle) für (Wert) ein.

F

Glasierte Hochleistungs-Drahtwiderstände – 8 u. 12 W

Serie	A	B	C	D	E	F
FVTS-5	7.94	25.40	4.76	11.11	.81	50.80
FVTS-10	7.94	44.45	4.76	11.11	.81	50.80

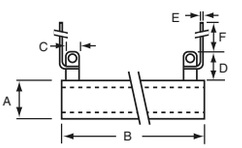

Elektrische Daten

Serie	FVTS-5	FVTS-10
Widerstands-toleranz	1 Ω und größer ±5 % 1 Ω und kleiner ±10 %	1 Ω und größer ±5 % 1 Ω und kleiner ±10 %
Nennstrom	8 W bei 25°C	12 W bei 25°C
Dielektrische Haltespannung	1000 VAC	1000 VAC
Kurzzeitige Überlast	5-fache Nennleistung für 5 Sekunden	10-fache Nennleistung für 5 Sekunden

WIDERSTANDSWERTTABELLE

2.0	10	35	125	300	600	1.2K	2.5K	4.5K	7.5K	12.0K	40.0K
3.0	15	50	150	400	750	1.25K	3.0K	5.0K	8.0K	15.0K	50.0K
5.0	20	75	200	450	900	1.5K	3.5K	6.0K	9.0K	20.0K	
7.5	25	100	250	500	1.0K	2.0K	4.0K	7.0K	10.0K	25.0K	

Widerstands-bereich (Ω)	Leistung	Digi-Key* Teilenr.	Stückpreis 1	25	100	250	Huntington Teilenr.
5.0-900	8	FVTS5-(Wert)-ND	2.14	1.84	1.41	1.25	FVTS-5-(Value)
1.0K-4.5K	8	FVTS5-(Wert)-ND	2.26	1.93	1.48	1.32	FVTS-5-(Value)
5.0K-9.0K	8	FVTS5-(Wert)-ND	2.38	2.03	1.56	1.39	FVTS-5-(Value)
10.0K	8	FVTS5-(Wert)-ND	2.24	1.91	1.47	1.31	FVTS-5-(Value)
2.0-450	12	FVTS10-(Wert)-ND	2.35	2.01	1.54	1.37	FVTS-10-(Value)
500-900	12	FVTS10-(Wert)-ND	2.54	2.17	1.67	1.48	FVTS-10-(Value)
1.0K-5.0K, 7.5K-9.0K	12	FVTS10-(Wert)-ND	2.75	2.35	1.80	1.60	FVTS-10-(Value)
10.0K-20.0K	12	FVTS10-(Wert)-ND	2.98	2.55	1.96	1.74	FVTS-10-(Value)
25.0K	12	FVTS10-(Wert)-ND	3.28	2.81	2.15	1.91	FVTS-10-(Value)
40.0K, 50.0K	12	FVTS10-(Wert)-ND	4.19	3.59	2.75	2.44	FVTS-10-(Value)

* Um die vollständige Teilenummer zu erhalten, setzen Sie den Digi-Key-Wert (aus der Widerstandswerttabelle) für (Wert) ein.

Glasierte Hochleistungs-Drahtwiderstände– 25, 50, 100, 225 W

SERIE AVT, EINSTELLBAR: • **Widerstandstoleranz:** ±10 %; der Leistungsnennwert wird nur verwendet, wenn der ganze Widerstand im Schaltkreis ist • **Dielektrische Haltespannung:** 1.000 V AC • **Kurzzeitige Überlastung:** 10-fache Nennleistung für 5 Sekunden

SERIE FVT, FEST: • **Widerstandstoleranz:** Über 1 Ω ±5 % • **Dielektrische Haltespannung:** 1.000 V AC • **Kurzzeitige Überlastung:** 10-fache Nennleistung für 5 Sekunden

WIDERSTANDSWERTTABELLE

1.0	10	150	750	5.0K	50.0K
2.0	25	200	1.0K	10.0K	
3.0	50	250	2.5K	12.0K	
5.0	100	500	4.0K	25.0K	

AVT

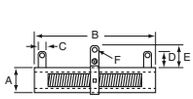

Serie	A	B	C	D	E	F
AVT25	14.29	50.80	6.35	14.29	17.46	4.22
AVT50	14.29	101.60	6.35	14.29	17.46	4.22
AVT100	19.05	165.10	6.35	14.29	17.46	4.22
AVT200	28.58	266.70	7.94	15.88	22.23	4.22

FVT

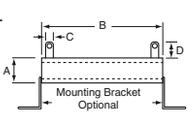

Serie	A	B	C	D
FVT25	14.29	50.80	6.35	14.29
FVT50	14.29	101.60	6.35	14.29
FVT100	19.05	165.10	6.35	14.29
FVT200	28.58	266.70	7.94	15.88

Widerstands-bereich (Ω)	Leistung	Digi-Key* Teilenr.	Stückpreis 1	10	25	100	Huntington Teilenr.
2.0-3.0	25	FVT25-(Wert)-ND	2.80	—	2.03	1.60	FVT-25-(Wert)
10, 25, 100	25	FVT25-(Wert)-ND	2.78	—	2.01	1.58	FVT-25-(Wert)
500-4.0K	25	FVT25-(Wert)-ND	2.78	—	2.01	1.58	FVT-25-(Wert)
5.0K	25	FVT25-(Wert)-ND	3.00	—	2.17	1.71	FVT-25-(Wert)
10.0K-12.0K	25	FVT25-(Wert)-ND	3.19	—	2.32	1.82	FVT-25-(Wert)
25.0K-50.0K	25	FVT25-(Wert)-ND	4.03	—	2.92	2.30	FVT-25-(Wert)
1.0-5.0	50	FVT50-(Wert)-ND	4.06	—	2.94	2.31	FVT-50-(Wert)
10-100, 500, 1.0K	50	FVT50-(Wert)-ND	3.81	—	2.76	2.17	FVT-50-(Wert)
5.0K	50	FVT50-(Wert)-ND	4.06	—	2.94	2.31	FVT-50-(Wert)
1.0, 2.0, 5.0	100	FVT100-(Wert)-ND	6.95	—	5.04	3.96	FVT-100-(Wert)
10, 50, 100, 250, 1.0K	100	FVT100-(Wert)-ND	6.33	—	4.59	3.61	FVT-100-(Wert)
1.0, 3.0, 5.0	225	FVT200-(Wert)-ND	10.46	9.42	8.38	7.85	FVT-200-(Wert)
10, 50, 100, 250, 500	225	FVT200-(Wert)-ND	8.72	7.85	6.98	6.54	FVT-200-(Wert)
1.0K	225	FVT200-(Wert)-ND	8.72	7.85	6.98	6.54	FVT-200-(Wert)
1.0, 3.0, 5.0	25	AVT25-(Wert)-ND	4.77	4.39	3.62	3.05	AVT-25-(Wert)
10-100, 250, 500	25	AVT25-(Wert)-ND	3.94	3.63	3.00	2.52	AVT-25-(Wert)
1.0-5.0	50	AVT50-(Wert)-ND	5.57	5.13	4.24	3.57	AVT-50-(Wert)
10-100, 500	50	AVT50-(Wert)-ND	4.78	4.41	3.64	3.07	AVT-50-(Wert)
1.0K	50	AVT50-(Wert)-ND	5.02	4.62	3.82	3.22	AVT-50-(Wert)
1.0, 2.0	100	AVT100-(Wert)-ND	10.86	9.99	8.26	6.95	AVT-100-(Wert)
10, 50, 100, 250	100	AVT100-(Wert)-ND	8.03	7.38	6.10	5.14	AVT-100-(Wert)
1.0K	100	AVT100-(Wert)-ND	9.27	8.53	7.05	5.94	AVT-100-(Wert)
1.0-5.0	225	AVT200-(Wert)-ND	18.92	17.41	14.39	12.11	AVT-200-(Wert)
10-500	225	AVT200-(Wert)-ND	13.63	12.54	10.36	8.73	AVT-200-(Wert)
1.0K	225	AVT200-(Wert)-ND	14.31	13.17	10.88	9.16	AVT-200-(Wert)
Montagehalterung für 25/50 W Wid.		B1003-ND‡	—	.30	—	.22	B1003-1
Montagehalterung für 100 W Wid.		B1002-ND‡	—	.36	—	.26	B1002-1
Montagehalterung für 200 W Wid.		B1001-ND‡	—	.39	—	.28	B1001-1

* Um die vollständige Teilenummer zu erhalten, setzen Sie den Digi-Key-Wert (aus der Widerstandswerttabelle) für (Wert) ein.
‡ Erfordert 2 Halterungen pro Widerstand.

Alle Preisangaben in Euro und inklusive Zollgebühren.

HUNTINGTON ELECTRIC, INC.

Hochkant gewickelte Widerstände – 300, 1.000 W

Hochkant gewickelte Widerstände von HEI für Anwendungen, die maximale Energieabstrahlung auf kleinstem Raum erfordern.Hochkant gewickelte Widerstände sind mit Widerstandsdraht aus einer Sonderlegierung gebaut und hochkant gewickelt. Wir verwenden Keramikkerne hoher Qualität, die entweder glasiert oder mit Silikon beschichtet sind und einen Kühlkörper für kurzzeitiges Überlasten und maximale Wärmeableitung bilden.

Spezifikationen: • **Dielektrische Haltespannung:** Von den Anschlüssen zur Halterung gemessen, 1.000 V AC • **Überlast:** 10-fache Nennleistung für 5 Sekunden • **Toleranz:** ±10 % • Nennleistung: Basierend auf 25 °C Freiluftmessung.

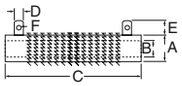

Serie	A	(Kern) B	C	D	(Anschluss) E	F
FVE-300	28.58	19.05	215.90	7.94	15.88	254.00 - 812.80
AVE-300	28.58	19.05	215.90	7.94	15.88	254.00 - 812.80
FSE-1000	63.50	44.45	381.00	12.70	15.88	6.35 - 508.00

WIDERSTANDSWERTTABELLE

FVE-300 fest			AVE-300 einstellbar				FSE-1000 fest		
.50	5.0	12	.10	.20	1.6	20	.25	3.5	15
1.2	8.0	16	.12	.80	8.0		.50	4.5	
2.0	10	20	.16	1.0	16		1.0	10	

Widerstands-bereich (Ω)	Leis-tung	Digi-Key* Teilenr.	Stückpreis 1	10	25	Huntington* Teilenr.
.50 - 20	300	FVE300-(Wert)-ND	13.95	12.54	10.62	FVE-300-(Wert)
.10 - 20	300	AVE300-(Wert)-ND	21.81	17.43	12.21	AVE-300-(Wert)
.25 - 15	1000	FSE1000-(Wert)-ND	43.60	39.24	—	FSE-1000-(Wert)
FVE-300 und AVE-300 Befestigungskit		K1016-ND	8.25/1			K1016
FSE-1000 Befestigungskit		K3003-ND	14.13/1			K3003

* Um die vollständige Teilenummer zu erhalten, setzen Sie den Digi-Key-Wert (aus der Widerstandswerttabelle) für (Wert) ein.

Widerstände f. Chassisbefestigung, Aluminiumgehäuse – 5, 10, 25, 50 W, 1 % (Präzisionsdrahtwicklung)

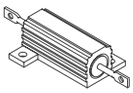

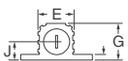

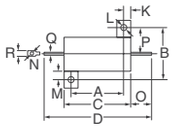

HEIs Hochleistungswiderstände m. Aluminiumgehäuse verwenden spitzenlos geschliffene Keramikkerne für gleichmäßige Wärmeverteilung. Die aus einem speziellen hochwärmefesten Material geformten und in einen extrudierten Aluminiumkörper mit Kühlrippen eingebauten Konstruktionen bieten maximale Wärmeableitung und Zuverlässigkeit. Sie sind mit verzinnten „Copperweld"-Anschlüssen versehen und entsprechen oder übertreffen MIL-R-18546, einschl. „N" Eigenschaft, und MIL-R-39009. **Spezifikationen:** • Nennleistung: Beruht auf Vollleistung bei 25 °C und einer maximalen lokalen Übertemperatur von 275 °C. • Montage an entsprechendem Kühlkörper wie folgt: Für 5 und 10 W – 4" x 6" x 2" x 0,040" (101,60 x 152,40 x 50,80 x 1,02 mm) Aluminiumchassis verwenden; für 25 und 50 W – 5" x 7" x 2" x 0,040" (127,00 x 177,80 x 50,80 x 1,02 mm) Aluminiumchassis verwenden.

Elektrische Spezifikationen:

Serie	TMC-5	TMC-10	TMC-25	TMC-50
MIL-R-39009/MIL-R-18546	RER-60/RE-60	RER-65/RE-65	RER-70/RE-70	RER-75/RE-75
HEI-Leistung	7.5 W	12.5 W	25 W	50 W
MIL-Leistung	5 W	10 W	20 W	30 W
Betriebsspannung	160	265	550	1250
Durchschlagsfestigkeit	1000 VAC	1000 VAC	2500 VAC	2500 VAC

Serie	A	B	C	D	E	F	G	H	J	K	L	M	N	O	P	Q AWG	R
TMC-5	11.40	12.57	16.03	30.15	8.86	16.79	8.51	1.91	3.81	2.24	2.49	2.36	1.40	8.33	7.01	16	2.97
TMC-10	14.40	16.00	19.84	36.50	11.30	20.70	10.54	2.16	5.08	2.62	2.49	2.97	2.31	9.50	8.71	12	4.37
TMC-25	18.39	19.96	27.76	50.80	13.84	27.81	14.61	2.41	6.86	4.62	3.30	3.56	2.31	12.70	10.72	12	4.37
TMC-50	39.83	21.56	50.77	72.21	16.00	29.34	16.00	2.41	7.87	5.23	3.30	3.56	2.31	12.70	11.51	12	4.37

WIDERSTANDSWERTTABELLE

TMC-5			TMC-10			TMC-25			TMC-50				
.10	25	2.0K	.20	33	330	.10	20	500	.15	1.5	8.0	40	300
.50	30	10.0K	1.0	35	1.0K	1.0	25	1.0K	.20	2.0	10	50	500
1.0	100	15.0K	2.0	50	2.0K	2.0	40	2.0K	.25	2.5	12	75	1.0K
5.0	150		2.5	75	2.5K	3.0	100	3.0K	.30	3.3	16	100	1.5K
10	300		10	100	10.0K	12	200		.50	5.0	20	150	2.5K
12	390		25	300		15	300		1.0	6.0	30	250	5.0K

Widerstands-bereich (Ω)	Leistung	Digi-Key* Teilenr.	Stückpreis 1	10	50	100	250	Huntington* Teilenr.
.10-15.0K	5	TMC5-(Wert)-ND	2.85	2.43	2.01	1.72	1.58	TMC-5-(Wert)-1%
.20-10.0K	10	TMC10-(Wert)-ND	3.01	2.57	2.11	1.81	1.66	TMC-10-(Wert)-1%
.10-3.0K	25	TMC25-(Wert)-ND	4.22	3.60	2.95	2.54	2.33	TMC-25-(Wert)-1%
.15-5.0K	50	TMC50-(Wert)-ND	4.41	3.76	3.09	2.66	2.44	TMC-50-(Wert)-1%

* Um die vollständige Teilenummer zu erhalten, setzen Sie den Digi-Key-Wert (aus der Widerstandswerttabelle) für (Wert) ein.

Phoenix Passive Components

1 % und 5 % gebundene Drahtwiderstände

Typ	A max. (mm)	B max. (mm)
PAC01	10	4.3
PAC03	17	5.5
PAC05	23	7.5
AC01	10	4.3
AC03	13	5.5
AC05	17	7.5
AC07	25	7.5

Das Widerstandselement besteht aus einem Widerstandsdraht, der in einer Schicht auf einen Keramikstab gewunden ist. Metallkappen werden auf die Stabenden gepresst. Die Enden des Widerstandsdrahtes und die Anschlüsse werden an die Kappen geschweißt. Verkupferte und verzinnte Eisendrähte mit schlechten Wärmeleitungsfähigkeiten dienen als Anschlüsse. Dadurch können relativ kurze Anschlüsse verwendet werden, und eine stabile Montage, ohne die Lötstelle zu überhitzen, wird erzielt. Der Widerstand ist mit einem grünen Silikonkitt überzogen, der gegen aggressive Flussmittel nicht resistent ist. Der Überzug ist nicht brennbar, tropft selbst bei hoher Überlastung nicht, und widersteht den meisten gebräuchlichen Reinigungslösungen, gemäß MIL-STD-202E, Methode 215, und IEC 60068-2-45.

Eigenschaften:

PAC:

• Widerstandstoleranz: ±1 % • Temperaturkoeffizient: ±100 ppm/°C • Nennverlustleistung bei $T_{UMG.}$ = 25 °C: 1 W, 3 W, 5 W • Betriebstemperaturbereich: -55 °C ~ 200 °C • Maximale zulässige Gehäusetemperatur: 275 °C **AC:** • Widerstandstoleranz: ±5 % • Temperatur-koeffizient: <10 Ω +600 ppm/°C, >10 Ω -80/+140 ppm/°C • Nennverlustleistung bei $T_{UMG.}$ = 25 °C: 1 W, 3 W, 5 W, 7 W • Betriebstemperaturbereich: -40 °C ~ 200 °C • Maximale zulässige Gehäusetemperatur: 350 °C

Wertebereich (Ω)	Leistung	Wdst.-Tol.	Digi-Key* Teilenr.	Preisangaben 5	200	500	Digi-Key* Teilenr.	Preisangabe gegurtet in Schachtel 500	1.000	5.000	10.000	Phoenix Passive Components Teilenr.
.10-.75, 1.0K-2.5K	1	1%	PPC1D(Wert)CT-ND	11.58	176.77	243.82	PPC1D(Wert)TB-ND	—	444.47	379.28/M	343.72/M	2306 327 5xxxx
1.0-910			PPC1D(Wert)CT-ND	9.33	142.40	196.41	PPC1D(Wert)TB-ND	—	355.57	303.43/M	274.98/M	2306 327 5xxxx
.10-.75, 1.0K-3.9K-5.0K	3	1%	PPC3D(Wert)CT-ND	14.32	218.51	—	PPC3D(Wert)TB-ND	276.20	471.39	427.20/M	383.01/M	2306 327 1xxxx
1.0-910			PPC3D(Wert)CT-ND	12.39	189.05	—	PPC3D(Wert)TB-ND	238.11	406.37	368.28/M	330.18/M	2306 327 1xxxx
.10-.75, 1.0K-10.0K	5	1%	PPC5D(Wert)CT-ND	15.53	236.92	—	PPC5D(Wert)TB-ND	300.02	512.02	464.03/M	416.02/M	2306 327 3xxxx
1.0-910			PPC5D(Wert)CT-ND	14.16	216.05	—	PPC5D(Wert)TB-ND	273.03	465.97	422.29/M	378.60/M	2306 327 3xxxx
.10-.75, 1.0K	1	5%	PPC1W(Wert)CT-ND	7.00	106.80	147.31	PPC1W(Wert)TB-ND	—	263.50	224.86/M	203.78/M	2306 328 33xxx
1.0-910, 1.1K-1.8K			PPC1W(Wert)CT-ND	6.60	100.66	138.84	PPC1W(Wert)TB-ND	—	247.63	211.32/M	191.51/M	2306 328 33xxx
2.0K-2.4K			PPC1W(Wert)CT-ND	7.16	109.25	150.69	PPC1W(Wert)TB-ND	—	269.85	230.28/M	208.69/M	2306 328 33xxx
.10-.75	3	5%	PPC3W(Wert)CT-ND	8.13	123.98	—	PPC3W(Wert)TB-ND	153.98	262.78	238.15/M	213.52/M	2322 329 03xxx
1.0-910			PPC3W(Wert)CT-ND	7.72	117.85	—	PPC3W(Wert)TB-ND	146.04	249.24	225.88/M	202.51/M	2322 329 03xxx
1.0K-5.0K			PPC3W(Wert)CT-ND	9.97	152.22	—	PPC3W(Wert)TB-ND	190.49	325.09	294.62/M	264.14/M	2322 329 03xxx
.10-.75	5	5%	PPC5W(Wert)CT-ND	10.62	162.04	—	PPC5W(Wert)TB-ND	203.18	346.77	314.26/M	281.75/M	2322 329 05xxx
1.0-1.0K			PPC5W(Wert)CT-ND	8.29	126.44	—	PPC5W(Wert)TB-ND	157.15	268.20	243.06/M	217.92/M	2322 329 05xxx
1.1K-10.0K			PPC5W(Wert)CT-ND	10.94	166.95	—	PPC5W(Wert)TB-ND	209.53	357.60	324.08/M	290.56/M	2322 329 05xxx
.10-.75	7	5%	PPC7W(Wert)CT-ND	14.08	214.82	—	PPC7W(Wert)TB-ND	271.45	463.26	419.83/M	376.40/M	2322 329 07xxx
1.0-910			PPC7W(Wert)CT-ND	11.34	173.09	—	PPC7W(Wert)TB-ND	217.47	371.15	336.36/M	301.56/M	2322 329 07xxx
1.0K-15.0K			PPC7W(Wert)CT-ND	14.64	223.42	—	PPC7W(Wert)TB-ND	282.55	482.22	437.02/M	391.81/M	2322 329 07xxx

*Um die vollständige Teilenummer zu erhalten, setzen Sie den Digi-Key-Wert (aus der Widerstandswerttabelle) für (Wert) ein.

1 % PPC(X)D Widerstandswerte

1W			3W			5W			
.10	25.0	390	.10	25.0	390	.10	25.0	390	6.2K
.13	27.0	470	.13	27.0	470	.13	27.0	470	6.8K
.15	30.0	500	.15	30.0	500	.15	30.0	500	7.5K
.20	33.0	560	.20	33.0	560	.20	33.0	560	8.2K
.25	36.0	620	.25	36.0	620	.25	36.0	620	9.1K
.30	39.0	680	.30	39.0	680	.30	39.0	680	10.0K
.33	47.0	750	.33	47.0	750	.33	47.0	750	
.47	50.0	820	.47	50.0	820	.47	50.0	820	
.50	56.0	910	.50	56.0	910	.50	56.0	910	
.75	68.0	1.0K	.75	68.0	1.0K	.75	68.0	1.0K	
1.0	75.0	1.1K	1.0	75.0	1.1K	1.0	75.0	1.1K	
1.5	82.0	1.2K	1.5	82.0	1.2K	1.5	82.0	1.2K	
2.0	100	1.5K	2.0	100	1.5K	2.0	100	1.5K	
3.0	120	1.8K	3.0	120	1.8K	3.0	120	1.8K	
3.9	124	2.0K	3.9	124	2.0K	3.9	124	2.0K	
4.7	150	2.2K	4.7	150	2.2K	4.7	150	2.2K	
5.0	180	2.5K	5.0	180	2.5K	5.0	180	2.5K	
7.5	200		7.5	200	2.7K	7.5	200	2.7K	
10.0	220		10.0	220	3.0K	10.0	220	3.0K	
12.0	250		12.0	250	3.6K	12.0	250	3.6K	
15.0	270		15.0	270	3.9K	15.0	270	3.9K	
18.0	300		18.0	300	4.7K	18.0	300	4.7K	
20.0	330		20.0	330	5.0K	20.0	330	5.0K	
22.0	360		22.0	360		22.0	360	5.6K	

5 % PPC(X)D Widerstandswerte

1W			3W			5W				7W			
.10	30.0	560	.10	30.0	560	.10	30.0	560	8.2K	.10	30.0	560	8.2K
.13	33.0	620	.13	33.0	620	.13	33.0	620	9.1K	.13	33.0	620	9.1K
.15	36.0	680	.15	36.0	680	.15	36.0	680	10.0K	.15	36.0	680	10.0K
.20	39.0	750	.20	39.0	750	.20	39.0	750		.20	39.0	750	11.0K
.24	43.0	820	.24	43.0	820	.24	43.0	820		.24	43.0	820	12.0K
.30	47.0	910	.30	47.0	910	.30	47.0	910		.30	47.0	910	13.0K
.33	50.0	1.0K	.33	50.0	1.0K	.33	50.0	1.0K		.33	50.0	1.0K	15.0K
.47	56.0	1.1K	.47	56.0	1.1K	.47	56.0	1.1K		.47	56.0	1.1K	
.50	68.0	1.2K	.50	68.0	1.2K	.50	68.0	1.2K		.50	68.0	1.2K	
.75	75.0	1.5K	.75	75.0	1.5K	.75	75.0	1.5K		.75	75.0	1.5K	
1.0	82.0	1.8K	1.0	82.0	1.8K	1.0	82.0	1.8K		1.0	82.0	1.8K	
1.5	100	2.0K	1.5	100	2.0K	1.5	100	2.0K		1.5	100	2.0K	
2.0	120	2.2K	2.0	120	2.2K	2.0	120	2.2K		2.0	120	2.2K	
3.0	150	2.4K	3.0	150	2.4K	3.0	150	2.4K		3.0	150	2.4K	
3.9	180		3.9	180	2.7K	3.9	180	2.7K		3.9	180	2.7K	
4.7	200		4.7	200	3.0K	4.7	200	3.0K		4.7	200	3.0K	
5.0	220		5.0	220	3.3K	5.0	220	3.3K		5.0	220	3.3K	
7.5	240		7.5	240	3.6K	7.5	240	3.6K		7.5	240	3.6K	
10.0	270		10.0	270	3.9K	10.0	270	3.9K		10.0	270	3.9K	
12.0	300		12.0	300	4.3K	12.0	300	4.3K		12.0	300	4.3K	
15.0	330		15.0	330	4.7K	15.0	330	4.7K		15.0	330	4.7K	
18.0	360		18.0	360	5.0K	18.0	360	5.0K		18.0	360	5.0K	
20.0	390		20.0	390		20.0	390	5.6K		20.0	390	5.6K	
22.0	430		22.0	430		22.0	430	6.2K		22.0	430	6.2K	
24.0	470		24.0	470		24.0	470	6.8K		24.0	470	6.8K	
27.0	500		27.0	500		27.0	500	7.5K		27.0	500	7.5K	

F

OHMITE

Macrochip-SMD-Präzisions-Dickschichtwiderstände

MacroChip-Widerstände erlauben Hochspannungseigenschaften im SMD-Bereich. Dickschicht-auf-Aluminiumoxidsubstrat-Konstruktion. Die Planargehäusekonstruktion ist flach, um die Anwendung in Instrumenten, medizinischen Geräten, Spannungsreglern und Netzteilen zu erleichtern.

Merkmale: • Nicht-induktive Konstruktion • Niedriger Spannungskoeffizient • Oberflächenmontage • Pd-Ag-Anschlüsse

Material: • Widerstand: Dickschicht auf Aluminiumoxid

Elektrische Daten: • Leistung bei 25 °C Umgebungstemperatur: 1,0 W • Nennspannung: 5,0 KV • Betriebstemperatur: -55 °C ~ 180 °C

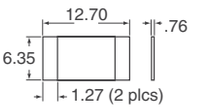

Widerstandsbereich (Ω)	Leistung	Toleranz	Digi-Key* Teilenr.	Stückpreis 1	10	50	100	200
1K - 50M	1	5%	MC102J-(Wert)-ND	3.52	2.35	1.88	1.41	1.18

* Um die vollständige Teilenummer zu erhalten, setzen Sie den Digi-Key-Wert (aus der Widerstandswerttabelle) für (Wert) ein.

RESISTANCE VALUE CHART

Wert	Wert	Wert
1K	50K	1.25M
2.5K	75K	1.5M
5K	100K	1.75M
7.5K	125K	2M
10K	150K	2.5M
12.5K	200K	5M
15K	250K	10M
17.5K	500K	25M
20K	750K	50M
25K	1M	

SMD-Hochleistungsdrahtwiderstände — Serie RW

1, 1,5, 2, 3 und 3,5 W

Elektrische Daten

	RW1S0BA	RW1S5CA	RW2S0CB	RW2R0DA	RW2S0DA	RW3R0DB	RW3R5EA
Leistung bei 25 °C Umgebungstemperatur	1 W	1.5 W	2 W	2 W	2 W	3 W	3.5 W
Max. Spannung	50	75	100	100	100	200	350
Temperatur-koeffizient	0.1 ~ 1 Ω — ±90 ppm/°C 5 ~ 10 Ω — ±50 ppm/°C 15 Ω und höher — ±20 ppm/°C						
Dielektrische Haltespannung	1000 V						

WIDERSTANDSWERTTABELLE

RW1S0BA( )F 1%	RW1S0BA( )J 5%		RW1S5CA 5%	RW2R0DA 5%	RW2S0CB 5%	RW2S0DA( )J 5%	RW3R0DB 5%		RW3R5EA 5%
Wert (Code)	Wert (Code)	Wert (Code)	Wert (Code)	Wert (Code)	Wert (Code)	Wert (Code)	Wert (Code)	Wert (Code)	Wert (Code)
.010 (R010)	.005 (R005)	.100 (R100)	.005 (R005)	.005 (R005)	.005 (R005)	1.0 (1R00)	.005 (R005)	5.0 (5R00)	.010 (R010)
.015 (R015)	.010 (R010)	.150 (R150)	.010 (R010)	.010 (R010)	.010 (R010)	5.0 (5R00)	.010 (R010)	10.0 (10R0)	.020 (R020)
.020 (R020)	.015 (R015)	.200 (R200)	.015 (R015)	.015 (R015)	.020 (R020)	10.0 (10R0)	.015 (R015)	15.0 (15R0)	.025 (R025)
.030 (R030)	.020 (R020)	.240 (R240)	.030 (R030)	.020 (R020)	.030 (R030)	15.0 (15R0)	.025 (R025)	24.0 (24R0)	.030 (R030)
.033 (R033)	.024 (R024)	.300 (R300)	.040 (R040)	.025 (R025)	.050 (R050)	24.0 (24R0)	.036 (R036)	47.0 (47R0)	.036 (R036)
.039 (R039)	.027 (R027)	.360 (R360)	.080 (R080)	.030 (R030)	.150 (R150)	47.0 (47R0)	.050 (R050)	68.0 (68R0)	.050 (R050)
.047 (R047)	.030 (R030)	.470 (R470)	.100 (R100)	.050 (R050)	.200 (R200)	68.0 (68R0)	.075 (R075)	100.0 (100R)	.100 (R100)
.050 (R050)	.036 (R036)	.680 (R680)	.150 (R150)	.100 (R100)	.300 (R300)	100.0 (100R)	.100 (R100)	150.0 (150R)	.200 (R200)
.100 (R100)	.050 (R050)	.750 (R750)	.200 (R200)	.470 (R470)	.500 (R500)	150.0 (150R)	.500 (R500)		.500 (R500)
	.075 (R075)	1.00 (1R00)	.500 (R500)	1.00 (1R00)	1.00 (1R00)		1.00 (1R00)		1.00 (1R00)

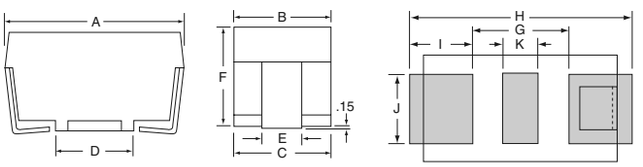

Max. Abmessungen (mm) Serie	A	B	C	D	E	F	G	H	I	J	K
RW1S0BA	6.76	3.58	3.38 Ref.	3.05	1.63	3.58	3.81	8.79	2.49	3.20	1.27
RW1S5CA	10.52	4.17	3.96 Ref.	5.84	2.24	4.17	6.50	13.31	3.40	3.20	1.52
RW2S0CB	10.85	5.87	5.64 Ref.	6.86	2.46	5.77	7.01	13.64	3.33	3.20	2.36
RW2R0DA	12.06	6.22	5.99 Ref.	6.86	3.94	5.87	8.05	14.86	3.40	3.94	2.36
RW2S0DA	12.06	6.22	5.99 Ref.	6.86	3.94	5.87	8.05	14.86	3.40	3.94	2.36
RW3R0DB	16.05	7.06	6.81 Ref.	10.85	3.94	5.87	12.04	18.85	3.40	3.94	2.36
RW3R5EA	21.11	7.06	6.81 Ref.	14.78	3.94	6.98	15.52	25.40	4.95	3.94	2.36

Widerstands-bereich (Ω)	Leistung	Toleranz	Digi-Key* Teilenr.	Mengenpreis pro Stück 1	100	500	Digi-Key* Teilenr.	Preisangaben für Gegurtet auf Rolle 750	1.000	1.500	2.000
.010 - .050	1	1%	RW1S0BA(Code)FBK-ND	2.14	1.78	1.52	RW1S0BA(Code)FTR-ND	—	—	—	1422.29/M
.100	1	1%	RW1S0BAR100FBK-ND	—	2.27	—	RW1S0BAR100FTR-ND	—	—	—	1811.72/M
.005 - .050	1	5%	RW1S0BA(Code)JBK-ND	1.74	1.44	1.23	RW1S0BA(Code)JTR-ND	—	—	—	1151.37/M
.075 - 1.00	1	5%	RW1S0BA(Code)JBK-ND	2.10	1.75	1.49	RW1S0BA(Code)JTR-ND	—	—	—	1396.90/M
.005 - .040	1.5	5%	RW1S5CA(Code)JBK-ND	1.53	1.27	1.09	RW1S5CA(Code)JTR-ND	—	—	1015.92/M	—
.080 - .500	1.5	5%	RW1S5CA(Code)JBK-ND	2.02	1.68	1.43	RW1S5CA(Code)JTR-ND	—	—	1337.63/M	—
.050	2	1%	RW2R0DAR050FBK-ND	—	1.50	—	RW2R0DAR050FTR-ND	—	1202.17	—	—
.005 - .050	2	5%	RW2R0DA(Code)JBK-ND	1.58	1.32	1.12	RW2R0DA(Code)JTR-ND	—	1049.78	—	—
.100 - 1.00	2	5%	RW2R0DA(Code)JBK-ND	1.90	1.58	1.34	RW2R0DA(Code)JTR-ND	—	1261.43	—	—
.005 - 050	2	5%	RW2S0CB(Code)JBK-ND	1.52	1.27	1.08	RW2S0CB(Code)JTR-ND	—	1007.45	—	—
.150 - 1.00	2	5%	RW2S0CB(Code)JBK-ND	1.93	1.61	1.37	RW2S0CB(Code)JTR-ND	—	1278.37	—	—
1.0 - 150.0	2	5%	RW2S0DA(Code)JBK-ND	1.90	1.58	1.34	RW2S0DA(Code)JTR-ND	—	1261.43	—	—
.005- .050	3	5%	RW3R0DB(Code)JBK-ND	1.82	1.51	1.28	RW3R0DB(Code)JTR-ND	—	1202.17	—	—
.075 - 150.0	3	5%	RW3R0DB(Code)JBK-ND	2.05	1.71	1.45	RW3R0DB(Code)JTR-ND	—	1363.03	—	—
.010 - .050	3.5	5%	RW3R5EA(Code)JBK-ND	1.93	1.61	1.37	RW3R5EA(Code)JTR-ND	958.77	—	—	—
.100 - 1.00	3.5	5%	RW3R5EA(Code)JBK-ND	2.05	1.72	1.46	RW3R5EA(Code)JTR-ND	1028.62	—	—	—

* Um die vollständige Teilenummer zu erhalten, ersetzen Sie Folgendes durch den entsprechenden Code aus der Widerstandswerttabelle für (Code).

SMD-Kohlenstoff-Hochleistungswiderstände — Serie RC

0,25, 0,50 und 1 W

Elektrische Daten

	RC0S2CA	RC0R5DB	RC1R0EA
Leistung bei 25 °C Umgebungstemperatur	.25 W	.50 W	1 W
Max. Spannung	250	350	500
Temperatur-koeffizient	RC0S2CA and RC0R5DB: ±400 ppm/°C RC1R0EA: -1300(±300) ppm/°C		
Dielektrische Haltespannung	1000 V		

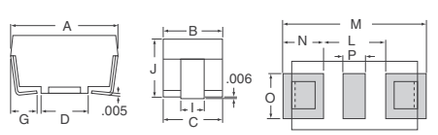

Maximale Abmessungen (mm) Serie	A	B	C	D	G	I	J	L	M	N	O	P
RC0S2CA	10.008	4.039	3.962 Ref.	5.588	1.575	1.981	4.038	6.50	13.31	3.40	3.20	1.52
RC0R5DB	15.875	6.934	6.807 Ref.	10.592	1.575	3.632	5.740	12.04	18.85	3.40	3.94	2.36
RC1R0EA	20.599	6.934	6.807 Ref.	14.529	2.362	3.632	6.934	15.52	25.4	4.95	3.94	2.36

WIDERSTANDSWERTTABELLE

RC0S2CA 5%	RC0R5DB 5%	RC1R0EA 10%
Wert (Code)	Wert (Code)	Wert (Code)
4.7 (4R70)	2.7 (2R70)	3.3 (3R30)
6.8 (6R80)	7.5 (7R50)	4.7 (4R70)
10 (10R0)	15 (15R0)	6.8 (6R80)
15 (15R0)	24 (24R0)	8.2 (8R20)
20 (20R0)	39 (39R0)	10 (10R0)
30 (30R0)	56 (56R0)	15 (15R0)
47 (47R0)	75 (75R0)	22 (22R0)
68 (68R0)	100 (100R)	33 (33R0)
100 (100R)	150 (150R)	47 (47R0)
470 (470R)	270 (270R)	68 (68R0)
1.0K (1K00)	360 (360R)	100 (100R)
	560 (560R)	
	750 (750R)	
	1.0K (1K00)	

Widerstands-bereich (Ω)	Leistung	Toleranz	Typ	Digi-Key* Teilenr.	Mengenpreis pro Stück 1	100	500	Digi-Key* Teilenr.	Preisangaben für Gegurtet auf Rolle 750	1.000	1.500
4.7 - 1.0K	.25	5%	Kohleschicht	RC0S2CA(Code)JBK-ND	1.13	.95	.82	RC0S2CA(Code)JTR-ND	—	—	792.42/M
2.7 - 1.0K	.50	5%	Kohleschicht	RC0R5DB(Code)JBK-ND	1.41	1.19	1.02	RC0R5DB(Code)JTR-ND	—	990.52	—
3.3 - 100	1	10%	Keramikschicht	RC1R0EA(Code)KBK-ND	1.53	1.29	1.11	RC1R0EA(Code)KTR-ND	808.93	—	—

*Um die vollständige Teilenummer zu erhalten, ersetzen Sie Folgendes durch den entsprechenden Code aus der Widerstandswerttabelle für (Code).

Alle Preisangaben in Euro und inklusive Zollgebühren.

Widerstand-Serien OX/OY - Keramikzusammensetzung

Merkmale: • Ersetzt 1 und 2 Watt Kohlenstoff-Widerstände • Entspricht Anforderungen f. höhere Energiedichte • Hohe Spitzenleistungr • 10 % Toleranz.

Material: • Anschlüsse: lötbeschichtete Axialleitungen • Beschichtung: Nach UL-94 V0 zugelassenes Silikon.

Lastminderung: • Linear von 100 % @ +70 °C ~ 0 % @ +200 °C.

Elektrische Daten: • Widerstandstoleranz: ±10 % Standard • Nennleistung: Basierend auf 70 °C Freiluftmessung • Temperaturkoeffizient: -1.300 ±300 ppm/°C • Dielektrische Haltespannung: 500 V AC (750 V AC für Serie OY) • Joule max. (für einfachen Impuls): 50 (80 für Serie OY)

Widerstands-bereich (Ω)	Leistung	Max. Joule **	Digi-Key* Teilenr.	Stückpreis 1	100	1.000
3.3 - 100	1	50	OX(Code)-ND	.65	.53	.43
120 - 100K	1	50	OX(Code)-ND	.64	.52	.42
3.3 - 100	2	80	OY(Code)-ND	.91	.73	.60
120 - 100K	2	80	OY(Code)-ND	.85	.68	.56
120K - 1MEG	2	80	OY(Code)-ND	.99	.79	.65

* Um die vollständige Teilenummer zu erhalten, ersetzen Sie Folgendes durch den entsprechenden Code aus der Widerstandswerttabelle für (Code). ** Für einfachen Impuls.

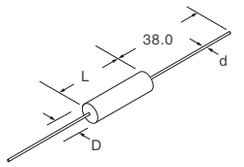

Serie	Maximale Abmessungen Zoll (mm) D	L	d
OX	.256 (6.5)	.649 (16.5)	.030 (.81)
OY	.315 (8.0)	.787 (20.0)	.030 (.81)

WIDERSTANDSWERTTABELLE

Wert (Code)	Wert (Code)	Wert (Code)	Wert (Code)	Wert (Code)
3.3 (33GK)	47 (470K)	680 (681K)	10K (103K)	150K (154K)
3.9 (39GK)	56 (560K)	820 (821K)	12K (123K)	180K (184K)
4.7 (47GK)	68 (680K)	1K (102K)	15K (153K)	220K (224K)
5.6 (56GK)	82 (820K)	1.2K (122K)	18K (183K)	270K (274K)
6.8 (68GK)	100 (101K)	1.5K (152K)	22K (223K)	330K (334K)
8.2 (82GK)	120 (121K)	1.8K (182K)	27K (273K)	390K (394K)
10 (100K)	150 (151K)	2.2K (222K)	33K (333K)	470K (474K)
12 (120K)	180 (181K)	2.7K (272K)	39K (393K)	560K (564K)
15 (150K)	220 (221K)	3.3K (332K)	47K (473K)	680K (684K)
18 (180K)	270 (271K)	3.9K (392K)	56K (563K)	820K (824K)
22 (220K)	330 (331K)	4.7K (472K)	68K (683K)	1MEG (105K)
27 (270K)	390 (391K)	5.6K (562K)	82K (823K)	
33 (330K)	470 (471K)	6.8K (682K)	100K (104K)	
39 (390K)	560 (561K)	8.2K (822K)	120K (124K)	

Little Demon® Kohlenstoff-Formwiderstände

Serie OD und OF - 5 % Toleranz, Serie OA - 10 % Toleranz

Little Demons sind kleine, zuverlässige Kohlenstoff-Widerstände von außergewöhnlicher Stärke. Ein Formgebungsprozess, bei dem Leiter, Isolierung und Widerstandselement zu einer integrierten Einheit verschmolzen werden, macht sie robust. Neben ihrer kleinen Größe arbeiten Little Demons leise, mit schneller Wärmeableitung und hoher Temperaturstabiliät.

Die Farbcodes sind auch nach langer Nutzungszeit gut leserlich, da die widerstandsfähige Beschichtung ein Abschürfen und Abplatzen verhindert, was mit automatisch platzierten Bauteilen assoziiert wird.

Merkmale:

• Angegossene Isolierung für hohe dielektrische Festigkeit • Robuste Konstruktion • Hohe Stoßbelastbarkeit • Vergleichbar mit Typen „Mil" RC07, RC20 und RC32

Material:

• Anschlüsse: Lötbeschichtete Kupferleiter • Körper: Angegossenes Phenol

Elektrische Daten:

• Toleranz: ±5 % (OD/OF) ±10 % (OA) • Lastminderung: Linear von 100 % @ 70 °C ~ 0 % @ 130 °C

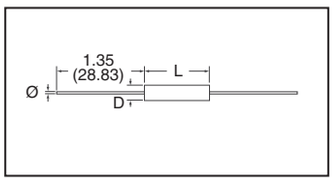

Serie	Maximale Abmessungen Zoll (mm) L	D	ø
OD	0.276 (7.0)	0.098 (2.5)	.027 (.69)
OF	0.406 (10.3)	0.150 (3.8)	.029 (.75)
OA	0.591 (15.0)	0.236 (6.0)	.035 (.92)

WIDERSTANDSWERTTABELLE 1/4W, 5%

Wert (Code)	Wert (Code)	Wert (Code)	Wert (Code)	Wert (Code)	Wert (Code)	Wert (Code)
2.2 (22GJ)	15 (150J)	120 (121J)	1.0K (102J)	10K (103J)	68K (683J)	560K (564J)
2.4 (24GJ)	18 (180J)	150 (151J)	1.2K (122J)	12K (123J)	75K (753J)	620K (624J)
2.7 (27GJ)	20 (200J)	180 (181J)	1.5K (152J)	15K (153J)	82K (823J)	680K (684J)
3.0 (30GJ)	22 (220J)	200 (201J)	1.8K (182J)	18K (183J)	100K (104J)	750K (754J)
3.3 (33GJ)	24 (240J)	220 (221J)	2.2K (222J)	20K (203J)	120K (124J)	820K (824J)
3.6 (36GJ)	27 (270J)	240 (241J)	2.4K (242J)	22K (223J)	150K (154J)	1.0M (105J)
3.9 (39GJ)	30 (300J)	270 (271J)	2.7K (272J)	24K (243J)	180K (184J)	1.5M (155J)
4.3 (43GJ)	33 (330J)	300 (301J)	3.0K (302J)	27K (273J)	200K (204J)	2.0M (205J)
4.7 (47GJ)	36 (360J)	330 (331J)	3.3K (332J)	30K (303J)	220K (224J)	2.4M (245J)
5.1 (51GJ)	39 (390J)	360 (361J)	3.6K (362J)	33K (333J)	270K (274J)	3.0M (305J)
5.6 (56GJ)	43 (430J)	390 (391J)	3.9K (392J)	36K (363J)	300K (304J)	3.6M (365J)
6.2 (62GJ)	47 (470J)	430 (431J)	4.3K (432J)	39K (393J)	330K (334J)	4.3M (435J)
6.8 (68GJ)	56 (560J)	470 (471J)	4.7K (472J)	43K (433J)	360K (364J)	4.7M (475J)
7.5 (75GJ)	62 (620J)	560 (561J)	5.6K (562J)	47K (473J)	390K (394J)	5.6M (565J)
8.2 (82GJ)	75 (750J)	620 (621J)	6.2K (622J)	51K (513J)	430K (434J)	
10 (100J)	82 (820J)	750 (751J)	7.5K (752J)	56K (563J)	470K (474J)	
12 (120J)	100 (101J)	820 (821J)	8.2K (822J)	62K (623J)	510K (514J)	

WIDERSTANDSWERTTABELLE 1/2W, 5%

Wert (Code)	Wert (Code)	Wert (Code)	Wert (Code)	Wert (Code)	Wert (Code)	Wert (Code)
2.2 (22GJ)	18 (180J)	180 (181J)	1.8K (182J)	20K (203J)	150K (154J)	1.5M (155J)
2.4 (24GJ)	20 (200J)	200 (201J)	2.2K (222J)	22K (223J)	180K (184J)	2.0M (205J)
2.7 (27GJ)	22 (220J)	220 (221J)	2.4K (242J)	24K (243J)	200K (204J)	2.4M (245J)
3.0 (30GJ)	24 (240J)	240 (241J)	2.7K (272J)	27K (273J)	220K (224J)	3.0M (305J)
3.3 (33GJ)	27 (270J)	270 (271J)	3.0K (302J)	30K (303J)	270K (274J)	3.6M (365J)
3.6 (36GJ)	30 (300J)	300 (301J)	3.3K (332J)	33K (333J)	300K (304J)	4.3M (435J)
3.9 (39GJ)	33 (330J)	330 (331J)	3.6K (362J)	36K (363J)	330K (334J)	4.7M (475J)
4.3 (43GJ)	36 (360J)	360 (361J)	3.9K (392J)	39K (393J)	360K (364J)	5.6M (565J)
4.7 (47GJ)	39 (390J)	390 (391J)	4.3K (432J)	43K (433J)	390K (394J)	6.8M (685J)
5.1 (51GJ)	43 (430J)	430 (431J)	4.7K (472J)	47K (473J)	430K (434J)	7.5M (755J)
5.6 (56GJ)	47 (470J)	470 (471J)	5.6K (562J)	51K (513J)	470K (474J)	8.2M (825J)
6.2 (62GJ)	56 (560J)	560 (561J)	6.2K (622J)	56K (563J)	510K (514J)	10M (106J)
6.8 (68GJ)	62 (620J)	620 (621J)	7.5K (752J)	62K (623J)	560K (564J)	12M (126J)
7.5 (75GJ)	75 (750J)	750 (751J)	8.2K (822J)	68K (683J)	620K (624J)	15M (156J)
8.2 (82GJ)	82 (820J)	820 (821J)	10K (103J)	75K (753J)	680K (684J)	18M (186J)
10 (100J)	100 (101J)	1.0K (102J)	12K (123J)	82K (823J)	750K (754J)	20M (206J)
12 (120J)	120 (121J)	1.2K (122J)	15K (153J)	100K (104J)	820K (824J)	
15 (150J)	150 (151J)	1.5K (152J)	18K (183J)	120K (124J)	1.0M (105J)	

WIDERSTANDSWERTTABELLE 1W, 10%

Wert (Code)	Wert (Code)	Wert (Code)	Wert (Code)	Wert (Code)	Wert (Code)
2.2 (22GK)	27 (270K)	270 (271K)	2.7K (272K)	27K (273K)	270K (274K)
2.7 (27GK)	33 (330K)	330 (331K)	3.3K (332K)	33K (333K)	330K (334K)
3.3 (33GK)	39 (390K)	390 (391K)	3.9K (392K)	39K (393K)	390K (394K)
4.7 (47GK)	47 (470K)	470 (471K)	4.7K (472K)	47K (473K)	470K (474K)
5.6 (56GK)	56 (560K)	560 (561K)	5.6K (562K)	56K (563K)	560K (564K)
6.8 (68GK)	68 (680K)	680 (681K)	6.8K (682K)	68K (683K)	680K (684K)
8.2 (82GK)	82 (820K)	820 (821K)	8.2K (822K)	82K (823K)	820K (824K)
10 (100K)	100 (101K)	1.0K (102K)	10K (103K)	100K (104K)	1.0M (105K)
12 (120K)	120 (121K)	1.2K (122K)	12K (123K)	120K (124K)	
15 (150K)	150 (151K)	1.5K (152K)	15K (153K)	150K (154K)	
18 (180K)	180 (181K)	1.8K (182K)	18K (183K)	180K (184K)	
22 (220K)	220 (221K)	2.2K (222K)	22K (223K)	220K (224K)	

Widerstands-bereich (Ω)	Leistung	Toleranz	Digi-Key* Teilenr.	Stückpreis 1	100	500
2.2 - 5.6M	.25	5%	OD(Code)-ND	.36	.30	.28
2.2 - 20M	.50	5%	OF(Code)-ND	.46	.39	.35
2.2 - 1.0M	1	10%	OA(Code)-ND	1.63	1.49	1.34

* Um die vollständige Teilenummer zu erhalten, ersetzen Sie Folgendes durch den entsprechenden Code aus der Widerstandswerttabelle für (Code).

Keramikwiderstände

Die „A"-Serie der induktionsfreien Keramik-Widerstände wurde für eine Vielzahl von Anwendungen entwickelt, bei denen die Bewältigung höherer Energien wichtig ist. Diese für den Einsatz mit Motorantrieben, UPS und anderen Stromwandlersystemen konzipierten Widerstände sind ideal für Anwendungen, die Spannungsspitzen, hohen Spitzenleistungen, Stromstössen oder Einschaltstrombegrenzungen ausgesetzt sind.

Material-Spezifikationen:

• Widerstandselement: Gießkeramik

• Anschlüsse: Lötbeschichtete Radialanschlüsse (Axialversion auf Verlangen erhältlich)

• Beschichtung: UL94V0, Lösungsmittel-beständiges Epoxid

Elektrische Spezifikationen:

• Toleranz: ±10 % Standard

• Lastminderung: Linear von 100 % @ 50 °C auf 0 % @ 150 °C

• Temperaturanstieg: 100 °C @ 100 % Nennleistung, 50 °C Umgebung

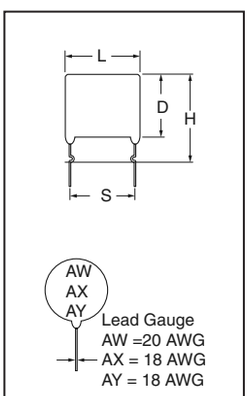

Serie	Abmessungen - Zoll (mm) L Max.	D Max.	H Max.	S Norm.
AW	.78 (20)	.51 (13)	.87 (22)	.69 (17.5)
AX	.59 (15)	.83 (21)	1.22 (31)	.49 (12.5)
AY	.98 (25)	.83 (21)	1.22 (31)	.89 (22.5)

WIDERSTANDSWERTTABELLE

2.5W Wert (Code)	3.5W Wert (Code)	4.5W Wert (Code)
4.7 (47G)	1.0 (10G)	2.2 (22G)
6.8 (68G)	2.2 (22G)	3.3 (33G)
10 (100)	3.3 (33G)	4.7 (47G)
15 (150)	4.7 (47G)	10 (100)
22 (220)	10 (100)	15 (150)
33 (330)	22 (220)	22 (220)
47 (470)	33 (330)	33 (330)
56 (560)	47 (470)	39 (390)
68 (680)	68 (680)	47 (470)
100 (101)	100 (101)	68 (680)
		100 (101)

Widerstands-bereich (Ω)	Leistung	Digi-Key* Teilenr.	Stückpreis 1	50	250
4.7 - 100	2.5W	AW(Code)K-ND	7.15	6.80	6.45
1.0 - 100	3.5W	AX(Code)K-ND	7.83	7.45	7.06
2.2 - 100	4.5W	AY(Code)K-ND	8.25	7.84	7.44

* Um die vollständige Teilenummer zu erhalten, ersetzen Sie Folgendes durch den entsprechenden Code aus der Widerstandswerttabelle für (Code).

F

Dickschicht-Leistungswiderstände, Kühlkörpermontage

TAH20, TBH25, TCH35 zur Oberflächenmontage, sowie Serie TDH35 und TEH70

Abmessungen in (mm)

TAH20

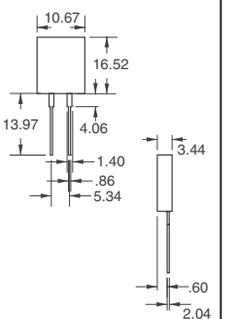

TBH25

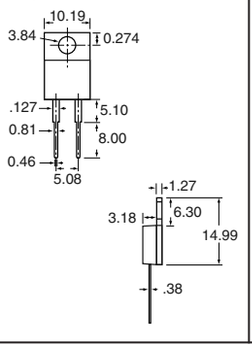

TCH35

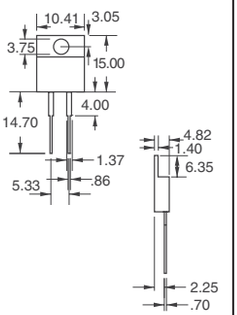

TDH35

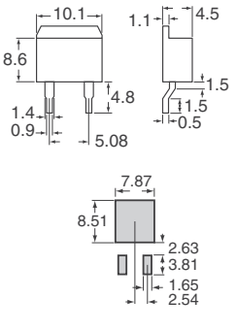

TEH70 mit 2 Anschlüssen

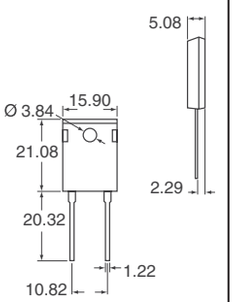

TEH70 mit 3 Anschlüssen

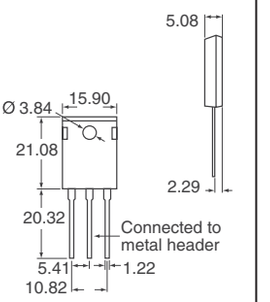

Serie TAH20 und TCH35 WIDERSTANDSWERTTABELLE

Wert (Code)	Wert (Code)	Wert (Code)	Wert (Code)
.05• (R050)•	3.3 (3R30)	47 (47R0)	750 (750R)
.10 (R100)	3.9 (3R90)	51 (51R0)	1.0K (1K00)
.22 (R220)	5.6 (5R60)	75 (75R0)	2.7K (2K70)
.33 (R330)	7.5• (7R50)•	100 (100R)	5.1K (5K10)
.51 (R510)	10 (10R0)	150 (150R)	10K (10K0)
1.0 (1R00)	15 (15R0)	220 (220R)	
1.5 (1R50)	22 (22R0)	470 (470R)	
2.2 (2R20)	33 (33R0)	510 (510R)	

Serie TBH25 WIDERSTANDSWERTTABELLE

Wert (Code)	Wert (Code)	Wert (Code)
5.1 (5R10)	24 (24R0)	100 (100R)
5.6 (5R60)	33 (33R0)	150 (150R)
7.5 (7R50)	39 (39R0)	470 (470R)
10 (10R0)	47 (47R0)	1.0K (1K00)
15 (15R0)	51 (51R0)	1.5K (1K50)
22 (22R0)	75 (75R0)	2.7 (2K70)

Serie TDH35 WIDERSTANDSWERTTABELLE

Wert (Code)	Wert (Code)	Wert (Code)	Wert (Code)
.10 (R100)	1.0 (1R00)	33 (33R0)	300 (300R)
.15 (R150)	2.0 (2R00)	39 (39R0)	500 (500R)
.20 (R200)	3.0 (3R00)	47 (47R0)	750 (750R)
.25 (R250)	5.0 (5R00)	68 (68R0)	1.0K (1K00)
.30 (R300)	7.5 (7R50)	75 (75R0)	1.5K (1K50)
.36 (R360)	10 (10R0)	100 (100R)	2.5K (2K50)
.47 (R470)	15 (15R0)	150 (150R)	3.0K (3K00)
.50 (R500)	20 (20R0)	200 (200R)	5.0K (5K00)
.75 (R750)	25 (25R0)	250 (250R)	

Serie TEH70 (2 und 3 Anschlüsse) WIDERSTANDSWERTTABELLE

Wert (Code)	Wert (Code)	Wert (Code)
2.0 (2R00)	47 (47R0)	1.0K (1K00)
3.0 (3R00)	68 (68R0)	1.5K (1K50)
4.0 (3R00)	75 (75R0)	2.0K (2K00)
7.5 (7R50)	100 (100R)	3.0K (3K00)
10 (10R0)	150 (150R)	5.0K (5K00)
15 (15R0)	270 (270R)	7.5K(7K50)
20 (20R0)	470 (470R)	10K (10K0)
24 (24R0)	680 (680R)	
33 (33R0)	750 (750R)	

• Nicht verfügbar in Serie TCH35.

Elektrische Spezifikationen:

Serie	TAH20	TBH25	TCH35/TDH35	TEH70 (2-Terminal)	TEH70 (3-Terminal)
Widerstandstoleranz	±5%	±5%	±5%	±5%	±5%
Maximale Betriebsspannung	350V	350V	350V	500V	500V
Durchschlagsfestigkeit	1800VAC	1000VDC	1800VAC	—	—
Isolationswiderstand	10GΩ Min.	10GΩ Min.	10GΩ Min.	400MΩ	400MΩ
Nennstrom	20W @ 25°C	25W @ 25°C	35W @ 25°C	70W @ 25°C	70W @ 25°C
Montage	Erfordert Aufschnapp-Kühlkörper. Korrektes Auftragen eines hitzebeständigen Materials wird empfohlen.	Einschraub-Befestigungslasche (hitzebeständiges Material empfohlen).	Einschraub-Befestigungslasche (hitzebeständiges Material empfohlen). TDH35 (SMD)	Einzelschrauben-montage.	Kühlkörper mit 3 Anschlüssen kann über mittleren Anschluss geerdet werden.

Serie	Widerstands-bereich (Ω)	Leis-tung	Digi-Key* Teilenr.	Stückpreis 1	100	250
TAH20	.05 ~ .51	20	TAH20P(Code)J-ND	5.70	4.56	3.87
	1.00 ~ 10K	20	TAH20P(Code)J-ND	4.66	3.72	3.16
TBH25	5.1 ~ 10	25	TBH25P(Code)J-ND	4.13	3.31	2.81
	15 ~ 2.7K	25	TBH25P(Code)J-ND	4.06	3.26	2.76
TCH35	.10 ~ .51	35	TCH35P(Code)J-ND	6.59	5.26	4.47
	1.00 ~ 10K	35	TCH35P(Code)J-ND	4.99	3.99	3.39
TDH35	.10 ~ .15	35	TDH35P(Code)J-ND	7.43	5.14	4.71
	.20 ~ .36	35	TDH35P(Code)J-ND	6.92	4.80	4.38
	.47 ~ .50	35	TDH35P(Code)J-ND	6.06	4.29	3.84
	.75 ~ 7.5	35	TDH35P(Code)J-ND	5.81	4.14	3.68
	10 ~ 5.0K	35	TDH35P(Code)J-ND	5.50	3.78	3.49
TEH70 (2-Term.)	2.0 ~ 10K	70	TEH70M(Code)JE-ND†	8.89	7.12	6.05
TEH70 (3-Term.)	2.0 ~ 10K	70	TEH70P(Code)JE-ND†	8.47	6.78	5.76

* Um die vollständige Teilenummer zu erhalten, ersetzen Sie Folgendes durch den entsprechenden Code aus der Widerstandswerttabelle für (Code). † **Bleifrei/RoHS-konform**

F

Drahtwiderstände, hohe Energieleistung

Serie 33J, 35J und 30J

Spezifikationen: • Widerstandstoleranz: ±5 %
• Kontakttyp: 2 Anschlüsse - Axial

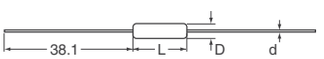

Widerstands-bereich (Ω)	Leistung W	Spannung	An-schluss AWG	Abmessungen (mm) d	D	L	Digi-Key* Teilenr.	Stückpreis 1	10	100
1.0 ~ 100	3.0	200	20	.032	5.5	15.1	33J(Code)-ND	.91	.76	.67
1.5 ~ 75	5.0	460	18	.0403	8.7	23.8	35J(Code)-ND	1.03	.85	.76
2.0 ~ 150	10.0	1000	18	.0403	10.3	41.7	30J(Code)-ND	1.34	1.10	.99

* Um die vollständige Teilenummer zu erhalten, ersetzen Sie Folgendes durch den entsprechenden Code aus der Widerstandswerttabelle für (Code).

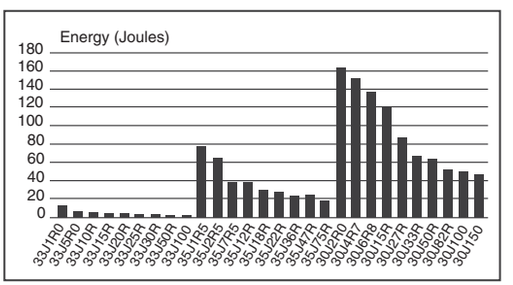

WIDERSTANDSWERTTABELLE

Serie 33J	Serie 35J	Serie 30J
Wert (Code)	Wert (Code)	Wert (Code)
1.0 (1R0)	1.5 (1R5)	2.0 (2R0)
5.0 (5R0)	2.5 (2R5)	4.7 (4R7)
10 (10R)	7.5 (7R5)	6.8 (6R8)
15 (15R)	12 (12R)	15 (15R)
20 (20R)	18 (18R)	27 (27R)
25 (25R)	22 (22R)	33 (33R)
30 (30R)	36 (36R)	50 (50R)
50 (50R)	47 (47R)	82 (82R)
100 (100)	75 (75R)	100 (100)
		150 (150)

Leistungs-Drahtwiderstände in Aluminiumgehäuse Serie WFH

Merkmale:
• Die neue Flachkernwickeltechnologie von Ohmite macht es möglich, dass drahtumwickelte Kühlkörperwiderstände im Vergleich zu herkömmlichen drahtumwickelten Widerständen in Aluminiumgehäusen ein niedrigeres Profil und erstklassige Wärmeübertragungseigenschaften ermöglichen. • Enge Montage von wärmeempfindlichen Bausteinen ist möglich, da die Temperatur auf dem Aluminiumprofil nur minimal ansteigt. • Aufgrund der großen Montagefläche ist kein Kühlkörperverbund ist erforderlich.

Spezifikationen:
• Durchschlagsfestigkeit: Spitze 2.500 V AC • Arbeitsspannung: 1.200 V AC • Isolierung: Silikongummi & Mica. Das Silikon ist UL-zugelassen (UL 94 HB) bis zu einer Betriebstemperatur von 220 °C. Temperaturen bis zu 300 °C können für kürzere Zeit ausgehalten werden. Derartige Hitze kann jedoch zu einer Expansion des Silikongummis und zu einer möglichen Reduzierung der Durchschlagsfestigkeit führen.

Hinweis: *Siehe bitte das Datenblatt für Kühlkörper-Empfehlungen.*

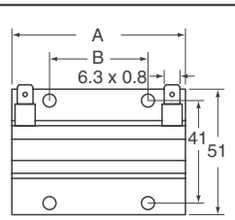

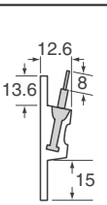

WIDERSTANDSWERTTABELLEN

WFH90L( )K	WFH90L( )J	WFH160L( )K	WFH160L( )J	WFH230L( )K	WFH230L( )J	WFH330L( )K	WFH330L( )J
Wert (Code)	Wert (Code)	Wert (Code)	Wert (Code)	Wert (Code)	Wert (Code)	Wert (Code)	Wert (Code)
4.7 (4R7)	25 (25R)	.47 (R47)	27 (27R)	1.0 (1R0)	27 (27R)	1.0 (1R0)	27 (27R)
10 (10R)	50 (50R)	1.0 (1R0)	50 (50R)	5.0 (5R0)	50 (50R)	2.0 (2R0)	50 (50R)
	100 (100)	2.0 (2R0)	75 (75R)	10 (10R)	75 (75R)	10 (10R)	75 (75R)
	470 (470)	10 (10R)	100 (100)		100 (100)		100 (100)
	750 (750)		150 (150)		150 (150)		150 (150)
	1.0K (1K0)		250 (250)		250 (250)		250 (250)
	2.7K (2K7)		1.0K (1K0)		1.0K (1K0)		1.0K (1K0)
	5.0K (5K0)		5.0K (5K0)		1.5K (1K5)		5.0K (5K0)
			10K (10K)		2.5K (2K5)		10K (10K)

Widerstands-bereich (Ω)	Leistung	Toleranz (%)	Abmessungen (mm) A	B	Digi-Key* Teilenr.	Stückpreis 1	25	100
4.7 ~ 10	90	±10	70	39.7	WFH90L(Code)K-ND	27.54	22.02	18.72
25 ~ 1.0K	90	±5	70	39.7	WFH90L(Code)J-ND	26.24	21.00	17.85
2.7K ~ 5.0K	90	±5	70	39.7	WFH90L(Code)J-ND	27.54	22.02	18.72
.47 ~ 10	160	±10	140	80	WFH160L(Code)K-ND	31.90	25.52	21.69
27 ~ 1.0K	160	±5	140	80	WFH160L(Code)J-ND	30.38	24.29	20.65
5.0K ~ 10K	160	±5	140	80	WFH160L(Code)J-ND	31.90	25.52	21.69
1.0 ~ 10	230	±10	210	2x 80	WFH230L(Code)K-ND	41.21	32.96	28.03
27 ~ 1.0K	230	±5	210	2x 80	WFH230L(Code)J-ND	39.24	31.41	26.69
1.5K ~ 2.5K	230	±5	210	2x 80	WFH230L(Code)J-ND	41.21	32.96	28.03
1.0 ~ 10	330	±10	280	2x 100	WFH330L(Code)K-ND	44.68	35.76	30.39
27 ~ 1.0K	330	±5	280	2x 100	WFH330L(Code)J-ND	46.93	37.53	31.90
5.0K ~ 10K	330	±5	280	2x 100	WFH330L(Code)J-ND	49.15	39.33	33.43

* Um die vollständige Teilenummer zu erhalten, ersetzen Sie Folgendes durch den entsprechenden Code aus der Widerstandswerttabelle für (Code).

Alle Preisangaben in Euro und inklusive Zollgebühren.

Typ 89 - Drahtwiderstände mit Axialanschluss in Aluminiumgehäuse

Widerstände vom Typ 89 sind Hochleistungswiderstände mit Axialanschluss. Sie widerstehen Vibration, Erschütterung und widrigen Umweltbedingungen besser als Standard-Widerstände mit Axialanschl. Der Typ 89 hat ein Aluminiumgehäuse, das eine hohe Stabilität während des Betriebs und eine sichere Montage an Chassisoberflächen garantiert. Das Gehäuse hat außerdem eine Kühlkörperfunktion. Widerstände vom Typ 89 erfüllen oder übertreffen MIL-R-18546 Spezifikationen.

Elektrische Spezifikationen:

	5 W	10 W	25 W	50 W
Widerstands-toleranz	±1%	±1%	±1%	±1%
Nennleistung* (mm) mittlere Hitze	101.60 x 152.40 x 50.80 x 1.02 Aluminiumchassis		127.00 x 177.80 x 50.80 x 1.02 Aluminiumchassis	304.80 x 304.80 x 1.50 Aluminiumplatte
Max. Betriebs-spannung	210	320	520	1170
Überlast	5-fache Nennleistung für 5 Sekunden			
Temperatur-koeffizient	Unter 1 Ω — ±90 ppm/°C 1 ~ 9.99 Ω — ±50 ppm/°C 10 Ω und höher — ±20 ppm/°C			
Dielektrische Haltespannung	1000VAC	1000VAC	2500VAC	2500VAC

* Basierend auf Chassismontagefläche und Temperaturstabilität.

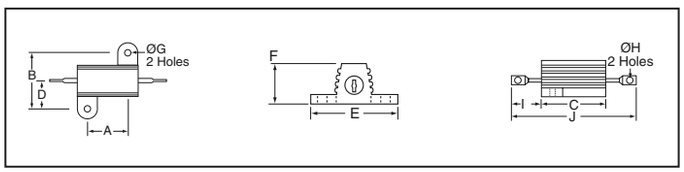

	Max. Abmessungen (mm)									
W	**A**	**B**	**C**	**D**	**E**	**F**	**G**	**H**	**I**	**J**
5	11.40	12.57	16.03	6.30	16.79	8.51	2.49	1.40	8.33	30.15
10	14.40	16.00	19.84	8.00	20.70	10.29	2.49	2.31	9.50	36.50
25	18.39	19.96	27.76	10.01	27.81	14.25	3.30	2.31	12.70	50.80
50	39.83	21.56	50.77	10.79	29.34	15.88	3.30	2.31	12.70	72.21

WIDERSTANDSWERTTABELLE

Serie 805F		Serie 810F		Serie 825F		Serie 850F	
Wert (Code)	**Wert (Code)**	**Wert (Code)**	**Wert (Code)**	**Wert (Code)**	**Wert (Code)**	**Wert (Code)**	**Wert (Code)**
1.0 (1R0)	75 (75R)	1.0 (1R0)	250 (250)	.10 (R10)	100 (100)	.10 (R10)	150 (150)
2.0 (2R0)	100 (100)	2.0 (2R0)	500 (500)	1.0 (1R0)	150 (150)	1.0 (1R0)	250 (250)
5.0 (5R0)	150 (150)	5.0 (5R0)	750 (750)	2.0 (2R0)	250 (250)	2.0 (2R0)	500 (500)
7.5 (7R5)	250 (250)	10 (10R)	1.0K (1K0)	5.0 (5R0)	500 (500)	5.0 (5R0)	750 (750)
10 (10R)	500 (500)	15 (15R)	2.5K (2K5)	7.5 (7R5)	750 (750)	10 (10R)	1.0K (1K0)
15 (15R)	750 (750)	20 (20R)	5.0K (5K0)	10 (10R)	1.0K (1K0)	15 (15R)	2.5K (2K5)
25 (25R)	1.0K (1K0)	50 (50R)	10.0K (10K)	20 (20R)	2.5K (2K5)	25 (25R)	5.0K (5K0)
40 (40R)	2.5K (2K5)	75 (75R)	25.0K (25K)	25 (25R)	5.0K (5K0)	40 (40R)	10.0K (10K)
50 (50R)	5.0K (5K0)	100 (100)		50 (50R)	10.0K (10K)	50 (50R)	25.0K (25K)
				75 (75R)	25.0K (25K)	75 (75R)	100K (100K)
						100 (100)	

Widerstands-bereich (Ω)	Leistung	Digi-Key* Teilenr.	Stückpreis 1	10	50	100
1.0 ~ 25	5	805F(Code)-ND	2.92	2.64	2.34	2.20
40 ~ 750	5	805F(Code)-ND	3.20	2.88	2.56	2.41
1.0K ~ 2.5K	5	805F(Code)-ND	3.97	3.58	3.18	2.98
5.0K	5	805F(Code)-ND	4.44	4.00	3.55	3.33
1.0 ~ 750	10	810F(Code)-ND	3.06	2.76	2.46	2.31
1.0K ~ 2.5K	10	810F(Code)-ND	3.39	3.05	2.71	2.54
5.0K	10	810F(Code)-ND	3.80	3.42	3.04	2.86
10.0K	10	810F(Code)-ND	4.36	3.93	3.49	3.27
25.0K	10	810F(Code)-ND	5.48	4.93	4.39	4.11
.10	25	825F(Code)-ND	—	3.93	—	—
1.0 ~ 75	25	825F(Code)-ND	3.95	3.55	3.16	2.97
100 ~ 750	25	825F(Code)-ND	4.06	3.66	3.26	3.05
1.0K ~ 5.0K	25	825F(Code)-ND	4.55	4.10	3.65	3.43
10.0K	25	825F(Code)-ND	—	4.51	—	—
25.0K	25	825F(Code)-ND	6.26	5.64	5.02	4.70
.10	50	850F(Code)-ND	—	5.00	—	—
1.0 ~ 750	50	850F(Code)-ND	4.55	4.10	3.64	3.42
1.0K ~ 5.0K	50	850F(Code)-ND	5.16	4.64	4.13	3.87
10.0K	50	850F(Code)-ND	5.44	4.90	4.36	4.09
25.0K	50	850F(Code)-ND	6.12	5.52	4.90	4.59
100K	50	850F(Code)-ND	8.31	7.48	6.65	6.24

* Um die vollständige Teilenummer zu erhalten, ersetzen Sie Folgendes durch den entsprechenden Code aus der Widerstandswerttabelle für (Code).

TAP600 Planar-Widerstände - 600 W, Kühlkörper-montierbar

TAP600 liefert 600 W zuverlässige Leistung und ist ideal für Stromaufbereitungs-, Übertragungs- und Regelanwendungen. Diese Widerstände können mit Flüssigkeits- oder Luftkühlsystemen, wie sie in Antrieben, Stromversorgung, Robotik, Motorsteuerungen und anderen Steuergeräten eingesetzt werden, verwendet werden.

Merkmale:

• Durchschlagsfestigkeit: Bis zu 12 KV • Spezialkonstruktion für niedrige Induktions- und Kapazitätswerte • Einfacher Anschluss an Kontakte mit M5-Schrauben • Kalibrierte Fassung vereinfacht Montage

Electrical Elektrische Spezifikationen:

• Widerstandstoleranz: ±10 % Std. • Max. Betriebsspannung: 5000 V DC • Nennleistung: 600 W bei 70 °C Kühlkörpertemperatur • Temperaturkoeffizient: ±150 ppm/°C • Betriebstemperaturbereich: -55 °C ~ 150 °C • Elektrische Spannungsfestigkeit: Bis zu 12000 Vrms, 50 HZ, 1 min. bei 500 V • Isolationswiderstand: min. 10 GΩ bei 500 V • Luftabstand: min. 14 mm • Induktivität: ≤80 nH

WIDERSTANDSWERTTABELLE

Wert (Code)	Wert (Code)	Wert (Code)	Wert (Code)
1 (1R0)	5 (5R0)	50 (50R)	1000 (1K0)
2 (2R0)	10 (10R)	75 (75R)	10000 (10K)
3 (3R0)	22 (22R	100 (100)	
4 (4R0)	30 (30R)	500 (500)	

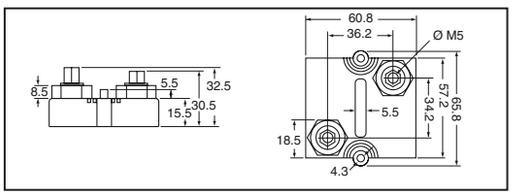

Widerstandsbereich (Ω)	Leistung	Digi-Key* Teilenr.	Stückpreis 1	10	25	50
1 ~ 10000 (Siehe Tabelle)	600W	TAP600K(Code)-ND	87.45	68.06	62.39	54.01

*Um die vollständige Teilenummer zu erhalten, ersetzen Sie Folgendes durch den entsprechenden Code aus der Widerstandswerttabelle für (Code).

TAP1000 Planar-Widerstände - 1.000 W, Kühlkörper-montierbar

Die Widerstände der Serie TAP1000 liefern 1.000 W kontinuierlicher Leistung mit Dickschicht auf Aluminiumoxidsubstrat-Technologie. Der bis zu 30 % kleinere TAP1000 liefert das 2- bis 4-Fache der Stromdissipation von traditionellen Widerständen mit Kühlkörper-Technologie. Die TAP1000-Widerstände sind zur Verwendung mit flüssigkeitsgekühlten Kühlkörpern konzipiert und bei richtiger Montage in der Lage, 1.000 W kontinuierlicher Leistung zu absorbieren (bei 70 °C Basistemperatur).
Mit der höchsten für eine Kühlkörper-Bauart verfügbaren Leistung ist der TAP1000 gut geeignet für Stromaufbereitungs-, Leistungsverteiler-, Stromwandler- und Stromsteueranwendungen. Die aus robusten, leichten Materialien hergestellte TAP1000-Einheit lässt sich problemlos konzipieren und montieren.

Merkmale: • Ableitung von 1.000 W bei 70 °C Montageplattentemperatur • H Hohe Energieleistung • Niedrige Induktivität • Widerstandselement elektrisch isoliert • Hohe Durchschlagsfestigkeit • Kleine Grundfläche

Anwendungen: • Leistungs-Halbleiter-Ausgleich • Motorsteuerung • Einschaltstrombegrenzung

Materialspezifikationen: Widerstandselement - Dickschicht auf Aluminiumsubstrat

Elektrische Spezifikationen: • Widerstandstoleranz: ±10 % Std. • Max. Betriebsspannung: 2.000 V DC • Nennleistung: 1.000 W @ 70 °C • TTemperaturkoeffizient: ±250 ppm/°C • Durchschlagsfestigkeit: 6 KV • Betriebstemperaturbereich: -55 °C ~ 150 °C

Gehäusedaten: • Anschlussschrauben (Nr. 10 - 32), max. Kontakt-Drehmoment: 10 in-lb. • Montageschrauben (Nr. 8 - 32), max Montage-Drehmoment: 15 in-lb.

WIDERSTANDSWERTTABELLE

Wert (Code)
2.5 (2R50)
3.0 (3R00)
5.0 (5R00)
8.0 (8R00)
10 (10R0)
15 (15R0)
25 (25R0)
30 (30R0)
50 (50R0)

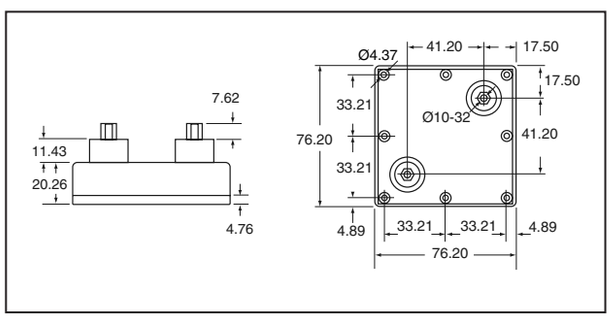

Widerstandsbereich (Ω)	Leistung	Digi-Key* Teilenr.	Stückpreis 1	10	25	50
2.5 ~ 50 (Siehe Tabelle)	1000W	TA1K0PH(Code)K-ND	104.64	88.95	78.48	68.02

* Um die vollständige Teilenummer zu erhalten, ersetzen Sie Folgendes durch den entsprechenden Code aus der Widerstandswerttabelle für (Code).

Serie TL88 - Dickschicht-Widerstände, Kühlkörper-montierbar

Die Serie TL88 ist die Kühlkörper-Option unter den Dickschicht-Widerständen. Das Widerstandselement ist mit Plastik isoliert, und symmetrische Aluminiumprofil-Schnellanschlussklemmen ermöglichen eine einfache Kühlkörpermontage. Die selbstisolierende Gehäusekonstruktion verbessert die Haltespannungseigenschaften im Vergleich zu herkömmlichen Aluminiumgehäusen. Durch das Inline-Montageprofil ist die Serie TL88 gut an die meisten Kühlkörpersysteme anpassbar. Bei der Wärmeableitung wird immer ein hitzebeständiges Material empfohlen.

Merkmale: • Sehr geringe Induktivität • Niedrigprofildesign • Inline-Montageprofil • 1/4" Schnellanschlussklemmen

Anwendungen: • Halbleiter-Ausgleich • Frequenz-Konverter • Snubber • Einschaltstrombegrenzer • Entladewiderstände • Leistungsschaltung • Spannungsteiler

Material-Spezifikationen: • Widerstandselement: Dickschicht auf Aluminiumoxid • Gehäuse: Aluminium • Isolierung: Glas, verstärkt mit hitzebeständigem Valox® • Anschlüsse: Verzinntes Messing

Elektrische Spezifikationen: • Toleranz: ±10 % Std. • Temperaturkoeffizient: ±250 PPM • Arbeits-spannung: 1.200 V AC • Temperaturbereich: -40 °C ~ 125 °C • Luftabstand, Anschluss zu Erde: 7 mm • Induktivität: 50-100 nH • Max. Spannung zwischen Anschlüssen: 2.500 V

WIDERSTANDSWERTTABELLE

Wert (Code)	Wert (Code)
1 (1R00)	47 (47R0)
3 (3R00)	50 (50R0)
5 (5R00)	75 (75R0)
10 (10R0)	100 (100R)
15 (15R0)	240 (240R)
25 (25R0)	470 (470R)
33 (33R0)	

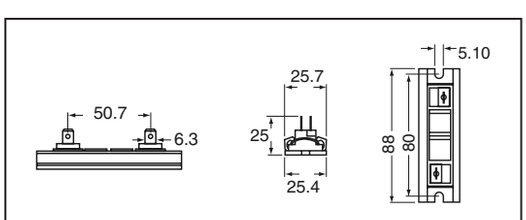

Widerstandsbereich (Ω)	Leistung †	Digi-Key* Teilenr.	Stückpreis 1	10	50	100
1 ~ 470 (Siehe Tabelle)	114W	TL88K(Code)-ND	44.70	37.25	14.91	11.18

* Um die vollständige Teilenummer zu erhalten, ersetzen Sie Folgendes durch den entsprechenden Code aus der Widerstandswerttabelle für (Code).
† Nennleistung für Widerstände mit korrekter Wärmeableitung.

F

Serie TA Power Chip® Widerstände - Dickschicht auf Aluminiumsubstrat - 5, 10 und 25 W

Ohmite Power Chip-Widerstände bestehen aus Dickschicht auf Aluminiumoxidsubstrat mit kupferbeschichteten Silberleitern, Rutheniumoxid-Widerstandsmaterial und einer Glaspassivierung. Diese Widerstände verfügen über sehr niedrige Induktivität (50 nh bei 1 MHz) und hervorragende Leistungsdichte (10 W/in2). Die periodische Sperrkapazität entspricht dem 5-fachen der Nennleistung, solange eine Sekunde mittlerer Dissipation gleich oder unter der Freiluftmessung bleibt. **Merkmale:** • Großer Widerstandsbereich • Niedrige Induktivität • Hohe Leistungsdichte • Einfache Installation • PC-montierbar **Material:** • Anschlüsse: Lötzinnbeschichtete Phosphorbronze • Beschichtung: Glas **Elektrische Daten:** • Widerstandstoleranz: ±5 % • Nennleistung: Basierend auf 25 °C Freiluft mit linearer Leistungsminderung auf 0 W bei 350 °C • Maximale Betriebsspannung: 350 V AC, 500 V DC durch Glas 1.000 V AC, 1.500 V DC durch Substrat • Überlast: Fünffaches der Nennleistung, solange eine Sekunde mittlerer Dissipation nicht die Nennleistung übersteigt • DR: ±2%, 2.000 Stunden • Lastminderung: Linear von 100 % @ 25 °C ~ 0 % @ 350 °C

5 W

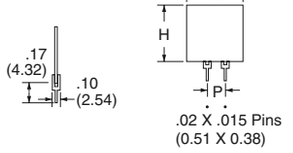

10 und 25 W

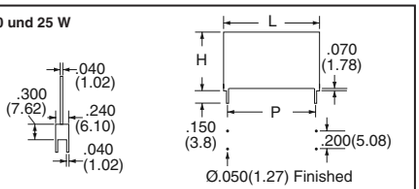

Serie	Maximale Abmessungen - Zoll (mm)		
	P	L (Länge)	H (Höhe)
TA205	.200 (5.08)	.50 (12.70)	1.00 (25.40)
TA810	.800 (20.32)	1.00 (25.40)	1.00 (25.40)
TA025	1.90 (48.3)	2.220 (56.39)	1.170 (29.70)

WIDERSTANDSWERTTABELLE

5 W		10 W		25 W	
Wert (Code)	Wert (Code)	Wert (Code)	Wert (Code)	Wert (Code)	Wert (Code)
1.0 (1R00)	15 (15R0)	200 (200R)	1.0 (1R00)	100 (100R)	2.0 (2R00)
1.2 (1R20)	18 (18R0)	240 (240R)	1.5 (1R50)	150 (150R)	3.0 (3R00)
1.5 (1R50)	20 (20R0)	300 (300R)	2.0 (2R00)	200 (200R)	3.9 (3R90)
1.8 (1R80)	24 (24R0)	330 (330R)	3.0 (3R00)	300 (300R)	5.1 (5R10)
2.0 (2R00)	30 (30R0)	390 (390R)	3.9 (3R90)	390 (390R)	8.2 (8R20)
2.4 (2R40)	33 (33R0)	470 (470R)	5.1 (5R10)	510 (510R)	20 (20R0)
3.0 (3R00)	39 (39R0)	510 (510R)	6.8 (6R80)	680 (680R)	30 (30R0)
3.3 (3R30)	47 (47R0)	560 (560R)	8.2 (8R20)	820 (820R)	39 (39R0)
3.9 (3R90)	51 (51R0)	680 (680R)	10 (10R0)	1K (1K00)	51 (51R0)
4.7 (4R70)	56 (56R0)	820 (820R)	15 (15R0)	1.5K (1K50)	82 (82R0)
5.1 (5R10)	68 (68R0)	1K (1K00)	20 (20R0)	2.0K (2K00)	200 (200R)
5.6 (5R60)	82 (82R0)	1.2K (1K20)	30 (30R0)		300 (300R)
6.8 (6R80)	100 (100R)	1.5K (1K50)	39 (39R0)		390 (390R)
8.2 (8R20)	120 (120R)	1.8K (1K80)	51 (51R0)		510 (510R)
10 (10R0)	150 (150R)	2K (2K00)	68 (68R0)		820 (820R)
12 (12R0)	180 (180R)	2.4K (2K40)	82 (82R0)		2.0K (2K00)

Widerstands-bereich (Ω)	Leistung	Digi-Key* Teilenr.	Stückpreis 1	50	100	500
1.0 ~ 2.4K	5	TA205PA(Code)J-ND	1.27	1.09	.89	.77
1.0 ~ 2.0K	10	TA810PW(Code)J-ND	2.96	2.38	1.70	1.57
2.0 ~ 2K	25	TA025PW(Code)J-ND	4.95	4.41	3.72	2.73

* Um die vollständige Teilenummer zu erhalten, ersetzen Sie Folgendes durch den entsprechenden Code aus der Widerstandswerttabelle für (Code).

Metalloxid/Epoxid-beschichtete Widerstände

"Mini-Mox" Präzisions-Dickschichtwiderstände, axial

Anwendungen: • Luftfahrt • Medizinische Elektronik • Rückkopplungsanwendungen mit hoher Verstärkung • Pulsstrombegrenzer • Vakuum- und Raumanwendungen

Material: • Widerstand: Metalloxid • Beschichtung: Epoxid • Kern: Aluminiumoxid • Anschlüsse: Lötbeschichtete Axialleiter

Elektrische Daten: • Betriebstemperatur: -55 °C ~ 220 °C • Dielektrische Haltespannung: 750 V

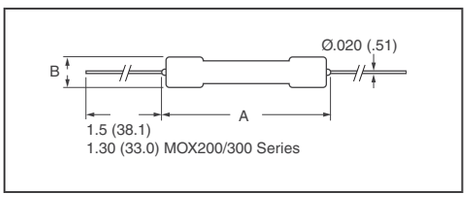

Serie	Spannungsbewertung	Abmessungen Zoll (mm) A ±.015"	B Max.
MOX-200	500V	0.300 (7.62)	0.105 (2.67)
MOX-300	1000V	0.435 (11.05)	0.145 (3.68)
MOX-400-23	2500V	0.580 (14.78)	0.165 (4.19)
MOX-750-23	5000V	0.880 (22.35)	0.165 (4.19)
MOX1125-23	7500V	1.270 (32.26)	0.165 (4.19)

Widerstands-bereich (Ω)	Toleranz	Leistung	Digi-Key Teilenr.	Stückpreis 1	10	50	100
Bleifrei/RoHS-konform							
10M 100M 1,000M	±1%	.25	MOX200F-10ME-ND	2.12	1.85	1.48	.98
			MOX200F-100ME-ND	3.62	3.14	1.96	1.48
			MOX200F-1000ME-ND	12.39	9.91	6.44	6.29
	±5%	.25	MOX200J-10ME-ND	1.72	1.49	1.27	.78
			MOX200J-100ME-ND	2.57	2.23	1.40	.98
			MOX200J-1000ME-ND	3.12	2.49	2.25	1.76
	±1%	.50	MOX300F-10ME-ND	3.62	2.60	1.87	1.55
			MOX300F-100ME-ND	4.26	3.20	2.30	1.61
			MOX300F-1000ME-ND	11.62	6.73	5.13	4.30
	±5%	.50	MOX300J-10ME-ND	2.95	2.11	1.53	1.27
			MOX300J-100ME-ND	3.01	2.11	1.53	1.27
			MOX300J-1000ME-ND	5.11	3.00	2.26	1.90
Bleigehalt							
10M 100M 1,000M	±5%	.25	MOX200J-10M-ND	1.72	1.49	1.27	.78
			MOX200J-100M-ND	2.57	2.23	1.40	.98
	±1%	.50	MOX300F-100M-ND	4.26	3.20	2.30	1.61
	±5%	.50	MOX300J-100M-ND	3.01	2.11	1.53	1.27
	±1%	.75	MOX400F-(Wert)-ND	6.00	3.52	2.74	2.27
	±5%	.75	MOX400J-(Wert)-ND	3.81	2.46	1.85	1.46
	±1%	1.0	MOX750F-(Wert)-ND	6.60	3.92	3.09	2.61
	±5%	1.0	MOX750J-(Wert)-ND	4.48	3.00	2.17	1.71
	±1%	1.5	MOX1125F-(Wert)-ND	8.73	4.55	3.83	3.31
	±5%	1.5	MOX1125J-(Wert)-ND	5.81	3.33	2.49	2.23

Präzisions-Dickschicht-Widerstände - Serie Maxi-Mox

Anwendungen: • Hochsp.-Stromversorgung • Stromverteilung • Medizinische Geräte • Luftfahrt

Material: • **Kern:** Aluminiumoxid • **Widerstand:** Dickschicht

Elektrische Daten: • Betriebstemperatur: -55 °C ~ 220 °C

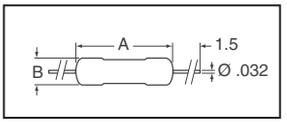

Serie	Maximale Abmessungen Zoll (mm) A	B
MOX-1-12	1.12 (28.45)	0.31 (7.87)
MOX-2-12	2.12 (53.85)	0.31 (7.87)

Widerstands-wert (Ω)	Toleranz	Leistung	Digi-Key Teilenr.	Stückpreis 1	10	50	100
10M 100M 1,000M	±1%	2.5	MOX1F-(Wert)-ND	6.22	3.16	2.84	2.27
	±5%	2.5	MOX1J-(Wert)-ND	5.62	2.86	2.56	2.05
	±1%	5	MOX2F-(Wert)-ND	8.51	4.33	3.90	3.12
	±5%	5	MOX2J-(Wert)-ND	7.69	3.91	3.52	2.82

Präzisions-Dickschicht-Planarwiderstände - Serie Slim-Mox

Merkmale: • Hoch dielektrische Epoxidbeschichtung mit geringer Gasabgabe • Geringes Widerstandsrauschen • Induktionsfrei

Anwendungen: • Hochsp.-Stromversorgung • Medizinische Geräte • Pulsstrombegrenzer • Ionisierungskammern

Material: • Widerstand: Dickschicht auf Aluminiumoxid

Elektrische Daten: • Betriebstemperatur: -55 °C ~ 110 °C

Serie	Abmessungen - Zoll (mm)) A Max.	B Max.	C ±.025	D ±.002
SLIM-MOX102	0.34 (8.64)	0.58 (14.73)	0.40 (10.16)	0.032 (.813)
SLIM-MOX104	0.34 (8.64)	1.08 (27.43)	0.90 (22.86)	0.032 (.813)
SLIM-MOX108	0.34 (8.64)	2.08 (52.83)	1.90 (48.26)	0.032 (.813)
SLIM-MOX204	0.59 (14.99)	1.08 (27.43)	0.90 (22.86)	0.032 (.813)

Widerstands-bereich (Ω)	Toleranz	Leistung	Digi-Key* Teilenr.	Stückpreis 1	10	50	100
1K ~ 1000M	±5%	1	SM102J-(Wert)-ND	3.52	3.11	2.54	1.60
10M, 100M, 1000M	±1%	1	SM102F-(Wert)-ND	3.52	3.05	2.55	1.66
200K ~ 5000M	±1%	1	SM102F-(Wert)-ND	3.75	3.30	2.70	1.70
10M ~ 1000M	±5%	1.5	SM104J-(Wert)-ND	3.17	2.80	2.33	1.39
10M, 100M, 1000M	±1%	1.5	SM104F-(Wert)-ND	3.62	3.16	2.64	1.71
200K ~ 5000M	±1%	1.5	SM104F-(Wert)-ND	3.84	3.38	2.77	1.75
200K ~ 5000M	±1%	2.5	SM108F-(Wert)-ND	4.73	4.17	3.41	2.15
1K ~ 1000M	±5%	2	SM204J-(Wert)-ND	4.99	3.33	2.66	2.00
10M ~ 1000M	±1%	2	SM204F-(Wert)-ND	5.84	3.99	3.32	2.37

* Für die vollständige Teilenummer, setzen Sie den entsprechenden Wert aus der Widerstandswerttabelle ein.

WIDERSTANDSWERTTABELLE SM204F, 1%

Wert	Wert	Wert
10M	100M	1000M

WIDERSTANDSWERTTABELLE SM104J, 5%

Wert	Wert	Wert
10M	100M	1000M

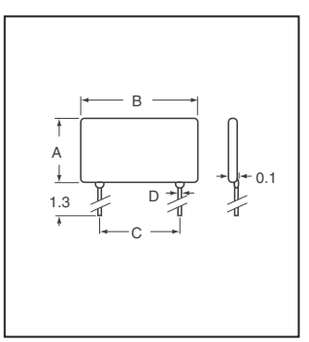

WIDERSTANDSWERTTABELLE SM102F und SM104F, 1 %

Wert	Wert	Wert	Wert
200K	4M	50M	1000M
300K	5M	100M	2000M
400K	10M	200M	3000M
500K	20M	300M	4000M
2M	30M	400M	5000M
3M	40M	500M	

WIDERSTANDSWERTTABELLE SM108F, 1%

Wert	Wert	Wert	Wert
200K	4M	200M	4000M
300K	5M	300M	5000M
400K	20M	400M	
500K	30M	500M	
2M	40M	2000M	
3M	50M	3000M	

WIDERSTANDSWERTTABELLE SM102J und SM204J, 5%

Wert	Wert	Wert	Wert
1K	20K	250K	2.5M
2.5K	25K	500K	5M
5K	50K	750K	10M
7.5K	75K	1M	25M
10K	100K	1.25M	50M
12.5K	125K	1.5M	100M
15K	150K	1.75M	1000M
17.5K	200K	2M	

F

Alle Preisangaben in Euro und inklusive Zollgebühren.

Präzisionsstromabtastwiderstände - Serie CS3

Die Serie CS3 verwendet hochmoderne Technologie und bietet einen extrem zuverlässigen, induktionsfreien Widerstand. Das macht den CS3 ideal für zahlreiche Stromüberwachungs- und Steueranwendungen.

Merkmale: • Werte ab 1 mΩ • Induktionsfreie Konstruktion • Kelvin-Anschluss (Vierleiteranschluss) • 100 %-ige Messgenauigkeit

Spezifikationen: Material: • Anschlussmaterial: Kelvin-Anschlüsse; Silberbeschichtet u. verzinnt • Verkapselung: Polyester über Widerstandselement

Elektrische Daten: • Widerstandstoleranz: 1 % • Temperaturkoeffizient: TC bezieht sich auf 25 °C, ΔR gemessen bei 15 °C und 105 °C, 60 ppm/°C • Nennleistung: 3 W bei 70 °C max. 40 A permanent

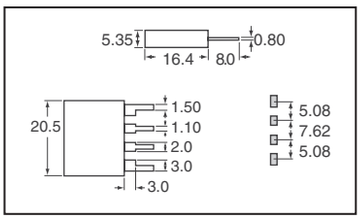

WIDERSTANDSWERTTABELLE

Wert (Code)	Wert (Code)	Wert (Code)
.001 (R001)	.010 (R010)	.030 (R030)
.002 (R002)	.015 (R015)	.036 (R036)
.003 (R003)	.020 (R020)	.050 (R050)
.005 (R005)	.025 (R025)	

Widerstands-bereich (Ω)	Leistung	Digi-Key* Teilenr.	Stückpreis 1	10	50
.001 ~ .050	3	CS3F(Code)-ND	8.58	7.62	6.67

* Um die vollständige Teilenummer zu erhalten, ersetzen Sie Folgendes durch den entsprechenden Code aus der Widerstandswerttabelle für (Code).

Serie WL - Mini-Stromsensorwiderstände, drahtgewickelt

Merkmale: • Serie mit ultraniedrigem Ohm-Wert für Stromabtast-Anwendungen • Sehr niedriger Induktivitätswert (<1 nH bei 1-MHz-Test) zur Erfüllung der strengsten elektronischen Anforderungen • Miniatur-Abmessungen, bessere Leistung-Größen-Verhältnisse • Verwendung der besten Standard-Keramikkerne (96 % Aluminiumoxid) • Durch Epoxidformungsverbund verkapselt

Spezifikationen: Material: • Keramikkern: CeramTec Rubalit® 708 96% Aluminiumoxid • Endkappen: Edelstahl, präzisionsgeformt • Anschlüsse: Kupferdraht, 100 % Sn (bleifrei) -beschichtet • CN49W Legierungswiderstandsdraht TC ±20 ppm/°C • Verkapselung: SUMICON 1100/1200 Epoxidformverbund für IC-Verkapselung **Elektrik: Toleranz:** ±1 %

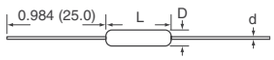

Typ	Abmessungen – Zoll. (mm) L	D	d
WLA	.200 (5.08)	.10 (2.54)	.024 (.60)
WLB	.276 (7.00)	.12 (3.00)	.024 (.60)
WLC	.450 (11.4)	.27 (6.86)	.031 (.80)

Widerstands-bereich (Ω)	Nennleistung (Watt)	Digi-Key* Teilenr.	Gurtabschnittspreis pro Stück 1	25	100	Digi-Key* Teilenr.	Preisangaben für Gegurtet auf Rolle 1.000
.005 ~ .100	0.5	WLA(Code)FCT-ND	.72	.65	.58	WLA(Code)FTR-ND	406.37
.005 ~ .100	1.0	WLB(Code)FCT-ND	.72	.65	.58	WLB(Code)FTR-ND	406.37
.010 ~ .100	2.0	WLC(Code)FCT-ND	.72	.65	.58	WLC(Code)FTR-ND	406.37

*Um die vollständige Teilenummer zu erhalten, ersetzen Sie Folgendes durch den entsprechenden Code aus der Widerstandswerttabelle für (Code).

WIDERSTANDSWERTTABELLE

WLA Wert (Code)	WLB Wert (Code)	WLC Wert (Code)
.005 (R005)	.005 (R005)	.010 (R010)
.010 (R010)	.010 (R010)	.015 (R015)
.015 (R015)	.015 (R015)	.020 (R020)
.020 (R020)	.020 (R020)	.025 (R025)
.025 (R025)	.025 (R025)	.030 (R030)
.030 (R030)	.030 (R030)	.050 (R050)
.050 (R050)	.050 (R050)	.100 (R100)
.100 (R100)	.100 (R100)	

Serie 10 - Form-Silikon Axialleiter-Widerstände

Ideal für Stromabtastung

Elektrische Spezifikationen:
• **Widerstandstoleranz:** ±1 % (Typ F) • **Nennleistung:** Basierend auf 25 °C Freiluftmessung • **Überlast:** 5 x Nennleistung für 5 Sekunden • **Dielektrische Haltespannung:** *2 W* – 500 VRMS, *3 und 5 W* – 1000 VRMS • **Isolationswiderstand:** Nicht unter 1.000 MΩ •**Betriebstemperaturbereich:** -55°C ~ 275°C

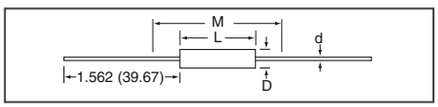

W	Maximale Abmessungen - mm D	L	d	M
2	2.64	10.57	.86	29.36
3	5.46	14.48	.86	33.27
5	8.64	23.50	1.07	42.55

WIDERSTANDSWERTTABELLE

Serie 12F Wert (Code)	Serie 13F Wert (Code)	Serie 15F Wert (Code)
.005 (R005)	.005 (R005)	.005 (R005)
.010 (R010)	.010 (R010)	.010 (R010)
.015 (R015)	.015 (R015)	.015 (R015)
.020 (R020)	.020 (R020)	.020 (R020)
.025 (R025)	.025 (R025)	.025 (R025)
.030 (R030)	.030 (R030)	.030 (R030)
.040 (R040)	.040 (R040)	.040 (R040)
.050 (R050)	.050 (R050)	.050 (R050)
.070 (R070)	.070 (R070)	.070 (R070)
	.100 (R100)	.100 (R100)
	.150 (R150)	.150 (R150)
	.200 (R200)	.200 (R200)
		.250 (R250)
		.300 (R300)

Widerstands-bereich (Ω)	Leistung	Digi-Key* Teilenr.	Stückpreis 1	10	100	250
.005 ~ .020	2	12F(Code)-ND	1.32	1.19	1.06	1.00
.025 ~ .040	2	12F(Code)-ND	1.30	1.18	1.05	.99
.050	2	12F(Code)-ND	1.23	1.11	.99	.93
.070	2	12F(Code)-ND	1.32	1.19	1.06	1.00
.005	3	13F(Code)-ND	1.31	1.19	1.05	.99
.010 ~ .015	3	13F(Code)-ND	1.24	1.11	1.00	.94
.020 ~ .030	3	13F(Code)-ND	1.19	1.07	.95	.89
.040 ~ .050	3	13F(Code)-ND	1.17	1.05	.94	.89
.070 ~ .200	3	13F(Code)-ND	1.31	1.19	1.05	.99
.005	5	15F(Code)-ND	—	—	1.26	—
.010 ~ .030	5	15F(Code)-ND	1.52	1.37	1.22	1.14
.040 ~ .050	5	15F(Code)-ND	1.48	1.34	1.19	1.11
.070 ~ .300	5	15F(Code)-ND	1.46	1.32	1.17	1.10

* Um die vollständige Teilenummer zu erhalten, ersetzen Sie Folgendes durch den entsprechenden Code aus der Widerstandswerttabelle für (Code).

Serie 60S - Oberflächenmontierte Metallplatten-Stromsensorwiderstände

602SJ und 605SJ

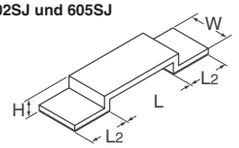

610SJ

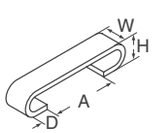

Typ	Maximale Abmessungen - mm L	L2	H	W	D	A
602SJ	10.0	2.0	0.6	3.0	—	—
605SJ	10.0	2.0	2.0	5.2	—	—
610SJ	—	—	3.5	3.2	2.35	4.8

Spezifikationen:
• **Toleranz:** ±5 %
• **T.C.R. (ppm/C°):**
602SJ und 605SJ: 70 °C;
610SJ: 85 °C
• **Nennumgebungstemperatur:**
602SJ und 605SJ: 70 °C;
610SJ: 85 °C
• **Betriebstemperaturbereich:** -40 °C ~ 155 °C

WIDERSTANDSWERTTABELLE

Wert (Code) 0,25 W 602SJ	Wert (Code) 0,5 W 605SJ	Wert (Code) 1 W 610SJ
.003 (R00300)	.002 (R00200)	.002 (R00200)
.005 (R00500)	.00375 (R00375)	.003 (R00300)
	.005 (R00500)	
	.008 (R00800)	

Widerstands-bereich (Ω)	Nennleistung (Watt)	Digi-Key* Teilenr.	Mengenpreis pro Stück 1	10	100	Digi-Key* Teilenr.	Gegurtet auf Rolle Größe	Preisangaben
.003 ~ .005	0.25@25°C	602SJ(Code)BK-ND	.85	.75	.64	602SJ(Code)TR-ND	2,000	507.96/M
.002 ~ .008	0.5@25°C	605SJ(Code)BK-ND	.85	.75	.64	605SJ(Code)TR-ND	2,000	507.96/M
.002 ~ .003	1@70°C	610SJ(Code)BK-ND	.85	.75	.64	610SJ(Code)TR-ND	1,500	507.96/M

* Um die vollständige Teilenummer zu erhalten, ersetzen Sie Folgendes durch den entsprechenden Code aus der Widerstandswerttabelle für (Code).

Serie 60 - Metallelementwiderstände mit Stromsensor

Diese induktionsfreien Widerstände bieten eine zuverlässige und kostengünstige Alternative zu herkömmlichen Widerständen.

Merkmale:
• Niedrige Induktivität • Preiswert • Drahtwiderstand-Eigenschaften • Feuerbeständig

Material:
• Widerstand: Nichrome-resistives Element • Anschlüsse: Kupferkaschierter Stahl oder Kupfer - je nach Bauart

Lastminderung:
• Linear von 100 % @ 25 °C ~ 0 % @ 275 °C

Elektrische Daten:
• Nennleistung: Basierend auf 25 °C Umgebung • Überlast: 5-fache Nennleistung für 5 Sekunden • Induktivität: <10 nh • Um max. Spannung zu berechnen, Formel √P/R verwenden

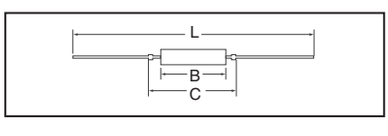

WIDERSTANDSWERTTABELLE

604HR Wert (Code)	605HR Wert (Code)	607HR Wert (Code)	610HR Wert (Code)	615HR Wert (Code)	620HR Wert (Code)	630HR Wert (Code)
.01 (010)	.01 (010)	.005 (005)	.005 (005)	.010 (010)	.005 (005)	.010 (010)
.02 (020)	.02 (020)	.050 (050)	.010 (010)	.020 (020)		.025 (025)
.025 (025)	.03 (030)		.020 (020)	.030 (030)		.050 (050)
	.10 (100)		.030 (030)			
			.050 (050)			

Widerstands-bereich (Ω)	Toleranz	Leistung	Digi-Key* Teilenr.	Stückpreis 1	100	1.000
.01 ~ .025	±3%	.375	604HR(Code)-ND	.36	.31	.25
.01 ~ .10	±3%	.50	605HR(Code)-ND	.36	.31	.25
.005 ~ .050	±3%	.75	607HR(Code)-ND	.36	.31	.25
.005 ~ .050	±3%	1	610HR(Code)-ND	.36	.31	.25
.010 ~ .030	±3%	1.5	615HR(Code)-ND	.36	.31	.25
.005	±3%	2	620HR(Code)-ND	.36	.31	.25
.010 ~ .050	±3%	3	630HR(Code)-ND	.36	.31	.25

*Um die vollständige Teilenummer zu erhalten, ersetzen Sie Folgendes durch den entsprechenden Code aus der Widerstandswerttabelle für (Code).

Teilenummer	Abmessungen - Zoll L	B max.	C	Leiter Ga.
604HR010	3.530	.250	.559	22
604HR020	3.530	.250	.559	22
604HR025	3.530	.250	.559	22
605HR010	3.685	.330	1.310	20
605HR020	3.685	.330	1.310	20
605HR030	3.685	.330	1.310	20
605HR100	3.981	.700	1.675	18
607HR050	3.587	.650	1.106	20
607HR005	3.674	.320	1.310	20
610HR005	3.587	.650	1.106	20
610HR010	3.587	.650	1.106	20
610HR020	3.587	.650	1.106	20
610HR030	3.587	.650	1.106	20
610HR050	3.981	.750	1.675	18
615HR010	3.981	.750	1.675	18
615HR020	3.981	.750	1.675	18
615HR030	3.981	.750	1.675	18
620HR005	3.981	.650	1.675	18
630HR010	3.000	1.273	1.310	18
630HR025	3.384	1.264	1.694	18
630HR050	3.900	1.780	2.210	18

F

OHMITE® Serie RW - Stromsensorwiderstände m. vier Anschlüssen - 1 W

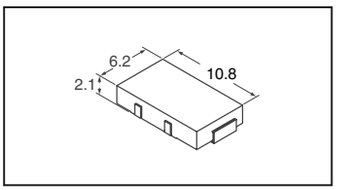

WIDERSTANDS-WERTTABELLE

Wert (Code)
.005 (R005)
.010 (R010)
.025 (R025)
.050 (R050)

Merkmale: • Besonders niedriger Widerstand und äußerst präzise Toleranz • Niedriger erzielter TCR (±50 ppm/°C) • Flammenbeständig gemäß UL94-V-0 • Markierung: schwarze Körperfarbe mit weißer Aufschrift

Spezifikationen: • **Dielektrische Haltespannung:** 500V • **(Max.) TCR:** ±50 ppm/°C • **Umgebungs-Nenntemperatur:** 70 °C • **Betriebstemperaturbereich:** -55°C ~ 125°C

Widerstandsbereich (Ω)	Toleranz	Digi-Key* Teilenr.	Mengenpreis pro Stück 1	10	100	Digi-Key* Teilenr.	Preisangabe für Gegurtet auf Rolle 1.000
.005 ~ .050	±1%	RW1S0CK(Code)FBK-ND	4.57	3.05	2.76	RW1S0CK(Code)FTR-ND	2370.47
.005 ~ .050	±0.5%	RW1S0CK(Code)DBK-ND	4.86	3.24	2.97	RW1S0CK(Code)DTR-ND	2497.47

*Um die vollständige Teilenummer zu erhalten, ersetzen Sie Folgendes durch den entsprechenden Code aus der Widerstandswerttabelle für (Code).

Glasierte Hochleistungs-Drahtwiderstände – 8 u. 12 W

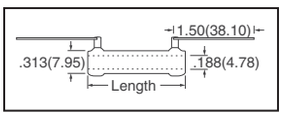

	B8J	B12J
Max. Spannung	250	625
Überlast	10-fache Nennleistung für 5 Sekunden	
Länge	1.000" (25.40mm)	1.750" (44.45mm)

WIDERSTANDSWERTTABELLE

Wert (Code)	Wert (Code)	Wert (Code)	Wert (Code)	Wert (Code)
2.0 (2R0)	75 (75R)	600 (600)	3.5K (3K5)	12.0K (12K)
3.0 (3R0)	100 (100)	750 (750)	4.0K (4K0)	15.0K (15K)
5.0 (5R0)	125 (125)	900 (900)	4.5K (4K5)	20.0K (20K)
7.5 (7R5)	150 (150)	1.0K (1K0)	5.0K (5K0)	25.0K (25K)
10 (10R)	200 (200)	1.2K (1K2)	6.0K (6K0)	40.0K (40K)
15 (15R)	250 (250)	1.25K (1K25)	7.0K (7K0)	50.0K (50K)
20 (20R)	300 (300)	1.5K (1K5)	7.5K (7K5)	
25 (25R)	400 (400)	2.0K (2K0)	8.0K (8K0)	
35 (35R)	450 (450)	2.5K (2K5)	9.0K (9K0)	
50 (50R)	500 (500)	3.0K (3K0)	10.0K (10K)	

Widerstandsbereich (Ω)	Leistung	Digi-Key* Teilenr.	Stückpreis 1	25	100	250
5.0 ~ 7.5	8	B8J(Code)-ND	2.44	2.20	1.95	1.72
10 ~ 500	8	B8J(Code)-ND	2.35	2.12	1.88	1.66
600 ~ 1.5K	8	B8J(Code)-ND	2.18	1.97	1.75	1.54
2.0K ~ 9.0K	8	B8J(Code)-ND	2.23	2.01	1.78	1.56
10.0K	8	B8J(Code)-ND	—	2.18	—	—
2.0 ~ 7.5	12	B12J(Code)-ND	2.35	2.12	1.88	1.66
10 ~ 900	12	B12J(Code)-ND	2.08	1.88	1.67	1.46
1.0K ~ 1.5K	12	B12J(Code)-ND	2.26	2.04	1.82	1.59
2.0K ~ 4.0K	12	B12J(Code)-ND	2.32	2.10	1.86	1.63
4.5K ~ 9.0K	12	B12J(Code)-ND	2.44	2.20	1.95	1.72
10.0K ~ 15.0K	12	B12J(Code)-ND	2.50	2.26	2.00	1.76
20.0K ~ 40.0K	12	B12J(Code)-ND	2.59	2.33	2.08	1.82
50.0K	12	B12J(Code)-ND	3.26	2.94	2.61	2.29

*Um die vollständige Teilenummer zu erhalten, ersetzen Sie Folgendes durch den entsprechenden Code aus der Widerstandswerttabelle für (Code).

Glasierte Hochleistungs-Drahtwiderstände – 25, 50, 100, 225 W

Einstellbarer mit Laschen - Typ 210 D25K, D50K, D100K, D225K

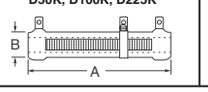

Fixiert mit Laschen - Typ 270 L25J, L50J, L100J, L225J

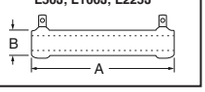

WIDERSTANDSWERTTABELLE

Wert (Code)	Wert (Code)	Wert (Code)
1.0 (1R0)	100 (100)	2.5K (2K5)
2.0 (2R0)	150 (150)	4.0K (4K0)
3.0 (3R0)	200 (200)	5.0K (5K0)
5.0 (5R0)	250 (250)	10.0K (10K)
10 (10R)	500 (500)	12.0K (12K)
25 (25R)	750 (750)	25.0K (25K)
50 (50R)	1.0K (1K0)	50.0K (50K)

	L25J/ D25K	L50J/ D50K	L100J/ D100K	L225J/ D225K
Max. Spannung	625	1625	2845	4595
Überlast	10-fache Nennleistung für 5 Sekunden			
DWV	1000VAC	1000VAC	1000VAC	3000VAC
Länge A	2" (50.80mm)	4" (101.60mm)	6.5" (165.10mm)	10.5" (266.70mm)
Durchmesser B	.5625" (14.29mm)	.5625" (14.29mm)	.750" (19.05mm)	1.125" (28.58mm)

Widerstandsbereich (Ω)	Leistung	Digi-Key* Teilenr.	Stückpreis 1	25	50	100
2.0, 3.0	25	L25J(Code)-ND	4.06	3.46	—	2.85
10, 25, 100, 500, 750	25	L25J(Code)-ND	3.87	3.29	—	2.71
1.0K, 2.5K	25	L25J(Code)-ND	4.06	3.45	—	2.84
4.0K, 5.0K	25	L25J(Code)-ND	4.10	3.48	—	2.87
10.0K, 12.0K	25	L25J(Code)-ND	4.91	4.18	—	3.44
25.0K	25	L25J(Code)-ND	4.91	4.18	—	3.44
50.0K	25	L25J(Code)-ND	5.27	4.49	—	3.70
1.0	25	D25K(Code)-ND	7.57	6.44	—	5.30
3.0, 5.0, 10, 25, 50, 100, 250, 500	25	D25K(Code)-ND	6.43	5.47	—	4.51
1.0	50	L50J(Code)-ND	6.08	5.17	—	4.26
2.0 ~ 5.0	50	L50J(Code)-ND	5.70	4.85	—	3.99
10, 25, 50, 100, 500	50	L50J(Code)-ND	5.59	4.75	—	3.92
1.0K, 5.0K	50	L50J(Code)-ND	5.54	4.71	—	3.88
1.0 ~ 3.0	50	D50K(Code)-ND	10.75	9.15	—	7.53
5.0	50	D50K(Code)-ND	10.56	8.98	—	7.40
10, 25, 50	50	D50K(Code)-ND	9.20	7.83	—	6.45
100, 500	50	D50K(Code)-ND	9.20	7.83	—	6.45
1.0K	50	D50K(Code)-ND	9.63	8.18	—	6.74
Montageklammer 25/50W‡	25	9-100-ND	1.13/2	—	.29	.19

Widerstandsbereich (Ω)	Leistung	Digi-Key* Teilenr.	Stückpreis 1	25	50	100
1.0, 2.0	100	L100J(Code)-ND	8.36	7.12	—	6.28
5.0	100	L100J(Code)-ND	8.04	6.85	—	6.04
10, 50	100	L100J(Code)-ND	7.62	6.48	—	5.72
100, 250	100	L100J(Code)-ND	7.45	6.34	—	5.59
1.0K	100	L100J(Code)-ND	7.16	—	—	—
1.0	100	D100K(Code)-ND	13.29	11.97	—	10.64
2.0,10	100	D100K(Code)-ND	12.94	11.65	—	10.36
50, 100, 250	100	D100K(Code)-ND	11.63	10.48	—	9.31
1.0K	100	D100K(Code)-ND	11.63	—	—	—
Montageklammer 100W‡	100	12-100-ND	2.46/2	—	.62	.40
1.0	225	L225J(Code)-ND	23.75	21.38	—	19.00
3.0, 5.0	225	L225J(Code)-ND	13.76	12.39	—	11.01
10, 50, 100	225	L225J(Code)-ND	11.94	10.75	—	9.55
250, 500	225	L225J(Code)-ND	11.39	10.26	—	9.11
1.0K	225	L225J(Code)-ND	11.01	9.91	—	8.81
1.0	225	D225K(Code)-ND	27.46	—	—	—
2.0, 3.0	225	D225K(Code)-ND	23.30	—	—	—
5.0	225	D225K(Code)-ND	21.02	—	—	—
10, 25, 50	225	D225K(Code)-ND	18.72	—	—	—
100, 150, 200, 250, 500, 1.0K	225	D225K(Code)-ND	15.81	14.23	12.65	—
Montageklammer 225W‡	225	18-100-ND	2.59/2	—	.65	.42

* Um die vollständige Teilenummer zu erhalten, ersetzen Sie Folgendes durch den entsprechenden Code aus der Widerstandswerttabelle für (Code).
‡ Erfordert 2 Halterungen pro Widerstand. ***HINWEIS:*** *Nicht jeder Wert ist für jede Leistung auf Lager. Siehe Tabelle.*

Geformte Mini-Drahtwiderstände Serie WH und Serie WN, nicht-induktiv

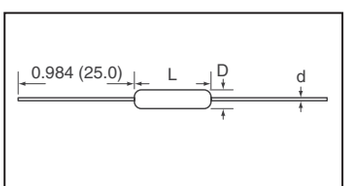

Typ	Abmessungen - Zoll (mm) L	D	d
WHA WNA	.200 (5.08)	.10 (2.54)	.024 (.60)
WHB WNB	.276 (7.00)	.12 (3.00)	.024 (.60)
WHC WNC	.450 (11.4)	.27 (6.86)	.031 (.80)

Merkmale: • Serie WN, Aryton Perry, gewickelt, nicht-induktiv • Induktivität <nH bei 1 MHz Test

Spezifikationen:
Material: • Keramikkern: CeramTec Rubalit® 708 96 % Aluminiumoxid • Endkappen: Edelstahl, präzisionsgeformt • Anschlüsse: Kupferdraht, 100 % Sn (bleifrei)-beschichtet • ISAOHM Legierungswiderstandsdraht TC ±20 ppm/°C • Verkapselung: SUMICON 1100/1200 Epoxidformverbund für IC-Verkapselung
Elektrik: Toleranz: **±1** %

WIDERSTANDSWERTTABELLEN

WHA Wert (Code)	WHA Wert (Code)	WHB Wert (Code)	WHB Wert (Code)	WHC Wert (Code)	WHC Wert (Code)	WNA (nicht-induktiv) Wert (Code)	WNA (nicht-induktiv) Wert (Code)	WNB (nicht-induktiv) Wert (Code)	WNB (nicht-induktiv) Wert (Code)	WNC (nicht-induktiv) Wert (Code)	WNC (nicht-induktiv) Wert (Code)
.10 (R10)	75 (75R)	.10 (R10)	100 (100)	.10 (R10)	75 (75R)	.50 (R50)	51 (51R)	.10 (R10)	75 (75R)	.10 (R10)	51 (51R)
.25 (R25)	100 (100)	.25 (R25)	150 (150)	.25 (R25)	100 (100)	.75 (R75)	75 (75R)	.25 (R25)	100 (100)	.50 (R50)	75 (75R)
.50 (R50)	150 (150)	.50 (R50)	200 (200)	.50 (R50)	150 (150)	1.0 (1R0)	100 (100)	.50 (R50)	150 (150)	.75 (R75)	100 (100)
.75 (R75)	200 (200)	.75 (R75)	250 (250)	.75 (R75)	200 (200)	5.0 (5R0)	150 (150)	.75 (R75)	200 (200)	1.0 (1R0)	150 (150)
1.0 (1R0)	250 (250)	1.0 (1R0)	330 (330)	1.0 (1R0)	330 (330)	10 (10R)	200 (200)	1.0 (1R0)	330 (330)	2.0 (2R0)	200 (200)
5.0 (5R0)	330 (330)	5.0 (5R0)	470 (470)	5.0 (5R0)	560 (560)	15 (15R)	250 (250)	5.0 (5R0)	560 (560)	5.0 (5R0)	330 (330)
10 (10R)	470 (470)	10 (10R)	560 (560)	10 (10R)	750 (750)	25 (25R)		10 (10R)	750 (750)	10 (10R)	470 (470)
15 (15R)	560 (560)	25 (25R)	750 (750)	15 (15R)	1.0K (1K0)			15 (15R)	1.0K (1K0)	15 (15R)	750 (750)
25 (25R)	750 (750)	51 (51R)	1.0K (1K0)	51 (51R)				51 (51R)		25 (25R)	1.0K (1K0)
51 (51R)	1.0K (1K0)	75 (75R)	2.5K (2K5)								

Widerstandsbereich (Ω)	Nennleistung (W)	Digi-Key* Teilenr.	Gurtabschnittspreis pro Stück 1	25	100	Digi-Key* Teilenr.	Preisangaben für Gegurtet auf Rolle 1.000
.10 ~ 1.0K	0.5	WHA(Code)FCT-ND	.68	.61	.55	WHA(Code)FTR-ND	380.97
.10 ~ 2.5K	1.0	WHB(Code)FCT-ND	.68	.61	.55	WHB(Code)FTR-ND	380.97
.10 ~ 1.0K	2.0	WHC(Code)FCT-ND	.68	.61	.55	WHC(Code)FTR-ND	380.97
.50 ~ 250	0.5	WNA(Code)FCT-ND	.75	.67	.60	WNA(Code)FTR-ND	414.83
.10 ~ 1.0K	1.0	WNB(Code)FCT-ND	.75	.67	.60	WNB(Code)FTR-ND	414.83
.10 ~ 1.0K	2.0	WNC(Code)FCT-ND	.75	.67	.60	WNC(Code)FTR-ND	414.83

*Um die vollständige Teilenummer zu erhalten, ersetzen Sie Folgendes durch den entsprechenden Code aus der Widerstandswerttabelle für (Code).

F

Alle Preisangaben in Euro und inklusive Zollgebühren.

OHMITE

Leistungswiderstände in Keramikgehäuse m. Radialanschlüssen

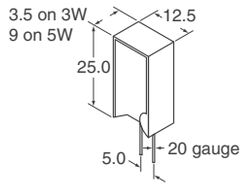

Abm. in mm

Widerstand-Serie	Nennstrom	Spannung	Element
TWW3	3W	250	Draht
TWW5	5W	350	Draht
TWM3	3W	250	Metalloxid
TWM5	5W	350	Metalloxid

Die Radialanschluss-Leistungswiderstände der Serie TWW/TWM führen im Vergleich zu Axialanschlüssen zu bedeutenden Platzeinsparungen auf der Karte. Die erzeugte Wärme wird ferner von der Karte fern gehalten. Empfohlen für kommerzielle Anwendungen, bei denen es auf niedrige Kosten ankommt.

Elektrische Spezifikationen:

	Serie TWW	Serie TWM
Widerstands-toleranz	±5 % Standard	±5 % Standard
Temperatur-koeffizient	.1Ω ~ 20Ω — ±400ppm/°C 20Ω ~ 47Ω — ±350ppm/°C	43Ω ~ 10KΩ — ±350ppm/°C
Dielektrische Haltespannung	1000VAC	1000VAC
Kurzzeitige Überlast	10-fache Nennleistung für 5 Sekunden	5-fache Nennleistung für 5 Sekunden

Widerstands-bereich (Ω)	Leis-tung	Digi-Key* Teilenr.	Stückpreis 1	100	300
.10 ~ 39	3	TWW3J(Code)-ND	.36	.33	.28
.10 ~ 47	5	TWW5J(Code)-ND	.38	.35	.29
43 ~ 10K	3	TWM3J(Code)-ND	.36	.33	.28
56 ~ 10K	5	TWM5J(Code)-ND	.38	.35	.29

* Um die vollständige Teilenummer zu erhalten, ersetzen Sie Folgendes durch den entsprechenden Code aus der Widerstandswerttabelle für (Code).

WIDERSTANDSWERTTABELLE

Wert	(Code)	Wert	(Code)	Wert	(Code)
.10	(R10)	7.5	(7R5)	560	(560)
.15	(R15)	8.2	(8R2)	680	(680)
.20	(R20)	10	(10R)	750	(750)
.27	(R27)	15	(15R)	820	(820)
.30	(R30)	20	(20R)	1.0K	(1K0)
.33	(R33)	27	(27R)	1.5K	(1K5)
.39	(R39)	30	(30R)	2.0K	(2K0)
.43	(R43)	33	(33R)	2.7K	(2K7)
.47	(R47)	39	(39R)	3.0K	(3K0)
.56	(R56)	43	(43R)	3.3K	(3K3)
.68	(R68)	47	(47R)	3.9K	(3K9)
.75	(R75)	56	(56R)	4.3K	(4K3)
.82	(R82)	68	(68R)	4.7K	(4K7)
1.0	(1R0)	75	(75R)	5.6K	(5K6)
1.5	(1R5)	82	(82R)	6.8K	(6K8)
2.0	(2R0)	100	(100)	7.5K	(7K5)
2.7	(2R7)	150	(150)	8.2K	(8K2)
3.0	(3R0)	200	(200)	10K	(10K)
3.3	(3R3)	270	(270)		
3.9	(3R9)	300	(300)		
4.3	(4R3)	330	(330)		
4.7	(4R7)	390	(390)		
5.6	(5R6)	430	(430)		
6.8	(6R8)	470	(470)		

Silikon - Keramik-überzogene Drahtwiderstände

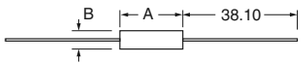

Widerstand-Serie	Nennstrom	Max. Länge A (mm)	Max. Durchm. B (mm)	Leitungsdurch-messer (mm)
41F	1W	11.10	3.18	.51
43F	3W	15.06	5.54	.81
45F	5W	23.80	8.71	1.02

Elektrische Spezifikationen:

	41F-Serie	43F-Serie	45F-Serie
Widerstandstoleranz	±1%	±1%	±1%
Nennstrom	1W @ 25°C Umgebungs-temperatur	3W @ 25°C Umgebungs-temperatur	5W @ 25°C Umgebungs-temperatur
Widerstandstemperatur-koeffizient	Under 1Ω — ±90ppm/°C 1Ω ~ 9.99Ω — ±50ppm/°C 10Ω and over — ±20ppm/ °C		
Dielektrische Haltespannung	500 VAC	1000 VAC	1000 VAC
Kurzzeitige Überlast	5-fache Nennleistung für 5 Sekunden	5-fache Nennleistung für 5 Sekunden	10-fache Nennleistung für 5 Sekunden

Widerstands-bereich (Ω)	Leis-tung	Digi-Key* Teilenr.	Stückpreis 1	25	100	250
.13 ~ .75	1	41F(Code)-ND	1.95	1.66	1.47	1.27
1.0 ~ 7.5	1	41F(Code)-ND	1.88	1.60	1.42	1.22
10 ~ 82	1	41F(Code)-ND	1.63	1.38	1.22	1.06
100 ~ 470	1	41F(Code)-ND	1.82	1.55	1.37	1.19
500 ~ 900	1	41F(Code)-ND	2.01	1.71	1.52	1.32
1.0K ~ 1.8K	1	41F(Code)-ND	2.29	1.95	1.72	1.49
2.0K ~ 3.0K	1	41F(Code)-ND	2.76	2.35	2.08	1.80
.10 ~ .75	3	43F(Code)-ND	1.49	1.27	1.12	.97
1.0 ~ 7.5	3	43F(Code)-ND	1.19	1.01	.89	.78
10 ~ 82	3	43F(Code)-ND	.97	.83	.73	.63
100 ~ 900	3	43F(Code)-ND	.88	.75	.67	.58
1.0K ~ 1.8K	3	43F(Code)-ND	1.01	.86	.76	.66
2.0K ~ 2.7K	3	43F(Code)-ND	1.34	1.14	1.01	.88
3.0K ~ 4.7K	3	43F(Code)-ND	1.62	1.38	1.22	1.05
5.0K ~ 6.8K	3	43F(Code)-ND	1.95	1.66	1.47	1.27
7.5K ~ 10.0K	3	43F(Code)-ND	2.01	1.71	1.52	1.32
.10 ~ .75	5	45F(Code)-ND	1.67	1.42	1.26	1.09
1.0 ~ 7.5	5	45F(Code)-ND	1.16	.99	.88	.76
10 ~ 82	5	45F(Code)-ND	1.01	.86	.76	.66
100 ~ 900	5	45F(Code)-ND	.97	.83	.73	.63
1.0K ~ 2.7K	5	45F(Code)-ND	1.12	.95	.84	.73
3.0K ~ 6.8K	5	45F(Code)-ND	1.30	1.11	.99	.85
7.5K ~ 8.2K	5	45F(Code)-ND	1.71	1.46	1.29	1.11
10.0K ~ 15.0K	5	45F(Code)-ND	1.81	1.55	1.37	1.18
20.0K & 25.0K	5	45F(Code)-ND	—	—	1.69	—

* Um die vollständige Teilenummer zu erhalten, ersetzen Sie Folgendes durch den entsprechenden Code aus der Widerstandswerttabelle für (Code).

Glasemail-überzogene Drahtwiderstände

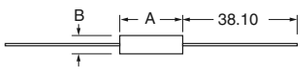

Widerstand-Serie	Nennstrom	Max. Länge A (mm)	Max. Durchm. B (mm)	Leitungsdurch-messer (mm)
23J	3W	12.70	5.59	.81
25J	5W	25.40	7.01	.81
20J	10W	46.84	10.01	.81

Elektrische Spezifikationen:

	Serie 23J	Serie 25J	Serie 20J
Widerstandstoleranz	±5%	±5%	±5%
Nennstrom	3W	5W	10W
Dielektrische Haltespannung	1000V	1000V	1000V
Kurzzeitige Überlast	5-fache Nennleistung für 5 Sekunden	10-fache Nennleistung für 5 Sekunden	10-fache Nennleistung für 5 Sekunden

Widerstands-bereich (Ω)	Leis-tung	Digi-Key* Teilenr.	Stückpreis 1	50	100	250
.15 ~ .75	3	23J(Code)-ND	1.57	1.34	1.18	1.03
1.0 ~ 7.5	3	23J(Code)-ND	1.03	.89	.78	.68
10 ~ 82	3	23J(Code)-ND	.92	.79	.70	.61
100 ~ 450	3	23J(Code)-ND	.84	.72	.63	.55
470 ~ 900	3	23J(Code)-ND	.91	.78	.69	.60
1.0K ~ 4.7K	3	23J(Code)-ND	1.24	1.06	.94	.81
5.0K ~ 7.0K	3	23J(Code)-ND	1.60	1.36	1.21	1.05
7.5K ~ 10.0K	3	23J(Code)-ND	1.85	1.58	1.39	1.22
.15 ~ .75	5	25J(Code)-ND	1.30	1.10	.98	.84
1.0 ~ 7.5	5	25J(Code)-ND	1.24	1.06	.94	.81
10 ~ 82	5	25J(Code)-ND	1.19	1.01	.89	.78
100 ~ 470	5	25J(Code)-ND	.97	.83	.73	.64
500 ~ 900	5	25J(Code)-ND	1.14	.97	.86	.75
1.0K ~ 4.7K	5	25J(Code)-ND	1.36	1.16	1.03	.89
5.0K ~ 9.0K	5	25J(Code)-ND	1.72	1.47	1.29	1.12
10.0K ~ 15.0K	5	25J(Code)-ND	1.90	1.62	1.43	1.24
16.0K ~ 25.0K	5	25J(Code)-ND	2.24	1.91	1.69	1.46
.10 ~ .75	10	20J(Code)-ND	1.69	1.44	1.27	1.11
1.0 ~ 7.5	10	20J(Code)-ND	1.64	1.40	1.23	1.07
10 ~ 82	10	20J(Code)-ND	1.54	1.31	1.16	1.00
100 ~ 900	10	20J(Code)-ND	1.40	1.19	1.05	.91
1.0K ~ 2.7K	10	20J(Code)-ND	1.68	1.43	1.26	1.10
3.0K ~ 4.7K	10	20J(Code)-ND	1.90	1.63	1.44	1.25
5.0K ~ 8.5K	10	20J(Code)-ND	2.18	1.86	1.65	1.43
10.0K ~ 22.5K	10	20J(Code)-ND	2.49	2.12	1.87	1.62
25.0K	10	20J(Code)-ND	—	—	2.11	—

* Um die vollständige Teilenummer zu erhalten, ersetzen Sie Folgendes durch den entsprechenden Code aus der Widerstandswerttabelle für (Code).

WIDERSTANDSWERTTABELLE (für Silikon- und Glasemail-Drahtwiderstände)

Wert	(Code)	Wert	(Code)	Wert	(Code)	Wert	(Code)	Wert	(Code)	Wert	(Code)
.10	(R10)	15	(15R)	120	(120)	600	(600)	2.7K	(2K7)	10.0K	(10K)
.13	(R13)	18	(18R)	125	(125)	680	(680)	3.0K	(3K0)	11.0K•	(11K)•
.15	(R15)	20	(20R)	150	(150)	700	(700)	3.3K•	(3K3)•	12.0K•	(12K)•
.20	(R20)	22	(22R)	180	(180)	750	(750)	3.5K	(3K5)	12.5K	(12K5)
.25	(R25)	25	(25R)	200	(200)	800	(800)	3.9K	(3K9)	13.5K•	(13K5)•
.30	(R30)	27	(27R)	220	(220)	820	(820)	4.0K	(4K0)	15.0K	(15K)
.33	(R33)	30	(30R)	225	(225)	900	(900)	4.5K•	(4K5)•	16.0K•	(16K)•
.50	(R50)	33	(33R)	250	(250)	1.0K	(1K0)	4.7K	(4K7)	17.5K•	(17K5)•
.75	(R75)	35	(35R)	270	(270)	1.1K	(1K1)	5.0K	(5K0)	18.0K•	(18K)•
1.0	(1R0)	39	(39R)	300	(300)	1.2K	(1K2)	5.6K	(5K6)	20.0K	(20K)
1.5	(1R5)	40	(40R)	330	(330)	1.25K•	(1K25)•	6.0K	(6K0)	22.0K•	(22K)•
2.0	(2R0)	47	(47R)	350	(350)	1.5K	(1K5)	6.8K	(6K8)	22.5K•	(22K5)•
3.0	(3R0)	50	(50R)	390	(390)	1.75K•	(1K75)•	7.0K•	(7K0)•	25.0K	(25K)
4.0	(4R0)	56	(56R)	400	(400)	1.8K	(1K8)	7.5K	(7K5)		
5.0	(5R0)	68	(68R)	450•	(450)•	2.0K	(2K0)	8.0K	(8K0)		
7.5	(7R5)	75	(75R)	470	(470)	2.2K	(2K2)	8.2K	(8K2)		
10	(10R)	82	(82R)	500	(500)	2.25K•	(2K25)•	8.5K•	(8K5)•		
12	(12R)	100	(100)	560	(560)	2.5K	(2K5)	9.0K•	(9K0)•		

• Wert nicht verfügbar für Silikon-Keramik-Beschichtung

Regelwiderstände, drahtgewickelt

12,5, 25 und 50 W

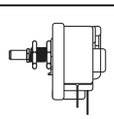

† 12,5 W verwendet Knopf **5151-ND**
†† 25 und 50 W verwenden Knopf **5150-ND**

	RES	RHS	RJS
Leistung	12.5 W†	25W††	50W††
Widerstandstoleranz	±10%	±10%	±10%
Kerndurchmesser (mm)	22.23	39.69	58.74
Achsendurchmesser (mm)	3.18	6.35	6.35
Drehmoment (laufend)	1 ~ 6 in. oz.	.25 ~ .5 in. lb.	.25 ~ 2 in. lb.
Gewicht	.6 oz.	.19 lbs.	.32 lbs.
Drehung	300° ±5%	300° ±5%	300° ±5%
Gleichwertig Memcor-Truohm	RH12	RH25	RH50

WIDERSTANDSWERTTABELLEN

12,5/25 W

Wert	(Code)	Wert	(Code)	Wert	(Code)	Wert	(Code)
1.0	(1R0)	15	(15R)	175	(175)	1.5K	(1K5)
2.0	(2R0)	25	(25R)	250	(250)	2.5K	(2K5)
3.0	(3R0)	50	(50R)	350	(350)	3.5K	(3K5)
6.0	(6R0)	75	(75R)	500	(500)	5.0K	(5K0)
8.0	(8R0)	100	(100)	750	(750)	10.0K	(10K)
10	(10R)	125	(125)	1.0K	(1K0)		

50 W

Wert	(Code)	Wert	(Code)	Wert	(Code)
.50	(R50)	125	(125)	2.5K	(2K5)
1.0	(1R0)	150	(150)	5.0K	(5K0)
6.0	(6R0)	225	(225)	10.0K	(10K)
35	(35R)	500	(500)		
50	(50R)	1.0K	(1K0)		

Widerstands-bereich (Ω)	Leistung	Digi-Key* Teilenr.	Stückpreis 1	10	100	250
1.0 ~ 8.0	12.5	RES(Code)-ND†	18.68	16.82	13.08	12.15
10 ~ 350	12.5	RES(Code)-ND†	17.70	15.94	12.40	11.51
500 ~ 1.5K	12.5	RES(Code)-ND†	18.18	16.36	12.73	11.82
2.5K ~ 5.0K	12.5	RES(Code)-ND†	19.34	17.41	13.54	12.58
10.0K	12.5	RES(Code)-ND†	20.89	18.82	14.63	13.58
1.0 ~ 8.0	25	RHS(Code)-ND††	19.89	17.90	13.92	—
10 ~ 750	25	RHS(Code)-ND††	19.89	17.90	13.92	—
1.0K ~ 5.0K	25	RHS(Code)-ND††	20.57	18.52	14.41	—
10.0K	25	RHS(Code)-ND††	22.32	20.09	15.62	—
.50	50	RJS(Code)-ND††	30.13	27.12	21.09	18.08
1.0 ~ 6.0	50	RJS(Code)-ND††	26.90	24.22	18.84	16.15
35 ~ 150	50	RJS(Code)-ND††	23.54	21.19	16.48	14.13
225 ~ 500	50	RJS(Code)-ND††	22.62	20.37	15.84	13.58
1.0K ~ 10.0K	50	RJS(Code)-ND††	24.73	22.26	17.32	14.84
Knob for 25/50W Rheostat**		5150-ND	5.55	3.89	—	—
Knob for 12.5W Rheostat ***		5151-ND	4.02	2.82	—	—

* Um die vollständige Teilenummer zu erhalten, ersetzen Sie Folgendes durch den entsprechenden Code aus der Widerstandswerttabelle für (Code). ** Knopfregler für 25/50-W Regelwiderstand *** Knopfregler für 12,5-W Regelwiderstand

F

WSL Power Metal Strip® SMT-Widerstände

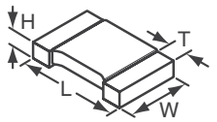

Serie	Wertebereich	Abmessungen - mm L	W	H	T
WSL0805	Alle angegebenen Werte	2.03	1.27	.330	.381
WSL1206	Alle angegebenen Werte	3.20	1.60	.635	.508
WSL2010	.001Ω ~ .006Ω	5.08	2.54	.635	1.47
	.007Ω ~ .50Ω	5.08	2.54	.635	.508
WSL2512	.001Ω ~ .004Ω	6.35	3.18	.635	2.21
	.005Ω ~ .006Ω	6.35	3.18	.635	1.19
	.007Ω ~ .50Ω	6.35	3.18	.635	.762

Serie	Nennleistung W	Temperatur-koeffizient (ppm/°C)	Kurzzeitige Überlast
WSL0805	.125	±75	5-fache Nennleistung für 5 Sekunden
WSL1206	.25	.002Ω/±275 .003Ω ~ .004Ω/±150 .005Ω ~ .006Ω/±110 .007Ω ~ .2Ω/±75	
WSL2010	.5	.001Ω ~ .002Ω/±275 .003Ω ~ .004Ω/±150 .005Ω ~ .006Ω/±110 .007Ω ~ .50Ω/±75	
WSL2512	1.0*	.001Ω ~ .002/±275 .003Ω ~ .004Ω/±150 .005Ω ~ .006Ω/±110 .007Ω ~ .5Ω/±75	

* Für Werte über 0,1 Ω, linear auf 80 % der Nennleistung bei 0,5 Ω mindern.

Widerstandswerte WSL0805, 1 %, WSLA

.01	.02	.03	.04	.08	.15
.015	.025	.033	.05	.10	.20

Widerstandswerte WSL1206, 1 %, WSLC

.002	.004	.006	.008	.01	.02	.03	.04	.06	.08	.10	.20		
.003	.005	.007	.009	.015	.025	.033	.05	.07	.09	.15			

Widerstandswerte WSL2010, 1 %, WSLE

.001	.004	.007	.01	.025	.04	.07	.10	.20	.33
.002	.005	.008	.015	.03	.05	.08	.11	.25	.40
.003	.006	.009	.02	.033	.06	.09	.15	.30	.50

Widerstandswerte WSL2512, 1 %, WSLG

.001	.003	.005	.007	.009	.015	.025	.033	.05	.07	.09	.15	.20	.30	.40	
.002	.004	.006	.008	.01	.02	.03	.04	.06	.08	.10	.151	.25	.33	.50	

Beschreibung	Wertebereich (Ω)	Digi-Key* Teilenr.	Preisangaben 1	10	50	Digi-Key* Teilenr.	Rollengröße	Preisangaben für Gegurtet auf Rolle 2.000	4.000	5.000	6.000	8.000	10.000
WSL0805, 1%, WSLA	.01 ~ .05	WSLA-(Wert)CT-ND	.86	7.34	32.38	WSLA-(Wert)TR-ND	5,000	—	—	270.92/M	—	—	253.98/M
	.08 ~ .20	WSLA-(Wert)CT-ND	.69	5.90	26.03	WSLA-(Wert)TR-ND	5,000	—	—	216.73/M	—	—	203.19/M
WSL1206, 1%, WSLC	.002 ~ .009	WSLC-(Wert)CT-ND	1.33	11.30	49.85	WSLC-(Wert)TR-ND	4,000	—	419.92/M	—	—	393.67/M	—
	.01 ~ .06	WSLC-(Wert)CT-ND	.95	8.06	35.56	WSLC-(Wert)TR-ND	4,000	—	298.01/M	—	—	279.38/M	—
	.07 ~ .20	WSLC-(Wert)CT-ND	.78	6.62	29.21	WSLC-(Wert)TR-ND	4,000	—	243.82/M	—	—	228.59/M	—
WSL2010, 1%, WSLE	.001 ~ .004	WSLE-(Wert)CT-ND	1.63	13.82	60.96	WSLE-(Wert)TR-ND	4,000	—	514.74/M	—	—	482.57/M	—
	.005 ~ .009	WSLE-(Wert)CT-ND	1.54	13.10	57.78	WSLE-(Wert)TR-ND	4,000	—	487.65/M	—	—	457.17/M	—
	.01 ~ .06	WSLE-(Wert)CT-ND	1.08	9.14	40.32	WSLE-(Wert)TR-ND	4,000	—	338.64/M	—	—	317.48/M	—
	.07 ~ .50	WSLE-(Wert)CT-ND	.91	7.70	33.97	WSLE-(Wert)TR-ND	4,000	—	284.46/M	—	—	266.68/M	—
WSL2512, 1%, WSLG	.001 ~ .004	WSLG-(Wert)CT-ND	1.67	14.18	62.55	WSLG-(Wert)TR-ND	2,000	528.28/M	—	—	495.27/M	—	462.25/M
	.005 ~ .009	WSLG-(Wert)CT-ND	1.58	13.46	59.37	WSLG-(Wert)TR-ND	2,000	501.19/M	—	—	469.87/M	—	438.54/M
	.01 ~ .06	WSLG-(Wert)CT-ND	1.08	9.14	40.32	WSLG-(Wert)TR-ND	2,000	338.64/M	—	—	317.48/M	—	296.31/M
	.07 ~ .50	WSLG-(Wert)CT-ND	.95	8.06	35.56	WSLG-((Wert)TR-ND	2,000	298.01/M	—	—	279.38/M	—	260.76/M

*Um die vollständige Teilenummer zu erhalten, setzen Sie den Digi-Key-Wert (aus der Widerstandswerttabelle) für (Wert) ein.

WSL High Power, Power Metal Strip® SMT-Widerstände

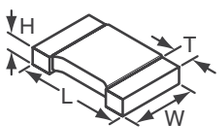

Serie	Wertebereich	Abmessungen - (mm) L	W	H	T
WSL0805-18	Alle angegebenen Werte	2.03	1.27	.330	.381
WSL1206-18	Alle angegebenen Werte	3.20	1.60	.635	.508
WSL2010-18	.001Ω ~ .006Ω	5.08	2.54	.635	1.47
	.007Ω ~ .50Ω	5.08	2.54	.635	.508
WSL2512-18	.009	6.35	3.18	.635	.762

Serie	Nennleistung (W)	Temperatur-koeffizient (ppm/°C)	Kurzzeitige Überlast
WSL0805-18	.25	±75	5-fache Nennleistung für 5 Sekunden
WSL1206-18	.5	.005Ω ~ .006Ω/±110 .007Ω ~ .05Ω/±75	
WSL2018-18	1.0	.001Ω/±275 .006Ω/±110 .007Ω ~ 0.5Ω/±75	
WSL2512-18	2.0	.009Ω/±75	

Widerstandswerte WSL0805-18, 1 %, WSLB

.01	.03	.05	.20
.02	.033	.10	
.025	.04	.15	

Widerstandswerte WSL1206-18, 1 %, WSLD

.005	.03
.006	.04
.009	.05

Widerstandswerte WSL2010-18, 1 %, WSLF

.001	.008	.02	.033	.08	.20
.006	.01	.025	.04	.10	.50
.007	.015	.03	.05	.15	

Widerstandswert WSL2512-18, 1 %, WSLH

.009

Beschreibung	Wertebereich (Ω)	Digi-Key* Teilenr.	Preisangaben 1	10	50	Digi-Key* Teilenr.	Rollen-größe	Preisangaben für Gegurtet auf Rolle 2.000	4.000	5.000	6.000	8.000	10.000
WSL0805-18, 1%, WSLB	.01 ~ .05	WSLB-(Value)CT-ND	1.12	9.50	41.91	WSLB-(Value)TR-ND	5,000	—	—	352.19/M	—	—	330.18/M
	.10 ~ .20	WSLB-(Value)CT-ND	.90	7.63	33.65	WSLB-(Value)TR-ND	5,000	—	—	281.92/M	—	—	264.14/M
WSL1206-18, 1%, WSLD	.005 ~ .009	WSLD-(Value)CT-ND	1.62	13.71	60.48	WSLD-(Value)TR-ND	4,000	—	510.50/M	—	—	479.18/M	—
	.03 ~ .05	WSLD-(Value)CT-ND	1.23	10.40	45.88	WSLD-(Value)TR-ND	4,000	—	386.05/M	—	—	362.35/M	—
WSL2010-18, 1%, WSLF	.001	WSLF-(Value)CT-ND	2.11	17.92	79.06	WSLF-(Value)TR-ND	4,000	—	668.82/M	—	—	627.33/M	—
	.006 ~ .008	WSLF-(Value)CT-ND	2.00	16.98	74.92	WSLF-(Value)TR-ND	4,000	—	634.11/M	—	—	594.32/M	—
	.01 ~ .05	WSLF-(Value)CT-ND	1.40	11.84	52.23	WSLF-(Value)TR-ND	4,000	—	440.24/M	—	—	413.15/M	—
	.08 ~ .50	WSLF-(Value)CT-ND	1.18	9.96	43.97	WSLF-(Value)TR-ND	4,000	—	369.97/M	—	—	347.11/M	—
WLS2512-18, 1%, WSLH	.009	WSLH-(Value)CT-ND	2.06	17.45	76.99	WSLH-(Value)TR-ND	2,000	651.88/M	—	—	611.25/M	—	—

* Um die vollständige Teilenummer zu erhalten, setzen Sie den Digi-Key-Wert (aus der Widerstandswerttabelle) für (Wert) ein.

WSC drahtgewickelte SMT-Widerstände

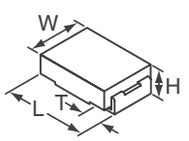

Serie	Wertebereich	Abmessungen - (mm) L	W	H	T
WSC01/2	Alle angegebenen Werte	5.08	2.44	1.02	3.18
WSC2515	Alle angegebenen Werte	6.35	2.79	1.14	3.81
WSC4527	Alle angegebenen Werte	11.56	4.24	2.54	6.98
WSC6927	Alle angegebenen Werte	17.53	7.11	2.54	6.98

Widerstandswerte WSC01/2, 1 %, WSCA

1.0	4.99
2.0	

Widerstandswerte WSC2515, 1 %, WSCB

.50	2.0	10	100	2.0K
1.0	5.0	50	1.0K	

Widerstandswerte WSC4527, 1 %, WSCC

1.0	5.0	20	100	1.0K
2.0	10	50	400	2.0K

Widerstandswerte WSC6927, 1 %, WSCD

.50	10	1.0K
1.0	100	

Serie	Nenn-leistung (W)	Temperatur-koeffizient (ppm/°C)	Kurzzeitige Überlast
WSC01/2	.5	±50	5-fache Nennleistung für 5 Sekunden
WSC2515	1.0	.50Ω/±90 1.0Ω ~ 10/±50 50Ω ~ 2.0KΩ/±20	
WSC4527	2.0	1.0Ω ~ 5.0Ω/±50 10Ω ~ 2.0KΩ/±20	
WSC6927	3.0	.50Ω/±90 1.0Ω/±50 10Ω ~ 1.0KΩ/±20	

Beschreibung	Wertebereich (Ω)	Digi-Key* Teilenr.	Preisangaben 1	10	50	Digi-Key* Teilenr.	Rollen-größe	Preisangaben für Gegurtet auf Rolle 725	1.200	2.000	3.625	6.000
WSC01/2, 1%, WSCA	1.0 ~ 4.99	WSCA-(Wert)CT-ND	2.05	17.41	76.83	WSCA-(Wert)TR-ND	2,000	—	—	650.19/M	—	609.56/M
WSC2515, 1%, WSCB	.50	WSCB-(Wert)CT-ND	2.18	18.50	81.60	WSCB-(Wert)TR-ND	2,000	—	—	690.83/M	—	647.65/M
	1.0 ~ 10	WSCB-(Wert)CT-ND	1.63	13.82	60.96	WSCB-(Wert)TR-ND	2,000	—	—	514.74/M	—	482.57/M
	50 ~ 100	WSCB-(Wert)CT-ND	2.09	17.78	78.42	WSCB-(Wert)TR-ND	2,000	—	—	663.74/M	—	622.26/M
	1.0K ~ 2.0K	WSCB-(Wert)CT-ND	2.73	23.17	102.23	WSCB-(Wert)TR-ND	2,000	—	—	866.92/M	—	812.74/M
WSC4527, 1%, WSCC	1.0	WSCC-(Wert)CT-ND	2.18	18.50	81.60	WSCC-(Wert)TR-ND	1,200	—	863.54/M	—	—	690.83/M
	2.0 ~ 20	WSCC-(Wert)CT-ND	1.63	13.82	60.96	WSCC-(Wert)TR-ND	1,200	—	643.42/M	—	—	514.74/M
	50 ~ 400	WSCC-(Wert)CT-ND	2.39	20.29	89.53	WSCC-(Wert)TR-ND	1,200	—	948.20/M	—	—	758.56/M
	1.0K ~ 2.0K	WSCC-(Wert)CT-ND	3.23	27.49	121.28	WSCC-(Wert)TR-ND	1,200	—	1286.84/M	—	—	1029.47/M
WSC6927, 1%, WSCD	.50 ~ 1.0	WSCD-(Wert)CT-ND	3.57	30.37	133.97	WSCD-(Wert)TR-ND	725	1288.95	—	—	1422.29/M	—
	10 ~ 1.0K	WSCD-(Wert)CT-ND	3.15	26.77	118.10	WSCD-(Wert)TR-ND	725	1135.50	—	—	1252.97/M	—

*Um die vollständige Teilenummer zu erhalten, setzen Sie den Digi-Key-Wert (aus der Widerstandswerttabelle) für (Wert) ein.

Alle Preisangaben in Euro und inklusive Zollgebühren.

WSR Power Metal Strip® SMT-Widerstand

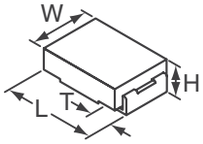

SMT-Widerstand WSR2, 1 %, WSRA

.001	.004	.007	.01	.025	.04	.07	.10	.25	.40	1.0	
.002	.005	.008	.015	.03	.05	.08	.15	.30	.50		
.003	.006	.009	.02	.033	.06	.09	.20	.33	.75		

Widerstandswerte WSR3, 1 %, WSRB

.001	.004	.007	.01	.025	.04	.09	.20
.002	.005	.008	.015	.03	.05	.10	
.003	.006	.009	.02	.033	.07	.15	

Serie	Wertebereich	Abmessungen - (mm) L	W	H	T
WSR2	Alle angegebenen Werte	11.56	2.41	2.54	6.98
WSR3	Alle angegebenen Werte	11.56	2.41	2.54	6.98

Serie	Nennleistung (W)	Temperaturkoeffizient (ppm/°C)	Kurzzeitige Überlast
WSR2	2.0	.001Ω ~ .009/±110 .01Ω ~ .1.0/±75	5-fache Nennleistung für 5 Sekunden
WSR3	3.0	.001Ω ~ .009/±110 .01Ω ~ .20/±75	4-fache Nennleistung für 5 Sekunden

Beschreibung	Wertebereich (Ω)	Digi-Key* Teilenr.	Preisangaben 1	10	50	Digi-Key* Teilenr.	Rollengröße	Preis f. geg. auf Rolle 1.500	6.000
WSR2, 1%, WSRA	.001 ~ .004	WSRA-(Wert)CT-ND	2.09	17.78	78.42	WSRA-(Wert)TR-ND	1,500	829.67/M	663.74/M
	.005 ~ .009	WSRA-(Wert)CT-ND	1.96	16.69	73.65	WSRA-(Wert)TR-ND	1,500	778.88/M	623.10/M
	.01 ~ .09	WSRA-(Wert)CT-ND	1.63	13.82	60.96	WSRA-(Wert)TR-ND	1,500	643.42/M	514.74/M
	.10 ~ 1.0	WSRA-(Wert)CT-ND	1.46	12.38	54.61	WSRA-(Wert)TR-ND	1,500	575.69/M	460.55/M
WSR3, 1%, WSRB	.001 ~ .004	WSRB-(Wert)CT-ND	2.13	18.13	80.00	WSRB-(Wert)TR-ND	1,500	846.60/M	677.28/M
	.005 ~ .009	WSRB-(Wert)CT-ND	2.05	17.41	76.83	WSRB-(Wert)TR-ND	1,500	812.74/M	650.19/M
	.01 ~ .09	WSRB-(Wert)CT-ND	1.67	14.18	62.55	WSRB-(Wert)TR-ND	1,500	660.35/M	528.28/M
	.10 ~ .20	WSRB-(Wert)CT-ND	1.50	12.74	56.20	WSRB-(Wert)TR-ND	1,500	592.62/M	474.10/M

*Um die vollständige Teilenummer zu erhalten, setzen Sie den Digi-Key-Wert (aus der Widerstandswerttabelle) für (Wert) ein.

WSL3637 Power Metal Strip® SMT-Widerstände mit 4 Anschlüssen

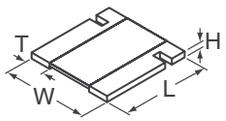

Widerstandswerte WSL3637, 1 %, WSLI

.003	.006	.009
.004	.007	.01
.005	.008	

Serie	Wertebereich	Abmessungen – mm L	W	H	T
WSL3637	Alle angegebenen Werte	9.40	9.14	.635	2.18

Serie	Nennleistung (W)	Nenntemperaturkoeffizient ppm/°C	Kurzzeitige Überlast
WSL3637	3.0	.003 ~ .01/±50	5-fache Nennleistung für 5 Sekunden

Beschreibung	Wertebereich (Ω)	Digi-Key* Teilenr.	Preisangaben 1	10	50	Digi-Key* Teilenr.	Rollengröße	Preisangaben für Gegurtet auf Rolle 4.000	8.000
WSL3637, 1%, WSLI	.003 ~ .004	WSLI-(Wert)CT-ND	1.79	15.26	67.30	WSLI-(Wert)TR-ND	4,000	568.92/M	533.36/M
	.005 ~ .009	WSLI-(Wert)CT-ND	1.71	14.54	64.13	WSLI-(Wert)TR-ND	4,000	541.83/M	507.96/M
	.01	WSLI-(Wert)CT-ND	1.20	10.22	45.08	WSLI-(Wert)TR-ND	4,000	379.28/M	355.58/M

*Um die vollständige Teilenummer zu erhalten, setzen Sie den Digi-Key-Wert (aus der Widerstandswerttabelle) ein.

Serie CW Drahtwiderstände mit Silikonüberzug

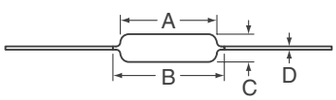

Serie	Abmessungen – mm A	B (max.)	C	D
CW001	10.31	11.10	2.39	.508
CW02C	12.70	15.06	5.54	1.02
CW02B	14.27	15.80	4.78	.813
CW005	22.22	25.40	7.92	1.02
CW010	45.24	47.62	9.52	1.02

Serie	Nenn-leistung (W)	Temperatur-koeffizient (ppm/°C)	Kurzzeitige Überlast
CW001	1.0	.15Ω ~ .50Ω/±90 1.0Ω ~ 4.0Ω/±50 10Ω ~ 4.7KΩ/±30	5-fache Nennleistung für 5 Sekunden
CW02C	2.5	.10Ω ~ .51Ω/±90 1.0Ω ~ 4.0Ω/±50 10Ω ~ 15KΩ/±30	
CW02B	3.0	.10Ω ~ .75Ω/±90 1.0Ω ~ 7.5Ω/±50 10Ω ~ 15KΩ/±30	
CW005	5.0	.10Ω ~ .75Ω/±90 1.0Ω ~ 7.5Ω/±50 10Ω ~ 50KΩ/±30	10-fache Nennleistung für 5 Sekunden
CW010	10	.10Ω ~ .50Ω/±90 1.0Ω ~ 7.5Ω/±50 10Ω ~ 100KΩ/±30	

Widerstandswerte CW001, 5 %, CWA

.15	15	100	1.0K
.20	20	150	4.7K
30	22	270	
.50	27	330	
1.0	40	390	
4.0	47	560	
10	68	820	

Widerstandswerte CW02B, 5 %, CWC

.10	.75	4.7	18	35	75	200	350	680	1.1K	2.7K	5.6K	10K	
.15	1.0	5.0	20	39	82	220	390	700	1.2K	3.0K	6.0K	12.5K	
.20	1.5	5.6	22	40	100	225	400	750	1.5K	3.5K	6.8K	15K	
.25	2.0	7.5	25	47	120	250	470	800	1.8K	3.9K	7.0K		
.30	2.5	10	27	50	125	270	500	820	2.0K	4.0K	7.5K		
.33	3.0	12	30	56	150	300	560	900	2.2K	4.7K	8.2K		
.50	4.0	15	33	68	180	330	600	1.0K	2.5K	5.0K	9.0K		

Widerstandswerte CW02C, 5 %, CWB

.10	4.0	35	220	1.0K	8.2K
.20	10	50	250	2.0K	10K
.30	12	68	270	2.2K	15K
.33	15	82	300	2.7K	
.51	18	100	330	3.9K	
1.0	20	120	350	4.7K	
1.5	22	150	390	5.0K	
2.0	30	180	470	5.6K	
3.0	33	200	820	6.8K	

Widerstandswerte CW005, 5 %, CWD

.10	1.5	10	33	82	250	560	1.1K	3.5K	7.5K	25K	
.15	2.0	12	35	100	270	600	1.2K	3.9K	8.0K	40K	
.20	2.5	15	39	120	300	680	1.5K	4.0K	8.2K	50K	
.30	3.0	18	40	125	330	700	1.8K	4.7K	9.0K		
.33	4.0	20	47	150	350	750	2.0K	5.0K	10K		
.50	4.7	22	50	180	390	800	2.2K	5.6K	12.5K		
.51	5.0	25	56	200	400	820	2.5K	6.0K	15K		
.75	5.6	27	68	220	470	900	2.7K	6.8K	18K		
1.0	7.5	30	75	225	500	1.0K	3.0K	7.0K	20K		

Widerstandswerte CW010, 5 %, CWE

.10	3.0	18	40	120	300	750	2.5K	5.6K		
.20	4.0	20	47	125	330	800	2.7K	6.0K	18K	
.30	4.7	22	50	150	350	1.0K	3.0K	6.8K	20K	
.33	5.0	25	56	180	400	1.2K	3.5K	7.5K	25K	
.50	7.5	27	68	200	470	1.5K	3.9K	8.2K	40K	
1.0	10	30	75	220	500	1.8K	4.0K	9.0K	50K	
1.5	12	33	82	250	600	2.0K	4.7K	10K	100K	
2.0	15	35	100	270	680	2.2K	5.0K	15K		

Beschreibung	Wertebereich (Ω)	Digi-Key* Teilenr.	Preisangaben 1	10	50	Digi-Key* Teilenr.	Rollengröße	Preisangaben für Gegurtet auf Rolle 500	1.000	2.500	5.000
CW001, 5%, CWA	.15 ~ .50	CWA-(Wert)CT-ND	.50	4.46	20.80	CWA-(Wert)TR-ND	1,000	—	331.02	—	311.55/M
	1.0 ~ 10	CWA-(Wert)CT-ND	.33	2.94	13.69	CWA-(Wert)TR-ND	1,000	—	215.88	—	203.19/M
	15 ~ 1.0K	CWA-(Wert)CT-ND	.35	3.12	14.58	CWA-(Wert)TR-ND	1,000	—	230.28	—	216.73/M
	4.7K	CWA-(Wert)CT-ND	.63	5.60	26.13	CWA-(Wert)TR-ND	1,000	—	417.37	—	392.83/M
CW02B, 5%, CWC	.10 ~ .75	CWC-(Wert)CT-ND	.49	4.42	20.62	CWC-(Wert)TR-ND	1,000	—	328.48	—	309.01/M
	1.0 ~ 1.0K	CWC-(Wert)CT-ND	.35	3.12	14.58	CWC-(Wert)TR-ND	1,000	—	230.28	—	216.73/M
	1.1K ~ 3.0K	CWC-(Wert)CT-ND	.39	3.50	16.36	CWC-(Wert)TR-ND	1,000	—	259.06	—	243.82/M
	3.5K ~ 12.5K	CWC-(Wert)CT-ND	.56	5.03	23.47	CWC-(Wert)TR-ND	1,000	—	374.20	—	352.19/M
	15K	CWC-(Wert)CT-ND	.63	5.60	26.13	CWC-(Wert)TR-ND	1,000	—	417.37	—	392.83/M
CW02C, 5%, CWB	.10 ~ .51	CWB-(Wert)CT-ND	.47	4.25	19.83	CWB-(Wert)TR-ND	1,000	—	314.94	—	296.31/M
	1.0 ~ 1.0K	CWB-(Wert)CT-ND	.35	3.12	14.58	CWB-(Wert)TR-ND	1,000	—	230.28	—	216.73/M
	2.0K ~ 2.7K	CWB-(Wert)CT-ND	.39	3.50	16.36	CWB-(Wert)TR-ND	1,000	—	259.06	—	243.82/M
	3.9K ~ 10K	CWB-(Wert)CT-ND	.56	5.03	23.47	CWB-(Wert)TR-ND	1,000	—	374.20	—	352.19/M
	15K	CWB-(Wert)CT-ND	.63	5.60	26.13	CWB-(Wert)TR-ND	1,000	—	417.37	—	392.83/M
CW005, 5%, CWD	.10 ~ .75	CWD-(Wert)CT-ND	.62	5.55	25.91	CWD-(Wert)TR-ND	500	219.27	—	413.99/M	—
	1.0 ~ 1.0K	CWD-(Wert)CT-ND	.47	4.27	19.91	CWD-(Wert)TR-ND	500	167.63	—	316.63/M	—
	1.1K ~ 10K	CWD-(Wert)CT-ND	.54	4.84	22.58	CWD-(Wert)TR-ND	500	190.49	—	359.81/M	—
	12.5K ~ 20K	CWD-(Wert)CT-ND	.75	6.75	31.47	CWD-(Wert)TR-ND	500	266.68	—	503.73/M	—
	25K ~ 50K	CWD-(Wert)CT-ND	.86	7.70	35.91	CWD-(Wert)TR-ND	500	304.78	—	575.69/M	—
CW010, 5%, CWE	.10 ~ .50	CWE-(Wert)CT-ND	.96	8.63	40.27	CWE-(Wert)TR-ND	500	342.03	—	645.96/M	—
	1.0 ~ 1.0K	CWE-(Wert)CT-ND	.77	6.93	32.36	CWE-(Wert)TR-ND	500	274.30	—	518.12/M	—
	1.2K ~ 10K	CWE-(Wert)CT-ND	.94	8.46	39.47	CWE-(Wert)TR-ND	500	335.25	—	633.26/M	—
	15K ~ 20K	CWE-(Wert)CT-ND	.98	8.84	41.25	CWE-(Wert)TR-ND	500	350.49	—	662.04/M	—
	25K ~ 50K	CWE-(Wert)CT-ND	.77	6.93	32.36	CWE-(Wert)TR-ND	500	274.30	—	518.12/M	—
	100K	CWE-(Wert)CT-ND	.84	7.51	35.02	CWE-(Wert)TR-ND	500	297.16	—	561.30/M	—

* Um die vollständige Teilenummer zu erhalten, setzen Sie den Digi-Key-Wert (aus der Widerstandswerttabelle) ein.

F

Serie CP drahtgewickelte und Metalloxid-Widerstände in Keramikgehäusen

Anschlussdurchmesser:
Drahtwicklung 0,914 (mm)
Metalloxid 0,813 (mm)

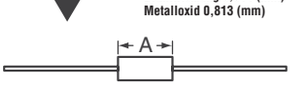

Serie	Abmessungen - (mm) A	B	C
CP0005	22.22	9.52	8.73
CP0010	47.62	9.52	8.73

Widerstandswerte CP0005, 5 %, CPA, drahtumwickelt

.10	.56	2.4	5.6	16	39	82
.20	.68	2.7	6.8	18	40	100
.30	.75	3.0	7.5	20	43	110
.33	.82	3.3	8.2	22	47	120
.39	1.0	3.9	9.1	24	51	130
.47	1.2	4.0	10	27	56	
.50	1.5	4.7	12	30	68	
.51	2.0	5.1	15	33	75	

Widerstandswerte CP0005, 5 %, CPC, Metalloxid

150	390	1.0K	2.4K	7.5K
180	400	1.2K	2.7K	8.2K
200	470	1.3K	3.0K	9.1K
220	510	1.5K	3.3K	10K
240	560	1.6K	3.9K	
270	680	1.8K	5.1K	
300	750	2.0K	6.2K	
330	820	2.2K	6.8K	

Widerstandswerte CP0010, 5 %, CPB, drahtumwickelt

.10	3.3	10	33	120	330	
.33	4.0	15	39	150	360	
.50	4.7	16	47	160	400	
1.0	5.1	18	56	180	470	
1.5	5.6	20	62	200	750	
2.0	6.2	24	68	220	820	
2.7	6.8	27	75	270		
3.0	7.5	30	100	300		

Widerstandswerte CP0010, 5 %, CPD, Metalloxid

1.0K	3.9K
1.1K	4.0K
1.2K	6.8K
1.6K	
1.8K	
2.0K	
2.2K	
3.3K	

Serie	Nenn-leistung (W)	Temperatur-koeffizient (ppm/°C)	Kurzzeitige Überlast
CP0005 Drahtwicklung	5	.10Ω ~ .82Ω/± 600 1.0Ω ~ 130Ω/±300	5-fache Nennleistung für 5 Sekunden
CP0005 Metalloxid	5	150Ω ~ 10KΩ/± 300	
CP0010 Drahtwicklung	10	.10Ω ~ .50Ω/±600 1.0Ω ~ 820Ω/±300	
CP0010 Metalloxid	10	1.0KΩ ~ 6.8KΩ/±400	

Beschreibung	Wertebereich (Ω)	Digi-Key* Teilenr.	Stückpreis 1	50	100
CP0005, 5 %, CPA, drahtumwickelt	.10 ~ .82	CPA-(Wert)-ND	.84	.76	.68
	1.0 ~ 130	CPA-(Wert)-ND	.67	.60	.54
CP0005, 5 %, CPC, Metalloxid	150 ~ 560	CPC-(Wert)-ND	.67	.60	.54
	680 ~ 10K	CPC-(Wert)-ND	.80	.72	.64
CP0010, 5 %, CPB, drahtumwickelt	.10 ~ .50	CPB-(Wert)-ND	1.20	1.08	.96
	1.0 ~ 820	CPB-(Wert)-ND	.90	.81	.72
CP0010, 5 %, CPD, Metalloxid	1.0K ~ 6.8K	CPD-(Wert)-ND	1.15	1.04	.93

*Um die vollständige Teilenummer zu erhalten, setzen Sie den Digi-Key-Wert (aus der Widerstandswerttabelle) für (Wert) ein.

Serie LVR, Drahtwickelwiderstände mit niedrigem Wert

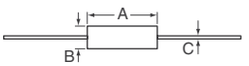

Widerstandswerte LVR01, 1 %, LVRA

.01	.033
.02	.05
.025	.10
.03	

Widerstandswerte LVR03, 1 %, LVRB

.005	.025	.07
.01	.03	.10
.015	.04	.15
.02	.05	.20

Widerstandswerte LVR05, 1 %, LVRC

.005	.025	.07	.30
.01	.03	.10	
.015	.04	.15	
.02	.05	.20	

Serie	Abmessungen – (mm) A	B (maximum)	C
LVR01	10.85	2.92	.508
LVR03	14.22	5.21	.813
LVR05	23.50	8.38	1.02

Serie	Nenn-leistung (W)	Kurzzeitige Überlast
LVR01	1.0	5-fache Nennleistung für 5 Sekunden
LVR03	3.0	
LVR05	5.0	

Beschreibung	Wertebereich (Ω)	Digi-Key* Teilenr.	Gurtabschnittspreise 1	10	50	Digi-Key* Teilenr.	Rollengröße	Preisangaben für Gegurtet auf Rolle 500	1.000	2.500	5.000
LVR01, 1%, LVRA	.01 ~ .05	LVRA-(Wert)CT-ND	1.11	9.98	46.58	LVRA-(Wert)TR-ND	1,000	—	748.39	—	704.38/M
	.10	LVRA-(Wert)CT-ND	1.07	9.60	44.80	LVRA-(Wert)TR-ND	1,000	—	719.61	—	677.28/M
LVR03, 1%, LVRB	.005	LVRB-(Wert)CT-ND	1.28	11.51	53.69	LVRB-(Wert)TR-ND	1,000	—	863.53	—	812.74/M
	.01 ~ .05	LVRB-(Wert)CT-ND	1.11	9.98	46.58	LVRB-(Wert)TR-ND	1,000	—	748.39	—	704.38/M
	.07 ~ .20	LVRB-(Wert)CT-ND	1.07	9.60	44.80	LVRB-(Wert)TR-ND	1,000	—	719.61	—	677.28/M
LVR05, 1%, LVRC	.005	LVRC-(Wert)CT-ND	1.53	13.79	64.36	LVRC-(Wert)TR-ND	500	548.60	—	1036.24/M	—
	.01 ~ .04	LVRC-(Wert)CT-ND	1.36	12.27	57.25	LVRC-(Wert)TR-ND	500	487.64	—	921.10/M	—
	.05 ~ .30	LVRC-(Wert)CT-ND	1.28	11.51	53.69	LVRC-(Wert)TR-ND	500	457.16	—	863.54/M	—

*Um die vollständige Teilenummer zu erhalten, setzen Sie den Digi-Key-Wert (aus der Widerstandswerttabelle) für (Wert) ein.

Serie RS Drahtwiderstände mit Silikonüberzug

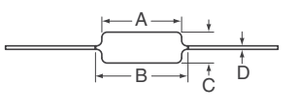

Serie	Abmessungen - (mm) A	B (maximum)	C	D
RS01A	10.31	11.10	2.39	.508
RS02B	14.22	15.80	4.75	.813
RS05	22.23	25.40	7.92	1.02
RS010	45.21	47.50	9.53	1.02

Serie	Nennleistung (W)	Temperatur-koeffizient (ppm/°C)	Kurzzeitige Überlast
RS01A	1.0	.10Ω ~ .75Ω/±90 1.0Ω ~ 7.5Ω/±50 10Ω ~ 10KΩ/±20	5-fache Nennleistung für 5 Sekunden
RS02B	3.0	.10Ω ~ .75Ω/±90 1.0Ω ~ 7.5Ω/±50 10Ω ~ 25KΩ/±20	
RS05	5.0	.10Ω ~ .75Ω/±90 1.0Ω ~ 7.5Ω/±50 10Ω ~ 100KΩ/±20	10-fache Nennleistung für 5 Sekunden
RS010	10	.10Ω ~ .75Ω/±90 1.0Ω ~ 7.5Ω/±50 10Ω ~ 100KΩ/±20	

Widerstandswerte RS01A, 1 %, RSA

.10	.30	1.5	3.3	10	22	39	68	150	270	400	680	1.0K	2.0K	3.5K	5.6K	8.2K
.13	.33	2.0	4.0	12	25	40	75	180	300	470	700	1.1K	2.2K	3.9K	6.0K	10K
.15	.50	2.5	4.7	15	30	47	82	200	330	500	750	1.2K	2.5K	4.0K	6.8K	
.20	.75	2.7	5.0	18	33	50	100	220	350	560	800	1.5K	2.7K	4.7K	7.0K	
.25	1.0	3.0	7.5	20	35	56	120	250	390	600	820	1.8K	3.0K	5.0K	7.5K	

Widerstandswerte RS02B, 1 %, RSB

.10	2.5	18	68	250	700	2.5K	7.5K
.13	2.7	20	70	270	750	2.7K	8.0K
.15	3.0	22	75	300	800	3.0K	8.2K
.20	3.3	25	82	330	820	3.5K	10K
.25	3.9	30	100	350	900	3.9K	12.5K
.30	4.0	33	120	390	1.0K	4.0K	15K
.33	4.7	35	125	400	1.1K	4.7K	20K
.50	5.0	39	150	470	1.2K	5.0K	25K
.75	7.5	40	180	500	1.5K	5.6K	
1.0	10	47	200	560	1.8K	6.0K	
1.5	12	50	220	600	2.0K	6.8K	
2.0	15	56	225	680	2.2K	7.0K	

Widerstandswerte RS05, 1 %, RSC

.10	2.0	15	50	200	500	1.2K	4.7K	15K
.13	2.5	18	56	220	560	1.5K	5.0K	20K
.15	3.0	20	68	225	600	1.8K	5.6K	25K
.20	3.3	22	70	250	680	2.0K	6.0K	39K
.25	3.9	25	75	270	700	2.2K	6.8K	47K
.30	4.0	30	82	300	750	2.5K	7.0K	50K
.33	4.7	33	100	330	800	2.7K	7.5K	56K
.50	5.0	35	120	350	820	3.0K	8.0K	100K
.75	7.5	39	125	390	900	3.5K	8.2K	
1.0	10	40	150	400	1.0K	3.9K	10K	
1.5	12	47	180	470	1.1K	4.0K	12.5K	

Widerstandswerte RS010, 1 %, RSD

.10	2.0	20	70	270	800	3.0K	20K
.13	2.7	25	75	300	820	3.5K	25K
.15	3.0	30	100	330	1.0K	4.7K	39K
.20	3.9	33	120	350	1.1K	5.0K	47K
.25	4.0	35	125	400	1.2K	6.8K	50K
.30	5.0	39	150	470	1.5K	7.0K	100K
.33	7.5	40	180	500	1.8K	7.5K	
.50	10	47	200	560	2.0K	8.2K	
.75	12	50	220	600	2.2K	10K	
1.0	12.1	56	225	680	2.5K	12.5K	
1.5	15	68	250	750	2.7K	15K	

Beschreibung	Wertebereich (Ω)	Digi-Key* Teilenr.	Gurtabschnittspreise 1	10	50	Digi-Key* Teilenr.	Rollengröße	Preisangaben für Gegurtet auf Rolle 500	1.000	2.500	5.000
RS01A, 1%, RSA	.10 ~ .75	RSA-(Wert)CT-ND	1.15	10.36	48.36	RSA-(Wert)TR-ND	1,000	—	777.18	—	731.47/M
	1.0 ~ 1.0K	RSA-(Wert)CT-ND	.94	8.46	39.47	RSA-(Wert)TR-ND	1,000	—	633.26	—	596.01/M
	1.1K ~ 3.5K	RSA-(Wert)CT-ND	1.01	9.03	42.14	RSA-(Wert)TR-ND	1,000	—	676.43	—	636.65/M
	3.9K ~ 10K	RSA-(Wert)CT-ND	1.45	13.03	60.80	RSA-(Wert)TR-ND	1,000	—	978.67	—	921.10/M
RS02B, 1%, RSB	.10 ~ .75	RSB-(Wert)CT-ND	1.11	9.98	46.58	RSB-(Wert)TR-ND	1,000	—	748.39	—	704.38/M
	1.0 ~ 1.0K	RSB-(Wert)CT-ND	.75	6.75	31.47	RSB-(Wert)TR-ND	1,000	—	503.73	—	474.10/M
	1.1K ~ 10K	RSB-(Wert)CT-ND	.90	8.08	37.69	RSB-(Wert)TR-ND	1,000	—	604.47	—	568.92/M
	12.5K ~ 20K	RSB-(Wert)CT-ND	1.32	11.89	55.47	RSB-(Wert)TR-ND	1,000	—	892.32	—	839.83/M
	25K	RSB-(Wert)CT-ND	2.63	23.70	110.58	RSB-(Wert)TR-ND	1,000	—	1784.63	—	1679.66/M
RS05, 1%, RSC	.10 ~ .75	RSC-(Wert)CT-ND	1.24	11.12	51.91	RSC-(Wert)TR-ND	500	441.93	—	834.75/M	—
	1.0 ~ 1.0K	RSC-(Wert)CT-ND	.88	7.89	36.80	RSC-(Wert)TR-ND	500	312.40	—	590.08/M	—
	1.1K ~ 10K	RSC-(Wert)CT-ND	1.01	9.03	42.14	RSC-(Wert)TR-ND	500	358.11	—	676.44/M	—
	12.5K ~ 25K	RSC-(Wert)CT-ND	1.18	10.56	49.25	RSC-(Wert)TR-ND	500	419.07	—	791.58/M	—
	39K ~ 50K	RSC-(Wert)CT-ND	1.43	12.84	59.91	RSC-(Wert)TR-ND	500	510.50	—	964.28/M	—
	56K	RSC-(Wert)CT-ND	1.81	16.27	75.91	RSC-(Wert)TR-ND	500	647.65	—	1223.34/M	—
	100K	RSC-(Wert)CT-ND	3.61	32.46	151.47	RSC-(Wert)TR-ND	500	1295.30	—	2446.68/M	—
RS010, 1%, RSD	.10 ~ .75	RSD-(Wert)CT-ND	1.53	13.79	64.36	RSD-(Wert)TR-ND	500	548.60	—	1036.24/M	—
	1.0 ~ 1.0K	RSD-(Wert)CT-ND	1.13	10.18	47.47	RSD-(Wert)TR-ND	500	403.83	—	762.79/M	—
	1.1K ~ 10K	RSD-(Wert)CT-ND	1.13	10.18	47.47	RSD-(Wert)TR-ND	500	403.83	—	762.79/M	—
	12.5K ~ 25K	RSD-(Wert)CT-ND	1.53	13.79	64.36	RSD-(Wert)TR-ND	500	548.60	—	1036.24/M	—
	39K ~ 50K	RSD-(Wert)CT-ND	1.77	15.89	74.14	RSD-(Wert)TR-ND	500	632.41	—	1194.56/M	—
	100K	RSD-(Wert)CT-ND	1.98	17.80	83.03	RSD-(Wert)TR-ND	500	708.60	—	1338.48/M	—

*Um die vollständige Teilenummer zu erhalten, setzen Sie den Digi-Key-Wert (aus der Widerstandswerttabelle) für (Wert) ein.

Alle Preisangaben in Euro und inklusive Zollgebühren.

Serie HL, röhrenförmige drahtgewickelte Widerstände

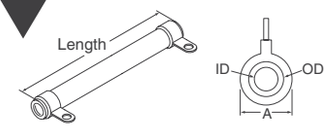

Serie	Nenn-leistung (W)	Temperatur-koeffizient (ppm/°C)	Kurzzeitige Überlast
HL025	25	1.0Ω ~ 5.0Ω/±50 10Ω ~ 50KΩ/±30	10-fache Nennleistung für 5 Sekunden
HL050	50	1.0Ω ~ 5.0Ω/±50 10Ω ~ 50KΩ/±30	
HL100	100	1.0Ω ~ 5.0Ω/±50 10Ω ~ 75KΩ/±30	
HL225	225	1.0Ω ~ 5.0Ω/±50 10Ω ~ 50KΩ/±30	

Widerstandswerte HL025, 5 %, HLA

1.0	50	750	12K
2.0	100	1.0K	25K
3.0	150	2.5K	50K
5.0	200	4.0K	
10	250	5.0K	
25	500	10K	

Widerstandswerte HL050, 5 %, HLB

1.0	25	250	4.0K	50K
2.0	50	500	5.0K	
3.0	100	750	10K	
5.0	150	1.0K	12K	
10	200	2.5K	25K	

Serie	Abmessungen - (mm) A (maximum)	Kernabmessungen - (mm) Länge	AD	ID
HL025	17.46	50.80	14.29	7.94
HL050	17.46	101.60	14.29	7.94
HL100	23.02	165.10	19.05	12.7
HL225	33.34	266.70	28.58	19.05

Widerstandswerte HL100, 5 %, HLC

1.0	5.0	50	200	750	4.0K	25K
2.0	10	100	250	1.0K	5.0K	50K
3.0	25	150	500	2.5K	10K	75K

Widerstandswerte HL225, 5%, HLD

1.0	5.0	50	200	750	4.0K	25K
2.0	10	100	250	1.0K	5.0K	50K
3.0	25	150	500	2.5K	10K	

Beschreibung	Wertebereich (Ω)	Digi-Key* Teilenr.	Stückpreis 1	10	25
HL025, 5%, HLA	1.0 ~ 5.0K	HLA-(Wert)-ND	2.54	2.31	2.08
HL025, 5%, HLA	10K	HLA-(Wert)-ND	2.91	2.65	2.39
HL025, 5%, HLA	12K ~ 25K	HLA-(Wert)-ND	3.17	2.88	2.60
HL025, 5%, HLA	50K	HLA-(Wert)-ND	6.85	6.23	5.61
HL050, 5%, HLB	1.0 ~ 2.5K	HLB-(Wert)-ND	3.94	3.58	3.22
HL050, 5%, HLB	4.0K ~ 12K	HLB-(Wert)-ND	4.00	3.64	3.28
HL050, 5%, HLB	25K	HLB-(Wert)-ND	4.31	3.92	3.53
HL050, 5%, HLB	50K	HLB-(Wert)-ND	5.17	4.70	4.23
HL100, 5%, HLC	1.0 ~ 1.0K	HLC-(Wert)-ND	7.73	7.03	6.33
HL100, 5%, HLC	2.5K ~ 25K	HLC-(Wert)-ND	8.08	7.35	6.61
HL100, 5%, HLC	50K ~ 75K	HLC-(Wert)-ND	8.85	8.05	7.24
HL225, 5%, HLD	1.0 ~ 50K	HLD-(Wert)-ND	13.00	11.81	10.63
Befestigungshalterung für HL025, HL050		BRACKET203-ND	1.07/2	.36	—
Befestigungshalterung für HL100		BRACKET206-ND	1.45/2	.49	—
Befestigungshalterung für HL225		BRACKET205-ND	1.60/2	.54	—

*Um die vollständige Teilenummer zu erhalten, setzen Sie den Digi-Key-Wert (aus der Widerstandswerttabelle) für (Wert) ein.

Serie HLT225, röhrenförmige drahtgewickelte Widerstände mit Fahnen

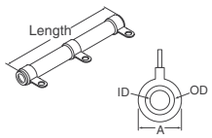

Serie	Nennleistung (W)	Nenntemperaturkoeffizient ppm/°C	Kurzzeitige Überlast
HLT225	225	10Ω ~ 1.0K/±30	10-fache Nennleistung für 5 Sekunden

Widerstandswerte HLT225, 10 %, HLTA

10	50	250	1.0K
25	100	500	

Serie	Abmessungen – mm A (maximum)	Kernabmessung Länge	AD	ID
HLT225	33.34	266.70	28.58	19.05

Beschreibung	Wertebereich (Ω)	Digi-Key* Teilenr.	Stückpreis 1	10	25
HLT225, 10%, HLTA	10 ~ 1.0K	HLTA-(Wert)-ND	15.74	14.31	12.88
Befestigungshalterung für Serie HLT-225		BRACKET205-ND	1.60/2	.54	—

*Um die vollständige Teilenummer zu erhalten, setzen Sie den Digi-Key-Wert (aus der Widerstandswerttabelle) für (Wert) ein.

Serie HLW, röhrenförmige drahtgewickelte Widerstände

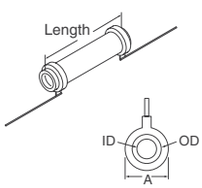

Serie	Abmessungen – (mm) A (maximum)	Kernabmessung Länge	AD	ID
HLW12	10.32	44.45	7.94	4.76
HLW20	14.29	50.80	11.11	7.94

Widerstandswerte HLW12, 5 %, HLWA

10
20
1.0K

Widerstandswerte HLW20, 5 %, HLWB

5.0	100	100K
10	20K	
50	50K	

Serie	Nenn-leistung (W)	Temperaturkoeffizient (ppm/°C)	Kurzzeitige Überlast
HLW12	12	10Ω ~ 1.0K/±30	10-fache Nennleistung für 5 Sekunden
HLW20	20	5.0Ω/±50 10Ω ~ 100KΩ/±30	

Beschreibung	Wertebereich (Ω)	Digi-Key* Teilenr.	Stückpreis 1	10	25
HLW12, 5%, HLWA	10 ~ 1.0K	HLWA-(Wert)-ND	2.45	2.23	2.00
HLW20, 5%, HLWB	5.0 ~ 20K	HLWB-(Wert)-ND	2.86	2.61	2.35
HLW20, 5%, HLWB	50K ~ 100K	HLWB-(Wert)-ND	3.79	3.45	3.11

*Um die vollständige Teilenummer zu erhalten, setzen Sie den Digi-Key-Wert (aus der Widerstandswerttabelle) für (Wert) ein.

Serie HLZ 300 Hochkant gewickelte Drahtwiderstände

Serie	Abmessungen - (mm) A (maximum)	Kernabmessungen Länge	AD	ID
HLZ300	28.58	215.90	28.58	19.05

Serie	Nennleistung (W)	Temperaturkoeffizient (ppm/°C)	Kurzzeitige Überlast
HLZ300	300	.30Ω/±90 1.0Ω ~ 8.0Ω/±50 12Ω ~ 25Ω/±30	10-fache Nennleistung für 5 Sekunden

Widerstandswerte - HLZ300, 10 %, HLZA

.30	1.5	8.0	16	25
1.0	5.0	12	20	

Beschreibung	Wertebereich (Ω)	Digi-Key* Teilenr.	Stückpreis 1	10	25
HLZ300, 10%, HLZA	.30 ~ 25	HLZA-(Wert)-ND	18.93	17.21	15.49
Befestigungshalterung für Serie HLZ-300	—	BRACKET205-ND	1.60/2	.54	—

*Um die vollständige Teilenummer zu erhalten, setzen Sie den Digi-Key-Wert (aus der Widerstandswerttabelle) für (Wert) ein.

Serie RH, Drahtwickelwiderstände mit Aluminiumgehäuse

Serie	Abmessungen – (mm) A	B	C	D
RH005	11.28	16.41	8.13	28.58
RH010	14.27	20.32	9.91	34.93
RH025	18.26	27.43	13.87	49.23
RH050	39.67	28.96	15.49	70.64

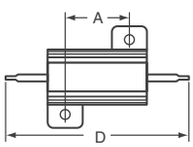

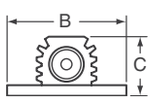

Serie	Nenn-leistung (W)	Temperaturkoeffizient (ppm/°C)	Kurzzeitige Überlast
RH005	5.0	.10Ω ~ .50Ω/±100 1.0Ω ~ 5.0Ω/±50 10Ω ~ 15KΩ/±20	5-fache Nennleistung für 5 Sekunden
RH010	10	.20Ω/±100 1.0Ω ~ 2.0Ω/±50 10Ω ~ 25KΩ/±20	
RH025	25	.10Ω/±100 1.0Ω ~ 3.0Ω/±50 12Ω ~ 3KΩ/±20	
RH050	50	.15Ω ~ .50/±100 1.0Ω ~ 8.0Ω/±50 10Ω ~ 2.5KΩ/±20	

Widerstandswerte RH005, 1 %, RHA

.10	10	100	2.0K
.50	12	150	10K
1.0	25	300	15K
5.0	30	390	

Widerstandswerte RH010, 1 %, RHB

.20	25	75	332	10K
1.0	33	100	1.0K	25K
2.0	35	300	2.0K	
10	50	330	2.5K	

Widerstandswerte RH025, 1 %, RHC

.10	15	100	1.0K
1.0	20	200	3.0K
3.0	25	300	
12	40	500	

Widerstandswerte RH050, 1 % RHD

.15	.50	2.5	8.0	20	250	2.5K
.20	1.0	3.3	10	30	300	
25	1.5	5.0	12	40	500	
.30	2.0	6.0	16	100	1.0K	

Beschreibung	Wertebereich (Ω)	Digi-Key* Teilenr.	Stückpreis 1	10	50
RH005, 1%, RHA	.10 ~ .50	RHA-(Wert)-ND	3.94	3.55	3.31
RH005, 1%, RHA	1.0 ~ 390	RHA-(Wert)-ND	3.75	3.38	3.15
RH005, 1%, RHA	2.0K ~ 10K	RHA-(Wert)-ND	3.71	3.34	3.12
RH005, 1%, RHA	15K	RHA-(Wert)-ND	3.88	3.49	3.26
RH010, 1%, RHB	.20	RHB-(Wert)-ND	7.35	6.61	6.17
RH010, 1%, RHB	1.0 ~ 1.0K	RHB-(Wert)-ND	2.61	2.35	2.19
RH010, 1%, RHB	2.0K ~ 10K	RHB-(Wert)-ND	2.71	2.44	2.28
RH010, 1%, RHB	25K	RHB-(Wert)-ND	3.75	3.38	3.15
RH025, 1%, RHC	.10	RHC-(Wert)-ND	8.28	7.45	6.96
RH025, 1%, RHC	1.0 ~ 1.0K	RHC-(Wert)-ND	4.32	3.89	3.63
RH025, 1%, RHC	3.0K	RHC-(Wert)-ND	3.47	3.13	2.92
RH050, 1%, RHD	.15 ~ .50	RHD-(Wert)-ND	10.16	9.15	8.54
RH050, 1%, RHD	1.0 ~ 1.0K	RHD-(Wert)-ND	5.29	4.77	4.45
RH050, 1%, RHD	2.5K	RHD-(Wert)-ND	4.51	4.06	3.79

*Um die vollständige Teilenummer zu erhalten, setzen Sie den Digi-Key-Wert (aus der Widerstandswerttabelle) für (Wert) ein.

F

Panasonic® Chip-Widerstandsarrays zur Oberflächenmontage

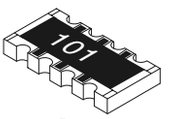

MERKMALE:

Hohe Dichte: • 2 Widerstände der Größe 0,8 mm x 0,6 mm (EXB-14V) • 2 Widerstände der Größe 1,6 mm x 1,6 mm (EXB-V4V) • 4 Widerstände der Größe 3,2 mm x 1,6 mm (EXB-V8V) • 2 Widerstände der Größe 1,0 mm x 1,0 mm (EXB-24V) • 4 Widerstände der Größe 1,4 mm x 0,6 mm (EXB-18V) • 4 Widerstände der Größe 2,0 mm x 1,0 mm (EXB-28V) • 4 Widerstände der Größe 2,0 mm x 1,0 mm (EXB-N8V) • 2 Widerstände der Größe 1,6 mm x 1,6 mm (EXB-34V) • 4 Widerstände der Größe 3,2 mm x 1,6 mm (EXB-38V) • 8 Widerstände der Größe 3,8 mm x 1,6 mm (EXB-2HV) • Verbesserung der Platzierungseffizienz: Platzierungseff. von Chip-Widerstandsarrays ist zwei bis vier Mal höher als bei diskreten Chip-Widerst.

SPEZIFIKATIONEN:

• Widerstandstoleranz: J: ±5 % • Nennleistung bei 70 °C: 1/16 W pro Element; 1/32 W für EXB-14V, EXB-28V, EXB-N8V und EXB-18V • Maximale Dauernennspannung ‡: 50 V; 25 V für EXB-2HV; 12,5 V für EXB-14V und EXB-18V • Maximale Überlastspannung: 100 V; 50 V für EXB-2HV; 25 V für EXB-14V und EXB-18V • Typischer Temperaturbereich: ±200 ppm/°C • Betriebstemperaturbereich: -55 °C ~ 125 °C

EXB-N8V, EXB-V4V und EXB-V8V

Typ	Abmessungen (mm) L	W	T	A1	A2	B	P	G	Gewicht (g/M pro Stck.)
EXB-N8V	2.0	1.0	0.45	0.3	0.3	0.2	0.5	0.30	3.0
EXB-V4V	1.6	1.6	0.60	0.6	—	0.3	0.8	0.45	5.0
EXB-V8V	3.2	1.6	0.60	0.6	0.6	0.3	0.8	0.45	10

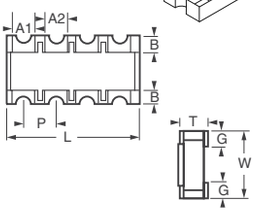

‡ Die kontinuierliche Betriebsspannung (RCWV) wird nach √RCWV = Nennleistung x Widerstandswerte berechnet, oder es wird die o.a. max. RCWV verwendet (maßgebend ist der jeweils niedrigere Wert).

Isolierte Anschlussklemmen

Abb. 1 — 2 Widerstände

Abb. 2 — 4 Widerstände

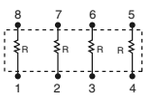

Abb. 3 — 8 Widerstände

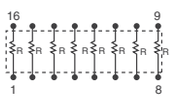

EXB-14V

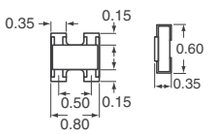

EXB-18V

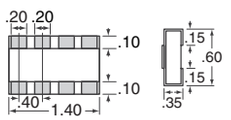

EXB-24V

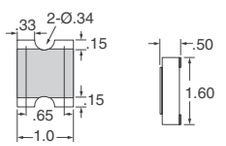

EXB-28V

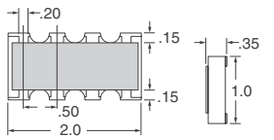

EXB-34V

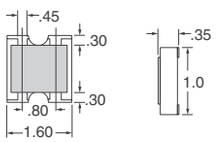

EXB-38V

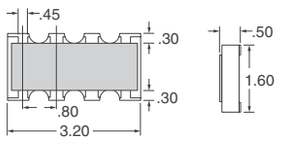

EXB-2HV

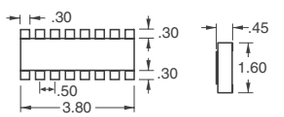

Abm. in mm

EXB-V4V, EXB-V8V, EXB-24V, EXB-34V und EXB-38V Isolieranschluss-Widerstandscodes (E12-Werte) (Werte in Ω)

Wert (Code)	Wert (Code)	Wert (Code)	Wert (Code)	Wert (Code)	Wert (Code)
0.0 (000)	3R9 (3R9)	27 (270)	470 (471)	8.2K (822)	150K (154)
1.0 (1R0)	4R3 (4R3)	33 (330)	560 (561)	10K (103)	180K (184)
1.1 (1R1)	4R7 (4R7)	39 (390)	680 (681)	12K (123)	220K (224)
1.2 (1R2)	5R1 (5R1)	47 (470)	820 (821)	15K (153)	270K (274)
1.3 (1R3)	5R6 (5R6)	56 (560)	1.0K (102)	18K (183)	330K (334)
1.5 (1R5)	6R2 (6R2)	68 (680)	1.2K (122)	22K (223)	390K (394)
1.6 (1R6)	6R8 (6R8)	82 (820)	1.5K (152)	27K (273)	470K (474)
1.8 (1R8)	7R5 (7R5)	100 (101)	1.8K (182)	33K (333)	560K (564)
2.0 (2R0)	8R2 (8R2)	120 (121)	2.2K (222)	39K (393)	680K (684)
2.2 (2R2)	9R1 (9R1)	150 (151)	2.7K (272)	47K (473)	820K (824)
2.4 (2R4)	10 (100)	180 (181)	3.3K (332)	56K (563)	1M (105)
2.7 (2R7)	12 (120)	220 (221)	3.9K (392)	68K (683)	
3.0 (3R0)	15 (150)	270 (271)	4.7K (472)	82K (823)	
3.3 (3R3)	18 (180)	330 (331)	5.6K (562)	100K (104)	
3.6 (3R6)	22 (220)	390 (391)	6.8K (682)	120K (124)	

Serie EXB-2HV Isolieranschluss-Widerstandscodes (E12-Werte) (Werte in Ω)

Wert (Code)	Wert (Code)	Wert (Code)	Wert (Code)	Wert (Code)	Wert (Code)
0.0 (000)	10 (100)	120 (121)	1.5K (152)	18K (183)	220K (224)
1.0 (1R0)	12 (120)	150 (151)	1.8K (182)	22K (223)	270K (274)
1.2 (1R2)	15 (150)	180 (181)	2.2K (222)	27K (273)	330K (334)
1.5 (1R5)	18 (180)	220 (221)	2.7K (272)	33K (333)	390K (394)
1.8 (1R8)	22 (220)	270 (271)	3.3K (332)	39K (393)	470K (474)
2.2 (2R2)	27 (270)	330 (331)	3.9K (392)	47K (473)	560K (564)
2.7 (2R7)	33 (330)	390 (391)	4.7K (472)	56K (563)	680K (684)
3.3 (3R3)	39 (390)	470 (471)	5.6K (562)	68K (683)	820K (824)
3.9 (3R9)	47 (470)	560 (561)	6.8K (682)	82K (823)	1M (105)
4.7 (4R7)	56 (560)	680 (681)	8.2K (822)	100K (104)	
5.6 (5R6)	68 (680)	820 (821)	10K (103)	120K (124)	
6.8 (6R8)	82 (820)	1.0K (102)	12K (123)	150K (154)	
8.2 (8R2)	100 (101)	1.2K (122)	15K (153)	180K (184)	

Serie EXB-14V und EXB-18V Isolieranschluss-Widerstandscodes (E12-Werte) (Werte in Ω)

Wert (Code)	Wert (Code)	Wert (Code)	Wert (Code)	Wert (Code)	Wert (Code)	Wert (Code)
0.0 (000)	47 (470)	270 (271)	1.5K (152)	8.2K (822)	47K (473)	270K (274)
10 (100)	56 (560)	330 (331)	1.8K (182)	10K (103)	56K (563)	330K (334)
12 (120)	68 (680)	390 (391)	2.2K (222)	12K (123)	68K (683)	390K (394)
15 (150)	82 (820)	470 (471)	2.7K (272)	15K (153)	82K (823)	470K (474)
18 (180)	100 (101)	560 (561)	3.3K (332)	18K (183)	100K (104)	560K (564)
22 (220)	120 (121)	680 (681)	3.9K (392)	22K (223)	120K (124)	680K (684)
27 (270)	150 (151)	820 (821)	4.7K (472)	27K (273)	150K (154)	820K (824)
33 (330)	180 (181)	1.0K (102)	5.6K (562)	33K (333)	180K (184)	1M (105)
39 (390)	220 (221)	1.2K (122)	6.8K (682)	39K (393)	220K (224)	

Serie EXB-28V und EXB-N8V Isolieranschluss-Widerstandscodes (E24-Werte) (Werte in Ω)

Wert (Code)	Wert (Code)	Wert (Code)	Wert (Code)	Wert (Code)	Wert (Code)	Wert (Code)
0.0 (000)	6.8 (6R8)	51 (510)	390 (391)	3.0K (302)	22K (223)	160K (164)
1.0 (1R0)	7.5 (7R5)	56 (560)	430 (431)	3.3K (332)	24K (243)	180K (184)
1.1 (1R1)	8.2 (8R2)	62 (620)	470 (471)	3.6K (362)	27K (273)	200K (204)
1.2 (1R2)	9.1 (9R1)	68 (680)	510 (511)	3.9K (392)	30K (303)	220K (224)
1.3 (1R3)	10 (100)	75 (750)	560 (561)	4.3K (432)	33K (333)	240K (244)
1.5 (1R5)	11 (110)	82 (820)	620 (621)	4.7K (472)	36K (363)	270K (274)
1.6 (1R6)	12 (120)	91 (910)	680 (681)	5.1K (512)	39K (393)	300K (304)
1.8 (1R8)	13 (130)	100 (101)	750 (751)	5.6K (562)	43K (433)	330K (334)
2.0 (2R0)	15 (150)	110 (111)	820 (821)	6.2K (622)	47K (473)	360K (364)
2.2 (2R2)	16 (160)	120 (121)	910 (911)	6.8K (682)	51K (513)	390K (394)
2.4 (2R4)	18 (180)	130 (131)	1.0K (102)	7.5K (752)	56K (563)	430K (434)
2.7 (2R7)	20 (200)	150 (151)	1.1K (112)	8.2K (822)	62K (623)	470K (474)
3.0 (3R0)	22 (220)	160 (161)	1.2K (122)	9.1K (912)	68K (683)	510K (514)
3.3 (3R3)	24 (240)	180 (181)	1.3K (132)	10K (103)	75K (753)	560K (564)
3.6 (3R6)	27 (270)	200 (201)	1.5K (152)	11K (113)	82K (823)	620K (624)
3.9 (3R9)	30 (300)	220 (221)	1.6K (162)	12K (123)	91K (913)	680K (684)
4.3 (4R3)	33 (330)	240 (241)	1.8K (182)	13K (133)	100K (104)	750K (754)
4.7 (4R7)	36 (360)	270 (271)	2.0K (202)	15K (153)	110K (114)	820K (824)
5.1 (5R1)	39 (390)	300 (301)	2.2K (222)	16K (163)	120K (124)	910K (914)
5.6 (5R6)	43 (430)	330 (331)	2.4K (242)	18K (183)	130K (134)	1M (105)
6.2 (6R2)	47 (470)	360 (361)	2.7K (272)	20K (203)	150K (154)	

Abb.	Anz. der Widerstände	Widerstands-wertbereich§	Digi-Key* Teilenr.	Gurtabschnittspreise 10	100	500	1.000	Digi-Key* Teilenr.	Gegurtet auf Rolle 5.000	10.000	20.000	Panasonic* Teilenr.
2	4	E24	Y10(Code)CT-ND	.37	3.26	11.64	20.02	Y10(Code)TR-ND	—	8.47/M	—	EXB-N8V□□□JX
1	2	E12	Y2(Code)CT-ND	.41	3.56	12.70	21.84	Y2(Code)TR-ND	14.40/M	13.55/M	—	EXB-V4V□□□JV
2	4	E12	Y4(Code)CT-ND	.68	5.93	21.17	36.40	Y4(Code)TR-ND	23.71/M	22.02/M	—	EXB-V8V□□□JV
1	2	E12	Y3(Code)CT-ND	1.24	10.84	38.73	66.62	Y3(Code)TR-ND	—	43.18/M	40.64/M	EXB-14V□□□JX
2	4	E12	Y6(Code)CT-ND	2.01	17.63	62.97	108.31	Y6(Code)TR-ND	—	70.27/M	—	EXB-18V□□□JX
1	2	E12	Y5(Code)CT-ND	.85	7.41	26.46	45.50	Y5(Code)TR-ND	—	28.79/M	27.94/M	EXB-24V□□□JX
2	4	E24	Y7(Code)CT-ND	.85	7.41	26.46	45.50	Y7(Code)TR-ND	—	28.79/M	27.94/M	EXB-28V□□□JX
1	2	E12	Y8(Code)CT-ND	.36	3.12	11.12	19.12	Y8(Code)TR-ND	12.70/M	11.86/M	—	EXB-34V□□□JV
2	4	E12	Y9(Code)CT-ND	.26	2.31	8.25	14.20	Y9(Code)TR-ND	9.32/M	8.47/M	—	EXB-38V□□□JV
3	8	E12	Y1(Code)CT-ND	1.52	13.33	47.62	81.91	Y1(Code)TR-ND	51.65/M	49.95/M	—	EXB-2HV□□□JV

* Für die komplette Teilenr. ersetzen Sie den entsprechenden Widerstandscode. § E24 Widerstandswerte für andere Serien sind verfügbar. Für Details bitte bei Digi-Key anrufen.

RF-Jumper, Chip-Widerstand

SPEZIFIKATIONEN:

• Isolierung (2,5 GHz): max. -40 dB • Rückflussdämpfung (2,5 GHz): max. -20 dB • Nennstrom: 1 A (Lastminderungskurve für Brücken, die in einer Umgebungstemperatur von über 70 °C betrieben werden, Nennstrom wird laut Lastminderungskurvendiagramm gedrosselt. • Klemmenanzahl: 6
• Temperaturbereich: -55 °C ~ 125 °C

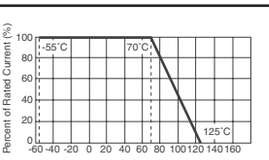

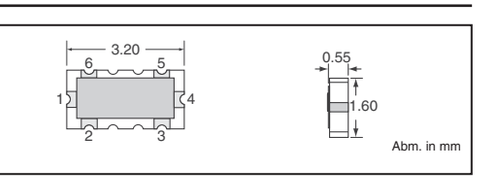

Abm. in mm

Widerstand (Klemme 1-4)	Einfügungsverlust (2,5 GHz)	Digi-Key Teilenr.	Gurtabschnittspreise 10	100	500	1.000	Digi-Key Teilenr.	Gegurtet auf Rolle 5.000	10.000	15.000	25.000	50.000	Panasonic Teilenr.
50mΩ max.	-0.5dB max.	P0.0NCT-ND	2.04	16.98	67.94	113.23	P0.0NTR-ND	75.35/M	62.65/M	58.42/M	56.73/M	53.34/M	EXB-D6JP000A

Alle Preisangaben in Euro und inklusive Zollgebühren.

Panasonic

Chipwiderstandsnetzwerke zur Oberflächenmontage — Serie

EXB-A, EXB-E, EXB-D und EXB-Q

MERKMALE: • **Hohe Dichte:** Acht am Bus angeschlossene Widerstände für Pull-Up/-Down-Schaltung bei EXB-A Typ 2512 (6,4 mm x 3,1 mm x 0,55 mm), EXB-E Typ 1608 (4,0 mm x 2,1 mm x 0,55 mm), EXB-D Typ 1206 (3,2 mm x 1,6 mm x 0,55 mm) und EXB-Q Typ 1506 (3,8 mm x 1,6 mm x 0,45 mm)
• **Automatische Platzierung:** Die Verpackungsart gegurtet auf Rolle ist ideal für Maschine mit schneller automatischer Platzierung. • EXB-Q bietet Direktplatzierung auf der Bus-Linie mithilfe von „half-pitch"-Abständen ohne Durchlasslöcher auf der PWB. Sie einget sich auch für die schnelle Montage bei konventioneller Platzierung der Maschine.
SPEZIFIKATIONEN: • **Widerstandsbereich:** 47Ω ~ 1MΩ (EXB-Q: 100Ω ~ 470 KΩ)
• **Widerstandstoleranz:** ±5 % • **Anzahl der Anschlüsse:** 10 Anschlüsse (EXB-Q: 16 Anschlüsse) • **Anzahl der Widerstände:** 8 Widerstände (EXB-Q: 15 Widerstände)
• **Nennleistung bei 70°C:** 63 mW/Element (EXB-D: 50 mW/Element; EXB-Q: 25 mW/Element) • **Maximale Dauernennbetriebsspannung †:** EXB-A: 50 V, EXB-E, EXB-D und EXB-Q: 25 V • **Maximale Überlastspannung:** EXB-A: 100 V, EXB-E, EXB-D und EXB-Q: 50 V
• **Typischer Temperaturbereich:** ±200 ppm/°C • **Betriebstemperaturbereich:** -55°C ~ 125°C

† Die kontinuierliche Betriebsspannung (RCWV) wird nach RCWV = SNennleistung x Widerstandswerte berechnet, oder es wird die o.a. max. RCWV verwendet (maßgebend ist der jeweils niedrigere Wert)

Widerstandscodes für EXB-A, EXB-E and EXB-D
(Werte in Ω)

Wert (Code)	Wert (Code)	Wert (Code)	Wert (Code)
47 (470)	680 (681)	10K (103)	150K (154)
56 (560)	820 (821)	12K (123)	180K (184)
68 (680)	1.0K (102)	15K (153)	220K (224)
82 (820)	1.2K (122)	18K (183)	270K (274)
100 (101)	1.5K (152)	22K (223)	330K (334)
120 (121)	1.8K (182)	27K (273)	390K (394)
150 (151)	2.2K (222)	33K (333)	470K (474)
180 (181)	2.7K (272)	39K (393)	560K (564)
220 (221)	3.3K (333)	47K (473)	680K (684)
270 (271)	3.9K (392)	56K (563)	820K (824)
330 (331)	4.7K (472)	68K (683)	1M (105)
390 (391)	5.6K (562)	82K (823)	
470 (471)	6.8K (682)	100K (104)	
560 (561)	8.2K (822)	120K (124)	

Widerstandscodes für EXB-Q
(Werte in Ω)

Wert (Code)	Wert (Code)	Wert (Code)	Wert (Code)
100 (101)	1K (102)	10K (103)	100K (104)
150 (151)	1.5K (152)	15K (153)	150K (154)
220 (221)	2.2K (222)	22K (223)	220K (224)
330 (331)	3.3K (332)	33K (333)	330K (334)
470 (471)	4.7K (472)	47K (473)	470K (474)
680 (681)	6.8K (682)	68K (683)	

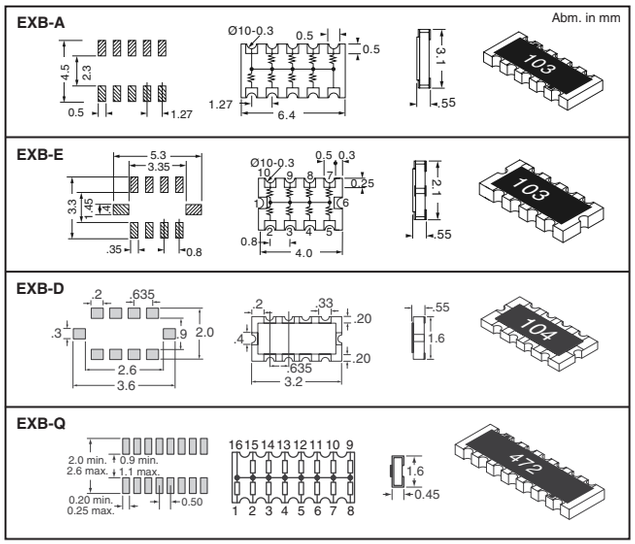

Digi-Key* Teilenr.	Gurtabschnittspreise 1	10	100	500	1.000	Digi-Key* Teilenr.	Gegurtet auf Rolle 4.000	5.000	8.000	10.000	Panasonic* Teilenr.
U7(Code)CT-ND	.39	3.61	29.21	121.70	194.72	U7(Code)TR-ND	175.25/M	—	146.47/M	—	EXB-A10P(Code)J
U8(Code)CT-ND	.36	3.29	26.67	111.12	177.79	U8(Code)TR-ND	129.53/M	—	108.37/M	—	EXB-E10C(Code)J
U9(Code)CT-ND	.37	3.41	27.68	115.35	184.56	U9(Code)TR-ND	—	129.53/M	—	108.37/M	EXB-D10C(Code)J
U6(Code)CT-ND	.51	4.69	38.04	158.48	253.56	U6(Code)TR-ND	—	228.59/M	—	190.49/M	EXB-Q16P(Code)J

* Für komplette Teilenr. ersetzen Sie den entsprechenden Widerstandscode.

0404 abgeglichener 0-Typ Chip-Dämpfer zur Oberflächenmontage

— Serie EXB-24AB

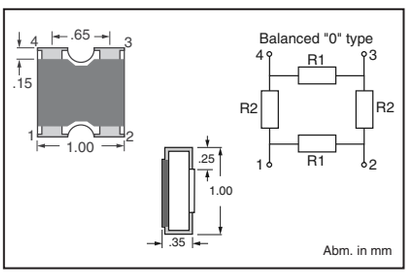

MERKMALE: • Abgeglichene „0"-Typ Dämpferschaltung in einem 0404 Chip (1,0 mm x 1,0 mm) • Reduzierung des Montagebereichs; ca. 65 % Reduzierung im Vergleich zu aus vier 0402 Chip-Widerständen bestehender Dämpferschaltung; ca. 26 % Reduzierung im Vergleich zu aus vier diskreten 0201 Chip-Widerständen bestehender Dämpferschaltung • Reduzierung der Montagezeit: 4 Mal >>> 1 Zeit
• Abschwächung: 0 dB bis 10 dB **ANWENDUNGEN:** • Abschwächung/Aussteuerung/Impedanzanpassung von Hochfrequenzsignalen in Kommunikationsgeräten – z.B. Mobiltelefonen (GSM, CDMA, PDC, etc.), PHS, PDA. **SPEZIFIKATIONEN:** • Nennleistung: 0,040 W (40 mW)/Paket • Frequenzbereich: DC bis 2,5 GHz • VSWR (Stehwellenverhältnis) 1,2 maximum (typisch), 1,5 maximum (0 dB, typisch)
• Betriebstemperaturbereich: -55 °C ~ 125 °C

Abschwächungs-toleranz	Abschwächungswert (dB)	R1 (Ω)	R2 (Ω)	Kennwiderstand (Ω)	Digi-Key Teilenr.	Gurtabschnittspreise 10	100	500	Digi-Key Teilenr.	Gegurtet auf Rolle 10.000	Panasonic Teilenr.
±0.8	0	0	open	0	P11153CT-ND	2.07	18.06	64.50	P11153TR-ND	69.43/M	EXB-24AB00R8X
	1	5.77	1.74k	100	P11154CT-ND	2.07	18.06	64.50	P11154TR-ND	69.43/M	EXB-24AB1CR8X
	2	11.6	872	100	P11155CT-ND	2.07	18.06	64.50	P11155TR-ND	69.43/M	EXB-24AB2CR8X
	3	17.6	585	100	P11156CT-ND	2.07	18.06	64.50	P11156TR-ND	69.43/M	EXB-24AB3CR8X
±1.0	6	37.4	301	100	P11157CT-ND	2.07	18.06	64.50	P11157TR-ND	69.43/M	EXB-24AB6C1RX
±2.0	10	71.2	192	100	P11158CT-ND	2.07	18.06	64.50	P11158TR-ND	69.43/M	EXB-24ABAC2RX
±0.8	1	11.5	3.48k	200	P11159CT-ND	2.07	18.06	64.50	P11159TR-ND	69.43/M	EXB-24AB1ER8X
	2	23.2	1.74k	200	P11160CT-ND	2.07	18.06	64.50	P11160TR-ND	69.43/M	EXB-24AB2ER8X
	3	35.2	1.17k	200	P11161CT-ND	2.07	18.06	64.50	P11161TR-ND	69.43/M	EXB-24AB3ER8X
	6	74.7	602	200	P11162CT-ND	2.07	18.06	64.50	P11162TR-ND	69.43/M	EXB-24AB6E1RX
	10	142	385	200	P11163CT-ND	2.07	18.06	64.50	P11163TR-ND	69.43/M	EXB-24ABAE2RX
	1	17.3	5.22k	300	P11164CT-ND	2.07	18.06	64.50	P11164TR-ND	69.43/M	EXB-24AB1GR8X
	2	34.8	2.62k	300	P11165CT-ND	2.07	18.06	64.50	P11165TR-ND	69.43/M	EXB-24AB2GR8X
	3	52.8	1.75k	300	P11166CT-ND	2.07	18.06	64.50	P11166TR-ND	69.43/M	EXB-24AB3GR8X
±1.0	6	112	903	300	P11167CT-ND	2.07	18.06	64.50	P11167TR-ND	69.43/M	EXB-24AB6G1RX
±2.0	10	213	577	300	P11168CT-ND	2.07	18.06	64.50	P11168TR-ND	69.43/M	EXB-24ABAG2RX

0404 Chip-Dämpfer zur Oberflächenmontage

— Serie EXB-24AT

Abschwächung - Frequenzkennlinie (typisch)

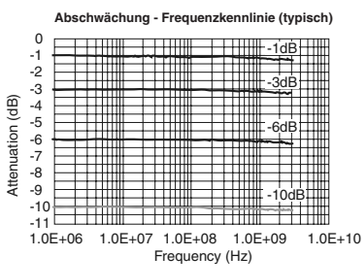

MERKMALE: • Abgeglichene „π"-Typ Dämpferschaltung in einem 0404 Chip (1,0 mm x 1,0 mm) • Reduzierung des notwendigen Montagebereichs: ca. 50 % Reduzierung im Vergleich zu aus drei 0402 Chip-Widerständen bestehender Dämpferschaltung • Reduzierung der Montagezeit: 3 >>> 1 • Abschwächung: 1 dB bis 10 dB **ANWENDUNGEN:** Abschwächung/Aussteuerung/Impedanzanpassung von Hochfrequenzsignalen in Kommunikationsgeräten – z.B. Mobiltelefonen (GSM, CDMA, PDC, etc.), PHS, PDA. **SPEZIFIKATIONEN:** • Kennwiderstand: 50 Ω
• Nennleistung: 0,040 W (40 mW)/Paket • Frequenzbereich: DC bis 2 GHz
• VSWR (Stehwellenverhältnis) 1,3 maximum

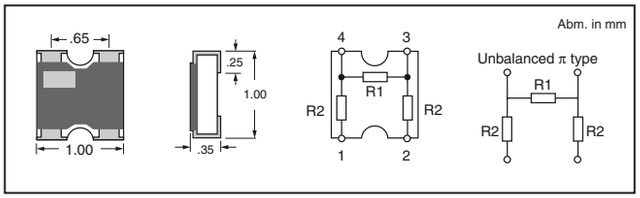

Abschwächungs-toleranz	Abschwächungswert (dB)	R1 (Ω)	R2 (Ω)	Digi-Key Teilenr.	Gurtabschnittspreise 10	100	500	Digi-Key Teilenr.	Gegurtet auf Rolle 10.000	Panasonic Teilenr.
±0.3	1	5.77	870	P11103CT-ND	1.52	13.29	47.46	P11103TR-ND	51.65/M	EXB-24AT1AR3X
	2	11.6	436	P11104CT-ND	1.52	13.29	47.46	P11104TR-ND	51.65/M	EXB-24AT2AR3X
	3	17.6	292	P11105CT-ND	1.52	13.29	47.46	P11105TR-ND	51.65/M	EXB-24AT3AR3X
	4	23.9	221	P11106CT-ND	1.52	13.29	47.46	P11106TR-ND	51.65/M	EXB-24AT4AR3X
	5	30.4	179	P11107CT-ND	1.52	13.29	47.46	P11107TR-ND	51.65/M	EXB-24AT5AR3X
±0.5	6	37.4	151	P11108CT-ND	1.52	13.29	47.46	P11108TR-ND	51.65/M	EXB-24AT6AR5X
	10	71.2	96.3	P11109CT-ND	1.52	13.29	47.46	P11109TR-ND	51.65/M	EXB-24ATAAR5X

2 % Dickschicht-Widerstand

Flaches Profil, Single-Inline-Ausführung, sehr stabil, entspricht MIL-R-83401

Allgemeine Spezifikationen:

Nennleistung:
Typisch: 125mW (70°C); Isoliert: 200mW (60°C); Leitungsterminator: 75mW (70°C).

Dauernennbetriebsspannung (RCWV):
√ Nennleistung x Widerstandswert oder 100V, je nachdem, was geringer ist.

Betriebstemperaturbereich:
-55 °C ~ 125 °C.

Betriebstemperaturbereich:
-55 °C ~ 150 °C.

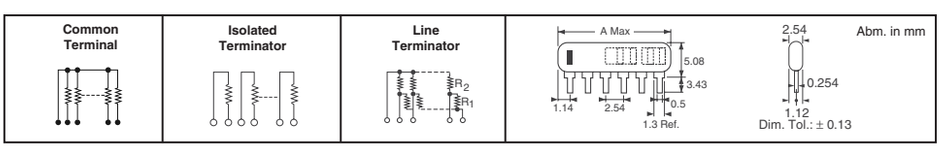

Hauptanschluss und isolierter Anschluss: Widerstandscodes

Wert (Code)	Wert (Code)	Wert (Code)
100 (101)	6.8K (682)	150K (154)
150 (151)	8.2K (822)	220K (224)
220 (221)	15K (153)	330K (334)
330 (331)	22K (223)	470K (474)
560 (561)	33K (333)	560K (564)
680 (681)	47K (473)	680K (684)
820 (821)	56K (563)	
1.5K (152)	68K (683)	
5.6K (562)	82K (823)	

Leitungsterminator: Widerstandscodes

R1/R2 (Code)
160/240 (T01)
180/390 (T02)
220/270 (T03)
220/330 (T04)
330/390 (T05)
330/470 (T06)
330/680 (T07)
1.5K/3.3K (T08)

Typ	Widerst. Elemente	Anz. der Pins	Abm. A (mm)	Digi-Key* Teilenr.	Preisangaben 1	10	100	1.000	5.000	Panasonic Teilenr.
Hauptanschluss	5	6	14.88	Q5(Code)-ND	.21	1.72	12.89	86.35	77.89/M	EXB-F6E (Code) G
	7	8	19.96	Q7(Code)-ND	.28	2.26	16.92	112.60	102.44/M	EXB-F8E (Code) G
	9	10	25.04	Q9(Code)-ND	.36	2.84	21.28	142.23	128.69/M	EXB-F10E (Code) G
Isolierter Terminator	3	6	14.88	Q2(Code)-ND	.21	1.72	12.89	86.35	77.89/M	EXB-F6V (Code) G
	4	8	19.96	Q4(Code)-ND	.28	2.26	16.92	112.60	102.44/M	EXB-F8V (Code) G
	5	10	25.04	Q6(Code)-ND	.36	2.84	21.28	142.23	128.69/M	EXB-F10 (Code) G
Leitungs terminatorr	8	6	14.88	Q0(Code)-ND	.34	2.73	20.50	136.30	124.45/M	EXB-F6WT (Code) G
	12	8	19.96	Q1(Code)-ND	.46	3.66	27.42	182.87	165.94/M	EXB-F8WT (Code) G
	16	10	25.04	Q3(Code)-ND	.57	4.55	34.18	227.74	207.42/M	EXB-F10WT (Code) G

* Für komplette Teilenr. ersetzen Sie den entsprechenden Widerstandscode.

F

Panasonic

Serie EZA-SC —Chip-Kondensator-Array mit 3 Anschlüssen, zur Oberflächenmontage

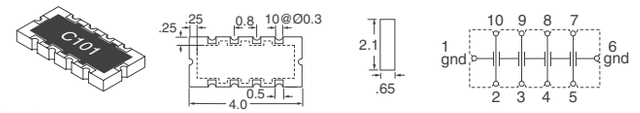

Abm. in mm

MERKMALE: **Für EMI-Unterdrückungsfilterung geeignet:** • Die niedrige Restinduktivität bei hohen Frequenzen bewirkt eine effektive Rauschreduzierung • Rauschreduzierung wie EMI-Filter, nur preiswerter **Kompaktes Design für dichte PWB-Montage** • 4,0 x 2,1 x 0,65 mm • Flache und quadratische Ausführungen, ideal für Maschine mit schneller automatischer Platzierung **Einfache Montage mittels konkaven Anschlussklemmen:** • Haltbare Lötverbindung (das Doppelte von konvexen Klemmen) • Selbstausrichtung der Platzierung bei Aufschmelzprozess

SPEZIFIKATIONEN: • Kapazitätstoleranz: ±20 % (+30 % / -20 % bei 22 pf) • Temperatureigenschaften: ΔC: +20 % / -55 % (-25 °C ~ 85 °C) • Verlustfaktor: Unter 2,0 % (25 °C, 1 KHz – Messung bei 1 MHz, Kapazitätswert und Verlustfaktor sind unterschiedlich, 1 Vrms) • Nennspannung: 25 V • Nennstromstärke: 200 mA (zw. Ein- und Ausgangsklemme) • Widerstand: Unter 1,0 Ω (zw. Ein- und Ausgangsklemme) • Betriebstemperaturbereich: -25 °C ~ 85 °C

Volt (DC)	Kap. (pF)	Digi-Key Teilenr.	Gurtabschnittspreis pro Stück 1	10	100	500	Digi-Key Teilenr.	Preisangabe für gegurtet auf Rolle 4.000	Panasonic Teilenr.
25	22	P10192CT-ND	1.00	.88	.76	.63	P10192TR-ND	350.50/M	EZA-SCE220M
25	47	P10193CT-ND	1.00	.88	.76	.63	P10193TR-ND	350.50/M	EZA-SCE470M
25	100	P10194CT-ND	1.00	.88	.76	.63	P10194TR-ND	350.50/M	EZA-SCE101M

Series EZA-NP —Chip-Kondensator-Netze zur Oberflächenmontage

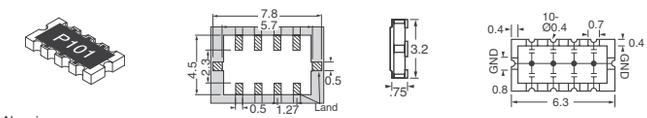

Abm. in mm

MERKMALE: • Chip-Kondensator-Netze — exklusiv von Panasonic in Dickschichttechnologie entwickelt. 8 am Bus angeschlossene Kondensatoren in einem Paket (6,3 mm x 3,2 mm x 0,75 mm), Half-Pitch (0,65 mm) Abstand für hohe automatische Platzierdichte • Sehr gute Rauschreduzierung durch zwei Erdklemmen • Sehr gute Lötbarkeit durch Ni + Lötzinnauftragung und konkave Anschlussklemmen

SPEZIFIKATIONEN: • Kapazitätsbereich: 47 pF, 100 pF, 220 pF • Kapazitätstoleranz: ±20 % • Temperatureigenschaften: ΔC: +20 % / -55 % (-25 °C ~ 85 °C) • Dissipationsfaktor: Unter 3,0 % (25 °C, 1 KHz, 1 Vrms) • Nennspannung: 25 V • Betriebstemperaturbereich: -25 °C ~ 85 °C

Volt (DC)	Kap. (pF)	Digi-Key Teilenr.	Gurtabschnittspreis pro Stück 1	10	100	500	Digi-Key Teilenr.	Preisangabe für gegurtet auf Rolle 4.000	Panasonic Teilenr.
25	47	PCN1001CT-ND	1.72	1.51	1.29	1.08	PCN1001TR-ND	601.09/M	EZA-NPE470M
25	100	PCN1002CT-ND	1.72	1.51	1.29	1.08	PCN1002TR-ND	601.09/M	EZA-NPE101M
25	220	PCN1003CT-ND	1.72	1.51	1.29	1.08	PCN1003TR-ND	601.09/M	EZA-NPE221M

Chip-RC-Netze zur Oberflächenmontage: — Serie EZA-ST, EZA-DT, EZA-DL, EZA-NT und EZA-CT

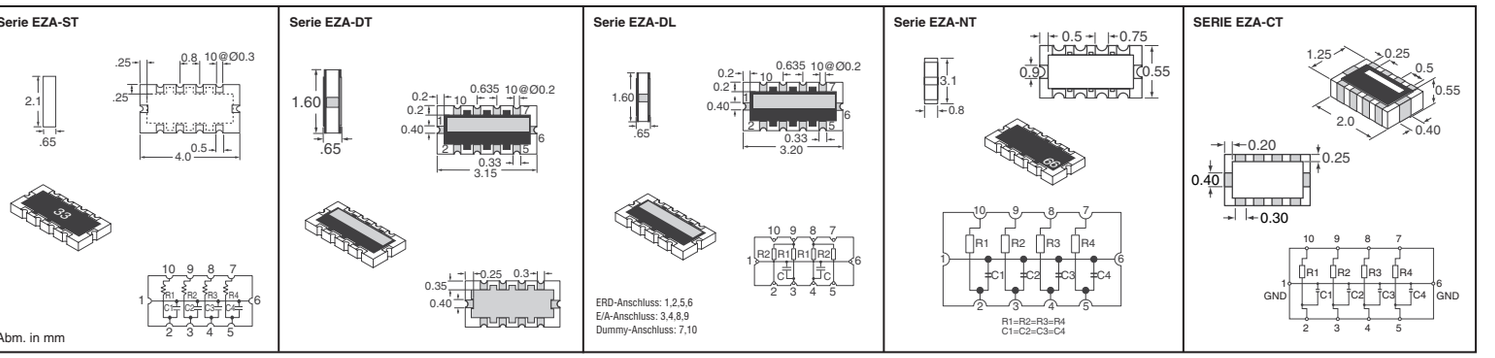

MERKMALE: ***SERIE EZA-CT*** • 4 RC-Schaltungen in einem kleinen Paket • 75 % Platzersparnis gegenüber 0402-Größe **Serie EZA-DT:** • Kleinste SMD R/C-Netzwerke • Vier gängige Schaltungen zur Rauschreduzierung bestehend aus Dämpfungswiderständen und Entkoppelungskondensator in einem winzigen Chip • EZAST: 4,0 x 2,1 x 0,65 mm: Neigung 0,8 mm • EZADT: 3,2 x 1,6 x 0,65 mm: Neigung 0,635 mm • EZANT: 6,4 x 3,1 x 0,80 mm, Neigung 1,27 mm • Weniger Platzbedarf als diskrete 0402 (1,0 x 0,5 mm) Chips • EZAST: 70 % des Platzbedarfs von 0402 (1,0 x 0,5 mm) Chips • EZADT: 50 % des Platzbedarfs von 0402 (1,0 x 0,5 mm) Chips • EZANT: 45 % des Platzbedarfs von 0805 (2,0 x 1,2 mm) Chips **Serie EZA-DL** • Kleinster SMD R/C-Filter für USB-Schnittstelle • Beinhaltet 2 Schaltkreise π-Typ R/C-Filter in einem Chip (Chipgröße: 3,2 x 1,6 mm) • Platz sparend und geringe Platzierungskosten **Serie EZA-ST, EZA-DT, EZA-DL und EZA-NT:** • Einfache Montage mittels konkaven Anschlussklemmen: • Haltbare Lötverbindung (das Doppelte von konvexen Klemmen) • Selbstausrichtung der Platzierung bei Aufschmelzlöten **Empfohlene Anwendungen für Serie EZA-DL:** • Informations- und Unterhaltungsgeräte mit USB-Anschluss

SPEZIFIKATIONEN: • Widerstandstoleranz: ±5 % • TCR: ±200 ppm/°C • Nennleistung: 0,063 W (≤ 70 °C) – *Für Widerstände, die in Umgebungstemp. über 70 °C betrieben werden, ist die Nennleistung zu drosseln* • Maximale Dauernennbetriebsspannung: 25 V *(Nennspannung für Widerstand wird durch den √Nennstrom x Widerstandswert bestimmt oder durch Grenzelementspannung [maximale Dauernennbetriebsspannung], je nachdem, welcher Wert kleiner ist.)* • Kapazitätstoleranz: +30 %/-20 % • Temperatureigenschaften: ΔC: +20 % / -55 % (-25 °C ~ 85 °C) • Verlustfaktor: Unter 3, % (25 °C, 1 KHz – *Messung bei 1 MHz, Kapazitätswert und Verlustfaktor sind unterschiedlich,* 1 Vrms) • Nennspannung: EZA-NT: 50 V EZA-ST: 25 V EZA-DT, EZA-CT und EZA-DL: 12 V • Betriebstemperaturbereich: -25 °C ~ 85 °C

Widerst. (Ω)	Kap. (pF)	Digi-Key Teilenr.	Gurtabschnittspreis pro Stück 1	10	100	500	Digi-Key Teilenr.	Gegurtet auf Rolle Größe	Preisangaben	Panasonic Teilenr.
Serie EZA-ST										
22	22	PST11CT-ND	1.00	.88	.76	.63	PST11TR-ND	4,000	350.50/M	EZA-ST11AAAJ
	47	PST12CT-ND	1.00	.88	.76	.63	PST12TR-ND	4,000	350.50/M	EZA-ST12AAAJ
	100	PST13CT-ND	1.00	.88	.76	.63	PST13TR-ND	4,000	350.50/M	EZA-ST13AAAJ
47	22	PST21CT-ND	1.00	.88	.76	.63	PST21TR-ND	4,000	350.50/M	EZA-ST21AAAJ
	47	PST22CT-ND	1.00	.88	.76	.63	PST22TR-ND	4,000	350.50/M	EZA-ST22AAAJ
	100	PST23CT-ND	1.00	.88	.76	.63	PST23TR-ND	4,000	350.50/M	EZA-ST23AAAJ
100	22	PST31CT-ND	1.00	.88	.76	.63	PST31TR-ND	4,000	350.50/M	EZA-ST31AAAJ
	47	PST32CT-ND	1.00	.88	.76	.63	PST32TR-ND	4,000	350.50/M	EZA-ST32AAAJ
	100	PST33CT-ND	1.00	.88	.76	.63	PST33TR-ND	4,000	350.50/M	EZA-ST33AAAJ
220	22	PST41CT-ND	1.00	.88	.76	.63	PST41TR-ND	4,000	350.50/M	EZA-ST41AAAJ
	47	PST42CT-ND	1.00	.88	.76	.63	PST42TR-ND	4,000	350.50/M	EZA-ST42AAAJ
	100	PST43CT-ND	1.00	.88	.76	.63	PST43TR-ND	4,000	350.50/M	EZA-ST43AAAJ
470	22	PST51CT-ND	1.00	.88	.76	.63	PST51TR-ND	4,000	350.50/M	EZA-ST51AAAJ
	47	PST52CT-ND	1.00	.88	.76	.63	PST52TR-ND	4,000	350.50/M	EZA-ST52AAAJ
	100	PST53CT-ND	1.00	.88	.76	.63	PST53TR-ND	4,000	350.50/M	EZA-ST53AAAJ
1K	22	PST61CT-ND	1.00	.88	.76	.63	PST61TR-ND	4,000	350.50/M	EZA-ST61AAAJ
	47	PST62CT-ND	1.00	.88	.76	.63	PST62TR-ND	4,000	350.50/M	EZA-ST62AAAJ
	100	PST63CT-ND	1.00	.88	.76	.63	PST63TR-ND	4,000	350.50/M	EZA-ST63AAAJ
Serie EZA-DT										
22	22	PDT11CT-ND	.54	.48	.41	.34	PDT11TR-ND	5,000	188.80/M	EZA-DT11AAAJ
	47	PDT12CT-ND	.54	.48	.41	.34	PDT12TR-ND	5,000	188.80/M	EZA-DT12AAAJ
	100	PDT13CT-ND	.54	.48	.41	.34	PDT13TR-ND	5,000	188.80/M	EZA-DT13AAAJ
47	22	PDT21CT-ND	.54	.48	.41	.34	PDT21TR-ND	5,000	188.80/M	EZA-DT21AAAJ
	47	PDT22CT-ND	.54	.48	.41	.34	PDT22TR-ND	5,000	188.80/M	EZA-DT22AAAJ
	100	PDT23CT-ND	.54	.48	.41	.34	PDT23TR-ND	5,000	188.80/M	EZA-DT23AAAJ
100	22	PDT31CT-ND	.54	.48	.41	.34	PDT31TR-ND	5,000	188.80/M	EZA-DT31AAAJ
	47	PDT32CT-ND	.54	.48	.41	.34	PDT32TR-ND	5,000	188.80/M	EZA-DT32AAAJ
	100	PDT33CT-ND	.54	.48	.41	.34	PDT33TR-ND	5,000	188.80/M	EZA-DT33AAAJ
220	22	PDT41CT-ND	.54	.48	.41	.34	PDT41TR-ND	5,000	188.80/M	EZA-DT41AAAJ
	47	PDT42CT-ND	.54	.48	.41	.34	PDT42TR-ND	5,000	188.80/M	EZA-DT42AAAJ
	100	PDT43CT-ND	.54	.48	.41	.34	PDT43TR-ND	5,000	188.80/M	EZA-DT43AAAJ
470	22	PDT51CT-ND	.54	.48	.41	.34	PDT51TR-ND	5,000	188.80/M	EZA-DT51AAAJ
	47	PDT52CT-ND	.54	.48	.41	.34	PDT52TR-ND	5,000	188.80/M	EZA-DT52AAAJ
	100	PDT53CT-ND	.54	.48	.41	.34	PDT53TR-ND	5,000	188.80/M	EZA-DT53AAAJ

Widerst. (Ω)	Kap. (pF)	Digi-Key Teilenr.	Gurtabschnittspreis pro Stück 1	10	100	500	Digi-Key Teilenr.	Gegurtet auf Rolle Größe	Preisangaben	Panasonic Teilenr.
1K	22	PDT61CT-ND	.54	.48	.41	.34	PDT61TR-ND	5,000	188.80/M	EZA-DT61AAAJ
	47	PDT62CT-ND	.54	.48	.41	.34	PDT62TR-ND	5,000	188.80/M	EZA-DT62AAAJ
	100	PDT63CT-ND	.54	.48	.41	.34	PDT63TR-ND	5,000	188.80/M	EZA-DT63AAAJ
Serie EZA-DL										
27/15K	47	PDLU01CT-ND	.35	.31	.26	.22	PDLU01TR-ND	5,000	121.07/M	EZA-DLU01AAJ
15/15K		PDLU02CT-ND	.35	.31	.26	.22	PDLU02TR-ND	5,000	121.07/M	EZA-DLU02AAJ
Serie EZA-NT										
22	220	PNT14CT-ND	.80	.71	.61	.51	PNT14TR-ND	4,000	282.77/M	EZA-NT14AAAJ
	470	PNT15CT-ND	.80	.71	.61	.51	PNT15TR-ND	4,000	282.77/M	EZA-NT15AAAJ
	1000	PNT16CT-ND	.80	.71	.61	.51	PNT16TR-ND	4,000	282.77/M	EZA-NT16AAAJ
47	220	PNT24CT-ND	.80	.71	.61	.51	PNT24TR-ND	4,000	282.77/M	EZA-NT24AAAJ
	470	PNT25CT-ND	.80	.71	.61	.51	PNT25TR-ND	4,000	282.77/M	EZA-NT25AAAJ
	1000	PNT26CT-ND	.80	.71	.61	.51	PNT26TR-ND	4,000	282.77/M	EZA-NT26AAAJ
100	220	PNT34CT-ND	.80	.71	.61	.51	PNT34TR-ND	4,000	282.77/M	EZA-NT34AAAJ
	470	PNT35CT-ND	.80	.71	.61	.51	PNT35TR-ND	4,000	282.77/M	EZA-NT35AAAJ
	1000	PNT36CT-ND	.80	.71	.61	.51	PNT36TR-ND	4,000	282.77/M	EZA-NT36AAAJ
220	220	PNT44CT-ND	.80	.71	.61	.51	PNT44TR-ND	4,000	282.77/M	EZA-NT44AAAJ
	470	PNT45CT-ND	.80	.71	.61	.51	PNT45TR-ND	4,000	282.77/M	EZA-NT45AAAJ
	1000	PNT46CT-ND	.80	.71	.61	.51	PNT46TR-ND	4,000	282.77/M	EZA-NT46AAAJ
470	220	PNT54CT-ND	.80	.71	.61	.51	PNT54TR-ND	4,000	282.77/M	EZA-NT54AAAJ
	470	PNT55CT-ND	.80	.71	.61	.51	PNT55TR-ND	4,000	282.77/M	EZA-NT55AAAJ
	1000	PNT56CT-ND	.80	.71	.61	.51	PNT56TR-ND	4,000	282.77/M	EZA-NT56AAAJ
1K	220	PNT64CT-ND	.80	.71	.61	.51	PNT64TR-ND	4,000	282.77/M	EZA-NT64AAAJ
	470	PNT65CT-ND	.80	.71	.61	.51	PNT65TR-ND	4,000	282.77/M	EZA-NT65AAAJ
	1000	PNT66CT-ND	.80	.71	.61	.51	PNT66TR-ND	4,000	282.77/M	EZA-NT66AAAJ
SERIE EZA-CT										
10	10	PCT00CT-ND	.53	.47	.41	.34	PCT00TR-ND	5,000	187.10/M	EZA-CT00AAAJ
	22	PCT01CT-ND	.53	.47	.41	.34	PCT01TR-ND	5,000	187.10/M	EZA-CT01AAAJ
22	10	PCT10CT-ND	.53	.47	.41	.34	PCT10TR-ND	5,000	187.10/M	EZA-CT10AAAJ
	22	PCT11CT-ND	.53	.47	.41	.34	PCT11TR-ND	5,000	187.10/M	EZA-CT11AAAJ
47	10	PCT20CT-ND	.53	.47	.41	.34	PCT20TR-ND	5,000	187.10/M	EZA-CT20AAAJ
	22	PCT21CT-ND	.53	.47	.41	.34	PCT21TR-ND	5,000	187.10/M	EZA-CT21AAAJ
100	10	PCT30CT-ND	.53	.47	.41	.34	PCT30TR-ND	5,000	187.10/M	EZA-CT30AAAJ
	22	PCT31CT-ND	.53	.47	.41	.34	PCT31TR-ND	5,000	187.10/M	EZA-CT31AAAJ

F

Alle Preisangaben in Euro und inklusive Zollgebühren.

Abm. in mm

SERIE MNR02

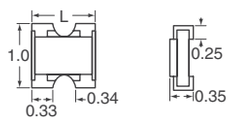

- Schaltungstyp: Isoliert
- Max. Betriebsspannung: 25 V

SERIE MNR04

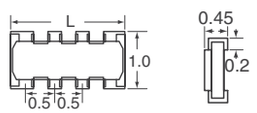

- Schaltungstyp: Isoliert
- Max. Betriebsspannung: 25 V

SERIE MNR12

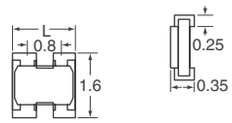

- Schaltungstyp: Isoliert
- Max. Betriebsspannung: 50 V

SERIE MNR14

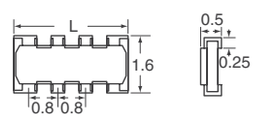

- Schaltungstyp: Isoliert
- Max. Betriebsspannung: 50 V

SERIE MNR15

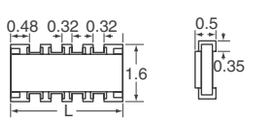

- Schaltungstyp: Bus
- Max. Betriebsspannung: 12,5 V

SERIE MNR18

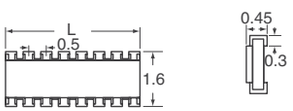

- Schaltungstyp: Isoliert
- Max. Betriebsspannung: 25 V

SERIE MNR32

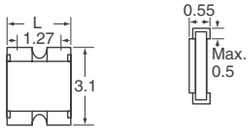

- Schaltungstyp: Isoliert
- Max. Betriebsspannung: 200 V

SERIE MNR34

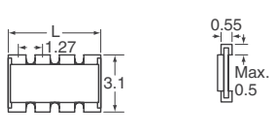

- Schaltungstyp: Isoliert
- Max. Betriebsspannung: 200 V

SERIE MNR35

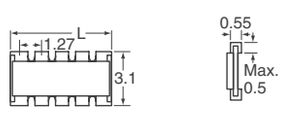

- Schaltungstyp: Bus
- Max. Betriebsspannung: 50 V

Series MNR02, MNR12 und MNR32

R1 = R2

Series MNR04, MNR14 und MNR34

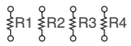

R1 = R2 = R3 = R4

Serie MNR15

R1=R2=R3=R4=R5=R6=R7=R8

Serie MNR18

R1=R2=R3=R4=R5=R6=R7=R8

Serie MNR35

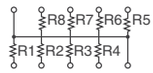

R1=R2=R3=R4=R5=R6=R7=R8

Widerstandswerte (Ω) Serie MNR02

Wert (Code)	Wert (Code)
0.0 (000)	100 (101)
10 (100)	1.0K (102)
22 (220)	4.7K (472)
33 (330)	10K (103)
56 (560)	47K (473)

Widerstandswerte (Ω) Serie MNR15 Chip-Arrays

Wert (Code)	Wert (Code)	Wert (Code)	Wert (Code)	Wert (Code)	Wert (Code)	Wert (Code)
56 (560)	330 (331)	560 (561)	1.8K (182)	4.7K (472)	18K (183)	68K (683)
100 (101)	390 (391)	680 (681)	2.0K (202)	5.1K (512)	20K (203)	100K (104)
150 (151)	430 (431)	1.0K (102)	2.2K (222)	5.6K (562)	22K (223)	
220 (221)	470 (471)	1.2K (122)	2.7K (272)	8.2K (822)	33K (333)	
300 (301)	510 (511)	1.5K (152)	3.3K (332)	10K (103)	47K (473)	

Widerstandswerte (Ω) Serie MNR04

Wert (Code)	Wert (Code)	Wert (Code)	Wert (Code)	Wert (Code)	Wert (Code)	Wert (Code)
0.0 (000)	27 (270)	56 (560)	150 (151)	820 (821)	4.7K (472)	33K (333)
10 (100)	30 (300)	62 (620)	220 (221)	1.0K (102)	5.1K (512)	47K (473)
12 (120)	33 (330)	68 (680)	240 (241)	1.2K (122)	6.8K (682)	51K (513)
15 (150)	39 (390)	75 (750)	300 (301)	1.5K (152)	8.2K (822)	56K (563)
18 (180)	43 (430)	82 (820)	330 (331)	2.2K (222)	10K (103)	100K (104)
22 (220)	47 (470)	100 (101)	470 (471)	2.7K (272)	15K (153)	1.0M (105)
24 (240)	51 (510)	120 (121)	680 (681)	3.0K (302)	22K (223)	

Widerstandswerte (Ω) Serie MNR18

Wert (Code)	Wert (Code)	Wert (Code)	Wert (Code)	Wert (Code)	Wert (Code)	Wert (Code)
10 (100)	30 (300)	56 (560)	200 (201)	1.0K (102)	5.1K (512)	47K (473)
12 (120)	33 (330)	62 (620)	220 (221)	1.2K (122)	6.8K (682)	51K (513)
15 (150)	36 (360)	68 (680)	240 (241)	1.5K (152)	8.2K (822)	56K (563)
18 (180)	39 (390)	75 (750)	300 (301)	2.0K (202)	10K (103)	100K (104)
20 (200)	43 (430)	82 (820)	330 (331)	2.2K (222)	15K (153)	1.0M (105)
22 (220)	47 (470)	100 (101)	470 (471)	2.7K (272)	20K (203)	
24 (240)	50 (500)	120 (121)	680 (681)	3.0K (302)	22K (223)	
27 (270)	51 (510)	150 (151)	820 (821)	4.7K (472)	33K (333)	

Widerstandswerte (Ω) Serie MNR12

Wert (Code)	Wert (Code)	Wert (Code)	Wert (Code)	Wert (Code)	Wert (Code)	Wert (Code)
0.0 (000)	39 (390)	100 (101)	360 (361)	1.2K (122)	10K (103)	150K (154)
10 (100)	47 (470)	130 (131)	470 (471)	1.8K (182)	15K (153)	220K (224)
18 (180)	51 (510)	150 (151)	510 (511)	2.0K (202)	22K (223)	1.0M (105)
22 (220)	56 (560)	220 (221)	680 (681)	2.2K (222)	39K (393)	
27 (270)	68 (680)	270 (271)	820 (821)	2.4K (242)	47K (473)	
33 (330)	75 (750)	330 (331)	1.0K (102)	4.7K (472)	100K (104)	

Widerstandswerte (Ω) Serie MNR32

Wert (Code)	Wert (Code)	Wert (Code)	Wert (Code)
39 (390)	270 (271)	132 (1.3K)	4.7K (472)
100 (101)	470 (471)	182 (1.8K)	10K (103)
180 (181)	1.0K (102)	392 (3.9K)	47K (473)

Widerstandswerte (Ω) Serie MNR14

Wert (Code)	Wert (Code)	Wert (Code)	Wert (Code)	Wert (Code)	Wert (Code)	Wert (Code)
0.0 (000)	36 (360)	220 (221)	1.3K (132)	8.2K (822)	51K (513)	360K (364)
2.2 (2R2)	39 (390)	240 (241)	1.5K (152)	9.1K (912)	56K (563)	390K (394)
3.0 (3R0)	43 (430)	270 (271)	1.6K (162)	10K (103)	62K (623)	430K (434)
3.3 (3R3)	47 (470)	300 (301)	1.8K (182)	11K (113)	68K (683)	470K (474)
4.7 (4R7)	51 (510)	330 (331)	2.0K (202)	12K (123)	75K (753)	510K (514)
6.8 (6R8)	56 (560)	360 (361)	2.2K (222)	13K (133)	82K (823)	560K (564)
10 (100)	62 (620)	390 (391)	2.4K (242)	15K (153)	91K (913)	620K (624)
11 (110)	68 (680)	430 (431)	2.7K (272)	16K (163)	100K (104)	680K (684)
12 (120)	75 (750)	470 (471)	3.0K (302)	18K (183)	110K (114)	750K (754)
13 (130)	82 (820)	510 (511)	3.3K (332)	20K (203)	120K (124)	820K (824)
15 (150)	91 (910)	560 (561)	3.6K (362)	22K (223)	130K (134)	910K (914)
16 (160)	100 (101)	620 (621)	3.9K (392)	24K (243)	150K (154)	1.0M (105)
18 (180)	110 (111)	680 (681)	4.3K (432)	27K (273)	160K (164)	
20 (200)	120 (121)	750 (751)	4.7K (472)	30K (303)	180K (184)	
22 (220)	130 (131)	820 (821)	5.1K (512)	33K (333)	200K (204)	
24 (240)	150 (151)	910 (911)	5.6K (562)	36K (363)	220K (224)	
27 (270)	160 (161)	1.0K (102)	6.2K (622)	39K (393)	240K (244)	
30 (300)	180 (181)	1.1K (112)	6.8K (682)	43K (433)	300K (304)	
33 (330)	200 (201)	1.2K (122)	7.5K (752)	47K (473)	330K (334)	

Widerstandswerte (Ω) Serie MNR34

Wert (Code)	Wert (Code)	Wert (Code)	Wert (Code)	Wert (Code)	Wert (Code)	Wert (Code)
0.0 (000)	36 (360)	110 (111)	470 (471)	1.8K (182)	6.8K (682)	56K (563)
10 (100)	39 (390)	120 (121)	510 (511)	2.0K (202)	8.2K (822)	68K (683)
15 (150)	43 (430)	150 (151)	560 (561)	2.2K (222)	10K (103)	100K (104)
16 (160)	47 (470)	180 (181)	620 (621)	2.7K (272)	15K (153)	270K (274)
18 (180)	51 (510)	200 (201)	680 (681)	3.3K (332)	18K (183)	510K (514)
22 (220)	56 (560)	220 (221)	750 (751)	3.9K (392)	20K (203)	1.0M (105)
24 (240)	68 (680)	270 (271)	820 (821)	4.7K (472)	22K (223)	
27 (270)	82 (820)	300 (301)	1.0K (102)	5.1K (512)	33K (333)	
30 (300)	91 (910)	330 (331)	1.2K (122)	5.6K (562)	39K (393)	
33 (330)	100 (101)	390 (391)	1.5K (152)	6.2K (622)	47K (473)	

Widerstandswerte (Ω) Serie MNR35

Wert (Code)	Wert (Code)	Wert (Code)	Wert (Code)	Wert (Code)	Wert (Code)
56 (560)	330 (331)	680 (681)	2.0K (202)	5.6K (562)	22K (223)
100 (101)	430 (431)	1.0K (102)	2.2K (222)	8.2K (822)	33K (333)
150 (151)	470 (471)	1.2K (122)	2.7K (272)	10K (103)	47K (473)
220 (221)	510 (511)	1.5K (152)	3.3K (332)	18K (183)	68K (683)
300 (301)	560 (561)	1.8K (182)	4.7K (472)	20K (203)	100K (104)

Serie	Anz. der Anschl.	Anz. der Widerst.	Abm."L" (mm)	Widerstand † Nennleistung (mW @ 70 °C)	Digi-Key* Teilenr.	Gurtabschnittspreise 10	100	1.000	Digi-Key* Teilenr.	Gegurtet auf Rolle 4.000	5.000	10.000
MNR02	4	2	1.0	63	MNR02(Code)CT-ND	.27	2.14	18.30	MNR02(Code)TR-ND	—	—	13.55/M
MNR04	8	4	2.0	63	MNR04(Code)CT-ND	.30	2.41	20.59	MNR04(Code)TR-ND	—	—	15.24/M
MNR12	4	2	1.6	63	MNR12(Code)CT-ND	.17	1.34	11.44	MNR12(Code)TR-ND	—	10.16/M	8.47/M
MNR14	8	4	3.2	63	MNR14(Code)CT-ND	.17	1.34	11.44	MNR14(Code)TR-ND	—	10.16/M	8.47/M
MNR15	10	8	3.2	31	MNR15(Code)CT-ND	1.16	9.10	77.79	MNR15(Code)TR-ND	—	66.04/M	57.57/M
MNR18	16	8	3.8	63	MNR18(Code)CT-ND	.86	6.70	57.20	MNR18(Code)TR-ND	—	49.11/M	42.33/M
MNR32	4	2	2.6	125	MNR32(Code)CT-ND	1.02	8.03	68.64	MNR32(Code)TR-ND	58.42/M	—	—
MNR34	8	4	5.2	125	MNR34(Code)CT-ND	1.16	9.10	77.79	MNR34(Code)TR-ND	66.04/M	—	—
MNR35	10	8	6.4	63	MNR35(Code)CT-ND	2.42	19.01	162.45	MNR35(Code)TR-ND	138.00/M	—	—

*Um die vollständige Teilenummer zu erhalten, ersetzen Sie Folgendes durch den entsprechenden Code aus der Widerstandswerttabelle für (Code). † ***Hinweis:*** Gesamtpaketnennleistung ist gleich der Anzahl der Widerstände mal Nennleistung pro Widerstand.

F

CTS CLEARONE™

BGA-Abschlusswiderstände und Bias-Netzwerke

• Keramik BGA-Bauart • Hochdichte Form • Für die Terminierung von parallelen Datenbussen konzipiert • Für Hochfrequenz-Datenübertragung konzipiert • Eliminiert praktisch jede Fremdkapazität und -induktivität • Ultra-geringe Kanalkapazität • Flexible Form; 1 mm und 1,27 mm Neigung • *Alle Abmessungen in mm*

Nun einschließlich der zum Testen oben montierbaren (Top Probe-able) Bauart†

Die Verwendung eines Ball Grid Array (BGA) -Gehäuses während der Entwicklungsphase eines Projekts kann hinsichtlich des Testens und der Gerätentfernung problematisch sein, falls eine Veränderung der Parameter nötig ist. CTS stellt die zum Testen oben montierbare Bauart vor, um einen problemlosen Zugang zu den internen Schaltkreisen des BGA-Gehäuses zu gewähren, ohne Lötpunkte testen zu müssen, und eliminiert den Platzbedarf, der durch Testpunkte auf der Leiterplatte entsteht. Für die zum Testen oben montierbare Konfiguration siehe Digi-Key-Teile, die mit † gekennzeichnet sind.

DDR SDRAM-Abschlusswiderstände

Merkmale:

• 18-Bit SSTL_2 Terminierungs-Sets • Konform mit JEDEC-Stand. 8-9

Elektrische Spezifikationen:

- **Widerstandstoleranz:** ±1,0 %
- **Maximale Widerstandsleistung:** 0,05 W bei 70 °C (ohne die Gesamtnetzleistung zu überschreiten)
- **Nennleistung:** 1,0 W bei 70 °C
- **Temperaturkoeffizient des Widerstands:** ±200 ppm/°C
- **Betriebstemperaturbereich:** -55°C ~ 125°C

Abb. 1

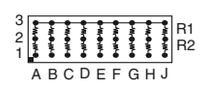

Schaltschema

Zum Testen oben montierbar

Abb. 2

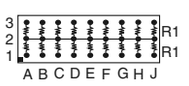

Schaltschema

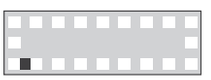

Zum Testen oben montierbar

Abb. 3

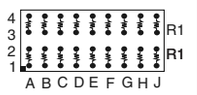

Schaltschema

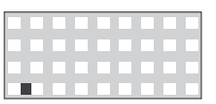

Zum Testen oben montierbar

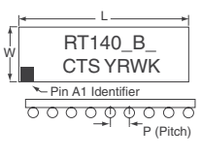

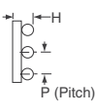

Abb. 1 und 2

Neigung	L	W	H
1.27	11.43	3.81	1.32
1.00	9.00	3.00	1.19

Abb. 3

Neigung	L	W	H
1.27	11.43	5.08	1.32
1.00	9.00	4.00	1.19

Abb.	R1 Ω	R2 Ω	Array-größe	Neigung (mm)	Digi-Key Teilenr.	Gurtabschnittspreis pro Stück 1	10	Gegurtet auf Rolle* 1.000	CTS Teilenr.
1	60	25	3x9	1.27	RT1408B6CT-ND	1.94	1.55	749.24	RT1408B6TR7
	60	25	3x9	1.27	RT1408B6PCT-ND†	2.13	1.71	823.74	RT1408B6P
	60	25	3x9	1.00	RT1408B7CT-ND	2.07	1.66	801.73	RT1408B7TR7
	60	25	3x9	1.00	RT1408B7PCT-ND†	2.28	1.83	881.31	RT1408B7P
	50	25	3x9	1.27	RT1400B6CT-ND	1.94	1.55	749.24	RT1400B6TR7
	50	25	3x9	1.27	RT1400B6PCT-ND†	2.13	1.71	823.74	RT1400B6P
	50	25	3x9	1.00	RT1400B7CT-ND	2.07	1.66	801.73	RT1400B7TR7
	50	25	3x9	1.00	RT1400B7PCT-ND†	2.28	1.83	—	RT1400B7P
	25	22	3x9	1.27	RT1401B6CT-ND	1.94	1.55	749.24	RT1401B6TR7
	25	22	3x9	1.00	RT1401B7CT-ND	2.07	1.66	801.73	RT1401B7TR7
2	50	—	3x9	1.27	RT1402B6CT-ND	1.94	1.55	749.24	RT1402B6TR7
	50	—	3x9	1.27	RT1402B6PCT-ND†	2.13	1.71	823.74	RT1402B6P
	50	—	3x9	1.00	RT1402B7CT-ND	2.07	1.66	801.73	RT1402B7TR7
	50	—	3x9	1.00	RT1402B7PCT-ND†	2.28	1.83	—	RT1402B7P
	35	—	3x9	1.27	RT1407B6CT-ND	1.94	1.55	749.24	RT1407B6TR7
	35	—	3x9	1.27	RT1407B6PCT-ND†	2.28	1.83	881.31	RT1407B6P
	35	—	3x9	1.00	RT1407B7CT-ND	2.07	1.66	801.73	RT1407B7TR7
	35	—	3x9	1.00	RT1407B7PCT-ND†	2.28	1.83	881.31	RT1407B7P
	25	—	3x9	1.27	RT1403B6CT-ND	1.94	1.55	749.24	RT1403B6TR7
	25	—	3x9	1.00	RT1403B7CT-ND	2.07	1.66	801.73	RT1403B7TR7
3	25	—	4x9	1.27	RT1404B6CT-ND	2.28	1.83	880.46	RT1404B6TR7
	25	—	4x9	1.00	RT1404B7CT-ND	2.41	1.93	932.95	RT1404B7TR7
	25	—	4x9	1.00	RT1404B7PCT-ND†	2.66	2.13	1026.08	RT1404B7P
	22	—	4x9	1.27	RT1405B6CT-ND	2.28	1.83	—	RT1405B6TR7
	22	—	4x9	1.27	RT1405B6PCT-ND†	2.51	2.01	968.51	RT1405B6P
	22	—	4x9	1.00	RT1405B7CT-ND	2.41	1.93	932.95	RT1405B7TR7
	22	—	4x9	1.00	RT1405B7PCT-ND†	2.66	2.13	—	RT1405B7P

*Für Gegurtet auf Rolle die Teilenr. von CT in TR umändern †Zum Testen oben montierbare Bauart.

LVDS-Abschlusswiderstände

Merkmale:

• Zur Terminierung von Xilinx® und Altera® FPGAs
• 8 oder 16 Differenzialkanäle, Terminierung in einem einzigen integrierten Paket

Elektrische Spezifikationen:

- **Widerstandstoleranz:** ±1,0 %
- **Maximale Widerstandsleistung:** 0,068 W @ 70 °C
- **Maximale Widerstandsleistung:** 1 W @ 70 °C
- **Temperaturkoeffizient des Widerstands:** ±200 ppm/°C
- **Betriebstemperaturbereich:** -55 °C ~ 125 °C

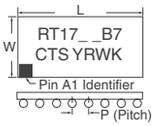

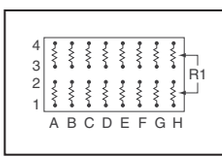

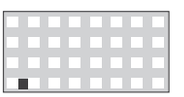

Zum Testen oben montierbar

Teilenr.	L	W	H
RT1710B6	10.16	5.08	1.32
RT1710B7	8.00	4.00	1.19

R1 Ω	Array-größe	Neigung (mm)	Digi-Key Teilenr.	Gurtabschnittspreis pro Stück 1	10	Gegurtet auf Rolle* 1.000	CTS Teilenr.
100	4x8	1.27	RT1710B6CT-ND	1.72	1.38	662.89	RT1710B6TR7
100	4x8	1.27	RT1710B6PCT-ND†	1.89	1.51	728.92	RT1710B6P
100	4x8	1.00	RT1710B7CT-ND	1.84	1.47	709.45	RT1710B7TR7
100	4x8	1.00	RT1710B7PCT-ND†	2.02	1.62	780.57	RT1710B7P

* Für Gegurtet auf Rolle die Teilenr. von CT in TR umändern †Zum Testen oben montierbare Bauart.

CompactPCI-Abschlusswiderstände

Merkmale: 16- oder 32-Bit-Anschlüsse

Elektrische Spezifikationen:

- **Widerstandstoleranz:** ±5,0 %
- **Maximale Widerstandsleistung:** 0,05 W bei 70 °C
- **Maximale Leistung:** RT1200B7 = 0,8 W bei 70 °C, RT1201B7 = 1,6 W bei 70 °C
- **Temperaturkoeffizient des Widerstands:** ±200 ppm/°C
- **Betriebstemperaturbereich:** -55 °C ~ 125 °C

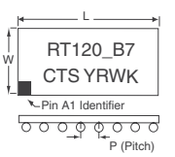

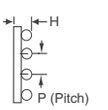

Teilenr.	L	W	H
RT1200B7	8.00	4.00	1.19
RT1201B7	16.00	4.00	1.19

Abb. 1

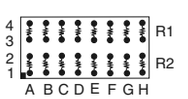

Abb. 2

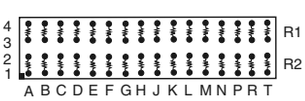

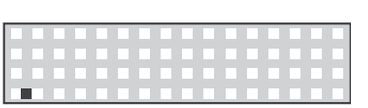

Top Probe-able

Abb.	R1 Ω	Anz. Bits	Array-größe	Neigung (mm)	Digi-Key Teilenr.	Gurtabschnittspreis pro Stück 1	10	Gegurtet auf Rolle* 1.000	CTS Teilenr.
1	10	16	4x8	1.00	RT1200B7CT-ND	1.84	1.47	709.45	RT1200B7TR7
2	10	32	4x16	1.00	RT1201B7CT-ND	3.06	2.45	1181.85	RT1201B7TR7
					RT1201B7PCT-ND†	3.36	2.69	1300.38	RT1201B7P

*Für Gegurtet auf Rolle die Teilenr. von CT in TR umändern †Zum Testen oben montierbare Bauart.

LVPECL-Abschlusswiderstände

Merkmale:

• 8-Bit Thevenin Terminierungs-Set
• Konform mit LVPECL-Terminierung

Elektrische Spezifikationen:

- **Widerstandstoleranz:** ±1,0 % • **Maximale Widerstandsleistung:** R1 = 0,08 W bei 70 °C, R2 = 0,08 W @ 70 °C
- **Maximale Widerstandsleistung:** 1 W bei 70 °C • **Temperaturkoeffizient des Widerstands:** ±200 ppm/°C
- **Betriebstemperaturbereich:** -55 °C ~ 125 °C

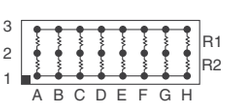

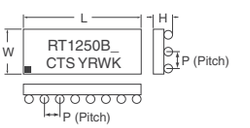

Teilenr.	L	W	H
RT1250B6	10.16	3.81	1.32
RT1250B7	8.00	3.00	1.19

R1 Ω	R2 Ω	Anz. Bits	Neigung (mm)	Digi-Key Teilenr.	Gurtabschnittspreis pro Stück 1	10	Gegurtet auf Rolle* 1.000	CTS Teilenr.
127	82.5	8	1.27	RT1250B6CT-ND	1.77	1.42	682.36	RT1250B6TR7
127	82.5	8	1.00	RT1250B7CT-ND	1.90	1.53	736.54	RT1250B7TR7

*Für Gegurtet auf Rolle die Teilenr. von CT in TR umändern

(Forts.)

Alle Preisangaben in Euro und inklusive Zollgebühren.

Speicher- und IDE-Abschlusswiderstände

Merkmale: • 16- oder 32-Bit Abschlusswiderstände • Ultra-niedrige E/A-Kopplung

Elektrische Spezifikationen: • **Widerstandstoleranz:** ±5,0 %
• **Maximale Widerstandsleistung:** 0,05 W bei 70 °C
• **Maximale Leistung:** RT1202B7 = 0,8 W bei 70 °C, RT1203B7 = 1,6 W bei 70 °C
• **Temperaturkoeffizient des Widerstands:** ±200 ppm/°C
• **Betriebstemperaturbereich:** -55 °C ~ 125 °C

Abb. 1

Abb. 2

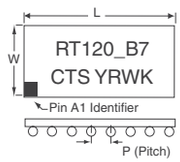

Teilenr.	L	W	H
RT1202B7	8.00	4.00	1.19
RT1203B7	16.00	4.00	1.19

Abb.	R1 Ω	Anz. Bits	Array-größe	Neigung (mm)	Digi-Key Teilenr.	Gurtabschnittspreis pro Stück 1	10	Preisangaben Gegurtet auf Rolle* 1.000	CTS Teilenr.
1	33	16	4 x 8	1.00	RT1202B7CT-ND	1.84	1.47	709.45	RT1202B7TR7
2	33	32	4 x 16	1.00	RT1203B7CT-ND	3.37	2.70	1301.22	RT1203B7TR7

*Für Gegurtet auf Rolle die Teilenr. von CT in TR umändern

GTL, GTL+, AGTL+ Abschlusswiderstände

Merkmale:

• 8-Bit, 16-Bit, und 32-Bit Terminierungs-Sets • Konform mit GTL, GTL+ und AGTL+ Terminierung

Elektrische Spezifikationen:

• **Widerstandstoleranz:** ±1,0 %
• **Maximale Widerstandsleistung:** 0,05 W bei 70 °C (ohne die Gesamtnetzleistung zu überschreiten)
• **Maximale Leistung (70 °C):** 8-Bit = 0,3 W, 16-Bit = 0,6 W, 32-Bit = 1,2 W
• **Temperaturkoeffizient des Widerstands:** ±200 ppm/°C
• **Betriebstemperaturbereich:** -55 °C ~ 125 °C

Abb. 1

Abb. 2

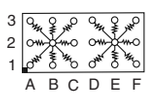

Abb. 3

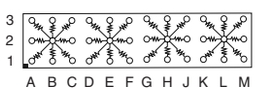

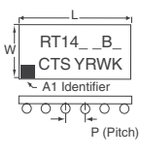

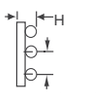

Anz. Bits	Neigung (mm)	L	W	H
8	1.27	3.81	3.81	1.32
16	1.27	7.62	3.81	1.32
32	1.27	15.24	3.81	1.32
32	1.00	12.00	3.00	1.19

Abb.	R1 Ω	Anz. Bits	Neigung (mm)	Digi-Key Teilenr.	Gurtabschnittspreis pro Stück 1	10	Preisangaben Gegurtet auf Rolle* 1.000	CTS Teilenr.
1	25	8	1.27	RT1450B6CT-ND	1.06	.85	407.21	RT1450B6TR7
	56	8	1.27	RT1453B6CT-ND	1.06	.85	407.21	RT1453B6TR7
	150	8	1.27	RT1410B6CT-ND	1.06	.85	407.21	RT1410B6TR7
2	25	16	1.27	RT1451B6CT-ND	1.60	1.28	617.17	RT1451B6TR7
	56	16	1.27	RT1454B6CT-ND	1.60	1.28	617.17	RT1454B6TR7
	150	16	1.27	RT1411B6CT-ND	1.60	1.28	617.17	RT1411B6TR7
3	25	32	1.27	RT1452B6CT-ND	2.58	2.07	998.14	RT1452B6TR7
	56	32	1.27	RT1427B6CT-ND	2.58	2.07	998.14	RT1427B6TR7
	150	32	1.27	RT1412B6CT-ND	2.58	2.07	998.14	RT1412B6TR7
	150	32	1.00	RT1412B7CT-ND	2.72	2.18	1050.63	RT1412B7TR7

*Für Gegurtet auf Rolle die Teilenr. von CT in TR umändern

PCI- und PCIX-Bias-Netzwerke

Merkmale: • 8- oder 16-Bit Bias-Netzwerk • Konform mit PCI und PCIX

Elektrische Spezifikationen:

• **Widerstandstoleranz:** ±1,0 % • **Maximale Widerstandsleistung:** 0,05 W bei 70 °C • **Maximale Widerstandsleistung:** 1 W bei 70 °C • **Temperaturkoeffizient des Widerstands:** ±100 ppm/°C • **Betriebstemperaturbereich:** -55 °C ~ 125 °C

Abb. 1

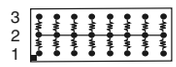

Abb. 2

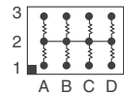

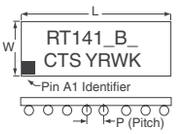

Teilenr.	L	W	H
RT1415B6 RT1416B6	5.08	3.81	1.32
RT1417B6 RT1418B6	10.16	3.81	1.32

Teilenr.	L	W	H
RT1415B7 RT1416B7	4.00	3.00	1.19
RT1417B7 RT1418B7	8.00	3.00	1.19

Abb.	R1 Ω	Anz. Bits	Array-größe	Neigung (mm)	Digi-Key Teilenr.	Gurtabschnittspreis pro Stück 1	10	Preisangaben Gegurtet auf Rolle* 1.000	CTS Teilenr.
1	4.7K	16	3x8	1.27	RT1417B6CT-ND	1.53	1.23	591.77	RT1417B6TR7
	4.7K	16	3x8	1.00	RT1417B7CT-ND	1.67	1.34	—	RT1417B7TR7
	8.2K	16	3x8	1.27	RT1418B6CT-ND	1.53	1.23	591.77	RT1418B6TR7
	8.2K	16	3x8	1.00	RT1418B7CT-ND	1.67	1.34	643.42	RT1418B7TR7
2	4.7K	8	3x4	1.27	RT1415B6CT-ND	1.12	.90	433.46	RT1415B6TR7
	4.7K	8	3x4	1.00	RT1415B7CT-ND	1.26	1.01	485.95	RT1415B7TR7
	8.2K	8	3x4	1.27	RT1416B6CT-ND	1.12	.90	433.46	RT1416B6TR7
	8.2K	8	3x4	1.00	RT1416B7CT-ND	1.26	1.01	485.95	RT1416B7TR7

*Für Gegurtet auf Rolle die Teilenr. von CT in TR umändern

VME64, VME64x Abschlusswiderstand

Merkmale: • 8-Bit Terminierungsnetzwerk • Konform mit VME64, VME64x

Elektrische Spezifikationen: • **Widerstandstoleranz:** ±1,0 % • **Maximale Widerstandsleistung:** 0,05 W bei 70 °C • **Maximale Widerstandsleistung:** 1 W bei 70 °C • **Temperaturkoeffizient des Widerstands:** ±200 ppm/°C • **Betriebstemperaturbereich:** -55 °C ~ 125 °C

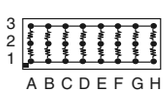

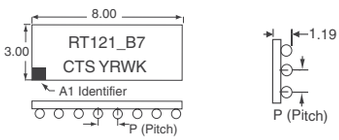

R1 Ω	R2 Ω	Array-größe	Neigung (mm)	Digi-Key Teilenr.	Gurtabschnittspreis pro Stück 1	10	Preisangaben Gegurtet auf Rolle* 1.000	CTS Teilenr.
220	1800	3 x 8	1.00	RT1211B7CT-ND	1.67	1.34	643.42	RT1211B7TR7

*Für Gegurtet auf Rolle die Teilenr. von CT in TR ändern

RT1300 Niederspannungsdifferenzial SCSI Aktives Terminierungs-Netzwerk

Merkmale: • 9-Leiter LVD-Terminierungs-Netzwerk • Konform mit Ultra2, Ultra3 • Geringe Kanalkapazität, unter 0,25 pF • Laser-angepasst auf 1 % Toleranz

Elektrische Spezifikationen: • **Widerstandstoleranz:** ±1 % • **Maximale Widerstandsleistung:** 0,05 W bei 70 °C (ohne die Gesamtnetzleistung zu überschreiten) • **Maximale Nennleistung (70 °C):** 1 W • **Temperaturkoeffizient des Widerstands:** ±200 ppm/°C • **Betriebstemperaturbereich:** -55 °C ~ 125 °C

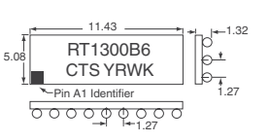

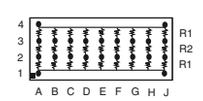

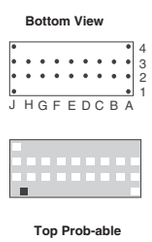

R1 Ω	R2 Ω	Neigung (mm)	Digi-Key Teilenr.	Gurtabschnittspreis pro Stück 1	10	Preisangaben Gegurtet auf Rolle* 1.000	CTS Teilenr.
475	121	1.27	RT1300B6CT-ND	2.38	1.91	919.41	RT1300B6TR7
475	121	1.27	RT1300B6PCT-ND †	2.62	2.10	1011.69	RT1300B6P

*Für Gegurtet auf Rolle die Teilenr. von CT in TR ändern †Zum Testen oben montierbare Bauart.

F

CTS

Dickschicht Chip-Widerstandsarrays

Merkmale:

• **Dickschicht-Chip-Widerstandsarrays, hochdichtes Paket:** 30 % weniger Platz pro Widerstand als 0603 Chipwiderstände und 75 % weniger Platz pro Widerstand als 0805 Chipwiderstände • **Platzierungseffizienz:** Erfordern weniger Platzierungen als diskrete Komponenten, größere Gesamtgröße vereinfacht Handhabung im Vergleich zu diskreten Komponenten • **Niedrige Bauform:** Geeignet für PCMCIA-Anwendungen • **Lötbeschichtete Nickelschutz-Pads** • **Standard-Widerstandstoleranz:** ±5 % oder 0,5 Ohm, maßgebend ist der jeweils größere Wert • **Betriebstemperaturbereich:** -55 °C ~ 125 °C • **Temperaturkoeffizient (TCR) Standard:** ±200 ppm/°C

Umgebungsleistungsdaten

Test	Max. Delta R 741	Max. Delta R 742-746	Testbeschreibung
Wärmezyklus	1.0%	1.0%	5 Zyklen -55 °C ~ 125 °C
Kurzzeitige Überlast	2.5%	1.0%	2 1/2-fache Nennspannung. 5 Sek. (oder max. Spannung)
Feuchtigkeitsbeständigkeit	5.0%	2.0%	240 Stunden 0,1 Nennlast, -10 °C 65 °C, 90 % RH
Hohe Wärmebeständigkeit	1.0%	1.0%	1.000 Stunden. ohne Last @ 125 °C
Lastbeständigkeit	5.0%	2.0%	1.000 Stunden @ 70 °C, Nennlast
Beständigkeit gegenüber Löthitze	2.0%	1.0%	10 Sekunden @ 260 °C Löten
Laugenbeständigkeit	—	—	120 Sekunden @ 260 °C Löten
Lösungsmittelbeständigkeit	—	—	Isopropylalkohol, Freon TMC
Lötbarkeit	—	—	RMA-Fluss, 230 °C, 5 Sekunden Dip, 95 % Bedeckungsgrad

SERIE 741C

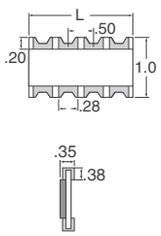

Elektrische Spezifikationen:

• **PCB-Fläche (Zoll²) pro Widerstand:** 0,0015 • **Schaltungstyp:** Isoliert • **Widerstandsbereich Ω:** 10-1 M • **Leistung pro Widerstand:** 63 mW • **Maximale Betriebsspannung:** 25 V

SERIE 741X

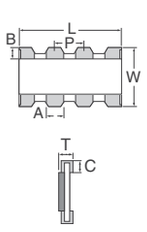

Elektrische Spezifikationen:

• **PCB-Fläche (Zoll²) pro Widerstand:** 0,0037 • **Schaltungstyp:** Isoliert • **Widerstandsbereich Ω:** 10-1M • **Leistung pro Widerstand:** 0,063 W • **Maximale Betriebsspannung:** 50 V

SERIE 742

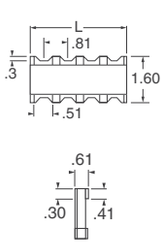

Elektrische Spezifikationen:

• **PCB-Fläche (Zoll²) pro Widerstand:** 0,0071 • **Schaltungstyp:** Isoliert • **Widerstandsbereich Ω:** 10-1 M • **Leistung pro Widerstand:** 0,100 W • **Maximale Betriebsspannung:** 100 V

SERIE 743

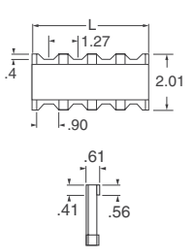

Elektrische Spezifikationen:

• **PCB-Fläche (Zoll²) pro Widerstand:** 0,0094 • **Schaltungstyp:** Isoliert • **Widerstandsbereich Ω:** 10-1 M • **Leistung pro Widerstand:** 0,125 W • **Maximale Betriebsspannung:** 200 V

SERIE 744

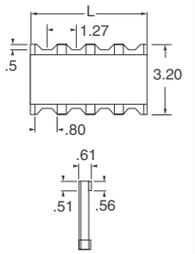

Elektrische Spezifikationen:

• **PCB-Fläche (Zoll²) pro Widerstand:** 0,0058 • **Schaltungstyp:** Bus • **Widerstandsbereich Ω:** 100-100 K • **Leistung pro Widerstand:** 0,063 W • **Maximale Betriebsspannung:** 50V

SERIE 745

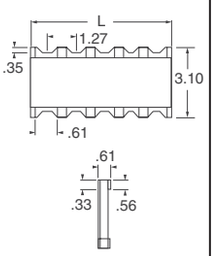

Elektrische Spezifikationen:

• **PCB-Fläche (Zoll²) pro Widerstand:** 0,0013 • **Schaltungstyp:** Bus • **Widerstandsbereich Ω:** 100-100 K • **Leistung pro Widerstand:** 0,031 W • **Maximale Betriebsspannung:** 25V

SERIE 746

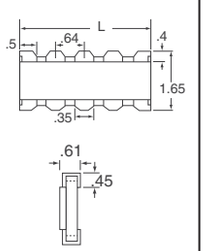

Elektrische Spezifikationen:

• **PCB-Fläche (Zoll²) pro Widerstand:** 0,0003 • **Schaltungstyp:** Bus • **Widerstandsbereich Ω:** 100-100 K • **Leistung pro Widerstand:** 0,031 W • **Maximale Betriebsspannung:** 25V

Serie	Abmessungen - mm W	P	T	A	B	C
741X043	1.0	.65	.35	.33	.20	.38
741X083	1.0	.50	.35	.20	.20	.38
741C083	1.0	.50	.35	.28	.20	.38
741X163	1.6	.50	.45	.30	.30	.30

Serie 741X und 742

16 Abschlusswiderstände/ 8 Widerstände

Serie 741C, 741X, 742, 743 und 744

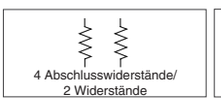

4 Abschlusswiderstände/ 2 Widerstände

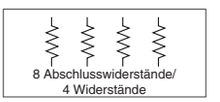

8 Abschlusswiderstände/ 4 Widerstände

Serie 745 und 746

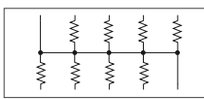

10 Anschlüsse/ 8 Widerstände

Widerstandswerte Serie 741C083 Chip-Arrays

Alle Werte in Ω.

Wert (Code)	Wert (Code)	Wert (Code)	Wert (Code)
10 (100)	120 (121)	2.7K (272)	51K (513)
12 (120)	150 (151)	3.3K (332)	56K (563)
15 (150)	220 (221)	3.9K (392)	68K (683)
18 (180)	270 (271)	4.7K (472)	100K (104)
22 (220)	330 (331)	5.1K (512)	180K (184)
27 (270)	390 (391)	5.6K (562)	220K (224)
33 (330)	470 (471)	8.2K (822)	270K (274)
39 (390)	510 (511)	10K (103)	330K (334)
47 (470)	560 (561)	15K (153)	470K (474)
51 (510)	680 (681)	18K (183)	510K (514)
56 (560)	1K (102)	22K (223)	1M (105)
68 (680)	1.5K (152)	27K (273)	
82 (820)	1.8K (182)	33K (333)	
100 (101)	2.2K (222)	47K (473)	

Widerstandswerte Serie 741X043, 741X083, 741X163 Chip-Arrays

Alle Werte in Ω.

Wert (Code)	Wert (Code)	Wert (Code)
10 (100)	56 (560)	4.7K (472)
22 (220)	100 (101)	10K (103)
33 (330)	1K (102)	47K (473)

Land Pattern

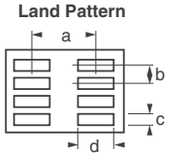

Serie	Abmessungen – mm a	b	c	d
741	1.14	.50	.25	.61
742	1.80	.80	.50	.90
743	1.90	1.27	.80	1.20
744	3.00	1.27	.80	1.30
745	3.00	1.27	.80	1.30
746	1.52	.64	.35	.80

Widerstandswerte Serie 742C043, 742C163, 743C043, 744C043 Chip-Arrays

Alle Werte in Ω.

Wert (Code)	Wert (Code)	Wert (Code)	Wert (Code)	Wert (Code)
22 (220)	220 (221)	2.2K (222)	22K (223)	220K (224)
33 (330)	330 (331)	3.3K (332)	33K (333)	330K (334)
47 (470)	470 (471)	4.7K (472)	47K (473)	470K (474)
100 (101)	1K (102)	10K (103)	100K (104)	1MEG (105)

Widerstandswerte Serie 742C083, 743C083, 744C083 Chip-Arrays

Alle Werte in Ω.

Wert (Code)	Wert (Code)	Wert (Code)	Wert (Code)	Wert (Code)	Wert (Code)
10 (100)	68 (680)	470 (471)	3.3K (332)	22K (223)	150K (154)
12 (120)	82 (820)	510 (511)	3.9K (392)	27K (273)	180K (184)
15 (150)	100 (101)	560 (561)	4.7K (472)	33K (333)	220K (224)
18 (180)	110 (111)	680 (681)	5.1K (512)	39K (393)	270K (274)
22 (220)	120 (121)	820 (821)	5.6K (562)	47K (473)	330K (334)
27 (270)	150 (151)	1K (102)	6.8K (682)	51K (513)	390K (394)
33 (330)	180 (181)	1.2K (122)	8.2K (822)	56K (563)	470K (474)
39 (390)	220 (221)	1.5K (152)	10K (103)	68K (683)	510K (514)
47 (470)	270 (271)	1.8K (182)	12K (123)	82K (823)	560K (564)
51 (510)	330 (331)	2.2K (222)	15K (153)	100K (104)	680K (684)
56 (560)	390 (391)	2.7K (272)	18K (183)	120K (124)	820K (824)
					1MEG (105)

Widerstandswerte Serie 745 Chip-Arrays

Alle Werte in Ω.

Wert (Code)	Wert (Code)	Wert (Code)	Wert (Code)	Wert (Code)	Wert (Code)
100 (101)	680 (681)	2.2K (222)	10K (103)	47K (473)	330K (334)
150 (151)	470 (471)	3.3K (332)	15K (153)	68K (683)	470K (474)
220 (221)	1K (102)	4.7K (472)	22K (223)	100K (104)	
330 (331)	1.5K (152)	6.8K (682)	33K (333)	220K (224)	

Widerstandswerte Serie 746 Chip-Arrays

Alle Werte in Ω.

Wert (Code)	Wert (Code)	Wert (Code)	Wert (Code)	Wert (Code)	Wert (Code)
100 (101)	330 (331)	1.5K (152)	3.3K (332)	15K (153)	47K (473)
150 (151)	470 (471)	2.2K (222)	4.7K (472)	22K (223)	100K (104)
220 (221)	1K (102)	2.7K (272)	10K (103)	33K (333)	

Serie	Anz. der Anschl.	Anz. der Widerstände	Abm. "L" (mm)	Widerstand † Nennleistung (mW @ 70 °C)	Digi-Key* Teilenr.	Gurtabschnittspreise 10	100	1.000	Digi-Key* Teilenr.	4.000	Gegurtet auf Rolle 5.000	10.000
741	4	2	1.0	63	741X043(Code)JCT-ND	.36	2.79	23.87	741X043(Code)JTR-ND	—	—	17.78/M
	8	4	2.0		741X083(Code)JCT-ND	.39	3.03	25.86	741X083(Code)JTR-ND	—	—	19.48/M
	8	4	2.0		741C083(Code)JCT-ND	.39	3.03	25.86	741C083(Code)JTR-ND	—	—	19.48/M
	16	8	3.80		741X163(Code)JCT-ND	1.34	10.48	89.53	741X163(Code)JTR-ND	—	76.20/M	66.89/M
742	4	2	1.60	63	742C043(Code)JCT-ND	.47	3.73	31.83	742C043(Code)JTR-ND	—	27.10/M	23.71/M
	8	4	3.20		742C083(Code)JCT-ND	.36	2.80	23.87	742C083(Code)JTR-ND	—	20.32/M	17.78/M
	16	8	6.40		742C163(Code)JCT-ND	1.48	11.64	99.48	742C163(Code)JTR-ND	84.66/M	—	—
743	4	2	2.54	100	743C043(Code)JCT-ND	1.13	8.85	75.60	743C043(Code)JTR-ND	64.35/M	—	—
	8	4	5.08		743C083(Code)JCT-ND	1.36	10.75	91.52	743C083(Code)JTR-ND	77.89/M	—	—
744	4	2	2.54	125	744C043(Code)JCT-ND	1.13	8.85	75.60	744C043(Code)JTR-ND	64.35/M	—	—
	8	4	5.08		744C083(Code)JCT-ND	1.36	10.75	91.52	744C083(Code)JTR-ND	77.89/M	—	—
745	10	8	6.40	63	745C101(Code)JCT-ND	1.78	13.97	119.37	745C101(Code)JTR-ND	101.60/M	—	—
746	10	8	3.30	31	746X101(Code)JCT-ND	.95	7.45	63.66	746X101(Code)JTR-ND	—	54.19/M	47.41/M

***** Für komplette Teilenr. ersetzen Sie den Code durch den entsprechenden Widerstandscode (oben aufgeführt).

†***Hinweis:*** Gesamtpaketnennleistung ist gleich der Anzahl der Widerstände mal Nennleistung pro Widerstand.

Alle Preisangaben in Euro und inklusive Zollgebühren.

SERIE 753

Leiterlose Widerstandsnetzwerke zur Inline-Oberflächenmontage

Die Serie 753 der leiterlosen Inline-Widerstandsnetzwerke bietet die höchste Flächendichte unter den konventionellen Oberflächenmontage-Lösungen.In einer Bus-Konfiguration bieten diese Netzwerke doppelt so viele Widerstände pro Fläche wie die 0603-Chips und mehr als 6 mal so viele wie die 0805-Chips.

SPEZIFIKATIONEN: • Widerstandstoleranz: ±2 % oder 0,5 Ω, maßgebend ist der jeweils größere Wert • **Max. Betriebsspannung:** 25 V, ohne die Nennleistung zu überschreiten • **Temp.-Koeffizient:** ±200 ppm/°C • **Betriebstemperaturbereich:** -55 °C ~ 125 °C

MERKMALE: • Kompakte Bauart • Feste Keramikkonstruktion • Erhältliche Terminierungen pro Paket: Einzelreihenterminierung (SRT): 8, 9, 10; Doppelreihenterminierung (DRT): 16, 18, 20, 24 • Lötbeschichtete Pads • Konzipiert für visuelle Inspektion von Lötverbindungen und Plattenreinigung

Abb. 1 — SRT, isoliert

Abb. 2 — an Bus angeschlossen

Abb. 3 — DRT, an Bus angeschlossen

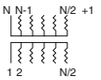

Abb. 4 — DRT, isoliert

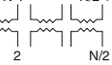

Abb. 5 — GTL Terminierung

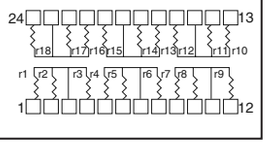

WIDERSTANDSWERTE

(Alle Werte in Ω)

SRT Bus,8 Anschluss-	SRT isoliert, 8 Anschluss-	SRT Bus, 9 Anschluss-	SRT Bus, 10 Anschluss-	DRT Bus, 16 Anschluss-	DRT isoliert, 16 Anschluss-	DRT Bus, 18 Anschluss-	DRT Bus, 20 Anschluss-	DRT Bus, 24 Anschluss-	DRT isoliert, 24 Anschluss-	DRT isoliert, 24 Anschluss-
Wert (Code)	Wert (Code)	Wert (Code)	Wert (Code)	Wert (Code)	Wert (Code)	Wert (Code)	Wert (Code)	Wert (Code)	Wert (Code)	Wert (Code)
1K (102)	33 (330)	100 (101)	1K (102)	110 (111)	22 (220)	1K (102)	10K (103)	10K (103)	22 (220)	39 (390)
10K (103)	100 (101)	1K (102)	10K (103)	10K (103)	39 (390)	4.7K (472)			100 (101)	51 (510)
	100K (104)	2.2K (222)	3.3K (332)		47 (470)	5.6K (562)				68 (680)
		4.7K (472)	4.7K (472)		100 (101)	10K (103)				
		10K (103)	47K (473)		10K (103)	22K (223)				
		22K (223)								
		100K (104)								

Abb.	Anz. der Anschl.	Anz. der Widerstände	Abm. (mm) A	B	Widerstandsnenn-leistung (mW@70°C)	Digi-Key† Teilenr.	Gurtabschnittspreise 1	10	100	Digi-Key† Teilenr.	Gegurtet auf Rolle Größe	Pricing*
1	8	4	6.22	4.44	80	753083(Code)GCT-ND	2.06	18.86	171.44	753083(Code)GTR-ND	1,000	1028.62
2	9	8	6.86	4.90	40	753091(Code)GCT-ND	2.13	19.56	177.79	753091(Code)GTR-ND	1,000	1066.72
2	10	9	7.49	5.72	40	753101(Code)GCT-ND	2.13	19.56	177.79	753101(Code)GTR-ND	1,000	1066.72
3	16	14	6.22	4.44	40	753161(Code)GCT-ND	2.13	19.56	177.79	753161(Code)GTR-ND	1,000	1066.72
4	16	8	6.22	4.44	80	753163(Code)GCT-ND	2.06	18.86	171.44	753163(Code)GTR-ND	1,000	1028.62
3	18	16	6.86	4.90	40	753181(Code)GCT-ND	2.13	19.56	177.79	753181(Code)GTR-ND	1,000	1066.72
3	20	18	7.49	5.72	40	753201(Code)GCT-ND	2.13	19.56	177.79	753201(Code)GTR-ND	1,000	1066.72
3	24	22	8.76	6.98	40	753241(Code)GCT-ND	2.13	19.56	177.79	753241(Code)GTR-ND	1,000	1066.72
4	24	12	8.76	6.98	80	753243(Code)GCT-ND	2.06	18.86	171.44	753243(Code)GTR-ND	1,000	1028.62
5	24	18	8.76	6.98	60	75324G(Code)GCT-ND	2.06	18.86	171.44	75324G(Code)GTR-ND	1,000	1028.62

Abb.	Anz. der Anschl.	Anz. der Widerst.	Abm. (mm) A	B	Widerstands-nennleistung (mW@70°C)	Wider-standswert (Ω)	Digi-Key† Teilenr.	Gurtabschnittspreise 1	10	100	Digi-Key† Teilenr.	Gegurtet auf Rolle Größe	Pricing*
2	8	7	6.22	4.44	40	1K	753081102GBK-ND	2.67	21.33	149.34	753081102GTR-ND	1,000	924.49
2	8	7	6.22	4.44	40	10K	753081103GBK-ND	2.67	21.33	149.34	753081103GTR-ND	1,000	924.49
3	18	16	6.86	4.90	40	22K	753181223GBK-ND	2.67	21.33	149.34	753181223GTR-ND	1,000	924.49
3	18	16	6.86	4.90	40	4.7K	753181472GBK-ND	2.67	21.33	149.34	753181472GTR-ND	1,000	924.49

† Für komplette Teilenr. ersetzen Sie den (Wert) mit dem entsprechenden Wert aus obiger Tabelle. * Preisangaben

Serie 753

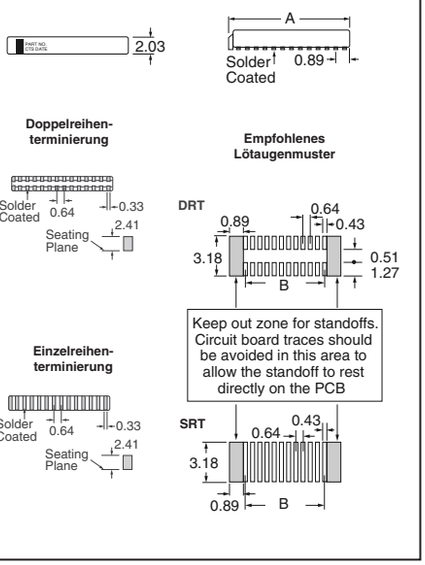

SERIE 752 -

Einzel- und Doppelreihen-Abschlusswiderstände zur Oberflächenmontage

Abb. 1 — SRT, an Bus angeschlossen

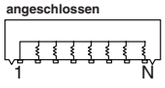

Abb. 2 — DRT, an Bus angeschlossen

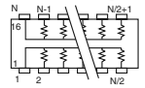

Abb. 3 — SRT, isoliert

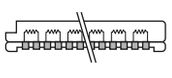

Abb. 4 — SRT Doppelabschluss

Abb. 5 — DRT, isoliert

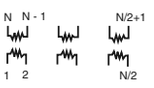

SPEZIFIKATIONEN: Widerstandsbereich: Standard: 22 Ω ~ 1 MΩ. **Widerstandstoleranz:** Bus- und Isolierte Schaltungen - 2 %, Dual-Terminator-Schaltung - 5 % **Max. Betriebsspannung:** 25 V, ohne die Nennleistung zu überschreiten **Temp.-Koeffizient:** Standard: ±200 PPM/°C Durchschlagsfestigkeit: 100 V AC. **Betriebstemperaturbereich:** -55 °C ~ 125 °C **Widerstandsnetzwerke zur Inline-Oberflächenmontage** • Kompakte Bauart • Flachprofil • Verfügbare Ein/Ausgänge: Doppelreihenterminierung 16, 18, 20, 24; Einzelreihenterminierung 8, 9, 10, 12 • Lötbeschichtete Pads • Konzipiert für visuelle Inspektion von Lötverbindungen und zur Plattenreinigung • Verpackung 24 mm Gegurtet auf Rolle • Entsp. UL-94VO-Anforderungen

WIDERSTANDSWERTE

SRT Bus, 9 Anschl.			SRT Bus, 10 Anschl.	DRT Bus 16, 18, 20, 24 Anschl.		SRT Isoliert 8, 10, 12 Anschl.			DRT Isoliert, 24 Anschl.
100	1K	10K	1K	1K	47K	22	100	3.3K	22
560	2.2K	22K	3.3K	10K	100K	33	1K	4.7K	
680	4.7K	100K	10K			47	2.2K	10K	

Bus u. Doppelab-schlusswiderstands-Schema		Isoliertes Schema
@25°C	.12w	.24w
@70°C	.08w	.16w

Alle Werte in Ω.

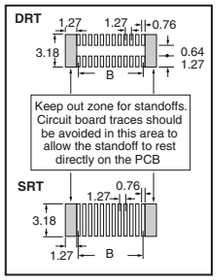

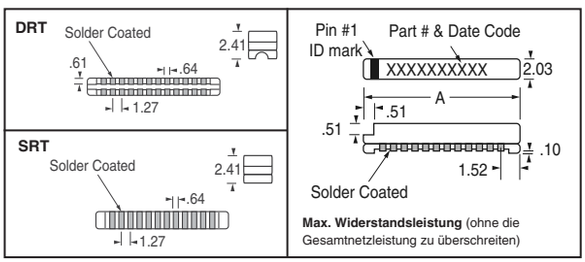

Max. Widerstandsleistung (ohne die Gesamtnetzleistung zu überschreiten)

Abb.	No. of Terms.**	Anz. der Widerst.	Abm. (mm) A	B	Widerstandsnenn-leistung (mW @ 70 °C)	Digi-Key† Teilenr.	Preisangaben für lose Ware 1	10	100	Gegurtet auf Rolle* Größe	Preisangaben
1	9	8	13.08	10.16	80	752-091-(Value)BK-ND	2.12	17.02	119.12	1,000	737.39
2	16	14	11.81	8.89	80	752-161-(Value)BK-ND	2.12	17.02	119.12	1,000	737.39
2	18	16	13.08	10.16	80	752-181-(Value)BK-ND	2.12	17.02	119.12	1,000	737.39
2	20	18	14.35	11.43	80	752-201-(Value)BK-ND	2.12	17.02	119.12	1,000	737.39
2	24	22	16.89	13.97	80	752-241-(Value)BK-ND	2.12	17.02	119.12	1,000	737.39
3	8	4	11.81	8.89	160	752-083-(Value)BK-ND	2.00	16.00	112.01	1,000	693.37
3	10	5	14.35	11.43	160	752-103-(Value)BK-ND	2.00	16.00	112.01	1,000	693.37
3	12	6	16.89	13.97	160	752-123-(Value)BK-ND	2.00	16.00	112.01	1,000	693.37
4	10	16	14.35	11.43	80	752-105-220/330BK-ND	2.29	18.29	128.01	1,000	792.42
1	10	9	14.35	11.43	80	752-101-(Value)BK-ND	2.12	17.02	119.12	1,000	737.39
5	24	12	16.89	13.97	16	752-243-(Value)BK-ND	2.00	16.00	112.01	1,000	693.37

* Für Gegurtet auf Rolle die Teilenr. von BK in TR umändern †Für komplette Teilenr. ersetzen Sie den (Wert) mit dem entsprechenden Wert aus obiger Tabelle. ** Anz. der Anschlüsse

SERIE 773 Einzel-In-Line

SPEZIFIKATIONEN: • Widerstandstoleranz: 2 % **• Maximale Betriebsspannung:** 100 V DC **• Temperaturkoeffizient:** ±100 PPM/°C ≥50 Ω, ±200 PPM/°C ≤50 Ω **• Dielektrische Haltespannung:** 200 V DC **• Betriebstemperaturbereich:** -55 °C ~ 125 °C **• Widerstandsleistung @ 70 °C:** -1 und -5 Schema = 0,10 W und -3 Schema = 0,20 W

MERKMALE: • Preiswert • Sehr zuverlässige Cermet-Widerstände • 2 % Standard-Widerstandstoleranz • Lasermarkierung für permanente Identifizierung • Hochtemperaturlötung • Flachprofil

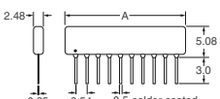

Abb. 1 - Am Bus angeschlossen

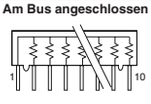

Abb. 2 - Isoliert

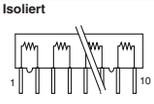

Abb. 3 - Doppelabschluss

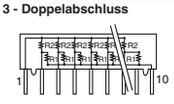

Abb.	Anz. der Pins	Anz. der Widerst.	Abm. "A" (mm)	Widerstandsnenn-leistung (mW @ 70 °C)	Digi-Key* Teilenr.	Preisangaben 1	10	100	1.000
1	6	5	15.55	100	773061(Code)-ND	.30	2.35	15.66	78.31
2	6	3	15.55	200	773063(Code)-ND	.30	2.35	15.66	78.31
1	8	7	20.65	100	773081(Code)-ND	.39	3.05	20.32	101.59
2	8	4	20.65	200	773083(Code)-ND	.39	3.05	20.32	101.59
3	8	12	20.65	100	773085(Code)/(Code)-ND	.82	6.48	43.18	215.88
1	9	8	23.15	100	773091(Code)-ND	.60	4.77	31.75	158.74
1	10	9	25.65	100	773101(Code)-ND	.48	3.81	25.40	126.99
2	10	5	25.65	200	773103(Code)-ND	.48	3.81	25.40	126.99
3	10	16	25.65	100	773105(Code)/(Code)-ND	1.03	8.13	54.18	270.91

*Für komplette Teilenr. ersetzen Sie den entsprechenden Widerstandscode.

Alle Widerstandswerte in Ω

Serie 773061 (Bus)

Wert (Code)	Wert (Code)
150 (151)	4.7K (472)
220 (221)	10K (103)
270 (271)	20K (203)
330 (331)	33K (333)
1.5K (152)	100K (104)
2.7K (272)	

Serie 773063 (isoliert)

Wert (Code)	Wert (Code)
560 (561)	10K (103)
1K (102)	220K (224)
2.2K (222)	1MEG (105)

Serie 773081(Bus)

Wert (Code)	Wert (Code)
150 (151)	1K (102)
180 (181)	4.7K (472)
270 (271)	10K (103)
330 (331)	47K (473)
470 (471)	100K (104)
510 (511)	

Serie 773083 (isoliert)

Wert (Code)	Wert (Code)
22 (220)	1.2K (122)
27 (270)	1.5K (152)
33 (330)	2.2K (222)
47 (470)	2.7K (272)
51 (510)	3.3K (332)
100 (101)	4.7K (472)
120 (121)	10K (103)
150 (151)	15K (153)
180 (181)	20K (203)
220 (221)	22K (223)
270 (271)	33K (333)
330 (331)	56K (563)
470 (471)	470K (474)
510 (511)	1MEG (105)

Serie 773085 (Doppelabschl.)

Wert (Code)
220/330 (221/331)

Serie 773091 (Bus)

Wert (Code)
27 (270)
10K (103)

Serie 773101 (Bus)

Wert (Code)	Wert (Code)
47 (470)	2.7K (272)
100 (101)	3.3K (332)
120 (121)	4.7K (472)
220 (221)	5.1K (512)
470 (471)	10K (103)
680 (681)	22K (223)
1K (102)	33K (333)
1.5K (152)	1MEG (105)
2.2K (222)	

Serie 773103 (isoliert)

Wert (Code)	Wert (Code)
33 (330)	10K (103)
47 (470)	33K (333)
100 (101)	47K (473)
470 (471)	100K (104)
560 (561)	220K (224)
1.5K (152)	

Serie 773105 (Doppelabschl.)

Wert (Code)
330/470 (331/471)

Widerstandsnetzwerke

Über 1.500
WERTE ERHÄLTLICH

SERIE 750
Einzel-Inline

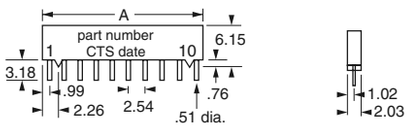

Solide Keramiknetzwerke sind oft effizienter, da sie bei niedrigeren Temperaturen betrieben werden können. Dies führt zu langfristiger Zuverlässigkeit in einem Widerstandnetzwerk.

Spezifikationen:

• **Widerstandswerte:** 22 Ω ~ 1 MΩ • **Widerstandstoleranz:** ±2 %
• **Temperaturkoeffizient:** ±100 ppm/°C typisch

Merkmale:

• Niedrigprofil-Konstruktion • Hervorragende Stromdissipation • Hohe Zuverlässigkeit • Aluminiumoxidsubstrat

SERIE 770
Einzel-Inline konform

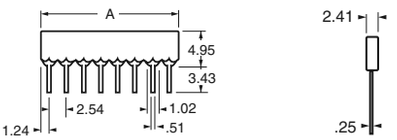

Standardprodukte der Serie 770 sind in 6-, 8- und 10-Pin Größen und in zahlreichen Widerstandswerten erhältlich.

Spezifikationen:

• **Widerstandswerte:** 22 Ω ~ 1 MΩ • **Widerstandstoleranz:** ±2 %
• **Temperaturkoeffizient:** ±100 ppm/°C typisch

Merkmale:

• Sehr zuverlässige Widerstände • Niedrigprofil-Konstruktion • 0,100" Leiterabstand • Hohe Zuverlässigkeit • Aluminiumoxidsubstrat

SERIE 760/761
Dual-Inline

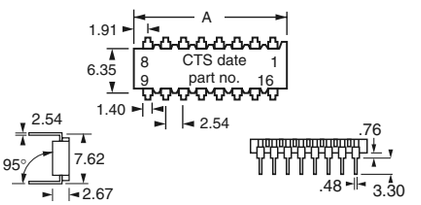

Erfordert 30 % weniger Plattenfläche als gegossene Netzwerke der gleichen Nennleistung.

Spezifikationen:

• **Widerstandsbereich:** 22 Ω ~ 1MΩ • **Widerstandstoleranz:** Standard ±2 %
• **Max. Betriebsspannung:** 50 V, ohne die Nennleistung zu überschreiten
• **Temp.-Koeffizient:** 100 Ω ~ 1 MΩ ±100 PPM/°C typisch, unter 100 Ω ±200 PPM/°C typisch • **Betriebstemp.-Bereich:** –55 °C ~ 125 °C
• **Lagertemp.-Bereich:** –55 °C ~ 125 °C • **Durchschlagsfestigkeit:** 100V

SERIE 766/767
Dual-Inline, Oberflächenmontage

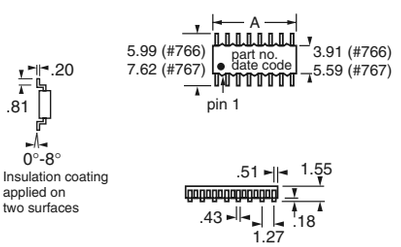

Dünne Beschichtung sorgt für höhere Nennleistungen. Dünne patentierte Schutzschicht hält Widerstand nahe der Oberfläche, dadurch fungiert das Aluminiumoxidsubstrat als Kühlkörper. Dies resultiert in höherer Nennleistung als gegossene Netzwerke.

Spezifikationen:

• **Widerstandswerte:** 22 Ω ~ 1 MΩ • Widerstandstoleranz: ±2 %.
• **Temperaturkoeffizient:** ±100 ppm/°C typisch

SERIE 768
Dual-Inline, Oberflächenmontage

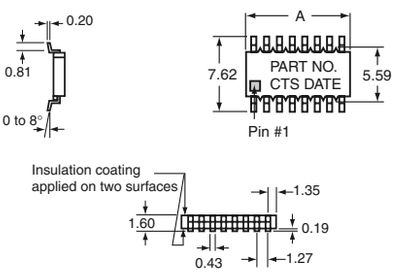

Mittelgroßer Körper, schmales Produkt. Niedrige Bauform — Abstand Platte - Netzwerk 0,005"/0,010".

Spezifikationen:

• **Widerstandsbereich: Standard:** 10 Ω ~ 1 MΩ • **Widerstandstoleranz:** Standard ±2 % oder 0,5Ω, maßgebend ist der jeweils größere Wert • **Max. Betriebsspannung:** 50 V, ohne die Nennleistung zu überschreiten • **Temp.-Koeffizient:** Standard: 100 Ω ~ 1 MΩ ±100 PPM/°C typisch, 10 Ω ~ 99 Ω ±200 PPM/°C typisch • **Betriebstemperaturbereich:** -55 °C ~ 125 °C • **Durchschlagsfestigkeit:** 100 V AC

Abb. 1 - Am Bus angeschlossen

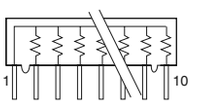

Abb. 2 - Isoliert

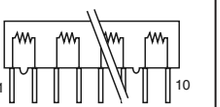

Abb. 3 - Doppelabschluss

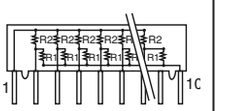

Abb. 4 - Am Bus angeschlossen

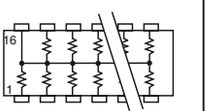

Abb. 5 - Isoliert

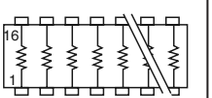

Abb. 6 - Doppelabschluss

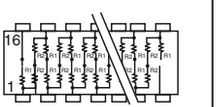

F

VERFÜGBARE WERTE
(Werte in Ω)

Isolierte und Busschaltungen

22	56	180	470	1.2K	3.3K	8.2K	22K	68K	220K	680K
27	68	200	510	1.5K	3.9K	10K	27K	82K	270K	820K
33	82	220	560	1.8K	4.7K	12K	33K	100K	330K	1 M
39	100	270	680	2K	5.1K	15K	39K	120K	390K	
47	120	330	820	2.2K	5.6K	18K	47K	150K	470K	
51	150	390	1K	2.7K	6.8K	20K	56K	180K	560K	

VERFÜGBARE WERTE
(Werte in Ω)

SERIE 750 und 770
Doppelabschlusswiderstands-Schaltkreise

81/130
121/195
162/260
180/390
220/330
330/390

VERFÜGBARE WERTE
(Werte in Ω)

SERIE 760/761
Doppelabschlusswiderstands-Schaltkreise

180/390
220/270
220/330
330/390
680/1.5K
1.5K/3.3K

VERFÜGBARE WERTE
(Werte in Ω)

SERIE 766/767 und 768
Doppelabschlusswiderstands-Schaltkreise

180/390
220/330
330/390
330/470

Serie	Abb.	Anz. der Pins	Anz. der Widerst.	Abm. "A" (mm)	Widerstands-nennleistung (mW@70°C)	Digi-Key* Teilenr.	Preisangaben 1	10	100	1.000
750	1	6	5	14.68	250	750-61-R(Wert)-ND	.77	6.73	52.85	384.36
	1	8	7	19.76	250	750-81-R(Wert)-ND	.89	7.76	61.00	443.62
	1	10	9	24.84	250	750-101-R(Wert)-ND	1.06	9.24	72.64	528.28
	2	6	3	14.68	400	750-63-R(Wert)-ND	.77	6.73	52.85	384.36
	2	8	4	19.76	400	750-83-R(Wert)-ND	.89	7.76	61.00	443.62
	2	10	5	24.84	400	750-103-R(Wert)-ND	1.06	9.24	72.64	528.28
	3	8	12	19.76	250	750-85-R(Wert)-ND	1.19	10.46	82.19	597.70
	3	10	16	24.84	250	750-105-R(Wert)-ND	1.44	12.62	99.18	721.30
770	1	6	5	15.19	100	770-61-R(Wert)-ND	.18	1.49	11.18	74.50
	1	8	7	20.27	100	770-81-R(Wert)-ND	.24	2.00	14.98	99.90
	1	10	9	25.35	100	770-101-R(Wert)-ND	.25	2.23	17.47	126.99
	2	6	3	15.19	200	770-63-R(Wert)-ND	.18	1.49	11.18	74.50
	2	8	4	20.27	200	770-83-R(Wert)-ND	.24	2.00	14.98	99.90
	2	10	5	25.35	200	770-103-R(Wert)-ND	.25	2.23	17.47	126.99
	3	8	12	20.27	100	770-85-R(Wert)-ND	.48	4.10	30.73	204.88
	3	10	16	25.35	100	770-105-R(Wert)-ND	.46	4.03	31.66	230.28
760/ 761	4	14	13	19.05	150	760-1-R(Wert)-ND	.83	6.88	57.78	357.69
	4	16	15	21.59	150	761-1-R(Wert)-ND	.85	7.75	70.48	422.88
	5	14	7	19.05	300	760-3-R(Wert)-ND	.83	6.88	.57.78	357.69
	5	16	8	21.59	300	761-3-R(Wert)ND	.85	7.75	70.48	422.88
	6	14	24	19.05	150	760-5-R(Wert)-ND	1.14	9.55	80.18	496.36
	6	16	28	21.59	150	761-5-R(Wert)-ND	1.17	10.68	97.15	582.88

Serie	Abb.	Anz. der Pins	Anz. der Widerst.	Abm. "A" (mm)	Widerstands-nennleistung (mW@70°C)	Digi-Key* Teilenr.	Preisangaben 1	10	100	1.000
766	4	14	13	8.64	80	766-141-R(Wert)-ND	1.03	8.23	57.60	356.59
	4	16	15	9.91	80	766-161-R(Wert)-ND	1.03	8.23	57.60	356.59
	5	14	7	8.64	160	766-143-R(Wert)-ND	1.03	8.23	57.60	356.59
	5	16	8	9.91	160	766-163-R(Wert)-ND	1.03	8.23	57.60	356.59
	6	14	24	8.64	80	766-145-R(Wert)-ND	1.21	9.65	67.56	418.22
	6	16	28	9.91	80	766-165-R(Wert)-ND	1.21	9.65	67.56	418.22
767	4	14	13	9.91	100	767-141-R(Wert)-ND	.56	4.44	31.11	192.60
	4	16	15	11.18	100	767-161-R(Wert)-ND	.56	4.44	31.11	192.60
	5	14	7	9.91	200	767-143-R(Wert)-ND	.56	4.44	31.11	192.60
	5	16	8	11.18	200	767-163-R(Wert)-ND	.56	4.44	31.11	192.60
	6	14	24	9.91	100	767-145-R(Wert)-ND	.60	4.77	33.42	206.91
	6	16	28	11.18	100	767-165-R(Wert)-ND	.60	4.77	33.42	206.91
768	4	14	13	9.91	130	768-141-R(Wert)-ND	.56	4.44	31.11	192.60
	4	16	15	11.18	150	768-161-R(Wert)-ND	.56	4.44	31.11	192.60
	5	14	7	9.91	130	768-143-R(Wert)-ND	.56	4.44	31.11	192.60
	5	16	8	11.18	150	768-163-R(Wert)-ND	.56	4.44	31.11	192.60
	6	14	24	9.91	130	768-145-R(Wert)-ND	.60	4.77	33.42	206.91
	6	16	28	11.18	150	768-165-R(Wert)-ND	.60	4.77	33.42	206.91

* Für komplette Teilenr. ersetzen Sie den (Wert) mit dem entsprechenden Wert aus obiger Tabelle.

Alle Preisangaben in Euro und inklusive Zollgebühren.

Serie 4100R
4116R

Angegossene Dickschicht-DIPs

• Kompatibel mit automatischen Platzieranlagen • Kupferleiter für hervorragende Wärmeableitung • Hoch temperaturbeständige Leiter, die Aufschmelzlöten bei Löttemperaturen von bis zu 260 °C widerstehen • Dreigabelige Krimp-Joint™ Leiter für Produktzuverlässigkeit und Haltbarkeit

Elektrische Eigenschaften:

• **Max. Betriebsspannung:** 100 V • **Temp.-Koeffizient des Widerstands:** 50 Ω ~ 2,2 MΩ: ±100 ppm/°C, unter 50 Ω: ±250 ppm/°C. • **Betriebstemperatur:** -55 °C ~ 125 °C

Umweltbedingungen:

• **Isolierwiderstand:** min. 10,000 MΩ • **Dielektrische Haltespannung:** 200 VRMS • **Leiter-Lötbarkeit/Lösungsbeständigkeit:** Entspricht MIL-R-83401-Anforderungen

Physikalische Merkmale:

• **Entflammbarkeit:** Erfüllt UL94V-0 • **Anschlussrahmenmaterial:** Kupfer (OLIN 194) 90/10 Electroplate • **Körpermaterial:** Novolac-Epoxid

Widerstandstoleranz:

• **Isoliert/Bus:** Unter 50 Ω ±1 Ω; über 50 Ω ±2 % • **Doppelabschluss:** Unter 100 Ω ±2 Ω; über 100 Ω ±2 %

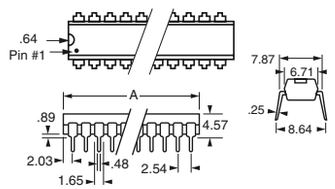

Serie 4800P
4816P

Dickschicht zur Oberflächenmontage, mittelgroßer Körper (5,59 mm)

• Standard E.I.A. (SOGN-0002) Bauart ist kompatibel mit automatischen Platzieranlagen. • Hoch temperaturbeständige Leiter, die Aufschmelzlöten bei Löttemperaturen von bis zu 260 °C widerstehen

Elektrische Eigenschaften:

• **Max. Betriebsspannung:** 50 V • **Temp.-Koeffizient des Widerstands:** 50 Ω und höher: ±100 ppm/°C, unter 50 Ω: ±250 ppm/°C. • **Betriebstemperatur:** -55 °C ~ 125 °C

Umweltbedingungen:

• **Isolierwiderstand:** min. 10.000 MΩ • **Dielektrische Haltespannung:** 200 VRMS • **Leiter-Lötbarkeit/Lösungsbeständigkeit:** Entspricht MIL-R-83401-Anforderungen

Physikalische Merkmale:

• **Entflammbarkeit:** Erfüllt UL94V-0 • **Anschlussrahmenmaterial:** Kupfer (OLIN 194) 60/40 Lötdip • **Körpermaterial:** Novolac-Epoxid

Widerstandstoleranz:

• **Isoliert/Bus:** Unter 50 Ω ±1 Ω; über 50 Ω ±2 % • **Doppelabschluss:** Unter 100 Ω ±2 Ω; über 100 Ω ±2 %

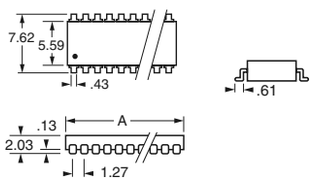

Serie 4300R,
4306R, 4308R und 4310R

Angegossene Dickschicht-SIPs, niedrige Bauform

• Niedrige Bauform ermöglicht Kompatibilität mit DIPs • Kompatibel mit automatischen Platzieranlagen • Hoch temperaturbeständige Leiter, die Aufschmelzlöten bei Löttemperaturen von bis zu 260 °C widerstehen • Kupferleiter für hervorragende Wärmeableitung

Elektrische Eigenschaften:

• **Max. Betriebsspannung:** 100 V • **Temp.-Koeffizient des Widerstands:** 50 Ω ~ 2,2 MΩ: ±100 ppm/°C, unter 50 Ω: ±250 ppm/°C. • **Betriebstemperatur:** -55 °C ~ +125 °C • **Nennleistung:** Vermindert auf Null-Leistung von + 70 °C ~ +125 °C

Umweltbedingungen:

• **Isolierwiderstand:** min. 10.000 MΩ • **Dielektrische Haltespannung:** 200 VRMS • **Leiter-Lötbarkeit/Lösungsbeständigkeit:** Entspricht MIL-R-83401-Anforderungen

Physikalische Merkmale:

• **Entflammbarkeit:** Erfüllt UL94V-0 • **Leitermaterial:** Kupfer (OLIN 194) 90/10 Electroplate • **Körpermaterial:** Novolac-Epoxid

Widerstandstoleranz:

• **Isoliert/Bus:** Unter 50 Ω ±1 Ω; über 50 Ω ±2 % • **Doppelabschluss:** Unter 100 Ω ±2 Ω; über 100 Ω ±2 %

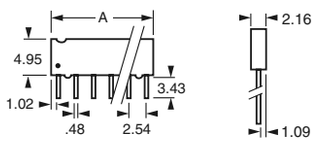

Serie 4600X,
4606X, 4608X und 4610X

Konforme Dickschicht-SIPs, niedrige Bauform

• Niedrige Bauform ist kompatibel mit DIPs • Hoch temperaturbeständige Leiter, die Aufschmelzlöten bei Löttemperaturen von bis zu 260 °C widerstehen

Elektrische Eigenschaften:

• **Max. Betriebsspannung:** 100 V • **Temp.-Koeffizient des Widerstands:** 50 Ω ~ 2,2 MΩ: ±100 ppm/°C, unter 50 Ω: ±250 ppm/°C. • **Betriebstemperaturbereich:** -55 °C ~ +125 °C

Umweltbedingungen:

• **Isolierwiderstand:** min. 10.000 MΩ • **Dielektrische Haltespannung:** 200 VRMS • **Leiter-Lötbarkeit/Lösungsbeständigkeit:** Entspricht MIL-R-83401-Anforderungen

Physikalische Merkmale:

• **Entflammbarkeit:** Erfüllt UL94V-0 • **Anschlussrahmenmaterial:** Kupfer (OLIN 194) 60/40 Lötdip • **Körpermaterial:** Epoxidharz/Anhydrid-Disphenol A

Widerstandstoleranz:

• **Isoliert/Bus:** Unter 50 Ω ±1 Ω; über 50 Ω ±2 % • **Doppelabschluss:** Unter 100 Ω ±2 Ω; über 100 Ω ±2 %

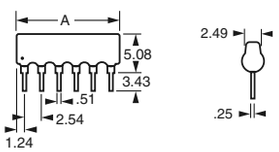

Alle Werte in Ω.

Widerstandswerte (001 und 002) Isolierte und Busschaltungen

Wert (Code)	Wert (Code)	Wert (Code)	Wert (Code)	Wert (Code)
22 (220)	220 (221)	2K (202)	18K (183)	150K (154)
27 (270)	270 (271)	2.2K (222)	20K (203)	180K (184)
33 (330)	330 (331)	2.7K (272)	22K (223)	220K (224)
39 (390)	390 (391)	3.3K (332)	27K (273)	270K (274)
47 (470)	470 (471)	3.9K (392)	33K (333)	330K (334)
56 (560)	560 (561)	4.7K (472)	39K (393)	390K (394)
68 (680)	680 (681)	5.6K (562)	47K (473)	470K (474)
82 (820)	820 (821)	6.8K (682)	56K (563)	560K (564)
100 (101)	1K (102)	8.2K (822)	68K (683)	680K (684)
120 (121)	1.2K (122)	10K (103)	82K (823)	820K (824)
150 (151)	1.5K (152)	12K (123)	100K (104)	1M (105)
180 (181)	1.8K (182)	15K (153)	120K (124)	

Widerstandswerte (003) Doppelabschlusswiderstands-Schaltkreise

Wert (Code)
180/390 (181/391)
220/270 (221/271)
220/330 (221/331)
330/390 (331/391)
330/470 (331/471)
3K/6.2K (302/622)

Alle Werte in Ω.

Widerstandswerte (001 und 002) Isolierte und Busschaltungen

Wert (Code)	Wert (Code)	Wert (Code)	Wert (Code)	Wert (Code)
22 (220)	220 (221)	2K (202)	18K (183)	150K (154)
27 (270)	270 (271)	2.2K (222)	20K (203)	180K (184)
33 (330)	330 (331)	2.7K (272)	22K (223)	220K (224)
39 (390)	390 (391)	3.3K (332)	27K (273)	270K (274)
47 (470)	470 (471)	3.9K (392)	33K (333)	330K (334)
56 (560)	560 (561)	4.7K (472)	39K (393)	390K (394)
68 (680)	680 (681)	5.6K (562)	47K (473)	470K (474)
82 (820)	820 (821)	6.8K (682)	56K (563)	560K (564)
100 (101)	1K (102)	8.2K (822)	68K (683)	680K (684)
120 (121)	1.2K (122)	10K (103)	82K (823)	820K (824)
150 (151)	1.5K (152)	12K (123)	100K (104)	1M (105)
180 (181)	1.8K (182)	15K (153)	120K (124)	

Widerstandswerte (004) Doppelabschlusswiderstands-Schaltkreise

Wert (Code)
160/240 (161/241)
180/390 (181/391)
220/270 (221/271)
220/330 (221/331)
330/390 (331/391)
330/470 (331/471)
3K/6.2K (302/622)

Abb. 1 – Isoliert

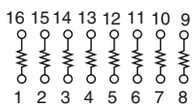

Abb. 2 – Am Bus angeschlossen

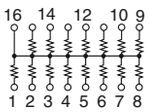

Abb. 3 – Doppelabschluss

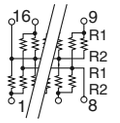

Abb. 4 – Doppelabschluss

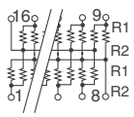

Abb. 5 – Isoliert

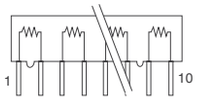

Abb. 6 – Am Bus angeschlossen

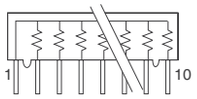

Abb. 7 – Doppelabschluss

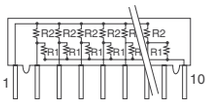

Serie	Abb.	Anz. der Pins	Anz. der Res.	Abm. "A" (mm)	Element-Nennleistung (W @ 70°C)	Digi-Key* Teilenr.	Preisangaben 1	10	50	100	500	1.000	Bourns* Teilenr.
4100	1	16	8	21.97	.25	4116R-1-(Code)-ND	.51	4.46	18.71	31.98	133.26	223.50	4116R-1-(Code)
	2	16	15	21.97	.125	4116R-2-(Code)-ND	.51	4.46	18.71	31.98	133.26	223.50	4116R-2-(Code)
	3	16	28	21.97	.125	4116R-3-(Code)/(Code)-ND	1.08	9.55	40.06	68.48	285.34	479.18	4116R-3-(Code)/(Code)
4300	6	6	5	14.83	.20	4306R-1-(Code)-ND	.40	3.55	14.86	25.40	105.83	177.79	4306R-101-(Code)
	5	6	3	14.83	.30	4306R-2-(Code)-ND	.40	3.55	14.86	25.40	105.83	177.79	4306R-102-(Code)
	7	6	8	14.83	.20	4306R-4-(Code)/(Code)-ND	.57	4.99	20.91	35.74	148.94	250.59	4306R-104-(Code)/(Code)
	6	8	7	19.91	.20	4308R-1-(Code)-ND	.46	4.07	17.06	29.16	121.50	204.03	4308R-101-(Code)
	5	8	4	19.91	.30	4308R-2-(Code)-ND	.46	4.07	17.06	29.16	121.50	204.03	4308R-102-(Code)
	7	8	12	19.91	.20	4308R-4-(Code)/(Code)-ND	.63	5.51	23.11	39.51	164.61	276.84	4308R-104-(Code)/(Code)
	6	10	9	24.99	.20	4310R-1-(Code)-ND	.55	4.86	20.36	34.80	145.02	243.82	4310R-101-(Code)
	5	10	5	24.99	.30	4310R-2-(Code)-ND	.55	4.86	20.36	34.80	145.02	243.82	4310R-102-(Code)
	7	10	16	24.99	.20	4310R-4-(Code)/(Code)-ND	.75	6.56	27.51	47.04	195.97	329.33	4310R-104-(Code)/(Code)
4600	6	6	5	15.19	.20	4606X-1-(Code)-ND	.21	1.89	7.92	13.55	56.44	94.82	4606X-101-(Code)
	5	6	3	15.19	.30	4606X-2-(Code)-ND	.21	1.89	7.92	13.55	56.44	94.82	4606X-102-(Code)
	7	6	8	15.19	.20	4606X-4-(Code)/(Code)-ND	.45	3.94	16.51	28.22	117.58	197.26	4606X-104-(Code)/(Code)
	6	8	7	20.27	.20	4608X-1-(Code)-ND	.27	2.36	9.91	16.93	70.55	118.52	4608X-101-(Code)
	5	8	4	20.27	.30	4608X-2-(Code)-ND	.27	2.36	9.91	16.93	70.55	118.52	4608X-102-(Code)
	7	8	12	20.27	.20	4608X-4-(Code)/(Code)-ND	.53	4.72	19.81	33.86	141.10	237.05	4608X-104-(Code)/(Code)
	6	10	9	25.35	.20	4610X-1-(Code)-ND	.33	2.89	12.11	20.69	86.23	144.77	4610X-101-(Code)
	5	10	5	25.35	.30	4610X-2-(Code)-ND	.33	2.89	12.11	20.69	86.23	144.77	4610X-102-(Code)
	7	10	16	25.35	.20	4610X-4-(Code)/(Code)-ND	.59	5.25	22.01	37.62	156.78	263.29	4610X-104-(Code)/(Code)
4800	1	16	8	12.45	.160	4816P-1-(Code)-ND	.95	8.40	35.22	60.11	253.98	423.30	4816P-T01-(Code)
	2	16	15	12.45	.080	4816P-2-(Code)-ND	.95	8.40	35.22	60.11	253.98	423.30	4816P-T02-(Code)
	4	16	28	12.45	.080	4816P-3-(Code)/(Code)-ND	1.48	13.12	55.03	93.92	396.84	661.19	4816P-T03-(Code)/(Code)

* Für komplette Teilenr. ersetzen Sie den Code durch den entsprechenden Widerstandscode (oben aufgeführt).

Wendel-Trimmpotentiometer, gekapselt

Serie PV36

Merkmale: • Cermet, quadratisch, 9,5 mm Paket, 25 Umdrehungen • Ultraschallreinigung zulässig • Kupplungsmechanismus verhindert ein Überdrehen des Schleifers • RoHS-konform

Spezifikationen: • Nennleistung: 0,5 W (70 °C) • Lötmethode: Schwalllöten/Lötkolben • Umdrehungszahl: 25 • TCR (ppm/°C): ±100

Abm. in mm

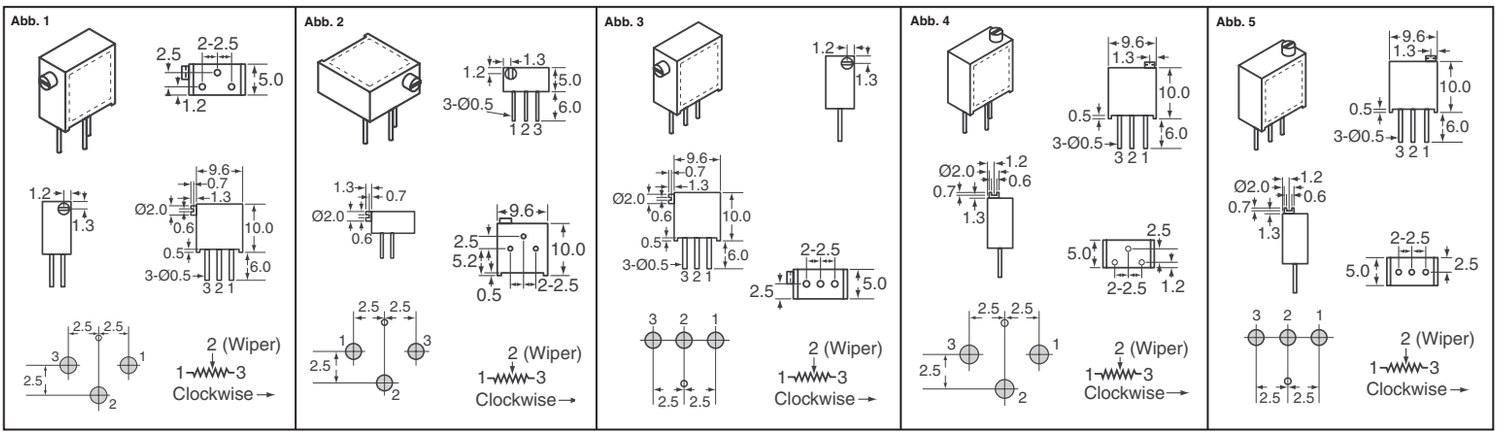

Ω	Betätigung seitlich						Betätigung von oben				Stückpreis		
	Abb. 1		Abb. 2		Abb. 3		Abb. 4		Abb. 5				
	Digi-Key Teilenr.	Murata Teilenr.	Digi-Key Teilenr.	Murata Teilenr.	Digi-Key Teilenr.	Murata Teilenr.	Digi-Key Teilenr.	Murata Teilenr.	Digi-Key Teilenr.	Murata Teilenr.	1	10	100
10	490-2929-ND	PV36Z100C01B00	490-2853-ND	PV36P100C01B00	490-2891-ND	PV36X100C01B00	490-2910-ND	PV36Y100C01B00	490-2872-ND	PV36W100C01B00	.72	.66	.47
20	490-2935-ND	PV36Z200C01B00	490-2859-ND	PV36P200C01B00	490-2897-ND	PV36X200C01B00	490-2916-ND	PV36Y200C01B00	490-2878-ND	PV36W200C01B00	.72	.66	.47
50	490-2943-ND	PV36Z500C01B00	490-2867-ND	PV36P500C01B00	490-2905-ND	PV36X500C01B00	490-2924-ND	PV36Y500C01B00	490-2886-ND	PV36W500C01B00	.72	.66	.47
100	490-2930-ND	PV36Z101C01B00	490-2854-ND	PV36P101C01B00	490-2892-ND	PV36X101C01B00	490-2911-ND	PV36Y101C01B00	490-2873-ND	PV36W101C01B00	.72	.66	.47
200	490-2936-ND	PV36Z201C01B00	490-2860-ND	PV36P201C01B00	490-2898-ND	PV36X201C01B00	490-2917-ND	PV36Y201C01B00	490-2879-ND	PV36W201C01B00	.72	.66	.47
500	490-2944-ND	PV36Z501C01B00	490-2868-ND	PV36P501C01B00	490-2906-ND	PV36X501C01B00	490-2925-ND	PV36Y501C01B00	490-2887-ND	PV36W501C01B00	.72	.66	.47
1K	490-2931-ND	PV36Z102C01B00	490-2855-ND	PV36P102C01B00	490-2893-ND	PV36X102C01B00	490-2912-ND	PV36Y102C01B00	490-2874-ND	PV36W102C01B00	.72	.66	.47
2K	490-2937-ND	PV36Z202C01B00	490-2861-ND	PV36P202C01B00	490-2899-ND	PV36X202C01B00	490-2918-ND	PV36Y202C01B00	490-2880-ND	PV36W202C01B00	.72	.66	.47
5K	490-2945-ND	PV36Z502C01B00	490-2869-ND	PV36P502C01B00	490-2907-ND	PV36X502C01B00	490-2926-ND	PV36Y502C01B00	490-2888-ND	PV36W502C01B00	.72	.66	.47
10K	490-2932-ND	PV36Z103C01B00	490-2856-ND	PV36P103C01B00	490-2894-ND	PV36X103C01B00	490-2913-ND	PV36Y103C01B00	490-2875-ND	PV36W103C01B00	.72	.66	.47
20K	490-2938-ND	PV36Z203C01B00	490-2862-ND	PV36P203C01B00	490-2900-ND	PV36X203C01B00	490-2919-ND	PV36Y203C01B00	490-2881-ND	PV36W203C01B00	.72	.66	.47
25K	490-2941-ND	PV36Z253C01B00	490-2865-ND	PV36P253C01B00	490-2903-ND	PV36X253C01B00	490-2922-ND	PV36Y253C01B00	490-2884-ND	PV36W253C01B00	.72	.66	.47
50K	490-2946-ND	PV36Z503C01B00	490-2870-ND	PV36P503C01B00	490-2908-ND	PV36X503C01B00	490-2927-ND	PV36Y503C01B00	490-2889-ND	PV36W503C01B00	.72	.66	.47
100K	490-2933-ND	PV36Z104C01B00	490-2857-ND	PV36P104C01B00	490-2895-ND	PV36X104C01B00	490-2914-ND	PV36Y104C01B00	490-2876-ND	PV36W104C01B00	.72	.66	.47
200K	490-2939-ND	PV36Z204C01B00	490-2863-ND	PV36P204C01B00	490-2901-ND	PV36X204C01B00	490-2920-ND	PV36Y204C01B00	490-2882-ND	PV36W204C01B00	.72	.66	.47
250K	490-2942-ND	PV36Z254C01B00	490-2866-ND	PV36P254C01B00	490-2904-ND	PV36X254C01B00	490-2923-ND	PV36Y254C01B00	490-2885-ND	PV36W254C01B00	.72	.66	.47
500K	490-2947-ND	PV36Z504C01B00	490-2871-ND	PV36P504C01B00	490-2909-ND	PV36X504C01B00	490-2928-ND	PV36Y504C01B00	490-2890-ND	PV36W504C01B00	.72	.66	.47
1M	490-2934-ND	PV36Z105C01B00	490-2858-ND	PV36P105C01B00	490-2896-ND	PV36X105C01B00	490-2915-ND	PV36Y105C01B00	490-2877-ND	PV36W105C01B00	.72	.66	.47
2M	490-2940-ND	PV36Z205C01B00	490-2864-ND	PV36P205C01B00	490-2902-ND	PV36X205C01B00	490-2921-ND	PV36Y205C01B00	490-2883-ND	PV36W205C01B00	.72	.66	.47

F

Serie PV37

Merkmale: • Hohe Auflösung, Cermet, 12 Umdrehungen • Sehr klein • Ultraschallreinigung zulässig • Kupplungsmechanismus verhindert ein Überdrehen des Schleifers • RoHS-konform

Spezifikationen: • Nennleistung: 0,25 W (85 °C) • Lötmethode: Schwalllöten/Lötkolben • Umdrehungszahl: 12 • TCR (ppm/°C): ±100

Abm. in mm

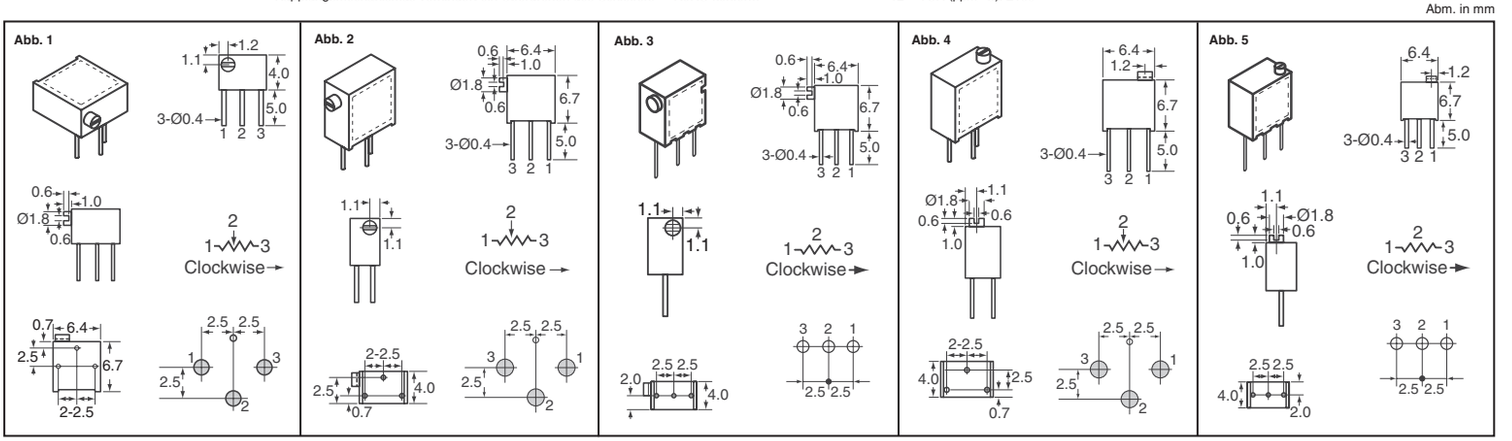

Ω	Betätigung seitlich						Betätigung von oben				Stückpreis		
	Abb. 1		Abb. 2		Abb. 3		Abb. 4		Abb. 5				
	Digi-Key Teilenr.	Murata Teilenr.	Digi-Key Teilenr.	Murata Teilenr.	Digi-Key Teilenr.	Murata Teilenr.	Digi-Key Teilenr.	Murata Teilenr.	Digi-Key Teilenr.	Murata Teilenr.	1	10	100
10	490-2948-ND	PV37P100C01B00	490-2986-ND	PV37X100C01B00	490-3024-ND	PV37Z100C01B00	490-2967-ND	PV37W100C01B00	490-3005-ND	PV37Y100C01B00	1.36	1.24	.87
20	490-2954-ND	PV37P200C01B00	490-2992-ND	PV37X200C01B00	490-3030-ND	PV37Z200C01B00	490-2973-ND	PV37W200C01B00	490-3011-ND	PV37Y200C01B00	1.36	1.24	.87
50	490-2962-ND	PV37P500C01B00	490-3000-ND	PV37X500C01B00	490-3038-ND	PV37Z500C01B00	490-2981-ND	PV37W500C01B00	490-3019-ND	PV37Y500C01B00	1.36	1.24	.87
100	490-2949-ND	PV37P101C01B00	490-2987-ND	PV37X101C01B00	490-3025-ND	PV37Z101C01B00	490-2968-ND	PV37W101C01B00	490-3006-ND	PV37Y101C01B00	1.36	1.24	.87
200	490-2955-ND	PV37P201C01B00	490-2993-ND	PV37X201C01B00	490-3031-ND	PV37Z201C01B00	490-2974-ND	PV37W201C01B00	490-3012-ND	PV37Y201C01B00	1.36	1.24	.87
500	490-2963-ND	PV37P501C01B00	490-3001-ND	PV37X501C01B00	490-3039-ND	PV37Z501C01B00	490-2982-ND	PV37W501C01B00	490-3020-ND	PV37Y501C01B00	1.36	1.24	.87
1K	490-2950-ND	PV37P102C01B00	490-2988-ND	PV37X102C01B00	490-3026-ND	PV37Z102C01B00	490-2969-ND	PV37W102C01B00	490-3007-ND	PV37Y102C01B00	1.36	1.24	.87
2K	490-2956-ND	PV37P202C01B00	490-2994-ND	PV37X202C01B00	490-3032-ND	PV37Z202C01B00	490-2975-ND	PV37W202C01B00	490-3013-ND	PV37Y202C01B00	1.36	1.24	.87
5K	490-2964-ND	PV37P502C01B00	490-3002-ND	PV37X502C01B00	490-3040-ND	PV37Z502C01B00	490-2983-ND	PV37W502C01B00	490-3021-ND	PV37Y502C01B00	1.36	1.24	.87
10K	490-2951-ND	PV37P103C01B00	490-2989-ND	PV37X103C01B00	490-3027-ND	PV37Z103C01B00	490-2970-ND	PV37W103C01B00	490-3008-ND	PV37Y103C01B00	1.36	1.24	.87
20K	490-2957-ND	PV37P203C01B00	490-2995-ND	PV37X203C01B00	490-3033-ND	PV37Z203C01B00	490-2976-ND	PV37W203C01B00	490-3014-ND	PV37Y203C01B00	1.36	1.24	.87
25K	490-2960-ND	PV37P253C01B00	490-2998-ND	PV37X253C01B00	490-3036-ND	PV37Z253C01B00	490-2979-ND	PV37W253C01B00	490-3017-ND	PV37Y253C01B00	1.36	1.24	.87
50K	490-2965-ND	PV37P503C01B00	490-3003-ND	PV37X503C01B00	490-3041-ND	PV37Z503C01B00	490-2984-ND	PV37W503C01B00	490-3022-ND	PV37Y503C01B00	1.36	1.24	.87
100K	490-2952-ND	PV37P104C01B00	490-2990-ND	PV37X104C01B00	490-3028-ND	PV37Z104C01B00	490-2971-ND	PV37W104C01B00	490-3009-ND	PV37Y104C01B00	1.36	1.24	.87
200K	490-2958-ND	PV37P204C01B00	490-2996-ND	PV37X204C01B00	490-3034-ND	PV37Z204C01B00	490-2977-ND	PV37W204C01B00	490-3015-ND	PV37Y204C01B00	1.36	1.24	.87
250K	490-2961-ND	PV37P254C01B00	490-2999-ND	PV37X254C01B00	490-3037-ND	PV37Z254C01B00	490-2980-ND	PV37W254C01B00	490-3018-ND	PV37Y254C01B00	1.36	1.24	.87
500K	490-2966-ND	PV37P504C01B00	490-3004-ND	PV37X504C01B00	490-3042-ND	PV37Z504C01B00	490-2985-ND	PV37W504C01B00	490-3023-ND	PV37Y504C01B00	1.36	1.24	.87
1M	490-2953-ND	PV37P105C01B00	490-2991-ND	PV37X105C01B00	490-3029-ND	PV37Z105C01B00	490-2972-ND	PV37W105C01B00	490-3010-ND	PV37Y105C01B00	1.36	1.24	.87
2M	490-2959-ND	PV37P205C01B00	490-2997-ND	PV37X205C01B00	490-3035-ND	PV37Z205C01B00	490-2978-ND	PV37W205C01B00	490-3016-ND	PV37Y205C01B00	1.36	1.24	.87

Alle Preisangaben in Euro und inklusive Zollgebühren.

Murata Electronics

EingangsTrimmpotentiometer, Serie PVC6, eingängig, gekapselt

Merkmale: • Großzügig bemessener Rotor für besseres Einstellvermögen • 11 Skalen zur besseren Wahrnehmung der Einstellung • Farblich ausgelegter Rotor für besseres Einstellvermögen • Trichterförmiger Rotor für prozessinterne automatische Justierung; erhöhte Stabilität • RoHS-konform

Spezifikationen: • Nennleistung: 0,5 W (70 °C) • Lötmethode: Schwallöten/Lötkolben • Umdrehungszahl: 1 (240° ±5°) • TCR (ppm/°C): ±100

Abm. in mm

Abb. 1

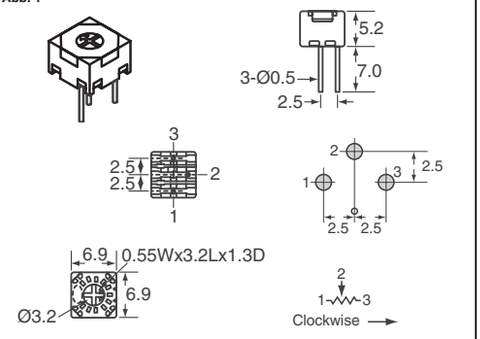

Abb. 2

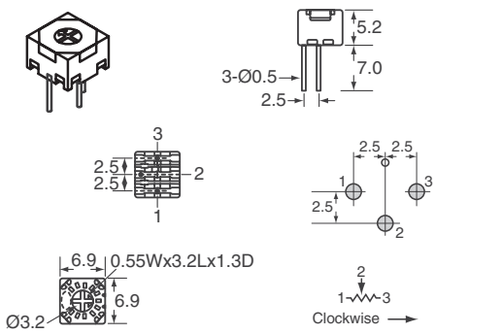

Abb. 3

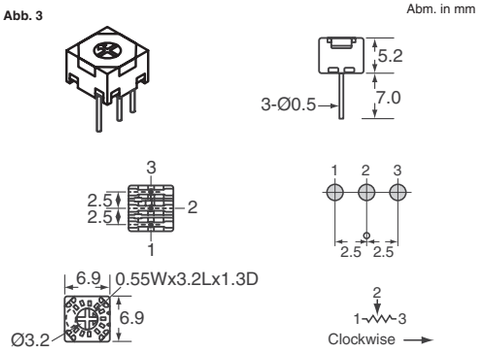

Abb. 4

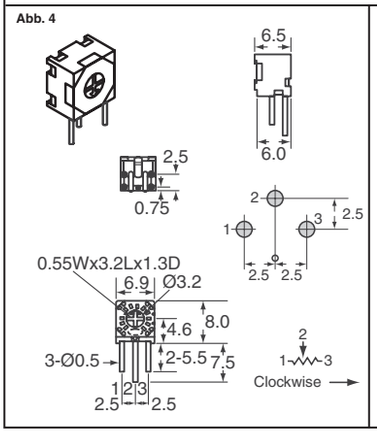

Abb. 5

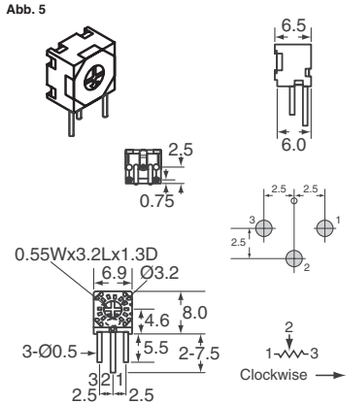

Abb. 6

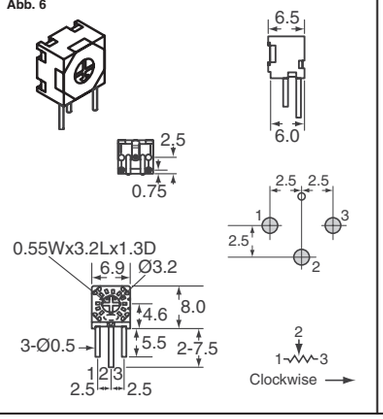

Abb. 7

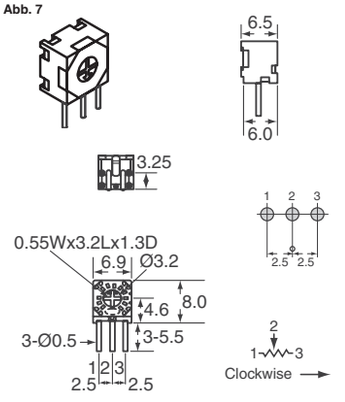

Betätigung von oben

Ω	Abb. 1 Digi-Key Teilenr.	Abb. 1 Murata Teilenr.	Abb. 2 Digi-Key Teilenr.	Abb. 2 Murata Teilenr.	Abb. 3 Digi-Key Teilenr.	Abb. 3 Murata Teilenr.	Stückpreis 1	10	100
10	490-2692-ND	PVC6A100C01B00	490-2715-ND	PVC6D100C01B00	490-2807-ND	PVC6M100C01B00	.89	.67	.61
20	490-2698-ND	PVC6A200C01B00	490-2721-ND	PVC6D200C01B00	490-2813-ND	PVC6M200C01B00	.89	.67	.61
25	490-2704-ND	PVC6A250C01B00	490-2727-ND	PVC6D250C01B00	490-2819-ND	PVC6M250C01B00	.89	.67	.61
50	490-2709-ND	PVC6A500C01B00	490-2732-ND	PVC6D500C01B00	490-2824-ND	PVC6M500C01B00	.89	.67	.61
100	490-2693-ND	PVC6A101C01B00	490-2716-ND	PVC6D101C01B00	490-2808-ND	PVC6M101C01B00	.89	.67	.61
200	490-2699-ND	PVC6A201C01B00	490-2722-ND	PVC6D201C01B00	490-2814-ND	PVC6M201C01B00	.89	.67	.61
250	490-2705-ND	PVC6A251C01B00	490-2728-ND	PVC6D251C01B00	490-2820-ND	PVC6M251C01B00	.89	.67	.61
500	490-2710-ND	PVC6A501C01B00	490-2733-ND	PVC6D501C01B00	490-2825-ND	PVC6M501C01B00	.89	.67	.61
1K	490-2694-ND	PVC6A102C01B00	490-2717-ND	PVC6D102C01B00	490-2809-ND	PVC6M102C01B00	.89	.67	.61
2K	490-2700-ND	PVC6A202C01B00	490-2723-ND	PVC6D202C01B00	490-2815-ND	PVC6M202C01B00	.89	.67	.61
2.5K	490-2706-ND	PVC6A252C01B00	490-2729-ND	PVC6D252C01B00	490-2821-ND	PVC6M252C01B00	.89	.67	.61
5K	490-2711-ND	PVC6A502C01B00	490-2734-ND	PVC6D502C01B00	490-2826-ND	PVC6M502C01B00	.89	.67	.61
10K	490-2695-ND	PVC6A103C01B00	490-2718-ND	PVC6D103C01B00	490-2810-ND	PVC6M103C01B00	.89	.67	.61
20K	490-2701-ND	PVC6A203C01B00	490-2724-ND	PVC6D203C01B00	490-2816-ND	PVC6M203C01B00	.89	.67	.61
25K	490-2707-ND	PVC6A253C01B00	490-2730-ND	PVC6D253C01B00	490-2822-ND	PVC6M253C01B00	.89	.67	.61
50K	490-2712-ND	PVC6A503C01B00	490-2735-ND	PVC6D503C01B00	490-2827-ND	PVC6M503C01B00	.89	.67	.61
100K	490-2696-ND	PVC6A104C01B00	490-2719-ND	PVC6D104C01B00	490-2811-ND	PVC6M104C01B00	.89	.67	.61
200K	490-2702-ND	PVC6A204C01B00	490-2725-ND	PVC6D204C01B00	490-2817-ND	PVC6M204C01B00	.89	.67	.61
250K	490-2708-ND	PVC6A254C01B00	490-2731-ND	PVC6D254C01B00	490-2823-ND	PVC6M254C01B00	.89	.67	.61
500K	490-2713-ND	PVC6A504C01B00	490-2736-ND	PVC6D504C01B00	490-2828-ND	PVC6M504C01B00	.89	.67	.61
1M	490-2697-ND	PVC6A105C01B00	490-2720-ND	PVC6D105C01B00	490-2812-ND	PVC6M105C01B00	.89	.67	.61
2M	490-2703-ND	PVC6A205C01B00	490-2726-ND	PVC6D205C01B00	490-2818-ND	PVC6M205C01B00	.89	.67	.61
5M	490-2714-ND	PVC6A505C01B00	490-2737-ND	PVC6D505C01B00	490-2829-ND	PVC6M505C01B00	.89	.67	.61

Betätigung seitlich

Ω	Abb. 4 Digi-Key Teilenr.	Abb. 4 Murata Teilenr.	Abb. 5 Digi-Key Teilenr.	Abb. 5 Murata Teilenr.	Abb. 6 Digi-Key Teilenr.	Abb. 6 Murata Teilenr.	Abb. 7 Digi-Key Teilenr.	Abb. 7 Murata Teilenr.	Stückpreis 1	10	100
10	490-2738-ND	PVC6E100C01B00	490-2761-ND	PVC6G100C01B00	490-2784-ND	PVC6H100C01B00	490-2830-ND	PVC6Q100C01B00	.89	.67	.61
20	490-2744-ND	PVC6E200C01B00	490-2767-ND	PVC6G200C01B00	490-2790-ND	PVC6H200C01B00	490-2836-ND	PVC6Q200C01B00	.89	.67	.61
25	490-2750-ND	PVC6E250C01B00	490-2773-ND	PVC6G250C01B00	490-2796-ND	PVC6H250C01B00	490-2842-ND	PVC6Q250C01B00	.89	.67	.61
50	490-2755-ND	PVC6E500C01B00	490-2778-ND	PVC6G500C01B00	490-2801-ND	PVC6H500C01B00	490-2847-ND	PVC6Q500C01B00	.89	.67	.61
100	490-2739-ND	PVC6E101C01B00	490-2762-ND	PVC6G101C01B00	490-2785-ND	PVC6H101C01B00	490-2831-ND	PVC6Q101C01B00	.89	.67	.61
200	490-2745-ND	PVC6E201C01B00	490-2768-ND	PVC6G201C01B00	490-2791-ND	PVC6H201C01B00	490-2837-ND	PVC6Q201C01B00	.89	.67	.61
250	490-2751-ND	PVC6E251C01B00	490-2774-ND	PVC6G251C01B00	490-2797-ND	PVC6H251C01B00	490-2843-ND	PVC6Q251C01B00	.89	.67	.61
500	490-2756-ND	PVC6E501C01B00	490-2779-ND	PVC6G501C01B00	490-2802-ND	PVC6H501C01B00	490-2848-ND	PVC6Q501C01B00	.89	.67	.61
1K	490-2740-ND	PVC6E102C01B00	490-2763-ND	PVC6G102C01B00	490-2786-ND	PVC6H102C01B00	490-2832-ND	PVC6Q102C01B00	.89	.67	.61
2K	490-2746-ND	PVC6E202C01B00	490-2769-ND	PVC6G202C01B00	490-2792-ND	PVC6H202C01B00	490-2838-ND	PVC6Q202C01B00	.89	.67	.61
2.5K	490-2752-ND	PVC6E252C01B00	490-2775-ND	PVC6G252C01B00	490-2798-ND	PVC6H252C01B00	490-2844-ND	PVC6Q252C01B00	.89	.67	.61
5K	490-2757-ND	PVC6E502C01B00	490-2780-ND	PVC6G502C01B00	490-2803-ND	PVC6H502C01B00	490-2849-ND	PVC6Q502C01B00	.89	.67	.61
10K	490-2741-ND	PVC6E103C01B00	490-2764-ND	PVC6G103C01B00	490-2787-ND	PVC6H103C01B00	490-2833-ND	PVC6Q103C01B00	.89	.67	.61
20K	490-2747-ND	PVC6E203C01B00	490-2770-ND	PVC6G203C01B00	490-2793-ND	PVC6H203C01B00	490-2839-ND	PVC6Q203C01B00	.89	.67	.61
25K	490-2753-ND	PVC6E253C01B00	490-2776-ND	PVC6G253C01B00	490-2799-ND	PVC6H253C01B00	490-2845-ND	PVC6Q253C01B00	.89	.67	.61
50K	490-2758-ND	PVC6E503C01B00	490-2781-ND	PVC6G503C01B00	490-2804-ND	PVC6H503C01B00	490-2850-ND	PVC6Q503C01B00	.89	.67	.61
100K	490-2742-ND	PVC6E104C01B00	490-2765-ND	PVC6G104C01B00	490-2788-ND	PVC6H104C01B00	490-2834-ND	PVC6Q104C01B00	.89	.67	.61
200K	490-2748-ND	PVC6E204C01B00	490-2771-ND	PVC6G204C01B00	490-2794-ND	PVC6H204C01B00	490-2840-ND	PVC6Q204C01B00	.89	.67	.61
250K	490-2754-ND	PVC6E254C01B00	490-2777-ND	PVC6G254C01B00	490-2800-ND	PVC6H254C01B00	490-2846-ND	PVC6Q254C01B00	.89	.67	.61
500K	490-2759-ND	PVC6E504C01B00	490-2782-ND	PVC6G504C01B00	490-2805-ND	PVC6H504C01B00	490-2851-ND	PVC6Q504C01B00	.89	.67	.61
1M	490-2743-ND	PVC6E105C01B00	490-2766-ND	PVC6G105C01B00	490-2789-ND	PVC6H105C01B00	490-2835-ND	PVC6Q105C01B00	.89	.67	.61
2M	490-2749-ND	PVC6E205C01B00	490-2772-ND	PVC6G205C01B00	490-2795-ND	PVC6H205C01B00	490-2841-ND	PVC6Q205C01B00	.89	.67	.61
5M	490-2760-ND	PVC6E505C01B00	490-2783-ND	PVC6G505C01B00	490-2806-ND	PVC6H505C01B00	490-2852-ND	PVC6Q505C01B00	.89	.67	.61

F

Oberflächenmontage-Trimmpotentiometer, offene Bauart, 2 mm Serie PVZ2

Abm. in mm

Merkmale:

- Vergoldete Kontakte ermöglichen hohe Dichte auf der Leiterplatte
- Trichterförmiger Rotor für prozessinterne automatische Justierung; erhöhte Stabilität
- Spezielles Harzsubstrat ermöglicht hohe Spitzentemperatur für Aufschmelzlöten

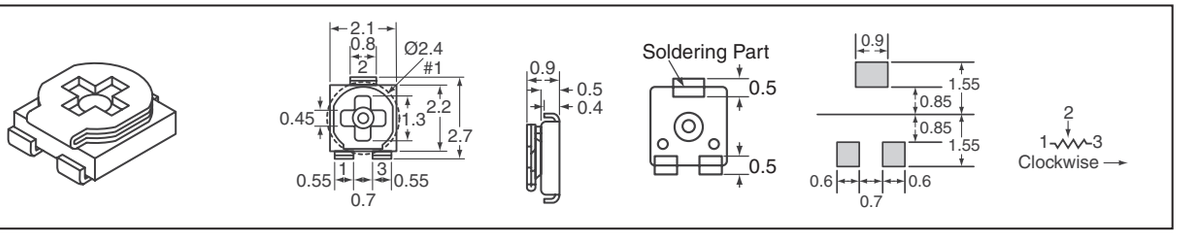

Nennleistung (W)	Lötmethode	Umdrehungszahl (eff. Drehwinkel)	Gesamtwiderstand	TCR (ppm/°C)	Digi-Key Teilenr.	Gurtabschnittspreise 5	10	100	Digi-Key Teilenr.	Gegurtet auf Rolle 3.000	Murata Teilenr.
0.1(50°C)	Aufschmelzlöten	1 (240°±10°)	500 Ω ± 30%	± 500	490-2041-1-ND	.64	1.08	9.46	490-2041-2-ND	64.31/M	PVZ2A501A01R00
			1K Ω ± 30%	± 500	490-2031-1-ND	.64	1.08	9.46	490-2031-2-ND	64.31/M	PVZ2A102A01R00
			2K Ω ± 30%	± 500	490-2035-1-ND	.64	1.08	9.46	490-2035-2-ND	64.31/M	PVZ2A202A01R00
			3K Ω ± 30%	± 500	490-2038-1-ND	.64	1.08	9.46	490-2038-2-ND	64.31/M	PVZ2A302A01R00
			5K Ω ± 30%	± 500	490-2042-1-ND	.64	1.08	9.46	490-2042-2-ND	64.31/M	PVZ2A502A01R00
0.1(50°C)	Aufschmelzlöten	1 (240°±10°)	10K Ω ± 30%	± 500	490-2032-1-ND	.64	1.08	9.46	490-2032-2-ND	64.31/M	PVZ2A103A01R00
			20K Ω ± 30%	± 500	490-2036-1-ND	.64	1.08	9.46	490-2036-2-ND	64.31/M	PVZ2A203A01R00
			30K Ω ± 30%	± 500	490-2039-1-ND	.64	1.08	9.46	490-2039-2-ND	64.31/M	PVZ2A303A01R00
			50K Ω ± 30%	± 500	490-2043-1-ND	.64	1.08	9.46	490-2043-2-ND	64.31/M	PVZ2A503A01R00
			100K Ω ± 30%	± 500	490-2033-1-ND	.64	1.08	9.46	490-2033-2-ND	64.31/M	PVZ2A104A01R00
0.1(50°C)	Aufschmelzlöten	1 (240°±10°)	200K Ω ± 30%	± 500	490-2037-1-ND	.64	1.08	9.46	490-2037-2-ND	64.31/M	PVZ2A204A01R00
			300K Ω ± 30%	± 500	490-2040-1-ND	.64	1.08	9.46	490-2040-2-ND	64.31/M	PVZ2A304A01R00
			500K Ω ± 30%	± 500	490-2044-1-ND	.64	1.08	9.46	490-2044-2-ND	64.31/M	PVZ2A504A01R00
			1M Ω ± 30%	± 500	490-2034-1-ND	.64	1.08	9.46	490-2034-2-ND	64.31/M	PVZ2A105A01R00

Oberflächenmontage-Trimmpotentiometer, offene Bauart, 2 mm Serie PVZ3

Abm. in mm

Merkmale:

- Vorzügliche Löteigenschaften dank spezieller Oberflächen beschichtung aller Kontakte
- Das Substrat ist so entwickelt, dass das Flussmittel nicht auf die Oberseite des Teils dringen kann
- Größere untere Kontaktfläche erhöht die Festigkeit der Lötverbindung und ermöglicht eine hohe Bauteiledichte auf der Leiterplatte
- Trichterförmiger Einstellschlitz ermöglicht automatische prozessinterne Justierung
- Standardposition der Treiberplatte wird in der Mitte justiert
- Bauteile erfüllen bleifreie Bestimmungen

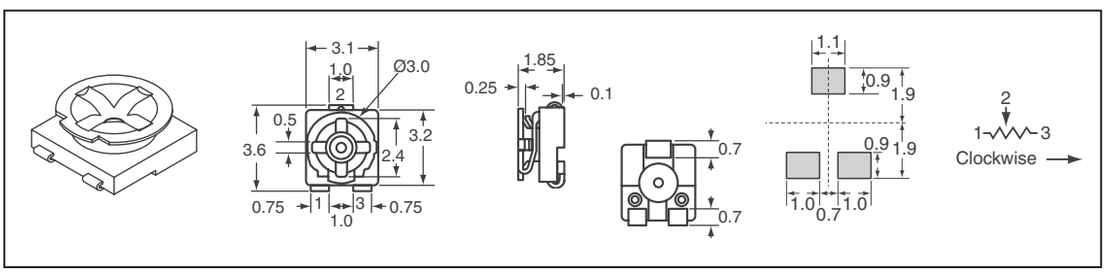

Nennleistung (W)	Lötmethode	Umdrehungszahl (eff. Drehwinkel)	Gesamtwiderstand	TCR (ppm/°C)	Digi-Key Teilenr.	Gurtabschnittspreise 5	10	100	Digi-Key Teilenr.	Gegurtet auf Rolle 2.000	Murata Teilenr.
0.1 (50°C)	Aufschmelzlöten	1 (230° ±10°)	200 Ω ±30%	±500	490-2018-1-ND	.47	.80	6.91	490-2018-2-ND	46.92/M	PVZ3A201A01R00
			300 Ω ±30%	±500	490-2023-1-ND	.47	.80	6.91	490-2023-2-ND	46.92/M	PVZ3A301A01R00
			500 Ω ±30%	±500	490-2027-1-ND	.47	.80	6.91	490-2027-2-ND	46.92/M	PVZ3A501A01R00
			1K Ω ±30%	±500	490-2014-1-ND	.47	.80	6.91	490-2014-2-ND	46.92/M	PVZ3A102A01R00
			2K Ω ±30%	±500	490-2019-1-ND	.47	.80	6.91	490-2019-2-ND	46.92/M	PVZ3A202A01R00
0.1 (50°C)	Aufschmelzlöten	1 (230° ±10°)	3K Ω ±30%	±500	490-2024-1-ND	.47	.80	6.91	490-2024-2-ND	46.92/M	PVZ3A302A01R00
			5K Ω ±30%	±500	490-2028-1-ND	.47	.80	6.91	490-2028-2-ND	46.92/M	PVZ3A502A01R00
			10K Ω ±30%	±500	490-2015-1-ND	.47	.80	6.91	490-2015-2-ND	46.92/M	PVZ3A103A01R00
			20K Ω ±30%	±500	490-2020-1-ND	.47	.80	6.91	490-2020-2-ND	46.92/M	PVZ3A203A01R00
			30K Ω ±30%	±500	490-2025-1-ND	.47	.80	6.91	490-2025-2-ND	46.92/M	PVZ3A303A01R00
0.1 (50°C)	Aufschmelzlöten	1 (230° ±10°)	50K Ω ±30%	±500	490-2029-1-ND	.47	.80	6.91	490-2029-2-ND	46.92/M	PVZ3A503A01R00
			100K Ω ±30%	±500	490-2016-1-ND	.47	.80	6.91	490-2016-2-ND	46.92/M	PVZ3A104A01R00
			200K Ω ±30%	±500	490-2021-1-ND	.47	.80	6.91	490-2021-2-ND	46.92/M	PVZ3A204A01R00
			300K Ω ±30%	±500	490-2026-1-ND	.47	.80	6.91	490-2026-2-ND	46.92/M	PVZ3A304A01R00
			500K Ω ±30%	±500	490-2030-1-ND	.47	.80	6.91	490-2030-2-ND	46.92/M	PVZ3A504A01R00
0.1 (50°C)	Aufschmelzlöten	1 (230° ±10°)	1M Ω ±30%	±500	490-2017-1-ND	.47	.80	6.91	490-2017-2-ND	46.92/M	PVZ3A105A01R00
			2M Ω ±30%	±500	490-2022-1-ND	.47	.80	6.91	490-2022-2-ND	46.92/M	PVZ3A205A01R00

Winkeltast-Potentiometer, Oberflächenmontage, staubdicht, 12 mm Serie PVS1

Abm. in mm

Merkmale:

- Staubdichte Konstruktion
- Verträgt Temperaturenspitzen, wie sie beim Aufschmelzlöten entstehen
- Hochfeste Werkstoffe und ein sehr zuverlässiger Schleifer erreichen eine Lebensdauer von 1 Million Zyklen
- D-Formation-Durchgangslochrotor ermöglicht die Anwendung verschiedener Zahnradformen
- Ultradünn (2,1 mm hoch)
- Vergoldete Anschlüsse ohne Blei

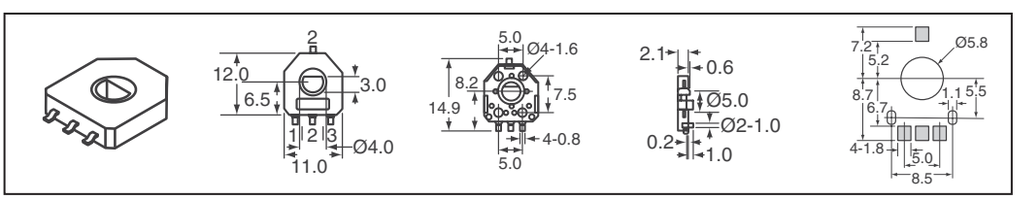

Gesamtwiderstand	Linearität (%)	Effektiver Drehwinkel	TCR	Haltbarkeit (Umdrehungen)	Digi-Key Teilenr.	Preisangaben 1	10	100	Murata Teilenr.
10k Ω ±30%	±2	333,3° (Ref.)	±500 ppm/°C	1Million Zyklen	490-2400-ND	1.00	9.12	85.00	SV01A103AEA01B00

Alle Preisangaben in Euro und inklusive Zollgebühren.

Murata Electronics

Oberflächenmontage-Trimmpotentiometer, offene Bauart, 2 mm -Serie PVG3

Merkmale:

- Stabile Leistung dank gekapselter Konstruktion; innere Teile sind gegen Staub und Flüssigkeiten geschützt
- Kreuzschlitz in der Treiberplatte ermöglicht automatisches Justieren
- Grosszügig bemessener Rotor mit tiefem Schlitz vereinfacht die Einführung des Bedienungselementes
- Wärmebeständige Ausführung verträgt Temperaturspitzen, wie sie beim Aufschmelzlöten entstehen
- RoHS-konform

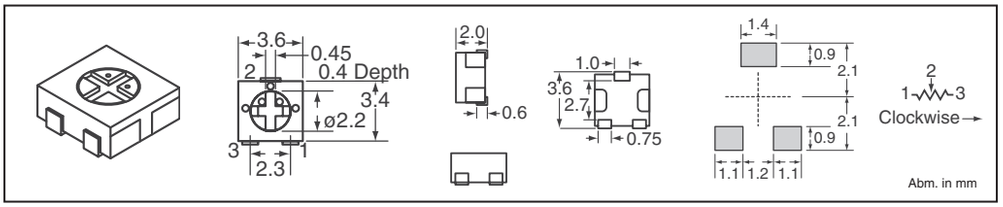

Nenn-leistung (W)	Lötmethode	Umdrehungszahl (eff. Drehwinkel)	Gesamtwider-stand	TCR (ppm/°C)	Digi-Key Teilenr.	Gurtabschnittspreis pro Stück 1	10	100	Digi-Key Teilenr.	Gegurtet auf Rolle 1.000	Murata Teilenr.
0.25 (70°C)	Aufschmelzlöten	1 (210° ±10)	10 Ω ±20%	±250	490-2641-1-ND	.68	.58	.50	490-2641-2-ND	338.23	PVG3A100C01R00
			20 Ω ±20%	±250	490-2647-1-ND	.68	.58	.50	490-2647-2-ND	338.23	PVG3A200C01R00
			50 Ω ±20%	±250	490-2653-1-ND	.68	.58	.50	490-2653-2-ND	338.23	PVG3A500C01R00
			100 Ω ±20%	±250	490-2642-1-ND	.68	.58	.50	490-2642-2-ND	338.23	PVG3A101C01R00
			200 Ω ±20%	±100	490-2648-1-ND	.68	.58	.50	490-2648-2-ND	338.23	PVG3A201C01R00
0.25 (70°C)	Aufschmelzlöten	1 (210° ±10)	500 Ω ±20%	±100	490-2654-1-ND	.68	.58	.50	490-2654-2-ND	338.23	PVG3A501C01R00
			1K Ω ±20%	±100	490-2643-1-ND	.68	.58	.50	490-2643-2-ND	338.23	PVG3A102C01R00
			2K Ω ±20%	±100	490-2649-1-ND	.68	.58	.50	490-2649-2-ND	338.23	PVG3A202C01R00
			5K Ω ±20%	±100	490-2655-1-ND	.68	.58	.50	490-2655-2-ND	338.23	PVG3A502C01R00
			10K Ω ±20%	±100	490-2644-1-ND	.68	.58	.50	490-2644-2-ND	338.23	PVG3A103C01R00
0.25 (70°C)	Aufschmelzlöten	1 (210° ±10)	20K Ω ±20%	±100	490-2650-1-ND	.68	.58	.50	490-2650-2-ND	338.23	PVG3A203C01R00
			50K Ω ±20%	±100	490-2656-1-ND	.68	.58	.50	490-2656-2-ND	338.23	PVG3A503C01R00
			100K Ω ±20%	±100	490-2645-1-ND	.68	.58	.50	490-2645-2-ND	338.23	PVG3A104C01R00
			200K Ω ±20%	±100	490-2651-1-ND	.68	.58	.50	490-2651-2-ND	338.23	PVG3A204C01R00
			500K Ω ±20%	±100	490-2657-1-ND	.68	.58	.50	490-2657-2-ND	338.23	PVG3A504C01B00
0.25 (70°C)	Aufschmelzlöten	1 (210° ±10)	1M Ω ±20%	±100	490-2646-1-ND	.68	.58	.50	490-2646-2-ND	338.23	PVG3A105C01R00
			2M Ω ±20%	±100	490-2652-1-ND	.68	.58	.50	490-2652-2-ND	338.23	PVG3A205C01R00

Wendel-Trimmpotentiometer, Oberflächenmontage, gekapselt - Serie PVG5

Merkmale: • Hohe Auflösung durch 11-Umdrehungs-Design ermöglicht genaues Justieren • Für VPS-Aufschmelzlöten geeignet • Ultraschallreinigung zulässig • Kupplungsmechanismus verhindert ein Überdrehen des Schleifers • RoHS-konform

Abb.1

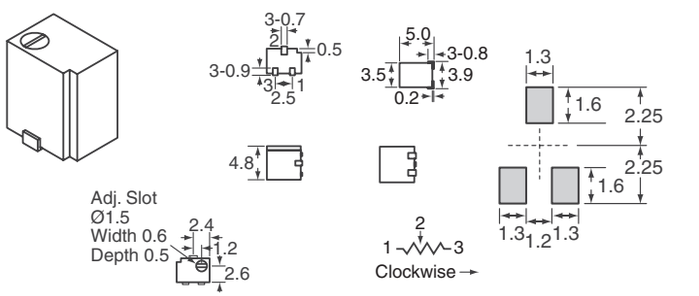

Abb. 2

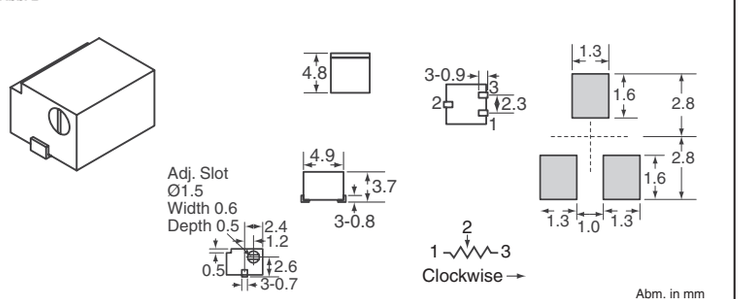

Abb.	Nennleistung (W)	Lötmethode	Umdrehungszahl (eff. Drehwinkel)	Gesamtwiderstand	TCR (ppm/°C)	Digi-Key Teilenr.	Gurtabschnittspreis pro Stück 1	10	100	Digi-Key Teilenr.	Gegurtet auf Rolle Größe	Preisangaben	Murata Teilenr.
1	0.25 (70°C)	Aufschmelzlöten	11	10 Ω ±10%	±200	490-2658-1-ND	2.05	1.76	1.53	490-2658-2-ND	250	263.29	PVG5A100C01R00
				20 Ω ±10%	±200	490-2664-1-ND	2.05	1.76	1.53	490-2664-2-ND	250	263.29	PVG5A200C01R00
				50 Ω ±10%	±200	490-2670-1-ND	1.85	1.60	1.38	490-2670-2-ND	250	238.64	PVG5A500C01R00
				100 Ω ±10%	±200	490-2659-1-ND	2.05	1.76	1.53	490-2659-2-ND	250	263.29	PVG5A101C01R00
				200 Ω ±10%	±100	490-2665-1-ND	2.05	1.76	1.53	490-2665-2-ND	250	263.29	PVG5A201C01R00
	0.25 (70°C)	Aufschmelzlöten	11	500 Ω ±10%	±100	490-2671-1-ND	2.05	1.76	1.53	490-2671-2-ND	250	263.29	PVG5A501C01R00
				1K Ω ±10%	±100	490-2660-1-ND	2.05	1.76	1.53	490-2660-2-ND	250	263.29	PVG5A102C01R00
				2K Ω ±10%	±100	490-2666-1-ND	2.05	1.76	1.53	490-2666-2-ND	250	263.29	PVG5A202C01R00
				5K Ω ±10%	±100	490-2672-1-ND	2.05	1.76	1.53	490-2672-2-ND	250	263.29	PVG5A502C01R00
				10K Ω ±10%	±100	490-2661-1-ND	2.05	1.76	1.53	490-2661-2-ND	250	263.29	PVG5A103C01R00
	0.25 (70°C)	Aufschmelzlöten	11	20K Ω ±10%	±100	490-2667-1-ND	2.05	1.76	1.53	490-2667-2-ND	250	263.29	PVG5A203C01R00
				50K Ω ±10%	±100	490-2673-1-ND	2.05	1.76	1.53	490-2673-2-ND	250	263.29	PVG5A503C01R00
				100K Ω ±10%	±100	490-2662-1-ND	2.05	1.76	1.53	490-2662-2-ND	250	263.29	PVG5A104C01R00
				200K Ω ±10%	±100	490-2668-1-ND	2.05	1.76	1.53	490-2668-2-ND	250	263.29	PVG5A204C01R00
				500K Ω ±10%	±100	490-2674-1-ND	2.05	1.76	1.53	490-2674-2-ND	250	263.29	PVG5A504C01R00
	0.25 (70°C)	Aufschmelzlöten	11	1M Ω ±10%	±100	490-2663-1-ND	2.05	1.76	1.53	490-2663-2-ND	250	263.29	PVG5A105C01R00
				2M Ω ±10%	±100	490-2669-1-ND	2.05	1.76	1.53	490-2669-2-ND	250	263.29	PVG5A205C01R00
2	0.25 (70°C)	Aufschmelzlöten	11	10 Ω ±10%	±200	490-2675-1-ND	2.05	1.76	1.53	490-2675-2-ND	500	526.58	PVG5H100C01R00
				20 Ω ±10%	±200	490-2681-1-ND	2.05	1.76	1.53	490-2681-2-ND	500	526.58	PVG5H200C01R00
				50 Ω ±10%	±200	490-2687-1-ND	1.85	1.60	1.38	490-2687-2-ND	500	477.28	PVG5H500C01R00
				100 Ω ±10%	±200	490-2676-1-ND	2.05	1.76	1.53	490-2676-2-ND	500	526.58	PVG5H101C01R00
				200 Ω ±10%	±100	490-2682-1-ND	2.05	1.76	1.53	490-2682-2-ND	500	526.58	PVG5H201C01R00
	0.25 (70°C)	Aufschmelzlöten	11	500 Ω ±10%	±100	490-2688-1-ND	2.05	1.76	1.53	490-2688-2-ND	500	526.58	PVG5H501C01R00
				1K Ω ±10%	±100	490-2677-1-ND	2.05	1.76	1.53	490-2677-2-ND	500	526.58	PVG5H102C01R00
				2K Ω ±10%	±100	490-2683-1-ND	2.05	1.76	1.53	490-2683-2-ND	500	526.58	PVG5H202C01R00
				5K Ω ±10%	±100	490-2689-1-ND	2.05	1.76	1.53	490-2689-2-ND	500	526.58	PVG5H502C01R00
				10K Ω ±10%	±100	490-2678-1-ND	2.05	1.76	1.53	490-2678-2-ND	500	526.58	PVG5H103C01R00
	0.25 (70°C)	Aufschmelzlöten	11	20K Ω ±10%	±100	490-2684-1-ND	2.05	1.76	1.53	490-2684-2-ND	500	526.58	PVG5H203C01R00
				50K Ω ±10%	±100	490-2690-1-ND	2.05	1.76	1.53	490-2690-2-ND	500	526.58	PVG5H503C01R00
				100K Ω ±10%	±100	490-2679-1-ND	2.05	1.76	1.53	490-2679-2-ND	500	526.58	PVG5H104C01R00
				200K Ω ±10%	±100	490-2685-1-ND	2.05	1.76	1.53	490-2685-2-ND	500	526.58	PVG5H204C01R00
				500K Ω ±10%	±100	490-2691-1-ND	2.05	1.76	1.53	490-2691-2-ND	500	526.58	PVG5H504C01R00
	0.25 (70°C)	Aufschmelzlöten	11	1M Ω ±10%	±100	490-2680-1-ND	2.05	1.76	1.53	490-2680-2-ND	500	526.58	PVG5H105C01R00
				2M Ω ±10%	±100	490-2686-1-ND	2.05	1.76	1.53	490-2686-2-ND	500	526.58	PVG5H205C01R00

F

Cermet-Potentiometer

Modell ST-32

Oberflächenmontage, eingängig

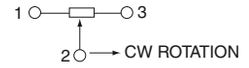

MERKMALE: • Betätigung seitlich oder von oben • Kreuzschlitzrotor für einfache Justierung • Verbleite Anschlüsse widerstehen jeglichem Verbiegen der Leiterplatte genauso gut wie Klebehaftung • J-Haken-, Gull Wing- und verbleite Anschlusskonfigurationen erhältlich • Kompatibel mit Leiterplatten- Pad, Grundrissabmessung der Serie ST-3 • Gekapselt/Abwaschbar

ELEKTRISCHE DATEN: **Widerstandstoleranz:** ±20 % . **Nennleistung:** 0,125 W bei 70 °C, 0 W bei 125 °C. Max. **Eingangsspannung:** 200 V DC oder Nennleistung, maßgebend ist der jeweils niedrigere Wert. **Max. Schleiferstrom:** 100 mA oder Nennleistung, maßgebend ist der jeweils niedrigere Wert. **Effektiver elektrischer Einstellwinkel:** 210° (1 Umdrehung). **Endwiderstand:** 1 % oder 2 Ω, maßgebend ist der jeweils größere Wert. **Kontaktwiderstandsabweichung:** 1 % oder 3 Ω, maßgebend ist der jeweils größere Wert. **Betriebstemperaturbereich:** -55 °C bis +125 °C **Isolationswiderstand:** min. 1.000 MΩ (bei 500 V DC). **Durchschlagsfestigkeit:** 500 V AC, 60 s.

MECHANISCHE DATEN: **Mechanischer Winkel:** 250° (1 Umdrehung). **Betätigungs-drehmoment:** max. 51 g.cm **Anschlagfestigkeit:** min. 204 g.cm. **Lebensdauer (Umdrehungen):** 100 Zyklen (▲ R/R ≤2 Ω +3 %).

ST-32TA - Betätigung von oben, Hakenanschluss

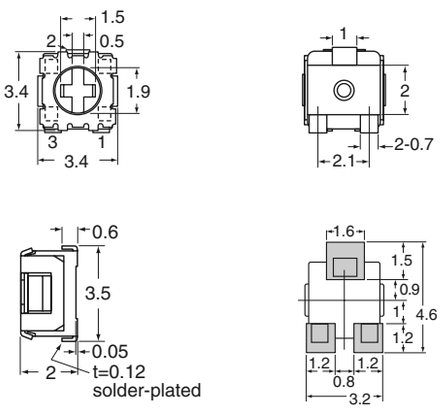

ST-32TB - Betätigung von oben, Gull Wing

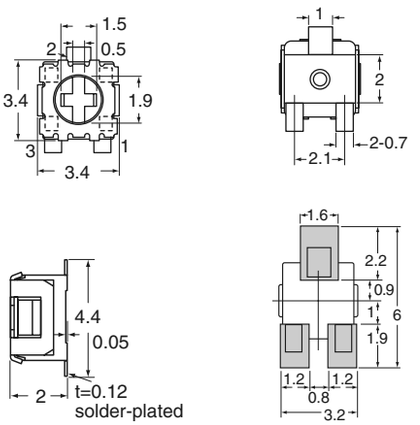

ST-32TG - Betätigung seitlich, Hakenanschluss

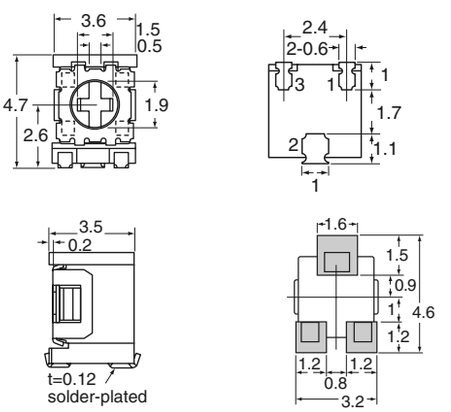

Widerst. (Ω)	Digi-Key Teilenr.	Digi-Key Teilenr.	Gurtabschnittspreis pro Stück 10	100	Digi-Key Teilenr.	Digi-Key Teilenr.	G&R Preisangaben* 500
10	ST32TA100CT-ND	ST32TB100CT-ND	1.87	1.35	ST32TA100TR-ND	ST32TB100TR-ND	466.69
20	ST32TA200CT-ND	ST32TB200CT-ND	1.87	1.35	ST32TA200TR-ND	ST32TB200TR-ND	466.69
50	ST32TA500CT-ND	ST32TB500CT-ND	1.76	1.27	ST32TA500TR-ND	ST32TB500TR-ND	438.12
100	ST32TA101CT-ND	ST32TB101CT-ND	1.76	1.27	ST32TA101TR-ND	ST32TB101TR-ND	438.12
200	ST32TA201CT-ND	ST32TB201CT-ND	1.76	1.27	ST32TA201TR-ND	ST32TB201TR-ND	438.12
300	ST32TA301CT-ND	ST32TB301CT-ND	2.10	1.52	ST32TA301TR-ND	ST32TB301TR-ND	523.83
500	ST32TA501CT-ND	ST32TB501CT-ND	1.76	1.27	ST32TA501TR-ND	ST32TB501TR-ND	438.12
1K	ST32TA102CT-ND	ST32TB102CT-ND	1.76	1.27	ST32TA102TR-ND	ST32TB102TR-ND	438.12
2K	ST32TA202CT-ND	ST32TB202CT-ND	1.76	1.27	ST32TA202TR-ND	ST32TB202TR-ND	438.12
3K	ST32TA302CT-ND	ST32TB302CT-ND	2.10	1.52	ST32TA302TR-ND	ST32TB302TR-ND	523.83
5K	ST32TA502CT-ND	ST32TB502CT-ND	1.76	1.27	ST32TA502TR-ND	ST32TB502TR-ND	438.12
10K	ST32TA103CT-ND	ST32TB103CT-ND	1.76	1.27	ST32TA103TR-ND	ST32TB103TR-ND	438.12
20K	ST32TA203CT-ND	ST32TB203CT-ND	1.76	1.27	ST32TA203TR-ND	ST32TB203TR-ND	438.12
30K	ST32TA303CT-ND	ST32TB303CT-ND	2.10	1.52	ST32TA303TR-ND	ST32TB303TR-ND	523.83
50K	ST32TA503CT-ND	ST32TB503CT-ND	1.76	1.27	ST32TA503TR-ND	ST32TB503TR-ND	438.12
100K	ST32TA104CT-ND	ST32TB104CT-ND	1.76	1.27	ST32TA104TR-ND	ST32TB104TR-ND	438.12
200K	ST32TA204CT-ND	ST32TB204CT-ND	1.76	1.27	ST32TA204TR-ND	ST32TB204TR-ND	438.12
500K	ST32TA504CT-ND	ST32TB504CT-ND	1.76	1.27	ST32TA504TR-ND	ST32TB504TR-ND	438.12
1M	ST32TA105CT-ND	ST32TB105CT-ND	1.76	1.27	ST32TA105TR-ND	ST32TB105TR-ND	438.12

Widerst. (Ω)	Digi-Key Teilenr.	Gurtabschnittspreis pro Stück 10	100	Digi-Key Teilenr.	G&R Preisangaben* 500
10	ST32TG100CT-ND	2.25	1.63	ST32TG100TR-ND	561.93
20	ST32TG200CT-ND	2.25	1.63	ST32TG200TR-ND	561.93
50	ST32TG500CT-ND	2.10	1.52	ST32TG500TR-ND	523.83
200	ST32TG201CT-ND	2.10	1.52	ST32TG201TR-ND	523.83
300	ST32TG301CT-ND	2.29	1.66	ST32TG301TR-ND	571.46
500	ST32TG501CT-ND	2.10	1.52	ST32TG501TR-ND	523.83
1K	ST32TG102CT-ND	2.10	1.52	ST32TG102TR-ND	523.83
2K	ST32TG202CT-ND	2.10	1.52	ST32TG202TR-ND	523.83
3K	ST32TG302CT-ND	2.29	1.66	ST32TG302TR-ND	571.46
5K	ST32TG502CT-ND	2.10	1.52	—	—
10K	ST32TG103CT-ND	2.10	1.52	ST32TG103TR-ND	523.83
20K	ST32TG203CT-ND	2.10	1.52	ST32TG203TR-ND	523.83
30K	ST32TG303CT-ND	2.29	1.66	ST32TG303TR-ND	571.46
50K	ST32TG503CT-ND	2.10	1.52	ST32TG503TR-ND	523.83
100K	ST32TG104CT-ND	2.10	1.52	ST32TG104TR-ND	523.83
200K	ST32TG204CT-ND	2.10	1.52	ST32TG204TR-ND	523.83
500K	ST32TG504CT-ND	2.10	1.52	ST32TG504TR-ND	523.83
1M	ST32TG105CT-ND	2.10	1.52	ST32TG105TR-ND	523.83

*G&R bedeutet Preisangaben für Gegurtet auf Rolle

F

Modell ST3

Oberflächenmontage, 3 mm quadratisch, eingängig

ST3A - Betätigung von oben

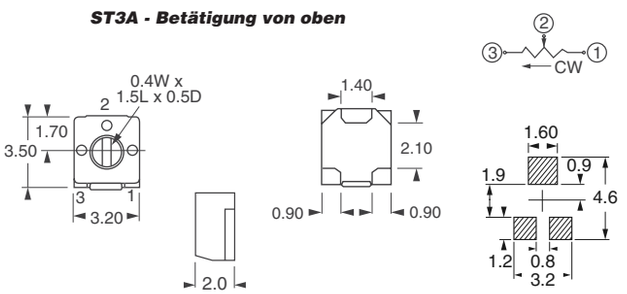

MERKMALE: • Eingekapselt, ermöglicht automatisierte Montage • Kontakte aus Edelmetalllegierung • Kompakt durch Chip-Design. ***ELEKTRISCHE DATEN:*** **Widerstandstoleranz:** ±20 % Standard. **Temp. koeff. des Widerstands:** 10 Ω bis 250 ppm/°C, 100 Ω bis 1 MΩ ±100 ppm/°C. **Nennleistung:** 0,125 W bei 70 °C. **Max. Eingangsspannung:** 200 V DC oder Nennleistung, maßgebend ist der jeweils niedrigere Wert. **Max. Schleiferstrom:** 100 mA oder Nennleistung, maßgebend ist der jeweils niedrigere Wert. **Nom. Elektrischer Winkel:** 210°. **Durchgang Elektrisch:** Kontinuierlich im vollen mechanischen Bereich. **Endwiderstand:** 1 % oder 2 Ω, maßgebend ist der jeweils größere Wert. **Auflösung:** Praktisch unendlich. **Kontaktwiderstandsabweichung:** 1 % oder 3 Ω, maßgebend ist der jeweils größere Wert. **Betr. Temperaturbereich:** -55 °C bis +125 °C **Min. Isolationswiderstand:** 1.000 MΩ bei 500 V DC **Durchschlagsfestigkeit:** 500 V AC RMS, 1 Min., max. 1 mA ***MECHANISCHE DATEN:*** **Nom. Mechanischer Winkel:** 240° **Betätigungsdrehmoment:** 50 g.cm max. (0,69 oz. in.) **Min. Anschlagfestigkeit:** min. 200 g.cm (2,8 oz. in.) **Lebensdauer (Umdrehungen):** 100 Zyklen (▲ R/R ≤2 Ω +3 %).

Widerst. (Ω)	Digi-Key Teilenr.	Gurtabschnittspreis pro Stück 1	10	100	Digi-Key Teilenr.	G&R Preisangaben* 1.000
1K	ST3A102CT-ND	1.32	1.22	1.15	ST3A102TR-ND	713.68
2K	ST3A202CT-ND	1.32	1.22	1.15	ST3A202TR-ND	713.68
5K	ST3A502CT-ND	1.32	1.22	1.15	ST3A502TR-ND	713.68
10K	ST3A103CT-ND	1.32	1.22	1.15	ST3A103TR-ND	713.68
100K	ST3A104CT-ND	1.32	1.22	1.15	ST3A104TR-ND	713.68

Teile haben Widerstandsmarkierung und einstelligen Datumscode. *G&R bedeutet Preisangaben für Gegurtet auf Rolle

Modell ST4

Oberflächenmontage, 3 mm quadratisch, eingängig

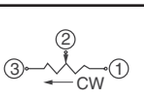

ST4A - J-Anschluss, Betätigung von oben

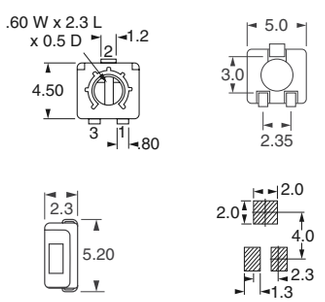

ST4B - Gull Wing, Betätigung von oben

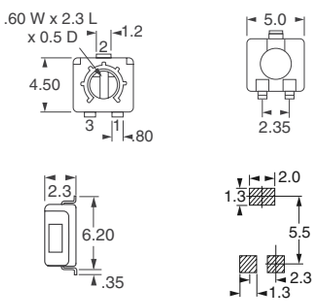

MERKMALE: • Eingekapselt, ermöglicht automatisierte Montage • Vertikale und horizontale Einstellung • Kontakte aus Edelmetalllegierung • Gull Wing-, J-Haken- und Durchgangsloch-Pin-Typen. ***ELEKTRISCHE DATEN:*** **Widerstandstoleranz:** ±20 % Standard. **Temp. koeff. des Widerstands:** 100 Ω bis 2 MΩ. ±100 ppm, andere ±250 ppm. **Nennleistung:** 1/4 W bei 70 °C. **Betriebsspannung:** 200 V DC oder Nennleistung, maßgebend ist der jeweils niedrigere Wert. **Max. Schleiffederstrom:** 100 mA oder Nennleistung, maßgebend ist der jeweils niedrigere Wert. **Nom. Elektrischer Winkel:** 210°. **Durchgang Elektrisch:** Kontinuierlich im vollen mechanischen Bereich. **Endwiderstand:** 1 % oder 2 Ω, maßgebend ist der jeweils größere Wert. **Auflösung:** Praktisch unendlich. **Kontaktwiderstandsabweichung:** 1 % oder 3 Ω, maßgebend ist der jeweils größere Wert. **Betr. Temp. Temperaturbereich:** -55 °C bis +125 °C **Min. Isolationswiderstand:** 1.000 MΩ bei 500 V DC für 2 Minuten **Durchschlagsfestigkeit:** 500 V AC RMS, 1 Min., max. 1 mA ***MECHANISCHE DATEN:*** **Nom. Mechanischer Winkel:** 240° **Betätigungsdrehmoment:** 100 g.cm max. (1,39 oz. in.) **Min. Anschlagfestigkeit:** min. 300 g.cm (4,17 oz. in.) **Lebensdauer (Umdrehungen):** 100 Zyklen (▲ R/R ≤2 Ω +3 %).

Widerst. (Ω)	Digi-Key Teilenr.	Digi-Key Teilenr.	Gurtabschnittspreis pro Stück 1	10	100	Digi-Key Teilenr.	Digi-Key Teilenr.	G&R Preisangaben* 500
1K	ST4A102CT-ND	ST4B102CT-ND	1.24	1.14	1.07	ST4A102TR-ND	ST4B102TR-ND	411.87
2K	ST4A202CT-ND	ST4B202CT-ND	1.24	1.14	1.07	ST4A202TR-ND	ST4B202TR-ND	411.87
5K	ST4A502CT-ND	ST4B502CT-ND	1.24	1.14	1.07	ST4A502TR-ND	ST4B502TR-ND	411.87
10K	ST4A103CT-ND	ST4B103CT-ND	1.24	1.14	1.07	ST4A103TR-ND	ST4B103TR-ND	411.87
20K	ST4A203CT-ND	ST4B203CT-ND	1.24	1.14	1.07	ST4A203TR-ND	ST4B203TR-ND	411.87
50K	ST4A503CT-ND	ST4B503CT-ND	1.24	1.14	1.07	ST4A503TR-ND	ST4B503TR-ND	411.87
100K	ST4A104CT-ND	ST4B104CT-ND	1.24	1.14	1.07	ST4A104TR-ND	ST4B104TR-ND	411.87

Teile haben Widerstandsmarkierung und einstelligen Datumscode. *G&R bedeutet Preisangaben für Gegurtet auf Rolle *(Forts.)*

Alle Preisangaben in Euro und inklusive Zollgebühren.

Modell SM4 *Oberflächenmontage, 4 mm, 12 Umdrehungen, gekapselt*

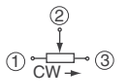

SM4W - J-Anschluss, Betätigung von oben

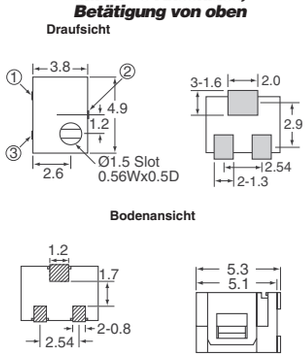

SM4A - Betätigung seitlich

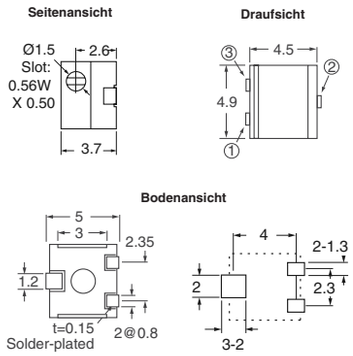

MERKMALE: • Eingekapselt, ermöglicht automatisierte Montage • Stabiles Cermet-Element • Kontakt aus Edelmetall. ***ELEKTRISCHE DATEN:*** **Widerstandsbereich:** 10 Ω – 2 MΩ. **Widerstandstoleranz:** ±10 % . **Max. Temp. koeffizient:** ±100 ppm/°C. **Nennleistung:** 0,25 W bei 85 °C, 0 W bei 150 °C. **Max. Eingangsspannung:** 300 V DC oder Nennleistung, maßgebend ist der jeweils niedrigere Wert. **Max. Schleiferstrom:** 100 mA oder Nennleistung, maßgebend ist der jeweils niedrigere Wert. **Max. Endwiderstand:** 1 % oder 2 Ω, maßgebend ist der jeweils größere Wert. **Kontaktwiderstandsabweichung:** 1 % oder 3 Ω, maßgebend ist der jeweils größere Wert. **Betriebstemp. Temperaturbereich:**-65 °C bis +150 °C **Min. Isolationswiderstand: min.** 1.000 MΩ bei 500 V DC **Durchschlagsfestigkeit:** 600 V AC, 1 Minute. ***MECHANISCHE DATEN:*** **Drehwinkel mechanisch:** 12 Wicklungen. **Betriebsdrehmoment:** 20 - 300 g.cm **Min. Anschlagfestigkeit:** Kupplung. **Lebensdauer (Umdrehungen):** 200 Zyklen, ±3 Ω +3 %.

Widerst. (Ω)	Digi-Key Teilenr.	Stückpreis 1	10	100	500
100	SM4W101-ND	3.17	2.76	2.49	2.12
200	SM4W201-ND	3.17	2.76	2.49	2.12
500	SM4W501-ND	—	—	2.49	—
1K	SM4W102-ND	3.17	2.76	2.49	2.12
2K	SM4W202-ND	3.17	2.76	2.49	2.12
5K	SM4W502-ND	3.17	2.76	2.49	2.12
10K	SM4W103-ND	3.17	2.76	2.49	2.12
20K	SM4W203-ND	3.17	2.76	2.49	2.12
50K	SM4W503-ND	3.17	2.76	2.49	2.12
100K	SM4W104-ND	3.17	2.76	2.49	2.12
10	SM4A100-ND	3.17	2.76	2.49	2.12
20	SM4A200-ND	3.17	2.76	2.49	2.12
50	SM4A500-ND	3.17	2.76	2.49	2.12

Widerst. (Ω)	Digi-Key Teilenr.	Stückpreis 1	10	100	500
100	SM4A101-ND	3.17	2.76	2.49	2.12
200	SM4A201-ND	3.17	2.76	2.49	2.12
500	SM4A501-ND	3.17	2.76	2.49	2.12
1K	SM4A102-ND	3.17	2.76	2.49	2.12
2K	SM4A202-ND	3.17	2.76	2.49	2.12
5K	SM4A502-ND	3.17	2.76	2.49	2.12
10K	SM4A103-ND	3.17	2.76	2.49	2.12
20K	SM4A203-ND	3.17	2.76	2.49	2.12
50K	SM4A503-ND	3.17	2.76	2.49	2.12
100K	SM4A104-ND	3.17	2.76	2.49	2.12
500K	SM4A504-ND	3.17	2.76	2.49	2.12
1 Meg.	SM4A105-ND	3.17	2.76	2.49	2.12

Teile haben Widerstandsmarkierung und einstelligen Datumscode.

Modell ST5 *Oberflächenmontage, 6 mm quadratisch, Wendel-Pot.*

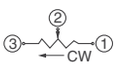

ST5P - Gull Wing, Betätigung seitlich

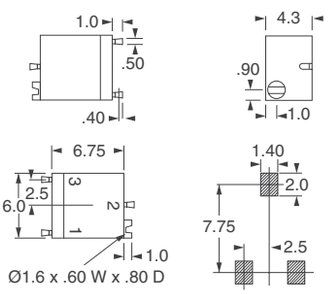

ST5W - Gull Wing, Betätigung von oben

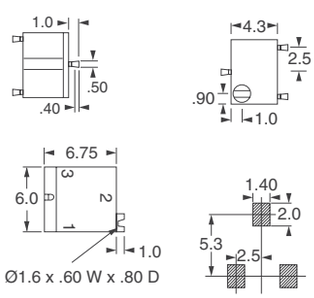

MERKMALE: • Eingekapselt, ermöglicht automatisierte Montage • Vertikale/horizontale Montage • Kontakte aus Edelmetalllegierung ***ELEKTRISCHE DATEN:*** **Widerstandstoleranz:** ±10 % Standard. Temp. koeff. **des Widerstands:** 100 Ω bis 2 MΩ. ±100 ppm/°C., andere ±250 ppm/°C. **Nennleistung:** 1/4 W bei 85 °C. **Max. Eingangsspannung:** 200 V DC oder Nennleistung, maßgebend ist der jeweils niedrigere Wert. **Max. Schleiferstrom:** 100 mA oder Nennleistung, maßgebend ist der jeweils niedrigere Wert. **Nom. Elektrischer Winkel:** 11 Umdrehungen. **Durchgang Elektrisch:** Kontinuierlich im vollen mechanischen Bereich. **Endwiderstand:** 1 % oder 2 Ω, maßgebend ist der jeweils größere Wert. **Auflösung:** Praktisch unendlich. **Kontaktwiderstandsabweichung:** 1 % oder 3 Ω, maßgebend ist der jeweils größere Wert. Betr. Temp. **Temperaturbereich:** -55 °C bis +125 °C Min. **Isolationswiderstand:** 1.000 MΩ bei 500 V DC für 2 Minuten **Durchschlagsfestigkeit:** 600 V AC RMS, 1 Min., max. 1 mA **MECHANISCHE DATEN: Nom. Mechanischer Winkel:** 14 Umdrehungen. Betätigungsdrehmoment: 200 g.cm max. (2,78 oz. in.) Min. **Anschlagfestigkeit:** nicht zutr., Schleifer im Ruhezustand **Lebensdauer (Umdrehungen):** 200 Zyklen, 10 bis 200 Ω (▲ R/R ≤0,5 Ω +3 %), 500 Ω bis 2 MΩ (▲ R/R ≤0,5 Ω +2 %).

Widerst. (Ω)	Digi-Key Teilenr.	Digi-Key Teilenr.	Gurtabschnittspreis pro Stück 1	10	100	Digi-Key Teilenr.	Digi-Key Teilenr.	G&R Preisangaben* 500
1K	ST5P102CT-ND	ST5W102CT-ND	2.97	2.69	2.29	ST5P102TR-ND	ST5W102TR-ND	1016.34
2K	ST5P202CT-ND	ST5W202CT-ND	2.97	2.69	2.29	ST5P202TR-ND	ST5W202TR-ND	1038.78
5K	ST5P502CT-ND	ST5W502CT-ND	2.97	2.69	2.29	ST5P502TR-ND	ST5W502TR-ND	1016.34
10K	ST5P103CT-ND	ST5W103CT-ND	2.97	2.69	2.29	ST5P103TR-ND	ST5W103TR-ND	1016.34
20K	ST5P203CT-ND	ST5W203CT-ND	2.97	2.69	2.29	ST5P203TR-ND	ST5W203TR-ND	1016.34
50K	ST5P503CT-ND	ST5W503CT-ND	2.97	2.69	2.29	ST5P503TR-ND	ST5W503TR-ND	1016.34
100K	ST5P104CT-ND	ST5W104CT-ND	2.97	2.69	2.29	ST5P104TR-ND	ST5W104TR-ND	1016.34

Teile haben Widerstandsmarkierung und einstelligen Datumscode. *G&R bedeutet Preisangaben für Gegurtet auf Rolle

Modell ST7 *Oberflächenmontage, niedriges Profil, 7 mm quadratisch, Wendel-Pot.*

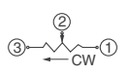

ST7A - J-Anschluss, Betätigung von oben

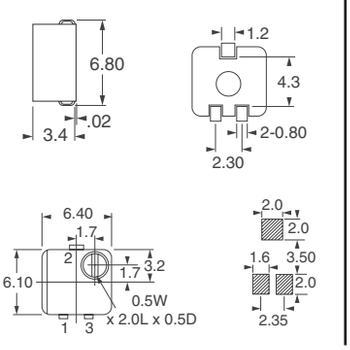

ST7B - Gull Wing, Betätigung von oben

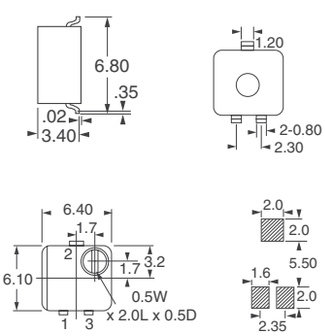

MERKMALE: • Gekapselt zwecks automatisierter Verarbeitung • Kontakte aus Edelmetalllegierung ***ELEKTRISCHE DATEN:*** **Widerstandstoleranz: ±20 % Standard. Temp. koeff. des Widerstands:**100 Ω bis 1 MΩ. ±100 ppm/°C., andere ±250 ppm/°C. **Nennleistung:** 1/4 W bei 70 °C. **Betriebssp. Max.:**200 V DC oder Nennleistung, maßgebend ist der jeweils niedrigere Wert. **Max. Schleiferstrom:** 100 mA oder Nennleistung, maßgebend ist der jeweils niedrigere Wert. **Nom. Elektrischer Winkel:** 2,5 Umdrehungen. **Durchgang Elektrisch:** Kontinuierlich im vollen mechanischen Bereich. **Endwiderstand:**1 % oder 3 Ω, maßgebend ist der jeweils größere Wert. **Auflösung:** Praktisch unendlich. **Kontaktwiderstandsabweichung:** 1 % oder 3 Ω, maßgebend ist der jeweils größere Wert. **Betr. Temp. Temperaturbereich:** -55 °C bis +125 °C **Min. Isolationswiderstand:** 1.000 MΩ bei 500 V DC für 2 Minuten **Durchschlagsfestigkeit:** 500 V AC RMS, 1 Min., max. 1 mA ***MECHANISCHE DATEN:*** **Nom. Mechanischer Winkel:** 3 Umdrehungen. **Betätigungsdrehmoment:** 50 g.cm max. (0,70 Oz. in.) **Min. Anschlagfestigkeit: nicht zutr.,** Schleifer im Ruhezustand **Lebensdauer (Umdrehungen):** 100 Zyklen (▲ R/R ≤2,0 Ω +3 %).

Widerst. (Ω)	Digi-Key Teilenr.	Digi-Key Teilenr.	Gurtabschnittspreis pro Stück 1	10	100	Digi-Key Teilenr.	Digi-Key Teilenr.	G&R Preisangaben* 500
1K	ST7A102CT-ND	ST7B102CT-ND	4.51	4.08	3.48	ST7A102TR-ND	ST7B102TR-ND	1447.69
2K	ST7A202CT-ND	ST7B202CT-ND	4.51	4.08	3.48	ST7A202TR-ND	ST7B202TR-ND	1447.69
5K	ST7A502CT-ND	ST7B502CT-ND	4.51	4.08	3.48	ST7A502TR-ND	ST7B502TR-ND	1447.69
10K	ST7A103CT-ND	ST7B103CT-ND	4.51	4.08	3.48	ST7A103TR-ND	ST7B103TR-ND	1447.69
20K	ST7A203CT-ND	ST7B203CT-ND	4.51	4.08	3.48	ST7A203TR-ND	ST7B203TR-ND	1447.69
50K	ST7A503CT-ND	ST7B503CT-ND	4.51	4.08	3.48	ST7A503TR-ND	ST7B503TR-ND	1447.69
100K	ST7A104CT-ND	ST7B104CT-ND	4.51	4.08	3.48	ST7A104TR-ND	ST7B104TR-ND	1447.69

Teile haben Widerstandsmarkierung und einstelligen Datumscode. *G&R bedeutet Preisangaben für Gegurtet auf Rolle

Modell CT6 *6 mm, quadratisch, eingängig*

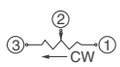

CT6P - Betätigung von oben

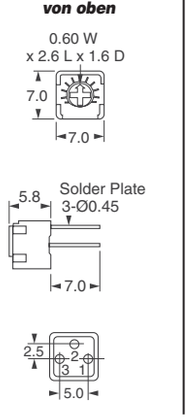

CT6R - Betätigung von oben

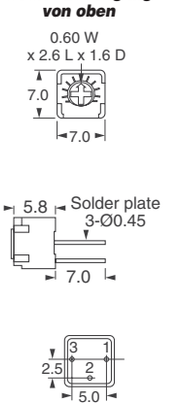

CT6W - Betätigung von oben

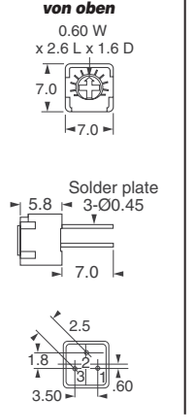

MERKMALE: • Eingekapselt, ermöglicht automatisierte Montage • Kontakte aus Edelmetalllegierung • Hochautomatisierte Montage. ***ELEKTRISCHE DATEN:*** **Widerstandstoleranz:** ±10 % Standard. **Temp. koeff. des Widerstands:** 50 Ω bis 2 MΩ. ±100 ppm/°C., andere ±250 ppm/°C. **Nennleistung:** 1/4 W bei 70 °C. **Max. Betriebsspannung:** 200 V DC oder Nennleistung, maßgebend ist der jeweils niedrigere Wert. **Max. Schleiferstrom:** 100 mA oder Nennleistung, maßgebend ist der jeweils niedrigere Wert. **Nom. Elektrischer Winkel:** 220°. **Durchgang Elektrisch:** Kontinuierlich im vollen mechanischen Bereich. **Endwiderstand:** 1 % oder 2 Ω, maßgebend ist der jeweils größere Wert. **Auflösung:** Praktisch unendlich. **Kontaktwiderstandsabweichung:** 1 % oder 3 Ω, maßgebend ist der jeweils größere Wert. **Betr. Temp. Temperaturbereich:** -55 °C bis +125 °C **Min. Isolationswiderstand:** 1.000 MΩ bei 500 V DC für 2 Minuten **Durchschlagsfestigkeit:** 900 V AC RMS, 1 Min., max. 1 mA ***MECHANISCHE DATEN:*** **Nom. Mechanischer Winkel:** 260° **Betätigungsdrehmoment:** 200 g.cm max. (0,27-2,78 Oz. in.) **Min. Anschlagfestigkeit:** min. 500 g.cm (6,94 Oz.-in.). **Lebensdauer (Umdrehungen):** 200 Zyklen (▲ R/R ≤2 Ω +3 %). **Lötbarkeit:** Mil-Std-202 Methode 208. **Min. Anschlusszugfestigkeit:** 1 kg.

CT6X - Betätigung seitlich

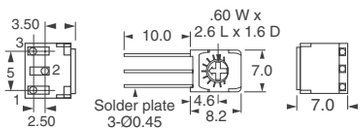

Widerst. (Ω)	Digi-Key Teilenr.	Digi-Key Teilenr.	Digi-Key Teilenr.	Digi-Key Teilenr.	Stückpreis 1	10	100	500	1,000
1K	CT6P102-ND	CT6R102-ND	CT6W102-ND	CT6X102-ND	.71	.62	.56	.48	.42
2K	CT6P202-ND	CT6R202-ND	CT6W202-ND	CT6X202-ND	.71	.62	.56	.48	.42
5K	CT6P502-ND	CT6R502-ND	CT6W502-ND	CT6X502-ND	.71	.62	.56	.48	.42
10K	CT6P103-ND	CT6R103-ND	CT6W103-ND	CT6X103-ND	.71	.62	.56	.48	.42
20K	CT6P203-ND	CT6R203-ND	CT6W203-ND	CT6X203-ND	.71	.62	.56	.48	.42
50K	CT6P503-ND	CT6R503-ND	CT6W503-ND	CT6X503-ND	.84	.73	.66	.56	.49
100K	CT6P104-ND	CT6R104-ND	CT6W104-ND	CT6X104-ND	.84	.73	.66	.56	.49

Teile haben Widerstandsmarkierung und einstelligen Datumscode.

(Forts.)

F

Modell CT94 *9 mm Vierkant, Wendel-Pot.*

CT94W - Betätigung von oben

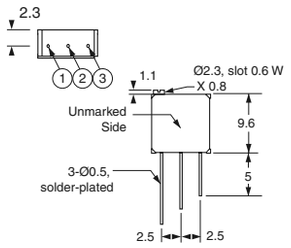

CT94X - Betätigung seitlich

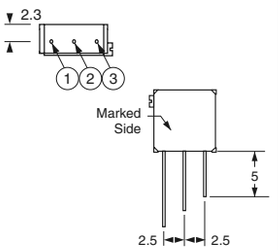

CT94P - Betätigung seitlich

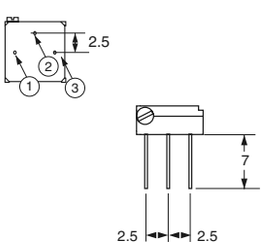

CT94Y - Betätigung von oben

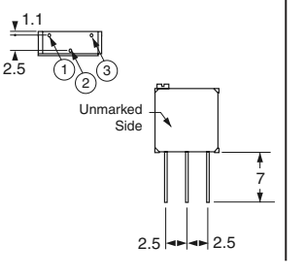

CT94Z- Betätigung seitlich

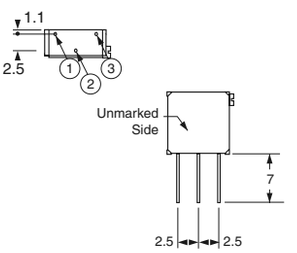

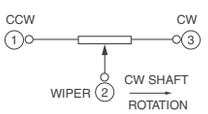

ELEKTRISCHE DATEN: **Widerstandstoleranz:** ±10 %. **Temp. koeff. des Widerstands:** 50 Ω bis 2 MΩ. ±100 ppm/°C., andere ±250 ppm/°C. **Nennleistung:** 1/2 W bei 70 °C, 0 W bei 125 °C. **Max. Betriebsspannung:** 300 V DC oder Nennleistung, maßgebend ist der jeweils niedrigere Wert. **Max. Schleiferstrom:** 100 mA oder Nennleistung, maßgebend ist der jeweils niedrigere Wert. **Max. Endwiderstand:** 1 % oder 2 Ω, maßgebend ist der jeweils größere Wert. **Kontaktwiderstandsabweichung:** 1 % oder 3 Ω, maßgebend ist der jeweils größere Wert. **Betr. Temp. Temperaturbereich:** -55 °C bis +125 °C **Min. Isolationswiderstand:** 1.000 MΩ bei 500 V DC **Durchschlagsfestigkeit:** 900 V AC rms, 1 min. **Zahl d. mechanischen Umdrehungen:** 18 Umdrehungen. ***MECHANISCHE DATEN:*** **Betätigungsdrehmoment:** 357 g.cm max. **Mechanischer Halt:** Kupplung. **Anschlusszugfestigkeit:** 1,02 kg. **Lebensdauer (Umdrehungen):** 200 Zyklen (▲ R/R ≤2 Ω +3 %).

Widerst. (Ω)	Digi-Key Teilenr.	Digi-Key Teilenr.	Stückpreis 1	10	100	500
10	CT94W100-ND	CT94X100-ND	1.21	1.13	1.02	.87
20	CT94W200-ND	CT94X200-ND	1.42	1.33	1.20	1.02
50	CT94W500-ND	CT94X500-ND	1.42	1.33	1.20	1.02
100	CT94W101-ND	CT94X101-ND	1.42	1.33	1.20	1.02
200	CT94W201-ND	CT94X201-ND	1.42	1.33	1.20	1.02
500	CT94W501-ND	CT94X501-ND	1.42	1.33	1.20	1.02
1K	CT94W102-ND	CT94X102-ND	1.42	1.33	1.20	1.02
2K	CT94W202-ND	CT94X202-ND	1.42	1.33	1.20	1.02
5K	CT94W502-ND	CT94X502-ND	1.42	1.33	1.20	1.02
10K	CT94W103-ND	CT94X103-ND	1.42	1.33	1.20	1.02
20K	CT94W203-ND	CT94X203-ND	1.42	1.33	1.20	1.02
50K	CT94W503-ND	CT94X503-ND	1.42	1.33	1.20	1.02
100K	CT94W104-ND	CT94X104-ND	1.42	1.33	1.20	1.02
200K	CT94W204-ND	CT94X204-ND	1.42	1.33	1.20	1.02
500K	CT94W504-ND	CT94X504-ND	1.42	1.33	1.20	1.02
1 Meg	CT94W105-ND	CT94X105-ND	1.42	1.33	1.20	1.02
2 Meg	CT94W205-ND	CT94X205-ND	1.42	1.33	1.20	1.02

Widerst. (Ω)	Digi-Key Teilenr.	Digi-Key Teilenr.	Digi-Key Teilenr.	Stückpreis 1	10	100	500
10	CT94P100-ND	CT94Y100-ND	CT94Z100-ND	1.42	1.33	1.20	1.02
20	CT94P200-ND	CT94Y200-ND	CT94Z200-ND	1.42	1.33	1.20	1.02
50	CT94P500-ND	CT94Y500-ND	CT94Z500-ND	1.42	1.33	1.20	1.02
100	CT94P101-ND	CT94Y101-ND	CT94Z101-ND	1.42	1.33	1.20	1.02
200	CT94P201-ND	CT94Y201-ND	CT94Z201-ND	1.42	1.33	1.20	1.02
500	CT94P501-ND	CT94Y501-ND	CT94Z501-ND	1.42	1.33	1.20	1.02
1K	CT94P102-ND	CT94Y102-ND	CT94Z102-ND	1.42	1.33	1.20	1.02
2K	CT94P202-ND	CT94Y202-ND	CT94Z202-ND	1.42	1.33	1.20	1.02
5K	CT94P502-ND	CT94Y502-ND	CT94Z502-ND	1.42	1.33	1.20	1.02
10K	CT94P103-ND	CT94Y103-ND	CT94Z103-ND	1.42	1.33	1.20	1.02
20K	CT94P203-ND	CT94Y203-ND	CT94Z203-ND	1.42	1.33	1.20	1.02
50K	CT94P503-ND	CT94Y503-ND	CT94Z503-ND	1.42	1.33	1.20	1.02
100K	CT94P104-ND	CT94Y104-ND	CT94Z104-ND	1.42	1.33	1.20	1.02
200K	CT94P204-ND	CT94Y204-ND	CT94Z204-ND	1.42	1.33	1.20	1.02
500K	CT94P504-ND	CT94Y504-ND	CT94Z504-ND	1.42	1.33	1.20	1.02
1 Meg	CT94P105-ND	CT94Y105-ND	CT94Z105-ND	1.42	1.33	1.20	1.02
2 Meg	CT94P205-ND	CT94Y205-ND	CT94Z205-ND	1.42	1.33	1.20	1.02

Teile haben Widerstandsmarkierung und einstelligen Datumscode

Modell CT9 *9 mm Vierkant, Wendel-Pot.*

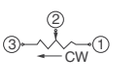

CT9P — Betätigung seitlich

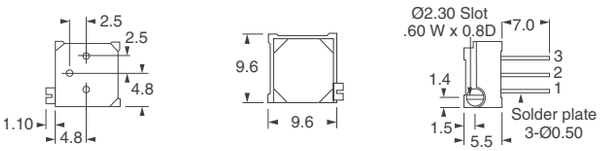

CT9W — Betätigung von oben

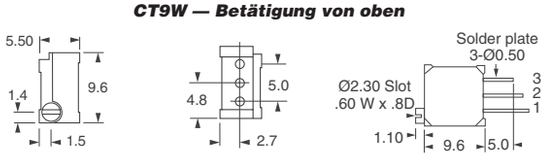

CT9X — Betätigung seitlich

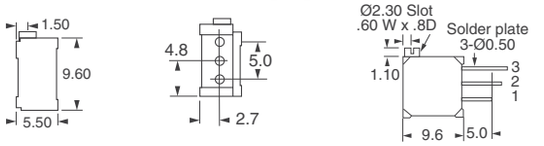

MERKMALE:

• Eingekapselt, widersteht der Leiterplattenreinigung • Kontakt aus Edelmetall • Hochautomatisierte Montage

ELEKTRISCHE DATEN:

Widerstandstoleranz: ±10 % Standard. **Temperaturkoeffizient des Widerstands:** 50 Ω bis 2 MΩ. ±100 ppm/°C., andere ±250 ppm/°C. **Nennleistung:** 1/2 W bei 70 °C. **Max. Betriebsspannung:** 300 V DC oder Nennleistung, maßgebend ist der jeweils niedrigere Wert. **Max. Schleiferstrom:** 100 mA oder Nennleistung, maßgebend ist der jeweils niedrigere Wert. **Nom. Drehwinkel elektrisch:** 16 Umdrehungen. **Durchgang Elektrisch:** Kontinuierlich im vollen mechanischen Bereich. **Endwiderstand:** 1 % oder 2 Ω, maßgebend ist der jeweils größere Wert. **Auflösung:** Praktisch unendlich. **Kontaktwiderstandsabweichung:** 1 % oder 3 Ω, maßgebend ist der jeweils größere Wert. **Betriebstemperaturbereich:** -55 °C bis +125 °C **Isolationswiderstand:** 1.000 MΩ bei 500 V DC für 2 Minuten **Durchschlagsfestigkeit:** 900 V AC RMS, 1 Min., max. 1 mA

MECHANISCHE DATEN:

Nom. mechanischer Winkel: 18 Umdrehungen. **Betätigungsdrehmoment:** 360 g.cm max. (5 oz.-in.) **Min. Anschlagfestigkeit:** nicht zutr., Schleifer im Ruhezustand **Lebensdauer (Umdrehungen):** 200 Zyklen, 10 bis 200 Ω (▲R/R ≤ ±(0,5 Ω +3 %), 500 Ω bis 5 MΩ ▲ R/R ≤ ±(0,5 Ω +2 %). **Lötbarkeit:** Mil-Std-202 Methode 208. **Anschlusszugfestigkeit:** 1 kg.

Widerst.. (Ω)	Digi-Key Teilenr.	Digi-Key Teilenr.	Digi-Key Teilenr.	Stückpreis 1	10	100	500	1.000
1K	CT9P102-ND	CT9W102-ND	CT9X102-ND	1.40	1.32	1.12	1.04	.91
2K	CT9P202-ND	CT9W202-ND	CT9X202-ND	1.40	1.32	1.12	1.04	.91
5K	CT9P502-ND	CT9W502-ND	CT9X502-ND	1.40	1.32	1.12	1.04	.91
10K	CT9P103-ND	CT9W103-ND	CT9X103-ND	1.40	1.32	1.12	1.04	.91
20K	CT9P203-ND	CT9W203-ND	CT9X203-ND	1.40	1.32	1.12	1.04	.91
50K	CT9P503-ND	CT9W503-ND	CT9X503-ND	1.40	1.32	1.12	1.04	.91
100K	CT9P104-ND	CT9W104-ND	CT9X104-ND	1.40	1.32	1.12	1.04	.91

Teile haben Widerstandsmarkierung und einstelligen Datumscode.

Modell CT20 *20 mm, rechteckig, Wendel-Pot.*

CT20P — Betätigung seitlich

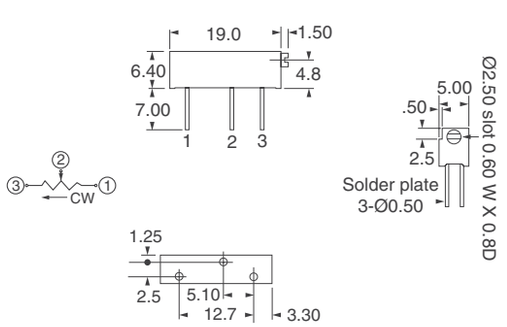

MERKMALE: • Eingekapselt, ermöglicht automatisierte Montage • Kontakte aus Edelmetalllegierung • Hochautomatisierte Montage

ELEKTRISCHE DATEN: **Widerstandstoleranz:** ±10 % Standard. **Temperaturkoeffizient des Widerstands:** 50 Ω bis 2 MΩ. ±100 ppm/°C., andere ±250 ppm/°C. **Nennleistung:** 3/4 W bei 70 °C. **Max. Betriebsspannung:** 300 V DC oder Nennleistung, maßgebend ist der jeweils niedrigere Wert. **Max. Schleiferstrom:** 100 mA oder Nennleistung, maßgebend ist der jeweils niedrigere Wert. **Nom. Drehwinkel elektrisch:** 12 Wicklungen. **Durchgang Elektrisch:** Kontinuierlich im vollen mechanischen Bereich. **Endwiderstand:** 1 % oder 2 Ω, maßgebend ist der jeweils größere Wert. **Auflösung:** Praktisch unendlich. **Kontaktwiderstandsabweichung:** 1 % oder 3 Ω, maßgebend ist der jeweils größere Wert. **Betriebstemperaturbereich:** -55 °C bis +125 °C **Isolationswiderstand:** 1.000 MΩ bei 500 V DC für 2 Minuten **Durchschlagsfestigkeit:** 600 V AC RMS, 1 Min., max. 1 mA

MECHANISCHE DATEN: **Nom. Drehwinkel mechanisch:** 15 Wicklungen. **Betätigungsdrehmoment:** 360 g.cm max. (5 oz.-in.) **Min. Anschlagfestigkeit:** nicht zutr., Schleifer im Ruhezustand. **Lebensdauer (Umdrehungen):** 200 Zyklen, 10 bis 200 Ω (▲ R/R ≤ ±(0,5 Ω +3 %), 500 Ω bis 5 MΩ ▲ R/R ≤ ±(0,5 Ω +2 %). **Lötbarkeit:** Mil-Std-202 Methode 208.

Widerst. (Ω)	Digi-Key Teilenr.	Stückpreis 1	10	100	500	1.000
1K	CT20P102-ND	1.40	1.30	1.18	1.00	.90
2K	CT20P202-ND	1.40	1.30	1.18	1.00	.90
5K	CT20P502-ND	1.40	1.30	1.18	1.00	.90
10K	CT20P103-ND	1.40	1.30	1.18	1.00	.90
20K	CT20P203-ND	1.40	1.30	1.18	1.00	.90
50K	CT20P503-ND	1.40	1.30	1.18	1.00	.90
100K	CT20P104-ND	1.40	1.30	1.18	1.00	.90

Teile haben Widerstandsmarkierung und einstelligen Datumscode.

Alle Preisangaben in Euro und inklusive Zollgebühren.

Cermet-Potentiometer Bleifrei/RoHS-konform

Modell ST2

Oberflächenmontage, 3 mm quadratisch, eingängig

ST2A - J-Anschluss, Betätigung von oben

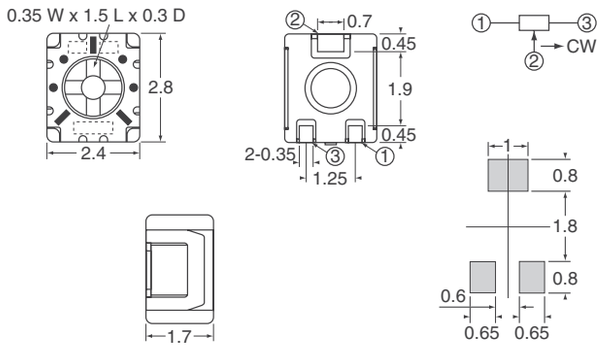

Merkmale: • Bleifreies Löten, Cadmium-frei • Kompakt, niedriges Profil • Abwaschbar ***ELEKTRISCHE DATEN:*** **Widerstandstoleranz: ±20 %. Temperaturkoeffizient: ±150 ppm/°C. Nennleistung:** 0,1 W bei 70 °C, 0 W bei 125 °C. **Max. Eingangsspannung:** 50 V DC oder Nennleistung, maßgebend ist der jeweils niedrigere Wert. **Max. Schleiferstrom:** Nennspannungen (I = $\sqrt{P/R}$ A) **Effektiver elektrischer Einstellwinkel:** 240° (1 Umdrehung). **Endwiderstand:** 1 % oder 2 Ω, maßgebend ist der jeweils größere Wert. **Kontaktwiderstandsabweichung:** 2 % oder 3 Ω, maßgebend ist der jeweils größere Wert. **Betriebstemperaturbereich:** -55 °C bis +125 °C **Isolationswiderstand:** min. 1.000 MΩ bei 500 V DC **Durchschlagsfestigkeit:** 500 V AC, 1 Minute. ***MECHANISCHE DATEN:*** **Mechanischer Winkel:** 270° (1 Umdrehung). **Max. Betriebsdrehmoment:** 5 mN.m (51 gf.cm) **Min. Anschlagfestigkeit:** 8 mN.m (78,4 gf.cm) **Lebensdauer (Umdrehungen):** 50 Zyklen (▲ R/R ≤2 Ω +5 %). **Lötbarkeit:** 245 ±3 °C, 2 ~ 3 Sekunden

Widerstand (Ω)	Digi-Key Teilenr.	Gurtabschnittspreis pro Stück 1	10	100	Digi-Key Teilenr.	G&R Preisangaben 500
100	ST2TA101CT-ND	3.35	3.12	2.82	ST2TA101TR-ND	1197.94
200	ST2TA201CT-ND	3.35	3.12	2.82	ST2TA201TR-ND	1197.94
500	ST2TA501CT-ND	3.35	3.12	2.82	ST2TA501TR-ND	1197.94
1K	ST2TA102CT-ND	3.35	3.12	2.82	ST2TA102TR-ND	1197.94
2K	ST2TA202CT-ND	3.35	3.12	2.82	ST2TA202TR-ND	1197.94
5K	ST2TA502CT-ND	3.35	3.12	2.82	ST2TA502TR-ND	1197.94
10K	ST2TA103CT-ND	3.35	3.12	2.82	ST2TA103TR-ND	1197.94
20K	ST2TA203CT-ND	3.35	3.12	2.82	ST2TA203TR-ND	1197.94
50K	ST2TA503CT-ND	3.35	3.12	2.82	ST2TA503TR-ND	1197.94
100K	ST2TA104CT-ND	3.35	3.12	2.82	ST2TA104TR-ND	1197.94
200K	ST2TA204CT-ND	3.35	3.12	2.82	ST2TA204TR-ND	1197.94
500K	ST2TA504CT-ND	3.35	3.12	2.82	ST2TA504TR-ND	1197.94
1 Meg	ST2TA105CT-ND	3.35	3.12	2.82	ST2TA105TR-ND	1197.94

Teile haben Widerstandsmarkierung und einstelligen Datumscode.

Modell SM3

Oberflächenmontage, 6 mm quadratisch, Wendel-Pot.

SM3TW - J-Anschluss, Betätigung von oben

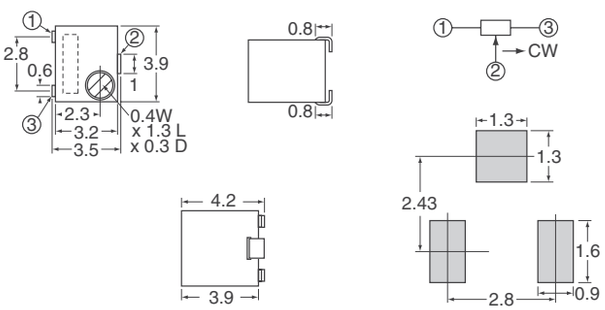

MERKMALE: • Bleifreies Löten, Cadmium-frei • Feinstellung • Automatische Montage • Anschwemm-/Aufschmelzlöten • Versiegelte Konstruktion (abwaschbar) ***ELEKTRISCHE DATEN:*** **Widerstandstoleranz:** ±20 % . **Temperaturkoeffizient:** ±100 ppm/°C. **Nennleistung:** 0,1 W bei 70 °C, 0 W bei 150 °C. **Max. Eingangsspannung:** 200 V DC oder Nennleistung, maßgebend ist der jeweils niedrigere Wert. **Max. Schleiferstrom:** 100 mA oder Nennleistung, maßgebend ist der jeweils niedrigere Wert. **Effektive elektrische Umdrehung:** 11 Umdrehungen. **Endwiderstand:** 1 % oder 3 Ω, maßgebend ist der jeweils größere Wert. **Kontaktwiderstandsabweichung:** 3 % oder 3 Ω, maßgebend ist der jeweils größere Wert. **Betriebstemperaturbereich:** -65 °C bis +150 °C **Isolationswiderstand:** min. 1.000 MΩ bei 500 V DC **Durchschlagsfestigkeit:** 600 V AC, 1 Minute. ***MECHANISCHE DATEN:*** **Max. Betriebsdrehmoment:** 5 mN.m (51 gf.cm) **Mechanischer Halt:** Kupplung. **Lebensdauer (Umdrehungen):** 200 Zyklen (▲ R/R ≤2 Ω +3 %). **Min. Stoß auf Welle:** 5 N (0,51 kgf) **Lötbarkeit:** 245 ±3 °C, 2 ~ 3 Sekunden

Widerstand (Ω)	Digi-Key Teilenr.	Gurtabschnittspreis pro Stück 1	10	100	Digi-Key Teilenr.	G&R Preisangaben 500
100	SM-3TW101CT-ND	2.46	2.29	2.07	SM-3TW101TR-ND	877.92
500	SM-3TW501CT-ND	2.46	2.29	2.07	SM-3TW501TR-ND	877.92
1K	SM-3TW102CT-ND	2.46	2.29	2.07	SM-3TW102TR-ND	877.92
2K	SM-3TW202CT-ND	2.46	2.29	2.07	SM-3TW202TR-ND	877.92
5K	SM-3TW502CT-ND	2.46	2.29	2.07	SM-3TW502TR-ND	877.92
10K	SM-3TW103CT-ND	2.46	2.29	2.07	SM-3TW103TR-ND	877.92
20K	SM-3TW203CT-ND	2.46	2.29	2.07	SM-3TW203TR-ND	877.92
50K	SM-3TW503CT-ND	2.46	2.29	2.07	SM-3TW503TR-ND	877.92
100K	SM-3TW104CT-ND	2.46	2.29	2.07	SM-3TW104TR-ND	877.92

Teile haben Widerstandsmarkierung und einstelligen Datumscode.

F

Modell SM4

Oberflächenmontage, 4 mm, 12 Umdrehungen, gekapselt

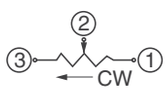

MERKMALE: • Bleifreies Löten, Cadmium-frei • Feinstellung • Automatische Montage • Anschwemm-/Aufschmelzlöten • Versiegelte Konstruktion (abwaschbar) ***ELEKTRISCHE DATEN:*** Widerstandstoleranz: ±10 % **Temperaturkoeffizient:** ±100 ppm/°C. **Nennleistung:** 0,25 W bei 85 °C, 0 W bei 150 °C. **Max. Eingangsspannung:** 300 V DC oder Nennleistung, maßgebend ist der jeweils niedrigere Wert. **Max. Schleiferstrom:** 100 mA oder Nennleistung, maßgebend ist der jeweils niedrigere Wert. **Effektive elektrische Umdrehung:** 10 Umdrehungen. **Endwiderstand:** 1 % oder 2 Ω, maßgebend ist der jeweils größere Wert. **Kontaktwiderstandsabweichung:** 1 % oder 3 Ω, maßgebend ist der jeweils größere Wert. **Betriebstemperaturbereich:** -65 °C bis +150 °C **Isolationswiderstand:** min. 1.000 MΩ bei 500 V DC **Durchschlagsfestigkeit:** 600 V AC, 1 Minute. ***MECHANISCHE DATEN:*** **Drehwinkel mechanisch:** 12 Wicklungen. **Max. Betriebsdrehmoment:** 20 mN.m (204 gf.cm) **Mechanischer Halt:** Kupplung **Lebensdauer (Umdrehungen):** 200 Zyklen (▲ R/R ≤3 Ω +3 %).

SM4ETW - J-Anschluss, Betätigung von oben

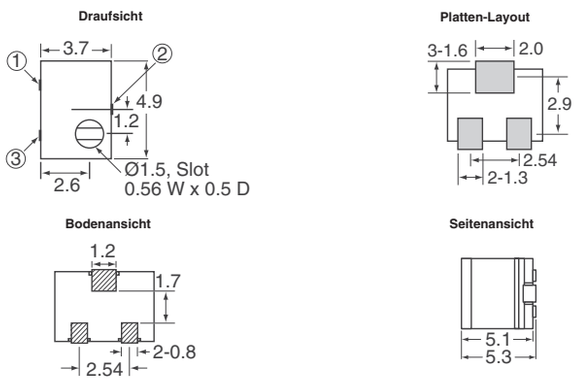

SM4ETA - J-Anschluss, Betätigung seitlich

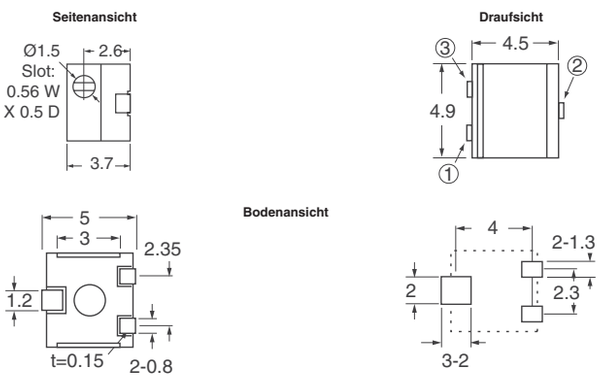

Widerstand (Ω)	Digi-Key Teilenr.	Gurtabschnittspreis pro Stück 1	10	100	Digi-Key Teilenr.	G&R Preisangaben 250
100	SM4ETW101CT-ND	2.51	2.33	2.11	SM4ETW101TR-ND	448.06
200	SM4ETW201CT-ND	2.51	2.33	2.11	SM4ETW201TR-ND	448.06
500	SM4ETW501CT-ND	2.51	2.33	2.11	SM4ETW501TR-ND	448.06
1K	SM4ETW102CT-ND	2.51	2.33	2.11	SM4ETW102TR-ND	448.06
2K	SM4ETW202CT-ND	2.51	2.33	2.11	SM4ETW202TR-ND	448.06
5K	SM4ETW502CT-ND	2.51	2.33	2.11	SM4ETW502TR-ND	448.06
10K	SM4ETW103CT-ND	2.51	2.33	2.11	SM4ETW103TR-ND	448.06
20K	SM4ETW203CT-ND	2.51	2.33	2.11	SM4ETW203TR-ND	448.06
50K	SM4ETW503CT-ND	2.51	2.33	2.11	SM4ETW503TR-ND	448.06
100K	SM4ETW104CT-ND	2.51	2.33	2.11	SM4ETW104TR-ND	448.06
200K	SM4ETW204CT-ND	2.51	2.33	2.11	SM4ETW204TR-ND	448.06
500K	SM4ETW504CT-ND	2.51	2.33	2.11	SM4ETW504TR-ND	448.06
1 Meg	SM4ETW105CT-ND	2.51	2.33	2.11	SM4ETW105TR-ND	448.06

Teile haben Widerstandsmarkierung und einstelligen Datumscode.

Widerstand (Ω)	Digi-Key Teilenr.	Gurtabschnittspreis pro Stück 1	10	100	Digi-Key Teilenr.	G&R Preisangaben 500
100	SM4ETA101CT-ND	2.51	2.33	2.11	SM4ETA101TR-ND	896.13
200	SM4ETA201CT-ND	2.51	2.33	2.11	SM4ETA201TR-ND	896.13
500	SM4ETA501CT-ND	2.51	2.33	2.11	SM4ETA501TR-ND	896.13
1K	SM4ETA102CT-ND	2.51	2.33	2.11	SM4ETA102TR-ND	896.13
2K	SM4ETA202CT-ND	2.51	2.33	2.11	SM4ETA202TR-ND	896.13
5K	SM4ETA502CT-ND	2.51	2.33	2.11	SM4ETA502TR-ND	896.13
10K	SM4ETA103CT-ND	2.51	2.33	2.11	SM4ETA103TR-ND	896.13
20K	SM4ETA203CT-ND	2.51	2.33	2.11	SM4ETA203TR-ND	896.13
50K	SM4ETA503CT-ND	2.51	2.33	2.11	SM4ETA503TR-ND	896.13
100K	SM4ETA104CT-ND	2.51	2.33	2.11	SM4ETA104TR-ND	896.13
200K	SM4ETA204CT-ND	2.51	2.33	2.11	SM4ETA204TR-ND	896.13
500K	SM4ETA504CT-ND	2.51	2.33	2.11	SM4ETA504TR-ND	896.13
1 Meg	SM4ETA105CT-ND	2.51	2.33	2.11	SM4ETA105TR-ND	896.13

(Forts.)

Modell ST4

Oberflächenmontage, 3 mm quadratisch, eingängig

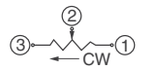

MERKMALE: • Bleifreies Löten, Cadmium-frei • Automatische Montage • Anschwemm-/Aufschmelzlöten • Versiegelte Konstruktion (abwaschbar) • Stopper-Struktur verhindert ein Öffnen des Anschlussstifts • Kreuzschlitzrotor für automatische Einstellung ***ELEKTRISCHE DATEN:*** **Widerstandstoleranz:** ±20 % . **Max. Temperaturkoeffizient:** 100 Ω ~ 2 MΩ ±100 ppm/°C, andere ±250 ppm/°C **Nennleistung:** 0,25 W bei 70 °C, 0 W bei 125 °C. **Max. Eingangsspannung:** 200 V DC oder Nennleistung, maßgebend ist der jeweils niedrigere Wert. **Max. Schleiferstrom:** 100 mA oder Nennleistung, maßgebend ist der jeweils niedrigere Wert. **Effektiver elektrischer Einstellwinkel:** 210° (1 Umdrehung). **Endwiderstand:** 1 % oder 2 Ω, maßgebend ist der jeweils größere Wert. **Kontaktwiderstandsabweichung:** 1 % oder 3 Ω, maßgebend ist der jeweils größere Wert. **Betriebstemperaturbereich:** -55 °C bis +125 °C **Isolationswiderstand:** min. 1.000 MΩ bei 500 V DC **Durchschlagsfestigkeit:** 500 V AC, 1 Minute. ***MECHANISCHE DATEN:*** **Mechanischer Winkel:** 240° (1 Umdrehung). **Max. Betriebsdrehmoment:** 10 mN.m (102 gf.cm) **Min. Anschlagfestigkeit** 30 mN.m (306 gf.cm) **Lebensdauer (Umdrehungen):** 100 Zyklen (▲ R/R ≤2 Ω +3 %).

ST4ETA - J-Anschluss, Betätigung von oben

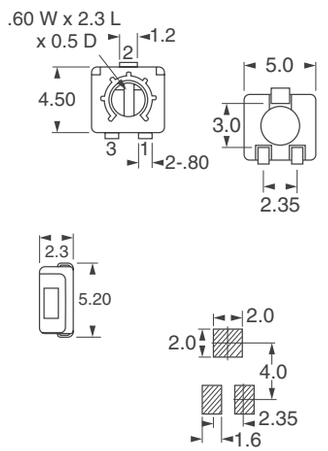

ST4ETB - Gull Wing, Betätigung von oben

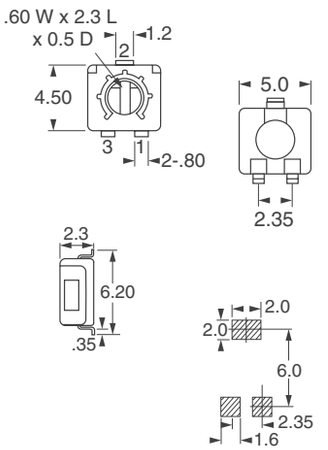

Res.** (Ω)	Digi-Key Teilenr.	Digi-Key Teilenr.	Gurtabschnittspreis pro Stück 1	10	100	Digi-Key Teilenr.	Digi-Key Teilenr.	G&R Preisangaben 500
10	ST4ETA100CT-ND	ST4ETB100CT-ND	1.01	.94	.85	ST4ETA100TR-ND	ST4ETB100TR-ND	361.07
50	ST4ETA500CT-ND	ST4ETB500CT-ND	1.01	.94	.85	ST4ETA500TR-ND	ST4ETB500TR-ND	361.07
100	ST4ETA101CT-ND	ST4ETB101CT-ND	1.01	.94	.85	ST4ETA101TR-ND	ST4ETB101TR-ND	361.07
200	ST4ETA201CT-ND	ST4ETB201CT-ND	1.01	.94	.85	ST4ETA201TR-ND	ST4ETB201TR-ND	361.07
500	ST4ETA501CT-ND	ST4ETB501CT-ND	1.01	.94	.85	ST4ETA501TR-ND	ST4ETB501TR-ND	361.07
1K	ST4ETA102CT-ND	ST4ETB102CT-ND	1.01	.94	.85	ST4ETA102TR-ND	ST4ETB102TR-ND	361.07
2K	ST4ETA202CT-ND	ST4ETB202CT-ND	1.01	.94	.85	ST4ETA202TR-ND	ST4ETB202TR-ND	361.07
5K	ST4ETA502CT-ND	ST4ETB502CT-ND	1.01	.94	.85	ST4ETA502TR-ND	ST4ETB502TR-ND	361.07
10K	ST4ETA103CT-ND	ST4ETB103CT-ND	1.01	.94	.85	ST4ETA103TR-ND	ST4ETB103TR-ND	361.07
20K	ST4ETA203CT-ND	ST4ETB203CT-ND	1.01	.94	.85	ST4ETA203TR-ND	ST4ETB203TR-ND	361.07
50K	ST4ETA503CT-ND	ST4ETB503CT-ND	1.01	.94	.85	ST4ETA503TR-ND	ST4ETB503TR-ND	361.07
100K	ST4ETA104CT-ND	ST4ETB104CT-ND	1.01	.94	.85	ST4ETA104TR-ND	ST4ETB104TR-ND	361.07
200K	ST4ETA204CT-ND	ST4ETB204CT-ND	1.01	.94	.85	ST4ETA204TR-ND	ST4ETB204TR-ND	361.07
500K	ST4ETA504CT-ND	ST4ETB504CT-ND	1.01	.94	.85	ST4ETA504TR-ND	ST4ETB504TR-ND	361.07
1 Meg	ST4ETA105CT-ND	ST4ETB105CT-ND	1.01	.94	.85	ST4ETA105TR-ND	ST4ETB105TR-ND	361.07
2 Meg	ST4ETA205CT-ND	ST4ETB205CT-ND	1.01	.94	.85	ST4ETA205TR-ND	ST4ETB205TR-ND	361.07

Teile haben Widerstandsmarkierung und einstelligen Datumscode. **Widerstand

Modell ST5

Oberflächenmontage, 6 mm quadratisch, Wendel-Pot.

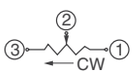

MERKMALE: • Bleifreies Löten, Cadmium-frei • Präzise Einstellung • Automatische Montage • Anschwemm-/Aufschmelzlöten • Versiegelte Konstruktion (abwaschbar) ***ELEKTRISCHE DATEN:*** **Widerstandstoleranz:** ±10 % **Max. Temperaturkoeffizient:** 100 Ω ~ 2 MΩ ±100 ppm/°C, andere ±250 ppm/°C **Nennleistung:** 0,25 W bei 85 °C, 0 W bei 120 °C. **Max. Eingangsspannung:** 200 V DC oder Nennleistung, maßgebend ist der jeweils niedrigere Wert. **Max. Schleiferstrom:** 100 mA oder Nennleistung, maßgebend ist der jeweils niedrigere Wert. **Effektive elektrische Umdrehung:** 11 Umdrehungen. **Endwiderstand:** 1 % oder 2 Ω, maßgebend ist der jeweils größere Wert. **Kontaktwiderstandsabweichung:** 1 % oder 3 Ω, maßgebend ist der jeweils größere Wert. **Betriebstemperaturbereich:** -55 °C bis +120 °C **Isolationswiderstand:** min. 1.000 MΩ bei 500 V DC **Durchschlagsfestigkeit:** 600 V AC, 1 Minute. ***MECHANISCHE DATEN:*** **Drehwinkel mechanisch:** 14 Wicklungen. **Max. Betriebsdrehmoment:** 20 mN.m (204 gf.cm) **Mechanischer Halt:** Kupplung **Lebensdauer (Umdrehungen):** 200 Zyklen, 10 bis 200 Ω (▲ R/R ≤ ±(0,5 Ω +3 %), 500 Ω bis 5 MΩ (▲ R/R ≤ ±(0,5 Ω +2 %).

ST5ETP - Gull Wing, Betätigung seitlich

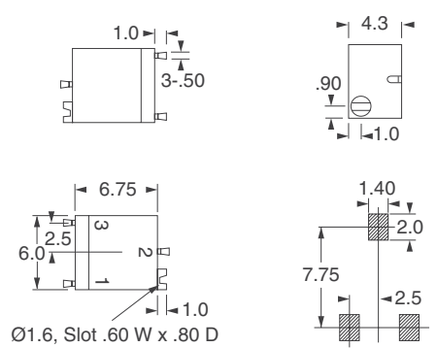

ST5ETW - Gull Wing, Betätigung von oben

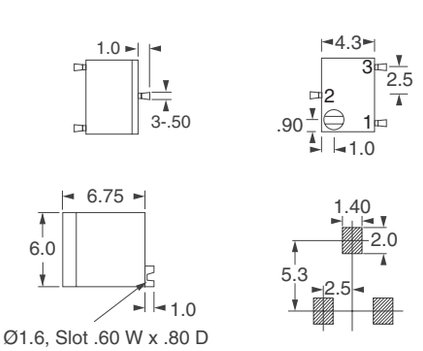

ST5ETX - Gull Wing, Betätigung seitlich

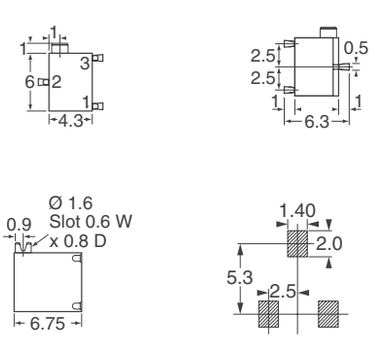

Widerstand (Ω)	Digi-Key Teilenr.	Digi-Key Teilenr.	Digi-Key Teilenr.	Gurtabschnittspreis pro Stück 1	10	100	Digi-Key Teilenr.	Digi-Key Teilenr.	Digi-Key Teilenr.	G&R Preisangaben 500
100	ST5ETP101CT-ND	ST5ETW101CT-ND	ST5ETX101CT-ND	2.74	2.55	2.30	ST5ETP101TR-ND	ST5ETW101TR-ND	ST5ETX101TR-ND	978.25
500	ST5ETP501CT-ND	ST5ETW501CT-ND	ST5ETX501CT-ND	2.74	2.55	2.30	ST5ETP501TR-ND	ST5ETW501TR-ND	ST5ETX501TR-ND	978.25
1K	ST5ETP102CT-ND	ST5ETW102CT-ND	ST5ETX102CT-ND	2.74	2.55	2.30	ST5ETP102TR-ND	ST5ETW102TR-ND	ST5ETX102TR-ND	978.25
2K	ST5ETP202CT-ND	ST5ETW202CT-ND	ST5ETX202CT-ND	2.74	2.55	2.30	ST5ETP202TR-ND	ST5ETW202TR-ND	ST5ETX202TR-ND	978.25
5K	ST5ETP502CT-ND	ST5ETW502CT-ND	ST5ETX502CT-ND	2.74	2.55	2.30	ST5ETP502TR-ND	ST5ETW502TR-ND	ST5ETX502TR-ND	978.25
10K	ST5ETP103CT-ND	ST5ETW103CT-ND	ST5ETX103CT-ND	2.74	2.55	2.30	ST5ETP103TR-ND	ST5ETW103TR-ND	ST5ETX103TR-ND	978.25
20K	ST5ETP203CT-ND	ST5ETW203CT-ND	ST5ETX203CT-ND	2.74	2.55	2.30	ST5ETP203TR-ND	ST5ETW203TR-ND	ST5ETX203TR-ND	978.25
50K	ST5ETP503CT-ND	ST5ETW503CT-ND	ST5ETX503CT-ND	2.74	2.55	2.30	ST5ETP503TR-ND	ST5ETW503TR-ND	ST5ETX503TR-ND	978.25
100K	ST5ETP104CT-ND	ST5ETW104CT-ND	ST5ETX104CT-ND	2.74	2.55	2.30	ST5ETP104TR-ND	ST5ETW104TR-ND	ST5ETX104TR-ND	978.25

Teile haben Widerstandsmarkierung und einstelligen Datumscode.

Modell ST7

Oberflächenmontage, 7 mm quadratisch, Wendel-Pot.

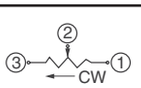

MERKMALE: • Bleifreies Löten, Cadmium-frei • Feinstellung • Automatische Montage • Anschwemm-/Aufschmelzlöten • Versiegelte Konstruktion (abwaschbar)

ELEKTRISCHE DATEN: **Widerstandstoleranz:** ±20 % . **Max. Temperaturkoeffizient:** 100 Ω ~ 1 MΩ ±100 ppm/°C, andere ±250 ppm/°C **Nennleistung:** 0,25 W bei 70 °C, 0 W bei 125 °C. **Max. Eingangsspannung:** 200 V DC oder Nennleistung, maßgebend ist der jeweils niedrigere Wert. **Max. Schleiferstrom:** 100 mA oder Nennleistung, maßgebend ist der jeweils niedrigere Wert. **Effektive elektrische Umdrehung:** 2,5 Umdrehungen. **Endwiderstand:** 1 % oder 2 Ω, maßgebend ist der jeweils größere Wert. **Kontaktwiderstandsabweichung:** 1 % oder 3 Ω, maßgebend ist der jeweils größere Wert. **Betriebstemperaturbereich:** -55 °C bis +125 °C **Isolationswiderstand:** min. 1.000 MΩ bei 500 V DC **Durchschlagsfestigkeit:** 600 V AC, 1 Minute.

MECHANISCHE DATEN: **Drehwinkel mechanisch:** 3 Wicklungen. **Max. Betriebsdrehmoment:** 5 mN.m (51 gf.cm) **Mechanischer Halt:** Kupplung **Lebensdauer (Umdrehungen):** 100 Zyklen (▲ R/R ≤2 Ω +3 %).

ST7ETA - J-Anschluss, Betätigung von oben

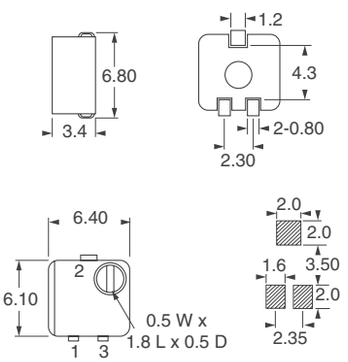

ST7ETB - Gull Wing, Betätigung von oben

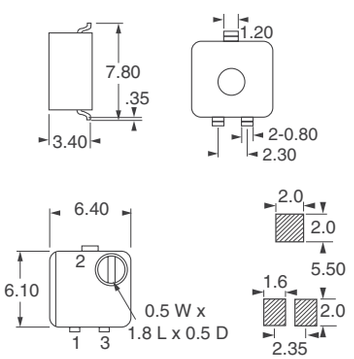

Res.** (Ω)	Digi-Key Teilenr.	Digi-Key Teilenr.	Gurtabschnittspreis pro Stück 1	10	100	Digi-Key Teilenr.	Digi-Key Teilenr.	G&R Preisangaben 500
1K	ST7ETA102CT-ND	ST7ETB102CT-ND	5.07	4.71	4.26	ST7ETA102TR-ND	ST7ETB102TR-ND	1810.45
2K	ST7ETA202CT-ND	ST7ETB202CT-ND	5.07	4.71	4.26	ST7ETA202TR-ND	ST7ETB202TR-ND	1810.45
5K	ST7ETA502CT-ND	ST7ETB502CT-ND	5.07	4.71	4.26	ST7ETA502TR-ND	ST7ETB502TR-ND	1810.45
10K	ST7ETA103CT-ND	ST7ETB103CT-ND	5.07	4.71	4.26	ST7ETA103TR-ND	ST7ETB103TR-ND	1810.45
20K	ST7ETA203CT-ND	ST7ETB203CT-ND	5.07	4.71	4.26	ST7ETA203TR-ND	ST7ETB203TR-ND	1810.45
50K	ST7ETA503CT-ND	ST7ETB503CT-ND	5.07	4.71	4.26	ST7ETA503TR-ND	ST7ETB503TR-ND	1810.45
100K	ST7ETA104CT-ND	ST7ETB104CT-ND	5.07	4.71	4.26	ST7ETA104TR-ND	ST7ETB104TR-ND	1810.45

Teile haben Widerstandsmarkierung und zweistelligen Datumscode. **Widerstand *(Forts.)*

Alle Preisangaben in Euro und inklusive Zollgebühren.

Modell ST-32

Oberflächenmontage, 3 mm quadratisch, eingängig

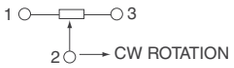

MERKMALE: • Bleifreies Löten, Cadmium-frei • Ausführung mit Betätigung von oben • Kreuzschlitzrotor für einfache Justierung • Verbleite Anschlüsse widerstehen jeglichem Verbiegen der Leiterplatte genauso gut wie Klebehaftung • J-Haken- und Gull Wing-Konfigurationen • Gekapselt/Abwaschbar

ELEKTRISCHE DATEN: **Widerstandstoleranz:** ±20 % . **Max. Temperaturkoeffizient:** 100 Ω ~ 2 MΩ ±100 ppm/°C, andere ±250 ppm/°C **Nennleistung:** 0,125 W bei 70 °C, 0 W bei 125 °C. **Max. Eingangsspannung:** 200 V DC oder Nennleistung, maßgebend ist der jeweils niedrigere Wert. **Max. Schleiferstrom:** 100 mA oder Nennleistung, maßgebend ist der jeweils niedrigere Wert. **Effektiver elektrischer Einstellwinkel:** 210° (1 Umdrehung). **Endwiderstand:** 1 % oder 2 Ω, maßgebend ist der jeweils größere Wert. **Kontaktwiderstandsabweichung:** 1 % oder 3 Ω, maßgebend ist der jeweils größere Wert. **Betriebstemperaturbereich:** -55 °C bis +125 °C **Isolationswiderstand:** min. 1.000 MΩ bei 500 V DC **Durchschlagsfestigkeit:** 500 V AC, 1 Minute.

MECHANISCHE DATEN: **Mechanischer Winkel:** 250° (1 Umdrehung). **Max. Betriebsdrehmoment:** 5 mN.m (51 gf.cm) **Min. Anschlagfestigkeit:** 20 mN.m (204 gf.cm) **Lebensdauer (Umdrehungen):** 100 Zyklen (▲ R/R ≤2 Ω +3 %).

ST32ETA - J-Anschluss, Betätigung von oben

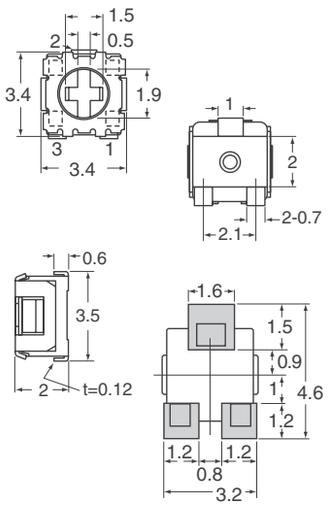

ST32ETB - Gull Wing, Betätigung von oben

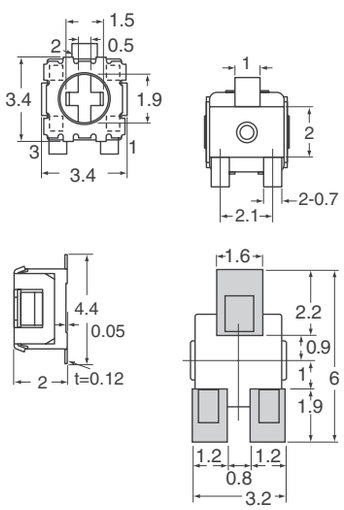

Widerstand (Ω)	Digi-Key Teilenr.	Digi-Key Teilenr.	Gurtabschnittspreis pro Stück 1	10	100	Digi-Key Teilenr.	Digi-Key Teilenr.	T/R Pricing* 500
50	ST32ETA500CT-ND	ST32ETB500CT-ND	.97	.91	.82	ST32ETA500TR-ND	ST32ETB500TR-ND	347.53
100	ST32ETA101CT-ND	ST32ETB101CT-ND	.97	.91	.82	ST32ETA101TR-ND	ST32ETB101TR-ND	347.53
200	ST32ETA201CT-ND	ST32ETB201CT-ND	.97	.91	.82	ST32ETA201TR-ND	ST32ETB201TR-ND	347.53
500	ST32ETA501CT-ND	ST32ETB501CT-ND	.97	.91	.82	ST32ETA501TR-ND	ST32ETB501TR-ND	347.53
1K	ST32ETA102CT-ND	ST32ETB102CT-ND	.97	.91	.82	ST32ETA102TR-ND	ST32ETB102TR-ND	347.53
2K	ST32ETA202CT-ND	ST32ETB202CT-ND	.97	.91	.82	ST32ETA202TR-ND	ST32ETB202TR-ND	347.53
5K	ST32ETA502CT-ND	ST32ETB502CT-ND	.97	.91	.82	ST32ETA502TR-ND	ST32ETB502TR-ND	347.53
10K	ST32ETA103CT-ND	ST32ETB103CT-ND	.97	.91	.82	ST32ETA103TR-ND	ST32ETB103TR-ND	347.53
20K	ST32ETA203CT-ND	ST32ETB203CT-ND	.97	.91	.82	ST32ETA203TR-ND	ST32ETB203TR-ND	347.53
50K	ST32ETA503CT-ND	ST32ETB503CT-ND	.97	.91	.82	ST32ETA503TR-ND	ST32ETB503TR-ND	347.53
100K	ST32ETA104CT-ND	ST32ETB104CT-ND	.97	.91	.82	ST32ETA104TR-ND	ST32ETB104TR-ND	347.53
200K	ST32ETA204CT-ND	ST32ETB204CT-ND	.97	.91	.82	ST32ETA204TR-ND	ST32ETB204TR-ND	347.53
500K	ST32ETA504CT-ND	ST32ETB504CT-ND	.97	.91	.82	ST32ETA504TR-ND	ST32ETB504TR-ND	347.53
1 Meg	ST32ETA105CT-ND	ST32ETB105CT-ND	.97	.91	.82	ST32ETA105TR-ND	ST32ETB105TR-ND	347.53

Teile haben Widerstandsmarkierung und einstelligen Datumscode. *Preisangaben für gegurtet auf Rolle

Modell CT6

6 mm, quadratisch, eingängig

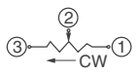

MERKMALE: • Bleifreies Löten, Cadmium-frei • Verschiedene Konfigurationen • „O"-Ring-Versiegelung, abwaschbar

ELEKTRISCHE DATEN: **Widerstandstoleranz:** ±10 % **Max. Temperaturkoeffizient:** 50 Ω ~ 2 MΩ ±100 ppm/°C, andere ±250 ppm/°C **Nennleistung:** 0,5 W bei 70 °C, 0 W bei 120 °C. **Max. Eingangsspannung:** 200 V DC oder Nennleistung, maßgebend ist der jeweils niedrigere Wert. **Max. Schleiferstrom:** 100 mA oder Nennleistung, maßgebend ist der jeweils niedrigere Wert. **Effektiver elektrischer Einstellwinkel:** 220° (1 Umdrehung). **Endwiderstand:** 1 % oder 2 Ω, maßgebend ist der jeweils größere Wert. **Kontaktwiderstandsabweichung:** 1 % oder 3 Ω, maßgebend ist der jeweils größere Wert. **Betriebstemperaturbereich:** -55 °C bis +120 °C **Isolationswiderstand:** min. 1.000 MΩ bei 500 V DC **Durchschlagsfestigkeit:** 900 V AC, 1 Minute.

MECHANISCHE DATEN: **Mechanischer Winkel:** 260° (1 Umdrehung). **Max. Betriebsdrehmoment:** 2 ~ 20 mN.m (20 ~ 204 gf.cm) **Min. Anschlagfestigkeit:** 50 mN.m (510 gf.cm) **Lebensdauer (Umdrehungen):** 200 Zyklen (▲ R/R ≤2 Ω +3 %). **Min. Anschlusszugfestigkeit:** 10 N (1,02 kgf) Lötbarkeit: 245 ±3 °C, 2-3 Sekunden

CT6EP - Betätigung von oben

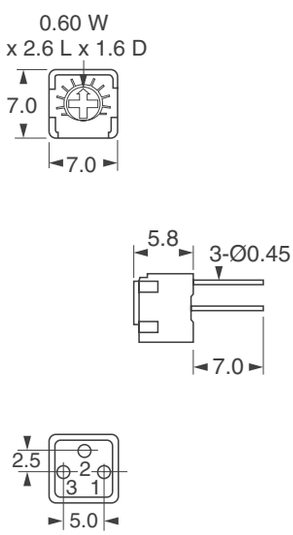

CT6ER - Betätigung von oben

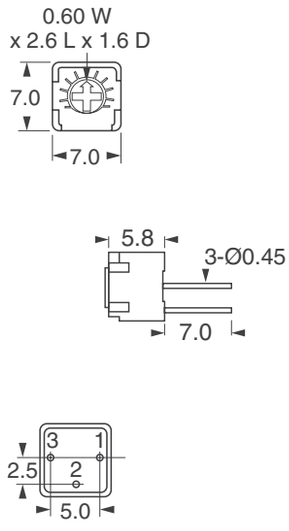

CT6EW - Betätigung von oben

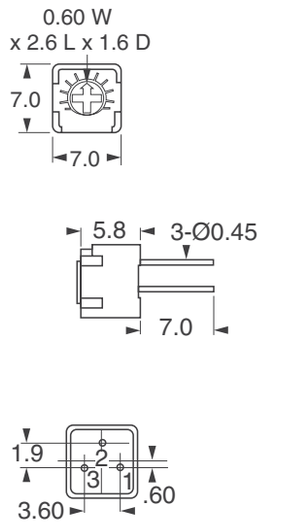

CT6EX - Betätigung seitlich

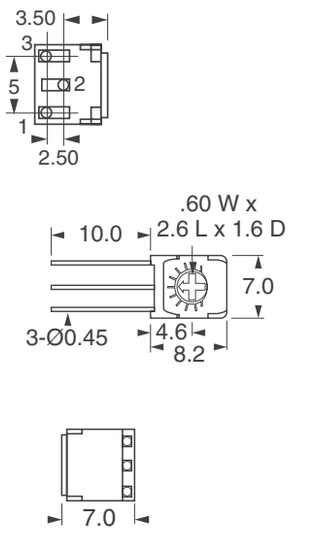

Res** (Ω)	Digi-Key Teilenr.	Stückpreis 1	10	100	500	1.000
50	CT6EP500-ND	.58	.54	.49	.42	.38
100	CT6EP101-ND	.58	.54	.49	.42	.38
200	CT6EP201-ND	.58	.54	.49	.42	.38
500	CT6EP501-ND	.58	.54	.49	.42	.38
1K	CT6EP102-ND	.58	.54	.49	.42	.38
2K	CT6EP202-ND	.58	.54	.49	.42	.38
5K	CT6EP502-ND	.58	.54	.49	.42	.38
10K	CT6EP103-ND	.58	.54	.49	.42	.38
20K	CT6EP203-ND	.58	.54	.49	.42	.38
50K	CT6EP503-ND	.58	.54	.49	.42	.38
100K	CT6EP104-ND	.58	.54	.49	.42	.38
200K	CT6EP204-ND	.58	.54	.49	.42	.38
500K	CT6EP504-ND	.58	.54	.49	.42	.38
1 Meg	CT6EP105-ND	.58	.54	.49	.42	.38
2 Meg	CT6EP205-ND	.58	.54	.49	.42	.38

Res** (Ω)	Digi-Key Teilenr.	Digi-Key Teilenr.	Stückpreis 1	10	100	500	1.000
50	CT6ER500-ND	CT6EW500-ND	.64	.60	.55	.47	.42
100	CT6ER101-ND	CT6EW101-ND	.64	.60	.55	.47	.42
200	CT6ER201-ND	CT6EW201-ND	.64	.60	.55	.47	.42
500	CT6ER501-ND	CT6EW501-ND	.64	.60	.55	.47	.42
1K	CT6ER102-ND	CT6EW102-ND	.64	.60	.55	.47	.42
2K	CT6ER202-ND	CT6EW202-ND	.64	.60	.55	.47	.42
5K	CT6ER502-ND	CT6EW502-ND	.64	.60	.55	.47	.42
10K	CT6ER103-ND	CT6EW103-ND	.64	.60	.55	.47	.42
20K	CT6ER203-ND	CT6EW203-ND	.64	.60	.55	.47	.42
50K	CT6ER503-ND	CT6EW503-ND	.64	.60	.55	.47	.42
100K	CT6ER104-ND	CT6EW104-ND	.64	.60	.55	.47	.42
200K	CT6ER204-ND	CT6EW204-ND	.64	.60	.55	.47	.42
500K	CT6ER504-ND	CT6EW504-ND	.64	.60	.55	.47	.42
1 Meg	CT6ER105-ND	CT6EW105-ND	.64	.60	.55	.47	.42
2 Meg	CT6ER205-ND	CT6EW205-ND	.64	.60	.55	.47	.42

Res** (Ω)	Digi-Key Teilenr.	Stückpreis 1	10	100	500	1.000
50	CT6EX500-ND	.68	.63	.57	.49	.44
100	CT6EX101-ND	.68	.63	.57	.49	.44
200	CT6EX201-ND	.68	.63	.57	.49	.44
500	CT6EX501-ND	.68	.63	.57	.49	.44
1K	CT6EX102-ND	.68	.63	.57	.49	.44
2K	CT6EX202-ND	.68	.63	.57	.49	.44
5K	CT6EX502-ND	.68	.63	.57	.49	.44
10K	CT6EX103-ND	.68	.63	.57	.49	.44
20K	CT6EX203-ND	.68	.63	.57	.49	.44
50K	CT6EX503-ND	.68	.63	.57	.49	.44
100K	CT6EX104-ND	.68	.63	.57	.49	.44
200K	CT6EX204-ND	.68	.63	.57	.49	.44
500K	CT6EX504-ND	.68	.63	.57	.49	.44
1 Meg	CT6EX105-ND	.68	.63	.57	.49	.44
2 Meg	CT6EX205-ND	.68	.63	.57	.49	.44

Teile haben Widerstandsmarkierung und zweistelligen Datumscode. **Widerstand

(Forts.)

F

Modell CT94 *9 mm Vierkant, Wendel-Pot.*

CT94EW - Betätigung von oben

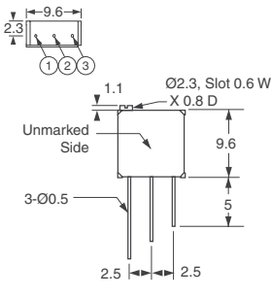

CT94EX - Betätigung seitlich

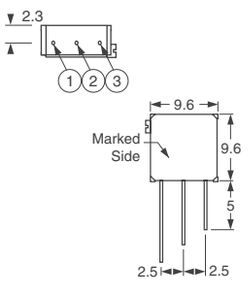

CT94EP - Betätigung seitlich

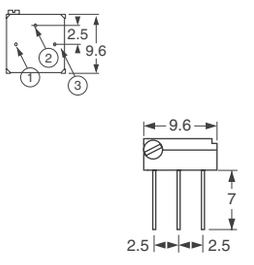

CT94EY - Betätigung von oben

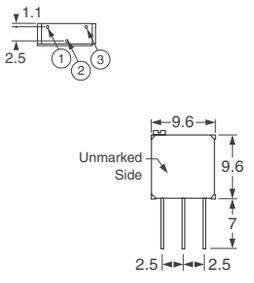

CT94EZ - Betätigung seitlich

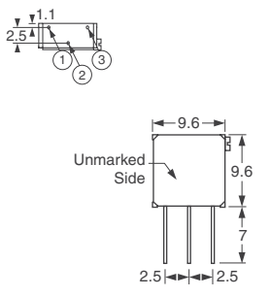

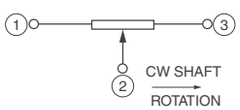

MERKMALE: • Bleifreies Löten, Cadmium-frei • Dünnes Gehäusedesign • 18 Umdrehungen, versiegelt, Präzisionsausführung ***ELEKTRISCHE DATEN:*** **Widerstandstoleranz:** ±10 % **Max. Temperaturkoeffizient:** 50 Ω ~ 2 MΩ ±100 ppm/°C, andere ±250 ppm/°C Nennleistung: 0,5 W bei 70 °C, 0 W bei 125 °C. **Max. Eingangsspannung:** 300 V DC oder Nennleistung, maßgebend ist der jeweils niedrigere Wert. **Max. Schleiferstrom:** 100 mA oder Nennleistung, maßgebend ist der jeweils niedrigere Wert. **Effektive elektrische Umdrehung:** 15 Umdrehungen. **Endwiderstand:** 1 % oder 2 Ω, maßgebend ist der jeweils größere Wert. **Kontaktwiderstandsabweichung:** 1 % oder 3 Ω, maßgebend ist der jeweils größere Wert. **Betriebstemperaturbereich:** -55 °C bis +125 °C **Isolationswiderstand:** min. 1.000 MΩ bei 500 V DC **Durchschlagsfestigkeit:** 900 V AC, 1 Minute. ***MECHANISCHE DATEN:*** **Drehwinkel mechanisch:** 18 Wicklungen. **Max. Betriebsdrehmoment:** 35 mN.m (357 gf.cm) **Mechanischer Halt:** Kupplung **Lebensdauer (Umdrehungen):** 200 Zyklen (▲ R/R ≤2 Ω +3 %). **Min. Anschlusszugfestigkeit:** 10 N (1,02 kgf) **Lötbarkeit:** 245 ±3 °C, 2-3 Sekunden

Widerstand (Ω)	Digi-Key Teilenr.	Digi-Key Teilenr.	Stückpreis 1	10	100	500
50	CT94EW500-ND	—	1.15	1.07	.97	.83
100	CT94EW101-ND	CT94EX101-ND	1.15	1.07	.97	.83
200	CT94EW201-ND	CT94EX201-ND	1.15	1.07	.97	.83
500	CT94EW501-ND	CT94EX501-ND	1.15	1.07	.97	.83
1K	CT94EW102-ND	CT94EX102-ND	1.15	1.07	.97	.83
2K	CT94EW202-ND	CT94EX202-ND	1.15	1.07	.97	.83
5K	CT94EW502-ND	CT94EX502-ND	1.15	1.07	.97	.83
10K	CT94EW103-ND	CT94EX103-ND	1.15	1.07	.97	.83
20K	CT94EW203-ND	CT94EX203-ND	1.15	1.07	.97	.83
50K	CT94EW503-ND	CT94EX503-ND	1.15	1.07	.97	.83
100K	CT94EW104-ND	CT94EX104-ND	1.15	1.07	.97	.83
200K	CT94EW204-ND	CT94EX204-ND	1.15	1.07	.97	.83
500K	CT94EW504-ND	CT94EX504-ND	1.15	1.07	.97	.83
1 Meg	CT94EW105-ND	CT94EX105-ND	1.15	1.07	.97	.83
2 Meg	CT94EW205-ND	—	1.15	1.07	.97	.83

Widerstand (Ω)	Digi-Key Teilenr.	Digi-Key Teilenr.	Digi-Key Teilenr.	Stückpreis 1	10	100	500
50	—	CT94EY500-ND	—	1.15	1.07	.97	.83
100	CT94EP101-ND	CT94EY101-ND	CT94EZ101-ND	1.15	1.07	.97	.83
200	—	CT94EY201-ND	CT94EZ201-ND	1.15	1.07	.97	.83
500	CT94EP501-ND	CT94EY501-ND	CT94EZ501-ND	1.15	1.07	.97	.83
1K	CT94EP102-ND	CT94EY102-ND	CT94EZ102-ND	1.15	1.07	.97	.83
2K	CT94EP202-ND	CT94EY202-ND	CT94EZ202-ND	1.15	1.07	.97	.83
5K	CT94EP502-ND	CT94EY502-ND	CT94EZ502-ND	1.15	1.07	.97	.83
10K	CT94EP103-ND	CT94EY103-ND	CT94EZ103-ND	1.15	1.07	.97	.83
20K	CT94EP203-ND	CT94EY203-ND	CT94EZ203-ND	1.15	1.07	.97	.83
50K	CT94EP503-ND	CT94EY503-ND	CT94EZ503-ND	1.15	1.07	.97	.83
100K	CT94EP104-ND	CT94EY104-ND	CT94EZ104-ND	1.15	1.07	.97	.83
200K	CT94EP204-ND	CT94EY204-ND	—	1.15	1.07	.97	.83
500K	CT94EP504-ND	CT94EY504-ND	CT94EZ504-ND	1.15	1.07	.97	.83
1 Meg	—	CT94EY105-ND	—	1.15	1.07	.97	.83
2 Meg	CT94EP205-ND	CT94EY205-ND	—	1.15	1.07	.97	.83

Teile haben Widerstandsmarkierung und einstelligen Datumscode.

F

Modell CT9 *9 mm Vierkant, Wendel-Pot.*

CT9EP - Betätigung seitlich

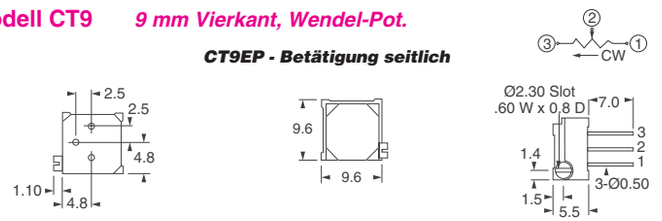

CT9EW - Betätigung von oben

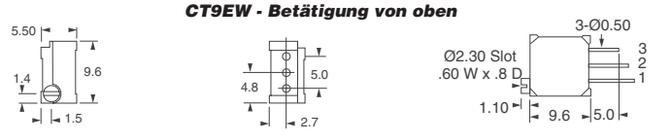

CT9EX - Betätigung seitlich

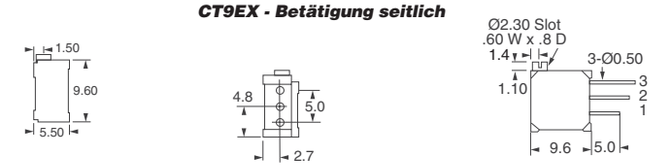

MERKMALE:

• Bleifreies Löten, Cadmium-frei • Allzweckverwendung • Feinstellung möglich mithilfe von 18-Umdrehungs-Konfiguration

ELEKTRISCHE DATEN:

Widerstandstoleranz: ±10 % **Max. Temperaturkoeffizient:** 50 Ω ~ 2 MΩ ±100 ppm/°C, andere ±250 ppm/°C **Nennleistung:** 0,5 W bei 70 °C, 0 W bei 120 °C. **Max. Eingangsspannung:** 300 V DC oder Nennleistung, maßgebend ist der jeweils niedrigere Wert. **Max. Schleiferstrom:** 100 mA oder Nennleistung, maßgebend ist der jeweils niedrigere Wert. **Effektive elektrische Umdrehung:** 15 Umdrehungen. **Endwiderstand:** 1 % oder 2 Ω, maßgebend ist der jeweils größere Wert. **Kontaktwiderstandsabweichung:** 1 % oder 3 Ω, maßgebend ist der jeweils größere Wert. **Betriebstemperaturbereich:** -55 °C bis +120 °C **Isolationswiderstand:** min. 1.000 MΩ bei 500 V DC **Durchschlagsfestigkeit:** 900 V AC, 1 Minute.

MECHANISCHE DATEN:

Mechanische Umdrehung: 18 Umdrehungen **Max. Betriebsdrehmoment:** 35 mN.m (357 gf.cm) **Mechanischer Halt:** Kupplung **Lebensdauer (Umdrehungen):** 200 Zyklen (▲ R/R ≤2 Ω +3 %). **Min. Anschlusszugfestigkeit:** 10 N (1,02 kgf) **Lötbarkeit:** 245 ±3 °C, 2 bis 3 Sekunden

Widerstand (Ω)	Digi-Key Teilenr.	Digi-Key Teilenr.	Digi-Key Teilenr.	Stückpreis 1	10	100	500	1.000
1K	CT9EP102-ND	CT9EW102-ND	CT9EX102-ND	1.58	1.48	1.34	1.14	1.03
2K	CT9EP202-ND	CT9EW202-ND	CT9EX202-ND	1.58	1.48	1.34	1.14	1.03
5K	CT9EP502-ND	CT9EW502-ND	CT9EX502-ND	1.58	1.48	1.34	1.14	1.03
10K	CT9EP103-ND	CT9EW103-ND	CT9EX103-ND	1.58	1.48	1.34	1.14	1.03
20K	CT9EP203-ND	CT9EW203-ND	CT9EX203-ND	1.58	1.48	1.34	1.14	1.03
50K	CT9EP503-ND	CT9EW503-ND	CT9EX503-ND	1.58	1.48	1.34	1.14	1.03
100K	CT9EP104-ND	CT9EW104-ND	CT9EX104-ND	1.58	1.48	1.34	1.14	1.03

Teile haben Widerstandsmarkierung und zweistelligen Datumscode.

Modell CT20

20 mm, rechteckig, Wendel-Pot.

CT20EP - Betätigung seitlich

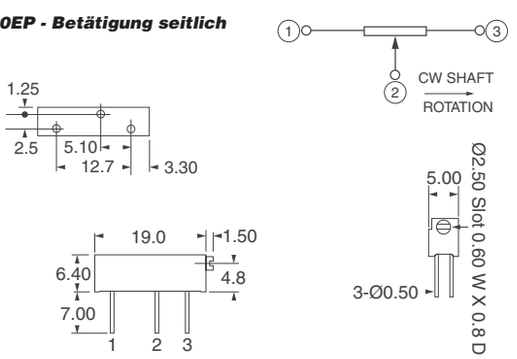

MERKMALE: • Bleifreies Löten, Cadmium-frei • Allzweckverwendung

ELEKTRISCHE DATEN: **Widerstandstoleranz:** ±10 % **Max. Temperaturkoeffizient:** 50 Ω ~ 2 MΩ ±100 ppm/°C, andere ±250 ppm/°C **Nennleistung:** 0,5 W bei 70 °C, 0 W bei 120 °C. **Max. Eingangsspannung:** 300 V DC oder Nennleistung, maßgebend ist der jeweils niedrigere Wert. **Max. Schleiferstrom:** 100 mA oder Nennleistung, maßgebend ist der jeweils niedrigere Wert. **Effektive elektrische Umdrehung:** 12 Umdrehungen. **Endwiderstand:** 1 % oder 2 Ω, maßgebend ist der jeweils größere Wert. **Kontaktwiderstandsabweichung:** 1 % oder 3 Ω, maßgebend ist der jeweils größere Wert. **Betriebstemperaturbereich:** -55 °C bis +120 °C **Isolationswiderstand:** min. 1.000 MΩ bei 500 V DC **Durchschlagsfestigkeit:** 600 V AC, 1 Minute.

MECHANISCHE DATEN: **Mechanische Umdrehung:** 15 Umdrehungen **Max. Betriebsdrehmoment:** 35 mN.m (357 gf.cm) **Mechanischer Halt:** Kupplung **Lebensdauer (Umdrehungen):** 200 Zyklen, 10 bis 200 Ω (▲ R/R ≤ ±(0,5 Ω +3 %), 500 Ω bis 5 MΩ (▲ R/R ≤ ±(0,5 Ω +2 %). **Min. Anschlusszugfestigkeit:** 9 N (917 gf) **Lötbarkeit:** 245 ±3 °C, 2 bis 3 Sekunden

Widerstand (Ω)	Digi-Key Teilenr.	Stückpreis 1	10	100	500	1.000
1K	CT20EP102-ND	1.35	1.26	1.14	.97	.88
2K	CT20EP202-ND	1.35	1.26	1.14	.97	.88
5K	CT20EP502-ND	1.35	1.26	1.14	.97	.88
10K	CT20EP103-ND	1.35	1.26	1.14	.97	.88
20K	CT20EP203-ND	1.35	1.26	1.14	.97	.88
50K	CT20EP503-ND	1.35	1.26	1.14	.97	.88
100K	CT20EP104-ND	1.35	1.26	1.14	.97	.88

Teile haben Widerstandsmarkierung und zweistelligen Datumscode.

Alle Preisangaben in Euro und inklusive Zollgebühren.

Präzisions-Potentiometer

SERIE 50 — 1/2" (12,5 mm), quadratische Steuerung

• **Effektiver elektrischer Winkel:** 270° ±5° • **Kontaktwiderstandsvariation:** 2,0 % • **Dielektrische Haltespannung:** Meereshöhe: min. 1.500 V AC; 70.000 Fuß (21.000 m): min. 500 V AC • **Isolationswiderstand:** mind. 1.000 MΩ
• **Montagekleinteile mitgeliefert**

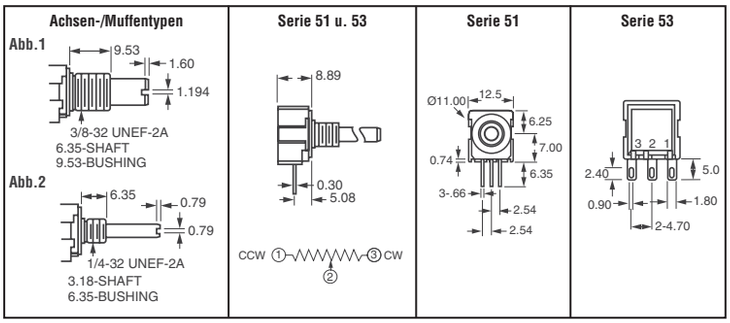

Muffe Abb.	Min-derung	Widerstand Toleranz	Ω	W	Element-material	Digi-Key Teilenr.	Stückpreis 1	25	50	100
2	Linear	±10%	1K	1	Cermet	51CAD-E28-A10-ND	6.26	4.87	3.98	3.37
2	Linear	±10%	5K	1	Cermet	51CAD-E28-A13-ND	6.26	4.87	3.98	3.37
1	Audio	±20%	10K	1/4	Leitender Kunststoff	51AAD-B28-D15-ND	6.75	5.26	4.30	3.64
2	Audio	±20%	10K	1/4	Leitender Kunststoff	51CAD-E28-D15-ND	6.75	5.26	4.30	3.64
2	Linear	±20%	10K	1/2	Leitender Kunststoff	51CAD-E24-B15-ND	6.26	4.87	3.98	3.37
1	Linear	±10%	10K	1	Cermet	51AAD-B24-A15-ND	6.26	4.87	3.98	3.37
2	Linear	±10%	10K	1	Cermet	51CAD-E24-A15-ND	6.26	4.87	3.98	3.37
2	Linear	±10%	100K	1	Cermet	51CAD-E28-A20-ND	6.26	4.87	3.98	3.37
1	Linear	±20%	10K	1/2	Leitender Kunststoff	53AAA-B28-B15-ND	7.20	5.62	4.59	3.88

SERIE 81

2 Watt Cermet - 5/8" (15,88 mm) quadratisch - eingängig

• **Widerstandstoleranz:** ±10 % • **Durchgang:** über den ganzen mechanischen Drehwinkel • **Effektiver elektrischer Winkel:** 240° ±6° • **Kontaktwiderstandsabweichung:** 1 % oder 3 Ω, maßgebend ist der jeweils größere Wert. • **Theoretische Auflösung:** Praktisch unbegrenzt • **Dielektrische Haltespannung:** MIL-STD-202, Methode 301 (Meereshöhe: min. 1.500 V AC.; 70.000 Fuß (21.000 m): min. 500 V AC) • **Isolationswiderstand bei 500 V DC :** min. 1.000 MΩ • **Montagekleinteile mitgeliefert**

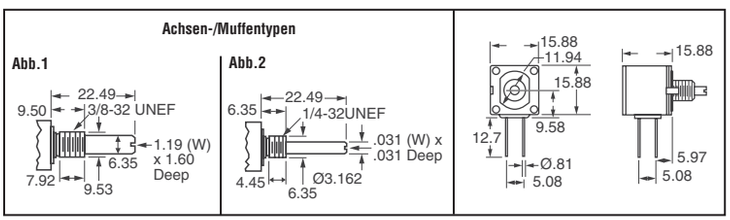

Muffe Abb.	Ω	Digi-Key Teilenr.	Stückpreis 1	25	50	100
1	1K	81A1A-B28-A10-ND	7.64	5.95	4.86	4.11
1	5K	81A1A-B28-A13-ND	7.64	5.95	4.86	4.11
2	5K	81C1A-E28-A13-ND	7.64	5.95	4.86	4.11
1	10K	81A1A-B28-A15-ND	7.64	5.95	4.86	4.11
2	10K	81C1A-E28-A15-ND	7.64	5.95	4.86	4.11
2	100K	81C1A-E28-A20-ND	7.64	5.95	4.86	4.11

SERIE 91 — 5/8" quadratisch, eingängig, leitender Kunststoff, Muffenmontage

• **Widerstandstoleranz:** ±20 % . • **Durchgang:** über den ganzen mechanischen Drehwinkel • **Effektiver elektrischer Winkel:** 240° ±5° • **Kontaktwiderstandsabweichung:** ±1 % • **Dielektrische Haltespannung:** MIL-STD-202, Methode 301 (Meereshöhe: 1.500 V AC min.; 70.000 Fuß (21.000 m): 500 V AC min.) • **Isolationswiderstand bei 500 V DC :** min. 1.000 MΩ • **Theoretische Auflösung:** Praktisch unbegrenzt • **Montagekleinteile mitgeliefert**

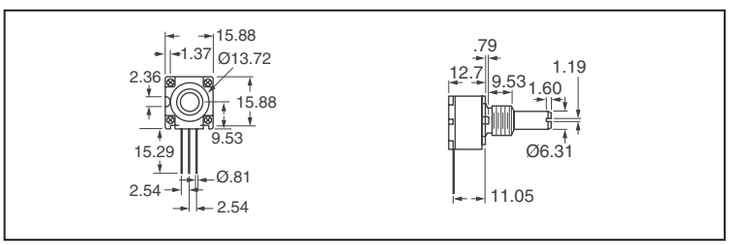

Min-derung	Ω	W	Achsenlänge von der Montagen-Fläche in Zoll (mm)	Digi-Key Teilenr.	Stückpreis 1	25	50	100
Linear	1K	1/2	7/8" (22.23)	91A1A-B28-B10-ND	4.01	3.13	2.55	2.16
Linear	5K	1/2	3/4" (19.05)	91A1A-B24-B13-ND	4.01	3.13	2.55	2.16
Linear	5K	1/2	7/8" (22.23)	91A1A-B28-B13-ND	4.01	3.13	2.55	2.16
Audio	10K	1/4	3/4" (19.05)	91A1A-B24-D15-ND	4.55	3.54	2.90	2.45
Linear	10K	1/2	3/4" (19.05)	91A1A-B24-B15-ND	4.01	3.13	2.55	2.16
Linear	10K	1/2	7/8" (22.23)	91A1A-B28-B15-ND	4.01	3.13	2.55	2.16

SERIE 6639 — 1 Watt - Leitender Kunststoff - Muffenmontage

• **Widerstandstoleranz:** Standard ±15 % • **Auflösung:** Praktisch unendlich • **Effektiver Drehwinkel elektrisch:** 340° ±3° • **Endspannung:** max. 0,5 %• **Ausgangsglätte:** 0,1 % • **Dielektrische Haltespannung:** MIL-STD-202, Methode 301 (Meereshöhe: min. 750 V AC)
• **Isolationswiderstand (500 V DC):** min. 500 MΩ • **Montagekleinteile mitgeliefert**

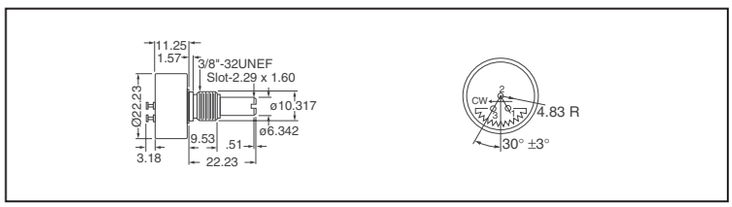

Ω	Digi-Key Teilenr.	Stückpreis 1	50	100	500
1K	6639S-1-102-ND	9.70	7.87	7.18	7.03
5K	6639S-1-502-ND	9.70	7.87	7.18	7.03
10K	6639S-1-103-ND	9.70	7.87	7.18	7.03

SERIEN 3540/3541

2 Watt - Draht-Pot./Hybritron®, 10 Umdrehungen

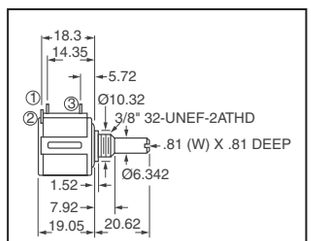

• **Widerstandstoleranz:** ±5 % für Serie 3540, ±10 % für Serie 3541
• **Effektiver Drehwinkel elektrisch:** 3.600° +10°, -0°
• **Dielektrische Haltespannung:** MIL-STD-202, Methode 301 (Meereshöhe: 1.000 V AC min.)
• **Isolationswiderstand bei 500 V DC :** min. 1.000 MΩ
• **Montagekleinteile mitgeliefert**

Ω	Auflösung %	Digi-Key Teilenr.	Stückpreis 1	50	100	500
Draht-Potentiometer						
100	.055	3540S-1-101-ND	11.33	9.18	8.39	7.94
500	.031	3540S-1-501-ND	11.33	9.18	8.39	7.94
1K	.027	3540S-1-102-ND	11.33	9.18	8.39	7.94
2K	.021	3540S-1-202-ND	11.33	9.18	8.39	7.94
5K	.021	3540S-1-502-ND	11.33	9.18	8.39	7.94
10K	.019	3540S-1-103-ND	11.33	9.18	8.39	7.94
20K	.014	3540S-1-203-ND	11.33	9.18	8.39	7.94
50K	.011	3540S-1-503-ND	12.60	10.21	9.33	8.83
100K	.008	3540S-1-104-ND	14.16	11.47	10.48	9.91
Hybritron						
1K	Praktisch - unendlich	3541H-1-102-ND	23.94	19.39	17.72	16.76
5K		3541H-1-502-ND	23.94	19.39	17.72	16.76
10K		3541H-1-103-ND	23.94	19.39	17.72	16.76

SERIE 3590 — 2 Watt - Draht-Pot, 10 Umdrehungen

• **Widerstandstoleranz:** ±5 %
• **Effektiver Drehwinkel elektrisch:** 3.600° +10°, -0°
• **Dielektrische Haltespannung:** MIL-STD-202, Methode 301 (Meereshöhe: 2.000 V AC min.)
• **Isolationswiderstand bei 500 V DC :** min. 1.000 MΩ • **Montagekleinteile mitgeliefert**

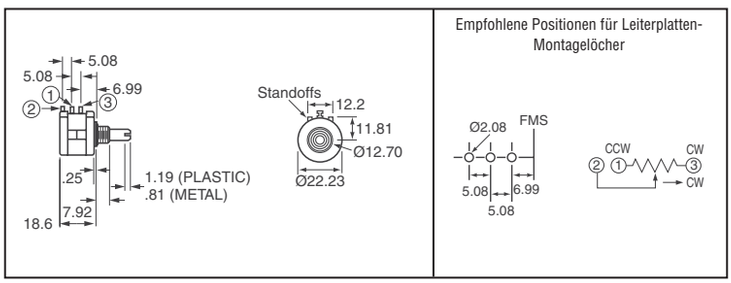

Ω	Auflösung %	Muffentyp & Durchmesser	Achsendurchmesser in Zoll (mm)	Digi-Key Teilenr.	Stückpreis 1	50	100	500
2K	.023	3/8" x 5/16" Kunststoff	0, 2480" (Stil 6,30) Kunststoff	3590S-1-202-ND	8.48	6.88	6.28	5.94
5K	.025			3590S-1-502-ND	8.48	6.88	6.28	5.94
20K	.016			3590S-1-203-ND	8.48	6.88	6.28	5.94
50K	.013			3590S-1-503-ND	10.24	8.30	7.59	7.18
100K	.009			3590S-1-104-ND	10.99	8.90	8.14	7.70
500	.033	3/8" x 5/16" Metall	0, 2497" (Stil 6,34) Metall	3590S-2-501-ND	8.48	6.88	6.28	5.94
1K	.029			3590S-2-102-ND	8.48	6.88	6.28	5.94
2K	.023			3590S-2-202-ND	8.48	6.88	6.28	5.94
5K	.025			3590S-2-502-ND	8.48	6.88	6.28	5.94
10K	.020			3590S-2-103-ND	8.48	6.88	6.28	5.94
20K	.016			3590S-2-203-ND	8.48	6.88	6.28	5.94
50K	.013			3590S-2-503-ND	10.24	8.30	7.58	7.18
100K	.009			3590S-2-104-ND	10.99	8.90	8.14	7.70
10K	.020	9 mm x 7,94 mm Metall	0, 2362" (Stil 6,00) Metall	3590S-6-103-ND	10.24	8.30	7.58	7.18

F

PRÄZISIONS-POTENTIOMETER

SERIE 3852

2 W Cermet 3/4" (19,05 mm) Ø für Frontplattenbedienung

- **Widerstandstoleranz:** ±10 %
- **Durchgang:** über den ganzen mechanischen Drehwinkel
- **Effektiver elektrischer Winkel:** 250° ±5°
- **Kontaktwiderstandsabweichung:** ±3 % des Gesamtwiderstands oder 3 Ω, maßgebend ist der jeweils größere Wert.
- **Dielektrische Haltes-pannung:** MIL-STD-202, Methode 301 (Meereshöhe: min. 900 V AC.; 70.000 Fuß (21.000 m): min. 350 V AC)
- **Isolationswiderstand bei 500 V DC :** min. 1.000 MΩ
- **Montagekleinteile mitgeliefert**

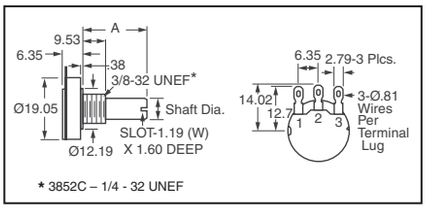

Ω	Abm. A (mm)	Achsen- Ø (mm)	Digi-Key Teilenr.	Stückpreis 1	25	50	100	250
1K	12.7	6.35	3852A-162-102A-ND	7.75	6.03	4.94	4.18	3.88
1K	22.20	6.35	3852A-282-102A-ND	7.75	6.03	4.94	4.18	3.88
5K	22.20	6.35	3852A-282-502A-ND	7.75	6.03	4.94	4.18	3.88
10K	22.20	6.35	3852A-282-103A-ND	7.75	6.03	4.94	4.18	3.88
10K	12.7	6.35	3852A-162-103A-ND	7.75	6.03	4.94	4.18	3.88
100K	22.20	6.35	3852A-282-104A-ND	7.75	6.03	4.94	4.18	3.88
10K	22.20	3.18	3852C-282-103A-ND*	7.75	6.03	4.94	4.18	3.88

SERIE 3862

1 W Cermet 1/2" (12,5 mm) Ø, eingängig, für Frontplattenbedienung

• **Widerstandstoleranz:** ±10 % • **Durchgang:** über den ganzen mechanischen Drehwinkel • **Effektiver elektrischer Winkel:** 260° ±10° • **Kontaktwiderstandsabweichung:** ±3 % des Gesamtwertes • **Theoretische Auflösung:** Praktisch unbegrenzt • **Dielektrische Haltespannung:** MIL-STD-202, Methode 301 (Meereshöhe: min. 750 V AC.; 70.000 Fuß (21.000 m): min. 350 V AC) • **Isolationswiderstand bei 500 V DC :** min. 1.000 MΩ • **Montagekleinteile mitgeliefert**

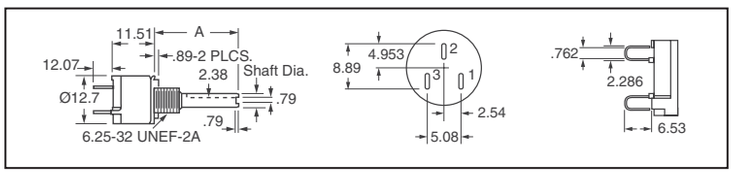

Ω	Abm. A (mm)	Achsen- Ø (mm)	Digi-Key Teilenr.	Stückpreis 1	25	50	100	250
10K	12.7	3.18	3862C-162-103A-ND	12.44	9.69	7.91	6.69	6.23
10K	22.20	3.18	3862C-282-103A-ND	12.44	9.69	7.91	6.69	6.23

F

SERIE 3500

2 Watt - Draht-Pot, 10 Umdrehungen

- **Widerstandstoleranz:** ±3 %
- **Unabhängige Linearität:** ±0,20 %
- **Effektiver Drehwinkel elektrisch:** 3.600° +10°, -0°
- **Dielektrische Haltespannung:** MIL-STD-202, **Methode 301 (Meereshöhe:** min. 1.500 V AC; 70.000 Fuß (21.000 m): min. 400 V AC)
- **Isolationswiderstand (500 V DC) :** min. 1.000 MΩ
- **Montagekleinteile mitgeliefert**

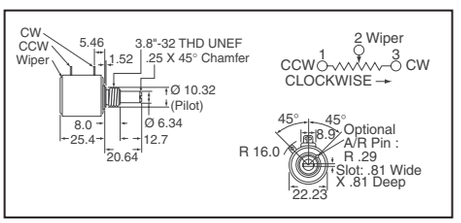

Ω	Auflösung %	Digi-Key Teilenr.	Stückpreis 1	25	100	500	1.000
1K	.030	3500S-2-102-ND	35.35	28.64	26.16	24.75	22.99
5K	.018	3500S-2-502-ND	35.35	28.64	26.16	24.75	22.99
10K	.019	3500S-2-103-ND	35.35	28.64	26.16	24.75	22.99

SERIE 3600

1,5 Watt -10-Umdrehungen, Draht-Pot., mit Ziffernblattanzeige

• **Widerstandstoleranz:** ±5 % • **Genauigkeit (Anzeige im Vergleich zum resultierenden Spannungsquotienten):** ±0,5 % des Spannungsquotienten • **Wiederholbarkeit der Anzeige:** ±0,1 % des Spannungsquotienten • **Effektiver Drehwinkel elektrisch:** nom. 3.600° • **Dielektrische Haltespannung:** MIL-STD-202, Methode 301 (Meereshöhe: min. 1.000 V AC; 70.000 Fuß (21.000 m): min. 400 V AC)

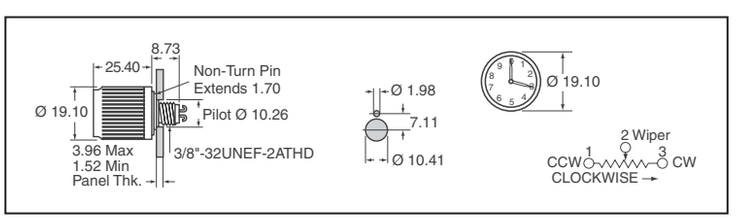

Ω	Auflösung %	Digi-Key Teilenr.	Stückpreis 1	25	100	500	1.000
10K	.022	3600S-1-103-ND	69.78	56.55	51.69	48.90	45.44

SERIE 3610

1,5 Watt - Draht-Pot., mit Digitalanzeige, 10 Umdrehungen

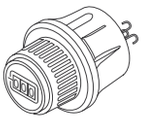

- **Widerstandstoleranz:** ±5 %
- **Genauigkeit (Anzeige im Vergleich zum resultierenden Spannungsquotienten):** ±0,5 % des Spannungsquotienten
- **Wiederholbarkeit der Anzeige:** ±0,1 % des Spannungsquotienten
- **Effektiver Drehwinkel elektrisch:** nom. 3.600°
- **Dielektrische Haltespannung:** MIL-STD-202, Methode 301 (Meereshöhe: min. 1.000 V AC; 70.000 Fuß (21.000 m): min. 400 V AC)

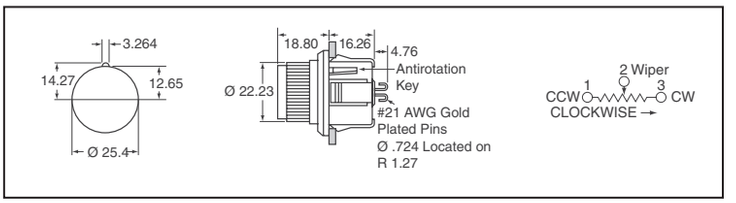

Ω	Auflösung %	Digi-Key Teilenr.	Stückpreis 1	25	100	500	1.000
1K	.035	3610S-1-102-ND	51.57	41.78	38.17	36.11	33.53
5K	.027	3610S-1-502-ND	51.57	41.78	38.17	36.11	33.53
10K	.022	3610S-1-103-ND	51.57	41.78	38.17	36.11	33.53

SERIE 3680

2 Watt, Cermet, Drucktastenbedienung

• **Widerstandstoleranz:** ±3 % • **Auflösung: 3.682:** 1 %; 3.683: 0,1 % • **Nennleistung:** +25 °C: 2 Watt • **Dielektrische Haltespannung:** MIL-STD-202, Methode 301 (Meeresspiegel: 1.000 V AC min.)

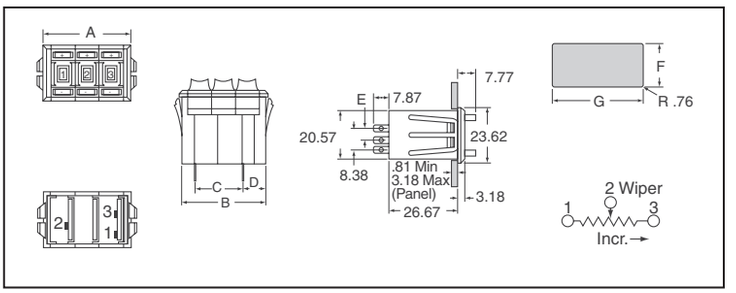

Ω	Abmessungen (mm) A	B	C	D	E	F	G	Digi-Key Teilenr.	Stückpreis 1	25	100	500	1.000
10K	26.67	25.15	10.67	11.94	8.38	21.08	25.91	3682S-1-103-ND	23.15	18.75	17.13	16.21	15.05
1K	37.08	35.31	18.54	11.94	4.19	21.08	36.07	3683S-1-102-ND	34.25	27.75	25.35	23.98	22.27
5K	37.08	35.31	18.54	11.94	4.19	21.08	36.07	3683S-1-502-ND	34.25	27.75	25.35	23.98	22.27
10K	37.08	35.31	18.54	11.94	4.19	21.08	36.07	3683S-1-103-ND	34.25	27.75	25.35	23.98	22.27

SERIEN H-22, H-46, H-490 und H-550

Mit Gangzählanzeige

*Skalenteilung/Umdrehung.
**Oberflächenausführung

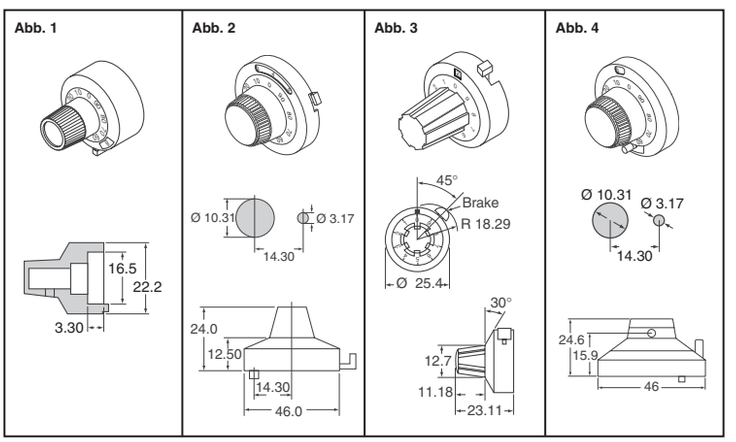

Abb.	Umdreh-ungen	Anzeige	Division/ Turn*	Bremse	Durchmesser (mm)	Für Achsen Ø (mm)	Body Finish**	Digi-Key Teilenr.	Stückpreis 1	25	50
					Serie H-22						
1	0-15	Analog	50	Ja	22	6.35	Transparent	H-22-6A-ND	7.23	6.88	6.52
					Serie H-46						
2	0-20	Analog	100	Ja	46	6.35	Transparent	H-46-6A-ND	14.31	13.60	12.88
					Serie H-490						
3	0-30	Analog	100	Ja	25.4	6.35	Transparent	H-492-3-ND	24.38	18.97	15.52
	0-30	Analog	100	Ja	25.4	6.35	Schwarz	H-494-3-ND	24.38	18.97	15.52
					Serie H-550						
4	0-11	Analog	100	Ja	46	6.35	Transparent	H-550-6A-1-ND	10.49	9.89	9.44

* Skalenteilung/Umdrehung ** Oberflächenausführung

Alle Preisangaben in Euro und inklusive Zollgebühren.

SERIE 3362

1/4" (6,35 mm), quadratisch/eingängig Cermet/industriell/gekapselt

Gemeinsame Abmessungen 3362H, P, R, U

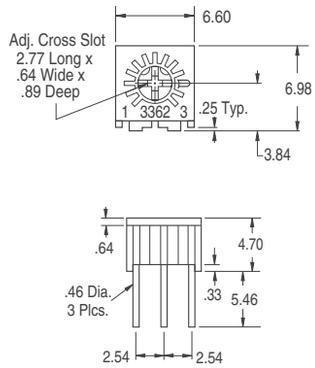

Gemeinsame Abmessungen 3362M, W, X

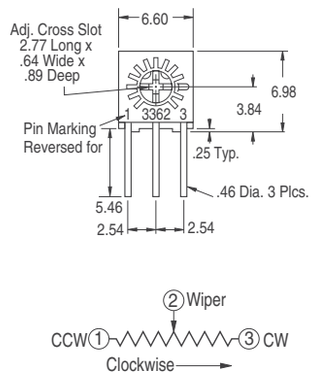

3362H

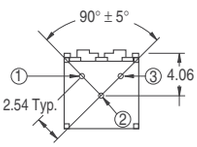

3362M

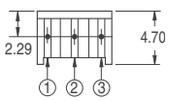

3362P

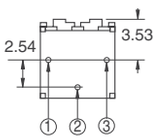

3362R

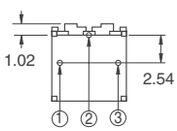

3362U

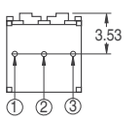

3362W

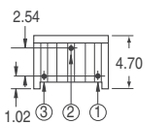

3362X

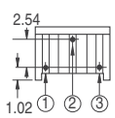

Abm. in mm

MERKMALE:

• Miniaturpaket • Rotor für automatische Maschinen-Einstellschnittfläche • Mehrfachdrahtschleifer zur Vermeidung von Kontaktwiderstandsabweichungen • Widersteht rauen Umgebungen und Tauchreinigungen

EIGENSCHAFTEN:

• **Widerstandstoleranz:** ±10 % Standard. • **Isolationswiderstand:** 500 V DC, min. 1.000 MΩ • **Einstellwinkel:** 240° nom. • **Nennspannung (max. 300 V.):** 70 °C = 0,5 W; 125 °C= 0 W • **Betriebstemperaturbereich:** -55 °C bis +125 °C • **Temperaturkoeffizient:** ±100 ppm/°C. • **Lebensdauer unter Belastung:** 1.000 Stunden bei 0,5 W @ 70 °C (3 % ΔTR; CRV, 3 % oder 3 Ω, maßgebend ist der jeweils größere Wert) • **Lebensdauer (Umdrehungen):** 200 Zyklen (4 % ΔTR; CRV, 3 % oder 3 Ω, maßgebend ist der jeweils größere Wert) • **Mechanischer Winkel:** nom. 270° • **Drehmoment:** 3 oz-in. max. • **Anschlagfestigkeit:** 7 oz-in. min.

Widerst. (Ω)	Digi-Key* Teilenr.	Digi-Key* Teilenr.	Digi-Key Teilenr.	Digi-Key* Teilenr.	Digi-Key* Teilenr.	Digi-Key Teilenr.	Digi-Key* Teilenr.
100	3362H-101-ND	3362M-101-ND	3362P-101-ND	3362R-101-ND	3362U-101-ND	3362W-101-ND	3362X-101-ND
200	3362H-201-ND	3362M-201-ND	3362P-201-ND	3362R-201-ND	3362U-201-ND	3362W-201-ND	3362X-201-ND
500	3362H-501-ND	3362M-501-ND	3362P-501-ND	3362R-501-ND	3362U-501-ND	3362W-501-ND	3362X-501-ND
1K	3362H-102-ND	3362M-102-ND	3362P-102-ND	3362R-102-ND	3362U-102-ND	3362W-102-ND	3362X-102-ND
2K	3362H-202-ND	3362M-202-ND	3362P-202-ND	3362R-202-ND	3362U-202-ND	3362W-202-ND	3362X-202-ND
5K	3362H-502-ND	3362M-502-ND	3362P-502-ND	3362R-502-ND	3362U-502-ND	3362W-502-ND	3362X-502-ND
10K	3362H-103-ND	3362M-103-ND	3362P-103-ND	3362R-103-ND	3362U-103-ND	3362W-103-ND	3362X-103-ND
20K	3362H-203-ND	3362M-203-ND	3362P-203-ND	3362R-203-ND	3362U-203-ND	3362W-203-ND	3362X-203-ND
25K	3362H-253-ND	3362M-253-ND	3362P-253-ND	3362R-253-ND	3362U-253-ND	3362W-253-ND	3362X-253-ND
50K	3362H-503-ND	3362M-503-ND	3362P-503-ND	3362R-503-ND	3362U-503-ND	3362W-503-ND	3362X-503-ND
100K	3362H-104-ND	3362M-104-ND	3362P-104-ND	3362R-104-ND	3362U-104-ND	3362W-104-ND	3362X-104-ND
200K	3362H-204-ND	3362M-204-ND	3362P-204-ND	3362R-204-ND	3362U-204-ND	3362W-204-ND	3362X-204-ND
500K	3362H-504-ND	3362M-504-ND	3362P-504-ND	3362R-504-ND	3362U-504-ND	3362W-504-ND	3362X-504-ND
1M	3362H-105-ND	3362M-105-ND	3362P-105-ND	3362R-105-ND	3362U-105-ND	3362W-105-ND	3362X-105-ND

Serie	Preisangaben 1	10	50
3362H / 3362M / 3362P / 3362R / 3362U / 3362W / 3362X	.70	6.35	31.11

* **3362□-KIT-ND** ***Digi-Key® Serie 3362 Trimmpotentiometerkit***
je 10 der angegebenen Werte in der Serie (140 Stck insgesamt). Heftartiges Aufbewahrungsetui und Lagerhaltungsanleitung inbegriffen Um die vollständige Nummer zu erhalten, ersetzen Sie bitte □ durch (H,R,U,M,X) **76.15**

SERIE 3302

Oberflächenmontage-Trimmpotentiometer, 2 mm

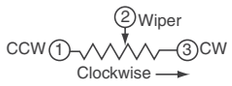

3302W, X

3 Anschlüsse für autom. Trimmanpassung, Flachprofil

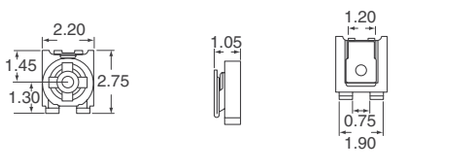

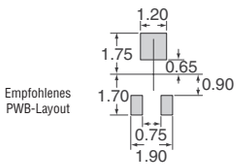

Empfohlenes PWB-Layout

Abm. in mm

Widerst. (Ω)	Digi-Key Teilenr.	Digi-Key Teilenr.
2K	3302W-202E□□-ND	—
5K	3302W-502E□□-ND	3302X-502E□□-ND
10K	3302W-103E□□-ND	3302X-103E□□-ND
20K	3302W-203E□□-ND	3302X-203E□□-ND

MERKMAL:

• Cermet/eingängig/offener Rahmen

EIGENSCHAFTEN:

• **Widerstandstoleranz:** ±25 % Standard. • **Kontaktwiderstandsabweichung:** max. 5 % • **Auflösung:** Unendlich • **Einstellwinkel:** 260° ±20° • **Nennspannung (max. 50 V DC):** 70 °C = 0,15 W • **Betriebstemperaturbereich:** -40 °C bis +85 °C • **Temperaturkoeffizient:** ±250 ppm/°C. • **TRS max.:** ±5 %

Serie	Teilenr.	Gurtabschnittspreise 1	10	100	Gegurtet auf Rolle Teilenr.	3.000
3302W	„CT-ND" hinzufügen	.38	3.17	29.21	„TR-ND" hinzufügen	190.49/M
3302X	„CT-ND" hinzufügen	.38	3.17	29.21	„TR-ND" hinzufügen	190.49/M

SERIE 3303

Oberflächenmontage-Trimmpotentiometer, 3 mm

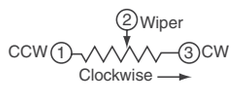

3303C 3 Anschlüsse, beidseitig einstellbar

Empfohlenes PWB-Layout

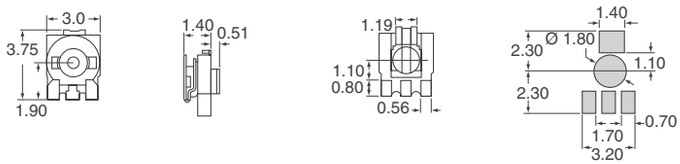

3303W, X Offener Rahmen zum Aufschmelzlöten, Flachprofil, 3 Anschlüsse

Empfohlenes PWB-Layout

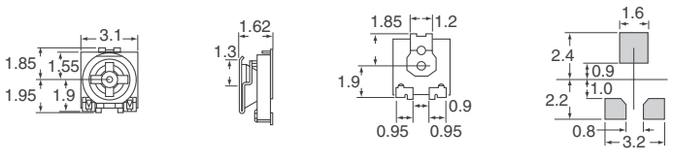

Abm. in mm

EIGENSCHAFTEN:

• **Widerstandstoleranz:** ±25 % Standard. • **Kontaktwiderstandsabweichung:** max. 5 % • **Auflösung:** Unendlich • **Einstellwinkel:** 260° ±20° • **Nennspannung (max. 50 V DC):** 70 °C = 0,15 W • **Betriebstemperaturbereich:** -40 °C bis +125 °C • **Temperaturkoeffizient:** ±250 ppm/°C. • **TRS max.:** ±5 %

Widerst. (Ω)	Digi-Key Teilenr.	Digi-Key Teilenr.	Digi-Key Teilenr.
500	—	—	3303X-501E□□-ND
5K	—	3303W-502E□□-ND	—
10K	—	3303W-103E□□-ND	—
20K	—	3303W-203E□□-ND	—
50K	3303C-503E□□-ND	—	—
100K	—	3303W-104E□□-ND	3303X-104E□□-ND
200K	—	3303W-204E□□-ND	—
1M	3303C-105E□□-ND	—	—

Serie	Teilenr.	Gurtabschnittspreise 1	10	100	Gegurtet auf Rolle Teilenr.	2.000
3303C	„CT-ND" hinzufügen	.38	3.17	29.21	„TR-ND" hinzufügen	190.49/M
3303W	„CT-ND" hinzufügen	.22	1.80	16.55	„TR-ND" hinzufügen	107.94/M
3303X	„CT-ND" hinzufügen	.22	1.80	16.55	„TR-ND" hinzufügen	107.94/M

F

Trimmpotentiometer

SERIE 3313

Trimmpotentiometer, 3 mm

3313J

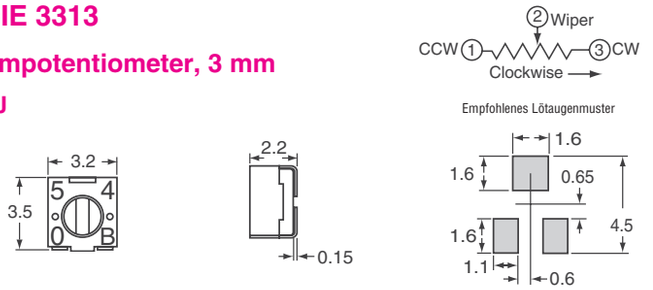

3313S

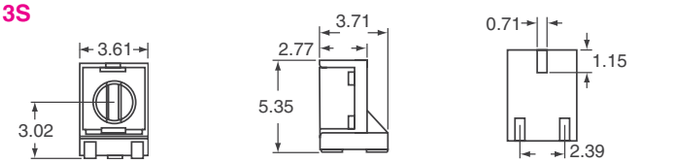

Empfohlenes Lötaugenmuster

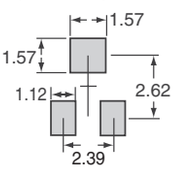

Abm. in mm

Widerst. (Ω)	Digi-Key Teilenr.	Digi-Key Teilenr.
100	3313J-101E□□-ND	—
200	3313J-201E□□-ND	—
500	3313J-501E□□-ND	—
1K	3313J-102E□□-ND	3313S-102E□□-ND
2K	3313J-202E□□-ND	—
5K	3313J-502E□□-ND	—
10K	3313J-103E□□-ND	3313S-103E□□-ND
20K	3313J-203E□□-ND	3313S-203E□□-ND
50K	3313J-503E□□-ND	—
100K	3313J-104E□□-ND	—
1MEG	—	3313S-105E□□-ND

MERKMAL:

• Oberflächenmontage, 3 mm Quadrat., eingängig, Cermet/gekapselt

EIGENSCHAFTEN:

• **Widerstandstoleranz:** ±20 % Standard. • **Endwiderstand:** 1 % oder 3 _ max. (je nachdem, welcher Wert größer ist) • **Kontaktwiderstandsabweichung:** 3 % oder 3 _ • **Isolationswiderstand:** 500 V DC, min. 100 MΩ • **Einstellwinkel:** nom. 220°. • **Durchschlagsfestigkeit:** Meereshöhe: 500 V AC, 70.000 Fuß (21.000 m): 350 V AC • **Nennspannung (max. 200 V):** 70 °C = 0,125 W; 125 °C= 0 W • **Betriebstemperaturbereich:** -55 °C bis +125 °C • **Temperaturkoeffizient:** ≤100 Ω ±150 ppm/°C; > 100 Ω ±100 ppm/°C

Serie	Teilenr.	Gurtabschnittspreise 1	10	100	Teilenr.	Gegurtet auf Rolle 200	1.000
3313J	„CT-ND" hinzufügen	1.52	12.70	116.83	„TR-ND" hinzufügen	—	761.94
3313S	„CT-ND" hinzufügen	1.68	13.97	128.51	„TR-ND" hinzufügen	206.74	—

F

SERIE 3009

3/4" (19,05 mm), rechteckig/Wendel-Pot. (15)
Cermet/industriell/gekapselt

Abm. in mm

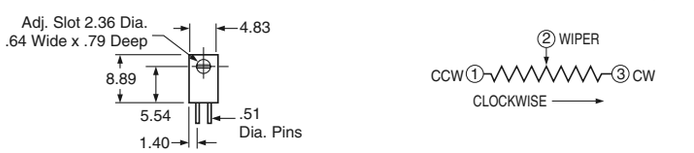

3009P

3009Y

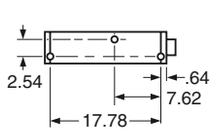

EIGENSCHAFTEN:

• **Widerstandstoleranz:** ±10 % Standard. •**Isolationswiderstand:** 500 V DC, min. 1.000 MΩ • **Stellbereich: Nom.** 15 Umdrehungen. • **Temperaturkoeffizient:** ±100 ppm/°C.

• **Lebensdauer unter Belastung:** 1.000 Std. bei 0,75 W @ 70 °C (4 % ΔTR). • **Lebensdauer (Umdrehungen):** 200 Zyklen (3 % ΔTR; CRV, 1 % oder 1 Ω, maßgebend ist der jeweils größere Wert) • **Drehmoment:** 5 oz-in. max. • **Mechanischer Halt:** Schleiffeder im Leerlauf.

Widerst. (Ω)	Digi-Key Teilenr.	Digi-Key Teilenr.
100	3009P-101-ND	3009Y-101-ND
200	3009P-201-ND	3009Y-201-ND
500	3009P-501-ND	3009Y-501-ND
1K	3009P-102-ND	3009Y-102-ND
2K	3009P-202-ND	3009Y-202-ND
5K	3009P-502-ND	3009Y-502-ND
10K	3009P-103-ND	3009Y-103-ND
20K	3009P-203-ND	3009Y-203-ND
25K	3009P-253-ND	3009Y-253-ND
50K	3009P-503-ND	3009Y-503-ND
100K	3009P-104-ND	3009Y-104-ND
200K	3009P-204-ND	3009Y-204-ND
500K	3009P-504-ND	3009Y-504-ND
1M	3009P-105-ND	3009Y-105-ND

Serie	Preisangaben 1	10	50
3009P/3009Y	2.30	20.95	90.10

SERIE 3386

3/8" (9,52 mm), quadratisch/eingängig
Cermet/industriell/gekapselt

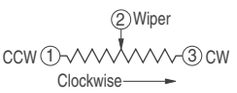

Herkömmliche Abmessungen, Betätigung seitlich – 3386C, H, W, X

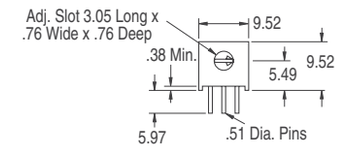

Herkömmliche Abmessungen, Betätigung von oben – 3386F, P, R

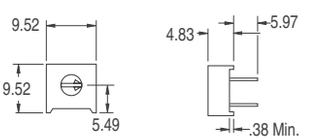

3386C

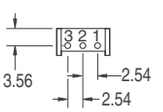

3386F

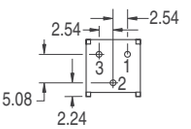

3386H

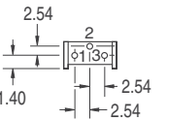

3386P

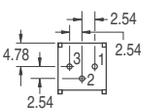

3386R

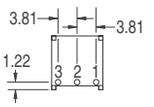

3386W

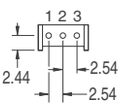

3386X

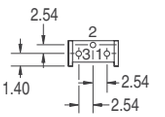

Abm. in mm

EIGENSCHAFTEN:

• **Widerstandstoleranz:** ±10 % Standard. • **Isolationswiderstand:** 500 V DC, min. 1.000 MΩ • **Einstellwinkel:** 280° • **Nennspannung (max. 300 V):** 85 °C = 0,5 W; 125 °C= 0 W • **Betriebstemperaturbereich:** -55 °C bis +125 °C • **Temperaturkoeffizient:** ±100 ppm/°C. • **Lebensdauer unter Belastung:** 1,000 Stunden bei 0,5 W @ 70 °C (1 % ΔTR; CRV, 1 % oder 1 Ω, maßgebend ist der jeweils größere Wert) • **Lebensdauer (Umdrehungen):** 200 Zyklen (4 % ΔTR; CRV, 1 % oder 1 Ω, maßgebend ist der jeweils größere Wert) • **Mechanischer Winkel:** nom. 310° • **Drehmoment:** 5 oz-in. max. • **Anschlagfestigkeit:** 15 oz-in. min.

Widerst. (Ω)	Digi-Key Teilenr.	Digi-Key Teilenr.	Digi-Key Teilenr.	Digi-Key Teilenr.	Digi-Key Teilenr.	Digi-Key Teilenr.	Digi-Key Teilenr.
50	3386C-500-ND*	3386F-500-ND*	3386H-500-ND	3386P-500-ND*	3386R-500-ND*	3386W-500-ND	3386X-500-ND*
100	3386C-101-ND*	3386F-101-ND*	3386H-101-ND	3386P-101-ND*	3386R-101-ND*	3386W-101-ND	3386X-101-ND*
200	3386C-201-ND*	3386F-201-ND*	3386H-201-ND	3386P-201-ND*	3386R-201-ND*	3386W-201-ND	3386X-201-ND*
500	3386C-501-ND*	3386F-501-ND*	3386H-501-ND	3386P-501-ND*	3386R-501-ND*	3386W-501-ND	3386X-501-ND*
1K	3386C-102-ND*	3386F-102-ND*	3386H-102-ND	3386P-102-ND*	3386R-102-ND*	3386W-102-ND	3386X-102-ND*
2K	3386C-202-ND*	3386F-202-ND*	3386H-202-ND	3386P-202-ND*	3386R-202-ND*	3386W-202-ND	3386X-202-ND*
5K	3386C-502-ND*	3386F-502-ND*	3386H-502-ND	3386P-502-ND*	3386R-502-ND*	3386W-502-ND	3386X-502-ND*
10K	3386C-103-ND*	3386F-103-ND*	3386H-103-ND	3386P-103-ND*	3386R-103-ND*	3386W-103-ND	3386X-103-ND*
20K	3386C-203-ND*	3386F-203-ND*	3386H-203-ND	3386P-203-ND*	3386R-203-ND*	3386W-203-ND	3386X-203-ND*
25K	3386C-253-ND	3386F-253-ND	3386H-253-ND	3386P-253-ND	3386R-253-ND	3386W-253-ND	3386X-253-ND
50K	3386C-503-ND*	3386F-503-ND*	3386H-503-ND	3386P-503-ND*	3386R-503-ND*	3386W-503-ND	3386X-503-ND*
100K	3386C-104-ND*	3386F-104-ND*	3386H-104-ND	3386P-104-ND*	3386R-104-ND*	3386W-104-ND	3386X-104-ND*
200K	3386C-204-ND*	3386F-204-ND*	3386H-204-ND	3386P-204-ND*	3386R-204-ND*	—	3386X-204-ND*
250K	3386C-254-ND	3386F-254-ND	3386H-254-ND	3386P-254-ND	3386R-254-ND	3386W-254-ND	3386X-254-ND
500K	3386C-504-ND*	3386F-504-ND*	3386H-504-ND	3386P-504-ND*	3386R-504-ND*	3386W-504-ND	3386X-504-ND*
1M	3386C-105-ND*	3386F-105-ND*	3386H-105-ND	3386P-105-ND*	3386R-105-ND*	3386W-105-ND	3386X-105-ND*
2M	3386C-205-ND*	3386F-205-ND*	3386H-205-ND	3386P-205-ND*	3386R-205-ND*	3386W-205-ND	3386X-205-ND*

Serie	Preisangaben 1	10	50
3386C/3386R	1.21	11.01	47.32
3386F/3386H/3386P/3386W/3386X	1.09	9.95	42.78

* **Digi-Key® Serie 3386 Trimmpotentiometer-Kit**

Jeweils 5 der angegeben Werte in der Serie (insgesamt 75 Stück). Heftartiges Aufbewahrungsetui und Lagerhaltungsanleitung inbegriffen
Um die vollständige Nummer zu erhalten, ersetzen Sie bitte M durch (C,F,P,R,X)□ **55.83**

SERIE 3260

1/4" (6,35 mm), quadratisch/Wendel-Pot.
(11) drahtumwickelt/industriell/gekapselt

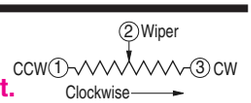

3260H

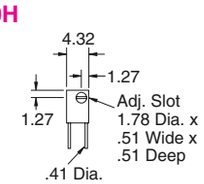

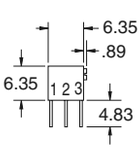

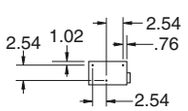

Abm. in mm

EIGENSCHAFTEN:

• **Widerstandstoleranz:** ±5 % Standard. • **Isolationswiderstand:** 500 V DC, min. 1.000 MΩ • **Einstellbereich:** Nom. 11 Umdrehungen • **Nennspannung:** 85 °C = 0,25 W; 150 °C= 0 W • **Betriebstemperaturbereich:** -65 °C bis +150 °C

• **Temperaturkoeffizient:** 70 ppm/°C • **Lebensdauer unter Belastung:** 1.000 Std. bei 0,25 W @ 85 °C (2 % DTR; ENR, 500 Ω) • **Lebensdauer (Umdrehungen):** 200 Zyklen (2 % DTR; ENR, 500 Ω) • **Drehmoment:** 3 oz-in. max. • **Mechanischer Halt:** Schleiffeder im Leerlauf.

Widerst. (Ω)	Digi-Key Teilenr.	Nom. Auflösung (%)
100	3260H-101-ND	1.00
200	3260H-201-ND	0.94
500	3260H-501-ND	0.58
1K	3260H-102-ND	0.50
2K	3260H-202-ND	0.45
10K	3260H-103-ND	0.29
20K	3260H-203-ND	0.28

Serie	Preisangaben 1	10	50
3260H	24.15	219.48	943.77

Alle Preisangaben in Euro und inklusive Zollgebühren.

Trimmpotentiometer

SERIE 3292 — 3/8" (9,52 mm) quadratisch/Wendel-Pot. (25) Cermet/industriell/gekapselt

3292W

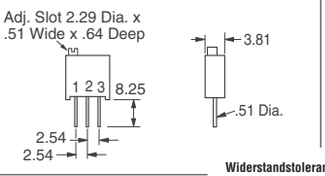

3292P

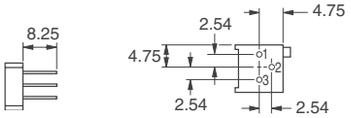

3292X

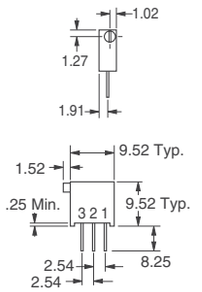

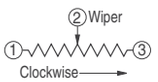

Widerstandstoleranz: ±10 % Std. **Isolierungswiderstand:** 500 V DC min. 1.000 MΩ **Effektive Bewegung:** nom. 25 Umdrehungen. **Nennleistung (max. 400 Volt):** 85 °C — 0,5 W; 150 °C — 0 W. **Temperaturbereich:** -65 °C bis +150 °C **Temperaturkoeffizient:** ±100 ppm/°C. **Lebensdauer unter Belastung:** 1.000 Stunden bei 0,5 Watt @ 85 °C (2 % ΔTR; CRV, 3 % oder 3 Ω, maßgebend ist der jeweils größere Wert). **Lebensdauer (Umdrehungen):** 200 Zyklen (2 % ΔTR; CRV, 3 % oder 3 Ω, maßgebend ist der jeweils größere Wert). **Drehmoment:** 5 oz-in. max. **Mechanischer Halt:** Schleiffeder im Leerlauf.

Widerst. (Ω)	Digi-Key Teilenr.	Digi-Key Teilenr.	Digi-Key Teilenr.
100	3292P-101-ND	3292W-101-ND	3292X-101-ND
200	3292P-201-ND	3292W-201-ND	3292X-201-ND
500	3292P-501-ND	3292W-501-ND	3292X-501-ND
1K	3292P-102-ND	3292W-102-ND	3292X-102-ND
2K	3292P-202-ND	3292W-202-ND	3292X-202-ND
5K	3292P-502-ND	3292W-502-ND	3292X-502-ND
10K	3292P-103-ND	3292W-103-ND	3292X-103-ND
20K	3292P-203-ND	3292W-203-ND	3292X-203-ND
50K	3292P-503-ND	3292W-503-ND	3292X-503-ND
100K	3292P-104-ND	3292W-104-ND	3292X-104-ND
200K	3292P-204-ND	3292W-204-ND	3292X-204-ND
500K	3292P-504-ND	3292W-504-ND	3292X-504-ND
1M	3292P-105-ND	3292W-105-ND	3292X-105-ND

Serie	Preisangaben 1	10	50
3292P/3292W/3292X	13.13	119.37	513.29

SERIE 3299 — 3/8" (9,52 mm) quadratisch/Wendel-Pot. (25) Cermet/industriell/gekapselt

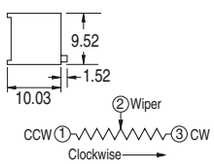

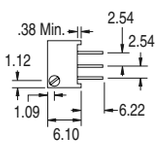

3299X

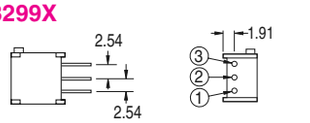

3299Y

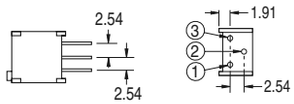

3299P

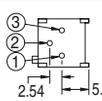

3299W

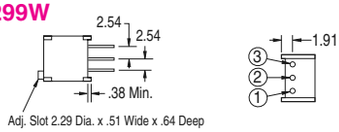

3299Z

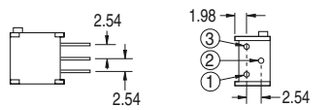

Widerstandstoleranz: ±10 % Std. **Isolierungswiderstand:** 500 V DC min. 1.000 MΩ **Effektive Bewegung:** nom. 25 Umdrehungen. **Nennleistung (max. 300 Volt):** 70 °C — 0,5 W; 125 °C — 0 W. **Temperaturbereich:** -55 °C bis +125 °C **Temperaturkoeffizient:** ±100 ppm/°C. **Lebensdauer unter Belastung:** 1.000 Stunden bei 0,5 Watt @ 70 °C (3 % ΔTR; CRV, 3 % oder 3 Ω, maßgebend ist der jeweils größere Wert). **Lebensdauer (Umdrehungen):** 200 Zyklen (4 % ΔTR; CRV, 3 % oder 3 Ω, maßgebend ist der jeweils größere Wert). **Drehmoment:** 3 oz-in. max. **Mechanischer Halt:** Schleiffeder im Leerlauf.

Widerst. (Ω)	Digi-Key Teilenr.	Digi-Key Teilenr.	Digi-Key Teilenr.	Digi-Key Teilenr.	Digi-Key Teilenr.
10	3299P-100-ND	3299W-100-ND	3299X-100-ND	3299Y-100-ND	3299Z-100-ND
20	3299P-200-ND	3299W-200-ND	3299X-200-ND	3299Y-200-ND	3299Z-200-ND
50	3299P-500-ND	3299W-500-ND	3299X-500-ND	3299Y-500-ND	3299Z-500-ND
100	3299P-101-ND	3299W-101-ND	3299X-101-ND	3299Y-101-ND	3299Z-101-ND
200	3299P-201-ND	3299W-201-ND	3299X-201-ND	3299Y-201-ND	3299Z-201-ND
500	3299P-501-ND	3299W-501-ND	3299X-501-ND	3299Y-501-ND	3299Z-501-ND
1K	3299P-102-ND	3299W-102-ND	3299X-102-ND	3299Y-102-ND	3299Z-102-ND
2K	3299P-202-ND	3299W-202-ND	3299X-202-ND	3299Y-202-ND	3299Z-202-ND
5K	3299P-502-ND	3299W-502-ND	3299X-502-ND	3299Y-502-ND	3299Z-502-ND
10K	3299P-103-ND	3299W-103-ND	3299X-103-ND	3299Y-103-ND	3299Z-103-ND
20K	3299P-203-ND	3299W-203-ND	3299X-203-ND	3299Y-203-ND	3299Z-203-ND
25K	3299P-253-ND	3299W-253-ND	—	3299Y-253-ND	3299Z-253-ND
50K	3299P-503-ND	3299W-503-ND	3299X-503-ND	3299Y-503-ND	3299Z-503-ND
100K	3299P-104-ND	3299W-104-ND	3299X-104-ND	3299Y-104-ND	3299Z-104-ND
200K	3299P-204-ND	3299W-204-ND	3299X-204-ND	3299Y-204-ND	3299Z-204-ND
250K	3299P-254-ND	3299W-254-ND	3299X-254-ND	3299Y-254-ND	3299Z-254-ND
500K	3299P-504-ND	3299W-504-ND	3299X-504-ND	3299Y-504-ND	3299Z-504-ND
1M	3299P-105-ND	3299W-105-ND	3299X-105-ND	3299Y-105-ND	3299Z-105-ND
2M	3299P-205-ND	3299W-205-ND	3299X-205-ND	3299Y-205-ND	3299Z-205-ND
5M	3299P-505-ND	3299W-505-ND	3299X-505-ND	3299Y-505-ND	3299Z-505-ND

Serie	Preisangaben 1	10	50
3299P/3299Z	2.66	24.13	103.75
3299W/3299X/3299Y	2.47	22.43	96.47

SERIE 3296 — 3/8" (9,52 mm) quadratisch/Wendel-Pot. (25) Cermet/industriell/gekapselt

Typische Maße

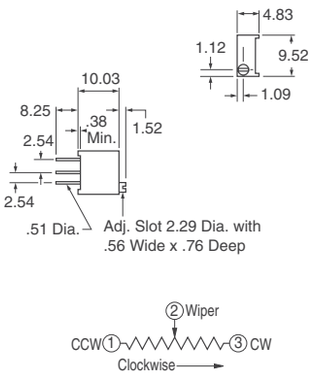

3296W

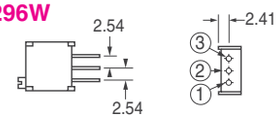

3296X

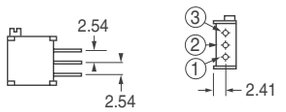

3296Y

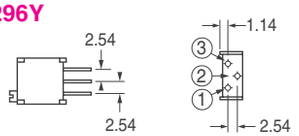

3296P

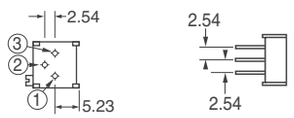

3296Z

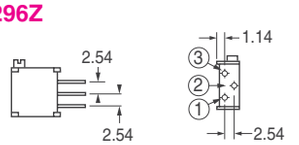

Widerstandstoleranz: ±10 % Std. **Isolierungswiderstand:** 500 V DC min. 1.000 MΩ **Effektive Bewegung:** nom. 25 Umdrehungen. **Nennleistung (max. 300 Volt):** 70 °C — 0,5 W; 125 °C — 0 W. **Temperaturbereich:** -55 °C bis +125 °C **Temperaturkoeffizient:** ±100 ppm/°C. **Lebensdauer unter Belastung:** 1.000 Stunden bei 0,5 Watt @ 70 °C (3 % ΔTR; CRV, 3 % oder 3 Ω, maßgebend ist der jeweils größere Wert). **Lebensdauer (Umdrehungen):** 200 Zyklen (4 % ΔTR; CRV, 3 % oder 3 Ω, maßgebend ist der jeweils größere Wert). **Drehmoment:** 3 oz-in. max. **Mechanischer Halt:** Schleiffeder im Leerlauf.

Widerst. (Ω)	Digi-Key Teilenr.	Digi-Key Teilenr.	Digi-Key Teilenr.	Digi-Key Teilenr.	Digi-Key Teilenr.
10	3296P-100-ND*	3296W-100-ND*	3296X-100-ND*	3296Y-100-ND*	—
20	3296P-200-ND	3296W-200-ND	3296X-200-ND	3296Y-200-ND	3296Z-200-ND
50	3296P-500-ND*	3296W-500-ND*	3296X-500-ND*	3296Y-500-ND*	3296Z-500-ND*
100	3296P-101-ND*	3296W-101-ND*	3296X-101-ND*	3296Y-101-ND*	3296Z-101-ND*
200	3296P-201-ND	3296W-201-ND	3296X-201-ND	3296Y-201-ND	3296Z-201-ND
500	3296P-501-ND*	3296W-501-ND*	3296X-501-ND*	3296Y-501-ND*	3296Z-501-ND*
1K	3296P-102-ND*	3296W-102-ND*	3296X-102-ND*	3296Y-102-ND*	3296Z-102-ND*
2K	3296P-202-ND*	3296W-202-ND*	3296X-202-ND*	3296Y-202-ND*	3296Z-202-ND*
5K	3296P-502-ND*	3296W-502-ND*	3296X-502-ND*	3296Y-502-ND*	3296Z-502-ND*
10K	3296P-103-ND*	3296W-103-ND*	3296X-103-ND*	3296Y-103-ND*	3296Z-103-ND*
20K	3296P-203-ND*	3296W-203-ND*	3296X-203-ND*	3296Y-203-ND*	3296Z-203-ND*
25K	3296P-253-ND	3296W-253-ND	3296X-253-ND	3296Y-253-ND	3296Z-253-ND
50K	3296P-503-ND*	3296W-503-ND*	3296X-503-ND*	3296Y-503-ND*	3296Z-503-ND*
100K	3296P-104-ND*	3296W-104-ND*	3296X-104-ND*	3296Y-104-ND*	3296Z-104-ND*
200K	3296P-204-ND*	3296W-204-ND*	3296X-204-ND*	3296Y-204-ND*	3296Z-204-ND*
250K	3296P-254-ND	3296W-254-ND	3296X-254-ND	3296Y-254-ND	3296Z-254-ND
500K	3296P-504-ND*	3296W-504-ND*	3296X-504-ND*	3296Y-504-ND*	3296Z-504-ND*
1M	3296P-105-ND*	3296W-105-ND*	3296X-105-ND*	3296Y-105-ND*	3296Z-105-ND*
2M	3296P-205-ND*	3296W-205-ND*	3296X-205-ND*	3296Y-205-ND*	3296Z-205-ND*
5M	3296P-505-ND	3296W-505-ND	3296X-505-ND	—	3296Z-505-ND

Serie	Preisangaben 1	10	50
3296P/3296Z	2.29	20.74	89.19
3296W/3296X/3296Y	2.12	19.26	82.82

* **3296□ -KIT-ND** ***Digi-Key® Serie 3296 Trimmpotentiometerkit***

Jeweils 5 der angegeben Werte in der Serie (insgesamt 75 Stück). Heftartiges Aufbewahrungsetui und Lagerhaltungsanleitung inbegriffen. Um die vollständige Nummer zu erhalten, ersetzen Sie bitte □ durch (P,W,X,Y,Z) □ **117.68**

SERIE 3345 — 1/2" (12,7 mm), rund/eingängig drahtumwickelt/industriell/gekapselt

3345P

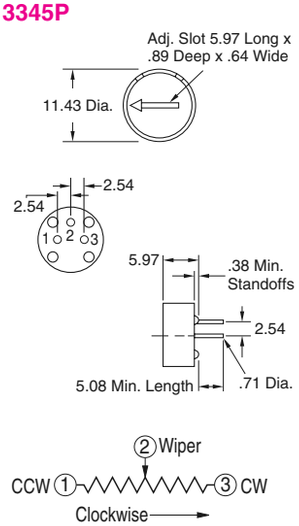

• Industriell Draht-Pot. • Nennleistung: 1 W bei 70 °C. Widerstandstoleranz: ±5 % Std. Einstellwinkel: nom. 280°. Nennleistung: 70 °C — 1 W; 150 °C — 0 W. Temperaturbereich: -55 °C bis +150 °C Temperaturkoeffizient: ±50 ppm/°C. Lebensdauer unter Belastung: 1.000 Std. bei 1 W @ 70 °C. Lebensdauer (Umdrehungen): 200 Zyklen (2 % DTR; ENR, 500 Ω). Drehwinkel mechanisch: 310° nom. Drehmoment: 5 oz-in. max. Anschlagfestigkeit: 15 oz.-in. min.

Widerst. (Ω)	Digi-Key* Teilenr.	Nom. Auflösung (%)
50	3345P-500-ND	0.58
100	3345P-101-ND	0.49
200	3345P-201-ND	0.49
500	3345P-501-ND	0.38
1K	3345P-102-ND	0.30
2K	3345P-202-ND	0.24
5K	3345P-502-ND	0.18
10K	3345P-103-ND	0.14
20K	3345P-203-ND	0.13

Serie	Preisangaben 1	10	50
3345P	8.08	73.44	315.81

* **3345P-KIT-ND** ***Digi-Key® Serie 3345 Trimmpotentiometerkit***

jeweils 5 der angegebenen Werte (insgesamt 45 Stück). Heftartiges Aufbewahrungsetui und Lagerhaltungsanleitung inbegriffen..... **169.28**

F

Trimmpotentiometer

SERIE 3057 — 1-1/4" (31,75 mm) rechteckig/Wendel-Pot. (22) drahtumwickelt/industriell/gekapselt

3057Y

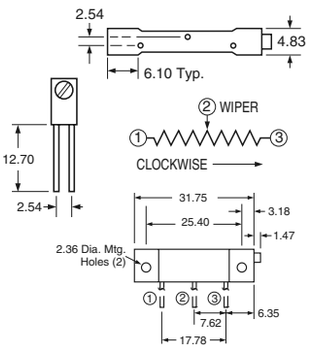

Widerstandstoleranz: ±5 % Std. **Isolierungswiderstand:** 500 V DC min. 1,000 MΩ **Einstellweg:** nom. 22 Umdrehungen. **Nennleistung:** 70 °C — 1 W; 150 °C — 0 W. **Temperaturbereich:** -55 °C bis +150 °C **Temperaturkoeffizient:** ±50 ppm/°C. **Lebensdauer unter Belastung:** 1.000 Std. bei 1 W @ 70 °C (2 % ΔTR). **Lebensdauer (Umdrehungen):** 200 Zyklen (2 % ΔTR). **Drehmoment:** 5 oz-in. max. **Mechanischer Halt:** Schleiffeder im Leerlauf.

Widerst. (Ω)	Digi-Key Teilenr.	Nom. Auflösung (%)
200	3057Y-201-ND	0.86
500	3057Y-501-ND	0.89
1K	3057Y-102-ND	0.72
2K	3057Y-202-ND	0.58
5K	3057Y-502-ND	0.43
10K	3057Y-103-ND	0.34
20K	3057Y-203-ND	0.31

Serie	Preisangaben 1	10	50
3057Y	16.14	146.67	630.70

SERIE 3310 — 9 mm, quadratisch, Montageplattebedienung, leitender Kunststoff, gekapselt

3310C

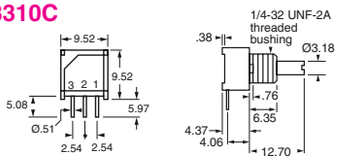

3310Y

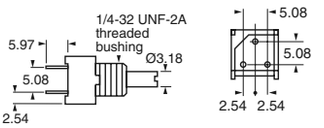

• Leitender Kunststoff • Linear • Leiterplatten- und Muffenmontage • Kunststoffmuffe- und achse • Widersteht den in der Industrie gebräuchlichen Reinigungsprozessen • Kompaktpaket, spart Leiter- und Montageplattenplatz **Standard-Widerstandsbereich (linear):** 1 KΩ bis 1 MΩ **Allgemeine Widerstandstoleranz (Linearverhalten):** ±20 % **Unabhängige Linearität:** ±5 % **Absoluter Minimalwider-stand:** max. 2 Ω **Effektiver elektrischer Einstellwinkel:** 270° ±15° **Kontaktwiderstandsabweichung:** 1 % oder 1 Ω, maßgebend ist der jeweils größere Wert. **Dielektrische Haltespannung:** (Meeresspiegel) 900 V AC min; **70.000 Fuss (21.000 m):** 350 V AC min. **Isolationswiderstand:** mind. 1.000 MΩ **Nennleistung @ 70 °C:** (bei 125 °C auf 0 drosseln - Spannung durch Leistungsdissipation oder 200 V AC beschränkt, wobei der jeweils kleinere Wert maßgeblich ist) 0,25 W **Anschlagfestigkeit:** nom. 5,65 **Drehwinkel mechanisch:** nom. 300° **Drehmoment (Laufend):** nom. 3,53. • **Montagekleinteile mitgeliefert**

Widerst. (Ω)	Digi-Key Teilenr.	Digi-Key Teilenr.
1K	3310C-001-102-ND	3310Y-001-102-ND
2K	3310C-001-202-ND	3310Y-001-202-ND
5K	3310C-001-502-ND	3310Y-001-502-ND
10K	3310C-001-103-ND	3310Y-001-103-ND
20K	3310C-001-203-ND	3310Y-001-203-ND
50K	3310C-001-503-ND	3310Y-001-503-ND
100K	3310C-001-104-ND	3310Y-001-104-ND
200K	3310C-001-204-ND	3310Y-001-204-ND
500K	3310C-001-504-ND	3310Y-001-504-ND
1M	3310C-001-105-ND	3310Y-001-105-ND

Serie	Preisangaben 1	10	50
3310C/3310Y	2.17	19.16	80.34

SERIE 3252 — 1/2" (12,70 mm) quadratisch/Wendel-Pot. (25) Cermet/industriell/gekapselt

3252P

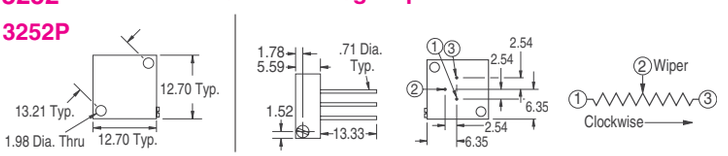

3252W

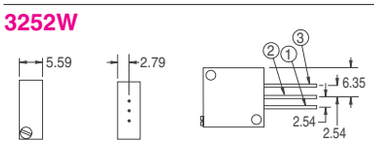

3252X

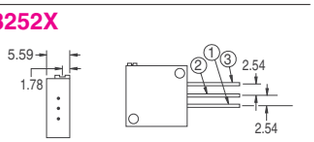

Widerstandstoleranz: ±10 % Std. **Isolationswiderstand:** 500 V DC, min. 1.000 MΩ **Effektive Bewegung:** nom. 25 Umdrehungen. **Nennleistung (max. 400 Volt):** 85 °C — 0,75 W; 150 °C — 0 W. **Temperaturbereich:** -65 °C bis +150 °C **Temperaturkoeffizient:** ±100 ppm/°C. **Lebensdauer unter Belastung:** 1.000 Stunden bei 0,75 Watt @ 85 °C (3 % ΔTR; CRV, 3 % oder 3 Ω, maßgebend ist der jeweils größere Wert). **Lebensdauer (Umdrehungen):** 200 Zyklen (2 % ΔTR; CRV, 3 % oder 3 Ω, maßgebend ist der jeweils größere Wert). **Drehmoment:** 5 oz-in. max. **Mechanischer Halt:** Schleiffeder im Leerlauf.

Widerst. (Ω)	Digi-Key Teilenr.	Digi-Key Teilenr.	Digi-Key Teilenr.
100	3252P-101-ND*	3252W-101-ND*	3252X-101-ND*
200	3252P-201-ND	3252W-201-ND	—
500	3252P-501-ND*	3252W-501-ND*	3252X-501-ND*
1K	3252P-102-ND*	3252W-102-ND*	3252X-102-ND*
2K	3252P-202-ND	3252W-202-ND	3252X-202-ND
5K	3252P-502-ND*	3252W-502-ND*	3252X-502-ND*
10K	3252P-103-ND*	3252W-103-ND*	3252X-103-ND*
20K	3252P-203-ND	3252W-203-ND	3252X-203-ND
50K	3252P-503-ND*	3252W-503-ND*	3252X-503-ND*
100K	3252P-104-ND	3252W-104-ND	3252X-104-ND
200K	3252P-204-ND	3252W-204-ND	3252X-204-ND

Serie	Preisangaben 1	10	50
3252P/3252W/3252X	12.22	111.12	477.80

* **3252-KIT-ND** ***Digi-Key® Serie 3252 Trimmpotentiometerkit***
Jeweils 5 der angegebenen Werte (insgesamt 90 Stück).
Heftartiges Aufbewahrungsetui und Lagerhaltungsanleitung inbegriffen **507.11**

SERIE 3262 — 1/4" (6,35 mm) quadratisch/Wendel-Pot. (12) Cermet/industriell/gekapselt

3262P

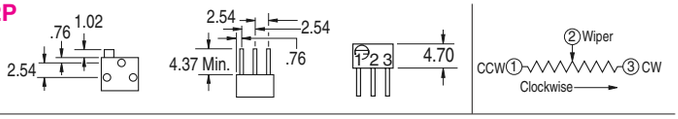

3262W

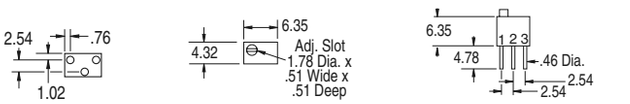

3262X

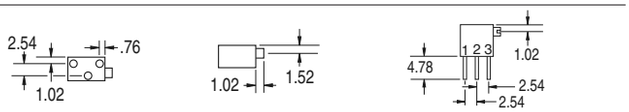

Widerstandstoleranz: ±10 % Std. **Isolierungswiderstand:** 500 V DC min. 1.000 MΩ **Effektive Bewegung:** nom. 12 Umdrehungen. **Nennleistung (max. 300 Volt):** 85 °C — 0,25 W; 150 °C — 0 W. **Temperaturbereich:** -65 °C bis +150 °C **Temperaturkoeffizient:** ±100 ppm/°C. **Lebensdauer unter Belastung:** 1.000 Stunden bei 0,25 W @ 85 °C (3 % ΔTR; CRV, 3 % oder 3 Ω, maßgebend ist der jeweils größere Wert). **Lebensdauer (Umdrehungen):** 200 Zyklen (2 % ΔTR; CRV, 3 % oder 3 Ω, maßgebend ist der jeweils größere Wert) **Drehmoment:** 3 oz-in. max. **Mechanischer Halt:** Schleiffeder im Leerlauf.

Widerst. (Ω)	Digi-Key Teilenr.	Digi-Key Teilenr.	Digi-Key Teilenr.
10	3262P-100-ND	3262W-100-ND	3262X-100-ND
20	3262P-200-ND	3262W-200-ND	3262X-200-ND
50	3262P-500-ND	3262W-500-ND	3262X-500-ND
100	3262P-101-ND	3262W-101-ND	3262X-101-ND
200	3262P-201-ND	3262W-201-ND	3262X-201-ND
500	3262P-501-ND	3262W-501-ND	3262X-501-ND
1K	3262P-102-ND	3262W-102-ND	3262X-102-ND
2K	3262P-202-ND	3262W-202-ND	3262X-202-ND
5K	3262P-502-ND	3262W-502-ND	3262X-502-ND
10K	3262P-103-ND	3262W-103-ND	3262X-103-ND
20K	3262P-203-ND	3262W-203-ND	3262X-203-ND
25K	3262P-253-ND	3262W-253-ND	3262X-253-ND
50K	3262P-503-ND	3262W-503-ND	3262X-503-ND
100K	3262P-104-ND	3262W-104-ND	3262X-104-ND
200K	3262P-204-ND	3262W-204-ND	3262X-204-ND
250K	3262P-254-ND	3262W-254-ND	3262X-254-ND
500K	3262P-504-ND	3262W-504-ND	3262X-504-ND
1M	3262P-105-ND	3262W-105-ND	3262X-105-ND

Serie	Preisangaben 1	10	50
3262P/3262W/3262X	12.11	110.06	473.25

SERIE 3006 — 3/4" (19,05 mm), rechteckig/Wendel-Pot. (15) Cermet/industriell/gekapselt

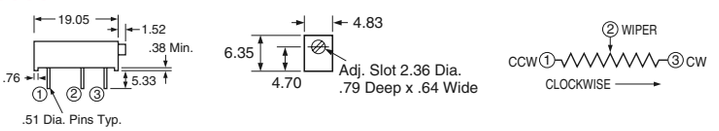

3006P

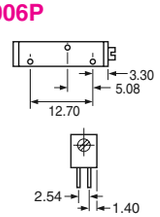

3006W

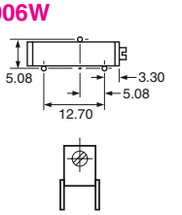

3006Y

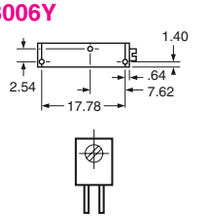

Widerstandstoleranz: ±10 % Std. **Isolierungswiderstand:** 500 V DC min. 1.000 MΩ **Stellbereich:** Nom. 15 Umdrehungen. **Nennleistung (max. 400 Volt):** 70 °C - 0,75 W; 150 °C - 0 W. **Temperaturbereich:** -55 °C bis +125 °C **Temperaturkoeffizient:** ±100 ppm/°C. **Lebensdauer unter Belastung:** 1.000 Std. bei 0,75 W @ 70 °C (4 % ΔTR). **Lebensdauer (Umdrehungen):** 200 Zyklen (3 % ΔTR; CRV, 1 % oder 1 Ω, maßgebend ist der jeweils größere Wert) **Drehmoment:** 5 oz-in. max. **Mechanischer Halt:** Schleiffeder im Leerlauf.

Widerst. (Ω)	Digi-Key Teilenr.	Digi-Key Teilenr.	Digi-Key Teilenr.
100	3006P-101-ND*	3006W-101-ND	3006Y-101-ND
200	3006P-201-ND*	3006W-201-ND	3006Y-201-ND
500	3006P-501-ND*	3006W-501-ND	3006Y-501-ND
1K	3006P-102-ND*	3006W-102-ND	3006Y-102-ND
2K	3006P-202-ND*	3006W-202-ND	3006Y-202-ND
5K	3006P-502-ND*	3006W-502-ND	3006Y-502-ND
10K	3006P-103-ND*	3006W-103-ND	3006Y-103-ND
20K	3006P-203-ND*	3006W-203-ND	3006Y-203-ND
25K	3006P-253-ND*	3006W-253-ND	3006Y-253-ND
50K	3006P-503-ND*	3006W-503-ND	3006Y-503-ND
100K	3006P-104-ND*	3006W-104-ND	3006Y-104-ND
200K	3006P-204-ND*	3006W-204-ND	3006Y-204-ND
250K	3006P-254-ND	3006W-254-ND	3006Y-254-ND
500K	3006P-504-ND*	3006W-504-ND	3006Y-504-ND
1M	3006P-105-ND*	3006W-105-ND	3006Y-105-ND
2M	3006P-205-ND*	3006W-205-ND	3006Y-205-ND

Serie	Preisangaben 1	10	50
3006P	1.46	13.33	57.34
3006W/3006Y	1.58	14.39	61.89

* **3006P-KIT-ND** ***Digi-Key® Serie 3006 Potentiometer-Kit***
Jeweils 10 der angegebenen Werte (insgesamt 150 Stück).
Heftartiges Aufbewahrungsetui und Lagerhaltungsanleitung inbegriffen **134.61**

F

Alle Preisangaben in Euro und inklusive Zollgebühren.

BOURNS Trimmpotentiometer

SERIE 3306 — 6 mm, rund/eingängig, Cermet/industriell/offener Rahmen

3306F

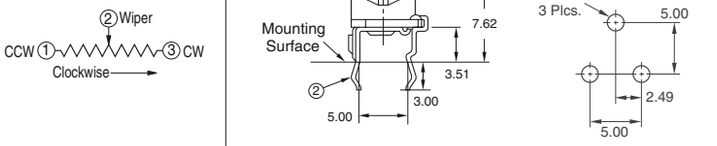

3306K

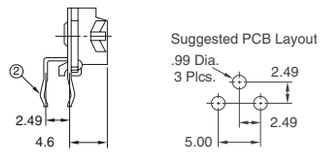

3306W

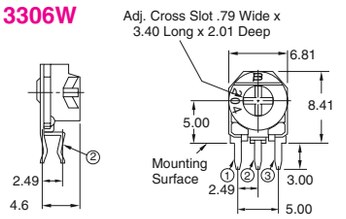

3306P

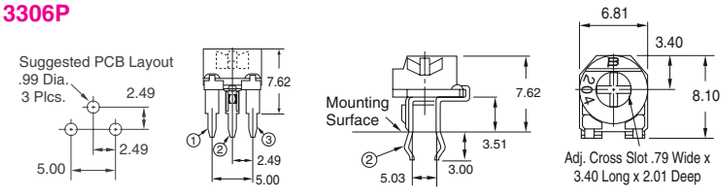

• Für automatische Einstellausrüstung geeigneter Kreuzschlitzrotor • Kartenklammer. • Staub- und sprühfester Deckel. • Betätigung von oben oder seitlich. **Widerstandstoleranz:** ±25% Std. **Einstellwinkel:** nom. 215°. **Nennleistung** (max. 100 Volt): 70 °C — 0,2 W. **Temperaturbereich:** -25 °C ~ +100 °C **Temperaturkoeffizient:** ±250 ppm/°C. **Lebensdauer unter Belastung:** 1.000 Std. bei 0,2 W @ 70 °C (5 % ΔTR). **Drehmoment** (laufend): 4.5 oz-in. max. **Anschlagfestigkeit:** 6.5 oz-in. min.

Widerst. (Ω)	Digi-Key Teilenr.	Digi-Key Teilenr.	Digi-Key Teilenr.	Digi-Key Teilenr.
100	3306F-101-ND	3306K-101-ND	3306P-101-ND	3306W-101-ND
200	3306F-201-ND	3306K-201-ND	3306P-201-ND	3306W-201-ND
500	3306F-501-ND	3306K-501-ND	3306P-501-ND	3306W-501-ND
1K	3306F-102-ND	3306K-102-ND	3306P-102-ND	3306W-102-ND
2K	3306F-202-ND	3306K-202-ND	3306P-202-ND	3306W-202-ND
5K	3306F-502-ND	3306K-502-ND	3306P-502-ND	3306W-502-ND
10K	3306F-103-ND	3306K-103-ND	3306P-103-ND	3306W-103-ND
20K	3306F-203-ND	3306K-203-ND	3306P-203-ND	3306W-203-ND
50K	3306F-503-ND	3306K-503-ND	3306P-503-ND	3306W-503-ND
100K	3306F-104-ND	3306K-104-ND	3306P-104-ND	3306W-104-ND
200K	3306F-204-ND	3306K-204-ND	3306P-204-ND	3306W-204-ND
500K	3306F-504-ND	3306K-504-ND	3306P-504-ND	3306W-504-ND
1M	3306F-105-ND	3306K-105-ND	3306P-105-ND	3306W-105-ND

Serie	Preisangaben 1	10	100
3306F / 3306K / 3306P / 3306W	.60	4.49	41.91

SERIE 3266 — 1/4" (6,35 mm) quadratisch/Wendel-Pot. (12) Cermet/industriell/gekapselt

Widerstandstoleranz: ±10 % Std. **Isolierungswiderstand:** 500 V DC min. 1.000 MΩ **Effektive Bewegung:** nom. 12 Umdrehungen. **Nennleistung (max. 300 Volt):** 70 °C — 0,25 W; 150 °C — 0 W. **Temperaturbereich:** -55 °C ~ +125 °C **Temperaturkoeffizient:** ±100 ppm/°C. **Lebensdauer unter Last:** 1.000 Std. bei 0,25 W @ 70 °C (3 % ΔTR; CRV, 3 %). **Lebensdauer (Umdrehungen):** 200 Zyklen (4 % ΔTR; CRV, 3 % oder 3 Ω, maßgebend ist der jeweils größere Wert) **Drehmoment:** 3 oz-in. max. **Mechanischer Halt:** Schleiffeder im Leerlauf.

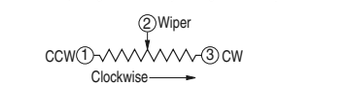

3266W

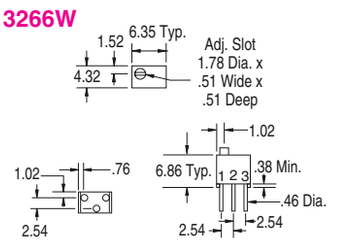

3266X

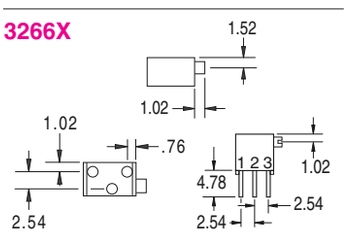

Widerst. (Ω)	Digi-Key Teilenr.	Digi-Key Teilenr.
10	3266W-100-ND*	3266X-100-ND*
20	3266W-200-ND*	3266X-200-ND*
50	3266W-500-ND*	3266X-500-ND*
100	3266W-101-ND*	3266X-101-ND*
200	3266W-201-ND*	3266X-201-ND*
500	3266W-501-ND*	3266X-501-ND*
1K	3266W-102-ND*	3266X-102-ND*
2K	3266W-202-ND*	3266X-202-ND*
5K	3266W-502-ND*	3266X-502-ND*
10K	3266W-103-ND*	3266X-103-ND*
20K	3266W-203-ND*	3266X-203-ND*
25K	3266W-253-ND*	3266X-253-ND*
50K	3266W-503-ND*	3266X-503-ND*
100K	3266W-104-ND*	3266X-104-ND*
200K	3266W-204-ND*	3266X-204-ND*
250K	3266W-254-ND*	3266X-254-ND*
500K	3266W-504-ND*	3266X-504-ND*
1M	3266W-105-ND	3266X-105-ND

Serie	Preisangaben 1	10	50
3266W/3266X	3.03	27.51	118.31

Digi-Key® Serie 3266 Trimmpotentiometerkit

Jeweils 5 der angegebenen Werte in der Serie (insgesamt 85 Stück). Heftartiges Aufbewahrungsetui und Lagerhaltungsanleitung inbegriffen Um die vollständige Nummer zu erhalten, ersetzen Sie bitte □ durch den entsprechenden Buchstaben (W,X).....**168.47**

SERIE 3339 — 5/16" (7,95 mm), rund/viergängig Cermet/industriell/gekapselt

3339P

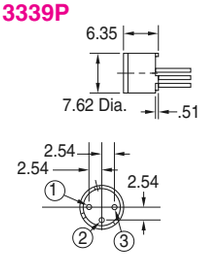

3339H

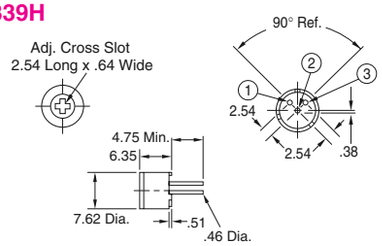

3339W

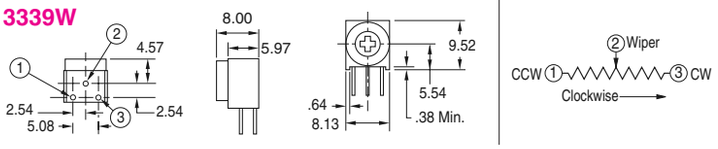

• Einzigartiges Planetengetriebe ermöglicht genaue Kontaktfederstellung für Wendel-Pot. in Einzelumdrehungs-Paketgröße. • Einstellung oben und seitlich **Widerstandstoleranz:** ±10 % Std. **Isolierungswiderstand:** 500 V DC min. 1.000 MΩ **Eff. Messweg:** nom. 4 Wicklungen. **Nennleistung (max. 300 Volt):** 85 °C — 0,5 W; 150 °C — 0 W. **Temperaturbereich:** -55 °C ~ +150 °C **Temperaturkoeffizient:** ±100 ppm/°C. **Lebensdauer unter Belastung:** 1.000 Stunden bei 0,5 W @ 85 °C (3 % ΔTR; CRV, 3 % oder 3 Ω, maßgebend ist der jeweils größere Wert). **Lebensdauer (Umdrehungen):** 200 Zyklen (3 % ΔTR; CRV, 3 % oder 3 Ω, maßgebend ist der jeweils größere Wert) **Drehmoment:** 3 oz-in. max. **Mechanischer Halt:** Schleiffeder im Leerlauf.

Widerst. (Ω)	Digi-Key Teilenr.	Digi-Key* Teilenr.	Digi-Key* Teilenr.
50	3339H-500-ND	3339P-500-ND	3339W-500-ND
100	3339H-101-ND	3339P-101-ND	3339W-101-ND
200	3339H-201-ND	3339P-201-ND	3339W-201-ND
500	3339H-501-ND	3339P-501-ND	3339W-501-ND
1K	3339H-102-ND	3339P-102-ND	3339W-102-ND
2K	3339H-202-ND	3339P-202-ND	3339W-202-ND
5K	3339H-502-ND	3339P-502-ND	3339W-502-ND
10K	3339H-103-ND	3339P-103-ND	3339W-103-ND
20K	3339H-203-ND	3339P-203-ND	3339W-203-ND
50K	3339H-503-ND	3339P-503-ND	3339W-503-ND
100K	3339H-104-ND	3339P-104-ND	3339W-104-ND
200K	3339H-204-ND	3339P-204-ND	3339W-204-ND
500K	3339H-504-ND	3339P-504-ND	3339W-504-ND
1M	3339H-105-ND	3339P-105-ND	3339W-105-ND

Serie	Preisangaben 1	10	50
3339H/3339P	4.47	40.64	174.74
3339W	6.43	58.42	251.19

* **3339□-KIT-ND** ***Digi-Key® Serie 3339 Trimmpotentiometerkit***

je 5 der angegebenen Werte in der Serie (70 Stck insgesamt). Heftartiges Aufbewahrungsetui und Lagerhaltungsanleitung inbegriffen Um die vollständige Nummer zu erhalten, ersetzen Sie bitte □ durch (P,W).....**227.74**

SERIE 3005 — 3/4" (19,05 mm) rechteckig/Wendel-Pot. (20) drahtumwickelt/industriell/gekapselt

3005P

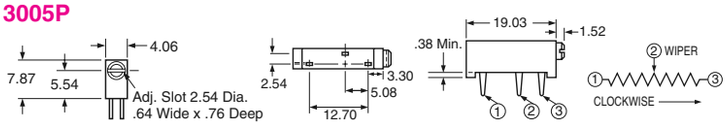

Gegen Kontaminierung durch Flussmittelauftrag, Löten und Reinigen gekapselt. **Widerstandstoleranz:** ±10 % Std. **Isolierungswiderstand:** 500 V DC min. 1.000 MΩ **Einstellweg:** nom. 20 Umdrehungen. **Nennleistung:** 70 °C — 1 W; 125 °C — 0 W. **Temperaturbereich:** -65 °C ~ +125 °C **Temperaturkoeffizient:** ±50 ppm/°C. **Lebensdauer unter Belastung:** 1.000 Std. bei 1 W @ 70 °C (3 % ΔTR). **Lebensdauer (Umdrehungen):** 200 Zyklen (4 % ΔTR). **Drehmoment:** 5 oz-in. max. **Mechanischer Halt:** Schleiffeder im Leerlauf.

Serie	Preisangaben 1	10	50
3005P	9.50	86.35	371.32

Widerst. (Ω)	Digi-Key Teilenr.	Nom. Auflösung (%)
100	3005P-101-ND	0.8
200	3005P-201-ND	0.7
500	3005P-501-ND	0.5
1K	3005P-102-ND	0.5
2K	3005P-202-ND	0.4
5K	3005P-502-ND	0.3
10K	3005P-103-ND	0.3
20K	3005P-203-ND	0.2

SERIE 3250 — 1/2" (12,70 mm) quadratisch/Wendel-Pot. (25), drahtumwickelt/gekapselt

Widerstandstoleranz: ±5 % Std. **Isolierungswiderstand:** 500 V DC min. 1.000 MΩ **Einstellweg:** nom. 25 Umdrehungen **Nennleistung:** 85 °C - 1 W; 150 °C - 0 W. **Temperaturbereich:** -65 °C ~ +150 °C **Temperaturkoeffizient:** ±70 ppm/°C. **Lebensdauer unter Belastung:** 1.000 Std. bei 1 W @ 85°C (2% ΔTR; ENR, 500 Ω). **Lebensdauer (Umdrehungen):** 200 Zyklen (2 % DTR; ENR, 500 Ω). **Drehmoment:** 5 oz-in. max. **Mechanischer Halt:** Schleiffeder im Leerlauf.

3250W

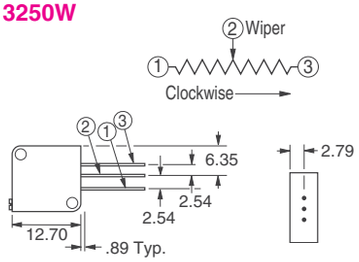

Widerst. (Ω)	Digi-Key Teilenr.	Nom. Auflösung (%)
200	3250W-201-ND	0.70
500	3250W-501-ND	0.60
1K	3250W-102-ND	0.40
2K	3250W-202-ND	0.30
5K	3250W-502-ND	0.25
10K	3250W-103-ND	0.19
20K	3250W-203-ND	0.16

Serie	Preisangaben 1	10	50
3250W	12.32	111.96	481.44

F

Trimmpotentiometer

SERIE 3309 — 9 mm, rund/eingängig, Cermet/industriell/offener Rahmen

3309P

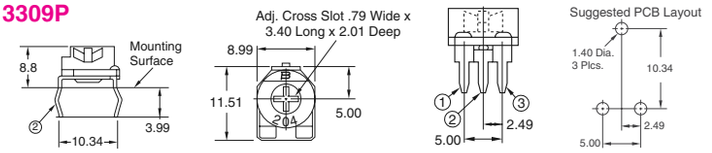

3309W

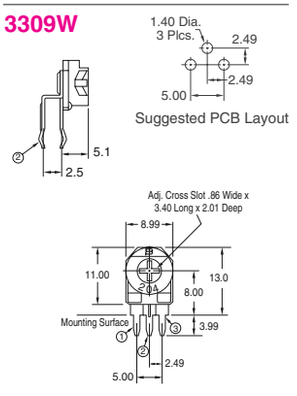

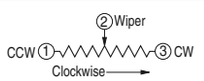

Widerstandstoleranz: ±25 % Std. **Einstellwinkel:** nom. 235°. **Nennleistung** (max. 250 Volt): 70 °C - 0,5 W. **Temperaturbereich:** -25 °C ~ +100 °C **Temperaturkoeffizient:** ±250 ppm/°C. **Lebensdauer unter Last:** 1.000 Std. 0,5 W @ 70 °C (5 % ΔTR). **Drehmoment:** 5 oz-in. max. **Anschlagfestigkeit:** 11,0 oz.-in. min.

Widerst. (Ω)	Digi-Key Teilenr.	Digi-Key Teilenr.
100	3309P-101-ND*	3309W-101-ND*
200	3309P-201-ND	3309W-201-ND
500	3309P-501-ND*	3309W-501-ND*
1K	3309P-102-ND*	3309W-102-ND*
2K	3309P-202-ND*	3309W-202-ND*
5K	3309P-502-ND*	3309W-502-ND*
10K	3309P-103-ND*	3309W-103-ND*
20K	3309P-203-ND*	3309W-203-ND*
50K	3309P-503-ND*	3309W-503-ND*
100K	3309P-104-ND*	3309W-104-ND*
200K	3309P-204-ND	3309W-204-ND
500K	3309P-504-ND	3309W-504-ND
1M	3309P-105-ND	3309W-105-ND

Serie	Preisangaben 1	10	100
3309P / 3309W	.68	5.71	47.37

* **3309□-KIT-ND** ***Digi-Key® Serie 3309 Trimmpotentiometerkit***
10 jedes angegeben Wertes (insgesamt 180 Stück). Heftartiges Aufbewahrungsetui und Lagerhaltungsanleitung inbegriffen.....**59.22**

SERIE 3352 — 3/8" (9,52 mm), rund/eingängig Cermet/industriell/offener Rahmen

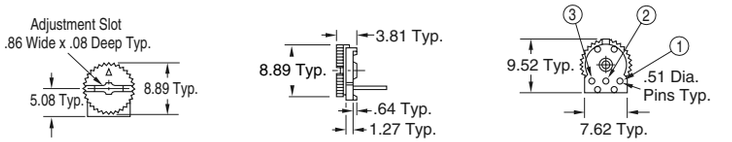

3352E

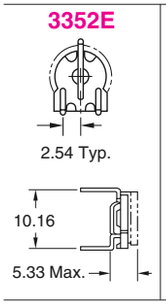

3352H

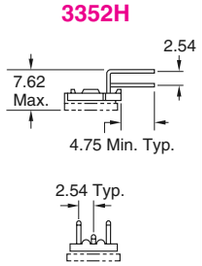

3352P

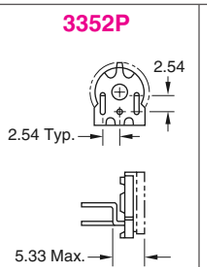

3352T

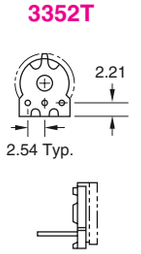

3352W

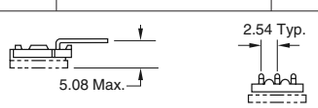

Widerstandstoleranz: ±20 % Std. **Einstellwinkel:** nom. 205°. **Nennleistung** (max 250 Volt): 85 °C — 0,5 W; 125 °C — 0 W. **Temperaturbereich:** -55 °C ~ +125 °C **Temperaturkoeffizient:** Unter 2K — ±150 ppm/°C; 2K u. höher +100 ppm/°C. **Lebensdauer unter Last:** 1.000 Std. 0,5 W @ 85 °C (3 % ΔTR). **Lebensdauer (Umdrehungen):** 200 Zyklen (10 % DTR). **Mechanischer Einstellwinkel:** nom. 250° **Drehmoment:** 3 oz-in. max. **Anschlagfestigkeit:** 8 oz.-in. min.

Widerst. (Ω)	Digi-Key* Teilenr.	Digi-Key* Teilenr.	Digi-Key* Teilenr.	Digi-Key* Teilenr.	Digi-Key* Teilenr.
100	3352E-101-ND	3352H-101-ND	3352P-101-ND	3352T-101-ND	3352W-101-ND
200	3352E-201-ND	3352H-201-ND	3352P-201-ND	3352T-201-ND	3352W-201-ND
500	3352E-501-ND	3352H-501-ND	3352P-501-ND	3352T-501-ND	3352W-501-ND
1K	3352E-102-ND	3352H-102-ND	3352P-102-ND	3352T-102-ND	3352W-102-ND
2K	3352E-202-ND	3352H-202-ND	3352P-202-ND	3352T-202-ND	3352W-202-ND
5K	3352E-502-ND	3352H-502-ND	3352P-502-ND	3352T-502-ND	3352W-502-ND
10K	3352E-103-ND	3352H-103-ND	3352P-103-ND	3352T-103-ND	3352W-103-ND
20K	3352E-203-ND	3352H-203-ND	3352P-203-ND	3352T-203-ND	3352W-203-ND
25K	3352E-253-ND	3352H-253-ND	3352P-253-ND	3352T-253-ND	3352W-253-ND
50K	3352E-503-ND	3352H-503-ND	3352P-503-ND	3352T-503-ND	3352W-503-ND
100K	3352E-104-ND	3352H-104-ND	3352P-104-ND	3352T-104-ND	3352W-104-ND
200K	3352E-204-ND	3352H-204-ND	3352P-204-ND	3352T-204-ND	3352W-204-ND
250K	3352E-254-ND	3352H-254-ND	3352P-254-ND	3352T-254-ND	3352W-254-ND
500K	3352E-504-ND	3352H-504-ND	3352P-504-ND	3352T-504-ND	3352W-504-ND
1M	3352E-105-ND	3352H-105-ND	3352P-105-ND	3352T-105-ND	3352W-105-ND

Serie	Preisangaben 1	10	50
3352E / 3352H / 3352P / 3352T / 3352W	1.05	9.52	40.96

* **3352□-KIT-ND** ***Digi-Key® Serie 3352 Trimmpotentiometerkit***
Je 5 aller Werte in der angegebenen Serie (75 Stck insgesamt) Heftartiges Aufbewahrungsetui und Lagerhaltungsanleitung inbegriffen Um die vollständige Nummer zu erhalten, ersetzen Sie bitte □ durch (E,H,P,T,W) **42.29**

SERIE 3329 — 1/4" (6,35 mm), rund/eingängig Cermet/industriell/offener Rahmen

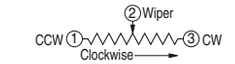

3329H

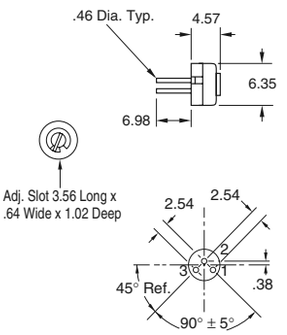

3329P

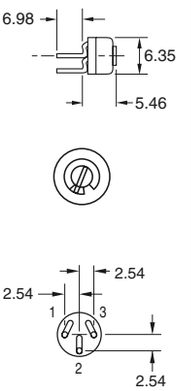

3329S

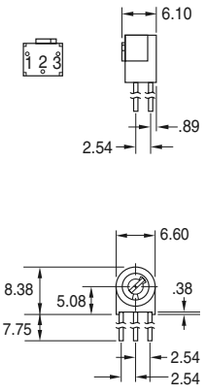

3329W

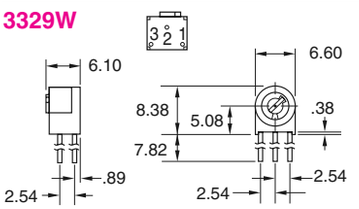

3329X

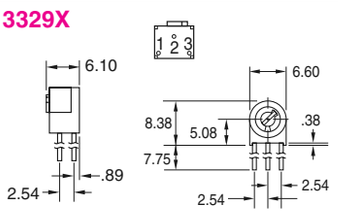

Widerstandstoleranz: ±10 % Std. **Isolierungswiderstand:** 500 V DC min. 1.000 MΩ **Einstellwinkel:** 240° nom. **Nennleistung** (max 300 Volt): 85 °C — 0,5 W; 150 °C — 0 W. **Temperaturbereich:** -55 °C ~ +150 °C **Temperaturkoeffizient:** ±100 ppm/°C.. **Lebensdauer unter Last:** 1.000 Std. 0,5 W @ 85 °C (3 % ΔTR). **Lebensdauer (Umdrehungen):** 200 Zyklen (4 % ΔTR, CRV, 4 %). **Mechanischer Winkel:** nom. 260° **Drehmoment:** 5 oz-in. max. **Anschlagfestigkeit:** 5 oz.-in. min.

Widerst. (Ω)	Digi-Key* Teilenr.	Digi-Key* Teilenr.	Digi-Key* Teilenr.	Digi-Key* Teilenr.	Digi-Key* Teilenr.
50	3329H-500-ND	3329P-500-ND	3329S-500-ND	3329W-500-ND	3329X-500-ND
100	3329H-101-ND	3329P-101-ND	3329S-101-ND	3329W-101-ND	3329X-101-ND
200	3329H-201-ND	3329P-201-ND	3329S-201-ND	3329W-201-ND	3329X-201-ND
500	3329H-501-ND	3329P-501-ND	3329S-501-ND	3329W-501-ND	3329X-501-ND
1K	3329H-102-ND	3329P-102-ND	3329S-102-ND	3329W-102-ND	3329X-102-ND
2K	3329H-202-ND	3329P-202-ND	3329S-202-ND	3329W-202-ND	3329X-202-ND
5K	3329H-502-ND	3329P-502-ND	3329S-502-ND	3329W-502-ND	3329X-502-ND
10K	3329H-103-ND	3329P-103-ND	3329S-103-ND	3329W-103-ND	3329X-103-ND
20K	3329H-203-ND	3329P-203-ND	3329S-203-ND	3329W-203-ND	3329X-203-ND
50K	3329H-503-ND	3329P-503-ND	3329S-503-ND	3329W-503-ND	3329X-503-ND
100K	3329H-104-ND	3329P-104-ND	3329S-104-ND	3329W-104-ND	3329X-104-ND
200K	3329H-204-ND	3329P-204-ND	3329S-204-ND	3329W-204-ND	3329X-204-ND
500K	3329H-504-ND	3329P-504-ND	3329S-504-ND	3329W-504-ND	3329X-504-ND
1M	3329H-105-ND	3329P-105-ND	3329S-105-ND	3329W-105-ND	3329X-105-ND

Serie	Preisangaben 1	10	50
3329H/3329P	2.21	20.11	86.46
3329S/3329W/3329X	2.66	24.13	103.75

* **3329□-KIT-ND** ***Digi-Key® Serie 3329 Trimmpotentiometerkit***
Je 5 der angegebenen Werte (70 Stck insgesamt) Heftartiges Aufbewahrungsetui und Lagerhaltungsanleitung inbegriffen. Um die vollständige Nummer zu erhalten, ersetzen Sie bitte □ durch (H,P,S,W,X).....**110.02**

SERIE 3059 — 1-1/4" (31,75 mm) rechteckig/Wendel-Pot. (22), Cermet/industriell/gekapselt

3059P

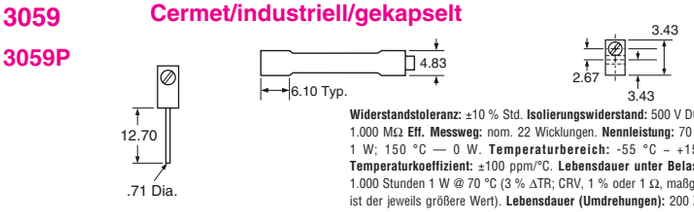

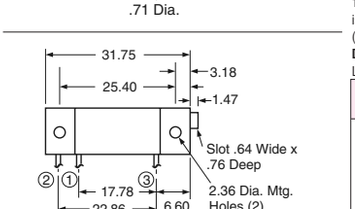

3059Y

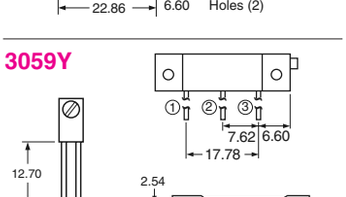

Widerstandstoleranz: ±10 % Std. **Isolierungswiderstand:** 500 V DC min. 1.000 MΩ **Eff. Messweg:** nom. 22 Wicklungen. **Nennleistung:** 70 °C — 1 W; 150 °C — 0 W. **Temperaturbereich:** -55 °C ~ +150 °C **Temperaturkoeffizient:** ±100 ppm/°C. **Lebensdauer unter Belastung:** 1.000 Stunden 1 W @ 70 °C (3 % ΔTR; CRV, 1 % oder 1 Ω, maßgebend ist der jeweils größere Wert). **Lebensdauer (Umdrehungen):** 200 Zyklen (2 % ΔTR; CRV, 1 % oder 1 Ω, maßgebend ist der jeweils größere Wert). **Drehmoment:** 5 oz-in. max. **Mechanische Anschläge:** Schleiffeder im Leerlauf.

Widerst. (Ω)	Digi-Key Teilenr.	Digi-Key Teilenr.
100	3059P-101-ND	3059Y-101-ND
200	3059P-201-ND	3059Y-201-ND
500	3059P-501-ND	3059Y-501-ND
1K	3059P-102-ND	3059Y-102-ND
2K	3059P-202-ND	3059Y-202-ND
5K	3059P-502-ND	3059Y-502-ND
10K	3059P-103-ND	3059Y-103-ND
20K	3059P-203-ND	3059Y-203-ND
50K	3059P-503-ND	3059Y-503-ND
100K	3059P-104-ND	3059Y-104-ND
200K	3059P-204-ND	3059Y-204-ND
500K	3059P-504-ND	3059Y-504-ND
1M	3059P-105-ND	3059Y-105-ND

Serie	Preisangaben 1	10	50
3059P/3059Y	5.49	49.95	214.78

F

Alle Preisangaben in Euro und inklusive Zollgebühren.

BOURNS Trimmpotentiometer

SERIE 3314

Oberflächenmontage, 4 mm, quadratisch/ eingängig, Cermet/industriell/versiegelt

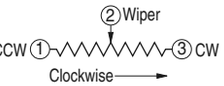

3314G

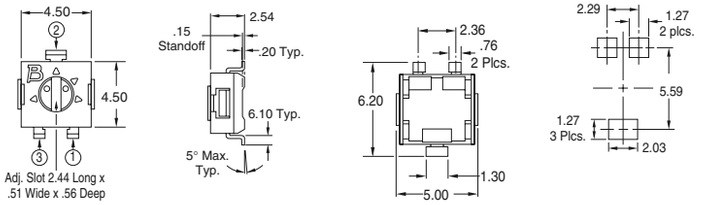

3314J

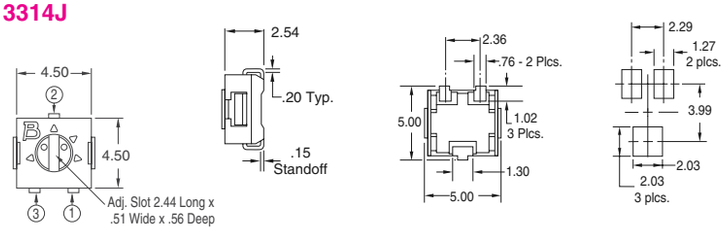

3314S-3

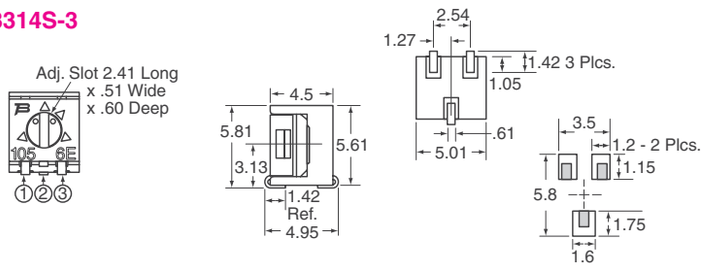

3314Z

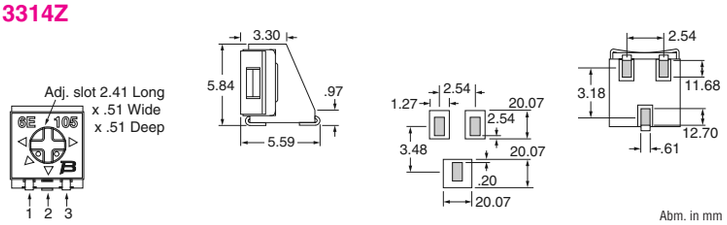

Abm. in mm

MERKMALE:

• Mit allen Oberflächenmontage-Lötprozessen kompatibel • Sehr niedrige Kontaktwiderstandsabweichung — 1 %. • Abstandsnocken vereinfachen die Reinigung der Leiterplatte und erhöhen die mechanische Stabilität

EIGENSCHAFTEN:

• **Widerstandstoleranz:** ±20 % Standard. • **Isolationswiderstand:** 500 V DC, min. 100 MOHm • **Einstellwinkel:** nom. 210° • **Löttemperatur:** 260 °C, 10 Sek., TRS ±1 %. • **Nennspannung** (max. 300 V.): 70 °C = 0,25 W; 125 °C = 0 W • **Temperaturbereich:** -55 °C ~ +150 °C • **Temperaturkoeffizient:** ±100 ppm/°C. • **Lebensdauer unter Belastung:** (@ 70 °C Nennleistung, 1.000 Std.). TRS ±3 % • **Lebensdauer (Umdrehungen):** 100 Zyklen, TRS ±3 % • **Mechanischer Winkel:** nom. 240° • **Drehmoment:** 180 g-cm. typisch • **Anschlagfestigkeit:** 300 g-cm. typisch

Widerst. (Ω)	Digi-Key Teilenr.	Digi-Key Teilenr.	Digi-Key Teilenr.	Digi-Key Teilenr.
100	3314G-101E□□-ND	3314J-101E□□-ND	3314S-3-101E□□-ND	3314Z-101E□□-ND
200	3314G-201E□□-ND	3314J-201E□□-ND	3314S-3-201E□□-ND	3314Z-201E□□-ND
500	3314G-501E□□-ND	3314J-501E□□-ND	3314S-3-501E□□-ND	3314Z-501E□□-ND
1K	3314G-102E□□-ND	3314J-102E□□-ND	3314S-3-102E□□-ND	3314Z-102E□□-ND
2K	3314G-202E□□-ND	3314J-202E□□-ND	3314S-3-202E□□-ND	3314Z-202E□□-ND
5K	3314G-502E□□-ND	3314J-502E□□-ND	3314S-3-502E□□-ND	3314Z-502E□□-ND
10K	3314G-103E□□-ND	3314J-103E□□-ND	3314S-3-103E□□-ND	3314Z-103E□□-ND
20K	3314G-203E□□-ND	3314J-203E□□-ND	3314S-3-203E□□-ND	3314Z-203E□□-ND
25K	3314G-253E□□-ND	3314J-253E□□-ND	3314S-3-253E□□-ND	3314Z-253E□□-ND
50K	3314G-503E□□-ND	3314J-503E□□-ND	3314S-3-503E□□-ND	3314Z-503E□□-ND
100K	3314G-104E□□-ND	3314J-104E□□-ND	3314S-3-104E□□-ND	3314Z-104E□□-ND
200K	3314G-204E□□-ND	3314J-204E□□-ND	3314S-3-204E□□-ND	3314Z-204E□□-ND
250K	3314G-254E□□-ND	3314J-254E□□-ND	3314S-3-254E□□-ND	3314Z-254E□□-ND
500K	3314G-504E□□-ND	3314J-504E□□-ND	3314S-3-504E□□-ND	3314Z-504E□□-ND
1M	3314G-105E□□-ND	3314J-105E□□-ND	3314S-3-105E□□-ND	3314Z-105E□□-ND
2M	3314G-205E□□-ND	3314J-205E□□-ND	3314S-3-205E□□-ND	3314Z-205E□□-ND

Serie	Teilenr.	Gurtabschnittspreise 5	100	Teilenr.	Gegurtet auf Rolle 200	500
3314G/3314J	„CT-ND“ hinzufügen	7.62	132.07	„TR-ND“ hinzufügen	—	413.99
3314S-3	„CT-ND“ hinzufügen	8.38	145.28	„TR-ND“ hinzufügen	206.74	—
3314Z	„CT-ND“ hinzufügen	8.38	145.28	„TR-ND“ hinzufügen	206.74	—

SERIE 3214

Oberflächenmontage, 4 mm, quadratisch/ mehrgängig - Cermet/industriell/versiegelt

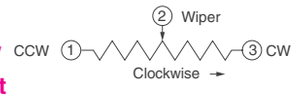

3214J

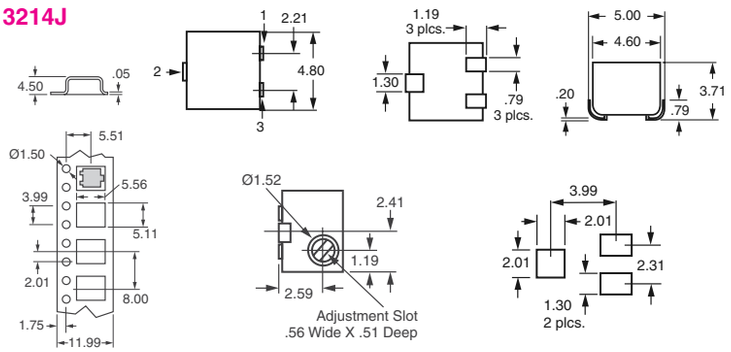

3214W

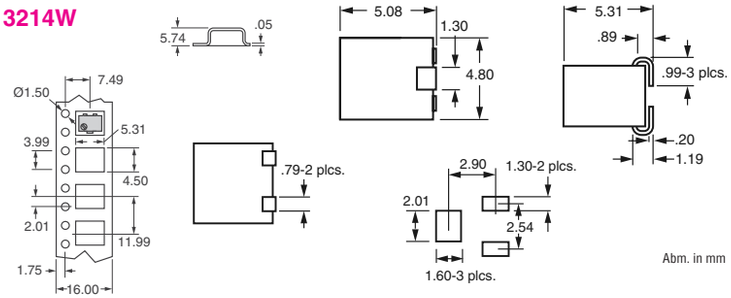

Abm. in mm

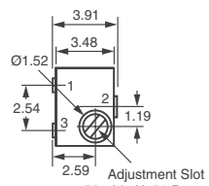

Widerst. (Ω)	Digi-Key Teilenr.	Digi-Key Teilenr.
100	3214J-101E□□-ND	3214W-101E□□-ND
200	3214J-201E□□-ND	3214W-201E□□-ND
500	3214J-501E□□-ND	3214W-501E□□-ND
1K	3214J-102E□□-ND	3214W-102E□□-ND
2K	3214J-202E□□-ND	3214W-202E□□-ND
5K	3214J-502E□□-ND	3214W-502E□□-ND
10K	3214J-103E□□-ND	3214W-103E□□-ND
20K	3214J-203E□□-ND	3214W-203E□□-ND
50K	3214J-503E□□-ND	3214W-503E□□-ND
100K	3214J-104E□□-ND	3214W-104E□□-ND

MERKMALE:

• Gekapselt, bei Leiterplattenreinigung beständig • Pick-and-Place-Zentrierungssystem, bündige Stellschraube • Patent-Nr. 5047746, fortschr. Antriebs-/Schleiffedermechanismus

EIGENSCHAFTEN:

• **Widerstandstoleranz:** ±10 % Standard. • **Absoluter Mindestwiderstand:** 1 % oder 2 Ω, (maßgebend ist der jeweils größere Wert). • **Kontaktwiderstandsabweichung:** 3 % oder max. 3 Ω • **Auflösung:** Praktisch unendlich • **Isolationswiderstand:** 500 V DC, min. 100 MΩ • **Durchschlagsfestigkeit:** ***Meereshöhe:*** 600 V AC (1 Min.) • **Einstellwinkel:** Nom. 5 Umdrehungen • **Nennspannung (max. 300 V.) :** 85 °C = 0,25 W; 150 °C = 0 W • **Temperaturbereich:** -65 °C ~ 150 °C • **Temperaturkoeffizient:** ±100 ppm/°C. • **Feuchtigkeit:** MIL-STD 202 Methode 106, TRS ±2 %; IR 10 MΩ • **Lebensdauer unter Belastung: 1.000 Std. @ Nennleistung, 85 °C.** TRS 3 % oder 3 Ω (maßgebend ist der jeweils größere Wert) • **Vibration:** 20 G TRS ±1 %; VRS ±1 %. • **Schock:** 100 G TRS ±1 %; VRS ±1 % • **Lebensdauer (Umdrehungen):** 200 Zyklen, TRS 3 Ω oder 3 % (maßgebend ist der jeweils größere Wert) • **Thermoschock:** 5 Zyklen, TRS ±2 %; VRS ±1 % • **Mechanischer Anschlag:** Schleiffeder im Ruhezustand • **Drehmoment:** 180 g-cm max. • **Masse:** Ungefähr 0,01 oz (0,28 g) • **Markierung:** Hersteller-, Widerstands- und Datumcode • **Lötbarkeit:** Gem. MIL-STD-202 Methode 208 • **Schleifer:** auf 50 % des Nennwerts eingestellt • **Entflammbarkeit:** UL 94V0

Serie	Teilenr.	Gurtabschnittspreise 1	10	100	Teilenr.	Gegurtet auf Rolle 250	500
3214J	„CT-ND“ hinzufügen	2.73	23.37	202.51	„TR-ND“ hinzufügen	—	634.95
3214W	„CT-ND“ hinzufügen	2.73	23.37	202.51	„TR-ND“ hinzufügen	350.49	634.95

SERIE TC73

Oberflächenmontage, 3 mm eingängig, Betätigung von oben, Kohle

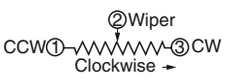

TC73X

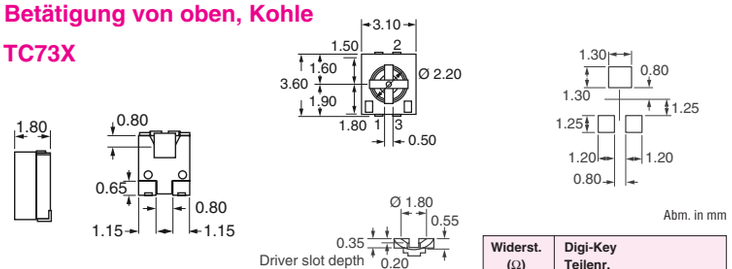

Abm. in mm

EIGENSCHAFTEN:

• **Widerstandstoleranz:** ±30 % • **Einstellwinkel:** 260° • **Nennstrom:** 0,05 W • **Temperaturbereich:** -25 °C ~ 85 °C • **Temperaturkoeffizient:** ±250 ppm/°C • **Lebensdauer (Umdrehungen):** 20 Umdrehungen • **Drehmoment:** max. 10-150 g-cm

Widerst. (Ω)	Digi-Key Teilenr.
500	TC73X-501E□□-ND
1K	TC73X-102E□□-ND
2K	TC73X-202E□□-ND
5K	TC73X-502E□□-ND
10K	TC73X-103E□□-ND
20K	TC73X-203E□□-ND

Serie	Teilenr.	Gurtabschnittspreise 1	10	100	Teilenr.	Gegurtet auf Rolle 2.000
TC73X	„CT-ND“ hinzufügen	.17	1.40	12.19	„TR-ND“ hinzufügen	84.66/M

F

Trimmpotentiometer

SERIE 3224

SMT, 4 mm, Wendel-Pot., (11) Betätigung von oben/Cermet

3224W

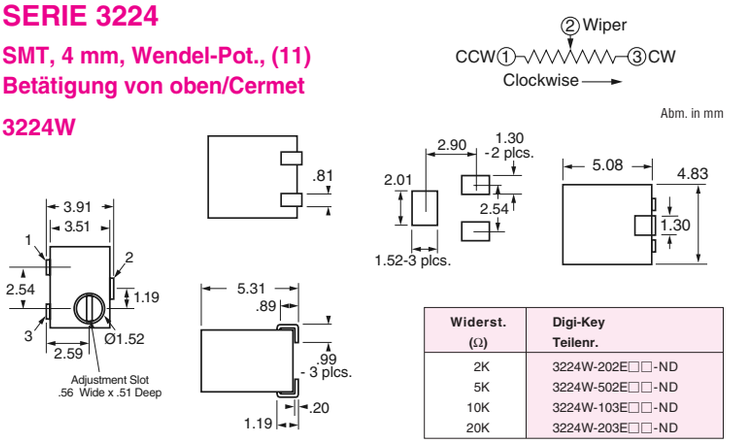

Widerst. (Ω)	Digi-Key Teilenr.
2K	3224W-202E□□-ND
5K	3224W-502E□□-ND
10K	3224W-103E□□-ND
20K	3224W-203E□□-ND

EIGENSCHAFTEN:

• **Widerstandstoleranz:** ±10 % Standard. • **Absoluter Mindestwiderstand:** 1 % oder 2Ω, (maßgebend ist der jeweils größere Wert). • **Kontaktwiderstandsabweichung:** 1 % oder max. 3 Ω • **Auflösung:** Praktisch unendlich • **Isolationswiderstand:** 500 V DC, min. 100MΩ • **Durchschlagsfestigkeit: Meereshöhe:** 600 V AC (1 Min.), Einstellwinkel: nom. 11 Umdrehungen • **Nennspannung (max. 300 V.):** 85 °C = 0,25 W; 150 °C = 0 W • **Temperaturbereich:** -65 °C ~ 150 °C • **Temperaturkoeffizient:** ±100 ppm/°C. • **Feuchtigkeit:** MIL-STD 202 Methode 106, TRS ±2 %; IR 10MΩ • **Vibration:** 20 G TRS ±1 %; VRS ±1 %. • **Schock:** 100 G TRS ±1 %; VRS ±1 % • **Lebensdauer unter Belastung: 1.000 Std. @ Nennleistung**, 85 °C. TRS 3 % oder 3 Ω (maßgebend ist der jeweils größere Wert) • **Lebensdauer (Umdrehungen):** 200 Zyklen, TRS 3 Ω oder 3 % (maßgebend ist der jeweils größere Wert) • **Thermoschock:** 5 Zyklen, TRS ±2 %; VRS ±1 % • **Mechanischer Anschlag:** Schleiffeder im Ruhezustand • **Drehmoment:** 180 g-cm max. • **Masse:** Ungefähr 0,01 oz (0,28 g) • **Markierung:** Hersteller-, Widerstands- und Datumcode

Serie	Gurtabschnittspreise Teilenr.	1	10	100	Gegurtet auf Rolle Teilenr.	250
3224W	„CT-ND“ hinzufügen	4.42	37.84	327.97	„TR-ND“ hinzufügen	567.65

SERIE 3361

1/4" (6,35 mm), rund/eingängig Cermet/industriell/offener Rahmen

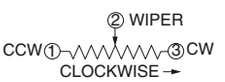

3361P

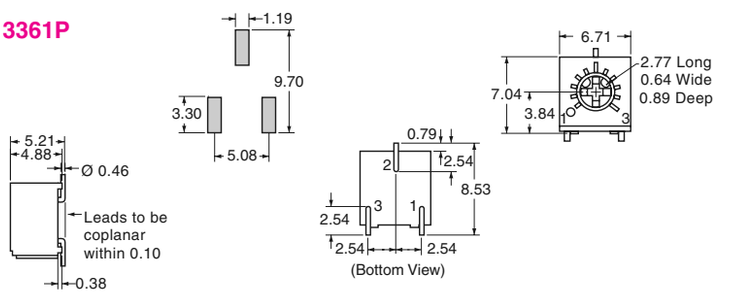

3361S

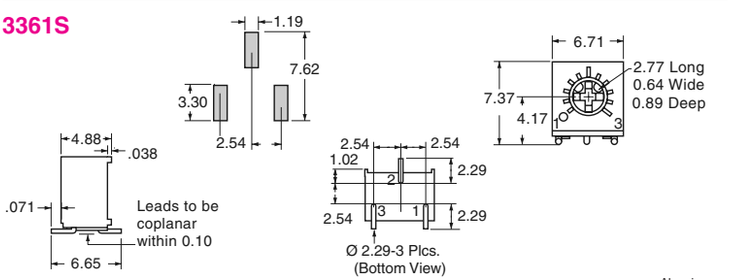

Abm. in mm

EIGENSCHAFTEN:

• **Widerstandstoleranz:** ±10 % Standard. • **Isolationswiderstand:** 500 V DC, min. 1.000MΩ • **Einstellwinkel:** 240° nom. • **Nennspannung** (max. 300 V.): 70 °C = 0,50 W; 125 °C = 0 W • **Temperaturbereich:** -55 °C ~ 125 °C • **Temperaturkoeffizient:** ±100 ppm/°C . • **Lebensdauer unter Belastung:** 1.000 Stunden 0,5 W @ 70 °C (3 % ΔTR; CRV, 3 % oder 3 Ω, maßgebend ist der jeweils größere Wert). • **Lebensdauer (Umdrehungen):** 200 Zyklen (4 % ΔTR; CRV, 3 % oder 3 Ω, maßgebend ist der jeweils größere Wert) • **Mechanischer Winkel:** nom. 270° • **Drehmoment:** 3 oz-in. maximal •**Anschlagfestigkeit:** 7 oz-in. Minimum

Widerst. (Ω)	Digi-Key Teilenr.	Digi-Key Teilenr.
100	3361P-101G□□-ND	3361S-101G□□-ND
200	3361P-201G□□-ND	3361S-201G□□-ND
500	3361P-501G□□-ND	3361S-501G□□-ND
1K	3361P-102G□□-ND	3361S-102G□□-ND
2K	3361P-202G□□-ND	3361S-202G□□-ND
5K	3361P-502G□□-ND	3361S-502G□□-ND
10K	3361P-103G□□-ND	3361S-103G□□-ND
20K	3361P-203G□□-ND	3361S-203G□□-ND
50K	3361P-503G□□-ND	3361S-503G□□-ND
100K	3361P-104G□□-ND	3361S-104G□□-ND

Serie	Gurtabschnittspreise Teilenr.	1	10	50	Gegurtet auf Rolle Teilenr.	500	750
3361P	„CT-ND“ hinzufügen	.86	7.83	37.59	„TR-ND“ hinzufügen	—	411.45
3361S	„CT-ND“ hinzufügen	.86	7.83	37.59	„TR-ND“ hinzufügen	274.30	—

SERIE 3223

Oberflächenmontage 3 mm, quadratisch/Wendel-Pot. (11) Cermet/industriell/gekapselt

3223W

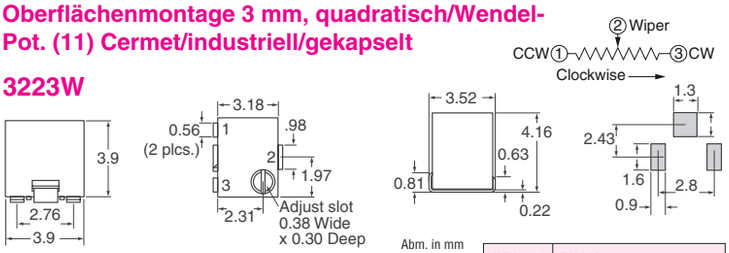

Abm. in mm

MERKMALE: • Oberflächenmontage, 3 mm, quadratisch/mehrgängig - Cermet/industriell/versiegelt • Eingekapselt, bei Leiterplatten-Standardreinigung beständig • Pick-and-Place-Zentrierungssystem bietet Kompatibilität für automatische Bestückung • Bündige Stellschraube • Betätigung von oben

EIGENSCHAFTEN: • **Widerstandstoleranz:** ±20 % Standard. • **Absoluter Mindestwiderstand:** 1 % oder 3Ω max. (je nachdem, welcher Wert größer ist) •**Kontaktwiderstandsabweichung:** 3 % oder max. 3 Ω (je nachdem, welcher Wert größer ist) • **Auflösung:** Praktisch unendlich. • **Isolationswiderstand:** 500 V DC, min. 100 MOHm • **Einstellbereich:** Nom. 11 Umdrehungen • **Nennspannung (max. 200 V.) :** 70 °C = 0,125 W; 150 °C = 0 W • **Temperaturbereich:** -65 °C ~ 150 °C • **Temperaturkoeffizient:** ±100 ppm/°C. • **Vibration:** 20 G TRS ±1 %; VRS ±1 %. • **Schock:** 100 G TRS ±1 %; VRS ±1 % • **Lebensdauer (Umdrehungen):** 200 Zyklen, CRV 4 Ω oder 4 % (maßgebend ist der jeweils größere Wert) • **Thermoschock:** 5 Zyklen, TRS ±2 %; VRS ±2 %

Widerst. (Ω)	Digi-Key Teilenr.
10	3223W-1-100E□□-ND
20	3223W-1-200E□□-ND
50	3223W-1-500E□□-ND
100	3223W-1-101E□□-ND
200	3223W-1-201E□□-ND
500	3223W-1-501E□□-ND
1K	3223W-1-102E□□-ND
2K	3223W-1-202E□□-ND
5K	3223W-1-502E□□-ND
10K	3223W-1-103E□□-ND
50K	3223W-1-503E□□-ND
100K	3223W-1-104E□□-ND
200K	3223W-1-204E□□-ND
500K	3223W-1-504E□□-ND
1M	3223W-1-105E□□-ND
2M	3223W-1-205E□□-ND

Serie	Gurtabschnittspreise Teilenr.	1	10	100	Gegurtet auf Rolle Teilenr.	500
3223W	„CT-ND“ hinzufügen	3.26	27.94	242.13	„TR-ND“ hinzufügen	758.98

SERIE 3364

Oberflächenmontage, 4 mm, quadratisch, eingängig, Cermet/industriell/versiegelt

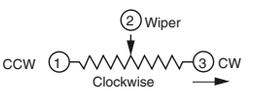

3364W und X

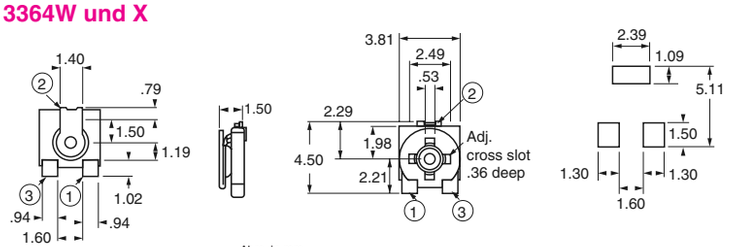

Abm. in mm

Für automatische Einstellvorrichtung geeigneter Kreuzschlitzrotor Auf 12 mm Prägeband geliefert, mit automatischen Pick-and-Place-Montagemaschinen kompatibel Mit rückseitiger Justierung lieferbar.

EIGENSCHAFTEN:

• **Widerstandstoleranz:** ±25 % Standard. • **Einstellwinkel:** 260° ±20° • **Nennspannung** (max. 50 V.): 70 °C = 0,2 W •**Temperaturbereich:** -40 °C ~ 100 °C •**Temperaturkoeffizient:** ±250 ppm/°C • **Lebensdauer unter Last:** 1.000 Std. 0,2 W @ 70 °C (5 % ΔTR). • **Lebensdauer (Umdrehungen):** 20 Zyklen (15 % TR). • **Drehmoment:** 20 - 200 g-cm • **Mechanischer Winkel:** Kontinuierlich

Widerst. (Ω)	Digi-Key* Teilenr.	Digi-Key Teilenr.
500	3364W-501E□□-ND	3364X-501E□□-ND
1K	3364W-102E□□-ND	3364X-102E□□-ND
2K	3364W-202E□□-ND	3364X-202E□□-ND
5K	3364W-502E□□-ND	3364X-502E□□-ND
10K	3364W-103E□□-ND	3364X-103E□□-ND
20K	3364W-203E□□-ND	3364X-203E□□-ND
50K	3364W-503E□□-ND	3364X-503E□□-ND
100K	3364W-104E□□-ND	3364X-104E□□-ND
200K	3364W-204E□□-ND	3364X-204E□□-ND
500K	3364W-504E□□-ND	3364X-504E□□-ND
1M	3364W-105E□□-ND	3364X-105E□□-ND

Serie	Gurtabschnittspreise Teilenr.	5	100	Gegurtet auf Rolle Teilenr.	1,000
3364W/3364X	„CT-ND“ hinzufügen	3.58	47.88	„TR-ND“ hinzufügen	271.76

* **3364W-KIT-ND** ***Digi-Key® Serie 3329 Trimmpotentiometerkit*** 5 jedes angegeben Wertes (insgesamt 55 Stück).....**30.44**

SERIE TC03

Oberflächenmontage, 3 mm eingängig, Betätigung von oben, Kohle

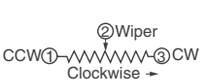

TC03X

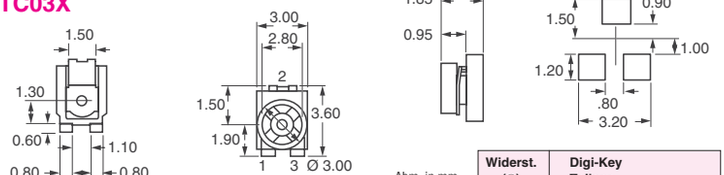

Abm. in mm

EIGENSCHAFTEN:

• **Widerstandstoleranz:** ±25 % • **Einstellwinkel:** 270° • **Nennleistung:** 0,1 W • **Temperaturbereich:** -40 °C ~ 85 °C • **Temperaturkoeffizient: ±250 ppm/°C** • **Lebensdauer (Umdrehungen):** 20 Umdrehungen • **Drehmoment:** 20 - 200 g-cm maximal

Widerst. (Ω)	Digi-Key Teilenr.
100	TC03X-101E□□-ND
1K	TC03X-102E□□-ND
2K	TC03X-202E□□-ND
5K	TC03X-502E□□-ND
10K	TC03X-103E□□-ND
20K	TC03X-203E□□-ND

Serie	Gurtabschnittspreise Teilenr.	1	10	100	Gegurtet auf Rolle Teilenr.	2.000
TC03X	„CT-ND“ hinzufügen	.17	1.40	12.19	„TR-ND“ hinzufügen	84.66/M

F

Alle Preisangaben in Euro und inklusive Zollgebühren.

Trimmpotentiometer

SERIE 3318 — 6 mm Trimmpotentiometer, quadratisch/eingängig/Kohlenstoff/Offener Rahmen

3318G

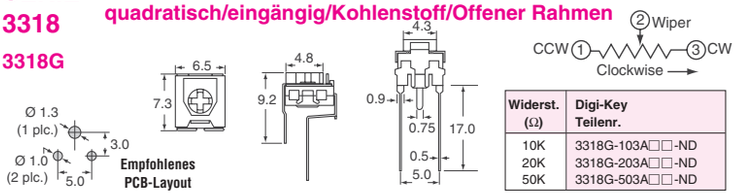

Widerst. (Ω)	Digi-Key Teilenr.
10K	3318G-103A□□-ND
20K	3318G-203A□□-ND
50K	3318G-503A□□-ND

3318F — Eingängig/ Kohlenstoff/ kommerzieller offener Rahmen

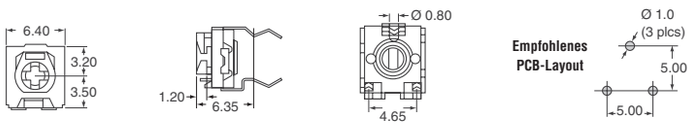

3318K — Eingängig/ Kohlenstoff/ kommerzieller offener Rahmen

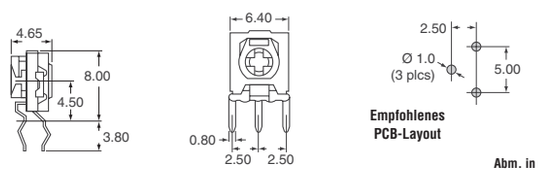

Abm. in mm

3318G MERKMALE:

• **Widerstandstoleranz:** ±20 % • **Kontaktwiderstandsabweichung:** max. 10 % • **Auflösung:** Unendlich • **Einstellwinkel:** 210° ±15° • **Nennleistung:** 0,1 W • **Temperaturbereich:** -10 °C ~ +70 °C • **Temperaturkoeffizient:** ±1.000 ppm/°C • **Paket:** Ammo Pak

3318F UND 3318K EIGENSCHAFTEN: • **Widerstandstoleranz:** ±30 % • **Kontaktwiderstandsabweichung:** max. 10 % • **Auflösung:** Unendlich • **Einstellwinkel:** 210° ±20° • **Nennleistung:** 100 - 500 KΩ = 50 V; >500 KΩ = 25 V; 50 °C = 0,1 W • **Temperaturbereich:** -25 °C ~ +100 °C • **Temperaturkoeffizient:** ±1.000 ppm/°C

Serie	Teilenr.	Gurtabschnittspreise 1	10	100	Teilenr.	Preisangabe gegurtet in Schachtel 1.000
3318G	„CT-ND" hinzufügen	.36	2.62	19.30	„TB-ND" hinzufügen	112.60

Serie	Widerstand (Ω)	Digi-Key Teilenr.	Preisangaben 1	10	50
3318F	500	3318F-501-ND	.29	2.07	9.05
3318F	2K	3318F-202-ND	.29	2.07	9.05
3318K	10K	3318K-103-ND	.29	2.07	9.05

SERIE TC89

9mm Round/Single-Turn/Cermet/Industrial/Open Frame

TC89P — Betätigung von oben

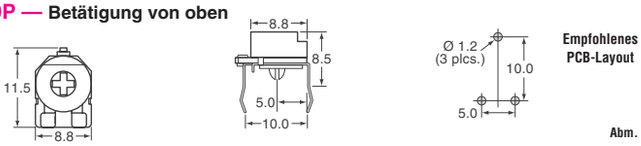

Abm. in mm

TC89W — Seitliche Betätigung

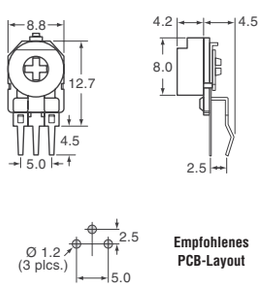

EIGENSCHAFTEN: • **Widerstandstoleranz:** ±20 % Standard. • **Kontaktwiderstandsabweichung:** max. 5 % • **Auflösung:** Unendlich • **Einstellwinkel:** 270° ±15° • **Nennspannung (max. 250 V DC):** 70 °C = 0,5 W • **Temperaturbereich:** -30 °C ~ +100 °C • **Temperaturkoeffizient:** ±250 ppm/°C • RoHS-konform

Widerstand (Ω)	Digi-Key Teilenr.	Digi-Key Teilenr.
100	TC89P-101-ND	TC89W-101-ND
200	TC89P-201-ND	TC89W-201-ND
500	TC89P-501-ND	TC89W-501-ND
1K	TC89P-102-ND	TC89W-102-ND
2K	TC89P-202-ND	TC89W-202-ND
5K	TC89P-502-ND	TC89W-502-ND
10K	TC89P-103-ND	TC89W-103-ND
20K	TC89P-203-ND	TC89W-203-ND
50K	TC89P-503-ND	TC89W-503-ND
100K	TC89P-104-ND	TC89W-104-ND
200K	TC89P-204-ND	TC89W-204-ND
500K	TC89P-504-ND	TC89W-504-ND
1M	TC89P-105-ND	TC89W-105-ND

Serie	Preisangaben 1	10	100
TC89P/TC89W	.25	2.03	18.29

SERIE 3319 — 9 mm Trimmpotentiometer, rund/eingängig/Kohlenstoff/offener Rahmen

3319P-1 — Betätigung von oben

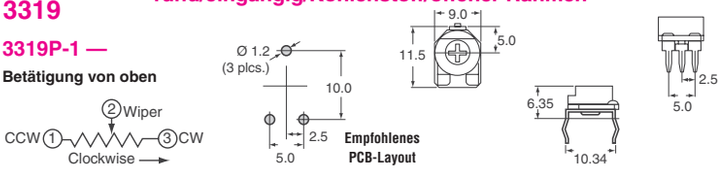

3319W-1 — Seitliche Betätigung

3319W-2 — Beidseitige Betätigung/Kreuzschlitz

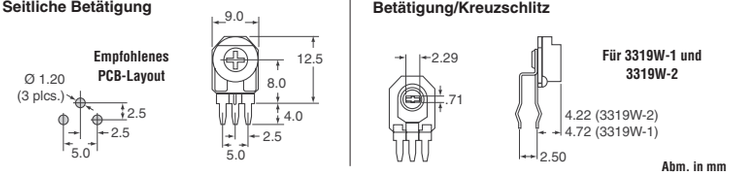

Abm. in mm

EIGENSCHAFTEN: • **Widerstandstoleranz:** ±25 % Standard. • **Kontaktwiderstandsabweichung:** max. 3 % • **Auflösung:** Unendlich • **Einstellwinkel:** 235° nom. • **Nennspannung (max. 200 V DC):** 70 °C = 0,2 W • **Temperaturbereich:** -25 °C ~ +100 °C • **Temperaturkoeffizient:** ±1.000 ppm/°C

Serie	Widerstand (Ω)	Digi-Key Teilenr.	Preisangaben 1	10	50
3319P-1	100	3319P-101-ND	.35	2.48	10.86
	200	3319P-201-ND	.35	2.48	10.86
	1K	3319P-102-ND	.35	2.48	10.86
	5K	3319P-502-ND	.35	2.48	10.86
	10K	3319P-103-ND	.35	2.48	10.86
	100K	3319P-104-ND	.35	2.48	10.86
	200K	3319P-204-ND	.35	2.48	10.86
3319W-1	10K	3319W-1-103-ND	.30	2.20	9.65
3319W-2	5K	3319W-502-ND	.30	2.20	9.65
	10K	3319W-103-ND	.30	2.20	9.65
	100K	3319W-104-ND	.30	2.20	9.65

SERIE TC86

6 mm, rund/eingängig, Cermet/industriell/offener Rahmen

Abm. in mm

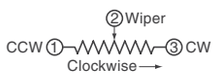

TC86P

TC86F

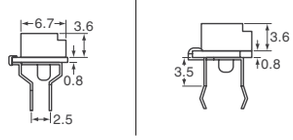

Betätigung von oben

TC86W

TC86K

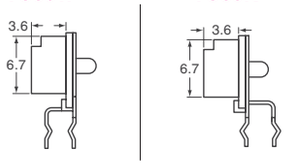

Seitliche Betätigung

Typische Maße

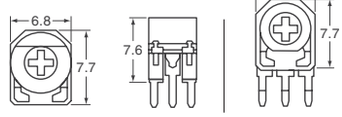

Betätigung von oben — Seitliche Betätigung

Empfohlenes PCB-Layout

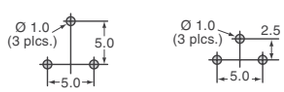

Typ F — Typ P, W, K

EIGENSCHAFTEN: • **Widerstandstoleranz:** ±20 % Standard. • **Kontaktwiderstandsabweichung:** max. 5 % • **Auflösung:** Unendlich • **Einstellwinkel:** 240° ±20° • **Nennspannung (max. 200 V DC):** 70 °C = 0,3 W • **Temperaturbereich:** -30 °C ~ +85 °C • **Temperaturkoeffizient:** ±250 ppm/°C • RoHS-konform

Widerstand (Ω)	Digi-Key Teilenr.	Digi-Key Teilenr.	Digi-Key Teilenr.	Digi-Key Teilenr.
100	TC86P-101-ND	TC86F-101-ND	TC86W-101-ND	TC86K-101-ND
200	TC86P-201-ND	TC86F-201-ND	TC86W-201-ND	TC86K-201-ND
500	TC86P-501-ND	TC86F-501-ND	TC86W-501-ND	TC86K-501-ND
1K	TC86P-102-ND	TC86F-102-ND	TC86W-102-ND	TC86K-102-ND
2K	TC86P-202-ND	TC86F-202-ND	TC86W-202-ND	TC86K-202-ND
5K	TC86P-502-ND	TC86F-502-ND	TC86W-502-ND	TC86K-502-ND
10K	TC86P-103-ND	TC86F-103-ND	TC86W-103-ND	TC86K-103-ND
20K	TC86P-203-ND	TC86F-203-ND	TC86W-203-ND	TC86K-203-ND
50K	TC86P-503-ND	TC86F-503-ND	TC86W-503-ND	TC86K-503-ND
100K	TC86P-104-ND	TC86F-104-ND	TC86W-104-ND	TC86K-104-ND
200K	TC86P-204-ND	TC86F-204-ND	TC86W-204-ND	TC86K-204-ND
500K	TC86P-504-ND	TC86F-504-ND	TC86W-504-ND	TC86K-504-ND
1M	TC86P-105-ND	TC86F-105-ND	TC86W-105-ND	TC86K-105-ND

Serie	Preisangaben 1	10	100
TC86P/TC86F/TC86W/TC86K	.19	1.61	14.48

SERIE TC33X — 3 mm Oberflächenmontage, Trimmpotentiometer

Widerstand (Ω)	Digi-Key Teilenr.
100	TC33X-101E□□-ND
1K	TC33X-102E□□-ND
2K	TC33X-202E□□-ND
5K	TC33X-502E□□-ND
10K	TC33X-103E□□-ND
50K	TC33X-503E□□-ND
100K	TC33X-104E□□-ND

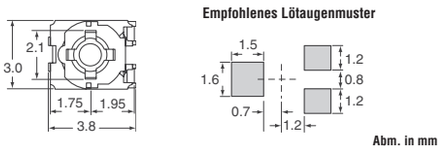

Abm. in mm

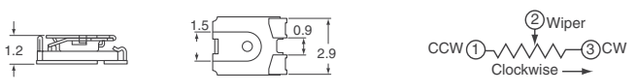

EIGENSCHAFTEN: • **Widerstandstoleranz:** ±25 % Standard. • **Kontaktwiderstandsabweichung:** max. 5 % • **Auflösung:** Praktisch unendlich • **Einstellwinkel:** 260° ±20° • **Nennspannung (max. 50 V DC):** 70 °C = 0,1 W • **Temperaturbereich:** -40 °C ~ +120 °C • **Temperaturkoeffizient:** ±250 ppm/°C

Serie	Teilenr.	Gurtabschnittspreise 1	10	100	Teilenr.	Preisangabe gegurtet in Schachtel 2.500
TC33X	„CT-ND" hinzufügen	.17	1.40	12.19	„TR-ND" hinzufügen	76.20/M

F

CTS® Zweiachsen-Controller, Ministick (Joystick)

Serie 252

SPEZIFIKATIONEN: Controller ohne Schalter **Widerstandstoleranz:** Standard ±20 % **Widerstandsverhalten: Linear** ±5 % **Isolationswiderstand** min. 100 MΩ @ 250 V DC **Drehmoment:** 153 ±102 gf-cm **Nennleistung:** 0,01 W @ 50 °C, 0,003 W @ 70 °C **Betriebsspannung:** max. 50 V AC oder 5 V DC **Drehwinkel:** 60° **Lebensdauer:** 1.000.000 Zyklen Controller mit Momentschalter: **Kontaktwiderstand:** max. 100 mΩ **Durchschlagsfestigkeit:** 250 V AC (50/60 Hz) für 1 Minute **Isolationswiderstand:** min. 100 MΩ @ 100 V DC **Bedienungskraft:** 520 ±260 gF **Nennleistung:** 12 V DC, 50 mA **Bewegung:** 0,5 +0,5 -0,4 mm **Lebensdauer:** 100.000 Schaltungen

Ω	Beschreibung	Digi-Key Teilenr.	Stückpreis 1	10	50	100	250	CTS Teilenr.
10K	Controller ohne Schalter	252A103B60NA-ND	4.86	4.52	4.39	3.52	2.82	252A103B60NA
10K	Controller mit Schalter	252A103B60NB-ND	5.16	4.79	4.69	3.76	3.00	252A103B60NB
100K	Controller ohne Schalter	252A104B60NA-ND	4.86	4.52	4.39	3.52	2.82	252A104B60NA
100K	Controller mit Schalter	252A104B60NB-ND	5.16	4.79	4.69	3.76	3.00	252A104B60NB

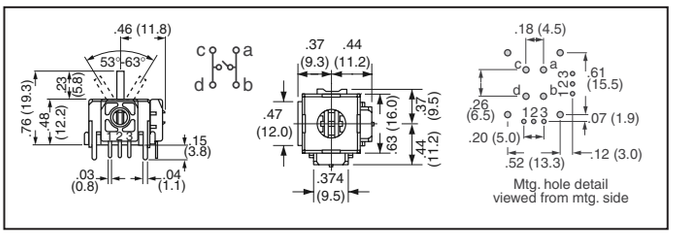

15,08 mm Trimmpotentiometer

Serie 201

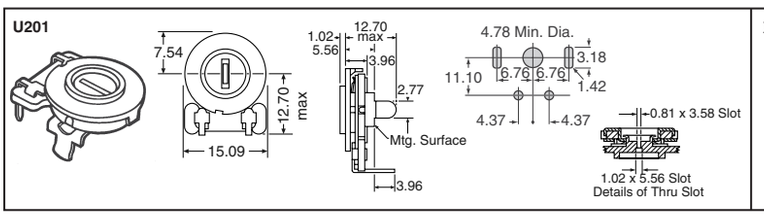

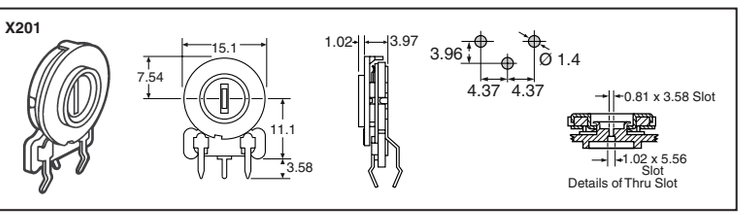

Merkmale:

• Miniaturformat — Knopf mit 15,08 mm Ø • Führkante für Schraubendrehe • Leiterplattenmontage, Knopf parallel oder rechtwinkelig zur Platte • Großer Widerstandsbereich • Knopf geschlitzt für Schraubendreherbetätigung Vorder- oder Rückseite • Zuverlässiges CTS-Verbundwerkstoff-Widerstandselement • Selbsthaltende Presspassung

Elektrische und mechanische Daten:

• **Widerstandsbereich:** 100 Ω ~ 1MΩ • **Widerstandstoleranz:** ±20 % • **Nennleistung (W):** Unter 5.000 Ω — 1/4 W @ 40 °C; 5.000 Ω und darüber — 1/4 W @ 55 °C • **Nennspannung:** 350 V DC • **Widerstandsverhalten:** Linear • **Justierknopf:** Blauer Nylonknopf, Ø 15,08 mm, mit Führkante für Schraubendreher, geschlitzt für Betätigung Vorder- oder Rückseite • **Drehwinkel:** Gesamtumdrehung — 260° ± 5°

Widerst. Ω	Digi-KeyTeilenr.* Horizontale Ausführung	Digi-KeyTeilenr.** Senkrechte Ausführung	Stückpreis 1	10	100	500	1,000	CTS Teilenr. Horizontale Ausführung	CTS Teilenr. Senkrechte Ausführung
100	201UR101B-ND	201XR101B-ND	.42	.39	.36	.28	.23	201UR101B	201XR101B
250	201UR251B-ND	201XR251B-ND	.42	.39	.36	.28	.23	201UR251B	201XR251B
500	201UR501B-ND	201XR501B-ND	.42	.39	.36	.28	.23	201UR501B	201XR501B
1K	201UR102B-ND	201XR102B-ND	.42	.39	.36	.28	.23	201UR102B	201XR102B
2.5K	201UR252B-ND	201XR252B-ND	.42	.39	.36	.28	.23	201UR252B	201XR252B
5K	201UR502B-ND	201XR502B-ND	.42	.39	.36	.28	.23	201UR502B	201XR502B
10K	201UR103B-ND	201XR103B-ND	.42	.39	.36	.28	.23	201UR103B	201XR103B
25K	201UR253B-ND	201XR253B-ND	.42	.39	.36	.28	.23	201UR253B	201XR253B
50K	201UR503B-ND	201XR503B-ND	.42	.39	.36	.28	.23	201UR503B	201XR503B
100K	201UR104B-ND	201XR104B-ND	.42	.39	.36	.28	.23	201UR104B	201XR104B
250K	201UR254B-ND	201XR254B-ND	.42	.39	.36	.28	.23	201UR254B	201XR254B
500K	201UR504B-ND	201XR504B-ND	.42	.39	.36	.28	.23	201UR504B	201XR504B
1M	201UR105B-ND	201XR105B-ND	.42	.39	.36	.28	.23	201UR105B	201XR105B

* **201U-KIT-ND** ***Digi-Key® Serie 201 Potentiometer-Kit (Q656225)*** - je 5 von 13 Werten **25.36**
** **201X-KIT-ND** ***Digi-Key® Serie 201 Potentiometer-Kit (Q656235)*** - je 5 von 13 Werten **25.36**

10 mm Trimmpotentiometer

Serie 262

F

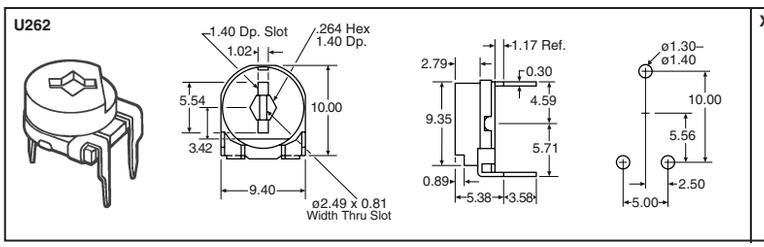

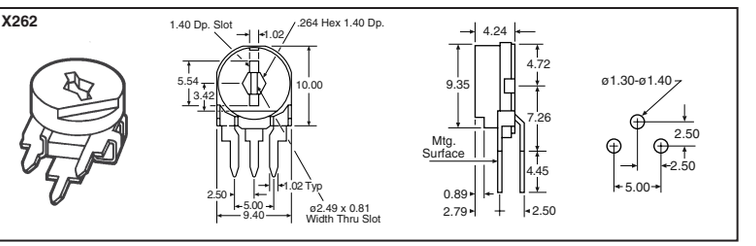

Merkmale:

• Miniaturgröße • Knopf geschlitzt für Schraubendreherbetätigung Vorder- oder Rückseite • Leiterplatten- Leiterplattenmontage, Knopf parallel oder rechtwinkelig zur Platte • Flaches Profil • Großer Widerstandsbereich • Zuverlässiges, abgeschirmtes CTS-Verbundwerkstoffelement

Elektrische und mechanische Daten:

Widerstandsbereich: Standard — 500 Ω ~ 1MΩ • **Widerstandstoleranz:** Standard ±20 % • **Nennleistung (W):** 0,15 W @ 40 °C • **Nennspannung:** Maximale Betriebsspannung — 350 V DC • **Widerstandsverhalten:** Linear • **Justierknopf:** Farbcodierter Nylonknopf mit Sechskantloch f. Obeneinstellung und Schraubendreherschlitz für Betätigung Ober- oder Unterseite • **Drehwinkel:** Gesamtumdrehung — 265° ± 5% • **Drehmoment:** 0,3 - 5 oz-in. • **Anschlagfestigkeit:** 16 oz-in.

Widerst. Ω	Farbe	Digi-KeyTeilenr.* Horizontale Ausführung	Digi-KeyTeilenr.** Senkrechte Ausführung	Stückpreis 1	10	100	500	1.000	CTS Teilenr. Horizontale Ausführung	CTS Teilenr. Senkrechte Ausführung
500	Grün	U262R501B-ND	X262R501B-ND	.43	.40	.37	.29	.23	U262R501B	X262R501B
1K	Gelb	U262R102B-ND	X262R102B-ND	.43	.40	.37	.29	.23	U262R102B	X262R102B
2.5K	Rot	U262R252B-ND	X262R252B-ND	.43	.40	.37	.29	.23	U262R252B	X262R252B
5K	Blau	U262R502B-ND	X262R502B-ND	.43	.40	.37	.29	.23	U262R502B	X262R502B
10K	Weiß	U262R103B-ND	X262R103B-ND	.43	.40	.37	.29	.23	U262R103B	X262R103B
25K	Schwarz	U262R253B-ND	X262R253B-ND	.43	.40	.37	.29	.23	U262R253B	X262R253B
50K	Orange	U262R503B-ND	X262R503B-ND	.43	.40	.37	.29	.23	U262R503B	X262R503B
100K	Grau	U262R104B-ND	X262R104B-ND	.43	.40	.37	.29	.23	U262R104B	X262R104B
250K	Violett	U262R254B-ND	X262R254B-ND	.43	.40	.37	.29	.23	U262R254B	X262R254B
500K	Braun	U262R504B-ND	X262R504B-ND	.43	.40	.37	.29	.23	U262R504B	X262R504B
1M	Hell Blau	U262R105B-ND	X262R105B-ND	.43	.40	.37	.29	.23	U262R105B	X262R105B

* **U262-KIT-ND** ***Digi-Key® Serie 262 Potentiometer-Kit (Q656346)*** - je 5 von 11 Werten **23.66**
** **X262-KIT-ND** ***Digi-Key® Serie 262 Potentiometer-Kit (Q656436)*** - je 5 von 11 Werten..... **23.66**

Stock Pot™ Potentiometer, Ø 23,81 mm

Serie 450

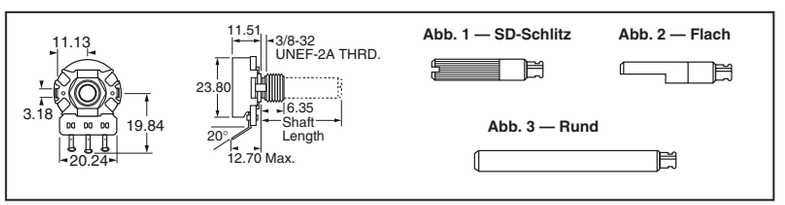

Merkmale: • Sofort lieferbar • Großer Widerstandsbereich • Mit 3 Arten v. Achsen erhältlich: Schlitz/gerändelt, abgeflacht, run • Wirtschaftlich, wenn wenig Platz vorhanden ist

Elektrische und mechanische Daten: • **Widerstandsbereich:** 500 Ω ~ 500 KΩ • **Widerstandstoleranz:** ±20 % • **Nennleistung (W):** Bis einschl. 10 KΩ, 1/2 W; über 10 KΩ bis 100 KΩ, 1/3 W; über 100 KΩ, 1/4 W • **Nennspannung:** Buchse zu Kontakten: Hochpotentiometertest: 1.080 V AC, 1 Minute • **Achsendaten:** Durchmesser: 6,35 mm (Durchm. über gerändelten Bereich 6,10 – 6,25 mm) • **Drehwinkel:** (Gesamtumdrehung) – 300° ±5°; effektive Umdrehung ca. 300° • **Buchsendaten:** Material - Zinkdruckguß; Ø = EIA-Norm 3/8" - 32 UNEF-2A Gewinde; Länge = 6,35 mm ±0,4 mm • **Anschlussdaten:** Lötfahne, nach hinten geformt • **Fixieröse:** Links, Kontakte nach unten

Montagekleinteile mitgeliefert.

Benutzen Sie die entsprechende Variable (1-8) zur Ermittlung der Achsenlänge

Achsenlänge (mm)	12.70	15.88	19.05	22.23	25.40	50.80
Abbildung 1 - Schlitz	2	3	4	5	—	
Abbildung 2 - Flach	—	—	—	6	7	—
Abbildung 3 - Rund	—	—	—	—	—	8

Widerstand Ω	Digi-Key Teilenr.*	Stückpreis 1	10	100	250	500	1.000
500	450D501-□-ND	2.69	2.43	2.07	1.71	1.44	1.20
1K	450D102-□-ND	2.69	2.43	2.07	1.71	1.44	1.20
2.5K	450D252-□-ND	2.69	2.43	2.07	1.71	1.44	1.20
5K	450D502-□-ND	2.69	2.43	2.07	1.71	1.44	1.20
10K	450D103-□-ND	2.69	2.43	2.07	1.71	1.44	1.20
25K	450D253-□-ND	2.69	2.43	2.07	1.71	1.44	1.20
50K	450D503-□-ND	2.69	2.43	2.07	1.71	1.44	1.20
100K	450D104-□-ND	2.69	2.43	2.07	1.71	1.44	1.20
250K	450D254-□-ND	2.69	2.43	2.07	1.71	1.44	1.20
500K	450D504-□-ND	2.69	2.43	2.07	1.71	1.44	1.20

*** Um die vollständige Teilenummer zu erhalten, setzen Sie für □ die entsprechende Variable (aus obiger Tabelle) ein.**

Alle Preisangaben in Euro und inklusive Zollgebühren.

CTS® 3mm SMT Rundchip-Typ, Cermet-Trimmpotentiometer

Serie 303

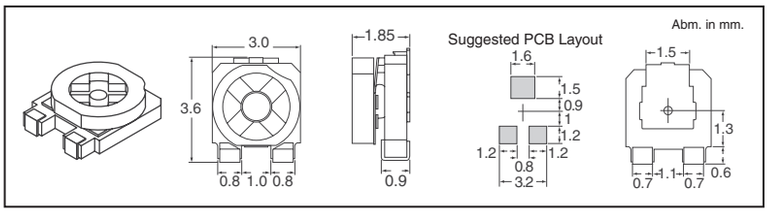

Widerstand Ω	Digi-Key Teilenr.	Gurtabschnittspreise 10	100	1.000	Digi-Key Teilenr.	Gegurtet auf Rolle 2.000
100	303UC101ECT-ND	1.78	13.97	119.37	303UC101ETR-ND	101.59/M
200	303UC201ECT-ND	1.78	13.97	119.37	303UC201ETR-ND	101.59/M
500	303UC501ECT-ND	1.78	13.97	119.37	303UC501ETR-ND	101.59/M
1K	303UC102ECT-ND	1.78	13.97	119.37	303UC102ETR-ND	101.59/M
2K	303UC202ECT-ND	1.78	13.97	119.37	303UC202ETR-ND	101.59/M
5K	303UC502ECT-ND	1.78	13.97	119.37	303UC502ETR-ND	101.59/M
10K	303UC103ECT-ND	1.78	13.97	119.37	303UC103ETR-ND	101.59/M
20K	303UC203ECT-ND	1.78	13.97	119.37	303UC203ETR-ND	101.59/M
50K	303UC503ECT-ND	1.78	13.97	119.37	303UC503ETR-ND	101.59/M
100K	303UC104ECT-ND	1.78	13.97	119.37	303UC104ETR-ND	101.59/M
200K	303UC204ECT-ND	1.78	13.97	119.37	303UC204ETR-ND	101.59/M
500K	303UC504ECT-ND	1.78	13.97	119.37	303UC504ETR-ND	101.59/M
1M	303UC105ECT-ND	1.78	13.97	119.37	303UC105ETR-ND	101.59/M

Merkmale:

• Schwalllöttauglich • 8 mm (breit) x 4 mm (Steigung), Rollverpackung, zur autom. Bestückung

Elektrische und mechanische Daten: • Minderung: Linear • Widerstandstoleranz: ±25 % • Nennleistung: 0,1 W bei 70 °C; 0 W bei 100 °C • max. Betriebsspannung: 50 V oder $\sqrt{PR}$ = V; maßgebend ist der jeweils niedrigere Wert • Temp.- Temperaturbereich: -40 °C ~ +100 °C • Temp.- Temperaturkoeffizient: ±250 ppm/°C • Drehwinkel: 270° ±20° • Betriebsdrehmoment: 1,96 ~ 19,6 mN•m

6 mm quadrat. Cermet-Trimmpotentiometer

Serie 306

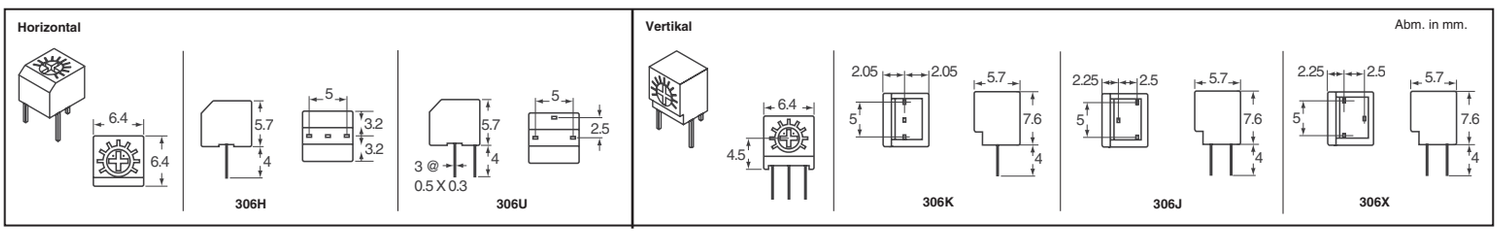

Widerstand Ω	Digi-Key Teilenr. Horizontal lose	Digi-Key Teilenr. Horizontal gegurtet auf Rolle	Digi-Key Teilenr. Horizontal lose	Digi-Key Teilenr. Vertikal lose	Digi-Key Teilenr. Vertikal gegurtet auf Rolle	Digi-Key Teilenr. Vertikal lose	Digi-Key Teilenr. Vertikal lose
10	306HC100B-ND	306HC100BRTR-ND	306UC100B-ND	306KC100B-ND	306KC100BRTR-ND	306JC100B-ND	306XC100B-ND
20	306HC200B-ND	306HC200BRTR-ND	306UC200B-ND	306KC200B-ND	306KC200BRTR-ND	306JC200B-ND	306XC200B-ND
50	306HC500B-ND	306HC500BRTR-ND	306UC500B-ND	306KC500B-ND	306KC500BRTR-ND	306JC500B-ND	306XC500B-ND
100	306HC101B-ND	306HC101BRTR-ND	306UC101B-ND	306KC101B-ND	306KC101BRTR-ND	306JC101B-ND	306XC101B-ND
200	306HC201B-ND	306HC201BRTR-ND	306UC201B-ND	306KC201B-ND	306KC201BRTR-ND	306JC201B-ND	306XC201B-ND
500	306HC501B-ND	306HC501BRTR-ND	306UC501B-ND	306KC501B-ND	306KC501BRTR-ND	306JC501B-ND	306XC501B-ND
1K	306HC102B-ND	306HC102BRTR-ND	306UC102B-ND	306KC102B-ND	306KC102BRTR-ND	306JC102B-ND	306XC102B-ND
2K	306HC202B-ND	306HC202BRTR-ND	306UC202B-ND	306KC202B-ND	306KC202BRTR-ND	306JC202B-ND	306XC202B-ND
5K	306HC502B-ND	306HC502BRTR-ND	306UC502B-ND	306KC502B-ND	306KC502BRTR-ND	306JC502B-ND	306XC502B-ND
10K	306HC103B-ND	306HC103BRTR-ND	306UC103B-ND	306KC103B-ND	306KC103BRTR-ND	306JC103B-ND	306XC103B-ND
20K	306HC203B-ND	306HC203BRTR-ND	306UC203B-ND	306KC203B-ND	306KC203BRTR-ND	306JC203B-ND	306XC203B-ND
50K	306HC503B-ND	306HC503BRTR-ND	306UC503B-ND	306KC503B-ND	306KC503BRTR-ND	306JC503B-ND	306XC503B-ND
100K	306HC104B-ND	306HC104BRTR-ND	306UC104B-ND	306KC104B-ND	306KC104BRTR-ND	306JC104B-ND	306XC104B-ND
200K	306HC204B-ND	306HC204BRTR-ND	306UC204B-ND	306KC204B-ND	306KC204BRTR-ND	306JC204B-ND	306XC204B-ND
500K	306HC504B-ND	306HC504BRTR-ND	306UC504B-ND	306KC504B-ND	306KC504BRTR-ND	306JC504B-ND	306XC504B-ND
1M	306HC105B-ND	306HC105BRTR-ND	306UC105B-ND	306KC105B-ND	306KC105BRTR-ND	306JC105B-ND	306XC105B-ND
2M	306HC205B-ND	306HC205BRTR-ND	306UC205B-ND	306KC205B-ND	306KC205BRTR-ND	306JC205B-ND	306XC205B-ND

Merkmale:

• Leicht und sicher justierbar • Kreuzschlitzknopf zum einfachen Justieren • Automatische Bestückung mit radialem Gurt

Elektrische und mechanische Daten: • Minderung: Linear • Widerstandstoleranz: ±20 % • Nennleistung: 0,5 W bei 70 °C; 0 W bei 125 °C • max. Betriebsspannung: 200 V oder $\sqrt{PR}$ = V; maßgebend ist der jeweils niedrigere Wert • Temp.- Temperaturbereich: -55 °C ~ +125 °C • Temp.- koeffizient: ±100 ppm/°C (ausgen. 10 Ω ±200 ppm/°C) • Isolationswiderstand: min. 500 V DC: min. 1.000 MΩ • Durchschlagsfestigkeit: min. 500 V AC, 1 Min. • Betätigungsdrehmoment: max. 20 mN•m • Anschlagfestigkeit: max. 50 mN•m

Serie	Preisangaben für lose Ware 1	10	50	Gegurtet auf Rolle 1.000
306HC/306KC	.46	4.23	17.57	541.82
306JC/306UC/306XC	.46	4.23	17.57	—

6 mm quadrat. Cermet-Trimmpotentiometer

Serie 307

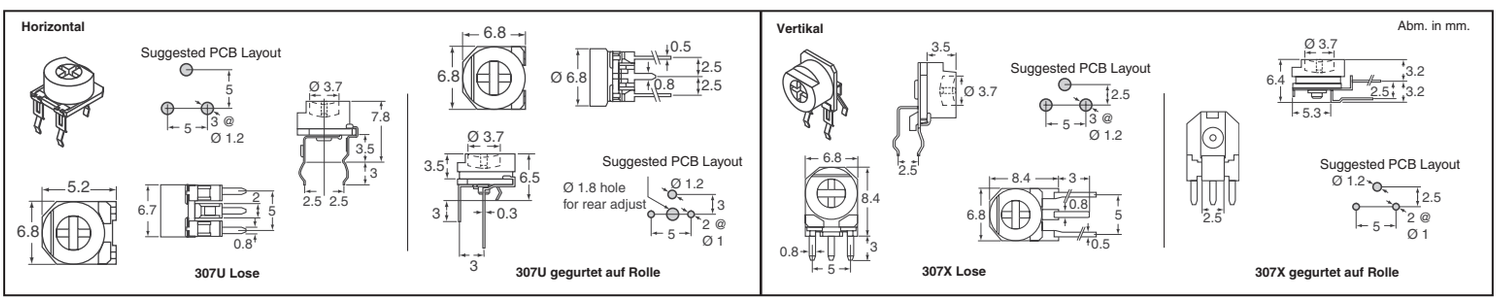

Widerstand Ω	Digi-Key Teilenr. Horizontal lose	Digi-Key Teilenr. Horizontal gegurtet auf Rolle	Digi-Key Teilenr. Vertikal lose	Digi-Key Teilenr. Vertikal gegurtet auf Rolle
100	307UC101E-ND	307UC101ERTR-ND	307XC101E-ND	307XC101ERTR-ND
200	307UC201E-ND	307UC201ERTR-ND	307XC201E-ND	307XC201ERTR-ND
500	307UC501E-ND	307UC501ERTR-ND	307XC501E-ND	307XC501ERTR-ND
1K	307UC102E-ND	307UC102ERTR-ND	307XC102E-ND	307XC102ERTR-ND
2K	307UC202E-ND	307UC202ERTR-ND	307XC202E-ND	307XC202ERTR-ND
5K	307UC502E-ND	307UC502ERTR-ND	307XC502E-ND	307XC502ERTR-ND
10K	307UC103E-ND	307UC103ERTR-ND	307XC103E-ND	307XC103ERTR-ND
20K	307UC203E-ND	307UC203ERTR-ND	307XC203E-ND	307XC203ERTR-ND
50K	307UC503E-ND	307UC503ERTR-ND	307XC503E-ND	307XC503ERTR-ND
100K	307UC104E-ND	307UC104ERTR-ND	307XC104E-ND	307XC104ERTR-ND
200K	307UC204E-ND	307UC204ERTR-ND	307XC204E-ND	307XC204ERTR-ND
500K	307UC504E-ND	307UC504ERTR-ND	307XC504E-ND	307XC504ERTR-ND
1M	307UC105E-ND	307UC105ERTR-ND	307XC105E-ND	307XC105ERTR-ND

Merkmale: • Justierkreuzschlitz vorn • Automatische Bestückung mit radialem Gurt • Teile mit Radialgurt sind von hinten und von der Seite justierbar

Elektrische und mechanische Daten: • Minderung: Linear • Widerstandstoleranz: ±25 % • Nennleistung: Cermet 0,3 W bei 70 °C, 0 W bei 100 °C • max. Betriebsspannung: 100 V oder $\sqrt{PR}$ = V • Temp.- Temperaturbereich: -25 °C ~ +100 °C • Temp.- Temperaturkoeffizient: ±250 ppm/°C • Drehwinkel: 240° ±10° • Betätigungsdrehmoment: Lose; 2,94 ~ 29,4 mN•m gegurtet; 0,98 ~ 29,4 mN•m • Anschlagfestigkeit: max. 49,00 mN•m

Serie	Preisangaben für lose Ware 1	10	50	Gegurtet auf Rolle Größe	Preisangaben
307UC	.13	1.19	4.92	800	101.59
307XC	.13	1.19	4.92	1,000	126.99

F

Drahtpotentiometer - 5 W

Serie 026

SPEZIFIKATIONEN:

Widerstandsbereich: 5 Ω ~ 25 KΩ **Widerstandstoleranz:** ±20 % **Nennleistung (W):** 5 Watts @ 25 °C, bis zu 0 W @ 105 °C vermindert **Nennspannung:** max. Betriebsspannung 500 V DC **Achsendaten:** 1" FMS x 0,250 " (25,40 mm FMS x 6,35 mm) Durchmesser, Metall, rund **Drehwinkel:** 300° Hülsendaten: Ø: EIA-Norm Gewindelänge: 3/8 " - 32 , UNEF-2A: 3/8 " ±1/64 " (9,52 mm ±0,40 mm) **Anschlussdaten:** Lötfahne, nach hinten geformt **Fixieröse:** Links, Kontakte nach unten

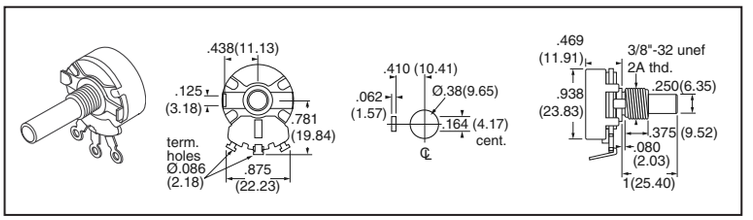

Ω	Digi-Key Teilenr.	Stückpreis 1	10	50	100	CTS Teilenr.
5	CT2150-ND	3.06	2.85	2.37	2.14	026TB32R5AOB1A1
10	CT2151-ND*	3.06	2.85	2.37	2.14	026TB32R100B1A1
25	CT2152-ND	3.06	2.85	2.37	2.14	026TB32R250B1A1
50	CT2153-ND*	3.06	2.85	2.37	2.14	026TB32R500B1A1
100	CT2154-ND*	3.06	2.85	2.37	2.14	026TB32R101B1A1
250	CT2155-ND	3.06	2.85	2.37	2.14	026TB32R251B1A1
500	CT2156-ND*	3.06	2.85	2.37	2.14	026TB32R501B1A1
1K	CT2157-ND*	3.06	2.85	2.37	2.14	026TB32R102B1A1
5K	CT2158-ND	3.06	2.85	2.37	2.14	026TB32R502B1A1
10K	CT2159-ND*	3.06	2.85	2.37	2.14	026TB32R103B1A1
25K	CT2160-ND*	3.06	2.85	2.37	2.14	026TB32R253B1A1

* **26-KIT-ND** ***Digi-Key® Serie 026 Potentiometer-Kit (Q656163)*** - je 5 von 7 Werten **84.62**

Kohlepotentiometer, 1/4 Watt

Serie 270

Abb. 1

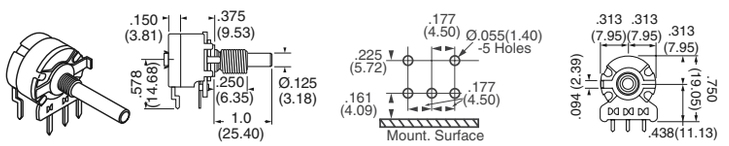

Abb. 2

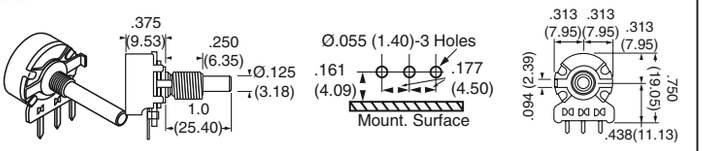

SPEZIFIKATIONEN:

Widerstandsbereich: 500 Ω ~ 1MΩ
Widerstandstoleranz: ±20 %
Nennleistung (W): 1/4 W bis 100 KOhm, 1/5 Watt ab 100KΩ
Nennspannung: Maximale Betriebsspannung — 500 V DC
Mech. Drehwinkel: 300° ±5°

Lieferbarer Betriebsschalter: Typ: Nenndrehleistung: 3 A @ 125 V AC (UL geprüft)
Effektive Umdrehung: Ohne Schalter ca. 300°, mit Schalter ca. 290°
Widerstandsverhalten: Linear, logarithmisch
Fixieröse: Links, Kontakte nach unten
Buchsendaten: Länge 1/4" (6,35 mm), Gewinde: 1/4"-32, Ø 1/4" (6,35 mm)
Achsendaten: Länge: mit Buchse 1" (25,40 mm), Ø 0,125 " (3,18 mm)

Digi-Key Teilenr.	Stückpreis 1	10	50	100	250
CT2223-ND - CT2233-ND	2.95	2.75	2.28	2.06	1.83
CT2201-ND - CT2211-ND	2.29	2.14	1.78	1.61	1.42
CT2212-ND - CT2222-ND	2.99	2.78	2.31	2.09	1.85
CT2234-ND - CT2244-ND	2.35	2.19	1.82	1.64	1.46

Lineare Senkung mit Schalter — Abb. 1

Ω	Digi-Key Teilenr.	CTS Teilenr.
500	CT2223-ND*	270X232A501B1B1
1K	CT2224-ND*	270X232A102B1B1
2.5K	CT2225-ND	270X232A252B1B1
5K	CT2226-ND	270X232A502B1B1
10K	CT2227-ND*	270X232A103B1B1
25K	CT2228-ND*	270X232A253B1B1
50K	CT2229-ND*	270X232A503B1B1
100K	CT2230-ND*	270X232A104B1B1
250K	CT2231-ND	270X232A254B1B1
500K	CT2232-ND*	270X232A504B1B1
1MEG	CT2233-ND*	270X232A105B1B1

Lineare Senkung mit Schalter — Abb. 2

Ω	Digi-Key Teilenr.	CTS Teilenr.
500	CT2201-ND**	270X232A501B1A1
1K	CT2202-ND**	270X232A102B1A1
2.5K	CT2203-ND	270X232A252B1A1
5K	CT2204-ND	270X232A502B1A1
10K	CT2205-ND**	270X232A103B1A1
25K	CT2206-ND**	270X232A253B1A1
50K	CT2207-ND**	270X232A503B1A1
100K	CT2208-ND**	270X232A104B1A1
250K	CT2209-ND	270X232A254B1A1
500K	CT2210-ND**	270X232A504B1A1
1 MEG	CT2211-ND**	270X232A105B1A1

Lineare Senkung mit Schalter — Abb. 1

Ω	Digi-Key Teilenr.	CTS Teilenr.
500	CT2212-ND†	270X232A501B2B1
1K	CT2213-ND†	270X232A102B2B1
2.5K	CT2214-ND	270X232A252B2B1
5K	CT2215-ND	270X232A502B2B1
10K	CT2216-ND†	270X232A103B2B1
25K	CT2217-ND†	270X232A253B2B1
50K	CT2218-ND†	270X232A503B2B1
100K	CT2219-ND†	270X232A104B2B1
250K	CT2220-ND	270X232A254B2B1
500K	CT2221-ND†	270X232A504B2B1
1 MEG	CT2222-ND†	270X232A105B2B1

Lineare Senkung mit Schalter — Abb. 2

Ω	Digi-Key Teilenr.	CTS Teilenr.
500	CT2234-ND††	270X232A501B2A1
1K	CT2235-ND††	270X232A102B2A1
2.5K	CT2236-ND	270X232A252B2A1
5K	CT2237-ND	270X232A502B2A1
10K	CT2238-ND††	270X232A103B2A1
25K	CT2239-ND††	270X232A253B2A1
50K	CT2240-ND††	270X232A503B2A1
100K	CT2241-ND††	270X232A104B2A1
250K	CT2242-ND	270X232A254B2A1
500K	CT2243-ND††	270X232A504B2A1
1MEG	CT2244-ND††	270X232A105B2A1

* **270-A-KIT-ND** ***Digi-Key® Serie 270 Potentiometer-Kit (Q652415)*** - je 5 von 8 Werten **93.08**
** **270-B-KIT-ND** ***Digi-Key® Serie 270 Potentiometer-Kit (Q653056)*** - je 5 von 8 Werten **76.15**
† **270-C-KIT-ND** ***Digi-Key® Serie 270 Potentiometer-Kit (Q653103)*** - je 5 von 8 Werten **93.08**
†† **270-D-KIT-ND** ***Digi-Key® Serie 270 Potentiometer-Kit (Q655519)*** - je 5 von 8 Werten **76.15**

Kohlepotentiometer, 1/8 Watt

Serie 296

Abb. 1 — Einsteller vertikal

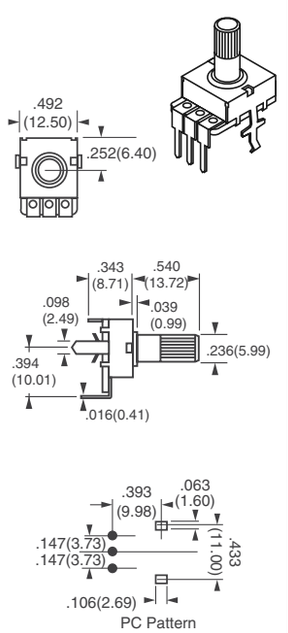

Abb. 2 — Einsteller horizontal

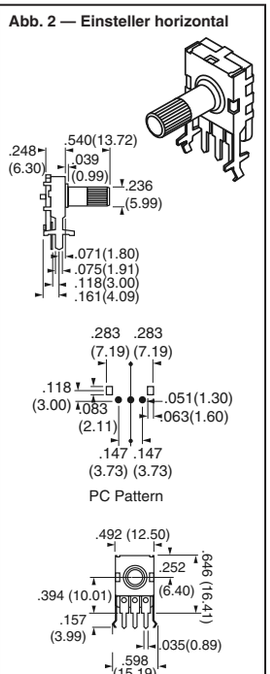

SPEZIFIKATIONEN:

Widerstandsbereich: 500 Ω ~ 1MΩ **Widerstandstoleranz:** ±20 % **Nennleistung (W):** 0,15 Watts @ 40 °C, bis zu 0 W @ 85 °C vermindert **Nennspannung:** zwischen Endkontakten: 250 V DC **Drehmoment:** 20 -144 g.cm **Drehwinkel:** (Gesamtumdrehung) – 300° ±5°; effektive Umdrehung ca. 280° **Anschlagfestigkeit:** 0,57 N•m min. Stoppstärke **Achsendaten:** Länge: 13,72 mm über Abdeckung hinaus; Stil: Gerändelt, Durchmesser: 6 mm **Montage:** Auf Leiterplatte Platinenmontage.

Abb.	Ω	Beschreibung	Digi-Key Teilenr.	Stückpreis 1	10	50	100	CTS Teilenr.
1	500	Vertikal	CT2261-ND*	1.28	1.07	.89	.72	296UD501B1N
	1K	Vertikal	CT2262-ND*	1.28	1.07	.89	.72	296UD102B1N
	2.5K	Vertikal	CT2263-ND*	1.28	1.07	.89	.72	296UD252B1N
	5K	Vertikal	CT2264-ND*	1.28	1.07	.89	.72	296UD502B1N
	10K	Vertikal	CT2265-ND*	1.28	1.07	.89	.72	296UD103B1N
	25K	Vertikal	CT2266-ND*	1.28	1.07	.89	.72	296UD253B1N
	50K	Vertikal	CT2267-ND*	1.28	1.07	.89	.72	296UD503B1N
	100K	Vertikal	CT2268-ND*	1.28	1.07	.89	.72	296UD104B1N
	250K	Vertikal	CT2269-ND*	1.28	1.07	.89	.72	296UD254B1N
	500K	Vertikal	CT2270-ND*	1.28	1.07	.89	.72	296UD504B1N
	1MEG	Vertikal	CT2271-ND*	1.28	1.07	.89	.72	296UD105B1N
2	500	Horizontal	CT2250-ND**	1.28	1.07	.89	.72	296XD501B1N
	1K	Horizontal	CT2251-ND**	1.28	1.07	.89	.72	296XD102B1N
	2.5K	Horizontal	CT2252-ND**	1.28	1.07	.89	.72	296XD252B1N
	5K	Horizontal	CT2253-ND**	1.28	1.07	.89	.72	296XD502B1N
	10K	Horizontal	CT2254-ND**	1.28	1.07	.89	.72	296XD103B1N
	25K	Horizontal	CT2255-ND**	1.28	1.07	.89	.72	296XD253B1N
	50K	Horizontal	CT2256-ND**	1.28	1.07	.89	.72	296XD503B1N
	100K	Horizontal	CT2257-ND**	1.28	1.07	.89	.72	296XD104B1N
	250K	Horizontal	CT2258-ND**	1.28	1.07	.89	.72	296XD254B1N
	500K	Horizontal	CT2259-ND**	1.28	1.07	.89	.72	296XD504B1N
	1MEG	Horizontal	CT2260-ND**	1.28	1.07	.89	.72	296XD105B1N

* **296U-KIT-ND** ***Digi-Key® Serie 296 Potentiometer-Kit (Q656135)*** - je 5 von 11 Werten **50.75**
** **296X-KIT-ND** ***Digi-Key® Serie 296 Potentiometer-Kit (Q656146)*** - je 5 von 11 Werten **50.75**

F

Alle Preisangaben in Euro und inklusive Zollgebühren.

Precision Electronic Components Ltd.

MIL Typ RV6 1/2 W Kohlepotentiometer

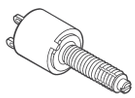

Serie RV6L

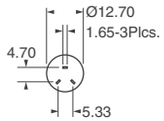

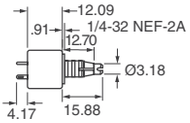

Spezifikationen:

- **Widerstandstoleranz:** ±10 % bis 500 KΩ, ±20 % ab 1MΩ
- **Widerstandsverhalten:** Linear
- **Nennleistung (W):** 0.5 W @ 70 °C
- **Durchschlagsfestigkeit:** 750 V RMS
- **Betriebsspannung:** max 350 V DC, jedoch Nennleistung beachten
- **Betriebstemperatur:** -55 °C ~ 120 °C
- **Drehwinkel mechanisch:** 295° QPL gem. Spezifikation nach MIL R 94. Metallgehäuse, Achse aus rostfreiem Stahl

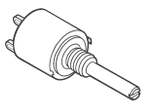

Serie RV6N

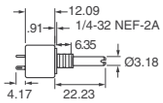

Widerstandscodetabelle

Code (Wert)	Code (Wert)	Code (Wert)	Code (Wert)	Code (Wert)
101 (100)	102 (1K)	103 (10K)	104 (100K)	105 (1Meg)
251 (250)	252 (2.5K)	253 (25K)	254 (250K)	505 (5Meg)
501 (500)	502 (5K)	503 (50K)	504 (500K)	

Widerstands-bereich (Ω)	Digi-Key† Teilenr.	Stückpreis 1	10	50	100	250	Precision Teilenr.
100-5Meg	RV6L □□□ C-ND	8.97	8.28	6.21	4.01	3.68	RV6LAYSA(Code)A
100-1Meg	RV6N □□□ C-ND	8.12	7.50	5.62	3.63	3.33	RV6NAYSD(Code)A

† Um die vollständige Nummer zu erhalten, ersetzen Sie □□□ durch den entsprechenden Code (aus der Widerstandscodetabelle).

MIL-Typ RV4L, RV4N, RV4NJ (linear gesenkt), KA (logarithmisch gesenkt) und KU (lange Lebensdauer*, linear gesenkt) 2 W Kohlepotentiometer

Spezifikationen:

- **Widerstandstoleranz:** ±10 % bis 500 KΩ, ±20 % ab 1 MΩ
- **Nennleistung:** 2 W @ 70 °C, vermindert bis zu 0 W @ 120 °C
- **Dielektrische Festigkeit:** 900 V RMS
- **Betriebsspannung:** 500 V, jedoch Nennleistung nicht überschreiten
- **Beriebstemperatur:** -65 °C ~ 125 °C (55 °C ~ 120 °C für RV4NJ)
- **Drehwinkel mechanisch:** 314° QPL gem. Spezifikation nach MIL R 94. Metallgehäuse, Achse aus rostfreiem Stahl.

** Lebensdauer (Umdrehungen): 1 Million Zyklen*

Serie RV4L

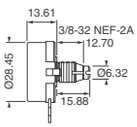

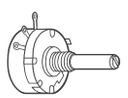

Serie RV4N
Serie KA/KU

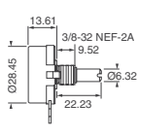

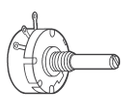

Serie RV4NJ

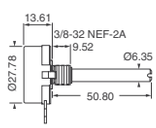

SERIE RV4L (LINEAR)

Code (Wert)	Code (Wert)	Code (Wert)	Code (Wert)
500 (50)	102 (1K)	153 (15K)	104 (100K)
101 (100)	252 (2.5K)	253 (25K)	254 (250K)
251 (250)	502 (5K)	353 (35K)	504 (500K)
501 (500)	103 (10K)	503 (50K)	105 (1 Meg)

SERIE KA (LOG. VERHALTEN)

Code (Wert)	Code (Wert)
502 (5K)	104 (100K)
103 (10K)	254 (250K)
253 (25K)	504 (500K)
503 (50K)	105 (1Meg)

SERIE RV4N (LINEAR)

Code (Wert)	Code (Wert)	Code (Wert)	Code (Wert)	Code (Wert)
500 (50)	501 (500)	502 (5K)	253 (25K)	254 (250K)
101 (100)	102 (1K)	752 (7.5K)	353 (35K)	504 (500K)
151 (150)	152 (1.5K)	103 (10k)	503 (50K)	105 (1 Meg)
251 (250)	252 (2.5K)	153 (15K)	104 (100K)	

SERIE RV4NJ (LINEAR)

Code (Wert)	Code (Wert)
500 (50)	502 (5K)
101 (100)	103 (10K)
251 (250)	253 (25K)
501 (500)	104 (100K)
102 (1K)	504 (500K)
252 (2.5K)	105 (1Meg)

Widerstands-bereich (Ω)	Digi-Key† Teilenr.	Stückpreis 1	10	50	100	250	Precision Teilenr.
50-1Meg	RV4L □□□ C-ND	6.34	5.73	4.88	4.05	3.54	RV4LAYSA(Code)A
50-1Meg	RV4N □□□ C-ND	6.05	5.48	4.66	3.87	3.38	RV4NAYSD(Code)A
50-1Meg	RV4NJ □□□ C-ND	6.05	5.48	4.66	3.87	3.38	RV4NAYSJ(Code)A
5K-1Meg	KA □□□ 1S28-ND	8.65	7.82	6.66	5.53	4.83	KA(Code)1S28
5K	KU5021S28-HL-ND*	8.74	7.90	6.73	5.58	4.88	KU5021S28-HL

† Um die vollständige Nummer zu erhalten, ersetzen Sie □□□ durch den entsprechenden Code (aus der Widerstandscodetabelle).

Präzisions-Drahtpotentiometer, 10-Gang

2-Watt-Potentiometer

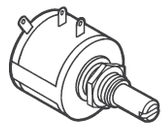

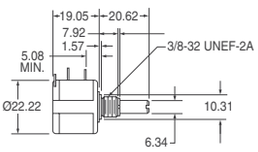

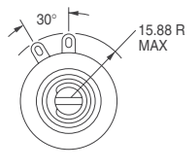

Serie GU

Spezifikationen:

- **Widerstandstoleranz:** ±5 %
- **Drehwinkel elektrisch/mechanisch:** 3.600° + 10° -0°
- **Effektiver Drehwinkel:** nom. 3.600°
- **Durchschlagsfestigkeit:** 1.000 V AC, 60 s bei ATM
- **Betriebspannung:** max. 500 V
- **Nennleistung:** 2 W bei 70 °C
- **Achsenlänge u. -größe:** 13/16" (20,64 mm). Aus rostfreiem Stahl, mit FMS Schraubendreherschlitz
- **Buchsenstil:** 5/16" (7,95 mm)
- **Temperaturkoeffizient:** ±20 ppm/°C

Widerstandscodetabelle

Code (Wert)	Code (Wert)	Code (Wert)
101 (100)	202 (2K)	253 (25K)
201 (200)	502 (5K)	503 (50K)
501 (500)	103 (10K)	104 (100K)
102 (1K)	203 (20K)	

Widerstands-bereich (Ω)	Digi-Key† Teilenr.	Stückpreis 1	10	50	100	250	Precision Teilenr.
100-100K	GU□□□1S26-ND	15.14	12.50	11.74	11.28	10.31	GU□□□ 1S26

† Um die vollständige Nummer zu erhalten, ersetzen Sie □□□ durch den entsprechenden Code (aus der Widerstandscodetabelle).

Typ SPR, waschbar

1/2 Watt Kohlepotentiometer

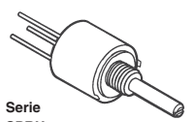

Serie SPRU

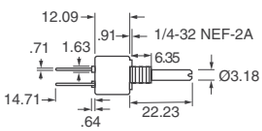

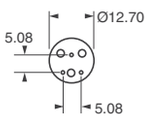

Spezifikationen:

• **Widerstandstoleranz:** ±10 % bis zu 500 KΩ, ±20 % 1MΩ - 5MΩ • **Widerstandsverhalten:** Linear • **Nennleistung (W):** 5 W @ 70 °C • **Durchschlagsfestigkeit:** 750 V RMS • **Betriebsspannung:** max 350 V DC, jedoch Nennleistung beachten • **Betriebstemperatur:** -55 °C ~ 120 °C • **Drehwinkel mechanisch:** 295°.

Enspricht oder übertrifft Spezifikationen gemäß MIL R 94. Metallgehäuse, Achse aus rostfreiem Stahl.

Widerstandscodetabelle

Code (Wert)	Code (Wert)	Code (Wert)	Code (Wert)
101 (100)	252 (2.5K)	503 (50K)	105 (1Meg)
251 (250)	502 (5K)	104 (100K)	255 (2.5Meg)
501 (500)	103 (10K)	254 (250K)	505 (5Meg)
102 (1K)	253 (25K)	504 (500K)	

Widerstands-bereich (Ω)	Digi-Key† Teilenr.	Stückpreis 1	10	50	100	250	Precision Teilenr.
100-5Meg	SPRU □□□ C-ND	6.56	5.93	5.05	4.19	3.66	SPRU(Code)1S28

† Um die vollständige Nummer zu erhalten, ersetzen Sie □□□ durch den entsprechenden Code (aus der Widerstandscodetabelle).

Modell 15 Umdrehungszähler

E15-1-11-ND:
Die linke Ziffer gibt die Zahl der vollst. Umdehungen des Drehknopfs an, und die beiden rechten Ziffern geben den Prozentsatz einer Umdrehung an. Das Aggregat zählt bis zu 999.

E15-2-11-ND:
Die beiden linken Ziffern geben die Zahl der vollst. Umdrehungen des Drehknopfs an, und die beiden rechten Ziffern geben den Prozentsatz einer Umdrehung an. Das Aggregat zählt bis zu 9999.

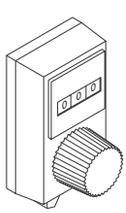

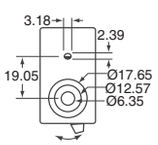

Rear View

Beschreibung	Digi-Key Teilenr.	Stück-preis	Precision Teilenr.
Digitalanzeige (3 Ziffern/10 Umdrehungen)	E15-1-11-ND	25.52	E15-1-11
Digitalanzeige (4 Ziffern/100 Umdrehungen)	E15-2-11-ND	29.31	E15-2-11

F

Geräteknöpfe aus bearbeitetem Aluminium

Merkmale:
- Präzisionsbearbeitete Aluminiumflächen aus Aluminiumbarren.
- Eloxiertes Finish, glänzend oder matt.
- Transparent oder schwarz.
- Stellschraube passt für einen 1/16" Sechskant-Inbusschlüssel
- Alle Knöpfe eignen sich für runde Achsen der nachstehend angegebenen Größen.
- Modell ML: Eine 6-32 Stellschraube 90° von der Anzeigelinie entfernt.
- Modelle DD, JD, DDS und SC: Zwei 6-32 Stellschraube im Abstand von 120°
- Modell HD: Zwei 6-32-Stellschrauben im Abstand von 90°.
- Modelle OEJ, OED und OES: Eine 6-32 Stellschraube 180° von der Anzeigelinie entfernt.

Made in USA

Abb. 1 – Modell ML „Soft Touch“

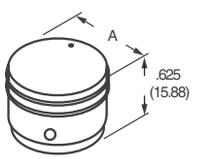

Abb. 2 – Modell DD

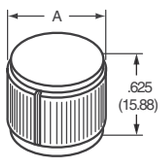

Abb. 3 – Modell JD

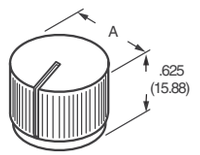

Abb. 4 – Modell HD

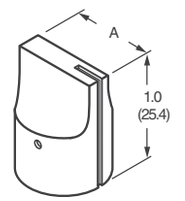

Abb. 5 – Modell DDS

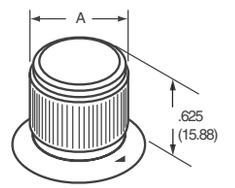

Abb. 6 – Modell SC

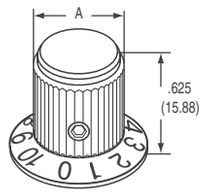

Abb. 7 – Modell OEJ

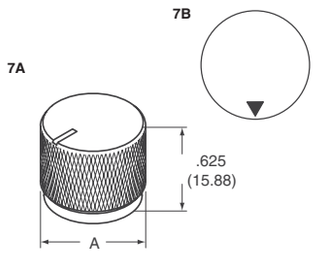

Abb. 8 – Modell OED

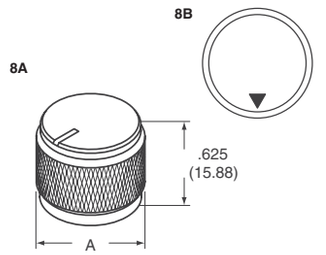

Abb. 9 – Modell OES

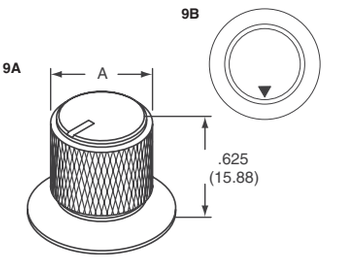

Abb.	Achsendurchmesser Zoll (mm)	Abmessung A Zoll (mm)	Digi-Key* Teilenr.	Stückpreis 1	10	50	100
1	.125 (3.18)	.50 (12.70)	226-□000-ND	4.34	3.86	3.19	2.90
	.125 (3.18)	.625 (15.875)	226-□069-ND	5.12	4.56	3.76	3.42
	.125 (3.18)	.75 (19.05)	226-□026-ND	5.30	4.71	3.89	3.54
	.125 (3.18)	.925 (23.50)	226-□027-ND	5.81	5.17	4.27	3.88
	.236 (6.00)	.50 (12.70)	226-□003-ND	4.34	3.86	3.19	2.90
	.236 (6.00)	.625 (15.875)	226-□071-ND	5.12	4.56	3.76	3.42
	.236 (6.00)	.75 (19.05)	226-□004-ND	5.30	4.71	3.89	3.54
	.236 (6.00)	.925 (23.50)	226-□028-ND	5.81	5.17	4.27	3.88
	.250 (6.35)	.50 (12.70)	226-□025-ND	4.34	3.86	3.19	2.90
	.250 (6.35)	.625 (15.875)	226-□070-ND	5.12	4.56	3.76	3.42
	.250 (6.35)	.75 (19.05)	226-□001-ND	5.30	4.71	3.89	3.54
	.250 (6.35)	.925 (23.50)	226-□002-ND	5.81	5.17	4.27	3.88
2	.125 (3.18)	.50 (12.70)	226-□005-ND	4.00	3.56	2.94	2.67
	.125 (3.18)	.625 (15.875)	226-□057-ND	4.28	3.81	3.15	2.86
	.125 (3.18)	.75 (19.05)	226-□042-ND	4.13	3.68	3.04	2.76
	.125 (3.18)	.925 (23.50)	226-□043-ND	4.34	3.86	3.19	2.90
	.236 (6.00)	.50 (12.70)	226-□008-ND	4.00	3.56	2.94	2.67
	.236 (6.00)	.625 (15.875)	226-□059-ND	4.28	3.81	3.15	2.86
	.236 (6.00)	.75 (19.05)	226-□009-ND	4.13	3.68	3.04	2.76
	.236 (6.00)	.925 (23.50)	226-□044-ND	4.34	3.86	3.19	2.90
	.250 (6.35)	.50 (12.70)	226-□041-ND	4.00	3.56	2.94	2.67
	.250 (6.35)	.625 (15.875)	226-□058-ND	4.28	3.81	3.15	2.86
	.250 (6.35)	.75 (19.05)	226-□006-ND	4.13	3.68	3.04	2.76
	.250 (6.35)	.925 (23.50)	226-□007-ND	4.34	3.86	3.19	2.90
3	.125 (3.18)	.50 (12.70)	226-□010-ND	4.00	3.56	2.94	2.67
	.125 (3.18)	.625 (15.875)	226-□060-ND	4.28	3.81	3.15	2.86
	.125 (3.18)	.75 (19.05)	226-□034-ND	4.13	3.68	3.04	2.76
	.125 (3.18)	.925 (23.50)	226-□035-ND	4.34	3.86	3.19	2.90
	.236 (6.00)	.50 (12.70)	226-□013-ND	4.00	3.56	2.94	2.67
	.236 (6.00)	.625 (15.875)	226-□062-ND	4.28	3.81	3.15	2.86
	.236 (6.00)	.75 (19.05)	226-□014-ND	4.13	3.68	3.04	2.76
	.236 (6.00)	.925 (23.50)	226-□036-ND	4.34	3.86	3.19	2.90
	.250 (6.35)	.50 (12.70)	226-□033-ND	4.00	3.56	2.94	2.67
	.250 (6.35)	.625 (15.875)	226-□061-ND	4.28	3.81	3.15	2.86
	.250 (6.35)	.75 (19.05)	226-□011-ND	4.13	3.68	3.04	2.76
	.250 (6.35)	.925 (23.50)	226-□012-ND	4.34	3.86	3.19	2.90
4	.125 (3.18)	.50 (12.70)	226-□015-ND	4.55	4.05	3.34	3.04
	.125 (3.18)	.625 (15.875)	226-□066-ND	5.30	4.71	3.89	3.54
	.125 (3.18)	.75 (19.05)	226-□030-ND	5.49	4.88	4.03	3.66
	.125 (3.18)	.925 (23.50)	226-□031-ND	6.17	5.49	4.53	4.12

Abb.	Achsendurchmesser Zoll (mm)	Abmessung A Zoll (mm)	Digi-Key* Teilenr.	Stückpreis 1	10	50	100
4	.236 (6.00)	.50 (12.70)	226-□018-ND	4.55	4.05	3.34	3.04
	.236 (6.00)	.625 (15.875)	226-□068-ND	5.30	4.71	3.89	3.54
	.236 (6.00)	.75 (19.05)	226-□019-ND	5.49	4.88	4.03	3.66
	.236 (6.00)	.925 (23.50)	226-□032-ND	6.17	5.49	4.53	4.12
	.250 (6.35)	.50 (12.70)	226-□029-ND	4.55	4.05	3.34	3.04
	.250 (6.35)	.625 (15.875)	226-□067-ND	5.30	4.71	3.89	3.54
	.250 (6.35)	.75 (19.05)	226-□016-ND	5.49	4.88	4.03	3.66
	.250 (6.35)	.925 (23.50)	226-□017-ND	6.17	5.49	4.53	4.12
5	.125 (3.18)	.50 (12.70)	226-□020-ND	4.40	3.92	3.23	2.94
	.125 (3.18)	.625 (15.875)	226-□063-ND	5.12	4.56	3.76	3.42
	.125 (3.18)	.75 (19.05)	226-□038-ND	5.26	4.68	3.86	3.51
	.125 (3.18)	.925 (23.50)	226-□039-ND	5.68	5.05	4.17	3.79
	.236 (6.00)	.50 (12.70)	226-□023-ND	4.40	3.92	3.23	2.94
	.236 (6.00)	.625 (15.875)	226-□065-ND	5.12	4.56	3.76	3.42
	.236 (6.00)	.75 (19.05)	226-□024-ND	5.26	4.68	3.86	3.51
	.236 (6.00)	.925 (23.50)	226-□040-ND	5.68	5.05	4.17	3.79
	.250 (6.35)	.50 (12.70)	226-□037-ND	4.40	3.92	3.23	2.94
	.250 (6.35)	.625 (15.875)	226-□064-ND	5.12	4.56	3.76	3.42
	.250 (6.35)	.75 (19.05)	226-□021-ND	5.26	4.68	3.86	3.51
	.250 (6.35)	.925 (23.50)	226-□022-ND	5.68	5.05	4.17	3.79
6	.125 (3.18)	.50 (12.70)	226-□072-ND	4.63	4.12	3.40	3.09
	.125 (3.18)	.625 (15.875)	226-□073-ND	5.12	4.56	3.76	3.42
	.125 (3.18)	.75 (19.05)	226-□074-ND	5.53	4.91	4.06	3.69
	.125 (3.18)	.925 (23.50)	226-□075-ND	5.96	5.30	4.38	3.98
	.236 (6.00)	.50 (12.70)	226-□080-ND	4.63	4.12	3.40	3.09
	.236 (6.00)	.625 (15.875)	226-□081-ND	5.12	4.56	3.76	3.42
	.236 (6.00)	.75 (19.05)	226-□082-ND	5.53	4.91	4.06	3.69
	.236 (6.00)	.925 (23.50)	226-□083-ND	5.96	5.30	4.38	3.98
	.250 (6.35)	.50 (12.70)	226-□076-ND	4.63	4.12	3.40	3.09
	.250 (6.35)	.625 (15.875)	226-□077-ND	5.12	4.56	3.76	3.42
	.250 (6.35)	.75 (19.05)	226-□078-ND	5.53	4.91	4.06	3.69
	.250 (6.35)	.925 (23.50)	226-□079-ND	5.96	5.30	4.38	3.98
7A	.125 (3.18)	.50 (12.70)	226-□084-ND	2.44	2.17	1.79	1.63
	.125 (3.18)	.625 (15.875)	226-□085-ND	2.51	2.24	1.85	1.68
	.125 (3.18)	.75 (19.05)	226-□086-ND	2.61	2.32	1.92	1.74
	.125 (3.18)	.925 (23.50)	226-□087-ND	2.68	2.39	1.97	1.80

* Für komplette Teilenr. ersetzen Sie □ durch den entsprechenden Farbcode (unten aufgeführt)
1 = Schwarz glänzend; 2 = Aluminium glänzend; 3 = Aluminium matt; 4 = Schwarz matt

(Forts.)

Alle Preisangaben in Euro und inklusive Zollgebühren.

Geräteknöpfe aus bearbeitetem Aluminium *(Forts.)*

Abb.	Achsendurchmesser Zoll (mm)	Abmessung A Zoll (mm)	Digi-Key* Teilenr.	Stückpreis 1	10	50	100
7A	.236 (6.00)	.50 (12.70)	226-□092-ND	2.44	2.17	1.79	1.63
	.236 (6.00)	.625 (15.875)	226-□093-ND	2.51	2.24	1.85	1.68
	.236 (6.00)	.75 (19.05)	226-□094-ND	2.61	2.32	1.92	1.74
	.236 (6.00)	.925 (23.50)	226-□095-ND	2.68	2.39	1.97	1.80
	.250 (6.35)	.50 (12.70)	226-□088-ND	2.44	2.17	1.79	1.63
	.250 (6.35)	.625 (15.875)	226-□089-ND	2.51	2.24	1.85	1.68
	.250 (6.35)	.75 (19.05)	226-□090-ND	2.61	2.32	1.92	1.74
	.250 (6.35)	.925 (23.50)	226-□091-ND	2.68	2.39	1.97	1.80
7B	.125 (3.18)	.50 (12.70)	226-□120-ND	2.44	2.17	1.79	1.63
	.125 (3.18)	.625 (15.875)	226-□121-ND	2.51	2.24	1.85	1.68
	.125 (3.18)	.75 (19.05)	226-□122-ND	2.61	2.32	1.92	1.74
	.125 (3.18)	.925 (23.50)	226-□123-ND	2.68	2.39	1.97	1.80
	.236 (6.00)	.50 (12.70)	226-□128-ND	2.44	2.17	1.79	1.63
	.236 (6.00)	.625 (15.875)	226-□129-ND	2.51	2.24	1.85	1.68
	.236 (6.00)	.75 (19.05)	226-□130-ND	2.61	2.32	1.92	1.74
	.236 (6.00)	.925 (23.50)	226-□131-ND	2.68	2.39	1.97	1.80
	.250 (6.35)	.50 (12.70)	226-□124-ND	2.44	2.17	1.79	1.63
	.250 (6.35)	.625 (15.875)	226-□125-ND	2.51	2.24	1.85	1.68
	.250 (6.35)	.75 (19.05)	226-□126-ND	2.61	2.32	1.92	1.74
	.250 (6.35)	.925 (23.50)	226-□127-ND	2.68	2.39	1.97	1.80
8A	.125 (3.18)	.50 (12.70)	226-□096-ND	2.44	2.17	1.79	1.63
	.125 (3.18)	.625 (15.875)	226-□097-ND	2.51	2.24	1.85	1.68
	.125 (3.18)	.75 (19.05)	226-□098-ND	2.61	2.32	1.92	1.74
	.125 (3.18)	.925 (23.50)	226-□099-ND	2.68	2.39	1.97	1.80
	.236 (6.00)	.50 (12.70)	226-□104-ND	2.44	2.17	1.79	1.63
	.236 (6.00)	.625 (15.875)	226-□105-ND	2.51	2.24	1.85	1.68
	.236 (6.00)	.75 (19.05)	226-□106-ND	2.61	2.32	1.92	1.74
	.236 (6.00)	.925 (23.50)	226-□107-ND	2.68	2.39	1.97	1.80
	.250 (6.35)	.50 (12.70)	226-□100-ND	2.44	2.17	1.79	1.63
	.250 (6.35)	.625 (15.875)	226-□101-ND	2.51	2.24	1.85	1.68
	.250 (6.35)	.75 (19.05)	226-□102-ND	2.61	2.32	1.92	1.74
	.250 (6.35)	.925 (23.50)	226-□103-ND	2.68	2.39	1.97	1.80
8B	.125 (3.18)	.50 (12.70)	226-□132-ND	2.44	2.17	1.79	1.63
	.125 (3.18)	.625 (15.875)	226-□133-ND	2.51	2.24	1.85	1.68
8B	.125 (3.18)	.75 (19.05)	226-□134-ND	2.61	2.32	1.92	1.74
	.125 (3.18)	.925 (23.50)	226-□135-ND	2.68	2.39	1.97	1.80
	.236 (6.00)	.50 (12.70)	226-□140-ND	2.44	2.17	1.79	1.63
	.236 (6.00)	.625 (15.875)	226-□141-ND	2.51	2.24	1.85	1.68
	.236 (6.00)	.75 (19.05)	226-□142-ND	2.61	2.32	1.92	1.74
	.236 (6.00)	.925 (23.50)	226-□143-ND	2.68	2.39	1.97	1.80
	.250 (6.35)	.50 (12.70)	226-□136-ND	2.44	2.17	1.79	1.63
	.250 (6.35)	.625 (15.875)	226-□137-ND	2.51	2.24	1.85	1.68
	.250 (6.35)	.75 (19.05)	226-□138-ND	2.61	2.32	1.92	1.74
	.250 (6.35)	.925 (23.50)	226-□139-ND	2.68	2.39	1.97	1.80
9A	.125 (3.18)	.50 (12.70)	226-□108-ND	2.90	2.58	2.13	1.94
	.125 (3.18)	.625 (15.875)	226-□109-ND	3.01	2.68	2.21	2.01
	.125 (3.18)	.75 (19.05)	226-□110-ND	3.11	2.76	2.28	2.07
	.125 (3.18)	.925 (23.50)	226-□111-ND	3.26	2.90	2.39	2.18
	.236 (6.00)	.50 (12.70)	226-□116-ND	2.90	2.58	2.13	1.94
	.236 (6.00)	.625 (15.875)	226-□117-ND	3.01	2.68	2.21	2.01
	.236 (6.00)	.75 (19.05)	226-□118-ND	3.11	2.76	2.28	2.07
	.236 (6.00)	.925 (23.50)	226-□119-ND	3.26	2.90	2.39	2.18
	.250 (6.35)	.50 (12.70)	226-□112-ND	2.90	2.58	2.13	1.94
	.250 (6.35)	.625 (15.875)	226-□113-ND	3.01	2.68	2.21	2.01
	.250 (6.35)	.75 (19.05)	226-□114-ND	3.11	2.76	2.28	2.07
	.250 (6.35)	.925 (23.50)	226-□115-ND	3.26	2.90	2.39	2.18
9B	.125 (3.18)	.50 (12.70)	226-□144-ND	2.90	2.58	2.13	1.94
	.125 (3.18)	.625 (15.875)	226-□145-ND	3.01	2.68	2.21	2.01
	.125 (3.18)	.75 (19.05)	226-□146-ND	3.11	2.76	2.28	2.07
	.125 (3.18)	.925 (23.50)	226-□147-ND	3.26	2.90	2.39	2.18
	.236 (6.00)	.50 (12.70)	226-□152-ND	2.90	2.58	2.13	1.94
	.236 (6.00)	.625 (15.875)	226-□153-ND	3.01	2.68	2.21	2.01
	.236 (6.00)	.75 (19.05)	226-□154-ND	3.11	2.76	2.28	2.07
	.236 (6.00)	.925 (23.50)	226-□155-ND	3.26	2.90	2.39	2.18
	.250 (6.35)	.50 (12.70)	226-□148-ND	2.90	2.58	2.13	1.94
	.250 (6.35)	.625 (15.875)	226-□149-ND	3.01	2.68	2.21	2.01
	.250 (6.35)	.75 (19.05)	226-□150-ND	3.11	2.76	2.28	2.07
	.250 (6.35)	.925 (23.50)	226-□151-ND	3.26	2.90	2.39	2.18

* Für komplette Teilenr. ersetzen Sie □ durch den entsprechenden Farbcode (unten aufgeführt)

1 = Schwarz glänzend; 2 = Aluminium glänzend; 3 = Aluminium matt; 4 = Schwarz matt

Druck-Drehknöpfe aus Aluminium

Modell DDSPT

Made in USA

Seitenansicht

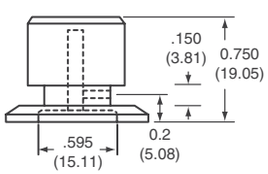

Draufsicht

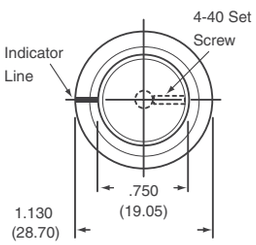

Merkmale:

Präzisionsbearbeitete Aluminiumflächen aus Aluminiumbarren

Eloxiertes Finish, glänzend oder matt. Transparent oder schwarz. Die Knöpfe des DDSPT haben eine einzelne 4-40 Stellschraube.

Achsen-Ø Zoll (mm)	Farbe/Finish	Digi-Key Teilenr.	Stückpreis 1	10	50	100
.125 (3.18)	Transparent/glänzend	226-1046-ND	14.19	12.62	10.41	9.47
.236 (6.00)	Transparent/glänzend	226-1047-ND	14.19	12.62	10.41	9.47
.250 (6.35)	Transparent/glänzend	226-1045-ND	14.19	12.62	10.41	9.47
.125 (3.18)	Schwarz/glänzend	226-1049-ND	14.19	12.62	10.41	9.47
.236 (6.00)	Schwarz/glänzend	226-1050-ND	14.19	12.62	10.41	9.47
.250 (6.35)	Schwarz/glänzend	226-1048-ND	14.19	12.62	10.41	9.47
.125 (3.18)	Transparent/matt	226-1052-ND	14.19	12.62	10.41	9.47
.236 (6.00)	Transparent/matt	226-1053-ND	14.19	12.62	10.41	9.47
.250 (6.35)	Transparent/matt	226-1051-ND	14.19	12.62	10.41	9.47
.125 (3.18)	Schwarz/matt	226-1055-ND	14.19	12.62	10.41	9.47
.236 (6.00)	Schwarz/matt	226-1056-ND	14.19	12.62	10.41	9.47
.250 (6.35)	Schwarz/matt	226-1054-ND	14.19	12.62	10.41	9.47

Skalenscheiben, konzentrisch

SERIE: 400, 500, 600, 340

Made in USA

Abb. 1	Abb. 2	Abb. 3	Abb. 4
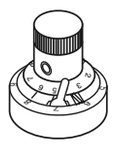	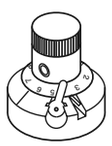	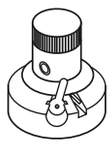	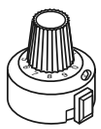

Merkmale:

Eloxierte, präzisionsbearbeitete Aluminium-Außenseite. Für Potentiometerachsen von 1/4" (6,35 mm) mit 3/8" x 32-NEF-2A Hülse. Beansprucht nur 2,5 Quadratzentimeter Platz.

Serie 400:

1" (25,40 mm), **10 Umdrehungen**. Diese erstklassige, Umdrehungen zählende Rundskala ist für Wendel-Potentiometer mit bis zu zehn Umdrehungen oder andere Drehvorrichtungen bestimmt. Der Knopf/die Skala wird direkt an der Achse befestigt, und der Körper der Rundskala wird fest an der Platte montiert, sodass genaue Werte mit einem Verhältnis von 1.000 zu 1 für zehn Umdrehungen ohne Spiel oder Zählfehler geliefert werden. Mit oder ohne Verschlussmechanismus erhältlich.

Serie 500:

1" (25,40 mm) **kalibrierte Skala, 1 Umdrehung**.

Serie 600:

1" (25,40 mm) **nicht kalibrierte Skala, 1 Umdrehung**.

Serie 3400:

7/8" (22,23 mm) **Kalibrierung, 20 Umdrehungen** Kalibrierte Rundskala für Multi-Umdrehungspotentiometer, bis zu zwanzig Umdrehungen oder andere Drehvorrichtungen. Der Umdrehungszähler zeigt eine Zahl in der Anzeige an, wenn die Rundskala gedreht wird. Die Montagehalterung wird zwischen Platte und Plattenschraube installiert, wobei die Rundskala direkt an der Potentiometerachse befestigt wird.

Abb.	Beschreibung	Digi-Key Teilenr.	Stückpreis 1	5	10	Kilo Teilenr.
	Kommerziell, 10 Umdrehungen (kalibriert)					
1	Schwarz eloxiert, kein Verschluss	411KL-ND	16.36	15.19	14.02	411
	Schwarz eloxiert, mit Verschluss	412KL-ND	15.84	14.71	13.58	412
	Transparent eloxiert, kein Verschluss	461KL-ND	15.04	13.97	12.90	461
	Transparent eloxiert, mit Verschluss	462KL-ND	15.84	14.71	13.58	462
	Kommerziell, 1 Umdrehung (kalibriert)					
2	Schwarz eloxiert, mit Verschluss	512KL-ND	14.60	13.62	12.97	512
	Transparent eloxiert, kein Verschluss	561KL-ND	11.24	10.49	9.99	561
	Transparent eloxiert, mit Verschluss	562KL-ND	14.60	13.62	12.97	562
	Kommerziell, 1 Umdrehung (nicht kalibriert)					
3	Schwarz eloxiert, mit Verschluss	612KL-ND	14.11	13.18	12.55	612
	Transparent eloxiert, mit Verschluss	662KL-ND	14.11	13.18	12.55	662
	Kommerziell, 20 Umdrehungen (kalibriert)					
4	Schwarz eloxiert, mit Verschluss	3412KL-ND	14.14	13.13	12.12	3412
	Transparent eloxiert, mit Verschluss	3462KL-ND	14.14	13.13	12.12	3462

CLAROSTAT — Waschbare Potentiometer aus leitfähigem Kunststoff — 1/2 W

SERIE 392JB

SPEZIFIKATIONEN:

- **Nennleistung:** 0,5 W bei 70 °C; Spannung darf Nennleistung nicht übersteigen.
- **Elektrische Drehung:** 295° ±5°
- **Effektive Drehung:** 265° +0°, -10°
- **Mech. Drehwinkel:** 295° ±5°
- **Widerstandstoleranz:** ±10 % ~ 500 kOhm ±20% bei 1 MΩ.
- **Durchschlagsfestigkeit:** 750 V AC, 60s bei ATM-Druck. 350 V AC für 60s, 3,4 in. Hg
- **Betriebsspannung:** 350 V DC über Anschlüsse, jedoch Nennleistung beachten
- **Temperaturbereich:** -40 °C ~ +120 °C

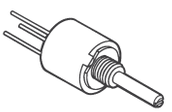

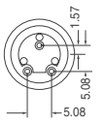

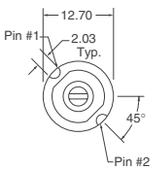

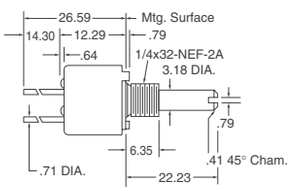

Serie 392JB: Kunststoffachse und Hülse

WIDERSTANDSCODE-TABELLE (Widerstandwert — linear)

Code (Wert)	Code (Wert)	Code (Wert)
101 (100)	502 (5K)	104 (100K)
251 (250)	103 (10K)	254 (250K)
501 (500)	253 (25K)	504 (500K)
102 (1K)	503 (50K)	105 (1 M)
252 (2.5K)		

Widerstands-bereich (Ω)	Digi-Key* Teilenr.	Stückpreis 1	10	50	100	250	500	Clarostat Teilenr.
100-1 MΩ	392JB □□□ -ND	6.49	5.71	4.79	3.56	3.04	2.73	392JB (Wert)

* Für komplette Teilenr. ersetzen Sie □□□ durch den entsprechenden Widerstandscode (aus obiger Tabelle).

Potentiometer aus leitfähigem Kunststoff — 1/2 W

SERIE 590SX

SPEZIFIKATIONEN:

- **Widerstandstoleranz:** ±10 %
- **Nennleistung (W):** 0,5 W bei 70 °C. Linear gemindert auf 0 W bei 120 °C.
- **Mechanische und elektrische Drehung:** 295° ±5°
- **Betriebspannung:** max. 350 V über Endanschlüsse, jedoch innerhalb Nennleistungsbereich
- **Effektive Drehung:** 265° ±5°. Kleinteile werden mitgeliefert.

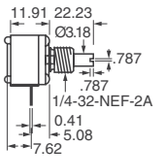

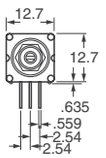

WIDERSTANDSCODE-TABELLE (Widerstandwert — linear)

Code (Wert)	Code (Wert)	Code (Wert)
102 (1K)	502 (5K)	103 (10K)

Widerstands-bereich (Ω)	Digi-Key* Teilenr.	Stückpreis 1	10	50	100	Clarostat Teilenr.
1K-10K	590SX □□□ -ND	4.57	4.16	3.79	3.27	590SX1N56S □□□ SP

* Für komplette Teilenr. ersetzen Sie □□□ durch den entsprechenden Widerstandscode (aus obiger Tabelle).

Potentiometer aus leitfähigem Kunststoff — 1 W

SERIE 381

Der „Ruhige" mit 1 % dynamischem Lärm und 5 % unabhängiger Linearität. Gemäß Spezifikation MIL-R-94D hergestellt. 381N — Hülse, einfach, 1/4" (6,35 mm) lang. Achse: 3/4" (19,05 mm), mit FMS-Schraubendreherschlitz.

SPEZIFIKATIONEN:

- **Widerstandstoleranz:** Linear. ±10 % bis zu 500 K. ±20 % über 500 K.
- **Nennleistung (W):** max. 1 W Dauernennleistung für lineare Senkung. Spannung darf Nennleistung nicht überschreiten. Voller Nennwert bei 70 °C, linear gesenkt auf 0 W bei 120 °C.
- **Mechanische und elektrische Drehung:** 300° ±5° ohne Schalter
- **Betriebsspannung:** 350 V DC über Anschlüsse, jedoch Nennleistung beachten
- **Effektive Drehung:** 270° +0° -10°
- **Durchschlagsfestigkeit:** 1.000 V AC für 60s. ATM

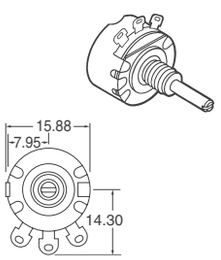

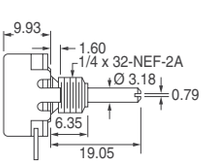

WIDERSTANDSCODE-TABELLE (Widerstandwert — linear)

Code (Wert)	Code (Wert)
101 (100)	503 (50K)
251 (250)	104 (100K)
501 (500)	254 (250K)
102 (1K)	504 (500K)
252 (2.5K)	105 (1 M)
502 (5K)	255 (2.5 M)
103 (10K)	505 (5 M)
253 (25K)	

Widerstandsbereich (Ω)	Digi-Key* Teilenr.	Stückpreis 1	10	50	Clarostat Teilenr.
100-5 M	381N □□□ -ND	11.87	10.47	9.06	381N (Wert)

* Für komplette Teilenr. ersetzen Sie □□□ durch den entsprechenden Widerstandscode (aus obiger Tabelle).

KEYSTONE ELECTRONICS CORP — Instrumentierungsknöpfe

Abb. 1	Abb. 2	Abb. 3	Abb. 4
	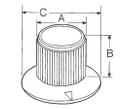	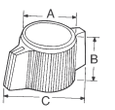	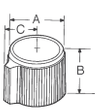
Rund mit Sockel	Rund mit Wählscheibe	Doppelbalken	Einzelbalken

Abb.	Achsen -Ø	Abmessungen A	B	C	Digi-Key Teilenr.	Stückpreis 1	10	100
1	3.18	12.70	12.95	3.81	8554K-ND	3.09	2.75	2.42
	6.35	17.78	15.49	4.32	8555K-ND	3.20	2.85	2.52
	6.35	22.86	20.07	5.59	8556K-ND	3.29	2.93	2.60
2	3.18	12.70	13.97	22.86	8558K-ND	3.87	3.44	3.04
	6.35	17.78	18.03	29.21	8559K-ND	4.63	4.12	3.63
	6.35	22.86	22.10	38.74	8560K-ND	5.26	4.68	4.14
3	6.35	17.78	15.49	29.21	8565K-ND	3.93	3.49	3.08
	6.35	22.86	16.26	38.74	8566K-ND	4.21	3.75	3.30
4	3.18	12.70	12.95	8.89	8567K-ND	4.65	4.14	3.66
	6.35	17.78	15.49	11.68	8568K-ND	5.33	4.75	4.20
	6.35	22.86	20.07	14.99	8569K-ND	5.77	5.13	4.54

Knöpfe mit gesponnener Aluminiumeinlage mit transparenter Beschichtung.

CLAROSTAT — Potentiometer aus leitfähigem Kunststoff — 1/4 W

SERIE 574SFX 575SSX

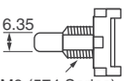

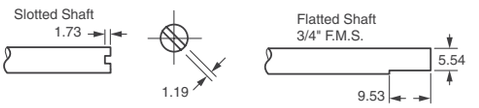

Serie 574 und 575

Serie 574

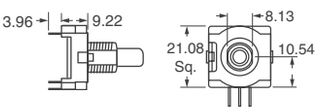

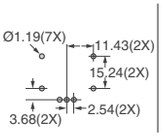

Serie 575

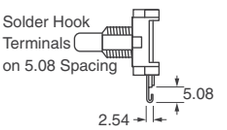

WIDERSTANDSCODE-TABELLE (Widerstandwert — linear)

Code (Wert)	Code (Wert)
102 (1K)	503 (50K)
103 (10K)	104 (100K)

SPEZIFIKATIONEN:

- **Widerstandstoleranz:** ±20 %
- **Nennleistung (W):** 0,25 W bei 70 °C.
- **Mechanische und elektrische Drehung:** 300° ±5°
- **Betriebspannung:** max. 350 V
- **Effektive Drehung:** 270° Kleinteile separat bestellen

Widerstands-bereich (Ω)	Achsen-typ	Digi-Key* Teilenr.	Stückpreis 1	10	50	100	Clarostat Teilenr.
10K-100K	Abgeflacht	574SF □□□ -ND	2.24	2.04	1.86	1.61	574SX1M48F □□□ SD
10K-100K	Geschlitzt	574SS □□□ -ND	2.24	2.04	1.86	1.61	574SX1M48S □□□ SD
1K-50K	Abgeflacht	575SF □□□ -ND	1.81	1.65	1.49	1.30	575SX1A48F □□□ SS
1K-50K	Geschlitzt	575SS □□□ -ND	1.81	1.65	1.49	1.30	575SX1A48S □□□ SS
Montagemutter (Serie 574)		02318603-ND	—	.12	.11	.10	02318603
Montagemutter (Serie 575)		01051301-ND	—	.27	.25	.22	01051301
Sicherungsscheibe		01070602-ND	—	.26	.23	.21	01070602

* Für komplette Teilenr. ersetzen Sie □□□ durch den entsprechenden Widerstandscode (aus obiger Tabelle).

Potentiometer aus leitfähigem Kunststoff — 1/2 W, 1 W

SERIE 308N 308NPC 309NPC

Serie 308N

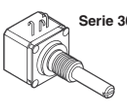

Serie 308NPC Serie 309NPC

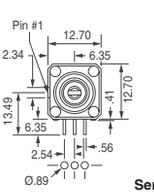

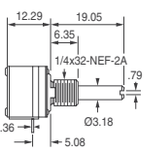

Serie 308NPC/309NPC Serie PC

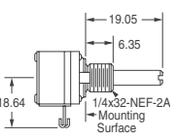

Serie 308N Hakenanschlüsse

WIDERSTANDSCODE-TABELLE (Widerstandwert — linear)

Code (Wert)	Code (Wert)	Code (Wert)
101 (100)	502 (5K)	254 (250K)
251 (250)	103 (10K)	504 (500K)
501 (500)	253 (25K)	105 (1 MΩ)
102 (1K)	503 (50K)	255 (2.5 MΩ)
252 (2.5K)	104 (100K)	505 (5 MΩ)

SPEZIFIKATIONEN:

- **Widerstandstoleranz:** ±10 % bis zu 500 K ±20 % darüber.
- **Elektrische und mechanische Drehung:** 295° ±5°
- **Durchschlagsfestigkeit:** 750 V AC (Serie 308), 900 V AC (Serie 309) für 60 s bei ATM
- **Betriebsspannung:** 350 V DC über Anschlüsse
- **Nennspannung:** 0,5 W bei 70 °C (Serie 308), 1 W bei 150 °C (Serie 309)
- **Betriebstemperatur:** -40 °C ~ 120 °C (Serie 308), -40 °C ~ 150 °C (Serie 309)
- **Lebensdauer (Drehungen):** 50.000 Zyklen unter Belastung (Serie 308), 25.000 Zyklen unter Belastung (Serie 309)

Widerstands-bereich (Ω)	Digi-Key* Teilenr.	Stückpreis 1	10	50	100	250	Clarostat Teilenr.
100-5 MΩ	308N □□□ - ND	9.51	7.31	6.36	5.10	3.64	308N (Wert)
100-1 MΩ	308NPC □□□ -ND	9.55	7.36	6.41	5.13	3.67	308NPC (Wert)
100-5 MΩ	309NPC □□□ -ND	9.72	7.90	6.59	6.03	4.62	309NPC (Wert)

* Für komplette Teilenr. ersetzen Sie □□□ durch den entsprechenden Widerstandscode (aus obiger Tabelle).
N = Achse: 1/8 Zoll (3,18 mm) Durchmesser x 3/4 Zoll (19,05 mm)

F

Alle Preisangaben in Euro und inklusive Zollgebühren.

9-mm-Potentiometer

Spezifikationen: Widerstandsbereich: 5 KΩ ~ 50 KΩ • Toleranz: ±20 % • Nennleistung: 0,05 W @ 50 °C • Nennspannung: E = $\sqrt{PR}$, aber E ≤ 50 V AC/20 V DC • Drehwinkel: 300° ±5° • Lebensdauer: Min. 10.000 Umdrehungen • Anwendung: Audio-Mischpult

Abb. 1

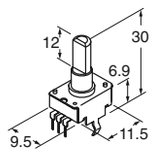

Shaft :Ø 6.0 mm

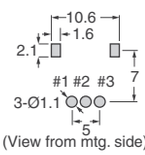

(View from mtg. side)

Auflagefläche für Abb. 1, 2 u. 3

Abb. 2

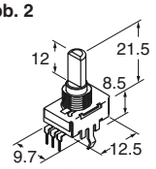

Shaft :Ø 6.0 mm

*** Montageteile mitgeliefert**

Abb. 3

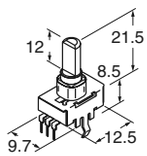

Shaft :Ø 6.0 mm

Abb. 4

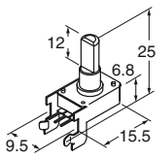

Shaft :Ø 6.0 mm

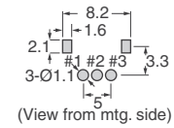

(View from mtg. side)

Auflagefläche für Abb. 4, 5 u. 6

Abb. 5

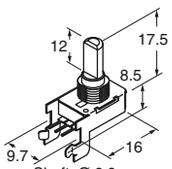

Shaft :Ø 6.0 mm

*** Montageteile mitgeliefert**

Abb. 6

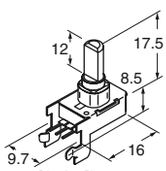

Shaft :Ø 6.0 mm

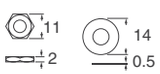

*** Montageteile für Abb. 2 und Abb. 5**

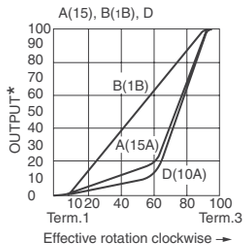

*Output V. between term. 1 & 2
Operating V. between term.1 & 3 X 100%

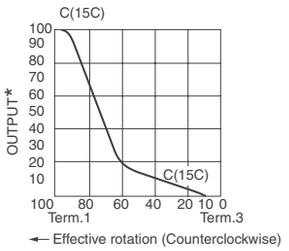

*Output V. between term. 2 & 3
Operating V. between term.1 & 3 X 100%

Widerstandscode-Tabelle (Widerstandwert)

Code (Wert)	Code (Wert)
502 (5K)	103 (10K)
203 (20K)	503 (50K)

12-mm-Potentiometer

Spezifikationen: Widerstandsbereich: 5 KΩ ~ 50 KΩ • Toleranz: ±20 % • Nennleistung: 0,05 W @ 50 °C • Nennspannung: E = $\sqrt{PR}$, aber E ≤ 50 V AC/20 V DC (keine Gleichspannung verwenden) • Drehwinkel: 300° ±5° • Lebensdauer: Min. 15.000 Umdrehungen • Anwendung: Audio-Mischpult

Abb. 7

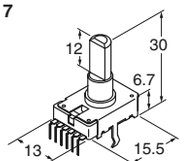

Shaft :Ø 6.0 mm

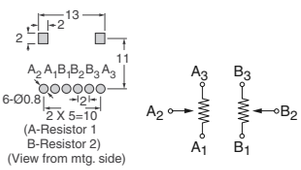

Auflagefläche für Abb. 7, 8 u. 9

Abb. 8

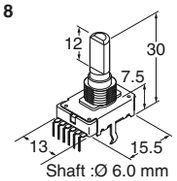

Shaft :Ø 6.0 mm

*** Montageteile mitgeliefert**

Abb. 9

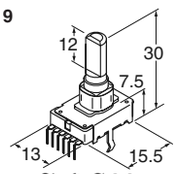

Shaft :Ø 6.0 mm

Abb. 10

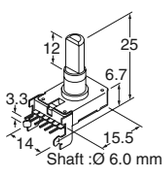

Shaft :Ø 6.0 mm

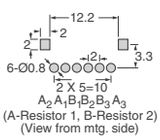

Auflagefläche für Abb. 10, 11 u. 12

Abb. 11

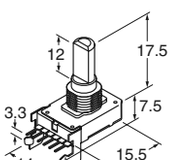

Shaft :Ø 6.0 mm

*** Montageteile mitgeliefert**

Abb. 12

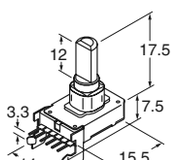

Shaft :Ø 6.0 mm

*** Montageteile für Abb. 8 und Abb. 11**

Abb.	Minderung	Mittenraste	Durchführung	Digi-Key Teilenr.	Preisangaben 1	10	100	1.000	Panasonic* Teilenr.
9-mm-Audio-Potentiometer									
1	B	Y	Entfällt	P3A1□□□-ND	.89	7.39	55.44	408.96	EVU-F3AF30B□□
	D	Y	Entfällt	P3B2□□□-ND	.89	7.39	55.44	408.96	EVU-F3AF30D□□
	B	N	Entfällt	P3C3□□□-ND	.95	7.90	59.25	437.07	EVU-F2AF30B□□
	D	N	Entfällt	P3D4□□□-ND	.84	6.96	52.19	385.07	EVU-F2AF30D□□
2	B	Y	Metall	P3E5□□□-ND	1.61	13.41	100.58	742.03	EVU-F3MFL3B□□
	D	Y	Metall	P3F6□□□-ND	1.61	13.41	100.58	742.03	EVU-F3MFL3D□□
	B	N	Metall	P3G7□□□-ND	1.56	12.98	97.34	718.14	EVU-F2MFL3B□□
	D	N	Metall	P3H8□□□-ND	1.56	12.98	97.34	718.14	EVU-F2MFL3D□□
3	B	Y	Kunststoff	P3I9□□□-ND	1.06	8.84	66.29	489.06	EVU-F3LFL3B□□
	D	Y	Kunststoff	P3J0□□□-ND	1.06	8.84	66.29	489.06	EVU-F3LFL3D□□
	B	N	Kunststoff	P3K1□□□-ND	1.01	8.38	62.86	463.77	EVU-F2LFL3B□□
	D	N	Kunststoff	P3L2□□□-ND	1.01	8.38	62.86	463.77	EVU-F2LFL3D□□
4	B	Y	Entfällt	P3M3□□□-ND	.91	7.64	57.34	423.01	EVU-E3AF25B□□
	D	Y	Entfällt	P3N4□□□-ND	.91	7.64	57.34	423.01	EVU-E3AF25D□□
	B	N	Entfällt	P3P5□□□-ND	.86	7.19	53.91	397.72	EVU-E2AF25B□□
	D	N	Entfällt	P3Q6□□□-ND	.86	7.19	53.91	397.72	EVU-E2AF25D□□
5	B	Y	Metall	P3R7□□□-ND	1.64	13.69	102.68	757.49	EVU-E3JFK4B□□
	D	Y	Metall	P3S8□□□-ND	1.64	13.69	102.68	757.49	EVU-E3JFK4D□□
	B	N	Metall	P3T9□□□-ND	1.58	13.21	99.05	730.79	EVU-E2JFK4B□□
	D	N	Metall	P3U0□□□-ND	1.58	13.21	99.05	730.79	EVU-E2JFK4D□□
6	B	Y	Kunststoff	P3W1□□□-ND	1.09	9.12	68.39	504.52	EVU-E3KFK4B□□
	D	Y	Kunststoff	P3X2□□□-ND	1.09	9.12	68.39	504.52	EVU-E3KFK4D□□
	B	N	Kunststoff	P3Y3□□□-ND	1.03	8.64	64.76	477.82	EVU-E2KFK4B□□
	D	N	Kunststoff	P3Z4□□□-ND	1.03	8.64	64.76	477.82	EVU-E2KFK4D□□
12-mm-Audio-Potentiometer									
7	B	Y	Entfällt	P2A5□□□-ND	2.00	16.66	124.96	921.91	EVJ-Y81F30B□□
	AC	Y	Entfällt	P2B6□□□-ND	2.00	16.66	124.96	921.91	EVJ-YE1F30□□□
	A	N	Entfällt	P2C7□□□-ND	1.94	16.18	121.34	895.21	EVJ-Y00F30A□□
	D	N	Entfällt	P2D8□□□-ND	1.94	16.18	121.34	895.21	EVJ-Y00F30D□□
8	B	Y	Metall	P2E9□□□-ND	2.28	18.97	142.30	1049.80	EVJ-Y91F03B□□
	AC	Y	Metall	P2F0□□□-ND	2.28	18.97	142.30	1049.80	EVJ-YK1F03□□□
	A	N	Metall	P2G1□□□-ND	2.22	18.52	138.87	1024.50	EVJ-Y10F03A□□
	D	N	Metall	P2H2□□□-ND	2.22	18.52	138.87	1024.50	EVJ-Y10F03D□□
9	B	Y	Kunststoff	P2I3□□□-ND	2.18	18.11	135.82	1002.02	EVJ-Y96F03B□□
	AC	Y	Kunststoff	P2J4□□□-ND	2.18	18.11	135.82	1002.02	EVJ-YK6F03□□□
	A	N	Kunststoff	P2K5□□□-ND	2.12	17.68	132.58	978.13	EVJ-Y15F03A□□
	D	N	Kunststoff	P2L6□□□-ND	2.12	17.68	132.58	978.13	EVJ-Y15F03D□□
10	B	Y	Entfällt	P2M7□□□-ND	2.02	16.89	126.68	934.56	EVJ-C31F25B□□
	AC	Y	Entfällt	P2N8□□□-ND	2.02	16.89	126.68	934.56	EVJ-CV1F25□□□
	A	N	Entfällt	P2P9□□□-ND	1.97	16.41	123.05	907.86	EVJ-C00F25A□□
	D	N	Entfällt	P2Q0□□□-ND	1.97	16.41	123.05	907.86	EVJ-C00F25D□□
11	B	Y	Metall	P2R1□□□-ND	2.31	19.23	144.20	1063.85	EVJ-C51F02B□□
	AC	Y	Metall	P2S2□□□-ND	2.31	19.23	144.20	1063.85	EVJ-CC1F02□□□
	A	N	Metall	P2T3□□□-ND	2.25	18.74	140.58	1037.15	EVJ-C20F02A□□
	D	N	Metall	P2U4□□□-ND	2.25	18.74	140.58	1037.15	EVJ-C20F02D□□
12	B	Y	Kunststoff	P2W5□□□-ND	2.20	18.34	137.53	1014.67	EVJ-C56F02B□□
	AC	Y	Kunststoff	P2X6□□□-ND	2.20	18.34	137.53	1014.67	EVJ-CC6F02□□□
	A	N	Kunststoff	P2Y7□□□-ND	2.14	17.88	134.10	989.37	EVJ-C25F02A□□
	D	N	Kunststoff	P2Z8□□□-ND	2.14	17.88	134.10	989.37	EVJ-C25F02D□□

Um die vollständige Nummer zu erhalten, ersetzen Sie □□□ durch folgenden Code (aus obiger Tabelle).
* Bitte rufen Sie Digi-Key an, um die Hersteller-Teilenummer zusammenzustellen.

F

Panasonic Stellradpotentiometer

Widerstandscode-Tabelle (Widerstandwert)

Code (Wert)	Code (Wert)
502 (5K)	203 (20K)
103 (10K)	503 (50K)

Spezifikationen: • Widerstandsbereich: 5 KΩ ~ 50 KΩ • Toleranz: ±20 % • Nennleistung: B-Kurve - 0,03 W, alle anderen 0,01 W • Nennspannung: 50 V AC/20 V DC • Drehwinkel: 260° ±10° • Lebensdauer: Min. 10.000 Umdrehungen

Abb.	Minderung	Mitten-raste	Digi-Key Teilenr.	Preisangaben 1	10	100	1.000	Panasonic* Teilenr.
1	A	N	P4A9□□□-ND	1.75	14.60	109.53	808.08	EVL-HFAA01A□□
	B	N	P4B0□□□-ND	1.75	14.60	109.53	808.08	EVL-HFAA01B□□
2	A	N	P4C1□□□-ND	1.75	14.60	109.53	808.08	EVL-HFAA06A□□
	B	N	P4D2□□□-ND	1.75	14.60	109.53	808.08	EVL-HFAA06B□□
1	A	Y	P4E3□□□-ND	1.96	16.36	122.67	905.05	EVL-HFKA01A□□
	B	Y	P4F4□□□-ND	1.96	16.36	122.67	905.05	EVL-HFKA01B□□
3	A	N	P4K9□□□-ND	1.75	14.60	109.53	808.08	EVL-HFAA05A□□
	B	N	P4L0□□□-ND	1.75	14.60	109.53	808.08	EVL-HFAA05B□□
3	A	Y	P4M1□□□-ND	1.96	16.36	122.67	905.05	EVL-HFKA05A□□
	B	Y	P4N2□□□-ND	1.96	16.36	122.67	905.05	EVL-HFKA05B□□

Um die vollständige Nummer zu erhalten, ersetzen Sie □□□ durch folgenden Code (aus obiger Tabelle).
* Bitte rufen Sie Digi-Key an, um die Hersteller-Teilenummer zusammenzustellen.

Spezifikationen: • Toleranz: ±30 % • Nennstrom: 0,01 W • Drehwinkel: 270° ±5° • Lebensdauer: P4G5102-ND min. 5.000 Umdrehungen, alle anderen min. 10.000 Umdrehungen • Keine Mittenraste

Abb.	Doppel-minderung	Nenn-spannung	Widerstand (Ω)	Digi-Key Teilenr.	Preisangaben 1	10	100	Gegurtet auf Rolle† Größe	Preisangaben	Panasonic Teilenr.
4	B/B	20VAC	50K	P4J8503CT-ND	.83	6.90	63.46	800	331.19	EVU-TUAB16B54
5	C/C	22VAC	50K	P4I7503CT-ND	.83	6.90	63.46	1,200	413.99/M	EVU-TUHB07C54
6	A/A	0.5VAC	1K	P4G5102-ND	.75	6.20	46.51	—	—	EVU-TW1B24A13
7	C/C	10VAC	10K	P4H6103-ND	.75	6.20	46.51	—	—	EVU-TW7B45C14

† Für die Teilenr. für gegurtet auf Rolle CT-ND in TR-ND ändern.

Abb. 1

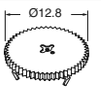

Abb. 2

Auflagefläche gilt für beide Abb. 1 u. 2

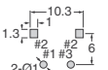

(View from mtg. side)

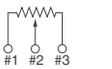

Element Circuit Diagram

Abb. 3

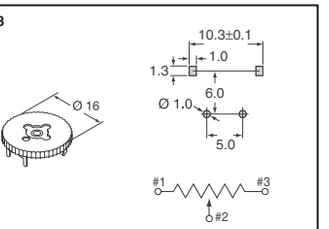

Abb. 4

(View from mtg. side)

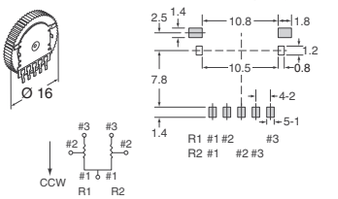

Abb. 5

(View from mtg. side)

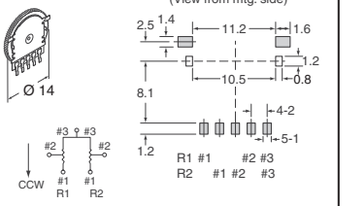

Abb. 6

(View from mounting side)

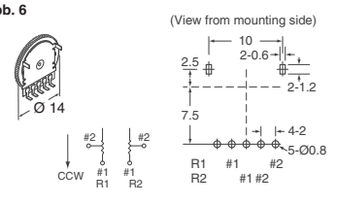

Abb. 7

(View from mounting side)

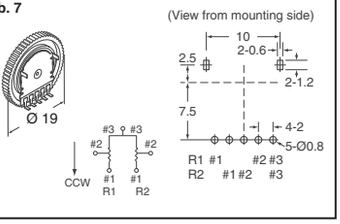

16 mm quadratische Drehpotentiometer mit Rasten

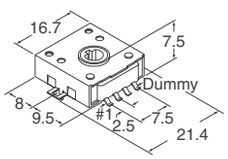

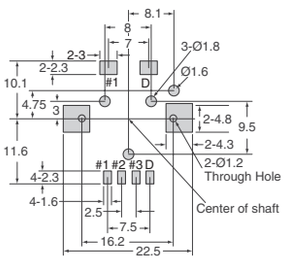

(View from mtg. side)

Empfohlene Anwendungen:
• Funktionsschaltung und Einstellung für Steuerfelder von Automobil-Klimaanlagen
Merkmale: • Sehr klein • Hohes Klick-Drehmoment • Externe Abmessungen: 16,7 mm x 16,3 mm x 6,0 mm • Mit Durchgangsloch für eine Achse • Für Aufschmelzlöten geeignet

Mechanische Daten: • Drehmoment: 40 mN.m ±15 mN.m • Rastenneigung: (12,7 aktiv) 30° ±3° • Drehwinkel: 360° (endlos)
Elektrische Spezifikationen:
• Nennleistung: 0,05 W • Nom. Gesamtwiderstand: 10 kΩ ±30 % • Minderung: B • Lebensdauer (Drehungen): 30.000 nom.
Betriebstemperatur: -40 °C ~ 85 °C

Rastennummer	1	2	3	4	5	6	7
Winkel	90°	120°	150°	180°	210°	240°	270°
Ausgang/Anfang	max. 5 %	16.7% ± 5%	33.3% ± 5%	50% ± 5%	66.7% ± 5%	83.3% ± 5%	95% min.

Beschreibung	Digi-Key Teilenr.	Preisangaben 1	10	100	Digi-Key Teilenr.	T & R Preisangaben* 350	Panasonic Teilenr.
10 KΩ,12 Rasten, Oberflächenmontage	P12427CT-ND	4.94	41.14	378.57	P12427TR-ND	864.04	EWV-YC8B14

* Preisangabe für gegurtet auf Rolle

EVWAE 10 mm GS Sensoren

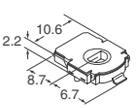

(View from parts side)

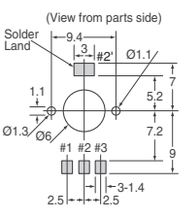

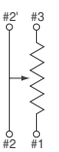

Flachprofil, langlebige Sensoren, zur Erkennung von Winkeln an Drehachsen, wie z.B. Klimaanlagendämpfer.
Empfohlene Anwendungen:
• Erkennung der Dämpferwinkel von Klimaanlagen • Erkennung von verschiedenen Steuergerätewinkeln
Merkmale:
• Flachprofil (H = 2,2 mm) • Lange Betriebsdauer: 1 Mio. Betriebszyklen mit Sicherheit; ein breiter elektrischer Ausgangswinkel von max. 347°

Spezifikationen:
• Nennleistung: 0,05 W, 5 V • Betriebskraft: max. 3 mN.m • Linearität: max. ±3 % • Betriebsdauer: 1.000.000 Zyklen (Betriebswinkel ±30°) • Gesamtwiderstand: 10 kΩ, ±30 %
Betriebstemperatur: -40 °C ~ 85 °C

Beschreibung	Digi-Key Teilenr.	Preisangaben 1	10	100	Digi-Key Teilenr.	T & R Preisangaben* 1.500	Panasonic Teilenr.
10KΩ, 10mm, SMD	P12426CT-ND	1.46	12.11	111.45	P12426TR-ND	727.23/M	EVW-AE4001B14

* Preisangabe für gegurtet auf Rolle

5 mm, quadrat. Cermet-Potentiometer, eingängig

Panasonic/Matsushita Electric hat eine Änderung ihrer Firmenmarke angekündigt. Gegenwärtige Marke: ▲. Neue Marke: Ⓜ .

Serie MAG

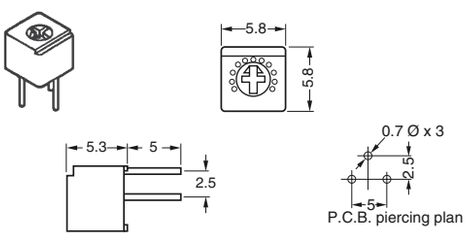

Serie MBG

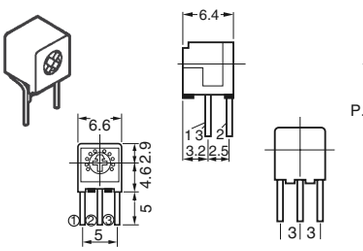

Serie MSG

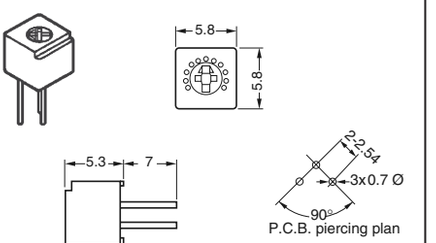

SPEZIFIKATIONEN: Mechanische Eigenschaften: • Drehwinkel gesamt: Einstellwinkel 200° nom. • Löttemperatur: Innerhalb max. 5 Sekunden bei 300 °C **Elektrische Eigenschaften:** • Widerstandsbereich: 100 Ω ~ 2 MOhm • Toleranz: ±20 % • Nennleistung (W): 0,5 W bei 70 °C. • Max. Spannung: 200 V • Dielektrische Stehspannung: 600 V AC für 1 Minute • Temperaturkoeffizient: ±100 ppm/°C. • Isolationswiderstand: 100 MΩ **Umweltbedingungen:** • Temperaturbereich: -55 °C ~ +125 °C • Vibration: 20 G • Schock: 180 G • Abdichtung: MIL-R-22097 Eintauchen

Widerst. (Ω)	Digi-Key Teilenr. Betätigung von oben	Digi-Key Teilenr. Seitliche Betätigung	Digi-Key Teilenr. Betätigung von oben	Preisangaben 1	10	100	1.000	5.000	Panasonic Teilenr. Betätigung von oben	Panasonic Teilenr. Seitliche Betätigung	Panasonic Teilenr. Betätigung von oben
500	—	MBG52-ND	—	1.35	11.20	103.01	689.13	640.03/M	—	EVM-MBGA01B52	—
1K	—	—	MSG13-ND	1.35	11.20	103.01	689.13	640.03/M	—	—	EVM-MSGA01B13
200K	MAG25-ND	MBG25-ND	—	1.35	11.20	103.01	689.13	640.03/M	EVM-MAGA01B25	EVM-MBGA01B25	—
500K	—	—	MSG55-ND	1.35	11.20	103.01	689.13	640.03/M	—	—	EVM-MSGA01B55
1M	—	MBG16-ND	—	1.35	11.20	103.01	689.13	640.03/M	—	EVM-MBGA01B16	—
2M	—	—	MSG26-ND	1.35	11.20	103.01	689.13	640.03/M	—	—	EVM-MSGA01B26

F

Alle Preisangaben in Euro und inklusive Zollgebühren.

Schiebepotentiometer für Audio-Mischpulte

Abb. 1 – Schienenausführung

Merkmale:
• Flatterfrei, leichtgängig und ruckfrei • Hohe Zuverlässigkeit aufgrund von Hochglanz-Widerstandselementen für geringe Verzerrung und präziser Edelmet-allkontakte •PräziseDämpfungseigenschaften • Lebensdauer: Min. 100.000 Schaltungen

Empfohlene Anwendungen:
• Fader für Audio-Mischpulte • Audio-Ausrüstungen

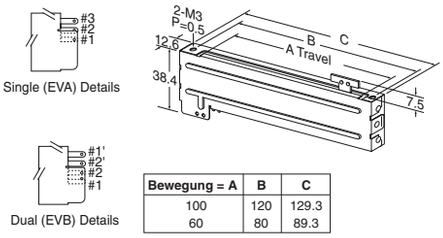

Bewegung = A	B	C
100	120	129.3
60	80	89.3

Abb. 2 – Schmalbauweise

Merkmale: • Schmales und kompaktes Design, 8 mm tief und 15 mm breit. • Leicht zu bedienen und ausgezeichnete Betriebseigenschaften • Hochgenaue Dämpfungseigenschaften, maximale Dämpfung von mehr als 100 dB, geringes Rauschen **Empfohlene Anwendungen:** • Audio-Mischpultfader für den Allgemeingebrauch

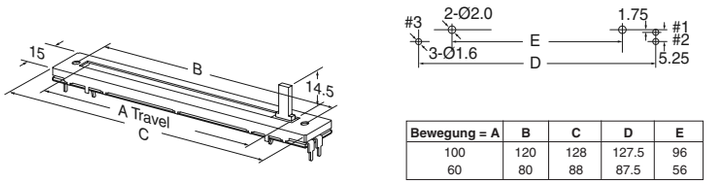

Bewegung = A	B	C	D	E
100	120	128	127.5	96
60	80	88	87.5	56

Abb. 3 – Mono-Ausführung

Merkmale: • Fader in Schmalbauweise, 9 mm breit, 8 mm tief • Vorzügliches Preis-Leistungsverhältnis, besonders für Amateurmischpulte **Empfohlene Anwendungen:** • Audio-Mischpultfader • Multi-Track Recorder • Papierpositionsgeber für Kopierer

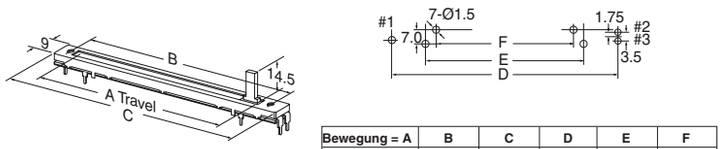

Bewegung = A	B	C	D	E	F
100	120	128	127.5	92.5	87.5
60	80	88	87.5	52.5	47.5

Abb. 4 – Standardausführung

Merkmale: • Vorzügliche Betriebseigenschaften • Geringes Rauschen, lange Lebensdauer, hochgenaue Dämpfung **Empfohlene Anwendungen:** • Fadersteuerung für Audio-Mischpulte und Keyboards • Wärmeregulierung oder Betriebsartsteuerung für Autoklimaanlagen • Messinstrumente

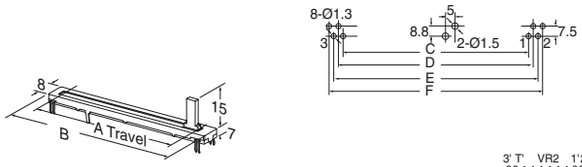

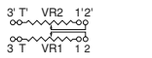

CIRCUIT DIAGRAM
(Note for Single: Do not connect dummy terminal 1' and others 3 and T- short terminals 1', 2', 3' and T'- dummy terminals
Note for Dual: 3 and T- short terminals 3' and T'- short terminals)

Bewegung = A	B	C	D	E	F
60	75	64	67	70	73
45	60	49	52	55	58

Abb. 5 - Motorisierte Ausführung

Merkmale: • Vorzügliche Betriebseigenschaften, Schnellantrieb, energiesparend • Staubdichte Anordnung möglich durch um 90° versetzten Bedienungshebel **Empfohlene Anwendung:** • Automatische Audio-Mischpulte (allgemein/Amateur)

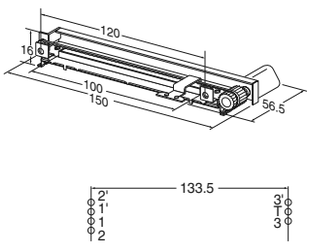

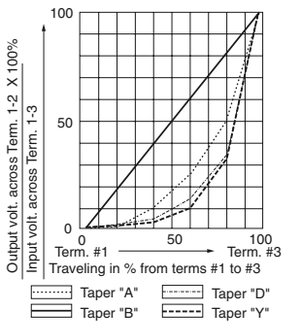

Abb.	Widerstand. (Ω)	Typ	Bewegung (mm)	Eingängig/ doppelgängig	Minderung	Digi-Key Teilenr.	Stückpreis 1	10	50	100	Panasonic Teilenr.
1	10K	Schiene	100	S	Y	PJY100SY-ND	31.89	28.82	26.90	25.56	EVA-JYBP08Y14
	10K	Schiene	100	D	Y	PJY100DY-ND	39.87	36.03	33.62	31.94	EVB-JYBP08Y14
	10K	Schiene	60	S	Y	PJX060SY-ND	26.57	24.02	22.42	21.30	EVA-JXCP08Y14
	10K	Schiene	60	D	Y	PJX060DY-ND	34.55	31.22	29.14	27.69	EVB-JXCP08Y14
2	10K	Schmal	100	S	Y	PJQ100SY-ND	7.20	5.77	4.79	4.33	EVA-JQKR15Y14
	10K	Schmal	100	S	A	PJQ100SA-ND	7.20	5.77	4.79	4.33	EVA-JQKR15A14
	10K	Schmal	100	S	D	PJQ100SD-ND	7.20	5.77	4.79	4.33	EVA-JQKR15D14
	10K	Schmal	100	S	B	PJQ100SB-ND	7.20	5.77	4.79	4.33	EVA-JQLR15B14
	10K	Schmal	100	D	Y	PJQ100DY-ND	9.21	7.37	6.12	5.53	EVB-JQKR15Y14
	10K	Schmal	100	D	A	PJQ100DA-ND	9.21	7.37	6.12	5.53	EVB-JQKR15A14
	10K	Schmal	100	D	D	PJQ100DD-ND	9.21	7.37	6.12	5.53	EVB-JQKR15D14
	10K	Schmal	60	S	Y	PNA060SY-ND	6.81	5.45	4.52	4.09	EVA-NADR15Y14
	10K	Schmal	60	S	A	PNA060SA-ND	6.81	5.45	4.52	4.09	EVA-NADR15A14
	10K	Schmal	60	S	D	PNA060SD-ND	6.81	5.45	4.52	4.09	EVA-NADR15D14
	10K	Schmal	60	S	B	PNA060SB-ND	6.81	5.45	4.52	4.09	EVA-NAHR15B14
	10K	Schmal	60	D	Y	PNA060DY-ND	8.80	7.05	5.85	5.29	EVB-NADR15Y14
	10K	Schmal	60	D	A	PNA060DA-ND	8.80	7.05	5.85	5.29	EVB-NADR15A14
	10K	Schmal	60	D	D	PNA060DD-ND	8.80	7.05	5.85	5.29	EVB-NADR15D14
3	10K	Mono	100	S	Y	PNF100SY-ND	6.00	4.81	3.99	3.61	EVA-NF4R15Y14
	10K	Mono	100	S	A	PNF100SA-ND	6.00	4.81	3.99	3.61	EVA-NF4R15A14
	10K	Mono	100	S	D	PNF100SD-ND	6.00	4.81	3.99	3.61	EVA-NF4R15D14
	10K	Mono	100	S	B	PNF100SB-ND	6.00	4.81	3.99	3.61	EVA-NF3R15B14
	10K	Mono	60	S	Y	PNE060SY-ND	5.21	4.17	3.46	3.13	EVA-NE4R15Y14
	10K	Mono	60	S	A	PNE060SA-ND	5.21	4.17	3.46	3.13	EVA-NE4R15A14
	10K	Mono	60	S	D	PNE060SD-ND	5.21	4.17	3.46	3.13	EVA-NE4R15D14
	10K	Mono	60	S	B	PNE060SB-ND	5.21	4.17	3.46	3.13	EVA-NE3R15B14
4	10K	Std.	60	S	A	PQ1060SA-ND	2.80	2.24	1.86	1.69	EWA-Q10C15A14
	10K	Std.	60	S	D	PQ1060SD-ND	2.80	2.24	1.86	1.69	EWA-Q10C15D14
	10K	Std.	60	S	B	PQ1060SB-ND	2.80	2.24	1.86	1.69	EWA-Q12C15B14
	10K	Std.	60	D	A	PQ3060DA-ND	3.40	2.73	2.26	2.05	EWA-Q30C15A14
	10K	Std.	60	D	D	PQ3060DD-ND	3.40	2.73	2.26	2.05	EWA-Q30C15D14
	10K	Std.	45	S	A	PP1045SA-ND	2.40	1.92	1.60	1.45	EWA-P10C15A14
	10K	Std.	45	S	D	PP1045SD-ND	2.40	1.92	1.60	1.45	EWA-P10C15D14
	10K	Std.	45	S	B	PP1045SB-ND	2.40	1.92	1.60	1.45	EWA-P12C15B14
	10K	Std.	45	D	A	PP3045DA-ND	3.01	2.41	2.00	1.81	EWA-P30C15A14
	10K	Std.	45	D	D	PP3045DD-ND	3.01	2.41	2.00	1.81	EWA-P30C15D14
5	10K	Motor	100	S	Y	PNC100SY-ND	39.87	36.03	33.62	31.94	EVB-NC2P088BL

Lineare Positionssensoren

Merkmale:
• Hochleistungssensor • Linearität ±0,5 % (EVAJ) ±0,2 % (EVAW) • Langlebig, hohe Auflösung

Spezifikationen:
• Nennspannung: max. 5 V DC • Verhalten: B (EIAJ 1B) • Betätigungskraft 0,25 N für EVA-W, 0,5 N für EVA-J

Empfohlene Anwendungen:
• Erfassung der Linsenposition von Kameras/Camcordern • Erfassung der Sitzpositionen in Fahrzeugen • Erfassung von Neigungs- und teleskopischen Mechanismen in Fahrzeugen • Erfassung der Scheinwerfereinstellung in Fahrzeugen

Abb.	Gesamt-widerstand	Bewegung	Betriebsl-ebensdauer	Digi-Key Teilenr.	Stückpreis 1	10	100	Panasonic Teilenr.
1	10KΩ ± 30%	32.0mm	100 K Zyklen	P12338-ND	1.52	1.22	1.02	EVA-JGTJ20B14
2	30KΩ ± 30%	9.0mm	3 Mio. Zyklen	P12339-ND	1.35	1.08	.90	EVA-W7LR04B34

Abb. 1

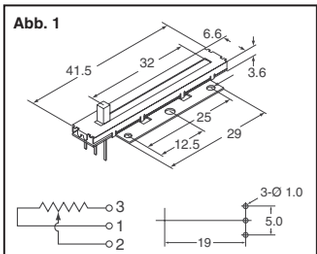

Abb. 2

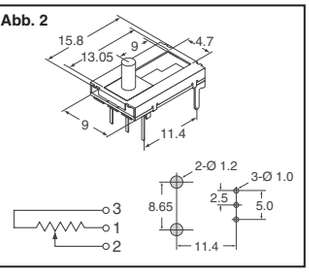

F

Panasonic®

Oberflächenmontage-Trimmpotentiometer

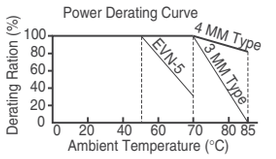

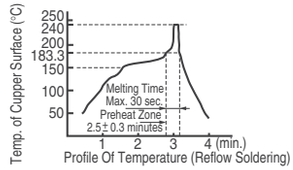

Aufschmelzlötprofil
Vorheizen: 130 °C ~ 160 °C
Schmelztemperatur: TM = 183,3 °C
Spitzenzeit: Tp ≤30 s
Schmelztemp.: TM ≤240 °C
Lot: Eutectic
Flussmittel: Kolophonium

Serie P7J – Panasonic Serie Nr. EVM-7JSX30BXX

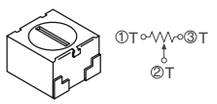

Merkmale: • 3 mm gekapselt für Schwall- und Aufschmelzlöten • Arbeitssparende filmlose Konstruktion, gekapselt; **Widerstandsbereich:** 220 Ω -1 MΩ; **Toleranz:** ±25 % **Minderung:** Linear **Nennstrom:** 0,05 W **Einstellwinkel:** 260° ±20°; **Drehmoment:** 10 - 150 gF; **Betriebstemperatur:** -40 °C ~ 100 °C **Temperaturkoeffizient:** ±250 ppm/C (-20 °C ~ 85 °C); **Lebensdauer (Umdrehungen):** 10; **Löttemperatur:** 250 °C 10 s / 260 °C 5 s

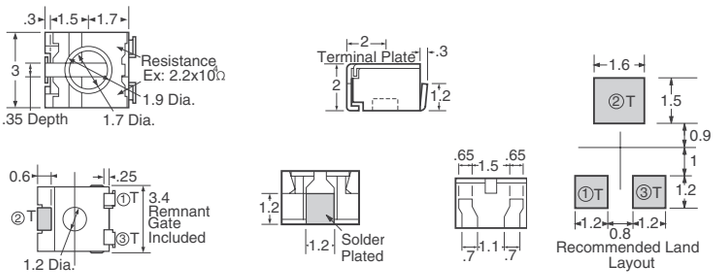

Serie P1S – Panasonic Serie Nr. EVM-1SSX50BXX

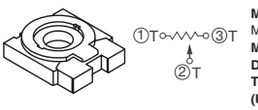

Merkmale: • 3 mm, offen, für Aufschmelzlöten • Vorzügliche Montageeffizienz; **Widerstandsbereich:** 100 Ω -1 MΩ; **Toleranz:** ±25 % **Minderung:** Linear **Nennleistung:** 0,15 W; **Einstellwinkel:** 260° ±20°; **Drehmoment:** 20 - 200 gF; **Betriebstemperatur:** -40 °C ~ 100 °C **Temperaturkoeffizient:** ±250 ppm/C (-20 °C ~ 85 °C); **Lebensdauer (Umdrehungen):** 20; **Löttemperatur:** 260 °C 10 s

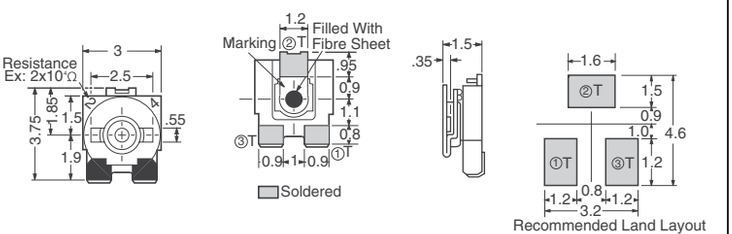

Serie P1G – Panasonic Serie Nr. EVM-1GSX30BXX

Merkmale: • 4 mm, offen, für Aufschmelzlöten • Doppelkontaktkonstruktion; **Widerstandsbereich:** 100 Ω - 1 MΩ; **Toleranz:** ±25 % **Minderung:** Linear **Nennleistung:** 0,2 W; **Einstellwinkel:** 260° ±20°; **Drehmoment:** 20 - 200 gF; **Betriebstemperatur:** -40 °C ~ 100 °C **Temperaturkoeffizient:** ±250 ppm/C (-20 °C ~ 85 °C); **Lebensdauer (Umdrehungen):** 20; **Löttemperatur:** 260 °C 10 s

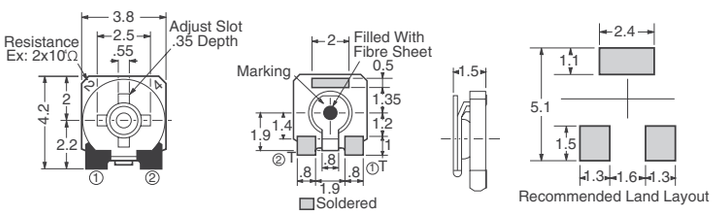

Serie P1E – Panasonic Serie Nr. EVM-1ESX30BXX

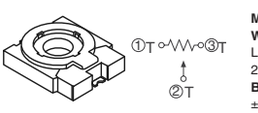

Merkmale: • 4 mm, offen, für Aufschmelzlöten • Inline-Kontakte; **Widerstandsbereich:** 100 Ω -1 MΩ; **Toleranz:** ±25 % **Minderung:** Linear **Nennleistung:** 0,2 W; **Einstellwinkel:** 260° ±20°; **Drehmoment:** 20 - 200 gF; **Betriebstemperatur:** -40 °C ~ 100 °C **Temperaturkoeffizient:** ±250 ppm/C (-20 °C ~ 85 °C); **Lebensdauer (Umdrehungen):** 20; **Löttemperatur:** 260 °C 10 s

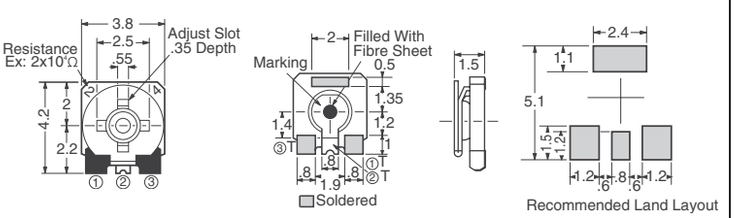

Serie P1D – Panasonic Serie Nr. EVM-1DSX30BXX

Merkmale: • 4 mm, offen, für Aufschmelzlöten • Dreieckskontaktkonstruktion; **Widerstandsbereich:** 100 Ω -1 MΩ; **Toleranz:** ±25 % **Minderung:** Linear **Nennleistung:** 0,2 W; **Einstellwinkel:** 260° ±20°; **Drehmoment:** 20 - 200 gF; **Betriebstemperatur:** -40 °C ~ 100 °C **Temperaturkoeffizient:** ±250 ppm/C (-20 °C ~ 85 °C); **Lebensdauer (Umdrehungen):** 20; **Löttemperatur:** 260 °C 10 s

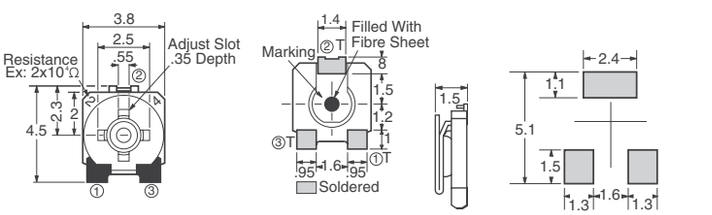

Serie P5C – Panasonic Serie Nr. EVN-5CSX50BXX*
Serie P5E – Panasonic Serie Nr. EVN-5ESX50BXX

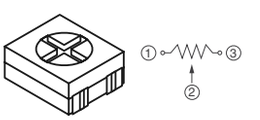

Merkmale: • 3 mm Kohle, staubdicht, für Aufschmelzlöten • Vorzügliche Montageeffizienz für Pick-and-Place-Montage; • Drehanschlagsfunktion (EVN-5E); **Widerstandsbereich:** 500 Ω -1 MΩ; **Toleranz:** ±30 % **Minderung:** Linear **Nennleistung:** 0,05 W @ 50 °C; **Einstellwinkel:** 260° ±20°; **Drehmoment:** 10 - 150 gF; **Betriebstemperatur:** -20 °C ~ 70 °C **Temperaturkoeffizient:** ±500 ppm/C (25 °C ~ 70 °C) / ±750 ppm/C (-20 °C ~ 25 °C); **Lebensdauer (Umdrehungen):** 20; **Löttemperatur:** 280 °C, 3 s

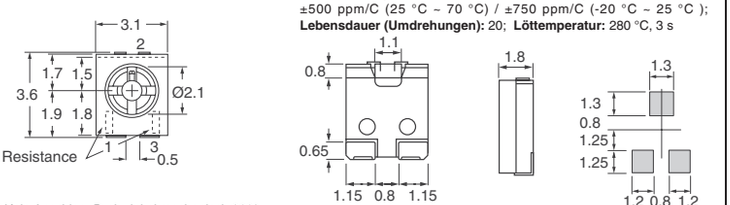

* Kein Anschlag, Drehwinkel mechanisch 360°.

Digi-Key Teilenr.	Gurtabschnittspreise 1	10	100	Digi-Key Teilenr.	Gegurtet auf Rolle 1.000	2.000	Panasonic Teilenr.
P7J□□□CT-ND†	.53	4.47	41.09	P7J□□□TR-ND†	275.15	—	EVM-7JSX30BXX*
P1S□□□CT-ND†	.39	3.26	29.99	P1S□□□TR-ND†	—	200.65/M	EVM-1SSX50BXX*
P1G□□□CT-ND†	.37	3.09	28.43	P1G□□□TR-ND†	190.49	—	EVM-1GSX30BXX*
P1E□□□CT-ND†	.46	3.81	35.05	P1E□□□TR-ND†	234.51	—	EVM-1ESX30BXX*
P1D□□□CT-ND†	.42	3.50	32.13	P1D□□□TR-ND†	215.04	—	EVM-1DSX30BXX*
P5C□□□CT-ND†	.26	2.16	19.86	P5C□□□TR-ND†	—	132.92/M	EVN-5CSX50BXX*
P5E□□□CT-ND†	.24	1.99	18.30	P5E□□□TR-ND†	—	122.76/M	EVN-5ESX50BXX*

* Bitte rufen Sie Digi-Key an, falls wir Ihnen mit der Panasonic Teilenummer behilflich sein können.
† Für komplette Teilenr. ersetzen Sie □□□ durch den entsprechenden Code (aus der Tabelle).

Widerstandscode für Serie P7J

Code (Wert)	Code (Wert)	Code (Wert)	Code (Wert)	Code (Wert)	Code (Wert)	Code (Wert)
331 (330)	332 (3.3K)	223 (22K)	333 (33K)	473 (47K)	104 (100K)	224 (220K)
334 (330K)	474 (470K)					

Widerstandscode für Serie P1/P5C

Code (Wert)	Code (Wert)	Code (Wert)	Code (Wert)	Code (Wert)	Code (Wert)	Code (Wert)
201 (200)	501 (500)	102 (1.0K)	202 (2.0K)	502 (5.0K)	103 (10K)	203 (20K)
503 (50K)	104 (100K)	204 (200K)	504 (500K)	105 (1.0M)		

Widerstandscode für Serie P5E

Code (Wert)	Code (Wert)	Code (Wert)	Code (Wert)	Code (Wert)	Code (Wert)	Code (Wert)
501 (500)	102 (1K)	202 (2K)	502 (5K)	103 (10K)	203 (20K)	503 (50K)
104 (100K)	204 (200K)	504 (500K)	105 (1M)			

Digi-Key® SMT-Trimmpotentiometerkit

P1S-KIT-ND Je 10 der Serie P1S, 200 Ω - 1,0 MΩ (120 Stück) **37.21**

P1E-KIT-ND Je 10 der Serie P1E, 100 Ω - 1,0 MΩ (130 Stück) **37.21**

P1D-KIT-ND Je 10 der Serie P1D, 100 Ω - 1,0 MΩ (130 Stück) **37.21**

(Forts.)

F

Alle Preisangaben in Euro und inklusive Zollgebühren.

Serie P2N –

Panasonic Serie Nr. EVM-2NSX80BXX

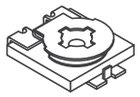

Merkmale: • 2 mm, offen, zum Aufschmelzlöten; **Widerstandsbereich:** 100 Ω -1 MΩ; **Toleranz:** ±25 % **Minderung:** B; **Nennleistung:** 0,15 W; **Einstellwinkel:** 260° ±20°; **Drehmoment:** 0,5 - 10 mN; **Betriebstemperatur:** -40 °C ~ 100 °C **Temperaturkoeffizient:** ±250 ppm/C (-40 °C ~ 100 °C); **Lebensdauer (Umdrehungen):** 10; **Löttemperatur:** 240 °C, 5 s

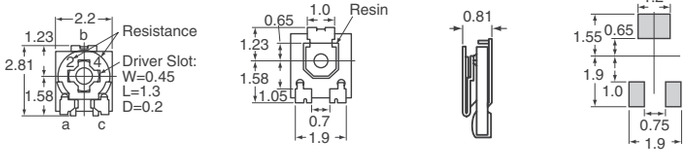

Serie P3R –

Panasonic Serie Nr. EVM-3RSX50BXX

Merkmale: • 3 mm, offen, zum Aufschmelzlöten; **Widerstandsbereich:** 500 Ω -1 MΩ; **Toleranz:** ±25 % **Minderung:** B; **Nennleistung:** 0,15 W; **Einstellwinkel:** 260° ±20°; **Drehmoment:** 1-20 mN; **Betriebstemperatur:** -40 °C ~ 100 °C **Temperaturkoeffizient:** ±250 ppm/C (-40 °C ~ 100 °C); **Lebensdauer (Umdrehungen):** 10; **Löttemperatur:** 240 °C, 5 s

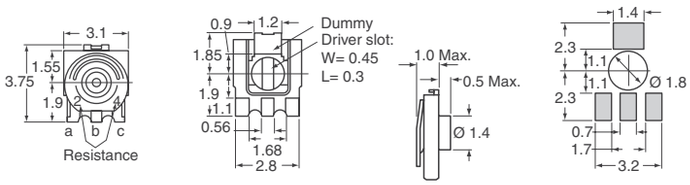

Serie P2W – Panasonic Serie Nr. EVM-2WSX80BX

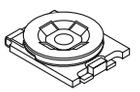

Merkmale: • 2 mm, offen, zum Aufschmelzlöten; **Widerstandsbereich:** 200 Ω -1 MΩ; **Toleranz:** ±25 % **Minderung:** Linear **Nennleistung:** 0,15 W; **Einstellwinkel:** 260° ±20°; **Drehmoment:** 10 - 150 gF; **Betriebstemperatur:** -20 °C ~ 85 °C **Temperaturkoeffizient:** ±250 ppm/C (-20 °C ~ 85 °C); **Lebensdauer (Umdrehungen):** 20; **Löttemperatur:** 240 °C, 5 s

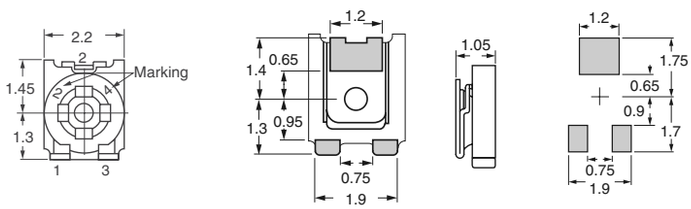

Serie P2X – Panasonic Serie Nr. EVM-2XSX50BXX

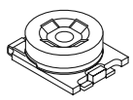
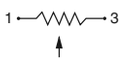

Merkmale: • 2 mm, offen, zum Aufschmelzlöten; **Widerstandsbereich:** 200 Ω -1 MΩ; **Toleranz:** ±25 % **Minderung:** Linear **Nennleistung:** 0,15 W; **Einstellwinkel:** 260° ± 20°; **Drehmoment:** 10 - 150 gF; **Betriebstemperatur:** -20 °C ~ 85 °C **Temperaturkoeffizient:** ±250 ppm/C (-20 °C ~ 85 °C); **Lebensdauer (Umdrehungen):** 20; **Löttemperatur:** 240 °C, 5 s

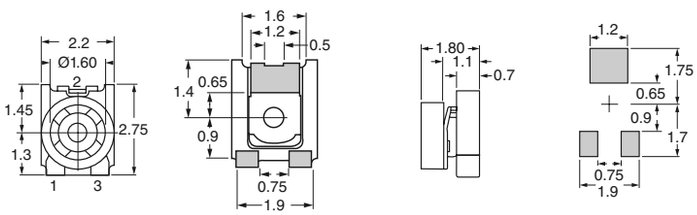

Serie P3Y – Panasonic Serie Nr. EVM-3YSX50BXX

Merkmale: • 3 mm, offen, zum Aufschmelzlöten; **Widerstandsbereich:** 100 Ω -1 MΩ; **Toleranz:** ±25 % **Minderung:** Linear **Nennleistung:** 0,15 W; **Einstellwinkel:** 260° ±20°; **Drehmoment:** 20 - 200 gF; **Betriebstemperatur:** -20 °C ~ 85 °C **Temperaturkoeffizient:** ±250 ppm/C (-20 °C ~ 85 °C); **Lebensdauer (Umdrehungen):** 20; **Löttemperatur:** 240 °C, 5 s

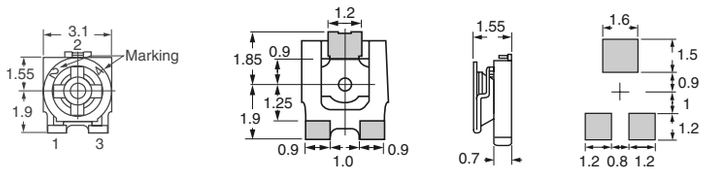

Serie P3V – Panasonic Serie Nr. EVM-3VSX50BXX

Merkmale: • 3 mm, offen, zum Aufschmelzlöten;
• Drehanschlagsfunktion; **Widerstandsbereich:** 500 Ω -1 MΩ; **Toleranz:** ±25 % **Minderung:** Linear **Nennleistung:** 0,15 W; **Einstellwinkel:** 240° ±20°; **Drehmoment:** 20 - 100 gF; **Betriebstemperatur:** -20 °C ~ 85 °C **Temperaturkoeffizient:** ±250 ppm/C (-20 °C ~ 85 °C); **Lebensdauer (Umdrehungen):** 20; **Löttemperatur:** 240 °C, 5 s

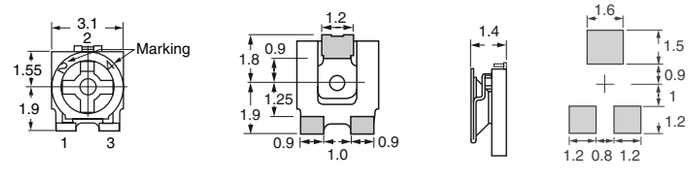

Serie P3W – Panasonic Serie Nr. EVM-3WSX80BXX

Merkmale: • 3 mm, offen, zum Aufschmelzlöten; **Widerstandsbereich:** 100 Ω -1 MΩ; **Toleranz:** ±25 % **Minderung:** Linear **Nennleistung:** 0,15 W; **Einstellwinkel:** 240° ±20°; **Drehmoment:** 20 - 200 gF; **Betriebstemperatur:** -20 °C ~ 85 °C **Temperaturkoeffizient:** ±250 ppm/C (-20 °C ~ 85 °C); **Lebensdauer (Umdrehungen):** 20; **Löttemperatur:** 240 °C, 5 s

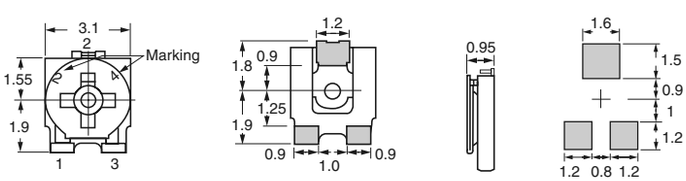

Serie P1U – Panasonic Serie Nr. EVM-1USX30BXX

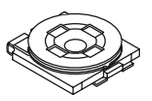
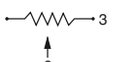

Merkmale: • 4 mm, offen, zum Aufschmelzlöten; **Widerstandsbereich:** 100 Ω -1 MΩ; **Toleranz:** ±25 % **Minderung:** Linear **Nennleistung:** 0,2 W **Einstellwinkel:** 260° ±20,°; **Drehmoment:** 20 - 200 gF; **Betriebstemperatur:** -20 °C ~ 100 °C **Temperaturkoeffizient:** ±250 ppm/C (-25 °C ~ 100 °C); **Lebensdauer (Umdrehungen):** 20; **Löttemperatur:** 240 °C, 5 s

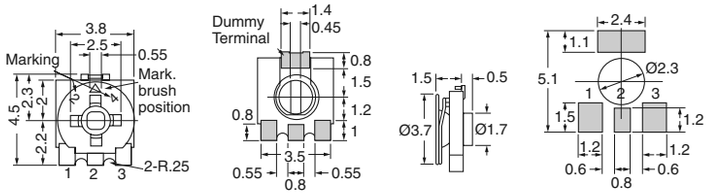

Digi-Key Teilenr.	Gurtabschnittspreise 1	10	100	Digi-Key Teilenr.	Gegurtet auf Rolle 1.000	2.000	3.000	Panasonic Teilenr.
P2N□□□CT-ND†	.56	4.64	42.64	P2N□□□TR-ND†	—	—	278.53/M	EVM-2NSX80BXX*
P2W□□□CT-ND†	.53	4.44	40.89	P2W□□□TR-ND†	—	—	273.46/M	EVM-2WSX80BXX*
P2X□□□CT-ND†	.52	4.28	39.33	P2X□□□TR-ND†	—	263.30/M	—	EVM-2XSX50BXX*
P3R□□□CT-ND†	.69	5.72	52.62	P3R□□□TR-ND†	—	342.88/M	—	EVM-3RSX50BXX*
P3Y□□□CT-ND†	.36	2.96	27.26	P3Y□□□TR-ND†	—	182.02/M	—	EVM-3YSX50BXX*
P3V□□□CT-ND†	.44	3.68	33.88	P3V□□□TR-ND†	—	226.89/M	—	EVM-3VSX50BXX*
P3W□□□CT-ND†	.44	3.68	33.88	P3W□□□TR-ND†	—	—	226.89/M	EVM-3WSX80BXX*
P1U□□□CT-ND†	.52	4.28	39.33	P1U□□□TR-ND†	263.29	—	—	EVM-1USX30BXX*

* Bitte rufen Sie Digi-Key an, falls wir Ihnen mit der Panasonic Teilenummer behilflich sein können.

† Für komplette Teilenr. ersetzen Sie □ □ □ durch den entsprechenden Code (aus der Tabelle).

Widerstandscode für Serien P2N / P2W / P2X

Code (Wert)	Code (Wert)	Code (Wert)	Code (Wert)	Code (Wert)	Code (Wert)
201 (200)	501 (500)	102 (1.0K)	202 (2.0K)	502 (5.0K)	103 (10K)
203 (20K)	503 (50K)	104 (100K)	204 (200K)	504 (500K)	105 (1.0M)

Widerstandscode für Serien P3Y / P3W / P1U

Code (Wert)	Code (Wert)	Code (Wert)	Code (Wert)	Code (Wert)	Code (Wert)	Code (Wert)
101 (100)	201 (200)	501 (500)	102 (1.0K)	202 (2.0K)	502 (5.0K)	103 (10K)
203 (20K)	503 (50K)	104 (100K)	204 (200K)	504 (500K)	105 (1.0M)	

Widerstandscode für Serien P3R / P3V

Code (Wert)	Code (Wert)	Code (Wert)	Code (Wert)	Code (Wert)	Code (Wert)	Code (Wert)
501 (500)	102 (1K)	202 (2K)	502 (5K)	103 (10K)	203 (20K)	503 (50K)
104 (100K)	204 (200K)	504 (500K)	105(1M)			

6 mm, quadrat. Keramik-Trimmpotentiometer

Serien EVM-EAG / EAS / EGG / EGS:

Staubdicht, mit Knopfschutz:

Merkmale:

• Neujustierung unnötig dank geschütztem Knopf • Vorzügliche Montageeffizienz durch kubische Form • Für automatisches Justieren lieferbar **Vorderseite:** Standard-Kreuzschlitzschraubendreher für automatisches Justieren. **Rückseite:** Vertiefter Schlitz für einfache Betätigung. **Anwendungen:** • AV- und Haushaltsgeräte.

Spezifikationen

• Drehmoment: 20 ~ 300 gF. • Anschlagfestigkeit: 500 gF. • Drehwinkel: 210 °C ±20 °C. • TCR: ±200 ppm (-30 °C - 100 °C) • Nom. Gesamtwiderstand u. Toleranz: ±25 % • Nennleistung u. max. Betriebsspannung: 0,3 W, 100 V (70 °C) • Restwiderstand: 10 Ω max. für R ≤1 kΩ, max. 1% für 1 KΩ <R <100 KΩ, max. 5 % für R ≥100 kΩ • Löttemperatur: max. 5 s 240 ~ 280 °C, max. 3 s 280 ~ 300 °C • Lebensdauer (Drehungen): 50 Umdrehungen.

EVM-EYG und EVM-EYS Eigenschaften:

Spezifikationen:

• Drehmoment: 20 ~ 300 gF. • Anschlagfestigkeit: 500 gF. • Drehwinkel: 210 °C ±20 °C. • TCR: ±100 ppm (-40 °C – 120 °C) • Nom. Gesamtwiderstand u. Toleranz: ±20% • Nennleistung u. max. Betriebsspannung: 0,5 W, 200 V (70 °C) • Restwiderstand: 2 % • Löttemperatur: 260 °C ±5 °C, 5 ±1 s • Lebensdauer (Umdrehungen): 50

Serie EVM-AAS

Spezifikationen:

• Widerstandsbereich: 100 Ω – 1 MΩ • Toleranz: ±25 % • Minderung: Linear • Restwiderstand: 2 % • Nennleistung (W): 0,3 W • Nennspannung: 100 V • TCR: ±200 ppm • Drehmoment: 20 ~ 300 gF. • Anschlagfestigkeit: 350 gF • Drehwinkel: 240 °C ±20 °C • Betriebstemperatur: -30 °C ~ +100 °C.

Serie EVM-F6S

Merkmale: • Staubdicht, höhere Leistung. • Äußerst wärme- und feuchtigkeitsresistent. • Sehr schnelle radiale, automatische Montage, ausgezeichnete Platzierungsleistung.

Anwendungen: • AV- und Haushaltsgeräte.

Spezifikationen: • Drehmoment: 20 ~ 300 gF. • Anschlagfestigkeit: 350 gF • Drehwinkel: 240 °C ±20 °C. • TCR: ±200 ppm (-30 °C - 100 °C) • Nom. Gesamtwiderstand u. Toleranz: ±25 % • Nennleistung u. max. Betriebsspannung: 0,3 W, 100 V (70 °C) • Restwiderstand: 10 Ω max. für R ≤1 kΩ, max. 1% für 1 KΩ <R <100 KΩ, max. 5 % für R ≥100 kΩ • Löttemperatur: max. 5 s 240 ~ 280 °C, max. 3 s 280 ~ 300 °C • Lebensdauer (Drehungen): 50 Umdrehungen.

Abb. 1 - Betätigung von oben

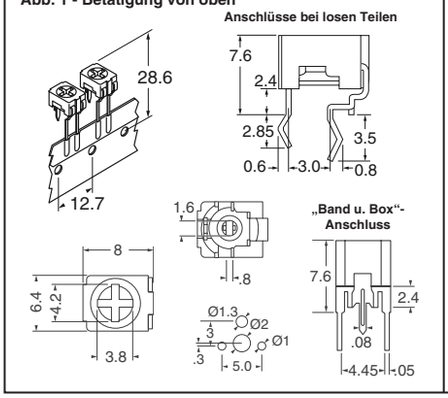

Abb. 2 - seitliche Betätigung

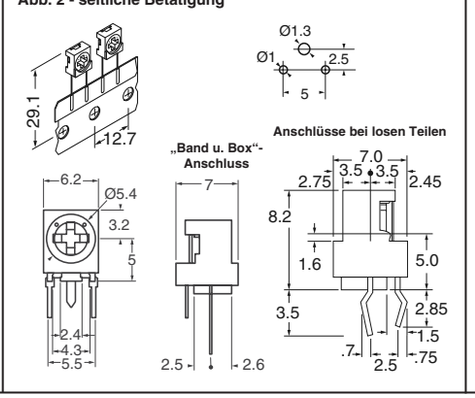

Abb. 3 - Betätigung von oben

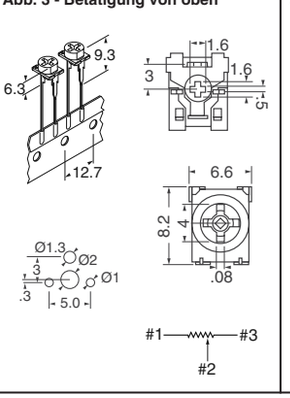

Abb. 4 - Betätigung von oben

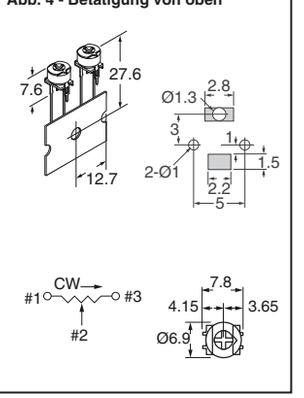

Serie EVM-EAG - Betätigung von oben (lose Teile)

Abb.	Widerst. (Ω)	Digi-Key Teilenr.	Preisangaben 1	10	100	500	Panasonic Teilenr.
	100	EAG12BK-ND	.62	5.12	47.12	204.88	EVM-EAGA00B12
	200	EAG22BK-ND	.62	5.12	47.12	204.88	EVM-EAGA00B22
	500	EAG52BK-ND	.62	5.12	47.12	204.88	EVM-EAGA00B52
	1K	EAG13BK-ND	.62	5.12	47.12	204.88	EVM-EAGA00B13
	2K	EAG23BK-ND	.62	5.12	47.12	204.88	EVM-EAGA00B23
	5K	EAG53BK-ND	.62	5.12	47.12	204.88	EVM-EAGA00B53
1	10K	EAG14BK-ND	.62	5.12	47.12	204.88	EVM-EAGA00B14
	20K	EAG24BK-ND	.62	5.12	47.12	204.88	EVM-EAGA00B24
	50K	EAG54BK-ND	.62	5.12	47.12	204.88	EVM-EAGA00B54
	100K	EAG15BK-ND	.62	5.12	47.12	204.88	EVM-EAGA00B15
	200K	EAG25BK-ND	.62	5.12	47.12	204.88	EVM-EAGA00B25
	500K	EAG55BK-ND	.62	5.12	47.12	204.88	EVM-EAGA00B55
	1M	EAG16BK-ND	.62	5.12	47.12	204.88	EVM-EAGA00B16

Serie EVM-EAS - Betätigung von oben (gegurtet)

Abb.	Widerst. (Ω)	Digi-Key Teilenr.	Preisangaben 1	10	100	500	Panasonic Teilenr.
	100	EGG12BK-ND	.60	4.98	45.76	198.95	EVM-EGGA00B12
	200	EGG22BK-ND	.60	4.98	45.76	198.95	EVM-EGGA00B22
	500	EGG52BK-ND	.60	4.98	45.76	198.95	EVM-EGGA00B52
	1K	EGG13BK-ND	.60	4.98	45.76	198.95	EVM-EGGA00B13
	2K	EGG23BK-ND	.60	4.98	45.76	198.95	EVM-EGGA00B23
	5K	EGG53BK-ND	.60	4.98	45.76	198.95	EVM-EGGA00B53
2	10K	EGG14BK-ND	.60	4.98	45.76	198.95	EVM-EGGA00B14
	20K	EGG24BK-ND	.60	4.98	45.76	198.95	EVM-EGGA00B24
	50K	EGG54BK-ND	.60	4.98	45.76	198.95	EVM-EGGA00B54
	100K	EGG15BK-ND	.60	4.98	45.76	198.95	EVM-EGGA00B15
	200K	EGG25BK-ND	.60	4.98	45.76	198.95	EVM-EGGA00B25
	500K	EGG55BK-ND	.60	4.98	45.76	198.95	EVM-EGGA00B55
	1M	EGG16BK-ND	.60	4.98	45.76	198.95	EVM-EGGA00B16

Serie EVM-EYG — Hohe Qualität, Betätigung von oben (lose Teile)

Abb.	Widerst. (Ω)	Digi-Key Teilenr.	Gurtabschnittspreise 1	10	100	Digi-Key Teilenr.	Preisangabe gegurtet in Schachtel 1.000	5.000	Panasonic Teilenr.
	100	EAS12CT-ND	.60	4.98	45.76	EAS12TB-ND	306.47	284.46/M	EVM-EASA00B12
	200	EAS22CT-ND	.60	4.98	45.76	EAS22TB-ND	306.47	284.46/M	EVM-EASA00B22
	500	—	—	—	—	EAS52TB-ND	306.47	284.46/M	EVM-EASA00B52
	1K	EAS13CT-ND	.60	4.98	45.76	EAS13TB-ND	306.47	284.46/M	EVM-EASA00B13
	2K	EAS23CT-ND	.60	4.98	45.76	EAS23TB-ND	306.47	284.46/M	EVM-EASA00B23
	5K	EAS53CT-ND	.60	4.98	45.76	EAS53TB-ND	306.47	284.46/M	EVM-EASA00B53
1	10K	—	—	—	—	EAS14TB-ND	306.47	284.46/M	EVM-EASA00B14
	20K	EAS24CT-ND	.60	4.98	45.76	EAS24TB-ND	306.47	284.46/M	EVM-EASA00B24
	50K	—	—	—	—	EAS54TB-ND	306.47	284.46/M	EVM-EASA00B54
	100K	—	—	—	—	EAS15TB-ND	306.47	284.46/M	EVM-EASA00B15
	200K	—	—	—	—	EAS25TB-ND	306.47	284.46/M	EVM-EASA00B25
	500K	EAS55CT-ND	.60	4.98	45.76	EAS55TB-ND	306.47	284.46/M	EVM-EASA00B55
	1M	EAS16CT-ND	.60	4.98	45.76	EAS16TB-ND	306.47	284.46/M	EVM-EASA00B16

Serie EVM-EYG — Hohe Qualität, Betätigung von oben (lose Teile)

Abb.	Widerst. (Ω)	Digi-Key Teilenr.	Gurtabschnittspreise 1	10	100	Digi-Key Teilenr.	Preisangabe gegurtet in Schachtel 1.000	5.000	Panasonic Teilenr.
	100	EGS12CT-ND	.62	5.12	47.12	EGS12TB-ND	314.94	292.93/M	EVM-EGSA00B12
	200	EGS22CT-ND	.62	5.12	47.12	EGS22TB-ND	314.94	292.93/M	EVM-EGSA00B22
	500	EGS52CT-ND	.62	5.12	47.12	EGS52TB-ND	314.94	292.93/M	EVM-EGSA00B52
	1K	EGS13CT-ND	.62	5.12	47.12	EGS13TB-ND	314.94	292.93/M	EVM-EGSA00B13
	2K	EGS23CT-ND	.62	5.12	47.12	EGS23TB-ND	314.94	292.93/M	EVM-EGSA00B23
	5K	EGS53CT-ND	.62	5.12	47.12	EGS53TB-ND	314.94	292.93/M	EVM-EGSA00B53
2	10K	EGS14CT-ND	.62	5.12	47.12	EGS14TB-ND	314.94	292.93/M	EVM-EGSA00B14
	20K	EGS24CT-ND	.62	5.12	47.12	EGS24TB-ND	314.94	292.93/M	EVM-EGSA00B24
	50K	EGS54CT-ND	.62	5.12	47.12	EGS54TB-ND	314.94	292.93/M	EVM-EGSA00B54
	100K	—	—	—	—	EGS15TB-ND	314.94	292.93/M	EVM-EGSA00B15
	200K	—	—	—	—	EGS25TB-ND	314.94	292.93/M	EVM-EGSA00B25
	500K	EGS55CT-ND	.62	5.12	47.12	EGS55TB-ND	314.94	292.93/M	EVM-EGSA00B55
	1M	—	—	—	—	EGS16TB-ND	314.94	292.93/M	EVM-EGSA00B16

Serie EVM-EGS - seitliche Betätigung (gegurtet)

Abb.	Widerst. (Ω)	Digi-Key Teilenr.	Preisangaben 1	10	100	500	Panasonic Teilenr.
	1K	EYG13BK-ND	.67	5.57	51.21	222.66	EVM-EYGA00B13
	2K	EYG23BK-ND	.67	5.57	51.21	222.66	EVM-EYGA00B23
	5K	EYG53BK-ND	.67	5.57	51.21	222.66	EVM-EYGA00B53
	10K	EYG14BK-ND	.67	5.57	51.21	222.66	EVM-EYGA00B14
	20K	EYG24BK-ND	.67	5.57	51.21	222.66	EVM-EYGA00B24
1	50K	EYG54BK-ND	.67	5.57	51.21	222.66	EVM-EYGA00B54
	100K	EYG15BK-ND	.67	5.57	51.21	222.66	EVM-EYGA00B15
	200K	EYG25BK-ND	.67	5.57	51.21	222.66	EVM-EYGA00B25
	500K	EYG55BK-ND	.67	5.57	51.21	222.66	EVM-EYGA00B55
	1M	EYG16BK-ND	.67	5.57	51.21	222.66	EVM-EYGA00B16
	2M	EYG26BK-ND	.67	5.57	51.21	222.66	EVM-EYGA00B26

Serie EVM-F6S - Betätigung von oben (gegurtet)

Abb.	Widerst. (Ω)	Digi-Key Teilenr.	Gurtabschnittspreise 1	10	100	Digi-Key Teilenr.	Preisangabe gegurtet in Schachtel 1.000	5.000	Panasonic Teilenr.
	1K	—	—	—	—	F6SA13TB-ND	180.33	166.78/M	EVM-F6SA00B13
	50K	F6SA54CT-ND	.32	2.78	23.03	—	—	—	EVM-F6SA00B54
3	200K	F6SA25CT-ND	.32	2.78	23.03	—	—	—	EVM-F6SA00B25
	500K	F6SA55CT-ND	.32	2.78	23.03	F6SA55TB-ND	180.33	166.78/M	EVM-F6SA00B55
	1M	F6SA16CT-ND	.32	2.78	23.03	—	—	—	EVM-F6SA00B16

Serie EVM-EAS - Betätigung von oben (gegurtet)

Abb.	Widerst. (Ω)	Digi-Key Teilenr.	Preisangabe gegurtet in Schachtel 1.000	5.000	10.000	Panasonic Teilenr.
	1K	EYS13TB-ND	342.87	317.48/M	297.16/M	EVM-EYSA00B13
	2K	EYS23TB-ND	342.87	317.48/M	297.16/M	EVM-EYSA00B23
	5K	EYS53TB-ND	342.87	317.48/M	297.16/M	EVM-EYSA00B53
	10K	EYS14TB-ND	342.87	317.48/M	297.16/M	EVM-EYSA00B14
	20K	EYS24TB-ND	342.87	317.48/M	297.16/M	EVM-EYSA00B24
1	50K	EYS54TB-ND	342.87	317.48/M	297.16/M	EVM-EYSA00B54
	100K	EYS15TB-ND	342.87	317.48/M	297.16/M	EVM-EYSA00B15
	200K	EYS25TB-ND	342.87	317.48/M	297.16/M	EVM-EYSA00B25
	500K	EYS55TB-ND	342.87	317.48/M	297.16/M	EVM-EYSA00B55
	1M	EYS16TB-ND	342.87	317.48/M	297.16/M	EVM-EYSA00B16

Serie EVM-EAS - Betätigung von oben (gegurtet)

Abb.	Widerst. (Ω)	Digi-Key Teilenr.	Gurtabschnittspreise 1	10	100	Digi-Key Teilenr.	Preisangabe gegurtet in Schachtel 1.000	Panasonic Teilenr.
	100	AAS12CT-ND	.42	3.51	32.32	AAS12TB-ND	215.88	EVM-AASA00B12
	200	AAS22CT-ND	.42	3.51	32.32	AAS22TB-ND	215.88	EVM-AASA00B22
	500	AAS52CT-ND	.42	3.51	32.32	AAS52TB-ND	215.88	EVM-AASA00B52
	1K	AAS13CT-ND	.42	3.51	32.32	AAS13TB-ND	215.88	EVM-AASA00B13
	2K	AAS23CT-ND	.42	3.51	32.32	AAS23TB-ND	215.88	EVM-AASA00B23
	5K	AAS53CT-ND	.42	3.51	32.32	AAS53TB-ND	215.88	EVM-AASA00B53
4	10K	AAS14CT-ND	.42	3.51	32.32	AAS14TB-ND	215.88	EVM-AASA00B14
	20K	AAS24CT-ND	.42	3.51	32.32	AAS24TB-ND	215.88	EVM-AASA00B24
	50K	AAS54CT-ND	.42	3.51	32.32	AAS54TB-ND	215.88	EVM-AASA00B54
	100K	AAS15CT-ND	.42	3.51	32.32	AAS15TB-ND	215.88	EVM-AASA00B15
	200K	AAS25CT-ND	.42	3.51	32.32	AAS25TB-ND	215.88	EVM-AASA00B25
	500K	AAS55CT-ND	.42	3.51	32.32	AAS55TB-ND	215.88	EVM-AASA00B55
	1M	AAS16CT-ND	.42	3.51	32.32	AAS16TB-ND	215.88	EVM-AASA00B16

Alle Preisangaben in Euro und inklusive Zollgebühren.

Panasonic Keramik-Trimmpotentiometer

Serie EVM-L4G, EVM-L1G, EVM-5AG und EVM-4LG

Spezifikationen:

- Widerstandsbereich: 100 Ω – 1 MΩ
- Toleranz: 25 %
- Minderung: Linear
- Restwiderstand: EVM-L4G und EVM-L1G: 5%; EVM-5AG und EVM-4LG: 2 %
- Watt (Nennwert): EVM-L4G und EVM-L1G: 0,2 W; EVM-5AG und EVM-4LG: 0,3 W
- Spannung (Nennwert): EVM-L4G und EVM-L1G: 50 V; EVM-5AG und EVM-4LG: 100V
- TCR: EVM-L4G und EVM-L1G: ±300 ppm; EVM-5AG und EVM-4LG: ±200 ppm
- Drehmoment: 20 - 250 gF;
- Anschlagfestigkeit: EVM-L4G und EVM-L1G: 400 gF; EVM-5AG und EVM-4LG: 300 gF
- Drehwinkel: 200° ±20°
- Betriebstemperatur: -30 °C ~ +100 °C

Abb. 1 — 4 mm, senkrecht

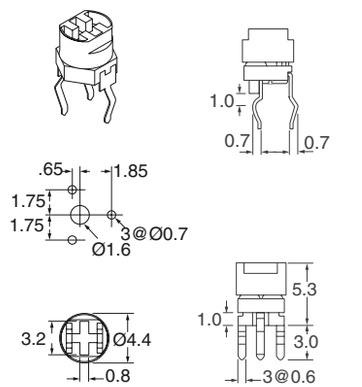

Abb. 2 — 4 mm, rechtwinklig

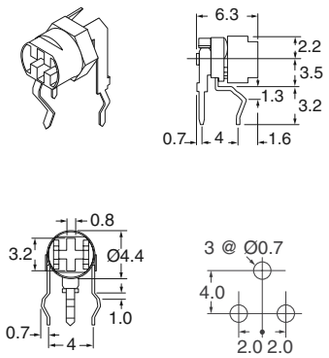

Abb. 3 — 5 mm, senkrecht

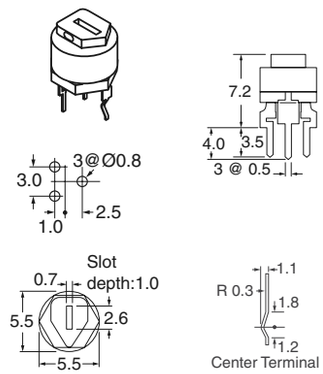

Abb. 4 — 6 mm, senkrecht

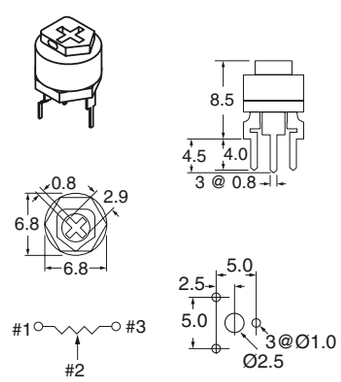

Abb.	Widerst. (Ω)	Digi-Key Teilenr.	Preisangaben 1	10	100	500	Panasonic Teilenr.
		Serie EVM-L4G — 4 mm, senkrecht, Betätigung von oben					
1	100	L4G12BK-ND	.65	5.44	50.04	217.58	EVM-L4GA00B12
	200	L4G22BK-ND	.65	5.44	50.04	217.58	EVM-L4GA00B22
	500	L4G52BK-ND	.65	5.44	50.04	217.58	EVM-L4GA00B52
	1K	L4G13BK-ND	.65	5.44	50.04	217.58	EVM-L4GA00B13
	2K	L4G23BK-ND	.65	5.44	50.04	217.58	EVM-L4GA00B23
	5K	L4G53BK-ND	.65	5.44	50.04	217.58	EVM-L4GA00B53
	10K	L4G14BK-ND	.65	5.44	50.04	217.58	EVM-L4GA00B14
	20K	L4G24BK-ND	.65	5.44	50.04	217.58	EVM-L4GA00B24
	100K	L4G15BK-ND	.65	5.44	50.04	217.58	EVM-L4GA00B15
	200K	L4G25BK-ND	.65	5.44	50.04	217.58	EVM-L4GA00B25
	500K	L4G55BK-ND	.65	5.44	50.04	217.58	EVM-L4GA00B55
	1M	L4G16BK-ND	.65	5.44	50.04	217.58	EVM-L4GA00B16
		Serie EVM-L1G — 4 mm, rechtwinklig, seitliche Betätigung					
2	100	L1G12BK-ND	.70	5.82	53.55	232.82	EVM-L1GA00B12
	200	L1G22BK-ND	.70	5.82	53.55	232.82	EVM-L1GA00B22
	500	L1G52BK-ND	.70	5.82	53.55	232.82	EVM-L1GA00B52
	1K	L1G13BK-ND	.70	5.82	53.55	232.82	EVM-L1GA00B13
	2K	L1G23BK-ND	.70	5.82	53.55	232.82	EVM-L1GA00B23
	5K	L1G53BK-ND	.70	5.82	53.55	232.82	EVM-L1GA00B53
	10K	L1G14BK-ND	.70	5.82	53.55	232.82	EVM-L1GA00B14
	20K	L1G24BK-ND	.70	5.82	53.55	232.82	EVM-L1GA00B24
	50K	L1G54BK-ND	.70	5.82	53.55	232.82	EVM-L1GA00B54
	100K	L1G15BK-ND	.70	5.82	53.55	232.82	EVM-L1GA00B15
	200K	L1G25BK-ND	.70	5.82	53.55	232.82	EVM-L1GA00B25
	500K	L1G55BK-ND	.70	5.82	53.55	232.82	EVM-L1GA00B55
	1M	L1G16BK-ND	.70	5.82	53.55	232.82	EVM-L1GA00B16
		Serie EVM-5AG — 5 mm, senkrecht, Betätigung von oben					
3	2K	5AG23BK-ND	.60	5.04	46.34	201.49	EVM-5AGA00B23
	5K	5AG53BK-ND	.60	5.04	46.34	201.49	EVM-5AGA00B53
	10K	5AG14BK-ND	.60	5.04	46.34	201.49	EVM-5AGA00B14
	50K	5AG54BK-ND	.60	5.04	46.34	201.49	EVM-5AGA00B54
	100K	5AG15BK-ND	.60	5.04	46.34	201.49	EVM-5AGA00B15
	200K	5AG25BK-ND	.60	5.04	46.34	201.49	EVM-5AGA00B25
	500K	5AG55BK-ND	.60	5.04	46.34	201.49	EVM-5AGA00B55
	1M	5AG16BK-ND	.60	5.04	46.34	201.49	EVM-5AGA00B16
		Serie EVM-4LG — 6 mm, senkrecht, Betätigung von oben					
4	100	4LG12BK-ND	.50	4.17	38.36	166.78	EVM-4LGA00B12
	500	4LG52BK-ND	.50	4.17	38.36	166.78	EVM-4LGA00B52
	2K	4LG23BK-ND	.50	4.17	38.36	166.78	EVM-4LGA00B23
	20K	4LG24BK-ND	.50	4.17	38.36	166.78	EVM-4LGA00B24
	50K	4LG54BK-ND	.50	4.17	38.36	166.78	EVM-4LGA00B54
	200K	4LG25BK-ND	.50	4.17	38.36	166.78	EVM-4LGA00B25
	500K	4LG55BK-ND	.50	4.17	38.36	166.78	EVM-4LGA00B55
	1M	4LG16BK-ND	.50	4.17	38.36	166.78	EVM-4LGA00B16

F

8 mm Trimmpotentiometer Serie EVN

Serie K4A

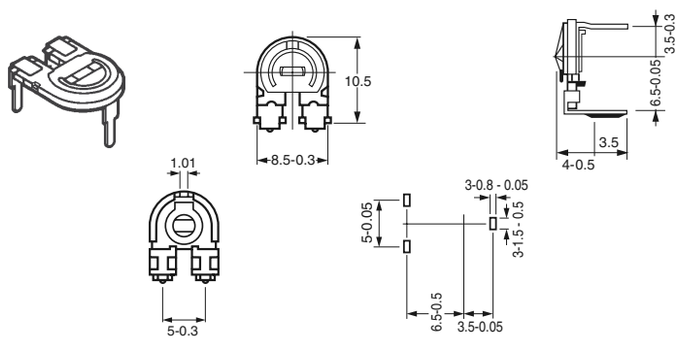

Serie K0A

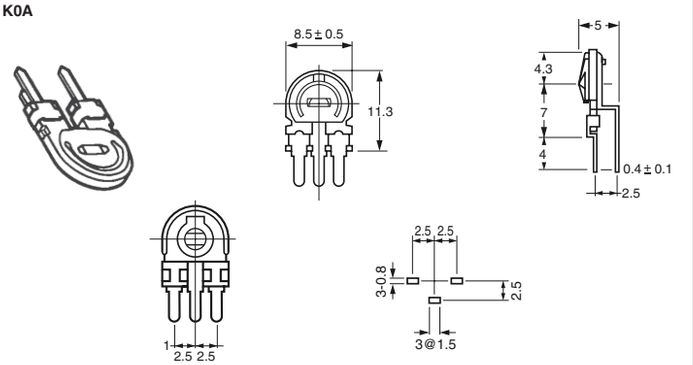

Spezifikationen:

• Widerstandsbereich: 300 Ω ~ 2 MΩ • Minderung: Linear • Toleranz: ±30 % • Betriebspannung: max. 200 V • Nennleistung: 0,1 W/50 °C • Restwiderstand: bis zu 1 kΩ: max. 10 Ω Über 1 kΩ: 5 % des Gesamtwiderstands • Drehwinkel: 260° ±20°
• Drehmoment: 0,4 ~ 4,2 in-oz. • Anschlagfestigkeit: 1 in-lb. • Betriebstemperatur: -25 °C ~ +75 °C

Widerst. Ω	Digi-Key Teilenr. Horizontale Ausführung	Digi-Key Teilenr. Senkrechte Ausführung	Preisangaben 1	10	100	1.000	5.000	10.000	Panasonic Teilenr. Horizontale Ausführung	Panasonic Teilenr. Senkrechte Ausführung
300	—	K0A32-ND	.26	2.19	20.16	134.61	125.30/M	116.84/M	—	EVN-64AA00B32
2K	K4A23-ND	K0A23-ND	.26	2.19	20.16	134.61	125.30/M	116.84/M	EVN-65AA00B23	EVN-64AA00B23

Alle Preisangaben in Euro und inklusive Zollgebühren.

Panasonic — 6 mm Kohleschicht-Trimmpotentiometer

EVN-D2A (Seitliche Betätigung)

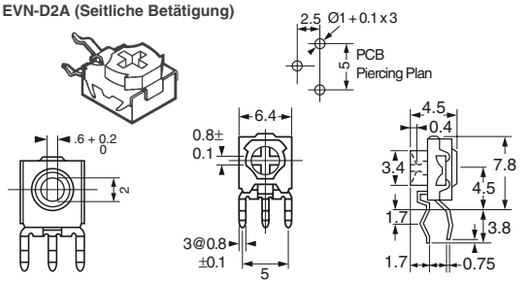

EVN-D8A (Betätigung von oben)

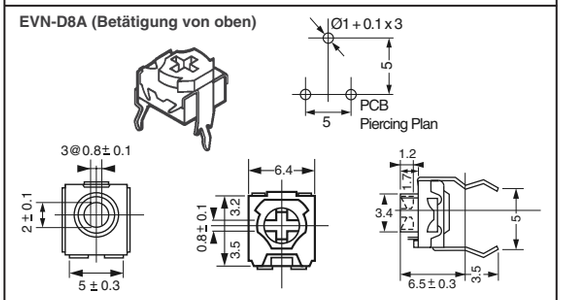

EVN-DCA (Seitliche Betätigung)

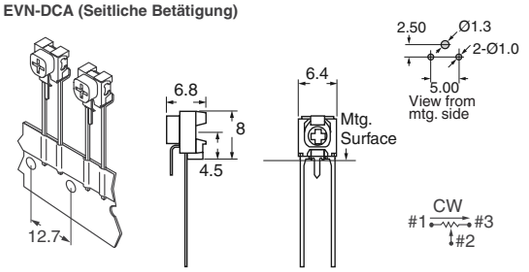

EVN-DJA (Betätigung von oben)

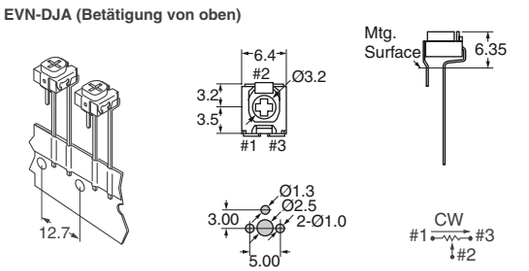

SPEZIFIKATIONEN:

Mechanisch: • **Drehwinkel:** 210° ±20° • **Drehmoment:** 20 ~ 250 g-cm

• **Anschlagfestigkeit:** 750 gf-cm • **Lötwärme:** 240 °C ~ 280 °C, 5 s max.; 280 °C ~ 300 °C, 3 s max. • **Lebensdauer (Umdrehungen):** 100 Zyklen

Elektrische Daten: • Nennleistung: 0,1 W (wenn unter 50 °C) • Max. Betriebsspannung: 50 V • Verhalten: B (linear) • Widerstand: 200 Ω ~ 1 MΩ • Toleranz: ±30 %

MERKMALE:

• Miniaturformat, leicht, 6,4 x 6,7 mm • Wegen quadrat. Gehäuse zur automatischen Platzierung geeignet • Wegen stabilem Drehmoment zur automatischen Einstellung geeignet • Staub- und flussmitteldichte Konstruktion • Von oben und unten justierbar • EVN-D8A/D2A mit Einrastanschluss

Anwendungen:

• Verbrauchsgüter wie TV, VTR (VCR), Stereos, Radios.

Panasonic

Kohleschicht-Trimmpotentiometer

Digi-Key® Sortiment-Kit
14 Panasonic 6-mm-Kohleschicht-Trimmpotentiometer

Kat. -Nr. DXA-KIT-ND 25.36

140 Kohle-Trimmpotentiometer (6 mm): Preis umfasst praktisches unterteiltes Aufbewahrungsetui und Anleitung zur Bin-Lagerung und zum schnellen Zugriff.

Serie EVN-D2A: Seitliche Betätigung (lose Teile)

Serie EVN-D8A : Betätigung von oben (lose Teile)

Widerst. (Ω)	Digi-Key Teilenr. Seitliche Betätigung	Digi-Key Teilenr. Betätigung von oben	Preisangaben für lose Ware 1	10	100	500	1.000	Panasonic Teilenr. Seitliche Betätigung	Panasonic Teilenr. Betätigung von oben
200	D1AA22-ND*	D4AA22-ND*	.30	2.23	16.46	61.72	95.67	EVN-D2AA03B22	EVN-D8AA03B22
500	D1AA52-ND*	D4AA52-ND	.30	2.23	16.46	61.72	95.67	EVN-D2AA03B52	EVN-D8AA03B52
1K	D1AA13-ND*	D4AA13-ND*	.30	2.23	16.46	61.72	95.67	EVN-D2AA03B13	EVN-D8AA03B13
2K	D1AA23-ND	D4AA23-ND	.30	2.23	16.46	61.72	95.67	EVN-D2AA03B23	EVN-D8AA03B23
5K	D1AA53-ND*	D4AA53-ND*	.30	2.23	16.46	61.72	95.67	EVN-D2AA03B53	EVN-D8AA03B53
10K	D1AA14-ND	D4AA14-ND	.30	2.23	16.46	61.72	95.67	EVN-D2AA03B14	EVN-D8AA03B14
20K	D1AA24-ND*	D4AA24-ND	.30	2.23	16.46	61.72	95.67	EVN-D2AA03B24	EVN-D8AA03B24
50K	D1AA54-ND*	D4AA54-ND	.30	2.23	16.46	61.72	95.67	EVN-D2AA03B54	EVN-D8AA03B54
100K	D1AA15-ND*	D4AA15-ND*	.30	2.23	16.46	61.72	95.67	EVN-D2AA03B15	EVN-D8AA03B15
200K	D1AA25-ND*	D4AA25-ND	.30	2.23	16.46	61.72	95.67	EVN-D2AA03B25	EVN-D8AA03B25
500K	D1AA55-ND*	D4AA55-ND*	.30	2.23	16.46	61.72	95.67	EVN-D2AA03B55	EVN-D8AA03B55

* Teil im DXA-KIT inbegriffen

Serie EVN-DCA: Seitliche Betätigung (gegurtet)

SerieEVN- DJA: Betätigung von oben (gegurtet)

Widerst. (Ω)	Digi-Key Teilenr. Seitliche Betätigung	Digi-Key Teilenr. Betätigung von oben	Gurtabschnittspreise 1	10	100	500	Preisangabe für „Band u. Box"* 1.000	Panasonic Teilenr. Seitliche Betätigung	Panasonic Teilenr. Betätigung von oben
200	DCA22CT-ND	DJA22CT-ND	.35	2.53	18.69	70.10	109.21	EVN-DCAA03B22	EVN-DJAA03B22
500	DCA52CT-ND	DJA52CT-ND	.35	2.53	18.69	70.10	109.21	EVN-DCAA03B52	EVN-DJAA03B52
1K	DCA13CT-ND	DJA13CT-ND	.35	2.53	18.69	70.10	109.21	EVN-DCAA03B13	EVN-DJAA03B13
2K	DCA23CT-ND	DJA23CT-ND	.35	2.53	18.69	70.10	109.21	EVN-DCAA03B23	EVN-DJAA03B23
5K	DCA53CT-ND	DJA53CT-ND	.35	2.53	18.69	70.10	109.21	EVN-DCAA03B53	EVN-DJAA03B53
10K	DCA14CT-ND	DJA14CT-ND	.35	2.53	18.69	70.10	109.21	EVN-DCAA03B14	EVN-DJAA03B14
20K	DCA24CT-ND	DJA24CT-ND	.35	2.53	18.69	70.10	109.21	EVN-DCAA03B24	EVN-DJAA03B24
50K	DCA54CT-ND	DJA54CT-ND	.35	2.53	18.69	70.10	109.21	EVN-DCAA03B54	EVN-DJAA03B54
100K	DCA15CT-ND	DJA15CT-ND	.35	2.53	18.69	70.10	109.21	EVN-DCAA03B15	EVN-DJAA03B15
200K	DCA25CT-ND	DJA25CT-ND	.35	2.53	18.69	70.10	109.21	EVN-DCAA03B25	EVN-DJAA03B25
500K	DCA55CT-ND	DJA55CT-ND	.35	2.53	18.69	70.10	109.21	EVN-DCAA03B55	EVN-DJAA03B55

* Für Band und Box die Teilenummer von „CT-ND" in „TB-ND" ändern

F

Panasonic — Cermet-Trimmpotentiometer-Serie; 6 mm Durchmesser
Cermet staubdichte Ausführung

SPEZIFIKATIONEN:

- **Widerstandsbereich:** 100 Ω ~ 1 MΩ
- **Toleranz::** ± 25 %
- **Minderung:** Linear
- **Restwiderstand:** 5 % max.
- **Nennleistung (W):** 0,3 W (70 °C)
- **Nennspannung:** max. 100 V
- **TCR:** +200 ppm/°C
- **Drehmoment:** 20 ~ 250 g-cm
- **Anschlagfestigkeit:** min. 300 g-cm
- **Drehwinkel:** 200° +20 °C
- **Betriebstemperatur:** 20 °C ~ 100 °C (EVN-36CA); -40 °C ~ 101°C (EVM-31G/36G)

Querverweistabelle	
Serie	**Bourns**
31G	**3306W**
36GA	**3306P**

EVM-31GA (Horizontaleinstellung auf beiden Seiten)

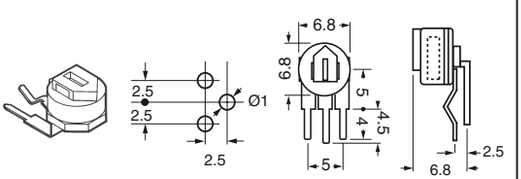

EVM-36GA (Vertikaleinstellung auf beiden Seiten)

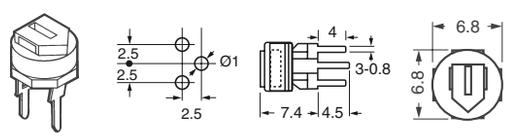

Panasonic

Cermet-Potentiometer

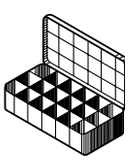

Digi-Key® Sortiment-Kit
13 gängige Cermet Trimmpotentiometer, Panasonic-Qualität

31G-KIT-ND 44.83

36G-KIT-ND 44.83

130 Cermet-Trimmpotentiometer
Preis umfasst praktische Kunststoffschachtel und Anleitung zur einfachen Bin-Lagerung und zum schnellen Zugriff.

Widerst. (Ω)	Digi-Key Teilenr. Horizontal 31GA	Digi-Key Teilenr. Vertikal 36GA	Preisangaben 1	10	100	Panasonic Teilenr. Horizontal 31GA	Panasonic Teilenr. Vertikal 36GA
100	31G12-ND	36G12-ND	.57	4.47	39.01	EVM-31GA00B12	EVM-36GA00B12
200	31G22-ND	36G22-ND	.57	4.47	39.01	EVM-31GA00B22	EVM-36GA00B22
500	—	36G52-ND	.57	4.47	39.01	—	EVM-36GA00B52
1K	—	36G13-ND	.57	4.47	39.01	—	EVM-36GA00B13
2K	—	36G23-ND	.57	4.47	39.01	—	EVM-36GA00B23
5K	—	36G53-ND	.57	4.47	39.01	—	EVM-36GA00B53
500K	31G55-ND	—	.57	4.47	39.01	EVM-31GA00B55	—
1M	31G16-ND	36G16-ND	.57	4.47	39.01	EVM-31GA00B16	EVM-36GA00B16

* Nicht für Neuentwicklung; verwenden Sie EVM-36GA

Alle Preisangaben in Euro und inklusive Zollgebühren.

„ZNR“ Stoßspannungs-/Überspannungsableiter Typ D und E

Merkmale:

• Hervorragende Begrenzerspannungsmerkmale und schnelle Reaktionszeit (50 nsec), wenn Impulsstößen ausgesetzt. Eliminiert die für Funkenableiter typische Entladungsverzögerung. • Bilaterale und symmetrische V-1-Kurve. Daher ist der ZNR sowohl in AC- als auch in DC-Schaltkreisen einsetzbar und schützt vor positiven und negativen Stoßspannungen. Panasonic ZNRs sind nichtlineare Zinkoxid-Widerstände, deren Widerstand sich mit der anliegenden Spannung verändert. Der ZNR hat eine bilaterale und eine symmetrische V-1-Kurve und ist daher in Schaltkreisen anstelle von in Serie gegeneinander geschalteten Zener-Dioden einsetzbar. Das gibt dem Schaltkreis Begrenzerspannungsschutz in beiden Richtungen. Der ZNR ist eine zuverlässige und wirtschaftliche Art des Schutzes gegen wiederholte Stoß- und Überspannungen wie sie durch Blitzeinschlag, Schaltstöße und Störimpulse ausgelöst werden.

Varistor-Nennspannung: Die Spannung zwischen zwei Anschlussklemmen bei anliegendem spezifizierten Messstrom CmA DC heißt Vc. Die Messung sollte so schnell wie möglich erfolgen, um eine Wärmebeeinflussung zu vermeiden.

Maximale zulässige Spannung: Die empfohlene maximale Sinusspannung (rms) oder die maximale Gleichspannung, die kontinuierlich anliegen darf.

Haltestoßstrom: Der maximale Strom innerhalb der Varistorspannungsänderung von 510 % mit dem einmalig angelegten Impulsstrom (8/20 µs).

Maximale Begrenzerspannung: Die maximale zwischen zwei Anschlussklemmen anliegende Spannung mit dem spezifizierten Standardimpulsstrom (8/20 µs).

Serie V: ZNR-Überspannungsableiter Typ D, Serie V sind das Ergebnis einer Neuentwicklung und bestehen aus einer neuen Keramikzusammensetzung und qualitativ hochwertigen Bauteilen und Materialien (im Varistor) und stellen eine Verbesserung der Produktionsprozesssteuerung dar. Sie sind kleiner, verfügen aber über größere Stromstoß- und Leistungsnenngrößen, was sie ideal für den Einsatz in kleineren Geräten macht, die hervorragenden Überspannungsschutz unter widrigen Bedingungen benötigen.

Merkmale:

• Verbesserte „Stromstoß-Bewältigung (bei 8/20 µs, 2-fach)“, um 1,6 bis 3,0-mal über dem konventionellen Typ. • Sehr große „Energie-Bewältigung“ absorbiert transiente Überspannungen bei kompakter Größe • Varistorspannungen 250 V-1850 V sind unter UL1414, UL1449 und CSA 2221 01 gelistet, Varistorspannungen 82-150 V sind nur unter UL1449 geliste • Breite Produktpalette für Stoßspannungs-/Überspannungsschutz bei AC 100 V bis AC 480 V Nennsystem mit maximalem Spitzenspannungsbereich von 600 A bis 6.500 A (@ 8/20 µs, 2-fach) • Betriebstem-peraturbereich: -40 °C – 85 °C

Typ D Serie V

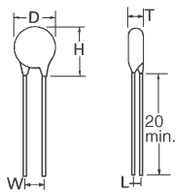

Typ E

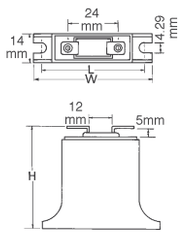

Schutz zw. 2 Leitern DC AC einphasig

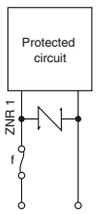

Maximale Begrenzerspannung

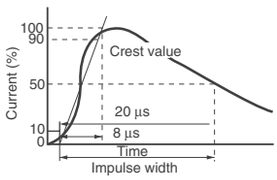

Dreiphasenwechselspannung

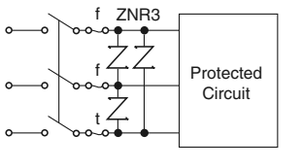

Serie	Typ	Max. zulässige Spannung (V) AC	DC	Varistor-spann. ±10% (V)	Max. Begrenzersp. bei Teststrom (8/20 µs) Vc(V)	Ip(A)	Über-spannungs-strom (A)	Abmessungen (mm) D max.	T max.	W ±1	H max.	L ±1	Digi-Key Teilenr.	Preisangaben 1	10	100	1.000	5.000	10.000	Panasonic Teilenr.
5	D Ser.V	11	14	18	40	1	125	7.0	4.5	5.0	10.0	1.5	P7282-ND	.21	1.83	15.24	87.20	81.28/M	78.74/M	ERZ-V05D180
		14	18	22	48	1	125	7.0	4.5	5.0	10.0	1.5	P7283-ND	.21	1.83	15.24	87.20	81.28/M	78.74/M	ERZ-V05D220
		17	22	27	60	1	125	7.0	4.5	5.0	10.0	1.5	P7284-ND	.21	1.83	15.24	87.20	81.28/M	78.74/M	ERZ-V05D270
		20	26	33	73	1	125	7.0	4.5	5.0	10.0	1.5	P7285-ND	.21	1.83	15.24	87.20	81.28/M	78.74/M	ERZ-V05D330
		25	31	39	86	1	125	7.0	4.5	5.0	10.0	1.5	P7286-ND	.21	1.83	15.24	87.20	81.28/M	78.74/M	ERZ-V05D390
		30	38	47	104	1	125	7.0	4.5	5.0	10.0	1.5	P7287-ND	.21	1.83	15.24	87.20	81.28/M	78.74/M	ERZ-V05D470
		35	45	56	123	1	125	7.0	4.5	5.0	10.0	1.5	P7288-ND	.21	1.83	15.24	87.20	81.28/M	78.74/M	ERZ-V05D560
		40	56	68	150	1	125	7.0	4.5	5.0	10.0	1.5	P7289-ND	.21	1.83	15.24	87.20	81.28/M	78.74/M	ERZ-V05D680
		50	65	82	145	5	600	7.0	4.1	5.0	10.0	1.4	P7180-ND	.21	1.83	15.24	87.20	81.28/M	78.74/M	ERZ-V05D820
		60	85	100	175	5	600	7.0	4.3	5.0	10.0	1.6	P7240-ND	.21	1.83	15.24	87.20	81.28/M	78.74/M	ERZ-V05D101
		75	100	120	210	5	600	7.0	4.5	5.0	10.0	1.8	P7241-ND	.21	1.83	15.24	87.20	81.28/M	78.74/M	ERZ-V05D121
		95	125	150	260	5	600	7.0	4.8	5.0	10.0	2.1	P7242-ND	.21	1.83	15.24	87.20	81.28/M	78.74/M	ERZ-V05D151
		130	170	200	355	5	600	7.0	4.4	5.0	10.0	1.7	P7181-ND	.21	1.83	15.24	87.20	81.28/M	78.74/M	ERZ-V05D201
		140	180	220	380	5	600	7.0	4.5	5.0	10.0	1.8	P7182-ND	.21	1.83	15.24	87.20	81.28/M	78.74/M	ERZ-V05D221
		150	200	240	415	5	600	7.0	4.6	5.0	10.0	1.9	P7183-ND	.21	1.83	15.24	87.20	81.28/M	78.74/M	ERZ-V05D241
		175	225	270	475	5	600	7.0	4.8	5.0	10.0	2.1	P7184-ND	.21	1.83	15.24	87.20	81.28/M	78.74/M	ERZ-V05D271
		210	270	330	570	5	600	7.0	5.1	5.0	10.0	2.4	P7185-ND	.21	1.83	15.24	87.20	81.28/M	78.74/M	ERZ-V05D331
		230	300	360	620	5	600	7.0	5.3	5.0	10.0	2.5	P7243-ND	.21	1.83	15.24	87.20	81.28/M	78.74/M	ERZ-V05D361
		250	320	390	675	5	600	7.0	5.4	5.0	10.0	2.7	P7244-ND	.21	1.83	15.24	87.20	81.28/M	78.74/M	ERZ-V05D391
		275	350	430	745	5	600	7.0	5.6	5.0	10.0	2.9	P7245-ND	.21	1.83	15.24	87.20	81.28/M	78.74/M	ERZ-V05D431
		300	385	470	810	5	600	7.0	5.8	5.0	10.0	3.1	P7186-ND	.21	1.83	15.24	87.20	81.28/M	78.74/M	ERZ-V05D471
7	D Ser.V	11	14	18	36	2.5	250	8.5	4.5	5.0	11.5	1.3	P7290-ND	.24	2.03	16.93	96.51	90.59/M	87.20/M	ERZ-V07D180
		14	18	22	43	2.5	250	8.5	4.6	5.0	11.5	1.4	P7291-ND	.24	2.03	16.93	96.51	90.59/M	87.20/M	ERZ-V07D220
		17	22	27	53	2.5	250	8.5	4.7	5.0	11.5	1.5	P7292-ND	.24	2.03	16.93	96.51	90.59/M	87.20/M	ERZ-V07D270
		20	26	33	65	2.5	250	8.5	4.9	5.0	11.5	1.7	P7293-ND	.24	2.03	16.93	96.51	90.59/M	87.20/M	ERZ-V07D330
		25	31	39	77	2.5	250	8.5	4.8	5.0	11.5	1.6	P7294-ND	.24	2.03	16.93	96.51	90.59/M	87.20/M	ERZ-V07D390
		30	38	47	93	2.5	250	8.5	4.9	5.0	11.5	1.7	P7295-ND	.24	2.03	16.93	96.51	90.59/M	87.20/M	ERZ-V07D470
		35	45	56	110	2.5	250	8.5	5.0	5.0	11.5	1.8	P7296-ND	.24	2.03	16.93	96.51	90.59/M	87.20/M	ERZ-V07D560
		40	56	68	135	2.5	250	8.5	5.2	5.0	11.5	2.0	P7297-ND	.24	2.03	16.93	96.51	90.59/M	87.20/M	ERZ-V07D680
		50	65	82	135	10	1250	8.5	4.1	5.0	11.5	1.4	P7187-ND	.24	2.03	16.93	96.51	90.59/M	87.20/M	ERZ-V07D820
		60	85	100	165	10	1250	8.5	4.3	5.0	11.5	1.6	P7246-ND	.24	2.03	16.93	96.51	90.59/M	87.20/M	ERZ-V07D101
		75	100	120	200	10	1250	8.5	4.5	5.0	11.5	1.8	P7247-ND	.24	2.03	16.93	96.51	90.59/M	87.20/M	ERZ-V07D121
		95	125	150	250	10	1250	8.5	4.8	5.0	11.5	2.1	P7248-ND	.24	2.03	16.93	96.51	90.59/M	87.20/M	ERZ-V07D151
		130	170	200	340	10	1250	8.5	4.4	5.0	11.5	1.7	P7188-ND	.24	2.03	16.93	96.51	90.59/M	87.20/M	ERZ-V07D201
		140	180	220	360	10	1250	8.5	4.5	5.0	11.5	1.8	P7189-ND	.24	2.03	16.93	96.51	90.59/M	87.20/M	ERZ-V07D221
		150	200	240	395	10	1250	8.5	4.6	5.0	11.5	1.9	P7190-ND	.24	2.03	16.93	96.51	90.59/M	87.20/M	ERZ-V07D241
		175	225	270	455	10	1250	8.5	4.8	5.0	11.5	2.1	P7200-ND	.24	2.03	16.93	96.51	90.59/M	87.20/M	ERZ-V07D271
		210	270	330	545	10	1250	8.5	5.1	5.0	11.5	2.4	P7201-ND	.24	2.03	16.93	96.51	90.59/M	87.20/M	ERZ-V07D331
		230	300	360	595	10	1250	8.5	5.3	5.0	11.5	2.5	P7249-ND	.24	2.03	16.93	96.51	90.59/M	87.20/M	ERZ-V07D361
		250	320	390	650	10	1250	8.5	5.4	5.0	11.5	2.7	P7250-ND	.24	2.03	16.93	96.51	90.59/M	87.20/M	ERZ-V07D391
		275	350	430	710	10	1250	8.5	5.8	5.0	11.5	2.9	P7251-ND	.24	2.03	16.93	96.51	90.59/M	87.20/M	ERZ-V07D431
		300	385	470	775	10	1250	8.5	5.8	5.0	11.5	3.1	P7202-ND	.24	2.03	16.93	96.51	90.59/M	87.20/M	ERZ-V07D471
		320	410	510	845	10	1250	8.5	6.0	5.0	11.5	3.3	P7203-ND	.24	2.03	16.93	96.51	90.59/M	87.20/M	ERZ-V07D511
10	D Ser.V	11	14	18	36	5	500	11.5	4.6	7.5	14.5	1.3	P7298-ND	.36	3.10	25.82	147.31	138.00/M	132.92/M	ERZ-V10D180
		14	18	22	43	5	500	11.5	4.7	7.5	14.5	1.4	P7299-ND	.36	3.10	25.82	147.31	138.00/M	132.92/M	ERZ-V10D220
		17	22	27	53	5	500	11.5	4.8	7.5	14.5	1.5	P7300-ND	.36	3.10	25.82	147.31	138.00/M	132.92/M	ERZ-V10D270
		20	26	33	65	5	500	11.5	5.0	7.5	14.5	1.7	P7301-ND	.36	3.10	25.82	147.31	138.00/M	132.92/M	ERZ-V10D330
		25	31	39	77	5	500	11.5	4.9	7.5	14.5	1.6	P7302-ND	.36	3.10	25.82	147.31	138.00/M	132.92/M	ERZ-V10D390
		30	38	47	93	5	500	11.5	5.0	7.5	14.5	1.7	P7303-ND	.36	3.10	25.82	147.31	138.00/M	132.92/M	ERZ-V10D470
		35	45	56	110	5	500	11.5	5.1	7.5	14.5	1.8	P7304-ND	.36	3.10	25.82	147.31	138.00/M	132.92/M	ERZ-V10D560
		40	56	68	135	5	500	11.5	5.3	7.5	14.5	2.0	P7305-ND	.36	3.10	25.82	147.31	138.00/M	132.92/M	ERZ-V10D680
		50	65	82	135	25	2500	11.5	4.5	7.5	14.5	1.6	P7204-ND	.36	3.10	25.82	147.31	138.00/M	132.92/M	ERZ-V10D820
		60	85	100	165	25	2500	11.5	4.7	7.5	14.5	1.8	P7252-ND	.36	3.10	25.82	147.31	138.00/M	132.92/M	ERZ-V10D101
		75	100	120	200	25	2500	11.5	4.9	7.5	14.5	2.0	P7253-ND	.36	3.10	25.82	147.31	138.00/M	132.92/M	ERZ-V10D121
		95	125	150	250	25	2500	11.5	5.2	7.5	14.5	2.3	P7254-ND	.31	2.68	22.33	126.99	119.37/M	115.14/M	ERZ-V10D151
		130	170	200	340	25	2500	11.5	4.8	7.5	14.5	1.9	P7205-ND	.31	2.68	22.33	126.99	119.37/M	115.14/M	ERZ-V10D201
		140	180	220	360	25	2500	11.5	4.9	7.5	14.5	2.0	P7206-ND	.31	2.68	22.33	126.99	119.37/M	115.14/M	ERZ-V10D221
		150	200	240	395	25	2500	11.5	5.0	7.5	14.5	2.1	P7207-ND	.31	2.68	22.33	126.99	119.37/M	115.14/M	ERZ-V10D241
		175	225	270	455	25	2500	11.5	5.2	7.5	14.5	2.3	P7208-ND	.31	2.68	22.33	126.99	119.37/M	115.14/M	ERZ-V10D271
		210	270	330	545	25	2500	11.5	5.5	7.5	14.5	2.6	P7209-ND	.31	2.68	22.33	126.99	119.37/M	115.14/M	ERZ-V10D331
		230	300	360	595	25	2500	11.5	5.7	7.5	14.5	2.8	P7255-ND	.31	2.68	22.33	126.99	119.37/M	115.14/M	ERZ-V10D361
		250	320	390	650	25	2500	11.5	5.8	7.5	14.5	2.9	P7256-ND	.31	2.68	22.33	126.99	119.37/M	115.14/M	ERZ-V10D391
		275	350	430	710	25	2500	11.5	6.0	7.5	14.5	3.1	P7257-ND	.31	2.68	22.33	126.99	119.37/M	115.14/M	ERZ-V10D431

(Forts.)

Serie	Typ	Max. zulässige Spannung (V) AC	DC	Varistor-spann. ±10% (V)	Max. Begrenzersp. @ Teststrom (8/20µsec.) Vc(V)	Ip(A)	Surge Über-spannungs-strom (A)	Abmessungen (mm) D max.	T max.	W ±1	H max.	L ±1	Digi-Key Teilenr.	Preisangaben 1	10	100	1.000	5.000	10.000	Panasonic Teilenr.
10	D Ser.V	300	385	470	775	25	2500	11.5	6.2	7.5	14.5	3.3	P7210-ND	.31	2.68	22.33	126.99	119.37/M	115.14/M	ERZ-V10D471
		320	410	510	845	25	2500	11.5	6.4	7.5	14.5	3.5	P7211-ND	.42	3.66	30.48	173.55	162.55/M	157.47/M	ERZ-V10D511
		385	505	620	1025	25	2500	12.5	7.1	7.5	15.5	4.2	P7258-ND	.42	3.66	30.48	173.55	162.55/M	157.47/M	ERZ-V10D621
		420	560	680	1120	25	2500	12.5	7.4	7.5	15.5	4.5	P7259-ND	.42	3.66	30.48	173.55	162.55/M	157.47/M	ERZ-V10D681
		460	615	750	1240	25	2500	12.5	7.8	7.5	15.5	4.9	P7260-ND	.42	3.66	30.48	173.55	162.55/M	157.47/M	ERZ-V10D751
		510	670	820	1355	25	2500	12.5	8.1	7.5	15.5	5.2	P7212-ND	.42	3.66	30.48	173.55	162.55/M	157.47/M	ERZ-V10D821
		550	745	910	1500	25	2500	12.5	8.6	7.5	15.5	5.7	P7213-ND	.52	4.42	36.83	209.96	196.42/M	189.64/M	ERZ-V10D911
		625	825	1000	1650	25	2500	12.5	9.1	7.5	15.5	6.2	P7261-ND	.52	4.42	36.83	209.96	196.42/M	189.64/M	ERZ-V10D102
		680	895	1100	1815	25	2500	12.5	9.7	7.5	15.5	6.8	P7214-ND	.52	4.42	36.83	209.96	196.42/M	189.64/M	ERZ-V10D112
		1000	1465	1800	2970	25	2500	13.5	14.4	11.0	16.5	10.5	P7215-ND	1.13	9.65	80.43	458.86	429.23/M	414.84/M	ERZ-V10D182
14	D Ser.V	11	14	18	36	10	1000	15.5	4.6	7.5	18.5	1.3	P7306-ND	.41	3.58	29.84	170.17	159.16/M	154.09/M	ERZ-V14D180
		14	18	22	43	10	1000	15.5	4.7	7.5	18.5	1.4	P7307-ND	.41	3.58	29.84	170.17	159.16/M	154.09/M	ERZ-V14D220
		17	22	27	53	10	1000	15.5	4.8	7.5	18.5	1.5	P7308-ND	.41	3.58	29.84	170.17	159.16/M	154.09/M	ERZ-V14D270
		20	26	33	65	10	1000	15.5	5.0	7.5	18.5	1.7	P7309-ND	.41	3.58	29.84	170.17	159.16/M	154.09/M	ERZ-V14D330
		25	31	39	77	10	1000	15.5	4.9	7.5	18.5	1.6	P7310-ND	.41	3.58	29.84	170.17	159.16/M	154.09/M	ERZ-V14D390
		30	38	47	93	10	1000	15.5	5.0	7.5	18.5	1.7	P7311-ND	.41	3.58	29.84	170.17	159.16/M	154.09/M	ERZ-V14D470
		35	45	56	110	10	1000	15.5	5.1	7.5	18.5	1.8	P7312-ND	.41	3.58	29.84	170.17	159.16/M	154.09/M	ERZ-V14D560
		40	56	68	135	10	1000	15.5	5.3	7.5	18.5	2.0	P7313-ND	.41	3.58	29.84	170.17	159.16/M	154.09/M	ERZ-V14D680
		50	65	82	135	50	4500	15.5	4.5	7.5	18.5	1.6	P7216-ND	.41	3.58	29.84	170.17	159.16/M	154.09/M	ERZ-V14D820
		60	85	100	165	50	4500	15.5	4.7	7.5	18.5	1.8	P7262-ND	.41	3.58	29.84	170.17	159.16/M	154.09/M	ERZ-V14D101
		75	100	120	200	50	4500	15.5	4.9	7.5	18.5	2.0	P7263-ND	.41	3.58	29.84	170.17	159.16/M	154.09/M	ERZ-V14D121
		95	125	150	250	50	4500	15.5	5.2	7.5	18.5	2.3	P7264-ND	.41	3.58	29.84	170.17	159.16/M	154.09/M	ERZ-V14D151
		130	170	200	340	50	4500	15.5	4.8	7.5	18.5	1.9	P7217-ND	.41	3.58	29.84	170.17	159.16/M	154.09/M	ERZ-V14D201
		140	180	220	360	50	4500	15.5	4.9	7.5	18.5	2.0	P7218-ND	.41	3.58	29.84	170.17	159.16/M	154.09/M	ERZ-V14D221
		150	200	240	395	50	4500	15.5	5.0	7.5	18.5	2.1	P7219-ND	.41	3.58	29.84	170.11	159.16/M	154.09/M	ERZ-V14D241
		175	225	270	455	50	4500	15.5	5.2	7.5	18.5	2.3	P7220-ND	.41	3.58	29.84	170.17	159.16/M	154.09/M	ERZ-V14D271
		210	270	330	545	50	4500	15.5	5.5	7.5	18.5	2.6	P7221-ND	.51	4.33	36.09	205.72	192.18/M	186.26/M	ERZ-V14D331
		230	300	360	595	50	4500	15.5	5.7	7.5	18.5	2.8	P7265-ND	.51	4.33	36.09	205.72	192.18/M	186.26/M	ERZ-V14D361
		250	320	390	650	50	4500	15.5	5.8	7.8	18.5	2.9	P7266-ND	.51	4.33	36.09	205.72	192.18/M	186.26/M	ERZ-V14D391
		275	350	430	710	50	4500	15.5	6.0	7.5	18.5	3.1	P7267-ND	.51	4.33	36.09	205.72	192.18/M	186.26/M	ERZ-V14D431
		300	385	470	775	50	4500	15.5	6.2	7.5	18.5	3.3	P7222-ND	.51	4.33	36.09	205.72	192.18/M	186.26/M	ERZ-V14D471
		320	410	510	845	50	4500	15.5	6.4	7.5	18.5	3.5	P7223-ND	.51	4.33	36.09	205.72	192.18/M	186.26/M	ERZ-V14D511
		385	505	620	1025	50	4500	16.0	7.1	7.5	19.0	4.2	P7268-ND	.77	6.63	55.24	314.94	294.62/M	285.31/M	ERZ-V14D621
		420	560	680	1120	50	4500	16.0	7.4	7.5	19.0	4.5	P7269-ND	.77	6.63	55.24	314.94	294.62/M	285.31/M	ERZ-V14D681
		460	615	750	1240	50	4500	16.0	7.8	7.5	19.0	4.9	P7270-ND	.80	6.82	56.83	324.25	303.09/M	292.93/M	ERZ-V14D751
		510	670	820	1355	50	4500	16.0	8.1	7.5	19.0	5.2	P7224-ND	.80	6.82	56.83	324.25	303.09/M	292.93/M	ERZ-V14D821
		550	745	910	1500	50	4500	16.0	8.6	7.5	19.0	5.7	P7225-ND	1.08	9.27	77.25	440.23	412.30/M	398.75/M	ERZ-V14D911
		625	825	1000	1650	50	4500	16.0	9.1	7.5	19.0	6.2	P7271-ND	1.08	9.27	77.25	440.23	412.30/M	398.75/M	ERZ-V14D102
		680	895	1100	1815	50	4500	16.0	9.7	7.5	19.0	6.8	P7226-ND	1.08	9.27	77.25	440.23	412.30/M	398.75/M	ERZ-V14D112
		1000	1465	1800	2970	50	4500	17.0	14.4	15.0	20.5	10.5	P7227-ND	1.68	14.43	120.22	684.90	640.88/M	620.56/M	ERZ-V14D182
20	D Ser.V	11	14	18	36	20	2000	21.5	5.1	10.0	24.5	1.5	P7314-ND	.63	5.48	45.61	259.91	242.98/M	235.36/M	ERZ-V20D180
		14	18	22	43	20	2000	21.5	5.2	10.0	24.5	1.6	P7315-ND	.63	5.48	45.61	259.91	242.98/M	235.36/M	ERZ-V20D220
		17	22	27	53	20	2000	21.5	5.3	10.0	24.5	1.7	P7316-ND	.63	5.48	45.61	259.91	242.98/M	235.36/M	ERZ-V20D270
		20	26	33	65	20	2000	21.5	5.5	10.0	24.5	1.9	P7317-ND	.63	5.48	45.61	259.91	242.98/M	235.36/M	ERZ-V20D330
		25	31	39	77	20	2000	21.5	5.5	10.0	24.5	1.9	P7318-ND	.63	5.48	45.61	259.91	242.98/M	235.36/M	ERZ-V20D390
		30	38	47	93	20	2000	21.5	5.6	10.0	24.5	2.0	P7319-ND	.63	5.48	45.61	259.91	242.98/M	235.36/M	ERZ-V20D470
		35	45	56	110	20	2000	21.5	5.7	10.0	24.5	2.1	P7320-ND	.63	5.48	45.61	259.91	242.98/M	235.36/M	ERZ-V20D560
		40	56	68	135	20	2000	21.5	5.8	10.0	24.5	2.2	P7321-ND	.63	5.48	45.61	259.91	242.98/M	235.36/M	ERZ-V20D680
		50	65	82	135	100	6500	21.5	4.9	10.0	24.5	1.8	P7228-ND	.63	5.48	45.61	259.91	242.98/M	235.36/M	ERZ-V20D820
		60	85	100	165	100	6500	21.5	5.1	10.0	24.5	2.0	P7272-ND	.63	5.48	45.61	259.91	242.98/M	235.36/M	ERZ-V20D101
		75	100	120	200	100	6500	21.5	5.3	10.0	24.5	2.2	P7273-ND	.63	5.48	45.61	259.91	242.98/M	235.36/M	ERZ-V20D121
		95	125	150	250	100	6500	21.5	5.6	10.0	24.5	2.5	P7274-ND	.63	5.48	45.61	259.91	242.98/M	235.36/M	ERZ-V20D151
		130	170	200	340	100	6500	21.5	5.2	7.5	24.5	2.1	P7322-ND	.97	8.25	68.79	391.98	366.58/M	354.73/M	ERZ-V20R201
		130	170	200	340	100	6500	21.5	5.2	10.0	24.5	2.1	P7229-ND	.63	5.48	45.61	259.91	242.98/M	235.36/M	ERZ-V20D201
		140	180	220	360	100	6500	21.5	5.3	7.5	24.5	2.2	P7323-ND	.72	6.17	51.43	292.92	274.30/M	264.99/M	ERZ-V20R221
		140	180	220	360	100	6500	21.5	5.3	10.0	24.5	2.2	P7230-ND	.63	5.48	45.61	259.91	242.98/M	235.36/M	ERZ-V20D221
		150	200	240	395	100	6500	21.5	5.4	7.5	24.5	2.3	P7324-ND	.72	6.17	51.43	293.16	274.30/M	265.39/M	ERZ-V20R241
		150	200	240	395	100	6500	21.5	5.4	10.0	24.5	2.3	P7231-ND	.63	5.48	45.61	259.91	242.98/M	235.36/M	ERZ-V20D241
		175	225	270	455	100	6500	21.5	5.6	7.5	24.5	2.5	P7325-ND	.72	6.17	51.43	293.16	274.30/M	265.39/M	ERZ-V20R271
		175	225	270	455	100	6500	21.5	5.6	10.0	24.5	2.5	P7232-ND	.63	5.48	45.61	259.91	242.98/M	235.36/M	ERZ-V20D271
		210	270	330	545	100	6500	21.5	5.9	7.5	24.5	2.8	P7326-ND	1.07	9.12	75.98	433.10	405.24/M	392.07/M	ERZ-V20R331
		210	270	330	545	100	6500	21.5	5.9	10.0	24.5	2.8	P7233-ND	.95	8.10	67.52	385.20	359.81/M	348.80/M	ERZ-V20D331
		230	300	360	595	100	6500	21.5	6.1	7.5	24.5	3.0	P7327-ND	1.07	9.12	75.98	433.10	405.24/M	392.07/M	ERZ-V20R361
		230	300	360	595	100	6500	21.5	6.1	10.0	24.5	3.0	P7275-ND	.95	8.10	67.52	385.20	359.81/M	348.80/M	ERZ-V20D361
		250	320	390	650	100	6500	21.5	6.2	7.5	24.5	3.1	P7328-ND	1.07	9.12	75.98	433.10	405.24/M	392.07/M	ERZ-V20R391
		250	320	390	650	100	6500	21.5	6.2	10.0	24.5	3.1	P7276-ND	.95	8.10	67.52	385.20	359.81/M	348.80/M	ERZ-V20D391
		275	350	430	710	100	6500	21.5	6.4	7.5	24.5	3.3	P7329-ND	1.07	9.12	75.98	433.10	405.24/M	392.07/M	ERZ-V20R431
		275	350	430	710	100	6500	21.5	6.4	10.0	24.5	3.3	P7277-ND	.95	8.10	67.52	385.20	359.81/M	348.80/M	ERZ-V20D431
		300	385	470	775	100	6500	21.5	6.6	7.5	24.5	3.5	P7330-ND	1.07	9.12	75.98	433.10	405.24/M	392.07/M	ERZ-V20R471
		300	385	470	775	100	6500	21.5	6.6	10.0	24.5	3.5	P7234-ND	.95	8.10	67.52	385.20	359.81/M	348.80/M	ERZ-V20D471
		320	410	510	845	100	6500	21.5	6.8	7.5	24.5	3.7	P7331-ND	1.07	9.12	75.98	433.10	405.24/M	392.07/M	ERZ-V20R511
		320	410	510	845	100	6500	21.5	6.8	10.0	24.5	3.7	P7235-ND	.95	8.10	67.52	385.20	359.81/M	348.80/M	ERZ-V20D511
		385	505	620	1025	100	6500	22.5	7.5	10.0	25.5	4.4	P7278-ND	1.56	13.33	111.01	632.41	591.78/M	573.15/M	ERZ-V20D621
		420	560	680	1120	100	6500	22.5	7.8	10.0	25.5	4.7	P7279-ND	1.56	13.33	111.01	632.41	591.78/M	573.15/M	ERZ-V20D681
		460	615	750	1240	100	6500	22.5	8.2	10.0	25.5	5.1	P7280-ND	1.56	13.33	111.01	632.41	591.78/M	573.15/M	ERZ-V20D751
		510	670	820	1355	100	6500	22.5	8.5	10.0	25.5	5.4	P7236-ND	1.56	13.33	111.01	632.41	591.78/M	573.15/M	ERZ-V20D821
		550	745	910	1500	100	6500	22.5	9.0	10.0	25.5	5.9	P7237-ND	2.06	17.60	146.67	836.44	782.26/M	756.86/M	ERZ-V20D911
		625	825	1000	1650	100	6500	22.5	9.5	10.0	25.5	6.4	P7281-ND	2.06	17.60	146.67	836.44	782.26/M	756.86/M	ERZ-V20D102
		680	895	1100	1815	100	6500	22.5	10.1	10.0	25.5	7.0	P7238-ND	2.06	17.60	146.67	836.44	782.26/M	756.86/M	ERZ-V20D112
		1000	1465	1800	2970	100	6500	23.5	14.8	15.0	28.0	10.7	P7239-ND	3.19	27.35	227.95	1299.53	1215.72/M	1175.93/M	ERZ-V20D182
7	D	140	180	220	360	10	1200	9.0	5.3	5.0	12.0	2.1	P7066-ND	.39	3.30	27.51	156.62	146.47/M	142.23/M	ERZ-C07DK221U
10	D	95	125	150	250	25	2500	13.5	5.5	7.5	16.5	2.2	P7057-ND	.53	4.57	38.10	217.58	203.19/M	196.42/M	ERZ-C10DK151
20	D	60	85	100	165	100	6500	23.0	5.6	10.0	27.0	2.0	P7049-ND	.96	8.20	68.36	389.44	364.89/M	353.04/M	ERZ-C20DK101
		385	505	620	1025	100	6500	24.0	7.6	10.0	28.0	4.1	P7102-ND	2.24	19.20	160.01	911.79	853.38/M	825.44/M	ERZ-C20DK621U
20	E	130	170	200	340	100	8000	—	—	48.0	42.0	39.0	P7126-ND	17.42	149.34	1244.50	7093.66	6637.35/M	6421.47/M	ERZ-C20EK201
		150	200	240	395	100	8000	—	—	48.0	42.0	39.0	P7127-ND	17.42	149.34	1244.50	7093.66	6637.35/M	6421.47/M	ERZ-C20EK241
		250	320	390	650	100	8000	—	—	48.0	42.0	39.0	P7128-ND	20.74	177.79	1481.55	8444.84	7901.32/M	7644.80/M	ERZ-C20EK391
25	E	130	170	200	340	150	15000	—	—	60.0	55.0	51.0	P7129-ND	31.09	266.45	2220.42	12656.67	11842.24/M	11457.04/M	ERZ-C25EK201
		510	670	820	1355	150	15000	—	—	60.0	55.0	51.0	P7157-ND	38.24	327.76	2731.34	15568.97	14567.45/M	14093.35/M	ERZ-C25EK821
32	E	130	170	200	340	200	25000	—	—	60.0	55.0	51.0	P7132-ND	38.55	330.43	2753.57	15695.12	14685.97/M	14208.49/M	ERZ-C32EK201
		150	200	240	395	200	25000	—	—	60.0	55.0	51.0	P7133-ND	38.55	330.43	2753.57	15695.12	14685.97/M	14208.49/M	ERZ-C32EK241
		250	320	390	650	200	25000	—	—	60.0	55.0	51.0	P7134-ND	40.09	343.63	2863.62	16322.45	15272.67/M	14776.56/M	ERZ-C32EK391
		550	1500	910	1500	200	25000	—	—	60.0	55.0	51.0	P7135-ND	53.07	454.88	3790.65	21606.93	20216.81/M	19559.85/M	ERZ-C32EK911

Alle Preisangaben in Euro und inklusive Zollgebühren.

Panasonic®

Multilayer-Varistor

Strontiumtitanat (Größe 0603 und 0805) Oberflächenmontage

Für EMI-Störungsunterdrückung und transienten Überspannungsschutz.

Merkmale:

• Monolithische Multilayer-Konstruktion von SrTiO3-Keramik • Niedrige Varistorspannung mit hoher Parallelkapazität • Schnelle Reaktionszeit auf schnelle transiente Überspannung für ESE-Schutz (IEC1000-4-2) • dV/dt-Reduktion als Ergebnis der hohen Kapazität • Hohes Haltestoßspannungs- und Leistungsschutzvermögen • Betriebstemperaturbereich: -40 °C – 85 °C

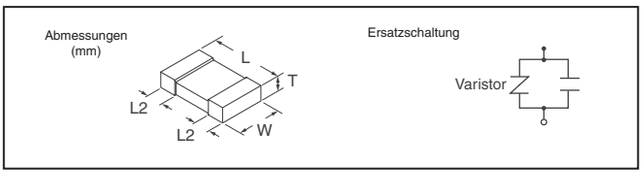

Größe	Max. Spannung V DC	Varistor-spannung (bei 0,1 mA)	Max. ESE IEC6100-4-2	Kapazität bei 1 kHz (typ.)	Abmessungen (mm) L	W	T	L2	Digi-Key Teilenr.	Gurtabschnittspreis pro Stück 1	10	100	Digi-Key Teilenr.	Gegurtet auf Rolle 4.000	Panasonic Teilenr.
0603	6	8-15V	30kV	8200pF	1.60	0.8	0.8	0.3	P822VJCT-ND	1.24	1.10	.93	P822VJTR-ND	504.58/M	EZJ-S1VB822
	18	24-35V	30kV	3900pF	1.60	0.8	0.8	0.3	P392VJCT-ND	1.24	1.10	.93	P392VJTR-ND	504.58/M	EZJ-S1VC392
	30	40-60V	30kV	1800pF	1.60	0.8	0.8	0.3	P182VJCT-ND	1.24	1.10	.93	P182VJTR-ND	504.58/M	EZJ-S1VD182

Größe	Angel. Schaltkreis DC	Max. Spannung V DC	Varistor-spannung (bei 0,1 mA)	Kap. @ 1 kHz	Toleranz	Max. Spitzenstrom (8/20µs, 2-fach)	Max. Leistung (2 ms)	Abmessungen (mm) L	W	T	L2	Digi-Key Teilenr.	Gurtabschnittspreis pro Stück 1	10	100	Digi-Key Teilenr.	Gegurtet auf Rolle 2.000	5.000	Panasonic Teilenr.
0805	5V Line	6	8-15V	22000	+80%/-20%	25A	0.2J	2.0	1.25	0.8	.50	P223ZJCT-ND	.61	.54	.46	P223ZJTR-ND	—	247.21/M	EZJ-S2VB223
	12V Line	18	24-35V	8200				2.0	1.25	1.25	.50	P822ZJCT-ND	.61	.54	.46	P822ZJTR-ND	247.21/M	—	EZJ-S2YC822
	24V Line	30	40-60V	4700				2.0	1.25	1.25	.50	P472ZJCT-ND	.61	.54	.46	P472ZJTR-ND	247.21/M	—	EZJ-S2YD472

Multilayer-Varistor

Zinkoxid-Typ (Größen 0201, 0402 und 0603) Oberflächenmontage

Merkmale:

Multilayer-Varistor aus Zinkoxid-Keramik unterdrückt Impulsstörungen (ESE, Störimpulse) und schützt Geräte vor transienten Spannungen. Dieser Varistor ist aufgrund der geringen Kapazität gut für Hochgeschwindigkeits-Signalleitungen geeignet. • Geringe Einfügedämpfungsverluste aufgrund der niedrigen Kapazität. • Großes Haltespannungsvermögen mit ESE (max. 8 kV bei IEC-Testmethode) • Hervorragende Lötbarkeit und ausgezeichnete Hitzebeständigkeit aufgrund der Platten (Ni/Löt)-Elektrode

Anwendung:

Zur Unterdrückung von Impulsstörungen (ESE usw.) in elektronischen Geräten • Mobiltelefone • PDA • PC und Peripheriegeräte

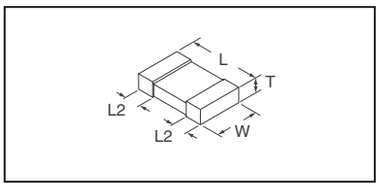

Größe	Varistor-spannung	Max. Spannung VDC	Begrenzerspannung 8/20µs 1A	2A	Kap. (pF)	Spitzenstrom Ipp (A)	Gurtabschnitts-abmessungen (mm) L	W	T	L2	Digi-Key Teilenr.	Gurtabschnittspreis pro Stück 1	10	100	Digi-Key Teilenr.	Gegurtet auf Rolle 4.000	10.000	15.000	Panasonic Teilenr.
0201	12	6.7	30	—	47	1	0.60	0.30	0.30	0.15	P12803CT-ND	.10	.09	.08	P12803TR-ND	—	—	40.64/M	EZJ-ZZV120EA
	27	16	50	—	20	1	0.60	0.30	0.30	0.15	P12804CT-ND	.10	.09	.08	P12804TR-ND	—	—	40.64/M	EZJ-ZZV270RA
0402	12	6.7	—	30	220	10	1.00	0.50	0.50	0.20	P11403CT-ND	.14	.12	.10	P11403TR-ND	—	54.19/M	—	EZJ-Z0V120JA
	27	16	—	50	47	10	1.00	0.50	0.50	0.20	P11404CT-ND	.14	.12	.10	P11404TR-ND	—	54.19/M	—	EZJ-Z0V270EA
0603	12	6.7	—	—	330	20	1.60	0.80	0.80	0.30	P12005CT-ND	.25	.18	.13	P12005TR-ND	66.04/M	—	—	EZJ-Z1V120KA
	27	20	—	50	100	20	1.60	0.80	0.80	0.30	P10862CT-ND	.18	.16	.14	P10862TR-ND	72.81/M	—	—	EZJ-Z1V270GA
	33	26	—	58	100	20	1.60	0.80	0.80	0.30	P10863CT-ND	.18	.16	.14	P10863TR-ND	72.81/M	—	—	EZJ-Z1V330GA

Multilayer Varistor – Ultra-niedrige Kapazität

Zinkoxid-Typ (Größen 0201, 0402 und 0603) Oberflächenmontage

Merkmale:

Multilayer-Varistor aus Zinkoxid-Keramik unterdrückt Impulsstörungen (ESE, Störimpulse) und schützt Geräte vor Stoßspannungen. Dieser Varistor ist aufgrund der ultra-niedrigen Kapazität ideal für RF-Antennen/RF-Verstärker. • Geringe Einfügedämpfungsverluste aufgrund der ultra-niedrigen Kapazität • Großes Haltespannungsvermögen mit ESE (max. 8 kV bei IEC-Testmethode) • Hervorragende Lötbarkeit und ausgezeichnete Hitzebeständigkeit aufgrund der Platten (Ni/Löt)-Elektrode

Anwendung:

Zur Unterdrückung von Impulsstörungen (ESE usw.) in RF-Antennen/RF-Verstärkern • Mobiltelefone • PDA • Drahtlose LAN-Anwendungen • PC und Peripheriegeräte • Schnittstelle: USB, IEEE 1394

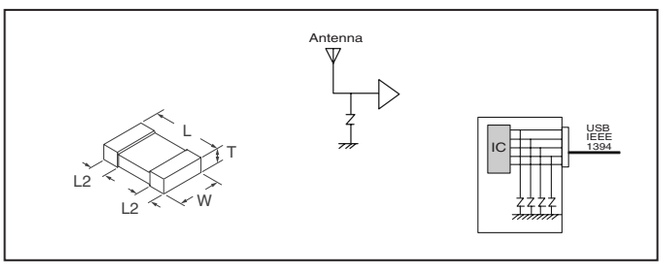

Größe	Varistor-spannung	Max. Spannung V DC	ESE max. (kV)	Kapazität (pF)	Abmessungen (mm) L	W	T	L2	Digi-Key Teilenr.	Gurtabschnittspreis pro Stück 1	10	100	Digi-Key Teilenr.	Gegurtet auf Rolle 4.000	10.000	15.000	Panasonic Teilenr.
0201	80	5	8	3	0.60	0.30	0.30	0.15	P12801CT-ND	.10	.09	.08	P12801TR-ND	—	—	40.64/M	EZJ-ZZV800AA
0402	27	3	8	3	1.00	0.50	0.50	0.20	P12800CT-ND	.14	.12	.10	P12800TR-ND	—	54.19/M	—	EZJ-Z0V270AA
	80	5	8	.5	1.00	0.50	0.50	0.20	P12987CT-ND	.19	.17	.14	P12987TR-ND	—	74.51/M	—	EZJ-Z0V80005
	80	5	5	1	1.00	0.50	0.50	0.20	P12802CT-ND	.19	.17	.15	P12802TR-ND	—	77.05/M	—	EZJ-Z0V80010
	80	18	8	3	1.00	0.50	0.50	0.20	P11992CT-ND	.18	.14	.10	P11992TR-ND	—	47.41/M	—	EZJ-Z0V800AA
	170	18	8	3	1.00	0.50	0.50	0.20	P11402CT-ND	.14	.12	.10	P11402TR-ND	—	54.19/M	—	EZJ-Z0V171AA
0603	170	18	—	3	1.60	0.80	0.80	0.30	P12006CT-ND	.25	.18	.13	P12006TR-ND	66.04/M	—	—	EZJ-Z1V171AA

Multilayer-Varistor, Array-Chiptyp - Größe 0504

Merkmale:

• Niedrigste Kapazität, geeignet für multiple Hochgeschwindigkeits-Signalleitungen

• 2-Chip-Typ mit verfügbarer Rauschfilterfunktion (für die Audioleitung von Mobiltelefonen geeignet)

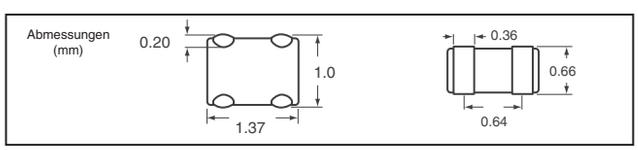

Varistor-spannung	Max. Spannung V DC	ESE max.	Begrenzerspannung, max. 8/20 µs, 1 A	Kapazität max. (pF)	Spitzenstrom max. (A)	Digi-Key Teilenr.	Gurtabschnittspreis pro Stück 1	10	100	Digi-Key Teilenr.	Gegurtet auf Rolle 4.000	Panasonic Teilenr.
12	6.7	30V	—	220	5	P11989CT-ND	1.12	.84	.63	P11989TR-ND	356.42/M	EZJ-ZSV120JA
27	16	—	50V	22	5	P11987CT-ND	1.38	1.04	.78	P11987TR-ND	442.78/M	EZJ-ZSV270CAK
27	16	—	50V	27	5	P11988CT-ND	1.38	1.04	.78	P11988TR-ND	442.78/M	EZJ-ZSV270DAK
27	16	—	50V	47	5	P11990CT-ND	1.12	.84	.63	P11990TR-ND	356.42/M	EZJ-ZSV270EA
80	18	8kV	—	3	—	P12058CT-ND	.58	.43	.33	P12058TR-ND	186.26/M	EZJ-ZSV800AA
170	18	8kV	—	3	—	P11991CT-ND	1.12	.84	.63	P11991TR-ND	356.42/M	EZJ-ZSV171AA

G

Panasonic® ZNR/Überspannungsableiter mit Laschen – Typ C Serie 32 und 40

Diese robusten ZNRs verfügen über einzigartige Laschenanschlüsse, die als elektrische Anschlussklemmen sowie als Montagebeine dienen. Dieser ZNR ist für die Anwendung in Stromversorgungsgeräten oder Stoßspannungsableitern konzipiert, die hohen Überspannungen ausgesetzt sind bzw. hohe Überspannungsableitung erfordern.

Merkmale: • Hohe Energie-Bewältigung (210 bis 710 Joule) • Hoher Haltestoßstrom (25 bis 30 kA) • Kompakte Größe • Gemeinsame Anschlussklemmen für Elektroanschluss und Montage • UL-zugelassen

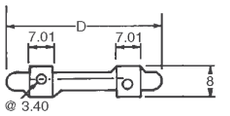

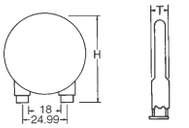

Serie	Typ	Max. zulässige Spann. (V) AC	DC	Varistor-spann. ±10 % (V)	Max. Begrenzersp. Vlot. @ Teststrom (8/20 µs) Vc(V)	Lp(A)	Stoß-strom (kA)	Abmessungen (mm) D max.	T ±0,99	H max.	Digi-Key Teilenr.	Preisangaben 1	10	100	1.000	5.000	10.000	Panasonic Teilenr.
32	C	130	170	200	340	200	25	35.99	7.49	46.00	P7158-ND	13.99	119.95	999.62	5697.62	5331.04/M	5158.34/M	ERZ-C32CK201B
		150	200	240	395	200	25	35.99	7.49	46.00	P7159-ND	13.99	119.95	999.62	5697.62	5331.04/M	5158.34/M	ERZ-C32CK241B
		230	300	360	595	200	25	35.99	8.99	46.00	P7160-ND	14.98	128.44	1070.31	6100.60	5708.63/M	5523.22/M	ERZ-C32CK361B
		250	320	390	650	200	25	35.99	8.99	46.00	P7161-ND	14.98	128.44	1070.31	6100.60	5708.63/M	5523.22/M	ERZ-C32CK391B
		275	350	430	710	200	25	35.99	8.99	46.00	P7162-ND	14.98	128.44	1070.31	6100.60	5708.63/M	5523.22/M	ERZ-C32CK431B
		385	505	620	1025	200	25	35.99	9.70	46.00	P7163-ND	16.90	144.84	1207.04	6880.32	6437.55/M	6228.44/M	ERZ-C32CK621B
		420	560	680	1120	200	25	35.99	9.70	46.00	P7164-ND	16.90	144.84	1207.04	6880.32	6437.55/M	6228.44/M	ERZ-C32CK681B
		460	615	750	1240	200	25	35.99	11.51	46.00	P7165-ND	16.90	144.84	1207.04	6880.32	6437.55/M	6228.44/M	ERZ-C32CK751B
		485	640	780	1290	200	25	35.99	11.51	46.00	P7166-ND	16.90	144.84	1207.04	6880.32	6437.55/M	6228.44/M	ERZ-C32CK781B
		510	670	820	1355	200	25	35.99	11.51	46.00	P7167-ND	18.41	157.85	1315.40	7497.49	7015.78/M	6787.20/M	ERZ-C32CK821B
		550	745	910	1500	200	25	35.99	11.51	46.00	P7168-ND	19.80	169.73	1414.46	8062.17	7544.06/M	7298.54/M	ERZ-C32CK911B
40	C	130	170	200	340	250	30	43.99	7.49	50.01	P7169-ND	20.99	179.92	1499.33	8546.43	7996.14/M	7736.24/M	ERZ-C40CK201B
		150	200	240	395	250	30	43.99	7.49	50.01	P7170-ND	20.99	179.92	1499.33	8546.43	7996.14/M	7736.24/M	ERZ-C40CK241B
		230	300	360	595	250	30	43.99	8.99	50.01	P7171-ND	22.38	191.81	1598.38	9111.11	8524.42/M	8247.58/M	ERZ-C40CK361B
		250	320	390	650	250	30	43.99	8.99	50.01	P7172-ND	22.38	191.81	1598.38	9111.11	8524.42/M	8247.58/M	ERZ-C40CK391B
		275	350	430	710	250	30	43.99	8.99	50.01	P7173-ND	22.38	191.81	1598.38	9111.11	8524.42/M	8247.58/M	ERZ-C40CK431B
		385	505	620	1025	250	30	43.99	9.70	50.01	P7174-ND	26.27	225.18	1876.49	10695.94	10007.66/M	9682.57/M	ERZ-C40CK621B
		420	560	680	1120	250	30	43.99	9.70	50.01	P7175-ND	26.27	225.18	1876.49	10695.94	10007.66/M	9682.57/M	ERZ-C40CK681B
		460	615	750	1240	250	30	43.99	11.51	50.01	P7176-ND	26.27	225.18	1876.49	10695.94	10007.66/M	9682.57/M	ERZ-C40CK751B
		485	640	780	1290	250	30	43.99	11.51	50.01	P7177-ND	26.27	225.18	1876.49	10695.94	10007.66/M	9682.57/M	ERZ-C40CK781B
		510	670	820	1355	250	30	43.99	11.51	50.01	P7178-ND	27.33	234.22	1951.84	11125.17	10409.80/M	10071.16/M	ERZ-C40CK821B
		550	745	910	1500	250	30	43.99	11.51	50.01	P7179-ND	28.65	245.55	2046.23	11663.61	10913.52/M	10558.80/M	ERZ-C40CK911B

ZNR/Überspannungsableiter zur Oberflächenmontage Typ VFM, CF, SF und VFT

Merkmale:

- Temperatureigensch. der Varistorspannung 0 ~ -0,05 %/°C
- Betriebstemperaturbereich: -40 °C ~ 85 °C
- Lagertemperaturbereich: -40 °C ~ 125 °C
- Für Aufschmelzlöten
- Hervorragende Reaktion auf steile Stoßspannung
- Kompakte Bauart mit hohem Haltestoßspannungsvermögen
- Geringe Begrenzerspannung für besseren Überspannungsschutz
- SF-Typ widersteht 2- bis 3-facher Stoßspannung des derzeitigen CF-Typs
- VFT-Typ hat geringe Höhe

Anwendungen:

- Zur Überspannungsunterdrückung in elektronischen Geräten
- Halbleiter
- Telefone oder Telekommunikationssysteme
- DAA-Module, Modems
- Router, Terminaladapter (digitales Modem)
- Netzteil

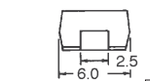

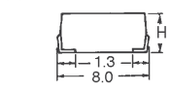

Abm. (mm)

Typ	Abm. H
CF	3.2
SF	3.2
VFM	3.2
VFT	2.4

Typ	Varistor-spannung ±10% (V)	Max. zulässige Spannung (V) AC	DC	Max. Begren-zerspannung Vxa(V)♦	Nenn-leistung (W)	Energie (2ms) (J)	Max. † Spitzenstrom (A)	Digi-Key Teilenr.	Gurtabschnittspreis pro Stück 10	100	1.000	Digi-Key Teilenr.	Gegurtet auf Rolle 2.000	6.000	10.000	Panasonic Teilenr.
VFM	22	14	18	43	0.02	0.9	125	P7345CT-ND	1.39	1.16	.94	P7345TR-ND	634.95/M	593.47/M	557.07/M	ERZ-VF2M220
	27	17	22	53	0.02	1.0	125	P7346CT-ND	1.39	1.16	.94	P7346TR-ND	634.95/M	593.47/M	557.07/M	ERZ-VF2M270
	33	20	26	65	0.02	1.2	125	P7347CT-ND	1.39	1.16	.94	P7347TR-ND	634.95/M	593.47/M	557.07/M	ERZ-VF2M330
	39	25	31	77	0.02	1.5	125	P7348CT-ND	1.39	1.16	.94	P7348TR-ND	634.95/M	593.47/M	557.07/M	ERZ-VF2M390
	47	30	38	93	0.02	1.8	125	P7349CT-ND	1.39	1.16	.94	P7349TR-ND	634.95/M	593.47/M	557.07/M	ERZ-VF2M470
	56	35	45	110	0.02	2.2	125	P7350CT-ND	1.39	1.16	.94	P7350TR-ND	634.95/M	593.47/M	557.07/M	ERZ-VF2M560
	68	40	56	135	0.02	2.5	125	P7351CT-ND	1.39	1.16	.94	P7351TR-ND	634.95/M	593.47/M	557.07/M	ERZ-VF2M680
	82	50	65	135	0.1	2.5	600	P7337CT-ND	1.39	1.16	.94	P7337TR-ND	634.95/M	593.47/M	557.07/M	ERZ-VF2M820
	100	60	85	165	0.1	3.0	600	P7338CT-ND	1.39	1.16	.94	P7338TR-ND	634.95/M	593.47/M	557.07/M	ERZ-VF2M101
	120	75	100	200	0.1	3.5	600	P7339CT-ND	1.39	1.16	.94	P7339TR-ND	634.95/M	593.47/M	557.07/M	ERZ-VF2M121
	150	95	125	250	0.1	4.5	600	P7340CT-ND	1.39	1.16	.94	P7340TR-ND	634.95/M	593.47/M	557.07/M	ERZ-VF2M151
	200	130	170	340	0.1	6.0	600	P7341CT-ND	1.39	1.16	.94	P7341TR-ND	634.95/M	593.47/M	557.07/M	ERZ-VF2M201
	220	140	180	360	0.1	6.5	600	P7342CT-ND	1.39	1.16	.94	P7342TR-ND	634.95/M	593.47/M	557.07/M	ERZ-VF2M221
	240	150	200	395	0.1	7.5	600	P7343CT-ND	1.39	1.16	.94	P7343TR-ND	634.95/M	593.47/M	557.07/M	ERZ-VF2M241
	270	175	225	455	0.1	8.0	600	P7344CT-ND	1.39	1.16	.94	P7344TR-ND	634.95/M	593.47/M	557.07/M	ERZ-VF2M271
	330	210	270	545	0.1	8.0	300	P7352CT-ND	1.39	1.16	.94	P7352TR-ND	634.95/M	593.47/M	557.07/M	ERZ-VF2M331
	360	230	300	595	0.1	9.0	300	P7353CT-ND	1.39	1.16	.94	P7353TR-ND	634.95/M	593.47/M	557.07/M	ERZ-VF2M361
	390	250	320	650	0.1	9.0	300	P7354CT-ND	1.39	1.16	.94	P7354TR-ND	634.95/M	593.47/M	557.07/M	ERZ-VF2M391
	430	275	350	710	0.1	10.0	300	P7355CT-ND	1.39	1.16	.94	P7355TR-ND	634.95/M	593.47/M	557.07/M	ERZ-VF2M431
	470	300	385	775	0.1	10.0	300	P7356CT-ND	1.39	1.16	.94	P7346TR-ND	634.95/M	593.47/M	557.07/M	ERZ-VF2M471
CF	22	14	18	48	0.01	0.4	50	P220ZFCT-ND*	1.53	1.29	1.04	P220ZFTR-ND*	703.53/M	657.81/M	617.18/M	ERZ-CF2MK220
	27	17	22	60	0.01	0.5	50	P270ZFCT-ND*	1.53	1.29	1.04	P270ZFTR-ND*	703.53/M	657.81/M	617.18/M	ERZ-CF2MK270
	33	20	26	73	0.01	0.6	50	P330ZFCT-ND*	1.53	1.29	1.04	P330ZFTR-ND*	703.53/M	657.81/M	617.18/M	ERZ-CF2MK330
	39	25	31	86	0.01	0.8	50	P390ZFCT-ND*	1.53	1.29	1.04	P390ZFTR-ND*	703.53/M	657.81/M	617.18/M	ERZ-CF2MK390
	47	30	38	104	0.01	1.0	50	P470ZFCT-ND*	1.53	1.29	1.04	P470ZFTR-ND*	703.53/M	657.81/M	617.18/M	ERZ-CF2MK470
	56	35	45	123	0.01	1.0	50	P560ZFCT-ND*	1.53	1.29	1.04	P560ZFTR-ND*	703.53/M	657.81/M	617.18/M	ERZ-CF2MK560
	68	40	56	150	0.01	1.2	50	P680ZFCT-ND*	1.53	1.29	1.04	P680ZFTR-ND*	703.53/M	657.81/M	617.18/M	ERZ-CF2MK680
	82	50	65	145	0.1	1.7	200	P820ZFCT-ND*	1.53	1.29	1.04	P820ZFTR-ND*	703.53/M	657.81/M	617.18/M	ERZ-CF2MK820
	100	60	85	175	0.1	2.0	200	P101ZFCT-ND*	1.53	1.29	1.04	P101ZFTR-ND*	703.53/M	657.81/M	617.18/M	ERZ-CF2MK101
	120	75	100	210	0.1	2.5	200	P121ZFCT-ND*	1.53	1.29	1.04	P121ZFTR-ND*	703.53/M	657.81/M	617.18/M	ERZ-CF2MK121
	150	95	125	200	0.1	3.0	200	P151ZFCT-ND*	1.53	1.29	1.04	P151ZFTR-ND*	703.53/M	657.81/M	617.18/M	ERZ-CF2MK151
	200	130	170	355	0.1	4.0	200	P201ZFCT-ND*	1.53	1.29	1.04	P201ZFTR-ND*	703.53/M	657.81/M	617.18/M	ERZ-CF2MK201
	220	140	180	380	0.1	4.5	200	P221ZFCT-ND*	1.53	1.29	1.04	P221ZFTR-ND*	703.53/M	657.81/M	617.18/M	ERZ-CF2MK221
	240	150	200	415	0.1	5.0	200	P241ZFCT-ND*	1.53	1.29	1.04	P241ZFTR-ND*	703.53/M	657.81/M	617.18/M	ERZ-CF2MK241
	270	175	225	475	0.1	6.0	200	P271ZFCT-ND*	1.53	1.29	1.04	P271ZFTR-ND*	703.53/M	657.81/M	617.18/M	ERZ-CF2MK271
	360	230	300	620	0.1	6.0	200	P361ZFCT-ND*	1.53	1.29	1.04	P361ZFTR-ND*	703.53/M	657.81/M	617.18/M	ERZ-CF2MK361
	390	260	320	675	0.1	6.0	200	P391ZFCT-ND*	1.53	1.29	1.04	P391ZFTR-ND*	703.53/M	657.81/M	617.18/M	ERZ-CF2MK391
	430	275	350	745	0.1	6.3	200	P431ZFCT-ND*	1.53	1.29	1.04	P431ZFTR-ND*	703.53/M	657.81/M	617.18/M	ERZ-CF2MK431
	470	300	385	810	0.1	7.0	200	P471ZFCT-ND*	1.53	1.29	1.04	P471ZFTR-ND*	703.53/M	657.81/M	617.18/M	ERZ-CF2MK471
SF	22	14	18	43	0.02	0.9	125	P220ZSCT-ND*	1.70	1.43	1.15	P220ZSTR-ND*	779.72/M	728.93/M	684.06/M	ERZ-SF2MK220
	27	17	22	53	0.02	1.0	125	P270ZSCT-ND*	1.70	1.43	1.15	P270ZSTR-ND*	779.72/M	728.93/M	684.06/M	ERZ-SF2MK270
	33	20	26	65	0.02	1.2	125	P330ZSCT-ND*	1.70	1.43	1.15	P330ZSTR-ND*	779.72/M	728.93/M	684.06/M	ERZ-SF2MK330
	39	25	31	77	0.02	1.5	125	P390ZSCT-ND*	1.70	1.43	1.15	P390ZSTR-ND*	779.72/M	728.93/M	684.06/M	ERZ-SF2MK390
	47	30	38	93	0.02	1.8	125	P470ZSCT-ND*	1.70	1.43	1.15	P470ZSTR-ND*	779.72/M	728.93/M	684.06/M	ERZ-SF2MK470
	56	35	45	110	0.02	2.2	125	P560ZSCT-ND*	1.70	1.43	1.15	P560ZSTR-ND*	779.72/M	728.93/M	684.06/M	ERZ-SF2MK560
	68	40	56	135	0.02	2.5	125	P680ZSCT-ND*	1.70	1.43	1.15	P680ZSTR-ND*	779.72/M	728.93/M	684.06/M	ERZ-SF2MK680
	82	50	65	135	0.25	3.5	600	P820ZSCT-ND*	1.70	1.43	1.15	P820ZSTR-ND*	779.72/M	728.93/M	684.06/M	ERZ-SF2MK820
	120	75	100	200	0.25	5.0	600	P121ZSCT-ND*	1.70	1.43	1.15	P121ZSTR-ND*	779.72/M	728.93/M	684.06/M	ERZ-SF2MK121
	220	140	180	360	0.25	9.0	600	P221ZSCT-ND*	1.70	1.43	1.15	P221ZSTR-ND*	779.72/M	728.93/M	684.06/M	ERZ-SF2MK221
	240	150	200	395	0.25	10.0	600	P241ZSCT-ND*	1.70	1.43	1.15	P241ZSTR-ND*	779.72/M	728.93/M	684.06/M	ERZ-SF2MK241
	270	175	225	455	0.25	12.0	600	P271ZSCT-ND*	1.70	1.43	1.15	P271ZSTR-ND*	779.72/M	728.93/M	684.06/M	ERZ-SF2MK271
	390	250	320	650	0.25	12.0	400	P391ZSCT-ND*	1.70	1.43	1.15	P391ZSTR-ND*	779.72/M	728.93/M	684.06/M	ERZ-SF2MK391
	470	300	385	775	0.25	12.0	400	P471ZSCT-ND*	1.70	1.43	1.15	P471ZSTR-ND*	779.72/M	728.93/M	684.06/M	ERZ-SF2MK471
VFT	82	50	65	145	0.1	1.7	400	P7332CT-ND	1.35	1.13	.91	P7332TR-ND	617.17/M	577.39/M	541.83/M	ERZ-VF2T820
	100	60	85	175	0.1	2.0	400	P7333CT-ND	1.35	1.13	.91	P7333TR-ND	617.17/M	577.39/M	541.83/M	ERZ-VF2T101
	150	95	125	260	0.1	3.0	400	P7334CT-ND	1.35	1.13	.91	P7334TR-ND	617.17/M	577.39/M	541.83/M	ERZ-VF2T151
	240	150	200	415	0.1	5.0	400	P7335CT-ND	1.35	1.13	.91	P7335TR-ND	617.17/M	577.39/M	541.83/M	ERZ-VF2T241
	270	175	225	475	0.1	6.0	400	P7336CT-ND	1.35	1.13	.91	P7336TR-ND	617.17/M	577.39/M	541.83/M	ERZ-VF2T271

† (8/20 us, 2-fach) ♦ Messstrom der maximalen Begrenzerspannung: Für Varistorspannung von 22 bis 68 V: xA = 1 A, für Varistorspannung von 82 bis 470 V: x A = 5 A, für Varistorspannung von VFM: x A = 10 A

* Nicht für Neukonstruktionen empfohlen

Alle Preisangaben in Euro und inklusive Zollgebühren.

Littelfuse® Stoßspannungsunterdrücker, mehrschichtiger Varistor, oberflächenmontiert ML-Serie

Bleifrei/RoHS-konform

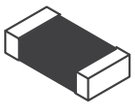

Diese Komponenten wurden für die Unterdrückung einer Vielzahl von Stoßspannungen konzipiert, einschließl. solcher, die von der IEC-Norm und anderen Normen für elektromagnetische Kompatibilität (EMC) angegeben werden. Die Serie ML ist speziell für den Schutz integrierter Schaltkreise und anderer Leiterplattenkomponenten ausgelegt.

SPEZIFIKATIONEN:

- Typischer Leckstrom bei 25 °C <25 uA, max. Leckstrom von 50 uA bei VM (DC)
- Durchschnittliche Verlustleistung für Stoßspannungen für Größen 0402, 0603, 0805, 1206 und 1210 darf jeweils 0,05 W, 0,1 W, 0,1 W und 0,15 W nicht überschreiten.

Teilenummer-Aufschlüsselung für Serie ML

V18MLA1206xxx

PACKUNGSOPTIONEN
- **H**: Durchmesser Spule; 7" (178 mm)

ENDANSCHLUSSOPTION
- Kein Buchstabe: Ag/Pt (Standard)
- **W**: Ag/Pd
- **N**: Nickel (bevorzugt)

KAPAZITÄTSOPTION
- Kein Buchstabe: Standard
- **L**: Ausführung für niedrige Kapazität. (Wo zutreffend – siehe Geräteleistungen für Standardversion.)

MERKMALE:

- Mehrschichtige Keramikbauweise
- Betriebstemperaturbereich: -55 °C bis 125 °C
- Betriebsspannungsbereich: 3,5 V bis 120 V
- Inhärente bidirektionale Begrenzerspannung
- Kein Kunststoff- oder Epoxidpaket für höhere Entflammbarkeitsstufe als 94 V-0

ANWENDUNGEN:

- Unterdrückung induktiver Lastschaltungen oder anderer Stoßspannungen, wie z.B. EFT-Stoßspannung und Stoßspannungen auf der Leiterplattenebene
- ESE-Schutz für Komponenten, die unter die Normen IEC 61000-4-2, MIL-STD 883C Method 3015.7 und andere branchenübliche Spezifikationen fallen. (Siehe auch Serie MHS und MLE)
- Ersatz für größerer Zener-Stoßspannungsunterdrücker mit Oberflächenmontage in zahlreichen Anwendungen

Paket	Max. Kont. Betriebsspannung DC	AC	Max. Nicht repetitiver Überspannungsstrom (8/20 µs) (A)	Max. Nicht repetitiver Überspannungsenergie (10/1.000 µs) (J)	Nennspannung @ 1 mA DC Teststrom Min.	Max.	Kapazität (pF)	Digi-Key Teilenr.	Gurtabschnittspreise 1	10	100	Digi-Key Teilenr.	Gegurtet auf Rolle Größe	Preisangaben	Littelfuse Teilenr.
0603	3.5	2.5	30	0.1	3.7	7.0	1100	F2205CT-ND	.33	3.03	22.82	F2205TR-ND	2,500	125.72/M	V3.5MLA0603H
0805	3.5	2.5	40	0.1	3.7	7.0	1200	F2207CT-ND	.39	3.58	26.96	F2207TR-ND	2,500	148.58/M	V3.5MLA0805LH
0805	3.5	2.5	120	0.3	3.7	7.0	2200	F2206CT-ND	.39	3.58	26.96	F2206TR-ND	2,500	148.58/M	V3.5MLA0805H
1206	3.5	2.5	100	0.3	3.7	7.0	6000	F2208CT-ND	.75	6.88	51.85	F2208TR-ND	2,500	285.73/M	V3.5MLA1206H
0402	5.5	4.0	20	0.05	15.9	20.3	70	F2259CT-ND*	.27	2.48	18.67	F2259TR-ND*	10,000	93.34/M	V5.5MLA0402LNH
0402	5.5	4.0	20	0.05	7.1	9.3	220	F2258CT-ND*	.27	2.48	18.67	F2258TR-ND*	10,000	93.34/M	V5.5MLA0402NH
0603	5.5	4.0	30	0.1	7.1	9.3	660	F2214CT-ND	.33	3.03	22.82	F2214TR-ND	2,500	125.72/M	V5.5MLA0603H
0805	5.5	4.0	40	0.1	7.1	9.3	860	F2216CT-ND	.39	3.58	26.96	F2216TR-ND	2,500	148.58/M	V5.5MLA0805LH
0805	5.5	4.0	40	0.1	7.1	9.3	860	F2217CT-ND*	.45	4.13	31.11	F2217TR-ND*	2,500	171.44/M	V5.5MLA0805LNH
0805	5.5	4.0	120	0.3	7.1	9.3	1600	F2215CT-ND	.39	3.58	26.96	F2215TR-ND	2,500	148.58/M	V5.5MLA0805H
1206	5.5	4.0	150	0.4	7.1	9.3	4500	F2218CT-ND	.75	6.88	51.85	F2218TR-ND	2,500	285.73/M	V5.5MLA1206H
1206	5.5	4.0	150	0.4	7.1	9.3	4500	F2219CT-ND*	.86	7.98	60.15	F2219TR-ND*	2,500	331.45/M	V5.5MLA1206NH
0402	9	6.5	4	0.02	11	14	33	F2261CT-ND*	.27	2.48	18.67	F2261TR-ND*	10,000	93.34/M	V9MLA0402LNH
0402	9	6.5	20	0.05	11	14	120	F2260CT-ND*	.27	2.48	18.67	F2260TR-ND*	10,000	93.34/M	V9MLA0402NH
0603	9	6.5	30	0.1	11	16	420	F2226CT-ND	.33	3.03	22.82	F2226TR-ND	2,500	125.72/M	V9MLA0603H
0603	9	6.5	30	0.1	11	16	420	F2227CT-ND*	.39	3.58	26.96	F2227TR-ND*	2,500	148.58/M	V9MLA0603NH
0805	9	6.5	40	0.1	11	14	450	F2228CT-ND	.39	3.58	26.96	F2228TR-ND	2,500	148.58/M	V9MLA0805LH
0805	12	9.0	40	0.1	14	18.5	350	F2171CT-ND	.47	4.40	33.19	F2171TR-ND	2,500	182.87/M	V12MLA0805LH
0402	14	10	20	0.05	15.9	20.3	70	F2262CT-ND*	.27	2.48	18.67	F2262TR-ND*	10,000	93.34/M	V14MLA0402NH
0603	14	10	30	0.1	15.9	20.3	150	F2173CT-ND	.33	3.03	22.82	F2173TR-ND	2,500	125.72/M	V14MLA0603H
0603	14	10	30	0.1	15.9	20.3	150	F2174CT-ND*	.39	3.58	26.96	F2174TR-ND*	2,500	148.58/M	V14MLA0603NH
0805	14	10	40	0.1	15.9	20.3	270	F2176CT-ND	.39	3.58	26.96	F2176TR-ND	2,500	148.58/M	V14MLA0805LH
0805	14	10	40	0.1	15.9	20.3	270	F2177CT-ND*	.45	4.13	31.11	F2177TR-ND*	2,500	171.44/M	V14MLA0805LNH
0805	14	10	120	0.3	15.9	20.3	480	F2175CT-ND	.39	3.58	26.96	F2175TR-ND	2,500	148.58/M	V14MLA0805H
1206	14	10	150	0.4	15.9	20.3	1600	F2178CT-ND	.75	6.88	51.85	F2178TR-ND	2,500	285.73/M	V14MLA1206H
1206	14	10	150	0.4	15.9	20.3	1600	F2179CT-ND*	.86	7.98	60.15	F2179TR-ND*	2,500	331.45/M	V14MLA1206NH
0402	18	14	20	0.05	22	28	40	F2263CT-ND*	.27	2.48	18.67	F2263TR-ND*	10,000	93.34/M	V18MLA0402NH
0603	18	14	30	0.1	22	28	125	F2181CT-ND	.33	3.03	22.82	F2181TR-ND	2,500	125.72/M	V18MLA0603H
0805	18	14	40	0.1	22	28	250	F2183CT-ND	.39	3.58	26.96	F2183TR-ND	2,500	148.58/M	V18MLA0805LH
0805	18	14	40	0.1	22	28	250	F2184CT-ND*	.45	4.13	31.11	F2184TR-ND*	2,500	171.44/M	V18MLA0805LNH
0805	18	14	120	0.3	22	28	450	F2182CT-ND	.39	3.58	26.96	F2182TR-ND	2,500	148.58/M	V18MLA0805H
1206	18	14	150	0.4	22	28	1100	F2185CT-ND	.75	6.88	51.85	F2185TR-ND	2,500	285.73/M	V18MLA1206H
1210	18	14	500	2.5	22	28	1250	F2186CT-ND	.92	8.53	64.30	F2186TR-ND	2,000	354.30/M	V18MLA1210H
0603	26	20	30	0.1	31	38	90	F2191CT-ND	.33	3.03	22.82	F2191TR-ND	2,500	125.72/M	V26MLA0603H
0805	26	20	40	0.1	29.5	38.5	115	F2193CT-ND	.39	3.58	26.96	F2193TR-ND	2,500	148.58/M	V26MLA0805LH
0805	26	20	40	0.1	29.5	38.5	115	F2194CT-ND*	.45	4.13	31.11	F2194TR-ND*	2,500	171.44/M	V26MLA0805LNH
0805	26	20	100	0.3	29.5	38.5	190	F2192CT-ND	.39	3.58	26.96	F2192TR-ND	2,500	148.58/M	V26MLA0805H
0805	26	20	100	0.3	29.5	38.5	190	F2195CT-ND*	.45	4.13	31.11	F2195TR-ND*	2,500	171.44/M	V26MLA0805NH
1206	26	20	150	0.6	29.5	38.5	900	F2196CT-ND	.75	6.88	51.85	F2196TR-ND	2,500	285.73/M	V26MLA1206H
1206	26	20	150	0.6	29.5	38.5	900	F2197CT-ND*	.86	7.98	60.15	F2197TR-ND*	2,500	331.45/M	V26MLA1206NH
1210	26	20	300	1.2	29.5	38.5	1000	F2198CT-ND	.92	8.53	64.30	F2198TR-ND	2,000	354.30/M	V26MLA1210H
0603	30	25	30	0.1	37	46	75	F2199CT-ND	.33	3.03	22.82	F2199TR-ND	2,500	125.72/M	V30MLA0603H
0805	30	25	30	0.1	37	46	80	F2200CT-ND	.39	3.58	26.96	F2200TR-ND	2,500	148.58/M	V30MLA0805LH
1210	30	25	220	0.9	35	43	1530	F2202CT-ND	1.46	13.49	101.63	F2202TR-ND	2,000	560.03/M	V30MLA1210LH
1210	30	25	280	1.2	35	43	1575	F2201CT-ND	.92	8.53	64.30	F2201TR-ND	2,000	354.30/M	V30MLA1210H
1206	33	26	180	0.8	38	49	550	F2203CT-ND	.75	6.88	51.85	F2203TR-ND	2,500	285.73/M	V33MLA1206H
1206	33	26	180	0.8	38	49	550	F2204CT-ND*	.86	7.98	60.15	F2204TR-ND*	2,500	331.45/M	V33MLA1206NH
1206	42	30	180	0.8	46	60	550	F2209CT-ND	.75	6.88	51.85	F2209TR-ND	2,500	285.73/M	V42MLA1206H
1206	42	30	180	0.8	46	60	550	F2210CT-ND*	.86	7.98	60.15	F2210TR-ND*	2,500	331.45/M	V42MLA1206NH
1210	48	40	250	1.2	54.5	66.5	450	F2211CT-ND	.92	8.53	64.30	F2211TR-ND	2,000	354.30/M	V48MLA1210H
1206	56	40	180	1.0	61	77	150	F2212CT-ND	.75	6.88	51.85	F2212TR-ND	2,500	285.73/M	V56MLA1206H
1210	60	50	250	1.5	67	83	375	F2220CT-ND	.92	8.53	64.30	F2220TR-ND	2,000	354.30/M	V60MLA1210H
1206	68	50	180	1.0	76	90	150	F2221CT-ND	.75	6.88	51.85	F2221TR-ND	2,500	285.73/M	V68MLA1206H
1206	68	50	180	1.0	76	90	150	F2222CT-ND*	.86	7.98	60.15	F2222TR-ND*	2,500	331.45/M	V68MLA1206NH
1210	85	67	250	2.5	95	115	225	F2223CT-ND	.92	8.53	64.30	F2223TR-ND	2,000	354.30/M	V85MLA1210H
1210	85	67	250	2.5	95	115	225	F2224CT-ND*	.89	8.25	62.23	F2224TR-ND*	2,000	342.88/M	V85MLA1210NH
1210	120	107	125	2.0	135	165	65	F2170CT-ND	.89	8.25	62.23	F2170TR-ND	2,000	342.88/M	V120MLA1210H

* Vernickelte Anschlüsse

G

Littelfuse® Varistor (MOVs) Serie MA mit Axialableitung

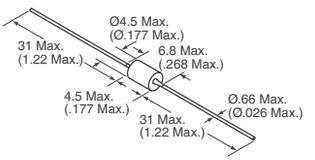

Die Serie MA der Transient-Überspannnungsunterdrücker sind Axialableitungs-Metalloxid-Varistore (MOVs) zur Verwendung in einer Vielzahl von industriellen und kommerziellen Elektronikgeräteanwendungen auf Karten-Level. Sie sollen Komponenten und Signal/Datenleitungen vor Übergangsströmen niedriger Energie schützen, wenn das kleine axiale Ableitungspaket erforderlich ist.

SPEZIFIKATIONEN:
- Hi-Pot-Verkapselung (Isolierspannungskapazität): 1.000 V
- Betriebstemperatur: -55 ° ~ 85 °C (keine Spannungsminderung bis 85 °C Umgebungstemp.)
- Isolationswiderstand: 1.000 MΩ

Max. Kont. Betriebsspannung V(RMS)†	Max. Kont. Betriebsspannung VDC†	Varistorspann. @ 1 mA DC Min.‡	Varistorspann. @ 1 mA DC Nom.‡	Varistorspann. @ 1 mA DC Max.‡	Max. Nicht repetitiver Überspannungsstrom (8/20 µs) (A)‡	Max. Klemmenspannung @ 2 A (8/20 µs) (V)‡	Kapazität (pF)‡	Teilemarkierung	Digi-Key Teilenr.	Stückpreis 1	Stückpreis 10	Stückpreis 100	Littelfuse Teilenr.
9	13	14	18	23	40	49	550	18A	F2271-ND	.38	.34	.31	V18MA1A
10	14	15	18	21	40	44	550	18B	F2272-ND	.38	.34	.31	V18MA1B
10	15	16	22	28	40	55	410	22A	F2273-ND	.38	.34	.31	V22MA1A
14	18	19	22	26	40	51	410	22B	F2274-ND	.38	.34	.31	V22MA1B
13	19	21	27	34	40	67	370	27A	F2275-ND	.38	.34	.31	V27MA1A
17	22	24	27	31	40	59	370	27B	F2276-ND	.38	.34	.31	V27MA1B
18	23	26	33	40	40	73	300	33A	F2277-ND	.38	.34	.31	V33MA1A
20	26	29.5	33	36.5	40	67	300	33B	F2278-ND	.38	.34	.31	V33MA1B
22	28	31	39	47	40	86	250	39A	F2279-ND	.38	.34	.31	V39MA2A
25	31	35	39	43	40	79	250	39B	F2280-ND	.38	.34	.31	V39MA2B
27	34	37	47	57	40	99	210	47A	F2281-ND	.38	.34	.31	V47MA2A
30	38	42	47	52	40	90	210	47B	F2282-ND	.38	.34	.31	V47MA2B
32	40	44	56	68	40	117	180	56A	F2283-ND	.38	.34	.31	V56MA2A
35	45	50	56	62	40	108	180	56B	F2284-ND	.38	.34	.31	V56MA2B
38	48	54	68	82	40	138	150	68A	F2285-ND	.38	.34	.31	V68MA3A
40	56	61	68	75	40	127	150	68B	F2286-ND	.38	.34	.31	V68MA3B
45	60	65	82	99	40	163	120	82A	F2287-ND	.38	.34	.31	V82MA3A
50	66	73	82	91	40	150	120	82B	F2288-ND	.38	.34	.31	V82MA3B
57	72	80	100	120	40	200	100	100	F2289-ND	.46	.41	.37	V100MA4A
60	81	90	100	110	40	185	100	101	F2290-ND	.46	.41	.37	V100MA4B
72	97	102	120	138	100	220	40	120	F2291-ND	.38	.34	.31	V120MA1A
75	101	108	120	132	100	205	40	121	F2292-ND	.46	.41	.37	V120MA2B
88	121	127	150	173	100	255	32	150	F2293-ND	.38	.34	.31	V150MA1A
92	127	135	150	165	100	240	32	151	F2294-ND	.38	.34	.31	V150MA2B
105	144	153	180	207	100	310	27	180	F2295-ND	.38	.34	.31	V180MA1A
110	152	162	180	198	100	290	27	181	F2296-ND	.38	.34	.31	V180MA3B
132	181	187	220	253	100	380	21	220	F2297-ND	.38	.34	.31	V220MA2A
138	191	198	220	242	100	360	21	221	F2298-ND	.38	.34	.31	V220MA4B
163	224	229	270	311	100	460	17	270	F2299-ND	.38	.34	.31	V270MA2A
171	235	243	270	297	100	440	17	271	F2300-ND	.38	.34	.31	V270MA4B
188	257	280	330	380	100	570	14	330	F2301-ND	.38	.34	.31	V330MA2A
200	274	297	330	363	100	540	14	331	F2302-ND	.38	.34	.31	V330MA5B
234	322	331	390	449	100	670	12	390	F2303-ND	.38	.34	.31	V390MA3A
242	334	351	390	429	100	640	12	391	F2304-ND	.38	.34	.31	V390MA6B
253	349	365	430	495	100	740	11	430	F2305-ND	.38	.34	.31	V430MA3A
264	365	387	430	473	100	700	11	431	F2306-ND	.38	.34	.31	V430MA7B

Hinweis: Durchschnittliche Stromverlustleistung von Stoßspannungen übersteigt 200 mW nicht. † max. Nenngrößen bei 85 °C. ‡ Nenngrößen bei 25 °C.

Mehrschichtiger Varistor-HS-Stoßspannungsunterdrücker, oberflächenmontiert, ESE-Ableiter/Filter

Bleifrei/RoHS-konform

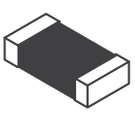

Serie MHS

"Diese Serie bietet Schutz vor ESE und EFT in Hochgeschwindigkeits-Datenleitungen und anderen Hochfrequenzanwendungen. Die niedrige Kapazität der Serie MHS erlaubt Verwendung in Analog- oder Digitalschaltungen, wo sie das gewünschte Signal oder die Daten weder dämpft noch verzerrt. Mit diesen Komponenten werden ESE-Ereignisse unterdrückt, darunter solche, die von der Norm IEC61000-4-2 oder anderen Normen für das Testen der elektromagnetischen Normerfüllung (EMC) angegeben werden.

MERKMALE: • 3 pF und 12 pF Kapazitätausführungen eignen sich für HS-Datenratenleitungen • Zugelassen für ESE IEC 61000-4-2 (Level 4) • Zugelassen für EFT/B IEC 61000-4-4 (Level 4) • Inhärent bidirektional • Betriebstemperatur: -55 °C ~ 125 °C • Konstruktion: Mehrschicht-Halbleiterkeramik • Vernickelte Anschlüsse • Spuleneption: 7" (178 mm) Durchmesser

ANWENDUNGEN: • Daten- und diagnostische E/A-Ports • USB (Universal Serial Bus) • Video- und Audio-Ports • Tragbare/Handformat-Produkte • Industrielle Instrumente, einschließlich medizinischer Geräte

Paket	Max. Kont. Betriebs-spannung ≤ (V)	Max. Nicht repetitiver Überspannungsstrom (10/1.000 µs) (J)	Max. Klemmenspannung @ 1 A (8 x 20 µs) (Vc)	Max. ESE-Klemmenspannung† < 8 kV Kontakt‡ (V)	Max. ESE-Klemmenspannung† < 15 kV Luft‡‡ (V)	Max. Leckstrom I_L @ 15V (µA)	Kapazität @ 1MHz (1V p-p) (pF)	Digi-Key Teilenr.	Gurtabschnittspreis pro Stück 1	10	100	Digi-Key Teilenr.	Gegurtet auf Rolle Größe	Preisangaben	Littelfuse Teilenr.
0402	42	0.010	110	300	400	0.50	3	F2265CT-ND	.24	.22	.17	F2265TR-ND	10,000	82.97/M	V0402MHS03NH
0402	18	0.025	55	125	160	5.0	12	F2266CT-ND	.24	.22	.17	F2266TR-ND	10,000	82.97/M	V0402MHS12NH
0402	9	0.020	30	65	100	1.0 @ 5.5V	22	F2267CT-ND	.24	.22	.17	F2267TR-ND	10,000	82.97/M	V0402MHS22NH
0603	42	0.010	110	300	400	0.50	3	F2268CT-ND	.30	.28	.21	F2268TR-ND	2,500	114.30/M	V0603MHS03NH
0603	18	0.025	55	125	160	5.0	12	F2269CT-ND	.30	.28	.21	F2269TR-ND	2,500	114.30/M	V0603MHS12NH
0603	9	0.020	30	65	100	1.0 @ 5.5V	22	F2270CT-ND	.30	.28	.21	F2270TR-ND	2,500	114.30/M	V0603MHS22NH

† Gemäß Norm IEC-61000-4-2 Human Body Model (HBM)-Entladungs-Testschaltung getestet. ‡ Direkte Entladung an die Geräteanschlüsse (bevorzugte IEC-Testmethode). ‡‡ Koronaentladung durch die Luft (stellt tatsächliches ESE-Ereignis dar).

Mehrschichtiger Varistor-Stoßspannungsunterdrücker, oberflächenmontiert, ESE-Ableiter/Filter

Bleifrei/RoHS-konform

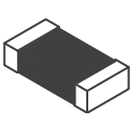

Serie MLE

"Mit diesen Komponenten werden ESE-Ereignisse unterdrückt, darunter solche, die von der Norm IEC61000-4-2 oder anderen Normen für das Testen der elektromagnetischen Kompatibilität angegeben werden.

MERKMALE:
• Für ESE (IEC 61000-4-2) • Spezifiziert für Impedanz und Kapazität • Betriebstemperaturbereich: -55 °C bis 125 °C • Mehrschichtige Keramikbauweise • Silber/Platin-Anschlüsse (wenn nicht anders angegeben) • Spuleneption: 7" (178 mm) Durchmesser

ANWENDUNGEN:
• Schutz der Komponenten und Schaltkreise vor ESE-Stoßspannungen, die bei der Stromversorgung bzw. den Steuer- und Signalleitungen auftreten. • Unterdrückung von ESE-Ereignissen, die von der Norm IEC 61000-4-2 oder MIL-STD-883C Methode 3015-7 für elektromagnetische Kompatibilität angegeben (EMC) werden.

Paket	Max. Kont. ≤ Betriebs-spannung†	Nennspannung @ 1 mA DC Min.	Nennspannung @ 1 mA DC Max.	Max. ESE-Klemmenspannung§ <8 kV Kontakt‡	Max. ESE-Klemmenspannung§ <15 kVLuft‡‡	Max. Leckstrom I_L@18V(µA)	Kapazität < (pF)	Digi-Key Teilenr.	Gurtabschnittspreis pro Stück 1	10	100	Digi-Key Teilenr.	Gegurtet auf Rolle Größe	Preisangaben	Littelfuse Teilenr.
0402	18	22	28	125	160	10	40	F2264CT-ND*	.27	.25	.19	F2264TR-ND*	10,000	93.34/M	V18MLE0402NH
0603	18	22	28	75	85	25	100	F2188CT-ND	.33	.31	.23	F2188TR-ND	2,500	125.72/M	V18MLE0603H
0805	18	22	28	70	75	25	500	F2189CT-ND	.39	.36	.27	F2189TR-ND	2,500	148.58/M	V18MLE0805H
1206	18	22	28	65	65	25	1700	F2190CT-ND	.75	.69	.52	F2190TR-ND	2,500	285.73/M	V18MLE1206H

Teilenr. † Für Anwendungen mit 18 V DC oder weniger. Höhere Spannungen erhältlich. § Gemäß Norm IEC61000-4-2 Human Body Model (HBM) -Entladungs-Testschaltung getestet. ‡ Direkte Entladung an die Geräteanschlüsse (bevorzugte IEC-Testmethode). ‡‡ Koronaentladung durch die Luft (stellt tatsächliches ESE-Ereignis dar). * Vernickelte Abschlüsse

Alle Preisangaben in Euro und inklusive Zollgebühren.

Varistoren mit Anschlüssen

Spezifikationen:

• Beschichtung: Epoxidharz, flammenhemmend gemäß UL 94 V-0 • Anschlüsse: Verzinnter Kupferdraht • Betriebstemperaturbereich: -40 °C ~ 85 °C • Lagertemperaturbereich: -40 °C ~ 125 °C • Elektrische Stärke: ≥2,5 kV_{RMS} • Isolierwiderstand: ≥10 MΩ • Reaktionszeit: <25 ns

Merkmale:

Serie StandarD: • Breiter Betriebsspannungsbereich • Keine Minderung bis zu einer Umgebungstemperatur von 85 °C • Zulassungen: UL, CSA (alle Typen ≥K115), SEV, VDE, CECC

Serie AdvanceD: • Serie High-energy AdvanceD E2 • Hoher Überspannungsnennwert, bis zu 10 kA • Hohe Energienennwerte, bis zu 325 J • Breiter Betriebsspannungsbereich • Zulassungen: UL, CSA, VDE, CECC

Automobil-Serie: • Hohe Energieaufnahme, besonders im Fall von Lastabladung • Jump-Start-Stärke • Stabiles Schutzniveau, Mindest-Leckstrom • Hoher Widerstand gegen zyklischen Temperaturstress • Typen für T_A = 125 °C

Abb. 1

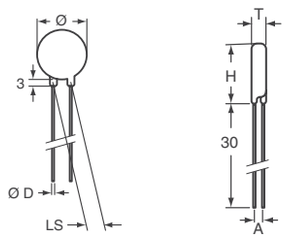

Abb. 2

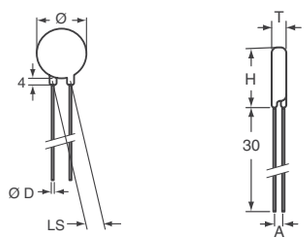

Max. zulässige Spann. (V) AC	DC	Varistor-spann. @ 1 mA ±10% (V)	Max. Begrenzer-spannung V	A	i_{max} 8/20 µs A	Abmessungen (mm) LS ±1	A ±1	Ø max.	T max.	H max.	ØD ±.05	Digi-Key Teilenr.	Preisangaben 1	10	100	1.000	5.000	Epcos Teilenr.
Serie StandarD - Abb. 1																		
11	14	18	36	2.5	250	5.0	1.2	9.0	3.4	11.0	.6	495-1402-ND	.22	1.88	15.66	89.27	83.33/M	S07K11
14	18	22	43	2.5	250	5.0	1.3	9.0	3.5	11.0	.6	495-1403-ND	.22	1.88	15.66	89.27	83.33/M	S07K14
25	31	39	77	2.5	250	5.0	1.3	9.0	3.7	11.0	.6	495-1404-ND	.22	1.88	15.66	89.27	83.33/M	S07K25
30	38	47	93	2.5	250	5.0	1.5	9.0	3.7	11.0	.6	495-1405-ND	.22	1.88	15.66	89.27	83.33/M	S07K30
130	170	205	340	10	1200	5.0	1.6	9.0	3.6	11.0	.6	495-1406-ND	.22	1.88	15.66	89.27	83.33/M	S07K130
150	200	240	395	10	1200	5.0	1.8	9.0	3.8	11.0	.6	495-1407-ND	.22	1.88	15.66	89.27	83.33/M	S07K150
275	350	430	710	10	1200	5.0	2.0	9.0	4.4	11.0	.6	495-1408-ND	.22	1.88	15.66	89.27	83.33/M	S07K275
130	170	205	340	50	4500	7.5	1.9	15.5	4.2	18.5	.8	495-1409-ND	.41	3.58	29.84	170.11	158.77/M	S14K130
140	180	220	360	50	4500	7.5	2.0	15.5	4.3	18.5	.8	495-1410-ND	.41	3.58	29.84	170.11	158.77/M	S14K140
150	200	240	395	50	4500	7.5	2.1	15.5	4.4	18.5	.8	495-1411-ND	.41	3.58	29.84	170.11	158.77/M	S14K150
275	350	430	710	50	4500	7.5	2.2	15.5	5.0	18.5	.8	495-1412-ND	.41	3.58	29.84	170.11	158.77/M	S14K275
320	420	510	845	50	4500	7.5	2.4	15.5	5.4	19.0	.8	495-1413-ND	.58	4.95	41.27	235.25	219.57/M	S14K320
130	170	205	340	100	8000	10.0	2.0	21.5	4.7	25.5	1.0	495-1414-ND	.58	4.98	41.48	236.46	220.70/M	S20K130
140	180	220	360	100	8000	10.0	2.1	21.5	4.8	25.5	1.0	495-1415-ND	.58	4.98	41.48	236.46	220.70/M	S20K140
150	200	240	395	100	8000	10.0	2.2	21.5	4.9	25.5	1.0	495-1416-ND	.58	4.98	41.48	236.46	220.70/M	S20K150
275	350	430	710	100	8000	10.0	2.3	21.5	5.4	25.5	1.0	495-1417-ND	.58	4.98	41.48	236.46	220.70/M	S20K275
320	420	510	845	100	8000	10.0	2.6	21.5	5.8	25.5	1.0	495-1418-ND	.58	4.98	41.48	236.46	220.70/M	S20K320
Serie AdvanceD - Abb. 1																		
130	170	205	340	5.0	800	5.0	1.6	7.0	3.9	8.5	.6	495-1419-ND	.15	1.27	10.58	60.32	56.30/M	S05K130E2
140	180	220	360	5.0	800	5.0	1.7	7.0	4.0	8.5	.6	495-1420-ND	.15	1.27	10.58	60.32	56.30/M	S05K140E2
150	200	240	395	5.0	800	5.0	1.8	7.0	4.1	8.5	.6	495-1421-ND	.15	1.27	10.58	60.32	56.30/M	S05K150E2
300	385	470	775	5.0	800	5.0	2.1	7.0	4.7	8.5	.6	495-1422-ND	.17	1.42	11.85	67.56	63.06/M	S05K300E2
130	170	205	340	10	1750	5.0	1.6	9.0	3.9	11.0	.6	495-1423-ND	.16	1.37	11.43	65.15	60.81/M	S07K130E2
150	200	240	395	10	1750	5.0	1.8	9.0	4.1	11.0	.6	495-1424-ND	.16	1.37	11.43	65.15	60.81/M	S07K150E2
250	320	390	650	10	1750	5.0	1.9	9.0	4.5	11.0	.6	495-1425-ND	.18	1.50	12.49	71.18	66.44/M	S07K250E2
275	350	430	710	10	1750	5.0	2.0	9.0	4.6	11.0	.6	495-1426-ND	.18	1.50	12.49	71.18	66.44/M	S07K275E2
300	385	470	775	10	1750	5.0	2.1	9.0	4.7	11.0	.6	495-1427-ND	.18	1.50	12.49	71.18	66.44/M	S07K300E2
320	420	510	845	10	1750	5.0	2.3	9.0	4.6	11.0	.6	495-1428-ND	.27	2.34	19.47	110.99	103.59/M	S07K320E2
140	180	220	360	25	3500	7.5	1.9	12.0	4.6	14.5	.8	495-1429-ND	.50	4.29	35.77	203.89	190.29/M	S10K140E2
150	200	240	395	25	3500	7.5	2.0	12.0	4.7	14.5	.8	495-1430-ND	.50	4.29	35.77	203.89	190.29/M	S10K150E2
175	225	270	455	25	3500	7.5	2.2	12.0	4.9	14.5	.8	495-1431-ND	.50	4.29	35.77	203.89	190.29/M	S10K175E2
250	320	390	650	25	3500	7.5	2.1	12.0	5.2	14.5	.8	495-1432-ND	.50	4.29	35.77	203.89	190.29/M	S10K250E2
275	350	430	710	25	3500	7.5	2.2	12.0	5.4	14.5	.8	495-1433-ND	.50	4.29	35.77	203.89	190.29/M	S10K275E2
300	385	470	775	25	3500	7.5	2.3	12.0	5.6	14.5	.8	495-1434-ND	.50	4.29	35.77	203.89	190.29/M	S10K300E2
420	560	680	1120	25	3500	7.5	3.5	12.0	7.4	15.0	.8	495-1435-ND	.65	5.56	46.35	264.21	246.59/M	S10K420E2
130	170	205	340	50	6000	7.5	1.9	15.5	4.6	18.5	.8	495-1436-ND	.58	4.93	41.06	234.04	218.44/M	S14K130E2
140	180	220	360	50	6000	7.5	2.0	15.5	4.7	18.5	.8	495-1437-ND	.58	4.93	41.06	234.04	218.44/M	S14K140E2
150	200	240	395	50	6000	7.5	2.1	15.5	4.8	18.5	.8	495-1438-ND	.58	4.93	41.06	234.04	218.44/M	S14K150E2
175	225	270	455	50	6000	7.5	2.2	15.5	4.9	18.5	.8	495-1439-ND	.58	4.93	41.06	234.04	218.44/M	S14K175E2
250	320	390	650	50	6000	7.5	2.1	15.5	5.2	18.5	.8	495-1440-ND	.58	4.93	41.06	234.04	218.44/M	S14K250E2
275	350	430	710	50	6000	7.5	2.2	15.5	5.4	18.5	.8	495-1441-ND	.58	4.93	41.06	234.04	218.44/M	S14K275E2
300	385	470	775	50	6000	7.5	2.3	15.5	5.6	18.5	.8	495-1442-ND	.58	4.93	41.06	234.04	218.44/M	S14K300E2
130	170	205	340	100	10000	10.0	2.0	21.5	5.0	25.5	1.0	495-1443-ND	.64	5.49	45.72	260.58	243.22/M	S20K130E2
140	180	220	360	100	10000	10.0	2.1	21.5	5.1	25.5	1.0	495-1444-ND	.64	5.49	45.72	260.58	243.22/M	S20K140E2
150	200	240	395	100	10000	10.0	2.2	21.5	5.2	25.5	1.0	495-1445-ND	.64	5.49	45.72	260.58	243.22/M	S20K150E2
175	225	270	455	100	10000	10.0	2.3	21.5	5.3	25.5	1.0	495-1446-ND	.64	5.49	45.72	260.58	243.22/M	S20K175E2
250	320	390	650	100	10000	10.0	2.4	21.5	5.7	25.5	1.0	495-1447-ND	.64	5.49	45.72	260.58	243.22/M	S20K250E2
275	350	430	710	100	10000	10.0	2.6	21.5	5.8	25.5	1.0	495-1448-ND	.64	5.49	45.72	260.58	243.22/M	S20K275E2
300	385	470	775	100	10000	10.0	2.8	21.5	6.1	25.5	1.0	495-1449-ND	.64	5.49	45.72	260.58	243.22/M	S20K300E2
Automobil-Serie - Abb. 2																		
14	16	22	43	10	1000	7.5	1.5	17.0	5.0	20.5	.8	495-1450-ND	.58	4.98	41.48	236.46	220.70/M	S14K14AUTO
14	16	22	43	20	2000	10.0	1.6	23.0	5.4	27.5	1.0	495-1451-ND	.77	6.58	54.82	312.46	291.63/M	S20K14AUTO

Gurt-Varistoren - Serie HighE

Spezifikationen:

• Beschichtung: Epoxidharz, flammenhemmend gemäß UL 94V-0
• Gurtanschlüsse mit Bolzenlöchern für Schraubbefestigung oder Löten
• Gebogene Gurtanschlüsse
• Betriebstemperaturbereich: -25 °C ~ 85 °C
• Lagertemperaturbereich: -25 °C ~ 110 °C
• Elektrische Stärke: ≥2,5 $kVAC_{RMS}$
• Isolierwiderstand: ≥10 MΩ
• Reaktionszeit: <25 ns

Merkmale:

• Max. Lastkapazität mit Minimalgröße
• Zulassungen: UL, CSA

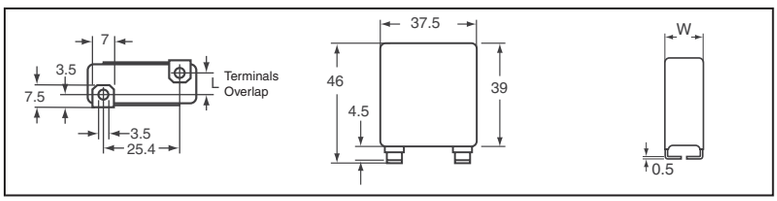

Max. zulässige Spann. (V) AC	DC	Varistor-spann. @ 1 mA ±10 % (V)	Max. Begrenzer-spannung V	A	i_{max} 8/20 µs A	Abmessungen (mm) W max.	L Überlappung	Digi-Key Teilenr.	Preisangaben 1	10	100	1.000	5.000	Epcos Teilenr.
150	200	240	395	300	40000	8.3	3.2	495-1456-ND	11.77	100.83	840.25	4789.43	4470.14/M	LS40K150QP
275	350	430	710	300	40000	9.4	1.6	495-1457-ND	10.07	86.35	719.61	4101.78	3828.33/M	LS40K275QP
320	420	510	840	300	40000	9.9	1.1	495-1458-ND	10.07	86.35	719.61	4101.78	3828.33/M	LS40K320QP

G

Alle Preisangaben in Euro und inklusive Zollgebühren.

SMD-Varistoren

Spezifikationen:

Serie CU: • Monolithisches Varistorelement, verkapselt • Verkapselung: Thermoplast flammenhemmend gemäß UL 94V-0 • Anschluss: Verzinnte Kupferlegierung • Betriebstemperaturbereich: -40 °C ~ 85 °C • Lagertemperaturbereich: -40 °C ~ 125 °C • Elektrische Stärke: ≥2,5 kVACRMS • Isolierungswiderstand: ≥1 GΩ • Reaktionszeit: <10 ns • Lötbarkeit: 235 °C, 2 s • Beständigkeit gegenüber Löthitze: 260 °C, 10 s

Automobil-Serie: • Multilayer-Technologie • Abschlüsse: Silberpalladium • Keine Kunststoff- oder Epoxidverkapselung stellt eine höhere Entflammbarkeitsstufe als UL 94 V-0 sicher • Betriebstemperaturbereich: -55 °C ~ 125 °C • Lagertemperaturbereich: -55 °C ~ 150 °C • Reaktionszeit: <0,5 ns • Lötbarkeit: 235 °C, 2 s • Beständigkeit gegenüber Löthitze: 260 °C, 10 s

Telecom Series: • Multilayer-Technologie • Abschlüsse: Silberpalladium • Keine Kunststoff- oder Epoxidverkapselung stellt eine höhere Entflammbarkeitsstufe als UL 94 V-0 sicher • Betriebstemperaturbereich: -40 °C ~ 85 °C • Lagertemperaturbereich: -40 °C ~ 125 °C • Reaktionszeit: <0,5 ns • Lötbarkeit: 235 °C, 2 s • Beständigkeit gegenüber Löthitze: 260 °C, 10 s

Merkmale:

Serie CU: • Elektrische Entsprechungen zu Typen mit Anschlüssen S05/S07 bis zu 460 VAC_{RMS} • Gute Lötbarkeit • Zulassungen: UL (alle Typen) und CSA (≥K130)

Automobil-Serie: • Hohe Energieaufnahme, besonders im Fall von Lastabladung • Stabiles Schutzniveau, niedriger Leckstrom • Hoher Widerstand gegen zyklischen Temperaturstress • Breiter Betriebstemperaturbereich • Niedrige Induktivität (für ESE-Schutz geeignet) • Bidirektionale Begrenzerspannung

Telecom-Serie: • Kann Stoßspannungen bis zu 2 kV bewältigen • Für die Bewältigung von Stoßspannungen des 10/700 µs Impulses bis ITU-T und IEC 61000-4-5 geeignet • An Leitungskonditionen mit oder ohne überlagerte Rufleitungsspannung angepasst • Gute Lötbarkeit • Für ESE-Schutz geeignet

Abb. 1

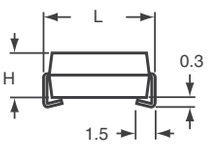

Abb. 2

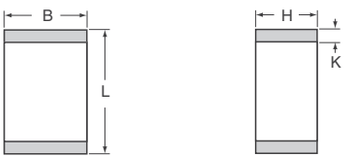

Max. zulässige Spannung (V) AC	DC	Varistorspann. @ 1 mA (V)	Tol. %	Max. Begrenzer-spannung V	A	i_{max} 8/20 µs A	Abmessungen (mm) L	B	H	K	Digi-Key Teilenr.	Gurtabschnittspreis pro Stück 1	10	100	Digi-Key Teilenr.	Gegurtet auf Rolle Größe	Preisangaben	Epcos Teilenr.
Serie Monolithische CU - Abb. 1																		
150	200	240	±10	395	5.0	400	8.0	6.3	3.2	—	495-1463-1-ND	.53	.50	.39	495-1463-2-ND	1,000	213.34	CU3225K150G2K1
275	350	430	±10	710	5.0	400	8.0	6.3	4.5	—	495-1464-1-ND	.53	.50	.39	495-1464-2-ND	1,000	213.34	CU3225K275G2K1
300	385	470	±10	775	5.0	400	8.0	6.3	4.5	—	495-1465-1-ND	.53	.50	.39	495-1465-2-ND	1,000	213.34	CU3225K300G2K1
150	200	240	±10	395	10	1200	10.2	8.0	3.2	—	495-1466-1-ND	.64	.60	.46	495-1466-2-ND	1,000	256.01	CU4032K150G2K1
275	350	430	±10	710	10	1200	10.2	8.0	4.5	—	495-1467-1-ND	.64	.60	.46	495-1467-2-ND	1,000	256.01	CU4032K275G2K1
300	385	470	±10	775	10	1200	10.2	8.0	4.5	—	495-1468-1-ND	.64	.60	.46	495-1468-2-ND	1,000	256.01	CU4032K300G2K1
Serie MLV-Automobil - Abb. 2																		
14	16	22	+23/-0	40	1.0	200	3.2	1.6	1.7	.25~.75	495-1459-1-ND	.33	.31	.24	495-1459-2-ND	3,000	130.38/M	CN1206S14BAUTOG
14	16	22	+23/-0	40	2.5	400	3.2	2.5	1.7	.25~.75	495-1460-1-ND	.40	.38	.29	495-1460-2-ND	3,000	160.01/M	CN1210S14BAUTOG
14	16	22	+23/-0	40	10	1200	5.7	5.0	2.5	.25~1.0	495-1461-1-ND	1.24	1.16	.89	495-1461-2-ND	1,500	497.80/M	CN2220S14BAUTOG
Serie MLV-Telecom - Abb. 2																		
95	125	150	+20/-0	270	45	250	4.5	3.2	2.5	.25~1.0	495-1462-1-ND	.66	.62	.48	495-1462-2-ND	3,000	264.31/M	CN1812S95AG2

Block-Varistoren - Serie HighE

Spezifikationen:

- Diskförmiges Varistorelement in Kunststoffgehäuse
- Gehäuse und Vergießung sind flammenhemmed gemäß UL 94 V-0
- Schraubklemmanschlüsse: M4
- Betriebstemperaturbereich: -40 °C ~ 85 °C
- Lagertemperaturbereich: -40 °C ~ 110 °C
- Elektrische Stärke: ≥2,5 kV_{RMS}
- Isolierwiderstand: ≥10 MΩ
- Reaktionszeit: <25 ns

Merkmale:

- Leistungsstarke Varistoren (Überspannungsstrom bis zu 100 kA)
- Breite Produktpalette
- Zulassungen: UL, CSA (≥K130), SEV

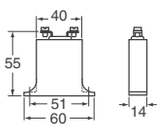

Max. zulässige Spannung (V) AC	DC	Varistorspann. @ 1 mA ±10% (V)	Max. Begrenzerspannung V	A	i_{max} 8/20 µs A	Digi-Key Teilenr.	Preisangaben 1	10	100	1.000	5.000	Epcos Teilenr.
130	170	205	340	200	25000	495-1452-ND	18.52	158.74	1322.81	7540.03	7037.37/M	B32K130
150	200	240	395	200	25000	495-1453-ND	18.52	158.74	1322.81	7540.03	7037.37/M	B32K150
130	170	205	340	300	40000	495-1454-ND	23.11	198.10	1650.87	9409.96	8782.63/M	B40K130
150	200	240	395	300	40000	495-1455-ND	23.11	198.10	1650.87	9409.96	8782.63/M	B40K150

G

Stromspitzenunterbinder

Gasgefüllte Stromspitzenunterbinder bieten optimalen Schutz vor atmosphärischen Feldern und Entladungen, induktiver Kupplung von Stromversorgungsleitungen, direktem Kontakt zwischen Kommunikations- und Stromleitungen und vor elektrostatischen Entladungen. Die Stromstoßunterbinder von Epcos begrenzen Überspannungen schnell und sicher auf ungefährliche Niveaus und sorgen für zuverlässige Entladung der resultierenden gefährlichen Spannungen.

Spezifikationen:

• Isolierwiderstand bei 100 V: 10 GΩ; Teilenr. A81-C90X, EC75X, EC90X und T83-A90X Widerstand bei 50 V: 10 GΩ • Betriebs- und Lagertemperatur: -40 °C ~ 90 °C • Klimakategorie (IEC 60068-1) 40/90/21

Abb. 1

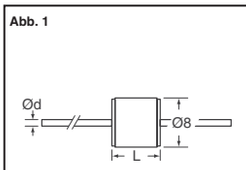

Abb. 2

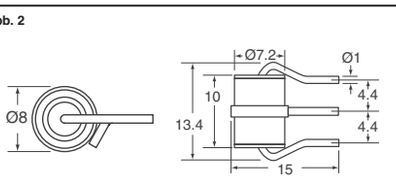

Abb. 3

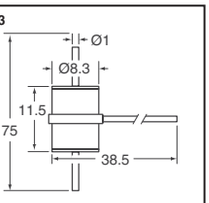

Überschlag-spannung (DC) (V)	Toleranz (%)	Nominaler Entladeimpulsstrom (Wave 8/20 µs)	Nominaler Entladewechselstrom	Kap. @ (1 MHz)	Abmessung L (mm)	Abmessung ød (mm)	Digi-Key Teilenr.	Preisangaben 1	10	100	500	Epcos Teilenr.
Abb. 1												
1000	±15	10kA	10A	1pF	7.9	1	495-1469-ND	3.25	27.09	216.73	948.19	A71-H10X
2500	±20	2.5kA	2.5A	1pF	7.9	1	495-1470-ND	3.25	27.09	216.73	948.19	A71-H25X
230	±20	20kA	20A	1.5pF	6.05	1	495-1471-ND	1.83	15.24	121.91	533.36	A81-A230X
90	±20	20kA	20A	1.5pF	6.05	1	495-1472-ND	1.83	15.24	121.91	533.36	A81-C90X
230	±15	5kA	5A	1pF	6.05	0.8	495-1473-ND	1.17	9.74	77.89	340.76	EC230X
350	±15	5kA	5A	1pF`	6.05	0.8	495-1474-ND	1.17	9.74	77.89	340.76	EC350X
75	±20	5kA	5A	1pF	6.05	0.8	495-1475-ND	1.17	9.74	77.89	340.76	EC75X
90	±20	5kA	5A	1pF	6.05	0.8	495-1476-ND	1.17	9.74	77.89	340.76	EC90X
270	-10/+25	5kA	5A	1.5pF	7.9	1	495-1477-ND	2.36	19.68	157.47	688.92	L71-A270X
470	-10/+25	5kA	5A	1.5pF	7.9	1	495-1478-ND	2.36	19.68	157.47	688.92	L71-A470X
800	-10/+25	5kA	5A	1.5pF	7.9	1	495-1479-ND	2.36	19.68	157.47	688.92	L71-A800X
230	±20	10kA	10A	1.5pF	6.05	1	495-1878-ND	1.32	11.01	88.05	385.20	N81-A230X
350	±20	10kA	10A	1.5pF`	6.05	1	495-1879-ND	1.32	11.01	88.05	385.20	N81-A350X
Abb. 2												
230	±20	20kA	10A	1.5pF	—	—	495-1480-ND	2.11	17.57	140.54	614.84	T23-A230X
90	±20	10kA	10A	1.5pF	—	—	495-1482-ND	1.85	15.45	123.60	540.77	T83-A90X
Abb. 3												
350	±25	20kA	20A	1.5pF	—	—	495-1481-ND	3.45	28.78	230.28	1007.45	T61-C350X

Alle Preisangaben in Euro und inklusive Zollgebühren.

BC COMPONENTS

Varistoren mit Anschlüssen

Die Varistoren bestehen aus einer Scheibe aus Low B Keramikmaterial mit zwei Anschlüssen aus verzinntem soliden Kupfer. Sie sind mit ockerfarbenem Epoxid beschichtet, das elektrischen, mechanischen und klimatischen Schutz bietet.
Die Verkapselung ist gegen alle Reinigungslösungen gemäß IEC 60068-2-45 beständig.

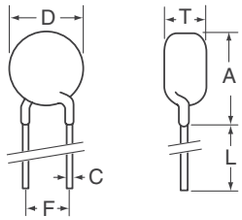

Größencode	Abmessungen (mm) D max.	A max.	L min.	T max.	T min.	C	F
A	7.0	9.0	27.0	6.0	4.1	0.6 ±0.05	5.0 +0.6/-0.1
B	9.0	11.0	27.0	6.0	4.1	0.6 ±0.05	5.0 +0.6/-0.1
C	13.5	15.5	17.0	7.0	4.4	0.8 ±0.05	7.5 ±0.8
D	17.0	19.0	16.0	7.0	4.4	0.8 ±0.05	7.5 ±0.8

Größencode	Maximale Dauerspann. AC (V)	DC (V)	Varistorspann. @ 1mA (V)	Max. Spann. Nennstrom V (V)	I (A)	Digi-Key Teilenr.	Stückpreis 1	10	100	BC Components Teilenr.
A	30	38	47	96	1.0	BC1382-ND	.22	.19	.16	2322 592 53006
A	35	45	56	123	1.0	BC1383-ND	.22	.19	.16	2322 592 53506
A	50	65	82	145	5.0	BC1385-ND	.22	.19	.16	2322 592 55006
A	60	85	100	165	5.0	BC1386-ND	.22	.19	.16	2322 592 56006
A	75	100	120	190	5.0	BC1387-ND	.22	.19	.16	2322 592 57506
A	130	170	205	310	5.0	BC1389-ND	.22	.19	.16	2322 592 51316
A	140	180	220	350	5.0	BC1390-ND	.22	.19	.16	2322 592 51416
A	150	200	240	395	5.0	BC1391-ND	.22	.19	.16	2322 592 51516
A	175	225	275	410	5.0	BC1392-ND	.22	.19	.16	2322 592 51716
A	230	300	360	560	5.0	BC1393-ND	.22	.19	.16	2322 592 52316
A	250	320	390	600	5.0	BC1394-ND	.22	.19	.16	2322 592 52516
A	275	350	430	695	5.0	BC1395-ND	.22	.19	.16	2322 592 52716
A	300	385	470	750	5.0	BC1396-ND	.22	.19	.16	2322 592 53016
A	320	420	510	800	5.0	BC1397-ND	.25	.22	.19	2322 592 53216
A	385	505	620	1000	5.0	BC1398-ND	.22	.19	.16	2322 592 53816
A	420	560	680	1100	5.0	BC1399-ND	.22	.19	.16	2322 592 54216
A	460	615	750	1200	5.0	BC1400-ND	.22	.19	.16	2322 592 54616
B	30	38	47	93	2.5	BC1401-ND	.22	.19	.16	2322 593 53006
B	35	45	56	115	2.5	BC1402-ND	.22	.19	.16	2322 593 53506
B	40	56	68	135	2.5	BC1403-ND	.22	.19	.16	2322 593 54006
B	50	65	82	140	10.0	BC1404-ND	.22	.19	.16	2322 593 55006
B	60	85	100	165	10.0	BC1405-ND	.22	.19	.16	2322 593 56006
B	75	100	120	200	10.0	BC1406-ND	.30	.26	.22	2322 593 57506
B	95	125	150	250	10.0	BC1407-ND	.22	.19	.16	2322 593 59506
B	130	170	205	340	10.0	BC1408-ND	.22	.19	.16	2322 593 51316
B	140	180	220	370	10.0	BC1409-ND	.22	.19	.16	2322 593 51416
B	150	200	240	400	10.0	BC1410-ND	.22	.19	.16	2322 593 51516
B	175	225	275	455	10.0	BC1411-ND	.22	.19	.16	2322 593 51716
B	230	300	360	600	10.0	BC1412-ND	.22	.19	.16	2322 593 52316
B	250	320	390	650	10.0	BC1413-ND	.22	.19	.16	2322 593 52516
B	275	350	430	710	10.0	BC1414-ND	.22	.19	.16	2322 593 52716
B	300	385	470	800	10.0	BC1415-ND	.22	.19	.16	2322 593 53016
B	320	420	510	850	10.0	BC1416-ND	.22	.19	.16	2322 593 53216
B	420	560	680	1120	10.0	BC1418-ND	.22	.19	.16	2322 593 54216
B	460	615	750	1240	10.0	BC1419-ND	.22	.19	.16	2322 593 54616
C	30	38	47	93	5.0	BC1420-ND	.39	.33	.28	2322 594 53006
C	35	45	56	110	5.0	BC1421-ND	.39	.33	.28	2322 594 53506

Größencode	Maximale Dauerspann. AC (V)	DC (V)	Varistorspann. @ 1 mA (V)	Max. Spann. Nennstrom V (V)	I (A)	Digi-Key Teilenr.	Stückpreis 1	10	100	BC Components Teilenr.
C	50	65	82	140	25.0	BC1423-ND	.39	.33	.28	2322 594 55006
C	60	85	100	165	25.0	BC1424-ND	.45	.39	.33	2322 594 56006
C	75	100	120	200	25.0	BC1425-ND	.39	.33	.28	2322 594 57506
C	95	125	150	250	25.0	BC1426-ND	.39	.33	.28	2322 594 59506
C	130	170	205	340	25.0	BC1427-ND	.39	.33	.28	2322 594 51316
C	140	180	220	370	25.0	BC1428-ND	.39	.33	.28	2322 594 51416
C	150	200	240	400	25.0	BC1429-ND	.39	.33	.28	2322 594 51516
C	175	225	275	455	25.0	BC1430-ND	.39	.33	.28	2322 594 51716
C	230	300	360	600	25.0	BC1431-ND	.39	.33	.28	2322 594 52316
C	250	320	390	650	25.0	BC1432-ND	.39	.33	.28	2322 594 52516
C	275	350	430	710	25.0	BC1433-ND	.39	.33	.28	2322 594 52716
C	300	385	470	800	25.0	BC1434-ND	.39	.33	.28	2322 594 53016
C	320	420	510	850	25.0	BC1435-ND	.39	.33	.28	2322 594 53216
C	385	505	620	1025	25.0	BC1436-ND	.39	.33	.28	2322 594 53816
C	420	560	680	1120	25.0	BC1437-ND	.39	.33	.28	2322 594 54216
C	460	615	750	1240	25.0	BC1438-ND	.39	.33	.28	2322 594 54616
C	550	745	910	1500	25.0	BC1440-ND	.45	.39	.33	2322 594 55516
D	30	38	47	90	10.0	BC1441-ND	.50	.43	.36	2322 595 53006
D	35	45	56	105	10.0	BC1442-ND	.50	.43	.36	2322 595 53506
D	40	56	68	130	10.0	BC1443-ND	.50	.43	.36	2322 595 54006
D	50	65	82	140	50.0	BC1444-ND	.50	.43	.36	2322 595 55006
D	60	85	100	165	50.0	BC1445-ND	.50	.43	.36	2322 595 56006
D	75	100	120	200	50.0	BC1446-ND	.50	.43	.36	2322 595 57506
D	130	170	205	340	50.0	BC1448-ND	.50	.43	.36	2322 595 51316
D	140	180	220	370	50.0	BC1449-ND	.50	.43	.36	2322 595 51416
D	150	200	240	400	50.0	BC1450-ND	.50	.43	.36	2322 595 51516
D	175	225	275	455	50.0	BC1451-ND	.50	.43	.36	2322 595 51716
D	230	300	360	600	50.0	BC1452-ND	.50	.43	.36	2322 595 52316
D	250	320	390	650	50.0	BC1453-ND	.50	.43	.36	2322 595 52516
D	275	350	430	710	50.0	BC1454-ND	.50	.43	.36	2322 595 52716
D	300	385	470	800	50.0	BC1455-ND	.50	.43	.36	2322 595 53016
D	320	420	510	850	50.0	BC1456-ND	.50	.43	.36	2322 595 53216
D	385	505	620	1025	50.0	BC1457-ND	.50	.43	.36	2322 595 53816
D	420	560	680	1120	50.0	BC1458-ND	.50	.43	.36	2322 595 54216
D	460	615	750	1240	50.0	BC1459-ND	.58	.49	.41	2322 595 54616
D	510	670	820	1355	50.0	BC1460-ND	.50	.43	.36	2322 595 55116
D	550	745	910	1500	50.0	BC1461-ND	.50	.43	.36	2322 595 55516

G

Vielschicht-Chip-Varistor

(Größe 0805) Oberflächenmontage

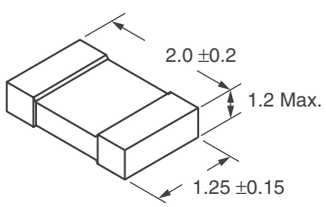

Merkmale:

- Multilayer-Stoßspannungsunterdrücker zur Oberflächenmontage
- Inhärente bidirektionale Begrenzerspannung
- Niedrige Kapazitätsoption verfügbar
- Hervorragendes Energie/Volumen-Verhältnis
- Für Wellen- oder Aufschmelzlöten geeignet
- Konform mit IEC 1 000-4-2
- Betriebstemperaturbereich: -55 °C ~ +125 °C

Anwendungen:

- Datenleitungen und E/A-Port-Schutz
- Schutz vor EMI- und ESE-Stoßspannungen
- Integrierter Schutz von ICs und Transistoren
- Modemschutz
- LCD-Schutz

Max. Betriebsspannung RMS (V AC)	DC (V DC)	Varistorspann. @ 1 mA Min (V)	Max (V)	Max. Begrenzerspannung @ 1mA (V)	Max. Spitzenstrom 8 x 20 µs (A)	Max. Überspannungsenergie 10 x 1000 µs (J)	Digi-Key Teilenr.	Gurtabschnittspreis pro Stück 1	10	100	Digi-Key Teilenr.	Gegurtet auf Rolle 4.000	BC Components Teilenr.
4	5.5	6.4	9.6	21	30	0.1	BC1500CT-ND	.30	.27	.23	BC1500TR-ND	122.76/M	2322 574 10403
8	11	_	_	33	80	0.3	BC1502CT-ND	.33	.29	.25	—	—	2322 574 10803
10	14	15.3	21.0	35	30	0.1	BC1503CT-ND	.30	.27	.23	BC1503TR-ND	122.76/M	2322 574 11003
14	18	19.8	25.7	40	30	0.1	BC1504CT-ND	.30	.27	.23	BC1504TR-ND	122.76/M	2322 574 11403
17	22	24.3	29.7	46	30	0.1	BC1505CT-ND	.30	.27	.23	BC1505TR-ND	122.76/M	2322 574 11703
20	26	29.7	38.6	56	80	0.3	BC1506CT-ND	.33	.29	.25	—	—	2322 574 12003
25	31	_	_	65	80	0.3	BC1507CT-ND	.30	.27	.23	BC1507TR-ND	122.76/M	2322 574 12503

StaticGuard Mehrschicht-Keramik-Varistor TVS Oberflächenmontage

ESE-Schutz für CMOS und Bi-Polar-Systeme

AVX StaticGuard-Bausteine werden mit derselben Mehrschichtkonstruktion wie die AVX TransGuard Stoßspannungsunterdrücker (TVS) hergestellt.

Die niedrige Kapazität der StaticGuard-Produkte machen sie ideal geeignet für ESE-Schutz für Hochgesch -windigkeits-Datenleitungen.

Der niedrige Leckstrom macht diese Bauteile optimal geeignet für batteriebetriebene Geräte.

Größe	Länge mm (Zoll) L	Breite mm (Zoll) W	Max. Stärke mm (Zoll) T
0603	1.60 (.063)	.80 (.031)	.90 (.035)
0805	2.01 (.079)	1.25 (.049)	1.02 (.040)
1206	3.20 (.126)	1.60 (.063)	1.02 (.040)

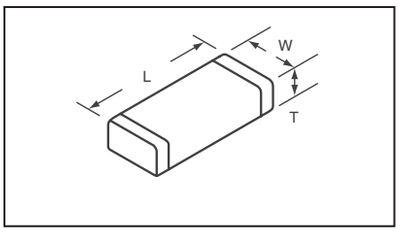

Größe	Betriebsspannung DC	Betriebsspannung AC	Begrenzer-spannung (V)	Max. Spitzennennstrom (A)	Typische Kapazität (pF)	Digi-Key Teilenr.	Stückpreis 1	Stückpreis 10	Stückpreis 100	Gegurtet auf Rolle* Größe	Gegurtet auf Rolle* Preisangaben	AVX Teilenr.
0603	18.0	14.0	50	30	50	478-2503-1-ND	.30	.28	.21	1,000	114.29	VC06LC18X500DP
0805	18.0	14.0	50	30	80	478-2515-1-ND	.28	.27	.20	1,000	108.36	VC08LC18A500DP
1206	18.0	14.0	50	30	200	478-2530-1-ND	.31	.30	.22	1,000	121.06	VC12LC18A500DP

*Für Gegurtet auf Rolle die Teilenr. von 1-ND in 2-ND ändern

MultiGuard Mehrschicht-Keramik-Varistor TVS Arrays

ESE-Schutz für CMOS und Bi-Polar-Systeme

Die TVS-Arrays von AVX eignen sich für viele Schaltkreisanwendungen der heutigen Zeit: obligatorischen ESE-Schutz und EMI-Steuerung, Signalintegritätsverbesserung, Verkleinerung der Karten, niedrigere Komponenten-Platzierungskosten und Schutz vor induzierten langsamen Stoßspannungen und -strömen. MultiGuard-Produkte bieten mehrere Vorteile, z. B. schnelleres Einschalten (<1 nS), wiederholte Anschlagsfähigkeit und Platzersparnisse.

Größe	L mm (Zoll)	W mm (Zoll)	Max. Stärke mm (Zoll) T	P mm (Zoll)
0612	1.60 (.063)	3.20 (.126)	1.22 (.048)	0.76 (.030)

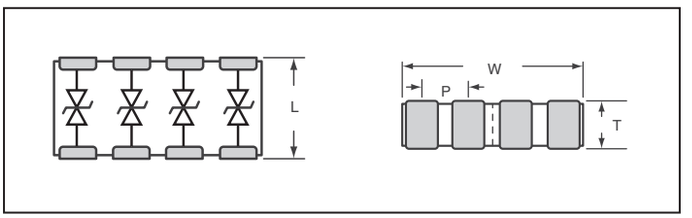

Größe	Betriebsspannung DC	Betriebsspannung AC	Durchbruch-spannung	Spitzennennstrom (A)	Typische Kapazität (pF)	Digi-Key Teilenr.	Stückpreis 1	Stückpreis 10	Stückpreis 100	Gegurtet auf Rolle* Größe	Gegurtet auf Rolle* Preisangaben	AVX Teilenr.
	5.6	4.0	8.5 ± 20%	30	825	478-2541-1-ND	1.42	1.33	1.00	1,000	549.44	MG064S05A150DP
	9.0	6.4	12.7 ± 15%	30	550	478-2481-1-ND	1.42	1.33	1.00	1,000	549.44	MG064S09A200DP
0612	14.0	10.0	19.5 ± 12%	30	425	478-2542-1-ND	1.42	1.33	1.00	1,000	549.44	MG064S14A300DP
	18.0	14.0	25.5 ± 10%	15	120	478-2543-1-ND	1.42	1.33	1.00	1,000	549.44	MG064S18A400DP
	≤18.0	≤14.0	N/A	20	75	478-2480-1-ND	1.35	1.26	.95	1,000	522.35	MG064L18X500DP

*Für Gegurtet auf Rolle die Teilenr. von 1-ND in 2-ND ändern

Mehrschichtiger Varistor TVS, oberflächenmontiert, mittlerer Leistungsbereich

ESE- und EMI-Schutzbausteine für Standard-, Telecom- und Automobilanwendungen

Die TVS-Arrays von AVX eignen sich für viele Schaltkreisanwendungen der heutigen Zeit: obligatorischen ESE-Schutz und EMI-Steuerung, Signalintegritätsverbesserung, Verkleinerung der Karten, niedrigere Komponenten-Platzierungskosten und Schutz vor induzierten langsamen Stoßspannungen und -strömen.

Spezifikationen:

• Lagertemperatur: -55 °C ~ 125 °C • Betriebstemperatur: -55 °C ~ 125 °C

Größe	L mm (Zoll)	I mm (Zoll)	t Max. mm (Zoll)
1210	3.20 (.126)	2.50 (.098)	1.70 (.067)
1812	4.50 (.177)	3.20 (.126)	1.70 (.067)
2220	5.70 (.224)	5.00 (.197)	1.70 (.067)

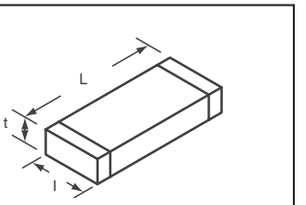

Standardserie:

Größe	Betriebsspannung (Vdc)	Vnom. @ 1 mA DC min.	Vnom. @ 1 mA DC nom.	Vnom. @ 1 mA DC max.	Max. Spitzenstrom 8 x 20µs	Typ. Kapazität @ 1 KHz/0,5 Vrms (pF)	Digi-Key Teilenr.	Stückpreis 1	Stückpreis 10	Stückpreis 100	Gegurtet auf Rolle* Größe	Gegurtet auf Rolle* Preisangaben	AVX Teilenr.
	18	21.5	24	26.5	500	3000	478-2536-1-ND	.70	.66	.50	2,000	270.91/M	VJ13MC0180KBA
	26	29.7	33	36.3	300	1120	478-2537-1-ND	.70	.66	.50	2,000	270.91/M	VJ13MC0260KBA
1210	30	35	39	43	220	1020	478-2538-1-ND	.70	.66	.50	2,000	270.91/M	VJ13MC0300KBA
	48	54.5	60.5	66.5	220	800	478-2539-1-ND	.70	.66	.50	2,000	270.91/M	VJ13MC0480KBA
	60	67	75	83	250	600	478-2540-1-ND	.70	.66	.50	2,000	270.91/M	VJ13MC0600KBA

Telecom-Serie:

Größe	Betriebsspannung Vrms	Betriebsspannung V DC	Vclamp (8 x 20 µs) Vp	Vclamp (8 x 20 µs) Ip	Max. Spitzenstrom 8 x 20 µs (A) 1 Serge	Typische Kapazität (pF)	Digi-Key Teilenr.	Stückpreis 1	Stückpreis 10	Stückpreis 100	Gegurtet auf Rolle* Größe	Gegurtet auf Rolle* Preisangaben	AVX Teilenr.
1812	60	85	200	45	400	400	478-2531-1-ND	.89	.83	.63	1,250	342.88/M	VC14MT0600KBA
	95	125	270	45	250	250	478-2532-1-ND	.89	.83	.63	1,000	342.87	VC14MT0950KBA

Automobil-Serie

Größe	Betriebsspannung Vrms	Betriebsspannung V DC	Vnom. @ 1 mA DC min.	Vnom. @ 1 mA DC nom.	Vnom. @ 1 mA DC max.	Max. Spitzenstrom 8 x 20 µs	Typische Kapazität (pF)	Digi-Key Teilenr.	Stückpreis 1	Stückpreis 10	Stückpreis 100	Gegurtet auf Rolle* Größe	Gegurtet auf Rolle* Preisangaben	AVX Teilenr.
	14	16	22	24.5	27	1200	11000	478-2533-1-ND	1.04	.97	.73	1,250	400.44/M	VC15MA0160KBA
2220	14	16	22	24.5	27	1200	16000	478-2535-1-ND	1.19	1.11	.83	1,250	457.17/M	VC15PA0160KBA
	30	34	42.3	47	51.7	1200	4000	478-2534-1-ND	1.04	.97	.73	1,250	400.44/M	VC15MA0340KBA

*Für Gegurtet auf Rolle die Teilenr. von 1-ND in 2-ND ändern

Alle Preisangaben in Euro und inklusive Zollgebühren.

TransFeed Mehrschicht-Keramik-Varistor TVS

TVS-Schutz und EMI-Dämpfung in einem einzigen Chip

AVX hat die besten elektrischen Merkmale der TransGuard TVS und der Feedthru-Kondensatoren in einem einzigen Chip kombiniert und einen supermodernen Überspannungsschaltkreisschutz und eine EMI-Reduzierung über einen breiten Frequenzbereich hinweg erzielt.

Die einzigartige Kombination von Mehrschicht-Keramikkonstruktion in einer Feedthru-Konfiguration gibt dem Schaltkreis-Designer einen einzigen 0805 Chip, der schneller als die heute erhältlichen TVS-Bausteine auf vorübergehende Events reagiert und im Aus-Zustand beachtliche EMI-Dämpfung bietet.

Typische Anwendungen:

• Fingerabdruck-ID-Schaltkreis • Magnetfeld-Schaltkreis • LCD-Armaturenbrett-Treiber

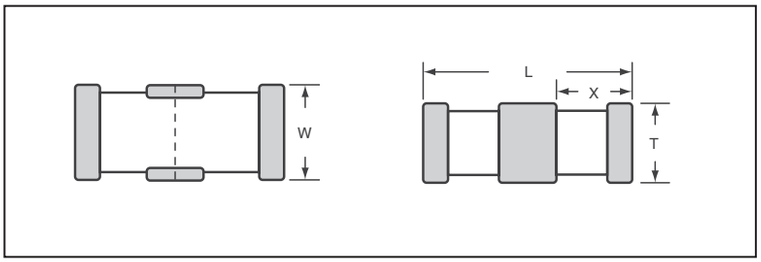

Größe	L mm (Zoll)	W mm (Zoll)	T mm (Zoll)	X mm (Zoll)
0805	2.01 (.079)	1.25 (.049)	1.143 (.045)	1.02 (.040)

Größe	Betriebsspannung DC	Betriebsspannung AC	Durchbruchspannung	Spitzen-nennstrom (A)	Typische Kapazität (pF)	Digi-Key Teilenr.	Stückpreis 1	Stückpreis 10	Stückpreis 100	Gegurtet auf Rolle* Größe	Gegurtet auf Rolle* Preisangaben	AVX Teilenr.
0805	5.6	4.0	8.5 ± 20%	30	800	478-2544-1-ND	.41	.38	.29	1,000	156.62	V2F105A150Y2EDP
	5.6	4.0	8.5 ± 20%	120	2500	478-2482-1-ND	.61	.57	.43	1,000	234.51	V2F105C150Y1FDP
	14.0	10.0	18.5 ± 12%	30	300	478-2483-1-ND	.41	.38	.29	1,000	156.62	V2F114A300Y2EDP
	14.0	10.0	18.5 ± 12%	120	900	478-2484-1-ND	.61	.57	.43	1,000	234.51	V2F114C300Y1FDP
	18.0	13.0	25.5 ± 10%	30	200	478-2485-1-ND	.41	.38	.29	1,000	156.62	V2F118A400Y2EDP
	18.0	13.0	25.5 ± 10%	120	500	478-2486-1-ND	.61	.57	.43	1,000	234.51	V2F118C400Y1FDP

*Für Gegurtet auf Rolle die Teilenr. von 1-ND in 2-ND ändern

TransGuard Mehrschicht-Keramik-Varistor TVS Oberflächenmontage

Die AVX TransGuard Stoßspannungsunterdrücker (TVS) stellen mit ihrer einzigartigen Mehrschichtkonstruktion den modernsten Überspannungsschutz heutzutage dar.

Monolithische Mehrschichtkonstruktion bietet Schutz vor Stoßspannungen aufgrund von ESE, Blitzschlag, NEMP, induktiver Schaltung usw.

Größe	Länge (L) mm (Zoll)	Breite (W) mm (Zoll)	Max. Stärke) (T) mm (Zoll)
0402	1.00 (.040)	.50 (.020)	.60 (.024)
0603	1.60 (.063)	.80 (.031)	.90 (.035)
0805	2.01 (.079)	1.25 (.049)	1.02 (.040)
1206	3.20 (.126)	1.60 (.063)	1.02 (.040)
1210	3.20 (.126)	2.49 (.098)	1.70 (.067)

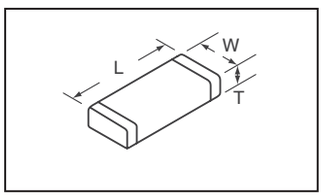

Größe	Betriebsspannung DC	Betriebsspannung AC	Durchbruch-spannung	Spitzen-nennstrom (A)	Typische Kapazität (pF)	Digi-Key Teilenr.	Stückpreis 1	Stückpreis 10	Stückpreis 100	Gegurtet auf Rolle* Größe	Gegurtet auf Rolle* Preisangaben	AVX Teilenr.
0402	5.6	4.0	8.5 ± 20%	20	175	478-2545-1-ND	.27	.25	.19	10,000	103.29/M	VC040205X150WP
	14.0	10.0	18.5 ± 12%	20	100	478-2497-1-ND	.27	.25	.19	10,000	103.29/M	VC040214X300WP
	18.0	13.0	25.5 ± 10%	20	65	478-2546-1-ND	.27	.25	.19	10,000	103.29/M	VC040218X400WP
0603	3.3	2.3	5.0 ± 20%	30	1450	478-2498-1-ND	.33	.31	.23	1,000	126.14	VC060303A100DP
	14.0	10.0	18.5 ± 12%	30	350	478-2499-1-ND	.33	.31	.23	1,000	126.14	VC060314A300DP
	18.0	13.0	25.5 ± 10%	30	150	478-2500-1-ND	.33	.31	.23	1,000	126.14	VC060318A400DP
	26.0	18.0	34.5 ± 10%	30	155	478-2501-1-ND	.33	.31	.23	1,000	126.14	VC060326A580DP
	30.0	21.0	41 ± 10%	30	125	478-2502-1-ND	.33	.31	.23	1,000	126.14	VC060330A650DP
0805	3.3	2.3	5.0 ± 20%	40	1400	478-2504-1-ND	.36	.33	.25	1,000	137.15	VC080503A100DP
	3.3	2.3	5.0 ± 20%	120	5000	478-2505-1-ND	.52	.49	.37	1,000	199.80	VC080503C100DP
	5.6	4.0	8.5 ± 20%	40	1100	478-2506-1-ND	.33	.31	.23	1,000	126.14	VC080505A150DP
	5.6	4.0	8.5 ± 20%	120	3000	478-2507-1-ND	.39	.36	.27	1,000	149.00	VC080505C150DP
	12.0	8.5	16 ± 15%	40	525	478-2508-1-ND	.33	.31	.23	1,000	126.14	VC080512A250DP
0805	14.0	10.0	18.5 ± 12%	40	325	478-2509-1-ND	.33	.31	.23	1,000	126.14	VC080514A300DP
	14.0	10.0	18.5 ± 12%	120	900	478-2510-1-ND	.39	.36	.27	1,000	149.00	VC080514C300DP
	18.0	13.0	25.5 ± 10%	30	225	478-2511-1-ND	.33	.31	.23	1,000	126.14	VC080518A400DP
	18.0	13.0	25.5 ± 10%	100	550	478-2512-1-ND	.39	.36	.27	1,000	149.00	VC080518C400DP
	26.0	18.0	34.5 ± 10%	30	120	478-2513-1-ND	.34	.32	.24	1,000	131.22	VC080526A580DP
	26.0	18.0	34.5 ± 10%	100	250	478-2514-1-ND	.39	.36	.27	1,000	149.00	VC080526C580DP
1206	5.6	4.0	8.5 ± 20%	40	1200	478-2516-1-ND	.45	.42	.32	1,000	171.86	VC120605A150DP
	5.6	4.0	8.5 ± 20%	150	3000	478-2517-1-ND	.59	.55	.42	1,000	228.58	VC120605D150DP
	14.0	10.0	18.5 ± 12%	40	600	478-2518-1-ND	.45	.42	.32	1,000	171.86	VC120614A300DP
	14.0	10.0	18.5 ± 12%	150	1050	478-2519-1-ND	.59	.55	.42	1,000	228.58	VC120614D300DP
	18.0	13.0	25.5 ± 10%	30	350	478-2520-1-ND	.45	.42	.32	1,000	171.86	VC120618A400DP
1206	18.0	13.0	25.5 ± 10%	150	900	478-2521-1-ND	.59	.55	.42	1,000	228.58	VC120618D400DP
	26.0	18.0	34.5 ± 10%	120	500	478-2522-1-ND	.59	.55	.42	1,000	228.58	VC120626D580DP
	30.0	21.0	41 ± 10%	120	400	478-2523-1-ND	.59	.55	.42	1,000	228.58	VC120630D650DP
	48.0	34.0	62 ± 10%	100	225	478-2524-1-ND	.59	.55	.42	1,000	228.58	VC120648D101DP
1210	18.0	13.0	25.5 ± 10%	500	3100	478-2525-1-ND	.92	.86	.65	1,000	354.73	VC121018J390DP
	26.0	18.0	34.5 ± 10%	300	2150	478-2526-1-ND	.80	.75	.56	1,000	309.01	VC121026H560DP
	30.0	21.0	39.0 ± 10%	280	1975	478-2527-1-ND	.80	.75	.56	1,000	309.01	VC121030H620DP
	48.0	34.0	62 ± 10%	250	500	478-2528-1-ND	.80	.75	.56	1,000	309.01	VC121048H101DP
	60.0	42.0	76 ± 10%	250	400	478-2529-1-ND	.80	.75	.56	1,000	309.01	VC121060J121DP

*Für Gegurtet auf Rolle die Teilenr. von 1-ND in 2-ND ändern

TransGuard Mehrschicht-Keramik-Varistor TVS mit Ableitung

Die AVX TransGuard Stoßspannungsunterdrücker (TVS) stellen mit ihrer einzigartigen Mehrschichtkonstruktion den modernsten Überspannungsschutz heutzutage dar.

Monolithische Mehrschichtkonstruktion bietet Schutz vor Stoßspannungen aufgrund von ESE, Blitzschlag, NEMP, induktiver Schaltung usw.

Größe	Max. Länge (L) mm (Zoll)	Max. Durchmesser (D) mm (Zoll)
1000	4.32 (.170)	2.54 (.100)
2000	4.83 (.190)	3.56 (.140)

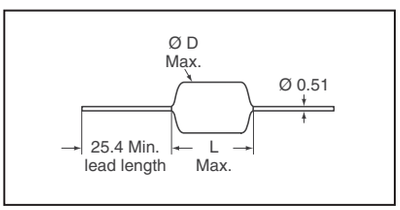

Größe	Betriebsspannung DC	Betriebsspannung AC	Durchbruch-spannung	Spitzen-nennstrom (A)	Typische Kapazität (pF)	Digi-Key Teilenr.	Stückpreis 1	Stückpreis 10	Stückpreis 100	Gegurtet auf Rolle* Größe	Gegurtet auf Rolle* Preisangaben	AVX Teilenr.
1000	5.6	4.0	8.5 ±20%	40	1000	478-2487-1-ND	.30	.28	.25	1,000	182.87	VA100005A150DL
	5.6	4.0	8.5 ± 20%	150	2800	478-2488-1-ND	.35	.31	.28	1,000	205.72	VA100005D150DL
	14.0	10.0	18.5 ± 12%	40	325	478-2489-1-ND	.30	.28	.25	1,000	182.87	VA100014A300DL
	14.0	10.0	18.5 ± 12%	150	1100	478-2490-1-ND	.35	.31	.28	1,000	205.72	VA100014D300DL
	18.0	13.0	25.5 ± 10%	40	350	478-2491-1-ND	.30	.28	.25	1,000	182.87	VA100018A400DL
	18.0	13.0	25.5 ± 10%	150	900	478-2492-1-ND	.35	.31	.28	1,000	205.72	VA100018D400DL
	26.0	18.0	34.5 ± 10%	120	650	478-2493-1-ND	.35	.31	.28	1,000	205.72	VA100026D580DL
	30.0	21.0	41.0 ±10%	120	550	478-2494-1-ND	.35	.31	.28	1,000	205.72	VA100030D650DL
	48.0	34.0	62.0 ± 10%	100	200	478-2495-1-ND	.35	.31	.28	1,000	205.72	VA100048D101DL
2000	60.0	42.0	76.0 ± 10%	300	400	478-2496-1-ND	.47	.43	.39	1,000	286.15	VA200060K121DL

*Für Gegurtet auf Rolle die Teilenr. von 1-ND in 2-ND ändern

Microsemi Stoßspannungsunterdrückungs-Arrays

SO-8-Paket

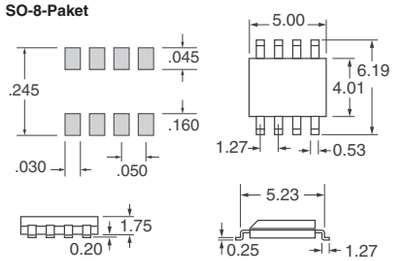

SO-16-Paket

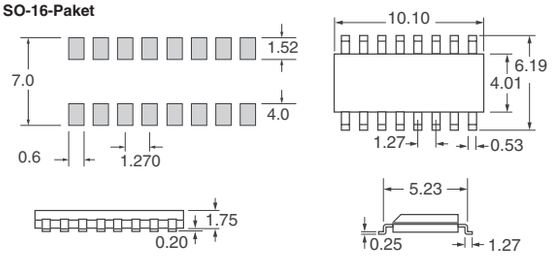

Abb.	Max. Sperrspannung VRWM (V)	Durchbruchspannung V_{BR} @ VBR = min. 1 mA (V)	Begrenzerspannung Vc @ max. 1 A (V)	Leckstrom $-I_D$@ max. VR_{WM} (µA)	Typ. Kapazität (f-1 MHz) @ 0 V C (pf)	Temp. Max. Koeffizient von VBR aVBR mV/°C	Digi-Key Teilenr.	Gurtabschnittspreis pro Stück 1	10	100	Preis. f. G. a. R.‡ 2.500	Microsemi Teilenr.
Serie SMDA, unidirektional, und Serie SMDAxxC, bidirektional — 300 Watt												
	3.3	4	6.5	125	800	-3	SMDA03MSCT-ND	2.90	2.62	2.18	—	SMDA03
	5.0	6.0	9.8	100	600	3	SMDA05MSCT-ND	2.90	2.62	2.18	964.97/M	SMDA05
1	12.0	13.3	19.0	1	185	10	SMDA12MSCT-ND	3.25	2.93	2.44	—	SMDA12
	15.0	16.7	24.0	1	140	13	SMDA15MSCT-ND	2.90	2.62	2.18	964.97/M	SMDA15
	24.0	26.7	43.0	1	90	30	SMDA24MSCT-ND	3.25	2.93	2.44	—	SMDA24
1	5.0	6.0	9.8	100	300	1	SMDA05CMSCT-ND	3.17	2.86	2.38	1055.05/M	SMDA05C
	15.0	16.7	24.0	1	70	11	SMDA15CMSCT-ND	3.17	2.86	2.38	1055.05/M	SMDA15C
Serie SMDB, unidirektional, und Serie SMDBxxC, bidirektional — 500 W												
	15.0	16.7	24.0	2	140	13	SMDB15MSCT-ND	3.66	3.30	2.75	—	SMDB15
1	24.0	26.7	43.0	2	90	30	SMDB24MSCT-ND	3.66	3.30	2.75	—	SMDB24
	12.0	13.3	17.5	1	95	8	SMDB12CMSCT-ND	3.62	3.27	2.73	1205.93/M	SMDB12C
Serie SMDAxxC-5, bidirektional — 300 W												
2	3.3	4	6.5	200	300	-5	SMDA03C-5MSCT-ND	3.59	3.24	2.70	—	SMDA03C-5
	24	26.7	43	1	35	30	SMDA24C-5MSCT-ND	3.59	3.24	2.70	—	SMDA24C-5
Serie SMDAxx-6, unidirektional — 300 W												
	3.3	4	6.5	200	800	-3	SMDA03-6MSCT-ND	3.20	2.89	2.41	1065.18/M	SMDA03-6
3	5.0	6.0	9.8	100	550	3	SMDA05-6MSCT-ND	3.20	2.89	2.41	1065.18/M	SMDA05-6
	24	26.7	43	1	88	30	SMDA24-6MSCT-ND	3.59	3.24	2.70	—	SMDA24-6
Serie SMDAxxC-7, bidirektional — 300 W												
	3.3	4.5	7.0	200	300	-5	SMDA03C-7MSCT-ND	3.66	3.30	2.75	—	SMDA03C-7
4	5.0	6.0	9.8	100	200	1	SMDA05C-7MSCT-ND	3.66	3.30	2.75	—	SMDA05C-7
	12	13.3	19	1	75	8	SMDA12C-7MSCT-ND	3.27	2.94	2.45	1085.45/M	SMDA12C-7
Serie SM8LCxx, bidirektional — 500 W												
	3.3	4	6.5	200	25	-3	SM8LC03MSCT-ND	3.27	2.94	2.45	1085.45/M	SM8LC03
5	5.0	6.0	9.8	125	25	3	SM8LC05MSCT-ND	3.27	2.94	2.45	1085.45/M	SM8LC05
	12	13.3	17.5	1	25	10	SM8LC12MSCT-ND	3.66	3.30	2.75	—	SM8LC12
	24	26.7	43	2	25	30	SM8LC24MSCT-ND	3.66	3.30	2.75	—	SM8LC24
Serie USB08xxC, bidirektional — 500 W												
6	24	26.7	47.5	1	5	30	USB50824CMSCT-ND	4.37	3.94	3.28	—	USB50824C
Serie SM16, unidirektional, und Serie SM16xxC, bidirektional — 300 W												
	24	26.7	43	2	275	30	SM1624MSCT-ND	4.57	4.12	3.43	—	SM1624
7	3.3	4	7.0	200	425	-5	SM1603CMSCT-ND	5.08	4.58	3.81	—	SM1603C
	24	26.7	43	2	137	28	SM1624CMSCT-ND	5.08	4.58	3.81	—	SM1624C
Serie SM16LCxx, unidirektional, und Serie SM16LCxxC, bidirektional — 300 W												
8	12	13.3	19.5	2	25	8	SM16LC12CMSCT-ND	4.77	4.31	3.59	2986.38/M	SM16LC12C
	24	26.7	43	2	25	28	SM16LC24CMSCT-ND	6.50	5.86	4.88	—	SM16LC24C

‡ Für Gegurtet auf Rolle die Teilenr. CT in TR umändern

Abb. 1

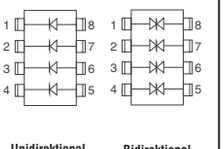

Unidirektional Bidirektional

Merkmale: • Schützt Komponenten 3,0/3,3 bis zu 24 V • Schützt 4 Leitungen, unidirektional oder bidirektional • Bietet elektrisch isolierten Schutz • SO-8-Paket

Abb. 2

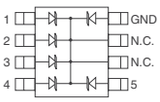

Merkmale: • Schützt bis zu 5 bidirektionale Leitungen • Überspannungsschutz gemäß IEC 1000-4-2, 1000-4-4 • SO-8-Paket

Abb. 3

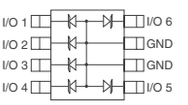

Merkmale: • Schützt bis zu 6 unidirektionale Leitungen • Überspannungsschutz gemäß IEC 1000-4-2, 1000-4-4 • SO-8-Paket

Abb. 4

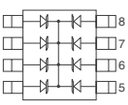

Merkmale: • Schützt bis zu 7 bidirektionale Leitungen • Überspannungsschutz gemäß IEC 1000-4-2, 1000-4-4 • SO-8-Paket

Abb. 5

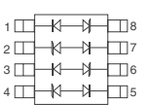

Merkmale: • Schützt bis zu 2 bidirektionale Leitungen • Überspannungsschutz gemäß IEC 1000-4-2, 1000-4-4 • Bietet elektrisch isolierten Schutz • SO-8-Paket • Niedrige Kapazität von 25 pF pro Leitungspaar

Abb. 6

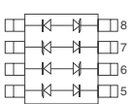

Merkmale: • Schützt bis zu 2bidirektionale Leitungen • Überspannungsschutz gemäß IEC 1000-4-2, 1000-4-4 • Bietet elektrisch isolierten Schutz • SO-8-Paket • Ultraniedrige Kapazität von 5 pF pro Leitungspaar •Ultraniedriger Leckstrom

Abb. 7

Merkmale:

- Schützt Komponenten 3,0/3,3 bis zu 24 V
- Schützt 8 Leitungen, unidirektional oder bidirektional
- Bietet elektrisch isolierten Schutz
- SO-16-Paket

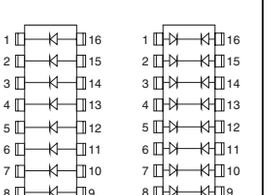

Unidirektional Bidirektional

Abb. 8

Merkmale:

- Schützt Komponenten 3,0/3,3 bis zu 24 V
- Schützt 8 Leitungen, bidirektional
- Bietet elektrisch isolierten Schutz
- SO-16-Paket

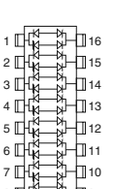

G

ROHM ESE-Schutzdioden

Abb. 1

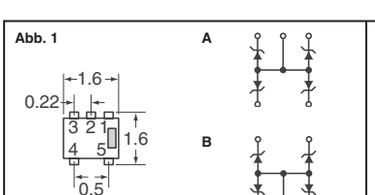

Abb. 2

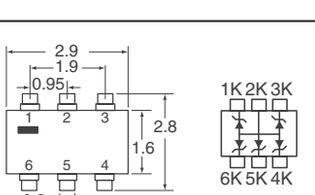

Abb. 3

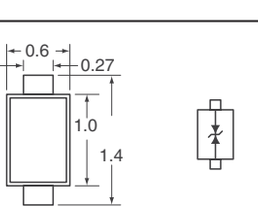

Abb. 4

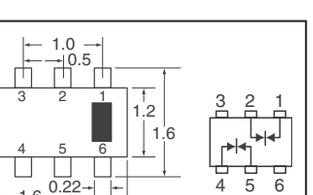

Abb.	Max. Zener-Spannung Vz, (V)	Max. Rückstrom IR (µA)	Max. Durchlassspannung VF, (V)	Sperrschichtkapazität Ct (pF) (Typ.)	Paket	Digi-Key Teilenr.	Gurtabschnittspreis pro Stück 1	25	100	Digi-Key Teilenr.	Gegurtet auf Rolle Größe	Preisangaben	Rohm Teilenr.
1A	7.20	1.0	1.0	35	SC-75A	RSA6.1J4T2RCT-ND	.37	.29	.21	RSA6.1J4T2RTR-ND	8,000	90.59/M	RSA6.1J4T2R
1B	7.20	1.0	1.25	90	SOT-353	RSA6.1ENCT-ND	.39	.31	.22	RSA6.1ENTR-ND	3,000	102.44/M	RSA6.1ENTR
2	7.20	1.0	1.25	90	SMD6	RSA6.1U5T108CT-ND	.37	.29	.21	RSA6.1U5T108TR-ND	3,000	96.52/M	RSA6.1U5T108
3	7.82	0.5	—	15	VMD2	RSB6.8GT2RCT-ND	.37	.29	.21	RSB6.8GT2RTR-ND	8,000	90.59/M	RSB6.8GT2R
3	7.82	0.5	—	30	SOD-523	RSB6.8STE61CT-ND	.39	.31	.22	RSB6.8STE61TR-ND	3,000	102.44/M	RSB6.8STE61
4	14.4	0.1	—	1	EMD6	RSB12JS2T2RCT-ND	.47	.36	.26	RSB12JS2T2RTR-ND	8,000	115.14/M	RSB12JS2T2R

Alle Preisangaben in Euro und inklusive Zollgebühren.

Stoßspannungsunterdrücker

Anwendungen: Diese Stoßspannungsunterdrücker-Bauelemente bieten dem Schaltkreisdesigner eine preiswerte Art und Weise des Schutzes für spannungsempfindliche Komponenten vor den destruktiven Effekten angewandter Übergangsspannungen, indem sie praktisch sofortige Reaktionszeiten von einer Picosekunde verzeichnen. **Merkmale:** • 500 W, 600 W und 1.500 W Impulsspitzen-Verlustleistung • Schnelle Reaktionszeit – 1 Picosekunde • Uni- und bidirektionale Einheiten sind erhältlich • Glaspassivierte Gusskonstruktion **Mechanische Daten:** • **Gehäuse:** Epoxid-Spritzpressmasse • **Gehäusematerial:** Entflammbarkeitsstufe UL 94V-0 •**Anschlüsse:** Lötbar gemäß MIL-STD-202, Methode 208 • **Löttemperatur:** max. 260 °C, 3/8" (9,53 mm) vom Gehäuse, 10 Sekunden • **Markierung:** Typnummer und Kathodenband

500 W und 600 W

DO-15 OUTLINE

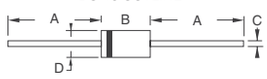

DO-15 — Zoll (mm)		
Abmessung	**Minimum**	**Maximum**
A	1.00 (25.40)	—
B	.216 (5.50)	.30 (7.62)
C	.027 (0.686)	.035 (0.889)
D	.102 (2.60)	.142 (3.6)

Maximume Nennwerte: • Impulsspitzen-Verlustleistung @ 25 °C: 500 W und 600 W. • Stationäre Verlustleistung bei 75 °C Leitungstemperatur, 3/8" (9,53 mm) vom Körper: 2,5 W • Klemmzeit (0 Volt ~ min. BV): Unidirektional – $<1x10^{-12}$ Sekunden; bidirektional: $<5x10^{-9}$ Sekunden • Lager- und Betriebstemperatur: -65 °C ~ 175 °C

1.500 W

DO-201 Outline

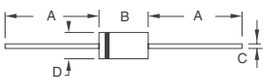

DO-201 — Zoll (mm)		
Abmessung	**Minimum**	**Maximum**
A	1.00 (25.40)	—
B	.335 (8.50)	.375 (9.53)
C	.037 (0.96)	.041 (1.06)
D	.189 (4.80)	.205 (5.21)

Maximume Nennwerte: • Impulsspitzen-Verlustleistung @ 25 °C: 1.500 W • Stationäre Verlustleistung @ 75 °C Leitungstemperatur, 3/8" (9,53 mm) vom Körper: 5 W • Vorwärts-Überspannungsstrom, 50 ms @ 25 °C: 200 A • Klemmzeit (0 Volt ~ min. BV): Unidirektional – $<1x10^{-12}$ Sekunden; bidirektional: $<5x10^{-9}$ Sekunden • Lager- und Betriebstemperatur: -65 °C ~ 175 °C

Durchlassspannung (VBR) @ I_T			I_T	Nennsperr-spannung	DC Rückfluss-sperrleckstrom	Digi-Key	Gurtabschnittspreise			Digi-Key	Gegurtet auf Rolle		Diodes
Minimum	Nominal	Maximum	(mADC)	(VRWM)	@ VRWM	Teilenr.	1	10	100	Teilenr.	1.000	4.000	Teilenr.
500 W, unidirektional (DO-15)													
6.4	—	7.00	10	5.0	600 µA	SA5V0ADICT-ND	.40	3.15	23.62	SA5V0ADITR-ND	—	118.53/M	SA5V0ADI
6.67	—	7.37	10	6.0	600 µA	SA6V0ADICT-ND	.40	3.15	23.62	SA6V0ADITR-ND	—	118.53/M	SA6V0ADI
7.22	—	7.98	10	6.5	400 µA	SA6V5ADICT-ND	.40	3.15	23.62	SA6V5ADITR-ND	—	118.53/M	SA6.5ADI
11.1	—	12.3	1	10	3 µA	SA10ADICT-ND	.40	3.15	23.62	SA10ADITR-ND	—	118.53/M	SA10ADI
13.3	—	14.7	1	12	3 µA	SA12ADICT-ND	.40	3.15	23.62	SA12ADITR-ND	—	118.53/M	SA12ADI
16.7	—	18.5	1	15	3 µA	SA15ADICT-ND	.40	3.15	23.62	SA15ADITR-ND	—	118.53/M	SA15ADI
22.2	—	24.5	1	20	3 µA	SA20ADICT-ND	.40	3.15	23.62	SA20ADITR-ND	—	118.53/M	SA20ADI
33.3	—	36.8	1	30	3 µA	SA30ADICT-ND	.40	3.15	23.62	SA30ADITR-ND	—	118.53/M	SA30ADI
500 W, bidirektional (DO-15)													
6.67	—	7.37	10	6.0	600 µA	SA6V0CADICT-ND	.47	3.76	28.19	SA6V0CADITR-ND	—	141.39/M	SA6.0CADI
7.22	—	7.98	10	6.5	400 µA	SA6V5CADICT-ND	.47	3.76	28.19	SA6V5CADITR-ND	—	141.39/M	SA6.5CADI
11.1	—	12.3	1	10	3 µA	SA10CADICT-ND	.47	3.76	28.19	SA10CADITR-ND	—	141.39/M	SA10CADI
13.3	—	14.7	1	12	3 µA	SA12CADICT-ND	.47	3.76	28.19	SA12CADITR-ND	—	141.39/M	SA12CADI
16.7	—	18.5	1	15	3 µA	SA15CADICT-ND	.47	3.76	28.19	SA15CADITR-ND	—	141.39/M	SA15CADI
22.2	—	24.5	1	20	3 µA	SA20CADICT-ND	.47	3.76	28.19	SA20CADITR-ND	—	141.39/M	SA20CADI
33.3	—	36.8	1	30	3 µA	SA30CADICT-ND	.47	3.76	28.19	SA30CADITR-ND	—	141.39/M	SA30CADI
600 W, unidirektional (DO-15)													
6.45	6.8	7.14	10	5.8	1000 µA	P6KE6.8ADICT-ND	.40	3.15	23.62	P6KE6.8ADITR-ND	—	118.53/M	P6KE6.8A
7.13	7.5	7.88	10	6.4	500 µA	P6KE7.5ADICT-ND	.40	3.15	23.62	P6KE7.5ADITR-ND	—	118.53/M	P6KE7.5A
7.79	8.2	8.61	10	7.02	200 µA	P6KE8.2ADICT-ND	.40	3.15	23.62	P6KE8.2ADITR-ND	—	118.53/M	P6KE8.2A
9.5	10.0	10.5	1	8.55	10 µA	P6KE10ADICT-ND	.40	3.15	23.62	P6KE10ADITR-ND	—	118.53/M	P6KE10A
11.4	12.0	12.6	1	10.2	5 µA	P6KE12ADICT-ND	.40	3.15	23.62	P6KE12ADITR-ND	—	118.53/M	P6KE12A
14.3	15.0	15.8	1	12.8	5 µA	P6KE15ADICT-ND	.40	3.15	23.62	P6KE15ADITR-ND	—	118.53/M	P6KE15A
19.0	20.0	21.0	1	17.1	5 µA	P6KE20ADICT-ND	.40	3.15	23.62	P6KE20ADITR-ND	—	118.53/M	P6KE20A
22.8	24.0	25.2	1	20.5	5 µA	P6KE24ADICT-ND	.40	3.15	23.62	P6KE24ADITR-ND	—	118.53/M	P6KE24A
25.7	27.0	28.4	1	23.1	5 µA	P6KE27ADICT-ND	.40	3.15	23.62	P6KE27ADITR-ND	—	118.53/M	P6KE27A
28.5	30.0	31.5	1	25.5	5 µA	P6KE30ADICT-ND	.40	3.15	23.62	P6KE30ADITR-ND	—	118.53/M	P6KE30A
31.4	33.0	34.7	1	28.2	5 µA	P6KE33ADICT-ND	.40	3.15	23.62	P6KE33ADITR-ND	—	118.53/M	P6KE33A
48.5	51.0	53.6	1	43.6	5 µA	P6KE51ADICT-ND	.40	3.15	23.62	P6KE51ADITR-ND	—	118.53/M	P6KE51A
64.6	68.0	71.4	1	58.1	5 µA	P6KE68ADICT-ND	.40	3.15	23.62	P6KE68ADITR-ND	—	118.53/M	P6KE68A
600 W, bi-direktional (DO-15)													
6.45	6.8	7.14	10	5.8	1000 µA	P6KE6.8CADICT-ND	.47	3.76	28.19	P6KE6.8CADITR-ND	—	141.39/M	P6KE6.8CA
7.13	7.5	7.88	10	6.4	500 µA	P6KE7.5CADICT-ND	.47	3.76	28.19	P6KE7.5CADITR-ND	—	141.39/M	P6KE7.5CA
7.79	8.2	8.61	10	7.02	200 µA	P6KE8.2CADICT-ND	.47	3.76	28.19	P6KE8.2CADITR-ND	—	141.39/M	P6KE8.2CA
9.5	10.0	10.5	1	8.55	10 µA	P6KE10CADICT-ND	.47	3.76	28.19	P6KE10CADITR-ND	—	141.39/M	P6KE10CA
11.4	12.0	12.6	1	10.2	5 µA	P6KE12CADICT-ND	.47	3.76	28.19	P6KE12CADITR-ND	—	141.39/M	P6KE12CA
14.3	15.0	15.8	1	12.8	5 µA	P6KE15CADICT-ND	.47	3.76	28.19	P6KE15CADITR-ND	—	141.39/M	P6KE15CA
19.0	20.0	21.0	1	17.1	5 µA	P6KE20CADICT-ND	.47	3.76	28.19	P6KE20CADITR-ND	—	141.39/M	P6KE20CA
22.8	24.0	25.2	1	20.5	5 µA	P6KE24CADICT-ND	.47	3.76	28.19	P6KE24CADITR-ND	—	141.39/M	P6KE24CA
25.7	27.0	28.4	1	23.1	5 µA	P6KE27CADICT-ND	.47	3.76	28.19	P6KE27CADITR-ND	—	141.39/M	P6KE27CA
28.5	30.0	31.5	1	25.5	5 µA	P6KE30CADICT-ND	.47	3.76	28.19	P6KE30CADITR-ND	—	141.39/M	P6KE30CA
31.4	33.0	34.7	1	28.2	5 µA	P6KE33CADICT-ND	.47	3.76	28.19	P6KE33CADITR-ND	—	141.39/M	P6KE33CA
48.5	51.0	53.6	1	43.6	5 µA	P6KE51CADICT-ND	.47	3.76	28.19	P6KE51CADITR-ND	—	141.39/M	P6KE51CA
64.6	68.0	71.4	1	58.1	5 µA	P6KE68CADICT-ND	.47	3.76	28.19	P6KE68CADITR-ND	—	141.39/M	P6KE68CA
95.0	100.0	105.0	1	85.5	5 µA	P6KE100CADICT-ND	.47	3.76	28.19	P6KE100CADITR-ND	—	141.39/M	P6KE100CA
143.0	150.0	158.0	1	128.0	5 µA	P6KE150CADICT-ND	.47	3.76	28.19	P6KE150CADITR-ND	—	141.39/M	P6KE150CA
1.500 W, unidirektional (DO-201)													
6.45	6.8	7.14	10	5.8	1000 µA	1.5KE6.8ADICT-ND	.58	4.69	35.15	1.5KE6.8ADITR-ND	212.50	—	1.5KE6.8A
7.13	7.5	7.88	10	6.4	500 µA	1.5KE7.5ADICT-ND	.58	4.69	35.15	1.5KE7.5ADITR-ND	212.50	—	1.5KE7.5A
7.79	8.2	8.61	10	7.02	200 µA	1.5KE8.2ADICT-ND	.58	4.69	35.15	1.5KE8.2ADITR-ND	212.50	—	1.5KE8.2A
9.5	10.0	10.5	1	8.55	10 µA	1.5KE10ADICT-ND	.58	4.69	35.15	1.5KE10ADITR-ND	212.50	—	1.5KE10A
11.4	12.0	12.6	1	10.2	5 µA	1.5KE12ADICT-ND	.58	4.69	35.15	1.5KE12ADITR-ND	212.50	—	1.5KE12A
14.3	15.0	15.8	1	12.8	5 µA	1.5KE15ADICT-ND	.58	4.69	35.15	1.5KE15ADITR-ND	212.50	—	1.5KE15A
19.0	20.0	21.0	1	17.1	5 µA	1.5KE20ADICT-ND	.58	4.69	35.15	1.5KE20ADITR-ND	212.50	—	1.5KE20A
22.8	24.0	25.2	1	20.5	5 µA	1.5KE24ADICT-ND	.58	4.69	35.15	1.5KE24ADITR-ND	212.50	—	1.5KE24A
25.7	27.0	28.4	1	23.1	5 µA	1.5KE27ADICT-ND	.58	4.69	35.15	1.5KE27ADITR-ND	212.50	—	1.5KE27A
28.5	30.0	31.5	1	25.5	5 µA	1.5KE30ADICT-ND	.58	4.69	35.15	1.5KE30ADITR-ND	212.50	—	1.5KE30A
31.4	33.0	34.7	1	28.2	5 µA	1.5KE33ADICT-ND	.58	4.69	35.15	1.5KE33ADITR-ND	212.50	—	1.5KE33A
48.5	51.0	53.6	1	43.6	5 µA	1.5KE51ADICT-ND	.58	4.69	35.15	1.5KE51ADITR-ND	212.50	—	1.5KE51A
64.6	68.0	71.4	1	58.1	5 µA	1.5KE68ADICT-ND	.58	4.69	35.15	1.5KE68ADITR-ND	212.50	—	1.5KE68A
1.500 W, bidirektional (DO-201)													
6.45	6.8	7.14	10	5.8	1000 µA	1.5KE6.8CADICT-ND	.63	5.04	37.79	1.5KE6.8CADITR-ND	228.58	—	1.5KE6.8CA
7.13	7.5	7.88	10	6.4	500 µA	1.5KE7.5CADICT-ND	.63	5.04	37.79	1.5KE7.5CADITR-ND	228.58	—	1.5KE7.5CA
7.79	8.2	8.61	10	7.02	200 µA	1.5KE8.2CADICT-ND	.63	5.04	37.79	1.5KE8.2CADITR-ND	228.58	—	1.5KE8.2CA
9.5	10.0	10.5	1	8.55	10 µA	1.5KE10CADICT-ND	.63	5.04	37.79	1.5KE10CADITR-ND	228.58	—	1.5KE10CA
11.4	12.0	12.6	1	10.2	5 µA	1.5KE12CADICT-ND	.63	5.04	37.79	1.5KE12CADITR-ND	228.58	—	1.5KE12CA
14.3	15.0	15.8	1	12.8	5 µA	1.5KE15CADICT-ND	.63	5.04	37.79	1.5KE15CADITR-ND	228.58	—	1.5KE15CA
19.0	20.0	21.0	1	17.1	5 µA	1.5KE20CADICT-ND	.63	5.04	37.79	1.5KE20CADITR-ND	228.58	—	1.5KE20CA
22.8	24.0	25.2	1	20.5	5 µA	1.5KE24CADICT-ND	.63	5.04	37.79	1.5KE24CADITR-ND	228.58	—	1.5KE24CA
25.7	27.0	28.4	1	23.1	5 µA	1.5KE27CADICT-ND	.63	5.04	37.79	1.5KE27CADITR-ND	228.58	—	1.5KE27CA
28.5	30.0	31.5	1	25.5	5 µA	1.5KE30CADICT-ND	.63	5.04	37.79	1.5KE30CADITR-ND	228.58	—	1.5KE30CA
31.4	33.0	34.7	1	28.2	5 µA	1.5KE33CADICT-ND	.63	5.04	37.79	1.5KE33CADITR-ND	228.58	—	1.5KE33CA
48.5	51.0	53.6	1	43.6	5 µA	1.5KE51CADICT-ND	.63	5.04	37.79	1.5KE51CADITR-ND	228.58	—	1.5KE51CA
64.6	68.0	71.4	1	58.1	5 µA	1.5KE68CADICT-ND	.63	5.04	37.79	1.5KE68CADITR-ND	228.58	—	1.5KE68CA
95.0	100.0	105.0	1	85.5	5 µA	1.5KE100CADICT-ND	.63	5.04	37.79	1.5KE100CADITR-ND	228.58	—	1.5KE100CA
143.0	150.0	158.0	1	128.0	5 µA	1.5KE150CADICT-ND	.63	5.04	37.79	1.5KE150CADITR-ND	228.58	—	1.5KE150CA

G

SMB, Überspannungsschutzgerät mit bidirektionalem Thyristor

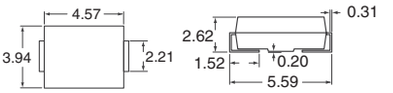

Merkmale: • 58 V - 320 V Sperrspannungen • Mit Oxidglas passivierte Sperrschicht • Bidirektioner Schutz in einem einzelnen Bauelement • Hohe Impedanz (Aus-Zustand) und niedrige Spannung (Ein-Zustand) **Mechanische Daten:** • **Gehäuse:** SMB, geformter Kunststoff • **Gehäusematerial:** Entflammbarkeitsstufe UL 94V-0

Nicht repetitiver Spitzenimpuls-strom (A) 10/1.000 µs	Zulässige repetitive Spannung (Aus-Status) VDRM (V)	Leckstrom (Aus-Zustand) @ VDRM IDRM (µA)	Kippspannung VBO (V)	Haltestrom IH (mA) Min.	Haltestrom IH (mA) Max.	Kapazität (Aus-Status) Co (pF)	Digi-Key Teilenr.	Gurtabschnittspreis pro Stück 1	10	100	Digi-Key Teilenr.	Gegurtet auf Rolle 3.000	Diodes Teilenr.
	58	5	77	150	800	100	TB0640LDICT-ND	.89	.77	.60	TB0640LDITR-ND	314.94/M	TB0640L-13
	65	5	88	150	800	100	TB0720LDICT-ND	.89	.77	.60	TB0720LDITR-ND	314.94/M	TB0720L-13
	75	5	98	150	800	100	TB0900LDICT-ND	.89	.77	.60	TB0900LDITR-ND	314.94/M	TB0900L-13
	90	5	130	150	800	60	TB1100LDICT-ND	.89	.77	.60	TB1100LDITR-ND	314.94/M	TB1100L-13
	120	5	160	150	800	60	TB1300L-FDICT-ND◊	.89	.77	.60	TB1300L-FDITR-ND◊	314.94/M	TB1300L-13-F
30	140	5	180	150	800	60	TB1500LDICT-ND	.89	.77	.60	TB1500LDITR-ND	314.94/M	TB1500L-13
	160	5	220	150	800	60	TB1800LDICT-ND	.89	.77	.60	TB1800LDITR-ND	314.94/M	TB1800L-13
	190	5	265	150	800	40	TB2300LDICT-ND	.89	.77	.60	TB2300LDITR-ND	314.94/M	TB2300L-13
	220	5	300	150	800	40	TB2600LDICT-ND	.89	.77	.60	TB2600LDITR-ND	314.94/M	TB2600L-13
	275	5	350	150	800	40	TB3100LDICT-ND	.89	.77	.60	TB3100LDITR-ND	314.94/M	TB3100L-13
	320	5	400	150	800	40	TB3500LDICT-ND	.89	.77	.60	TB3500LDITR-ND	314.94/M	TB3500L-13
	58	5	77	150	800	140	TB0640MDICT-ND	.96	.83	.64	TB0640MDITR-ND	337.80/M	TB0640M-13
	65	5	88	150	800	140	TB0720MDICT-ND	.96	.83	.64	TB0720MDITR-ND	337.80/M	TB0720M-13
	75	5	98	150	800	140	TB0900MDICT-ND	.96	.83	.64	TB0900MDITR-ND	337.80/M	TB0900M-13
	90	5	130	150	800	90	TB1100MDICT-ND	.96	.83	.64	TB1100MDITR-ND	337.80/M	TB01100M-13
	120	5	160	150	800	90	TB1300MDICT-ND	.96	.83	.64	TB1300MDITR-ND	337.80/M	TB1300M-13
50	140	5	180	150	800	90	TB1500MDICT-ND	.96	.83	.64	TB1500MDITR-ND	337.80/M	TB1500M-13
	160	5	220	150	800	90	TB1800MDICT-ND	.96	.83	.64	TB1800MDITR-ND	337.80/M	TB1800M-13
	190	5	265	150	800	60	TB2300MDICT-ND	.96	.83	.64	TB2300MDITR-ND	337.80/M	TB2300M-13
	220	5	300	150	800	60	TB2600MDICT-ND	.96	.83	.64	TB2600MDITR-ND	337.80/M	TB2600M-13
	275	5	350	150	800	60	TB3100MDICT-ND	.96	.83	.64	TB3100MDITR-ND	337.80/M	TB3100M-13
	320	5	400	150	800	60	TB3500MDICT-ND	.96	.83	.64	TB3500MDITR-ND	337.80/M	TB3500M-13
	58	5	77	150	800	200	TB0640HDICT-ND	1.05	.91	.70	TB0640HDITR-ND	371.66/M	TB0640H-13
	65	5	88	150	800	200	TB0720HDICT-ND	1.05	.91	.70	—	—	TB0720H-13
	75	5	98	150	800	200	TB0900HDICT-ND	1.05	.91	.70	TB0900HDITR-ND	371.66/M	TB0900H-13
	90	5	130	150	800	120	TB1100HDICT-ND	1.05	.91	.70	TB1100HDITR-ND	371.66/M	TB1100H-13
	120	5	160	150	800	120	TB1300HDICT-ND	1.05	.91	.70	TB1300HDITR-ND	371.66/M	TB1300H-13
100	140	5	180	150	800	120	TB1500HDICT-ND	1.05	.91	.70	TB1500HDITR-ND	371.66/M	TB1500H-13
	160	5	220	150	800	120	TB1800HDICT-ND	1.05	.91	.70	TB1800HDITR-ND	371.66/M	TB1800H-13
	190	5	265	150	800	80	TB2300HDICT-ND	1.05	.91	.70	TB2300HDITR-ND	371.66/M	TB2300H-13
	220	5	300	150	800	80	TB2600HDICT-ND	1.05	.91	.70	TB2600HDITR-ND	371.66/M	TB2600H-13
	275	5	350	150	800	80	TB3100HDICT-ND	1.05	.91	.70	TB3100HDITR-ND	371.66/M	TB3100H-13
	275	5	350	150	800	80	TB3100H-FDICT-ND◊	1.05	.91	.70	TB3100H-FDITR-ND◊	371.66/M	TB3100H-13-F
	320	5	400	150	800	80	TB3500HDICT-ND	1.05	.91	.70	TB3500HDITR-ND	371.66/M	TB3500H-13

◊ Bleifrei/RoHS-konform

SMA 400 W, oberflächenmontierter Stoßspannungsunterdrücker, unidirektional

Merkmale:

• 400 W Impulsspitzen-Verlustleistung • 70 V Begrenzerspannung • 100 V max. Klemmspannung, eine Anforderung der zahlreichen -48 V Rückwand-Telekomm.-Anwendungen • Glaspassivierte Gusskonstruktion • Schnelle Reaktionszeit: meist weniger als 1 ps • **Mechanische Daten:** • **Kunstoff-Gehäusematerial:** Entflammbarkeitsstufe UL 94V-0

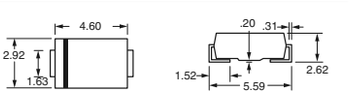

Rückwärts-Sperrspannung, VRWM (V)	Durchlassspannung (VBR) @ IT) Min. (V)	Durchlassspannung (VBR) @ IT) Max. (V)	Teststrom IT (mA)	Max. Sperrstrom @ VRWM IR (µA)	Max. Klemmspannung @ Ipp Vc (V)	Impulsspitzen-strom Ipp (A)	Max. Typische Sperrschichtkapazität (pF)	Digi-Key Teilenr.	Gurtabschnittspreis pro Stück 1	10	100	Digi-Key Teilenr.	Gegurtet auf Rolle 5.000
70	77.8	89.5	1.0	5.0	100	3.5	55	SMAT70ADICT-ND	.58	.47	.35	SMAT70ADITR-ND	183.72/M

300 W Stoßspannungsunterdrücker, geringe Kapazität, unidirektional

Merkmale: • 300 W Impuls-Spitzenstrom (tp=8x20µs) • Stoßspannungsschutz für Daten, Signal und Vcc-Bus bis zu IEC61000-4-2 Stufe 4 (ESE) und IEC 61000-4-4 (EFT) • Niedrige Kapazität, typisch <2 pF • Niedriger Leckstrom • Unidirektionale Konfiguration • Oberflächenmontiertes Paket, ideal für automatische Einführung geeignet

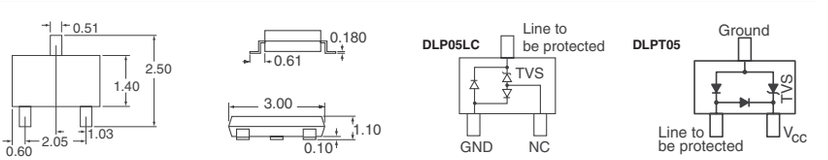

Rückwärts-Sperrspannung, VRWM (V)	Durchlassspannung (VBR) @ IT) Min. (V)	Durchlassspannung (VBR) @ IT) Max. (V)	Teststrom IT (mA)	Max. Sperrstrom @ VRWM IR (µA)	Max. Klemmspannung @ Ipp Vc (V)	Impulsspitzen-strom Ipp (A)	Typische Sperr-schichtkapazität (pF)	Digi-Key Teilenr.	Gurtabschnittspreis pro Stück 1	10	100	Digi-Key Teilenr.	Gegurtet auf Rolle 3.000
5	6.0	—	1.0	20	11.0	17	1.6	DLP05LCDICT-ND	.42	.34	.26	DLP05LCDITR-ND	126.99/M
5	6.0	—	1.0	20	9.8	17	1.9	DLPT05DICT-ND	.42	.34	.26	DLPT05DITR-ND	126.99/M

Zweif. Stoßspannungsunterdrücker, oberflächenmontiert

Merkmale:

• Zweif. Stoßspannungsunterdrücker in gemeinsamer Anode und Kathode konfiguriert • 24 W/40 W Spitzen-Verlustleistung @ 1,0 ms (unidirektional) • Ideal für automatische Einfügung geeignet • 225 mW Leistungsverlust

Mechanische Daten:

• **Gehäuse:** SOT-23, Geformter-Kunststoff • **Gehäusematerial:** Entflammbarkeitsstufe UL 94V-0 • **Klemmen:** Lötbar gemäß MIL-STD-202, Methode 208

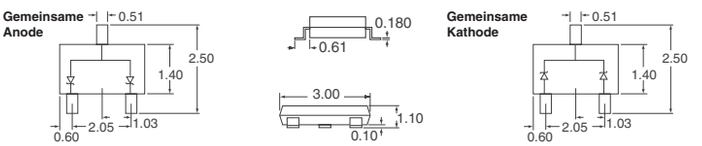

Spitzen-Verlustleistung	V_{RWM} (V)	I_R @ V_{RWM} (µA)	Durchbruchspannung V_{BR} (V) Min.	Durchbruchspannung V_{BR} (V) Nom.	Durchbruchspannung V_{BR} (V) Max.	@ I_T (mA)	Digi-Key Teilenr.	Gurtabschnittspreis pro Stück 1	10	100	Digi-Key Teilenr.	Gegurtet auf Rolle 3.000
Gemeinsame Anode												
	3	5.0	5.32	5.6	5.88	20	MMBZ5V6ALDICT-ND	.42	.34	.26	MMBZ5V6ALDITR-ND	126.99/M
	3	5.0	5.32	5.6	5.88	20	MMBZ5V6AL-FDICT-ND◊	.42	.34	.26	MMBZ5V6AL-FDITR-ND◊	126.99/M
	4.5	0.5	6.46	6.8	7.14	1.0	MMBZ6V8ALDICT-ND	.42	.34	.26	MMBZ6V8ALDITR-ND	126.99/M
24W	4.5	0.5	6.46	6.8	7.14	1.0	MMBZ6V8AL-FDICT-ND◊	.42	.34	.26	MMBZ6V8AL-FDITR-ND◊	126.99/M
	6.0	0.3	8.65	9.1	9.56	1.0	MMBZ9V1ALDICT-ND	.42	.34	.26	MMBZ9V1ALDITR-ND	126.99/M
	6.5	0.3	9.50	10	10.5	1.0	MMBZ10VAL-FDICT-ND◊	.42	.34	.26	MMBZ10VAL-FDITR-ND◊	126.99/M
	12	50	14.25	15	15.75	1.0	MMBZ15VALDICT-ND	.42	.34	.26	MMBZ15VALDITR-ND	126.99/M
	14.5	50	17.10	18	18.90	1.0	MMBZ18VALDICT-ND	.42	.34	.26	MMBZ18VALDITR-ND	126.99/M
	17	50	19.00	20	21.00	1.0	MMBZ20VALDICT-ND	.42	.34	.26	MMBZ20VALDITR-ND	126.99/M
40W	17	50	19.00	20	21.00	1.0	MMBZ20VAL-FDICT-ND◊	.42	.34	.26	MMBZ20VAL-FDITR-ND◊	126.99/M
	22	50	25.65	27	28.35	1.0	MMBZ27VALDICT-ND	.42	.34	.26	MMBZ27VALDITR-ND	126.99/M
	26	50	31.35	33	34.65	1.0	MMBZ33VALDICT-ND	.42	.34	.26	MMBZ33VALDITR-ND	126.99/M
Gemeinsame Kathode												
40W	12.8	0.1	14.3	15	15.8	1.0	MMBZ15VDLDICT-ND	.42	.34	.26	MMBZ15VDLDITR-ND	126.99/M
	22	.05	25.65	27	28.35	1.0	MMBZ27VCLDICT-ND	.42	.34	.26	MMBZ27VCLDITR-ND	126.99/M

◊ Bleifrei/RoHS-konform

Alle Preisangaben in Euro und inklusive Zollgebühren.

DIODES INCORPORATED

SMAJ (J-Biegung), 400 W, oberflächenmontierter Stoßspannungsunterdrücker

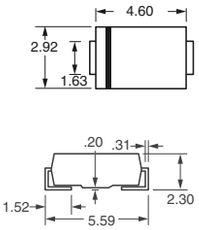

Merkmale: • 400 W Impulsspitzen-Verlustleistung • 5,0 - 150 V Sperrspannung • Glaspassivierte Gusskonstruktion • Uni- und bidirektionale Einheiten sind erhältlich • Hervorragende Klemmmerkmale • Schnelle Reaktion **Mechanische Daten:** • **Gehäuse:** SMA, Epoxid-Spritzpressmasse • **Gehäusematerial:** Entflammbarkeitsstufe UL 94V-0 • **Klemmen:** Lötbar gemäß MIL-STD-202, Methode 208

UNIDIREKTIONAL

(Wert) Rückwärts-Sperrspannung, VRWM (Volt)	Durchbruchspannung (VBR) Min.	Max.	Max. Sperrstrom @ VRWM IR (µA)	*(Wert)* Rückwärts-Sperrspannung, VRWM (Volt)	Durchbruchspannung (VBR) Min.	Max.	Max. Sperrstrom @ VRWM IR (µA)
5.0	6.40	7.00	800	22	24.4	26.9	5.0
6.0	6.67	7.37	800	24*	26.7	29.5	5.0
6.5	7.22	7.98	500	26	28.9	25.3	5.0
7.0*	7.78	8.60	200	28	31.1	34.4	5.0
7.5	8.33	9.21	100	30	33.3	36.8	5.0
8.0	8.89	9.83	50	33	36.7	40.6	5.0
8.5	9.44	10.4	10	36	40.0	44.2	5.0
10*	11.1	12.3	5.0	43	47.8	52.8	5.0
11	12.2	13.5	5.0	60	66.7	73.7	5.0
12	13.3	14.7	5.0	70*	77.8	86.0	5.0
14	15.6	17.2	5.0	85	94.4	104	5.0
15	16.7	18.5	5.0	100	111	123	5.0
17	18.9	20.9	5.0	110	122	135	5.0
18	20.0	22.1	5.0	120	133	147	5.0
20*	22.2	24.5	5.0	150	167	185	5.0

BIDIREKTIONAL

(Wert) Rückwärts-Sperrspannung, VRWM (Volt)	Durchbruchspannung (VBR) Min.	Max.	Max. Sperrstrom @ VRWM IR (µA)	*(Wert)* Rückwärts-Sperrspannung, VRWM (Volt)	Durchbruchspannung (VBR) Min.	Max.	Max. Sperrstrom @ VRWM IR (µA)
5.0	6.40	7.00	800	18	20.0	22.1	5.0
6.0*	6.67	7.37	800	20	22.2	24.5	5.0
6.5	7.22	7.98	500	22	24.4	26.9	5.0
7.0	7.78	8.60	200	24	26.7	29.5	5.0
8.0	8.89	9.83	50	26	28.9	25.3	5.0
8.5	9.44	10.4	10	28	31.1	34.4	5.0
10	11.1	12.3	5.0	30	33.3	36.8	5.0
11	12.2	13.5	5.0	33	36.7	40.6	5.0
12	13.3	14.7	5.0	36	40.0	44.2	5.0
13	14.4	15.9	5.0	40	44.4	49.1	5.0
14	15.6	17.2	5.0	43	47.8	52.8	5.0
15*	16.7	18.5	5.0	75	83.3	92.1	5.0
16*	17.8	19.7	5.0	78	86.7	95.8	5.0
17	18.9	20.9	5.0				

* Bezeichnet erhältliche bleifreie/RoHS-konforme Werte

Beschreibung	Spannungsbereich *(Wert)*, siehe Diagramm	Digi-Key Teilenr.	Gurtabschnittspreis pro Stück 1	10	100	Digi-Key Teilenr.	Gegurtet auf Rolle 5.000
Unidirektional	5.0 - 150	SMAJ(Wert)ADICT-ND	.58	.47	.35	SMAJ(Value)ADITR-ND	183.72/M
	7.0 - 70	SMAJ(Wert)A-FDICT-ND◊	.65	.52	.39	SMAJ(Value)A-FDITR-ND◊	194.72/M
Bidirektional	5.0 - 78	SMAJ(Wert)CADICT-ND	.64	.52	.39	SMAJ(Value)CADITR-ND	204.88/M
	6.0 - 16	SMAJ(Wert)CA-FDICT-ND◊	.73	.58	.44	SMAJ(Value)CA-FDITR-ND◊	217.58/M

◊ Bleifrei/RoHS-konform

SMBJ (J-Biegung), 600 W, oberflächenmontierter Stoßspannungsunterdrücker

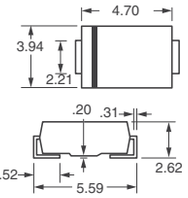

Merkmale: • 600 W Impulsspitzen-Verlustleistung • 5,0 - 170 V Sperrspannung • Glaspassivierte Gusskonstruktion • Uni- und bidirektionale Einheiten sind erhältlich • Ausgezeichnete Klemmkapazität • Schnelle Reaktionszeit • 100 % getestet bei zulässigem Impuls-Spitzenstrom **Mechanische Daten:** • **Gehäuse:** SMB, Epoxid-Spritzpressmasse • **Gehäusematerial:** Entflammbarkeitsstufe UL 94V-0 • **Klemmen:** Lötbar gemäß MIL-STD-202, Methode 208

UNIDIREKTIONAL

(Wert) Rückwärts-Sperrspannung, VRWM (Volt)	Durchbruchspannung (VBR) Min.	Max.	Max. Sperrstrom @ VRWM IR (µA)	*(Wert)* Rückwärts-Sperrspannung, VRWM (Volt)	Durchbruchspannung (VBR) Min.	Max.	Max. Sperrstrom @ VRWM IR (µA)
5.0*	6.40	7.23	800	28	31.10	35.80	5.0
6.0	6.67	7.67	800	30	33.30	38.30	5.0
6.5	7.22	9.14	1000	33	36.70	42.20	5.0
7.0	7.78	8.95	200	36	40.00	46.00	5.0
7.5	8.33	9.58	100	40	44.40	51.10	5.0
8.5	9.44	10.82	10	43	47.80	54.90	5.0
9.0	10.00	11.50	5.0	48	53.30	61.30	5.0
10	11.1	12.8	5.0	54	60.00	69.00	5.0
11	12.20	14.40	5.0	58	64.40	74.60	5.0
12	13.3	15.3	5.0	64	71.10	81.80	5.0
13	14.4	16.5	5.0	70	77.80	89.50	5.0
14	15.60	17.90	5.0	78	86.70	99.70	5.0
15	16.7	19.2	5.0	85	94.40	108.20	5.0
16	17.80	20.50	5.0	100	111.0	128.00	5.0
17	18.9	21.7	5.0	110	122.0	140.00	5.0
18	20.0	24.4	5.0	120	133.0	153.00	5.0
22	24.40	28.00	5.0	130	144.0	165.50	5.0
20	22.2	25.5	5.0	150	167.0	192.50	5.0
24	26.7	30.7	5.0	160	178.0	205.00	5.0
26	28.9	35.3	5.0	170	189.0	217.50	5.0

BIDIREKTIONAL

(Wert) Rückwärts-Sperrspannung, VRWM (Volt)	Durchbruchspannung (VBR) Min.	Max.	Max. Sperrstrom @ VRWM IR (µA)	*(Wert)* Rückwärts-Sperrspannung, VRWM (Volt)	Durchbruchspannung (VBR) Min.	Max.	Max. Sperrstrom @ VRWM IR (µA)
5.0	6.40	7.23	800	28	31.10	35.80	5.0
6.0	6.67	7.67	800	30	33.30	38.30	5.0
6.5	7.22	9.14	1000	33	36.70	42.20	5.0
7.0	7.78	8.95	200	36	40.00	46.00	5.0
7.5	8.33	9.58	100	40	44.40	51.10	5.0
8.0	8.89	10.23	50	45	50.00	57.50	5.0
8.5	9.44	10.82	10	51	56.70	65.20	5.0
9.0	10.00	11.50	5.0	54	60.00	69.00	5.0
10	11.1	12.8	5.0	58	64.40	74.60	5.0
11	12.20	14.40	5.0	60*	66.70	76.70	5.0
12	13.3	15.3	5.0	64	71.10	81.80	5.0
13	14.4	16.5	5.0	70	77.80	89.50	5.0
14*	15.60	17.90	5.0	75	83.30	95.80	5.0
15	16.7	19.2	5.0	78*	86.70	99.70	5.0
16	17.80	20.50	5.0	85	94.40	108.20	5.0
17	18.9	21.7	5.0	90	100.0	115.50	5.0
18	20.0	24.4	5.0	100	111.0	128.00	5.0
20	22.2	25.5	5.0	110	122.0	140.00	5.0
22	24.40	28.00	5.0	150	167.0	192.50	5.0
24	26.7	30.7	5.0	160	178.0	205.00	5.0
26*	28.90	33.20	5.0	170	189.0	217.50	5.0

* Bezeichnet erhältliche bleifreie/RoHS-konforme Werte

Beschreibung	Volt. Range *(Value)* See Chart**	Digi-Key Teilenr.	Gurtabschnittspreis pro Stück 1	10	100	Digi-Key Teilenr.	Gegurtet auf Rolle 3.000
Unidirektional	5.0 - 170	SMBJ(Wert)ADICT-ND	.75	.60	.46	SMBJ(Value)ADITR-ND	297.16/M
	5.0	SMBJ(Wert)A-FDICT-ND◊	.86	.75	.58	SMBJ(Value)A-FDITR-ND◊	303.93/M
Bidirektional	5.0 - 170	SMBJ(Wert)CADICT-ND	.81	.64	.50	SMBJ(Value)CADITR-ND	319.17/M
	14 - 78	SMBJ(Wert)CA-FDICT-ND◊	.92	.80	.62	SMBJ(Value)CA-FDITR-ND◊	326.79/M

◊ Bleifrei/RoHS-konform ** Spannungsbereich (Wert), siehe Diagramm

SMCJ (J-Biegung), 1.500 W, oberflächenmontierter Stoßspannungsunterdrücker

Merkmale: • 1.500 W Impulsspitzen-Verlustleistung • 5,0 - 150 V Sperrspannung • Glaspassivierte Gusskonstruktion • Uni- und bidirektionale Einheiten sind erhältlich • Ausgezeichnete Klemmkapazität • Schnelle Reaktionszeit **Mechanische Daten:** • **Gehäuse:** SMC, Epoxid-Spritzpressmasse • **Gehäusematerial:** Entflammbarkeitsstufe UL 94V-0 • **Klemmen:** Lötbar gemäß MIL-STD-202, Methode 208

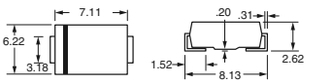

UNIDIREKTIONAL

(Wert) Rückwärts-Sperrspannung, VRWM (Volt)	Durchbruchspannung (VBR) Min.	Max.	Max. Sperrstrom @ VRWM IR (µA)	*(Wert)* Rückwärts-Sperrspannung, VRWM (Volt)	Durchbruchspannung (VBR) Min.	Max.	Max. Sperrstrom @ VRWM IR (µA)
5.0	6.40	7.25	1000	30	33.30	38.30	5.0
6.0	6.67	7.67	1000	33	36.70	42.20	5.0
6.5	7.22	8.30	500	36	40.00	46.00	5.0
7.5	8.33	9.58	100	40*	44.40	51.10	5.0
8.0	8.89	10.23	50	43*	47.80	54.90	5.0
8.5	9.44	10.82	20	45	50.00	57.50	5.0
9.0	10.00	11.50	10	51†	56.70	65.20	5.0
10	11.10	12.80	5.0	54	60.00	69.00	5.0
11	12.20	14.40	5.0	60	66.70	76.70	5.0
12	13.30	15.30	5.0	64*	71.10	81.80	5.0
13	14.40	16.50	5.0	70	77.80	89.50	5.0
15*	16.70	19.20	5.0	75	83.30	95.80	5.0
16	17.80	20.50	5.0	78	86.70	99.70	5.0
17	18.90	21.70	5.0	85	94.40	108.20	5.0
18	20.00	23.30	5.0	100	111.00	128.00	5.0
20*	22.20	25.50	5.0	110	122.00	140.50	5.0
22	24.40	28.00	5.0	130	144.00	165.50	5.0
24	26.70	30.70	5.0	150	167.00	192.50	5.0
26	28.90	33.20	5.0	160	178.00	205.00	5.0
28	31.10	35.80	5.0	170	189.00	217.50	5.0

BIDIREKTIONAL

(Wert) Rückwärts-Sperrspannung, VRWM (Volt)	Durchbruchspannung (VBR) Min.	Max.	Max. Sperrstrom @ VRWM IR (µA)	*(Wert)* Rückwärts-Sperrspannung, VRWM (Volt)	Durchbruchspannung (VBR) Min.	Max.	Max. Sperrstrom @ VRWM IR (µA)
5.0	6.40	7.25	1000	24	26.70	30.70	5.0
6.0	6.67	7.67	1000	28	31.10	35.80	5.0
6.5	7.22	8.30	500	30	33.30	38.30	5.0
7.5	8.33	9.58	100	33	36.70	42.20	5.0
8.0	8.89	10.23	50	36*	40.00	46.00	5.0
8.5	9.44	10.82	20	40	44.40	51.10	5.0
9.0	10.00	11.50	10	43	47.80	54.90	5.0
10	11.10	12.80	5.0	45*	50.00	57.50	5.0
11	12.20	14.40	5.0	48	53.30	61.30	5.0
12	13.30	15.30	5.0	51	56.70	65.20	5.0
13	14.40	16.50	5.0	54	60.00	69.00	5.0
14	15.60	17.90	5.0	58	64.40	74.60	5.0
15*	16.70	19.20	5.0	70	77.80	89.50	5.0
16	17.80	20.50	5.0	75	83.30	95.80	5.0
17	18.90	21.70	5.0	78	86.70	99.70	5.0
18	20.00	23.30	5.0	85	94.40	108.20	5.0
20	22.20	25.50	5.0	170	189.00	217.50	5.0

* Bezeichnet erhältliche bleifreie/RoHS-konforme Werte † Nur in bleifrei/RoHS-konformer Ausführung erhältlich

Beschreibung	Spannungsbereich *(Wert)*, siehe Diagramm	Digi-Key Teilenr.	Gurtabschnittspreis pro Stück 1	10	100	Digi-Key Teilenr.	Gegurtet auf Rolle 3.000
1.500 Watt, unidirektional	5.0 - 170	SMCJ(Wert)ADICT-ND	1.06	.84	.65	SMCJ(Value)ADITR-ND	418.22/M
	15 - 64	SMCJ(Wert)A-FDICT-ND◊	1.21	1.05	.81	SMCJ(Value)A-FDITR-ND◊	427.54/M
1.500 Watt, bidirektional	5.0 - 170	SMCJ(Wert)CADICT-ND	1.18	.93	.72	SMCJ(Value)CADITR-ND	462.25/M
	15 - 45	SMCJ(Wert)CA-FDICT-ND◊	1.34	1.16	.89	SMCJ(Value)CA-FDITR-ND◊	473.25/M

◊ Bleifrei/RoHS-konform

G

Serie P6KE – Axiale Stoßspannungsunterdrücker, 600 W

Schützt empfindliche Elektronik vor Stoßspannungen, die durch ESE, induktive Lastschaltungen und Beleuchtung hervorgerufen werden. Ideal für den Schutz von E/A-Schnittstellen, Vcc-Bus und anderen Stromversorgungskreisen geeignet. Markierung: Kathodenband – positiver Anschluss (nur unidirektional), Gerätecode und Logo.

Merkmale: • Glaspassivierte Sperrschicht • Ausgezeichnete Klemmkapazität • Unidirektional und bidirektional • 100 % stoßspannungsgetestet • UL-Auflistung

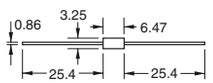

RoHS-konform

Nom. Durchbruchspannung (Wert)	Rückwärts-Sperrspannung V_R (Volt)	Durchbruchspannung V_{BR} (V) @ I_T Min.	Durchbruchspannung V_{BR} (V) @ I_T Max.	Max. Sperrstrom I_R @ V_R (µA)
6.8	5.8	6.45	7.14	1000.0
7.5	6.4	7.13	7.88	500.0
9.1	7.78	8.65	9.55	50.0
10	8.55	9.5	10.5	10.0
12	10.2	11.40	12.6	5.0
13	11.1	12.4	13.7	5.0
15	12.8	14.3	15.8	5.0
16	13.6	15.2	16.8	5.0
18	15.3	17.1	18.9	5.0
20	17.1	19.0	21.0	5.0
24	20.5	22.8	25.2	5.0
27	23.1	25.7	28.4	5.0
30	25.6	28.5	31.5	5.0
33	28.2	31.4	34.7	5.0
68	58.1	64.6	71.4	5.0

Beschreibung	Spannungsbereich (Wert), siehe Diagramm	Digi-Key Teilenr.	Gurtabschnittspreis pro Stück 1	10	100	Digi-Key Teilenr.	Gegurtet auf Rolle 5.000
Unidirektional	6.8 - 68	P6KE(Wert)ALFCT-ND	.28	.26	.22	P6KE(Wert)ALFTR-ND*	105.41/M
Bidirektional	6.8 - 68	P6KE(Wert)CALFCT-ND	.31	.29	.24	P6KE(Wert)CALFTR-ND*§	118.10/M

*4.000 Stück Gegurtet auf Rolle für Werte 6,8, 12, 15, 18, 20, 30 und 68 §4.000 Stück Gegurtet auf Rolle für Werte 7,5, 27 und 33

Serie 1.5KE – Axialer Stoßspannungsunterdrücker, 1.500 W

Merkmale:

• Glaspassivierte Sperrschicht • Niedriger Klemmfaktor • Unidirektional und bidirektional • 100 % stoßspannungsgetestet • UL-Auflistung

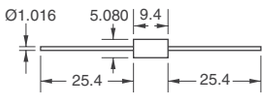

Nom. Durchbruchspannung (Wert)	Rückwärts-Sperrspannung V_R (Volt)	Durchbruchspannung V_{BR} (V) @ I_T Min.	Durchbruchspannung V_{BR} (V) @ I_T Max.	Max. Sperrstrom I_R @ V_R (µA)
6.8	5.8	6.45	7.14	1000.0
7.5	6.4	7.13	7.88	500.0
10	8.55	9.5	10.5	10.0
15	12.8	14.3	15.8	5.0
30	25.6	28.5	31.5	5.0

Beschreibung	Spannungsbereich (Wert), siehe Diagramm	Digi-Key Teilenr.	Gurtabschnittspreis pro Stück 1	10	100	Digi-Key Teilenr.	Gegurtet auf Rolle 1.200
Unidirektional	6.8 - 30	1.5KE(Wert)ALFCT-ND	.50	.45	.38	1.5KE(Wert)ALFTR-ND*	186.68/M
Bidirektional	6.8 - 30	1.5KE(Wert)CALFCT-ND	.55	.50	.42	1.5KE(Wert)CALFTR-ND	205.73/M

* 1.500 Stück Gegurtet auf Rolle für Werte 7,5

RoHS-konform

Serie 5KP – Axialer Stoßspannungsunterdrücker, 5.000 W

Die Dioden des Stoßspannungsunterdrückers sind für die zu schützenden Schaltkreise nicht sichtbar, solange keine Probleme bestehen. Wenn jedoch potenzielle Stoßspannungen auftreten, schützen die Dioden des Stoßspannungsunterdrückers mit Hochgeschwindigkeits-„Clamping" vor Schäden. Danach werden sie erneut unsichtbar. Die Stoßspannungsunterdrücker-Dioden von Littelfuse werden in branchenüblichen Paketen angeboten. **Merkmale:** • Glaspassivierte Sperrschicht • Niedriger Klemmfaktor • Unidirektional und bidirektional • 100 % stoßspannungsgetestet • UL-Auflistung

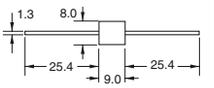

Nom. Durchbruchspannung (Wert)	Rückwärts-Sperrspannung V_R (Volt)	Durchbruchspannung V_{BR} (V) @ I_T Min.	Durchbruchspannung V_{BR} (V) @ I_T Max.	Max. Sperrstrom I_R @ V_R (µA)
5.0	5.0	6.40	7.00	5000.0
6.0	6.0	6.67	7.37	5000.0
10	10.0	11.1	12.3	15.0
15	15.0	16.7	18.5	10.0
24	24.0	26.7	29.5	10.0
30	30.0	33.3	36.8	10.0
33	33.0	36.7	40.6	10.0
36	36.0	40.0	44.2	10.0
40	40.0	44.4	49.1	10.0
43	43.0	47.8	52.8	10.0
70	70.0	77.0	86.0	10.0

Beschreibung	Tol.	Spannungsbereich (Wert), siehe Diagramm	Digi-Key Teilenr.	Gurtabschnittspreis pro Stück 1	10	100	Digi-Key Teilenr.	Gegurtet auf Rolle 800
Unidirektional	5%	5.0 - 70.0	5KP(Value)ALFCT-ND	2.74	2.48	2.06	5KP(Wert)ALFTR-ND*	1029.89
Bidirektional	10%	5.0	5KP5.0CLFCT-ND*	2.93	2.64	2.20	5KP5.0CLFTR-ND	879.79
Bidirektional	5%	6.0 - 70.0	5KP(Value)CALFCT-ND	3.02	2.72	2.27	5KP(Wert)CALFTR-NDŞ	906.20

*1.000 Stück Gegurtet auf Rolle für Werte 6,0 und 40 §1.000 Stück Gegurtet auf Rolle für 5KP70CALFTR-ND **RoHS-konform**

Serie SA – Axialer Stoßspannungsunterdrücker, 500 W

Verbesserte Dioden des 500 W Stoßspannungsunterdrückers zur Handhabung von 1 W stationärem Zustand, mit verbesserten Sperrstrom-Merkmalen. 100 % stoßspannungsgetestet In solchen Fällen verwenden, für die Überspannungsschutz empfindlicher Elektronik erforderlich ist. Markierung: Kathodenband – positiver Anschluss (nur unidirektional), Gerätecode und Logo.

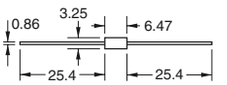

Nom. Durchbruchspannung (Wert)	Rückwärts-Sperrspannung V_R (Volt)	Durchbruchspannung V_{BR} (V) @ I_T Min.	Durchbruchspannung V_{BR} (V) @ I_T Max.	Max. Sperrstrom I_R @ V_R (µA)
5.0	5.0	6.40	7.00	600.0
6.0	6.0	6.67	7.37	600.0
12	12.0	13.3	14.7	3.0
15	15.0	16.7	18.5	3.0
16	16.0	17.8	19.7	3.0
33	33.0	36.7	40.6	3.0

Beschreibung	Spannungsbereich (Wert), siehe Diagramm	Digi-Key Teilenr.	Gurtabschnittspreis pro Stück 1	10	100	Digi-Key Teilenr.	Gegurtet auf Rolle 4.000
Unidirektional	5.0 - 33	SA(Value)ALFCT-ND	.33	.30	.25	SA(Value)ALFTR-ND*	110.87/M
Bidirektional	6.0 - 33	SA(Value)CALFCT-ND	.36	.33	.28	SA(Value)CALFTR-NDŞ	135.88/M

*5.000 Stück Gegurtet auf Rolle für Werte 16 §5.000 Gegurtet auf Rolle für SA15CALFTR-ND **RoHS-konform**

Serie SMBJ - 600 W, oberflächenmontierter Stoßspannungsunterdrücker

Merkmale:

• Glaspassivierte Sperrschicht • Unidirektional und bidirektional • Jedec-Paket zur Erfüllung der Bedürfnisse des SM-Bausatzes. • Niedrige Anschlussinduktivität • 100 % stoßspannungsgetestet

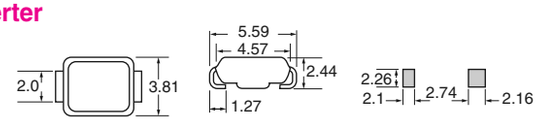

Beschreibung	Spannungsbereich (Wert), siehe Diagramm	Digi-Key Teilenr.	Gurtabschnittspreis pro Stück 1	10	100	Digi-Key Teilenr.	Gegurtet auf Rolle 3.000
J-Bend, unidirektional	5.0 - 36	SMBJ(Wert)ALFCT-ND	.30	.28	.24	SMBJ(Wert)ALFTR-ND	104.01/M
J-Bend bidirektional	5.0 - 36	SMBJ(Wert)CALFCT-ND	.34	.31	.26	SMBJ(Wert)CALFTR-ND	114.29/M

RoHS-konform

(Wert) Rückwärts-Sperrspannung, VR (Volt)	Durchbruchspannung Volt. V_{BR} (V) @ I_T Min.	Durchbruchspannung Volt. V_{BR} (V) @ I_T Max.	(Wert) Rückwärts-Sperrspannung, V_R (Volts)	Durchbruchspannung Volt. V_{BR} (V) @ I_T Min.	Durchbruchspannung Volt. V_{BR} (V) @ I_T Max.
5.0	6.40	7.25	**15**	16.70	19.20
6.0	6.67	7.67	**18**	20.00	23.30
6.5	7.22	8.30	**20**	22.20	25.50
7.0	7.78	8.95	**22**	24.40	28.00
7.5	8.33	9.58	**24**	26.70	30.70
10	11.10	12.80	**26**	28.90	33.20
12	13.30	15.30	**28**	31.10	35.80
13	14.40	16.50	**30**	33.30	38.30
14	15.60	17.90	**33**	36.70	42.20
			36	40.00	46.00

Thyristoren – SiBOD™

Thyristor-Unterdrückungsgeräte von Littelfuse (SiBOD™-Lawinengeräte) bieten höchste Qualität und Leistung hinsichtlich des Schutzes empfindlicher Telekommunikations-Schaltkreise.

Sie bieten Überspannungsschutz gegen möglicherweise gefährliche Stoßspannungen, indem sie diese erden und die Spannung bis auf Null absorbieren. Dieses Verfahren ist „energieintensiver" als das „Clamping" für Stoßspannungsunterdrücker-Dioden.

Abb. 1
Modifizierter TO-220

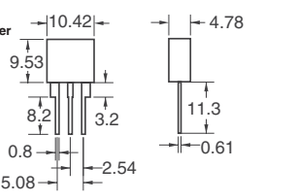

1B **1A**

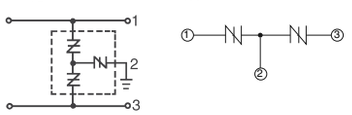

Abb. 2
DO-214AA

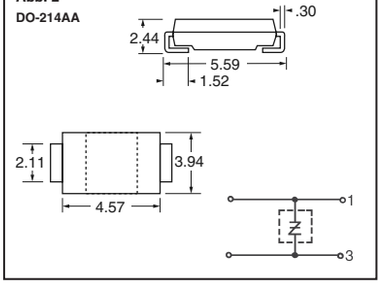

Abb.	Paket	Rückwärts-Sperrspannung (V_R)	Max. Kippspannung (V_{BO}) @ IBO	Impulsspitzenstrom (A)	Min. Haltestrom (IH)	Digi-Key Teilenr.	Stückpreis 1	10	100	500	Littelfuse Teilenr.
1A	TO-220	25	40	100	150	CR0602AA-ND	1.13	1.00	.90	.75	CR0602AA
		25	40	150	150	CR0602AB-ND	1.24	1.11	1.00	.83	CR0602AB
		25	40	200	150	CR0602AC-ND	1.38	1.23	1.11	.92	CR0602AC
1A	TO-220	65	95	100	150	CR1602AA-ND	1.13	1.00	.90	.75	CR1602AA
		65	95	150	150	CR1602AB-ND	1.24	1.11	1.00	.83	CR1602AB
		65	95	200	150	CR1602AC-ND	1.38	1.23	1.11	.92	CR1602AC
1A	TO-220	140	180	100	150	CR3002AA-ND	1.13	1.00	.90	.75	CR3002AA
		140	180	150	150	CR3002AB-ND	1.24	1.11	1.00	.83	CR3002AB
		140	180	200	150	CR3002AC-ND	1.38	1.23	1.11	.92	CR3002AC
1A	TO-220	275	350	100	150	CR6002AA-ND	1.13	1.00	.90	.75	CR6002AA
		275	350	150	150	CR6002AB-ND	1.24	1.11	1.00	.83	CR6002AB
		275	350	200	150	CR6002AC-ND	1.38	1.23	1.11	.92	CR6002AC
1B	TO-220	130	180	50	150	CR1553AA-ND	1.49	1.33	1.20	1.00	CR1553AA
		130	180	100	150	CR1553AB-ND	1.72	1.53	1.38	1.15	CR1553AB
		130	180	500	150	CR1553AC-ND	1.99	1.77	1.60	1.33	CR1553AC
1B	TO-220	200	270	50	150	CR2353AA-ND	1.49	1.33	1.20	1.00	CR2353AA
		200	270	100	150	CR2353AB-ND	1.72	1.53	1.38	1.15	CR2353AB
		200	270	500	150	CR2353AC-ND	1.99	1.77	1.60	1.33	CR2353AC
1B	TO-220	270	350	100	150	CR3203AA-ND	1.49	1.33	1.20	1.00	CR3203AA
		270	350	150	150	CR3203AB-ND	1.72	1.53	1.38	1.15	CR3203AB
		270	350	200	150	CR3203AC-ND	1.99	1.77	1.60	1.33	CR3203AC

Abb.	Paket	Rückwärts-Sperrspannung (VR)	Max. Kippspannung (V_{BO}) @ I_{BO}	Impulsspitzenstrom Ipp (A)	Min. Haltestrom (IH)	Digi-Key Teilenr.	Gurtabschnittspreis pro Stück 1	10	100	500	Digi-Key Teilenr.	T & R Pricing** 3.000
2	DO-214AA	140	180	100	150	CR1500SACT-ND	.89	.72	.54	.36	CR1500SATR-ND	231.13/M
		140	180	150	150	CR1500SBCT-ND	1.06	.85	.64	.43	CR1500SBTR-ND	274.05/M
		140	180	200	150	CR1500SCCT-ND	1.13	.91	.68	.46	CR1500SCTR-ND	292.76/M
2	DO-214AA	190	260	100	150	CR2300SACT-ND	.89	.72	.54	.36	CR2300SATR-ND	231.13/M
		190	260	150	150	CR2300SBCT-ND	1.06	.85	.64	.43	CR2300SBTR-ND	274.05/M
		190	260	200	150	CR2300SCCT-ND	1.13	.91	.68	.46	CR2300SCTR-ND	292.76/M
2	DO-214AA	25	40	100	150	CR0300SACT-ND	.89	.72	.54	.36	—	—
		25	40	150	150	CR0300SBCT-ND	1.06	.85	.64	.43	CR0300SBTR-ND	274.05/M
		25	40	200	150	CR0300SCCT-ND	1.13	.91	.68	.46	CR0300SCTR-ND	292.76/M
2	DO-214AA	320	400	100	150	CR3500SACT-ND	.89	.72	.54	.36	CR3500SATR-ND	231.13/M
		320	400	150	150	CR3500SBCT-ND	1.06	.85	.64	.43	CR3500SBTR-ND	274.05/M
		320	400	200	150	CR3500SCCT-ND	1.13	.91	.68	.46	CR3500SCTR-ND	292.76/M
2	DO-214AA	58	77	100	150	CR0640SACT-ND	.89	.72	.54	.36	CR0640SATR-ND	231.13/M
		58	77	150	150	CR0640SBCT-ND	1.06	.85	.64	.43	CR0640SBTR-ND	274.05/M
		58	77	200	150	CR0640SCCT-ND	1.13	.91	.68	.46	CR0640SCTR-ND	292.76/M
2	DO-214AA	65	88	100	150	CR0720SACT-ND	.89	.72	.54	.36	CR0720SATR-ND	231.13/M
		65	88	150	150	CR0720SBCT-ND	1.06	.85	.64	.43	CR0720SBTR-ND	274.05/M
		65	88	200	150	CR0720SCCT-ND	1.13	.91	.68	.46	CR0720SCTR-ND	292.76/M
2	DO-214AA	220	300	100	150	CR2600SACT-ND	.89	.72	.54	.36	—	—
		220	300	150	150	CR2600SBCT-ND	1.06	.85	.64	.43	CR2600SBTR-ND	274.05/M
		220	300	200	150	CR2600SCCT-ND	1.13	.91	.68	.46	CR2600SCTR-ND	292.76/M
2	DO-214AA	275	350	100	150	CR3100SACT-ND	.89	.72	.54	.36	—	—
		275	350	150	150	CR3100SBCT-ND	1.06	.85	.64	.43	CR3100SBTR-ND	274.05/M
		275	350	200	150	CR3100SCCT-ND	1.13	.91	.68	.46	CR3100SCTR-ND	292.76/M

** Preisangabe für Gegurtet auf Rolle

Alle Preisangaben in Euro und inklusive Zollgebühren.

Oberflächenmontage

Die Standard-Stoßspannungsunterdrücker von ON Semiconductor umfassen das größte Vorratssortiment in der Branche. Stetige Weiterentwicklung und verbesserte Herstellungsverfahren haben zu computerisierter Diffusion und Tests geführt; ferner wurden anhand der bei der oberflächensensitiven MOS-Herstellung gewonnenen Erfahrungen wichtige Prozesssteuerungen entwickelt. Die daraus resultierenden verbesserten Ergebnisse führten zu niedrigeren Fabrikationskosten.

Spezifikationen:

SOT-23:• Das Paket SOT-23 gestattet entweder zwei unidirektionale Konfigurationen oder eine einzige bidirektionale Konfiguration • Max. Klemmenspannung @ Spitzenimpulsspannung • Nennflammbarkeit: UL 94V-O **POWERMITE®:** • Spitzenleistung: 200 W @ 1 ms • Max. Klemmenspannung @ Spitzenimpulsspannung • Geringer Leckstrom • Typ. Reaktionszeit <1 ns • Integrierte Kühlkörper/Verschlussfahne • Voll metallischer Boden eliminiert Flux-Stau • Kathode wird über Polaritätsbereich angegeben • Bleifreies Paket **SMA:** • Spitzenleistung: 400 W @1 ms • Typ. Reaktionszeit <1 ns

Mechanische Eigenschaften:

- **Gehäuse:** Spritzgepresstes, leerraum-freies Duroplastgehäuse
- **Oberfläche:** Korrosionsbeständige Oberfläche, leicht lötbar
- **Max. Gehäusetemperatur für Lötzwecke:** 260 °C für 10 Sek.

SOT-23

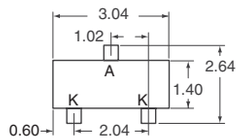

POWERMITE®

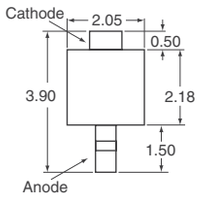

SOD-123FL

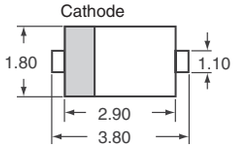

SMA

Abmessungen in mm

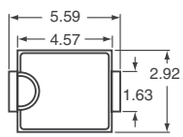

Paket	W	Durchbruchspannung (V_{BR}) Minimum	Nominal	Maximum	V_{RWM} minimum (V)	I_R @ V_{RWM} (µA)	Digi-Key Teilenr.	Gurtabschnittspreise 10	100	250	Gegurtet auf Rolle* Größe	Preisangaben
SOT-23	24	5.32	5.6	5.88	3	5	MMBZ5V6ALT1OSCT-ND	1.78	11.56	20.01	3,000	41.49/M
	24	5.89	6.2	6.51	3	0.5	MMBZ6V2ALT1OSCT-ND	1.78	11.56	20.01	3,000	41.49/M
	24	6.46	6.8	7.14	4.5	0.5	MMBZ6V8ALT1OSCT-ND	1.78	11.56	20.01	3,000	41.49/M
	40	14.25	15	15.75	12	.05	MMBZ15VALT1OSCT-ND	1.78	11.56	20.01	—	—
	40	14.3	15	15.8	12.8	.1	MMBZ15VDLT1OSCT-ND	1.78	11.56	20.01	3,000	41.49/M
	40	19.00	20	21.00	17	.05	MMBZ20VALT1OSCT-ND	1.78	11.56	20.01	3,000	41.49/M
	40	25.65	27	28.35	22	.05	MMBZ27VCLT1OSCT-ND	1.78	11.56	20.01	—	—
	40	31.35	33	34.65	26	.05	MMBZ33VALT1OSCT-ND	1.78	11.56	20.01	—	—
POWERMITE	175	13.3	14.0	14.7	12	5.0	1PMT12AT1OSCT-ND	2.84	21.33	42.67	3,000	121.07/M
	200	6.4	6.7	7.0	5	800	1PMT5.0AT1OSCT-ND	3.56	25.60	48.00	3,000	121.07/M
	200	17.8	18.75	19.7	16	5.0	1PMT16AT1OSCT-ND	3.56	25.60	48.00	3,000	121.07/M
SOD-123FL	200	6.4	6.7	7.0	5	400	SMF5.0AT1OSCT-ND	6.10	45.72	97.36	3,000	241.28/M
	200	17.8	18.75	19.7	16	1.0	SMF16AT1OSCT-ND	4.57	34.29	73.02	3,000	181.18/M
	200	36.7	38.7	40.6	33	1.0	SMF33AT1OSCT-ND	4.57	34.29	73.02	3,000	181.18/M
Unidirektional												
SMA	400	6.4	6.7	7.0	5	400	1SMA5.0AT3OSCT-ND	2.96	21.33	40.00	5,000	94.82/M
	400	36.7	38.65	40.6	33	2.5	1SMA33AT3OSCT-ND	6.49	48.69	103.69	5,000	80.43/M
Bidirektional												
SMA	400	11.1	11.69	12.27	10	2.5	1SMA10CAT3OSCT-ND	3.52	25.33	47.49	5,000	112.60/M
	400	16.7	17.58	18.46	15	2.5	1SMA15CAT3OSCT-ND	3.43	24.65	46.23	5,000	112.60/M
	400	36.7	38.63	40.56	33	2.5	1SMA33CAT3OSCT-ND	3.43	24.65	46.23	5,000	109.22/M

* Für Gegurtet auf Rolle-Teilenummer CT-ND in TR-ND ändern.

Axial

Spezifikationen:Mini-MOSORB: • Spitzensperrspannung bei Betrieb — 5 V bis 170 V • Spitzenleistung — 500 W @ 1 ms • Geringer Leckstrom <1µA über 8,5 V • Typ. Reaktionszeit <1 ns

Surmetisch: • Spitzenleistung — 600 W @ 1 ms • Geringer Leckstrom <5 µA über 10 V • Typ. Reaktionszeit <5 µA 1 ns

Mechanische Eigenschaften:

- **Gehäuse:** Duroplastischer Kunststoff
- **Oberfläche:** Korrosionsbeständig
- **Polarität:** Kathode wird über Polaritätsbereich angegeben
- **Montageposition:** Beliebig

Mini-MOSORB:

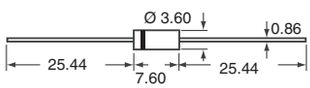

Surmetisch

Abmessungen in mm

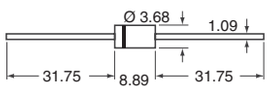

Paket	W	Durchbruchspannung (V_{BR}) Minimum	Nominal	Maximum	V_{RWM} minimum (V)	I_R @ V_{RWM} (µA)	Digi-Key Teilenr.	Preisangaben 1	10	100	250	Gegurtet auf Rolle* Größe	Preisangaben
Unidirektional													
Mini-MOSORB:	500	6.4	6.7	7	5	600	SA5.0AOS-ND	.45	3.46	24.90	—	—	—
		6.67	7.02	7.37	6	600	SA6.0AOS-ND	.45	3.46	24.90	—	—	—
		11.1	11.7	12.3	10	1	SA10AOS-ND	.45	3.46	24.90	—	—	—
		13.3	14	14.7	12	1	SA12AOS-ND	.46	3.52	25.33	—	—	—
		14.4	15.15	15.9	13	1	SA13AOS-ND	.45	3.46	24.90	—	—	—
		16.7	17.6	18.5	15	1	SA15AOS-ND	.45	3.46	24.90	—	—	—
		26.7	28.1	29.5	24	1	SA24AOS-ND	.45	3.46	24.90	—	—	—
		56.7	59.7	62.7	51	1	SA51AOS-ND	.45	3.46	24.90	—	—	—
Surmetisch	600	6.45	6.8	7.14	5.8	1000	P6KE6.8ARLOSCT-ND	—	3.18	22.89	42.91	4,000	110.91/M
		9.5	10	10.5	8.55	10	P6KE10AOS-ND	.40	3.17	23.72	47.44	—	—
		11.4	12	12.6	10.2	5	P6KE12AOS-ND	.41	3.18	22.89	42.91	—	—
		14.3	15	15.8	12.8	5	P6KE15AOS-ND	.41	3.18	22.89	42.91	—	—
		17.1	18	18.9	15.3	5	P6KE18ARLOSCT-ND	—	3.18	22.89	42.91	4,000	108.37/M
		19	20	21	17.1	5	P6KE20AOS-ND	.41	3.18	22.89	42.91	—	—
		22.8	24	25.2	20.5	5	P6KE24AOS-ND	.41	3.18	22.89	42.91	—	—
		25.7	27	28.4	23.1	5	P6KE27AOS-ND	.41	3.18	22.89	42.91	—	—
		28.5	30	31.5	25.6	5	P6KE30AOS-ND	.41	3.18	22.89	42.91	—	—
		31.4	33	34.7	28.2	5	P6KE33ARLOSCT-ND	—	3.18	22.89	42.91	4,000	108.37/M
		34.2	36	37.8	30.8	5	P6KE36ARLOSCT-ND	—	3.18	22.89	42.91	4,000	110.91/M
		37.1	39	41	33.3	5	P6KE39AOS-ND	.41	3.18	22.89	42.91	—	—
		95	100	105	85.5	5	P6KE100AOS-ND	.40	3.17	23.72	47.44	—	—
		190	200	210	171	5	P6KE200ARLOSCT-ND	—	3.95	28.46	53.38	4,000	120.22/M

* Für Gegurtet auf Rolle dieTeilenummer CT-ND in TR-ND ändern.

Flüchtige Überspannungsunterdrückung

Abmessungen in mm

Mechanische Merkmale für MR2535L:

• **Gehäuse:** Epoxid, geformt • **Gewicht:** 2,5 g (ca.) • **Oberfläche:** Alle Außenflächen sind korrosionsbeständig und die Anschlüsse sind lötbereit • **Max. Anschlusstemperatur für Lötzwecke:** 350 °C, 3/8" vom Gehäuse für 10 Sek. bei 5 lbs. Spannung • **Polarität:** Erkenntlich an Diodensymbol oder Kathodenband • **Markierung:** MR2535L

Mechanische Eigenschaften für MR2835SK:

• **Oberfläche:** Alle Außenflächen sind korrosionsbeständig • **Polarität:** Kathode an Anschluss • **Gewicht:** 1,78 g (ca.) • **Max. Temperatur für Lötzwecke:** 260 °C für 10 Sek. bei Verwendung eines Bandofens • **Markierung:** MR2835S

MR2535

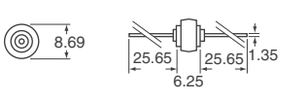

MR2835

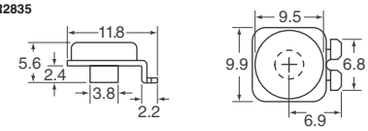

V_{RWM} (V)	E/A (A)	I_{FSM} (A)	V_F (V)	Digi-Key Teilenr.	Gurtabschnittspreise 10	100	250	Digi-Key Teilenr.	Gegurtet auf Rolle Größe	Preisangaben
20	6	600	1.1	MR2535LRLOSCT-ND	11.85	99.56	207.42	MR2535LRLOSTR-ND	800	568.92
23	—	400	1.1	MR2835SKOSCT-ND	10.62	89.20	185.82	—	—	—

G

Stoßspannungsunterdrücker

Serie Transil™

Paket	Pw (W)	Durchbruchspannung Minimum	Nominal	Maximum	VRM (V)	Digi-Key Teilenr.	Gurtabschnittspreise 1	10	100	Gegurtet auf Rolle† Größe	Preisangaben	STMicroelectronics Teilenr.
Bidirektional												
DO-201	1500	380	400	420	342	497-2909-1-ND*	1.40	12.11	93.13	600	252.96	1.5KE400CA
CB429	1500	6.45	6.8	7.14	5.8	497-3751-1-ND*	.67	5.33	40.00	600	164.58	1.5KE6V8A
DO-15	600	44.7	47	49.4	40.2	497-4288-1-ND	.47	3.60	25.91	6,000	115.14/M	P6KE47CARL
		143	150	158	128	497-4285-1-ND	.42	3.39	25.40	6,000	118.53/M	P6KE150CARL
SMA	400	13.3	—	—	12	497-2996-1-ND	.58	4.57	34.29	5,000	171.86/M	SMAJ12CA-TR
		16.7	—	—	15	497-2997-1-ND	.42	3.39	25.40	5,000	118.53/M	SMAJ15CA-TR
		36.7	—	—	33	497-2998-1-ND	.55	4.23	30.48	5,000	135.46/M	SMAJ33CA-TR
		44.4	—	—	40	497-3718-1-ND	.47	3.60	25.91	5,000	115.14/M	SMAJ40CA-TR
		77.8	—	—	70	497-4291-1-ND	.42	3.39	25.40	5,000	118.53/M	SMAJ70CA-TR
SMB	600	—	—	35	22	497-3719-1-ND	.91	6.60	50.80	2,500	289.54/M	SMP100-LC-25
		—	—	15	6	497-3721-1-ND	1.21	10.46	80.43	2,500	427.54/M	SMP75-8
		—	—	15	6	497-3720-1-ND	1.11	9.63	74.08	2,500	394.52/M	SMP100-LC-8
		—	—	133	90	497-3722-1-ND	.80	6.40	48.00	2,500	253.14/M	SMTPA100
		—	—	240	162	497-3723-1-ND	.73	5.79	43.43	2,500	229.43/M	SMTPA180
		—	—	360	243	497-3724-1-ND	.84	6.71	46.56	2,500	265.84/M	SMTPA270
		6.45	6.8	7.14	5.8	497-2995-1-ND	.47	3.35	25.14	2,500	139.69/M	SM6T6V8CA
		14.3	15	15.8	12.8	497-2994-1-ND	.47	3.73	27.94	2,500	139.69/M	SM6T15CA
		20.9	22	23.1	18.8	497-3507-1-ND	.91	7.31	54.86	2,500	289.54/M	SM6T22CA
		11.1	—	—	10	497-3000-1-ND	.84	6.71	50.29	5,000	251.44/M	SMBJ10CA-TR
		13.3	—	—	12	497-3002-1-ND	.47	3.60	25.91	2,500	122.76/M	SMBJ12CA-TR
		16.7	—	—	15	497-3004-1-ND	.47	3.60	25.91	2,500	122.76/M	SMBJ15CA-TR
		36.7	—	—	33	497-3005-1-ND	.47	3.60	25.91	2,500	122.76/M	SMBJ33CA-TR
		77.8	—	—	70	497-3770-1-ND	.42	3.39	25.40	2,500	127.00/M	SMBJ70CA-TR
SMC	1500	20	—	—	18	497-4295-1-ND	.76	6.10	45.72	2,500	241.28/M	SMCJ18CA-TR
8-SOIC A	300	6.51	—	—	5.0	497-3407-1-ND	1.68	13.97	117.34	2,500	726.39/M	ITA6V1U1RL
8-SOIC B	150	25	—	30	24	497-2488-1-ND	1.21	10.46	80.43	2,500	427.54/M	ESDA25B1RL
8-SOIC C	300	6.5	—	—	5.0	497-3408-1-ND	1.68	13.97	117.34	2,500	726.39/M	ITA6V5B1RL
		18	—	—	15	497-3405-1-ND	1.68	13.97	117.34	2,500	726.39/M	ITA18B1RL
		25	—	—	24	497-2686-5-ND‡	1.68	13.97	117.34	—	—	ITA25B1
		25	—	—	24	497-3406-1-ND	1.68	13.97	117.34	2,500	726.39/M	ITA25B1RL
Flip Chip	50	14.2	—	18	12	497-3784-1-ND	.58	4.57	34.29	5,000	171.86/M	ESDA14V2-4BF2
Unidirektional												
R6	5000	16.6	—	—	15	497-4189-1-ND	1.78	14.82	124.45	1,000	800.04	BZW50-15RL
DO-15	400	53.2	—	—	47.8	497-4188-1-ND	.33	2.54	18.29	6,000	81.28/M	BZW04-48RL
	600	31.4	33	24.7	28.2	497-4287-1-ND	.42	3.39	25.40	6,000	118.53/M	P6KE33ARL
		237	250	263	213	497-4286-1-ND	.42	3.39	25.40	6,000	118.53/M	P6KE250ARL
SOT-23	300	6.1	—	7.2	5.25	497-2930-1-ND	.47	3.73	27.94	3,000	139.69/M	ESDA6V1L
SMA	400	6.4	—	—	5.0	497-2999-1-ND	.47	2.88	21.59	5,000	115.14/M	SMAJ5.0A-TR
		47.8	—	—	43	497-4290-1-ND	.42	3.39	25.40	5,000	118.53/M	SMAJ43A-TR
		64.4	—	—	58	497-3508-1-ND	.55	4.40	33.02	5,000	154.09/M	SMAJ58A-TR
		111	—	—	100	497-4289-1-ND	.42	3.39	25.40	5,000	118.53/M	SMAJ100A-TR
SMB	600	6.7	—	—	6.0	497-3006-1-ND	.55	4.23	30.48	2,500	143.93/M	SMBJ6.0A-TR
		7.2	—	—	6.5	497-3007-1-ND	.55	4.23	30.48	2,500	143.93/M	SMBJ6.5A-TR
		13.3	—	—	12	497-3001-1-ND	.55	4.23	30.48	2,500	143.93/M	SMBJ12A-TR
		16.7	—	—	15	497-3003-1-ND	.55	4.23	30.48	2,500	143.93/M	SMBJ15A-TR
		17.8	—	—	16	497-4293-1-ND	.42	3.39	25.40	2,500	127.00/M	SMBJ16A-TR
		77.8	—	—	70	497-4294-1-ND	.42	3.39	25.40	2,500	127.00/M	SMBJ70A-TR
		171	—	—	154	497-4292-1-ND	.42	3.39	25.40	2,500	127.00/M	SMBJ154A-TR
		17.1	18	18.9	15.3	497-3717-1-ND	.47	3.73	27.94	2,500	139.69/M	SM6T18CA
		28.5	30	31.5	25.6	497-3506-1-ND	.96	8.25	63.50	2,500	337.80/M	SM6HT30A
SMC	1500	6.7	—	—	6.0	497-4296-1-ND	.76	6.10	45.72	2,500	241.28/M	SMCJ6.0A-TR
		11.4	12	12.6	10.2	497-3715-1-ND	1.18	10.18	78.31	2,500	416.53/M	SM15T12A
		37.1	39	41.0	33.3	497-3716-1-ND	.80	6.40	48.00	2,500	253.14/M	SM15T39A
8-SOIC A	200	6.1	—	7.2	5.0	497-3403-5-ND‡	1.05	9.08	69.84	—	—	ESDA6V1U1
	200	6.1	—	7.2	5.0	497-3711-1-ND	.89	7.70	59.26	2,500	314.94/M	ESDA6V1U1RL
SOT-665	30	6.1	—	7.2	3.0	497-3785-1-ND	.51	4.06	30.48	3,000	152.39/M	ESDALC6V1P5
SOT-666IP	30	6.1	—	7.2	3.0	497-3404-1-ND	.44	3.39	24.38	3,000	115.14/M	ESDALC6V1P6

* Für Band und Box dieTeilenr. 1-ND in 3-ND ändern. † Für Gegurtet auf Rolle die Teilenr. 1-ND in 2-ND ändern. ‡ Schlauch

Stoßspannungs-/Überspannungsschutz - Serie Trisil™ - SMB-Paket

V_{BR} @ I_R max. (V)	(µA)	I_{RM} @ V_{RM} max. (µA)	(V)	Dynamisches V_{BO} max. (V)	I_{PP} @ 10/1000µs	Digi-Key Teilenr.	Gurtabschnittspreise 1	10	100	Digi-Key Teilenr.	Preis. f. G. a. R. 2.500	STMicroelectronics Teilenr.
35	5	2	32	55	100	497-4093-1-ND	.83	7.15	55.03	497-4093-2-ND	292.93/M	SMP100LC-35
65	5	2	55	85	100	497-4096-1-ND	.83	7.15	55.03	497-4096-2-ND	292.93/M	SMP100LC-65
90	5	2	81	120	100	497-4097-1-ND	.83	7.15	55.03	497-4097-2-ND	292.93/M	SMP100LC-90
120	5	2	108	155	100	497-4087-1-ND	.91	7.31	54.86	497-4087-2-ND	289.54/M	SMP100LC-120
140	5	2	126	180	100	497-4088-1-ND	.91	7.31	54.86	497-4088-2-ND	289.54/M	SMP100LC-140
160	5	2	144	205	100	497-4089-1-ND	.91	7.31	54.86	497-4089-2-ND	289.54/M	SMP100LC-160
200	5	2	180	255	100	497-4090-1-ND	.91	7.31	54.86	497-4090-2-ND	289.54/M	SMP100LC-200
230	5	2	207	295	100	497-4091-1-ND	.91	7.31	54.86	497-4091-2-ND	289.54/M	SMP100LC-230
270	5	2	243	345	100	497-4092-1-ND	.91	7.31	54.86	497-4092-2-ND	289.54/M	SMP100LC-270
320	5	2	290	400	100	497-4297-1-ND	.91	7.31	54.86	497-4297-2-ND	289.54/M	SMP100LC-320
360	5	2	325	460	100	497-4094-1-ND	.76	6.60	50.80	497-4094-2-ND	270.07/M	SMP100LC-360
400	5	2	360	540	100	497-4095-1-ND	.91	7.31	54.86	497-4095-2-ND	270.07/M	SMP100LC-400
160	5	2	144	205	100	497-4298-1-ND	.91	7.31	54.86	497-4298-2-ND	289.54/M	SMP100MC-160
200	5	2	180	255	100	497-4299-1-ND	.91	7.31	54.86	497-4299-2-ND	289.54/M	SMP100MC-200
230	5	2	207	295	100	497-4300-1-ND	.91	7.31	54.86	497-4300-2-ND	289.54/M	SMP100MC-230
270	5	2	243	345	100	497-4301-1-ND	.91	7.31	54.86	497-4301-2-ND	289.54/M	SMP100MC-270
270	50	2	243	345	80	497-4302-1-ND	.91	7.31	54.86	497-4302-2-ND	289.54/M	SMP80MC-270

Stoßspannungsunterdrücker - SMB-Paket

V_{BR} @ I_R min. (V)	(mA)	I_{RM} @ V_{RM} max. (µA)	(V)	V_{CL} @ I_{PP} 10/1000µs max. (V)	(A)	Digi-Key Teilenr.	Gurtabschnittspreise 1	10	100	Digi-Key Teilenr.	Preis. f. G. a. R. 2.500	STMicroelectronics Teilenr.
600 W, bidirektional												
6.4	10	800	5.0	9.2	68	497-3145-1-ND	.84	6.71	50.29	497-3145-2-ND	265.84/M	SMBJ5.0CA-TR
7.2	10	500	6.5	11.2	56	497-3146-1-ND	.84	6.71	50.29	497-3146-2-ND	265.84/M	SMBJ6.5CA-TR
26.7	1	1	24	38.9	16	497-3141-1-ND	.47	3.60	25.91	497-3141-2-ND	122.76/M	SMBJ24CA-TR
33.3	1	1	30	48.4	13	497-3142-1-ND	.41	2.90	21.72	497-3142-2-ND	121.07/M	SMBJ30CA-TR
64.4	1	1	58	93.6	6.7	497-3143-1-ND	.47	3.60	25.91	497-3143-2-ND	122.76/M	SMBJ58CA-TR
600 W, unidirektional												
6.4	10	800	5.0	9.2	68	497-3144-1-ND	.47	3.60	25.91	497-3144-2-ND	122.76/M	SMBJ5.0A-TR
20	1	1	18	29.2	21.5	497-3139-1-ND	.38	3.05	22.86	497-3139-2-ND	143.93/M	SMBJ18A-TR
26.7	1	1	24	38.9	16	497-3140-1-ND	.38	3.05	22.86	497-3140-2-ND	143.93/M	SMBJ24A-TR

Abmessungen in mm

DO-201, R6, CB429

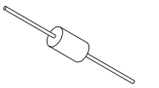

DO-15

SMA

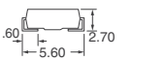

SMB

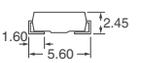

SMC

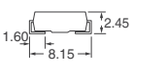

SOT-23

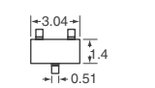

8-SOIC

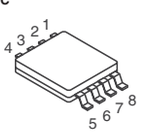

A

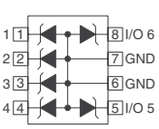

B

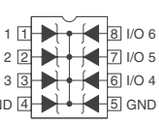

C

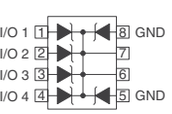

Flip Chip

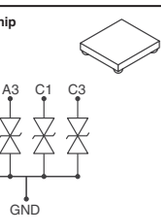

SOT-665

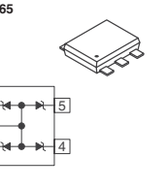

SOT-666IP

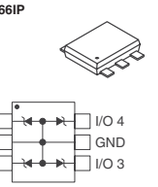

G

Alle Preisangaben in Euro und inklusive Zollgebühren.

Stoßspannungsunterdrücker

Anwendungsspezifische Stoßspannungsunterdrücker

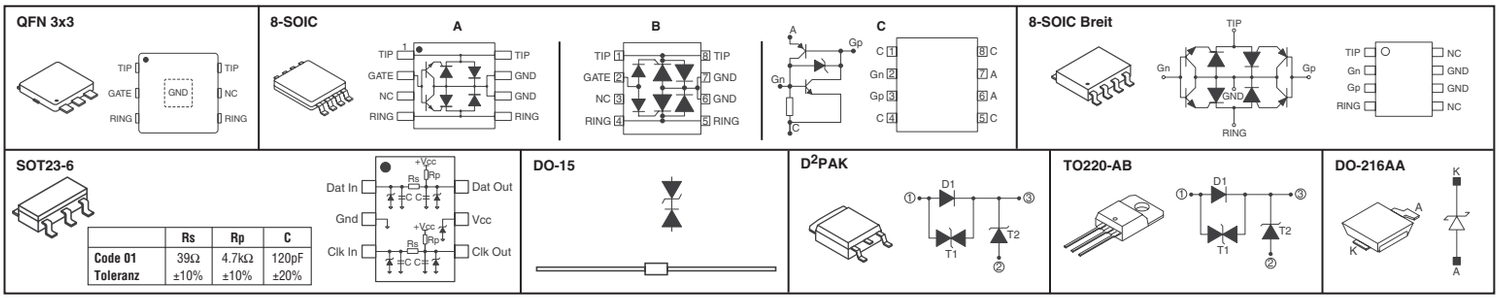

	Rs	Rp	C
Code 01	39Ω	4.7kΩ	120pF
Toleranz	±10%	±10%	±20%

Paket	Beschreibung	Digi-Key Teilenr.	Gurtabschnittspreis pro Stück 1	10	100	Digi-Key Teilenr.	Gegurtet auf Rolle Größe	Preisangaben	STMicroelectronics Teilenr.
QFN 3x3	Programmierbare Stoßspannungsunterdrücker für SLIC-Schutz	497-4233-1-ND	1.27	1.06	.89	497-4233-2-ND	3,000	550.29/M	LCP152DEERL
8-SOIC A	Programmierbare Stoßspannungsunterdrücker für SLIC-Schutz	497-3781-1-ND	.89	.77	.60	497-3781-2-ND	2,500	314.94/M	LCP1521SRL
8-SOIC B	Programmierbare Stoßspannungsunterdrücker für SLIC-Schutz	497-2458-1-ND	1.35	1.13	.95	497-2458-2-ND	2,500	583.31/M	LCP1511DRL
8-SOIC C	Über- und Unterspannungsschutz für Telekomm.-Leitung	497-3780-1-ND	1.73	1.44	1.21	497-3780-2-ND	2,500	748.40/M	LCP3121RL
8-SOIC Wide	Schutz-IC für Klingel-SLICS	497-2558-5-ND‡	2.29	1.99	1.49	—	—	—	LCP02-150B1
SOT23-6	EMI-Filter und Leitungsterminierung für PS/2 Maus oder Tastatur-Ports	497-3712-1-ND	1.46	1.27	.98	497-3712-2-ND	3,000	564.69/M	KBMF01SC6
DO-15	TVS 160V/700V	497-3138-1-ND	.76	.61	.46	497-3138-3-ND *	1,000	262.45	PKC-136
D^2PAK	Umkehr-/Batterie und Überspannungsschutz	497-2554-5-ND‡	2.29	1.91	1.61	—	—	—	RBO40-40G
	Umkehr-/Batterie und Überspannungsschutz	497-3714-1-ND	2.29	1.91	1.61	497-3714-2-ND	1,000	1028.62	RBO40-40G-TR
TO220-AB	Umkehr-/Batterie und Überspannungsschutz	497-2550-5-ND‡	1.90	1.59	1.34	—	—	—	RBO40-40T
DO-216AA	Geringe Durchlassspannung, Stoßspannungsunterdrücker: Transky™	497-3509-1-ND	.80	.69	.53	497-3509-2-ND	12,000	264.99/M	SMTY18AM

* Ammopack ‡ Schlauch

ON Semiconductor™

Stoßspannungsunterdrücker

600 W, SMB, oberflächenmontierter Stoßspannungsunterdrücker

Abmessungen in mm

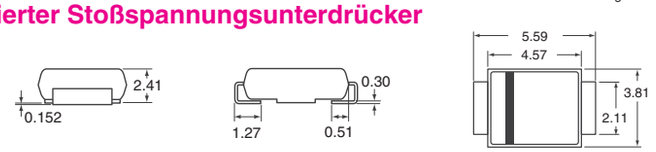

Technische Daten:

• Spitzenleistung — 600 W @ 1 ms • Geringer Leckstrom <5 µA über 10 V • Typ. Reaktionszeit <1 ns

Mechanische Eigenschaften:

• **Gehäuse:** Duroplastischer Kunststoff • **Oberfläche:** Korrosionsbeständig • **Montageposition:** Beliebig • **Bidirektional:** Polaritätsbereich wird nicht angezeigt • Unidirektional Kathode wird über Polaritätsbereich angegeben

Durchbruchspannung (V_{BR}) Min.	Nom.	Max.	V_{RWM} Min. (V)	I_R @ V_{RWM} (µA)	Digi-Key Teilenr.	Gurtabschnittspreise 10	100	250	Preisangaben für Gegurtet auf Rolle* 2.500
600 W, bidirektional									
10.5	11	11.6	9.4	5	P6SMB11CAT3OSCT-ND	3.67	26.40	49.49	—
11.1	11.69	12.27	10	5	1SMB10CAT3OSCT-ND	3.67	26.40	49.49	—
11.4	12	12.6	10.2	5	P6SMB12CAT3OSCT-ND	3.67	26.40	49.49	124.46/M
13.3	14.00	14.7	12	5	1SMB12CAT3OSCT-ND	3.67	26.40	49.49	124.46/M
14.3	15	15.8	12.8	5	P6SMB15CAT3OSCT-ND	3.67	26.40	49.49	124.46/M
16.7	17.58	18.5	15	5	1SMB15CAT3OSCT-ND	3.67	26.40	49.49	124.46/M
17.8	18.74	19.7	16	5	1SMB16CAT3OSCT-ND	3.67	26.40	49.49	124.46/M
20.0	21.06	22.1	18	5	1SMB18CAT3OSCT-ND	3.67	26.40	49.49	124.46/M
22.2	23.37	24.5	20	5	1SMB20CAT3OSCT-ND	3.67	26.40	49.49	124.46/M
26.7	28.11	29.5	24	5	1SMB24CAT3OSCT-ND	3.67	26.40	49.49	124.46/M
31.4	33	34.7	28.2	5	P6SMB33CAT3OSCT-ND	3.67	26.40	49.49	124.46/M
33.3	35.06	36.8	30	5	1SMB30CAT3OSCT-ND	3.67	26.40	49.49	—
34.2	36	37.8	30.8	5	P6SMB36CAT3OSCT-ND	3.67	26.40	49.49	124.46/M
40.0	42.11	44.2	36	5	1SMB36CAT3OSCT-ND	3.67	26.40	49.49	124.46/M
600 W, unidirektional									
6.40	6.7	7.0	5.0	800	1SMB5.0AT3OSCT-ND	2.37	17.78	35.56	—
6.45	6.8	7.14	5.8	5	P6SMB6.8AT3OSCT-ND	2.57	19.28	38.55	109.22/M
6.67	7.02	7.37	6.0	800	1SMB6.0AT3OSCT-ND	2.37	17.78	35.56	100.75/M
7.22	7.6	7.98	6.5	500	1SMB6.5AT3OSCT-ND	2.37	17.78	35.56	—
7.78	8.19	8.6	7.0	500	1SMB7.0AT3OSCT-ND	2.37	17.78	35.56	100.75/M
9.44	9.92	10.4	8.5	10	1SMB8.5AT3OSCT-ND	2.37	17.78	35.56	100.75/M
11.1	11.7	12.3	10	5	1SMB10AT3OSCT-ND	2.37	17.78	35.56	100.75/M
12.4	13	13.7	11.1	5	P6SMB13AT3OSCT-ND	2.57	19.28	38.55	109.22/M
13.3	14	14.7	12	5	1SMB12AT3OSCT-ND	2.37	17.78	35.56	100.75/M
14.3	15	15.8	12.8	5	P6SMB15AT3OSCT-ND	2.57	19.28	38.55	—
14.4	15.15	15.9	13	5	1SMB13AT3OSCT-ND	2.37	17.78	35.56	100.75/M
15.2	16	16.8	13.6	5	P6SMB16AT3OSCT-ND	3.18	22.89	42.91	108.37/M
16.7	17.6	18.5	15	5	1SMB15AT3OSCT-ND	2.37	17.78	35.56	100.75/M
17.1	18	18.9	15.3	5	P6SMB18AT3OSCT-ND	3.18	22.89	42.91	108.37/M
17.8	18.75	19.7	16	5	1SMB16AT3OSCT-ND	2.37	17.78	35.56	100.75/M
19	20	21	17.1	5	P6SMB20AT3OSCT-ND	2.57	19.28	38.55	109.22/M

Durchbruchspannung (V_{BR}) Min.	Nom.	Max.	V_{RWM} Min. (V)	I_R @ V_{RWM} (µA)	Digi-Key Teilenr.	Gurtabschnittspreise 10	100	250	Preisangaben für Gegurtet auf Rolle* 2.500
20.0	21.05	22.1	18	5	1SMB18AT3OSCT-ND	2.37	17.78	35.56	100.75/M
20.9	22	23.1	18.8	5	P6SMB22AT3OSCT-ND	2.57	19.28	38.55	—
22.2	23.35	24.5	20	5	1SMB20AT3OSCT-ND	2.37	17.78	35.56	100.75/M
24.4	25.65	26.9	22	5	1SMB22AT3OSCT-ND	2.37	17.78	35.56	100.75/M
25.7	27	28.4	23.1	5	P6SMB27AT3OSCT-ND	2.57	19.28	38.55	—
26.7	28.1	29.5	24	5	1SMB24AT3OSCT-ND	2.37	17.78	35.56	100.75/M
28.5	30	31.5	25.6	5	P6SMB30AT3OSCT-ND	2.57	19.28	38.55	—
28.9	30.4	31.9	26	5	1SMB26AT3OSCT-ND	2.37	17.78	35.56	100.75/M
31.1	32.75	34.4	28	5	1SMB28AT3OSCT-ND	2.37	17.78	35.56	100.75/M
31.4	33	34.7	28.2	5	P6SMB33AT3OSCT-ND	2.57	19.28	38.55	109.22/M
33.3	35.05	36.8	30	5	1SMB30AT3OSCT-ND	2.37	17.78	35.56	100.75/M
34.2	36	37.8	30.8	5	P6SMB36AT3OSCT-ND	2.57	19.28	38.55	109.22/M
36.7	38.65	40.6	33	5	1SMB33AT3OSCT-ND	2.37	17.78	35.56	—
37.1	39	41	33.3	5	P6SMB39AT3OSCT-ND	2.57	19.28	38.55	109.22/M
40.0	42.1	44.2	36	5	1SMB36AT3OSCT-ND	2.37	17.78	35.56	—
40.9	43	45.2	36.8	5	P6SMB43AT3OSCT-ND	2.57	19.28	38.55	—
44.4	46.75	49.1	40	5	1SMB40AT3OSCT-ND	2.37	17.78	35.56	100.75/M
47.8	50.3	52.8	43	5	1SMB43AT3OSCT-ND	2.37	17.78	35.56	100.75/M
48.5	51	53.6	43.6	5	P6SMB51AT3OSCT-ND	2.57	19.28	38.55	109.22/M
56.7	59.7	62.7	51	5	1SMB51AT3OSCT-ND	2.37	17.78	35.56	100.75/M
58.9	62	65.1	53	5	P6SMB62AT3OSCT-ND	2.57	19.28	38.55	109.22/M
64.4	67.8	71.2	58	5	1SMB58AT3OSCT-ND	2.37	17.78	35.56	100.75/M
64.6	68	71.4	58.1	5	P6SMB68AT3OSCT-ND	2.57	19.28	38.55	109.22/M
66.7	70.2	73.7	60	5	1SMB60AT3OSCT-ND	2.37	17.78	35.56	—
77.8	81.9	86	70	5	1SMB70AT3OSCT-ND	2.37	17.78	35.56	—
94.4	99.2	104	85	5	1SMB85AT3OSCT-ND	2.94	21.12	39.60	99.90/M
133	140	147	120	5	1SMB120AT3OSCT-ND	2.77	20.75	41.50	117.68/M
143	150	158	128	5	P6SMB150AT3OSCT-ND	2.77	20.75	41.50	117.68/M
152	160	168	136	5	P6SMB160AT3OSCT-ND	2.77	20.75	41.50	117.68/M
189	199	209	170	5	1SMB170AT3OSCT-ND	2.77	20.75	41.50	—
190	200	210	171	5	P6SMB200AT3OSCT-ND	2.77	20.75	41.50	117.68/M

* Für Gegurtet auf Rolle dieTeilenummer CT-ND in TR-ND ändern.

Stoßspannungsunterdrücker, 1.500 W, Oberflächenmontage - Unidirektional

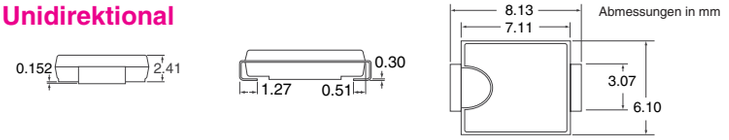

Abmessungen in mm

Technische Daten:

• Spitzenleistung — 1.500 W @ 1 ms • Geringer Leckstrom <5 µA über 10 V • Reaktionszeit ist typ. <1 ns

Mechanische Eigenschaften:

• **Gehäuse:** Duroplastischer Kunststoff • **Oberfläche:** Korrosionsbeständig • **Polarität:** Kathode wird durch geformte Polaritätskerbe angezeigt • **Montageposition:** Beliebig

Durchbruchspannung V_{BR} Minimum	Nominal	Maximum	V_{RWM} minimum (V)	I_R @ V_{RWM} (µA)	Digi-Key Teilenr.	Gurtabschnittspreise 10	100	250	Digi-Key Teilenr.	Preis. f. G. a. R. 2.500
1.500 W, unidirektional										
6.4	6.7	7.0	5.0	1000	1SMC5.0AT3OSCT-ND	4.58	34.33	73.12	1SMC5.0AT3OSTR-ND	181.18/M
6.67	7.02	7.37	6.0	1000	1SMC6.0AT3OSCT-ND	4.58	34.33	73.12	1SMC6.0AT3OSTR-ND	181.18/M
13.3	14	14.7	12	5	1SMC12AT3OSCT-ND	4.58	34.33	73.12	1SMC12AT3OSTR-ND	181.18/M
16.7	17.6	18.5	15	5	1SMC15AT3OSCT-ND	4.58	34.33	73.12	1SMC15AT3OSTR-ND	181.18/M
20	21.05	22.1	18	5	1SMC18AT3OSCT-ND	4.58	34.33	73.12	1SMC18AT3OSTR-ND	181.18/M

(Forts.)

Stoßspannungsunterdrücker, 1.500 W, Oberflächenmontage - Unidirektional *(Forts.)*

Durchbruchspannung (V_{BR}) Minimum	Nominal	Maximum	V_{RWM} minimum (V)	I_R @ V_{RWM} (µA)	Digi-Key Teilenr.	Gurtabschnittspreise 10	100	250	Digi-Key Teilenr.	Preis. f. G. a. R. 2.500
26.7	28.1	29.5	24	5	1SMC24AT3OSCT-ND	4.58	34.33	73.12	1SMC24AT3OSTR-ND	181.18/M
28.9	30.4	31.9	26	5	1SMC26AT3OSCT-ND	4.58	34.33	73.12	1SMC26AT3OSTR-ND	181.18/M
31.1	32.75	34.4	28	5	1SMC28AT3OSCT-ND	4.58	34.33	73.12	1SMC28AT3OSTR-ND	181.18/M
36.7	38.65	40.6	33	5	1SMC33AT3OSCT-ND	4.58	34.33	73.12	1SMC33AT3OSTR-ND	186.26/M
40	42.1	44.2	36	5	1SMC36AT3OSCT-ND	4.58	34.33	73.12	1SMC36AT3OSTR-ND	186.26/M
56.7	59.7	62.7	51	5	1SMC51AT3OSCT-ND	4.58	34.33	73.12	1SMC51AT3OSTR-ND	186.26/M
6.45	6.8	7.14	5.8	1000	1.5SMC6.8AT3OSCT-ND	4.75	35.63	75.89	1.5SMC6.8AT3OSTR-ND	187.95/M
14.3	15	15.8	12.8	5	1.5SMC15AT3OSCT-ND	4.75	35.63	75.89	1.5SMC15AT3OSTR-ND	187.95/M
17.1	18	18.9	15.3	5	1.5SMC18AT3OSCT-ND	4.75	35.63	75.89	1.5SMC18AT3OSTR-ND	187.95/M
22.8	24	25.2	20.5	5	1.5SMC24AT3OSCT-ND	4.75	35.63	75.89	1.5SMC24AT3OSTR-ND	193.03/M
25.7	27	28.4	23.1	5	1.5SMC27AT3OSCT-ND	4.75	35.63	75.89	1.5SMC27AT3OSTR-ND	187.95/M
28.5	30	31.5	25.6	5	1.5SMC30AT3OSCT-ND	4.75	35.63	75.89	1.5SMC30AT3OSTR-ND	193.03/M
31.4	33	34.7	28.2	5	1.5SMC33AT3OSCT-ND	4.75	35.63	75.89	1.5SMC33AT3OSTR-ND	193.03/M
34.2	36	37.8	30.8	5	1.5SMC36AT3OSCT-ND	4.75	35.63	75.89	1.5SMC36AT3OSTR-ND	193.03/M
37.1	39	41	33.3	5	1.5SMC39AT3OSCT-ND	4.75	35.63	75.89	1.5SMC39AT3OSTR-ND	193.03/M
40.9	43	45.2	36.8	5	1.5SMC43AT3OSCT-ND	4.75	35.63	75.89	1.5SMC43AT3OSTR-ND	187.95/M

1.500 W Mosorb™ -Stoßspannungsunterdrücker

Abmessungen in mm

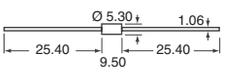

Spezifikationen: • Max. Klemmenspannung @ Spitzenimpulsspannung • Geringer Leckstrom <5 µA über 10 V • Typ. Reaktionszeit <1 ns
Mechanische Eigenschaften: • **Gehäuse:** Spritzgepresstes, leeraumfreies Duroplastgehäuse • **Oberfläche:** Alle Außenflächen sind korrosionsbeständig und die Anschlüsse sind lötbereit
• **Max. Anschlusstemperatur für Lötzwecke:** 230 °C, 1/16" vom Gehäuse für 10 Sek. • **Polarität:** Kathode wird über Polaritätsbereich angegeben • **Montageposition:** Beliebig

Durchlassspannung V_{RWM} V_{BR} Min.	Nom.	Max.	I_R @ min. (V)	V_{RWM} (µA)	Digi-Key Teilenr.	Preisangaben 1	10	100	250	Digi-Key Teilenr.	Preis. f. G. a. R. 1.500
1.500 W, Serie 1,5KE											
6.45	6.8	7.14	5.8	1000	1.5KE6.8AOS-ND	.63	4.98	37.35	79.55	—	—
14.3	15	15.8	12.8	5	1.5KE15AOS-ND	.63	4.98	37.35	79.55	—	—
15.2	16	16.8	13.6	5	1.5KE16AOS-ND	.63	4.98	37.35	79.55	—	—
17.1	18	18.9	15.3	5	1.5KE18AOS-ND	.63	4.98	37.35	79.55	—	—
19	20	21	17.1	5	1.5KE20AOS-ND	.63	5.06	37.97	80.86	—	—
25.7	27	28.4	23.1	5	1.5KE27AOS-ND	.63	4.98	37.35	79.55	—	—
28.5	30	31.5	25.6	5	1.5KE30AOS-ND	.63	4.98	37.35	79.55	—	—
31.4	33	34.7	28.2	5	1.5KE33AOS-ND	.63	4.98	37.35	79.55	—	—
34.2	36	37.8	30.8	5	1.5KE36ARL4OSCT-ND	—	4.73	35.47	75.55	1.5KE36ARL4OSTR-ND	214.19/M
37.1	39	41	33.3	5	1.5KE39ARL4OSCT-ND	—	4.98	37.35	79.55	1.5KE39ARL4OSTR-ND	214.19/M
40.9	43	45.2	36.8	5	1.5KE43AOS-ND	.63	4.98	37.35	79.55	—	—
53.2	56	58.8	47.8	5	1.5KE56ARL4OSCT-ND	—	4.98	37.35	79.55	—	—
58.9	62	65.1	53	5	1.5KE62AOS-ND	.63	4.98	37.35	79.55	—	—
64.6	68	71.4	58.1	5	1.5KE68AOS-ND	.63	4.98	37.35	79.55	—	—
71.3	75	78.8	64.1	5	1.5KE75AOS-ND	.63	4.98	37.35	79.55	—	—
190	200	210	171	5	1.5KE200AOS-ND	.99	7.92	59.43	126.57	—	—
237	250	263	214	5	1.5KE250AOS-ND	1.34	10.67	80.00	170.38	—	—
1.500 W, Serie JEDEC											
6.0	—	—	5	300	1N6373RL4OSCT-ND	—	5.16	38.70	82.42	1N6373RL4OSTR-ND	221.81/M
6.0	—	—	5	300	ICTE-5RL4OSCT-ND	—	7.92	59.43	126.57	ICTE-5RL4OSTR-ND	319.17/M
6.0	—	—	5	300	1N5908RL4OSCT-ND	—	5.16	38.70	82.42	—	—
6.45	6.8	7.14	5.8	1000	1N6267ARL4OSCT-ND	—	5.16	38.70	82.42	—	—
9.5	10	10.5	8.55	10	1N6271AOS-ND	.64	5.16	38.70	82.42	—	—
12.4	13	13.7	11.1	5	1N6274AOS-ND	.64	5.16	38.70	82.42	—	—
14.1	—	—	12	2	1N6376OS-ND	.64	5.16	38.70	82.42	—	—
14.3	15	15.8	12.8	5	1N6275AOS-ND	.64	5.16	38.70	82.42	—	—
15.2	16	16.8	13.6	5	1N6276AOS-ND	.64	5.16	38.70	82.42	—	—
17.1	18	18.9	15.3	5	1N6277AOS-ND	.64	5.16	38.70	82.42	—	—
17.6	—	—	15	2	1N6377OS-ND	.64	5.16	38.70	82.42	—	—
25.7	27	28.4	23.1	5	1N6281AOS-ND	.64	5.16	38.70	82.42	—	—
28.5	30	31.5	25.6	5	1N6282ARL4OSCT-ND	—	5.16	38.70	82.42	1N6282ARL4OSTR-ND	221.81/M
31.4	33	34.7	28.2	5	1N6283AOS-ND	.64	5.16	38.70	82.42	—	—
34.2	36	37.8	30.8	5	1N6284AOS-ND	.64	5.16	38.70	82.42	—	—
37.1	39	41	33.3	5	1N6285AOS-ND	.64	5.16	38.70	82.42	—	—
40.9	43	45.2	36.8	5	1N6286AOS-ND	.64	5.16	38.70	82.42	—	—
44.7	47	49.4	40.2	5	1N6287AOS-ND	.64	5.16	38.70	82.42	—	—
42.4	—	—	36	2	1N6380OS-ND	.64	5.16	38.70	82.42	—	—
48.5	51	53.6	43.6	5	1N6288ARL4OSCT-ND	—	5.16	38.70	82.42	1N6288ARL4OSTR-ND	221.81/M
58.9	62	65.1	53	5	1N6290AOS-ND	.64	5.16	38.70	82.42	—	—
86.5	91	95.5	77.8	5	1N6294ARL4OSCT-ND	—	5.16	38.70	82.42	1N6294ARL4OSTR-ND	221.81/M
95	100	105	85.5	5	1N6295AOS-ND	.99	7.92	59.43	126.57	—	—

ESE, Stoßspannungsunterdrücker

Abmessungen in mm

Abb. 1 — SC-74

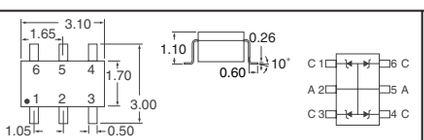

Abb. 2 — SOT-353

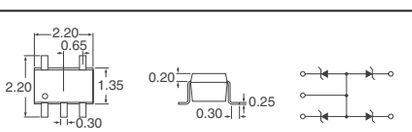

Abb. 3 — SOT-323

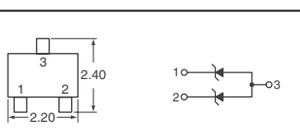

Abb. 4 — SOD-323

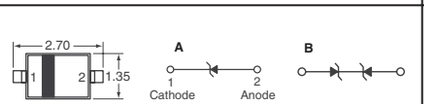

Abb. 5 — SC-89

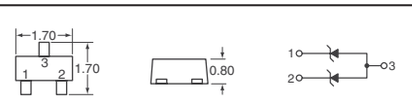

Abb. 6 — SOT-23

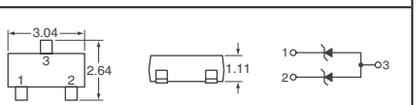

Abb.	Durchbruchspannung (V_{BR}) Min.	Nom.	Max.	V_{RWM} Min. (V)	I_R @ V_{RWM} (µA)	Digi-Key Teilenr.	Gurtabschnittspreise 10	100	250	Digi-Key Teilenr.	Preis. f. G. a. R. 3.000
1	5.32	5.6	5.88	3.0	2.0	MMQA5V6T1OSCT-ND	1.98	14.23	26.68	MMQA5V6T1OSTR-ND	71.12/M
	5.89	6.2	6.51	4.0	0.7	MMQA6V2T1OSCT-ND	2.54	18.29	34.29	MMQA6V2T1OSTR-ND	91.44/M
2	6.1	6.6	7.2	—	1.0	MSQA6V1W5T2OSCT-ND	2.23	16.03	30.06	MMQA6V1W5T2OSTR-ND	241.28/M
3	6.4	6.8	7.2	5.0	.05	DF3A6.8FUT1OSCT-ND	3.16	23.70	47.39	—	—
4A	6.2	—	7.3	5.0	10	SD05T1OSCT-ND	2.45	17.21	31.29	—	—
	13.3	—	15.75	12.0	1.0	SD12T1OSCT-ND	2.83	20.33	38.11	SD12T1OSTR-ND	95.67/M
4B	13.3	—	—	12.0	1.0	SD12CT1GOSCT-ND	4.57	34.29	73.02	SD12CT1GOSTR-ND	181.18/M
5	5.32	5.6	5.88	3.0	5.0	NZL5V6AXV3T1OSCT-ND	2.12	14.90	27.09	NZL5V6AXV3T1OSTR-ND	60.96/M
	6.46	6.8	7.14	4.5	1.0	NZL6V8AXV3T1OSCT-ND	2.82	19.85	36.10	NZL6V8AXV3T1OSTR-ND	81.28/M
	7.12	7.5	7.88	5.0	1.0	NZL7V5AXV3T1OSCT-ND	2.54	17.61	31.75	NZL7V5AXV3T1OSTR-ND	67.73/M
6	6.2	—	7.3	5.0	10	SM05T1OSCT-ND	2.96	21.33	40.00	—	—
	13.3	—	15.75	12.0	1.0	SM12T1OSCT-ND	2.96	21.33	40.00	—	—

Alle Preisangaben in Euro und inklusive Zollgebühren.

Diacs

Abb. 1 — SOT-23	Abb. 2 — MINIMELF	Abb. 3 — DO-35
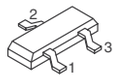 Pin1 und 3 müssen kurzgeschlossen werden		

Abb.	$V_{(BO)}$ (V) Min.	$V_{(BO)}$ (V) Max.	$V_{(BO)}$ Symmetrie (V) max.	Dynamische Breakback-Spannung (V)	Digi-Key Teilenr.	Gurtabschnittspreise 1	10	100	Gegurtet auf Rolle † Größe	Preisangaben	STMicroelectronics Teilenr.
1	28	36	±3	10	497-3148-1-ND	.51	4.06	30.48	3,000	152.39/M	SMDB3
2	28	36	±3	5	497-3275-1-ND	.47	3.73	27.94	2,500	139.69/M	TMMDB3
3	30	34	±2	9	497-3134-1-ND	.38	3.05	22.86	5,000	106.68/M	DB3TG

† Für Gegurtet auf Rolle die Teilenr. 1-ND in 2-ND ändern.

·M·C·C· Micro Commercial Components — SMB-Stoßspannungsschutz-Bauelemente

TSMBJ ist ein Halbleiter-Bauelement, das durch vier Schichten mit abwechselnder Leitfähigkeit gekennzeichnet ist: PNPN. Da es aus Silikon hergestellt ist, findet beim TSMBJ keine Leistungsminderung durch vielfachen Gebrauch statt. Diese Bauelemente werden für den Schutz empfindlicher Schaltkreise vor elektrischen Störeinflüssen, die durch Blitzeinschlag und Netzausfälle verursacht werden, benötigt. Die Hauptanwendungsbereiche sind Telekommunikationseinrichtungen und Datenkommunikations-Schaltkreise.

Merkmale:
• Mit Oxidglas passivierte Sperrschicht • Bidirektionaler Schutz in einem einzelnen Bauelement • Hohe Sperrzustandsimpedanz, niedrige Durchlassspannung • Kunststoffmaterial hat die Entflammbarkeitsklassifizierung UL 94V-0
Spezifikationen: • Sperrzustandskriechstrom @ VDRM: 5 I_{DRM}

Zulässige repetitive Spannung (Aus-Status) V_{DRM}	Kipp-spannung V_{BO}	Ipp @ 10/1000 us (A)	Spannung im Ein-Zustand @ I_T = 1,0 A V_T	Kippstrom I_{BO-} mA Min.	I_{BO+} mA Max.	Haltestrom I_{H-} mA Min.	I_{H+} mA Max.	Sperrkap. C_J pF typ.	Digi-Key Teilenr.	Gurtabschnittspreis pro Stück 10	100	1.000	Gegurtet auf Rolle† 3.000
58	77	50	5	50	800	150	800	100	TSMBJ0305C064MSCT-ND	.77	.61	.46	—
65	88	50	5	50	800	150	800	100	TSMBJ0305C072MSCT-ND	.77	.61	.46	—
75	98	50	5	50	800	150	800	100	TSMBJ0306CMSCT-ND	.77	.61	.46	—
90	130	50	5	50	800	150	800	60	TSMBJ0306CMSCT-ND	.77	.61	.46	—
120	160	50	5	50	800	150	800	60	TSMBJ0309C130MSCT-ND	.77	.61	.46	—
140	180	50	5	50	800	150	800	60	TSMBJ0310CMSCT-ND	.77	.61	.46	—
160	220	50	5	50	800	150	800	60	TSMBJ0312CMSCT-ND	.77	.61	.46	—
190	265	50	5	50	800	150	800	40	TSMBJ0316CMSCT-ND	.77	.61	.46	—
220	300	50	5	50	800	150	800	40	TSMBJ0318CMSCT-ND	.77	.61	.46	—
275	350	50	5	50	800	150	800	40	TSMBJ0322CMSCT-ND	.77	.61	.46	—
320	400	50	5	50	800	150	800	40	TSMBJ0324CMSCT-ND	.77	.61	.46	—
58	77	80	5	50	800	150	800	140	TSMBJ0505C064MSCT-ND	.77	.61	.46	—
65	88	80	5	50	800	150	800	140	TSMBJ0505C072MSCT-ND	.77	.61	.46	—
75	98	80	5	50	800	150	800	140	TSMBJ0506CMSCT-ND	.77	.61	.46	—
90	130	80	5	50	800	150	800	90	TSMBJ0507CMSCT-ND	.77	.61	.46	304.78/M
120	160	80	5	50	800	150	800	90	TSMBJ0509C130MSCT-ND	.77	.61	.46	—
140	180	80	5	50	800	150	800	90	TSMBJ0510CMSCT-ND	.77	.61	.46	—
160	220	80	5	50	800	150	800	90	TSMBJ0512CMSCT-ND	.77	.61	.46	—
190	265	80	5	50	800	150	800	60	TSMBJ0516CMSCT-ND	.77	.61	.46	—
220	300	80	5	50	800	150	800	60	TSMBJ0518CMSCT-ND	.77	.61	.46	—
275	350	80	5	50	800	150	800	60	TSMBJ0522CMSCT-ND	.77	.61	.46	—
320	400	80	5	50	800	150	800	60	TSMBJ0524CMSCT-ND	.77	.61	.46	—
58	77	100	5	50	800	150	800	200	TSMBJ1005C064MSCT-ND	1.49	1.19	.89	—
65	88	100	5	50	800	150	800	200	TSMBJ1005C072MSCT-ND	1.49	1.19	.89	—
75	98	100	5	50	800	150	800	200	TSMBJ1006CMSCT-ND	1.49	1.19	.89	—
90	130	100	5	50	800	150	800	120	TSMBJ1007CMSCT-ND	1.49	1.19	.89	—
120	160	100	5	50	800	150	800	120	TSMBJ1009C130MSCT-ND	1.49	1.19	.89	—
140	180	100	5	50	800	150	800	120	TSMBJ1010CMSCT-ND	1.49	1.19	.89	—
160	220	100	5	50	800	150	800	120	TSMBJ1012CMSCT-ND	1.49	1.19	.89	—
220	300	100	5	50	800	150	800	80	TSMBJ1018CMSCT-ND	1.49	1.19	.89	592.62/M
275	350	100	5	50	800	150	800	80	TSMBJ1022CMSCT-ND	1.49	1.19	.89	592.62/M
320	400	100	5	50	800	150	800	80	TSMBJ1024CMSCT-ND	1.49	1.19	.89	—

† Für Band und Spule die Teilenummer CT-ND in TR-ND ändern

DO-214AA

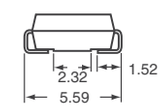

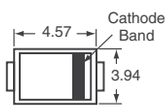

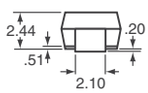

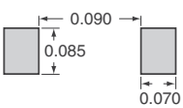

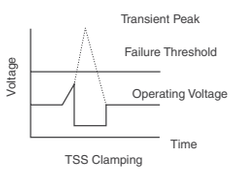

G

TECCOR® The New Standard in Thyristors for Electronic Equipment — Littelfuse® Vorläufiger Differenzialschutz

Allgemeine Beschreibung :

Der neue Differenzialschutz wurde so konstruiert, dass er dem Kunden eine oberflächenmontierte Alternative zu unserem traditionellen modifizierten TO-220-Paket bietet. Er baut auf einem 6-poligen SOIC-Paket auf und setzt die patentierte Y-Konfiguration (US-Patent 4.905.119) ein. Er ist in Stoßstromnennleistungen bis zu 500 A erhältlich.

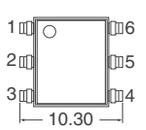

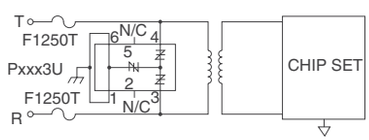

Serie	Ipp 2 x 10µs (A)	Ipp 8 x 20µs (A)	Ipp 10 x 160µs (A)	Ipp 10 x 560µs (A)	Ipp 10 x 1000µs (A)	I_{TSM} 60Hz (A)	di/dt (A/µs)
C	500	400	200	150	100	50	500

V_{DRM} (V)	V_S (V)	V_T (V)	I_S (mA)	I_H (mA)	Digi-Key Teilenr.	Gurtabschnittspreis pro Stück 1	10	100	Digi-Key Teilenr.	Preis. f. geg. auf Rolle 1.500
130	180	8	800	150	P1553UCRPCT-ND	3.59	3.26	2.94	P1553UCRPTR-ND	1694.90/M
150	210	8	800	150	P1803UCRPCT-ND	3.59	3.26	2.94	P1803UCRPTR-ND	1694.90/M
170	250	8	800	150	P2103UCRPCT-ND	3.59	3.26	2.94	P2103UCRPTR-ND	1694.90/M
200	270	8	800	150	P2353UCRPCT-ND	3.59	3.26	2.94	P2353UCRPTR-ND	1694.90/M
230	300	8	800	150	P2703UCRPCT-ND	3.59	3.26	2.94	P2703UCRPTR-ND	1694.90/M
270	350	8	800	150	P3203UCRPCT-ND	3.59	3.26	2.94	P3203UCRPTR-ND	1694.90/M
300	400	8	800	150	P3403UCRPCT-ND	3.59	3.26	2.94	P3403UCRPTR-ND	1694.90/M
420	600	8	800	150	P5103UCRPCT-ND	3.59	3.26	2.94	P5103UCRPTR-ND	1694.90/M

SIDACtor® Überspannungsschutz

Produktbeschreibung:
SIDACtors® sind Festkörper-Barrierenbauelemente (Crowbar), die für den Schutz von Telekommunikationsvorrichtungen während gefährlicher Übergangszustände entwickelt wurden. Teccor setzt seine Neuerungen im Thyristor Gewinn bringend ein und konstruiert seine SIDACtors® mit einer patentierten Ionenimplantationstechnologie. Diese Technologie gewährleistet einen effektiven Schutz innerhalb von Nanosekunden, Stoßstromnennleistungen von 500 A und einfache Lösungen für behördliche Anforderungen, z. B. Bellcore 1089, TIA/EIA-1S-968, ITU-T K.20, ITU-T K.21 und UL60950.

Betrieb:
Im Standby-Modus weisen die SIDACtors® eine hohe Sperrzustandsimpedanz auf, eliminieren übermäßige Kriechströme und erscheinen den geschützten Schaltkreisen gegenüber transparent. Bei Anlegung einer Spannung über der Schaltungsspannung (Vs) schließen die SIDACtors® den Eingang kurz und simulieren einen Kurzschlusszustand, bis der Strom, der durch das Gerät strömt, entweder unterbrochen wird oder aber unter den Haltestrom der SIDACtors® (IH) sinkt. Dann werden die SIDACtors® zurückgestellt und kehren in den Zustand hoher Off-State-Impedanz zurück.

Stoßnennleistungen

Stoßnennleistungen (Serie)	I_{pp} 2 x 10µs (A)	I_{pp} 8 x 20µs (A)	I_{pp} 10 x 160µs (A)	I_{pp} 10 x 560µs (A)	I_{pp} 10 x 1000µs (A)	I_{TSM} 60Hz (A)	di/dt (A/µs)
A	150	150	90	50	45	20	500
B	250	250	150	100	80	30	500
C	500	400	200	150	100	50	500

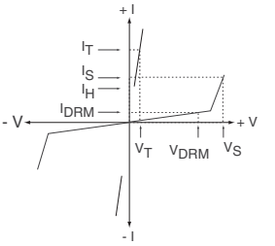

Abb. A
TO-92
(isoliert)

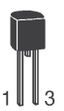

Abb. 1

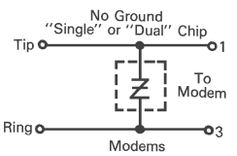

Abb. B
TO-220 keine
Erde (isoliert)

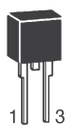

Abb. 2

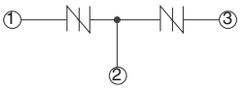

Abb. C
TO-220
(isoliert)

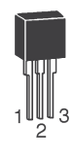

Abb. 3

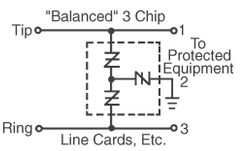

Abb. D
DO-214AA
(isoliert)

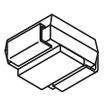

Abb. 4

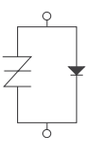

Abb. E
Modifiziert, DO-214AA
(isoliert)

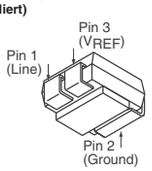

Abb. 5

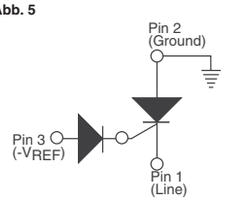

Abb.	Paket	Stoßnennleistungen (Serie)	V_{DRM} (V) ‡	V_S (V)‡	V_T (V)	I_S (mA)	I_H (mA)	Digi-Key Teilenr.	Stückpreis 1	10	100	500	1.000
A,1	TO-92	A	25	40	4	800	50	P0300EA-ND	.53	.48	.43	.36	.31
			58	77			150	P0640EA-ND	.53	.48	.43	.36	.31
			65	88				P0720EA-ND	.53	.48	.43	.36	.31
			75	98				P0900EA-ND	.53	.48	.43	.36	.31
			90	130				P1100EA-ND	.53	.48	.43	.36	.31
			120	160				P1300EA-ND	.53	.48	.43	.36	.31
			140	180				P1500EA-ND	.53	.48	.43	.36	.31
			220	300				P2600EA-ND	.53	.48	.43	.36	.31
			275	350				P3100EA-ND	.53	.48	.43	.36	.31
		B	220	300	4	800	150	P2600EB-ND	.59	.53	.48	.40	.35
			275	350				P3100EB-ND	.59	.53	.48	.40	.35
			320	400				P3500EB-ND	.59	.53	.48	.40	.35
		C	58	77	4	800	150	P0640EC-ND	.69	.61	.55	.46	.40
			170	220				P1800EC-ND	.69	.61	.55	.46	.40
			220	300				P2600EC-ND	.69	.61	.55	.46	.40
			275	350				P3100EC-ND	.69	.61	.55	.46	.40
			320	400				P3500EC-ND	.69	.61	.55	.46	.40
B,1	Modifizierter TO-220	A	220	260	4	800	150	P2400AA61-ND	1.16	1.04	.93	.78	.68
			270	330				P3000AA61-ND	1.16	1.04	.93	.78	.68
C,2	Modifizierter TO-220	A	25	40	4	800	50	P0602AA-ND *	1.52	1.36	1.22	1.02	.89
		B	65	95	4	800	150	P1602AB-ND *	1.92	1.71	1.54	1.29	1.12
			90	130				P2202AB-ND *	1.92	1.71	1.54	1.29	1.12
			140	180				P3002AB-ND *	1.92	1.71	1.54	1.29	1.12
			275	350				P6002AB-ND *	1.92	1.71	1.54	1.29	1.12
		C	25	40	4	800	50	P0602AC-ND†	2.13	1.90	1.71	1.43	1.24
C,3	Modifizierter TO-220	B	130	180	8	800	150	P1553AB-ND†	2.51	2.24	2.02	1.68	1.46
			170	250				P2103AB-ND†	2.51	2.24	2.02	1.68	1.46
			200	270				P2353AB-ND†	2.51	2.24	2.02	1.68	1.46
			230	300				P2703AB-ND†	2.51	2.24	2.02	1.68	1.46
			270	350				P3203AB-ND†	2.51	2.24	2.02	1.68	1.46
			300	400				P3403AB-ND†	2.51	2.24	2.02	1.68	1.46
		C	270	350	8	800	150	P3203AC-ND†	—	—	—	1.86	—

* Aus-Zustand-Kapazität (C_O) wird zwischen Pins 1-2 und 3-2 bei 1 MHz mit einem 2 V Bias gemessen und ist ein typischer Wert für AA. Die Kapazität entspricht ca. 2x dem angegebenen Wert für das AB- und AC-Produkt.

† Zwischen 2 beliebigen Pins ‡ V_{DRM} zwischen Pins 1-3 = 2 X VDRM Pins 1-2, VS zwischen Pins 1-3 = 2 X VS Pins 1-2

Abb.	Paket	Stoßnennleistungen (Serie)	V_{DRM} (V)	V_S (V)	V_T (V)	I_S (mA)	I_H (mA)	Digi-Key Teilenr.	Gurtabschnittspreis pro Stück 1	10	100	Digi-Key Teilenr.	Preisangabe für Gegurtet auf Rolle 2.500
D,1	DO-214 AA	A	25	40	4	800	50	P0300SARPCT-ND	1.35	1.09	.82	P0300SARPTR-ND	352.19/M
			58	77			150	P0640SARPCT-ND	1.35	1.09	.82	P0640SARPTR-ND	352.19/M
			65	88				P0720SARPCT-ND	1.35	1.09	.82	P0720SARPTR-ND	352.19/M
			140	180				P1500SARPCT-ND	1.35	1.09	.82	P1500SARPTR-ND	352.19/M
			220	300				P2600SARPCT-ND	1.35	1.09	.82	P2600SARPTR-ND	352.19/M
			275	350				P3100SARPCT-ND	1.29	1.03	.78	P3100SARPTR-ND	334.58/M
			320	400				P3500SARPCT-ND	1.35	1.09	.82	P3500SARPTR-ND	352.19/M
		B	25	40	4	800	50	P0300SBRPCT-ND	1.48	1.19	.89	P0300SBRPTR-ND	385.21/M
			275	350			150	P3100SBRPCT-ND	1.48	1.19	.89	P3100SBRPTR-ND	385.21/M
			320	400				P3500SBRPCT-ND	1.48	1.19	.89	P3500SBRPTR-ND	385.21/M
			220	300				P2600SBRPCT-ND	1.48	1.19	.89	P2600SBRPTR-ND	385.21/M
		C	25	40	4	800	50	P0300SCRPCT-ND	1.65	1.33	1.00	P0300SCRPTR-ND	429.23/M
			58	77			150	P0640SCRPCT-ND	1.65	1.33	1.00	P0640SCRPTR-ND	429.23/M
			170	220				P1800SCRPCT-ND	1.65	1.33	1.00	P1800SCRPTR-ND	429.23/M
			220	300				P2600SCRPCT-ND	1.65	1.33	1.00	P2600SCRPTR-ND	429.23/M
			275	350				P3100SCRPCT-ND	1.65	1.33	1.00	P3100SCRPTR-ND	429.23/M
			320	400				P3500SCRPCT-ND	1.65	1.33	1.00	P3500SCRPTR-ND	429.23/M

Battrax SLIC (Subscriber Line Interface Circuit) -Schutz

Das Battrax®-Bauelement ist ein Festkörperschutzgerät, das entweder auf eine positive oder negative Spannungsquelle bezogen werden kann. Der B1100C ist für eine –VREF. Das B1100C Battrax®-Bauelement wurde für den Einsatz mit einem SCR und einer integrierten Diode entwickelt und ist ab |-VREF|+|-1,2 V| leitend.

Das P0641S ist ein unidirektionales Festkörperschutzelement mit einem SIDACtor®-Bauelement und einer integrierten Diode. Es wird für den Schutz von SLIC ICs vor Beschädigung während Stoßspannungen verwendet. Mit diesem Gerät können Leitungskarten die verschiedenen behördlichen Anforderungen besser erfüllen, u. a. : GR1089, ITU K.20, K.21 und K.45, IEC 60950 und TIA/EIA-15-968.

Stoßnennleistungen

Digi-Key Teilenr.	Serie	I_{pp} 2 x 10µs (A)	I_{pp} 8 x 20µs (A)	I_{pp} 10 x 160µs (A)	I_{pp} 10 x 560µs (A)	I_{pp} 10 x 1000µs (A)	I_{TSM} 60Hz (A)	di/dt (A/µs)
B1100C_	A	150	150	90	60	50	20	500
	C	500	400	200	150	100	50	500
P0641S_	A	150	150	90	50	45	20	500
	C	500	400	200	150	100	50	500

Abb.	Paket	V_{DRM} (V)	V_S (V)	V_T (V)	V_F (V)	I_{DRM} (mA)	I_{GT} (mA)	I_S (mA)	I_T (A)	I_H (mA)	C_O (pF)	Digi-Key Teilenr.	Gurtabschnittspreis pro Stück 1	10	100	500	Digi-Key Teilenr.	Preis. f. geg. auf Rolle 2.500
SLIC-Battrax-Schutz																		
E,5	Modifizierter DO-214AA	|-VREF|+|-1.2V|	|-VREF|+|-10V|	4	—	5	100	—	2.2	100	50	B1100CARPCT-ND	1.78	1.43	1.07	.72	B1100CARPTR-ND	462.25/M
												B1100CCRPCT-ND	3.05	2.44	1.83	1.22	B1100CCRPTR-ND	792.42/M
SLIC-Schutz																		
D,4	DO-214AA	58	77	4	5	5	—	800	1	120	70	P0641SARPCT-ND	1.44	1.16	.87	.58	P0641SARPTR-ND	374.20/M
												P0641SCRPCT-ND	1.78	1.43	1.07	.72	P0641SCRPTR-ND	462.25/M

TeleLink® SMD-Sicherung - Serie 0461

Die stoßspannungsfeste, träge TeleLink®-Sicherung zur Oberflächenmontage wurde zur Gewährleistung des höchsten Schaltkreisschutzes entwickelt und erfüllt dabei gleichzeitig die erforderlichen Stoßspannungsanforderungen der Telekommunikationsbranche. Bei Verwendung mit dem SIDACtor® bietet sie eine komplette Lösung, die folgende Normen erfüllt: Telcordia GR-1089-Core, TIA/EIA-968-A, UL60950. **Spezifikationen:** Unterbrechungswerte • Nennspannung : 250 V • Nennstrom: 1,25 A **Stoßnennleistungen :** • 100 A, 10 x 1000 µs und 500 A, 2 x 10 µs • Speziell für Telekommunikationsgeräte entwickelt, **ROHS-konform**

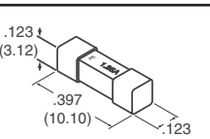

Digi-Key Teilenr.	Gurtabschnittspreis pro Stück 1	10	100	Digi-Key Teilenr.	Preis f. geg. auf Rolle 2.500
F1250TRPCT-ND	1.94	1.55	1.17	F1250TRPTR-ND	502.97/M

Alle Preisangaben in Euro und inklusive Zollgebühren.

G

Murata Electronics

SMD NTC-Thermistoren

Merkmale: • Hervorragende Lötbarkeit und hohe Stabilität in der Umgebung • Langsame Stabilitätsminderung über Zeit • Hohe Genauigkeit von Widerstand und B-Konstanten • Zum Aufschmelzlöten geeignet • Dieses Produkt enthält kein Blei. • Betriebstemperaturbereich: -40 °C ~ 125 °C

Abmessungen (mm)	0402	0603	0805
A	1.0	1.6	2.0
B	0.5	0.8	1.25
C	0.25	0.6	0.7

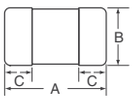

Widerstand (25°C) Ω	B-Konstante (25-50°C) (K)	Toleranz (@25°C)	Max. Betriebsstrom (25 °C) (mA)	Puissance électrique nominale (25 °C) (mW)	Typ. Dissipationskonstante (25 °C) (mW/°C)	Digi-Key Teilenr.	Stückpreis 1	10	100	Digi-Key Teilenr.	Gegurtet auf Rolle Größe	Preisangaben	Murata Teilenr.
Serie 0402													
22	3100 ± 3%	±5%	6.70	100	1	490-2408-1-ND	.14	.13	.10	490-2408-2-ND	10,000	49.47/M	NCP15XC220J03RC
33	3100 ± 3%	±5%	5.50	100	1	490-2409-1-ND	.14	.13	.10	490-2409-2-ND	10,000	49.47/M	NCP15XC330J03RC
47	3100 ± 3%	±5%	4.60	100	1	490-2410-1-ND	.14	.13	.10	490-2410-2-ND	10,000	49.47/M	NCP15XC470J03RC
68	3100 ± 3%	±5%	3.80	100	1	490-2411-1-ND	.14	.13	.10	490-2411-2-ND	10,000	49.47/M	NCP15XC680J03RC
100	3250 ± 3%	±5%	3.10	100	1	490-2412-1-ND	.14	.13	.10	490-2412-2-ND	10,000	49.47/M	NCP15XF101J03RC
150	3250 ± 3%	±5%	2.50	100	1	490-2413-1-ND	.14	.13	.10	490-2413-2-ND	10,000	49.47/M	NCP15XF151J03RC
220	3500 ± 3%	±5%	2.10	100	1	490-2415-1-ND	.14	.13	.10	490-2415-2-ND	10,000	49.47/M	NCP15XM221J03RC
330	3500 ± 3%	±5%	1.70	100	1	490-2416-1-ND	.14	.13	.10	490-2416-2-ND	10,000	49.47/M	NCP15XM331J03RC
470	3650 ± 3%	±5%	1.40	100	1	490-2419-1-ND	.14	.13	.10	490-2419-2-ND	10,000	49.47/M	NCP15XQ471J03RC
680	3650 ± 3%	±5%	1.20	100	1	490-2420-1-ND	.14	.13	.10	490-2420-2-ND	10,000	49.47/M	NCP15XQ681J03RC
1.0K	3650 ± 3%	±5%	1.00	100	1	490-2418-1-ND	.14	.13	.10	490-2418-2-ND	10,000	49.47/M	NCP15XQ102J03RC
1.5K	3950 ± 3%	±5%	0.81	100	1	490-2421-1-ND	.14	.13	.10	490-2421-2-ND	10,000	49.47/M	NCP15XW152J03RC
2.2K	3950 ± 3%	±5%	0.67	100	1	490-2423-1-ND	.14	.13	.10	490-2423-2-ND	10,000	49.47/M	NCP15XW222J03RC
3.3K	3950 ± 3%	±5%	0.55	100	1	490-2425-1-ND	.14	.13	.10	490-2425-2-ND	10,000	49.47/M	NCP15XW332J03RC
4.7K	3500 ± 3%	±5%	0.46	100	1	490-2417-1-ND	.12	.11	.09	490-2417-2-ND	10,000	43.68/M	NCP15XM472J03RC
6.8K	3950 ± 3%	±5%	0.38	100	1	490-2426-1-ND	.14	.13	.10	490-2426-2-ND	10,000	49.47/M	NCP15XW682J03RC
10K	3380 ± 3%	±5%	0.31	100	1	490-2414-1-ND	.12	.11	.09	490-2414-2-ND	10,000	43.68/M	NCP15XH103J03RC
15K	3950 ± 3%	±5%	0.25	100	1	490-2422-1-ND	.14	.13	.10	490-2422-2-ND	10,000	49.47/M	NCP15XW153J03RC
22K	3950 ± 3%	±5%	0.21	100	1	490-2424-1-ND	.14	.13	.10	490-2424-2-ND	10,000	49.47/M	NCP15XW223J03RC
33K	4050 ± 3%	±5%	0.17	100	1	490-2401-1-ND	.14	.13	.10	490-2401-2-ND	10,000	49.47/M	NCP15WB333J03RC
47K	4050 ± 3%	±5%	0.14	100	1	490-2402-1-ND	.12	.11	.09	490-2402-2-ND	10,000	43.68/M	NCP15WB473J03RC
68K	4150 ± 3%	±5%	0.12	100	1	490-2403-1-ND	.14	.13	.10	490-2403-2-ND	10,000	49.47/M	NCP15WD683J03RC
100K	4250 ± 3%	±5%	0.10	100	1	490-2404-1-ND	.12	.11	.09	490-2404-2-ND	10,000	43.68/M	NCP15WF104J03RC
150K	4500 ± 3%	±5%	0.08	100	1	490-2405-1-ND	.14	.13	.10	490-2405-2-ND	10,000	49.47/M	NCP15WM154J03RC
220K	4500 ± 3%	±5%	0.06	100	1	490-2406-1-ND	.14	.13	.10	490-2406-2-ND	10,000	49.47/M	NCP15WM224J03RC
470K	4500 ± 3%	±5%	0.04	100	1	490-2407-1-ND	.14	.13	.10	490-2407-2-ND	10,000	49.47/M	NCP15WM474J03RC
Serie 0603													
100	3250 ± 3%	±5%	3.10	100	1	490-2434-1-ND	.15	.14	.11	490-2434-2-ND	4,000	58.17/M	NCP18XF101J03RB
150	3250 ± 3%	±5%	2.50	100	1	490-2435-1-ND	.15	.14	.11	490-2435-2-ND	4,000	58.17/M	NCP18XF151J03RB
220	3500 ± 3%	±5%	2.10	100	1	490-2437-1-ND	.15	.14	.11	490-2437-2-ND	4,000	58.17/M	NCP18XM221J03RB
330	3500 ± 3%	±5%	1.70	100	1	490-2438-1-ND	.15	.14	.11	490-2438-2-ND	4,000	58.17/M	NCP18XM331J03RB
470	3650 ± 3%	±5%	1.40	100	1	490-2441-1-ND	.15	.14	.11	490-2441-2-ND	4,000	58.17/M	NCP18XQ471J03RB
680	3650 ± 3%	±5%	1.2	100	1	490-2442-1-ND	.15	.14	.11	490-2442-2-ND	4,000	58.17/M	NCP18XQ681J03RB
1.0K	3650 ± 3%	±5%	1.00	100	1	490-2440-1-ND	.15	.14	.11	490-2440-2-ND	4,000	58.17/M	NCP18XQ102J03RB
1.5K	3950 ± 3%	±5%	0.81	100	1	490-2443-1-ND	.15	.14	.11	490-2443-2-ND	4,000	58.17/M	NCP18XW152J03RB
2.2K	3950 ± 3%	±5%	0.67	100	1	490-2445-1-ND	.15	.14	.11	490-2445-2-ND	4,000	58.17/M	NCP18XW222J03RB
3.3K	3950 ± 3%	±5%	0.55	100	1	490-2447-1-ND	.15	.14	.11	490-2447-2-ND	4,000	58.17/M	NCP18XW332J03RB
4.7K	3500 ± 3%	±5%	0.46	100	1	490-2439-1-ND	.14	.13	.10	490-2439-2-ND	4,000	51.94/M	NCP18XM472J03RB
6.8K	3950 ± 3%	±5%	0.38	100	1	490-2448-1-ND	.15	.14	.11	490-2448-2-ND	4,000	58.17/M	NCP18XW682J03RB
10K	3380 ± 3%	±5%	0.31	100	1	490-2436-1-ND	.14	.13	.10	490-2436-2-ND	4,000	51.94/M	NCP18XH103J03RB
15K	3950 ± 3%	±5%	0.25	100	1	490-2444-1-ND	.15	.14	.11	490-2444-2-ND	4,000	58.17/M	NCP18XW153J03RB
22K	3950 ± 3%	±5%	0.21	100	1	490-2446-1-ND	.15	.14	.11	490-2446-2-ND	4,000	58.17/M	NCP18XW223J03RB
33K	4050 ± 3%	±5%	0.17	100	1	490-2427-1-ND	.15	.14	.11	490-2427-2-ND	4,000	58.17/M	NCP18WB333J03RB
47K	4050 ± 3%	±5%	0.14	100	1	490-2428-1-ND	.14	.13	.10	490-2428-2-ND	4,000	51.94/M	NCP18WB473J03RB
68K	4150 ± 3%	±5%	0.12	100	1	490-2429-1-ND	.15	.14	.11	490-2429-2-ND	4,000	58.17/M	NCP18WD683J03RB
100K	4250 ± 3%	±5%	0.10	100	1	490-2430-1-ND	.14	.13	.10	490-2430-2-ND	4,000	51.94/M	NCP18WF104J03RB
150K	4500 ± 3%	±5%	0.08	100	1	490-2431-1-ND	.15	.14	.11	490-2431-2-ND	4,000	58.17/M	NCP18WM154J03RB
220K	4500 ± 3%	±5%	0.06	100	1	490-2432-1-ND	.15	.14	.11	490-2432-2-ND	4,000	58.17/M	NCP18WM224J03RB
470K	4500 ± 3%	±5%	0.04	100	1	490-2433-1-ND	.15	.14	.11	490-2433-2-ND	4,000	58.17/M	NCP18WM474J03RB
Serie 0805													
220	3500 ± 3%	±5%	3.00	200	2	490-2452-1-ND	.19	.17	.13	490-2452-2-ND	4,000	70.23/M	NCP21XM221J03RA
470	3650 ± 3%	±5%	2.00	200	2	490-2455-1-ND	.19	.17	.13	490-2455-2-ND	4,000	70.23/M	NCP21XQ471J03RA
1.0K	3650 ± 3%	±5%	1.40	200	2	490-2454-1-ND	.19	.17	.13	490-2454-2-ND	4,000	70.23/M	NCP21XQ102J03RA
2.2K	3950 ± 3%	±5%	0.90	200	2	490-2458-1-ND	.19	.17	.13	490-2458-2-ND	4,000	70.23/M	NCP21XW222J03RA
4.7K	3500 ± 3%	±5%	0.65	200	2	490-2453-1-ND	.19	.17	.13	490-2453-2-ND	4,000	70.23/M	NCP21XM472J03RA
10K	3900 ± 3%	±5%	0.44	200	2	490-2456-1-ND	.19	.17	.13	490-2456-2-ND	4,000	70.23/M	NCP21XV103J03RA
15K	3950 ± 3%	±5%	0.36	200	2	490-2457-1-ND	.19	.17	.13	490-2457-2-ND	4,000	70.23/M	NCP21XW153J03RA
22K	3950 ± 3%	±5%	0.30	200	2	490-2459-1-ND	.19	.17	.13	490-2459-2-ND	4,000	70.23/M	NCP21XW223J03RA
33K	4050 ± 3%	±5%	0.24	200	2	490-2449-1-ND	.19	.17	.13	490-2449-2-ND	4,000	70.23/M	NCP21WB333J03RA
47K	4050 ± 3%	±5%	0.20	200	2	490-2450-1-ND	.19	.17	.13	490-2450-2-ND	4,000	70.23/M	NCP21WB473J03RA
100K	4250 ± 3%	±5%	0.14	200	2	490-2451-1-ND	.19	.17	.13	490-2451-2-ND	4,000	70.23/M	NCP21WF104J03RA

G

BC COMPONENTS

Oberflächenmontierte NTC-Chip-Thermistoren (der Größe 0603 und 0805)

Chip-Thermistoren der Größe 0603 und 0805 haben einen negativen Temperaturkoeffizienten und Nickelsperrkontakte. Das Gerät hat keine Markierung.
Anwendungen: • Temperaturausgleich, Abtasten und Schutz in: Batterieladegeräten, Verbrauchergeräten und Bürogeräten
Merkmale: • Hohe Genauigkeit über breite Betriebstemperaturbereiche (-40 °C ~ 150 °C) • Für Wellen- oder Aufschmelzlöten geeignet • Hochempfindlich • Gegurtet auf Rolle

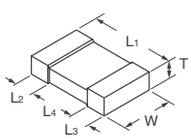

Größencode	Abmessungen (mm) L1	W	T Min.	T Max.	L2 und L3	L4 Min.
A	1.6 ±0.15	0.8 ±0.15	0.5	1.0	0.2	0.4
B	2.0 ±0.2	1.25 ±0.2	0.5	1.25	0.5 ±0.25	0.5

Größencode	Widerst. @ 25°C	Tol. @ 25°C	B-Wert/B-Toleranz @ B25/85	Digi-Key Teilenr.	Gurtabschnittspreis pro Stück 1	10	100	Digi-Key Teilenr.	Preis f. geg. auf Rolle 4.000	BC Components Teilenr.
Größe 0603										
A	4.7kΩ	±3%	3830K±1%	BC1543CT-ND*	.48	.43	.34	BC1543TR-ND*	180.33/M	2322 615 36472
	10kΩ	±3%	3590K±1%	BC1544CT-ND*	.48	.43	.34	BC1544TR-ND*	180.33/M	2322 615 36103
	68kΩ	±3%	3985K±1%	BC1547CT-ND*	.52	.46	.37	BC1547TR-ND*	196.58/M	2322 615 36683
	100kΩ	±3%	4090K±1%	BC1548CT-ND*	.48	.43	.34	BC1548TR-ND*	180.33/M	2322 615 36104
	4.7kΩ	±5%	3830K±1%	BC1538CT-ND*	.37	.33	.26	BC1538TR-ND*	139.69/M	2322 615 33472
	10kΩ	±5%	3590K±1%	BC1539CT-ND*	.37	.33	.26	BC1539TR-ND*	139.69/M	2322 615 33103
	15kΩ	±5%	3600K±1%	BC1540CT-ND*	.50	.44	.35	BC1540TR-ND*	186.68/M	2322 615 33153
	47kΩ	±5%	3960K±1%	BC1541CT-ND*	.50	.44	.35	—	—	2322 615 33473
	100kΩ	±5%	4090K±1%	BC1542CT-ND*	.50	.44	.35	BC1542TR-ND*	186.68/M	2322 615 33104
Größe 0805										
B	2.2kΩ	±5%	3680K±3%	BC1514CT-ND	.35	.31	.24	BC1514TR-ND	129.53/M	2322 615 53222
	4.7kΩ	±5%	3560K±1%	BC1516CT-ND	.35	.31	.24	BC1516TR-ND	129.53/M	2322 615 53472
	10kΩ	±5%	3620K±1%	BC1518CT-ND	.35	.31	.24	BC1518TR-ND	129.53/M	2322 615 53103
	15kΩ	±5%	3528K±1%	BC1519CT-ND	.35	.31	.24	BC1519TR-ND	129.53/M	2322 615 53153
	22kΩ	±5%	3930K±1.5%	BC1520CT-ND	.35	.31	.24	BC1520TR-ND	129.53/M	2322 615 53223
	33kΩ	±5%	3960K±3%	BC1521CT-ND	.35	.31	.24	BC1521TR-ND	129.53/M	2322 615 53333
	47kΩ	±5%	4090K±1.5%	BC1522CT-ND	.35	.31	.24	BC1522TR-ND	129.53/M	2322 615 53473
	68kΩ	±5%	3740K±3%	BC1523CT-ND	.35	.31	.24	BC1523TR-ND	129.53/M	2322 615 53683

***** Größe 0603, Code A hat NiSn-Anschlüsse.

Oberflächenmontierte NTC-Thermistoren - SOD80

Sensoren für hohe Temperaturen

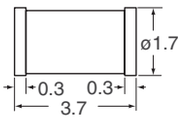

Diese Thermistoren haben einen negativen Temperaturkoeffizienten und sind in einer Glastasche montiert, ohne Anschlüsse, geeignet zur Oberflächenmontage.

Merkmale: • Kleiner Durchmesser • Schnelle Reaktion auf Temperaturänderungen • Hohe Stabilität über lange Lebensdauer • Breiter Temperaturbereich: -40 °C ~ 300 °C • Hält korrodierenden und rauen Umgebungen stand.

Anwendungen: • Hochtemperatur-Messsteuerung in Haushaltsgeräten, Automobilsystemen und in der industriellen Prozesssteuerung

Widerst. @ 25°C (Ω)	B-Wert/B-Toleranz @ B25/85	Tol. @ 25°C	Digi-Key Teilenr.	Gurtabschnitts-preis pro Stück 1	10	100	Digi-Key Teilenr.	Preis f. geg. auf Rolle 2.500	BC Components Teilenr.
20k	3977K±1.3%	±5%	BC1550CT-ND	.83	.73	.58	BC1550TR-ND	311.13/M	2322 633 53203
30k	3977K±1.3%	±5%	BC1551CT-ND	.83	.73	.58	BC1551TR-ND	311.13/M	2322 633 53303
100k	3977K±1.3%	±5%	BC1552CT-ND	.83	.73	.58	BC1552TR-ND	311.13/M	2322 633 53104

NTC-Thermistoren mit Anschlüssen

Genauigkeitslinie

Diese Thermistoren haben einen negativen Temperaturkoeffizienten.

Abb. 1 – Besteht aus einem Chip mit zwei verzinnten Ni-Kontakten und ist farbcodiert.

Abb. 2 – Besteht aus einem Chip mit zwei verzinnten Festkontakten mit Kupferüberzug. Grau lackiert und farbcodiert, aber nicht isoliert

Anwendungen: Temperaturtastung und -steuerung.

Abb.	Abmessungen (mm) B max.	d	Max. H1	Max. H2	L	M	P	T max.
1	3.4	0.4	2.0±1.0	—	—	40.0 ±1.5	2.54	3.0
2	3.3 ±0.5	0.6 ±0.06	2.0 ±1.0	6.0	24.0 ±1.5	—	2.54	3.0

Abb. 1

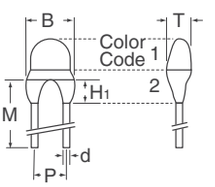

Abb. 2

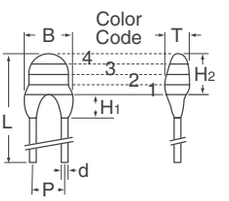

Abb.	Widerst. @ 25 °C	Tol. @ 25 °C	B-Wert/B-Toleranz @ B25/85	Farbcode 1	2	3	4	Digi-Key Teilenr.	Stückpreis 1	10	100	BC Components Teilenr.
1	10kΩ	±1%	3977K±0.75%	Blau	Blau	—	—	BC1489-ND	1.53	1.38	1.09	2322 640 55103
	100kΩ	±1%	4190K±1.5%	Braun	Braun	—	—	BC1490-ND	1.62	1.46	1.15	2322 640 55104
	10kΩ	±2%	3977K±0.75%	Blau	Blau	—	—	BC1486-ND	.92	.83	.66	2322 640 54103
	47kΩ	±2%	4090K±1.5%	Schwarz	Schwarz	—	—	BC1487-ND	.92	.83	.66	2322 640 54473
2	2.7kΩ	±3%	3977K±0.75%	Rot	Violett	Rot	Orange	BC1480-ND	.58	.52	.41	2322 640 66272
	4.7kΩ	±3%	3977K±0.75%	Gelb	Violett	Rot	Orange	BC1481-ND	.58	.52	.41	2322 640 66472
	10kΩ	±3%	3977K±0.75%	Braun	Schwarz	Orange	Orange	BC1482-ND	.58	.52	.41	2322 640 66103
	47kΩ	±3%	4090K±1.5%	Gelb	Violett	Orange	Orange	BC1483-ND	.41	.38	.30	2322 640 66473
	100kΩ	±3%	4190K±1.5%	Braun	Schwarz	Gelb	Orange	BC1484-ND	.58	.52	.41	2322 640 66104
	470kΩ	±3%	4570K±1.5%	Gelb	Violett	Gelb	Orange	BC1485-ND	.58	.53	.42	2322 640 66474
2	1.0kΩ	±5%	3528K±0.5%	Braun	Schwarz	Rot	Gold	BC1463-ND	.48	.44	.35	2322 640 63102
	1.5kΩ	±5%	3528K±0.5%	Braun	Green	Rot	Gold	BC1464-ND	.48	.44	.35	2322 640 63152
	2.0kΩ	±5%	3528K±0.5%	Rot	Schwarz	Rot	Gold	BC1465-ND	.48	.44	.35	2322 640 63202
	2.2kΩ	±5%	3977K±0.75%	Rot	Rot	Rot	Gold	BC1466-ND	.48	.44	.35	2322 640 63222
	3.3kΩ	±5%	3977K±0.75%	Orange	Orange	Rot	Gold	BC1467-ND	.48	.44	.35	2322 640 63332
	4.7kΩ	±5%	3977K±0.75%	Gelb	Violett	Rot	Gold	BC1468-ND	.48	.44	.35	2322 640 63472
	6.8kΩ	±5%	3977K±0.75%	Blau	Gray	Rot	Gold	BC1469-ND	.48	.44	.35	2322 640 63682
	10kΩ	±5%	3977K±0.75%	Braun	Schwarz	Orange	Gold	BC1470-ND	.48	.44	.35	2322 640 63103
	15kΩ	±5%	3740K±2%	Braun	Green	Orange	Gold	BC1471-ND	.48	.44	.35	2322 640 63153
	22kΩ	±5%	3740K±2%	Rot	Rot	Orange	Gold	BC1472-ND	.48	.44	.35	2322 640 63223
	33kΩ	±5%	4090K±1.5%	Orange	Orange	Orange	Gold	BC1473-ND	.48	.44	.35	2322 640 63333
	47kΩ	±5%	4090K±1.5%	Gelb	Violett	Orange	Gold	BC1474-ND	.48	.44	.35	2322 640 63473
	68kΩ	±5%	4190K±1.5%	Blau	Gray	Orange	Gold	BC1475-ND	.48	.44	.35	2322 640 63683
	100kΩ	±5%	4190K±1.5%	Braun	Schwarz	Gelb	Gold	BC1476-ND	.48	.44	.35	2322 640 63104
	220kΩ	±5%	4370K±2.5%	Rot	Rot	Gelb	Gold	BC1478-ND	.48	.44	.35	2322 640 63224
	470kΩ	±5%	4570K±1.5%	Gelb	Violett	Gelb	Gold	BC1479-ND	.48	.44	.35	2322 640 63474

G

NTC-Thermistoren mit Anschlüssen - SOD27 Sensoren für hohe Temperaturen

Diese Thermistoren haben einen negativen Temperaturkoeffizienten und sind in einer Glastasche montiert, mit verzinnten Eisenanschlüssen mit Kupferüberzug.

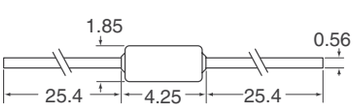

Widerst. @ 25°C	B Value/B Tolerance @ B25/85	Tol. @ 25°C	Digi-Key Teilenr.	Stückpreis 1	10	100	BC Components Teilenr.
10kΩ	3977K±1.3%	±5%	BC1491-ND	.83	.75	.59	2322 633 83103
30kΩ	3977K±1.3%	±5%	BC1493-ND	.83	.75	.59	2322 633 83303
100kΩ	3977K±1.3%	±5%	BC1494-ND	.83	.75	.59	2322 633 83104

NTC-Thermistoren mit Anschlüssen

Gegossener Bereich

Diese Thermistoren haben einen negativen Temperaturkoeffizienten. Besteht aus einem gegossenen Chip mit zwei verzinnten Nickelanschlüssen.

Abmessungen in mm

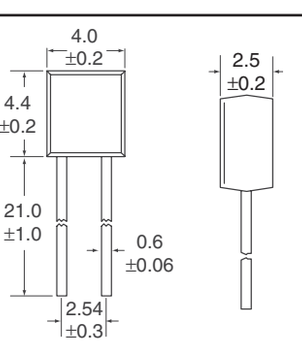

Widerst. @ 25°C	B-Wert/B-Toleranz @ B25/85	Digi-Key Teilenr.	Stückpreis 1	10	100	BC Components Teilenr.
2.7kΩ	3977K±0.75%	BC1495-ND	1.20	1.09	.86	2322 641 66272
12kΩ	3740K±2.0%	BC1496-ND	1.02	.92	.73	2322 641 66123
470kΩ	4570K±1.5%	BC1499-ND	1.20	1.09	.86	2322 641 66474

Alle Preisangaben in Euro und inklusive Zollgebühren.

Panasonic®

Multilayer-Chip-NTC-Thermistoren (ERTJ)

Die Multilayer-Chip-NTC-Thermistoren wurden speziell für Oberflächenmontagen konzipiert und umfassen Minigrößen vom Typ 0201, 0402 und 0603 (EIA) mit äußerst zuverlässiger mehrschichtiger und monolithischer Struktur.

MERKMALE:

- Äußerst zuverlässige Mehrschicht-/monolithische Struktur
- Hervorragende Wärmebeständigkeit bei Aufschmelzlötung und erstklassige Löteigenschaften dank der einzigartigen externen Elektroden aus drei Metallschichten
- Betriebstemperaturbereich: -40 °C ~ 125 °C
- Beständigkeit gegenüber Löthitze: 270 °C -3s, 260 °C-10s
- Wärmedissipationskonstante (auf einem Glasepoxid montiert,1,6 t): **Serie 0201:** ca. 1 mw/°C, **Serie 0402:** ca. 2 mw/°C und **Serie 0603:** ca. 3 mw/°C
- Zulässige max. Leistungsdissipation: **Serie 0201:** 33 mW, **Serie 0402:** 66 mW und **Serie 0603:** 100 mW

SMT

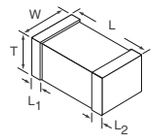

Größencode (EIA)	Abmessungen (mm) L	W	T	L1 L2
0201	0.60	0.30	0.30	0.15
0402	1.00	0.50	0.50	0.25
0603	1.60	0.80	0.80	0.30

Null-Leistungs widerst. (bei 25 °C)	Widerstands-toleranz	B-Wert B25/50	B-Wert B25/85	Digi-Key Teilenr.	Gurtabschnittspreis pro Stück 1	10	100	500	Gegurtet auf Rolle* Größe	Preisangaben	Panasonic Teilenr.
0201											
2kΩ	±5%	4500K±2%	(4450K)	P12020CT-ND	.26	.20	.15	.11	15,000	82.97/M	ERT-JZET202J
3kΩ	±5%	4500K±2%	(4450K)	P12021CT-ND	.26	.20	.15	.11	15,000	82.97/M	ERT-JZET302J
4.7kΩ	±5%	4500K±2%	—	P12805CT-ND	.11	.09	.07	.05	15,000	34.72/M	ERT-JZET472J
10KΩ	±5%	—	3435K±2%	P12358CT-ND	.11	.10	.08	.06	15,000	34.72/M	ERT-JZEG103JA
47KΩ	±5%	4050K±3%	—	P12359CT-ND	.11	.10	.08	.06	15,000	34.72/M	ERT-JZEP473J
100KΩ	±5%	4700K±2%	—	P12360CT-ND	.11	.10	.08	.06	15,000	34.72/M	ERT-JZEV104J
0402											
22Ω	±5%	2750K±3%	(2700K)	P10557CT-ND	.21	.19	.15	.12	10,000	70.27/M	ERT-J0EA220J
33Ω	±5%	2750K±3%	(2700K)	P10558CT-ND	.21	.19	.15	.12	10,000	70.27/M	ERT-J0EA330J
40Ω	±5%	2750K±3%	(2700K)	P10559CT-ND	.21	.19	.15	.12	10,000	70.27/M	ERT-J0EA400J
47Ω	±5%	2750K±3%	(2700K)	P10560CT-ND	.21	.19	.15	.12	10,000	70.27/M	ERT-J0EA470J
68Ω	±5%	2800K±3%	(2700K)	P10561CT-ND	.21	.19	.15	.12	10,000	70.27/M	ERT-J0EA680J
100Ω	±5%	2800K±3%	(2750K)	P10562CT-ND	.21	.19	.15	.12	10,000	70.27/M	ERT-J0EA101J
150Ω	±5%	2800K±3%	(2750K)	P10563CT-ND	.21	.19	.15	.12	10,000	70.27/M	ERT-J0EA151J
1kΩ	±5%	4500K±3%	(4450K)	P10564CT-ND	.18	.16	.13	.10	10,000	60.11/M	ERT-J0ET102J
1.5kΩ	±5%	4500K±3%	(4450K)	P10565CT-ND	.18	.16	.13	.10	10,000	60.11/M	ERT-J0ET152J
2.0kΩ	±5%	4500K±3%	(4450K)	P10566CT-ND	.18	.16	.13	.10	10,000	60.11/M	ERT-J0ET202J
2.2kΩ	±5%	4500K±3%	(4450K)	P10567CT-ND	.18	.16	.13	.10	10,000	60.11/M	ERT-J0ET222J
3.0kΩ	±5%	4500K±3%	(4450K)	P10568CT-ND	.18	.16	.13	.10	10,000	60.11/M	ERT-J0ET302J
3.3kΩ	±5%	4500K±3%	(4450K)	P10569CT-ND	.18	.16	.13	.10	10,000	60.11/M	ERT-J0ET332J
4.7kΩ	±5%	4500K±3%	(4450K)	P10570CT-ND	.18	.16	.13	.10	10,000	60.11/M	ERT-J0ET472J
3.3kΩ	±5%	4250K±3%	(4300K)	P10571CT-ND	.18	.16	.13	.10	10,000	60.11/M	ERT-J0ER332J
4.7kΩ	±5%	4250K±3%	(4300K)	P10572CT-ND	.18	.16	.13	.10	10,000	60.11/M	ERT-J0ER472J
6.8kΩ	±5%	4250K±3%	(4300K)	P10573CT-ND	.18	.16	.13	.10	10,000	60.11/M	ERT-J0ER682J
10kΩ	±5%	4250K±3%	(4300K)	P10574CT-ND	.18	.16	.13	.10	10,000	60.11/M	ERT-J0ER103J
10kΩ	±1%	(3375K)	3435K±1%	P12007CT-ND	.47	.35	.25	.18	10,000	124.45/M	ERT-J0EG103FA
10kΩ	±2%	(3375K)	3435K±1%	P12008CT-ND	.44	.33	.24	.17	10,000	115.14/M	ERT-J0EG103GA
10kΩ	±3%	(3375K)	3435K±1%	P12009CT-ND	.40	.30	.22	.16	10,000	105.83/M	ERT-J0EG103HA
10kΩ	±5%	(3375K)	3435K±1%	P12010CT-ND	.25	.19	.13	.10	10,000	65.19/M	ERT-J0EG103JA
10kΩ	±5%	3900K±2%	—	P12985CT-ND	.11	.10	.08	.07	10,000	36.41/M	ERT-J0EM103J
15kΩ	±5%	4250K±3%	(4300K)	P10575CT-ND	.18	.16	.13	.10	10,000	60.11/M	ERT-J0ER153J
22kΩ	±5%	4250K±3%	(4300K)	P10576CT-ND	.18	.16	.13	.10	10,000	60.11/M	ERT-J0ER223J
33kΩ	±5%	4250K±3%	(4300K)	P10577CT-ND	.18	.16	.13	.10	10,000	60.11/M	ERT-J0ER333J
47kΩ	±5%	4700K±3%	(4750K)	P10578CT-ND	.18	.16	.13	.10	10,000	60.11/M	ERT-J0EV473J
68kΩ	±5%	4700K±3%	(4750K)	P10579CT-ND	.18	.16	.13	.10	10,000	60.11/M	ERT-J0EV683J
47kΩ	±5%	4050K±2%	(4100K)	P11441CT-ND	.18	.16	.13	.10	10,000	60.11/M	ERT-J0EP473J
100kΩ	±5%	4700K±2%	(4750K)	P11442CT-ND	.18	.16	.13	.10	10,000	60.11/M	ERT-J0EV104J
100kΩ	±5%	4500K±2%	—	P12986CT-ND	.17	.15	.12	.10	10,000	57.57/M	ERT-J0ET104J
150kΩ	±5%	4700K±2%	(4750K)	P11443CT-ND	.18	.16	.13	.10	10,000	60.11/M	ERT-J0EV154J
220kΩ	±5%	4700K±2%	(4750K)	P11444CT-ND	.18	.16	.13	.10	10,000	60.11/M	ERT-J0EV224J
330kΩ	±5%	4700K±2%	(4750K)	P11445CT-ND	.18	.16	.13	.10	10,000	60.11/M	ERT-J0EV334J
470kΩ	±5%	4700K±2%	(4750K)	P11446CT-ND	.18	.16	.13	.10	10,000	60.11/M	ERT-J0EV474J
0603											
22Ω	±5%	2750K±3%	(2700K)	P10531CT-ND	.26	.24	.19	.15	4,000	99.06/M	ERT-J1VA220J
33Ω	±5%	2750K±3%	(2700K)	P10532CT-ND	.26	.24	.19	.15	4,000	99.06/M	ERT-J1VA330J
40Ω	±5%	2800K±3%	(2750K)	P10533CT-ND	.26	.24	.19	.15	4,000	99.06/M	ERT-J1VA400J
47Ω	±5%	2800K±3%	(2750K)	P10534CT-ND	.26	.24	.19	.15	4,000	99.06/M	ERT-J1VA470J
68Ω	±5%	2800K±3%	(2750K)	P10535CT-ND	.26	.24	.19	.15	4,000	99.06/M	ERT-J1VA680J
100Ω	±5%	2800K±3%	(2750K)	P10536CT-ND	.31	.28	.22	.18	4,000	118.53/M	ERT-J1VA101J
1kΩ	±5%	4500K±3%	(4450K)	P10537CT-ND	.23	.21	.16	.14	4,000	87.20/M	ERT-J1VT102J
1.5kΩ	±5%	4500K±3%	(4450K)	P10538CT-ND	.23	.21	.16	.14	4,000	87.20/M	ERT-J1VT152J
2.0kΩ	±5%	4500K±3%	(4450K)	P10539CT-ND	.23	.21	.16	.14	4,000	87.20/M	ERT-J1VT202J
2.2kΩ	±5%	4500K±3%	(4450K)	P10540CT-ND	.23	.21	.16	.14	4,000	87.20/M	ERT-J1VT222J
3.0kΩ	±5%	4500K±3%	(4450K)	P10541CT-ND	.23	.21	.16	.14	4,000	87.20/M	ERT-J1VT302J
3.3kΩ	±5%	4500K±3%	(4450K)	P10542CT-ND	.23	.21	.16	.14	4,000	87.20/M	ERT-J1VT332J
4.7kΩ	±5%	4500K±3%	(4450K)	P10543CT-ND	.23	.21	.16	.14	4,000	87.20/M	ERT-J1VT472J
3.3kΩ	±5%	4250K±3%	(4300K)	P10544CT-ND	.23	.21	.16	.14	4,000	87.20/M	ERT-J1VR332J
4.7kΩ	±5%	4250K±3%	(4300K)	P10545CT-ND	.23	.21	.16	.14	4,000	87.20/M	ERT-J1VR472J
6.8kΩ	±5%	4250K±3%	(4300K)	P10546CT-ND	.23	.21	.16	.14	4,000	87.20/M	ERT-J1VR682J
10kΩ	±5%	4250K±3%	(4300K)	P10547CT-ND	.23	.21	.16	.14	4,000	87.20/M	ERT-J1VR103J
10kΩ	±1%	(3375K)	3435K±1%	P12011CT-ND	.42	.32	.23	.17	4,000	115.99/M	ERT-J1VG103FA
10kΩ	±2%	(3375K)	3435K±1%	P12012CT-ND	.39	.29	.21	.15	4,000	107.52/M	ERT-J1VG103GA
10kΩ	±3%	(3375K)	3435K±1%	P12013CT-ND	.36	.27	.19	.14	4,000	98.21/M	ERT-J1VG103HA
10kΩ	±5%	(3375K)	3435K±1%	P12014CT-ND	.24	.18	.13	.09	4,000	64.35/M	ERT-J1VG103JA
15kΩ	±5%	4250K±3%	(4300K)	P10548CT-ND	.23	.21	.16	.14	4,000	87.20/M	ERT-J1VR153J
22kΩ	±5%	4250K±3%	(4300K)	P10549CT-ND	.23	.21	.16	.14	4,000	87.20/M	ERT-J1VR223J
33kΩ	±5%	4250K±3%	(4300K)	P10550CT-ND	.23	.21	.16	.14	4,000	87.20/M	ERT-J1VR333J
47kΩ	±5%	4250K±3%	(4300K)	P10551CT-ND	.23	.21	.16	.14	4,000	87.20/M	ERT-J1VR473J
47kΩ	±5%	4050K±2%	(4100K)	P12015CT-ND	.28	.21	.15	.11	4,000	75.35/M	ERT-J1VP473J
68kΩ	±5%	4250K±3%	(4300K)	P10552CT-ND	.23	.21	.16	.14	4,000	87.20/M	ERT-J1VR683J
47kΩ	±5%	4700K±3%	(4750K)	P10553CT-ND	.23	.21	.16	.14	4,000	87.20/M	ERT-J1VV473J
68kΩ	±5%	4700K±3%	(4750K)	P10554CT-ND	.23	.21	.16	.14	4,000	87.20/M	ERT-J1VV683J
100kΩ	±5%	4700K±3%	(4750K)	P10555CT-ND	.23	.21	.16	.14	4,000	87.20/M	ERT-J1VV104J
100kΩ	±1%	(4330K)	4390K±1%	P12016CT-ND	.49	.37	.26	.19	4,000	135.46/M	ERT-J1VS104FA
100kΩ	±2%	(4330K)	4390K±1%	P12017CT-ND	.46	.34	.25	.18	4,000	125.30/M	ERT-J1VS104GA
100kΩ	±3%	(4330K)	4390K±1%	P12018CT-ND	.41	.31	.23	.16	4,000	114.29/M	ERT-J1VS104HA
100kΩ	±5%	(4330K)	4390K±1%	P12019CT-ND	.28	.21	.15	.11	4,000	75.35/M	ERT-J1VS104JA
150kΩ	±5%	4700K±3%	(4750K)	P10556CT-ND	.23	.21	.16	.14	4,000	87.20/M	ERT-J1VV154J

* Für Gegurtet auf Rolle die Teilenummer CT in TR ändern

Panasonic® NTC-Thermistoren

1 u. 2: Wichtige Stelle; 3: Multiplizierer

Verwendet Standard-Widerstandfarbcodierung.

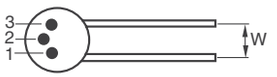

MERKMALE:

- Der Temperaturkoeffizient des Widerstands ist negativ und sehr groß
- Breite Auswahl an Temperaturkoeffizienten (Konstante B)
- Hervorragende elektrische und thermale Stabilität
- Farbcodierung des Widerstandwertes@ 25 °C

SPEZIFIKATIONEN:

Max. Nennleistung (W): PNT100-123 – 0,4; PNT124-138 – 0,6. Nominale Zeitkonstante (s): PNT100-123 – 20; PNT124-138 – 27.

ANWENDUNGEN:

- Für Messgeräte: Thermometer, Windstärke, Flüssigkeitspegel, Temperatursteuerung
- Für Temperaturausgleich in Transistorschaltkreisen und Messgeräten
- Für Antriebe: Verzögerungseinstellung im Relaisbetrieb, Eingangsstoßstromschutz, Kommunikationsgeräte, AGC, Zeitverzögerung

F-Typ-Abmessungen (mm)	øD	T	l	W	ød
PNT100 ~ PNT123 (D2)	5.0 ± 0.5	1.3 ± 0.5	30 Min.	2.5 ± 1	0.4
PNT124 ~ PNT138 (D3)	7.5 ± 0.5	1.4 ± 0.5	30 Min.	5 ± 1	0.5

Widerst. bei 25°C (Ω)	Temp. koeff. (25°C) %/°C	Widerst.-Verhältnis R_{25}/R_{50}	Digi-Key Teilenr.	Stückpreis 1	10	100	1,000	Panasonic Teilenr.
20	–3.4	2.18	PNT100-ND	.90	.77	.52	.33	ERT-D2FEL200S
40	–3.9	2.48	PNT101-ND	.90	.77	.52	.32	ERT-D2FFL400S
75	–4.2	2.62	PNT102-ND	.90	.77	.52	.32	ERT-D2FGL750S
100	–3.9	2.48	PNT104-ND	.90	.77	.52	.32	ERT-D2FFL101S
100	–4.2	2.62	PNT105-ND	.90	.77	.52	.32	ERT-D2FGL101S
170	–4.2	2.62	PNT106-ND	.90	.77	.52	.32	ERT-D2FGL171S
250	–3.9	2.48	PNT107-ND	.90	.77	.52	.32	ERT-D2FFL251S
250	–4.2	2.62	PNT108-ND	.90	.77	.52	.32	ERT-D2FGL251S
300	–4.2	2.62	PNT109-ND	.90	.77	.52	.32	ERT-D2FGL301S
350	–3.9	2.48	PNT110-ND	.90	.77	.52	.32	ERT-D2FFL351S
600	–4.5	2.83	PNT111-ND	.90	.77	.52	.32	ERT-D2FGL601S
800	–4.4	2.76	PNT112-ND	.90	.77	.52	.32	ERT-D2FGL801S
1,000	–4.1	2.55	PNT113-ND	.90	.77	.52	.32	ERT-D2FGL102S
1,400	–4.4	2.76	PNT114-ND	.90	.77	.52	.32	ERT-D2FGL142S
2,000	–4.5	2.83	PNT115-ND	.90	.77	.52	.32	ERT-D2FGL202S
3,300	–4.5	2.83	PNT116-ND	.90	.77	.52	.32	ERT-D2FGL332S
4,600	–4.6	2.90	PNT117-ND	.90	.77	.52	.32	ERT-D2FHL462S
8,000	–4.6	2.90	PNT118-ND	.90	.77	.52	.32	ERT-D2FHL802S
10,000	–4.6	2.90	PNT119-ND	.90	.77	.52	.32	ERT-D2FHL103S
15,000	–4.7	2.98	PNT120-ND	.90	.77	.52	.32	ERT-D2FHL153S
33,000	–5.1	3.22	PNT121-ND	.90	.77	.52	.32	ERT-D2FHL333S
50,000	–5.1	3.48	PNT122-ND	.90	.77	.52	.32	ERT-D2FHL503S
150,000	–5.4	3.48	PNT123-ND	.86	.75	.50	.31	ERT-D2FIL154S
8	–3.4	2.18	PNT124-ND	1.38	1.18	.79	.50	ERT-D3FEL8R0S
13	–3.6	2.30	PNT125-ND	1.38	1.18	.79	.50	ERT-D3FFL130S
16	–3.6	2.30	PNT126-ND	1.38	1.18	.79	.50	ERT-D3FFL160S
20	–3.6	2.30	PNT127-ND	1.38	1.18	.79	.50	ERT-D3FFL200S
30	–3.7	2.30	PNT128-ND	1.38	1.18	.79	.50	ERT-D3FFL300S
40	–3.2	2.30	PNT130-ND	1.38	1.18	.79	.50	ERT-D3FFL400S
75	–4.2	2.62	PNT131-ND	1.38	1.18	.79	.50	ERT-D3FGL750S
80	–4.2	2.62	PNT132-ND	1.38	1.18	.79	.50	ERT-D3FGL800S
130	–4.5	2.62	PNT134-ND	1.38	1.18	.79	.50	ERT-D3FGL131S
500	–4.6	2.83	PNT135-ND	1.38	1.18	.79	.50	ERT-D3FGL501S
4,000	–4.6	2.90	PNT136-ND	1.38	1.18	.79	.50	ERT-D3FHL402S
20,000	–5.1	3.22	PNT137-ND	1.38	1.18	.79	.50	ERT-D3FHL203S
80,000	–5.6	3.70	PNT138-ND	1.38	1.18	.79	.50	ERT-D3FIL803S

G

GE Infrastructure Sensing

NTC-Thermistoren

Serie NHQ SMT Chip 1206

Diese Geräte sind Keramik-Chip-Thermistoren mit einem negativen Temperaturwiderstandskoeffizienten für oberflächenmontierte Anwendungen. Das Elektrodenmaterial ist Palladiumsilber, vernickelt mit Lötüberzug. Die Keramik zwischen den Elektroden ist glasbedeckt.

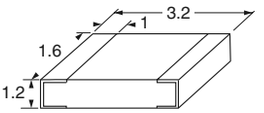

Widerst. @ 25°C (Ω)	Digi-Key Teilenr.	Gurtabschnittspreis pro Stück 1	10	100	Preis. f. geg. auf Rolle* 3.000	GE Infrastructure Teilenr.
3K	235-1108-1-ND	2.24	1.96	1.54	838.14/M	NHQ302B410T10
10K	235-1109-1-ND	2.24	1.96	1.54	838.14/M	NHQ103B375T10
15K	235-1110-1-ND	2.24	1.96	1.54	838.14/M	NHQ153B400T10
50K	235-1111-1-ND	2.24	1.96	1.54	838.14/M	NHQ503B400T10
100K	235-1112-1-ND	2.24	1.96	1.54	838.14/M	NHQ104B425T10
150K	235-1113-1-ND	2.24	1.96	1.54	838.14/M	NHQ154B425T10
500K	235-1114-1-ND	2.24	1.96	1.54	838.14/M	NHQ504B435T10

* Für Gegurtet auf Rolle die Teilenr. von 1-ND auf 2-ND ändern

Serie NHQM SMT Chip 0805

Diese Geräte sind Keramik-Chip-Thermistoren mit einem negativen Temperaturwiderstandskoeffizienten für oberflächenmontierte Anwendungen. Das Elektrodenmaterial ist Palladiumsilber, vernickelt mit Lötüberzug. Die Keramik zwischen den Elektroden ist glasbedeckt.

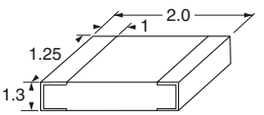

Widerst. @ 25°C (Ω)	Digi-Key Teilenr.	Gurtabschnittspreis pro Stück 1	10	100	Preis. f. geg. auf Rolle.* 3.000	GE Infrastructure Teilenr.
3K	235-1115-1-ND	1.77	1.55	1.22	717.50/M	NHQM302B410T10
10K	235-1116-1-ND	1.77	1.55	1.22	717.50/M	NHQM103B375T10
15K	235-1117-1-ND	1.77	1.55	1.22	717.50/M	NHQM153B400T10
50K	235-1118-1-ND	1.77	1.55	1.22	717.50/M	NHQM503B415T10
100K	235-1119-1-ND	1.77	1.55	1.22	717.50/M	NHQM104B425T10

* Für Gegurtet auf Rolle die Teilenr. von 1-ND auf 2-ND ändern

Serie MC65

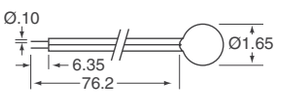

Diese Thermistoren sind epoxidbeschichtet für Stabilität; max. Durchmesser 0,065" (1,65 mm). Die Standardkontakte bestehen aus 3" (76,20 mm) 38 Gauge, zweisträngigem, schwerem Nickellegierungsdraht mit Isomidisolierung. Jede Einheit verfolgt eine spezifizierte Kurve über einen Temperaturbereich von 0 °C ~ 50 °C (s. Tabelle).

Temp. Bereich	Toleranzcode (±°C) 235-1057-ND	235-1058-ND	235-1059-ND
0°C ~ 20°C	±.15	±.2	±.25
20°C ~ 35°C	±.1	±.15	±.2
35°C ~ 39°C	±.05	±.1	±.15
39°C ~ 42°C	±.075	±.15	±.2
42°C ~ 45°C	±.1	±.15	±.2
45°C ~ 50°C	±.15	±.2	±.25

Widerst. @ 25°C (Ω)	Digi-Key Teilenr.	Stückpreis 1	10	100	GE Infrastructure Teilenr.
10K	235-1057-ND	7.72	6.08	4.83	MC65F103A
10K	235-1058-ND	5.50	4.34	3.44	MC65F103B
10K	235-1059-ND	5.81	4.58	3.63	MC65F103C

Serie DK

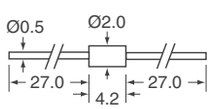

Der DK-Bereich der NTC-Thermistoren in DO-35-Packungen wurde zur Temperaturmessung und Steuerung in Anwendungen entwickelt, die eine kostenwirksame, effektive Zuverlässigkeit voraussetzen. Typische Anwendungen: Haushaltsgeräte, Automobilsysteme, Datenverarbeitungsgeräte und Heizungs-/Ventilations-/Klimaanlagen-Steuerungen.

Die hermetisch versiegelte Konstruktion verbindet die Vorteile des Hochtemperaturbetriebs und die hohe Zuverlässigkeit der Glasperlentypen mit den engeren Toleranzen von Chip-Geräten. Die Glasverkapselung bietet den zusätzlichen Vorteil hoher Spannungsisolierung.

Widerst. @ 25°C (Ω)	Digi-Key Teilenr.	Stückpreis 1	10	100	GE Infrastructure Teilenr.
5K	235-1103-ND	4.07	3.51	2.41	DKA502N5
10K	235-1104-ND	4.07	3.51	2.41	DKF103N5
20K	235-1105-ND	4.07	3.51	2.41	DKF203N5
30K	235-1106-ND	4.07	3.51	2.41	DKF303N5
50K	235-1107-ND	4.07	3.51	2.41	DKF503N5

Serie MA100

Diese biomedizinischen Thermistor-Chips und Unterbaugruppen sind innerhalb eines Bereichs von 0 °C ~ 50 °C austauschbar (s. Tabelle). Die beste Gesamtstabilität ist gewährleistet, wenn die Umgebungs- und Lagertemperatur unter 70 °C liegt.

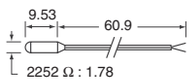

Temp. Bereich	Toleranzcode (±°C) 235-1060/ 235-1064-ND	235-1061/ 235-1065-ND	235-1062/ 235-1063-ND
0°C ~ 20°C	±.15	±.2	±.25
20°C ~ 35°C	±.1	±.15	±.2
35°C ~ 39°C	±.05	±.1	±.15
39°C ~ 42°C	±.075	±.15	±.2
42°C ~ 45°C	±.1	±.15	±.2
45°C ~ 50°C	±.15	±.2	±.25

Widerst. @ 25°C Ω	Digi-Key Teilenr.	Stückpreis 1	10	100	GE Infrastructure Teilenr.
10K	235-1060-ND	9.06	7.14	5.67	MA100GG103A
10K	235-1061-ND	6.50	5.12	4.07	MA100GG103B
10K	235-1062-ND	5.85	4.61	3.66	MA100GG103C
2252	235-1063-ND	5.85	4.61	3.66	MA100GG232C
10K	235-1064-ND	9.06	7.14	5.67	MA100BF103A
10K	235-1065-ND	6.50	5.12	4.07	MA100BF103B

Standard-Thermistoren zur Temperaturmessung

Genauigkeit ±1 °C (0 °C ~ 120 °C)

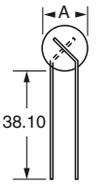

Betriebstemperaturbereich: -50 °C ~ 150 °C **D.C.:** Dissipationskonstante (mW/°C)
T.C.: Zeitkonstante (Sekunden)

Widerst.@ 25°C (Ω)	A max. (mm)	DC mW/°C	T.C. Sek.	Digi-Key Teilenr.	Stückpreis 1	10	100	GE Infrastructure Teilenr.
1000	8.13	3.5	30	KC001E-ND	2.00	1.80	1.42	RL3005-574.0-103-SA
2000	5.59	2.5	20	KC002E-ND	1.92	1.73	1.37	RL2005-1148-103-SA
2786	5.59	2.5	20	KC003E-ND	1.92	1.73	1.37	RL2006-1600-103-SA
3000	5.59	2.5	20	KC004E-ND	1.92	1.73	1.37	RL2007-1723-103-SA
5000	2.79	1.0	10	KC005E-ND	2.47	2.23	1.76	RL1003-2871-103-SA
10000	2.79	1.0	10	KC006E-ND	2.47	2.23	1.76	RL1005-5744-103-SA

Mini-Sensoren, 1°C Genauigkeit

SPEZIFIKATIONEN:

- Temp. Genauigkeit: ±1 °C @ 25 °C
- Dissipationskonstante: 1,4 mW/°C
- Zeitkonstante: 15 Sek.
- Betriebstemperaturbereich: -50 °C ~ 150 °C.

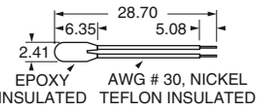

Widerst.@ 25°C (Ω)	Temp. koeff. %/°C @ 25°C	Mat'l	Digi-Key Teilenr.	Stückpreis 1	10	100	250	GE Infrastructure Teilenr.
2K	-3.83	MS73	KC001T-ND	2.39	2.15	1.69	1.34	RL0503-1248-73-MS
5K	-4.43	MS95	KC002T-ND	2.39	2.15	1.69	1.34	RL0503-2890-95-MS
10K	-4.40	MS97	KC003T-ND	2.39	2.15	1.69	1.34	RL0503-5820-97-MS
30K	-4.32	MS96	KC004T-ND	2.39	2.15	1.69	1.34	RL0503-17.56K-96-MS
50K	-4.84	MS120	KC005T-ND	2.39	2.15	1.69	1.34	RL0503-27.53K-120-MS
100K	-4.78	MS122	KC006T-ND	2.39	2.15	1.69	1.34	RL0503-55.36K-122-MS

Glasverkapselte NTC-Thermistoren

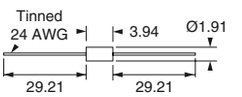

SPEZIFIKATIONEN: • Temp. Bereich: -50 °C ~ 204 °C
• Dissipationskonstante: 3,0 mW/°C • Zeitkonstante: 7 Sek.

Glasverkapselte NTC-Thermistoren bestehen aus winzigen Thermistormaterialkügelchen, die mit einer bestimmten Menge ausgewählter Atmosphäre thermetisch in Glaskörper versiegelt werden. Hermetische Versiegelung verleiht diesen Teilen extreme Stabilität in Anwendungen bis zu 204 °C (400 °F).

Ro @ 25°C	Temp. koeff. %/°C @ 25°C	Material	Digi-Key Teilenr.	Stückpreis 1	10	100	250
250	-3.34	GE55*	KC001G-ND	2.14	1.93	1.52	1.21
500	-3.34	GE55*	KC002G-ND	2.14	1.93	1.52	1.21
1K	-3.83	GE73	KC003G-ND	2.14	1.93	1.52	1.21
2K	-3.83	GE73	KC004G-ND	2.14	1.93	1.52	1.21
2786	-4.68	GE101	KC005G-ND	2.14	1.93	1.52	1.21
3K	-3.85	GE76	KC006G-ND	2.14	1.93	1.52	1.21
4K	-3.85	GE76	KC007G-ND	2.14	1.93	1.52	1.21
5K	-3.85	GE76	KC008G-ND	2.14	1.93	1.52	1.21
10K	-4.41	GE97A	KC009G-ND	2.14	1.93	1.52	1.21
20K	-4.34	GE98	KC010G-ND	2.14	1.93	1.52	1.21
30K	-4.34	GE98	KC011G-ND	2.14	1.93	1.52	1.21
50K	-4.32	GE97B	KC012G-ND	2.14	1.93	1.52	1.21
100K	-4.32	GE97B	KC013G-ND	2.14	1.93	1.52	1.21
200K	-4.71	GE123	KC014G-ND	2.35	2.12	1.67	1.33
500K	-4.99	GE138	KC015G-ND	2.35	2.12	1.67	1.33
1M	-5.07	GE145	KC016G-ND	2.14	1.93	1.52	1.21

* Max. Betriebstemperatur: 150 °C.

NTC-Thermistoren

NTC-Thermistoren (negativer Temperaturkoeffizient) verlieren an Widerstand, wenn die Temperatur steigt. Temperaturkoeffizienten reichen von -20 %/°C ~ -5 %/°C @ 25 °C
• Max. Betriebstemperatur: 150 °C
• Toleranz: ±20 % 100-5 Ω; ±10 % 1 K-100 K Ω

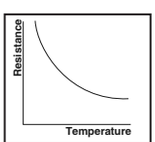

Widerst.@ 25°C (Ω)	Widerst. Verhältnis ††	D.C.†	Abm. A (mm)	Digi-Key Teilenr.	Stückpreis 1	10	100	250
100	5.53	2.5	2.79	KC001N-ND★	2.44	2.20	1.73	1.38
50	5.53	6.5	5.59	KC012N-ND★	1.94	1.75	1.38	1.09
25	5.53	6.5	5.59	KC011N-ND★	1.94	1.75	1.38	1.09
10	5.53	7.0	8.13	KC021N-ND★	2.12	1.91	1.51	1.20
5	5.53	10.0	12.19	KC024N-ND★	2.12	1.91	1.51	1.20
1K	6.85	2.8	2.79	KC003N-ND★	2.00	1.80	1.42	1.13
500	6.85	2.5	2.79	KC002N-ND	2.00	1.80	1.42	1.13
300	6.85	6.5	5.59	KC015N-ND★	1.45	1.31	1.03	.82
200	6.85	6.5	5.59	KC014N-ND★	1.45	1.31	1.03	.82
100	6.85	6.5	5.59	KC013N-ND	1.45	1.31	1.03	.82
50	6.85	7.5	9.40	KC022N-ND	1.51	1.36	1.07	.85
10K	9.60	2.5	2.79	KC025N-ND★	2.00	1.80	1.42	1.13
5K	9.10	2.5	2.79	KC005N-ND★	2.00	1.80	1.42	1.13
3K	9.10	2.5	2.79	KC004N-ND★	2.00	1.80	1.42	1.13
2K	9.10	6.5	5.59	KC017N-ND★	1.46	1.31	1.03	.82
1K	9.10	6.5	5.59	KC016N-ND	1.46	1.31	1.03	.82
300	9.10	9.0	10.92	KC023N-ND	2.00	1.80	1.42	1.13
10K	11.41	7.2	5.59	KC018N-ND	2.16	1.95	1.54	1.22
100K	12.90	2.7	2.79	KC009N-ND★	2.16	1.94	1.53	1.22
50K	12.90	2.5	2.79	KC008N-ND	2.16	1.94	1.53	1.22
25K	12.90	6.5	5.59	KC019N-ND	1.66	1.49	1.18	.94
200K	13.82	2.5	2.79	KC010N-ND★	2.16	1.94	1.53	1.22
100K	13.82	6.5	5.59	KC020N-ND	1.66	1.49	1.18	.94

† D.C. — Dissipationskonstante (mW/°C)
†† Widerstandsverhältnis: Verhältnis von Null Leistungswiderstand @ 0 °C bis Null Leistungswiderstand @ 50 °C; AWG.

★ **KCNTC-KIT-ND** *Digi-Key® NTC-Thermistorkit Je 2 der genannten 14 Werte (insgesamt 28 Stück).Heftartiges Aufbewahrungsetui und Lagerhaltungsanleitung inbegriffen* **33.83**

G

Alle Preisangaben in Euro und inklusive Zollgebühren.

GE Infrastructure Sensing

NTC-Thermistoren

THERMISCHE UND ELEKTRISCHE EIGENSCHAFTEN:

Dissipationskonstante: (stille Luft) 1 mW/°C; (gerührtes Öl) 8 mW/°C.

Thermale Zeitkonstante: (stille Luft) 10 s, (gerührtes Öl) 1 s.

Nennleistung: max. 0,075 W (gemindert von 100 % bei 25 °C auf 0 % bei 100 °C).

Typ EC95 und Typ DC95 können bei Temperaturen von -80 °C bis 150 °C verwendet werden. Optimale Gesamtstabiliät wird jedoch bei Umgebungs- oder Lagertemperaturen unter 105 °C erzielt.

Die C100 Thermochips von Thermometrics sind preiswerte, epoxidbeschichtete Chip-Thermistoren, die die höchste Stufe der Thermistortechnologie darstellen. Exklusive ultramoderne Materialverarbeitungsverfahren haben sich in umfangreichen Feldeinsatztests und langfristigen Tests bewährt. Sie produzieren stabile, starke, leicht zu behandelnde Thermistoren, die sich für Anwendungen in einem Temperaturbereich von -80 °C ~ 150 °C eignen. Die beste Stabilität wird bei Temperaturen von maximal 105 °C erzielt.

Type C100

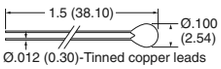

Ø.012 (0.30)-Tinned copper leads
Epoxy coated thermochip

Thermistoren vom Typ DC95 sind austauschbar über 0 °C ~ 70 °C und 0 °C ~ 100 °C.

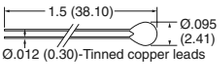

Ø.012 (0.30)-Tinned copper leads
Epoxy coated thermochip

Thermistoren vom Typ EC95 sind austauschbar über -20 °C ~ 50 °C und 0 °C ~ 70 °C.

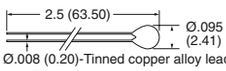

Ø.008 (0.20)-Tinned copper alloy leads
Epoxy coated thermochip

Widerst. @ 25°C (Ω)	Widerst. Verhältnis†	Digi Key Teilenr.	Stückpreis 1	10	100	250	GE Infrastructure Teilenr.
10K	9.06	235-1001-ND	5.20	4.10	3.25	2.41	C100F103G
10K	9.06	235-1002-ND	3.63	2.86	2.27	1.68	C100F103J
10K	7.60	235-1003-ND	3.63	2.86	2.27	1.68	C100Y103J
10K	9.06	235-1004-ND	5.77	4.55	3.61	2.67	DC95F103W
2K	9.06	235-1005-ND	5.77	4.55	3.61	2.67	DC95F202W
2252	9.06	235-1006-ND	5.77	4.55	3.61	2.67	DC95F232W
5K	9.06	235-1007-ND	5.77	4.55	3.61	2.67	DC95F502W
100K	10.45	235-1008-ND	5.77	4.55	3.61	2.67	DC95G104W
50K	10.45	235-1009-ND	5.77	4.55	3.61	2.67	DC95G503W
10K	9.06	235-1010-ND	5.77	4.55	3.61	2.67	EC95F103W
2K	9.06	235-1011-ND	4.67	3.68	2.93	2.17	EC95F202W
3K	9.06	235-1012-ND	5.77	4.55	3.61	2.67	EC95F302W
100K	10.45	235-1013-ND	7.96	6.27	4.98	3.69	EC95G104W
50K	10.45	235-1014-ND	7.96	6.27	4.98	3.69	EC95G503W
30K	8.69	235-1015-ND	7.96	6.27	4.98	3.69	EC95H303W

† 0 °C/50 °C Verhältnis

PTC-Thermistoren

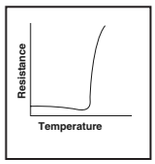

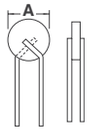

PTC (Positive Temperaturkoeffizienten) -Thermistoren sind wärmeempfindliche Widerstände aus polykristallinen Keramikmaterialien. Sie zeichnen sich durch eine extrem große Widerstandsveränderung innerhalb kleiner Temperaturbereiche aus.

- Alle PTC-Widerstände: ±30 % bei 25 °C
- Toleranz bei Übergangstemperatur: ±7 °C

Betr. Spann.	R@ 25°C (Ω)	Übergangstemp.	D.C.†	Abm. A (mm)	Digi-Key Teilenr.	Stückpreis 1	10	100
12	1	120°C	14.0	15.24	235-1129-ND	2.91	2.62	2.07
12	2	120°C	14.0	15.24	235-1130-ND	2.91	2.62	2.07
12	10	110°C	7.0	8.89	235-1131-ND	1.42	1.28	1.01
12	25	110°C	7.0	8.89	235-1132-ND	1.42	1.28	1.01
25	50	30°C	7.0	7.62	235-1120-ND*	1.42	1.28	1.01
25	50	40°C	7.0	7.62	235-1121-ND*	1.42	1.28	1.01
25	50	50°C	7.0	7.62	235-1122-ND*	1.42	1.28	1.01
25	50	60°C	7.0	7.62	235-1123-ND*	1.42	1.28	1.01
25	50	70°C	7.0	8.89	235-1124-ND	1.42	1.28	1.01
25	50	80°C	7.0	8.89	235-1125-ND	1.42	1.28	1.01
25	50	90°C	7.0	8.89	235-1126-ND	1.42	1.28	1.01
25	50	100°C	7.0	7.62	235-1127-ND*	1.42	1.28	1.01
25	50	110°C	7.0	7.62	235-1128-ND*	1.42	1.28	1.01
50	5	65°C	14.0	15.24	235-1133-ND	2.91	2.62	2.07
50	10	110°C	10.0	11.43	235-1134-ND	1.86	1.68	1.33
50	50	110°C	12.0	11.43	235-1135-ND	2.41	2.18	1.71
50	200	110°C	9.0	10.16	235-1136-ND	2.88	2.60	2.05
120	10	120°C	20.0	20.32	235-1137-ND	3.37	3.04	2.39
120	20	120°C	18.0	16.51	235-1138-ND	2.70	2.43	1.91
120	25	60°C	15.0	15.24	235-1139-ND	2.71	2.44	1.93
120	50	120°C	12.0	12.70	235-1140-ND	2.63	2.37	1.87
240	40	110°C	18.0	16.51	235-1141-ND	2.88	2.60	2.05
240	50	65°C	17.0	15.24	235-1142-ND	2.98	2.68	2.11
240	50	110°C	18.0	16.51	235-1143-ND	2.88	2.60	2.05
240	100	120°C	18.0	16.51	235-1144-ND	2.88	2.60	2.05
240	1500	100°C	12.0	8.89	235-1145-ND	2.91	2.60	2.05
480	1000	100°C	18.0	19.05	235-1146-ND	3.37	3.04	2.39
480	2000	100°C	15.0	13.97	235-1147-ND	2.63	2.37	1.87
480	5000	100°C	12.0	8.89	235-1148-ND	2.88	2.60	2.05

† D.C. — Dissipationskonstante (MW/°C)

* **KCPTC1-KIT-ND** ***Digi-Key® PTC-Thermistorkits*** Je 2 von allen genannten Werten (insgesamt 12 Stück)
Heftartiges Aufbewahrungsetui und Lagerhaltungsanleitung inbegriffen. **32.13**

muRata *Innovator in Electronics*

POSISTOR® Schaltkreisschutz für Überstromschutz, 24-V-Serie, Chip-Typ

Murata Electronics

Überspannungsschutzvorrichtung mit Rückstellfunktion für strombegrenzende Widerstände
Bei diesem Produkt handelt es sich um einen chipartigen PTC-Thermistor zum Überspannungsschutz.
Geeignet als Gegenmaßnahme für Kurzschlusstests in tragbaren Geräten und Strombegrenzungswiderständen.

Merkmale:

- Schneller Betrieb zum Schutz der Schaltkreise in einem anormalen Überspannungszustand, wie z.B. bei einem Kurzschluss
- Durch Beseitigung des Überspannungszustandes kehren diese Produkte automatisch in ihren Erstzustand zurück und können somit wieder verwendet werden
- Automatische Rückkehr in den Erstzustand; wiederholt verwendbar
- Stabiler Widerstand nach Betrieb aufgrund von Keramik-PTC
- SMD-Typ 0603 zum Aufschmelzlöten
- Diese Anschlüsse enthalten kein Blei

Abm. in mm

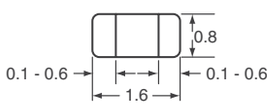

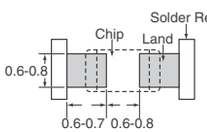

Max. Spannung (V)	Ruhestromstrom bei 60 °C (mA)	Betriebsstrom bei -10°C (mA)	Max. Strom (mA)	Widerstand (bei 25 °C) (Ω)	Curie-Punkt (°C)	Digi-Key Teilenr.	Gurtabschnittspreis pro Stück 1	10	100	Digi-Key Teilenr.	Gegurtet auf Rolle Größe	Preisangaben	Murata Teilenr.
24	7	25	60	470±20%	100 (BB)	490-2473-1-ND	.30	.27	.22	490-2473-2-ND	4,000	115.31/M	PRG18BB471MB1RB
	10	35	130	220±20%	100 (BB)	490-2470-1-ND	.30	.27	.22	490-2470-2-ND	4,000	115.31/M	PRG18BB221MB1RB
	15	55	300	100±20%	100 (BB)	490-2469-1-ND	.30	.27	.22	490-2469-2-ND	4,000	115.31/M	PRG18BB101MB1RB
	20	75	630	47±20%	100 (BB)	490-2472-1-ND	.30	.27	.22	490-2472-2-ND	4,000	115.31/M	PRG18BB470MB1RB
	25	85	900	33±20%	100 (BB)	490-2471-1-ND	.30	.27	.22	490-2471-2-ND	4,000	115.31/M	PRG18BB330MB1RB

POSISTOR® für Schaltkreisschutz bei Überhitzungsabtastung, Chip-Typ

Dieser Chip-PTC-Thermistor dient zur Überhitz-Abtastung beim Aufschmelzlöten für Leistungstransistoren, Leistungsdioden und Leistungs-ICs in Hybridschaltkreisen.

Merkmale:

- Vorzügliche Temperaturanstiegsrate, da unbeschichtet • Festkörperkonstruktion bietet erstklassige mechanische Vibration und hervorragende Stoßfestigkeit • Berührungsloser Betrieb bietet längere Nutzung und geräuschlosen Betrieb • Diese Anschlüsse enthalten kein Blei

Abm. in mm

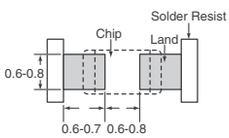

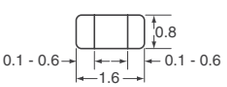

Abtasttemp. (@ 4,7 kΩ) (°C)	Max. Spannung (V)	Widerstand (@ 25°C) (Ω)	Betriebstemp. Bereich	Digi-Key Teilenr.	Gurtabschnittspreis pro Stück 1	10	100	Digi-Key Teilenr.	Preis. f. geg. auf Rolle 4,000	Murata Teilenr.
65±5	32	470±50%	-20°C ~ 80°C	490-2468-1-ND	.36	.32	.25	490-2468-2-ND	134.74/M	PRF18BG471QB1RB
75±5	32	470±50%	-20°C ~ 90°C	490-2467-1-ND	.36	.32	.25	490-2467-2-ND	134.74/M	PRF18BF471QB1RB
85±5	32	470±50%	-20°C ~ 100°C	490-2466-1-ND	.36	.32	.25	490-2466-2-ND	134.74/M	PRF18BE471QB1RB
95±5	32	470±50%	-20°C ~ 110°C	490-2465-1-ND	.36	.32	.25	490-2465-2-ND	134.74/M	PRF18BD471QB1RB
105±5	32	470±50%	-20°C ~ 120°C	490-2464-1-ND	.36	.32	.25	490-2464-2-ND	134.74/M	PRF18BC471QB1RB
115±5	32	470±50%	-20°C ~ 130°C	490-2463-1-ND	.36	.32	.25	490-2463-2-ND	134.74/M	PRF18BB471QB1RB
125±5	32	470±50%	-20°C ~ 140°C	490-2462-1-ND	.36	.32	.25	490-2462-2-ND	134.74/M	PRF18BA471QB1RB
135±5	32	470±50%	-20°C ~ 150°C	490-2460-1-ND	.36	.32	.25	490-2460-2-ND	134.74/M	PRF18AR471QB1RB
145±5	32	470±50%	-20°C ~ 160°C	490-2461-1-ND	.36	.32	.25	490-2461-2-ND	134.74/M	PRF18AS471QB1RB

G

Oberflächenmontierte PTC-Thermistoren zum Überspannungsschutz

Die Komponente besteht aus einer Hochleistungs-PTC-Keramikscheibe, die zum direktem Löten auf eine Platine oder ein Substrat in ein Leitermaterial montiert ist.
Das Keramikmaterial wird auf den Leitermaterialrahmen aufschmelzgelötet, d.h. die Lötschicht wird mithilfe eines Flusses mit geringen Rückständen auf die metallisierte Oberfläche aufgeschmolzen.

Merkmale:
• Ideal für Pick-and-Place-Bestückung • Niedrige Montagehöhe • Für Aufschmelzlöten geeignet • Kleine Keramikdurchmesser für schnellere Reaktion • Geringe Wärmeübertragung auf das Substrat • Flachkontakte für stabile Positionierung und gute Lötbarkeit

Abb. 1 Keramikgröße: 6,5 mm

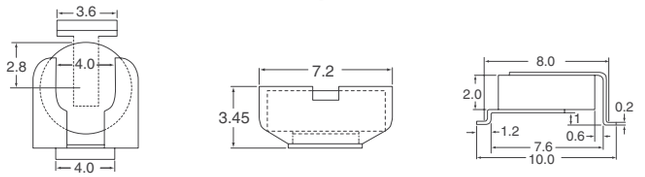

Abb. 2 Keramikgröße: 7,1 mm

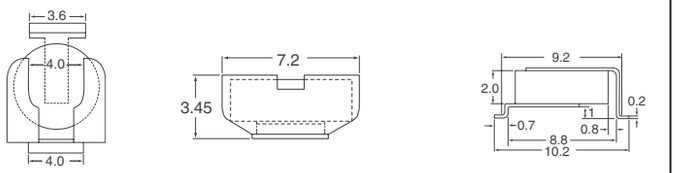

Abb.	Widerst. @ 25°C (Ω)	V max. (V)	I_{nt} @ 25°C	I_{nt} @ 70°C	I_t @ 25°C	Keramik-größe Zoll (mm)	Digi-Key Teilenr.	Gurtabschnittspreis pro Stück 1	10	100	Digi-Key Teilenr.	Gegurtet auf Rolle 1.500	BC Components Teilenr.
Telekommunikationstyp													
	10	245	165	100	270	0.25 (6.5)	BC1566CT-ND	1.36	1.20	.94	BC1566TR-ND	511.77/M	2322 661 97012
	10	245	165	100	270	0.25 (6.5)	BC1568CT-ND	1.36	1.20	.94	BC1568TR-ND	511.77/M	2322 661 97016
	17.5	300	150	100	250	0.25 (6.5)	BC1561CT-ND	1.36	1.20	.94	BC1561TR-ND	511.77/M	2322 661 97003
	17.5	300	150	100	250	0.25 (6.5)	BC1562CT-ND	1.63	1.44	1.13	BC1562TR-ND	613.36/M	2322 661 97004
1	20	300	120	70	250	0.25 (6.5)	BC1569CT-ND	1.36	1.20	.94	BC1569TR-ND	511.77/M	2322 661 97018
	25	265	120	70	220	0.25 (6.5)	BC1563CT-ND	1.63	1.44	1.13	BC1563TR-ND	613.36/M	2322 661 97005
	35	425	110	70	175	0.25 (6.5)	BC1564CT-ND	1.36	1.20	.94	BC1564TR-ND	511.77/M	2322 661 97009
	40	265	80	50	130	0.25 (6.5)	BC1560CT-ND	1.36	1.20	.94	BC1560TR-ND	511.77/M	2322 661 97002
	50	425	90	60	150	0.25 (6.5)	BC1570CT-ND	1.36	1.20	.94	BC1570TR-ND	—	2322 661 97019
2	10	300	150	100	250	0.28 (7.1)	BC1571CT-ND	1.56	1.37	1.08	BC1571TR-ND	584.16/M	2322 661 97203
Allgemeiner industrieller Typ													
1	3.3	24	400	—	650	0.25 (6.5)	BC1567CT-ND	1.36	1.20	.94	BC1567TR-ND	511.77/M	2322 661 97013
	9.4	60	150	100	300	0.25 (6.5)	BC1565CT-ND	1.36	1.20	.94	BC1565TR-ND	511.77/M	2322 661 97011

PTC-Thermistoren mit Anschlüssen

Zum Überladeschutz

Diese direkt erhitzten Thermistoren haben einen positiven Temperaturkoeffizienten und sind in erster Linie zum Schutz vor Überlastung vorgesehen.

Merkmale:
• Schalttemperatur: Ts = 140 °C, (Serie 2322 660 5: Ts = 120 °C)
• Kleines Verhältnis zwischen Auslösestrom und Nicht-Auslösestrom
• Hoher maximaler Einschaltstrom
• Hervorragendes langfristiges Verhalten, auch bei Feuchtigkeit
• UL-zugelassene PTCs halten garantiert schwierigen Testprogrammen stand
• UL-Eintragungsnr. E148885 gemäß XGPU2 Standard UL1434.

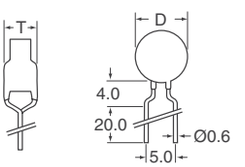

Widerst. @ 25°C ±20% (Ω)	I_{nt} max. @ 25°C (mA)	I_t min. @ 25°C (mA)	V max. (V)	Typ. Ø D (mm)	Abm. D max. (mm)	Abm. T max. (mm)	Digi-Key Teilenr.	Stückpreis 1	10	100	BC Components Teilenr.
0.9	920	1380	30	12	12.5	4.0	BC1345-ND	1.48	1.34	1.06	2322 662 59211
1.7	610	915	30	10	10.5	4.0	BC1342-ND	1.14	1.02	.81	2322 662 56111
6	270	405	30	4.5	5.0	4.0	BC1337-ND	.92	.84	.66	2322 660 52711
13	180	270	30	4.5	5.0	4.0	BC1336-ND	.87	.79	.62	2322 660 51811
25	130	195	60	4.5	5.0	4.0	BC1335-ND	.92	.84	.66	2322 660 51311
50	94	145	60	4.5	5.0	4.0	BC1334-ND	.92	.84	.66	2322 660 59491
1.3	1000	1500	145	20	20.5	5.0	BC1359-ND	4.60	4.14	3.26	2322 664 51022
1.7	880	1320	145	20	20.5	5.0	BC1358-ND	5.05	4.54	3.58	2322 664 58812
3.8	450	675	145	12	12.5	5.0	BC1355-ND	1.41	1.27	1.01	2322 662 54512
4.6	410	615	145	12	12.5	5.0	BC1354-ND	1.23	1.10	.88	2322 662 54112
6.7	320	480	145	10	10.5	5.0	BC1353-ND	1.68	1.51	1.19	2322 662 53212
8	270	405	145	8.0	8.5	5.0	BC1352-ND	1.20	1.09	.86	2322 661 52712
12	210	315	145	6.5	7.0	5.0	BC1351-ND	1.20	1.09	.86	2322 661 52112
19	170	255	145	6.5	7.0	5.0	BC1350-ND	1.20	1.09	.86	2322 661 51712
28	130	195	145	4.5	5.0	5.0	BC1349-ND	.96	.86	.68	2322 660 51312
40	110	165	145	4.5	5.0	5.0	BC1348-ND	1.08	.98	.77	2322 660 51112
55	93	140	145	4.5	5.0	5.0	BC1347-ND	.92	.84	.66	2322 660 59392
240	47	70	145	4.5	5.0	5.0	BC1346-ND	.92	.84	.66	2322 660 54792
12	250	375	265	10	10.5	5.5	BC1373-ND	1.48	1.34	1.06	2322 662 52513
29	140	210	265	6.5	7.0	5.5	BC1369-ND	1.08	.98	.77	2322 661 51413
48	110	165	265	6.5	7.0	5.5	BC1368-ND	1.08	.98	.77	2322 661 51113
56	95	143	265	4.5	5.0	5.5	BC1367-ND	.60	.54	.43	2322 660 59593
120	63	95	265	4.5	5.0	5.5	BC1365-ND	.88	.79	.63	2322 660 56393
260	39	59	265	4.5	5.0	5.5	BC1364-ND	.88	.79	.63	2322 660 53993
500	28	42	265	4.5	5.0	5.5	BC1363-ND	.88	.79	.63	2322 660 52893
1200	19	29	265	4.5	5.0	5.5	BC1362-ND	.88	.79	.63	2322 660 51993
1900	15	23	265	4.5	5.0	5.5	BC1361-ND	.88	.79	.63	2322 660 51593
3000	11	17	265	4.5	5.0	5.5	BC1360-ND	.88	.79	.63	2322 660 51193

Alle Preisangaben in Euro und inklusive Zollgebühren.

PTC-Thermistoren mit Anschlüssen

Überlastschutz für Telekommunikation

Neueste Entwicklungen im Telefonausrüstungsbereich haben die Schutzanforderungen für Exchange- und Subscriber-Geräte drastisch verändert. Der BC-Komponentenbereich positiver Temperaturkoeffizienten (PTC) -Thermistoren schließt Geräte ein, die speziell zum Schutz vor Überspannung entwickelt wurden.

Merkmale:

- Schneller Schutz vor Stromkontaktfehlern
- Hält hohen Überlastungsspannungen bis zu 10 A stand
- Hohe Haltespannungskapazitäten für die größeren Thermistoren
- Gute Verfolgung über einen breiten Temperaturbereich für alle gepaarten oder Bin-Typen
- Hervorragende Stabilität auf lange Zeit
- Alle Telecom-PTCs sind mit einem Silikonlack für hohe Temperaturen (UL94V0) beschichtet, um sie in rauen Umgebungen zu schützen und ihre Haltbarkeit zu verlängern..

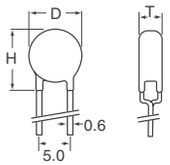

Widerst. @ 25°C (Ω)	V max. (V)	Nicht-Auslöse-Strom I_{nt} (mA)	Auslöse-Strom I_{nt} (mA)	Max. Abmessungen (mm) D	T	H	Digi-Key Teilenr.	Gurtabschnittspreis pro Stück 1	10	100	Digi-Key Teilenr.	Gegurtet auf Rolle 1.500	BC Components Teilenr.
4	100	85	280	7.0	4.0	11.0	BC1553CT-ND	.85	.75	.59	—	—	2322 661 91066
25	220	70	200	8.5	5.0	11.5	BC1554CT-ND	1.01	.88	.70	BC1554TR-ND	377.16/M	2322 661 93048
25	245	70	200	8.3	4.0	11.0	BC1555CT-ND	1.01	.88	.70	BC1555TR-ND	377.16/M	2322 661 93043
10	245	140	270	11.0	4.5	15.5	BC1556CT-ND	1.90	1.66	1.31	BC1556TR-ND	709.88/M	2322 662 93074
25	250	70	175	7.0	4.0	9.8	BC1557CT-ND	1.01	.88	.70	BC1557TR-ND	377.16/M	2322 661 93148
10	350	100	270	8.5	4.0	11.5	BC1376-ND*	.94	.85	.67	—	—	2322 661 93124
35	600	70	600	8.0	5.0	11.0	BC1558CT-ND	1.02	.89	.70	BC1558TR-ND	380.98/M	2322 661 93056
25	600	70	170	10.5	5.0	12.6	BC1559CT-ND	.91	.80	.63	—	—	2322 662 93129
10	600	175	400	13.0	5.5	18.0	BC1377-ND*	1.46	1.32	1.04	—	—	2322 662 93114

* Preisangaben für lose Ware

PTC-Thermistoren mit Anschlüssen

Zum Überhitzungsschutz

Diese direkt erhitzten Thermistoren haben einen positiven Temperaturkoeffizienten und sind in erster Linie zum Abtasten vorgesehen.

Übergangstemp. Tn (°C)	Farb - code	Digi-Key Teilenr.	Stückpreis 1	10	100	BC Components Teilenr.
90	Rot	BC1378-ND	1.00	.91	.72	2322 671 91104
100	Orange	BC1379-ND	.89	.80	.63	2322 671 91105
120	Grün	BC1381-ND	.89	.80	.63	2322 671 91107

120 Ω	Max. Widerstand bei 25 °C
4000 Ω	Min. Widerstand bei (Tn + 15) °C
30 V	Maximale Spannung (DC)
-20 ~ (Tn + 15) °C	Temperaturbereich
30 ~ 250 Ω	Widerstand von -20 °C bis Tn -20 °C (Ω)
50 ~ 570 Ω	Widerstand bei Tn -5 °C (Ω)
1.33 ~ 50 kΩ	Widerstand bei Tn +5 °C (kΩ)

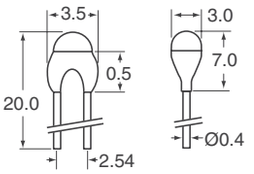

GE Infrastructure Sensing

Einschaltstrombegrenzer

SPEZIFIKATIONEN: • Einschaltstrombegrenzer schützen vor Stromstößen beim Einschalten, besonders in AC/DC-Schaltnetzteilen • Alle Widerstände ±25 % @ 25 °C • Alle Teile haben eine Schutzbeschichtung Widerstand unter Belastung dient nur als Referenz. Die tatsächlichen Werte können aufgrund der Umgebungstemperatur, des Luftstroms oder der Montagekonditionen variieren.

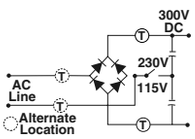

Nulllast-Widerst. @ 25 °C (Ω)	Max. * Dauerstrom (A)	Ca. Widerst. @ I max. (Ω)	Durchmesser (mm)	Digi-Key Teilenr.	Stückpreis 1	10	100
0.7	12.0	.02	19.56	KC022L-ND	3.43	3.09	2.43
1.3	8.0	.04	13.97	KC023L-ND	2.24	2.02	1.59
2.5	8.0	.06	19.56	KC003L-ND	2.29	2.06	1.62
5.0	6.0	.11	19.56	KC004L-ND	1.89	1.70	1.34
7.0	5.0	.16	19.56	KC005L-ND	1.89	1.70	1.34
10.0	5.0	.18	19.56	KC006L-ND	1.89	1.70	1.34
16.0	4.0	.27	19.56	KC007L-ND	1.89	1.70	1.34
47.0	3.0	.49	19.56	KC008L-ND	1.89	1.70	1.34
120.0	2.0	1.18	23.62	KC009L-ND	2.19	1.98	1.56
0.5	16.0	.02	23.62	KC024L-ND	4.37	3.93	3.10
10.0	3.2	.18	10.16	KC011L-ND	1.66	1.49	1.18
10.0	1.7	.34	10.16	KC012L-ND	1.66	1.49	1.18
50.0	1.6	.75	11.43	KC013L-ND	1.66	1.49	1.18
50.0	1.1	.89	11.43	KC014L-ND	1.66	1.49	1.18
5.0	4.7	.11	13.97	KC015L-ND	1.69	1.53	1.21
5.0	2.8	.20	13.97	KC016L-ND	1.69	1.53	1.21
16.0	2.7	.33	13.97	KC017L-ND	1.69	1.53	1.21
16.0	1.7	.49	13.97	KC018L-ND	1.69	1.53	1.21
25.0	2.4	.41	13.97	KC019L-ND	1.69	1.53	1.21
25.0	1.7	.49	13.97	KC020L-ND	1.69	1.53	1.21
30.0	1.5	.60	15.24	KC021L-ND	1.66	1.49	1.18

* Diese Werte sind die empfohlenen Höchstwerte, basierend auf 25 °C Umgebungstemp., null Luftstrom und einem Thermistor, der 1/2" von der Platine montiert ist.

Rückstellende PTC-Sicherungen

• Telefonleitungs-Fehlerschutz • Überstromschutz für Trafos • Rotorsperrschutz für FHP-Motoren

Mindeststromgrenze: Der niedrigste Strom, den der PTC-Widerstand benötigt, um ein Schalten bei Mindestumgebungstemperaturen zu gewährleisten.

Höchststromgrenze: Der höchste Strom, den der PTC-Widerstand bei höchster Umgebungstemperatur ohne zu schalten passieren lassen kann.

Betr. Spann.	Nulllast Widerst. @ 25 °C	Abm. A (mm)	Min. Schaltstrom 0°C	20°C	Max. Nicht-Schaltstrom 30°C	55°C	Typ-Nummer	Digi-Key Teilenr.	Stückpreis 1	10	100
12	1	15.24	1.45	1.29	0.87	0.64	RL5305-1-110-12-PTF	235-1149-ND	2.74	2.47	1.95
	2.5	15.24	0.92	0.82	0.55	0.40	RL5305-2.5-110-12-PTF	235-1160-ND	2.74	2.47	1.95
	5	11.43	0.55	0.49	0.33	0.24	RL4005-5-110-12-PTF	235-1150-ND	2.53	2.28	1.80
	10	8.89	0.32	0.30	0.19	0.14	RL3005-10-110-12-PTF	235-1151-ND	1.44	1.30	1.02
	25	8.89	0.20	0.19	0.12	0.09	RL3005-25-110-12-PTF	235-1159-ND	1.44	1.30	1.02
25	1.5	19.05	1.34	1.19	0.81	0.59	RL7008-1.5-110-25-PTF	235-1161-ND	3.43	3.08	2.43
	3.0	13.97	0.84	0.74	0.50	0.37	RL5008-3.0-110-25-PTF	235-1162-ND	2.85	2.57	2.02
50	5.0	15.24	0.65	0.58	0.39	0.29	RL5506-5-110-50-PTF	235-1152-ND	2.74	2.47	1.95
	10	11.43	0.39	0.34	0.23	0.17	RL4006-10-110-50-PTF	235-1153-ND	1.95	1.76	1.38
	25	12.70	0.27	0.24	0.16	0.12	RL4508-25-110-50-PTF	235-1163-ND	2.17	1.95	1.54
	50	11.43	0.19	0.17	0.11	0.08	RL4010-50-110-50-PTF	235-1158-ND	1.95	1.76	1.38
	100	10.67	0.13	0.12	0.08	0.06	RL3810-100-110-50-PTF	235-1154-ND	2.68	2.41	1.90
120	10	20.32	0.55	0.49	0.33	0.24	RL7510-10-110-120-PTF	235-1155-ND	3.43	3.08	2.43
	20	16.51	0.37	0.33	0.22	0.16	RL6010-20-110-120-PTF	235-1164-ND	2.74	2.47	1.95
	50	12.70	0.19	0.17	0.11	0.08	RL4510-50-110-120-PTF	235-1156-ND	2.85	2.57	2.02
	100	10.16	0.13	0.11	0.08	0.06	RL3510-100-110-120-PTF	235-1157-ND	2.68	2.41	1.90
240	50	16.51	0.23	0.21	0.14	0.10	RL6315-50-110-240-PTF	235-1165-ND	3.43	3.08	2.43
	100	16.51	0.16	0.15	0.10	0.07	RL6315-100-110-240-PTF	235-1166-ND	3.43	3.08	2.43
	250	16.51	0.10	0.09	0.06	0.05	RL6315-250-110-240-PTF	235-1167-ND	3.43	3.08	2.43

PTC-Thermistoren

Serie YM120

Elektrische Daten: Widerst. @ 25 °C Ω	Int (25 °C) mA	It (25 °C) mA	Int (55 °C) mA	It (10 °C) mA	Imo A	Vmax Vrms	Abm. A (max.)	Digi-Key Teilenr.	Stückpreis 1	10	100	GE Infrastructure Teilenr.
1800	16	23	12	25	0.1	730	4.0mm	235-1072-ND	2.30	2.02	1.57	YM120C15N182
1200	20	28	16	31	0.1	610	4.0mm	235-1073-ND	2.30	2.02	1.57	YM120C20N122
600	28	40	22	44	0.2	540	4.0mm	235-1074-ND	2.30	2.02	1.57	YM120C30N601
300	39	55	30	60	0.2	450	4.0mm	235-1075-ND	2.30	2.02	1.57	YM120C45N301
150	57	80	44	88	0.2	265	4.0mm	235-1076-ND	2.30	2.02	1.57	YM120C60N151
100	70	98	54	108	0.4	265	4.5mm	235-1077-ND	1.39	1.22	.95	YM120C80N101
60	93	131	72	144	0.6	265	6.0mm	235-1078-ND	1.39	1.22	.95	YM120D105N600
45	110	155	85	170	0.7	265	7.0mm	235-1079-ND	1.39	1.22	.95	YM120D125N450
33	128	181	99	198	0.9	265	7.5mm	235-1080-ND	1.98	1.74	1.35	YM120D150N330
25	161	228	125	250	1.1	265	8.5mm	235-1081-ND	1.98	1.74	1.35	YM120D170N250
20	192	265	149	298	1.3	265	9.5mm	235-1082-ND	1.98	1.74	1.35	YM120D200N200
15	234	330	181	362	1.7	265	11.5mm	235-1083-ND	2.75	2.41	1.87	YM120D260N150
10	314	444	243	486	2.7	265	14.0mm	235-1084-ND	3.99	3.49	2.71	YM120D370N100
6	407	575	315	630	3.9	265	16.5mm	235-1085-ND	4.89	4.29	3.32	YM120D480N060

Dieser PTC-Thermistorenbereich wurde zum Betrieb mit Hauptspannungen entwickelt und eignet sich für Allzweckverwendung bei Überstrom-, Überspannungs- und direktem Überhitzungsschutz. Jedes Gerät in dem Bereich besteht aus einer Scheibe aus Bariumtitan-Thermistormaterial mit versilberten Vorderseiten und lötmaterialbeschichteten Bleikupferdrähten. Der Lack-Finish-Überzug ist nicht zur Übertragung der Isoliereigenschaften vorgesehen.

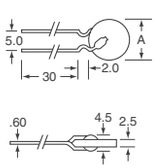

R25	Widerstand bei 25 °C
20%	Toleranz des Widerstands bei 25 °C
Int(25°C)	Strom, der den Thermistor nicht auslöst (25 °C Umgebung)
It(25°C)	Strom, der den Thermistor auslöst (25 °C Umgebung)
Int(55°C)	Strom, der den Thermistor nicht auslöst (55 °C Umgebung)
It(10°C)	Strom, der den Thermistor auslöst (10 °C Umgebung)
I mo	Max. Überlaststrom bei 265 Vrms (10 °C Umgebung)
V max.	Max. Spannung V ms
D max.	Max. Scheibendurchmesser
T max.	Max. Gesamtstärke

G

AMETHERM
Circuit Protection Thermistors

Einschaltstrombegrenzer

Die Serie MegaSurge™, Stromstoßbegrenzer und bigAMP Eingangsstrombegrenzer von Ametherm stellen eine wirtschaftliche und platzsparende Lösung zur Begrenzung hoher Einschaltströme dar. Ametherm bietet auch die Thermistore mit der höchsten Nennstromleistung für Einschaltstrombegrenzung.

Widerstand @ 25°C (Ω)	Max. Dauerstrom @ 65 °C (A)	Max. Energie (Joules)	Durchmesser (D) (mm)	Rastermaß (S) (mm)	Anschlusslänge (L) (mm)	Digi-Key Teilenr.	Stückpreis 1	10	100	Ametherm Teilenr.
150	2.0	110	12 ±0.5	7.8 ±2.0	38 ±9.0	570-1000-ND	2.63	1.62	1.23	MS12 15102
30	4.2	135	15 ±1.0	7.8 ±2.0	38 ±9.0	570-1001-ND	3.06	1.89	1.43	MS15 30004
40	4.1	135	15 ±1.0	7.8 ±2.0	38 ±9.0	570-1002-ND	3.06	1.89	1.43	MS15 40004
10	8.0	200	20 ±1.0	7.8 ±2.0	38 ±9.0	570-1003-ND	2.95	2.42	1.89	MS22 10008
20	5.0	180	20 ±1.0	7.8 ±2.0	38 ±9.0	570-1007-ND	2.95	2.42	1.89	MS22 20005
30	5.0	150	20 ±1.0	7.8 ±2.0	38 ±9.0	570-1009-ND	2.95	2.42	1.89	MS22 30005
50	4.0	240	20 ±1.0	7.8 ±2.0	38 ±9.0	570-1010-ND	2.95	2.42	1.89	MS22 50004
75	4.0	240	20 ±1.0	7.8 ±2.0	38 ±9.0	570-1011-ND	2.95	2.42	1.89	MS22 75004
120	2.0	220	20 ±1.0	7.8 ±2.0	38 ±9.0	570-1004-ND	2.95	2.42	1.89	MS22 12102
120	3.0	220	20 ±1.0	7.8 ±2.0	38 ±9.0	570-1005-ND	2.95	2.42	1.89	MS22 12103
120	4.0	220	20 ±1.0	7.8 ±2.0	38 ±9.0	570-1006-ND	2.95	2.42	1.89	MS22 12104
220	3.5	75	20 ±1.0	7.8 ±2.0	38 ±9.0	570-1008-ND	2.95	2.42	1.89	MS22 22103
.50	36	250	30 ±2.5	7.8 ±2.0	38 ±9.0	570-1012-ND	3.63	2.98	2.32	MS32 0R536
.50	40	250	30 ±2.5	7.8 ±2.0	38 ±9.0	570-1013-ND	3.63	2.98	2.32	MS32 0R540
1.0	36	300	30 ±2.5	7.8 ±2.0	38 ±9.0	570-1016-ND	3.63	2.98	2.32	MS32 1R036
2.0	25	300	30 ±2.5	7.8 ±2.0	38 ±9.0	570-1019-ND	3.63	2.98	2.32	MS32 2R025
5.0	20	300	30 ±2.5	7.8 ±2.0	38 ±9.0	570-1021-ND	3.63	2.98	2.32	MS32 5R020
7.0	15	250	30 ±2.5	7.8 ±2.0	38 ±9.0	570-1022-ND	3.63	2.98	2.32	MS32 7R015
10	15	250	30 ±2.5	7.8 ±2.0	38 ±9.0	570-1014-ND	3.63	2.98	2.32	MS32 10015
15	12	250	30 ±2.5	7.8 ±2.0	38 ±9.0	570-1015-ND	3.63	2.98	2.32	MS32 15012
20	8.0	250	30 ±2.5	7.8 ±2.0	38 ±9.0	570-1017-ND	3.63	2.98	2.32	MS32 20008
20	10	250	30 ±2.5	7.8 ±2.0	38 ±9.0	570-1018-ND	3.63	2.98	2.32	MS32 20010
50	6.0	250	30 ±2.5	7.8 ±2.0	38 ±9.0	570-1020-ND	3.63	2.98	2.32	MS32 50006
.50	50	900	35 ±2.5	19 ±3.0	39 ±4.0	570-1023-ND	5.22	4.27	3.32	MS35 0R550
1.0	40	800	35 ±2.5	19 ±3.0	39 ±4.0	570-1025-ND	5.22	4.27	3.32	MS35 1R040
2.0	35	750	35 ±2.5	19 ±3.0	39 ±4.0	570-1027-ND	5.22	4.27	3.32	MS35 2R035
3.0	30	750	35 ±2.5	19 ±3.0	39 ±4.0	570-1028-ND	5.22	4.27	3.32	MS35 3R030
5.0	25	600	35 ±2.5	19 ±3.0	39 ±4.0	570-1029-ND	5.22	4.27	3.32	MS35 5R025
10	18	500	35 ±2.5	19 ±3.0	39 ±4.0	570-1024-ND	5.22	4.27	3.32	MS35 10018
20	10	500	35 ±2.5	19 ±3.0	39 ±4.0	570-1026-ND	5.22	4.27	3.32	MS35 20010
.50	16	160	20 ±1.0	7.8 ±2.0	38 ±9.0	570-1030-ND	1.36	.84	.64	SL22 0R516
.70	12	120	20 ±1.0	7.8 ±2.0	38 ±9.0	570-1031-ND	1.36	.84	.64	SL22 0R712
1.0	20	65	20 ±1.0	7.8 ±2.0	38 ±9.0	570-1041-ND	1.36	.84	.64	SL22 1R020
2.0	18	90	20 ±1.0	7.8 ±2.0	38 ±9.0	570-1044-ND	1.36	.84	.64	SL22 2R018
2.5	8.0	90	20 ±1.0	7.8 ±2.0	38 ±9.0	570-1045-ND	1.36	.84	.64	SL22 2R508
2.5	10	90	20 ±1.0	7.8 ±2.0	38 ±9.0	570-1046-ND	1.36	.84	.64	SL22 2R510
2.5	15	90	20 ±1.0	8.0 ±0.2	38 ±9.0	570-1047-ND	1.36	.84	.64	SL22 2R515
4.0	14	100	20 ±1.0	7.8 ±2.0	38 ±9.0	570-1050-ND	1.36	.84	.64	SL22 4R014
5.0	6.0	90	20 ±1.0	7.8 ±2.0	38 ±9.0	570-1052-ND	1.36	.84	.64	SL22 5R006
5.0	12	100	20 ±1.0	7.8 ±2.0	38 ±9.0	570-1053-ND	1.36	.84	.64	SL22 5R012
7.0	10	100	20 ±1.0	7.8 ±2.0	38 ±9.0	570-1055-ND	1.36	.84	.64	SL22 7R010
10	5.0	90	20 ±1.0	7.8 ±2.0	38 ±9.0	570-1032-ND	1.36	.84	.64	SL22 10005
10	7.0	90	20 ±1.0	7.5 ±0.80	38 ±9.0	570-1033-ND	1.36	.84	.64	SL22 10007
10	8.0	90	20 ±1.0	7.5 ±0.80	38 ±9.0	570-1034-ND	1.36	.84	.64	SL22 10008
10	9.0	100	20 ±1.0	7.8 ±2.0	38 ±9.0	570-1035-ND	1.36	.84	.64	SL22 10009
14	5.0	75	20 ±1.0	7.8 ±2.0	38 ±9.0	570-1038-ND	1.36	.84	.64	SL22 14005
14	7.0	75	20 ±1.0	7.8 ±2.0	38 ±9.0	570-1039-ND	1.36	.84	.64	SL22 14007
16	4.0	100	20 ±1.0	9.4 ±0.9	38 ±9.0	570-1040-ND	1.36	.84	.64	SL22 16004
20	7.0	125	20 ±1.0	7.8 ±2.0	38 ±9.0	570-1042-ND	1.36	.84	.64	SL22 20007
30	5.0	80	20 ±1.0	7.8 ±2.0	38 ±9.0	570-1048-ND	1.36	.84	.64	SL22 30005
40	5.0	80	20 ±1.0	7.8 ±2.0	38 ±9.0	570-1049-ND	1.36	.84	.64	SL22 40005
50	4.0	80	20 ±1.0	7.8 ±2.0	38 ±9.0	570-1051-ND	1.36	.84	.64	SL22 50004
60	3.0	72	20 ±1.0	7.8 ±2.0	38 ±9.0	570-1054-ND	1.36	.84	.64	SL22 60003
120	2.0	80	20 ±1.0	7.8 ±2.0	38 ±9.0	570-1036-ND	1.36	.84	.64	SL22 12102
120	3.0	80	20 ±1.0	7.8 ±2.0	38 ±9.0	570-1037-ND	1.36	.84	.64	SL22 12103
220	2.0	72	20 ±1.0	7.8 ±2.0	38 ±9.0	570-1043-ND	1.36	.84	.64	SL22 22102
.50	30	150	30 ±2.5	7.8 ±2.0	38 ±9.0	570-1056-ND	1.58	.98	.74	SL32 0R530
.50	36	250	30 ±2.5	7.8 ±2.0	38 ±9.0	570-1057-ND	1.58	.98	.74	SL32 0R536
1.0	30	160	30 ±2.5	7.8 ±2.0	38 ±9.0	570-1059-ND	1.58	.98	.74	SL32 1R030
1.0	36	160	30 ±2.5	7.8 ±2.0	38 ±9.0	570-1060-ND	1.58	.98	.74	SL32 1R036
2.0	23	250	30 ±2.5	7.8 ±2.0	38 ±9.0	570-1061-ND	1.58	.98	.74	SL32 2R023
2.0	25	300	30 ±2.5	7.8 ±2.0	38 ±9.0	570-1062-ND	1.58	.98	.74	SL32 2R025
4.0	23	200	30 ±2.5	7.8 ±2.0	38 ±9.0	570-1063-ND	1.58	.98	.74	SL32 4R023
5.0	20	200	30 ±2.5	7.8 ±2.0	38 ±9.0	570-1064-ND	1.58	.98	.74	SL32 5R020
10	15	150	30 ±2.5	7.8 ±2.0	38 ±9.0	570-1058-ND	1.58	.98	.74	SL32 10015

Alle Preisangaben in Euro und inklusive Zollgebühren.

Rückstellender Überstromschutz

Multifuse-Produkte von Bourns bieten Überstromschutz gegen Schaltkreisfehler und schützen gegen potenzielle Überstromschäden kritischer Stromkreise und Lasten in einer Vielfalt von Anwendungen.
Behördliche Zulassungen: • Zugelassen gemäß: MF-R, MF-RX, MF-USMD, MF-MSMD, MF-SM, MF-MSMF – UL, CSA, TÜV • Zugelassen gemäß: MF-NSMF – UL • MF-SMDF – Behördliche Anerkennung anhängig

Abb. 1

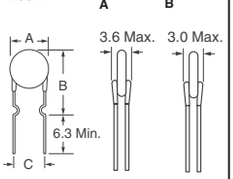

Abb. 2

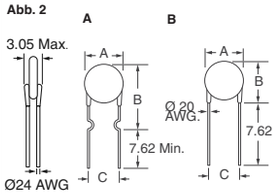

Abb. 3

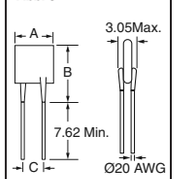

Abb. 4

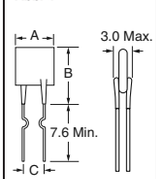

Abb. 5

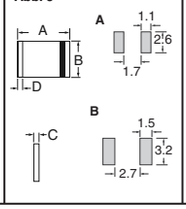

Abb. 6

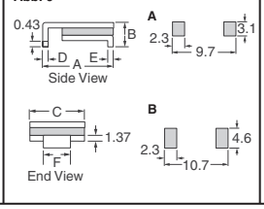

Abb. 7

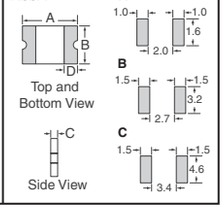

Abb.	Max. Spann.	I max. A	Nennstrom (A @ 23 °C) Haltefunktion	Auslösung	Anfangswid. Ω @ 23 °C Min.	Max.	PostTrip Widerst.	Abmessungen (mm) A (max.)	B (max.)	C (nom.)	Digi-Key Teilenr.	Stückpreis 1	10	100	500	1.000	Bourns Teilenr.
1A	90	10	0.55	1.10	0.45	0.9	2.00	10.90	14.00	5.10	MF-R055/90-0-ND	.63	.59	.53	.43	.36	MF-R055/90-0
1B	90	10	0.55	1.10	0.45	0.9	2.00	10.30	10.30	5.10	MF-R055/90U-0-ND	.63	.59	.53	.43	.36	MF-R055/90U-0
2A	30	40	1.10	2.20	0.10	0.18	0.27	8.90	14.00	5.10	MF-R110-ND	.46	.42	.39	.31	.27	MF-R110
	30	40	1.35	2.70	0.065	0.115	0.17	8.90	18.90	5.10	MF-R135-ND	.46	.42	.39	.31	.27	MF-R135
	30	40	1.60	3.20	0.055	0.105	0.15	10.20	16.80	5.10	MF-R160-ND	.51	.47	.43	.35	.30	MF-R160
	30	40	1.85	3.70	0.04	0.07	0.11	12.00	18.40	5.10	MF-R185-ND	.51	.47	.43	.34	.30	MF-R185
	60	40	0.10	0.20	2.50	4.50	7.50	7.40	12.70	5.10	MF-R010-ND	.41	.38	.34	.28	.22	MF-R010
	60	40	0.17	0.34	2.0	3.2	8.00	7.40	12.70	5.10	MF-R017-ND	.41	.38	.34	.27	.23	MF-R017
	60	40	0.20	0.40	1.50	2.84	4.40	7.40	12.70	5.10	MF-R020-ND	.43	.40	.36	.29	.25	MF-R020
	60	40	0.25	0.50	1.00	1.95	3.00	7.40	12.70	5.10	MF-R025-ND	.43	.40	.36	.29	.25	MF-R025
	60	40	0.30	0.60	0.76	1.36	2.10	7.40	13.40	5.10	MF-R030-ND	.43	.40	.36	.29	.25	MF-R030
	60	40	0.40	0.80	0.52	0.86	1.29	7.40	13.70	5.10	MF-R040-ND	.46	.42	.39	.30	.26	MF-R040
	60	40	0.50	1.00	0.41	0.77	1.17	7.90	13.70	5.10	MF-R050-ND	.46	.42	.39	.30	.26	MF-R050
	60	40	0.65	1.30	0.27	0.48	0.72	9.70	15.20	5.10	MF-R065-ND	.46	.42	.39	.31	.27	MF-R065
	60	40	0.75	1.50	0.18	0.40	0.60	10.40	16.00	5.10	MF-R075-ND	.46	.42	.39	.31	.27	MF-R075
	60	40	0.90	1.80	0.14	0.31	0.47	11.70	16.70	5.10	MF-R090-ND	.46	.42	.39	.32	.27	MF-R090
2B	60	40	1.10	2.20	0.15	0.25	0.38	13.00	18.00	5.10	MF-RX110-ND	.46	.42	.39	.31	.27	MF-RX110
	60	40	1.35	2.70	0.12	0.19	0.30	14.50	19.60	5.10	MF-RX135-ND	.48	.45	.41	.33	.28	MF-RX135
	60	40	1.60	3.20	0.09	0.14	0.22	16.30	21.30	5.10	MF-RX160-ND	.51	.47	.43	.34	.30	MF-RX160
	60	40	1.85	3.70	0.08	0.12	0.19	12.80	22.90	5.10	MF-RX185-ND	.51	.47	.43	.34	.30	MF-RX185
	60	40	2.50	5.00	0.05	0.08	0.13	21.30	26.40	10.20	MF-RX250-ND	.56	.52	.47	.37	.31	MF-RX250
	60	40	3.00	6.00	0.04	0.06	0.10	24.90	30.00	10.20	MF-RX300-ND	.58	.54	.49	.39	.34	MF-RX300
	60	40	3.75	7.50	0.03	0.05	0.08	28.40	33.50	10.20	MF-RX375-ND	.61	.56	.51	.41	.36	MF-RX375
3	30	40	0.90	1.80	0.07	0.12	0.22	7.40	12.20	5.10	MF-R090-0-009-ND	.46	.42	.39	.31	.27	MF-R090-0-009
	30	40	3.00	6.00	0.02	0.05	0.08	12.00	13.30	5.10	MF-R300-ND	.58	.54	.49	.38	.33	MF-R300
	30	40	4.00	8.00	0.01	0.03	0.05	14.40	24.80	5.10	MF-R400-ND	.61	.56	.51	.41	.36	MF-R400
	30	40	5.00	10.00	0.01	0.03	0.05	17.40	24.90	10.20	MF-R500-ND	.66	.61	.56	.44	.38	MF-R500
	30	40	6.00	12.00	0.005	0.02	0.04	19.30	31.90	10.20	MF-R600-ND	.69	.63	.58	.45	.39	MF-R600
	30	40	7.00	14.00	0.005	0.02	0.03	22.10	29.80	10.20	MF-R700-ND	.71	.66	.60	.47	.41	MF-R700
	30	40	8.00	16.00	0.005	0.02	0.03	24.21	32.90	10.20	MF-R800-ND	.74	.68	.62	.50	.43	MF-R800
	30	40	9.00	18.00	0.005	0.01	0.02	24.21	32.90	10.20	MF-R900-ND	.79	.73	.66	.52	.45	MF-R900
4	30	40	2.50	5.00	0.025	0.048	0.07	11.99	18.30	5.10	MF-R250-0-010-ND	.56	.52	.47	.37	.32	MF-R250-0-010

Abb.	Max. Spann.	I max. A	Nennstrom (A @ 23 °C) Haltefunktion	Auslösung	Anfangswid. Ω @ 23 °C RMin.	PostTrip Widerst.	Abmessungen (mm) A (max.)	B (max.)	C (nom.)	D (min.)	E (max.)	F (min.)	Digi-Key Teilenr.	Gurtabschnittspreis pro Stück 1	10	100	Gegurtet auf Rolle* Größe	Preisangaben	Bourns Teilenr.
5A	30.0	10	0.05	0.15	2.80	50.0	3.43	2.80	0.62	0.30	—	—	MF-USMD005CT-ND	.58	.54	.50	3,000	304.78/M	MF-USMD005-2
	30.0	10	0.10	0.30	0.80	15.0	3.43	2.80	0.62	0.30	—	—	MF-USMD010CT-ND	.58	.54	.50	3,000	304.78/M	MF-USMD010-2
	30.0	10	0.20	0.40	0.40	5.00	3.43	2.80	0.62	0.30	—	—	MF-USMD020CT-ND†	.58	.54	.50	3,000	304.78/M	MF-USMD020-2
	6.0	40	0.35	0.75	0.20	1.30	3.43	2.80	0.62	0.30	—	—	MF-USMD035CT-ND	.58	.54	.50	3,000	304.78/M	MF-USMD035-2
	13.2	40	0.50	1.00	0.18	0.90	3.43	2.80	0.62	0.30	—	—	MF-USMD050CT-ND	.60	.57	.53	3,000	321.71/M	MF-USMD050-2
	6.0	40	0.75	1.50	0.07	0.450	3.43	2.80	0.62	0.30	—	—	MF-USMD075CT-ND	.63	.58	.56	3,000	304.78/M	MF-USMD075-2
	6.0	40	1.10	2.20	0.05	0.210	3.43	2.80	0.62	0.30	—	—	MF-USMD110CT-ND	.67	.58	.56	3,000	304.78/M	MF-USMD110-2
5B	60.0	40	0.14	0.34	0.40	6.50	4.73	3.41	0.81	0.30	—	—	MF-MSMD014CT-ND	.47	.41	.38	2,000	270.91/M	MF-MSMD014-2
	30.0	80	0.20	0.40	0.40	6.00	4.73	3.41	0.81	0.30	—	—	MF-MSMD020CT-ND	.47	.41	.38	2,000	270.91/M	MF-MSMD020-2
	15.0	100	0.50	1.00	0.15	1.00	4.73	3.41	0.62	0.30	—	—	MF-MSMD050CT-ND	.47	.41	.38	2,000	270.91/M	MF-MSMD050-2
	16.0	100	1.10	2.20	0.04	0.21	4.73	3.41	0.62	0.30	—	—	MF-MSMD110/16-2CT-ND	.47	.41	.38	—	—	MF-MSMD110/16-2
	13.2	100	0.75	1.50	0.11	0.45	4.73	3.41	0.62	0.30	—	—	MF-MSMD075CT-ND	.47	.41	.38	2,000	270.91/M	MF-MSMD075-2
	6.0	100	1.10	2.20	0.04	0.21	4.73	3.41	0.62	0.30	—	—	MF-MSMD110CT-ND	.47	.41	.38	2,000	270.91/M	MF-MSMD110-2
	6.0	100	1.25	2.50	0.035	0.14	4.73	3.41	0.48	0.30	—	—	MF-MSMD125CT-ND	.47	.41	.38	2,000	270.91/M	MF-MSMD125-2
	6.0	100	1.50	3.00	0.03	0.120	4.73	3.41	0.48	0.30	—	—	MF-MSMD150CT-ND	.47	.41	.38	2,000	270.91/M	MF-MSMD150-2
6A	60	40	0.30	0.60	0.900	4.80	7.98	3.18	5.44	.71	.71	2.16	MF-SM030CT-ND	.53	.46	.42	2,000	304.78/M	MF-SM030-2
	60	40	0.50	1.00	0.350	1.40	7.98	3.18	5.44	.71	.71	2.16	MF-SM050CT-ND	.53	.46	.42	2,000	304.78/M	MF-SM050-2
	33	40	1.10	2.20	0.120	0.41	7.98	3.00	5.44	.71	.71	2.16	MF-SM100/33-2CT-ND	.59	.51	.47	2,000	338.64/M	MF-SM100/33-2
	30	80	0.75	1.50	0.230	1.00	7.98	3.18	5.44	.71	.71	2.16	MF-SM075CT-ND	.53	.46	.42	2,000	304.78/M	MF-SM075-2
	30	80	1.10	2.20	0.120	0.48	7.98	3.00	5.44	.71	.71	2.16	MF-SM100CT-ND	.53	.46	.42	2,000	299.70/M	MF-SM100-2
	15	100	1.25	2.50	0.070	0.25	7.98	3.00	5.44	.71	.71	2.16	MF-SM125CT-ND	.53	.46	.42	2,000	299.70/M	MF-SM125-2
	6	100	2.60	5.20	0.025	0.075	7.98	3.00	5.44	.71	.71	2.16	MF-SM260CT-ND	.53	.46	.42	2,000	304.78/M	MF-SM260-2
6B	33	40	1.50	3.00	0.060	0.23	9.50	3.00	6.71	.71	.71	3.68	MF-SM150/33-2CT-ND	.59	.51	.47	1,500	338.64/M	MF-SM150/33-2
	15	100	1.50	3.00	0.060	0.25	9.50	3.00	6.71	.71	.71	3.94	MF-SM150CT-ND	.53	.46	.42	1,500	304.78/M	MF-SM150-2
	15	100	2.00	4.00	0.045	0.125	9.50	3.00	6.71	.71	.71	3.94	MF-SM200CT-ND	.57	.49	.45	1,500	321.71/M	MF-SM200-2
	15	100	2.50	5.00	0.024	0.085	9.50	3.00	6.71	.71	.71	3.94	MF-SM250CT-ND	.57	.49	.45	1,500	321.71/M	MF-SM250-2
7A	13.2	100	0.50	1.00	0.15	0.70	3.40	1.80	0.85	0.25	—	—	MF-NSMF-050-2CT-ND	.59	.51	.47	3,000	338.64/M	MF-NSMF-050-2
	6.0	100	0.75	1.50	0.10	0.29	3.40	1.80	0.85	0.25	—	—	MF-NSMF-075-2CT-ND	.59	.51	.47	3,000	338.64/M	MF-NSMF-075-2
	6.0	100	1.10	1.80	0.06	0.20	3.40	1.80	1.35	0.25	—	—	MF-NSMF-110-2CT-ND	.59	.51	.47	3,000	338.64/M	MF-NSMF-110-2
	6.0	100	1.50	3.00	0.03	0.13	3.40	1.80	1.35	0.25	—	—	MF-NSMF-150-2CT-ND	.59	.51	.47	3,000	338.64/M	MF-NSMF-150-2
7B	60.0	40	0.10	0.30	0.70	15.00	4.73	3.41	1.10	0.30	—	—	MF-MSMF010-2CT-ND	.47	.41	.38	1,500	270.92/M	MF-MSMF010-2
	60.0	40	0.14	0.34	0.40	6.50	4.73	3.41	1.10	0.30	—	—	MF-MSMF014-2CT-ND	.47	.41	.38	1,500	270.92/M	MF-MSMF014-2
	30.0	80	0.20	0.40	0.40	6.00	4.73	3.41	1.10	0.30	—	—	MF-MSMF020-2CT-ND	.47	.41	.38	1,500	270.92/M	MF-MSMF020-2
	30.0	10	0.30	0.60	0.30	3.00	4.73	3.41	1.10	0.30	—	—	MF-MSMF030-2CT-ND	.47	.41	.38	1,500	270.92/M	MF-MSMF030-2
	15.0	100	0.50	1.00	0.15	1.00	4.73	3.41	0.85	0.30	—	—	MF-MSMF050-2CT-ND	.47	.41	.38	2,000	270.91/M	MF-MSMF050-2
	13.2	100	0.75	1.50	0.11	0.45	4.73	3.41	0.85	0.30	—	—	MF-MSMF075-2CT-ND	.47	.41	.38	2,000	270.91/M	MF-MSMF075-2
	24.0	40	0.75	1.50	0.11	0.45	4.73	3.41	0.85	0.30	—	—	MF-MSMF075/24-2CT-ND	.53	.46	.42	2,000	304.78/M	MF-MSMF075/24-2
	6.0	100	1.10	2.20	0.04	0.21	4.73	3.41	0.75	0.30	—	—	MF-MSMF110-2CT-ND	.47	.41	.38	2,000	270.91/M	MF-MSMF110-2
	16.0	100	1.10	2.20	0.04	0.21	4.73	3.41	0.75	0.30	—	—	MF-MSMF110/16-2CT-ND	.53	.46	.42	2,000	304.78/M	MF-MSMF110/16-2
	6.0	100	1.25	2.50	0.035	0.14	4.73	3.41	0.85	0.30	—	—	MF-MSMF125-2CT-ND	.47	.41	.38	2,000	270.91/M	MF-MSMF125-2
	6.0	100	1.50	3.00	0.03	0.120	4.73	3.41	0.85	0.30	—	—	MF-MSMF150-2CT-ND	.47	.41	.38	2,000	270.91/M	MF-MSMF150-2
	8.0	100	1.60	2.80	0.035	0.099	4.73	3.41	0.85	0.30	—	—	MF-MSMF160-2CT-ND	.47	.41	.38	2,000	270.91/M	MF-MSMF160-2
	6.0	100	2.00	4.00	0.020	0.100	4.73	3.41	0.85	0.30	—	—	MF-MSMF200-2CT-ND	.59	.51	.47	2,000	338.64/M	MF-MSMF200-2
	16.0	100	2.50	5.00	0.015	0.100	4.73	3.41	2.00	0.30	—	—	MF-MSMF250/16-2CT-ND	.77	.66	.61	1,000	440.23	MF-MSMF250/16-2
	6.0	100	2.60	5.20	0.015	0.080	4.73	3.41	0.85	0.30	—	—	MF-MSMF260-2CT-ND	.59	.51	.47	2,000	338.64/M	MF-MSMF260-2
7C	60	10	0.55	1.20	0.200	0.950	5.44	4.93	1.09	0.30	—	—	MF-SMDF050-2CT-ND	.53	.46	.42	3,000	304.78/M	MF-SMDF050-2
	15	40	1.50	3.00	0.070	0.175	5.44	4.93	1.09	0.30	—	—	MF-SMDF150-2CT-ND	.53	.46	.42	3,000	304.78/M	MF-SMDF150-2

***** Für Gegurtet auf Rolle die Teilenummer CT in TR ändern † UL anhängig

ESE-Arrays mit Stoßspannungsunterdrückung

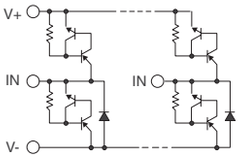

Funktions block diagramm

Hierbei handelt es sich um ein Array mit bipolaren SCR-/Dioden-Strukturen für ESE- und Überspannungsschutz. Die SCR-Strukturen wurden für Schnellauslösung konzipiert. Wird ein Stoßspannungsimpuls erkannt, der einen Spannungspegel von mehr als 1 V_{BE} (negativ oder positiv), über V+ oder unter V- aufweist, wird das Bauteil aktiviert.

Einige für dieses Gerät sehr gut geeignete Anwendungen sind Mikroprozessor-/Logikeingangsschutz, Datenbusschutz, Analoggeräteingangsschutz oder Spannungsklemmschaltungen.

Merkmale:

• Schnelle Schaltzeiten • Niedriger Eingangsleckstrom • Niedrige Eingangskapazität • Betriebstempurbereich: -40 °C ~ 105 °C

ESE Human Body Model (HBM) Fähigkeit für SP720 – SP721

HBM-Standard	Modus	R	C	ESE (V)
IEC 1000-4-2	Luft	330Ω	150pF	>15kV
	Direkt	330Ω	150pF	>4kV
	Direkt, Doppelpins	330Ω	150pF	>8kV
MIL-STD-3015.7	Direkt, Schaltkreis	1.5kΩ	100pF	>15kV

ESE Human Body Model (HBM) Fähigkeit für SP723 – SP724

HBM-Standard	Modus	RD-Entlad. Widerstand	CD-Entlad. Kap.	±VD-Entlad. Spannung
IEC 1000-4-2 (Level 4)	HBM, Luftentladung	330Ω	150pF	15kV
	HBM, direkte Entladung	330Ω	150pF	8kV
MIL-STD-3015.7	Modifiziertes HBM	1.5kΩ	100pF	8kV
	Standard-HBM	1.5kΩ	100pF	2kV
EIAJ IC121	Maschinenmodell	0kΩ	200pF	400V

Paket	Anz. der Eingangs-Arrays pro Packung	Betriebs-spannung (V-Versorg.)	Eingangsleckstrom (nA)	Ruheversorgungs-strom (nA)	Gleichwertige SCR EIN-Grenze (V)	Gleichwertiger SCR EIN-Widerstand (Ω)	Eingangs-kapazität (pF)	Eingangs-schaltge-schwindigkeit (ns)	Digi-Key Teilenr.	Stückpreis 1	10	100	Littelfuse Teilenr.
16-SOIC	14	2-30	5	50	1.1	1	3	2	F2163-ND	2.59	2.39	1.80	SP720AB
16-Dip	14	2-30	5	50	1.1	1	3	2	F2164-ND	2.59	2.39	1.80	SP720AP
8-SOIC	6	2-30	5	50	1.1	1	3	2	F2165-ND	1.79	1.66	1.24	SP721AB
8-Dip	6	2-30	5	50	1.1	1	3	2	F2166-ND	1.79	1.66	1.24	SP721AP
8-SOIC	6	2-30	5	50	1.1	0.5	5	2	F2167-ND	2.37	2.19	1.64	SP723AB
8-Dip	6	2-30	5	50	1.1	0.5	5	2	F2168-ND	2.42	2.24	1.68	SP723AP
SOT-23 (6 pin)	4	1-20	1	100 (max.)	1.1	1	3	—	F2169CT-ND★	1.34	1.24	.94	SP724AHT

★ Für Preisangaben Gegurtet auf Rolle CT-ND in TR-ND ändern und Digi-Key anrufen. ***HINWEIS:*** Das SP724 ist durch Littelfuse-Patent Nr. 4567500 abgedeckt.

Rückstellende PTC-Geräte, Oberflächenmontage

Serie 3425L

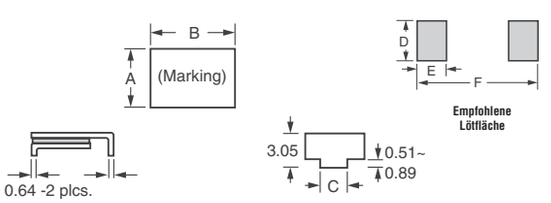

Serie	Abmessungen (mm) A (max.)	B (max.)	C	D	E	F
3425L	6.71	9.50	3.68	4.57	2.29	10.67

Serie 1812L

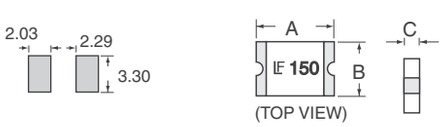

Serie	Abmessungen (mm) A (max.)	B (max.)	C
1812L 050-150	4.47	3.15	0.61
1812L 200-260	4.47	3.15	1.13

Serie 1206L

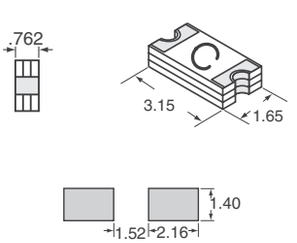

Rückstellende PTC-Geräte verwenden ein spezielles, auf Polymer basierendes PTC-Material (Positiver Temperaturkoeffizient), um Stromkreise vor Überstrombedingungen zu schützen.

Rückstellender PTC-Betrieb: Bei Normalbetrieb hat der Littelfuse-PTC mehrere leitfähige Pfade und einen sehr geringen Widerstand. Bei einem Überstromzustand steigt die Temperatur des Polymermaterials an. Dies führt zu einer drastischen Reduzierung der leitfähigen Pfade, was einen sofortigen Anstieg des Widerstands zur Folge hat. In diesem Zustand bietet das Gerät einen Schaltkreisschutz, indem der Stromfluss erheblich eingeschränkt wird. Wenn die Ursache des anfänglichen Überstroms ausgeschaltet wird, kühlt der Littelfuse-PTC ab und wird auf einen niedrigen Widerstandswert zurückgesetzt, sodass der Strom wieder normal fließen kann.

Behördliche Zulassungen: • UL: Anerkannt im Rahmen des Komponentenprogramms der Underwriters Laboratories • CSA: Anerkannt im Rahmen des Komponentenakzeptanzprogramms der Canadian Standards Association • TÜV-Zulassung

Elektrische Definitionen: • **Ihold:** Haltestrom: Maximalstrom, den das Gerät bei 20 °C 4 Stunden lang ohne Umschalten aufrecht erhält • **Itrip:** Auslösestrom: Mindeststromwert, bei dem das Gerät bei 20 °C in einen hochohmigen Zustand umgeschaltet wird • **Isc:** Maximaler Kurzschlussstrom, den das Gerät bei Nennspannung halten kann • **Ril:** Mindestanfangswiderstand des Geräts bei 20 °C vor der Auslösung • **Rat:** Maximaler gemessener Widerstand im nicht ausgelösten Zustand 1 Stunde nach Aufschmelzen bei Aufschmelzbedingungen von 245 °C, und zwar 20 Sekunden lang

HINWEIS: *Die Geräte sind nicht für Anwendungen gedacht, in denen kontinuierlich und wiederholt ausgelöst wird.* ***VORSICHT:*** *Der Betrieb außerhalb der spezifizierten Nennwerte kann zu Schäden, möglichen Lichtbögen und Flammenbildung führen.*

Serie	Ihold (A)	Itrip (A)	Spann. Nennwert (V)	Isc (A)	Max. Auslösezeit Strom (A)	Zeit (s)	Widerstand (Ω) Ril	Rat	Digi-Key Teilenr.	Gurtabschnittspreis pro Stück 1	10	100	Digi-Key Teilenr.	Gegurtet auf Rolle Größe	Preisangaben	Littelfuse Teilenr.
3425L	1.5	3.0	15.0	40	8.0	5.0	0.060	0.250	F2105CT-ND	.98	.84	.76	F2105TR-ND	1,500	418.22/M	3425L150DR
	2.0	4.0	15.0	40	8.0	12.0	0.050	0.150	F2106CT-ND	.98	.84	.76	—	—	—	3425L200DR
	3.0	6.0	6.0	40	8.0	32.0	0.020	0.060	F2108CT-ND	1.46	1.25	1.13	F2108TR-ND	1,500	621.41/M	3425L300DR
1812L	0.50	1.00	15.0	40	8.0	0.15	0.100	1.000	F2156CT-ND	.51	.48	.36	F2156TR-ND	2,000	196.58/M	1812L050PRT
	0.75	1.50	13.2	40	8.0	0.30	0.060	.420	F2157CT-ND	.51	.48	.36	F2157TR-ND	2,000	196.58/M	1812L075PRT
	1.10	2.20	6.0	40	8.0	0.30	0.050	.226	F2158CT-ND	.51	.48	.36	F2158TR-ND	2,000	196.58/M	1812L110PRT
	1.25	2.50	6.0	40	8.0	0.30	0.040	.184	F2159CT-ND	.51	.48	.36	F2159TR-ND	2,000	196.58/M	1812L125PRT
	1.50	3.00	6.0	40	8.0	0.30	0.032	.137	F2160CT-ND	.51	.48	.36	F2160TR-ND	2,000	196.58/M	1812L150PRT
	2.00	4.00	6.0	40	8.0	2.50	0.018	.070	F2161CT-ND	.74	.69	.52	F2161TR-ND	1,000	304.44	1812L200MR
	2.60	5.20	6.0	40	8.0	2.50	0.010	.005	F2155CT-ND	.74	.69	.52	F2155TR-ND	1,000	304.44	1812L260MR
1206L	0.20	0.40	15.0	40	8.0	0.05	0.600	2.50	F2109CT-ND	.59	.55	.42	F2109TR-ND	4,000	227.44/M	1206L020YRT
	0.25	0.50	15.0	40	8.0	0.08	0.550	2.30	F2110CT-ND	.59	.55	.42	F2110TR-ND	4,000	227.44/M	1206L025YRT
	0.35	0.70	6.0	40	8.0	0.10	0.300	1.30	F2111CT-ND	.59	.55	.42	F2111TR-ND	4,000	227.44/M	1206L035YRT
	0.50	1.00	6.0	40	8.0	0.10	0.090	0.60	F2112CT-ND	.59	.55	.42	F2112TR-ND	3,000	227.44/M	1206L050WRT
	0.75	1.50	6.0	40	8.0	0.20	0.070	0.30	F2113CT-ND	.59	.55	.42	F2113TR-ND	3,000	227.44/M	1206L075WRT
	1.10	2.20	6.0	40	8.0	0.30	0.040	0.18	F2114CT-ND	.59	.55	.42	F2114TR-ND	3,000	227.44/M	1206L110WRT
	1.50	3.00	6.0	40	8.0	0.30	0.030	0.12	F2115CT-ND	.59	.55	.42	F2115TR-ND	3,000	227.44/M	1206L150WRT

Alle Preisangaben in Euro und inklusive Zollgebühren.

Littelfuse®

PulseGuard® SMT ESE-Unterdrückung

Abb. 1 0603

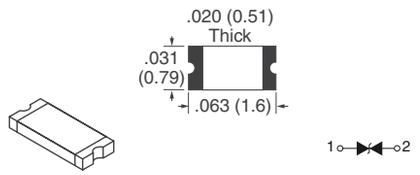

Abb. 2 SOT-23

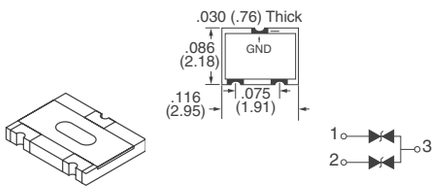

Abb. 3 0805

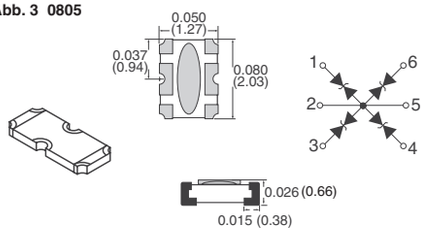

PulseGuard ESE-Entstörer bieten Schutz für elektronische Geräte vor elektrostatischen Entladungen (ESE). Sie verwenden ein spannungsvariables Material, um zwischen hochohmigen und niederohmigen Zuständen umzuschalten, wobei ESE-Stoßspannungen von empfindlichen Schaltkreisen abgeleitet werden. PulseGuard-Entstörer entsprechen den ESE-Spezifikationen IEC 61000-4-2, MIL-STD-883C (Pakete: 0402,0603), MIL-STD-883E (Pakete: 0805, SOT-23), USB, IEEE1394 und InfinibandSM

Elektrische Spezifikationen: • Triggerspannung *(1.)*: 1.000 V, typisch **• Begrenzerspannung *(1.)*:** 150 V, typisch **• Nennspannung:** max. 24 V DC **• Kapazität *(2.)*:** 0,055 pF **• Reaktionszeit *(1)*:** <1 ns **• Leckstrom:** <1 nA **• ESE-Impulswiderstand *(1.)*:** min. 1.000 Impulse **• Betriebstemperatur:** -65 °C ~ 125 °C

Abb.	Digi-Key Teilenr.	Gurtabschnitts-preis pro Stück 1	10	Digi-Key Teilenr.	Gegurtet auf Rolle
1	F1320CT-ND	.63	.59	F1320TR-ND	287.25/1000
2	F1321CT-ND	1.11	1.03	F1321TR-ND	1405.78/3000
3	F2162CT-ND	1.86	1.73	F2162TR-ND	849.48/1000

***Anmerkungen: 1.** 8 kV direkte Entladung gemäß IEC61000-4-2 **2.** Gemessen bei 6 V DC. Tests bei schnellen ESE-Nennwerten (1~20 Hz) können zu einer Änderung der Leckstromleistung führen (max. 6 µA)*

„0402“ (1005) Slimline™ sehr flinke Dünnfilmserie 0435

% A Nennleistung	Öffnungszeit (min./max.)
100%	min. 4 Stunden
200%	max. 5 Sek.
300%	max. 0,2 Sek.

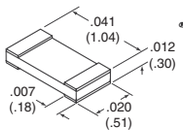

• Betriebstemperatur: -55 °C ~ 90 °C **• Spannung: 24 V • Materialien:** Körper: Epoxidträger, Anschlüsse: Kupfer/Nickel/Zinn-Blei; Überzug: konforme Beschichtung **• Lötparameter:** Aufschmelzlöten -260 °C, max. 30 Sekunden **• Verpackungs-Spezifikation:** 8 mm Papiergurt auf Rolle nach EIA-RS481-1 (IEC 286, Teil 3), 10.000 pro Rolle. **• Nennschaltleistung:** 35 A bei 24 V AC/DC

A-Nenn-leistung	Digi-Key Teilenr.	Gurtabschnitts-preis pro Stück 1	10	100	Digi-Key Teilenr.	Gegurtet auf Rolle 10.000
Serie 0435 — Sehr flink						
.250	F1440CT-ND	.94	.87	.66	F1440TR-ND	361.50/M
.375	F1441CT-ND	.94	.87	.66	F1441TR-ND	361.50/M
.500	F1442CT-ND	.94	.87	.66	F1442TR-ND	361.50/M
.750	F1443CT-ND	.94	.87	.66	F1443TR-ND	361.50/M
1.00	F1444CT-ND	.94	.87	.66	F1444TR-ND	361.50/M
1.25	F1445CT-ND	.94	.87	.66	F1445TR-ND	361.50/M
1.50	F1446CT-ND	.94	.87	.66	F1446TR-ND	361.50/M
1.75	F1447CT-ND	.94	.87	.66	F1447TR-ND	361.50/M
2.00	F1448CT-ND	.94	.87	.66	F1448TR-ND	361.50/M

„0603“ (1608) Slimline™ sehr flinke Dünnfilmserie 0434

% A-Nennleistung	Öffnungszeit bei 25 °C
100%	min. 4 Stunden
200%	max. 5 Sek.
300%	max. 0,2 Sek.

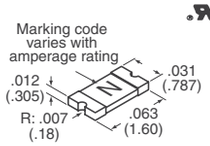

Slimline 0603 ist mit der gängigen Montageplattenserie 431 und ihren elektrischen Spezifikationen identisch, hat jedoch eine niedrigere Bauform und bessere Lötfähigkeiten. **Spezifikationen: • Konstruktionsmaterialien:** Körper: Epoxidträger, Anschlüsse: Kupfer/Nickel/Zinn-Blei (95/5); Überzug: konforme Beschichtung **• Nennschaltleistung:** 50 A bei 32 V AC/DC (0,25~1 A) oder 35 A bei 32 V AC/DC (1,25~5 A) **• Betrieb-stemperatur:** -50 °C ~ 90 °C **• Nennspannung:** 32 V **• Spezifikation für Gegurtet auf Rolle:** 8 mm breite Rollen, konform mit EIA-RS481

A-Nenn-leistung	Mar-kierungs-code	Digi-Key Teilenr.	Gurtabschnitts-preis pro Stück 1	10	100	Digi-Key Teilenr.	Gegurtet auf Rolle 5.000
Serie 0434							
.250	D	F1360CT-ND •	.78	.73	.55	F1360TR-ND	319.17/M
.375	E	F1361CT-ND •	.78	.73	.55	F1361TR-ND	319.17/M
.500	F	F1362CT-ND •	.78	.73	.55	F1362TR-ND	319.17/M
.750	G	F1363CT-ND •	.78	.73	.55	F1363TR-ND	331.45/M
1.00	H	F1364CT-ND •	.78	.73	.55	F1364TR-ND	319.17/M
1.25	J	F1365CT-ND •	.78	.73	.55	F1365TR-ND	331.45/M
1.50	K	F1366CT-ND •	.78	.73	.55	F1366TR-ND	331.45/M
1.75	L	F1367CT-ND •	.78	.73	.55	F1367TR-ND	319.17/M
2.00	N	F1368CT-ND •	.78	.73	.55	F1368TR-ND	319.17/M
2.50	O	F1369CT-ND •	.78	.73	.55	F1369TR-ND	319.17/M
3.00	P	F1370CT-ND •	.78	.73	.55	F1370TR-ND	319.17/M
3.50	R	F2251CT-ND	.78	.73	.55	F2251TR-ND	319.17/M
4.00	S	F1371CT-ND •	.78	.73	.55	F1371TR-ND	319.17/M
5.00	T	F1372CT-ND •	.78	.73	.55	F1372TR-ND	319.17/M

• 434-KIT-ND Digi-Key® Sicherung, Serie 434 - *sehr flink, Slim Line™* je 10 der angegebenen Teile, plus ein Lagerkasten aus Kunststoff.....**76.15**

A-Nenn-leistung	Mar-kierungs-code	Digi-Key Teilenr.	Gurtabschnitts-preis pro Stück 1	10	100	Digi-Key Teilenr.	Gegurtet auf Rolle 5.000
.750	G	F1392CT-ND •	.86	.81	.61	F1392TR-ND	301.73/M
1.00	H	F1393CT-ND •	.86	.81	.61	F1393TR-ND	301.73/M
1.25	J	F1394CT-ND •	.86	.81	.61	F1394TR-ND	301.73/M
1.50	K	F1395CT-ND •	.86	.81	.61	F1395TR-ND	301.73/M
1.75	L	F1396CT-ND •	.86	.81	.61	F1396TR-ND	301.73/M
2.00	N	F1397CT-ND •	.86	.81	.61	F1397TR-ND	301.73/M
2.50	O	F1398CT-ND •	.86	.81	.61	F1398TR-ND	301.73/M
3.00	P	F1399CT-ND •	.86	.81	.61	F1399TR-ND	301.73/M
3.50	R	F1400CT-ND •	.86	.81	.61	F1400TR-ND	301.73/M
4.00	S	F1401CT-ND •	.86	.81	.61	F1401TR-ND	301.73/M
5.00	T	F1402CT-ND •	.86	.81	.61	F1402TR-ND	301.73/M

• 467-KIT-ND Digi-Key® Sicherung, Serie 467 - *sehr flink, Slim Line™, bleifrei,* je 10 der angegebenen Teile, plus ein Lagerkasten aus Kunststoff **84.62**

„1206“ (3216) SMF, sehr flink, und Slo-Blo® Dünnfilmsicherung

	Abmessungen - Zoll (mm) A	B	C
Sehr flink	.122 (3.10)	.063 (1.60)	.047 (1.19)
Slo-Blo®	.124 (3.15)	.060 (1.52)	.045 (1.14)

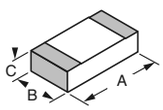

A Nennleistung	Öffnungszeit bei 25 °C Sehr flink	Slo-Blo®
100%	min. 4 Stunden	—
200%	max. 5 Sek.	1 Sek. min., 120 Sek. max.
300%	max. 0,2 Sek.	0,1 Sek. min., 3 Sek. max.
800%	—	0,002 Sek. min., 0,05 Sek. max.

Spezifikationen: • Konstruktionsmaterialien: Körper: Epoxidträger, Anschlüsse: Kupfer/Nickel/Zinn-Blei (95/5). Überzug: Konforme Beschichtung **• Betriebste- mperaturbereich:** -55 °C ~ 125 °C **• Lötbarkeit:** Hält 60 Sekunden lang Temperaturen über 200 °C bis max. 260 °C stand. **• Spezifikationen von Gegurtet auf Rolle:** 8 mm breite Rollen, konform mit EIA-RS481-2 (entspricht IEC 286 Teil 3). Verpackung: 3.000 Sicherungen pro Rolle **• Nennspannungen:** 0,125~0,375 A (125 V) 0,500~2,00 A (63 V) 2,5~3,0 A (32 V) 4,0~7,0 A (24 V)

A-Nenn-leistung	Mar-kierungs-code	Digi-Key Teilenr.	Gurtabschnitts-preis pro Stück 1	10	100	Digi-Key Teilenr.	Gegurtet auf Rolle 3.000
Serie 0429 — Sehr flink							
.125	FB	F1270CT-ND	.79	.74	.56	F1270TR-ND	336.02/M
.200	FC	F1271CT-ND	.65	.61	.46	F1271TR-ND	275.44/M
.250	FD	F1230CT-ND	.65	.61	.46	F1230TR-ND	275.15/M
.375	FE	F1231CT-ND	.65	.61	.46	F1231TR-ND	275.15/M
.500	FF	F1232CT-ND	.65	.61	.46	F1232TR-ND	275.15/M
.750	FG	F1233CT-ND	.65	.61	.46	F1233TR-ND	275.15/M
1.00	FH	F1234CT-ND	.65	.61	.46	F1234TR-ND	250.30/M
1.25	FJ	F1235CT-ND	.65	.61	.46	F1235TR-ND	275.44/M
1.50	FK	F1236CT-ND	.65	.61	.46	F1236TR-ND	275.44/M
1.75	FL	F1237CT-ND	.65	.61	.46	F1237TR-ND	275.44/M
2.00	FN	F1238CT-ND	.65	.61	.46	F1238TR-ND	275.15/M
2.50	FO	F1272CT-ND	.65	.61	.46	F1272TR-ND	275.44/M
3.00	FP	F1273CT-ND	.65	.61	.46	F1273TR-ND	275.44/M
4.00	FS	F1274CT-ND	.65	.61	.46	F1274TR-ND	275.44/M
5.00	FT	F1275CT-ND	.79	.74	.56	F1275TR-ND	275.44/M
7.00	FU	F1276CT-ND	.79	.74	.56	F1276TR-ND	275.44/M
Serie 0430 — Slo-Blo®							
.500	TF	F1260CT-ND	.94	.87	.66	F1260TR-ND	361.16/M
1.00	TH	F1261CT-ND	.94	.87	.66	F1261TR-ND	361.16/M
1.50	TK	F1262CT-ND	.94	.87	.66	F1262TR-ND	397.74/M
2.00	TN	F1263CT-ND	.94	.87	.66	F1263TR-ND	397.74/M

Telecom Nano²® -Sicherung, Serie 0461

% A Nennleistung	Öffnungszeit (min./max.)
100%	min. 4 Stunden
250%	min. 1 s, max. 120

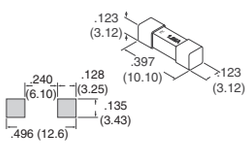

Oberflächenmontierbarer Überstromschutz vor Power Cross; erfüllt Blitzschutzanforderungen. Erfüllt UL 60950, 3rd Edition (früher UL 1459) Power-Cross-Anforderungen für Standalone-Geräte. Konstruktion gemäß Bellcore/Telcordia GR-1089-CORE und TIA-968-A der Stoßspannungs-Spezifikationen.

• Nennschaltleistung: 50 A @ 250 V AC **• Betriebstemperaturbereich:** -55 °C ~ 125 °C **• Materialien:** Körper: Keramik; Anschlüsse: Messingkappen, versilbert **• Lötparameter:** Aufschmelzlöten - 230 °C, max. 30 Sekunden. Wellenlöten -260 °C, max. 3 Sekunden **• Verpackungsspezifikationen:** 24 mm, Gegurtet auf Rolle, nach EIA-RS481. (IEC 286 Teil 3), 2.500 Sicherungen pro Rolle

A-Nenn-leistung	Digi-Key Teilenr.	Gurtabschnittspreis pro Stück 1	10	100	Digi-Key Teilenr.	Gegurtet auf Rolle 2.500
Serie 0461						
.5	F1449CT-ND	1.35	1.26	.95	F1449TR-ND	522.36/M
1.25	F1550CT-ND	1.35	1.26	.95	F1550TR-ND	522.36/M
2.00	F1551CT-ND	1.35	1.26	.95	F1551TR-ND	522.36/M

„0603“ (1608) *Bleifreie* Slim Line™ Dünnfilmserie 0467, sehr flink

% A Nennleistung	Öffnungszeit bei 25 °C
100%	min. 4 Stunden
200%	max. 5 Sek.
300%	max. 0,2 Sek.

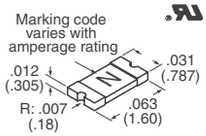

Die bleifreie SlimLine-Sicherung 0603 entspricht den Umweltnormen der Elektronikindustrie bezüglich Bleireduzierung. Das Produkt ist mit bleifreien Lötmitteln und höheren Temperaturprofilen kompatibel. Montageplatte und Elektroleistung sind mit denen der Littelfuse-Produktserie 0431 und 0434 identisch. Eine auf einer Legierung basierte Schmelzleiter-Konstruktion bietet ausgezeichnete Einschalt-Halteeigenschaften (I^2t) im Vergleich zu Keramik- oder Glassicherungsprodukten 0603. **Spezifikationen: • Nennspannung:** 32 V AC/DC **• Konstruktionsmaterial:** Körper: Modernes Substrat für hohe Temperaturen, Anschlüsse: Kupfer/Nickel/100 % Zinn, Schmelzleiterüberzug: konforme Beschichtung **• Nennschaltleistung:** 50 A bei 32 V AC/DC (0,25~1 A), 35 A bei 32 V AC/DC (1,25~5 A) **• Betriebstemperatur:** -55 °C ~ 90 °C **• Spezifikationen Gegurtet auf Rolle:** 8 mm breite Rollen, konform mit EIA-RS481-2 (IEC 286, Teil 3)

A-Nenn-leistung	Mar-kierungs-code	Digi-Key Teilenr.	Gurtabschnitts-preis pro Stück 1	10	100	Digi-Key Teilenr.	Preisangabe für Gegurtet auf Rolle 5.000
Serie 0467							
.250	D	F1389CT-ND •	.86	.81	.61	F1389TR-ND	301.73/M
.375	E	F1390CT-ND •	.86	.81	.61	F1390TR-ND	301.73/M
.500	F	F1391CT-ND •	.86	.81	.61	F1391TR-ND	301.73/M

„1206“ (3216) Slimline™ - Dünnfilmserie 0433, sehr flink

% A Nennleistung	Öffnungszeit (min./max.)
100%	min. 4 Stunden
200%	max. 5 Sek.
300%	max. 0,2 Sek.

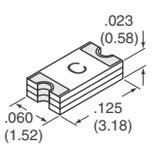

Montageplatte und elektrische Spezifikationen sind mit den Spezifikationen der beliebten Serie 429 identisch.

Spezifikationen: • Konstruktionsmaterialien: Körper: Epoxidträger, Anschlüsse: Kupfer/Nickel/Zinn-Blei (95/5), Überzug: konforme Beschichtung **• Betriebstemperatur:** -55 °C ~ 90 °C **• Nennschaltleistung:** 0,125~0,375 A (50 A bei 125 V AC/DC), 0,5~ 2 A (50 A bei 63 V AC/DC), 2,5~3 A (50 A bei 32 V AC/DC) **• Spezifikationen für Gegurtet auf Rolle:** 8 mm breite Rollen, konform mit EIA-RS481-2 (IEC 286, Teil 3) **• Nennspannungen:** 0,125~0,375 A (125 V) 0,500~2,00 A (63 V) 2,5~3,0 A (32 V)

A-Nenn-leistung	Mar-kierungs-code	Digi-Key Teilenr.	Gurtabschnitts-preis pro Stück 1	10	100	Digi-Key Teilenr.	Gegurtet auf Rolle 5.000
Serie 0433 — Sehr flink							
.125	B	F1373CT-ND •	.63	.58	.44	F1373TR-ND	254.24/M
.200	C	F1374CT-ND •	.63	.58	.44	F1374TR-ND	254.24/M
.250	D	F1375CT-ND •	.63	.58	.44	F1375TR-ND	254.24/M
.375	E	F1376CT-ND •	.63	.58	.44	F1376TR-ND	254.24/M

(Forts.)

G

„1206“ (3216) Slimline™ -Dünnfilmserie 0433, sehr flink *(Forts.)*

A-Nenn-leistung	Markierungs-code	Digi-Key Teilenr.	Gurtabschnittspreis pro Stück 1	10	100	Digi-Key Teilenr.	Gegurtet auf Rolle 5.000
.50	F	F1377CT-ND•	.63	.58	.44	F1377TR-ND	254.24/M
.60	.6	F1378CT-ND•	.63	.58	.44	F1378TR-ND	254.24/M
.75	G	F1379CT-ND•	.63	.58	.44	F1379TR-ND	254.24/M
.80	.8	F1380CT-ND•	.63	.58	.44	F1380TR-ND	254.24/M
1.00	H	F1381CT-ND•	.63	.58	.44	F1381TR-ND	264.02/M
1.25	J	F1382CT-ND•	.63	.58	.44	F1382TR-ND	254.24/M
1.50	K	F1384CT-ND•	.63	.58	.44	F1384TR-ND	254.24/M
1.75	L	F1385CT-ND•	.63	.58	.44	F1385TR-ND	254.24/M
2.00	N	F1386CT-ND•	.63	.58	.44	F1386TR-ND	264.02/M
2.50	O	F1387CT-ND•	.63	.58	.44	F1387TR-ND	254.24/M
3.00	P	F1388CT-ND•	.63	.58	.44	F1388TR-ND	231.13/M

• 433-KIT-ND Digi-Key® -Sicherungsserie 433, *sehr flink, Slim Line™* je 10 der angegebenen Teile plus ein Kunststoff-Lagerbehälter.....**67.69**

„1206“ (3216) *Bleifreie* Slimline™ - Dünnfilmserie 0466, sehr flink

% A-Nennleistung	Öffnungszeit bei 25 °C
100%	min. 4 Stunden
200%	max. 5 Sek.
300%	max. 0,2 Sek.

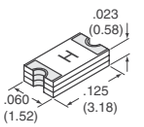

Merkmale: • Entspricht den Umweltnormen der Elektronikindustrie bezüglich der Bleireduzierung. • Das Produkt ist mit bleifreien Lötmitteln und höheren Temperaturen kompatibel. • Das Schmelzleiter-Überzugmaterial hält dem Industriestandard entsprechenden Reinigungsverfahren stand • Montageplatte und Elektroleistung sind mit denen der Littelfuse-Produktserien 429 und 433 identisch • Eine auf einer Legierung basierte Schmelzleiter-Konstruktion bietet ausgezeichnete Einschalt-Halteeigenschaften (I^2t) im Vergleich zu Keramik- oder Glas-Chipsicherungsprodukten 1206
Spezifikationen: • Nennspannungen: 125 V (0,125–0,375 A), 63 V (0,500–2 A), 32 V (2,5 A, 3), 24 V (4~10 A) **• Betriebstemperatur:** -55 °C ~ 90 °C **• Nennschaltleistung:** 0,125~ 0,375 A (50 A bei 125 V AC/DC), 0,5–2 A (50 A bei 63 V AC/DC), 2,5–3 A (50 A bei 32 V AC/DC), 4~10 A (35 A bei 24 V AC/DC) **• Konstruktionsmaterial:** Körper: Modernes Substrat für hohe Temperaturen, Anschlüsse: Kupfer/Nickel/100 % Zinn, Schmelzleiterüberzug: konforme Beschichtung
Spezifikationen Gegurtet auf Rolle:
8 mm Gegurtet und Rolle nach EIA-RS481-2 (IEC 286, Teil 3)

A-Nenn-leistung	Markierungs-code	Digi-Key Teilenr.	Gurtabschnittspreis pro Stück 1	10	100	Digi-Key Teilenr.	Gegurtet auf Rolle 5.000
Serie 0466 — Sehr flink							
.125	B	F1450CT-ND•	.69	.64	.49	F1450TR-ND	240.02/M
.2	C	F1451CT-ND•	.69	.64	.49	F1451TR-ND	240.02/M
.25	D	F1452CT-ND•	.69	.64	.49	F1452TR-ND	240.02/M
.375	E	F1453CT-ND•	.69	.64	.49	F1453TR-ND	240.02/M
.5	F	F1454CT-ND•	.69	.64	.49	F1454TR-ND	240.02/M
.75	G	F1455CT-ND•	.69	.64	.49	F1455TR-ND	240.02/M
1	H	F1456CT-ND•	.69	.64	.49	F1456TR-ND	240.02/M
1.25	J	F1465CT-ND•	.69	.64	.49	F1465TR-ND	240.02/M
1.5	K	F1462CT-ND•	.69	.64	.49	F1462TR-ND	240.02/M
1.75	L	F1466CT-ND•	.69	.64	.49	F1466TR-ND	240.02/M
2	N	F1457CT-ND•	.69	.64	.49	F1457TR-ND	240.02/M
2.5	O	F1464CT-ND•	.69	.64	.49	F1464TR-ND	240.02/M
3	P	F1458CT-ND•	.69	.64	.49	F1458TR-ND	240.02/M
4	S	F1459CT-ND•	.69	.64	.49	F1459TR-ND	240.02/M
5	T	F1460CT-ND•	.69	.64	.49	F1460TR-ND	240.02/M

• 466-KIT-ND Digi-Key® Sicherung, Serie 466 - sehr flink, *Slim Line™ , bleifrei,* je 10 der angegebenen Teile, plus ein Lagerkasten aus Kunststoff.....**76.15**

SMF Omni-Blok® -Sicherungsblock mit sehr flinken Nano²® und Slo-Blo®-Sicherungen

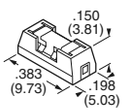

Der SMF Omni-Blok®-Sicherungshalter ermöglicht das schnelle und problemlose Auswechseln von Nano2® SMF-Sicherungen für die Oberflächenmontage. Der Sicherungsblock und die vorinstallierte Sicherungskombination können in einem effizienten Fertigungsgang auf der Platine montiert werden.
Spezifikationen: • Elektrische Daten: 10 A, 125 V **• Formteile:** Thermoplast (94 V0) **• Umgebungstemperatur:** -55 °C ~ 125 °C **• Lötparameter:** Infrarot: 445 °F (230 °C), 30 Sek. **• Verpackung:** 16 mm breiter Gurt und Rolle nach EIA Standard 481. Installierte Sicherungen haben versilberte Endkappen, die zur Erleichterung des Aufschmelzlötverfahrens installiert wurden. Verwenden Sie die flinke Sicherung der Serie 451 mit Endkappen mit einem Überzug aus einer Zinn-Blei-Legierung für das Ersetzen von Produkten der Serie 154. Verwenden Sie die Slo-Blo®-Sicherung der Serie 452 mit Endkappen mit einem Überzug aus einer Zinn-Blei-Legierung als Ersatz für Produkte der Serie 154xxxT.

A-Nenn-leistung	Digi-Key Teilenr.	Gurtabschnittspreis pro Stück 1	10	100	Digi-Key Teilenr.	Gegurtet auf Rolle 1.500
Serie 154 – sehr flink						
.250	F1219CT-ND	2.22	2.06	1.56	F1219TR-ND	855.07/M
.500	F1220CT-ND•	2.22	2.06	1.56	F1220TR-ND	855.07/M
.750	F1221CT-ND•	1.88	1.75	1.32	F1221TR-ND	725.54/M
1.00	F1222CT-ND•	1.88	1.75	1.32	F1222TR-ND	725.54/M
1.50	F1223CT-ND•	1.88	1.75	1.32	F1223TR-ND	725.54/M
2.00	F1224CT-ND•	1.88	1.75	1.32	F1224TR-ND	725.54/M
2.50	F1225CT-ND•	1.88	1.75	1.32	F1225TR-ND	725.54/M
3.00	F1226CT-ND•	1.88	1.75	1.32	F1226TR-ND	725.54/M
4.00	F1227CT-ND•	1.88	1.75	1.32	F1227TR-ND	725.54/M
5.00	F1228CT-ND•	1.88	1.75	1.32	F1228TR-ND	725.54/M
7.00	F1229CT-ND	1.88	1.35	1.32	F1229TR-ND	725.54/M
8.00	F1239CT-ND	1.88	1.35	1.32	F1239TR-ND	725.54/M
10.00	F1251CT-ND	2.01	1.44	1.42	F1251TR-ND	834.75/M
Serie 154xxxT – Slo-Blo®						
.375	F1300CT-ND	2.77	2.57	1.94	F1300TR-ND	1066.72/M
.500	F1301CT-ND•	2.77	2.57	1.94	F1301TR-ND	1066.72/M
.750	F1302CT-ND•	2.44	2.27	1.71	F1302TR-ND	939.73/M
1.00	F1303CT-ND•	2.44	2.27	1.71	F1303TR-ND	939.73/M
1.50	F1304CT-ND•	2.44	2.27	1.71	F1304TR-ND	939.73/M
2.00	F1305CT-ND•	2.44	2.27	1.71	F1305TR-ND	939.73/M
2.50	F1306CT-ND•	2.44	2.27	1.71	F1306TR-ND	939.73/M
3.00	F1307CT-ND•	2.44	2.27	1.71	F1307TR-ND	939.73/M
3.50	F1308CT-ND	2.44	2.27	1.71	F1308TR-ND	939.73/M
4.00	F1309CT-ND•	2.44	2.27	1.71	F1309TR-ND	939.73/M
5.00	F1310CT-ND•	2.44	2.27	1.71	F1310TR-ND	939.73/M

• 154-KIT-ND Digi-Key® -Sicherungsblockserie 154 mit Sicherung, flink *und Slo-Blo®* Oberflächenmontage, ***Nano²®*** je 5 der angegebenen Teile, plus ein Lagerkasten aus Kunststoff.....**126.95**

Nano²® SMF, sehr flinke und Slo-Blo®-Sicherungen

Serie R451, 1~5 A

Nano²® -Sicherungen zur Oberflächenmontage kombinieren die bewährte Picofuse-Leistung und Zuverlässigkeit in einem flachen Oberteil-Design, das eine effiziente Pick-and-Place-Montage ermöglicht. **• Empfohlene Lötparameter:** *Infrarot-Aufschmelzen:* 30 Sek. bei 500 °F (260 °C) für sehr flinke Sicherungen, bei 445 °F (230 °C) für Slo-Blo®-Sicherungen. *Wellenlöten* 10 Sekunden lang bei 500 °F (260 °C) für sehr flinke Sicherungen, max. 3 Sekunden lang bei 500 °F (260 °C) für Slo-Blo®-Sicherungen. **•Kons- truktionsmaterialien:** Körper ist Keramik, Kappen sind Messing mit einem Überzug aus einer Zinn-Bleilegierung. **• Betriebstemperaturbereich:** -55 °C ~ 125 °C. **•Nenn- spannung:** 125 V, 65 V: F1155 und F1151

Flink			Slo-Blo®	
Nennleistung	A	Ansprechzeit	Nennleistung	Ansprechzeit (min./max.)
100%	1/16~15	min. 4 Stunden	100%	4 Std. min.
200%	1/16~10	max. 5 Sek.	200%	1 Sek. /60 Sek
200%	12~15	max. 20 Sek.	300%	0,2/3 Sek.
			800%	0,02/0,1 Sek.

A-Nenn-leistung	Digi-Key Teilenr.	Gurtabschnittspreis pro Stück 1	10	100	Digi-Key Teilenr.	Gegurtet auf Rolle 1.000
Serie R451 - sehr flink						
.250	F1140CT-ND•	.86	.80	.60	F1140TR-ND•	354.77
.375	F1152CT-ND	.86	.80	.60	F1152TR-ND	354.77
.500	F1141CT-ND•	.86	.80	.60	F1141TR-ND•	354.77
.750	F1142CT-ND•	.86	.80	.60	F1142TR-ND•	354.77
1.000	F1143CT-ND•	.86	.80	.60	F1143TR-ND•	354.77
1.250	F2252CT-ND	.86	.80	.60	F2252TR-ND	354.77
1.500	F1144CT-ND•	.86	.80	.60	F1144TR-ND•	354.73
1.600	F2253CT-ND	.86	.80	.60	F2253TR-ND	354.77
2.000	F1145CT-ND•	.86	.80	.60	F1145TR-ND•	354.73
2.500	F1146CT-ND•	.86	.80	.60	F1146TR-ND•	354.73
3.000	F1147CT-ND•	.86	.80	.60	F1147TR-ND•	354.73
3.150	F2254CT-ND	.86	.80	.60	F2254TR-ND	354.77
3.500	F1153CT-ND	.86	.80	.60	F1153TR-ND	354.77
4.000	F1148CT-ND•	.86	.80	.60	F1148TR-ND•	354.77
5.000	F1149CT-ND•	.86	.80	.60	F1149TR-ND•	354.77
6.300	F2255CT-ND	.86	.80	.60	F2255TR-ND	354.73
7.000	F1154CT-ND	.86	.80	.60	F1154TR-ND	354.73
8.000	F2256CT-ND	.86	.80	.60	F2256TR-ND	354.73
10.000	F1150CT-ND•	1.35	1.27	.95	F1150TR-ND•	562.23
12.000	F1155CT-ND	1.35	1.27	.95	F1155TR-ND	562.14
15.000	F1151CT-ND	1.35	1.27	.95	F1151TR-ND	562.14
Serie R452 – Slo-Blo®						
0.375	F1340CT-ND	1.13	1.05	.80	F1340TR-ND	467.70
0.500	F1341CT-ND	1.13	1.05	.80	F1341TR-ND	467.70
0.750	F1342CT-ND	1.13	1.05	.80	F1342TR-ND	467.32
1.000	F1343CT-ND	1.13	1.05	.80	F1343TR-ND	467.32
1.500	F1344CT-ND	1.13	1.05	.80	F1344TR-ND	467.32
2.000	F1345CT-ND	1.13	1.05	.80	F1345TR-ND	467.32
2.500	F1346CT-ND	1.13	1.05	.80	F1346TR-ND	467.70
3.000	F1347CT-ND	1.13	1.05	.80	F1347TR-ND	467.32
3.500	F1348CT-ND	1.13	1.05	.80	F1348TR-ND	467.32
4.000	F1349CT-ND	1.13	1.05	.80	F1349TR-ND	467.70
5.000	F1350CT-ND	1.13	1.05	.80	F1350TR-ND	467.32

• SMF-KIT-ND *Digi-Key® Nano²® -Sicherungssatz, SMF-Serie R451/Pico SMD-Serie R459,* je 5 der ***angegebenen Nano²® SMF-Sicherungen*** und je 5 der ***sehr flinken Pico SMD- und Slo-Blo® -Sicherungen*** **84.62**

PICO II™ 125 V, sehr flinke Pico-Sicherungen

1~5 A

QPL

Patente: US. Patent Nr. 2.385.281 **Konstruktionsmaterialien: Körper:** UL94V0 Epoxidbeschichtung, grün **Nennwerte:** 300 A bei Nennspannung V DC 50 V AC **Betriebstemperatur:** -55 °C ~ 125 °C **Spezifikationen:** Gurtabstand 2,062" (52,4 mm)

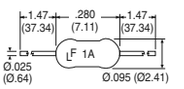

Elektrische Eigenschaften:

Nennleistung	Ampere-Leistung	Ansprechzeit
100%	1/16~15	min. 4 Stunden
200%	1/16~7	max. 1 Sekunde
200%	10	max. 3 Sekunden
200%	12~15	max. 10 Sekunden

A Nenn-leistung	Spann. Nennleistung	Digi-Key Teilenr.	Stückpreis 1	10	100
Serie R251 — nicht farbkodierter Typ (lose)					
.0625	125	F820-ND	.94	.88	.61
.125	125	F821-ND•	.68	.65	.45
.250	125	F822-ND	.59	.56	.39
.375	125	F823-ND	.68	.65	.45
.500	125	F824-ND•	.59	.56	.39
.630	125	F1510-ND	.63	.59	.45
.750	125	F825-ND•	.44	.41	.29
1.000	125	F826-ND•	.44	.41	.29
1.500	125	F827-ND•	.44	.41	.29
2.000	125	F828-ND•	.44	.41	.29
2.500	125	F829-ND	.51	.47	.33
3.000	125	F830-ND•	.44	.41	.29
3.500	125	F831-ND	.51	.47	.33
4.000	125	F832-ND•	.44	.41	.29
5.000	125	F833-ND•	.44	.41	.29
7.000	125	F834-ND	.44	.41	.29
10.000	125	F835-ND	.44	.41	.29
12.000	32	F836-ND	.69	.64	.45
15.000	32	F837-ND	.59	.56	.39

A Nenn-leistung	Spann. Nenn-leistung	Digi-Key Teilenr.	Gurtabschnittspreis pro Stück 1	10	100	Digi-Key Teilenr.	G&R Preisangaben 1.000
Serie R251 — nicht farbkodierter Typ (Gurtabschnitt und Gegurtet auf Rolle)							
.0625	125	F1505CT-ND	.98	.71	.69	F1505TR-ND	467.70
.125	125	F1506CT-ND	.62	.45	.44	F1506TR-ND	294.62
.250	125	F1507CT-ND	.62	.45	.44	F1507TR-ND	294.62
.375	125	F1508CT-ND	.62	.45	.44	F1508TR-ND	294.62
.500	125	F1509CT-ND	.62	.45	.44	F1509TR-ND	294.62
.630	125	F1511CT-ND	.62	.45	.44	F1511TR-ND	294.62
.750	125	F1512CT-ND	.46	.33	.32	F1512TR-ND	217.28
1.000	125	F1513CT-ND	.46	.33	.32	F1513TR-ND	217.28
1.500	125	F1514CT-ND	.46	.33	.32	F1514TR-ND	217.28
2.000	125	F1515CT-ND	.46	.33	.32	F1515TR-ND	217.28
2.500	125	F1516CT-ND	.46	.33	.32	F1516TR-ND	217.28
3.000	125	F1517CT-ND	.46	.33	.32	F1517TR-ND	217.28
3.500	125	F1518CT-ND	.46	.33	.32	F1518TR-ND	217.28
4.000	125	F1519CT-ND	.46	.33	.32	F1519TR-ND	217.28
5.000	125	F1520CT-ND	.46	.33	.32	F1520TR-ND	217.28
7.000	125	F1521CT-ND	.46	.33	.32	F1521TR-ND	217.28
10.000	125	F1522CT-ND	.46	.33	.32	F1522TR-ND	217.28
12.000	32	F1523CT-ND	.62	.45	.44	F1523TR-ND	294.62
15.000	32	F1524CT-ND	.62	.45	.44	F1524TR-ND	294.62

Slo-Blo® Pico-Sicherungen

1~5 Amp

Konstruktionsmaterialien: Körper-UL94V0 Epoxidbeschichtung, Gold. Anschlüsse–lötbeschichteter Kupferdraht. **Betriebstemperaturbereich:** -55 °C ~ 125 °C.

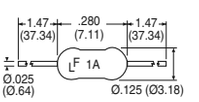

Elektrische Eigenschaften:

Nennleistung	Ansprechzeit	Nennleistung	Ansprechzeit
100%	min. 4 Std.	200%	max. 60 Sek.
300%	max. 3 Sek.	800%	max. 0,1 Sek.

A Nenn-leistung	Digi-Key Teilenr.	Gurtabschnittspreis pro Stück 1	10	Digi-Key Teilenr.	G&R Preisangaben 4.000
Serie 473 - Nicht-farbkodierter Typ					
.500	F1200CT-ND•	1.63	1.52	F1200TR-ND	725.75/M
.750	F1201CT-ND•	1.63	1.52	F1201TR-ND	725.54/M
1.000	F1202CT-ND•	1.63	1.52	F1202TR-ND	725.75/M
1.500	F1203CT-ND•	1.63	1.52	F1203TR-ND	725.54/M
2.000	F1204CT-ND•	1.63	1.52	F1204TR-ND	725.54/M
2.500	F1205CT-ND	1.63	1.52	F1205TR-ND	725.54/M
3.000	F1206CT-ND•	1.63	1.52	F1206TR-ND	725.75/M
3.500	F1207CT-ND•	1.63	1.52	F1207TR-ND	725.54/M
4.000	F1208CT-ND•	1.63	1.52	F1208TR-ND	725.75/M
5.000	F1209CT-ND•	1.63	1.52	F1209TR-ND	725.75/M
7.000	F2257CT-ND	1.63	1.52	F2257TR-ND	725.75/M

• 251-473-KIT-ND Digi-Key® Sicherung, Serie 251, *sehr flink,* und **Serie 473, *Slo-Blo® Axial Pico II™*** , je 5 der angegebenen Teile; **kein** Lagerkasten aus Kunststoff.. .....**84.63**

Alle Preisangaben in Euro und inklusive Zollgebühren.

PICO II™ 250 Volt, sehr flinke Pico-Sicherungen

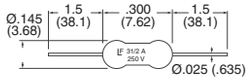

Nennschaltleistung: 50 A bei 250 V AC
Konstruktionsmaterialien: Gekapselter Körper mit Expoxidbeschichtung; lötbeschichtete Kupferanschlüsse; grün

Elektrische Eigenschaften:

% A Nennleistung	Öffnungszeit (min./max.)
100%	min. 4 Stunden
200%	1 Sek. max.
300%	0,1 Sek. max.

A Nenn-leistung	Spann. Nennleistung	Digi-Key Teilenr.	Stückpreis 1	10	100
Serie 263					
.062	250	F880-ND	2.07	1.93	1.45
.125	250	F881-ND	1.64	1.53	1.15
.250	250	F882-ND	1.64	1.53	1.15
.375	250	F883-ND	1.64	1.53	1.15
.500	250	F884-ND	1.64	1.53	1.15
.750	250	F885-ND	1.56	1.45	1.10
1.00	250	F886-ND	1.56	1.45	1.10
1.50	250	F887-ND	1.56	1.45	1.10
2.00	250	F888-ND	1.56	1.45	1.10
2.50	250	F889-ND	1.56	1.45	1.10
3.00	250	F890-ND	1.56	1.45	1.10
3.50	250	F891-ND	1.56	1.45	1.10
4.00	250	F892-ND	1.56	1.45	1.10
5.00	250	F893-ND	1.56	1.45	1.10

Pico SMD, sehr flink, und Slo-Blo® SMT-Sicherungen

Serie R460, 1-5 A

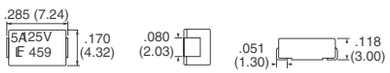

EIA Gehäuse-Code 7343, zur leichteren Identifikation mit Laser geätzt.
• **Betriebstemperatur:** -55 °C ~ 125 °C • **Lötmethoden:** *Infrarot-Aufschmelzlöten,* bei max. 500 °F (260 °C) für sehr flinke Sicherungen; max. 446 °F (230 °C) für Slo-Blo®-Sicherungen. *Wellenlöten* bei 500 °F (260° C) max. 10 Sekunden. • **Nennspannung:** 125

Nennleistung	Flinke Ansprechzeit	Slo-Blo® Ansprechzeit
100%	4 Std. min.	min. 4 Std.
200%	1 Sek. max.	max. 60 Sek.
300%	—	max. 3 Sek.
800%	—	0,1 Sek. max.

A Nenn-leistung	Digi-Key Teilenr.	Gurtabschnitts-preis pro Stück 1	10	100	Digi-Key Teilenr.	G&R Preisangaben 500
Serie R459 – sehr flink						
.125	F1160CT-ND	1.08	1.01	.76	F1160TR-ND	248.05
.250	F1161CT-ND	1.08	1.01	.76	F1161TR-ND	248.05
.375	F1162CT-ND•	1.08	1.01	.76	F1162TR-ND•	248.05
.500	F1163CT-ND•	.80	.75	.57	F1163TR-ND•	184.14
.750	F1164CT-ND•	.80	.75	.57	F1164TR-ND•	184.14
1.000	F1165CT-ND•	.80	.75	.57	F1165TR-ND•	184.14
1.500	F1166CT-ND•	.80	.75	.57	F1166TR-ND•	184.14
2.000	F1167CT-ND•	.80	.75	.57	F1167TR-ND•	184.14
2.500	F1168CT-ND•	.80	.75	.57	F1168TR-ND•	184.14
3.000	F1169CT-ND•	.80	.75	.57	F1169TR-ND•	184.14
3.500	F1170CT-ND•	.80	.75	.57	F1170TR-ND•	184.14
4.000	F1171CT-ND•	.80	.75	.57	F1171TR-ND•	184.14
5.000	F1172CT-ND•	.80	.75	.57	F1172TR-ND•	184.14
Serie R460 – Slo-Blo®						
.375	F1180CT-ND•	1.71	1.59	1.20	F1180TR-ND•	390.71
.500	F1181CT-ND•	1.71	1.59	1.20	F1181TR-ND•	390.71
.750	F1182CT-ND	1.71	1.59	1.20	F1182TR-ND	390.71
1.000	F1183CT-ND•	1.71	1.59	1.20	F1183TR-ND•	390.71
1.500	F1184CT-ND•	1.71	1.59	1.20	F1184TR-ND•	390.71
2.000	F1185CT-ND•	1.71	1.59	1.20	F1185TR-ND•	390.71
2.500	F1186CT-ND	1.71	1.59	1.20	F1186TR-ND	390.71
3.000	F1187CT-ND•	1.71	1.59	1.20	F1187TR-ND•	390.71
3.500	F1188CT-ND	1.71	1.59	1.20	F1188TR-ND	390.71
4.000	F1189CT-ND•	1.71	1.59	1.20	F1189TR-ND•	390.71
5.000	F1190CT-ND•	1.71	1.59	1.20	F1190TR-ND•	390.71

• **SMF-KIT-ND** ***Digi-Key® Pico-Sicherungssatz, SMD-Serie R451/Nano²® SMF-Serie R459,*** je 5 der angegebenen Pico SMD-Sicherungen und je 5 der ***Nano²® SMF sehr flinken und SloBlo® -Sicherungen*** **84.62**

Feinsicherung, sehr flink

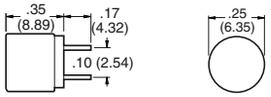

QPL

Zulassungen: Anerkannt im Rahmen des Komponentenprogramms der Underwriters Laboratories und CSA-zertifiziert
Betriebstemperaturbereich: -55 °C ~ 85 °C

Elektrische Eigenschaften:

Nennleistung	Ampere-Leistung	Öffnungszeit
100%	1/500 — 5	min. 4 Std.
200%	1/500 — 3/10	max. 5 Sek.
200%	4/10 — 5	max. 2 Sek.

A Nenn-leistung	Spann. Nennleistung	Digi-Key Teilenr.	Stückpreis 1	100	250
Serie 273 — sehr flink					
.031	125	F854-ND	—	16.19	—
.050	125	F855-ND	3.44	2.82	2.50
.100	125	F857-ND	3.39	2.78	2.47
.125	125	F858-ND	3.39	2.78	2.47
.200	125	F859-ND	5.27	4.31	3.83
.250	125	F860-ND	3.39	2.78	2.47
.300	125	F861-ND	3.39	2.78	2.47
.400	125	F862-ND	3.39	2.78	2.47
.500	125	F863-ND	3.39	2.78	2.47
.600	125	F864-ND	5.27	4.31	3.83
.700	125	F865-ND	5.27	4.31	3.83
.750	125	F866-ND	3.44	2.82	2.50
1.000	125	F868-ND	3.39	2.78	2.47
1.500	125	F869-ND	3.39	2.78	2.47
2.000	125	F870-ND	3.39	2.78	2.47
3.000	125	F871-ND	3.39	2.78	2.47
4.000	125	F872-ND	3.39	2.78	2.47
5.000	125	F873-ND	3.39	2.78	2.47

Metrische Sicherungen (5 x 20 mm)

Sehr flinke Sicherungen der Serie 216 mit hohem Schaltvermögen
Serie 217, flink
Serie 218, Slo-Blo®

Elektrische Eigenschaften:

A (%)	Serie 216 .05~ 3.15A	4~ 10A	Serie 217 .032~ .100A	.125~ 10A	Serie 218 .032~ .100A	.125~ 10A
150	Minimum 60 Min.	Minimum 60 Min.	Minimum 60 Min.	Minimum 60 Min.	Minimum 60 Min.	Minimum 60 Min.
210	Maximum 30 Min.	Maximum 30 Min.	Maximum 30 Min.	Maximum 30 Min.	Maximum 2 Min.	Maximum 2 Min.
275	0,01 ~ 2 Sek.	0,01 ~ 3 Sek.	0,01 ~ 0,5 Sek.	0,05 ~ 2 Sek.	0,2 ~ 10 Sek.	0,6 ~ 10 Sek.
400	0,003 ~ 0,3 Sek.	0,003 ~ 0,3 Sek.	0,003 ~ 0,3 Sek.	0,01 ~ 0,3 Sek.	0,04 ~ 3 Sek.	0,15 ~ 3 Sek.
1000	0,02 Sek. maximal	0,02 Sek. maximal	0,02 Sek. maximal	0,02 Sek. maximal	0,01 ~ 0,3 Sek.	0,02 ~ 0,3 Sek.

Zulassungen:
Serie 216: von SEMKO bis 6,3 A zugelassen, mit UL- und CSA-anerkannt. BSI 1 ~ 6,3 A, VDE-Zulassung 0,050 ~ 6,3 A
Serie 217: SEMKO, VDE-Zulassung bis 6,3 A, BSI-Zulassung 0,4~6,3 A, UL- und CSA-anerkannt nur bis 6,3 A.
Serie 218: SEMKO, VDE-Zulassung bis 6,3 A, BSI-Zulassung 0,05~6,3 A, UL- und CSA-anerkannt.

Schaltleistung:
Serie 216: 1.500 A
Serie 217: 35 A oder 10-facher Nennstrom, je nachdem, welcher Wert größer ist.
Serie 218: 35 A oder 10-facher Nennstrom, je nachdem, welcher Wert größer ist.

A Nenn-leistung	Spann. Nennleistung	Digi-Key Teilenr.	Stückpreis 5	100	250
Serie 216 – flink, hohes Schaltvermögen, Keramikkörper					
.050	250	F900-ND•	1.40	1.05	.93
.080	250	F902-ND	1.40	1.05	.93
.100	250	F903-ND•	1.12	.84	.75
.125	250	F904-ND•	1.12	.84	.75
.160	250	F905-ND	1.12	.84	.75
.200	250	F906-ND	1.12	.84	.75
.250	250	F907-ND•	1.12	.84	.75
.315	250	F908-ND•	1.12	.84	.75
.400	250	F909-ND	1.12	.84	.75
.500	250	F910-ND•	1.12	.84	.75
.630	250	F911-ND•	1.12	.84	.75
.800	250	F912-ND•	1.12	.84	.75
1.000	250	F913-ND•	1.12	.84	.75
1.250	250	F914-ND•	1.12	.84	.75
1.600	250	F915-ND	1.12	.84	.75
2.000	250	F916-ND•	1.12	.84	.75
2.500	250	F917-ND•	1.12	.84	.75
3.150	250	F918-ND•	1.12	.84	.75
4.000	250	F919-ND•	1.12	.84	.75
5.000	250	F920-ND•	1.12	.84	.75
6.300	250	F921-ND•	1.12	.84	.75
8.000	250	F922-ND•	1.40	1.05	.93
10.000	250	F923-ND•	1.40	1.05	.93
Serie 217 — flink					
.032	250	F930-ND	1.35	1.01	.90
.040	250	F931-ND	1.35	1.01	.90

A Nenn-leistung	Spann. Nennleistung	Digi-Key Teilenr.	Stückpreis 5	100	250
Serie 217 — flink (Forts.)					
.050	250	F932-ND	1.35	1.01	.90
.063	250	F933-ND	1.35	1.01	.90
.080	250	F934-ND	1.35	1.01	.90
.100	250	F935-ND§	1.35	1.01	.90
.125	250	F936-ND§	1.35	1.01	.90
.160	250	F937-ND	.79	.60	.53
.200	250	F938-ND	.79	.60	.53
.250	250	F939-ND§	.79	.60	.53
.315	250	F940-ND§	.79	.60	.53
.400	250	F941-ND	.79	.60	.53
.500	250	F942-ND§	.25	.19	.17
.630	250	F943-ND§	.25	.19	.17
.800	250	F944-ND§	.25	.19	.17
1.000	250	F945-ND§	.25	.19	.17
1.250	250	F946-ND§	.25	.19	.17
1.600	250	F947-ND§	.25	.19	.17
2.000	250	F948-ND§	.25	.19	.17
2.500	250	F949-ND§	.25	.19	.17
3.150	250	F950-ND§	.25	.19	.17
4.000	250	F951-ND§	.25	.19	.17
5.000	250	F952-ND§	.25	.19	.17
6.300	250	F953-ND§	.25	.19	.17
8.000	250	F954-ND§	.25	.19	.17
10.000	250	F955-ND§	.25	.19	.17
Serie 218 — Slo-Blo®					
.032	250	F960-ND	1.80	1.35	1.20
.040	250	F961-ND	1.80	1.35	1.20
.050	250	F962-ND	1.80	1.35	1.20
.063	250	F963-ND	1.80	1.35	1.20
.080	250	F964-ND	1.80	1.35	1.20
.100	250	F965-ND†	1.05	.79	.70
.125	250	F966-ND†	1.11	.84	.74
.160	250	F967-ND	1.05	.79	.70
.200	250	F968-ND	1.05	.79	.70
.250	250	F969-ND†	1.05	.79	.70
.315	250	F970-ND†	1.05	.79	.70
.400	250	F971-ND	1.05	.79	.70
.500	250	F972-ND†	.72	.54	.48
.630	250	F973-ND†	.72	.54	.48
.800	250	F974-ND†	.72	.54	.48
1.000	250	F975-ND†	.72	.54	.48
1.250	250	F976-ND†	.72	.54	.48
1.600	250	F977-ND†	.72	.54	.48
2.000	250	F978-ND†	.72	.54	.48
2.500	250	F979-ND†	.72	.54	.48
3.150	250	F980-ND†	.73	.55	.49
4.000	250	F981-ND†	.72	.55	.49
5.000	250	F982-ND†	.72	.54	.48
6.300	250	F983-ND†	.72	.54	.48
8.000	250	F984-ND†	1.13	.85	.75
10.000	250	F985-ND†	1.13	.85	.75
15.000	250	F2229-ND	1.13	.85	.75

• **216-KIT-ND Digi-Key® Sicherung, Serie 216 -** ***flink, hohes Schaltvermögen,*** je 5 der angegebenen Teile, plus ein Lagerkasten aus Kunststoff. **135.43**

§ **217-KIT-ND Digi-Key® Sicherung, Serie 217,** ***flink,*** je 5 der angegebenen Teile, plus ein Lagerkasten aus Kunststoff. **33.82**

† **218-KIT-ND Digi-Key® Sicherung, Serie 218,** ***Slo-Blo,*** je 5 der angegebenen Teile, plus ein Lagerkasten aus Kunststoff. **50.75**

Safe-T-Plus-Sicherungen

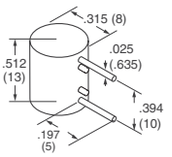

• Diese Sicherungen wurden so konzipiert, dass Geräte die Zertifizierung „eigensicher" für Anwendungen in Gaswerken, der Erdölchemie und den verarbeitenden Industrien erhalten können, wo die Gefahr eine Gasexplosion durch fehlerhafte Schaltkreise besteht. • Hermetisch abgedichtet. **Nennspannung:** 125 V. **Nennschaltleistung:** 50 A bei 125 V AC; 300 A bei 125 V DC

Behördliche Zulassungen:
Erfüllt CENELEC EN50 014 bis 039, IEC 60079-11 und BASEEFA BS 5501, Teil 7.

Elektrische Eigenschaften:

% A Nennleistung	Öffnungszeit
100%	min. 4 Stunden
200%	max. 5 Sekunden

A Nenn-leistung	Spann. abfall	Digi-Key Teilenr.	Stückpreis 1	100	250
Serie 259					
.062	2.1	F1311-ND	3.91	2.32	2.06
.125	1.3	F1312-ND	4.11	2.44	2.17
.250	0.83	F1313-ND	4.11	2.44	2.17
.375	0.81	F1314-ND	4.11	2.44	2.17
.500	0.78	F1315-ND	4.11	2.44	2.17
.750	0.23	F1316-ND	4.11	2.44	2.17
1.000	0.24	F1317-ND	4.11	2.44	2.17

Einschränkungen:
1. Die Sicherung muss so montiert werden, dass Kriech- und Sicherheitsabstände die Anforderungen von Tabelle 2 der EN50020:1977 oder Tabelle 4 der EN500020: 1994 erfüllen (mit IEC 60079-11, 4. Ausgabe 1999, gleichwertig).
2. Wenn sie in einem eigensicheren Gerät verwendet wird, muss für die Sicherung eine Oberflächentemperaturklassifizierung vorgenommen werden.

G

Littelfuse®

2–5 A

350 Volt SMT Sicherung, flinke Serie EBF

• Ideal für die Verwendung in elektronischen Beleuchtungsvorschaltgliedern, Netzteilen und Leistungsumsetzanwendungen • Zugelassen für die Verwendung in Schaltkreisen mit 125, 250, 277 und 350 V AC.

Behördliche Zulassungen: UL-anerkannt, CSA-zertifiziert, MITI-zugelassen für 5 A

Nennschaltleistung: 100 A bei 350 V AC

Betriebstemperatur: -40°C~125°C

Physikalische Spezifikationen: Materialien: Nylonkörper, mit versilberten Zinkanschlüssen

Verpackungsspezifikationen: 24 mm, gegurtet auf Band, nach EIA-RS481 (gleichwertig mit IEC 286, Teil 3); 800 Sicherungen pro Rolle

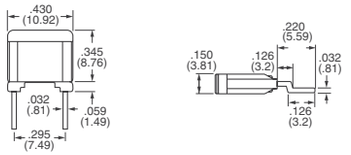

Elektrische Eigenschaften:

% A Nennleistung	Öffnungszeit
100%	min. 4 Stunden
200%	0,15 Sek. min., 5 Sek. max.

A Nenn-leistung	Digi-Key Teilenr.	Gurtabschnitts-preis pro Stück 1	10	100	Digi-Key Teilenr.	Preisangabe gegur-tet in Schachtel 800
Serie 446						
2	F1000CT-ND	.75	.69	.52	F1000TR-ND	270.91
3	F1001CT-ND	.75	.69	.52	F1001TR-ND	270.91
4	F1002CT-ND	.75	.69	.52	F1002TR-ND	270.91
5	F1003CT-ND	.75	.69	.52	F1003TR-ND	270.91
7.5	F1004CT-ND	.75	.69	.52	F1004TR-ND	270.91
10	F1005CT-ND	.75	.69	.52	F1005TR-ND	270.91

Barrieren-Netzwerksicherungen

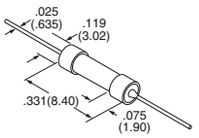

• Erfüllt Barrier Network-Normen (EN50020) für explosionsgefährdete Anwendungen • Hohe Nennschaltleistung

Nennspannung: 250 V

Nennschaltleistung: 4.000 A bei 250 V AC/V DC

Teilenr.	Farbkodierung
F1290	Rot
F1291	Grün
F1292	Blau
F1293	Violett
F1294	Braun
F1295	Schwarz

Elektrische Eigenschaften:

% A Nennleistung	Öffnungszeit
110%	min. 4 Stunden
300%	max. 10 Sekunden
1000%	max. 0,002 Sekunden

A Nenn-leistung	Digi-Key Teilenr.	Gurtabschnitts-preis pro Stück 1	10	100	Digi-Key Teilenr.	Preisangabe ge-gurtet in Schachtel 500
Serie 242						
.050	F1290CT-ND	3.79	3.52	2.66	F1290TB-ND	866.07
.080	F1291CT-ND	3.79	3.52	2.66	F1291TB-ND	866.07
.100	F1292CT-ND	3.79	3.52	2.66	F1292TB-ND	866.07
.160	F1293CT-ND	3.79	3.52	2.66	F1293TB-ND	866.07
.200	F1294CT-ND	3.79	3.52	2.66	F1294TB-ND	866.07
.250	F1295CT-ND	3.79	3.52	2.66	F1295TB-ND	866.07

Alarmanzeige-Sicherungen

Elektrische Eigenschaften:

% A Nennleistung	Öffnungszeit
100%	min. 10 Minuten
150%	max. 5 Minuten

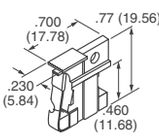

Alarmanzeigesicherungen sind für Telekommunikations- und Bedienfeld-schaltkreise ideal geeignet. Die farbkodierte Fahne entspricht den Farbstandards der Telekommunikationsindustrie, sodass Ampere-Nennleistungen leicht zu identifizieren sind. Diese Serie bietet mit einem erweiterten Ampere-Bereich und höheren Nennschaltleistungen erhebliche Verbesserungen. Daher kann sie bei Konkurrenzproduktlinien wie etwa Produkte von Bussmann: GMT und San-O: Serie AX-1, als Ersatz verwendet werden.

Behördliche Zulassungs-Dokumentnr.: UL E71611, CSA LR29862.

Konstruktionsmaterialien:
Körper: Polyphenylensulfid (UL 94V0). Anschlüsse: Beryllium-kupfer, verzinnt.

Nennspannung: 125 V AC oder 60 V DC.

Nennschaltleistung: 450 A bei 60 V DC; 300 A bei 125 V AC/V DC.

Betriebstemperaturbereich: -55 °C~125 °C.

A Nenn-leistung	Farbcode	Digi-Key Teilenr.	Stückpreis 1	10	100
Serie 0481 — Alarmanzeigetyp					
.180	Gelb	F712-ND	—	—	1.15
.250	Violett	F713-ND	—	—	1.15
.500	Rot	F714-ND	—	—	1.15
.750	Braun	F715-ND	—	—	1.15
1.000	Grau	F716-ND	1.66	1.53	1.15
1.333	Weiß	F717-ND	—	—	1.15
1.500	Gelb/weiß	F718-ND	—	—	1.15
2.000	Orange	F719-ND	1.66	1.53	1.15
3.000	Blau	F720-ND	1.66	1.53	1.15
3.500	Blau/weiß	F721-ND	1.66	1.53	1.15
4.000	Brn./weiß	F722-ND	1.66	1.53	1.15
5.000	Grün	F723-ND	1.66	1.53	1.15
7.500	Schw./weiß	F724-ND	1.66	1.53	1.15
10.000	Rot/weiß	F725-ND	1.66	1.53	1.15
12.000	Grün/gelb	F726-ND	1.66	1.53	1.15
15.000	Rot/blau	F727-ND	1.66	1.53	1.15

ATO-Sicherung: Mini, ATO und Maxi

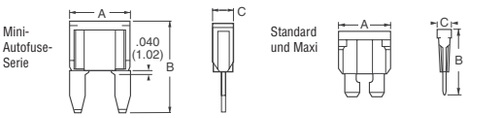

Die ATO-Sicherungen wurde von Littelfuse für die Automobilindustrie konstruiert und auf den Markt gebracht und haben sich im Bereich des Schaltkreisschutzes zum Standard für OEM inländischer und ausländischer Automobile und Lastkraftwagen entwickelt. Diese Sicherung kann auch für eine Vielzahl von elektronischen Niederspannungsanwendungen spezifiziert werden.

Design-Standards: UL-Standard für Flachsteckersicherungen im Bereich Automobilanwendungen. SAE (Society of Automotive Engineers) J1284

Farbkodierung: Autofuse-Sicherungen sind zur problemlosen Ampere-Identifikation farblich kodiert.

Nennspannung: 32 V

Zulassungen: Serie 297: UL-Auflistung, Serie 257: UL-Auflistung 1~40 A, CSA-Zertifizierung 3~30 A, Serie 299: UL-anerkannt 20~60 A

Körpermaterial: Serie 297 & 299: Nylon, Serie 257: Kunststoff.

Sicherungstyp	Abmessungen - Zoll (mm) A	B	C
Minisicherung	.43 (10.92)	.63 (16.00)	.15 (3.81)
ATO-Sicherung	.75 (19.05)	.73 (18.54)	.20 (5.08)
Maxi-Sicherung	1.15 (29.21)	1.35 (34.29)	.35 (8.89)

A Lstg	Farbcode	Digi-Key Teilenr.	Stückpreis 5	100	250
Serie 297 — Mini-Sicherungen					
2	Grau	F986-ND•	.36	.33	.29
3	Violett	F987-ND•	.36	.33	.29
4	Pink	F988-ND•	.36	.33	.29
5	Beige	F989-ND•	.36	.33	.29
7.5	Braun	F990-ND•	.36	.33	.29
10	Rot	F991-ND•	.36	.33	.29
15	Blau	F992-ND•	.36	.33	.29
20	Gelb	F993-ND•	.36	.33	.29
25	Natur	F994-ND•	.36	.33	.29
30	Grün	F995-ND•	.36	.33	.29
Serie 257 — ATO-Sicherungen					
1	Schwarz	F2232-ND	.31	.29	.25
2	Grau	F2233-ND	.31	.29	.25
3	Violett	F996-ND•	.31	.29	.25
4	Pink	F997-ND	.31	.29	.25
5	Beige	F998-ND•	.31	.29	.25
7.5	Braun	F999-ND•	.31	.29	.25
10	Rot	F1015-ND•	.31	.29	.25
15	Blau	F1016-ND•	.31	.29	.25
20	Gelb	F1017-ND•	.31	.29	.25
25	Natur	F1018-ND•	.31	.29	.25
30	Grün	F1019-ND•	.31	.29	.25
35	Blau/grün	F2234-ND	.31	.29	.25
40	Bernstein	F1220-ND	.31	.29	.25
Serie 299 — Maxi-Sicherungen					
20	Gelb	F1035-ND	.97	.89	.80
30	Grün	F1036-ND	.97	.89	.80
40	Bernstein	F1037-ND	.97	.89	.80
50	Rot	F1038-ND	.97	.89	.80
60	Blau	F1039-ND	.97	.89	.80

• 257-297-KIT-ND Digi-Key® Sicherung, Serie 257/297, *Mini und ATO,* je 5 der angegebenen Teile, plus ein Lagerkasten aus Kunststoff.....**28.74**

2AG flinke Sicherungen, Subminiatur-Ausführung

1~5 A
Serie 224

Bürstenlitzenmaterial: Verzinnter Kupferdraht

Zulassungen: UL-Auflistung und CSA-Zertifizierung. Patentiert.

Abmessungen
• Patrone: 0,177" (4,50 mm) Durchmesser, 0,57" (14,48 mm) Länge **• Bürstenlitze:** 0,19" (4,83 mm) Durchmesser; 0,6" (15,24 mm) Länge **• Anschlüsse:** 0,025" (0,64 mm) Durchmesser; 1,50" (38,10 mm) Länge

Elektrische Eigenschaften:

Nennleistung	Ansprechzeit
110%	min. 4 Std.
135%	max. 1 Std.
200%	max. 1 Sek.

A Nenn-leistung	Spann. Nennleistung	Digi-Key Teilenr.	Stückpreis 5	100	250
Serie 225 — Patronentyp					
.125	250	F640-ND	.62	.47	.42
.250	250	F641-ND•	.62	.47	.42
.375	250	F642-ND	.43	.32	.29
.500	250	F643-ND•	.43	.32	.29
.750	250	F644-ND•	.43	.32	.29
1.000	250	F645-ND•	.43	.32	.29
1.500	250	F646-ND•	.43	.32	.29
2.000	250	F647-ND•	.43	.32	.29
2.500	250	F648-ND	.43	.32	.29
3.000	250	F649-ND•	.43	.32	.29
3.500	250	F650-ND	.43	.32	.29
4.000	125	F651-ND•	.43	.32	.29
5.000	125	F652-ND•	.43	.32	.29
7.000	125	F653-ND	.43	.32	.29
Serie 224 — Bürstenlitzentyp					
.125	250	F620-ND	.83	.62	.56
.250	250	F621-ND	.83	.62	.56
.375	250	F622-ND	.64	.48	.43
.500	250	F623-ND	.64	.48	.43
.750	250	F624-ND	.64	.48	.43
1.000	250	F625-ND	.64	.48	.43
1.500	250	F626-ND	.64	.48	.43
2.000	250	F627-ND	.64	.48	.43
2.500	250	F628-ND	.64	.48	.43
3.000	250	F629-ND	.64	.48	.43
3.500	250	F630-ND	.64	.48	.43
4.000	125	F631-ND	.58	.44	.39
5.000	125	F632-ND	.64	.48	.43
7.000	125	F633-ND	.64	.48	.43

Slo-Blo® -Sicherungen

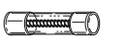

Bürstenlitzenmaterial: Verzinnter Kupferdraht

Zulassungen: UL-Auflistung und CSA-Zulassung bis 3,5 A. Anerkannt im Rahmen des UL-Komponentenprogramms von 4 bis 7 A. Serie 229, 4 und 5 A, Serie 230 1 bis 5 A, zugelassen durch METI.

Patente: US. Patente Nr. 4.409.729 und Nr. 4.445.106.

Abmessungen • Patrone: 0,177" (4,50 mm) Durchmesser; 0,57" (14,48 mm) Länge • Bürstenlitze: 0,19"l (4,83 mm) Durchmesser; 0,6" (15,24 mm) Länge • Anschlüsse: 0,025" (0,64 mm) Durchmesser; 1,50" (38,10 mm) Länge

Elektrische Eigenschaften:

Nennleistung	Ansprechzeit
110%	min. 4 Std.
135%	max. 1 Std.
200%	min. 3 Sek. / max. 20 Sek.

A Nenn-leistung	Spann. Nennleistung	Digi-Key Teilenr.	Stückpreis 5	100	250
Serie 229 — Patronentyp					
.250	250	F660-ND•	.51	.38	.34
.375	250	F661-ND•	.51	.38	.34
.500	250	F662-ND•	.51	.38	.34
.750	250	F663-ND	.51	.38	.34
1.000	250	F664-ND•	.51	.38	.34
1.250	220	F2230-ND	.51	.38	.34
1.500	250	F665-ND•	.51	.38	.34
2.000	250	F666-ND•	.51	.38	.34
2.500	250	F667-ND	.43	.35	.31
3.000	250	F668-ND•	.43	.35	.31
3.500	250	F669-ND	.43	.35	.31
4.000	125	F670-ND•	.43	.35	.31
5.000	125	F671-ND•	.43	.35	.31
7.000	125	F672-ND	.51	.38	.34
Serie 230 — Bürstenlitzentyp					
.250	250	F680-ND	.71	.53	.48
.375	250	F681-ND	.71	.53	.48
.500	250	F682-ND	.71	.53	.48
.750	250	F683-ND	.71	.53	.48
1.000	250	F684-ND	.71	.53	.48
1.250	250	F2231-ND	.71	.53	.48
1.500	250	F685-ND	.71	.53	.48
2.000	250	F686-ND	.71	.53	.48
2.500	250	F687-ND	.71	.53	.48
3.000	250	F688-ND	.71	.53	.48
3.500	250	F689-ND	.71	.53	.48
4.000	125	F690-ND	.71	.53	.48
5.000	125	F691-ND	.62	.47	.42
7.000	125	F692-ND	.71	.53	.48

• 225-229-KIT-ND Digi-Key® -Sicherung, Serie 225, *flink*, und **Serie 229 *Slo-Blo®, 2AG-Kassette,*** je 5 der angegebenen Teile, plus ein Lagerkasten aus Kunststoff **33.82**

G

Alle Preisangaben in Euro und inklusive Zollgebühren.

Littelfuse®

Flinke Sicherungen, 3AB, Keramikkörper

Abmessungen: Durchmesser: 1/4" (6,35 mm); Länge: 1-1/4" (31,75 mm)
Zulassungen: UL-Auflistung und CSA-Zertifizierung bis 15 A bei 250 V AC/125 V DC. Anerkannt im Rahmen des UL Komponentenprogramms von 20 ~ 30 A, CSA-Zertifizierung für 20 A und METI-Zulassung von 10 ~ 30 A.

Elektrische Eigenschaften:

Nennleistung	Ampere-Leistung	Ansprechzeit
110%	1/8 ~ 30	min. 4 Std.
135%	1/8 ~ 30	max. 1 Std.
200%	1/8 ~ 12	max. 15 Sek.
200%	15 ~ 30	max. 360 Sek.

A Nenn-leistung	Spann. Nennleistung	Digi-Key Teilenr.	Stückpreis 5	100	250
Serie 314 — Patronentyp					
.125	250	F150-ND	.99	.75	.67
.250	250	F151-ND	1.09	.82	.73
.500	250	F153-ND	.76	.57	.51
1.000	250	F155-ND	.71	.53	.47
2.000	250	F156-ND	.71	.53	.47
3.000	250	F157-ND	.71	.53	.47
4.000	250	F158-ND	.71	.53	.47
5.000	250	F159-ND	.67	.50	.45
6.000	250	F160-ND	.67	.50	.45
7.000	250	F161-ND	.67	.50	.45
8.000	250	F162-ND	.67	.50	.45
10.000	250	F163-ND	.67	.50	.45
12.000	250	F164-ND	.67	.50	.45
15.000	250	F165-ND	.67	.50	.45
20.000	250	F166-ND	.99	.75	.66
25.000	125	F167-ND	.99	.75	.66
30.000	125	F168-ND	.99	.75	.66

Slo-Blo® -Sicherungen, 3AB, Keramikkörper

Abmessungen: Durchmesser: 1/4" (6,35 mm); Länge: 1-1/4" (31,75 mm)
Patente: US. Patente Nr. 4,409,729 und Nr. 4,445,106
Zulassungen: CSA-Zertifizierung von 0,250~30 A. Anerkennung im Rahmen des UL-Bauteil-programms für 12~30 A. UL-Auflistung von 0,250~10 A.

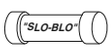

Elektrische Eigenschaften:

Nennleistung	Ansprechzeit
110%	min. 4 Std.
135%	max. 1 Std.
200%	min. 5 Sek.

A Nenn-leistung	Spann. Nennleistung	Digi-Key Teilenr.	Stückpreis 5	100	250
Serie 326 — Patronentyp					
.0312	250	F451-ND	2.34	1.78	1.59
.100	250	F453-ND	2.61	1.96	1.74
.125	250	F454-ND	2.61	1.96	1.74
.250	250	F459-ND	1.69	1.27	1.13
.375	250	F461-ND	1.69	1.27	1.13
.500	250	F463-ND	1.69	1.27	1.13
.750	250	F466-ND	1.69	1.27	1.13
1.000	250	F468-ND	1.69	1.27	1.13
1.500	250	F471-ND	1.69	1.27	1.13
2.000	250	F473-ND	1.69	1.27	1.13
2.500	250	F474-ND	1.18	.89	.79
3.000	250	F476-ND	1.18	.89	.79
4.000	250	F478-ND	1.18	.89	.79
5.000	250	F479-ND	1.18	.89	.79
6.250	250	F480-ND	1.18	.89	.79
7.000	250	F481-ND	1.18	.89	.79
8.000	250	F482-ND	1.18	.89	.79
10.000	250	F483-ND	1.18	.89	.79
12.000	250	F484-ND	1.18	.89	.79
15.000	250	F485-ND	1.18	.89	.79
20.000	250	F486-ND	1.18	.89	.79
25.000	125	F487-ND	1.18	.89	.79
30.000	125	F488-ND	1.18	.89	.79

Normal-Blow-Sicherungen, 3AG, Niederspannung

Abmessungen: Durchm.: 1/4" (6,35 mm); Länge: 1-1/4" (31,75 mm)
Zulassungen: UL-Auflistung und CSA-Zertifizierung bis 30 A.
Design-Standards: UL Standard 275.

Elektrische Eigenschaften:

Nennleistung	Ansprechzeit
110%	min. 4 Std.
135%	max. 1 Std.
200%	max. 10 Sek.

A Nenn-leistung	Spann. Nennleistung	Digi-Key Teilenr.	Stückpreis 5	100	250
Serie 311 — Normal-Blow-Typ					
6.000	32	F2237-ND	.23	.18	.16
7.000	32	F2238-ND	.23	.18	.16
35.000	32	F144-ND	.23	.18	.16

Flinke Sicherungen, 3AG, Glaskörper

Zulassungen:
UI-Aulistung und CSA-Zertifizierung bis 30 A. 0,010~10 A Auflistung gemäß UL 248-14 (UL 198-G) 12~30 A Auflistung gemäß UL 275.

Abmessungen:
Durchm.: 1/4" (6,35 mm); Länge: 1-1/4" (31,75 mm). **Serie 318:** Durchmesser: 0,275" (6,99 mm), Länge: 1,275" (32,39 mm), Pigtail-Durchm.: 0,032" (0,81 mm), Pigtail-Länge: 1,50" (38,10 mm); Pigtail-Material: Lötüberzogenes Kupfer.

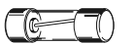

Elektrische Eigenschaften:

Nennleistung	Ansprechzeit
110%	min. 4 Std.
135%	max. 1 Std.
200%	max. 5 Sek.

A Nenn-leistung	Spann. Nennleistung	Digi-Key Teilenr.	Stückpreis 5	100	250
Serie 312 — Patronentyp					
.010	250	F100-ND	6.55	4.91	4.37
.031	250	F101-ND•	6.55	4.91	4.37
.062	250	F102-ND•	.78	.58	.52
.100	250	F103-ND•	.78	.58	.52
.125	250	F104-ND•	.78	.58	.52
.150	250	F105-ND	.78	.58	.52
.175	250	F106-ND•	.78	.58	.52
.200	250	F108-ND•	.78	.58	.52
.250	250	F109-ND•	.48	.36	.32
.300	250	F110-ND•	.48	.36	.32
.375	250	F111-ND•	.48	.36	.32
.500	250	F112-ND•	.33	.25	.22
.600	250	F113-ND•	.33	.25	.22
.750	250	F114-ND•	.33	.25	.22
1.000	250	F115-ND•	.21	.16	.14
1.250	250	F116-ND•	.21	.16	.14
1.500	250	F117-ND•	.21	.16	.14
1.600	250	F118-ND•	.21	.16	.14
1.750	250	F2241-ND•	.21	.16	.14
1.800	250	F2242-ND•	.21	.16	.14
2.250	250	F2243-ND•	.21	.16	.14
2.000	250	F119-ND•	.21	.16	.14
2.500	250	F120-ND•	.21	.16	.14
3.000	250	F121-ND•	.21	.16	.14
4.000	250	F122-ND•	.32	.24	.22
5.000	250	F123-ND•	.32	.24	.22
6.000	250	F124-ND•	.32	.24	.22
7.000	250	F125-ND•	.32	.24	.22
8.000	250	F126-ND•	.44	.33	.30
10.000	250	F127-ND•	.44	.33	.30
12.000	32	F2244-ND•	.31	.24	.21
15.000	32	F2245-ND•	.31	.24	.21
20.000	32	F2246-ND•	.31	.24	.21
25.000	32	F2247-ND•	.31	.24	.21
30.000	32	F2248-ND•	.31	.24	.21
35.000	32	F2249-ND•	.31	.24	.21
Serie 318 — Bürstenlitzentyp					
.125	250	F208-ND	1.35	1.01	.90
.250	250	F209-ND	1.35	1.01	.90
.500	250	F212-ND	.83	.63	.56
1.000	250	F215-ND	.60	.45	.40
1.500	250	F217-ND	.60	.45	.40
2.000	250	F219-ND	.60	.45	.40
3.000	250	F221-ND	.60	.45	.40
4.000	250	F222-ND	.65	.48	.43
5.000	250	F223-ND	.65	.48	.43
6.000	250	F224-ND	.65	.48	.43
8.000	250	F226-ND	.65	.48	.43

• 312-KIT-ND Digi-Key® Serie 312 flinke *3AG-Kassette.* Je 5 der angegebenen Teile und je 10 der Sicherungsklemmen, Teilenr. F040-ND und F052-ND, plus ein Lagerkasten aus Kunststoff **76.15**

Slo-Blo® -Sicherungen, 3AG, Glaskörper

Serie 313, 1-5 A
QPL

Patente:
US. Patente Nr. 4.409.729 und Nr. 4.445.106.

Zulassungen:
Auflistung gemäß Underwriters Laboratories und CSA-Zertifizierung bis 8 A. Anerkennung im Rahmen des Bauteil-Programms von UL von 10 bis 30 A. Serie 313 000, METI-Zulassung von 1~5 A.

Abmessungen
Serie 313: Durchm.: 1/4" (6,35 mm); Länge: 1-1/4" (31,75 mm).
Serie 315: Durchmesser: 0,275" (6,99 mm), Länge: 1,275" (32,39 mm), Pigtail-Durchm.: 0,032" (0,81 mm), Pigtail-Material: Lötüberzogenes Kupfer.

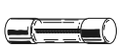

Elektrische Eigenschaften:

Nennleistung	Ansprechzeit
110%	min. 4 Std.
135%	max. 1 Std.
200%	min. 5 Sek.

A Nenn-leistung	Spann. Nennleistung	Digi-Key Teilenr.	Stückpreis 5	100	250
Serie 313 — Patronentyp					
.010	250	F300-ND	3.03	2.27	2.02
.031	250	F301-ND	3.03	2.27	2.02
.040	250	F302-ND•	3.03	2.27	2.02
.062	250	F303-ND•	1.56	1.17	1.04
.100	250	F304-ND•	1.56	1.17	1.04
.125	250	F305-ND•	1.56	1.17	1.04
.150	250	F306-ND	1.56	1.17	1.04
.175	250	F307-ND	1.56	1.17	1.04
.187	250	F308-ND•	1.56	1.17	1.04
.200	250	F309-ND•	1.56	1.17	1.04
.250	250	F310-ND•	.86	.65	.58
.300	250	F311-ND•	.90	.68	.60
.375	250	F312-ND•	.90	.68	.60
.400	250	F313-ND•	.90	.68	.60
.500	250	F314-ND•	.90	.68	.60
.600	250	F315-ND•	.90	.68	.60
.700	250	F316-ND	.90	.68	.60
.750	250	F317-ND•	.90	.68	.60
.800	250	F318-ND•	.90	.68	.60
1.000	250	F319-ND•	.90	.68	.60
1.200	250	F320-ND	.69	.52	.46
1.250	250	F321-ND•	.69	.52	.46
1.500	250	F322-ND•	.69	.52	.46
1.600	250	F323-ND•	.69	.52	.46
2.000	250	F325-ND•	.69	.52	.46
2.250	250	F326-ND•	.69	.52	.46
2.500	250	F327-ND•	.69	.52	.46
2.800	250	F328-ND	.69	.52	.46
3.000	250	F329-ND•	.69	.52	.46
3.200	250	F330-ND•	.69	.52	.46
4.000	250	F331-ND•	.69	.52	.46
5.000	250	F332-ND•	.69	.52	.46
6.250	250	F333-ND•	.69	.52	.46
6.300	250	F2250-ND	.69	.52	.46
7.000	250	F334-ND•	.69	.52	.46
8.000	250	F335-ND•	.69	.52	.46
10.000	32	F336-ND•	1.01	.76	.68
12.000	32	F337-ND•	1.01	.76	.68
15.000	32	F338-ND•	1.01	.76	.68
20.000	32	F339-ND•	1.01	.76	.68
25.000	32	F340-ND•	1.01	.76	.68
30.000	32	F341-ND•	1.01	.76	.68
Serie 315 — Bürstenlitzentyp					
1.000	250	F419-ND	1.06	.80	.71
1.500	250	F422-ND	1.06	.80	.71
2.000	250	F425-ND	1.06	.80	.71
3.000	250	F429-ND	1.06	.80	.71
4.000	250	F431-ND	1.12	.84	.75
5.000	250	F432-ND	1.12	.84	.75
7.000	250	F434-ND	1.12	.84	.75

• 313-KIT-ND Digi-Key® Serie 313 *Slo-Blo® 3AG-Kassette* Je 5 der angegebenen Teile und je 10 der Sicherungsklemmen, Teilenr. F040-ND und F052-ND, plus ein Lagerkasten aus Kunststoff **93.09**

Flinke Instrumentensicherungen, 8AG

Elektrische Eigenschaften:

Nennleistung	Ansprechzeit
100%	min. 4 Std.
200%	max. 5 Sek.

0.25 x 1.00
(6.35 x 25.4)

A Nenn-leistung	Spann. Nennleistung	Digi-Key Teilenr.	Stückpreis 5	100	250
Serie 361 — flinker Typ					
.250	250	F506-ND	.61	.46	.41
.375	250	F507-ND	.61	.46	.41
.750	250	F509-ND	.61	.46	.41
2.000	250	F512-ND	.36	.27	.24
3.000	125	F513-ND	.37	.28	.25

Flinke Sicherungen, 8AG

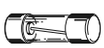

0.25 x 1.00
(6.35 x 25.4)

Zulassungen:
UL-Auflistung bis 6 A. CSA-Zertfizierung von 0,25 bis 5 A.

Wird in Vielfachen von 5 verkauft.

Elektrische Eigenschaften:

Nennleistung	Ansprechzeit
110%	min. 4 Std.
135%	max. 1 Std.
200%	max. 10 Sek.

A Nenn-leistung	Spann. Nennleistung	Digi-Key Teilenr.	Stückpreis 5	100	250
Serie 362 — flinker Typ					
.125	250	F600-ND	.90	.68	.60
.250	250	F601-ND	.56	.42	.37
1.500	250	F604-ND	.35	.27	.24
3.000	125	F607-ND	.35	.27	.24
5.000	125	F608-ND	.24	.18	.16
6.000	125	F609-ND	.24	.18	.16
8.000	32	F610-ND	.24	.18	.16
10.000	32	F611-ND	.24	.18	.16
20.000	32	F613-ND	.24	.18	.16

G

ATO-Sicherungshalter

Abb. 1 – Horizontale Montage

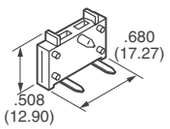

Abb. 2 – Vertikale Montage

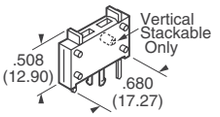

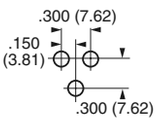

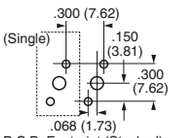

P.C.B. Footprint (Stacked)

Minisicherung, Leiterplatte Sicherungshalter Spezifikationen:

• Anschlüsse: Kupferlegierung, verzinnt **• Körper:** Schwarzes Thermoplast (UL 94V0) **Elektrische Daten:** Im Rahmen des Komponentenprogramms von Underwriters Laboratory für 15 A zugelassen und von CSA für 10 A zertifiziert. Drei Sicherungshalter können nebeneinander montiert (gestapelt) und mit Nennstrom betrieben werden. Wenden Sie sich an das Werk, wenn sie in Anwendungen eingesetzt werden sollten, bei denen mehr als drei Sicherungshalter gestapelt werden.

• Spannung: 32 V DC **• Temperaturbereich:** -40 °C ~ +85 °C **• PC-Kartenkompatibilität:** Zur Verwendung mit Standard-0,62"-Karten (1,57 mm) entwickelt.

Abb. 3 – Autofuse-Sicherungsklemme

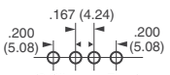

(2 Clips per Fuse)

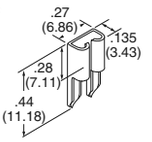

Abb. 4 – Easy-Crimp-Sicherungshalter für Minisicherung

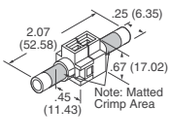

Materialien:

• Körper: Schwarzes Thermoplast
• Klemmen: Verzinnt, Kupferlegierung
• Betriebstemperatur: -40 °C ~ 105 °C

Abb.	Beschreibung	Digi-Key Teilenr.	Stückpreis 1	10	100
1	Horizontaler Minihalter	F064-ND	1.44	1.35	.81
2	Einzelner oder Endkappen-Minihalter	F065-ND	1.44	1.35	.81
2	Stapelbarer Minihalter	F066-ND	1.44	1.35	.81
3	ATO-Sicherungsklemme	F067-ND	.25	.24	.14
4	Inline-Minihalter	F068-ND*	1.29	1.21	.73
4	Inline-Minihalter	F069-ND†	1.29	1.21	.73

* Nennleistung max. 20 A, Anschlüsse nehmen Nr. 16~22 AWG auf
† Nennleistung max. 30 A, Anschlüsse nehmen Nr. 10~14 AWG auf

Maxi-Sicherungsblock:

- Nennleistung bis zu 60 A bei 32 V
- Verriegelungsblockfunktion
- Integrierter Montagewinkel

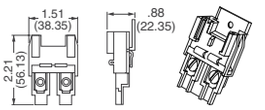

Beschreibung	Digi-Key Teilenr.	Stückpreis 1	100	250
Maxi-Sicherungsblock	F1085-ND	13.77	11.27	10.02

Inline-Sicherungshalter:

- Nennleistung bei 32 V
- Schutzabdeckung inbegriffen

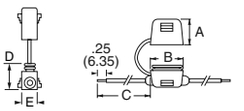

Abm.	Sicherungstyp - Zoll (mm) MINI	ATO	MAXI
A	.52 (13.21)	.97 (24.64)	1.35 (34.29)
B	.97 (24.64)	1.00 (25.40)	3.36 (85.34)
C	4.0 (101.60)	4.0 (101.60)	6.0 (152.40)
D	.60 (15.24)	.67 (17.02)	1.39 (35.31)
E	.41 (10.41)	.43 (10.92)	1.12 (28.45)

Beschreibung	AWG-Draht	A-Leistg. (max.)	Digi-Key Teilenr.	Stückpreis 1	100	250
Inline-Minihalter	14	20	F1057-ND	2.92	1.98	1.76
Inline-Minihalter	12	30	F1058-ND	3.11	2.11	1.87
Inline-Maxihalter	6	60	F1059-ND	16.40	11.08	9.85
Inline-ATO-Halter	16	20	F1086-ND	2.87	1.94	1.73
Inline-ATO-Halter	12	30	F1087-ND	3.32	2.25	2.00

ATO-Sicherungshalter zur Plattenmontage:

- Mit 8" (203,2 mm) Drahtschlaufe montiert, keine Sicherung
- Nr. 14 Draht/Anschlüsse, Nennleistung 20 A
- Nr. 10 Draht/Anschlüsse, Nennleistung 30 A
- Schnappmontage an Platte
- Verzahnte Sicherungshalter, mehrfach montierbar.

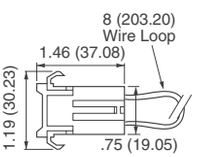

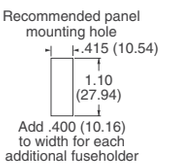

Beschreibung	AWG-Draht	A-Leistg. (max.)	Digi-Key Teilenr.	Stückpreis 1	100	250
Plattenbefestigungshalter	14	20	F1088-ND	1.31	.89	.79
Plattenbefestigungshalter	10	30	F1089-ND	1.90	1.29	1.15

Koppelbarer Alarmanzeigesicherungshalter

Abm. in Zoll

Leiterplatten-montage

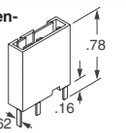

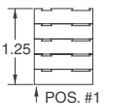

Typ. 5-polige Halterbaugruppe

Plattenmontage †

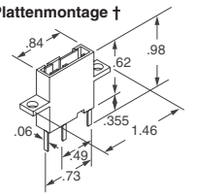

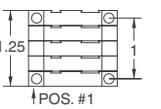

Typ. 5-polige Halterbaugruppe

Spezifikationen: • Elektrische Daten: Nennleistung bei 15 A für Spannungen bis zu 125 V AC, 125 V DC **• Formkörper:** Schwarz, Thermoplast (UL 94VO) **• Anschlussklemmen:** Alarmklemme – Messing, verzinnt, Wire-Wrap-Typ, Sicherungsanschluss – Berylliumkupfer, verzinnt

Anz. der Pole	Digi-Key Teilenr. Leiterplatten-montage	Digi-Key Teilenr. Platten-montage	Stückpreis 1	10	100
1	F1400-ND	F1420-ND	1.46	1.36	1.02
2	F1401-ND	F1421-ND	2.93	2.71	2.04
3	F1402-ND	F1422-ND	4.40	4.07	3.05
4	F1403-ND	F1423-ND	5.87	5.42	4.07
5	F1404-ND	F1424-ND	7.33	6.77	5.08
6	F1405-ND	F1425-ND	8.80	8.13	6.10
7	F1406-ND	F1426-ND	10.27	9.48	7.11
8	F1407-ND	F1427-ND	11.73	10.83	8.13
9	F1408-ND	F1428-ND	13.20	12.19	9.14
10	F1409-ND	F1429-ND	14.66	13.54	10.16
11	F1410-ND	F1430-ND	16.13	14.90	11.17
12	F1411-ND	F1431-ND	17.60	16.25	12.19
13	F1412-ND	F1432-ND	19.07	17.60	13.20
14	F1413-ND	F1433-ND	20.53	18.96	14.22
15	F1414-ND	F1434-ND	21.99	20.31	15.23
16	F1415-ND	F1435-ND	23.46	21.66	16.25
17	F1416-ND	F1436-ND	24.93	23.02	17.26
18	F1417-ND	F1437-ND	26.40	24.37	18.28
19	F1418-ND	F1438-ND	27.86	25.72	19.29
20	F1419-ND	F1439-ND	29.33	27.08	20.31

† Bei Plattenmontage haben nur die erste u. letzte Position Montageöffnungen.

Sicherungshalter zur Anzeige durchgebrannter Sicherungen, 3AG

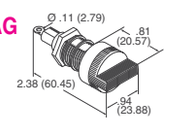

Spezifikationen: • Elektrische Daten: 20 A bei Lampennennspannung **• Knopf:** Bajonett-Typ **• Anschlüsse:** Kupfer/Kupferlegierung, verzinnt **• Lampentyp:** Neon **• Linsenfarbe:** Klar

Lampennenn-spannung	Digi-Key Teilenr.	Stückpreis 1	10	100	Littelfuse Teilenr.
100~125 VAC	F1480-ND	—	—	10.55	03440125H
200~250 VAC	F1481-ND	—	—	10.55	03440250H

Inline-Sicherungshalter, Bajonettknopf

Universal-Sicherungshalter 150145 mit 15" Schlaufe aus rotem Vinyldraht der Stärke Nr. 14 AWG und 3 Federn zur Aufnahme aller SFE-Größen und 3AG-Sicherungen. 20 A, 32 V Nennleistung.

F049-ND (Littelfuse # 150145) **2.52/1; 23.32/10; 174.87/100**

Der Sicherungshalter 1.50079 ist mit einer 19" Schlaufe aus rotem isoliertem Vinyldraht der Stärke Nr. 14 AWG ausgestattet, der zur Verwendung mit 3AG-Sicherungen bis zu 20 A vorgesehen ist.

F1467-ND (Littelfuse # 150079) **2.42/1; 22.38/10; 167.82/100**

Inline-Sicherungshalter, 2AG oder 5 x 20 mm, zum Zusammenschrauben

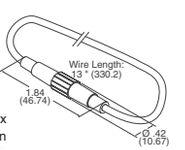

Spezifikationen: Zur Verwendung mit 2AG und 5 x 20 mm Sicherungen. Maximale Stromnennleistungen sind 5 A bei 32 V für 2AG und 10 A bei 32 V für Sicherungen der Größe 5 x 20 mm. Draht: 16 AWG, Farbe rot. Formteile: Schwarzes Thermoplast

F1468-ND (Littelfuse # 150274) **1.97/1; 18.24/10; 136.77/100**

Universaler Inline-Sicherungshalter, Drehverschluss

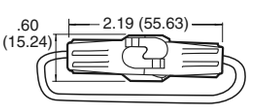

Mit 8" (20,32 cm) Schlaufe aus rot isoliertem Vinyldraht der Stärke Nr. 14 AWG und zwei Federn.

Elektrische Daten: Zur Verwendung bei 32 V oder weniger mit Sicherungen von einer Nennleistung bis zu 20 A, wenn die für die Sicherungsgröße richtige Feder installiert ist.

Formteile: Schwarzes Thermoplast (UL 94V2). Die Körperhälften haben eine Öffnung mit einem Durchmesser von 0,14" (3,56 mm) für isolierten Draht.

Umgebungstemperatur: -40° ~ 75 °C.

F062-ND (Littelfuse # 155100).....**1.82/1; 16.11/10; 131.82/100**

Richco „Quick Fit" Sicherungsabdeckungen

• Zur Verwendung mit Sicherungsklemmblöcken oder PCB-montierten Sicherungs-Clips • UL-Zulassung E81260, Nennwerte: 105 °C, 600 V • Material: Flexibles PVC, RMS-55 • Farbe: Transparentes blau

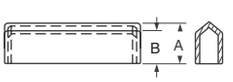

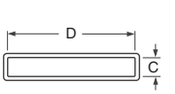

Abm.	Digi-Key Teilenr. RP613-ND	RP614-ND	RP615-ND	RP616-ND
A	.50 (12.70)	.50 (12.70)	.63 (16.00)	.50 (12.70)
B	.39 (9.91)	.39 (9.91)	.58 (14.73)	.39 (9.91)
C	.24 (6.10)	.28 (7.11)	.32 (8.13)	.32 (8.13)
D	.79 (20.07)	1.18 (29.97)	1.26 (32.00)	1.42 (36.07)

Sicherungstyp	Digi-Key Teilenr.	Stückpreis 25	100	Richco Teilenr.
Metrisch	RP613-ND	.48	.42	840620
Metrisch	RP614-ND	.78	.67	840730
Metrisch	RP615-ND	.82	.70	840832
Standard	RP616-ND	1.05	.90	840836

KEYSTONE ELECTRONICS CORP. Sicherungshalter-Platinen

ISO 9002 CERTIFIED MANUFACTURER

Für 1/4" (6,35 mm)

Zusammengebaut mit 0,125" (3,18 mm) dickem schwarzen Phenol

Abb. 1 - (3AG)

Abb. 2 - (3AG)

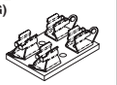

Abb. 3 - (3AG)

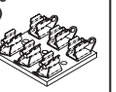

Abb. 4 - (3AG)

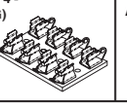

Automatische Sicherungshalter

Abb. 5

Abb. 6

Abb. 7
PC 5 mm Sicherungshalter; Abdeckung separat bestellen: **4527CK-ND**

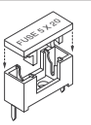

Abb. 8

Abb. 9, 3AG

Abb. 10, 5 mm

Abb. 11, 2AG

Abb. 12, 2AG

Abb. 13, 5 mm

Abb. 14, 5 mm

Abb.	Digi-Key Teilenr.	Preisangaben 1	10	100	500
1	3536K-ND	.83	7.52	55.16	237.77
2	3537K-ND	1.47	13.33	98.25	416.39
3	3538K-ND	2.16	19.55	143.74	617.96
4	3539K-ND	2.84	25.69	188.62	814.92
5	3522-2K-ND	.56	4.00	31.95	144.66
6	3522-3K-ND	.75	5.32	42.30	192.25
7	4527K-ND	—	3.28	27.93	126.82
8	3527K-ND	.68	6.10	48.81	195.23
—	4527CK-ND	—	1.37	11.63	53.11
9	3562K-ND	—	1.24	9.89	43.26
10	3517K-ND	—	.72	5.73	25.08
10	3518PK-ND	—	.80	6.42	28.07
11	3521K-ND	—	.80	6.37	27.89
12	3561K-ND	—	.80	6.37	27.89
13	3520K-ND	—	.69	5.53	24.19
14	3519K-ND	—	.69	5.45	23.86

G

Alle Preisangaben in Euro und inklusive Zollgebühren.

Sicherungshalter, 2AG, berührungsgeschützt, Plattenmontage

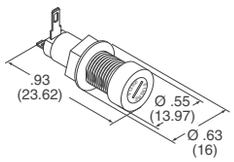

Spezifikationen:
- **Anschlussklemmen:** Messing, verzinnt, 0,110" Lötzinn/Q.C.
- **Nennstrom:** 10 A für Spannungen bis zu 300 V

F1469-ND
(Littelfuse # 02450001)..... **3.02/1; 27.91/10; 209.35/100**

Wasserfester 3AG-Sicherungshalter

QPL

Plattenmontage

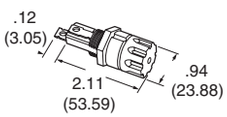

Spezifikationen:
- **Elektrische Daten:** 20 A, 250 V
- **Knopf:** Schraubenartig
- **Anschlussklemmen:** Verzinnt, Löttyp
- **Dichtung:** O-Ring gemäß MIL-PRF-19207

F1479-ND
(Littelfuse # 03420006)..... **17.50/1; 161.56/10; 1211.68/100**

Sicherungsblöcke, 5 x 20 mm, Leiterplattentyp

Spezifikationen:
- **Clip/Anschlussklemmen:** Verzinntes Federmessing
- **Sockel:** Phenollaminat, UL940VO
- **Nennstrom:** 6,3 A, 250 V

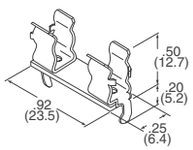

F1501-ND
(Littelfuse # 05200002H)..... **.75/1; 6.86/10; 51.43/100**

Sicherungsklemme, 5 x 20 mm, automatische Einführung

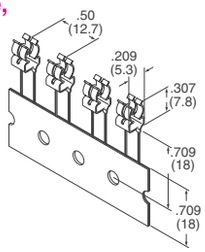

Spezifikationen:
- **Clip-Material:** Phosphor/Bronze
- **Oberfläche:** Verzinnt
- **Stil:** Öse

Digi-Key Teilenr.	Gurtabschnittspreise 1	10	100	Digi-Key Teilenr.	Gurt u. Ammo Größe	Preisangaben
F043CT-ND	.19	1.35	13.27	F043TB-ND	1,000	78.56

Feinsicherung oder PICO II-Sicherungshalter

Abb. 1

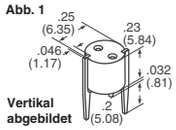

(Silver Plated)

Vertikal abgebildet

Abb. 2

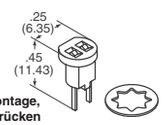

Plattenmontage, zum Aufdrücken

Sicherungshalter nimmt Littelfuse-Feinsicherungen und PICO II™ -Sicherungen (mit einer Nennleistung bis zu 5 A) mit Anschlüssen mit einem Durchmesser von 0,025" (0,64 mm) auf.

Elektrische Daten: Nennleistung bei 5 A für Spannungen bis zu 125 V. **Formteile:** Weißes Thermoplast, montiert auf schwarzer Platte **Anschlüsse:** Kupferlegierung.**Umgebungstemperatur:** -40 °C ~ +100 °C, versilberte Anschlüsse

Abb.	Montage	Digi-Key Teilenr.	Stückpreis 1	100	250
1	Vertikal	F060-ND•	1.64	1.20	1.06
1	Horizontal	F061-ND•	1.64	1.20	1.06
1	Vertikal	F1475-ND†	1.79	1.24	1.11
2	Platte	F1474-ND	1.93	1.34	1.19

† Überzug: Zinn • UL-anerkannt

LT-5-Sicherungshalter

Spezifikationen:
- **Elektrische Daten:** 5 A bis zu 250 V
- **Anschlüsse:** Verzinntes Messing, Gold innen, Formteile: Schwarzes Thermoplast (UL94VO)

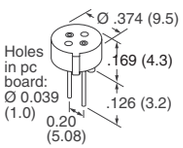

F1473-ND
(Littelfuse # 02800050H)..... **.45/1; 4.17/10; 31.24/100**

Sicherungsklemmen

Abb. 1	Abb. 2	Abb. 3	Abb. 4	Abb. 5	Abb. 6

Abb.	Akzeptiert Sicherungstyp	Anschläge (Ösen)	Ableitungstyp	Klemmenmaterial	Oberfläche	Digi-Key Teilenr.	Stückpreis 10	100	250	Littelfuse Teilenr.
1	3AG (Durchm. 0,250")	Ja	Gerade	Federmessing	Verzinnt	F040-ND	.12	.09	.08	102071
1	3AG (Durchm. 0,250")	Nein	Gerade	Federmessing	Verzinnt	F041-ND	.15	.12	.10	102074
1	3AG (Durchm. 0,250")	Ja	Gerade	Berylliumkupfer	Versilbert	F046-ND	.44	.33	.29	122083
1	3AG (Durchm. 0,250")	Ja	Gerade	Berylliumkupfer	Verzinnt	F045-ND	.36	.27	.24	122088
2	3AG (Durchm. 0,250")	Nein	Gewinkelt	Federmessing	Verzinnt	F042-ND	.19	.15	.13	102078
2	3AG (Durchm. 0,250")	Ja	Gewinkelt	Federmessing	Verzinnt	F052-ND	.19	.15	.13	102079
3	3AG (Durchm. 0,250")	Ja	Gerade	Berylliumkupfer	Versilbert	F048-ND	.40	.30	.27	122090
4	3AG (Durchm. 0,250")	Nein	Niete/Öse	Federmessing	Vernickelt	F038-ND	.14	.11	.10	101002
5	2AG/5 x 20 mm	Ja	Gerade	Federmessing	Verzinnt	F058-ND	.15	.12	.10	111501
5	2AG/5 x 20 mm	Ja	Gerade	Berylliumkupfer	Verzinnt	F044-ND	.28	.21	.19	111506
6	5 x 20 mm	Ja	Gerade	Federmessing	Verzinnt	F063-ND	.20	.12	.11	100056

Omni-Blok

Spezifikationen:
- **Clip/Anschlussklemmen:** Verzinntes Federmessing
- **Sockel:** Schwarzes Thermoplast, glasverstärkt, UL 94V0 (außer Typ 3AG, der grau ist)

Behördliche Zulassungen/Nennstrom			
Serie	U.L. (A)	CSA (A)	VDE/Semko (A)
0254	10	10	Entfällt
354000	30	30	Entfällt
354060	20	20	Entfällt
354080	20	20	Entfällt
354101	15	15	Entfällt
0520	10	10	6.3

Abb. 1 Lötzinn/Q.C.

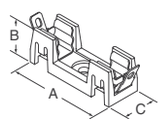

Abb. 2 Leiterplatten- Montage

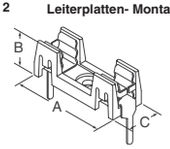

Abschlusswiderstandsoptionen

Anschluss 1, Lötversion Leiterplatten- Montage

Anschluss 2, 0,110" Lötzinn/Q.C.

Anschluss 3, 0,110" NEMA/Q.C.

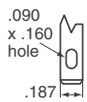

Anschluss 4, 0,187" Lötzinn/Q.C.

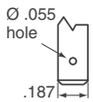

Anschluss 5, 0,187" NEMA/Q.C.

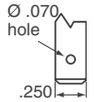

Anschluss 6, 0,250" Q.C.

Abb.	Akzeptiert Sicherungstyp	Anschlusstyp	Abmessungen - Zoll A	B	C	Digi-Key Teilenr.	Stückpreis 1	10	100	Littelfuse Teilenr.
Serie 0254 (2AG)										
1	2AG	2	.70	.50	.35	F1470-ND	.91	.84	.63	02540001Z
1	2AG	3	.70	.50	.35	F1472-ND	.91	.84	.63	02540201Z
2	2AG	1	.70	.50	.35	F1471-ND	.78	.72	.54	02540101Z
Serie 0354 (3AG)										
1	1/4" 3AG	4	1.4	.53	.50	F1497-ND	.72	.67	.50	03540001ZXGY
1	1/4" 3AG	5	1.4	.53	.50	F1499-ND	.72	.67	.50	03540601ZXGY
1	1/4" 3AG	6	1.4	.53	.50	F1500-ND	.72	.67	.50	03540801ZXGY
2	1/4" 3AG	1	1.4	.53	.50	F1498-ND	.76	.71	.53	03540101ZXGY
Serie 0520 (5 x 20 mm)										
1	5 x 20mm	2	.92	.50	.40	F1503-ND	.75	.69	.52	05200004Z
1	5 x 20mm	3	.92	.50	.40	F1502-ND	.75	.69	.52	05200003Z
2	5 x 20mm	1	.92	.50	.40	F1504-ND	.78	.73	.55	05200101Z

G

3AG und 5x20 mm Traditionelle Platten-Sicherungshalter, UL-anerkannt und CSA-zertifiziert

QPL

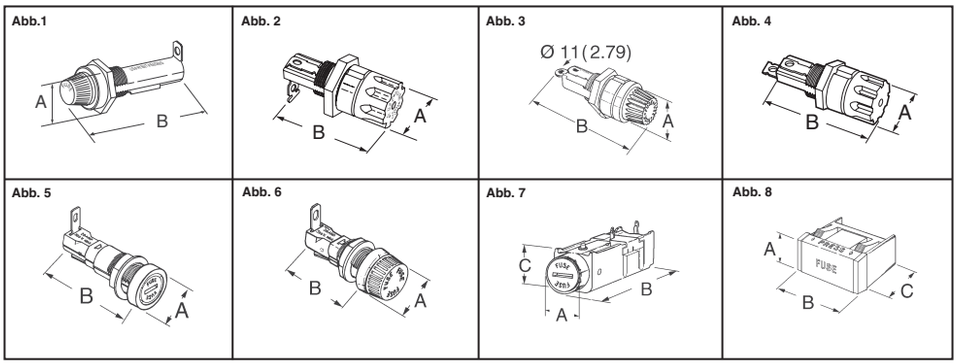

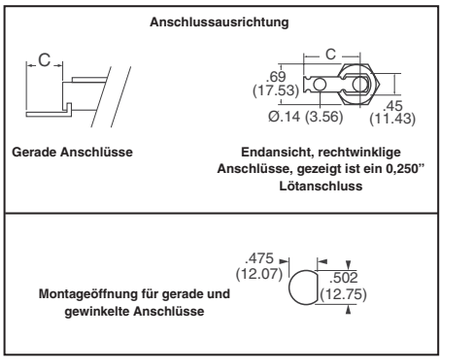

Abb.	Akzeptiert Sicherungstyp	Anschluss-ausrichtung	Anschlusstyp	Knopftyp	Enthaltene Zubehörteile	Abmessungen–Zoll (mm) A	B	C	Digi-Key Teilenr.	Stückpreis 1	10	100	Littelfuse Teilenr.
1	3AG (Durchm. 0,250")	Rechter Winkel	0,250" Q.C.	Gerändelt	—	.73 (18.54)	2.25 (57.15)	—	F002-ND	5.92	5.47	4.10	03420001H
1	3AG (Durchm. 0,250")	Rechter Winkel	Lötzinn	Gerändelt	—	.69 (17.53)	1.78 (45.21)	.63 (16.00)	F007-ND	2.46	2.27	1.70	03420022H
2	3AG (Durchm. 0,250")	Rechter Winkel	Lötzinn	Geriffelt	—	.69 (17.53)	1.78 (45.21)	.63 (16.00)	F1478-ND	2.46	2.27	1.70	03420004H
2	3AG (Durchm. 0,250")	Rechter Winkel	Lötzinn	Geriffelt	Sicherungsscheibe	.69 (17.53)	1.78 (45.21)	.63 (16.00)	F004-ND	2.51	2.32	1.74	03420004HXL
2	3AG (Durchm. 0,250")	Rechter Winkel	Lötzinn	Geriffelt	Sicherungsscheibe/Tropfdichtung	.69 (17.53)	1.78 (45.21)	.63 (16.00)	F003-ND	2.65	2.45	1.84	03420004HXPL
2	3AG (Durchm. 0,250")	Rechter Winkel	0,250" Q.C.	Geriffelt	—	.69 (17.53)	1.78 (45.21)	.59 (14.99)	F012-ND	2.75	2.54	1.91	03420828H
3	3AG (Durchm. 0,250")	Gerade	Lötöse	Gerändelt	—	.69 (17.53)	2.01 (51.05)	—	F005-ND	2.34	2.16	1.62	03420012H
3	3AG (Durchm. 0,250")	Gerade	Lötöse	Geriffelt	—	.69 (17.53)	2.01 (51.05)	—	F006-ND	2.34	2.16	1.62	03420014H
4	3AG (Durchm. 0,250")	Gerade	0,187" Q.C.	Geriffelt	—	.69 (17.53)	1.78 (45.21)	.30 (7.62)	F009-ND	2.62	2.42	1.82	03420038H
4	3AG (Durchm. 0,250")	Gerade	0,250" Q.C.	Geriffelt	—	.69 (17.53)	1.70 (43.18)	.40 (10.16)	F013-ND	2.88	2.66	2.00	03420838H
4	3AG (Durchm. 0,250")	Gerade	0,250" Q.C.	Gerändelt	—	.69 (17.53)	1.70 (43.18)	.40 (10.16)	F015-ND	2.88	2.66	2.00	03420858H
5	5 mm x 20 mm	Rechter Winkel	0,187" Lötzinn/Q.C.	Schraubendreherschlitz	—	.65 (16.51)	1.66 (42.16)	.62 (15.75)	F053-ND	3.64	3.37	2.53	03450621H
6	5 mm x 20 mm	Rechter Winkel	0,187" Lötzinn/Q.C.	Fingergriff	—	.65 (16.51)	1.66 (42.16)	.62 (15.75)	F054-ND	3.64	3.37	2.53	03450623H
7	3AG (Durchm. 0,250")	Rechter Winkel	Leiterplatten-Pins	Schraubendreherschlitz	—	.49 (12.45)	1.77 (44.96)	.48 (12.19)	F055-ND	2.52	2.34	1.75	03450101H
7	3AG (Durchm. 0,250")	—	—	Schraubendreherschlitz	Ersetzen. Knopf für F055	—	—	—	F1482-ND	.88	.82	.61	03450101HX020
7	5 mm x 20 mm	Rechter Winkel	Leiterplatten-Pins	Schraubendreherschlitz	—	.49 (12.45)	1.77 (44.96)	.48 (12.19)	F056-ND	3.27	3.02	2.27	03450121H
8	3AG (Durchm. 0,250")	Gerade	0,250" Q.C.	Klappoberteil	Ersatzsicherungsträger	.75 (19.05)	1.50 (38.10)	1.04 (26.42)	F059-ND	3.24	3.00	2.25	03460877H
8	5 mm x 20 mm	Gerade	0,187" Q.C.	Klappoberteil	Ersatzsicherungsträger	.70 (17.78)	1.03 (26.16)	.94 (23.88)	F1477-ND	4.39	4.06	3.04	02860677H
8	2AG (Durchm. 0,177")	Gerade	0,110" Q.C.	Klappoberteil	Ersatzsicherungsträger	.61 (15.49)	.85 (21.59)	.87 (22.10)	F1476-ND	2.46	2.27	1.71	02860377H

Internationale berührungsgeschützte Sicherungshalter zur Plattenmontage

Eliminieren laut Definition in IEC 60065 und 60127 die Möglichkeit von Stromschlägen. „Anti-Tease"-Funktion verhindert die Stromkreisunterbrechung, wenn der Knopf versehentlich gedrückt wird.

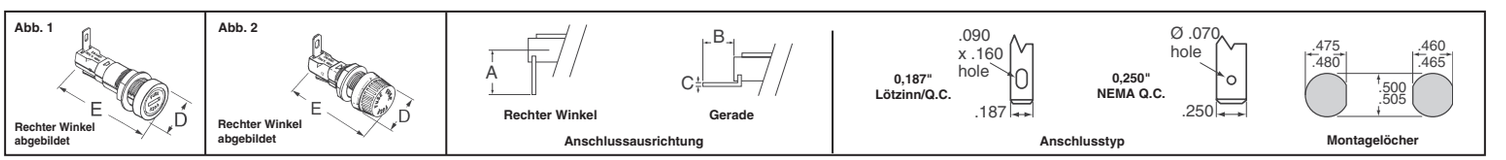

Abb.	Akzeptiert Sicherungstyp	Anschluss-ausrichtung	Anschlusstyp	Körper-bauform	Knopftyp	Abmessungen – Zoll (mm) A	B	C	D	E	Digi-Key Teilenr.	Stückpreis 1	10	100	Littelfuse Teilenr.
1	2AG (Durchm. 0,177")	Gerade	0,187" Lötzinn/Q.C.	Niedrig	Schraubendreher-schlitz (blau)	—	.30 (7.62)	.020 (0.51)	.60 (15.24)	1.75 (44.45)	F1486-ND	2.76	2.55	1.91	03452LS2H
	3AG (Durchm. 0,250")	Rechter Winkel	0,187" Lötzinn/Q.C.	Niedrig	Schraubendreher-schlitz (grau)	.53 (13.46)	—	—	.60 (15.24)	1.75 (44.45)	F1490-ND	2.01	1.85	1.39	03453LS1H
	3AG (Durchm. 0,250")	Gerade	0,187" Lötzinn/Q.C.	Niedrig	Schraubendreher-schlitz (grau)	—	.30 (7.62)	.020 (0.51)	.60 (15.24)	1.75 (44.45)	F1492-ND	2.14	1.98	1.49	03453LS2H
	3AG (Durchm. 0,250")	Gerade	0,187" Lötzinn/Q.C.	Niedrig	Schraubendreher-schlitz (grau)	—	.30 (7.62)	.020 (0.51)	.60 (15.24)	1.75 (44.45)	F1493-ND**	2.44	2.25	1.69	03453LS2HXNP
	5 x 20 mm (Durchm. 0,197")	Gerade	0,187" Lötzinn/Q.C.	Hoch	Schraubendreher-schlitz (schwarz)	—	.30 (7.62)	.020 (0.51)	.60 (15.24)	1.75 (44.45)	F1494-ND	2.14	1.98	1.49	03455HS2H
2	2AG (Durchm. 0,177")	Gerade	0,187" Lötzinn/Q.C.	Niedrig	Fingergrip (schwarz)	—	.30 (7.62)	.020 (0.51)	.60 (15.24)	2.00 (50.80)	F1484-ND	2.76	2.55	1.91	03452LF2H
	3AG (Durchm. 0,250")	Gerade	0,187" Lötzinn/Q.C.	Niedrig	Fingergrip (schwarz)	—	.30 (7.62)	.020 (0.51)	.60 (15.24)	2.00 (50.80)	F1488-ND	2.01	1.85	1.39	03453LF2H
	3AG (Durchm. 0,250")	Gerade	NEMA 0,250" Q.C.	Niedrig	Fingergrip (schwarz)	—	.36 (9.14)	.032 (0.81)	.60 (15.24)	2.00 (50.80)	F1489-ND	2.14	1.98	1.49	03453LF8H

QC = Schnellkupplung ** Neopren-Unterlegscheibe, tropfwassergeschützte Dichtung

Ersatzknöpfe für Sicherungshalter für internationale berührungsgeschützte Sicherungshalter

Bei der Verwendung des Universal-Sicherungshalters der Serie 345 können Halter mit niedriger Bauform einen dieser Ersatzknöpfe aufnehmen.

Abb.	Digi-Key Teilenr.	Stückpreis 1	10	100	Littelfuse Teilenr.
1	F1483-ND	1.26	1.17	.88	03452LF1HX020
2	F1495-ND	.94	.87	.65	03455LF1HX020
3	F1487-ND	.71	.66	.50	03453LF1HX020
4	F1485-ND	1.26	1.17	.88	03452LS1HX020
5	F1496-ND	.94	.87	.65	03455LS1HX020
6	F1491-ND	.94	.87	.65	03453LS1HX020

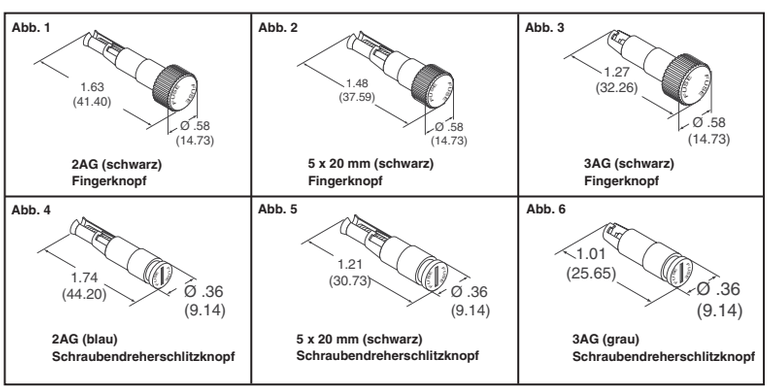

Alle Preisangaben in Euro und inklusive Zollgebühren.

COOPER Bussmann

Polymer-ESE-Unterdrücker

PolySurg™

Abb. 1 – 0603

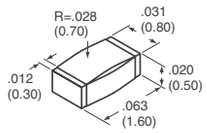

Abb. 2 – (4)1206*

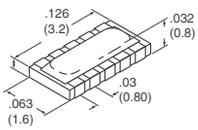

Merkmale:

- Übertrifft die Testanforderungen von IEC 61000-4-2
- Extrem niedrige Kapazität
- Sehr niedriger Leckstrom
- Schnelle Reaktionszeit
- Bidirektional
- Blei (Pb) -freie Lötterminierung
- RoHS-konform

Nennleistung und Merkmale der Teile	Einheiten	Teilenr. 0603ESDA	Teilenr. 41206ESDA
Dauerbetriebsspannung	V DC	Max. 24 *(1)*	12 (typ.) *(2)*
Begrenzerspannung *(4)*	V typ.	35 (max. 60)	35 (max. 60)
Triggerspannung *(5)*	V typ.	125	150 (max. 300)
ESE-Schutzspannung-skapazität *(6)*	kV typ.	8	8
Kapazität (@ 1 kHz – 1,8 GHz)	pF typ.	0.15	0.15
Leckstrom (@ 12 V DC)	nA typ.	<0.1	<0.1
Durchlassstrom *(4)*	A typ.	30 (max. 45)	30 (max. 45)
Betriebstem-peraturbereich	°C	-56 ~ 85	-40 ~ 85
ESE-Halte-Stoßsp-annung *(4)*	Impulsanzahl typ. *(3)*	>500	>500

Hinweis (1): Das Produkt wird 100 % getestet. 25 °C und 30 V DC Betriebsspannung. Das Produkt wird auch langfristig bei einer Umgebungstemperatur bis zu 24 V DC validiert. Die Eigenschaften des Bauteils änderten sich nicht bei Umgebungstests bis zu 12 V DC mit hoher Temperatur und hoher Luftfeuchtigkeit. ***Hinweis (2):*** Das Produkt wird 100 % getestet auf 30 V DC Betriebsspannung bei 25 °C. Dauerbetrieb mit mehr als 12 V DC unter extremen Temperaturbedingungen und Luftfeuchtigkeit können einen höheren Leckstrom und/oder eine Veränderung des Bauteilwiderstands verursachen. Selbst bei strengen Umwelttests ändern sich die Eigenschaften des Bauteils bei Betriebsspannungen bis zu 12 V DC nicht. ***Hinweis (3):*** Eine Änderung der Merkmale kann auftreten, wenn das Bauteil mit über mehreren Hunderten ESE-Impulsen bei sehr schneller Rate von 1 Puls pro Sekunde oder schneller getestet wird. ***Hinweis (4):*** Gemäß IEC 61000-4-2, 30 A @ 8 kV, Level 4, bei Klemme- nmessung 30 ns nach Impulsbeginn, alle Tests im Kontaktentladmodus. ***Hinweis (5):*** Triggermessung mit Transmissionsleitungsimpuls-Methode (TLP). ***Hinweis (6):*** PolySurg-Bauteile können bis zu 15 kV, 45 A ESE-Impulsen standhalten. Gerätenennleistung werden bei 8 kV gemäß Hinweis 2 angegeben, soweit nicht anders spezifiziert.

Abb.	Digi-Key Teilenr.	Gurtabschnitts-preis pro Stück 1	10	100	Digi-Key Teilenr.	G&R Preisangaben 5.000
1	283-2535-1-ND	.30	.28	.21	283-2535-2-ND	571.46
2	283-2536-1-ND*	.89	.83	.63	283-2536-2-ND*	1714.37

* Vier individuelle Unterdrücker.

SMD 0603 Chip-Sicherungen- Serie 0603FA-R

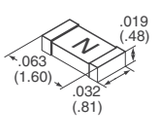

Merkmale: • Flink • RoHS-konform • Stabile Keramik- und Glaskonstruktion **Lötmethode:** • Wellenlöten 260 °C, max. 10 Sekunden • Infrarot-Aufschmelzen: 260 °C, max. 30 Sekunden **Behördeninformationen:** • UL-Anerkennungskarte: JDYX2, E19180 • CSA-Komponenten-Akzeptanzkarte: 053787 C 000, Klasse Nr. 1422 30 **Zeit-Strom-Eigenschaften:** % der Ampere-Nennleistung: min. 100 % - 4 Stunden; 200 % - max. 60 Sekunden • Nennschaltleistung: 50 A (1,25 - 5 Strom; 35 A)

Ampere-Leistung	Nenn-spannung DC	Digi-Key Teilenr.	Gurtabschnitts-preis pro Stück 1	10	100	G&R† Preisangaben 5.000
250mA	32	283-2552-1-ND	.75	.69	.52	285.73/M
375mA	32	283-2553-1-ND	.75	.69	.52	285.73/M
500mA	32	283-2554-1-ND	.75	.69	.52	285.73/M
750mA	32	283-2555-1-ND	.75	.69	.52	285.73/M
1A	32	283-2556-1-ND	.75	.69	.52	285.73/M
1.25A	32	283-2557-1-ND	.75	.69	.52	285.73/M
1.5A	32	283-2558-1-ND	.59	.55	.42	228.59/M
2A	32	283-2559-1-ND	.59	.55	.42	228.59/M
2.5A	24	283-2560-1-ND	.59	.55	.42	228.59/M
3A	24	283-2561-1-ND	.59	.55	.42	228.59/M
3.5A	24	283-2562-1-ND	.59	.55	.42	228.59/M
4A	24	283-2563-1-ND	.59	.55	.42	228.59/M
5A	24	283-2564-1-ND	.59	.55	.42	228.59/M

† Für Gegurtet auf Rolle die Teilenr. 1-ND in 2-ND ändern.

SMD 1206 Chip-Sicherungen - Serie 3216FF

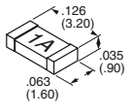

Merkmale: • Flink **Zeit-Strom-Eigenschaften:** • Hält min. 4 Stunden lang 100 % des Nennstroms aus und öffnet sich innerhalb von 5 Sekunden bei 250 % des Nennstroms (250 mA-3 A). • Die 4-5 A-Sicherungen öffnen sich innerhalb von 1 Sekunde bei 350 % des Nennstroms. **Konstruktionsmaterial:** • Körper: Keramikträger, gekapselt mit Glas • Anschlüsse: Mit Nickel und Zinn-Blei überzogen **Behördliche Zulassungen:** UL-Zulassung (alle Nennleistungen), CSA-Zertifizierung (1,5-3 A) und CSA-Komponentenzulassung (250-750 mA, 1 A, 4-5 A)

Nenn-strom	Nenn-spannung (AC/DC)	Digi-Key Teilenr.	Gurtabschnitts-preis pro Stück 1	10	100	G&R† Preisangaben 3.000
.250	32/63	283-2440-1-ND	.69	.65	.49	268.59/M
.500	32/63	283-2442-1-ND	.69	.65	.49	268.59/M
.750	32/63	283-2443-1-ND	.69	.65	.49	268.59/M
1	32/63	283-2444-1-ND	.69	.65	.49	268.59/M
1.25	32/63	283-2445-1-ND	.69	.65	.49	268.59/M
1.5	32/63	283-2446-1-ND	.69	.65	.49	268.59/M
2	32/63	283-2447-1-ND	.69	.65	.49	268.59/M
2.5	32/63	283-2448-1-ND	.69	.65	.49	268.59/M
3	32/63	283-2449-1-ND	.69	.65	.49	268.59/M
4	32/32	283-2450-1-ND	.69	.65	.49	268.59/M
4.5	32/32	283-2451-1-ND	.69	.65	.49	268.59/M
5	32/32	283-2452-1-ND	.69	.65	.49	268.59/M

† Für Gegurtet auf Rolle die Teilenr. 1-ND in 2-ND ändern.

**** BIF-Dokument: Nr. 3001***

SMD 1206 Chip-Sicherungen - Serie 3216FF-R

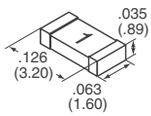

Merkmale: • Flink • RoHS-konform **Lötmethode:** • Wellenlöten: 260 °C, max. 10 Sekunden • Infrarot-Aufschmelzen: 260 °C, max. 30 Sekunden **Behördeninformationen:** • UL-anerkannt: JDYX-2/E19180 • CSA-Komponenten-Akzeptanz: 053787 C 000, Klasse Nr. 1422 30 **Zeit-Strom-Eigenschaften:** % der Ampere-Nennleistung: 100 % - min. 4 Std. (250 mA - 7 A); 200 % - max. 60 Sek. (1,25 A - 3 A); 250 % - max. 5 Sek. (250 mA - 3 A); 350 % - max. 1 Sek.. (4 A - 7 A) • Nennschaltleistung: 50 A

Ampere-Leistung	Nenn-spannung (AC/DC)	Digi-Key Teilenr.	Gurtabschnitts-preis pro Stück 1	10	100	G&R† Preisangaben 3.000
250mA	32/63	283-2537-1-ND	.69	.65	.49	268.59/M
375mA	32/63	283-2538-1-ND	.69	.65	.49	268.59/M
500mA	32/63	283-2539-1-ND	.69	.65	.49	268.59/M
750mA	32/63	283-2540-1-ND	.69	.65	.49	268.59/M
1A	32/63	283-2541-1-ND	.69	.65	.49	268.59/M
1.25A	32/63	283-2542-1-ND	.69	.65	.49	268.59/M
1.5A	32/63	283-2543-1-ND	.69	.65	.49	268.59/M
2A	32/63	283-2544-1-ND	.69	.65	.49	268.59/M
2.5A	32/63	283-2545-1-ND	.69	.65	.49	268.59/M
3A	32/63	283-2546-1-ND	.69	.65	.49	268.59/M
4A	32/32	283-2547-1-ND	.69	.65	.49	268.59/M
4.5A	32/32	283-2548-1-ND	.69	.65	.49	268.59/M
5A	32/32	283-2549-1-ND	.69	.65	.49	268.59/M
6.5A	32/32	283-2550-1-ND	.69	.65	.49	268.59/M
7A	32/32	283-2551-1-ND	.69	.65	.49	268.59/M

† Für Gegurtet auf Rolle die Teilenr. 1-ND in 2-ND ändern.

Telecom Schaltkreisschutz – Serie TCP

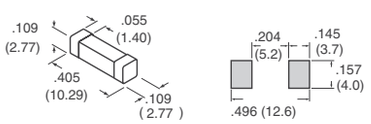

Merkmale: • Erfüllt Telecom-Standardvorschriften inklusive Bellcore GR 1089 UL 1950/60950 und FCC Teil 68. Testen des Anwendungsschaltkreises wird empfohlen. • Macht Strombegrenzungswiderstand unnötig. • RoHS-konform **Lötmethode:** • Wellenlöten: 260 °C, max. 3 Sekunden • Infrarot-Aufschmelzlöten: 240 °C, 30 Sek. Max. **Behördeninformationen:** • UL-Zulassungskarte: JDYX2/ E19180 • CSA-Komponentenzertifizierungseintrag und Klasse Nr.: 053787C000, 1422 30 **Blitzschutz-Spezifikationen:** • TCP 500 mA getestet: FCC 47 Teil 68; Metallversion A und Längsversion B • TCP 1,25 A getestet: FCC 47 Teil 68; Metallversion B und Längsversion A und Bellcore GR-1089-CORE; Blitz ersten Grades

A-Nenn-leistung	Nenn-spannung	Teile-mar-kierung	Digi-Key Teilenr.	Gurtabschnitts-preis pro Stück 1	10	100	G&R† Preisangaben 2.500
0.5	250VAC	FR	283-2533-1-ND	.92	.86	.65	885.76
1.25	250VAC	JR	283-2534-1-ND	.92	.86	.65	885.76

† Für Gegurtet auf Rolle die Teilenr. 1-ND in 2-ND ändern.

SMD TRON®

-Sicherungen zur Oberflächenmontage - SFT

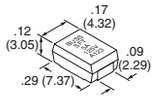

Eigenschaften: • Flink • Strombegrenzend. **Zeit-Strom:** Stromnennwerte 0-10 A, 100 % der Nennleistung für 4 Stunden min., Öffnung bei 250 % der Nennleistung in max. 5 Sekunden **Konstruktionsmaterial:** Festkörpermatrix • Körper: Thermoplast, mit einer Nennleistung von 94 V-O • Anschlüsse: Basis-Kupfer, Barriere-Nickel (50-100 Mikrozoll), Oberfläche: Galvanisierter Zinn (400-500 Mikrozoll mit einem Bleigehalt von 2-10 %). **Behördliche Zulassungen:** UL-anerkannt (250 mA-7 A) und CSA-Komponentenakzeptanz (250 mA-7 A).

Nennstrom	Nenn-spannung (AC/DC)	Digi-Key Teilenr.	Gurtabschnitts-preis pro Stück 1	10	100	G&R ‡ Preisangaben 500
250mA	125/125	283-2426-1-ND†	1.30	1.21	.91	295.97
1.5A	125/125	283-2431-1-ND†	1.30	1.21	.91	295.97
5A	125/125	283-2437-1-ND†	1.30	1.21	.91	295.97

**** BIF-Dokument: Nr. 2005*** † Nicht für Neukonstruktionen empfohlen

‡ Für Gegurtet auf Rolle die Teilenr. von 1-ND in 2-ND ändern

Blocksicherungen – Serie 6125FA

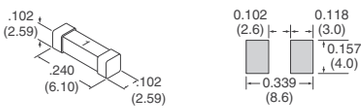

Merkmale: • RoHS-konform • Stabil in Bezug auf Umweltanforderungen, erfüllt die Norm EIA-IS-722 • Kompatibel mit Lötbad-Eintauchen • Wire-in-Air-Design **Lötmethode:** • Wellenlöten: 260 °C, max. 10 Sek. (MIL-STD-202, Methode 210) • Infrarot-Aufschmelzen: 260 °C, max. 30 Sekunden **Behördeninformationen:** • UL-aufgelistete Ratgeber und Eintragungsnummern (250 mA-12 A): JDYX & E195337 • UL-aufgelistete Ratgeber und Eintragungsnummern (15 A): JDYX2 & E195337 • CSA-Komponenten-Akzeptanz: 053787 C 000, Klasse Nr. 1422 30 **Elektrische Eigenschaften:** % der Ampere-Nennleistung: 100 % – min. 4 Std., 200 % – 5 Sekunden max. Nennspannung: 125 V AC (250 mA – 12 A), 125 V DC (250 mA – 7 A), 86 V DC (250 mA – 15 A)

Ampere-Leistung	Digi-Key Teilenr.	Gurtabschnitts-preis pro Stück 1	10	100	Digi-Key Teilenr.	G&R Preisangaben 5.000
250mA	283-2521-1-ND	.69	.64	.48	283-2521-2-ND	1314.35
500mA	283-2522-1-ND	.69	.64	.48	283-2522-2-ND	1314.35
750mA	283-2523-1-ND	.69	.64	.48	283-2523-2-ND	1314.35
1A	283-2524-1-ND	.69	.64	.48	283-2524-2-ND	1314.35
2A	283-2525-1-ND	.69	.64	.48	283-2525-2-ND	1314.35
3A	283-2526-1-ND	.69	.64	.48	283-2526-2-ND	1314.35
4A	283-2527-1-ND	.69	.64	.48	283-2527-2-ND	1314.35
5A	283-2528-1-ND	.69	.64	.48	283-2528-2-ND	1314.35
7A	283-2529-1-ND	.69	.64	.48	283-2529-2-ND	1314.35
10A	283-2530-1-ND	.69	.64	.48	283-2530-2-ND	1314.35
12A	283-2531-1-ND	.69	.64	.48	283-2531-2-ND	1314.35
15A	283-2532-1-ND	.69	.64	.48	283-2532-2-ND	1314.35

PC-TRON® Subminiatursicherungen

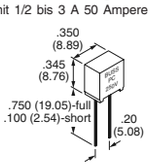

Eigenschaften: Bietet eine Kurzschlussleistung wie bisher, nur wesentlich größere Glasrohrsicherungen. Bei 250 V AC kann die PC-Tron mit 1/2 bis 3 A 50 Ampere sicher unterbrechen; bei 125 V AC können die Versionen mit 1/2 bis 5 A 10.000 Ampere unterbrechen. Dadurch eignen sich die PC-Tron-Subminiatursicherungen besonders gut zum Schutz von Stromversorgungen. **Zeit-Strom:** • Trägt 100 % Zulassungswert 4 Std. min., Öffnung bei 200 % der Nennleistung in max. 10 Sekunden **Konstruktionsmaterial:** • Körper: Hochtemperatur-Kunststoff • Anschlüsse: Kupferdraht, verzinnt **Behördliche Zulassungen:** UL-anerkannt und CSA-zertifiziert

Nennstrom	Nenn-spannung (AC/DC)	Digi-Key Teilenr.	Stückpreis 1	10	100
PCB-Serie - Volle Leitungslänge					
1/2A	250/450	283-2111-ND	1.46	1.22	1.10
3/4A	250/450	283-2112-ND	1.46	1.22	1.10
1A	250/450	283-2113-ND	1.46	1.22	1.10
1-1/2A	250/450	283-2114-ND	1.46	1.22	1.10
2A	250/450	283-2115-ND	1.46	1.22	1.10
2-1/2A	250/450	283-2116-ND	1.46	1.22	1.10
3A	250/350	283-2117-ND	1.46	1.22	1.10
PCC-Serie - Kurze Leitungslänge					
1/2A	250/450	283-2118-ND	1.46	1.22	1.10
3/4A	250/450	283-2119-ND	1.46	1.22	1.10
1A	250/450	283-2120-ND	1.46	1.22	1.10
1-1/2A	250/450	283-2121-ND	1.46	1.22	1.10
2A	250/450	283-2122-ND	1.46	1.22	1.10
2-1/2A	250/450	283-2123-ND	1.46	1.22	1.10
3A	250/350	283-2124-ND	—	—	1.10
PCE-Serie - Kurze Leitungslänge					
5A	125/250	283-2126-ND	1.46	1.22	1.10

**** BIF-Dokument: Nr. 2034***

G

COOPER Bussmann

PC-TRON® Sicherungshalter, Leiterplattenmontage

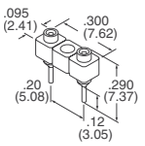

Digi-Key Teilenr.	Stückpreis 1	10	100
283-2356-ND	.55	.46	.42

** BIF-Dokument: Nr. 2034*

Glassicherungen, flink und träge

Serie C515, C518, C519, C520 0,205" x 0,591" (5 mm x 15 mm)

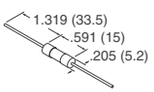

Konstruktionsmaterial: • Endkappen: Messing, versilbert • Anschlüsse: Kupfer, verzinnt • Rohr: Glas.

Behördliche Zulassungen: C518: UL-Auflistung (125 mA-4 A), CSA-Komponentenakzeptanz (125 mA-4 A)

C520: UL-Auflistung (125 mA-5 A), CSA-Komponentenakzeptanz (125 mA-5 A)

C515 und C519: UL-Auflistung (250 mA-3 A), CSA-Zertifizierung (250 mA-3 A), UL-anerkannt (3,5 A-7 A), Telekommunikationskonformität: UL1459 und UL497.

Grenzen für Vorlichtbogendauer/UL-zugelassene Sicherungen

A-Nenn-leistung	135.% Max.	110% Min.	200% Min.	Max.
Serie C518 und C520				
125mA - 7A	1 Std.	4 Std.	—	2 Sek.
Serie C515 und C519				
250mA - 7A	60 Min.	—	3 Sek.	2 Minuten

Nennstrom	Nenn-spannung (AC)	Digi-Key Teilenr.	Stückpreis 5	100	250
Serie C518 - (axial) flink					
125mA	250	283-2360-ND	.83	.62	.55
250mA	250	283-2361-ND	.83	.62	.55
375mA	250	283-2362-ND	.83	.62	.55
500mA	250	283-2363-ND	.83	.62	.55
750mA	250	283-2364-ND	.83	.62	.55
2A	250	283-2365-ND	.63	.48	.42
2.5A	250	283-2366-ND	.63	.48	.42
3A	250	283-2367-ND	.86	.64	.57
3.5A	250	283-2368-ND	.63	.48	.42
4A	250	283-2369-ND	.63	.48	.42
5A	250	283-2370-ND	.63	.48	.42
Serie C520 (keine Anschlüsse) flink					
125mA	250	283-2371-ND	.63	.47	.42
250mA	250	283-2372-ND	.63	.47	.42
500mA	250	283-2374-ND	.44	.33	.29
750mA	250	283-2375-ND	.44	.33	.29
2.5A	250	283-2377-ND	.44	.33	.29
3A	250	283-2378-ND	.44	.33	.29
3.5A	250	283-2379-ND	.44	.33	.29
4A	250	283-2380-ND	.44	.33	.29
5A	250	283-2381-ND	.44	.33	.29
Serie C515 (axial) zeitverzögert					
250mA	250	283-2239-ND	.71	.53	.48
375mA	250	283-2240-ND	.71	.53	.48
500mA	250	283-2241-ND	.71	.53	.48
750mA	250	283-2242-ND	.71	.53	.48
1A	250	283-2243-ND	.71	.53	.48
3.5A	125	283-2244-ND	.71	.53	.48
4A	125	283-2245-ND	.71	.53	.48
7A	125	283-2246-ND	.71	.53	.48
Serie C519 (keine Anschlüsse) zeitverzögert					
250mA	250	283-2247-ND	.50	.38	.34
500mA	250	283-2249-ND	.50	.38	.34
750mA	250	283-2250-ND	.52	.39	.35
1A	250	283-2251-ND	.52	.39	.35
1.5A	250	283-2252-ND	.52	.39	.35
2A	250	283-2253-ND	.52	.39	.35
3A	250	283-2254-ND	.52	.39	.35
4A	125	283-2256-ND	.52	.39	.35
5A	125	283-2257-ND	.52	.39	.35
7A	125	283-2258-ND	.52	.39	.35

** BIF-Dokument: Nr. 2026 (Serie C519), Nr. 2027 (Serie C520), Nr. 2006 (Serie C515), Nr. 2007 (Serie C519)*

MCRW MCRW® -Sicherungen

Eigenschaften: • Flink • Strombegrenzend **Zeit-Strom-Eigenschaften:** Stromnennwerte 0-10 A tragen 100 % der Nennleistung für min. 4 Stunden; Öffnung bei 200 % der Nennleistung in max. 5 Sek. **Konstruktionsmaterial:** • Körper: Hochtemperaturthermoplast, Entflammbarkeitsstufe nach UL 94V-O • Element: Wire-in-Air-Design • Anschlüsse: Kupfer, verzinnt, Durchmesser 0,64 mm (0,025"). **Behördliche Zulassungen:** UL-anerkannt (1/16-10 A), CSA-Komponentenakzeptanz (1/16-10 A)

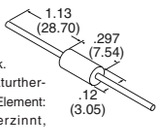

Nennstrom	Nenns-pannung (AC)	Digi-Key Teilenr.	Stückpreis 5	100	250
1/8	125/125	283-2069-ND	.56	.42	.37
1/4	125/125	283-2070-ND	.56	.42	.37
1/2	125/125	283-2072-ND	.56	.42	.37
3/4	125/125	283-2073-ND	.56	.42	.37
1	125/125	283-2074-ND	.56	.42	.37
1-1/2	125/125	283-2075-ND	.56	.42	.37
2	125/125	283-2076-ND	.56	.42	.37
3	125/125	283-2078-ND	.56	.42	.37
4	125/125	283-2080-ND	.56	.42	.37
5	125/125	283-2081-ND	.56	.42	.37
7	125/125	283-2082-ND	.56	.42	.37
10	125/125	283-2083-ND	.56	.42	.37

** BIF-Dokument: Nr. 2003*

Glassicherungen, AGC flink und MDL träge

1/4" x 1-1/4" (6,35 mm x 31,75 mm)

Zeit-Strom-Eigenschaften: Stromnennwerte 0-30 A tragen 110 % der Nennleistung für min. 4 Stunden, Öffnung bei 135 % der Nennleistung in max. 60 Minuten oder Öffnung bei 200 % der Nennleistung in 120 Sek. Max. **Konstruktionsmaterial:** • Rohr: Glas • Endkappen: Messing, mit Albaloy-Überzug **Behördliche Zulassungen: AGC flink:** UL-anerkannt (15-30 A), UL-Auflistung (1/4-10 A) und CSA-Komponentenakzeptanz (1/4-30 A) **MDL träge:** UL-Auflistung (1/4-8 A), UL-anerkannt (9-30 A) und CSA-Komponentenakzeptanz (1/4-8 A)

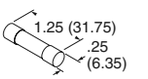

Nennstrom	Nenn-spannung (AC)	Digi-Key Teilenr.	Stückpreis 5	100	250
AGC flink					
1/4	250	283-2009-ND	.84	.63	.56
3/10	250	283-2010-ND	.84	.63	.56
3/8	250	283-2011-ND	.84	.63	.56
1/2	250	283-2012-ND	.39	.29	.26
3/4	250	283-2014-ND	.39	.29	.26
1	250	283-2015-ND	—	.19	—
1-1 /4	250	283-2016-ND	.25	.19	.17
1-1/2	250	283-2017-ND	.25	.19	.17
2	250	283-2020-ND	.25	.19	.17
2-1/2	250	283-2021-ND	.25	.19	.17
3	250	283-2022-ND	.25	.19	.17
4	250	283-2023-ND	.38	.29	.26
5	250	283-2024-ND	.38	.29	.26
6	250	283-2025-ND	.38	.29	.26
7	250	283-2026-ND	.38	.29	.26
8	250	283-2027-ND	.45	.34	.30
10	250	283-2028-ND	.45	.34	.30
15	32	283-2029-ND	—	.26	—
20	32	283-2030-ND	.35	.26	.23
30	32	283-2031-ND	.35	.26	.23
MDL träge					
1/4	250	283-2167-ND	.84	.63	.56
3/10	250	283-2168-ND	—	.63	—
3/8	250	283-2169-ND	.84	.63	.56
1/2	250	283-2171-ND	.80	.61	.54
3/4	250	283-2174-ND	.80	.61	.54
1	250	283-2176-ND	.80	.61	.54
1-1/4	250	283-2178-ND	.61	.46	.41
1-1/2	250	283-2179-ND	.61	.46	.41
2	250	283-2182-ND	.61	.46	.41
2-1/2	250	283-2184-ND	.61	.46	.41
3	250	283-2186-ND	.61	.46	.41
3-1/2	250	283-2188-ND	.61	.46	.41
4	250	283-2189-ND	.61	.46	.41
5	250	283-2190-ND	.61	.46	.41
6-1/4	250	283-2191-ND	.61	.46	.41
7	250	283-2192-ND	.61	.46	.41
8	250	283-2193-ND	—	.46	—
10	32	283-2194-ND	.90	.68	.60
12	32	283-2195-ND	.90	.68	.60
15	32	283-2196-ND	.90	.68	.60
20	32	283-2197-ND	.90	.68	.60
25	32	283-2198-ND	.90	.68	.60
30	32	283-2199-ND	—	.68	—

** BIF-Dokument: Nr. 2001 (AGC-Serie), Nr. 2004 (MDL-Serie)*

Keramiksicherungen, ABC flink und MDA träge

1/4" x 1-1/4" (6,35 mm x 31,75 mm)

Zeit-Strom-Eigenschaften: Stromnennwerte 0-30 A tragen 110 % der Nennleistung für min. 4 Stunden, Öffnung bei 135 % der Nennleistung in max. 60 Minuten oder bei 200 % der Nennleistung in 120 Sek. Max. **Konstruktionsmaterial:** Keramik • Endkappen: Messing, mit Albaloy-Überzug **Behördliche Zulassungen: ABC flink:** UL-Auflistung (1/2-15 A), UL-anerkannt (20 A) und CSA-zertifiziert (1/2-15 A) **MDL träge:** UL-Auflistung (1/12-20 A), CSA-zertifiziert (1/2-15 A)

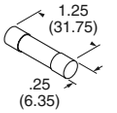

Nennstrom	Nenn-spannung (AC)	Digi-Key Teilenr.	Stückpreis 5	100	250
ABC flink					
1/2	250	283-2095-ND	1.47	1.10	.98
3/4	250	283-2096-ND	.67	.50	.45
1	250	283-2097-ND	.64	.48	.43
2	250	283-2098-ND	—	.48	—
3	250	283-2099-ND	.64	.48	.43
4	250	283-2100-ND	.64	.48	.43
5	250	283-2101-ND	.61	.46	.41
6	250	283-2102-ND	.61	.46	.41
8	250	283-2104-ND	.61	.46	.41
10	250	283-2105-ND	.61	.46	.41
12	250	283-2106-ND	.61	.46	.41
15	250	283-2107-ND	.61	.46	.41
20	250	283-2108-ND	—	.67	—
30	125	283-2110-ND	.89	.67	.59
MDA träge					
1/2	250	283-2289-ND	1.50	1.13	1.00
1	250	283-2293-ND	1.50	1.13	1.00
2	250	283-2297-ND	1.50	1.13	1.00
3	250	283-2300-ND	1.05	.79	.70
4	250	283-2302-ND	1.05	.79	.70
5	250	283-2303-ND	—	.79	—
6	250	283-2304-ND	1.05	.79	.70
8	250	283-2307-ND	1.05	.79	.70
10	250	283-2308-ND	1.05	.79	.70
12	250	283-2309-ND	1.05	.79	.70
15	250	283-2310-ND	—	.79	—
20	250	283-2311-ND	1.05	.79	.70
30	250	283-2313-ND	1.05	.79	.70

** BIF-Dokument: Nr. 2000 (ABC-Serie, flink), Nr. 2002 (MDA-Serie, träge)*

ATC® -Flachsicherungen für Automobilanwendungen

Nennspannung: 32 V DC
Eigenschaften: flink
Behördliche Zulassungen: UL-anerkannt (3-30 A)

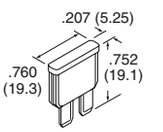

Nennstrom	Farbcode	Digi-Key Teilenr.	Stückpreis 5	100	250
3	Violett	283-2314-ND	.35	.32	.28
4	Pink	283-2315-ND	.35	.32	.28
5	Beige	283-2316-ND	.35	.32	.28
7-1/2	Braun	283-2317-ND	.35	.32	.28
10	Rot	283-2318-ND	.35	.32	.28
15	Blau	283-2319-ND	.35	.32	.28
20	Gelb	283-2320-ND	.35	.32	.28
25	Transparent	283-2321-ND	.35	.32	.28
30	Grün	283-2322-ND	.35	.32	.28

** BIF-Dokument: Nr. 2009*

ATC® -Flachsicherungshalter

Nennstrom: 3-20 A
Nennspannung: 32 V DC, 16 AWG Draht, Länge 4" (101,60 mm)

Abb. 1

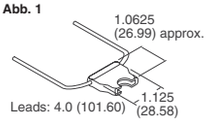

Bussman #HHC

Abb. 2

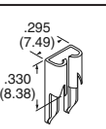

Bussman #1A5600

Abb.	Beschreibung	Digi-Key Teilenr.	Stückpreis 1	10	100
1	Inline für ATC	283-2357-ND	2.51	2.23	1.70
2	Sicherungsklemme, ATC, Messing, verzinnt	283-2336-ND	.41	.36	.27

** BIF-Dokument: Nr. 2107 (für 283-2357-ND), Nr. 2131 (für 283-2336-ND).*

G

Alle Preisangaben in Euro und inklusive Zollgebühren.

COOPER Bussmann

Metrische Kapselsicherungen
(5 mm x 20 mm) 0,205" x 0,787"

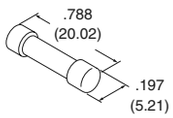

GDA (S501†) - flink, hohes Schaltvermögen
GDB (S500§) - flink, niedriges Schaltvermögen
GDC (S506‡) - träge, niedriges Schaltvermögen

Konstruktionsmaterial: • Rohr: Keramik (GDA-Serie), Glas (GDB- und GDC-Serie) • Endkappen: Nickel oder versilbertes Messing
Behördliche Zulassungen der Serie GDA: VDE (4 u. 6,3 A), Semko (400 mA-6,3 A), IMQ (2-6,3 A) und UL-anerkannt (400 mA-6,3 A).
Serie GDB- und GDC: BSI (100 mA-6,3 A), VDE (100 mA-6,3 A), Semko (100 mA-400 mA, 800 mA-6,3 A), IMQ (100 mA-6,3 A) und UL-anerkannt (100 mA-6,3 A)

Grenzen für Vorlichtbogendauer/UL-aufgelistete Sicherungen.

A-Nennleistung	150% Min.	210% Max.	275% Min.–Max.	400% Min.–Max.	1000% Max.
GDA-Serie*					
100mA – 3.15A	60 Min.	30 Min.	10 ms - 2 Sek.	3 ms.–300 ms.	20 ms
4A - 6.3A	60 Min.	30 Min.	10 ms -3 Sek	3 ms.–300 ms.	20 ms
GDB-Serie*					
100mA	60 Min.	30 Min.	10 ms - 500 ms	3 ms.–300 ms.	20ms.
125mA -6.3A	60 Min.	30 Min.	50 ms - 2 Sek	10 ms - 300 ms	20ms.
8A - 10A	60 Min.	30 Min.	—	—	40ms.
GDC-Serie*					
100mA	60 Min.	2 Min.	200 ms - 10 Sek	40 ms - 3 Sek	10 ms - 300 ms
125mA -6.3A	60 Min.	2 Min.	600 ms -10 Sek	150 ms - 3 Sek	20 ms - 300 ms

Nennstrom	Nenn-spannung (AC)	Digi-Key Teilenr.	Stückpreis 5	100	250
GDA (S501†) - flink, hohes Schaltvermögen					
100mA	250	283-2384-ND	—	.86	—
160mA	250	283-2386-ND	1.15	.86	.77
400mA	250	283-2388-ND	1.15	.86	.77
500mA	250	283-2389-ND	—	.71	—
630mA	250	283-2390-ND	.95	.71	.63
800mA	250	283-2391-ND	.95	.71	.63
1A	250	283-2392-ND	.95	.71	.63
1.6A	250	283-2394-ND	.95	.71	.63
2A	250	283-2395-ND	—	.71	—
2.5A	250	283-2396-ND	.95	.71	.63
3.15A	250	283-2397-ND	.95	.71	.63
4A	250	283-2398-ND	.95	.71	.63
5A	250	283-2399-ND	.95	.71	.63
6.3A	250	283-2400-ND	.95	.71	.63
GDB (S500§) - flink, niedriges Schaltvermögen					
100mA	250	283-2405-ND	1.15	.86	.77
125mA	250	283-2406-ND	1.15	.86	.77
160mA	250	283-2407-ND	.65	.49	.44
250mA	250	283-2409-ND	—	.49	—
315mA	250	283-2410-ND	.65	.49	.44
500mA	250	283-2412-ND	.21	.16	.14
630mA	250	283-2413-ND	.21	.16	.14
800mA	250	283-2414-ND	.21	.16	.14
1A	250	283-2415-ND	—	.16	—
1.25A	250	283-2416-ND	.21	.16	.14
1.6A	250	283-2417-ND	.21	.16	.14
2A	250	283-2418-ND	—	.16	—
2.5A	250	283-2419-ND	.21	.16	.14
3.15A	250	283-2420-ND	.21	.16	.14
4A	250	283-2421-ND	.21	.16	.14
5A	250	283-2422-ND	—	.16	—
6.3A	250	283-2423-ND	.21	.16	.14
8A ◊	250	283-2424-ND	.74	.56	.50
10A ◊	250	283-2425-ND	.74	.56	.50
GDC (S506‡) - träge, niedriges Schaltvermögen					
100mA	250	283-2263-ND	.87	.65	.58
125mA	250	283-2264-ND	.87	.65	.58
160mA	250	283-2265-ND	.87	.65	.58
250mA	250	283-2267-ND	.87	.65	.58
315mA	250	283-2268-ND	.87	.65	.58
400mA	250	283-2269-ND	.87	.65	.58
500mA	250	283-2270-ND	.63	.47	.42
630mA	250	283-2271-ND	—	.47	—
800mA	250	283-2272-ND	.63	.47	.42
1A	250	283-2273-ND	.63	.47	.42
1.25A	250	283-2274-ND	.63	.47	.42
1.6A	250	283-2275-ND	—	.47	—
2A	250	283-2276-ND	—	.47	—
2.5A	250	283-2277-ND	.63	.47	.42
3.15A	250	283-2278-ND	.63	.47	.42
4A	250	283-2279-ND	.63	.47	.42
5A	250	283-2280-ND	.63	.47	.42
6.3A	250	283-2281-ND	.63	.47	.42

† S501 ist eine europäische Bezeichnung. In Nordamerika bei Produktangaben GDA verwenden.
§ S500 ist eine europäische Bezeichnung. In Nordamerika bei Produktangaben GDB verwenden.
‡ S506 ist eine europäische Bezeichnung. In Nordamerika bei Produktangaben GDC verwenden.
◊ IEC-Standard 127 Blatt II enthält keine Nennwerte über 6,3 A

*** BIF-Dokument: Nr. 2014 (Serie GDA), Nr. 2015 (Serie GDB), Nr. 2016 (Serie GDC)**

Flinke Kapselsicherungen für Multimeter
44/100 und 11 A

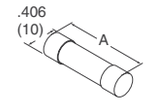

Teilenr.	Abm. A
283-2495-ND	1.375" (±0.031) 34.9mm (±0.79)
283-2496-ND	1.50" (±0.031) 38.1mm (±0.79)

Spezifikationen:
• Nur für Multimeter entwickelt. • Kann auf unbegrenzte Dauer mit 100 % des Nennstroms belastet werden. • Nicht für Abzweigstromkreisschutz vorgesehen.

Konstruktionsmaterial:
• Melaminrohr und Endkappen aus vernickeltem Messing.

Spannungsbewertung:
1.000 V AC/DC.

Nennschaltleistung:
DMM-B-44/100 - 10.000 A, 1.000 V AC, Leistungsfaktor Eins und 10.000 A, 1.000 V DC mit Zeitkonstante von 2,2 ms. Mindestausschaltleistung 400 % des Nennstroms bei Nennspannung. DMM-B-11A - 20.000 A, 1.000 V AC, Leistungsfaktor ≤2; 20.000 A, 1.000 V DC, Zeitkonstante ≥10 ms.

Behördliche Zulassungen:
UL-anerkannt 1.000 V DC, Eintragungsnr. E19180

Digi-Key Teilenr.	Stückpreis 1	10	100	Cooper Bussmann Teilenr.
283-2495-ND	15.15	12.46	9.76	DMM-B-44/100
283-2496-ND	18.53	15.24	11.95	DMM-B-11A

GMT-Anzeigesicherungen

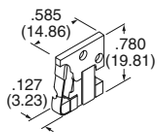

Nennspannung: 125 V AC, 60 V DC.
Eigenschaften: flink
Zeit-Strom-Eigenschaften: Nennwerte 1/4-15 A tragen 100 % der Nennleistung für min. 10 Minuten; Öffnung bei 150 % der Nennleistung in max. 5 Min.
Konstruktionsmaterial: • Körper: Thermoplast, U.L. Entflammbarkeitsstufe: 94VO • Klemmen: Beryllium-kupfer, verzinnt
Behördliche Zulassungen: UL-anerkannt

Nennstrom	Farbcode	Digi-Key Teilenr.	Stückpreis 1	10	100
1/4	Violett	283-2051-ND	1.87	1.73	1.30
1/2	Rot	283-2053-ND	1.87	1.73	1.30
3/4	Braun	283-2055-ND	1.87	1.73	1.30
1	Grau	283-2056-ND	1.87	1.73	1.30
1-1/3	Weiß	283-2057-ND	1.87	1.73	1.30
1-1/2	Weiß/gelb	283-2058-ND	1.87	1.73	1.30
2	Orange	283-2059-ND	1.87	1.73	1.30
3	Blau	283-2060-ND	1.87	1.73	1.30
4	Weiß/brn	283-2062-ND	1.87	1.73	1.30
5	Grün	283-2063-ND	1.87	1.73	1.30
7-1/2	Schw./weiß	283-2064-ND	1.87	1.73	1.30
10	Rot/weiß	283-2065-ND	1.87	1.73	1.30
15	Rot/blau	283-2067-ND	1.87	1.73	1.30

*** BIF-Dokument: Nr. 5008**

Sicherungshalter für GMT-Anzeigesicherung

Leiterplattenmontage

Elektrische Nennleistung:
15 A (60 V DC)

Konstruktionsmaterial:
• Körper: Thermoplast, Entflammbarkeitsstufe UL-94V0
• Anschlüsse: Gabelklemmen aus verzinntem Kupfer

Behördliche Zulassung:
UL-anerkannt

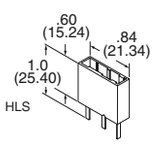

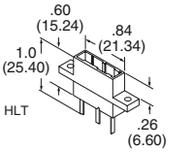

Beschreibung	Digi-Key Teilenr.	Stückpreis 1	10	100
Ohne Flansch - HLS	283-2358-ND	1.96	1.80	1.48
Mit Flansch - HLT	283-2359-ND	1.77	1.63	1.33

*** BIF-Dokument: Nr. 5010**

HBH-I und HBH-M Sicherungshalter für
Sicherungen 1/4" x 1-1/4" (6,35 mm x 31,75 mm) u. 0,205" x 0,787" (5 mm x 20 mm)

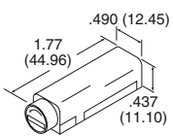

Horizontale Leiterplattenmontage

Elektrische Nennwerte: UL-16 A @ 250 V und CSA - 12 A @ 250 V
Behördliche Zulassungen: UL-anerkannt, CSA-zertifiziert, VDE und SEMKO

Beschreibung	Digi-Key Teilenr.	Stückpreis 1	10	Cooper Bussmann Teilenr.
Für Sicherungen 1/4 x 1-1/4 (6,35 x 31,75)	283-2351-ND	2.68	2.48	HBH-I
Für Sicherungen (5 x 20) 0,205 x 0,787	283-2352-ND	3.50	3.23	HBH-M

*** BIF-Dokument: Nr. 2118**

G

HTB plattenmontierte Sicherungshalter

für Sicherungen 1/4" x 1-1/4" (6,35 mm x 31,75 mm) u. 0,205" x 0,787" (5 mm x 20 mm)

Typische Montageöffnung — HTB 2, 3, 4 u. 5

Konstruktionsmaterial: • Anschlussklemmen: Verzinntes Messing • Formteile: Thermoplast, Formteil UL- anerkannt, 94V0, Montagemutter, Zwischenstück-schwarzes Polycarbonat.
Behördliche Zulassungen: UL-anerkannt: 20 A (3/16" Schnellanschluss 15 A) @ 250 V, CSA: 16 A @ 250 V, Schraubendreherschlitz nur Träger, VDE: 10 A @ 250 V und SEMKO: 10 A @ 250 V.
Typische Abmessungsdaten: • Länge (Knopfversion) — 1,69" (42,9 mm) zuzügl. Inline-Anschluss (mit Schraubendreherschlitz) 1,75" (44,5 mm). Hinweis: Zuzügl. Inline-Klemme

Abb. 1

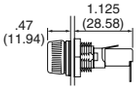

HTB-2: Flachprofil, Sechskantmutter hinten

Abb. 2

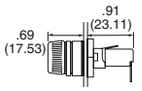

HTB-4: Hochprofil, Sechskantmutter hinten

Abb. 3

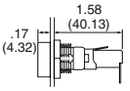

HTB-3: Flachprofil, Sechskantmutter hinten

Abb. 4

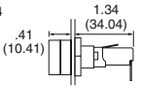

HTB-5: Hochprofil, Sechskantmutter hinten

KLEMMENOPTIONEN

Lötklemme - 3/16"(4,76 mm) Schnellanschluss		1/4" (6,35 mm) Schnellanschluss	
A	B	C	D
.34 (8.64)	.33 (8.38)	.47 (11.94)	.45 (11.43)
Inline	Rechtwinklig	Inline	Rechtwinklig

Abb.	An-schluss Opt.	Sich.-Aufnahme Zoll (mm)	Plattenstärke in Zoll (mm)	Digi-Key Teilenr.	Stückpreis 1	10
1	B	1/4x1-1/4 (6.35x31.75)	.30 (7.62)	283-2345-ND	2.37	2.19
1	B	(5x20) .205x.787	.30 (7.62)	283-2354-ND	2.53	2.34
2	A	1/4x1-1/4 (6.35x31.75)	.125 (3.18)	283-2348-ND	2.64	2.44
	B			283-2346-ND	2.78	2.57
	B			283-2347-ND†	2.78	2.57
	C			283-2349-ND	2.97	2.75
	D			283-2350-ND	2.97	2.75
3	B	(5x20) .205x.787	.30 (7.62)	283-2353-ND	2.53	2.34
4	B	1/4x1-1/4 (6.35x31.75)	.125 (3.18)	283-2344-ND	2.37	2.19

† Spritzfeste Dichtung

**** BIF-Dokument: Nr. 2119***

HRK Universal-Reihen-Sicherungshalter

für Sicherungen 1/4" x 7/8" bis 1-1/4" (6,35 mm x 22,23 mm x 31,75 mm)

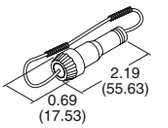

Spezifikationen:

• Drei Federn mit Sicherungshalter ermöglichen die Aufnahme von 1/4" (6,35 mm) Sicherungen unterschiedlicher Längen • Drahtanschlüsse sind genietet und an die Kontakte des Sicherungshalters gelötet • Anschlüsse sind 8" (20,3 mm) lang • Drahtgröße - Nr. 14

A	Volt AC	Digi-Key Teilenr.	Stückpreis 1	10	100	Hersteller Teilenr.
15	32	283-2343-ND	2.97	2.75	2.06	HRK

**** BIF-Dokument: Nr. 2111***

HFB wasserdichte Inline-Sicherungshalter

für Sicherungen 1/4" x 1-1/4" (6,35 mm x 31,75 mm)

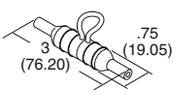

Konstruktionsmaterial:

• Körper: Thermoplast-Gummi (orange) • Kontakte: Kupfer, mit Albaloy-Überzug • Nimmt Drahtstärke 10 AWG auf

A	Volt AC	Digi-Key Teilenr.	Stückpreis 1	10	100	Hersteller Teilenr.
30	32	283-2355-ND	6.38	5.80	5.22	HFB-10

**** BIF-Dokument: Nr. 2102***

Sicherungsklemmen zur Leiterplattenmontage

Abb. 1

Abb. 2

Abb. 3

Abb. 4

Abb. 5

Abb.	Akzeptiert Sicherung (Durchm.) Zoll (mm)	Anschlag	Ableitungstyp	Clip-Material†	Oberfläche	Digi-Key Teilenr.	Stückpreis 10	100	250	Cooper/ Bussmann Teilenr.
1	(5) .205	Ja	Gerade	Feder, bronze	Glanzzinn	283-2335-ND	.17	.13	.12	1A5018-10
2	1/4 (6.35)	Nein	Entfällt	Feder, bronze	Glanzzinn	283-2337-ND	.17	.13	.12	5681-15
3	1/4 (6.35)	Ja	Gerade	Feder, bronze	Glanzzinn	283-2338-ND	.13	.10	.09	1A1907-06
3	1/4 (6.35)	Nein	Gerade	Feder, bronze	Glanzzinn	283-2339-ND	.18	.14	.12	1A3398-07
4	1/4 (6.35)	Ja	Gewinkelt	Feder, bronze	Glanzzinn	283-2341-ND	.24	.18	.16	1A1119-10
3	1/4 (6.35)	Ja	Gerade	Berylliumkupfer	Silber	283-2342-ND	.47	.36	.32	1A1907-05
5	1/4 (6.35)	Nein	Gewinkelt	Feder, bronze	Glanzzinn	283-2340-ND	.24	.18	.16	1A1120-09

† Berylliumkupfer wird für Stromwerte von mehr als 15 A empfohlen (1/4" oder 6,35 mm Klemmen).

**** BIF-Dokument: Nr. 2131 (Nr. 2132 für Digi-Key Teilenr. 283-2337-ND)***

G

Typ SMP SMT Power Cross Schutzsicherung

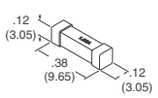

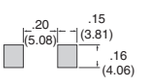

Bleifrei

SMP-Sicherungen schützen Schaltungen vor Überlastung oder Kurzschlusskonditionen. Längere Überlastungen können durch zufälligen Kontakt von Versorgungsleitungen mit Telefonleitungen (Stromleitungsquerstrom) entstehen.

Elektrische Eigenschaften		
Teststrom	Ansprechzeit Min.	Max.
100% / 110% (2A)	4 Std.	Entfällt
200%	3 Sek./ Entf. (2 A)	60 Sek
500%	100 ms	1,5 Sek.
1000%	30 ms	300 ms

Spezifikationen:

• **Nennspannung:** 600 V • **Betriebstemperatur:** -55 °C ~ 125 °C• **Konstruktionsmaterial:** Keramikkörper/verzinnte Messingkappen, bleifreies Lötmittel • **Verpackung:** Rolle mit 13 Zoll Durchmesser, 16 mm breiter Gurt, 8 mm Pitch nach EIA Standard 481 • **Zulassungen:** Entspricht UL1950/60950 und Bellcore GR 1089 • UL STD 248-14

A-Nenn-leistung	Digi-Key Teilenr.	Gurtabschnittspreis pro Stück 1	10	100	G&R* Preisangaben 2.000	Bel Fuse Teilenr.
500mA	507-1038-1-ND	1.43	1.27	.90	423.30/M	0678-0500-02
1.25A	507-1039-1-ND	1.43	1.27	.90	423.30/M	0678-1250-02
2.0A	507-1040-1-ND	1.43	1.27	.90	423.30/M	0678-2000-02

* Für Gegurtet auf Rolle die Teilenr. von 1-ND in 2-ND ändern.

Typ SSQ 6125 (2410) viereckige Keramik SMT-Sicherung, flink

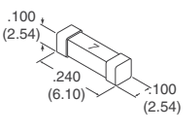

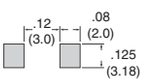

Lead Free

Elektrische Eigenschaften		
Teststrom	Ansprechzeit Min.	Max.
100%	4 Std.	Entfällt
200%	Entfällt	5 Sek.

Spezifikationen:

• **Nennspannung:** 125 V • **Betriebstemperatur:** -55 °C ~ 125 °C • **Konstruktionsmaterial:** Keramikkörper/mit Palladium überzogene Messingkappen • **Verpackung:** Rolle mit 13 Zoll Durchmesser, 12 mm breiter Gurt, 4 mm Pitch nach EIA Standard 481 • UL/CSA STD 248-14

A-Nenn-leistung	Digi-Key Teilenr.	Gurtabschnittspreis pro Stück 1	10	100	G&R* Preisangaben 1.000	Bel Fuse Teilenr.
250mA	507-1041-1-ND	.64	.57	.41	189.64	0679-0250-01
375mA	507-1042-1-ND	.64	.57	.41	189.64	0679-0375-01
500mA	507-1043-1-ND	.64	.57	.41	189.64	0679-0500-01
750mA	507-1044-1-ND	.64	.57	.41	189.64	0679-0750-01
1A	507-1045-1-ND	.64	.57	.41	189.64	0679-1000-01
1.25A	507-1046-1-ND	.64	.57	.41	189.64	0679-1250-01
1.5A	507-1047-1-ND	.64	.57	.41	189.64	0679-1500-01
2A	507-1048-1-ND	.64	.57	.41	189.64	0679-2000-01
2.5A	507-1049-1-ND	.64	.57	.41	189.64	0679-2500-01
3A	507-1050-1-ND	.64	.57	.41	189.64	0679-3000-01
3.5A	507-1051-1-ND	.64	.57	.41	189.64	0679-3500-01
4A	507-1052-1-ND	.64	.57	.41	189.64	0679-4000-01
5A	507-1053-1-ND	.64	.57	.41	189.64	0679-5000-01
6.3A	507-1054-1-ND	.64	.57	.41	189.64	0679-6300-01
7A	507-1055-1-ND	.64	.57	.41	189.64	0679-7000-01
8A	507-1056-1-ND	.64	.57	.41	189.64	0679-8000-01
10A	507-1057-1-ND	.64	.57	.41	189.64	0679-9100-01
12A	507-1058-1-ND	.64	.57	.41	189.64	0679-9120-01
15A	507-1059-1-ND	.64	.57	.41	189.64	0679-9150-01

* Für Gegurtet auf Rolle die Teilenr. von 1-ND in 2-ND ändern.

Typ SST 6125 (2410) viereckige Keramik SMT-Sicherung, Slow Blow

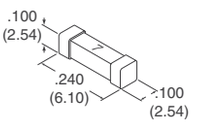

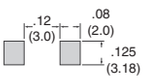

Bleifrei

Elektrische Eigenschaften		
Teststrom	Ansprechzeit Min.	Max.
100%	4 Std.	Entfällt
200%	1 Sek.	60 Sek
300%	0,2 Sek.	3 Sek.
800%	0,02 Sek.	0,1 Sek.

Spezifikationen:

• **Nennspannung: 125 V** • **Betriebstemperatur:** -55 °C ~ 125 °C • **Konstruktionsmaterial:** Keramikkörper/mit Palladium überzogene Messingkappen • **Verpackung:** Rolle mit 13 Zoll Durchmesser, 12 mm breiter Gurt, 4 mm Pitch nach EIA Standard 481 • UL/CSA STD 248-14

A-Nenn-leistung	Digi-Key Teilenr.	Gurtabschnittspreis pro Stück 1	10	100	G&R * Preisangaben 1.000	Bel Fuse Teilenr.
375mA	507-1060-1-ND	.99	.89	.63	294.62	0680-0375-01
500mA	507-1061-1-ND	1.05	.93	.66	309.86	0680-0500-01
625mA	507-1062-1-ND	.99	.89	.63	294.62	0680-0625-01
750mA	507-1063-1-ND	.99	.89	.63	294.62	0680-0750-01
1A	507-1064-1-ND	.99	.89	.63	294.62	0680-1000-01
1.5A	507-1065-1-ND	.99	.89	.63	294.62	0680-1500-01
2A	507-1066-1-ND	.99	.89	.63	294.62	0680-2000-01
2.5A	507-1067-1-ND	.99	.89	.63	294.62	0680-2500-01
3A	507-1068-1-ND	.99	.89	.63	294.62	0680-3000-01
3.5A	507-1069-1-ND	.99	.89	.63	294.62	0680-3500-01
4A	507-1070-1-ND	.99	.89	.63	294.62	0680-4000-01
5A	507-1071-1-ND	.99	.89	.63	294.62	0680-5000-01
7A	507-1072-1-ND	.99	.89	.63	294.62	0680-7000-01

* Für Gegurtet auf Rolle die Teilenr. von 1-ND in 2-ND ändern.

Alle Preisangaben in Euro und inklusive Zollgebühren.

Typ C2Q 0603 SMT-Chip-Sicherung, sehr flink

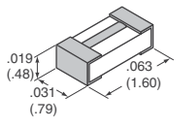

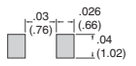

Infrarot-Löt-Layout für Leiterplatte. Siehe das Datenblatt für Wellenlötmittel.

Bleifrei

Elektrische Eigenschaften		
Teststrom	Ansprechzeit	
	Min.	Max.
100%	4 Std.	Entfällt
200%	Entfällt	5 Sek.
300%	Entfällt	0,2 Sek.

Spezifikationen: • **Nennspannung:** 32 V • **Betriebstemperatur:** -55 °C ~ 125 °C • **Konstruktionsmaterial:** Keramiksubstrat/Druckelement, verzinnte Anschlüsse • **Verpackung:** Rolle mit 7 Zoll Durchmesser, 4 mm breiter Gurt, 4 mm Pitch nach EIA Standard 481 (entspricht IEC-286, Teil 3) • **Teilemarkierungen:** Keine • UL/CSA STD 248-14

A-Nenn-leistung	Digi-Key Teilenr.	Gurtabschnitts-preis pro Stück 1	10	100	G&R* Preis-angaben 5.000	Bel Fuse Teilenr.
250mA	507-1086-1-ND	.52	.47	.34	136.31/M	0686-0250-01
300mA	507-1087-1-ND	.52	.47	.34	136.31/M	0686-0300-01
375mA	507-1088-1-ND	.52	.47	.34	136.31/M	0686-0375-01
500mA	507-1089-1-ND	.52	.47	.34	136.31/M	0686-0500-01
750mA	507-1090-1-ND	.52	.47	.34	136.31/M	0686-0750-01
1A	507-1091-1-ND	.52	.47	.34	136.31/M	0686-1000-01
1.25A	507-1092-1-ND	.52	.47	.34	136.31/M	0686-1250-01
1.5A	507-1093-1-ND	.52	.47	.34	136.31/M	0686-1500-01
2A	507-1094-1-ND	.52	.47	.34	136.31/M	0686-2000-01
2.5A	507-1095-1-ND	.52	.47	.34	136.31/M	0686-2500-01
3A	507-1096-1-ND	.52	.47	.34	136.31/M	0686-3000-01
3.5A	507-1097-1-ND	.52	.47	.34	136.31/M	0686-3500-01
4A	507-1098-1-ND	.52	.47	.34	136.31/M	0686-4000-01
5A	507-1099-1-ND	.52	.47	.34	136.31/M	0686-5000-01

* Für Gegurtet auf Rolle die Teilenr. von 1-ND in 2-ND ändern.

Typ C1Q 1206 SMT-Chip-Sicherung, sehr flink

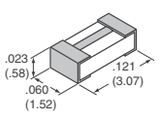

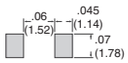

Infrarot-Löt-Layout für Leiterplatte. Siehe das Datenblatt für Wellenlötmittel.

Bleifrei

Elektrische Eigenschaften		
Teststrom	Ansprechzeit	
	Min.	Max.
100%	4 Std.	Entfällt
200%	Entfällt	5 Sek.
300%	Entfällt	0,2 Sek.

Spezifikationen: • **Nennspannung:** 125 V • **Betriebstemperatur:** -55 °C ~ 125 °C • **Konstruktionsmaterial:** Keramiksubstrat/Druckelement, verzinnte Anschlüsse • **Verpackung:** Rolle mit 7 Zoll Durchmesser, 4 mm breiter Gurt, 4 mm Pitch nach EIA Standard 481 (entspricht IEC-286, Teil 3) • **Teilemarkierungen:** Keine • UL/CSA STD 248-14

A-Nenn-leistung	Digi-Key Teilenr.	Gurtabschnitts-preis pro Stück 1	10	100	G&R* Preis-angaben 5.000	Bel Fuse Teilenr.
250mA	507-1073-1-ND	.52	.47	.34	136.31/M	0685-0250-01
375mA	507-1074-1-ND	.52	.47	.34	136.31/M	0685-0375-01
500mA	507-1075-1-ND	.52	.47	.34	136.31/M	0685-0500-01
750mA	507-1076-1-ND	.52	.47	.34	136.31/M	0685-0750-01
1A	507-1077-1-ND	.52	.47	.34	136.31/M	0685-1000-01
1.25A	507-1078-1-ND	.52	.47	.34	136.31/M	0685-1250-01
1.5A	507-1079-1-ND	.52	.47	.34	136.31/M	0685-1500-01
2A	507-1080-1-ND	.52	.47	.34	136.31/M	0685-2000-01
2.5A	507-1081-1-ND	.52	.47	.34	136.31/M	0685-2500-01
3A	507-1082-1-ND	.52	.47	.34	136.31/M	0685-3000-01
3.5A	507-1083-1-ND	.52	.47	.34	136.31/M	0685-3500-01
4A	507-1084-1-ND	.52	.47	.34	136.31/M	0685-4000-01
5A	507-1085-1-ND	.52	.47	.34	136.31/M	0685-5000-01

* Für Gegurtet auf Rolle die Teilenr. von 1-ND in 2-ND ändern.

Typ RJS Telcom - Power Cross Schutz und Ballastschutz

RJS-Sicherungen schützen Schaltungen vor Überlastung oder Kurzschlusskonditionen. Längere Überlastungen können durch zufälligen Kontakt von Versorgungsleitungen mit Telefonleitungen (Stromleitungsquerstrom) entstehen.

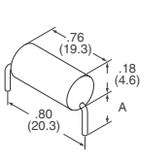

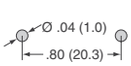

Leiterplattenlayout

A	Standardanschluss	Kurzer Anschluss
	0.4 (10.0mm)	0.11(2.8mm)

Elektrische Eigenschaften		
Teststrom	Ansprechzeit	
	Min.	Max.
100%	4 Std.	Entfällt
135%	Entfällt	1 Std.
200%	3 Sek.	20 Sek.
500%	100 ms	1,5 Sek.
1000%	30 ms	300 ms

Spezifikationen:
• **Nennspannung:** 600 V • **Betriebstemperatur:** -55 °C ~ 125 °C • **Konstruktionsmaterial:** Körper: Glas, Anschlussdraht: verzinntes Kupfer, Durchmesser: 0,032 Zoll • **Verpackung:** Lose, 500 Stück pro Karton (Standardanschluss), 2.000 Stück pro Karton (kurzer Anschluss) • UL/CSA STD 248-14

A-Nenn-leistung	An-schluss-länge	Digi-Key Teilenr.	Stückpreis 1	10	100	Bel Fuse Teilenr.
1.25A	Std.	507-1000-ND	.42	.38	.27	0643-1250-02
1.25A	Kurz	507-1001-ND	.42	.38	.27	0643-1250-12
2.00A	Std.	507-1002-ND	.42	.38	.27	0643-2000-02
2.00A	Kurz	507-1003-ND	.42	.38	.27	0643-2000-12

Typ MRT Micro-Sicherungsserie, Radialanschluss, zeitverzögert

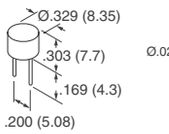

Lose

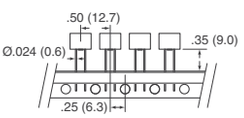

Gurt u. Ammo

Bleifrei

Elektrische Eigenschaften			
Nennstrom	Ansprechzeit-Teststrom	Min.	Max.
80 mA bis 6,3 A inklusive	150%	1 Std.	Entfällt
	210%	Entfällt	2 Min.
	275%	400 ms	10 Sek.
	400%	150 ms	3 Sek.
	1000%	20 ms	150 ms

Spezifikationen: • **Nennspannung:** 250 V • **Betriebstemperatur:** -55 °C ~ 125 °C • **Konstruktionsmaterial:** Basis und Kappe: Schwarzes Thermoplast, UL94-VO Pins: Verzinnte Kupferlegierung • **Verpackung:** Lose, 250 Stück pro Beutel, 1.000 Stück pro Karton (kurzer Anschluss), Gurt und Ammo Packung: 1.000 Stck. pro Karton, gemäß IEC-286-2 (lange Anschlüsse) • IEC127-3 127-3 STANDARD-BLATT 4

MRT zeitverzögert – Lose

A-Nenn-leistung	Digi-Key Teilenr. kurzer Anschluss	Mengenpreis pro Stück 1	10	100	Bel Fuse Teilenr.
80mA	507-1100-ND	.63	.57	.40	0692-0080-01
100mA	507-1101-ND	.63	.57	.40	0692-0100-01
125mA	507-1102-ND	.63	.57	.40	0692-0125-01
160mA	507-1103-ND	.63	.57	.40	0692-0160-01
200mA	507-1104-ND	.63	.57	.40	0692-0200-01
250mA	507-1105-ND	.63	.57	.40	0692-0250-01
315mA	507-1106-ND	.63	.57	.40	0692-0315-01
400mA	507-1107-ND	.63	.57	.40	0692-0400-01
500mA	507-1108-ND	.63	.57	.40	0692-0500-01
630mA	507-1109-ND	.63	.57	.40	0692-0630-01
800mA	507-1110-ND	.63	.57	.40	0692-0800-01
1A	507-1111-ND	.63	.57	.40	0692-1000-01
1.25A	507-1112-ND	.63	.57	.40	0692-1250-01
1.6A	507-1113-ND	.63	.57	.40	0692-1600-01
2A	507-1114-ND	.63	.57	.40	0692-2000-01
2.5A	507-1115-ND	.63	.57	.40	0692-2500-01
3.15A	507-1116-ND	.63	.57	.40	0692-3150-01
4A	507-1117-ND	.63	.57	.40	0692-4000-01
5A	507-1118-ND	.63	.57	.40	0692-5000-01
6.3A	507-1119-ND	.63	.57	.40	0692-6300-01

MRT zeitverzögert – Gurt und Ammo

A-Nenn-leistung	Digi-Key Teilenr. langer Anschluss	Preisangabe für Gurt und Ammo 1.000	Bel Fuse Teilenr.
80mA	507-1100-3-ND	187.95	0692-0080-02
100mA	507-1101-3-ND	187.95	0692-0100-02
125mA	507-1102-3-ND	187.95	0692-0125-02
160mA	507-1103-3-ND	187.95	0692-0160-02
200mA	507-1104-3-ND	187.95	0692-0200-02
250mA	507-1105-3-ND	187.95	0692-0250-02
315mA	507-1106-3-ND	187.95	0692-0315-02
400mA	507-1107-3-ND	187.95	0692-0400-02
500mA	507-1108-3-ND	187.95	0692-0500-02
630mA	507-1109-3-ND	187.95	0692-0630-02
800mA	507-1110-3-ND	187.95	0692-0800-02
1A	507-1111-3-ND	187.95	0692-1000-02
1.25A	507-1112-3-ND	187.95	0692-1250-02
1.6A	507-1113-3-ND	187.95	0692-1600-02
2A	507-1114-3-ND	187.95	0692-2000-02
2.5A	507-1115-3-ND	187.95	0692-2500-02
3.15A	507-1116-3-ND	187.95	0692-3150-02
4A	507-1117-3-ND	187.95	0692-4000-02
5A	507-1118-3-ND	187.95	0692-5000-02
6.3A	507-1119-3-ND	187.95	0692-6300-02

Typ MQ und MS Micro-Sicherungen

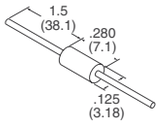

Elektrische Eigenschaften		
Teststrom	Ansprechzeit	
	Min.	Max.
100%	4 Std.	Entfällt
200%	Entfällt	30 Sek.

Spezifikationen: • **Nennspannung:** 125 V • **Betriebstemperatur:** -55 °C ~ 125 °C • **Konstruktionsmaterial:** Körper: Gussgeformt mit UL-anerkanntem Epoxidkomponenten-Kunststoff, UL 94V-0. Anschlussdraht: Mit Zinn-Blei überzogenes Kupfer • **Verpackung:** Lose: 250 Stück pro Beutel/1.000 Stück pro Karton; gegurtet auf Rolle: 2.500 Stück pro Rolle (5 mm Pitch und 52,4 mm Gurtabstand innen (gemäß EIA 296-E & IEC 286-1) • UL/CSA STD 248-14

MQ flink – lose

A-Nenn-leistung	Digi-Key Teilenr.	Mengenpreis pro Stück 1	10	100	Bel Fuse Teilenr.
100mA	507-1004-ND	.64	.58	.41	0674-0100-01
125mA	507-1005-ND	.64	.58	.41	0674-0125-01
150mA	507-1006-ND	.64	.58	.41	0674-0150-01
200mA	507-1007-ND	.64	.58	.41	0674-0200-01
250mA	507-1008-ND	.64	.58	.41	0674-0250-01
300mA	507-1009-ND	.64	.58	.41	0674-0300-01
375mA	507-1010-ND	.64	.58	.41	0674-0375-01
500mA	507-1011-ND	.64	.58	.41	0674-0500-01
750mA	507-1012-ND	.64	.58	.41	0674-0750-01
1A	507-1013-ND	.64	.58	.41	0674-1000-01
1.5A	507-1014-ND	.64	.58	.41	0674-1500-01
2A	507-1015-ND	.64	.58	.41	0674-2000-01
2.5A	507-1016-ND	.64	.58	.41	0674-2500-01
3A	507-1017-ND	.64	.58	.41	0674-3000-01
4A	507-1018-ND	.64	.58	.41	0674-4000-01
5A	507-1019-ND	.64	.58	.41	0674-5000-01
7A	507-1020-ND	.64	.58	.41	0674-7000-01
10A	507-1021-ND	.64	.58	.41	0674-9100-01
12A	507-1022-ND	.64	.58	.41	0674-9120-01
15A	507-1023-ND	.64	.58	.41	0674-9150-01

MQ flink – Gegurtet auf Rolle

A-Nenn-leistung	Digi-Key Teilenr.	Gegurtet auf Rolle 2.500	Bel Fuse Teilenr.
100mA	507-1004-2-ND	191.34/M	0674-0100-08
125mA	507-1005-2-ND	191.34/M	0674-0125-08
150mA	507-1006-2-ND	191.34/M	0674-0150-08
200mA	507-1007-2-ND	191.34/M	0674-0200-08
250mA	507-1008-2-ND	191.34/M	0674-0250-08
300mA	507-1009-2-ND	191.34/M	0674-0300-08
375mA	507-1010-2-ND	191.34/M	0674-0375-08
500mA	507-1011-2-ND	191.34/M	0674-0500-08
750mA	507-1012-2-ND	191.34/M	0674-0750-08
1A	507-1013-2-ND	191.34/M	0674-1000-08
1.5A	507-1014-2-ND	191.34/M	0674-1500-08
2A	507-1015-2-ND	191.34/M	0674-2000-08
2.5A	507-1016-2-ND	191.34/M	0674-2500-08
3A	507-1017-2-ND	191.34/M	0674-3000-08
4A	507-1018-2-ND	191.34/M	0674-4000-08
5A	507-1019-2-ND	191.34/M	0674-5000-08
7A	507-1020-2-ND	191.34/M	0674-7000-08
10A	507-1021-2-ND	191.34/M	0674-9100-08
12A	507-1022-2-ND	191.34/M	0674-9120-08
15A	507-1023-2-ND	191.34/M	0674-9150-08

MS Slow Blow – Lose

A-Nenn-leistung	Digi-Key Teilenr.	Mengenpreis pro Stück 1	10	100	Bel Fuse Teilenr.
250mA	507-1024-ND	.84	.75	.53	0676-0250-01
300mA	507-1025-ND	.84	.75	.53	0676-0300-01
375mA	507-1026-ND	.84	.75	.53	0676-0375-01
500mA	507-1027-ND	.84	.75	.53	0676-0500-01
750mA	507-1028-ND	.84	.75	.53	0676-0750-01
1A	507-1029-ND	.84	.75	.53	0676-1000-01
1.25A	507-1030-ND	.84	.75	.53	0676-1250-01
1.5A	507-1031-ND	.84	.75	.53	0676-1500-01
2A	507-1032-ND	.84	.75	.53	0676-2000-01
2.5A	507-1033-ND	.84	.75	.53	0676-2500-01
3A	507-1034-ND	.84	.75	.53	0676-3000-01
4A	507-1035-ND	.84	.75	.53	0676-4000-01
5A	507-1036-ND	.84	.75	.53	0676-5000-01
7A	507-1037-ND	.84	.75	.53	0676-7000-01

MS Slow Blow – Gegurtet auf Rolle

A-Nenn-leistung	Digi-Key Teilenr.	Gegurtet auf Rolle 2.500	Bel Fuse Teilenr.
250mA	507-1024-2-ND	248.90/M	0676-0250-08
300mA	507-1025-2-ND	248.90/M	0676-0300-08
375mA	507-1026-2-ND	248.90/M	0676-0375-08
500mA	507-1027-2-ND	248.90/M	0676-0500-08
750mA	507-1028-2-ND	248.90/M	0676-0750-08
1A	507-1029-2-ND	248.90/M	0676-1000-08
1.25A	507-1030-2-ND	248.90/M	0676-1250-08
1.5A	507-1031-2-ND	248.90/M	0676-1500-08
2A	507-1032-2-ND	248.90/M	0676-2000-08
2.5A	507-1033-2-ND	248.90/M	0676-2500-08
3A	507-1034-2-ND	248.90/M	0676-3000-08
4A	507-1035-2-ND	248.90/M	0676-4000-08
5A	507-1036-2-ND	248.90/M	0676-5000-08
7A	507-1037-2-ND	248.90/M	0676-7000-08

G

WICKMANN Polyfuse® Rückstellende Sicherungen (0805)

Zulassungen: cULus-Anerkennung: Eintragungsnr. E191571, TÜV Eintragungsnr. R50017428 **Merkmale:** • Niederspannungs-Überstromschutz • Konformität mit Standard UL 1950 • Für Leiterplattenanwendungen mit hoher Dichte, einschließlich Handys, Computer und Peripheriegeräte **Materialien:** • Anschlussklemmen: Kupfer, lötzinnüberzogen • Überzug: 63/37 SnPb **Betriebs-/Lagertemperatur:** -40 °C ~ 85 °C **Elektrische Definitionen:** • **Ihold:** Haltestrom: Maximalstrom, den das Gerät bei 20 °C ohne Auslösen bei ruhiger Luft aufrechterhält • **Itrip:** Auslösestrom: Mindeststromwert, bei dem das Gerät bei 20 °C und ruhiger Luft ausgelöst wird • **Isc:** Maximaler Kurzschlussstrom, den das Gerät bei der Nennspannung ohne Beschädigung halten kann • **Ril:** Mindestanfangswiderstand des Geräts im (ungelöteten) Anfangszustand • **Rat:** Höchstwiderstand des Gerätes bei 20 °C, gemessen eine Stunde nach Auslösung

Vorsicht: *Der Betrieb außerhalb der spezifizierten Nennwerte kann zu Schäden und möglichen Lichtbögen und Feuer führen.*

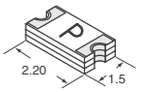

Ihold (mA)	Itrip (A)	Spann. Nennwert (V)	Isc (A)	Max. Auslöse-Zeit Strom (A)	Zeit (s)	Widerstand (Ω) Ril	Rat	Digi-Key Teilenr.	Gurtabschnittspreis pro Stück 1	10	Gegurtet auf Rolle Größe	Preisangaben*
100	.30	15	40	.50	1.5	1.00	6.00	WK1069CT-ND	.97	.91	4,000	353.88/M
200	.50	9	40	8.0	.02	.650	3.50	WK1070CT-ND	.97	.91	4,000	353.88/M
350	.75	6	40	8.0	0.1	.250	1.20	WK1071CT-ND	.97	.91	4,000	353.88/M
500	1.0	6	40	8.0	0.1	.150	.850	WK1072CT-ND	1.04	.97	3,000	378.43/M

* Für Gegurtet auf Rolle die Teilenummer CT-ND in TR-ND ändern.

TE5-Sicherungshalter

Material:

• Schwarzes Thermoplast UL94-V0

• Anschlussklemmen: Messing, zum Löten verzinnt

Nennwerte:

250 V; 6,3 A; UL-Anerkennung

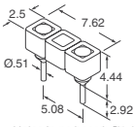

WK0009-ND	96/1 8.73/10 63.50/100

TIP-Telekommunikationssicherungen (Telekommunikationsschnittstellenschutz)

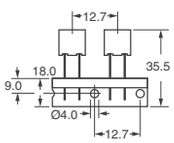

Ammopack

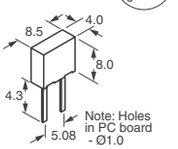

Kurze Leitungen

Elektrische Eigenschaften:

Nennstrom	Vorlichtbogen-Nennleistung 100%	300%
350mA-1.50A	2 Std. min.	300 ms…5s

Zulassungen: cULus-Anerkennung: Eintragungsnr. E67006. Konform mit EIA-IS-968; Telcordia GR-1089

Merkmale: • Für Anwendungen nach UL60950/1950 3. Ausgabe • Hoch definierte Abschaltzeiten • Flammwidriges, gekapseltes Gehäuse • Niedriger interner Widerstand • Irreversible physikalische Trennung • Stabile Eigenschaften bei variierenden Temperaturen

Max. Fehlerströme: ≤50 A bei 125 V AC; ≤35 A bei 125 V DC

Material: • Sockel und Kappe: Braunes Thermoplast (Polyamid PA 6,6), UL94V-0 • Runde Pins: Kupferlegierung, verzinnt

A-Lstg.	Spann. Lstg.	Digi-Key Teilenr.	Stückpreis 1	10	Gurt u. Ammo-Pck. Größe	Preisangaben*
Serie TIP 385						
.350	125	WK4560BK-ND	.47	.44	1,400	198.87/M
1.00	125	WK4563BK-ND	.47	.44	1,400	198.87/M
1.25	125	WK4564BK-ND	.47	.44	1,400	198.87/M
1.50	125	WK4565BK-ND	.47	.44	1,400	198.87/M

* Für Gurt u. Ammo-Pck.-Nr. „BK-ND" in „TB-ND" ändern.

Telecom Protektoren, stoßspannungstolerant

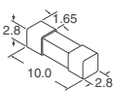

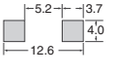

Zutreffende Normen: • UL 60950/1950 3. Ausgabe • Telcordia (Bellcore) GR-1089 • EIA-IS-968

Zulassungen: cULus-Anerkennung

Merkmale: • Pulsfest für Telekommunikationsanwendungen • Keine Serien-Widerstände erforderlich (1,25 A u. 2,00 A)

Materialien: • Gehäuse: Keramikrohr; • Schmelzleiter: Draht • Anschlussklemmen: Kupfer, vernickelt u. versilbert

Elektrische Eigenschaften:

Nennstrom	Vorlichtbogen-Nennleistung 100%	250%
1.25, 2.00A	>4 Std.	1-120 Sek.

A-Leistg.	Spann. Lstg	Digi-Key Teilenr.	Gurtabschnitts-preis pro Stück 1	10	T & R Pricing*§ 500
Serie 457					
1.25	250	WK1067CT-ND	1.07	1.00	354.72/M
2.00	250	WK1068CT-ND	1.07	1.00	413.14/M

* Für Gegurtet auf Rolle die Teilenummer CT-ND in TR-ND ändern.
§ Preisangabe für gegurtet auf Rolle

Picofuse, flink, 125 V, Serie 275 — Bleifrei

Zutreffende Normen: • UL 248-14 • CSA C22,2 Nr. 248,14

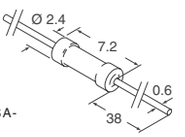

Zulassungen: • UL-Zulassung: Eintragungsnr. E 67006 (63 mA bis 7 A) • cUL-Zulassung: Eintragungsnr. E 67006 (63 mA bis 7 A) • UL-Anerkennung: Eintragungsnr. E 67006 (10 A) • CSA-Zertifizierung: Eintragungsnr. 51378 (10 A)

Merkmale: • Subminatur • Axiale Zuleitungen

Materialien: • Körper: Keramikrohr, Wärmeschrumpfschlauch • Aufsteckbare Kappen: Kupferlegierung, verzinnt

Betriebstemperatur: -25 °C ~ 70 °C (Minderung beachten)

Elektrische Eigenschaften:

Nennstrom	Vorlichtbogen-Nennleistung 200%	200 % Wickman getestet
63mA-10.00A	<60 s	<5 s

A-Lstg. (A)	Spann. Lstg.	Digi-Key Teilenr.	Gurtabschnitts-preis pro Stück 1	10	T & R Pricing*§ 2.500
Serie 275					
.063	125	WK1080CT-ND	.63	.60	295.47/M
.125	125	WK1081CT-ND	.41	.38	185.41/M
.250	125	WK1082CT-ND	.43	.41	171.02/M
.375	125	WK1083CT-ND	.44	.41	181.18/M
.500	125	WK1084CT-ND	.30	.29	144.77/M
.750	125	WK1085CT-ND	.30	.29	143.93/M
1.00	125	WK1086CT-ND	.30	.29	142.23/M
1.50	125	WK1087CT-ND	.30	.29	142.23/M
2.00	125	WK1088CT-ND	.30	.29	142.23/M
2.50	125	WK1089CT-ND	.30	.29	142.23/M
3.00	125	WK1090CT-ND	.30	.29	142.23/M
3.50	125	WK1091CT-ND	.30	.29	142.23/M
4.00	125	WK1092CT-ND	.30	.29	142.23/M
5.00	125	WK1093CT-ND	.30	.29	142.23/M
7.00	125	WK1094CT-ND	.30	.29	142.23/M
10.0	125	WK1095CT-ND	.30	.29	142.23/M

* Für Gegurtet auf Rolle die Teilenummer CT-ND in TR-ND ändern.
§ Preisangabe für gegurtet auf Rolle

Serie FCD12, 1206-Sicherungen zur Oberflächenmontage

Standard: • UL 248-14

Materialien: • Gehäuse: Keramikträger, glasgekapselt; • Schmelzleiter: Metallschicht, • Anschlussklemmen: Verzinnt, metallisiert

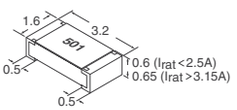

Lötbarkeit: 235 °C, 2 Sek. (Mindestens 95 % der Anschlussfläche muss von neuem Lötzinn bedeckt sein)

Empfohlener Lötkleber: Grace Amicon 125 F

Markierung: Code der derzeitigen Nennleistung

Elektrische Eigenschaften:

Nennstrom	Vorlichtbogen-Nennleistung 250%
500mA-5.00A	<5 s

A-Lstg. (A)	Spann. Lstg.	Mark.	Digi-Key Teilenr.	Gurtabschnitts-preis pro Stück 1	10	T & R Pricing*§ 5.000
FCD12-Serie						
.500	50	501	WK6213CT-ND	.47	.45	159.16/M
.630	50	631	WK6214CT-ND	.47	.45	159.16/M
.800	50	801	WK6215CT-ND	.47	.45	159.16/M
1.00	50	102	WK6216CT-ND	.53	.50	159.16/M
1.25	50	132	WK6217CT-ND	.47	.45	159.16/M
1.60	50	162	WK6218CT-ND	.47	.45	159.16/M
2.00	50	202	WK6219CT-ND	.47	.45	159.16/M
2.50	50	252	WK6220CT-ND	.47	.45	159.16/M
3.15	32	UD	WK6221CT-ND	.47	.45	159.16/M
4.00	32	XD	WK6222CT-ND	.47	.45	159.16/M
5.00	32	YD	WK6223CT-ND	.47	.45	159.16/M

* Für Gegurtet auf Rolle die Teilenummer CT-ND in TR-ND ändern.
§ Preisangabe für gegurtet auf Rolle

TE5-Subminiatur-Sicherungen – UL 248-14

Zulassungen (Serie 395 und 396): cUL-Zulassung, UL-Zulassung für 0,050 A - 6,30 A. MITI-Zulassung für 1,00 A - 5,00 A

Merkmale: • Flink und träge • Material: Braunes Thermoplast UL94-V0 • Runde Pins: Kupferlegierung, verzinnt • Lötwärmebeständigkeit: 260 °C, 10 s (IEC 60068-2-20) • Steckbare Halter erhältlich

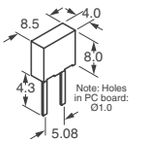

Kurze Leitungen

Elektrische Eigenschaften:

Serie	Nennstrom	Vorlichtbogen-Nennleistung 100%	200%
395	50mA-6.3A	>4 Std.	<5 Sek.
396	50mA-6.3A	>4 Std.	<60 Sek.

Schaltvermögen: 100 A bei 125 V AC

A-Leistg.	Spann. Lstg	Digi-Key Teilenr.	Mengenpreis pro Stück 1	10	100
Serie 395, flink					
.050	125	WK4322BK-ND	3.19	2.95	2.21
.063	125	WK4325BK-ND	2.04	1.89	1.42
.080	125	WK4326BK-ND	2.78	2.56	1.93
.100	125	WK4327BK-ND	.75	.70	.52
.125	125	WK4328BK-ND	.75	.70	.52
.160	125	WK4330BK-ND	.75	.70	.52
.200	125	WK4334BK-ND	.75	.70	.52
.250	125	WK4335BK-ND•	.75	.70	.52
.315	125	WK4337BK-ND	.75	.70	.52
.400	125	WK4340BK-ND	.75	.70	.52
.500	125	WK4341BK-ND•	.75	.70	.52
.630	125	WK4343BK-ND	.75	.70	.52
.800	125	WK4346BK-ND	.75	.70	.52
1.00	125	WK4348BK-ND•	.75	.70	.52
1.25	125	WK4350BK-ND•	.75	.70	.52
1.60	125	WK4353BK-ND	.75	.70	.52
2.00	125	WK4357BK-ND•	.75	.70	.52
2.50	125	WK4358BK-ND•	.75	.70	.52
3.15	125	WK4324BK-ND	.75	.70	.52
4.00	125	WK4362BK-ND•	.75	.70	.52
5.00	125	WK4363BK-ND	.75	.70	.52
6.30	125	WK4366BK-ND•	.75	.70	.52
Serie 396, träge					
.050	125	WK4422BK-ND	.83	.77	.58
.063	125	WK4425BK-ND	1.07	.99	.75
.080	125	WK4426BK-ND	1.07	.99	.75
.100	125	WK4427BK-ND	.95	.88	.66
.125	125	WK4428BK-ND	.95	.88	.66
.160	125	WK4430BK-ND	.95	.88	.66
.200	125	WK4434BK-ND•	.80	.74	.55
.250	125	WK4435BK-ND	.80	.74	.55
.315	125	WK4437BK-ND	.80	.74	.55
.400	125	WK4440BK-ND	.80	.74	.55
.500	125	WK4441BK-ND•	.80	.74	.55
.630	125	WK4443BK-ND	.80	.74	.55
.800	125	WK4446BK-ND•	.80	.74	.55
1.00	125	WK4448BK-ND•	.80	.74	.55
1.25	125	WK4450BK-ND	.80	.74	.55
1.60	125	WK4453BK-ND•	.80	.74	.55
2.00	125	WK4457BK-ND•	.80	.74	.55
2.50	125	WK4458BK-ND	.80	.74	.55
3.15	125	WK4424BK-ND•	.80	.74	.55
4.00	125	WK4462BK-ND•	.80	.74	.55
5.00	125	WK4463BK-ND•	.80	.74	.55
6.30	125	WK4466BK-ND	.80	.74	.55

• **WK0117-KIT-ND *Digi-Key® -Subminiatur-Sicherungskit TE5***

Je 10 der angegebenen ***TE5-Subminiatur-Sicherungen*** und je 20 der ***TE5-Sicherungshalter*** **(WK0009-ND)**. **67.69**

WICKMANN

TR5-Subminiatur-Sicherungen – IEC 60127-3

Zulassungen:

• **Serie 370:** SEMKO-Zulassung, cULus-Anerkennung, CCC-Zulassung (0,050 A - 6,30 A), VDE-Zulassung (0,050 A - 5 A) Expertenbericht (6,30 A), METI-Zulassung (1 A - 4 A) anhängig (5 A)

• **Serie 372:** SEMKO-Zulassung, cULus-Anerkennung, CCC-Zulassung (0,050 A - 6,30 A), VDE-Zulassung (0,050 A - 4 A) Expertenbericht (5 A, 6,30 A), METI-Zulassung (1 A - 4 A)

• **Serie 382:** SEMKO-Zulassung, cULus-Anerkennung, CCC-Zulassung (1 A - 6,30 A), VDE-Zulassung (1A - 4 A) Expertenbericht (5 A, 6,30 A), METI-Zulassung (1 A - 5 A)

Material:

• Sockel und Kappe: Braunes Thermoplast (Polyamid PA 6,6), UL94V-0
• Runde Pins: Kupferlegierung, verzinnt

Merkmale:

• Flink und träge • Lötwärmebeständigkeit: 260 °C, 10 s (IEC 60068-2-20)
• Steckbare Halter erhältlich

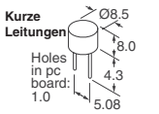

Elektrische Eigenschaften:

Vorlichtbogen-Nennleistung				
150%	**210%**	**275%**	**400%**	**1000%**
Serie 370 — 50 mA - 6,30 A				
>1 Std.	<30 min.	10 ms -3 Sek.	3-300ms	<20 ms
Serie 372 — 50 mA - 6,30 A				
>1 Std.	<2 Min.	400 ms-10 Sek.	150 ms-3 Sek.	20-150 ms
Series 382 — 1,00 A - 6,30 A				
>1 Std.	<2 Min.	400 ms-10 Sek.	150 ms-3 Sek.	20-150 ms

Schaltvermögen: Serie 370 und 372 Serie: 35 A bei 250 V AC für (0,050 - 3,15 A), 40 A für (4 A), 50 A für (5 A, 6,30 A) **Serie 382:** 100 A bei 250 V AC (1 - 6,30 A)

A-Leistg.	Spann. Lstg	Digi-Key Teilenr.	Mengenpreis pro Stück 1	10	100
Serie 370, flink (IEC 60127-3/III)					
.050	250	WK4922BK-ND	2.71	2.50	1.88
.063	250	WK4925BK-ND	2.71	2.50	1.88
.080	250	WK4926BK-ND	2.71	2.50	1.88
.100	250	WK4927BK-ND	.57	.53	.40
.125	250	WK4928BK-ND	.57	.53	.40
.160	250	WK4930BK-ND	.57	.53	.40
.200	250	WK4934BK-ND	.57	.53	.40
.250	250	WK4935BK-ND•	.57	.53	.40
.315	250	WK4937BK-ND	.57	.53	.40
.400	250	WK4940BK-ND	.57	.53	.40
.500	250	WK4941BK-ND	.57	.53	.40
.630	250	WK4943BK-ND	.57	.53	.40
.800	250	WK4946BK-ND	.57	.53	.40
1.00	250	WK4948BK-ND•	.57	.53	.40
1.25	250	WK4950BK-ND•	.57	.53	.40
1.60	250	WK4953BK-ND•	.57	.53	.40
2.00	250	WK4957BK-ND•	.57	.53	.40
2.50	250	WK4958BK-ND	.57	.53	.40
3.15	250	WK4924BK-ND	.57	.53	.40
4.00	250	WK4962BK-ND	.57	.53	.40
5.00	250	WK4963BK-ND	.57	.53	.40
6.30	250	WK4964BK-ND†	.57	.53	.40
Serie 372, träge (IEC 60127-3/IV)					
.050	250	WK4222BK-ND	.76	.71	.53
.063	250	WK4225BK-ND	.76	.71	.53
.080	250	WK4226BK-ND	.62	.57	.43
.100	250	WK4227BK-ND	.62	.57	.43
.125	250	WK4228BK-ND	.62	.57	.43
.160	250	WK4230BK-ND•	.62	.57	.43
.200	250	WK4234BK-ND•	.62	.57	.43
.250	250	WK4235BK-ND	.62	.57	.43
.315	250	WK4237BK-ND•	.54	.50	.38
.400	250	WK4240BK-ND	.54	.50	.38
.500	250	WK4241BK-ND•	.54	.50	.38
.630	250	WK4243BK-ND•	.54	.50	.38
.800	250	WK4246BK-ND•	.54	.50	.38
1.00	250	WK4248BK-ND•	.54	.50	.38
1.25	250	WK4250BK-ND	.54	.50	.38
1.60	250	WK4253BK-ND•	.54	.50	.38
2.00	250	WK4257BK-ND•	.54	.50	.38
2.50	250	WK4258BK-ND•	.54	.50	.38
3.15	250	WK4224BK-ND•	.54	.50	.38
4.00	250	WK4262BK-ND•	.54	.50	.38
5.00	250	WK4263BK-ND	.54	.50	.38
6.30	250	WK4264BK-ND†	.54	.50	.38
Serie 382, hohe Schaltleistung, träge (IEC 60127-3/IV)					
1.00	250	WK6207BK-ND	.64	.60	.45
2.00	250	WK6208BK-ND	.64	.60	.45
2.50	250	WK6209BK-ND	.64	.60	.45
3.15	250	WK6210BK-ND	.64	.60	.45
4.00	250	WK6211BK-ND	.64	.60	.45
5.00	250	WK6212BK-ND	.64	.60	.45
6.30	250	WK6213BK-ND†	.64	.60	.45

† Min. Leitpfad: 2 mm

• **WK0113-KIT-ND *Digi-Key® Subminiatur-Sicherungskit TR5, IEC 60127-3*** Je 10 der angegebenen ***TR5-Subminiatur-Sicherungen*** und je 15 der ***TR5-Sicherungshalter*** **(WK0001-ND)**.....**63.45**

TR5-Subminiatur-Sicherungen – UL 248-14

Zulassungen: Serie 373 und 374: UL-Auflistung, CSA-Zertifizierung (0,050 A - 10 A)

Material: • Sockel und Kappe: Braunes Thermoplast UL94-V0, isoliert • Runde Pins: Kupferlegierung, verzinnt

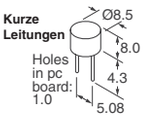

Merkmale: • Flink und träge • Lötwärmebeständigkeit: 260 °C, 10 Sek, IEC-60068-2-20 • Steckbare Halter erhältlich

Elektrische Eigenschaften:

Serie	Nennstrom	Vorlichtbogen-Nennleistung 100%	200%
373	**50mA-10.A**	4 Std. min.	5 Sek. max.
374	**50mA-10.00A**	4 Std. min.	60 Sek. max.

A-Leistg.	Spann. Lstg	Digi-Key Teilenr.	Mengenpreis pro Stück 1	10	100
Serie 373, flink					
.050	250	WK3022BK-ND	3.23	2.98	2.24
.063	250	WK3025BK-ND	3.23	2.98	2.24
.080	250	WK3026BK-ND	3.23	2.98	2.24
.100	250	WK3027BK-ND	.71	.66	.50
.125	250	WK3028BK-ND	.71	.66	.50
.160	250	WK3030BK-ND	.71	.66	.50
.200	250	WK3034BK-ND	.71	.66	.50
.250	250	WK3035BK-ND•	.71	.66	.50
.315	250	WK3037BK-ND	.71	.66	.50
.400	250	WK3040BK-ND	.71	.66	.50
.500	250	WK3041BK-ND•	.71	.66	.50
.630	250	WK3043BK-ND	.71	.66	.50
.800	250	WK3046BK-ND	.71	.66	.50
1.00	250	WK3048BK-ND•	.71	.66	.50
1.25	250	WK3050BK-ND•	.71	.66	.50
1.60	250	WK3053BK-ND	.71	.66	.50
2.00	250	WK3057BK-ND•	.71	.66	.50
2.50	250	WK3058BK-ND•	.71	.66	.50
3.15	250	WK3024BK-ND	.71	.66	.50
4.00	250	WK3062BK-ND•	.71	.66	.50
5.00	250	WK3063BK-ND	.71	.66	.50
6.30	250	WK3066BK-ND•	.71	.66	.50
10.00	250	WK3071BK-ND	.71	.66	.50
Serie 374, träge					
.050	250	WK4022BK-ND	1.11	1.03	.77
.063	250	WK4025BK-ND	1.11	1.03	.77
.080	250	WK4026BK-ND	1.03	.95	.72
.100	250	WK4027BK-ND	1.03	.95	.72
.125	250	WK4028BK-ND	.87	.81	.61
.160	250	WK4030BK-ND	.87	.81	.61
.200	250	WK4034BK-ND•	.87	.81	.61
.250	250	WK4035BK-ND	.80	.74	.55
.315	250	WK4037BK-ND	.80	.74	.55
.400	250	WK4040BK-ND	.71	.66	.50
.500	250	WK4041BK-ND•	.71	.66	.50
.630	250	WK4043BK-ND	.71	.66	.50
.800	250	WK4046BK-ND•	.71	.66	.50
1.00	250	WK4048BK-ND•	.71	.66	.50
1.25	250	WK4050BK-ND	.71	.66	.50
1.60	250	WK4053BK-ND•	.71	.66	.50
2.00	250	WK4057BK-ND•	.71	.66	.50
2.50	250	WK4058BK-ND	.71	.66	.50
3.15	250	WK4024BK-ND•	.71	.66	.50
4.00	250	WK4062BK-ND•	.71	.66	.50
5.00	250	WK4063BK-ND•	.71	.66	.50
6.30	250	WK4066BK-ND	.71	.66	.50
10.00	250	WK4071BK-ND	.80	.74	.55

• **WK0116-KIT-ND *Digi-Key® Subminiatur-Sicherungskit, TR5, UL-248-14*** Je 10 ***der angegebenen TR5-Subminiatur-Sicherungen*** und je 15 ***der TR5-Sicherungshalter*** **(WK0001-ND)**.....**67.69**

TR5-/TE5 SMT-Sicherungshalter

Material:
• Schwarzes Thermoplast UL94-V0
• Anschlussklemmen: Messing, verzinnt
• UL-anerkannt

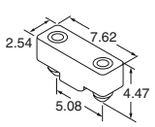

A-Leistg.	Spann. Lstg	Digi-Key Teilenr.	Gurtabschnitts-preis pro Stück 1	10	T & R Pricing* § 1.500
6.3	250	WK0010CT-ND	1.17	1.08	624.46/M

* Für „Gegurtet auf Rolle" die Teilenummer CT-ND in TR-ND ändern.
§ Preisangabe für gegurtet auf Rolle*

TR5-Sicherungshalter

Material: • Schwarzes Thermoplast, UL94-V0
• Anschlussklemmen: Messing, verzinnt
Nennwerte: 250 V; 6,3 A

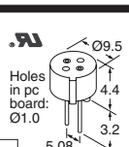

WK0001-ND.....**63/1; 5.89/10; 44.19/100**

UL-/ CSA-Sicherungen, metrisch (5 x 20 mm) — UL 248-14

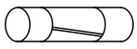

Serie 191 und 197 – Glas

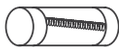

Serie 198 – Glas

Entspricht:

Wickmann	Littelfuse	Bussmann
Serie 191	235	GMA
Serie 197	233	GMC
Serie 198	239	GMD

Zulassungen:

Serie 191:
UL-, cUL-Zulassung, 0,250 A - 7,00 A.
Serie 197:
UL-, cUL-Zulassung, 1,00 A - 7,00 A.
Serie 198:
UL-Zulassung, CSA-Zertifizierung, 0,250 A - 3,50 A

Elektrische Eigenschaften:

Serie	Nennstrom	Vorlichtbogen-Nennleistung 135%	200%
191	**.250A - 7.00A**	**<1 Std.**	**<5 Sek.**
197	**1.00A - 7.00A**	**<1 Std.**	**<120 Sek.**
198	**.250A - 3.00A**	**<1 Std.**	**5-120 Sek.**
	3.50A	**<1 Std.**	**12-120 Sek.**

Schaltvermögen:

Serie 191:
35 A bei 250 V AC (0,250 A-1,00 A); 100 A bei 250 V AC (1,25 A-3,50 A); 10.000 A bei 125 V AC (0,250 A-7,00 A)
Serie 197:
35 A bei 250 V AC (0,250 A-1,00 A); 100 A bei 250 V AC (1,25 A-3,50 A); 10.000 A bei 125 V AC (0,250 A-7,00 A)
Serie 198:
35 A bei 250 V AC (0,250 A-1,00 A); 100 A bei 250 V AC (1,25 A-3,50 A); 10.000 A bei 125 V AC (0,250 A-3,50 A)

A-Nenn-leistung	Spann. Lstg	Digi-Key Teilenr.	Stückpreis 1	10	100
Serie 191, flink					
.250	250	WK4701-ND	—	.23	.18
.300	250	WK4702-ND	—	.18	.14
.350	250	WK4703-ND	—	.18	.14
.400	250	WK4704-ND	—	.18	.14
.500	250	WK4705-ND	—	.16	.12
.600	250	WK4706-ND	—	.16	.12
.700	250	WK4707-ND	—	.16	.12
.800	250	WK4708-ND	—	.13	.10
1.00	250	WK4709-ND	—	.13	.10
1.25	250	WK4710-ND	—	.13	.10
1.60	250	WK4711-ND	—	.13	.10
2.00	250	WK4712-ND	—	.13	.10
2.50	250	WK4713-ND	—	.16	.12
3.00	250	WK4714-ND	—	.18	.14
3.50	250	WK4715-ND	—	.13	.10
4.00	125	WK4716-ND	—	.18	.14
5.00	125	WK4717-ND	—	.13	.10
6.00	125	WK4718-ND	—	.18	.14
7.00	125	WK4719-ND	—	.13	.10
Serie 197, mittelträge					
1.00	250	WK4748-ND	.25	.23	.18
1.25	250	WK4750-ND	.25	.23	.18
1.60	250	WK4753-ND	.25	.23	.18
2.00	250	WK4757-ND	.25	.23	.18
2.50	250	WK4758-ND	.25	.23	.18
3.00	250	WK4760-ND	.25	.23	.18
3.50	250	WK4723-ND	.25	.23	.18
4.00	125	WK4762-ND	.25	.23	.18
5.00	125	WK4763-ND	.25	.23	.18
6.00	125	WK4764-ND	.25	.23	.18
7.00	125	WK4767-ND	.25	.23	.18
Serie 198, träge					
.250	250	WK4835-ND	.36	.33	.25
.300	250	WK4836-ND	.28	.26	.20
.400	250	WK4840-ND	.25	.23	.18
.500	250	WK4841-ND	.30	.28	.21
.600	250	WK4842-ND	.30	.28	.21
.700	250	WK4844-ND	.30	.28	.21
.800	250	WK4846-ND	.30	.28	.21
1.00	250	WK4848-ND	.30	.28	.21
1.25	250	WK4850-ND	.30	.28	.21
1.60	250	WK4853-ND	.33	.31	.23
2.00	250	WK4857-ND	.33	.31	.23
2.50	250	WK4858-ND	.33	.31	.23
3.00	250	WK4860-ND	.33	.31	.23
3.50	250	WK4823-ND	.36	.33	.25

G

WICKMANN

Sicherungen, IEC 60127-2 metrisch (5 x 20 mm)

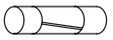

Serie 193 u. 195 – Glas

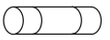

Serie 181 u. 194 – Keramik

Zulassungen:

Serie 193:

SEMKO-Zulassung, VDE-Zulassung, cULus-Anerkennung (0,050 A - 6,30 A), CCC-Zulassung (0,500 A - 6,30 A)

Serie 194:

SEMKO-Zulassung, VDE-Zulassung, (0,200 A - 6,30 A), cULus-Anerkennung (0,315 A - 16 A), CCC-Zulassung (1,00 A - 6,30 A)

Serie 181:

SEMKO-Zulassung, VDE-Zulassung, BSI-Zulassung, SEV-Zulassung, METI-Zulassung, CCC-Zulassung (1,00 A - 6,30 A), cULus-Anerkennung (0,125 A – 10 A)

Serie 195:

SEMKO-Zulassung, VDE-Zulassung, BSI-Zulassung, IMQ-Zulassung, CCC-Zulassung (0,032 A – 6,30 A), cULus-Anerkennung (0,032 A - 12,50 A), METI-Zulassung (1 A - 5 A)

Elektrische Eigenschaften:

Serie	Nennstrom	Vorlichtbogen-Nennleistung 150%	210%	275%	400%	1000%
193	0.050 .100A	>1 Std.	< 30 Min.	10-500 ms	3-100 ms	<20 ms
	.125 6.3A	>1 Std.	< 30 Min.	50 ms-2 Sek.	10-300 ms	<20 ms
194	0.200 3.15A	>1 Std.	< 30 Min.	10 ms-2 Sek.	3-300 ms	<20 ms
	4.0-6.3A	>30 Min.	< 30 Min.	10 ms-3 Sek.	3-300 ms	<20 ms
	8.0 10.0A	>30 Min.	>1 Std.	10 ms-3 Sek.	3-300 ms	<20 ms
181	1.00-3.15A	>1 Std.	< 30 Min.	1 - 80 Sek.	95 ms-5 Sek.	10-100 ms
	4.00-6.3A	>1 Std.	< 30 Min.	1 - 80 Sek.	150 ms-5 Sek.	20-100 ms
	8.00-10.0A	>1 Std.	< 30 Min.	—	60 ms-5 Sek.	10-100 ms
195	0.032 .100A	>1 Std.	< 2 Min.	200 ms-10 Sek.	40 ms-3 Sek.	10-300 ms
	.125-6.3A	>1 Std.	< 2 Min.	600 ms-10 Sek.	150 ms-3 Sek.	20-300 ms
	8.0 16.0A	>30 Min.	< 10 Min.	—	—	20-300 ms

Schaltvermögen:

Serie 193: 35 A bei 250 V AC für (0,050-3,15 A), 40 A für (4,0 A), 50 A für (5 A), 63 A für (6,3 A)

Serie 194: 1500 A bei 250 V AC

Serie 181: 1500 A bei 250 V AC (≤6,30 A), 1000 A bei 250 V AC (8-10 A)

Serie 195: 35 A bei 250 V AC für (0,032-3,15 A), 40 A für (4,0 A), 50 A für (5,0 A), 63 A für (6,3-16 A)

A-Leistg.	Spann. Lstg	Digi-Key Teilenr.	Stückpreis 1	10	100
		Serie 193, flink			
.050	250	WK1022-ND	.86	.80	.60
.063	250	WK1025-ND	.82	.76	.57
.080	250	WK1026-ND	.18	.17	.13
.100	250	WK1027-ND	.17	.16	.12
.125	250	WK1028-ND	.17	.16	.12
.160	250	WK1030-ND	.17	.16	.12
.200	250	WK1034-ND	.18	.17	.13
.250	250	WK1035-ND•	.17	.16	.12
.315	250	WK1037-ND	.17	.16	.12
.400	250	WK1040-ND	.17	.16	.12
.500	250	WK1041-ND•	.17	.16	.12
.630	250	WK1043-ND	.17	.16	.12
.800	250	WK1046-ND•	.17	.16	.12
1.00	250	WK1048-ND•	.16	.15	.12
1.25	250	WK1050-ND•	.17	.16	.12
1.60	250	WK1053-ND	.17	.16	.12
2.00	250	WK1057-ND•	.17	.16	.12
2.50	250	WK1058-ND•	.17	.16	.12
3.15	250	WK1124-ND	.18	.17	.13
4.00	250	WK1062-ND•	.18	.17	.13
5.00	250	WK1063-ND	.18	.17	.13
6.30	250	WK1066-ND•	.18	.17	.13
		Sehr flinke Sicherungen der Serie 194 mit hohem Schaltvermögen			
.200	250	WK2034-ND	.82	.76	.57
.250	250	WK2035-ND	.81	.75	.57
.315	250	WK2037-ND	.81	.76	.57
.400	250	WK2040-ND	.46	.43	.32
.500	250	WK2041-ND	.46	.43	.32
.630	250	WK2043-ND	.46	.43	.32
.800	250	WK2046-ND•	.46	.43	.32
1.00	250	WK2048-ND•	.46	.43	.32
1.25	250	WK2050-ND	.46	.43	.32
1.60	250	WK2053-ND•	.46	.43	.32
2.00	250	WK2057-ND•	.46	.43	.32
2.50	250	WK2058-ND	.46	.43	.32
3.15	250	WK2124-ND•	.48	.45	.34
4.00	250	WK2062-ND	.48	.45	.34
5.00	250	WK2063-ND•	.48	.45	.34
6.30	250	WK2066-ND•	.48	.45	.34
8.00	250	WK2069-ND	.51	.47	.36
10.00	250	WK2071-ND•	.51	.47	.36
		Träge, hohes Schaltvermögen Serie 181 (IEC 60127-2/SS5V)			
1.00	250	WK2248-ND†	.36	.33	.25
1.25	250	WK2250-ND	.32	.30	.23
1.60	250	WK2253-ND†	.32	.30	.23
2.00	250	WK2257-ND†	.32	.30	.23
2.50	250	WK2258-ND	.32	.30	.23
3.15	250	WK2224-ND†	.32	.30	.23
4.00	250	WK2262-ND	.32	.30	.23
5.00	250	WK2263-ND†	.32	.30	.23
6.30	250	WK2266-ND†	.32	.30	.23
8.00	250	WK6202-ND	.24	.22	.17
10.00	250	WK6203-ND†	.28	.26	.20
		Serie 195, träge			
.032	250	WK5019-ND	.84	.78	.59
.040	250	WK5021-ND	.84	.78	.59
.050	250	WK5022-ND	.84	.78	.59
.063	250	WK5025-ND	.70	.65	.49
.080	250	WK5026-ND	.71	.66	.50
.100	250	WK5027-ND	.61	.56	.42
.125	250	WK5028-ND	.56	.52	.39
.160	250	WK5030-ND	.56	.52	.39
.200	250	WK5034-ND	.46	.43	.32
.250	250	WK5035-ND†	.41	.38	.29
.315	250	WK5037-ND	.39	.37	.28
.400	250	WK5040-ND	.36	.34	.25
.500	250	WK5041-ND†	.36	.34	.25
.630	250	WK5043-ND	.36	.34	.25
.800	250	WK5046-ND	.35	.32	.24
1.00	250	WK5048-ND†	.35	.32	.24
1.25	250	WK5050-ND	.35	.32	.24
1.60	250	WK5053-ND	.35	.32	.24
2.00	250	WK5057-ND†	.27	.25	.19
2.50	250	WK5058-ND†	.27	.25	.19
3.15	250	WK5124-ND†	.27	.25	.19
4.00	250	WK5062-ND†	.29	.27	.20
5.00	250	WK5063-ND	.29	.27	.20
6.30	250	WK5066-ND†	.29	.27	.20
8.00	250	WK5069-ND	.29	.27	.20
10.00	250	WK5071-ND†	.33	.31	.23
12.50	250	WK5126-ND†	.33	.31	.23
16.00	250	WK5074-ND	.40	.37	.28
		Leiterplattenmontage (5x20 mm)			
—	—	WK0011-ND	.30	.28	.21

• **WK0119-KIT-ND *Digi-Key® Metrisches Sicherungskit IEC 60127-2.*** Je 10 ***der Serie 193 und 194 und*** je 5 ***der erschütterungssicheren leiterplattenmontierten Sicherungshalter*** **(WK0011-ND)**.....**50.75**

† **WK0120-KIT-ND *Digi-Key® Metrisches Sicherungskit IEC 60127-2.*** Je 10 ***der Serie 181 und 195 und*** je 5 ***der erschütterungssicheren leiterplattenmontierten Sicherungshalter*** **(WK0011-ND)**.....**50.75**

5 x 20 mm Inline-Sicherungshalter

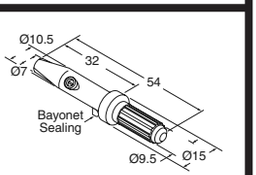

Anschlussklemmen:

- Lötbar/schraubbar
- Nimmt 14-20 AWG-Draht auf

Nenngrößen:

250 V; 6,3 A

WK0012-ND.....**1.49/1; 13.77/10; 103.24/100**

Erschütterungssichere Sicherungshalter

Erschütterungssichere Sicherungshalter für Sicherungen 1/4 x 1-1/4" (3AG) oder 5 x 20 mm, konstruiert gemäß UL 512 und IEC EN 60127-6 und CSA C22.2 No. 39. Verwendbar bis zu einer Nennleistung von 250 Volt. (VDE, SEMKO); Abb. 1, 2, 3, 4, 6 bei 6,3 Amp; Abb. 5 bei 10 Amp. Gehäuse aus schwarzem Thermoplast mit UL-94-V0-Nennleistung. Spritzgegossene Anschlussklemmen verhindern Verbindungsunterbrechungen.

Die Leiterplattenmontageversionen sind mit zusätzlichen Pins zur verbesserten Stabilität gegen Verdrehungen während des Ausbauens von Sicherungen ausgestattet. Plattenmontageversionen haben eine Kombination aus 3/16" Schnellanschluss- und lötbaren Fahnen.

• Bestellnummer enthält Halter und Träger.

Leiterplattenmontage (Abb. 7): Keine Zulassungen. Körpermaterial: Weißes Thermoplast, UL94-V0-Nennleistung; Nennstrom: 6,3 A

Vertikale Leiterplattenmontage

Abb. 1 - (3AG)

Abb. 2 - (5 mm x 20 mm)

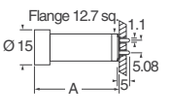

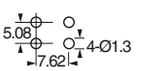

Leiterplattenlayout

Horizontale Leiterplattenmontage

Abb. 3 - (3AG)

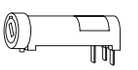

Abb. 4 - (5 mm x 20 mm)

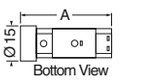

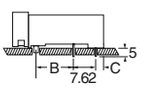

Leiterplattenlayout

Plattenmontage

Abb. 5 - (3AG)

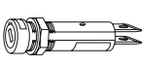

Abb. 6 - (5 mm x 20 mm)

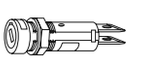

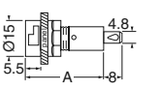

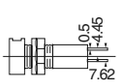

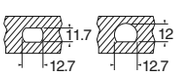

Plattenausschnitt (Alternativen)

Leiterplattenmontage

Abb. 7 - (5 mm x 20 mm)

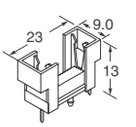

Abb.	Abmessung A	B	C	Digi-Key Teilenr.	Stückpreis 1	10	100
1	46.3	—	—	WK0004-ND	2.67	2.47	1.85
2	32.6	—	—	WK0007-ND	2.12	1.96	1.47
3	45.7	27.94	1.9	WK0003-ND	3.17	2.93	2.20
4	32	12.7	1.8	WK0006-ND	2.04	1.88	1.41
5	45.7	—	—	WK0002-ND	2.67	2.47	1.85
6	32	—	—	WK0005-ND	1.87	1.73	1.30
7	—	—	—	WK0011-ND	.30	.28	.21

G

Alle Preisangaben in Euro und inklusive Zollgebühren.

Gekapselte Thermoschalter

Verkapselte Thermoschalter eignen sich ideal zum Abtasten der Temperatur einer Oberfläche oder stagnierender Luft in einem Gehäuse. Mit PC-Pins oder flexiblen Drahtanschlüssen für Ferninstallation erhältlich. Ihr hoher Wärmewiderstand und ihre hohe dielektrische Stärke sind ideal zum Schutz von in Kühlkörpern montierten Halbleitern. Andere Anwendungen schützen Stromversorgungen oder schalten bei einer bestimmten Temperatur einfach einen Lüfter ein.

Stromempfindlichkeit: Thermoschalter sind bei Nennströmen nicht stromempfindlich. Bei Lasten über den Nennwerten, bis zur Maximallast, kommt es zur Eigenerwärmung der stromführenden Kontakte

Isolierungswiderstand: 2.500 V @ 25 °C, Anschlüsse an Erde 1.500 V @ 100 °C. Über offene Kontakte, je nach Reaktionstemperatur: 500 V eff. AC

Markierung: Reaktionstemperatur in transparentem Text (5 °C Stufen). Ruhekontakt = blau oder schwarz (Epoxid); Arbeitskontakt = rot (Epoxid)

UL E46827 CSA LR28044-10 VDE 4523-4510-0702/329CU

Mit Anschlüssen Abm., Zoll (mm)

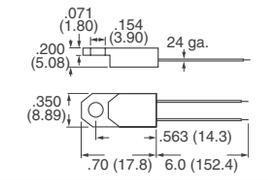

Leiterplatten-Pins

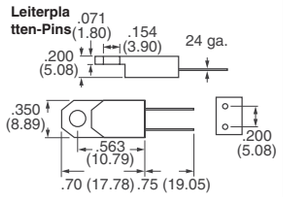

Elektrische Daten:

Typ	Ruhekontakt	Arbeitskontakt
Nennspannung 50-60 Hz	120 V / 250 V	120 V / 250 V
Stromstärke, resistiv	3.0 A / 2.0 A	1 A / 1 A*
Stromstärke, induktiv	1.8 A / 1.2 A	1 A / 1 A
Max. Lastresistiv	4.0 A	4.0 A
Kurzschlussstrom bis zu	6.3 A	6.3 A
Kontaktanordnung Ruhekontakt Arbeitskontakt	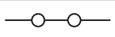	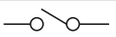
Kontaktwiderstand	< 40 mΩ	< 40 mΩ
Reaktionstemperaturbereich	+70°C ~ +160° C	+70°C ~ +150°C
Toleranzbereich	±5°C	±5°C
Max. permanente Temperatur des Gehäuses - G410	220°C	220°C
Gehäusematerial - G410	PPS	PPS
Wärmeleitfähigkeit	4.0 BTU - in. / hr. / ft² / °F	

* Wenn Arbeitskontakte geschlossen sind, tritt bei Strömen über dem Nennwert Eigenerwärmung auf. Bei bestimmten Kombinationen von eingestellten Stromtemperaturen und Umgebungstemperaturen kann es sein, dass sich die Kontakte nicht rückstellen.

Thermoschalter mit Anschlüssen

Schalttemp. (°C)	Digi-Key Teilenr.	Stückpreis 1	10	50	100	Cantherm Teilenr.
Ruhekontakt						
70	317-1000-ND	5.28	4.63	3.90	2.68	F1107025ACFA06E
75	317-1001-ND	5.28	4.63	3.90	2.68	F1107525ACFA06E
80	317-1002-ND	5.28	4.63	3.90	2.68	F1108025ACFA06E
85	317-1003-ND	5.28	4.63	3.90	2.68	F1108525ACFA06E
90	317-1004-ND	5.28	4.63	3.90	2.68	F1109025ACFA06E
95	317-1005-ND	5.28	4.63	3.90	2.68	F1109525ACFA06E
100	317-1006-ND	5.28	4.63	3.90	2.68	F1110025ACFA06E
105	317-1007-ND	5.28	4.63	3.90	2.68	F1110525ACFA06E
110	317-1008-ND	5.28	4.63	3.90	2.68	F1111025ACFA06E
115	317-1009-ND	5.28	4.63	3.90	2.68	F1111525ACFA06E
120	317-1010-ND	5.28	4.63	3.90	2.68	F1112025ACFA06E
125	317-1011-ND	5.28	4.63	3.90	2.68	F1112525ACFA06E
130	317-1012-ND	5.28	4.63	3.90	2.68	F1113025ACFA06E
135	317-1013-ND	5.28	4.63	3.90	2.68	F1113525ACFA06E
140	317-1014-ND	5.28	4.63	3.90	2.68	F1114025ACFA06E
145	317-1015-ND	5.28	4.63	3.90	2.68	F1114525ACFA06E
150	317-1016-ND	5.28	4.63	3.90	2.68	F1115025ACFA06E
155	317-1017-ND	5.28	4.63	3.90	2.68	F1115525ACFA06E
160	317-1018-ND	5.28	4.63	3.90	2.68	F1116025ACFA06E
Arbeitskontakt						
70	317-1019-ND	6.87	6.02	5.07	3.48	F1107015ACFA06E
75	317-1020-ND	6.87	6.02	5.07	3.48	F1107515ACFA06E
80	317-1021-ND	6.87	6.02	5.07	3.48	F1108015ACFA06E
85	317-1022-ND	6.87	6.02	5.07	3.48	F1108515ACFA06E
90	317-1023-ND	6.87	6.02	5.07	3.48	F1109015ACFA06E
95	317-1024-ND	6.87	6.02	5.07	3.48	F1109515ACFA06E
100	317-1025-ND	6.87	6.02	5.07	3.48	F1110015ACFA06E
105	317-1026-ND	6.87	6.02	5.07	3.48	F1110515ACFA06E
110	317-1027-ND	6.87	6.02	5.07	3.48	F1111015ACFA06E
115	317-1028-ND	6.87	6.02	5.07	3.48	F1111515ACFA06E
120	317-1029-ND	6.87	6.02	5.07	3.48	F1112015ACFA06E
125	317-1030-ND	6.87	6.02	5.07	3.48	F1112515ACFA06E
130	317-1031-ND	6.87	6.02	5.07	3.48	F1113015ACFA06E
135	317-1032-ND	6.87	6.02	5.07	3.48	F1113515ACFA06E
140	317-1033-ND	6.87	6.02	5.07	3.48	F1114015ACFA06E
145	317-1034-ND	6.87	6.02	5.07	3.48	F1114515ACFA06E
150	317-1035-ND	6.87	6.02	5.07	3.48	F1115015ACFA06E

Thermoschalter mit PC-Pins

Schalttemp. (°C)	Digi-Key Teilenr.	Stückpreis 1	10	50	100	Cantherm Teilenr.
Ruhekontakt						
70	317-1038-ND	5.28	4.63	3.90	2.68	F11070251ZA0060
75	317-1039-ND	5.28	4.63	3.90	2.68	F11075251ZA0060
80	317-1040-ND	5.28	4.63	3.90	2.68	F11080251ZA0060
85	317-1041-ND	5.28	4.63	3.90	2.68	F11085251ZA0060
90	317-1042-ND	5.28	4.63	3.90	2.68	F11090251ZA0060
95	317-1043-ND	5.28	4.63	3.90	2.68	F11095251ZA0060
100	317-1044-ND	5.28	4.63	3.90	2.68	F11100251ZA0060
105	317-1045-ND	5.28	4.63	3.90	2.68	F11105251ZA0060
110	317-1046-ND	5.28	4.63	3.90	2.68	F11110251ZA0060
115	317-1047-ND	5.28	4.63	3.90	2.68	F11115251ZA0060
120	317-1048-ND	5.28	4.63	3.90	2.68	F11120251ZA0060
125	317-1049-ND	5.28	4.63	3.90	2.68	F11125251ZA0060
130	317-1050-ND	5.28	4.63	3.90	2.68	F11130251ZA0060
135	317-1051-ND	5.28	4.63	3.90	2.68	F11135251ZA0060
140	317-1052-ND	5.28	4.63	3.90	2.68	F11140251ZA0060
145	317-1053-ND	5.28	4.63	3.90	2.68	F11145251ZA0060
150	317-1054-ND	5.28	4.63	3.90	2.68	F11150251ZA0060
155	317-1055-ND	5.28	4.63	3.90	2.68	F11155251ZA0060
160	317-1056-ND	5.28	4.63	3.90	2.68	F11160251ZA0060
Arbeitskontakt						
70	317-1057-ND	6.87	6.02	5.07	3.48	F11070151ZA0060
75	317-1058-ND	6.87	6.02	5.07	3.48	F11075151ZA0060
80	317-1059-ND	6.87	6.02	5.07	3.48	F11080151ZA0060
85	317-1060-ND	6.87	6.02	5.07	3.48	F11085151ZA0060
90	317-1061-ND	6.87	6.02	5.07	3.48	F11090151ZA0060
95	317-1062-ND	6.87	6.02	5.07	3.48	F11095151ZA0060
100	317-1063-ND	6.87	6.02	5.07	3.48	F11100151ZA0060
105	317-1064-ND	6.87	6.02	5.07	3.48	F11105151ZA0060
110	317-1065-ND	6.87	6.02	5.07	3.48	F11110151ZA0060
115	317-1066-ND	6.87	6.02	5.07	3.48	F11115151ZA0060
120	317-1067-ND	6.87	6.02	5.07	3.48	F11120151ZA0060
125	317-1068-ND	6.87	6.02	5.07	3.48	F11125151ZA0060
130	317-1069-ND	6.87	6.02	5.07	3.48	F11130151ZA0060
135	317-1070-ND	6.87	6.02	5.07	3.48	F11135151ZA0060
140	317-1071-ND	6.87	6.02	5.07	3.48	F11140151ZA0060
145	317-1072-ND	6.87	6.02	5.07	3.48	F11145151ZA0060
150	317-1073-ND	6.87	6.02	5.07	3.48	F11150151ZA0060
155	317-1074-ND	6.87	6.02	5.07	3.48	F11155151ZA0060
160	317-1075-ND	6.87	6.02	5.07	3.48	F11160151ZA0060

Ausschalter mit Bimetallelement, Temperaturregler/Temperaturbegrenzer

Die Thermoreaktion löst ein bimetallisches Schnappelement aus, das mit dem Schalterkontakt elektrisch verbunden ist. Das Schaltersystem ist nicht stromempfindlich. Thermoschalter sprechen nur auf externe Thermoeffekte an. Doppelkontakte stellen hohe Schaltleistung und lange Haltbarkeit sicher. Gehäuse, Basis und Montagehalterungen sind spannungsfrei (Standardversion: Basis und Montagehalterungen sind aus aluminiumplattiertem Stahl). Die Wärmeübertragung erfolgt direkt durch die Metallbasis mit Konvektion, Strahlung und Konduktion in gasartigen und festen Medien. Der Montageflansch schwebt und kann in jede gewünschte Position im Verhältnis zu den Elektroanschlüssen gedreht werden.

VORTEILE:
* Hoher Spulenwiderstand
* Hohe Empfindlichkeit
* Zahlreiche Anwendungen
* Verschiedene Gehäuse, Anschlüsse und Montageversionen

UL E48909 CSA LR85477-1 VDE 4523-4610-1008

Elektrische Daten:

Nennspannung 50-60 Hz	120 V / 250 V
Stromstärke, resistiv	15 A / 10.0 A
Stromstärke, induktiv	6.3 A
Max. Last, resistiv	20 A / 16 A
Kontaktwiderstand	< 50 mΩ
Nenntemperaturbereich	0° ~ +170° C
Toleranzbereich	±5°C
Maximale permanente Temperatur	175°C
Gehäusematerial	Duroplast
Gesamthöhe (mm)	9.5 (+0.2)
Kontakte: Ruhekontakte	Arbeitskontakt

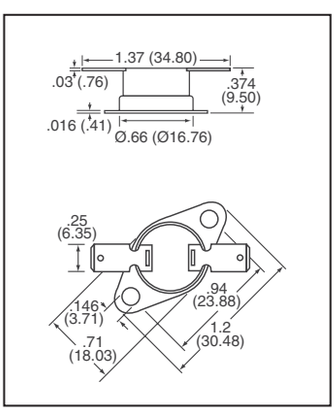

Schalt-temp. (°C)	Digi-Key Teilenr.	Stückpreis 1	10	50	100	Cantherm Teilenr.
Ruhekontakt						
15	317-1076-ND	7.11	6.23	5.17	3.41	R2001525
30	317-1077-ND	7.11	6.23	5.17	3.41	R2003025
35	317-1078-ND	7.11	6.23	5.17	3.41	R2003525
40	317-1079-ND	7.11	6.23	5.17	3.41	R2004025
45	317-1080-ND	7.11	6.23	5.17	3.41	R2004525
50	317-1081-ND	5.59	4.89	4.12	2.71	R2005025
60	317-1082-ND	5.59	4.89	4.12	2.71	R2006025
65	317-1083-ND	5.59	4.89	4.12	2.71	R2006525
70	317-1084-ND	5.59	4.89	4.12	2.71	R2007025
75	317-1085-ND	5.59	4.89	4.12	2.71	R2007525
80	317-1086-ND	5.59	4.89	4.12	2.71	R2008025
85	317-1087-ND	5.59	4.89	4.12	2.71	R2008525
90	317-1088-ND	5.59	4.89	4.12	2.71	R2009025
95	317-1089-ND	5.59	4.89	4.12	2.71	R2009525
100	317-1090-ND	5.59	4.89	4.12	2.71	R2010025
115	317-1091-ND	5.59	4.89	4.12	2.71	R2011525
Arbeitskontakt						
35	317-1092-ND	9.14	8.00	6.74	4.44	R2003515
40	317-1093-ND	9.14	8.00	6.74	4.44	R2004015
50	317-1094-ND	7.62	6.67	5.55	3.65	R2005015
60	317-1095-ND	7.62	6.67	5.55	3.65	R2006015
80	317-1096-ND	7.62	6.67	5.55	3.65	R2008015
100	317-1097-ND	7.62	6.67	5.55	3.65	R2010015

G

Carling Technologies™

Magnetische Schutzschalter

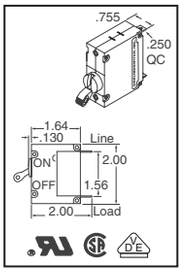

Die hydraulischen/magnetischen Schutzschalter der Serie A sind kompakt und temperaturstabil und wurden für Präzisionsvorgänge in OEM-Märkten entwickelt, wo sie für allgemeine Zwecke und Anwendungen mit hoher Ampere-Belastung eingesetzt werden können.
Spezifikationen: • 10.000 EIN-AUS-Schaltvorgänge @ 6 pro Minute; bei Nennstrom und -spannung. Alle Betätiger werden positiv in die AUS-Position gebracht, wenn eine Überlast den Schutzschalter auslöst. • Betriebstemperatur: -40 °C ~ 85 °C

Strom-Amp.	Digi-Key Teilenr.	Stückpreis 1	10	25	Carling Technologies Teilenr.
10	432-1000-ND	22.41	17.23	12.07	AA1-B0-34-610-3B1-C
15	432-1001-ND	22.41	17.23	12.07	AA1-B0-34-615-3B1-C
20	432-1002-ND	22.41	17.23	12.07	AA1-B0-34-620-3B1-C
10	432-1004-ND	25.73	19.79	13.86	AC1-B0-34-610-131-D
15	432-1005-ND	25.73	19.79	13.86	AC1-B0-34-615-131-D
20	432-1006-ND	25.73	19.79	13.86	AC1-B0-34-620-131-D
30	432-1007-ND	25.73	19.79	13.86	AC1-B0-34-630-131-D

Schutzschalter für den Weltmarkt

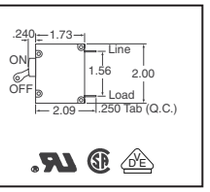

Die hydraulischen/magnetischen Schutzschalter der B-Serie sind kompakt und temperaturstabil und wurden für Präzisionsvorgänge in OEM-Märkten entwickelt, wo sie für allgemeine Zwecke und Anwendungen mit hoher Ampere-Belastung eingesetzt werden können.
Diese Schutzschalter wurden speziell für Anwendungen auf dem Weltmarkt entwickelt, in denen eine zusätzliche Isolierung und Halbschalenkonstruktionen mit Nut und Feder erforderlich ist.

Strom-Amp.	Digi-Key Teilenr.	Stückpreis 1	10	25	Carling Technologies Teilenr.
15	432-1009-ND	20.75	15.96	11.18	BA1-B0-34-615-121-D
20	432-1010-ND	20.75	15.96	11.18	BA1-B0-34-620-121-D
30	432-1011-ND	22.74	17.49	12.25	BA1-B0-34-630-221-D
10	432-1012-ND	32.60	28.53	24.45	BA2-B0-34-610-121-D
15	432-1013-ND	32.60	28.53	24.45	BA2-B0-34-615-121-D
20	432-1014-ND	32.60	28.53	24.45	BA2-B0-34-620-121-D
30	432-1015-ND	35.04	30.66	26.28	BA2-B0-34-630-221-D

Hochspannungs-Schutzschalter

Die hydraulischen/magnetischen Schutzschalter der Serie C wurden für Anwendungen entwickelt, die eine höhere Amperezahl und höhere Spannungen in einem kleineren Gehäuse erfordern. Die UL489-Schutzschalter der Serie C sind mit einem besonderen Lichtbogenkammerdesign ausgestattet, das zu höheren Nennschaltleistungen von bis zu 10.000 A führt.

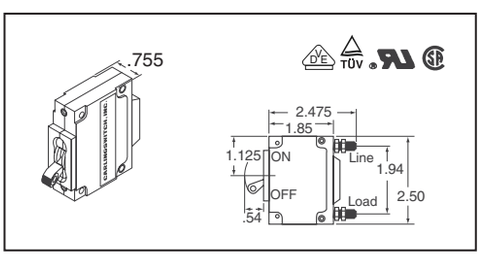

Strom-Amp.	Digi-Key Teilenr.	Stückpreis 1	10	25	Carling Technologies Teilenr.
10	432-1016-ND	25.95	19.96	13.98	CA1-B0-34-610-121-D
15	432-1017-ND	25.95	19.96	13.98	CA1-B0-34-615-121-D
20	432-1018-ND	25.95	19.96	13.98	CA1-B0-34-620-121-D
30	432-1019-ND	25.95	19.96	13.98	CA1-B0-34-630-121-D
10	432-1020-ND	43.77	38.30	32.83	CA2-B0-34-610-121-D
15	432-1021-ND	43.77	38.30	32.83	CA2-B0-34-615-121-D
20	432-1022-ND	43.77	38.30	32.83	CA2-B0-34-620-121-D

Hochstrom-Schutzschalter

Vorder- und Rückseitenmontage, Schraubanschlüsse oder hoch belastbare Drahtanschlüsse

Spezifikationen:

Max. Spannung: 600 V AC oder 125 V DC

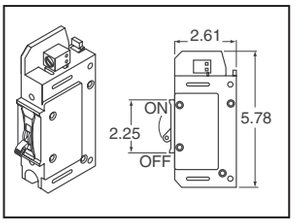

Strom-Amp.	Digi-Key Teilenr.	Stückpreis 1	10	25	Carling Technologies Teilenr.
100	432-1037-ND	35.64	27.42	19.20	EA1-B0-24-810-32C-DC

Wippschutzschalter

Die magnetischen Miniunterbrecher der M-Serie wurden für anspruchsvolle Anwendungen entwickelt, in denen Platzerfordernisse, ein ästhetisches Aussehen und eine Vorderplatten-Schnappmontage wichtig sind. Schleifkontaktdesign sorgt für langfristige Zuverlässigkeit. Schwarzer Körper mit schwarzem Betätiger und weißer Beschriftung. **Spezifikationen:** • Max. Spannung: 250 V AC oder 65 V DC • Betriebstemperatur: -40 °C ~ 85 °C

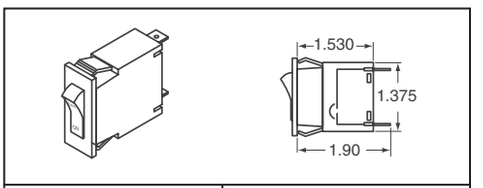

Gewinkelt

Flach

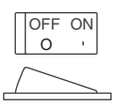

Strom-Amp.	Digi-Key Teilenr.	Stückpreis 1	10	25	Carling Technologies Teilenr.
Gewinkelter Betätiger					
10	432-1039-ND	19.79	15.22	10.66	MA1-B-34-610-1A26-B-C
15	432-1040-ND	19.79	15.22	10.66	MA1-B-34-615-1A26-B-C
20	432-1041-ND	19.79	15.22	10.66	MA1-B-34-620-1A26-B-C
Flacher Betätiger					
15	432-1045-ND	19.79	15.22	10.66	MB1-B-34-615-1A26-B-C

Plattenbefestigte Wipp-Schutzschalter

Nennspannung: 125-250 V AC, 50 V DC
Schaltleistung: 1.000 A
Isolationswiderstand: 100 MΩ

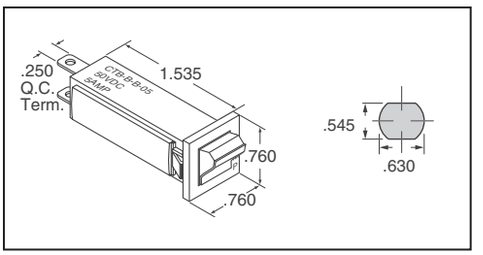

Strom-Amp.	Digi-Key Teilenr.	Stückpreis 1	10	25	Carling Technologies Teilenr.
3	432-1124-ND	2.18	1.68	1.18	CTB-B-B-03
4	432-1125-ND	2.18	1.68	1.18	CTB-B-B-04
5	432-1126-ND	2.18	1.68	1.18	CTB-B-B-05
7	432-1127-ND	2.18	1.68	1.18	CTB-B-B-07
8	432-1128-ND	2.18	1.68	1.18	CTB-B-B-08
9	432-1129-ND	2.18	1.68	1.18	CTB-B-B-09
10	432-1130-ND	2.18	1.68	1.18	CTB-B-B-10
12	432-1131-ND	2.18	1.68	1.18	CTB-B-B-12
15	432-1132-ND	2.18	1.68	1.18	CTB-B-B-15

Thermische Schutzschalter

Bei der Serie CMB und CLB handelt es sich um kompakte, einpolige thermische Schutzschalter des „Push-to-Reset"-Typs zum Schutz von Anlagen.

Spezifikationen: • Die Serie CLB wird mit einer „Push-to-Reset"-Scheibe geliefert • Durchschlagsfestigkeit: 1.500 V AC/1 Minute • Schaltleistung: 1.000 Amp. • Rückstellbare Überlastkapazität: 10-facher Nennstrom • Isolationswiderstand: 100 M Ω • Betriebstemperatur: -10 °C - 60 °C • Spannungsabfall: <0,25 V • Befestigungsmittel nur bei CLB inbegriffen

CLB - Metallbuchse
CMB - Kunststoffbuchse

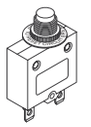

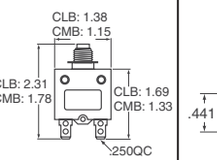

Montageöffnung

Strom-Amp.	Digi-Key Teilenr.	Stückpreis 1	10	25	Carling Technologies Teilenr.
3	432-1048-ND	2.40	2.11	1.81	CLB-033-11-B-3-A-B-A
5	432-1050-ND	2.40	2.11	1.81	CLB-053-11-B-3-A-B-A
10	432-1053-ND	1.49	1.31	1.12	CLB-103-11-B-3-A-B-A
15	432-1056-ND	1.71	1.50	1.29	CLB-153-11-B-3-A-B-A
20	432-1057-ND	1.86	1.63	1.40	CLB-203-11-B-3-A-B-A
25	432-1058-ND	1.86	1.63	1.40	CLB-253-11-B-3-A-B-A
30	432-1059-ND	1.86	1.63	1.40	CLB-303-11-B-3-A-B-A
35	432-1060-ND	2.32	2.03	1.74	CLB-353-11-B-3-A-B-A
40	432-1061-ND	2.32	2.03	1.74	CLB-403-11-B-3-A-B-A
4	432-1063-ND	2.32	2.03	1.74	CMB-043-11-C-3-N-B-A
5	432-1064-ND	2.32	2.03	1.74	CMB-053-11-C-3-N-B-A
7	432-1066-ND	1.68	1.47	1.26	CMB-073-11-C-3-N-B-A
10	432-1067-ND	1.34	1.18	1.01	CMB-103-11-C-3-N-B-A
12	432-1068-ND	1.34	1.18	1.01	CMB-123-11-C-3-N-B-A
15	432-1071-ND	1.19	1.05	.89	CMB-153-11-C-3-N-B-A
Montagemutter für CMB-Serie					
—	432-1123-ND	.14	.11	.08	8T1-E-113

AMERICAN ELECTRICAL INC.

Schutzschalter für die DIN-Schienenmontage

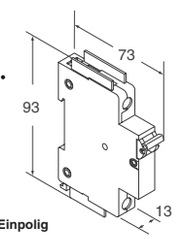

Einpolig

Merkmale: • UL 1077-Zulassung • Auf DIN-Schiene montiert • Kompakte Breite (13 mm) • Hydraulisch-magnetische Technologie

Technische Daten: • Höchstspannung: 277/480 V, 50/60 Hz • Unterbechungskapazität: 5.000 A @ 120 V; 1.000 A @ 277 V; 1.000 A @ 480 V • Durchschlagsfestigkeit: 1.960 V 50/60 Hz • Isolationswiderstand: 100 MegaΩ • Betriebstemperaturbereich: -40 °C ~ 60 °C

Strom (Amp.)	Anz. der Pole	Digi-Key Teilenr.	Stückpreis 1	10	50	100	American Electrical Teilenr.
1	1	288-1204-ND	12.70	11.43	10.16	8.89	C1A1P
2	1	288-1205-ND	12.70	11.43	10.16	8.89	C2A1P
5	1	288-1206-ND	12.70	11.43	10.16	8.89	C5A1P
10	1	288-1207-ND	12.70	11.43	10.16	8.89	C10A1P
15	1	288-1208-ND	12.70	11.43	10.16	8.89	C15A1P
20	1	288-1209-ND	12.70	11.43	10.16	8.89	C20A1P
25	1	288-1210-ND	12.70	11.43	10.16	8.89	C25A1P
30	1	288-1211-ND	12.70	11.43	10.16	8.89	C30A1P
40	1	288-1212-ND	12.70	11.43	10.16	8.89	C40A1P
50	1	288-1213-ND	12.70	11.43	10.16	8.89	C50A1P
1	2	288-1214-ND	25.40	22.86	20.32	17.78	C1A2P
2	2	288-1215-ND	25.40	22.86	20.32	17.78	C2A2P
5	2	288-1216-ND	25.40	22.86	20.32	17.78	C5A2P
10	2	288-1217-ND	25.40	22.86	20.32	17.78	C10A2P
15	2	288-1218-ND	25.40	22.86	20.32	17.78	C15A2P
20	2	288-1219-ND	25.40	22.86	20.32	17.78	C20A2P
25	2	288-1220-ND	25.40	22.86	20.32	17.78	C25A2P
30	2	288-1221-ND	25.40	22.86	20.32	17.78	C30A2P
40	2	288-1222-ND	25.40	22.86	20.32	17.78	C40A2P
50	2	288-1223-ND	25.40	22.86	20.32	17.78	C50A2P
1	3	288-1224-ND	38.10	34.29	30.48	26.67	C1A3P
2	3	288-1225-ND	38.10	34.29	30.48	26.67	C2A3P
5	3	288-1226-ND	38.10	34.29	30.48	26.67	C5A3P
10	3	288-1227-ND	38.10	34.29	30.48	26.67	C10A3P
15	3	288-1228-ND	38.10	34.29	30.48	26.67	C15A3P
20	3	288-1229-ND	38.10	34.29	30.48	26.67	C20A3P
25	3	288-1230-ND	38.10	34.29	30.48	26.67	C25A3P
30	3	288-1231-ND	38.10	34.29	30.48	26.67	C30A3P
40	3	288-1232-ND	38.10	34.29	30.48	26.67	C40A3P
50	3	288-1233-ND	38.10	34.29	30.48	26.67	C50A3P

G

Alle Preisangaben in Euro und inklusive Zollgebühren.

E-T-A Circuit Protection & Control

E-T-A-Schutzschalter für Anlagen wurden als sicherheitskritische Produkte für den Schutz bei Geräteversagen entwickelt. Diese Schutzschalter müssen über die Lebensdauer der Anlage hinweg gelegentlich oder auch häufig ihre Funktion ausüben und können auch von unerfahrenem Personal problemlos zurückgesetzt werden.
Thermische Schutzschalter reagieren auf ähnliche Weise wie eine träge Sicherung. Alle thermischen Schutzschalter führen kontinuierlich 100 % des Nennstroms und lösen bei einer Belastung von 140 % des Nennwertes innerhalb von einer Stunde aus. Ihre Auswahl sollte sich nach 125 % Ihrer maximalen Stromanforderung richten. Magnetische Schutzschalter sind flinke Vorrichtungen, die auf Änderungen in der Umgebungstemperatur ausgesprochen tolerant und bei kleinen Überlasten empfindlich reagieren.

Kombination Wipp-/Schutzschalter

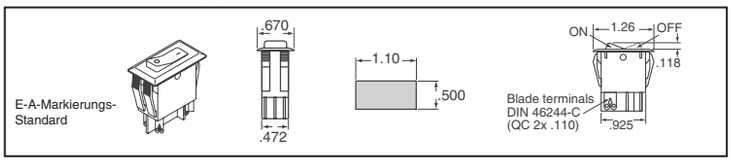

Einpoliger Wipp-/thermischer Schutzschalter in Miniaturausführung bietet eine Kombination aus EIN/AUS-Schaltung und extrem schneller Überlastleistung in einer einzigen Komponente. Durch das Rücksetzen des Wippschalters in die AUS- und anschließend wieder in die EIN-Position wird der Mechanismus zurückgesetzt und die Stromversorgung wiederhergestellt. Beleuchtete Versionen – Lampe, 120 V AC **Anwendungen:** Motoren, Transformatoren, Solenoide, Leiterplatten, Handformat-Geräte, Haushaltsgeräte, Instrumente. **Nennspannung:** AC 250 V; DC 50 bis zu 5 A UL/CSA **Typische Nutzungsdauer:** 30.000 Betriebszyklen **Umgebungstemperatur:** -40 °C ~ +70 °C **Isolierungsspannung:** 2,5 kV **Durchschlagsfestigkeit:** 3.000 V AC

Strom (Amp.)	Digi-Key Teilenr.	Stückpreis 1	10	25	E-T-A Teilenr.
SP, rot, nicht beleuchteter Betätiger					
1	302-1164-ND	13.04	12.33	11.86	1410-F110-P1F1-W14Q-1A
2	302-1165-ND	13.04	12.33	11.86	1410-F110-P1F1-W14Q-2A
3.15	302-1166-ND	13.04	12.33	11.86	1410-F110-P1F1-W14Q-3.15A
4	302-1167-ND	13.04	12.33	11.86	1410-F110-P1F1-W14Q-4A
5	302-1168-ND	13.04	12.33	11.86	1410-F110-P1F1-W14Q-5A
10	302-1169-ND	13.04	12.33	11.86	1410-F110-P1F1-W14Q-10A
SP, rot, beleuchteter Betätiger					
1	302-1170-ND	14.53	13.74	13.21	1410-F110-P1F1-W14QE3-1A
2	302-1171-ND	14.53	13.74	13.21	1410-F110-P1F1-W14QE3-2A
3.15	302-1172-ND	14.53	13.74	13.21	1410-F110-P1F1-W14QE3-3.15A
4	302-1173-ND	14.53	13.74	13.21	1410-F110-P1F1-W14QE3-4A
5	302-1174-ND	14.53	13.74	13.21	1410-F110-P1F1-W14QE3-5A
10	302-1175-ND	14.53	13.74	13.21	1410-F110-P1F1-W14QE3-10A

Kombination Wipp-/Schutzschalter

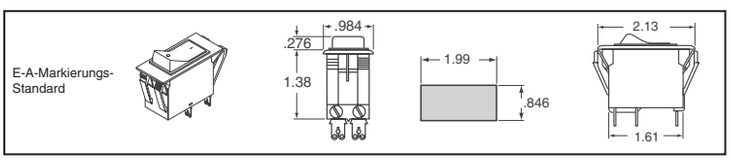

Ein extrem flexibles Angebot an Wipp-/thermischen Schutzschaltern, wahlweise einpolig oder doppelpolig mit einpoligem Schutz und doppelpolig mit Schutz für beide Pole. Für die Schnapp-Plattenmontage konzipiert. Magnetische Auslösespule für Kurzschlussschutz. **Anwendungen:** Motoren, Trafos, Solenoide, Verdrahtungssysteme mit extremer Niederspannung, Bürogeräte, medizinische Elektrogeräte, Netzteile, Kommunikationssysteme. **Nennspannung:** 240 V AC; 50 V DC **Typische Haltbarkeit:** 50.000 Betriebszyklen **Umgebungstemperatur:** -30 °C ~ +60 °C **Isolierungsspannung:** 2,5 kV **Durchschlagsfestigkeit:** 3.000 V AC

Strom (Amp.)	Digi-Key Teilenr.	Stückpreis 1	10	25	E-T-A Teilenr.
Einpolig, schwarzer Betätiger					
1	302-1176-ND	17.19	16.48	15.76	3120-F311-P7T1-W01D-1A
2	302-1177-ND	17.19	16.48	15.76	3120-F311-P7T1-W01D-2A
5	302-1178-ND	14.00	13.42	12.84	3120-F311-P7T1-W01D-5A
10	302-1179-ND	14.00	13.42	12.84	3120-F311-P7T1-W01D-10A
15	302-1180-ND	14.00	13.42	12.84	3120-F311-P7T1-W01D-15A
20	302-1181-ND	14.00	13.42	12.84	3120-F311-P7T1-W01D-20A
Einpolig, weißer Betätiger					
1	302-1182-ND	17.19	16.48	15.76	3120-F311-P7T1-W02D-1A
2	302-1183-ND	17.19	16.48	15.76	3120-F311-P7T1-W02D-2A
5	302-1184-ND	14.00	13.42	12.84	3120-F311-P7T1-W02D-5A
10	302-1185-ND	14.00	13.42	12.84	3120-F311-P7T1-W02D-10A
15	302-1186-ND	14.00	13.42	12.84	3120-F311-P7T1-W02D-15A
20	302-1187-ND	14.00	13.42	12.84	3120-F311-P7T1-W02D-20A
Doppelpolig, schwarzer Betätiger					
0.5	302-1188-ND	31.38	30.07	28.76	3120-F321-P7T1-W01D-.5A
1	302-1189-ND	31.38	30.07	28.76	3120-F321-P7T1-W01D-1A
1.5	302-1190-ND	31.38	30.07	28.76	3120-F321-P7T1-W01D-1.5A
2	302-1191-ND	31.38	30.07	28.76	3120-F321-P7T1-W01D-2A
3	302-1193-ND	27.18	26.06	24.93	3120-F321-P7T1-W01D-3A
4	302-1194-ND	27.18	26.06	24.93	3120-F321-P7T1-W01D-4A
5	302-1195-ND	27.18	26.06	24.93	3120-F321-P7T1-W01D-5A
6	302-1196-ND	27.18	26.06	24.93	3120-F321-P7T1-W01D-6A
7	302-1197-ND	27.18	26.06	24.93	3120-F321-P7T1-W01D-7A
8	302-1198-ND	27.18	26.06	24.93	3120-F321-P7T1-W01D-8A
10	302-1200-ND	27.18	26.06	24.93	3120-F321-P7T1-W01D-10A
12	302-1201-ND	27.18	26.06	24.93	3120-F321-P7T1-W01D-12A
14	302-1202-ND	27.18	26.06	24.93	3120-F321-P7T1-W01D-14A
15	302-1203-ND	27.18	26.06	24.93	3120-F321-P7T1-W01D-15A
16	302-1204-ND	27.18	26.06	24.93	3120-F321-P7T1-W01D-16A
18	302-1205-ND	27.18	26.06	24.93	3120-F321-P7T1-W01D-18A
20	302-1206-ND	27.18	26.06	24.93	3120-F321-P7T1-W01D-20A
Doppelpolig, weißer Betätiger					
0.5	302-1207-ND	31.38	30.07	28.76	3120-F321-P7T1-W02D-.5A
1	302-1208-ND	31.38	30.07	28.76	3120-F321-P7T1-W02D-1A
1.5	302-1209-ND	31.38	30.07	28.76	3120-F321-P7T1-W02D-1.5A
2	302-1210-ND	31.38	30.07	28.76	3120-F321-P7T1-W02D-2A
2.5	302-1211-ND	27.18	26.06	24.93	3120-F321-P7T1-W02D-2.5A
3	302-1212-ND	27.18	26.06	24.93	3120-F321-P7T1-W02D-3A
4	302-1213-ND	27.18	26.06	24.93	3120-F321-P7T1-W02D-4A
5	302-1214-ND	27.18	26.06	24.93	3120-F321-P7T1-W02D-5A
6	302-1215-ND	27.18	26.06	24.93	3120-F321-P7T1-W02D-6A
7	302-1216-ND	27.18	26.06	24.93	3120-F321-P7T1-W02D-7A
8	302-1217-ND	27.18	26.06	24.93	3120-F321-P7T1-W02D-8A
9	302-1218-ND	27.18	26.06	24.93	3120-F321-P7T1-W02D-9A
10	302-1219-ND	27.18	26.06	24.93	3120-F321-P7T1-W02D-10A
12	302-1220-ND	27.18	26.06	24.93	3120-F321-P7T1-W02D-12A
14	302-1221-ND	27.18	26.06	24.93	3120-F321-P7T1-W02D-14A
15	302-1222-ND	27.18	26.06	24.93	3120-F321-P7T1-W02D-15A
16	302-1223-ND	27.18	26.06	24.93	3120-F321-P7T1-W02D-16A
18	302-1224-ND	27.18	26.06	24.93	3120-F321-P7T1-W02D-18A
20	302-1225-ND	27.18	26.06	24.93	3120-F321-P7T1-W02D-20A

Thermische Schutzschalter für Automobil- und Bootsmotoren

Thermischer Schutzschalter mit kontrolliertem, selbst rückstellendem Mechanismus, besonders für die Installation an schwer zugänglichen Stellen geeignet. Unter Überlastbedingungen öffnen sich die Schutzschalterkontakte zum Schutz des belasteten Stromkreises. Ein Niederstrom-Erregungsstromkreis stellt sicher, dass die Kontakte offen bleiben. Dadurch wird die Gefahr des automatischen Rücksetzens vermieden.

Anwendungen: Verdrahtungssysteme und Bauteile mit extremer Niederspannung in Automobilen und Booten, batteriebetriebene Haushaltsgeräte. **Spannung:** 12 V DC **Typische Nutzungsdauer:** 300 Betriebszyklen **Umgebungstemperatur:** -30 °C ~ +60 °C **Haltestrom:** <0,6 A **Rückstellzeit bei 23 °C:** <35 Sek.

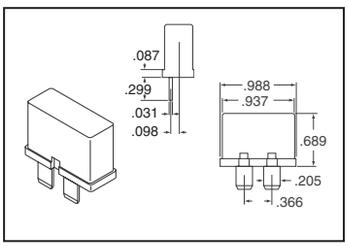

Strom (Amp.)	Digi-Key Teilenr.	Stückpreis 1	10	25	E-T-A Teilenr.
12	302-1229-ND	11.52	10.90	10.48	1160-02-12A
15	302-1230-ND	11.52	10.90	10.48	1160-02-15A
20	302-1231-ND	11.52	10.90	10.48	1160-02-20A
30	302-1232-ND	11.52	10.90	10.48	1160-02-30A

ATO-Automobil-Schutzschalter

Einpoliger thermischer Schutzschalter des „Push-to-Reset"-Typs in Miniaturausführung für die Installation von Sicherungsblöcken in Automobilanwendungen. **Anwendungen:** Verdrahtungssysteme mit extremer Niederspa-nnung bei allen Arten von Fahrzeugen und Booten. **Nennspannung:** 1610-92:DC 12 V, 1610-21:DC 32 V **Rückstellzeit:** ≤15 Sek. **Umgebungstemperatur:** -30 °C ~ +60 °C

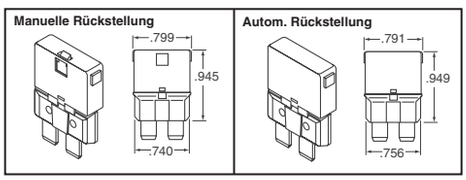

Strom (Amp.)	Digi-Key Teilenr.	Stückpreis 1	10	25	E-T-A Teilenr.
ATO-Schutzschalter zum manuellen Rückstellen					
6	302-1236-ND	13.55	12.82	12.32	1610-21-6A
8	302-1235-ND	13.55	12.82	12.32	1610-21-8A
10	302-1237-ND	13.55	12.82	12.32	1610-21-10A
15	302-1234-ND	13.55	12.82	12.32	1610-21-15A
20	302-1233-ND	13.55	12.82	12.32	1610-21-20A
25	302-1238-ND	13.55	12.82	12.32	1610-21-25A
30	302-1239-ND	13.55	12.82	12.32	1610-21-30A
ATO-Schutzschalter zum autom. Rückstellen					
6	302-1240-ND	13.55	12.82	12.32	1610-92-6A
15	302-1243-ND	13.55	12.82	12.32	1610-92-15A
20	302-1244-ND	13.55	12.82	12.32	1610-92-20A
25	302-1245-ND	13.55	12.82	12.32	1610-92-25A
30	302-1246-ND	13.55	12.82	12.32	1610-92-30A

125 A Hydraulisch-magnetische Unterbrecher - Serie 8345

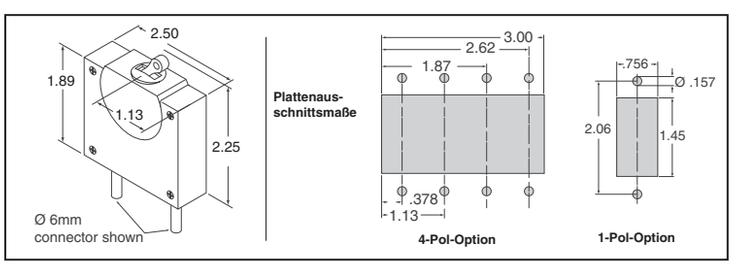

Einzel- oder mehrpolige hydraulisch-magnetische Schutzschalter mit frei-auslösendem Mechanismus und Ein-/Aus-Betätigung. Preisgekrönter magnetischer Unterbrecher mit höchster Ampere-Zulassung für seine Rahmengröße. KEINE HEISSEN Nieten. **Merkmale:** • Spannungsbereiche: 120 V AC ~ 480 V AC, 80 V DC • Auslösemerkmal: Mittlere AC/DC-Verzögerung • Typische Haltbarkeit: 10.000 Bedienungen bei 1 x I_N • Umgebungstemperatur: -40 °C ~ +85 °C • Isolierungsspannung: 2,5 kV/2 • Durchschlagsfestigkeit: 1.500 - 3.000 V AC • Behördliche Zulassungen: UL489 auf Anfrage, UL 1077, VDE (EN60394) • Materialfarbe: Schwarzer Betätiger, schwarze Frontplatte und Basis

Pole	Anschlusstyp	Digi-Key Teilenr.	Stückpreis 1	10	25	E-T-A Teilenr.
1	M6 Gewindebolzen*	302-1303-ND	46.84	44.29	42.59	8345-C01A-U3M0-DB1A1B-125A
1	6mm Dia. Round Conn.**	302-1304-ND	45.40	42.93	41.28	8345-C01A-R0M0-DB1A1B-125A
2	M6 Gewindebolzen*	302-1305-ND	96.73	91.46	87.95	8345-C02A-U3M0-DB1A1B-125A
2	6mm Dia. Round Conn.**	302-1306-ND	93.83	88.71	85.30	8345-C02A-R0M0-DB1A1B-125A
3	M6 Gewindebolzen*	302-1307-ND	140.02	132.38	127.29	8345-C03A-U3M0-DB1A1B-125A
3	6mm Dia. Round Conn.**	302-1308-ND	135.64	128.24	123.31	8345-C03A-R0M0-DB1A1B-125A

* Unterlegscheibe und Mutter inbegriffen, lose versandt ** Runder Steckverbinder, 6 mm Durchm.

G

Thermische Schutzschalter

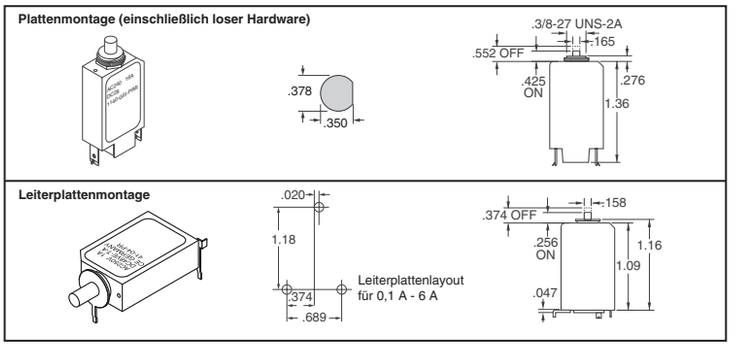

Einpoliger thermischer Schutzschalter des „Push-to-Reset"-Typs in Miniaturausführung, Anti-Tease-Funktion, frei auslösend, Schnappkontakt. Zugelassen nach CBE-Standard EN 60934 (IEC 60934). Einpolig, Push-to-Reset; Farbe: schwarz. **Anwendungen:** Motoren, Transformatoren, Solenoide, Leiterplatten, Handformat-Geräte und Haushaltsgeräte, Boote, Wohnwagen. **Nennspannung:** 240 V AC; 48 V DC **Umgebungstemperatur:** -20 °C ~ +60 °C **Isolierungsspannung:** 2,5 kV **Durchschlagsfestigkeit:** 3.000 V AC

Strom (Amp.)	Digi-Key Teilenr.	Stückpreis 1	10	25	E-T-A Teilenr.
Thermischer Schutzschalter - Miniaturausführung, Plattenmontage					
0.1	302-1000-ND	11.67	11.03	10.61	106-M2-P10-0.1A
0.2	302-1001-ND	11.67	11.03	10.61	106-M2-P10-0.2A
0.3	302-1002-ND	11.67	11.03	10.61	106-M2-P10-0.3A
0.4	302-1003-ND	11.67	11.03	10.61	106-M2-P10-0.4A
0.5	302-1004-ND	11.67	11.03	10.61	106-M2-P10-0.5A
0.6	302-1005-ND	11.67	11.03	10.61	106-M2-P10-0.6A
0.8	302-1006-ND	11.67	11.03	10.61	106-M2-P10-0.8A
1	302-1007-ND	11.67	11.03	10.61	106-M2-P10-1A
1.2	302-1008-ND	11.67	11.03	10.61	106-M2-P10-1.2A
1.5	302-1009-ND	11.67	11.03	10.61	106-M2-P10-1.5A
1.8	302-1010-ND	11.67	11.03	10.61	106-M2-P10-1.8A
2	302-1011-ND	11.67	11.03	10.61	106-M2-P10-2A
2.5	302-1012-ND	11.67	11.03	10.61	106-M2-P10-2.5A
3	302-1013-ND	11.67	11.03	10.61	106-M2-P10-3A
4	302-1015-ND	11.67	11.03	10.61	1140-G111-P1M1-4A
5	302-1016-ND	11.67	11.03	10.61	1140-G111-P1M1-5A
7	302-1018-ND	11.67	11.03	10.61	1140-G111-P1M1-7A
8	302-1019-ND	11.67	11.03	10.61	1140-G111-P1M1-8A
10	302-1020-ND	11.67	11.03	10.61	1140-G111-P1M1-10A
12	302-1021-ND	11.67	11.03	10.61	1140-G111-P1M1-12A
15	302-1023-ND	11.67	11.03	10.61	1140-G111-P1M1-15A
16	302-1024-ND	11.67	11.03	10.61	1140-G111-P1M1-16A
Thermischer Schutzschalter - horizontale Leiterplattenmontage					
0.5	302-1092-ND	11.67	11.03	10.61	104-PR-0.5A
1	302-1095-ND	11.67	11.03	10.61	104-PR-1A
1.2	302-1096-ND	11.67	11.03	10.61	104-PR-1.2A
2	302-1099-ND	11.67	11.03	10.61	104-PR-2A
3	302-1101-ND	11.67	11.03	10.61	104-PR-3A
5	302-1105-ND	11.67	11.03	10.61	104-PR-5A
7	302-1107-ND*	11.67	11.03	10.61	104-PR-7A
8	302-1108-ND*	11.67	11.03	10.61	104-PR-8A
10	302-1109-ND*	11.67	11.03	10.61	104-PR-10A

* Setzt anderes Leiterplattenlayout voraus

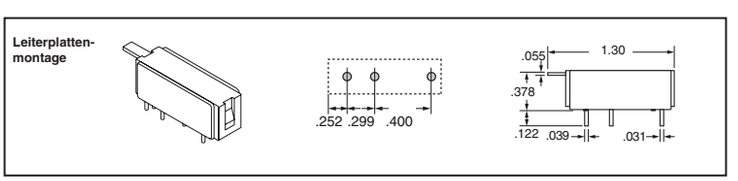

Thermischer Schutzschalter, einpolig, Press-to-Reset, mit extrem schneller Überlast-Schaltleistung. Miniaturkonstruktion minimiert den beanspruchten Leiterplattenplatz. **Anwendungen:** Transformatoren, Solenoide, Leiterplatten, Handformat-Maschinen, Haushaltsgeräte, Instrumente. **Nennspannung:** 250 V AC; 50 V DC UL/CSA **Typische Haltbarkeit:** 300 Betriebszyklen **Umgebungstemperatur:** -20 °C ~ +100 °C. **Isolierungsspannung:** 2,5 kV **Durchschlagsfestigkeit:** 1.500 V AC

Strom (Amp.)	Digi-Key Teilenr.	Stückpreis 1	10	25	E-T-A Teilenr.
Thermischer Schutzschalter - horizontale Leiterplattenmontage					
0.63	302-1025-ND	8.01	7.58	7.29	1410-L210-L2F1-S02-0.63A
0.8	302-1026-ND	8.01	7.58	7.29	1410-L210-L2F1-S02-0.8A
1	302-1027-ND	8.01	7.58	7.29	1410-L210-L2F1-S02-1A
1.25	302-1028-ND	8.01	7.58	7.29	1410-L210-L2F1-S02-1.25A
1.5	302-1029-ND	8.01	7.58	7.29	1410-L210-L2F1-S02-1.5A
2	302-1032-ND	8.01	7.58	7.29	1410-L210-L2F1-S02-2A
2.5	302-1033-ND	8.01	7.58	7.29	1410-L210-L2F1-S02-2.5A
3.15	302-1034-ND	8.01	7.58	7.29	1410-L210-L2F1-S02-3.15A
4	302-1035-ND	8.01	7.58	7.29	1410-L210-L2F1-S02-4A
4.5	302-1036-ND	8.01	7.58	7.29	1410-L210-L2F1-S02-4.5A
5	302-1037-ND	8.01	7.58	7.29	1410-L210-L2F1-S02-5A
6.3	302-1038-ND	8.01	7.58	7.29	1410-L210-L2F1-S02-6.3A
8	302-1039-ND	8.01	7.58	7.29	1410-L210-L2F1-S02-8A
10	302-1031-ND	8.01	7.58	7.29	1410-L210-L2F1-S02-10A

Thermische Unterbrecher - Serie 1658

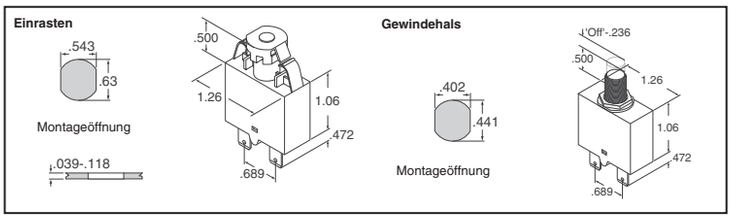

Sehr kostengünstiges Design zur Erfüllung internationaler Anforderungen. Keine offen liegenden Metallteile, die stromführend sind oder werden könnten, mit Ausnahme der Anschlüsse, KEINE HEISSEN Nieten. Manuelle Rückstellung, frei auslösender Zyklusmechanismus. **Merkmale:** • Nennspannung: 240 V AC; 28 V DC • Anschlüsse: Q.C. 0,250" Blatt • Typische Haltbarkeit: 1.000 Betriebszyklen bei 2 x I_N • Umgebungstemperatur: -20 ~ +60 °C, <=7 A -20 °C ~ 40 °C • Isolierungsspannung: 2,5 kV • Durchschlagsfestigkeit: 3.000 V AC • Behördliche Zulassungen: UL, CSA, VDE (EN 60934) siehe Datenblatt für spezifische Zulassungen pro Ampere-Nennwert.

Strom (Amp.)	Digi-Key Teilenr.	Stückpreis 1	10	25	E-T-A Teilenr.
Einrasten					
5	302-1247-ND	3.03	2.87	2.76	1658-F01-00-P10-5A
6	302-1248-ND	3.03	2.87	2.76	1658-F01-00-P10-6A
7	302-1249-ND	3.03	2.87	2.76	1658-F01-00-P10-7A
8	302-1250-ND	3.03	2.87	2.76	1658-F01-00-P10-8A
10	302-1251-ND	3.03	2.87	2.76	1658-F01-00-P10-10A
15	302-1252-ND	3.03	2.87	2.76	1658-F01-00-P10-15A
20	302-1253-ND	3.17	3.00	2.88	1658-F01-00-P10-20A
25	302-1254-ND	3.17	3.00	2.88	1658-F01-00-P10-25A
30	302-1255-ND	3.59	3.39	3.26	1658-F01-00-P10-30A
35	302-1256-ND	3.59	3.39	3.26	1658-F01-00-P10-35A
3/8" - 27-Gewindehals (mit PAL-Mutter)					
5	302-1257-ND	3.03	2.87	2.76	1658-G21-01-P10-5A
6	302-1258-ND	3.03	2.87	2.76	1658-G21-01-P10-6A
7	302-1259-ND	3.03	2.87	2.76	1658-G21-01-P10-7A
8	302-1260-ND	3.03	2.87	2.76	1658-G21-01-P10-8A
10	302-1261-ND	3.03	2.87	2.76	1658-G21-01-P10-10A
12	302-1262-ND	3.03	2.87	2.76	1658-G21-01-P10-12A
13	302-1263-ND	3.03	2.87	2.76	1658-G21-01-P10-13A
15	302-1264-ND	3.03	2.87	2.76	1658-G21-01-P10-15A
16	302-1265-ND	3.17	3.00	2.88	1658-G21-01-P10-16A
20	302-1266-ND	3.17	3.00	2.88	1658-G21-01-P10-20A
25	302-1267-ND	3.17	3.00	2.88	1658-G21-01-P10-25A
30	302-1268-ND	3.59	3.39	3.26	1658-G21-01-P10-30A
35	302-1269-ND	3.59	3.39	3.26	1658-G21-01-P10-35A
7/16" - 28-Gewindehals mit PAL- und Rändelmutter					
5	302-1270-ND	3.14	2.98	2.86	1658-G41-02-P10-5A
6	302-1271-ND	3.26	3.09	2.97	1658-G41-02-P10-6A
7	302-1272-ND	3.26	3.09	2.97	1658-G41-02-P10-7A
8	302-1273-ND	3.26	3.09	2.97	1658-G41-02-P10-8A
10	302-1274-ND	3.26	3.09	2.97	1658-G41-02-P10-10A
12	302-1275-ND	3.26	3.09	2.97	1658-G41-02-P10-12A
13	302-1276-ND	3.26	3.09	2.97	1658-G41-02-P10-13A
15	302-1277-ND	3.26	3.09	2.97	1658-G41-02-P10-15A
16	302-1278-ND	3.26	3.09	2.97	1658-G41-02-P10-16A
20	302-1279-ND	3.26	3.09	2.97	1658-G41-02-P10-20A
25	302-1280-ND	3.26	3.09	2.97	1658-G41-02-P10-25A
30	302-1281-ND	3.70	3.50	3.37	1658-G41-02-P10-30A
35	302-1282-ND	3.70	3.50	3.37	1658-G41-02-P10-35A

Push-Push-Schalter/Thermische Unterbrecher - Serie 2-5700

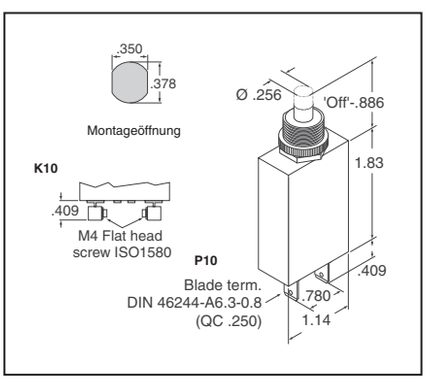

Einpoliger thermischer Schutzschalter des „Push-to-Reset"-Typs, Anti-Tease-Funktion, frei auslösend, Schnappkontakt, KEINE HEISSEN Nieten. Der 2-5700 Unterbrecher ist ein Schutzschalter vom Typ „Push-Push". Zugelassen nach CBE-Standard EN 60934 (IEC 60934).

Merkmale: • Nennspannung: 250 V AC; 28 V DC (UL: 50 V DC) • Typische Haltbarkeit: 5.000 Betriebszyklen bei 2 x I_N • Umgebungstemperatur: -20 °C ~ +60 °C • Isolierungsspannung: 2,5 kV • Durchschlagsfestigkeit: 3.000 V AC • Behördliche Zulassungen: UL, CSA, VDE (EN 60934), Semko (EN60934), SEV, LRoS, BV (siehe Datenblatt für spezifische Zulassungen pro Ampere-Nennwert.)

Strom (Amp.)	Digi-Key Teilenr.	Stückpreis 1	10	25	E-T-A Teilenr.
0,250" Q.C. Flachstecker					
1	302-1293-ND	15.90	15.04	14.46	2-5700-IG1-P10-DD-1A
2	302-1294-ND	15.90	15.04	14.46	2-5700-IG1-P10-DD-2A
3	302-1295-ND	15.90	15.04	14.46	2-5700-IG1-P10-DD-3A
4	302-1296-ND	15.90	15.04	14.46	2-5700-IG1-P10-DD-4A
5	302-1297-ND	15.90	15.04	14.46	2-5700-IG1-P10-DD-5A
6	302-1298-ND	15.04	14.22	13.68	2-5700-IG1-P10-DD-6A
10	302-1299-ND	15.04	14.22	13.68	2-5700-IG1-P10-DD-10A
15	302-1300-ND	15.04	14.22	13.68	2-5700-IG1-P10-DD-15A
20	302-1301-ND	15.04	14.22	13.68	2-5700-IG1-P10-DD-20A
25	302-1302-ND	15.04	14.22	13.68	2-5700-IG1-P10-DD-25A
M4 Schraubanschlüsse					
1	302-1283-ND	16.91	15.98	15.37	2-5700-IG1-K10-DD-1A
2	302-1284-ND	16.91	15.98	15.37	2-5700-IG1-K10-DD-2A
3	302-1285-ND	16.91	15.98	15.37	2-5700-IG1-K10-DD-3A
4	302-1286-ND	16.91	15.98	15.37	2-5700-IG1-K10-DD-4A
5	302-1287-ND	16.91	15.98	15.37	2-5700-IG1-K10-DD-5A
6	302-1288-ND	16.02	15.15	14.57	2-5700-IG1-K10-DD-6A
10	302-1289-ND	16.02	15.15	14.57	2-5700-IG1-K10-DD-10A
15	302-1290-ND	16.02	15.15	14.57	2-5700-IG1-K10-DD-15A
20	302-1291-ND	16.02	15.15	14.57	2-5700-IG1-K10-DD-20A
25	302-1292-ND	16.02	15.15	14.57	2-5700-IG1-K10-DD-25A

G

Alle Preisangaben in Euro und inklusive Zollgebühren.

Temperaturbegrenzer (TCO) / Temperatursicherung — EYP-Typ

Merkmale: • **Klein und Isolierungstyp:** TCO ist kompakt und isoliert, bietet eine schnelle Temperaturreaktion und kann ohne Isolierung oder Schutz auf kleinem Raum montiert werden • **Hohe Zuverlässigkeit:** TCO öffnet sich zuverlässig, wenn sich das Gerät abnorm verhält und nicht zurückgesetzt werden kann • **Solide Struktur:** Besonders geformter Anschluss bietet eine zuverlässige TCO-Verbindung und leichte Handhabung bei der Montage. (Nur axialer Ableitungstyp) • **Cadmiumfreie Legierung:** TCO verwendet speziell ausgewählte cadmiumfreie Legierung • **Dünne Version:** Die Dicke beträgt weniger als 1 mm. Für Punktschweißen erhältlich

Empfohlene Anwendungen: Transformatoren, Solenoide, Lüftergebläse, elektrische Ventilatoren, kleine Elektromotoren, Trockner, gasbetriebene Haushaltsgeräte, Leuchtstofflampen, Rasierapparate, Adapter, Heizgeräte, integrierte Schaltungen, Batterien usw. Der TCO kann als Überhitzungsschutz verwendet werden.

Zugelassene Sicherheits-Standards: **VDE** (Deutschland): Serie N: 4811.6-1171-0001; Serie F: 4811.6-4510-1026; Serie E: 4811.6-4510-1030
▽ (Japan): 33-xxx (siehe Tabelle) **BEAB** (U.K.): Serie N: C0736; Serie F: C0738; Serie E: C0739
UL (USA): E60271
CSA (Kanada): LR67163

Axiale Ableitung der Serie N, F und E

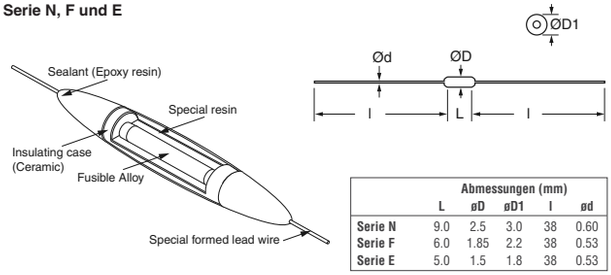

Abmessungen (mm)	L	øD	øD1	l	ød
Serie N	9.0	2.5	3.0	38	0.60
Serie F	6.0	1.85	2.2	38	0.53
Serie E	5.0	1.5	1.8	38	0.53

Serie MT — Dünn

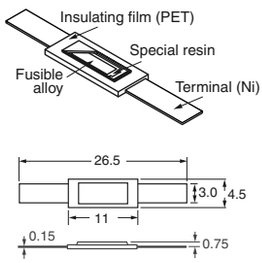

Typen-Nr. der zugelassenen Standards	Nennschalt-temperatur*1 (°C)	Schalt-temperatur*2 (°C)	Maximale Betriebs-temperatur*3 (°C)	Haltetemp. *4 (°C)	Höchsttemperatur*5 (°C) UL, VDE, BEAB	Höchsttemperatur*5 (°C) CSA	Elektrische Nennleistung AC/DC	Amp. (A)	Volt (V)	Zugelassene Sicherheits-Standards ▽	UL	CSA	VDE	BEAB	Digi-Key Teilenr.	Stückpreis 1	Stückpreis 10	Stückpreis 100	Panasonic Teilenr.
Serie N																			
			52	56			AC	3.0	125		○	○	○	—					
N082	86	82±2	60	60	200	150	AC	2.0	250	33-627	○	○	○	○	P10917-ND	.38	.35	.32	EYP-2BN082
			45	50			DC	4.0	50		○	○	○	—					
			56	60			AC	3.0	125		○	—	—	—					
N088	92	88±2	62	65	200	—	AC	2.0	250	33-627	○	—	—	—	P10918-ND	.38	.35	.32	EYP-2BN088
			47	52			DC	4.0	50		○	—	—	—					
			65	70			AC	3.0	125		○	○	○	—					
N098	102	98±2	75	76	200	150	AC	2.0	250	33-632	○	○	○	○	P10919-ND	.38	.35	.32	EYP-2BN098
			55	60			DC	4.0	50		○	○	○	—					
			76	86			AC	3.0	125		○	○	○	—					
N109	114	110±3	80	90	200	150	AC	2.0	250	33-634	○	○	○	○	P10920-ND	.38	.35	.32	EYP-2BN109
			65	74			DC	5.0	50		○	○	○	—					
			76	86			AC	3.0	125		○	○	○	—					
N110	115	110^{+3}_{-2}	80	90	200	150	AC	2.0	250	33-634	○	○	○	—	P10921-ND	.38	.35	.32	EYP-2BN110
			65	74			DC	5.0	50		○	○	○	—					
			90	105			AC	3.0	125		○	○	○	—					
N124	130	126±2	94	105	200	180	AC	2.0	250	33-619	○	○	○	○	P10922-ND	.38	.35	.32	EYP-2BN124
			80	94			DC	5.0	50		○	○	○	—					
			92	108			AC	3.0	125		○	○	○	—					
N126	133	128±2	96	108	200	180	AC	2.0	250	33-619	○	○	○	○	P10923-ND	.38	.35	.32	EYP-2BN126
			82	96			DC	5.0	50		○	○	○	—					
			99	115			AC	3.0	125		○	○	○	—					
N135	140	136±2	103	115	200	180	AC	2.0	250	33-619	○	○	○	○	P10924-ND	.38	.35	.32	EYP-2BN135
			80	90			DC	6.0	50		○	○	○	—					
			105	115			AC	3.0	125		○	○	○	—					
N143	145	141±2	110	120	200	180	AC	2.0	250	33-621	○	○	○	○	P10925-ND	.38	.35	.32	EYP-2BN143
			80	90			DC	6.0	50		○	○	○	—					
			120	130			AC	3.0	125		○	○	○	—					
N163	168	163^{+4}_{-2}	120	135	200		AC	2.0	250	33-623	○	○	○	○	P10926-ND	.38	.35	.32	EYP-2BN163
			90	100			DC	6.0	50		○	○	○	—					
			120	140			AC	3.0	125		○	○	○	—					
N183	188	183^{+4}_{-2}	120	140	200		AC	2.0	250	33-625	○	○	○	○	P10927-ND	.38	.35	.32	EYP-2BN183
			120	130			DC	6.0	50		○	○	○	—					
Serie F																			
			70	74			AC	2.0	125		○	○	○	—					
F102	102	98±2	75	76	200	150	AC	1.0	250	33-632	○	○	○	○	P10911-ND	.38	.35	.32	EYP-1BF102
			55	60			DC	3.5	50		○	○	○	—					
			76	90			AC	2.0	125		○	○	○	—					
F115	115	110^{+3}_{-2}	80	90	200	150	AC	1.0	250	33-634	○	○	○	○	P10912-ND	.38	.35	.32	EYP-1BF115
			70	80			DC	4.0	50		○	○	○	—					
			90	105			AC	2.0	125		○	○	○	—					
F130	130	126±2	94	105	200	180	AC	1.0	250	33-619	○	○	○	○	P10913-ND	.38	.35	.32	EYP-1BF130
			74	90			DC	4.5	50		○	○	○	—					
			92	108			AC	2.0	125		○	○	○	—					
F133	133	128±2	96	108	200	180	AC	1.0	250	33-619	○	○	○	○	P10914-ND	.38	.35	.32	EYP-1BF133
			76	92			DC	4.5	50		○	○	○	—					
			99	115			AC	2.0	125		○	○	○	—					
F139	139	135±3	103	115	200	180	AC	1.0	250	33-619	○	○	○	○	P10915-ND	.38	.35	.32	EYP-1BF139
			80	95			DC	5.0	50		○	○	○	—					
			120	135			AC	2.0	125		○	○	○	—					
F168	168	163^{+4}_{-2}	120	142	200		AC	1.0	250	33-623	○	○	○	—	P10916-ND	.38	.35	.32	EYP-1BF168
			95	110			DC	5.0	50		○	○	○	—					
Serie E																			
			70	78			AC	1.5	125		○	○	○	—					
E102	102	98±2	75	80	200	150	AC	0.5	250	33-632	○	○	○	○	P10906-ND	.38	.35	.32	EYP-05BE102
			65	70			DC	3.0	50		○	○	○	—					
			76	93			AC	1.5	125		○	○	○	—					
E115	115	110±2	80	95	200	150	AC	0.5	250	33-634	○	○	○	○	P10907-ND	.38	.35	.32	EYP-05BE115
			70	84			DC	3.0	50		○	○	○	—					
			90	112			AC	1.5	125		○	○	○	—					
E130	130	126±2	94	112	200	180	AC	0.5	250	33-619	○	○	○	○	P10908-ND‡	.38	.35	.32	EYP-05BE130
			83	102			DC	3.0	50		○	○	○	—					
			92	115			AC	1.5	125		○	○	○	—					
E133	133	128±2	96	115	200	180	AC	0.5	250	33-619	○	○	○	○	P10909-ND	.38	.35	.32	EYP-05BE133
			85	105			DC	3.0	50		○	○	○	—					
			99	120			AC	1.5	125		○	○	○	—					
E139	139	135±3	103	120	200	180	AC	0.5	250	33-619	○	○	○	○	P10910-ND‡	.38	.35	.32	EYP-05BE139
			92	110			DC	3.0	50		○	○	○	—					
MT-Serie †																			
MT092															P10928-ND	.75	.70	.63	EYP-2MT092
MT092A	92	89±2	55	60	150		DC	2.0	50	—	○	—	—	—	P10929-ND	.75	.70	.63	EYP-2MT092A
MT092B															P10930-ND	.75	.70	.63	EYP-2MT092B
MT098															P10931-ND	.75	.70	.63	EYP-2MT098
MT098A	98	94±2	60	65	150		DC	2.0	50	—	○	—	—	—	P10932-ND	.75	.70	.63	EYP-2MT098A
MT098B															P10933-ND	.75	.70	.63	EYP-2MT098B
MT102															P10934-ND	.75	.70	.63	EYP-2MT102
MT102A	102	98±2	65	70	150		DC	2.0	50	—	○	—	—	—	P10935-ND	.75	.70	.63	EYP-2MT102A
MT102B															P10936-ND	.75	.70	.63	EYP-2MT102B

HINWEISE:

1. **Nennschalttemperatur** (UL: TF, CSA, VDE, BEAB: Tf). Die Temperatur, bei der ein TCO seinen Leitfähigkeitszustand auf offenen Stromkreis ändert, wobei lediglich ein Detektionsstrom als Last anliegt. Toleranz: ▽ : ± 7 °C; UL, CSA, VDE, BEAB: 0 / -10 °C
2. **Schalttemperatur** (Fusing-off-Temperatur): Die Schalttemperatur, bei der ein TCO seinen Leitfähigkeitszustand in der Testkammer mit beheizter Umgebungsluft, in der die Temperatur um 1 °C pro Minute erhöht wird, auf offenen Stromkreis ändert, wobei ein Detektionsstrom von höchstens 0,1 A als Last anliegt.
3. **Maximale Betriebstemperatur:** Die maximale Temperatur, bei der ein TCO bei Nennstrom .3000 Std. lang betrieben werden kann.
4. **Haltetemperatur** (UL: TH, CSA: Th, VDE, BEAB: Tc). Die maximale Temperatur, bei der ein TCO 168 Std. lang bei Nennstrom betrieben werden kann und bei der keine Änderung des Leitfähigkeitszustands auf offenen Stromkreis eintritt.
5. **Temperaturhöchstgrenze** (UL; TM; CSA, VDE BEAB: Tm) Die maximale Temperatur, bei der ein TCO nach Änderung seines Leitfähigkeitszustandes seine mechanischen und elektrischen Eigenschaften, ohne erneutes Schließen, 10 Minuten lang beibehalten kann.

‡ P10908-ND und P10910-ND besitzen außerdem die UL-Zulassung bei 50 V DC, 5A.
† Standard DC-Widerstand ist <15 mΩ, A = <16 mΩ, B = <17 mΩ.

Abb. 1

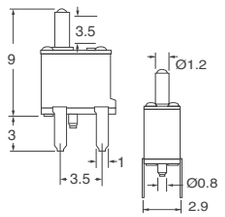

Abb. 2

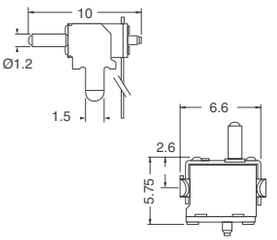

Abb. 3

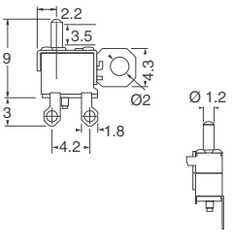

Abb. 4

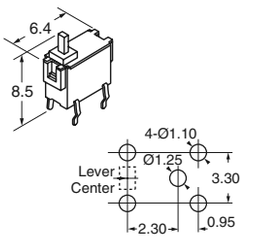

Abb. 5

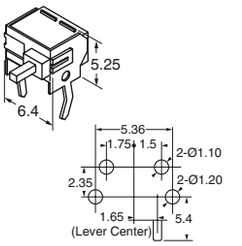

Abb. 6

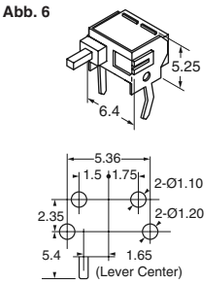

Abb. 7

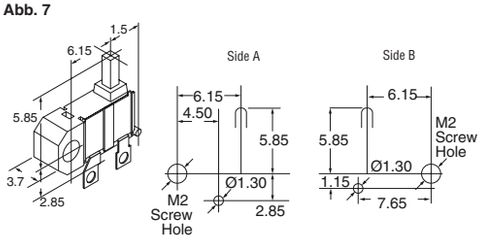

Abb. 8

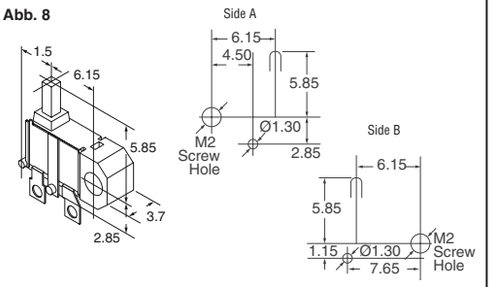

Abb. 9

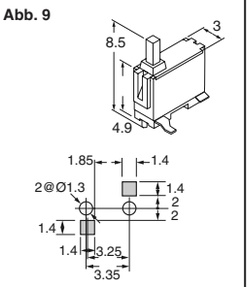

Abb. 10

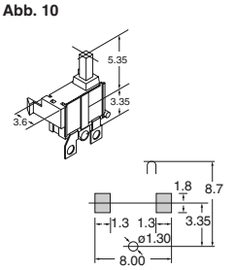

Abb. 11

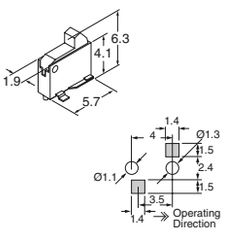

Abb. 12

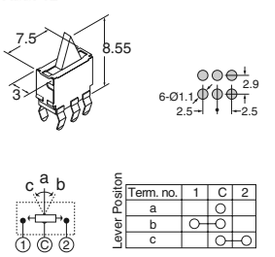

Abb. 13

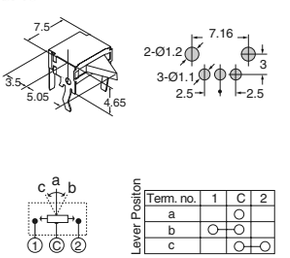

Abb. 14

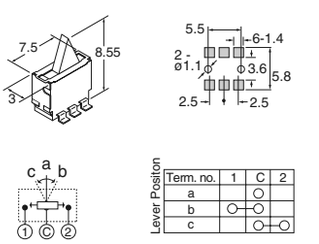

Abb. 15

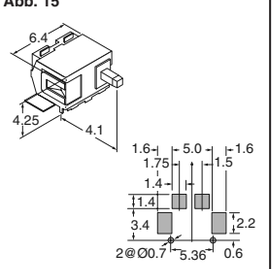

Abb. 16

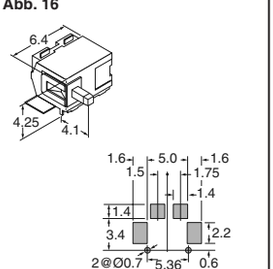

Abb. 17

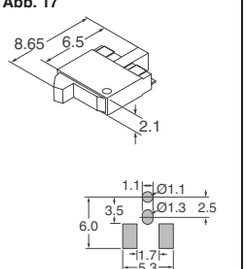

Abb. 18

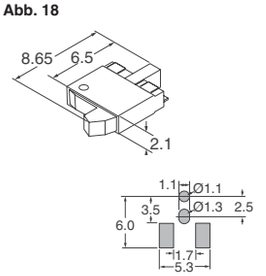

Abb. 19

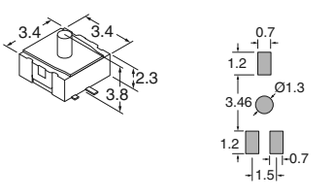

Abb. 20

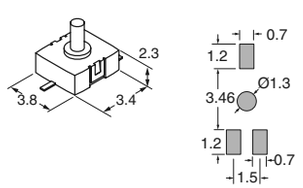

Abb. 21

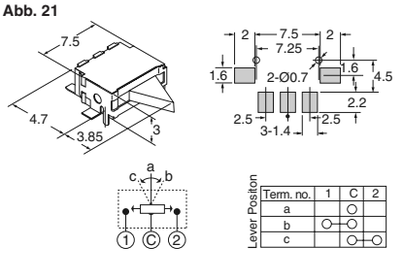

Abb. 22

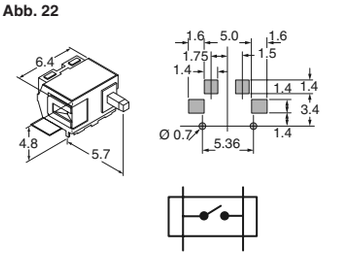

Abb. 23

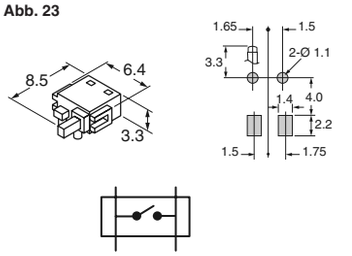

Abb.	Beschreibung	Nennleistung	Betätigungskraft	Digi-Key Teilenr.	Stückpreis 1	10	100	500	1.000	Panasonic Teilenr.
1	Leiterplatte, 5 mm, Vertikalmontage	5VDC, 10mA	35gf	P8039S-ND	.80	.60	.53	—	.34	ESE-105SV1
2	Leiterplatte, 5 mm, Horizontalmontage	5VDC, 10mA	35gf	P8040S-ND	.91	.69	.60	—	.38	ESE-105SH1
3	Panel, 5 mm, mit Montageöffnung	5VDC, 10mA	35gf	P8041S-ND	.84	.63	.55	—	.35	ESE-105HS1
4	Leiterplatte, 5 mm, Vertikalmontage	5VDC, 10mA	35gf	P8062S-ND	.60	.46	.40	.32	.28	ESE-11SV1
5	Leiterplatte, 5 mm, Horizontalmontage	5VDC, 10mA	35gf	P10862S-ND	.60	.46	.40	.31	.25	ESE-11SH1C
6	Leiterplatte, 5 mm, Horizontalmontage	5VDC, 10mA	35gf	P10863S-ND	.60	.46	.40	.31	.25	ESE-11SH2C
7	Vorgeschnitten, 5 mm, mit Montageöffnung	5VDC, 10mA	35gf	P10864S-ND	.66	.50	.44	.34	.28	ESE-11HS1
8	Vorgeschnitten, 5 mm, mit Montageöffnung	5VDC, 10mA	35gf	P10865S-ND	.66	.50	.44	.34	.28	ESE-11HS2
9	SMD, 5 mm, Vertikalmontage	5VDC, 10mA	35gf	P10866S-ND	.66	.50	.44	.34	.28	ESE-11MV1
10	Snap-In, mit Ösen, 5mm, Horizontal- montage	5VDC, 10mA	35gf	P10867S-ND	.66	.50	.44	.34	.28	ESE-11SF1
11	SMD, 5 mm, Vertikalmontage	5VDC, 10mA	30gf	P10868S-ND	.66	.50	.44	.34	.28	ESE-22MV1
12	Leiterplatte, 5 mm, Vertikalmontage, SPDT	5VDC, 10mA	35.7gf	P10870S-ND	.95	.71	.62	.48	.40	ESE-24SV3
13	Leiterplatte, 5 mm, Horizontalmontage, SPDT	5VDC, 10mA	35.7gf	P10871S-ND	.95	.71	.62	.48	.40	ESE-24SH1
14	SMD, 5 mm, Vertikalmontage, SPDT	5VDC, 10mA	35.7gf	P10872S-ND	.95	.71	.62	.48	.40	ESE-24MV1

(Forts.)

Alle Preisangaben in Euro und inklusive Zollgebühren.

Abb. 24

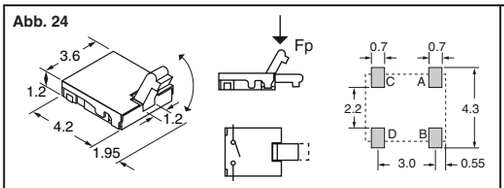

Abb. 25

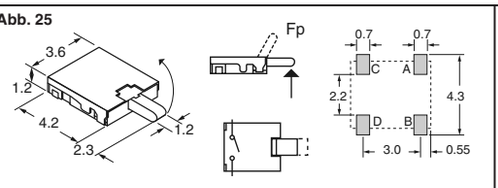

Abb. 26

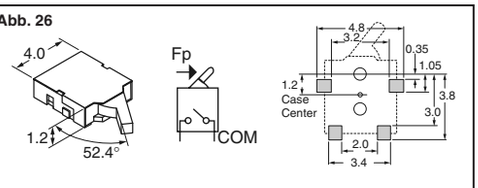

Abb. 27

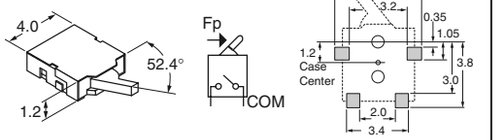

Abb. 28

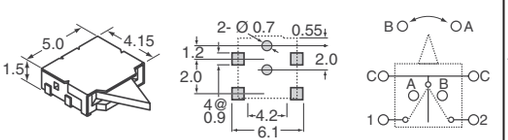

Abb. 29

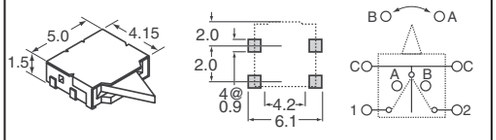

Abb.	Beschreibung	Nennleistung	Betätigungskraft	Digi-Key Teilenr.	Gurtabschnittspreis pro Stück 1	10	100	500	Digi-Key Teilenr.	Gegurtet auf Rolle Größe	Preisangaben	Panasonic Teilenr.
15	SMD, 5 mm, Horizontalmontage	5VDC 10mA	35.7gf	P8097SCT-ND	.69	.53	.46	.35	P8097STR-ND	1,500	260.76/M	ESE-11MH1T
16	SMD, 5 mm, Horizontalmontage	5VDC 10mA	35.7gf	P8098SCT-ND	.69	.53	.46	.35	P8098STR-ND	1,500	260.76/M	ESE-11MH2T
17	SMD, 5 mm, Horizontalmontage	5VDC 10mA	31gf	P8094SCT-ND	.69	.53	.46	.35	P8094STR-ND	4,000	251.44/M	ESE-22MH2
18	SMD, 5 mm, Horizontalmontage	5VDC 10mA	31gf	P8095SCT-ND	.69	.53	.46	.35	P8095STR-ND	4,000	251.44/M	ESE-22MH4
19	SMD, 2 mm, Vertikalmontage	5VDC 10mA	31gf	P8096SCT-ND	.69	.53	.46	.35	P8096STR-ND	2,000	260.76/M	ESE-2101BT
20	SMD, 2 mm, Vertikalmontage	5VDC 10mA	31gf	P10869SCT-ND	.66	.50	.44	.34	P10869STR-ND	2,000	248.90/M	ESE-2131BT
21	SMD, 5 mm, Horizontalmontage, Umschalter	5VDC 10mA	35.7gf	P10873SCT-ND	.95	.71	.62	.48	P10873STR-ND	1,000	342.87	ESE-24MH1T
22	SMD, 5 mm, Horizontalmontage	5VCD 10mA	36gf	P11149SCT-ND	.57	.43	.37	.29	P11149STR-ND	1,500	211.66/M	ESE-11MH5T
23	SMD, 5 mm, Horizontalmontage	5VCD 10mA	36gf	P11150SCT-ND	.57	.43	.37	.29	P11150STR-ND	1,500	211.66/M	ESE-11MH6T
24	SMD 1mm Horiz. Mount flip down *	5VCD 10mA	30gf	P11151SCT-ND	.82	.62	.54	.42	P11151STR-ND	3,000	297.16/M	ESE-13V01
25	SMD 1mm Horiz. Mount flip up **	5VCD 10mA	30gf	P11152SCT-ND	.82	.62	.54	.42	P11152STR-ND	5,000	297.16/M	ESE-13H01A
26	SMD, 1 mm, Horizontalmontage	5VCD 10mA	30gf	P11153SCT-ND	.77	.58	.51	.39	P11153STR-ND	5,000	278.54/M	ESE-18RJ02
27	SMD, 1 mm, Horizontalmontage	5VCD 10mA	30gf	P11154SCT-ND	.77	.58	.51	.39	P11154STR-ND	5,000	278.54/M	ESE-18LJ02
28	SMD, 1 mm, Horizontalmontage	5VCD 10mA	30gf	P12340SCT-ND	1.02	.77	.67	.52	P12340STR-ND	4,000	384.71/M	ESE-23J101
	SMD, 1 mm, Horizontalmontage	5VCD 10mA	30gf	P12342SCT-ND	1.02	.77	.67	.52	P12342STR-ND	4,000	384.71/M	ESE-23F101
29	SMD, 1 mm, Horizontalmontage	5VCD 10mA	30gf	P12341SCT-ND	1.02	.77	.67	.52	P12341STR-ND	4,000	384.71/M	ESE-23J001
	SMD, 1 mm, Horizontalmontage	5VCD 10mA	30gf	P12343SCT-ND	1.02	.77	.67	.52	P12343STR-ND	4,000	384.71/M	ESE-23F001

*SMD, 1 mm, Horizontalmontage, zum Herunterklappen ** SMD, 1 mm, Horizontalmontage, zum Hochklappen

Panasonic Drucktasten/Netzschalter

* UL-, CSA-, BEAB-, SEMKO-, VDE-, SEV-, FIMKO-, NEMKO-, DEMKO-ZUGELASSEN

Abb. 1

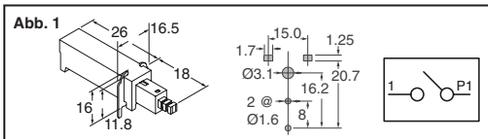

Abb. 2

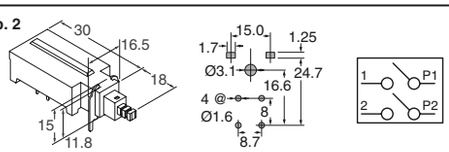

Abb. 3

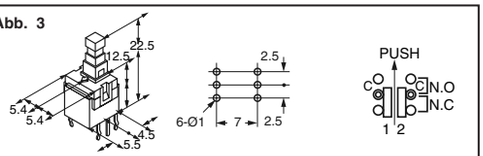

Abb. 4

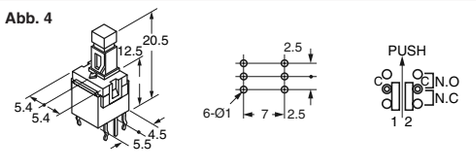

Abb.5

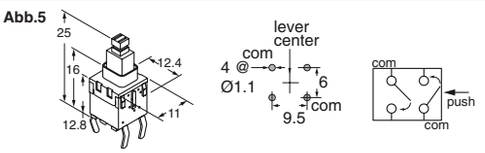

Abb.6

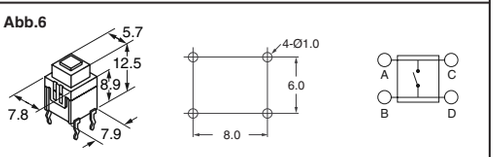

Abb. 7

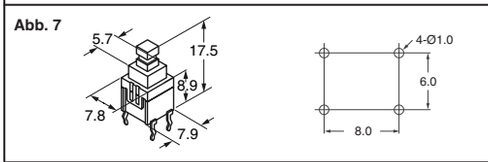

Abb. 8

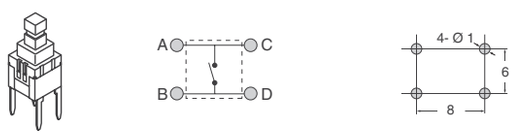

Abb.	Beschreibung	Digi-Key Teilenr.	Stückpreis 1	10	100	500	1.000	Panasonic Teilenr.
1	Netzschalter, SPST, 5 A, 250 V AC	P8100S-ND*	1.96	1.48	1.28	.99	—	ESB-92S21B
2	Netzschalter, DPST, 5 A, 250 V AC	P8101S-ND*	2.52	1.89	1.64	1.26	—	ESB-92D21B
3	Druckschalter, Soft Sound, DPDT, 200 mA, 14 V DC	P11163S-ND	2.07	1.56	1.35	1.04	—	ESB-30A105
4	Druckschalter, Soft Sound, DPDT, 200 mA, 14 V DC	P11164S-ND	2.07	1.56	1.35	1.04	—	ESB-30B102
5	Druckschalter, DPST 3 A, 12 V DC	P8102S-ND	2.61	1.96	1.70	1.31	.98	ESB-32101A
6	Druck-/Momentschalter, SPST, 200 mA, 14 V DC, 200 gF	P11161S-ND	1.54	1.16	1.01	.77	—	ESE-20C321
6	Druck-/Momentschalter, SPST, 200 mA, 14 V DC, 200 gF	P12344S-ND	1.54	1.16	1.01	.77	.58	ESE-20C323
6	Druck-/Momentschalter, SPST, 200 mA, 14 V DC, 400 gF	P12346S-ND	1.54	1.16	1.01	.77	.58	ESE-20C343
6	Druck-/Momentschalter, SPST, 200 mA, 14 V DC, 200 gF	P12349S-ND	1.54	1.16	1.01	.77	.58	ESE-20C421
6	Druck-/Momentschalter, SPST, 200 mA, 14 V DC, 200 gF	P12345S-ND	1.54	1.16	1.01	.77	.58	ESE-20C423
6	Druck-/Momentschalter, SPST, 200 mA, 14 V DC, 400 gF	P12347S-ND	1.54	1.16	1.01	.77	.58	ESE-20C443
7	Druck-/Momentschalter, SPST, 200 mA, 14 V DC, 400 gF	P11162S-ND	1.54	1.16	1.01	.77	—	ESE-20C441
	Für Fahrzeuge zugelassen							
8	Druck-/Momentschalter, SPST, 200 mA, 14 V DC, 200 gF	P12354S-ND	1.54	1.16	1.01	.77	.58	ESE-20D321
8	Druck-/Momentschalter, SPST, 200 mA, 14 V DC, 200 gF	P12350S-ND	1.54	1.16	1.01	.77	.58	ESE-20D323
8	Druck-/Momentschalter, SPST, 200 mA, 14 V DC, 400 gF	P12356S-ND	1.54	1.16	1.01	.77	.58	ESE-20D341
8	Druck-/Momentschalter, SPST, 200 mA, 14 V DC, 400 gF	P12352S-ND	1.54	1.16	1.01	.77	.58	ESE-20D343
8	Druck-/Momentschalter, SPST, 200 mA, 14 V DC, 200 gF	P12355S-ND	1.54	1.16	1.01	.77	.58	ESE-20D421
8	Druck-/Momentschalter, SPST, 200 mA, 14 V DC, 200 gF	P12351S-ND	1.54	1.16	1.01	.77	.58	ESE-20D423
8	Druck-/Momentschalter, SPST, 200 mA, 14 V DC, 400 gF	P12357S-ND	1.54	1.16	1.01	.77	.58	ESE-20D441
8	Druck-/Momentschalter, SPST, 200 mA, 14 V DC, 400 gF	P12353S-ND	1.54	1.16	1.01	.77	.58	ESE-20D443

Schaltbild 1

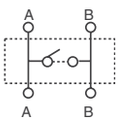

Schaltbild 2

Abb. 1

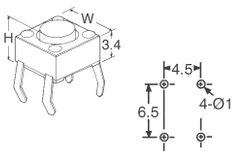

Abb. 2

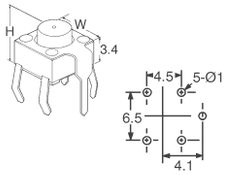

Abb. 3

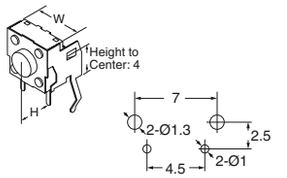

Abb. 4

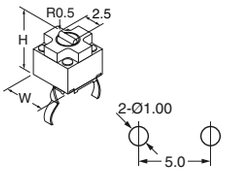

Abb. 5

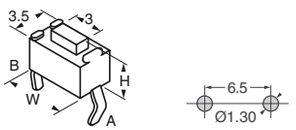

Abb. 6

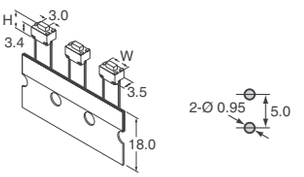

Abb. 7

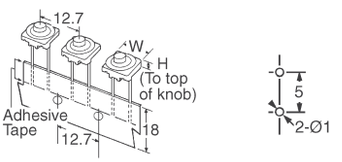

Abb. 8

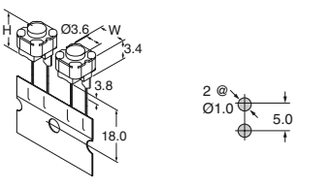

Abb. 9

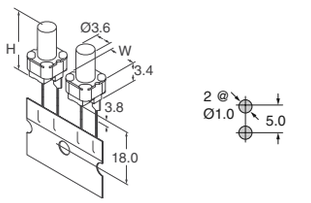

Abb. 10

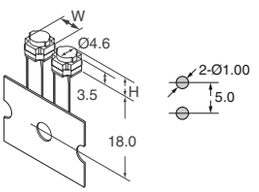

Abb. 11

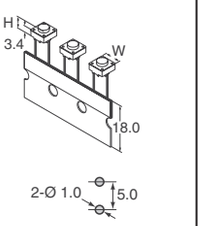

Abb. 12

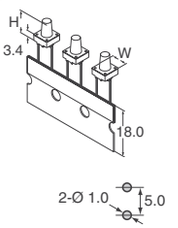

Abb. 13

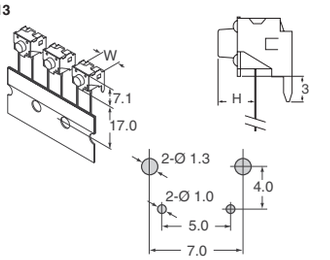

Abb.	Beschreibung	Schaltbild	Abm. (mm) H	B	Betätigungskraft	Nenn-spannung (V DC)	Nennstrom (mA)	Betriebs-lebens-dauer	Digi-Key Teilenr.	Stückpreis 1	10	100	1.000	Panasonic Teilenr.
	6 mm Typ													
1	Berührungsschalter	1	4.3	6	100gf	15	20	100K	P8006S-ND	.25	.19	.17	.11	EVQ-PAC04M
	Berührungsschalter	1	4.3	6	130gf	15	20	100K	P8007S-ND	.25	.19	.17	.11	EVQ-PAD04M
	Berührungsschalter	1	4.3	6	160gf	15	20	100K	P8008S-ND	.25	.19	.17	.11	EVQ-PAE04M
	Berührungsschalter	1	4.3	6	250gf	15	20	100K	P8009S-ND	.25	.19	.17	.11	EVQ-PAG04M
	Berührungsschalter	1	5	6	100gf	15	20	100K	P8010S-ND	.25	.19	.17	.11	EVQ-PAC05R
	Berührungsschalter	1	5	6	130gf	15	20	100K	P10890S-ND	.36	.27	.24	.15	EVQ-PAD05R
	Berührungsschalter	1	5	6	160gf	15	20	100K	P12192S-ND	.25	.20	.17	.11	EVQ-PAE05R
	Berührungsschalter	1	5	6	260gf	15	20	50K	P12195S-ND	.25	.20	.17	.11	EVQ-PAG05R
	Berührungsschalter	1	7	6	100gf	15	20	100K	P8011S-ND	.25	.19	.17	.11	EVQ-PAC07K
	Berührungsschalter	1	7	6	130gf	15	20	100K	P10891S-ND	.42	.32	.28	.18	EVQ-PAD07K
	Berührungsschalter	1	7	6	160gf	15	20	100K	P12193S-ND	.25	.20	.17	.11	EVQ-PAE07K
	Berührungsschalter	1	7	6	260gf	15	20	50K	P12196S-ND	.25	.20	.17	.11	EVQ-PAG07K
	Berührungsschalter (langer Stift)	1	9.5	6	100gf	15	20	100K	P8012S-ND	.25	.19	.17	.11	EVQ-PAC09K
	Berührungsschalter (langer Stift)	1	9.5	6	130gf	15	20	100K	P10892S-ND	1.20	.91	.79	.50	EVQ-PAD09K
	Berührungsschalter (langer Stift)	1	9.5	6	160gf	15	20	100K	P12194S-ND	.24	.18	.16	.10	EVQ-PAE09K
	Berührungsschalter (langer Stift)	1	9.5	6	260gf	15	20	50K	P12197S-ND	.25	.20	.17	.11	EVQ-PAG09K
2	Berührungsschalter, mit Erdungsklemme	1	4.3	6	100gf	15	20	100K	P8013S-ND	.25	.20	.17	.11	EVQ-PBC04M
	Berührungsschalter, mit Erdungsklemme	1	4.3	6	130gf	15	20	100K	P12198S-ND	.25	.19	.17	.11	EVQ-PBD04M
	Berührungsschalter, mit Erdungsklemme	1	4.3	6	160gf	15	20	100K	P12200S-ND	.27	.21	.18	.12	EVQ-PBE04M
	Berührungsschalter, mit Erdungsklemme	1	4.3	6	260gf	15	20	50K	P12204S-ND	.30	.23	.20	.13	EVQ-PBG04M
	Berührungsschalter, mit Erdungsklemme	1	5	6	100gf	15	20	100K	P8014S-ND	.25	.20	.17	.11	EVQ-PBC05R
	Berührungsschalter, mit Erdungsklemme	1	5	6	130gf	15	20	100K	P10893S-ND	.27	.21	.18	.12	EVQ-PBD05R
	Berührungsschalter, mit Erdungsklemme	1	5	6	160gf	15	20	100K	P12201S-ND	.27	.21	.18	.12	EVQ-PBE05R
	Berührungsschalter, mit Erdungsklemme	1	5	6	260gf	15	20	50K	P12205S-ND	.30	.23	.20	.13	EVQ-PBG05R
	Berührungsschalter, mit Erdungsklemme	1	7	6	100gf	15	20	100K	P8015S-ND	.25	.19	.17	.11	EVQ-PBC07K
	Berührungsschalter, mit Erdungsklemme	1	7	6	130gf	15	20	100K	P10894S-ND	.32	.25	.21	.14	EVQ-PBD07K
	Berührungsschalter, mit Erdungsklemme	1	7	6	160gf	15	20	100K	P12202S-ND	.27	.21	.18	.12	EVQ-PBE07K
	Berührungsschalter, mit Erdungsklemme	1	7	6	260gf	15	20	50K	P12206S-ND	.30	.23	.20	.13	EVQ-PBG07K
	Berührungsschalter, mit Erdungsklemme (langer Stift)	1	9.5	6	100gf	15	20	100K	P8016S-ND	.25	.19	.17	.11	EVQ-PBC09K
	Berührungsschalter, mit Erdungsklemme (langer Stift)	1	9.5	6	130gf	15	20	100K	P12199S-ND	.25	.19	.17	.11	EVQ-PBD09K
	Berührungsschalter, mit Erdungsklemme (langer Stift)	1	9.5	6	160gf	15	20	100K	P12203S-ND	.27	.21	.18	.12	EVQ-PBE09K
	Berührungsschalter, mit Erdungsklemme (langer Stift)	1	9.5	6	260gf	15	20	50K	P12207S-ND	.30	.23	.20	.13	EVQ-PBG09K
3	Berührungsschalter, rechtwinklig	2	3.15	7.5	100gf	15	20	100K	P10877S-ND	.30	.23	.20	.13	EVQ-PF003M
	Berührungsschalter, rechtwinklig	2	3.15	7.5	130gf	15	20	100K	P10881S-ND	.30	.23	.20	.13	EVQ-PF103M
	Berührungsschalter, rechtwinklig	2	3.15	7.5	160gf	15	20	100K	P12208S-ND	.30	.23	.20	.13	EVQ-PF203M
	Berührungsschalter, rechtwinklig	2	3.15	7.5	260gf	15	20	50K	P12212S-ND	.30	.23	.20	.13	EVQ-PF303M
	Berührungsschalter, rechtwinklig	2	3.85	7.5	100gf	15	20	100K	P10878S-ND	.30	.23	.20	.13	EVQ-PF004R
	Berührungsschalter, rechtwinklig	2	3.85	7.5	130gf	15	20	100K	P10882S-ND	.34	.26	.22	.14	EVQ-PF104R
	Berührungsschalter, rechtwinklig	2	3.85	7.5	160gf	15	20	100K	P12209S-ND	.30	.23	.20	.13	EVQ-PF204R
	Berührungsschalter, rechtwinklig	2	3.85	7.5	260gf	15	20	50K	P12213S-ND	.30	.23	.20	.13	EVQ-PF304R
	Berührungsschalter, rechtwinklig	2	5.85	7.5	100gf	15	20	100K	P10879S-ND	.30	.23	.20	.13	EVQ-PF006K
	Berührungsschalter, rechtwinklig	2	5.85	7.5	130gf	15	20	100K	P10883S-ND	.30	.23	.20	.13	EVQ-PF106K
	Berührungsschalter, rechtwinklig	2	5.85	7.5	160gf	15	20	100K	P12210S-ND	.30	.23	.20	.13	EVQ-PF206K
	Berührungsschalter, rechtwinklig	2	5.85	7.5	260gf	15	20	50K	P12214S-ND	.30	.23	.20	.13	EVQ-PF306K
	Berührungsschalter, rechtwinklig (langer Stift)	2	8.35	7.5	100gf	15	20	100K	P10880S-ND	.30	.23	.20	.13	EVQ-PF008K
	Berührungsschalter, rechtwinklig (langer Stift)	2	8.35	7.5	130gf	15	20	100K	P10884S-ND	.30	.23	.20	.13	EVQ-PF108K
	Berührungsschalter, rechtwinklig (langer Stift)	2	8.35	7.5	160gf	15	20	100K	P12211S-ND	.30	.23	.20	.13	EVQ-PF208K
	Berührungsschalter, rechtwinklig (langer Stift)	2	8.35	7.5	260gf	15	20	50K	P12215S-ND	.30	.23	.20	.13	EVQ-PF308K
4	Berührungsschalter mit Überweg	2	7.45	6.2	75gf	30	50	100K	P10843S-ND	.47	.35	.31	.20	EVQ-P0E07K
	Berührungsschalter mit Überweg	2	7.45	6.2	130gf	30	50	100K	P10844S-ND	.47	.35	.31	.20	EVQ-P0D07K
	6 mm x 3,5 mm Typ													
5	Berührungsschalter, von oben betätigt	2	4.3	6	100gf	12	20	50K	P8056S-ND	.60	.45	.39	.27	EVQ-PJA04Q
	Berührungsschalter, von oben betätigt	2	4.3	6	160gf	12	20	50K	P8058S-ND	.66	.50	.43	.30	EVQ-PJB04K
	Berührungsschalter, von oben betätigt	2	4.3	6	240gf	12	20	50K	P8060S-ND	.62	.47	.41	.28	EVQ-PJC04T
	Berührungsschalter, von oben betätigt	2	5	6	100gf	12	20	50K	P8057S-ND	.60	.45	.39	.27	EVQ-PJA05Q
	Berührungsschalter, von oben betätigt	2	5	6	160gf	12	20	50K	P8059S-ND	.60	.45	.39	.27	EVQ-PJB05K
	Berührungsschalter, von oben betätigt	2	5	6	240gf	12	20	50K	P8061S-ND	.62	.47	.41	.28	EVQ-PJC05T

(Forts.)

Alle Preisangaben in Euro und inklusive Zollgebühren.

Abb.	Beschreibung	Schalt-bild	Abm. (mm) H	Abm. (mm) B	Betäti-gungskraft	Nenn-spannung (V DC)	Nennstrom (mA)	Betriebs-lebens-dauer	Digi-Key Teilenr.	Gurtabschnittspreis pro Stück 1	10	100	Digi-Key Teilenr.	Band in Schachtel Größe	Band in Schachtel Preisangaben	Panasonic Teilenr.
6	Berührungsschalter, von oben betätigt	2	4.3	6	100gf	12	50	50K	P12236SCT-ND	.67	.51	.44	P12236STB-ND	2,000	251.44/M	EVQ-PJG04Q
	Berührungsschalter, von oben betätigt	2	4.3	6	160gf	12	50	50K	P12238SCT-ND	.67	.51	.44	P12238STB-ND	2,000	251.44/M	EVQ-PJH04K
	Berührungsschalter, von oben betätigt	2	4.3	6	240gf	12	50	30K	P12240SCT-ND	.67	.51	.44	P12240STB-ND	2,000	251.44/M	EVQ-PJJ04T
	Berührungsschalter, von oben betätigt	2	5	6	100gf	12	50	50K	P12237SCT-ND	.67	.51	.44	P12237STB-ND	2,000	251.44/M	EVQ-PJG05Q
	Berührungsschalter, von oben betätigt	2	5	6	160gf	12	50	50K	P12239SCT-ND	.67	.51	.44	P12239STB-ND	2,000	251.44/M	EVQ-PJH05K
	Berührungsschalter, von oben betätigt	2	5	6	240gf	12	50	30K	P12241SCT-ND	.67	.51	.44	P12241STB-ND	2,000	251.44/M	EVQ-PJJ05T
6 mm, runder Typ																
7	Berührungsschalter, lange Bewegung	2	5	8	80gf	12	5	1000K	P8029SCT-ND	.69	.52	.45	P8029STB-ND	1,000	262.45	EVQ-QJJ05Q
	Berührungsschalter, lange Bewegung	2	5	8	130gf	12	5	100K	P12242SCT-ND	.69	.52	.45	P12242STB-ND	1,000	255.67	EVQ-QJE05D
	Berührungsschalter, lange Bewegung	2	5	8	250gf	12	5	100K	P12243SCT-ND	.69	.52	.45	P12243STB-ND	1,000	255.67	EVQ-QJD05B
8	Berührungsschalter	1	4.3	6	100gf	15	20	100K	P8070SCT-ND	.32	.24	.21	P8070STB-ND	2,500	119.38/M	EVQ-11A04M
	Berührungsschalter	1	4.3	6	130gf	15	20	100K	P8074SCT-ND	.32	.24	.21	P8074STB-ND	2,500	119.38/M	EVQ-11G04M
	Berührungsschalter	1	4.3	6	160gf	15	20	100K	P8078SCT-ND	.32	.24	.21	P8078STB-ND	2,500	119.38/M	EVQ-11L04M
	Berührungsschalter	1	4.3	6	260gf	15	20	100K	P8082SCT-ND	.32	.24	.21	P8082STB-ND	2,500	119.38/M	EVQ-11U04M
	Berührungsschalter	1	5	6	100gf	15	20	100K	P8071SCT-ND	.32	.24	.21	P8071STB-ND	2,500	119.38/M	EVQ-11A05R
	Berührungsschalter	1	5	6	130gf	15	20	100K	P8075SCT-ND	.32	.24	.21	P8075STB-ND	2,500	119.38/M	EVQ-11G05R
	Berührungsschalter	1	5	6	160gf	15	20	100K	P8079SCT-ND	.32	.24	.21	P8079STB-ND	2,500	119.38/M	EVQ-11L05R
	Berührungsschalter	1	5	6	260gf	15	20	100K	P8083SCT-ND	.32	.24	.21	P8083STB-ND	2,500	119.38/M	EVQ-11U05R
	Berührungsschalter	1	7	6	100gf	15	20	100K	P8072SCT-ND	.32	.24	.21	P8072STB-ND	2,500	119.38/M	EVQ-11A07K
	Berührungsschalter	1	7	6	130gf	15	20	100K	P8076SCT-ND	.32	.24	.21	P8076STB-ND	2,500	119.38/M	EVQ-11G07K
	Berührungsschalter	1	7	6	160gf	15	20	100K	P8080SCT-ND	.32	.24	.21	P8080STB-ND	2,500	119.38/M	EVQ-11L07K
	Berührungsschalter	1	7	6	260gf	15	20	100K	P8084SCT-ND	.32	.24	.21	P8084STB-ND	2,500	119.38/M	EVQ-11U07K
9	Berührungsschalter (langer Stift)	1	9.5	6	100gf	15	20	100K	P8073SCT-ND	.32	.24	.21	P8073STB-ND	2,500	119.38/M	EVQ-11A09K
	Berührungsschalter (langer Stift)	1	9.5	6	130gf	15	20	100K	P8077SCT-ND	.32	.24	.21	P8077STB-ND	2,500	119.38/M	EVQ-11G09K
	Berührungsschalter (langer Stift)	1	9.5	6	160gf	15	20	100K	P8081SCT-ND	.32	.24	.21	P8081STB-ND	2,500	119.38/M	EVQ-11L09K
	Berührungsschalter (langer Stift)	1	9.5	6	260gf	15	20	100K	P8085SCT-ND	.32	.24	.21	P8085STB-ND	2,500	119.38/M	EVQ-11U09K
10	Berührungsschalter, lange Bewegung	1	5	6	200gf	12	50	100K	P10856SCT-ND	.93	.70	.61	P10856STB-ND	2,500	349.65/M	EVQ-PVG05K
	Berührungsschalter, lange Bewegung	1	5	6	220gf	12	50	100K	P10855SCT-ND	1.19	.90	.78	P10855STB-ND	2,500	447.01/M	EVQ-PVA05K
	Berührungsschalter, lange Bewegung	1	5	6	250gf	12	50	100K	P10858SCT-ND	1.19	.90	.78	P10858STB-ND	2,500	447.01/M	EVQ-PVF05K
	Berührungsschalter, lange Bewegung	1	5	6	350gf	12	50	100K	P10857SCT-ND	.93	.70	.61	P10857STB-ND	2,500	349.65/M	EVQ-PVH05K
6 mm, quadratischer Typ																
11	Berührungsschalter	2	4.3	6	100gf	15	20	100K	P12216SCT-ND	.28	.21	.19	P12216STB-ND	1,000	104.13	EVQ-21304M
	Berührungsschalter	2	4.3	6	130gf	15	20	100K	P12220SCT-ND	.28	.21	.19	P12220STB-ND	1,000	104.13	EVQ-21404M
	Berührungsschalter	2	4.3	6	160gf	15	20	100K	P12224SCT-ND	.43	.33	.29	P12224STB-ND	1,000	161.70	EVQ-21504M
	Berührungsschalter	2	4.3	6	260gf	15	20	50K	P12228SCT-ND	.28	.21	.19	P12228STB-ND	1,000	104.13	EVQ-22704M
	Berührungsschalter	2	5	6	100gf	15	20	100K	P12217SCT-ND	.44	.34	.29	P12217STB-ND	1,000	166.78	EVQ-21305R
	Berührungsschalter	2	5	6	130gf	15	20	100K	P12221SCT-ND	.43	.33	.29	P12221STB-ND	1,000	161.70	EVQ-21405R
	Berührungsschalter	2	5	6	160gf	15	20	100K	P12225SCT-ND	.28	.21	.19	P12225STB-ND	1,000	104.13	EVQ-21505R
	Berührungsschalter	2	5	6	260gf	15	20	50K	P12229SCT-ND	.28	.21	.19	P12229STB-ND	1,000	104.13	EVQ-22705R
	Berührungsschalter	2	7	6	100gf	15	20	100K	P12218SCT-ND	.28	.21	.19	P12218STB-ND	1,000	104.13	EVQ-21307K
	Berührungsschalter	2	7	6	130gf	15	20	100K	P12222SCT-ND	.28	.21	.19	P12222STB-ND	1,000	104.13	EVQ-21407K
	Berührungsschalter	2	7	6	160gf	15	20	100K	P12226SCT-ND	.28	.21	.19	P12226STB-ND	1,000	104.13	EVQ-21507K
	Berührungsschalter	2	7	6	260gf	15	20	50K	P12230SCT-ND	.28	.21	.19	P12230STB-ND	1,000	104.13	EVQ-22707K
12	Berührungsschalter (langer Stift)	2	9.5	6	100gf	15	20	100K	P12219SCT-ND	.28	.21	.19	P12219STB-ND	1,000	104.13	EVQ-21309K
	Berührungsschalter (langer Stift)	2	9.5	6	130gf	15	20	100K	P12223SCT-ND	.28	.21	.19	P12223STB-ND	1,000	104.13	EVQ-21409K
	Berührungsschalter (langer Stift)	2	9.5	6	160gf	15	20	100K	P12227SCT-ND	.28	.21	.19	P12227STB-ND	1,000	104.13	EVQ-21509K
	Berührungsschalter (langer Stift)	2	9.5	6	260gf	15	20	50K	P12231SCT-ND	.28	.21	.19	P12231STB-ND	1,000	104.13	EVQ-22709K
13	Berührungsschalter, rechtwinklig	2	4.75	7.5	100gf	15	20	100K	P12232SCT-ND	.33	.25	.22	P12232STB-ND	700	87.71	EVQ-PCF05K
	Berührungsschalter, rechtwinklig	2	4.75	7.5	130gf	15	20	100K	P12233SCT-ND	.33	.25	.22	P12233STB-ND	700	87.71	EVQ-PCG05K
	Berührungsschalter, rechtwinklig	2	4.75	7.5	160gf	15	20	100K	P12234SCT-ND	.33	.25	.22	P12234STB-ND	700	87.71	EVQ-PCH05K
	Berührungsschalter, rechtwinklig	2	4.75	7.5	260gf	15	20	100K	P12235SCT-ND	.33	.25	.22	P12235STB-ND	700	87.71	EVQ-PCD05K

Schieberegler

Abb. 1

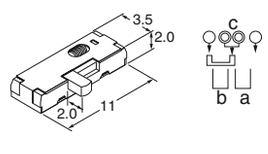

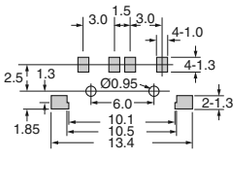

Abb. 2

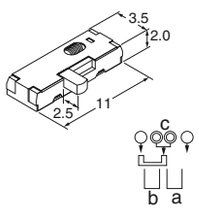

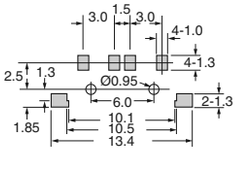

Abb. 3

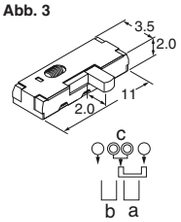

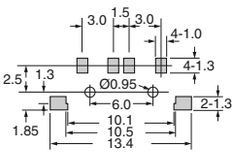

Abb. 4

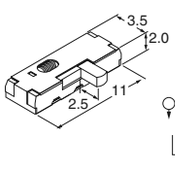

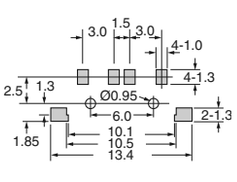

Abb. 5

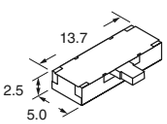

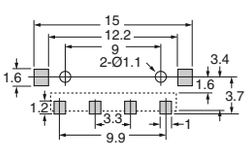

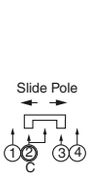

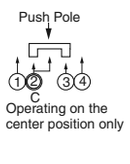

Abb. 6

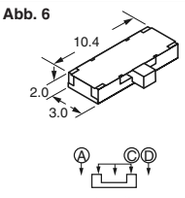

Abb.	Beschreibung	Nennleistung	Betätigungskraft	Digi-Key Teilenr.	Gurtabschnittspreis pro Stück 1	10	100	500	Digi-Key Teilenr.	Gegurtet auf Rolle Größe	Gegurtet auf Rolle Preisangaben	Panasonic Teilenr.
1	SMD, 2 mm, horizontal, Self-return	5VDC, 200mA	216gf	P11157SCT-ND	1.79	1.35	1.17	.90	P11157STR-ND	2,000	651.04/M	ESD-165225
2	SMD, 2 mm, horizontal, Self-return	5VDC, 200mA	216gf	P11158SCT-ND	1.79	1.35	1.17	.90	P11158STR-ND	2,000	651.04/M	ESD-165226
3	SMD, 2 mm, horizontal, Self-return	5VDC, 200mA	216gf	P11159SCT-ND	1.79	1.35	1.17	.90	P11159STR-ND	2,000	651.04/M	ESD-165235
4	SMD, 2 mm, horizontal, Self-return	5VDC, 200mA	216gf	P11160SCT-ND	1.79	1.35	1.17	.90	P11160STR-ND	2,000	651.04/M	ESD-165236
5	SMD Multi Function Slide + Push *	10VDC, 1mA	40gf	P11155SCT-ND	5.13	3.85	3.34	2.57	P11155STR-ND	1,400	1923.48/M	ESE-15700
6	SMD, Mehrfachfunktionsschieber	10VDC, 1mA	125gf	P11156SCT-ND	1.54	1.16	1.01	.77	P11156STR-ND	1,500	577.38/M	ESE-15800

* SMD, Mehrfachfunktionalität, Schieben und Drücken

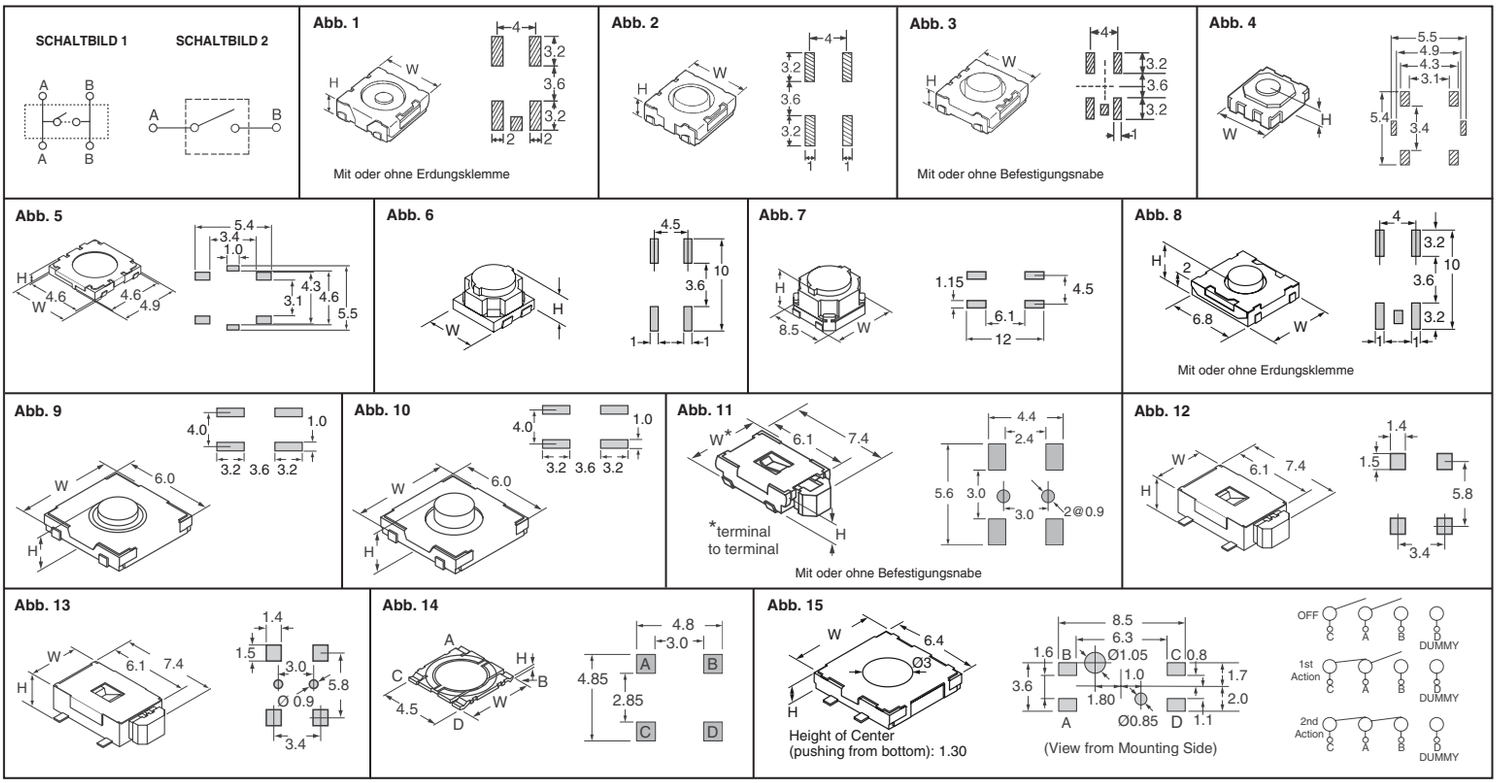

Abb.	Beschreibung	Schaltbild	Abmessungen (mm) H	Abmessungen (mm) B	Betätigungskraft	Nennspannung (V DC)	Nennstrom (mA)	Betriebslebensdauer	Digi-Key Teilenr.	Gurtabschnittspreis pro Stück 1	10	100	Digi-Key Teilenr.	Gegurtet auf Rolle Größe	Gegurtet auf Rolle Preisangaben	Panasonic Teilenr.
	Berührungsschalter, Oberflächenmontage															
1	Berührungsschalter	1	2	6.2	130gf	15	20	100K	P8000SCT-ND	.94	.71	.62	P8000STR-ND	4,000	353.04/M	EVQ-QFA02K
	Berührungsschalter, mit Erdungsklemme	1	2	6.2	130gf	15	20	100K	P8001SCT-ND	.93	.70	.61	P8001STR-ND	4,000	347.96/M	EVQ-QFU02K
	Berührungsschalter	1	2	6.2	130gf	15	20	100K	P12246SCT-ND	1.00	.75	.65	P12246STR-ND	4,000	375.05/M	EVQ-QFY02K
2	L.T. Switch Std. with Actuator/Solvent Washable**	1	3.1	6.4	130gf	15	20	100K	P8002SCT-ND	.73	.55	.48	P8002STR-ND	2,000	279.38/M	EVQ-PHP03T
3	Berührungsschalter mit Betätiger	1	3.1	6.4	160gf	15	20	100K	P12248SCT-ND	.83	.63	.54	P12248STR-ND	2,000	311.55/M	EVQ-PHV03T
	Berührungsschalter mit Betätiger	1	3.1	6.4	260gf	15	20	50K	P12249SCT-ND	.96	.72	.63	P12249STR-ND	2,000	359.81/M	EVQ-PHU03T
	L.T. Switch Std w/Actuator w/Ground Term.***	1	3.1	6.4	130gf	15	20	100K	P12250SCT-ND	.96	.72	.63	P12250STR-ND	2,000	359.81/M	EVQ-PHL03T
	L.T. Switch Std w/Actuator w/Ground Term.***	1	3.1	6.4	160gf	15	20	100K	P12251SCT-ND	.96	.72	.63	P12251STR-ND	2,000	359.81/M	EVQ-PHN03T
	L.T. Switch Std w/Actuator w/Ground Term.***	1	3.1	6.4	260gf	15	20	50K	P12252SCT-ND	.96	.72	.63	P12252STR-ND	2,000	359.81/M	EVQ-PHK03T
4	Berührungsschalter, robustes Design, flach	1	1.5	4.9	100gf	12	50	500K	P8045SCT-ND	.94	.71	.61	P8045STR-ND	5,000	334.41/M	EVQ-PLDA15
	Berührungsschalter, robustes Design, flach	1	1.5	4.9	160gf	12	50	500K	P8046SCT-ND	.77	.58	.51	P8046STR-ND	5,000	275.15/M	EVQ-PLHA15
	Berührungsschalter, robustes Design, flach	1	1.5	4.9	260gf	12	50	500K	P8047SCT-ND	.97	.73	.63	P8047STR-ND	5,000	345.42/M	EVQ-PLMA15
5	Berührungsschalter, von oben betätigt, ohne Betätiger	1	0.8	4.9	100gf	15	20	500K	P12274SCT-ND	.75	.57	.50	P12274STR-ND	5,000	264.14/M	EVQ-PLBA08
	Berührungsschalter, von oben betätigt, ohne Betätiger	1	0.8	4.9	160gf	15	20	500K	P12275SCT-ND	.75	.57	.50	P12275STR-ND	5,000	264.14/M	EVQ-PLFA08
	Berührungsschalter, von oben betätigt, ohne Betätiger	1	0.8	4.9	260gf	15	20	200K	P12276SCT-ND	.77	.58	.51	P12276STR-ND	5,000	270.07/M	EVQ-PLKA08
6	Berührungsschalter, lange Bewegung	1	5	6.0	200gf	12	50	100K	P12245SCT-ND	1.17	.88	.77	P12245STR-ND	2,000	438.54/M	EVQ-P1F05M
	Berührungsschalter, lange Bewegung	1	5	6.0	220gf	12	50	100K	P12244SCT-ND	1.17	.88	.77	P12244STR-ND	2,000	438.54/M	EVQ-P1K05M
	Berührungsschalter, lange Bewegung	1	5	6.0	250gf	12	50	30K	P10888SCT-ND	1.17	.88	.77	P10888STR-ND	2,000	450.39/M	EVQ-P1D05M
	Berührungsschalter, lange Bewegung	1	5	6.0	350gf	12	50	30K	P10889SCT-ND	1.17	.88	.77	P10889STR-ND	2,000	450.39/M	EVQ-P1B05M
7	Berührungsschalter, lange Bewegung	1	6.5	9.9	500gf	12	50	100K	P12969SCT-ND	1.29	.97	.84	P12969STR-ND	1,000	481.72/M	EVQ-Q1E06K
8	Berührungsschalter mit Betätiger	1	2	6.2	130gf	15	20	100K	P10885SCT-ND	.58	.44	.38	P10885STR-ND	4,000	207.42/M	EVQ-QWP01W
	Berührungsschalter mit Betätiger	1	2	6.2	160gf	15	20	100K	P12255SCT-ND	.81	.61	.53	P12255STR-ND	4,000	305.63/M	EVQ-QWS01W
	Berührungsschalter mit Betätiger	1	2	6.2	260gf	15	20	10K	P12257SCT-ND	.81	.61	.53	P12257STR-ND	4,000	305.63/M	EVQ-QWT01W
	Berührungsschalter mit Betätiger	1	2.5	6.2	130gf	15	20	100K	P12253SCT-ND	.81	.61	.53	P12253STR-ND	2,000	305.63/M	EVQ-QWP02W
	Berührungsschalter mit Betätiger	1	2.5	6.2	160gf	15	20	100K	P10886SCT-ND	.58	.44	.38	P10886STR-ND	2,000	223.50/M	EVQ-QWS02W
	Berührungsschalter mit Betätiger	1	2.5	6.2	260gf	15	20	10K	P12258SCT-ND	.81	.61	.53	P12258STR-ND	2,000	305.63/M	EVQ-QWT02W
	Berührungsschalter mit Betätiger	1	3.1	6.2	130gf	15	20	100K	P12254SCT-ND	.81	.61	.53	P12254STR-ND	2,000	305.63/M	EVQ-QWP03W
	Berührungsschalter mit Betätiger	1	3.1	6.2	160gf	15	20	100K	P12256SCT-ND	.81	.61	.53	P12256STR-ND	2,000	305.63/M	EVQ-QWS03W
	Berührungsschalter mit Betätiger	1	3.1	6.2	260gf	15	20	100K	P10887SCT-ND	.58	.44	.38	P10887STR-ND	2,000	223.50/M	EVQ-QWT03W
	L.T. Switch Std w/Actuator w/Ground Term.***	1	2	6.2	130gf	15	20	100K	P12259SCT-ND	.93	.70	.61	P12259STR-ND	4,000	348.80/M	EVQ-QWM01W
	L.T. Switch Std w/Actuator w/Ground Term.***	1	2	6.2	160gf	15	20	100K	P12262SCT-ND	.93	.70	.61	P12262STR-ND	4,000	348.80/M	EVQ-QWN01W
	L.T. Switch Std w/Actuator w/Ground Term.***	1	2	6.2	260gf	15	20	10K	P12265SCT-ND	.93	.70	.61	P12265STR-ND	4,000	348.80/M	EVQ-QWK01W
	L.T. Switch Std w/Actuator w/Ground Term.***	1	2.5	6.2	130gf	15	20	100K	P12260SCT-ND	.93	.70	.61	P12260STR-ND	2,000	348.80/M	EVQ-QWM02W
	L.T. Switch Std w/Actuator w/Ground Term.***	1	2.5	6.2	160gf	15	20	100K	P12263SCT-ND	.93	.70	.61	P12263STR-ND	2,000	348.80/M	EVQ-QWN02W
	L.T. Switch Std w/Actuator w/Ground Term.***	1	2.5	6.2	260gf	15	20	10K	P12266SCT-ND	.93	.70	.61	P12266STR-ND	2,000	348.80/M	EVQ-QWK02W
	L.T. Switch Std w/Actuator w/Ground Term.***	1	3.1	6.2	130gf	15	20	100K	P12261SCT-ND	.93	.70	.61	P12261STR-ND	2,000	348.80/M	EVQ-QWM03W
	L.T. Switch Std w/Actuator w/Ground Term.***	1	3.1	6.2	160gf	15	20	100K	P12264SCT-ND	.93	.70	.61	P12264STR-ND	2,000	348.80/M	EVQ-QWN03W
	L.T. Switch Std w/Actuator w/Ground Term.***	1	3.1	6.2	260gf	15	20	10K	P12267SCT-ND	.93	.70	.61	P12267STR-ND	2,000	348.80/M	EVQ-QWK03W
9	Berührungsschalter, lange Bewegung	1	2.5	6.6	60gf	15	20	2,000K	P12965SCT-ND	.44	.33	.29	P12965STR-ND	2,000	164.24/M	EVQ-P0N02B
	Berührungsschalter, lange Bewegung, mit Erdungsklemme	1	2.5	6.6	60gf	15	20	2,000K	P12966SCT-ND	.44	.33	.29	P12966STR-ND	2,000	164.24/M	EVQ-P0P02B
	Berührungsschalter, lange Bewegung	1	2.5	6.6	100gf	15	20	1,000K	P12967SCT-ND	.44	.33	.29	P12967STR-ND	2,000	164.24/M	EVQ-P0Q02Q
	Berührungsschalter, lange Bewegung, mit Erdungsklemme	1	2.5	6.6	100gf	15	20	1,000K	P12968SCT-ND	.44	.33	.29	P12968STR-ND	2,000	164.24/M	EVQ-P0S02Q
10	Berührungsschalter, kurze Druckbewegung	1	2.0	6.6	50gf	15	20	2,000K	P12930SCT-ND	.34	.26	.22	P12930STR-ND	4,000	126.15/M	EVQ-Q2B01W
	Berührungsschalter, kurze Druckbewegung	1	2.5	6.6	50gf	15	20	2,000K	P12931SCT-ND	.33	.26	.22	P12931STR-ND	2,000	125.30/M	EVQ-Q2B02W
	Berührungsschalter, kurze Druckbewegung	1	3.1	6.6	50gf	15	20	2,000K	P12932SCT-ND	.33	.26	.22	P12932STR-ND	2,000	125.30/M	EVQ-Q2B03W
	L.T. Switch Short Push Travel w/Ground Term.†	1	2.0	6.6	50gf	15	20	2,000K	P12933SCT-ND	.33	.26	.22	P12933STR-ND	4,000	125.30/M	EVQ-Q2D01W
	L.T. Switch Short Push Travel w/Ground Term.†	1	2.5	6.6	50gf	15	20	2,000K	P12934SCT-ND	.33	.26	.22	P12934STR-ND	2,000	125.30/M	EVQ-Q2D02W
	L.T. Switch Short Push Travel w/Ground Term.†	1	3.1	6.6	50gf	15	20	2,000K	P12935SCT-ND	.33	.26	.22	P12935STR-ND	2,000	125.30/M	EVQ-Q2D03W
	Berührungsschalter, kurze Druckbewegung	1	2.0	6.6	100gf	15	20	1,000K	P12936SCT-ND	.33	.26	.22	P12936STR-ND	4,000	125.30/M	EVQ-Q2F01W
	Berührungsschalter, kurze Druckbewegung	1	2.5	6.6	100gf	15	20	1,000K	P12970SCT-ND	.33	.26	.22	P12970STR-ND	2,000	125.30/M	EVQ-Q2F02W
	Berührungsschalter, kurze Druckbewegung	1	3.1	6.6	100gf	15	20	1,000K	P12937SCT-ND	.33	.26	.22	P12937STR-ND	2,000	125.30/M	EVQ-Q2F03W
	L.T. Switch Short Push Travel w/Ground Term.†	1	2.0	6.6	100gf	15	20	1,000K	P12938SCT-ND	.33	.26	.22	P12938STR-ND	4,000	125.30/M	EVQ-Q2H01W
	L.T. Switch Short Push Travel w/Ground Term.†	1	2.5	6.6	100gf	15	20	1,000K	P12939SCT-ND	.33	.26	.22	P12939STR-ND	2,000	125.30/M	EVQ-Q2H02W
	L.T. Switch Short Push Travel w/Ground Term.†	1	3.1	6.6	100gf	15	20	1,000K	P12940SCT-ND	.33	.26	.22	P12940STR-ND	2,000	125.30/M	EVQ-Q2H03W
	Berührungsschalter, kurze Druckbewegung	1	2.0	6.6	130gf	15	20	1,000K	P12941SCT-ND	.33	.26	.22	P12941STR-ND	4,000	125.30/M	EVQ-Q2K01W
	Berührungsschalter, kurze Druckbewegung	1	2.5	6.6	130gf	15	20	1,000K	P12942SCT-ND	.33	.26	.22	P12942STR-ND	2,000	125.30/M	EVQ-Q2K02W
	Berührungsschalter, kurze Druckbewegung	1	3.1	6.6	130gf	15	20	1,000K	P12943SCT-ND	.33	.26	.22	P12943STR-ND	2,000	125.30/M	EVQ-Q2K03W

Hinweis: Die Schalter sind nicht abwaschbar, es sei denn, es ist etwas Gegenteiliges angegeben. * Lose ** Berührungsschalter mit Betätiger, abwaschbar (Lösungsmittel) *** Berührungsschalter mit Betätiger und Erdungsklemme
† Berührungsschalter, kurze Druckbewegung, mit Erdungsklemme

(Forts.)

Alle Preisangaben in Euro und inklusive Zollgebühren.

Abb. 16

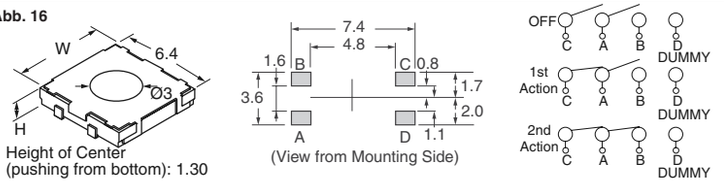

Abb. 17

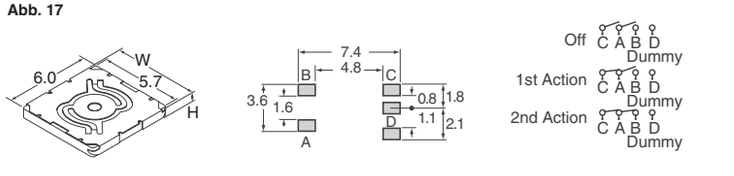

Abb. 18

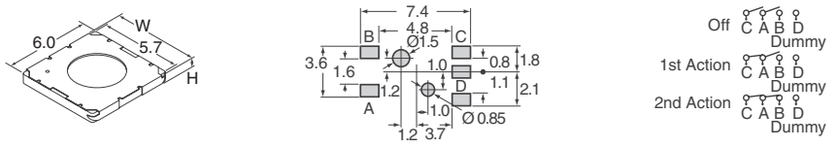

Abb. 19

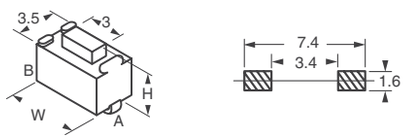

Abb. 20

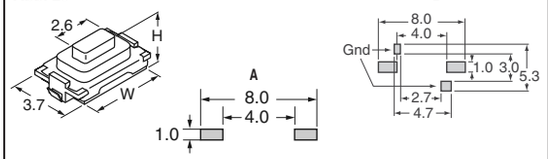

Abb. 21

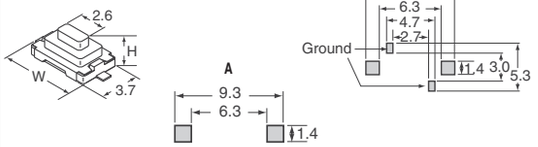

Abb. 22

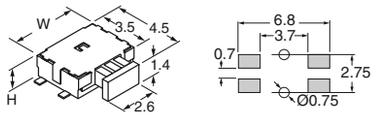

Abb. 23

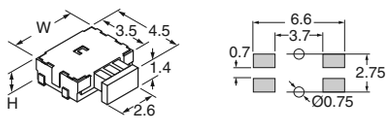

Abb. 24

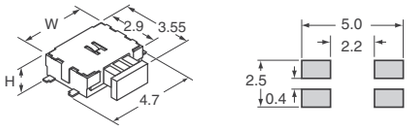

Abb. 25

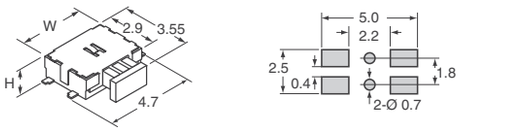

Abb.	Beschreibung	Schalt-bild	Abmessungen (mm) H	W	Betätigungs-kraft	Nenn-spannung (V DC)	Nenn-strom (mA)	Betriebs-lebens-dauer	Digi-Key Teilenr.	Gurtabschnittspreis pro Stück 1	10	100	Digi-Key Teilenr.	Gegurtet auf Rolle Größe	Preisangaben	Panasonic Teilenr.
	L.T. Switch Short Push Travel w/Ground Term.**	1	2.0	6.6	130gf	15	20	1,000K	P12944SCT-ND	.33	.26	.22	P12944STR-ND	4,000	125.30/M	EVQ-Q2M01W
	L.T. Switch Short Push Travel w/Ground Term.**	1	2.5	6.6	130gf	15	20	1,000K	P12945SCT-ND	.33	.26	.22	P12945STR-ND	2,000	125.30/M	EVQ-Q2M02W
	L.T. Switch Short Push Travel w/Ground Term.**	1	3.1	6.6	130gf	15	20	1,000K	P12946SCT-ND	.33	.26	.22	P12946STR-ND	2,000	125.30/M	EVQ-Q2M03W
	Berührungsschalter, kurze Druckbewegung	1	2.0	6.6	160gf	15	20	1,000K	P12947SCT-ND	.33	.26	.22	P12947STR-ND	4,000	125.30/M	EVQ-Q2P01W
	Berührungsschalter, kurze Druckbewegung	1	2.5	6.6	160gf	15	20	1,000K	P12948SCT-ND	.33	.26	.22	P12948STR-ND	2,000	125.30/M	EVQ-Q2P02W
	Berührungsschalter, kurze Druckbewegung	1	3.1	6.6	160gf	15	20	1,000K	P12949SCT-ND	.33	.26	.22	P12949STR-ND	2,000	125.30/M	EVQ-Q2P03W
	L.T. Switch Short Push Travel w/Ground Term.**	1	2.0	6.6	160gf	15	20	1,000K	P12950SCT-ND	.33	.26	.22	P12950STR-ND	4,000	125.30/M	EVQ-Q2S01W
	L.T. Switch Short Push Travel w/Ground Term.**	1	2.5	6.6	160gf	15	20	1,000K	P12951SCT-ND	.33	.26	.22	P12951STR-ND	2,000	125.30/M	EVQ-Q2S02W
	L.T. Switch Short Push Travel w/Ground Term.**	1	3.1	6.6	160gf	15	20	1,000K	P12952SCT-ND	.33	.26	.22	P12952STR-ND	2,000	125.30/M	EVQ-Q2S03W
	Berührungsschalter, kurze Druckbewegung	1	2.0	6.6	260gf	15	20	200K	P12953SCT-ND	.33	.26	.22	P12953STR-ND	4,000	125.30/M	EVQ-Q2U01W
10	Berührungsschalter, kurze Druckbewegung	1	2.5	6.6	260gf	15	20	200K	P12954SCT-ND	.33	.26	.22	P12954STR-ND	2,000	125.30/M	EVQ-Q2U02W
	Berührungsschalter, kurze Druckbewegung	1	3.1	6.6	260gf	15	20	200K	P12955SCT-ND	.33	.26	.22	P12955STR-ND	2,000	125.30/M	EVQ-Q2U03W
	L.T. Switch Short Push Travel w/Ground Term.**	1	2.0	6.6	260gf	15	20	200K	P12956SCT-ND	.33	.26	.22	P12956STR-ND	4,000	125.30/M	EVQ-Q2W01W
	L.T. Switch Short Push Travel w/Ground Term.**	1	2.5	6.6	260gf	15	20	200K	P12957SCT-ND	.33	.26	.22	P12957STR-ND	2,000	125.30/M	EVQ-Q2W02W
	L.T. Switch Short Push Travel w/Ground Term.**	1	3.1	6.6	260gf	15	20	200K	P12958SCT-ND	.33	.26	.22	P12958STR-ND	2,000	125.30/M	EVQ-Q2W03W
	Berührungsschalter, kurze Druckbewegung	1	2.0	6.6	350gf	15	20	100K	P12959SCT-ND	.33	.26	.22	P12959STR-ND	4,000	125.30/M	EVQ-Q2Y01W
	Berührungsschalter, kurze Druckbewegung	1	2.5	6.6	350gf	15	20	100K	P12960SCT-ND	.33	.26	.22	P12960STR-ND	2,000	125.30/M	EVQ-Q2Y02W
	Berührungsschalter, kurze Druckbewegung	1	3.1	6.6	350gf	15	20	100K	P12961SCT-ND	.33	.26	.22	P12961STR-ND	2,000	125.30/M	EVQ-Q2Y03W
	L.T. Switch Short Push Travel w/Ground Term.**	1	2.0	6.6	350gf	15	20	100K	P12962SCT-ND	.33	.26	.22	P12962STR-ND	4,000	125.30/M	EVQ-Q2201W
	L.T. Switch Short Push Travel w/Ground Term.**	1	2.5	6.6	350gf	15	20	100K	P12963SCT-ND	.33	.26	.22	P12963STR-ND	2,000	125.30/M	EVQ-Q2202W
	L.T. Switch Short Push Travel w/Ground Term.**	1	3.1	6.6	350gf	15	20	100K	P12964SCT-ND	.33	.26	.22	P12964STR-ND	2,000	125.30/M	EVQ-Q2203W
	Berührungsschalter, gebogene J-Anschlüsse	1	1.8	4	160gf	12	50	100K	P12318SCT-ND	.69	.53	.46	P12318STR-ND	4,000	261.60/M	EVQ-PSC02K
11	Berührungsschalter, gebogene J-Anschlüsse	1	1.8	4	220gf	12	50	100K	P12319SCT-ND	.86	.65	.56	P12319STR-ND	4,000	320.87/M	EVQ-PSG02K
	L.T. Switch J Bent Leads w/Mounting Boss ***	1	1.8	4	160gf	12	50	50K	P8088SCT-ND	.86	.65	.56	P8088STR-ND	4,000	310.71/M	EVQ-PSD02K
	L.T. Switch J Bent Leads w/Mounting Boss ***	1	1.8	4	220gf	12	50	50K	P8089SCT-ND	.96	.72	.63	P8089STR-ND	4,000	346.26/M	EVQ-PSH02K
12	Berührungsschalter mit geraden Anschlüssen	1	1.8	4	160gf	12	50	100K	P12320SCT-ND	.70	.53	.46	P12320STR-ND	4,000	264.14/M	EVQ-PSL02K
	Berührungsschalter mit geraden Anschlüssen	1	1.8	4	220gf	12	50	100K	P12321SCT-ND	.86	.65	.56	P12321STR-ND	4,000	320.87/M	EVQ-PSQ02K
13	L.T. Switch Straight Leads with Mtg. Boss ◊	1	1.8	4	160gf	12	50	100K	P12322SCT-ND	.86	.65	.56	P12322STR-ND	4,000	320.87/M	EVQ-PSM02K
	L.T. Switch Straight Leads with Mtg. Boss ◊	1	1.8	4	220gf	12	50	100K	P12323SCT-ND	.86	.65	.56	P12323STR-ND	4,000	320.87/M	EVQ-PSR02K
14	Berührungsschalter, sehr klein	1	.55	4.5	160gf	15	20	50K	P8090SCT-ND	.50	.38	.33	P8090STR-ND	10,000	163.40/M	EVQ-PQH855
	Berührungsschalter, sehr klein	1	.55	4.5	220gf	15	20	50K	P8091SCT-ND	.50	.38	.33	P8091STR-ND	10,000	163.40/M	EVQ-PQMB55
15	L. T. Switch SPDT Straight Leads w/Mtg. Boss †	—	1.5	6.2	100/260gf	15	20	100K	P10845S-ND*	.66	.58	.47	—	—	—	EVQ-PWAA15
16	Berührungsschalter, SPDT, gebogene J-Anschlüsse	—	1.5	6.2	100/260gf	15	20	100K	P10846SCT-ND	.98	.74	.65	P10846STR-ND	5,000	352.19/M	EVQ-PWBA15
	6 mm x 3,5 mm Typ															
17	Berührungsschalter, SPDT, gerader Anschluss mit Betätiger	2	0.95	6	70/260gf	15	20	30K	P12285SCT-ND	.87	.66	.57	P12285STR-ND	5,000	305.63/M	EVQ-PR3A10
	Berührungsschalter, SPDT	2	0.90	6	100/260gf	15	20	30K	P12286SCT-ND	.87	.66	.57	P12286STR-ND	5,000	305.63/M	EVQ-PRBA09
18	Berührungsschalter, SPDT, mit Erdung	2	0.90	6	100/260gf	15	20	30K	P12288SCT-ND	.97	.74	.64	P12288STR-ND	5,000	341.18/M	EVQ-PRDA09
	Berührungsschalter, SPDT, mit Befestigungsnabe	2	0.90	6	100/260gf	15	20	30K	P12287SCT-ND	.87	.66	.57	P12287STR-ND	5,000	305.63/M	EVQ-3PRA09
	Berührungsschalter, SPDT, mit Befestigungs- nabe, mit Erdung	2	0.90	6	100/260gf	15	20	30K	P12289SCT-ND	.97	.74	.64	P12289STR-ND	5,000	341.18/M	EVQ-PRHA09
	Berührungsschalter	2	4.3	6	100gf	12	50	50K	P8048SCT-ND	.89	.67	.58	P8048STR-ND	2,500	332.72/M	EVQ-PJS04K
	Berührungsschalter	2	4.3	6	160gf	12	50	50K	P8050SCT-ND	.90	.68	.59	P8050STR-ND	2,500	336.10/M	EVQ-PJX04M
19	Berührungsschalter	2	4.3	6	240gf	12	50	50K	P8052SCT-ND	.91	.69	.59	P8052STR-ND	2,500	340.34/M	EVQ-PJU04K
	Berührungsschalter (langer Stift)	2	5.0	6	100gf	12	50	50K	P8049SCT-ND	.98	.74	.64	P8049STR-ND	2,000	368.27/M	EVQ-PJS05K
	Berührungsschalter (langer Stift)	2	5.0	6	160gf	12	50	50K	P8051SCT-ND	.89	.67	.58	P8051STR-ND	2,000	332.72/M	EVQ-PJX05M
	Berührungsschalter (langer Stift)	2	5.0	6	240gf	12	50	50K	P8053SCT-ND	.91	.69	.59	P8053STR-ND	2,000	340.34/M	EVQ-PJU05K
20A	Berührungsschalter, gebogene J-Anschlüsse	2	2.5	6	160gf	12	50	50K	P8086SCT-ND	.84	.63	.55	P8086STR-ND	4,000	303.09/M	EVQ-PPBA25
	Berührungsschalter-Anschlussklemmen	2	2.5	6	240gf	12	50	50K	P8087SCT-ND	.76	.57	.50	P8087STR-ND	4,000	275.15/M	EVQ-PPDA25
20B	Berührungsschalter, gebogene J-Anschlüsse	2	2.5	6	160gf	12	50	500K	P12272SCT-ND	.76	.57	.50	P12272STR-ND	4,000	284.46/M	EVQ-PPKA25
	Berührungsschalter mit Erdung	2	2.5	6	240gf	12	50	300K	P12273SCT-ND	.93	.71	.61	P12273STR-ND	4,000	350.50/M	EVQ-PPMA25
21A	Berührungsschalter mit geraden Anschlüssen	2	2.5	6	160gf	12	50	50K	P12268SCT-ND	.76	.57	.50	P12268STR-ND	4,000	284.46/M	EVQ-PPFA25
	Berührungsschalter-Anschlussklemmen	2	2.5	6	240gf	12	50	30K	P12269SCT-ND	.76	.57	.50	P12269STR-ND	4,000	284.46/M	EVQ-PPHA25
21B	Berührungsschalter mit geraden Anschlüssen	2	2.5	6	160gf	12	50	500K	P12270SCT-ND	.93	.71	.61	P12270STR-ND	4,000	350.50/M	EVQ-PPPA25
	Berührungsschalter mit Erdung	2	2.5	6	240gf	12	50	300K	P12271SCT-ND	.93	.71	.61	P12271STR-ND	4,000	350.50/M	EVQ-PPRA25
	0,7 mm x 3,5 mm Typ															
22	L. T. Switch Straight Leads No Mtg. Boss ‡	1	1.65	4.7	160gf	12	50	100K	P10851SCT-ND	.91	.68	.59	P10851STR-ND	4,000	326.79/M	EVQ-PUJ02K
	Berührungsschalter, gerade Anschlüsse, mit Befestigungs- nabe	1	1.65	4.7	160gf	12	50	100K	P10853SCT-ND	.91	.68	.59	P10853STR-ND	4,000	326.79/M	EVQ-PUL02K
	L. T. Switch Straight Leads No Mtg. Boss ‡	1	1.65	4.7	220gf	12	50	100K	P10847SCT-ND	.91	.68	.59	P10847STR-ND	4,000	326.79/M	EVQ-PUA02K
	Berührungsschalter, gerade Anschlüsse, mit Befestigungs- nabe	1	1.65	4.7	220gf	12	50	100K	P10849SCT-ND	.91	.68	.59	P10849STR-ND	4,000	326.79/M	EVQ-PUC02K

Hinweis: Die Schalter sind nicht abwaschbar, es sei denn, es ist etwas Gegenteiliges angegeben. * Lose ** Berührungsschalter, kurze Druckbewegung, mit Erdungsklemme *** Berührungsschalter, gebogene J-Anschlüsse, mit Befestigungsnabe ◊ Berührungsschalter, gerade Anschlüsse, mit Befestigungs- nabe † Berührungsschalter, SPDT, gerade Anschlüsse, mit Befestigungs- nabe ‡ Berührungsschalter, gerade Anschlüsse, ohne Befestigungs- nabe

(Forts.)

H

Abb. 26

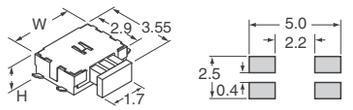

Abb. 27

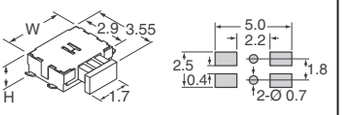

Abb. 28

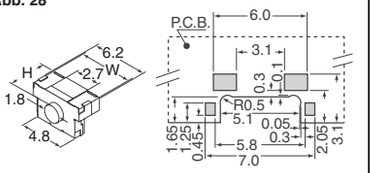

Abb. 29

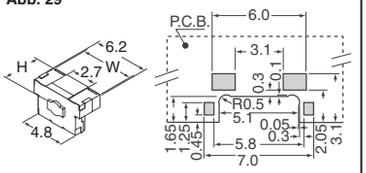

Abb. 30

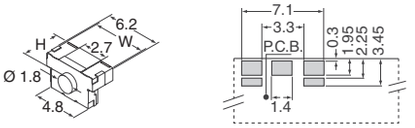

Abb. 31

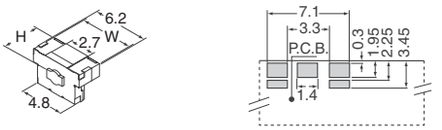

Abb. 32

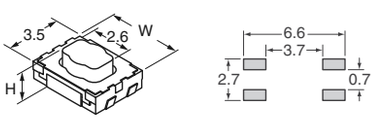

Abb. 33

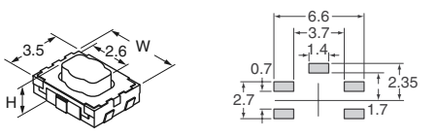

Abb. 34

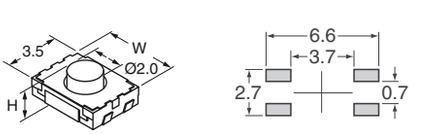

Abb. 35

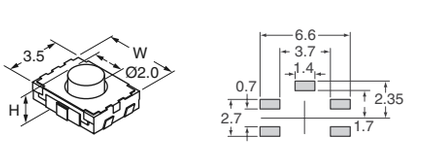

Abb. 36

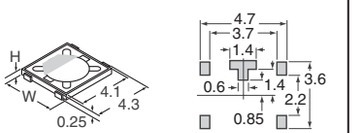

Abb. 37

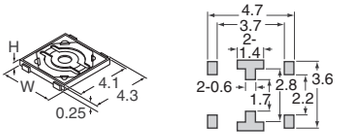

Abb. 38

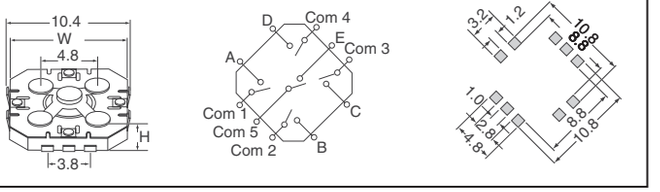

Abb.	Beschreibung	Schalt-bild	Abmessungen (mm) H	B	Betätigungs-kraft	Nenn-spannung (V DC)	Nenn-strom (mA)	Betriebs-lebens-dauer	Digi-Key Teilenr.	Gurtabschnittspreis pro Stück 1	10	100	Digi-Key Teilenr.	Gegurtet auf Rolle Größe	Preisangaben	Panasonic Teilenr.
23	L. T. Switch J Bent Leads No Mtg. Boss**	1	1.65	4.7	160gf	12	50	100K	P10852SCT-ND	.94	.71	.61	P10852STR-ND	4,000	340.34/M	EVQ-PUK02K
	L. T. Switch J Bent Leads w/ Mtg. Boss ***	1	1.65	4.7	160gf	12	50	100K	P10854SCT-ND	.91	.68	.59	P10854STR-ND	4,000	326.79/M	EVQ-PUM02K
	L. T. Switch J Bent Leads No Mtg. Boss**	1	1.65	4.7	220gf	12	50	100K	P10848SCT-ND	.91	.68	.59	P10848STR-ND	4,000	326.79/M	EVQ-PUB02K
	L. T. Switch J Bent Leads w/ Mtg. Boss***	1	1.65	4.7	220gf	12	50	100K	P10850SCT-ND	.91	.68	.59	P10850STR-ND	4,000	326.79/M	EVQ-PUD02K
24	L.T. Switch Straight Leads No Mtg. Boss †	1	1.35	3.5	160gf	12	50	100K	P12278SCT-ND	.99	.75	.65	P12278STR-ND	5,000	372.51/M	EVQ-P7J01K
	L.T. Switch Straight Leads No Mtg. Boss †	1	1.35	3.5	220gf	12	50	100K	P12277SCT-ND	.99	.75	.65	P12277STR-ND	5,000	372.51/M	EVQ-P7A01K
25	L.T. Switch Straight Leads with Mtg. Boss ‡	1	1.35	3.5	160gf	12	50	100K	P12280SCT-ND	.99	.75	.65	P12280STR-ND	5,000	372.51/M	EVQ-P7L01K
	L.T. Switch Straight Leads with Mtg. Boss ‡	1	1.35	3.5	220gf	12	50	100K	P12279SCT-ND	.99	.75	.65	P12279STR-ND	5,000	372.51/M	EVQ-P7C01K
26	L.T. Switch J Bent Leads No Mtg. Boss**	1	1.35	3.5	160gf	12	50	100K	P12282SCT-ND	.99	.75	.65	P12282STR-ND	5,000	372.51/M	EVQ-P7K01K
	L.T. Switch J Bent Leads No Mtg. Boss**	1	1.35	3.5	220gf	12	50	100K	P12281SCT-ND	.99	.75	.65	P12281STR-ND	5,000	372.51/M	EVQ-P7B01K
27	L.T. Switch J Bent Leads with Mtg. Boss***	1	1.35	3.5	160gf	12	50	100K	P12284SCT-ND	.99	.75	.65	P12284STR-ND	5,000	372.51/M	EVQ-P7M01K
	L.T. Switch J Bent Leads with Mtg. Boss***	1	1.35	3.5	220gf	12	50	100K	P12283SCT-ND	.99	.75	.65	P12283STR-ND	5,000	372.51/M	EVQ-P7D01K
28	Berührungsschalter, Kantenmontage	2	3.4	5.7	250gf	15	20	500K	P12305SCT-ND	1.31	.99	.86	P12305STR-ND	2,500	492.72/M	EVQ-P4H03B
	Berührungsschalter, Kantenmontage	2	3.4	5.7	350gf	15	20	200K	P12306SCT-ND	1.31	.99	.86	P12306STR-ND	2,500	492.72/M	EVQ-P4K03Q
	Berührungsschalter, Kantenmontage	2	3.4	5.7	500gf	15	20	200K	P12307SCT-ND	1.31	.99	.86	P12307STR-ND	2,500	492.72/M	EVQ-P4M03K
29	Berührungsschalter, kurzer Hub, Kantenmontage	2	3.0	5.7	100gf	15	20	1,000K	P12308SCT-ND	1.27	.96	.83	P12308STR-ND	2,500	475.79/M	EVQ-P4003M
	Berührungsschalter, kurzer Hub, Kantenmontage	2	3.0	5.7	160gf	15	20	1,000K	P12309SCT-ND	1.27	.96	.83	P12309STR-ND	2,500	475.79/M	EVQ-P4203M
	Berührungsschalter, kurzer Hub, Kantenmontage	2	3.0	5.7	240gf	15	20	500K	P12310SCT-ND	1.27	.96	.83	P12310STR-ND	2,500	475.79/M	EVQ-P4403M
	Berührungsschalter, kurzer Hub, Kantenmontage	2	3.0	5.7	350gf	15	20	200K	P12311SCT-ND	1.27	.96	.83	P12311STR-ND	2,500	475.79/M	EVQ-P4603M
30	Berührungsschalter, Leiterplattenmontage	2	3.4	5.7	250gf	15	20	500K	P12312SCT-ND	1.27	.96	.83	P12312STR-ND	2,500	475.79/M	EVQ-P8H03B
	Berührungsschalter, Leiterplattenmontage	2	3.4	5.7	350gf	15	20	200K	P12313SCT-ND	1.27	.96	.83	P12313STR-ND	2,500	475.79/M	EVQ-P8K03Q
31	Berührungsschalter, kurzer Hub, Leiterplattenmontage	2	3.0	5.7	100gf	15	20	1,000K	P12314SCT-ND	1.22	.92	.80	P12314STR-ND	2,500	458.02/M	EVQ-P8003M
	Berührungsschalter, kurzer Hub, Leiterplattenmontage	2	3.0	5.7	160gf	15	20	1,000K	P12315SCT-ND	1.22	.92	.80	P12315STR-ND	2,500	458.02/M	EVQ-P8203M
	Berührungsschalter, kurzer Hub, Leiterplattenmontage	2	3.0	5.7	240gf	15	20	1,000K	P12316SCT-ND	1.22	.92	.80	P12316STR-ND	2,500	458.02/M	EVQ-P8403M
	Berührungsschalter, kurzer Hub, Leiterplattenmontage	2	3.0	5.7	350gf	15	20	500K	P12317SCT-ND	1.22	.92	.80	P12317STR-ND	2,500	458.02/M	EVQ-P8603M
32	Berührungsschalter, gebogene J-Anschlüsse, kurzer Hub	1	2.1	4.7	100gf	15	20	1,000K	P12296SCT-ND	1.11	.83	.72	P12296STR-ND	4,000	413.99/M	EVQ-P2002M
	Berührungsschalter, gebogene J-Anschlüsse, kurzer Hub	1	2.1	4.7	160gf	15	20	1,000K	P12298SCT-ND	1.11	.83	.72	P12298STR-ND	4,000	413.99/M	EVQ-P2202M
	Berührungsschalter, gebogene J-Anschlüsse, kurzer Hub	1	2.1	4.7	240gf	15	20	500K	P11080SCT-ND	1.11	.83	.72	P11080STR-ND	4,000	400.45/M	EVQ-P2402M
	Berührungsschalter, gebogene J-Anschlüsse, kurzer Hub	1	2.1	4.7	350gf	15	20	200K	P12300SCT-ND	1.11	.83	.72	P12300STR-ND	4,000	413.99/M	EVQ-P2602M
	Berührungsschalter, gebogene J-Anschlüsse, kurzer Hub	1	2.5	4.7	100gf	15	20	1,000K	P12297SCT-ND	1.11	.83	.72	P12297STR-ND	4,000	413.99/M	EVQ-P2002W
	Berührungsschalter, gebogene J-Anschlüsse, kurzer Hub	1	2.5	4.7	160gf	15	20	1,000K	P12299SCT-ND	1.11	.83	.72	P12299STR-ND	4,000	413.99/M	EVQ-P2202W
	Berührungsschalter, gebogene J-Anschlüsse, kurzer Hub	1	2.5	4.7	240gf	15	20	500K	P11081SCT-ND	1.11	.83	.72	P11081STR-ND	4,000	400.45/M	EVQ-P2402W
	Berührungsschalter, gebogene J-Anschlüsse, kurzer Hub	1	2.5	4.7	350gf	15	20	200K	P12301SCT-ND	1.11	.83	.72	P12301STR-ND	4,000	413.99/M	EVQ-P2602W
33	L.T. Switch J Bent Leads Short Stroke w/Gnd ◊	1	2.1	4.7	100gf	15	20	1,000K	P12290SCT-ND	1.22	.92	.80	P12290STR-ND	4,000	458.01/M	EVQ-P2P02M
	L.T. Switch J Bent Leads Short Stroke w/Gnd ◊	1	2.1	4.7	160gf	15	20	1,000K	P12292SCT-ND	1.22	.92	.80	P12292STR-ND	4,000	458.01/M	EVQ-P2R02M
	L.T. Switch J Bent Leads Short Stroke w/Gnd ◊	1	2.1	4.7	240gf	15	20	500K	P11082SCT-ND	1.22	.92	.80	P11082STR-ND	4,000	442.78/M	EVQ-P2T02M
	L.T. Switch J Bent Leads Short Stroke w/Gnd ◊	1	2.1	4.7	350gf	15	20	200K	P12294SCT-ND	1.22	.92	.80	P12294STR-ND	4,000	458.01/M	EVQ-P2V02M
	L.T. Switch J Bent Leads Short Stroke w/Gnd ◊	1	2.5	4.7	240gf	15	20	500K	P11083SCT-ND	1.22	.92	.80	P11083STR-ND	4,000	442.78/M	EVQ-P2T02W
	L.T. Switch J Bent Leads Short Stroke w/Gnd ◊	1	2.5	4.7	100gf	15	20	1,000K	P12291SCT-ND	1.22	.92	.80	P12291STR-ND	4,000	458.01/M	EVQ-P2P02W
	L.T. Switch J Bent Leads Short Stroke w/Gnd ◊	1	2.5	4.7	160gf	15	20	1,000K	P12293SCT-ND	1.22	.92	.80	P12293STR-ND	4,000	458.01/M	EVQ-P2R02W
	L.T. Switch J Bent Leads Short Stroke w/Gnd ◊	1	2.5	4.7	350gf	15	20	200K	P12295SCT-ND	1.22	.92	.80	P12295STR-ND	4,000	458.01/M	EVQ-P2V02W
34	Berührungsschalter, gebogene J-Anschlüsse	1	2.5	4.7	250gf	15	20	1,000K	P12304SCT-ND	1.22	.92	.80	P12304STR-ND	4,000	458.01/M	EVQ-P2H02B
	Berührungsschalter, gebogene J-Anschlüsse	1	2.5	4.7	350gf	15	20	500K	P11084SCT-ND	1.11	.83	.72	P11084STR-ND	4,000	400.45/M	EVQ-P2K02Q
35	Berührungsschalter, gebogene J-Anschlüsse, mit Erdung	1	2.5	4.7	250gf	15	20	1,000K	P12302SCT-ND	1.22	.92	.80	P12302STR-ND	4,000	458.01/M	EVQ-P2B02B
	Berührungsschalter, gebogene J-Anschlüsse, mit Erdung	1	2.5	4.7	350gf	15	20	500K	P11085SCT-ND	1.22	.92	.80	P11085STR-ND	4,000	442.78/M	EVQ-P2D02Q
	Berührungsschalter, gebogene J-Anschlüsse, mit Erdung	1	2.5	4.7	500gf	15	20	200K	P12303SCT-ND	1.22	.92	.80	P12303STR-ND	4,000	458.01/M	EVQ-P2F02K
36	Berührungsschalter	1	0.35	4.1	160gf	15	20	1,000K	P12324SCT-ND	.47	.36	.32	P12324STR-ND	10,000	154.93/M	EVQ-P6EB35
	Berührungsschalter	1	0.35	4.1	240gf	15	20	500K	P12325SCT-ND	.47	.36	.32	P12325STR-ND	10,000	154.93/M	EVQ-P6GB35
	Berührungsschalter	1	0.35	4.1	350gf	15	20	200K	P12326SCT-ND	.47	.36	.32	P12326STR-ND	10,000	154.93/M	EVQ-P6JB35
37	Berührungsschalter mit Betätiger	1	0.58	4.1	160gf	15	20	1,000K	P12327SCT-ND	.52	.39	.34	P12327STR-ND	10,000	166.78/M	EVQ-P6SB55
	Berührungsschalter mit Betätiger	1	0.58	4.1	240gf	15	20	500K	P12328SCT-ND	.52	.39	.34	P12328STR-ND	10,000	166.78/M	EVQ-P6UB55
	Berührungsschalter mit Betätiger	1	0.58	4.1	350gf	15	20	200K	P12329SCT-ND	.52	.39	.34	P12329STR-ND	10,000	166.78/M	EVQ-P6WB55
38	Mehrfach-Richtungsschalter	—	1.55	9.8	320/160gf	15	20	1M	P12330SCT-ND	3.79	2.85	2.47	P12330STR-ND	2,000	1423.98/M	EVQ-Q3AA15

Hinweis: Die Schalter sind nicht abwaschbar, es sei denn, es ist etwas Gegenteiliges angegeben. * Lose ** Berührungsschalter, gebogene J-Anschlüsse, ohne Befestigungs- nabe *** Berührungsschalter, gebogene J-Anschlüsse, mit Befestigungs-nabe † Berührungsschalter, gerade Anschlüsse, ohne Befestigungsnabe ‡ Berührungsschalter, gerade Anschlüsse, mit Befestigungsnabe ◊ Berührungsschalter, gebogene J-Anschlüsse, kurzer Hub, mit Erdung

Alle Preisangaben in Euro und inklusive Zollgebühren.

EIGENSCHAFTEN: • **Schaltkapazität:** 50 mA 24 V DC (ohmsche Belastung) • **Kontaktwiderstand:** Max. 100 mΩ • **Prellzeit:** Max. 5 ms. • **Vibration:** Haltbarkeit bei Fehlfunktion: 10 ~ 55 Hz, 1,5 mm, doppelte Amplitude • **Erschütterung:** Mechanische Haltbarkeit: 1.000 m/s² (ca. 100 G); Haltbarkeit bei Fehlfunktion: 100 m/s² (ca. 10 G) • **Umgebungstemperatur:** Bei Betrieb: -25 °C ~ 70 °C • **Lebensdauer:** • ***Serie B3F-1 – Serie B3F-3 —*** Mechanisch/elektrisch: Min. 1 x 10^6 (0,3 x 10^6) Abläufe • ***Serie B3F-4 —*** Mechanisch/Elektrisch: Min. 3 x 106 (0,3 x 10^6) Abläufe. • ***Serie B3S-1 —*** Mechanisch/Elektrisch: Allzweckausführung: Min. 500.000 Abläufe; Hochlastausführung: Min. 300.000 Abläufe • ***Serie B3W-1*** — Mechanisch/Elektrisch: Allzweckausführung: Min. 1.000.000 Abläufe; Hochlastausführung: Min. 300.000 Abläufe • ***Serie B3W-4*** — Mechanisch/Elektrisch: Allzweckausführung: Min. 3.000.000 Abläufe; Hochlastausführung: Min. 1.000.000 Abläufe

Abb.	Beschreibung	Abm. H (mm)	Digi-Key Teilenr.	Preisangaben 1	25	50	100	Omron Teilenr.
	6 mm (nicht abwaschbar)							
1	Tastschalter, leichtgängig, flacher Betätiger, ohne Erdungsklemme — 100 gF	4.3	SW400-ND	.17	3.81	6.77	12.19	B3F-1000
	Tastschalter, mittelschwerer Gang, flacher Betätiger, ohne Erdungsklemme — 150 gF	4.3	SW401-ND	.19	4.28	7.62	13.71	B3F-1002
	Tastschalter, schwergängig, flacher Betätiger, ohne Erdungsklemme — 260 gF	4.3	SW793-ND	.24	5.40	9.60	17.28	B3F-1005
	Tastschalter, leichtgängig, flacher Betätiger, ohne Erdungsklemme — 100 gF	5.0	SW402-ND	.19	4.28	7.62	13.71	B3F-1020
	Tastschalter, mittelschwerer Gang, flacher Betätiger, ohne Erdungsklemme — 150 gF	5.0	SW403-ND	.19	4.28	7.62	13.71	B3F-1022
	Tastschalter, schwergängig, flacher Betätiger, ohne Erdungsklemme — 260 gF	5.0	SW794-ND	.25	5.77	10.24	18.44	B3F-1025
	Tastschalter, leichtgängig, flacher Betätiger, ohne Erdungsklemme — 100 gF	9.5	SW406-ND	.21	4.77	8.47	15.24	B3F-1070
2	Tastschalter, leichtgängig, vorspringender Betätiger, ohne Erdungsklemme — 100 gF	—	SW404-ND	.19	4.28	7.62	13.71	B3F-1050
	Tastschalter, mittelschwerer Gang, vorspringender Betätiger, ohne Erdungsklemme — 150 gF	—	SW405-ND	.19	4.28	7.62	13.71	B3F-1052
1	Tastschalter, schwergängig, flacher Betätiger, ohne Erdungsklemme — 260 gF	7.3	SW795-ND	.40	8.98	15.97	28.74	B3F-1055
3	Tastschalter, leichtgängig, rechter Winkel, flacher Betätiger — 100 gF	—	SW407-ND	.25	5.71	10.16	18.29	B3F-3120
	Tastschalter, mittelschwerer Gang, rechter Winkel, flacher Betätiger — 150 gF	—	SW408-ND	.25	5.71	10.16	18.29	B3F-3122
4	Tastschalter, leichtgängig, rechter Winkel, vorspringender Betätiger — 100 gF	—	SW409-ND	.25	5.71	10.16	18.29	B3F-3150
	Tastschalter, mittelschwerer Gang, rechter Winkel, vorspringender Betätiger — 150 gF	—	SW410-ND	.25	5.71	10.16	18.29	B3F-3152
	6 mm vergoldete Kontakte (nicht abwaschbar)							
1	Tastschalter, vergoldeter Kontakt, flacher Betätiger, ohne Erdungsklemme — 150 gF	4.3	SW787-ND	2.21	49.76	88.47	159.25	B3F-1002-G
	Tastschalter, vergoldeter Kontakt, flacher Betätiger, ohne Erdungsklemme — 150 gF	4.3	SW789-ND	2.33	52.37	93.10	167.58	B3F-1102-G
	Tastschalter, vergoldeter Kontakt, flacher Betätiger, ohne Erdungsklemme — 150 gF	5.0	SW788-ND	2.21	49.76	88.47	159.25	B3F-1022-G
	Tastschalter, vergoldeter Kontakt, flacher Betätiger, ohne Erdungsklemme — 150 gF	5.0	SW790-ND	2.33	52.37	93.10	167.58	B3F-1122-G
	6 mm lötbeständig versiegelt, reinigungs- und lötbeständig (nicht mit Wasser abwaschbar)							
5	Flacher SMT-Betätiger, ohne Erdungsklemme — 160 gF	—	SW415-ND	.38	8.58	15.24	27.43	B3S-1000
	Flacher SMT-Betätiger, ohne Erdungsklemme — 230 gF	—	SW416-ND	.38	8.58	15.24	27.43	B3S-1002
6	Tastschalter, flacher Betätiger, ohne Erdungsklemme — 160 gF	—	SW417-ND	.30	6.67	11.85	21.33	B3W-1000
	Tastschalter, flacher Betätiger, ohne Erdungsklemme — 230 gF	—	SW418-ND	.30	6.67	11.85	21.33	B3W-1002
9	Tastschalter, vorspringender Betätiger, ohne Erdungsklemme — 160 gF	—	SW419-ND	.30	6.67	11.85	21.33	B3W-1050
	Tastschalter, vorspringender Betätiger, ohne Erdungsklemme — 230 gF	—	SW420-ND	.30	6.67	11.85	21.33	B3W-1052
	12 mm (nicht abwaschbar)							
7	Standard-Tastschalter, flacher Betätiger, ohne Erdungsklemme — 130 gF	—	SW411-ND	.25	5.71	10.16	18.29	B3F-4000
	Standard-Tastschalter, flacher Betätiger, ohne Erdungsklemme — 260 gF	—	SW412-ND	.25	5.71	10.16	18.29	B3F-4005
8	Standard-Tastschalter, vorspringender Betätiger, ohne Erdungsklemme — 130 gF	—	SW413-ND	.25	5.71	10.16	18.29	B3F-4050
	Standard-Tastschalter, vorspringender Betätiger, mit Erdungsklemme — 130 gF	—	SW835-ND	.43	9.69	17.21	30.98	B3F-4150
	Standard-Tastschalter, vorspringender Betätiger, ohne Erdungsklemme — 260 gF	—	SW414-ND	.25	5.71	10.16	18.29	B3F-4055
5	Tastschalter, lange haltbar, flacher Betätiger, ohne Erdungsklemme — 130 gF	4.3	SW800-ND	.38	8.66	15.40	27.72	B3F-5000
8	Tastschalter, lange haltbar, vorspringender Betätiger — 130 gF	4.3	SW801-ND	.38	8.66	15.40	27.72	B3F-5050
	12 mm, lötbeständig versiegelt (nicht mit Wasser abwaschbar)							
10	Tastschalter, flacher Betätiger, ohne Erdungsklemme — 200 gF	—	SW421-ND	.36	8.09	14.39	25.91	B3W-4000
8	Tastschalter, vorspringender Betätiger, ohne Erdungsklemme — 200 gF	—	SW422-ND	.36	8.09	14.39	25.91	B3W-4050
	Tastschalter, vorspringender Betätiger, ohne Erdungsklemme — 350 gF	—	SW838-ND	.61	13.65	24.26	43.68	B3W-4055
	Tastschalter, vorspringender Betätiger, mit Erdungsklemme — 200 gF	—	SW839-ND	.50	11.27	20.04	36.07	B3W-4150
	Tastkappen							
11	Tastkappe, 4 mm x 4 mm, hellgrau/beige, passend für vorspringende 6 mm Betätiger	—	SW450-ND	.15	3.34	5.93	10.67	B32-1000
	Tastkappe, 4 mm x 4 mm, schwarz, passend für vorspringende 6 mm Betätiger	—	SW451-ND	.15	3.34	5.93	10.67	B32-1010
	Tastkappe, 4 mm x 4 mm, gelb, passend für vorspringende 6 mm Betätiger	—	SW249-ND	.15	3.34	5.93	10.67	B32-1030
	Tastkappe, 4 mm x 4 mm, blau, passend für vorspringende 6 mm Betätiger	—	SW250-ND	.15	3.34	5.93	10.67	B32-1040
	Tastkappe, 4 mm x 4 mm, weiß, passend für vorspringende 6 mm Betätiger	—	SW251-ND	.15	3.34	5.93	10.67	B32-1060
	Tastkappe, 4 mm x 4 mm, rot, passend für vorspringende 6 mm Betätiger	—	SW252-ND	.15	3.34	5.93	10.67	B32-1080
12	Tastkappe, 9 mm x 9 mm, hellgrau/beige, passend für vorspringende 12 mm Betätiger	9	SW452-ND	.15	3.34	5.93	10.67	B32-1200
	Tastkappe, 9 mm x 9 mm, schwarz, passend für vorspringende 12 mm Betätiger	9	SW453-ND	.15	3.34	5.93	10.67	B32-1210
	Tastkappe, 9 mm x 9 mm, gelb, passend für vorspringende 12 mm Betätiger	9	SW253-ND	.15	3.34	5.93	10.67	B32-1230
	Tastkappe, 9 mm x 9 mm, blau, passend für vorspringende 12 mm Betätiger	9	SW254-ND	.15	3.34	5.93	10.67	B32-1240
	Tastkappe, 9 mm x 9 mm, weiß, passend für vorspringende 12 mm Betätiger	9	SW255-ND	.15	3.34	5.93	10.67	B32-1260
	Tastkappe, 9 mm x 9 mm, rot, passend für vorspringende 12 mm Betätiger	9	SW256-ND	.15	3.34	5.93	10.67	B32-1280
	Tastkappe, 12 mm x 12 mm, hellgrau/beige, passend für vorspringende 12 mm Betätiger	12	SW454-ND	.15	3.34	5.93	10.67	B32-1300
	Tastkappe, 12 mm x 12 mm, schwarz, passend für vorspringende 12 mm Betätiger	12	SW455-ND	.15	3.34	5.93	10.67	B32-1310
	Tastkappe, 12 mm x 12 mm, gelb, passend für vorspringende 12 mm Betätiger	12	SW257-ND	.15	3.34	5.93	10.67	B32-1330
	Tastkappe, 12 mm x 12 mm, blau, passend für vorspringende 12 mm Betätiger	12	SW258-ND	.15	3.34	5.93	10.67	B32-1340
	Tastkappe, 12 mm x 12 mm, weiß, passend für vorspringende 12 mm Betätiger	12	SW259-ND	.15	3.34	5.93	10.67	B32-1360
	Tastkappe, 12 mm x 12 mm, rot, passend für vorspringende 12 mm Betätiger	12	SW260-ND	.15	3.34	5.93	10.67	B32-1380
	6 mm Tastschalter, langer Hub							
13	Tastschalter, langer Hub und positives Klicken — 70 gF	—	SW426-ND	.53	11.90	21.17	38.10	B3M-6009

Abb.	Beschreibung	Abm. H (mm)	Digi-Key Teilenr.	Gurtabschnittspreis pro Stück 1	25	50	Digi-Key Teilenr.	Gegurtet auf Rolle Größe	Preisangaben	Omron Teilenr.
	Flacher 6 mm-Betätiger (nicht abwaschbar), autom. Platzierung									
14	Tastschalter, autom. Platzierung, 6 mm, quadratisch — 100 gF	4.3	SW263CT-ND	.25	5.77	10.47	SW263TB-ND*	1,000	105.83	B3F-6000
	Tastschalter, autom. Platzierung, 6 mm, quadratisch — 150 gF	4.3	SW797-ND	.28	6.19	11.01	—	—	—	B3F-6002
	Tastschalter, autom. Platzierung, 6 mm, quadratisch — 100 gF	5.0	SW796-ND	.31	6.98	12.42	—	—	—	B3F-6020
	Tastschalter, autom. Platzierung, 6 mm, quadratisch — 150 gF	5.0	SW264CT-ND	.27	6.11	11.10	SW264TB-ND*	1,000	116.41	B3F-6022
	Vorspringender 6 mm-Betätiger (nicht abwaschbar), autom. Platzierung									
15	Tastschalter, autom. Platzierung, 6 mm, quadratisch — 100 gF	—	SW798-ND	.33	7.46	13.26	—	—	—	B3F-6050
	Tastschalter, autom. Platzierung, 6 mm, quadratisch — 150 gF	—	SW799-ND	.33	7.46	13.26	—	—	—	B3F-6052
16	Tastschalter, autom. Platzierung, wasser- und staubdicht	—	SW425CT-ND	.43	9.72	17.63	SW425TB-ND*	1,000	179.90	B3WN-6002
	6 mm lötbeständig versiegelt (nicht mit Wasser abwaschbar)									
17	Flacher SMT-Betätiger, ohne Erdungsklemme — 160 gF	—	SW261CT-ND	.64	14.46	26.24	SW261TR-ND**	3,000	275.15/M	B3SN-3012P
	Flacher SMT-Betätiger, ohne Erdungsklemme — 160 gF	—	SW262CT-ND	.64	14.46	26.24	SW262TR-ND**	3,000	275.15/M	B3SN-3112P
18	SMT, Tastschalter, 6 mm, quadratisch (Einrasten) — 100 gF	—	SW423CT-ND	.38	8.58	15.56	SW423TR-ND**	3,000	158.74/M	B3FS-1000P
	SMT, Tastschalter, 6 mm, quadratisch - 160 gF, Höhe = 4,3	—	SW836CT-ND	.47	10.48	18.63	SW836TR-ND**	1,000	251.44	B3S-1000P
	SMT, Tastschalter, 6 mm, quadratisch (Einrasten) — 150 gF	—	SW424CT-ND	.38	8.58	15.56	SW424TR-ND**	3,000	158.74/M	B3FS-1002P
	SMT, Tastschalter, 6 mm, quadratisch - 230 gF, Höhe = 4,3	—	SW837CT-ND	.47	10.48	18.63	SW837TR-ND**	1,000	251.44	B3S-1002P
	6 mm lötbeständig versiegelter vorspringender Betätiger (nicht mit Wasser abwaschbar)									
19	SPST, Tastschalter, 6 mm, quadratisch (Einrasten) — 100 gF	—	SW791-ND	.56	12.50	22.23	—	—	—	B3FS-1050
	SPST, Tastschalter, 6 mm, quadratisch (Einrasten) — 150 gF	—	SW792-ND	.56	12.50	22.23	—	—	—	B3FS-1052

* TB = Band in Schachtel ** TR = Gegurtet auf Rollel

Abb. 1

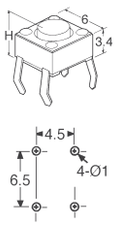

Abb. 2

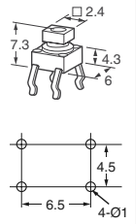

Abb. 3

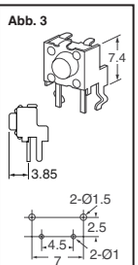

Abb. 4

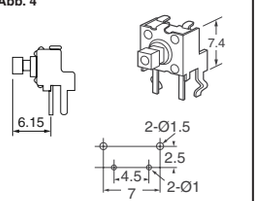

Abb. 5

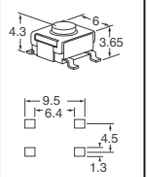

Abb. 6

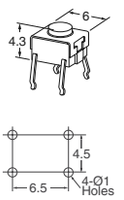

Abb. 7

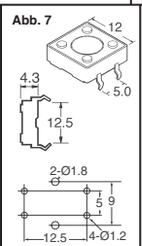

Abb. 8

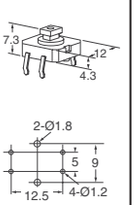

Abb. 9

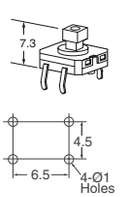

Abb. 10

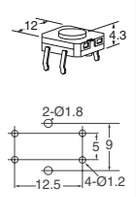

Abb. 11

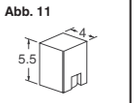

Abb. 12

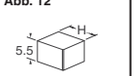

Abb. 13

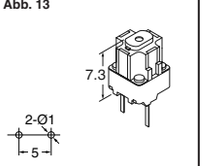

Abb. 14

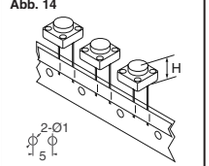

Abb. 15

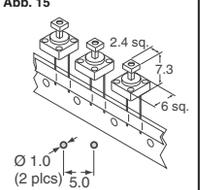

Abb. 16

Sealed

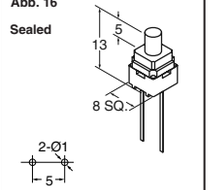

Abb. 17

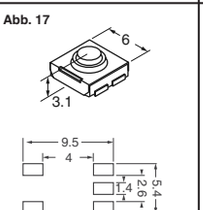

Note: Eliminate center pad for "without GND Terminal"

Abb. 18

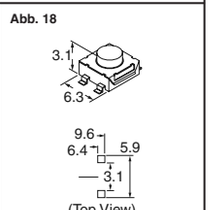

(Top View)
(One-Side PCB t=1.6)

Abb. 19

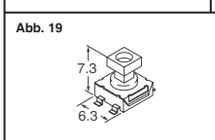

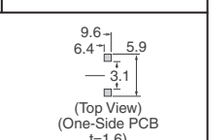

(Top View)
(One-Side PCB t=1.6)

H

Abb.	Beschreibung	Digi-Key Teilenr.	Stückpreis 1	10	100	Digi-Key Teilenr.	Gegurtet auf Rolle Größe	Preisangaben	E-Switch Teilenr.
1	Tastschalter, 12 mm, quadratischer, erweiterter Betätiger, Betätigerlänge = 7,3	EG1821-ND	.40	.32	.29	—	—	—	TL1100F160Q
2	Tastschalter, rechtwinklig, 12 mm, quadratischer, erweiterter Betätiger, Betätigerlänge = 7,3	EG1822-ND	.49	.40	.36	—	—	—	TL1100CF160Q
3	Tastkappe, B = 12 mm x 12 mm, schwarz, für 12 mm Betätigertypen, erweitert	EG1080-ND	.19	.16	.14	—	—	—	4J BLACK
	Tastkappe, B = 12 mm x 12 mm, grau, für 12 mm Betätigertypen, erweitert	EG1079-ND	.19	.16	.14	—	—	—	4J GREY
	Tastkappe, B = 12 mm x 12 mm, rot, für 12 mm Betätigertypen, erweitert	EG1078-ND	.19	.16	.14	—	—	—	4J RED
	Tastkappe, B = 12 mm x 12 mm, weiß, für 12- mm-Betätigertypen, erweitert	EG1077-ND	.19	.16	.14	—	—	—	4J WHITE
	Tastkappe, B = 8 x 8 mm, schwarz, für 12 mm Betätigertypen, erweitert	EG1885-ND	.15	.14	.12	—	—	—	6J BLK
	Tastkappe, B = 8 x 8 mm, rot, für 12 mm Betätigertypen, erweitert	EG1886-ND	.15	.14	.12	—	—	—	6J RED
	Tastkappe, B = 8 x 8 mm, weiß, für 12 mm Betätigertypen, erweitert	EG1887-ND	.15	.14	.12	—	—	—	6J WHT
	Tastkappe, B = 8 x 8 mm, grau, für 12 mm Betätigertypen, erweitert	EG1888-ND	.15	.14	.12	—	—	—	6J GRY
4	Tastschalter, 12 mm, quadratischer, flacher Betätiger	EG1023-ND	.42	.34	.31	—	—	—	TL1100DF160Q
	Tastschalter, SMT, 3,44 mm Betätiger, 160 gF, Gull Wing	EG2530CT-ND	.69	.55	.50	EG2530TR-ND*	1,500	274.30/M	TL3304AF160QG/TR
5	Tastschalter, 12 mm, quadratisch, passend für Stiftbetätiger, Betätigerlänge = 12,0	EG1024-ND	.37	.31	.28	—	—	—	TL1100FF160Q
6	Tastschalter, 12mm, quadratisch, rechtwinklig, passend für Stiftbetätiger, Betätigerlänge = 9,0	EG1025-ND	.70	.57	.51	—	—	—	TL1100GF160Q
—	Tastkappe, rechteckig, schwarz, passend für 12 mm Stiftbetätigertypen	EG1076-ND	.38	.31	.28	—	—	—	TAA BLACK
	Tastkappe, rechteckig, weiß, passend für 12 mm Stiftbetätigertypen	EG1075-ND	.38	.31	.28	—	—	—	TAA WHITE
	Tastkappe, rechteckig, grau, passend für 12 mm Stiftbetätigertypen	EG1074-ND	.38	.31	.28	—	—	—	TAA GREY
	Tastkappe, rechteckig, rot, passend für 12 mm Stiftbetätigertypen	EG1073-ND	.38	.31	.28	—	—	—	TAA RED
7	Tastschalter, 12 mm, quadratisch, langer, flacher Betätiger	EG1826-ND	.37	.31	.28	—	—	—	TL1100EF160Q
8	Tastschalter, 6 mm, quadratisch, 4,3 mm Betätiger, 160 gF	EG1827-ND	.25	.21	.19	—	—	—	TL1105F160Q
	Tastschalter, 6 mm, quadratisch, 4,3 mm Betätiger, 250 gF	EG1828-ND	.25	.21	.19	—	—	—	TL1105F250Q
	Tastschalter, 6 mm, quadratisch, 5 mm Betätiger, 160 gF	EG1829-ND	.25	.21	.19	—	—	—	TL1105AF160Q
	Tastschalter, 6 mm, quadratisch, 5 mm Betätiger, 250 gF	EG1830-ND	.25	.21	.19	—	—	—	TL1105AF250Q
	Tastschalter, 6 mm, quadratisch, 7,3 mm Betätiger, 160 gF	EG1831-ND	.25	.21	.19	—	—	—	TL1105EF160Q
	Tastschalter, 6 mm, quadratisch, 7,3 mm Betätiger, 250 gF	EG1832-ND	.25	.21	.19	—	—	—	TL1105EF250Q
	Tastschalter, 6 mm, quadratisch, 9,5 mm Betätiger, 100 gF	EG2497-ND	.16	.13	.12	—	—	—	TL1105BF100Q
	Tastschalter, 6 mm, quadratisch, 9,5 mm Betätiger, 160 gF	EG1833-ND	.25	.21	.19	—	—	—	TL1105BF160Q
	Tastschalter, 6 mm, quadratisch, 9,5 mm Betätiger, 250 gF	EG1834-ND	.25	.21	.19	—	—	—	TL1105BF250Q
	Tastschalter, 6 mm, quadratisch, 13 mm Betätiger, 160 gF	EG1865-ND	.25	.21	.19	—	—	—	TL1105DF160Q
	Tastschalter, 6 mm, quadratisch, 13 mm Betätiger, 250 gF	EG1866-ND	.25	.21	.19	—	—	—	TL1105DF250Q
	Tastschalter, 6 mm, quadratisch, 5 mm Betätiger, 100 gF	EG2495-ND	.16	.13	.12	—	—	—	TL1105AF100Q
	Tastschalter, 6 mm, quadratisch, vergoldet, 5 mm Betätiger, 160 gF	EG2493-ND	.84	.68	.61	—	—	—	TL1105AF160R
	Tastschalter, 6mm, quadratisch, 13,0 mm Betätiger, 100 gF	EG2498-ND	.16	.13	.12	—	—	—	TL1105DF100Q
	Tastschalter, 6 mm, quadratisch, 7,3 mm Betätiger, 100 gF	EG2496-ND	.16	.13	.12	—	—	—	TL1105EF100Q
	Tastschalter, 6 mm, quadratisch, 4,3 mm Betätiger, 100 gF	EG2494-ND	.14	.11	.10	—	—	—	TL1105F100Q
	Tastschalter, 6 mm, quadratisch, vergoldet, 4,3 mm Betätiger, 160 gF	EG2492-ND	.84	.68	.61	—	—	—	TL1105F160R
	Tastschalter, 6 mm, quadratisch, 17 mm Betätiger, 100 gF	EG2504-ND	.16	.13	.12	—	—	—	TL1105LF100Q
	Tastschalter, 6 mm, quadratisch, 17 mm Betätiger, 160 gF	EG2505-ND	.16	.13	.12	—	—	—	TL1105LF160Q
	Tastschalter, 6 mm, quadratisch, 17 mm Betätiger, 250 gF	EG2506-ND	.16	.13	.12	—	—	—	TL1105LF250Q
	Tastschalter, 6 mm, quadratisch, 5,0 mm Betätiger, 160 gF mit ESE	EG2491-ND	.25	.20	.18	—	—	—	TLE1105AF160Q
	Tastschalter, 6 mm, quadratisch, 4,3 mm Betätiger, 160 gF mit ESE	EG2490-ND	.25	.20	.18	—	—	—	TLE1105F160Q
9	Tastschalter, 6 mm, quadratisch, rechtwinklig, 3,15 mm Betätiger, 160 gF	EG1835-ND	.37	.31	.28	—	—	—	TL1105WF160Q
	Tastschalter, 6 mm, quadratisch, rechtwinklig, 3,15 mm Betätiger, 250 gF	EG1836-ND	.37	.31	.28	—	—	—	TL1105WF250Q
	Tastschalter, 6 mm, quadratisch, rechtwinklig, 6,15 mm Betätiger, 160 gF	EG1837-ND	.37	.31	.28	—	—	—	TL1105RF160Q
	Tastschalter, 6 mm, quadratisch, rechtwinklig, 6,15 mm Betätiger, 250 gF	EG1838-ND	.37	.31	.28	—	—	—	TL1105RF250Q
	Tastschalter, 6 mm, quadratisch, rechtwinklig, 8,35 mm Betätiger, 160 gF	EG1839-ND	.34	.28	.25	—	—	—	TL1105SF160Q
	Tastschalter, 6 mm, quadratisch, rechtwinklig, 8,35 mm Betätiger, 250 gF	EG1840-ND	.34	.28	.25	—	—	—	TL1105SF250Q
	Tastschalter, 6 mm, quadratisch, rechtwinklig, 6,15 mm Betätiger, 100 gF	EG2500-ND	.30	.25	.22	—	—	—	TL1105RF100Q
	Tastschalter, 6 mm, quadratisch, rechtwinklig, 8,35 mm Betätiger, 100 gF	EG2501-ND	.30	.25	.22	—	—	—	TL1105SF100Q
	Tastschalter, 6 mm, quadratisch, rechtwinklig, 3,85 mm Betätiger, 100 gF	EG2507-ND	.30	.25	.22	—	—	—	TL1105VF100Q
	Tastschalter, 6 mm, quadratisch, rechtwinklig, 3,85 mm Betätiger, 160 gF	EG2508-ND	.30	.25	.22	—	—	—	TL1105VF160Q
	Tastschalter, 6 mm, quadratisch, rechtwinklig, 3,85 mm Betätiger, 250 gF	EG2509-ND	.30	.25	.22	—	—	—	TL1105VF250Q
	Tastschalter, 6 mm, quadratisch, rechtwinklig, 3,15 mm Betätiger, 100 gF	EG2499-ND	.30	.25	.22	—	—	—	TL1105WF100Q
10	Tastschalter, 6 mm, quadratisch, erweiterter 7,5 mm Betätiger, 100 gF	EG2502-ND	.16	.13	.12	—	—	—	TL1105SPF100Q
	Tastschalter, 6 mm, quadratisch, erweiterter 7,5 mm Betätiger, 160 gF	EG1861-ND	.30	.25	.22	—	—	—	TL1105SPF160Q
	Tastschalter, 6 mm, quadratisch, erweiterter 7,5 mm Betätiger, 250 gF	EG1862-ND	.30	.25	.22	—	—	—	TL1105SPF250Q
11	Tastschalter, 6 mm, quadratisch, rechtwinklig, erweiterter 2,8 mm Betätiger, 100 gF	EG2503-ND	.42	.34	.31	—	—	—	TL1105JAF100Q
	Tastschalter, 6 mm, quadratisch, rechtwinklig, erweiterter 2,8 mm Betätiger, 160 gF	EG1863-ND	.52	.42	.38	—	—	—	TL1105JAF160Q
	Tastschalter, 6 mm, quadratisch, rechtwinklig, erweiterter 2,8 mm Betätiger, 250 gF	EG1864-ND	.52	.42	.38	—	—	—	TL1105JAF250Q
12	Tastschalter, 6 mm, quadratisch, SMT, 4,3 mm Betätiger, 160 gF	EG1867CT-ND	.47	.38	.34	EG1867TR-ND*	1,200	188.20/M	TL3301NF160QG/TR
	Tastschalter, 6 mm, quadratisch, SMT, 4,3 mm Betätiger, 260 gF	EG1868CT-ND	.47	.38	.34	EG1868TR-ND*	1,000	200.75	TL3301NF260QG/TR
	Tastschalter, 6 mm, quadratisch, SMT, 5,0 mm Betätiger, 160 gF, Gull Wing	EG2526CT-ND	.38	.31	.28	EG2526TR-ND*	1,000	162.55	TL3301AF160QG/TR
	Tastschalter, 6 mm, quadratisch, SMT, 5,0 mm Betätiger, 260 gF, Gull Wing	EG2527CT-ND	.38	.31	.28	EG2527TR-ND*	1,000	152.39	TL3301AF260QG/TR
13	Tastschalter, 6 mm, quadratisch, SMT, erweiterter 7,3 mm Betätiger, 160 gF	EG1869-ND	.38	.31	.28	—	—	—	TL3301SPF160QG
	Tastschalter, 6 mm, quadratisch, SMT, erweiterter 7,3 mm Betätiger, 260 gF	EG1870-ND	.38	.31	.28	—	—	—	TL3301SPF260QG
14	Tastschalter, 6,2 mm, quadratisch, H = 5,0 mm Betätiger, 160 gF	EG2533CT-ND	.26	.22	.20	EG2533TB-ND†	1,000	112.83	TL59AF160Q
	Tastschalter, 6,2 mm, quadratisch, H = 4,3 mm Betätiger, 160 gF	EG2532CT-ND	.26	.22	.20	EG2532TB-ND†	1,000	112.83	TL59NF160Q
—	Tastschalter, SMT, 1,5 mm Betätiger, 160 gF, Gull Wing	EG2531CT-ND	.91	.74	.66	EG2531TR-ND*	3,000	365.35/M	TL3342F160QG/TR
15	Tastschalter, 6 x 3,5 mm, H = 4,3 mm, 130 gF	EG2510-ND	.30	.25	.22	—	—	—	TL1107AF130WQ
	Tastschalter, 6 x 3,5 mm, H = 4,3 mm, 180 gF	EG2511-ND	.30	.25	.22	—	—	—	TL1107AF180WQ
	Tastschalter, 6 x 3,5 mm, H = 5,0 mm, 130 gF	EG2512-ND	.30	.25	.22	—	—	—	TL1107BF130WQ
	Tastschalter, 6 x 3,5 mm, H = 5,0 mm, 180 gF	EG2513-ND	.30	.25	.22	—	—	—	TL1107BF180WQ
	Tastschalter, SMT, 4,3 mm Betätiger, 180 gF, Gull Wing	EG2528CT-ND	.50	.40	.36	EG2528TR-ND*	1,800	198.11/M	TL3302AF180QG/TR
	Tastschalter, SMT, 5,0 mm Betätiger, 180 gF, Gull Wing	EG2529CT-ND	.50	.40	.36	EG2529TR-ND*	1,800	198.11/M	TL3302BF180QG/TR
	Lötbeständig versiegelter Tastschalter								
16	Tastschalter, 4,7 mm Betätiger, 130 gF	EG2638-ND	.64	.52	.47	—	—	—	TL6100AF130QP
	Tastschalter, 4,7 mm Betätiger, 160 gF	EG2639-ND	.64	.52	.47	—	—	—	TL6100AF160QP
	Tastschalter, 4,7 mm Betätiger, 160 gF mit ESE-Pin	EG2650-ND	1.02	.82	.74	—	—	—	TL6105AF160QP
	Tastschalter, 4,7 mm Betätiger, 300 gF	EG2640-ND	.64	.52	.47	—	—	—	TL6100AF300QP
	Tastschalter, 5,2 mm Betätiger, 130 gF	EG2641-ND	.64	.52	.47	—	—	—	TL6100BF130QP
	Tastschalter, 5,2 mm Betätiger, 160 gF	EG2642-ND	.64	.52	.47	—	—	—	TL6100BF160QP
	Tastschalter, 5,2 mm Betätiger, 160 gF mit ESE-Pin	EG2651-ND	1.02	.82	.74	—	—	—	TL6105BF160QP
	Tastschalter, 5,2 mm Betätiger, 300 gF	EG2643-ND	.64	.52	.47	—	—	—	TL6100BF300QP
	Tastschalter, 6,9 mm Betätiger, 130 gF	EG2644-ND	.64	.52	.47	—	—	—	TL6100CF130QP
	Tastschalter, 6,9 mm Betätiger, 160 gF	EG2645-ND	.64	.52	.47	—	—	—	TL6100CF160QP
	Tastschalter, 6,9 mm Betätiger, 160 gF mit ESE-Pin	EG2652-ND	1.02	.82	.74	—	—	—	TL6105CF160QP
	Tastschalter, 6,9 mm Betätiger, 300 gF	EG2646-ND	.64	.52	.47	—	—	—	TL6100CF300QP
	Tastschalter, 10 mm Betätiger, 130 gF	EG2647-ND	.64	.52	.47	—	—	—	TL6100DF130QP
	Tastschalter, 10 mm Betätiger, 160 gF	EG2648-ND	.64	.52	.47	—	—	—	TL6100DF160QP
	Tastschalter, 10 mm Betätiger, 160 gF mit ESE-Pin	EG2653-ND	1.02	.82	.74	—	—	—	TL6105DF160QP
	Tastschalter, 10 mm Betätiger, 300 gF	EG2649-ND	.64	.52	.47	—	—	—	TL6100DF300QP
	Tastschalter, 10 mm Betätiger, 130 gF	EG2519-ND	.86	.70	.63	—	—	—	GS10.00F130QP
	Tastschalter, 10 mm Betätiger, 300 gF	EG2520-ND	.86	.70	.63	—	—	—	GS10.00F300QP
	Tastschalter, 4,70 mm Betätiger, 130 gF	EG2517-ND	.86	.70	.63	—	—	—	GS4.70F130QP
	Tastschalter, 4,70 mm Betätiger, 300 gF	EG2518-ND	.86	.70	.63	—	—	—	GS4.70F300QP
	Tastschalter, 6,34 mm rechtwinkliger Betätiger, 130 gF	EG2521-ND	1.03	.83	.75	—	—	—	GS6.34F130QR
	Tastschalter, 8,54 mm rechtwinkliger Betätiger, 130 gF	EG2522-ND	1.03	.83	.75	—	—	—	GS8.54F130QR
	Tastschalter, 10 mm Betätiger, 130 gF mit ESE-Pin	EG2524-ND	.86	.70	.63	—	—	—	GSE10.00F130QP
	Tastschalter, 4,70 mm Betätiger, 130 gF mit ESE-Pin	EG2523-ND	.86	.70	.63	—	—	—	GSE4.70F130QP
	Serie 900 – Subminiatur-SMT, Druckschalter								
17	Tastschalter, RA, Drucktaster, SPST, 100 mA, 150 gF	EG2525CT-ND	.93	.75	.68	EG2525TR-ND*	2,000	373.35/M	901AGQF180/TR
18	Tastschalter, RA, Detektor, SPST, 100 mA, 50 gF	EG2622CT-ND	1.70	1.36	1.23	EG2622TR-ND*	1,900	634.11/M	900AGQ

* TR = Gegurtet auf Rolle † TB = Band und Box

Abb. 1

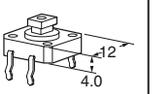

Abb. 2

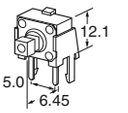

Abb. 3

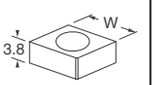

Abb. 4

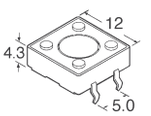

Abb. 5

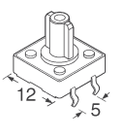

Abb. 6

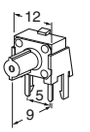

Abb. 7

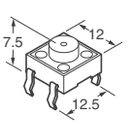

Abb. 8

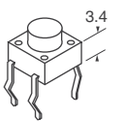

Abb. 9

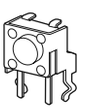

Abb. 10

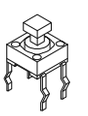

Abb. 11

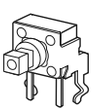

Abb. 12

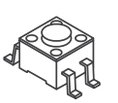

Abb. 13

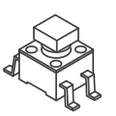

Abb. 14

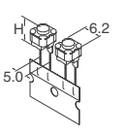

Abb. 15

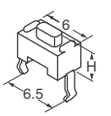

Abb. 16

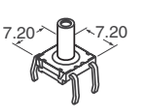

Lötbeständig versiegelt

Abb. 17

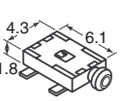

SMT, Tastschalter

Abb. 18

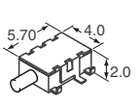

SMT, Detektor

H

Alle Preisangaben in Euro und inklusive Zollgebühren.

Momenttastschalter

Serie PTS

Abm. in mm

Abb.	Beschreibung	Abm. H (mm)	Digi-Key Teilenr.	Gurtabschnittspreis pro Stück 1	25	100	Gegurtet auf Rolle Größe	Preisangaben*	ITT Industries Teilenr.
	PTS, Momenttastschalter (nicht abwaschbar)								
1	6 mm, ohne ESE-Pin — 130 gF	4.3	CKN9009-ND	.31	.26	.20	—	—	PTS645SL43
	6 mm, mit ESE-Pin — 130 gF	4.3	CKN9011-ND	.45	.36	.29	—	—	PTS645TL43
	6 mm, mit ESE-Pin — 200 gF	4.3	CKN1762-ND	.54	.51	.46	—	—	PTS645TH43
	6 mm, ohne ESE-Pin — 260 gF	4.3	CKN1760-ND	.48	.45	.41	—	—	PTS645SK43
	6 mm, ohne ESE-Pin — 130 gF	5.0	CKN9010-ND	.31	.26	.20	—	—	PTS645SL50
	6 mm, mit ESE-Pin — 130 gF	5.0	CKN9012-ND	.45	.36	.29	—	—	PTS645TL50
	6 mm, ohne ESE-Pin — 160 gF	5.0	CKN1579CT-ND†	.29	.27	.25	1,000	158.31	PTS645SM50TR
	6 mm, mit ESE-Pin — 200 gF	5.0	CKN1763-ND	.54	.51	.46	—	—	PTS645TH50
	6 mm, ohne ESE-Pin — 260 gF	5.0	CKN1761-ND	.48	.45	.41	—	—	PTS645SK50
	6 mm, ohne ESE-Pin — 130 gF	7.0	CKN1577-ND	.31	.26	.20	—	—	PTS645SL70
	6 mm, mit ESE-Pin — 130 gF	7.0	CKN1580-ND	.45	.36	.29	—	—	PTS645TL70
	6 mm, ohne ESE-Pin — 200 gF	7.0	CKN1758-ND	.40	.37	.34	—	—	PTS645SH70
	6 mm, ohne ESE-Pin — 130 gF	9.5	CKN1578-ND	.31	.26	.20	—	—	PTS645SL95
	6 mm, ohne ESE-Pin — 200 gF	9.5	CKN1759-ND	.40	.37	.34	—	—	PTS645SH95
2	4,5 mm, ohne ESE-Pin — 130 gF	3.8	CKN9018-ND	.26	.22	.17	—	—	PTS453SL38
	4,5 mm, mit ESE-Pin — 130 gF	3.8	CKN9019-ND	.26	.22	.17	—	—	PTS453TL38
3	6 mm, rechtwinklig, — 130 gF	3.15	CKN9013-ND	.33	.27	.21	—	—	PTS645VL31
	6 mm, rechtwinklig, — 130 gF	3.85	CKN9014-ND	.33	.27	.21	—	—	PTS645VL39
	6 mm, rechtwinklig, — 130 gF	5.85	CKN1585-ND	.33	.27	.21	—	—	PTS645VL58
	6 mm, rechtwinklig, — 130 gF	8.35	CKN1586-ND	.33	.27	.21	—	—	PTS645VL83
	6 mm, rechtwinklig, — 130 gF	15.85	CKN1769-ND	.36	.33	.31	—	—	PTS645VL15
	6 mm, rechtwinklig, — 160 gF	3.85	CKN1587CT-ND†	.36	.33	.31	700	138.67	PTS645VM39TR
	6 mm, rechtwinklig, — 200 gF	3.15	CKN1581-ND	.34	.28	.22	—	—	PTS645VH31
	6 mm, rechtwinklig, — 200 gF	3.85	CKN1582-ND	.34	.28	.22	—	—	PTS645VH39
	6 mm, rechtwinklig, — 200 gF	5.85	CKN1583-ND	.34	.28	.22	—	—	PTS645VH58
	6 mm, rechtwinklig, — 200 gF	8.35	CKN1584-ND	.34	.28	.22	—	—	PTS645VH83
	6 mm, rechtwinklig, — 200 gF	15.85	CKN1768-ND	.37	.35	.32	—	—	PTS645VH15
4	6 mm, 2-Pin — 160 gF	4.3	CKN1790CT-ND†	.25	.24	.22	1,000	141.72	PTS645SM43TR
	6 mm, 2-Pin — 130 gF	7.0	CKN1794CT-ND†	.33	.31	.28	1,000	181.34	PTS645SL70TR
	6 mm, 2-Pin — 200 gF	9.5	CKN1793CT-ND†	.24	.22	.20	1,000	129.53	PTS645SH95TR
	6 mm, 2-Pin — 260 gF	4.3	CKN1791CT-ND†	.40	.37	.34	1,000	220.96	PTS645SK43TR
	6 mm, 2-Pin — 260 gF	5.0	CKN1792CT-ND†	.25	.24	.22	1,000	141.72	PTS645SK50TR
5	6 mm, rechtwinklig, 2-Pin — 260 gF	3.85	CKN1796CT-ND†	.38	.35	.32	700	146.38	PTS645VK39TR
6	6 mm, ohne ESE-Pin — 130 gF	7.3	CKN1576-ND	.19	.15	.12	—	—	PTS645SJL73
	6 mm, ohne ESE-Pin — 200 gF	7.3	CKN1575-ND	.45	.36	.29	—	—	PTS645SJH73
7	12 mm, ohne ESE-Pin — 160gf	7.3	CKN1567-ND	.38	.36	.33	—	—	PTS125SJM73
	12 mm, ohne ESE-Pin — 260 gF	7.3	CKN1566-ND	.38	.36	.33	—	—	PTS125SJK73
8	12 mm, ohne ESE-Pin — 160gf	4.3	CKN9015-ND	.30	.25	.20	—	—	PTS125SM43
	12 mm, ohne ESE-Pin — 260 gF	4.3	CKN1568-ND	.31	.26	.20	—	—	PTS125SK43
	12 mm, ohne ESE-Pin — 160gf	8.5	CKN1571-ND	.33	.27	.22	—	—	PTS125SM85
	12 mm, ohne ESE-Pin — 260 gF	8.5	CKN1569-ND	.34	.28	.22	—	—	PTS125SK85
9	12 mm Betätiger, rechtwinklig, quadratisch — 160 gF	13.2	CKN1801-ND	.38	.36	.33	—	—	PTS125VJM73
10	12 mm, ohne ESE-Pin — 160gf	12	CKN1570-ND	.32	.26	.21	—	—	PTS125SM12
11	6 mm, ohne ESE-Pin — 160 gF	4.3	CKN1789CT-ND	.23	.22	.20	1,000	128.01	PTS645SM43SMTR
	6 mm, ohne ESE-Pin — 260 gF	4.3	CKN1765-ND	.48	.45	.41	—	—	PTS645SK43SM
	6 mm, ohne ESE-Pin — 130 gF	5.0	CKN1767-ND	.37	.35	.32	—	—	PTS645SL50SM
	6 mm, ohne ESE-Pin — 200 gF	5.0	CKN1764-ND	.42	.40	.37	—	—	PTS645SH50SM
	6 mm, ohne ESE-Pin — 260 gF	5.0	CKN1766-ND	.48	.45	.41	—	—	PTS645SK50SM
12	5,25 mm, quadr. SMT — 160 gF	0.8	CKN1572CT-ND	.40	.37	.34	5,000	220.97/M	PTS525SM08
	5,25 mm, quadr. SMT — 130 gF	1.5	CKN9020CT-ND	.63	.51	.41	3,000	264.57/M	PTS525SM10SMTR
13	6 x 3,5 mm, ohne ESE-Pin — 130 gF	4.3	CKN9016-ND	.40	.32	.25	—	—	PTS635SL43
	6 x 3,5 mm, ohne ESE-Pin — 130 gF	5.0	CKN9017-ND	.40	.32	.25	—	—	PTS635SL50
14	6 x 3,5 mm, rechtwinklig — 130 gF	3.15	CKN1773-ND	.29	.27	.25	—	—	PTS635VL31
	6 x 3,5 mm, rechtwinklig — 200 gF	3.15	CKN1771-ND	.29	.27	.25	—	—	PTS635VH31
	6 x 3,5 mm, rechtwinklig — 200 gF	3.85	CKN1772-ND	.29	.27	.25	—	—	PTS635VH39
15	6 x 3,5 mm, ohne ESE-Pin — 130 gF	4.3	CKN1574CT-ND	.48	.45	.41	1,700	223.50/M	PTS635SL43SMTR
16	6,1 x 3,7 mm, ohne ESE-Pin — 130 gF	2.5	CKN1573CT-ND	.42	.40	.35	3,000	209.54/M	PTS635SL25SMTR
	6,1 x 3,7 mm, ohne ESE-Pin — 260 gF	2.5	CKN1770-ND	.41	.39	.36	—	—	PTS635SK25SM

Abb. 1

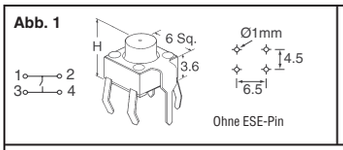

Abb. 2

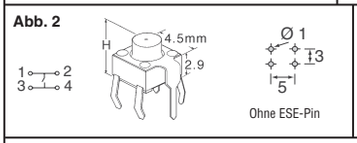

Abb. 3

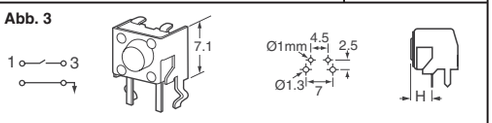

Abb. 4

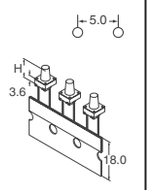

Abb. 5

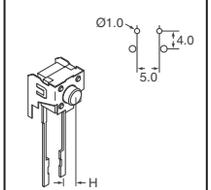

Abb. 6

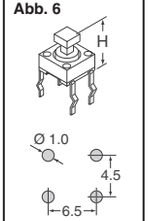

Abb. 7

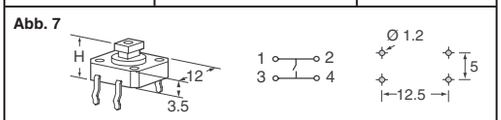

Abb. 8

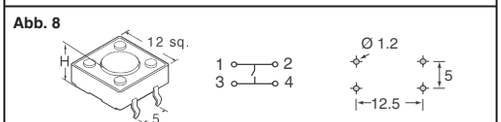

Abb. 9

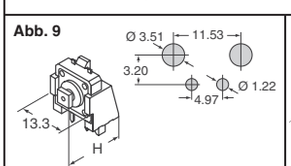

Abb. 10

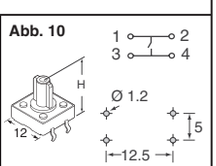

Abb. 11

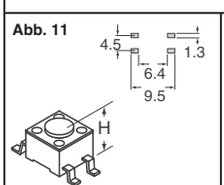

Abb. 12

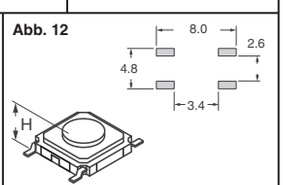

Abb. 13

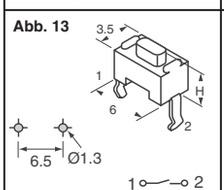

Abb. 14

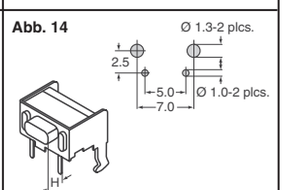

Abb. 15

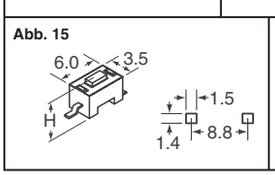

Abb. 16

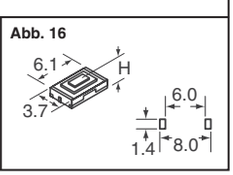

* Für Gegurtet auf Rolle die Teilenummer CT-ND in TR-ND ändern † Für Band in Schachtel die Teilenummer CT-ND in TB-ND ändern

Serie KS - Tastenschalter

Schaltkreis	Schaltfunktion	Kontakt-material	Schalter-kappenfarbe	Digi-Key Teilenr.	Stückpreis 1	25	100	ITT Industries Teilenr.
	KS, Momenttastschalter (nicht abwaschbar)							
SPST	Momentschalter (N/O)	B	Weiß	CKN4077-ND	1.87	1.50	1.19	KS11R21CBD
		Q	Weiß	CKN4078-ND	1.12	.90	.71	KS11R21CQD
		Q	Weiß	CKN1590-ND	2.19	1.76	1.39	KS11R21CQE
		B	Schwarz	CKN4079-ND	1.87	1.50	1.19	KS11R22CBD
		Q	Schwarz	CKN4080-ND	1.12	.90	.71	KS11R22CQD
		Q	Schwarz	CKN1591-ND	2.19	1.76	1.39	KS11R22CQE
		B	Rot	CKN4081-ND	1.95	1.56	1.24	KS11R23CBD
		Q	Rot	CKN4082-ND	1.12	.90	.71	KS11R23CQD
		Q	Blau	CKN1592-ND	1.42	1.14	.91	KS11R27CQD
SPDT	Momentschalter	Q	Weiß	CKN1593-ND	1.24	1.00	.79	KS12R21CQD
		B	Schwarz	CKN1594-ND	3.14	2.52	1.99	KS12R22CBE
		Q	Schwarz	CKN1595-ND	1.24	1.00	.79	KS12R22CQD
		Q	Schwarz	CKN1596-ND	2.32	1.86	1.47	KS12R22CQE

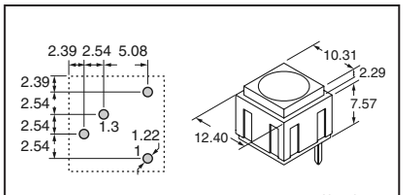

Kontaktmaterial:

Q Bewegliche Kontakte: Berylliumkupfer, versilbert, max. 25 mA @ max. 50 V AC/DC max. Stationäre Kontakte und alle Anschlüsse: Kupferlegierung, versilbert

B Kontakte: Anschlussklemmen aus Gold: Goldleistung: Max. 25 mA. beimax. 50 V AC/DC

H

Momenttastschalter
Serie KT11

Abb.	Betäti-gerhöhe	Anschluss	Kontakt-material	Digi-Key Teilenr.	Gurtabschnittspreis pro Stück 1	25	100	Digi-Key Teilenr.	Gegurtet auf Rolle Größe	Preisangaben	ITT Industries Teilenr.
1	Bündig	Leiterplattenmontage	Silber	CKN4050-ND	1.81	1.46	1.15	—	—	—	KT11B0CM
	.025"	Leiterplattenmontage	Silber	CKN4070-ND	1.75	1.41	1.11	—	—	—	KT11B1CM
	.088"	Leiterplattenmontage	Silber	CKN4071-ND	1.77	1.42	1.13	—	—	—	KT11B2CM
	.093"	Leiterplattenmontage	Silber	CKN4051-ND	1.71	1.37	1.09	—	—	—	KT11P2CM
	.044"	Leiterplattenmontage	Silber	CKN4052-ND	1.70	1.36	1.08	—	—	—	KT11P3CM
	.156"	Leiterplattenmontage	Silber	CKN1563-ND	1.73	1.39	1.10	—	—	—	KT11P4CM
2	Bündig	J-Lead	Silber	CKN9001CT-ND	1.64	1.42	1.14	CKN9001TR-ND	1,100	909.76/M	KT11B0JM
	.025"	J-Lead	Silber	CKN4081CT-ND	1.79	1.66	1.52	CKN4081TR-ND	1,100	990.52/M	KT11B1JM
	.088"	J-Lead	Silber	CKN4069CT-ND	1.83	1.58	1.27	CKN4069TR-ND	1,100	1011.86/M	KT11B2JM
	.093"	J-Lead	Silber	CKN9002CT-ND	1.70	1.47	1.18	CKN9002TR-ND	1,100	940.24/M	KT11P2JM
	.044"	J-Lead	Silber	CKN9003CT-ND	1.68	1.45	1.17	CKN9003TR-ND	1,100	929.57/M	KT11P3JM
	.156"	J-Lead	Silber	CKN4083CT-ND	1.81	1.67	1.53	CKN4083TR-ND	800	800.95	KT11P4JM
3	Bündig	Gull Wing	Silber	CKN4072CT-ND	1.91	1.65	1.33	CKN4072TR-ND	1,100	1059.10/M	KT11B0SM
	.025"	Gull Wing	Silber	CKN4073CT-ND	2.07	1.79	1.44	CKN4073TR-ND	1,100	1147.49/M	KT11B1SM
	.088"	Gull Wing	Silber	CKN4074CT-ND	2.09	1.81	1.45	CKN4074TR-ND	1,100	1158.15/M	KT11B2SM
	.093"	Gull Wing	Silber	CKN9004CT-ND	1.05	.91	.73	CKN9004TR-ND	1,100	1081.96/M	KT11P2SM
	.044"	Gull Wing	Silber	CKN9005CT-ND	1.92	1.66	1.33	CKN9005TR-ND	1,100	1063.68/M	KT11P3SM
	.156"	Gull Wing	Silber	CKN9023CT-ND	1.96	1.81	1.66	CKN9023TR-ND	800	868.00	KT11P4SM
4	Bündig	Gull Wing	Silber	CKN9006CT-ND	1.81	1.56	1.26	CKN9006TR-ND	800	802.17	KT11B0SAM
	Bündig	Gull Wing	Gold	CKN1804CT-ND	2.34	2.16	1.98	CKN1804TR-ND	800	1036.24	KT11B0SAM33
	.025"	Gull Wing	Silber	CKN9007CT-ND	1.83	1.58	1.27	CKN9007TR-ND	800	809.49	KT11B1SAM
	.025"	Gull Wing	Gold	CKN1805CT-ND	2.73	2.53	2.32	CKN1805TR-ND	800	1211.65	KT11B1SAM33
	.088"	Gull Wing	Silber	CKN9008CT-ND	1.84	1.59	1.28	CKN9008TR-ND	800	815.58	KT11B2SAM
	.088"	Gull Wing	Gold	CKN1806CT-ND	2.39	2.21	2.03	CKN1806TR-ND	800	1059.27	KT11B2SAM33
5	Presspassung	Gull Wing	Silber	CKN1565CT-ND	2.38	2.20	2.02	CKN1565TR-ND	800	877.75	KT11S1SA3M31
	.093"	Gull Wing	Gold	CKN1803CT-ND	1.85	1.71	1.57	CKN1803TR-ND	800	820.46	KT11P2SA3M33
	.093"	Gull Wing	Silber	CKN1562CT-ND	1.85	1.71	1.57	CKN1562TR-ND	800	683.71	KT11P2SA3M31
	.059"	Gull Wing	Gold	CKN1785CT-ND	2.50	2.31	2.12	CKN1785TR-ND	800	1106.68	KT11P3SA3M33
	.156"	Gull Wing	Gold	CKN1786CT-ND	4.21	3.89	3.57	CKN1786TR-ND	800	1865.23	KT11P4SA3M33
6	.093"	Gull Wing	Gold	CKN1807CT-ND	2.34	2.16	1.98	CKN1807TR-ND	800	863.53	KT11P2SA1M33
	.059"	Gull Wing	Silber	CKN4082CT-ND	1.81	1.68	1.54	CKN4082TR-ND	800	802.17	KT11P3SA1M31
	.059"	Gull Wing	Gold	CKN1808CT-ND	2.34	2.16	1.98	CKN1808TR-ND	800	1036.24	KT11P3SA1M33
	.156"	Gull Wing	Silber	CKN4084CT-ND	1.84	1.70	1.56	CKN4084TR-ND	800	815.58	KT11P4SA1M
	.156"	Gull Wing	Gold	CKN1809CT-ND	1.85	1.71	1.57	CKN1809TR-ND	800	820.46	KT11P4SA1M33
7	Presspassung	Gull Wing	Gold	CKN1787CT-ND	1.85	1.71	1.57	CKN1787TR-ND	600	615.34	KT11S1SA2M33
	Schnapp-Passung	Gull Wing	Gold	CKN1788CT-ND	1.85	1.71	1.57	CKN1788TR-ND	600	615.14	KT11S2SA2M33
	.093"	Gull Wing	Silber	CKN1561CT-ND	1.83	1.69	1.55	CKN1561TR-ND	600	607.01	KT11P2SA2M31
	.093"	Gull Wing	Gold	CKN1810CT-ND	2.34	2.16	1.98	CKN1810TR-ND	600	788.86	KT11P2SA2M33
	.059"	Gull Wing	Gold	CKN1802CT-ND	2.34	2.16	1.98	CKN1802TR-ND	3,000	1295.30/M	KT11P3SA2M33
	.156"	Gull Wing	Gold	CKN1564CT-ND	1.85	1.71	1.57	CKN1564TR-ND	600	615.14	KT11P4SA2M33
Elfenbeintaste für Schnapp-Pass-Betätiger, Ø 8 mm				CKN1774-ND	.99	.92	.84	—	—	—	BTNKT110380
Schwarze Taste für Druck-Pass-Betätiger, Ø 4 mm				CKN1775-ND	.99	.92	.84	—	—	—	BTNKT110290

Abb. 1

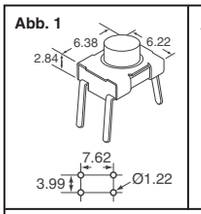

Abb. 2

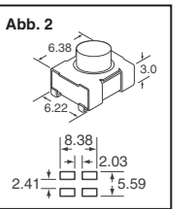

Abb. 3

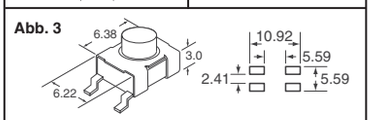

Abb. 4

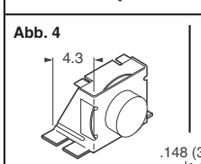

Abb. 5

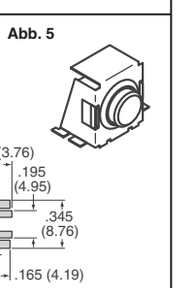

Abb. 6

Abb. 7

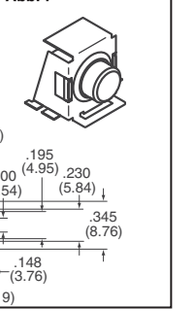

Versiegelte oberflächenmontierte Tastschalter Serie KSC — (abwaschbar)

Schaltkreis: SPST-NO • **Schaltung:** Max. Spannung: 32 V DC; max. Stromstärke: (Silber) 50 mA, (Gold) 10 mA • **Kontaktwiderstand:** 100 mΩ • **Betriebstemp.:** Silber: -40 °C ~ 85 °C; Gold: -40 °C ~ 125 °C

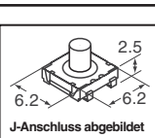

J-Anschluss abgebildet

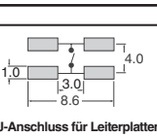

J-Anschluss für Leiterplatten

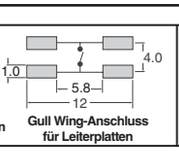

Gull Wing-Anschluss für Leiterplatten

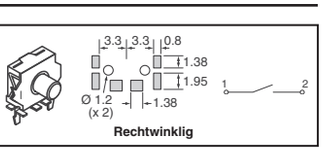

Rechtwinklig

Betätigungs-kraft	Betätiger	Anschluss	Kontaktmaterial	Digi-Key Teilenr.	Gurtabschnittspreis pro Stück 1	25	100	Digi-Key Teilenr.	Gegurtet auf Rolle Größe	Preisangaben	ITT Industries Teilenr.
160gF	Bündig	Gull Wing	Silber	401-1455-1-ND	.45	.42	.38	401-1455-2-ND	2,000	246.87/M	KSC121G
160gF	Bündig	J-Lead	Silber	401-1456-1-ND	.45	.42	.38	401-1456-2-ND	2,000	246.87/M	KSC121J
300gF	Bündig	Gull Wing	Silber	401-1071-1-ND	.40	.38	.34	401-1071-2-ND	2,000	222.49/M	KSC141G
300gF	Bündig	J-Lead	Silber	401-1072-1-ND	.40	.38	.34	401-1072-2-ND	2,000	222.49/M	KSC141J
550gF	Bündig	Gull Wing	Silber	401-1073-1-ND	.41	.39	.35	401-1073-2-ND	2,000	228.58/M	KSC151G
550gF	Bündig	J-Lead	Silber	401-1074-1-ND	.41	.39	.35	401-1074-2-ND	2,000	228.58/M	KSC151J
120gF	Weich 3,5 mm	Gull Wing	Silber	401-1457-1-ND	.40	.38	.34	401-1457-2-ND	2,000	222.49/M	KSC201G
120gF	Weich 3,5 mm	J-Lead	Silber	401-1458-1-ND	.40	.38	.34	401-1458-2-ND	2,000	222.49/M	KSC201J
200gF	Weich 3,5 mm	Gull Wing	Silber	401-1075-1-ND	.47	.43	.40	401-1075-2-ND	2,000	256.01/M	KSC221G
200gF	Weich 3,5 mm	J-Lead	Silber	401-1076-1-ND	.47	.43	.40	401-1076-2-ND	2,000	256.01/M	KSC221J
200gF	Weich 3,5 mm	Gull Wing	Gold	401-1459-1-ND	.50	.46	.42	401-1459-2-ND	2,000	274.30/M	KSC223G
200gF	Weich 3,5 mm	J-Lead	Gold	401-1460-1-ND	.50	.46	.42	401-1460-2-ND	2,000	274.30/M	KSC223J
350gF	Weich 3,5 mm	Gull Wing	Silber	401-1077-1-ND	.43	.40	.37	401-1077-2-ND	2,000	239.25/M	KSC241G
350gF	Weich 3,5 mm	J-Lead	Silber	401-1078-1-ND	.47	.44	.41	401-1078-2-ND	2,000	263.63/M	KSC241J
300gF	Weich 3,5 mm	Gull Wing	Gold	401-1269-1-ND	.56	.52	.48	401-1269-1-ND	2,000	310.87/M	KSC243G
160gF	Hart 3,5 mm	Gull Wing	Silber	401-1268-1-ND	.38	.35	.32	401-1268-1-ND	2,000	208.77/M	KSC321G
200gF	Hart 3,5 mm	Gull Wing	Gold	401-1461-1-ND	.48	.45	.41	401-1461-2-ND	2,000	265.16/M	KSC323G
200gF	Hart 3,5 mm	J-Lead	Gold	401-1462-1-ND	.48	.45	.41	401-1462-2-ND	2,000	265.16/M	KSC323J
300gF	Hart 3,5 mm	Gull Wing	Silber	401-1463-1-ND	.40	.37	.34	401-1463-2-ND	2,000	219.44/M	KSC341G
300gF	Hart 3,5 mm	J-Lead	Silber	401-1267-1-ND	.40	.37	.34	401-1267-2-ND	2,000	219.44/M	KSC341J
300gF	Hart 3,5 mm	Gull Wing	Gold	401-1464-1-ND	.48	.45	.41	401-1464-2-ND	2,000	268.21/M	KSC343G
300gF	Hart 3,5 mm	J-Lead	Gold	401-1465-1-ND	.48	.45	.41	401-1465-2-ND	2,000	268.21/M	KSC343J
550gF	Hart 3,5 mm	Gull Wing	Silber	401-1272-1-ND	.49	.46	.42	401-1272-2-ND	2,000	272.78/M	KSC351G
550gF	Hart 3,5 mm	J-Lead	Silber	401-1270-1-ND	.49	.46	.42	401-1270-2-ND	2,000	272.78/M	KSC351J
120gF	Weich 5,2 mm	J-Lead	Silber	401-1466-1-ND	.51	.47	.44	401-1466-2-ND	1,000	281.92	KSC401J50SH
120gF	Weich 5,2 mm	J-Lead	Gold	401-1467-1-ND	.70	.65	.60	401-1467-2-ND	1,000	390.11	KSC403J50SH
140gF	Weich 5,2 mm	Gull Wing	Silber	401-1468-1-ND	.45	.42	.38	401-1468-2-ND	1,000	246.87	KSC411G70SH
140gF	Weich 5,2 mm	J-Lead	Silber	401-1469-1-ND	.45	.42	.38	401-1469-2-ND	1,000	246.87	KSC411J70SH
160gF	Weich 5,2 mm	Gull Wing	Silber	401-1079-1-ND	.39	.36	.33	401-1079-2-ND	1,000	214.87	KSC421G70SH
160gF	Weich 5,2 mm	J-Lead	Silber	401-1080-1-ND	.45	.42	.38	401-1080-2-ND	1,000	246.87	KSC421J70SH
170gF	Weich 5,2 mm	Rechtwinklig	Silber	401-1472-ND†	.82	.76	.70	—	—	—	KSC421V30ACT2.95
170gF	Weich 5,2 mm	J-Lead	Gold	401-1473-1-ND	.57	.53	.48	401-1473-2-ND	1,000	313.92	KSC423J70SH
320gF	Weich 5,2 mm	Gull Wing	Silber	401-1081-1-ND	.41	.39	.35	401-1081-2-ND	1,000	228.58	KSC441G70SH
320gF	Weich 5,2 mm	J-Lead	Silber	401-1082-1-ND	.41	.39	.35	401-1082-2-ND	1,000	228.58	KSC441J70SH
320gF	Weich 5,2 mm	J-Lead	Gold	401-1476-1-ND	.50	.47	.43	401-1476-2-ND	1,000	277.35	KSC443J70SH
200gF	Kipp 5,6 mm	Gull Wing	Silber	401-1477-1-ND	.36	.34	.31	401-1477-2-ND	1,000	199.63	KSC521G
200gF	Kipp 5,6 mm	J-Lead	Silber	401-1478-1-ND	.36	.33	.31	401-1478-2-ND	1,000	198.10	KSC521J
300gF	Kipp 5,6 mm	Gull Wing	Silber	401-1083-1-ND	.48	.45	.41	401-1083-2-ND	1,000	265.16	KSC541G
300gF	Kipp 5,6 mm	J-Lead	Silber	401-1084-1-ND	.48	.45	.41	401-1084-2-ND	1,000	265.16	KSC541J
160gF	Hart 7,7 mm	Gull Wing	Silber	401-1085-1-ND	.43	.40	.37	401-1085-2-ND	750	179.44	KSC621G
160gF	Hart 7,7 mm	J-Lead	Silber	401-1086-1-ND	.43	.40	.37	401-1086-2-ND	750	179.44	KSC621J
300gF	Hart 7,7 mm	Gull Wing	Silber	401-1087-1-ND	.43	.41	.37	401-1087-2-ND	750	180.58	KSC641G
300gF	Hart 7,7 mm	J-Lead	Silber	401-1088-1-ND	.43	.41	.37	401-1088-2-ND	750	180.58	KSC641J
170gF	Weich 5,2 mm	Rechtwinklig	Silber	401-1619-ND†	.81	.75	.69	—	—	—	KSC421V30ACT3.17
170gF	Hart 7,7 mm	Rechtwinklig	Silber	401-1620-ND†	1.13	1.05	.96	—	—	—	KSC621V

† Lose

Alle Preisangaben in Euro und inklusive Zollgebühren.

Cannon

ITT Industries
Engineered for life

Serie KSB und KSF - Flachprofil-Tastschalter (abwaschbar)

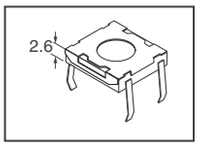

Miniatur-Tastschalter, flach, für automatische oder manuelle Einführung. Für Eintauchen abgedichtet. **Schaltkreis:** SPST-NO Schaltung: • **Max. Spannung:** 50 V DC • Stromstäe: 50 mA **Kontaktwiderstand:** KSF: 50 mΩ; KSB: 100 mΩ **Kontaktmaterial:** Versilbert **Betriebstemperatur:** -40 °C ~ 90°C *Die MARK II-Ausführung hat eine bessere Dichtung f. Eintauchreinigung.*

Beschreibung	Digi-Key Teilenr.	Stückpreis 1	25	100	ITT Industries Teilenr.
7,4 mm², 300 gF, Flux-versiegelt	401-1454-ND	.73	.68	.62	KSB0M410
7,4 mm², 130 gF, Flux-versiegelt	401-1479-ND	.66	.61	.56	KSF0M210
7,4 mm², 130 gF, ganz versiegelt	401-1067-ND	.69	.65	.59	KSF0M211
7,4 mm², 130 gF, Mark II versiegelt	401-1480-ND	.69	.65	.59	KSF0M212
7,4 mm², 160 gF, ganz versiegelt	401-1068-ND	.69	.65	.59	KSF0M311
7,4 mm², 300 gF, Flux-versiegelt	401-1481-ND	.58	.55	.50	KSF0M410
7,4 mm², 300 gF, ganz versiegelt	401-1069-ND	.62	.58	.53	KSF0M411
7,4 mm², 500 gF, Flux-versiegelt	401-1482-ND	.80	.75	.69	KSF0M510
7,4 mm², 500 gF, ganz versiegelt	401-1070-ND	.85	.78	.72	KSF0M511
7,4 mm², 130 gF, ganz versiegelt, mit Erdung	401-1483-ND	.71	.66	.61	KSF1M211
7,4 mm², 300 gF, ganz versiegelt, mit Erdung	401-1484-ND	.63	.59	.55	KSF1M411

Einschnapp-Schalterkappen für die Serie KSF

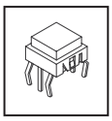

Einschnapp-Knöpfe für die Serie KSF zum Aufschnappen werden durch das KSF-Gehäuse gehalten. Alle Knöpfe müssen nach dem Löt- und Reinigungsverfahren montiert werden. Knöpfe können im Siebdruck nach Kundenwunsch beschriftet werden. (Schalter separat erhältlich).

Farbe	Digi-Key Teilenr.	Stückpreis 1	25	100	ITT Industries Teilenr.
10 mm quadratische Kappe					
Schwarz	401-1255-ND	.40	.37	.34	BTNK1090
Rot	401-1256-ND	.40	.37	.34	BTNK1040
Hellgrau	401-1257-ND	.40	.37	.34	BTNK1020
Dunkelgrau	401-1258-ND	.42	.40	.37	BTNK1010
Gelb	401-1259-ND	.40	.37	.34	BTNK1030
Blau	401-1260-ND	.40	.37	.34	BTNK1060
Grün	401-1261-ND	.40	.37	.34	BTNK1050
Elfenbein	401-1262-ND	.40	.37	.34	BTNK1080
Grau-Blau	401-1263-ND	.40	.37	.34	BTNK1070

Serie KSI - Versiegelte Tastschalter

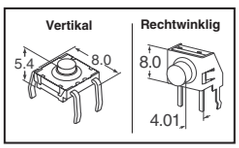

Spezifikationen: Funktion: Moment-Aktion **Kontaktanordnung:** 1 leitungsfähiger Kontakt = SPST-NO **Abstand zwischen Knopfmitten (min.):** 7,62 (0,300") **Anschlüsse:** PC-Pins

Elektrisch: Max. Leistung: 1 VA **Max. Spannung:** 50 V DC **Min. Spannung:** 20 mV **Max. Stromstärke:** 50 mA **Min. Strom:** 1 mA **Betriebstemperatur:** -40 °C ~ 90°C **Kontaktmaterial:** Versilbert

Beschreibung	Digi-Key Teilenr.	Stückpreis 1	25	100	ITT Industries Teilenr.
Vertikal, 110 gF, ganz versiegelt	401-1485-ND	.63	.59	.54	KSI0M011
Vertikal, 300 gF, Flux-versiegelt	401-1486-ND	.67	.62	.57	KSI0M410
Vertikal, 300 gF, ganz versiegelt	401-1487-ND	.71	.66	.60	KSI0M411
Rechtwinklig, 100 gF, ganz versiegelt	401-1488-ND	.73	.68	.62	KSI0V011
Rechtwinklig, 300 gF, Flux-versiegelt	401-1489-ND	.76	.71	.65	KSI0V410
Rechtwinklig, 300 gF, ganz versiegelt	401-1490-ND	.80	.75	.68	KSI0V411
Vertikal, 300 gF, ganz versiegelt, mit Erdung	401-1491-ND	.75	.69	.64	KSI1M411

Serie KSJ - Tastschalter mit sphärischem Betätiger (abwaschbar)

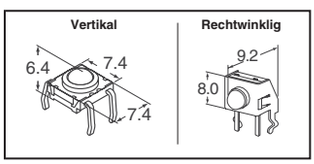

Der KSJ ist ein SPNO-Miniatur-Tastschalter mit langer Bewegung und einem sphärischen Betätiger. Diese neue Version ist speziell für Anwendungen geeignet, bei denen die Betätigungskraft bis zu ca. ±30° exzentrisch hinsichtlich der Vertikalen und sogar parallel zu der Leiterplatte wirken kann. **Schaltkreis:** SPST-NO **Schaltung:** • Max. Spannung: 50 mA • Stromstärke: 50 mA **Betriebslebensdauer:** 10^5 **Betätigungskraft:** 100 g **Betriebstemp.:** (Silber) -40 °C ~ 90 °C; (Gold) -40 °C ~ 125 °C

Beschreibung	Digi-Key Teilenr.	Stückpreis 1	25	100	ITT Industries Teilenr.
Vertikal, 300 gF, ganz versiegelt, silber	401-1090-ND	1.13	1.05	.96	KSJ1M411
Rechtwinklig, 300 gF, ganz versiegelt, silber	401-1091-ND	1.18	1.09	1.00	KSJ0V411
Vertikal, 110 gF, ganz versiegelt, silber	401-1492-ND	1.34	1.24	1.14	KSJ0M011
Vertikal, 200 gF, Flux-versiegelt, silber	401-1493-ND	1.01	.94	.86	KSJ0M21080SH
Vertikal, 300 gF, Flux-versiegelt, silber	401-1494-ND	1.08	1.01	.92	KSJ0M410
Vertikal, 300 gF, Flux-versiegelt, gold	401-1495-ND	1.21	1.13	1.03	KSJ0M430
Rechtwinklig, 110 gF, ganz versiegelt, silber	401-1496-ND	1.05	.97	.89	KSJ0V011
Rechtwinklig, 300 gF, Flux-versiegelt, silber	401-1497-ND	1.14	1.06	.97	KSJ0V410
Rechtwinklig, 300 gF, Flux-versiegelt, gold	401-1498-ND	1.27	1.18	1.08	KSJ0V430

Serie KA: Domdrucktastenschalter

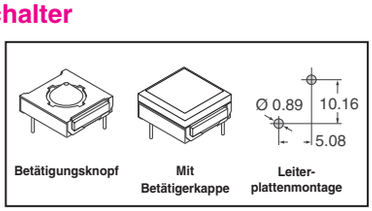

Merkmale: • Miniatur/Flachprofildesign, 0,5 Quadratzoll • Prozesskompatibel - hält Löten und Reinigung stand • Versiegelte Bauweise: interne Silikongummi-Betätigerdichtung und Expoxid-versiegelte Anschlüsse **Spezifikationen: Kontaktnennleistung:** Max. 0,4 VA bei max. 2 V AC oder DC **Lebensdauer der • Mechanik/ Elektrik:** 1.000.000 Ein-/Ausschaltungen bei voller Last **• Kontaktwiderstand:** Unter 50 mΩ typ. anfänglich bei 2-4 V DC, 100 mA **• Betriebstemperatur:** -40 °C ~ 90°C

Beschreibung	Digi-Key Teilenr.	Stückpreis 1	25	100	ITT Industries Teilenr.
Momentan schaltender, versiegelter SPST-Silikongummiknopf	CKN1588-ND	4.44	3.56	2.82	KA11B1CBE
Kappe für momentan schaltenden, versiegelten SPST-Betätiger, schwarz	CKN1589-ND	9.65	7.73	6.12	KA11R1CBE2

Serie KSM - SMT-Detektorschalter

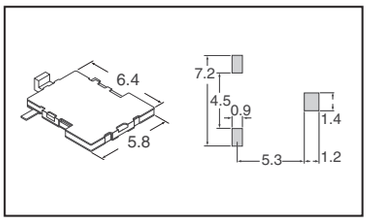

Der KSM ist ein flacher SPNC-Miniatur-Tastschalter. Betätigung erfolgt parallel zur Leiterplatte. Lautstärkeregelung und „Push to Talk"-Schalter für Mobiltelefon. Für Anwendungen mitweichem taktilen Gefühl. **Schaltfunktion:** SPST-NC **Schaltung:** • Max. Spannung: 24 V DC • Strom-stärke: 50 mA **Betriebslebensdauer:** ≥50^4 **Betätigungskraft:** 90 g **Betriebstemperatur:** -40 °C ~ 85 °C

Beschreibung	Digi-Key Teilenr.	Stückpreis 1	25	100	Preisangaben für gegurtet auf Rolle*	ITT Industries Teilenr.
Seitenbetätigung, 90 gF, Flux-versiegelt	401-1092-1-ND	1.33	1.23	1.13	1475.12/2,000	KSM1131

* Für Gegurtet auf Rolle die Teilenr. von 1-ND in 2-ND ändern.

Serie K6 - Tastschalter

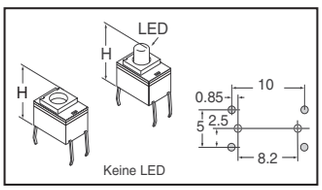

Dem Trend zur Miniaturisierung folgen. Deutliches Tastgefühl. Hohe Schaltzuverlässigkeit. Speziell konstruierter Knopf erforderlich. **Funktion:** Moment-Aktion **Schaltkreis:** SPST-NO **Schaltung:** • Max. Spannung: 30 V DC • Max. Schaltstrom: 100 mA **Kontaktwiderstand:** 50 mΩ **Gesamtbewegung:** 1,5 mm **Kontaktmaterial:** Gold über Nickel **Betriebstemperatur:** -40 °C ~ 85 °C

Beschreibung	Abm. H (mm)	Digi-Key Teilenr.	Stückpreis 1	25	100	ITT Industries Teilenr.
300 gF, keine LED	8.4	401-1163-ND	1.26	1.02	.81	K6B 1.5 3N
300 gF, grüne LED-Beleuchtung	12.3	401-1590-ND	2.01	1.86	1.71	K6BL GN 1.5 3N L306
300 gF, grüne LED-Beleuchtung	12.3	401-1164-ND	1.86	1.49	1.18	K6BL GN 1.5 3N L906
300 gF, orange LED-Beleuchtung	12.3	401-1166-ND	1.95	1.56	1.24	K6BL OG 1.5 3N L405
300 gF, rote LED-Beleuchtung	12.3	401-1167-ND	1.86	1.49	1.18	K6BL RD 1.5 3N L352
300 gF, gelbe LED-Beleuchtung	12.3	401-1169-ND	1.86	1.49	1.18	K6BL YE 1.5 3N L327
500 gF, keine LED	8.4	401-1589-ND	1.37	1.27	1.16	K6B 1.5 5N
500 gF, rote LED-Beleuchtung	12.3	401-1168-ND	1.86	1.49	1.18	K6BL RD 1.5 5N L352
500 gF, grüne LED-Beleuchtung	12.3	401-1165-ND	1.86	1.49	1.18	K6BL GN 1.5 5N L906
500 gF, gelbe LED-Beleuchtung	12.3	401-1170-ND	1.86	1.49	1.18	K6BL YE 1.5 5N L327

Serie K12 - Tastschalters

Erfolgreich in Mess- und Steuergeräten, industrieller Elektronik und Kraftfahrzeuganwendungen. **Funktion:** Moment-Aktion **Schaltkreis:** SPST-NO **Schaltung:** • Max. Spannung: 30 V DC • Max. Schaltstrom: 100 mA **Kontaktwiderstand:** 50 mΩ **Kontaktmaterial:** Gold über Nickel **Betriebstemp.:** -40 °C ~ 85 °C

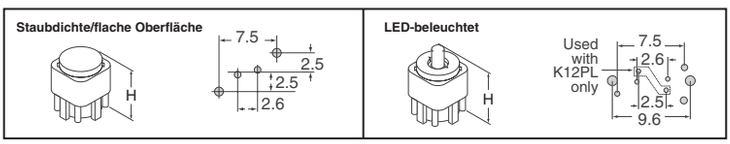

Beschreibung	Abm. H (mm)	Digi-Key Teilenr.	Stückpreis 1	25	100	ITT Industries Teilenr.
Rund, 500 gF, staubdicht (lötbeständig versiegelt)	12	401-1159-ND	4.17	3.34	2.64	K12C 1 5N
Rund, 250 gF, staubdicht (lötbeständig versiegelt)	12	401-1158-ND	4.06	3.25	2.57	K12C BK 1 2.5N
Flaches Oberteil, 250 gF, m. Kappe, schwarz	11	401-1156-ND	2.09	1.68	1.33	K12P BK 1.5 2.5N
Flaches Oberteil, 500 gF, m. Kappe, schwarz	11	401-1157-ND	2.09	1.68	1.33	K12P BK 1.5 5
Flaches Oberteil, 250 gF, m. Kappe, schwarz	14.5	401-1587-ND	2.27	2.10	1.92	K12P BK 2 2.5N
250 gF, rote LED-Beleuchtung	14.5	401-1588-ND	3.54	3.27	3.00	K12PL RD 1.5 2.5N
500 gF, grüne LED-Beleuchtung	14.5	401-1160-ND	3.27	2.62	2.08	K12PL GN 1.5 5N
500 gF, rote LED-Beleuchtung	14.5	401-1161-ND	3.27	2.62	2.08	K12PL RD 1.5 5N
500 gF, gelbe LED-Beleuchtung	14.5	401-1162-ND	3.27	2.62	2.08	K12PL YE 1.5 5N
350/700 gF, Doppelkontakte	14.5	401-1586-ND	3.54	3.27	3.00	K12GONT1.5 3.5/7N

Serie ED und EDM - Einschnappkapsel

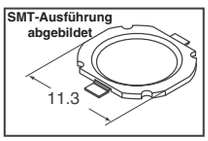

Serie ED: Der Scheibenkontakt ist ein Momenttastschalter mit kurzem Hub und gutem taktilen Feedback Die Scheiben sind Einschnappkapseln mit kurzem Hub für direkte Montage auf eine Karte. Für Anwendungen mit niedriger Bauform konstruiert, wenn Endnutzer die Kuppeln mit einer speziellen Folie versehen möchten. Anschlüsse für Leiterplatten- oder SMT-Montage erhältlich. **Funktion:** Moment-Aktion **Schaltkreis:** SPST-NO **Schaltung:** • Max. Spannung: Silber/gold 100 V AC/DC Max. Strom: Silber: 100 mA, gold: 50 mA **Kontaktwiderstand:** Silber: 10 mΩ, Gold: 15 mΩ **Gesamthub:** 0,3 mm **Betriebstemperatur:** -25 °C ~ 70 °C

Serie EDM: Die Discs haben eine höhere Leistungsfähigkeit und längere Betätigungswege. Sie wurden speziell für Fluginstrumente, Radio-Tastenblocks und ähnlich anspruchsvolle Anwendungen geschaffen. Anschlüsse für Leiterplatten- oder SMT-Montage erhältlich. **Funktion:** Moment-Aktion **Schaltkreis:** SPST-NO **Schaltung:** • Max. Spannung: 100 V DC • Stromstärke: 50 mA **Kontaktwiderstand:** 15 mΩ **Gesamtweg:** 0,4 mm **Betriebstemperatur:** -55 °C ~ 85 °C

Beschreibung	Digi-Key Teilenr.	Stückpreis 1	25	100	ITT Industries Teilenr.
Serie ED m. Einschnappkapseln					
m. PC-Pins, 240 gF, Flux-versiegelt, vergoldet	401-1015-ND	2.33	1.86	1.48	ED G AC 0
m. PC-Pins, 240 gF, ganz versiegelt, vergoldet	401-1017-ND	2.35	1.88	1.49	ED G AC 1
m. PC-Pins, 240 gF, Flux-versiegelt, versilbert	401-1014-ND	.97	.79	.62	ED S AC 0
m. PC-Pins, 240 gF, ganz versiegelt, versilbert	401-1016-ND	1.01	.81	.64	ED S AC 1
m. SMT-Ösen, 240 gF, Flux-versiegelt, vergoldet	401-1402-ND	2.31	1.85	1.47	ED G SC 0
m. SMT-Ösen, 240 gF, ganz versiegelt, vergoldet	401-1403-ND	2.35	1.88	1.49	ED G SC 1
m. SMT-Ösen, 240 gF, Flux-versiegelt, versilbert	401-1404-ND	.97	.79	.62	ED S SC 0
m. SMT-Ösen, 240 gF, ganz versiegelt, versilbert	401-1405-ND	1.01	.81	.64	ED S SC 1
Serie EDM m. Einschnappkapseln					
m. PC-Pins, 450 gF, vergoldet	401-1019-ND	4.14	3.32	2.63	EDM 450 G AC
m. SMT-Ösen, 450 gF, vergoldet	401-1020-ND	5.41	4.33	3.43	EDM 450 G SC
m. PC-Pins, 450 gF, versilbert	401-1021-ND	3.46	2.77	2.20	EDM 450 S AC
m. SMT-Ösen, 450 gF, Flux-versiegelt, versilbert	401-1406-ND	3.46	2.77	2.20	EDM 450 S SCO
m. PC-Pins, 650 gF, vergoldet	401-1018-ND	5.77	4.63	3.66	EDM 650 G AC

H

Cannon

ITT Industries
Engineered for life

Serie KSA - Versiegelte Tastschalter (abwaschbar)

Einpoliger Ein/Aus-Mini-Tastschalter für automatische oder manuelle Einführung, mit Arbeitskontakt

Schaltkreis: SPST-NO **Schaltung:** Max. Strom: Silber: 50 mA, gold: 10 mA **Max. Spannung:** 50 V DC **Kontaktwiderstand:** 50 mΩ **Gesamtbewegung:** 0,03 ~ 0,5 mm **Betriebslebensdauer:** 10^5 **Betriebstemp.:** (Silber) -40 °C ~ 90 °C; (gold) -40 °C ~ 125 °C

Die MARK II-Ausführung hat eine bessere Dichtung.

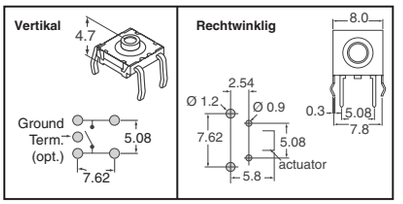

Beschreibung	Digi-Key Teilenr.	Stückpreis 1	25	100	ITT Industries Teilenr.
Vertikal, 7,4 mm², 130 gF, Flux-versiegelt	401-1433-ND	.66	.61	.56	KSA0M210
Vertikal, 7,4 mm², 130 gF, ganz versiegelt	401-1047-ND	.69	.63	.58	KSA0M211
Vertikal, 7,4 mm², 130 gF, Mark II, versiegelt	401-1434-ND	.75	.70	.64	KSA0M212
Vertikal, 7,4 mm², 130 gF, Flux-versiegelt, lange haltbar	401-1435-ND	.74	.68	.63	KSA0M310
Vertikal, 7,4 mm², 130 gF, ganz versiegelt, lange haltbar	401-1048-ND	.75	.70	.65	KSA0M311
Vertikal, 7,4 mm², 130 gF, Mark II, versiegelt, lange haltbar	401-1436-ND	.83	.77	.71	KSA0M312
Vertikal, 7,4 mm², 130 gF, Flux-versiegelt, lange haltbar, gold	401-1437-ND	1.00	.92	.85	KSA0M330
Vertikal, 7,4 mm², 130 gF, Mark II, versiegelt, lange haltbar, gold	401-1438-ND	1.09	1.01	.93	KSA0M332
Vertikal, 7,4 mm², 300 gF, Flux-versiegelt	401-1439-ND	.67	.62	.57	KSA0M410
Vertikal, 7,4 mm², 300 gF, ganz versiegelt	401-1049-ND	.69	.64	.59	KSA0M411
Vertikal, 7,4 mm², 300 gF, Mark II, versiegelt	401-1440-ND	.76	.71	.65	KSA0M412
Vertikal, 7,4 mm², 300 gF, Mark II, versiegelt, gold	401-1441-ND	1.02	.95	.87	KSA0M432
Vertikal, 7,4 mm², 500 gF, Flux-versiegelt	401-1442-ND	.82	.76	.70	KSA0M510
Vertikal, 7,4 mm², 500 gF, ganz versiegelt	401-1050-ND	.84	.78	.72	KSA0M511
Vertikal, 7,4 mm², 500 gF, Mark II, versiegelt	401-1443-ND	.91	.85	.78	KSA0M512
Rechtwinklig, 8 mm², 130 gF, Flux-versiegelt	401-1444-ND	.69	.65	.59	KSA0V210
Rechtwinklig, 8 mm², 130 gF, ganz versiegelt	401-1051-ND	.72	.67	.61	KSA0V211
Rechtwinklig, 8 mm², 130 gF, Flux-versiegelt, lange haltbar	401-1445-ND	.77	.72	.66	KSA0V310
Rechtwinklig, 8 mm², 130 gF, ganz versiegelt, lange haltbar	401-1052-ND	.80	.74	.68	KSA0V311
Rechtwinklig, 8 mm², 130 gF, Flux-versiegelt, lange haltbar, gold	401-1446-ND	1.03	.96	.88	KSA0V330
Rechtwinklig, 8 mm², 300 gF, Flux-versiegelt	401-1447-ND	.71	.66	.60	KSA0V410
Rechtwinklig, 8 mm², 300 gF, ganz versiegelt	401-1053-ND	.73	.68	.62	KSA0V411
Rechtwinklig, 8 mm², 300 gF, Flux-versiegelt, gold	401-1448-ND	.97	.90	.82	KSA0V430
Rechtwinklig, 8 mm², 500 gF, Flux-versiegelt	401-1449-ND	.86	.79	.73	KSA0V510
Rechtwinklig, 8 mm², 500 gF, ganz versiegelt	401-1054-ND	.88	.82	.75	KSA0V511
Vertikal, 7,4 mm², 130 gF, Flux-versiegelt, mit Erde	401-1450-ND	.64	.60	.55	KSA1M210
Vertikal, 7,4 mm², 130 gF, mit Erdungsklemme	401-1043-ND	.67	.62	.57	KSA1M211
Vertikal, 7,4 mm², 130 gF, lange haltbar, mit Erdungsklemme	401-1044-ND	.75	.69	.63	KSA1M311
Vertikal, 7,4 mm², 130 gF, ganz versiegelt, gold, mit Erde	401-1451-ND	1.00	.93	.85	KSA1M331
Vertikal, 7,4 mm², 300 gF, Flux-versiegelt, mit Erde	401-1452-ND	.65	.61	.56	KSA1M410
Vertikal, 7,4 mm², 300 gF, mit Erde	401-1045-ND	.68	.63	.58	KSA1M411
Vertikal, 7,4 mm², 500 gF, Flux-versiegelt, mit Erde	401-1453-ND	.80	.75	.68	KSA1M510
Vertikal, 7,4 mm², 500 gF, mit Erde	401-1046-ND	.83	.77	.70	KSA1M511

Serie KSA - Einschnapp-Schalterkappen

Einschnapp-Knöpfe für vertikale KSA-Schalter zum Aufschnappen; werden durch das KSA-Gehäuse gehalten. Alle Knöpfe müssen nach dem Löt- und Reinigungsverfahren montiert werden. Knöpfe können im Siebdruck nach Kundenwunsch beschriftet werden. *(Schalter separat erhältlich).*

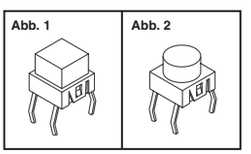

Farbe	Digi-Key Teilenr.	Stückpreis 1	25	100	ITT Industries Teilenr.
Abb. 1 - 10 mm quadratische Kappe					
Schwarz	401-1237-ND	.31	.29	.27	BTNK0190
Rot	401-1238-ND	.31	.29	.27	BTNK0140
Hellgrau	401-1239-ND	.31	.29	.27	BTNK0120
Dunkelgrau	401-1240-ND	.31	.29	.27	BTNK0110
Gelb	401-1241-ND	.31	.29	.27	BTNK0130
Blau	401-1242-ND	.31	.29	.27	BTNK0160
Grün	401-1243-ND	.31	.29	.27	BTNK0150
Elfenbein	401-1244-ND	.31	.29	.27	BTNK0180
Grau-blau	401-1245-ND	.31	.29	.27	BTNK0170
Abb. 2 - 8 mm runde Kappe					
Schwarz	401-1246-ND	.31	.29	.27	BTNK0290
Rot	401-1247-ND	.31	.29	.27	BTNK0240
Hellgrau	401-1248-ND	.31	.29	.27	BTNK0220
Dunkelgrau	401-1249-ND	.31	.29	.27	BTNK0210
Gelb	401-1250-ND	.31	.29	.27	BTNK0230
Blau	401-1251-ND	.31	.29	.27	BTNK0260
Grün	401-1252-ND	.31	.29	.27	BTNK0250
Elfenbein	401-1253-ND	.31	.29	.27	BTNK0280
Grau-blau	401-1254-ND	.31	.29	.27	BTNK0270

Serie QSA: 2-Weg- und 4-Weg-Schalter

ITT Industries bietet 2- und 4-Weg-Schalter mit langer Haltbarkeit, hervorragendem taktilen Feedback und ruhigem Betrieb zur Verwendung in verschiedensten Anwendungen. Ein praktischer Steuerschalter für Produkte mit niedrigen Stromanforderungen von 1 - 50 mA. QSA-Schalter benötigen eine Betätigungskraft von 3,5 N +/-1 N mit einer Delta-Kraft von über 0,5 N und einer Rückwirkkraft von 1 N, d.h. sie bieten hervorragendes taktiles Feedback. Lebensdauer: 100.000 Schaltungen

Merkmale: • Hervorragendes taktiles Gefühl • Jeweils nur in eine Richtung betätigen • Logik-Level-Steuerung **Anwendungen:** • Sitzeinstellungen • Industrielle Steuerungen • Spiegeleinstellungen • Heimelektronik • Mehrfunktions-Lenkrad **Mechanisch:** • Betätigungskraft: 3,5 ±1 N • Lebensdauer: 100.000 Schaltungen in jede Richtung **Elektrische Daten:** • Max. Schaltleistung.: 0,20 VA • Min./Max. Schaltspannung: (V DC) 20 mV/30 V • Min./Max. Schaltstrom: 1 mA/50 mA • Betriebstemperatur: -40 °C ~ 85 °C

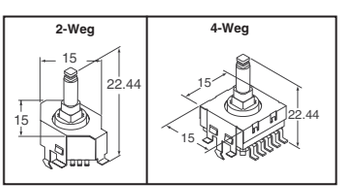

Beschreibung	Digi-Key Teilenr.	Stückpreis 1	25	100	ITT Ind. Teilenr.
2-Weg-Schalter, SMT-Version, 350 gF	401-1595-ND	4.83	4.30	3.76	QSA2S3.5NH1G8
4-Weg-Schalter, SMT-Version, 350 gF	401-1597-ND	5.07	4.51	3.95	QSA4S3.5NH1G8

TPC Dreirichtungs-Scanschalter

Der TPC ist ein seitenbetätigter Miniaturschalter mit Arbeitskontakten und taktilem Feedback. Drehung des Betätigers schließt zwei einzelne Kontakte (rechts oder links), während beide Kontakte gleichzeitig durch Druck in der Mitte geschlossen werden.

Anwendungen:
Handys, Pager, PDAs, elektronische Handheld-Geräte, digitale Kameras, Camcorder und Kommunikationsgeräte

Max. Spannung: 50 V

Min./Max. Schaltstrom: 1 mA/50 mA

Lebensdauer: 100.000 Schaltungen

Prellzeit: <10 ms

Betriebstemperatur: -40 °C ~ 125 °C

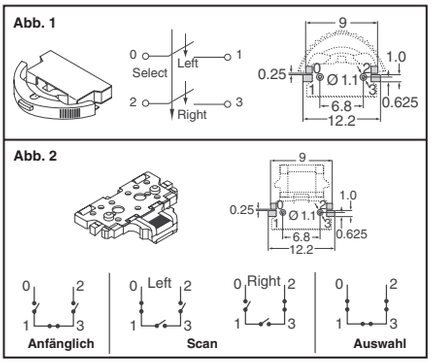

Abb.	Beschreibung	Digi-Key Teilenr.	Gurtabschnittspreis pro Stück 1	25	100	Preisangaben für Gegurtet auf Rolle 2.000	ITT Industries Teilenr.
1	SMD-Schalter mit Wahlfunktion	401-1264-1-ND	1.50	1.39	1.28	401-1264-2-ND 832.04/M	TPC1133G
2	3-in-1 Tastschalter	401-1618-1-ND	1.35	1.25	1.14	401-1618-2-ND 745.01/M	TPC2133G

TPA-Serie, SMT, Navigationsschalter

Durch Bewegung des Betätigers nach oben, unten, rechts, und links werden vier Momentkontakte geschlossen, damit gescannt werden kann.

Schaltung: • Max. Spannung: 24 V • Max. Strom: Silber: 50 mA, Gold: 10 mA **Betriebstemp.:** Silber: -40 °C ~ 85 °C; Gold: -40 °C ~ 110 °C *Betätigungskraft = 400 gF*

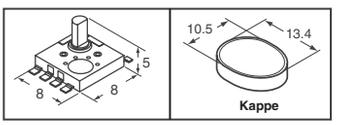

Beschreibung	Digi-Key Teilenr.	Gurtabschnittspreis pro Stück 1	25	100	Preisangaben für Gegurtet auf Rolle*	ITT Ind. Teilenr.
Momentkontakt, 2 Richtungen m. Wahl, 185 gF, Silber, Gull Wing	401-1277-1-ND	1.01	.93	.85	556.22/1,000	TPA311G
Momentkontakt, 4 Richtungen o. Wahl, 185 gF, Gold, Gull Wing	401-1129-1-ND	1.55	1.44	1.32	859.47/1,000	TPA413G
Momentkontakt, 4 Richtungen m. Wahl, 185 gF, Gold, Gull Wing	401-1131-1-ND	1.78	1.65	1.51	985.95/1,000	TPA513G
Momentkontakt, 4 Richtungen m. Wahl, 185 gF, Silber, Gull Wing	401-1130-1-ND	1.32	1.22	1.12	729.94/1,000	TPA511G
Kappe für TPA-Serie						
Einschnappkappe für TPA-Schalter, schwarz	401-1265-ND	.66	.61	.56	—	BTNTPA0290

* Für Gegurtet auf Rolle die Teilenr. von 1-ND in 2-ND ändern.

Serie KSL - Tastschalter (abwaschbar)

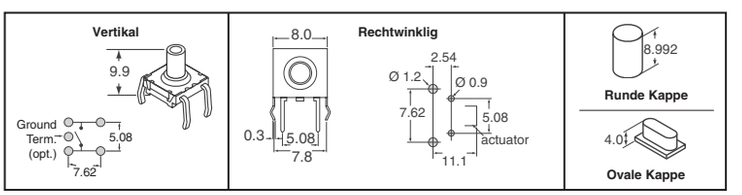

Die MARK II-Ausführung hat eine bessere Dichtung f. Eintauchreinigung.

Schaltkreis: SPST-NO **Schaltung:** • Max. Spannung: 50 V DC • Max. Strom: Silber: 50 mA, Gold: 10 mA **Kontaktwiderstand:** 50 mΩ **Kontaktmaterial:** Versilbert **Betriebstemp.:** Silber: -40 °C ~ 90 °C; Gold: -40 °C ~ 125 °C

Beschreibung	Digi-Key Teilenr.	Stückpreis 1	25	100	ITT Industries Teilenr.
Vertikal, 130 gF, Flux-versiegelt	401-1499-ND	.65	.61	.56	KSL0M210
Vertikal, 130 gF, ganz versiegelt	401-1500-ND	.69	.64	.59	KSL0M211
Vertikal, 130 gF, Mark II, versiegelt	401-1055-ND	.74	.68	.63	KSL0M212
Vertikal, 130 gF, Flux-versiegelt, lange haltbar	401-1501-ND	.72	.67	.61	KSL0M310
Vertikal, 130 gF, ganz versiegelt, lange haltbar	401-1502-ND	.75	.70	.65	KSL0M311
Vertikal, 130 gF, Mark II, versiegelt, lange haltbar	401-1056-ND	.80	.74	.68	KSL0M312
Vertikal, 130 gF, Flux-versiegelt, lange haltbar, gold	401-1503-ND	.92	.86	.78	KSL0M330
Vertikal, 300 gF, Flux-versiegelt	401-1504-ND	.69	.64	.59	KSL0M410
Vertikal, 300 gF, ganz versiegelt	401-1505-ND	.74	.68	.63	KSL0M411
Vertikal, 300 gF, Mark II, versiegelt	401-1057-ND	.78	.72	.66	KSL0M412
Vertikal, 300 gF, Flux-versiegelt, gold	401-1506-ND	.90	.84	.77	KSL0M430
Vertikal, 500 gF, Flux-versiegelt	401-1507-ND	.78	.72	.66	KSL0M510
Vertikal, 500 gF, ganz versiegelt	401-1508-ND	.82	.76	.70	KSL0M511
Vertikal, 500 gF, Mark II, versiegelt	401-1058-ND	.86	.80	.73	KSL0M512
Rechtwinklig, 130 gF, Flux-versiegelt	401-1509-ND	.72	.67	.61	KSL0V210
Rechtwinklig, 130 gF, ganz versiegelt	401-1063-ND	.75	.70	.65	KSL0V211
Rechtwinklig, 130 gF, Flux-versiegelt, lange haltbar	401-1510-ND	.78	.72	.66	KSL0V310
Rechtwinklig, 130 gF, ganz versiegelt, lange haltbar	401-1064-ND	.82	.76	.70	KSL0V311
Rechtwinklig, 130 gF, Flux-versiegelt, lange haltbar, gold	401-1511-ND	.98	.91	.84	KSL0V330
Rechtwinklig, 300 gF, Flux-versiegelt	401-1512-ND	.75	.70	.65	KSL0V410
Rechtwinklig, 300 gF, ganz versiegelt	401-1065-ND	.80	.74	.68	KSL0V411
Rechtwinklig, 500 gF, Flux-versiegelt	401-1513-ND	.84	.78	.72	KSL0V510
Rechtwinklig, 500 gF, ganz versiegelt	401-1066-ND	.88	.82	.75	KSL0V511
Vertikal, 130 gF, Flux-versiegelt, mit Erdung	401-1515-ND	.67	.62	.57	KSL1M210
Vertikal, 130 gF, ganz versiegelt, mit Erdung	401-1059-ND	.71	.66	.61	KSL1M211
Vertikal, 130 gF, ganz versiegelt, mit Erdung, lange haltbar	401-1060-ND	.77	.72	.66	KSL1M311
Vertikal, 300 gF, Flux-versiegelt, mit Erdung	401-1516-ND	.71	.66	.61	KSL1M410
Vertikal, 300 gF, ganz versiegelt, mit Erdung	401-1061-ND	.75	.70	.64	KSL1M411
Vertikal, 500 gF, ganz versiegelt, mit Erdung	401-1062-ND	.83	.77	.71	KSL1M511
Vertikal, 130 gF, ganz versiegelt, mit Erdung	401-1514-ND*	.71	.66	.61	KSL1A211
Ovale Kappe, 9,5 mm x 5,6 mm, schwarz	401-1424-ND	.31	.29	.27	BTNK0390
Runde Kappe, Ø 6,2 mm, rot	401-1425-ND	.47	.43	.40	BTNK0940

* Automatische Einfügung

H

Alle Preisangaben in Euro und inklusive Zollgebühren.

Cannon

ITT Industries
Engineered for life

Serie KSR - Flachbauform-Tastschalter

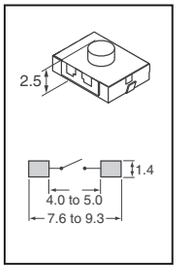

Die Schalter der KSR-Serie sind SPNO-Miniaturtastschalter. Dank extrem kleiner Gesamtmaße passt der KSR perfekt in kleine Geräte, wo eine hohe Komponentendichte wichtig ist. **Anwendungen:** Handys, Rekorder, Computer, Pointer, Radios, medizinische Instrumente und Fahrzeug-Funkfernentriegelung. **Schaltkreis:** SPST-NO **Schaltung:** Min./Max. Spannung.: 20 mV / 32 V **Strom:** Silber: 50 mA, Gold: 10 mA **Betriebstemp.:** Silber: -40 °C ~ 85 °C; Gold: -40 °C ~ 125 °C **Kontaktmaterial:** Silber- und Goldüberzug

Beschreibung	Digi-Key Teilenr.	Gurtabschnittspreis pro Stück 1	25	100	Preisangaben für gegurtet auf Rolle*	ITT Industries Teilenr.
180 gF, J-Anschluss, SMD	401-1271-1-ND	.42	.40	.37	590.50/2,500	KSR211J
200 gF, J-Anschluss, SMD	401-1094-1-ND	.42	.40	.37	590.50/2,500	KSR221J
SPST-NC, 200 gF, Gull Wing-Anschluss, SMD, Gold	401-1274-1-ND†	.80	.74	.68	1104.81/2,500	KSR223GNC
300 gF, J-Anschluss, SMD	401-1095-1-ND	.42	.40	.37	590.50/2,500	KSR231J
450 gF, J-Anschluss, SMD	401-1096-1-ND	.42	.40	.37	590.50/2,500	KSR251J
450 gF, J-Anschluss, SMD, Gold	401-1275-1-ND	.63	.58	.54	868.61/2,500	KSR253J
200 gF, Gull Wing, SMD	401-1517-1-ND	.42	.40	.37	590.50/2,500	KSR221G
200 gF, Gull Wing, SMD, Gold	401-1518-1-ND	.50	.46	.43	689.56/2,500	KSR223G
300 gF, Gull Wing, SMD	401-1519-1-ND	.42	.40	.37	590.50/2,500	KSR231G
450 gF, Gull Wing, SMD	401-1520-1-ND	.42	.40	.37	590.50/2,500	KSR251G
450 gF, Gull Wing, SMD, Gold	401-1521-1-ND	.63	.58	.54	868.61/2,500	KSR253G

* Für Gegurtet auf Rolle die Teilenr. von 1-ND in 2-ND ändern. † Ruhekontakt

Serie KSS - Seitenbetätigte Miniaturtastschalter

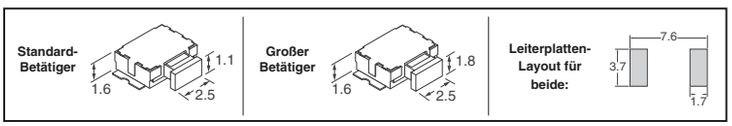

Der KSS ist ein einpoliger Miniatur-Moment-Ein/Ausschalter mit Arbeitskontakt Er ist insbesondere für Anwendungen mit hoher Komponentendichte geeignet. **Schaltkreis:** SPST-NO **Schaltung:** • Maximale Spannung: 50 V • Min./Max. Stromstärke: Silber: 1 mA/50 mA; Gold: 1 mA/10 mA • **Lebensdauer:** 10^6 Schaltungen • **Betriebstemp.:** Silber: -40 °C ~ 85 °C; Gold: -40 °C ~ 125 °C

Beschreibung	Digi-Key Teilenr.	Gurtabschnittspreis pro Stück 1	25	100	Preisangaben für gegurtet auf Rolle*	ITT Ind. Teilenr.
Standard-Betätiger, 200 gF, Gull Wing	401-1097-1-ND	.37	.35	.32	617.17/3,000	KSS221G
Standard-Betätiger, 250 gF, Gull Wing	401-1098-1-ND	.37	.35	.32	617.17/3,000	KSS231G
Standard-Betätiger, 250 gF, Gull Wing, Gold	401-1698-1-ND	.55	.51	.43	914.33/3,000	KSS233G
Standard-Betätiger, 400 gF, Gull Wing	401-1099-1-ND	.42	.40	.37	708.60/3,000	KSS241G
Großer Betätiger, 200 gF, Gull Wing	401-1100-1-ND	.36	.33	.30	585.17/3,000	KSS321G
Großer Betätiger, 250 gF, Gull Wing	401-1101-1-ND	.36	.33	.31	589.74/3,000	KSS331G
Großer Betätiger, 400 gF, Gull Wing	401-1102-1-ND	.38	.36	.33	630.89/3,000	KSS341G
Standard-Betätiger, 200 gF, Gull Wing, Gold	401-1522-1-ND	.48	.45	.41	804.61/3,000	KSS223G
Standard-Betätiger, 400 gF, Gull Wing, Gold	401-1523-1-ND	.54	.51	.46	900.61/3,000	KSS243G
Großer Betätiger, 200 gF, Gull Wing, Gold	401-1524-1-ND	.50	.47	.43	836.61/3,000	KSS323G
Großer Betätiger, 400 gF, Gull Wing, Gold	401-1525-1-ND	.53	.50	.45	882.33/3,000	KSS343G

* Für Gegurtet auf Rolle die Teilenr. von 1-ND in 2-ND ändern.

Serie KMS - Seitenbetätigte Miniaturtastschalter

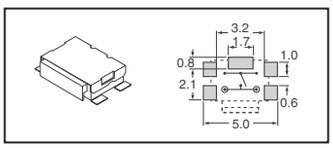

Besonders klein, für Anwendungen in Pagern, medizinischen PDAs und mobilen Handheld-Geräten. Gutes taktiles Gefühl zum Feedback an den Benutzer. Geerdete Abdeckung zum ESE-Schutz. **Spezifikationen:** • Schaltkreis: SPST, N/O • **Lebensdauer:** 100.000 Schaltungen **Elektrische Daten:** • Max. Spannung: 50 V DC • Max. Strom (DC): Silber: 50 mA, Gold: 10 mA • **Prellzeit:** ≤3 ms **Umwelt: Betriebstemp.:** Silber: -40 °C ~ 85 °C; Gold: -40 °C ~ 125 °C

Beschreibung	Digi-Key Teilenr.	Gurtabschnittspreis pro Stück 1	25	100	Preisangaben für gegurtet auf Rolle*	ITT Ind. Teilenr.
Tastschalter, 200 gF, Gull Wing, versilbert, mit Stiften	401-1614-1-ND	.53	.50	.46	891.47/3,000	KMS221GP
Tastschalter, 200 gF, Gull Wing, vergoldet, mit Stiften	401-1616-1-ND	.69	.65	.59	1155.61/3,000	KMS223GP
Tastschalter, 250 gF, Gull Wing, versilbert	401-1266-1-ND	.42	.40	.37	708.60/3,000	KMS231G
Tastschalter, 250 gF, Gull Wing, vergoldet	401-1276-1-ND	.47	.44	.41	790.89/3,000	KMS233G
Tastschalter, 250 gF, Gull Wing, versilbert, mit Stiften	401-1615-1-ND	.42	.40	.37	708.60/3,000	KMS231GP
Tastschalter, 250 gF, Gull Wing, vergoldet, mit Stiften	401-1617-1-ND	.47	.44	.41	789.88/3,000	KMS233GP

* Für Gegurtet auf Rolle die Teilenr. von 1-ND in 2-ND ändern.

KST-Serie SMT Gummi-Tastschalter

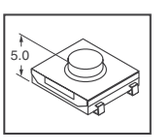

Der KST ist ein Miniaturtastschalter mit einem Gummibetätiger, der ein taktiles Gefühl vermittelt, das leitfähigen Gummiprodukten nahe kommt und einen mehr als doppelt so langen Betätigungsweg hat, als er in den Produktreihen KSA oder KSC standardmäßig ist. **Schaltkreis:** SPST-NO **Schaltung:** • Max. Spannung: 30 V • Stromstärke: 50 mA **Lebensdauer:** 100.000 Zyklen **Betriebstemperatur:** -40 °C ~ 125 °C

Beschreibung	Digi-Key Teilenr.	Gurtabschnittspreis pro Stück 1	25	100	Preisangaben für gegurtet auf Rolle*	ITT Ind. Teilenr.
Tastschalter - 6,2 mm² - 200 gF, Gull Wing	401-1103-1-ND	.34	.32	.29	187.44/1,000	KST221G
Tastschalter - 6,2 mm² - 200 gF, J-Modell	401-1104-1-ND	.34	.32	.29	187.44/1,000	KST221J
Tastschalter - 6,2 mm² - 350 gF, Gull Wing	401-1105-1-ND	.36	.33	.31	196.58/1,000	KST241G
Tastschalter - 6,2 mm² - 350 gF, J-Modell	401-1106-1-ND	.36	.33	.31	196.58/1,000	KST241J
Tastschalter - 6,2 mm² - 350 gF, J-Modell, Gold	401-1526-1-ND	.55	.51	.47	303.25/1,000	KST243J

* Für Gegurtet auf Rolle die Teilenr. von 1-ND in 2-ND ändern.

Serie KSU: Micro-Miniatur-Detektorschalter

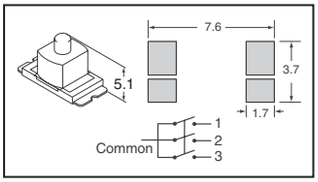

Der KSU ist ein von oben betätigter Multi-Kontaktdetektorschalter ohne taktiles Feedback, mit Arbeitskontakten. **Schaltkreis:** SPST **Min./Max. Spannung:** 20 mV/50 V **Min./Max. Strom:**0,01 mA/10 mA **Lebensdauer:** 100.000 Schaltungen **Betätigungskraft:** 110 g **Kontakte:** Gold **Betriebstemperatur:** -40 °C ~ 125 °C

Beschreibung	Digi-Key Teilenr.	Gurtabschnittspreis pro Stück 1	25	100	Preisangaben für gegurtet auf Rolle*	ITT Industries Teilenr.
7 x 3,5 mm, Arbeitskontakt-Metallbetätiger, Gull Wing	401-1598-1-ND	.79	.73	.67	435.83/1,000	KSU213W

* Für Gegurtet auf Rolle die Teilenr. von 1-ND in 2-ND ändern.

Serie KMR: Microminiatur-Tastschalter für SMT

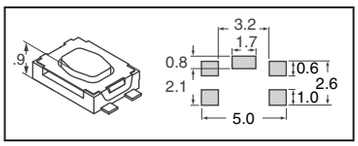

Kompatibel mit bleifreien Lötprozessen. Zur Verwendung in Handys, Computern und industrieller Elektronik Die kompakte Größe der KMR-Schalter und die 4 Betätigungskraft-Optionen machen diesen Schalter ideal für besonders kleine Anwendungen.**Schaltkreis:** SPST-NO **Max. Spannung:** 50 V DC **Max. Strom (DC):** Silber: 50 mA, Gold: 10 mA **Betriebstemp.:** Silber: -40 °C ~ 85 °C; Gold: -40 °C ~ 125 °C

Beschreibung	Digi-Key Teilenr.	Gurtabschnittspreis pro Stück 1	25	100	Preisangaben für gegurtet auf Rolle*	ITT Ind. Teilenr.
100 gF, Gull Wing, Silberkontakte	401-1426-1-ND	.38	.36	.33	1482.74/7,000	KMR211G
200 gF, Gull Wing, Silberkontakte	401-1427-1-ND	.38	.36	.33	1482.74/7,000	KMR221G
200 gF, Gull Wing, Goldkontakte	401-1428-1-ND	.53	.50	.45	2058.76/7,000	KMR223G
300 gF, Gull Wing, Silberkontakte	401-1429-1-ND	.39	.36	.33	1504.07/7,000	KMR231G
300 gF, Gull Wing, Goldkontakte	401-1430-1-ND	.54	.51	.47	2112.10/7,000	KMR233G
400 gF, Gull Wing, Silberkontakte	401-1431-1-ND	.45	.42	.39	1749.41/7,000	KMR241G
400 gF, Gull Wing, Goldkontakte	401-1432-1-ND	.65	.61	.56	2538.78/7,000	KMR243G

* Für Gegurtet auf Rolle die Teilenr. von 1-ND in 2-ND ändern.

Serie MD und MDP - Drucktastenschalter

Serie MD: Kleiner Momenttastschalter mit schützendem Gummibetätiger • **Schaltkreis:** SPST • **Schaltung:** • Max. Spannung: 100 V AC/DC Max. Strom: Silber: 100 mA AC/DC, Gold: 50 mA AC/DC • **Betriebstemperatur:** -25 °C ~ 70°C

Serie MDP: Kleiner Moment-Tastschalter mit Betätigungsknopf, kann auf Leiterplatte montiert werden. • **Schalt-kreis:** SPST • **Schaltung:** • Max. Spannung: 100 V AC/DC Max. Strom: Silber: 100 mA AC/DC, Gold: 50 mA AC/DC • **Betriebstemperatur:** -25 °C ~ 70 °C

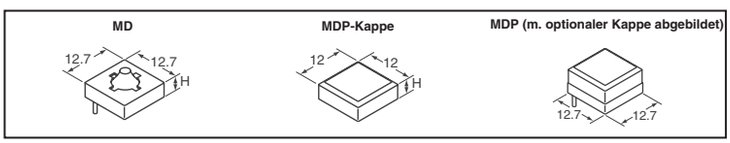

Beschreibung	Abm. H (mm)	Digi-Key Teilenr.	Stückpreis 1	25	100	ITT Industries Teilenr.
Serie MD						
mit Gummibetätiger, 260 gF, vergoldet	5	401-1172-ND•	2.96	2.37	1.88	MD G
mit Gummibetätiger, 260 gF, versilbert	5	401-1171-ND•	1.85	1.49	1.18	MD S
Serie MDP						
ohne Kappe, 240 gF, vergoldet	4.1	401-1174-ND•	2.96	2.37	1.88	MDP G
ohne Kappe, 240 gF, versilbert	4.1	401-1173-ND•	1.69	1.36	1.08	MDP S

Beschreibung	Digi-Key Teilenr.	Stückpreis 1	25	100	ITT Industries Teilenr.
Schalterkappen für Serie MDP					
Weiß, 12 mm², m. Fingermulde	401-1175-ND•	.45	.36	.29	BTN MDP 00
Grau, 12 mm², m. Fingermulde	401-1176-ND•	.45	.36	.29	BTN MDP 20
Rot, 12 mm², m. Fingermulde	401-1177-ND•	.45	.36	.29	BTN MDP 40
Blau, 12 mm², m. Fingermulde	401-1178-ND•	.44	.36	.28	BTN MDP 60
Schwarz, 12 mm², m. Fingermulde	401-1179-ND•	.45	.36	.29	BTN MDP 90

• Für neue Designs nicht empfohlen.

Serie MDPL - Wippschalter, Momentkontakt

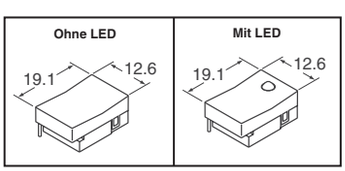

• **Schaltkreis:** SPST-NO • **Schaltung:** • Max. Leistung: 6 W AC/DC • Max. Spannung: 100 V AC/DC • **Strom:** 100 mA AC/DC • **Betriebstemperatur:** -25 °C ~ 70°C • **Kontakt-material:** Versilbert

Beschreibung	Digi-Key Teilenr.	Stückpreis 1	25	100	ITT Industries Teilenr.
Weiße Kappe, ohne LED, 200 gF	401-1183-ND•	2.22	1.78	1.42	MDPL 0 S BTN 00
Hellgraue Kappe, ohne LED, 200 gF	401-1180-ND•	2.22	1.78	1.42	MDPL 0 S BTN 20
Rote Kappe, ohne LED, 200 gF	401-1181-ND•	2.22	1.78	1.42	MDPL 0 S BTN 40
Schwarze Kappe, ohne LED, 200 gF	401-1182-ND•	2.22	1.79	1.42	MDPL 0 S BTN 90
Hellgraue Kappe, rote LED, 200 gF	401-1185-ND•	2.91	2.33	1.85	MDPL 1 S 40 BTN 20
Rote Kappe, grüne LED, 200 gF	401-1187-ND•	3.32	2.66	2.11	MDPL 1 S 50 BTN 40
Schwarze Kappe, grüne LED, 200 gF	401-1186-ND•	3.32	2.66	2.11	MDPL 1 S 50 BTN 90

• Für neue Designs nicht empfohlen.

H

Cannon

ITT Industries
Engineered for life

Serie DIGITAST SE-Tastenschalter

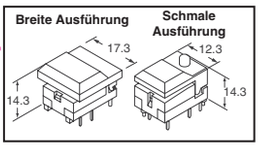

Die elektronischen Schalter dieser Serie sind die vielseitigsten Schalter für Leiterplatten, speziell mit DIL-Gehäusen. Vibrationsfreie, kurze und leichtgängige Betätigung dank gelenkiger Drucktaste. Als Momenttast- und Doppeldruck-Betätigungsschalter mit Überwegauslösung. Mikro-SPDT-Systems m. taktilem Feedback Zwei integrierte angegossene Abstandspins zur Ausrichtung auf Leiterplatten. **Schaltkreis:** SPDT **Schaltung:** • Max. Spannung: 24 V AC • Max. Strom: 10 mA DC **Betriebslebensdauer:** OA: 5.000.000 Schaltungen, EE: 500.000 Schaltungen **Schaltweg:** 0,0591

Beschreibung	Digi-Key Teilenr.	Stückpreis 1	25	100	ITT Industries Teilenr.
Schmale Ausführung					
Doppelschaltfunktion, schwarze Kappe, keine LED	401-1108-ND	5.40	4.81	4.21	SE R BK AU EE
Momentschaltfunktion, schwarze Kappe, keine LED	401-1107-ND	3.47	3.09	2.71	SE R BK AU OA
Momentschaltfunktion, blaue Kappe, keine LED	401-1229-ND	3.47	3.09	2.71	SE R BU AU OA
Momentschaltfunktion, grüne Kappe, keine LED	401-1230-ND	3.47	3.09	2.71	SE R GN AU OA
Doppelschaltfunktion, graue Kappe, keine LED	401-1110-ND	5.40	4.81	4.21	SE R GY AU EE
Momentschaltfunktion, graue Kappe, keine LED	401-1109-ND	3.47	3.09	2.71	SE R GY AU OA
Doppelschaltfunktion, rote Kappe, keine LED	401-1112-ND	5.40	4.81	4.21	SE R RD AU EE
Momentschaltfunktion, rote Kappe, keine LED	401-1111-ND	3.47	3.09	2.71	SE R RD AU OA
Momentschaltfunktion, weiße Kappe, keine LED	401-1231-ND	3.47	3.09	2.71	SE R WH AU OA
Momentschaltfunktion, gelbe Kappe, keine LED	401-1232-ND	3.47	3.09	2.71	SE R YE AU OA
Momentschaltfunktion, schwarze Kappe, grüne LED	401-1115-ND	4.94	4.40	3.85	SE R L BK GN 7.62 AU OA
Doppelschaltfunktion, schwarze Kappe, grüne LED	401-1669-ND	7.13	6.34	5.55	SERL BK GN 7.62 AU EE
Doppelschaltfunktion, schwarze Kappe, rote LED	401-1114-ND	7.13	6.34	5.55	SE R L BK RD 7.62 AU EE
Momentschaltfunktion, schwarze Kappe, rote LED	401-1113-ND	4.61	4.10	3.58	SE R L BK RD 7.62 AU OA
Doppelschaltfunktion, graue Kappe, grüne LED	401-1119-ND	7.65	6.81	5.96	SE R L GY GN 7.62 AU EE
Doppelschaltfunktion, graue Kappe, rote LED	401-1118-ND	7.13	6.34	5.55	SERLGYRD7,62AUEE
Momentschaltfunktion, graue Kappe, rote LED	401-1117-ND	4.61	4.10	3.58	SE R L GY RD 7.62 AU OA
Doppelschaltfunktion, schwarze Kappe, rot/grüne LED	401-1120-ND	7.49	6.67	5.83	SER2LBKRDGNAUEE
Doppelschaltfunktion, graue Kappe, rot/grüne LED	401-1121-ND	7.49	6.67	5.83	SER2LGYRDGNAUEE
Breite Ausführung					
Doppelschaltfunktion, schwarze Kappe, keine LED	401-1123-ND	5.44	4.84	4.24	SE T BK AU EE
Momentschaltfunktion, schwarze Kappe, keine LED	401-1122-ND	3.47	3.09	2.71	SE T BK AU OA
Momentschaltfunktion, graue Kappe, keine LED	401-1124-ND	3.47	3.09	2.71	SE T GY AU OA
Momentschaltfunktion, blaue Kappe, keine LED	401-1233-ND	3.47	3.09	2.71	SE T BU AU OA
Momentschaltfunktion, rote Kappe, keine LED	401-1234-ND	3.47	3.09	2.71	SE T RD AU OA
Momentschaltfunktion, weiße Kappe, keine LED	401-1235-ND	3.47	3.09	2.71	SE T WH AU OA
Momentschaltfunktion, gelbe Kappe, keine LED	401-1236-ND	3.47	3.09	2.71	SE T YE AU OA
Doppelschaltfunktion, schwarze Kappe, grüne LED	401-1670-ND	7.17	6.38	5.58	SETL BK GN 7.62 AU EE
Doppelschaltfunktion, schwarze Kappe, rote LED	401-1126-ND	7.17	6.38	5.58	SE T L BK RD 7.62 AU EE
Momentschaltfunktion, schwarze Kappe, rote LED	401-1125-ND	4.61	4.10	3.58	SE T L BK RD 7.62 AU OA
Momentschaltfunktion, graue Kappe, rote LED	401-1128-ND	4.61	4.10	3.58	SE T L GY RD 7.62 AU OA

Serie D6 - Drucktastenschalter

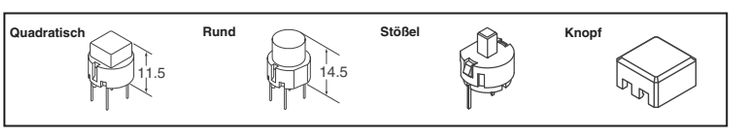

Der D6 ist ein offener Tastenschalter, der speziell für digitale elektronische Steuerungen konstruiert wurde. Vollständig, mit bereits befestigter farbiger Kappe. **Schaltkreis:** SPST **Schaltung:** Max. Stromstärke: 100 mA AC **Durchschlagfestigkeit:** 1.000 V AC **Kontaktwiderstand:** 100 mΩ **Schaltweg:** 0,031 **Kontaktmaterial:** Versilbert **Betriebstemperatur:** -20 °C ~ 85 °C

Beschreibung	Digi-Key Teilenr.	Stückpreis 1	25	100	ITT Industries Teilenr.
Quadr. Kappe, weiß, Momentschaltfunktion, 130 gF	401-1004-ND	.80	.64	.51	D6 C 00
Quadr. Kappe, grau, Momentschaltfunktion, 130 gF	401-1005-ND	.80	.64	.51	D6 C 10
Quadr. Kappe, rot, Momentschaltfunktion, 130 gF	401-1002-ND	.80	.64	.51	D6 C 40
Quadr. Kappe, blau, Momentschaltfunktion, 130 gF	401-1006-ND	.80	.64	.51	D6 C 60
Quadr. Kappe, schwarz, Momentschaltfunktion, 130 gF	401-1003-ND	.80	.64	.51	D6 C 90
Quadr. Kappe, schwarz, Momentschaltfunktion, hohe Temperatur, 130 gF	401-1582-ND	.89	.82	.75	D6 C 90 HT
Runde Kappe, weiß, Momentschaltfunktion, 130 gF	401-1009-ND	.80	.64	.51	D6 R 00
Runde Kappe, grau, Momentschaltfunktion, 130 gF	401-1010-ND	.80	.64	.51	D6 R 10
Runde Kappe, rot, Momentschaltfunktion, 130 gF	401-1007-ND	.80	.64	.51	D6 R 40
Runde Kappe, blau, Momentschaltfunktion, 130 gF	401-1011-ND	.80	.64	.51	D6 R 60
Runde Kappe, schwarz, Momentschaltfunktion, 130 gF	401-1008-ND	.80	.64	.51	D6 R 90
Runde Kappe, schwarz, Momentschaltfunktion, hohe Temperatur, 130 gF	401-1585-ND	.89	.82	.75	D6 R 90 HT
Stößel, schwarz, Momentschaltfunktion, 130 gF	401-1583-ND	.86	.80	.73	D6 L 90
Stößel, schwarz, Momentschaltfunktion, hohe Temperatur, 130 gF	401-1584-ND	.89	.82	.75	D6 L 90 HT
Quadr. Knopf, grau, für Serie D6C	401-1579-ND	.48	.45	.41	BTN D6 10
Quadr. Knopf, rot, für Serie D6C	401-1580-ND	.48	.45	.41	BTN D6 40
Quadr. Knopf, blau, für Serie D6C	401-1581-ND	.48	.45	.41	BTN D6 60

Piezo-Impuls-Drucktasten

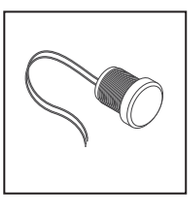

Merkmale: • Piezo-Schaltelement — keine mechanische Abnutzung • Hermetisch verschlossene, einteilige Konstruktion

Spezifikationen: • **Nennwerte:** 250 mA Dauerbetrieb, max. 50 V • **Lebensdauer der Elektrik:** Typ. min. 10.000.000 Schaltungen • **Betriebstemperatur:** -40 °C ~ 85 °C • **Kreisschließzeit:** Min. 50 mS • **Materialien:** Gehäuse: Polyethermid, schwarz,UL 94V-0. Drahtanschlüsse: 22 AWG mit TFE-Teflon-Isolierung; rot positiv, violett negativ. Kleinteile werden mitgeliefert.

Beschreibung	Digi-Key Teilenr.	Stückpreis 1	25	100	ITT Industries Teilenr.
Momentschalter mit 6" Anschlüssen, SPST	CKN1406-ND	15.52	13.41	11.29	KPD1S2W62
Momentschalter mit 4" Anschlüssen, SPST	CKN1407-ND	15.31	13.23	11.14	KPD1S2W4

Serie RTE - Miniatur-Drehschalter

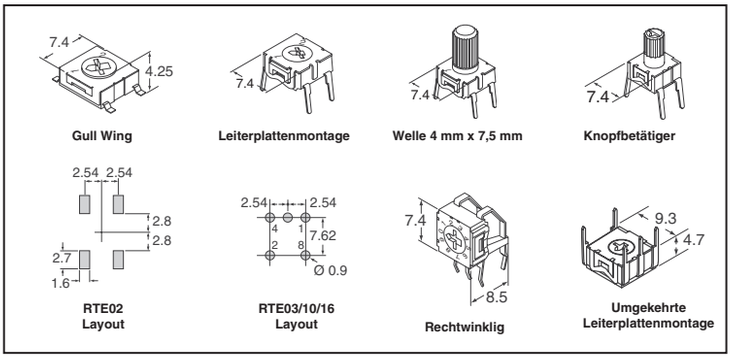

Schaltung: Max. Spannung: RTE02 u. RTE03: 50 V DC; RTE10 u. RTE16: 30 V DC **Strom:** 100 mA **Kontaktwiderstand:** RTE02 u. RTE03: 100 mΩ; RTE10 u. RTE16: 150 mΩ **Betriebstemperatur:** -25 °C ~ 85 °C **Lagertemperatur:** -40 °C ~ 85 °C

Schalt-kreis	Beschreibung	Digi-Key Teilenr.	Stückpreis 1	25	100	Preisangaben für gegurtet auf Rolle*	ITT Industries Teilenr.
SPDT	2-Positionen-Wahlschalter, Gull Wing, versilbert	401-1022-1-ND	1.73	1.60	1.47	1196.25/1,250	RTE0200G01
	2-Positionen-Wahlschalter, Leiterpl.-Mont., versilbert	401-1023-ND	2.00	1.60	1.27	—	RTE0200N01
	2-Positionen-Wahlschalter, Gull Wing, vergoldet	401-1407-1-ND	2.24	2.07	1.90	1548.64/1,250	RTE0200G03
	2-Positionen-Wahlschalter, Leiterpl.-Mont., vergoldet	401-1408-5-ND	1.94	1.55	1.23	—	RTE0200N03
	2-Positionen-Wahlschalter, umgekehrte Leiterpl.-Mont., vergoldet	401-1409-5-ND	1.97	1.59	1.26	—	RTE0200R03
	2-Positionen-Wahlschalter, 4 x 7,5 mm Welle, versilbert	401-1024-ND	1.75	1.40	1.11	—	RTE0201N01
	2-Positionen-Wahlschalter, 4 x 7,5 mm Welle, vergoldet	401-1410-5-ND	2.20	1.77	1.40	—	RTE0201N03
	2-Positionen-Wahlschalter, Knopfbetätiger, versilbert	401-1025-ND	1.75	1.40	1.11	—	RTE0202N01
	2-Positionen-Wahlschalter, Knopfbetätiger, vergoldet	401-1411-5-ND	2.12	1.70	1.34	—	RTE0202N03
	2-Positionen-Wahlschalter, Leiterpl.-Mont., ESE-Pin, vergoldet	401-1412-5-ND	1.86	1.49	1.18	—	RTE0210N03
SP3T	3-Positionen-Wahlschalter, Gull Wing, versilbert	401-1026-ND	1.59	1.28	1.02	—	RTE0300G01
	3-Positionen-Wahlschalter, Leiterpl.-Mont., versilbert	401-1027-ND	1.50	1.20	.95	—	RTE0300N01
	3-Positionen-Wahlschalter, Gull Wing, vergoldet	401-1413-1-ND	2.31	2.14	1.96	1597.96/1,250	RTE0300G03
	3-Positionen-Wahlschalter, Leiterpl.-Mont., vergoldet	401-1414-5-ND	1.94	1.55	1.23	—	RTE0300N03
	3-Positionen-Wahlschalter, umgekehrte Leiterpl.-Mont., vergoldet	401-1415-5-ND	2.06	1.65	1.31	—	RTE0300R03
	3-Positionen-Wahlschalter, 4 x 7,5 mm Welle, versilbert	401-1028-ND	1.75	1.40	1.11	—	RTE0301N01
	3-Positionen-Wahlschalter, 4 x 7,5 mm Welle, vergoldet	401-1416-5-ND	2.20	1.77	1.40	—	RTE0301N03
	3-Positionen-Wahlschalter, Knopfbetätiger, versilbert	401-1029-ND	1.75	1.40	1.11	—	RTE0302N01
	3-Positionen-Wahlschalter, Knopfbetätiger, vergoldet	401-1417-5-ND	2.20	1.77	1.40	—	RTE0302N03
BCD	Dezimalcode, Gull Wing, vergoldet	401-1030-1-ND	2.97	2.75	2.52	2057.24/1,250	RTE1000G13
	Dezimalcode, Leiterpl.-Mont., vergoldet	401-1031-5-ND	3.43	2.75	2.18	—	RTE1000N13
	Dezimalcode, umgekehrte Leiterpl. -Mont., vergoldet	401-1420-5-ND	2.57	2.06	1.63	—	RTE1000R13
	Dezimalcode, rechtwinklig, vergoldet	401-1033-5-ND	2.60	2.08	1.65	—	RTE1000V13
	Dezimalcode, 4 x 7,5 mm Welle, vergoldet	401-1032-5-ND	2.59	2.08	1.64	—	RTE1001N13
	Dezimalcode, 4 x 7,5 mm Welle, rechtwinklig, vergoldet	401-1421-5-ND	2.62	2.10	1.66	—	RTE1001V13
	Dezimalcode, Knopfbetätiger, vergoldet	401-1034-5-ND	2.59	2.08	1.64	—	RTE1002N13
Grey	Grey Code, Gull Wing, vergoldet	401-1418-5-ND	2.87	2.30	1.82	—	RTE1000G33
	Grey Code, Leiterpl. -Mont., vergoldet	401-1419-5-ND	2.51	2.01	1.59	—	RTE1000N33
HEX	Hexadezimalcode, Gull Wing, vergoldet	401-1035-1-ND	3.03	2.80	2.57	2097.24/1,250	RTE1600G43
	Hexadezimalcode, Leiterpl. -Mont., vergoldet	401-1036-5-ND	2.62	2.10	1.66	—	RTE1600N43
	Hexadezimalcode, umgekehrte Leiterpl. -Mont., vergoldet	401-1422-5-ND	2.62	2.10	1.66	—	RTE1600R43
	Hexadezimalcode, bündig, rechtwinklig, vergoldet	401-1423-5-ND	2.64	2.12	1.68	—	RTE1600V43
	Hexadezimalcode, 4 x 7,5 mm Welle, vergoldet	401-1037-5-ND	2.63	2.11	1.67	—	RTE1601N43
	Hexadezimalcode, 4 x 7,5 mm Welle, rechtwinklig, vergoldet	401-1038-5-ND	2.76	2.22	1.76	—	RTE1601V43
	Hexadezimalcode, Knopfbetätiger, vergoldet	401-1039-5-ND	2.63	2.11	1.67	—	RTE1602N43

***** Für Gegurtet auf Rolle die Teilenr. von 1-ND in 2-ND ändern. **Hinweis:** Nur die N-Version m. bündiger Oberfläche für automatische Einführung.

Beschreibung	Digi-Key Teilenr.	Stückpreis 1	25	100	ITT Industries Teilenr.
Optionale Schalterkappen für RTE-Serie					
Rot, mit Einsichtfenster, nur für knopfbetätigte Schalter	401-1040-ND	.23	.19	.15	BTNRTE40
Grün, mit Einsichtfenster, nur für knopfbetätigte Schalter	401-1041-ND	.23	.19	.15	BTNRTE50
Schwarz, mit Einsichtfenster, nur für knopfbetätigte Schalter	401-1042-ND	.23	.19	.15	BTNRTE90

H

Alle Preisangaben in Euro und inklusive Zollgebühren.

Serie 88 - Versiegelte Tastaturen

Vielseitige Tastaturen, die drinnen und draußen funktionieren.

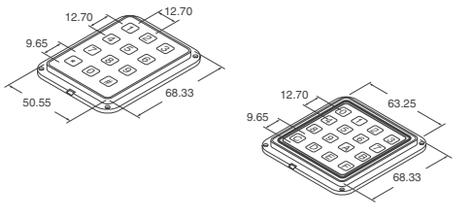

Die Tastaturen der Serie 88 von Grayhill sind voll versiegelt zur Verwendung drinnen oder draußen. Sie bieten einen vollversiegelten Schnapp-Kuppel-Kontakt mit einer Lebensdauer von 3 Mio. Betätigungen pro Taste. Es sind verschiedene Grafikauflagen erhältlich, oder Sie können mithilfe von 3 Teilen Ihre eigene Tastatur kreieren: (1) eine leere Tastatur; (2) eine transparente Fensterauflage; (3) ein Blatt mit Beschriftungstransfers. Eine optionale Bedienfeldabdichtung verhindert, dass Staub und Wasser zwischen Tastatur und Gerätetafel eindringen.

SPEZIFIKATIONEN:

Bewertungskriterien: **Nennleistung bei 24 V DC:** 10 mA, resistiv • **Kontaktwiderstand:** Mit MOS, TTL und DTL kompatibel (max. 10 Ω) • **Durchbruchspannung:** 250 V AC zwischen zwei isolierten Teilen • **Haltbarkeit:** 3.000.000 Betätigungen pro Taste • **Kontaktaufprall:** Weniger als 4 ms bei Herstellung, 10 ms bei Unterbrechung • **Betriebstemperatur:** -40 °C ~ 80 °C

Betriebsmerkmale: • **Knopfbewegung:** 0,015" (0,381 mm) nominale Gesamtbewegung • **Typ. Betätigungskraft:** 350 g.

Materialien und Verarbeitungen: • **Gehäuse:** ABS-Polykarbonat, schwarz • **Grafikauflage:** Polyester • **Kontaktkuppel:** Edelstahl, stellenweise vergoldet • **Anschlüsse:** Kupferlegierung, CDA-Nr. 725, Zinn/Blei-Überzug

Abb. 1

Abb. 2

Abb. 3

Abb. 4

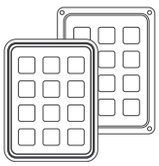

Abb.	Beschreibung	Digi-Key Teilenr.	Stückpreis 1	10	100	Grayhill Teilenr.
	Tastaturen der Serie 88					
1	12-Tasten-Tastatur mit schwarzem Gehäuse, weißen Tasten und schwarzer Beschriftung	GH5012-ND	20.38	19.25	15.29	88AB2-143
2	12-Tasten-Tastatur mit schwarzem Gehäuse, weißen Tasten und blauer Beschriftung	GH5013-ND	20.38	19.25	15.29	88AB2-152
2	12-Tasten-Tastatur mit schwarzem Gehäuse, blauen Tasten und weißer Beschriftung	GH5014-ND	20.38	19.25	15.29	88AB2-172
3	16-Tasten-Tastatur mit schwarzem Gehäuse, blau/weißen Tasten und schwarz/blauer Beschriftung	GH5015-ND	23.54	22.24	17.66	88BB2-052
3	16-Tasten-Tastatur mit schwarzem Gehäuse, blauen Tasten und weißer Beschriftung	GH5016-ND	23.54	22.24	17.66	88BB2-072
3	16-Tasten-Tastatur mit schwarzem Gehäuse, roten Tasten und weißer Beschriftung	GH5017-ND	23.54	22.24	17.66	88BB2-082
	Serie 88 -Tastaturen mit durchsichtigen Tasten — Zur individuellen Gestaltung des Tastatur-Layouts					
4	12-Tasten-Tastatur mit leeren Tasten zur Verwendung mit den nachstehenden Legendenblättern	GH5018-ND	16.17	15.28	12.13	88AB2
4	16-Tasten-Tastatur mit leeren Tasten zur Verwendung mit den nachstehenden Beschriftungsblättern	GH5019-ND	17.98	16.99	13.49	88BB2
4	20-Tasten-Tastatur mit leeren Tasten zur Verwendung mit den nachstehenden Beschriftungsblättern	GH5020-ND	23.96	22.63	17.97	88JB2
—	Beschriftungsblatt, kleine Beschriftung für leere Tasten, Trockentransfer	GH5021-ND	3.27	3.09	2.45	87-DT-2096-088
—	Beschriftungsblatt, mittlere Beschriftung für leere Tasten, Trockentransfer	GH5022-ND	3.27	3.09	2.45	87-DT-2096-125
—	Beschriftungsblatt, große Beschriftung für leere Tasten, Trockentransfer	GH5023-ND	3.27	3.09	2.45	87-DT-2096-187
—	Beschriftungsblatt, mittlere Beschriftung für leere Tasten, selbstklebend	GH5024-ND	4.51	4.27	3.39	87AC2046
4	Transparente Schutzauflage für 12-Tasten-Tastatur (schützt Ihre spezifische Beschriftung)	GH5025-ND	14.43	13.63	10.83	88-101
4	Transparente Schutzauflage für 16-Tasten-Tastatur (schützt Ihre spezifische Beschriftung)	GH5026-ND	12.65	11.95	9.49	88-001
4	Transparente Schutzauflage für 20-Tasten-Tastatur (schützt Ihre spezifische Beschriftung)	GH5027-ND	13.11	12.39	9.84	88-201
	Bedienfeldabdichtungen für Tastaturen der Serie 88					
—	Optionale Bedienfeldabdichtung für alle 12-Tasten-Tastaturen der Serie 88 - Subplatten-Montage	GH5028-ND	1.12	1.06	.84	88M2001-2
—	Optionale Bedienfeldabdichtung für alle 16-Tasten-Tastaturen der Serie 88 - Subplatten-Montage	GH5029-ND	1.13	1.08	.86	88M2009-2
—	Optionale Bedienfeldabdichtung für alle 20-Tasten-Tastaturen der Serie 88 - Subplatten-Montage	GH5030-ND	1.19	1.12	.89	88M2019-1
—	Optionale Bedienfeldabdichtung für alle 12-Tasten-Tastaturen der Serie 88 - Oberplatten-Montage	GH5031-ND	1.40	1.33	1.05	88M2012-1
—	Optionale Bedienfeldabdichtung für alle 16-Tasten-Tastaturen der Serie 88 - Oberplatten-Montage	GH5032-ND	1.46	1.38	1.10	88M2015-1
—	Optionale Bedienfeldabdichtung für alle 20-Tasten-Tastaturen der Serie 88 - Oberplatten-Montage	GH5033-ND	1.50	1.42	1.13	88M2018-1

Serie 96 Tastaturen

Die Tastaturen der Serie 96 von Grayhill mit den Größen 3 x 4 und 4 x 4 sind am preiswertesten. Sie bieten Merkmale wie z.B. konduktive Gummikontakte mit einer Lebensdauer von 3 Mio. Betätigungen und einem guten taktilen Gefühl für positives Feedback zum Bediener. GH5001 bis GH5004 haben schwarze Legenden mit weißen Tasten und schwarzem ABS-Gehäuse. GH5008 bis GH5011 haben weiße Legenden mit schwarzen Tasten und schwarzem ABS-Gehäuse.

SPEZIFIKATIONEN:

Bewertungskriterien: • **Nennleistung bei 12 V DC:** 5 mA für 0,5 Sekunden • **Kontaktaufprall:** <12 ms • **Kontaktwiderstand:** <100 Ω (bei angegebener Betriebskraft) • **Lebensdauer:** Min. 3.000.000 Zyklen pro Taste • **Betätigungskraft:** 175 g ±40 g • **Betriebstemperatur:** -30 °C ~ 80 °C ***Materialien und Verarbeitungen:*** • **Anschlussstift:** Phosphorbronze, Lötüberzug • **Leiterplatte:** FR-4 Glastuch-Epoxid • **Tastatur:** Silikongummi • **Gehäuse:** ABS, cycolac „KJW" • **Gehäusefarbe:** schwarz • **Ausgang:** Matrix (SIL-Steckleiste hinten)

Für 12-Tasten-Entsprechungssteckverbinder folgende Digi-Key-Teilenummern verwenden: A3016-ND (1 Steckverbinder) / A3007-ND (1 Packung Kontakte); für 16-Tasten-Entsprechungssteckverbinder folgende Digi-Key-Teilenummern verwenden: A3017-ND (1 Steckverbinder) / A3007-ND (1 Packung Kontakte)

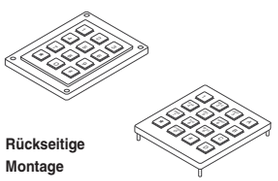

Abb. 1 — 12-Tasten

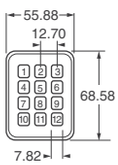

Abb. 2 — 16-Tasten

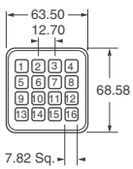

Abb.	Beschreibung	Digi-Key Teilenr.	Stückpreis 1	10	100	Grayhill Teilenr.
1	12-Tasten-Tastatur, Frontmontage, weiße Tasten	GH5001-ND	9.79	8.59	7.34	96AB2-102-F
1	12-Tasten-Tastatur, rückseitige Montage, weiße Tasten	GH5002-ND	9.79	8.59	7.34	96AB2-102-R
2	16-Tasten-Tastatur, Frontmontage, weiße Tasten	GH5003-ND	10.90	9.57	8.18	96BB2-006-F
2	16-Tasten-Tastatur, rückseitige Montage, weiße Tasten	GH5004-ND	10.90	9.57	8.18	96BB2-006-R
1	12-Tasten-Tastatur, Frontmontage, schwarze Tasten	GH5008-ND	9.79	8.59	7.34	96AB2-152-F
1	12-Tasten-Tastatur, rückseitige Montage, schwarze Tasten	GH5009-ND	9.79	8.59	7.34	96AB2-152-R
2	16-Tasten-Tastatur, Frontmontage, schwarze Tasten	GH5010-ND	10.90	9.57	8.18	96BB2-056-F
2	16-Tasten-Tastatur, rückseitige Montage, schwarze Tasten	GH5011-ND	10.90	9.57	8.18	96BB2-056-R

H

Cannon

ITT Industries
Engineered for life

Versiegelte Membrantastaturen

mit abnehmbaren Beschriftungssätzen

12-Tasten mit 2 Beschriftungssätzen: A-L, 1-9 * / #

MERKMALE:

• Mit Kleberückseite zur einfachen Anbringung • Taktiles Feedback auf allen Tasten • 0,1" Steckbuchsenverbinder angeschlossen • Leicht austauschbare Beschriftungen • Erlaubt benutzerspezifische Beschriftungen • Tasten mit geprägtem Rand zur Fingerplatzierung • Spritzsichere, versiegelte Schalter • Flachprofilausführung (0,059 Zoll) (1,1 mm hoch)

SPEZIFIKATIONEN:

• **Kontaktnennleistung:** 0,5 VA, 100 mA, 30 V DC max. • **Betätigungskraft:** Max. 300 g • **Kontaktaufprall:** Unter 10 ms typ. • **Bewegung:** 0,63 – 0,76 mm typ. • **Betriebstemperatur:** -30 °C ~ 60 °C

MATERIAL:

• **Auflage:** Polyester/Polycarbonatmischung mit einheitlicher feiner Textur, matt glänzend

• **Steckverbinder:** Einzelreihenbuchse, Zinn/Bleiüberzug

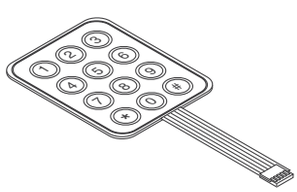

Digi-Key Teilenr.	Stückpreis 1	10	100	ITT Ind. Teilenr.
CKN6010-ND	21.48	18.55	15.62	4234A1

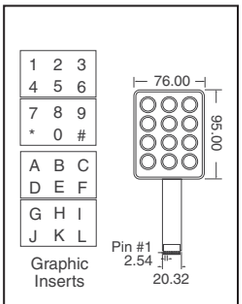

Vorwärtsschalter

Abb.	Ausgabecode	Positionen	Lesewert	Merkmale	Digi-Key Teilenr.	Stückpreis 1	10	50	100	Cherry Teilenr.
				PA-Druckschalter						
1A	BCD	10		Vorstehende Tasten	CH178-ND	13.67	12.15	10.13	8.36	PACA-3000
	BCD kompl.	10	0-9	Vorstehende Tasten	CH179-ND	21.10	18.76	15.63	12.90	PAEA-3000
	BCD	10		Vorst. Karte für Dioden	CH180-ND	16.66	14.82	12.35	10.19	PACA-4000
	Dezimal	10	0 - 9	Vorstehende Tasten	CH682-ND	19.04	16.93	14.11	11.64	PAAA-3000
	Achtfach	8	0 - 7	Vorstehende Tasten	CH683-ND	15.89	14.13	11.77	9.71	PABA-3000
	Achtfach	8	0 - 7	Bündige Tasten	CH684-ND	17.10	15.20	12.67	10.45	PABA-3114
	BCD	10	0 - 9	Vorstehende Tasten	CH685-ND	14.82	13.17	10.98	9.06	PACA-3100
	BCD	10	0 - 9	Bündige Tasten	CH686-ND	14.82	13.17	10.98	9.06	PACA-3114
	Hexadezimal	16	0 - 15	Vorstehende Tasten	CH687-ND	11.84	10.53	8.78	7.24	PAGA-3100
	Hexadezimal	16	0 - 15	Bündige Tasten	CH688-ND	11.84	10.53	8.78	7.24	PAGA-3114
	Hexadezimal	16	0 - 15	Bündige Tasten	CH689-ND	13.22	11.75	9.79	8.08	PAGE-3114
	Hexadecimal	16	0 - 15	Bündige Tasten	CH690-ND	13.22	11.75	9.79	8.08	PAGN-3114
	Rechte Endkappen für PA-Schalter				CH188-ND	.58	.51	.43	.38	0609-0799
	Linke Endkappen für PA-Schalter				CH189-ND	.58	.51	.43	.38	0609-0801
	Gehäuse 0,3" (7,62 mm) PA leer, schwarz, matt				CH678-ND	.87	.78	.73	.62	0609-0797
	Zwischenstück 0,1" (2,54 mm) PA leer, schwarz, matt				CH679-ND	.87	.78	.73	.62	0609-0803
				PB-Druckschalter — „staubsicher", Frontmontage						
1B	BCD	10	0-9	—	CH185-ND	6.65	5.92	4.93	—	PBC1-E015
	Rechte Endkappen für PB-Schalter				CH194-ND	.58	.51	.43	.38	0609-1347
	Linke Endkappen für PB-Schalter				CH195-ND	.58	.51	.43	.38	0609-1346
	Zwischenstück 0,1" (2,54 mm) für PB-Serie schwarz				CH680-ND	.87	.78	.73	.62	0609-1348
				PE-Druckschalter						
1C	Dezimal	10	0-9	Vorstehende Tasten	CH239-ND	15.80	14.04	11.70	9.66	PEAA-3000
	BCD	10	0-9	Vorstehende Tasten	CH181-ND	15.41	13.70	11.42	9.42	PECA-3000
	Hex	16	0-15	Vorstehende Tasten	CH240-ND	21.23	18.88	15.73	12.98	PEGA-3000
	Hex	16	0-9, A-F	Vorstehende Tasten	CH281-ND	20.96	18.64	15.53	12.81	PEHA-3000
	BCD	10	0-9	Vorst. Platine für Dioden	CH183-ND	19.52	17.36	14.46	11.93	PECA-4000
	Rechte Endkappen für PE-Schalter				CH190-ND	.58	.51	.43	.38	0609-0756
	Linke Endkappen für PE-Schalter				CH191-ND	.58	.51	.43	.38	0609-0754
	Zwischenstück 0,3" (7,62 mm) PE leer, schwarz, matt				CH677-ND	.87	.78	.73	.62	0609-0752
				T57-Druckschalter — rückseitige Montage						
2	Dezimal	10	0-9	Nicht für neue Designs	CH242-ND	12.28	10.92	9.10	7.96	0T57-01M0
				L20 Hebelschalter						
3	Dezimal	10	0-9	Für neue Designs	CH233-ND	13.78	12.26	10.21	8.94	0L20-01A0
	Dezimal	10	0-9	nicht empfohlen	CH234-ND	14.24	12.66	10.55	9.24	0L20-01M0

HINWEIS: PAGA: Schnellanschluss **PAGE:** Steckleiste, rechtwinklig **PAGN:** Sockel, rechtwinklige Steckleiste

Abb.	Beschreibung	Digi-Key Teilenr.	Stückpreis 1	10	100	Cherry Teilenr.
	Steckverbinder					
4	Steckverbinder für PA-Serie BCD/HEX, leiterplattenmontierte Klemme	CH271-ND	3.34	2.97	2.35	C2KO-P107
	Steckverbinder für PE-Serie BCD/HEX, leiterplattenmontierte Klemme	CH274-ND	3.56	3.17	2.51	C2RO-P111
	Steckverbinder für PE-Serie BCD/HEX Ringklemme	CH681-ND	3.56	3.17	2.51	C2RFN116

Abb. 1 – Serie PA, PB und PE

Serie PA

Abb. A

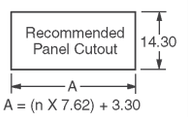

Serie PB

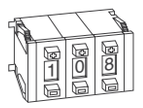

Abb. B

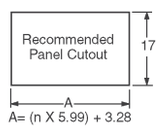

Serie PE

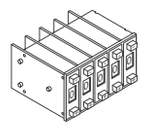

Abb. C

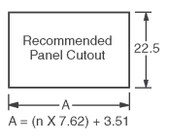

Jede Ziffer ist ein einzelnes Modul. Kombinieren Sie die Module, um eine Endeinheit wie oben dargestellt zu erhalten.

Abb. 2 – T57

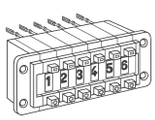

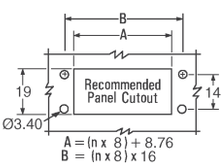

Jede Ziffer ist ein einzelnes Modul. Kombinieren Sie die Module, um eine Endeinheit wie oben dargestellt zu erhalten.

Abb. 3 – L20 (rechte und linke Endkappen)

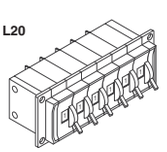

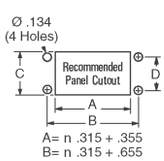

Jede Ziffer ist ein einzelnes Modul. Kombinieren Sie die Module, um eine Endeinheit wie oben dargestellt zu erhalten.

Modell	A	B	C	D
L20	(n x 12.70) = 10.29	(n x 12.70) + 15.11	24.89	22.86

Abb. 4 – Steckverbinder

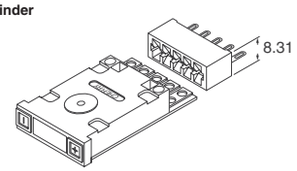

Vorwärtsschalter

H

Abb. 1

Abb. 2

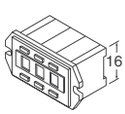

Abb. 3

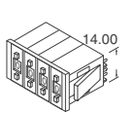

Jede Ziffer ist ein einzelnes Modul. Kombinieren Sie die Module, um eine Endeinheit wie oben dargestellt zu erhalten.

A7B-Serie:

Merkmale: • Staubsichere Bauweise gewährleistet selbst unter widrigen Umweltbedingungen sehr zuverlässige Leistungen bei niedriger Spannung und sehr niedriger Stromstärke • Schalteinheiten können einfach durch Einpassen des integralen Hakenkopplers jeder Einheit in die Gegeneinheit zusammengebaut werden, sodass keine Muttern und Schrauben notwendig sind • Schaltbaugruppe kann einfach durch Eindrücken der Baugruppe in den Montageplatten-Ausschnitt von vorne befestigt werden

Serie A7CN:

Merkmale: • Speziell für Leiterplatten vorgesehen • Die durchsichtige Fensterplatte im Anzeigebereich verhindert, dass Staub eindringen kann, und schützt Wählscheibenzeichen vor Abnutzung durch falsche Handhabung • Schalteinheiten können einfach durch Einpassen des integralen Hakenkopplers jeder Einheit in die Gegeneinheit zusammengebaut werden, sodass keine Muttern und Schrauben notwendig sind

Serie A7D:

Merkmale: • Kosteneffektivität und verbesserte Zuverlässigkeit durch Einspritzen und weniger Komponententeile • Kunststofffeder mit minimaler Ermüdung und mechanischer Lebensdauer von 30.000

Abb.	Ausgang	Anz. der Positionen	Farbe	Digi-Key Teilenr.	Stückpreis 1	25	50	Omron Teilenr.
1	BCD	0-9	Schwarz, glänzend	SW266-ND	7.18	6.46	5.74	A7BS-206-1
	BCD	0-9		SW267-ND	7.18	6.46	5.74	A7BS-206-S-1
	BCD mit vorst. Platte	0-9		SW268-ND	7.73	6.96	6.19	A7BS-207-1
	+, - Nur Anzeige	+, -		SW269-ND	9.25	8.33	7.40	A7BS-207-PM-1
—	Steckverbinder für Serie A7BS, Lötklemme mit Montageösen			SW270-ND	4.22	3.80	3.37	A7B-C
	Endkappen für Serie A7BS, links/rechts, 2 Stück			SW271-ND	1.17	1.05	.94	A7B-M-1
	Zwischenstück für Serie A7BS, schwarz, unmarkiert			SW272-ND	.63	.58	.51	A7B-PA-1
2	BCD (rückseitige Montage)	0-9	Schwarz, glänzend	SW273-ND	5.74	5.17	4.59	A7CN-106-1
	BCD (Frontmontage)			SW274-ND	5.74	5.17	4.59	A7CN-206-1
—	Endkappen für Serie A7CN, nur rückseitige Montage			SW275-ND	.70	.63	.56	A7CN-1M-1
	Zwischenstück für Serie A7CN, nur rückseitige Montage, schwarz			SW276-ND	.55	.50	.45	A7CN-1PA-1
	Endkappen für Serie A7CN, nur Frontmontage			SW277-ND	.70	.63	.56	A7CN-2M-1
	Zwischenstück für Serie A7CN, nur Frontmontage, schwarz			SW278-ND	.55	.50	.45	A7CN-2PA-1
3	BCD (rückseitige Montage)	0-9	Schwarz, glänzend	SW279-ND	4.43	3.99	3.54	A7D-106-1
	BCD (Frontmontage)		Schwarz, glänzend	SW280-ND	4.43	3.99	3.54	A7D-206-1
	BCD (rückseitige Montage)		Hellgrau	SW504-ND	4.43	3.99	3.54	A7D-106
	BCD (Frontmontage)		Hellgrau	SW505-ND	4.43	3.99	3.54	A7D-206
—	Endkappen für Serie A7D, nur rückseitige Montage, schwarz			SW281-ND	.70	.63	.56	A7D-1M-1
	Endkappen für Serie A7D, nur Frontmontage, schwarz			SW282-ND	.63	.58	.51	A7D-2M-1
	Zwischenstück für Serie A7D, rückseitige Montage, schwarz			SW283-ND	.70	.63	.56	A7D-1PA-1
	Zwischenstück für Serie A7D, Frontmontage, schwarz			SW284-ND	.70	.63	.56	A7D-2PA-1
	Endkappen für Serie A7D, nur rückseitige Montage, hellgrau			SW506-ND	.70	.63	.56	A7D-1M
	Endkappen für Serie A7D, nur Frontmontage, hellgrau			SW508-ND	.66	.60	.53	A7D-2M
	Zwischenstück für Serie A7D, nur rückseitige Montage, hellgrau			SW507-ND	.70	.63	.56	A7D-1PA
	Zwischenstück für Serie A7D, nur Frontmontage, hellgrau			SW509-ND	.70	.63	.56	A7D-2PA

Alle Preisangaben in Euro und inklusive Zollgebühren.

Rechtwinklige Kippschalter

Abb. 1

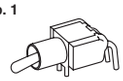

Rechtwinklig

Abb. 2

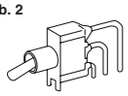

Vertikal rechtwinklig

Betätigeroptionen

K

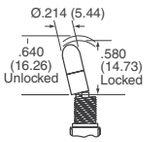

L

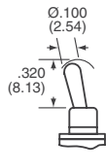

M

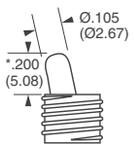

* 0,070 (1,78) für D9-Durchführungen hinzu addieren.

S

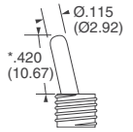

* 0,070 (1,78) für D9-Durchführungen hinzu addieren.

* 0,020 (0,51) für H3-Durchführungen abziehen.

Schaltkreis	Schaltfunktion	Optionen (siehe Diagramme) Betätiger	Bushing*	Anschluss	Kontakt-material	Abmessungen Zoll (mm) L x B x H	Digi-Key Teilenr.	Stückpreis 1	25	100	ITT Industries Teilenr.
Abb. 1 — rechtwinklig											
SPDT	Ein-Ein	S	D9	A	B	.500 x .500 x .270 (12.70 x 12.70 x 6.86)	CKN1049-ND	5.13	4.11	3.25	7101SD9ABE
	Ein-Aus-Ein	S	D9	A	B	.500 x .500 x .270 (12.70 x 12.70 x 6.86)	CKN1051-ND	5.60	4.48	3.55	7103SD9ABE
	Ein-Ein	M	D9	A	B	.500 x .500 x .270 (12.70 x 12.70 x 6.86)	CKN1045-ND	5.13	4.11	3.25	7101MD9ABE
	Ein-Ein	M	D9	A	G	.500 x .500 x .270 (12.70 x 12.70 x 6.86)	CKN1046-ND	5.46	4.38	3.46	7101MD9AGE
	Ein-Ein	M	D9	A	Q	.500 x .500 x .270 (12.70 x 12.70 x 6.86)	CKN1047-ND	5.13	4.11	3.25	7101MD9AQE
	Ein-Aus-Ein	M	D9	A	B	.500 x .500 x .270 (12.70 x 12.70 x 6.86)	CKN1050-ND	5.60	4.48	3.55	7103MD9ABE
	Mom-Aus-Mom	M	D9	A	B	.365 x .500 x .284 (9.27 x 12.70 x 7.21)	CKN1172-ND	5.70	4.56	3.61	7105MD9ABE
	Ein-Ein	M	H9	A	B	.320 x .200 x .352 (8.13 x 5.08 x 8.94)	CKN1067-ND	5.21	4.17	3.30	T101MH9ABE
	Ein-Aus-Ein	M	H9	A	B	.320 x .200 x .352 (8.13 x 5.08 x 8.94)	CKN1068-ND	6.15	4.93	3.90	T103MH9ABE
	Mom-Aus-Mom	M	H9	A	B	.320 x .200 x .352 (8.13 x 5.08 x 8.94)	CKN1386-ND	6.15	4.93	3.90	T105MH9ABE
	Ein-Aus-Mom	M	H9	A	B	.320 x .200 x .352 (8.13 x 5.08 x 8.94)	CKN1387-ND	6.37	5.09	4.03	T107MH9ABE
	Ein-Mom	M	H9	A	B	.320 x .200 x .352 (8.13 x 5.08 x 8.94)	CKN1388-ND	6.37	5.09	4.03	T108MH9ABE
	Ein-Ein	S	Y	A	B	.500 x .270 x .350 (12.70 x 6.86 x 8.89)	CKN1456-ND	5.13	4.11	3.25	7101SYABE
	Ein-Ein	M	D1	A	G	.500 x .219 x .350 (12.70 x 5.56 x 8.89)	CKN1511-ND	5.55	4.44	3.51	E101MD1AGE
	Ein-Ein	M	D1	A	Q	.500 x .219 x .350 (12.70 x 5.56 x 8.89)	CKN1512-ND	5.21	4.17	3.30	E101MD1AQE
	Ein-Aus-Ein	M	D1	A	B	.500 x .219 x .350 (12.70 x 5.56 x 8.89)	CKN1520-ND	6.15	4.93	3.90	E103MD1ABE
	Ein-Ein	M	D1	A	G	.320 x .200 x .350 (8.13 x 5.08 x 8.89)	CKN1528-ND	6.03	4.83	3.82	ET01MD1AGE
	Ein-Ein	S	D1	A	B	.320 x .200 x .350 (8.13 x 5.08 x 8.89)	CKN1531-ND	5.67	4.54	3.60	ET01SD1ABE
	Ein-Aus-Ein	L	D1	A	B	.320 x .200 x .350 (8.13 x 5.08 x 8.89)	CKN1532-ND	6.34	5.07	4.02	ET03LD1ABE
	Mom-Aus-Mom	M	D1	A	B	.320 x .200 x .350 (8.13 x 5.08 x 8.89)	CKN1534-ND	6.34	5.07	4.02	ET05MD1ABE
	Mom-Aus-Mom	S	D1	A	B	.320 x .200 x .350 (8.13 x 5.08 x 8.89)	CKN1535-ND	6.34	5.07	4.02	ET05SD1ABE
	Ein-Ein	K	—	A	B	.320 x .200 x .340 (8.13 x 5.08 x 8.64)	CKN1545-ND	10.31	8.25	6.54	T101KABE
	Ein-Ein	M	H	A	B	.320 x .200 x .340 (8.13 x 5.08 x 8.64)	CKN1548-ND	5.21	4.17	3.30	T101MHABE
DPDT	Ein-Ein	M	D9	A	B	.500 x .500 x .450 (12.70 x 12.70 x 11.43)	CKN1055-ND	7.77	6.22	4.93	7201MD9ABE
	Ein-Ein	M	D9	A	Q	.500 x .500 x .450 (12.70 x 12.70 x 11.43)	CKN1056-ND	7.77	6.22	4.93	7201MD9AQE
	Ein-Ein	M	H9	A	B	.320 x .360 x .352 (8.13 x 9.14 x 8.94)	CKN1069-ND	8.16	6.53	5.17	T201MH9ABE
	Ein-Ein	S	Y	A	Q	.500 x .450 x .350 (12.70 x 11.43 x 8.89)	CKN1480-ND	7.77	6.22	4.93	7201SYAQE
	Ein-Aus-Ein	M	D9	A	B	.500 x .450 x .350 (12.70 x 11.43 x 8.89)	CKN1484-ND	8.57	6.86	5.43	7203MD9ABE
	Ein-Ein-Ein	M	D9	A	B	.500 x .450 x .350 (12.70 x 11.43 x 8.89)	CKN1491-ND	9.16	7.33	5.81	7211MD9ABE
	Ein-Ein	M	D1	A	B	.500 x .450 x .350 (12.70 x 11.43 x 8.89)	CKN1521-ND	8.16	6.53	5.17	E201MD1ABE
	Ein-Ein	M	H9	A	G	.320 x .360 x .340 (8.13 x 9.14 x 8.64)	CKN1555-ND	9.39	7.52	5.95	T201MH9AGE
	Ein-Mom	S	H9	A	B	.320 x .360 x .340 (8.13 x 9.14 x 8.64)	CKN1558-ND	9.44	7.56	5.98	T208SH9ABE
3PDT	Ein-Ein	M	D9	A	B	.500 x .500 x .500 (12.70 x 12.70 x 12.70)	CKN1383-ND	13.00	10.41	8.24	7301MD9ABE
	Ein-Ein	M	D1	A	G	.500 x .642 x .424 (12.70 x 16.31 x 10.77)	CKN1525-ND	10.07	8.70	7.32	E301MD1AGE
Abb. 2 — vertikal rechtwinklig											
SPDT	Ein-Ein	M	D9	AV2	B	.500 x .270 x .500 (12.70 x 6.86 x 12.70)	CKN1059-ND	5.41	4.33	3.43	7101MD9AV2BE
	Ein-Aus-Ein	M	D9	AV2	B	.500 x .270 x .500 (12.70 x 6.86 x 12.70)	CKN1173-ND	5.88	4.70	3.73	7103MD9AV2BE
	Ein-Ein	M	H9	AV	B	.320 x .200 x .352 (8.13 x 5.08 x 8.94)	CKN1070-ND	5.49	4.40	3.48	T101MH9AVBE
	Ein-Ein	S	D9	AV2	B	.500 x .270 x .350 (12.70 x 6.86 x 8.89)	CKN1447-ND	5.41	4.33	3.43	7101SD9AV2BE
	Ein-Ein	M	D1	AV2	G	.500 x .219 x .350 (12.70 x 5.56 x 8.89)	CKN1513-ND	6.08	4.87	3.86	E101MD1AV2GE
	Ein-Ein	M	D1	AV2	Q	.500 x .219 x .350 (12.70 x 5.56 x 8.89)	CKN1514-ND	5.75	4.60	3.64	E101MD1AV2QE
	Ein-Ein	S	D1	AV2	B	.500 x .219 x .350 (12.70 x 5.56 x 8.89)	CKN1517-ND	5.75	4.60	3.64	E101SD1AV2BE
	Ein-Ein	M	D1	AV	G	.320 x .200 x .350 (8.13 x 5.08 x 8.89)	CKN1529-ND	6.49	5.20	4.11	ET01MD1AVGE
	Ein-Aus-Ein	M	D1	AV	B	.320 x .200 x .350 (8.13 x 5.08 x 8.89)	CKN1533-ND	6.80	5.44	4.31	ET03MD1AVBE
	Mom-Aus-Mom	S	D1	V3	B	.320 x .200 x .350 (8.13 x 5.08 x 8.89)	CKN1537-ND	6.34	5.07	4.02	ET05SD1V3BE
	Ein-Ein	M	H9	V3	B	.320 x .200 x .350 (8.13 x 5.08 x 8.89)	CKN1547-ND	5.16	4.13	3.27	T101MH9V3BE
	Ein-Aus-Ein	M	H9	AV	B	.320 x .200 x .350 (8.13 x 5.08 x 8.89)	CKN1550-ND	6.44	5.16	4.08	T103MH9AVBE
	Ein-Aus-Ein	M	H9	V3	B	.320 x .200 x .340 (8.13 x 5.08 x 8.64)	CKN1551-ND	6.10	4.89	3.87	T103MH9V3BE
DPDT	Ein-Ein	M	D9	AV2	B	.500 x .650 x .565 (12.70 x 16.51 x 14.35)	CKN1384-ND	8.31	6.65	5.27	7201MD9AV2BE
	Ein-Ein	M	D9	AV2	Q	.500 x .450 x .350 (12.70 x 11.46 x 8.89)	CKN1476-ND	8.31	6.65	5.27	7201MD9AV2QE
	Ein-Ein	S	D9	AV2	B	.500 x .450 x .350 (12.70 x 11.46 x 8.89)	CKN1479-ND	8.31	6.65	5.27	7201SD9AV2BE
	Ein-Ein	M	H9	AV	B	.320 x .360 x .340 (8.13 x 9.14 x 8.64)	CKN1556-ND	8.57	6.86	5.43	T201MH9AVBE
	Ein-Ein	M	H9	V3	B	.320 x .360 x .340 (8.13 x 9.14 x 8.64)	CKN1557-ND	8.16	6.53	5.17	T201MH9V3BE
Optionale Kleinteile und Zubehör											
Ziermutter 10-48, 0,070" (1,78 mm) hoch, für Serien T und TP; vernickelt							CKN1183-ND	.55	.45	.36	465701201
Ziermutter 1/4 x 40, 0,325" (8,26 mm) hoch, für Serien 7000, 8020, 8060, 8500, E, E010 und TP; vernickelt							CKN1184-ND	.40	.32	.26	702501201
Ziermutter 1/4 x 40, 0,325" (8,26 mm) hoch, für Serien 8020, 8060, E010 und TP; schwarz plattiert							CKN1391-ND	.71	.57	.46	702501264
Ziermutter 1/4 x 40, 0,118" (3,00 mm) hoch, für Serien 7000, 8020, 8060, 8500, E, E010 und TP							CKN1201-ND	.26	.22	.17	780701201
Ziermutter 1/4 x 40, 0,118" (3,00 mm) hoch, für Serien 7000, 8020, 8060, 8500, 9000, E, E010, T und TP; seidenmatt verchromt							CKN1393-ND	.92	.74	.59	780701215
Ziermutter 1/4 x 40, 0,118" (3,00 mm) hoch, für Serien 7000, 8020, 8060, 8500, 9000, E, E010, T und TP; vernickelt							CKN1754-ND	.32	.26	.21	709901201
Ziermutter 1/4 x 40, 0,090" (2,29 mm) hoch, für Serien 7000, 8020, 8060, 8500, 9000, E, E010, T und TP; vernickelt							CKN1392-ND	.37	.30	.24	776001201
Ziermutter 15/32-32, 0,120" (3,05 mm) hoch, für Serien 7000 und 8500; vernickelt							CKN1202-ND	1.06	.85	.67	895101201
Griffmutter 1/4 x 40, 0,080" (2,03 mm) hoch, für Serien 7000, 8020, 8060, 8500, 9000, E, TP und TP; vernickelt							CKN1755-ND	.37	.30	.24	778000201
Griffmutter 1/4 x 40, 0,062" (1,57 mm) hoch, für Serien 7000, 8020, 8060, 8500, 9000, E, TP und TP; vernickelt							CKN1756-ND	.29	.24	.19	796901201
Sicherungsscheibe 1/4x40, 0,402" (10,21 mm) Durchmesser, vernickelt							CKN1753-ND	.24	.20	.16	700303202
Sechskantmutter 1/4 x 40, für Serien 7000, 8020, 8060, 8500 und T; vernickelt							CKN1185-ND	.24	.20	.16	700201201
Verschlussring 1/4 x 40, 0,468" (11,89 mm) Durchmesser, für Serien 7000, 8020, 8060, 8500, 9000, M, T und TP; vernickelt							CKN1817-ND	.24	.20	.16	700701201
Kippschalterdeckel aus Vinyl, weiß, 0,383" (9,73 mm) lang, für Farbkodieroption „S"-Betätiger, Serie 7000							CKN1203-ND	.69	.55	.44	896801000
Kippschalterdeckel aus Vinyl, schwarz, 0,383" (9,73 mm) lang, für Farbkodieroption „S"-Betätiger, Serie 7000							CKN1204-ND	.69	.55	.44	896802000
Kippschalterdeckel aus Vinyl, rot, 0,383" (9,73 mm) lang, für Farbkodieroption „S"-Betätiger, Serie 7000							CKN1205-ND	.69	.55	.44	896803000

* Durchführung

Kontaktmaterialoptionen

B Kontakte und Anschlüsse: Kupferlegierung, vergoldet über Nickelplattierung. Kontaktnennleistung: 0,4 VA max. bei max. 20 V AC oder DC

Q Endkontakte: Münzsilber, versilbert. Mittenkontakt und alle Anschlussklemmen: Kupferlegierung, versilbert Nennwerte: Serie 7000: 5 A @ 120 V AC oder 2 A @ 250 V AC; Serie E: 7,5 A @ 125 V AC oder 3 A @ 250 V AC; Serie T: 3 A @ 120 V AC.

G Endkontakte: Münzsilber, vergoldet und vernickelt. Mittenkontakt und alle Anschlussklemmen: Kupferlegierung, vergoldet über Nickelplattierung. Nennleistung: Max. 0,4 V AC bei max. 20 V AC oder DC oder 5 A bei 120 V AC oder 28 V DC; 2 A bei 250 V AC.

Durchführungsoptionen

D9

D1

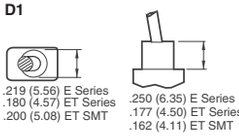

H (10-48 UNS)
H9 (Ohne Gewinde)

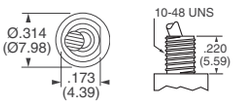

Y

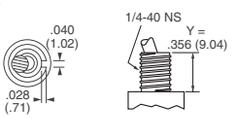

Abschlusswiderstandsoptionen

A

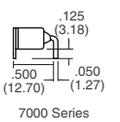

AV

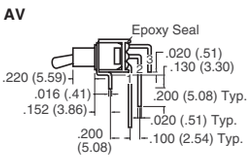

AV2

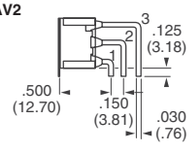

V3

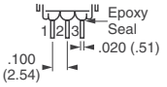

*** Nur ET-Serie**

H

Kippschalter

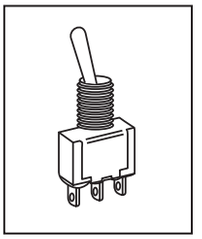

Kontaktmaterialoptionen

B Kontakte und Anschlüsse: Kupferlegierung, vernickelt und vergoldet Kontaktnennleistung: Max. 0,4 VA bei max. 20 V AC oder DC

Q Endkontakte: Münzsilber, versilbert. Mittenkontakt und alle Anschlussklemmen: Kupferlegierung, versilbert. Nennwerte: Serie 7000: 5 A @ 120 V AC oder 2 A @ 250 V AC; Serie E: 7,5 A @ 125 V AC oder 3 A @ 250 V AC; Serie T: 3 A @ 120 V AC.

G Endkontakte: Münzsilber, vergoldet und vernickelt. Mittenkontakt und alle Anschlussklemmen: Kupferlegierung, vergoldet und vernickelt. Leistung: Max. 0,4 VA @ max. 20 V AC oder DC, oder 5 A @ 120 V AC oder 28 V DC, 2 A @ 250 V AC

Betätigeroptionen

K Einrasthebel

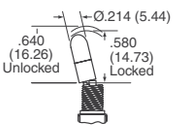

K1 Einrasthebel

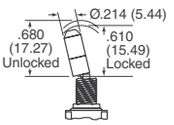

K2 Einrasthebel

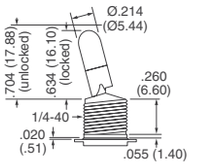

K12 Einrasthebel

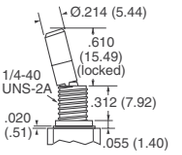

L

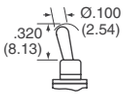

L41

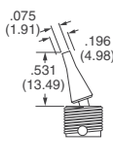

Kunststoff-Hebelgriff, Verdrehschutz

M

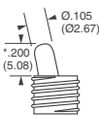

* 0,070 (1,78) für D, D9-Durchführungen hinzu addieren.

P3 Antirotation

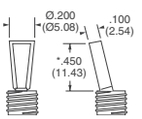

* 0,070 (1,78) für D, D9-Durchführungen hinzu addieren.

S

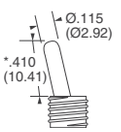

* 0,070 (1,78) für D, D9-Durchführungen hinzu addieren.

* 0,020 (0,51) für H3-Durchführungen abziehen.

T1 = 0,487" hoch

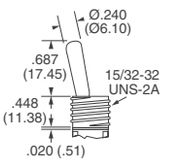

Schaltkreis	Schaltfunktion	Optionen (siehe Diagramme) Betätiger	Durch-führung	Anschluss	Kontakt-material	Abmessungen Zoll (mm) L x B x H	Digi-Key Teilenr.	Stückpreis 1	25	100	ITT Industries Teilenr.
					Vertikal						
SPST	Ein-Aus	S	H	Z	Q	.320 X .200 X .350 (8.13 x 5.08 x 8.89)	CKN1549-ND	5.80	4.64	3.68	T102SHZQE
	Ein-Ein	S	D9	C	Q	.500 x .270 x .350 (12.70 x 6.86 x 8.89)	CKN1002-ND	4.64	3.72	2.95	7101SD9CQE
	Ein-Ein	S	Y	C	B	.500 x .270 x .350 (12.70 x 6.86 x 8.89)	CKN1003-ND	4.64	3.72	2.95	7101SYCBE
	Ein-Ein	S	Y	C	Q	.500 x .270 x .350 (12.70 x 6.86 x 8.89)	CKN1004-ND	4.64	3.72	2.95	7101SYCQE
	Ein-Ein	S	H3	Z	Q	.500 x .270 x .350 (12.70 x 6.86 x 8.89)	CKN1020-ND	6.00	4.81	3.81	7101SH3ZQE
	Ein-Ein	S	Y	Z	B	.500 x .270 x .350 (12.70 x 6.86 x 8.89)	CKN1021-ND	4.51	3.62	2.86	7101SYZBE
	Ein-Ein	S	Y	Z	G	.500 x .270 x .350 (12.70 x 6.86 x 8.89)	CKN1022-ND	4.85	3.88	3.08	7101SYZGE
	Ein-Ein	S	Y	Z	Q	.500 x .270 x .350 (12.70 x 6.86 x 8.89)	CKN1023-ND	4.51	3.62	2.86	7101SYZQE
	Ein-Aus-Ein	S	Y	C	Q	.500 x .270 x .350 (12.70 x 6.86 x 8.89)	CKN1005-ND	5.11	4.09	3.24	7103SYCQE
	Ein-Aus-Ein	S	Y	Z	B	.500 x .270 x .350 (12.70 x 6.86 x 8.89)	CKN1025-ND	4.98	3.99	3.16	7103SYZBE
	Ein-Aus-Ein	S	Y	Z	Q	.500 x .270 x .350 (12.70 x 6.86 x 8.89)	CKN1026-ND	4.98	3.99	3.16	7103SYZQE
	Ein-Aus-Mom	S	Y	C	Q	.500 x .270 x .350 (12.70 x 6.86 x 8.89)	CKN1008-ND	5.21	4.17	3.30	7107SYCQE
	Ein-Aus-Mom	S	Y	Z	Q	.500 x .270 x .350 (12.70 x 6.86 x 8.89)	CKN1028-ND	5.08	4.07	3.22	7107SYZQE
	Mom-Aus-Mom	S	Y	C	Q	.500 x .270 x .350 (12.70 x 6.86 x 8.89)	CKN1007-ND	5.21	4.17	3.30	7105SYCQE
	Mom-Aus-Mom	S	Y	Z	Q	.500 x .270 x .350 (12.70 x 6.86 x 8.89)	CKN1027-ND	5.08	4.07	3.22	7105SYZQE
	Ein-Mom	S	Y	Z	Q	.500 x .270 x .350 (12.70 x 6.86 x 8.89)	CKN1029-ND	5.08	4.07	3.22	7108SYZQE
	Ein-Ein	S	H	C	Q	.320 x .200 x .340 (8.13 x 5.08 x 8.64)	CKN1091-ND	4.69	3.76	2.98	T101SHCQE
	Ein-Ein	S	H	Z	Q	.320 x .200 x .340 (8.13 x 5.08 x 8.64)	CKN1066-ND	4.85	3.88	3.08	T101SHZQE
	Ein-Aus-Ein	S	H	C	Q	.320 x .200 x .340 (8.13 x 5.08 x 8.64)	CKN1092-ND	5.65	4.52	3.58	T103SHCQE
	Ein-Aus-Ein	S	H	Z	Q	.320 x .200 x .340 (8.13 x 5.08 x 8.64)	CKN1087-ND	5.80	4.64	3.68	T103SHZQE
	Ein-Aus-Mom	S	H	Z	Q	.320 x .200 x .340 (8.13 x 5.08 x 8.64)	CKN1181-ND	6.00	4.81	3.81	T107SHZQE
	Mom-Aus-Mom	S	H	Z	Q	.320 x .200 x .340 (8.13 x 5.08 x 8.64)	CKN1088-ND	5.80	4.64	3.68	T105SHZQE
SPDT	Ein-Ein	M	D	C	Q	.500 x .270 x .350 (12.70 x 6.86 x 8.89)	CKN1000-ND	4.64	3.72	2.95	7101MDCQE
	Ein-Ein	M	D	Z	Q	.500 x .270 x .350 (12.70 x 6.86 x 8.89)	CKN1016-ND	4.51	3.62	2.86	7101MDZQE
	Ein-Ein	M	Y	Z	Q	.500 x .270 x .350 (12.70 x 6.86 x 8.89)	CKN1017-ND	4.51	3.62	2.86	7101MYZQE
	Ein-Ein	S	D9	V3	B	.500 x .270 x .350 (12.70 x 6.86 x 8.89)	CKN1043-ND	5.65	4.52	3.58	7101SD9V3BE
	Ein-Ein	P3	Y	Z	Q	.500 x .270 x .350 (12.70 x 6.86 x 8.89)	CKN1019-ND	6.18	4.95	3.92	7101P3YZQE
	Ein-Ein	K2	—	Z	Q	.500 x .270 x .350 (12.70 x 6.86 x 8.89)	CKN1125-ND	7.72	6.18	4.89	7101K2ZQE
	Ein-Ein	L41(weiß)	Y	Z	Q	.500 x .270 x .350 (12.70 x 6.86 x 8.89)	CKN1219-ND	6.37	5.10	4.04	7101L41YZQE1
	Ein-Ein	S	H	Z	Q	.500 x .270 x .350 (12.70 x 6.86 x 8.89)	CKN1453-ND	5.46	4.38	3.46	7101SHZQE
	Ein-Aus-Mom	S	Y	Z	B	.500 x .270 x .350 (12.70 x 6.86 x 8.89)	CKN1470-ND	5.08	4.07	3.22	7107SYZBE
	Ein-Ein	M	D1	C	B	.500 x .219 x .350 (12.70 x 5.56 x 8.89)	CKN1515-ND	4.72	3.78	2.99	E101MD1CBE
	Ein-Ein	M	D1	V3	B	.500 x .219 x .350 (12.70 x 5.56 x 8.89)	CKN1516-ND	6.13	4.91	3.89	E101MD1V3BE
	Ein-Ein	S	D1	C	G	.500 x .219 x .350 (12.70 x 5.56 x 8.89)	CKN1518-ND	5.05	4.05	3.21	E101SD1CGE
	Ein-Ein	S	Y	Z	Q	.500 x .219 x .350 (12.70 x 5.56 x 8.89)	CKN1519-ND	4.59	3.68	2.91	E101SYZQE
	Ein-Ein	L	D1	C	B	.320 X .200 X .350 (8.13 x 5.08 x 8.89)	CKN1527-ND	5.18	4.15	3.29	ET01LD1CBE
	Ein-Ein	M	D1	C	B	.320 X .200 X .350 (8.13 x 5.08 x 8.89)	CKN1530-ND	5.18	4.15	3.29	ET01MD1CBE
	Mom-Aus-Mom	S	D1	C	B	.320 X .200 X .350 (8.13 x 5.08 x 8.89)	CKN1536-ND	5.85	4.68	3.71	ET05SD1CBE
	Ein-Ein	M	H9	C	B	.320 X .200 X .350 (8.13 x 5.08 x 8.89)	CKN1546-ND	4.72	3.78	2.99	T101MH9CBE
	Mom-Aus-Mom	M	H9	AV	B	.320 X .200 X .350 (8.13 x 5.08 x 8.89)	CKN1552-ND	6.44	5.16	4.08	T105MH9AVBE
	Ein-Mom	M	H9	AV	B	.320 X .200 X .350 (8.13 x 5.08 x 8.89)	CKN1553-ND	6.65	5.32	4.21	T108MH9AVBE
	Ein-Mom	S	H	Z	Q	.320 X .200 X .350 (8.13 x 5.08 x 8.89)	CKN1554-ND	6.00	4.81	3.81	T108SHZQE
DPDT	Ein-Ein	S	Y	C	B	.500 x .450 x .350 (12.70 x 11.43 x 8.89)	CKN1010-ND	6.85	5.48	4.34	7201SYCBE
	Ein-Ein	S	Y	C	Q	.500 x .450 x .350 (12.70 x 11.43 x 8.89)	CKN1011-ND	6.85	5.48	4.34	7201SYCQE

† UL-Zulassung Hinweis: Alle Gewindedurchführungen werden mit Befestigungsteilen geliefert.

(Forts.)

Durchführungsoptionen

CW spritzfest

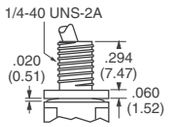

Interne Betätigerabdichtung und externe Durchführungsdichtungsscheibe Standard.

D, H3 (mit Gewinde)
D9 (ohne Gewinde)

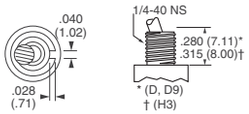

D1

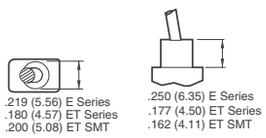

H (10-48 UNS)
H9 (ohne Gewinde)

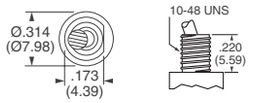

Y

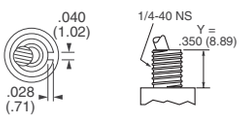

Abschlusswiderstandsoptionen

AV

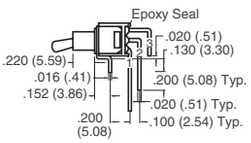

C

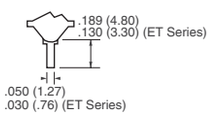

V3 (A = .460)
V4 (A = .630)

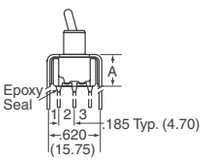

W, W6

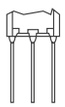

Drahtwickel-Verbindung

Z

Lötauge

Z4

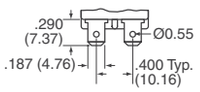

Schaltkreis	Schaltfunktion	Optionen (siehe Diagramme) Betätiger	Durch-führung	Anschluss	Kontakt-material	Abmessungen Zoll (mm) L x B x H	Digi-Key Teilenr.	Stückpreis 1	25	100	ITT Industries Teilenr.
DPDT	Ein-Ein	S	Y	Z	B	.500 x .450 x .350 (12.70 x 11.43 x 8.89)	CKN1034-ND	6.65	5.32	4.21	7201SYZBE
	Ein-Ein	S	Y	Z	Q	.500 x .450 x .350 (12.70 x 11.43 x 8.89)	CKN1035-ND	6.65	5.32	4.21	7201SYZQE
	Ein-Ein	S	Y	W	B	.500 x .450 x .350 (12.70 x 11.43 x 8.89)	CKN1380-ND	7.42	5.94	4.70	7201SYWBE
	Ein-Ein	S	Y	W	Q	.500 x .450 x .350 (12.70 x 11.43 x 8.89)	CKN1382-ND	7.42	5.94	4.70	7201SYWQE
	Ein-Aus-Ein	S	Y	C	Q	.500 x .450 x .350 (12.70 x 11.43 x 8.89)	CKN1012-ND	7.64	6.12	4.85	7203SYCQE
	Ein-Aus-Ein	S	Y	Z	Q	.500 x .450 x .350 (12.70 x 11.43 x 8.89)	CKN1036-ND	7.44	5.96	4.72	7203SYZQE
	Mom-Aus-Mom	S	Y	Z	Q	.500 x .450 x .350 (12.70 x 11.43 x 8.89)	CKN1129-ND	7.44	5.96	4.72	7205SYZQE
	Ein-Ein	S	H	Z	Q	.320 x .360 x .340 (8.13 x 9.14 x 8.64)	CKN1089-ND	7.59	6.08	4.81	T201SHZQE
	Ein-Ein	S	H	C	Q	.320 x .360 x .340 (8.13 x 9.14 x 8.64)	CKN1182-ND	7.23	5.79	4.59	T201SHCQE
	Ein-Aus-Ein	S	H	Z	Q	.320 x .360 x .340 (8.13 x 9.14 x 8.64)	CKN1090-ND	8.59	6.88	5.45	T203SHZQE
	Ein-Ein	M	D	Z	Q	.500 x .450 x .350 (12.70 x 11.43 x 8.89)	CKN1031-ND	6.65	5.32	4.21	7201MDZQE
	Ein-Ein	M	D9	V3	B	.500 x .450 x .350 (12.70 x 11.43 x 8.89)	CKN1170-ND	8.05	6.45	5.11	7201MD9V3BE
	Ein-Aus-Ein	M	D9	V3	B	.500 x .450 x .350 (12.70 x 11.43 x 8.89)	CKN1171-ND	8.86	7.09	5.61	7203MD9V3BE
	Ein-Ein	P3	Y	Z	B	.500 x .450 x .350 (12.70 x 11.43 x 8.89)	CKN1032-ND	8.31	6.65	5.27	7201P3YZBE
	Ein-Ein	P3	Y	Z	Q	.500 x .450 x .350 (12.70 x 11.43 x 8.89)	CKN1033-ND	8.31	6.65	5.27	7201P3YZQE
	Mom-Aus-Mom	P3	Y	Z	Q	.500 x .450 x .350 (12.70 x 11.43 x 8.89)	CKN1144-ND	9.11	7.29	5.77	7205P3YZQE
	Ein-Ein	K2	—	C	B	.500 x .450 x .350 (12.70 x 11.43 x 8.89)	CKN1217-ND	10.06	8.05	6.37	7201K2CBE
	Ein-Ein	K2	—	C	Q	.500 x .450 x .350 (12.70 x 11.43 x 8.89)	CKN1127-ND	10.06	8.05	6.37	7201K2CQE
	Ein-Ein	K2	—	Z	Q	.500 x .450 x .350 (12.70 x 11.43 x 8.89)	CKN1128-ND	9.85	7.88	6.24	7201K2ZQE
	Ein-Aus-Ein	K2	—	Z	Q	.500 x .450 x .350 (12.70 x 11.43 x 8.89)	CKN1153-ND	10.65	8.52	6.75	7203K2ZQE
	Ein-Ein	L1	Y	Z	Q	.500 x .450 x .350 (12.70 x 11.43 x 8.89)	CKN1149-ND	6.65	5.32	4.21	7201L1YZQE
	Ein-Aus-Ein	K12	—	Z	Q	.500 x .450 x .350 (12.70 x 11.43 x 8.89)	CKN1157-ND	10.65	8.52	6.75	7203K12ZQE
	Ein-Ein	T	—	Z	Q	.500 x .450 x .350 (12.70 x 11.43 x 8.89)	CKN1166-ND	9.13	7.31	5.79	7201TZQE
	Ein-Aus-Ein	T	—	Z	Q	.500 x .450 x .350 (12.70 x 11.43 x 8.89)	CKN1167-ND	9.93	7.95	6.29	7203TZQE
	Ein-Ein	S	CW	Z	Q	.500 x .450 x .350 (12.70 x 11.43 x 8.89)	CKN1162-ND	7.97	6.39	5.06	7201SCWZQE
	Ein-Aus-Ein	S	CW	Z	Q	.500 x .450 x .350 (12.70 x 11.43 x 8.89)	CKN1163-ND	8.77	7.02	5.56	7203SCWZQE
	Ein-Ein	M	D9	V4	B	.500 x .450 x .350 (12.70 x 11.43 x 8.89)	CKN1477-ND	8.05	6.45	5.11	7201MD9V4BE
	Ein-Ein	P3	Y	C	Q	.500 x .450 x .350 (12.70 x 11.43 x 8.89)	CKN1478-ND	8.52	6.82	5.40	7201P3YCQE
	Ein-Ein	S	Y	Z	G	.500 x .450 x .350 (12.70 x 11.43 x 8.89)	CKN1481-ND	7.10	5.69	4.51	7201SYZGE
	Ein-Ein	T	—	C	Q	.500 x .450 x .350 (12.70 x 11.43 x 8.89)	CKN1482-ND	9.34	7.47	5.92	7201TCQE
	Ein-Ein	T	CW	Z	Q	.500 x .450 x .350 (12.70 x 11.43 x 8.89)	CKN1483-ND	10.46	8.38	6.63	7201TCWZQE
	Mom-Aus-Mom	S	Y	C	Q	.500 x .450 x .350 (12.70 x 11.43 x 8.89)	CKN1487-ND	7.64	6.12	4.85	7205SYCQE
	Mom-Aus-Mom	T	CW	Z	G	.500 x .450 x .350 (12.70 x 11.43 x 8.89)	CKN1488-ND	11.73	9.38	7.43	7205TCWZGE
	Ein-Ein	S	H3	Z	Q	.500 x .450 x .350 (12.70 x 11.43 x 8.89)	CKN1507-ND	11.25	9.72	8.19	9201SH3ZQE
	Ein-Ein	K1	—	Z4	Q	.500 x .450 x .350 (12.70 x 11.43 x 8.89)	CKN1508-ND	17.82	15.40	12.97	9221K1Z4QD
	Ein-Ein	K	—	Z4	Q	.750 x .750 x .660 (19.05 x 19.05 x 16.76)	CKN1509-ND	17.82	15.40	12.97	9221KZ4QD
	Ein-Ein	S	H3	Z4	Q	.750 x .750 x .660 (19.05 x 19.05 x 16.76)	CKN1510-ND	15.72	13.58	11.44	9221SH3Z4QD
	Ein-Ein	M	D1	V3	B	.500 x .450 x .350 (12.70 x 11.43 x 8.89)	CKN1522-ND	8.96	7.17	5.68	E201MD1V3BE
	Ein-Ein	M	D1	V3	Q	.500 x .450 x .350 (12.70 x 11.43 x 8.89)	CKN1523-ND	8.96	7.17	5.68	E201MD1V3QE
	Ein-Ein	S	D1	C	Q	.500 x .450 x .350 (12.70 x 11.43 x 8.89)	CKN1524-ND	7.23	5.79	4.59	E201SD1CQE
	Ein-Ein-Ein	S	H	Z	Q	.320 x .360 x .340 (8.13 x 9.14 x 8.64)	CKN1559-ND	9.59	7.68	6.08	T211SHZQE
	Ein-Ein	S	Y	Z	Q	.500 X .450 X .350 (12.70 x 11.43 x 8.89)	CKN1560-ND	6.65	5.32	4.21	U21SYZQE
3PDT	Ein-Ein	S	Y	C	Q	.500 x .650 x .415 (12.70 x 16.51 x 10.54)	CKN1013-ND	11.62	9.30	7.36	7301SYCQE
	Ein-Ein	S	Y	Z	Q	.500 x .650 x .415 (12.70 x 16.51 x 10.54)	CKN1037-ND	11.31	9.05	7.17	7301SYZQE
	Ein-Aus-Ein	S	Y	Z	Q	.500 x .650 x .415 (12.70 x 16.51 x 10.54)	CKN1135-ND	11.95	9.57	7.58	7303SYZQE
	Ein-Aus-Ein	K2	—	Z	Q	.500 x .650 x .415 (12.70 x 16.51 x 10.54)	CKN1154-ND	15.16	12.13	9.61	7303K2ZQE
	Ein-Aus-Ein	K12	—	Z	Q	.500 x .650 x .415 (12.70 x 16.51 x 10.54)	CKN1158-ND	15.16	12.13	9.61	7303K12ZQE
	Ein-Ein	K2	—	Z	Q	.500 x .650 x .415 (12.70 x 16.51 x 10.54)	CKN1496-ND	10.65	9.20	7.75	7301K2ZQE
	Ein-Ein	P3	Y	Z	Q	.500 x .650 x .415 (12.70 x 16.51 x 10.54)	CKN1497-ND	9.52	8.23	6.93	7301P3YZQE
	Ein-Ein	T	—	Z	Q	.500 x .650 x .415 (12.70 x 16.51 x 10.54)	CKN1498-ND	10.12	8.75	7.37	7301TZQE
	Ein-Aus-Ein	T	—	Z	Q	.500 x .650 x .415 (12.70 x 16.51 x 10.54)	CKN1499-ND	10.59	9.15	7.71	7303TZQE
	Ein-Ein	S	D1	C	B	.500 x .642 x .424 (12.70 x 16.31 x 10.77)	CKN1526-ND	11.62	9.30	7.36	E301SD1CBE

† UL-Zulassung Hinweis: Alle Gewindedurchführungen werden mit Befestigungsteilen geliefert.

H

Lötbeständig versiegelte Kippschalter

Hält Löten und Reinigung stand

Abb. 1	Abb. 2	Abb. 3	Abb. 4	Abb. 5	Abb. 6	Abb. 7	Abb. 8	Abb. 9
	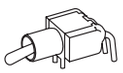	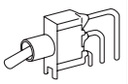	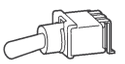	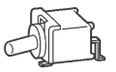		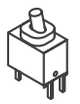		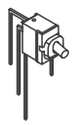
Vertikal	Rechtwinklig	Vert. Rechter Winkel	Ultra-Mini-SMT	Ultra-Mini-SMT	Ultra-Mini-SMT	Ultra-Mini	Ultra-Mini	Ultra-Mini

Abb.	Schaltkreis	Schaltfunktion	Optionen (siehe Diagramme) Betätiger	Durchführung	Anschluss	Abmessungen Zoll (mm) L x B x H	Digi-Key Teilenr.	Stückpreis 1	25	100	ITT Industries Teilenr.
1	SPDT	Ein-Ein	S	D1	C	.500 x .219 x .350 (12.70 x 5.56 x 8.89)	CKN1074-ND	4.72	3.78	2.99	E101SD1CBE
		Ein-Aus-Ein	S	D1	C	.500 x .219 x .350 (12.70 x 5.56 x 8.89)	CKN1075-ND	5.67	4.54	3.60	E103SD1CBE
		Mom-Aus-Mom	S	D1	C	.500 x .219 x .350 (12.70 x 5.56 x 8.89)	CKN1076-ND	5.67	4.54	3.60	E105SD1CBE
		Ein-Ein	S	D1	C	.320 x .200 x .350 (8.13 x 5.08 x 8.89)	CKN1071-ND†	5.18	4.15	3.29	ET01SD1CBE
		Ein-Aus-Ein	S	D1	C	.320 x .200 x .350 (8.13 x 5.08 x 8.89)	CKN1080-ND†	5.85	4.68	3.71	ET03SD1CBE
		Ein-Mom	S	D1	C	.320 x .200 x .350 (8.13 x 5.08 x 8.89)	CKN1081-ND†	5.85	4.68	3.71	ET08SD1CBE
		Ein-Ein	M	D1	V3	.320 x .200 x .350 (8.13 x 5.08 x 8.89)	CKN1072-ND†	5.67	4.54	3.60	ET01MD1V3BE
	DPDT	Ein-Ein	S	D1	C	.500 x .450 x .350 (12.70 x 11.43 x 8.89)	CKN1077-ND	7.23	5.79	4.59	E201SD1CBE
		Ein-Ein	S	D1	C	.360 x .320 x .350 (9.14 x 8.13 x 8.89)	CKN1082-ND†	7.75	6.20	4.91	ET21SD1CBE
		Ein-Aus-Ein	S	D1	C	.360 x .320 x .350 (9.14 x 8.13 x 8.89)	CKN1083-ND†	8.75	7.00	5.54	ET23SD1CBE
		Ein-Ein	M	D1	A	.360 x .320 x .350 (9.14 x 8.13 x 8.89)	CKN1086-ND†	8.67	6.94	5.50	ET21MD1ABE
		Ein-Aus-Ein	M	D1	A	.360 x .320 x .350 (9.14 x 8.13 x 8.89)	CKN1177-ND	9.67	7.74	6.13	ET23MD1ABE
2	SPDT	Ein-Ein	S	D1	A	.500 x .260 x .500 (12.70 x 6.60 x 12.70)	CKN1061-ND†	5.21	4.17	3.30	E101SD1ABE
		Ein-Ein	M	D1	A	.500 x .260 x .500 (12.70 x 6.60 x 12.70)	CKN1060-ND†	5.21	4.17	3.30	E101MD1ABE
		Mom-Aus-Mom	M	D1	A	.500 x .260 x .500 (12.70 x 6.60 x 12.70)	CKN1062-ND†	6.15	4.93	3.90	E105MD1ABE
		Ein-Ein	M	D1	A	.365 x .320 x .249 (9.27 x 8.13 x 6.32)	CKN1073-ND†	5.67	4.54	3.60	ET01MD1ABE
		Ein-Aus-Ein	M	D1	A	.365 x .320 x .249 (9.27 x 8.13 x 6.32)	CKN1084-ND†	6.34	5.07	4.02	ET03MD1ABE
		Ein-Mom	M	D1	A	.365 x .320 x .249 (9.27 x 8.13 x 6.32)	CKN1085-ND†	6.34	5.07	4.02	ET08MD1ABE
3	SPDT	Ein-Ein	M	D1	AV2	.500 x .260 x .500 (12.70 x 6.60 x 12.70)	CKN1065-ND†	5.49	4.40	3.48	E101MD1AV2BE
		Ein-Aus-Ein	M	D1	AV2	.500 x .260 x .500 (12.70 x 6.60 x 12.70)	CKN1078-ND	6.70	5.36	4.25	E103MD1AV2BE
		Mom-Aus-Mom	M	D1	AV2	.500 x .260 x .500 (12.70 x 6.60 x 12.70)	CKN1079-ND	6.70	5.36	4.25	E105MD1AV2BE
		Ein-Ein	M	D1	AV	.320 x .200 x .350 (8.13 x 5.08 x 8.89)	CKN1385-ND	6.13	4.91	3.89	ET01MD1AVBE
		Ein-Aus-Mom	M	D1	AV2	.500 x .260 x .500 (12.70 x 6.60 x 12.70)	CKN1178-ND	6.70	5.36	4.25	E107MD1AV2BE
	DPDT	Ein-Ein	M	D1	AV2	.500 x .260 x .500 (12.70 x 6.60 x 12.70)	CKN1179-ND	8.96	7.17	5.68	E201MD1AV2BE
		Ein-Aus-Ein	M	D1	AV2	.500 x .260 x .500 (12.70 x 6.60 x 12.70)	CKN1180-ND	9.96	7.97	6.31	E203MD1AV2BE

Abb.	Schalt-kreis	Schaltfunktion	Optionen (siehe Diagramme) Betä-tiger	Durch-führung	An-schluss	Abmessungen Zoll (mm) L x B x H	Digi-Key Teilenr.	Gurtabschnittspreis pro Stück 1	25	100	Digi-Key Teilenr.	Preisangaben für Gegurtet auf Rolle	ITT Industries Teilenr.
Ultra-Mini-Kippschalter (halten Löten und Reinigung stand)													
4	SPDT	Ein-Ein	M	D1	—	.462 x .320 x .200 (11.73 x 8.13 x 5.08)	CKN1093CT-ND	6.39	5.51	4.43	CKN1093TR-ND	2123.98/600	ET01MD1SAKE(T&R)
	SPDT	Ein-Aus-Ein	M	D1	—	.462 x .320 x .200 (11.73 x 8.13 x 5.08)	CKN1094CT-ND	7.04	6.08	4.88	CKN1094TR-ND	2341.59/600	ET03MD1SAKE(T&R)
	SPDT	Mom-Aus-Mom	M	D1	—	.462 x .320 x .200 (11.73 x 8.13 x 5.08)	CKN1095CT-ND	7.04	6.08	4.88	CKN1095TR-ND	2341.59/600	ET05MD1SAKE(T&R)
5	SPDT	Ein-Ein	M	Entfällt	—	.340 x .276 x .215 (8.64 x 7.01 x 5.46)	CKN1783CT-ND	5.46	5.05	4.63	CKN1783TR-ND	1814.94/600	GT11MSABETR
	SPST	Aus-Ein	M	Entfällt	—	.340 x .276 x .215 (8.64 x 7.01 x 5.46)	CKN1097CT-ND	5.80	5.00	4.02	CKN1097TR-ND	1928.32/600	GT12MSAKETR
	SPDT	Ein-Aus-Ein	M	Entfällt	—	.340 x .276 x .215 (8.64 x 7.01 x 5.46)	CKN2091CT-ND	6.25	5.39	4.33	CKN2091TR-ND	2075.52/600	GT13MSABETR
6	SPDT	Ein-Ein	M	Entfällt	—	.340 x .215 x .276 (8.64 x 5.46 x 7.01)	CKN1784CT-ND	5.75	5.31	4.43	CKN1784TR-ND	636.98/200	GT11MSCBETR
	SPST	Aus-Ein	M	Entfällt	—	.340 x .215 x .276 (8.64 x 5.46 x 7.01)	CKN1100CT-ND	6.22	5.36	4.31	CKN1100TR-ND	765.33/200	GT12MSCKETR
	SPDT	Ein-Aus-Ein	M	Entfällt	—	.340 x .215 x .276 (8.64 x 5.46 x 7.01)	CKN2092CT-ND	6.66	5.74	4.61	CKN2092TR-ND	819.51/200	GT13MSCBETR
	DPDT	Ein-Ein	M	Entfällt	—	.340 x .215 x .276 (8.64 x 5.46 x 7.01)	CKN2089CT-ND	7.68	6.62	5.32	CKN2089TR-ND	944.81/200	GT21MSCBETR
7	SPDT	Ein-Ein	M	Entfällt	C	.276 x .177 x .228 (7.01 x 4.50 x 5.79)	CKN1782-ND§	4.88	3.91	3.09	—	—	GT11MCBE
	SPST	Aus-Ein	M	Entfällt	C	.276 x .177 x .228 (7.01 x 4.50 x 5.79)	CKN1541-ND§	5.33	4.27	3.38	—	—	GT12MCKE
	DPDT	Ein-Ein	M	Entfällt	C	.276 x .177 x .228 (7.01 x 4.50 x 5.79)	CKN2088-ND§	6.55	5.25	4.15	—	—	GT21MCBE
8	SPDT	Ein-Ein	M	Entfällt	A	.276 x .212 x .273 (7.01 x 5.83 x 6.93)	CKN1780-ND§	5.49	4.39	3.48	—	—	GT11MABE
	SPST	Aus-Ein	M	Entfällt	A	.276 x .212 x .273 (7.01 x 5.38 x 6.93)	CKN1540-ND§	5.84	4.68	3.70	—	—	GT12MAKE
	DPDT	Ein-Ein	M	Entfällt	A	.276 x .212 x .273 (7.01 x 5.38 x 6.93)	CKN2087-ND§	7.42	5.94	4.70	—	—	GT21MABE
9	SPDT	Ein-Ein	M	Entfällt	AV	.297 x .215 x .273 (7.54 x 5.46 x 6.93)	CKN1781-ND§	5.49	4.39	3.48	—	—	GT11MAVBE
	SPDT	Ein-Ein	M	Entfällt	AV	.297 x .215 x .273 (7.54 x 5.46 x 6.93)	CKN2090-ND§	6.27	5.02	3.98	—	—	GT13MAVBE
	SPDT	Ein-Ein	M	Entfällt	AV	.297 x .215 x .273 (7.54 x 5.46 x 6.93)	CKN1542-ND§	6.27	5.02	3.98	—	—	GT13MAVKE

† UL-Zulassung § Lose Teile

Kontaktmaterial

Kontakte und Klemmen: Kupferlegierung, vernickelt und vergoldet Kontaktnennleistung: Max. 0,4 VA bei max. 20 V AC oder DC

Betätigeroptionen

M

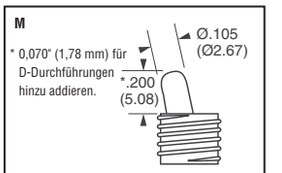

S

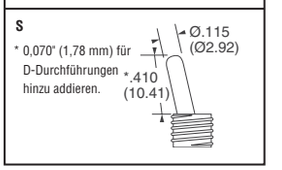

Durchführungsoptionen

D1

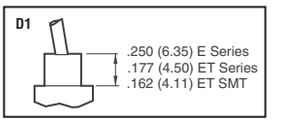

Abschlusswiderstandsoptionen

A

AV

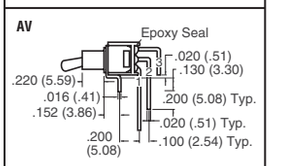

AV2

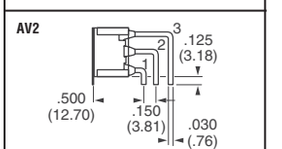

C

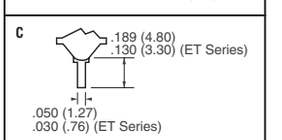

V3

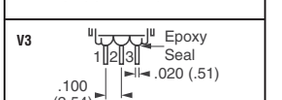

H

APM HEXSEAL

Schutzkappen für Drucktaster

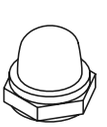

Versiegelungskappen von APM schützen Schalter und Potentiometer vor schädigenden Einflüssen, ohne die Standardfunktion der Schalter zu beeinträchtigen. Kappen gewähren vollständige Abdichtung, selbst unter Hochdruck-Abspülungen. Kappen aus strapazierfähigem Elastomer mit hoher Reißfestigkeit, resistent gegen die meisten Chemikalien, Säuren, Schmier- und Lösungsmittel. UL- und CSA-anerkannt für einfachere behördliche Registrierung; unter MIL-B-5423 sind die meisten Hexseals QPL-zugelassen.

Gewindegröße	Halsgröße (ID) Zoll (mm)	Stößelhöhe Zoll (mm)	Farbe	Digi-Key Teilenr.	Stückpreis 1	25	100	APM Hexseal Teilenr.
15/32-32NS-2B		.281 (7.14)	Grau	335-1009-ND	2.90	2.32	1.84	N3030
15/32-32NS-2B	.422 (10.72)	.438 (11.13)	Grau	335-1008-ND	2.90	2.32	1.84	NC3030
7/16-28UNEF-2B		.438 (11.13)	Clear*	335-1013-ND	3.33	2.67	2.11	NC303 7/16-28(CLR)
1/4-40NS-2B		.141 (3.58)	Grau	335-1017-ND	3.45	2.77	2.19	N5040
1/4-32NS-2B	.188 (4.77)	.203 (5.16)	Grau	335-1018-ND	3.45	2.77	2.19	N5040G
1/4-40NS-2B		.203 (5.16)	Grau	335-1019-ND	3.45	2.77	2.19	N5040R

* Transparent

Radialdichtringe mit Dichtlippe

Dichtungen der APM-Drehschalter und Potentiometer umgeben die Welle. Sie dichten Welle und Frontplatte gegen Wasser und Staub ab. Farbe: Grau

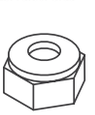

Gewindegröße	Max. Wellengröße Zoll (mm)	Sechskantmutter, flach, Zoll (mm)	Digi-Key Teilenr.	Stückpreis 1	25	100	APM Hexseal Teilenr.
3/8-32NEF-2B	.250 (6.35)	.500 (12.70)	335-1016-ND	2.64	2.12	1.68	N9030x1/4
1/4-32NEF-2B	.125 (3.18)	.375 (9.53)	335-1020-ND	2.64	2.12	1.68	N9040x1/8

Schutzkappen für Kippschalter

* Halbmanschette-Kippschalter

** Vollmanschette-Kippschalter

Hexseal-Schutzkappen für Kippschalter aus Silikonkautschuk von hoher Reißfestigkeit, gebunden an eingebaute Montagemutter. Jede Kappe umschließt den Sockel der hervorstehenden Schalterdurchführung und dichtet die Frontplatte gegen Wasser und Staub ab.

Gewindegröße	Hals (ID) Zoll (mm)	Höhe Zoll (mm)	Farbe	Digi-Key Teilenr.	Stückpreis 1	25	100	APM Hexseal Teilenr.
15/32-32NS-2B	.078 (1.98)	.437 (11.10)	Grau	335-1007-ND*	2.90	2.32	1.84	N1030B
1/4-40NS-2B	.047 (1.19)	.250 (6.35)	Grau	335-1006-ND*	3.45	2.77	2.19	N5032B
15/32-32NS-2B	.219 (5.56)	.844 (21.44)	Grau	335-1005-ND**	2.90	2.32	1.84	N1030
1/4-40NS-2B	.062 (1.57)	.594 (15.09)	Grau	335-1001-ND**	3.43	2.75	2.18	N5030S
1/4-40NS-2B	.062 (1.57)	.500 (12.70)	Rot	335-1002-ND**	3.86	3.09	2.45	N5030L(Red)
1/4-40NS-2B	.062 (1.57)	.500 (12.70)	Schwarz	335-1003-ND**	3.86	3.09	2.45	N5030L(Black)

Transparente Schutzkappen für Wippschalter

Abdichtung ohne Beeinträchtigung der Schaltfunktion, Positionsanzeige oder Lesbarkeit der Beschriftung.

Max. Betätigerlänge Zoll (mm)	Max. Betätigerbreite Zoll (mm)	Max. Höhe über der Platte, Zoll (mm)	Digi-Key Teilenr.	Stückpreis 1	25	100	APM Hexseal Teilenr.
.750 (19.05)	.531 (13.49)	.228 (5.79)	335-1011-ND	1.96	1.57	1.24	C1113/66(Clear)

Alle Preisangaben in Euro und inklusive Zollgebühren.

Mini-Wippschalter

Abb.1

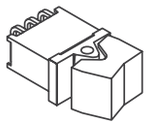

Abb.2

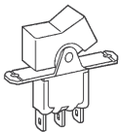

Abschlusswiderstandsoptionen

M1

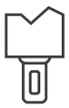

Solder Lug

M6

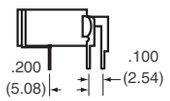

Doppelpolig abgebildet

Kontaktmaterialoptionen

G: Beweglicher Kontakt und Anschlüsse: Kupferlegierung, versilbert; Anschlüsse: versilbert; Nennwert: **1MS:** 5 A @ 125 V AC oder 28 V DC, 2 A @ 250 V AC; **1 SS:** 3 A @ 125 V AC oder 28 V DC, 1,5 A @ 250 V AC

Q: Beweglicher Kontakt und Anschlüsse: Kupferlegierung, versilbert; Nennwert: 5 A @ 125 V AC oder 28 V DC, 2 A @ 250 V AC

Abb.	Schaltkreis	Betätigerfarbe	Schaltfunktion	Anschluss	Kontaktmaterial	Digi-Key Teilenr.	Stückpreis 1	10	25	Carling Technologies Teilenr.
Serie 1SS – Versiegelter Sub-Mini-Wippschalter										
1	SPDT	Schwarz	Ein-Ein	M6	G	432-1136-ND	3.77	2.90	2.03	1SS-WMSP1-R1/2-M6GE
	SPDT	Schwarz	Ein-Aus-Ein	M6	G	432-1137-ND	4.18	3.22	2.26	1SS-WMSP3-R1/2-M6GE
	DPDT	Schwarz	Ein-Ein	M6	G	432-1138-ND	4.73	3.64	2.55	1SS-WMDP1-R1/2-M6GE
	DPDT	Schwarz	Ein-Aus-Ein	M6	G	432-1139-ND	5.15	3.96	2.78	1SS-WMDP3-R1/2-M6GE
Serie 1M1 – Mini-Wippschalter										
2	SPDT	Schwarz	Ein-Aus-Mom	M1	Q	432-1140-ND	4.27	3.29	2.30	1M1-SP5-R1/2-M1QE
	DPDT	Schwarz	Ein-Ein	M1	Q	432-1141-ND	3.83	2.95	2.06	1M1-DP1-R1/2-M1QE
	DPDT	Schwarz	Ein-Aus-Ein	M1	Q	432-1142-ND	4.40	3.39	2.38	1M1-DP3-R1/2-M1QE

Kippschalter

Abb. 1

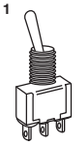

Abb. 2

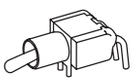

Betätigeroptionen

T1

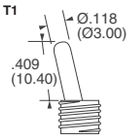

T2

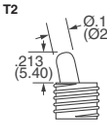

T6

T8

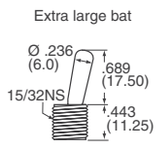

Kontaktmaterialoptionen

Q: Beweglicher Kontakt und Anschlüsse: Kupferlegierung, versilbert; Nennwert: 5 A @ 125 V AC oder 28 V DC, 2 A @ 250 V AC

R: Beweglicher Kontakt und Anschlüsse: Kupferlegierung, vergoldet über Nickelplattierung; Nennwert: Max. 0,4 VA @ max. 20 V (AC/DC)

Abschlusswiderstandsoptionen

M1

Solder Lug

M2

PCB

M6

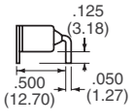

Einpolig abgebildet

Durchführungsoptionen

B1

Standard Keyway Thread

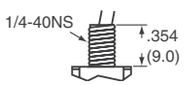

B4

Short Keyway Non-Thread

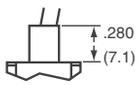

B9

Splash-proof

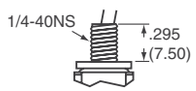

B0

15/32 Thread Bushing

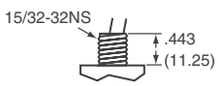

Abb.	Schaltkreis	Schaltfunktion	Betätiger	Durchführung	Anschluss	Kontaktmaterial	Digi-Key Teilenr.	Stückpreis 1	10	25	Carling Technologies Teilenr.
Serie 2M1 – Mini-Kippschalter											
1	SPDT	Ein-Ein	T1	B1	M1	Q	432-1143-ND	2.18	1.68	1.18	2M1-SP1-T1-B1-M1QE
	SPDT	Ein-Aus-Ein	T1	B1	M1	Q	432-1144-ND	1.90	1.46	1.03	2M1-SP3-T1-B1-M1QE
	SPDT	Mom-Aus-Mom	T1	B1	M1	Q	432-1145-ND	2.95	2.27	1.59	2M1-SP4-T1-B1-M1QE
	SPDT	Ein-Aus-Mom	T1	B1	M1	Q	432-1146-ND	2.95	2.27	1.59	2M1-SP5-T1-B1-M1QE
	SPDT	Ein-Mom	T1	B1	M1	Q	432-1147-ND	2.59	1.99	1.40	2M1-SP2-T1-B1-M1QE
	DPDT	Ein-Ein	T1	B1	M1	Q	432-1148-ND	2.97	2.29	1.60	2M1-DP1-T1-B1-M1QE
	DPDT	Ein-Aus-Ein	T1	B1	M1	Q	432-1149-ND	3.39	2.61	1.83	2M1-DP3-T1-B1-M1QE
	DPDT	Ein-Mom	T1	B1	M1	Q	432-1150-ND	3.39	2.61	1.83	2M1-DP2-T1-B1-M1QE
	3PDT	Ein-Ein	T1	B1	M1	Q	432-1151-ND	7.18	5.53	3.87	2M1-3P1-T1-B1-M1QE
	4PDT	Ein-Ein	T1	B1	M1	Q	432-1152-ND	7.07	5.44	3.81	2M1-4P1-T1-B1-M1QE
	SPDT	Ein-Ein	T6	B1	M1	Q	432-1153-ND	2.34	1.80	1.26	2M1-SP1-T6-B1-M1QE
	SPDT	Ein-Aus-Ein	T6	B1	M1	Q	432-1154-ND	2.89	2.23	1.56	2M1-SP3-T6-B1-M1QE
	SPDT	Ein-Mom	T6	B1	M1	Q	432-1155-ND	2.75	2.12	1.49	2M1-SP2-T6-B1-M1QE
	DPDT	Ein-Ein	T6	B1	M1	Q	432-1156-ND	3.11	2.40	1.68	2M1-DP1-T6-B1-M1QE
	SPDT	Ein-Ein	T8	B0	M1	Q	432-1157-ND	2.70	2.08	1.46	2M1-SP1-T8-B0-M1QE
	SPDT	Ein-Aus-Ein	T8	B0	M1	Q	432-1158-ND	3.25	2.50	1.75	2M1-SP3-T8-B0-M1QE
	SPDT	Ein-Mom	T8	B0	M1	Q	432-1159-ND	3.11	2.40	1.68	2M1-SP2-T8-B0-M1QE
	DPDT	Ein-Ein	T8	B0	M1	Q	432-1160-ND	3.50	2.69	1.89	2M1-DP1-T8-B0-M1QE
	SPDT	Ein-Ein	T1	B9	M1	Q	432-1161-ND	2.34	1.80	1.26	2M1-SP1-T1-B9-M1QE
	SPDT	Ein-Aus-Ein	T1	B9	M1	Q	432-1162-ND	2.89	2.23	1.56	2M1-SP3-T1-B9-M1QE
	DPDT	Ein-Ein	T1	B9	M1	Q	432-1163-ND	3.11	2.40	1.68	2M1-DP1-T1-B9-M1QE
	SPDT	Ein-Ein	T1	B1	M2	Q	432-1168-ND	2.73	2.10	1.47	2M1-SP1-T1-B1-M2QE
	SPDT	Ein-Aus-Ein	T1	B1	M2	Q	432-1169-ND	2.73	2.10	1.47	2M1-SP3-T1-B1-M2QE
	SPDT	Ein-Mom	T1	B1	M2	Q	432-1170-ND	2.59	1.99	1.40	2M1-SP2-T1-B1-M2QE
	DPDT	Ein-Ein	T1	B1	M2	Q	432-1171-ND	2.97	2.29	1.60	2M1-DP1-T1-B1-M2QE
	DPDT	Ein-Aus-Ein	T1	B1	M2	Q	432-1172-ND	3.39	2.61	1.83	2M1-DP3-T1-B1-M2QE
	DPDT	Ein-Mom	T1	B1	M2	Q	432-1173-ND	3.39	2.61	1.83	2M1-DP2-T1-B1-M2QE
2	SPDT	Ein-Ein	T2	B4	M6	R	432-1164-ND	2.45	1.89	1.32	2M1-SP1-T2-B4-M6RE
	SPDT	Ein-Aus-Ein	T2	B4	M6	R	432-1165-ND	3.00	2.31	1.62	2M1-SP3-T2-B4-M6RE
	SPDT	Ein-Mom	T2	B4	M6	R	432-1166-ND	2.86	2.21	1.55	2M1-SP2-T2-B4-M6RE
	DPDT	Ein-Ein	T2	B4	M6	R	432-1167-ND	3.25	2.50	1.75	2M1-DP1-T2-B4-M6RE

H

Drucktastenschalter

Abb. 1

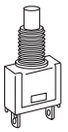

Abb. 2

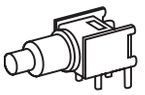

Abb. 3

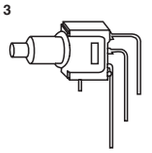

Abb. 4

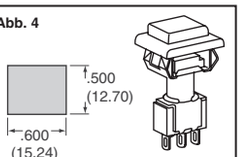

Kontaktmaterialoptionen

Q: Beweglicher Kontakt und Anschlüsse: Kupferlegierung, versilbert; Nennwert: 1 A @ 125 V AC oder 28 V DC

R: Beweglicher Kontakt und Anschlüsse: Kupferlegierung, vergoldet über Nickelplattierung; Nennwert: Max. 0,4 VA @ max. 20 V (AC/DC)

G: Beweglicher Kontakt und Anschlüsse: Kupferlegierung, versilbert; Anschlüsse: versilbert mit Außenschicht aus Goldüberzug; Nennwert: 1 A @ 120 V AC oder 28 V DC

Abschlusswiderstandsoptionen

M1

Solder Eyelet

M2

PCB

M6

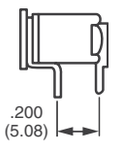

M7

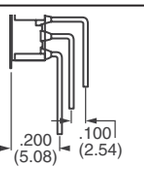

Durchführungsoptionen

B5 - (gezeigt)
B6 - Ohne Gewinde

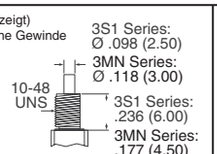

B11 Threaded shown with flat

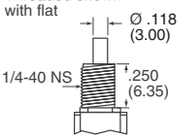

Abb.	Schaltkreis	Schaltfunktion	Durchführung	Anschluss	Kontaktmaterial	Digi-Key Teilenr.	Stückpreis 1	10	25	Carling Technologies Teilenr.
Serie 3S1 — Sub-Miniatur-Drucktastenschalter										
1	SPST	Mom (Arbeitskontakt)	B5	M1	Q	432-1174-ND	2.23	1.72	1.20	3S1-SP9-B5-M1QE
	SPDT	Mom (Ruhekontakt)	B5	M1		432-1175-ND	3.50	2.69	1.89	3S1-SP8-B5-M1QE
	SPST	Mom (Arbeitskontakt)	B6	M2		432-1176-ND	3.50	2.69	1.89	3S1-SP9-B6-M2QE
	SPDT	Mom (Ruhekontakt)	B6	M2		432-1177-ND	3.50	2.69	1.89	3S1-SP8-B6-M2QE
2	SPST	Mom (Arbeitskontakt)	B6	M6	R	432-1178-ND	3.52	2.71	1.90	3S1-SP9-B6-M6RE
	SPDT	Mom (Ruhekontakt)				432-1179-ND	3.88	2.99	2.09	3S1-SP8-B6-M6RE
3	SPST	Mom (Arbeitskontakt)	B6	M7	R	432-1180-ND	3.52	2.71	1.90	3S1-SP9-B6-M7RE
	SPDT	Mom (Ruhekontakt)				432-1181-ND	3.88	2.99	2.09	3S1-SP8-B6-M7RE
Serie 3MN — Miniatur-Drucktastenschalter mit Schnappfunktion										
1	SPDT	Mom (Ruhekontakt)	B11	M1	G	432-1182-ND	3.11	2.40	1.68	3MN-SP7-P1-B11-M1GE
	SPDT				R	432-1183-ND	3.72	2.86	2.00	3MN-SP7-P1-B11-M1RE
	DPDT			M1	G	432-1184-ND	4.68	3.60	2.52	3MN-DP7-P1-B11-M1GE
	DPDT			M1	R	432-1185-ND	5.50	4.24	2.97	3MN-DP7-P1-B11-M1RE
	SPDT			M2	G	432-1190-ND	3.11	2.40	1.68	3MN-SP7-P1-B11-M2GE
	SPDT			M2	R	432-1191-ND	3.11	2.40	1.68	3MN-SP7-P1-B11-M2RE
2	SPDT	Mom (Ruhekontakt)	B6	M6	G	432-1192-ND	3.25	2.50	1.75	3MN-SP7-P1-B6-M6GE
					R	432-1193-ND	3.85	2.97	2.08	3MN-SP7-P1-B6-M6RE
3	SPDT	Mom (Ruhekontakt)	B6	M7	G	432-1194-ND	3.25	2.50	1.75	3MN-SP7-P1-B6-M7GE
					R	432-1195-ND	3.85	2.97	2.08	3MN-SP7-P1-B6-M7RE
4	SPDT	Mom (Ruhekontakt)	—	M1	G	432-1186-ND	3.41	2.63	1.84	3MN-SP7-AP2/22-M1GE
	SPDT				R	432-1187-ND	3.41	2.63	1.84	3MN-SP7-AP2/22-M1RE
	DPDT				G	432-1188-ND	5.81	4.47	3.13	3MN-DP7-AP2/22-M1GE
	DPDT				R	432-1189-ND	5.81	4.47	3.13	3MN-DP7-AP2/22-M1RE

Drucktastenschalter-Zubehör

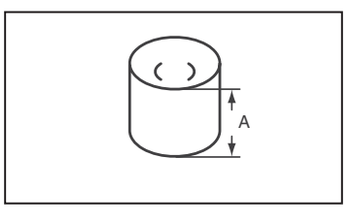

Schalterkappenfarbe	Kappendurchmesser Zoll (mm)	Kappenhöhe - Größe A Zoll (mm)	Kolbendurchmesser Zoll (mm)	Digi-Key Teilenr.	Preisangaben 1	25	100	Carling Technologies Teilenr.
Serie 3S1 — Drucktastenkappen								
Weiß	.197 (5.0)	.158 (4.0)	.098 (2.5)	432-1218-ND	.17	2.23	6.10	3S1-C11
Schwarz				432-1219-ND	.17	2.23	6.10	3S1-C12
Rot				432-1220-ND	.17	2.23	6.10	3S1-C13
Weiß	.291 (7.4)	.138 (3.5)	.098 (2.5)	432-1221-ND	.17	2.23	6.10	3S1-C21
Schwarz				432-1222-ND	.17	2.23	6.10	3S1-C22
Rot				432-1223-ND	.17	2.23	6.10	3S1-C23
Serie 3MN — Drucktastenkappen								
Weiß	.315 (8.0)	.295 (7.5)	.118 (3.0)	432-1224-ND	.17	2.23	6.10	3MN-C11
Schwarz				432-1225-ND	.17	2.23	6.10	3MN-C12
Rot				432-1226-ND	.17	2.23	6.10	3MN-C13
Weiß	.382 (9.7)	.193 (4.9)	.118 (3.0)	432-1227-ND	.17	2.23	6.10	3MN-C21
Schwarz				432-1228-ND	.17	2.23	6.10	3MN-C22
Rot				432-1229-ND	.17	2.23	6.10	3MN-C23

Schieberegler

H

Kontaktmaterialoptionen

Q: Beweglicher Kontakt und Anschlüsse: Kupferlegierung, versilbert; Nennwert: 5 A @ 125 V AC oder 28 V DC, 2 A @ 250 V AC

R: Beweglicher Kontakt und Anschlüsse: Kupferlegierung, vergoldet über Nickelplattierung; Nennwert: Max. 0,4 VA @ max. 20 V (AC/DC)

Betätigeroptionen

S1

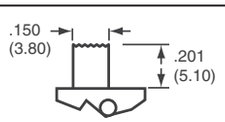

Abb. 1

Abb. 2

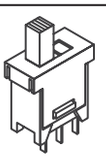

Abb. 3

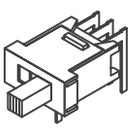

Abschlusswiderstandsoptionen

M1

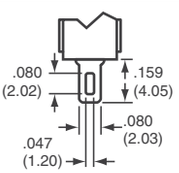

M2

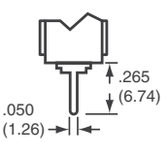

M6

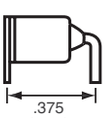

Abb.	Schaltkreis	Schaltfunktion	Betätiger	Anschluss	Kontaktmaterial	Digi-Key Teilenr.	Stückpreis 1	10	25	Carling Technologies Teilenr.
Serie 4M1 — Miniatur-Schiebeschalter										
1	SPDT	Ein-Ein	S1	M1	Q	432-1196-ND	2.86	2.21	1.55	4M1-SSP1-S1/2-M1QE
	DPDT			M1	Q	432-1197-ND	3.25	2.50	1.75	4M1-SDP1-S1/2-M1QE
	SPDT			M2	R	432-1198-ND	2.59	1.99	1.40	4M1-SSP1-S1/2-M2RE
	SPDT			M2	Q	432-1199-ND	2.20	1.70	1.19	4M1-SSP1-S1/2-M2QE
	DPDT			M2	Q	432-1200-ND	2.86	2.21	1.55	4M1-SDP1-S1/2-M2QE
	DPDT	Ein-Ein	S1	M2	R	432-1201-ND	3.25	2.50	1.75	4M1-SDP1-S1/2-M2RE
	SPDT			M6		432-1202-ND	2.59	1.99	1.40	4M1-SSP1-S1/2-M6RE
Serie 4S1 — Sub-Miniatur-Schiebeschalter										
2	SPDT	Ein-Ein	—	M2	R	432-1203-ND	2.67	2.06	1.44	4S1-FSP1-M2RE
3	SPDT	Ein-Ein	—	M6	R	432-1204-ND	2.95	2.27	1.59	4S1-FSP1-M6RE

Alle Preisangaben in Euro und inklusive Zollgebühren.

E-SWITCH® Kippschalter

Hinweis: Alle Schalter werden mit Befestigungsteilen geliefert.

Abb. 1 — Vertikal

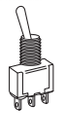

Abb. 2 — Horizontal rechtwinklig

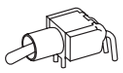

Abb. 3 — Vertikal rechtwinklig

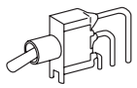

Kontaktmaterial:

Q **(Silber): Feste Klemme und beweglicher Kontakt:** versilbert über Kupferlegierung. **Kontaktnennleistung:** 5 A bei 120 V AC oder 28 V DC; 2 A bei 50 V AC

R **(Gold): Fester Anschluss und beweglicher Kontakt:** Kupferlegierung, vergoldet über Nickelplattierung. **Kontaktnennleistung:** 0,4 VA max. bei max. 20 V AC oder DC

Abb.	Schaltkreis	Schaltfunktion	Optionen (siehe Diagramme) Betätiger	Bushing*	Anschluss	Kontakt-material	Abmessungen Zoll (mm) L x B x H	Digi-Key Teilenr.	Stückpreis 1	10	100	E-Switch Teilenr.
Serie 100 — Miniaturkippschalter (Metalldurchführung)												
	SPDT	Ein-Ein	T1	B1	M1	Q	.500 x .270 x .350 (12.7 x 6.86 x 8.89)	EG2350-ND	2.76	2.49	2.12	100SP1T1B1M1QEH
	SPDT	Ein-Ein	T1	B1	M1	R	.500 x .270 x .350 (12.7 x 6.86 x 8.89)	EG2351-ND	3.01	2.71	2.31	100SP1T1B1M1REH
	SPDT	Ein-Ein	T1	B1	M2	Q	.500 x .270 x .350 (12.7 x 6.86 x 8.89)	EG2352-ND	2.76	2.49	2.12	100SP1T1B1M2QEH
	SPDT	Ein-Ein	T1	B1	M2	R	.500 x .270 x .350 (12.7 x 6.86 x 8.89)	EG2353-ND	3.01	2.71	2.31	100SP1T1B1M2REH
	SPDT	Ein-Ein	T1	B1	M5	R	.500 x .270 x .350 (12.7 x 6.86 x 8.89)	EG2354-ND	3.59	3.24	2.76	100SP1T1B1M51REH
	SPDT	Ein-Ein	T1	B4	M2	Q	.500 x .270 x .350 (12.7 x 6.86 x 8.89)	EG2355-ND	2.76	2.49	2.12	100SP1T1B4M2QE
	SPDT	Ein-Ein	T1	B6	M1	Q	.500 x .270 x .350 (12.7 x 6.86 x 8.89)	EG2357-ND	3.78	3.40	2.90	100SP1T1B6M1QEH
	SPDT	Ein-Ein	T1	B9	M1	Q	.500 x .270 x .350 (12.7 x 6.86 x 8.89)	EG2358-ND	3.30	2.98	2.54	100SP1T1B9M1QEH
	SPDT	Ein-Ein	T2	B1	M1	Q	.500 x .270 x .350 (12.7 x 6.86 x 8.89)	EG2359-ND	2.76	2.49	2.12	100SP1T2B1M1QEH
	SPDT	Ein-Ein	T2	B3	M1	Q	.500 x .270 x .350 (12.7 x 6.86 x 8.89)	EG2360-ND	2.76	2.49	2.12	100SP1T2B3M1QEH
	SPDT	Ein-Ein	T2	B3	M2	Q	.500 x .270 x .350 (12.7 x 6.86 x 8.89)	EG2361-ND	2.76	2.49	2.12	100SP1T2B3M2QEH
	SPDT	Ein-Ein	T4	B1	M1	Q	.500 x .270 x .350 (12.7 x 6.86 x 8.89)	EG2367-ND	2.90	2.61	2.23	100SP1T4B1M1QEH
	SPDT	Ein-Ein	T6	B11	M1	Q	.500 x .270 x .350 (12.7 x 6.86 x 8.89)	EG2368-ND	3.78	3.40	2.90	100SP1T6B11M1QEH
	SPDT	Ein-Ein	T6	B11	M1	R	.500 x .270 x .350 (12.7 x 6.86 x 8.89)	EG2369-ND	4.01	3.62	3.08	100SP1T6B11M1REH
	SPDT	Ein-Ein	T6	B11	M2	Q	.500 x .270 x .350 (12.7 x 6.86 x 8.89)	EG2370-ND	3.78	3.40	2.90	100SP1T6B11M2QEH
	SPDT	Ein-Ein	T8	B13	M1	Q	.500 x .270 x .350 (12.7 x 6.86 x 8.89)	EG2372-ND	4.11	3.70	3.16	100SP1T8B13M1QEH
	SPDT	Ein-Mom	T1	B1	M1	Q	.500 x .270 x .350 (12.7 x 6.86 x 8.89)	EG2373-ND	2.97	2.68	2.28	100SP2T1B1M1QEH
	SPDT	Ein-Mom	T6	B11	M1	Q	.500 x .270 x .350 (12.7 x 6.86 x 8.89)	EG2374-ND	3.98	3.59	3.06	100SP2T6B11M1QEH
	SPDT	Ein-Aus-Ein	T1	B1	M1	Q	.500 x .270 x .350 (12.7 x 6.86 x 8.89)	EG2375-ND	3.11	2.80	2.39	100SP3T1B1M1QEH
	SPDT	Ein-Aus-Ein	T1	B1	M1	R	.500 x .270 x .350 (12.7 x 6.86 x 8.89)	EG2376-ND	3.35	3.02	2.57	100SP3T1B1M1REH
	SPDT	Ein-Aus-Ein	T1	B1	M2	Q	.500 x .270 x .350 (12.7 x 6.86 x 8.89)	EG2377-ND	3.11	2.80	2.39	100SP3T1B1M2QEH
	SPDT	Ein-Aus-Ein	T1	B9	M1	Q	.500 x .270 x .350 (12.7 x 6.86 x 8.89)	EG2380-ND	3.65	3.29	2.80	100SP3T1B9M1QEH
	SPDT	Ein-Aus-Ein	T4	B1	M1	Q	.500 x .270 x .350 (12.7 x 6.86 x 8.89)	EG2385-ND	3.24	2.93	2.49	100SP3T4B1M1QEH
	SPDT	Ein-Aus-Ein	T6	B11	M1	Q	.500 x .270 x .350 (12.7 x 6.86 x 8.89)	EG2386-ND	4.12	3.71	3.16	100SP3T6B11M1QEH
	SPDT	Ein-Aus-Ein	T8	B13	M1	Q	.500 x .270 x .350 (12.7 x 6.86 x 8.89)	EG2387-ND	4.45	4.01	3.42	100SP3T8B13M1QEH
	SPDT	Mom-Aus-Mom	T1	B1	M1	Q	.500 x .270 x .350 (12.7 x 6.86 x 8.89)	EG2388-ND	3.52	3.18	2.71	100SP4T1B1M1QEH
	SPDT	Mom-Aus-Mom	T1	B1	M2	Q	.500 x .270 x .350 (12.7 x 6.86 x 8.89)	EG2389-ND	3.52	3.18	2.71	100SP4T1B1M2QEH
	SPDT	Mom-Aus-Mom	T1	B9	M1	Q	.500 x .270 x .350 (12.7 x 6.86 x 8.89)	EG2390-ND	4.06	3.66	3.12	100SP4T1B9M1QEH
	SPDT	Mom-Aus-Mom	T6	B11	M2	Q	.500 x .270 x .350 (12.7 x 6.86 x 8.89)	EG2392-ND	4.54	4.09	3.48	100SP4T6B11M2QEH
	SPDT	Ein-Aus-Mom	T1	B1	M1	Q	.500 x .270 x .350 (12.7 x 6.86 x 8.89)	EG2393-ND	3.73	3.36	2.87	100SP5T1B1M1QEH
	SPDT	Ein-Aus-Mom	T1	B1	M2	Q	.500 x .270 x .350 (12.7 x 6.86 x 8.89)	EG2394-ND	3.73	3.36	2.87	100SP5T1B1M2QEH
	SPDT	Ein-Aus-Mom	T6	B11	M1	Q	.500 x .270 x .350 (12.7 x 6.86 x 8.89)	EG2397-ND	4.74	4.27	3.64	100SP5T6B11M1QEH
	DPDT	Ein-Ein	T1	B1	M1	Q	.500 x .450 x .350 (12.7 x 11.43 x 8.89)	EG2398-ND	3.70	3.33	2.84	100DP1T1B1M1QEH
	DPDT	Ein-Ein	T1	B1	M1	R	.500 x .450 x .350 (12.7 x 11.43 x 8.89)	EG2399-ND	4.08	3.67	3.13	100DP1T1B1M1REH
1	DPDT	Ein-Ein	T1	B1	M2	Q	.500 x .450 x .350 (12.7 x 11.43 x 8.89)	EG2400-ND	3.70	3.33	2.84	100DP1T1B1M2QEH
	DPDT	Ein-Ein	T1	B1	M2	R	.500 x .450 x .350 (12.7 x 11.43 x 8.89)	EG2401-ND	4.08	3.67	3.13	100DP1T1B1M2REH
	DPDT	Ein-Ein	T1	B9	M1	Q	.500 x .450 x .350 (12.7 x 11.43 x 8.89)	EG2402-ND	4.23	3.81	3.25	100DP1T1B9M1QEH
	DPDT	Ein-Ein	T2	B3	M1	Q	.500 x .450 x .350 (12.7 x 11.43 x 8.89)	EG2403-ND	3.70	3.33	2.84	100DP1T2B3M1QEH
	DPDT	Ein-Ein	T4	B1	M1	Q	.500 x .450 x .350 (12.7 x 11.43 x 8.89)	EG2407-ND	3.84	3.46	2.95	100DP1T4B1M1QEH
	DPDT	Ein-Ein	T6	B11	M1	Q	.500 x .450 x .350 (12.7 x 11.43 x 8.89)	EG2408-ND	4.71	4.24	3.61	100DP1T6B11M1QEH
	DPDT	Ein-Ein	T6	B11	M1	R	.500 x .450 x .350 (12.7 x 11.43 x 8.89)	EG2409-ND	5.14	4.63	3.94	100DP1T6B11M1REH
	DPDT	Ein-Ein	T8	B13	M1	Q	.500 x .450 x .350 (12.7 x 11.43 x 8.89)	EG2410-ND	5.05	4.54	3.87	100DP1T8B13M1QEH
	DPDT	Ein-Mom	T1	B1	M1	Q	.500 x .450 x .350 (12.7 x 11.43 x 8.89)	EG2411-ND	3.90	3.52	3.00	100DP2T1B1M1QEH
	DPDT	Ein-Mom	T6	B1	M1	Q	.500 x .450 x .350 (12.7 x 11.43 x 8.89)	EG2412-ND	4.92	4.43	3.77	100DP2T6B11M1QEH
	DPDT	Ein-Aus-Ein	T1	B1	M1	Q	.500 x .450 x .350 (12.7 x 11.43 x 8.89)	EG2413-ND	4.32	3.89	3.32	100DP3T1B1M1QEH
	DPDT	Ein-Aus-Ein	T1	B1	M2	Q	.500 x .450 x .350 (12.7 x 11.43 x 8.89)	EG2414-ND	4.32	3.89	3.32	100DP3T1B1M2QEH
	DPDT	Ein-Aus-Ein	T1	B9	M1	Q	.500 x .450 x .350 (12.7 x 11.43 x 8.89)	EG2415-ND	4.85	4.37	3.73	100DP3T1B9M1QEH
	DPDT	Ein-Aus-Ein	T4	B1	M1	Q	.500 x .450 x .350 (12.7 x 11.43 x 8.89)	EG2417-ND	4.45	4.01	3.42	100DP3T4B1M1QEH
	DPDT	Ein-Aus-Ein	T8	B13	M1	Q	.500 x .450 x .350 (12.7 x 11.43 x 8.89)	EG2418-ND	5.66	5.10	4.35	100DP3T8B13M1QEH
	DPDT	Mom-Aus-Mom	T1	B1	M1	Q	.500 x .450 x .350 (12.7 x 11.43 x 8.89)	EG2419-ND	4.60	4.14	3.53	100DP4T1B1M1QEH
	DPDT	Mom-Aus-Mom	T6	B11	M1	Q	.500 x .450 x .350 (12.7 x 11.43 x 8.89)	EG2420-ND	5.60	5.05	4.30	100DP4T6B11M1QEH
	DPDT	Ein-Aus-Mom	T1	B1	M1	Q	.500 x .450 x .350 (12.7 x 11.43 x 8.89)	EG2421-ND	4.73	4.26	3.63	100DP5T1B1M1QEH
	DPDT	Ein-Aus-Mom	T6	B11	M1	Q	.500 x .450 x .350 (12.7 x 11.43 x 8.89)	EG2422-ND	5.74	5.17	4.41	100DP5T6B11M1QEH
	DPDT	Ein-Ein-Ein	T1	B1	M1	Q	.500 x .450 x .350 (12.7 x 11.43 x 8.89)	EG2423-ND	5.56	5.01	4.27	100DP6T1B1M1QEH
	3PDT	Ein-Ein	T1	B1	M1	Q	.500 x .650 x .475 (12.7 x 16.51 x 12.06)	EG2424-ND	7.59	6.84	5.83	1003P1T1B1M1QEH
	3PDT	Ein-Ein	T1	B1	M2	Q	.500 x .650 x .475 (12.7 x 16.51 x 12.06)	EG2425-ND	7.59	6.84	5.83	1003P1T1B1M2QEH
	3PDT	Ein-Aus-Ein	T1	B1	M1	Q	.500 x .650 x .475 (12.7 x 16.51 x 12.06)	EG2426-ND	8.08	7.27	6.20	1003P3T1B1M1QEH
	3PDT	Mom-Aus-Mom	T1	B1	M1	Q	.500 x .650 x .475 (12.7 x 16.51 x 12.06)	EG2427-ND	8.83	7.95	6.78	1003P4T1B1M1QEH
	4PDT	Ein-Ein	T1	B1	M1	Q	.500 x .850 x .475 (12.7 x 16.51 x 12.06)	EG2428-ND	10.77	9.70	8.26	1004P1T1B1M1QEH
	4PDT	Ein-Aus-Ein	T1	B1	M1	Q	.500 x .850 x .475 (12.7 x 21.59 x 12.06)	EG2429-ND	11.53	10.38	8.84	1004P3T1B1M1QEH
	4PDT	Mom-Aus-Mom	T1	B1	M1	Q	.500 x .850 x .475 (12.7 x 21.59 x 12.06)	EG2430-ND	12.22	11.00	9.37	1004P4T1B1M1QEH
	DPDT	Ein-Ein	T2	B4	VS2	R	.500 x .500 x .450 (12.7 x 12.7 x 11.43)	EG2406-ND	5.11	4.61	3.92	100DP1T2B4VS2RE
	DPDT	Ein-Aus-Ein	T2	B4	VS2	R	.500 x .500 x .450 (12.7 x 12.7 x 11.43)	EG2416-ND	5.73	5.17	4.40	100DP3T2B4VS2RE
	SPDT	Ein-Ein	T2	B4	VS2	Q	.500 x .500 x .270 (12.7 x 12.7 x 6.86)	EG2365-ND	3.80	3.42	2.92	100SP1T2B4VS2QE
	SPDT	Ein-Ein	T2	B4	VS2	R	.500 x .500 x .270 (12.7 x 12.7 x 6.86)	EG2366-ND	4.04	3.64	3.10	100SP1T2B4VS2RE
	SPDT	Ein-Aus-Ein	T2	B4	VS2	Q	.500 x .500 x .270 (12.7 x 12.7 x 6.86)	EG2383-ND	4.15	3.73	3.18	100SP3T2B4VS2QE
	SPDT	Ein-Aus-Ein	T2	B4	VS2	R	.500 x .500 x .270 (12.7 x 12.7 x 6.86)	EG2384-ND	4.39	3.95	3.37	100SP3T2B4VS2RE
	SPDT	Ein-Aus-Ein	T1	B4	VS2	R	.500 x .500 x .270 (12.7 x 12.7 x 6.86)	EG2379-ND	4.39	3.95	3.37	100SP3T1B4VS2RE
2	SPDT	Mom-Aus-Mom	T2	B4	M6	R	.500 x .500 x .270 (12.7 x 12.7 x 6.86)	EG2391-ND	4.77	4.30	3.66	100SP4T2B4M6RE
	SPDT	Ein-Aus-Mom	T2	B4	M6	R	.500 x .500 x .270 (12.7 x 12.7 x 6.86)	EG2395-ND	4.97	4.48	3.82	100SP5T2B4M6RE
	DPDT	Ein-Ein	T2	B4	M6	Q	.500 x .500 x .450 (12.7 x 12.7 x 11.43)	EG2404-ND	4.77	4.30	3.66	100DP1T2B4M6QE
	DPDT	Ein-Ein	T2	B4	M6	R	.500 x .500 x .450 (12.7 x 12.7 x 11.43)	EG2405-ND	5.15	4.64	3.95	100DP1T2B4M6RE
	SPDT	Ein-Ein	T1	B4	M6	R	.500 x .500 x .450 (12.7 x 12.7 x 11.43)	EG2356-ND	4.00	3.61	3.08	100SP1T1B4M6RE
2	SPDT	Ein-Ein	T2	B4	M6	Q	.500 x .500 x .270 (12.7 x 12.7 x 6.86)	EG2362-ND	3.77	3.39	2.89	100SP1T2B4M6QE
	SPDT	Ein-Ein	T2	B4	M6	R	.500 x .500 x .270 (12.7 x 12.7 x 6.86)	EG2363-ND	4.00	3.61	3.08	100SP1T2B4M6RE
	SPDT	Ein-Ein	T6	B12	M6	R	.500 x .500 x .270 (12.7 x 12.7 x 6.86)	EG2371-ND	5.02	4.52	3.85	100SP1T6B12M6RE
	SPDT	Ein-Aus-Ein	T1	B4	M6	R	.500 x .500 x .270 (12.7 x 12.7 x 6.86)	EG2378-ND	4.35	3.92	3.34	100SP3T1B4M6RE
	SPDT	Ein-Aus-Ein	T2	B4	M6	R	.500 x .500 x .270 (12.7 x 12.7 x 6.86)	EG2381-ND	4.35	3.92	3.34	100SP3T2B4M6RE
	SPDT	Ein-Ein	T2	B4	M7	R	.500 x .500 x .270 (12.7 x 12.7 x 6.86)	EG2364-ND	4.29	3.87	3.30	100SP1T2B4M7RE
3	SPDT	Ein-Aus-Ein	T2	B4	M7	R	.500 x .500 x .270 (12.7 x 12.7 x 6.86)	EG2382-ND	4.64	4.18	3.56	100SP3T2B4M7RE
	SPDT	Ein-Aus-Mom	T2	B4	M7	R	.500 x .500 x .270 (12.7 x 12.7 x 6.86)	EG2396-ND	5.26	4.74	4.04	100SP5T2B4M7RE
Serie 100A — Versiegelte Miniaturkippschalter (Kunststoffdurchführung)												
	SPDT	Ein-Ein	T1	B4	M2	R	.504 x .272 x .453 (12.8 x 6.91 x 11.51)	EG2432-ND	3.70	3.33	2.84	100AWSP1T1B4M2RE
	SPDT	Ein-Ein	T2	B4	VS2	R	.504 x .272 x .453 (12.8 x 6.91 x 11.51)	EG2436-ND	4.77	4.30	3.67	100AWSP1T2B4VS2RE
1	SPDT	Ein-Aus-Ein	T1	B4	M2	R	.504 x .272 x .453 (12.8 x 6.91 x 11.51)	EG2437-ND	4.04	3.64	3.10	100AWSP3T1B4M2RE
	SPDT	Mom-Aus-Mom	T1	B4	M2	R	.504 x .272 x .453 (12.8 x 6.91 x 11.51)	EG2439-ND	4.53	4.08	3.47	100AWSP4T1B4M2RE
	DPDT	Ein-Ein	T1	B4	M2	R	.504 x .453 x .453 (12.8 x 6.91 x 11.51)	EG2443-ND	4.28	3.86	3.29	100AWDP1T1B4M2RE
2	SPDT	Ein-Ein	T1	B4	M6	R	.504 x .272 x .453 (12.8 x 6.91 x 11.51)	EG2433-ND	4.94	4.45	3.79	100AWSP1T1B4M6RE
	SPDT	Ein-Ein	T2	B4	M6	R	.504 x .272 x .453 (12.8 x 6.91 x 11.51)	EG2434-ND	4.94	4.45	3.79	100AWSP1T2B4M6RE
	SPDT	Ein-Ein	T2	B4	M7	R	.504 x .272 x .453 (12.8 x 6.91 x 11.51)	EG2435-ND	5.26	4.74	4.04	100AWSP1T2B4M7RE
	SPDT	Mom-Aus-Mom	T2	B4	M7	R	.504 x .272 x .453 (12.8 x 6.91 x 11.51)	EG2441-ND	6.09	5.48	4.67	100AWSP4T2B4M7RE
3	SPDT	Ein-Aus-Mom	T2	B4	M7	R	.504 x .272 x .453 (12.8 x 6.91 x 11.51)	EG2442-ND	6.22	5.61	4.78	100AWSP5T2B4M7RE
	SPDT	Ein-Aus-Ein	T2	B4	M7	R	.504 x .272 x .453 (12.8 x 6.91 x 11.51)	EG2438-ND	5.60	5.05	4.30	100AWSP3T2B4M7RE
	DPDT	Ein-Ein	T2	B4	M7	R	.504 x .453 x .453 (12.8 x 6.91 x 11.51)	EG2444-ND	5.96	5.37	4.57	100AWDP1T2B4M7RE
	DPDT	Ein-Aus-Ein	T2	B4	M7	R	.504 x .453 x .453 (12.8 x 6.91 x 11.51)	EG2445-ND	6.24	5.62	4.79	100AWDP3T2B4M7RE
Kappen für Serie 100												
Kippschalter-Deckel, Vinyl, weiß, für T1-Betätiger								EG2470-ND	.12	.11	.10	T100-1 WHTTOGGLECAP
Kippschalter-Deckel, Vinyl, schwarz, für T1-Betätiger								EG2471-ND	.12	.11	.10	T100-2 BLKTOGGLECAP

* Durchführung

Betätiger

T1 — Standard

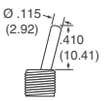

T2 — Mini

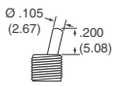

T4 — Vorstehender Kipphebel

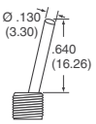

T6 — Abgeflacht

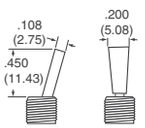

T8 — Großer Kipphebel

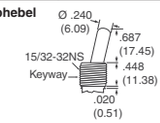

Durchführungen

B1
B2 (ohne Gewinde)

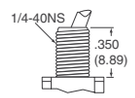

B3
B4 (ohne Gewinde)

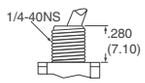

B6

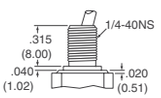

B9

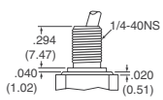

B11
B12 (ohne Gewinde)

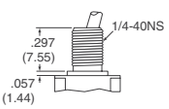

B13 — Groß, mit Gewinde

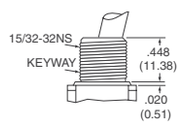

Abschlusswiderstandsoptionen

M1 — Ösenanschluss

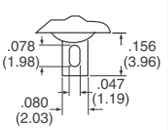

THK .030 (0.76)

M6 — SPDT

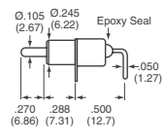

M2 — Leiterplattenmontage

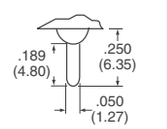

THK .030 (0.76)

M7 — SPDT

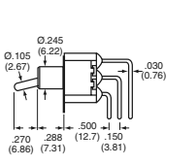

M5 — Drahtwickelanschluss

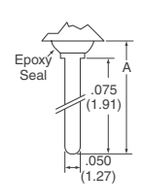

VS2 — Vertikal mit Halterung

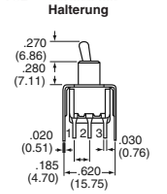

H

Alle Preisangaben in Euro und inklusive Zollgebühren.

E-SWITCH® Kippschalter

Abb. 1 — Vertikal

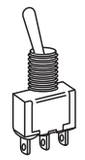

Abb. 2 — Horizontal rechtwinklig

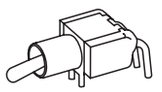

Abb. 3 — Vertikal rechtwinklig

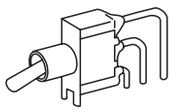

Hinweis: Alle Schalter werden mit Befestigungsteilen geliefert.

Kontaktmaterial:

Q **(Silber): Feste Klemme und beweglicher Kontakt:** versilbert über Kupferlegierung. **Kontaktnennleistung:** 5 A bei 28 V AC oder V DC; 2 A bei 250 V AC

R **(Gold): Fester Anschluss und beweglicher Kontakt:** Kupferlegierung, vergoldet über Nickelplattierung. **Kontaktnennleistung:** Max. 0,4 VA bei max. 20 V AC oder DC

Betätiger

T1

T2

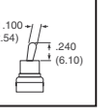

Durchführungen

A1

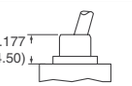

B1
B2 (ohne Gewinde)

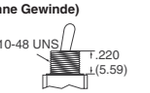

Abschlusswiderstandsoptionen

M1 — Ösenanschluss

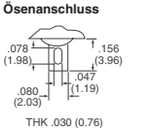

M2

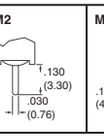

M6

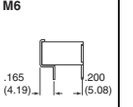

M7

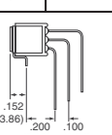

Abb.	Schaltkreis	Schaltfunktion	Optionen (siehe Diagramme) Betätiger	Durchführung	Anschluss	Kontaktmaterial	Abmessungen Zoll (mm) L x B x H	Digi-Key Teilenr.	Stückpreis 1	10	100	E-Switch Teilenr.
Serie 200 — Subminiatur-Kippschalter												
1	SPDT	Ein-Ein	T1	B1	M1	Q	.320 x .240 x .340 (8.13 x 6.10 x 8.64)	EG2446-ND	2.80	2.52	2.15	200MSP1T1B1M1QEH
	SPDT	Ein-Ein	T1	B1	M2	Q	.320 x .240 x .340 (8.13 x 6.10 x 8.64)	EG2447-ND	2.80	2.52	2.15	200MSP1T1B1M2QEH
	SPDT	Ein-Aus-Ein	T1	B1	M1	Q	.320 x .240 x .340 (8.13 x 6.10 x 8.64)	EG2450-ND	3.77	3.39	2.89	200MSP3T1B1M1QEH
	SPDT	Ein-Aus-Ein	T1	B1	M2	Q	.320 x .240 x .340 (8.13 x 6.10 x 8.64)	EG2451-ND	3.77	3.39	2.89	200MSP3T1B1M2QEH
	SPDT	Mom-Aus-Mom	T1	B1	M1	Q	.320 x .240 x .340 (8.13 x 6.10 x 8.64)	EG2453-ND	3.94	3.55	3.02	200MSP4T1B1M1QEH
	SPDT	Ein-Aus-Mom	T1	B1	M1	Q	.320 x .240 x .340 (8.13 x 6.10 x 8.64)	EG2454-ND	3.80	3.42	2.92	200MSP5T1B1M1QEH
	DPDT	Ein-Ein	T1	B1	M1	Q	.320 x .360 x .340 (8.13 x 9.14 x 8.64)	EG2455-ND	3.94	3.55	3.02	200MDP1T1B1M1QEH
	DPDT	Ein-Ein	T1	B1	M2	Q	.320 x .360 x .340 (8.13 x 9.14 x 8.64)	EG2456-ND	3.94	3.55	3.02	200MDP1T1B1M2QEH
	DPDT	Ein-Aus-Ein	T1	B1	M1	Q	.320 x .360 x .340 (8.13 x 9.14 x 8.64)	EG2458-ND	4.63	4.17	3.55	200MDP3T1B1M1QEH
2	SPDT	Ein-Aus-Ein	T2	B2	M6	R	.320 x .240 x .340 (8.13 x 6.10 x 8.64)	EG2452-ND	5.11	4.61	3.92	200MSP3T2B2M6RE
	SPDT	Ein-Ein	T2	B2	M6	R	.320 x .240 x .340 (8.13 x 6.10 x 8.64)	EG2448-ND	4.06	3.65	3.11	200MSP1T2B2M6RE
	DPDT	Ein-Ein	T2	B2	M6	R	.320 x .360 x .340 (8.13 x 9.14 x 8.64)	EG2457-ND	5.40	4.87	4.15	200MDP1T2B2M6RE
3	SPDT	Ein-Ein	T2	B2	M7	R	.320 x .240 x .340 (8.13 x 6.10 x 8.64)	EG2449-ND	4.47	4.03	3.43	200MSP1T2B2M7RE
Serie 200 A — Lötbeständig versiegelte Subminiatur-Kippschalter												
1	SPDT	Ein-Ein	T1	A1	M2	R	.320 x .200 x .527 (8.13 x 5.08 x 13.39)	EG2459-ND	3.52	3.18	2.71	200AWMSP1T1A1M2RE
	SPDT	Ein-Mom	T1	A1	M2	R	.320 x .200 x .527 (8.13 x 5.08 x 13.39)	EG2461-ND	4.49	4.05	3.45	200AWMSP2T1A1M2RE
	SPDT	Ein-Aus-Ein	T1	A1	M2	R	.320 x .200 x .527 (8.13 x 5.08 x 13.39)	EG2463-ND	3.67	3.30	2.81	200AWMSP3T1A1M2RE
	DPDT	Ein-Ein	T1	A1	M2	R	.320 x .360 x .527 (8.13 x 9.14 x 13.39)	EG2465-ND	5.62	5.06	4.31	200AWMDP1T1A1M2RE
	DPDT	Ein-Aus-Ein	T1	A1	M2	R	.320 x .360 x .527 (8.13 x 9.14 x 13.39)	EG2467-ND	6.56	5.91	5.04	200AWMDP3T1A1M2RE
2	SPDT	Ein-Ein	T2	A1	M6	R	.320 x .200 x .527 (8.13 x 5.08 x 13.39)	EG2460-ND	4.43	3.99	3.40	200AWMSP1T2A1M6RE
	SPDT	Ein-Aus-Ein	T2	A1	M6	R	.320 x .200 x .527 (8.13 x 5.08 x 13.39)	EG2464-ND	4.92	4.43	3.77	200AWMSP3T2A1M6RE
	DPDT	Ein-Ein	T2	A1	M6	R	.320 x .360 x .527 (8.13 x 9.14 x 13.39)	EG2466-ND	6.94	6.25	5.33	200AWMDP1T2A1M6RE
	DPDT	Ein-Aus-Ein	T2	A1	M6	R	.320 x .360 x .527 (8.13 x 9.14 x 13.39)	EG2468-ND	7.88	7.10	6.05	200AWMDP3T2A1M6RE

NKK® SWITCHES Voll beleuchtete Kippschalter

Serie TL: Innerer O-Ring schützt Kontakte vor Öl, Staub, Wasser und anderen Verunreinigungen.

Spezifikationen: • Leistungsniveau: 6 A @ 125 V AC • Lebensdauer der Elektrik: Min. 25.000 Schaltungen • Dichtring: Nitrilbutangummi • Betriebstemp: -10 °C ~ 55 °C • IP65 Plattendichtung bei Verwendung mit optionalem O-Ring AT401P.

Serie G: Vollständig versiegelter Körper verhindert Kontaktverunreinigung und erlaubt zeit- und geldsparendes automatisches Löten und Abwaschen.

Spezifikationen: • Logik-Level: Max. 0,4 VA @ max. 28 V AC/DC. • Lebensdauer der Elektrik: Min. 100.000 Schaltungen • Dichtringe: Nitrilbutangummi • Nicht beleuchtet; Betriebstemperatur: -25 °C ~ 85 °C • Beleuchtet; Betriebstemp: -25 °C ~ 55 °C

Abb. 1

Hardware wird mitgeliefert

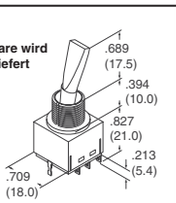

Abb. 2

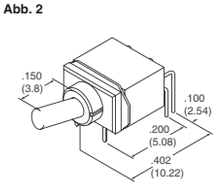

Abb. 3

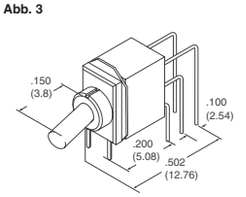

Abb. 4

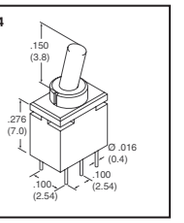

Abb.	Schaltkreis	Schaltfunktion	Betätigerfarbe	Beleuchtung, Farbe	Anschluss	Digi-Key Teilenr.	Stückpreis 1	25	100	NKK Teilenr.
Voll beleuchtete Kippschalter										
1	DPDT	Ein-Ein	Rot	Leuchtend rot	Lötöse	360-1709-ND	13.69	10.96	8.67	TL22DCAW015C
	DPDT	Ein-Ein	Bernstein	Helles Bernstein	Lötöse	360-1711-ND	13.69	10.96	8.67	TL22DDAW015D
	DPDT	Ein-Ein	Grün	Hellgrün	Lötöse	360-1710-ND	13.69	10.96	8.67	TL22DFAW015F
	DPDT	Ein-Ein	Transparent	Superhellweiß	Lötöse	360-1713-ND	16.76	13.41	10.62	TL22DNAW016B
	DPDT	Ein-Ein	Transparent	Superhellblau	Lötöse	360-1712-ND	16.76	13.41	10.62	TL22DNAW016G
	DPDT	Ein-Ein	Transparent	Superhellgrün	Lötöse	360-1714-ND	16.76	13.41	10.62	TL22DNAW016F
Ultra-Mini-Kippschalter, voll erleuchtet										
2	SPDT	Ein-Ein	Transparent	Rot	Rechtwinklig	360-1685-ND	7.37	5.90	4.67	G12JHC
	SPDT	Ein-Ein	Transparent	Bernstein	Rechtwinklig	360-1688-ND	7.37	5.90	4.67	G12JHD
	SPDT	Ein-Ein	Transparent	Grün	Rechtwinklig	360-1691-ND	7.37	5.90	4.67	G12JHF
	SPDT	Ein-Ein	Transparent	Rot/grün	Rechtwinklig	360-1694-ND	8.64	6.91	5.47	G12JHCF
	SPDT	Ein-Aus-Ein	Transparent	Rot/grün	Rechtwinklig	360-1697-ND	8.91	7.14	5.65	G13JHCF
	SPDT	Ein-Ein	Transparent	Rot	Vertikal	360-1749-ND	7.37	5.90	4.67	G12JVC
3	SPDT	Ein-Ein	Transparent	Bernstein	Vertikal	360-1690-ND	7.37	5.90	4.67	G12JVD
	SPDT	Ein-Ein	Transparent	Grün	Vertikal	360-1693-ND	7.37	5.90	4.67	G12JVF
	SPDT	Ein-Ein	Transparent	Rot/grün	Vertikal	360-1696-ND	8.64	6.91	5.47	G12JVCF
	SPDT	Ein-Aus-Ein	Transparent	Rot/grün	Vertikal	360-1699-ND	8.91	7.14	5.65	G13JVCF
4	SPDT	Ein-Ein	Transparent	Rot	Gerade	360-1686-ND	6.58	5.27	4.17	G12JPC
	SPDT	Ein-Ein	Transparent	Bernstein	Gerade	360-1689-ND	6.58	5.27	4.17	G12JPD
	SPDT	Ein-Ein	Transparent	Grün	Gerade	360-1692-ND	6.58	5.27	4.17	G12JPF
	SPDT	Ein-Ein	Transparent	Rot/grün	Gerade	360-1695-ND	7.82	6.26	4.96	G12JPCF
	SPDT	Ein-Aus-Ein	Transparent	Rot/grün	Gerade	360-1698-ND	8.10	6.49	5.14	G13JPCF
Ultra-Mini-Kippschalter, nicht beleuchtet										
2	SPDT	Ein-Ein	Grau	—	Rechtwinklig	360-1700-ND	4.44	3.56	2.82	G12AH
	SPDT	Ein-Aus-Ein	Grau	—	Rechtwinklig	360-1703-ND	4.65	3.72	2.95	G13AH
3	SPDT	Ein-Aus-Ein	Grau	—	Vertikal	360-1702-ND	4.44	3.56	2.82	G12AV
	SPDT	Ein-Aus-Ein	Grau	—	Vertikal	360-1705-ND	4.65	3.72	2.95	G13AV
4	SPDT	Ein-Ein	Grau	—	Gerade	360-1701-ND	3.86	3.09	2.45	G12AP
	SPDT	Ein-Aus-Ein	Grau	—	Gerade	360-1704-ND	4.06	3.26	2.58	G13AP
Zubehör										
—	Platten-Dichtung: O-Ring für TL-Kippschalter					360-1719-ND	.53	.43	.34	AT401P

Alle Preisangaben in Euro und inklusive Zollgebühren.

Stromkippschalter und Wippschalter

NKK bietet eine der umfassendsten Stromkippschalter-Reihen an. Standardschaltstrom 15, 25 und 30 A. Der Einrasthebeltyp ist ideal, um unbeabsichtigtes Schalten zu vermeiden. Der Hebel muss herausgezogen werden, dann wird geschaltet. Alle Kippschalter werden mit Befestigungsteilen geliefert. **Durchschlagsfestigkeit:** Min. 2.000 V AV **Lebensdauer der Mechanik:** Min. 50.000 Schaltungen **Betriebstemperatur:** -10 °C ~ 70 °C

Abb. 1 — Lötanschluss

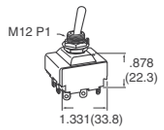

3-polig abgebildet

Abb. 2 — QC-Klemme.

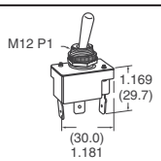

1-polig abgebildet

Abb. 3 — Einrasthebel

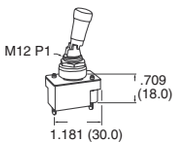

Abb. 4 — Schraubklemme

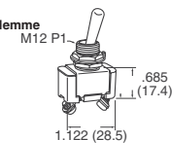

Abb. 5

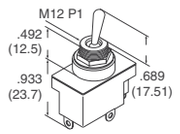

Abb. 6 — HD-Schraubklemme

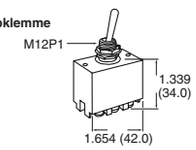

Abb. 7

A

B

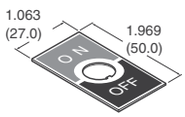

Roter/schwarzer Hintergrund mit „ON" und „OFF" in weißen Buchstaben

Abb. 8

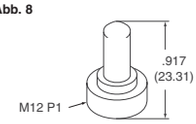

Vollmanschette

Halbmanschette

Abb.	Schaltkreis	Funktion	Schaltstrom (125 V AC)	Digi-Key Teilenr.	Stückpreis 1	25	100	NKK Teilenr.
Mittlere und hohe Leistung, Lötöse								
1	SPST	Ein-Aus	15A	360-1185-ND*	4.70	3.76	2.98	S301
	SPDT	Ein-Ein	15A	360-1186-ND*	4.70	3.76	2.98	S302
	SPDT	Ein-Aus-Ein	15A	360-1187-ND*	5.08	4.07	3.22	S303
	SPDT	Ein-Mom	15A	360-1188-ND‡	5.21	4.17	3.30	S305
	SPDT	Mom-Aus-Mom	15A	360-1189-ND‡	5.31	4.25	3.37	S308
	SPDT	Ein-Aus-Mom	15A	360-1190-ND‡	5.49	4.39	3.48	S309
	DPST	Ein-Aus	25A	360-1191-ND*	7.09	5.67	4.49	S331
	DPDT	Ein-Ein	25A	360-1192-ND*	7.09	5.67	4.49	S332
	DPDT	Ein-Aus-Ein	25A	360-1193-ND*	8.28	6.63	5.25	S333
	DPDT	Ein-Mom	15A	360-1194-ND*	8.36	6.69	5.30	S335
	DPDT	Mom-Aus-Mom	15A	360-1195-ND†	9.09	7.28	5.76	S338
	DPDT	Ein-Aus-Mom	15A	360-1196-ND†	9.09	7.28	5.76	S339
	3PST	Ein-Aus	25A	360-1197-ND‡	10.01	8.01	6.34	S31
	3PDT	Ein-Ein	25A	360-1198-ND‡	10.29	8.23	6.52	S32
	3PDT	Ein-Aus-Ein	25A	360-1199-ND‡	11.10	8.88	7.03	S33
	3PDT	Ein-Mom	15A	360-1200-ND*	11.10	8.88	7.03	S35
	3PDT	Mom-Aus-Mom	15A	360-1201-ND*	11.10	8.88	7.03	S38
	4PST	Ein-Aus	25A	360-1202-ND‡	11.84	9.47	7.50	S41
	4PDT	Ein-Ein	25A	360-1203-ND‡	11.84	9.47	7.50	S42
	4PDT	Ein-Aus-Ein	25A	360-1204-ND‡	12.75	10.20	8.08	S43
	4PDT	Ein-Mom	15A	360-1205-ND†	12.75	10.20	8.08	S45
Mittlere und hohe Leistung, 0,250" (6,35 mm) Schnellkupplung								
2	SPST	Ein-Aus	15A	360-1206-ND	4.06	3.26	2.58	S1F
	SPDT	Ein-Ein	15A	360-1207-ND	4.75	3.80	3.01	S2F
	SPDT	Ein-Aus-Ein	15A	360-1208-ND	4.93	3.95	3.13	S3F
	DPST	Ein-Aus	15A	360-1209-ND	5.94	4.76	3.77	S21F
	DPDT	Ein-Ein	20A	360-1210-ND	7.26	5.82	4.61	S6F
	DPDT	Ein-Aus-Ein	20A	360-1211-ND	7.31	5.86	4.64	S7F
	3PST	Ein-Aus	25A	360-1212-ND‡	10.79	8.64	6.84	S31F
	3PDT	Ein-Ein	25A	360-1213-ND‡	11.10	8.88	7.03	S32F
	3PDT	Ein-Aus-Ein	25A	360-1214-ND‡	11.89	9.51	7.53	S33F
	4PST	Ein-Aus	25A	360-1215-ND†	12.52	10.02	7.94	S41F
	4PDT	Ein-Ein	25A	360-1216-ND†	12.85	10.29	8.14	S42F
	4PDT	Ein-Aus-Ein	25A	360-1217-ND†	13.77	11.02	8.72	S43F
Mittlere Leistung, Lötöse, Einrasthebel mit Plattenabdichtung								
3	SPST	Ein-Aus	15A	360-1218-ND	13.03	10.43	8.26	S1AL
	SPDT	Ein-Ein	15A	360-1219-ND	14.43	11.55	9.14	S2AL
	SPDT	Ein-Aus-Ein	15A	360-1220-ND	14.73	11.79	9.33	S3AL
	DPDT	Ein-Ein	20A	360-1221-ND	17.27	13.82	10.94	S6AL
	DPDT	Ein-Aus-Ein	20A	360-1222-ND	17.40	13.92	11.02	S7AL

Abb.	Schaltkreis	Funktion	Schaltstrom (125 V AC)	Digi-Key Teilenr.	Stückpreis 1	25	100	NKK Teilenr.
Mittlere Leistung, Schraubenklemme								
4	SPST	Ein-Aus	15A	360-1223-ND*	5.16	4.13	3.27	S301T
	SPDT	Ein-Ein	15A	360-1224-ND*	5.31	4.25	3.37	S302T
	SPDT	Ein-Aus-Ein	15A	360-1225-ND*	5.61	4.50	3.56	S303T
	SPDT	Ein-Mom	15A	360-1226-ND‡	5.49	4.39	3.48	S305T
	SPDT	Mom-Aus-Mom	15A	360-1227-ND‡	6.07	4.86	3.85	S308T
	SPDT	Ein-Aus-Mom	15A	360-1228-ND‡	6.07	4.86	3.85	S309T
	DPST	Ein-Aus	15A	360-1229-ND†	7.90	6.32	5.01	S331T
	DPDT	Ein-Ein	15A	360-1230-ND†	8.28	6.63	5.25	S332T
	DPDT	Ein-Aus-Ein	15A	360-1231-ND†	9.32	7.46	5.91	S333T
	DPDT	Ein-Mom	15A	360-1232-ND†	9.55	7.64	6.05	S335T
	DPDT	Mom-Aus-Mom	15A	360-1233-ND†	10.01	8.01	6.34	S338T
	DPDT	Ein-Aus-Mom	15A	360-1234-ND†	10.29	8.23	6.52	S339T
Mittlere Leistung, Lötöse mit Plattenabdichtung								
5	SPST	Ein-Aus	15A	360-1737-ND	7.20	6.52	5.66	S1AW
	SPDT	Ein-Ein	15A	360-1738-ND	7.82	7.08	6.15	S2AW
	SPDT	Ein-Aus-Ein	15A	360-1739-ND	8.23	7.45	6.47	S3AW
	SPDT	Ein-Mom	15A	360-1740-ND	7.47	6.76	5.87	S5AW
	SPDT	Mom-Aus-Mom	15A	360-1741-ND	7.87	7.13	6.19	S8AW
	SPDT	Ein-Aus-Mom	15A	360-1742-ND	7.87	7.13	6.19	S9AW
	DPDT	Ein-Ein	20A	360-1744-ND	10.18	9.22	8.01	S6AW
	DPDT	Ein-Aus-Ein	20A	360-1745-ND	10.23	9.25	8.04	S7AW
	DPST	Ein-Aus	15A	360-1743-ND	9.03	8.18	7.10	S21AW
	DPDT	Ein-Mom	15A	360-1746-ND	10.23	9.25	8.04	S25AW
	DPDT	Mom-Aus-Mom	15A	360-1747-ND	10.63	9.62	8.36	S28AW
	DPDT	Ein-Aus-Mom	15A	360-1748-ND	10.63	9.62	8.36	S29AW
Hohe Leistung, Schraubenklemme								
6	DPST	Ein-Aus	30A	360-1235-ND*	18.58	16.81	14.60	S821
	DPDT	Ein-Ein	30A	360-1236-ND*	19.29	17.46	15.16	S822
	DPDT	Ein-Aus-Ein	30A	360-1237-ND*	19.12	17.30	15.02	S823
	3PST	Ein-Aus	30A	360-1238-ND*	27.35	24.74	21.49	S831
	3PDT	Ein-Ein	30A	360-1239-ND*	32.98	29.84	25.92	S832
	3PDT	Ein-Aus-Ein	30A	360-1240-ND*	33.03	29.89	25.96	S833
	DPDT	Ein-Ein	50A	360-1241-ND	44.72	40.46	35.14	S732
Stromkippschalterzubehör								
7A	Ein-Aus-Platte, 12 mm, Nickel, Messing			360-1001-ND	.61	.49	.39	AT201
7B	Ein-Aus-Platte, 12 mm, rot/schwarz			360-1002-ND	1.83	1.47	1.16	AT202
7A	Ein-Aus-Platte, 12 mm, rot/schwarz			360-1003-ND	1.83	1.47	1.16	AT214
8	Halbmanschette, spritzfest, schwarz			360-1605-ND	2.64	2.12	1.68	AT401A
	Vollmanschette, spritzfest, schwarz			360-1606-ND	3.45	2.77	2.19	AT402A

* UL/CSA † UL ‡ CSA

H

Der Umgebung gegenüber abgedichtete Schalter

Für den Einsatz im Freien oder in rauen Umgebungen. Kippschalter: 1- und 2-polig. Wippschalter und Drucktaste: Einpolig. Silberkontakte, epoxidversiegelte Lötösen oder Schraubanschlüsse, gemäß IP67 der IEC529-Standards. Lötklemmen haben Löcher mit Durchmessern von 0,094" (2,4 mm). Löt- und Schraubklemmen sind staubsicher und an der Vorderseite wasserfest, Drahtleitermodelle sind auch an der Rückseite staubsicher und wasserfest.

- **Elektrische Leistung:** Kippschalter: 10 A @ 125 V AC; Drucktaste: 6 A @ 125 V AC; Wippschalter: 15 A @ 125 V AC.
- **Durchschlagsfestigkeit:** Kippschalter und Drucktaste: Min. 1.500 V AC
  Wippschalter: Min. 3.750 V AC zwischen Kontakten und Gehäuse
- **Lebensdauer der Mechanik:** Min. 30.000 Schaltungen
- **Lebensdauer Elektrisch:** Min. 15.000 Schaltungen
- **Betriebstemperatur:** -30 °C ~ 70 °C (Kipp- und Druckschalter); -25 °C ~ 85 °C (Wippschalter)
- **Schaltwinkel:** 24° (Kipp- und Wippschalter)
- **Plattenstärke:** 0.157"
- **Standardkleinteile:** 1 Sechskantmutter, 1 Sicherungsring, 1 O-Ring (Kipp- und Druckschalter)

Abb. 1 — Kippschalter - Lötanschluss

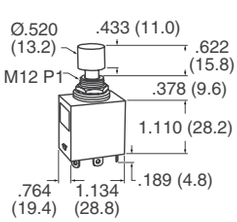

Abb. 2 — Kippschalter - Schraubanschluss

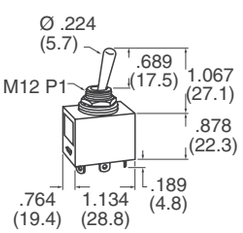

Abm. in Zoll (mm)

Abb.	Schaltkreis	Funktion	Digi-Key Teilenr.	Stückpreis 1	25	100	NKK Teilenr.
Versiegelter Kippschalter — 10 A							
1	SPST	Ein-Aus	360-1242-ND	8.89	8.05	6.99	WT11S
2	SPST	Ein-Aus	360-1243-ND	9.52	8.61	7.48	WT11T
1	SPDT	Ein-Ein	360-1245-ND	9.42	8.53	7.41	WT12S
2	SPDT	Ein-Ein	360-1246-ND	10.05	9.09	7.90	WT12T
1	SPDT	Ein-Aus-Ein	360-1248-ND	9.92	8.98	7.80	WT13S
2	SPDT	Ein-Aus-Ein	360-1249-ND	10.54	9.54	8.29	WT13T
1	DPST	Ein-Aus	360-1251-ND	13.03	11.80	10.24	WT21S
2	DPST	Ein-Aus	360-1252-ND	14.27	12.92	11.22	WT21T
1	DPDT	Ein-Ein	360-1254-ND	13.56	12.28	10.66	WT22S
2	DPDT	Ein-Ein	360-1255-ND	14.81	13.40	11.64	WT22T
1	DPDT	Ein-Aus-Ein	360-1257-ND	14.76	13.36	11.60	WT23S
2	DPDT	Ein-Aus-Ein	360-1258-ND	16.00	14.48	12.58	WT23T

S=Lötöse T=Schraubenklemme

Mini-Kippschalter

Serie M: Über 350.000 verschiedene Konfigurationen möglich, die beliebtesten werden hier aufgeführt. Mit Epoxid abgedichtete Anschlüsse, Durchführungen für hohes Drehmoment, klemmsichere Hebel. Zur einfachen Verdrahtung als leiterplattenmontierte oder Lötklemme lieferbar. • **Elektrische Leistung:** 6 A @ 125 V AC oder 30 V DC. • **Durchschlagsfestigkeit:** Min. 1.500 V AC • **Lebensdauer der Mechanik:** Min. 100.000 Schaltungen, min. 50.000 Schaltungen für flache und Einrasthebel. **Lebensdauer Elektrisch:** Min. 25.000 Schaltungen • **Betriebstemperatur:** -30 °C ~ 85 °C • **Schaltwinkel:** 25° • **Standardkleinteile:** 2 Sechskantmuttern, 1 Sicherungsring, 1 Sicherungsscheibe

Abb. 1

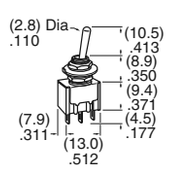

(SPDT abgeb.)

Abb. 2

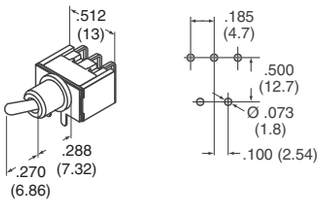

(DPDT abgeb.)

Abb. 3

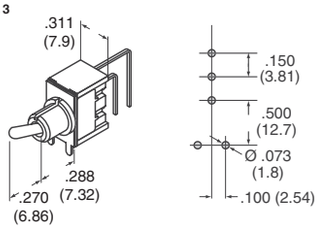

Abb. 4

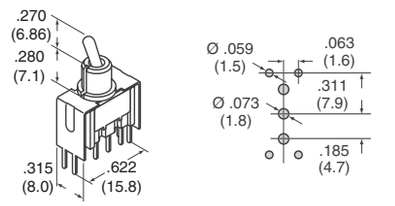

Durchführungen

A1

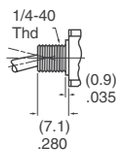

(Kurze Durchführung)

A2

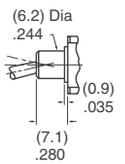

(Ohne Gewinde)

B1

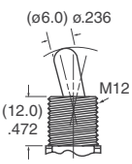

(Groß)

D3

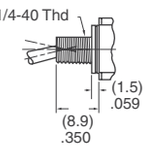

(Spritzfest)

L1

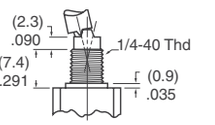

(Verschließend)

S1

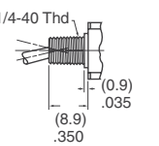

(Standard)

Betätiger

S

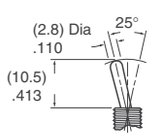

(Standard)

B

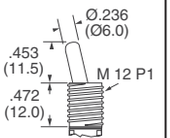

(Groß)

E

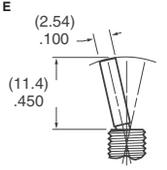

(Flach)

S2

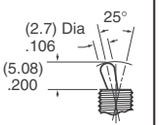

(Mini)

B2

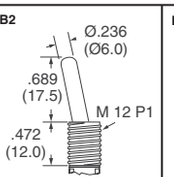

(Lang groß)

L

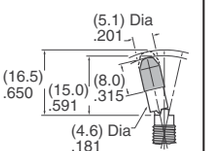

(Verschließend)

Auflageflächen

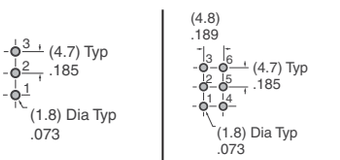

(SPDT) (DPDT)

Schaltkreis	Schaltfunktion	Optionen Betätiger	Optionen Durchführung	Digi-Key Teilenr.	Stückpreis 1	Stückpreis 25	Stückpreis 100	NKK Teilenr.
Abb. 1 – Lötöse 6A Silberkontakte								
SPDT	Ein-Ein	B	B1	360-1029-ND	5.79	4.64	3.67	M2012BB1W01
SPDT	Ein-Aus-Ein	B	B1	360-1030-ND	6.40	5.13	4.06	M2013BB1W01
SPDT	Ein-Aus-Mom	B	B1	360-1033-ND	7.01	5.61	4.44	M2019BB1W01
SPDT	Ein-Ein	B2	B1	360-1038-ND	5.99	4.80	3.80	M2012B2B1W01
SPDT	Ein-Aus-Ein	B2	B1	360-1039-ND	6.60	5.29	4.19	M2013B2B1W01
SPDT	Mom-Aus-Mom	B2	B1	360-1040-ND	7.21	5.78	4.57	M2018B2B1W01
SPDT	Ein-Ein	E	S1	360-1043-ND	4.57	3.66	2.90	M2012ES1W01
SPDT	Ein-Aus-Ein	E	S1	360-1044-ND	5.18	4.15	3.29	M2013ES1W01
SPDT	Ein-Mom	E	S1	360-1045-ND	5.69	4.56	3.61	M2015ES1W01
SPDT	Mom-Aus-Mom	E	S1	360-1046-ND	5.79	4.64	3.67	M2018ES1W01
SPDT	Ein-Aus-Mom	E	S1	360-1047-ND	5.79	4.64	3.67	M2019ES1W01
SPDT	Ein-Ein	S	S1	360-1057-ND	3.56	2.85	2.26	M2012SS1W01
SPDT	Ein-Aus-Ein	S	S1	360-1058-ND	4.17	3.34	2.64	M2013SS1W01
SPDT	Ein-Mom	S	S1	360-1059-ND	4.67	3.74	2.96	M2015SS1W01
SPDT	Mom-Aus-Mom	S	S1	360-1060-ND	4.77	3.82	3.03	M2018SS1W01
SPDT	Ein-Aus-Mom	S	S1	360-1061-ND	4.77	3.82	3.03	M2019SS1W01
SPDT	Ein-Ein	S	D3	360-1088-ND	4.57	3.66	2.90	M2012SD3W01
SPDT	Ein-Aus-Ein	S	D3	360-1089-ND	5.18	4.15	3.29	M2013SD3W01
SPDT	Ein-Mom	S	D3	360-1090-ND	5.69	4.56	3.61	M2015SD3W01
SPDT	Mom-Aus-Mom	S	D3	360-1091-ND	5.79	4.64	3.67	M2018SD3W01
SPDT	Ein-Aus-Mom	S	D3	360-1092-ND	5.79	4.64	3.67	M2019SD3W01
SPDT	Ein-Ein	S2	A1	360-1155-ND	3.56	2.85	2.26	M2012S2A1W01
SPDT	Ein-Ein	S2	S1	360-1172-ND	3.56	2.85	2.26	M2047SS1W01
SP3T	Ein-Ein-Ein	E	S1	360-1048-ND†	8.64	6.91	5.47	M2024ES1W01
SP3T	Ein-Ein-Ein	S	S1	360-1062-ND†	7.62	6.10	4.83	M2024SS1W01
DPDT	Ein-Ein	B	B1	360-1034-ND	7.57	6.06	4.80	M2022BB1W01
DPDT	Ein-Aus-Ein	B	B1	360-1035-ND	8.43	6.75	5.35	M2023BB1W01
DPDT	Ein-Ein	B2	B1	360-1041-ND	7.77	6.22	4.93	M2022B2B1W01
DPDT	Ein-Aus-Ein	B2	B1	360-1042-ND	8.64	6.91	5.47	M2023B2B1W01
DPDT	Ein-Ein	E	S1	360-1049-ND	6.35	5.08	4.03	M2022ES1W01
DPDT	Ein-Aus-Ein	E	S1	360-1050-ND	7.21	5.78	4.57	M2023ES1W01
DPDT	Ein-Mom	E	S1	360-1051-ND	8.13	6.51	5.15	M2025ES1W01
DPDT	Ein-Aus-Mom	E	S1	360-1052-ND	8.43	6.75	5.35	M2029ES1W01
DPDT	Ein-Ein	S	S1	360-1065-ND	5.33	4.27	3.38	M2022SS1W01
DPDT	Ein-Aus-Ein	S	S1	360-1066-ND	6.20	4.96	3.93	M2023SS1W01
DPDT	Ein-Mom	S	S1	360-1067-ND	7.11	5.69	4.51	M2025SS1W01
DPDT	Mom-Aus-Mom	S	S1	360-1068-ND	7.42	5.94	4.70	M2028SS1W01
DPDT	Ein-Aus-Mom	S	S1	360-1069-ND	7.42	5.94	4.70	M2029SS1W01
DPDT	Ein-Aus-Ein	S	D3	360-1094-ND	7.21	5.78	4.57	M2023SD3W01
DPDT	Mom-Aus-Mom	S	D3	360-1095-ND	8.43	6.75	5.35	M2028SD3W01
DPDT	Ein-Ein	L	L1	360-1101-ND	7.95	6.36	5.04	M2022LL1W01
DPDT	Ein-Aus-Ein	L	L1	360-1102-ND	8.81	7.06	5.59	M2023LL1W01
DPDT	Ein-Ein	S2	A1	360-1156-ND	5.33	4.27	3.38	M2022S2A1W01
DP3T	Ein-Ein-Ein	S	S1	360-1070-ND††	17.78	14.23	11.26	M2044SS1W
3PDT	Ein-Ein	B	B1	360-1036-ND	11.12	8.90	7.05	M2032BB1W01
3PDT	Ein-Ein	E	S1	360-1053-ND	9.91	7.93	6.28	M2032ES1W01
3PDT	Ein-Aus-Ein	E	S1	360-1054-ND	12.19	9.76	7.73	M2033ES1W01
3PDT	Ein-Ein	S	S1	360-1073-ND	8.89	7.12	5.63	M2032SS1W01
3PDT	Ein-Aus-Ein	S	S1	360-1074-ND	11.18	8.94	7.08	M2033SS1W01
3PDT	Mom-Aus-Mom	S	S1	360-1075-ND	13.71	10.98	8.69	M2038SS1W01
3PDT	Ein-Ein	L	L1	360-1103-ND	11.51	9.21	7.29	M2032LL1W01
3PDT	Ein-Aus-Ein	L	L1	360-1104-ND	13.79	11.04	8.74	M2033LL1W01
4PDT	Ein-Ein	E	S1	360-1055-ND	13.26	10.61	8.40	M2042ES1W01
4PDT	Ein-Ein	S	S1	360-1076-ND	12.24	9.80	7.76	M2042SS1W01
4PDT	Ein-Aus-Ein	S	S1	360-1077-ND	14.63	11.71	9.27	M2043SS1W01
4PDT	Ein-Ein	L	L1	360-1105-ND	14.86	11.89	9.41	M2042LL1W01
Abb. 1 – Lötöse 0,4 VA Goldkontakte								
SPDT	Ein-Ein	B2	B1	360-1108-ND	6.55	5.25	4.15	M2012B2B1G01
DPDT	Ein-Ein	B2	B1	360-1109-ND	8.86	7.10	5.62	M2022B2B1G01
SPDT	Ein-Ein	E	S1	360-1110-ND	5.13	4.11	3.25	M2012ES1G01
SPDT	Ein-Aus-Ein	E	S1	360-1111-ND	5.74	4.60	3.64	M2013ES1G01
SPDT	Ein-Ein	J	—	360-1018-ND	4.17	3.34	2.64	B12JH
SPDT	Ein-Aus-Ein	J	—	360-1019-ND	4.32	3.46	2.74	B13JH
SPDT	Ein-Ein	S	S1	360-1118-ND	4.11	3.30	2.61	M2012SS1G01
SPDT	Ein-Aus-Ein	S	S1	360-1119-ND	4.72	3.78	3.00	M2013SS1G01
SPDT	Ein-Mom	S	S1	360-1120-ND	5.23	4.19	3.32	M2015SS1G01
SPDT	Mom-Aus-Mom	S	S1	360-1121-ND	5.33	4.27	3.38	M2018SS1G01
SPDT	Ein-Aus-Mom	S	S1	360-1122-ND	5.33	4.27	3.38	M2019SS1G01
SPDT	Ein-Ein	S	D3	360-1140-ND	5.13	4.11	3.25	M2012SD3G01
SPDT	Ein-Aus-Ein	S	D3	360-1141-ND	5.74	4.60	3.64	M2013SD3G01
SPDT	Mom-Aus-Mom	S	D3	360-1143-ND	6.35	5.08	4.03	M2018SD3G01
SPDT	Ein-Ein	L	L1	360-1145-ND	6.73	5.39	4.27	M2012LL1G01
SPDT	Ein-Aus-Ein	L	L1	360-1146-ND	7.34	5.88	4.65	M2013LL1G01
SPDT	Ein-Mom	L	L1	360-1147-ND	7.85	6.28	4.98	M2015LL1G01
SP3T	Ein-Ein-Ein	E	S1	360-1112-ND†	9.73	7.79	6.17	M2024ES1G01
DPDT	Ein-Ein	E	S1	360-1113-ND	7.44	5.96	4.72	M2022ES1G01
DPDT	Ein-Aus-Ein	E	S1	360-1114-ND	8.31	6.65	5.26	M2023ES1G01
SP3T	Ein-Ein-Ein	S	S1	360-1123-ND†	8.71	6.97	5.52	M2024SS1G01
DPDT	Ein-Ein	S	S1	360-1126-ND	6.43	5.15	4.07	M2022SS1G01
DPDT	Ein-Ein	S	D3	360-1144-ND	7.44	5.96	4.72	M2022SD3G01
3PDT	Ein-Ein	E	S1	360-1115-ND	11.56	9.25	7.32	M2032ES1G01
3PDT	Ein-Ein	S	S1	360-1128-ND	10.54	8.44	6.68	M2032SS1G01
4PDT	Ein-Ein	S	S1	360-1129-ND	14.43	11.55	9.14	M2042SS1G01

†=SP3T verwendet Dp-Körper ††=DP3T verwendet 4p-Körper

(Forts.)

H

Alle Preisangaben in Euro und inklusive Zollgebühren.

Schaltkreis	Schaltfunktion	Optionen: Betätiger	Optionen: Durchführung	Digi-Key Teilenr.	Stückpreis 1	Stückpreis 25	Stückpreis 100	NKK Teilenr.
Abb. 1 – PC-Anschluss								
SPDT	Ein-Ein	S	S1	360-1078-ND	3.68	2.95	2.34	M2012SS1W03
SPDT	Ein-Aus-Ein	S	S1	360-1079-ND	4.29	3.44	2.72	M2013SS1W03
SPDT	Ein-Ein	—	—	360-1180-ND	4.37	3.50	2.77	M2T12SA5G03
SPDT	Ein-Aus-Ein	—	—	360-1181-ND	4.83	3.87	3.06	M2T13SA5G03
SPDT	Ein-Aus-Mom	S	S1	360-1082-ND	4.90	3.93	3.11	M2019SS1W03
SPDT	Ein-Ein	E	S1	360-1150-ND	4.70	3.76	2.98	M2012ES1W03
SPDT	Ein-Aus-Ein	E	S1	360-1151-ND	5.31	4.25	3.37	M2013ES1W03
SPDT	Mom-Aus-Mom	E	S1	360-1152-ND	5.92	4.74	3.75	M2018ES1W03
SPDT	Ein-Ein	S2	A1	360-1157-ND	3.68	2.95	2.34	M2012S2A1W03
SP3T	Ein-Aus-Ein	S	S1	360-1083-ND†	7.87	6.30	4.99	M2024SS1W03
DPDT	Ein-Ein	S	S1	360-1084-ND	5.59	4.47	3.54	M2022SS1W03
DPDT	Ein-Aus-Ein	S	S1	360-1085-ND	6.45	5.17	4.09	M2023SS1W03
3PDT	Ein-Ein	S	S1	360-1086-ND	9.24	7.40	5.86	M2032SS1W03
4PDT	Ein-Ein	S	S1	360-1087-ND	12.72	10.18	8.06	M2042SS1W03
Abb. 1 – PC-Anschluss, 0,4 VA Goldkontakte								
SPDT	Ein-Ein	S	S1	360-1130-ND	4.22	3.38	2.68	M2012SS1G03
SPDT	Ein-Aus-Ein	S	S1	360-1131-ND	4.83	3.87	3.06	M2013SS1G03
SPDT	Ein-Mom	S	S1	360-1132-ND	5.33	4.27	3.38	M2015SS1G03
SPDT	Mom-Aus-Mom	S	S1	360-1133-ND	5.44	4.35	3.45	M2018SS1G03
SPDT	Ein-Aus-Mom	S	S1	360-1134-ND	5.44	4.35	3.45	M2019SS1G03
SP3T	Ein-Ein-Ein	S	S1	360-1135-ND†	8.97	7.18	5.68	M2024SS1G03
DPDT	Ein-Ein	S	S1	360-1136-ND	6.68	5.35	4.24	M2022SS1G03
DPDT	Ein-Aus-Ein	S	S1	360-1137-ND	7.54	6.04	4.78	M2023SS1G03
3PDT	Ein-Ein	S	S1	360-1138-ND	10.90	8.72	6.91	M2032SS1G03
4PDT	Ein-Ein	S	S1	360-1139-ND	14.93	11.95	9.46	M2042SS1G03
Abb. 2 – Rechtwinkliger PC-Anschluss, 6 A Silberkontakte								
SPDT	Ein-Ein	S2	A2	360-1170-ND	4.22	3.38	2.68	M2012S2A2W30
DPDT	Ein-Ein	S2	A2	360-1171-ND	6.63	5.31	4.20	M2022S2A2W30
Abb. 2 – Rechtwinkliger PC-Anschluss, 0,4 VA Goldkontakte								
SPDT	Ein-Ein	S	A2	360-1153-ND	4.77	3.82	3.03	M2012SA2G30

Schaltkreis	Schaltfunktion	Optionen: Betätiger	Optionen: Durchführung	Digi-Key Teilenr.	Stückpreis 1	Stückpreis 25	Stückpreis 100	NKK Teilenr.
SPDT	Ein-Ein	S2	A2	360-1159-ND	4.77	3.82	3.03	M2012S2A2G30
SPDT	Ein-Aus-Ein	S2	A2	360-1160-ND	5.38	4.31	3.42	M2013S2A2G30
SPDT	Mom-Aus-Mom	S2	A2	360-1161-ND	5.99	4.80	3.80	M2018S2A2G30
DPDT	Ein-Ein	S2	A2	360-1163-ND	7.72	6.18	4.89	M2022S2A2G30
3PDT	Ein-Ein	S2	A2	360-1164-ND	12.55	10.04	7.95	M2032S2A2G30
Abb. 3 – Vertikaler, rechtwinkliger PC-Anschluss, 0,4 VA Goldkontakte								
SPDT	Ein-Ein	S2	A2	360-1165-ND	5.03	4.03	3.19	M2012S2A2G40
SPDT	Ein-Aus-Ein	S2	A2	360-1166-ND	5.64	4.52	3.58	M2013S2A2G40
SPDT	Ein-Aus-Mom	S2	A2	360-1167-ND	6.25	5.00	3.96	M2019S2A2G40
DPDT	Ein-Ein	S2	A2	360-1168-ND	8.31	6.65	5.26	M2022S2A2G40
Abb. 4 – Vertikale Halterung, PC-Anschluss, Silberkontakte, 6 A								
SPDT	Ein-Ein	S2	A2	360-1169-ND	3.94	3.15	2.50	M2012S2A2W13
Abb. 4 – Vertikaler Halterung, PC-Anschluss, 0,4 VA Goldkontakte								
SPDT	Ein-Ein	S2	A2	360-1158-ND	4.50	3.60	2.85	M2012S2A2G13
Einrasthebel, Gewindedurchführung, Lötklemme –6 A								
SPDT	Ein-Ein	L	L1	360-1096-ND	6.17	4.94	3.91	M2012LL1W01
SPDT	Ein-Aus-Ein	L	L1	360-1097-ND	6.78	5.43	4.30	M2013LL1W01
SPDT	Ein-Mom	L	L1	360-1098-ND	7.29	5.84	4.62	M2015LL1W01
Einrasthebel, Gewindedurchführung, Lötklemme –0,4 V A								
DPDT	Ein-Ein	L	L1	360-1149-ND	9.04	7.24	5.73	M2022LL1G01
Spritzfeste Boots								
Schwarz für 1/4-40 Gewindedurchführung und 0,413" (10.49 mm) Kippschalterhöhe				360-1750-ND	2.64	2.12	1.68	AT428H
Grau für M12 Gewindedurchführung und 0,689" (17,50 mm) Kippschalterhöhe				360-1706-ND	3.45	2.77	2.19	AT402H
Rot für M12 Gewindedurchführung und 0,689" (17,50 mm) Kippschalterhöhe				360-1707-ND	3.45	2.77	2.19	AT402C
Gelb für M12 Gewindedurchführung und 0,689" (17,50 mm) Kippschalterhöhe				360-1708-ND	3.45	2.77	2.19	AT402E

NKK SWITCHES Mini-Kippschalter

M2T-Serie: Innendurchführung mit O-Ring um Betätiger abgedichtet. Hülle und Gehäuseoberseite aus einem Guss, wodurch Außenabdichtung gewährleistet wird. Die Durchführung wird an der Basis durch Ultraschallschweißen abgedichtet. Die Klemmen sind epoxidversiegelt, damit der Schalter an der Basis geschützt ist.

Merkmale: • Elektrische Leistung: Logik-Level (Code G): Max. 0,4 VA bei max. 28 V AC/DC. **• Durchschlagsfestigkeit:** Min. 1.000 V AC zwischen Kontakten; min. 1.500 V AC zwischen Kontakten und Gehäuse. **• Lebensdauer der Mechanik:** Min. 100.000 Schaltungen. **• Lebensdauer der Elektrik:** Min. 50.000 Schaltungen (Gold); min. 25.000 Schaltungen (Silber). **• Betriebstemperaturbereich:** -30 °C ~ 85 °C

Serie B: Durch abgedichtete Körperbauweise können Schalter zeit- und geldsparenden automatisierten Löttechniken ausgesetzt werden. Kann sicher von Flussmitteln gereinigt werden, ohne die Betriebseigenschaften zu beeinträchtigen.

Merkmale: • Elektrische Leistung: Logik-Level: Max. 0,4 VA @ max. 28 V AC/DC. **• Durchschlagsfestigkeit:** Min. 500 V AC. **• Lebensdauer der Mechanik:** Min. 100.000 Schaltungen für Ein-Ein und Ein-Aus-Ein. **• Lebensdauer der Elektrik:** Min. 50.000 Schaltungen **• Betriebstemperaturbereich:** -30 °C ~ 85 °C

Abb. 1

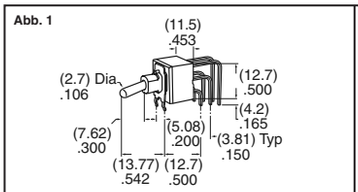

Abb. 2

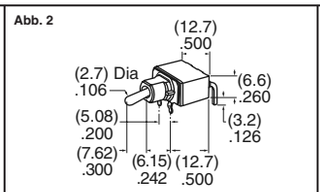

Abb. 3

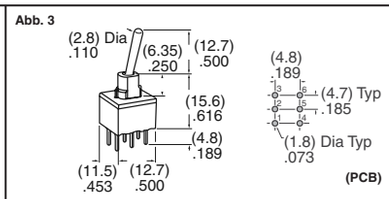

Abb. 4

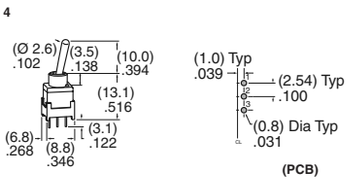

Abb. 5

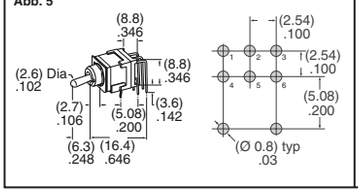

Abb. 6

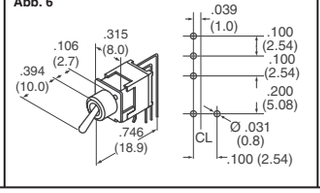

Abb. 7

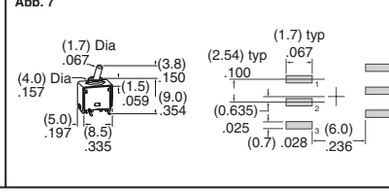

Abb. 8

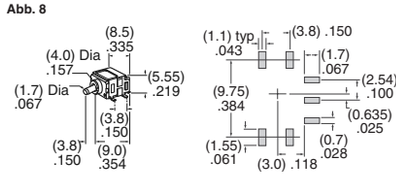

Abb.	Schaltkreis	Schaltfunktion	Optionen: Betätiger	Optionen: Durchführung	Digi-Key Teilenr.	Stückpreis 1	Stückpreis 25	Stückpreis 100	NKK Teilenr.
Kipphebel, glatte Keilnutdurchführung, gerade Leiterplattenklemme									
1	SPDT	Ein-Ein	S2	A2	360-1158-ND	4.50	3.60	2.85	M2012S2A2G13
Abwaschbare Minikippschalter									
2	SPDT	Ein-Ein	—	—	360-1173-ND	4.93	3.95	3.13	M2T12S4A5G30
	SPDT	Ein-Aus-Ein	—	—	360-1174-ND	5.38	4.31	3.42	M2T13S4A5G30
	SPDT	Mom-Aus-Mom	—	—	360-1175-ND	5.94	4.76	3.77	M2T18S4A5G30
1	SPDT	Ein-Ein	—	—	360-1176-ND	5.18	4.15	3.29	M2T12S4A5G40
	SPDT	Ein-Aus-Ein	—	—	360-1177-ND	5.64	4.52	3.58	M2T13S4A5G40
	SPDT	Ein-Aus-Ein	—	—	360-1178-ND	6.20	4.96	3.93	M2T13S4A5G40
3	DPDT	Ein-Ein	—	—	360-1179-ND	8.46	6.77	5.36	M2T22S4A5G40
	SPDT	Mom-Aus-Mom	—	—	360-1182-ND	5.38	4.31	3.42	M2T18SA5G03
	DPDT	Ein-Ein	—	—	360-1183-ND	6.83	5.47	4.33	M2T22SA5G03
2	SPDT	Ein-Ein	—	—	360-1184-ND*	4.93	3.95	3.13	M2T12SA5G30
Abwaschbare Subminiatur-Antistatik-Kippschalter									
4	SPDT	Ein-Ein	A	—	360-1012-ND	3.56	2.85	2.26	B12AP
	SPDT	Ein-Aus-Ein	A	—	360-1013-ND	3.71	2.97	2.35	B13AP
	SPDT	Ein-Mom	A	—	360-1014-ND	3.81	3.05	2.42	B15AP
	DPDT	Ein-Ein	A	—	360-1015-ND	4.62	3.70	2.93	B22AP
	DPDT	Ein-Aus-Ein	A	—	360-1016-ND	4.98	3.99	3.16	B23AP
	SPDT	Ein-Ein	A	—	360-1017-ND◊	3.86	3.09	2.45	B12JB

Abb.	Schaltkreis	Schaltfunktion	Optionen: Betätiger	Optionen: Durchführung	Digi-Key Teilenr.	Stückpreis 1	Stückpreis 25	Stückpreis 100	NKK Teilenr.
5	SPDT	Ein-Ein	J	—	360-1018-ND	4.17	3.34	2.64	B12JH
	SPDT	Ein-Aus-Ein	J	—	360-1019-ND	4.32	3.46	2.74	B13JH
	SPDT	Ein-Mom	J	—	360-1020-ND	4.42	3.54	2.80	B15JH
	DPDT	Ein-Ein	J	—	360-1021-ND	5.54	4.43	3.51	B22JH
	DPDT	Ein-Aus-Ein	J	—	360-1022-ND	5.89	4.72	3.74	B23JH
6	SPDT	Ein-Ein	J	—	360-1023-ND	4.17	3.34	2.64	B12JV
Abwaschbare Ultramini-SMT-Kippschalter									
7	SPDT	Ein-Ein	A	—	360-1026-ND	4.83	3.87	3.06	G3T12AP
	SPDT	Ein-Aus-Ein	A	—	360-1027-ND	5.18	4.15	3.29	G3T13AP
	DPDT	Ein-Ein	A	—	360-1028-ND	6.45	5.17	4.09	G3T22AP

Abb.	Schaltkreis	Schaltfunktion	Digi-Key Teilenr.	Gurtabschnittspreis pro Stück 1	25	100	Digi-Key Teilenr.	T&R Pricing** 500	NKK Teilenr.
Abwaschbare Ultra-Miniature-SMT-Kippschalter									
8	SPDT	Ein-Ein	360-1024-1-ND	5.08	4.07	3.22	360-1024-2-ND	1185.24	G3T12AH-R
	SPDT	Ein-Aus-Ein	360-1025-1-ND	5.44	4.35	3.45	360-1025-2-ND	1268.21	G3T13AH-R

*W=Silber Nennl. 6 A @ 125 V AC und 3 A @ 250 V AC
G=Gold Nennl. max. 0,4 VA @ max. 28 V AC/DC
†=SP3T verwendet Dp-Körper

* Eigentliche Länge 0,500"
◊ Eigentliche Länge 0,248"
**Preisangaben für Gegurtet auf Rolle

H

Stromkippschalter

Hohe Leistungen im allgemeinen Betrieb mit speziellen Optionen für fast jede Anforderung. Internationale Zulassungen und Schaltkreisauswahl, einfache Integration in viele verschiedene Anwendungen. Die Serie F wird in Anwendungen in den Bereichen Seefahrt, Nahrungsmittel, Generatoren, industrielle Steuerungen und Automatisierung oft eingesetzt und kann auch in Niederspannungs-DC-Anwendungen verwendet werden. Kleinteile werden mitgeliefert.

Betriebstemperatur: 0 °F ~ 150 °F (Serie G 85 °C) **Gewinde:** 15/32 - 32 UNS-2A

Abb. 1

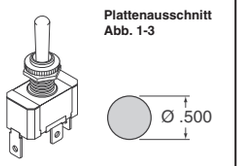

Abb. 2

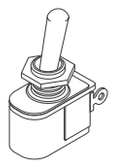

Abb. 3

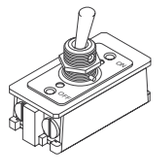

Abb.	Schaltkreis	Funktion	Klemmen	Schaltstrom (125 V AC)	Digi-Key Teilenr.	Stückpreis 1	25	50	Carling Tech. Teilenr.
1	SPST	Ein-Aus	.250" QC*	15A	432-1074-ND	3.25	1.75	1.25	2FA53-73/TABS
	SPST	Ein-Aus	Schraube	15A	432-1075-ND	3.74	2.02	1.44	2FA54-73
	SPDT	Ein-Ein	.250" QC*	15A	432-1076-ND	4.02	2.17	1.55	2FB53-73/TABS
	SPDT	Ein-Aus-Ein	.250" QC*	15A	432-1077-ND	4.02	2.17	1.55	2FC53-73/TABS
	SPDT	Ein-Aus-Ein	Schraube	15A	432-1078-ND	4.71	2.54	1.81	2FC54-73
	SPDT	Mom-Aus-Mom	Schraube	15A	432-1079-ND	6.55	3.53	2.52	6FC54-73
	DPST	Ein-Aus	.250" QC*	15A	432-1080-ND	5.15	2.78	1.98	2GK51-73
	DPST	Ein-Aus	Schraube	15A	432-1081-ND	6.11	3.29	2.35	2GK54-73
	DPDT	Ein-Ein	Schraube	15A	432-1082-ND	7.57	4.08	2.92	2GL54-73
	DPDT	Ein-Aus-Ein	.250" QC*	15A	432-1083-ND	6.16	3.32	2.38	2GM51-73
	DPDT	Ein-Aus-Ein	Schraube	15A	432-1084-ND	7.57	4.08	2.92	2GM54-73
	3PST	Ein-Aus	Schraube	15A	432-1085-ND	11.20	6.03	4.31	HK254-73
2	SPST	Ein-Aus	Lötöse	6A	432-1216-ND	4.87	2.63	1.88	110-73
	SPST	Ein-Aus	Schraube	6A	432-1217-ND	4.87	2.63	1.88	110-S-73
	SPST	Ein-Aus	6" Drahtleitung	6A	432-1086-ND	5.37	2.89	2.07	111-16-73
3	DPST	Ein-Aus	Schraube	16A	432-1087-ND	7.76	4.18	2.99	DK284-73

* 0,250" Schnellanschluss

Netzdrucktastenschalter

Abb. 1

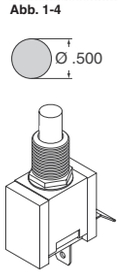

Abb. 2

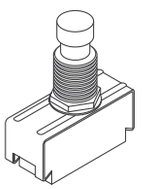

Abb. 3

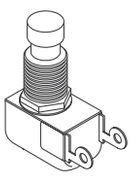

Abb. 4

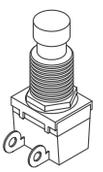

Feste Metallbauweise, selbstreinigende Kontakte und steife Betätigungskraft machen diese Schalter zu einer Stütze in der Musikindustrie und im audiovisuellen Markt. Hohe Amperezahl kombiniert mit einem flachen Profil machen diese Schalter ideal geeignet für „Fußpedal"-Anwendungen. Kleinteile werden mitgeliefert.

Betriebstemperatur: 0 °C ~ 85 °C (Serie P 32 °C - 85 °C) **Gewinde:** 15/32 - 32 UNS-2A

Abb.	Schaltkreis	Funktion	Klemmen	Schaltstrom (125 V AC)	Digi-Key Teilenr.	Stückpreis 1	25	50	Carling Tech. Teilenr.
1	SPST	Ein-Aus	.250" QC*	20A	432-1205-ND	7.79	4.20	3.00	PA301
	SPST	Ein-Aus	Schraube	20A	432-1206-ND	8.34	4.49	3.21	PA304
2	SPST	Ein-Mom	Schraube	15A	432-1207-ND	7.15	3.86	2.76	170
	SPST	Aus-Mom	Schraube	15A	432-1208-ND	7.15	3.86	2.76	172
3	SPST	Aus-Ein	Lötöse	6A	432-1209-ND	6.47	3.49	2.49	110-P
	SPST	Aus-Ein	Schraube	6A	432-1210-ND	8.94	4.82	3.44	110-SP
	SPDT	Ein-Ein	Lötöse	3A	432-1211-ND	10.24	5.52	3.94	112-P
4	SPST	Ein-Aus	Lötöse	5A	432-1212-ND	4.76	2.57	1.84	64111210
	SPDT	Ein-Ein	Lötöse	5A	432-1213-ND	6.91	3.72	2.66	64111220
	DPST	Ein-Aus	Lötöse	5A	432-1214-ND	8.09	4.36	3.12	64112210
	DPDT	Ein-Ein	Lötöse	5A	432-1215-ND	11.51	6.20	4.43	64112220

* 0,250" Schnellanschluss

Contura II Abgedichtete Wippschalter

Contura II

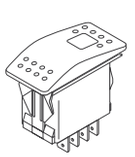

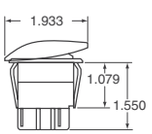

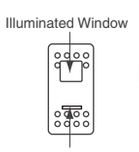

Plattenausschnitt

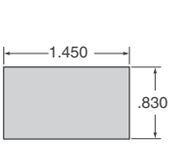

Plattenhalterung 1 Position

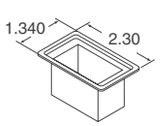

Plattenhalterung 3 Positionen

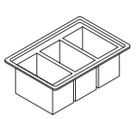

Stapelplattenhalterung

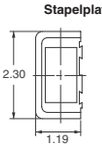

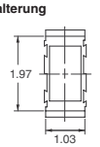

Die Contura II Schalter der Serie V setzen seit Jahren den Standard für abgedichtete Wippschalter. Der Contura II Schalter besteht aus thermoplastischem Polykarbonat mit einer Nylon 66 Oberflächenbeschichtung und doppeltem Dichtungsschutz gemäß Standard IP66/IP68. Beleuchtete Versionen haben sehr helle 12 V LED für lange Lebensdauer, 0,250" QC-Klemmen für einfache Verbindung mit Schalter.

Spezifikationen: • Betätigertyp: Konturwippschalter • Leistungen: 20 A @ 12 V DC • Kontakte: Silbercad-Oxid • Durchschlagsfestigkeit: 1.500 V RMS • Lebensdauer: 50.000-100.000 Schaltungen, je nach Schaltkreis • Anschlüsse: 0,250" Schnellanschluss • Beleuchtung: LED-eingestuft für 100.000 Std. für Halbleiben

Die mit Steckverbindergehäuse zu verwendenden Klemmen sind 14-18 AWG 42100-1, 18-22 AWG 60295-2

Schaltkreis	Funktion	Merkmale	Betätiger-farbe	Digi-Key Teilenr.	Stückpreis 1	25	50	Carling Tech. Teilenr.
SPST	Ein-Aus	Bel. Grün 12 V/Bernstein 12 V	Schwarz	432-1088-ND	9.24	4.98	3.56	V1D2GHNB-AAC00-000
SPST	Aus-Mom	Bel. Grün 12 V/Bernstein 12 V	Schwarz	432-1089-ND	9.66	5.20	3.72	V2D2GHNB-AAC00-000
SPDT	Ein-Ein-Aus	Bel. Grün 12 V/Bernstein 12 V	Schwarz	432-1090-ND	12.19	6.57	4.69	VGD2GHNB-AAC00-000
SPDT	Ein-Ein	Bel. Grün 12 V/Bernstein 12 V	Schwarz	432-1091-ND	9.77	5.26	3.76	V4D2GHNB-AAC00-000
SPDT	Ein-Aus-Ein	Bel. Grün 12 V/Bernstein 12 V	Schwarz	432-1092-ND	9.77	5.26	3.76	V6D2GHNB-AAC00-000
SP3T	Ein-Ein-Ein	Bel. Grün 12 V/Bernstein 12 V	Schwarz	432-1093-ND	12.99	7.00	5.00	VED2GHNB-AAC00-000
SPDT	Mom-Aus-Mom	Bel. Grün 12 V/Bernstein 12 V	Schwarz	432-1094-ND	10.29	5.55	3.96	V8D2UHNB-AAC00-000
SPST	Ein-Aus	Beleuchtet, Glühlampe 12 V	Schwarz	432-1095-ND	5.78	3.12	2.23	V1D2B60B-A9C00-000
SPST	Aus-Mom	Keine LED oder Lampe	Schwarz	432-1096-ND	4.71	2.54	1.81	V2D2S00B-AZC00-000
SPDT	Ein-Aus-Ein	Beleuchtet, Glühlampe 12 V	Schwarz	432-1097-ND	7.79	4.20	3.00	V6D2D66B-AAC00-000
DPDT	Mom-Aus-Mom	Bel. Grün 12 V/Bernstein 12 V	Schwarz	432-1098-ND	10.87	5.86	4.19	VLD2GHNB-AAC00-000

Zubehör

Beschreibung	Digi-Key Teilenr.	Stückpreis 1	25	50	Carling Tech. Teilenr.
Ausbauwerkzeug zum Ausbau von Contura-Betätigern	432-1100-ND	2.89	1.56	1.12	VRT
Dichtung für wasserfesten Anbau des Schalters auf der Platte	432-1101-ND	.80	.43	.31	VPS-01
Steckverbindergehäuse für Contura, verw. Amp 60295-2 Klemmen	432-1102-ND	.97	.52	.38	VC1-01
Stöpsel für nicht verwendete Plattenlöcher, schwarz	432-1103-ND	1.21	.66	.47	VH2-01
Plattenhalterung, stapelbare Mittelplatte, schwarz	432-1104-ND	1.21	.66	.47	VMM-01
Plattenhalterung, stapelbare Endplatte, schwarz	432-1105-ND	1.21	.66	.47	VME-01
Plattenhalterung, Schalter mit 1 Position, plattenmontiert, schwarz	432-1106-ND	1.46	.79	.57	VMS-01
Plattenhalterung, Schalter mit 3 Positionen, plattenmontiert, schwarz	432-1107-ND	3.61	1.95	1.39	VM3-01
Plattenhalterung, Schalter mit 6 Positionen, plattenmontiert, schwarz	432-1108-ND	7.24	3.90	2.79	VM6-01

Curvette-Wippschalter

Die Curvette-Wippschalter der Serie R sind Schnapp-Leistungsschalter, die in den Branchen Haushaltsgeräte, Medizin, Heizung und Klimaanlagen, Gartengeräte sowie Transport eingesetzt werden. Vorteile des spritzgegossenen Visi-Rocker Doppelschalters: Visuelle Anzeige, ob der Schalter ein- oder ausgeschaltet ist, kein Durchbrennen wie bei beleuchteten Wippschaltern und keine Abnutzung wie bei beschrifteten Betätigern.

Spezifikationen: 10 A @ 250 V AC, 16 A @ 125 V AC

RD221 = 8 A @ 250 V AC, 12 A @ 125 V AC

Durchschlagsfestigkeit: UL/CSA: 1.000 V "live" zu "totem" Metall. 750 V über offene Kontakte.

Lebensdauer Elektrik: 100.000 Schaltungen

Lebensdauer der Mechanik: 100.000 Schaltungen

Betriebstemperatur: 0 °C ~ 85 °C

Anschluss: 0,250" Schnellkupplung

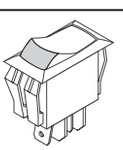

Plattenausschnitt

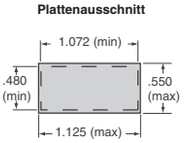

Schaltkreis	Funktion	Gehäuse-farbe	Betätigerfarbe	Markierungen	Digi-Key Teilenr.	Stückpreis 1	25	50	Carling Tech. Teilenr.
SPST	Ein-Aus	Schwarz	Schwarz	Entfällt	432-1110-ND	1.05	.57	.41	RA901-RB-B-0-N
SPST	Ein-Aus	Schwarz	Schwarz	Vert. „Aus-Ein"	432-1111-ND	1.13	.61	.44	RA901-RB-B-A-N
SPST	Ein-Aus	Schwarz	Schwarz	Vert. „Ein-Aus"	432-1112-ND	1.13	.61	.44	RA901-RB-B-F-N
SPST	Ein-Aus	Schwarz	Schw./sichtb. rot	Entfällt	432-1115-ND	1.13	.61	.44	RA901-VB-B-0-V
SPST	Ein-Aus	Schwarz	Schw./sichtb. rot	Vert. „Aus-Ein"	432-1116-ND	1.13	.61	.44	RA901-VB-B-1-V
SPST	Ein-Aus	Schwarz	Schw./sichtb. rot	Horiz. „Aus-Ein"	432-1117-ND	1.13	.61	.44	RA901-VB-B-2-V
SPST	Ein-Aus	Schwarz	Schw./sichtb. rot	Vert. E-A	432-1118-ND	1.13	.61	.44	RA901-VB-B-9-V
SPST	Ein-Aus	Weiß	Weiß/sichtb. rot	Vert. „Aus-Ein"	432-1120-ND	1.24	.67	.48	RA901-VW-W-1-V
SPDT	Ein-Aus-Ein	Schwarz	Schwarz	Entfällt	432-1121-ND	1.21	.66	.47	RC911-RB-B-0-N
SPST	Aus-Mom	Schwarz	Schwarz	Entfällt	432-1122-ND	1.49	.81	.58	RD221-MB-B-0-N

Alle Preisangaben in Euro und inklusive Zollgebühren.

Wippschalter

Die neuen Wippschalter von Cherry können in eine Schalttafel ohne zusätzliche Kleinteile eingerastet werden und sind in vielen verschieden Stilen und Farben erhältlich. Sie eignen sich perfekt für alle Starkstromschaltungen und Steuerungen.

Abb. 1

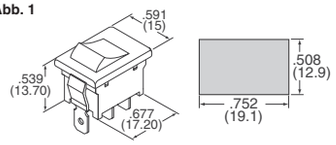

Serie SR/LR: Branchenübliche Standard-Miniaturschalter mit 10 A Schaltstrom.

Schaltstrom: Serie SR 6 A @ 250 V AC Serie LR 10 A 125 V AC/8 A 250 V AC
Betätigersockel: Nylon 66 94V-2
Kontakte: Silberlegierung
Beleuchtete Versionen: 125 V AC Neonlampe
Klemmen: 0,187" Schnellanschluss

Abb. 2

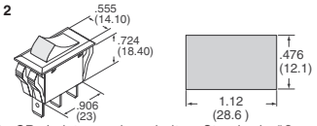

Serie CR: Leistungswippschalter, Standardgröße, mit zweifarbigen Kunststofftasten (rot schattiert), für bestmögliche Sichtbarkeit auf bestimmten Betätigern.
Schaltstrom: 20 A 125 V AC/16 A 250 V AC
Betätigersockel: Nylon 66 94V-2
Kontakte: Silberlegierung
Beleuchtete Versionen: 125 V AC Neonlampe
Klemmen: 0,250" Schnellanschluss
Hinweis: Schalttafelausschnitt CH812-ND und CH813-ND 1,12 x 0,543.

Abb. 3

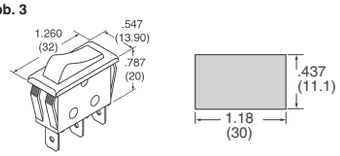

Serie TR: Dünne Leistungswippschalter, weitverbreitet in Haushalts- und Küchengeräten.

Schaltstrom: 16 A 125 V AC/16 A 250 V AC
Betätigersockel: Nylon 66 94V-2
Kontakte: Silberlegierung
Beleuchtete Versionen: 125 V AC Neonlampe
Klemmen: 0,250" Schnellanschluss

Abb. 4

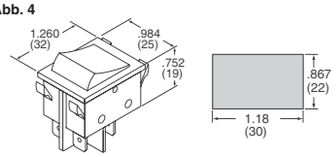

Serie WR: Große DP-Leistungswippschalter für Starkstromschaltungen.

Schaltstrom: 16 A 125 V AC/16 A 250 V AC
Betätigersockel: Nylon 66 94V-2
Kontakte: Silberlegierung
Beleuchtete Versionen: 125 V AC Neonlampe
Klemmen: 0,250" Schnellanschluss

Beschriftungen

Abb.	Gehäusefarbe	Betätigerfarbe	Schaltkreisfunktion	Schaltertyp	Beschriftungen	Digi-Key Teilenr.	Stückpreis 1	10	50	Cherry Teilenr.
Serie SR — 10 A Miniaturwippschalter										
1	Schwarz	Schwarz	Ein/Aus	SPST	A	CH755-ND	.64	.57	.48	SRB22A2FBBNN
		Schwarz	Ein/Ein	SPDT	D	CH756-ND	.69	.61	.51	SRB23A2BBBNN
		Schwarz	Ein/Aus/Ein	SPDT	B	CH757-ND	.80	.72	.60	SRB24A2HBBNN
		Schwarz	Ein/Aus	SPST	D	CH758-ND	.62	.55	.46	SRB22A2BBBNN
		Schwarz	Ein/Aus	SPST	C	CH759-ND	.62	.55	.46	SRB22A2GBBNN
	Schwarz	Schwarz	Ein/Aus	SPST	E	CH760-ND	.62	.55	.46	SRB22A2DBBNN
		Rot	Ein/Aus	SPST	A	CH761-ND	.64	.57	.48	SRB22A2FBRNN
		Weiß	Ein/Aus	SPST	D	CH762-ND	.64	.57	.48	SRB22A2BBWNN
Serie LR — 10 A mehrpolige Wippschalter										
1	Schwarz	Schwarz	Ein/Aus	SPST	D	CH763-ND	.75	.68	.56	LRA22H2BBBNN
	Schwarz	Schwarz	Ein/Aus	SPST	A	CH764-ND	.75	.68	.56	LRA22H2FBBNN
	Schwarz	Schwarz	Ein/Aus	SPST	E	CH765-ND	.75	.68	.56	LRA22H2DBBNN
	Schwarz	Rot	Ein/Aus	SPST	A	CH766-ND	.78	.70	.58	LRA22H2FBRNN
	Weiß	Weiß	Ein/Aus	SPST	A	CH767-ND	.80	.72	.60	LRA22H2FWWNN
	Grau	Grau	Ein/Aus	SPST	A	CH768-ND	.80	.72	.60	LRA22H2FYYNN
	Schwarz	Schwarz	Ein/Aus	DPST	D	CH769-ND	.82	.74	.61	LRA32H2BBBNN
	Schwarz	Schwarz	Ein/Aus	DPST	A	CH770-ND	.82	.74	.61	LRA32H2FBBNN
	Schwarz	Schwarz	Ein/Aus	DPST	E	CH771-ND	.82	.74	.61	LRA32H2DBBNN
	Schwarz	Rot beleuchtet	Ein/Aus	SPST	D	CH772-ND	.94	.84	.70	LRA22H2BBRLN
		Rot beleuchtet	Ein/Aus	DPST	D	CH773-ND	1.01	.90	.75	LRA32H2BBRLN
		Rot beleuchtet	Ein/Aus	SPST	A	CH774-ND	.94	.84	.70	LRA22H2FBRLN
	Schwarz	Rot beleuchtet	Ein/Aus	DPST	A	CH775-ND	1.01	.90	.75	LRA32H2FBRLN
		Grün beleuchtet	Ein/Aus	SPST	D	CH776-ND	.94	.84	.70	LRA22H2BBGLN
		Grün beleuchtet	Ein/Aus	DPST	D	CH777-ND	1.01	.90	.75	LRA32H2BBGLN
		Grün beleuchtet	Ein/Aus	SPST	A	CH778-ND	.94	.84	.70	LRA22H2FBGLN
		Grün beleuchtet	Ein/Aus	DPST	A	CH779-ND	1.01	.90	.75	LRA32H2FBGLN
	Schwarz	Bernstein beleuchtet	Ein/Aus	SPST	D	CH780-ND	.94	.84	.70	LRA22H2BBALN
		Bernstein beleuchtet	Ein/Aus	DPST	D	CH781-ND	1.01	.90	.75	LRA32H2BBALN
		Bernstein beleuchtet	Ein/Aus	SPST	A	CH782-ND	.94	.84	.70	LRA22H2FBALN
		Bernstein beleuchtet	Ein/Aus	DPST	A	CH783-ND	1.01	.90	.75	LRA32H2FBALN

Abb.	Gehäusefarbe	Betätigerfarbe	Schaltkreisfunktion	Schaltertyp	Beschriftungen	Digi-Key Teilenr.	Stückpreis 1	10	50	Cherry Teilenr.
Serie CR — 20 A standardmäßige Wippschalter										
2		Schwarz	Ein/Aus	SPST	D	CH798-ND	.78	.70	.58	CRE22F2BBBNE
		Schwarz	Ein/Aus	SPST	A	CH799-ND	.78	.70	.58	CRE22F2FBBNE
	Schwarz	Schwarz/rot schattiert	Ein/Aus	SPST	F	CH800-ND	.80	.72	.60	CRE22F4BBBNE
		Schwarz/rot schattiert	Ein/Aus	SPST	E/F	CH801-ND	.80	.72	.60	CRE22F4DBBNE
		Schwarz/rot schattiert	Ein/Aus	SPST	A/F	CH840-ND	.87	.78	.65	CRE22F4FBBNE
	Schwarz	Schwarz	Ein/Aus	SPST	E	CH802-ND	.78	.70	.58	CRE22F2PBBNE
	Schwarz	Rot	Ein/Aus	SPST	A	CH803-ND	.80	.72	.60	CRE22F2FBRNE
	Weiß	Weiß/rot schattiert	Ein/Aus	SPST	F	CH804-ND	.82	.74	.61	CRE22F4BWWNE
	Grau	Grau/rot schattiert	Ein/Aus	SPST	F	CH805-ND	.82	.74	.61	CRE22F4BYYNE
	Schwarz	Schwarz	Ein/Ein	SPDT	D	CH806-ND	.85	.76	.63	CRE23F2BBBNE
		Schwarz	Ein/Aus/Ein	SPDT	B	CH807-ND	.87	.78	.65	CRE24F2HBBNE
		Rot	Ein/Aus/Ein	SPDT	D	CH808-ND	.87	.78	.65	CRE24F2BBRNE
	Schwarz	Rot beleuchtet	Ein/Aus	SPST	D	CH809-ND	.98	.88	.73	CRE22F2BBRLE
		Bernstein beleuchtet	Ein/Aus	SPST	D	CH810-ND	.98	.88	.73	CRE22F2BBALE
		Grün beleuchtet	Ein/Aus	SPST	D	CH811-ND	.98	.88	.73	CRE22F2BBGLE
		Schwarz, abwaschbar	Ein/Aus	SPST	A	CH812-ND	1.14	1.02	.85	CRE22F2FBBNW
	Schwarz	Schwarz/rot schattiert Abwaschbar	Ein/Aus	SPST	F	CH813-ND	1.14	1.02	.85	CRE22F4BBBNW
Serie TR — 16 A dünne Wippschalter										
3		Schwarz	Ein/Aus	SPST	A	CH792-ND	.87	.78	.65	TRG22F2FBBNN
		Schwarz	Ein/Aus	SPST	E	CH793-ND	.87	.78	.65	TRG22F2DBBNN
	Schwarz	Rot	Ein/Aus	SPST	A	CH794-ND	.89	.80	.67	TRG22F2FBRNN
		Rot beleuchtet	Ein/Aus	SPST	D	CH795-ND	1.05	.94	.78	TRG22F2BBRLN
		Grün beleuchtet	Ein/Aus	SPST	D	CH796-ND	1.05	.94	.78	TRG22F2BBGLN
		Rot beleuchtet	Ein/Aus	SPST	D	CH797-ND	1.05	.94	.78	TRG22F5BBRLN
Serie WR — 16 A große doppelpolige Wippschalter										
4		Schwarz	Ein/Aus	DPST	A	CH784-ND	1.14	1.02	.85	WRG32F2FBBNN
		Schwarz	Ein/Aus	DPST	A	CH785-ND	1.14	1.02	.85	WRG32F5FBBNN
	Schwarz	Schwarz	Ein/Aus/Ein	DPDT	B	CH786-ND	1.37	1.22	1.02	WRG34F2HBBNN
		Rot beleuchtet	Ein/Aus	DPST	D	CH787-ND	1.41	1.26	1.05	WRG32F2BBRLN
		Rot beleuchtet	Ein/Aus	DPST	A	CH788-ND	1.41	1.26	1.05	WRG32F2FBRLN
		Rot beleuchtet	Ein/Aus	DPST	D	CH789-ND	1.41	1.27	1.05	WRG32F5BBRLN
	Schwarz	Grün beleuchtet	Ein/Aus	DPST	D	CH790-ND	1.41	1.26	1.05	WRG32F2BBGLN
		Grün beleuchtet	Ein/Aus	DPST	A	CH791-ND	1.41	1.26	1.05	WRG32F2FBGLN

H

NKK SWITCHES — International zugelassene Wippschalter

Hoher Einschaltstrom, TV-Nennleistung

Serie JW: Erste spritzgegossene Wippschalter der Branche mit TV-Leistung (JWM und JWMW: TV-5; JWL: TV-8). UL-, CSA-, VDE-, SEMKO- und SEV-zugelassen. Silberkontakte, mit Epoxid abgedichtete Lötösenklemmen. **Elektrische Leistung:** JWM und JWMW; 10 A @ 125/250 V AC; JWMW: 10 A @ 30 V DC; JWL: 16 A bei 125/250 V AC. **Durchschlagsfestigkeit:** Min. 2.000 V AC zwischen Kontakten; min. 4.000 V AC zwischen Kontakten und Gehäuse. **Lebensdauer Elektrisch:** Min. 25.000 Schaltungen **Schaltwinkel:** 26° **Anschlüsse:** JWM und JWMW: Lötösen, JWL: 0,187" Schnellanschluss. Alle Schalter mit schwarzem Gehäuse und schwarzem Betätiger. IP67 Plattendichtung als Option erhältlich.

Abb. 1

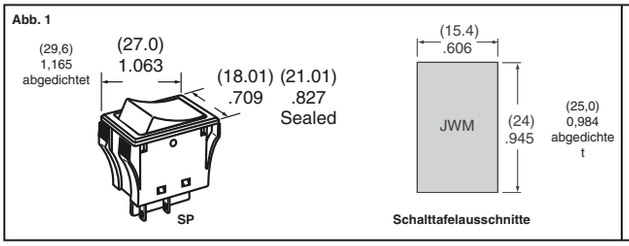

Abb. 2

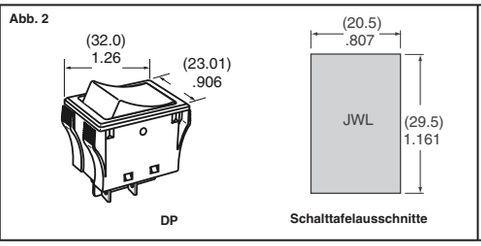

A

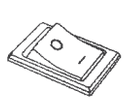

Beschriftung für horizontale Montage

B

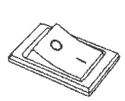

Beschriftung für vertikale Montage

Abb.	Schaltkreis	Funktion	Markierung	Digi-Key Teilenr.	Stückpreis 1	25	100	NKK Teilenr.
1	SPST	Ein-Aus	A	360-1483-ND	6.48	5.19	4.11	JWM11RA1A
	SPST	Ein-Aus	B	360-1484-ND	6.48	5.19	4.11	JWM11RA2A
	SPST	Ein-Aus	A	360-1715-ND†	7.62	6.10	4.83	JWMW11RA1A
	SPST	Ein-Aus	B	360-1716-ND†	7.62	6.10	4.83	JWMW11RA2A
	DPST	Ein-Aus	A	360-1487-ND	8.46	6.77	5.36	JWM21RA1A
	DPST	Ein-Aus	B	360-1488-ND	8.46	6.77	5.36	JWM21RA2A
	DPST	Ein-Aus	A	360-1717-ND†	9.60	7.69	6.09	JWMW21RA1A

Abb.	Schaltkreis	Funktion	Markierung	Digi-Key Teilenr.	Stückpreis 1	25	100	NKK Teilenr.
1	DPST	Ein-Aus	B	360-1718-ND†	9.60	7.69	6.09	JWMW21RA2A
2	SPST	Ein-Aus	A	360-1491-ND	8.46	6.77	5.36	JWL11RA1A
	SPST	Ein-Aus	B	360-1492-ND	8.46	6.77	5.36	JWL11RA2A
	DPST	Ein-Aus	A	360-1495-ND	11.51	9.21	7.29	JWL21RA1A
	DPST	Ein-Aus	B	360-1496-ND	11.51	9.21	7.29	JWL21RA2A
—	Wasserfeste Schalterschutzkappe Serie JWL			360-1011-ND	2.87	2.30	1.82	AT4126

† Versiegelte Platte

ITT Industries
Engineered for life

Wippschalter

Spezifikationen: • Kontaktleistung: 16 A @ 125 V AC, 10 A @ 250 V AC • Lebensdauer der Elektrik: 10.000 Schaltungen bei voller Belastung • Betriebstemp.:65° C
Materialien: • Gehäuse und Betätiger: 6/6 Nylon, matte Oberfläche • Klemmen: Versilbert, Kupferlegierung

Abb. 1 – Serie DA

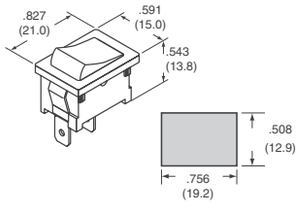

Anschlussklemme:
0,187 Schnellanschluss
† Lötöse
Anwendungen:
• Kleine Haushaltsgeräte
• Computer und Peripheriegeräte
• Medizinische Geräte

Abb. 2 – Serie CR

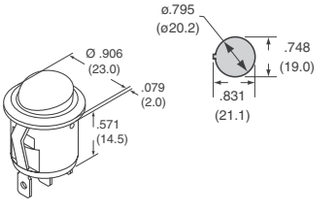

Anschlussklemme:
0,187 Schnellanschluss
Anwendungen:
• Kleine und große Haushaltsgeräte
• Computer und Peripheriegeräte
• Bürogeräte

Abb. 3 – Serie CG

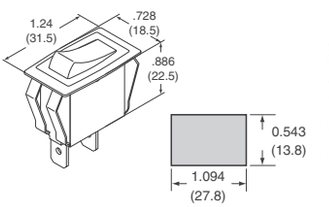

Anschlussklemme:
0,250 Schnellanschluss
Anwendungen:
• Kleine Haushaltsgeräte
• Computer und Peripheriegeräte
• Bedienfelder

Abb. 4 – Serie CL

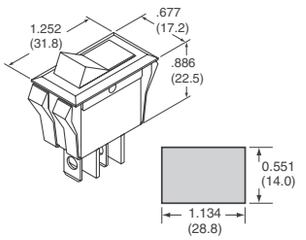

Anschlussklemme:
0,250 Schnellanschluss
Anwendungen:
• Kleine Haushaltsgeräte
• Bodenpflegeprodukte
• Steckerleisten

Abb. 5 – Serie CM

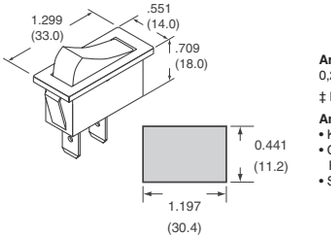

Anschlussklemme:
0,250 Schnellanschluss
‡ Lötklemme
Anwendungen:
• Kleine Haushaltsgeräte
• Computer und Peripheriegeräte
• Stromversorgung

Abb. 6 – Serie CN

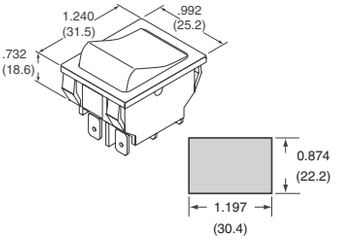

Anschlussklemme:
0,187 Schnellanschluss
§ Lötklemme
Anwendungen:
• Haushaltsgeräte
• Computer und Peripheriegeräte
• Bürogeräte

Betätigertyp

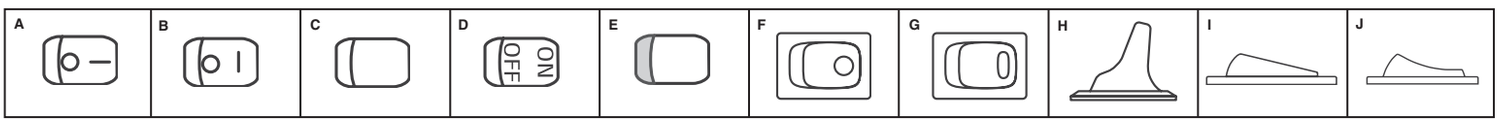

Schaltkreis	Schaltfunktion	Betätigerfarbe	Gehäusefarbe	Betätigertyp	Digi-Key Teilenr.	Stückpreis 1	25	100	ITT Teilenr.
Abb. 1 — Serie DA – 16 A Miniaturwippschalter									
SPDT	Ein/Ein	Weiß	Weiß	C	401-1278-ND	1.42	1.14	.91	DA101J11S115QF
SPDT	Ein/Ein	Weiß	Schwarz	C	401-1279-ND	1.32	1.06	.84	DA101J11S215QF
SPDT	Ein/Ein	Schwarz	Schwarz	C	401-1280-ND	1.22	.98	.78	DA101J12S215QF
SPDT	Ein/Ein	Schwarz	Schwarz	C	401-1281-ND†	1.42	1.14	.91	DA101J12S217QF
SPST	Ein/Aus	Weiß	Schwarz	C	401-1282-ND	1.12	.90	.71	DA102J11S215QF
SPST	Ein/Aus	Schwarz	Schwarz	C	401-1283-ND	1.02	.82	.65	DA102J12S215QF
SPST	Ein/Aus	Schwarz	Schwarz	C	401-1284-ND†	1.22	.98	.78	DA102J12S217QF
SPST	Ein/Aus	Weiß	Schwarz	A	401-1285-ND	1.22	.98	.78	DA102J11S215PQF
SPST	Ein/Aus	Schwarz	Schwarz	D	401-1286-ND	1.12	.90	.71	DA102J12S215DQF
SPST	Ein/Aus	Schwarz	Schwarz	B	401-1287-ND	1.12	.90	.71	DA102J12S215HQF
SPST	Ein/Aus	Schwarz	Schwarz	A	401-1288-ND	1.12	.90	.71	DA102J12S215PQF
SPST	Ein/Aus	Weiß	Schwarz	A/E	401-1289-ND	1.37	1.10	.87	DA102J21S215PQF
SPST	Ein/Aus	Rot	Schwarz	A/E	401-1290-ND	1.37	1.10	.87	DA102J23S215PQF
SPST	Ein/Aus	Bernstein beleuchtet 125 V	Schwarz	C	401-1291-ND	1.32	1.06	.84	DA102J3AS215QF7
SPST	Ein/Aus	Grün beleuchtet 125 V	Schwarz	C	401-1292-ND	1.32	1.06	.84	DA102J3GS215QF7
SPST	Ein/Aus	Rot beleuchtet 125 V	Schwarz	C	401-1293-ND	1.32	1.06	.84	DA102J3RS215QF7
SPST	Ein/Aus	Bernstein beleuchtet 250 V	Schwarz	C	401-1294-ND	1.32	1.06	.84	DA102J3AS215QF8
SPST	Ein/Aus	Grün beleuchtet 250 V	Schwarz	C	401-1295-ND	1.32	1.06	.84	DA102J3GS215QF8
SPST	Ein/Aus	Rot beleuchtet 250 V	Schwarz	C	401-1296-ND	1.19	.96	.76	DA102J3RS215QF8
SPST	Ein/Aus	Rot beleuchtet 125 V	Schwarz	F	401-1297-ND	1.50	1.20	.95	DA102J4RS215QF7
SPST	Ein/Aus	Rot beleuchtet LED	Schwarz	G	401-1298-ND	2.29	1.83	1.45	DA102J5RS215QF6
Abb. 2 — Serie CR – 16 A Rundwippschalter									
SPDT	Ein/Ein	Weiß	Weiß	C	401-1299-ND	1.80	1.45	1.15	CR101J11S115QF
SPDT	Ein/Ein	Weiß	Schwarz	C	401-1300-ND	1.70	1.37	1.08	CR101J11S215QF
SPDT	Ein/Ein	Schwarz	Schwarz	C	401-1301-ND	1.60	1.28	1.02	CR101J12S215QF
SPST	Ein/Aus	Weiß	Schwarz	C	401-1302-ND	1.45	1.16	.92	CR102J11S215QF
SPST	Ein/Aus	Schwarz	Schwarz	C	401-1303-ND	1.35	1.08	.86	CR102J12S215QF
SPST	Ein/Aus	Rot	Schwarz	E	401-1304-ND	1.60	1.28	1.02	CR102J23S215QF
SPST	Ein/Aus	Bernstein beleuchtet 125 V	Schwarz	C	401-1305-ND	1.83	1.47	1.16	CR102J3AS215QF7
SPST	Ein/Aus	Grün beleuchtet 125 V	Schwarz	C	401-1306-ND	1.83	1.47	1.16	CR102J3GS215QF7
SPST	Ein/Aus	Rot beleuchtet 125 V	Schwarz	C	401-1307-ND	1.83	1.47	1.16	CR102J3RS215QF7
SPST	Ein/Aus	Bernstein beleuchtet 250 V	Schwarz	C	401-1308-ND	1.83	1.47	1.16	CR102J3AS215QF8
SPST	Ein/Aus	Grün beleuchtet 250 V	Schwarz	C	401-1309-ND	1.83	1.47	1.16	CR102J3GS215QF8
SPST	Ein/Aus	Rot beleuchtet 250 V	Schwarz	C	401-1310-ND	1.83	1.47	1.16	CR102J3RS215QF8
SPST	Ein/Aus	Rot beleuchtet 125 V	Schwarz	F	401-1311-ND	2.08	1.67	1.32	CR102J4RS215QF7
SPST	Ein/Aus	Rot beleuchtet LED	Schwarz	G	401-1312-ND	2.34	1.87	1.48	CR102J5RS215QF6
SPST	Ein/Aus	Rot 125 V Neon	Schwarz	H	401-1313-ND	2.41	1.94	1.53	CR102JPRS215QF7
SPST	Ein/Aus	Rot 250 V Neon	Schwarz	H	401-1314-ND	2.41	1.94	1.53	CR102JPRS215QF8
Abb. 3 — Serie CG – 16 A Leistungswippschalter mit abgeschrägtem Rahmen									
SPDT	Ein/Ein	Weiß	Weiß	C	401-1315-ND	1.93	1.55	1.23	CG101J11S105QF
SPDT	Ein/Ein	Weiß	Schwarz	C	401-1316-ND	1.83	1.47	1.16	CG101J11S205QF
SPDT	Ein/Ein	Schwarz	Schwarz	C	401-1317-ND	1.73	1.39	1.10	CG101J12S205QF
SPST	Ein/Ein	Weiß	Schwarz	C	401-1318-ND	1.63	1.31	1.03	CG102J11S205QF
SPST	Ein/Aus	Schwarz	Schwarz	C	401-1319-ND	1.52	1.22	.97	CG102J12S205QF
SPST	Ein/Aus	Weiß	Schwarz	A	401-1320-ND	1.73	1.39	1.10	CG102J11S205PQF
SPST	Ein/Aus	Schwarz	Schwarz	D	401-1321-ND	1.63	1.31	1.03	CG102J12S205DQF
SPST	Ein/Aus	Schwarz	Schwarz	B	401-1322-ND	1.63	1.31	1.03	CG102J12S205HQF
SPST	Ein/Aus	Schwarz	Schwarz	A	401-1323-ND	1.63	1.31	1.03	CG102J12S205PQF
SPST	Ein/Aus	Rot	Schwarz	E	401-1324-ND	1.93	1.55	1.23	CG102J23S205QF
SPST	Ein/Aus	Bernstein beleuchtet 125 V	Schwarz	C	401-1325-ND	1.90	1.53	1.21	CG102J3AS205QF7
SPST	Ein/Aus	Grün beleuchtet 125 V	Schwarz	C	401-1326-ND	1.90	1.53	1.21	CG102J3GS205QF7
SPST	Ein/Aus	Rot beleuchtet 125 V	Schwarz	C	401-1327-ND	1.90	1.53	1.21	CG102J3RS205QF7
SPDT	Ein/Aus/Ein	Schwarz	Schwarz	C	401-1328-ND	1.90	1.53	1.21	CG103J12S205QF

Schaltkreis	Schaltfunktion	Betätigerfarbe	Gehäusefarbe	Betätigertyp	Digi-Key Teilenr.	Stückpreis 1	25	100	ITT Teilenr.
Abb. 4 — Serie CL – 16 A Leistungswippschalter									
SPDT	Ein/Ein	Weiß	Schwarz	C	401-1329-ND	1.57	1.26	1.00	CL101J71S205QA
SPDT	Ein/Ein	Schwarz	Schwarz	C	401-1330-ND	1.47	1.18	.94	CL101J72S205QA
SPST	Ein/Aus	Weiß	Schwarz	C	401-1331-ND	1.37	1.10	.87	CL102J71S205QA
SPST	Ein/Aus	Schwarz	Schwarz	C	401-1332-ND	1.27	1.02	.81	CL102J72S205QA
SPST	Ein/Aus	Weiß	Schwarz	A	401-1333-ND	1.47	1.18	.94	CL102J71S205PQA
SPST	Ein/Aus	Schwarz	Schwarz	D	401-1334-ND	1.37	1.10	.87	CL102J72S205DQA
SPST	Ein/Aus	Schwarz	Schwarz	B	401-1335-ND	1.37	1.10	.87	CL102J72S205HQA
SPST	Ein/Aus	Schwarz	Schwarz	A	401-1336-ND	1.37	1.10	.87	CL102J72S205PQA
SPST	Ein/Aus	Bernstein beleuchtet 125 V	Schwarz	C	401-1337-ND	1.47	1.18	.94	CL102J9AS205QA7
SPST	Ein/Aus	Grün beleuchtet 125 V	Schwarz	C	401-1338-ND	1.47	1.18	.94	CL102J9GS205QA7
SPST	Ein/Aus	Rot beleuchtet 125 V	Schwarz	C	401-1339-ND	1.47	1.18	.94	CL102J9RS205QA7
SPDT	Ein/Aus/Ein	Schwarz	Schwarz	C	401-1340-ND	1.65	1.33	1.05	CL103J72S205QA
Abb. 5 — Serie CM – 16 A Leistungswippschalter									
SPDT	Ein/Ein	Weiß	Weiß	J/C	401-1341-ND	1.73	1.39	1.10	CM101J11S105QA
SPDT	Ein/Ein	Weiß	Schwarz	J/C	401-1342-ND	1.63	1.31	1.03	CM101J11S205QA
SPDT	Ein/Ein	Schwarz	Schwarz	J/C	401-1343-ND	1.52	1.22	.97	CM101J12S205QA
SPDT	Ein/Ein	Schwarz	Schwarz	I/C	401-1344-ND	1.52	1.22	.97	CM101J62S205QA
SPDT	Ein/Ein	Schwarz	Schwarz	J/C	401-1345-ND	1.52	1.22	.97	CM101J12S405QA
SPDT	Ein/Ein	Schwarz	Schwarz	J/C	401-1346-ND‡	1.68	1.35	1.07	CM101J12S207QA
SPST	Ein/Aus	Weiß	Schwarz	J/C	401-1347-ND	1.45	1.16	.92	CM102J11S205QA
SPST	Ein/Aus	Schwarz	Schwarz	J/C	401-1348-ND	1.35	1.08	.86	CM102J12S205QA
SPST	Ein/Aus	Schwarz	Schwarz	I/C	401-1349-ND	1.35	1.08	.86	CM102J62S205QA
SPST	Ein/Aus	Schwarz	Schwarz	J/C	401-1350-ND	1.35	1.08	.86	CM102J12S405QA
SPST	Ein/Aus	Schwarz	Schwarz	J/C	401-1351-ND‡	1.50	1.20	.95	CM102J12S207QA
SPST	Ein/Aus	Weiß	Schwarz	J/A	401-1352-ND	1.55	1.24	.99	CM102J11S205PQA
SPST	Ein/Aus	Schwarz	Schwarz	J/D	401-1353-ND	1.45	1.16	.92	CM102J12S205DQA
SPST	Ein/Aus	Schwarz	Schwarz	J/B	401-1354-ND	1.45	1.16	.92	CM102J12S205HQA
SPST	Ein/Aus	Schwarz	Schwarz	J/A	401-1355-ND	1.45	1.16	.92	CM102J12S205PQA
SPST	Ein/Aus	Bernstein beleuchtet 125 V	Schwarz	J/C	401-1356-ND	1.65	1.33	1.05	CM102J3AS205QA7
SPST	Ein/Aus	Grün beleuchtet 125 V	Schwarz	J/C	401-1357-ND	1.65	1.33	1.05	CM102J3GS205QA7
SPST	Ein/Aus	Rot beleuchtet 125 V	Schwarz	J/C	401-1358-ND	1.65	1.33	1.05	CM102J3RS205QA7
SPST	Ein/Aus	Bernstein beleuchtet 250 V	Schwarz	J/C	401-1359-ND	1.65	1.33	1.05	CM102J3AS205QA8
SPST	Ein/Aus	Grün beleuchtet 250 V	Schwarz	J/C	401-1360-ND	1.65	1.33	1.05	CM102J3GS205QA8
SPST	Ein/Aus	Rot beleuchtet 250 V	Schwarz	J/C	401-1361-ND	1.65	1.33	1.05	CM102J3RS205QA8
SPDT	Ein/Aus/Ein	Schwarz	Schwarz	J/C	401-1362-ND	1.90	1.53	1.21	CM103J12S205QA
SPDT	Ein/Aus/Mom.	Schwarz	Schwarz	J/C	401-1363-ND	2.24	1.79	1.42	CM107J12S205QA
Abb. 6 — Serie CN – 16 A doppelpolige Leistungswippschalter									
DPDT	Ein/Ein	Weiß	Weiß	J/C	401-1364-ND	2.77	2.22	1.76	CN201J11S115Q
DPDT	Ein/Ein	Weiß	Schwarz	J/C	401-1365-ND	2.67	2.14	1.69	CN201J11S215Q
DPDT	Ein/Ein	Schwarz	Schwarz	J/C	401-1366-ND	2.57	2.06	1.63	CN201J12S215Q
DPST	Ein/Aus	Weiß	Schwarz	J/C	401-1368-ND	2.46	1.98	1.57	CN202J11S215Q
DPST	Ein/Aus	Schwarz	Schwarz	J/C	401-1369-ND	2.36	1.89	1.50	CN202J12S215Q
DPST	Ein/Aus	Weiß	Schwarz	J/A	401-1372-ND	2.57	2.06	1.63	CN202J11S215PQ
DPST	Ein/Aus	Schwarz	Schwarz	J/D	401-1373-ND	2.46	1.98	1.57	CN202J12S215DQ
DPST	Ein/Aus	Schwarz	Schwarz	J/B	401-1374-ND	2.46	1.98	1.57	CN202J12S215HQ
DPST	Ein/Aus	Schwarz	Schwarz	J/A	401-1375-ND	2.46	1.98	1.57	CN202J12S215PQ
DPST	Ein/Aus	Bernstein beleuchtet 125 V	Schwarz	J/C	401-1377-ND	2.74	2.20	1.74	CN202J3AS215Q7
DPST	Ein/Aus	Grün beleuchtet 125 V	Schwarz	J/C	401-1378-ND	2.74	2.20	1.74	CN202J3GS215Q7
DPST	Ein/Aus	Rot beleuchtet 125 V	Schwarz	J/C	401-1379-ND	2.74	2.20	1.74	CN202J3RS215Q7
DPST	Ein/Aus	Bernstein beleuchtet 250 V	Schwarz	J/C	401-1380-ND	2.74	2.20	1.74	CN202J3AS215Q8
DPST	Ein/Aus	Grün beleuchtet 250 V	Schwarz	J/C	401-1381-ND	2.74	2.20	1.74	CN202J3GS215Q8
DPST	Ein/Aus	Rot beleuchtet 250 V	Schwarz	J/C	401-1382-ND	2.74	2.20	1.74	CN202J3RS215Q8

†, ‡, Für Anschlussinformationen siehe Abbildungsnummer.

H

Alle Preisangaben in Euro und inklusive Zollgebühren.

Wippschalter

Kontaktmaterial

B Kontakte und Anschlüsse: Kupferlegierung, vergoldet über Nickelplattierung
Nennleistung: Max. 0,4 VA bei max. 20 V AC oder DC

Q Endkontakte: Münzsilber, versilbert. Mittlerer Kontakt und alle Anschlussklemmen: Kupferlegierung, versilbert
Leistung: 5 A @ 120 V AC oder 28 V DC; 2 A @ 250 V AC
Serie C: 15 A @ 125 V AC oder 10 A @ 250 V AC
Serie DM: 10 A @ 125 V AC oder 5 A @ 250 V AC
Serie DM2X/DM14/DM24: 3 A @ 125 V AC oder 2 A @ 250 V AC
Serie DF: 16 A @ 125 V AC oder 250 V AC
Serie D10X/D20X: 4 A @ 125 V AC oder 2 A @ 250 V AC
Serie D50X/D60X: 10 A @ 125 V AC oder 5 A @ 250 V AC
Serie E1XX/ E2XX: 7,5 A @ 125 V AC oder 28 V DC, 3 A @ 250 V AC; T-Serie: 3 A @ 120 V AC
Serie 7000: 5 A @ 120 V AC oder 28 V DC
Serie 9201: 6 A @ 120 V AC oder 28 V DC, 3 A @ 250 V AC
Serie 9221: 10 A @ 125 V AC oder 28 V DC, 5 A @ 250 V AC

Abschlusswiderstandsoptionen

05

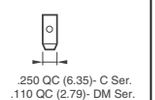

Z

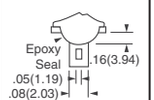

Z4

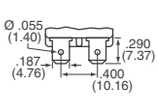

V3

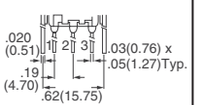

A

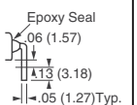

AV2

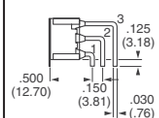

Abb. 1

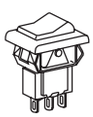

Abb. 2

Abb. 3

Abb. 4

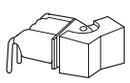

Abb. 5

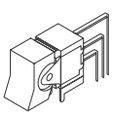

Abb. 6

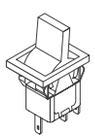

Abb. 7

Serie C

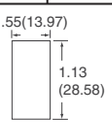

Plattenausschnitt

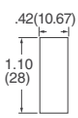

Serie CA

Abb. 8

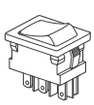

Abb. 9

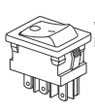

Vert. weiße Markierung

Abb. 10

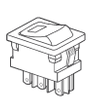

LED-beleuchtet

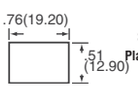

SP-Modelle, Plattenausschnitt

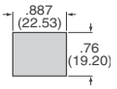

DP-Modelle, Plattenausschnitt

Abb. 11

Leiterplattenmontage

Abb. 12

Hebeltyp

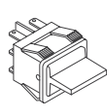

Abb. 13

Abb. 14

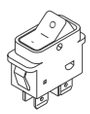

Abb. 15

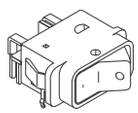

Abb.	Schaltkreis	Betätigerbeschreibung	Schaltfunktion	Optionen (siehe Diagramm.) Anschluss	Optionen (siehe Diagramm.) Kontaktmaterial	Digi-Key Teilenr.	Stückpreis 1	Stückpreis 25	Stückpreis 100	ITT Industries Teilenr.
				Mini-Wippschalter						
1	SPDT	Rocker/Frame**	Ein-Aus-Mom	Z	Q	CKN2024-ND	6.97	5.58	4.42	7107J51ZQE22
		Rocker/Frame**	Ein-Mom	Z	Q	CKN2027-ND	6.97	5.58	4.42	7108J51ZQE22
	DPDT	Rocker/Frame**	Ein-Ein	Z	Q	CKN2029-ND	9.56	7.65	6.06	7201J16ZQE22
		Rocker/Frame**	Ein-Ein	Z	Q	CKN2033-ND	8.55	6.84	5.42	7201J51ZQE22
		Rocker/Frame**	Ein-Aus-Ein	Z	Q	CKN2037-ND	9.35	7.49	5.93	7203J51ZQE22
		Rocker/Frame**	Mom-Aus-Mom	Z	Q	CKN2040-ND	9.35	7.49	5.93	7205J51ZQE22
2	SPDT	Schwarz	Ein-Ein	Z	Q	CKN2007-ND	5.62	4.50	3.56	7101J1ZQE2
3	SPDT	Schwarz	Ein-Ein	V3	B	CKN2072-ND	7.20	5.77	4.57	E101J1V3BE2
		Schwarz	Mom-Aus-Mom	V3	B	CKN2073-ND	8.16	6.53	5.17	E105J1V3BE2
		Schwarz	Ein-Ein	V3	B	CKN2078-ND	6.09	4.88	3.86	T101J1V3BE2
	DPDT	Schwarz	Ein-Ein	V3	B	CKN2032-ND	9.14	7.32	5.80	7201J1V3BE2
		Schwarz	Ein-Ein	V3	B	CKN2076-ND	10.05	8.05	6.37	E201J1V3BE2
4	SPDT	Schwarz	Ein-Ein	A	Q	CKN2005-ND	6.19	4.96	3.93	7101J1AQE2
		Schwarz	Ein-Ein	A	B	CKN2069-ND	6.26	5.02	3.97	E101J1ABE2
		Schwarz	Ein-Ein	A	Q	CKN2070-ND	6.26	5.02	3.97	E101J1AQE2
		Schwarz	Ein-Ein	A	B	CKN2077-ND	6.63	5.31	4.20	ET01J6ABE2
—	SPDT	Schwarz	Ein-Ein	A	Q	CKC2021-ND	3.24	2.60	2.06	JA01J12AQ
4	DPDT	Schwarz	Ein-Ein	A	Q	CKN2006-ND	8.86	7.09	5.62	7201J1AQE2
		Schwarz	Ein-Ein	A	B	CKN2074-ND	9.24	7.40	5.86	E201J1ABE2
		Schwarz	Ein-Ein	A	B	CKN2079-ND	9.12	7.30	5.78	T201J1ABE2
5	DPDT	Schwarz	Ein-Ein	AV2	B	CKN2071-ND	6.82	5.46	4.32	E101J1AV2BE2
		Schwarz	Ein-Ein	AV2	B	CKN2030-ND	9.41	7.53	5.96	7201J1AV2BE2
		Schwarz	Ein-Ein	AV2	Q	CKN2031-ND	9.41	7.53	5.96	7201J1AV2QE2
		Schwarz	Ein-Ein	AV2	Q	CKN2075-ND	9.80	7.84	6.21	E201J1AV2QE2
6	DPDT	Hebel/Rahmen	Ein-Ein	Z	Q	CKN2035-ND	8.55	6.84	5.42	7201J61ZQE22
		Hebel/Rahmen	Ein-Aus-Ein	Z	Q	CKN2038-ND	9.35	7.49	5.93	7203J61ZQE22
		Hebel/Rahmen	Mom-Aus-Mom	Z	Q	CKN2041-ND	9.35	7.49	5.93	7205J61ZQE22
				Leistungswippschalter						
2	DPDT	Schwarz	Ein-Ein	Z4	Q	CKN2047-ND	22.49	17.99	14.25	9221J1Z4QD2
5	DPDT	Schwarz	Ein-Ein	AV2	Q	CKN2046-ND	18.06	14.45	11.44	9201J1AV2QE2
7	SPST	O -	Ein-Aus	05	Q	CKN2049-ND‡	3.78	3.03	2.40	C122J12S205PQF
		Bel./grün	Ein-Aus	05	Q	CKN2052-ND	2.80	2.24	1.78	CA04J167207PQ
	SPDT	Schwarz	Ein-Ein	05	Q	CKC2008-ND	3.94	2.27	1.91	C121J12S205QF
		Rot	Ein-Ein	05	Q	CKC2025-ND	3.86	3.09	2.45	C121J13S205QF
		Schwarz	Ein-Ein	05	Q	CKC1238-ND	1.90	1.10	.93	CA01J12207Q
		Grün	Ein-Ein	05	Q	CKC1241-ND	2.23	1.29	1.08	CA01J16207Q
		Bel./rot	Ein-Ein	05	Q	CKC1242-ND	2.68	1.55	1.30	CA04J137207Q
		Bel./gelb.	Ein-Aus	05	Q	CKC1244-ND	2.68	1.55	1.30	CA04J157207Q
		Schwarz	Ein-Ein	05	Q	CKN2048-ND	2.57	2.06	1.63	C121J12S205QA
	DPST	O -	Ein-Aus	05	Q	CKN2051-ND‡	4.72	3.78	2.99	C222J12S205PQF
	DPDT	Schwarz	Ein-Ein	05	Q	CKC2026-ND†	4.49	3.59	2.84	C221J12S205QF
		Rot	Ein-Ein	05	Q	CKC2027-ND†	4.77	3.82	3.02	C221J13S205QF
		Schwarz	Ein-Ein	05	Q	CKN2050-ND	3.47	2.78	2.20	C221J12S205QA
8	SPST	Schwarz	Ein-Aus	05	Q	CKN2055-ND	3.89	3.11	2.47	D102J12S205PQF
		Schwarz	Ein-Aus	A	Q	CKN2058-ND	4.01	3.22	2.55	D502J12S2AHQF
	SPDT	Schwarz	Ein-Aus-Ein	05	Q	CKC2012-ND	3.55	2.84	2.25	D503J12S205QA
		Schwarz	Ein-Mom	05	Q	CKC2013-ND	3.84	3.07	2.43	D508J12S205QA
		Schwarz	Mom-Aus-Mom	05	Q	CKC2022-ND	5.99	4.79	3.79	D105J12S205QA
		Schwarz	Ein-Ein	05	Q	CKN2053-ND	2.90	2.33	1.84	D101J12S205QA
		Schwarz	Ein-Ein	05	Q	CKN2054-ND	3.24	2.60	2.06	D101J12S215HQF
		Schwarz	Ein-Ein	05	Q	CKN2056-ND	3.37	2.70	2.14	D501J12S215PQF
		Schwarz	Ein-Ein	05	Q	CKN2057-ND	2.12	1.70	1.35	D501J12S215QA
	DPST	Schwarz	Ein-Aus	05	Q	CKN2060-ND	5.39	4.32	3.42	D602J12S205PQF
		Schwarz	Ein-Aus	05	Q	CKN2067-ND	4.15	3.32	2.63	DM62J12S205Q
	DPDT	Schwarz	Ein-Ein	05	Q	CKN2059-ND	4.74	3.80	3.01	D601J12S215PQF
		Schwarz	Ein-Ein	05	Q	CKC2009-ND	3.34	2.89	2.44	DM61J12S205Q
9	SPST	O -	Ein-Aus	05	Q	CKC2011-ND‡	3.11	2.49	1.97	D502J12S215PQF
	DPDT	O -	Ein-Ein	05	Q	CKC2018-ND‡	4.92	3.94	3.12	DM61J12S205PQ
	DPST	O -	Ein-Aus	05	Q	CKC2019-ND‡	4.51	3.61	2.86	DM62J12S205PQ
10	SPST	Bel./rot	Ein-Aus	05	Q	CKN2064-ND	4.15	3.32	2.63	DM14J72S205Q3
		Bel./rot	Ein-Aus	05	Q	CKC2017-ND	4.43	3.55	2.81	DM54J72S205Q3
	DPST	Bel./bernstein	Ein-Aus	05	Q	CKN2065-ND	5.05	4.05	3.20	DM24J72S205Q4
		Bel./grün	Ein-Aus	05	Q	CKN2066-ND	5.05	4.05	3.20	DM24J72S205Q6
		Bel./grün	Ein-Aus	05	Q	CKN2068-ND	5.33	4.27	3.38	DM64J72S205Q6
		Bel./rot	Ein-Aus	05	Q	CKC2020-ND	5.00	4.01	3.17	DM64J72S205Q3
—	DPST	O -	Ein-Aus	05	Q	CKC2016-ND‡	5.62	4.50	3.56	DF62J12S215PQF
11	SPDT	O -	Ein-Ein	A	Q	CKC2010-ND‡	4.28	3.42	2.71	D501J12S2APQF
		O I	Ein-Ein	A	Q	CKC2023-ND‡	4.28	3.42	2.71	D501J12S2AHQF
12	DPDT	Schwarz	Ein-Ein	05	Q	CKC2024-ND	3.37	2.70	2.14	D201J52S215QA
13	DPDT	Schwarz	Ein-Mom	05	Q	CKC2015-ND*	5.65	4.52	3.58	D608J12S205QA
		O -	Aus-Ein	05	Q	CKC2014-ND*‡	4.49	3.59	2.84	D602J12S215PQF
14	DPST	O I	Ein-Aus	05	Q	CKN2061-ND‡	5.62	4.50	3.56	DF62J12S215HQF
15	DPST	O I	Ein-Aus	—	Q	CKN2062-ND‡	5.11	4.09	3.24	DF62J12S2AHQA
		O -	Ein-Aus	—	Q	CKN2063-ND‡	6.01	4.81	3.81	DF62J12S2APQF

† Plattenausschnitt ist 1,00" x 1,125" (25,40 mm x 28,58 mm) * Plattenausschnitt ist 0,756" x 0,887" (19,20 mm x 22,53 mm) ‡ Weiße Markierung

** Wippschalter/Rahmen

H

CW INDUSTRIES Plattenbefestigte Wippschalter

Mini-Wippschalter

CW-Wippschalter sind ein- oder doppelpolige Schalter für Stromstärken, für die sonst nur wesentlich größere Schalter geeignet sind. Standardmäßig schwarzes Gehäuse mit einem schwarzen oder roten Knopf. Für einzigartige Designanforderungen, die über den Erfolg des Produkts entscheiden können. Schalter mit Markierungen zeigen weiße gestanzte Markierungen auf dem Wippschalterknopf. Beleuchtete „Soft Glow"-Schalter sind Neonbirnen für 110 V AC und rot diffundierte Linsen. Alle Anschlüsse sind 0,187" Schnellanschlüsse. **Typische Anwendungen:** Motorisierte Geräte, Instrumente, Haushaltsgeräte, autom. Zubehör, Wohnmobile sowie Telekommunikationsgeräte, Computerausrüstung und Peripheriegeräte für Computer. **MATERIAL: • Wippschalterknopf:** Nylon 94V-2. • **Gehäuse:** Nylon 94V-2 • **Anschluss/stationärer/beweglicher Kontakt:** Kupferlegierung und/oder versilberte Kupferlegierung. **BEFESTIGUNG:** Selbstschließend ohne Kleinteile beim Eindrücken in Plattenausschnitt. Zulässige Plattendicke von 0,050" ~ 0,150" (1,27 mm ~ 3,81 mm). **LEISTUNGSSTANDARDS: Kontaktwiderstand:** weniger als 0,01 Ω bei 10 mA (anfänglich). **Betriebstemp.:** Max.105° C **Vorsicht:** Gratrichtung muss von der Einsteckrichtung wegzeigen.

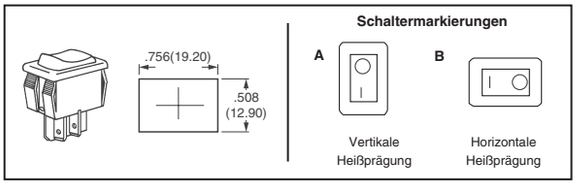

Schaltermarkierung	Farbe des Wippschalters	Schaltkreis	Oberfläche	Schaltfunktion	Elektrische Nennwerte	Auflistung der Agenturen	Digi-Key Teilenr.	Stückpreis 1	10	100	500	CW Industries Teilenr.
—	Schwarz	SPST	Matt	Ein/Aus	16A 125-250VAC	UL, CSA, VDE	SW339-ND*	1.03	.93	.70	.47	GRS-4011-0024
—	Schwarz	SPST	Matt	Ein/Aus	16A 125-250VAC	UL, CSA, VDE	SW301-ND	.98	.88	.66	.44	GRS-4011-1600
—	Rot	SPST	Matt	Ein/Aus	16A 125-250VAC	UL, CSA, VDE	SW302-ND	.98	.88	.66	.44	GRS-4011-0040
B	Schwarz	SPST	Matt	Ein/Aus	16A 125-250VAC	UL, CSA, VDE	SW322-ND	1.13	1.02	.76	.51	GRS-4011-0068
A	Schwarz	SPST	Matt	Ein/Aus	16A 125-250VAC	UL, CSA, VDE	SW323-ND	1.13	1.02	.76	.51	GRS-4011-0076
—	Schwarz	SPDT	Matt	Ein/Ein	16A 125-250VAC	UL, CSA, VDE	SW303-ND	1.06	.95	.72	.48	GRS-4012-1600
—	Rot	SPDT	Matt	Ein/Ein	16A 125-250VAC	UL, CSA, VDE	SW304-ND	1.09	.98	.74	.49	GRS-4012-0026
A	Schwarz	SPDT	Matt	Ein/Ein	16A 125-250VAC	UL, CSA, VDE	SW324-ND	1.21	1.09	.82	.55	GRS-4012-0047
—	Schwarz	DPDT	Matt	Ein/Ein	16A 125-250VAC	UL, CSA, VDE	SW307-ND	1.51	1.36	1.02	.68	GRS-4022-1600
—	Rot	DPDT	Matt	Ein/Ein	16A 125-250VAC	UL, CSA, VDE	SW308-ND	1.51	1.36	1.02	.68	GRS-4022-0010
A	Schwarz	DPDT	Matt	Ein/Ein	16A 125-250VAC	UL, CSA, VDE	SW325-ND	1.66	1.49	1.12	.75	GRS-4022-0013
—	Schwarz	SPDT	Matt	Ein/Aus/Ein	13A 125VAC, 10A 250VAC	UL, CSA	SW305-ND	1.35	1.21	.91	.61	GRS-4013A-1300
—	Rot	SPDT	Matt	Ein/Aus/Ein	13A 125VAC, 10A 250VAC	UL, CSA	SW306-ND	1.35	1.21	.91	.61	GRS-4013A-0008
—	Schwarz	SPST	Matt	Aus/Mom	3A 125VAC, 10A 250VAC	UL, CSA	SW329-ND	1.13	1.02	.77	.51	GRS-4011B-1300
—	Schwarz	SPDT	Matt	Mom/Aus/Mom	8A 125VAC, 4A 250VAC	UL, CSA	SW340-ND	1.31	1.18	.89	.59	GRS-4013C-0001
—	Schwarz	DPDT	Matt	Ein/Aus/Ein	13A 125VAC, 10A 250VAC	UL, CSA	SW309-ND	1.79	1.61	1.21	.81	GRS-4023A-1300
—	Rot	DPDT	Matt	Ein/Aus/Ein	13A 125VAC, 10A 250VAC	UL, CSA	SW310-ND	1.79	1.61	1.21	.81	GRS-4023A-0009
—	Schwarz	DPST	Matt	Aus/Mom	3A 125VAC, 10A 250VAC	UL, CSA	SW330-ND	1.58	1.42	1.07	.71	GRS-4021B-0000
—	Schwarz	DPDT	Matt	Mom/Aus/Mom	13A 125VAC, 10A 250VAC	UL, CSA	SW311-ND	1.79	1.61	1.21	.81	GRS-4023C-1300
—	Rot	DPDT	Matt	Mom/Aus/Mom	13A 125VAC, 10A 250VAC	UL, CSA	SW312-ND	1.79	1.61	1.21	.81	GRS-4023C-0005
—	Rot beleuchtet	SPST	Matt	Ein/Aus	16A 125VAC	UL, CSA	SW300-ND	2.48	2.22	1.67	1.11	GRL-4011-1600

* Hinweis: Ringklemmen

Standard-Wippschalter

CW-Wippschalter lösen die Schaltprobleme des Benutzers und stellen Designer zufrieden. Sie lassen sich einfach befestigen, anpassen und bedienen. Heißprägungsversionen werden zur Identifizierung der Schalterposition markiert; die beleuchtete Version ist eine Neonbirne für 120 V AC. **BETRIEBSNORMEN: Temperatur:** 105 °C max. **Kontaktwiderstand:** 0,01 Ω bei 10 mA. **MATERIAL: Wippschalterknopf:** Nylon 94V-4. **Gehäuse:** Nylon 94V-2. **Klemmenbrett:** Nylon 94V-0. **Klemme/fester Kontakt:** Kupferlegierung und/oder versilberte Kupferlegierung. **BEFESTIGUNG:** Ohne Kleinteile oder Werkzeuge; selbstschließend durch Eindrücken in den Plattenausschnitt. Zulässige Plattendicke von 0,025" ~ 0,180" (0,64 mm ~ 4,57 mm). Alle Klemmen 0,250" Schnellanschluss. ***Vorsicht:*** Gratrichtung muss von der Einsteckrichtung wegzeigen.

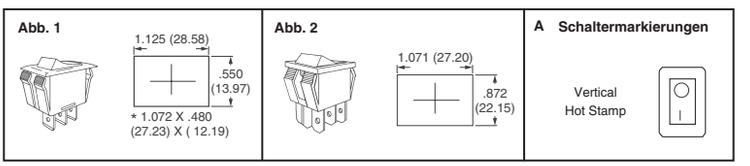

Abb.	Schaltermarkierung	Farbe des Wippschalters	Oberfläche	Schaltkreis	Schaltfunktion	Elektrische Nennwerte	Auflistung der Agenturen	Digi-Key Teilenr.	Stückpreis 1	10	100	500	CW Industries Teilenr.
	—	Rot beleuchtet	Matt	SPST-NO	Ein/Aus	16A 125VAC, 12A 250VAC	UL, CSA, VDE	SW313-ND	2.01	1.80	1.35	.90	GRL-2011-1600
	—	Schwarz	Matt	SPST-NO	Ein/Aus	16A 125VAC, 12A 250VAC	UL, CSA, VDE	SW314-ND	.90	.81	.61	.41	GRS-2011-2000
1	—	Rot	Matt	SPST-NO	Ein/Aus	16A 125VAC, 12A 250VAC	UL, CSA, VDE	SW315-ND	.95	.85	.64	.43	GRS-2011-2019
	A	Schwarz	Matt	SPST-NO	Ein/Aus	16A 125VAC, 12A 250VAC	UL, CSA, VDE	SW326-ND	1.04	.94	.70	.47	GRS-2011-2080
	—	Schwarz	Matt	SPST-NO	Ein/Aus	16A 125VAC, 12A 250VAC	UL, CSA, VDE	SW316-ND*	.95	.85	.64	.43	GRS-2011-3000
	—	Schwarz	Matt	SPDT	Ein/Ein	16A 125VAC, 12A 250VAC	UL, CSA, VDE	SW319-ND*	1.02	.92	.69	.46	GRS-2012-3000
	A	Schwarz	Matt	SPST	Ein/Aus	16A 125VAC, 12A 250VAC	UL, CSA, VDE	SW341-ND*	1.09	.98	.74	.49	GRS-2011-3020
1	—	Schwarz	Matt	SPDT	Ein/Ein	16A 125VAC, 12A 250VAC	UL, CSA, VDE	SW317-ND	1.02	.92	.69	.46	GRS-2012-2000
	—	Rot	Matt	SPDT	Ein/Ein	16A 125VAC, 12A 250VAC	UL, CSA, VDE	SW318-ND	1.02	.92	.69	.46	GRS-2012-2009
	A	Schwarz	Matt	SPDT	Ein/Ein	16A 125VAC, 12A 250VAC	UL, CSA, VDE	SW327-ND	1.17	1.05	.79	.53	GRS-2012-2028
	—	Schwarz	Matt	SPDT	Ein/Aus/Ein	16A 125VAC, 12A 250VAC	UL, CSA	SW320-ND	1.31	1.18	.89	.59	GRS-2013A-2000
	—	Schwarz	Matt	SPST-NO	Aus/Mom	13A 125VAC	UL, CSA	SW613-ND	1.04	.94	.71	.47	GRS-2011B-2000
1	—	Schwarz	Matt	SPST-NC	Ein/Mom	13A 125VAC	UL, CSA	SW614-ND	1.04	.94	.71	.47	GRS-2011C-2000
	—	Schwarz	Matt	SPDT	Mom/Aus/Mom	13A 125VAC, 10A 250VAC	UL, CSA	SW622-ND	1.42	1.28	.96	.64	GRS-2013C-1300
	—	Schwarz	Matt	SPDT	Ein/Ein	16A 125VAC, 12A 250VAC	UL, CSA, VDE	SW623-ND	1.02	.92	.69	.46	GRS-2012-2600
	—	Schwarz	Matt	SPST	Ein/Aus	16A 125VAC, 12A 250VAC	UL, CSA, VDE	SW624-ND	.90	.81	.61	.41	GRS-2011-2600
2	—	Schwarz	Matt	DPDT	Ein/Ein	16A 125VAC, 12A 250VAC	UL, CSA, VDE	SW321-ND	2.44	2.19	1.64	1.10	GR-2022-1600
	A	Schwarz	Matt	DPDT	Ein/Ein	16A 125VAC, 12A 250VAC	UL, CSA, VDE	SW328-ND	2.59	2.32	1.74	1.16	GR-2022-0007

* Abmessungen: 1,072" x 0,480" (27,23 mm x 12,19 mm)

StyleLine™ Wippschalter

Die StyleLine-Wippschalte der Serie GRS-2000 von CW sind in den Versionen SPST, SPDT und Trennschalter erhältlich und entsprechen dem zeitgemäßen Produktdesign bzw. zeitgemäßen weltweiten Aussehenstrends. Diese Schalter zeichnen sich durch modernes Styling mit konturiertem Design und attraktiver, schlanker Form aus und sind mit Langglanz-Finish oder mattem Finish erhältlich. Sie eignen sich ideal für Haushaltsgeräte, Freizeitgeräte, medizinische und wissenschaftliche Geräte, Testgeräte, Sicherheitssysteme, Computer, Peripheriegeräte für Computer und für viele andere Produkte, für die Leistung und Stil wichtig sind. Alle Anschlüsse bestehen aus 0,250" Schnellanschlüssen.

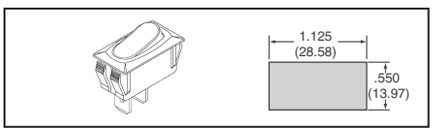

Farbe des Wippschalters	Oberfläche	Schaltkreis	Schaltfunktion	Elektrische Nennwerte	Auflistung der Agenturen	Digi-Key Teilenr.	Stückpreis 1	10	100	500	CW Industries Teilenr.
Schwarz	Matt	SPST	Ein/Aus	16A 125VAC	UL, CSA, VDE	SW601-ND	1.13	1.01	.77	.51	GRS-2011-2400
Weiß	Matt	SPST	Ein/Aus	16A 125VAC	UL, CSA, VDE	SW602-ND	1.18	1.06	.80	.53	GRS-2011-2401
Schwarz	Langglanz	SPST	Ein/Aus	16A 125VAC	UL, CSA, VDE	SW603-ND	1.13	1.01	.77	.51	GRS-2011-2500
Weiß	Langglanz	SPST	Ein/Aus	16A 125VAC	UL, CSA, VDE	SW604-ND	1.18	1.06	.80	.53	GRS-2011-2501
Schwarz	Matt	SPDT	Ein/Aus	16A 125VAC	UL, CSA, VDE	SW605-ND	1.27	1.15	.87	.58	GRS-2012-2400
Weiß	Matt	SPDT	Ein/Aus	16A 125VAC	UL, CSA, VDE	SW606-ND	1.33	1.20	.90	.60	GRS-2012-2401
Schwarz	Langglanz	SPDT	Ein/Aus	16A 125VAC	UL, CSA, VDE	SW607-ND	1.27	1.15	.87	.58	GRS-2012-2503
Weiß	Langglanz	SPDT	Ein/Aus	16A 125VAC	UL, CSA, VDE	SW608-ND	1.33	1.20	.90	.60	GRS-2012-2504
Schwarz	Matt	SPDT	Ein/Aus/Ein	16A 125VAC	UL, CSA, VDE	SW609-ND	1.65	1.48	1.11	.74	GRS-2013A-2400
Weiß	Matt	SPDT	Ein/Aus/Ein	16A 125VAC	UL, CSA, VDE	SW610-ND	1.71	1.53	1.15	.77	GRS-2013A-2401
Schwarz	Langglanz	SPDT	Ein/Aus/Ein	16A 125VAC	UL, CSA, VDE	SW611-ND	1.65	1.48	1.11	.74	GRS-2013A-2500
Weiß	Langglanz	SPDT	Ein/Aus/Ein	16A 125VAC	UL, CSA, VDE	SW612-ND	1.71	1.53	1.15	.77	GRS-2013A-2501

IndicON™ Wippschalter

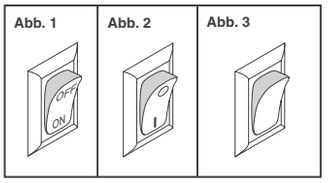

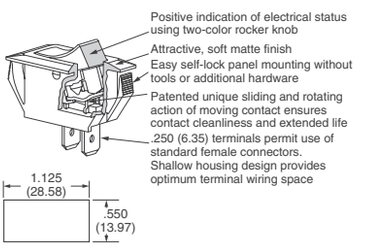

IndicON-Wippschalter - die richtige Wahl für optimale Leistung und modernes Styling. Positive Anzeige, ob sich der Schalter in der „Ein"- oder „Aus"-Stellung befindet. Im Gegensatz zu beleuchteten Wippschaltern, die mit der Zeit durchbrennen können, gibt es bei IndicON-Schaltern keine Sicherheitsbedenken. **Merkmale:** • Sparsame Alternative zu beleuchteten Schaltern • Schnelle und sichere Installation ohne Kleinteile • Lange Lebensdauer, zuverlässiger Betrieb • Zweifarbige Formteile für permanente Beschriftung • Styling durchaus mit anderen CW-Schaltern vergleichbar **Elektrische Daten:** 16 A @ 125 V AC - Leistung ohne Edelmetalle **Behördliche Zulassungen:** UL, CSA und VDE

Abb.	Schalterfarbe	Betätigerfarbe	Schaltkreisfunktion	Schaltertyp	Anschlusstyp Zoll (mm)	Digi-Key Teilenr.	Stückpreis 1	10	100	500	CW Industries Teilenr.
1	Schwarz	Rot	SPST	Ein-Aus	.250QC (6.35)	SW344-ND	1.02	.91	.69	.46	NAA-111-BI11-00
1	Schwarz	Rot	SPDT	Ein-Ein	.250QC (6.35)	SW349-ND	1.08	.98	.73	.49	NBA-111-BI11-00
2	Schwarz	Rot	SPST	Ein-Aus	.250QC (6.35)	SW354-ND	1.02	.91	.69	.46	NAA-111-BI21-00
3	Schwarz	Rot	SPST	Ein-Aus	.250QC (6.35)	SW620-ND	.90	.81	.61	.41	NAA-111-BI31-00
3	Schwarz	Rot	SPDT	Ein-Ein	.250QC (6.35)	SW621-ND	1.08	.98	.73	.49	NBA-111-BI31-00

Alle Preisangaben in Euro und inklusive Zollgebühren.

E-SWITCH® Mini-Wippschalter

Spezifikationen: Versilberte oder vergoldete Kupferlegierung **Wippschalter:** Nylon **Durchführung:** Messing vernickelt **Gehäuse:** Edelstahl **Betriebstemperatur:** -30 °C – 85 °C

Abb. 1

Abb. 2

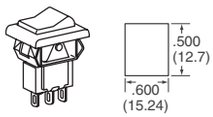

Abb. 3

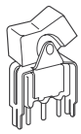

Abb. 4

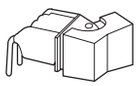

Abb. 5

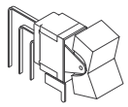

Abb. 6

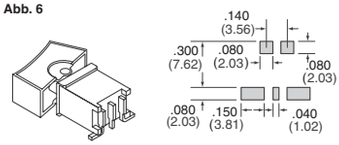

Abm. in Zoll (mm)

Abb.	Schaltkreis	Betätigerfarbe	Schaltfunktion	Anschlussklemme	Kontaktleistung	Digi-Key Teilenr.	Stückpreis 1	10	100	E-Switch Teilenr.
Mini-Wippschalter										
1	SPDT	Schwarz	Ein-Ein	Lötöse	5A	EG4306-ND	5.29	4.77	4.06	300SP1R1BLKM1QE
1	SPDT	Schwarz	Ein-Aus-Ein	Lötöse	5A	EG4307-ND	5.77	5.19	4.43	300SP3R1BLKM1QE
1	DPDT	Schwarz	Ein-Ein	Lötöse	5A	EG4308-ND	6.27	5.65	4.81	300DP1R1BLKM1QE
1	DPDT	Schwarz	Ein-Aus-Ein	Lötöse	5A	EG4309-ND	6.82	6.13	5.23	300DP3R1BLKM1QE
2	SPDT	Schwarz	Ein-Ein	Lötöse	5A	EG4310-ND	6.63	5.97	5.09	300SP1R6BLKM1QEBLK
3	SPDT	Schwarz	Ein-Ein	Leiterplatte	5A	EG4311-ND	5.29	4.77	4.06	300SP1J1BLKM2QE
3	SPDT	Schwarz	Ein-Ein	Leiterplatte	0.4VA	EG4312-ND*	5.62	5.07	4.32	300SP1J1BLKM2RE
4	SPDT	Schwarz	Ein-Ein	Rechtwinklig, Leiterplatte	5A	EG4313-ND	5.43	4.89	4.17	300SP1J1BLKM6QE
5	SPDT	Schwarz	Ein-Ein	Vertikal rechtwinklig	5A	EG4314-ND	5.65	5.09	4.33	300SP1J1BLKM7QE
Mini-Wippschalter, lötbeständig versiegelt										
1	SPDT	Schwarz	Ein-Ein	Lötöse	5A	EG4315-ND	5.76	5.19	4.42	300AWSP1R1BLKM1QE
1	SPDT	Schwarz	Ein-Aus-Ein	Lötöse	5A	EG4316-ND	6.31	5.68	4.84	300AWSP3R1BLKM1QE
1	DPDT	Schwarz	Ein-Ein	Lötöse	5A	EG4317-ND	6.63	5.97	5.09	300AWDP1R1BLKM1QE
1	DPDT	Schwarz	Ein-Aus-Ein	Lötöse	5A	EG4318-ND	7.18	6.46	5.51	300AWDP3R1BLKM1QE
3	SPDT	Schwarz	Ein-Ein	Leiterplatte	5A	EG4341-ND	4.35	3.92	3.34	300AWSP1J1M2QE
3	SPDT	Schwarz	Ein-Ein	Leiterplatte	0.4VA	EG4320-ND*	6.26	5.64	4.81	300AWSP1J1M2RE
4	SPDT	Schwarz	Ein-Ein	Rechtwinklig, Leiterplatte	5A	EG4321-ND	6.07	5.47	4.66	300AWSP1J1M6QE
5	SPDT	Schwarz	Ein-Ein	Vertikal rechtwinklig	5A	EG4322-ND	6.26	5.63	4.80	300AWSP1J1M7QE
Sub-Mini-Wippschalter										
1	SPDT	Schwarz	Ein-Ein	Lötöse	3A	EG4323-ND	4.66	4.20	3.58	400MSP1R1BLKM1QE
1	SPDT	Schwarz	Ein-Ein	Lötöse	0.4VA	EG4324-ND*	4.93	4.44	3.78	400MSP1R1BLKM1RE
1	DPDT	Schwarz	Ein-Ein	Lötöse	3A	EG4325-ND	6.17	5.56	4.74	400MDP1R1BLKM1QE
4	SPDT	Schwarz	Ein-Ein	Rechtwinklig, Leiterplatte	3A	EG4326-ND	5.16	4.64	3.96	400MSP1R6BLKM6QE
4	SPDT	Schwarz	Ein-Ein	Rechtwinklig, Leiterplatte	0.4VA	EG4327-ND*	5.42	4.88	4.16	400MSP1R6BLKM6RE
5	SPDT	Schwarz	Ein-Ein	Vertikal rechtwinklig	3A	EG4328-ND	5.33	4.80	4.09	400MSP1R1BLKM7QE
5	SPDT	Schwarz	Ein-Ein	Vertikal rechtwinklig	0.4VA	EG4329-ND*	3.05	2.75	2.34	400MSP1R1BLKM7RE
Lötbeständig versiegelte Sub-Mini-Wippschalter										
1	SPDT	Schwarz	Ein-Ein	Lötöse	3A	EG4330-ND	4.75	4.28	3.65	400AWMSP1R1BLKM1QE
1	SPDT	Schwarz	Ein-Ein	Lötöse	0.4VA	EG4331-ND*	4.94	4.45	3.79	400AWMSP1R1BLKM1RE
4	SPDT	Schwarz	Ein-Ein	Rechtwinklig, Leiterplatte	3A	EG4332-ND	5.38	4.84	4.13	400AWMSP1R1BLKM6QE
4	SPDT	Schwarz	Ein-Ein	Rechtwinklig, Leiterplatte	0.4VA	EG4333-ND*	5.55	5.01	4.27	400AWMSP1R1BLKM6RE
5	SPDT	Schwarz	Ein-Ein	Vertikal rechtwinklig	3A	EG4334-ND	5.55	5.00	4.26	400AWMSP1R1BLKM7QE
5	SPDT	Schwarz	Ein-Ein	Vertikal rechtwinklig	0.4VA	EG4335-ND	5.74	5.17	4.40	400AWMSP1R1BLKM7RE
Oberflächenmontierte, lötbeständig versiegelte Wippschalter										
6	SPDT	Schwarz	Ein-Ein	SMD	3A	EG4336-ND	7.59	6.84	5.83	400BWMSP1R2BLKSM6QE
6	SPDT	Schwarz	Ein-Mom	SMD	3A	EG4337-ND	7.77	7.00	5.96	400BWMSP2R2BLKSM6QE
6	SPDT	Schwarz	Ein-Aus-Ein	SMD	3A	EG4338-ND	7.95	7.16	6.10	400BWMSP3R2BLKSM6QE
6	SPDT	Schwarz	Mom-Aus-Mom	SMD	3A	EG4339-ND	8.13	7.32	6.24	400BWMSP4R2BLKSM6QE
6	SPDT	Schwarz	Ein-Aus-Mom	SMD	3A	EG4340-ND	8.33	7.50	6.39	400BWMSP5R2BLKSM6QE

*vergoldet

Wippschalter

NENNGRÖSSEN: • Serie RA: 125 V AC, 10 A • Serie RC: 125 V AC, 15 A • Serie R1966: 125 V AC, 15 A
Kontaktwiderstand: Max. 100 mΩ
Lebensdauer der Elektrik: 10.000 Schaltungen
Anschlüsse: 0,187 Faston (Schnellanschluss) oder Lötanschluss.
Zulassungen: UL, CSA, VDE, NEMKO, SEMKO, FEMKO, DEMKO

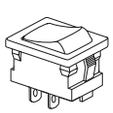

RA/RC - R1966

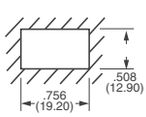

Plattenausschnitt

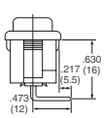

Rechtwinklig, Leiterplatte

Abschlusswiderstandsoptionen

Lötöse

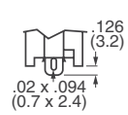

0,187 Faston (Schnellanschluss)

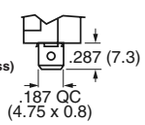

Abb. 1

Abb. 2

Abb. 3

Abb. 4

Abb. 5

Abb. 6

Abb.	Beschreibung	Digi-Key Teilenr.	Stückpreis 1	10	100	E-Switch Teilenr.
Serie RA/RC (schwarz, matt)						
2	SPST, 10 A, schwarz, matt, mit Markierung	EG1500-ND	1.51	1.36	1.16	RA1066AFC
3	SPST, 10 A, schwarz, matt, mit Markierung	EG1501-ND	1.51	1.36	1.16	RA1066AFF
4	SPST, 10 A, schwarz, matt, mit Markierung	EG1502-ND	1.51	1.36	1.16	RA1066AFK
5	SPST, 10 A, schwarz, matt, mit Markierung	EG1503-ND	1.51	1.36	1.16	RA1066AFH
1	SPST, 10 A, schwarz, matt, ohne Markierung	EG1504-ND	1.51	1.36	1.16	RA1066AFX
4	DPST, 15 A, schwarz, matt, mit Markierung	EG1505-ND	2.50	2.25	1.92	RC1083BBLKBLKFF
5	DPST, 15 A, schwarz, matt, mit Markierung	EG1506-ND	2.50	2.25	1.92	RC1083BBLKBLKGF
1	DPST, 15 A, schwarz, matt, ohne Markierung	EG1507-ND	2.50	2.25	1.92	RC1083BBLKBLKEF
Serie R1966 (schwarz, halbglänzend)						
1	SPST, 15 A, schwarz, ohne Markierung, 0,187 Schnellanschluss	EG1508-ND	1.32	1.19	1.01	R1966ABLKBLKEF
1	SPST, 15 A, schwarz,ohne Markierung, Löt-	EG1843-ND	1.64	1.32	1.19	R1966ABLKBLKES
3	SPST, 15 A, schwarz, mit Markierung, 0,187 Schnellanschluss	EG1509-ND	1.32	1.19	1.01	R1966ABLKBLKIF
3	SPST, 15 A, schwarz, mit Markierung, Lötanschluss	EG1844-ND	1.64	1.32	1.19	R1966ABLKBLKIS
4	SPST, 15 A, schwarz, mit Markierung, 0,187 Schnellanschluss	EG1510-ND	1.32	1.19	1.01	R1966ABLKBLKFF
4	SPST, 15 A, schwarz, mit Markierung, Lötanschluss	EG1845-ND	1.64	1.32	1.19	R1966ABLKBLKFS
5	SPST, 15 A, schwarz, mit Markierung, 0,187 Schnellanschluss	EG1511-ND	1.32	1.19	1.01	R1966ABLKBLKGF
5	SPST, 15 A, schwarz, mit Markierung, Lötanschluss	EG1846-ND	1.64	1.32	1.19	R1966ABLKBLKGS
4	SPST, 15 A, Lt. Grau, mit Markierung, 0,187 Schnellanschluss	EG2580-ND	1.58	1.27	1.15	R1966AGRYGRYFF
5	SPST, 15 A, Lt. Grau, mit Markierung, 0,187 Schnellanschluss	EG2581-ND	1.58	1.27	1.15	R1966AGRYGRYGF
4	SPST, 15 A, weiß, mit Markierung, 0,187 Schnellanschluss	EG2582-ND	1.58	1.27	1.15	R1966AWHTWHTFF
5	SPST, 15 A, weiß, mit Markierung, 0,187 Schnellanschluss	EG2583-ND	1.58	1.27	1.15	R1966AWHTWHTGF
6	SPDT, 15 A, schwarz, Ein-Aus-Ein, 0,187 Schnellanschluss	EG1841-ND	2.72	2.18	1.96	R1966DBLKBLKCF
1	SPST, 15 A, Aus-Mom, 0,187 Schnellanschluss	EG1512-ND	1.87	1.69	1.44	R1966FBLKBLKEF
1	SPST, 15 A, rote LED, 0,187 Schnellanschluss	EG1514-ND	2.51	2.26	1.93	R1966ABLKBLKEFRED
1	SPST, 15 A, grüne LED, 0,187 Schnellanschluss	EG1515-ND	2.51	2.26	1.93	R1966ABLKBLKEFGRN
1	SPST, 15 A, gelbe LED, 0,187 Schnellanschluss	EG1842-ND	2.51	2.26	1.93	R1966ABLKBLKEFYEL
1	SPST, 15 A, rote LED-Beleuchtung Lötanschluss	EG1858-ND	2.51	2.26	1.93	R1966ABLKBLKESRED
1	SPST, 15 A, grüne LED-Beleuchtung Lötanschluss	EG1859-ND	2.51	2.26	1.93	R1966ABLKBLKESGRN
1	SPST, 15 A, grüne LED-Beleuchtung Lötanschluss	EG1860-ND	2.51	2.26	1.93	R1966ABLKBLKESYEL
Rechtwinklige Leiterplattenmontage						
1	SPST, 15 A, schwarz mit roter LED, rechts Winkel-Leiterplatte	EG2577-ND	3.48	2.78	2.51	R1966ABLKBLKERR
4	SPST, 15 A, schwarz mit Markierung, rechts Winkel-Leiterplatte	EG2579-ND	2.07	1.66	1.50	R1966ABLKBLKFR
5	SPST, 15 A, schwarz mit Markierung, rechts Winkel-Leiterplatte	EG2578-ND	2.07	1.66	1.50	R1966ABLKBLKGR

H

Alle Preisangaben in Euro und inklusive Zollgebühren.

E-SWITCH® Wippschalter

NENNGRÖSSEN: • Serie R5: 20 A 125 V, 15 A 250 V für Schaltkreise A, B, C 15 A 125 V, 10 A 250 V für Schaltkreis D • Serie R6: 10 A 125 V, 6 A 250 V (UL/CSA) **Kontaktwiderstand:** <20 mΩ (anfänglich) **Lebensdauer der Elektrik:** ≥10.000 Schaltungen **Zulassungen:** UL, CSA, VDE, NEMKO, SEMKO, FEMKO, DEMKO

Abb. 1	Abb. 2	Abb. 3	Abb. 4

Serie R5 — Abm. in Zoll (mm)

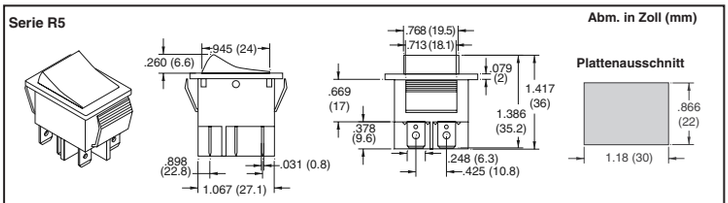

Serie R6

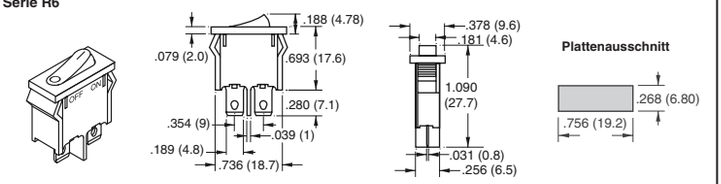

Abb.	Beschreibung	Digi-Key Teilenr.	Stückpreis 1	10	100	E-Switch Teilenr.
	R5, unbeleuchtet					
1	DPST, Ein-Aus, 20 A, schwarz	EG1527-ND	1.54	1.39	1.18	R5ABLKBLKEF0
1	DPDT, Ein-Ein, 20 A, schwarz	EG1528-ND	1.92	1.73	1.48	R5CBLKBLKEF0
2	DPST, Ein-Aus, 20 A, schwarz	EG1529-ND	1.54	1.39	1.18	R5ABLKBLKFF0
1	DPDT, Ein-Aus-Ein, 15 A, schwarz	EG1539-ND	2.50	2.25	1.92	R5DBLKBLKEF0
3	DPDT, Ein-Aus-Ein, 15 A, schwarz	EG1540-ND	2.50	2.25	1.92	R5DBLKBLKCF0
4	DPDT, Ein-Aus-Ein, 15 A, schwarz	EG1541-ND	2.50	2.25	1.92	R5DBLKBLKHF0
	R5, beleuchtet					
1	DPST, 125 V, rot beleuchtet, 20 A, schwarz	EG1530-ND	2.50	2.25	1.92	R5BBLKREDEF1
2	DPST, 125 V, rot beleuchtet, 20 A, schwarz	EG1531-ND	2.50	2.25	1.92	R5BBLKREDFF1
1	DPST, 125 V, grün beleuchtet, 20 A, schwarz	EG1533-ND	2.50	2.25	1.92	R5BBLKGRNEF1
2	DPST, 125 V, grün beleuchtet, 20 A, schwarz	EG1534-ND	2.50	2.25	1.92	R5BBLKGRNFF1
2	DPST, 230 V, rot beleuchtet, 20 A, schwarz	EG1535-ND	2.50	2.25	1.92	R5BBLKREDFF2
2	DPST, 230 V, grün beleuchtet, 20 A, schwarz	EG1536-ND	2.50	2.25	1.92	R5BBLKGRNFF2
2	DPST, 12 V DC, rot beleuchtet, 20 A, schwarz	EG1537-ND	2.50	2.25	1.92	R5BBLKREDFF3
2	DPST, 12 V DC, grün beleuchtet, 20 A, schwarz	EG1538-ND	2.50	2.25	1.92	R5BBLKGRNFF3
	R6, Mini-Wippschalter					
1	SPST, 10 A, schwarz, ohne Markierung	EG1525-ND	1.41	1.28	1.09	R6ABLKBLKEF
2	SPST, 10 A, schwarz mit Markierung	EG1526-ND	1.41	1.28	1.09	R6ABLKBLKFF

Wippschalter

Kipp- und Paddelschalter für Rundlochinstallation anstelle von rechteckiger oder quadratischer Ausstanzung. Einfaches Zusammensetzen für Panels oder Konsolen. Wird mit verschiedenen Schaltoptionen, mit weißer oder tintenfarbiger Prägung oder mit LED-Beleuchtung angeboten. Rote LED - 20 mA @ 2,0 V DC, grüne LED - 20 mA @ 2,4 V DC. Alle Schalter sind schwarz.

Abb. 1	Abb. 2	Abb. 3	Abb. 4
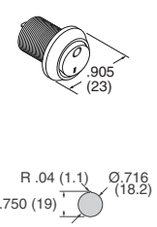		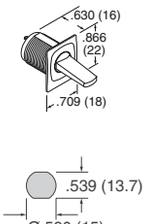	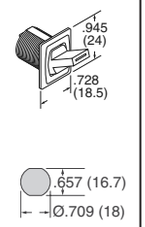

Abm. in Zoll (mm)

Abb.	Beschreibung	Digi-Key Teilenr.	Stückpreis 1	10	100	E-Switch Teilenr.
	Wippschalter					
1	SPST (Ein-Aus), 10 A mit E/A-Markierung	EG1889-ND	2.67	2.40	2.05	RR3130A
1	DPDT (Ein-Ein), 10 A mit E/A-Markierung	EG1890-ND	4.00	3.61	3.07	RR3130B
1	SPDT (Ein-Ein), 10 A mit E/A-Markierung	EG1891-ND	2.96	2.67	2.28	RR3130C
2	SPST (Ein-Aus),10 A, Einschnappmontage	EG1542-ND	1.48	1.34	1.14	RR3112A
	Paddelschalter					
3	Mini, SPST (Ein-Aus), 6 A	EG1892-ND	2.37	2.14	1.82	RR3402A
3	Mini, SPDT (Ein-Ein), 6 A	EG1893-ND	2.67	2.40	2.05	RR3402C
3	Mini, SPDT (Ein-Aus-Ein), 6 A	EG1894-ND	2.89	2.61	2.22	RR3402D
4	Standard, DPST (Ein-Aus), 10 A	EG1895-ND	3.67	3.31	2.82	RR3405A
4	Rot beleuchtet, SPST (Ein-Aus), 10 A	EG1896-ND	4.97	4.47	3.81	RR3405AL-RED
4	Grün beleuchtet, SPST (Ein-Aus), 10 A	EG1897-ND	4.97	4.47	3.81	RR3405AL-GRN
4	Rot beleuchtet, SPDT (Ein-Ein), 10 A	EG1898-ND	5.70	5.13	4.37	RR3405CL-RED
4	Grün beleuchtet, SPDT (Ein-Ein), 10 A	EG1899-ND	5.70	5.13	4.37	RR3405CL-GRN

JUDCO Manufacturing Inc. Plastik-Drucktaster

• 3/8-27-Gewindegröße (Mutter nicht mitgeliefert) • 4,5" Drahtanschlüsse • 18 AWG

Abm. in Zoll

Abb. 1	Abb. 2	Abb. 3	Abb. 4
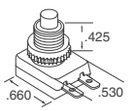	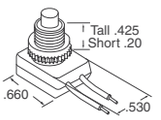	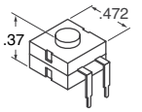	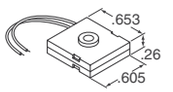

Abb.	Beschreibung	Durch-führung	Digi-Key Teilenr.	Stückpreis 1	10	100
	Lötösen-Drucktaste					
1	Push-on, Push-off, Lötanschluss, schwarz mit rotem Betätiger	Lang	501PB-ND	.80	.68	.61
1	Arbeitskontakt, Lötanschluss, schwarz mit rotem Betätiger	Lang	502PB-ND	.80	.68	.61
1	Ruhekontakt, Lötanschluss, schwarz mit rotem Betätiger	Lang	503PB-ND	1.08	.92	.82
1	Push-on, Push-off, Lötanschluss, schwarz	Lang	508PB-ND	.99	.84	.75
1	Arbeitskontakt, Lötanschluss, schwarz	Lang	509PB-ND	.89	.76	.67
1	Ruhekontakt, Lötanschluss, schwarz	Lang	510PB-ND	1.28	1.08	.97
1	Arbeitskontakt mit Nachlauf, rechtwinklig, Lötanschluss, schwarz	Lang	520PB-ND	1.98	1.68	1.50
1	Ruhekontakt, selbstreinigende Kontakte, schwarz mit rotem Betätiger	Lang	536PB-ND	1.16	.99	.88
1	Push-on, Push-off, selbstreinigende Kontakte, schwarz mit weißem Betätiger	Lang	537PB-ND	1.22	1.04	.92
	Drahtanschluss-Drucktaste					
2	Push-on, Push-off, Drahtanschlüsse, schwarz mit rotem Betätiger	Lang	505PB-ND	1.08	.91	.82
2	Arbeitskontakt, Drahtanschlüsse, schwarz mit rotem Betätiger	Lang	506PB-ND	1.11	.94	.84
2	Push-on, Push-off, 20 AWG Drahtanschlüsse, schwarz	Lang	504PB-ND	.83	.70	.63
2	Arbeitskontakt, Drahtanschlüsse, schwarz	Lang	507PB-ND	1.11	.94	.84
2	Arbeitskontakt mit Nachlauf, Drahtanschlüsse, schwarz	Lang	521PB-ND	2.04	1.73	1.54
2	Ein-Aus mit MOM Ein, Drahtanschlüsse, schwarz	Lang	525PB-ND	1.96	1.67	1.49
2	Ein-Aus, Drahtanschlüsse, schwarz	Kurz	528PB-ND	1.47	1.25	1.12
2	Ein-Aus mit MOM Ein, Drahtanschlüsse, schwarz	Kurz	526PB-ND	1.96	1.67	1.49
2	Ein1-Aus-Ein2-Aus, SPDT, Drahtanschlüsse, schwarz	Lang	522PB-ND	2.13	1.81	1.61
2	Momentschalter, SPDT, Drahtanschlüsse, schwarz mit rotem Betätiger	Lang	523PB-ND	2.24	1.90	1.70
2	Ein1/Ein1&2/Ein2/Aus, SPDT, Drahtanschlüsse weiß	Lang	524PB-ND	2.20	1.87	1.67
2	Ein-Ein, SPDT, Drahtanschlüsse, schwarz	Lang	527PB-ND	1.83	1.55	1.38
	UL-anerkannte Drucktastenschalter					
2	Arbeitskontakt mit Nachlauf, UL-anerkannt, 3 A @ 125 V AC	Lang	538PB-ND	1.68	1.43	1.28
2	Arbeitskontakt mit Nachlauf, UL-anerkannt, 4 A @ 14 V DC	Lang	539PB-ND	1.56	1.32	1.18
2	Ruhekontakt, selbstreinigend, UL-anerkannt, 6 A @ 125 V AC	Lang	540PB-ND	1.56	1.32	1.18
2	Ein-Aus, Drahtanschlüsse, UL-anerkannt, 6 A @ 125 V AC	Lang	511PB-ND	1.16	.99	.88
2	Ruhekontakt, selbstreinigend, UL-anerkannt, 10 A @ 14 V DC	Lang	541PB-ND	1.57	1.33	1.19
2	Ein-Aus, Drahtanschlüsse, UL-anerkannt, 10 A @ 14 V DC	Lang	512PB-ND	1.03	.88	.78
	Drucktastenschalter, Flachprofil					
3	Seitlich betätigter Drucktaster, Ein-Aus-Leiter für die Leiterplattenmontage, 0,3 A		518PB-ND	.90	.76	.68
3	Von oben betätigter Drucktaster, rechtwinklig, Ein-Aus-Leiter für die Leiterplattenmontage, 0,3 A		519PB-ND	.90	.76	.68
3	Von oben betätigter SPDT-Drucktaster, rechtwinklig, Ein-Aus-Ein-Leiter für die Leiterplattenmontage, 0,3 A		529PB-ND	.90	.76	.68
3	Seitlich betätigter Drucktaster, Ein-Aus-Ein-Leiter für die Leiterplattenmontage, 0,3 A		530PB-ND	.90	.76	.68
	Flat-Pac Drucktastenschalter					
4	Von oben betätigter Ein-Aus-Drucktaster, rechts Winkel-Leiterplatte		514PB-ND	1.36	1.16	1.03
4	Von oben betätigter Ein-Aus-Drucktaster, Drahtleiter		515PB-ND	1.35	1.14	1.02
	Zubehör					
—	Wasserdichte Muffendichtung mit eingegossener Mutter, passend für hohe Durchführung, schwarz		513PB-ND	.47	.40	.36
—	Wasserdichte Muffendichtung mit eingegossener Mutter, passend für hohe Durchführung, rot		531PB-ND	.52	.45	.40
—	Wasserdichte Muffendichtung mit eingegossener Mutter, passend für kurze Durchführung, schwarz		532PB-ND	.75	.63	.57
—	Ersatzmutter, schwarzer Kunststoff		516PB-ND	.14	.12	.11
—	Messing-Rändelmutter		533PB-ND	.53	.45	.41
—	Messing-Sechkantmutter		534PB-ND	.69	.59	.53
—	Nickel-Sechskantmutter		535PB-ND	.76	.65	.58

Alle Preisangaben in Euro und inklusive Zollgebühren.

Schaltprodukte

Drucktastenschalter der Serie F

Eine wichtige Eigenschaft des F-Drucktastenschalters ist z. B. ein gefederter Brückenkontakt, der einen konstanten Druck auf die Kontakte gewährleistet. **Bewegung:** 4,7/3,3 mm **Betätigungskraft:** 650 g **Schaltfunktion:** Max. Spannung: 125 V AC/30 V DC (Silber), 50 V AC/30 V DC (Gold), max. Strom: 0,5 A (Silber), 0,4 VA (Gold) **Kontaktwiderstand:** 10 - 20 mΩ **Kontaktmaterial:** Silber oder Gold **Betriebstemperatur:** -40 °C ~ 70 °C

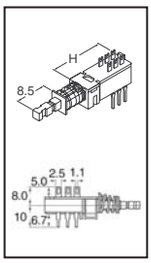

Schalt-kreis	Beschreibung	Abm. H (mm)	Digi-Key Teilenr.	Stückpreis 1	25	100	ITT Ind. Teilenr.
DPDT	Doppelschaltf., 650 gF, 0,5 A, Leiterplattenmont., versilbert	21	401-1223-ND	1.47	1.18	.94	F2UEE
	Doppelschaltf., 650 gF, 0,4 VA, Leiterplattenmont., vergoldet	21	401-1224-ND	3.84	3.08	2.44	F2UEE AU
	Mom., 650 gF, 0,5 A, Leiterplattenmont., versilbert	21	401-1225-ND	1.46	1.17	.93	F2UOA
4PDT	Doppelschaltf., 650 gF, 0,5 A, Leiterplattenmont., versilbert	33	401-1226-ND	2.56	2.05	1.62	F4UEE
	Doppelschaltf., 650 gF, 0,4 VA, Leiterplattenmont., vergoldet	33	401-1227-ND	7.19	5.76	4.56	F4UEE AU
	Mom., 650 gF, 0,5 A, Leiterplattenmont., versilbert	33	401-1228-ND	2.50	2.00	1.59	F4UOA

NE18-Serie Leistungsdrucktastenschalter

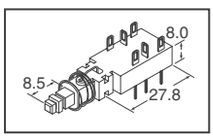

Schaltfunktion: Max. Spannung: 250 V AC / 100 V DC Max. Stromstärke: 6 A **Betriebslebensdauer:** ≥10^4 Schaltungen **Gesamtbewegung:** 4,7 mm **Kontaktmaterial:** Silber-Cadmium oder Silber-Nickel **Umgebungstemperatur:** -20 °C ~ 70 °C

Schaltkreis	Beschreibung	Digi-Key Teilenr.	Stückpreis 1	25	100	ITT Industries Teilenr.
DPST	Doppelschaltfunktion, 950 gF, nur mit PC-Pins	401-1211-ND	4.85	3.89	3.08	NE18/2AEEP (#41)
DPDT	Doppelschaltfunktion, 950 gF, nur mit PC-Pins	401-1209-ND	5.32	4.26	3.37	NE18/2UEEP (#42)
DPST	Doppelschaltfunktion, 950 gF, mit Lötklemme und PC-Pins	401-1210-ND	4.74	3.80	3.01	NE18/2AEEX (#37)
DPDT	Doppelschaltfunktion, 950 gF, mit Lötklemme und PC-Pins	401-1208-ND	5.39	4.32	3.42	NE18/2UEEX (#38)

Serie PHA - Drucktasten-schalter

Kleine Abmessungen machen diese Schalter ideal für die heutigen anspruchsvollen Schaltanforderungen. Kurzschlussgeschützte Kontakte. **Schaltung:** Max. Spannung: 30 V DC, max. Stromstärke: 100 mA DC **Betriebslebensdauer:** 10^4 Schaltungen. **Kontaktwiderstand:** 20 mΩ **Betriebstemperatur:** -10 °C ~ 60 °C

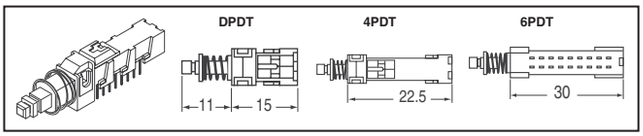

Schalt-kreis	Beschreibung	Digi-Key Teilenr.	Stückpreis 1	25	100	ITT Industries Teilenr.
DPDT	Doppelschaltfunktion, 170 gF	401-1192-ND	1.26	1.01	.80	PHA2UEE
	Momenschaltfunktion, 170 gF	401-1195-ND	1.08	.87	.69	PHA2UOA
4PDT	Doppelschaltfunktion, 170 gF	401-1193-ND	1.68	1.35	1.07	PHA4UEE
	Momenschaltfunktion, 170 gF	401-1196-ND	1.50	1.21	.96	PHA4UOA
6PDT	Doppelschaltfunktion, 170 gF	401-1194-ND	2.32	1.86	1.47	PHA6UEE
	Momenschaltfunktion, 170 gF	401-1197-ND	2.14	1.72	1.36	PHA6UOA

PVA-Drucktastenschalter

Schaltung: Max. Spannung: 50 V DC, max. Stromstärke: 100 mA DC **Betriebslebensdauer:** 10^5 Schaltungen **Kontaktwiderstand:** 150 mΩ **Betriebstemperatur:** -40 °C ~ +85 °C (ohne Taste)

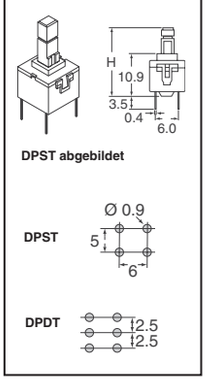

Schaltkreis	Beschreibung	Abm. H (mm)	Digi-Key Teilenr.	Stückpreis 1	25	100	ITT Industries Teilenr.
DPST-NO	Doppelschaltfunktion, 120 gF	17.5	401-1132-ND	1.19	.96	.76	PVA1 EE H1
	Doppelschaltfunktion, 120 gF	23	401-1134-ND	1.30	1.04	.82	PVA1 EE H2
	Doppelschaltfunktion, 120 gF	20.5	401-1136-ND	1.33	1.07	.84	PVA1 EE H3
	Doppelschaltfunktion, 120 gF	15	401-1138-ND	1.30	1.04	.82	PVA1 EE H4
	Mom. Funktion, 120 gF	17.5	401-1133-ND	1.02	.82	.65	PVA1 OA H1
	Mom. Funktion, 120 gF	23	401-1135-ND	1.12	.90	.71	PVA1 OA H2
	Mom. Funktion, 120 gF	20.5	401-1137-ND	1.15	.92	.73	PVA1 OA H3
	Mom. Funktion, 120 gF	15	401-1139-ND	1.12	.90	.71	PVA1 OA H4
DPDT-NO	Doppelschaltfunktion, 170 gF	17.5	401-1140-ND	1.40	1.12	.89	PVA2 EE H1
	Doppelschaltfunktion, 170 gF	23	401-1142-ND	1.50	1.20	.95	PVA2 EE H2
	Doppelschaltfunktion, 170 gF	20.5	401-1144-ND	1.53	1.23	.97	PVA2 EE H3
	Doppelschaltfunktion, 170 gF	15	401-1146-ND	1.50	1.20	.95	PVA2 EE H4
	Mom. Funktion, 170 gF	17.5	401-1141-ND	1.22	.98	.78	PVA2 OA H1
	Mom. Funktion, 170 gF	23	401-1143-ND	1.31	1.06	.84	PVA2 OA H2
	Mom. Funktion, 170 gF	20.5	401-1145-ND	1.35	1.08	.86	PVA2 OA H3
	Mom. Funktion, 170 gF	15	401-1147-ND	1.31	1.06	.84	PVA2 OA H4
	Mom. Funktion, 170 gF	23	401-1593-ND	1.49	1.38	1.26	PVA2GR/OAH2

PN-Serie Drucktastenschalter

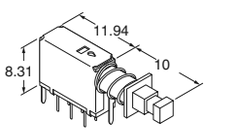

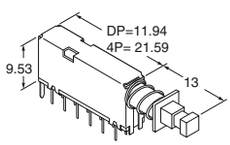

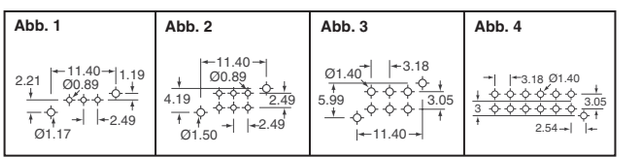

Spezifikationen: • **Kontaktleistung:** 0,2 A @ max. 30 V DC • **Lebensdauer der Elektrik:** 10.000 Schaltungen bei voller Belastung • **Betriebs-/Lagerungstemp.:** -10 °C ~ +60 °C.
Materialien: • **Rahmen:** Verzinnter Stahl • **Anschlüsse:** Versilbertes Messing • **Bewegliche Kontakte:** Versilberte (oder silberkaschierte) Phosphorbronze • **Anschlussabdichtung:** Epoxid

Abb.	Schalt-kreis	Beschreibung	Digi-Key Teilenr.	Stückpreis 1	100	500	ITT Industries Teilenr.
1	SPDT	Doppelschaltf. 230 gF, kurzschlussgeschützt	CKN1189-ND	.72	.62	.54	PN12SHNA03QE
2	DPDT	Momentschaltf., 330 gF, kurzschlussgeschützt	CKN1190-ND	.76	.66	.58	PN21SJNA03QE
		Doppelschaltf. 330 gF, kurzschlussgeschützt	CKN1191-ND	.80	.70	.61	PN22SJNA03QE
3	DPDT	Momentschaltf., 300 gF, kurzschlussgeschützt	CKN1192-ND	.76	.66	.58	PN21LENA03QE
		Doppelschaltf. 300 gF, kurzschlussgeschützt	CKN1193-ND	.80	.70	.61	PN22LENA03QE
4	4PDT	Momentschaltf., 300 gF, kurzschlussgeschützt	CKN1194-ND	.91	.77	.68	PN41LENA02QE
		Doppelschaltf. 300 gF, kurzschlussgeschützt	CKN1195-ND	.94	.80	.71	PN42LENA02QE

Schalterkappen

Schalterkappen für F- und NE18-Serien

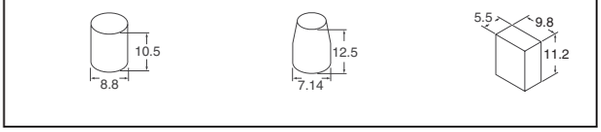

Beschreibung	Digi-Key Teilenr.	Stückpreis 1	25	100	ITT Industries Teilenr.
Schalterkappen für Serie F und NE18					
Rund, schwarz, 8,8 mm Durchm.	401-1215-ND	.25	.21	.17	FG/BK
Rund, grau, 8,8 mm Durchm.	401-1217-ND	.25	.21	.17	FG/GY
Rund, rot, 8,8 mm Durchm.	401-1218-ND	.25	.21	.17	FG/RD
Rund, weiß, 8,8 mm Durchm.	401-1216-ND	.41	.33	.26	FG/WHT
Projektil, schwarz, 7 mm Durchm.	401-1212-ND	.19	.15	.12	FMR/BK
Projektil, grau, 7 mm Durchm.	401-1214-ND	.19	.15	.12	FMR GY
Projektil, weiß, 7 mm Durchm.	401-1213-ND	.40	.32	.25	FMR/WHT
Rechteckig, schwarz, 9,8 x 5,5 mm	401-1219-ND	.25	.21	.17	FSC/BK
Rechteckig, grau, 9,8 x 5,5 mm	401-1221-ND	.25	.21	.17	FSC/GY
Rechteckig, rot, 9,8 x 5,5 mm	401-1222-ND	.25	.21	.17	FSC/RD
Rechteckig, weiß, 9,8 x 5,5 mm	401-1220-ND	.40	.32	.26	FSC/WHT

Schalterkappen für PHA-Serie

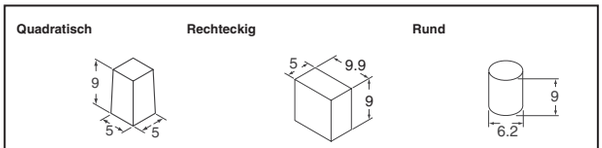

Beschreibung	Digi-Key Teilenr.	Stückpreis 1	25	100	ITT Industries Teilenr.
Schalterkappen für PHA-Serie					
Quadratisch, indiziert, schwarz, 5 mm^2 x 9 mm (H)	401-1198-ND	.43	.35	.28	G001A
Quadratisch, indiziert, grau, 5 mm^2 x 9 mm (H)	401-1199-ND	.43	.35	.28	G001G
Quadratisch, indiziert, rot, 5 mm^2 x 9 mm (H)	401-1200-ND	.43	.35	.28	G001R
Rechteckig, schwarz, 5 mm (B) x 10 mm (L)	401-1201-ND	.41	.33	.26	G002A(BLACK)
Rechteckig, grau, 5 mm (B) x 10 mm (L)	401-1202-ND	.41	.33	.26	G002G(GREY)
Rechteckig, rot, 5 mm (B) x 10 mm (L)	401-1203-ND	.40	.32	.26	G002R(RED)
Rund, schwarz, 6,2 mm Durchm.	401-1204-ND	.40	.32	.26	G003A(BLACK)
Rund, blau, 6,2 mm Durchm.	401-1207-ND	.40	.32	.26	G003B(BLUE)
Rund, grau, 6,2 mm Durchm.	401-1205-ND	.41	.33	.26	G003G(GREY)
Rund, rot, 6,2 mm Durchm.	401-1206-ND	.41	.33	.26	G003R(RED)

Schalterkappen für PVA-Serie

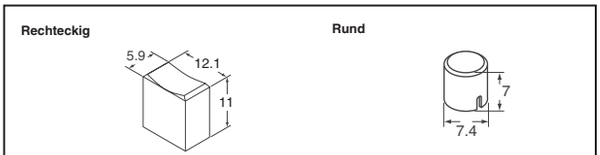

Beschreibung	Digi-Key Teilenr.	Stückpreis 1	25	100	ITT Industries Teilenr.
Schalterkappen für Drucktastenschalter der Serie PVA					
Rechteckig, schwarz	401-1152-ND	.25	.21	.17	PE/BLK
Rechteckig, grau	401-1153-ND	.25	.21	.17	PE/GRY
Rechteckig, rot	401-1154-ND	.29	.23	.19	PE/RED
Rechteckig, weiß	401-1155-ND	.25	.21	.17	PE/WHT
Rund, schwarz	401-1148-ND	.25	.21	.17	PV/BLK
Rund, grau	401-1149-ND	.25	.21	.17	PV/GRY
Rund, rot	401-1150-ND	.25	.21	.17	PV/RED
Rund, weiß	401-1151-ND	.25	.21	.17	PV/WHT

H

Drucktastenschalter

Abb.	Schaltkreis	Schaltfunktion	Anschluss	Durch-führung	Kontakt-material	Abmessungen - Zoll (mm) L x B x H	Digi-Key Teilenr.	Stückpreis 1	25	100	ITT Industries Teilenr.
						Kleinst-Drucktastenschalter					
1	SPST	Aus-Mom	C	H9	B	.320 x .200 x .340 (8.13 x 5.08 x 8.64)	CKN4000-ND	3.76	3.01	2.38	TP11SH9CBE
		Aus-Mom	Z	H7	Q	.320 x .200 x .340 (8.13 x 5.08 x 8.64)	CKN4001-ND	3.60	2.89	2.29	TP11SHZQE
		Aus-Mom	C	D1	B	.320 x .200 x .350 (8.13 x 5.08 x 8.89)	CKN4006-ND	4.04	3.24	2.56	EP11SD1CBE
		Aus-Mom	C	LT	Q	.320 x .200 x .340 (8.13 x 5.08 x 8.64)	CKN1716-ND	4.30	3.44	2.73	TP11LTCQE
		Aus-Mom	Z	LT	Q	.320 x .200 x .340 (8.13 x 5.08 x 8.64)	CKN1717-ND	4.17	3.34	2.65	TP11LTZQE
		Aus-Mom	C	MS9	B	.320 x .200 x .340 (8.13 x 5.08 x 8.64)	CKN1719-ND	3.99	3.20	2.53	TP11MS9CBE
		Aus-Mom	V3	MS9	B	.320 x .200 x .340 (8.13 x 5.08 x 8.64)	CKN1720-ND	4.43	3.55	2.81	TP11MS9V3BE
		Aus-Mom	C	SH8	Q	.320 x .200 x .340 (8.13 x 5.08 x 8.64)	CKN1723-ND	3.73	2.99	2.37	TP11SH8CQE
		Aus-Mom	V3	SH9	B	.320 x .200 x .340 (8.13 x 5.08 x 8.64)	CKN1726-ND	4.20	3.36	2.66	TP11SH9V3BE
		Aus-Mom	C	SH	B	.320 x .200 x .340 (8.13 x 5.08 x 8.64)	CKN1728-ND	3.76	3.01	2.38	TP11SHCBE
		Aus-Mom	C	SH	Q	.320 x .200 x .340 (8.13 x 5.08 x 8.64)	CKN1729-ND	3.73	2.99	2.37	TP11SHCQE
		Aus-Mom	Z	SH	B	.320 x .200 x .340 (8.13 x 5.08 x 8.64)	CKN1730-ND	3.62	2.91	2.30	TP11SHZBE
	SPDT	Ein-Mom	C	D1	B	.320 x .200 x .365 (8.13 x 5.08 x 9.27)	CKN4043-ND	5.26	4.21	3.34	EP12SD1CBE
		Ein-Mom	Z	SH	Q	.340 x .360 x .340 (8.64 x 9.14 x 8.64)	CKN4053-ND	4.92	3.94	3.12	TP12SHZQE
		Ein-Mom	C	SH9	B	.320 x .200 x .340 (8.13 x 5.08 x 8.64)	CKN1738-ND	5.08	4.07	3.22	TP12SH9CBE
		Ein-Mom	V3	SH9	B	.320 x .200 x .340 (8.13 x 5.08 x 8.64)	CKN1739-ND	5.52	4.42	3.50	TP12SH9V3BE
		Ein-Mom	C	SH	Q	.320 x .200 x .340 (8.13 x 5.08 x 8.64)	CKN1740-ND	5.05	4.05	3.20	TP12SHCQE
	DPST	Aus-Mom	C	D1	B	.320 x .200 x .365 (8.13 x 5.08 x 9.27)	CKN4044-ND	7.70	6.16	4.88	EP21SD1CBE
		Aus-Mom	A	D1	B	.320 x .200 x .365 (8.13 x 5.08 x 9.27)	CKN4045-ND	8.53	6.82	5.40	EP21SD1ABE
		Aus-Mom	Z	SH	Q	.340 x .360 x .340 (8.64 x 9.14 x 8.64)	CKN4054-ND	7.72	6.18	4.89	TP21SHZQE
2	SPST	Aus-Mom	A	H8	B	.320 x .200 x .352 (8.13 x 5.08 x 8.94)	CKN4002-ND	4.25	3.40	2.70	TP11SH8ABE
		Aus-Mom	A	H9	B	.320 x .200 x .352 (8.13 x 5.08 x 8.94)	CKN4003-ND	4.25	3.40	2.70	TP11SH9ABE
		Aus-Mom	A	D1	B	.320 x .200 x .365 (8.13 x 5.08 x 9.27)	CKN4007-ND	4.49	3.59	2.84	EP11SD1ABE
		Aus-Mom	A	LT9	B	.320 x .200 x .340 (8.13 x 5.08 x 8.64)	CKN1715-ND	4.82	3.86	3.06	TP11LT9ABE
		Aus-Mom	A	MS9	B	.320 x .200 x .340 (8.13 x 5.08 x 8.64)	CKN1718-ND	4.49	3.59	2.84	TP11MS9ABE
		Aus-Mom	A	SH8	Q	.320 x .200 x .340 (8.13 x 5.08 x 8.64)	CKN1721-ND	4.22	3.38	2.68	TP11SH8AQE
		Aus-Mom	A	SH9	K	.320 x .200 x .340 (8.13 x 5.08 x 8.64)	CKN1724-ND	4.56	3.65	2.89	TP11SH9AKE
		Aus-Mom	A	SH	B	.320 x .200 x .340 (8.13 x 5.08 x 8.64)	CKN1727-ND	4.25	3.40	2.70	TP11SHABE
	SPDT	Ein-Mom	A	H8	Q	.320 x .200 x .352 (8.13 x 5.08 x 8.94)	CKN4004-ND	5.55	4.44	3.52	TP12SH8AQE
		Ein-Mom	A	D1	B	.320 x .200 x .365 (8.13 x 5.08 x 9.27)	CKN4008-ND	5.70	4.56	3.61	EP12SD1ABE
		Ein-Mom	A	LT9	B	.320 x .200 x .340 (8.13 x 5.08 x 8.64)	CKN1731-ND	6.14	4.92	3.89	TP12LT9ABE
		Ein-Mom	A	MS9	B	.320 x .200 x .340 (8.13 x 5.08 x 8.64)	CKN1732-ND	5.81	4.65	3.68	TP12MS9ABE
		Ein-Mom	A	SH8	B	.320 x .200 x .340 (8.13 x 5.08 x 8.64)	CKN1733-ND	5.57	4.46	3.53	TP12SH8ABE
		Ein-Mom	A	SH8	G	.320 x .200 x .340 (8.13 x 5.08 x 8.64)	CKN1734-ND	5.91	4.73	3.75	TP12SH8AGE
		Ein-Mom	A	SH9	B	.320 x .200 x .340 (8.13 x 5.08 x 8.64)	CKN1735-ND	5.57	4.46	3.53	TP12SH9ABE
		Ein-Mom	A	SH9	Q	.320 x .200 x .340 (8.13 x 5.08 x 8.64)	CKN1736-ND	5.55	4.44	3.52	TP12SH9AQE
	DPST	Aus-Mom	A	SH9	B	.320 x .360 x .340 (8.13 x 9.14 x 8.64)	CKN1741-ND	8.80	7.05	5.58	TP21SH9ABE
3	SPST	Aus-Mom	AV	D1	B	.320 x .200 x .365 (8.13 x 5.08 x 9.27)	CKN4009-ND	4.69	3.76	2.97	EP11SD1AVBE
		Aus-Mom	AV	SH8	B	.320 x .200 x .340 (8.13 x 5.08 x 8.64)	CKN1722-ND	4.25	3.40	2.70	TP11SH8AVBE
		Aus-Mom	AV	SH9	B	.320 x .200 x .340 (8.13 x 5.08 x 8.64)	CKN1725-ND	4.25	3.40	2.70	TP11SH9AVBE
	SPDT	Ein-Mom	AV	H8	B	.320 x .200 x .352 (8.13 x 5.08 x 8.94)	CKN4005-ND	5.57	4.46	3.53	TP12SH8AVBE
		Ein-Mom	AV	SH9	B	.320 x .200 x .340 (8.13 x 5.08 x 8.64)	CKN1737-ND	5.57	4.46	3.53	TP12SH9AVBE
	DPST	Aus-Mom	AV	D1	B	.320 x .200 x .365 (8.13 x 5.08 x 9.27)	CKN4046-ND	8.83	7.07	5.60	EP21SD1AVBE
						Doppelfunktions- und Momentdrucktastenschalter					
1	SPDT	Ein-Mom	C	H	G	.500 x .270 x .410 (12.70 x 6.86 x 10.41)	CKN4010-ND	7.56	6.06	4.80	8121SHCGE
		Ein-Mom	Z	H	G	.500 x .270 x .410 (12.70 x 6.86 x 10.41)	CKN4011-ND	7.43	5.95	4.71	8121SHZGE
		Ein-Mom	V3	D3	B	.500 x .270 x .410 (12.70 x 6.86 x 10.41)	CKN4012-ND	5.47	4.38	3.47	8125SD3V3BE
		Ein-Mom	Z	H	B	.500 x .270 x .410 (12.70 x 6.86 x 10.41)	CKN4022-ND	4.89	3.92	3.11	8125SHZBE
		Ein-Mom	C	H	B	.500 x .450 x .410 (12.70 x 11.43 x 10.41)	CKN4029-ND	5.03	4.03	3.19	8125SHCBE
		Ein-Mom	C	D1	G	.500 x .260 x .350 (12.70 x 6.60 x 8.89)	CKN4041-ND	7.98	6.39	5.06	E121SD1CGE
		Ein-Mom	Z	Y	G	.500 x .270 x .410 (12.70 x 6.86 x 10.41)	CKN1611-ND	7.43	5.95	4.71	8121LY4ZGE
		Ein-Mom	V3	D3	G	.500 x .270 x .410 (12.70 x 6.86 x 10.41)	CKN1612-ND	8.01	6.41	5.08	8121MD3V3GE
		Ein-Mom	V3	D3	G	.500 x .270 x .410 (12.70 x 6.86 x 10.41)	CKN1613-ND	8.01	6.41	5.08	8121SD3V3GE
		Ein-Mom	V3	D8	G	.500 x .270 x .410 (12.70 x 6.86 x 10.41)	CKN1614-ND	8.01	6.41	5.08	8121SD8V3GE
		Ein-Mom	V3	D9	G	.500 x .270 x .410 (12.70 x 6.86 x 10.41)	CKN1619-ND	8.01	6.41	5.08	8121SD9V3GE
		Ein-Mom	V6	D9	G	.500 x .270 x .410 (12.70 x 6.86 x 10.41)	CKN1620-ND	8.01	6.41	5.08	8121SD9V6GE
		Ein-Mom	C	D	G	.500 x .270 x .410 (12.70 x 6.86 x 10.41)	CKN1622-ND	7.53	6.04	4.78	8121SDCGE
		Ein-Mom	Z	D	G	.500 x .270 x .410 (12.70 x 6.86 x 10.41)	CKN1623-ND	7.43	5.95	4.71	8121SDZGE
		Ein-Mom	Z3	H	G	.500 x .270 x .410 (12.70 x 6.86 x 10.41)	CKN1626-ND	7.67	6.14	4.86	8121SHZ3GE
		Ein-Mom	Z	Y4	G	.500 x .270 x .410 (12.70 x 6.86 x 10.41)	CKN1627-ND	7.43	5.95	4.71	8121SY4ZGE
		Ein-Mom	Z	Y	G	.500 x .270 x .410 (12.70 x 6.86 x 10.41)	CKN1628-ND	7.43	5.95	4.71	8121SYZGE
		Ein-Mom	V3	D9	B	.500 x .270 x .410 (12.70 x 6.86 x 10.41)	CKN1631-ND	5.47	4.38	3.47	8125SD9V3BE
		Ein-Mom	C	D	B	.500 x .270 x .410 (12.70 x 6.86 x 10.41)	CKN1632-ND	5.03	4.03	3.19	8125SDCBE
		Ein-Mom	Z	Y	B	.500 x .270 x .410 (12.70 x 6.86 x 10.41)	CKN1633-ND	4.89	3.92	3.11	8125SYZBE
		Ein-Mom	C	H	G	.500 x .270 x .410 (12.70 x 6.86 x 10.41)	CKN1642-ND	9.90	7.92	6.27	U811SHCGE
		Ein-Mom	Z	H	G	.500 x .270 x .410 (12.70 x 6.86 x 10.41)	CKN1643-ND	9.77	7.82	6.19	U811SHZGE
	DPDT	Ein-Mom	Z	H	G	.500 x .450 x .410 (12.70 x 11.43 x 10.41)	CKN4023-ND	11.48	9.19	7.27	8221SHZGE
		Ein-Mom	Z	H	B	.500 x .450 x .410 (12.70 x 11.43 x 10.41)	CKN4024-ND	6.89	5.52	4.37	8225SHZBE
		Ein-Mom	C	D1	G	.500 x .450 x .350 (12.70 x 11.43 x 8.89)	CKN4042-ND	12.83	10.26	8.13	E221SD1CGE
		Ein-Mom	V3	D9	G	.500 x .450 x .410 (12.70 x 11.43 x 10.41)	CKN1635-ND	9.25	7.99	6.73	8221SD9V3GE
		Ein-Mom	C	D	G	.500 x .450 x .410 (12.70 x 11.43 x 10.41)	CKN1636-ND	11.68	9.35	7.40	8221SDCGE
		Ein-Mom	C	H	G	.500 x .450 x .410 (12.70 x 11.43 x 10.41)	CKN1637-ND	11.68	9.35	7.40	8221SHCGE
		Ein-Mom	Z	H	G	.500 x .450 x .410 (12.70 x 11.43 x 10.41)	CKN1644-ND	11.48	9.19	7.27	U821SHZGE
	3PDT	Ein-Mom	Z	H	G	.500 x .650 x .475 (12.70 x 16.51 x 12.07)	CKN1639-ND	12.37	10.69	9.00	8321SHZGE
	4PDT	Ein-Mom	Z	H	G	.500 x .850 x .475 (12.70 x 21.59 x 12.07)	CKN1640-ND	15.64	13.51	11.38	8421SHZGE
2	SPDT	Ein-Mom	A	D9	G	.500 x .270 x .410 (12.70 x 6.86 x 10.41)	CKN4013-ND	8.06	6.45	5.11	8121SD9AGE
		Ein-Mom	A	D9	B	.500 x .270 x .410 (12.70 x 6.86 x 10.41)	CKN4014-ND	5.52	4.42	3.50	8125SD9ABE
		Ein-Mom	A2	D9	G	.500 x .270 x .410 (12.70 x 6.86 x 10.41)	CKN1615-ND	8.21	6.57	5.21	8121SD9A2GE
		Ein-Mom	A4	D9	G	.500 x .270 x .410 (12.70 x 6.86 x 10.41)	CKN1616-ND	8.21	6.57	5.21	8121SD9A4GE
		Ein-Mom	R2	D9	G	.500 x .270 x .410 (12.70 x 6.86 x 10.41)	CKN1617-ND	8.47	6.78	5.37	8121SD9R2GE
		Ein-Mom	R	D9	G	.500 x .270 x .410 (12.70 x 6.86 x 10.41)	CKN1618-ND	8.47	6.78	5.37	8121SD9RGE
		Ein-Mom	A	D	G	.500 x .270 x .410 (12.70 x 6.86 x 10.41)	CKN1621-ND	8.06	6.45	5.11	8121SDAGE
		Ein-Mom	A	H9	G	.500 x .270 x .410 (12.70 x 6.86 x 10.41)	CKN1624-ND	8.06	6.45	5.11	8121SH9AGE
		Ein-Mom	A	D8	B	.500 x .270 x .410 (12.70 x 6.86 x 10.41)	CKN1629-ND	5.52	4.42	3.50	8125SD8ABE
		Ein-Mom	A	D9	G	.500 x .270 x .410 (12.70 x 6.86 x 10.41)	CKN1641-ND	8.06	6.45	5.11	U811SD9AGE
	DPDT	Ein-Mom	A	D9	G	.500 x .450 x .410 (12.70 x 11.43 x 10.41)	CKN1634-ND	9.25	7.99	6.73	8221SD9AGE
3	SPDT	Ein-Mom	AV2	D9	G	.500 x .270 x .410 (12.70 x 6.86 x 10.41)	CKN4015-ND	8.21	6.57	5.21	8121SD9AV2GE
		Ein-Mom	AV2	D9	B	.500 x .450 x .410 (12.70 x 11.43 x 10.41)	CKN4030-ND	5.67	4.54	3.60	8125SD9AV2BE
		Ein-Mom	AV2	H	G	.500 x .270 x .410 (12.70 x 6.86 x 10.41)	CKN1625-ND	8.21	6.57	5.21	8121SHAV2GE
		Ein-Mom	AV2	D8	B	.500 x .270 x .410 (12.70 x 6.86 x 10.41)	CKN1630-ND	5.67	4.54	3.60	8125SD8AV2BE
	DPDT	Ein-Mom	AV2	D9	B	.500 x .450 x .410 (12.70 x 11.43 x 10.41)	CKN1638-ND	8.58	6.86	5.44	8225SD9AV2BE
4	SPDT	Ein-Ein	Z	H	Q	.500 x .270 x .450 (12.70 x 6.86 x 11.43)	CKN4016-ND	5.28	4.23	3.35	8161SHZQE2
		Ein-Mom	Z	H	Q	.500 x .270 x .450 (12.70 x 6.86 x 11.43)	CKN4018-ND	5.28	4.23	3.35	8168LHZQE2
		Ein-Mom	Z	H	G	.500 x .270 x .450 (12.70 x 6.86 x 11.43)	CKN4031-ND	5.65	4.52	3.58	8168SHZGE2
		Ein-Ein	Z	H	G	.500 x .270 x .410 (12.70 x 6.86 x 10.41)	CKN1647-ND	5.65	4.52	3.58	8161SHZGE2
		Ein-Mom	Z	H	B	.500 x .270 x .410 (12.70 x 6.86 x 10.41)	CKN1649-ND	5.31	4.25	3.37	8168LHZBE2
		Ein-Mom	Z	H	Q	.500 x .270 x .410 (12.70 x 6.86 x 10.41)	CKN1655-ND	5.28	4.23	3.35	8168SHZQE2
	DPDT	Ein-Ein	Z	H	G	.500 x .450 x .450 (12.70 x 11.43 x 11.43)	CKN4032-ND	10.85	8.69	6.88	8261SHZGE2
		Ein-Ein	Z	H	Q	.500 x .450 x .450 (12.70 x 11.43 x 11.43)	CKN1656-ND	9.61	7.69	6.09	8261SHZQE2
5	SPDT	Ein-Ein	A	H9	B	.500 x .270 x .410 (12.70 x 6.86 x 10.41)	CKN1646-ND	5.93	4.75	3.76	8161SH9ABE2
		Ein-Mom	A	H9	B	.500 x .270 x .410 (12.70 x 6.86 x 10.41)	CKN1648-ND	5.93	4.75	3.76	8168LH9ABE2
		Ein-Mom	A	H9	B	.500 x .270 x .410 (12.70 x 6.86 x 10.41)	CKN1650-ND	5.93	4.75	3.76	8168SH9ABE2
		Ein-Mom	A	H9	Q	.500 x .270 x .410 (12.70 x 6.86 x 10.41)	CKN1651-ND	5.91	4.73	3.75	8168SH9AQE2
		Ein-Mom	A	H	B	.500 x .270 x .410 (12.70 x 6.86 x 10.41)	CKN1653-ND	5.93	4.75	3.76	8168SHABE2
		Ein-Mom	A	H	Q	.500 x .270 x .410 (12.70 x 6.86 x 10.41)	CKN1654-ND	5.91	4.73	3.75	8168SHAQE2
6	SPDT	Ein-Mom	AV2	H9	B	.500 x .270 x .410 (12.70 x 6.86 x 10.41)	CKN1652-ND	6.09	4.88	3.86	8168SH9AV2BE2

Kontaktmaterialoptionen

B Kontakte und Anschlüsse: Kupferlegierung, vernickelt und vergoldet Nennleistung: Max. 0,4 VA bei max. 20 V AC oder DC

K Kontakte und Anschlüsse: Kupferlegierung, vergoldet über Nickelplattierung. Klemmen: Kupferlegierung mit Zinn-Blei-Legierung über der Vernickelung. Nennleistung: Max. 0,4 VA bei max. 20 V AC oder DC

Q Endkontakte: Münzsilber, versilbert. Klemmen: Kupferlegierung, versilbert. Leistung: 1 A @ 120 V AC; Serie 8060 — 6 A @ 120 V AC oder 3 A @ 250 V AC; Serie 8500 — 1 A @ 120 V AC.

G Kontakte: Münzsilber, vergoldet über Nickelplattierung. Klemmen: Kupferlegierung, vergoldet über Nickelplattierung. Leistung: Max. 0,4 VA bei max. 20 V AC oder DC oder 1 A bei 120 V AC oder 28 V DC.

Abb. 1

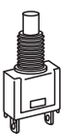

Abb. 2

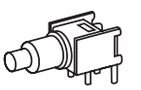

Abb. 3

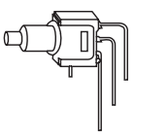

Abb. 4

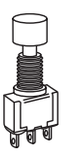

Abb. 5

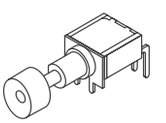

Abb. 6

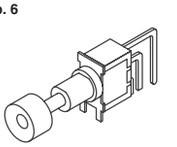

Abb. 7

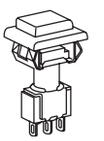

Abb. 8

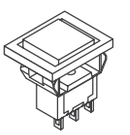

Abb. 9

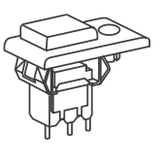

Abb. 10

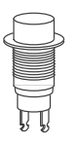

Abb. 11

Abb. 12

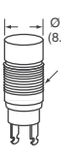

Abschlusswiderstandsoptionen

A / A2 A4
(Umgekehranschluss)

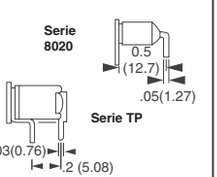

AV

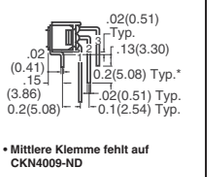

• Mittlere Klemme fehlt auf CKN4009-ND

AV2

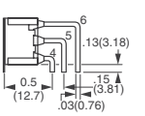

C Serie 8020

R R2
(Umkehranschluss)

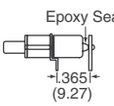

V3 / V6

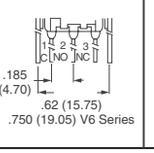

W

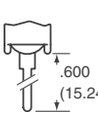

(Forts.)

H

Alle Preisangaben in Euro und inklusive Zollgebühren.

Drucktaster *(Forts.)*

Abb.	Schaltkreis	Schaltfunktion	Anschluss	Durch-führung	Kontakt-material	Abmessungen - Zoll (mm) L x B x H	Digi-Key Teilenr.	Stückpreis 1	25	100	ITT Industries Teilenr.
Schnappfunktion in schwarzem Rahmen											
	SPST	Aus-Mom	Z	Weiße Kappe	B	.320 x .200 x .340 (8.13 x 5.08 x 8.64)	CKN1609-ND	4.74	3.80	3.01	TP11J81ZBE12
		Aus-Mom	Z	Schw. Kappe	Q	.320 x .200 x .340 (8.13 x 5.08 x 8.64)	CKN1610-ND	4.72	3.78	2.99	TP11J81ZQE22
	SPDT	Aus-Mom	X	—	Q	.427 x .469 Ø (10.8 x 11.91 Ø)	CKN1657-ND	5.16	4.13	3.27	8531J81ZQE22
		Ein-Mom	Z	Weiße Kappe	G	.500 x .270 x .410 (12.70 x 6.86 x 10.41)	CKN1597-ND*	8.47	6.78	5.37	8121J81ZGE12
		Ein-Mom	Z	Schw. Kappe	G	.500 x .270 x .410 (12.70 x 6.86 x 10.41)	CKN4025-ND	8.47	6.78	5.37	8121J81ZGE22
		Ein-Mom	Z	Schw. Kappe	G	.500 x .270 x .410 (12.70 x 6.86 x 10.41)	CKN1599-ND	8.47	6.78	5.37	8121J83ZGE22
		Ein-Mom	Z3	Schw. Kappe	B	.500 x .270 x .410 (12.70 x 6.86 x 10.41)	CKN1601-ND	6.16	4.94	3.91	8125J81Z3BE22
		Ein-Mom	Z	Schw. Kappe	B	.500 x .270 x .410 (12.70 x 6.86 x 10.41)	CKN4026-ND	5.93	4.75	3.76	8125J81ZBE22
7		Aus-Mom	Z	Schw. Kappe	B	.500 x .270 x .410 (12.70 x 6.86 x 10.41)	CKN1603-ND	5.93	4.75	3.76	8125J83ZBE22
		Ein-Ein	Z	Schw. Kappe	G	.500 x .270 x .430 (12.70 x 6.86 x 10.92)	CKN4033-ND	4.49	3.59	2.84	8161J81ZGE22
		Ein-Ein	Z	Schw. Kappe	Q	.500 x .270 x .430 (12.70 x 6.86 x 10.92)	CKN1604-ND	6.71	5.37	4.25	8161J81ZQE22
		Ein-Mom	Z	Schw. Kappe	B	.500 x .270 x .430 (12.70 x 6.86 x 10.92)	CKN1607-ND	6.74	5.39	4.27	8168J81ZBE22
		Ein-Mom	Z	Schw. Kappe	G	.500 x .270 x .430 (12.70 x 6.86 x 10.92)	CKN4034-ND	7.08	5.66	4.48	8168J81ZGE22
		Ein-Mom	Z	Schw. Kappe	Q	.500 x .270 x .450 (12.70 x 6.86 x 11.43)	CKN4017-ND	6.71	5.37	4.25	8168J81ZQE22
	DPDT	Ein-Mom	Z	Schw. Kappe	G	.500 x .450 x .410 (12.70 x 11.43 x 10.41)	CKN4027-ND	12.51	10.02	7.93	8221J81ZGE22
		Ein-Mom	Z	Schw. Kappe	G	.500 x .450 x .410 (12.70 x 11.43 x 10.41)	CKN1608-ND	9.18	7.93	6.68	8221J83ZGE22
		Ein-Mom	Z	Schw. Kappe	B	.500 x .450 x .410 (12.70 x 11.43 x 10.41)	CKN4028-ND	7.92	6.35	5.03	8225J81ZBE22
		Ein-Ein	Z	Schw. Kappe	G	.500 x .450 x .450 (12.70 x 11.43 x 11.43)	CKN4035-ND	12.28	9.83	7.78	8261J81ZGE22
		Ein-Mom	Z	Schw. Kappe	G	.500 x .450 x .410 (12.70 x 11.43 x 10.41)	CKN1600-ND*	8.49	7.34	6.18	8121J85ZGE223
8	SPDT	Ein-Ein	Z	Schw. Kappe	G	.500 x .270 x .450 (12.70 x 6.86 x 11.43)	CKN1605-ND*	9.95	7.96	6.31	8161J86ZGE223
		Ein-Ein	Z	Schw. Kappe	Q	.500 x .270 x .450 (12.70 x 6.86 x 11.43)	CKN1606-ND*	9.58	7.67	6.08	8161J86ZQE223
9	SPDT	Ein-Mom	Z	Schw. Kappe	G	.500 x .450 x .410 (12.70 x 11.43 x 10.41)	CKN1598-ND	8.63	6.91	5.47	8121J82ZGE22
		Ein-Mom	Z	Schw. Kappe	B	.500 x .450 x .410 (12.70 x 11.43 x 10.41)	CKN1602-ND	6.09	4.88	3.86	8125J82ZBE22
Subminiatur-Drucktastenschalter											
		Aus-Mom	X	Schw. Kappe	Q	.660 x .469 Ø (16.76 x 11.91 Ø)	CKN1121-ND	4.64	3.71	2.94	8532T1ZQE2
		Aus-Mom	X	Schw. Kappe	B	.660 x .469 Ø (16.76 x 11.91 Ø)	CKN1122-ND	4.64	3.71	2.94	8532T1ZBE2
		Aus-Mom	X	Rote Kappe	Q	.660 x .469 Ø (16.76 x 11.91 Ø)	CKN1123-ND	4.64	3.71	2.94	8532T1ZQE3
10	SPST	Aus-Mom	X	Rote Kappe	B	.660 x .469 Ø (16.76 x 11.91 Ø)	CKN1124-ND	4.89	3.92	3.11	8532T1ZBE3
		Aus-Mom	X	Weiße Kappe	Q	.660 x .469 Ø (16.76 x 11.91 Ø)	CKN1222-ND	4.64	3.71	2.94	8532T1ZQE1
		Aus-Mom	X	Weiße Kappe	B	.660 x .469 Ø (16.76 x 11.91 Ø)	CKN1223-ND	4.64	3.71	2.94	8532T1ZBE1
		Aus-Mom	C	Schw. Kappe	B	.660 x .469 Ø (16.76 x 11.91 Ø)	CKN1666-ND	4.77	3.82	3.02	8532T1CBE2
		Aus-Mom	C	H	Q	.427 x .375 Ø (10.85 x 9.53 Ø)	CKN4036-ND	3.99	3.20	2.53	8531MCQE2
		Ein-Mom	C	H	Q	.427 x .375 Ø (10.85 x 9.53 Ø)	CKN4037-ND	4.45	3.57	2.83	8533MCQE2
		Ein-Mom	C	H	Q	.427 x .375 Ø (10.85 x 9.53 Ø)	CKN1389-ND	3.86	3.09	2.45	8533MZQE2
		Ein-Mom	C	H	B	.427 x .375 Ø (10.85 x 9.53 Ø)	CKN1390-ND	4.33	3.47	2.74	8533MZBE2
		Aus-Mom	X	8-40 uns	Q	.248 x .250 Ø (6.30 x 6.35 Ø)	CKN4038-ND	4.72	3.78	2.99	8631ZQD2
		Aus-Mom	X	8-40 uns	B	.248 x .250 Ø (6.30 x 6.35 Ø)	CKN4039-ND	4.72	3.78	2.99	8631ZBD2
		Aus-Mom	C	8-40 uns	B	.248 x .250 Ø (6.30 x 6.35 Ø)	CKN4040-ND	4.84	3.88	3.07	8631CBD2
		Aus-Mom	C	H	Q	.427 x .375 Ø (10.85 x 9.53 Ø)	CKN4019-ND	3.99	3.20	2.53	8531SCQE2
		Aus-Mom	X	H	Q	.427 x .375 Ø (10.85 x 9.53 Ø)	CKN4020-ND	3.86	3.09	2.45	8531MZQE2
		Aus-Mom	X	H	Q	.315 x .375 Ø (8.00 x 9.53 Ø)	CKN4021-ND	3.86	3.09	2.45	8532MZQE2
		Aus-Mom	05	H	B	.68 x .388 Ø (17.27 x 9.86 Ø)	CKN4057-ND	3.11	2.49	1.97	KM1101RR05B
		Aus-Mom	05	H	Q	.68 x .388 Ø (17.27 x 9.86 Ø)	CKN4058-ND	2.25	1.81	1.43	KM1101RR05Q
		Aus-Mom	C	H	B	.68 x .388 Ø (17.27 x 9.86 Ø)	CKN4059-ND	3.11	2.49	1.97	KM1101RR02B
		Aus-Mom	C	H	Q	.68 x .388 Ø (17.27 x 9.86 Ø)	CKN4060-ND	2.25	1.81	1.43	KM1101RR02Q
		Aus-Mom	C	H	Q	.68 x .388 Ø (17.27 x 9.86 Ø)	CKN1714-ND	2.72	2.18	1.73	KM1101RR02QE
		Ein-Mom	05	H	Q	.68 x .388 Ø (17.27 x 9.86 Ø)	CKN4064-ND	2.25	1.81	1.43	KM3301RR05Q
11	SPST	Aus-Mom	X	S	Q	.427 x .469 Ø (10.8 x 11.91 Ø)	CKN1658-ND	3.86	3.09	2.45	8531SZQE2
		Aus-Mom	C	M	Q	.315 x .469 Ø (8.00 x 11.91 Ø)	CKN1662-ND	3.99	3.20	2.53	8532MCQE2
		Aus-Mom	X	M	B	.315 x .469 Ø (8.00 x 11.91 Ø)	CKN1663-ND	3.86	3.09	2.45	8532MZBE2
		Aus-Mom	X	M	G	.315 x .469 Ø (8.00 x 11.91 Ø)	CKN1664-ND	4.20	3.36	2.66	8532MZGE2
		Aus-Mom	X	S	Q	.315 x .469 Ø (8.00 x 11.91 Ø)	CKN1665-ND	3.86	3.09	2.45	8532SZQE2
		Ein-Mom	C	M	Q	.427 x .469 Ø (10.8 x 11.91 Ø)	CKN1669-ND	4.45	3.57	2.83	8534MCQE2
		Ein-Mom	X	M	Q	.427 x .469 Ø (10.8 x 11.91 Ø)	CKN1670-ND	4.33	3.47	2.74	8534MZQE2
		Aus-Mom	X	M	Q	.427 x .469 Ø (10.8 x 11.91 Ø)	CKN1672-ND	3.86	3.09	2.45	8551MZQE2
		Aus-Mom	C	8-40UNS	G	.248 x .250 Ø (6.30 x 6.35 Ø)	CKN1675-ND	5.18	4.15	3.29	8631CGD2
		Aus-Mom	C	8-40UNS	Q	.248 x .250 Ø (6.30 x 6.35 Ø)	CKN1676-ND	4.84	3.88	3.07	8631CQD2
		Aus-Mom	C	8-40UNS	B	.355 x .250 Ø (9.02 x 6.35 Ø)	CKN1677-ND	4.84	3.88	3.07	8632CBD2
		Aus-Mom	C	8-40UNS	Q	.355 x .250 Ø (9.02 x 6.35 Ø)	CKN1678-ND	4.84	3.88	3.07	8632CQD2
		Aus-Mom	X	8-40UNS	B	.355 x .250 Ø (9.02 x 6.35 Ø)	CKN1679-ND	4.72	3.78	2.99	8632ZBD2
		Aus-Mom	X	8-40UNS	Q	.355 x .250 Ø (9.02 x 6.35 Ø)	CKN1680-ND	4.72	3.78	2.99	8632ZQD2
		Ein-Mom	X	8-40UNS	Q	.345 x .250 Ø (8.76 x 6.35 Ø)	CKN1681-ND	5.16	4.13	3.27	8633ZQE2
		Aus-Mom	C	T	Q	.427 x .469 Ø (10.8 x 11.91 Ø)	CKN1659-ND	4.77	3.82	3.02	8531TCQE2
		Aus-Mom	X	T	B	.427 x .469 Ø (10.8 x 11.91 Ø)	CKN1660-ND	4.64	3.71	2.94	8531TZBE2
		Aus-Mom	X	T	Q	.427 x .469 Ø (10.8 x 11.91 Ø)	CKN1661-ND	4.64	3.71	2.94	8531TZQE2
12	SPST	Aus-Mom	C	T	Q	.315 x .469 Ø (8.00 x 11.91 Ø)	CKN1667-ND	4.77	3.82	3.02	8532TCQE2
		Aus-Mom	X	T	Q	.315 x .469 Ø (8.00 x 11.91 Ø)	CKN1668-ND	4.64	3.71	2.94	8532TZQE2
		Ein-Mom	X	T	Q	.427 x .469 Ø (10.8 x 11.91 Ø)	CKN1671-ND	5.11	4.09	3.24	8534TZQE2
		Aus-Mom	X	T	Q	.427 x .469 Ø (10.8 x 11.91 Ø)	CKN1673-ND	4.64	3.71	2.94	8551TZQE2
		Aus-Mom	X	T	Q	.315 x .469 Ø (8.00 x 11.91 Ø)	CKN1674-ND	4.64	3.71	2.94	8552TZQE2
Lötbeständig versiegelte Moment-Drucktastenschalter											
		Mom	C	D1	Q	.320 x .200 x .350 (8.13 x 5.08 x 8.89)	CKN1702-ND	4.04	3.24	2.56	EP11SD1CQE
	SPST	Mom	V3	D1	B	.320 x .200 x .350 (8.13 x 5.08 x 8.89)	CKN1703-ND	4.49	3.59	2.84	EP11SD1V3BE
		Mom	W	D1	B	.320 x .200 x .350 (8.13 x 5.08 x 8.89)	CKN1704-ND	4.30	3.44	2.73	EP11SD1WBE
		Ein-Mom	C	D1	B	.500 x .260 x .350 (12.7 x 6.60 x 8.89)	CKN1684-ND	5.78	4.63	3.66	E112SD1CBE
		Ein-Mom	C	D1	Q	.500 x .260 x .350 (12.7 x 6.60 x 8.89)	CKN1685-ND	5.78	4.63	3.66	E112SD1CQE
1		Ein-Mom	V3	D1	B	.500 x .260 x .350 (12.7 x 6.60 x 8.89)	CKN1686-ND	6.79	5.43	4.30	E112SD1V3BE
	SPDT	Ein-Mom	Z	Y	B	.500 x .260 x .350 (12.7 x 6.60 x 8.89)	CKN1687-ND	5.65	4.52	3.58	E112SYZBE
		Ein-Mom	V3	D1	G	.500 x .260 x .350 (12.7 x 6.60 x 8.89)	CKN1690-ND	8.99	7.20	5.70	E121SD1V3GE
		Ein-Mom	V3	D1	B	.500 x .260 x .350 (12.7 x 6.60 x 8.89)	CKN1693-ND	6.55	5.25	4.16	E125SD1V3BE
		Ein-Mom	C	D1	B	.320 x .200 x .350 (8.13 x 5.08 x 8.89)	CKN1708-ND	5.26	4.21	3.34	EP12FPD1CBE
		Ein-Mom	V3	D1	B	.320 x .200 x .350 (8.13 x 5.08 x 8.89)	CKN1712-ND	5.70	4.56	3.61	EP12SD1V3BE
		Mom	A	D1	K	.320 x .200 x .350 (8.13 x 5.08 x 8.89)	CKN1696-ND	4.77	3.82	3.02	EP11FPD1AKE
		Mom	A	D1	G	.320 x .200 x .350 (8.13 x 5.08 x 8.89)	CKN1698-ND	4.84	3.88	3.07	EP11SD1AGE
	SPST	Mom	A	D1	K	.320 x .200 x .350 (8.13 x 5.08 x 8.89)	CKN1699-ND	4.77	3.82	3.02	EP11SD1AKE
		Mom	A	D1	Q	.320 x .200 x .350 (8.13 x 5.08 x 8.89)	CKN1700-ND	4.49	3.59	2.84	EP11SD1AQE
		Mom	A	D1	B	.320 x .200 x .350 (8.13 x 5.08 x 8.89)	CKN1695-ND	4.49	3.59	2.84	EP11FPD1ABE
2		Ein-Mom	A	D1	B	.500 x .260 x .350 (12.7 x 6.60 x 8.89)	CKN1682-ND	6.26	5.02	3.97	E112SD1ABE
		Ein-Mom	A	D1	G	.500 x .260 x .350 (12.7 x 6.60 x 8.89)	CKN1688-ND	8.47	6.78	5.37	E121SD1AGE
		Ein-Mom	A	D1	B	.500 x .260 x .350 (12.7 x 6.60 x 8.89)	CKN1691-ND	6.04	4.83	3.83	E125SD1ABE
	SPDT	Ein-Mom	A	D1	B	.320 x .200 x .350 (8.13 x 5.08 x 8.89)	CKN1705-ND	5.70	4.56	3.61	EP12FPD1ABE
		Ein-Mom	A	D1	K	.320 x .200 x .350 (8.13 x 5.08 x 8.89)	CKN1706-ND	5.99	4.79	3.79	EP12FPD1AKE
		Ein-Mom	A	D1	G	.320 x .200 x .350 (8.13 x 5.08 x 8.89)	CKN1709-ND	6.06	4.85	3.84	EP12SD1AGE
		Ein-Mom	A	D1	K	.320 x .200 x .350 (8.13 x 5.08 x 8.89)	CKN1710-ND	5.99	4.79	3.79	EP12SD1AKE
	SPST	Mom	AV	D1	B	.320 x .200 x .350 (8.13 x 5.08 x 8.89)	CKN1697-ND	4.69	3.76	2.97	EP11FPD1AVBE
		Mom	AV	D1	K	.320 x .200 x .350 (8.13 x 5.08 x 8.89)	CKN1701-ND	4.97	3.98	3.15	EP11SD1AVKE
		Ein-Mom	AV2	D1	B	.500 x .260 x .350 (12.7 x 6.60 x 8.89)	CKN1683-ND	6.43	5.15	4.07	E112SD1AV2BE
3		Ein-Mom	AV2	D1	G	.500 x .260 x .350 (12.7 x 6.60 x 8.89)	CKN1689-ND	8.63	6.91	5.47	E121SD1AV2GE
	SPDT	Ein-Mom	AV2	D1	B	.500 x .260 x .350 (12.7 x 6.60 x 8.89)	CKN1692-ND	6.19	4.96	3.93	E125SD1AV2BE
		Ein-Mom	AV	D1	B	.320 x .200 x .350 (8.13 x 5.08 x 8.89)	CKN1707-ND	5.91	4.73	3.75	EP12FPD1AVBE
		Ein-Mom	AV	D1	B	.320 x .200 x .350 (8.13 x 5.08 x 8.89)	CKN1711-ND	5.91	4.73	3.75	EP12SD1AVBE
	DPDT	Ein-Mom	AV2	D1	G	.500 x .450 x .350 (12.7 x 11.43 x 8.89)	CKN1694-ND	10.09	8.72	7.34	E221SD1AV2GE
Buchsensteckverbinder für Z3-Anschlüsse							CKN1645-ND	.40	.32	.26	530100000

* Rote LED

Abschlussoptionen *(Forts.)*

X

Solder Lug

Z

Solder Eyelet

Z3

05

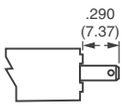

Durchführungsoptionen

Alle Gewindedurchführungen werden mit Kleinteilen geliefert

D

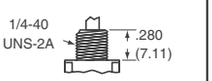

D1 (ohne Gewinde)

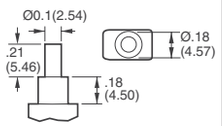

D3 (ohne Gewinde)

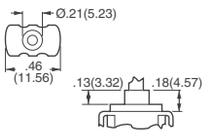

D8

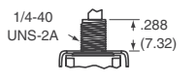

D9 (ohne Gewinde, flach)

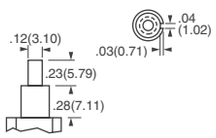

H8 (ohne Gewinde)

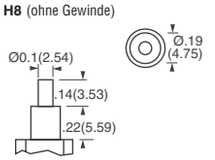

H 1/4-40 NS (ohne Gewinde)
H7 / SH 10-48UNS-2A

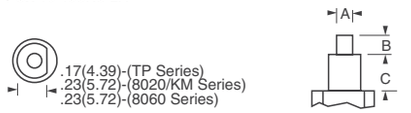

LT
LT9 (ohne Gewinde)

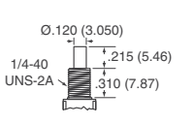

M

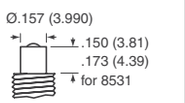

MS9

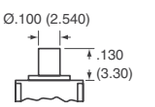

S

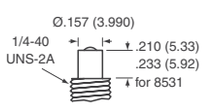

SH, SH8 (ohne Gewinde)
SH9 (ohne Gewinde, flach)

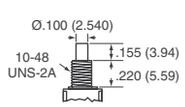

T

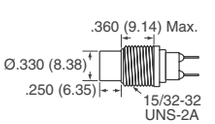

Y

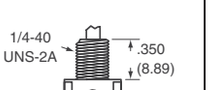

Y4

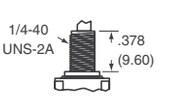

Durchführungsoption	ITT Ind. Serie	Abmessungen - Zoll (mm) A	B	C
H, H9	TP	.100 (2.54)	.139 (3.53)	.220 (5.59)
H	8020	.122 (3.10)	.218 (5.54)	.250 (6.35)
H	8060	.122 (3.10)	.280 (7.11)	.300 (7.62)
SH	TP	.100 (2.54)	.155 (3.94)	.220 (5.59)

H

Drucktastenschalter

Abb. 1	Abb. 2	Abb. 3	Abb. 4	Abb. 5	Abb. 6
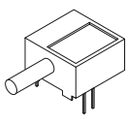	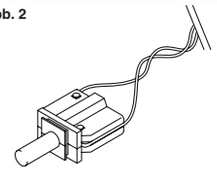		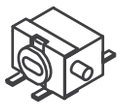		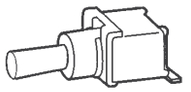

Abb.	Schaltkreis	Schaltfunktion	Optionen (siehe Diagramme) Anschluss	Kontakt-material	Abmessungen Zoll (mm) L x B x T	Digi-Key Teilenr.	Stückpreis 1	25	100	ITT Industries Teilenr.
Subminiatur-Drucktastenschalter										
1	SPDT	Aus-Mom	C	B	.52 x .54 x .385 (13.21 x 13.72 x 9.78)	CKN4062-ND	4.49	3.59	2.84	KM1202A08BE
	SPDT	Aus-Mom	C	Q	.52 x .54 x .385 (13.21 x 13.72 x 9.78)	CKN4061-ND	3.37	2.70	2.14	KM1202A08QE
Plattenmontage-Detektorschalter										
2	SPST	Ein-Mom	Drähte	B	.715 x .500 x .380 (18.16 x 12.70 x 9.65)	CKN4068-ND	4.44	3.56	2.82	KDS3302RSWC12CB

Kontaktmaterial

B Kontakte und Anschlüsse: Kupferlegierung, vergoldet über Nickelplattierung Nennleistung: Max. 0,4 VA bei max. 20 V AC oder DC

Q Endkontakte: Münzsilber, versilbert. Mittlerer Kontakt und alle Anschlussklemmen: Kupferlegierung, versilbert

Abb.	Schaltkreis	Schaltfunktion	Betätigerhöhe Zoll (mm)	Klemmen	Digi-Key Teilenr.	Gurtabschnittspreis pro Stück 1	25	100	Digi-Key Teilenr.	Preisangaben für Gegurtet auf Rolle 600	ITT Industries Teilenr.
Ultraminiatur-Drucktastenschalter (abwaschbar)											
3	SPST	Aus-Mom	.078 (1.98)	Leiterplattenmontage	CKN4048-ND	4.82	3.86	3.06	—	—	GP11MCKE
	SPST	Aus-Mom	.078 (1.98)	Leiterplattenmontage	CKN4049-ND	5.42	4.34	3.43	—	—	GP11MAKE
	SPDT	Ein-Mom	.078 (1.98)	Leiterplattenmontage	CKN1713-ND	5.28	4.23	3.35	—	—	GP12MCKE
4	SPDT	Ein-Mom	.078 (1.98)	Gull-Lead	CKN4079CT-ND	5.72	4.93	3.97	CKN4079TR-ND	1900.89	GP12MSCKE(T&R)
	SPST	Aus-Mom	.078 (1.98)	Gull-Lead	CKN4076CT-ND	5.82	5.02	4.04	CKN4076TR-ND	1935.63	GP11MSAKE(T&R)
	SPDT	Ein-Mom	.078 (1.98)	Gull-Lead	CKN4078CT-ND	6.31	5.44	4.37	CKN4078TR-ND	2096.55	GP12MSAKE(T&R)
	SPST	Aus-Mom	.078 (1.98)	Gull-Lead	CKN4075CT-ND	6.93	5.98	4.80	CKN4075TR-ND	2303.19	GP11MSA1KE(T&R)
5	SPST	Aus-Mom	.058 (1.47)	Gull-Lead	CKN4077CT-ND	7.28	6.28	5.05	CKN4077TR-ND	2419.31	GP11MSV1KE(T&R)
	SPDT	Ein-Mom	.058 (1.47)	Gull-Lead	CKN4080CT-ND	7.71	6.65	5.34	CKN4080TR-ND	2562.86	GP12MSV1KE(T&R)
Oberflächenmont. (rein. u. lötbest. versiegelt, abwaschbar)											
6	SPST	Aus-Mom	.215 (5.46)	Gull-Lead	CKN4055CT-ND	5.12	4.42	3.55	CKN4055TR-ND	1703.39	EP11SD1SAKE(T&R)
	SPDT	Ein-Mom	.215 (5.46)	Gull-Lead	CKN4056CT-ND	6.31	5.44	4.37	CKN4056TR-ND	2094.73	EP12SD1SAKE(T&R)
	SPST	Aus-Mom	Bündig	Gull-Lead	CKN9021CT-ND	5.12	4.42	3.55	CKN9021TR-ND	1703.39	EP11FPD1SAKE(T&R)
	SPDT	Ein-Mom	Bündig	Gull-Lead	CKN9022CT-ND	6.31	5.44	4.37	CKN9022TR-ND	2094.73	EP12FPD1SAKE(T&R)

Drucktastenschalter-Zubehör

Abb. 1	Abb. 2	Abb. 3
Serie 8X2X, 8X6X, EX1X, EX2X, KM11 und L 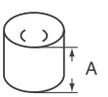	Serie EP, TP	Serie 8020, 8060, E010, E020, KM11, L, TP 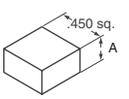

Schalterkappenfarbe	Kappendurchmesser Zoll (mm)	Kappenhöhe - Größe A Zoll (mm)	Kolbendurchmesser Zoll (mm)	Digi-Key Teilenr.	Stückpreis 1	25	100	ITT Industries Teilenr.
Abb. 1 Drucktastenkappen für 8X2X, 8X6X, EX1X, EX2X, KM11 und L								
Weiß glänzend	.375 (9.53)	.250 (6.35)	.122 (3.10)	CKN1103-ND	.63	.51	.41	752701000
Schwarz glänzend	.375 (9.53)	.250 (6.35)	.122 (3.10)	CKN1104-ND	.40	.32	.26	752702000
Rot glänzend	.375 (9.53)	.250 (6.35)	.122 (3.10)	CKN1105-ND	.63	.51	.41	752703000
Orange glänzend	.375 (9.53)	.250 (6.35)	.122 (3.10)	CKN1106-ND	.47	.38	.31	752704000
Gelb glänzend	.375 (9.53)	.250 (6.35)	.122 (3.10)	CKN1107-ND	.47	.38	.31	752705000
Grün glänzend	.375 (9.53)	.250 (6.35)	.122 (3.10)	CKN1108-ND	.47	.38	.31	752706000
Blau glänzend	.375 (9.53)	.250 (6.35)	.122 (3.10)	CKN1109-ND	.47	.38	.31	752707000
Braun glänzend	.375 (9.53)	.250 (6.35)	.122 (3.10)	CKN1110-ND	.46	.37	.29	752708000
Grau glänzend	.375 (9.53)	.250 (6.35)	.122 (3.10)	CKN1111-ND	.47	.38	.31	752709000
Weiß glänzend	.310 (7.87)	.250 (6.35)	.122 (3.10)	CKN1397-ND	.85	.68	.54	801801000
Schwarz glänzend	.310 (7.87)	.250 (6.35)	.122 (3.10)	CKN1398-ND	.40	.32	.26	801802000
Rot glänzend	.310 (7.87)	.250 (6.35)	.122 (3.10)	CKN1399-ND	.85	.68	.54	801803000
Weiß glänzend	.200 (5.08)	.155 (3.94)	.122 (3.10)	CKN1394-ND	.63	.51	.41	708901000
Schwarz glänzend	.200 (5.08)	.155 (3.94)	.122 (3.10)	CKN1395-ND	.37	.30	.24	708902000
Rot glänzend	.200 (5.08)	.155 (3.94)	.122 (3.10)	CKN1396-ND	.63	.51	.41	708903000
Abb. 2 Druckschalterkappen EP, Serie TP								
Weiß glänzend	.310 (7.87)	.152 (3.86)	.100 (2.54)	CKN1112-ND	.74	.60	.47	465801000
Schwarz glänzend	.310 (7.87)	.152 (3.86)	.100 (2.54)	CKN1113-ND	.42	.34	.27	465802000
Rot glänzend	.310 (7.87)	.152 (3.86)	.100 (2.54)	CKN1114-ND	.74	.60	.47	465803000
Orange glänzend	.310 (7.87)	.152 (3.86)	.100 (2.54)	CKN1115-ND	.69	.55	.44	465804000
Gelb glänzend	.310 (7.87)	.152 (3.86)	.100 (2.54)	CKN1116-ND	.95	.76	.61	465805000
Grün glänzend	.310 (7.87)	.152 (3.86)	.100 (2.54)	CKN1117-ND	.95	.76	.61	465806000
Blau glänzend	.310 (7.87)	.152 (3.86)	.100 (2.54)	CKN1118-ND	.69	.55	.44	465807000
Braun glänzend	.310 (7.87)	.152 (3.86)	.100 (2.54)	CKN1119-ND	.69	.55	.44	465808000
Grau glänzend	.310 (7.87)	.152 (3.86)	.100 (2.54)	CKN1120-ND	.69	.55	.44	465809000
Schwarz glänzend	.200 (5.08)	.155 (3.94)	.100 (2.54)	CKN1748-ND	.80	.64	.51	508102000
Rot glänzend	.200 (5.08)	.155 (3.94)	.100 (2.54)	CKN1749-ND	.80	.64	.51	508103000
Schwarz glänzend	.200 (5.08)	.155 (3.94)	.100 (2.54)	CKN1751-ND*	.85	.68	.54	538702000
Drucktastenkappen für einrastende Betätiger								
Weiß glänzend	.395 (10.03)	.325 (8.26)	.122 (3.10)	CKN1209-ND	2.30	1.84	1.46	894101000
Schwarz glänzend	.395 (10.03)	.325 (8.26)	.122 (3.10)	CKN1210-ND	.85	.68	.54	894102000
Rot glänzend	.395 (10.03)	.325 (8.26)	.122 (3.10)	CKN1211-ND	2.30	1.84	1.46	894103000
Abb. 3 Quadratische Drucktastenkappen für 8020, 8060, E010, E020, KM11, L und TP								
Schwarz glänzend	.450 (11.43)	.240 (6.10)	.122 (3.10)	CKN1757-ND	.58	.47	.37	798202263

*Empfohlen für S9-Stößel

Schalterzubehör – Schnapprahmen

Material: Schwarzes Nylon.

Abb. 1	Abb. 2
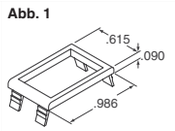	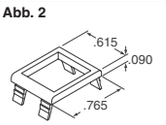

Abb.	Plattenstärke	Plattenform	Digi-Key Teilenr.	Stückpreis 1	25	100	ITT Industries Teilenr.
1	.062" (1.57mm)	Rechteckig	CKN1746-ND	.63	.51	.41	452702263
	.090" (2.29mm)	Rechteckig	CKN1747-ND	.63	.51	.41	452802263
	.125" (3.18mm)	Rechteckig	CKN1745-ND	.63	.51	.41	452602263
2	.062" (1.57mm)	Quadratisch	CKN1742-ND	.85	.68	.54	432602263
	.090" (2.29mm)	Quadratisch	CKN1743-ND	.85	.68	.54	432702263
	.125" (3.18mm)	Quadratisch	CKN1744-ND	.85	.68	.54	432802263

Alle Preisangaben in Euro und inklusive Zollgebühren.

DRUCKTASTENSCHALTER SERIE TA

Der in Anwendungen wie Audio, Instrumentierung, Telekommunikation und Testgeräten verwendete Branchenstandard. Mit Moment- oder Doppelschaltfunktion. Platinen- Klemmen erhältlich mit oder ohne Lötklemmen zur Handverdrahtung. **Kontakte:** Vergoldet oder verzinnt, 15 µi. **Kontaktwiderstand:** Anfänglich – max. 5 mΩ; Stromstärke- und Spannungsnennwerte – 0,5 A @ 100 V AC, 0,2 A @ 250 V AC, 1 A @ 25 V DC. Test – min. 100.000 Schaltungen
Kappen werden separat verkauft.

Abb. 1

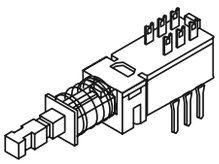

Keine Montagehalterung

Abb. 2

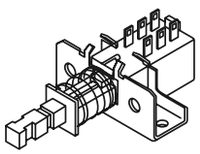

Chassismontageversion

Klemmentypen

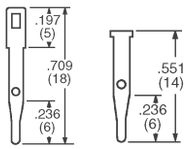

Typ A **Typ B**

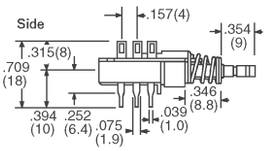

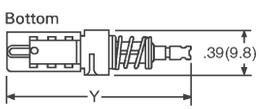

	Y Zoll (mm)
2PDT	1.66 (42.15)
4PDT	2.13 (54.15)
6PDT	2.60 (66.15)
10PDT	3.55 (90.15)

Abm.: Zoll (mm)

Abb.	Beschreibung	Digi-Key Teilenr.	Stückpreis 1	10	100	E-Switch Teilenr.
	Vergoldung					
1	Doppelschaltfunktion, DPDT, Klemme B	EG1003-ND	3.38	2.71	2.44	TA2UEECAU
	Doppelschaltfunktion, 4PDT, Klemme A	EG1004-ND	5.38	4.30	3.87	TA4UEEAAUPN
	Momentschaltfunktion, 4PDT, Klemme A	EG1005-ND	5.22	4.18	3.77	TA4UDAAAU
	Versilberung					
1	Doppelschaltf. DPDT, Klemme A	EG1000-ND	1.52	1.23	1.10	TA2UEEAAGPN
	Momentschaltf., 6PDT, Klemme A	EG1544-ND	2.10	1.68	1.51	TA6UOAAAGPN
2	Chassismont., Doppelschaltf. 4PDT, Klemme A	EG1011-ND	2.12	1.92	1.63	1XTA000302/4UEEAAG

Drucktastenschalter
SERIE JN

Kontakte: Versilbert
Kontaktwiderstand: Max. 50 mΩ
Spannung: 30 V
DC-Nennwert: 0,1 A.
Kappen werden separat verkauft.

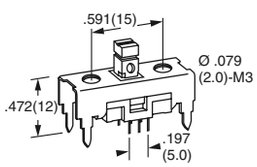

Abm.: Zoll (mm)

Beschreibung	Digi-Key Teilenr.	Stückpreis 1	10	100	E-Switch Teilenr.
Chassismont., aufrecht, Doppelschaltfunktion DPDT	EG1016-ND	1.35	1.22	1.04	1XJN002UEE
Chassismont., aufrecht, Momentschaltfunktion DPDT	EG1017-ND	1.35	1.22	1.04	1XJN002U0A

Leistungsschalter SERIE P227/P197

Abm.: Zoll (mm)

Serie P227: Leistung: 125 V AC @ 7 A/250 V AC @ 4 A. DPDT Doppelschaltfunktion, Plattenmont. Zulassungen: UL, CSA, Demko, Semko, SEV, Femko, Nemko. **Serie P197:** Leistung 5 A @ 250 V AC. Zulassungen: UL, CSA, VDE, Semko, Nemko, Demko. *Kappen werden separat verkauft.*

Abb. 1

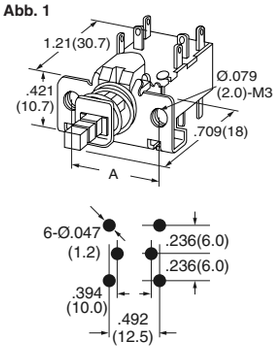

Abb. 2

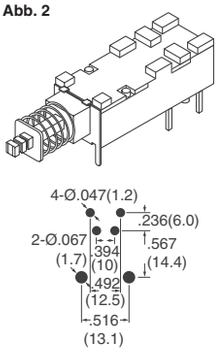

Abb. 3

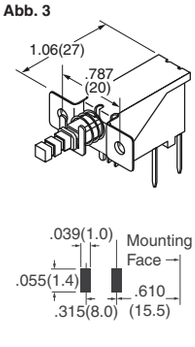

Abb.	Beschreibung	Digi-Key Teilenr.	Stückpreis 1	10	100	E-Switch Teilenr.
1	Drucktaste, DPDT, Doppelschaltf., Betätiger, Abm. A = 0,79" (20 mm)	EG1018-ND	2.86	2.58	2.20	P227EEB20
	Drucktaste, DPDT, Doppelschaltf., Betätiger, Abm. A = 0,71" (18 mm)	EG1020-ND	2.86	2.58	2.20	P227EEB18
2	Drucktaste, DPST, Doppelschaltf., Leiterplattenmont., 7 A	EG1026-ND	2.79	2.51	2.14	P227EE1C
3	Drucktaste, SPST, Doppelschaltf., Leiterplattenmont., 5 A	EG1021-ND	2.48	2.24	1.91	P197PBEE
	Drucktaste, SPST, Doppelschaltf., Plattenmont., 5 A	EG1022-ND	2.48	2.24	1.91	P197SBEE

Drucktastenschalter SERIE TL

Abm.: Zoll (mm)

Leistung: DC 30 V 0,1 A
Schaltkreis: DPDT - 4PDT
Timing: Kurzschlussgeschützt
Bewegung: Voll 2,5, Verschl. 1,5
Betätigungskraft: TL2285 = nur 180 ±50 gf. TL4201 = 250 +100/-50 gf
Lebensdauer: Min. 10.000 Schaltungen
Kappen werden separat verkauft.
Serie TL2285: MTH-Kappen verwenden
Serie TL4201: 4J/6J-Kappen verwenden

Abb. 1

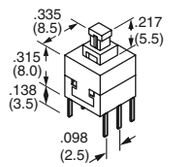

Abb. 2

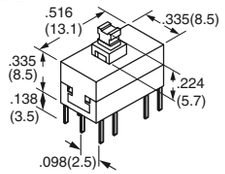

Abb.	Beschreibung	Digi-Key Teilenr.	Stückpreis 1	10	100	E-Switch Teilenr.
1	Momentschaltfunktion, DPDT, Leiterplattenmont., versilbert	EG1871-ND	1.03	.83	.75	TL2285OA
	Doppelschaltfunktion, DPDT, Leiterplattenmont., versilbert	EG1872-ND	1.03	.83	.75	TL2285EE
2	Momentschaltfunktion, 4PDT, Leiterplattenmont., versilbert	EG1873-ND	2.18	1.74	1.57	TL4201OAYA
	Doppelschaltfunktion, 4PDT, Leiterplattenmont., versilbert	EG1874-ND	2.18	1.74	1.57	TL4201EEYA

Schalterkappen

Abm.: Zoll (mm)

Alle Kappen mit glänzender Oberfläche.

Abb. 1

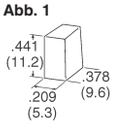

Abb. 2

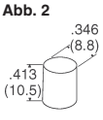

Abb. 3

Abb. 4

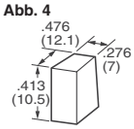

Abb. 5

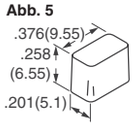

Abb. 6

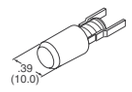

Abb.	Beschreibung	Digi-Key Teilenr.	Stückpreis 1	10	100	E-Switch Teilenr.
1	Rechteckige Kappe, weiß	EG1088-ND	.28	.26	.22	TAC WHT
	Rechteckige Kappe, schwarz	EG1081-ND	.28	.26	.22	TAC BLK
	Rechteckige Kappe, rot	EG1085-ND	.28	.26	.22	TAC RED
	Rechteckige Kappe, grau	EG1082-ND	.28	.26	.22	TAC GRY
2	Runde Kappe, weiß	EG1098-ND	.28	.26	.22	TAG WHT
	Runde Kappe, schwarz	EG1091-ND	.28	.26	.22	TAG BLK
	Runde Kappe, grau	EG1092-ND	.28	.26	.22	TAG GRY
	Runde Kappe, rot	EG1095-ND	.28	.26	.22	TAG RED
	Runde Kappe, chromfarben	EG1099-ND	.53	.49	.42	TAG CHROME
3	Projektilförmige Kappe, schwarz	EG1012-ND	.28	.26	.22	TAM BLK
	Projektilförmige Kappe, weiß	EG1013-ND	.28	.26	.22	TAM WHT
	Projektilförmige Kappe, grau	EG1014-ND	.28	.26	.22	TAM GRY
4	Rechteckige Kappe, rot	EG1019-ND	.28	.26	.22	TAD RED
	Rechteckige Kappe, schwarz	EG1877-ND	.28	.26	.22	TAD BLK
	Rechteckige Kappe, weiß	EG1878-ND	.28	.26	.22	TAD WHT
	Rechteckige Kappe, grau	EG1879-ND	.28	.26	.22	TAD GRY
5	Rechteckige Kappe mit abgeschrägten Kanten, schwarz	EG1875-ND	.37	.34	.29	TAK BLK
	Rechteckige Kappe mit abgeschrägten Kanten, grau	EG1876-ND	.37	.34	.29	TAK GRY
6	Runde Kappe mit Blendenfenster, blau	EG2633-ND	1.15	1.04	.84	TH201-BLU
	Runde Kappe mit Blendenfenster, grün	EG2634-ND	1.15	1.04	.84	TH201-GRN
	Runde Kappe mit Blendenfenster, orange	EG2635-ND	1.15	1.04	.84	TH201-ORG
	Runde Kappe mit Blendenfenster, weiß	EG2636-ND	1.15	1.04	.84	TH201-WHT
	Runde Kappe mit Blendenfenster, gelb	EG2637-ND	1.15	1.04	.84	TH201-YEL

Hinweis: Diese Kappen passen auf die Serien JN, TL4201, P227 und P197

Mini-Drucktaster
SERIE MTH

Abm.: Zoll (mm)

Miniaturschalter mit ultraleichtem Gefühl und kurzem Hub. Ideal für Telekommunikations- und Testgeräte und immer dann, wenn Miniaturisierungsbedarf besteht. **Kontaktmaterial:** Versilbert. **Kontaktwiderstand:** <0,1 Ω. **Spannung:** 30 V DC. **Max. Schaltstromstärke:** 100 mA. **Lebensdauer:** ≥1 x 10.000 Schaltungen. **Bewegliche Kontakte:** Phosphorbronze – 1 Mikrometer Silber. **Kraft:** 170 ±100 g. **Bewegung bis Einrasten:** 0,08" (2 mm). **Betriebstemperaturbereich:** -10 °C ~ 60 °C. *Kappen werden separat verkauft.*

Abb. 1

Keine Montagehalterung

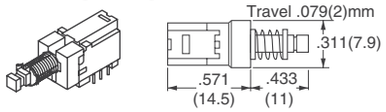

Abb. 2

Chassismontageversion

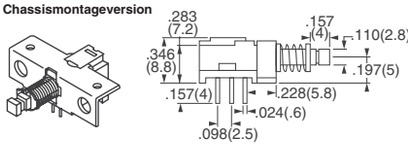

Abb. 3

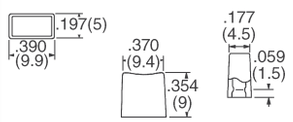

Abb. 4

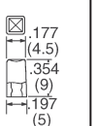

Abb. 5

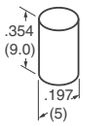

Abb.	Beschreibung	Digi-Key Teilenr.	Stückpreis 1	10	100	E-Switch Teilenr.
1	Rechtwinklig, Momentschaltf., DPDT	EG1101-ND	.97	.88	.75	MTH2UOANAGX
	Rechtwinklig, Doppelschaltfunktion, DPDT	EG1102-ND	1.07	.96	.82	MTH2UEENAGX
	Rechtwinklig, Doppelschaltfunktion, 4PDT	EG2546-ND	1.11	1.01	.86	MTH4UEENAGX
	Rechtwinklig, Momentschaltf., 4PDT	EG2547-ND	1.02	.92	.79	MTH4UOANAGX
2	Chassismont., rechtwinklig, Doppelschaltfunktion DPDT	EG1015-ND	1.47	1.33	1.13	1XMTH2UEE
3	Rechteckige Kappe, rot	EG1185-ND	.21	.19	.16	1CRED
	Rechteckige Kappe, schwarz	EG1181-ND	.21	.19	.16	1CBLK
	Rechteckige Kappe, dunkelgrau	EG1182-ND	.21	.19	.16	1CDGR
4	Lange quadratische Kappe, rot	EG1195-ND	.21	.19	.16	1DRED
	Lange quadratische Kappe, schwarz	EG1191-ND	.21	.19	.16	1DBLK
	Lange quadratische Kappe, dunkelgrau	EG1192-ND	.21	.19	.16	1DDGR
5	Runde Kappe, Durchmesser, rot	EG1880-ND	.21	.19	.16	1R RED
	Runde Kappe, Durchmesser, weiß	EG1881-ND	.21	.19	.16	1R WHT
	Runde Kappe, Durchmesser, schwarz	EG1882-ND	.21	.19	.16	1R BLK
	Runde Kappe, Durchmesser, hellgrau	EG1883-ND	.21	.19	.16	1R LGR
	Runde Kappe, Durchmesser, dunkelgrau	EG1884-ND	.21	.19	.16	1R DGR

H

E-SWITCH®

Drucktastenschalter Serie 700

Spezifikationen: • Nennwerte: 1A @ 250 V AC, 3 A @ 120 V AC • Goldkontakte: Max. 0,4 VA @ 20 V AC • Lebensdauer der Elektrik: Typ. 50.000 Schaltungen • Isolationswiderstand: Min. 1.000 MΩ **Materialien:** • Gehäuse: Diallylphthalat (DAP) • Stößel: Glasgefülltes Nylon oder glasgefülltes Polyester • Durchführung: Vernickeltes Messing • Gehäuse: Edelstahl • Kontakte: Versilberte oder vergoldete Kupferlegierung • Montagehardware

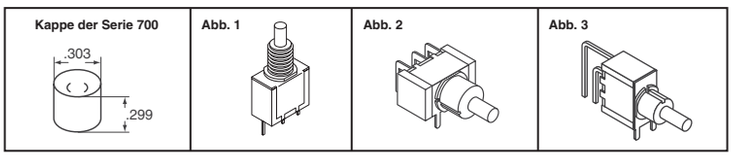

Abb.	Schaltungstyp	Anschlussklemme	Durchführung	Kontaktleistung	Digi-Key Teilenr.	Stückpreis 1	10	100	E-Switch Teilenr.
1	DPDT	Leiterplatte	1/4-40NS	3A	EG2590-ND	5.76	5.19	4.15	700DP7B10M2QEH
	DPDT	Leiterplatte	1/4-40NS	.4VA	EG2591-ND*	6.10	5.49	4.39	700DP7B10M2REH
	SPDT	Lötöse	1/4-40NS	3A	EG2592-ND	4.50	4.05	3.24	700SP7B10M1QEH
	SPDT	Lötöse	1/4-40NS	.4VA	EG2593-ND*	4.76	4.28	3.43	700SP7B10M1REH
	SPDT	Leiterplatte	1/4-40NS	3A	EG2594-ND	4.50	4.05	3.24	700SP7B10M2QEH
	SPDT	Leiterplatte	1/4-40NS	.4VA	EG2595-ND*	4.76	4.28	3.43	700SP7B10M2REH
2	SPDT	Leiterplatte	O. Gew.	3A	EG2596-ND	5.20	4.68	3.75	700SP7B20M6QE
3	SPDT	Leiterplatte	O. Gew.	3A	EG2597-ND	5.27	4.75	3.80	700SP7B20M7QE
Kappen der Serie 700									
Drucktastenkappe, 0,303" rund, schwarz für Serie 700					EG2598-ND	.21	.14	.11	700C1BLK
Drucktastenkappe, 0,303" rund, grün für Serie 700					EG2599-ND	.21	.14	.11	700C1GRN
Drucktastenkappe, 0,303" rund, grau für Serie 700					EG2600-ND	.21	.14	.11	700C1GRY
Drucktastenkappe, 0,303" rund, rot für Serie 700					EG2601-ND	.21	.14	.11	700C1RED
Drucktastenkappe, 0,303" rund, weiß für Serie 700					EG2602-ND	.21	.14	.11	700C1WHT

* Kontakte: Vergoldete Kupferlegierung.

Drucktastenschalter Serie 800, 800A und 800B

Spezifikationen (nur für Serien 800 und 800A): • Nennwerte: 1A @ 250 V AC, 3 A @ 120 V AC • Goldkontakte: Max. 0,4 VA @ 20 V AC • Lebensdauer der Elektrik: Typ. 50.000 Schaltungen • Isolationswiderstand: Min. 1.000 MΩ **Materialien:** • Gehäuse: Diallylphthalat (DAP) • Stößel: Glasgefülltes Nylon oder glasgefülltes Polyester • Durchführung: Vernickeltes Messing • Gehäuse: Edelstahl • Kontakte: Versilberte oder vergoldete Kupferlegierung • Montagehardware

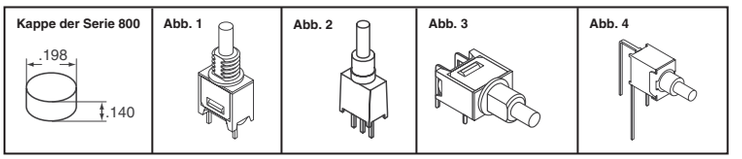

Abb.	Schaltungstyp	Anschlussklemme	Durchführung	Kontaktleistung	Digi-Key Teilenr.	Stückpreis 1	10	100	E-Switch Teilenr.
Nicht abgedichtete Drucktastenschalter									
1	SPST	Leiterplattenmont.	10-48 mit Gewinde	3A	EG2613-ND	2.59	2.34	1.87	800SP9B5M2QEH
	SPST	Leiterplattenmont.	0,173" Unthd.‡	.4VA	EG2614-ND	2.72	2.45	1.96	800SP9B6M2RE
	SPST	Leiterplattenmont.	0,225" Unthd.‡	3A	EG2617-ND	3.00	2.70	2.16	800SP9B8M2QE
3	SPST	Rt. Angle PCB**	0,173" Unthd.‡	.4VA	EG2615-ND	2.97	2.68	2.15	800SP9B6M6RE
	SPST	Rt. Angle PCB**	0,187" Unthd.‡	.4VA	EG2616-ND	3.82	3.44	2.76	800SP9B7M6RE
	SPDT	Rt. Angle PCB**	0,173" Unthd.‡	.4VA	EG2611-ND	4.08	3.68	2.94	800SP8B6M6RE
	SPDT	Rt. Angle PCB**	0,187" Unthd.‡	.4VA	EG2612-ND	4.93	4.44	3.55	800SP8B7M6RE
Abgedichtete Drucktastenschalter									
2	SPST	Leiterplattenmont.	0,180" Unthd.‡	1A	EG2605-ND	3.17	2.85	2.28	800AWSP9M2QE
	SPST	Leiterplattenmont.	0,180" Unthd.‡	.4VA	EG2606-ND	3.33	3.00	2.40	800AWSP9M2RE
	SPDT	Leiterplattenmont.	0,180" Unthd.‡	1A	EG2603-ND	3.74	3.37	2.70	800AWSP8M2QE
	SPDT	Leiterplattenmont.	0,180" Unthd.‡	.4VA	EG2604-ND	3.45	3.11	2.49	800AWSP8M2RE
3	SPST	Rt. Angle PCB**	0,180" Unthd.‡	.4VA	EG2608-ND	3.55	3.20	2.56	800AWSP9M6RE
	SPST	Rt. Angle PCB**	0,180" Unthd.‡	1A	EG2607-ND	3.39	3.05	2.44	800AWSP9M6QE
4	SPST	Vert. Recht- winkliges	0,180" Unthd.‡	.4VA	EG2609-ND	3.55	3.20	2.56	800AWSP9M7RE
Drucktastenschalter der Serie 800B									
3	SPST	SMT	—	.4VA	EG2610CT-ND	7.34	5.88	5.29	800BWSP9SM6RE
					EG2610TR-ND		1859.47/500		
Schalterzubehör									
Schalterkappe, rund, schwarz für 0,100" Stößel					EG2618-ND	.21	.14	.11	800C1BLK
Schalterkappe, rund, weiß für 0,100" Stößel					EG2621-ND	.21	.14	.11	800C1WHT
Schalterkappe, rund, rot für 0,100" Stößel					EG2620-ND	.21	.14	.11	800C1RED
Schalterkappe, rund, grün für 0,100" Stößel					EG2619-ND	.21	.14	.11	800C1GRN

** Recht- Winkel-Leiterplatte Unthd.‡= ohne Gewinde

Schlüsselschalter KO-Serie

Materialien: • Gehäuse und Zylinder: Druckgegossene Zinklegierung • Befestigungsmutter und 2 Schlüssel

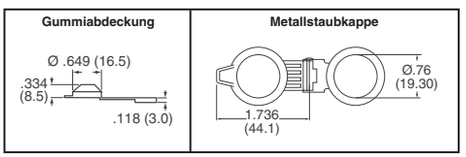

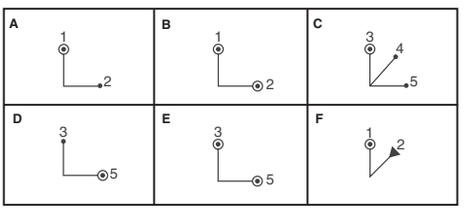

●= Detent Position ⦿= Keypull Possible ▲= Momentary

Serie	Nenngrößen	Isolationswiderstand
KO103	1A @ 125VAC; 0.5A @ 250VAC	Min. 200 MΩ
KO106	1A @ 125VAC; 0.5A @ 250VAC	Min. 200 MΩ
KO130	4A @ 125VAC; 2A @ 250VAC	Min. 200 MΩ

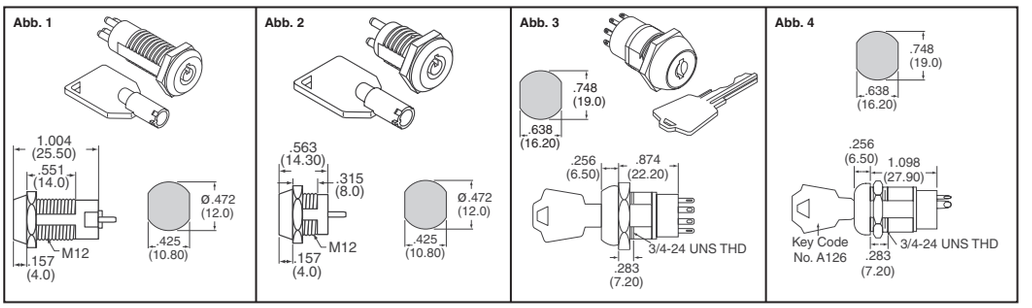

Abb.	Schlosskonfiguration	Anz. Pole	Abziehen des Schlüssels möglich	Schaltertyp	A-Lstg @ 125 V AC	Anschluss	Digi-Key Teilenr.	Stückpreis 1	10	100	E-Switch Teilenr.
1A	90°-Indexierung	SPDT	1	Ein-Ein	1	Lötzinn	EG2623-ND	5.47	4.93	3.94	KO103C
1B	90°-Indexierung	SPDT	1 und 2	Ein-Ein	1	Lötzinn	EG2624-ND	5.47	4.93	3.94	KO103D
2B	90°-Indexierung	SPST	1 und 2	Aus-Ein	1	Lötzinn	EG2625-ND	2.65	2.39	1.91	KO106A
3C	45°-Indexierung	SP-3 pos.	3	Ein-Ein-Ein	4	Öse	EG2626-ND	10.70	9.64	7.71	KO130A
3C	45°-Indexierung	DP-3 pos.	3	Ein-Ein-Ein	4	Öse	EG2627-ND	10.70	9.64	7.71	KO130B
3D	90°-Indexierung	DPDT	5	Ein-Ein	4	Öse	EG2628-ND	10.70	9.64	7.71	KO130Q
3E	90°-Indexierung	SPDT	3 und 5	Ein-Ein	4	Öse	EG2629-ND	10.70	9.64	7.71	KO130R
4F	45°-Indexierung	SPDT	1	Ein-Mom	4	Öse	EG2630-ND	10.70	9.64	7.71	KO130W
Abdeckungen											
Gummiabdeckung für Serie KO103							EG2631-ND	.58	.52	.42	KOC1
Staubkappe für Serie KO130							EG2632-ND	2.65	2.39	1.91	KOM4

H

Grayhill INC.

Mini-Drucktaster

Die Mini-Drucktastenschalter von Grayhill sind kompakte leiterplatten- oder plattenmontierte Schalter für kompakte flache Anwendungen hinter der Platte. Die Schalter der Serien 30 und 39 stellen eine zuverlässige und preiswerte Lösung mit einer großen Auswahl von Formen und Größen für jedes Design dar. Betriebstemperatur: -40 °C ~ 85 °C. Die optionalen Kappen passen zu allen Schaltern der Serie 30 und 39, mit Ausnahme von 39-101. Taste mit Zyanoacrylatkleber befestigen.

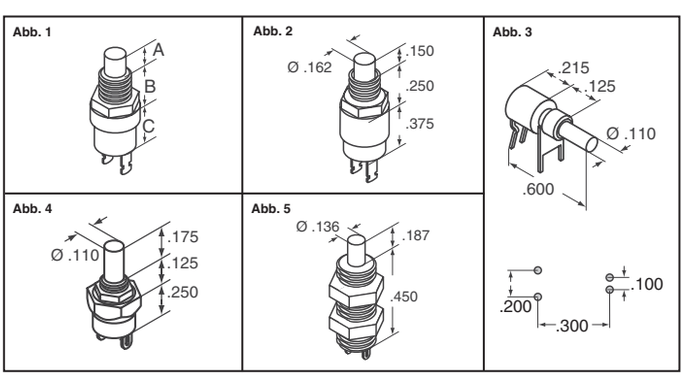

Abb.	Schaltkreis	Nennstrom	Tastenfarbe	Gewindegröße	Abmessungen (Zoll) A	B	C	Digi-Key Teilenr.	Stückpreis 1	100	Grayhill Teilenr.
1	SPST-NO	1A	Schwarz	15/32-32	.160	.375	.668	GH1359-ND	3.95	2.96	10-09
	SPST-NO	250mA	Rot	5/16-32	.146	.250	.476	GH1361-ND	5.08	3.81	23-1
	SPST-NO	1A	Rot	1/4-32	.150	.250	.370	GH1362-ND	1.96	1.48	30-1
	SPST-NO	1A	Schwarz	1/4-32	.150	.250	.370	GH1365-ND	1.96	1.48	30-3
	SPST-NO	5A	Schwarz	1/4-32	.150	.250	.370	GH1358-ND	2.05	1.54	30-3UL
	SPST-NO	1A	Rot	1/4-32	.150	.250	.455	GH1363-ND	2.45	1.84	30-15
	SPST-NO	150mA	Schwarz	1/4-32	.150	.250	.370	GH1367-ND	1.41	1.06	30-601 BLK
	SPST-NO	150mA	Rot	1/4-32	.150	.250	.370	GH1368-ND	1.41	1.06	30-601 RED
	SPST-NO	500mA	Rot	8-40	.175	.125	.215	GH1344-ND	3.01	2.26	39-1
	SPST-NC	250mA	Schwarz	8-40	.175	.125	.390	GH1346-ND	4.66	3.49	39-2
	SPST-NO	500mA	Schwarz	8-40	.175	.125	.215	GH1345-ND	3.01	2.26	39-3
	SPST-NO	150mA	Rot	8-40	.175	.125	.215	GH1350-ND	2.50	1.88	39-401 RED
	SPST-NO	150mA	Schwarz	8-40	.175	.125	.215	GH1349-ND	2.50	1.88	39-401 BLK
	SPST-NO	1A	Rot	15/32-32	.160	.375	.668	GH1360-ND	3.95	2.96	4001
2	SPST-NC	1A	Schwarz	1/4-32	—	—	—	GH1364-ND	2.20	1.66	30-2
	SPST-NC	1A	Rot	1/4-32	—	—	—	GH1366-ND	2.20	1.66	30-6
3	SPST-NO	150mA	Rot	—	—	—	—	GH1351-ND	3.99	3.00	39-501 RED
	SPST-NO	150mA	Schwarz	—	—	—	—	GH1352-ND	3.99	3.00	39-501 BLK
	SPST-NO	150mA	Rot	—	—	—	—	GH1353-ND	4.17	3.14	39-503 RED
	SPST-NO	150mA	Schwarz	—	—	—	—	GH1354-ND	4.17	3.14	39-503 BLK
4	SPST-NO	500mA	Rot	8-40	—	—	—	GH1347-ND	5.63	4.23	39-351 RED
	SPST-NO	500mA	Schwarz	8-40	—	—	—	GH1348-ND	5.63	4.23	39-351 BLK
5	SPST-NO	500mA	Nylon - natur	5/16-32	—	—	—	GH1369-ND	6.54	4.92	39-101
Drucktastenkappe, rot, 0,25"-Durchmesser (6,35 mm) für Serie 30 und 39								GH1355-ND	.30	.23	30B1012-5
Drucktastenkappe, schwarz, 0,25"-Durchmesser (6,35 mm) für Serie 30 und 39								GH1357-ND	.30	.23	30B1012-9
Drucktastenkappe, weiß, 0,25"-Durchmesser (6,35 mm) für Serie 30 und 39								GH1356-ND	.33	.25	30B1012-8

Alle Preisangaben in Euro und inklusive Zollgebühren.

E-SWITCH®

Momentdrucktaster

Serie 5500 (schmaler Körper) und 5511 (breiter Körper)

Diese Miniaturmomentschalter weisen ein griffiges Tastgefühl auf und sind in vielen Farben sowie in zwei Breiten erhältlich: 5500 ist 0,47" (12 mm) breit, 5511 ist 0,67" (17 mm) breit. Sie erfüllen alle ESE-Schutzanforderungen und sind mit oder ohne LED lieferbar. **Betriebsbewegung:** 1,8 mm. **Funktion:** Momentschaltf.-SPDT. **Kontaktfederung:** <5 m Sek. **Betriebslebensdauer:** 5 x 10^5 Schaltungen. **Betätigungskraft:** <200 gf. **Spannung:** 24 V **Stromstärke:** 12 mA. **Kontaktwiderstand:** <50 mΩ

Abb. 1

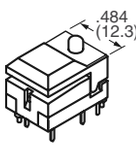

Schmale Ausführung

Abb. 2

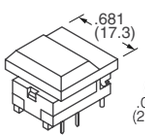

Breite Ausführung

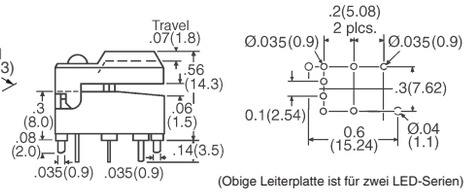

(Obige Leiterplatte ist für zwei LED-Serien)

Abm.: Zoll (mm)

Abb.	Beschreibung	Digi-Key Teilenr.	Stückpreis 1	10	100	E-Switch Teilenr.
	Serie 5500 - Schmaler Ausführung					
1	Momentschaltf., SPDT, schwarze Kappe, keine LED	EG1701-ND	3.44	3.10	2.64	5501M1X
	Momentschaltf., SPDT, graue Kappe, keine LED	EG1702-ND	3.44	3.10	2.64	5501M2X
	Momentschaltf., SPDT, rote Kappe, keine LED	EG1704-ND	3.44	3.10	2.64	5501M5X
	Momentschaltf., SPDT, weiße Kappe, keine LED	EG1708-ND	3.44	3.10	2.64	5501M8X
	Momentschaltf., SPDT, schwarze Kappe, mit roter LED	EG17151-ND	4.49	4.04	3.45	5501M11
	Momentschaltf., SPDT, schwarze Kappe, mit grüner LED	EG17171-ND	4.94	4.45	3.79	5501M12
	Momentschaltf., SPDT, graue Kappe, mit roter LED	EG17152-ND	4.49	4.04	3.45	5501M21
	Momentschaltf., SPDT, graue Kappe, mit grüner LED	EG17172-ND	4.94	4.45	3.79	5501M22
	Momentschaltf., SPDT, rote Kappe, mit roter LED	EG17155-ND	4.49	4.04	3.45	5501M51
	Momentschaltf., SPDT, rote Kappe, mit grüner LED	EG17175-ND	4.94	4.45	3.79	5501M52
	Momentschaltf., SPDT, weiße Kappe, mit roter LED	EG17158-ND	4.49	4.04	3.45	5501M81
	Momentschaltf., SPDT, weiße Kappe, mit grüner LED	EG17178-ND	4.94	4.45	3.79	5501M82
	Momentschaltf., SPDT, schwarze Kappe, mit roter u. grüner LED	EG171571-ND	5.60	5.05	4.30	5501M11/2
	Momentschaltf., SPDT, graue Kappe, mit roter u. grüner LED	EG171572-ND	5.60	5.05	4.30	5501M21/2
	Serie 5511 - Breiter Ausführung					
2	Momentschaltf., SPDT, schwarze Kappe, keine LED	EG1709-ND	3.44	3.10	2.64	5511M1X
	Momentschaltf., SPDT, graue Kappe, keine LED	EG1710-ND	3.44	3.10	2.64	5511M2X
	Momentschaltf., SPDT, blaue Kappe, keine LED	EG1711-ND	3.44	3.10	2.64	5511M4X
	Momentschaltf., SPDT, rote Kappe, keine LED	EG1712-ND	3.44	3.10	2.64	5511M5X
	Momentschaltf., SPDT, weiße Kappe, keine LED	EG1714-ND	3.44	3.10	2.64	5511M8X
	Momentschaltf., SPDT, schwarze Kappe, mit roter LED	EG1715-ND	4.49	4.04	3.45	5511M11
	Momentschaltf., SPDT, schwarze Kappe, mit grüner LED	EG1719-ND	4.49	4.04	3.45	5511M12
	Momentschaltf., SPDT, graue Kappe, mit roter LED	EG1716-ND	4.49	4.04	3.45	5511M21
	Momentschaltf., SPDT, graue Kappe, mit grüner LED	EG1720-ND	4.49	4.04	3.45	5511M22
	Momentschaltf., SPDT, rote Kappe, mit roter LED	EG1717-ND	4.49	4.04	3.45	5511M51
	Momentschaltf., SPDT, weiße Kappe, mit roter LED	EG1718-ND	4.49	4.04	3.45	5511M81
	Momentschaltf., SPDT, weiße Kappe, mit grüner LED	EG1722-ND	4.49	4.04	3.45	5511M82
	Momentschaltf., SPDT, schwarze Kappe, mit roter u. grüner LED	EG1723-ND	4.94	4.45	3.79	5511M11/2
	Momentschaltf., SPDT, graue Kappe, mit roter u. grüner LED	EG1724-ND	4.94	4.45	3.79	5511M21/2

Drucktastenschalter

Abm.: Zoll (mm)

Abb. 1

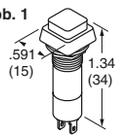

Schaltkreis: SPST (Momentschaltf. ein) **Leistung:** 3 A 125 V AC **Anf. Kontaktwiderstand:** ≤50 mΩ **Lochausschnitt:** 0,49" (12,4 mm) Kleinteile inbegriffen.

Abb. 2

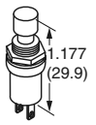

Schaltkreis: SPST (Momentschaltf. ein) **Leistung:** 3 A 125 V AC **Anf. Kontaktwiderstand:** ≤50 mΩ **Lochausschnitt:** 0,28" (7,2 mm) Kleinteile inbegriffen.

Abb. 3

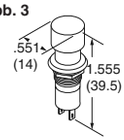

Schaltkreis: SPST (Momentschaltf. ein) **Leistung:** 3 A 125 V AC **Anf. Kontaktwiderstand:** ≤50 mΩ **Lochausschnitt:** 0,49" (12,4 mm) Kleinteile inbegriffen.

Abb. 4

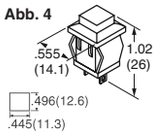

Plattenausschnitt

Schaltkreis: SPST (Momentschaltf. ein) **Leistung:** 1A 125V AC **Anf. Kontaktwiderstand:** ≤ 20mΩ

Abb. 5

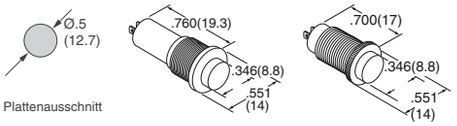

Plattenausschnitt

Schaltkreis: SPST **Nennwerte:** 3 A 125 V AC/1,5 A 250 V AC **Anf. Kontaktwiderstand:** ≤50 mΩ **Lochausschnitt:** 0,50" (12,7 mm) Kleinteile werden mitgeliefert.

Abb. 6

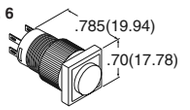

Schaltkreis: SPST **Nennleistung:** 3 A 125 V AC /1,5 A 250 V AC **Lochausschnitt:** 0,62" (15,75 mm) Kleinteile inbegriffen. **Nennwert:** Rot, 1,8 V @ 20 mA; gelb u. grün, 2,1 V @ 20 mA.

Abb.	Beschreibung	Digi-Key Teilenr.	Stückpreis 1	10	100	E-Switch Teilenr.
	Momentschalter					
1	Rote Kappe 0,59" (15 mm) quadr., N/O*	EG2005-ND	1.96	1.77	1.51	PS1023AT-RED
	Schwarze Kappe 0,59" (15 mm) quadr., N/O*	EG2001-ND	1.96	1.77	1.51	PS1023AT-BLK
2	Rote Kappe 0,24" (6 mm) Durchm., N/O*	EG2015-ND	1.05	.93	.85	PS1024AT-RED
	Schwarze Kappe 0,24" (6 mm) Durchm., N/O*	EG2011-ND	1.05	.93	.85	PS1024AT-BLK
	Rote Kappe 0,39" (10 mm) Durchm., N/O*	EG2025-ND	1.32	1.19	1.01	PS1024AL-RED
	Schwarze Kappe 0,39" (10 mm) Durchm., N/O*	EG2021-ND	1.32	1.19	1.01	PS1024AL-BLK
3	Rote Kappe 0,55" (14 mm) Durchm., N/O*	EG2035-ND	1.96	1.77	1.51	PS1040A-RED
	Schwarze Kappe 0,55" (14 mm) Durchm., N/O*	EG2031-ND	1.96	1.77	1.51	PS1040A-BLK
4	Rote Kappe 0,55" (14 mm) quadr., N/O*	EG2045-ND	1.43	1.29	1.10	PS1057A-RED
	Schwarze Kappe 0,55" (14 mm) quadr., N/O*	EG2041-ND	1.43	1.29	1.10	PS1057A-BLK
5	Black Cap, Plastic Bushing, N/O‡	EG1900-ND	1.70	1.54	1.31	RP3502A-BLK
	Schwarze Kappe, Kunststoffdurchführung, N/C**	EG1929-ND	1.92	1.74	1.48	RP3502B-BLK
	Rote Kappe, Kunststoffdurchführung, N/O*	EG1930-ND	1.70	1.54	1.31	RP3502A-RED
	Rote Kappe, Kunststoffdurchführung, N/C**	EG1931-ND	1.92	1.74	1.48	RP3502B-RED
	Schwarze Kappe, Metalldurchführung, N/O*	EG1932-ND	2.52	2.27	1.94	RP3502MA-BLK
	Schwarze Kappe, Metalldurchführung, N/C**	EG1933-ND	2.82	2.54	2.16	RP3502MB-BLK
	Grüne Kappe, Metalldurchführung, N/O*	EG1934-ND	2.52	2.27	1.94	RP3502MA-GRN
	Grüne Kappe, Metalldurchführung, N/C**	EG1935-ND	2.52	2.27	1.94	RP3502MB-GRN
	Gelbe Kappe, Metalldurchführung, N/O*	EG1936-ND	2.52	2.27	1.94	RP3502MA-YEL
	Gelbe Kappe, Metalldurchführung, N/C**	EG1937-ND	2.52	2.27	1.94	RP3502MB-YEL
	Rote Kappe, Metalldurchführung, N/O*	EG1938-ND	2.52	2.27	1.94	RP3502MA-RED
	Rote Kappe, Metalldurchführung, N/C**	EG1939-ND	2.52	2.27	1.94	RP3502MB-RED
6	Beleuchtete rote LED Doppelschaltfunkt.	EG2543-ND	5.73	5.17	4.40	RP3508BBLKREDRENDS
	Beleuchtete grüne LED Doppelschaltfunkt.	EG2544-ND	5.73	5.17	4.40	RP3508BBLKGRNGRNNS
	Beleuchtete gelbe LED Doppelschaltfunkt.	EG2545-ND	5.73	5.17	4.40	RP3508BBLKYELYELNS

* N/O=Arbeitskontakt ** N/C= Ruhekontakt ‡ Schwarze Kappe, Kunststoffdurchführung,Arbeitskontakt

Momentdrucktaster

SERIEN 320 und 520

Schalter der Serie 320 werden in einer Vielzahl von Anwendungen und in vielen Branchen eingesetzt, z. B.: Instrumentierung, Testgeräte, Telekommunikation, audiovisuelle Geräte und Computer. **Bewegung:** 0,028" (0,7 mm) **Betätigungskraft:** 120 g. **Kontakttyp:** SPST **Kontaktleistung:** 25 mA/50 V (DC) **Anf. Widerstand:** 50 mΩ **Lebensdauer:** 1 X 10^6 Schaltungen. • **Einrastzeit:** Schließen: <50 µs; Öffnen: <200 µs **Materialien:** Gehäuse: Leiterplatten-CF; Knopf: ABS oder äquivalent; Kontakte (fest): CuZn Ag (Gold ist auch erhältlich); Kuppelkontakt: CrNi Au.

Schalter der Serie 520 sind für digitale Elektronikgeräte vorgesehen und bieten ein glattes Tastgefühl. Sie weisen eingebaute quadratische oder runde Tasten auf und sind in 7 Farben lieferbar. **Bewegung:** 0,03" (0,8 mm). **Betätigungskraft:** 130 g. **Kontakttyp:** SPST Arbeitskontakt. **Kontaktleistung:** 10 mA, 35 V DC; 100 mA, 100 V AC. **Anf. Kontaktwiderstand:** <20 mΩ. **Lebensdauer:** 500.000 Schaltungen. **Betriebstemperaturbereich:** -20 °C ~ 60 °C **Materialien:** Basis: Valox; Taste: Polykarbonat; Schaltkontakt: Silberlaminat, selbstreinigend.

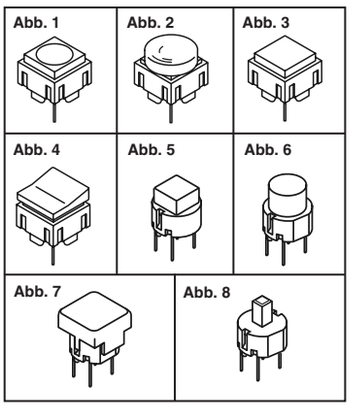

Abb.	Beschreibung	Digi-Key Teilenr.	Stückpreis 1	10	100	E-Switch Teilenr.
	Serie 320 – Moment-Drucktastenschalter, mit Kappen verkauft					
1	Quadratisch, versenkt, schwarz	EG1301-ND	1.89	1.71	1.46	320E1-1BLK
	Quadratisch, versenkt, grau	EG1303-ND	1.89	1.71	1.46	320E1-1GRY
	Quadratisch, versenkt, rot	EG1305-ND	1.89	1.71	1.46	320E1-1RED
	Quadratisch, versenkt, weiß	EG1308-ND	1.89	1.71	1.46	320E1-1WHT
	Quadratisch, versenkt, gelb	EG2549-ND	1.74	1.57	1.34	320E1-1YEL
	Quadratisch, versenkt, blau	EG2550-ND	1.74	1.57	1.34	320E1-1BLU
	Quadratisch, versenkt, grün	EG2551-ND	1.74	1.57	1.33	320E1-1GRN
2	Std. Rund, schwarz	EG1311-ND	1.71	1.47	1.27	320.02E1-1.08BLK
	Std. Rund, grau	EG1312-ND	1.71	1.47	1.27	320.02E1-1.08GRY
	Std. Rund, rot	EG1315-ND	1.71	1.47	1.27	320.02E1-1.08RED
	Std. Rund, weiß	EG1318-ND	1.71	1.47	1.27	320.02E1-1.08WHT
	Std. Rund, gelb	EG2552-ND	2.18	1.96	1.67	320.02E1-1.08YEL
	Std. Rund, blau	EG2553-ND	2.18	1.96	1.67	320.02E1-1.08BLU
	Std. Rund, grün	EG2554-ND	2.18	1.96	1.67	320.02E1-1.08GRN
	Groß, rund, schwarz	EG2568-ND	2.25	2.03	1.73	320.02E1-1.09BLK
	Groß, rund, grau	EG2569-ND	2.25	2.03	1.73	320.02E1-1.09GRY
	Groß, rund, gelb	EG2570-ND	2.25	2.03	1.73	320.02E1-1.09YEL
	Groß, rund, blau	EG2571-ND	2.25	2.03	1.73	320.02E1-1.09BLU
	Groß, rund, rot	EG2572-ND	2.25	2.03	1.73	320.02E1-1.09RED
	Groß, rund, grün	EG2573-ND	2.25	2.03	1.73	320.02E1-1.09GRN
	Groß, rund, weiß	EG2574-ND	2.25	2.03	1.73	320.02E1-1.09WHT

Abb.	Beschreibung	Digi-Key Teilenr.	Stückpreis 1	10	100	E-Switch Teilenr.
3	Flach, quadratisch, schwarz	EG1321-ND	1.89	1.71	1.46	320.01E1-1BLK
	Flach, quadratisch, grau	EG1322-ND	1.89	1.71	1.46	320.01E1-1GRY
	Flach, quadratisch, rot	EG1325-ND	1.89	1.71	1.46	320.01E1-1RED
	Flach, quadratisch, weiß	EG1328-ND	1.89	1.71	1.46	320.01E1-1WHT
	Flach, quadratisch, gelb	EG2555-ND	1.74	1.57	1.34	320.01E1-1YEL
	Flach, quadratisch, blau	EG2556-ND	1.74	1.57	1.34	320.01E1-1BLU
	Flach, quadratisch, grün	EG2557-ND	1.74	1.57	1.34	320.01E1-1GRN
4	Geneigt, quadratisch, schwarz	EG1341-ND	1.89	1.71	1.46	320.22E1-1BLK
	Geneigt, quadratisch, grau	EG1342-ND	1.89	1.71	1.46	320.22E1-1GRY
	Geneigt, quadratisch, rot	EG1345-ND	1.89	1.71	1.46	320.22E1-1RED
	Geneigt, quadratisch, weiß	EG1348-ND	1.89	1.71	1.46	320.22E1-1WHT
	Geneigt, quadratisch, gelb	EG2558-ND	1.75	1.58	1.35	320.22E1-1YEL
	Geneigt, quadratisch, blau	EG2559-ND	1.75	1.58	1.35	320.22E1-1BLU
	Geneigt, quadratisch, grün	EG2560-ND	1.75	1.58	1.35	320.22E1-1GRN
	Geneigt, rechteckig, schwarz	EG2561-ND	1.79	1.62	1.38	320.21E1-1BLK
	Geneigt, rechteckig, grau	EG2562-ND	1.79	1.62	1.38	320.21E1-1GRY
	Geneigt, rechteckig, gelb	EG2563-ND	1.79	1.62	1.38	320.21E1-1YEL
	Geneigt, rechteckig, blau	EG2564-ND	1.79	1.62	1.38	320.21E1-1BLU
	Geneigt, rechteckig, rot	EG2565-ND	1.79	1.62	1.38	320.21E1-1RED
	Geneigt, rechteckig, grün	EG2566-ND	1.79	1.62	1.38	320.21E1-1GRN
	Geneigt, rechteckig, weiß	EG2567-ND	1.79	1.62	1.38	320.21E1-1WHT
—	12 mm versenkte Fingerkappe, schwarz	EG2575-ND	2.05	1.85	1.57	320.02E1-1.094BLK
	12 mm versenkte Fingerkappe, grau	EG2576-ND	2.05	1.85	1.57	320.02E1-1.094GRY
	Schwarzer Schaft (verwendet TA/JN-Kappen)	EG2548-ND	1.65	1.49	1.27	320.02E1-1BLK
	Serie 520 – Moment-Drucktastenschalter, mit Kappen verkauft					
5	Quadratisch, schwarz	EG1401-ND	.83	.75	.64	520.01-BLK
	Quadratisch, gelb	EG1403-ND	.83	.75	.64	520.01-YEL
	Quadratisch, weiß	EG1408-ND	.83	.75	.64	520.01-WHT
	Quadratisch, blau	EG1404-ND	.83	.75	.64	520.01-BLU
	Quadratisch, rot	EG1405-ND	.83	.75	.64	520.01-RED
	Quadratisch, grün	EG1407-ND	.83	.75	.64	520.01-GRN
	Quadratisch, grau	EG1402-ND	.83	.75	.64	520.01-DGR
6	Rund, gelb	EG1413-ND	.83	.75	.64	520.02-YEL
	Rund, rot	EG1415-ND	.83	.75	.64	520.02-RED
7	Quadratisch, schwarz	EG1419-ND	1.11	1.00	.85	520.03-BLK
	Quadratisch, grau	EG1420-ND	1.11	1.00	.85	520.03-DGR
	Quadratisch, rot	EG1421-ND	1.11	1.00	.85	520.03-RED
	Quadratisch, weiß	EG1422-ND	1.11	1.00	.85	520.03-WHT
	Quadratisch, blau	EG1423-ND	1.11	1.00	.85	520.03-BLU
	Quadratisch, gelb	EG1424-ND	1.11	1.00	.85	520.03-YEL
	Quadratisch, grün	EG1425-ND	1.11	1.00	.85	520.03-GRN
8	Schwarzer Schaft (verwendet TA/JN-Kappen)	EG1426-ND	1.11	1.00	.85	520.04

H

OMRON Serie A16 - 16 mm Schalter

Die einzigartige Serie A16 von Omron ermöglicht Anwendern jede notwendige Schaltanordnung. Durch Auswechseln des hinteren Schalterblocks können Anwender einen SPDT oder DPDT mit LED bzw. Glühlampenbeleuchtung einsetzen. Mit Omrons exklusivem Extraktionswerkzeug ist das Auswechseln des hinteren Schalterblocks oder der Lampe ein Kinderspiel. Die Platteninstallation ist einfach. Schneiden Sie Ihre Öffnung und führen Sie den Schalter in die Plattenvorderseite ein. Befestigten Sie den Sicherungsring und die Befestigungsmutter an der Plattenrückseite, indem Sie die Mutter mit dem passenden Omron-Schraubenschlüssel festziehen. Die Schalter werden als kompletter Bausatz mit Schalterblock geliefert. Lampenoptionen verfügbar.

Spezifikationen:
Kontaktleistung: • 250 V AC: 3 A (resistiv) • 125 V AC: 5 A (resistiv) • 30 V DC: 3 A (resistiv)
LED-Anzeigen: • Nennspannung: 24 V DC • Nennstromstärke: 10 mA • Betriebsspannung: 24 V DC ±5 %
Durchschlagsfestigkeit: 1.000 V AC, 50/60 Hz für 1 Min. zwischen Klemmen gleicher Polarität
Lebensdauer: Min. 100.000 Schaltungen **Betriebstemperatur:** -10 °C ~ 55 °C
Umgebungsfeuchtigkeit: Betrieb 35 % ~ 80 % **Schutzgrad:** IP65

Drucktastenschalter 16 mm

Abb. 1
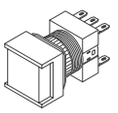
Quadratisch

Abb. 2
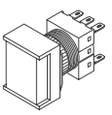
Rechteckig

Abb. 3
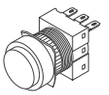
Rund

Abb.	Schaltertyp	Kontaktblöcke inkl.	Beleucht. Spannung	Linsenfarbe	Digi-Key Teilenr.	Stückpreis 1	25	50	Omron Teilenr.
Nicht beleuchtete Momentschalter									
1	Quadratische/bündige Taste	DPDT	—	Blau	Z1312-ND	8.37	7.76	7.24	A165-AAM-2
				Schwarz	Z1313-ND	8.37	7.76	7.24	A165-ABM-2
				Grün	Z1314-ND	8.37	7.76	7.24	A165-AGM-2
				Rot	Z1315-ND	8.37	7.76	7.24	A165-ARM-2
				Weiß	Z1316-ND	8.37	7.76	7.24	A165-AWM-2
				Gelb	Z1317-ND	8.37	7.76	7.24	A165-AYM-2
2	Rechteckige/bündige Taste	DPDT	—	Schwarz	Z1318-ND	8.37	7.76	7.24	A165-JBM-2
				Grün	Z1319-ND	8.37	7.76	7.24	A165-JGM-2
				Rot	Z1320-ND	8.37	7.76	7.24	A165-JRM-2
				Weiß	Z1321-ND	8.37	7.76	7.24	A165-JWM-2
				Gelb	Z1322-ND	8.37	7.76	7.24	A165-JYM-2
3	Runde vorstehende Taste	SPDT	—	Blau	Z1323-ND	7.15	6.62	6.18	A165-TAM-1
				Schwarz	Z1324-ND	7.15	6.62	6.18	A165-TBM-1
				Grün	Z1325-ND	7.15	6.62	6.18	A165-TGM-1
				Rot	Z1326-ND	7.15	6.62	6.18	A165-TRM-1
				Weiß	Z1327-ND	7.15	6.62	6.18	A165-TWM-1
				Gelb	Z1328-ND	7.15	6.62	6.18	A165-TYM-1
Beleuchtete Momentschalter									
1	Quadratische/bündige Taste	DPDT	24VDC	Grün	Z1300-ND	11.13	10.32	9.63	A165L-AGM-24D-2
				Rot	Z1301-ND	11.13	10.32	9.63	A165L-ARM-24D-2
				Weiß	Z1302-ND	11.13	10.32	9.63	A165L-AWM-24D-2
				Gelb	Z1303-ND	11.13	10.32	9.63	A165L-AYM-24D-2
2	Rechteckige/bündige Taste	DPDT	24VDC	Grün	Z1304-ND	11.90	11.03	10.29	A165L-JGM-24D-2
				Rot	Z1305-ND	11.90	11.03	10.29	A165L-JRM-24D-2
				Weiß	Z1306-ND	11.90	11.03	10.29	A165L-JWM-24D-2
				Gelb	Z1307-ND	11.90	11.03	10.29	A165L-JYM-24D-2
3	Runde vorstehende Taste	DPDT	24VDC	Grün	Z1308-ND	11.13	10.32	9.63	A165L-TGM-24D-2
				Rot	Z1309-ND	11.13	10.32	9.63	A165L-TRM-24D-2
				Weiß	Z1310-ND	11.13	10.32	9.63	A165L-TWM-24D-2
				Gelb	Z1311-ND	11.13	10.32	9.63	A165L-TYM-24D-2

Not-Aus-Schalter

Die 16 mm Not-Aus-Schalter von Omron verfügen über einen kraftschlüssigen Öffnungsmechanismus mit minimaler Kontakttrennung von 3 mm gemäß EN60947-5-1. Umfasst Sicherheitssperrmechanismus, um Fehlfunktion zu vermeiden. „Drehschalter-Reset"-Betrieb verhindert unbeabsichtigtes Rücksetzen. Gut sichtbare rote Taste mit ölfester Abdichtung (IP65). **Kontakte:** 5 A @ 110 V AC/3 A 30 V DC

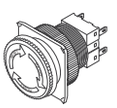

Schaltertyp	Beleuchtungs-spannung	Kontakt	Digi-Key Teilenr.	Stückpreis 1	25	50	Omron Teilenr.
Rastdruckknopf,	—	SPST-NC	Z1427-ND	25.35	23.47	21.91	A165E-S-01
Turn-Reset-	—	DPST-NC	Z1428-ND	30.91	28.63	26.72	A165E-S-02
Funktion,	24VDC	SPDT-NC	Z1425-ND	34.37	31.83	29.71	A165E-LS-24D-01
30-Durchm.	24VDC	DPST-NC	Z1426-ND	39.93	36.98	34.52	A165E-LS-24D-02
Not-Aus-Platte, 45 mm Durchm., gelb			Z1435-ND	2.77	2.56	2.39	A16Z-5070

16 mm Zubehör

Abb. 1
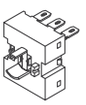

Abb. 2

Abb. 3
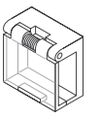

Abb. 4

Abb. 5

Abb.	Beschreibung	Digi-Key Teilenr.	Stückpreis 1	25	50	Omron Teilenr.
1	Ersatz- Schalterblock - SPDT, Lötklemme	Z1330-ND	4.38	4.06	3.79	A16-1
	Ersatz- Schalterblock - DPDT, Lötklemme	Z1331-ND	5.76	5.34	4.98	A16-2
	Ersatz- Schalterblock - SPDT, Leiterplattenkl.	Z1332-ND	6.37	5.91	5.51	A16-1P
	Ersatz- Schalterblock - DPDT, Leiterplattenkl.	Z1333-ND	7.53	6.97	6.51	A16-2P
2	Plattenlochstöpsel, quadratisch	Z1334-ND	1.62	1.50	1.40	A16ZA-3003
	Plattenlochstöpsel, rechteckig	Z1335-ND	1.62	1.50	1.40	A16ZJ-3003
	Plattenlochstöpsel, rund	Z1336-ND	2.00	1.85	1.73	A16ZT-3003
3	Schalterschutz, quadratisch und rund, schwarz	Z1337-ND	3.61	3.35	3.12	A16ZA-5050
	Schalterschutz, rechteckig	Z1338-ND	3.61	3.35	3.12	A16ZJ-5050
4	Ersatz- Neonlampe, 110 V, rot	Z1342-ND	3.00	2.78	2.59	A16-1NRN
	Ersatz- Neonlampe, 110 V, grün	Z1343-ND	4.92	4.56	4.25	A16-1NGN
5	Ersatz- LED-Lampe, 24 V DC, rot	Z1584-ND	3.23	2.99	2.79	A16-24DSR
	Ersatz- LED-Lampe, 24 V DC, gelb	Z1585-ND	3.23	2.99	2.79	A16-24DSY
	Ersatz- LED-Lampe, 24 V DC, grün	Z1586-ND	3.23	2.99	2.79	A16-24DSG
	Ersatz- LED-Lampe, 24 V DC, weiß	Z1587-ND	2.88	2.67	2.49	A16-24DSW
—	Fitting Wrench for Tightening Lock Nuts**	Z1436-ND	4.76	4.41	4.12	A3B-3004
	Extractor for Lamp and Switch Removal‡	Z1437-ND	2.53	2.35	2.20	A16Z-5080

** Schraubenschlüssel zum Festziehen von Sicherungsmuttern ‡ Extraktionswerkzeug zum Entfernen von Lampe und Schalter

M16 Kontrollleuchten

Leuchtmelder ohne Schalter zur Anzeige des Schaltkreisstatus oder als Warnmelder. Leuchtmelder ohne Schalter zur Anzeige des Schaltkreisstatus oder als Warnmelder

Abb. 1
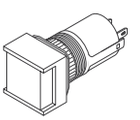

Abb. 2
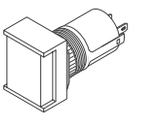

Abb. 3
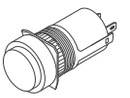

Abb.	Lichtart	Beleuchtungs-spannung	Linsenfarbe	Digi-Key Teilenr.	Stückpreis 1	25	50	Omron Teilenr.
1	Quadratisch	24VDC @ 10mA	Grün	Z1349-ND	7.15	6.62	6.18	M165-AG-24D
			Rot	Z1350-ND	7.15	6.62	6.18	M165-AR-24D
			Weiß	Z1351-ND	7.15	6.62	6.18	M165-AW-24D
			Gelb	Z1352-ND	7.15	6.62	6.18	M165-AY-24D
2	Rechteckig	24VDC @ 10mA	Grün	Z1354-ND	7.15	6.62	6.18	M165-JG-24D
			Rot	Z1355-ND	7.15	6.62	6.18	M165-JR-24D
			Weiß	Z1356-ND	7.15	6.62	6.18	M165-JW-24D
			Gelb	Z1357-ND	7.15	6.62	6.18	M165-JY-24D
3	Rund	24VDC @ 10mA	Grün	Z1359-ND	7.15	6.62	6.18	M165-TG-24D
			Rot	Z1360-ND	7.15	6.62	6.18	M165-TR-24D
			Weiß	Z1361-ND	7.15	6.62	6.18	M165-TW-24D
			Gelb	Z1362-ND	7.15	6.62	6.18	M165-TY-24D

Schlüsselwahlschalter

Abb. 1
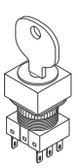

Abb. 2
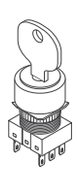

Abb.	Typ	Zahl der elektrischen Positionen	Kontakt	Schlüsselstellungen Pos.1	Pos. 2	Pos. 3	Stellungen für das Heraus-ziehen des Schlüssels	Digi-Key Teilenr.	Stückpreis 1	25	50	Omron Teilenr.
1	Quadratisch	2 Positionen	DPDT	Ein	Mom	—	1	Z1399-ND	24.58	22.76	21.24	A165K-A2AL-2
				Ein	Ein	—	1, 2	Z1400-ND	24.58	22.76	21.24	A165K-A2M-2
				Ein	Ein	—	1	Z1401-ND	24.58	22.76	21.24	A165K-A2ML-2
				Ein	Ein	—	3	Z1402-ND	24.58	22.76	21.24	A165K-A2MR-2
		3 Positionen	DPDT	Ein	Ein	Ein	1, 2, 3	Z1403-ND	24.58	22.76	21.24	A165K-A3M-2
				Ein	Ein	Ein	2	Z1404-ND	24.58	22.76	21.24	A165K-A3MC-2
				Ein	Ein	Ein	1	Z1405-ND	24.58	22.76	21.24	A165K-A3ML-2
				Ein	Ein	Ein	3	Z1406-ND	24.58	22.76	21.24	A165K-A3MR-2
2	Rund	2 Positionen	DPDT	Ein	Mom	—	1	Z1415-ND	24.58	22.76	21.24	A165K-T2AL-2
				Ein	Ein	—	1 & 2	Z1416-ND	24.58	22.76	21.24	A165K-T2M-2
				Ein	Ein	—	1	Z1417-ND	32.83	30.41	28.38	A165K-T2ML-2
				Ein	Ein	—	2	Z1418-ND	24.58	22.76	21.24	A165K-T2MR-2
		3 Positionen	DPDT	Ein	Ein	Ein	1, 2, 3	Z1420-ND	24.58	22.76	21.24	A165K-T3M-2
				Ein	Ein	Ein	2	Z1421-ND	24.58	22.76	21.24	A165K-T3MC-2
				Ein	Ein	Ein	1	Z1422-ND	24.58	22.76	21.24	A165K-T3ML-2
				Ein	Ein	Ein	3	Z1423-ND	24.58	22.76	21.24	A165K-T3MR-2
Ersatzschlüssel für A165K-Serie								Z1424-ND	3.23	2.99	2.79	A165K-KEY

(Forts.)

Alle Preisangaben in Euro und inklusive Zollgebühren.

Knopfwahlschalter 16 mm

Spezifikationen: Kontaktleistung: • 250 V AC: 3 A (resistiv) • 125 V AC: 5 A (resistiv) • 30 V DC: 3 A (resistiv) **LED-Anzeigen:** • Nennspannung: 24 V DC • Nennstromstärke: 10 mA • Betriebsspannung: 24 V DC +5 % **Durchschlagsfestigkeit:** 1.000 V AC, 50/60 Hz für 1 Min. zwischen Klemmen gleicher Polarität **Lebensdauer:** Min. 100.000 Schaltungen **Betriebstemperatur:** -10 °C ~ 55 °C **Umgebungsfeuchtigkeit:** Betrieb 35 % ~ 80 % **Schutzgrad:** IP65

Abb. 1
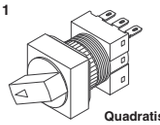
Quadratisch

Abb. 2
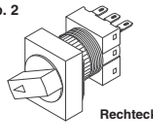
Rechteckig

Abb. 3
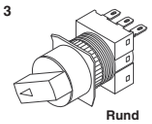
Rund

Abb.	Schaltertyp	Position	Schaltfunktion	Kontakte	Beleuchtungs-spannung	Linsenfarbe	Digi-Key Teilenr.	Stückpreis 1	25	50	100	Omron Teilenr.
Unbeleuchtet												
1	Quadratisch	2 Positionen	Beibehalten (Ein-Aus)	SPDT	—	Schwarz	Z1363-ND	12.07	11.18	10.44	9.69	A165S-A2M-1
		2 Positionen	Federrücklauf (Moment)	SPDT	—	Schwarz	Z1364-ND	13.52	12.52	11.69	10.85	A165S-A2A-1
		3 Positionen	Beibehalten (Ein-Aus-Ein)	DPDT	—	Schwarz	Z1365-ND	15.05	13.94	13.01	12.08	A165S-A3M-2
2	Rechteckig	2 Positionen	Beibehalten (Ein-Aus)	SPDT	—	Schwarz	Z1375-ND	13.52	12.52	11.69	10.85	A165S-J2M-1
		2 Positionen	Federrücklauf (Moment)	SPDT	—	Schwarz	Z1376-ND	13.52	12.52	11.69	10.85	A165S-J2A-1
		3 Positionen	Beibehalten (Ein-Aus-Ein)	DPDT	—	Schwarz	Z1377-ND	15.05	13.94	13.01	12.08	A165S-J3M-2
3	Rund	2 Positionen	Beibehalten (Ein-Aus)	SPDT	—	Schwarz	Z1387-ND	13.52	12.52	11.69	10.85	A165S-T2M-1
		2 Positionen	Federrücklauf (Moment)	SPDT	—	Schwarz	Z1388-ND	13.52	12.52	11.69	10.85	A165S-T2A-1
		3 Positionen	Beibehalten (Ein-Aus-Ein)	DPDT	—	Schwarz	Z1389-ND	15.05	13.94	13.01	12.08	A165S-T3M-2
Beleuchtet												
1	Quadratisch	2 Positionen	Federrücklauf (Moment)	SPDT	24VDC	Grün	Z1366-ND	17.47	16.18	15.10	14.03	A165W-A2AG-24D-1
						Rot	Z1367-ND	17.47	16.18	15.10	14.03	A165W-A2AR-24D-1
						Gelb	Z1368-ND	17.47	16.18	15.10	14.03	A165W-A2AY-24D-1
		2 Positionen	Beibehalten (Ein-Aus)	SPDT	24VDC	Grün	Z1369-ND	17.47	16.18	15.10	14.03	A165W-A2MG-24D-1
						Rot	Z1370-ND	17.47	16.18	15.10	14.03	A165W-A2MR-24D-1
						Gelb	Z1371-ND	17.47	16.18	15.10	14.03	A165W-A2MY-24D-1
		3 Positionen	Beibehalten (Ein-Aus)	DPDT	24VDC	Grün	Z1372-ND	19.01	17.61	16.43	15.26	A165W-A3MG-24D-2
						Rot	Z1373-ND	19.01	17.61	16.43	15.26	A165W-A3MR-24D-2
						Gelb	Z1374-ND	19.01	17.61	16.43	15.26	A165W-A3MY-24D-2
3	Rund	2 Positionen	Federrücklauf (Moment)	SPDT	24VDC	Grün	Z1390-ND	17.47	16.18	15.10	14.03	A165W-T2AG-24D-1
						Rot	Z1391-ND	17.47	16.18	15.10	14.03	A165W-T2AR-24D-1
						Gelb	Z1392-ND	17.47	16.18	15.10	14.03	A165W-T2AY-24D-1
		2 Positionen	Beibehalten (Ein-Aus)	SPDT	24VDC	Grün	Z1393-ND	17.47	16.18	15.10	14.03	A165W-T2MG-24D-1
						Rot	Z1394-ND	17.47	16.18	15.10	14.03	A165W-T2MR-24D-1
						Gelb	Z1395-ND	17.47	16.18	15.10	14.03	A165W-T2MY-24D-1
		3 Positionen	Beibehalten (Ein-Aus)	DPDT	24VDC	Grün	Z1396-ND	19.01	17.61	16.43	15.26	A165W-T3MG-24D-2
						Rot	Z1397-ND	19.01	17.61	16.43	15.26	A165W-T3MR-24D-2
						Gelb	Z1398-ND	19.01	17.61	16.43	15.26	A165W-T3MY-24D-2

Schalter der Serie A22

Die Drucktasterschalter der Serie A22 von Omron bieten flexible Funktionen, die andere Schalter nicht bieten können. Schalterblöcke werden von Hand in die Rückseite des Schalterkörpers gedrückt, sodass der Endbenutzer die Schalterausgänge sekundenschnell auswechseln, neue hinzufügen oder die alten ändern kann. Sie brauchen einen DP-Schalter? Kein Problem, einfach weiteren Schalterblock hineindrücken und fertig. Schalterblöcke verfügen über versenkte Schraubklemmen (fingersicher), die sowohl nordamerik. als auch europ. Sicherheitsstandards erfüllen. Schalter sind gemäß IP65-Standards gegen Wasser, Öl und Staub abgedichtet. Schaltereinheiten werden komplett montiert und installationsbereit geliefert. Kaufen Sie weitere Schalterblöcke als Ersatz und zusätzliche Schalter.

Kontaktleistung: • 24 V AC: 10 A (induktiv), 10 A (resistiv) • 110 V AC: 5 A (induktiv), 10 A (resistiv) • 220 V AC: 3 A (induktiv), 6 A (resistiv)) **LED-Anzeigen:** • Nennspannung: 24 V AC/DC • Nennstromstärke: 15 mA • Betriebsspannung: 24 V AC/DC +5 % **Durchschlagsfestigkeit:** 2.500 V AC, 50/60 Hz für 1 Min. zwischen Klemmen gleicher Polarität **Lebensdauer:** • Schaltk. bel./nicht bel.: Min. 500.000 Schaltungen • Not-Aus: Min. 300.000 Schaltungen • Selektor: Min. 500.000 Schaltungen **Umgebungsfeuchtigkeit:** Betrieb 35 % ~ 80 % **Schutzgrad:** IP65

22 mm Warnleuchte

Leuchtmelder ohne Schalter zur Anzeige des Schaltkreisstatus oder als Warnmelder. Leuchtmelder ohne Schalter zur Anzeige des Schaltkreisstatus oder als Warnmelder

Quadratisch
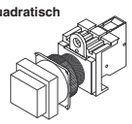

Rund
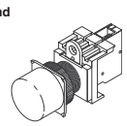

Lichtart	Beleuchtungs-spannung	Linsenfarbe	Digi-Key Teilenr.	Stückpreis 1	25	50	Omron Teilenr.
Quadratisch/ vorstehend	24VAC/ DC	Blau	Z1537-ND	21.31	19.74	18.42	M22-CA-24A
		Grün	Z1538-ND	16.70	15.47	14.44	M22-CG-24A
		Rot	Z1539-ND	16.70	15.47	14.44	M22-CR-24A
		Weiß	Z1540-ND	16.70	15.47	14.44	M22-CW-24A
		Gelb	Z1541-ND	16.70	15.47	14.44	M22-CY-24A
	110 VAC	Blau	Z1542-ND	27.65	25.61	23.90	M22-CA-T1
		Grün	Z1543-ND	27.65	25.61	23.90	M22-CG-T1
		Rot	Z1544-ND	27.65	25.61	23.90	M22-CR-T1
		Weiß	Z1545-ND	27.65	25.61	23.90	M22-CW-T1
		Gelb	Z1546-ND	27.65	25.61	23.90	M22-CY-T1
Rund/ bündig	12VAC/DC	Gelb	Z1597-ND	10.29	9.53	8.90	M22-FY-12A
	24VAC/ DC	Blau	Z1594-ND	16.70	15.47	14.44	M22-FA-24A
		Grün	Z1589-ND	10.29	9.53	8.90	M22-FG-24A
		Rot	Z1590-ND	10.29	9.53	8.90	M22-FR-24A
		Weiß	Z1596-ND	10.29	9.53	8.90	M22-FW-24A
	110 VAC	Blau	Z1588-ND	21.31	19.74	18.42	M22-FA-T1
		Grün	Z1595-ND	13.52	12.52	11.69	M22-FG-T1
		Rot	Z1591-ND	13.52	12.52	11.69	M22-FR-T1
		Weiß	Z1592-ND	13.52	12.52	11.69	M22-FW-T1
		Gelb	Z1593-ND	13.52	12.52	11.69	M22-FY-T1

22 mm Zubehör

Abb. 1
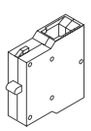

Abb. 2
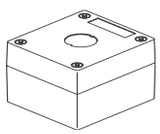

Abb. 3

Abb. 4

Abb.	Beschreibung	Digi-Key Teilenr.	Stückpreis 1	25	50	Omron Teilenr.
1	Ersatzschalterblock, SPST-Ruhekontakt, Allzweck, 10 A	Z1547-ND	4.61	4.27	3.99	A22-01
	Ersatzschalterblock, SPST-Ruhekontakt, Mikrolast	Z1548-ND	9.95	9.21	8.60	A22-01S
	Ersatzschalterblock, DPST-Ruhekontakt, Allzweck, 10 A	Z1549-ND	17.85	16.54	15.44	A22-02
	Ersatzschalterblock, DPST-Ruhekontakt, Mikrolast	Z1550-ND	16.70	15.47	14.44	A22-02S
	Ersatzschalterblock, SPST-Arbeitskontakt, Allzweck, 10 A	Z1551-ND	4.61	4.27	3.99	A22-10
	Ersatzschalterblock, SPST-Arbeitskontakt, Mikrolast	Z1552-ND	11.13	10.32	9.63	A22-10S
	Ersatzschalterblock, DPST-Arbeitskontakt, Allzweck, 10 A	Z1553-ND	11.90	11.03	10.29	A22-20
	Ersatzschalterblock, DPST-Arbeitskontakt, Mikrolast	Z1554-ND	16.70	15.47	14.44	A22-20S
2	Steuerkastengehäuse; 1 Loch für 22 mm Schalter	Z1647-ND	15.05	13.94	13.01	A22Z-B101
	Gelbes Notfallgehäuse; 1 Loch für 22 mm Schalter	Z1648-ND	15.75	14.58	13.61	A22Z-B101Y
	Steuerkastengehäuse; 2 Löcher für 22 mm Schalter	Z1649-ND	23.81	22.05	20.58	A22Z-B102
	Steuerkastengehäuse; 3 Löcher für 22 mm Schalter	Z1650-ND	39.55	36.63	34.19	A22Z-B103
3	Not-Aus-Platte, 60 mm Durchm., gelb mit schwarzen Buchstaben	Z1555-ND	4.22	3.92	3.66	A22Z-3466-1
	Not-Aus-Platte, 90 mm Durchm., gelb mit schwarzen Buchstaben	Z1556-ND	4.22	3.92	3.66	A22Z-3476-1
4	Ersatz-LED-Lampe, rot, 24 V AC/DC	Z1576-ND	11.29	10.46	9.76	A22-24AR
	Ersatz-LED-Lampe, grün, 24 V AC/DC	Z1577-ND	11.29	10.46	9.76	A22-24AG
	Ersatz-LED-Lampe, gelb, 24 V AC/DC	Z1578-ND	11.29	10.46	9.76	A22-24AY
	Ersatz-LED-Lampe, blau, 24 V AC/DC	Z1579-ND	13.52	12.52	11.69	A22-24AA
—	Ersatzglühlampe, 120 V AC	Z1580-ND	3.23	2.99	2.79	A22-H1
	Ersatzsockel-Bausatz für Lampen	Z1581-ND	7.15	6.62	6.18	A22-TN
	Ersatzsockel-Bausatz für Lampen, mit X-Former	Z1582-ND	10.98	10.17	9.50	A22-T1
	Ersatzverriegelungs-Bausatz für Schalterblöcke	Z1583-ND	2.38	2.21	2.06	A22-3200
—	Schraubenschlüssel zum Festziehen von Sicherungsmuttern	Z1557-ND	10.98	10.17	9.50	A22Z-3905
	Extraktionswerkzeug zum Entfernen von Lampe und Schalter	Z1558-ND	3.38	3.13	2.93	A22Z-3901
	Werkzeug zum Entfernen der Linse	Z1559-ND	1.44	1.34	1.25	A3PJ-5080

(Forts.)

Drucktastenschalter 22 mm

Abb. 1

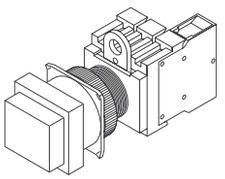

Abb. 2

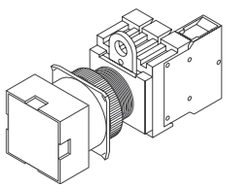

Abb. 3

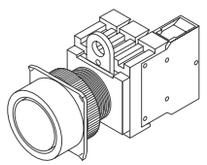

Abb. 4

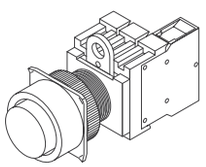

Abb. 5

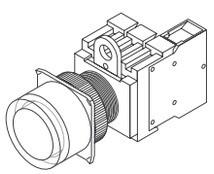

Abb. 6

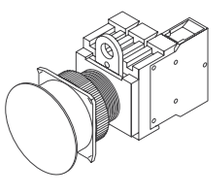

Abb. 7

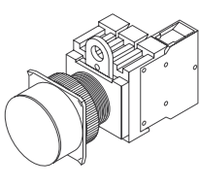

Abb.	Tasterversion	Kontaktblocks einschl.	Beleuchtungs-spannung	Linsenfarbe	Digi-Key Teilenr.	Stückpreis 1	25	50	100	Omron Teilenr.
Nicht beleuchtete Schalter (Momentschalter)										
1	Quadratische/vorstehende Taste	SPST-NO	—	Blau	Z1561-ND	12.67	11.74	10.96	10.17	A22-CA-10M
			—	Schwarz	Z1562-ND	12.67	11.74	10.96	10.17	A22-CB-10M
			—	Grün	Z1563-ND	12.67	11.74	10.96	10.17	A22-CG-10M
			—	Weiß	Z1564-ND	12.67	11.74	10.96	10.17	A22-CW-10M
			—	Gelb	Z1565-ND	12.67	11.74	10.96	10.17	A22-CY-10M
2	Quadratische/Vollabdeckungs-Taste	SPST-NO	—	Blau	Z1440-ND	12.67	11.74	10.96	10.17	A22-DA-10M
			—	Schwarz	Z1441-ND	12.67	11.74	10.96	10.17	A22-DB-10M
			—	Grün	Z1442-ND	12.67	11.74	10.96	10.17	A22-DG-10M
			—	Weiß	Z1443-ND	12.67	11.74	10.96	10.17	A22-DW-10M
			—	Gelb	Z1444-ND	12.67	11.74	10.96	10.17	A22-DY-10M
		SPST-NO + SPST-NC	—	Rot	Z1445-ND	17.47	16.18	15.10	14.03	A22-DR-11M
3	Runde bündige Taste	SPST-NO	—	Blau	Z1446-ND	9.52	8.82	8.24	7.65	A22-FA-10M
			—	Schwarz	Z1447-ND	9.52	8.82	8.24	7.65	A22-FB-10M
			—	Grün	Z1448-ND	9.52	8.82	8.24	7.65	A22-FG-10M
			—	Rot	Z1449-ND	9.52	8.82	8.24	7.65	A22-FR-10M
			—	Weiß	Z1450-ND	7.91	7.33	6.84	6.35	A22-FW-10M
			—	Gelb	Z1451-ND	9.52	8.82	8.24	7.65	A22-FY-10M
4	Runde vorstehende Taste	SPST-NC	—	Rot	Z1452-ND	8.75	8.11	7.57	7.03	A22-TR-01M
		SPST-NO + SPST-NC	—	Rot	Z1453-ND	12.67	11.74	10.96	10.17	A22-TR-11M
5	Runde Vollabdeckungs-Taste	SPST-NO	—	Blau	Z1454-ND	9.52	8.82	8.24	7.65	A22-GA-10M
			—	Schwarz	Z1455-ND	9.52	8.82	8.24	7.65	A22-GB-10M
			—	Grün	Z1456-ND	9.52	8.82	8.24	7.65	A22-GG-10M
			—	Rot	Z1457-ND	9.52	8.82	8.24	7.65	A22-GR-10M
			—	Weiß	Z1458-ND	9.52	8.82	8.24	7.65	A22-GW-10M
			—	Gelb	Z1459-ND	9.52	8.82	8.24	7.65	A22-GY-10M
6	Pilz mittlerer Größe (40 mm Kopfdurchm.)	SPST-NC	—	Rot	Z1460-ND	11.13	10.32	9.63	8.94	A22-MR-01M
		SPST-NO	—	Blau	Z1461-ND	11.13	10.32	9.63	8.94	A22-MA-10M
			—	Schwarz	Z1462-ND	11.13	10.32	9.63	8.94	A22-MB-10M
			—	Grün	Z1463-ND	11.13	10.32	9.63	8.94	A22-MG-10M
			—	Weiß	Z1464-ND	11.13	10.32	9.63	8.94	A22-MW-10M
			—	Gelb	Z1465-ND	11.13	10.32	9.63	8.94	A22-MY-10M
7	Pilz kleiner Größe (30 mm Kopf-. durchm.)	SPST-NC	—	Rot	Z1466-ND	10.98	10.17	9.50	8.82	A22-SR-01M
		SPST-NO	—	Blau	Z1467-ND	10.29	9.53	8.90	8.26	A22-SA-10M
			—	Schwarz	Z1468-ND	10.29	9.53	8.90	8.26	A22-SB-10M
			—	Grün	Z1469-ND	10.29	9.53	8.90	8.26	A22-SG-10M
			—	Weiß	Z1470-ND	10.29	9.53	8.90	8.26	A22-SW-10M
			—	Gelb	Z1471-ND	10.29	9.53	8.90	8.26	A22-SY-10M
Nicht beleuchtete Schalter (Verriegelungsbetrieb)										
1	Quadratische/vorstehende Taste	SPST-NC	—	Rot	Z1572-ND	18.24	16.89	15.77	14.64	A22-CR-01A
		SPST-NO + SPST-NC	—	Schwarz	Z1573-ND	23.81	22.05	20.58	19.11	A22-CB-11A
Beleuchtete Schalter (Momentschalter)										
2	Quadratische/Vollabdeckungs-Taste, bel. LED	SPST-NO	24 VAC/DC	Blau	Z1474-ND	37.25	34.50	32.20	29.90	A22L-DA-24A-10M
				Grün	Z1475-ND	22.85	21.16	19.75	18.34	A22L-DG-24A-10M
				Weiß	Z1476-ND	22.85	21.16	19.75	18.34	A22L-DW-24A-10M
				Gelb	Z1477-ND	22.85	21.16	19.75	18.34	A22L-DY-24A-10M
		SPST-NO	110 VAC	Blau	Z1478-ND	40.32	37.34	34.85	32.36	A22L-DA-T1-10M
				Grün	Z1479-ND	26.88	24.89	23.24	21.58	A22L-DG-T1-10M
3	Runde/Vollabdeckungs-Taste, bel. LED	SPST-NC	24 VAC/DC	Rot	Z1482-ND	17.47	16.18	15.10	14.03	A22L-GR-24A-01M
		SPST-NO	24 VAC/DC	Blau	Z1483-ND	31.68	29.34	27.38	25.43	A22L-GA-24A-10M
				Grün	Z1484-ND	17.47	16.18	15.10	14.03	A22L-GG-24A-10M
				Weiß	Z1485-ND	17.47	16.18	15.10	14.03	A22L-GW-24A-10M
				Gelb	Z1486-ND	17.47	16.18	15.10	14.03	A22L-GY-24A-10M
		SPST-NC	110 VAC	Rot	Z1487-ND	21.31	19.74	18.42	17.11	A22L-GR-T1-01M
		SPST-NO	110 VAC	Blau	Z1488-ND	34.75	32.18	30.04	27.89	A22L-GA-T1-10M
				Grün	Z1489-ND	21.31	19.74	18.42	17.11	A22L-GG-T1-10M
4	Runde vorstehende Taste, bel. LED	SPST-NC	24 VAC/DC	Rot	Z1492-ND	14.28	13.23	12.35	11.47	A22L-TR-24A-01M
		SPST-NO	24 VAC/DC	Grün	Z1494-ND	14.28	13.23	12.35	11.47	A22L-TG-24A-10M
				Weiß	Z1495-ND	14.28	13.23	12.35	11.47	A22L-TW-24A-10M
				Gelb	Z1496-ND	14.28	13.23	12.35	11.47	A22L-TY-24A-10M
		SPST-NC	110 VAC	Rot	Z1497-ND	18.24	16.89	15.77	14.64	A22L-TR-T1-01M
		SPST-NO	110 VAC	Grün	Z1499-ND	18.24	16.89	15.77	14.64	A22L-TG-T1-10M
				Weiß	Z1500-ND	18.24	16.89	15.77	14.64	A22L-TW-T1-10M
				Gelb	Z1501-ND	18.24	16.89	15.77	14.64	A22L-TY-T1-10M

(Forts.)

Alle Preisangaben in Euro und inklusive Zollgebühren.

Not-Aus-Drucktastenschalter

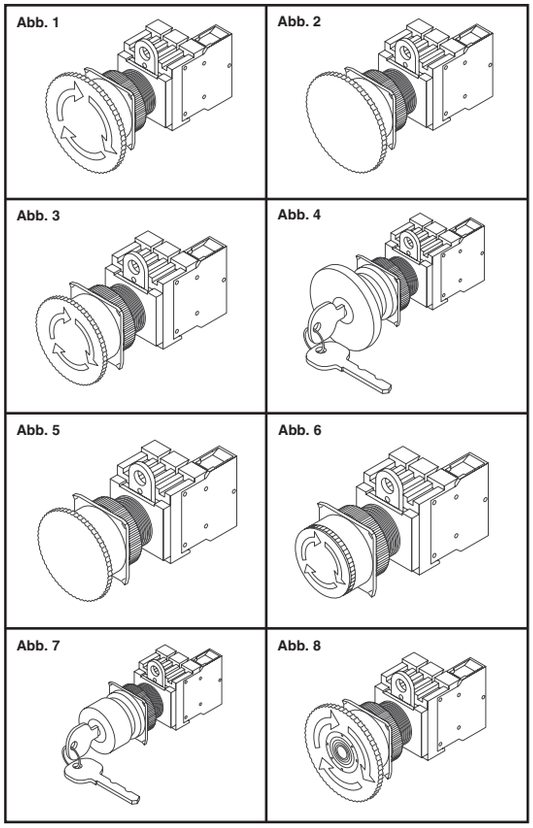

Not-Aus-Schalter von Omron verfügen über einen kraftschlüssigen Öffnungsmechanismus mit minimaler Kontakttrennung von 3 mm gemäß EN60947-5-1. Sicherheitssperrmechanismus verhindert Missbrauch oder unerlaubte Eingriffe. Innovative zweiteilige Schnappbauweise reduziert Installationszeit und bietet geringere Plattentiefenanforderungen. Verwendung als Not-Aus-Schalter an Maschinen, Transportbändern und Schnecken, Bau- und Kraftfahrzeugen. Rote Kappe Standard. **Kontakte:** 10 A @ 110 V AC oder 24 V DC.

Abb.	Schaltertyp	Kontakt	Digi-Key Teilenr.	Stückpreis 1	25	50	100	Omron Teilenr.
Nicht beleuchtete Modelle								
1	60 mm Durchm. Rastdruckknopf, Turn-Reset-Funktion	SPST-NC	Z1502-ND	24.20	22.41	20.91	19.42	A22E-L-01
2	60 mm Durchm. Kopf, Push-pull	SPST-NC	Z1503-ND	28.80	26.67	24.89	23.12	A22E-LP-01
3	40 mm Durchm. Rastdruckknopf, Turn-Reset-Funktion	SPST-NC	Z1504-ND	22.08	20.45	19.09	17.72	A22E-M-01
4	40 mm Durchm. Rastdruckknopf, Key-Reset-Funktion	SPST-NC SPST-NO/SPST-NC	Z1505-ND Z1560-ND	40.70 34.37	37.70 31.83	35.18 29.71	32.67 27.59	A22E-MK-01 A22E-MK-11
5	40 mm Durchm. Kopf, Push-pull	SPST-NC SPST-NO/SPST-NC	Z1506-ND Z1507-ND	27.27 33.60	25.25 31.12	23.57 29.04	21.88 26.97	A22E-MP-01 A22E-MP-11
6	30 mm Durchm. Rastdruckknopf, Turn-Reset-Funktion	SPST-NC	Z1508-ND	27.27	25.25	23.57	21.88	A22E-S-01
7	30 mm Durchm. Rastdruckknopf, Key-Reset-Funktion	SPST-NC	Z1509-ND	34.37	31.83	29.71	27.59	A22E-SK-01
Beleuchtete Modelle								
8	40 mm Durchm. Rastdruckknopf, Turn-Reset-Funktion	SPST-NC	24 VAC/DC (LED)	Z1510-ND	35.90	33.25	31.03	28.82	A22EL-M- 24A-01
	40-dia. Head Push-lock Turn-reset withTrans.**	SPST-NC	110 VAC (LED)	Z1511-ND	41.86	38.76	36.18	33.59	A22EL-M-T1-01

** 40 mm Durchm. Rastdruckknopf, Turn-Reset-Funktion mit Trans.

Schlüsselwahlschalter

Schlüsselwahlschalter für sicheres Schalten oder Rücksetzen. Als Moment- oder Doppelschaltfunktionsschalter lieferbar. (IP65 öl- und staubdichte Bauweise.) Komplett mit 2 Schlüsseln. **Kontakt:** 10 A @ 110 V AC oder 24 V DC

Typ	Positionsanzahl	Kontakte	Schlüsselstellungen Pos. 1	Pos. 2	Pos. 3	Stellungen für das Herausziehen des Schlüssels	Digi-Key Teilenr.	Stückpreis 1	25	50	100	Omron Teilenr.
Schlüsselwahlschalter	2	SPST-NO	Ein	Mom	—	1	Z1530-ND	16.70	15.47	14.44	13.41	A22K-2AL-10
			Ein	Aus	—	1 & 2	Z1531-ND	16.70	15.47	14.44	13.41	A22K-2M-10
			Ein	Aus	—	1	Z1532-ND	16.70	15.47	14.44	13.41	A22K-2ML-10
	3	SPST-NO + SPST-NC	Mom	Aus	Mom	2	Z1533-ND	22.85	21.16	19.75	18.34	A22K-3AC-11
			Ein	Ein	Aus	1 & 3	Z1534-ND	22.85	21.16	19.75	18.34	A22K-3M-11
			Ein	Ein	Aus	2	Z1535-ND	22.85	21.16	19.75	18.34	A22K-3MC-11
			Ein	Ein	Aus	1	Z1536-ND	22.85	21.16	19.75	18.34	A22K-3ML-11
Ersatzschlüssel für Schlüsselwahlschalter							Z1669-ND	4.08	3.06	2.86	2.66	A22KK

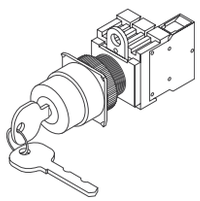

Schlüsselwahlschalter

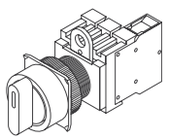

Großer, einfach zu schaltender Knopfwahlschalter für Ein-Aus und Auswahl für industrielle Steuerungen. Schnappschalter-Rückführung gewährleistet zuverlässiges Feedback für den Bediener, selbst wenn Handschuhe getragen werden. Entweder als nicht beleuchteter oder als LED-beleuchteter Schalter lieferbar. (IP65 öl- und staubdichte Bauweise.)
Kontakte: 10 A bei 110 V AC oder 24 V DC

Schaltertyp	Position	Schaltfunktion	Kontakte	Beleuchtungsspannung	Linsenfarbe	Digi-Key Teilenr.	Stückpreis 1	25	50	100	Omron Teilenr.
Unbeleuchtet											
Knopfwahlschalter	2 Positionen	Federrücklauf (momentan)	SPST-NO	—	Schwarz	Z1512-ND	11.13	10.32	9.63	8.94	A22S-2A-10
	2 Positionen	Erhalten (Ein-Aus)	SPST-NO	—	Schwarz	Z1513-ND	10.98	10.17	9.50	8.82	A22S-2M-10
	3 Positionen	Federrücklauf (momentan)	SPST-NO + SPST-NC	—	Schwarz	Z1574-ND	14.28	13.23	12.35	11.47	A22-3A-11
	3 Positionen	Erhalten (Ein-Aus)	SPST-NO + SPST-NC	—	Schwarz	Z1575-ND	14.28	13.23	12.35	11.47	A22-3M-11
Beleuchtet											
Knopfwahlschalter	2 Positionen	Federrücklauf (momentan)	SPST-NO	24 VAC/DC	Blau	Z1514-ND	33.22	30.76	28.71	26.66	A22W-2AA-24A-10
					Grün	Z1515-ND	19.78	18.32	17.10	15.88	A22W-2AG-24A-10
					Rot	Z1516-ND	19.78	18.32	17.10	15.88	A22W-2AR-24A-10
					Gelb	Z1517-ND	19.78	18.32	17.10	15.88	A22W-2AY-24A-10
	2 Positionen	Erhalten (Ein-Aus)	SPST-NO	24 VAC/DC	Blau	Z1518-ND	33.22	30.76	28.71	26.66	A22W-2MA-24A-10
					Grün	Z1519-ND	19.78	18.32	17.10	15.88	A22W-2MG-24A-10
					Rot	Z1520-ND	19.78	18.32	17.10	15.88	A22W-2MR-24A-10
					Gelb	Z1521-ND	19.78	18.32	17.10	15.88	A22W-2MY-24A-10

H

Oberflächenmontierte Schiebeschalter Serie CAS

Elektrische Eigenschaften: • **Kontaktleistung:** Nicht schaltend, 50 V DC 100 mA, schaltend 6 V DC , 100 mA 24 V DC, 25 mA, min.20 mV DC 1µa • **Kontaktwiderstand:** Max. 50 mΩ (1,5 mA, 1 kHz, 20 mV) • **Isolationswiderstand:** Min. 1.000 MΩ (100 V DC)

• **Durchschlagsfestigkeit:** 500 V AC, 50 Hz, 60 s

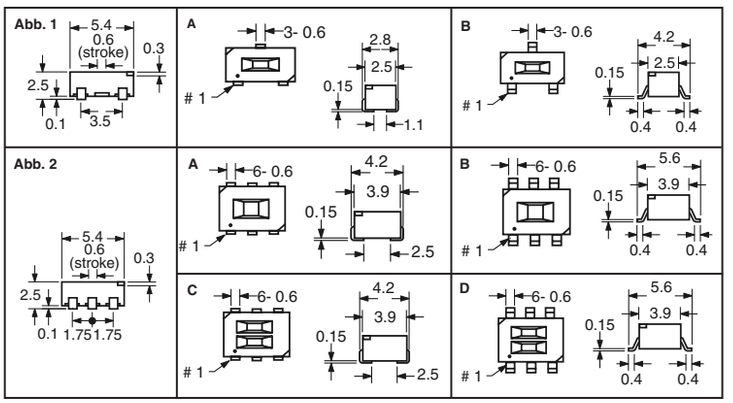

Abb.	Anz. der Pole	Beschreibung	Digi-Key Teilenr.	Gurtabschnittspreis pro Stück 10	100	Preisangaben für Gegurtet auf Rolle 1.000	BC Components Teilenr.
1A	2	SPDT, J-Form	CAS120JCT-ND	1.68	1.22	558.76	CAS120TA
1B	2	SPDT, Gull Wing	CAS120GCT-ND	1.49	1.08	495.26	CAS120TB
2A	2	DPDT, J-Form	CAS220JCT-ND	3.20	2.32	1066.72	CAS220TA
2B	2	DPDT, Gull Wing	CAS220GCT-ND	3.20	2.32	1066.72	CAS220TB
2C	2	SPDT 2-Pos. J-Form	CASD20JCT-ND	3.20	2.32	1066.72	CASD20TA
2D	2	SPDT 2-Pos. Gull Wing	CASD20GCT-ND	3.20	2.32	1066.72	CASD20TB

* Für Gegurtet auf Rolle die Teilenr. CT in TR umändern

SMD-Momentschlüsselschalter

Elektrische Eigenschaften: • **Kontaktnennwert:** Max. Stromstärke: 100 mA; max. Spannung: 24 V • **Kontaktwiderstand:** Max. 100 mΩ • **Isolationswiderstand:** Min. 100 MΩ (DC500V)
Allgemeine Eigenschaften: • **Schaltertyp:** Arbeitskontakt • **Betriebstemperaturbereich:** -55 °C ~ +125 °C • **Durchschlagsfestigkeit:** 250 V AC.
Mechanische Eigenschaften: • **Zyklusleben, belastet:** 10.000 Schaltungen.

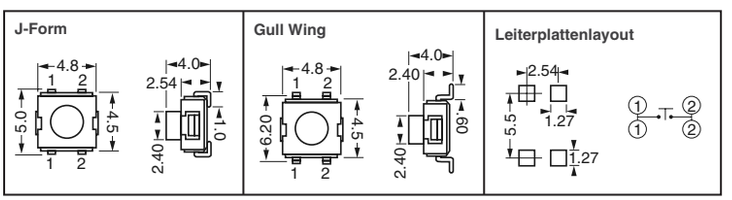

Typ	Digi-Key Teilenr.	Gurtabschnittspreis pro Stück 1	10	100	Digi-Key Teilenr.	Gegurtet auf Rolle 500	1.000	5.000
J-Form	7914J-000ECT-ND	.80	.71	.60	7914J-000ETR-ND	228.58	400.44	342.88/M
Gull Wing	7914G-000ECT-ND	.80	.71	.60	7914G-000ETR-ND	228.58	400.44	342.88/M

Abgedichtete Wahlschalter

Elektrische Eigenschaften: • **Kontaktnennwert: Max. Stromstärke:** 100 mA; max. **Spannung:** 24 V • **Kontaktzeitgabe:** Kurzschlussgeschützt • **Kontaktwiderstand:** Max. 2 Ω • **Isolationswiderstand:** Min. 100 MΩ (500 V DC) • **Durchschlagsfestigkeit:** 250 V AC. • ***Allgemeine Eigenschaften:*** • **Schaltertyp:** SPDT • **Betriebstemperaturbereich:** -55 °C ~ +125 °C

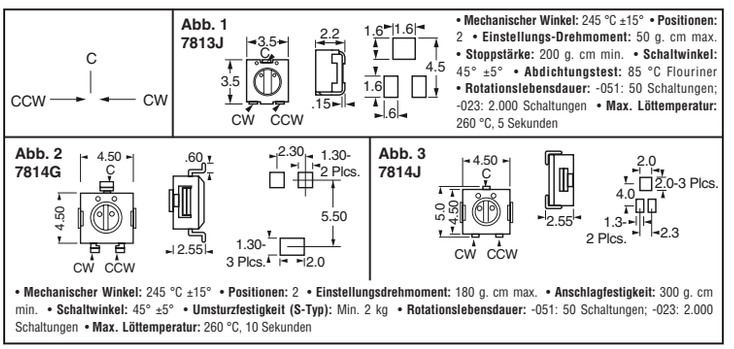

• **Mechanischer Winkel:** 245 °C ±15° • **Positionen:** 2 • **Einstellungs-Drehmoment:** 50 g. cm max. • **Stoppstärke:** 200 g. cm min. • **Schaltwinkel:** 45° ±5° • **Abdichtungstest:** 85 °C Flouriner • **Rotationslebensdauer:** -051: 50 Schaltungen; -023: 2.000 Schaltungen • **Max. Löttemperatur:** 260 °C, 5 Sekunden

• **Mechanischer Winkel:** 245 °C ±15° • **Positionen:** 2 • **Einstellungsdrehmoment:** 180 g. cm max. • **Anschlagfestigkeit:** 300 g. cm min. • **Schaltwinkel:** 45° ±5° • **Umsturzfestigkeit (S-Typ):** Min. 2 kg • **Rotationslebensdauer:** -051: 50 Schaltungen; -023: 2.000 Schaltungen • **Max. Löttemperatur:** 260 °C, 10 Sekunden

Abb.	Größe (mm)	Lebens-dauer	Digi-Key Teilenr.	Gurtabschnittspreis pro Stück 1	10	100	Digi-Key Teilenr.	Gegurtet auf Rolle 500	1.000
1	3	50	7813J-051ECT-ND	1.78	1.58	1.33	7813J-051ETR-ND	—	888.93
	3	2000	7813J-023ECT-ND	1.96	1.74	1.46	7813J-023ETR-ND	—	977.82
2	4	50	7814G-051ECT-ND	1.78	1.58	1.33	7814G-051ETR-ND	507.96	888.93
	4	2000	7814G-023ECT-ND	1.96	1.74	1.46	7814G-023ETR-ND	558.76	977.82
3	4	50	7814J-051ECT-ND	1.78	1.58	1.33	7814J-051ETR-ND	507.96	888.93
	4	2000	7814J-023ECT-ND	1.96	1.74	1.46	7814J-023ETR-ND	558.76	977.82

Beleuchtete flache Drucktastenschalter

Schnappkontaktmechanismus. Doppelschaltfunktionsmodelle mit Verriegelung zur Anzeige des Schaltkreisstatus. Schnappmontage (W01) mit Lötösenanschlüssen und Silberkontakten: Leiterplattenmontage (G03) mit geraden Leiterplattenanschlüssen und Goldkontakten.

Merkmale: • **Elektrische Leistung:** • **Stromstärken-Level (Code W):** 5 A @ 125/250 V AC oder 5 A @ 30 V DC • **Logik-Level (Code G):** Max. 0,4 VA bei max. 28 V AC/DC. • **Durchschlagsfestigkeit :** Min. 1.000 V AC zwischen Kontakten. • **Lebensdauer der Mechanik:** Min. 1.000.000 Schaltungen (Moment); min. 2.000.000 Schaltungen (Doppelfunktion). • **Lebensdauer der Elektrik:** Min. 10.000 Schaltungen (Silber); min. 200.000 Schaltungen (Gold). •**Gesamtbewegung:** 0,091" (2,3 mm). Betätigungskraft: 160 g einpolig, 260 g doppelpolig. • **Kontaktzeitgabe:** Unterbrechung vor Herstellung. • **Betriebstemperatur:** -25 °C ~ 50 °C

UB-Modelle: **UL-anerkannt und CSA-zertifiziert;** UB2-Modelle: **UL-anerkannt.** (Keine UL/CSA-Marke auf dem Schalter.) LED-Leistung: rot 1,85 V @ 20 mA, bernstein 2,0 V @ 20 mA, grün 2,25 V @ 20 mA.

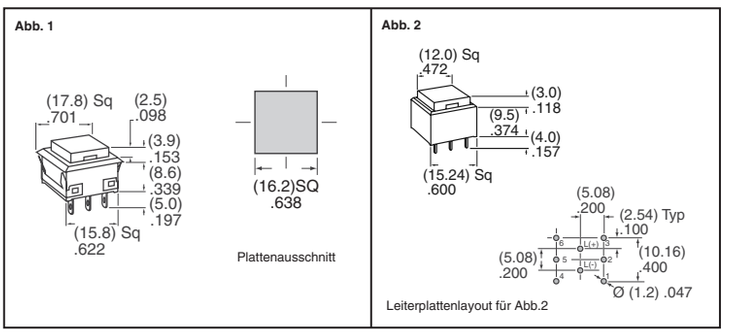

Abb.	Schalt-kreis	Schaltfunk-tion	LED-Farbe	Kappenbeschreibung	Digi-Key Teilenr.	Stückpreis 1	25	100	NKK Teilenr.
Quadratisch, Schnappmontage, Einzelelement-LED (UB-Serie) — 5 A									
1	SPDT	Ein-Mom	Rot	Rote Linse - roter Diff.	360-1525-ND	10.08	8.07	6.39	UB15KKW015C-CC
	SPDT	Ein-Mom	Bernstein	Bernsteinf. Linse - bernsteinf. Diff.	360-1526-ND	10.08	8.07	6.39	UB15KKW015D-DD
	SPDT	Ein-Mom	Grün	Grüne Linse - grüner Diff.	360-1527-ND	10.08	8.07	6.39	UB15KKW015F-FF
	DPDT	Ein-Mom	Rot	Rote Linse - roter Diff.	360-1531-ND	12.80	10.25	8.11	UB25KKW015C-CC
	DPDT	Ein-Mom	Bernstein	Bernsteinf. Linse - bernsteinf. Diff.	360-1532-ND	12.80	10.25	8.11	UB25KKW015D-DD
	DPDT	Ein-Mom	Grün	Grüne Linse - grüner Diff.	360-1533-ND	12.80	10.25	8.11	UB25KKW015F-FF
Quadratisch, Leiterplattenmontage, Einzelelement-LED (UB-Serie) — 0,4 V A									
2	SPDT	Ein-Mom	Rot	Rote Linse - roter Diff.	360-1537-ND	9.68	7.75	6.13	UB15SKG035C-CC
	SPDT	Ein-Mom	Bernstein	Bernsteinf. Linse - bernsteinf. Diff.	360-1538-ND	9.68	7.75	6.13	UB15SKG035D-DD
	SPDT	Ein-Mom	Grün	Grüne Linse - grüner Diff.	360-1539-ND	9.68	7.75	6.13	UB15SKG035F-FF
	DPDT	Ein-Mom	Rot	Rote Linse - roter Diff.	360-1543-ND	12.95	10.37	8.21	UB25SKG035C-CC
	DPDT	Ein-Mom	Bernstein	Bernsteinf. Linse - bernsteinf. Diff.	360-1544-ND	12.95	10.37	8.21	UB25SKG035D-DD
	DPDT	Ein-Mom	Grün	Grüne Linse - grüner Diff.	360-1545-ND	12.95	10.37	8.21	UB25SKG035F-FF

Beleuchtete, abwaschbare Tastschalter

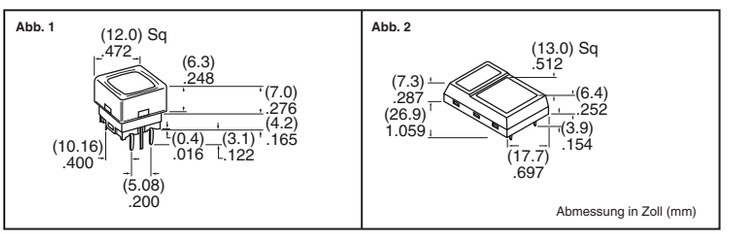

Serie JB - Beleuchte, flache Momentschalter:

Helle Front-LED-Beleuchtung für extrem lange Lebensdauer. Komplett abgedichtet, um extremen Umgebungsbedingungen und automatisierten Lötprozessen zu widerstehen. Höhere Betätigungskraft bietet stärkeres Betätigungsgefühl. Alle Linsen werden standardmäßig mit diffundierten Farblinsen geliefert, falls nicht als durchsichtig angegeben. Klemmenabstand entspricht 0,100" (0,254 cm) Leiterplattenraster. Gerade Kompakt-Leiterplattenklemmen. Einpoliger Ausschalter, verschiedene Kappenfarben. Rote, gelbe oder grüne LEDs. **Elektrische Leistung:** 50 mA @ 24 V DC, max. **Durchschlagsfestigkeit:** Min. 250 V AC **Lebensdauer der Mechanik:** Min. 5.000.000 Schaltungen **Lebensdauer der Elektrik:** Min. 5.000.000 Schaltungen **Betriebstemperatur:** -25 °C ~ +70 °C. **Gesamtbewegung:** 0,010" (2,5 mm)

Serie JF - Beleuchtete, ultradünne Momentschalter:

Schalter der Serie JF sind abwaschbare Tastschalter mit klarem Tastfeedback. Klemmenabstand entspricht 0,100" (0,254 cm) Leiterplattenraster. Einpoliger Ausschalter, verschiedene Kappenfarben. Rote, gelbe oder grüne LEDs. **Elektrische Leistung:** 50 mA @ max. 24 V DC **Durchschlagsfestigkeit:** Min. 250 V AC **Lebensdauer der Mechanik:** Min. 500.000 Schaltungen **Lebensdauer der Elektrik:** Min. 500.000 Schaltungen **Betriebstemperatur:** -25 °C ~ + 50 °C. **Gesamtbewegung:** 0,016" (0,4 mm).

Abb.	Schalt-kreis	LED-Farbe	Kappenbeschreibung	Digi-Key Teilenr.	Stückpreis 1	25	100	NKK Teilenr.
Serie JB - Schalter, niedrige Bauform, beleuchtet								
1	SPST	Rot	Durchsichtige Linse, weißer Diffusor	360-1260-ND	3.91	3.13	2.48	JB15LPC-JB
	SPST	Rot	Durchsichtige Linse, roter Diffusor	360-1261-ND	3.91	3.13	2.48	JB15LPC-JC
	SPST	Gelb	Durchsichtige Linse, weißer Diffusor	360-1262-ND	3.91	3.13	2.48	JB15LPE-JB
	SPST	Gelb	Durchsichtige Linse, gelber Diffusor	360-1263-ND	3.91	3.13	2.48	JB15LPE-JE
	SPST	Grün	Durchsichtige Linse, weißer Diffusor	360-1264-ND	3.91	3.13	2.48	JB15LPF-JB
	SPST	Grün	Durchsichtige Linse, grüner Diffusor	360-1265-ND	3.91	3.13	2.48	JB15LPF-JF
Serie JF - Beleuchtete ultradünne Schalter								
2	SPST	Rot	—	360-1266-ND	6.50	5.21	4.12	JF15AP1CC
	SPST	Gelb	—	360-1267-ND	7.82	6.26	4.96	JF15AP1EE
	SPST	Grün	—	360-1268-ND	6.78	5.43	4.30	JF15AP1FF

Alle Preisangaben in Euro und inklusive Zollgebühren.

Beleuchtete Drucktaster

Abmessung in Zoll (mm)

Serie KB Miniaturschalter, Buchsenmontage:

Die Drucktaster der Serie KB sind Einrastkontaktvorrichtungen für einpolige oder zweipolige Umschalter. Sie bieten lange Lebensdauer der Elektrik und sprechen gut an. Komplett mit Mutter. 12 mm Schalterdurchmesser ideal für platzsparenden Stapeleinbau. LED-Beleuchtung für lange Lebensdauer.

Elektrische Leistung: 1 A @ 125/250 V AC oder 30 V DC für Silberkontakte. **Durchschlagfestigkeit:** Min. 1.500 V AC zwischen Kontakten und Gehäuse. **Lebensdauer der Mechanik:** Min. 100.000 Schaltungen. **Lebensdauer der Elektrik:** Min. 50.000 Schaltungen (Silber). **Gesamtbewegung:** 0,118" (0,29 cm) **Betriebstemperatur:** -25 °C ~ 50 °C **UL-anerkannt und CSA-zugelassen** @ 1 A.

Abb.	Schaltkreis	Schaltfunktion	Farbe	Digi-Key Teilenr.	Stückpreis 1	25	100	NKK Teilenr.
			Schalter der Serie KB mit quadratischem Frontrahmen					
1	SPDT	Ein-Mom	Rot	360-1607-ND	10.90	8.72	6.91	KB15SKW01-5C-JC
	SPDT	Ein-Mom	Bernstein	360-1608-ND	10.90	8.72	6.91	KB15SKW01-5D-JD
	SPDT	Ein-Mom	Grün	360-1609-ND	10.90	8.72	6.91	KB15SKW01-5F-JF
	SPDT	Ein-Ein	Rot	360-1610-ND	11.66	9.33	7.39	KB16SKW01-5C-JC
	SPDT	Ein-Ein	Bernstein	360-1611-ND	11.66	9.33	7.39	KB16SKW01-5D-JD
	SPDT	Ein-Ein	Grün	360-1612-ND	11.66	9.33	7.39	KB16SKW01-5F-JF
	DPDT	Ein-Mom	Rot	360-1613-ND	13.41	10.73	8.50	KB25SKW01-5C-JC
	DPDT	Ein-Mom	Bernstein	360-1614-ND	13.41	10.73	8.50	KB25SKW01-5D-JD
	DPDT	Ein-Mom	Grün	360-1615-ND	13.41	10.73	8.50	KB25SKW01-5F-JF
	DPDT	Ein-Ein	Rot	360-1616-ND	14.12	11.30	8.95	KB26SKW01-5C-JC
	DPDT	Ein-Ein	Bernstein	360-1617-ND	14.12	11.30	8.95	KB26SKW01-5D-JD
	DPDT	Ein-Ein	Grün	360-1618-ND	14.12	11.30	8.95	KB26SKW01-5F-JF
			Schalter der Serie KB mit rundem Frontrahmen					
2	SPDT	Ein-Mom	Rot	360-1619-ND	10.90	8.72	6.91	KB15CKW01-5C-JC
	SPDT	Ein-Mom	Bernstein	360-1620-ND	10.90	8.72	6.91	KB15CKW01-5D-JD
	SPDT	Ein-Mom	Grün	360-1621-ND	10.90	8.72	6.91	KB15CKW01-5F-JF
	SPDT	Ein-Ein	Rot	360-1622-ND	11.66	9.33	7.39	KB16CKW01-5C-JC
	SPDT	Ein-Ein	Bernstein	360-1623-ND	11.66	9.33	7.39	KB16CKW01-5D-JD
	SPDT	Ein-Ein	Grün	360-1624-ND	11.66	9.33	7.39	KB16CKW01-5F-JF
	DPDT	Ein-Mom	Rot	360-1625-ND	13.41	10.73	8.50	KB25CKW01-5C-JC
	DPDT	Ein-Mom	Bernstein	360-1626-ND	13.41	10.73	8.50	KB25CKW01-5D-JD
	DPDT	Ein-Mom	Grün	360-1627-ND	13.41	10.73	8.50	KB25CKW01-5F-JF
	DPDT	Ein-Ein	Rot	360-1628-ND	14.12	11.30	8.95	KB26CKW01-5C-JC
	DPDT	Ein-Ein	Bernstein	360-1629-ND	14.12	11.30	8.95	KB26CKW01-5D-JD
	DPDT	Ein-Ein	Grün	360-1630-ND	14.12	11.30	8.95	KB26CKW01-5F-JF
			Schalter der Serie KB mit rechteckigem Frontrahmen					
3	SPDT	Ein-Mom	Rot	360-1631-ND	10.90	8.72	6.91	KB15RKW01-5C-JC
	SPDT	Ein-Mom	Bernstein	360-1632-ND	10.90	8.72	6.91	KB15RKW01-5D-JD
	SPDT	Ein-Mom	Grün	360-1633-ND	10.90	8.72	6.91	KB15RKW01-5F-JF
	SPDT	Ein-Ein	Rot	360-1634-ND	11.66	9.33	7.39	KB16RKW01-5C-JC
	SPDT	Ein-Ein	Bernstein	360-1635-ND	11.66	9.33	7.39	KB16RKW01-5D-JD
	SPDT	Ein-Ein	Grün	360-1636-ND	11.66	9.33	7.39	KB16RKW01-5F-JF
	DPDT	Ein-Mom	Rot	360-1637-ND	13.41	10.73	8.50	KB25RKW01-5C-JC
	DPDT	Ein-Mom	Bernstein	360-1638-ND	13.41	10.73	8.50	KB25RKW01-5D-JD
	DPDT	Ein-Mom	Grün	360-1639-ND	13.41	10.73	8.50	KB25RKW01-5F-JF
	DPDT	Ein-Ein	Rot	360-1640-ND	14.12	11.30	8.95	KB26RKW01-5C-JC
	DPDT	Ein-Ein	Bernstein	360-1641-ND	14.12	11.30	8.95	KB26RKW01-5D-JD
	DPDT	Ein-Ein	Grün	360-1642-ND	14.12	11.30	8.95	KB26RKW01-5F-JF
			Zubehör, Serie KB					
—	Steckschlüssel für Plattenbefestigung, Serie KB			360-1000-ND	1.98	1.59	1.26	AT108
4	Schutzvorrichtung für quadratisch/rund, Serie KB			360-1004-ND	1.68	1.35	1.07	AT494
	Schutzvorrichtung für rechteckig, Serie KB			360-1006-ND	1.83	1.47	1.16	AT4024

Abb. 1

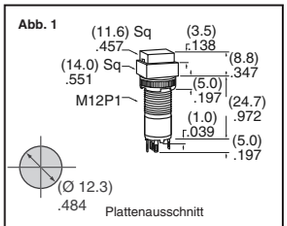

Abb. 2

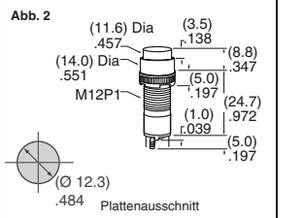

Abb. 3

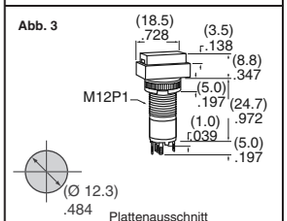

Abb. 4

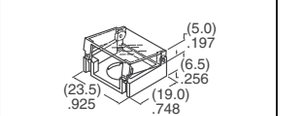

Schalterschutz, Serie KB

Serie LB, Standardgröße, Einrast-Montage:

Drucktaster mit Einfachunterbrechung und Schnappkontakt. Die Kombination aus Schmetterlingsform und Federlagerung des beweglichen Kontakts sorgt für optimale Sprungkontaktmerkmale sowie reduzierte Lichtbogenbildung und längere Lebensdauer der Elektrik. Der Schalter wird mit Moment- oder Doppelschaltfunktions-Schaltkreisen ein- oder zweipolig angeboten.

Elektrische Leistung: 3 A @ 125/250 V AC oder 30 V DC für Silberkontakte. **Durchschlagfestigkeit:** Min. 1.500 V AC zwischen Kontakten und Gehäuse. **Lebensdauer der Mechanik:** Min. 1.000.000 Schaltungen für Momentschalter; min. 200.000 Schaltungen für elektronische Taster. **Lebensdauer der Elektrik:** Min. 100.000 Schaltungen. **Gesamtbewegung:** 0,118" (0,29 cm) **Betriebstemperatur:** -25 °C ~ 50 °C **UL-anerkannt und CSA-zugelassen** @ 3 A Nennwert.

Abb.	Schaltkreis	Schaltfunktion	Farbe	Digi-Key Teilenr.	Stückpreis 1	25	100	NKK Teilenr.
			Schalter der Serie LB mit quadratischem Frontrahmen					
1	SPDT	Ein-Mom	Rot	360-1643-ND	15.24	12.20	9.66	LB15SKW01-5C-JC
	SPDT	Ein-Mom	Bernstein	360-1644-ND	15.24	12.20	9.66	LB15SKW01-5D-JD
	SPDT	Ein-Mom	Grün	360-1645-ND	15.24	12.20	9.66	LB15SKW01-5F-JF
	SPDT	Ein-Ein	Rot	360-1646-ND	16.92	13.54	10.72	LB16SKW01-5C-JC
	SPDT	Ein-Ein	Bernstein	360-1647-ND	16.92	13.54	10.72	LB16SKW01-5D-JD
	SPDT	Ein-Ein	Grün	360-1648-ND	16.92	13.54	10.72	LB16SKW01-5F-JF
	DPDT	Ein-Mom	Rot	360-1649-ND	18.03	14.43	11.43	LB25SKW01-5C-JC
	DPDT	Ein-Mom	Bernstein	360-1650-ND	18.03	14.43	11.43	LB25SKW01-5D-JD
	DPDT	Ein-Mom	Grün	360-1651-ND	18.03	14.43	11.43	LB25SKW01-5F-JF
	DPDT	Ein-Ein	Rot	360-1652-ND	19.71	15.77	12.49	LB26SKW01-5C-JC
	DPDT	Ein-Ein	Bernstein	360-1653-ND	19.71	15.77	12.49	LB26SKW01-5D-JD
	DPDT	Ein-Ein	Grün	360-1654-ND	19.71	15.77	12.49	LB26SKW01-5F-JF
			Schalter der Serie LB mit rundem Frontrahmen					
2	SPDT	Ein-Mom	Rot	360-1655-ND	15.24	12.20	9.66	LB15CKW01-5C-JC
	SPDT	Ein-Mom	Bernstein	360-1656-ND	15.24	12.20	9.66	LB15CKW01-5D-JD
	SPDT	Ein-Mom	Grün	360-1657-ND	15.24	12.20	9.66	LB15CKW01-5F-JF
	SPDT	Ein-Ein	Rot	360-1658-ND	16.92	13.54	10.72	LB16CKW01-5C-JC
	SPDT	Ein-Ein	Bernstein	360-1659-ND	16.92	13.54	10.72	LB16CKW01-5D-JD
	SPDT	Ein-Ein	Grün	360-1660-ND	16.92	13.54	10.72	LB16CKW01-5F-JF
	DPDT	Ein-Mom	Rot	360-1661-ND	18.03	14.43	11.43	LB25CKW01-5C-JC
	DPDT	Ein-Mom	Bernstein	360-1662-ND	18.03	14.43	11.43	LB25CKW01-5D-JD
	DPDT	Ein-Mom	Grün	360-1663-ND	18.03	14.43	11.43	LB25CKW01-5F-JF
	DPDT	Ein-Ein	Rot	360-1664-ND	19.71	15.77	12.49	LB26CKW01-5C-JC
	DPDT	Ein-Ein	Bernstein	360-1665-ND	19.71	15.77	12.49	LB26CKW01-5D-JD
	DPDT	Ein-Ein	Grün	360-1666-ND	19.71	15.77	12.49	LB26CKW01-5F-JF
			Schalter der Serie LB mit rechteckigem Frontrahmen					
3	SPDT	Ein-Mom	Rot	360-1667-ND	15.24	12.20	9.66	LB15RKW01-5C-JC
	SPDT	Ein-Mom	Bernstein	360-1668-ND	15.24	12.20	9.66	LB15RKW01-5D-JD
	SPDT	Ein-Mom	Grün	360-1669-ND	15.24	12.20	9.66	LB15RKW01-5F-JF
	SPDT	Ein-Ein	Rot	360-1670-ND	16.92	13.54	10.72	LB16RKW01-5C-JC
	SPDT	Ein-Ein	Bernstein	360-1671-ND	16.92	13.54	10.72	LB16RKW01-5D-JD
	SPDT	Ein-Ein	Grün	360-1672-ND	16.92	13.54	10.72	LB16RKW01-5F-JF
	DPDT	Ein-Mom	Rot	360-1673-ND	18.03	14.43	11.43	LB25RKW01-5C-JC
	DPDT	Ein-Mom	Bernstein	360-1674-ND	18.03	14.43	11.43	LB25RKW01-5D-JD
	DPDT	Ein-Mom	Grün	360-1675-ND	18.03	14.43	11.43	LB25RKW01-5F-JF
	DPDT	Ein-Ein	Rot	360-1676-ND	19.71	15.77	12.49	LB26RKW01-5C-JC
	DPDT	Ein-Ein	Bernstein	360-1677-ND	19.71	15.77	12.49	LB26RKW01-5D-JD
	DPDT	Ein-Ein	Grün	360-1678-ND	19.71	15.77	12.49	LB26RKW01-5F-JF
			Zubehör, Serie LB					
4	Schutzvorrichtung für quadratisch, Serie LB			360-1005-ND	2.39	1.91	1.52	AT499
	Schutzvorrichtung für rechteckig, Serie LB			360-1007-ND	2.39	1.91	1.52	AT4057

Abm. in (mm) Zoll

Abb. 1

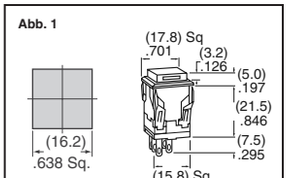

Abb. 2

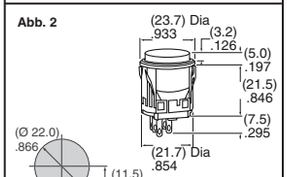

Abb. 3

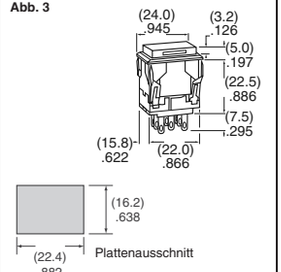

Abb. 4

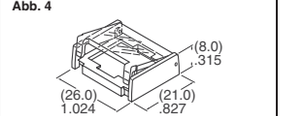

H

Alle Preisangaben in Euro und inklusive Zollgebühren.

CW INDUSTRIES Schieberegler

Made in U.S.A.

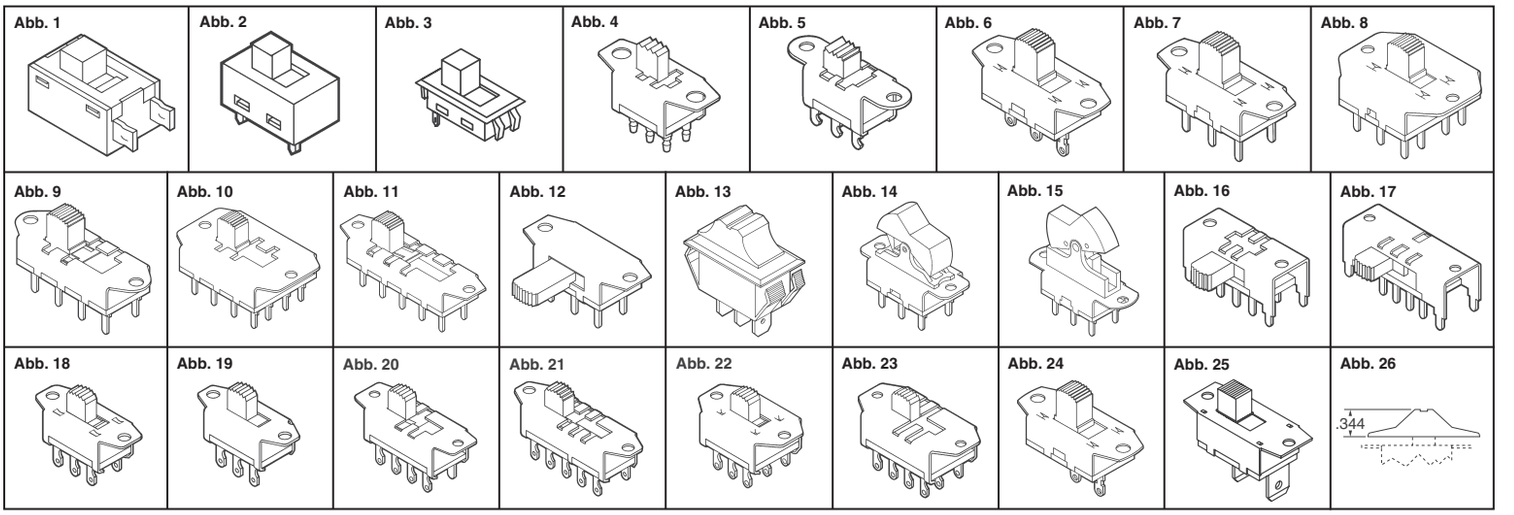

Schieberegler von CW Industries wurden während des industriellen Booms nach dem 1. Weltkrieg populär. Schieberegler von CW Industries sind in unzähligen Konsumgütern zu finden, u.a. in Radios, Fernsehern, Haushaltsgeräten und Autos. Schieberegler von CW Industries werden in Flugzeugen, Telefonen und Bootsausrüstung für Stark- und Schwachstromschaltungen verwendet. Mit Lötösen für manuelles Löten oder leiterplattenmontierten Klemmen für Direktmontage erhältlich. Alle Schieberegler und Tasten sind aus schwarzem Nylon 6/6 gefertigt. **MATERIAL: Tasten:** Typ 6/6 Nylon, schwarz; **Beweglicher Kontakt:** Kupfer; **Überzug des beweglichen Kontakts:** Silber; **Anschlüsse:** Kupfer; **Klemmenauflage:** Silber. **Hohe Durchbruchspannung:** Min. 1.000 V RMS, 60 Hz für eine Minute zwischen Teilen mit gegensätzlicher Polarität. **Kontaktwiderstand:** Weniger als 0,01 Ω bei 20 mA DC. **LEBENSDAUER/SCHALTUNGEN (Nulllast):** Schalter sind nach (min.) 10.000 Schaltungen mit einer Geschwindigkeit von 10 Schaltungen pro Minute noch betriebsbereit. **LEBENSDAUER (Last):** Schalter sind nach (min.) 6.000 Schaltungen mit einer Geschwindigkeit von 10 Schaltungen pro Minute bei Nennlast betriebsbereit. **ZULASSUNGEN:** UL/CSA

Digi-Key® Schieberegler-Kit

Angegebenes Schaltersortiment. Heftartiges Aufbewahrungsetui und Lagerhaltungsanleitung inbegriffen.

*** SW-KIT-ND** Insgesamt 140 Teile **59.22**

Abb.	Schaltkreis	Volt DC	Volt AC	Strom Lstg (A) DC	Strom Lstg (A) AC	Abmessungen - Zoll (mm) L x B x H	Beschreibung	Digi-Key Teilenr.	Stückpreis 1	10	100	500	CW Industries Teilenr.
1	SPST	125	125	.5	.5	.250 x .320 x .620 (6.35 x 8.13 x 15.75)	Leiterplattenschalter, vertikal montiert	SW100-ND	.64	.60	.52	.44	G-105-0513
2	SPDT	125	125	.5	.5	.505 x .305 x .515 (12.83 x 7.75 x 13.08)	Leiterplattenschalter, horizontal montiert	SW101-ND*	1.04	.96	.84	.71	G-107-0513
3	SPST	125	125	.5	.5	.705 x .385 x .395 (17.91 x 9.78 x 10.03)	Schnappschalter, Schalttafelmontage	SW331-ND	1.39	1.25	.94	.63	G-107-SI-0005
3	SPDT	125	125	.5	.5	.705 x .385 x .395 (17.91 x 9.78 x 10.03)	Schnappschalter, Schalttafelmontage	SW332-ND	1.56	1.40	1.05	.70	G-107-SI-0511
4	DPDT	125	125	.5	.5	.762 x .312 x .558 (19.35 x 7.92 x 14.17)	Mikro-Miniaturschalter	SW102-ND*	.70	.65	.57	.48	GS-113-0512
5	SPDT	125	125	.5	.5	.750 x .220 x .458 (19.05 x 5.59 x 11.63)	Mikro-Miniaturschalter	SW103-ND*	.57	.53	.46	.39	GS-115-0511
6	SPDT	125	125	.5	6.0	1.360 x .550 x .966 (34.54 x 13.97 x 24.54)	Ringklemme für Standardschalter	SW104-ND*	.31	.29	.26	.22	GF-624-6014
6	SPDT	125	125	.5	6.0	1.360 x .550 x .966 (34.54 x 13.97 x 24.54)	Standardschalter (Ein-Mom)	SW338-ND	1.53	1.38	1.04	.69	G-1132-0003
7	DPDT	125	125	.5	11	1.360 x .550 x .747 (34.54 x 13.97 x 18.97)	Standardschalter, Leiterplattenmontage	SW105-ND*	.60	.55	.48	.41	GF-1126-1110
7	DPDT	125	125	.5	11	1.360 x .550 x .747 (34.54 x 13.97 x 18.97)	Ringklemme für Standardschalter	SW333-ND	.80	.72	.54	.36	GF-1126-0033
8	4PDT	125	125	.5	6.0	1.360 x 1.000 x .767 (34.54 x 25.40 x 19.48)	Standardschalter, Leiterplattenmontage	SW106-ND*	1.02	.94	.82	.69	GF-642-6010
9	DP-3Pos	125	125	.5	11	1.656 x .550 x .757 (42.06 x 13.97 x 19.23)	Standardschalter, Leiterplattenmontage	SW107-ND*	.73	.67	.58	.50	G-1128S-1110
9	DP-3Pos	125	125	.5	11	1.656 x .550 x .664 (42.06 x 13.97 x 16.87)	Ringklemme für Standardschalter	SW334-ND	.97	.87	.66	.44	G-1128S-0055
9	SP-3Pos	125	125	.5	11	1.656 x .550 x .664 (42.06 x 13.97 x 16.87)	Standardschalter (Ein-Aus-Mom)	SW337-ND	1.25	1.13	.85	.57	G-633S-0000
10	4P-3Pos	125	125	.5	6.0	1.656 x 1.000 x .767 (42.06 x 25.40 x 19.48)	Standardschalter, Leiterplattenmontage	SW108-ND	1.31	1.21	1.05	.90	G-660S-6010
11	DP-4Pos	125	125	.5	11	1.968 x .560 x .757 (49.99 x 14.22 x 19.23)	Standardschalter, Leiterplattenmontage	SW109-ND	.87	.80	.70	.60	G-1138S-1110
11	DP-4Pos	125	125	.5	11	1.968 x .560 x .757 (49.99 x 14.22 x 19.23)	Ringklemme für Standardschalter	SW335-ND	1.17	1.05	.79	.53	G-1138S-0048
12	DPDT	125	125	.5	3.0	1.360 x .550 x .610 (34.54 x 13.97 x 15.49)	Seitenbetätigter Schalter, Leiterplattenmontage	SW110-ND	.42	.39	.34	.29	GG-350-3010
13	SPDT	125	125	.5	13	1.235 x .680 x 1.397 (31.37 x 17.27 x 35.48)	Schieberegler, einschnappbar	SW111-ND	.98	.91	.79	.67	G-2012-1315
14	DPDT	125	125	.5	6.0	1.375 x .550 x 1.167 (34.93 x 13.97 x 29.64)	Wippschalter, Leiterplattenmontage	SW112-ND*	1.17	1.08	.94	.80	GR5-626-6010
15	DPDT	125	125	.5	11	1.562 x .550 x 1.417 (39.67 x 13.97 x 35.99)	Wippschalter, Leiterplattenmontage	SW113-ND*	1.38	1.27	1.11	.94	GR29-1126-1110
16	DPDT	125	125	.5	3.0	1.000 x .404 x .484 (25.40 x 10.26 x 12.29)	Seitlich betätigter Miniaturschalter, Leiterplattenmontage	SW114-ND*	.69	.64	.56	.48	GPI-152-3013
17	DP-3Pos	125	125	.5	3.0	1.170 x .404 x .484 (29.72 x 10.26 x 12.29)	Seitlich betätigter Miniaturschalter, Leiterplattenmontage	SW115-ND*	.85	.78	.68	.58	GPI-154-3013
18	DPDT	125	125	.5	3.0	1.000 x .400 x .735 (25.40 x 10.16 x 18.67)	Ringklemme für Miniaturschieberegler	SW116-ND	.47	.43	.38	.32	GF-126-3011
18	DPDT	125	125	.5	3.0	.628 x .400 x .735 (15.95 x 10.16 x 18.67)	Miniaturschieberegler ohne Montage- ösen, Leiterplattenmontage	SW342-ND	1.22	1.09	.82	.55	GF-126-0159
18	DPDT	125	125	.5	3.0	1.000 x .400 x .735 (25.40 x 10.16 x 18.67)	Schieberegler, Leiterplattenmontage	SW619-ND	.97	.88	.66	.44	GF-126-0147
19	SPDT	125	125	.5	.5	1.000 x .400 x .735 (25.40 x 10.16 x 18.67)	Ringklemme für Federrücklaufschalter	SW118-ND*	.63	.58	.50	.43	G-133-3011
20	DP-3Pos	125	125	.5	3.0	1.190 x .400 x .745 (30.23 x 10.16 x 18.92)	Ringklemme für Miniaturschieberegler	SW119-ND*	.58	.54	.47	.40	G-128S-3011
21	DP-4Pos	125	125	.5	3.0	1.377 x .400 x .745 (34.98 x 10.16 x 18.92)	Ringklemme für Miniaturschieberegler	SW120-ND	.89	.82	.72	.61	G-141S-3011
22	3PDT	125	125	.5	3.0	1.000 x .567 x .745 (25.40 x 14.40 x 18.92)	Ringklemme für Miniaturschieberegler	SW121-ND*	.80	.73	.64	.54	GF-161-3011
23	3P-3Pos	125	125	.5	3.0	1.190 x .567 x .745 (30.23 x 14.40 x 18.92)	Ringklemme für Miniaturschieberegler	SW122-ND	.99	.91	.80	.68	G-168S-3011
23	3P-3Pos	125	125	.5	3.0	1.656 x .780 x .674 (42.06 x 19.81 x 17.12)	Ringklemme für Standardschalter	SW336-ND	1.20	1.08	.81	.54	G-368S-0000
23	3P-3Pos	125	125	.5	3.0	1.656 x .780 x .674 (42.06 x 19.81 x 17.12)	Schieberegler, Leiterplattenmontage	SW618-ND	1.22	1.10	.83	.55	G-368S-0001
23	3P-3Pos	125	125	.5	6.0	1.656 x .780 x .674 (42.06 x 19.81 x 17.12)	Ringklemme für Schieberegler	SW617-ND	1.45	1.30	.98	.65	G-668S-0000
24	SPST	125	125	.5	11	1.360 x .550 x .654 (34.54 x 13.97 x 16.61)	Ringklemme für Standardschalter	SW148-ND	.62	.58	.50	.43	GF-1123-0009
25	SPST	—	125	—	16	1.360 x .550 x .654 (34.54 x 13.97 x 16.61)	Standardschalter, 0,250" Schnellanschluss	SW616-ND	.59	.53	.40	.27	GF-1623-0001
26	Schwarzer Vorschalter für SW105-ND, SW107-ND, SW110-ND, SW148-ND, SW333-ND, SW337-ND u. SW334-ND							SW149-ND	.17	.16	.14	.12	G-02-072

H

E-SWITCH® Schieberegler

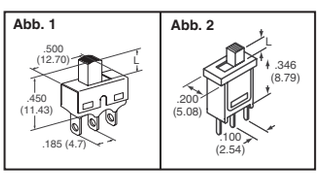

• Mit Montageösen

Abb.	Schaltkreis	Leistung	Abmessung L in. (mm)	Schaltfunktion	Anschlussklemme	Digi-Key Teilenr.	Stückpreis 1	10	100	E-Switch Teilenr.
				Serie 500						
1	SPDT	5A @ 28VDC	.152 (3.86)	Ein-Ein	Lötöse	EG2473-ND	3.04	2.74	2.34	500SSP1S1M1QEA
	SPDT	5A @ 28VDC	.152 (3.86)	Ein-Ein	Lötöse	EG2476-ND•	3.28	2.96	2.52	500SSP1S1M1QEB
	SPDT	0.4 VA @ 20VDC	.152 (3.86)	Ein-Ein	Leiterplattenmontage	EG2472-ND	3.28	2.96	2.52	500SSP1S1M2REA
	SPDT	5A @ 28VDC	.152 (3.86)	Ein-Ein	Rechtwinklig	EG2478-ND	3.56	3.21	2.74	500SSP1S1M6QEA
	SPDT	0.4 VA @ 20VDC	.152 (3.86)	Ein-Ein	Rechtwinklig	EG2477-ND	3.81	3.43	2.93	500SSP1S1M6REA
	SPDT	5A @ 28VDC	.152 (3.86)	Ein-Ein	Vert. Rechtwinklig	EG2480-ND	3.75	3.38	2.88	500SSP1S1M7QEA
	SPDT	0.4 VA @ 20VDC	.152 (3.86)	Ein-Ein	Vert. Rechtwinklig	EG2479-ND	3.99	3.59	3.06	500SSP1S1M7REA
	DPDT	5A @ 28VDC	.152 (3.86)	Ein-Ein	Leiterplattenmontage	EG2475-ND	4.45	4.01	3.42	500SDP1S1M2QEA
	DPDT	0.4 VA @ 20VDC	.152 (3.86)	Ein-Ein	Leiterplattenmontage	EG2474-ND	4.83	4.36	3.71	500SDP1S1M2REA
2	SPDT	3A @ 28VDC	.122 (3.10)	Ein-Ein	Leiterplattenmontage	EG2481-ND	4.59	4.13	3.52	500ASSP1M2QE
	SPDT	0.4 VA @ 20VDC	.122 (3.10)	Ein-Ein	Leiterplattenmontage	EG2482-ND	4.87	4.39	3.74	500ASSP1M2RE
	SPDT	3A @ 28VDC	.122 (3.10)	Ein-Ein	Rechtwinklig	EG2483-ND	5.02	4.52	3.85	500ASSP1M6QE
	SPDT	0.4 VA @ 20VDC	.122 (3.10)	Ein-Ein	Rechtwinklig	EG2484-ND	5.30	4.78	4.07	500ASSP1M6RE

Cannon

ITT Industries *Engineered for life*

Schieberegler, Serie AYZ

Schieberegler für Oberflächenmontage **Bewegung:** 1,5 (0,0591) **Schaltspannung:** Max. 12 V DC, **Max. Schaltstrom:** 100 mA **Kontaktwiderstand:** 80 mΩ **Kontaktmaterial:** Silber, kurzschlussgeschützt **Betriebstemperatur:** -10 °C ~ 60 °C

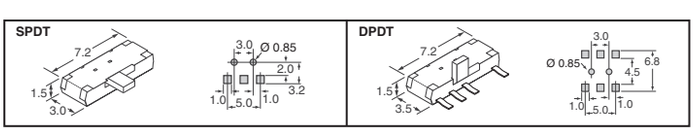

Schaltkreis	Beschreibung	Digi-Key Teilenr.	Stückpreis 1	25	100	Preisangaben für Gegurtet auf Rolle*	ITT Industries Teilenr.
SPDT	Kurzschlussgeschützt, 100 mA, SPDT horizontaler Betätiger, Flügel	401-1001-1-ND	.95	.88	.81	2096.86/4,000	AYZ0102AG
DPDT	Kurzschlussgeschützt, 100 mA, DPDT vertikaler Betätiger, Flügel	401-1000-1-ND	1.39	1.28	1.18	2304.11/3,000	AYZ0202AG

*Für Gegurtet auf Rolle die Teilenummer 1-ND in -2-ND ändern.

Alle Preisangaben in Euro und inklusive Zollgebühren.

Schieberegler - Serie EG

Spezifikationen:
- **Anfänglicher Kontaktwiderstand:** weniger als 20 mΩ
- **Haltespannung:** 500 V AC für 1 Minute zwischen beliebiger Klemme und Rahmen
- **Betriebstemp.:** -20 °C ~ 70 °C
- **Lebensdauer:** Min. 10.000 Schaltungen
- **Kontakt:** versilberte Kupferlegierung
- **Zeitgabe:** kurzschlussgeschützte Kontakte

Abmessungen: Zoll (mm)

Abb. 1

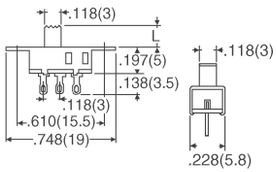

Abb. 2

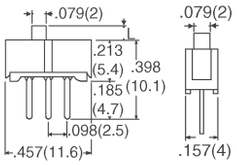

Abb. 3

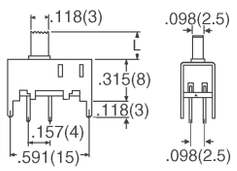

Abb. 4

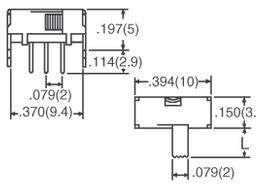

Abb. 5

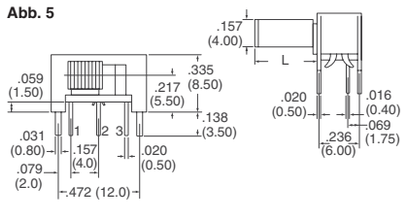

Abb. 6

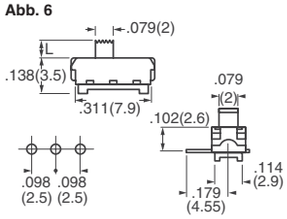

Abb. 7

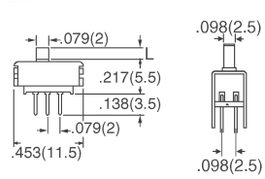

Abb. 8

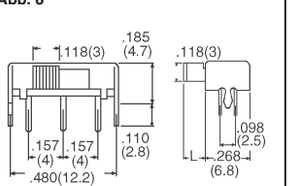

Abb. 9

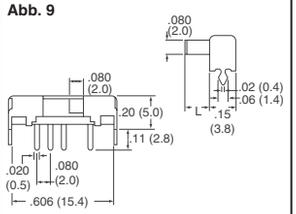

Abb. 10

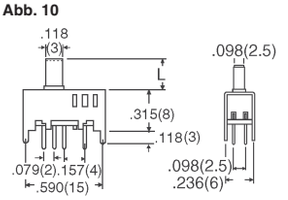

Abb. 11

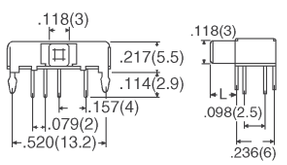

Abb. 12

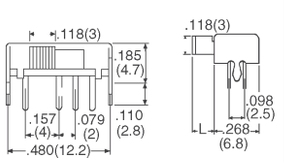

Abb. 13

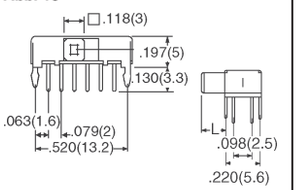

Abb. 14

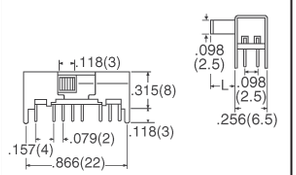

Abb. 15

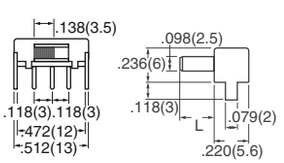

Abb. 16

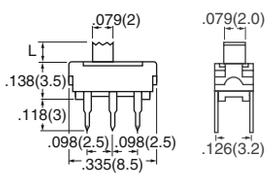

Abb. 17

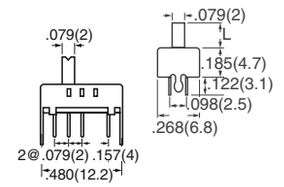

Abb. 18

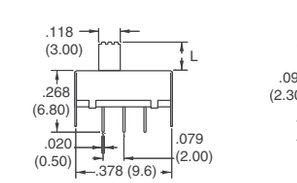

Abb. 19

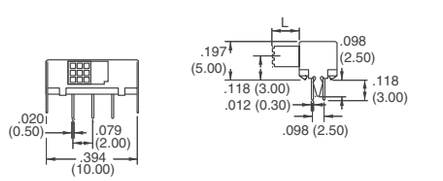

Abb. 20

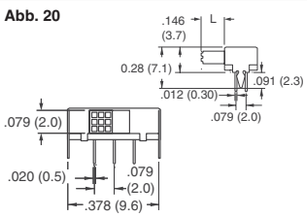

Abb. 21

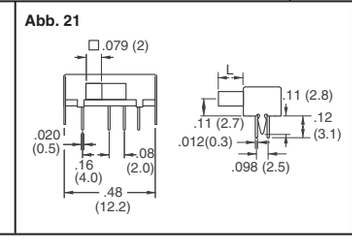

Abb. 22

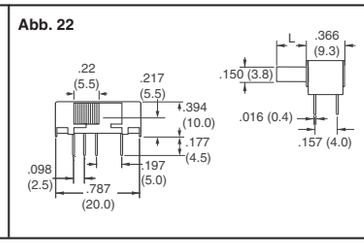

Abb. 23 – SMT

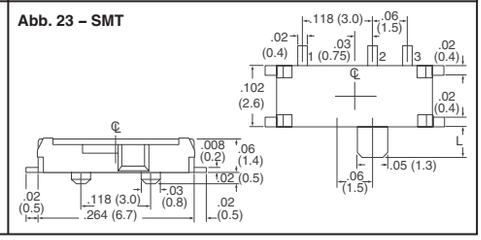

Abb.	Beschreibung	Leistung	Schaltkreis	Abm. "L" in Zoll (mm)	Schaltfunktion	Anschlussklemme	Digi-Key Teilenr.	Stückpreis 1	10	100	250	E-Switch Teilenr.
1	Gerade	0.2A @ 30VDC	SPDT	.16 (4)	Ein-Ein	Lötösen	EG1901-ND	.60	.55	.47	.39	EG1201
1	Gerade	0.2A @ 30VDC	SPDT	.22 (5.5)	Ein-Ein	Lötösen	EG1902-ND	.60	.55	.47	.39	EG1201A
2	Gerade	0.2A @ 30VDC	SPDT	.08 (2)	Ein-Ein	Leiterplatte	EG1903-ND	.60	.55	.47	.39	EG1218
3	Gerade	0.2A @ 30VDC	DPDT	.12 (3)	Ein-Ein	Leiterplatte	EG1904-ND	.83	.75	.64	.53	EG2201
3	Gerade	0.2A @ 30VDC	DPDT	.24 (6)	Ein-Ein	Leiterplatte	EG1905-ND	.83	.75	.64	.53	EG2201A
4	Rechtwinklig	0.2A @ 30VDC	SPDT	.20 (5)	Ein-Ein	Leiterplatte	EG1906-ND	.60	.55	.47	.39	EG1213
5	Rechtwinklig	0.5A @ 15VDC	SPDT	.35 (9)	Ein-Ein	Leiterplatte	EG2585-ND	.69	.63	.53	.44	EG1224
6	Rechtwinklig	0.2A @ 30VDC	SPDT	.08 (2)	Ein-Ein	Leiterplatte	EG1847-ND	.94	.76	.68	.58	EG1270
7	Gerade	0.1A @ 12VDC	DPDT	.08 (2)	Ein-Ein	Leiterplatte	EG1907-ND	.83	.75	.64	.53	EG2209
7	Gerade	0.1A @ 12VDC	DPDT	.16 (4)	Ein-Ein	Leiterplatte	EG1908-ND	.98	.88	.76	.62	EG2209A
8	Rechtwinklig	0.2A @ 30VDC	DPDT	.14 (3.5)	Ein-Ein	Leiterplatte	EG1909-ND	.75	.68	.58	.48	EG2215
9	Rechtwinklig	0.2A @ 30VDC	SP3T	.20 (5)	Ein-Ein-Ein	Leiterplattenmontage	EG2485-ND	.69	.63	.53	.44	EG1313
10	Gerade	0.2A @ 30VDC	DP3T	.12 (3)	Ein-Ein-Ein	Leiterplatte	EG1910-ND	.75	.68	.58	.48	EG2301
10	Gerade	0.2A @ 30VDC	DP3T	.24 (6)	Ein-Ein-Ein	Leiterplatte	EG1944-ND	.76	.69	.59	.49	EG2301A
11	Rechtwinklig	0.1A @ 12VDC	DP3T	.16 (4)	Ein-Ein-Ein	Leiterplatte	EG1911-ND	.79	.72	.61	.51	EG2308
11	Rechtwinklig	0.1A @ 12VDC	DP3T	.24 (6)	Ein-Ein-Ein	Leiterplatte	EG1945-ND	.76	.69	.59	.49	EG2308A
12	Rechtwinklig	0.2A @ 30VDC	DP3T	.14 (3.5)	Ein-Ein-Ein	Leiterplatte	EG1913-ND	.83	.75	.64	.53	EG2315
13	Rechtwinklig	0.2A @ 30VDC	4PDT	.24 (6)	Ein-Ein	Leiterplatte	EG1949-ND	1.24	1.12	.96	.79	EG4208A
13	Rechtwinklig	0.2A @ 30VDC	4PDT	.16 (4)	Ein-Ein	Leiterplatte	EG1914-ND	1.35	1.22	1.04	.86	EG4208
14	Rechtwinklig	0.2A @ 30VDC	4P3T	.20 (5)	Ein-Ein-Ein	Leiterplatte	EG1915-ND	1.51	1.36	1.16	.96	EG4319
15	Rechtwinklig	0.2A @ 30VDC	SPDT	.12 (3)	Ein-Ein	Leiterplatte	EG1916-ND	.60	.55	.47	.39	EG1206
15	Rechtwinklig	0.2A @ 30VDC	SPDT	.24 (6)	Ein-Ein	Leiterplatte	EG1917-ND	.60	.55	.47	.39	EG1206A
16	Gerade	0.3A @ 30VDC	SPDT	.08 (2)	Ein-Ein	Leiterplatte	EG1918-ND	.68	.61	.52	.43	EG1271
16	Gerade	0.3A @ 30VDC	SPDT	.16 (4)	Ein-Ein	Leiterplatte	EG1919-ND	.68	.61	.52	.43	EG1271A
17	Gerade	0.2A @ 30VDC	DP3T	.16 (4)	Ein-Ein-Ein	Leiterplatte	EG1920-ND	.91	.82	.70	.58	EG2305
17	Gerade	0.2A @ 30VDC	DP3T	.08 (2)	Ein-Ein-Ein	Leiterplatte	EG1921-ND	.91	.82	.70	.58	EG2305A
18	Gerade	0.2A @ 30VDC	DPDT	.16 (4)	Ein-Ein	Leiterplatte	EG1940-ND	.69	.63	.53	.44	EG2207
19	Rechtwinklig	0.2A @ 30VDC	DPDT	.16 (4)	Ein-Ein	Leiterplatte	EG1941-ND	.69	.63	.53	.44	EG2208
19	Rechtwinklig	0.2A @ 30VDC	DPDT	.24 (6)	Ein-Ein	Leiterplatte	EG1942-ND	.69	.63	.53	.44	EG2208A
20	Rechtwinklig	0.2A @ 30VDC	DPDT	.16 (4)	Ein-Ein	Leiterplatte	EG1943-ND	.69	.63	.53	.44	EG2211
20	Rechtwinklig	0.2A @ 30VDC	DPDT	.08 (2)	Ein-Ein	Leiterplattenmontage	EG2486-ND	.69	.63	.53	.44	EG2211A
21	Rechtwinklig	0.2A @ 30VDC	DP3T	.24 (6)	Ein-Ein-Ein	Leiterplatte	EG1946-ND	.64	.58	.50	.41	EG2310
21	Rechtwinklig	0.2A @ 30VDC	DP3T	.16 (4)	Ein-Ein-Ein	Leiterplatte	EG1947-ND	.73	.66	.56	.46	EG2310A
22	Rechtwinklig	0.2A @ 30VDC	DP3T	.28 (7)	Ein-Ein-Ein	Leiterplatte	EG1948-ND	.76	.69	.59	.49	EG2322
23	Rechtwinklig	0.3A @ 4VDC	SPDT	.06 (1.5)	Ein-Ein	SMT-Klemmen.	EG2586CT-ND	1.21	.97	.88	.75	EG1257
23	Rechtwinklig	0.3A @ 4VDC	SPDT	.06 (1.5)	Ein-Ein	SMT-Klemmen.	EG2586TR-ND		1490.20/3,300			EG1257

H

Schieberegler

Serie 1000: **Spezifikationen:** • Kontaktleistung: B, K und G-Kontaktmaterial: Max. 0,4 VA bei max. 20 V AC oder DC; Q-Kontaktmaterial: 6 A @ 120 V AC oder 28 V DC, 3 A @ 250 V AC. • Lebensdauer der Elektrik: 100.000 Ein-/Ausschaltungen bei voller Last mit Kontaktmaterial B oder K: 40.000 Schaltungen mit Kontaktmaterial G und Q. • Betriebstemperatur: -30 °C ~ 65 °C
Materialien: • Hülle: Diallylphthalat (DAP), (UL94V-O) • Gehäuse: Edelstahl • Kontakte: B Kontaktmaterial: Kupferlegierung, vergoldet über Nickelplattierung. Q Kontaktmaterial: Münzsilber, versilbert • Anschlussabdichtung: Epoxid

Serie L: **Spezifikationen:** • Kontaktnennwert: Modelle LXOX, LX1X: Q-Kontaktmaterial: 4 A @ 125 V AC oder 28 V DC, 2 A @ 250 V AC; 0,5 A. @ 125 V DC (UL/CSA) • Lebensdauer der Elektrik: 10.000 Ein-/Ausschaltungen bei voller Last
Materialien: • Gehäuse: 6/6 Nylon (UL94V-2), schwarz • Nur Q-Kontakte: Kupfer, versilbert

Serie S: **Spezifikationen:** • Kontaktnennwert: Modelle S6XX: Q-Kontaktmaterial: 12 A @ 125 V AC; 6 A @ 250 V AC; 1 A. @ 125 V DC (UL/CSA) S8XX-Modelle: 15 A @ 125 V AC; 6 A @ 250 V AC (UL/CSA) • Lebensdauer der Elektrik: 10.000 Ein-/Ausschaltungen bei voller Last
Materialien: • Gehäuse: 6/6 Nylon (UL94V-2), schwarz • Betätiger: 6/6 Nylon (UL94V-2), schwarz • Nur Q-Kontakte: Kupfer, versilbert

Serie TS: **Spezifikationen:** • Kontaktleistung: B-Kontaktmaterial: 0,4 VA max. @ max. 20 V AC oder DC; Q-Kontaktmaterial TS01: 3 A @ 120 V AC oder 28 V DC; TS03 1 A @ 120 V AC oder 28 V DC • Lebensdauer der Elektrik: 60.000 Ein-/Ausschaltungen bei voller Last; TS03: 30.000 Ein-/Ausschaltungen bei voller Last • Betriebstemperatur: -30 °C ~ 85 °C
Materialien: • Gehäuse: 6/6 Nylon (UL94V-0), schwarz • B-Kontakt: Kupferlegierung, vergoldet über Nickelplattierung Q-Kontakte: Kupferlegierung, versilbert

Serie GS: **Spezifikationen:** • Kontaktleistung: B Kontaktmaterial: Max. 0,4 VA bei max. 20 V AC oder DC • Lebensdauer der Mechanik/Elektrik: 40.000 Ein-/Ausschaltungen bei voller Last • Lager- und Betriebstemperatur: -30 °C ~ 85 °C
Materialien: • Gehäuse und Sockel: Glasgefülltes Nylon 6/6, flammwidrig, wärmestabilisiert (UL 94V-0) • Beweglicher Kontakt: Kupfer, vergoldet über Nickelplattierung • Anschlussabdichtung: Epoxid. Alle Klemmen werden formgepresst eingesetzt

Serie LP: **Spezifikationen:** • Kontaktnennwert: Modelle LPOX, LP2X: Q-Kontaktmaterial: 6 A @ 125 V AC oder 28 V DC, 3 A @ 250 V AC (UL/CSA) • Lebensdauer der Elektrik: 10.000 Ein-/Ausschaltungen bei voller Last
Materialien: • Gehäuse: 6/6 Nylon (UL94V-2), schwarz • Kontakte: Kupfer, versilbert

Serie V: **Spezifikationen:** • Kontaktnennwert: Q-Kontaktmaterial: 10,1 A @ 125 V AC; 4 A @ 125 V DC; 5 A @ 250 V AC (UL/CSA); 2,0 (0,5) A @ 250 V AC (T85) (VDE). • Lebensdauer der Elektrik: 10.000 Ein-/Ausschaltungen bei voller Last • Betriebstemperatur: -30 °C ~ 85 °C
Materialien: • Gehäuse: 6/6 Nylon (UL94V-2), schwarz • Betätiger: Glasgefülltes Polyester, Typ '01 und '02, schwarz (Standard); Typ '12, '13 und '14, rot (Standard) • Kontakte: Kupfer, versilbert • Anschlussabdichtung: Epoxid

Serie ES: **Spezifikationen:** • Kontaktleistung: B Kontaktmaterial: Max. 0,4 VA bei max. 20 V AC oder DC • Lebensdauer der Mechanik/Elektrik: 40.000 Ein-/Ausschaltungen bei voller Last • Betriebstemperatur: -30 °C ~ 85 °C
Materialien: • Gehäuse und Sockel: Nylon (UL94V-0) • Anschlüsse: Kupferlegierung mit Zinn-Blei-Legierung über der Vernickelung • Sockel- und Anschlussdichtung: Epoxid

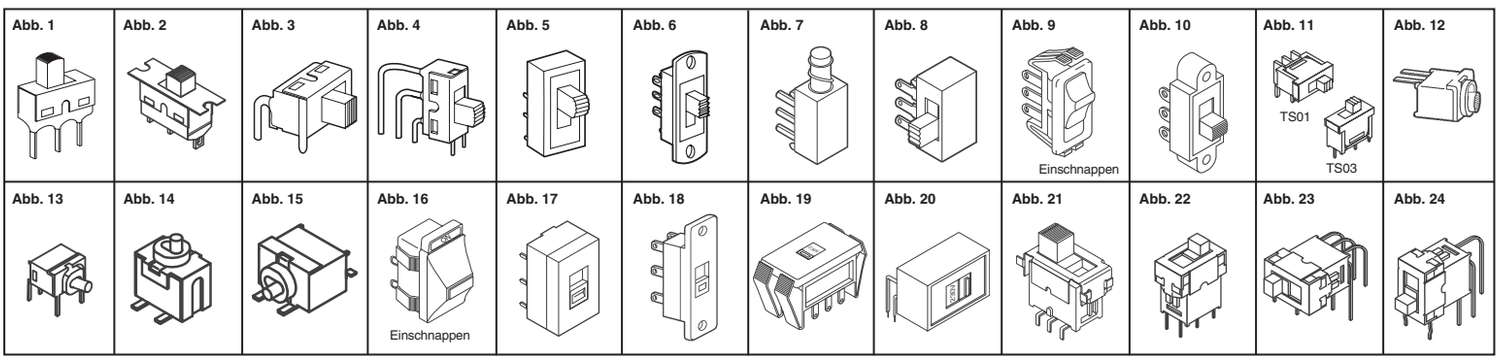

Abschlusswiderstandsoptionen

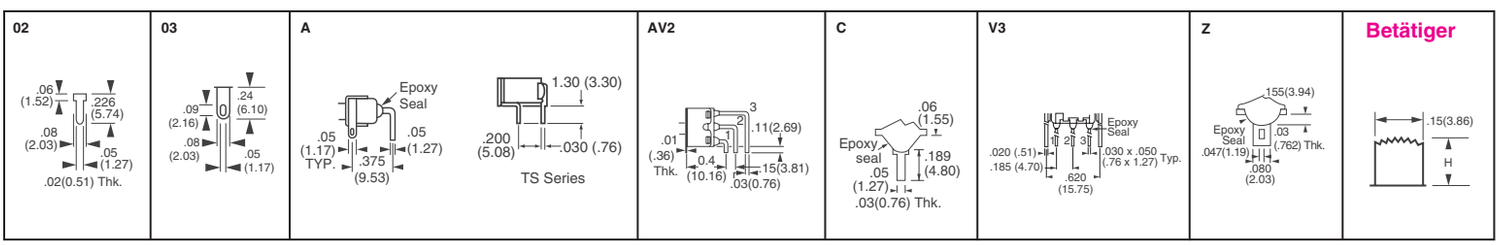

Abb.	Schaltkreis	Optionen (siehe Diagramm.) Schaltfunktion	Betätiger H	Anschluss	Kontakt-material	Abmessungen Zoll (mm) L x B x T	Digi-Key Teilenr.	Stückpreis 1	25	100	ITT Industries Teilenr.
Serie 1000											
1	SPDT	Ein-Ein	0.2	C	B	.5 x .26 x .25 (12.70 x 6.60 x 6.35)	CKN5000-ND	3.35	2.69	2.13	1101M2S3CBE2
	SPDT	Ein-Ein	0.2	C	Q	.5 x .26 x .25 (12.70 x 6.60 x 6.35)	CKN5001-ND	3.35	2.69	2.13	1101M2S3CQE2
	SPDT	Ein-Ein	0.2	V3	B	.5 x .26 x .25 (12.70 x 6.60 x 6.35)	CKN5048-ND	3.84	3.07	2.43	1101M2S3V3BE2
	SPDT	Ein-Aus-Ein	0.2	C	Q	.5 x .26 x .25 (12.70 x 6.60 x 6.35)	CKN5051-ND	3.94	3.15	2.50	1103M2S3CQE2
	DPDT	Ein-Ein	0.2	C	B	.5 x .45 x .30 (12.70 x 11.43 x 7.62)	CKN5002-ND	6.53	5.23	4.14	1201M2S3CBE2
	DPDT	Ein-Ein	0.2	C	Q	.5 x .45 x .30 (12.70 x 11.43 x 7.62)	CKN5003-ND	6.53	5.23	4.14	1201M2S3CQE2
	DPDT	Ein-Ein	0.04	C	Q	.5 x .45 x .30 (12.70 x 11.43 x 7.62)	CKN5052-ND	6.53	5.23	4.14	1201M2S1CQE2
	DPDT	Ein-Ein	0.2	V3	B	.5 x .45 x .30 (12.70 x 11.43 x 7.62)	CKN5056-ND	7.49	6.00	4.75	1201M2S3V3BE2
	DPDT	Ein-Aus-Ein	0.2	V3	B	.5 x .45 x .30 (12.70 x 11.43 x 7.62)	CKN5057-ND	7.49	6.00	4.75	1203M2S3V3BE2
2	SPDT	Ein-Ein	0.2	Z	Q	.5 x .26 x .25 (12.70 x 6.60 x 6.35)	CKN5004-ND	3.25	2.61	2.06	1101M1S3ZQE2
	SPDT	Ein-Ein	0.14	Z	Q	.5 x .26 x .25 (12.70 x 6.60 x 6.35)	CKN5058-ND	3.25	2.61	2.06	1101M1S2ZQE2
	SPDT	Ein-Ein	0.2	Z	B	.5 x .26 x .25 (12.70 x 6.60 x 6.35)	CKN5059-ND	3.25	2.61	2.06	1101M1S3ZBE2
	SPDT	Ein-Ein	0.2	Z	G	.5 x .26 x .25 (12.70 x 6.60 x 6.35)	CKN5060-ND	3.89	3.11	2.47	1101M1S3ZGE2
	DPDT	Ein-Ein	0.2	Z	Q	.5 x .26 x .25 (12.70 x 6.60 x 6.35)	CKN5061-ND	6.32	5.06	4.01	1201M1S3ZQE2
3	SPDT	Ein-Ein	0.2	A	B	.5 x .26 x .25 (12.70 x 6.60 x 6.35)	CKN5005-ND	3.84	3.07	2.43	1101M2S3ABE2
	SPDT	Ein-Ein	0.2	A	Q	.5 x .26 x .25 (12.70 x 6.60 x 6.35)	CKN5006-ND	3.84	3.07	2.43	1101M2S3AQE2
	SPDT	Ein-Ein	0.285	A	K	.5 x .26 x .25 (12.70 x 6.60 x 6.35)	CKN5049-ND	4.11	3.30	2.61	1101M2S4AKE2
	SPDT	Ein-Ein	0.285	A	Q	.5 x .26 x .25 (12.70 x 6.60 x 6.35)	CKN5050-ND	3.84	3.07	2.43	1101M2S4AQE2
	DPDT	Ein-Ein	0.2	A	B	.5 x .45 x .30 (12.70 x 11.43 x 7.62)	CKN5053-ND	7.49	6.00	4.75	1201M2S3ABE2
	DPDT	Ein-Ein	0.2	A	Q	.5 x .45 x .30 (12.70 x 11.43 x 7.62)	CKN5054-ND	7.49	6.00	4.75	1201M2S3AQE2
4	SPDT	Ein-Ein	0.2	AV2	B	.5 x .26 x .25 (12.70 x 6.60 x 6.35)	CKN5007-ND	3.84	3.07	2.43	1101M2S3AV2BE2
	SPDT	Ein-Ein	0.2	AV2	Q	.5 x .26 x .25 (12.70 x 6.60 x 6.35)	CKN5008-ND	3.84	3.07	2.43	1101M2S3AV2QE2
	SPDT	Ein-Ein	0.2	AV2	G	.5 x .26 x .25 (12.70 x 6.60 x 6.35)	CKN5047-ND	4.47	3.58	2.84	1101M2S3AV2GE2
	DPDT	Ein-Ein	0.2	AV2	B	.5 x .45 x .30 (12.70 x 11.43 x 7.62)	CKN5055-ND	7.49	6.00	4.75	1201M2S3AV2BE2
Serie L/S											
5	SPST	Ein-Aus	0.2	02	Q	.941 x .43 x .36 (23.9 x 10.92 x 9.14)	CKC5106-ND	1.51	1.21	.96	L101011MS02Q
	SPDT	Ein-Ein	0.2	02	Q	.941 x .43 x .36 (23.9 x 10.92 x 9.14)	CKC5107-ND	1.58	1.27	1.01	L102011MS02Q
	SPDT	Ein-Ein	0.335	02	Q	.905 x .53 x .28 (22.99 x 13.46 x 7.11)	CKC5113-ND	1.86	1.50	1.19	S102031MS02Q
	DPDT	Ein-Ein	0.2	02	Q	.76 x .43 x .36 (19.30 x 10.92 x 9.14)	CKC5100-ND	1.86	1.61	1.36	L202011MSO2Q

(Forts.)

Alle Preisangaben in Euro und inklusive Zollgebühren.

Schiebeschalter *(Forts.)*

Abb.	Schaltkreis	Optionen (siehe Diagramm.) Schaltfunktion	Betätiger H	Anschluss	Kontakt-material	Abmessungen Zoll (mm) L x B x T	Digi-Key Teilenr.	Stückpreis 1	25	100	ITT Industries Teilenr.
5	DPDT	Ein-Ein	0.2	02	Q	.941 x .43 x .36 (23.9 x 10.92 x 9.14)	CKC5108-ND	3.39	2.72	2.15	L202011MS02QE
	DPDT	Ein-Ein	0.375	02	Q	.941 x .43 x .36 (23.9 x 10.92 x 9.14)	CKC5109-ND	2.69	2.16	1.71	L202031MS02Q
	DPDT	Ein-Ein	Schlitz	02	Q	.941 x .43 x .36 (23.9 x 10.92 x 9.14)	CKC5110-ND	3.62	2.91	2.30	L202121MS02QE
	DPDT	Ein-Ein	0.335	02	Q	.905 x .53 x .28 (22.99 x 13.46 x 7.11)	CKC5114-ND	2.51	2.01	1.60	S202031MS02Q
	DPDT	Ein-Ein	Schlitz	02	Q	.905 x .53 x .28 (22.99 x 13.46 x 7.11)	CKC5115-ND	2.85	2.28	1.81	S202121MS02Q
	DPDT	Ein-Ein	Schlitz	02	Q	.905 x .53 x .28 (22.99 x 13.46 x 7.11)	CKC5116-ND	2.74	2.20	1.74	S202131MS02Q
	DP3T	Ein-Ein-Ein	0.2	02	Q	.941 x .43 x .36 (23.9 x 10.92 x 9.14)	CKC5111-ND	2.69	2.16	1.71	L203011MS02Q
6	SPDT	Ein-Ein	0.335	03	Q	1.38 x .53 x .28 (34.93 x 13.46 x 7.11)	CKC5118-ND	1.86	1.50	1.19	S102031SS03Q
	DPST	Ein-Aus	0.2	03	Q	.76 x .43 x .36 (19.30 x 10.92 x 9.14)	CKC5101-ND	1.74	1.51	1.28	L201011SS03Q
	DPDT	Ein-Ein	0.335	03	Q	1.38 x .53 x .28 (34.93 x 13.46 x 7.11)	CKC5013-ND	2.57	2.06	1.63	S602031SS03Q
	DPDT	Ein-Ein	0.335	03	Q	1.38 x .53 x .28 (34.93 x 13.46 x 7.11)	CKC5119-ND	2.51	2.01	1.60	S202031SS03Q
7	DPDT	Aus-Mom	—	02	Q	.76 x .42 x .33 (19.30 x 10.67 x 8.38)	CKC5104-ND	4.30	3.44	2.73	L212132MV02Q
8	SPDT	Ein-Ein	0.335	02	Q	.76 x .42 x .33 (19.30 x 10.67 x 8.38)	CKC5102-ND	1.58	1.27	1.01	L102021ML04Q
	DPDT	Ein-Ein	Schlitz	—	Q	.80 x .55 x .412 (20.32 x 13.97 x 10.46)	CKC5112-ND	3.39	2.72	2.15	L202121MA04Q
	DPDT	Ein-Ein	0.335	02	Q	.76 x .42 x .33 (19.30 x 10.67 x 8.38)	CKC5103-ND	3.16	2.53	2.01	L202021MA04Q
9	DPDT	Ein-Ein	Schwarz	03	Q	1.24 x .68 x .68 (31.50 x 17.27 x 17.27)	CKC5105-ND	2.72	2.18	1.73	S802C21S207Q
10	DPDT	Ein-Ein	0.335	03	Q	1.42 x .53 x .64 (36.07 x 13.46 x 16.36)	CKC5014-ND	2.85	2.28	1.81	S602031TS03Q
Tiny Slide — Serie TS											
11	SPDT	Ein-Ein	0.122	A	B	.40 x .20 x .346 (10.16 x 5.08 x 8.79)	CKC5120-ND	4.20	3.36	2.66	TS01ABE
	SPDT	Ein-Ein	0.122	A	Q	.40 x .20 x .346 (10.16 x 5.08 x 8.79)	CKC5121-ND	4.20	3.36	2.66	TS01AQE
	SPDT	Ein-Ein	0.122	C	B	.40 x .20 x .346 (10.16 x 5.08 x 8.79)	CKC5122-ND	3.86	3.09	2.45	TS01CBE
	SPDT	Ein-Ein	0.122	C	Q	.40 x .20 x .346 (10.16 x 5.08 x 8.79)	CKC5123-ND	3.86	3.09	2.45	TS01CQE
	SPDT	Ein-Aus-Ein	0.122	A	B	.40 x .20 x .346 (10.16 x 5.08 x 8.79)	CKC5124-ND	4.64	3.71	2.94	TS03ABE
	SPDT	Ein-Aus-Ein	0.122	C	B	.40 x .20 x .346 (10.16 x 5.08 x 8.79)	CKC5125-ND	4.30	3.44	2.73	TS03CBE
Ultra-Miniatur — Serie GS											
12	SPST	Aus-Ein	—	C	B	.28 x .16 x .28 (7.01 x 4.06 x 7.06)	CKN5010-ND	5.71	4.57	3.62	GS02MCKE
	SPDT	Ein-Ein	—	C	B	.28 x .16 x .28 (7.01 x 4.06 x 7.06)	CKN5009-ND	5.22	4.18	3.31	GS01MCKE
13	SPDT	Ein-Ein	—	A	B	.28 x .212 x .28(7.11 x 5.38 x 7.11)	CKN5062-ND	5.87	4.70	3.72	GS01MAKE
	SPST	Aus-Ein	—	A	B	.28 x .212 x .28(7.11 x 5.38 x 7.11)	CKN5063-ND	6.22	4.98	3.95	GS02MAKE
14	SPST	Ein-Aus	—	SMT	B	.340 x .276 x .215 (8.64 x 7.01 x 5.46)	CKN9024CT-ND	8.14	7.02	5.64	GS02MSV1KE(T&R)
	SPST	Ein-Aus	—	SMT	B	.340 x .276 x .215 (8.64 x 7.01 x 5.46)	CKN9024TR-ND		2706.41/600		GS02MSV1KE(T&R)
15	SPDT	Ein-Ein	—	SMT	B	.340 x .276 x .215 (8.64 x 7.01 x 5.46)	CKN9025CT-ND	5.46	4.71	3.79	GS01MSAKE(T&R)
	SPDT	Ein-Ein	—	SMT	B	.340 x .276 x .215 (8.64 x 7.01 x 5.46)	CKN9025TR-ND		1814.94/600		GS01MSAKE(T&R)
	SPST	Ein-Aus	—	SMT	B	.340 x .276 x .215 (8.64 x 7.01 x 5.46)	CKN9026CT-ND	5.90	5.09	4.09	GS02MSAKE(T&R)
	SPST	Ein-Aus	—	SMT	B	.340 x .276 x .215 (8.64 x 7.01 x 5.46)	CKN9026TR-ND		1961.23/600		GS02MSAKE(T&R)
Einrastend — Serie LP											
16	SPDT	Ein-Ein	Schwarz	03	Q	.84 x .62 x .70 (21.34 x 15.75 x 17.68)	CKC5015-ND	2.77	2.22	1.76	LP02C21T203DQ
	DPDT	Ein-Ein	Schwarz	03	Q	.84 x .62 x .70 (21.34 x 15.75 x 17.68)	CKC5016-ND	3.61	2.90	2.30	LP22C21T203DQ
	SPDT	Ein-Ein	Rot	03	Q	.84 x .62 x .70 (21.34 x 15.75 x 17.68)	CKC5017-ND	2.92	2.34	1.86	LP02C31T203DQ
	DPDT	Ein-Ein	Rot	03	Q	.84 x .62 x .70 (21.34 x 15.75 x 17.68)	CKC5018-ND	3.78	3.02	2.39	LP22C31T203DQ
Serie V — 115 V/230 V Volt-Auswahl											
17	DPDT	Ein-Ein	—	C	Q	1.03 x .65 x .62 (26.16 x 16.51 x 12.57)	CKC3001-ND	3.88	3.10	2.46	V80212MS02Q
	DPDT	Ein-Ein	—	02	Q	1.03 x .65 x .62 (26.16 x 16.51 x 12.57)	CKC3006-ND	4.83	3.86	3.06	V80212MS02QE
	DPDT	Ein-Ein	—	02	Q	1.03 x .65 x .62 (26.16 x 16.51 x 12.57)	CKC3007-ND	3.56	2.86	2.26	V80213MS02Q
	DPDT	Ein-Ein	—	02	Q	1.03 x .65 x .62 (26.16 x 16.51 x 12.57)	CKC3008-ND	3.88	3.10	2.46	V80214MS02Q
18	SPST	Ein-Aus	—	03	Q	1.61 x .65 x .62 (41.00 x 16.51 x 12.57)	CKC3009-ND	2.41	1.93	1.53	V70113SS05Q
	DPDT	Ein-Ein	—	03	Q	1.61 x .65 x .62 (41.00 x 16.51 x 12.57)	CKC3002-ND	3.88	3.10	2.46	V80212SS05Q
	DPDT	Ein-Ein	0.29	03	Q	1.61 x .65 x .62 (41.00 x 16.51 x 12.57)	CKC3010-ND	3.56	2.86	2.26	V80201SS05Q
	DPDT	Ein-Ein	—	03	Q	1.61 x .65 x .62 (41.00 x 16.51 x 12.57)	CKC3011-ND	3.56	2.86	2.26	V80213SS05Q
19	DPDT	Ein-Ein	—	03	Q	1.3 x .75 x .54 (33.02 x 19.05 x 13.72)	CKC3005-ND	4.23	3.39	2.69	V80212S205Q
20	DPDT	Ein-Ein	—	02	Q	1.03 x .65 x .62 (26.16 x 16.51 x 16.00)	CKC3012-ND	4.44	3.55	2.82	V80213MA08Q
	DPDT	Ein-Ein	—	C	Q	1.03 x .65 x .62 (26.16 x 16.51 x 16.00)	CKC3004-ND	3.48	3.01	2.54	V80212MA08Q
Serie ES — Vollkommen abgedichtete Miniaturschieberegler											
21	SPST	Ein-Aus	0.12	SMT	B	.39 x .24 x .36 (10 x 6 x 9.14)	CKN1255-ND	5.44	4.35	3.45	ES02MSAKE
	SPST	Ein-Aus	0.12	SMT	B	.39 x .24 x .36 (10 x 6 x 9.14)	CKN1813CT-ND	6.12	5.28	4.25	ES02MSABE
	SPST	Ein-Aus	0.12	SMT	B	.39 x .24 x .36 (10 x 6 x 9.14)	CKN1813TR-ND		1017.70/300		ES02MSABE
	SPDT	Ein-Aus-Ein	0.12	SMT	B	.39 x .24 x .36 (10 x 6 x 9.14)	CKN1256CT-ND	5.37	4.63	3.72	ES03MSAKE
	SPDT	Ein-Aus-Ein	0.12	SMT	B	.39 x .24 x .36 (10 x 6 x 9.14)	CKN1256TR-ND		891.47/300		ES03MSAKE
22	SPDT	Ein-Ein	0.12	C	B	.39 x .24 x .36 (10 x 6 x 9.14)	CKN1778-ND	4.91	3.93	3.12	ES01MCBE
	SPST	Ein-Aus	0.12	C	B	.39 x .24 x .36 (10 x 6 x 9.14)	CKN1812-ND	5.42	4.34	3.43	ES02MCBE
	SPDT	Ein-Aus-Ein	0.12	C	B	.39 x .24 x .36 (10 x 6 x 9.14)	CKN2085-ND	5.07	4.06	3.22	ES03MCBE
	DPDT	Ein-Ein	0.12	C	B	.39 x .24 x .36 (10 x 6 x 9.14)	CKN2082-ND	6.44	5.16	4.09	ES21MCBE
	DPST	Ein-Aus	0.12	C	B	.39 x .24 x .36 (10 x 6 x 9.14)	CKN1815-ND	7.08	5.67	4.49	ES22MCBE
	DPDT	Ein-Aus-Ein	0.12	C	B	.39 x .24 x .36 (10 x 6 x 9.14)	CKN1250-ND	6.37	5.10	4.04	ES23MCKE
23	SPST	Ein-Aus	0.12	C	B	.39 x .24 x .36 (10 x 6 x 9.14)	CKN1252-ND	5.77	4.62	3.66	ES02MAKE
	SPDT	Ein-Aus-Ein	0.12	C	B	.39 x .24 x .36 (10 x 6 x 9.14)	CKN1253-ND	5.44	4.35	3.45	ES03MAKE
	DPDT	Ein-Ein	0.12	C	B	.39 x .24 x .36 (10 x 6 x 9.14)	CKN2080-ND	7.03	5.62	4.45	ES21MABE
	DPST	Ein-Aus	0.12	C	B	.39 x .24 x .36 (10 x 6 x 9.14)	CKN1268-ND	7.31	5.86	4.64	ES22MAKE
	DPST	Ein-Aus	0.12	C	B	.39 x .24 x .36 (10 x 6 x 9.14)	CKN1814-ND	7.61	6.09	4.82	ES22MABE
	DPDT	Ein-Aus-Ein	0.12	C	B	.39 x .24 x .36 (10 x 6 x 9.14)	CKN1269-ND	6.88	5.51	4.36	ES23MAKE
	DPDT	Ein-Aus-Ein	0.12	C	B	.39 x .24 x .36 (10 x 6 x 9.14)	CKN1816-ND	7.15	5.73	4.54	ES23MABE
24	SPDT	Ein-Ein	0.12	C	B	.39 x .24 x .36 (10 x 6 x 9.14)	CKN1777-ND	5.71	4.57	3.62	ES01MAVBE
	SPDT	Ein-Aus-Ein	0.12	C	B	.39 x .24 x .36 (10 x 6 x 9.14)	CKN2084-ND	5.87	4.70	3.72	ES03MAVBE

H

Vorwärtsschalter

Merkmale:

- Umfassendstes Produktsortiment in der Branche
- Abstandhalter, die in die meisten Plattenausschnitte passen
- Montage vorne oder hinten

Hinweis: Endkappen werden separat verkauft.

Abb. 1 — Serie 3

Frontmontage

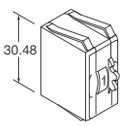

Rückseitige Montage

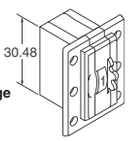

Abb. 2 — Serie 3U

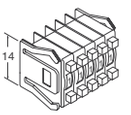

Abb. 3 — Serie 3P

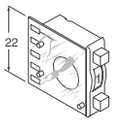

Abb.	Beschreibung	Anz. der Pos.	Farbe	Anschluss	Digi-Key Teilenr.	Stückpreis 1	25	100	ITT Ind. Teilenr.
1	Dezimalausgangsschalter, Frontmontage	0-9	Schwarz, glänzend	Kurze Leiterplatte	CKN5013-ND	7.27	6.28	5.29	301109000
	BCD-Ausgangsschalter, Frontmontage	0-9	Schwarz, glänzend	Kurze Leiterplatte	CKN5014-ND	7.27	6.28	5.29	302109000
	BCD-Ausgangsschalter, Frontmontage	0-9	Schwarz, glänzend	Erweiterte Leiterplatte	CKN5035-ND	9.13	7.89	6.65	302109100
	BCD-Ausgangsschalter, Frontmontage	0-9	Schwarz, glänzend	Leiterplatten-Pins	CKN5036-ND	12.79	11.06	9.31	302109300
	BCD-Ergänzung, Frontmontage	0-9	Schwarz, glänzend	Kurze Leiterplatte	CKN5037-ND	7.27	6.28	5.29	302309000
	BCH-Ausgangsschalter, Frontmontage	0-F	Schwarz, glänzend	Kurze Leiterplatte	CKN5038-ND	14.60	12.61	10.62	307109000
	Dezimalausgangsschalter, rückseitige Montage	0-9	Schwarz, glänzend	Kurze Leiterplatte	CKN1186-ND	7.27	6.28	5.29	301119000
	BCD-Ausgangsschalter, rückseitige Montage	0-9	Schwarz, glänzend	Kurze Leiterplatte	CKN1187-ND	7.27	6.28	5.29	302119000
	BCD-Ausgangsschalter, rückseitige Montage	0-9	Schwarz, glänzend	Erweiterte Leiterplatte	CKN5039-ND	9.13	7.89	6.65	302119100
	BCD-Ausgangsschalter, rückseitige Montage	0-9	Schwarz, glänzend	Leiterplatten-Pins	CKN5040-ND	10.97	9.48	7.99	302119300
	BCD-Ergänzung, rückseitige Montage	0-9	Schwarz, glänzend	Kurze Leiterplatte	CKN5041-ND	7.27	6.28	5.29	302319000
	BCH-Ausgangsschalter, rückseitige Montage	0-F	Schwarz, glänzend	Kurze Leiterplatte	CKN5042-ND	14.60	12.61	10.62	307119000
—	Buchsenleiste für Serie 3 mit Leiterplattenabschluss				CKN1752-ND	19.82	13.97	12.61	605A00000
	Frontmontierte Endkappe für Serie 3 (2 erforderlich)				CKN5015-ND	1.64	1.32	1.04	413402000
	Frontmontiertes Zwischenstück für Serie 3 (optional)				CKN5016-ND	1.98	1.59	1.26	413502000
	Frontmontierte Endkappe für Serie 3 (2 erforderlich)				CKN5017-ND	.69	.55	.44	400402003
	Frontmontiertes Zwischenstück für Serie 3 (optional)				CKN5018-ND	1.48	1.19	.94	400802000
—	Stäbcheneinheit für 1 Modul (Serie 3)				CKN5019-ND	2.29	1.83	1.45	412707000
	Stäbcheneinheit für 2-4 Module (Serie 3)				CKN5020-ND	2.38	1.91	1.51	412701000
	Stäbcheneinheit für 5-7 Module (Serie 3)				CKN5021-ND	2.38	1.91	1.51	412702000
	Stäbcheneinheit für 8-10 Module (Serie 3)				CKN5022-ND	2.29	1.83	1.45	412703000
—	Befestigungsmutter für Stäbcheneinheiten (Serie 3)				CKN5023-ND	.24	.20	.16	403500000
	Handwerkzeug, Steckschlüssel für CKN5023-ND-Befestigungen				CKN5024-ND*	6.20	5.36	4.51	406100652
2	BCD-Ausgang ohne Staubschutzlinse, Frontmontage	0-9	Schwarz, matt	Kurze Leiterplatte	CKN5025-ND	6.29	5.44	4.58	3U0210000
	BCD-Ausgang mit Staubschutzlinse, Frontmontage	0-9	Schwarz, matt	Kurze Leiterplatte	CKN5026-ND	6.58	5.69	4.79	3U0210002
—	Linke Endkappe für Serie 3U				CKN5027-ND	.37	.30	.24	113B02000
	Rechte Endkappe für Serie 3U				CKN5028-ND	.37	.30	.24	114B02000
	BCD-Schalter mit geradem Leiterplattenanschluss, Frontmontage	0-9	Schwarz, matt	Kurze Leiterplatte	CKN5029-ND	6.64	5.74	4.83	3P0210000
	Dezimaltyp mit rechtwinkligem Leiterplattenanschluss, Frontmontage	0-9	Schwarz, matt	Kurze Leiterplatte, rechter Winkel	CKN5030-ND	9.16	7.92	6.67	3P0110L00
3	BCD-Ausgang mit Staubschutzlinse, Frontmontage	0-9	Schwarz, matt	Kurze Leiterplatte	CKN5044-ND	6.93	5.99	5.04	3P0210002
	BCD-Ausgang mit Staubschutzlinse, Frontmontage	0-9	Schwarz, matt	Erweiterte Leiterplatte	CKN5045-ND	7.47	6.45	5.43	3P0210102
	BCD-Ausgang mit Staubschutzlinse, Frontmontage	0-9	Schwarz, matt	Erweitert mit Lötstiften	CKN5046-ND	8.36	7.23	6.09	3P0210A02
—	Linke Endkappe für Serie 3P				CKN5031-ND	.47	.38	.31	623502000
	Rechte Endkappe für Serie 3P				CKN5032-ND	.47	.38	.31	623602000

* Xcelite-Handwerkzeug

Schlüsselschalter — Sperren

Abschlusswiderstandsoptionen

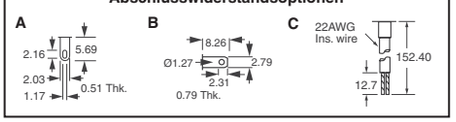

Abb. 1 Serie Y, 4 Kipptaster

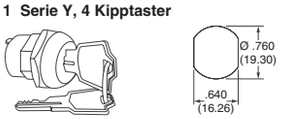

Abb. 2 Serie Y, 6 Kipptaster

Abb. 3 Serie H

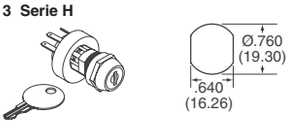

Abb. 4 Serie YM

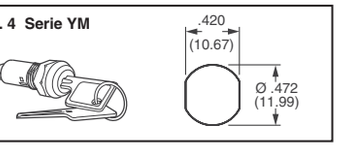

Abb.	Anz. Pole	Keilzieher möglich	Schaltertyp	A-Leistg. @ 125 V AC	Anschluss	Angeschlossenen Klemmen (Pos.) 1	2	Digi-Key Teilenr.	Stückpreis 1	10	100	ITT Industries Teilenr.
1	SP	1 & 2	Ein-Ein	4	A	8-1	1-3	CKC8000-ND	7.68	6.63	5.59	Y1011U2C203NQ
	DP	1 & 2	Ein-Ein	4	A	8-1, 4-5	1-3, 5-7	CKC8001-ND	8.99	7.77	6.54	Y2011U2C203NQ
	SP	Nur 1	Ein-Mom	4	A	8-1	1-2	CKC1230-ND	9.88	8.54	7.19	Y108122A203NQ
	SP	Nur 1	Ein-Ein	4	A	8-1	1-3	CKC8039-ND	7.68	6.63	5.59	Y101132C203NQ
	SP	Nur 1	Ein-Ein	4	A	8-1	1-3	CKC8040-ND	10.66	9.21	7.76	Y101132V203NQ
	SP	Nur 1	Ein-Ein	4	A	8-1	1-3	CKC8041-ND	11.59	10.01	8.43	Y101132W203NQ
	DP	Nur 1	Ein-Ein	4	A	8-1, 4-5	1-3, 5-7	CKC8047-ND	12.03	10.39	8.75	Y201132V203NQ
2	SP	1 & 2	Ein-Ein	4	A	8-1	1-3	CKC8006-ND	10.66	9.21	7.76	Y1011U2V203NQ
	DP	1 & 2	Ein-Ein	4	A	8-1, 4-5	1-3, 5-7	CKC8007-ND	12.03	10.39	8.75	Y2011U2V203NQ
3	SP	1 & 2	Ein-Ein	12	B	7-8	8-2	CKC8004-ND	10.45	9.03	7.60	H1011U2F205NQ
	DP	Nur 1	Ein-Ein	12	B	7-8, 3-4	8-2, 4-6	CKC8032-ND	11.95	10.33	8.70	H201132C205NQ
Ersatzschlüssel für Serie Y 4 Kipptaster A126 Code								CKC8028-ND	1.46	1.26	1.06	115140126
Serie 6, Kipptaster AAAA Code								CKC8027-ND	2.69	2.33	1.96	1110801
4	SP	1 & 2	Ein-Aus	4	B	—	1-2	CKC8008-ND	8.66	7.49	6.31	YM061U2C205NQ
	SP	1 & 2	Ein-Aus	4	C	—	1-2	CKC8009-ND	9.73	8.40	7.08	YM061U2C2WCNQ
	SP	Nur 1	Ein-Aus	4	B	—	1-2	CKC8010-ND	8.66	7.49	6.31	YM06132C205NQ
	SP	Nur 1	Ein-Aus	4	C	—	1-2	CKC8011-ND	9.73	8.40	7.08	YM06132C2WCNQ
5	DP	Nur 1	Ein-Ein	4	A	8-1, 4-5	1-3, 5-7	CKC8013-ND	11.24	9.72	8.18	P20113TCM03Q22
6	DP	1 & 2	Ein-Ein	4	A	8-1, 4-5	1-3, 5-7	CKC8017-ND	4.37	3.78	3.18	P2011U2WM03NQ2
	SP	Nur 1	Ein-Ein	4	A	8-1	1-3	CKC8018-ND	3.86	3.34	2.81	P101132WM03NQ2
	DP	Nur 1	Ein-Ein	4	A	8-1, 4-5	1-3, 5-7	CKC8019-ND	4.46	3.86	3.25	P201132WM03NQ2
	DP	Nur 1	Ein-Ein	4	A	8-1, 4-5	1-3, 5-7	CKC8034-ND	4.26	3.68	3.10	P201133WM03NQ2
	DP	1&2	Ein-Ein	4	A	8-1, 4-5	1-3, 5-7	CKC8035-ND	4.16	3.60	3.03	P2011U3WM03NQ2
Ersatzschlüssel für Serie P Snap-in-Version								CKC8029-ND	2.42	2.10	1.77	11599112602
7	DP	Nur 1	Ein-Ein	4	B	8-1, 4-5	2-3, 6-7	CKC8031-ND	10.98	9.49	7.99	W201132C205AQ
5 Kipptaster-Mini-Camlocks												
8	Mini-Camlock mit 90 Index							CKC8048-ND	4.72	4.07	3.43	PL001UEBMA1K22

Hinweis: Alle Schalter werden mit Kleinteilen und zwei Schlüsseln geliefert.

Abb. 5 Serie P

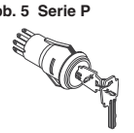

Kunststoffgehäuse

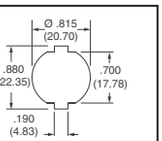

Abb. 6 Serie P, flach

Kunststoffgehäuse

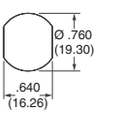

Abb. 7 Serie W

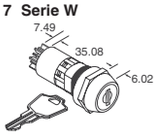

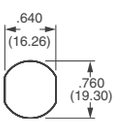

Abb. 8 Serie PL, 5 Kipptaster

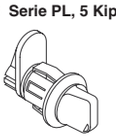

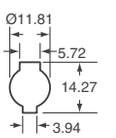

Alle Preisangaben in Euro und inklusive Zollgebühren.

Wippschalter der Serie CW

LED-Nennwerte			
	Rot	Bernstein	Grün
Durchlassspannung	2.1V	2.0V	1.95V
Durchlassstrom	20mA	20mA	20mA
Spitzenstrom	30mA	30mA	30mA

Neonlampe, Nennwerte			
	Rot	Bernstein	Grün
Spannung	125V	125V	125V
Interner Widerstand	33KΩ	33KΩ	33KΩ
Strom	1.4mA	1.4mA	0.6mA

Abb.	Schaltkreis	Schaltfunktion	Betätigerfarbe	Klemmen	Nennstrom	Digi-Key Teilenr.	Stückpreis 1	25	100	NKK Teilenr.
	SPST	Ein-Aus	—	Lötzinn	6A	360-1720-ND	1.83	1.47	1.16	CWSA11AANS
	SPDT	Ein-Ein	—	Lötzinn	6A	360-1727-ND	2.29	1.83	1.45	CWT12AAS1
	DPST	Ein-Aus	Rot 125 V AC	.187 QC	9A	360-1728-ND	3.86	3.09	2.45	CWSB21CACF
	DPST	Ein-Aus	Bernstein 125 V AC	.187 QC	9A	360-1729-ND	3.56	2.85	2.26	CWSB21DADF
	DPST	Ein-Aus	Grün 125 V AC	.187 QC	9A	360-1730-ND	3.86	3.09	2.45	CWSB21FAFF
1	DPST	Ein-Aus	Rote LED	.110 QC	9A	360-1731-ND	7.42	5.94	4.70	CWSC21JCACS
	DPST	Ein-Aus	Bernsteinf. LED	.110 QC	9A	360-1732-ND	7.42	5.94	4.70	CWSC21JDADS
	DPST	Ein-Aus	Grüne LED	.110 QC	9A	360-1733-ND	7.42	5.94	4.70	CWSC21JFAFS
	SPST	Ein-Aus	Rote LED	.110 QC	9A	360-1734-ND	4.55	3.64	2.88	CWSC11JCACS
	SPST	Ein-Aus	Bernstein f. LED	.110 QC	9A	360-1735-ND	4.55	3.64	2.88	CWSC11JDADS
	SPST	Ein-Aus	Grüne LED	.110 QC	9A	360-1736-ND	4.55	3.64	2.88	CWSC11JFAFS
	SPST	Ein-Aus	—	Lötzinn	6A	360-1721-ND	1.96	1.57	1.24	CWSA11AAN1S
2	SPST	Ein-Aus	—	.187 QC	6A	360-1723-ND	2.06	1.65	1.31	CWSB11AA1F
	DPST	Ein-Aus	—	.187 QC	6A	360-1725-ND	2.87	2.30	1.82	CWSB21AA1F
	SPST	Ein-Aus	—	Lötzinn	6A	360-1722-ND	1.96	1.57	1.24	CWSA11AAN2S
3	SPST	Ein-Aus	—	.187 QC	6A	360-1724-ND	2.06	1.65	1.31	CWSB11AA2F
	DPST	Ein-Aus	—	.187 QC	6A	360-1726-ND	2.87	2.30	1.82	CWSB21AA2F

Serie CWS

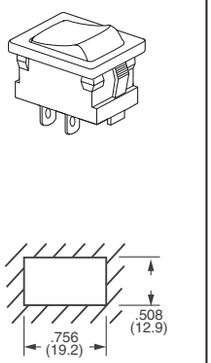

Serie CWT

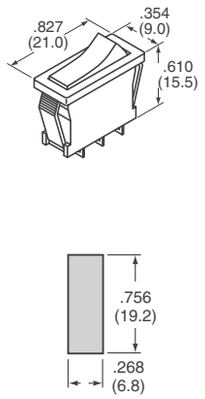

Abb. 1

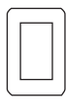

Abb. 2

Abb. 3

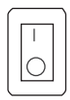

Schlüsselschalter

Abmessung in Zoll (mm)

Abb. 1

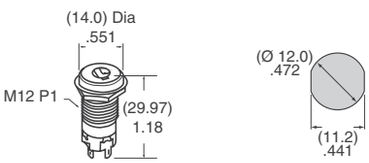

- Geringe Sicherheit
- 2 mitgelieferte Schlüssel (alle mit demselben Schlüsselcode)

Abb. 2

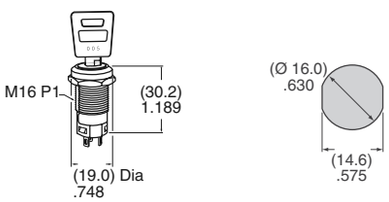

- 1 Schlüssel wird mitgeliefert
- 25 verschiedene Schlüsselcodes beliebig verschickt

Abb. 3

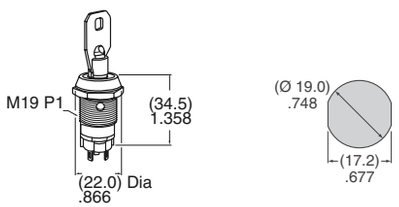

- 1 Schlüssel wird mitgeliefert
- 50 verschiedene Schlüsselcodes beliebig verschickt

Abb.	Schlüsselstellungen Pos. 1	Pos. 2	Pos. 3	Stellungen für das Herausziehen des Schlüssels	Digi-Key Teilenr.	Stückpreis 1	25	100	NKK Teilenr.
12 mm Miniaturschalter, niedriger Sicherheitsgrad									
1	Ein	Entfällt	Ein	1, 3	360-1459-ND	14.35	11.48	9.09	SK12AAW01
	Ein	Entfällt	Ein	1	360-1460-ND	14.35	11.48	9.09	SK12BAW01
	Ein	Aus	Ein	1, 2, 3	360-1461-ND	15.11	12.09	9.58	SK13DAW01
	Ein	Aus	Ein	2	360-1462-ND	15.11	12.09	9.58	SK13EAW01
Ersatzschlüssel für SK12. AW01-Schalter, Chrom/Zink-Legierung					360-1010-ND	2.03	1.63	1.29	AT4081
16 mm, hoher Sicherheitsgrad, antistatisch - Version mit flachem Schlüssel									
2	Ein	Entfällt	Ein	1, 3	360-1447-ND	14.12	11.30	8.95	CKM12AFW01
	Ein	Entfällt	Ein	1	360-1448-ND	14.12	11.30	8.95	CKM12BFW01
	Ein	Aus	Ein	2	360-1449-ND	15.59	12.48	9.88	CKM13EFW01
16 mm, hoher Sicherheitsgrad, antistatisch - Version mit röhrenförmigem Schlüssel									
2	Ein	Entfällt	Ein	1, 3	360-1450-ND	14.12	11.30	8.95	CKM12ATW01
	Ein	Entfällt	Ein	1	360-1451-ND	14.12	11.30	8.95	CKM12BTW01
	Ein	Aus	Ein	2	360-1452-ND	15.59	12.48	9.88	CKM13ETW01
19 mm, hoher Sicherheitsgrad - Version mit flachem Schlüssel									
3	Ein	Entfällt	Ein	1, 3	360-1453-ND	14.30	11.44	9.06	CKL12AFW01
	Ein	Entfällt	Ein	1	360-1454-ND	14.30	11.44	9.06	CKL12BFW01
	Ein	Aus	Ein	2	360-1455-ND	15.77	12.62	9.99	CKL13EFW01
19 mm, hoher Sicherheitsgrad - Version mit röhrenförmigem Schlüssel									
3	Ein	Entfällt	Ein	1, 3	360-1456-ND	14.30	11.44	9.06	CKL12ATW01
	Ein	Entfällt	Ein	1	360-1457-ND	14.30	11.44	9.06	CKL12BTW01
	Ein	Aus	Ein	2	360-1458-ND	15.77	12.62	9.99	CKL13ETW01

H

Serie V — Standard-Serie

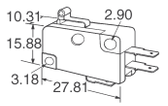

Serie D3V — Preiswerte Serie

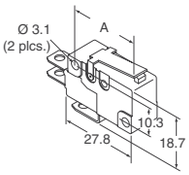

Serie D2VW — Wasserdichte Serie; IP67

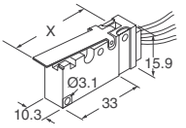

Serie SS — Standard-Serie

Serie SS-P — Preiswerte Serie

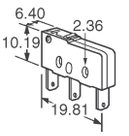

Serie D2SW — Wasserdichte Serie; IP67

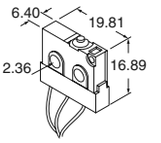

Serie D2SW-P — Preiswerte Serie, wasserdicht; IP67

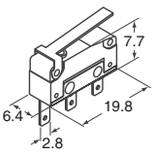

Abb. 9 — Serie D2F

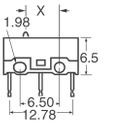

Abb. 10 — Hebel der Serie D2F

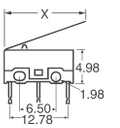

Abb. 1

Pin Plunger

Abb. 2

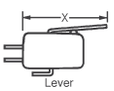

Lever

Abb. 3

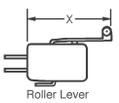

Roller Lever

Abb. 4

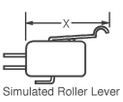

Simulated Roller Lever

Abb. 5

Lever

Abb. 6

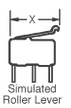

Simulated Roller Lever

Abb. 7

Pin Plunger

Abb. 8

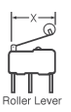

Roller Lever

Serie V: **Merkmale:** • Betriebsfrequenz: Mechanisch 600 Schaltungen pro Minute; Elektrik: 60 Schaltungen pro Minute • Kontaktwiderstand: Max. 15 mΩ • Umgebungstemperatur: -25 °C ~ 80 °C • Luftfeuchtigkeit: Max. 85 % Luftfeuchtigkeit • Lebensdauer: Mechanik: Min. 50.000.000 Schaltungen, Elektrik: Min. 100,000 Schaltungen

Serie D3V: **Merkmale:** • Zuverlässiger und sicherer Standardschalter • Verlängerter Hebel • Umweltfreundlich, Kontakte enthalten kein Beryllium. Kostengünstige Version der Serie V.

Wasserdicht, D2VW/D2FW, einfacher Miniaturschalter: **Merkmale:** • Hochwertiger, wasserdichter, einfacher Miniaturpräzisionsschalter—erfüllt IP67-Anforderungen • Monoblock für hohe Abdichtung; ideal für staubige Umgebungen oder dort, wo Wasser verspürt wird • Interner Mechanismus der Serie V für hohe Positioniergenauigkeit beim Betrieb (±0,4 mm) und lange Lebensdauer (10 Millionen Schaltungen) • Ein großer Betriebstemperaturbereich von -40 °C ~ 90 °C ist ideal für jede Betriebsumgebung • Allgemeine Last (5 A @ 250 V AC) und Mikrolast (0,1 A @ 125 V AC) erhältlich

Serie SS/SS-P: **Merkmale:** • Subminiatur-Standardschalter, sparsam, lange Lebensdauer (min. 30 Millionen Schaltungen) • Alle Modelle frei von Nachlaufeinschränkungen, leichtes Einstellen • Breite Schaltkapazität, von Mikrospannung/Stromlast (1 mA bei 5 V DC) bis zu hoher Last (10,1 A bei 250 V AC) **Eigenschaften:** • Betriebsfrequenz: Mechanik: 400 Schaltungen pro Minute; Elektrik: 60 Schaltungen pro Minute • Umgebungstemperatur: -25 °C ~ 85 °C • Luftfeuchtigkeit: Max. 85 % Luftfeuchtigkeit • Lebensdauer: Mechanik: Min. 30 Millionen Schaltungen (Min. 10 Millionen Schaltungen für die Serie SS-10), Elektrik: Min. 200.000 Schaltungen

Einfacher Miniaturschalter, D2SW, wasserdicht: **Merkmale:** • Hochwertiger wasserdichter Einfachschalter — erfüllt IP67-Anforderungen • Ein großer Betriebstemperaturbereich von -40 °C ~ 85 °C ist ideal für jede Betriebsumgebung • Eignet sich ideal für Fahrzeuge, landwirtschaftl. Maschinen, Verkaufsautomaten, Kühlschränke, Eismaschinen, Badezimmerausrüstung, Heißwassergeräte, Klimaanlagen und Fertigungsanlagen **Eigenschaften:** • Betriebsfrequenz: Mechanik: 300 Schaltungen pro Minute; Elektrik: 60 Schaltungen pro Minute • Kontaktwiderstand: Max. 50 mΩ • Lebensdauer: Mechanik: Min. 5.000.000 Schaltungen, Elektrik: Min. 200.000 Schaltungen • Umgebende Luftfeuchtigkeit: Max. 95 % • Gehäusedaten: Siehe IP67

Wasserdichte Serie D2SW-P: **Eigenschaften:** • Betriebstemperaturbereich: -20 °C ~ 70 °C • Lebensdauer: Mechanik: Min. 1.000.000 Schaltungen • 2 A @ 250 V AC • Gemäß IP67 versiegelt

Serie D2F: **Merkmale:** • Superkompakt, ideal für Leiterplattenmontage • Lange Lebensdauer durch hochpräz. doppelten Federrückstellmechanismus • Kein Eindringen des Flussmittels durch einsetzbare Klemme und Höhenunterschied am Gehäusesockel • Ideal für eine Vielzahl von Anwendungen, von Haushaltsgeräten und Büroausrüstung zu Audio- und Telekommunikationsgeräten

Serie D3C: **Merkmale:** • Eingebauter Schiebemechanismus wählt die Zeiteinstellung für Kurzschlussschalter oder kurzschlussgeschützte Schalter • 3 mm langer Hub • Leiterplattenmontierter Schalter mit 100 mA Leistung • Ideal für Haushaltsgeräte, Aufnahmegeräte, Büroausrüstung, Telekommunikationsgeräte usw. • Kompakte Größe (B x H x T = 8 x 6 x 4,2 mm) **Eigenschaften:** • Betriebsfrequenz: Mechanik: 200 Schaltungen pro Minute; Elektrik: 30 Schaltungen pro Minute • Kontaktwiderstand: Max. 50 mΩ • Umgebungstemperatur: -20 °C ~ 80 °C • Betriebsluftfeuchtigkeit: Max. 65 % bei 5° ~ 35 °C • Lebensdauer: Min. 50.000 Schaltungen bei Nennschaltfrequenz

Serie D2HW: **Merkmale:** • Kleinster abgedichteter Sprungkontaktschalter • Vollständig abgedichtet • Bleifreie Konstruktion • Erfüllt IP67 (Drahtzuleitungen) und IP50 (Klemmentyp) • Langer Hub, auch ohne Hebel, für zuverlässige Ein-Aus-Aktion

Abb.	Kontaktart	Kontaktleistung (A)	Klemmengröße Zoll (mm)	Abmessung „X" (mm)	Actuation Force ‡	Digi-Key Teilenr.	Stückpreis 1	25	50	Omron Teilenr.
Serie V										
1	SPDT	10	.187 QC (4.75)	24.38	100gf	SW126-ND	1.57	1.41	1.26	V-10G-1C24-K
2	SPDT	10	.187 QC (4.75)	38.35	125gf	SW127-ND	1.59	1.43	1.27	V-10G2-1C25-K
3	SPDT	10	.187 QC (4.75)	24.38	240gf	SW128-ND	1.90	1.72	1.53	V-10G5-1C25-K
1	SPDT	15	.187 QC (4.75)	24.38	200gf	SW129-ND	1.57	1.41	1.26	V-15G-1C25-K
1	SPDT	15	.187 QC (4.75)	24.38	400gf	SW130-ND	1.57	1.41	1.26	V-15G-1C26-K
2	SPDT	15	.187 QC (4.75)	38.35	125gf	SW132-ND	1.59	1.43	1.27	V-15G2-1C26-K
2	SPDT	15	.187 QC (4.75)	62.23	70gf	SW133-ND	1.74	1.57	1.39	V-15G3-1C25-K
2	SPDT	15	.187 QC (4.75)	62.23	130gf	SW134-ND	1.74	1.57	1.39	V-15G3-1C26-K
4	SPDT	15	.187 QC (4.75)	38.86	125gf	SW135-ND	1.68	1.51	1.34	V-15G4-1C25-K
3	SPDT	15	.187 QC (4.75)	24.38	480gf	SW136-ND	1.90	1.72	1.53	V-15G5-1C26-K
3	SPDT	15	.187 QC (4.75)	34.04	250gf	SW151-ND	1.90	1.72	1.53	V-15G6-1C26-K
Serie D3V										
1	SPDT	11	.187 QC (4.75)	20.2	200gf	SW707-ND	1.48	1.34	1.19	D3V11G1C25K
2	SPDT	11	.187 QC (4.75)	35.6	125gf	SW708-ND	1.72	1.55	1.38	D3V11G21C25K
2	SPDT	11	.187 QC (4.75)	35.6	125gf	SW709-ND	1.68	1.51	1.34	D3V11G2M1C25K
4	SPDT	11	.187 QC (4.75)	32.6	125gf	SW710-ND	1.72	1.55	1.38	D3V11G41C25K
4	SPDT	11	.187 QC (4.75)	32.6	125gf	SW711-ND	1.68	1.51	1.34	D3V11G4M1C25K
3	SPDT	11	.187 QC (4.75)	34.0	125gf	SW712-ND	2.06	1.85	1.65	D3V11G61C25K
3	SPDT	11	.187 QC (4.75)	34.0	125gf	SW713-ND	1.89	1.70	1.51	D3V11G6M1C25K
1	SPDT	16	.187 QC (4.75)	20.2	200gf	SW700-ND	1.48	1.34	1.19	D3V16G1C25K
2	SPDT	16	.187 QC (4.75)	35.6	125gf	SW701-ND	1.72	1.55	1.38	D3V16G21C25K
2	SPDT	16	.187 QC (4.75)	35.6	125gf	SW702-ND	1.68	1.51	1.34	D3V16G2M1C25K
4	SPDT	16	.187 QC (4.75)	32.6	125gf	SW703-ND	1.72	1.55	1.38	D3V16G41C25K
4	SPDT	16	.187 QC (4.75)	32.6	125gf	SW704-ND	1.68	1.51	1.34	D3V16G4M1C25K
3	SPDT	16	.187 QC (4.75)	34.0	125gf	SW705-ND	2.06	1.85	1.65	D3V16G61C25K
3	SPDT	16	.187 QC (4.75)	34.0	125gf	SW706-ND	1.89	1.70	1.51	D3V16G6M1C25K
Gemäß IP67 wasserdichte Schalter der Serie D2VW										
1	SPDT	.1	.187 QC (4.75)	—	200gf	SW427-ND	3.01	2.71	2.41	D2VW-01-1HS
	SPDT	.1	12 Drähte (304,8)	—	200gf	SW428-ND	6.16	5.55	4.93	D2VW-01-1MS
2	SPDT	.1	.187 QC (4.75)	59	120gf	SW429-ND	3.60	3.24	2.88	D2VW-01L1-1HS
	SPDT	.1	12 Drähte (304,8)	59	120gf	SW430-ND	6.46	5.81	5.17	D2VW-01L1-1MS
3	SPDT	.1	.187 QC (4.75)	34	120gf	SW431-ND	4.81	4.33	3.85	D2VW-01L2-1HS
	SPDT	.1	12 Drähte (304,8)	34	120gf	SW432-ND	6.29	5.66	5.03	D2VW-01L2-1MS
1	SPDT	5	.187 QC (4.75)	—	200gf	SW433-ND	2.88	2.60	2.31	D2VW-5-1HS
	SPDT	5	12 Drähte (304,8)	—	200gf	SW434-ND	4.77	4.29	3.81	D2VW-5-1MS
2	SPDT	5	.187 QC (4.75)	35.6	120gf	SW435-ND	3.01	2.71	2.41	D2VW-5L1-1HS
	SPDT	5	12 Drähte (304,8)	35.6	120gf	SW436-ND	4.64	4.18	3.71	D2VW-5L1-1MS
3	SPDT	5	.187 QC (4.75)	34	120gf	SW437-ND	3.20	2.88	2.56	D2VW-5L2-1HS
	SPDT	5	12 Drähte (304,8)	34	120gf	SW438-ND	4.95	4.46	3.97	D2VW-5L2-1MS
Serie SS Miniatur										
7	SPDT Gold	.1	.110 QC (2.79)	13.46	50gf	SW138-ND	1.76	1.59	1.41	SS-01FT
5	SPDT Gold	.1	.110 QC (2.79)	19.69	50gf	SW139-ND	1.95	1.76	1.56	SS-01GLT
7	SPDT Gold	.1	Leiterplattenmontage	13.46	150gf	SW155-ND	1.72	1.55	1.38	SS-01D
5	SPDT Gold	.1	Leiterplattenmontage	19.69	50gf	SW239-ND	1.69	1.53	1.36	SS-01GLD
6	SPDT Gold	.1	Leiterplattenmontage	21.59	50gf	SW240-ND	1.69	1.53	1.36	SS-01GL13D
8	SPDT Gold	.1	Leiterplattenmontage	19.61	50gf	SW343-ND	2.03	1.83	1.63	SS-01GL2D
7	SPDT	5	.110 QC (2.79)	13.46	150gf	SW141-ND	1.14	1.03	.92	SS-5T
5	SPDT	5	.110 QC (2.79)	19.69	50gf	SW143-ND	1.04	.94	.83	SS-5GLT
6	SPDT	5	.110 QC (2.79)	21.59	50gf	SW144-ND	1.00	.90	.80	SS-5GL13T
7	SPDT	5	.110 QC (2.79)	13.46	50gf	SW142-ND	1.04	.94	.83	SS-5FT
8	SPDT	5	Lötzinn	19.61	50gf	SW156-ND	1.23	1.11	.99	SS-5GL2
7	SPDT	5	Leiterplattenmontage	13.46	150gf	SW241-ND	1.04	.94	.83	SS-5D
5	SPDT	5	Leiterplattenmontage	19.69	50gf	SW242-ND	1.25	1.13	1.00	SS-5GLD
6	SPDT	5	Leiterplattenmontage	21.59	50gf	SW243-ND	1.30	1.17	1.04	SS-5GL13D
8	SPDT	5	Leiterplattenmontage	19.61	50gf	SW244-ND	1.46	1.32	1.17	SS-5GL2D
7	SPDT	10	.110 QC (2.79)	13.46	150gf	SW245-ND	1.85	1.66	1.48	SS-10T
5	SPDT	10	.110 QC (2.79)	19.69	50gf	SW246-ND	1.68	1.51	1.34	SS-10GLT
6	SPDT	10	.110 QC (2.79)	21.59	50gf	SW247-ND	1.69	1.53	1.36	SS-10GL13T
8	SPDT	10	.110 QC (2.79)	19.61	50gf	SW248-ND	1.89	1.70	1.51	SS-10GL2T

Abb.	Kontaktart	Kontaktleistung (A)	Klemmengröße Zoll (mm)	Abmessung „X" (mm)	Actuation Force ‡	Digi-Key Teilenr.	Stückpreis 1	25	50	Omron Teilenr.
Serie SS-P — Preiswerte Subminiaturschalter										
7	SPDT	3	Lötzinn	12.70	150gf	SW763-ND	.60	.55	.49	SS-3GP
5	SPDT	3	Lötzinn	19.65	50gf	SW764-ND	.70	.64	.57	SS-3GLP
6	SPDT	3	Lötzinn	20.95	50gf	SW765-ND	.70	.64	.57	SS-3GL13P
7	SPDT	3	.110 QC (2.79)	12.70	150gf	SW766-ND	.60	.55	.49	SS-3GPT
5	SPDT	3	.110 QC (2.79)	19.65	50gf	SW767-ND	.70	.64	.57	SS-3GLPT
6	SPDT	3	.110 QC (2.79)	20.95	50gf	SW768-ND	.70	.64	.57	SS-3GL13PT
7	SPDT	3	PC Mt. (uneven)*	12.70	150gf	SW769-ND	.60	.55	.49	SS-3GPD
5	SPDT	3	PC Mt. (uneven)*	19.65	50gf	SW770-ND	.70	.64	.57	SS-3GLPD
6	SPDT	3	PC Mt. (uneven)*	20.95	50gf	SW771-ND	.70	.64	.57	SS-3GL13PD
7	SPDT	3	PC Mt. (even)**	12.70	150gf	SW772-ND	.60	.55	.49	SS-3GPB
5	SPDT	3	PC Mt. (even)**	19.65	50gf	SW773-ND	.70	.64	.57	SS-3GLPB
6	SPDT	3	PC Mt. (even)**	20.95	50gf	SW774-ND	.70	.64	.57	SS-3GL13PB
7	SPDT - Gold	.1	Lötzinn	12.70	150gf	SW775-ND	.67	.60	.54	SS-01GP
5	SPDT - Gold	.1	Lötzinn	19.65	50gf	SW776-ND	.78	.71	.63	SS-01GLP
6	SPDT - Gold	.1	Lötzinn	20.95	50gf	SW777-ND	.78	.71	.63	SS-013GL13P
7	SPDT - Gold	.1	.110 QC (2.79)	12.70	150gf	SW778-ND	.67	.60	.54	SS-01GPT
5	SPDT - Gold	.1	.110 QC (2.79)	19.65	50gf	SW779-ND	.78	.71	.63	SS-01GLPT
6	SPDT - Gold	.1	.110 QC (2.79)	20.95	50gf	SW780-ND	.78	.71	.63	SS-01GL13PT
7	SPDT - Gold	.1	PC Mt. (uneven)*	12.70	150gf	SW781-ND	.67	.60	.54	SS-01GPD
5	SPDT - Gold	.1	PC Mt. (uneven)*	19.65	50gf	SW782-ND	.78	.71	.63	SS-01GLPD
6	SPDT - Gold	.1	PC Mt. (uneven)*	20.95	50gf	SW783-ND	.78	.71	.63	SS-01GL13PD
7	SPDT - Gold	.1	PC Mt. (even)**	12.70	150gf	SW784-ND	.67	.60	.54	SS-01GPB
5	SPDT - Gold	.1	PC Mt. (even)**	19.65	50gf	SW785-ND	.78	.71	.63	SS-01GLPB
6	SPDT - Gold	.1	PC Mt. (even)**	20.95	50gf	SW786-ND	.78	.71	.63	SS-01GL13PB
Gemäß IP67 wasserdichte Schalter der Serie D2SW										
5	SPDT	3	Lötzinn	19.69	60gf	SW293-ND	2.27	2.04	1.82	D2SW-3L1HS
	SPDT	3	.110 QC (2.79)	19.69	60gf	SW294-ND	2.27	2.04	1.82	D2SW-3L1TS
	SPDT	3	12 Drähte (304,8)	19.69	60gf	SW295-ND	3.68	3.32	2.95	D2SW-3L1MS
6	SPDT	3	Lötzinn	21.59	60gf	SW296-ND	2.27	2.04	1.82	D2SW-3L3HS
	SPDT	3	12 Drähte (304,8)	21.59	60gf	SW297-ND	3.68	3.32	2.95	D2SW-3L3MS
7	SPDT	3	Lötzinn	13.46	180gf	SW228-ND	2.14	1.93	1.72	D2SW-3HS
	SPDT	3	.110 QC (2.79)	13.46	180gf	SW229-ND	2.14	1.93	1.72	D2SW-3TS
	SPDT	3	Leiterplattenmontage	13.46	180gf	SW291-ND	2.14	1.93	1.72	D2SW-3DS
	SPDT	3	12 Drähte (304,8)	13.46	180gf	SW292-ND	3.54	3.19	2.83	D2SW-3MS
8	SPDT	3	Lötzinn	19.61	60gf	SW237-ND	2.58	2.33	2.07	D2SW-3L2HS
	SPDT	3	12 Drähte (304,8)	19.61	60gf	SW238-ND	3.89	3.51	3.12	D2SW-3L2MS
Preiswerte, wasserdichte Serie D2SW-P										
6	SPDT	.1	.110 QC (2.79)	15.8	61gf	SW805-ND	1.57	1.41	1.26	D2SW-P01L3T
	SPDT	.1	PC Mt. (uneven)*	15.8	61gf	SW806-ND	1.57	1.41	1.26	D2SW-P01L3D
	SPDT	.1	PC Mt. (even)**	15.8	61gf	SW807-ND	1.57	1.41	1.26	D2SW-P01L3B
	SPDT	.1	12 Drähte (304,8)	15.8	61gf	SW808-ND	3.35	3.02	2.69	D2SW-P01L3M
7	SPDT	.1	.110 QC (2.79)	—	183gf	SW803-ND	1.22	1.10	.98	D2SW-P01T
	SPDT	.1	PC Mt. (uneven)*	—	183gf	SW804-ND	1.22	1.10	.98	D2SW-P01D
6	SPDT	2	Lötzinn	15.8	61gf	SW811-ND	1.40	1.26	1.12	D2SW-P2L3H
	SPDT	2	12 Drähte (304,8)	15.8	61gf	SW812-ND	3.19	2.87	2.56	D2SW-P2L3M
7	SPDT	2	.110 QC (2.79)	—	183gf	SW809-ND	1.08	.97	.86	D2SW-P2T
8	SPDT	2	Lötzinn	14.5	61gf	SW810-ND	1.73	1.56	1.39	D2SW-P2L2H
Schalter der Serie D2F										
9	SPDT	3	Leiterplattenmontage	5.18	150gf	SW500-ND	.85	.77	.68	D2F
	SPDT	.1	Leiterplattenmontage	5.18	150gf	SW501-ND	.85	.77	.68	D2F-01
	SPDT	.1	Leiterplattenmontage	5.18	75gf	SW502-ND	.85	.77	.68	D2F-01F
	SPDT	3	Leiterplattenmontage	5.18	75gf	SW503-ND	.97	.87	.77	D2F-F
10	SPDT	3	Leiterplattenmontage	13.97	80gf	SW152-ND	.93	.84	.75	D2F-L
	SPDT	3	Leiterplattenmontage	13.97	25gf	SW153-ND	.93	.84	.75	D2F-FL
	SPDT	.1	Leiterplattenmontage	13.97	80gf	SW154-ND	.93	.84	.75	D2F-01L

* Leiterplattenmont. (ungerade) ** Leiterplattenmont. (gerade) ‡ Betätigungskraft

(Forts.)

H

Alle Preisangaben in Euro und inklusive Zollgebühren.

Abb. 11 — Gemäß IP67 wasserdichte Serie D2FW

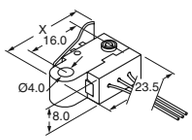

Serie D2MQ

Abb. 12

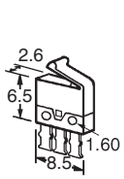

Abb. 13

Abb. 14 — Serie D3C

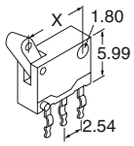

Serie D2HW — Wasserdicht

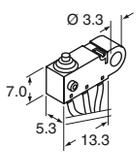

Abb. 15

Abb. 16

Abb. 17

Abb. 18

Abb. 19

A

B

C

D

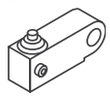

Abb.	Kontaktart	Kontaktleistung (A)	Klemmengröße Zoll (mm)	Abmessung „X" (mm)	Betätigungskraft	Digi-Key Teilenr.	Stückpreis 1	25	50	Omron Teilenr.
10	SPDT	1	Rechtwinklig	14	25gf	SW841-ND	1.65	1.49	1.33	D2F-FL-A
	SPDT	3	Rechtwinklig	14	80gf	SW842-ND	1.65	1.49	1.33	D2F-L-A
	SPDT	3	Linker Winkel	14	80gf	SW843-ND	1.57	1.41	1.26	D2F-L-A1
	SPDT	.1	Lötzinn	12.8	80gf	SW840-ND	2.10	1.90	1.69	D2F-01L2-D
Gemäß IP67 wasserdichte Schalter der Serie D2FW										
11	SPST-NO	.1	12 Drähte (304,8)	22.8	250gf	SW511-ND	2.95	2.65	2.36	D2FW-G073M
	SPST-NO	1	12 Drähte (304,8)	22.8	250gf	SW512-ND	2.95	2.65	2.36	D2FW-G273M
	SPST-NO	.1	12 Drähte (304,8)	19.0	300gf	SW513-ND	3.62	3.26	2.90	D2FW-G083M
	SPST-NO	1	12 Drähte (304,8)	19.0	300gf	SW514-ND	4.15	3.74	3.32	D2FW-G283M
Schalter der Serie D2MQ										
12	SPDT - Silber	500mA	.05 (1.27)	6.00	120gf	SW145-ND	2.37	2.14	1.90	D2MQ-1
13	SPDT - Silber	500mA	.05 (1.27)	7.70	60gf	SW146-ND	2.44	2.20	1.95	D2MQ-1L
Schalter der Serie D3C										
14	Non-Short †	.1	Leiterplattenmontage	8.69	130gf	SW224-ND	.96	.86	.77	D3C-1210
	Kurzschluss	.1	Leiterplattenmontage	8.69	130gf	SW226-ND	.96	.86	.77	D3C-2210
	Non-Short †	.1	Leiterplattenmontage	8.69	40gf	SW225-ND	.96	.86	.77	D3C-1220
	Kurzschluss	.1	Leiterplattenmontage	8.69	40gf	SW227-ND	.96	.86	.77	D3C-2220
Mini-Schalter der Serie D2HW, wasserdicht										
15A	SPDT	2	Rechtwinklig, Leiterplatte	—	76gf	SW714-ND	2.06	1.85	1.65	D2HWBR201DR
15B	SPDT	2	Rechtwinklig, Leiterplatte	—	76gf	SW715-ND	2.06	1.85	1.65	D2HWBL201DL
15C	SPDT	2	Leiterplatte, gerade	—	76gf	SW716-ND	2.06	1.85	1.65	D2HWA201D
15A	SPDT	2	Abwärtsleitungen	—	76gf	SW719-ND	4.17	3.76	3.34	D2HWBR201M
15B	SPDT	2	Abwärtsleitungen	—	76gf	SW720-ND	4.17	3.76	3.34	D2HWBL201M
15D	SPDT	2	Abwärtsleitungen	—	76gf	SW721-ND	4.60	4.14	3.68	D2HWC201M

† Kurzschlussgeschützt

Abb.	Kontaktart	Kontaktleistung (A)	Klemmengröße Zoll (mm)	Abmessung „X" (mm)	Betätigungskraft	Digi-Key Teilenr.	Stückpreis 1	25	50	Omron Teilenr.
16A	SPDT	2	Rechtwinklig, Leiterplatte	13	61gf	SW717-ND	2.18	1.97	1.75	D2HWBR211DR
16A	SPDT	2	Abwärtsleitungen	13	61gf	SW722-ND	4.39	3.95	3.51	D2HWBR211M
16B	SPDT	2	Abwärtsleitungen	13	61gf	SW723-ND	4.39	3.95	3.51	D2HWBL211M
16D	SPDT	2	Abwärtsleitungen	13	61gf	SW724-ND	4.74	4.27	3.80	D2HWC211M
16A	SPST-NC	2	Rechtsleitungen	13	61gf	SW725-ND	4.39	3.95	3.51	D2HWBR212MR
16B	SPST-NC	2	Rechtsleitungen	13	61gf	SW726-ND	4.39	3.95	3.51	D2HWBL212MR
16D	SPST-NC	2	Rechtsleitungen	13	61gf	SW727-ND	4.74	4.27	3.80	D2HWC212MR
16A	SPST-NO	2	Rechtsleitungen	13	61gf	SW728-ND	4.39	3.95	3.51	D2HWBR213MR
16B	SPST-NO	2	Rechtsleitungen	13	61gf	SW729-ND	4.39	3.95	3.51	D2HWBL213MR
16C	SPST-NO	2	Rechtsleitungen	13	61gf	SW730-ND	4.74	4.27	3.80	D2HWC213MR
16A	SPST-NC	2	Linksleitungen	13	61gf	SW731-ND	4.39	3.95	3.51	D2HWBR212ML
16B	SPST-NC	2	Linksleitungen	13	61gf	SW732-ND	4.39	3.95	3.51	D2HWBL212ML
16A	SPST-NO	2	Linksleitungen	13	61gf	SW733-ND	4.39	3.95	3.51	D2HWBR213ML
16B	SPST-NO	2	Linksleitungen	13	61gf	SW734-ND	4.39	3.95	3.51	D2HWBL213ML
17A	SPDT	2	Abwärtsleitungen	16	61gf	SW737-ND	4.39	3.95	3.51	D2HWBR231M
17B	SPDT	2	Abwärtsleitungen	16	61gf	SW738-ND	4.39	3.95	3.51	D2HWBL231M
16B	SPDT	2	Rechtwinklig, Leiterplatte	20	41gf	SW718-ND	1.60	1.44	1.28	D2HWBL221DL
16A	SPDT	2	Abwärtsleitungen	20	41gf	SW735-ND	4.39	3.95	3.51	D2HWBR221M
16B	SPDT	2	Abwärtsleitungen	20	41gf	SW736-ND	4.39	3.95	3.51	D2HWBL221M
18A	SPDT	2	Abwärtsleitungen	8	183gf	SW739-ND	4.39	3.95	3.51	D2HWBR261M
18B	SPDT	2	Abwärtsleitungen	8	183gf	SW740-ND	4.39	3.95	3.51	D2HWBL261M
17A	SPDT	2	Abwärtsleitungen	16	183gf	SW741-ND	4.39	3.95	3.51	D2HWBR271M
17B	SPDT	2	Abwärtsleitungen	16	183gf	SW742-ND	4.39	3.95	3.51	D2HWBL271M
19A	SPDT	2	Abwärtsleitungen	20.85	92gf	SW743-ND	4.39	3.95	3.51	D2HWBR281M
19B	SPDT	2	Abwärtsleitungen	20.85	92gf	SW744-ND	4.39	3.95	3.51	D2HWBL281M

Serie J – Mini-Schnappschalter

Abb. 1

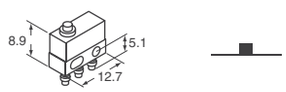

Abb. 2

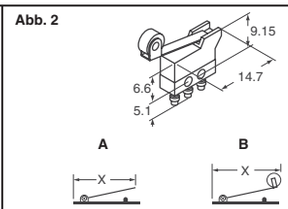

Merkmale: • Schnappschalter für Großkapazitätsschaltung (7 A @ 250 V AC) trotz kleiner Größe (8,9 x 12,7 x 5,1 mm) • Besonders geeignet als Steuerschalter für Anwendungen, bei denen Beschränkungen bzgl. Installationsplatz und Gewicht zu berücksichtigen sind. **Eigenschaften:** • Kontaktwiderstand: Max. 15 mΩ • Durchschlagsfestigkeit: 600 V AC, 50/60 Hz für 1 Min. zwischen Klemmen gleicher Polarität • Lebensdauer: Mechanik: Min. 10.000.000 Schaltungen, Elektrik: Min. 50.000 Schaltungen • Umgebungstemperatur: -10 °C ~ 80 °C

Abb.	Max. Betätigungskraft gF	Betätigertyp	Abmessung „X" (mm)	Digi-Key Teilenr.	Stückpreis 1	25	50	Omron Teilenr.
1	140	Einfachstößel	—	SW813-ND	7.09	6.39	5.68	J-7
2A	50	Kurzer Scharnierhebel	12.7	SW814-ND	11.23	10.11	8.99	J-7-V
	30	Scharnierhebel	22.0	SW815-ND	10.81	9.73	8.65	J-7-V3
	20	Langer Scharnierhebel	33.8	SW816-ND	10.81	9.73	8.65	J-7-V4
2B	55	Kurzer Scharnier-Rollenhebel	11.5	SW817-ND	12.51	11.27	10.02	J-7-V22
	33	Scharnier-Rollenhebel	20.5	SW818-ND	12.51	11.27	10.02	J-7-V2

Serie D2RW – Versiegelte Reed-Schnappschalter

Abb. 1

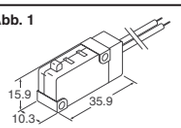

A

B

C

D

Merkmale: • Der interne Reed-Schaltkeisblock ist vom mechanischen Betätigerblock getrennt, wodurch der Schaltkreisblock ganz versiegelt bleibt. • Die Verwendung eines Reed-Schalers sorgt für hohe Zuverlässigkeit im Mikro-Lastenbereich. • Bezüglich der Montagegröße mit den Mini-Standardschaltermodellen V und D2VW vergleichbar. **Eigenschaften:** • Schaltspannung: Max. 100 V DC • Schaltstrom: Max. 0,25 A • Kontaktkapazität: Max. 10 W

Abb.	Max. Betätigungskraft gF	Betätigertyp	Abmessung „X" (mm)	Digi-Key Teilenr.	Stückpreis 1	25	50	Omron Teilenr.
1A	153	Einfachstößel	—	SW830-ND	21.62	19.47	17.31	D2RW01
1B	76	Scharnierhebel	35.6	SW829-ND	22.01	19.82	17.61	D2RW01L1
1C	76	Scharnier-Rollenhebel	34.0	SW827-ND	22.40	20.16	17.92	D2RW01L2
1D	76	Simulierter Rollenhebel	32.6	SW828-ND	22.01	19.82	17.61	D2RW01L3

Serie B3J - Tastschalter

Abb. 1

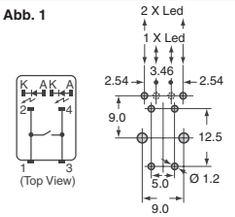

A

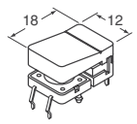

Keine LED

B

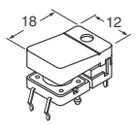

1 LED

C

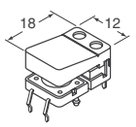

2 LEDs

Hervorragende Schnappfunktion durch Verwendung von B3F Tastschaltern von Omron und Hebelkappen mit Scharnieren. Mit den Schaltern werden Kappen mit Scharnieren und ohne LED, mit einer LED oder mit 2 LEDs geliefert. Ideal für Dateneingabe, Logik und Digitalsignaleingang.

Eigenschaften: Schaltkapazität: 1-50 mA, 5-24 V DC • Umgebungstemperatur: -25 °C ~ 70 °C • Kontaktwiderstand: Max. 100 mΩ (Nennwert: 1mA, 5 V DC) • Durchschlagsfestigkeit: 500 V AC, 50/60 Hz für 1 Minute • Prellzeit: Max. 5 ms. • Lebensdauer: Min. 3.000.000 Schaltungen Min. **LED:** • VF: 2,0 V DC • IF: 20 mA • VR: 5 V DC

Abb.	Farbe der Taste mit Scharnier	Farbe der LED	Digi-Key Teilenr.	Stückpreis 1	25	50	Omron Teilenr.
1A	Hellgrau	—	SW819-ND	1.36	1.23	1.09	B3J-1000
	Schwarz	—	SW820-ND	1.36	1.23	1.09	B3J-1100
1B	Hellgrau	Rot	SW821-ND	2.43	2.19	1.95	B3J-2000
	Schwarz	Rot	SW822-ND	2.43	2.19	1.95	B3J-2100
	Hellgrau	Grün	SW823-ND	2.43	2.19	1.95	B3J-4000
	Schwarz	Grün	SW824-ND	2.43	2.19	1.95	B3J-4100
1C	Hellgrau	Rot/Grün	SW825-ND	3.42	3.08	2.74	B3J-6000
	Schwarz	Rot/Grün	SW826-ND	3.42	3.08	2.74	B3J-6100

Serie D2A - Drucktastenschalter

Ultra-Subminiatur-Erkennungsschalter mit Drucktastenfunktion

Merkmale: • Kompakt (8 x 6 x 4,2 mm (B x H x T)) • Leichtes Gewicht (ungefähr 0,3 g) • 3 mm langer Hub • Eingebauter Schiebemechanismus wählt die Zeiteinstellung für Kurzschlussschalter oder kurzschlussgeschützte Schalter • Die kleine Größe macht diese Schalter Ideal für Haushaltsgeräte, Audiogeräte, Bürogeräte, Telekommunikationsgeräte usw.

Eigenschaften: • Kontaktnennwert: 1 A @ 30 V DC • Betriebsfrequenz: Mechanik: 200 Schaltungen pro Minute; Elektrik: 30 Schaltungen pro Minute • Durchschlagsfestigkeit: 250 V AC, 50/60 Hz für 1 Minute • Umgebungstemperatur: Bei Betrieb: -10 °C ~ 70 °C

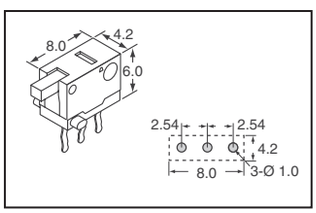

Max. Betätigungskraft gF	Schaltzeitgabe	Digi-Key Teilenr.	Stückpreis 1	25	50	Omron Teilenr.
100	Nicht kurzschließend	SW831-ND	1.10	1.00	.89	D2A-1110
100	Kurzschluss	SW832-ND	1.11	1.01	.90	D2A-2110
50	Nicht kurzschließend	SW833-ND	1.11	1.01	.90	D2A-1120
50	Kurzschluss	SW834-ND	1.11	1.01	.90	D2A-2120

(Forts.)

H

Mini-Türschalter

Der Mini-Türschalter von Omron verwendet einen einzigartigen Mechanismus, der das Schalten von Mikrolasten ermöglicht. Wählen Sie unter Stößel- oder Hebelbetätigern; beide Ausführungen verlangen eine niedrige Betätigungskraft von max. 204 g. Verwendet HL-Steckverbinder von JST.

Merkmale:

• Trennbarer Crimp-Verbinder zur einfachen Verdrahtung • Hohe Kontaktzuverlässigkeit aufgrund goldener Querstangenkontakte • Geräuscharmer Betrieb • Betriebstemperatur: -30 °C ~ 60 °C • Kontaktwiderstand: Max. 100 mΩ • UL-, CSA-, VDE-Zulassungen

Abb. 1

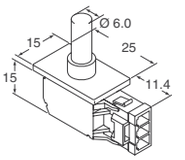

Abb. 2

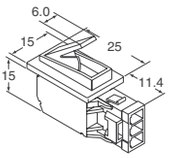

Abb.	Kontaktart	Betätigertyp	Betätigungskraft g. Max.	Digi-Key Teilenr.	Stückpreis 1	25	50	Omron Teilenr.
	SPDT	Stößel	204	SW745-ND	1.46	1.32	1.17	D3D-111
1	SPST-NC	Stößel	204	SW746-ND	1.28	1.15	1.03	D3D-121
	SPST-NO	Stößel	204	SW747-ND	1.28	1.15	1.03	D3D-131
	SPDT	Hebel	204	SW748-ND	1.55	1.40	1.24	D3D-211
2	SPST-NC	Hebel	204	SW749-ND	1.36	1.23	1.10	D3D-221
	SPST-NO	Hebel	204	SW750-ND	1.36	1.23	1.10	D3D-231

Standardschalter

Omron-Schalter der Serie Z verfügen über 15-A-Kontakte, die Lasten wie Motoren, Halogenlampen und Solenoide direkt schalten.

Omron Schalter der Serie „A“, identisches Gehäuse, schaltet 20 A-Lasten mit hohem Einschaltstrom. Alle Schalter mit Schraubenanschlussklemmen, UL- und CSA-zugelassen. Beide Serien sind Momentschalter, SPDT-Ausführung.

Die Serie “TZ” von Omron umfasst einen Keramikkörper, Kobaltlegierungsfeder und Speziallegierungskontakt, sodass hohe Kontaktzuverlässigkeit bei hoher Umgebungstemperatur gewährleistet ist. Funktioniert reibungslos bei einer Umgebungstemperatur von 400 °C. Betriebtstemperatur: -65 °C ~ 400 °C

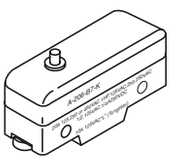

Abb. 1

Abb. 2

Abb. 3

Abb. 4

Abb. 5

Abb. 6

Abb. 7

Abb. 8

Abb.	Betätigungskraft g. Max.	Schaltstrom (A)	Betätigertyp	Betätigerlänge (mm)	Digi-Key Teilenr.	Stückpreis 1	25	50	Omron Teilenr.
1	350	15	Einfachstößel	—	SW190-ND	5.80	5.22	4.64	Z15G-B
2	350	15	Federstößel	—	SW191-ND	7.14	6.42	5.71	Z15GD-B
3	350	15	Plattenstößel	—	SW192-ND	9.74	8.77	7.79	Z15GQ-B
4	350	15	Plattenrollenhebel	—	SW193-ND	11.50	10.35	9.20	Z15GQ21-B
5	350	15	Plattenrollenhebel	—	SW194-ND	11.50	10.35	9.20	Z15GQ22-B
6	70	15	Hebel	63.50	SW195-ND	7.79	7.01	6.24	Z15GW-B
7	100	15	Langer Rollenhebel	48.49	SW196-ND	7.79	7.01	6.24	Z15GW2-B
8	160	15	Kurzer Rollenhebel	26.59	SW197-ND	7.28	6.56	5.83	Z15GW22-B
6	6	15	Leichtgängiger Hebel	63.50	SW198-ND	8.04	7.24	6.44	Z15HW24-B7-K
1	625	20	Einfachstößel	—	SW230-ND	7.86	7.07	6.29	A20G-B7-K
6	70	20	Hebel	63.50	SW231-ND	7.90	7.11	6.32	A20GV-B7-K
7	90	20	Langer Rollenhebel	48.49	SW232-ND	7.90	7.11	6.32	A20GV2-B7-K
3	625	20	Plattenstößel	—	SW233-ND	11.94	10.75	9.55	A20GQ-B7-K
8	160	20	Kurzer Rollenhebel	26.59	SW234-ND	8.49	7.64	6.79	A20GV22-B7-K
Anschlussabdeckung aus Phenol für Serien A/Z					SW235-ND	.75	.67	.60	AP-B
Anschlussabdeckung mit Zugentlastung für Serien A/Z					SW236-ND	3.84	3.45	3.07	AP-Z
Einfache Schalter für hohe Temperatur									
1	350	1	Einfachstößel	—	SW759-ND	148.24	132.64	117.04	TZ-1G
6	70	1	Hebel	63.50	SW760-ND	243.62	217.97	192.33	TZ-1GV
7	160	1	Langer Rollenhebel	48.49	SW761-ND	243.62	217.97	192.33	TZ-1GV2
8	100	1	Kurzer Rollenhebel	26.59	SW762-ND	237.53	212.53	187.53	TZ-1GV22

H

Abgedichteter Endschalter, robust, D4C

Omron-Endschalter der Serie D4C sind gekapselte Endschalter mit strapazierfähigem Gussgehäuse, Dreifachabdichtung und vorverdrahtetem Kabel (3 m). Gut geeignet für raue Bedingungen, für drinnen/draußen, wenn kleine Größe von Vorteil ist.

Abb. 1

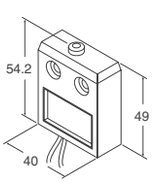

Abb. 2

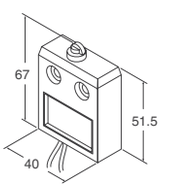

Abb. 3

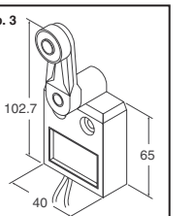

Abb.	Betätigungskraft g. Max.	Schaltstrom (A)	Betätigertyp	Digi-Key Teilenr.	Stückpreis 1	25	50	Omron Teilenr.
1	1200	5	Einfachstößel	Z1055-ND	46.28	42.85	39.99	D4C-1601
2	1200	5	Rollenhebelstößel	Z1056-ND	46.28	42.85	39.99	D4C-1602
3	580	5	Rollenhebel	Z1057-ND	56.65	52.45	48.96	D4C-1620

ZE-Schalter, robust, abgedichtet, hohe Leistung

Robuste Schalter, lange Lebensdauer, stabiles Druckgussgehäuse, mit Hochleistungskontakt (15 A). NEMA-Abdichtung für sehr lange Lebensdauer (SPDT 15 A bei 125 V AC).

Abb. 1

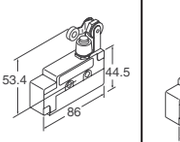

Abb. 2

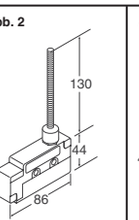

Abb. 3

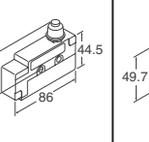

Abb. 4

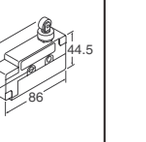

Abb.	Betätigungskraft g. Max.	Schaltstrom (A)	Betätigertyp	Digi-Key Teilenr.	Stückpreis 1	25	50	Omron Teilenr.
1	640	15	Rollenarmhebel	Z1058-ND	35.13	32.54	30.37	ZE-NA2-2S
2	150	15	Schraubenfeder	Z1059-ND	35.90	33.25	31.03	ZE-NJ-2S
3	800	15	Stößel	Z1060-ND	27.27	25.25	23.57	ZE-N-2S
4	500	15	Rollenhebelstößel	Z1061-ND	36.48	33.78	31.53	ZE-N22-2S

Alle Preisangaben in Euro und inklusive Zollgebühren.

Abb. 1 – Subminiatur, Serie DG

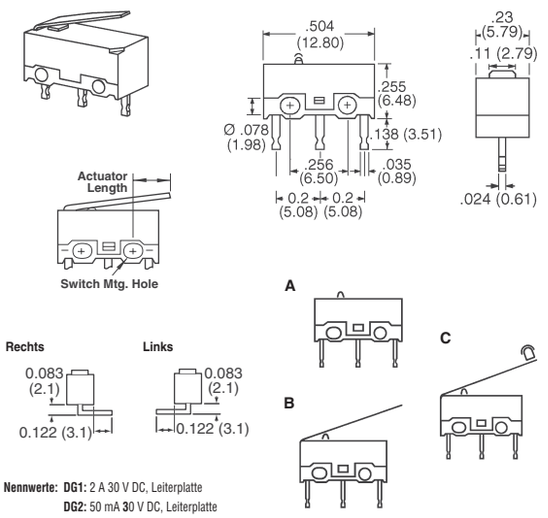

Nennwerte: **DG1:** 2 A 30 V DC, Leiterplatte
DG2: 50 mA 30 V DC, Leiterplatte

Abb. 2 – Ultra-Subminiatur und Subminiatur, Serie DH

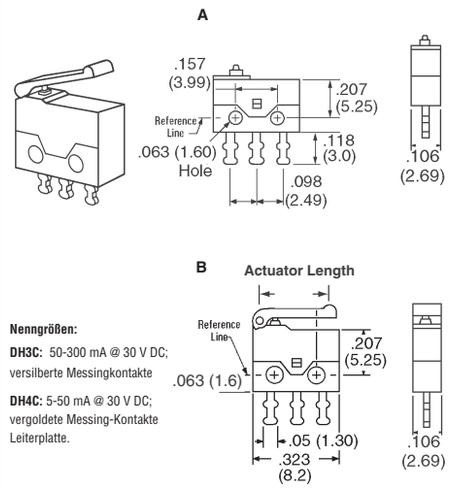

Nenngrößen:

DH3C: 50-300 mA @ 30 V DC; versilberte Messingkontakte

DH4C: 5-50 mA @ 30 V DC; vergoldete Messing-Kontakte Leiterplatte.

Abb. 3 – Gegen Wasser und Staub abgedichtet, Serie DC

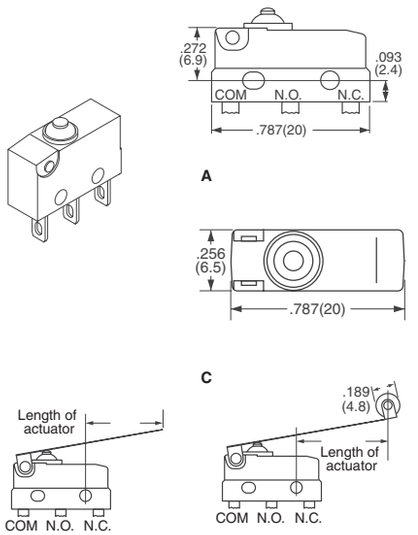

Abb.	Beschreibung	Schaltkreis	Strom	Anschlussklemme Zoll (mm)	Betätiger	Betätigerlänge Zoll (mm)	Betätigungskraft (max. g)	Digi-Key Teilenr.	Preisangaben 1	10	50	100	500	Cherry Teilenr.
1A	Subminiatur, Serie DG	SPDT	5 - 50mA	Vertikale Leiterplatte	Knopf	—	140	CH167-ND	3.13	27.84	115.98	200.08	916.28	DG23-B1AA
1A				Rechter Winkel - Leiterplatte	Knopf	—	140	CH620-ND	3.23	28.65	119.37	205.92	943.03	DG23-B2AA
1B				Vertikale Leiterplatte	Hebel	0.169 (4.29)	45	CH168-ND	3.23	28.65	119.37	205.92	943.03	DG23-B1LA
1B				Rechter Winkel - Leiterplatte	Hebel	0.169 (4.29)	140	CH621-ND	3.34	29.66	123.60	213.22	976.47	DG23-B2LA
1B				Linker Winkel - Leiterplatte	Hebel	0.169 (4.29)	140	CH624-ND	3.34	29.66	123.60	213.22	976.47	DG23-B3LA
1C				Vertikale Leiterplatte	Rollenhebel	0.075 (1.91)	45	CH169-ND	3.34	29.66	123.60	213.22	976.47	DG23-B1RA
1C				Rechter Winkel - Leiterplatte	Rollenhebel	0.075 (1.91)	140	CH622-ND	3.45	30.68	127.84	220.52	1009.91	DG23-B2RA
1C				Linker Winkel - Leiterplatte	Rollenhebel	0.075 (1.91)	140	CH625-ND	—	—	—	217.32	—	DG23-B3RA
1A		SPDT	3A	Vertikale Leiterplatte	Knopf	—	140	CH164-ND	2.88	25.60	106.67	184.01	842.71	DG13-B1AA
1B					Hebel	0.169 (4.29)	45	CH165-ND	3.01	26.82	111.75	192.77	882.83	DG13-B1LA
1C					Rollenhebel	0.075 (1.91)	45	CH166-ND	3.13	27.84	115.98	200.08	916.28	DG13-B1RA
1A		SPDT	3A	Rechter Winkel - Leiterplatte	Knopf	—		CH617-ND	—	—	—	189.98	—	DG13-B2AA
1B				Rechter Winkel - Leiterplatte	Hebel	0.169 (4.29)	140	CH618-ND	—	—	—	200.08	—	DG13-B2LA
1C				Linker Winkel - Leiterplatte	Rollenhebel	0.075 (1.91)		CH619-ND	—	—	—	205.92	—	DG13-B3RA
2A	Subminiatur, Serie DH	SPDT	50-300mA	Gerade - Lötschwanz	Knopf	—	90	CH841-ND	2.10	18.69	77.89	134.36	615.31	DH3C-B1AA
2A			5-50mA		Knopf	—	90	CH842-ND	3.56	31.70	132.07	227.82	1043.35	DH4C-B1AA
2B			50-300mA		Simulierter Rollenhebel	0.252 (6.4)	50	CH843-ND	2.18	19.30	80.43	138.74	635.37	DH3C-B1LA
2B			5-50mA		Simulierter Rollenhebel	0.252 (6.4)	50	CH844-ND	3.70	32.92	137.15	236.58	1083.48	DH4C-B1LA
2A		SPDT	50-300mA	Rechte Seite - Leiterplatte	Knopf	—	90	CH845-ND	2.18	19.30	80.43	138.74	635.37	DH3C-C5AA
2A			5-50mA		Knopf	—	90	CH846-ND	3.70	32.92	137.15	236.58	1083.48	DH4C-C5AA
2B			50-300mA		Simulierter Rollenhebel	0.252 (6.4)	50	CH847-ND	2.22	19.71	82.12	141.66	648.75	DH3C-C5LA
2B			5-50mA		Simulierter Rollenhebel	0.252 (6.4)	50	CH848-ND	3.78	33.53	139.69	240.97	1103.54	DH4C-C5LA
2A		SPDT	50-300mA	Linke Seite - Leiterplatte	Knopf	—	90	CH849-ND	2.45	21.74	90.59	156.27	715.63	DH3C-C6AA
2A			5-50mA		Knopf	—	90	CH850-ND	4.14	36.78	153.23	264.33	1210.55	DH4C-C6AA
2B			50-300mA		Simulierter Rollenhebel	0.252 (6.4)	50	CH851-ND	2.22	19.71	82.12	141.66	648.75	DH3C-C6LA
2B			5-50mA		Simulierter Rollenhebel	0.252 (6.4)	50	CH852-ND	3.78	33.53	139.69	240.97	1103.54	DH4C-C6LA
2B		SPDT	50-300mA	Gerade - Leiterplatte	Simulierter Rollenhebel	0.252 (6.4)	50	CH853-ND	2.19	19.51	81.27	140.20	642.06	DH3C-C4LA
2B			5-50mA		Simulierter Rollenhebel	0.252 (6.4)		CH854-ND	3.73	33.12	138.00	238.05	1090.17	DH4C-C4LA
3A	Serie DC, abgedichtet gegen Wasser und Staub	SPDT	0.1A	Lötöse	Knopf	—	347	CH293-ND	5.07	45.11	187.95	324.21	1484.77	DC3C-A1AA
3A				Drahtleitungen 18 AWG	Knopf	—	204	CH614-ND	15.15	134.71	561.30	968.24	4434.24	DC3C-D5AA
3A				Linker Winkel - Leiterplatte	Knopf	—	204	CH615-ND	3.29	29.26	121.91	210.30	963.09	DC3C-K7AA
3A				Drahtleitungen 20 AWG	Knopf	—	204	CH616-ND	15.89	141.21	588.39	1014.97	4648.26	DC3C-M3AA
3B				Lötöse	Hebel	0.189 (4.80)	204	CH613-ND	6.24	55.47	231.12	398.69	1825.86	DC3C-A1LB
3A		SPDT	5A	Lötöse	Knopf	—		CH290-ND	3.45	30.68	127.84	220.52	1009.91	DC1C-A1AA
3A				Drahtleitungen 18 AWG	Knopf	—		CH607-ND	10.88	96.72	402.98	695.14	3183.55	DC1C-D5AA
3A				Rechter Winkel - Leiterplatte	Knopf	—	204	CH608-ND	3.06	27.23	113.44	195.69	896.21	DC1C-K6AA
3B				Lötöse	Hebel	0.189 (4.80)		CH291-ND	3.84	34.13	142.23	245.34	1123.61	DC1C-A1LB
3B				0,110 (2,79) Schnellanschluss	Hebel	0.276 (7.01)		CH609-ND	3.73	33.12	138.00	238.05	1090.17	DC1C-L1LC
3C				Lötöse	Rollenhebel	0.098 (2.49)		CH606-ND	7.38	65.63	273.45	471.71	2160.27	DC1C-A1RB
3A		SPDT	10.1A	Lötöse	Knopf	—		CH292-ND	3.82	33.93	141.38	243.89	1116.92	DC2C-A1AA
3B				Lötöse	Hebel	0.189 (4.80)	347	CH610-ND	4.50	40.03	166.78	287.70	1317.56	DC2C-A1LB
3A				Drahtleitungen 16 AWG	Knopf	—		CH611-ND	12.73	113.17	471.56	813.44	3725.29	DC2C-E5AA
3B				Drahtleitungen 16 AWG	Hebel	0.189 (4.80)		CH612-ND	13.22	117.44	489.33	844.10	3865.74	DC2C-E5LB
—	Ersatzbetätiger	Standardhebel für 1 LB/1 MB-Suffix						CH657-ND	.14	1.22	5.08	8.76	40.13	0014-5576
		Simulierter Rollenhebel für 1 SB/1 UB-Suffix						CH658-ND	.14	1.22	5.08	8.76	40.13	0014-5594
		Standardhebel, Serie DC, LB-Suffix						CH667-ND	—	—	—	—	43.18	0614-1232
		Standardhebel, Serie DC, LC-Suffix						CH668-ND	.14	1.22	5.08	8.76	40.13	0614-1233
		Extra langer Rollenhebel, LD-Suffix						CH669-ND	.35	3.05	12.70	21.91	100.32	0614-1234
		Rollenhebel, Serie DC, RB-Suffix						CH673-ND	.58	5.08	21.17	36.51	167.20	0714-0260
		Rollenhebel, Serie DC, RC-Suffix						CH674-ND	.58	5.08	21.17	36.51	167.20	0714-0261
		Rollenhebel, Serie DC, RD-Suffix						CH675-ND	.59	5.28	22.01	37.97	173.89	0714-0262

H

Abb.	Schaltkreis	Strom	Anschlussklemme Zoll (mm)	Betätiger	Betätigerlänge Zoll (mm)	Betätigungskraft (max. g)	Digi-Key Teilenr.	Stückpreis 1	10	50	Cherry Teilenr.
Mehrzweck — Power-Serie E13,E14, E19, E20 und G13											
1B	SPDT	0.1A	.250 QC◊ (6.35)	Gewindedurchführung	—	425	CH573-ND	4.71	4.19	3.49	G13-00J
1C				Gewindedurchführung	—	425	CH574-ND	5.42	4.82	4.02	G13-00M
1D				Langer Hebel	1.5 (38.10)	100	CH572-ND	5.05	4.49	3.75	G13-00H
1D				Langer Hebel	1.75 (44.45)	65	CH575-ND	5.05	4.49	3.75	G13-50H
1A	SPDT	15A	.250 QC◊ (6.35)	Kunststoffknopf	—	425	CH102-ND	2.47	2.20	1.83	E13-00E
1B				Gewindedurchführung/Kunststoffknopf	—	425	CH100-ND	2.74	2.44	2.04	E13-00J
1C				Gewindedurchführung/Metallknopf	—	425	CH101-ND	3.47	3.09	2.58	E13-00M
1D				Langer Hebel	1.5 (38.10)	100	CH312-ND	3.36	2.99	2.49	E13-00H
				Langer Hebel	1.75 (44.45)	65	CH314-ND	3.36	2.99	2.49	E13-50H
1E				Langer Rollenhebel	1.391 (35.33)	100	CH313-ND	4.07	3.62	3.02	E13-00K
				Rollenhebel	1.645 (41.78)	65	CH502-ND	4.07	3.62	3.02	E13-50K
1D	DPDT	20A	.250 QC◊ (6.35)	Langer Hebel	.821 (20.85)	425	CH505-ND	8.48	7.54	6.29	E20-00H
				Langer Hebel	1.071 (27.20)	285	CH506-ND	8.48	7.54	6.29	E20-50H
1E				Knopf	—	1280	CH327-ND	7.75	6.90	5.74	E20-00A
1A	SPDT	25A	.250 QC◊ (6.35)	Kunststoffknopf	—	850	CH315-ND	3.09	2.75	2.29	E14-00A
1C				Gewindedurchführung/Metallknopf	—	850	CH318-ND	4.14	3.68	3.07	E14-00M
1D				Kurzer Hebel	.821 (20.85)	285	CH316-ND	4.18	3.72	3.10	E14-00H
				Langer Hebel	1.071 (27.20)	170	CH319-ND	4.11	3.66	3.05	E14-50H
1E				Kurzer Rollenhebel	.652 (16.56)	285	CH317-ND	4.69	4.17	3.48	E14-00K
				Rollenhebel	.902 (22.9)	170	CH503-ND	4.69	4.17	3.48	E14-50K
1A	DPDT	15A	.250 QC◊ (6.35)	Kunststoffknopf	—	850	CH320-ND	5.16	4.60	3.83	E19-00A
1B				Gewindedurchführung/Kunststoffknopf	—	850	CH322-ND	5.55	4.94	4.12	E19-00J
1C				Gewindedurchführung/Metallknopf	—	850	CH324-ND	5.85	5.21	4.34	E19-00M
1D				Langer Hebel	1.5 (38.10)	205	CH321-ND	6.15	5.47	4.56	E19-00H
				Langer Hebel	1.75 (44.45)	130	CH325-ND	5.67	5.04	4.20	E19-50H
1E				Langer Rollenhebel	1.391 (35.33)	212	CH323-ND	7.09	6.30	5.25	E19-00K
				Langer Rollenhebel	1.645 (41.78)	150	CH326-ND	7.15	6.36	5.30	E19-50K
1C	DPDT	20A	.250 QC◊ (6.35)	Gewindedurchführung/Metallknopf	—	850	CH329-ND	8.64	7.68	6.41	E20-00M
1E				Kurzer Rollenhebel	.652 (16.56)	425	CH328-ND	9.12	8.11	6.76	E20-00K
				Langer Rollenhebel	1.391 (35.33)	212	CH330-ND	9.63	8.56	7.13	E20-50K
1A	SPST-N/O	15A	.250 QC◊ (6.35)	Knopf	—	425	CH500-ND	2.47	2.20	1.83	E13-01E
1D				Langer Rollenhebel	1.5 (38.10)	100	CH501-ND	3.36	2.99	2.49	E13-01H
Montagemutter aus Messing für Gewindedurchführung							CH284-ND	.12	.11	.09	0012-0023
Rändelziermutter, Messing, für J/M E13/19/G13							CH651-ND	1.21	1.08	.90	0012-0025
Vernickelte Sechskantmutter für J/M E13/19/G13							CH652-ND	.14	.13	.11	0012-0028
Sicherungsscheibe für J/M E13/E19/G13							CH653-ND	.19	.17	.14	0012-0073
Niedriges Drehmoment — Serie E51 und E53											
2A	SPDT	.1A	.187 QC◊ (4.75)	Rechtsläufiger Hebel	—	4	CH152-ND	10.38	9.23	7.69	E53-00R
2B			.187 QC◊ (4.75)	Linksläufiger Hebel	—	4	CH153-ND	10.38	9.23	7.69	E53-00T
2A	SPDT	6A	Vert. Drehen	Rechtsläufiger Hebel	—	4	CH364-ND	7.94	7.06	5.88	E51-50R
2B			.187 QC◊ (4.75)	Linksläufiger Hebel	—	4	CH149-ND	7.94	7.06	5.88	E51-00T
			.205 QC◊ (5.21)	Linksläufiger Hebel	—	4	CH147-ND	7.94	7.06	5.88	E51-00E
Betätigerdraht, Form für E51/E53							CH655-ND	.14	.13	.11	0014-0645
Subminiatur — Serie E61, E62 und E63											
3A	SPDT	.1A	.093 QC◊ (2.36)	Nur Stößel	—	90	CH380-ND	5.88	5.23	4.36	E63-00A
			.110 QC◊ (2.36)	Nur Stößel	—	90	CH554-ND	5.38	4.78	3.98	E63-30A
			Lötöse	Nur Stößel	—	90	CH383-ND	5.38	4.78	3.98	E63-10A
3B			.093 QC◊ (2.36)	Hebel, Std.-Verhältnis	.271 (6.88)	27	CH381-ND	6.40	5.69	4.75	E63-00H
			.093 QC◊ (2.36)	Hebel, Std.-Verhältnis	.396 (10.06)	9	CH384-ND	6.40	5.69	4.75	E63-50H
			Lötöse	Langer Hebel	.271 (6.88)	27	CH551-ND	6.40	5.69	4.75	E63-10H
			Lötöse	Langer Hebel	.396 (10.06)	9	CH557-ND	6.40	5.69	4.75	E63-60H
3C			Lötöse	Rollenhebel	.201 (5.11)	30	CH552-ND	6.86	6.10	5.08	E63-10K
			.093 QC◊ (2.36)	Rollenhebel	.201 (5.11)	30	CH382-ND	6.86	6.10	5.08	E63-00K
			.110 QC◊ (2.79)	Rollenhebel	.201 (5.11)	30	CH555-ND	6.86	6.10	5.08	E63-30K
			.110 QC◊ (2.79)	Rollenhebel	.326 (8.28)	10	CH558-ND	6.86	6.10	5.08	E63-80K
3D			.093 QC◊ (2.36)	Sim. Rollenhebel	.197 (5.0)	30	CH550-ND	6.60	5.88	4.90	E63-00R
			Lötöse	Sim. Rollenhebel	.197 (5.0)	30	CH553-ND	6.60	5.88	4.90	E63-10R
3A	SPDT	5A	.093 QC◊ (2.36)	Nur Stößel	—	90	CH103-ND	2.81	2.50	2.09	E61-00A
			.110 QC◊ (2.79)	Nur Stößel	—	90	CH370-ND	2.81	2.50	2.09	E61-30A
			Lötöse	Nur Stößel	—	90	CH104-ND	2.81	2.50	2.09	E61-10A
3B			.093 QC◊ (2.36)	Hebel, Std.-Verhältnis	.271 (6.88)	27	CH105-ND	4.05	3.60	3.00	E61-00H
			.110 QC◊ (2.79)	Hebel, Std.-Verhältnis	.271 (6.88)	27	CH371-ND	4.05	3.60	3.00	E61-30H
			Lötöse	Hebel, Std.-Verhältnis	.271 (6.88)	27	CH106-ND	4.05	3.60	3.00	E61-10H
			.093 QC◊ (2.36)	Hebel, Std.-Verhältnis	.396 (10.06)	9	CH373-ND	4.05	3.60	3.00	E61-50H
			Lötöse	Langer Hebel	.396 (10.06)	9	CH542-ND	4.05	3.60	3.00	E61-60H
3C	SPDT	5A	.093 QC◊ (2.36)	Rollenhebel, Std.-Verhältnis	.201 (5.11)	30	CH107-ND	4.30	3.82	3.19	E61-00K
			Lötöse	Rollenhebel, Std.-Verhältnis	.201 (5.11)	30	CH108-ND	4.30	3.82	3.19	E61-10K
			.110 QC◊ (2.79)	Rollenhebel	.201 (5.11)	30	CH372-ND	4.30	3.82	3.19	E61-30K
			.110 QC◊ (2.79)	Rollenhebel	.326 (8.28)	10	CH544-ND	4.30	3.82	3.19	E61-80K
			.093 QC◊ (2.36)	Rollenhebel	.326 (8.28)	10	CH374-ND	4.30	3.82	3.19	E61-50K
			Lötöse	Rollenhebel	.326 (8.28)	10	CH543-ND	4.30	3.82	3.19	E61-60K

◊ Schnellanschluss

(Forts.)

Abb. 1 Serie E13, E14, E19, E20 und G13

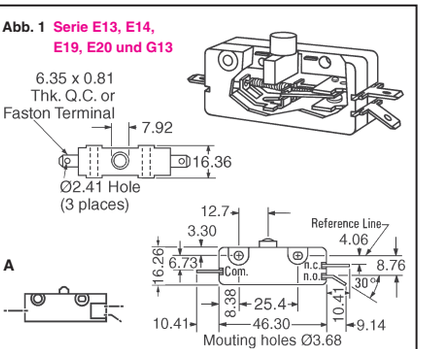

Nenngrößen:

E13: 15 A – 125/250 V AC, 3/4 HP – 125 V AC, 1-1/2 HP – 250 V AC

E14: 25 A – 125/250 V AC, 1 HP – 125 V AC, 2 HP – 250 V AC

E19: 15 A – 125/250 V AC, 3/4 HP – 125 V AC

E20: 20 A – 125/250 V AC, 1 HP – 125 V AC

G13: 0,1 A – 125 V AC. Crosspoint-Kontakte, Gold.

Abb. 2 Serie E51, E53

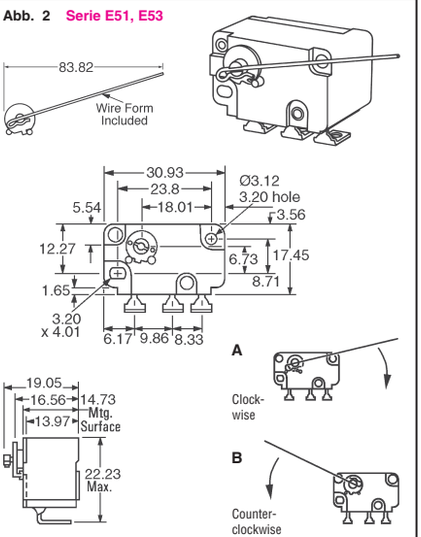

Nennwerte: E51: 6 A 250 V AC

E53: 0,1 A 125 V AC. Crosspoint-Kontakte, Gold. Betriebsdrehmoment: Standardkraft – 4,0 Zoll/g (101,6 mm/g). Nachlauf: Min. 15°, Wegdifferenzial: Min. 3°

Abb. 3 Serie E61, E62, E63

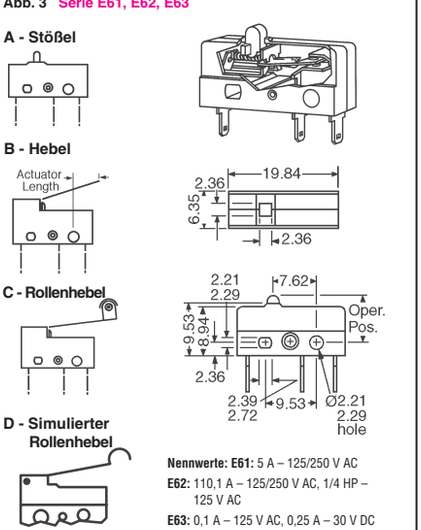

Nennwerte: E61: 5 A – 125/250 V AC

E62: 110,1 A – 125/250 V AC, 1/4 HP – 125 V AC

E63: 0,1 A – 125 V AC, 0,25 A – 30 V DC

H

Alle Preisangaben in Euro und inklusive Zollgebühren.

Abb.	Schaltkreis	Strom	Anschlussklemme Zoll (mm)	Betätiger	Betätigerlänge Zoll (mm)	Betätigungskraft (max. g)	Digi-Key Teilenr.	Stückpreis 1	10	50	Cherry Teilenr.
Subminiatur — Serie E61, E62 und E63 (Forts.)											
3A	SPDT	10.1A	.093 QC◊ (2.36)	Nur Stößel	—	212	CH109-ND	3.17	2.83	2.36	E62-00A
			.110 QC◊ (2.79)	Nur Stößel	—	212	CH377-ND	3.17	2.83	2.36	E62-30A
			Lötöse	Nur Stößel	—	212	CH110-ND	3.17	2.83	2.36	E62-10A
3B			.093 QC◊ (2.36)	Hebel, Std.-Verhältnis	.271 (6.88)	56	CH111-ND	4.05	3.60	3.00	E62-00H
			Lötöse	Hebel, Std.-Verhältnis	.271 (6.88)	56	CH112-ND	4.05	3.60	3.00	E62-10H
3C			.093 QC◊ (2.36)	Rollenhebel, Std.-Verhältnis	.201 (5.11)	65	CH113-ND	4.64	4.13	3.44	E62-00K
			Lötöse	Rollenhebel, Std.-Verhältnis	.201 (5.11)	65	CH114-ND	4.64	4.13	3.44	E62-10K
			.110 QC◊ (2.79)	Rollenhebel	.201 (5.11)	65	CH378-ND	4.64	4.13	3.44	E62-30K
			.093 QC◊ (2.36)	Rollenhebel	.326 (8.28)	33	CH379-ND	4.64	4.13	3.44	E62-50K
3A	SPDT	10.1A	Leiterplattenmontage	Nur Stößel	—	212	CH545-ND	3.17	2.83	2.36	E62-50A
3B			.093 QC◊ (2.36)	Langer Hebel	.396 (10.06)	20	CH546-ND	4.05	3.60	3.00	E62-50H
			Lötöse	Langer Hebel	.396 (10.06)	20	CH547-ND	4.05	3.60	3.00	E62-60H
3C			Lötöse	Rollenhebel	.326 (8.28)	33	CH548-ND	4.64	4.13	3.44	E62-60K
			.110 QC◊ (2.79)	Langer Hebel	.396 (10.06)	20	CH549-ND	4.05	3.60	3.00	E62-80H
Ersatzbetätigerhebel, 2,163 (54,94 mm) lang							CH654-ND	.20	.19	.16	0014-0134
Subminiatur, Schnappschalter— Serie DA3											
4A	SPDT	.1A	.110 QC◊ (2.79)	Nur Stößel	—	90	CH285-ND	3.16	2.81	2.34	DA3C-B1AA
			.093 QC◊ (2.36)	Nur Stößel	—	90	CH140-ND	3.09	2.75	2.29	DA3C-F1AA
			Lötöse	Nur Stößel	—	90	CH141-ND	2.51	2.24	1.87	DA3C-D1AA
			Leiterplattenmontage	Nur Stößel	—	90	CH287-ND	3.98	3.54	2.95	DA3C-H1AA
4B			.093 QC◊ (2.36)	Hebel, Std.-Verhältnis	.271 (6.88)	27	CH142-ND	4.66	4.15	3.46	DA3C-F1LB
			Lötöse	Hebel, Std.-Verhältnis	.271 (6.88)	27	CH143-ND	4.87	4.33	3.61	DA3C-D1LB
			.110 QC◊ (2.79)	Hebel -Standard-Übersetzungsverhältnis	.271 (6.88)	27	CH599-ND	4.87	4.33	3.61	DA3C-B1LB
			Lötöse	Hebel - Hohes Übersetzungsverhältnis	.396 (10.06)	9	CH602-ND	4.87	4.33	3.61	DA3C-D1MB
4C			.093 QC◊ (2.36)	Rollenhebel, Std.-Verhältnis	.201 (5.11)	30	CH144-ND	5.03	4.47	3.73	DA3C-F1RB
			Lötöse	Rollenhebel, Std.-Verhältnis	.201 (5.11)	30	CH145-ND	5.03	4.47	3.73	DA3C-D1RB
			.110 QC◊ (2.79)	Roller - Standard Ratio*	.201(5.11)	30	CH600-ND	5.26	4.68	3.90	DA3C-B1RB
4D			.110 QC◊ (2.79)	Simulierter Rollenhebel	.197 (5.00)	30	CH286-ND	5.07	4.52	3.76	DA3C-B1SB
			Lötöse	Sim. Roller - Standard Ratio**	.197 (5.00)	30	CH603-ND	4.87	4.33	3.61	DA3C-D1SB
			.093 QC◊ (2.36)	Sim. Roller - High Ratio***	.235 (5.97)	10	CH604-ND	5.03	4.47	3.73	DA3C-F1UA
Ersatzbetätigerhebel, 3,066" (77,88 mm), extra lang							CH656-ND	.23	.21	.17	0014-5519
Schalttafelmontierter Drucktaster — Serie E68, E69, E78, E79 und F79											
5A	SPDT	.1A	.187 QC◊ (4.75)	Momentschalter	.845 (21.46)	425	CH386-ND	4.64	4.13	3.44	E68-00A
5B				Momentary Cheat Interlock†	.730 (18.54)	385	CH387-ND	4.89	4.35	3.63	E68-30A
5C				Kurzer Knopf, Momentschalter	.420 (10.67)	425	CH388-ND	5.03	4.47	3.73	E68-40A
5D				Zusätzlicher Drucktaster	.4 (10.16)	425	CH560-ND	5.15	4.58	3.81	E68-50A
5A	SPDT	10A	.187 QC◊ (4.75)	Momentschalter	.875 (22.23)	425	CH154-ND	3.27	2.91	2.43	E69-00A
				Momentschalter	.825 (20.96)	425	CH561-ND	4.53	4.03	3.36	E69-00AA
5B				Zug/Druck (Reset)	.9 (22.86)	285	CH562-ND	3.27	2.91	2.43	E69-20A
				Momentary Cheat Interlock†	.980 (24.89)	425/285	CH155-ND	3.89	3.46	2.88	E69-30A
5C				Kurzer Knopf, Momentschalter	.450 (11.43)	425	CH156-ND	3.27	2.91	2.43	E69-40A
				Kurzer Knopf, Momentschalter	.4 (10.16)	425	CH563-ND	4.64	4.13	3.44	E69-40AA
5D				Zusätzlicher Drucktaster	.4 (10.16)	425	CH564-ND	4.14	3.68	3.07	E69-50A
5A	DPDT	.1A	.187 QC◊ (4.75)	Momentschalter	.825 (20.96)	680	CH567-ND	9.30	8.27	6.90	E78-00A
5B				Zug/Druck (Reset)	.9 (22.86)	510	CH568-ND	9.30	8.27	6.90	E78-20A
				Momentary Cheat Interlock†	.71 (18.03)	757	CH569-ND	10.93	9.72	8.10	E78-30A
5C				Kurzer Knopf, Momentschalter	.4 (10.16)	567	CH570-ND	9.14	8.13	6.78	E78-40A
5A	DPDT	10A	.187 QC◊ (4.75)	Momentschalter	.875 (22.23)	680	CH157-ND	5.65	5.02	4.19	E79-00A
5B				Momentary Cheat Interlock†	.71 (18.03)	757	CH571-ND	5.90	5.25	4.37	F79-30A
				Zug/Druck (Reset)	.920 (23.37)	510	CH392-ND	5.65	5.02	4.19	E79-20A
				Momentary Cheat Interlock†	.980 (24.89)	757/567	CH158-ND	7.54	6.71	5.59	E79-30A
5C				Kurzer Knopf, Momentschalter	.450 (11.43)	680	CH159-ND	5.65	5.03	4.19	E79-40A
Gegen Wasser und Staub abgedichtet — Serie E72 und Serie E73											
6B	SPDT	0.1A	10" (254 mm)	Rollenhebel	.858 (21.79)	25	CH566-ND	14.52	12.91	10.76	E73-40KT
6C			Drähte	Hebel	.858 (21.79)	67	CH565-ND	5.64	5.03	4.19	E73-40HT
6A	SPDT	10A	10" (254 mm) Drähte	Nur Stößel	.230 (5.84)	300	CH389-ND	12.97	11.53	9.61	E72-40AT
6B				Rollenhebel	.858 (21.79)	25	CH390-ND	11.16	9.93	8.27	E72-40KT
6C				Hebel	.858 (21.79)	67	CH391-ND	9.85	8.76	7.30	E72-40HT
International zugelassen, Subminiatur — Serie DB1											
7	SPDT	5A	Lötzinn	Nur Stößel	—	150	CH288-ND	1.49	1.33	1.11	DB1C-A1AA
			Leiterplattenstift	Nur Stößel	—	150	CH289-ND	1.49	1.33	1.11	DB1C-C1AA
Ersatzbetätiger, simulierter Rollenhebel, SB-Suffix							CH670-ND	.17	.15	.12	0614-1237
Ersatzbetätiger, simulierter Rollenhebel, SC-Suffix							CH671-ND	.16	.15	.12	0614-1238
Ersatzbetätiger, simulierter Rollenhebel, SD-Suffix							CH672-ND	.30	.27	.23	0614-1239
Netzunterbrechungsschalter — F8											
8	SPST	.1A	.250 QC◊ (6.35)	Schutzschicht	—	866	CH309-ND	14.04	12.48	10.40	F83A-B120
		10A	.187 QC◊ (4.75)	Nur Stößel	—	866	CH303-ND	9.24	8.21	6.85	F81A-A110
			.250 QC◊ (6.35)	Nur Stößel	—	866	CH304-ND	10.18	9.05	7.54	F81A-A120
			.187 QC◊ (4.75)	Schutzschicht	—	866	CH305-ND	9.49	8.44	7.03	F81A-B110
			.250 QC◊ (6.35)	Schutzschicht	—	866	CH306-ND	9.49	8.44	7.03	F81A-B120
	SPST/SPDT	10A	.250 QC◊ (6.35)	Nur Stößel	.238 (6.05)	866	CH626-ND	10.19	9.07	7.56	F81J-A120
	SPST	16A	.250 QC◊ (6.35)	Nur Stößel	—	866	CH307-ND	10.54	9.37	7.81	F82A-A120
				Schutzschicht	—	866	CH308-ND	10.70	9.51	7.93	F82A-B120
Leicht- und standardgängige Schalter - Serie E											
9A	SPDT	.1 A	.187 QC◊ (4.75)	Nur Stößel	—	75	CH331-ND	3.47	3.09	2.58	E21-00A
9B				Langer Hebel	1.400 (35.56)	35	CH333-ND	4.80	4.27	3.56	E21-50H
				Leichtgängig - Langer Hebel	2.932 (74.47)	2	CH512-ND	5.22	4.64	3.87	E21-85HX
9C				Leichtgängig - Rollenhebel	1.34 (34.04)	8	CH507-ND	5.65	5.02	4.19	E21-50KX
				Leichtgängig - Rollenhebel	1.516 (38.50)	5	CH511-ND	5.16	4.60	3.83	E21-75KX
				Langer Rollenhebel	1.340 (34.04)	35	CH334-ND	5.53	4.92	4.10	E21-50K
9D				Kurzer Rollenhebel	.810 (20.57)	75	CH332-ND	5.22	4.64	3.87	E21-00K
9E				Leichtgängig - Kunststoffhebel	1.34 (34.04)	8	CH508-ND	5.15	4.58	3.81	E21-50NX
9A	SPDT	3A	.187 QC◊ (4.75)	Leichtgängig - Nur Stößel	—	15	CH335-ND	2.84	2.52	2.10	E22-00AX

◊ Schnellanschluss *(Forts.)*

* Rollenhebel - Standard-Übersetzungsverhältnis ** Sim. Rollenhebel - Standard-Übersetzungsverhältnis *** Sim. Rollenhebel - Hohes Übersetzungsverhältnis † Momentschalter mit eingriffssicherer Verriegelung

Abb. 4

Serie DA3

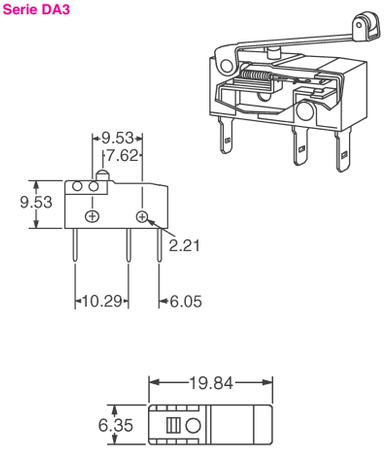

A - Stößel

B - Hebel

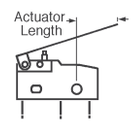

C - Rollenhebel

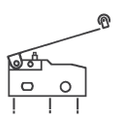

D - Simulierter Rollenhebel

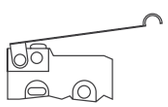

Nennwerte:
DA3: 0,1 A 125 V AC.

Abb. 5

Serie E68,E69

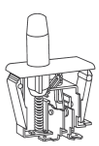

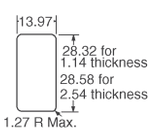

Serie E78, E79, F79

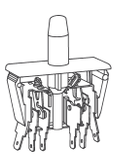

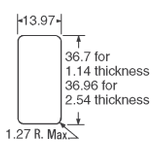

A - Momentschalter

B - Mit eingriffssicherer Verriegelung

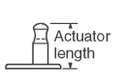

(Herausgezogen)

C - Kurzer Knopf, Momentschalter

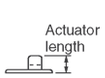

D - Drucktaster

Nenngrößen:
E69: 10 A 125/250 V AC, 1/3 HP, 125/250 V AC
E68/E78: 0,1 A 125 V AC
E79/F79: 10 A 125/250 V AC, 1/3 HP, 125/250 V AC

H

Abb.	Schaltkreis	Strom	Anschlussklemme Zoll (mm)	Betätiger	Betätigerlänge Zoll (mm)	Betätigungskraft (max. g)	Digi-Key Teilenr.	Stückpreis 1	10	50	Cherry Teilenr.
Leicht- und standardgängige Schalter - Serie E (Forts.)											
9B	SPDT	3A	.187 QC◊ (4.75)	Leichtgängig - Kurzer Hebel	.865 (21.97)	15	CH514-ND	3.36	2.99	2.49	E22-00HX
				Leichtgängig - Langer Hebel	1.58 (40.13)	5	CH517-ND	3.18	2.83	2.36	E22-75HX
				Leichtgängig - Rollenhebel	1.516 (38.50)	5	CH518-ND	3.62	3.22	2.68	E22-75KX
				Leichtgängig - Langer Hebel	1.400 (35.56)	8	CH337-ND	3.17	2.83	2.36	E22-50HX
				Langer Hebel	1.400 (35.56)	35	CH338-ND	2.95	2.63	2.19	E22-50H
				Langer Hebel	2.757 (70.03)	4	CH340-ND	3.17	2.83	2.36	E22-55HX
				Langer Hebel	2.932 (74.47)	2	CH341-ND	3.32	2.95	2.46	E22-85HX
9C				Standardkraft - Rollenhebel	1.516 (38.50)	25	CH516-ND	3.47	3.09	2.58	E22-50KL
				Langer Rollenhebel	1.340 (34.04)	35	CH339-ND	3.47	3.09	2.58	E22-50K
9D				Leichtgängig - Rollenhebel	.865 (21.97)	15	CH515-ND	3.93	3.50	2.92	E22-00KX
				Kurzer Rollenhebel	.810 (20.57)	75	CH336-ND	3.47	3.09	2.58	E22-00K
9A	SPDT	5A	.187 QC◊ (4.75)	Nur Stößel	—	45	CH342-ND	2.58	2.30	1.92	E23-00AX
				Nur Stößel	—	170	CH343-ND	2.40	2.14	1.78	E23-00A
9B				Standardkraft - Langer Hebel	1.40 (35.56)	86	CH519-ND	3.00	2.67	2.22	E23-50H
				Leichtgängig - Langer Hebel	1.400 (35.56)	22	CH345-ND	3.40	3.03	2.53	E23-50HX
				Leichtgängig - Langer Hebel	2.757 (70.03)	10	CH347-ND	3.27	2.91	2.43	E23-55HX
				Leichtgängig - Langer Hebel	2.932 (74.47)	6	CH348-ND	3.27	2.91	2.43	E23-85HX
9C				Leichtgängig - Rollenhebel	1.516 (38.50)	14	CH523-ND	3.95	3.52	2.93	E23-75KX
				Langer Rollenhebel	1.340 (34.04)	86	CH346-ND	3.55	3.15	2.63	E23-50K
				Leichtgängig - Rollenhebel	1.34 (34.04)	22	CH520-ND	3.70	3.30	2.75	E23-50KX
9B				Leichtgängig - Langer Hebel	1.58 (40.13)	14	CH522-ND	3.27	2.91	2.43	E23-75HX
9D				Kurzer Rollenhebel	.810 (20.57)	170	CH344-ND	3.55	3.15	2.63	E23-00K
9E				Standardkraft - Kunststoffhebel	1.382 (35.10)	86	CH521-ND	2.95	2.63	2.19	E23-50N
9F				Simulierter Rollenhebel, Kunststoff	1.289 (32.74)	22	CH524-ND	2.88	2.56	2.14	E23-90N
9A	SPDT	10A	.187 QC◊ (4.75)	Leichtgängig - Taste	—	75	CH525-ND	2.65	2.36	1.97	E33-00AX
				Nur Stößel	—	285	CH349-ND	2.31	2.06	1.72	E33-00A
9A			Schraubklemme	Leichtgängig - Taste	—	75	CH526-ND	5.58	4.96	4.14	E33-10A
			Lötklemme		—	75	CH527-ND	2.51	2.24	1.87	E33-20A
9B			.187 QC◊ (4.75)	Standardkraft - Langer Hebel	1.58 (40.13)	86	CH528-ND	2.88	2.56	2.14	E33-50HL
				Langer Hebel	1.400 (35.56)	144	CH351-ND	2.65	2.36	1.97	E33-50H
				Langer Hebel	2.757 (70.03)	17	CH353-ND	2.84	2.52	2.10	E33-55HX
				Langer Hebel	2.932 (74.47)	10	CH355-ND	3.24	2.89	2.41	E33-85HX
9C				Standardkraft - Rollenhebel	1.516 (38.50)	86	CH529-ND	3.36	2.99	2.49	E33-50KL
				Leichtgängig - Rollenhebel	1.34 (34.04)	37	CH530-ND	3.61	3.21	2.68	E33-50KX
				Langer Rollenhebel	1.340 (34.04)	144	CH352-ND	3.06	2.73	2.27	E33-50K
				Langer Hebel	1.580 (40.13)	22	CH354-ND	2.84	2.52	2.10	E33-75HX
9D				Kurzer Rollenhebel	.810 (20.57)	285	CH350-ND	2.97	2.65	2.21	E33-00K
9F				Simulierter Rollenhebel, Kunststoff	1.289 (32.74)	22	CH532-ND	2.82	2.51	2.09	E33-90N
9A	SPDT	15A	.187 QC◊ (4.75)	Nur Stößel	—	400	CH356-ND	2.65	2.36	1.97	E34-00A
			Lötklemme	Standardkraft - Taste	—	400	CH534-ND	2.40	2.14	1.78	E34-20A
9B			.187 QC◊ (4.75)	Standardkraft - Hebel	1.58 (40.13)	120	CH535-ND	3.13	2.79	2.32	E34-50HL
				Leichtgängig - Langer Hebel	1.400 (35.56)	50	CH358-ND	2.93	2.61	2.17	E34-50HX
				Leichtgängig - Langer Hebel	1.400 (35.56)	200	CH359-ND	2.93	2.61	2.17	E34-50H
				Leichtgängig - Langer Hebel	2.757 (70.03)	22	CH362-ND	2.97	2.65	2.21	E34-55HX
				Leichtgängig - Langer Hebel	2.932 (74.47)	13	CH363-ND	3.13	2.79	2.32	E34-85HX
9C				Langer Rollenhebel	1.340 (34.04)	200	CH360-ND	3.36	2.99	2.49	E34-50K
9D				Leichtgängig - Rollenhebel	.810 (20.57)	100	CH533-ND	3.47	3.09	2.58	E34-00KX
				Kurzer Rollenhebel	.810 (20.57)	400	CH357-ND	3.40	3.03	2.53	E34-00K
9E				Kunststoffhebel	1.382 (35.10)	200	CH361-ND	2.81	2.50	2.09	E34-50N
Isolator, Standardgröße, für Serie E34							CH663-ND	.23	.21	.17	0015-0051
Isolator, kleine Größe, Serie E62							CH664-ND	.35	.31	.26	0015-0052
Isolator, groß, schwarz, für Serie E34							CH665-ND	.23	.21	.17	0015-0054
Miniatur International — Serie D4											
10A	SPDT	.1A	.187 QC◊ (4.75)	Knopf	—	75	CH115-ND	3.84	3.42	2.85	D41C-R1AA
				Knopf	—	15	CH119-ND	4.05	3.60	3.00	D41L-R1AA
10B				Hebel, Std.-Verhältnis	1.400 (35.56)	35	CH297-ND	4.21	3.74	3.12	D41C-R1LD
				Hebel, hohes Verhältnis	2.93 (74.47)	2	CH118-ND	4.21	3.74	3.12	D41L-R1XL
10C				Rollenhebel, Std.-Verhältnis	.810 (20.57)	75	CH117-ND	4.39	3.91	3.26	D41C-R1RA
				Rollenhebel, Std.-Verhältnis	1.340 (34.04)	35	CH298-ND	4.39	3.91	3.26	D41C-R1RD
10A	SPDT	3A	.187 QC◊ (4.75)	Knopf	—	75	CH120-ND	2.10	1.87	1.56	D42C-R1AA
				Knopf	—	15	CH124-ND	2.47	2.20	1.83	D42L-R1AA
10B				Hebel, hohes Verhältnis	2.93 (74.47)	2	CH123-ND	3.73	3.32	2.76	D42L-R1XL
10C				Rollenhebel, Std.-Verhältnis	.810 (20.57)	75	CH122-ND	2.90	2.58	2.16	D42C-R1RA
10A	SPDT	5A	.187 QC◊ (4.75)	Knopf	—	170	CH125-ND	2.08	1.85	1.55	D43C-R1AA
				Knopf	—	45	CH129-ND	2.35	2.10	1.75	D43L-R1AA
10B				Hebel, hohes Verhältnis	2.93 (74.47)	6	CH128-ND	2.93	2.61	2.17	D43L-R1ML
10C				Rollenhebel, Std.-Verhältnis	.810 (20.57)	170	CH127-ND	3.01	2.69	2.24	D43C-R1RA
10A	SPDT	10A	.187 QC◊ (4.75)	Knopf	—	285	CH130-ND	2.10	1.87	1.56	D44C-R1AA
				Knopf	—	75	CH134-ND	2.31	2.06	1.72	D44L-R1AA
10B				Hebel, Std.-Verhältnis	.865 (21.97)	285	CH131-ND	2.51	2.24	1.87	D44C-R1LA
				Hebel, Std.-Verhältnis	1.400 (35.56)	35	CH299-ND	2.54	2.26	1.88	D44L-R1LD
				Hebel, hohes Verhältnis	2.93 (74.47)	10	CH133-ND	2.74	2.44	2.04	D44L-R1ML
10C				Rollenhebel, Std.-Verhältnis	.810 (20.57)	285	CH132-ND	2.77	2.46	2.05	D44C-R1RA
				Rollenhebel, Std.-Verhältnis	.810 (20.57)	75	CH301-ND	3.06	2.73	2.27	D44L-R1RA
10A	SPDT	15A	.187 QC◊ (4.75)	Knopf	—	400	CH135-ND	2.51	2.24	1.87	D45C-R1AA
				Knopf	—	100	CH139-ND	2.51	2.24	1.87	D45L-R1AA
10B				Hebel, Std.-Verhältnis	.865 (21.97)	400	CH136-ND	2.77	2.46	2.05	D45C-R1LA
				Hebel, hohes Verhältnis	2.93 (74.47)	13	CH138-ND	2.65	2.36	1.97	D45L-R1ML
				Hebel, Std.-Verhältnis	2.93 (74.47)	17	CH302-ND	2.51	2.24	1.87	D45L-R1LL
10C				Rollenhebel, Std.-Verhältnis	.810 (20.57)	400	CH137-ND	3.00	2.67	2.22	D45C-R1RA
Miniatur, International — Serie D4 — US Version											
10B	SPDT	.1A	.187 QC◊ (4.75)	Alum. Lever-Standard Ratio‡	1.4 (35.56)	8	CH578-ND	4.21	3.74	3.12	D41L-R1YD
10C				Roller - Standard Ratio*	.810 (20.57)	15	CH576-ND	4.83	4.29	3.58	D41L-R1RA
				Roller - Standard Ratio*	1.340 (34.04)	8	CH577-ND	4.83	4.29	3.58	D41L-R1RD
10B	SPDT	3A	.187 QC◊ (4.75)	Lever - Standard Ratio§	1.4 (35.56)	35	CH579-ND	2.42	2.16	1.80	D42C-R1LD
				Alum. Lever-Standard Ratio‡	1.4 (35.56)	8	CH581-ND	3.73	3.32	2.76	D42L-R1YD
				Alum. Lever-Standard Ratio‡	2.757 (70.03)	3.5	CH582-ND	3.82	3.40	2.83	D42L-R1YL
10C				Roller - Standard Ratio*	1.340 (34.04)	75	CH580-ND	3.01	2.69	2.24	D42C-R1RD
10B	SPDT	5A	.187 QC◊ (4.75)	Hebel - Hohes Übersetzungsverhältnis	1.580 (40.13)	51	CH583-ND	2.65	2.36	1.97	D43C-R1MD
				Lever - Standard Ratio§	1.4 (35.56)	35	CH586-ND	3.75	3.34	2.78	D43L-R1LD
				Hebel - Hohes Übersetzungsverhältnis	1.580 (40.13)	20	CH587-ND	2.84	2.52	2.10	D43L-R1MD

◊ Schnellanschluss

‡ Alum. Hebel - Standardübersetzungsverhältnis * Rollenhebel - Standard-Übersetzungsverhältnis § Hebel - Standard-Übersetzungsverhältnis

(Forts.)

Abb. 6 Serie E72, E73

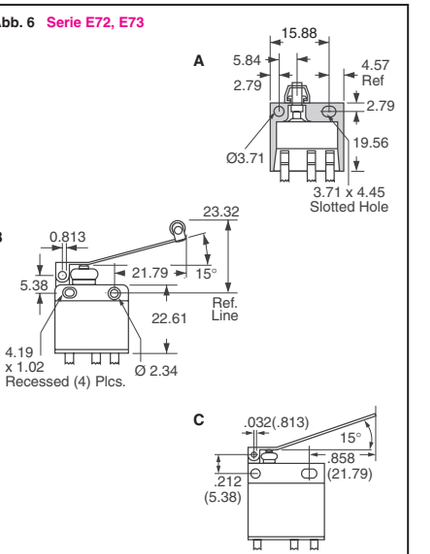

Abb. 7 Serie DB

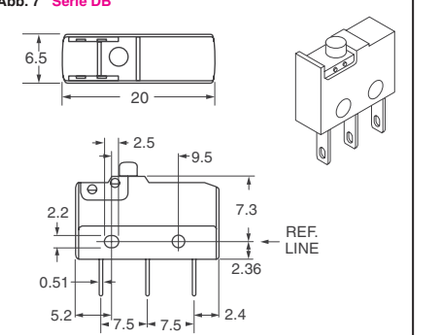

Abb. 8 Serie F80

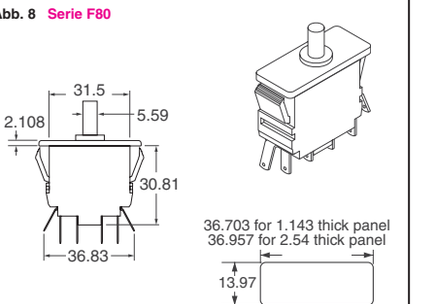

Abb. 9 Serie E

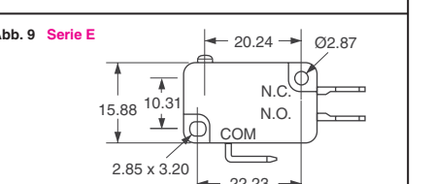

A - Stößel

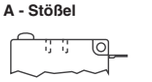

B - Hebel

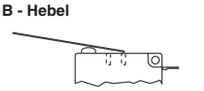

C - Langer Rollenhebel

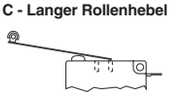

D - Kurzer Rollenhebel

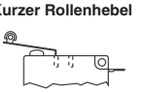

E - Hebel aus Thermoplast

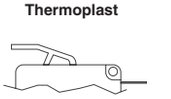

F - Simulierter Hebel aus Thermoplast

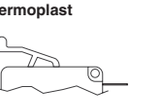

Nenngrößen:
E21: 0,1 A 125 V AC, Goldkontakte
E22: 3 A 250 V AC
E23: 5 A 250 V AC
E33: 10 A 250 V AC
E34: 15 A 250 V AC, UL94HB

H

Alle Preisangaben in Euro und inklusive Zollgebühren.

Abb.	Schaltkreis	Strom	Anschlussklemme Zoll (mm)	Betätiger	Betätigerlänge Zoll (mm)	Betätigungskraft (max. g)	Digi-Key Teilenr.	Stückpreis 1	10	50	Cherry Teilenr.
Miniatur, International — Serie D4 — US- Version (Forts.)											
10C	SPDT	5A	.187 QC◊ (4.75)	Roller - Standard Ratio*	1.340 (34.04)	86	CH584-ND	3.01	2.69	2.24	D43C-R1RD
				Roller - High Ratio△	1.516 (38.51)	51	CH585-ND	3.01	2.69	2.24	D43C-R1TD
				Roller - Standard Ratio*	.810 (20.57)	45	CH588-ND	3.40	2.89	2.41	D43L-R1RA
10B	SPDT	10A	.187 QC◊ (4.75)	Lever - Standard Ratio§	1.4 (35.56)	144	CH589-ND	2.51	2.24	1.87	D44C-R1LD
				Lever - Standard Ratio§	.865 (21.97)	75	CH591-ND	2.58	2.30	1.92	D44L-R1LA
				Hebel - Hohes Übersetzungsverhältnis	1.580 (40.13)	20	CH592-ND	2.58	2.30	1.92	D44L-R1MD
10C				Roller - Standard Ratio*	1.340 (34.04)	144	CH590-ND	2.77	2.46	2.05	D44C-R1RD
				Roller - Standard Ratio*	1.340 (34.04)	37	CH593-ND	3.04	2.71	2.26	D44L-R1RD
10A	SPDT	15A	.250 QC◊ (6.35)	Knopf	—	400	CH594-ND	2.47	2.20	1.83	D45C-V1AA
10B			.187 QC◊ (4.75)	Lever - Standard Ratio§	.865 (21.97)	100	CH595-ND	2.65	2.36	1.97	D45L-R1LA
				Lever - Standard Ratio§	1.4 (35.56)	35	CH596-ND	2.93	2.61	2.17	D45L-R1LD
				Hebel - Hohes Übersetzungsverhältnis	1.580 (40.13)	30	CH597-ND	2.65	2.36	1.97	D45L-R1MD
10C				Roller - Standard Ratio*	1.340 (34.04)	50	CH598-ND	3.48	3.10	2.58	D45L-R1RD

Abb. 10 **Serie D4**

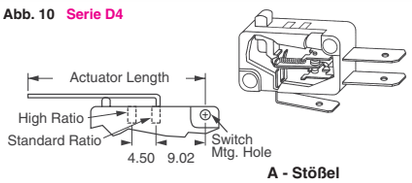

A - Stößel

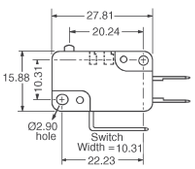

B - Hebel

C - Rollenhebel

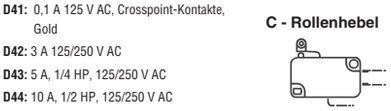

Nennwerte: 187 Schnellanschlüsse.

D41: 0,1 A 125 V AC, Crosspoint-Kontakte, Gold

D42: 3 A 125/250 V AC

D43: 5 A, 1/4 HP, 125/250 V AC

D44: 10 A, 1/2 HP, 125/250 V AC

D45: 15 A, 1/2 HP, 125/250 V AC.

Abb.	Schaltkreis	Strom	Anschlussklemme Zoll (mm)	Betätiger	Betätigungskraft (max. gms)	Digi-Key Teilenr.	Stückpreis 1	10	50	Cherry Teilenr.
Hochleistungs-Miniaturschnappschalter, Serie K										
11	SPDT	50mA	.187 (4.75) Schnellanschluss, gerade	Taste - Standardtemp.	75	CH629-ND	3.32	2.95	2.46	KWBA-QACA
				Taste - Hohe Temp.	75	CH630-ND	3.95	3.52	2.93	KWBB-QACA
		3A	.187 (4.75) Schnellanschluss, gerade	Taste - Standardtemp.	25	CH631-ND	2.49	2.22	1.85	KWEA-QACA
				Taste - Hohe Temp.	25	CH632-ND	2.95	2.63	2.19	KWEB-QACA
				Taste - Hohe Temp.	75	CH634-ND	2.95	2.63	2.19	KWFB-QACA
		5A	.187 (4.75) Schnellanschluss, gerade	Taste - Standardtemp.	50	CH635-ND	2.33	2.08	1.73	KWGA-QACA
				Taste - Hohe Temp.	50	CH636-ND	2.72	2.42	2.02	KWGB-QACA
				Taste - Standardtemp.	150	CH637-ND	2.08	1.85	1.55	KWHA-QACA
		15A	.187 (4.75) Schnellanschluss, gerade	Taste - Standardtemp.	150	CH643-ND	2.27	2.02	1.68	KWMA-QACA
		25A	.250 (6.35) Schnellanschluss, gerade	Taste - Standardtemp.	225	CH647-ND	2.93	2.61	2.17	KWSA-VACA

Fig. 11 **Serie K**

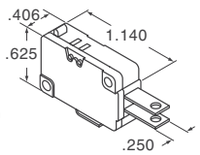

Merkmale: Standard-Anschlussklemme, zentrale Position, Wischkontakt, Standardtemp. bis zu 150 °C

Flammbarkeit: UL94V-O

Lebensdauer Elektrik: 100.000 Schaltungen

Nenntemperaturen:

- Standardtemperatur: -40 °C ~ 85 °C
- Hohe Temperatur: -40 °C ~ 150 °C

UL- und CUL-Zulassung: KWA/KWB: 50 mA, 28 V DC **KWE/KWF:** 3 A, 125/250 V AC, 1/10 HP **KWG/KWH:** 5 A, 1/4 HP, 125/250 V AC **KWJ:** 10 A, 1/2 HP, 125/250 V AC **KWM:** 15,1 A, 1/2 HP, 125/250 V AC **KWS:** 25 A, 250 V AC

★ Rollenhebel - Standard-Übersetzungsverhältnis △ Rollenhebel - Hohes Übersetzungsverhältnis § Hebel - Standard-Übersetzungsverhältnis ◊ Schnellanschluss

CHERRY

Heavy-Duty-Schnappschalter

Abb.	Betätigungskraft (oz.)	Schaltstrom (A)	Betätigertyp	Betätigerlänge (mm)	Anschlusstyp	Digi-Key Teilenr.	Stückpreis 1	10	50	Cherry Teilenr.
1	8.8	15	Knopf	—	Schraube	CH814-ND	5.61	4.49	3.75	GPTCNA01
	8.8	15	Knopf	—	Lötzinn	CH815-ND	5.61	4.49	3.75	GPSCNA01
2	4.9	15	Hebel	49.6	Schraube	CH816-ND	7.62	6.10	5.08	GPTCLR01
	4.9	15	Hebel	49.6	Lötzinn	CH817-ND	7.62	6.10	5.08	GPSCLR01
3	4.9	15	Kunststoff	46	Schraube	CH818-ND	7.82	6.26	5.22	GPTCRR01
	4.9	15	Kunststoff	46	Lötzinn	CH819-ND	7.82	6.26	5.22	GPSCRR01
4	8.8	15	Lange Taste	—	Schraube	CH820-ND	7.92	6.34	5.29	GPTCND01
	8.8	15	Lange Taste	—	Lötzinn	CH821-ND	7.92	6.34	5.29	GPSCND01
5	8.8	15	Knopf	—	Schraube	CH822-ND	7.24	5.80	4.83	GPTCNC01
	8.8	15	Knopf	—	Lötzinn	CH823-ND	7.24	5.80	4.83	GPSCNC01
6	8.8	15	Knopf	—	Schraube	CH824-ND	11.25	9.01	7.51	GPTCNH01
	8.8	15	Knopf	—	Lötzinn	CH825-ND	11.25	9.01	7.51	GPSCNH01
7	8.8	15	Plattenrollenhebel	—	Schraube	CH826-ND	16.53	13.23	11.03	GPTCRH01
	8.8	15	Plattenrollenhebel	—	Lötzinn	CH827-ND	16.53	13.23	11.03	GPSCRH01
8	8.8	15	Plattenrollenhebel	—	Schraube	CH828-ND	16.53	13.23	11.03	GPTCRH02
	8.8	15	Plattenrollenhebel	—	Lötzinn	CH829-ND	16.53	13.23	11.03	GPSCRH02
9	2.4	15	Hebel	63.5	Schraube	CH830-ND	6.86	5.49	4.58	GPTCLS01
	2.4	15	Hebel	63.5	Lötzinn	CH831-ND	6.86	5.49	4.58	GPSCLS01
	3.1	15	Hebel	42	Schraube	CH832-ND	6.68	5.35	4.46	GPTCLS02
	3.1	15	Hebel	42	Lötzinn	CH833-ND	6.68	5.35	4.46	GPSCLS02
10	3.5	15	Kunststoff	48.5	Schraube	CH834-ND	8.58	6.87	5.73	GPTCRS01
	3.5	15	Kunststoff	48.5	Lötzinn	CH835-ND	8.58	6.87	5.73	GPSCRS01
	5.6	15	Kunststoff	26.6	Schraube	CH836-ND	8.58	6.87	5.73	GPTCRM01
	5.6	15	Kunststoff	26.6	Lötzinn	CH837-ND	8.58	6.87	5.73	GPSCRM01
11	5.9	15	Rolle mit Scharnier	31.9	Schraube	CH838-ND	10.72	8.58	7.15	GPTCRG01
	5.9	15	Rolle mit Scharnier	31.9	Lötzinn	CH839-ND	11.33	9.07	7.56	GPSCRG01

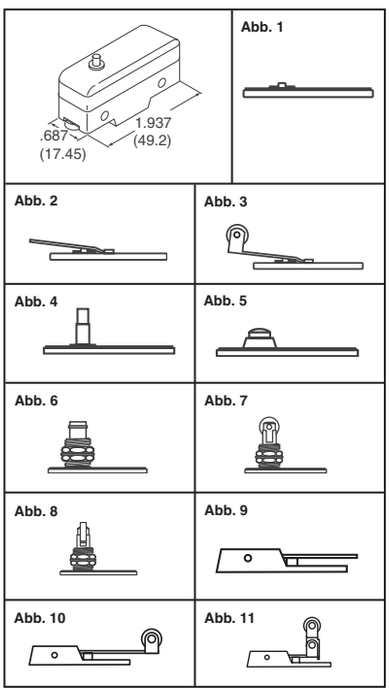

molex Waldom ELECTRONICS

Schalteranschluss und Anschlussklemme

Schalteranschluss:

• 94V-2 Nylon • UL- zugelassen • Für 14-28 AWG • Anz. Schaltkreise: 3 • Max. Nennstromstärke: 10 • Max. Nennspannung: 250 • Montageösen: Keine • Max. Plattendicke: Entfällt • Konstr. Nr.: 2191

WM2553-ND ..... **.52**/1; **4.66**/10; **31.12**/100

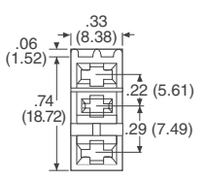

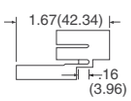

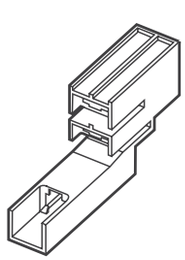

Anschlussklemme:

Ohne Arretierung, lose

WM2514-ND ..... **.17**/1; **1.34**/10; **11.18**/100

H

Kippschalter

Abmessungen in mm

Bleifrei/RoHS-konform

Abb.	Leistung	Farbe	Schaltkreis	Betrieb	Digi-Key Teilenr.	Stückpreis 1	10	100	Lumex Teilenr.
1	20A/12VDC	Rot	SPST	EIN/AUS	67-1882-ND	3.10	2.79	2.38	CLS-TC11A12253R
2	20A/12VDC	Gelb	SPST	EIN/AUS	67-1883-ND	2.72	2.45	2.09	CLS-TC11A12252Y
		Rot			67-1884-ND	2.72	2.45	2.09	CLS-TC11A12252R
		Grün			67-1885-ND	2.72	2.45	2.09	CLS-TC11A12252G
3	20A/12VDC	Gelb	SPST	EIN/AUS	67-1886-ND	2.95	2.66	2.26	CLS-TC11A12190Y
		Rot			67-1887-ND	2.95	2.66	2.26	CLS-TC11A12190R
4	25A/12VDC	Gelb	SPST	EIN/AUS	67-1888-ND	4.04	3.64	3.10	CLS-TS11A12250Y
		Rot			67-1889-ND	4.04	3.64	3.10	CLS-TS11A12250R
		Grün			67-1890-ND	4.04	3.64	3.10	CLS-TS11A12250G
		Blau			67-1891-ND	7.31	6.59	5.61	CLS-TS11A12250B
5	20A/12VDC	Gelb	SPST	EIN/AUS	67-1892-ND	4.75	4.28	3.65	CLS-TC11A12250Y
		Rot			67-1893-ND	4.75	4.28	3.65	CLS-TC11A12250R
		Grün			67-1894-ND	4.75	4.28	3.65	CLS-TC11A12250G
		Blau			67-1895-ND	8.03	7.23	6.16	CLS-TC11A12250B
6	10A/125VAC	Gelb	SPST	EIN/AUS	67-1896-ND	2.95	2.66	2.26	CLS-TO11A125S00Y
		Rot			67-1897-ND	2.95	2.66	2.26	CLS-TO11A125S00R
		Grün			67-1898-ND	2.95	2.66	2.26	CLS-TO11A125S00G
7	30A/12VDC	Gelb	SPST	EIN/AUS	67-1899-ND	4.52	4.07	3.47	CLS-TC11A12251Y
		Rot			67-1900-ND	4.52	4.07	3.47	CLS-TC11A12251R
		Grün			67-1901-ND	4.52	4.07	3.47	CLS-TC11A12251G
		Blau			67-1902-ND	7.80	7.02	5.98	CLS-TC11A12251B

Abb. 1

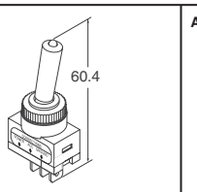

Abb. 2

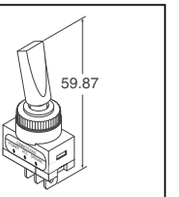

Abb. 3

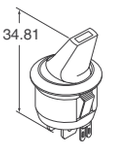

Abb. 4

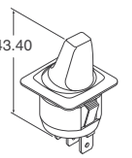

Abb. 5

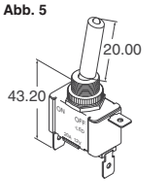

Abb. 6

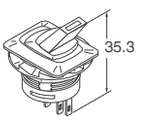

Abb. 7

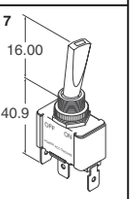

Wippschalter

Bleifrei/RoHS-konform

Abb.	Leistung	Farbe	Schaltkreis	Betrieb	Digi-Key Teilenr.	Stückpreis 1	10	100	Lumex Teilenr.
8	10A/125VAC	Gelb	SPST	EIN/AUS	67-1903-ND	2.18	1.97	1.68	CLS-RR11A125500Y
		Rot			67-1904-ND	2.18	1.97	1.68	CLS-RR11A125500R
		Grün			67-1905-ND	2.18	1.97	1.68	CLS-RR11A125500G
		Blau			67-1906-ND	5.46	4.92	4.19	CLS-RR11A125500B
9	20A/12VDC	Gelb/grün	SPDT	EIN/EIN	67-1907-ND	4.14	3.73	3.18	CLS-RC12E12190YG
10	10A/125VAC	Gelb	SPST	EIN/AUS	67-1908-ND	2.57	2.31	1.97	CLS-RC11A125190Y
		Rot			67-1909-ND	2.57	2.31	1.97	CLS-RC11A125190R
		Grün			67-1910-ND	2.57	2.31	1.97	CLS-RC11A125190G
		Blau			67-1911-ND	5.46	4.92	4.19	CLS-RC11A125190B
11	30A/12VDC	Gelb	SPST	EIN/AUS	67-1912-ND	3.10	2.79	2.38	CLS-R011A12250Y
		Rot			67-1913-ND	3.10	2.79	2.38	CLS-R011A12250R
		Grün			67-1914-ND	3.10	2.79	2.38	CLS-R011A12250G
		Blau			67-1915-ND	5.46	4.92	4.19	CLS-R011A12250B
12	10A/125VAC/ 6A/250VAC	Gelb	SPST	EIN/AUS	67-1916-ND	2.72	2.45	2.09	CLS-RC11A125191Y
		Rot			67-1917-ND	2.72	2.45	2.09	CLS-RC11A125191R
		Grün			67-1918-ND	2.72	2.45	2.09	CLS-RC11A125191G
		Blau			67-1919-ND	5.46	4.92	4.19	CLS-RC11A125191B
13	25A/12VDC	Gelb	SPST	EIN/AUS	67-1920-ND	3.48	3.14	2.67	CLS-RC11A12250Y
		Rot			67-1921-ND	3.48	3.14	2.67	CLS-RC11A12250R
		Grün			67-1922-ND	3.48	3.14	2.67	CLS-RC11A12250G
		Blau			67-1923-ND	5.46	4.92	4.19	CLS-RC11A12250B
14	16A/125VAC	Gelb	SPST	EIN/AUS	67-1924-ND	2.95	2.66	2.26	CLS-RR11A120250Y
		Rot			67-1925-ND	2.95	2.66	2.26	CLS-RR11A120250R
		Grün			67-1926-ND	2.95	2.66	2.26	CLS-RR11A120250G
		Blau			67-1927-ND	5.46	4.92	4.19	CLS-RR11A120250B
15	25A/12VDC	Gelb	SPST	EIN/AUS	67-1928-ND	3.10	2.79	2.38	CLS-RR11A12250Y
		Rot			67-1929-ND	3.10	2.79	2.38	CLS-RR11A12250R
		Grün			67-1930-ND	3.10	2.79	2.38	CLS-RR11A12250G
		Blau			67-1931-ND	5.46	4.92	4.19	CLS-RR11A12250B
16	25A/12VDC	Gelb	SPST	EIN/AUS	67-1932-ND	1.63	1.47	1.25	CLS-RR11A12251Y
		Rot			67-1933-ND	1.63	1.47	1.25	CLS-RR11A12251R
		Grün			67-1934-ND	1.63	1.47	1.25	CLS-RR11A12251G
		Blau			67-1935-ND	5.46	4.92	4.19	CLS-RR11A12251B
17	20A/12VDC	Gelb	SPST	EIN/AUS	67-1936-ND	1.63	1.47	1.25	CLS-RR11A12252Y
		Rot			67-1937-ND	1.63	1.47	1.25	CLS-RR11A12252R
		Grün			67-1938-ND	1.63	1.47	1.25	CLS-RR11A12252G
		Blau			67-1939-ND	5.46	4.92	4.19	CLS-RR11A12252B
18	20A/12VDC	Gelb	SPST	EIN/AUS	67-1940-ND	2.72	2.45	2.09	CLS-R011A12251Y
		Rot			67-1941-ND	2.72	2.45	2.09	CLS-RO11A12251R
		Grün			67-1942-ND	2.72	2.45	2.09	CLS-RO11A12251G
		Blau			67-1943-ND	5.46	4.92	4.19	CLS-RO11A12251B

Abb. 8

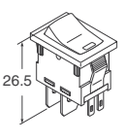

Abb. 9

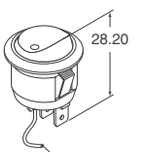

Abb. 10

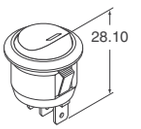

Abb. 11

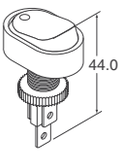

Abb. 12

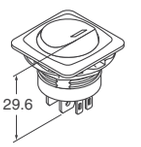

Abb. 13

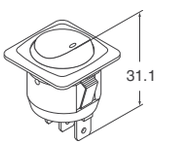

Abb. 14

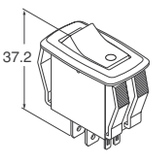

Abb. 15

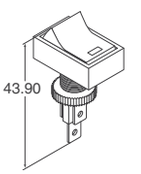

Abb. 16

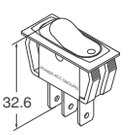

Abb. 17

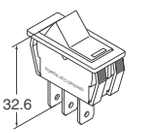

Abb. 18

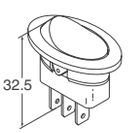

Drucktastenschalter

Bleifrei/RoHS-konform

Abb.	Leistung	Farbe	Schaltkreis	Betrieb	Digi-Key Teilenr.	Stückpreis 1	10	100	Lumex Teilenr.
19	3A/125VAC	Gelb	SPST	EIN/AUS	67-1944-ND	2.72	2.45	2.09	CLS-PC11A125S01Y
		Rot			67-1945-ND	2.72	2.45	2.09	CLS-PC11A125S01R
		Grün			67-1946-ND	2.72	2.45	2.09	CLS-PC11A125S01G
		Blau			67-1947-ND	5.46	4.92	4.19	CLS-PC11A125S01B
20	3A/125VAC	Gelb	SPST	EIN/AUS	67-1948-ND	2.95	2.66	2.26	CLS-PC11A125S00Y
		Rot			67-1949-ND	2.95	2.66	2.26	CLS-PC11A125S00R
		Grün			67-1950-ND	2.95	2.66	2.26	CLS-PC11A125S00G
		Blau			67-1951-ND	5.46	4.92	4.19	CLS-PC11A125S00B

Abb. 19

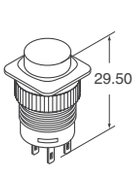

Abb. 20

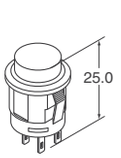

H

Alle Preisangaben in Euro und inklusive Zollgebühren.

ITT Industries
Engineered for life

Schnappschalter

SERIE A

MERKMALE: • Niedrige Kosten, hohe Leistung • Lange Haltbarkeit der Elektrik • 1- und 2-polig **TYPISCHE ANWENDUNGEN:** • Verschlussgeräte • Garagentüröffner • Verkaufsautomaten **SPEZIFIKATIONEN:** • **Kontaktnennwert:** 15 A @ 277 V AC • **Lebensdauer der Elektrik:** 200.000 Schaltungen bei 15 A @ 250 V AC • **Isolationswiderstand:** Min. 1.000 MΩ • **Durchschlagsfestigkeit:** Min. 1.000 Vrms auf Meereshöhe • **Betriebstemperatur:** -55 °C ~ 85 °C • **Betätigungskraft:** Max. 20 oz. für SP-Modelle, max. 40 oz. für DP-Modelle, an der Betätigertaste • **Schaltgehäuse:** Wärmebeständiges Phenol (UL 94V-0)

SERIE HB

MERKMALE: • Geringe Differenzialbewegung, hohe Wiederholbarkeit • 1- und 2-polige Schaltkreise • Versiegelter Betätiger und Gehäuse **TYPISCHE ANWENDUNGEN:** • Thermostate • Motoren • Industrielle Steuerungen **SPEZIFIKATIONEN:** • **Kontaktnennwert:** 20 A @ 480 V AC • **Lebensdauer der Elektrik:** 150.000 Schaltungen bei 20 A @ 250 V AC • **Isolationswiderstand:** Min. 1.000 MΩ • **Durchschlagsfestigkeit:** Min. 1.500 Vrms auf Meereshöhe • **Betriebstemperatur:** 55 °C ~ 150 °C • **Schaltgehäuse:** Wärmebeständiges Phenol von elektrischer Güte

SERIE LC

MERKMALE: • Kompaktes Design • Langlebig, hohe elektr. Kapazität **TYPISCHE ANWENDUNGEN:** • Motorisierte Geräte • Sumpfpumpe • Thermostat-Steuerungen **SPEZIFIKATIONEN:** • **Kontaktnennwert:** 1 A @ 250 V AC • **Lebensdauer der Elektrik:** 100.000 Schaltungen bei 5 A @ 250 V AC • **Isolationswiderstand:** Min. 1.000 MΩ • **Durchschlagsfestigkeit:** Min. 1.000 Vrms auf Meereshöhe • **Betriebstemperatur:** -25 °C ~ 85 °C • **Schaltgehäuse:** Thermoplastisches Polyester (UL 94V-0) • **Anschlüsse:** Kupferlegierung. • **Anschlussabdichtung:** Epoxid

SERIE MM

MERKMALE: • NL und Niedrigstrom-Schaltung • Lange Haltbarkeit der Elektrik und Mechanik • Erhöhter Rücklauf • Zuverlässiger Schnappmechanismus **TYPISCHE ANWENDUNGEN:** • Beschränkung durch begrenzten Raum • Miniatur-Militärgeräte • Kommunikationsgeräte **SPEZIFIKATIONEN:** • **Kontaktnennwert:** 7 A @ 250 V AC • **Lebensdauer der Elektrik:** 100.000 Schaltungen bei voller Belastung • **Isolationswiderstand:** Min. 1.000 MΩ • **Durchschlagsfestigkeit:** Min. 1.000 Vrms auf Meereshöhe • **Betriebstemperatur:** -55 °C ~ 135 °C • **Schaltgehäuse:** Wärmebeständiges Phenol (UL 94V-0)

SERIE TF

MERKMALE: • Breiter Impedanzwertebereich • Große Auswahl an Betätigertypen • Schnellanschlüsse **TYPISCHE ANWENDUNGEN:** • Motorsteuerungen • Thermostate • Tragbare Werkzeuge **SPEZIFIKATIONEN:** • **Kontaktnennwert:** 11 A @ 277 V AC • **Lebensdauer der Elektrik:** 300.000 Schaltungen bei 10 A @ 250 V AC • **Isolationswiderstand:** Min. 1.000 MΩ • **Durchschlagsfestigkeit:** Min. 1.500 Vrms auf Meereshöhe • **Betriebstemperatur:** -40 °C ~ 85 °C • **Schaltgehäuse:** Thermoplast (UL 94V-0)

SERIE TM

MERKMALE: • Breiter Impedanzwertebereich • Große Auswahl an Betätigertypen und Anschlüssen • Kostensparende Lösung **TYPISCHE ANWENDUNGEN:** • Pumpen und Motoren • Küchengeräte • Verbraucher-Haushaltsgeräte **SPEZIFIKATIONEN:** • **Kontaktnennwert:** 10 A @ 250 V AC • **Lebensdauer der Elektrik:** 350.000 Schaltungen bei 10 A @ 250 V AC • **Isolationswiderstand:** Min. 1.000 MΩ • **Durchschlagsfestigkeit:** Min. 1.000 Vrms auf Meereshöhe • **Betriebstemperatur:** 55 °C ~ 150 °C • **Schaltgehäuse:** Thermoplastisches oder Mehrzweck-Phenol (UL 94V-0)

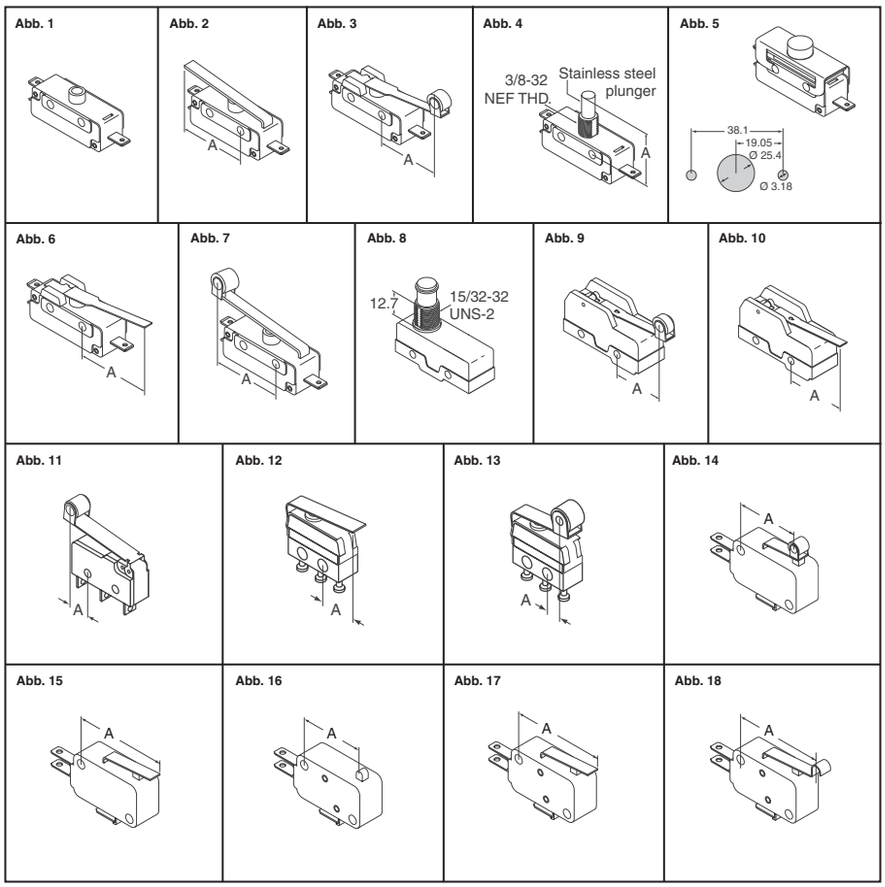

Abb.	Schaltkreis	Kontaktleistung (A)	Anschlussklemme	Abm. A (mm)	Betätigungskraft (max. g)	Digi-Key Teilenr.	Stückpreis 1	25	100	250	ITT Industries Teilenr.
Mehrzweck - Serie A											
1	SPDT	15	.250" QC◊	—	567	CKN1408-ND	2.80	2.24	1.78	1.40	ASKHC2P04AC
2	DPDT	15	.250" QC◊	41.1	510	CKN1409-ND	6.82	5.46	4.32	3.41	ADPDC2L04AC
3	SPDT	15	.250" QC◊	35.1	113	CKN1410-ND	4.79	3.84	3.04	2.40	ASKHC2A04AC
4	DPDT	15	.250" QC◊	20.6	850	CKN1411-ND	7.53	6.04	4.78	3.77	ADPDC2J04AC
4	SPDT	15	.250" QC◊	20.6	567	CKN1412-ND	4.10	3.28	2.60	2.05	ASKHC2J04AC
5	SPDT	15	.250" QC◊	—	567	CKN1413-ND	6.09	4.88	3.86	3.05	ASKHC2B14AC
5	SPDT	15	.250" QC◊	—	567	CKN1414-ND	6.09	4.88	3.86	3.05	ASKHC2BB4AC
6	DPDT	15	.250" QC◊	38.1	170	CKN1415-ND	6.82	5.46	4.32	3.41	ADPDC2T04AC
6	SPDT	15	.250" QC◊	38.1	113	CKN1416-ND	3.37	2.70	2.14	1.69	ASKHC2T04AC
6	SPST	15	.250" QC◊	38.1	113	CKN1417-ND	2.93	2.35	1.86	1.47	ASKHC2T04AY
7	DPDT	15	.250" QC◊	38.1	510	CKN1418-ND	7.64	6.12	4.85	3.83	ADPDC2W04AC
Präzision - Serie HB											
8		20	6-32 Schraube	—	370	CKN1419-ND	11.95	9.56	7.57	5.98	HBS2KCB4SJ055C
9		20	4-40 Schraube	21.8	100	CKN1420-ND	9.90	7.92	6.27	4.95	HBS2KGB4SA011C
9	SPDT	20	6-32 Schraube	21.8	100	CKN1421-ND	10.07	8.07	6.39	5.04	HBS2KGB4SA055C
10		20	4-40 Schraube	37.3	71	CKN1422-ND	9.48	7.59	6.01	4.75	HBS2KGB4ST011C
10		20	6-32 Schraube	37.3	71	CKN1423-ND	9.67	7.74	6.13	4.84	HBS2KGB4ST055C
Subminiatur-Präzision - Serie LC											
11	SPDT	1	PC-Pins, links	7.1	57	CKN1425-ND	6.37	5.10	4.04	3.19	LCGHF5A10LC
11		1	PC-Pins, rechts	7.1	57	CKN1426-ND	6.37	5.10	4.04	3.19	LCGHF5A10RC
Mini-Präzision - Serie MM											
12	SPDT	7	Gelöteter Revolverkopf	13.5	170	CKN1427-ND	11.32	9.06	7.17	5.66	MMGGD1L2C
13		7	Gelöteter Revolverkopf	6.9	115	CKN1428-ND	15.59	12.48	9.88	7.80	MMGGD1W0C
Miniatur - Serie TF											
14		11	.187" QC◊	20.6	90	CKN1429-ND	7.36	5.89	4.66	3.68	TFCGV3VA105BC
15	SPDT	11	.187" QC◊	35.6	40	CKN1432-ND	6.74	5.39	4.27	3.37	TFCGV3VT155BC
15		11	.187" QC◊	69.9	20	CKN1433-ND	6.79	5.43	4.30	3.40	TFCGV3VT185BC
Miniatur - Serie TM											
16		10	.187" QC◊	20.3	75	CKN1434-ND	3.52	2.82	2.24	1.77	TMCGD6SP0040C
16		10	.250" QC◊	20.3	75	CKN1435-ND	3.52	2.82	2.24	1.77	TMCGD6SP004AC
17	SPDT	10	.187" QC◊	35.6	45	CKN1436-ND	4.25	3.40	2.70	2.13	TMCGD6ST1540C
17		10	.187" QC◊	69.9	20	CKN1437-ND	4.28	3.42	2.71	2.14	TMCGD6ST1840C
17		10	.187" QC◊	56.4	17	CKN1438-ND	4.28	3.42	2.71	2.14	TMCGD6ST2740C
18		10	.187" QC◊	32.8	50	CKN1439-ND	4.25	3.40	2.70	2.13	TMCGD6ST1440C

◊ Schnellanschluss

Türverriegelungen

Die Türverriegelungsschalter von ITT bieten eine Zug/Druck-Bewegung, wodurch sie sich für Computergehäuse, Plattenbauer und industrielle Gehäuse ideal eignen.

SPEZIFIKATIONEN: Kontaktnennwert: 15 A @ 125 und 250 V AC • **Lebensdauer der Elektrik:** 150.000 Schaltungen bei 15 A @ 250 V AC • **Betriebstemperatur:** 55 °C ~ 150 °C • **Material:** • **Stößel:** Edelstahl • **Anzapfstößel:** 4-40 X 0,375 Tiefe

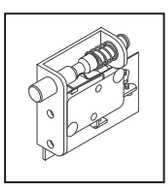

Beschreibung	Digi-Key Teilenr.	Stückpreis 1	10	100	ITT Industries Teilenr.
SPDT Schraubanschlüsse	CKN1400-ND	15.50	13.39	11.28	11TL602
SPDT Schraubanschluss, Anzapfstößel	CKN1401-ND	17.59	15.20	12.80	11TL604
SPDT Schraubanschluss, Anzapfstößel	CKN1402-ND	18.24	15.76	13.27	12TL604
SPDT 0,187" Schnellanschlüsse	CKN1403-ND	14.41	12.44	10.48	12TL402
2-SPDT Schraubanschlüsse	CKN1404-ND	22.74	19.64	16.54	23TL602
2-SPDT Schraubanschluss, Anzapfstößel	CKN1405-ND	24.83	21.45	18.06	23TL604

H

Drehschalter, Serie C1, 1/4 A

Die Schalter der Serie C1 sind die kleinsten gekapselten Drehschalter. Standardmäßig mit Lötöse und Diallylphthalat-Isolierung.

Spezifikationen: Elektrische Daten: • Nennspannung und Nennstromstärke: 0,25 A @ 28 V DC; 0,1 A @ 125 V AC **• Durchschlagsfestigkeit:** 600 V AC zwischen lasttragenden Teilen und Erde **• Kontaktwiderstand:** Anfänglich durchschn. 5 mΩ **• Isolierwiderstand:** Mehr als 10.000 MΩ **Mechanik: • Anschlussklemmen und Kontakte:** Versilbertes Messing **• Isolierung:** Diallylphthalat **• Indexlebensdauer:** Min. 25.000 Schaltungen **• Indexwinkel:** 30° **• Indexanschlag:** Einstellbar **• Anschlagfestigkeit:** 8 Zoll lbs. Min.

Kleinteile: Montagemutter und Sicherungsscheibe werden zusammengesetzt geliefert.

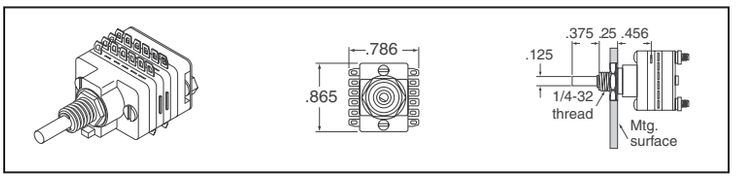

Aktive Positionen	Poles/ Deck*	No. of Decks**	Kurzschluss	Digi-Key Teilenr.	Stückpreis 1	10	50	Electroswitch Teilenr.
2-6	2	1	No	451-1001-ND	15.37	12.58	11.18	C1D0206N-A

* Pole/Schalterebenen ** Anz. der Schalterebenen

Drehschalter, Serie C2/3, 1/4 A

Die Serien C2/C3 bieten vertikale Leiterplattenmontage mit 8 und 12 Positionen.

Spezifikationen: Elektrische Daten: • Nennstromstärke und Nennspannung: 0,25 A @ 28 V DC **• Durchschlagsfestigkeit:** 1.000 V AC **Kontaktwiderstand:** Anfänglich durchschn. 30 mΩ **Isolierwiderstand:** Mehr als 10.000 MΩ **Mechanik: • Anschlüsse und Kontakte:** Versilbertes Messing **• Isolierung:** Polyester **• Indexlebensdauer:** Min. 25.000 Schaltungen **• Indexwinkel:** 30° **• Indexanschlag:** Einstellbar **Anschlagfestigkeit:** 8 Zoll lbs. Min.

Kleinteile: Montagemutter und Sicherungsscheibe werden zusammengesetzt geliefert.

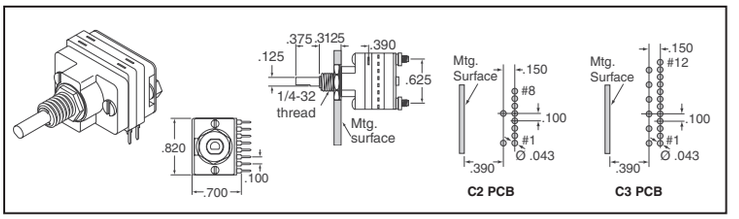

Pole	Aktive Positionen	Poles/ Deck*	No. of Decks**	Kurzschluss	Digi-Key Teilenr.	Stückpreis 1	10	50	Electroswitch Teilenr.
Serie C2 — 8 Pins									
1	2-8	1	1	Nein	451-1002-ND	15.37	12.58	11.18	C2P0108N-A
2	2-8	1	2	Nein	451-1004-ND	18.40	15.05	13.38	C2P0208N-A
2	2-4	2	1	Nein	451-1003-ND	15.37	12.58	11.18	C2P0204N-A
Serie C3 — 12 Pins									
1	2-12	1	1	Nein	451-1005-ND	15.37	12.58	11.18	C3P0112N-A
1	2-12	1	2	Nein	451-1007-ND	18.40	15.05	13.38	C3P0212N-A
2	2-6	2	1	Nein	451-1006-ND	15.37	12.58	11.18	C3P0206N-A
3	2-4	3	1	Nein	451-1008-ND	15.37	12.58	11.18	C3P0304N-A
4	2-6	2	2	Nein	451-1009-ND	18.40	15.05	13.38	C3P0406N-A
6	2-4	3	2	Nein	451-1010-ND	18.40	15.05	13.38	C3P0604N-A

* Pole/Schalterebenen ** Anz. der Schalterebenen

Serie C4 Drehschalter, 1/2 A

Die Schalter der Serie C4 sind vielseitig und vollständig gekapselt, um Schmutz und Feuchtigkeit von den Kontakten fernzuhalten und um Schmiermittel auf Lebensdauer einzuschließen.

Spezifikationen: Elektrische Daten: • Nennspannung und Nennstromstärke: 0,5 A @ 28 V DC; 0,3 A @ 125 V AC **• Durchschlagsfestigkeit:** 1.000 V AC **Kontaktwiderstand:** Anfänglich durchschn. 3 mΩ **• Isolierwiderstand:** Mehr als 10.000 MΩ **Mechanik: • Anschlussklemmen und Kontakte:** Versilbertes Messing **• Indexlebensdauer:** Min. 25.000Schaltungen **• Indexwinkel:** 30° Standard, 36°, 45°, 60° und 90° verfügbar **• Indexanschlag:** Einstellbar **• Anschlagfestigkeit:** 25 Zoll lbs. Min. **• Isolierung:** Diallylphthalat

Kleinteile: Montagemutter und Sicherungsscheibe werden zusammengesetzt geliefert.

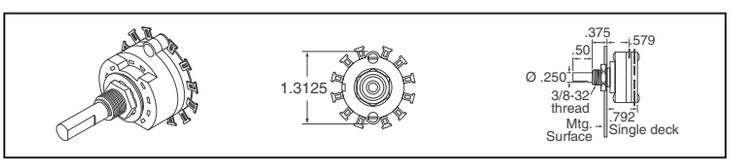

Pole	Aktive Positionen	Poles/ Deck*	No. of Decks**	Kurzschluss	Digi-Key Teilenr.	Stückpreis 1	10	50	Electroswitch Teilenr.
1	2-12	1	1	Nein	451-1011-ND	13.04	10.67	9.49	C4D0112N-A
2	2-06	2	1	Nein	451-1012-ND	13.04	10.67	9.49	C4D0206N-A
2	2-12	1	2	Nein	451-1013-ND	16.76	13.72	12.20	C4D0212N-A
3	2-12	1	3	Nein	451-1015-ND	19.79	16.20	14.40	C4D0312N-A
3	2-04	3	1	Nein	451-1014-ND	13.74	11.24	9.99	C4D0304N-A
4	2-12	1	4	Nein	451-1017-ND	22.82	18.67	16.60	C4D0412N-A
4	2-06	2	2	Nein	451-1016-ND	16.76	13.72	12.20	C4D0406N-A
5	2-12	1	5	Nein	451-1018-ND	26.08	21.34	18.97	C4D0512N-A
6	2-06	2	3	Nein	451-1020-ND	19.79	16.20	14.40	C4D0606N-A
6	2-04	3	2	Nein	451-1019-ND	16.76	13.72	12.20	C4D0604N-A
6	2-12	1	6	Nein	451-1021-ND	29.11	23.82	21.17	C4D0612N-A
8	2-06	2	4	Nein	451-1022-ND	22.82	18.67	16.60	C4D0806N-A
10	2-06	2	5	Nein	451-1024-ND	26.08	21.34	18.97	C4D1006N-A
12	2-04	3	4	Nein	451-1025-ND	22.82	18.67	16.60	C4D1204N-A
15	2-04	3	5	Nein	451-1026-ND	26.08	21.34	18.97	C4D1504N-A

* Pole/Schalterebenen ** Anz. der Schalterebenen

Drehschalter, Serie C5, 1,0 A

Die Schalter der Serie C5 sind sehr sparsam und leichtgewichtig. Zu den Standardfunktionen gehören: 30°-Indexierung von bis zu 12 Positionen, Lötklemmenanschlüsse und interne/externe Dichtungen; abwaschbar.

Spezifikationen: Elektrische Daten: • Nennstromstärke und Nennspannung: 1 A @ 28 V DC; 1 A @ 125 V AC **• Durchschlagsfestigkeit:** 1.000 V AC **• Kontaktwiderstand:** Anfänglich durchschn. 20 mΩ • Isolierwiderstand: Mehr als 10.000 MΩ **Mechanik: • Anschlüsse und Kontakte:** Versilbertes Messing **• Indexlebensdauer:** Min. 25.000 Schaltungen **• Indexwinkel:** Positiv 30° **• Indexanschlag:** Einstellbar **• Anschlagfestigkeit:** 4,5 Zoll lbs. Min. **• Isolierung:** Polyester

Kleinteile: Montagemutter und Sicherungsscheibe werden zusammengesetzt geliefert.

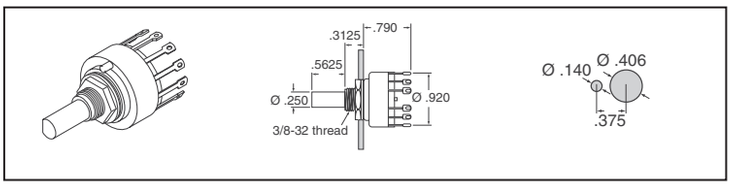

Pole	Aktive Positionen	Poles/ Deck*	No. of Decks**	Kurzschluss	Digi-Key Teilenr.	Stückpreis 1	10	50	Electroswitch Teilenr.
Serie C5 — Abgedichtete Lötöse									
1	2-12	1	1	Nein	451-1027-ND	6.98	5.72	5.08	C5P0112N-A
2	2-06	2	1	Nein	451-1028-ND	7.45	6.10	5.42	C5P0206N-A
3	2-04	3	1	Nein	451-1029-ND	7.92	6.48	5.76	C5P0304N-A
4	2-03	4	1	Nein	451-1030-ND	8.38	6.86	6.10	C5P0403N-A
Serie C5 — Abgedichteter Leiterplattenanschluss									
3	2-04	3	1	Nein	451-1033-ND	7.92	6.48	5.76	C5P0304N-RA

* Pole/Schalterebenen ** Anz. der Schalterebenen

Drehschalter, Serie C7, 1,0 A

Schalter der Serie C7 sind vollständig gekapselt mit modularem Design, gestatten Schalten in 24 Stellungen. Die Standardausführung bietet 15° Indexierung und Lötklemmen.

Spezifikationen: Elektrische Daten: • Nennspannung und Nennstromstärke: 1,0 A @ 28 V DC; 0,5 A @ 125 V AC **• Durchschlagfestigkeit:** 1.000 V AC zwischen lasttragenden Teilen und Erde **• Kontaktwiderstand:** Anfänglich durchschn. 3 mΩ **• Isolierwiderstand:** Mehr als 10.000 MΩ **Mechanik: • Anschlüsse und Kontakt:** Versilbertes Messing, standardmäßig **• Isolierung:** Diallylphthalat **• Indexlebensdauer:** Min. 25.000 Schaltungen **• Indexanschlag:** Einstellbar **• Anschlagfestigkeit:** 25 Zoll lbs. Min.

Kleinteile: Montagemutter und Sicherungsscheibe werden zusammengesetzt geliefert.

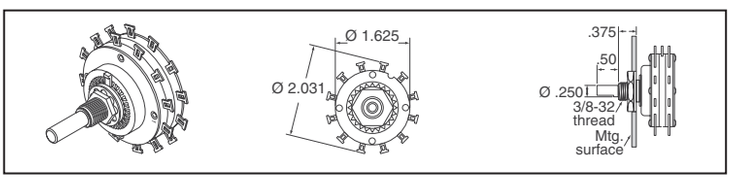

Pole	Aktive Positionen	Poles/ Deck*	No. of Decks**	Kurzschluss	Digi-Key Teilenr.	Stückpreis 1	10	50	Electroswitch Teilenr.
1	23	1	1	Nein	451-1035-ND	19.79	16.20	14.40	C7D0123N
2	23	1	2	Nein	451-1037-ND	28.17	23.05	20.49	C7D0223N
1	24	1	1	Nein	451-1036-ND	19.79	16.20	14.40	C7D0124N-C
2	24	1	2	Nein	451-1038-ND	28.17	23.05	20.49	C7D0224N-C

* Pole/Schalterebenen ** Anz. der Schalterebenen

Drehschalter, Serie D2, 0,55 A

Schalter der Serie D2 sind äußerst platzsparend. Diese doppelkugelseitige Schubwirkung gewährleistet außergewöhnliche Drehmomentkontrolle. Standardausführung mit Diallylphthalat-Isolierung oder Keramikisolierung, Lötklemmen und anpassbarem Indexanschlag (30°).

Spezifikationen: Elektrische Daten: • Nennspannung und Nennstromstärke: 0,55 A @ 28 V DC; 0,25 A @ 115 V AC **• Dauerstromkapazität:** 7 A **• Durchschlagsfestigkeit:** 750 V AC zwischen lasttragenden Teilen und Erde **• Kontaktwiderstand:** Anfänglich durchschn. 5 mΩ **• Isolierwiderstand:** Diallyl für mehr als 900.000 MΩ, Keramik für mehr als 1.000.000 MΩ **Mechanik:**

• Klemmen und Rotoren: Versilbertes Messing, standardmäßig **• Isolierung:** Diallylphthalat oder Keramik **• Indexlebe- nsdauer:** Min. 25.000 Schaltungen **• Indexwinkel:** Positiv 30° **• Indexanschlag:** Einstellbar, Standard **• Anschlagfestigkeit:** 10 Zoll lbs. Min.

Kleinteile: Montagemutter und Sicherungsscheibe werden zusammengesetzt geliefert.

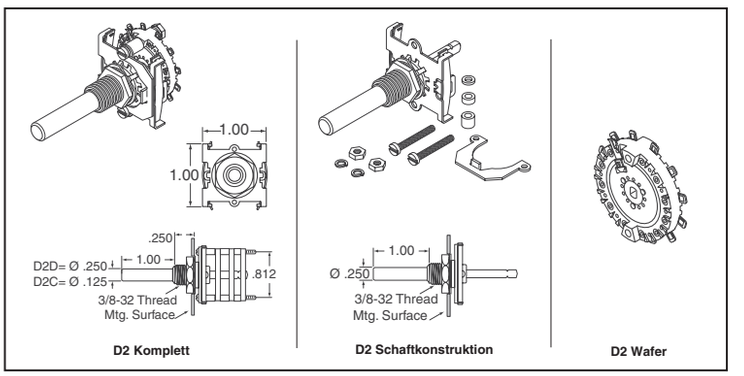

Pole	Aktive Positionen	Poles/ Deck*	No. of Decks**	Kurzschluss	Digi-Key Teilenr.	Stückpreis 1	10	50	Electroswitch Teilenr.
1	2-12	1	1	Nein	451-1056-ND	26.08	21.34	18.97	D2D0112N
2	2-06	2	1	Nein	451-1057-ND	26.08	21.34	18.97	D2D0206N
2	2-12	1	2	Nein	451-1058-ND	34.92	28.58	25.40	D2D0212N
3	2-05	3	1	Nein	451-1059-ND	26.08	21.34	18.97	D2D0305N
3	2-12	1	3	Nein	451-1060-ND	44.23	36.20	32.18	D2D0312N

* Pole/Schalterebenen ** Anz. der Schalterebenen *(Forts.)*

H

Alle Preisangaben in Euro und inklusive Zollgebühren.

Pole	Aktive Positionen	Poles/ Deck*	No. of Decks**	Kurzschluss	Digi-Key Teilenr.	Stückpreis 1	10	50	Electroswitch Teilenr.
4	02-06	2	2	Nein	451-1061-ND	34.92	28.58	25.40	D2D0406N
6	02-05	3	2	Nein	451-1062-ND	34.92	28.58	25.40	D2D0605N
6	02-06	2	3	Nein	451-1063-ND	44.23	36.20	32.18	D2D0606N
1	02-11	1	1	Nein	451-1045-ND	36.56	29.91	26.59	D2C0111N
3	02-03	3	1	Nein	451-1048-ND	36.56	29.91	26.59	D2C0303N
3	02-11	1	3	Nein	451-1049-ND	75.67	61.91	55.03	D2C0311N
4	02-05	2	2	Nein	451-1050-ND	56.11	45.91	40.81	D2C0405N
D2 Ersatzteile									
Schaftkit 1-2 Schalterebenen					451-1039-ND	21.66	17.72	15.75	D2-512
Ersatz- D2C Wafer, DP-5 Pos. kurzschlussgeschützt, 0,25 A					451-1044-ND	27.25	22.30	19.82	D2C-23
Ersatz- D2D Wafer, SP-12 Pos. kurzschlussgeschützt, 0,25 A					451-1053-ND	17.94	14.68	13.04	D2D-51
Ersatz- D2D Wafer, DP-6 Pos. kurzschlussgeschützt, 0,25 A					451-1055-ND	12.35	10.10	8.98	D2D-53

* Pole/Schalterebenen ** Anz. der Schalterebenen

Drehschalter der Serie D3, 1,5 A

Die Schalter der Serie D3 dienten ursprünglich für hochwertige Schalter für den Militärbereich, sind aber ideal für militärische und kommerzielle Anwendungen. Standardmerkmale: Isolierung aus glasfaserverstärktem Epoxidharz und 30°-Index, Diallylphthalat-Isolierung oder Keramikisolierung optional und 60°-Index.

Spezifikationen: Elektrik: Nennstromstärke und Nennspannung: 1,5 A @ 28 V DC; 0,5 A @ 115 V AC

• Durchschlags-festigkeit: 1.000 V AC **• Kontaktwiderstand:** Anfänglich durchschn. 3,5 mΩ **• Isolierwiderstand:** Glas, über 750.000 MΩ

Mechanik: Klemmen und Rotoren: Silberlegierung auf Keramik, standardmäßig. Standardm. versilbertes Messing auf Glas. **• Indexlebensdauer:** Min. 25.000 Schaltungen **• Indexwinkel:** Positiv 30° **• Anschlagfestigkeit:** 25 Zoll lbs. Min.

Kleinteile: Montagemutter und Sicherungsscheibe werden zusammengesetzt geliefert.

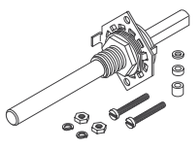

D3 Schaft-konstruktion

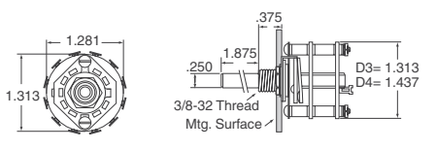

D3 Komplett

Pole	Aktive Positionen	Poles/ Deck*	No. of Decks**	Kurzschluss	Digi-Key Teilenr.	Stückpreis 1	10	50	Electroswitch Teilenr.
Epoxidglasisolierung — Kompletter Schalter									
2	02-11	1	2	Nein	451-1075-ND	30.51	24.96	22.19	D3G0211N
3	02-11	1	3	Nein	451-1077-ND	39.58	32.39	28.79	D3G0311N
4	02-05	2	2	Nein	451-1078-ND	30.51	24.96	22.19	D3G0405N
6	02-05	2	3	Nein	451-1080-ND	39.58	32.39	28.79	D3G0605N
D3 Ersatzteile									
Schaftkit 1-4 Schalterebenen 0,25 A					451-1064-ND	21.66	17.72	15.75	D3-600

* Pole/Schalterebenen ** Anz. der Schalterebenen

Serie D4 Drehschalter, 1,5 A

Die Schalter der Serie D4 sind die wirtschaftlichsten und vielseitigsten Schalter der Serie mit offenem Rahmen. Diese Serie ist mit dem Kugel- und Feder-Indexierungsmechanismus vergleichbar.

Spezifikationen: Elektrik: Nennstromstärke und Nennspannung: 1,5 A @ 28 V DC; 0,5 A @ 115 V AC **• Durchschlagsfestigkeit:** 1.500 V AC **• Kontaktwiderstand:** Anfänglich durchschn. 3,5 mΩ **• Isolierwiderstand:** Glasepoxid für mehr als 750.000 MΩ. Keramik für mehr als 1.000.000 MΩ

Mechanik: Klemmen und Rotoren: Versilbertes Messing, standardmäßig **• Indexlebensdauer:** Min. 25.000 Schaltungen **• Indexwinkel:** Positiv 30° **• Anschlagfestigkeit:** Min. 10 Zoll Pound **• Indexanschlag:** Einstellbar

Kleinteile: Montagemutter und Sicherungsscheibe werden zusammengesetzt geliefert.

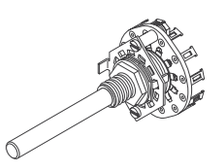

D4 Komplett

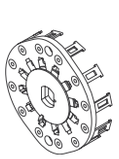

D4 Wafer

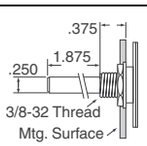

D4 Schaftkonstruktion

Pole	Aktive Positionen	Poles/ Deck*	No. of Decks**	Kurzschluss	Digi-Key Teilenr.	Stückpreis 1	10	50	Electroswitch Teilenr.
1	02-11	1	1	Nein	451-1096-ND	19.33	15.81	14.06	D4G0111N
2	02-11	1	2	Nein	451-1098-ND	26.08	21.34	18.97	D4G0211N
2	02-05	2	1	Nein	451-1097-ND	19.33	15.81	14.06	D4G0205N
3	02-11	1	3	Nein	451-1100-ND	32.83	26.86	23.88	D4G0311N
3	02-03	3	1	Nein	451-1099-ND	19.33	15.81	14.06	D4G0303N
4	02-11	1	4	Nein	451-1102-ND	39.58	32.39	28.79	D4G0411N
4	02-05	2	2	Nein	451-1101-ND	26.08	21.34	18.97	D4G0405N

* Pole/Schalterebenen ** Anz. der Schalterebenen

Pole	Aktive Positionen	Poles/ Deck*	No. of Decks**	Kurzschluss	Digi-Key Teilenr.	Stückpreis 1	10	50	Electroswitch Teilenr.
1	02-12	1	1	Nein	451-1087-ND	29.11	23.82	21.17	D4C0112N
2	02-06	2	1	Nein	451-1088-ND	29.11	23.82	21.17	D4C0206N
D4 Ersatzteile									
Schaftkit 4-6 Schalterebenen 0,25 A					451-1082-ND	36.56	29.92	26.59	D4-301
Ersatz- Wafer SP-12Pos. kurzschlussgeschützt, 0,5 A					451-1084-ND	22.82	18.67	16.60	D4C-1
Ersatz- Wafer DP-6Pos. kurzschlussgeschützt, 0,5 A					451-1086-ND	39.35	—	—	D4C-3
Ersatz- Repl. Wafer SP-11Pos. Kurzschluss, 0,5 A					451-1092-ND	9.09	7.44	6.61	D4G-30
Ersatz- Wafer SP-11Pos. kurzschlussgeschützt, 0,5 A					451-1093-ND	9.09	7.44	6.61	D4G-31

* Pole/Schalterebenen ** Anz. der Schalterebenen

Drehschalter der Serie D7, 2,25 A

Schalter der Serie D7, Doppelkugelkonstruktion, Hill-and-Valley-Index, für größere Schalterleiter und damit zusätzliche Dauerstromkapazität.

Spezifikationen: Elektrische Daten: • Nennstromstärke und Nennspannung: 2,25 A @ 28 V DC; 1 A @ 115 V AC **• Durchschlagsfestigkeit:** 1.500 V AC **Mechanik: • Klemmen und Rotoren:** Versilbertes Messing **• Indexlebensdauer:** Min. 25.000 Schaltungen **• Indexwinkel:** 30° oder 60°, Standard **• Indexanschlag:** Einstellbar, Standard

• Anschlagfestigkeit: 25 Zoll lbs. Min.

Kleinteile: Montagemutter und Sicherungsscheibe werden zusammengesetzt geliefert.

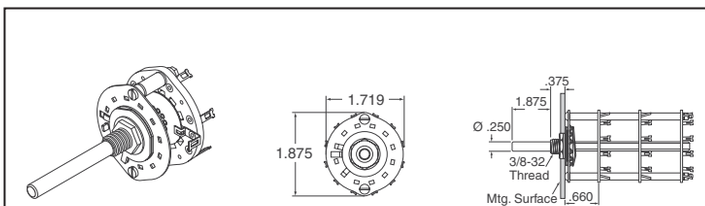

Pole	Aktive Positionen	Poles/ Deck*	No. of Decks**	Kurzschluss	Digi-Key Teilenr.	Stückpreis 1	10	50	Electroswitch Teilenr.
30°-Indexierung									
2	02-11	1	2	Nein	451-1117-ND	33.53	27.43	24.39	D7G0211N
3	02-11	1	3	Nein	451-1119-ND	44.24	36.20	32.18	D7G0311N
3	02-03	3	1	Nein	451-1118-ND	22.82	18.67	16.60	D7G0303N
4	02-05	2	2	Nein	451-1120-ND	33.53	27.43	24.39	D7G0405N
1	02-11	1	1	Nein	451-1108-ND	30.51	24.96	22.19	D7C0111N
2	02-11	1	2	Nein	451-1111-ND	48.67	39.82	35.39	D7C0211N
60°-Indexierung									
1	02-06	1	1	Nein	451-1107-ND	30.51	24.96	22.19	D7C0106N-60
2	02-06	1	2	Nein	451-1110-ND	51.69	42.29	37.59	D7C0206N-60

* Pole/Schalterebenen ** Anz. der Schalterebenen

Drehschalterzubehör — Knöpfe und Wählscheiben

Abb. 1

Abb. 2

Abb. 3

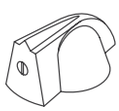

Abb. 4

15°

Abb. 5

30°

Abb. 6

30°

Abb.	Beschreibung	Digi-Key Teilenr.	Stückpreis 1	10	Electroswitch Teilenr.
1	Pfeilknopf mit einer Stellschraube, Schaft 0,125" (3,17 mm)	451-1122-ND	2.29	2.04	1400R
2	Rundknopf mit einer Stellschraube, Schaft 0,250" (6,35 mm)	451-1123-ND	6.67	5.93	1914N
3	Pfeilknopf mit einer Stellschraube, Schaft 0,250" (6,35 mm)	451-1121-ND	1.90	1.70	2300
4	Wählscheibe, 1-23 Ziffern, 1,87" (47,5 mm) Durchmesser 15°	451-1126-ND	1.81	1.61	P173
5	Wählscheibe, 1-11 Ziffern, 1,87" (47,5 mm) Durchmesser 30°	451-1125-ND	2.29	2.04	P118
6	Wählscheibe, 1-12 Ziffern, 1,87" (47,5 mm) Durchmesser 30°	451-1124-ND	2.29	2.04	P112

Drehschalter mit einstellbarem Anschlag

Serie 42, 44, 56 und 71

Serie 42 und 44: **Einstellbarer Anschlag:** Zwei abnehmbare Anschlagunterlegscheiben, um die erforderliche Anzahl der Schalterstellungen festzulegen. Rändelmutter für Sicherung der Unterlegscheibe wird mitgeliefert. **Elektrische Leistungsdaten:** Kurzschlussgeschützt 1 A, Dauerstrom 10 A. **Kontaktwiderstand:** Nach 25.000 Schaltungen, max. 20 mΩ **Isolationswiderstand:** Min. 50.000 MΩ (anfänglich). **Durchbruchspannung:** Anfängl. 1.000 V AC (500 V AC oder höher nach den meisten Umwelttests). **Materialien u. Oberflächen:** Messing, verbleit/verzinnt, verschmolzen. **Standardplatte, einschließl. Lötöse:** Messing, versilbert, min. 0,0003" (0,0076 mm)

Serie 56: **Elektrische Leistungsdaten:** Kurzschlussgeschützt, 200 mA, Dauerstrom 6 A. **Kontaktwiderstand:** Max. 100 mΩ (anfänglich 15 mΩ). **Isolierwiderstand u. Durchbruchspannung:** Min. 10.000 MΩ. **Materialien u. Oberflächen:** Messing, goldüberzogenes Silber über Nickelplattierung.

Serie 71: **Elektrische Leistungsdaten:** Kurzschlussgeschützt 1/4 A, Dauerstrom 4 A. **Kontaktwiderstand:** Max. 50 mΩ (anfänglich 20 mΩ). **Isolierwiderstand:** Min. 10.000 MΩ zwischen voneinander isolierten Teilen (anfänglich 50.000 MΩ). **Materialien u. Oberflächen:** Basiskontakte, Standardplatte + Anschlüsse: Messing, vergoldet, min. 5 Mikro-Zoll über Versilberung, min. 50 Mikro-Zoll über Vernickelung, min. 20 Mikro-Zoll

Abb.	Schalt-winkel	Klemmen	Anz. der Pole	Pos. pro Pol	Anz. der Schalter-ebenen	Nenn-strom, A	Digi-Key Teilenr.	Preis pro Stück* 1	25	100	Grayhill Teilenr.
1	36	Lötöse	SP	10	1	1	GH4201-ND	30.87	24.70	18.52	42D36-01-1-AJN
	36	Lötöse	DP	5	1	1	GH4202-ND	32.18	25.75	19.31	42D36-01-2-AJN
	30	Lötöse	SP	12	1	1	GH4401-ND	31.67	25.34	19.01	44D30-01-1-AJN
	30	Lötöse	DP	6	1	1	GH4402-ND	33.01	26.41	19.81	44D30-01-2-AJN
2	30	Lötöse	SP	12	1	200mA	GH5601-ND	8.80	7.05	5.29	56D30-01-1-AJN
	30	Lötöse	DP	6	1	200mA	GH5602-ND	9.76	7.82	5.86	56D30-01-2-AJN
	36	Lötöse	SP	10	1	200mA	GH5603-ND	8.53	6.82	5.12	56D36-01-1-AJN
	36	Lötöse	DP	5	1	200mA	GH5604-ND	9.48	7.59	5.70	56D36-01-2-AJN
3	30	Lötöse	SP	12	1	250mA	GH7101-ND	12.53	10.03	7.52	71BD30-01-1-AJN
	30	Lötöse	DP	6	1	250mA	GH7102-ND	13.02	10.42	7.82	71BD30-01-2-AJN
	30	Lötöse	SP	12	2	250mA	GH7103-ND	16.23	12.99	9.74	71BD30-02-1-AJN
	30	Lötöse	DP	6	2	250mA	GH7104-ND	17.24	13.80	10.35	71BD30-02-2-AJN
4	30	PC	SP	12	1	250mA	GH7105-ND	18.90	15.88	11.31	71BDF30-01-1-AJN
	30	PC	DP	6	1	250mA	GH7106-ND	19.61	16.47	11.73	71BDF30-01-2-AJN
	30	PC	SP	12	2	250mA	GH7107-ND	25.92	21.79	15.52	71BDF30-02-1-AJN
	30	PC	DP	6	2	250mA	GH7108-ND	27.29	22.93	16.33	71BDF30-02-2-AJN

* Erkundigen Sie sich telefonisch nach Preisen für größere Mengen

Serie 56 und 71

Einstellb. Stopps: Die Anzahl der Positionen pro Pol kann geändert werden. Anschlagstifte einfach abnehmen und wieder in die Löcher auf der Schalterfrontseite einstecken. Stifte werden von einem selbsthaftenden Aufkleber gehalten, der über die Frontplatte passt.

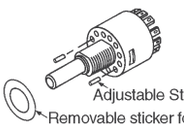

Abb. 1

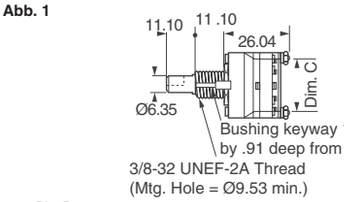

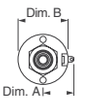

Serie 42			Serie 44		
A	B	C	A	B	C
14.27	25.40	21.08	16.31	29.51	25.40

Abb. 2

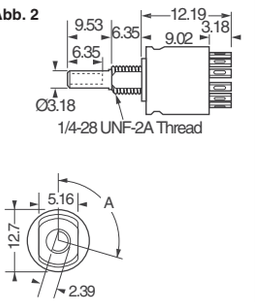

Schaltwinkel	
30°	36°
Winkel „A"	
105°	108°

Abb. 3

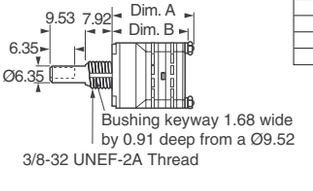

Abm. A	Abm. B
1 Ebene	
19.33	.79
2 Ebenen	
24.87	.79

Abb. 4

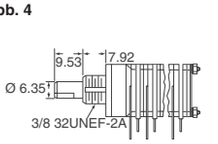

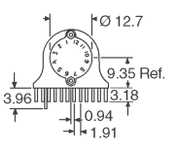

Leiterplattenmontage — rückseitige Ansicht

OMRON DIP-Drehschalter

Lebensdauer: • **Mechanik –** min. 10.000 Schaltungen (A6R 5.000) • **Elektrik** – min. 2.000 Schaltungen • **Kontaktwiderstand** – 200 mΩ

Abb. 1

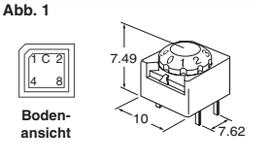

Boden-ansicht

Abb. 2

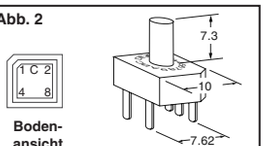

Boden-ansicht

Abb. 3

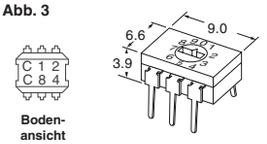

Boden-ansicht

Abb. 4

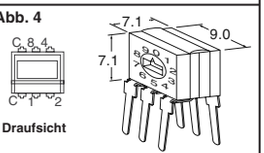

Draufsicht

Abb. 5

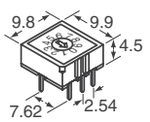

Abb. 6

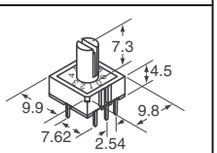

Abb. 7

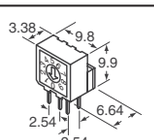

Abb. 8

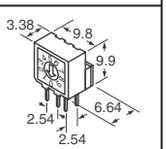

BCD-Ausgangscodes

BCD-Typ

Position	Anschlussnr. 1	2	4	8
0				
1	●			
2		●		
3	●	●		
4			●	
5	●		●	
6		●	●	
7	●	●	●	
8				●
9	●			●

Hinweis: „●" weist in den Tabellen auf die Anzahl der Ausgangsanschlüsse hin, die mit dem gemeinsamen Anschluss verbunden werden können.

Hexadezimal

Position	Anschlussnr. 1	2	4	8
0				
1	●			
2		●		
3	●	●		
4			●	
5	●		●	
6		●	●	
7	●	●	●	
8				●
9	●			●
A		●		●
B	●	●		●
C			●	●
D	●		●	●
E		●	●	●
F	●	●	●	●

Abb.	Anz. der Pos.	Ausgangs-code-Typ	Schaltkapazität mA	VDC	Betriebstemp.	Digi-Key Teilenr.	Stückpreis 1	25	50	100	Omron Teilenr.
1	10	BCD	100	28	-10°C ~ 70°C	SW220-ND	3.17	2.86	2.54	2.29	A6A-10R
	16	Hexadez.	100	28	-10°C ~ 70°C	SW221-ND	3.28	2.96	2.63	2.37	A6A-16R
2	10	BCD	100	28	-10°C ~ 70°C	SW214-ND	3.50	3.15	2.80	2.52	A6A-10RS
	16	Hexadez.	100	28	-10°C ~ 70°C	SW215-ND	3.71	3.34	2.97	2.67	A6A-16RS
2	10	BCD	100	28	-10°C ~ 70°C	SW222-ND	3.81	3.43	3.05	2.75	A6A-10RW
	16	Hexadez.	100	28	-10°C ~ 70°C	SW223-ND	3.92	3.53	3.14	2.82	A6A-16RW
3	10	BCD	100	30	-20°C ~ 70°C	SW216-ND	2.44	2.20	1.95	1.76	A6C-10R(N)
	16	Hexadez.	100	30	-20°C ~ 70°C	SW217-ND	2.54	2.29	2.04	1.83	A6C-16R(N)
4	10	BCD	100	30	-20°C ~ 70°C	SW218-ND	3.28	2.96	2.63	2.37	A6CV-10R
	16	Hexadez.	100	30	-20°C ~ 70°C	SW219-ND	3.50	3.15	2.80	2.52	A6CV-16R
5	10	BCD	25	24	-25°C ~ 80°C	SW751-ND	2.44	2.20	1.96	1.76	A6R-102RF
	16	Hexadez.	25	24	-25°C ~ 80°C	SW752-ND	2.61	2.35	2.09	1.88	A6R-162RF
6	10	BCD	25	24	-25°C ~ 80°C	SW753-ND	2.68	2.42	2.15	1.94	A6R-102RS
	16	Hexadez.	25	24	-25°C ~ 80°C	SW754-ND	2.85	2.57	2.29	2.06	A6R-162RS
7	10	BCD	25	24	-25°C ~ 80°C	SW755-ND	2.77	2.50	2.22	2.00	A6RV-102RF
	16	Hexadez.	25	24	-25°C ~ 80°C	SW756-ND	2.93	2.64	2.35	2.11	A6RV-162RF
8	10	BCD	25	24	-25°C ~ 80°C	SW757-ND	3.01	2.72	2.42	2.18	A6RV-102RS
	16	Hexadez.	25	24	-25°C ~ 80°C	SW758-ND	3.17	2.86	2.54	2.29	A6RV-162RS

CTS Drehschalter mit einstellbarem Anschlag

Spezifikationen: • Einstellbarer Anschlag gestattet das Festlegen der Anzahl von Schalterstellungen nach Bedarf • **Rotorkontakt:** Standard mit versilbertem Messing • **Rotor:** Standard mit Nylon, max. Temperaturanforderung 125 °C • **Nennspannung und Nennstromstärke:** UL-Leistungsdaten: 3/4 A bei 125 V AC; 1/4 A bei 250 V DC; 1/2 A bei 125 V DC (kurzschlussgeschützte Kontakte) • **Kontaktwiderstand:** 0,008 ~ 0,010 Ω • **Lebensdauer der Kontakte:** Versilbertes Messing, Rotorkontakte aus Massivsilber und Statorkontakte aus versilbertem Messing gewährleisten eine Mindestlebensdauer von über 1.100.000 Vorgängen oder 50.000 Schaltungen über 12 Stellungen und Rücklauf ohne merklichen Anstieg des Kontaktwiderstands.

Abb. 1

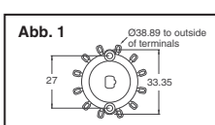

Abb. 2

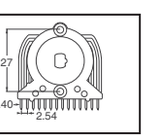

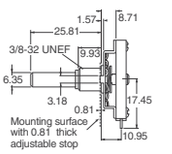

Abb.	Schalt-winkel	Typ	Klemmen	Anz. Pole	Anz. Pos.	Anz. Schalt-ebenen	Nennstrom, A	Digi-Key Teilenr.	Stückpreis 1	10	50
1	30°	Non-Short**	Lötöse	SP	12	1	3/4A-125VAC	CT2121-ND	6.43	5.98	4.97
	30°	Kurzschluss	Lötöse	SP	11	1	3/4A-125VAC	CT2122-ND	6.43	5.98	4.97
2	30°	Non-Short**	Gedruckte Schaltung	SP	12	1	3/4A-125VAC	CT2123-ND	7.01	6.52	5.42
	30°	Kurzschluss	Gedruckte Schaltung	SP	11	1	3/4A-125VAC	CT2124-ND	6.97	6.49	5.39

** Kurzschlussgeschützt

E-SWITCH® Drehschalter mit einstellbarem Anschlag Serie KC

Einsatzbereich von Test- und Messgeräten über Telefonstationen zu Krankenhaus-Steuersystemen. Diese Drehschalter haben sich leistungsmäßig als hervorragend erwiesen.
Kontakte (kurzschlussgeschützt). Mit Lötösen oder PCB-Pins, mit einstellbarem Anschlag zur Auswahl beliebiger Stellungen. **Betätigungskraft:** 570 g. **Indexierung:** 30° Index. **Kontaktleistung (Schaltung):** 150 mA 250 V AC/DC; 350 mA 110 V AC/DC. **Kontaktleistung (keine Schaltung):** 5 A. Anfängl. **Kontaktwiderstand:** Silber = max. 50 mΩ. **Betriebstemperatur:** -30 °C ~ 85 °C. **Bewegliche und feste Kontakte:** Versilbertes Messing.

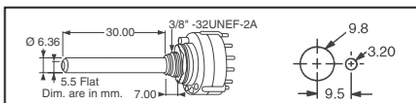

Abschlüsse

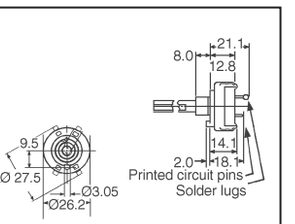

Anz. der Pole	Anz. der Pos.	Anschluss	Digi-Key Teilenr.	Stückpreis 1	10	100	250	E-Switch Teilenr.
SP	12	Leiterplattenmontage	EG1951-ND	4.29	3.87	3.30	2.72	KC-52-A-30.0-01-N-P-S
SP	12	Lötauge	EG1952-ND	4.29	3.87	3.30	2.72	KC-52-A-30.0-01-N-L-S
DP	6	Leiterplattenmontage	EG1953-ND	4.29	3.87	3.30	2.72	KC-26-A-30.0-01-N-P-S
DP	6	Lötauge	EG1954-ND	4.29	3.87	3.30	2.72	KC-26-A-30.0-01-N-L-S
3P	4	Leiterplattenmontage	EG1955-ND	4.29	3.87	3.30	2.72	KC-34-A-30.0-01-N-P-S
3P	4	Lötauge	EG1956-ND	4.29	3.87	3.30	2.72	KC-34-A-30.0-01-N-L-S
4P	3	Leiterplattenmontage	EG1957-ND	4.29	3.87	3.30	2.72	KC-43-A-30.0-01-N-P-S
4P	3	Lötauge	EG1958-ND	4.29	3.87	3.30	2.72	KC-43-A-30.0-01-N-L-S

H

Alle Preisangaben in Euro und inklusive Zollgebühren.

Cannon

ITT Industries
Engineered for life

Drehschalter mit einstellbarem Anschlag

Abm. in mm

Spezifikationen:
• **Kontaktleistung:** Schalter-2,5 A @ 125 V AC oder 28 V DC; 150 mA @ 250 V AC oder DC. Dauerstrom - 5 A • **Lebensdauer Elektrik:** 15.000 Ein-/Ausschaltungen • **Kontaktwiderstand:** 20 mΩ typ. • **Betriebstemperatur:** -30 °C ~ 85 °C

Materialien:
• **Gehäuse:** Glasgefülltes Nylon, rot • **Beweglicher Kontakt:** Münzsilber, versilbert • **Stationäre Kontakte + Klemmen:** Messing, versilbert • **Kleinteile:** Mutter, Sicherungsscheibe und Anschlagring werden mitgeliefert

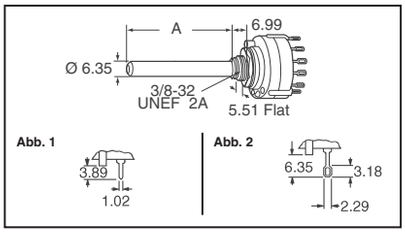

Abb.	Pole	Anz. der Pos.	Abm. A (mm)	Digi-Key Teilenr.	Stückpreis 1	25	100	250	ITT Industries Teilenr.
1	SP	12	12.7	CKN6042-ND	5.05	4.05	3.20	2.53	A11205RNCQ
1	SP	12	38.1	CKC7001-ND	4.82	3.86	3.06	2.41	A11215RNCQ
2	SP	12	38.1	CKC7002-ND	4.82	3.86	3.06	2.41	A11215RNZQ
1	DP	6	38.1	CKC7003-ND	5.11	4.09	3.24	2.56	A20615RNCQ
2	DP	6	38.1	CKC7004-ND	5.11	4.09	3.24	2.56	A20615RNZQ
2	3P	4	9.53	CKN6043-ND	5.26	4.21	3.34	2.63	A30403RNZQ
1	3P	4	38.1	CKC7005-ND	5.03	4.03	3.19	2.52	A30415RNCQ
2	3P	4	38.1	CKC7006-ND	5.03	4.03	3.19	2.52	A30415RNZQ
1	4P	3	38.1	CKC7007-ND	5.52	4.42	3.50	2.76	A40315RNCQ
2	4P	3	38.1	CKC7008-ND	5.52	4.42	3.50	2.76	A40315RNZQ

Drehschalter, 1/2 Zoll (12,7 mm) Serie M

Abm. in Zoll.

Spezifikationen:

Kontaktnennwerte: Schalter max. 250 mA @ 125 V AC oder 28 DC; kurzschlussgeschützte Kontakte; Dauerstrom - 6 A
• **Lebensdauer Elektrik:** 10.000 Ein-/Ausschaltungen bei 150 mA, 125 V AC oder 28 DC
• **Betriebstemperatur:** -30 °C ~ 85 °C
Hardware wird mitgeliefert

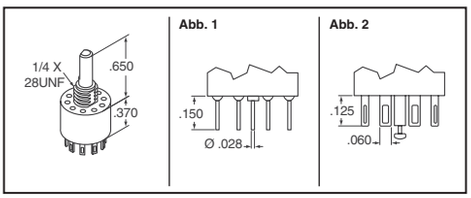

Abb.	Pole	Anz. der Pos.	Digi-Key Teilenr.	Stückpreis 1	25	100	250	ITT Industries Teilenr.
1	SP	10	CKN6044-ND	10.10	8.09	6.40	5.06	MA00L1NCQD
	SP	10	CKN6047-ND	10.10	8.09	6.40	5.06	ME00L1NCQD
2	SP	10	CKN6048-ND	9.72	7.78	6.16	4.86	ME00L1NZQD
	SP	10	CKN6045-ND	9.72	7.78	6.16	4.86	MA00L1NZQD
	DP	6	CKC7010-ND	11.12	8.90	7.04	5.56	MD00L1NZQD
	DP	6	CKN6050-ND	11.12	8.90	7.04	5.56	MH00L1NZQD
	DP	5	CKN6046-ND	10.80	8.65	6.85	5.41	MB00L1NZQD
Ersatz-Stop-Pins			CKN1750-ND	.24	.20	.16	.12	537100000

Rechtwinklige Mini-Drehschalter Serie MIL

Merkmale: • Total versiegelt (geformte Kontakte und Anschlüsse einfügen) • Flachprofil - 12 mm über Leiterplatte
Anwendungen: • Telecom-Schaltgeräte • Militärkommunikationen • Instrumentierung • Medizinische Monitore
Spezifikationen: **Kontaktnennwert:** Schalter: 20 mA, max.1 V A, resistive Lasttragefunktion: 1 A • **Lebensdauer der Elektrik:** 20.000 Schaltungen • **Betriebstemperatur:** -40 °C ~ 85 °C
Materialien: • **Gehäuse:** Thermoplast und Thermoset • **Betätiger:** Stahl • **Kontakte:** Messing, vergoldet • **O-Ring:** Silikon
Hardware wird mitgeliefert

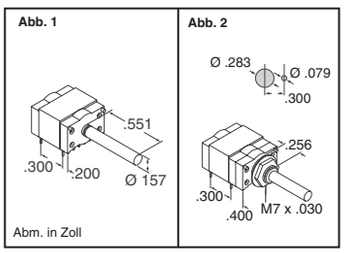

Abm. in Zoll

Abb.	Pole	Anz. der Pos.	Anz. der Reihen	Digi-Key Teilenr.	Stückpreis 1	25	100	250	ITT Industries Teilenr.
1	SP	6	1	401-1544-ND	33.69	29.95	26.20	22.46	MIL1106B06NSD25
	SP	10	1	401-1546-ND	28.07	24.96	21.84	18.72	MIL1110B10NSD25
	SP	12	1	401-1548-ND	33.69	29.95	26.20	22.46	MIL1112B12NSD25
	SP	12	1	401-1550-ND*	32.59	28.98	25.36	21.74	MIL1112SNSD25
	DP	6	1	401-1552-ND	35.37	31.45	27.52	23.59	MIL1206B06NSD25
	3P	3	1	401-1555-ND	37.66	33.48	29.30	25.11	MIL1303B03NSD25
	SP	12	2	401-1557-ND	60.13	53.45	46.77	40.09	MIL2112B12NSD25
2	SP	6	1	401-1543-ND	40.81	36.28	31.75	27.21	MIL1106B06NAD25
	SP	10	1	401-1545-ND	34.01	30.24	26.46	22.68	MIL1110B10NAD25
	SP	12	1	401-1547-ND	42.07	37.40	32.73	28.05	MIL1112B12NAD25
	SP	12	1	401-1549-ND*	40.81	36.28	31.75	27.21	MIL1112SNAD25
	DP	6	1	401-1551-ND	42.50	37.78	33.06	28.34	MIL1206B06NAD25
	DP	6	1	401-1553-ND*	42.50	37.78	33.06	28.34	MIL1206SNAD25
	3P	3	1	401-1554-ND	44.22	39.31	34.40	29.48	MIL1303B03NAD25
	SP	12	2	401-1556-ND	68.35	60.76	53.16	45.57	MIL2112B12NAD25
	SP	12	2	401-1558-ND*	68.35	60.76	53.16	45.57	MIL2112SNAD25
	DP	6	2	401-1559-ND	71.70	63.74	55.77	47.81	MIL2206B06NAD25
	DP	6	2	401-1560-ND*	71.70	63.74	55.77	47.81	MIL2206SNAD25

* Dauerdrehung

Kodierte Drehschalter Serie RTA

Merkmale: • Leiterplatten- oder Handlötversionen • Durchführungsmontage • Dezimal- und Hexadezimal-Codes • Schraubendreherschlitz oder hervorstehender Betätiger
Anwendungen: • Haushaltsgeräte • Elektronische Alarmanlagen • Medizinisch • Gebäudeautomation • HVAC Klimaanlage
Spezifikationen: • **Kontaktleistung:** 5 A
• **Lebensdauer der Elektrik:** 10.000 Schaltungen
Materialien: **Kontakte u. Anschlüsse:**
• Nickellegierung, versilbert
Hardware wird mitgeliefert

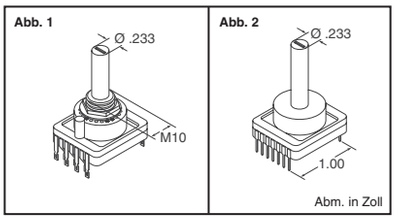

Abm. in Zoll

Abb.	Index	Pole	Anz. der Pos.	Betätigerlänge (mm)	Digi-Key Teilenr.	Stückpreis 1	25	100	250	ITT Industries Teilenr.
1	22.5	BCD	—	25	401-1561-ND*	5.36	4.77	4.18	3.58	RTAC22.5BSAD25S
	30	SP	12	25	401-1562-ND	4.46	3.97	3.48	2.98	RTAC30112B12AD25S
		SP	12	50	401-1563-ND	4.46	3.97	3.48	2.98	RTAC30112B12AD50S
		SP	12	25	401-1564-ND*	4.46	3.97	3.48	2.98	RTAC30112SAD25S
		DP	6	25	401-1565-ND	4.46	3.97	3.48	2.98	RTAC30206B06AD25S
		DP	6	50	401-1566-ND	4.46	3.97	3.48	2.98	RTAC30206B06AD50S
2	22.5	BCD	—	25	401-1567-ND*	4.92	4.37	3.83	3.28	RTAP22.5BSSD25S
		BCD	—	Schraubendreher	401-1568-ND*	4.92	4.37	3.83	3.28	RTAP22.5BSSDFS
	30	SP	12	25	401-1569-ND	4.11	3.67	3.21	2.75	RTAP30112B12SD25S
		SP	12	25	401-1570-ND	4.11	3.67	3.21	2.75	RTAP30112SSD25S
		DP	6	25	401-1571-ND	4.11	3.67	3.21	2.75	RTAP30206B06SD25S
		DP	6	50	401-1572-ND	4.11	3.67	3.21	2.75	RTAP30206SSD50S
		BCD + Ergänzung	—	25	401-1573-ND*	4.62	4.11	3.60	3.08	RTAP30BCSSD25S
			—	50	401-1574-ND	4.62	4.11	3.60	3.08	RTAP30BCSSD50S
	36	SP	10	25	401-1575-ND	4.52	4.02	3.52	3.02	RTAP36110B10SD25S
		SP	10	25	401-1576-ND	4.52	4.02	3.52	3.02	RTAP36110SSD25S
		DP	5	25	401-1577-ND	4.52	4.02	3.52	3.02	RTAP36205B05SD25S
		BCD + Comp.	—	25	401-1578-ND	5.01	4.46	3.91	3.35	RTAP36BCSSD25S

* Dauerdrehung

8 mm/10 mm codierte DIP-Drehschalter

Spezifikationen: • **Kontaktnennleistung:** Max. 0,4 V A @ max. 20 V AC oder max. DC • **Lebensdauer Mechanik + Elektrik:** 20.000 Stellungsänderungen • **Kontaktwiderstand:** Max.• 50 mΩ anfängl. • **Betriebstemperatur:** -25 °C ~ 85 °C. ***Materialien:*** • **Abdeckung + Sockel:** Glasgefülltes Nylon, schwer entflammbar, wärmestabilisiert (UL 94V-0) • **Betätiger:** LCP (UL 94V-0), interne O-Ring-Dichtung, standardm. für alle Betätiger • **Bewegliche Kontakte:** Kupferlegierung, vergoldet über Nickelplattierung • **Klemmen:** Kupferlegierung mit Zinn-Blei-Legierung über der Vernickelung Alle Klemmen werden formgepresst eingesetzt.

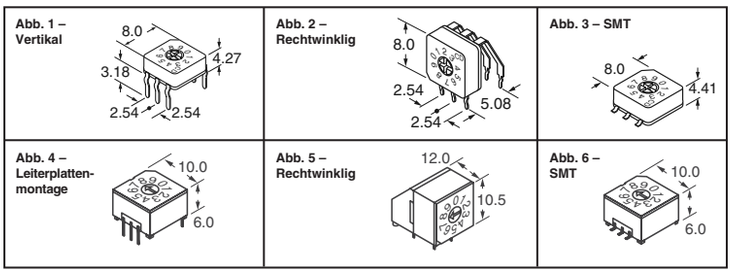

Betätigeroptionen

Abm. in mm

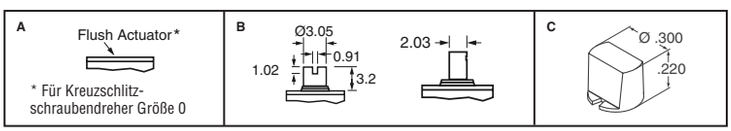

Abb.	Typ	Betätiger	Digi-Key Teilenr.	Stückpreis 1	25	100	250	ITT Industries Teilenr.
3	BCD	A	CKN6040-ND	4.78	3.83	3.03	2.39	CD08RM0SK
1	BCD	A	CKN3044-ND	3.67	3.40	2.83	2.13	CD10RM0CK
		B	CKN3045-ND	4.22	3.90	3.25	2.44	CD10RL1CK
		C	CKN1224-ND	4.93	4.56	3.80	2.85	CD10RK1CK
2	BCD	A	CKN3046-ND	4.34	4.02	3.35	2.51	CD10RM0AK
		B	CKN3047-ND	4.87	4.50	3.75	2.81	CD10RL1AK
		C	CKN1226-ND	5.58	5.15	4.30	3.22	CD10RK1AK
3	BCD	A	CKN3048-ND	4.14	3.83	3.19	2.39	CD10RM0SK
		C	CKN1228-ND	5.44	5.02	4.19	3.14	CD10RK1SK
1	Hex	A	CKN3049-ND	4.04	3.74	3.11	2.34	CD16RM0CK
		B	CKN3050-ND	4.63	4.28	3.56	2.67	CD16RL1CK
		C	CKN1225-ND	5.33	4.93	4.11	3.08	CD16RK1CK
2	Hex	A	CKN3051-ND	4.79	4.43	3.69	2.77	CD16RM0AK
		B	CKN3052-ND	5.32	4.91	4.09	3.07	CD16RL1AK
		C	CKN1227-ND	6.02	5.56	4.64	3.48	CD16RK1AK
3	Hex	A	CKN3053-ND	4.57	4.22	3.52	2.64	CD16RM0SK
	Hex	C	CKN1229-ND	5.86	5.41	4.51	3.39	CD16RK1SK
	HEX-Ergänzung	A	CKN6041-ND	5.27	4.22	3.34	2.64	CD16CM0SK
10 mm Dip-Drehschalter - leiterplattenmontiert - lötbeständig versiegelt								
4	BCD	Bündig	CKN1367-ND	3.68	3.40	2.84	2.13	CRD10RM0CK
	BCD-Ergänzung	Bündig	CKN1368-ND	3.68	3.40	2.84	2.13	CRD10CM0CK
	HEX	Bündig	CKN1369-ND	4.04	3.74	3.11	2.34	CRD16RM0CK
	HEX-Ergänzung	Bündig	CKN1370-ND	4.04	3.74	3.11	2.34	CRD16CM0CK
10 mm Dip-Drehschalter - rechtwinklig montiert - lötbeständig versiegelt								
5	BCD	Bündig	CKN1371-ND	4.36	4.03	3.36	2.52	CRD10RM0AK
	BCD-Ergänzung	Bündig	CKN1372-ND	4.36	4.03	3.36	2.52	CRD10CM0AK
	HEX	Bündig	CKN1373-ND	4.78	4.42	3.68	2.76	CRD16RM0AK
	HEX-Ergänzung	Bündig	CKN1374-ND	4.78	4.42	3.68	2.76	CRD16CM0AK
10 mm Dip-Drehschalter - PC-montiert - lötbeständig versiegelt								
6	BCD	Bündig	CKN1375-ND	4.16	3.84	3.20	2.40	CRD10RM0SK
	BCD-Ergänzung	Bündig	CKN1376-ND	4.16	3.84	3.20	2.40	CRD10CM0SK
	HEX	Bündig	CKN1377-ND	4.55	4.21	3.51	2.63	CRD16RM0SK
	HEX-Ergänzung	Bündig	CKN1378-ND	4.55	4.21	3.51	2.63	CRD16CM0SK

H

ITT Industries
Engineered for life

DIP-Schalter

SDA-Flachprofil

Merkmale: • Flachprofildesign spart Platz • Hochdruckkontakt verlangt keine Dichtung mit Band

Spezifikationen: • **Kontaktleistung:** 25 mA @ 24 V DC oder 100 mA @ 50 V DC

• **Lebensdauer der Mechanik/Elektrik:** 1.000 Schaltungen bei Nennlast • **Betriebstemperatur:** -20 °C ~ 85 °C

BPA seitlich betätigt

Merkmale: • Hochdruckkontakt verlangt keine Dichtung mit Band

Spezifikationen: • **Kontaktnennleistung:** Max. 100 mA @ 5 V DC oder max. 25 mA • **Lebensdauer der Mechanik/Elektrik:** Min. 1.000 Schaltungen @ 5 V DC 10 mA • **Betriebstemperatur:** -20 °C ~ 85 °C

SP Single In-Line

Merkmale: • Das dünne Single In-Line-Paket spart Platz auf der Leiterplatte • Haltefunktion hält Teil zum Löten auf der Leiterplatte fest • Hochdruckkontakt verlangt keine Dichtung mit Band

Spezifikationen: • **Kontaktleistung:** Max. 100 mA • **Lebensdauer der Mechanik/Elektrik:** Min. 1.000 Schaltungen • **Betriebstemperatur:** -20 °C ~ 85 °C

BD Standardprofil

Merkmale: • Traditioneller Vollprofil-DIP-Schalter • Hervorstehender Betätiger zur einfachen Betätigung • Konstruktion mit offenem Boden ermöglicht ein Lötbad, ohne dass eine Dichtung mit Band erforderlich ist

Spezifikationen: • **Kontaktleistung:** Max. 100 mA • **Lebensdauer der Mechanik/Elektrik:** 10.000 Schaltungen bei voller Last • **Betriebstemperatur:** -40 °C ~ 85 °C

BP seitlich betätigt

Merkmale: • Bei Aktivierung bleiben die Kontakte unterhalb des oberen Schalterrandes • Ideal für Anwendungen mit begrenzter Installationsfläche

Spezifikationen: • **Kontaktleistung:** Max. 100 mA • **Lebensdauer der Mechanik/Elektrik:** 2.000 Schaltungen - Goldkontakte, 1.000 Schaltungen - Zinnkontakte • **Betriebstemperatur:** -20 °C ~ 60 °C

SD Flachprofil

Merkmale: • Flachprofildesign spart Platz • Versiegelt mit oberem Band

Spezifikationen: • **Kontaktleistung:** Max. 100 mA @ 50 V DC. • **Lebensdauer der Mechanik/Elektrik:** 2.000 Schaltungen bei voller Last • **Betriebstemperatur:** -20 °C ~ 85 °C

TDA Half-pitch Ultra-mini SMT

Spezifikationen: • **Kontaktleistung:** • 50 V DC, 100 mA • **Lebensdauer der Elektrik:** 1.000 Schaltungen • **Betriebstemperatur:** -20 °C ~ 85 °C

Abb. 1

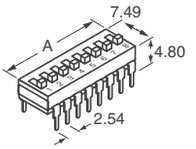

Abb. 2

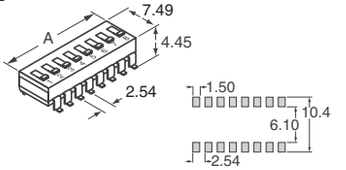

Abb. 3 Abm. in mm

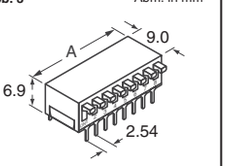

Abb. 4

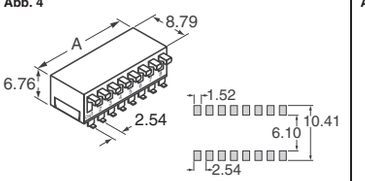

Abb. 5

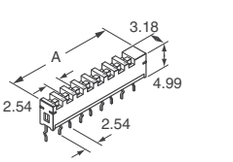

Abb. 6

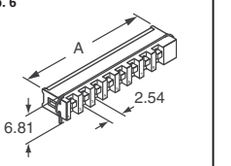

Abb. 7

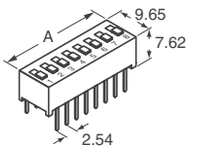

Abb. 8

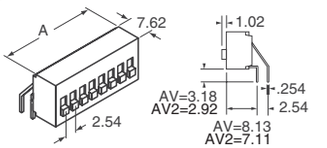

Abb. 9

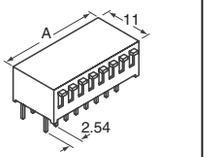

Abb. 10

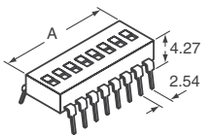

Abb. 11

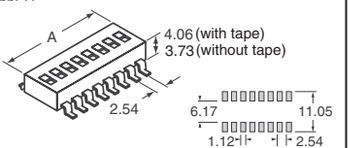

Leiterplatten-Lötaugenmuster

Abb. 12

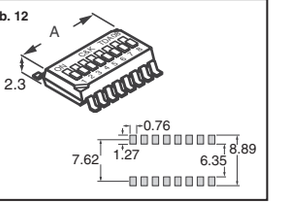

Abb.	Anz. der Pos.	Abm. A (mm)	Digi-Key Teilenr.	Stückpreis 1	25	100	ITT Teilenr.
Oberer DIP-Schieber mit vorstehendem Betätiger — Nicht abgedichtet							
1	2	7.06	CKN1276-ND	.91	.73	.58	SDA02H1KD
	3	9.60	CKN1277-ND	.96	.77	.61	SDA03H1KD
	4	12.10	CKN1278-ND	1.01	.81	.65	SDA04H1KD
	6	17.18	CKN1280-ND	1.08	.87	.69	SDA06H1KD
	7	19.76	CKN1281-ND	1.17	.94	.74	SDA07H1KD
	8	22.26	CKN1282-ND	1.30	1.04	.83	SDA08H1KD
	9	24.84	CKN1283-ND	1.42	1.14	.91	SDA09H1KD
	10	27.34	CKN1284-ND	1.53	1.23	.97	SDA10H1KD
	12	32.50	CKN1285-ND	1.68	1.35	1.07	SDA12H1KD
DIP Top Slide with Flush Actuator* — Nicht abgedichtet							
1	2	7.06	CKN1296-ND	.91	.73	.58	SDA02H0KD
	3	9.60	CKN1297-ND	.96	.77	.61	SDA03H0KD
	4	12.10	CKN1298-ND	1.01	.81	.65	SDA04H0KD
	5	14.68	CKN1299-ND	1.06	.85	.68	SDA05H0KD
	6	17.18	CKN1300-ND	1.08	.87	.69	SDA06H0KD
	7	19.76	CKN1301-ND	1.17	.94	.74	SDA07H0KD
	8	22.26	CKN1302-ND	1.30	1.04	.83	SDA08H0KD
	9	24.84	CKN1303-ND	1.42	1.14	.91	SDA09H0KD
	10	27.34	CKN1304-ND	1.53	1.23	.97	SDA10H0KD
	12	32.50	CKN1305-ND	1.68	1.35	1.07	SDA12H0KD
DIP Top Slide with Flush Actuator△ — Mit Isolierband abgedichtet							
1	2	7.06	CKN1306-ND	1.03	.83	.66	SDA02H0K
	3	9.60	CKN1307-ND	1.06	.85	.68	SDA03H0K
	4	12.10	CKN1308-ND	1.12	.90	.71	SDA04H0K
	5	14.68	CKN1309-ND	1.17	.94	.74	SDA05H0K
	6	17.18	CKN1310-ND	1.22	.98	.78	SDA06H0K
	7	19.76	CKN1311-ND	1.30	1.04	.83	SDA07H0K
	8	22.26	CKN1312-ND	1.42	1.14	.91	SDA08H0K
	9	24.84	CKN1313-ND	1.53	1.23	.97	SDA09H0K
	10	27.34	CKN1314-ND	1.66	1.33	1.06	SDA10H0K
	12	32.50	CKN1315-ND	1.79	1.44	1.14	SDA12H0K
Oberer SMT-Schieber mit vorstehendem Betätiger — Nicht abgedichtet							
2	2	7.06	CKN1286-ND	1.32	1.06	.84	SDA02H1SKD
	3	9.60	CKN1287-ND	1.40	1.12	.89	SDA03H1SKD
	4	12.10	CKN1288-ND	1.47	1.19	.94	SDA04H1SKD
	5	14.68	CKN1289-ND	1.61	1.29	1.02	SDA05H1SKD
	6	17.18	CKN1290-ND	1.71	1.37	1.09	SDA06H1SKD
	7	19.76	CKN1291-ND	1.71	1.37	1.09	SDA07H1SKD
	8	22.26	CKN1292-ND	1.86	1.50	1.19	SDA08H1SKD
	9	24.84	CKN1293-ND	2.07	1.66	1.32	SDA09H1SKD
	10	27.34	CKN1294-ND	2.20	1.77	1.40	SDA10H1SKD
	12	32.50	CKN1295-ND	2.44	1.95	1.55	SDA12H1SKD
SMT Top Slide with Flush Actuator** — Nicht abgedichtet							
2	2	7.06	CKN1316-ND	1.32	1.06	.84	SDA02H0SKD
	3	9.60	CKN1317-ND	1.40	1.12	.89	SDA03H0SKD
	4	12.10	CKN1318-ND	1.47	1.19	.94	SDA04H0SKD
	5	14.68	CKN1319-ND	1.53	1.23	.97	SDA05H0SKD
	6	17.18	CKN1320-ND	1.61	1.29	1.02	SDA06H0SKD
	7	19.76	CKN1321-ND	1.71	1.37	1.09	SDA07H0SKD
	8	22.26	CKN1322-ND	1.86	1.50	1.19	SDA08H0SKD
	9	24.84	CKN1323-ND	2.07	1.66	1.32	SDA09H0SKD
	10	27.34	CKN1324-ND	2.20	1.77	1.40	SDA10H0SKD
	12	32.50	CKN1325-ND	2.44	1.95	1.55	SDA12H0SKD
SMT Top Slide with Flush Actuator *** — Mit Isolierband abgedichtet							
2	2	7.06	CKN1326-ND	1.45	1.16	.92	SDA02H0SK
	3	9.60	CKN1327-ND	1.53	1.23	.97	SDA03H0SK
	4	12.10	CKN1328-ND	1.58	1.27	1.01	SDA04H0SK
	5	14.68	CKN1329-ND	1.66	1.33	1.06	SDA05H0SK
	6	17.18	CKN1330-ND	1.74	1.39	1.10	SDA06H0SK
	7	19.76	CKN1331-ND	1.81	1.46	1.15	SDA07H0SK
	8	22.26	CKN1332-ND	2.00	1.60	1.27	SDA08H0SK
	9	24.84	CKN1333-ND	2.20	1.77	1.40	SDA09H0SK
2	10	27.34	CKN1334-ND	2.30	1.85	1.47	SDA10H0SK
	12	32.50	CKN1335-ND	2.54	2.04	1.61	SDA12H0SK
Seitlich betätigter DIP-Schalter — Nicht abgedichtet							
3	2	7.11	CKN1336-ND	1.12	.90	.71	BPA02K
	4	12.19	CKN1337-ND	1.27	1.02	.81	BPA04K
	5	14.68	CKN1338-ND	1.35	1.08	.86	BPA05K
	6	17.30	CKN1339-ND	1.51	1.21	.96	BPA06K
	7	19.76	CKN1340-ND	1.52	1.22	.97	BPA07K
	8	22.30	CKN1341-ND	1.56	1.25	.99	BPA08K
	9	24.84	CKN1342-ND	1.65	1.33	1.05	BPA09K
	10	27.43	CKN1343-ND	1.76	1.41	1.12	BPA10K
SMT, seitlich betätigter DIP-Schalter — Nicht abgedichtet							
4	2	7.11	CKN1344-ND	1.16	.93	.74	BPA02SK
	4	12.19	CKN1345-ND	1.40	1.12	.89	BPA04SK
	5	14.68	CKN1346-ND	1.47	1.19	.94	BPA05SK
	6	17.30	CKN1347-ND	1.66	1.33	1.06	BPA06SK
	7	19.76	CKN1348-ND	1.68	1.35	1.07	BPA07SK
	8	22.30	CKN1349-ND	1.71	1.37	1.09	BPA08SK
	9	24.84	CKN1350-ND	1.83	1.47	1.16	BPA09SK
	10	27.43	CKN1351-ND	1.95	1.56	1.24	BPA10SK
SIP (Single In-Line), oben einstellbar — Nicht abgedichtet							
5	2	7.58	CKN1352-ND	1.95	1.56	1.24	SP02
	4	12.66	CKN1353-ND	2.20	1.77	1.40	SP04
	6	17.74	CKN1354-ND	2.57	2.06	1.63	SP06
	8	22.82	CKN1355-ND	2.98	2.39	1.89	SP08
	10	27.9	CKN1356-ND	3.76	3.01	2.38	SP10
Rechter Winkel, SIP (Single In-Line) — Nicht abgedichtet							
6	2	7.58	CKN1357-ND	2.72	2.18	1.73	SP02A
	4	12.66	CKN1358-ND	2.90	2.33	1.84	SP04A
	6	17.74	CKN1359-ND	3.50	2.80	2.22	SP06A
	8	22.82	CKN1360-ND	3.84	3.07	2.43	SP08A
	10	27.9	CKN1361-ND	4.15	3.32	2.63	SP10A
Oberer Schieber mit verlängertem Betätiger — Nicht abgedichtet							
7	1	4.57	CKN6012-ND	1.35	1.08	.86	BD01
	2	7.11	CKN3001-ND	1.37	1.10	.88	BD02
	3	9.65	CKN3002-ND	1.37	1.10	.88	BD03
	4	12.19	CKN3003-ND	1.51	1.21	.96	BD04
	5	14.73	CKN3004-ND	1.53	1.23	.97	BD05
	6	17.27	CKN3005-ND	1.58	1.27	1.01	BD06
	7	19.81	CKN3006-ND	1.66	1.33	1.06	BD07
	8	22.35	CKN3007-ND	1.71	1.37	1.09	BD08
	9	24.89	CKN3008-ND	1.79	1.44	1.14	BD09
	10	27.43	CKN3009-ND	1.84	1.48	1.17	BD10
	12	32.51	CKN3010-ND	1.97	1.58	1.25	BD12
Rechtwinkliger Schieber mit verlängertem Betätiger — Nicht abgedichtet							
8	2	7.11	CKN3011-ND	2.33	1.87	1.48	BD02AV
	2	7.11	CKN6013-ND	2.33	1.87	1.48	BD02AV2
	3	9.65	CKN3012-ND	2.33	1.87	1.48	BD03AV
	4	12.19	CKN3013-ND	2.46	1.97	1.56	BD04AV
	4	12.19	CKN6014-ND	2.46	1.97	1.56	BD04AV2
	5	14.73	CKN3014-ND	2.49	1.99	1.58	BD05AV
	5	14.73	CKN6015-ND	2.49	1.99	1.58	BD05AV2
	6	17.27	CKN3015-ND	2.57	2.06	1.63	BD06AV
	6	17.27	CKN6016-ND	2.57	2.06	1.63	BD06AV2
	7	19.81	CKN3016-ND	2.62	2.10	1.66	BD07AV
	8	22.35	CKN3017-ND	2.67	2.14	1.70	BD08AV
	8	22.35	CKN6017-ND	2.67	2.14	1.70	BD08AV2
	9	24.89	CKN3018-ND	2.74	2.20	1.74	BD09AV
	10	27.43	CKN3019-ND	2.80	2.24	1.78	BD10AV
	12	32.51	CKN3020-ND	2.93	2.35	1.86	BD12AV
Seitlich betätigt — Mit Isolierband abgedichtet							
9	1	5.23	CKN6018-ND	1.13	.91	.72	BP01YT
	1	5.23	CKN6019-ND	1.67	1.34	1.06	BP01KT*
9	2	7.77	CKN3021-ND	1.31	1.06	.84	BP02YT
	2	7.77	CKN6020-ND*	1.83	1.47	1.16	BP02KT
	3	10.31	CKN3022-ND	1.45	1.16	.92	BP03YT
	4	12.85	CKN3023-ND	1.47	1.19	.94	BP04YT
	4	12.85	CKN6021-ND*	2.00	1.60	1.27	BP04KT
	5	15.39	CKN3024-ND	1.56	1.25	.99	BP05YT
	6	17.93	CKN3025-ND	1.72	1.38	1.09	BP06YT
	7	20.47	CKN3026-ND	1.77	1.42	1.13	BP07YT
	8	23.00	CKN3027-ND	1.77	1.42	1.13	BP08YT
	8	23.00	CKN6022-ND*	2.29	1.84	1.46	BP08KT
	10	28.09	CKN3028-ND	1.99	1.60	1.26	BP10YT
	12	33.17	CKN3029-ND	2.23	1.79	1.42	BP12YT
Seitlich betätigt — Nicht abgedichtet							
9	1	5.23	CKN6023-ND*	1.51	1.21	.96	BP01KE
	1	5.23	CKN6024-ND	.97	.78	.62	BP01YE
	2	7.77	CKN6025-ND	1.16	.93	.74	BP02YE
	3	10.31	CKN6026-ND*	1.81	1.45	1.15	BP03KE
	4	12.85	CKN6027-ND*	1.84	1.48	1.17	BP04KE
	5	15.39	CKN6028-ND*	1.92	1.54	1.22	BP05KE
	6	17.93	CKN6029-ND	1.57	1.25	.99	BP06YE
	8	23.00	CKN6030-ND*	2.13	1.71	1.36	BP08KE
	8	23.00	CKN6031-ND	1.62	1.30	1.03	BP08YE
Flachprofil, automatische Einsetzung — Mit Isolierband abgedichtet							
10	2	6.55	CKN3064-ND	1.14	.92	.73	SD02H0K
	3	9.09	CKN3065-ND	1.19	.96	.76	SD03H0K
	4	11.63	CKN3066-ND	1.24	1.00	.79	SD04H0K
	5	14.17	CKN3067-ND	1.30	1.04	.83	SD05H0K
	6	16.71	CKN3068-ND	1.35	1.08	.86	SD06H0K
	7	19.25	CKN3069-ND	1.42	1.14	.91	SD07H0K
	8	21.79	CKN3070-ND	1.58	1.27	1.01	SD08H0K
	9	24.33	CKN3071-ND	1.71	1.37	1.09	SD09H0K
	10	26.87	CKN3072-ND	1.84	1.48	1.17	SD10H0K
	12	31.95	CKN3073-ND	2.00	1.60	1.27	SD12H0K
Low Profile Auto Insert ◊— Bündiger Betätiger — Mit Isolierband abgedichtet							
11	8	21.79	CKN6032-ND†	2.07	1.66	1.32	SD08H0SKD
	8	21.79	CKN6033CT-ND	2.58	2.39	2.19	SD08H0SKR
	8	21.79	CKN6033TR-ND		1191.17/1,000		SD08H0SKR
Low Profile Auto Insert — Extended Act.††— Mit Isolierband abgedichtet							
11	2	6.55	CKN6034-ND	1.61	1.29	1.02	SD02H1SK
	4	11.63	CKN6035-ND	1.12	.90	.71	SD04H1SK
	7	19.25	CKN6036-ND	2.02	1.62	1.29	SD07H1SK
	8	21.79	CKN6037-ND	2.20	1.77	1.40	SD08H1SK
	10	26.87	CKN6038-ND	2.57	2.06	1.63	SD10H1SK
	8	21.79	CKN6039-ND†	2.07	1.66	1.32	SD08H1SKD
Flachprofil, Oberflächenmontage — Mit Isolierband abgedichtet							
11	2	6.55	CKN3054-ND	1.61	1.29	1.02	SD02H0SK
	3	9.09	CKN3055-ND	1.68	1.35	1.07	SD03H0SK
	4	11.63	CKN3056-ND	1.76	1.41	1.12	SD04H0SK
	5	14.17	CKN3057-ND	1.84	1.48	1.17	SD05H0SK
	6	16.71	CKN3058-ND	1.92	1.54	1.22	SD06H0SK
	7	19.25	CKN3059-ND	1.24	1.00	.79	SD07H0SK
	8	21.79	CKN3060-ND	2.20	1.77	1.40	SD08H0SK
	9	24.33	CKN3061-ND	2.44	1.95	1.55	SD09H0SK
	10	26.87	CKN3062-ND	2.57	2.06	1.63	SD10H0SK
	12	31.95	CKN3063-ND	2.83	2.26	1.79	SD12H0SK
Half Pitch Surface Mount ‡— Serie TDA — Mit Isolierband abgedichtet							
12	2	3.67	CKN1362-ND	1.79	1.44	1.14	TDA02H0SK1
	4	6.21	CKN1363-ND	2.01	1.62	1.28	TDA04H0SK1
	6	8.75	CKN1364-ND	2.40	1.92	1.52	TDA06H0SK1
	8	11.29	CKN1365-ND	2.62	2.10	1.66	TDA08H0SK1
	10	13.83	CKN1366-ND	3.86	3.09	2.45	TDA10H0SK1

△ Oberer DIP-Schieber mit oberflächenbündigem Betätiger ** Oberer SMT-Schieber mit oberflächenbündigem Betätiger *** Oberer SMT-Schieber mit oberflächenbündigem Betätiger

* Goldkontakte †Keine Epoxidabdichtung ‡Halfpitch mit Oberflächenmontage ◊Flachprofil, automatische Einsetzung ††Flachprofil, automatische Einsetzung — Hervorstehender Betätiger

H

Alle Preisangaben in Euro und inklusive Zollgebühren.

CTS® DIP-Schalter

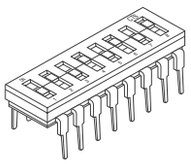

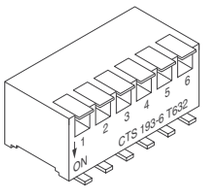

Elektrische Spezifikationen:

Anfängl. Kontaktwiderstand: 25 mΩ (Serie 209, 219) 50 mΩ (Serie 193, 194, 204 und 206); 100 mΩ (Serie 195, 208, und 218).

Max. Kontaktwiderstand: 100 mΩ nach 10.000 Schaltungen, 50 mA @ 24 V DC (Serie 206); 100 mΩ nach 7.000 Schaltungen, 50 mA @ 24 V DC (Serie 193 und 194); 500 mΩ nach 2.000 Schaltungen, 50 mA @ 24 V DC (Serie195); 500 mΩ nach 2.000 Schaltungen, 50 mA @ 15 V DC oder 100 mΩ nach 1.000 Schaltungen, 25 mA @ 24 V DC (Serie 208); max. 50 mΩ nach Lebensdauer (Serie 209 und 219).

Goldoberfläche bezieht sich auf internen Kontaktbereich des Schalters, Klemmen sind gelötet.

Max. Leistung, nicht schaltend: 100 mA oder 50 V DC.

Isolierwiderstand: Über offenen Schalter und zwischen nebeneinander liegenden geschlossenen Schaltern - 1 x 10^9 Ω (Serie 218: Min. 100 mΩ).

Durchschlagfestigkeit: Max. 500 V DC für 1 Min. (Serie 218 – max. 300 V DC.).

Schaltkapazität: Zwischen nebeneinander liegenden Schaltern max. - 5,0 pF (Serie 218: 10 pF).

Elektrischer Schlag: Per MIL-STD-202F, Methode 213B, Bedingung A, ohne Kontakt-Inkonsistenzen größer als 1 µs (Serie 206, 208, 209, 218 und 219); kein mechanischer Schaden oder Änderungen der Schaltereinstellungen mit angewandten 25 G (Serie 193, 194, 195 und 204).

Vibration: Pro MIL-STD-202F, Methode 204D, Bedingung B (0,06" (1.52 mm) oder 15 G zwischen 10 Hz ~ 2 KHz), ohne Kontakt-Inkonsistenzen größer als 1 µs (Serie 204, 206, 208, 209, 218 und 219). Kein mechanischer Schaden oder Änderungen der Schaltereinstellungen während oder nach dem Testen auf drei zueinander senkrechten Ebenen mit 10-50 Hz Sweep oder konstanter Vibration von 60 Hz (Serie 193, 194 und 195).

Abb.	Anz. der Pos.	Abm. A (mm)	Digi-Key Teilenr.	Preisangaben 1	10	100	CTS Teilenr.
Serie 206 — SPST, Goldoberfläche, hellblaues Gehäuse							
1	2	7.26	CT2062-ND	1.08	9.93	90.29	206-2
	3	9.80	CT2063-ND	.86	7.86	71.44	206-3
	4	12.34	CT2064-ND	.50	4.61	41.91	206-4
	5	14.88	CT2065-ND	.62	5.66	51.43	206-5
	6	17.42	CT2066-ND	.92	8.44	76.77	206-6
	7	19.96	CT2067-ND	.93	8.51	77.34	206-7
	8	22.50	CT2068-ND	.55	5.03	45.72	206-8
	9	25.04	CT2069-ND	.90	8.24	74.86	206-9
	10	27.58	CT20610-ND	.91	8.38	76.19	206-10
	12	32.66	CT20612-ND	1.05	9.64	87.62	206-12
Serie 206-ST — SPST, Goldoberfläche, abgedichtet, hellblaues Gehäuse							
1	2	7.26	CT2062ST-ND	1.15	10.56	96.00	206-2ST
	3	9.80	CT2063ST-ND	.92	8.42	76.57	206-3ST
	4	12.34	CT2064ST-ND	.58	5.24	47.62	206-4ST
	5	14.88	CT2065ST-ND	.82	7.50	68.19	206-5ST
	6	17.42	CT2066ST-ND	.64	5.87	53.34	206-6ST
	7	19.96	CT2067ST-ND	1.08	9.83	89.34	206-7ST
	8	22.50	CT2068ST-ND	.62	5.66	51.43	206-8ST
	9	25.04	CT2069ST-ND	1.02	9.39	85.34	206-9ST
	10	27.58	CT20610ST-ND	.87	7.97	72.38	206-10ST
	12	32.66	CT20612ST-ND	.87	7.97	72.38	206-12ST
Serie 208 — SPST, Zinnoberfläche, schwarzes Gehäuse							
1	2	7.26	CT2082-ND	.89	8.17	74.29	208-2
	3	9.80	CT2083-ND	.82	7.54	68.57	208-3
	4	12.34	CT2084-ND	.43	3.98	36.19	208-4
	5	14.88	CT2085-ND	.66	6.08	55.24	208-5
	6	17.42	CT2086-ND	.69	6.29	57.15	208-6
	7	19.96	CT2087-ND	.73	6.71	60.96	208-7
	8	22.50	CT2088-ND	.46	4.19	38.10	208-8
	9	25.04	CT2089-ND	.78	7.13	64.76	208-9
	10	27.58	CT20810-ND	.85	7.75	70.48	208-10
	12	32.66	CT20812-ND	.94	8.59	78.10	208-12
206-124 — SPDT, Goldoberfläche, hellblaues Gehäuse							
1	4	22.50	CT206124-ND	1.76	16.11	146.49	206-124
206-214 — DPST, Goldoberfläche, hellblaues Gehäuse							
1	4	22.50	CT206214-ND	1.37	12.59	114.49	206-214
Serie 194-MST — SPST, Goldoberfläche, abgedichtet, hellblaues Gehäuse							
2	2	7.26	CT1942MST-ND	1.19	10.90	99.05	194-2MST
	3	9.80	CT1943MST-ND	.80	7.33	66.67	194-3MST
	4	12.34	CT1944MST-ND	.73	6.71	60.96	194-4MST
	5	14.88	CT1945MST-ND	1.24	11.32	102.86	194-5MST
	6	17.42	CT1946MST-ND	1.14	10.48	95.24	194-6MST
	7	19.96	CT1947MST-ND	1.35	12.36	112.39	194-7MST
	8	22.50	CT1948MST-ND	.80	7.33	66.67	194-8MST
	9	25.04	CT1949MST-ND	1.44	13.20	120.01	194-9MST
	10	27.58	CT19410MST-ND	1.30	11.95	108.58	194-10MST
	12	32.66	CT19412MST-ND	1.60	14.67	133.34	194-12MST
Serie 195-MST — SPST, Zinnoberfläche, abgedichtet, schwarzes Gehäuse							
2	2	7.26	CT1952MST-ND	.69	6.29	57.15	195-2MST
	3	9.80	CT1953MST-ND	1.17	10.68	97.15	195-3MST
	4	12.34	CT1954MST-ND	.75	6.89	62.67	195-4MST
	5	14.88	CT1955MST-ND	1.10	10.06	91.43	195-5MST
	6	17.42	CT1956MST-ND	.98	9.01	81.91	195-6MST
	7	19.96	CT1957MST-ND	1.19	10.90	99.05	195-7MST
	8	22.50	CT1958MST-ND	1.03	9.43	85.72	195-8MST
	9	25.04	CT1959MST-ND	1.28	11.73	106.67	195-9MST
	10	27.58	CT19510MST-ND	1.12	10.27	93.34	195-10MST
	12	32.66	CT19512MST-ND	1.35	12.36	112.39	195-12MST
Serie CT 206-RAST — SPST, Goldoberfläche, abgedichtet, hellblaues Gehäuse							
3	2	7.26	CT2062RAST-ND	1.39	12.70	115.43	206-2RAST
	3	9.80	CT2063RAST-ND	1.10	10.06	91.43	206-3RAST
	4	12.34	CT2064RAST-ND	.87	7.97	72.38	206-4RAST
	5	14.88	CT2065RAST-ND	.85	7.77	70.67	206-5RAST
	6	17.42	CT2066RAST-ND	1.08	9.85	89.53	206-6RAST
	7	19.96	CT2067RAST-ND	1.29	11.78	107.05	206-7RAST
	8	22.50	CT2068RAST-ND	1.08	9.85	89.53	206-8RAST
	9	25.04	CT2069RAST-ND	1.27	11.65	105.91	206-9RAST
	10	27.58	CT20610RAST-ND	1.63	14.94	135.82	206-10RAST
	12	32.66	CT20612RAST-ND	1.46	13.43	122.11	206-12RAST
Serie 209-LPST — SPST, Goldoberfläche, bündig, abgedichtet, schwarzes Gehäuse							
4	2	6.55	CT2092LPST-ND	.58	5.24	47.62	209-2LPST
	3	9.09	CT2093LPST-ND	.62	5.66	51.43	209-3LPST
	4	11.63	CT2094LPST-ND	.48	4.40	40.00	209-4LPST
	5	14.17	CT2095LPST-ND	.78	7.13	64.76	209-5LPST
	6	16.71	CT2096LPST-ND	.62	5.66	51.43	209-6LPST
	7	19.25	CT2097LPST-ND	.91	8.38	76.19	209-7LSTPT
	8	21.79	CT2098LPST-ND	.62	5.66	51.43	209-8LPST
	9	24.33	CT2099LPST-ND	1.08	9.85	89.53	209-9LPST
	10	26.87	CT20910LPST-ND	1.14	10.48	95.24	209-10LPST
	12	31.95	CT20912LPST-ND	1.28	11.73	106.67	209-12LPST
Serie 209-MS — SPST, Goldoberfläche, vorstehend, abgedichtet, schwarzer Körper							
4	2	6.55	CT2092MS-ND	.55	5.03	45.72	209-2MS
	3	9.09	CT2093MS-ND	.59	5.45	49.53	209-3MS
	4	11.63	CT2094MS-ND	.66	6.08	55.24	209-4MS
	5	14.17	CT2095MS-ND	.75	6.92	62.86	209-5MS
	6	16.71	CT2096MS-ND	.82	7.54	68.57	209-6MS
	7	19.25	CT2097MS-ND	.89	8.17	74.29	209-7MS
	8	21.79	CT2098MS-ND	.96	8.80	80.00	209-8MS
	9	24.33	CT2099MS-ND	1.05	9.64	87.62	209-9MS
	10	26.87	CT20910MS-ND	1.12	10.27	93.34	209-10MS
	12	31.95	CT20912MS-ND	1.26	11.52	104.77	209-12MS
Serie 219-LPST — SPST, Goldoberfläche, bündig, abgedichtet, brauner Körper							
5	2	6.55	CT2192LPST-ND	.49	4.49	40.76	219-2LPST
	3	9.09	CT2193LPST-ND	.66	6.08	55.24	219-3LPST
	4	11.63	CT2194LPST-ND	.50	4.61	41.91	219-4LPST
	5	14.17	CT2195LPST-ND	.80	7.33	66.67	219-5LPST
	6	16.71	CT2196LPST-ND	.74	6.79	61.72	219-6LPST
	7	19.25	CT2197LPST-ND	.96	8.80	80.00	219-7LPST
	8	21.79	CT2198LPST-ND	.78	7.13	64.76	219-8LPST
	9	24.33	CT2199LPST-ND	1.10	10.06	91.43	219-9LPST
	10	26.87	CT21910LPST-ND	.97	8.92	81.15	219-10LPST
	12	31.95	CT21912LPST-ND	1.30	11.95	108.58	219-12LPST
Serie 219-MST — SPST, Goldoberfläche, vorstehend, abgedichtetet, brauner Körper							
5	2	6.55	CT2192MST-ND	.41	3.78	34.29	219-2MST
	3	9.09	CT2193MST-ND	.66	6.08	55.24	219-3MST
	4	11.63	CT2194MST-ND	.50	4.61	41.91	219-4MST
	5	14.17	CT2195MST-ND	.80	7.33	66.67	219-5MST
	6	16.71	CT2196MST-ND	.87	7.97	72.38	219-6MST
	7	19.25	CT2197MST-ND	.96	8.80	80.00	219-7MST
	8	21.79	CT2198MST-ND	.80	7.33	66.67	219-8MST
	9	24.33	CT2199MST-ND	1.10	10.06	91.43	219-9MST
	10	26.87	CT21910MST-ND	1.14	10.48	95.24	219-10MST
	12	31.95	CT21912MST-ND	1.30	11.95	108.58	219-12MST
Serie 193 — SPST, Goldoberfläche, brauner Körper							
6	2	7.26	CT1932MS-ND	1.65	13.18	116.50	193-2MS
	3	9.80	CT1933MS-ND	1.71	13.70	121.11	193-3MS
	4	12.34	CT1934MS-ND	1.51	12.06	110.59	193-4MS
	5	14.88	CT1935MS-ND	1.74	13.97	128.05	193-5MS
	6	17.42	CT1936MS-ND	1.77	14.17	125.31	193-6MS
	7	19.96	CT1937MS-ND	1.93	15.41	136.20	193-7MS
	8	22.50	CT1938MS-ND	1.67	13.37	118.18	193-8MS
Serie 204 — SPST, mit Isolierband abgedichtet, Goldoberfläche, brauner Körper							
7	2	7.26	CT2042ST-ND	1.50	12.88	118.04	204-2ST
	3	9.80	CT2043ST-ND	1.52	12.09	106.87	204-3ST
	4	12.34	CT2044ST-ND	1.28	10.92	100.11	204-4ST
	5	14.88	CT2045ST-ND	1.34	11.43	104.77	204-5ST
	6	17.42	CT2046ST-ND	1.36	11.68	107.09	204-6ST
	7	19.96	CT2047ST-ND	1.42	12.19	111.75	204-7ST
	8	22.50	CT2048ST-ND	1.46	12.45	114.08	204-8ST
	9	25.04	CT2049ST-ND	1.52	12.95	118.74	204-9ST
	10	27.58	CT20410ST-ND	1.60	13.71	125.72	204-10ST
	12	32.66	CT20412ST-ND	1.75	14.98	137.36	204-12ST
Serie 204 — SPDT, mit Isolierband abgedichtet, Goldoberfläche, brauner Körper							
7	1	7.26	CT204121ST-ND	1.72	14.73	135.03	204-121ST
	1	7.26	CT204121LPST-ND	1.84	15.75	144.35	204-121LPST
Serie 204 — DPST, mit Isolierband abgedichtet, Goldoberfläche, brauner Körper							
7	1	7.26	CT204211ST-ND	1.30	10.43	92.19	204-211ST
	2	12.34	CT204212ST-ND	1.60	12.80	113.15	204-212ST
	3	17.42	CT204213ST-ND	1.72	14.73	135.03	204-213ST
	4	22.50	CT204214ST-ND	1.84	14.70	129.91	204-214ST
	5	27.58	CT204215ST-ND	1.86	15.49	142.02	204-215ST
	6	32.66	CT204216ST-ND	2.05	18.99	175.25	204-216ST
Serie 204 — DPDT, mit Isolierband abgedichtet, Goldoberfläche, brauner Körper							
7	1	12.34	CT204221ST-ND	2.53	21.72	199.06	204-221ST
	2	22.50	CT204222ST-ND	1.60	12.80	113.15	204-222ST
	3	32.66	CT204223ST-ND	1.84	14.70	129.91	204-223ST
Serie 218 — SPST, mit Isolierband abgedichtet, Goldoberfläche, brauner Körper							
8	2	3.71	CT2182LPST-ND	1.61	12.85	113.57	218-2LPST
	4	6.25	CT2184LPST-ND	1.60	12.80	113.15	218-4LPST
	6	8.79	CT2186LPST-ND	2.13	17.04	150.65	218-6LPST
	8	11.33	CT2188LPST-ND	2.75	21.99	194.45	218-8LPST
	10	13.87	CT21810LPST-ND	1.51	12.06	106.65	218-10LPST
	12	16.41	CT21812LPST-ND	2.52	23.15	210.49	218-12LPST

Abb. 1 - Von oben betätigter Schieber

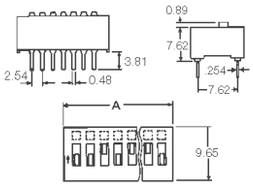

Abb. 2 - Von der Seite betätigt

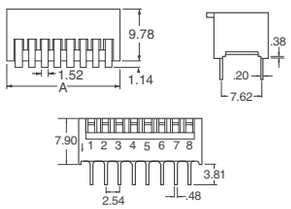

Abb. 3 - Rechtwinkliger Schieber

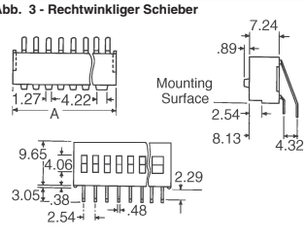

Abb. 4 - Von oben betätigt - Autom. DIP-Schalter

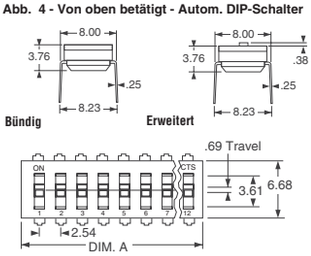

Abb. 5 - Oberflächenmontage

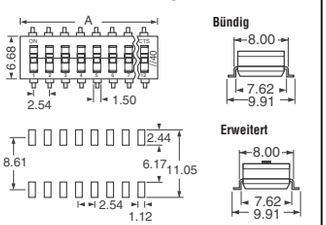

Abb. 6 - SMT, von der Seite betätigt

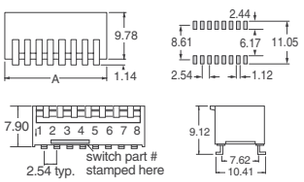

Abb. 7 - SMT, oberer Schieber, vorstehend

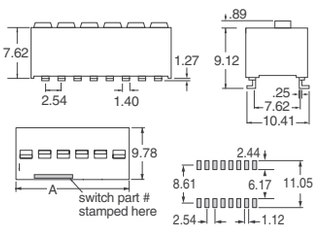

Standardmodell ist abgebildet.
Auch flach erhältlich (CT204121LPST-ND)

Abb. 8 - SMT-Halfpitch mit versenktem Betätiger 12 Positionen

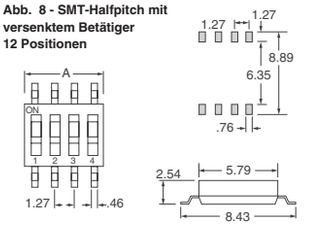

H

DIP-Schalter

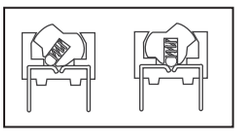

Das einzigartige Feder- und Kugeldesign von Grayhill bietet unerreichte Zuverlässigkeit verglichen mit konventionellen Schleifkontaktdesigns. Bei Betätigung verbleibt die Kugel zwischen den beiden Kontakten, sodass mehrere Kontaktpunkte möglich sind, während die Feder mit höchstmöglichem Druck komprimiert ist. Temperatur, Luftfeuchtigkeit und Vibration beeinträchtigen dieses Design kaum.

Spezifikationen: • **Lebensdauer der Mechanik pro Stellung:** 76/78 – 20.000; 90B – 5.000 • **Kontaktwiderstand:** Anfänglich ≤30 mΩ •**Isolierwiderstand:** 5.000 MΩ • **Durchschlagsfestigkeit:** 750 V • **Dauerstrom:** 3 A • **Schaltkapazität:** 2 pF • **Betriebstemperatur:** -40 °C ~ 85 °C • **SMT - Verarbeitungstemperatur (90HBW, 90HBJ):** Max. 260 °C

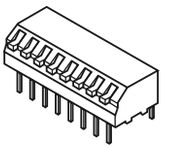

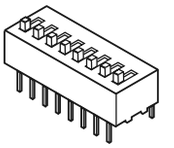

Abb. 1 – Serie 76 Wippschalter und versenkter Wippschalter

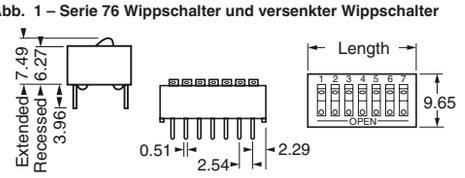

Abb. 2 – Serie 76 Piano-DIP-Schalter

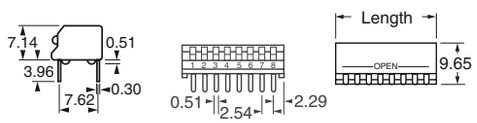

Abb. 3 – Serie 78

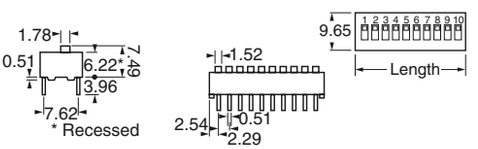

Abb. 4 – Serie 90

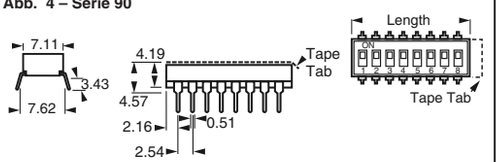

Abb. 5 – Serie 90HBW, 90HBJ

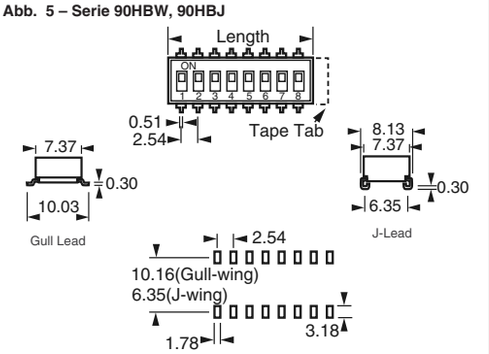

Abb. 6 – Serie 76HP SMT Piano-DIP

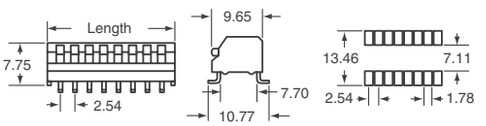

Abb. 7 – Serie 97C Halfpitch

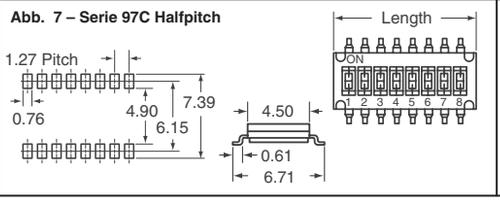

Abb. 8 – Serie 97R Halfpitch

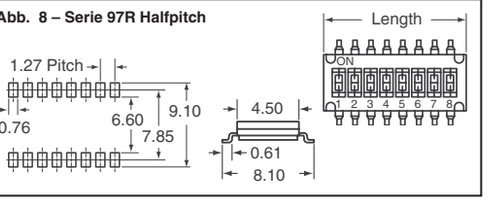

Abb.	Anz. der Pos.	Länge (mm)	Digi-Key Teilenr.	Stückpreis 1	10	100	Grayhill Teilenr.
Erhobener Wippschalter, nicht abgedichtet							
1	3	9.65	GH1103-ND	.78	.72	.65	76SB03
	5	14.73	GH1105-ND	1.17	1.07	.98	76SB05
	6	17.27	GH1106-ND	1.14	1.05	.96	76SB06
	7	19.81	GH1107-ND	1.21	1.12	1.01	76SB07
	8	22.35	GH1109-ND	1.21	1.12	1.01	76SB08
	9	24.89	GH1110-ND	1.21	1.12	1.01	76SB09
	10	27.43	GH1112-ND	1.28	1.18	1.07	76SB10
	12	32.51	GH1202-ND	1.37	1.26	1.15	76SB12
Erhobener Wippschalter, abgedichtet							
1	2	7.11	GH1002-ND	.89	.82	.75	76SB02S
	3	9.65	GH1003-ND	.89	.82	.75	76SB03S
	4	12.19	GH1004-ND	.89	.82	.75	76SB04S
	5	14.73	GH1005-ND	1.24	1.14	1.03	76SB05S
	6	17.27	GH1006-ND	1.26	1.16	1.05	76SB06S
	8	22.35	GH1008-ND	1.24	1.14	1.03	76SB08S
	9	24.89	GH1009-ND	1.35	1.24	1.13	76SB09S
	10	27.43	GH1010-ND	1.37	1.26	1.15	76SB10S
	12	32.51	GH1012-ND	1.44	1.32	1.21	76SB12S
Versenkter Wippschalter, nicht abgedichtet							
1	2	7.11	GH1272-ND	1.05	.97	.88	76RSB02
	3	9.65	GH1273-ND	1.10	1.01	.92	76RSB03
	4	12.19	GH1274-ND	1.14	1.05	.96	76RSB04
	5	14.73	GH1275-ND	1.21	1.12	1.01	76RSB05
	6	17.27	GH1276-ND	1.24	1.14	1.03	76RSB06
	7	19.81	GH1277-ND	1.24	1.14	1.03	76RSB07
	8	22.35	GH1278-ND	1.26	1.16	1.05	76RSB08
	9	24.89	GH1279-ND	1.33	1.22	1.11	76RSB09
	10	27.43	GH1280-ND	1.33	1.22	1.11	76RSB10
	12	32.51	GH1281-ND	1.37	1.26	1.15	76RSB12
Versenkter Wippschalter, abgedichtet							
1	2	7.11	GH1262-ND	1.08	.99	.90	76RSB02S
	3	9.65	GH1263-ND	1.12	1.03	.94	76RSB03S
	4	12.19	GH1264-ND	1.17	1.07	.98	76RSB04S
	5	14.73	GH1265-ND	1.24	1.14	1.03	76RSB05S
	6	17.27	GH1266-ND	1.26	1.16	1.05	76RSB06S
	7	19.81	GH1267-ND	1.26	1.16	1.05	76RSB07S
	8	22.35	GH1268-ND	1.28	1.18	1.07	76RSB08S
	9	24.89	GH1269-ND	1.35	1.24	1.13	76RSB09S
	12	32.51	GH1271-ND	1.40	1.28	1.17	76RSB12S
PIANO DIP® , nicht abgedichtet							
2	2	7.11	GH1213-ND	1.10	1.01	.92	76PSB02
	3	9.65	GH1214-ND	1.12	1.03	.94	76PSB03
	4	12.19	GH1215-ND	.91	.84	.77	76PSB04
	5	14.73	GH1216-ND	1.17	1.07	.98	76PSB05
	6	17.27	GH1217-ND	1.03	.95	.86	76PSB06
	7	19.81	GH1218-ND	1.17	1.07	.98	76PSB07
	8	22.35	GH1219-ND	1.08	.99	.90	76PSB08
	9	24.89	GH1220-ND	1.30	1.20	1.09	76PSB09
	10	27.43	GH1221-ND	1.10	1.01	.92	76PSB10
	12	32.51	GH1222-ND	1.60	1.47	1.34	76PSB12

Abb.	Anz. der Pos.	Länge (mm)	Digi-Key Teilenr.	Stückpreis 1	10	100	Grayhill Teilenr.
PIANO DIP® abgedichtet							
2	2	7.11	GH1203-ND	1.19	1.09	1.00	76PSB02S
	3	9.65	GH1204-ND	1.21	1.12	1.01	76PSB03S
	4	12.19	GH1205-ND	.98	.91	.82	76PSB04S
	5	14.73	GH1206-ND	1.24	1.14	1.03	76PSB05S
	6	17.27	GH1207-ND	1.12	1.03	.94	76PSB06S
	7	19.81	GH1208-ND	1.35	1.24	1.13	76PSB07S
	8	22.35	GH1209-ND	1.19	1.09	1.00	76PSB08S
	9	24.89	GH1210-ND	1.44	1.32	1.21	76PSB09S
	10	27.43	GH1211-ND	1.26	1.16	1.05	76PSB10S
	12	32.51	GH1212-ND	1.67	1.53	1.40	76PSB12S
Erhobener Schiebeschalter, nicht abgedichtet							
3	2	7.11	GH1233-ND	.89	.82	.75	78B02
	3	9.65	GH1234-ND	.89	.82	.75	78B03
	4	12.19	GH1235-ND	.75	.70	.63	78B04
	5	14.73	GH1236-ND	.91	.84	.77	78B05
	6	17.27	GH1237-ND	.91	.84	.77	78B06
	7	19.81	GH1238-ND	.91	.84	.77	78B07
	8	22.35	GH1239-ND	.85	.78	.71	78B08
	9	24.89	GH1240-ND	.87	.80	.73	78B09
	10	27.43	GH1241-ND	.89	.82	.75	78B10
	12	32.51	GH1242-ND	1.05	.97	.88	78B12
Erhobener Schiebeschalter, abgedichtet							
3	2	7.11	GH1223-ND	.89	.82	.75	78B02S
	3	9.65	GH1224-ND	.89	.82	.75	78B03S
	4	12.19	GH1225-ND	.80	.74	.67	78B04S
	5	14.73	GH1226-ND	1.10	1.01	.92	78B05S
	7	19.81	GH1228-ND	1.08	.99	.90	78B07S
	8	22.35	GH1229-ND	.89	.82	.75	78B08S
	10	27.43	GH1231-ND	1.05	.97	.88	78B10S
	12	32.51	GH1232-ND	1.24	1.14	1.03	78B12S
Versenkter Schiebeschalter, nicht abgedichtet							
3	2	7.11	GH1252-ND	.89	.82	.75	78RB02
	3	9.65	GH1253-ND	.89	.82	.75	78RB03
	4	12.19	GH1254-ND	.75	.70	.63	78RB04
	5	14.73	GH1255-ND	.91	.84	.77	78RB05
	6	17.27	GH1256-ND	.91	.84	.77	78RB06
	7	19.81	GH1257-ND	.91	.84	.77	78RB07
	8	22.35	GH1258-ND	.85	.78	.71	78RB08
	9	24.89	GH1259-ND	.87	.80	.73	78RB09
	10	27.43	GH1260-ND	.89	.82	.75	78RB10
	12	32.51	GH1261-ND	1.05	.97	.88	78RB12
Versenkter Schiebeschalter, abgedichtet							
3	2	7.11	GH1243-ND	.89	.82	.75	78RB02S
	3	9.65	GH1244-ND	.89	.82	.75	78RB03S
	4	12.19	GH1245-ND	.80	.74	.67	78RB04S
	5	14.73	GH1246-ND	1.10	1.01	.92	78RB05S
	6	17.27	GH1247-ND	1.05	.97	.88	78RB06S
	7	19.81	GH1248-ND	1.08	.99	.90	78RB07S
	9	24.89	GH1250-ND	.96	.88	.80	78RB09S
Auto-DIP-Schalter, autom. einfügbar, abgedichtet							
4	2	6.86	GH1282-ND	.64	.59	.54	90B02S
	3	9.40	GH1283-ND	.71	.65	.60	90B03S
	4	11.94	GH1284-ND	.80	.74	.67	90B04S
	5	14.48	GH1285-ND	.85	.78	.71	90B05S

Abb.	Anz. der Pos.	Länge (mm)	Digi-Key Teilenr.	Stückpreis 1	10	100	Grayhill Teilenr.
4	6	17.02	GH1286-ND	1.01	.93	.84	90B06S
	7	19.56	GH1287-ND	1.05	.97	.88	90B07S
	8	22.10	GH1288-ND	.98	.91	.82	90B08S
	9	24.64	GH1289-ND	1.24	1.14	1.03	90B09S
	10	27.18	GH1290-ND	1.33	1.22	1.11	90B10S
SMT, Gull-Lead, abgedichtet							
5	2	6.86	GH1291-ND	.73	.68	.61	90HBW02P
	3	9.40	GH1292-ND	.75	.70	.63	90HBW03P
	4	11.94	GH1293-ND	.85	.78	.71	90HBW04P
	5	14.48	GH1294-ND	.94	.86	.79	90HBW05P
	6	17.02	GH1295-ND	.98	.91	.82	90HBW06P
	7	19.56	GH1296-ND	1.08	.99	.90	90HBW07P
	8	22.10	GH1297-ND	1.01	.93	.84	90HBW08P
	9	24.64	GH1298-ND	1.26	1.16	1.05	90HBW09P
	10	27.18	GH1299-ND	1.28	1.18	1.07	90HBW10P
SMT, Gull-Lead in J-Form, abgedichtet							
5	2	6.86	GH1300-ND	1.35	1.24	1.13	90HBJ02P
	3	9.40	GH1301-ND	1.40	1.28	1.17	90HBJ03P
	4	11.94	GH1302-ND	1.19	1.09	1.00	90HBJ04P
	5	14.48	GH1303-ND	1.35	1.24	1.13	90HBJ05P
	6	17.02	GH1304-ND	1.40	1.28	1.17	90HBJ06P
	7	19.56	GH1305-ND	1.41	1.30	1.19	90HBJ07P
	8	22.10	GH1306-ND	1.17	1.07	.98	90HBJ08P
	9	24.64	GH1307-ND	1.46	1.35	1.22	90HBJ09P
	10	27.18	GH1308-ND	1.35	1.24	1.13	90HBJ10P
Serie 76HP, PIANO DIP®							
6	2	7.1	GH1325CT-ND	3.34	2.34	1.54	76HPSB02GWR
	2	7.1	GH1325TR-ND		671.14/500		76HPSB02GWR
	4	12.2	GH1326CT-ND	3.44	2.41	1.59	76HPSB04GWR
	4	12.2	GH1326TR-ND		691.88/500		76HPSB04GWR
	6	17.3	GH1327CT-ND	3.63	2.55	1.68	76HPSB06GWR
	6	17.3	GH1327TR-ND		731.15/500		76HPSB06GWR
	8	22.4	GH1328CT-ND	3.89	2.72	1.79	76HPSB08GWR
	8	22.4	GH1328TR-ND		782.26/500		76HPSB08GWR
	10	27.4	GH1329CT-ND	4.23	2.97	1.95	76HPSB10GWR
	10	27.4	GH1329TR-ND		851.89/500		76HPSB10GWR
Serie 97, Halfpitch							
7	2	3.76	GH1330-ND	2.68	1.88	1.24	97C02S
8	2	3.76	GH1334-ND	2.68	1.88	1.24	97R02S
	4	6.30	GH1335-ND	2.76	1.94	1.27	97R04S
	8	11.38	GH1336-ND	2.90	2.04	1.34	97R08S
Serie 97 Half Pitch - Bleifrei/RoHS-konform							
7	2	3.76	GH1370-ND	2.68	1.88	1.24	97C02ST
	4	6.30	GH1371-ND	2.76	1.94	1.27	97C04ST
	8	11.38	GH1372-ND	2.90	2.04	1.34	97C08ST
	10	13.92	GH1373-ND	3.13	2.19	1.44	97C10ST
8	2	3.76	GH1374-ND	2.68	1.88	1.24	97R02ST
	4	6.30	GH1375-ND	2.76	1.94	1.27	97R04ST
	8	11.38	GH1376-ND	2.90	2.04	1.34	97R08ST
Handwerkzeug							
Handwerkzeug für DIP-Schalter			GH1343-ND	.85	—	.39	90-DIPSTICK

H

Alle Preisangaben in Euro und inklusive Zollgebühren.

Reed-Relais

SPEZIFIKATIONEN: • Lebensdauer: Variiert für jede Serie von min. 100 x 10^6 Schaltungen bis zu 1.000 x 10^6 Schaltungen **•Isolationswiderstand:** 10^{12} Ω **• Lagertemperatur:** -35 °C ~ 100 °C **• Betriebstemperatur:** -20 °C ~ 85 °C **• Vibration:** 20 G ~ 2.000 Hz; Schock: 50 G

Abmessungen: Zoll (mm)

Abb. 1

Die Serie 2200 ist ideal auf automatische Testgerät- und RF-Anforderungen abgestimmt. Hochgeschwindigkeitsschaltung im Vergleich zu elektromagnetischen Relais. Hermetisch versiegelte Kontakte mit langer Lebensdauer. Epoxidbeschichtete Stahlhülle bietet Magnetschutz. Optionaler elektrostatischer Schutz zur Reduzierung der Kapazitätskopplung

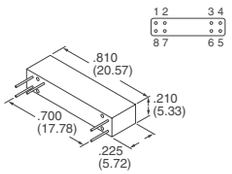

2200-2301 **2200-2302**

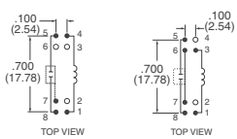

2204 **2211**

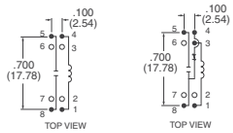

Abb. 2

Die Serie Coto 2300 bietet die dichteste Bestückung für ein Mehrpol-Reed-Relais. Die Größe und Auflagefläche der Serie 2300 stellen eine Ergänzung der Relais der Serien 2200 und 2900 dar. Das Modell 1 Form C besteht aus individuellen Schaltkapseln für die normal offenen und magnetisch stabilisierten Ruhekontakte, die zuverlässiger sind als die federbetätigten Reed-Schalter 1 Form C.

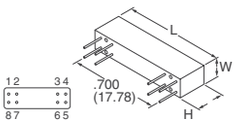

Serie	Abmessungen - Zoll (mm) L	W	H
2332/2333	.810 (20.57)	.210 (5.33)	.370 (9.40)
2341/2342			
2904/2911	.820 (20.83)	.250 (6.35)	.280 (7.11)

2332 **2333** **2341**

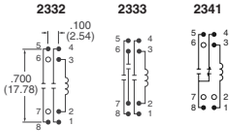

2342 **2904** **2911**

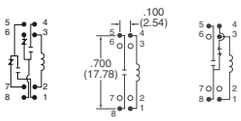

Draufsicht

Abb. 3

Die Relais der Serie 5500 für hohe Spannungen eignen sich besonders für Instrumente zur Steuerung industrieller Prozesse und Allzweck-Anforderungen. Hohe Durchschlagsfestigkeit - 10.000 V Isolierung über die Kontakte. Hermetisch versiegelte Wolfram-Kontakte mit langer Lebensdauer. Niedriger Kontaktwiderstand - typ. 0,030 Ω. Standard-Magnetschirm.

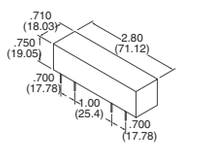

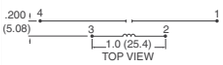

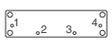

Abb. 4

Die Relais der Serie 7000 eignen sich besonders für Instrumente zur Datenerfassung, Prozess-steuerung, Telekommunikation und für Allzweck-Anforderungen. Diese Modelle wurden speziell für hohe Qualität und Zuverlässigkeit plus vielseitige Schaltkapazitäten und Kontaktformen entwickelt. Weitreichende Schalt-kapazitäten. Vergossen in Metal-Ihülle - Magnetschirm. Vielseitige Kartenmontage - 1,0" x 0,100" Raster.

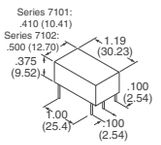

7101 **7102**

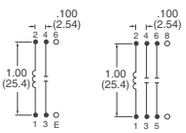

Sicht von unten

Abb. 5

Das Dip-Relais der Serie 8000 ist ideal für die hohe Zuverlässigkeit von ATE, Instrumente und Datenerfassungsanwendungen. Bis zu 500 Mio. Schaltungen. Die Relais der Serie Coto 8L Spartan verbinden Coto Qualität und Wirtschaftslichkeit in einem industrie-üblichen gegossenen DIP-Gehäuse mit 14 Pins. Diese Serie passt zu allen DIP-Paketen der Konkurrenz und ist ideal für Telekom, Sicherheits- und andere Allzweckanwendungen.

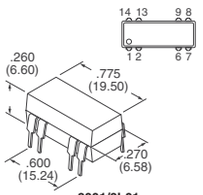

8001/8L01

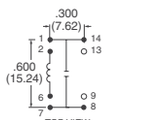

8041/8L41 **8002/8L02**

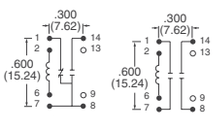

Abb. 6

Das SIP-Relais ist das industrieweit bevorzugte Relais für eine Vielzahl von Designs, bei denen es auf Wirtschaftlichkeit, Leistung und ein kompaktes Gehäuse ankommt. Die Serie Spartan 9007 ist eine wirtschaftliche Allzweckversion des 9001 für Anwenungen mit weniger strengen Anforderungen. Die Serie Spartan 9081 ähnelt der 9007, bietet aber Auflageflächen gemäß Indusriestandard, um auch anderen Optionen, einschließlich Ausführungen vom Typ Form C, gerecht zu werden. Diese Relais eignen sich gut für Anwendungen im Sicherheits-, Instrumentierungs- und Modem-Bereich.

Serie	Abmessungen - Zoll (mm) L	W	H	C
9001/ 9007	.760 (19.30)	.200 (5.08)	.300 (7.62)	.200 (5.08)
9002	.760 (19.30)	.200 (5.08)	.300 (7.62)	.100 (2.54)
9091	.600 (15.24)	.150 (3.81)	.275 (6.98)	.150 (3.81)
9081	.890 (22.61)	.275 (6.99)	.315 (8.0)	.200 (5.08)

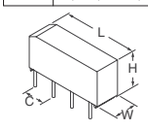

9001/9007

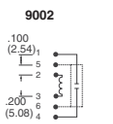

9002

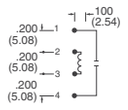

9091

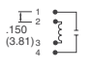

9081

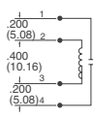

Top View Shown

Abb.	Schaltkreis	Spulen spannung (DC)	Spulens tromstärke (mA)	Schalt-strom (A)	Träger-strom (A)	Zusätzliche Funktionen	Digi-Key Teilenr.	Stückpreis 1	10	50	100	Coto Teilenr.
1	SPST	5	33.3	0.5	1	Mit elektrostatischer Abschirmung	306-1001-ND	7.11	6.16	5.27	4.52	2200-2301
	SPST	5	33.3	0.5	1	Mit Koaxialabschirmung	306-1002-ND	7.29	6.31	5.40	4.63	2200-2302
	SPST	5	13.5	0.5	1	—	306-1003-ND	6.43	5.57	4.76	4.08	2204-05-401
	SPST	5	13.5	0.5	1	Mit elektrostatischer Abschirmung	306-1004-ND	6.63	5.74	4.91	4.21	2204-05-411
	SPST	12	8	0.5	1	—	306-1105-ND	6.56	5.68	4.86	4.17	2204-12-301
	SPST	12	8	0.5	1	Mit elektrostatischer Abschirmung	306-1005-ND	6.74	5.83	4.99	4.28	2204-12-311
	SPDT	5	21.8	0.25	0.5	—	306-1006-ND	8.98	7.91	6.95	6.31	2211-05-301
	SPDT	12	8	0.25	0.5	—	306-1007-ND	9.18	8.09	7.10	6.45	2211-12-301
2	DPST	5	28.5	0.5	1.5	—	306-1106-ND	6.63	5.74	4.91	4.21	2332-05-000
	DPST	12	12	0.5	1.5	—	306-1008-ND	6.63	5.74	4.91	4.21	2332-12-000
	SPDT	5	28.5	0.5	1.5	—	306-1107-ND	9.22	7.99	6.83	5.86	2341-05-000
	SPDT	12	12	0.5	1.5	—	306-1108-ND	9.22	7.99	6.83	5.86	2341-12-000
	3PST	5	28.5	0.5	1.5	—	306-1109-ND	8.28	7.17	6.13	5.26	2333-05-000
	3PST	12	12	0.5	1.5	—	306-1110-ND	8.28	7.17	6.13	5.26	2333-12-000
	DPDT	5	28.5	0.25	0.5	—	306-1111-ND	10.23	9.01	7.92	7.19	2342-05-000
	DPDT	12	12	0.25	0.5	—	306-1112-ND	10.23	9.01	7.92	7.19	2342-12-000
	SPDT	5	13.5	0.25	1	Mit Koaxialabschirmung	306-1113-ND	8.89	7.84	6.88	6.25	2911-05-321
	SPDT	12	8	0.25	1	Mit Koaxialabschirmung	306-1114-ND	8.98	7.91	6.95	6.31	2911-12-321
	SPST	12	8	0.5	1.5	—	306-1009-ND	6.85	5.93	5.07	4.35	2904-12-301
3	SPST	12	68.6	3.0	5	Hochspannung - 7.500 V	306-1010-ND	17.03	15.40	14.63	13.86	5501-12-1
	SPST	24	41.7	3.0	5	Hochspannung - 7.500 V	306-1011-ND	17.34	15.68	14.89	14.11	5501-24-1
4	SPST	12	16.7	0.5	2	Hohe Zuverlässigkeit mit elektrostat. Abschirmung	306-1012-ND	9.24	8.00	6.85	5.87	7101-12-1010
	SPST	12	16.7	0.5	2	Hohe Zuverlässigkeit mit elektrostat. Abschirmung und Diode	306-1013-ND	10.76	9.32	7.97	6.84	7101-12-1011
	DPST	12	16.7	0.5	2	Hohe Zuverlässigkeit mit elektrostatischer Abschirmung	306-1014-ND	8.92	7.87	6.91	6.27	7102-12-1010
	DPST	12	16.7	0.5	2	Hohe Zuverlässigkeit mit elektrostat. Abschirmung und Diode	306-1015-ND	10.15	8.95	7.86	7.14	7102-12-1011
5	SPST	5	10	0.5	1	Verlängerte Lebensdauer	306-1016-ND	3.19	2.71	2.26	1.85	8001-05-001
	DPST	5	10	0.5	1	Verlängerte Lebensdauer mit elektrostatischer Abschirmung	306-1017-ND	4.43	3.75	3.14	2.56	8002-05-10
	SPDT	5	10	0.25	0.5	Verlängerte Lebensdauer	306-1018-ND	5.48	4.64	3.88	3.16	8041-05-001
	SPST	5	10	0.5	1	Spargang	306-1019-ND	1.74	1.47	1.23	1.01	8L01-05-001
	SPST	5	10	0.5	1	Spargang mit Diode	306-1020-ND	1.90	1.61	1.35	1.10	8L01-05-011
	SPST	5	10	0.5	1	Spargang mit elektrostat. Abschirmung.	306-1021-ND	1.90	1.61	1.35	1.10	8L01-05-101
	SPST	5	10	0.5	1	Spargang mit elektrostat. Abschirmung und Diode	306-1022-ND	2.04	1.73	1.45	1.18	8L01-05-111
	SPST	12	24	0.5	1	Spargang	306-1023-ND	1.74	1.47	1.23	1.01	8L01-12-001
	SPST	12	24	0.5	1	Spargang mit Diode	306-1024-ND	1.90	1.61	1.35	1.10	8L01-12-011
	SPST	12	24	0.5	1	Spargang mit elektrostat. Abschirmung	306-1025-ND	1.90	1.61	1.35	1.10	8L01-12-101
	SPST	12	24	0.5	1	Spargang mit elektrostat. Abschirmung und Diode	306-1026-ND	2.04	1.73	1.45	1.18	8L01-12-111
	SPST	24	11.1	0.5	1	Spargang	306-1027-ND	1.90	1.61	1.35	1.10	8L01-24-001
	SPST	24	11.1	0.5	1	Spargang mit Diode	306-1028-ND	2.04	1.73	1.45	1.18	8L01-24-011
	SPST	24	11.1	0.5	1	Spargang mit elektrostat. Abschirmung	306-1029-ND	2.04	1.73	1.45	1.18	8L01-24-101
	SPST	24	11.1	0.5	1	Spargang mit elektrostat. Abschirmung und Diode	306-1030-ND	2.18	1.84	1.54	1.26	8L01-24-111
	DPST	5	10	0.5	1	Spargang	306-1031-ND	2.62	2.22	1.85	1.51	8L02-05-00
	DPST	5	10	0.5	1	Spargang mit Diode	306-1032-ND	2.75	2.33	1.95	1.59	8L02-05-01
	DPST	5	10	0.5	1	Spargang mit elektrostat. Abschirmung	306-1033-ND	2.75	2.33	1.95	1.59	8L02-05-10
	DPST	5	10	0.5	1	Spargang mit elektrostat. Abschirmung und Diode	306-1034-ND	2.89	2.45	2.05	1.67	8L02-05-11
	DPST	12	24	0.5	1	Spargang	306-1035-ND	2.62	2.22	1.85	1.51	8L02-12-00
	DPST	12	24	0.5	1	Spargang mit Diode	306-1036-ND	2.75	2.33	1.95	1.59	8L02-12-01
	DPST	12	24	0.5	1	Spargang mit elektrostat. Abschirmung	306-1037-ND	2.75	2.33	1.95	1.59	8L02-12-10
	DPST	12	24	0.5	1	Spargang mit elektrostat. Abschirmung und Diode	306-1038-ND	2.89	2.45	2.05	1.67	8L02-12-11
	DPST	24	11.1	0.5	1	Spargang	306-1039-ND	2.75	2.33	1.95	1.59	8L02-24-00
	DPST	24	11.1	0.5	1	Spargang mit Diode	306-1040-ND	2.89	2.45	2.05	1.67	8L02-24-01
	DPST	24	11.1	0.5	1	Spargang mit elektrostat. Abschirmung	306-1041-ND	—	—	—	1.67	8L02-24-10
	DPST	24	11.1	0.5	1	Spargang mit elektrostat. Abschirmung und Diode	306-1042-ND	3.06	2.59	2.17	1.77	8L02-24-11
	SPDT	5	25	0.25	0.5	Spargang	306-1043-ND	3.77	3.19	2.67	2.18	8L41-05-001
	SPDT	5	25	0.25	0.5	Spargang mit Diode	306-1044-ND	3.91	3.31	2.77	2.26	8L41-05-011
	SPDT	5	25	0.25	0.5	Spargang mit elektrostat. Abschirmung	306-1045-ND	3.91	3.31	2.77	2.26	8L41-05-101
	SPDT	5	25	0.25	0.5	Spargang mit elektrostat. Abschirmung und Diode	306-1046-ND	4.07	3.45	2.89	2.35	8L41-05-111
	SPDT	12	24	0.25	0.5	Spargang	306-1047-ND	3.77	3.19	2.67	2.18	8L41-12-001

(Forts.)

H

Abb. 7

Das SIP-Relais ist das industrieweit bevorzugte Relais für eine Vielzahl von Designs, bei denen es auf Wirtschaftlichkeit, Leistung und ein kompaktes Gehäuse ankommt. Die Relais 9081C sind 2 x SPST-C/O-Relais, die in industrieüblichen Standardpaketen angeboten werden. Für Anwendungen mit Industriestandard-Auflageflächen, die SPDT-Funktion verlangen, eignet sich 9081C (0,2 x 0,4 x 0,2) SIP oder 9081C1 (0,2 x 0,2 x 0,2 x 0,2). Diese Relais eignen sich gut für Anwendungen im Sicherheits-, Instrumentierungs- und Modem-Bereich.

9081C

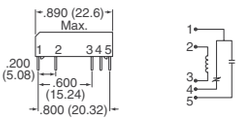

Abb. 8

Das 9012-Paket ist um 47 % kleiner als die Standard 9000 SIPs, dennoch weist das Relais dieselbe 10 W-Schaltleistung wie die größeren Entsprechungen auf. Das 9011-Paket ist um 65 % kleiner als die Standard 9000 SIPs und bietet eine RI-70-Schaltleistung von 3 W. Die Ausführung 9091 ist eine kompakte Version der 9001-Version, beansprucht aber 40 % weniger Platz. Diese Mini-SIP-Relais eignen sich ideal zur Verwendung in ATE-Anwendungen und für andere Zuverlässigkeitstests, Messungen und Telekommunikationen, bei denen hohe Kartendichte und lange Haltbarkeit wichtige Anforderungen darstellen.

9011/9012

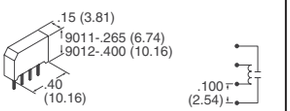

Abb.	Schaltkreis	Spulen-spannung (DC)	Spulen-stromstärke (mA)	Schalt-strom (A)	Träger-strom (A)	Zusätzliche Funktionen	Digi-Key Teilenr.	Stückpreis 1	10	50	100	Coto Teilenr.
5	SPDT	12	24	0.25	0.5	Spargang mit Diode	306-1048-ND	3.91	3.31	2.77	2.26	8L41-12-011
	SPDT	12	24	0.25	0.5	Spargang mit elektrostat. Abschirmung	306-1050-ND	3.91	3.31	2.77	2.26	8L41-12-101
	SPDT	12	24	0.25	0.5	Spargang mit elektrostat. Abschirmung und Diode	306-1051-ND	4.07	3.45	2.89	2.35	8L41-12-111
	SPDT	24	11.1	0.25	0.5	Spargang	306-1052-ND	3.91	3.31	2.77	2.26	8L41-24-001
	SPDT	24	11.1	0.25	0.5	Spargang mit elektrostat. Abschirmung	306-1053-ND	4.07	3.45	2.89	2.35	8L41-24-101
	SPDT	24	11.1	0.25	0.5	Spargang mit elektrostat. Abschirmung und Diode	306-1054-ND	4.21	3.57	2.98	2.43	8L41-24-111
6	SPST	5	10	0.5	1.5	Verlängerte Lebensdauer	306-1055-ND	2.89	2.45	2.05	1.67	9001-05-00
	SPST	5	10	0.5	1.5	Verlängerte Lebensdauer mit Diode	306-1056-ND	3.06	2.59	2.17	1.77	9001-05-01
	SPST	12	12	0.5	1.5	Verlängerte Lebensdauer	306-1057-ND	2.89	2.45	2.05	1.67	9001-12-00
	SPST	12	12	0.5	1.5	Verlängerte Lebensdauer mit Diode	306-1058-ND	3.06	2.59	2.17	1.77	9001-12-01
	SPST	5	10	0.5	1.5	50 Ω - Koaxialabschirmung	306-1059-ND	3.77	3.19	2.67	2.18	9002-05-00
	SPST	5	10	0.5	1.5	50 Ω - Koaxialabschirmung mit Diode	306-1060-ND	3.91	3.31	2.77	2.26	9002-05-01
	SPST	12	16	0.5	1.5	50 Ω - Koaxialabschirmung	306-1118-ND	3.77	3.19	2.67	2.18	9002-12-00
	SPST	12	12	0.5	1.5	50 Ω - Koaxialabschirmung mit Diode	306-1061-ND	3.91	3.31	2.77	2.26	9002-12-01
	SPST	5	10	0.5	1	Spargang	306-1062-ND	1.16	.98	.82	.67	9007-05-00
	SPST	5	10	0.5	1	Spargang mit Diode	306-1063-ND	1.24	1.05	.88	.72	9007-05-01
	SPST	12	12	0.5	1	Spargang	306-1064-ND	1.16	.98	.82	.67	9007-12-00
	SPST	5	10	0.5	1	Spargang	306-1115-ND	1.32	1.12	.94	.77	9081-05-00
	SPST	12	12	0.5	1	Spargang	306-1116-ND	—	—	—	.80	9081-12-00
	SPST	24	12	0.5	1	Spargang	306-1117-ND	1.46	1.24	1.04	.85	9081-24-00
	SPST	5	10	0.5	1.0	Mit EMI-Abschirmung	306-1138-ND	1.38	1.17	.98	.80	9081-05-10
	SPST	5	10	0.25	1.5	Miniatur-Sip	306-1065-ND	3.28	2.78	2.32	1.89	9091-05-00
	SPST	5	10	0.25	1.5	Miniature-Sip mit Diode	306-1066-ND	3.39	2.87	2.40	1.96	9091-05-01
	SPST	12	12	0.25	1.5	Miniature-Sip mit Diode	306-1067-ND	3.39	2.87	2.40	1.96	9091-12-01
7	SPDT-C/O	5	40	0.4	1.0	Standardversion	306-1175-ND	4.06	3.48	3.19	2.90	9081C-05-00
	SPDT-C/O	5	40	0.4	1.0	Mit EMI-Abschirmung	306-1176-ND	4.39	3.76	3.45	3.14	9081C-05-10
	SPDT-C/O	12	24	0.4	1.0	Standardversion	306-1177-ND	4.12	3.53	3.24	2.95	9081C-12-00
	SPDT-C/O	12	24	0.4	1.0	Mit EMI-Abschirmung	306-1178-ND	4.48	3.84	3.52	3.20	9081C-12-10
	SPDT-C/O	24	12	0.4	1.0	Standardversion	306-1179-ND	4.21	3.61	3.31	3.01	9081C-24-00
	SPDT-C/O	24	12	0.4	1.0	Mit EMI-Abschirmung	306-1180-ND	4.54	3.89	3.57	3.24	9081C-24-10
8	SPST	5	10	0.25	0.5	Mit EMI-Abschirmung	306-1130-ND	5.72	4.85	4.06	3.31	9011-05-10
	SPST	5	10	0.25	0.5	Mit EMI-Abschirmung und Diode	306-1131-ND	5.92	5.01	4.19	3.42	9011-05-11
	SPST	12	16	0.25	0.5	Mit EMI-Abschirmung	306-1132-ND	5.97	5.06	4.23	3.45	9011-12-10
	SPST	12	16	0.25	0.5	Mit EMI-Abschirmung und Diode	306-1133-ND	6.16	5.22	4.37	3.56	9011-12-11
	SPST	5	10	0.5	1.5	Mit EMI-Abschirmung	306-1134-ND	4.65	3.94	3.30	2.69	9012-05-10
	SPST	5	10	0.5	1.5	Mit EMI-Abschirmung und Diode	306-1135-ND	4.84	4.10	3.43	2.80	9012-05-11
	SPST	12	16	0.5	1.5	Mit EMI-Abschirmung	306-1136-ND	4.90	4.15	3.47	2.83	9012-12-10
	SPST	12	16	0.5	1.5	Mit EMI-Abschirmung und Diode	306-1137-ND	5.09	4.31	3.61	2.94	9012-12-11

SMT Reed-Relais

SPEZIFIKATIONEN: • Lebensdauer: Variiert für jede Serie von min. 100 x 10^6 Schaltungen bis zu 1.000 x 10^6 Schaltungen **• Isolationswiderstand:** 10^{12} Ω **• Lagertemperatur:** -35 °C ~ 100 °C **• Betriebstemperatur:** -20 °C ~ 85 °C **• Vibration:** 20 G ~ 2000 Hz; Schock: 50 G

Abmessungen: Zoll (mm)

Abb. 1

Ideal geeignet für die Anforderungen von automatischen Testgeräten, Instrumentierungen und Telekommunikationsanwendungen. Hohe Zuverlässigkeit, hermetisch versiegelte Kontakte mit langer Lebensdauer. Flachprofilausführung: 0,190" hoch. Entspricht Anforderungen für höhere Kartendichte. 50 Ω Koaxialabschirmung für RF und Schnellanstiegs-Zeitimpulsschaltung.

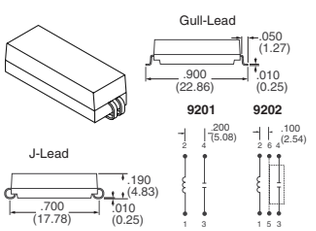

Abb. 2

Ideally suited to the needs of Automated Test Equipment, Instrumentation and Telecommunication requirements. Small surface mount package (0.225" x 0.550"). Low capacitance (Contact to Shield – 1.1 pF typical). Coaxial shield for 50V impedance. Excellent for RF and Fast Rise Time Pulse switching (up to 2.0 GHz).

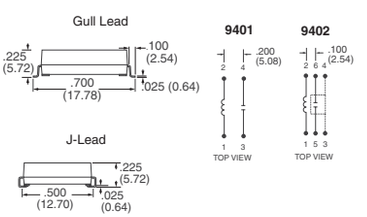

Abb. 3

Ideal für die Anforderungen von automatischen Testgeräten, Instrumentierungen und Telekommunikationsgeräten. Die Serie 9800 von Coto umfasst ultrakleine, oberflächenmontierte Reed-Relais, die eine kleine Größe mit hervorragender RF-Leistung verbinden. 9814 verlängert die Haltbarkeit bei ATE-Lasten 3-fach oder mehr, indem eine der Coto-eigenen Schalttechnologien angewandt wird. Der externe Magnetschirm verringert die Interaktion zwischen den Bauteilen auf hochdicht bestückten Karten. Die Version 9852 bietet darüber hinaus eine Form C Kapazität. Die kleine Größe plus zusätzliche Funktionen ermöglichen hochdichte Pakete und machen diese Relais ideal geeignet für Designs wie Hochgeschwindigkeits-VLSI-Tester mit hoher Pin-Zahl, bei denen es auf Geschwindigkeit, Größe und Leistung ankommt.

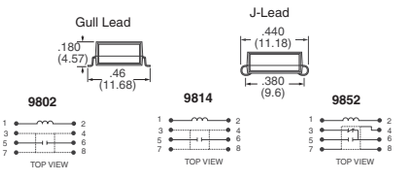

Abb. 4

Ideal geeignet für die Anforderungen von automatischen Testgeräten, Instrumentierungen und Telekommunikationsanwendungen. Hohe Zuverlässigkeit, hermetisch versiegelte Kontakte mit langer Lebensdauer. Flachprofilausführung - max. 0,193" hoch Mindestauflagefläche: 0,140 in. (im Quadrat) 50 Ω Koaxialabschirmung für RF und Schnellanstiegs-Zeitimpulsschaltung. UL-anerkannt.

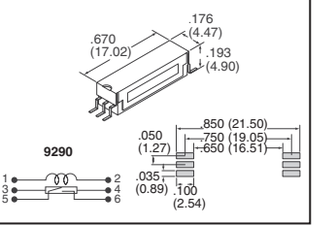

Abb.	Schaltkreis	Spulen-spannung (DC)	Spulen-stromstärke (mA)	Schalt-strom (A)	Träger-strom (A)	Zusätzliche Funktionen	Digi-Key Teilenr.	Stückpreis 1	10	50	100	Coto Teilenr.
1	SPST	5	20	0.5	1.5	SMT- J-Lead	306-1068-ND	5.23	4.43	3.70	3.02	9201-05-20
	SPST	5	20	0.5	1.5	50 Ω - Koaxialabschirmung, Gull-Lead	306-1069-ND	5.39	4.57	3.82	3.12	9202-05-00
	SPST	5	20	0.5	1.5	50 Ω - Koaxialabschirmung, J-Lead	306-1070-ND	5.39	4.57	3.82	3.12	9202-05-20
2	SPST	5	20	0.5	1	SMT - Gull-Lead	306-1071-ND	5.97	5.06	4.23	3.45	9401-05-00
	SPST	12	14.5	0.5	1	SMT - Gull Lead	306-1072-ND	5.97	5.06	4.23	3.45	9401-12-00
	SPST	5	25	0.5	1	50 Ω - Koaxialabschirmung, Gull-Lead	306-1119-ND	6.41	5.43	4.54	3.70	9402-05-00
	SPST	5	20	0.5	1	50 Ω - Koaxialabschirmung, J-Lead	306-1073-ND	6.41	5.43	4.54	3.70	9402-05-20
	SPST	12	14.5	0.5	1	50 Ω - Koaxialabschirmung, Gull-Lead	306-1074-ND	6.41	5.43	4.54	3.70	9402-12-00
3	SPST	5	33.3	0.25	0.5	50 Ω - Koaxialabschirmung, Gull-Lead	306-1075-ND	6.34	5.49	4.70	4.03	9802-05-00
	SPST	5	33.3	0.25	0.5	50 Ω - Koaxialabschirmung, J-Lead	306-1076-ND	6.34	5.49	4.70	4.03	9802-05-20
	SPST	3.3	47.1	0.25	0.5	50 Ω - Koaxialabschirmung, Gull-Lead	306-1156-5-ND	7.51	6.50	5.56	4.77	9814-03-00
	SPST	3.3	47.1	0.25	0.5	50 Ω - Koaxialabschirmung, SMD-Axial	306-1157-5-ND	7.51	6.50	5.56	4.77	9814-03-10
	SPST	3.3	47.1	0.25	0.5	50 Ω - Koaxialabschirmung, J-Lead	306-1158-5-ND	7.51	6.50	5.56	4.77	9814-03-20
	SPST	5	33.3	0.25	0.5	50 Ω - Koaxialabschirmung, Gull-Lead	306-1159-5-ND	7.51	6.50	5.56	4.77	9814-05-00
	SPST	5	33.3	0.25	0.5	50 Ω - Koaxialabschirmung, SMD-Axial	306-1160-5-ND	7.51	6.50	5.56	4.77	9814-05-10
	SPST	5	33.3	0.25	0.5	50 Ω - Koaxialabschirmung, J-Lead	306-1161-5-ND	7.51	6.50	5.56	4.77	9814-05-20
	SPDT	3.3	47.1	0.1	0.2	50 Ω - Koaxialabschirmung, Gullwing	306-1162-5-ND	16.18	14.26	12.52	11.37	9852-03-00
	SPDT	3.3	47.1	0.1	0.2	50 Ω - Koaxialabschirmung, SMD-Axial	306-1163-5-ND	16.18	14.26	12.52	11.37	9852-03-10
	SPDT	3.3	47.1	0.1	0.2	50 Ω - Koaxialabschirmung, J-Lead	306-1164-5-ND	16.18	14.26	12.52	11.37	9852-03-20
	SPDT	5	45.4	0.1	0.2	50 Ω - Koaxialabschirmung, Gullwing	306-1165-5-ND	16.18	14.26	12.52	11.37	9852-05-00
	SPDT	5	45.4	0.1	0.2	50 Ω - Koaxialabschirmung, SMD-Axial	306-1166-5-ND	16.18	14.26	12.52	11.37	9852-05-10
	SPDT	5	45.4	0.1	0.2	50 Ω - Koaxialabschirmung, J-Lead	306-1167-5-ND	16.18	14.26	12.52	11.37	9852-05-20
4	SPST	5	31	0.5	1.5	50 Ω - EMI-Abschirmung, Flachprofil	306-1141-ND	5.04	4.27	3.57	2.91	9290-05-00
	SPST	12	20	0.5	1.5	50 Ω - EMI-Abschirmung, Flachprofil	306-1142-ND	5.04	4.27	3.57	2.91	9290-12-00

Alle Preisangaben in Euro und inklusive Zollgebühren.

Reed-Relais

Abb. 1 — HE700 Serie

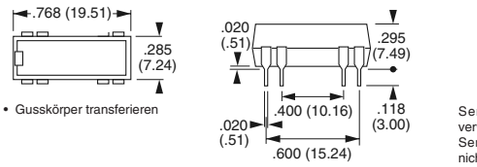

• Gusskörper transferieren

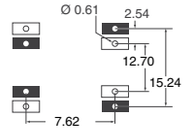

Leiterplattenlayout
Serie HE700 — Alle Öffnungen verwenden
Serie HE751 — Schattierte Stifte nicht im Lieferumfang enthalten

Abb. 2 — HE200 Serie

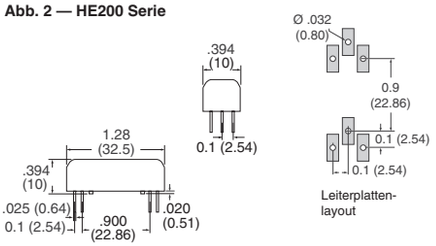

Leiterplatten-layout

Abb. 3 — HE400 Serie

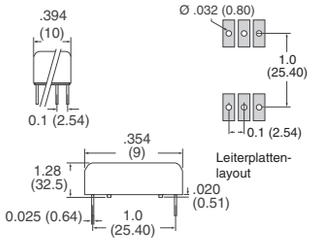

Leiterplatten-layout

Abb. 4 — HE3300 Serie

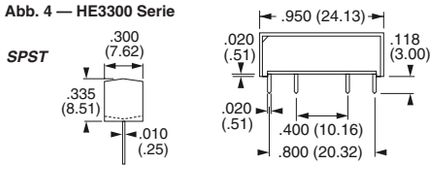

Standard-Sip

Abb. 5 — HE3600 Serie

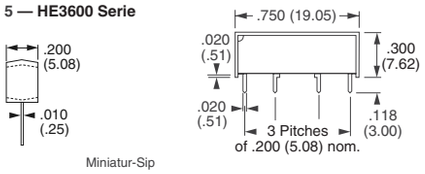

Miniatur-Sip

Draufsicht	Spulen-spannung (V DC)	Spulen-widerstand (Ω)	Anzug/ Abfall (V DC @ 25 °C)	Schalt-spannung (VDC)	Schaltstrom (A)	Trägerstrom (A)	Kont. Widerst. (Ω)	Betrieb/ Freigabe Zeit (ms)	Ins. Widerst. (Ω)	Merkmale	Digi-Key Teilenr.	Preisangaben 1	10	50	100	Hamlin Teilenr.
Abb. 1 — Serie 700, DIP, Reed-Relais																
1A SPST-NO 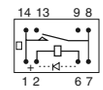	5	500	3.75/0.5	200	0.5	1.2	0.150	1.0/1.0	10^{10}	—	HE100-ND	1.35	11.41	47.71	77.79	HE721A0500
	5	500	3.75/0.5	200	0.5	1.2	0.150	1.0/1.0	10^{10}	mit Diode	HE101-ND	1.43	12.11	50.63	82.54	HE721A0510
	12	1000	8.0/1.0	200	0.5	1.2	0.150	1.0/1.0	10^{10}	—	HE102-ND	1.43	12.11	50.63	82.54	HE721A1200
	12	1000	8.0/1.0	200	0.5	1.2	0.150	1.0/1.0	10^{10}	mit Diode	HE103-ND	1.52	12.81	53.55	87.31	HE721A1210
	24	2150	16.0/2.0	200	0.5	1.2	0.150	1.0/1.0	10^{10}	—	HE104-ND	1.43	12.11	50.63	82.54	HE721A2400
	24	2150	16.0/2.0	200	0.5	1.2	0.150	1.0/1.0	10^{10}	mit Diode	HE105-ND	1.52	12.81	53.55	87.31	HE721A2410
	12	1000	8.0/1.0	200	0.5	1.2	0.150	1.0/1.0	10^{10}	Niedrige Bauform	HE138-ND	2.15	18.16	75.94	123.82	HE721A1215
	24	2150	16.0/2.0	200	0.5	1.2	0.150	1.0/1.0	10^{10}	Niedrige Bauform	HE139-ND	2.15	18.16	75.94	123.82	HE721A2415
2A DPST-NO 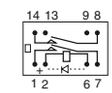	5	200	3.75/0.5	200	0.5	1.2	0.150	1.0/1.0	10^{10}	mit Diode	HE123-ND	2.70	22.82	95.41	155.56	HE722A0510
	5	150	3.75/0.5	200	0.5	1.2	0.150	1.0/1.0	10^{10}	—	HE106-ND	2.62	22.12	92.49	150.80	HE722A0600
	5	150	3.75/0.5	200	0.5	1.2	0.150	1.0/1.0	10^{10}	mit Diode	HE107-ND	2.70	22.82	95.41	155.56	HE722A0610
	12	500	8.0/1.0	200	0.5	1.2	0.150	1.0/1.0	10^{10}	—	HE108-ND	2.70	22.82	95.41	155.56	HE722A1200
	12	500	8.0/1.0	200	0.5	1.2	0.150	1.0/1.0	10^{10}	mit Diode	HE109-ND	2.78	23.52	98.33	160.33	HE722A1210
	24	2150	16.0/2.0	200	0.5	1.2	0.150	1.0/1.0	10^{10}	—	HE110-ND	2.78	23.52	98.33	160.33	HE722A2400
	24	2150	16.0/2.0	200	0.5	1.2	0.150	1.0/1.0	10^{10}	mit Diode	HE111-ND	2.86	24.21	101.25	165.09	HE722A2410
1C SPDT-CO 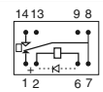	5	200	3.75/0.5	175	0.25	1.5	0.200	3.0/3.0	10^{9}	—	HE112-ND	3.28	27.71	115.86	188.90	HE721C0500
	5	200	3.75/0.5	175	0.25	1.5	0.200	3.0/3.0	10^{9}	mit Diode	HE113-ND	3.36	28.40	118.78	193.66	HE721C0510
	12	500	8.0/1.0	175	0.25	1.5	0.200	3.0/3.0	10^{9}	—	HE114-ND	3.36	28.40	118.78	193.66	HE721C1200
	12	500	8.0/1.0	175	0.25	1.5	0.200	3.0/3.0	10^{9}	mit Diode	HE115-ND	3.44	29.11	121.70	198.43	HE721C1210
	24	2000	16.0/2.0	175	0.25	1.5	0.200	3.0/3.0	10^{9}	—	HE116-ND	3.36	28.40	118.78	193.66	HE721C2400
	24	2000	16.0/2.0	175	0.25	1.5	0.200	3.0/3.0	10^{9}	mit Diode	HE117-ND	3.44	29.11	121.70	198.43	HE721C2410
1A SPST-NO	5	500	3.75/0.5	300	0.5	1.2	0.150	1.0/1.0	10^{10}	Hochspannung	HE124-ND	1.76	14.90	62.31	101.59	HE751A0510
	12	1000	8.0/1.0	300	0.5	1.2	0.150	1.0/1.0	10^{10}	Hochspannung	HE125-ND	1.85	15.60	65.23	106.36	HE751A1210
	24	2150	16.0/2.0	300	0.5	1.2	0.150	1.0/1.0	10^{10}	Hochspannung	HE126-ND	1.93	16.30	68.15	111.12	HE751A2410
Abb. 2 — Serie 200, DIP, Reed-Relais																
1A SPST-NO 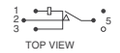	5	140	3.5/0.28	200	0.5	1.2	0.150	1.0/1.0	10^{10}	—	HE118-ND	3.08	26.08	109.04	177.79	HE221A0550
	12	855	8.4/0.7	200	0.5	1.2	0.150	1.0/1.0	10^{10}	—	HE119-ND	3.28	27.71	115.86	188.90	HE221A1250
	24	3285	16.8/1.4	200	0.5	1.2	0.150	1.0/1.0	10^{10}	—	HE120-ND	3.47	29.33	122.67	200.01	HE221A2450
Abb. 3 — Serie 400, DIP, Reed-Relais																
1A SPST-NO 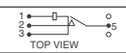	12	960	8.5/1.0	200	0.5	1.2	0.150	1.0/1.0	10^{10}	—	HE121-ND	3.28	27.71	115.86	188.90	HE421A1250
	24	3840	18.0/2.0	200	0.5	1.2	0.150	1.0/1.0	10^{10}	—	HE122-ND	3.47	29.33	122.67	200.01	HE421A2450
Abb. 4 — Serie 3300, SIP, Reed-Relais																
1A SPST-NO 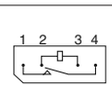	5	500	3.75/0.5	200	0.5	1.2	0.150	1.0/1.0	10^{10}	—	HE200-ND	1.38	11.64	48.68	79.37	HE3321A0400
	12	500	9.0/1.0	200	0.5	1.2	0.150	1.0/1.0	10^{10}	—	HE201-ND	1.46	12.34	51.60	84.14	HE3321A1200
	24	2000	18.0/2.0	200	0.5	1.2	0.150	1.0/1.0	10^{10}	—	HE202-ND	1.54	13.04	54.52	88.89	HE3321A2400
	5	125	3.75/0.5	250	1.0	1.5	0.150	1.0/1.0	10^{10}	Hochspannung	HE127-ND	1.82	15.37	64.26	104.77	HE3351A0500
	12	500	9.0/1.0	250	1.0	1.5	0.150	1.0/1.0	10^{10}	Hochspannung	HE128-ND	1.90	16.07	67.18	109.53	HE3351A1200
	24	2000	18.0/2.0	250	1.0	1.5	0.150	1.0/1.0	10^{10}	Hochspannung	HE129-ND	1.96	16.53	69.12	112.71	HE3351A2400
1C SPDT-CO 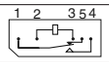	5	125	3.75/0.5	175	0.25	1.5	0.200	3.0/3.0	10^{9}	—	HE203-ND	3.39	28.64	119.75	195.25	HE3321C0500
	12	500	9.0/1.0	175	0.25	1.5	0.200	3.0/3.0	10^{9}	—	HE204-ND	3.47	29.33	122.67	200.01	HE3321C1200
	24	2000	18.0/2.0	175	0.25	1.5	0.200	3.0/3.0	10^{9}	—	HE205-ND	3.47	29.33	122.67	200.01	HE3321C2400
Abb. 5 — Serie 3600, Reed-Relais, Ultra-Miniaturgröße																
1A SPST-NO	5	500	3.75/0.5	200	0.5	1.2	0.150	1.0/1.0	10^{10}	—	HE206-ND	1.35	11.41	47.71	77.79	HE3621A0500
	5	500	3.75/0.5	200	0.5	1.2	0.150	1.0/1.0	10^{10}	mit Diode	HE207-ND	1.43	12.11	50.63	82.54	HE3621A0510
	12	1000	8.0/1.0	200	0.5	1.2	0.150	1.0/1.0	10^{10}	—	HE208-ND	1.46	12.34	51.60	84.14	HE3621A1200
	12	1000	8.0/1.0	200	0.5	1.2	0.150	1.0/1.0	10^{10}	mit Diode	HE209-ND	1.57	13.27	55.49	90.48	HE3621A1210
	24	2150	16.0/2.0	200	0.5	1.2	0.150	1.0/1.0	10^{10}	—	HE210-ND	1.46	12.34	51.60	84.14	HE3621A2400
	24	2150	16.0/2.0	200	0.5	1.2	0.150	1.0/1.0	10^{10}	mit Diode	HE211-ND	1.57	13.27	55.49	90.48	HE3621A2410

H

CHERRY

Magnetische Reed-Positionssensoren

Merkmale

- **Betriebstemperatur:** -40 °C ~ 105 °C
- **Anschlüsse:** 24 AWG PVC, vorverzinnt, 12" (305 mm) lang

Abb. 1

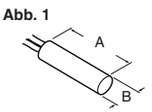

Abb. 2

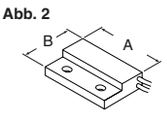

Abb. 3

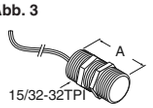

Abb. 4

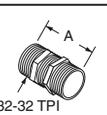

Abb.	Beschreibung	Abm. - Zoll A	B	Digi-Key Teilenr.	Stückpreis 1	10	50	Cherry Teilenr.
1	Magnetischer Positionssensor, 10 W, SPST-NO, 0,5 A	1.00	ø.243	CH402-ND	2.68	2.38	1.99	MP201701
	Magnetischer Positionssensor, 3 W, SPST-NC, 0,2 A	1.00	ø.243	CH403-ND	4.02	3.58	2.98	MP201702
	Magnetischer Positionssensor, 3 W, SPDT-CO, 0,2 A	1.00	ø.243	CH404-ND	4.41	3.93	3.27	MP201703
1	Betätiger mit glatter Hülse	1.00	ø.243	CH411-ND	2.51	2.24	1.87	AS201701
2	Mini-Proximitätssensoren, Flanschmontage, 10 W, SPST-NO, 0,5 A	.906	.550	CH405-ND	2.93	2.61	2.17	MP201801
	Mini-Proximitätssensoren, Flanschmontage, 3 W, SPST-NC, 0,2 A	.906	.550	CH406-ND	4.41	3.93	3.27	MP201802
2	Mini-Betätiger - Flanschmontage	.906	.550	CH412-ND	2.63	2.34	1.95	AS201801
2	Proximitätssensoren, Flanschmontage, 10 W, SPST-NO, 0,5 A	1.125	.750	CH407-ND*	3.04	2.71	2.26	MP201901
	Proximitätssensoren, Flanschmontage, 3 W, SPST-NC, 0,2 A	1.125	.750	CH408-ND*	4.55	4.05	3.37	MP201902
	Proximitätssensoren, Flanschmontage, 3 W, SPDT-CO, 0,2 A	1.125	.750	CH409-ND*	4.99	4.43	3.70	MP201903
2	Betätiger - Flanschmontage	1.125	.750	CH413-ND	2.86	2.54	2.12	AS201901
3	Magnetischer Positionssensor, Aluminium, 10 W, SPST-NO, 0,5 A	1.00	—	CH410-ND	8.58	7.62	6.35	MP200701
	Magnetischer Positionssensor, Aluminium, 3 W, SPST-NC, 0,2 A	1.00	—	CH709-ND	10.63	9.45	7.88	MP200702
	Magnetischer Positionssensor, Aluminium, 3 W, SPDT-CO, 0,2 A	1.00	—	CH710-ND	11.09	9.86	8.22	MP200703
4	Auslöser mit Gewinde, Südpolmagnet	1.00	—	CH397-ND	11.86	10.55	8.79	HE610400

* Drahtanschlüsse stehen auf der gegenüberliegenden Seite vom Schalter heraus

Reed-Relais

Abb. 1 DIP, Reed-Relais

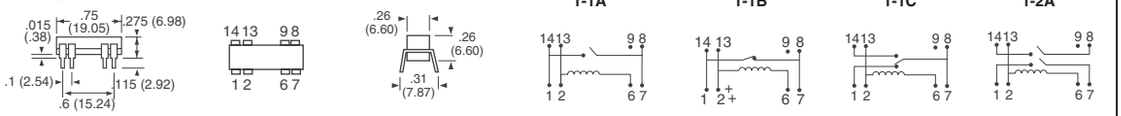

Abb. Form	Spulen-spannung (V DC)	Spulen-widerstand (Ω)	Anzug/ Abfall (V DC)	Max. Spann. (V DC)	Strom Lstg (A)	Kont. Widerst. (Ω)	Betr./Freigabe /Prellzeit (ms)	Nenn-leistung (W)	Isol.-Widerst. (Ω)	Digi-Key Teilenr.	Stückpreis 1	10	50	100	US Relays Teilenr.
DIP, Reed-Relais															
1-1A	5	500	4.0/0.5	100	.50	.20	.5/.5/.5	10	10^{10}	Z660-ND	3.44	2.92	2.44	1.99	D1A05A
	12	1000	9.6/1.2	100	.50	.20	.5/.5/.5	10	10^{10}	Z661-ND	3.44	2.92	2.44	1.99	D1A12A
	24	2200	19.2/2.4	100	.50	.20	.5/.5/.5	10	10^{10}	Z612-ND	3.55	3.01	2.52	2.05	D1A24A
1-2A	5	150	4.0/0.5	100	.50	.20	.5/.5/.5	10	10^{10}	Z662-ND	5.06	4.29	3.59	2.93	D2A05A
	12	500	9.6/1.2	100	.50	.20	.5/.5/.5	10	10^{10}	Z614-ND	5.06	4.29	3.59	2.93	D2A12A
	24	1750	19.2/2.4	100	.50	.20	.5/.5/.5	10	10^{10}	Z615-ND	5.20	4.41	3.69	3.01	D2A24A
1-1B	5	450	4.0/0.5	100	.50	.20	.35/.5/.5	10	10^{10}	Z616-ND	5.06	4.29	3.59	2.93	D1B05A
	12	450	9.6/1.2	100	.50	.20	.35/.5/.5	10	10^{10}	Z617-ND	5.06	4.29	3.59	2.93	D1B12A
	24	1750	19.2/2.4	100	.50	.20	.35/.5/.5	10	10^{10}	Z618-ND	5.20	4.41	3.69	3.01	D1B24A
1-1C	5	200	4.0/0.5	28	.25	.20	.5/.5/NO = .5, NC = 1.5	3	10^{9}	Z663-ND	6.19	5.24	4.39	3.58	D1C05C
	12	500	4.0/0.5	28	.25	.20	.5/.5/NO = .5, NC = 1.5	3	10^{9}	Z664-ND	6.19	5.24	4.39	3.58	D1C12C
	24	1750	19.2/2.4	28	.25	.20	.5/.5/NO = .5, NC = 1.5	3	10^{9}	Z621-ND	6.33	5.36	4.48	3.66	D1C24C
Serie 10, Reed-Relais															
2-1A	3	250	2.25/0.3	200	.5	.10	.5/.25/—	5	10^{10}	Z622-ND	3.99	3.38	2.83	2.31	R1A3AHH
	5	700	3.75/0.5	200	.5	.10	.5/.25/—	5	10^{10}	Z623-ND	4.13	3.50	2.93	2.39	R1A5AHH
	12	2000	9.0/1.2	200	.5	.10	.5/.25/—	5	10^{10}	Z624-ND	4.40	3.73	3.12	2.54	R1A12AHH
	24	4000	18.0/2.4	200	.5	.10	.5/.25/—	5	10^{10}	Z625-ND	6.19	5.24	4.39	3.58	R1A24AHH
	3	30	2.25/0.3	300	2	.10	.5/.25/—	50	10^{10}	Z626-ND	3.63	3.08	2.58	2.10	P1A3A
	5	100	3.75/0.5	300	2	.10	.5/.25/—	50	10^{10}	Z627-ND	3.63	3.08	2.58	2.10	P1A5A
	12	500	9.0/1.2	300	2	.10	.5/.25/—	50	10^{10}	Z628-ND	3.74	3.17	2.65	2.16	P1A12A
	24	1000	18.0/2.4	300	2	.10	.5/.25/—	50	10^{10}	Z629-ND	4.54	3.85	3.22	2.62	P1A24A
Serie 30, SIP, Reed-Relais															
3-1A	5	500	3.8/0.5	200	.5	.20	0.4/0.1/0.3	10	10^{9}	Z530-ND	3.44	2.92	2.44	1.99	SD1A05A
	12	500	8.0/1.0	200	.5	.20	0.4/0.1/0.3	10	10^{9}	Z531-ND	3.44	2.92	2.44	1.99	SD1A12A
	24	2000	16.0/2.0	200	.5	.20	0.4/0.1/0.3	10	10^{9}	Z532-ND	3.55	3.01	2.52	2.05	SD1A24A
	5	500	3.8/0.5	250	1	.20	0.5/0.3/0.3	50	10^{9}	Z533-ND	3.91	3.31	2.77	2.26	SD1A05D
	12	500	8.0/1.0	250	1	.20	0.5/0.3/0.3	50	10^{9}	Z534-ND	3.91	3.31	2.77	2.26	SD1A12D
	24	2000	16.0/2.0	250	1	.20	0.5/0.3/0.3	50	10^{9}	Z535-ND	4.02	3.40	2.85	2.32	SD1A24D
Open-Line Reed-Relais															
4-1A	5	500	3.8/0.5	250	1	.10	0.4/0.2/0.25	20	10^{10}	Z638-ND	5.92	5.01	4.19	3.42	20-1051-10
	12	500	8.0/1.0	250	1	.10	0.4/0.2/0.25	20	10^{10}	Z639-ND	5.92	5.01	4.19	3.42	20-1121-10
	24	2000	16.0/2.0	250	1	.10	0.4/0.2/0.25	20	10^{10}	Z640-ND	6.82	5.78	4.83	3.94	20-1241-10
4-2A	5	200	3.8/0.5	250	1	.10	0.5/0.2/0.25	20	10^{10}	Z641-ND	7.29	6.17	5.16	4.21	20-2051-10
	12	440	8.0/1.0	250	1	.10	0.5/0.2/0.25	20	10^{10}	Z642-ND	7.29	6.17	5.16	4.21	20-2121-10
	24	1750	16.0/2.0	250	1	.10	0.5/0.2/0.25	20	10^{10}	Z643-ND	7.70	6.52	5.46	4.45	20-2241-10
4-1B	5	500	3.8/0.5	200	.5	.10	0.5/0.4/1.5	10	10^{10}	Z644-ND	6.56	5.68	4.87	4.17	20-1051-30
	12	500	8.0/1.0	200	.5	.10	0.5/0.4/1.5	10	10^{10}	Z645-ND	6.56	5.68	4.87	4.17	20-1121-30
	24	2000	16.0/2.0	200	.5	.10	0.5/0.4/1.5	10	10^{10}	Z646-ND	7.15	6.20	5.32	4.54	20-1241-30
4-2B	5	200	3.8/0.5	200	.5	.10	0.6/0.4/1.5	10	10^{10}	Z647-ND	9.46	8.20	7.03	6.01	20-2051-30
	12	310	8.0/1.0	200	.5	.10	0.6/0.4/1.5	10	10^{10}	Z648-ND	9.46	8.20	7.03	6.01	20-2121-30
	24	1250	16.0/2.0	200	.5	.10	0.6/0.4/1.5	10	10^{10}	Z649-ND	9.86	8.54	7.32	6.26	20-2241-30

Abb. 2 Serie 10, Reed-Relais

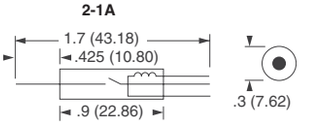

Abb. 3 Serie 30, SIP, Reed-Relais

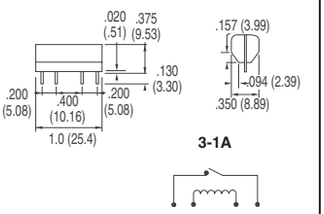

Abb. 4 Open-Line Reed-Relais

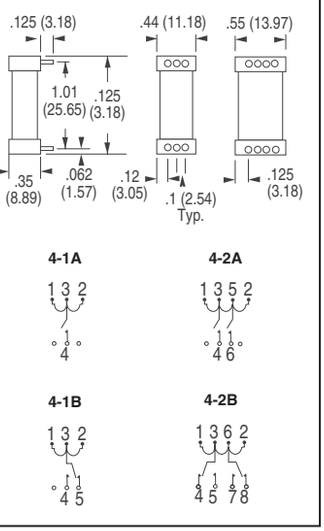

Reed-Relais, Oberflächenmontage

Abb. 1

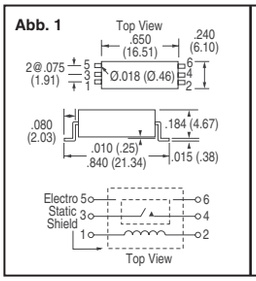

Abb. 2

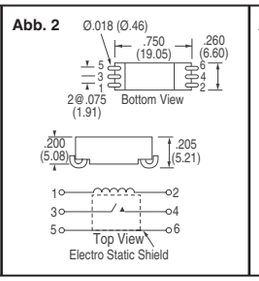

Abb. 3

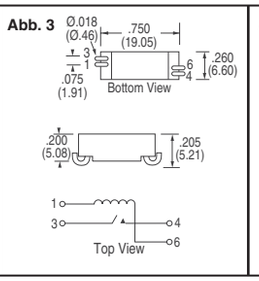

Abb. 4

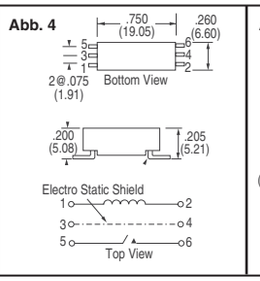

Abb. 5

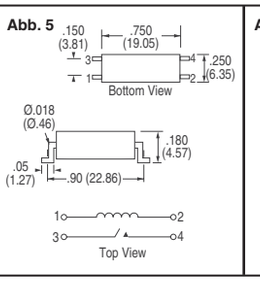

Abb. 6

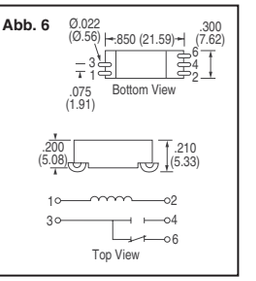

Abb.	Spulen-spannung (V DC)	Spulen-widerstand (Ω)	Anzug/ Abfall (V DC)	Max. Spannung (V DC)	Stromstärke (mA)	Kont. Widerstand (Ω)	Betriebs-dauer (ms)	Isol.-Widerstand (Ω)	Digi-Key Teilenr.	Stückpreis 1	10	50	US Relays Teilenr.
1	4.5	150	3.5/0.5	250	500	.1	.35	$7x10^{12}$	Z650-ND	8.25	7.15	6.13	SMRR1-5-150C
2	5	150	3.75/0.4	200	500	.150	.35	$7x10^{12}$	Z651-ND	8.80	7.62	6.54	SMRR2-5-150C
3	5	150	3.75/0.4	200	500	.150	.35	$7x10^{12}$	Z652-ND	8.53	7.22	6.04	SMRR2-5-150E
4	5	150	3.8/0.5	250	500	.150	.35	$7x10^{12}$	Z653-ND	9.91	8.58	7.36	SMRR2-5-150F
5	5	250	3.75/0.4	200	500	.150	.35	$7x10^{12}$	Z654-ND	7.84	6.64	5.55	SMRR2-5-250
6	5	150	3.8/0.5	28	250	.2	.5	$7x10^{12}$	Z655-ND	9.13	7.91	6.79	SMRR3-5-150

Cannon

ITT Industries
Engineered for life

Magnetsensoren

Abb. 1

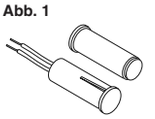

Abb. 2

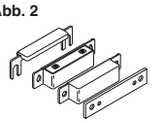

Abb. 3

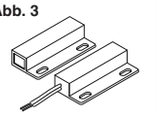

Abb. 4

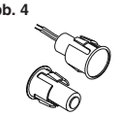

Abb. 5

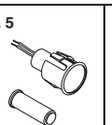

Abb. 6

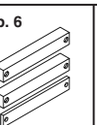

Abb. 7

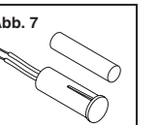

Die magnetischen Proximitätssensoren der Serie MPS von ITT werden aktiviert, wenn ein Magnetfeld sich zwei magnetischen Reedstäben nähert. Das Magnetfeld überwindet die Federspannung der Reedstäbe und schließt den Kontakt. Wird der magnetische Betätiger entfernt, trennen sich die Riedstäbe aufgrund ihrer eigenen Federspannung. Komplett mit Reed-Schalter und passendem Betätiger. **MERKMALE:** • Lange Haltbarkeit — 10 Mio. Schaltungen • Gehäuse aus stabilem, stoßfestem ABS-Kunststoff, der die UL-Anforderungen für Flammenhemmung erfüllt oder übertrifft • Versiegelte Kontakte gestatten einen Betrieb des Reeds auch in feuchten und staubigen Umgebungen • Leistung über breite Spalten hinweg macht Magnet- und Schalterausrichtung weniger kritisch **SPEZIFIKATIONEN: • Kontaktwiderstand:** max. 100 V DC oder 100 V AC @ max. 0,3 A; max. 1 A Trägerstrom • **Betriebstemperatur:** -40 °C ~ 100 °C • **Mechanische und elektrische Lebensdauer:** 10 Mio. Schaltungen **MATERIAL: • Gehäuse/Abstandshalter/Abdeckung:** ABS-Kunststoff (UL94V-0), weiß • **Drahtanschlüsse:** UL1061, 22 AWG: verseilt, aus Kupfer oder Aluminium; Länge: 12" (30,48 cm) mit abisolierten Enden; Farbe: weiß • **Magnete:** Alnico V und Ceramic Ferrite 8 (Nur für Modell MPS80WG). **HINWEIS:** Die Breitspaltkontakte sind polaritätsempfindlich. Ausrichtpunkte für ordnungsgemäße Installation der Oberflächenmontage-Kontakte verwenden.

Abb.	Spalter-stellung (mm)	Spaltfrei-gabe (mm)	Digi-Key Teilenr.	Preisangaben 1	10	100	250	ITT Ind. Teilenr.
1	31.75	40.64	CKN6002-ND	4.84	41.84	352.32	798.23	MPS9WGW
2	31.75	31.75	CKN6003-ND	5.99	51.68	435.22	986.04	MPS20WGW
3	25.40	33.02	CKN6004-ND	5.13	44.30	373.05	845.19	MPS45WGW
4	31.75	40.64	CKN6005-ND	5.70	49.22	414.50	939.09	MPS70WGW
5	31.75	40.64	CKN6006-ND	5.70	49.22	414.50	939.09	MPS73WGW
6	50.80	50.80	CKN6007-ND	5.70	49.22	414.50	939.09	MPS80WGW
7	31.75	40.64	CKN6008-ND	4.84	41.84	352.32	798.23	MPS95WGW

Alle Preisangaben in Euro und inklusive Zollgebühren.

HAMLIN Magnetische Reed-Schalter

Der einfache Reed-Schalter besteht aus zwei ferromagnetischen Riedstäben, die in einer gasgefüllten Kapsel hermetisch versiegelt sind. Werden diese Riedstäbe in ein Magnetfeld eingeführt, nehmen sie gegensätzliche Polaritäten an und ziehen sich gegenseitig an, um den Kontakt zu schließen. Wird das Magnetfeld über die Federkraft der Riedstäbe hinaus reduziert, öffnet sich der Kontakt. Die Reed-Schalter von Hamlin sind ideal für Anwendungen im Automobil- und Marine-Bereich sowie für Anwendungen in feuchter Umgebung und in praktisch jeder Betriebsumgebung, an der Luft, in Wasser oder Kraftstoff getaucht oder in stark staubigen Umgebungen.

Abb. 1

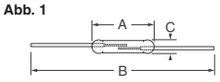

Abb. 2

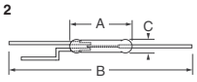

Abb. 3 (SMT)

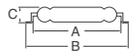

Abb.	Schaltkreis	Ampere-Umdrehungen	Max. DC Kontaktnennwert W	Volt	Schaltstrom (A)	Trägerstrom (A)	Bedienen/ Freigeben (ms)	Abmessungen (mm) A	B	C	Digi-Key Teilenr.	Preisangaben 1	10	50	Hamlin Teilenr.
Reed-Schalter mit axialem Anschluss															
1	SPST	6-12	10	170	0.5	0.5	.45/.2	7.00	46.00	1.80	HE516-ND	1.19	10.02	41.86	MITI-3V1 6-12.5
		17-23	20	200	1.0	1.2	.7/.2	15.24	56.64	2.66	HE133-ND	.72	6.05	25.31	MLRR-3 17-23
		10-20	10	200	0.5	0.8	.6/.2	12.70	40.39	1.83	HE500-ND	.75	6.29	26.29	MDSR-7 10-20
		17-28	10	300	0.5	1.5	.6/.2	15.24	40.39	2.29	HE501-ND	.94	7.92	33.10	MDRR-6 17-28
		12-23	10	200	0.5	1.2	.6/.2	15.24	40.39	2.29	HE502-ND	.66	5.59	23.37	MDSR-4 12-23
	SPST	12-33	10	200	0.5	1.2	.6/.2	15.24	40.39	2.29	HE503-ND	.66	5.59	23.37	MDCG-4 12-33
		17-23	10	200	0.75	1.5	.75/.3	19.687	56.77	2.66	HE135-ND	.86	7.22	30.18	MARR-2 17-23
		22-28	10	200	0.75	1.5	.75/.3	19.687	56.77	2.66	HE136-ND	.86	7.22	30.18	MARR-2 22-28
		22-33	10	1000	0.5	1.3	.75/.3	19.687	56.77	2.66	HE504-ND	2.01	17.00	71.07	MARR-5 22-33
		22-38	50	250	1.0	2.5	.75/.3	20.32	56.64	2.84	HE505-ND	1.21	10.24	42.84	MRPR-8 22-38
2	SPDT	15-25	5	175	0.25	1.5	.7/1	14.73	52.32	2.67	HE506-ND	2.59	21.88	91.52	MDRR-DT 15-25
2	SPDT	50-65	50	500	1.5	2.0	5.5/8	39.37	85.73	5.33	HE508-ND	12.50	105.70	442.01	DRT-DTH 50-65
2	SPDT	75-80	30	500	0.5	3.0	4.5/7.0	38.10	85.73	5.33	HE134-ND	9.55	80.79	337.84	DRR-DTH 75-80
1	SPST	47-68	100	400	3.0	6.0	4.5/2.5	50.80	82.55	5.26	HE509-ND	3.28	27.71	115.86	DRR-129 47-68

Abb.	Schalt-kreis	Betriebsdauer (ms)	Freigabedauer (ms)	Schaltspann. (max.)	Schaltstrom	Träger-strom	Abmessungen (mm) A	B	C	Digi-Key Teilenr.	Gurtabschnittspreise 1	10	50	Digi-Key Teilenr.	Preisangabe für Gegurtet auf Rolle 3.000	6.000	Hamlin Teilenr.
SMT Reed-Schalter																	
3	SPST	0.6	0.2	200VDC	0.5	1.2	17.52	19.30	2.84	HE151CT-ND	.86	7.37	30.69	HE151TR-ND	331.45/M	306.90/M	MDSM-4R 12-18
					0.5	0.8	16.64	21.03	1.27	HE152CT-ND	1.07	9.14	38.10	HE152TR-ND	411.45/M	380.97/M	MDSM-7R 10-15

Magnete

Zum Betrieb des magnetischen Reed-Schalters wird meistens ein Dauermagnet verwendet. Die Positionierungsmethode des Magneten hängt von den Schaltanforderungen ab. Es gibt vier grundlegende Verfahren; Vertikal- oder Parallelbewegung (auf und ab, von Seite zu Seite), Drehung (Drehmagnet oder Schalter), geschirmt (Passieren eines ferromagnetischen Materials zwischen Schalter und Magnet) oder Biasing, wobei ein Magnet mit entgegengesetzter Polarität zur Eliminierung der Kräfte eines anderen Magnets dient.

Abb. 1

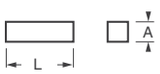

Abb. 2

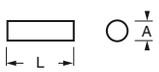

Abb. 3

Abb.	Abm. (mm) A x L	Mit A T verwenden Bereich	Gauss-Stärke	Digi-Key Teilenr.	Preisangaben 1	10	50	Hamlin Teilenr.
1	1,57 qu. x 12,70	10-38	45	HE510-ND	1.05	8.85	37.00	H-31
1	4,83 qu. x 25,40	10-38	200	HE511-ND	2.62	22.12	92.49	H-32
1	3,2 qu. x 19,1	10-38	135	HE512-ND	1.43	12.11	50.63	H-33
2	3,05 Durchm. x 14,99	10-38	120	HE155-ND	1.63	13.74	57.44	315
1	6,35 qu. x 25,4	10-68	260	HE513-ND	2.97	25.14	105.15	H-34
2	4,62 Durchm. x 25,40	10-68	155	HE154-ND	1.74	14.67	61.34	H-36
2	3,81 Durchm. x 19,81	10-38	175	HE514-ND	1.38	11.64	48.68	420
2	6,00 Durchm. x 25,00	10-68	235	HE515-ND	3.94	33.30	139.22	625
3	12,70 Durchm. x 5,08	10-38	800	HE153-ND	1.05	8.85	37.00	CM-1

Magnetische Positionssensoren

Spezifikationen:

- **Schaltspannung:** SPST - Arbeitskontakt - 200 V DC, SPST - HV - 300 V DC, SPDT - 175 V DC, SPST - Ruhekontakt - 175 V DC
- **Anf. Kontaktwiderstand:** 0,200 mΩ
- **Typ. Betriebszeit:** 1,00 ms.
- **Stromschlag ohne Falschbetrieb:** 100 G, 11 ms, 1/2 Sinuskurve
- **Betriebs- und Lagertemperatur:** -40 °C ~ 105 °C

Abb. 1

Abb. 2

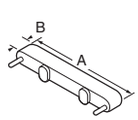

Abb. 3

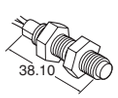

3 A = 5/16 - 24 Gewinde
3 B = M8 x 1,25 Gewinde

Abb. 4

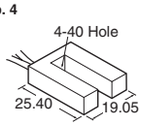

Abb. 5

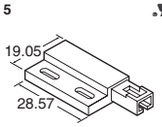

Abb. 6

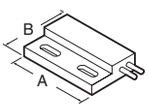

Abb. 7

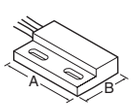

Abb. 8

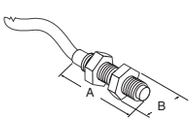

Abb. 9 (SMT)

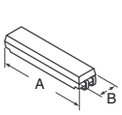

Abb.	Abm. (mm) A	B	Muss-Betrieb/ Freigabeabstand (mm)	Abschlusswiderstand oder Verdrahtung	Digi-Key Sensor-Teilenr.	Preisangaben 1	10	50	Entsprechende Magnet-Teilenr.	Preisangaben 1	10	50
SPST-N/O												
1	16.4	5.10	2.54/7.62	12" PVC-Leitungen	59020-010-ND	4.82	40.75	170.38	57020-000-ND	3.08	26.08	109.04
1	25.4	6.22	3.81/20.32	12" PVC-Leitungen	59025-010-ND•	2.70	22.82	95.41	57025-000-ND•	2.23	18.86	78.86
2	17.78	4.32	1.90/13.97	PCB-Pins	59045-010-ND	1.74	14.67	61.34	57045-000-ND	2.62	22.12	92.49
2	22.86	4.57	3.81/19.05	PCB-Pins	59050-010-ND•	1.46	12.34	51.60	57050-000-ND•	2.70	22.82	95.41
3A	—	—	3.81/20.32	12" PVC-Leitungen	59065-010-ND•	3.47	29.33	122.67	57065-000-ND•	2.78	23.52	98.33
3B	—	—	3.81/20.32	12" PVC-Leitungen	59070-010-ND	3.47	29.33	122.67	57070-000-ND	2.62	22.12	92.49
8	46.0	M12	10.0/30.0	16' 4" HD-Kabel	59075-1-T-50-F-ND	13.71	114.69	467.48	57075-000-ND	25.85	216.14	881.00
8	46.0	M12	10.0/30.0	20' HD-Kabel	59075-1-U-03-A-ND	13.71	114.69	467.48	57075-000-ND	25.85	216.14	881.00
4	—	—	2.54/6.35	12" PVC-Leitungen	59085-010-ND	7.70	65.19	272.61	VANE	—	—	—
5	—	—	3.81/20.32	Steckverbinder	59105-010-ND	3.66	30.97	129.49	57105-000-ND	2.31	19.56	81.78
6	28.57	19.05	3.81/20.32	Stifte	59125-010-ND•	3.19	27.01	112.94	57125-000-ND•	2.31	19.56	81.78
7	28.57	19.05	8.89/29.21	12" Teflon-Leitungen	59135-010-ND	5.78	48.89	204.45	57135-000-ND	3.08	26.08	109.04
6	23.01	14.00	4.44/20.32	12" PVC-Leitungen	59140-010-ND	2.70	22.82	95.41	57140-000-ND	2.51	21.19	88.60
6	28.57	19.05	5.71/20.32	12" PVC-Leitungen	59145-010-ND•	2.89	24.45	102.23	57145-000-ND•	2.31	19.56	81.78
7	28.57	19.05	5.71/20.32	12" PVC-Leitungen	59150-010-ND•	2.89	24.45	102.23	57150-000-ND•	2.31	19.56	81.78
9	20.32	3.75	3.93/11.17	J-Anschluss SMT	59160-010-ND	1.93	16.30	68.15	57050-000-ND	2.70	22.82	95.41
SPST-HV-N/O												
1	25.4	6.22	3.81/20.32	12" PVC-Leitungen	59025-020-ND†	3.08	26.08	109.04	57025-000-ND†	2.23	18.86	78.86
2	22.86	4.57	3.81/19.05	PCB-Pins	59050-020-ND†	1.93	16.30	68.15	57050-000-ND†	2.70	22.82	95.41
3A	—	—	3.81/20.32	12" PVC-Leitungen	59065-020-ND†	3.85	32.59	136.30	57065-000-ND†	2.78	23.52	98.33
3B	—	—	3.81/20.32	12" PVC-Leitungen	59070-020-ND†	3.85	32.59	136.30	57070-000-ND†	2.62	22.12	92.49
5	—	—	3.81/20.32	Steckverbinder	59105-020-ND†	4.21	35.62	148.96	57105-000-ND†	2.31	19.56	81.78
6	28.57	19.05	3.81/20.32	Stifte	59125-020-ND†	3.66	30.97	129.49	57125-000-ND†	2.31	19.56	81.78
7	28.57	19.05	8.89/29.21	12" Teflon-Leitungen	59135-020-ND	6.16	52.15	218.08	57135-000-ND	3.08	26.08	109.04
6	23.01	14.00	4.44/20.32	12" PVC-Leitungen	59140-020-ND†	3.28	27.71	115.86	57140-000-ND†	2.51	21.19	88.60
6	28.57	19.05	5.71/20.32	12" PVC-Leitungen	59145-020-ND†	3.47	29.33	122.67	57145-000-ND†	2.31	19.56	81.78
7	28.57	19.05	5.71/20.32	12" PVC-Leitungen	59150-020-ND†	3.47	29.33	122.67	57150-000-ND†	2.31	19.56	81.78
SPDT-O/C												
1	25.4	6.22	3.81/20.32	12" PVC-Leitungen	59025-030-ND•	4.05	34.23	143.12	57025-000-ND•	2.23	18.86	78.86
3A	—	—	3.81/20.32	12" PVC-Leitungen	59065-030-ND•	5.01	42.37	177.19	57065-000-ND•	2.78	23.52	98.33
3B	—	—	3.81/20.32	12" PVC-Leitungen	59070-030-ND	5.01	42.37	177.19	57070-000-ND	2.62	22.12	92.49
4	—	—	2.54/6.35	12" PVC-Leitungen	59085-030-ND	8.09	68.45	286.24	VANE	—	—	—
7	28.57	19.05	8.89/29.21	12" Teflon-Leitungen	59135-030-ND	7.32	61.93	258.97	57135-000-ND	3.08	26.08	109.04
6	23.01	14.00	4.44/20.32	12" PVC-Leitungen	59140-030-ND•	4.82	40.75	170.38	57140-000-ND•	2.51	21.19	88.60
6	28.57	19.05	5.71/20.32	12" PVC-Leitungen	59145-030-ND•	4.82	40.75	170.38	57145-000-ND•	2.31	19.56	81.78
7	28.57	19.05	5.71/20.32	12" PVC-Leitungen	59150-030-ND•	4.82	40.75	170.38	57150-000-ND•	2.31	19.56	81.78
9	20.32	3.75	3.93/11.17	J-Anschluss SMT	59160-030-ND	3.85	32.59	136.30	57050-000-ND	2.70	22.82	95.41
SPST-N/C												
1	25.4	6.22	3.81/20.32	12" PVC-Leitungen	59025-040-ND	3.85	32.59	136.30	57025-000-ND	2.23	18.86	78.86
3A	—	—	3.81/20.32	12" PVC-Leitungen	59065-040-ND	4.62	39.11	163.56	57065-000-ND	2.78	23.52	98.33
3B	—	—	3.81/20.32	12" PVC-Leitungen	59070-040-ND	4.62	39.11	163.56	57070-000-ND	2.62	22.12	92.49
7	28.57	19.05	4.44/20.32	12" PVC-Leitungen	59140-040-ND	4.43	37.49	156.75	57140-000-ND	2.51	21.19	88.60

Abb. 5 passt zu Digi-Key Teilenr. WM2900 (Steckverbinder), WM2510 (Kontakt)

• **HE1-KIT-ND** ***Digi-Key® Magnetschalterkit*** Sortiment der angegebenen Schalter. (Insgesamt 22 Stück) Notizbuchartiger Lagerbehälter **59.22**
† **HE2-KIT-ND** ***Digi-Key® Magnetschalterkit*** Sortiment mit je einem der angegebenen Schalter. (Insgesamt 18 Stück) Notizbuchartiger Lagerbehälter **42.29**

H

SRC DEVICES Magnetische Reed-Schalter

Reed-Schalter werden in Tausenden von Anwendungen eingesetzt, von berührungslosen Schaltern zu Richtungs-, Geschwindigkeits- und Positionstastern. Reed-Schalter sind zuverlässig, preiswert, verbrauchen wenig Strom und sind hermetisch versiegelt, wodurch sie sich zur Verwendung selbst in anspruchvollsten Umgebungen eignen.

Abb. 1

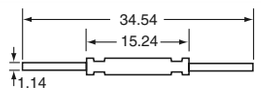

Abb. 2 — SMT

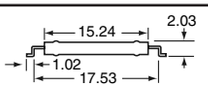

Schaltkreis	Betriebs-AT• (min.-max.)	Freigabe-AT• (min.-max.)	Schaltspann. (max.)	Schaltstrom	Träger-strom	Digi-Key Teilenr.	Preisangaben 1	10	50	100	SRC Devices Teilenr.
Abb. 1 — Magnetische Reed-Schalter											
SPST	10-15	5-15	200VDC/VAC	0.5A	1.5A	420-1000-ND	1.27	10.71	44.79	73.02	FR2S1015-051500
SPST	10-20	5-20	200VDC/VAC	0.5A	1.5A	420-1001-ND	1.16	9.78	40.89	66.67	FR2S1020-052000
SPST	15-20	5-20	200VDC/VAC	0.5A	1.5A	420-1002-ND	1.27	10.71	44.79	73.02	FR2S1520-052000
SPST	15-25	5-20	200VDC/VAC	0.5A	1.5A	420-1003-ND	1.16	9.78	40.89	66.67	FR2S1525-0525
SPST	20-25	5-25	200VDC/VAC	0.5A	1.5A	420-1004-ND	1.27	10.71	44.79	73.02	FR2S2025-052500
SPST	20-30	5-30	200VDC/VAC	0.5A	1.5A	420-1005-ND	1.16	9.78	40.89	66.67	FR2S2030-053000

Schaltkreis	Betriebs-AT• (min.-max.)	Freigabe-AT• (min.-max.)	Schaltspann. (max.)	Schaltstrom	Träger-strom	Digi-Key Teilenr.	Gurtabschnittspreise 1	10	50	T & R Pricing†* 3.000	6.000	SRC Devices Teilenr.
Abb. 2 — SMT Reed-Schalter auf Band												
SPST	15-25	5-22	200VDC/VAC	0.5A	1.5A	420-1006-1-ND	1.30	11.54	46.76	517.28/M	487.43/M	FR2249
SPST	10-20	5-18	200VDC/VAC	0.5A	1.5A	420-1007-1-ND	1.08	9.58	38.80	495.26/M	466.69/M	FR2259

• Betriebs- und Freigabewerte in Ampere pro Umdrehung * Für Gegurtet auf Rolle die Teilenummer von 1-ND in 2-ND ändern. † Preisangaben Gegurtet auf Rolle

Reed-Relais

Abb. 1

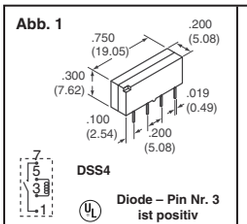

Abb. 2

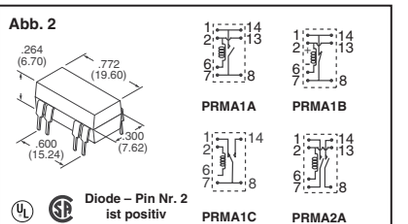

SRC-Bausteine bieten eine große Auswahl an geformten SIP- und DIP-14 Reed-Relais für Kundenanwendungen. Das vor einigen Jahren entwickelte DSS4 ist nach wie vor das bevorzugte Relais für Gabelschaltanwendungen in Modems und Mehrzweckanwendungen. Merkmale: • Hoch zuverlässige Schaltung • Lange Haltbarkeit (>1 Milliarde Schaltungen) • Kann bis zu 1.000 V schalten • Automatische Einfügung. Das PRMA-Relais bietet verschiedene Kontakte und Schaltungen, um vielen Anwendungen gerecht zu werden. Zu den Anwendungen gehören: • Automatische Testgeräte • Prozesssteuerung • Anspruchsvolle Sicherheitssysteme • Messung

Abb.	Schaltkreis	Spulenspannung (DC)	Spulen-widerstand	Schaltstrom (A)	Trägerstrom (A)	Digi-Key Teilenr.	Stückpreis 1	10	50	SRC Devices Teilenr.
1	SPST	5	500	0.5	2	420-1021-ND	2.64	2.24	1.87	DSS41A05
	SPST	5	500	0.5	2	420-1022-ND*	3.08	2.61	2.19	DSS41A05B
	SPST	12	1000	0.5	2	420-1023-ND	2.64	2.24	1.87	DSS41A12
	SPST	12	1000	0.5	2	420-1024-ND*	3.08	2.61	2.19	DSS41A12B
	SPST	24	2000	0.5	2	420-1025-ND	3.39	2.87	2.40	DSS41A24
	SPST	24	2000	0.5	2	420-1026-ND*	3.36	2.84	2.07	DSS41A24B
2	SPST	5	500	0.5	2	420-1008-ND	3.30	2.80	2.34	PRMA1A05
	SPST	5	500	0.5	2	420-1009-ND*	3.50	2.96	2.48	PRMA1A05B
	SPST	12	1000	0.5	2	420-1010-ND	3.30	2.80	2.34	PRMA1A12
	SPST	24	2150	0.5	2	420-1011-ND	3.58	3.03	2.54	PRMA1A24
	SPST N/C	5	500	0.5	2	420-1016-ND	4.72	3.99	3.34	PRMA1B05
	SPST N/C	12	1000	0.5	2	420-1017-ND	4.72	3.99	3.34	PRMA1B12
	SPDT O/C	5	200	0.25	0.4	420-1018-ND	6.67	5.78	4.94	PRMA1C05
	SPDT O/C	5	200	0.25	0.4	420-1019-ND*	7.20	6.23	5.33	PRMA1C05B
	SPDT O/C	12	500	0.25	0.4	420-1020-ND	6.67	5.78	4.94	PRMA1C12
	DPST	5	140	0.5	2	420-1012-ND	5.37	4.54	3.80	PRMA2A05
	DPST	5	140	0.5	2	420-1013-ND*	6.05	5.13	4.29	PRMA2A05B
	DPST	12	500	0.5	2	420-1014-ND	5.37	4.54	3.80	PRMA2A12
	DPST	24	2150	0.5	2	420-1015-ND	5.83	4.94	4.13	PRMA2A24

* mit Diode

MEDER electronic Magnetische Reed-Sensoren

Magnetische Meder-Sensoren sind magnetisch betätigte Näherungsschalter zur Oberflächen-, Leiterplatten- oder Frontplattenmontage. Anwendungen: Telefongabel-Detektorschalter, Sensoren f. Türen u. Fenster, Endschalter f. Garagentore, Hebezeug und Fördereinrichtungen. Vollständig abgedichtete Schalter für Innen-/Außenbetrieb, in versch. magn. Empfindlichkeiten erhältlich, bestens geeignet für automatische Einführungsgeräte und automatische Prozesse. Alle Sensoren schalten in Gegenwart eines magnetischen Feldes und bleiben im Stellzustand, bis das magnetische Feld entfernt wird. **Betriebstemperatur:** -20 °C ~ 85 °C, -20 °C ~ 130 °C für Abb. 3.

Abb.	Schaltkreis	Abmessungen (mm) A	B	Schalt- Spannung	Strom	Abschlusswiderstand oder Verdrahtung	Digi-Key Teilenr.	Gurtabschnittspreis pro Stück 1	10	50	Digi-Key Teilenr.	Gegurtet auf Rolle Größe	Preisangaben	Meder Teilenr.
1	SPST-NO	17.00	5.00	200	0.5	100 mm PVC-Leitungen	374-1023-ND	7.15	6.39	5.18	—	—	—	MK18-B-100W
	SPST-NO	17.00	5.00	200	0.5	100 mm PVC-Leitungen	374-1024-ND	7.15	6.39	5.18	—	—	—	MK18-C-100W
	SPST-NO	25.50	5.75	180	0.5	500 mm PVC-Leitungen	374-1027-ND	5.39	4.82	3.90	—	—	—	MK3-1A71B-500W
	SPST-NO	25.50	5.75	180	0.5	500 mm PVC-Leitungen	374-1028-ND	5.39	4.82	3.90	—	—	—	MK3-1A71C-500W
	SPST-NC	25.50	5.75	175	0.25	500 mm PVC-Leitungen	374-1029-ND	8.47	7.57	6.13	—	—	—	MK3-1B90C-500W
	SPST-NO-NC	25.50	5.75	175	0.25	500 mm PVC-Leitungen	374-1030-ND	8.97	8.01	6.49	—	—	—	MK3-1C90C-500W
2	SPST-NO	14.30	2.80	200	0.5	PCB-Pins	374-1033-ND	1.82	1.62	1.32	—	—	—	MK6-5-C
	SPST-NO	19.78	3.30	180	0.5	PCB-Pins	374-1036-ND	1.71	1.53	1.24	—	—	—	MK6-7-B
	SPST-NO	22.32	3.30	180	0.5	PCB-Pins	374-1037-ND	1.54	1.38	1.12	—	—	—	MK6-8-B
3	SPST-NO	16.00	2.50	200	0.5	SMD	374-1013-1-ND	1.49	1.33	1.08	374-1013-2-ND	2,500	594.32/M	MK15-B-2
	SPST-NO	16.00	2.50	200	0.5	SMD	374-1015-1-ND	1.02	.91	.74	374-1015-2-ND	2,500	594.32/M	MK15-C-2
	SPST-NO	11.50	2.30	200	0.5	SMD	374-1017-1-ND	1.65	1.48	1.20	374-1017-2-ND	2,500	660.35/M	MK16-B-2
	SPST-NO	11.50	2.30	200	0.5	SMD	374-1019-1-ND	1.65	1.48	1.20	374-1019-2-ND	2,500	660.35/M	MK16-C-2
	SPST-NO	8.50	2.10	170	0.5	SMD	374-1021-1-ND	2.26	2.02	1.64	374-1021-2-ND	2,000	902.48/M	MK17-B-2
	SPST-NO	11.60	2.70	200	1.0	SMD	374-1044-1-ND	.94	.80	.67	374-1044-2-ND	2,500	374.20/M	MK22-B-4
	SPST-NO	11.60	2.70	200	1.0	SMD	374-1043-1-ND	.94	.80	.67	374-1043-2-ND	2,500	374.20/M	MK22-B-2
4	SPST-NO	24.90	—	180	0.5	500 mm PVC-Leitungen	374-1006-ND	10.73	9.58	7.76	—	—	—	MK11-1A71B-500W
	SPST-NO	24.90	—	180	0.5	500 mm PVC-Leitungen	374-1007-ND	10.73	9.58	7.76	—	—	—	MK11-1A71C-500W
5	SPST	8.6	4.4	170	0.5	SMD	374-1039-1-ND	6.69	5.66	4.74	374-1039-2-ND	1,000	2674.41	CRR05-1A
	SPST	8.6	4.4	170	0.5	SMD	374-1040-1-ND	9.11	7.71	6.45	374-1040-2-ND	500	1961.57	CRR05-1AS
	SPST-NO	8.6	4.4	170	0.5	SMD	374-1041-1-ND	7.11	6.16	5.27	374-1041-2-ND	1,000	3554.87	CRF05-1A
	SPST-NO	8.6	4.4	170	0.5	SMD	374-1042-1-ND	9.07	7.85	6.72	374-1042-2-ND	1,000	4639.37	CRF05-1AS
6	SPST-NO	2.8	2.05	3.0	100	SMD	374-1045-1-ND	12.27	10.81	9.50	374-1045-2-ND	500	3884.62	MMS-B-2
7	SPST-NO	15.2	6.8	200	0.5	PCB-Pins	374-1046-5-ND	3.72	3.15	2.63	—	—	—	MS05-1A87-75LHR
	SPST-NO	15.2	6.8	200	0.5	PCB-Pins	374-1047-5-ND	3.99	3.38	2.83	—	—	—	MS05-1A87-75DHR
	SPST-NO	15.2	6.8	200	0.5	PCB-Pins	374-1049-5-ND	3.99	3.38	2.83	—	—	—	MS12-1A87-75L
	SPST-NO	15.2	6.8	200	0.5	PCB-Pins	374-1050-5-ND	4.27	3.61	3.02	—	—	—	MS12-1A87-75D
	SPST-NO	15.2	6.8	1000	2.0	PCB-Pins	374-1048-5-ND	7.15	6.20	5.30	—	—	—	MS05-1A31-75L

Abb. 1

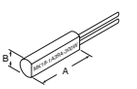

Abb. 2

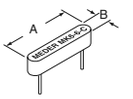

Abb. 3

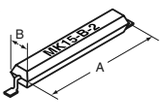

Abb. 4

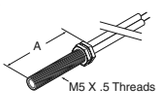

Abb. 5

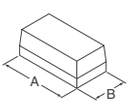

Abb. 6

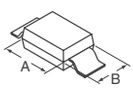

Abb. 7

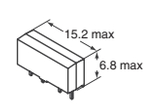

Level Sensors with Magnetic Float‡

Abb. 1

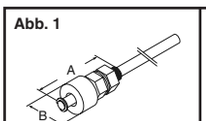

Abb. 2

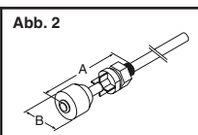

Abb. 3

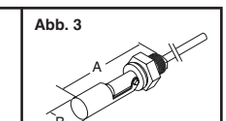

‡ Füllstandsfühler mit magnetischem Schwimmer

Kompakte Sensoren zur Anzeige von Flüssigkeitspegeln bei Ölen, Petroleum und Flüssigkeiten. Modelle LS01 und LS02 sind für die vertikale Tankmontage vorgesehen, LS03 für die Horizontalmontage. Perfekt für Haustanküberwachung, Fahrzeuge und Kontrollen, Messindustrie. Die Sensoren sind aus kräftigem Polyimid und werden mit Dichtungen und Montagemutter geliefert. • **Schaltstrom:** 0,5 A • **Schaltspannung:** 200 V, abisolierte und verzinnte Anschlüsse.

Abb.	Abmessungen (mm) A	B	Durch-führung	Betriebstemp.	Abschlusswiderstand oder Verdrahtung	Digi-Key Teilenr.	Stückpreis 1	10	50	Meder Teilenr.
1	42.5	24	M8x1.25	0 ~ 70°C	500 mm PVC-Leitungen	374-1000-ND	12.61	11.25	9.12	LS01-1A71-PA-500W
2	72.5	23.5	M10x1.0	-20 ~ 100°C	500 mm PVC-Leitungen	374-1001-ND	13.49	12.03	9.75	LS02-1A71-PA-500W
3	80	17.2	M16x1.5	-20 ~ 100°C	500 mm PVC-Leitungen	374-1002-ND	14.99	13.39	10.85	LS03-1A71-PA-500W

H

Alle Preisangaben in Euro und inklusive Zollgebühren.

Magnetische Reed-Schalter

Abb. 1

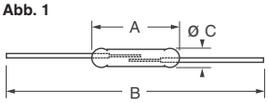

Abb. 2

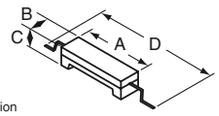

SMD-Version

Abb. 3

Abb. 4

Abb.	Schaltkreis	Ampere-Umdrehungen	Max. DC Kontaktnennwert W	Volt	Schaltstrom (A)	Trägerstrom (A)	Betrieb/Freigabe (ms/µs)	Abmessungen - Zoll (mm) A	B	C	Digi-Key Teilenr.	Stückpreis 1	10	50	Coto Teilenr.
1	SPST	14-23	10	200	0.5	1	.25/30	.591 (15)	1.811 (46)	.1 (2.54)	306-1168-ND	.55	.47	.39	RI-01BAA
	SPST	16-25	10	200	0.5	1	.35/50	.531 (13.5)	1.811 (46)	.071 (1.8)	306-1169-ND	.55	.47	.39	RI-01CA
	SPST	7-21	10	200	0.5	0.5	.30/70	.394 (10)	1.811 (46)	.071 (1.8)	306-1170-ND	.83	.70	.59	RI-02A
	SPST	18-32	10	200	0.5	2.5	.25/30	.591 (15)	1.811 (46)	.1 (2.54)	306-1171-ND	.58	.49	.41	RI-03A
	SPST	16-25	10	200	0.5	1.75	.25/30	.531 (13.5)	1.811 (46)	.071 (1.8)	306-1172-ND	.58	.49	.41	RI-07AA
	SPST	18-32	10	200	0.5	2.5	.25/30	.591 (15)	1.811 (46)	.1 (2.54)	306-1087-ND	.63	.54	.45	RI-23A
	SPST	14-23	10	200	0.5	1.5	.25/30	.591 (15)	1.811 (46)	.1 (2.54)	306-1086-ND	.63	.54	.45	RI-23AA
	SPST	8-16	10	200	0.25	1	.10/70	.591 (15)	1.811 (46)	.1 (2.54)	306-1085-ND	.63	.54	.45	RI-23AAA
	SPST	28-52	10	200	0.5	2.5	.25/30	.591 (15)	1.811 (46)	.1 (2.54)	306-1088-ND	.63	.54	.45	RI-23B
	SPST	46-70	10	200	0.5	2.75	.25/30	.591 (15)	1.811 (46)	.1 (2.54)	306-1089-ND	.63	.54	.45	RI-23C
	SPST	18-32	15	200	1	2.5	.25/30	.591 (15)	1.811 (46)	.1 (2.54)	306-1092-ND	.66	.56	.47	RI-25A
	SPST	14-23	15	200	1	1.75	.25/30	.591 (15)	1.811 (46)	.1 (2.54)	306-1091-ND	.66	.56	.47	RI-25AA
	SPST	8-16	10	200	0.75	1.5	.25/70	.591 (15)	1.811 (46)	.1 (2.54)	306-1090-ND	.66	.56	.47	RI-25AAA
	SPST	28-52	25	200	1	2.75	.25/30	.591 (15)	1.811 (46)	.1 (2.54)	306-1093-ND	.66	.56	.47	RI-25B
	SPST	46-70	25	200	1	3	.25/30	.591 (15)	1.811 (46)	.1 (2.54)	306-1094-ND	.61	.52	.43	RI-25C
	SPST	20-34	10	200	0.5	1.75	.25/30	.531 (13.5)	1.811 (46)	.071 (1.8)	306-1082-ND	.97	.82	.69	RI-27A
	SPST	16-25	10	200	0.5	1.75	.25/30	.531 (13.5)	1.811 (46)	.071 (1.8)	306-1081-ND	.97	.82	.69	RI-27AA
	SPST	10-19	10	180	0.5	1.5	.25/30	.531 (13.5)	1.811 (46)	.071 (1.8)	306-1080-ND	.97	.82	.69	RI-27AAA
	SPST	16-25	15	200	1	1.25	.25/30	.531 (13.5)	1.811 (46)	.071 (1.8)	306-1083-ND	.97	.82	.69	RI-29AA
	SPST	15-28	30	200	1	2.5	.35/30	.807 (20.5)	2.157 (54.8)	.106 (2.7)	306-1099-ND	.94	.80	.67	RI-46A
	SPST	10-19	30	200	0.75	2	.35/30	.807 (20.5)	2.157 (54.8)	.106 (2.7)	306-1098-ND	.94	.80	.67	RI-46AA
	SPST	24-51	40	200	1	3	.35/30	.807 (20.5)	2.157 (54.8)	.106 (2.7)	306-1100-ND	.94	.80	.67	RI-46B
	SPST	46-70	40	200	1	3	.35/30	.807 (20.5)	2.157 (54.8)	.106 (2.7)	306-1101-ND	.94	.80	.67	RI-46C
	SPST	15-28	70	200	1	1.75	.35/30	.807 (20.5)	2.157 (54.8)	.106 (2.7)	306-1102-ND	.94	.80	.67	RI-48A
	SPST	24-51	70	200	1	2.25	.35/30	.807 (20.5)	2.157 (54.8)	.106 (2.7)	306-1103-ND	.94	.80	.67	RI-48B
	SPST	46-70	70	200	1	2.25	.35/30	.807 (20.5)	2.157 (54.8)	.106 (2.7)	306-1104-ND	.94	.80	.67	RI-48C
	SPST	10-15	10	200	0.5	0.5	.15/20	.394 (10)	1.811 (46)	.071 (1.8)	306-1121-ND	1.08	.91	.76	RI60GP1015
	SPST	15-20	10	200	0.5	0.5	.15/20	.394 (10)	1.811 (46)	.071 (1.8)	306-1122-ND	.94	.80	.67	RI60GP1520
	SPST	7-14	10	170	0.5	0.4	.15/35	.276 (7)	1.811 (46)	.071 (1.8)	306-1077-ND	1.24	1.05	.88	RI-70CTA
	SPST	7-15	10	170	0.5	0.4	.15/35	.276 (7)	1.811 (46)	.071 (1.8)	306-1123-ND	1.24	1.05	.88	RI70GP0715
	SPST	5-15	5	200*	0.35	0.5	.35/20	.19 (5)	1.81 (46)	.07 (1.8)	306-1144-ND	1.71	1.45	1.21	RI-80
	SPDT	10-30	5	175	0.4	0.5	1.0/1.0	.590 (15)	1.988 (50.5)	.1 (2.54)	306-1143-ND	2.70	2.29	1.91	RI-90

Abb.	Schalt-kreis	Ampere-Umdrehungen	Max. DC Kontaktnennwert W	Volt	Schaltstrom (A)	Träger-strom (A)	Bedienen/ Freigeben (ms)	Gehäuse	Abmessungen - Zoll (mm) A	B	C	Digi-Key Teilenr.	Gurtabschnittspreis pro Stück 1	10	50	Digi-Key Teilenr.	Gegurtet auf Rolle Größe	Preisangaben	Coto Teilenr.
3	SPST	5-15**	5	175*	0.35	0.5	.35/20	Gull Wing	.196 (5)	.342 (8.7)	.071 (1.8)	306-1145-1-ND	1.87	1.59	1.33	306-1145-2-ND	7,000	748.40/M	RI-80SMD0515G1
3	SPST	5-15**	5	175*	0.35	0.5	.35/20	Gull Wing	.196 (5)	.4 (10.16)	.071 (1.8)	306-1146-1-ND	1.87	1.59	1.33	306-1146-2-ND	7,000	748.40/M	RI-80SMD0515G2
4	SPST	5-15**	5	175*	0.35	0.5	.35/20	J-Anschluss	.196 (5)	.279 (7.1)	.071 (1.8)	306-1147-1-ND	2.15	1.82	1.52	306-1147-2-ND	7,000	858.46/M	RI-80SMD0515J

* Nur für Schalter mit AT-Betriebswert >10 AT ** AT-Werte der Schalter vor dem SMD-Formen in PSC-Spule.

Abb.	Schalt-kreis	Ampere-Umdrehungen	Max. DC Kontaktnennwert W	Volt	Schaltstrom (A)	Träger-strom (A)	Gehäuse	Abmessungen - Zoll (mm) A	B	C	D	Digi-Key Teilenr.	Gurtabschnittspreis pro Stück 1	10	50	Digi-Key Teilenr.	Gegurtet auf Rolle Größe	Preisangaben	Coto Teilenr.
2	SPST	30-50	5	140	0.35	0.5	Gull Wing	.252 (6.4)	.091 (2.31)	.091 (2.31)	.376 (9.55)	306-1148-1-ND	3.14	2.66	2.22	306-1148-2-ND	2,000	1447.69/M	CT05-3050-G1
	SPST	15-35	5	140	0.35	0.5	Gull Wing	.252 (6.4)	.091 (2.31)	.091 (2.31)	.376 (9.55)	306-1149-1-ND	3.14	2.66	2.22	306-1149-2-ND	2,000	1447.69/M	CT05-1535-G1
	SPST	30-50	5	140	0.35	0.5	J-Anschluss	.252 (6.4)	.091 (2.31)	.091 (2.31)	.376 (9.55)	306-1150-1-ND	3.22	2.73	2.28	306-1150-2-ND	2,000	1485.79/M	CT05-3050-J1
	SPST	15-35	5	140	0.35	0.5	J-Anschluss	.252 (6.4)	.091 (2.31)	.091 (2.31)	.376 (9.55)	306-1151-1-ND	3.22	2.73	2.28	306-1151-2-ND	2,000	1485.79/M	CT05-1535-J1
	SPST	15-30	10	200	0.5	0.5	Gull Wing	.458 (11.63)	.095 (2.41)	.115 (2.92)	.635 (16.13)	306-1125-1-ND	1.02	.87	.73	306-1125-2-ND	2,000	374.20/M	CT10-1530-G1
	SPST	15-40	10	200	0.5	0.5	Gull Wing	.458 (11.63)	.095 (2.41)	.115 (2.92)	.635 (16.13)	306-1124-1-ND	1.02	.87	.73	306-1124-2-ND	2,000	374.20/M	CT10-1540-G1
	SPST	25-40	10	200	0.5	0.5	Gull Wing	.458 (11.63)	.095 (2.41)	.115 (2.92)	.635 (16.13)	306-1126-1-ND	1.65	1.40	1.17	306-1126-2-ND	2,000	374.20/M	CT10-2540-G1

RF-Relais

B10-Relais: Die Ball Grid Array (BGA) -Konstruktion von Coto stellt einen Durchbruch im Bereich der Riedrelaisleistung dar. Diese patentierte Technologie ermöglicht kürzere RF-Pfade in einer kontrollierten 50-Ohm-Umgebung, um die Signaldämpfung zu minimieren. Der Designer kann nun Signale mit größerer Bandbreite und schnelleren Anstiegszeiten schalten oder passieren lassen, als dies mit anderen Technologien der Fall ist. **B40-Relais:** Das B40-Relais besteht aus vier A-Kanälen von unabhängiger Form in einem Vierfach-Paket. Diese „4-in-einem"- BGA-Verpackung ermöglicht eine leichte Integration der Relais auf Leiterplatten, die zur Oberflächenverarbeitung vorgesehen sind. **B41-Relais:** Das B41-Relais besteht aus vier unabhängigen A-Kanälen in einem planaren Vierfach-Paket. Die patentierte Ball Grid Array (BGA)-Technologie ermöglicht kürzere RF-Pfade in einer kontrollierten 50-Ohm-Umgebung, um die Signaldämpfung zu minimieren. Der Designer kann nun Signale mit größerer Bandbreite und schnelleren Anstiegszeiten schalten oder passieren lassen, als dies mit anderen Technologien der Fall ist. Anwendungen: • IC-Tester • Inline-Relais-Tester • Speichertester • Mischsignaltester • Hohe Bandpassanwendungen

Abb. 1 — B10

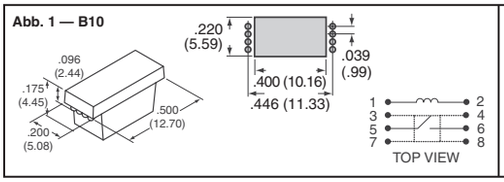

Abb. 2 — B40

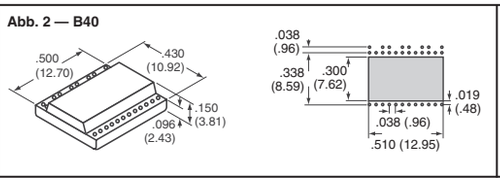

Abb. 3 — B41

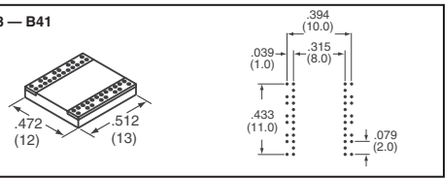

Abb.	Schaltkreis	Spulenspannung (DC)	Spulenwiderstand (Ω)	Schaltstrom (A)	Trägerstrom (A)	Zusätzliche Funktionen	Digi-Key Teilenr.	Stückpreis 1	10	50	Coto Teilenr.
Serie B10, „In-Board"-Montage											
1	SPST	3.3	55.0	0.25	0.5	50 Ω BGA- Oberflächenmontage	306-1152-5-ND	14.46	13.15	11.05	B10-03B
1	SPST	5.0	150.0	0.25	0.5	50 Ω BGA- Oberflächenmontage	306-1153-5-ND	14.46	13.15	11.05	B10-05B
Serie B40, 4-Kanal, „In-Board"-Montage											
2	4PST	3.3	55.0	0.25	0.5	4-Kanäle-in-einem BGA	306-1154-ND	90.80	76.27	67.20	B40-0002B
2	4PST	5.0	166.0	0.25	0.5	4-Kanäle-in-einem BGA	306-1155-ND	90.80	76.27	67.20	B40-0003B
Serie B41, 4-Kanal, „Top-Board"-Montage											
3	4PST	3.3	160.0	0.40	0.5	4-Kanäle-in-einem BGA	306-1173-ND	93.28	78.35	69.03	B41-0001
3	4PST	5.0	160.0	0.40	0.5	4-Kanäle-in-einem BGA	306-1174-ND	94.93	79.74	70.25	B41-0002

Alle Relais UL/CSA-zugelassen

Abb.	Kontakt-form	Spulen-spannung	Spulen-wider-stand (Ω)	Kontakt-leistung: Resistiv (A)	Betr. Spann. (% der Nennleistung) Anzug/Abfall/max. Ein/Aus/Kont.	Betr. Rel. Zeit/Zeit (ms)	Digi-Key Teilenr.	Stückpreis 1	25	50	100	Omron Teilenr.
Relais G8P – Leiterplattenmontage, QC-Stil												
1	SPST	5DC	27	30A@250VAC	75/10/120	15/10	Z1002-ND	2.84	2.56	2.27	2.05	G8P-1AP-DC5
	SPST	12DC	155	20A@28VDC	75/10/120	15/10	Z1003-ND	2.46	2.21	1.97	1.77	G8P-1AP-DC12
	SPST	24DC	660		75/10/120	15/10	Z1004-ND	2.84	2.56	2.27	2.05	G8P-1AP-DC24
2	SPST-NO	5DC	27	30A@250VAC	75/10/120	15/10	Z1006-ND	2.90	2.68	2.52	2.23	G8P-1A4P-DC5
	SPST-NO	12DC	155	20A@28VDC	75/10/120	15/10	Z1007-ND	2.66	2.45	2.30	2.04	G8P-1A4P-DC12
2	SPST-NO	24DC	660	1hp@125VAC & 2hp@250VAC	75/10/120	15/10	Z1008-ND	2.66	2.45	2.30	2.04	G8P-1A4P-DC24
	SPDT-NO	12DC	155	10A@250VAC	75/10/120	15/10	Z1009-ND	2.90	2.68	2.51	2.22	G8P-1C4P-DC12
	SPDT-NO	24DC	660	10A@28VDC	75/10/120	15/10	Z1010-ND	2.90	2.68	2.51	2.22	G8P-1C4P-DC24
3	SPST	12VDC	155	30	75/10/120	15/10	Z208-ND	3.13	2.82	2.51	2.26	G8P-1A4TP-DC12
	SPST	24VDC	660	30	75/10/120	15/10	Z209-ND	3.13	2.82	2.51	2.26	G8P-1A4TP-DC24
	SPDT	12VDC	155	20	75/10/120	15/10	Z210-ND	3.22	2.90	2.58	2.32	G8P-1C4TP-DC12
	SPDT	24VDC	660	20	75/10/120	15/10	Z214-ND	3.22	2.90	2.58	2.32	G8P-1C4TP-DC24
4	SPST	12VDC	155	30	75/10/120	15/10	Z215-ND	3.39	3.05	2.71	2.44	G8P-1A2T-F-DC12
	SPST	24VDC	660	30	75/10/120	15/10	Z216-ND	3.39	3.05	2.71	2.44	G8P-1A2T-F-DC24
	SPDT	12VDC	155	20	75/10/120	15/10	Z217-ND	3.47	3.13	2.78	2.50	G8P-1C2T-F-DC12
	SPDT	24VDC	660	20	75/10/120	15/10	Z218-ND	3.47	3.13	2.78	2.50	G8P-1C2T-F-DC24
G8JN ISO Automobilrelais												
5	SPDT	12DC	78	35NO/20NC	75/10/120	5/4	Z981-ND	4.40	3.97	3.53	3.17	G8JN-1C7T-DC12
	SPDT	12DC	78	35NO/20NC	75/10/120	5/4	Z982-ND†	4.32	3.89	3.46	3.11	G8JN-1C7T-MF-DC12
	SPDT	12DC	78	35NO/20NC	75/10/120	5/4	Z983-ND‡	4.43	3.99	3.54	3.19	G8JN-1C6T-DC12
	SPDT	12DC	78	35NO/20NC	75/10/120	5/4	Z984-ND§	5.46	4.92	4.37	3.94	G8JN-1C6T-F-DC12
G8W Mini 280 Automobilrelais												
6	SPST	12DC	91	35NO/20NC	80/10/130	20/10	Z2053-ND	10.16	9.15	8.13	7.32	G8W-1A6T-F-R-DC12
	SPDT	12DC	91	35NO/20NC	80/10/130	20/10	Z2054-ND	10.41	9.38	8.34	7.50	G8W-1C6T-F-R-DC12
G8V Mikro 280 Automobilrelais												
7	SPST	12DC	104	20NO/10NC	80/10/130	—	Z2051-ND	8.51	7.66	6.81	6.13	G8V-1A7T-R-DC12
	SPDT	12DC	104	20NO/10NC	80/10/130	—	Z2052-ND	8.79	7.91	7.03	6.33	G8V-1C7T-R-DC12
G8H Mikro ISO Automobilrelais												
8	SPDT	12DC	100	20NO/10NC	70/10/133	20/10	Z2001-ND	12.39	11.15	9.91	8.92	G8H-1C4T-R-DC12
MJN-Relais – Einsteckbar												
9	DPDT	12VDC	120	10	85/10/120	15/6	Z237-ND	9.91	8.92	7.93	7.14	MJN2C-DC12
	DPDT	24VDC	470	10	85/10/120	15/6	Z236-ND	9.91	8.92	7.93	7.14	MJN2C-DC24
	DPDT	24VAC	75	10	85/10/120	15/6	Z235-ND	10.54	9.49	8.44	7.59	MJN2C-AC24
	DPDT	120VAC	2250	10	85/10/120	15/6	Z238-ND	10.37	9.34	8.30	7.47	MJN2C-AC120
	3PDT	12VDC	120	10	85/10/120	15/6	Z233-ND	10.24	9.22	8.20	7.38	MJN3C-DC12
	3PDT	24VDC	470	10	85/10/120	15/6	Z232-ND	10.24	9.22	8.20	7.38	MJN3C-DC24
	3PDT	24VAC	72	10	85/10/120	15/6	Z231-ND	10.96	9.87	8.78	7.90	MJN3C-AC24
	3PDT	120VAC	1700	10	85/10/120	15/6	Z234-ND	11.54	10.39	9.23	8.31	MJN3C-AC120
MJN-Relais mit Flanschmontage												
9	DPDT	12VDC	120	10	85/10/120	15/6	Z244-ND	9.63	8.67	7.71	6.94	MJN2CF-DC12
	DPDT	24VDC	470	10	85/10/120	15/6	Z245-ND	9.52	8.58	7.62	6.86	MJN2CF-DC24
	DPDT	24VAC	75	10	85/10/120	15/6	Z243-ND	10.23	9.21	8.18	7.37	MJN2CF-AC24
	DPDT	120VAC	2250	10	85/10/120	15/6	Z246-ND	10.23	9.21	8.18	7.37	MJN2CF-AC120
	DPDT	12VDC	120	10	85/10/120	15/6	Z241-ND	10.50	9.45	8.40	7.56	MJN3CF-DC12
	DPDT	24VDC	470	10	85/10/120	15/6	Z240-ND	11.03	9.93	8.83	7.94	MJN3CF-DC24
	DPDT	24VAC	72	10	85/10/120	15/6	Z239-ND	11.67	10.50	9.33	8.40	MJN3CF-AC24
	3PDT	120VAC	1700	10	85/10/120	15/6	Z242-ND	11.88	10.69	9.50	8.55	MJN3CF-AC120
	DPDT	12VDC	120	20	85/10/120	15/6	Z249-ND	12.70	11.43	10.16	9.15	MJN2CE-DC12
	DPDT	24VDC	470	20	85/10/120	15/6	Z250-ND	12.70	11.43	10.16	9.15	MJN2CE-DC24
	DPDT	24VAC	75	20	85/10/120	15/6	Z248-ND	13.02	11.72	10.42	9.38	MJN2CE-AC24
	DPDT	120VAC	2250	20	85/10/120	15/6	Z247-ND	13.38	12.04	10.71	9.64	MJN2CE-AC120
MGN-Relais – Leistungsrelais für hohe Beanspruchung												
10	SPDT	12VDC	72	30	75/10/100	30/30	Z257-ND	19.90	17.91	15.92	14.33	MGN1C-DC12
	SPDT	24VDC	290	30	75/10/100	30/30	Z258-ND	17.82	16.04	14.26	12.84	MGN1C-DC 24
	SPDT	24VAC	11.5	30	85/10/100	30/30	Z255-ND	19.79	17.82	15.84	14.25	MGN1C-AC24
	SPDT	120VAC	295	30	75/10/100	30/30	Z256-ND	19.79	17.82	15.84	14.25	MGN1C-AC120
	SPST	12VDC	72	30	75/10/100	30/30	Z261-ND	17.06	15.36	13.65	12.29	MGN1X-DC12
	SPST	24VDC	290	30	75/10/100	30/30	Z262-ND	17.91	16.12	14.33	12.90	MGN1X-DC24
	SPST	24VAC	11.5	30	85/10/100	30/30	Z260-ND	16.03	14.42	12.82	11.54	MGN1X-AC24
	SPST	120VAC	295	30	85/10/100	30/30	Z259-ND	16.04	14.44	12.84	11.56	MGN1X-AC120
	DPST	12VDC	72	30	75/10/100	30/30	Z265-ND	20.36	18.33	16.29	14.66	MGN2A-DC12
	DPST	24VDC	290	30	75/10/100	30/30	Z266-ND	19.29	17.36	15.43	13.89	MGN2A-DC24
	DPST	24VAC	11.5	30	85/10/100	30/30	Z264-ND	21.80	19.62	17.44	15.70	MGN2A-AC24
	DPST	120VAC	295	30	85/10/100	30/30	Z263-ND	23.65	21.29	18.92	17.03	MGN2A-AC120
	DPDT	12VDC	72	30	75/10/100	30/30	Z269-ND	29.00	26.10	23.20	20.88	MGN2C-DC12
	DPDT	24VDC	290	30	75/10/100	30/30	Z270-ND	28.06	25.26	22.46	20.21	MGN2C-DC24
	DPDT	24VAC	11.5	30	85/10/100	30/30	Z268-ND	29.33	26.41	23.47	21.13	MGN2C-AC24
	DPDT	120VAC	295	30	85/10/100	30/30	Z267-ND	25.14	22.63	20.12	18.11	MGN2C-AC120

† Geformte Halterung ‡ Wetterfeste Abdeckung § Wetterfeste Abdeckung mit Metallhalterung

Relaisfassungen und -zubehör

Abb.	Verwenden mit Serie	Beschreibung	Digi-Key Teilenr.	Stückpreis 1	25	50	100	Omron Teilenr.
11	MJN	DIN-Schiene, Fassung mit Schraubklemmanschlüssen	Z251-ND	6.80	6.12	5.44	4.90	PTF11PC
12	MJN	Chassisbefestigung mit Schnellanschlussklemmen	Z252-ND	1.44	1.30	1.16	1.04	PTF11QDC
11	MJN	Chassisbefestigung mit Schraubklemmanschlüssen	Z253-ND	6.60	5.95	5.29	4.76	PTF21PC
12	MJN	Chassisbefestigung mit Platinenanschlüssen	Z254-ND	1.34	1.20	1.07	.96	PTFPCB
—	G2R-S	Typenschild zur Verwendung mit PTRF-05	Z2000-ND	4.22	3.80	3.37	3.04	R99-11
—	G2R-S	Schraubenlose Fassung (Drahtfalle) SP G2R-S	Z2058-ND	3.56	3.20	2.85	2.57	PTRF-05-S
—	G2R-S	Schraubenlose Fassung (Drahtfalle) DP G2R-S	Z2059-ND	5.59	5.03	4.47	4.03	PTRF-08-S

Abb. 1 Offener Rahmen

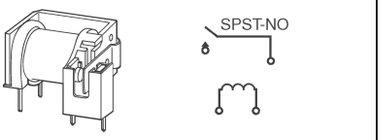

Abb. 2 Abgedichtetes Gehäuse

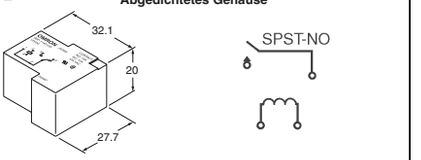

Abb. 3 Leiterplatte u. QC

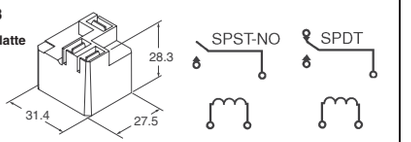

Abb. 4 Chassisbefestigung

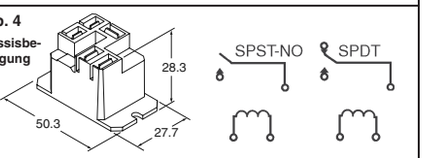

Abb. 5 G8JN

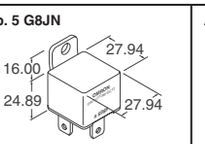

Abb. 6 G8W

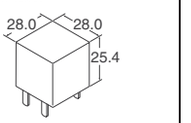

Abb. 7 G8V

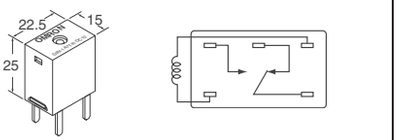

Abb. 8 G8H Mini-ISO

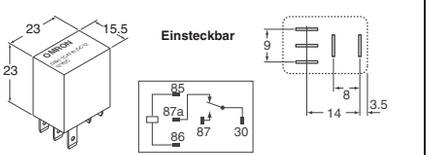

Abb. 9

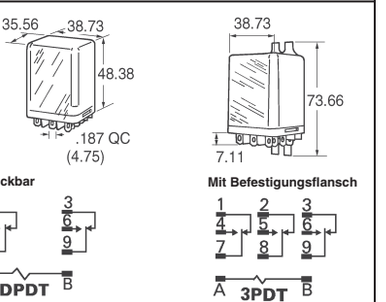

Abb. 10

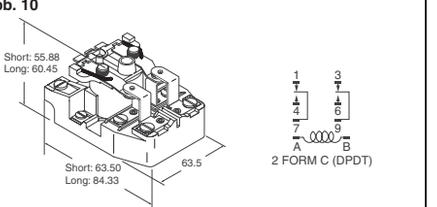

Abb. 11

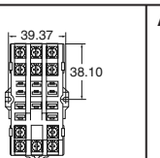

Abb. 12

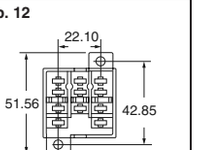

H

Alle Preisangaben in Euro und inklusive Zollgebühren.

OMRON® Niedrigsignalrelais

Alle Relais UL/CSA-zugelassen

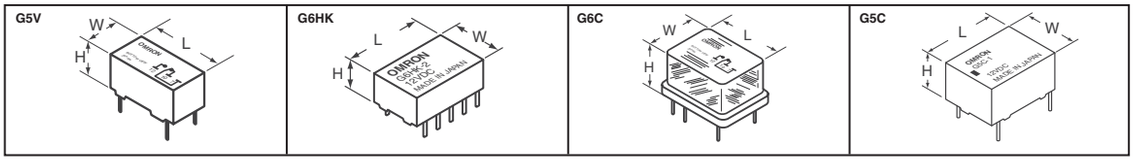

Abb.	Kontaktform	Spule Spann. (V DC)	Spule Widerst. (Ω)	Kontaktleistung: Resistiv (A) 24 V DC	115 V AC	Betr. Spann. (% der Nennleistung) Anzug/Abfall/max. Ein/Aus/Kont.	Betr. Rel. Zeit/ Zeit (ms)	Abmessungen (mm) L x W x H	Digi-Key Teilenr.	Stückpreis 1	25	50	Omron Teilenr.
Leiterplattenmontage, L-Signal-Relais													
1	SPDT†	3	60	1	0.5	80/10/200	5/5	10x12.5x7.5	Z2204-ND	1.97	1.78	1.58	G5V-1-DC3
		5	167	1	0.5	80/10/200	5/5	10x12.5x7.5	Z773-ND	1.97	1.78	1.58	G5V-1-DC5
		12	960	1	0.5	80/10/200	5/5	10x12.5x7.5	Z774-ND	1.97	1.78	1.58	G5V-1-DC12
		24	3840	1	0.5	80/10/200	5/5	10x12.5x7.5	Z775-ND	1.97	1.78	1.58	G5V-1-DC24
2	DPDT†*	3	18	2	0.5	75/5/120	7/3	11.5x20.5x10.1	Z2185-ND	2.41	2.18	1.94	G5V-2-DC3
		5	50	2	0.5	75/5/120	7/3	11.5x20.5x10.1	Z767-ND	2.44	2.20	1.95	G5V-2-DC5
		12	288	2	0.5	75/5/120	7/3	11.5x20.5x10.1	Z768-ND	2.44	2.20	1.95	G5V-2-DC12
		24	1152	2	0.5	75/5/120	7/3	11.5x20.5x10.1	Z769-ND	2.44	2.20	1.95	G5V-2-DC24
		5	70	2	0.5	75/5/120	7/3	11.5x20.5x10.1	Z770-ND	2.61	2.35	2.09	G5V-2-H-DC5
		12	400	2	0.5	75/5/120	7/3	11.5x20.5x10.1	Z771-ND	2.61	2.35	2.09	G5V-2-H-DC12
		24	1600	2	0.5	75/5/120	7/3	11.5x20.5x10.1	Z772-ND	2.61	2.35	2.09	G5V-2-H-DC24
		3	60	2	0.5	75/5/150	7/3	11.5x20.5x10.1	Z2203-ND	2.69	2.42	2.16	G5V-2-H1-DC3
		5	166.7	2	0.5	75/5/150	7/3	11.5x20.5x10.1	Z108-ND	2.69	2.42	2.16	G5V-2-H1-DC5
		12	960	2	0.5	75/5/150	7/3	11.5x20.5x10.1	Z109-ND	2.69	2.42	2.16	G5V-2-H1-DC12
		24	2880	2	0.5	75/5/150	7/3	11.5x20.5x10.1	Z110-ND	2.69	2.42	2.16	G5V-2-H1-DC24
		5	125	1	0.6	70/10/150	5/5	8.4x20.3x10.1	Z105-ND	3.96	3.57	3.17	G6A-234P-ST-US-DC5
		12	720	1	0.6	70/10/150	5/5	8.4x20.3x10.1	Z106-ND	3.96	3.57	3.17	G6A-234P-ST-US-DC12
		24	2880	1	0.6	70/10/150	5/5	8.4x20.3x10.1	Z107-ND	3.96	3.57	3.17	G6A-234P-ST-US-DC24
		3	45	2	0.5	70/10/150	5/3	8.4x20.3x10.1	Z122-ND	3.88	3.49	3.10	G6A-274P-ST-US-DC3
		5	125	2	0.5	70/10/150	5/3	8.4x20.3x10.1	Z123-ND	3.88	3.49	3.10	G6A-274P-ST-US-DC5
		12	720	2	0.5	70/10/150	5/3	8.4x20.3x10.1	Z124-ND	3.88	3.49	3.10	G6A-274P-ST-US-DC12
		24	2880	2	0.5	70/10/150	5/3	8.4x20.3x10.1	Z125-ND	3.88	3.49	3.10	G6A-274P-ST-US-DC24
3	DPDT	5	125	1	0.5	70/10/150	5/5	7.9x16.0x9.9	Z706-ND	3.39	3.05	2.71	G5A-237P-DC5
		12	720	1	0.5	70/10/150	5/5	7.9x16.0x9.9	Z707-ND	3.39	3.05	2.71	G5A-237P-DC12
		24	2880	1	0.5	70/10/150	5/5	7.9x16.0x9.9	Z708-ND	3.50	3.15	2.80	G5A-237P-DC24
		5	125	1	0.5	70/10/150	5/5	8.0x16.0x9.9	Z942-ND	3.67	3.30	2.93	G5A-234P-DC5
		12	720	1	0.5	70/10/150	5/5	8.0x16.0x9.9	Z943-ND	3.67	3.30	2.93	G5A-234P-DC12
		24	2880	1	0.5	70/10/150	5/5	8.0x16.0x9.9	Z944-ND	3.67	3.30	2.93	G5A-234P-DC24
4	SPDT	5	63	3	0.6	70/10/190	5/5	8.0x16.0x9.9	Z761-ND	3.60	3.24	2.88	G6E-134P-L-ST-US-DC5
		12	360	3	0.6	70/10/190	5/5	8.0x16.0x9.9	Z762-ND	3.26	2.94	2.61	G6E-134P-L-ST-US-DC12
		24	1440	3	0.6	70/10/190	5/5	8.0x16.0x9.9	Z763-ND	3.26	2.94	2.61	G6E-134P-L-ST-US-DC24
	SPDT†*	5	125	3	0.2	70/10/190	5/5	7.9x16.0x9.9	Z830-ND	3.41	3.07	2.73	G6E-134P-ST-US-DC5
		12	720	3	0.2	70/10/190	5/5	7.9x16.0x9.9	Z831-ND	3.41	3.07	2.73	G6E-134P-ST-US-DC12
		24	2880	3	0.2	70/10/190	5/5	7.9x16.0x9.9	Z832-ND	3.41	3.07	2.73	G6E-134P-ST-US-DC24
5	4PDT†*	5	69	1	0.3	70/10/150	7/5	8.4x35.4x10.1	Z940-ND	8.55	7.70	6.85	G6A-434P-STUS-DC5
		12	400	1	0.3	70/10/150	7/5	8.4x35.4x10.1	Z206-ND	8.55	7.70	6.85	G6A-434P-ST-US-DC12
		24	1600	1	0.3	70/10/150	7/5	8.4x35.4x10.1	Z941-ND	8.55	7.70	6.85	G6A-434P-STUS-DC24
Leiterplattenmontage, L-Signal-Relais - mit Verriegelung													
6	DPDT*	5	139	1	0.3	70/70/200	5/5	8.4x20.2x10.1	Z749-ND	4.95	4.46	3.97	G6AK-234P-ST-US-DC5
		12	800	1	0.3	70/70/200	5/5	8.4x20.2x10.1	Z750-ND	3.96	3.57	3.17	G6AK-234P-ST-US-DC12
		24	3200	1	0.3	70/70/200	5/5	8.4x20.2x10.1	Z751-ND	4.95	4.46	3.97	G6AK-234P-ST-US-DC24
—	SPDT†*	5	125	2	0.4	70/70/190	5/5	7.9x16.0x9.9	Z833-ND	4.40	3.97	3.53	G6EK-134P-ST-US-DC5
		12	720	2	0.4	70/70/190	5/5	7.9x16.0x9.9	Z834-ND	4.40	3.97	3.53	G6EK-134P-ST-US-DC12
		24	2880	2	0.4	70/70/190	5/5	7.9x16.0x9.9	Z835-ND	4.57	4.12	3.66	G6EK-134P-ST-US-DC24
7	DPDT†	5	125	1	0.5	75/75/190	3/2	5.0x14.0x9	Z965-ND	4.11	3.70	3.29	G6HK-2-DC5
		12	720	1	0.5	75/75/190	3/2	5.0x14.0x9	Z966-ND	4.11	3.70	3.29	G6HK-2-DC12
		24	1920	1	0.5	75/75/190	3/2	5.0x14.0x9	Z967-ND	4.43	3.99	3.54	G6HK-2-DC24
Hochleistungsrelais (geringer Stromverbrauch und hoher Spulenwiderstand)													
8	SPST-NO†	5	125	8	8	70/10/130	10/10	12.44x20.0x9.9	Z712-ND	4.19	3.78	3.36	G6B-1174P-US-DC5
		12	720	8	8	70/10/130	10/10	12.44x20.0x9.9	Z713-ND	4.19	3.78	3.36	G6B-1174P-US-DC12
		24	2880	8	8	70/10/130	10/10	12.44x20.0x9.9	Z714-ND	4.34	3.91	3.48	G6B-1174P-US-DC24
9	SPST-NO†	5	125	10	10	70/10/130	10/10	10.2x20.0x15.0	Z715-ND	4.22	3.80	3.37	G6C-1114P-US-DC5
		12	720	10	10	70/10/130	10/10	10.2x20.0x15.0	Z716-ND	4.22	3.80	3.37	G6C-1114P-US-DC12
		24	2880	10	10	70/10/130	10/10	10.2x20.0x15.0	Z948-ND	4.34	3.91	3.48	G6C-1114P-US-DC24
10	SPST-NO/NC	5	125	8	8	70/10/130	10/10	9.9x20.0x15.0	Z949-ND	4.85	4.37	3.88	G6C-2114P-US-DC5
		12	720	8	8	70/10/130	10/10	9.9x20.0x15.0	Z950-ND	4.85	4.37	3.88	G6C-2114P-US-DC12
		24	2880	8	8	70/10/130	10/10	9.9x20.0x15.0	Z951-ND	4.99	4.50	4.00	G6C-2114P-US-DC24
—	Leiterplattenmontierte Relaisfassung für Serie G6C							15x23x10.79	Z126-ND	1.61	1.45	1.29	P6C-06P
11	SPST-NO*	5	125	10	15	75/10/110	10/10	11x22x16	Z960-ND	2.90	2.61	2.32	G5CE-1-DC5
		12	720	10	15	75/10/110	10/10	11x22x16	Z779-ND	2.90	2.61	2.32	G5CE-1-DC12
	SPST-NO†	5	125	10	10	75/10/130	10/10	11x22x16	Z1048-ND	3.37	3.03	2.70	G5C-14-DC5
		5	125	10	10	75/10/150	10/10	11x22x16	Z2155-ND	3.13	2.82	2.51	G5CA-1A4-DC5
		12	720	10	10	75/10/150	10/10	11x22x16	Z2156-ND	3.13	2.82	2.51	G5CA-1A4-DC12
		24	2880	10	10	75/10/150	10/10	11x22x16	Z2157-ND	3.13	2.82	2.51	G5CA-1A4-DC24
	SPST-NO	5	125	10	10	75/10/150	10/10	11x22x16	Z2158-ND	2.90	2.61	2.32	G5CA-1A-DC5
		12	720	10	10	75/10/150	10/10	11x22x16	Z2159-ND	2.90	2.61	2.32	G5CA-1A-DC12
		24	2880	10	10	75/10/150	10/10	11x22x16	Z2160-ND	3.01	2.71	2.41	G5CA-1A-DC24
		5	125	10	15	75/10/150	10/10	11x22x16	Z2161-ND	3.17	2.86	2.54	G5CA-1A-E-DC5
		12	720	10	15	75/10/150	10/10	11x22x16	Z2162-ND	3.17	2.86	2.54	G5CA-1A-E-DC12
		24	2880	10	15	75/10/150	10/10	11x22x16	Z2163-ND	3.17	2.86	2.54	G5CA-1A-E-DC24
—	SPST-NO	12	720	10	15	75/10/150	10/10	11x22.1x25.1	Z2164-ND	4.28	3.85	3.43	G5CA-1A-TP-E-DC12
		24	2880	10	15	75/10/150	10/10	11x22.1x25.1	Z2165-ND	4.28	3.85	3.43	G5CA-1A-TP-E-DC24
12	SPST-NO†*	5	125	5	5	70/10/130	10/10	9.9x20.1x9.9	Z945-ND	3.50	3.15	2.80	G6B-1114P-US-DC5
		6	180	5	5	70/10/130	10/10	9.9x20.1x9.9	Z752-ND	3.50	3.15	2.80	G6B-1114P-US-DC6
		12	720	5	5	70/10/130	10/10	9.9x20.1x9.9	Z753-ND	3.50	3.15	2.80	G6B-1114P-US-DC12
		24	2880	5	5	70/10/130	10/10	9.9x20.1x9.9	Z754-ND	3.60	3.24	2.88	G6B-1114P-US-DC24

† Versiegeltes Gehäuse. * Erfüllt FCC-Standards Teil 68.

(Forts.)

Montagelochmuster und Verbindungsplan „Sicht von unten, wenn nicht anderweitig angegeben"

Abb. 1 — G5V-1

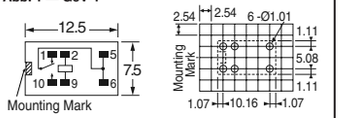

Abb. 2 — G6A Pin Nr. 1 ist positiv

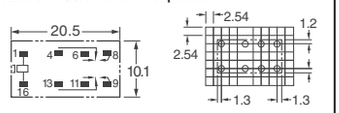

Abb. 3 — G5A

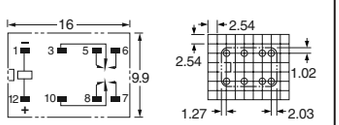

Abb. 4 — G6E

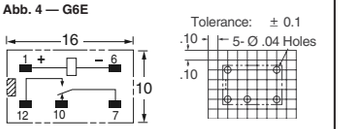

Abb. 5 — G6A

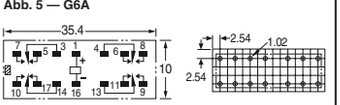

Abb. 6 — G6AK

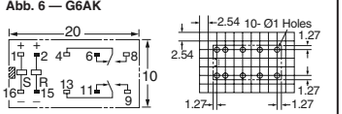

Abb. 7 — G6HK

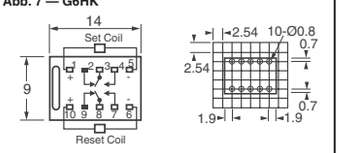

Abb. 8 — G6B

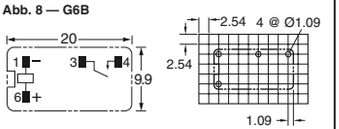

Abb. 9 — G6C

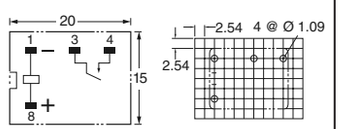

Abb. 10 — G6C

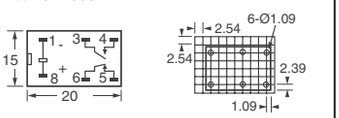

Abb. 11 — G5CA

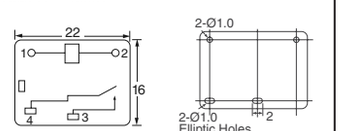

Abb. 12 — G6B

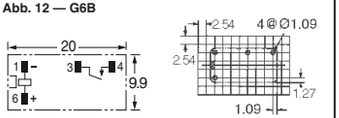

H

Alle Preisangaben in Euro und inklusive Zollgebühren.

Alle Relais UL/CSA-zugelassen

G6D

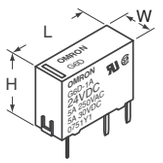

G5Q

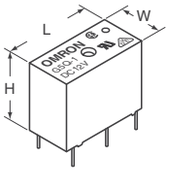

G6M

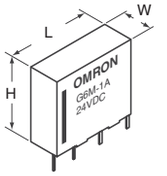

G6JU-2P

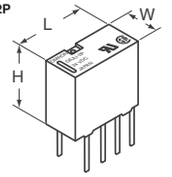

Abb.	Kontaktform	Spule Spann. (V DC)	Spule Widerst. (Ω)	Kontaktleistung: Resistiv (A) 24 V DC	Kontaktleistung: Resistiv (A) 115 V AC	Betr. Spann. (% der Nennleistung) Anzug/Abfall/max. Ein/Aus/Kont.	Betr. Rel. Zeit/ Zeit (ms)	Abmessungen (mm) L x W x H	Digi-Key Teilenr. 1	Stückpreis 1	Stückpreis 25	Stückpreis 50	Omron Teilenr.
13	SPST-NO	5	83	5	5	80/10/110	10/10	9.9x20.1x9.9	Z946-ND	4.28	3.85	3.43	G6B-2114P-US-DC5
	SPST-NC†*	6	120	5	5	80/10/110	10/10	9.9x20.1x9.9	Z755-ND	4.28	3.85	3.43	G6B-2114P-US-DC6
	SPST-NO/NC	12	480	5	5	80/10/110	10/10	9.9x20.1x9.9	Z756-ND	4.28	3.85	3.43	G6B-2114P-US-DC12
	SPST-NO/NC†*	24	1920	5	5	80/10/110	10/10	9.9x20.1x9.9	Z757-ND	4.47	4.02	3.58	G6B-2114P-US-DC24
	DPST-NO	5	83	5	5	80/10/110	10/10	9.9x20.1x9.9	Z947-ND	4.28	3.85	3.43	G6B-2214P-US-DC5
		6	120	5	5	80/10/110	10/10	9.9x20.1x9.9	Z758-ND	4.28	3.85	3.43	G6B-2214P-US-DC6
		12	480	5	5	80/10/110	10/10	9.9x20.1x9.9	Z759-ND	4.28	3.85	3.43	G6B-2214P-US-DC12
		24	1920	5	5	80/10/110	10/10	9.9x20.1x9.9	Z760-ND	4.47	4.02	3.58	G6B-2214P-US-DC24
—	Leiterplattenmontierte Relaisfassung für Serie G6B, SPST							10.16x23x9.9	Z993-ND	1.27	1.15	1.02	P6B-04P
—	Leiterplattenmontierte Relaisfassung für Serie G6B, DPST							10.16x23x9.9	Z994-ND	1.63	1.47	1.31	P6B-26P
—	SPST-NO†	5	125	5	5	70/10/130	10/5	12.5x17.5x6.5	Z856-ND	3.73	3.36	2.98	G6D-1A-DC5
		12	720	5	5	70/10/130	10/5	12.5x17.5x6.5	Z857-ND	2.03	1.83	1.63	G6D-1A-DC12
		24	2880	5	5	70/10/130	10/5	12.5x17.5x6.5	Z858-ND	4.00	3.60	3.21	G6D-1A-DC24
—	Leiterplattenmontierte Relaisfassung für Serie G6D, SPST-NO							10.8x19.7x6.9	Z1684-ND	2.35	2.13	1.89	P6D-04P
—	SPST-NO	5	125	3	3	75/10/180	10/10	12.5x17.5x6.5	Z1674-ND	1.85	1.66	1.48	G5NB-1A-DC5
		12	720	3	3	75/10/180	10/10	12.5x17.5x6.5	Z1675-ND	1.85	1.66	1.48	G5NB-1A-DC12
		24	2880	3	3	75/10/180	10/10	12.5x17.5x6.5	Z1676-ND	1.85	1.66	1.48	G5NB-1A-DC24
14	SPST	12	720	5	10	75/5/190	10/5	15.8x20.3x10.3	Z219-ND	1.82	1.64	1.46	G5Q-1A-DC12
	SPST	24	2880	5	10	75/5/190	10/5	15.8x20.3x10.3	Z220-ND	1.82	1.64	1.46	G5Q-1A-DC24
	SPDT	12	360	5	10	75/5/190	10/5	15.8x20.3x10.3	Z221-ND	1.90	1.72	1.53	G5Q-1-DC12
		24	1440	5	10	75/5/190	10/5	15.8x20.3x10.3	Z222-ND	1.90	1.72	1.53	G5Q-1-DC24
	SPST†	12	720	5	10	75/5/190	10/5	15.8x20.3x10.3	Z223-ND	1.95	1.76	1.56	G5Q-1A4-DC12
		24	2880	5	10	75/5/190	10/5	15.8x20.3x10.3	Z224-ND	1.95	1.76	1.56	G5Q-1A4-DC24
	SPDT†	12	360	5	10	75/5/190	10/5	15.8x20.3x10.3	Z225-ND	2.03	1.83	1.63	G5Q-14-DC12
		24	2880	5	10	75/5/190	10/5	15.8x20.3x10.3	Z226-ND	2.03	1.83	1.63	G5Q-14-DC24
15	SPDT†	5	63	5	5	75/5/110	10/5	15.5x20x10	Z1640-ND	1.23	1.11	.99	G5SB-14-DC5
		9	202	5	5	75/5/110	10/5	15.5x20x10	Z1641-ND	1.23	1.11	.99	G5SB-14-DC9
		12	360	5	5	75/5/110	10/5	15.5x20x10	Z1642-ND	1.23	1.11	.99	G5SB-14-DC12
		24	1440	5	5	75/5/110	10/5	15.5x20x10	Z1643-ND	1.32	1.19	1.06	G5SB-14-DC24
	Ultrakompakt — TELEKOMM. (Durchgangsloch)												
16	DPDT	4.5	140.4	1	0.3	75/10/150	3/3	9x10.3x4.8	Z1199-ND	3.47	3.13	2.78	G6J-2P-DC4.5
		4.5	137.9	1	0.3	75/10/150	3/3	9x10.6x5.7	Z2131-ND	3.47	3.13	2.78	G6J-2P-Y-DC4.5
		5	173.1	1	0.3	75/10/150	3/3	9x10.6x5.7	Z2132-ND	3.47	3.13	2.78	G6J-2P-Y-DC5
		12	976.8	1	0.3	75/10/150	3/3	9x10.6x5.7	Z2133-ND	3.47	3.13	2.78	G6J-2P-Y-DC12
		24	2600.5	1	0.3	75/10/150	3/3	9x10.6x5.7	Z2134-ND	3.47	3.13	2.78	G6J-2P-Y-DC24
17	DPDT	4.5	194	1	0.3	75/5/200	3/3	5x10x6.5	Z115-ND	3.64	3.28	2.92	G6K-2P-DC4.5
		5	237	1	0.3	75/5/200	3/3	5x10x6.5	Z116-ND	3.22	2.90	2.58	G6K-2P-DC5
		12	1407	1	0.3	75/5/200	3/3	5x10x6.5	Z117-ND	3.22	2.90	2.58	G6K-2P-DC12
		24	5220	1	0.3	75/5/200	3/3	5x10x6.5	Z118-ND	3.64	3.28	2.92	G6K-2P-DC24
		4.5	194	1	0.3	75/5/200	3/3	5x10x6.5	Z131-ND	3.13	2.82	2.51	G6K-2P-Y-DC4.5
		5	237	1	0.3	75/5/200	3/3	5x10x6.5	Z132-ND	3.13	2.82	2.51	G6K-2P-Y-DC5
		12	1407	1	0.3	75/5/200	3/3	5x10x6.5	Z133-ND	3.13	2.82	2.51	G6K-2P-Y-DC12
		24	5220	1	0.3	75/5/200	3/3	5x10x6.5	Z134-ND	3.13	2.82	2.51	G6K-2P-Y-DC24
18	SPST	12	1200	3	3A@250VAC	70/10/160	10/5	17.5x20x5	Z2042-ND	3.81	3.43	3.05	G6M-1A-DC12
		24	4800	3	3A@250VAC	70/10/160	10/5	17.5x20x5	Z2043-ND	4.11	3.70	3.29	G6M-1A-DC24
		5	208	3	3A@250VAC	70/10/160	10/5	17.5x20x5	Z2044-ND	3.81	3.43	3.05	G6M-1A-DC5
19	DPDT*	5	178	1	0.5	75/10/170	2/1	5x14x9	Z740-ND	3.39	3.05	2.71	G6H-2-DC5
		12	1028	1	0.5	75/10/170	2/1	5x14x9	Z741-ND	3.39	3.05	2.71	G6H-2-DC12
		24	2880	1	0.5	75/10/170	2/1	5x14x9	Z742-ND	4.26	3.83	3.41	G6H-2-DC24
20	SPST	3	50	1	0.3	75/10/150	5/5	4.0x10.6x7	Z1226-ND	1.48	1.34	1.19	G6L-1P-DC3
		4.5	112.5	1	0.3	75/10/150	5/5	4.0x10.6x7	Z1227-ND	1.48	1.34	1.19	G6L-1P-DC4.5
		5	139	1	0.3	75/10/150	5/5	4.0x10.6x7	Z1228-ND	1.48	1.34	1.19	G6L-1P-DC5
		12	800	1	0.3	75/10/150	5/5	4.0x10.6x7	Z1229-ND	1.48	1.34	1.19	G6L-1P-DC12
		24	2504	1	0.3	75/10/130	5/5	4.0x10.6x7	Z2041-ND	1.74	1.57	1.39	G6L-1P-DC24
	Ultrakompakt — TELECOM, mit Verr.												
16	DPDT	12	1309	1	0.3	75/75/150	3/3	9x10.3x4.8	Z1205-ND	3.56	3.20	2.85	G6JU-2P-DC12
		24	3672	1	0.3	75/75/150	3/3	9x10.3x4.8	Z1206-ND	3.56	3.20	2.85	G6JU-2P-DC24
		4.5	204.3	1	0.3	75/75/150	3/3	9x10.6x5.7	Z2143-ND	3.56	3.20	2.85	G6JU-2P-Y-DC4.5
		5	245.5	1	0.3	75/75/150	3/3	9x10.6x5.7	Z2144-ND	3.56	3.20	2.85	G6JU-2P-Y-DC5
		12	1329.2	1	0.3	75/75/150	3/3	9x10.6x5.7	Z2145-ND	3.56	3.20	2.85	G6JU-2P-Y-DC12
		24	2600	1	0.3	75/75/150	3/3	9x10.6x5.7	Z2146-ND	4.06	3.66	3.26	G6JU-2P-Y-DC24
		4.5	204.3	1	0.3	75/75/150	3/3	10x10.6x5.7	Z2147-ND	3.56	3.20	2.85	G6JU-2FL-Y-DC4.5
		5	245.5	1	0.3	75/75/150	3/3	10x10.6x5.7	Z2148-ND	3.56	3.20	2.85	G6JU-2FL-Y-DC5
		12	1329.2	1	0.3	75/75/150	3/3	10x10.6x5.7	Z2149-ND	3.56	3.20	2.85	G6JU-2FL-Y-DC12
		24	2600	1	0.3	75/75/150	3/3	10x10.6x5.7	Z2150-ND	4.06	3.66	3.26	G6JU-2FL-Y-DC24
		24	4430	1	0.3	75/75/150	3/3	10x10.3x4.8	Z1214-ND	3.56	3.20	2.85	G6JU-2FL-DC24
		4.5	204.3	1	0.3	75/75/150	3/3	10x10.6x5.7	Z2151-ND	3.56	3.20	2.85	G6JU-2FS-Y-DC4.5
		5	245.5	1	0.3	75/75/150	3/3	10x10.6x5.7	Z2152-ND	3.56	3.20	2.85	G6JU-2FS-Y-DC5
		12	1329.2	1	0.3	75/75/150	3/3	10x10.6x5.7	Z2153-ND	3.56	3.20	2.85	G6JU-2FS-Y-DC12
		24	2600	1	0.3	75/75/150	3/3	10x10.6x5.7	Z2154-ND	4.06	3.66	3.26	G6JU-2FS-Y-DC24
		4.5	207.4	1	0.3	75/75/150	3/3	10x10.3x4.8	Z1219-ND	3.56	3.20	2.85	G6JU-2FS-DC4.5
		5	245.3	1	0.3	75/75/150	3/3	10x10.3x4.8	Z1220-ND	3.56	3.20	2.85	G6JU-2FS-DC5
		12	1309	1	0.3	75/75/150	3/3	10x10.3x4.8	Z1221-ND	3.56	3.20	2.85	G6JU-2FS-DC12
		24	3672	1	0.3	75/75/150	3/3	10x10.3x4.8	Z1222-ND	3.56	3.20	2.85	G6JU-2FS-DC24

† Versiegeltes Gehäuse * Erfüllt FCC-Standards Teil 68.

(Forts.)

Montagelochmuster und Verbindungsplan
„Sicht von unten, wenn nicht anderweitig angegeben"

Abb. 13 — G6B

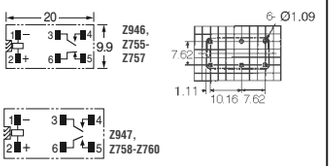

Abb. 14 — G5Q

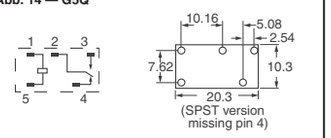

Abb. 15 — G5SB

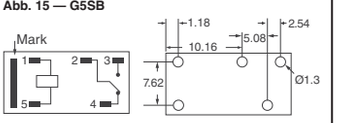

Abb. 16

G6J

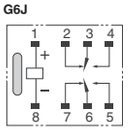

G6JU — Verriegelung

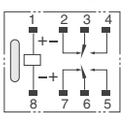

G6J-2P-Y

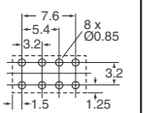

G6J-FS-Y Draufsicht

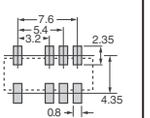

G6J-FL-Y Draufsicht

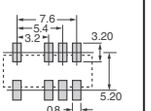

Abb. 17

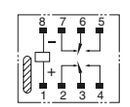

G6K-2F Draufsicht

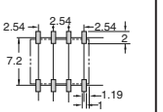

G6K-2P

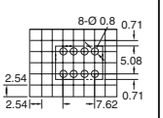

G6K-2F-Y Draufsicht

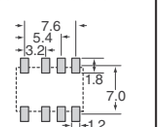

G6K-2P-Y

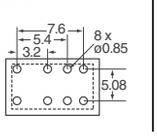

G6K-2F-Y Draufsicht

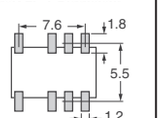

Abb. 18 — G6M

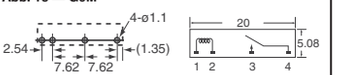

Abb. 19 — G6H

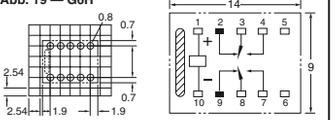

Abb. 20 — G6L

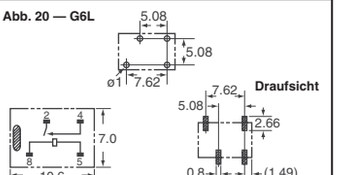

Alle Preisangaben in Euro und inklusive Zollgebühren.

Alle Relais UL/CSA-zugelassen

Montagelochmuster und Verbindungsplan „Sicht von unten, wenn nicht anderweitig angegeben"

G6K

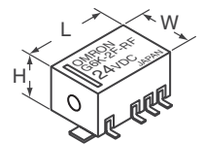

G6L

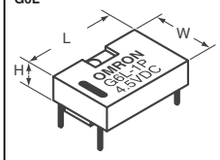

G6H

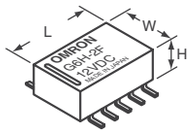

G6W

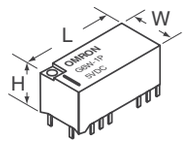

G6K-RF

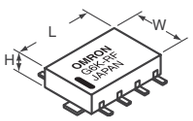

Abb.	Kontaktform	Spule Spann. (V DC)	Spule Widerst. (Ω)	Kontaktleistung: Resistiv (A) 24 V DC	Kontaktleistung: Resistiv (A) 115 V AC	Betr. Spann. (% der Nennleistung) Anzug/Abfall/ max. Ein/Aus/Kont.	Betr. Rel. Zeit/ Zeit (ms)	Abmessungen (mm) L x W x H	Digi-Key Teilenr.	Stückpreis 1	Stückpreis 25	Stückpreis 50	Teilenr. Teilenr.
Ultrakompakt — TELECOM (SMT)													
16	DPDT	4.5	137.9	1	0.3	75/10/150	3/3	9x10.6x5.7	Z2135-ND	3.47	3.13	2.78	G6J-2FS-Y-DC4.5
		5	173.1	1	0.3	75/10/150	3/3	9x10.6x5.7	Z2136-ND	3.47	3.13	2.78	G6J-2FS-Y-DC5
		12	976.8	1	0.3	75/10/150	3/3	9x10.6x5.7	Z2137-ND	3.47	3.13	2.78	G6J-2FS-Y-DC12
		24	2600.5	1	0.3	75/10/150	3/3	9x10.6x5.7	Z2138-ND	3.47	3.13	2.78	G6J-2FS-Y-DC24
		4.5	137.9	1	0.3	75/10/150	3/3	9x10.6x5.7	Z2139-ND	3.47	3.13	2.78	G6J-2FL-Y-DC4.5
		5	173.1	1	0.3	75/10/150	3/3	9x10.6x5.7	Z2140-ND	3.47	3.13	2.78	G6J-2FL-Y-DC5
		12	976.8	1	0.3	75/10/150	3/3	9x10.6x5.7	Z2141-ND	3.47	3.13	2.78	G6J-2FL-Y-DC12
		24	2600.5	1	0.3	75/10/150	3/3	9x10.6x5.7	Z2142-ND	3.47	3.13	2.78	G6J-2FL-Y-DC24
17	DPDT	3	91	1	0.3	75/5/200	3/3	5x10x6.5	Z2186-ND	3.22	2.90	2.58	G6K-2F-DC3
		4.5	194	1	0.3	75/5/200	3/3	5x10x6.5	Z111-ND	3.22	2.90	2.58	G6K-2F-DC4.5
		5	237	1	0.3	75/5/200	3/3	5x10x6.5	Z112-ND	3.22	2.90	2.58	G6K-2F-DC5
		12	1407	1	0.3	75/5/200	3/3	5x10x6.5	Z113-ND	3.22	2.90	2.58	G6K-2F-DC12
		24	5220	1	0.3	75/5/200	3/3	5x10x6.5	Z114-ND	3.47	3.13	2.78	G6K-2F-DC24
		4.5	194	1	0.3	75/5/200	3/3	5x10x6.5	Z127-ND	3.13	2.82	2.51	G6K-2F-Y-DC4.5
		5	237	1	0.3	75/5/200	3/3	5x10x6.5	Z128-ND	3.13	2.82	2.51	G6K-2F-Y-DC5
		12	1407	1	0.3	75/5/200	3/3	5x10x6.5	Z129-ND	3.13	2.82	2.51	G6K-2F-Y-DC12
		24	5220	1	0.3	75/5/200	3/3	5x10x6.5	Z130-ND	3.13	2.82	2.51	G6K-2F-Y-DC24
		4.5	194	1	0.3	75/5/200	3/3	5x10x6.5	Z135-ND	3.13	2.82	2.51	G6K-2G-Y-DC4.5
		5	237	1	0.3	75/5/200	3/3	5x10x6.5	Z136-ND	3.13	2.82	2.51	G6K-2G-Y-DC5
		12	1407	1	0.3	75/5/200	3/3	5x10x6.5	Z137-ND	3.13	2.82	2.51	G6K-2G-Y-DC12
		24	5220	1	0.3	75/5/200	3/3	5x10x6.5	Z138-ND	3.13	2.82	2.51	G6K-2G-Y-DC24
20	SPST	3	62.5	1	0.3	75/10/150	5/5	4.0x10.6x7	Z1230-ND	1.48	1.34	1.19	G6L-1F-DC3
		4.5	140.4	1	0.3	75/10/150	5/5	4.0x10.6x7	Z1231-ND	1.48	1.34	1.19	G6L-1F-DC4.5
		5	171.1	1	0.3	75/10/150	5/5	4.0x10.6x7	Z1232-ND	1.48	1.34	1.19	G6L-1F-DC5
		12	979.8	1	0.3	75/10/150	5/5	4.0x10.6x7	Z1233-ND	1.48	1.34	1.19	G6L-1F-DC12
		24	2504	1	0.3	75/10/150	5/5	4.0x10.6x7	Z2040-ND	1.93	1.74	1.55	G6L-1F-DC24
21	DPDT	5	178	1	0.5	75/10/120	3/2	5.2x14x9	Z827-ND	5.02	4.52	4.02	G6H-2F-DC5
		12	1028	1	0.5	75/10/120	3/2	5.2x14x9	Z828-ND	5.02	4.52	4.02	G6H-2F-DC12
		24	2880	1	0.5	75/10/120	3/2	5.2x14x9	Z829-ND	5.70	5.13	4.56	G6H-2F-DC24
22	DPDT	3	64.3	2@30VAC	0.5	75/10/200	4/4	7.3x14.8x9.2	Z2187-ND	3.79	3.41	3.04	G6S-2F-DC3
		5	178	2@30VAC	0.5	75/10/200	4/4	7.3x14.8x9.2	Z888-ND	3.79	3.41	3.04	G6S-2F-DC5
		12	1028	2@30VAC	0.5	75/10/200	4/4	7.3x14.8x9.2	Z889-ND	3.79	3.41	3.04	G6S-2F-DC12
		24	2880	2@30VAC	0.5	75/10/200	4/4	7.3x14.8x9.2	Z890-ND	4.32	3.89	3.46	G6S-2F-DC24
		5	178	2@30VAC	0.5	75/10/200	4/4	7.3x14.8x9.2	Z891-ND	3.79	3.41	3.04	G6S-2G-DC5
		12	1028	2@30VAC	0.5	75/10/200	4/4	7.3x14.8x9.2	Z892-ND	3.79	3.41	3.04	G6S-2G-DC12
		24	2880	2@30VAC	0.5	75/10/200	4/4	7.3x14.8x9.2	Z893-ND	4.32	3.89	3.46	G6S-2G-DC24
Hochfrequenz — Isolierung mit 68 dB (typ.), 900 MHz oder 2 GHZ													
23	SPDT†*	5	83	.01@24AC/DC		75/10/130	10/5	10x20.5x11.5	Z723-ND	5.21	4.81	4.51	G5Y-1-DC5
		24	1920	.01@24AC/DC		75/10/130	10/5	9x20.5x11.5	Z725-ND	5.21	4.81	4.51	G5Y-1-DC24
Hochfrequenz — 900 MHz, 1 GHz, 2,5 GHz oder 2,6 GHz													
24	SPDT	5	125	.01@30AC/DC		75/10/150	10/5	9.2x20x11.7	Z119-ND	3.56	3.20	2.85	G6Y-1-DC5
		12	720	.01@30AC/DC		75/10/150	10/5	9.2x20x11.7	Z120-ND	3.56	3.20	2.85	G6Y-1-DC12
		24	2880	.01@30AC/DC		75/10/150	10/5	9.2x20x11.7	Z121-ND	3.56	3.20	2.85	G6Y-1-DC24
25	SPDT	5	125	.01@30VAC/VDC		3.75/.5/7.5	10/10	8.9x20x8.6	Z1601-ND	4.61	4.15	3.69	G6Z-1PE-DC5
		12	720.4	.01@30VAC/VDC		9/1.2/18	10/10	8.9x20x8.6	Z1602-ND	4.82	4.34	3.86	G6Z-1PE-DC12
		24	2880.1	.01@30VAC/VDC		18/2.4/36	10/10	8.9x20x8.6	Z1603-ND	4.82	4.34	3.86	G6Z-1PE-DC24
26	SPDT	5	125	.01@30VAC/VDC		3.75/.5/7.5	10/10	8.9x20x8.6	Z1598-ND	4.82	4.34	3.86	G6Z-1P-DC5
		12	720.4	.01@30VAC/VDC		9/1.2/18	10/10	8.9x20x8.6	Z1599-ND	4.82	4.34	3.86	G6Z-1P-DC12
		24	2880.1	.01@30VAC/VDC		18/2.4/36	10/10	8.9x20x8.6	Z1600-ND	5.03	4.53	4.03	G6Z-1P-DC24
27	SPDT	5	125	.01@30VAC/VDC		3.75/.5/7.5	10/10	9.3x20x8.6	Z1607-ND	5.03	4.53	4.03	G6Z-1FE-DC5
		12	720.4	.01@30VAC/VDC		9/1.2/18	10/10	9.3 x20x8.6	Z1608-ND	5.24	4.72	4.19	G6Z-1FE-DC12
		24	2880.1	.01@30VAC/VDC		18/2.4/36	10/10	9.3 x20x8.6	Z1609-ND	4.45	4.02	3.57	G6Z-1FE-DC24
28	SPDT	5	125	.01@30VAC/VDC		3.75/.5/7.5	10/10	9.3 x20x8.6	Z1604-ND	4.82	4.34	3.86	G6Z-1F-DC5
		12	720.4	.01@30VAC/VDC		9/1.2/18	10/10	9.3 x20x8.6	Z1605-ND	4.63	4.17	3.71	G6Z-1F-DC12
		24	2880.1	.01@30VAC/VDC		18/2.4/36	10/10	9.3 x20x8.6	Z1606-ND	5.44	4.90	4.36	G6Z-1F-DC24
29	SPDT	4.5	101	.01@30AC/DC		80/10/150	10/10	9.2x20x9.4	Z2047-ND	95.24	85.72	76.20	G6W-1F-DC4.5
		12	720	.01@30AC/DC		80/10/150	10/10	9.2x20x9.4	Z2045-ND	95.24	85.72	76.20	G6W-1F-DC12
		24	2880	.01@30AC/DC		80/10/150	10/10	9.2x20x9.4	Z2046-ND	95.24	85.72	76.20	G6W-1F-DC24
30	SPDT	4.5	101	.01@30AC/DC		80/10/150	10/10	8.9x20x9.4	Z2050-ND	95.24	85.72	76.20	G6W-1P-DC4.5
		12	720	.01@30AC/DC		80/10/150	10/10	8.9x20x9.4	Z2048-ND	95.24	85.72	76.20	G6W-1P-DC12
		24	2880	.01@30AC/DC		80/10/150	10/10	8.9x20x9.4	Z2049-ND	95.24	85.72	76.20	G6W-1P-DC24
31	DPDT	3	91	1	0.3	80/10/150	3/3	5.4x10.3x6.9	Z2035-ND	21.42	19.28	17.14	G6K-2F-RF-DC3
		4.5	194	1	0.3	80/10/150	3/3	5.4x10.3x6.9	Z2036-ND	21.42	19.28	17.14	G6K-2F-RF-DC4.5
		5	237	1	0.3	80/10/150	3/3	5.4x10.3x6.9	Z2037-ND	21.42	19.28	17.14	G6K-2F-RF-DC5
		6	341	1	0.3	80/10/150	3/3	5.4x10.3x6.9	Z2038-ND	21.42	19.28	17.14	G6K-2F-RF-DC6
		9	795	1	0.3	80/10/150	3/3	5.4x10.3x6.9	Z2039-ND	21.42	19.28	17.14	G6K-2F-RF-DC9
		12	1315	1	0.3	80/10/150	3/3	5.4x10.3x6.9	Z2033-ND	21.42	19.28	17.14	G6K-2F-RF-DC12
		24	5220	1	0.3	80/10/150	3/3	5.4x10.3x6.9	Z2034-ND	21.42	19.28	17.14	G6K-2F-RF-DC24

† Versiegeltes Gehäuse. * Erfüllt FCC-Standard, Teil 68.

Abb. 21 — G6H Oberflächenmontage

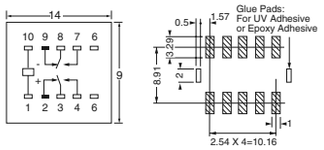

Abb. 22 — G6S Oberflächenmontage

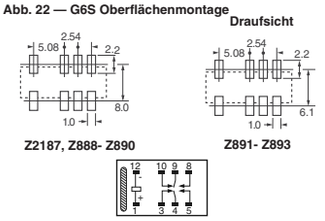

Abb. 23 — G5Y HF

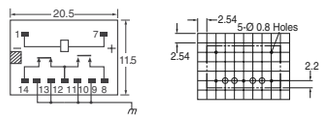

Abb. 24 — G6Y HF

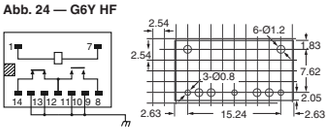

Abb. 25 — G6Z HF

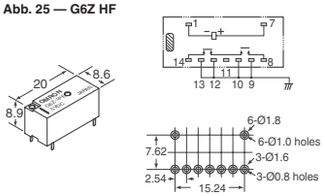

Abb. 26 — G6Z HF

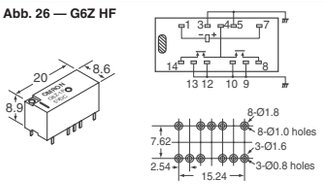

Abb. 27 — G6Z HF Oberflächenmontage

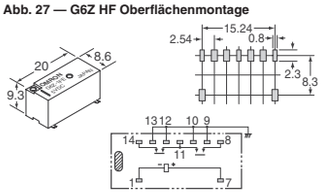

Abb. 28 — G6Z

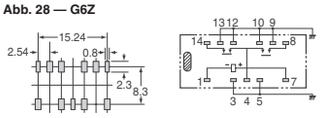

Abb. 29 — G6W-1F

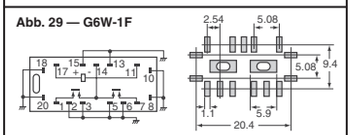

Abb. 30 — G6W-1P

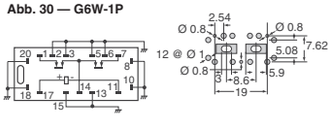

Abb. 31 — G6K-2F-RF

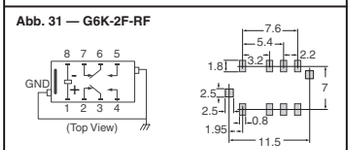

H

Vergleichen Sie die technologischen Vorteile der HF-Relais von Omron

Konkurrenzfähige Technologie	Vorteile der konkurrenzfähigen Technologie	Vorteile von Omron	HF-Relais von Omron
Koaxiale RF-Relais mit Metallgehäuse	• Sehr klein • 2-Form-C-Kontakte	• SMT • Umkehrkontakt und Y-Anschluss-Versionen • Bessere Leistung bei 4 GHz	G6Z
GaAs-FETs	Festkörper: • Größere Betriebszahl • Schnellere Betriebsgeschwindigkeit • Kleiner	• 10 W Leistungsschaltung • Besserer Einsatz und bessere Rückflussdämpfung • Geringere Verzerrung bei höheren Frequenzen • Kostengünstigere Technologie	G6Z, G6W
GaAs-MMIC-Schalter	Festkörper: • Größere Betriebszahl • Schnellere Betriebsgeschwindigkeit • Kleiner	• 10 W Leistungsschaltung • Besserer Einsatz und bessere Rückflussdämpfung • Geringere Verzerrung bei höheren Frequenzen • Kostengünstigere Technologie	G6W
PIN-Dioden-Arrays	Festkörper: • Größere Betriebszahl • Schnellere Betriebsgeschwindigkeit	• Hervorragende HF-Eigenschaften • Wesentlich breitere Bandbreite	G6Z, G6W
Andere elektromechanische RF-Relais	—	• Hervorragende HF-Eigenschaften • Wesentlich breitere Bandbreite	G6K-RF, G6Z, G6W

Vorteile der Microstrip-Leitungskonstruktion

- Bewahrt die Signalintegrität von der PCB-Strip-Leitung zum Relais besser als koaxiale Ausführungen
- Verringert Übertragungsverluste
- Bietet optimale Impedanzabstimmung
- Sorgt für hohe Isolierung zur Beseitung von Kreuzkopplung
- Reduzierte Abschwächung
- Geringer Einführungsverlust

HF-Relais:
Nur 0,0001 % des Signals wird übertragen.

Herkömmliches Relais:
1 % des Signals wird übertragen, selbst wenn der Kontakt geöffnet wird.

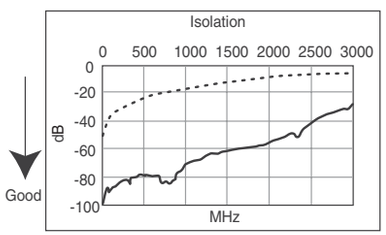

HF-Relais:
G6Z: 9 % des Signals gehen verloren.
G6W: Nur 3 % des Signals gehen verloren.

Herkömmliches Relais:
50 % des Signals gehen verloren.

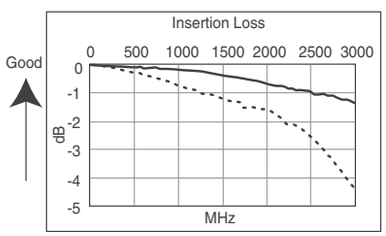

Design für max. Flexibilität

Anschlussanordnungsoptionen:

- Y-Anschlusstypen
- E-Anschlusstypen
- Rückanschlusstyp für Y- und E-Ausführungen

Y-Anschlusstyp **Rückanschluss, Typ Y**

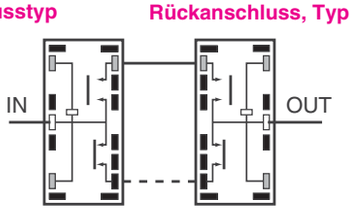

E-Anschlusstyp **Rückanschluss, Typ E**

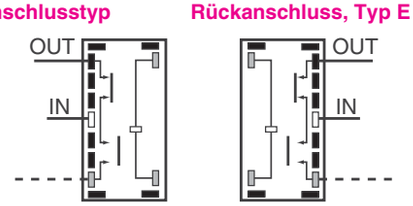

G6Z — 1 Form C Relais

Tatsächliche Grösse

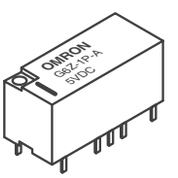

Hauptmerkmale/ Spezifikationen	• Größte Konfigurationsvielfalt • Bis zu 2,6 GHz • Isolierung: 60-65 dB (900 MHz) • Einfügungsverlust: 0,1-0,2 dB (900 MHz) • VSWR: Max. 1,5 bis Max.1,2
Optionen	• PCB oder SMT Gullwing • E- und Y-Anschlussanordnung • Rückanschlusstypen sind ebenfalls erhältlich • Ausführungen mit und ohne Verriegelung • 50 Ω und 75 Ω Impedanzmodelle

G6W — 1 Form C Relais

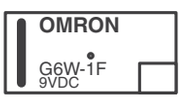

Tatsächliche Grösse

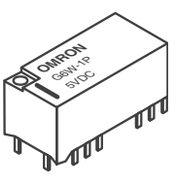

Hauptmerkmale/ Spezifikationen	• Hochleistungs-Design; bis zu 8 GHz • Isolierung: 65 dB (2,0 GHz) • Einfügungsverlust: 0,2 dB (2,5 GHz) • VSWR: Max. 1,2 @ 2,5 GHz • Impedanz: 50 Ω • Kompakte Größe: 20 x 9,4 x 8,9 mm
Optionen	• PCB oder SMT Gullwing • E- und Y-Anschlussanordnung • Rückanschlusstypen sind ebenfalls erhältlich • Ausführungen mit und ohne Verriegelung

G6K-RF — 2 Form C Relais

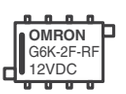

Tatsächliche Grösse

Hauptmerkmale/ Spezifikationen	• Sehr klein • 2-poliges Schalten • Nur 100 mW Spulenleistungr • Oberflächenmontage • Bis zu 1 GHz • Isolierung: 30 dB min. (1 GHz) • Einfügungsverlust: Max. 0,2 dB (1 GHz) • VSWR: Max. 1,2 @ 1 GHz • Impedanz: 50 Ω
Optionen	• Ausführungen mit und ohne Verriegelung

H

Alle Preisangaben in Euro und inklusive Zollgebühren.

Alle Relais UL/CSA-zugelassen

Montagelochmuster und Verbindungsplan
„Sicht von unten, wenn nicht anderweitig angegeben"

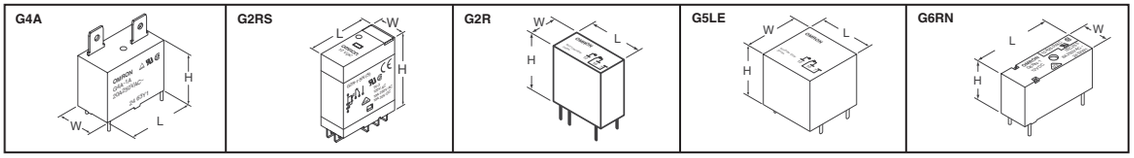

Abb.	Kontaktform	Spule Spann. (V DC)	Spule Widerst. (Ω)	Kontaktleistung: Resistiv (A) 24 V DC	115 V AC	Zusätzliche Funktionen	Abmessungen (mm) L x W x H	Digi-Key Teilenr.	Stückpreis 1	25	50	100	Omron Teilenr.
Leiterplattenmontierte Leistungsrelais mit Schnellanschlussklemmen													
1	SPST-NO	12	160	20	20	—	23.5 x 30.5 x 16	Z952-ND	4.89	4.41	3.92	3.53	G4A-1A-E-DC12
		24	640	20	20	—	23.5 x 30.5 x 16	Z953-ND	4.89	4.41	3.92	3.53	G4A-1A-E-DC24
2	SPDT	24VAC	260	15	15	QC-Anschluss	29 x 50 x 29	Z958-ND	7.90	7.11	6.32	5.69	G4B-112T1CUS-AC24
		120VAC	6500	15	15	QC-Anschluss	29 x 50 x 29	Z959-ND	7.90	7.11	6.32	5.69	G4B-112T1CUS-AC120
	SPST-NO	120VAC	6500	15	15	QC-Anschluss	29 x 50 x 29	Z198-ND	7.41	6.67	5.93	5.34	G4B-112TUS-AC120
3	SPDT	6	69	10	5	Standard einsteckbar	29 x 35.5 x 13	Z2224-ND	4.09	3.68	3.27	2.95	G2R-1-S-DC6(S)
		12	275	10	5	Standard einsteckbar	29 x 35.5 x 13	Z1632-ND	5.03	4.53	4.03	3.62	G2R-1-S-DC12S
		24	1100	10	5	Standard einsteckbar	29 x 35.5 x 13	Z1633-ND	5.02	4.52	4.02	3.62	G2R-1-S-DC24S
		48	4220	10	5	Standard einsteckbar	29 x 35.5 x 13	Z2230-ND	4.57	4.12	3.66	3.30	G2R-1-S-DC48(S)
		24VAC	260	10	5	Standard einsteckbar	29 x 35.5 x 13	Z1634-ND	6.69	6.02	5.36	4.82	G2R-1-S-AC24S
		120VAC	6500	10	5	Standard einsteckbar	29 x 35.5 x 13	Z1635-ND	7.33	6.60	5.87	5.28	G2R-1-S-AC120S
		240VAC	30.3K	10	5	Standard einsteckbar	29 x 35.5 x 13	Z2227-ND	10.79	9.72	8.64	7.78	G2R-1-S-AC240(S)
		6	69	10	5	Einsteckbar m. LED-Anzeige	29 x 35.5 x 13	Z2233-ND	7.35	6.61	5.88	5.29	G2R-1-SN-DC6(S)
		12	275	10	5	Einsteckbar m. LED-Anzeige	29 x 35.5 x 13	Z2232-ND	7.35	6.61	5.88	5.29	G2R-1-SN-DC12(S)
		24	1113	10	5	Einsteckbar m. LED-Anzeige	29 x 35.5 x 13	Z2234-ND	7.35	6.61	5.88	5.29	G2R-1-SN-DC24(S)
		24VAC	253	10	5	Einsteckbar m. LED-Anzeige	29 x 35.5 x 13	Z2235-ND	7.52	6.77	6.02	5.41	G2R-1-SN-AC24(S)
		120VAC	7286	10	5	Einsteckbar m. LED-Anzeige	29 x 35.5 x 13	Z2236-ND	9.68	8.71	7.74	6.97	G2R-1-SN-AC120(S)
	DPDT	6	69	5	5	Standard einsteckbar	25.5 x 35.5 x 13	Z2225-ND	4.78	4.31	3.83	3.45	G2R-2-S-DC6(S)
		12	275	5	5	Standard einsteckbar	28 x 35.5 x 13	Z1636-ND	5.75	5.18	4.60	4.14	G2R-2-S-DC12S
		24	1100	5	5	Standard einsteckbar	28 x 35.5 x 13	Z1637-ND	5.75	5.18	4.60	4.14	G2R-2-S-DC24S
		48	4170	5	5	Standard einsteckbar	25.5 x 35.5 x 13	Z202-ND	4.78	4.31	3.83	3.45	G2R-2S-DC48
		48	4220	5	5	Standard einsteckbar	25.5 x 35.5 x 13	Z2231-ND	5.23	4.71	4.19	3.77	G2R-2-S-DC48(S)
		24VAC	260	5	5	Standard einsteckbar	28 x 35.5 x 13	Z1638-ND	6.05	5.45	4.85	4.36	G2R-2-S-AC24S
		120VAC	6500	5	5	Standard einsteckbar	28 x 35.5 x 13	Z1639-ND	8.02	7.22	6.42	5.78	G2R-2-S-AC120S
		220VAC	22000	5	5	Standard einsteckbar	25.5 x 35.5 x 13	Z205-ND	10.79	9.72	8.64	7.78	G2R-2S-AC220
		240VAC	30.3K	5	5	Standard einsteckbar	25.5 x 35.5 x 13	Z2229-ND	10.79	9.72	8.64	7.78	G2R-2-S-AC240(S)
		6	69	5	5	Einsteckbar m. LED-Anzeige	25.5 x 35.5 x 13	Z2238-ND	9.35	8.42	7.49	6.74	G2R-2-SN-DC6(S)
		12	278	5	5	Einsteckbar m. LED-Anzeige	25.5 x 35.5 x 13	Z2237-ND	9.59	8.63	7.68	6.91	G2R-2-SN-DC12(S)
		24	1113	5	5	Einsteckbar m. LED-Anzeige	25.5 x 35.5 x 13	Z2239-ND	8.72	7.85	6.98	6.28	G2R-2-SN-DC24(S)
		24VAC	253	5	5	Einsteckbar m. LED-Anzeige	25.5 x 35.5 x 13	Z2240-ND	9.25	8.33	7.40	6.66	G2R-2-SN-AC24(S)
		120VAC	7286	5	5	Einsteckbar m. LED-Anzeige	25.5 x 35.5 x 13	Z2241-ND	9.93	8.94	7.95	7.15	G2R-2-SN-AC120(S)
—	Schienenmontierte Fassung für Serie G2R-1S						59 x 85 x 15	Z855-ND	3.09	2.79	2.48	2.23	P2RF-05-E
—	Schienenmontierte Fassung für Serie G2R-2S						59 x 85 x 15	Z207-ND	5.11	4.60	4.09	3.68	P2RF-08-E
	Leiterplattenmontierte Relaisfassung für Serie G2R-1S						35.5 x 14.47 x 7.11	Z995-ND	1.74	1.57	1.39	1.25	P2R-05P
Leiterplattenmontierte Leistungsrelais													
3	SPST-NO	5	62.5	12	12	Flachprofil G2R	16 x 29 x 13	Z139-ND	2.29	2.06	1.83	1.65	G2RL-1A-DC5
		12	360	12	12	Flachprofil G2R	16 x 29 x 13	Z140-ND	2.29	2.06	1.83	1.65	G2RL-1A-DC12
		24	1440	12	12	Flachprofil G2R	16 x 29 x 13	Z141-ND	2.29	2.06	1.83	1.65	G2RL-1A-DC24
	SPDT	5	62.5	12	12	Flachprofil G2R	16 x 29 x 13	Z142-ND	2.88	2.60	2.31	2.08	G2RL-14-DC5
		12	360	12	12	Flachprofil G2R	16 x 29 x 13	Z143-ND	2.88	2.60	2.31	2.08	G2RL-14-DC12
		24	1440	12	12	Flachprofil G2R	16 x 29 x 13	Z144-ND	2.88	2.60	2.31	2.08	G2RL-14-DC24
		48	5358	12	12	Flachprofil G2R	16 x 29 x 13	Z145-ND	3.20	2.88	2.56	2.31	G2RL-14-DC48
4	DPDT	5	62.5	8	8	Flachprofil G2R	16 x 29 x 13	Z146-ND	3.41	3.07	2.73	2.46	G2RL-24-DC5
		12	360	8	8	Flachprofil G2R	16 x 29 x 13	Z147-ND	3.41	3.07	2.73	2.46	G2RL-24-DC12
		24	1440	8	8	Flachprofil G2R	16 x 29 x 13	Z148-ND	3.41	3.07	2.73	2.46	G2RL-24-DC24
		48	5358	8	8	Flachprofil G2R	16 x 29 x 13	Z149-ND	3.71	3.34	2.97	2.67	G2RL-24-DC48
3	SPDT†	5	47	10	10	Standard G2R	25.5 x 29 x 13	Z743-ND	2.88	2.60	2.31	2.08	G2R-14-DC5
		12	275	10	10	Standard G2R	25.5 x 29 x 13	Z744-ND	2.86	2.58	2.29	2.06	G2R-14-DC12
		24	1100	10	10	Standard G2R	25.5 x 29 x 13	Z745-ND	2.86	2.58	2.29	2.06	G2R-14-DC24
		24VAC	260	10	10	Standard G2R	25.5 x 29 x 13	Z843-ND	4.85	4.37	3.88	3.49	G2R-14-AC24
		120VAC	6500	10	10	Standard G2R	25.5 x 29 x 13	Z844-ND	5.33	4.81	4.27	3.85	G2R-14-AC120
4	DPDT†	5	47	5	5	Standard G2R	25.5 x 29 x 13	Z746-ND	3.62	3.26	2.90	2.61	G2R-24-DC5
		12	275	5	5	Standard G2R	25.5 x 29 x 13	Z747-ND	3.33	3.00	2.66	2.40	G2R-24-DC12
		24	1100	5	5	Standard G2R	25.5 x 29 x 13	Z748-ND	3.33	3.00	2.66	2.40	G2R-24-DC24
	DPDT	24VAC	260	5	5	Standard G2R	25.5 x 29 x 13	Z845-ND	5.55	5.00	4.44	4.00	G2R-24-AC24
		120VAC	6500	5	5	Standard G2R	25.5 x 29 x 13	Z846-ND	6.05	5.45	4.85	4.36	G2R-24-AC120
5	SPDT	5	47	16	16	Hochkapazität G2R	25.5 x 29 x 13	Z847-ND	2.95	2.65	2.36	2.12	G2R-1-E-DC5
		12	275	16	16	Hochkapazität G2R	25.5 x 29 x 13	Z848-ND	2.95	2.65	2.36	2.12	G2R-1-E-DC12
		24	1100	16	16	Hochkapazität G2R	25.5 x 29 x 13	Z849-ND	2.95	2.65	2.36	2.12	G2R-1-E-DC24
6	SPST-NO	12	160	20	20	—	23.5 x 30.5 x 16	Z954-ND	5.23	4.71	4.19	3.77	G4A-1A-P-E-DC12
		24	640	20	20	—	23.5 x 30.5 x 16	Z955-ND	5.23	4.71	4.19	3.77	G4A-1A-P-E-DC24
7	SPST-NO†	12	180	15	15	Vollständig versiegelt	30.5 x 30.5 x 19.5	Z961-ND	4.60	4.14	3.68	3.31	G4W1114PUSTV8HPDC12
		24	720	15	15	Vollständig versiegelt	30.5 x 30.5 x 19.5	Z962-ND	4.60	4.14	3.68	3.31	G4W1114PUSTV8HPDC24
8	DPST-NO†	12	180	15	15	Vollständig versiegelt	30.5 x 30.5 x 19.5	Z963-ND	5.46	4.92	4.37	3.94	G4W-2214PUSHP-DC12
		24	720	15	15	Vollständig versiegelt	30.5 x 30.5 x 19.5	Z964-ND	5.46	4.92	4.37	3.94	G4W-2214PUSHP-DC24
9	SPDT†*	5	63	8	10	Vollständig versiegelt	19.0 x 22.5 x 16.5	Z1011-ND	1.59	1.43	1.27	1.15	G5LE-14-DC5
		12	360	8	10	Vollständig versiegelt	19.0 x 22.5 x 16.5	Z1012-ND	1.59	1.43	1.27	1.15	G5LE-14-DC12
		24	1440	8	10	Vollständig versiegelt	19.0 x 22.5 x 16.5	Z1013-ND	1.59	1.43	1.27	1.15	G5LE-14-DC24
	SPDT	5	63	8	10	Halbversiegelt	19.0 x 22.5 x 16.5	Z1014-ND	1.44	1.30	1.16	1.04	G5LE-1-DC5
		12	360	8	10	Halbversiegelt	19.0 x 22.5 x 16.5	Z1015-ND	1.44	1.30	1.16	1.04	G5LE-1-DC12
		24	1440	8	10	Halbversiegelt	19.0 x 22.5 x 16.5	Z1016-ND	1.44	1.30	1.16	1.04	G5LE-1-DC24
10	SPDT†	5	114	5	8	Vollständig versiegelt	15 x 28.5 x 10	Z987-ND	1.99	1.80	1.60	1.44	G6RN-1-DC5
		12	665	5	8	Vollständig versiegelt	15 x 28.5 x 10	Z988-ND	1.99	1.80	1.60	1.44	G6RN-1-DC12
		24	2620	5	8	Vollständig versiegelt	15 x 28.5 x 10	Z990-ND	1.99	1.80	1.60	1.44	G6RN-1-DC24

† Versiegeltes Gehäuse. * Erfüllt FCC-Standards Teil 68.

Abb. 1

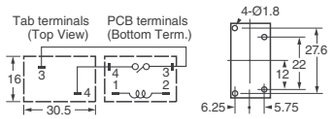

Abb. 2

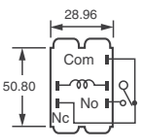

Abb. 3

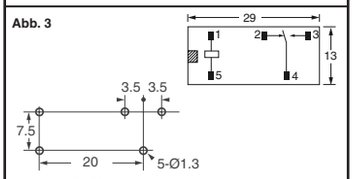

nur G2RL

Abb. 4

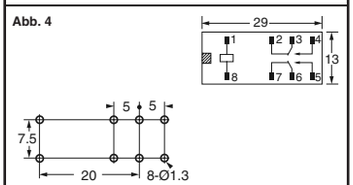

Abb. 5

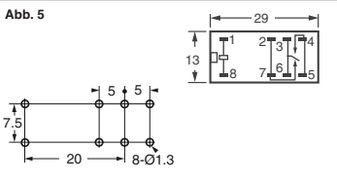

Abb. 6

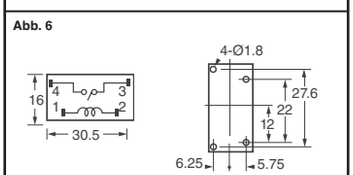

Abb. 7

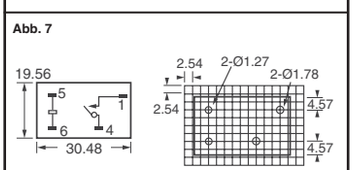

Abb. 8

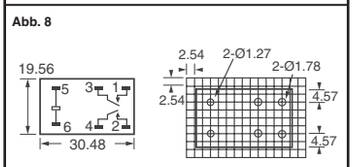

Abb. 9

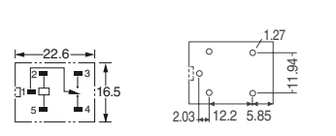

Abb. 10

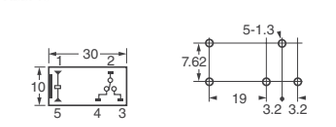

H

Alle Preisangaben in Euro und inklusive Zollgebühren.

Abb.	Kontakt-form	Spulen-spannung	Spulen-widerstand (Ω)	Kontakt-leistung: Resistiv (A)	Zusätzliche Funktionen	Digi-Key Teilenr.	Stückpreis 1	25	50	100	Omron Teilenr.
Leistungsrelais — Einsteckbare Anschlussklemmen											
1	SPDT	12VDC	160	15A @ 110VAC 15A @ 24VDC	Einsteckbar	Z785-ND	5.46	4.92	4.37	3.94	LY1-DC12
		24VDC	650		Einsteckbar	Z784-ND	5.46	4.92	4.37	3.94	LY1-DC24
		24VAC	180		Einsteckbar	Z783-ND	5.71	5.15	4.58	4.12	LY1-AC24
		120VAC	4430		Einsteckbar	Z781-ND	5.71	5.15	4.58	4.12	LY1-AC110/120
	DPDT	12VDC	160	10A @ 110VAC 10A @ 24VDC	Einsteckbar	Z790-ND	6.42	5.78	5.14	4.62	LY2-DC12
		24VDC	650		Einsteckbar	Z789-ND	6.42	5.78	5.14	4.62	LY2-DC24
		24VAC	180		Einsteckbar	Z788-ND	6.42	5.78	5.14	4.62	LY2-AC24
		120VAC	4430		Einsteckbar	Z786-ND	6.42	5.78	5.14	4.62	LY2-AC110/120
		24VDC	650	10A @ 110VAC 10A @ 24VDC	Mit LED und Testtaste	Z1677-ND	8.96	8.07	7.17	6.45	LY2I4N-DC24
		120VAC	4430		Mit LED und Testtaste	Z1678-ND	8.96	8.07	7.17	6.45	LY2I4N-AC110/120
	SPDT	12VDC	160	15A @ 110VAC 15A @ 24VDC	Mit Montageösen	Z193-ND	5.80	5.22	4.64	4.18	LY1F-DC12
		24VDC	650		Mit Montageösen	Z194-ND	5.80	5.22	4.64	4.18	LY1F-DC24
		24VAC	180		Mit Montageösen	Z195-ND	5.80	5.22	4.64	4.18	LY1F-AC24
		120VAC	4430		Mit Montageösen	Z782-ND	5.80	5.22	4.64	4.18	LY1F-AC110/120
	DPDT	12VDC	160	10A @ 110VAC 10A @ 24VDC	Mit Montageösen	Z190-ND	6.54	5.89	5.24	4.71	LY2F-DC12
		24VDC	650		Mit Montageösen	Z191-ND	6.54	5.89	5.24	4.71	LY2F-DC24
		24VAC	180		Mit Montageösen	Z192-ND	6.54	5.89	5.24	4.71	LY2F-AC24
		120VAC	4430		Mit Montageösen	Z787-ND	6.54	5.89	5.24	4.71	LY2F-AC110/120
	3PDT	24VDC	410	10A @ 110VAC 10A @ 24VDC	Einsteckbar	Z1679-ND	9.01	8.11	7.21	6.49	LY3-DC24
		120VAC	2300		Einsteckbar	Z1680-ND	9.01	8.11	7.21	6.49	LY3-AC120
	4PDT	12VDC	650	10A @ 110VAC 10A @ 24VDC	Einsteckbar	Z1682-ND	10.50	9.45	8.40	7.56	LY4-DC12
		24VDC	100		Einsteckbar	Z1681-ND	10.50	9.45	8.40	7.56	LY4-DC24
		120VAC	1800		Einsteckbar	Z1683-ND	10.50	9.45	8.40	7.56	LY4-AC120
Leistungsrelais — Leiterplattenmontage											
1	SPDT	12VDC	160	15A @ 110VAC 15A @ 24VDC	Leiterplattenmontage	Z974-ND	5.71	5.15	4.58	4.12	LY1-0-DC12
		24VDC	650		Leiterplattenmontage	Z973-ND	5.71	5.15	4.58	4.12	LY1-0-DC24
		24VAC	180		Leiterplattenmontage	Z972-ND	5.71	5.15	4.58	4.12	LY1-0-AC24
		120VAC	4430		Leiterplattenmontage	Z971-ND	5.71	5.15	4.58	4.12	LY1-0-AC110/120
	DPDT	12VDC	160	10A @ 110VAC 10A @ 24VDC	Leiterplattenmontage	Z978-ND	6.42	5.78	5.14	4.62	LY2-0-DC12
		24VDC	650		Leiterplattenmontage	Z977-ND	6.42	5.78	5.14	4.62	LY2-0-DC24
		100VDC	6900		Leiterplattenmontage	Z979-ND	6.69	6.02	5.36	4.82	LY2-0-DC100/110
		24VAC	180		Leiterplattenmontage	Z976-ND	6.42	5.78	5.14	4.62	LY2-0-AC24
		120VAC	4430		Leiterplattenmontage	Z975-ND	6.42	5.78	5.14	4.62	LY2-0-AC110/120
Leistungsrelais — Einsteckbare Anschlussklemmen											
2	DPDT	12VDC	95	10A @ 220VAC 10A @ 28VDC	Einsteckbar	Z800-ND	9.04	8.14	7.23	6.51	MK2P-S-DC12
		24VDC	430		Einsteckbar	Z799-ND	9.04	8.14	7.23	6.51	MK2P-S-DC24
		24VAC	88		Einsteckbar	Z798-ND	8.97	8.08	7.18	6.47	MK2P-S-AC24
		120VAC	2300		Einsteckbar	Z797-ND	9.82	8.84	7.86	7.08	MK2P-S-AC120
	3PDT	12VDC	95	10A @ 220VAC 10A @ 28VDC	Einsteckbar	Z804-ND	10.33	9.30	8.27	7.44	MK3P5-S-DC12
		24VDC	430		Einsteckbar	Z803-ND	10.33	9.30	8.27	7.44	MK3P5-S-DC24
		24VAC	88		Einsteckbar	Z802-ND	10.33	9.30	8.27	7.44	MK3P5-S-AC24
		120VAC	2300		Einsteckbar	Z801-ND	11.05	9.95	8.84	7.96	MK3P5-S-AC120
3	DPDT	12VDC	160	5A @ 220VAC 5A @ 24VDC	Einsteckbar	Z181-ND	4.55	4.10	3.65	3.28	MY2-DC12(S)
		24VDC	636		Einsteckbar	Z182-ND	4.55	4.10	3.65	3.28	MY2-DC24(S)
		48VDC	2560		Einsteckbar	Z183-ND	4.74	4.27	3.80	3.42	MY2-DC48(S)
		24VAC	180		Einsteckbar	Z184-ND	4.55	4.10	3.65	3.28	MY2-AC24(S)
		120VAC	4430		Einsteckbar	Z185-ND	4.74	4.27	3.80	3.42	MY2-AC110/120(S)
	4PDT	12VDC	160	3A @ 220VAC 3A @ 24VDC	Einsteckbar	Z186-ND	5.49	4.94	4.39	3.95	MY4-DC12(S)
		24VDC	636		Einsteckbar	Z187-ND	5.49	4.94	4.39	3.95	MY4-DC24(S)
		24VDC	636		Mit LED	Z2188-ND	12.13	10.92	9.71	8.74	MY4N-DC24(S)
		24VAC	180		Einsteckbar	Z188-ND	5.49	4.94	4.39	3.95	MY4-AC24(S)
		120VAC	4430		Einsteckbar	Z189-ND	5.61	5.05	4.49	4.04	MY4-AC110/120(S)
4	SPST	24VDC	303	30A @ 220VAC	0,250" Schnellanschlusstyp	Z817-ND	8.91	8.02	7.13	6.42	G7L-1A-TUB-J-CB-DC24
		24VAC	270		0,250" Schnellanschlusstyp	Z815-ND	9.57	8.61	7.66	6.89	G7L-1A-TUB-J-CB-AC24
		120VAC	5260		0,250" Schnellanschlusstyp	Z814-ND	9.57	8.61	7.66	6.89	G7L-1A-TUB-J-CB-AC100/120
		220VAC	21000		0,250" Schnellanschlusstyp	Z816-ND	10.10	9.09	8.08	7.27	G7L-1A-TUB-J-CB-AC200/240
		12VDC	75	30A @ 220VAC	Schraubanschlusstyp	Z1051-ND	13.33	12.01	10.67	9.61	G7L-1A-BUBJ-CB-DC12
		24VDC	303		Schraubanschlusstyp	Z1052-ND	13.33	12.01	10.67	9.61	G7L-1A-BUBJ-CB-DC24
		24VAC	303		Schraubanschlusstyp	Z1053-ND	12.83	11.55	10.27	9.24	G7L-1A-BUBJ-CB-AC24
		120VAC	5260		Schraubanschlusstyp	Z1054-ND	14.12	12.71	11.30	10.17	G7L-1A-BUBJ-CB-AC100/120
	DPST	24VDC	303	25A @ 220VAC	.0,250" Schnellanschlusstyp	Z821-ND	9.27	8.35	7.42	6.68	G7L-2A-TUB-J-CB-DC24
		24VAC	270		0,250" Schnellanschlusstyp	Z820-ND	9.91	8.92	7.93	7.14	G7L-2A-TUB-J-CB-AC24
		120VAC	5260		0,250" Schnellanschlusstyp	Z818-ND	9.91	8.92	7.93	7.14	G7L-2A-TUB-J-CB-AC100/120
		220VAC	21000		0,250" Schnellanschlusstyp	Z819-ND	10.40	9.36	8.32	7.49	G7L-2A-TUB-J-CB-AC200/240
5	DPST-NO/NC	24VDC	288	25A @ 220VAC	Schraubanschlusstyp	Z1032-ND	34.57	31.11	27.65	24.89	G7J-2A2-B-B-W1-DC24
		120VAC	—		Schraubanschlusstyp	Z1030-ND	37.97	34.18	30.38	27.34	G7J-2A2-B-B-W1-AC100/120
		240VAC	—		Schraubanschlusstyp	Z1031-ND	39.18	35.26	31.35	28.21	G7J-2A2-B-B-W1-AC200/240
	3PST/SPST	24VDC	288	25A @ 220VAC	Schraubanschlusstyp	Z1035-ND	34.57	31.11	27.65	24.89	G7J-3A1-B-B-W1-DC24
		120VAC	—		Schraubanschlusstyp	Z1033-ND	37.97	34.18	30.38	27.34	G7J-3A1-B-B-W1-AC100/120
		240VAC	—		Schraubanschlusstyp	Z1034-ND	39.18	35.26	31.35	28.21	G7J-3A1-B-B-W1-AC200/240
	4PST	24VDC	288	25A @ 220VAC	Schraubanschlusstyp	Z1038-ND	34.57	31.11	27.65	24.89	G7J-4A-B-W1-DC24
		120VAC	—		Schraubanschlusstyp	Z1036-ND	37.97	34.18	30.38	27.34	G7J-4A-B-W1-AC100/120
		240VAC	—		Schraubanschlusstyp	Z1037-ND	39.18	35.26	31.35	28.21	G7J-4A-B-W1-AC200/240
Leistungsrelais — Hermetisch abgedichtetes Gehäuse											
3	4PDT	12DC	160	3A @ 110VAC 3A @ 24VDC	Klasse 1, Division 2	Z1223-ND	37.40	33.66	29.92	26.93	MY4H-DC12
		24DC	650		Klasse 1, Division 2	Z1224-ND	37.40	33.66	29.92	26.93	MY4H-DC24
		120AC	4430		Klasse 1, Division 2	Z1225-ND	37.40	33.66	29.92	26.93	MY4H-AC110/120
Relais, MY2K , mit Verriegelung — Einsteckbar											
3	DPDT	12VDC	160	5A @ 220VAC 5A @ 24VDC	Doppelspulen-Verriegelung	Z2056-ND*	15.62	14.06	12.50	11.25	MY2K-DC12
		24VDC	636		Doppelspulen-Verriegelung	Z2057-ND*	15.37	13.83	12.30	11.07	MY2K-DC24
		120VAC	4430		Doppelspulen-Verriegelung	Z2055-ND*	63.38	57.04	50.71	45.64	MY2K-AC120
DC-Stromrelais — Serie G9E											
6	SPST-NO	12DC	28.8	60A @ 400VDC	Hohe Spannung, DC	Z1610-ND	85.34	69.45	66.14	63.82	G9EA-1-B DC12
		24DC	115.2		Hohe Spannung, DC	Z1611-ND	85.34	69.45	66.14	63.82	G9EA-1-B DC24
		12DC	28.8		Hohe Spannung, DC	Z1612-ND	85.34	69.45	66.14	63.82	G9EA-1 DC12
		24DC	115.2		Hohe Spannung, DC	Z1613-ND	85.34	69.45	66.14	63.82	G9EA-1 DC24
		12DC	28.8	100A @ 400VDC	Hohe Spannung, DC	Z1614-ND	100.86	82.08	78.17	75.43	G9EA-1-CA-DC12
		24DC	115.2		Hohe Spannung, DC	Z1615-ND	145.83	131.25	116.67	105.00	G9EA-1-CA-DC24
		12DC	28.8		Hohe Spannung, DC	Z1616-ND	100.86	82.08	78.17	75.43	G9EA-1-B-CA-DC12
		24DC	115.2		Hohe Spannung, DC	Z1617-ND	100.86	82.08	78.17	75.43	G9EA-1-B-CA-DC24
7	SPST-NO	12VDC	12.8	200A @ 400VDC	Hohe Spannung, DC	Z1618-ND	161.20	132.28	127.64	123.40	G9EC-1-B DC12
		24VDC	51.2		Hohe Spannung, DC	Z1619-ND	161.20	132.28	127.64	123.40	G9EC-1-B DC24
		12VDC	12.8		Hohe Spannung, DC	Z1620-ND	161.20	132.28	127.64	123.40	G9EC-1 DC12
		24VDC	51.2		Hohe Spannung, DC	Z1621-ND	161.20	132.28	127.64	123.40	G9EC-1 DC24

*4PDT MY- oder MY2-Fassungen

Abb. 1

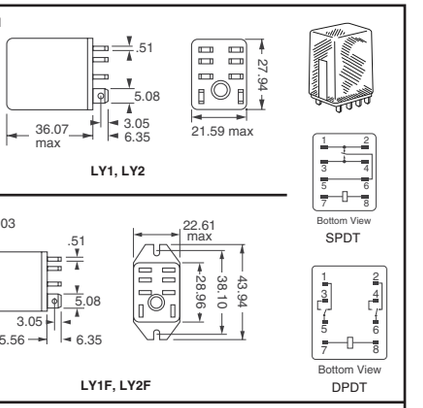

LY1, LY2

LY1F, LY2F

Abb. 2

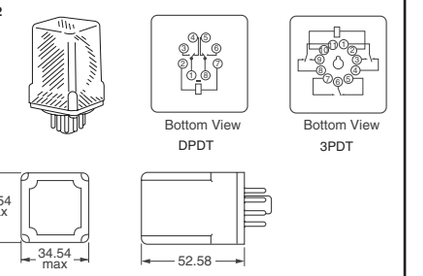

Abb. 3

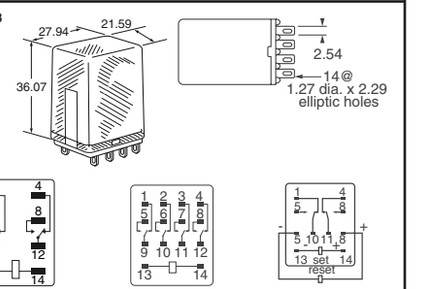

Abb. 4

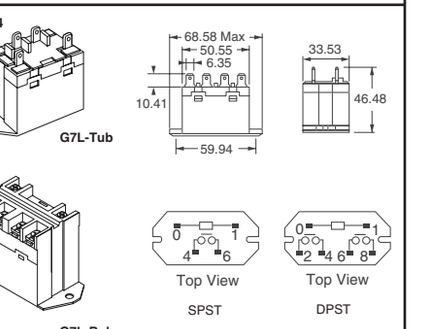

G7L-Tub

G7L-Bub

Abb. 5

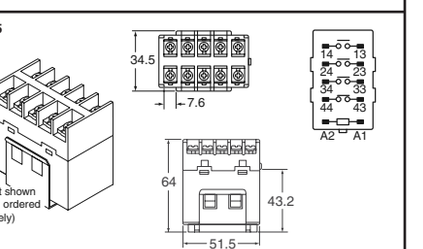

(Bracket shown must be ordered separately)

Abb. 6

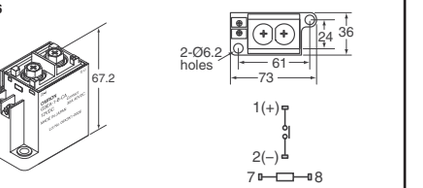

Abb. 7

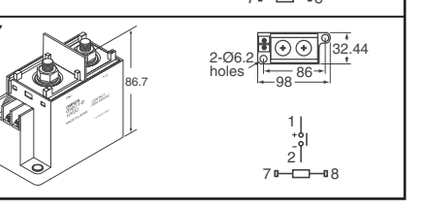

H

Alle Preisangaben in Euro und inklusive Zollgebühren.

E/A-Module und Racks

Abb. 1 — Standard

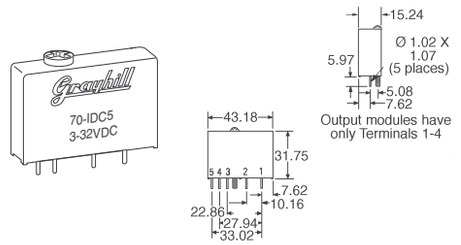

Abb. 2 — Montagekarte (70RCK4 Karte dargestellt)

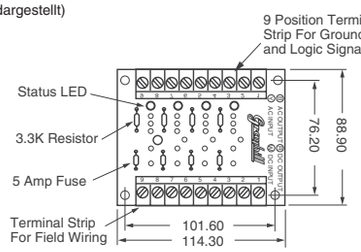

Abb. 3 — Mini

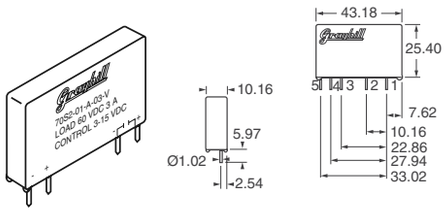

Abb. 4

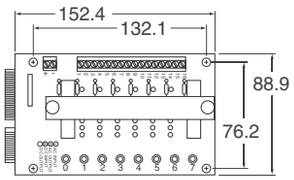

Abb. 5 — G5 volle Grösse

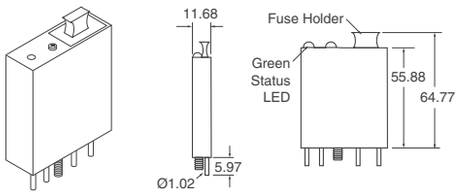

Abb. 6

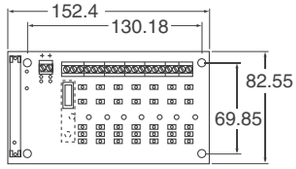

Unser Sortiment aus einsteckbaren E/A-Modulen bietet eine kostengünstige und vielseitige Methode für die Verbindung analoger und digitaler Signale mit Datenerfassungs-, Datensteuerungs- und Datenkontrollsystemen. Alle Module bieten eine optisch isolierte Barriere zwischen empfindlichen Mikroprozessoren oder logischen Digitalschaltkreisen und Feldanlagen.

Die Gehäusefarbe dieser Module identifiziert deren Funktion: Digitalausgangsmodul (AC) = schwarzes Gehäuse; Digitalausgangsmodul (DC) = rotes Gehäuse; Digitaleingangsmodul (AC) = gelbes Gehäuse; Digitaleingangsmodul (DC) = weißes Gehäuse; Analogausgangsmodul = oranges Gehäuse; Analogeingangsmodul = blaues Gehäuse..

MERKMALE • Stoßspannungsschutz erfüllt die Bedingungen der Norm IEEE472 „Surge Withstanding Capability Test“ (Überspannungsschutztest). • 4.000 V AC optische Isolierung.

ALLGEMEINE EIGENSCHAFTEN:

• **Betriebstemperaturbereich:** -40 °C ~ 100 °C • **UL-Eintragungsnr.:** E58632 **CSA-Eintragungsnr.:** LR38763

ALLGEMEINE SPEZIFIKATIONEN:

• **Betriebstemperatur:** 0 °C ~ 60 °C

• **Kurzschlussschutz:** Ausgangssignal kann zur Erde kurzgeschlossen werden, ohne das Modul zu beschädigen

Spannung, Ausgangsmodule: • **Versorgungsspannung:** 4,5 ~ 5,5 V DC • **Versorgungsstrom @** 5 V DC: max. 140 mA

Stromausgangsmodule: • **Versorgungsspannung:** 4,5 ~ 5,5 V DC • **Versorgungsstrom @ 5 V DC:** max. 240 mA • **Ausgangsstrom (Quelle):** max. 20 mA

Spannungseingangsmodule: • **Versorgungsspannung:** 4,5 ~ 5,5 V DC • **Versorgungsstrom @ 5 V DC:** max. 150 mA • **Ausgangsfrequenz:** 14,4 ~ 72,0 kHz Rechteckspannung • **Rechteckwellen-Arbeitszyklus:** 40 % ~ 60 % • **Genauigkeit:** ± 0,1 % (DC-Version), ± 0,3 % (AC-Versionen)

	Eingangsschaltkreis		Ausgangsschaltkreis						Stückpreis			
Abb.	V DC Nom.	Bereich	Nenn-spannung	Bereich	Lastzyklus. (Rms)	T Ein-Zeit	T Aus-Zeit	Digi-Key Teilenr.	1	10	100	Grayhill Teilenr.
					Digitale E/A-Module — Standardgröße							
1	5 VDC	2.5-10	120 VAC	24-140	.030-3.5A	8.3ms	8.3ms	GH7018-ND	7.88	7.10	6.71	70-OAC5
	5 VDC	2.5-10	60 VDC	3-60	.020-3.5A	20µs	50µs	GH7019-ND	7.88	7.10	6.71	70-ODC5
	120 VAC	90-140	5 VDC	3-60	1-50mA	20ms	20ms	GH7020-ND	7.88	7.10	6.71	70-IAC5
	5 VDC	3-32 VDC	5 VDC	3-60	1-50mA	250µs	400µs	GH7021-ND	7.88	7.10	6.71	70-IDC5
					Montagekarten für Standardmodule							
2	Montagekarte für 4 standardm. E/A-Module - Anschlussblock - nur negative Logik							GH7028-ND	16.80	15.96	—	70RCK4
2	Montagekarte für 4 standardm. E/A-Module - Anschlussblock - negative oder positive Logik							GH3035-ND	17.68	16.80	—	70RCK4R
—	Montageplatte für 8 standardm. E/A-Module - nur Direktsteckverbinder							GH7029-ND	33.30	31.63	—	70RCK8
—	Montagekarte für 8 standardm. E/A-Module - Buchsensteckverbinder mit langem Riegel							GH3044-ND	36.53	34.71	—	70RCK8-HL
—	Montageplatte für 16 standardm. E/A-Module - nur Direktsteckverbinder							GH7031-ND	53.91	51.22	—	70RCK16
—	Montageplatte für 16 standardm. E/A-Module - Buchsensteckverbinder mit langem Riegel							GH3045-ND	57.15	54.30	—	70RCK16-HL
—	Montageplatte für 24 standardm. E/A-Module - nur Direktsteckverbinder							GH3007-ND	89.55	85.08	—	70RCK24
					Digitale E/A-Module — Miniaturgröße							
3	5 VDC	2.5-10	120 VAC	24-140	.030-3A	8.3ms	8.3ms	GH7022-ND	7.88	7.10	6.71	70M-OAC5
	5 VDC	2.5-10	240 VAC	24-280	.030-3A	8.3ms	8.3ms	GH7023-ND	8.72	7.85	7.42	70M-OAC5A
	5 VDC	2.5-10	60 VDC	3-60	.020-3A	20µs	50µs	GH7024-ND	7.88	7.10	6.71	70M-ODC5
	15 VDC	10-18	60 VDC	3-60	.020-3A	20µs	50µs	GH7025-ND	7.88	7.10	6.71	70M-ODC15
	120 VAC	90-140	5 VDC	3-6	1-50mA	20ms	20ms	GH7026-ND	7.88	7.10	6.71	70M-IAC5
	5 VDC	3-32 VDC	5 VDC	3-6	1-50mA	200µs	400µs	GH7027-ND	7.88	7.10	6.71	70M-IDC5
					Montagekarten für Mini-Module							
4	Montageplatte für 8 Mini-E/A-Module - nur Direktsteckverbinder							GH7030-ND	36.23	34.42	—	70MRCK8-EC
	Montageplatte für 24 Mini-E/A-Module - nur Direktsteckverbinder							GH3008-ND	97.50	92.64	—	70MRCK24-EC
					Digitale E/A-Module — G5, Großformat mit Status-LED							
5	5 VDC	4-6	120 VAC	24-140	.030-3.5A	8.3ms	8.3ms	GH3037-ND	9.13	8.23	7.77	70G-OAC5
	5 VDC	4-6	240 VAC	24-280	.030-3.5A	8.3ms	8.3ms	GH3038-ND	9.93	8.94	8.45	70G-OAC5A
	15 VDC	8-20	120 VAC	24-140	.030-3.5A	8.3ms	8.3ms	GH3039-ND	9.13	8.23	7.77	70G-OAC15
	5 VDC	4-6	60 VDC	3-60	.020-3.5A	20µs	50µs	GH3040-ND	9.13	8.23	7.77	70G-ODC5
	15 VDC	10-20	60 VDC	3-60	.020-3.5A	20µs	50µs	GH3041-ND	9.13	8.23	7.77	70G-ODC15
	120 VAC	0-140	5 VDC	4.5-6	1-50mA	20ms	20ms	GH3042-ND	8.31	7.48	7.07	70G-IAC5
	5 VDC	3-32	5 VDC	4.5-6	1-50mA	200µs	400µs	GH3043-ND	8.31	7.48	7.07	70G-IDC5
					Montagekarten — G5, Großformat							
—	Montagekarte für 4 Analog-E/A-Module - Anschlussblock - negative oder positive Logik							GH3031-ND	17.68	—	15.91	70GRCK4R
6	Montageplatte für 8 analoge E/A-Module - Buchsensteckverbinder mit kurzem Riegelr							GH3032-ND	38.30	—	34.47	70GRCK8-HS

H

Optoelektronische Leistungs-IC-Relais

Abb. 1

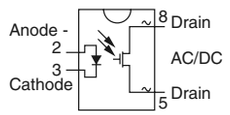

Abb. 2

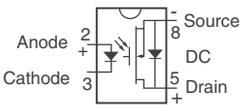

Abb. 3

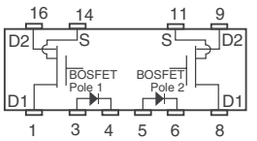

Abb. 4

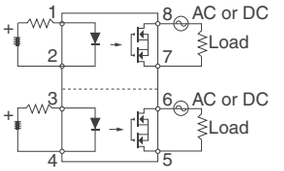

Abb. 5

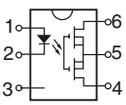

Abb. 6

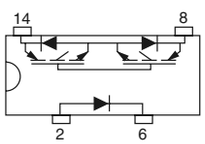

Abb. 7

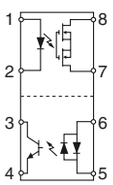

Abb. 8

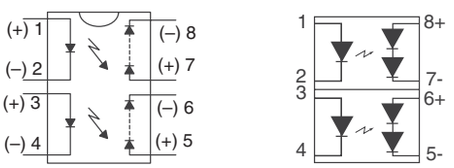

Abb. 9

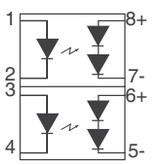

Abb.	Eingangs-LED Vf (Volt)	Eingangs-LED Imin (mA)	Eingangs-LED Imax (mA)	VBereich	Imax Ausgangsschalt-kreis (mA)	Tein/ Taus	Gehäuse	Digi-Key Teilenr.	Stückpreis 1	Stückpreis 10	Stückpreis 100
1	1.0	5	25	0-60V AC	1000	2ms/0.5ms	8-SMD	PVAZ172NS-ND	8.59	6.88	5.16
	1.2	10	25	0-60V AC	1000	2ms/0.5ms	8-Dip	PVAZ172N-ND	8.47	6.78	5.93
	1.2	2	25	0 ~ ±100V AC/DC	550	150µs/70µs	8-Dip	PVA1352N-ND	5.08	4.07	3.05
	1.2	2	25	0 ~ ±100V AC/DC	550	150µs/70µs	8-SMD	PVA1352NS-ND	5.15	3.53	3.09
	1.2	2	25	0 ~ ±100V AC/DC	550	150µs/70µs	8-Dip	PVA1354N-ND	5.50	4.41	3.31
	1.2	2	25	0 ~ ±100V AC/DC	550	150µs/70µs	8-SMD	PVA1354NS-ND	5.57	3.82	3.34
	1.2	2	25	0 ~ ±200V AC/DC	150	100µs/70µs	8-Dip	PVA2352N-ND	4.55	3.64	2.74
	1.2	—	25	0 ~ ±200V AC/DC	150	100µs/70µs	8-SMD	PVA2352NS-ND	4.61	3.17	2.77
	1.2	2	25	0 ~ ±300V AC/DC	50	60µs/60µs	8-Dip	PVA3054N-ND	5.50	4.41	3.31
	1.2	2	25	0 ~ ±300V AC/DC	50	60µs/60µs	8-SMD	PVA3054NS-ND	5.57	3.82	3.34
	1.2	2	25	0 ~ ±300V AC/DC	50	60µs/60µs	8-Dip	PVA3055N-ND	6.35	5.08	3.81
	1.2	2	25	0 ~ ±300V AC/DC	50	60µs/60µs	8-SMD	PVA3055NS-ND	6.42	4.40	3.85
	1.2	2	25	0 ~ ±300V AC/DC	150	100µs/70µs	8-Dip	PVA3324N-ND	6.35	5.08	3.81
	1.2	1	25	0 ~ ±300V AC/DC	150	100µs/70µs	8-SMD	PVA3324NS-ND	6.42	4.40	3.85
	1.2	2	25	0 ~ ±300V AC/DC	150	100µs/70µs	8-Dip	PVA3354N-ND	5.50	4.41	3.13
	1.2	—	25	0 ~ ±300V AC/DC	150	100µs/70µs	8-SMD	PVA3354NS-ND	5.57	3.82	3.34
	1.2	2	25	0 ~ ±100V AC/DC	160	25µs/15µs	8-Dip	PVD1352N-ND	5.40	4.32	3.25
	1.2	2	25	0 ~ ±100V AC/DC	550	25µs/15µs	8-Dip	PVD1354N-ND	5.82	4.66	3.50
2	1.2	20	25	0-60V DC	1500	2ms/0.5ms	8-Dip	PVDZ172N-ND	7.20	5.76	5.04
	1.25	5	25	0-60V DC	1500	2ms/0.5ms	8-SMD	PVDZ172NS-ND	7.32	5.13	4.46
	1.2	2	25	0-100V DC	550	150µs/70µs	8-SMD	PVD1352NS-ND	5.46	3.75	3.28
	1.2	2	25	0-100V DC	550	150µs/70µs	8-SMD	PVD1354NS-ND	5.88	4.04	3.54
	1.2	2	25	0-200VDC	240	100µs/70µs	8-Dip	PVD2352N-ND	4.87	3.90	2.93
	1.2	2	25	0-300VDC	240	100µs/70µs	8-Dip	PVD3354N-ND	5.82	4.66	3.70
	1.2	2	25	0-300VDC	240	100µs/70µs	8-SMD	PVD3354NS-ND	5.88	4.04	3.54
3	1.2	2	25	0 ~ ±100V AC/DC	360	150µs/70µs	16-Dip	PVR1300N-ND	11.12	8.89	6.68
	1.2	2	25	0 ~ ±100V AC/DC	360	150µs/70µs	16-Dip	PVR1301N-ND	11.85	9.49	7.12
	1.2	2	25	0 ~ ±200V AC/DC	165	100µs/70µs	16-Dip	PVR2300N-ND	10.06	8.05	6.04
	1.2	2	25	0 ~ ±300V AC/DC	165	100µs/70µs	16-Dip	PVR3300N-ND	11.12	8.89	6.68
	1.2	2	25	0 ~ ±300V AC/DC	165	100µs/70µs	16-Dip	PVR3301N-ND	11.85	9.49	7.12
4	1.25	2	25	0-250V AC/DC	170	3ms/0.5ms	8-Dip	PVT322-ND	4.23	3.39	2.97
	1.25	2	25	0-250V AC/DC	170	3.0ms/0.5ms	8-SMD	PVT322S-ND	4.55	3.64	3.19
	1.25	2	25	0 ~ ±250V AC/DC	170	3.0ms/0.5ms	8-SMD	PVT322AS-TTR-ND		3349.36/750	
	1.2	2	25	0-400V AC/DC	120	2ms/2ms	8-Dip	PVT422-ND	4.40	3.53	3.09
	1.25	2	25	0-400V AC/DC	120	2ms/2ms	SMD Thin-Pak	PVT422P-ND	4.55	3.64	3.19
5	1.2	5	25	0-60V AC/DC	1000	2ms/0.5ms	6-Dip	PVG612-ND	5.05	3.64	2.98
	1.25	5	25	0 ~ ± 60V AC/DC	1000	2.0ms/0.5ms	6-SMD	PVG612S-ND	5.08	4.07	3.56
	1.25	5	25	0 ~ ± 60V AC/DC	1000	2.0ms/0.5ms	6-SMD	PVG612S-T-ND		2323.92/750	
	1.2	5	25	0 ~ ± 60V AC/DC	1.0	2.0ms/0.5ms	6-SMD	PVG613S-ND	8.11	5.56	4.87
	1.2	3	25	0-20V AC/DC	2500	5ms/0.5ms	6-Dip	PVN012-ND	4.95	3.97	3.47
	1.25	3	25	0 ~ ±20V AC/DC	2500	5.0ms/0.5ms	6-SMD	PVN012S-ND	5.08	4.07	3.56
	1.2	3	25	0 ~ ±20V AC/DC	2.5	5.0ms/0.5ms	6-Dip	PVN013-ND	8.03	5.51	4.82
	1.2	3	25	0 ~ ±20V AC/DC	2.5	5.0ms/0.5ms	6-SMD	PVN013S-ND	8.11	5.56	4.87
	7.0	5	25	0 ~ ±150V AC/DC	550	3.0ms/0.5ms	6-Dip	PVT212-ND	5.46	3.72	3.28
	7.0	5	25	0 ~ ±150V AC/DC	550	3.0ms/0.5ms	6-SMD	PVT212S-ND	5.50	3.64	3.31
	1.2	2	25	0-250V AC/DC	190	3ms/0.5ms	6-Dip	PVT312-ND	2.16	1.73	1.52
	1.2	2	25	0-250V AC/DC	170	3ms/0.5ms	6-Dip	PVT312L-ND†	2.20	1.77	1.55
	2.0	2	25	0-250 AC/DC	2	3.0/.05ms	6-SMD	PVT312LS-ND	2.06	1.65	1.24
	2.0	2	25	0-250 AC/DC	2	3.0/.05ms	6-SMD	PVT312S-ND	2.01	1.61	1.21
	1.2	5	25	0-400V AC/DC	140	2ms/0.5ms	6-Dip	PVT412-ND	1.95	1.56	1.37
	1.2	5	25	0-400V AC/DC	120	2ms/0.5ms	6-Dip	PVT412L-ND	2.20	1.77	1.55
	1.25	3	25	0 ~ ±400V AC/DC	140	2.0ms/0.5ms	6-SMD	PVT412LS-ND	2.24	1.80	1.57
	1.25	3	25	0 ~ ±400V AC/DC	140	2.0ms/0.5ms	6-SMD	PVT412S-ND	1.97	1.58	1.39
	1.2	5	25	0-400V AC/DC	140	500µs/200µs	6-Dip	PVU414-ND	4.61	3.70	3.23
	1.2	5	25	0-400V AC/DC	140	500µs/200µs	6-Dip	PVU414S-ND	4.74	3.80	3.32
6	1.25	5	25	0-280V(AC) RMS 0-400V (DC)	1000	7ms/1ms	14-Dip	PVX6012-ND	9.21	7.37	5.67
7	1.25	3	25	0-400V AC/DC	120	2.0ms/.5ms	Thin-Pak	PVO402P-ND	5.04	4.03	3.54
	1.2	5	25	0 ~ ±400V AC/DC	150	1.0ms/.5ms	SMD Thin-Pak	PVO402AP-ND	5.77	4.11	3.40
8	2.0	2	25	0-250 AC/DC	2	3.0/.5ms	8-Dip	PVT322A-ND	8.70	6.96	5.22
9	2.0	2	25	0-250 AC/DC	2	3.0/.5ms	8-SMD	PVT322AS-ND	8.79	7.03	5.28
	2.0	2	25	0-250 AC/DC	2	1.0/2.0ms	8-SMD	PVT422S-ND	4.61	3.70	2.77

† Einsatz von Strombegrenzungsschaltkreisen für Stoßspannung.

H

Alle Preisangaben in Euro und inklusive Zollgebühren.

Festkörperrelais und -schalter

Clare ist führender Anbieter von SSR-Relais (Solid State Relais = Festkörperrelais) in der Kommunikationsbranche und hat SSR-Lösungen entwickelt, die elektromechanische Geräte ersetzen bzw. die Leistung von drahtgebundenen Anschlüssen verbessern. Die Produkte von Clare stellen die wichtige Schnittstelle zwischen elektrischen Hochspannungssignalen und Niederspannungs-Elektronikgeräten, die diese Signale verarbeiten, bereit.

Die Einzelchip-Telefonleitungsschnittstellen aus Silikon von LITELINK III (DAA) verwenden eine optische Technologie, um die erforderliche Isolierungsbarriere im Paket einzuschließen. Kostenintensive Kondensatoren oder Transformatoren werden somit überflüssig. Diese Lösung ist im Vergleich zu Lösungen der Konkurrenz kostensparend, denn die Anzahl der passiven Komponenten wird reduziert und es ist weniger Platz auf der Montageplatte erforderlich. LITELINK III unterstützt Differenzial- und Einzelend-Empfangs- bzw. Übertragungs-Ports für die leichte Verbindung mit bekannten Modem-IC-Codecs und SLAC-Sprachgeräten.

Merkmale • Sprach- und Datenanwendungen • Modem DAA für Geschwindigkeiten bis zu V.92 • Anrufererkennungsempfang • 3,3- oder 5-V-Stromversorgung

Anwendungen: • Computer-Telefonie • Satelliten-Box • V.92-Modems • Faxgeräte • Voice-Mail-Systeme • Bankautomaten • Sicherheitssysteme

OptoMos-Festkörperrelais

Abb.	Schaltkreis	Paket	Eingangs-strom* min./max.	Ausgangs-strom max.	Last-spannung	Ein-/Aus-schalten (mS)	Digi-Key Teilenr.	Stückpreis 1	25	50	B&S† Preisangaben 1.000	Clare Teilenr.
1	SPST-NO	4-SOP	2/50mA	300mA	100	3/1	CLA154-ND	1.71	1.45	1.19	—	CPC1004N
	SPST-NO	4-SOP	2/50mA	150mA	100	2/0.5	CLA159-ND	1.43	1.22	1.00	—	CPC1008N
	SPST-NO	4-SOP	2/50mA	100mA	350	2/1	CLA151-ND	1.65	1.40	1.15	—	CPC1035N
	SPST-NO	4-SOP	2/50mA	120mA	350	2/1	CLA152-ND	1.90	1.61	1.32	—	CPC1030N
	SPST-NO	4-SOP	2/50mA	120mA	350	2/1	CLA161-ND	2.20	1.87	1.53	—	CPC1230N
	SPST-NC	4-SOP	2/50mA	120mA	350	1/2	CLA155-ND	1.90	1.61	1.32	—	CPC1150N
	SPST-NO	4-SOP	2/50mA	100mA	100	2/0.5	CLA160-ND	1.43	1.22	1.00	—	CPC1016N
	SPST-NO	4-SOP	1/50mA	100mA	60	10/10	CLA153-ND	1.16	.98	.80	—	CPC1017N
	SPST-NO	4-SOP	Min. 1mA	600mA	60	3/2	CLA214-ND	3.41	2.89	2.37	—	CPC1018N
	SPST-NC	4-SOP	2/50mA	120mA	350	2/2	CLA205-ND	2.48	2.10	1.72	—	CPC1130N
2	SPST-NO	6 Dip	10/50mA	1mA	60	2.5/.25	CLA181-ND	5.42	4.59	3.76	—	LCA710
	SPST-NO	6 Dip	5/50mA	350mA	100	5/5	CLA192-ND	4.18	3.54	2.90	—	PLA134
	SPST-NO	6 Dip	5/50mA	250mA	250	2/0.5	CLA193-ND	4.18	3.54	2.90	—	PLA150
	SPST-NO	6 Dip	5/50mA	250mA	250	1/2.5	CLA194-ND	4.95	4.20	3.43	—	PLB150
	SPST-NO	6 Dip	2/50mA	120mA	350	3/3	CLA101-ND	1.96	1.66	1.36	—	LCA110
	SPST-NO	6-SMD	2/50mA	120mA	350	3/3	CLA102CT-ND‡	2.01	1.70	1.40	741.62	LCA110STR
	SPST-NC	6 Dip	5/50mA	120mA	350	3/3	CLA105-ND	2.75	2.33	1.91	—	LCB110
	SPST-NO	6 Dip	5/50mA	200mA	250	5/5	CLA180-ND	3.39	2.87	2.35	—	LCA127
	SPST-NC	6 Dip	5/50mA	200mA	250	5/5	CLA183-ND	3.99	3.38	2.77	—	LCB127
	SPST-NO	6 Dip	5/50mA	170mA	300	5/5	CLA179-ND	3.39	2.87	2.35	—	LCA125
	SPST-NC	6 Dip	5/50mA	170mA	250	5/5	CLA182-ND	3.44	2.92	2.39	—	LCB120
	SPST-NO	6 Dip	5/50mA	150mA	400	1/.5	CLA107-ND	3.55	3.01	2.46	—	PLA110
	SPST-NO	6-SMD	5/50mA	150mA	400	1/.5	CLA156-ND	3.58	3.03	2.48	—	PLA110S
	SPST-NO	6 Dip	5/50mA	150mA	250	3/3	CLA178-ND	2.92	2.47	2.02	—	LCA120
	SPST-NO	6 Dip	5/50mA	120mA	350	5/5	CLA177-ND	2.81	2.38	1.95	—	LCA100
	SPST-NO	6 Dip	5/50mA	100mA	350	5/5	CLA200-ND	2.07	1.75	1.43	—	XCA170
3	DPST-NO/NO	8 Dip	5/50mA	250mA	400	3/1	CLA188-ND	7.43	6.29	5.15	—	PAA140
	DPST-NO/NO	8 Dip	5/50mA	250mA	250	2.5/0.5	CLA189-ND	7.98	6.76	5.53	—	PAA150
	DPST-NO/NC	8 Dip	5/50mA	250mA	250	2.5/2.5	CLA190-ND	8.45	7.15	5.85	—	PBA150
	DPST-NC/NC	8 Dip	5/50mA	250mA	250	2.5/2.5	CLA191-ND	8.45	7.15	5.85	—	PBB150
	DPST-NO/NO	8 Dip	5/50mA	200mA	250	5/5	CLA172-ND	6.41	5.43	4.44	—	LAA127
	DPST-NO/NO	8 Dip	5/50mA	170mA	250	5/5	CLA170-ND	5.53	4.68	3.83	—	LAA120
	DPST-NC/NC	8 Dip	5/50mA	200mA	250	5/5	CLA176-ND	7.59	6.43	5.26	—	LBB127
	DPST-NC/NC	8 Dip	5/50mA	170mA	250	5/5	CLA175-ND	6.08	5.15	4.21	—	LBB126
	DPST-NO/NO	8 Dip	5/50mA	170mA	350	5/5	CLA171-ND	5.15	4.36	3.57	—	LAA125
	DPST-NO/NC	8 Dip	5/50mA	170mA	250	5/5	CLA173-ND	6.03	5.10	4.18	—	LBA120
	DPST-NO/NO	8 Dip	5/50mA	150mA	400	1/.25	CLA187-ND	6.77	5.73	4.69	—	PAA110
	DPST-NO/NO	8 Dip	5/50mA	120mA	350	3/3	CLA103-ND	4.43	3.75	3.07	—	LAA110
	DPST-NC/NO	8 Dip	5/50mA	120mA	350	3/3	CLA104-ND	4.84	4.10	3.36	—	LBA110
	DPST-NC/NC	8 Dip	5/50mA	120mA	350	3/3	CLA174-ND	5.23	4.43	3.62	—	LBB110
	DPST-NO/NC	8 Dip	5/50mA	100mA	350	5/5	CLA199-ND	4.54	3.85	3.15	—	XBA170
	DPST-NO/NO	8 Dip	5/50mA	100mA	350	5/5	CLA198-ND	4.16	3.52	2.88	—	XAA170
4	SPST-NO/NO	8 Dip	10/50mA	170mA	250	5/5	CLA184-ND	5.56	4.71	3.85	—	LCC120
	SPST-NC/NO	8 Dip	8/50mA	120mA	350	4/4	CLA106-ND	4.35	3.68	3.01	—	LCC110

* Eingangsspannung - meist 1,2 V, max. 1,4 V †Für Band und Spule die Teilenummer CT-ND in TR-ND ändern ‡ CT- Am Band

Optische Koppler

Abb.	Schaltkreis	Paket	Vf	If (mA)	Isolierung (Vrms)	Stromtransferrate	Digi-Key Teilenr.	Stückpreis 1	25	50	B&S† Preisangaben 1.000	Clare Teilenr.
5	Dual-Transformator	8 Dip	1.2	2	3750	—	CLA113-ND	2.97	2.52	2.06	—	LOC110
	Dual-Transformator	8-SMD	1.2	2	3750	—	CLA114CT-ND‡	4.13	3.50	2.86	1210.64	LOC110STR
	Dual-Transformator	8 Dip	1.2	2	3750	—	CLA116-ND	3.33	2.82	2.31	—	LOC111
	Dual-Transformator	Flat Pk.	1.2	2	3750	—	CLA118CT-ND‡	4.46	3.78	3.09	1331.70	LOC111PTR
6	Einzeltransformator	6 Dip	1.2	6	3750	100%	CLA185-ND	.77	.66	.54	—	LDA100
7	Einzeltransformator	6 Dip	1.2	2	3750	1000%	CLA111-ND	.80	.68	.56	—	LDA110
8	Dual-Transformator	8 Dip	1.2	6	3750	100%	CLA112-ND	1.54	1.31	1.07	—	LDA200
9	Dual-Transformator	8 Dip	1.2	6	3750	1000%	CLA186-ND	1.63	1.38	1.13	—	LDA210
10	Telecom	8 Dip	1.2	2	3750	—	CLA108-ND	2.89	2.45	2.01	—	TS117
	Telecom	8-SMD	1.2	2	3750	—	CLA110CT-ND‡	2.92	2.47	2.02	1076.88	TS117STR

† Für „Gegurtet auf Rolle" Teilenummer CT-ND in TR-ND ändern ‡ CT- Am Band

Festkörperrelais und -schalter

Abb.	Schaltkreis	Paket	Ausgangs-strom (A)	Last (V)	Isolierung (Vrms)	Digi-Key Teilenr.	Stückpreis 1	25	50	Clare Teilenr.
11	SCR-Ausgang	16 Dip	1	600	3750	CLA157-ND	3.33	2.82	2.31	CPC1965G
	SCR-Ausgang	16 Dip	1	400	3750	CLA162-ND	3.17	2.68	2.20	CPC1945G
12	SCR-Ausgang	8 SIP	1	250	3750	CLA158-ND	3.33	2.82	2.31	CPC1965Y
	SCR-Ausgang	8 SIP	1	400	3750	CLA163-ND	3.17	2.68	2.20	CPC1945Y
	SCR-Ausgang	8 SIP	1	400	3750	CLA195-ND	5.56	4.71	3.85	PS1201
	SCR-Ausgang	8 SIP	1	500	3750	CLA196-ND	5.64	4.78	3.91	PS2401
	SCR-Ausgang	8 SIP	1	600	3750	CLA197-ND	6.99	5.92	4.84	PS2601
13	MOSFET	4 SIP	250mA	1000	2500	CLA203-ND	7.57	6.41	5.24	CPC1981Y
	MOSFET	4 SIP	2	60	2500	CLA207-ND	6.55	5.55	4.54	CPC1906Y
	MOSFET	4 SIP	2.5	100	2500	CLA209-ND	6.22	5.27	4.31	CPC1916Y
	MOSFET	4 SIP	1	250	2500	CLA210-ND	5.86	4.96	4.06	CPC1926Y
	MOSFET	4 SIP	350mA	400	2500	CLA211-ND	5.50	4.66	3.81	CPC1973Y
14	MOSFET	i4-PAC	8	60	2500	CLA208-ND	12.39	10.48	8.58	CPC1908J
	MOSFET	i4-PAC	4	600	2500	CLA212-ND	14.94	12.65	10.35	CPC1977J
	MOSFET	i4-PAC	2.5	800	2500	CLA213-ND	11.95	10.11	8.27	CPC1978J

LITELINK III-Telefonleitungsschnittstelle

Abb.	Beschreibung	Digi-Key Teilenr.	Stück-preis	Clare Teilenr.
15	IC, Telefonleitung, Monitor	CLA169-ND	1.24	CPC5710N
16	Halbwellen-Ruferkennung	CLA166-ND	5.48	CPC5620A
	Ganzwellen-Ruferkennung	CLA167-ND	5.48	CPC5621A
	VoIP/Voice Designs mit Full Time CID und RING	CLA215-ND	5.48	CPC5622A
17	LITELINK III-Evaluierungskarte, reaktiv	CLA165-ND	162.32	CPC5621EVAL-CDL
	LITELINK III-Evaluierungskarte, resistiv	CLA164-ND	153.04	CPC5621EVAL-RDL
—	SHDSL/ISDN DC 16-SOIC-Terminierung	CLA206-ND	9.27	CPC1465D

Abb. 1

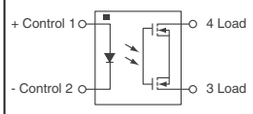

Abb. 2

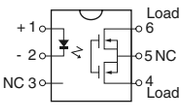

Abb. 3

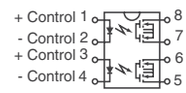

Abb. 4

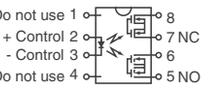

Abb. 5

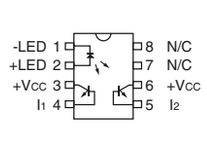

Abb. 6

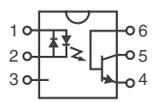

Abb. 7

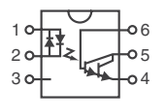

Abb. 8

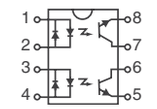

Abb. 9

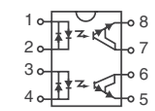

Abb. 10

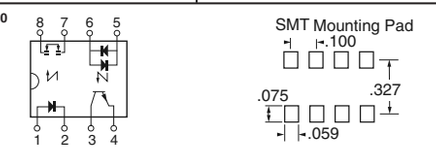

Abb. 11

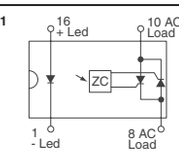

Abb. 12

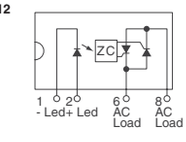

Abb. 13

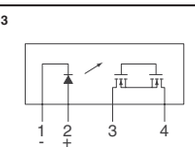

Abb. 14

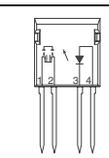

Abb. 15

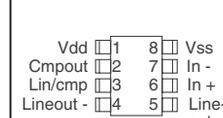

Abb. 16

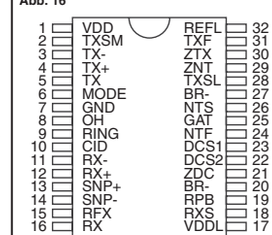

Abb. 17

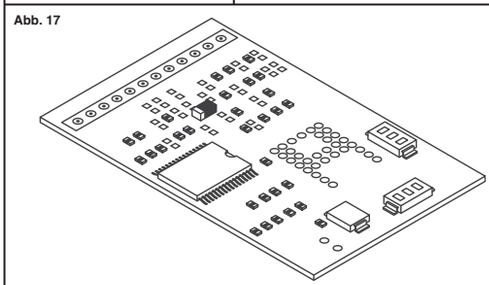

H

SHARP MICROELECTRONICS

Festkörperrelais

Abb.	Eingang Spannungs- typ.	Eingang Strom Min. (mA)	Eingang Strom Max. (mA)	Ausgang Spannung Vrms max.	Ausgang Strom IT (RMS) (A)	Ausgang Halte- strom (mA) Max.	Ausführung	Digi-Key Teilenr.	Preis pro Röhre 1	Preis pro Röhre 10	Preis pro Röhre 25	Sharp Teilenr.
1	1.2	5	50	120	1.5	25	16-Dip	425-1182-5-ND	2.16	1.80	1.53	PR21HD22NSZ
		10	50	120	1.5	25	16-Dip	425-1207-5-ND	2.13	1.78	1.52	S101DH2
		5	50	240	1.5	25	16-Dip	425-1193-5-ND	2.31	1.93	1.64	PR31HD22NSZ
2	1.2	5	50	120	0.6	25	8-SMD	425-1380-1-ND‡	1.35	—	1.02	PR26MF11NIP
								425-1380-2-NDΔ#	440.23/1,000			PR26MF11NIP
		5	50	120	0.6	25	8-Dip	425-1184-5-ND	1.10	.94	.85	PR26MF12NSZ
		5	50	120	0.9	25	8-Dip	425-1187-5-ND	1.32	1.12	1.02	PR29MF12NSZ
		10	50	120	0.6	25	8-Dip	425-1183-5-ND	1.08	.91	.83	PR26MF11NSZ
		10	50	120	0.9	25	8-Dip	425-1186-5-ND	1.30	1.10	1.00	PR29MF11NSZ
		5	50	240	0.6	25	8-Dip	425-1197-5-ND	1.38	1.17	1.06	PR36MF12NSZ
		10	50	240	0.6	25	8-Dip	425-1196-5-ND	1.27	1.08	.98	PR36MF11NSZ
		10	50	240	0.9	25	8-Dip	425-1201-5-ND	1.35	1.13	.96	PR39MF11NSZ
		10	50	240	1.2	25	8-Dip	425-1205-5-ND	1.27	1.06	.90	PR3BMF11NSZ
3	1.2	10	50	120	0.9	25	8-Dip	425-1188-5-ND	1.32	1.11	.94	PR29MF21NSZ
		5	50	240	0.3	25	8-Dip	425-1195-5-ND	1.47	1.23	1.05	PR33MD22NSZ
		5	50	240	0.6	25	8-Dip	425-1199-5-ND	1.40	1.17	.99	PR36MF22NSZ
		5	50	240	0.9	25	8-Dip	425-1200-5-ND	1.85	1.55	1.32	PR39MD22NSZ
		5	50	240	0.9	25	8-Dip	425-1204-5-ND	1.55	1.30	1.10	PR39MF22NSZ
4	1.2	10	50	120	1.5	25	16-Dip	425-1206-5-ND	1.88	1.57	1.34	S101DH1
		10	50	240	1.5	25	16-Dip	425-1240-5-ND	2.06	1.72	1.46	S201DH1
5	1.2	8	50	120	8.0	50	4-Sip	425-1217-5-ND	6.90	6.21	5.52	S102S11
		8	50	240	8.0	50	4-Sip	425-1248-5-ND	7.37	6.63	5.90	S202S11
		10	50	240	8.0	50	4-Sip	425-1189-5-ND	5.06	4.56	4.05	PR308S31ESU
6	1.2	8	50	120	8.0	50	4-Sip	425-1218-5-ND	7.60	6.84	6.08	S102S12
		15	50	120	3.0	50	4-Sip	425-1213-5-ND	4.57	4.12	3.66	S101S16V
		8	50	240	8.0	50	4-Sip	425-1249-5-ND	7.96	7.17	6.37	S202S12
		8	50	240	16.0	25	4-Sip	425-1254-5-ND	5.93	5.34	4.75	S202TA1
		10	50	240	8.0	50	4-Sip	425-1190-5-ND	5.19	4.67	4.15	PR308S41ESU
7	1.2	8	50	120	2.0	25	4-Sip	425-1219-5-ND	2.69	2.42	2.16	S102T01
		8	50	120	8.0	50	4-Sip	425-1223-5-ND	3.50	3.15	2.80	S108T01
		8	50	240	5.0	50	4-Sip	425-1257-5-ND	3.50	3.15	2.80	S205T01
		8	50	240	5.0	50	4-Sip	425-1259-5-ND*	3.28	2.96	2.63	S205TY1
		8	50	240	8.0	50	4-Sip	425-1263-5-ND*	3.58	3.22	2.87	S208TY1
		10	50	240	8.0	50	4-Sip	425-1191-5-ND	4.05	3.64	3.24	PR308T11ESZ
8	1.2	8	50	120	2.0	25	4-Sip	425-1220-5-ND	3.09	2.79	2.48	S102T02
		8	50	120	8.0	50	4-Sip	425-1224-5-ND	3.68	3.32	2.95	S108T02
		8	50	240	2.0	25	4-Sip	425-1253-5-ND	3.73	3.36	2.98	S202T02
		8	50	240	2.0	25	4-Sip	425-1256-5-ND*	3.22	2.90	2.58	S202TY2
		8	50	240	5.0	50	4-Sip	425-1258-5-ND	3.89	3.51	3.12	S205T02
		8	50	240	5.0	50	4-Sip	425-1260-5-ND*	3.30	2.98	2.65	S205TY2
		8	50	240	8.0	50	4-Sip	425-1264-5-ND*	3.60	3.24	2.88	S208TY2
		10	50	240	8.0	50	4-Sip	425-1192-5-ND	4.17	3.76	3.34	PR308T21ESZ
9	5	—	—	120	1.6	10	4-Sip	425-1208-5-ND	4.05	3.64	3.24	S101N11
		—	—	240	1.6	20	4-Sip	425-1241-5-ND	4.30	3.87	3.44	S201N11
10	5	—	—	120	1.6	10	4-Sip	425-1209-5-ND	4.17	3.76	3.34	S101N12
		—	—	240	1.6	20	4-Sip	425-1242-5-ND	4.44	4.00	3.56	S201N12
11	1.2	8	50	120	8.0	50	4-Sip	425-1214-5-ND	3.50	3.15	2.80	S102S01
		8	50	120	12.0	50	4-Sip	425-1225-5-ND	4.23	3.81	3.39	S112S01
		8	50	120	16.0	50	4-Sip	425-1227-5-ND	4.70	4.23	3.76	S116S01
		15	50	120	3.0	50	4-Sip	425-1210-5-ND	3.37	3.03	2.70	S101S05V
		8	50	240	8.0	50	4-Sip	425-1250-5-ND	4.00	3.61	3.20	S202SE1
		8	50	240	12.0	50	4-Sip	425-1265-5-ND	4.40	3.97	3.53	S212S01
		8	50	240	16.0	50	4-Sip	425-1266-5-ND	4.66	4.20	3.73	S216S01
		8	50	240	16.0	50	4-Sip	425-1268-5-ND	5.15	4.63	4.12	S216SE1
12	1.2	8	50	120	8.0	50	4-Sip	425-1215-5-ND	3.67	3.30	2.93	S102S02
		8	50	120	16.0	50	4-Sip	425-1228-5-ND	5.12	4.61	4.10	S116S02
		15	50	120	3.0	50	4-Sip	425-1211-5-ND	3.62	3.26	2.90	S101S06V
		8	50	240	8.0	50	4-Sip	425-1251-5-ND	4.44	4.00	3.56	S202SE2
		8	50	240	16.0	50	4-Sip	425-1269-5-ND	5.27	4.75	4.22	S216SE2
		15	50	240	3.0	50	4-Sip	425-1244-5-ND	3.89	3.51	3.12	S201S06V

Abb. 1

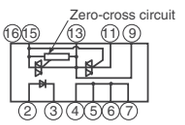

Abb. 2

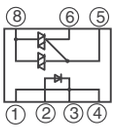

Abb. 3

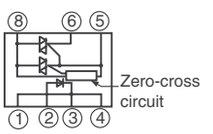

Abb. 4

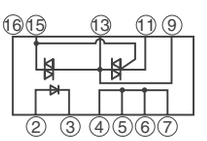

Abb. 5

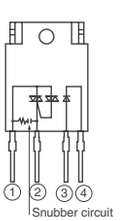

Abb. 6

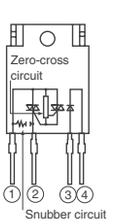

Abb. 7

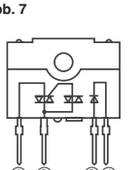

Abb. 8

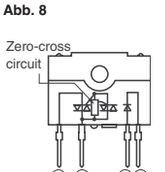

Abb. 9

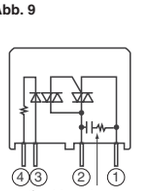

Abb. 10

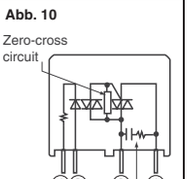

Abb. 11

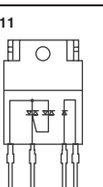

Abb. 12

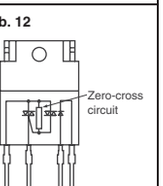

* TUV-zugelassen, Nr. R9750791 und DIN-VDE 0884 # UL- und CSA-Zulassung noch ausstehend ‡ Am Band, Produkt Δ Band & Spule, Produkt

H

TOSHIBA

Festkörperrelais

Abb. 1

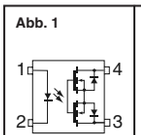

Abb. 2

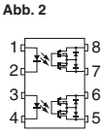

Abb. 3

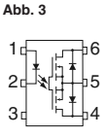

Abb.	Eingangsstrom Vf (LED)	Eingangsstrom Imin (mA)	Eingangsstrom Imax	Eingangsstrom VBereich	Ausgangs- schalt- kreis Imax	Tein/Taus	Paket	Digi-Key Teilenr.	Stückpreis 1	Stückpreis 10	Stückpreis 100	Digi-Key Teilenr.	Gegurtet auf Rolle 1,500
1	1.15	5	25	0-60V	400	2/0.5ms	4-SOP	TLP172A-ND	1.48	1.19	.89	—	—
	1.15	5	25	0-60V	500	2/0.5ms	4-Dip	TLP222A-ND	1.30	1.04	.78	—	—
	1.15	5	25	0-350V	120mA	1ms/1ms	4-Dip	TLP227GN-ND	1.59	1.27	.96	—	—
	1.15	5	25	0-350V	110mA	1ms/1ms	4-SOP	TLP172G-ND	1.42	1.14	.86	—	—
	1.15	5	25	0-350V	120mA	0.8/0.1ms	4-Dip	TLP222G-ND	1.14	.92	.69	—	—
2	1.15	5	25	0-350V	120	1ms/1ms	8-SOP	TLP227G2CT-ND †	2.29	1.83	1.43	TLP227G2TR-ND	1295.30/M
	1.15	7.5	25	0-320V	100mA	4ms/4ms	8-SOP	TLP296GTACT-ND †	4.19	3.36	2.61	TLP296GTATR-ND	2374.72/M
3	1.4	10	20	0-320V	150mA	1ms/1ms	6-Dip	TLP598G-ND	2.38	1.91	1.49	—	—
	1.33	10	20	0-48V	2.5A	1.5/0.4ms	6-DIP	TLP3542-ND	7.28	5.83	4.92	—	—
	1.15	5	30	0-80V	1.25A	3ms/1ms	6-SOP	TLP3120-ND	5.93	4.75	4.01	—	—

† Gurtabschnitt

Alle Preisangaben in Euro und inklusive Zollgebühren.

Vergleichen Sie die technologischen Vorteile der G3VM MOS-FET-Relais von Omron

Aktuelle Technologie verglichen mit den Vorteilen der MOS-FET-Relais von Omron	
Reed-Relais	**Serie G3VM bietet:** • Längere Haltbarkeit • Niedrigere Aufnahmeleistung • Kleinere Größe spart Platz auf Karte • Schnellere Schaltgeschwindigkeit • Größeren Widerstand gegenüber Stoß und Vibration • Höhere Isolierspannungen
Optokoppler	**Serie G3VM bietet:** • Linearen EIN-Widerstand • Hohe Isolierspannung und größere Sensitivität • Die Möglichkeit, AC- und DC-Lasten zu schalten • Spannungssteuerung bis zu 600 V
Elektromechanische Relais	**Serie G3VM bietet:** • Längere Haltbarkeit • Niedrigere Aufnahmeleistung • Niedrigeres Profil und kleinere Auflagefläche • Hochgeschwindigkeitsbetrieb • Größeren Widerstand gegenüber Stoß und Vibration • Höhere Isolierspannungen

Aktuelle Technologie verglichen mit den Vorteilen der MOS-FET-Relais von Omron	
Festkörperrelais mit Thyristor-Ausgang	**Serie G3VM bietet:** • Linearen EIN-Widerstand • Die Möglichkeit, AC- und DC-Lasten zu schalten • Die Möglichkeit, HF-Lasten zu steuern • Keine Signalverzerrung
Festkörperrelais mit BJT-Ausgang	**Serie G3VM bietet:** • Niedrigere Ein-Zustand-Offset-Spannungen • Minimalen Leckstrom • Bessere Spannungssteuerung • Keine Signalverzerrung
Festkörperrelais mit Triac-Ausgang	**Serie G3VM bietet:** • Minimalen Leckstrom • Erhöhten Schutz; beseitigt Notwendigkeit eines Überspannungsschaltkreises • Keine Signalverzerrung

Vorteile der MOS-FET-Technologie und Konstruktion

60 % kleiner als Reed-Relais bei besserer Leistung als die Konkurrenz.

G3VM bietet Design-Flexibilität bei gleichbleibender Genauigkeit und Leistung. Jetzt können Designer ihren Produkten mehr Funktionalität verleihen und die Gesamtgröße der Maschine reduzieren.

Kontaktwiderstand

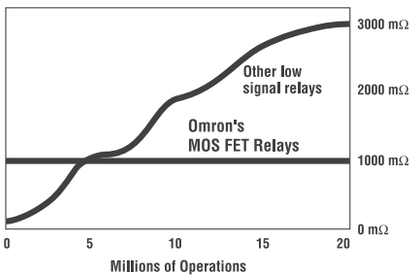

100.000 Stunden und noch im Einsatz

Eine unabhängige Firma hat Tests des LED-Chips ausgeführt, des einzigen G3VM-Teils,dessen Leistung schwanken könnte. Sie simulierte den Betrieb für insgesamt 100.000 Stunden (das entspricht mehr als 11 Jahren!) und das G3VM bot nach wie vor gute Leistung.

Mechanische Haltbarkeit

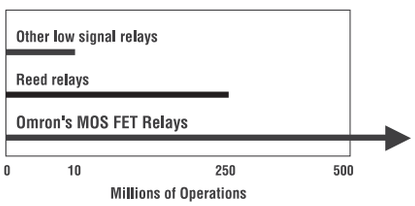

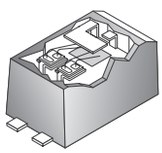

Für größte Genauigkeit — ist weißes Harz erforderlich

Weißes Formharz von Omron | **Schwarzes Formharz der Konkurrenz**

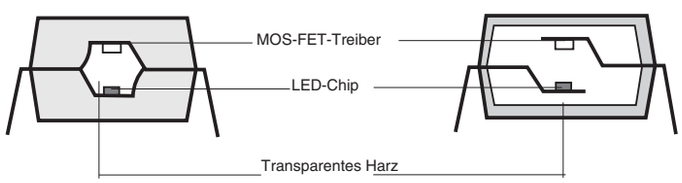

Für optimale Leistung und Genauigkeit wird das G3VM in weißem Harz geformt, welches mehr Licht vom LED-Chip reflektiert als schwarzes Harz, da schwarzes Harz Licht absorbiert. Weißes Harz hilft dem Relais auch, die Wärme effektiver zu abzugeben. Dies bedeutet, dass die Relais dichter auf den Leiterplatten platziert werden können, ohne dass ein Überhitzen oder ein Verlust an Genauigkeit oder Funktion zu befürchten ist.

G3VM — Serie LR (SSOP MOS-FET-Relais)

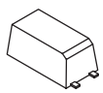

Spezifikationen (1 Form A)

Teilenummer	R_{ON} (typ.)	C_{OUT} (typ).	C x R (pF x Ω)	Ausgangsspannung
G3VM-21LR	5	1	5	20V
G3VM-21LR1	0.8	5	5	20V
G3VM-41LR3	25	0.6	15	40V
G3VM-41LR4	2	5	10	40V
G3VM-41LR5	1	10	10	40V
G3VM-41LR6	10	1	10	40V

G3VM — Serie GR (SOP MOS-FET-Relais)

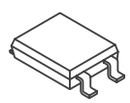

Spezifikationen (1 Form A)

Teilenummer	R_{ON} (typ.)	C_{OUT} (typ).	C x R (pF x Ω)	Ausgangsspannung
G3VM-21GR	5	1	5	20V
G3VM-21GR1	1	5	5	20V
G3VM-41GR3	25	0.6	15	40V
G3VM-41GR4	2	5	10	40V
G3VM-41GR5	1	10	10	40V
G3VM-41GR6	10	1	10	40V

G3VM-Modelle für höhere Ströme

Teilenummer	Laststrom	Lastspannung	Widerstand EIN (RON)	Durchschlags-festigkeit
G3VM-61CR	2 A	60V	120m Ω	2,500VAC
G3VM-61FR	2 A	60V	120m Ω	2,500VAC
G3VM-61A1	500mA	60V	1 Ω	2,500VAC
G3VM-61B1	500mA	60V	1 Ω	2,500VAC
G3VM-61D1	500mA	60V	1 Ω	2,500VAC
G3VM-61E1	500mA	60V	1 Ω	2,500VAC

G3VM-Modelle für hohe Spannung

Teilenummer	Laststrom	Lastspannung	Widerstand EIN (RON)	Durchschlags-festigkeit
G3VM-401BY	120mA	400V	17 Ω	5,000VAC
G3VM-401EY	120mA	400V	18 Ω	5,000VAC
G3VM-601BY	100mA	600V	25 Ω	5,000VAC
G3VM-601EY	100mA	600V	26 Ω	5,000VAC

H

Festkörperrelais

Die G3VM-Relais von Omron sind Leiterplatten- und SMT-Festkörperschalter, die Spannungen bis zu 600 V steuern können. Aufgrund des äußerst geringen Eingangsstroms, des Widerstands im eingeschalteten Zustand und der kleinen Paketgröße eignen sich diese Schalter ideal für Mikroprozessoren und logische Schaltrelais. Für den Betrieb erforderlicher strombegrenzender Eingangswiderstand. Die Pakete umfassen 4, 6 und 8 Pin DIP-, SMT- oder SOP-Pakete bzw. das extrem kleine 4-SSOP-Paket für besonders kleine Platinenflächen. Die Relais schalten sowohl AC- als auch DC-Spannungen. G3M und G3MB sind größere Stromrelais, die als SIP-Paket angeboten werden, um den Platzbedarf auf der Platte zu reduzieren. Perfekt für die Steuerung von Pumpen, Alarmen, Solenoiden und anderen induktiven/kapazitiven Lasten geeignet. Nulldurchgang für allgemeine Stromschaltung oder hoch induktive Lasten; Phasensteuerung für Ausgangssteuerungen von Motorgeschwindigkeitssteuerung oder Licht-Dimmen.

Abb.	Kontakt-anordnung	Eingangs-spannung	Eingangs-strom (mA)	Ausgangsspan-nung (Spitze)	Ausgangs-strom	Paket	Digi-Key Teilenr.	Stückpreis 1	25	50	Omron Teilenr.
Extrem kleine MOSFET-Relais											
1	SPST-NO	1.15V	10 ~ 30	20V	300mA	4-SSOP	Z1622-ND	15.36	13.82	12.29	G3VM-21LR1
	SPST-NO	1.15V	7 ~ 30	20V	160mA	4-SSOP	Z2075-ND	15.36	13.82	12.29	G3VM-21LR
	SPST-NO	1.15V	10 ~ 30	40V	80mA	4-SSOP	Z1623-ND	15.36	13.82	12.29	G3VM-41LR3
	SPST-NO	1.15V	10 ~ 30	40V	250mA	4-SSOP	Z1624-ND	15.36	13.82	12.29	G3VM-41LR4
	SPST-NO	1.15V	10 ~ 30	40V	300mA	4-SSOP	Z1625-ND	15.36	13.82	12.29	G3VM-41LR5
	SPST-NO	1.15V	10 ~ 30	40V	120mA	4-SSOP	Z1626-ND	15.36	13.82	12.29	G3VM-41LR6
Festkörperrelais, MOSFET											
2	SPST-NO	1.15V	7 ~ 30	20V	300mA	4-SOP	Z2077-ND	4.70	4.23	3.76	G3VM-21GR1
	SPST-NO	1.15V	7 ~ 30	20V	160mA	4-SOP	Z2076-ND	4.70	4.23	3.76	G3VM-21GR
	SPST-NO	1.15V	10 ~ 30	40V	80mA	4-SOP	Z2115-ND	2.79	2.52	2.24	G3VM-41GR3
	SPST-NO	1.15V	10 ~ 30	40V	250mA	4-SOP	Z2116-ND	2.79	2.52	2.24	G3VM-41GR4
	SPST-NO	1.15V	10 ~ 30	40V	300mA	4-SOP	Z2078-ND	4.70	4.23	3.76	G3VM-41GR5
	SPST-NO	1.15V	10 ~ 30	40V	120mA	4-SOP	Z2079-ND	4.70	4.23	3.76	G3VM-41GR6
	SPST-NO	1.15V	5 ~ 25	350V	120mA	4-Dip	Z150-ND	2.62	2.37	2.10	G3VM-2
	SPST-NO	1.15V	5 ~ 25	350V	120mA	4-SMT	Z151-ND	2.62	2.37	2.10	G3VM-2F
	SPST-NO	1.15V	5 ~ 25	350V	120mA	6-Dip	Z152-ND	2.62	2.37	2.10	G3VM3
	SPST-NO	1.15V	5 ~ 25	350V	120mA	6-SMT	Z153-ND	2.62	2.37	2.10	G3VM-3F-S
	DPST-NO	1.15V	5 ~ 25	350V	100mA	8-Dip	Z154-ND	5.32	4.79	4.25	G3VM-W
	DPST-NO	1.15V	5 ~ 25	350V	100mA	8-SMT	Z155-ND	5.32	4.79	4.25	G3VM-WF
	SPST-NO	1.15V	7.5 ~ 25	60V	300mA	6-Dip	Z156-ND	2.62	2.37	2.10	G3VM-V
	SPST-NO	1.15V	7.5 ~ 25	60V	300mA	6-SMT	Z157-ND	2.62	2.37	2.10	G3VM-VF
	SPST-NO	1.15V	7.5 ~ 25	60V	300mA	6-Dip	Z227-ND	7.64	6.88	6.12	G3VM-XN-S
	SPST-NO	1.15V	7.5 ~ 25	60V	300mA	6-SMT	Z228-ND	7.64	6.88	6.12	G3VM-XNF-S
	SPST-NO	1.15V	7.5 ~ 25	400V	150mA	6-Dip	Z229-ND	7.64	6.88	6.12	G3VM-4N-S
	SPST-NO	1.15V	7.5 ~ 25	400V	150mA	6-SMT	Z230-ND	7.64	6.88	6.12	G3VM-4NF-S
	SPST-NO	1.15V	5 ~ 25	60V	300mA	4-SOP	Z1039-ND	3.75	3.38	3.00	G3VM-S1
	SPST-NO	1.15V	5 ~ 25	400V	120mA	4-Dip	Z2089-ND	4.49	4.04	3.59	G3VM-401A
	SPST-NO	1.15V	5 ~ 25	400V	120mA	6-DiP	Z2091-ND	4.49	4.04	3.59	G3VM-401B
	SPST-NO	1.15V	5 ~ 25	400V	120mA	4-SMT	Z2090-ND	4.49	4.04	3.59	G3VM-401D
	SPST-NO	1.15V	5 ~ 25	400V	120mA	6-SMT	Z2092-ND	4.49	4.04	3.59	G3VM-401E
	SPST-NO	1.15V	5 ~ 25	400V	120mA	4-SOP	Z2095-ND	4.04	3.64	3.24	G3VM-401G
	SPST-NO	1.15V	5 ~ 25	400V	120mA	6-SOP	Z2096-ND	4.39	3.96	3.52	G3VM-401H
	SPST-NO	1.15V	5 ~ 25	400V	120mA	6-Dip	Z2093-ND	4.71	4.24	3.77	G3VM-401BY
	SPST-NO	1.15V	5 ~ 25	400V	120mA	6-SMT	Z2094-ND	4.83	4.36	3.87	G3VM-401EY
	DPST-NO	1.15V	5 ~ 25	400V	120mA	8-Dip	Z2097-ND	6.48	5.83	5.19	G3VM-402C
	DPST-NO	1.15V	5 ~ 25	400V	120mA	8-SMT	Z2098-ND	6.48	5.83	5.19	G3VM-402F
	DPST-NO	1.15V	5 ~ 25	400V	120mA	8-SOP	Z2099-ND	6.48	5.83	5.19	G3VM-402J
	SPST-NO	1.15V	5 ~ 25	600V	100mA	6-Dip	Z1040-ND	7.28	6.56	5.83	G3VM-601BY
	SPST-NO	1.15V	5 ~ 25	600V	100mA	6-SMT	Z1041-ND	7.28	6.56	5.83	G3VM-601EY
	SPST-NO	1.15V	5 ~ 25	350V	120mA	4-Dip	Z2080-ND	3.06	2.75	2.45	G3VM-351A
	SPST-NO	1.15V	5 ~ 25	350V	120mA	6-Dip	Z2081-ND	3.00	2.70	2.40	G3VM-351B
	DPST-NO	1.15V	5 ~ 25	350V	120mA	8-Dip	Z2086-ND	4.39	3.96	3.52	G3VM-352C
	SPST-NO	1.15V	5 ~ 25	350V	120mA	4-SMT	Z2082-ND	3.15	2.84	2.52	G3VM-351D
	SPST-NO	1.15V	5 ~ 25	350V	120mA	6-SMT	Z2083-ND	3.06	2.75	2.45	G3VM-351E
	DPST-NO	1.15V	5 ~ 25	350V	120mA	8-SMT	Z2087-ND	4.39	3.96	3.52	G3VM-352F
	SPST-NO	1.15V	5 ~ 25	350V	110mA	4-SOP	Z2084-ND	3.85	3.47	3.09	G3VM-351G
	SPST-NO	1.15V	5 ~ 25	350V	110mA	6-SOP	Z2085-ND	5.43	4.89	4.35	G3VM-351H
	DPST-NO	1.15V	5 ~ 25	350V	110mA	8-SOP	Z2088-ND	4.39	3.96	3.52	G3VM-352J
	DPST-NO	1.15V	5 ~ 25	200V	150mA	8-Dip	Z1042-ND	14.98	13.49	11.99	G3VM-354C
	DPST-NO	1.15V	5 ~ 25	200V	150mA	8-SMT	Z1043-ND	14.98	13.49	11.99	G3VM-354F
	SPST-NO	1.15V	5 ~ 25	400V	150mA	4-Dip	Z1044-ND	8.00	7.21	6.41	G3VM-353A
	SPST-NO	1.15V	5 ~ 25	400V	150mA	6-Dip	Z1045-ND	8.00	7.21	6.41	G3VM-353B
	SPST-NO	1.15V	5 ~ 25	60V	500mA	4-Dip	Z2100-ND	3.52	3.17	2.82	G3VM-61A1
	SPST-NO	1.15V	5 ~ 25	60V	500mA	4-SMT	Z2101-ND	3.52	3.17	2.82	G3VM-61D1
	SPST-NO	1.15V	5 ~ 25	60V	500mA	6-Dip	Z2102-ND	3.52	3.17	2.82	G3VM-61B1
	SPST-NO	1.15V	5 ~ 25	60V	500mA	6-SMT	Z2103-ND	3.66	3.30	2.93	G3VM-61E1
	SPST-NO	1.15V	5 ~ 25	60V	400mA	4-SOP	Z2106-ND	3.86	3.48	3.09	G3VM-61G1
	SPST-NO	1.15V	5 ~ 25	60V	400mA	6-SOP	Z2107-ND	3.52	3.17	2.82	G3VM-61H1
	SPST-NO	1.2V	10 ~ 30	60V	2,000mA	8-Dip	Z2104-ND	18.26	16.44	14.61	G3VM-61CR
	SPST-NO	1.15V	10 ~ 30	60V	2,000mA	8-SMT	Z2105-ND	18.26	16.44	14.61	G3VM-61FR
	DPST-NO	1.15V	5 ~ 25	60V	500mA	8-SMT	Z2108-ND	5.57	5.02	4.46	G3VM-62F1
	DPST-NO	1.15V	5 ~ 25	60V	400mA	8-SOP	Z2109-ND	7.86	7.08	6.29	G3VM-62J1
	SPST-NO	1.15V	5 ~ 25	80V	1250mA	6-SOP	Z2110-ND	17.80	16.02	14.24	G3VM-81HR
	SPST-NO	1.15V	5 ~ 25	400V	150mA	6-Dip	Z158-ND	4.81	4.33	3.85	G3VM-6
	SPST-NO	1.15V	5 ~ 25	400V	150mA	6-SMT	Z159-ND	4.81	4.33	3.85	G3VM-6F
	SPST-NO	1.15V	5 ~ 25	350V	120mA	4-SOP	Z160-ND	3.03	2.73	2.43	G3VM-S2
	SPST-NO	1.15V	5 ~ 25	350V	120mA	6-SOP	Z161-ND	5.08	4.58	4.07	G3VM-S3
	SPST-NO	1.15V	5 ~ 25	200V	150mA	4-SOP	Z162-ND	3.34	3.01	2.68	G3VM-S5
	SPST-NO	1.15V	5 ~ 25	400V	150mA	4-SMT	Z1046-ND	8.00	7.21	6.41	G3VM-353D
	SPST-NO	1.15V	5 ~ 25	400V	150mA	6-SMT	Z1047-ND	8.00	7.21	6.41	G3VM-353E
	DPST-NO	1.15V	5 ~ 25	350V	120mA	8-SOP	Z163-ND	6.73	6.06	5.39	G3VM-SW
	DPST-NO	1.15V	5 ~ 25	60V	200mA	8-SOP	Z164-ND	6.73	6.06	5.39	G3VM-SY
Nulldurchgang-Ausgang											
3	SPST-NO	4 ~ 6 VDC	—	75 ~ 264 VAC	.1 ~ 2A	Std.-Sip	Z900-ND	7.62	6.86	6.10	G3M-202P-US-4-DC5
	SPST-NO	9.6 ~ 14.4 VDC	—	75 ~ 264 VAC	.1 ~ 2A	Std.-Sip	Z901-ND	7.62	6.86	6.10	G3M-202P-US-4-DC12
	SPST-NO	19.2 ~ 28.8 VDC	—	75 ~ 264 VAC	.1 ~ 2A	Std.-Sip	Z902-ND	8.38	7.55	6.71	G3M-202P-US-4-DC24
Phasengesteuerter Ausgang											
3	SPST-NO	4 ~ 6 VDC	—	75 ~ 132 VAC	.1 ~ 2A	Std.-Sip	Z903-ND	6.25	5.62	5.00	G3M-102PL-US-4-DC5
	SPST-NO	9.6 ~ 14.4 VDC	—	75 ~ 132 VAC	.1 ~ 2A	Std.-Sip	Z904-ND	6.25	5.62	5.00	G3M-102PL-US-4-DC12
	SPST-NO	19.2 ~ 28.8 VDC	—	75 ~ 132 VAC	.1 ~ 2A	Std.-Sip	Z905-ND	6.25	5.62	5.00	G3M-102PL-US-4-DC24
	SPST-NO	4 ~ 6 VDC	—	75 ~ 264 VAC	.1 ~ 2A	Std.-Sip	Z906-ND	7.07	6.37	5.66	G3M-202PL-US-4-DC5
	SPST-NO	9.6 ~ 14.4 VDC	—	75 ~ 264 VAC	.1 ~ 2A	Std.-Sip	Z907-ND	7.07	6.37	5.66	G3M-202PL-US-4-DC12
	SPST-NO	19.2 ~ 28.8 VDC	—	75 ~ 264 VAC	.1 ~ 2A	Std.-Sip	Z908-ND	7.07	6.37	5.66	G3M-202PL-US-4-DC24
Nulldurchgang-Ausgang											
4	SPST-NO	4 ~ 6 VDC	—	75 ~ 264 VAC	.1 ~ 2A	Mini-Sip	Z909-ND	3.67	3.30	2.93	G3MB-202P-DC5
	SPST-NO	9.6 ~ 14.4 VDC	—	75 ~ 264 VAC	.1 ~ 2A	Mini-Sip	Z910-ND	3.67	3.30	2.93	G3MB-202P-DC12
	SPST-NO	19.2 ~ 28.8 VDC	—	75 ~ 264 VAC	.1 ~ 2A	Mini-Sip	Z911-ND	3.67	3.30	2.93	G3MB-202P-DC24
	SPST-NO	4 ~ 6 VDC	—	75 ~ 132 VAC	.1 ~ 1A	Mikro-Sip	Z1195-ND	3.12	2.81	2.49	G3MC-101P-DC5
	SPST-NO	9.6 ~ 14.4 VDC	—	75 ~ 132 VAC	.1 ~ 1A	Mikro-Sip	Z1236-ND	3.16	2.84	2.53	G3MC-101P-DC12
	SPST-NO	19.2 ~ 28.8 VDC	—	75 ~ 132 VAC	.1 ~ 1A	Mikro-Sip	Z1237-ND	3.16	2.84	2.53	G3MC-101P-DC24
Phasengesteuerter Ausgang											
4	SPST-NO	4 ~ 6 VDC	—	75 ~ 132 VAC	.1 ~ 1A	Mikro-Sip	Z1196-ND	2.88	2.60	2.31	G3MC-101PL-DC5
	SPST-NO	9.6 ~ 14.4 VDC	—	75 ~ 132 VAC	.1 ~ 1A	Mikro-Sip	Z1197-ND	2.88	2.60	2.31	G3MC-101PL-DC12
	SPST-NO	19.2 ~ 28.8 VDC	—	75 ~ 132 VAC	.1 ~ 1A	Mikro-Sip	Z1198-ND	2.88	2.60	2.31	G3MC-101PL-DC24
	SPST-NO	4 ~ 6 VDC	—	75 ~ 132 VAC	.1 ~ 2A	Mini-Sip	Z912-ND	2.99	2.69	2.39	G3MB-102PL-DC5
	SPST-NO	9.6 ~ 14.4 VDC	—	75 ~ 132 VAC	.1 ~ 2A	Mini-Sip	Z913-ND	2.99	2.69	2.39	G3MB-102PL-DC12

(Forts.)

Abb. 1

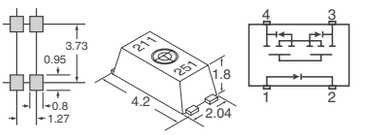

Abb. 2 — Serie G3VM

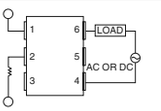

MOSFET-Relais zeichnen sich durch hohe Leistung, lange Lebensdauer, geringen Eingang und schnelle Reaktion aus. Sie können kleinste analoge Signale mit nur minimalem Leckstrom verarbeiten. Die standardm. G3VM MOSFET-Relais verfügen über eine Durchschlagfestigkeit von 2.500 V AC zwischen E/A-Anschlussklemmen (SOP-Relais ausgenommen).

6-SOP

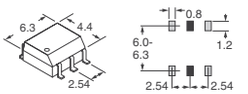

Schließt keine geschirmten Pins für 4-SOP ein

6-DIP

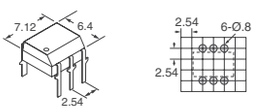

6-SMT

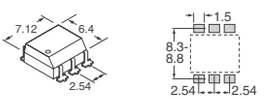

8-SOP

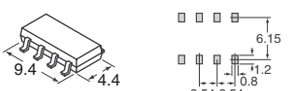

Abb. 3 — Serie G3M

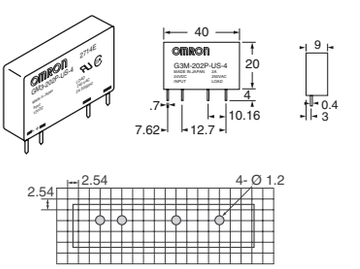

Merkmale • Nulldurchgang oder beliebiges Einschalten • Schmales Design für PCB-Anwendungen hoher Dichte • DC-Eingang — AC-Ausgang für 2 A-Last • Anschlussfläche für branchenübliche E/A-Module geeignet • Preiswert **Charakteristische Daten:** • Betriebsdauer: max. 1 ms • Ausgang EIN Spannungsabfall: max. 1,6 V (RMS) • Leckstrom: 2 mA max. (bei 100 V AC); max. 5 mA (bei 200 V AC) • Betriebstemperatur: -30 °C ~ 80 °C

Abb. 4 — Serie G3MB/MC

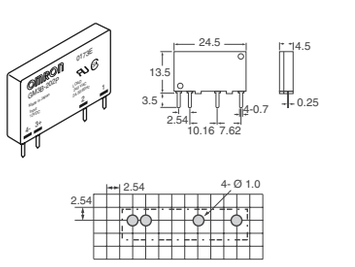

Merkmale • Preiswert, Subminiatur, Leiterplattenmontage, Festkörperrelaisschaltung, 2 A • DC-Eingang — AC-Ausgang für 2 A-Last bei 25 °C • Monoblock-Rahmen für einfache Wärmeableitung ohne Kühlkörper • Kleinere Anschlussfläche (ca. 20 % kleiner als bei G3MB) eignet sich ideal für enge Leiterplattenmontage • Eingebauter Überspannungsschutzkreis **Charakteristische Daten:** • Leckstrom: max. 1,5 mA • Betriebstemperatur: -30 °C ~ 80 °C

H

Alle Preisangaben in Euro und inklusive Zollgebühren.

OMRON Festkörperrelais *(Fort.)*

Sicherheitsschutzabdeckung wird mitgeliefert. Phasengesteuerte Ausgänge eignen sich ideal für die Helligkeitsregelung, Motordrehzahlregelung und andere Regelungsanwendungen. UL- und CSA-zugelassen. Die G3R-Relais werden als Drop-in-Ersatz für die gängigen elektromechanischen G2R-Relais verwendet.

Perfekt für DIN-Schienenmontage und Anwendungen geeignet, die langlebige Festkörperrelais erfordern. Relais der Serie G3TC können als Ersatz für standardm. E/A-Module verwendet werden. Ersetzen Opto22-, Gordos- und viele andere E/A-Module. Perfekt für Multi-Ausgangssteuerungen geeignet.

Abb.	Kontakt-anordnung	Eingangs-spannung	Eingangs-strom (mA)	Ausgangsspan-nung (Spitze)	Ausgangs-strom	Paket	Digi-Key Teilenr.	Stückpreis 1	25	50	Omron Teilenr.
					Phasengesteuerter Ausgang						
4	SPST-NO	19.2 ~ 28.8 VDC	—	75 ~ 132 VAC	.1 ~ 2A	Mini-Sip	Z914-ND	2.99	2.69	2.39	G3MB-102PL-DC24
	SPST-NO	4 ~ 6 VDC	—	75 ~ 264 VAC	.1 ~ 2A	Mini-Sip	Z915-ND	3.33	3.00	2.66	G3MB-202PL-DC5
	SPST-NO	9.6 ~ 14.4 VDC	—	75 ~ 264 VAC	.1 ~ 2A	Mini-Sip	Z916-ND	3.33	3.00	2.66	G3MB-202PL-DC12
	SPST-NO	19.2 ~ 28.8 VDC	—	75 ~ 264 VAC	.1 ~ 2A	Mini-Sip	Z917-ND	3.33	3.00	2.66	G3MB-202PL-DC24
					Nulldurchgang-Ausgang						
5	SPST-NO	5 ~ 24 VDC	8	4 ~ 60 VDC	.01 ~ 2A	Schnellkupplung	Z1193-ND	17.17	15.45	13.74	G3R-ODX02SN-DC5-24
	SPST-NO	5 ~ 24 VDC	8	40 ~ 200 VDC	.01 ~ 1.5A	Schnellkupplung	Z1194-ND	19.75	17.78	15.80	G3R-OD201SN-DC5-24
	SPST-NO	5 ~ 24 VDC	15	75 ~ 264 VAC	.05 ~ 2A	Schnellkupplung	Z1192-ND	18.16	16.35	14.53	G3R-OA202SZN-DC5-24
	SPST-NO	5 ~ 24 VDC	15	75 ~ 264 VAC	.05 ~ 2A	Schnellkupplung	Z1235-ND	25.48	22.94	20.39	G3R-OA202SLN-DC5-24
					Zufäll. Einschaltungs-Ausgang						
5	SPST-NO	4 ~ 6 VDC	8	4 ~ 32 VDC	.1A	Schnellkupplung	Z1190-ND	15.39	13.85	12.31	G3R-IDZR1SN-DC5
	SPST-NO	12 ~ 24 VDC	8	4 ~ 32 VDC	.1A	Schnellkupplung	Z1191-ND	15.39	13.85	12.31	G3R-IDZR1SN-DC12-24
	SPST-NO	100 ~ 240 VAC	15	4 ~ 32 VDC	.1A	Schnellkupplung	Z1234-ND	19.37	17.43	15.50	G3R-IAZR1SN-AC100/240
					G3TC-E/A-Module						
6	SPST-NO	180 ~ 280 VAC/DC	—	4.5 ~ 6 VDC	50mA	Sip/Gelb	Z2018-ND	12.61	11.36	10.10	G3TC-IAC-5A AC/DC240
	SPST-NO	90 ~ 140 VAC/DC	—	12 ~ 18 VDC	50mA	Sip/Gelb	Z2019-ND	11.45	10.31	9.17	G3TC-IAC-15 AC/DC120
	SPST-NO	90 ~ 140 VAC/DC	—	20 ~ 30 VDC	50mA	Sip/Gelb	Z2020-ND	11.45	10.31	9.17	G3TC-IAC-24 AC/DC120
	SPST-NO	90 ~ 140 VAC/DC	—	4.5 ~ 6 VDC	50mA	Sip/Gelb	Z2021-ND	11.45	10.31	9.17	G3TC-IAC5 AC/DC120
	SPST-NO	2.5 ~ 8 VDC	—	75 ~ 140 VAC	3A	Sip/Schwarz	Z2027-ND	12.56	11.31	10.06	G3TC-OAC5-DC5
	SPST-NO	9 ~ 16 VDC	—	75 ~ 140 VAC	3A	Sip/Schwarz	Z2025-ND	11.89	10.71	9.52	G3TC-OAC15-DC15
	SPST-NO	18 ~ 32 VDC	—	75 ~ 140 VAC	3A	Sip/Schwarz	Z2026-ND	11.89	10.71	9.52	G3TC-OAC24-DC24
	SPST-NO	2.5 ~ 8 VDC	—	5 ~ 60 VAC	3A	Sip/Schwarz	Z2028-ND	12.61	11.36	10.10	G3TC-OAC5A-DC5
	SPST-NO	10-32 VDC/15-32 VAC	—	4.5 ~ 6 VDC	50mA	Sip/Weiß	Z2024-ND	11.33	10.20	9.06	G3TC-IDC5-DC/AC24
	SPST-NO	10-32 VDC/15-32 VAC	—	12 ~ 18 VDC	50mA	Sip/Weiß	Z2022-ND	11.33	10.20	9.06	G3TC-IDC15-DC/AC24
	SPST-NO	10-32 VDC/15-32 VAC	—	20 ~ 30 VDC	50mA	Sip/Weiß	Z2023-ND	11.33	10.20	9.06	G3TC-IDC24-DC/AC24
	SPST-NO	2.5 ~ 8 VDC	—	5 ~ 60 VDC	3A	Sip/Rot	Z2031-ND	12.00	10.81	9.61	G3TC-ODC5-DC5
	SPST-NO	9 ~ 16 VDC	—	5 ~ 60 VDC	3A	Sip/Rot	Z2029-ND	12.00	10.81	9.61	G3TC-ODC15-DC15
	SPST-NO	18 ~ 32 VDC	—	5 ~ 60 VDC	3A	Sip/Rot	Z2030-ND	12.00	10.81	9.61	G3TC-ODC24-DC24
	SPST-NO	2.5 ~ 8 VDC	—	5 ~ 200 VDC	1A	Sip/Rot	Z2032-ND	13.75	12.38	11.00	G3TC-ODC5A-DC5

Abb. 5 — Serie G3R

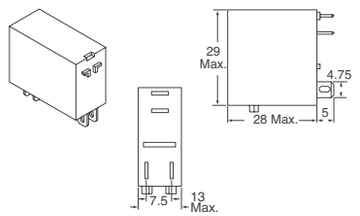

Merkmale • E/A-Module mit derselben Anschlussfläche wie G2R • Mit leicht lesbarer Überwachungsanzeige **Merkmale:** • Leckstrom: max. 5 µA • Betriebstemperatur: -30 °C ~ 80 °C • Für Fassung Z855-ND verwenden

Abb. 6 — Serie G3TC

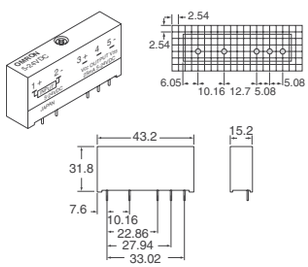

Merkmale • E/A-Module, Standardgröße, als Ersatz für OPTO22 • Continental- und Gordos-Relais

Festkörperrelais

Abb. 1 — Serie G3NE

Merkmale:
• Ideal geeignet für Schalttafelmontage • Leiterplatte aus kompaktem Aluminium und Leistungselementen• Schnellanschluss Nr. 110 Eingangsklemmen und Nr. 250 Ausgang-sklemmen

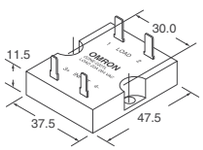

Abb. 2 — Serie G3NA

Merkmale:
• Eingebauter Varistor für effizienten Schutz gegen externe Stromstösse • Sicherheits-Schutzabdeckung ist Standard • Betriebsanzeige (rote LED) ist Standard • Nulldurchgang oder Phasensteuerungsfunktionen **Eigenschaften:** • Leckstrom: 5 mA max. (bei 100 V AC); max. 10 mA (bei 200 V AC) • Betriebstemperatur: -30 °C ~ 80 °C

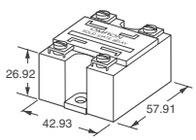

Abb. 3 — Zubehör

Omron-Kühlkörper wurden für die Wärmeableitung bei regulärem Betrieb konzipiert. Vorgeschnittene Öffnungen für genaue Platzierung.
Bei Platzierung sollte Kühlkörperfett oder ein ähnliches Produkt verwendet werden.

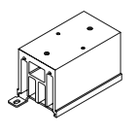

Abb.	Kontaktan-ordnung	Eingangs-spannung	Ausgangs-spannung (Spitze)	Ausgangs-strom	Paket	Digi-Key Teilenr.	Stückpreis 1	25	50	Omron Teilenr.
				Nulldurchgang-Ausgang						
1	SPST-NO	4-6VDC	75 ~ 264VAC	.1 ~ 10A	Schnellkupplung	Z175-ND	14.04	12.63	11.23	G3NE-210T-US-DC5
	SPST-NO	9.6-14.1VDC	75 ~ 264VAC	.1 ~ 10A	Schnellkupplung	Z176-ND	14.04	12.63	11.23	G3NE-210T-US-DC12
	SPST-NO	19.2-28.8VDC	75 ~ 264VAC	.1 ~ 10A	Schnellkupplung	Z177-ND	14.04	12.63	11.23	G3NE-210T-US-DC24
	SPST-NO	4-6VDC	75 ~ 264VAC	.1 ~ 20A	Schnellkupplung	Z178-ND	16.45	14.81	13.16	G3NE-220T-US-DC5
	SPST-NO	9.6-14.1VDC	75 ~ 264VAC	.1 ~ 20A	Schnellkupplung	Z179-ND	16.45	14.81	13.16	G3NE-220T-US-DC12
	SPST-NO	19.2-28.8VDC	75 ~ 264VAC	.1 ~ 20A	Schnellkupplung	Z180-ND	16.45	14.81	13.16	G3NE-220T-US-DC24
				Nulldurchgang-Ausgang						
2	SPST-NO	5-24VDC	19 ~ 264VAC	.1 ~ 5A	Schrauben	Z165-ND	15.56	14.01	12.45	G3NA-205B-DC5-24
	SPST-NO	100-120VAC	19 ~ 264VAC	.1 ~ 5A	Schrauben	Z166-ND	19.58	17.62	15.67	G3NA-205B-AC100-120
	SPST-NO	200-240VAC	19 ~ 264VAC	.1 ~ 5A	Schrauben	Z167-ND	19.58	17.62	15.67	G3NA-205B-AC200-240
	SPST-NO	4-32VDC	19 ~ 264VAC	.1 ~ 10A	Schrauben	Z918-ND	15.92	14.33	12.74	G3NA-210B-DC5-24
	SPST-NO	75-132VAC	19 ~ 264VAC	.1 ~ 10A	Schrauben	Z919-ND	21.32	19.19	17.06	G3NA-210B-AC100-120
	SPST-NO	150-264VAC	19 ~ 264VAC	.1 ~ 10A	Schrauben	Z920-ND	21.32	19.19	17.06	G3NA-210B-AC200-240
	SPST-NO	4-32VDC	19 ~ 264VAC	.1 ~ 25A	Schrauben	Z921-ND	20.70	18.63	16.56	G3NA-225B-DC5-24
	SPST-NO	75-132VAC	19 ~ 264VAC	.1 ~ 25A	Schrauben	Z922-ND	24.93	22.44	19.95	G3NA-225B-AC100-120
	SPST-NO	150-264VAC	19 ~ 264VAC	.1 ~ 25A	Schrauben	Z923-ND	26.57	23.91	21.25	G3NA-225B-AC200-240
	SPST-NO	5-24VDC	180 ~ 528VAC	.1 ~ 25A	Schrauben	Z170-ND	44.77	40.29	35.82	G3NA-425B-DC5-24
	SPST-NO	100-120VAC	180 ~ 528VAC	.1 ~ 25A	Schrauben	Z171-ND	46.76	42.08	37.41	G3NA-425B-AC100-120
	SPST-NO	5-24VDC	19 ~ 264VAC	.1 ~ 40A	Schrauben	Z172-ND	32.24	29.02	25.79	G3NA-240B-DC5-24
	SPST-NO	100-120VAC	19 ~ 264VAC	.1 ~ 40A	Schrauben	Z173-ND	36.26	32.63	29.01	G3NA-240B-AC100-240
	SPST-NO	200-240VAC	19 ~ 264VAC	.1 ~ 40A	Schrauben	Z174-ND	35.92	32.33	28.74	G3NA-240B-AC200-240
	SPST-NO	5-25 VDC	19 ~ 264VAC	.1 ~ 75A	Schrauben	Z2067-ND	17.47	15.73	13.98	G3NA-275B-UTU-DC5-24
	SPST-NO	100-120VAC	19 ~ 264VAC	.1 ~ 75A	Schrauben	Z2068-ND	65.04	58.55	52.04	G3NA-275B-UTU-AC100-240
	SPST-NO	5-24VDC	19 ~ 264VAC	.1 ~ 90A	Schrauben	Z2070-ND	68.66	61.80	54.93	G3NA-290B-UTU-DC5-24
	SPST-NO	100-120VAC	19 ~ 264VAC	.1 ~ 90A	Schrauben	Z2069-ND	68.66	61.80	54.93	G3NA-290B-UTU-AC100-240
	SPST-NO	5-24VDC	19 ~ 440VAC	.1 ~ 75A	Schrauben	Z2071-ND	75.89	68.30	60.72	G3NA-475B-UTU-DC5-24
	SPST-NO	100-120VAC	19 ~ 440VAC	.1 ~ 75A	Schrauben	Z2072-ND	75.93	68.34	60.75	G3NA-475B-UTU-AC100-240
	SPST-NO	5-24VAC	19 ~ 440VAC	.1 ~ 90A	Schrauben	Z2073-ND	83.12	74.81	66.50	G3NA-490B-UTU-DC5-24
	SPST-NO	100-120VAC	19 ~ 440VAC	.1 ~ 90A	Schrauben	Z2074-ND	83.12	74.81	66.50	G3NA-490B-UTU-AC100-240
				DC-Ausgangsspannung						
2	SPST-NO	5-24VDC	4 ~ 220VDC	.1 ~ 10A	Schrauben	Z168-ND	28.32	25.49	22.66	G3NA-D210B-DC5-24
	SPST-NO	100-120VAC	4 ~ 220VDC	.1 ~ 10A	Schrauben	Z169-ND	29.49	26.54	23.59	G3NA-D210B-AC100-240
				Zubehör						
3	Schienenbefestigter Kühlkörper für 10-A-Relais (77 x 44 mm)					Z924-ND	11.50	10.35	9.20	Y92B-N50
	Schienenbefestigter Kühlkörper für 10-A-/25-A-Relais (88,90 x 77 mm)					Z925-ND	18.58	16.73	14.87	Y92B-N100
	Schienenbefestigter Kühlkörper für 25-A-Relais (100 x 104 mm)					Z926-ND	25.36	22.83	20.29	Y92B-N150
	Chassisbefestigter Kühlkörper für 10 A (100 x 100 mm)					Z927-ND	12.45	11.21	9.96	Y92B-A100
	Chassisbefestigter Kühlkörper für 25 A (150 x 100,5 mm)					Z928-ND	17.44	15.70	13.96	Y92B-A150N

H

Abb. 1

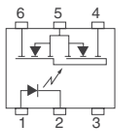

1 LED Anode
2 LED Cathode
3 NC
4 MOSFET Drain
5 MOSFET Source
6 MOSFET Drain

Abb. 2

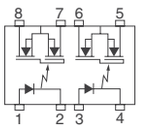

1 LED Anode
2 LED Cathode
3 LED Anode
4 LED Cathode
5 MOSFET
6 MOSFET
7 MOSFET
8 MOSFET

Abb. 3

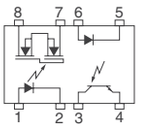

1 LED Anode
2 LED Cathode
3 Tr Collector
4 Tr Emitter
5 LED Anode
6 LED Cathode
7 MOSFET
8 MOSFET

Abb. 4

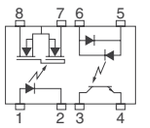

1 LED Anode
2 LED Cathode
3 Tr Collector
4 Tr Collector
5 LED Anode/Cathode
6 LED Anode/Cathode
7 MOSFET
8 MOSFET

Abb. 5

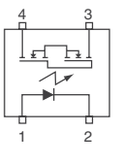

1. LED Anode
2. LED Cathode
3. MOS FET
4. MOS FET

Abb.	V Last V	I Last mA	PD mW	Rein Ω	Tein ms	Taus ms	Ausgabe-typ	Paket	Digi-Key Teilenr.	Stückpreis 1	10	100	Digi-Key Teilenr.	Gegurtet auf Rolle Größe	Preisangaben
1	60	1800	560	0.2	3.0	1.0	1Kan. NO	Dip	PS710A-1A-ND	5.51	4.96	4.23	—	—	—
1	60	1800	560	0.2	3.0	1.0	1Kan. NO	SMT	PS710AL-1A-ND	5.53	4.98	4.25	—	—	—
1	60	2500	625	0.1	5.0	0.2	1Kan. NO	Dip	PS710B-1A-A-ND†	6.76	6.08	5.18	—	—	—
1	60	2500	625	0.1	5.0	0.2	1Kan. NO	SMT	PS710BL-1A-ND†	6.90	6.21	5.29	PS710BL-1ATR-ND†	1,000	3554.87
1	80	2000	600	0.15	2.0	0.2	1Kan. NO	Dip	PS710E-1A-A-ND†	5.33	4.80	4.09	—	—	—
1	80	2000	600	0.15	2.0	0.2	1Kan. NO	SMT	PS710EL-1A-ND†	5.38	4.84	4.13	PS710EL-1ATR-ND†	1,000	2773.46
1	100	350	560	2.5	3.0	0.2	1Kan. NO	Dip	PS7113-1A-ND	2.54	2.29	1.95	—	—	—
1	100	350	560	2.5	3.0	0.2	1Kan. NO	SMT	PS7113L-1A-ND	2.90	2.61	2.23	—	—	—
2	100	350	375	2.5	3.0	0.2	2Kan. NO	Dip	PS7113-2A-ND	6.13	5.52	4.70	—	—	—
2	100	350	375	2.5	3.0	0.2	2Kan. NO	SMT	PS7113L-2A-ND	4.92	4.42	3.77	—	—	—
1	250	200	560	8.0	1.5	0.2	1Kan. NO	Dip	PS7122A-1A-A-ND†	3.84	3.45	2.94	—	—	—
1	250	200	560	8.0	1.5	0.2	1Kan. NO	SMT	PS7122AL-1A-ND†	2.65	2.39	2.03	PS7122AL-1ATR-ND†	1,000	1397.74
1	250	200	560	8.0	0.2	1.5	1Kan. NC	Dip	PS7122A-1B-A-ND†	3.07	2.77	2.36	—	—	—
1	250	200	560	8.0	0.2	1.5	1Kan. NC	SMT	PS7122AL-1B-ND†	2.71	2.44	2.08	PS7122AL-1BTR-ND†	1,000	1342.71
2	250	200	375	8.0	1.5	0.2	2Kan. NO	Dip	PS7122A-2A-A-ND†	5.50	4.96	4.22	—	—	—
2	250	200	375	8.0	1.5	0.2	2Kan. NO	SMT	PS7122AL-2A-ND†	4.53	4.08	3.48	PS7122AL-2ATR-ND†	1,000	2377.25
2	250	200	375	8.0	0.2	1.5	2Kan. NC	Dip	PS7122A-2B-A-ND†	5.97	5.38	4.58	—	—	—
2	250	200	375	8.0	1.5/0.2	0.2/1.5	1a + 1b	Dip	PS7122A-1C-A-ND†	4.77	4.29	3.66	—	—	—
1	400	150	560	30.0	1.0	0.2	1Kan. NO	Dip	PS7141-1A-ND	1.84	1.66	1.42	—	—	—
1	400	150	560	24.0	0.02	0.2	1Kan. NC	Dip	PS7141-1B-ND	2.33	2.10	1.79	—	—	—
2	400	150	375	24.0	0.02	0.2	1A und 1B	Dip	PS7141-1C-ND	4.29	3.87	3.30	—	—	—
2	400	150	375	30.0	1.0	0.2	2Kan. NO	Dip	PS7141-2A-ND	4.45	4.01	3.42	—	—	—
2	400	150	375	24.0	0.02	0.2	2Kan. NC	Dip	PS7141-2B-ND	4.87	4.39	3.74	—	—	—
2	400	120	375	35.0	2.0	1.0	2Kan. NO	Dip	PS7141C-2A-A-ND†	5.67	5.11	4.35	—	—	—
2	400	120	375	35.0	2.0	1.0	2Kan. NO	SMT	PS7141CL-2A-ND†	5.71	5.15	4.39	PS7141CL-2ATR-ND†	1,000	2608.37
1	400	120	240	50.0	1.0	0.2	1Kan. NO	DIP	PS7141E-1A-A-ND†	1.68	1.40	1.19	—	—	—
1	400	120	240	50.0	1.0	0.2	1Kan. NO	SMT	PS7141EL-1A-ND†	1.99	1.66	1.41	PS7141EL-1ATR-ND†	1,000	993.06
1	400	150	560	30.0	1.0	0.2	1Kan. NO	SMT	PS7141L-1A-ND	2.12	1.91	1.63	—	—	—
1	400	150	560	24.0	0.02	0.2	1Kan. NC	SMT	PS7141L-1B-ND	2.33	2.10	1.79	—	—	—
2	400	150	375	24.0	0.02	0.2	2Kan. NC	SMT	PS7141L-2B-ND	3.84	3.46	2.95	—	—	—
1	400	200	560	10.0	5.0	0.2	1Kan. NO	Dip	PS7142-1A-ND	2.12	1.91	1.63	—	—	—
1	400	200	560	12.0	0.2	5.0	1Kan. NC	Dip	PS7142-1B-A-ND†	4.00	3.61	3.07	—	—	—
2	400	200	375	12.0	2.0	0.2	1a + 1b	SMT	PS7142-1C-A-ND†	6.67	6.01	5.12	—	—	—
2	400	200	375	12.0	2.0	0.2	2Kan. NO	Dip	PS7142-2A-A-ND†	6.39	5.76	4.91	—	—	—
1	400	200	560	10.0	5.0	0.2	1Kan. NO	SMT	PS7142L-1A-ND	3.01	2.71	2.32	—	—	—
1	400	200	560	12.0	0.2	5.0	1Kan. NC	SMT	PS7142L-1B-ND†	3.67	3.30	2.81	PS7142L-1BTR-ND†	1,000	1948.03
2	400	200	375	12.0	2/0.2	0.2/2	1a + 1b	SMT	PS7142L-1C-ND†	6.88	6.20	5.28	PS7142L-1CTR-ND†	1,000	3499.84
2	400	200	375	12.0	2.0	0.2	2Kan. NO	SMT	PS7142L-2A-ND†	4.77	4.29	3.66	PS7142L-2ATR-ND†	1,000	2245.18
1	600	90	560	50.0	1.5	0.2	1Kan. NO	Sip	PS7160-1A-ND	2.54	2.29	1.95	—	—	—
1	600	90	560	50.0	1.5	0.2	1Kan. NO	SMT	PS7160L-1A-ND	3.14	2.83	2.41	—	—	—
2	600	90	375	50.0	1.5	0.2	2Kan. NO	Dip	PS7160-2A-ND	5.06	4.56	3.88	—	—	—
2	600	90	375	50.0	1.5	0.2	2Kan. NO	SMT	PS7160L-2A-ND	5.06	4.56	3.88	—	—	—
5	60	600	300	0.8	2.0	0.5	1Kan. NO	SOP	PS7206-1A-ND	—	—	2.71	—	—	—
5	100	400	300	1.2	2.0	1.0	1Kan. NO	SOP	PS7214-1A-ND	—	—	2.58	—	—	—
4	400	120	430	30.0	1.0	0.2	1A und PS2701	SOP	PS7241-AT1-ND	2.44	2.20	1.87	—	—	—
3	400	120	430	30.0	1.0	0.2	1A und PS2705	SOP	PS7241-AT5-ND	2.65	2.39	2.03	—	—	—
5	400	120	300	30.0	2.0	0.2	1Kan. NO	SOP	PS7241-1A-ND	2.06	1.72	1.46	—	—	—
5	400	120	300	30.0	0.2	2.0	1Kan. NC	SOP	PS7241-1B-ND	—	—	2.34	—	—	—
5	40	100	100	12.0	0.5	0.2	1Kan. NO	SOP	PS7200A-1A-ND	4.05	3.64	3.10	—	—	—
5	40	250	100	1.5	1.0	0.2	1Kan. NO	SOP	PS7200B-1A-ND	4.61	4.15	3.54	—	—	—
5	40	160	100	3.5	0.5	1.0	1Kan. NO	SOP	PS7200H-1A-ND	4.96	4.47	3.81	—	—	—
5	40	200	100	2.0	1.0	1.0	1Kan. NO	SOP	PS7200K-1A-ND	5.15	4.64	3.95	—	—	—
5	40	120	100	14.0	0.5	1.0	1Kan. NO	SOP	PS7200R-1A-ND	3.45	3.10	2.65	—	—	—
5	40	100	100	12.0	0.5	0.2	1Kan. NO	SOP	PS7200A-1AA-ND†	4.05	3.64	3.10	PS7200A-1AATR-ND†	3,500	2146.14/M
5	40	250	100	1.5	1.0	0.2	1Kan. NO	SOP	PS7200B-1AA-ND†	5.04	4.54	3.87	PS7200B-1AATR-ND†	3,500	2652.40/M
5	40	250	100	1.6	1.0	0.5	1Kan. NO	SOP	PS7200E-1AA-ND†	6.37	5.74	4.89	PS7200E-1AATR-ND†	900	3050.81
5	40	160	100	3.5	0.5	1.0	1Kan. NO	SOP	PS7200H-1AA-ND†	5.67	5.11	4.35	PS7200H-1AATR-ND†	3,500	2993.58/M
5	40	200	100	2.0	0.5	1.0	1Kan. NO	SOP	PS7200K-1AA-ND†	5.67	5.11	4.35	PS7200K-1AATR-ND†	3,500	2993.58/M
5	40	120	200	12.5	0.5	1.0	1Kan. NO	SOP	PS7200R-1AA-ND†	3.68	3.32	2.83	PS7200R-1AATR-ND†	3,500	1893.00/M
5	80	500	300	1.2	0.5	0.5	1Kan. NO	SOP	PS7205B-1A-ND†	4.91	4.42	3.77	PS7205B-1ATR-ND†	3,500	2652.40/M
2	400	120	180	30.0	1/0.2	0.2/1	1a + 1b	SOP	PS7241-1C-ND†	8.36	7.53	6.41	PS7241-1CTR-ND†	1,500	4413.33/M
2	400	120	180	30.0	1.0	0.2	2Kan. NO	SOP	PS7241-2AA-ND†	6.67	6.01	5.12	PS7241-2AATR-ND†	1,500	3059.62/M
2	400	120	180	30.0	0.2	1.0	2Kan. NC	SOP	PS7241-2B-ND†	4.39	3.95	3.36	PS7241-2BTR-ND†	1,500	2256.19.M
5	400	120	300	35.0	1.0	0.2	1Kan. NO	SOP	PS7241E-1A-ND†	1.82	1.52	1.28	PS7241E-1ATR-ND†	3,500	920.68/M
1	400	150	560	10.0	2.0	0.2	1Kan. NO	Dip	PS7341-1A-ND	1.89	1.70	1.45	—	—	—
1	400	150	560	30.0	0.2	1.5	1Kan. NC	Dip	PS7341-1B-A-ND†	3.03	2.73	2.33	—	—	—
1	400	120	560	35.0	1.0	1.0	1Kan. NO	Dip	PS7341C-1A-A-ND†	2.86	2.58	2.20	—	—	—
1	400	120	560	35.0	1.0	1.0	1Kan. NO	SMT	PS7341CL-1ACT-ND†	1.85	1.67	1.42	PS7341CL-1ATR-ND†	1,000	1035.65
1	400	150	560	10.0	2.0.0	0.2	1Kan. NO	SMT	PS7341L-1A-ND	2.12	1.91	1.63	—	—	—
1	400	150	560	30.0	0.2	1.5	1Kan. NC	SMT	PS7341L-1B-ND†	3.13	2.82	2.41	PS7341L-1BTR-ND†	1,000	1040.05
1	400	200	560	5.0	5	0.2	1Kan. NO	Dip	PS7342-1A-ND	3.71	3.34	2.85	—	—	—
1	600	90	560	50.0	2.0	0.2	1Kan. NO	Dip	PS7360-1A-ND	2.76	2.49	2.12	—	—	—
1	600	90	560	50.0	2.0	0.2	1Kan. NO	SMT	PS7360L-1A-ND	3.36	3.03	2.58	—	—	—
5	350	120	310	36.0	3.0	0.2	1Kan. NO	SOP	PS7431-1A-ND†	3.24	2.92	2.49	PS7431-1ATR-ND†	1,000	1661.88
1	200	200	560	5.0	12.0	6.5	1Kan. NO	Dip	PS7522-1A-ND	3.47	3.13	2.67	—	—	—
2	200	200	375	5.0	12.0	6.5	2Kan. NO	Dip	PS7522-2A-ND	5.41	4.87	4.15	—	—	—
5	40	100	250	14	0.5	1.0	1Kan. NO	Mini-Flat	PS7801-1A-ND†	6.60	5.95	5.07	PS7801-1ATR-ND†	3,500	3400.80/M
5	40	250	100	1.6	0.5	0.5	1Kan. NO	Mini-Flat	PS7802-1A-ND†	6.77	6.10	5.20	PS7802-1ATR-ND†	3,500	3543.87/M

† Bleifrei/RoHS-konform

H

Alle Preisangaben in Euro und inklusive Zollgebühren.

Abb. 1

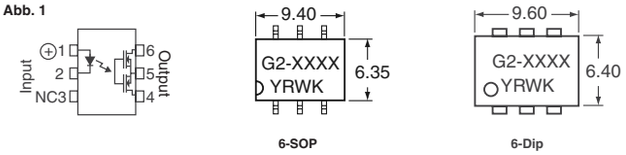

6-SOP 6-Dip

Abb. 2

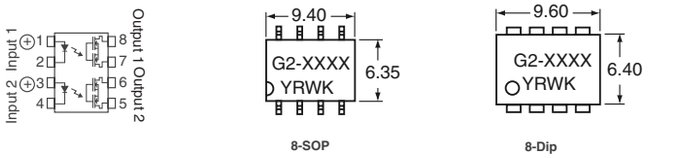

8-SOP 8-Dip

Festkörperrelais der Serie G2 von Crydom zeichnen sich durch extrem niedrigen RDSon, niedrigen Leckstrom und lange Lebensdauer aus. Festkörperrelais von Crydom verfügen meist über einen optischen Koppler, dessen Leistung die Leitung direkt antreibt oder für das Schalten eines High-Power-Geräts, wie z.B. eines siliziumgesteuerten Gleichrichters (SCR) oder Thyristors, verwendet wird. Unabhängig von der Antriebskomponente gewährleisten die optische Isolierung und die nicht beweglichen Teile des Geräts diese Leistungsmerkmale. Zu diesen Merkmalen gehören: hohe E/A-Isolierung (auch wenn Leckstrom ein Problem darstellt), lange Lebensdauer (wird in Millionen von Schaltungen gemessen), geringes akustisches Rauschen, keine Kontaktfederung/Kontaktfeuer, mechanische Robustheit und geringe Antriebsstromanforderungen. In Röhrenverpackungen für kleine Mengen und Prototyparbeiten erhältlich. Band- und-Spulenverpackung für automatische Geräteeinführung.

Abb.	Kontakt	Eingangs-spannung	Eingang I (mA)	Schalt-spannung	Schalter I (mA)	Paket	Digi-Key Teilenr.	Preis pro Röhre 1	10	25	Crydom Teilenr.	Digi-Key Teilenr.	Geguret auf Rolle Größe	Preisangaben	Crydom Teilenr.
Serie G2, Festkörper-Mosfet															
1	SPST-NO	1.4V	10-30	400V	150	6-Dip	CC1302-ND	2.10	1.91	1.53	G2-1A03-TT	—	—	—	—
	SPST-NO	1.4V	10-30	400V	150	6-SOP	CC1303-ND	2.10	1.91	1.53	G2-1A03-ST	CC1303TR-ND	2,000	1062.91/M	G2-1A03-SR
	SPST-NO	1.4V	10-30	400V	120	6-SOP	CC1305-ND	1.91	1.74	1.39	G2-1A05-ST	CC1305TR-ND	2,000	971.48/M	G2-1A05-SR
	SPST-NO	1.4V	10-30	250V	150	6-SOP	CC1307-ND	2.10	1.91	1.53	G2-1A06-ST	CC1307TR-ND	2,000	1062.91/M	G2-1A06-SR
	SPST-NC	1.4V	10-30	350V	330	6-SOP	CC1311-ND	2.57	2.33	1.87	G2-1B01-ST	CC1311TR-ND	2,000	1272.06/M	G2-1B01-SR
Serie G2, Multi-Ausgangs-Festkörper-Mosfet															
2	DPST-NO	1.4V	15-40	15V	150	8-Dip	CC1314-ND	5.24	4.77	3.81	G2-2A03-TT	—	—	—	—
	DPST-NO	1.4V	15-40	15V	150	8-SOP	CC1315-ND	5.24	4.77	3.81	G2-2A03-ST	—	—	—	G2-2A03-SR
	DPDT-O/C	1.4V	10-30	400V	110	8-Dip	CC1316-ND	4.43	4.03	3.22	G2-AB01-TT	—	—	—	—
	DPDT-O/C	1.4V	10-30	400V	110	8-SOP	CC1317-ND	4.43	4.03	3.22	G2-AB01-ST	—	—	—	G2-AB01-SR
	DPDT-O/C	1.4V	10-30	250V	150	8-Dip	CC1318-ND	4.43	4.03	3.22	G2-AB02-TT	—	—	—	—
	DPDT-O/C	1.4V	10-30	250V	150	8-SOP	CC1319-ND	4.43	4.03	3.22	G2-AB02-ST	CC1319TR-ND	2,000	2205.82/M	G2-AB02-SR
	DPST-NO	1.4V	10-30	400V	110	8-SOP	CC1321-ND	4.19	3.81	3.05	G2-DA01-ST	CC1321TR-ND	2,000	2091.53/M	G2-DA01-SR
	DPST-NO	1.4V	10-30	400V	70	8-SOP	CC1323-ND	4.00	3.64	2.92	G2-DA02-ST	CC1323TR-ND	2,000	2000.10/M	G2-DA02-SR
	DPST-NO	1.4V	10-30	250V	125	8-SOP	CC1327-ND	4.19	3.81	3.05	G2-DA06-ST	CC1327TR-ND	2,000	2091.53/M	G2-DA06-SR
	DPST-NC	1.4V	10-30	350V	120	8-Dip	CC1328-ND	4.54	4.13	3.31	G2-DB01-TT	—	—	—	—
	DPST-NC	1.4V	10-30	350V	120	8-SOP	CC1329-ND	4.54	4.13	3.31	G2-DB01-ST	CC1329TR-ND	2,000	2262.96/M	G2-DB01-SR
	DPST-NC	1.4V	10-30	250V	140	8-Dip	CC1330-ND	4.54	4.13	3.31	G2-DB02-TT	—	—	—	—
	DPST-NC	1.4V	10-30	250V	140	8-SOP	CC1331-ND	4.54	4.13	3.31	G2-DB02-ST	CC1331TR-ND	2,000	2262.96/M	G2-DB02-SR

Festkörperrelais

Abb. 1

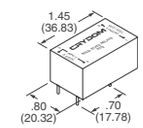

Diese Festkörperrelais verbinden eine kompakte Größe mit hoher Leistung in einem leiterplattenmontierten SPST-NO-Design. Serie 3 ist mit (Typ S30) oder ohne Snubber-Netzwerk (Typ S3) erhältlich und eignet sich sehr gut als Ersatz für Reed-Leistungsrelais in Mikroprozessoren oder computergestützten Logik-systemen. Wurden für anspruchsvolle Umgebungen konzipiert und zeichnen sich durch lange und verlässliche Lebensdauer aus.

Abb. 2

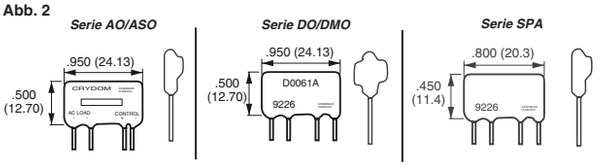

Serie AO/ASO

• SPST-NO Miniatur, SIP-Festkörperrelais • Für die Schaltung äußerst induktiver, niedriger Stromlasten, wie z.B. Solenoide. Auch für alle anderen Lasten bis zu 1,5 A geeignet. R-Suffix: zufäll. Einschaltversionen.

Serie DO/DMO

• SPST-NO DC bipolare Transistor-Leistungsrelais in mit Epoxid beschichteten Gehäusen und mit gängigem 2,54-cm-Rastermaß. DMO063, Mosfet-Leistung von 3 A/60 V DC.

Abb. 3

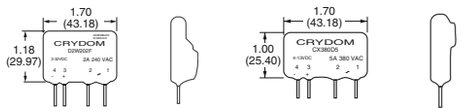

Serie D2W *Serie CX - CMX*

Serie D2W • Leiterplattenmontage • Mit Epoxid beschichtetes Gehäuse für maximale Umweltfreundlichkeit. Pinouts sind mit E/A-Modulen, Typ OAC, kompatibel.

Serie CX - CMX • Extrem hoher Stromstoß • Leiterplattenmontage • SPST-NO-Relais für bestmögliche Schaltkapazität in einem leiterplattenmontierten, luftgekühlten Paket. Außergewöhnliche Merkmale wie hervorragender stationärer Strom und sehr hohe Stromstoßleistung. Neue Festkörperrelais, DC, SPST-NO, verwenden MOSFET-Ausgang für hohe Schaltkapazität in einem leiterplattenmontieren und luftgekühlten Gehäuse. Pinouts sind mit E/A-Modulen, Serie 6 und Typ OAC, kompatibel.

Abb. 4

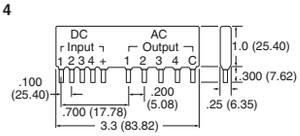

Serie CTX - 4 Relais in einem SIP-Paket — Triac-Ausgang

CTX240D3Q bietet vier unabhängig voneinander gesteuerte Festkörperrelais in einem kompakten, leiterplattenmontierten Paket. CTX zeichnet sich durch hervorragenden stationären Strom aus und verwendet äußerst effizientes Thermal-Management für längere Standzeiten. CTX240D3Q für Nulldurchgang und CTX240D3QR für zufällige Einschaltung:

1 Abschnitt für: 0,1 - 6,0 A
2 Abschnitte für: 0,1 - 4,0 A
3 Abschnitte für: 0,1 - 3,0 A
4 Abschnitte für: 0,1 - 2,5 A

Abb. 5

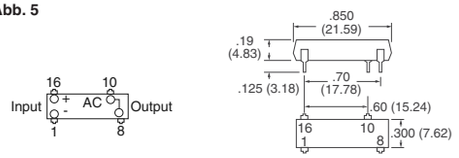

Serie DPA/SDV/SDI Dip-Relais — SCR-Ausgang

Relais der Serie DPA werden in gewünschter Spannung oder Stromstärke angeboten und zeigen die Leistung bei 1 A. Relais der Serie SDV/SDI mit 1,5 A bei einer Umgebungstemperatur von 40 °C. Als Nulldurchgangs-Einschaltversion oder zufällige Einschaltversion (R) und strom- oder spannungsgesteuert erhältlich. Relais der Serie SDV sind spannungsgesteuert und Relais der Serie SDI sind stromgesteuert.

Abb.	Eingangs-spannung	Betr. Spann.	Freigabe-spannung	Ausgangs-spannung	Last-strom (Arms)	Digi-Key Teilenr.	Stückpreis 1	10	25	Crydom Teilenr.
Serie 3 — DC-Eingang, AC -Ausgang										
1	3.5-8VDC	3.5VDC	1.0VDC	20-140VAC	.02-3	CC1132-ND	23.18	20.29	18.55	S312
	3.5-8VDC	3.5VDC	1.0VDC	20-140VAC	.02-3	CC1133-ND	22.11	19.35	17.70	S3012A
	3.5-8VDC	3.5VDC	1.0VDC	40-280VAC	.02-3	CC1134-ND	24.08	21.07	19.27	S3022A
Serie AO — DC-Eingang, AC-Ausgang — SCR-Typ Mini-SIP										
2	4-10VDC	4.0VDC	1.0VDC	24-280VAC	.02-1.0	CC1049-ND	8.21	7.19	6.57	AO241
	4-10VDC	4.0VDC	1.0VDC	24-280VAC	.02-1.0	CC1115-ND	8.21	7.19	6.57	AO241R
	4-10VDC	4.0VDC	1.0VDC	12-280VAC	.02-1.5	CC1050-ND	8.21	7.19	6.57	ASO241
	4-10VDC	4.0VDC	1.0VDC	12-280VAC	.02-1.5	CC1116-ND	8.21	7.19	6.57	AS0241R
	4-10VDC	4.0VDC	1.0VDC	12-280VAC	.06-2.0	CC1336-ND	9.89	8.66	7.92	ASO242
	4-10VDC	4.0VDC	1.0VDC	12-280VAC	.06-2.0	CC1337-ND	9.89	8.66	7.92	AS0242R
Serie DO/DMO — DC-Eingang, DC-Ausgang — bipolar, Typ Mini-SIP										
2	3-9VDC	3.0VDC	1.0VDC	3-60VDC	.02-1.0	CC1060-ND	7.43	6.51	5.95	DO061A
	1.7-9VDC	1.7VDC	0.8VDC	3-60VDC	.02-1.0	CC1061-ND	7.43	6.51	5.95	DO061B
	3-10VDC	3.0VDC	1.0VDC	0-60VDC	0-3A	CC1139-ND	14.48	12.67	11.59	DMO063
Serie SPA — SIP-Relais, SCR-Ausgang										
2	10-35mA	10mA	1mA	20-140VAC	.025-1.0VAC	CC1338-ND	7.52	6.58	6.02	SPA4191
	10-35mA	10mA	1mA	20-280VAC	.025-1.0VAC	CC1339-ND	8.21	7.19	6.57	SPA6191
Serie D2W — DC-Eingang, AC-Ausgang — Triac, Typ SIP										
3	3-32VDC	3.0VDC	1.0VDC	24-280VAC	.06-2.0	CC1069-ND	8.03	7.03	6.43	D2W202F
	3-32VDC	3.0VDC	1.0VDC	24-280VAC	.06-3.0	CC1118-ND	8.50	7.44	6.80	D2W203F
	3-32VDC	3.0VDC	1.0VDC	24-280VAC	.06-3.5	CC1062-ND	9.01	7.89	7.21	D2W203F-11

Abb.	Eingangs-spannung	Betr. Spann.	Freigabe-spannung	Ausgangs-spannung	Last-strom (Arms)	Digi-Key Teilenr.	Stückpreis 1	10	25	Crydom Teilenr.
Serie CX/CMX — DC- oder AC-Eingang, DC- oder AC-Ausgang — SCR-Typ SIP										
3	3-15VDC	3.0VDC	1.0VDC	12-280VAC	.06-5.0	CC1063-ND	9.97	8.73	7.98	CX240D5
	15-32VDC	15VDC	1.0VDC	12-280VAC	.06-5.0	CC1064-ND	9.97	8.73	7.98	CXE240D5
	3-15VDC	3.0VDC	1.0VDC	12-280VAC	.06-5.0	CC1119-ND	9.97	8.73	7.98	CX240D5R
	4-13VDC	4.0VDC	1.0VDC	48-530VAC	.06-5.0	CC1120-ND	12.72	11.13	10.18	CX380D5
	3-10VDC	3.0VDC	1.0VDC	0-100VDC	0-6.0A	CC1124-ND	27.40	23.98	21.92	CMX100D6
	3-10VDC	3.0VDC	1.0VDC	0-60VDC	0-10A	CC1125-ND	27.40	23.98	21.92	CMX60D10
	4-13VDC	4.0VDC	1.0VDC	48-660VAC	.06-5.0	CC1065-ND	13.99	12.24	11.19	CX480D5
	15-32VDC	15VDC	1.0VDC	48-660VAC	.06-5.0	CC1066-ND	13.99	12.24	11.19	CXE480D5
	90-140VAC	90VAC	10.0VAC	12-280VAC	.06-5.0	CC1332-ND	11.16	9.77	8.93	CX240A5
	15-32VDC	15VDC	1.0VDC	12-280VAC	.06-5.0	CC1333-ND	11.16	9.77	8.93	CXE240D5
Serie CTX - 4 Relais in einem SIP-Paket — Triac-Ausgang										
4	4-10VDC	4.0VDC	1.0VDC	24-280VAC	.1-6.0A	CC1140-ND	36.76	32.17	29.41	CTX240D3Q
	4-10VDC	4.0VDC	1.0VDC	24-280VAC	.1-6.0A	CC1141-ND	36.76	32.17	29.41	CTX240D3QR
Serie DPA/SDV/SDI Dip-Relais — SCR-Ausgang										
5	10-35mA	10mA	1.0mA	20-140VAC	.025-1.0A	CC1153-ND	7.89	6.91	6.32	DPA4111
	3.5-10VDC	3.5VDC	1.0VDC	20-140VAC	.025-1.0A	CC1154-ND	7.89	6.91	6.32	DPA4119
	10-35mA	10mA	1.0mA	20-280VAC	.025-1.0A	CC1155-ND	8.14	7.13	6.52	DPA6111
	3.5-10VDC	3.5VDC	1.0VDC	20-280VAC	.025-1.0A	CC1156-ND	8.14	7.13	6.52	DPA6119
	3.5-10VDC	3.5VDC	1.0VDC	12-280VAC	.025-1.5A	CC1157-ND	8.42	7.37	6.74	SDV2415
	3.5-10VDC	3.5VDC	1.0VDC	12-280VAC	.025-1.5A	CC1158-ND	8.42	7.37	6.74	SDV2415R
	10-35mA	10mA	1.0mA	12-280VAC	.025-1.5A	CC1159-ND	8.42	7.37	6.74	SDI2415

Abb. 1

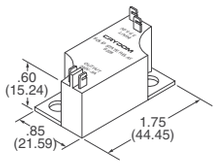

Die Relais sind kompakt mit hoher Leistung in einem Gehäuse für einfache Kühlkörper- oder Schalttafelmontage. Standardm. 0,187-Aufdrück-Anschlussklemmen für Schnellanschluss und bestmögliche Isolierung zwischen Signal- und Stromkreisen. Modell S228C ohne Überspannungsschutz für Anwendungen, die im Aus-Zustand geringen Leckstrom erfordern.

Abb. 2

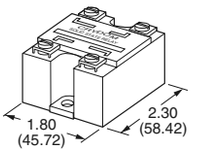

Serie PCV, analoger Leistungsregler

Analoge Eingangs-Leistungsregler der Serie PCV sind 0 - 100 % variable Leistungssteuerungen für Lasten mit 120 oder 240 V AC, die um analoge Eingänge von 2 bis 10 V DC variieren. Proportionaler Ein- und Ausgang durch Integration eines kompletten logischen Systems und eines Festkörperrelais im selben Paket Zu den Anwendungen gehören Heizgeräte, Beleuchtung, Motoren, elektrische Zuleitungen usw.

Abb. 3

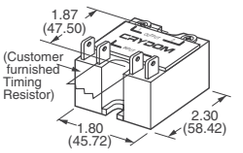

Typische Einschaltverzögerung für unterschiedliche Timing-Widerstände		
Widerstand	Zeit (DSD)	Zeit (DLD)
0 (Short)	0.10 Sek.	1.6 Sek.
10KΩ	0.19 Sek.	3.1 Sek.
100KΩ	0.94 Sek.	15 Sek.
470KΩ	4.0 Sek.	64 Sek.
1.0MΩ	8.3 Sek.	133 Sek.

Serie DSD, DLD Zeitverzögerungsrelais

Mit diesen Verzögerungsrelais (Verzögerung Ein) kann der Kunde durch Auswahl des Wertes für den externen, vom Kunden bereitgestellten Widerstand die Verzögerungszeit extern einstellen. DSD für kurzzeitige Verzögerungen und DLD für längere Verzögerungen. Widerstände mind. 1/4 Watt oder höher.

Abb. 4

Serie PF

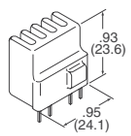

Die Serie PowerFin™ gewährleistet höchste Leistung für einzelne SIP-Pakete (Single Inline Packages). Integriertes Kühlkörperdesign für Betrieb bei 25 A RMS in Umluft bei 85 °C Gehäusetemp. Bei natürlicher Konvektion in freier Luft, 10 A RMS bei 25 °C Umgebungstemperatur.

Serie ASPF

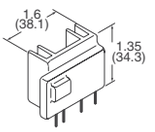

Festkörperrelais der Serie ASPF verbinden das PowerFin™-Design mit integriertem Kühlkörper im kompakten Mini-SIP-Paket. Für 3,0 A bis zu 45 °C; dieses SPST-NO AC-Festkörperrelais ist für Anwendungen geeignet, die eine präzise Stromsteuerung erfordern. Versionen für Nullspannung und zufälliges Schalten (R-Suffix) werden angeboten.

Abb. 5

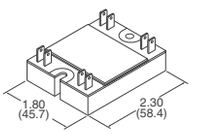

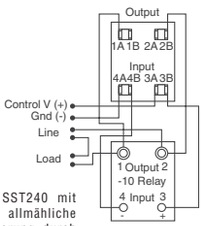

Module der Modelle SST120 und SST240 mit zusätzlichen Funktionen für eine allmähliche Stromzuführung zur Last bei Aktivierung durch Steuerspannung. Teil wird komplett mit Soft-Start-Modul und Relais angeboten.

Abb. 6

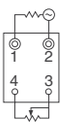

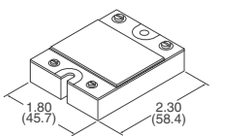

Proportionale Controller der Serie RPC bieten eine preiswerte Methode zur Leistungssteuerung in zahlreichen Anwendungsbereichen, wie z.B. Heizgeräten, Universalmotoren oder Glühlampen. Für die Steuerung ist lediglich ein vom Kunden bereitgestelltes Potentiometer erforderlich.

Abb. 7

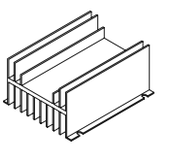

Kühlkörper mit vorgeschnittenen Öffnungen für Festkörperrelais-Gehäuse.

Abb.	Eingangs-spannung	Betriebs-spannung	Freigabe-spannung	Ausgangs-spannung	Last-strom (Arms)	Digi-Key Teilenr.	Stückpreis 1	10	25	Crydom Teilenr.
Serie 2 — DC-Eingang, AC-Ausgang										
1	3.5-8VDC	3.5VDC	1.0VDC	20-140VAC	.02-8	CC1129-ND	27.99	24.49	22.40	S218
	3.5-8VDC	3.5VDC	1.0VDC	40-280VAC	.02-8	CC1130-ND	29.46	25.78	23.57	S228
	3.5-8VDC	3.5VDC	1.0VDC	40-280VAC	.02-8	CC1131-ND	29.46	25.78	23.57	S228C
Serie PCV, analoger Leistungsregler										
2	2-10VDC	2.0VDC	1.0VDC	100-240VAC	.15-15A	CC1161-ND	71.94	62.96	57.56	10PCV2415
	2-10VDC	2.0VDC	1.0VDC	100-240VAC	.15-25A	CC1162-ND	79.68	69.73	63.75	10PCV2425
	2-10VDC	2.0VDC	1.0VDC	100-240VAC	.15-40A	CC1163-ND	94.07	82.32	75.26	10PCV2440
Serie DSD, DLD Zeitverzögerungsrelais										
3	3.5-15VDC	3.5VDC	1.0VDC	48-280VAC	.04-10A	CC1174-ND	36.51	31.95	29.21	DSD2410
	3.5-15VDC	3.5VDC	1.0VDC	48-280VAC	.04-25A	CC1175-ND	37.66	32.95	30.13	DSD2425
	3.5-15VDC	3.5VDC	1.0VDC	48-280VAC	.04-50A	CC1176-ND	39.72	34.76	31.78	DSD2450
	3.5-15VDC	3.5VDC	1.0VDC	48-280VAC	.04-10A	CC1177-ND	36.51	31.95	29.21	DLD2410
	3.5-15VDC	3.5VDC	1.0VDC	48-280VAC	.04-25A	CC1178-ND	37.66	32.95	30.13	DLD2425
	3.5-15VDC	3.5VDC	1.0VDC	48-280VAC	.04-50A	CC1179-ND	39.72	34.76	31.78	DLD2450
Serie PF, ASPF – PowerFin™										
4	4-10VDC	4.0VDC	1.0VDC	24-280VAC	.1-3A	CC1334-ND	9.97	8.73	7.98	ASPF240D3
	4-10VDC	4.0VDC	1.0VDC	24-280VAC	.1-3A	CC1335-ND	9.97	8.73	7.98	ASPF240D3R
	90-140VAC	90.0VAC	10.0VAC	12-280VAC	.06-10	CC1340-ND	19.73	17.26	15.79	PF240A25
	3-15VDC	3.0VDC	1.0VDC	12-280VAC	.06-10	CC1341-ND	18.22	15.95	14.58	PF240D25
	15-32VDC	15.0VDC	1.0VDC	12-280VAC	.06-10	CC1342-ND	18.22	15.95	14.58	PFE240D25

Abb.	Wider-stand (Ω)	Betriebs-spannung	Freigabe-spannung	Ausgangs-spannung	Last-strom (Arms)	Digi-Key Teilenr.	Stückpreis 1	10	25	Crydom Teilenr.
Serie SST – Soft-Start-Module										
5	3.5-10VDC	3.5VDC	1.0VDC	90-140VAC	.04-10	CC1343-ND	57.09	49.96	45.68	10SST240
	3.5-10VDC	3.5VDC	1.0VDC	90-140VAC	.04-25	CC1344-ND	57.50	50.32	46.01	25SST120
	3.5-10VDC	3.5VDC	1.0VDC	90-140VAC	.04-50	CC1345-ND	60.04	52.54	48.04	40SST120
Serie RPC – Potentiometer-Stromsteuerung										
6	150K (1W)	—	—	90-130VAC	15	CC1346-ND	54.05	47.30	43.24	RPC1215
	150K (1W)	—	—	90-130VAC	25	CC1347-ND	69.91	61.18	55.93	RPC1225
	150K (1W)	—	—	90-130VAC	40	CC1348-ND	95.36	83.45	76.29	RPC1240
	1M (1/2W)	—	—	200-240VAC	15	CC1349-ND	59.02	51.65	47.22	RPC2415
	1M (1/2W)	—	—	200-240VAC	25	CC1350-ND	73.15	64.01	58.52	RPC2425
	1M (1/2W)	—	—	200-240VAC	40	CC1351-ND	101.73	89.02	81.39	RPC2440
Festkörperrelais-Zubehör										
7	Kühlkörper für Relais bis zu 10 A (3,3" x 2,06") (8,38 cm x 5,23 cm)					CC1113-ND	8.01	7.01	6.41	HS-1
	Kühlkörper für Relais bis zu 25 A (3,3" x 4,1") (8,38 cm x 10,41 cm)					CC1207-ND	11.75	10.29	9.41	HS-2
	Kühlkörper für Relais bis zu 75 A (5,5" x 4,8") (13,97 cm x 12,19 cm)					CC1208-ND	11.75	10.29	9.41	HE-54
	Kühlkörper für Relais bis zu 90 A (6,0" x 6,0") (15,24 cm x 15,24 cm)					CC1114-ND	82.07	71.82	65.66	HE-90
—	Schutzabdeckung für Relais der Serie 1					CC1070-ND	2.57	2.26	2.06	KS-100
	Schutzabdeckung für Relais der Serie 53TP					CC1171-ND	4.18	3.66	3.35	KS-300
	EMI-Filter für 1-Phasen-Relais zur Reduzierung von allg. Rauschen					CC1172-ND	8.86	7.75	7.09	1F25
	EMI-Filter für 3-Phasen-Relais zur Reduzierung von allg. Rauschen					CC1173-ND	20.05	17.55	16.04	3F20

Abb. 8

Standard

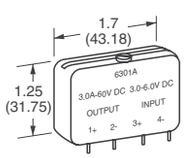

Mini

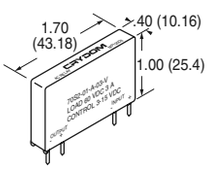

Serie IAC, IDC, OAC, ODC

• Opto-isoliert • Festkörper-E/A-Schaltmodule für eine elektrisch saubere, photoisolierte, rauschfreie „Ausgangs"-Schnittstelle von logischen Steuersystemen zu externen Lasten, wie z.B. Motoren, Ventilen, Solenoiden usw. DMP-Versionen sind zur schnellen Wärmeübertragung mit einer epoxidkonformen Beschichtung versehen.

Serie 6

Gepufferte Ausgangsmodule der Serie 6 mit zusätzlicher interner Verstärkung, um die Antriebsanforderungen auf ein Niveau zu reduzieren, das für die in zahlreichen Mikroprozessorsystemen verwendeten Mos-Geräte geeignet ist. Modelle sind entweder mit invertierenden oder nicht invertierenden Eingängen für eine 5- oder 15-Volt-Logik erhältlich.

Abb.	Eingangs-spannung	Eingang I (mA)	Ausgangs-strom @	Betriebs-spannung	Ein-schalt-zeit	Aus-schalt-zeit	Digi-Key Teilenr.	Stückpreis 1	10	25	Crydom Teilenr.
E/A-Module — 5 V DC Systemspannung											
8	90-140VAC	7	.1-100mA	.4-30VDC	20ms	20ms	CC1200-ND	7.01	6.14	5.61	IAC-5
	180-280VAC	5	.1-100mA	.4-30VDC	20ms	20ms	CC1201-ND	7.01	6.14	5.61	IAC-5A
	10-36VDC	8	.1-100mA	.4-30VDC	5ms	5ms	CC1202-ND	7.01	6.14	5.61	IDC-5
	3-6VDC	19	.02-3A	12-140VAC	.5 cycle	.5 cycle	CC1203-ND	7.01	6.14	5.61	OAC-5
	3-6VDC	19	.02-3A	24-280VAC	.5 cycle	.5 cycle	CC1204-ND	7.01	6.14	5.61	OAC-5A
	3-6VDC	14	.02-3A	5-60VDC	.3 ms	.3 ms	CC1205-ND	7.01	6.14	5.61	ODC-5
	90-140VDC	6	.1-100mA	.4-30VDC	20ms	20ms	CC1235-ND	11.06	9.68	8.85	DMP6201A
	180-280VDC	4	.1-100mA	.4-30VDC	20ms	20ms	CC1236-ND	11.94	10.45	9.55	DMP6202A
	3-6VDC	3	.02-3A	5-60VDC	.5ms	.5ms	CC1237-ND	11.16	9.77	8.93	DMP6301A
	3-6VDC	4	.02-3A	24-280VAC	.5 cycle	.5 cycle	CC1238-ND	11.94	10.45	9.55	DMP6402A
E/A-Module — 15 V DC Systemspannung											
8	90-140VAC	7	.1-100mA	.4-30VDC	20ms	20ms	CC1210-ND	7.01	6.14	5.61	IAC-15
	10-36VDC	8	.1-100mA	.4-30VDC	5ms	5ms	CC1211-ND	7.01	6.14	5.61	IDC-15
	9-18VDC	20	.02-3A	12-140VAC	.5 cycle	.5 cycle	CC1212-ND	7.01	6.14	5.61	OAC-15
	9-18VDC	14	.02-3A	5-60VDC	.3ms	.3ms	CC1213-ND	7.01	6.14	5.61	ODC-15
E/A-Module — 24 V DC Systemspannung											
8	90-140VAC	7	.1-100mA	4-30VDC	20ms	20ms	CC1214-ND	7.01	6.14	5.61	IAC-24
	10-36VDC	8	.1-100mA	.4-30VDC	5ms	5ms	CC1215-ND	7.01	6.14	5.61	IDC-24
	18-28VDC	10	.02-3A	12-140VAC	.5 cycle	.5 cycle	CC1216-ND	7.01	6.14	5.61	OAC-24
	18-28VDC	10	.02-3A	5-60VDC	.3ms	.3ms	CC1217-ND	7.01	6.14	5.61	ODC-24

Abb.	Eingangs-spannung	Eingang I (mA)	Ausgangs-strom @	Betriebs-spannung	Ein-schalt-zeit	Aus-schalt-zeit	Digi-Key Teilenr.	Stückpreis 1	10	25	Crydom Teilenr.
Serie 6 — AC & DC gepufferte Module											
8	0-.8VDC	100µA	.02-3A	3-60VDC	100µS	100µS	CC1239-ND	18.05	15.80	14.44	6311
	2.4-6VDC	250µA	.02-3.5A	3-60VDC	100µS	100µS	CC1240-ND	18.46	16.15	14.77	6321
	0-.8VDC	100µA	.02-3.5A	24-280VAC	.5 cycle	.5 cycle	CC1242-ND	18.54	16.23	14.84	6412
	2.4-6VDC	250µA	.02-3.5A	12-140VAC	.5 cycle	.5 cycle	CC1243-ND	16.49	14.43	13.20	6421
Montageplatte für 4 Pos. Std. E/A-Module (Neue Logik), Schraubanschluss							CC1206-ND	35.07	30.69	28.06	PB-4
Mnt. Platte für 4 Pos. Std. E/A-Module (neg. oder pos. Logik) Schraubanschluss							CC1218-ND	38.28	33.50	30.63	PB-4R
Montageplatte für 8 Pos. Std. E/A-Module (Direktsteckverb.)							CC1219-ND	68.51	59.95	54.81	PB-8
Montageplatte für 16 Pos. Std. E/A-Module (Schraubklemmen)							CC1220-ND	158.82	138.97	127.06	PB-16T
Montageplatte für 16 Pos. Std. E/A-Module (Direktsteckverb.)							CC1221-ND	125.26	109.61	100.22	PB-16A
Mini E/A-Module — 5 V DC Systemspannung											
8	90-140VAC	7	.1-100mA	.4-30VDC	20ms	20ms	CC1222-ND	7.01	6.14	5.61	MIAC-5
	10-36VDC	8	.1-100mA	.4-30VDC	5ms	5ms	CC1223-ND	7.01	6.14	5.61	MIDC-5
	3-6VDC	19	.02-3A	12-140VAC	.5 cycle	.5 cycle	CC1224-ND	7.01	6.14	5.61	MOAC-5
	3-6VDC	19	.02-3A	24-280VAC	.5 cycle	.5 cycle	CC1225-ND	7.01	6.14	5.61	MOAC-5A
	3-6VDC	14	.02-3A	5-60VDC	.3ms	.3ms	CC1226-ND	7.01	6.14	5.61	MODC-5
Mini E/A-Module — 24 V DC Systemspannung											
8	10-36VDC	8	.1-100mA	.4-30VDC	5ms	5ms	CC1227-ND	7.01	6.14	5.61	MIDC-24
	18-28VDC	15	.02-3A	12-140VAC	.5 cycle	.5 cycle	CC1228-ND	7.01	6.14	5.61	MOAC-24
	18-28VDC	10	.02-3A	5-60VDC	.3ms	.3ms	CC1229-ND	7.01	6.14	5.61	MODC-24
Montageplatte für 4 Pos. Mini-E/A-Module (Schraubanschluss)							CC1230-ND	35.07	30.69	28.06	MS-4
Montageplatte für 8 Pos. Mini-E/A-Module (Direktsteckverb.)							CC1231-ND	68.51	59.95	54.81	MS-8H
Montageplatte für 16 Pos. Mini-E/A-Module (Direktsteckverb.)							CC1232-ND	125.26	109.61	100.22	MS-16H
Montageplatte for 24-pos. Mini-E/A-Module (Direktsteckverb.)							CC1233-ND	211.89	185.41	169.51	MS-24H

H

Alle Preisangaben in Euro und inklusive Zollgebühren.

Abb. 1

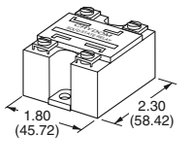

Serie 1, HD, HA: • Diese bewährten SPST-NO-Relais sind selbst für anspruchsvollste Anwendungen äußerst zuverlässig. Ausgang mit SCR AC-Schalter, als Nullspannungs-Einschalt-Modell oder zuf. Einschaltmodell, phasengesteuert erhältlich. (-10 Versionen sind phasengesteuert. Crydom-Teilenummern, die auf „B" enden, sind Ruhekontakt-Versionen.)

Serie T: • Industriestandard-Gehäuse • Mit Überspannungsschutz für anspruchsvolle DV/DT-Anwendungen und induktive Lasten, mit Nullspannungs-Schaltung, um Einschaltstoßstrom und elektrisches Rauschen zu reduzieren.

Serie H12: • Hochspannungsrelais für IC-Schaltkreise für Schaltlasten bis zu 660 V AC mit 1.200 Volt Sperrstandard.

Serie 1-DC: • Geringer Widerstand im EIN-Zustand • Parallelschaltungskapazität für größere Stromstärken • DC-Ausgangsrelais, mit MOSFET-Technologie für geringen Widerstand im EIN-Zustand, für einfache Parallelschaltung und Schaltkapazität bis zu 40 A bei 100 V DC.

Serie CS: • Geringer Leckstrom • SCR AC Schaltermodelle, geringer Leckstrom (ohne Überspannungsschutz), Nullspannungsschaltung und größerer Betriebsbereich für 120 V/240 V AC Netzspannung.

Abb. 2

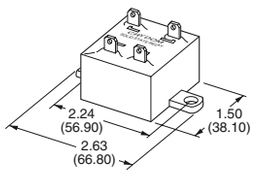

Serie EZ: • Geringer Leckstrom • Schnellanschlussklemmen • Bietet flaches Paket und vorteilhafte Schnellanschlussklemmen • 4.000 Vrms Opto-Isolierung und geringer Leckstrom standardm.

Abb. 3

Zweif.-Relais

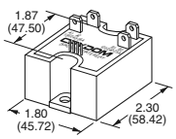

Vierf.-Relais

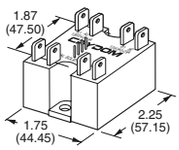

Zwei (Zweifach) und vier (Vierfach) unabhängige AC-Ausgangsrelais werden in einem standardmäßigen plattenmontierten Gehäuse angeboten. Bei Verwendung eines AC-Schalterausgangs mit Überspannungsschutz bieten diese Relais besseren Schutz gegen falsche Auslösung.

Abb. 4

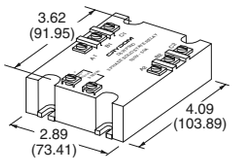

• SCR-Ausgang • AC- oder DC-Steuerung • LED-Statusanzeige, 3-Phasen-Festkörper-Relaisschalter, bis zu 530 Vrms direkt für Lasten, wie z.B. Motoren, Transformatoren, Heizelemente usw. Als AC oder DC-Eingangsmodell (Spule) erhältlich. Für Kühlkörper Teile-Nr. CC1114-ND verwenden.

Abb.	Eingangs-sp.	Betriebs-spannung	Freigabe-spannung	Ausgangs-spannung	Last-strom (Arms)	Digi-Key Teilenr.	Stückpreis 1	10	25	Crydom Teilenr.
Serie 1 — DC-Eingang, AC-Ausgang — SCR-Typ										
	3-32VDC	3.0VDC	1.0VDC	24-140VAC	.04-2.5	CC1000-ND	19.07	16.69	15.26	D1202
	3-32VDC	3.0VDC	1.0VDC	24-140VAC	.04-10	CC1001-ND	28.17	24.66	22.54	D1210
	3-32VDC	3.0VDC	1.0VDC	24-140VAC	.04-25	CC1002-ND	28.58	25.01	22.87	D1225
	3-32VDC	3.0VDC	1.0VDC	24-140VAC	.04-40	CC1003-ND	31.12	27.24	24.90	D1240
	3-32VDC	3.0VDC	1.0VDC	48-280VAC	.04-2.5	CC1004-ND	19.18	16.79	15.35	D2402
	3-32VDC	3.0VDC	1.0VDC	48-280VAC	.04-10	CC1005-ND	28.87	25.27	23.10	D2410
	3-32VDC	3.0VDC	1.0VDC	48-280VAC	.04-25	CC1006-ND	29.16	25.52	23.33	D2425
	3-32VDC	3.0VDC	1.0VDC	48-280VAC	.04-40	CC1071-ND	32.98	28.87	26.39	D2440
	3-32VDC	3.0VDC	1.0VDC	48-280VAC	.04-50	CC1007-ND	34.05	29.80	27.25	D2450
	3-32VDC	3.0VDC	1.0VDC	48-280VAC	.04-75	CC1008-ND	54.40	47.61	43.53	D2475
	3-32VDC	3.0VDC	1.0VDC	48-280VAC	.04-90	CC1067-ND	59.89	52.41	47.92	D2490
	3-32VDC	3.0VDC	1.0VDC	48-280VAC	.04-110	CC1142-ND	58.65	51.33	46.93	D24110
	3-32VDC	3.0VDC	1.0VDC	48-280VAC	.04-125	CC1143-ND	68.90	60.29	55.12	D24125
1	3-32VDC	3.0VDC	1.0VDC	80-530VAC	.04-25	CC1072-ND	37.18	32.54	29.75	D4825
	3-32VDC	3.0VDC	1.0VDC	80-530VAC	.04-40	CC1073-ND	41.28	36.12	33.03	D4840
	3-32VDC	3.0VDC	1.0VDC	80-530VAC	.04-50	CC1074-ND	41.28	36.12	33.03	D4850
	3-32VDC	3.0VDC	1.0VDC	80-530VAC	.04-75	CC1075-ND	65.95	57.71	52.76	D4875
	3-32VDC	3.0VDC	1.0VDC	80-530VAC	.04-90	CC1076-ND	66.93	58.57	53.55	D4890
	3-32VDC	3.0VDC	1.0VDC	48-280VAC	.04-10	CC1088-ND	28.87	25.27	23.10	D2410B
	3-32VDC	3.0VDC	1.0VDC	48-280VAC	.04-25	CC1089-ND	29.16	25.52	23.33	D2425B
	3-32VDC	3.0VDC	1.0VDC	48-280VAC	.04-40	CC1090-ND	32.98	28.87	26.39	D2440B
	3.5-26VDC	3.5VDC	1.0VDC	24-140VAC	.04-10	CC1077-ND	28.17	24.66	22.54	D1210-10
	3.5-26VDC	3.5VDC	1.0VDC	24-140VAC	.04-40	CC1078-ND	31.12	27.24	24.90	D1240-10
	3.5-26VDC	3.5VDC	1.0VDC	48-280VAC	.04-10	CC1079-ND	28.87	25.27	23.10	D2410-10
	3.5-26VDC	3.5VDC	1.0VDC	48-280VAC	.04-25	CC1080-ND	29.16	25.52	23.33	D2425-10
	3.5-26VDC	3.5VDC	1.0VDC	48-280VAC	.04-40	CC1081-ND	32.98	28.87	26.39	D2440-10
	3.5-26VDC	3.5VDC	1.0VDC	48-280VAC	.04-50	CC1082-ND	34.05	29.80	27.25	D2450-10
	3.5-26VDC	3.5VDC	1.0VDC	48-280VAC	.04-90	CC1083-ND	59.89	52.41	47.92	D2490-10
	3.5-26VDC	3.5VDC	1.0VDC	80-530VAC	.04-40	CC1085-ND	41.28	36.12	33.03	D4840-10
	3.5-26VDC	3.5VDC	1.0VDC	80-530VAC	.04-75	CC1086-ND	65.95	57.71	52.76	D4875-10
	3.5-26VDC	3.5VDC	1.0VDC	80-530VAC	.04-90	CC1087-ND	66.93	58.57	53.55	D4890-10
Serie 1 — AC-Eingang, AC-Ausgang — SCR-Typ										
	90-280VAC	90VAC	10VAC	24-140VAC	.04-25	CC1011-ND	29.63	25.93	23.71	A1225
	90-280VAC	90VAC	10VAC	24-140VAC	.04-40	CC1012-ND	32.78	28.69	26.23	A1240
	90-280VAC	90VAC	10VAC	48-280VAC	.04-10	CC1013-ND	30.53	26.72	24.43	A2410
	90-280VAC	90VAC	10VAC	48-280VAC	.04-25	CC1014-ND	31.12	27.24	24.90	A2425
	90-280VAC	90VAC	10VAC	48-280VAC	.04-50	CC1015-ND	35.24	30.84	28.19	A2450
	18-36VAC	18VAC	2VAC	48-280VAC	.04-50	CC1068-ND	35.24	30.84	28.19	A2450-E
1	90-280VAC	90VAC	10VAC	48-280VAC	.04-75	CC1016-ND	56.76	49.67	45.41	A2475
	90-280VAC	90VAC	10VAC	48-280VAC	.04-110	CC1144-ND	68.56	59.99	54.85	A24110
	90-280VAC	90VAC	10VAC	48-280VAC	.04-125	CC1145-ND	71.54	62.60	57.23	A24125
	90-280VAC	90VAC	10VAC	80-530VAC	.04-25	CC1092-ND	40.33	35.30	32.27	A4825
	90-280VAC	90VAC	10VAC	80-530VAC	.04-40	CC1093-ND	45.09	39.46	36.08	A4840
	90-280VAC	90VAC	10VAC	80-530VAC	.04-50	CC1094-ND	45.09	39.46	36.08	A4850
Serie HD — DC-Eingang, AC-Ausgang — SCR-Typ										
	3-32VDC	3.0VDC	1.0VDC	80-530VAC	.04-12	CC1017-ND	35.12	30.73	28.10	HD4812
	3-32VDC	3.0VDC	1.0VDC	80-530VAC	.04-25	CC1018-ND	37.18	32.54	29.75	HD4825
	3-32VDC	3.0VDC	1.0VDC	80-530VAC	.04-50	CC1019-ND	41.28	36.12	33.03	HD4850
	3-32VDC	3.0VDC	1.0VDC	80-530VAC	.04-50	CC1096-ND	41.28	36.12	33.03	HD4850-10
	3-32VDC	3.0VDC	1.0VDC	80-530VAC	.04-75	CC1020-ND	65.95	57.71	52.76	HD4875
1	3-32VDC	3.0VDC	1.0VDC	80-530VAC	.04-90	CC1021-ND	66.93	58.57	53.55	HD4890
	3-32VDC	3.0VDC	1.0VDC	80-530VAC	.04-110	CC1146-ND	72.64	63.56	58.12	HD48110
	3-32VDC	3.0VDC	1.0VDC	80-530VAC	.04-125	CC1147-ND	76.91	67.30	61.53	HD48125
	3-32VDC	3.0VDC	1.0VDC	80-530VAC	.04-25	CC1097-ND	38.66	33.83	30.93	HD6025
	3-32VDC	3.0VDC	1.0VDC	80-530VAC	.04-50	CC1098-ND	43.36	37.95	34.70	HD6050
	3-32VDC	3.0VDC	1.0VDC	80-530VAC	.04-90	CC1099-ND	70.25	61.47	56.21	HD6090
	3-32VDC	3.0VDC	1.0VDC	80-530VAC	.04-125	CC1100-ND	79.99	69.99	63.99	HD60125
Serie HA — AC Input, AC Output — SCR Type										
	90-280VAC	90VAC	10VAC	80-530VAC	.04-25	CC1022-ND	40.33	35.30	32.27	HA4825
1	90-280VAC	90VAC	10VAC	80-530VAC	.04-50	CC1023-ND	45.09	39.46	36.08	HA4850
	90-280VAC	90VAC	10VAC	80-530VAC	.04-75	CC1024-ND	67.14	58.75	53.71	HA4875

Abb.	Eingangs-sp.	Betriebs-spannung	Freigabe-spannung	Ausgangs-spannung	Last-strom (Arms)	Digi-Key Teilenr.	Stückpreis 1	10	25	Crydom Teilenr.
	90-280VAC	90VAC	10VAC	80-530VAC	.04-90	CC1025-ND	70.06	61.31	56.06	HA4890
	90-280VAC	90VAC	10VAC	80-530VAC	.04-110	CC1148-ND	76.24	66.72	61.00	HA48110
1	90-280VAC	90VAC	10VAC	48-660VAC	.04-25	CC1101-ND	42.47	37.16	33.98	HA6025
	90-280VAC	90VAC	10VAC	48-660VAC	.04-50	CC1102-ND	48.53	42.47	38.83	HA6050
	90-280VAC	90VAC	10VAC	48-660VAC	.04-90	CC1103-ND	73.06	63.93	58.45	HA6090
	90-280VAC	90VAC	10VAC	48-660VAC	.04-125	CC1104-ND	81.65	71.44	65.32	HA60125
Serie H12 — DC-Eingang, AC-Ausgang — SCR-Typ										
	4-32VDC	4.0VDC	1.0VDC	48-660VAC	.04-50	CC1032-ND	39.38	34.47	31.51	H12WD4850
1	4-32VDC	4.0VDC	1.0VDC	48-660VAC	.04-90	CC1033-ND	51.27	44.87	41.02	H12WD4890
	4-32VDC	4.0VDC	1.0VDC	48-530VAC	.04-50	CC1105-ND	37.71	33.00	30.17	H12D4850
	4-32VDC	4.0VDC	1.0VDC	48-530VAC	.04-90	CC1106-ND	48.39	42.35	38.72	H12D4890
Serie H12 — AC-Eingang, AC-Ausgang — SCR-Typ										
1	90-140VAC	90VAC	10VAC	48-660VAC	.04-50	CC1034-ND	42.52	37.21	34.02	H12CA4850
	90-140VAC	90VAC	10VAC	48-660VAC	.04-90	CC1035-ND	65.15	57.01	52.13	H12CA4890
Serie T — DC-Eingang, AC-Ausgang — Triac-Typ										
	3-32VDC	3.0VDC	1.0VDC	24-140VAC	.05-10	CC1026-ND	28.16	24.64	22.53	TD1210
1	3-32VDC	3.0VDC	1.0VDC	24-140VAC	.05-25	CC1027-ND	28.58	25.01	22.87	TD1225
	3-32VDC	3.0VDC	1.0VDC	48-280VAC	.05-10	CC1028-ND	28.87	25.27	23.10	TD2410
	3-32VDC	3.0VDC	1.0VDC	48-280VAC	.05-25	CC1029-ND	29.16	25.52	23.33	TD2425
Serie T — AC-Eingang, AC-Ausgang — Triac-Typ										
	90-280VAC	90VAC	10VAC	24-140VAC	.05-10	CC1107-ND	29.07	25.44	23.26	TA1210
1	90-280VAC	90VAC	10VAC	24-140VAC	.05-25	CC1030-ND	29.63	25.93	23.71	TA1225
	90-280VAC	90VAC	10VAC	48-280VAC	.05-10	CC1108-ND	30.53	26.72	24.43	TA2410
	90-280VAC	90VAC	10VAC	48-280VAC	.05-25	CC1031-ND	31.12	27.24	24.90	TA2425
Serie 1 DC — DC-Eingang, DC-Ausgang — MOSFET-Typ										
	3.5-32VDC	3.5VDC	1.0VDC	0-100VDC	0-7	CC1036-ND	41.69	36.48	33.35	D1D07
	3.5-32VDC	3.5VDC	1.0VDC	0-100VDC	0-12	CC1037-ND	46.07	40.32	36.86	D1D12
	3.5-32VDC	3.5VDC	1.0VDC	0-100VDC	0-20	CC1038-ND	50.49	44.18	40.40	D1D20
1	3.5-32VDC	3.5VDC	1.0VDC	0-100VDC	0-40	CC1039-ND	62.72	54.88	50.18	D1D40
	3.5-32VDC	3.5VDC	1.0VDC	0-200VDC	0-7	CC1040-ND	48.14	42.13	38.51	D2D07
	3.5-32VDC	3.5VDC	1.0VDC	0-200VDC	0-12	CC1041-ND	55.49	48.56	44.39	D2D12
	3.5-32VDC	3.5VDC	1.0VDC	0-400VDC	0-7	CC1042-ND	56.55	49.49	45.25	D4D07
	3.5-32VDC	3.5VDC	1.0VDC	0-400VDC	0-12	CC1109-ND	76.21	66.69	60.97	D4D12
Serie CS — DC-Eingang, AC-Ausgang — SCR-Typ										
	3.5-15VDC	3.5VDC	1.0VDC	24-280VAC	.1-10	CC1043-ND	23.20	20.30	18.56	CSD2410
	3.5-15VDC	3.5VDC	1.0VDC	24-280VAC	.1-25	CC1044-ND	28.39	24.85	22.72	CSD2425
1	3.5-15VDC	3.5VDC	1.0VDC	24-280VAC	.1-50	CC1045-ND	33.37	29.21	26.70	CSD2450
	15-32VDC	15VDC	1.0VDC	24-280VAC	.1-10	CC1110-ND	23.20	20.30	18.56	CSE2410
	15-32VDC	15VDC	1.0VDC	24-280VAC	.1-25	CC1111-ND	28.39	24.85	22.72	CSE2425
	15-32VDC	15VDC	1.0VDC	24-280VAC	.1-50	CC1112-ND	33.37	29.21	26.70	CSE2450
Serie DC60 — DC- oder AC-Eingang, DC-Ausgang — Bipolar-Typ										
	3-32VDC	3.0VDC	1.0VDC	3-60VDC	.02-3	CC1126-ND	12.53	10.97	10.03	DC60S3
	3-32VDC	3.0VDC	1.0VDC	3-60VDC	.02-5	CC1127-ND	19.66	17.21	15.73	DC60S5
1	3-32VDC	3.0VDC	1.0VDC	3-60VDC	.02-7	CC1128-ND	24.55	21.49	19.65	DC60S7
	90-280VAC	90VAC	10VAC	3-60VDC	.02-3A	CC1150-ND	14.48	12.67	11.59	DC60SA3
	90-280VAC	90VAC	10VAC	3-60VDC	.02-5A	CC1151-ND	21.62	18.92	17.30	DC60SA5
	90-280VAC	90VAC	10VAC	3-60VDC	.02-7A	CC1152-ND	26.52	23.21	21.22	DC60SA7
Serie EZ — DC-Eingang, AC-Ausgang — SCR-Typ										
2	4-15VDC	4.0VDC	1.0VDC	24-280VAC	.06-12	CC1047-ND	15.07	13.19	12.06	EZ240D12
	4-15VDC	4.0VDC	1.0VDC	24-280VAC	.06-18	CC1048-ND	19.37	16.95	15.50	EZ240D18
Zweif. — DC-Eingang, AC-Ausgang — SCR-Typ										
3	4-15VDC	4.0VDC	1.0VDC	24-280VAC	.05-25	CC1121-ND	52.46	45.90	41.97	D2425D
	4-15VDC	4.0VDC	1.0VDC	24-280VAC	.05-40	CC1122-ND	59.40	51.98	47.52	D2440D
Vierf. — DC-Eingang, AC-Ausgang — SCR-Typ										
3	4-15VDC	4.0VDC	1.0VDC	24-280VAC	.05-20	CC1123-ND	82.78	72.44	66.23	TD2420Q
Serie 53TP — DC- oder AC-Eingang — SCR-Typ (für 3-phasige Anwendungen)										
	3-32VDC	3.0VDC	1.0VDC	48-530VAC	.05-25	CC1135-ND	114.00	99.76	91.21	D53TP25D
	3-32VDC	3.0VDC	1.0VDC	48-530VAC	.05-50	CC1136-ND	124.75	109.17	99.81	D53TP50D
4	90-280VAC	90VAC	10VAC	48-530VAC	.05-25	CC1137-ND	118.88	104.02	95.11	A53TP25D
	90-280VAC	90VAC	10VAC	48-530VAC	.05-50	CC1138-ND	129.65	113.45	103.72	A53PT50D

H

FIT® Schrumpfschlauch
FIT® 221B

- Wirtschaftliche Großpackung • Flexibilität
- Hervorragende Flammenhemmung • Militär, UL/CSA-Anforderungen

Eigenschaften: • Betriebstemperatur: -55 °C ~ +135 °C
• Schrumpfverhältnis: Ca. 2 zu 1 bei 121 °C • Farbe: Schwarz, transparent

Physikalische Eigenschaften: • Zugfestigkeit: 1.800 psi (127 kg/cm²)
• Letzte Dehnung: 400 % • Längschrumpfung: 5%
• Spezifische Schwerkraft: 1,35 • Sekansmodus: Max. 2,5 x 10^4
• Entflammbarkeit: Selbstlöschend

Elektrische Eigenschaften: • Dielektrische Haltespannung: 500 V/mil (197 kV/cm)
• Volumen-Widerstandsfähigkeit: 10^{14} Ohm-cm

Chemische Eigenschaften: • Korrosionswirkung: Übertrifft Kupferstabilitätstest
• Fungus-Widerstand: Kein Wachstum

Spezifikationen: • MIL-DTL-23053/5C, Klasse 1, 2
• UL-Standard 224 (nur schwarz) • CSA-Standard 198 (nur schwarz)

INHALT für FIT-221 Sortiment

	Anzahl der Schnittstücke					
Rohrgröße	Schwarz	Weiß	Rot	Blau	Gelb	Grün
1/8"	4	3	2	2	2	1
3/16"	4	3	2	2	2	1
1/4"	4	3	2	2	2	1
3/8"	3	2	1	1	1	1
1/2"	3	2	1	1	1	1

Farbe	Gelieferter Mindestinnen-durchmesser in Zoll (mm)	Maximaler wiedergewonnener Innendurchmesser in Zoll (mm)	Nominale wiedergewonnene Wandstärke in Zoll (mm)	Digi-Key Teilenr.	Preis für 4-Fuß-Längen 4' (1 Stck.)	20' (5 Stck.)	Digi-Key Teilenr.	Spulengröße (Fuß)	Preis pro Spule	Alpha Teilenr.
FIT® 221B — Bestrahltes Polyolefin										
Schwarz	0.046 (1.17)	0.023 (0.58)	0.016 (0.41)	A364B-4-ND	.56	2.47	A364B-1000-ND	1000	143.50	FIT-221B-3/64 BKXXX
Clear*				A364C-4-ND	.56	2.47	A364C-1000-ND	1000	143.50	FIT-221B-3/64 CLXXX
Schwarz	0.063 (1.60)	0.031 (0.78)	0.017 (0.43)	A116B-4-ND	.57	2.51	A116B-1000-ND	1000	152.58	FIT-221B-1/16 BKXXX
Clear*				A116C-4-ND	.57	2.51	A116C-1000-ND	1000	152.58	FIT-221B-1/16 CLXXX
Schwarz	0.093 (2.36)	0.046 (1.17)	0.020 (0.50)	A332B-4-ND	.60	2.66	A332B-500-ND	500	69.43	FIT-221B-3/32 BKXXX
Clear*				A332C-4-ND	.60	2.66	A332C-500-ND	500	69.43	FIT-221B-3/32 CLXXX
Schwarz	0.125 (3.18)	0.062 (1.58)	0.020 (0.50)	A018B-4-ND	.64	2.87	A018B-500-ND	500	74.89	FIT-221B-1/8 BKXXX
Clear*				A018C-4-ND	.64	2.87	A018C-500-ND	500	74.89	FIT-221B-1/8 CLXXX
Schwarz	0.187 (4.75)	0.093 (2.36)	0.020 (0.50)	A316B-4-ND	.79	3.49	A316B-500-ND	500	91.05	FIT-221B-3/16 BKXXX
Clear*				A316C-4-ND	.79	3.49	A316C-500-ND	500	91.05	FIT-221B-3/16 CLXXX
Schwarz	0.250 (6.35)	0.125 (3.18)	0.025 (0.63)	A014B-4-ND	.98	4.36	A014B-250-ND	250	56.86	FIT-221B-1/4 BKXXX
Clear*				A014C-4-ND	.98	4.36	A014C-250-ND	250	56.86	FIT-221B-1/4 CLXXX
Schwarz	0.375 (9.53)	0.187 (4.75)	0.025 (0.63)	A038B-4-ND	1.09	4.87	A038B-200-ND	200	61.95	FIT-221B-3/8 BKXXX
Clear*				A038C-4-ND	1.09	4.87	A038C-200-ND	200	61.95	FIT-221B-3/8 CLXXX
Schwarz	0.500 (12.70)	0.250 (6.35)	0.025 (0.63)	A012B-4-ND	1.24	5.49	A012B-150-ND	150	43.00	FIT-221B-1/2 BKXXX
Clear*				A012C-4-ND	1.24	5.49	A012C-150-ND	150	43.00	FIT-221B-1/2 CLXXX
Schwarz	0.750 (19.10)	0.375 (9.53)	0.030 (0.76)	A034B-4-ND	1.83	8.13	AW034B-250-ND	250	138.49	FIT-221B-3/4 BKXXX
Clear*				A034C-4-ND	1.83	8.13	A034C-250-ND	250	109.69	FIT-221B-3/4 CLXXX
Schwarz	1.000 (25.40)	0.500 (12.70)	0.035 (0.88)	A100B-4-ND	2.74	12.20	A100B-250-ND	250	193.53	F2211IN BKXXX
Clear*				A100C-4-ND	2.74	12.20	AW100C-250-ND	250	193.53	F221B11IN CLXXX
FIT MGKIT 1 (Wärmepistole plus FIT-221 Sortiment)							FITMGKIT1-ND	84.19 /1		FITMGKIT1 NC032
FIT-221 Sortiment (60 auf 6-Zoll zugeschnittene Stücke, Inhalt siehe Tabelle weiter oben)							FIT221R-ND	28.39 /1		FIT-221-R MC213

* Transparent

FIT® Wärmeschrumpfstoff

Eigenschaften:

• Betriebstemp.: -40 °C ~ 125 °C • Schrumpfverhältnis: ca. 2:1 oder 3:1 bei 135 °C, je nach Größe • Farbbeschreibung: Alle Standardpackungen: schwarz

Physikalische Eigenschaften:

• Längsschrumpfung: Bis zu 20 % bei 2:1 Schrumpfverhältnis, bis zu 25 % bei 3:1 Schrumpfverhältnis • Entflammbarkeit: Erfüllt MVSS 302 bei horizontalem Brenntest

Chemische Eigenschaften:

• Korrosionseffekt: Nicht korrodierend • Fungus-Widerstand: Kein Wachstum • Chemische Beständigkeit: Frostschutzmittel (50 % Ethylenglykol), Motoröl, Mineral-Hydraulikflüssigkeit, Waschmittel (1 % Teepol.), Bremsflüssigkeit (DOT 4), bleifreies Benzin, Dieselkraftstoff, Batteriesäure

Farbe	Kleinster gelieferter ID Zoll (mm)	Größter wiedergewonnener ID Zoll (mm)	Nominale wiedergewonnene Wandstärke in Zoll (mm)	Digi-Key Teilenr.	Spulengröße (Fuß)	Preis pro Spule	Alpha Teilenr.
Schwarz	0.47 (12.0)	0.24 (6.0)	0.039 (0.99)	A0471B-50-ND	50	93.43	FITFAB-1 BK007
Schwarz	0.47 (12.0)	0.24 (6.0)	0.039 (0.99)	A0471B-200-ND	200	267.15	FITFAB-1 BK004
Schwarz	0.79 (20.0)	0.39 (10.0)	0.039 (0.99)	A0792B-50-ND	50	111.62	FITFAB-2 BK007
Schwarz	0.79 (20.0)	0.39 (10.0)	0.039 (0.99)	A0792B-200-ND	200	317.16	FITFAB-2 BK004
Schwarz	1.18 (30.0)	0.59 (15.0)	0.039 (0.99)	A1183B-50-ND	50	136.10	FITFAB-3 BK007
Schwarz	1.18 (30.0)	0.59 (15.0)	0.039 (0.99)	A1183B-200-ND	200	386.59	FITFAB-3 BK004
Schwarz	1.57 (40.0)	0.79 (20.0)	0.039 (0.99)	A1574B-50-ND	50	164.01	FITFAB-4 BK007
Schwarz	1.57 (40.0)	0.79 (20.0)	0.039 (0.99)	A1574B-200-ND	200	466.12	FITFAB-4 BK004
Schwarz	1.97 (50.0)	0.98 (25.0)	0.039 (0.99)	A1975B-25-ND	25	100.67	FITFAB-5 BK008
Schwarz	1.97 (50.0)	0.98 (25.0)	0.039 (0.99)	A1975B-100-ND	100	286.20	FITFAB-5 BK005
Schwarz	2.36 (60.0)	1.18 (30.0)	0.039 (0.99)	A2366B-25-ND	25	109.53	FITFAB-6 BK008
Schwarz	2.36 (60.0)	1.18 (30.0)	0.039 (0.99)	A2366B-100-ND	100	311.83	FITFAB-6 BK005
Schwarz	2.76 (70.0)	1.38 (35.0)	0.039 (0.99)	A2767B-25-ND	25	149.72	FITFAB-7 BK008
Schwarz	2.76 (70.0)	1.38 (35.0)	0.039 (0.99)	A2767B-100-ND	100	425.36	FITFAB-7 BK005
Schwarz	0.71 (18.0)	0.24 (6.0)	0.039 (0.99)	A0718B-50-ND	50	131.25	FITFAB-8 BK007
Schwarz	0.71 (18.0)	0.24 (6.0)	0.039 (0.99)	A0718B-200-ND	200	374.02	FITFAB-8 BK004
Schwarz	1.18 (30.0)	0.39 (10.0)	0.039 (0.99)	A1189B-50-ND	50	156.96	FITFAB-9 BK007
Schwarz	1.18 (30.0)	0.39 (10.0)	0.039 (0.99)	A1189B-200-ND	200	446.78	FITFAB-9 BK004
Schwarz	2.36 (60.0)	0.79 (20.0)	0.039 (0.99)	A11810B-25-ND	25	116.10	FITFAB-10 BK008
Schwarz	2.36 (60.0)	0.79 (20.0)	0.039 (0.99)	A23610B-100-ND	100	329.92	FITFAB-10 BK005

MASTER® APPLIANCE MASTERMITE®-

Zertifiziert

Wärmepistole

Ruhiger Betrieb. Standardmäßig mit Bankständer, Wärmeschrumpfzubehör und auswechselbarem Heizelement geliefert. Hoch stoßfestes Kunststoffgehäuse, leichtes Gewicht, benötigt max. 4 A., bürstenloser Motor mit Dauerbetriebsfunktion, Temperatur: 650 °F (343 °C), 120 V, 60 Hz, 4 A.

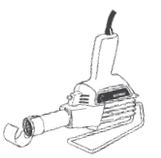

MA1006-ND Wärmepistole **69.36**
MA1007-ND Ersatz-Heizelement **21.60**

MASTER® APPLIANCE ECOHEAT™

Wärmepistole und Kit

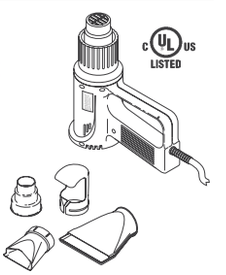

Merkmale:
• Zwei Gebläsegeschwindigkeiten • Zwei Heizungseinstellungen: 500 °F und 1.000 °F (260 °C und 399 °C) • Rückstellbarer Thermostat • Thermokunststoffgehäuse • Integrierter Ständer

Kitinhalt:
7/8" Luftreduziererbefestigung, Schrumpfschlauchbefestigung, 1-15/16" und 3-1/8" Verteilerbefestigungen, Lagerungs- und Tragekoffer.

MA1008-ND **44.49**

MASTER® APPLIANCE *NEW!* ProHeat®

Wärmepistolen

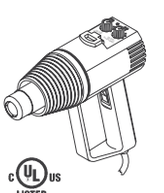

Merkmale: • Kompaktes, leichtes, bedienerfreundliches Design; Wärmepistolen von professioneller Qualität. • 120 V • Variable Temperatur (einige Modelle) • Variabler Luftstrom (einige Modelle) • Spezielle elektronische Regelkreis-Temperatursteuerung zur Aufrechterhaltung einer konstanten Temperatur bei Variation des Luftstroms oder bei der Verwendung von Spezialzusatzgeräten (einige Modelle) • Zur Erwärmung von wärmeempfindlichen Materialien • Die Basis bietet einen integrierten Ständer zum handfreien Betrieb. • Made in USA

Beschreibung	Digi-Key Teilenr.	Stückpreis	Master Teilenr.
Proheat			
Pistole, 430° / 840 °F (221 °C / 449 °C), 15 CFM	MA1009-ND	71.24	PH-1100
Pistolenkit, 430° / 840 °F (221 °C / 449 °C), 15 CFM†	MA1010-ND	94.79	PH-1100K
VariTemp™			
Pistole, 130° ~ 840 °F (49 °C ~ 449 °C), 15 CFM	MA1011-ND	122.17	PH-1200
Pistolensystem, 130° ~ 840 °F (49 °C ~ 449 °C), 15 CFM ‡	MA1012-ND	128.76	PH-1200-1
Pistolenkit, 130° ~ 840 °F (49 °C ~ 449 °C), 15 CFM †	MA1013-ND	169.02	PH-1200-K
VariAir™			
Pistole, 130° ~ 900 °F (54 °C ~ 482 °C), 6 ~ 15 CFM	MA1014-ND	148.16	PH-1300
Pistolensystem, 130° ~ 900 °F (54 °C ~ 482 °C), 6 ~ 15 CFM ‡	MA1015-ND	155.47	PH-1300-1
Pistolenkit, 130° ~ 900 °F (54 °C ~ 482 °C), 6 ~ 15 CFM †	MA1016-ND	193.87	PH-1300-K

† Kit enthält: Wärmepistole, Zubehör und Aufbewahrungsbehälter. ‡ System enthält: Wärmepistole, Ständer und Zubehör.

STEINEL®

Wärmepistolen

Abb. 1

Abb. 2

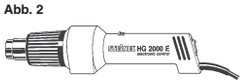

Zertifiziert

Abb.	Beschreibung	Digi-Key Teilenr.	Stückpreis
1	3-stufige Festtemperatur-Wärmepistole	SDL1100-ND	88.05
—	Wärmeschrumpfzubehör für SDL1100-ND	SDL1300-ND	10.16
1	Industrielle Wärmepistole mit variabler Temperatureinstellung	SDL1200-ND	149.00
	Variable Wärmepistole, LCD-Anzeige	SDL1350-ND	179.48
2	Ergonomische, variable Wärmepistole	SDL1250-ND	149.00
—	Werkbankständer für Wärmepistole	SDL1400-ND	27.09
	Schrumpfreflektordüse, 3/8" (9 mm)	SDL1303-ND	16.93
	Schrumpfdüsenbefestigung, 3/8" (9 mm)	SDL1301-ND	10.16
	Schrumpfdüsenbefestigung, 5/8" (14 mm)	SDL1302-ND	10.16
	Reflektordüse, 3" (75 mm)	SDL1304-ND	14.39
	Reflektordüse, 5/8" (14 mm); (passt nicht auf SDL1100)	SDL1305-ND	11.85

HL1502S (SDL1100-ND): Bequeme Auswahl zwischen drei Temperaturen bei Bedienung mit einer Hand. **Spezifikationen:** • Volt: 120 V AC • Ausgang: 1.400 W • Temperatur: • Stufe 1: 120 °F (49 °C) • Stufe 2: 800 °F (427 °C) • Stufe 3: 1.050 °F (566 °C) • Luftstrom: min. 8,8 cfm, max. 17,6 cfm. **HL1802E (SDL1200-ND), HG3002LCD (SDL1350-ND), HG2000E (SDL1250-ND):** Kontinuierlich verstellbare, elektronisch gesteuerte Heißluft. Mit dem elektronischen Temperaturregler lässt sich die Temperatur ideal einstellen. Modell HG3002LCD bietet eine Dauer-LCD-Temp.-Anzeige. **Spezifikationen:** • Volt.: 120 V AC • Ausgang: 1500 W • Temperatur: 120 °F ~ 1100 °F (49 °C ~ 593 °C) • Luftstrom: min. 8,8, max. 17,6 cfm (HL1802E), min. 7, max. 17,6 cfm (HG3002LCD) u. min. 11,3, max. 17,6 cfm (HG2000E).

MASTER® APPLIANCE Wärmepistole

Zertifiziert

Bietet Universalmotor, hohe Luftgeschwindigkeit, hohes Volumen und hohe Temperaturen. Stabiles gussgeformtes Aluminiumgehäuse mit extern auswechselbaren Kohlebürsten, 3-adrigem ölbeständigen Kabelsatz und verstärktem Keramikheizelement, Temperatur: 500 °F - 750 °F (260 °C -399 °C), 120 V, 14 A.

Beschreibung	Digi-Key Teilenr.	Stückpreis
Wärmepistole	MA1001-ND	93.93
Wärmeschrumpfbefestigung - Schrumpfschlauch von 3/4" bis 2" (19-51 mm) AD	MA1002-ND	14.45
Schrumpffolienzubehör - 8" (203 mm) breit	MA1003-ND	38.48
Reduktionsstück für Wärmepistole - 3/4" (19 mm)	MA1004-ND	7.51
Ersatz-Heizelement	MA1005-ND	17.29

Alle Preisangaben in Euro und inklusive Zollgebühren.

3M Wärmeschrumpfbarer Schlauch

KYNAR®, EPS-300, SFTW202 GYS, SFTW203, Serie 8420 & 8440

Serie KYNAR® - Modifiziertes Polyvinylidenfluorid: Schrumpftemperatur: 175 °C (347 °F). **Farbe:** Transparent **Schrumpfverhältnis:** 2:1. Vernetzte, dünnwandige Schläuche sorgen für hochgradige mechanische Festigkeit und hohe Temperaturbeständigkeit. Hervorragende Reibfestigkeit und Durchschneidewiderstand, kombiniert mit hoher Durchschlagsfestigkeit. Flammenhemmend, halbstarr und widersteht den meisten industriellen Kraftstoffen, Chemikalien und Lösungsmitteln. Kynar® ist eine registrierte Marke von Elf Atochem North America, Inc.
Serie EPS-300 - Flexibles Polyolefin mit Klebstoffunterlage: Schrumpftemperatur: 121 °C (250 °F). **Farbe:** Schwarz **Schrumpfverhältnis:** 3:1. Schrumpft schnell auf hautenge Passform, sodass der geschmolzene Klebstoff über das Substrat fließt und dieses bedeckt. Der Klebstoff verbindet sich flexibel mit einer Vielzahl von Gummis, Kunststoffmaterialien und Metallen. Bei Abkühlung festigt sich der Klebstoff und bildet eine permanente, nicht-austrocknende, flexible und wasserfeste Schutzschicht.
Serie SFTW202 GYS - sehr flexibles Polyolefin: Schrumpftemperatur: 100 °C (212 °F). **Farbe:** Grün und gelb gestreift. **Schrumpfverhältnis:** 2:1. Erfüllt die Leistungsanforderungen gemäß MIL-I-23053/5 Klasse 1 und weist die UL-Anerkennung (Eintragungsnr. E48398) für Flammenhemmung auf. Lässt sich leicht lackieren.
Serie SFTW203 - sehr flexibles Polyolefin: Schrumpftemperatur: 100 °C (212 °F). **Farbe:** Schwarz **Schrumpfverhältnis:** 3:1. Erfüllt die Leistungsanforderungen gemäß MIL-I-23053/5 Klasse 1 und weist die UL-Anerkennung (Eintragungsnr. E48398) für Flammenhemmung auf. Lässt sich leicht lackieren.
Serie 8420-EPDM und Serie 8440 - Silikongummischläuche: Farbe: Schwarz (Serie 8420) und grau (Serie 8440).
Cold Shrink™-Isolatoren: Gummiröhenhülsen mit offenem Ende, werkseitig erweitert und auf einen herausnehmbaren Kunststoffkern montiert. Zuverlässige Abdichtung ohne Verwendung von Wärme, Lötlampen oder Klebstoff - den Kern einfach ausrichten und abwickeln, sodass der Schlauch schrumpfen und eine wasserbeständige Abdichtung bilden kann.

Schlauchgröße (Durchmesser)* in Zoll (mm)	Erweitert ID (Min.) (mm)	Wiedergew. ID (Max.) (mm)	Nominale Wiedergew. Wandstärke (mm)	Digi-Key Teilenr.	Nur in 4-Fuß-Längen erhältlich 4' (1 Stck.)	8' (2 Stck.)	20' (5 Stck.)	48' (12 Stck.)	100' (25 Stck.)
Serie KYNAR® - modifiziertes Polyvinylidenfluorid									
3/64 (1.19)	1.17	0.58	0.25	KY364C-ND	4.22	7.31	16.16	33.73	55.42
1/16 (1.60)	1.60	0.79	0.25	KY116C-ND	4.33	7.50	16.58	34.62	56.85
3/32 (2.38)	2.36	1.17	0.25	KY332C-ND	4.63	8.03	17.74	37.03	60.82
1/8 (3.18)	3.18	1.57	0.25	KY018C-ND	5.00	8.68	19.19	40.05	65.81
3/16 (4.78)	4.75	2.36	0.25	KY316C-ND	7.05	12.48	27.13	51.36	—
1/4 (6.35)	6.35	3.18	0.30	KY014C-ND	8.70	15.40	33.47	63.35	—
3/8 (9.52)	9.53	4.75	0.30	KY038C-ND	10.48	18.54	40.31	76.28	—
1/2 (12.70)	12.70	6.35	0.30	KY012C-ND	13.90	24.18	47.67	—	—

Schlauchgröße (Durchmesser)* in Zoll (mm)	Erweitert ID (Min.) (mm)	Wiedergew. ID (Max.) (mm)	Nominale Wiedergew. Wandstärke (mm)	Schmelzbare Wiedergew. Wandstärke (mm)	Digi-Key Teilenr.	Nur in 4-Fuß-Längen erhältlich 4' (1 Stck.)	8' (2 Stck.)	20' (5 Stck.)	48' (12 Stck.)	100' (25 Stck.)
Serie EPS-300 - Flexibles Polyolefin mit Klebstoffunterlage										
1/8 (3.18)	3.18	1.02	1.02	0.51	EPS3018K-ND	7.66	13.27	29.36	61.28	91.30
3/16 (4.78)	4.75	1.57	1.02	0.51	EPS3316K-ND	7.28	12.88	27.99	51.97	—
1/4 (6.35)	6.35	2.03	1.02	0.51	EPS3014K-ND	9.01	15.94	34.65	64.35	—
3/8 (9.52)	9.53	3.05	1.40	0.62	EPS3038K-ND	10.19	18.03	39.21	72.82	—
1/2 (12.70)	12.70	4.06	1.78	0.76	EPS3012K-ND	11.91	21.07	45.82	85.09	—

Schlauchgröße (Durchmesser)* in Zoll (mm)	Erweiterter ID (Min.) (mm)	Wiederge-wonnener ID (Max.) (mm)	Nominale wiedergew. Wandstärke (mm)	(HINWEIS: „X" in Teilenr. bezieht sich auf die Länge in Fuß) Digi-Key Teilenr.	Preis pro Länge 5'	25'	50'	Rollen-größe	Preis für ganze Rolle
Serie SFTW202 GYS - Sehr flexibles Polyolefin									
1/8 (3.18)	3.18	1.5	0.51	SFTW2018E-X-ND	4.87	19.47	27.90	500	201.49
3/16 (4.78)	4.76	2.5	0.55	SFTW2316E-X-ND	6.75	26.99	38.68	250	139.65
1/4 (6.35)	6.35	3.0	0.65	SFTW2014E-X-ND	7.45	29.80	42.71	200	123.37
3/8 (9.52)	9.53	4.5	0.76	SFTW2038E-X-ND	8.27	33.08	47.41	200	136.93
1/2 (12.70)	12.70	6.0	0.76	SFTW2012E-X-ND	9.29	37.15	53.25	200	153.80
Serie SFTW203 - Sehr flexibles Polyolefin									
1/16 (1.59)	1.5	0.5	0.45	SFTW2116K-X-ND	1.74	6.99	10.02	1,000	144.71
1/8 (3.18)	3.0	1.0	0.55	SFTW2018K-X-ND	2.00	7.98	11.44	500	82.60
1/4 (6.35)	6.0	2.0	0.65	SFTW2014K-X-ND	3.03	12.11	17.36	200	50.15
3/8 (9.52)	9.0	3.0	0.75	SFTW2038K-X-ND	3.38	13.53	19.39	200	55.99
1/2 (12.70)	12.0	4.0	0.75	SFTW2012K-X-ND	3.82	15.26	21.88	200	63.19

* Größe VOR dem Schrumpfen.

Durchmesserbereich in Zoll (mm)	Entspannte Schlauchlänge in Zoll (mm)	Digi-Key Teilenr.	Preisangaben 1	10
8420 - EPDM-Kaltschrumpfschläuche				
0.31 - 0.56 (7.87 - 14.22)	6.0 (152.40)	8423-6-ND	9.63	87.96
0.10 - 0.82 (2.54 - 20.83)	8.0 (203.20)	8424-8-ND	13.11	119.65
0.40 - 0.82 (10.16 - 20.83)	8.0 (203.20)	8425-8-ND	11.48	104.81
0.55 - 1.18 (13.97 - 29.97)	9.0 (228.60)	8426-9-ND	13.68	124.91
0.55 - 1.18 (13.97 - 29.97)	11.0 (279.40)	8426-11-ND	16.39	149.65
0.67 - 1.38 (17.02 - 35.05)	6.0 (152.40)	8427-6-ND	10.33	94.30
0.67 - 1.38 (17.02 - 35.05)	12.0 (304.80)	8427-12-ND	20.44	186.59
0.67 - 1.38 (17.02 - 35.05)	16.0 (406.40)	8427-16-ND	27.28	249.04
0.95 - 1.94 (24.13 - 49.28)	6.0 (152.40)	8428-6-ND	14.58	133.10
0.95 - 1.94 (24.13 - 49.28)	12.0 (304.80)	8428-12-ND	29.09	265.59
0.95 - 1.94 (24.13 - 49.28)	18.0 (457.20)	8428-18-ND	43.75	399.46
1.27 - 2.67 (32.26 - 67.82)	6.0 (152.40)	8429-6-ND	15.95	145.62
1.27 - 2.67 (32.26 - 67.82)	9.0 (228.60)	8429-9-ND	23.87	217.97
1.27 - 2.67 (32.26 - 67.82)	12.0 (304.80)	8429-12-ND	30.88	281.97
1.27 - 2.67 (32.26 - 67.82)	18.0 (457.20)	8429-18-ND	47.83	436.72
1.68 - 3.69 (42.67 - 93.73)	9.0 (228.60)	8430-9-ND	33.00	301.30
1.68 - 3.69 (42.67 - 93.73)	18.0 (457.20)	8430-18-ND	52.15	476.14
8440 - Silikon-Kaltschrumpfschläuche				
.27 - .56 (6.86 - 14.22)	2.0 (50.80)	8443-2-ND	5.88	53.64
.27 - .56 (6.86 - 14.22)	6.5 (165.10)	8443-6.5-ND	8.14	74.36
.35 - .72 (8.89 - 18.29)	2.5 (63.50)	8445-2.5-ND	6.11	55.81
.35 - .72 (8.89 - 18.29)	7.5 (190.50)	8445-7.5-ND	8.92	81.47
.48 - .95 (12.19 - 24.13)	3.2 (81.28)	8447-3.2-ND	7.48	68.33
.48 - .95 (12.19 - 24.13)	8.0 (203.20)	8447-8-ND	10.77	98.32

Serie EPS-200, CP-221 u. VFP-876

Serie EPS-200:

Schrumpftemperatur: 121 °C, **Farbe:** Schwarz, **Schrumpfverhältnis:** 2:1 Schrumpft schnell auf hautenge Passform, sodass der geschmolzene Klebstoff über das Substrat fließt und dieses bedeckt. Der Klebstoff verbindet sich flexibel mit einer Vielzahl von Gummis, Kunststoffmaterialien und Metallen. Bei Abkühlung festigt sich der Klebstoff und bildet eine permanente, nicht-austrockende, flexible und wasserfeste Schutzschicht. Zugelassen zum Betrieb bei -55 °C (-67 °F) ~ 110 °C (230 °F).

Serie VFP-876 - Sehr flexibles Polyolefin:

Schrumpftemperatur: 100 °C, **Farbe:** Schwarz, **Schrumpfverhältnis:** 2:1. Der flexibelste aller wärmeschrumpfenden Polyolefinschläuche. Ideal zur Ummantelung und Isolierung von flexiblen Drahtbündeln und empfindlichen Komponenten.

Schlauchgröße (Durchmesser)* in Zoll (mm)	Erweitert ID (Min.) (mm)	Wieder-gew. ID (Max.) (mm)	Nom. wiedergew. Wandstärke (mm)	Digi-Key Teilenr.	Nur in 4-Fuß-Längen erhältlich 4' (1 Stck.)	8' (2 Stck.)	20' (5 Stck.)	48' (12 Stck.)	100' (25 Stck.)	200' (50 Stck.)
Serie EPS-200 - Flexibles Polyolefin mit Klebstoffunterlage										
1/8 (3.18)	3.18	1.60	.69	EPS2018-ND	4.29	7.44	16.46	34.36	55.38	—
3/16 (4.76)	4.75	2.36	.69	EPS2316-ND	4.05	7.16	15.58	28.93	—	—
1/4 (6.35)	6.35	3.18	.76	EPS2014-ND	5.07	8.97	19.50	36.20	—	—
3/8 (9.53)	9.52	4.75	.79	EPS2038-ND	5.71	10.10	21.96	40.80	—	—
1/2 (12.70)	12.70	6.35	.81	EPS2012-ND	6.56	11.61	25.23	46.86	—	—
3/4 (19.05)	19.05	9.52	.94	EPS2034-ND	7.93	13.80	26.71	—	—	—
1 (25.40)	25.40	12.70	1.17	EPS2100-ND	11.67	20.29	39.26	—	—	—
1-1/2 (38.10)	38.10	19.05	1.24	EPS2112-ND	20.41	35.50	68.67	—	—	—
2 (50.80)	50.80	25.40	1.52	EPS2200-ND	28.40	43.96	—	—	—	—

Schlauchgröße (Durchmesser)* in Zoll (mm)	Erweitert ID (Min.) (mm)	Wiedergew. ID (Max.) (mm)	Nom. wiedergew. Wandstärke (mm)	Digi-Key Teilenr.	(HINWEIS: „X" in Teilenr. bezieht sich auf die Länge in Fuß) Preis pro Länge 5'	25'	50'	100'	200'
Serie VFP-876 - sehr flexibles Polyolefin, selbstlöschend									
3/64 (1.19)	1.17	.58	.41	VFP364-X-ND	1.64	7.34	13.15	23.66	—
1/16 (1.59)	1.60	.79	.43	VFP116-X-ND	1.68	7.48	13.40	24.12	—
3/32 (2.38)	2.36	1.17	.51	VFP332-X-ND	1.77	7.91	12.74	20.29	—
1/8 (3.18)	3.18	1.57	.51	VFP018-X-ND	1.91	8.53	13.75	21.89	—
3/16 (4.76)	4.75	2.36	.51	VFP316-X-ND	2.33	9.30	13.33	23.57	—
1/4 (6.35)	6.35	3.18	.64	VFP014-X-ND	2.90	11.61	16.64	29.40	48.05
3/8 (9.53)	9.52	4.75	.64	VFP038-X-ND	3.24	12.97	18.58	32.85	53.67
1/2 (12.70)	12.70	6.35	.64	VFP012-X-ND	3.66	14.62	20.96	37.05	60.54
3/4 (19.05)	19.05	9.52	.76	VFP034-X-ND	4.88	19.50	27.95	49.40	80.72
1 (25.40)	25.40	12.70	.89	VFP100-X-ND	7.29	29.16	41.79	60.35	—
1-1/2 (38.10)	38.10	19.05	1.02	VFP112-X-ND	13.59	54.34	77.89	112.48	—
2 (50.80)	50.80	25.40	1.14	VFP200-X-ND	18.77	75.09	107.63	155.44	—

* Größe VOR dem Schrumpfen.

Farbiger wärmeschrumpfbarer Schlauch (FP-301)

Erhältlich in 7 Farben: (K = Schwarz; C = Transparent; B = Blau; G = Grün; R = Rot; W = Weiß; Y = Gelb)

Schrumpftemperatur: 121 °C.
Schrumpfverhältnis: 2:1. Schlauch ist reißfest, mechanisch stabil, leicht zu markieren und hält kaltem Fluss stand; für UL, CSA und Mil-I-23053/5 Anwendungen bei 600 V und 125 °C.

Schlauchgröße (Durchmesser)* in Zoll (mm)	Erweitert ID (Min.) (mm)	Wiedergew. ID (Max.) (mm)	Nom. wiedergew. Wandstärke (mm)	Digi-Key Teilenr.	(HINWEIS: „X" in Teilenr. bezieht sich auf die Länge in Fuß) Preis pro Länge 5'	25'	50'	100'	200'	250'
Serie FP-301 - Flexibles Polyolefin, selbstlöschend, flammenhemmend, farbig										
3/64 (1.19)	1.17	.58	.41	FP364□-X-ND†	1.40	6.23	11.17	20.10	—	40.00
1/16 (1.59)	1.60	.79	.43	FP116□-X-ND	1.39	6.22	11.14	20.05	—	39.91
3/32 (2.38)	2.36	1.17	.51	FP332□-X-ND	1.47	6.59	10.62	16.91	—	37.35
1/8 (3.18)	3.18	1.57	.51	FP018□-X-ND	1.56	6.95	11.20	17.85	—	39.43
3/16 (4.76)	4.75	2.36	.51	FP316□-X-ND	1.81	7.26	10.40	18.39	—	40.81
1/4 (6.35)	6.35	3.18	.64	FP014□-X-ND	2.26	9.07	13.00	22.97	40.80	—
3/8 (9.53)	9.52	4.75	.64	FP038□-X-ND	2.53	10.12	14.51	25.64	45.56	—
1/2 (12.70)	12.70	6.35	.64	FP012□-X-ND	3.05	12.17	17.43	30.82	51.37	—
3/4 (19.05)	19.05	9.52	.76	FP034□-X-ND	4.06	16.21	23.23	41.06	68.51	—
1 (25.40)	25.40	12.70	.89	FP100□-X-ND	6.06	24.24	34.74	51.19	—	—
1-1/2 (38.10)	38.10	19.05	1.02	FP112□-X-ND†	9.95	39.81	57.05	95.41	—	—
2 (50.80)	50.80	25.40	1.14	FP200□-X-ND†	13.75	55.02	78.86	131.86	—	—

Hinweis: Für die komplette Teilenr. „□" durch die entsprechende Farbe ersetzen (K = Schwarz; C = Transparent; B = Blau; G = Grün; R = Rot; W = Weiß; Y = Gelb) und „X" durch gewählte Länge ersetzen.
* Größe VOR dem Schrumpfen. † Nicht in grün erhältlich.

FPC-KIT-ND *Kit der Serie Digi-Key® FP-301* Ein 5 Fuß langer Schlauch jeder Farbe in den folgenden Serien: FP364, FP116, FP332, FP018, FP316, FP014, FP038 und FP012 (insgesamt 55 Stck. in 8 Größen) **53.29**

I

Panasonic Mikrolautsprecher

Merkmale: • Dünnes und leichtes Design • Hoher Wirkungsgrad und hohe Wiedergabequalität • Hohe Zuverlässigkeit
Empfohlene Anwendungen: • Kompakte AV-Ausstattungen • Elektronische Büroausstattungen • Informations und Kommunikationsausstattungen

Abb. 1

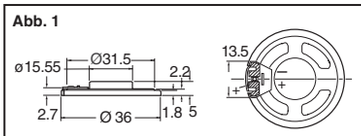

Abb. 2

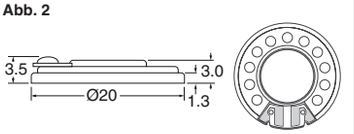

Abb. 3

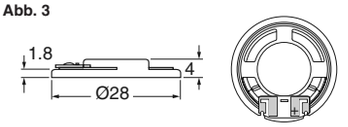

Abb. 4

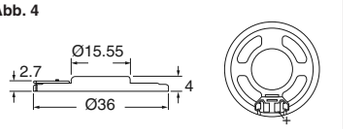

Abb.	Außen-abm. (mm)	Eingang (W) Nenn-leistung	Impe-danz (Ω)	Frequenz-bereich (Hz)	Schall-druck Stufe	Netto-gew. (g)	Digi-Key Teilenr.	Stückpreis 1	10	100	Panasonic Teilenr.
1	36	0.20	8	325–3500	74	8	P9604-ND	5.82	5.24	4.66	EAS-3P128A
2	20	0.2	7	Voller Bereich	77	2.5	P10173-ND	3.63	3.23	2.69	EAS-2P113D
3	28	0.3	8	Voller Bereich	81	5	P10174-ND	5.09	4.53	3.76	EAS-2P104H
4	36	0.5	8	Voller Bereich	84	8	P10175-ND	4.55	4.05	3.37	EAS-3P127A

Ovale Lautsprecher mit Magnetabschirmung

Merkmale: • Geringe magnetische Streuung • Hohe Tonqualität **Empfohlene Anwendungen:** • AV-Ausstattungen

Abb. 1

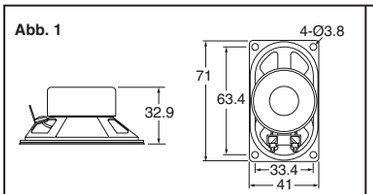

Abb. 2

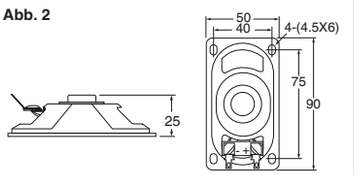

Abb. 3

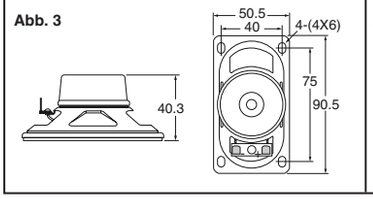

Abb. 4

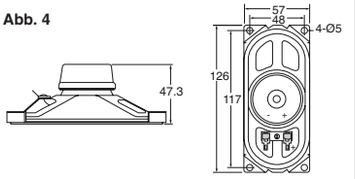

Abb.	Außen-abm. (mm)	Eingang (W) Nenn-leistung	Impe-danz (Ω)	Frequenz-bereich (Hz)	Schall-druck Stufe	Netto-gew. (g)	Digi-Key Teilenr.	Stückpreis 1	10	100	Panasonic Teilenr.
1	70 x 40	1.5	16	Voller Bereich	90	107	P10184-ND	3.07	2.74	2.27	EAS-G7D504A2
2	90 x 50	1.5	16	Voller Bereich	87	45	P10185-ND	2.73	2.43	2.02	EAS-G9D550B2
3	90 x 50	3	8	Voller Bereich	88.5	135	P10186-ND	3.84	3.42	2.84	EAS-G9D541A2
4	120 x 60	3	8	Voller Bereich	93.5	180	P10187-ND	5.12	4.56	3.78	EAS-G12D531E2

Hi-Fi-Minilautsprecher

Merkmale:
- Kompakt
- Hohe Leistung

Empfohlene Anwendungen:
- Notebook-PC
- DVD-Player
- Spielgerät
- PDA
- LCD-Monitor

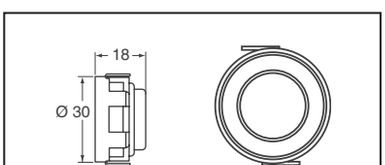

Außen-abm. (mm.)	Eingang (W) Nenn-leistung (Max)	Impe-danz (Ω)	Frequenz-bereich (Hz)	Schall-druck Stufe	Netto-gew. (g)	Digi-Key Teilenr.	Stückpreis 1	10	100	Panasonic Teilenr.
30	3	8	fo to 20 k	76	21	P12055-ND	4.61	4.10	3.41	EAS-3P133B6

Symmetrischer Dome-Tweeter

Merkmale:
- Hoher Wirkungsgrad
- Hohe Klangqualität
- Kompakt und leicht

Empfohlene Anwendungen:
- Audio-Komponenten
- TV
- Kfz-Lautsprechersysteme

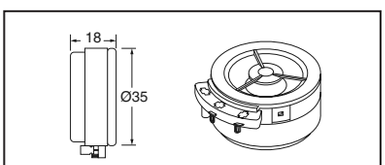

Außen-abm. (mm.)	Eingang (W) Nenn-leistung (Max)	Impedanz (Ω)	Frequenz-bereich (Hz)	Schall-druck Stufe	Netto-gew. (g)	Digi-Key Teilenr.	Stückpreis 1	10	100	Panasonic Teilenr.
35	30	6	8kHz–20kHz	80	83	P10183-ND	16.86	14.99	12.44	EAS-13KH11HB4-A

Hi-Fi-Mikrolautsprecher

Merkmale:
- Diskreter Edge-Surround-Sound, weitreichende Wiedergabe
- Schmales Design
- Geringe magnetische Streuung

Empfohlene Anwendungen:
- Multimedia-Ausstattungen

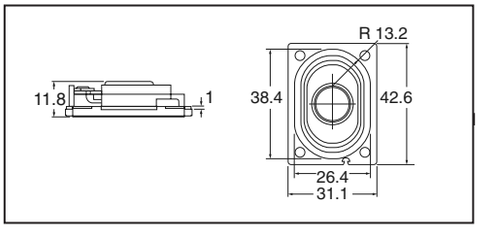

Außen-abm. (mm)	Eingang (W) Nenn-leistung	Impe-danz (Ω)	Frequenz-bereich (Hz)	Schall-druck Stufe	Netto-gew. (g)	Digi-Key Teilenr.	Stückpreis 1	10	100	Panasonic Teilenr.
40 x 30	1	16	Voller Bereich	73	12	P9613-ND	6.10	5.43	4.51	EAS-4D02C0

Kleiner Mehrzweck-Lautsprecher

Merkmale:
- Breiter Frequenzbereich
- Geeignet für verschiedenste Bedürfnisse
- Weitreichende Produktauswahl

Empfohlene Anwendungen:
- CD-Radio-Kassettenrekorder
- Informations- und Kommunikationsausstattungen

Abb. 1

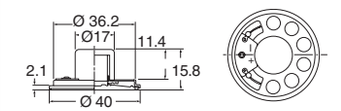

Abb. 2

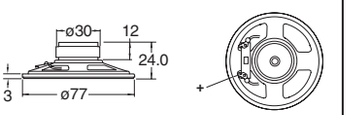

Abb. 3

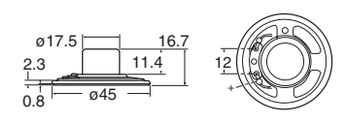

Abb. 4

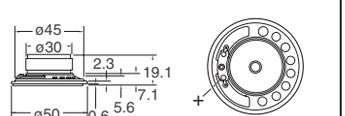

Abb. 5

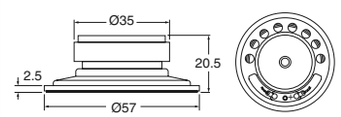

Abb. 6

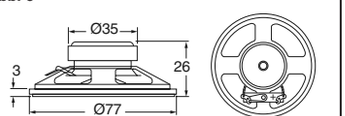

Abb.	Außen-abm. (mm.)	Eingang (W) Nenn-leistung	Impe-danz (Ω)	Frequenz-bereich (Hz)	Schall-druck Stufe	Netto-gew. (g)	Digi-Key Teilenr.	Stückpreis 1	10	100	Panasonic Teilenr.
1	40	0.10	8	530–3000	92	25	P9605-ND	4.75	4.28	3.80	EAS-4P15SA
2	80	0.63	8	185–4000	93	68	P9607-ND	3.76	3.39	3.01	EAS-8P29SG
3	45	0.10	8	390–3000	93	24	P9608-ND	3.81	3.43	3.05	EAS-45P30S
4	50	0.16	8	350–3000	93	57	P9610-ND	3.18	2.87	2.55	EAS-5P13S
5	57	0.5	8	Voller Bereich	92	75	P10177-ND	6.10	5.43	4.51	EAS-6P22S
6	77	0.63	25	Voller Bereich	95	83	P10178-ND	5.82	5.17	4.29	EAS-8P36S

Kartenlautsprecher

WM-R30B

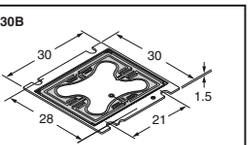

WM-R57A

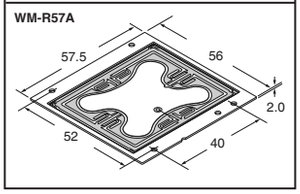

Diese ultra-dünnen und ultra-leichten neuen Kartenlautsprecher von Panasonic zeichnen sich durch hohe Klangqualität über einen breiten Frequenzbereich aus. Sie sind nur 1/5 so dick wie dynamische Lautsprecher (Vergleich des WM-R57A mit dynamischen Lautsprechern der gleichen Abmessungen). Basierend auf einer neu entwickelten Originaltechnologie liefern sie Top-Qualität und verzerrungsarme Wiedergabe über einen breiten Frequenzbereich. Sie sind klein und leicht und eignen sich ideal für Anwendungen wie Notebook-PCs, PDAs und andere mobile Kommunikations-, AV- und Heimelektronik-Ausstattungen.

Hauptmerkmale: • Ultra-dünnes, ultra-leichtes Design durch Verwendung einer piezokeramischen Membran. • Außergewöhnlich breites Audioresonanzspektrum durch mechanische 2-Wege-Struktur der geteilten Membran, die durch die Kombination eines großen Lautsprechers für Niederfrequenztöne mit vier kleinen Lautsprechern für Hochfrequenztöne erreicht wurde. • Neu entwickelter Doppeldämpfer und Hochpolymermaterial minimieren die Verzerrung, was eine hervorragende Wiedergabe garantiert. • Da weder Spule noch Magnet verwendet wurden, gibt es keine Streuung der elektromagnetischen Strahlung, die mit magnetischen Medien interferieren könnte. • Die vibrierende Membran ist komplett mit Hochpolymermaterial beschichtet, um sie vor Feuchtigkeit, Staub und Korrosion zu schützen.

Spezifikationen: • **Lagertemperatur:** -40 °C ~70 °C • **Betriebstemperatur:** -30 °C ~ 60 °C

Abmessungen (H x B) (mm)	Tiefe (mm)	Resonanz-frequenz bei (Hz)	S.P.L bei 3V RMS†	Abstand zw. Mikrofon u. Lautspr.	Max. Eingang (V RMS)	Gew. (g)	Digi-Key Teilenr.	Stückpreis 1	10	100	Panasonic Teilenr.
30.0 x 30.0	1.5	400Hz–100kHz	70dB	0.3 m	7	1.0	P11123-ND	5.35	4.76	3.95	WM-R30B
57.5 x 56.0	2.0	150Hz–100kHz	70dB	0.5 m	7	5.0	P11124-ND	7.26	6.45	5.36	WM-R57A

† ± 5 dB Mittel bei 0,4 kHz, 0,8 kHz, 1,5 kHz, 3 kHz.

Alle Preisangaben in Euro und inklusive Zollgebühren.

Ferrit-Magnet-Lautsprecher

Diese preiswerten Ferrit-Lautsprecher sind ideal für den Allgemeinverbrauch, wie z.B. für Informations- und Kommunikationsgeräte, tragbare Audio-Geräte und zur industriellen Verwendung.
Mylar-Kegelversionen bieten zusätzlichen Schutz in feuchten Umgebungen, oder wenn Wetterschutz erforderlich ist.

Abb. 1 — Ferrit-Magnet - runder Rahmen

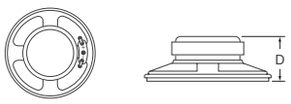

Abb. 2 — Ferrit-Magnet - viereckiger Rahmen

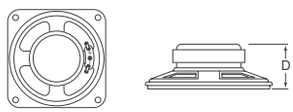

Abb. 3

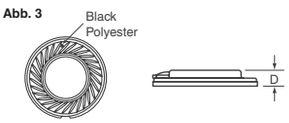

Abb.	Durchmesser Kegel (mm)	Tiefe „D" (mm)	Impedanz (Ω)	Frequenz-bereich (Hz)	Eingang (W) Nennleistung (max.)		S.P.L. (dB)	Digi-Key Teilenr.	Stückpreis 1	10	50	100	CUI Inc. Teilenr.
Papierkegeltyp													
1	50	17.5	8	450 ~ 5.9K	0.25	0.5	87	GF0501-ND	2.58	2.07	1.81	1.73	GF0501
2	50	18.0	8	480 ~ 7.2K	0.25	0.5	90	GF0506-ND	2.62	2.10	1.84	1.75	GF0506
1	57	18.5	8	380 ~ 8.1K	0.25	0.5	86	GF0571-ND	2.58	2.07	1.81	1.73	GF0571
1	57	27.5	8	450 ~ 20K	3.00	5.0	92	GF0573-ND	3.51	2.82	2.46	2.35	GF0573
2	57	18.5	8	380 ~ 8.1K	0.25	0.5	86	GF0576-ND	2.62	2.10	1.84	1.75	GF0576
1	66	20.0	8	300 ~ 8K	0.30	0.5	86	GF0661-ND	2.95	2.36	2.06	1.97	GF0661
2	66	29	8	300 ~ 20K	3.00	5.0	90	GF0668-ND	3.85	3.09	2.70	2.57	GF0668
1	70	21.5	8	310 ~ 4K	0.50	1.0	91	GF0701-ND	3.05	2.44	2.14	2.04	GF0701
1	77	24	8	180 ~ 10K	1.00	2.0	92	GF0771-ND	3.05	2.44	2.14	2.04	GF0771
2	77	31	8	250 ~ 15K	3.00	5.0	95	GF0778-ND	3.89	3.11	2.72	2.59	GF0778B
2	87	34	8	290 ~ 18K	3.00	5.0	99	GF0876-ND	4.23	3.39	2.97	2.83	GF0876
1	92	28.5	8	300 ~ 13K	2.00	3.0	93	GF0922-ND	3.41	2.73	2.39	2.28	GF0922
2	92	28.5	8	300 ~ 5K	2.00	3.0	93	GF0927-ND	3.85	3.09	2.70	2.57	GF0927
2	102	36.5	8	145 ~ 17K	6.00	10.0	93	GF1004-ND	5.33	4.27	3.74	3.56	GF1004
2	102	50.5	8	100 ~ 10K	20.00	40.0	90	GF1004H-ND	8.66	6.93	6.06	5.77	GF1004H
Mylar-Kegeltyp (wetterbeständig)													
1	40	9.6	8	136 ~ 2.8K	0.1	0.2	110	GF0401M-ND	2.62	2.10	1.84	1.75	GF0401M
1	50	17.5	8	440 ~ 5.8K	0.25	0.5	86	GF0501M-ND	3.12	2.49	2.18	2.08	GF0501M
1	57	18.5	8	480 ~ 14K	0.25	0.5	86	GF0571M-ND	3.12	2.49	2.18	2.08	GF0571M
1	66	20	8	430 ~ 10K	0.5	1	88	GF0661M-ND	3.33	2.66	2.33	2.22	GF0661M
2	66	19.5	8	330 ~ 10.1K	0.5	1	83	GF0666M-ND	3.34	2.68	2.35	2.23	GF0666M
1	77	24	8	280 ~ 11K	1	2	90	GF0771M-ND	3.47	2.78	2.43	2.32	GF0771M
2	77	24	8	360 ~11K	1	2	91	GF0776M-ND	3.51	2.82	2.46	2.35	GF0776M
2	102	36.2	8	250 ~ 13K	3	5	93	GF1003M-ND	4.77	3.81	3.34	3.18	GF1003M
2	102	36.5	8	230 ~ 14K	6	10	93	GF1004M-ND	5.84	4.68	4.09	3.90	GF1004M
3	13	2.0	8	0 ~ 20K	0.2	0.4	80	CDMG13008L-02-ND	1.65	1.51	1.36	1.21	CDMG13008L-02
3	15	2.8	8	0 ~ 20K	0.3	0.5	91	CDMG15008-03-ND	1.56	1.42	1.28	1.14	CDMG15008-03
3	16	2.55	8	0 ~ 20K	0.3	0.5	82	CDMG16008-03-ND	1.56	1.42	1.28	1.14	CDMG16008-03

Alnico-Magnetlautsprecher

Diese Alnico-Magnetlautsprecher sind eine gute Wahl, wenn Magnetgröße und Gewicht zu berücksichtigen sind.
Mylar-Kegelversionen bieten zusätzlichen Schutz in feuchten Umgebungen, oder wenn Wetterschutz erforderlich ist.

Abb. 1 — Alnico-Magnet - runder Rahmen

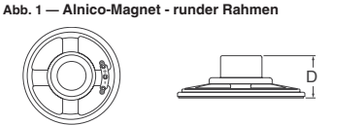

Abb. 2 — Alnico-Magnet - viereckiger Rahmen

Abb.	Durchmesser Kegel (mm)	Tiefe „D" (mm)	Impedanz (Ω)	Frequenz-bereich (Hz)	Eingang (W) Nennleistung (max.)		S.P.L. (dB)	Digi-Key Teilenr.	Stückpreis 1	10	50	100	CUI Inc. Teilenr.
Papierkegeltyp													
1	45	17	8	500 ~ 9K	0.2	0.5	80	102-1172-ND	2.84	2.27	1.99	1.89	GA0451
2	57	20	8	360 ~ 7K	0.25	0.5	83	102-1175-ND	2.79	2.24	1.96	1.87	GA0576
1	57	20	8	400 ~ 4K	0.25	0.5	88	102-1176-ND	2.79	2.24	1.96	1.87	GA0571
2	66	21.5	8	320 ~ 7K	0.5	1	86	102-1177-ND	2.92	2.34	2.05	1.95	GA0666
2	100	35	8	200 ~ 22K	2	4	92	102-1182-ND	3.58	2.87	2.51	2.39	GA1006
Mylar-Kegeltyp (wetterbeständig)													
1	38	17	8	700 ~ 15K	0.1	0.2	72	102-1183-ND	3.07	2.46	2.15	2.05	GA0381M
1	50	18.5	8	500 ~ 7.8K	0.25	0.5	85	102-1184-ND	2.92	2.34	2.05	1.95	GA0501M
2	50	18.5	8	500 ~ 10K	0.25	0.5	79	102-1185-ND	2.96	2.37	2.08	1.98	GA0506M
2	57	20	8	500 ~ 12K	0.25	0.5	80	102-1187-ND	3.01	2.41	2.11	2.01	GA0576M
1	57	20	8	450 ~ 13K	0.25	0.5	88	102-1186-ND	2.96	2.37	2.08	1.98	GA0571M
2	66	21.5	8	400 ~ 11K	0.5	1	87	102-1188-ND	3.13	2.51	2.20	2.12	GA0666M
1	77	26	8	300 ~ 22K	1	2	90	102-1190-ND	3.37	2.70	2.36	2.25	GA0771M
2	77	26	8	320 ~ 25K	1	2	90	102-1191-ND	3.41	2.73	2.39	2.27	GA0776M

Notebook-Lautsprecher

Merkmale: • Niedrigprofildesign, rechteckig • Leichtes Gewicht, stabiler Kunstharzrahmen • Breiter Frequenzbereich • Niedrige Resonanzfrequenz
Empfohlene Anwendungen: • Notebook Computer • Tragbare Kommunikationsgeräte • Multimedia-Ausstattungen

Abb. 1

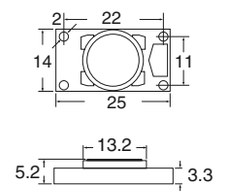

Abb. 2

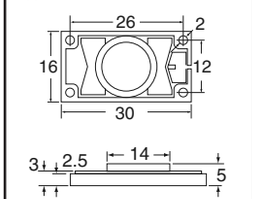

Abb. 3

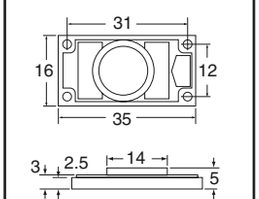

Abb. 4

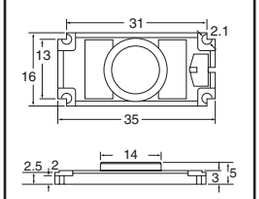

Abb. 5

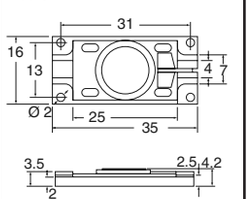

Abb. 6

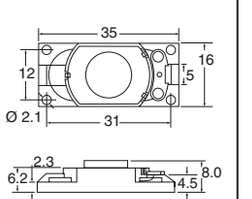

Abb. 7

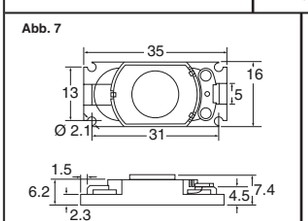

Abb. 8

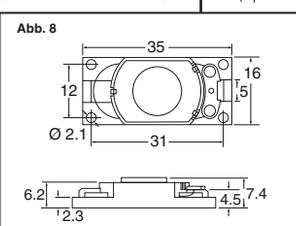

Abb. 9

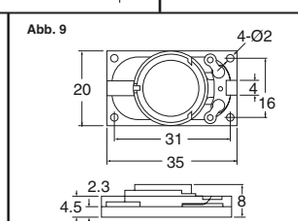

Abb. 10

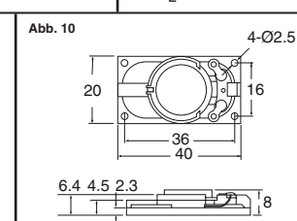

Abb. 11

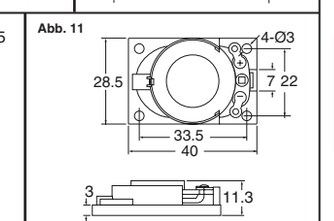

Abb.	Größe (mm)	Tiefe „D" (mm)	Rahmenstil	Resonanz-freq. Hz +/-20 %	Frequ.-Bereich (Hz)	Impedanz Ω	Leistung (W) Eingang NENN.	MAX.	Magnet-größe (mm)	Digi-Key Teilenr.	Stückpreis 1	10	50	100	CUI Inc. Teilenr.
1	14 x 25	5.2	Kunststoff	600	600~ 20K	8	1.0	1.5	7.9 x 1.3	GC0251K-ND	3.34	2.68	2.35	2.23	GC0251K
2	16 x 30	5.0	Kunststoff	500	500 ~ 4K	8	0.5	1.0	7.9 x 1.3	GC0301K-ND	3.39	2.71	2.38	2.26	GC0301K
3	16 x 35	5.0	Kunststoff	650	650 ~ 20K	8	1.0	1.5	7.9 x 1.3	GC0351M-ND	3.12	2.49	2.18	2.08	GC0351M
4	16 x 35	5.0	Kunststoff	650	650 ~ 20K	8	1.0	1.5	7.9 x 1.3	GC0351M-3-ND	3.12	2.49	2.18	2.08	GC0351M-3
5	16 x 35	4.2	Kunststoff	650	650 ~ 20K	8	1.0	1.5	7.9 x 1.0	GC0351N-ND	3.12	2.49	2.18	2.08	GC0351N
6	16 x 35	8.0	Kunststoff	550	500 ~ 13K	8	1.0	2.0	8.0 x 2.0	GC0351P-ND	4.00	3.20	2.81	2.67	GC0351P
7	16 x 35	7.4	Kunststoff	630	630 ~ 13K	4	1.0	2.0	8.1 x 1.4	GC0351P-1-ND	4.00	3.20	2.81	2.67	GC0351P-1
8	16 x 35	7.4	Kunststoff	630	630 ~ 13K	4	1.0	2.0	8.1 x 1.4	GC0351P-3-ND	4.00	3.20	2.81	2.67	GC0351P-3
9	20 x 35	8.0	Kunststoff	550	550 ~ 11K	8	1.0	1.5	11.0 x 1.5	GC0351K-ND	3.75	3.00	2.63	2.50	GC0351K
10	20 x 40	8.0	Kunststoff	550	550 ~ 12K	8	1.0	1.5	11.0 x 1.5	GC0401S-ND	4.09	3.27	2.86	2.73	GC0401S
11	28.5 x 40	11.3	Kunststoff	390	390 ~ 20K	8	1.0	2.0	12.5 x 1.8	GC0401K-ND	4.09	3.27	2.86	2.73	GC0401K

Panasonic® Mini-Audiowandler zur Allzweckverwendung

Zur Verwendung in:

• Diebstahlalarmanlagen • Rufsystemen • Rauchmeldern • Gasdetektoren • Licht- und Strahlungsdetektoren • Dateneingabe-Terminals • Kassen • Wecker • Echoloten • Metalldetektoren • medizinische Geräte • Testgeräte • Telefonapparate • Filmkameras • Elektroniksysteme im Automobilbereich • Produktionsmaschinen • verschiedene elektronische Geräte

NICHT ABWASCHBAR, AUSSER ES IST ETWAS ANDERES VERMERKT!

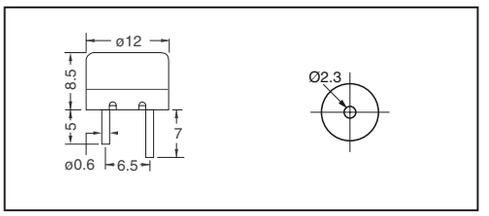

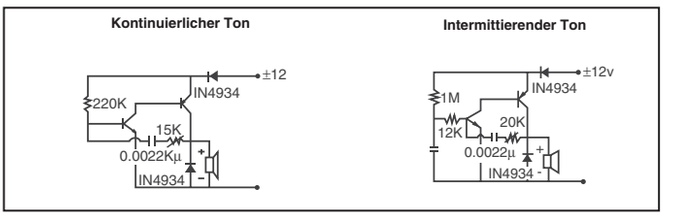

Nenneingang (mW)	DC Widerstand (Ω)	Impedanz (Ω)	S. P. L. (dB/1 W/1 m)	Frequenz (Hz)	Physische Größe (mm)	Anschlussklemme	Digi-Key Teilenr.	Preisangaben 1	10	100	500	Panasonic Teilenr.
50	12	35	86	3.8K–4.3K	12 x 8.5	Gerader Pin	P9965-ND	3.76	33.33	269.39	949.22	EAF-12RF04C

MALLORY Sonalert® Hörbare Signalgeräte (Summer)

MALLORY SONALERT PRODUCTS, INC.

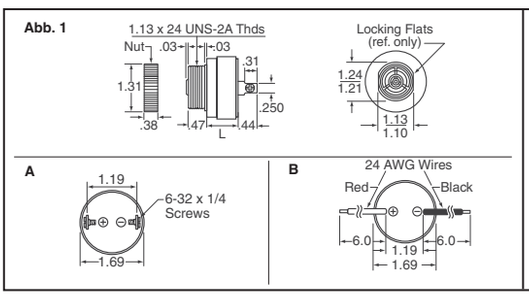

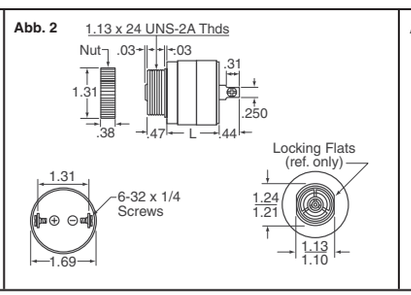

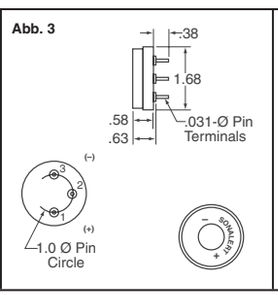

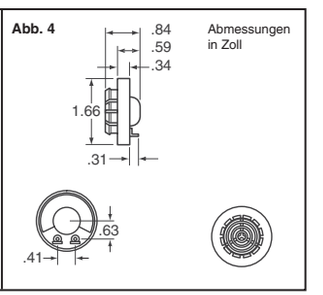

Abb.	Montageart	Abmessung „L“ (Zoll)	Frequenz ±500 (Hz)	Min. Schalldruck dB (A) bei 61 cm @ min. (V)	@ max. (V)	Betriebsspannung (DC) Min.	Max.	Betriebsstrom (mA) @ min. (V)	@ max. (V)	Digi-Key Teilenr.	Stückpreis 1	10	25	50	Mallory Teilenr.
Kontinuierliche Töne															
	Platte	0.81	1900±300	60	75	6	28	6	23	458-1033-ND	12.00	10.85	9.62	9.04	SC628D
	Platte	0.81	2900	60	75	1	5	3	16	458-1012-ND	10.62	9.60	8.52	8.01	SC105
	Platte	0.81	2900	80	90	3	7	3	9	458-1021-ND	16.91	15.28	13.55	12.74	SC307N
	Platte	0.81	2900	68	80	4	16	4	14	458-1022-ND	10.62	9.60	8.52	8.01	SC416
1A	Platte	0.81	2900	80	95	6	16	6	22	458-1024-ND	13.44	12.14	10.77	10.12	SC616N
	Platte	0.81	2900	68	80	6	28	3	18	458-1029-ND	10.62	9.60	8.52	8.01	SC628
	Platte	0.81	2900	80	90	6	28	6	23	458-1036-ND	11.58	10.47	9.28	8.72	SC628N
	Platte	0.81	2900	68	80	10	48	5	22	458-1040-ND	12.59	11.38	10.09	9.49	SC648
	Platte	0.81	4500	68	80	6	28	6	23	458-1034-ND	16.05	14.51	12.86	12.09	SC628H
1B	Platte	0.81	2900	80	95	6	16	6	22	458-1026-ND	16.33	14.76	13.09	12.30	SC616NL
	Platte	1.38	1900	60	75	30‡	120‡	6	21	458-1014-ND	22.89	20.69	18.35	17.24	SC110D
	Platte	1.38	2000±300	75	95	6	28	3	15	458-1037-ND	16.02	14.48	12.84	12.07	SC628ND
	Platte	1.38	2900	68	80	30‡	120‡	6	21	458-1013-ND	21.31	19.26	17.07	16.05	SC110
2	Platte	1.38	2900	80	95	30‡	120‡	6	24	458-1016-ND	24.86	22.47	19.92	18.73	SC110N
	Platte	1.38	2900	68	80	60‡	250‡	5	18	458-1020-ND	24.23	21.90	19.42	18.25	SC250
	Platte	1.38	2900	68	80	6‡	28‡	6	23	458-1030-ND	19.29	17.44	15.46	14.53	SC628A
	Platte	1.38	2900	80	95	6‡	28‡	4	30	458-1031-ND	22.89	20.69	18.35	17.24	SC628AN
3	Leiterplatte	—	2900	64	78	4	28	3	16	458-1011-ND	13.11	11.85	10.51	9.88	SBM428
4	Einrastende Platte	—	2900	55	68	1	5	3	12	458-1041-ND	11.10	10.04	8.90	8.37	SNP2
	Einrastende Platte	—	2900	64	76	4	28	3	18	458-1042-ND	11.76	10.63	9.43	8.86	SNP428
Pulsierende Töne															
1A	Platte	0.81	2900	80	95	6	16	6	22	458-1025-ND†	17.78	16.07	14.25	13.39	SC616NJ
	Platte	0.81	2900	80	95	6	16	6	22	458-1027-ND•	14.65	13.25	11.75	11.04	SC616NP
	Platte	1.38	2000±300	85	95	10	28	3	16	458-1038-ND•	17.05	15.41	13.66	12.84	SC628NDP
	Platte	1.38	2900	80	95	30‡	120‡	8	24	458-1018-ND•	25.80	23.32	20.68	19.43	SC110NP
2	Platte	1.38	2900	80	95	6‡	28‡	4	30	458-1032-ND•	23.16	20.93	18.56	17.44	SC628ANP
	Platte	1.38	2900	68	80	6	28	6	26	458-1035-ND†	20.40	18.44	16.35	15.37	SC628J
	Platte	1.38	2900	68	80	6	28	6	26	458-1039-ND•	19.14	17.30	15.34	14.42	SC628P
2	Platte	1.94	2900	68	80	30‡	120‡	6	22	458-1015-ND†	28.34	25.62	22.72	21.35	SC110J
Läuttöne (Läutton alle ein bis zwei Sekunden)															
2	Platte	1.38	2900	68	78	6	16	6	23	458-1023-ND	24.75	22.37	19.83	18.64	SC616CP
Optische/hörbare Signalgeräte															
2	Platte	.81	2900	80@6	95@16	6	16	40@6	60@16	458-1002-ND	27.30	24.68	21.88	20.57	LSC616N
	Platte	1.38	2900	88@30	98@120	3	120‡	5@30	16@120	458-1000-ND	43.30	39.13	34.70	32.61	LSC110N
	Platte			85@6	95@28	6	28‡	4@6	48@28	458-1003-ND	36.97	33.42	29.63	27.85	LSC628AN

‡ AC/DC nicht-polar

• Schnell = Ein und Aus bei 2 bis 10 Impulsen pro Sekunde, je nach Spannung bei 50 % Einschaltdauer. † Langsam = Ein und Aus bei 0,5 bis 2 Impulsen pro Sekunde, je nach Spannung bei 50 % Einschaltdauer.

Sonalert® Hörbare Signalgeräte

Merkmale: • Geringer Stromverbrauch • Preiswert • Kompaktes Profil • Piezo-Tonqualität • Superlaute Tonausgabe • Leiterplattenmontage

Spezifikationen: • Betriebstemperatur: -20 °C ~ 65 °C

Anwendungen: • Feuermelder • Diebstahlalarm • Rufsummer • Kfz • Uhren • Verkaufseinrichtungen Anlagen • Medizinische Instrumente • Elektrische Instrumente • Industrie- und Sicherheitsausstattungen

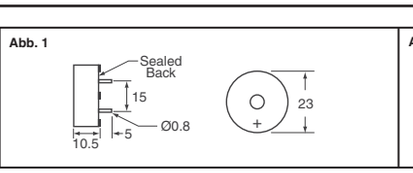

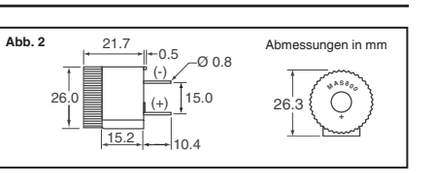

Abb.	Frequenz ±400 (Hz)	Min. Schalldruck dB (A) @ 61 cm @ min. V	@ max. V	Betriebs-spannung DC (V)	Betriebsstrom (mA) @ min. V	@ max. V	Impulsrate pro Sekunde	Digi-Key Teilenr.	Stückpreis 1	10	25	50	Mallory Teilenr.
	3850	75	86	5-16	3	14	Kontinuierlich	458-1006-ND	4.10	3.79	3.41	3.08	MSR516N
	3900	75	86	5-16	3	12	0,5 - 2 (langsam)	458-1007-ND	4.66	4.31	3.87	3.50	MSR516NJ
1	3900	75	86	5-16	3	12	2 - 10 (schnell)	458-1008-ND	4.71	4.36	3.91	3.54	MSR516NP
	3800 Durchschnitt	75	86	5-16	3	12	2 - 4 (Sirene)	458-1010-ND	7.21	6.68	5.99	5.41	MSR516X
	3700 Durchschnitt	75	86	5-16	3	12	5 - 7 (Alarmsirene)	458-1009-ND	7.23	6.69	6.01	5.43	MSR516W
	3400	75 @ 12V		3-20	3	x16	Kontinuierlich	458-1005-ND	2.59	2.40	2.16	1.95	MSR320
2	2800 ± 500 (Hz)	80	93	9-12	—	50	Kontinuierlich	458-1004-ND	5.67	5.25	4.71	4.26	MAS800

Alle Preisangaben in Euro und inklusive Zollgebühren.

Panasonic® Piezoelektrische Keramik-Summer

Anwendungen:

Rauchmelder, Alarmanlagen, Melder, Haushaltsgeräte, Rufgeräte, elektronische Spiele, Keyboardsignale, Kameras und Telefonklingeln

P9948 Merkmale:

• Treiber-Schwingkreis - läuft direkt von normalen Spannungsquellen wie Trockenbatterien • Hohe Lautstärke und geringe Eingangsspannung • Geringer Stromverbrauch. Breiter Betriebsbereich der Versorgungsspannung: 3 bis 20 V DC.

Merkmale aller anderen:

• Geringer Stromverbrauch • Lange Lebensdauer, kein Rauschen durch kontaktfreie Ausführung • Dünnes Summerelement • Externer Treiber • Abdeckung eines breiten Frequenzbereichs • Kein Magnetfeld wird erzeugt • Hoher Schalldruckpegel

Beispiel-Ansteuerkreis (für Eigenantrieb)

P9912 P9915 P9923
P9913 P9920
P9914 P9921

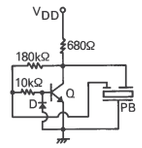

Q: ZTX451 oder gleichwertig
D: 1N4148 oder gleichwertig

Abb. 1

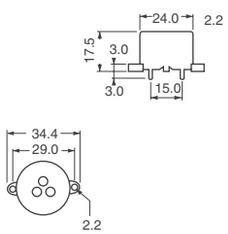

Abb. 2

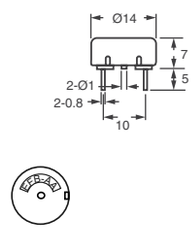

Abb. 3

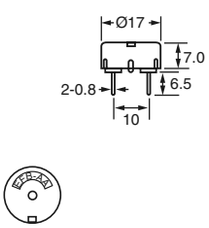

Abb. 4

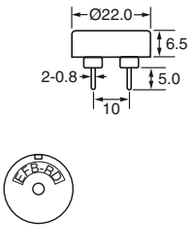

Abb. 5

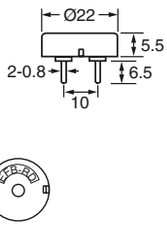

Abb. 6

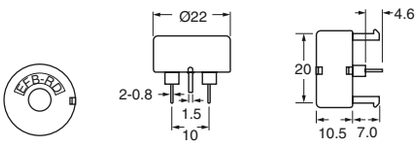

Abb. 7

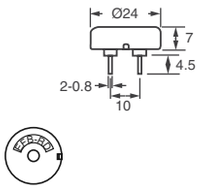

Abb. 8

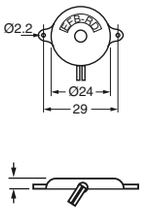

Abb. 9

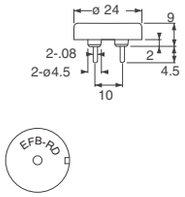

Abb. 10

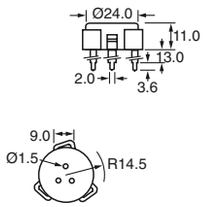

Abb. 11

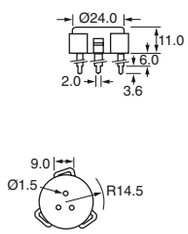

Abb. 12

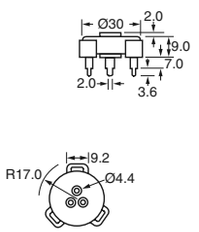

Abb. 13

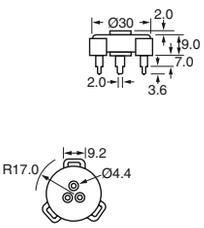

Abb. 14

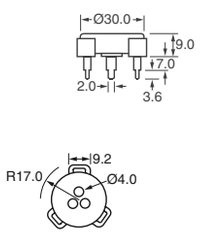

Abb. 15

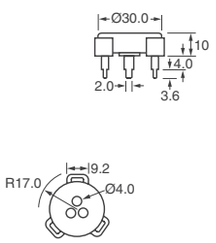

Abb. 16

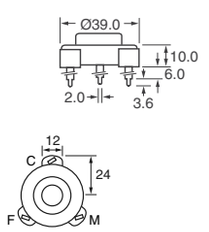

Abb.	Schalldruckpegel	Schwingfreq.	Kap. (@ 1 kHz)	Strom (12 V DC)	Eingangs-spannung	Digi-Key Teilenr.	Preisangaben 1	10	100	500	1.000	5.000	Panasonic Teilenr.
1	Min. 80 dB @ 12 V DC	3.7KHz	—	15mA	3 ~ 20VDC	P9948-ND	8.38	70.92	554.43	1953.53	3683.56	3438.05/M	EFB-CB37C11
2	Min. 74 dB @ (15 V p-p, 4 kHz Rechteck- Welle)	—	8500pF	—	25V p-p	P9900-ND	3.21	27.15	212.23	747.97	1410.44	1316.47/M	EFB-AA14D001
3	Min. 86 dB @ (15 V p-p, 4 kHz Rechteck- Welle)	—	7000pF	—	25V p-p	P9957-ND	2.14	18.09	141.43	498.22	939.73	877.08/M	EFB-AA40D102
4	Min. 85 dB @ (15 V p-p, 4 kHz Rechteck- Welle)	—	15000pF	—	30V p-p	P9929-ND	2.19	18.58	145.25	511.77	965.12	900.79/M	EFB-RD22C41
5	Min. 80 dB @ (15 V p-p, 4 kHz Rechteck- Welle)	—	15000pF	—	30V p-p	P9951-ND	2.15	18.23	142.53	502.03	947.35	883.85/M	EFB-RD22C413
6	Min. 98 dB @ (15 V p-p, 4 kHz Rechteck- Welle)	—	15000pF	—	30V p-p	P9909-ND	2.27	19.21	150.17	529.13	998.14	931.26/M	EFB-RD22C415
7	Min. 85 dB @ (15 V p-p, 4 kHz Rechteck- Welle)	—	10000pF	—	30V p-p	P9910-ND	2.82	23.84	186.39	656.96	1238.58	1155.61/M	EFB-RD24C41B
8	Min. 80 dB @ (15 V p-p, 4 kHz Rechteck- Welle)	—	12000pF	—	30V p-p	P9911-ND	2.19	18.58	145.25	511.77	965.12	900.79/M	EFB-RC24C41
9	Min. 85 dB @ (15 V p-p, 4 kHz Rechteck- Welle)	—	10000pF	—	30V p-p	P9924-ND	1.81	15.32	119.77	422.03	795.80	742.47/M	EFB-RD24C411
10	Min. 96 dB @ 10 V DC	3.5KHz	—	—	3 ~ 20VDC	P9912-ND*	3.43	29.01	226.80	799.19	1506.95	1406.21/M	EFB-RM38C13
11	Min. 93 dB @ 10 V DC	3.5KHz	—	—	3 ~ 20VDC	P9913-ND*	3.43	29.01	226.80	799.19	1506.95	1406.21/M	EFB-RM38C123
12	Min. 85 dB @ 12 V DC	2.0KHz	—	—	3 ~ 20VDC	P9914-ND*	3.00	25.33	198.04	697.60	1315.62	1228.42/M	EFB-RL20C102
13	Min. 104 dB @ 12 V DC	2.8KHz	—	—	3 ~ 20VDC	P9915-ND*	2.93	24.80	193.85	683.21	1287.68	1202.18/M	EFB-RL28C11
14	Min. 106 dB @ 12 V DC	3.7KHz	—	—	3 ~ 20VDC	P9920-ND*	3.18	26.96	210.78	742.89	1400.28	1307.15/M	EFB-RL37C20
15	Min. 106 dB @ 12 V DC	3.7KHz	—	—	3 ~ 20VDC	P9921-ND*	3.18	26.96	210.78	742.89	1400.28	1307.15/M	EFB-RL37C22
16	Min. 106 dB @ 12 V DC	3.2KHz	—	—	3 ~ 20VDC	P9923-ND*	6.11	51.68	404.08	1423.98	2684.57	2505.94/M	EFB-BD32B21

* Ansteuerkreis erforderlich. ***HINWEIS:*** Alle Summer und Mikrofone sind nicht abwaschbar.

Ultraschall-Keramiksensor/-wandler

Ultraschall-Keramiksensoren bestehen aus einem piezoelektrischen Platten/Zweielement- Keramik-Vibrator, der als Sensor zum Senden und Empfangen von Ultraschall durch Luft dient. Aufgrund des Resonanzvibrators ist der Ultraschallsensor hochempfindlich und verfügt über einen hervorragenden Schalldruckpegel.

Er hat einen breiten Anwendungsbereich, z.B. bei Diebstahl-alarmsystemen, automatischen Türöffnern, Durchflussmeldern und Fernbedienungssystemen für TV, Heimgeräte, Spielzeug usw.

Sensoren sind nicht abwaschbar.

Typ S temperaturstabiler Typ **

Typ Q geschlossener Typ *

* Temp. Bereich: -20 °C ~ 60 °C
** Temp. Bereich: -40 °C ~ +100 °C

Typ	Klasse	Schalt-freq. 51,0 (kHz)	Empfindlichkeit (dB/V/mbar)	Empfindlichkeit (0 dB = 1 V/Pa)	Min. Band-breite (KHz)	Schalldruck-pegel (dB)	Max. Eingangs-sp. (Vrms)	Abmessungen (mm) Physische Größe Durchm.	Hö.	Leitungen Länge	Platz	Digi-Key Teilenr.	Preisangaben 1	10	100	500	1.000	Panasonic Teilenr.
Q	Transmitter	40.0	—	—	1.0	105	20	18.0	12.0	12.5	7.5	P9893-ND	21.74	195.68	1739.42	6522.84	12175.97	EFR-RTQB40KS
S	Transmitter	40.0	—	—	4.0	105	20	16.0	12.0	10.0	10.0	P9895-ND	9.24	83.20	739.59	2773.46	5177.13	EFR-TSB40KS

I

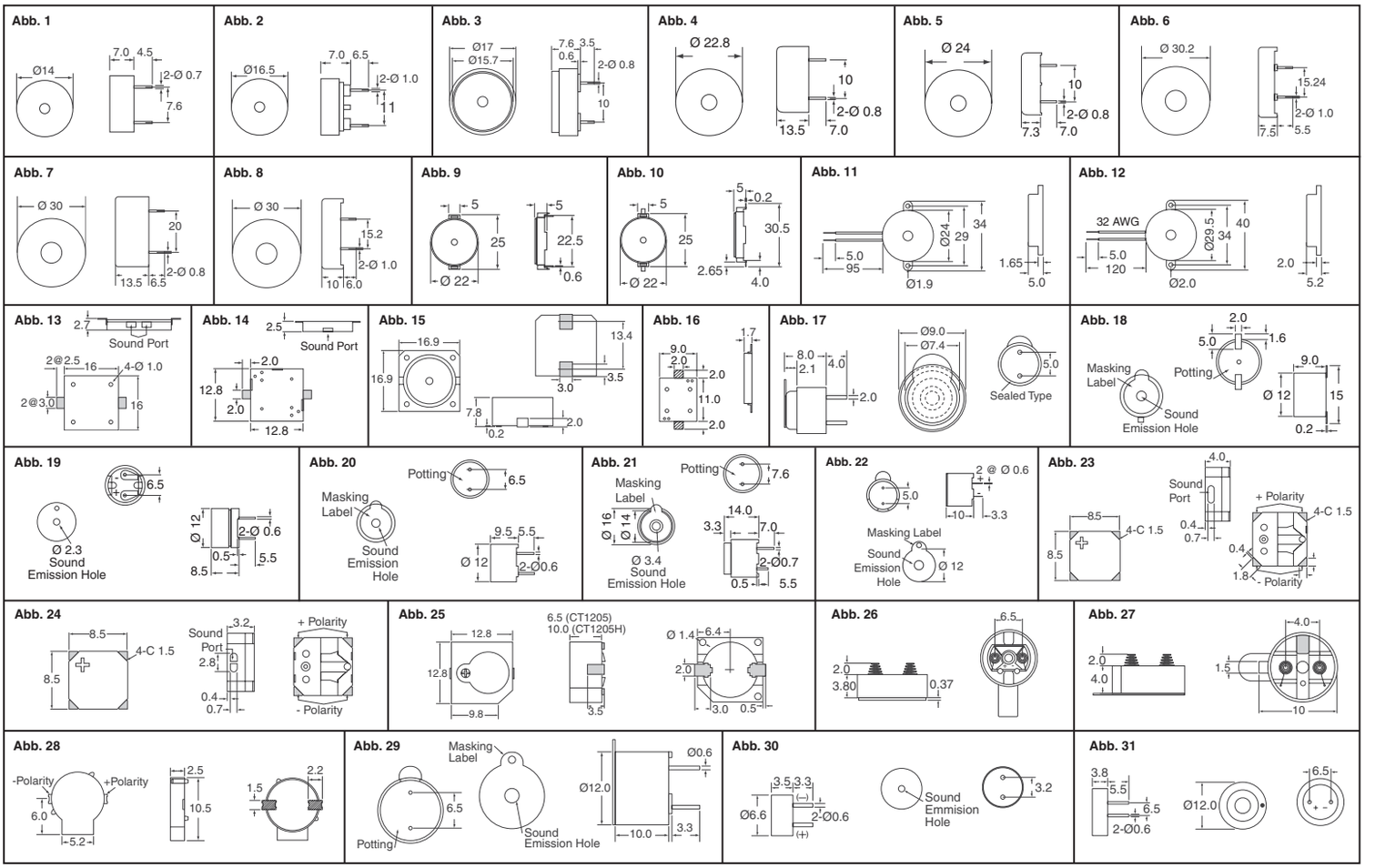

Piezo-keramischer Audiowandler - externer Antrieb

Abb.	Resonanz-frequenz (kHz)	Betriebs-spannung (max.)	Schalldruckpegel	Max. Stromverbrauch	Kapazität	Betriebs-temp. (°C)	Anschluss-klemme	Digi-Key Teilenr.	Stückpreis 1	10	100	500	1.000	Gegurtet auf Rolle†	CUI Inc. Teilenr.
1	4.0	20V p-p	Min. 76 dB @ 4,0 kHz	10mA	17,000pF	-20 ~ 60	Leiterplattenstift	102-1133-ND	1.91	1.74	1.39	1.16	1.01	—	CEP-1160
1	4.0	20V p-p	Min. 80 dB @ 4,0 kHz	7mA	14,000pF	-20 ~ 85	Leiterplattenstift	102-1134-ND	2.07	1.89	1.51	1.26	1.10	—	CEP-1162
2	5.0	20V p-p	Min. 82 dB @ 5,0 kHz	11mA	7,500pF	-30 ~ 80	Leiterplattenstift	102-1135-ND	1.17	1.06	.85	.71	.62	—	CEP-1152
3	4.0	20V p-p	Min. 82 dB @ 4,0 kHz	7mA	13,000pF	-30 ~ 85	Leiterplattenstift	102-1136-ND	1.28	1.17	.94	.78	.68	—	CEP-1153
4	2.4	30V p-p	Min. 88 dB @ 2,4 kHz	18mA	80,000pF	-30 ~ 85	Leiterplattenstift	102-1137-ND	2.40	2.18	1.75	1.45	1.27	—	CEP-1106
5	4.0	30V p-p	Min. 92 dB @ 4,0 kHz	11mA	21,000pF	-30 ~ 80	Leiterplattenstift	102-1138-ND	1.17	1.06	.85	.71	.62	—	CEP-1112
6	3.0	30V p-p	Min. 90 dB @ 2,8 kHz	10mA	18,000pF	-30 ~ 80	Leiterplattenstift	102-1139-ND	1.54	1.40	1.12	.93	.82	—	CEP-1130
7	2.0	30V p-p	Min. 93 dB @ 2,0 kHz	11mA	45,000pF	-30 ~ 80	Leiterplattenstift	102-1140-ND	1.86	1.70	1.36	1.13	.99	—	CEP-1114
8	2.0	30V p-p	Min. 90 dB @ 2,0 kHz	8mA	28,000pF	-30 ~ 85	Leiterplattenstift	102-1141-ND	1.65	1.51	1.21	1.00	.88	—	CEP-1116
9	2.5	50V p-p	Min. 80 dB @ 2,5 kHz	7mA	18,000pF	-30 ~ 85	Leiterplattenstift	102-1142-ND	1.30	1.19	.95	.79	.69	—	CEP-1108
10	2.5	50V p-p	Min. 80 dB @ 2,5 kHz	7mA	18,000pF	-30 ~ 85	SMD	102-1143-ND	1.45	1.32	1.05	.88	.77	—	CEP-1109
11	4.1	30V p-p	Min. 90 dB @ 4,1 kHz	12mA	21,000pF	-30 ~ 85	Anschlussleitung	102-1144-ND	1.17	1.06	.85	.71	.62	—	CEP-1110
12	2.8	30V p-p	Min. 92 dB @ 2,8 kHz	10mA	18,000pF	-30 ~ 80	Anschlussleitung	102-1145-ND	1.46	1.34	1.07	.89	.78	—	CEP-1126
13	4.0	25V p-p	Min. 75 dB @ 4,0 kHz	3mA	14,000pF	-30 ~ 70	SMD	102-1193-1-ND‡	1.52	1.38	1.11	.92	—	770.41/1,000	CMT-1603
14	4.1	25V p-p	Min. 70 db @ 4,1 kHz	5mA	16,000pF	-20 ~ 70	SMD	102-1195-1-ND‡	2.01	1.82	1.46	1.21	—	1019.31/1,000	CMT-1303
15	5.0	20V p-p	Min. 88 dB @ 5,0 kHz	10mA	15,000pF	-30 ~ 70	SMD	102-1194-5-ND	2.01	1.82	1.46	1.21	1.06	—	CMT-1261
16	4.1	25V p-p	Min. 70 db @ 4,1 kHz	4.5mA	12,000pF	-20 ~ 70	SMD	102-1264-1-ND‡	2.10	1.91	1.53	1.27	—	2133.43/2,000	CMT-1102
17	2.8	30V p-p	Min. 75 dB @ 2,8 kHz	4mA	5,600pF	-30 ~ 95	Leiterplattenstift	102-1283-ND	1.30	1.13	.87	.72	.65	—	CPE-171

Magnet-Audiowandler - externer Antrieb

Abb.	Resonanz-frequenz (kHz)	Betriebs-spannung	Schalldruckpegel	Max. Stromverbrauch	Betriebs-temp. (°C)	Anschluss-klemme	Digi-Key Teilenr.	Stückpreis 1	10	100	500	1.000	Gegurtet auf Rolle†	CUI Inc. Teilenr.
18	2.4	4–8V O-p	Min. 85 dB @ 2,4 kHz	40mA	-40 ~ 85	SMD	102-1150-ND+	1.77	1.61	1.29	1.07	.94	—	CD-1206
19	2.048	1–2V O-p	Min. 85 dB @ 2,048 kHz	20mA	-20 ~ 60	Leiterplattenstift	102-1151-ND	.53	.49	.39	.33	.29	—	CEM-1201(42)
19	2.048	1–2V O-p	Min. 80 dB @ 2,048 kHz	20mA	-20 ~ 60	Leiterplattenstift	102-1152-ND	.53	.49	.39	.33	.29	—	CEM-1201(50)
19	2.048	3–5V O-p	Min. 85 dB @ 2,048 kHz	20mA	-20 ~ 60	Leiterplattenstift	102-1153-ND	.61	.55	.45	.37	.32	—	CEM-1203(42)
20	2.4	1–3V O-p	Min. 80 dB @ 2,4 kHz	40mA	-20 ~ 60	Leiterplattenstift	102-1154-ND+	.70	.64	.51	.43	.37	—	CEM-1201S
20	2.4	3–8V O-p	Min. 85 dB @ 2,4 kHz	45mA	-20 ~ 60	Leiterplattenstift	102-1155-ND+	.70	.64	.51	.43	.37	—	CEM-1206S
20	2.4	6–16V O-p	Min. 85 dB @ 2,4 kHz	40mA	-20 ~ 60	Leiterplattenstift	102-1156-ND+	.70	.64	.51	.43	.37	—	CEM-1212S
21	2.048	1–3V O-p	Min. 80 dB @ 2,048 kHz	20mA	-20 ~ 60	Leiterplattenstift	102-1112-ND+	1.19	1.08	.87	.72	.63	—	CEM-1601
21	2.048	3–12V O-p	Min. 85 dB @ 2,048 kHz	50mA	-20 ~ 60	Leiterplattenstift	102-1113-ND+	1.19	1.08	.87	.72	.63	—	CEM-1606
21	2.048	6–18V O-p	Min. 85 dB @ 2,048 kHz	40mA	-20 ~ 60	Leiterplattenstift	102-1114-ND+	1.19	1.08	.87	.72	.63	—	CEM-1612
22	2.8	1~1.7V O-p	Min. 85 dB @ 2,8 kHz	40mA	-30 ~ 70	Leiterplattenstift	102-1169-ND+	1.05	.96	.77	.64	.56	—	CEM-14R06CT
23	2.73	2.5~4.5V O-p	Min. 87 dB @ 2,73 kHz	100mA	-30 ~ 70	SMD	102-1197-1-ND‡	1.93	1.76	1.41	1.17	—	983.75/1,000	CSS-73B16K
24	3.1	3~5.0V O-p	Min. 90 dB @ 3,1 kHz	80mA	-30 ~ 70	SMD	102-1198-1-ND‡	1.98	1.80	1.44	1.20	—	1007.45/1,000	CSS-J4D20
25	2.4	3~8.0V O-p	Min. 87 dB @ 2,4 kHz	40mA	-30 ~ 70	SMD	102-1199-1-ND‡	1.52	1.38	1.11	—	—	359.07/450	CT-1205
25	2.4	3.0~7.0V O-p	Min. 88 dB @ 2,4 kHz	60mA	-30 ~ 70	SMD	102-1266-1-ND‡	1.35	1.23	.99	—	—	227.84/320	CT-1205H
26	2.0	1~3V O-p	Min. 90 dB @ 2,0 kHz	90mA	-20 ~ 60	Feder	102-1201-ND	1.24	1.13	.90	.75	.66	—	CSQ-706BS
27	2.73	2~4.5V O-p	Min. 90 dB @ 2,73 kHz	80mA	-20 ~ 60	Feder	102-1202-ND	1.91	1.74	1.39	1.16	1.01	—	CST-934AS
28	2.73	2.5~4.5V O-p	Min. 85 dB @ 2,73 kHz	110mA	-30 ~ 70	SMD	102-1265-1-ND‡	1.54	1.40	1.12	—	—	391.13/500	CCV-084B16
29	2.4	4.0~8.0V O-p	Min. 85 dB @ 2,4 kHz	50mA	-30 ~ 70	Leiterplattenstift	102-1269-ND	.68	.62	.50	.41	.36	—	CCG-1206
30	3.0	1.0~1.7V O-p	Min. 70 db @ 3,0 kHz	80mA	-20 ~ 60	Leiterplattenstift	102-1284-ND	1.60	1.39	1.07	.89	.80	—	CC-0601
31	2.0	2.0~4.0V O-p	Min. 85 dB @ 2,0 kHz	90mA	-30 ~ 70	Leiterplattenstift	102-1286-ND	.74	.64	.50	.41	.37	—	CSQG703BP

† Für Gegurtet auf Rolle in der Teilenr. -1-ND in -2-ND umändern. ‡ Gurtabschnittpreise + Wellenlötbar und abwaschbar * Feedback-Steuerkreis erforderlich

(Forts.)

CUI INC

Audiowandler *(Forts.)*

Piezo-keramische Audiowandler - Eigenantrieb mit Feedback

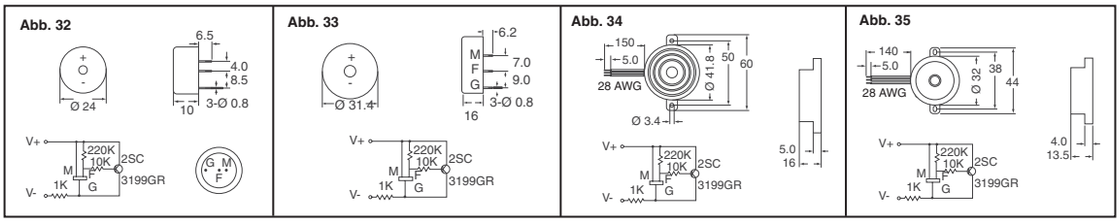

Abb.	Resonanz-frequenz (kHz)	Betriebs-spannung	Schalldruckpegel	Max. Stromverbrauch	Betriebs-temp. (°C)	Anschlussklemme	Digi-Key Teilenr.	Stückpreis 1	10	100	500	1.000	CUI Inc. Teilenr.
32	3.2	3~28VDC	74dB min. @ 12VDC	7mA	-30 ~ 85	Leiterplattenstift	102-1146-ND*	1.35	1.23	.99	.82	.72	CEP-1123
33	3.3	3~28VDC	81dB min. @ 12VDC	7mA	-30 ~ 80	Leiterplattenstift	102-1147-ND*	1.79	1.63	1.31	1.09	.95	CEP-1172
34	2.8	3~28VDC	85dB min. @ 12VDC	7mA	-30 ~ 85	Leitungsdrähte	102-1148-ND*	2.01	1.82	1.46	1.21	1.06	CEP-1136
35	3.3	3~28VDC	82dB min. @ 12VDC	7mA	-30 ~ 80	Leitungsdrähte	102-1149-ND*	1.73	1.57	1.26	1.04	.91	CEP-1173

† Für Gegurtet auf Rolle in der Teilenr. -1-ND in -2-ND umändern. ‡ Gurtabschnittpreise + Wellenlötbar und abwaschbar * Feedback-Steuerkreis erforderlich

CUI INC

Summer

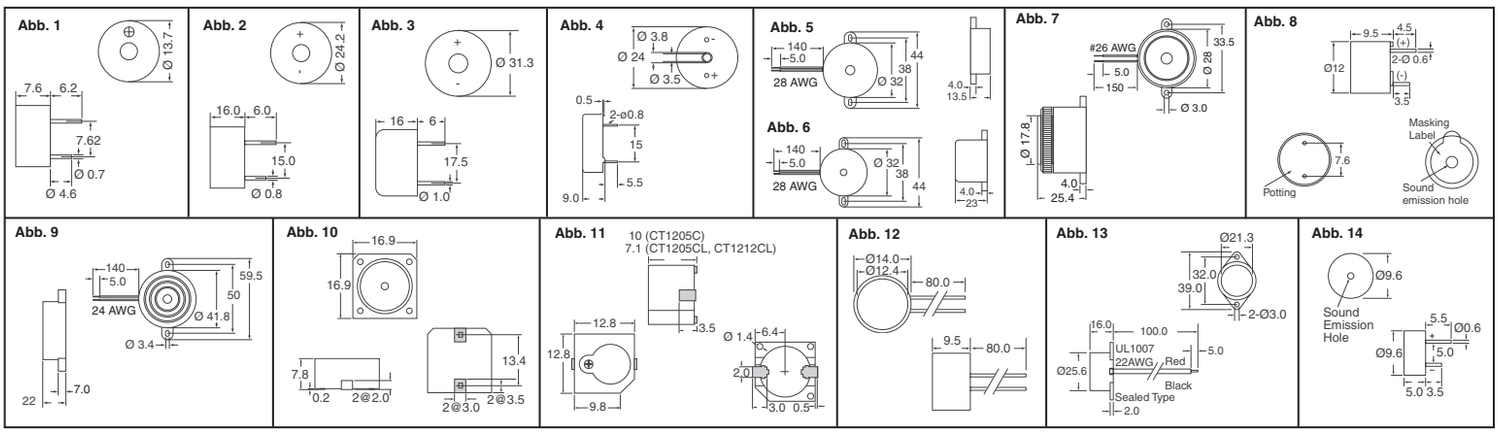

Audio-Indikatoren

Abb.	Schalldruck-pegel	Resonanz-frequenz (kHz)	Strom	Eingangs-spannung	Anschluss-klemme	Digi-Key Teilenr.	Stückpreis 1	10	100	500	1.000	Preisangaben gegurtet auf Rolle †	CUI Inc. Teilenr.
Piezo-Summer mit Antriebsschaltkreisen													
1	Min. 70 db @ 12 V DC	4.1	7mA @ 12VDC	3~16VDC	Leiterplattenstift	102-1115-ND+	2.24	2.04	1.63	1.35	1.18	—	CEP-2242
2	Min. 85 dB @ 12 V DC	3.0	11mA @12VDC	3~20VDC	Leiterplattenstift	102-1116-ND	2.89	2.63	2.10	1.75	1.53	—	CEP-2202A
2	Min. 85 dB @ 12 V DC	3.0	11mA @12VDC	3~20VDC	Leiterplattenstift	102-1117-ND+	3.14	2.86	2.29	1.90	1.66	—	CEP-2202AS
3	Min. 93 dB @ 12 V DC	3.5	10mA @ 12VDC	3~20VDC	Leiterplattenstift	102-1118-ND	2.95	2.69	2.16	1.79	1.56	—	CEP-2272A
4	Min. 78 dB @ 12 V DC	3.4	15mA @ 12VDC	3~20VDC	Leiterplattenstift	102-1119-ND	2.12	1.93	1.55	1.28	1.12	—	CEP-2224
5	Min. 93 dB @ 12 V DC	3.5	10mA @ 12VDC	3~20VDC	Leitungsdrähte	102-1120-ND	2.77	2.52	2.02	1.68	1.47	—	CEP-2260A
6	Min. 88 dB @ 12 V DC	2.5 ~ 3.8	17mA @ 12VDC	6~18VDC	Leitungsdrähte	102-1121-ND	5.19	4.72	3.78	3.14	2.74	—	CEP-2280
7	Min. 85 dB @ 12 V DC	3.5	6mA @ 12VDC	3~28VDC	Leitungsdrähte	102-1122-ND	3.61	3.29	2.63	2.18	1.91	—	CEP-2250
9	Min. 88 dB @ 110 V AC	2.8	7mA @ 110VAC	30~120VAC/DC	Leitungsdrähte	102-1125-ND	4.61	4.20	3.36	2.79	2.44	—	CEP-4411AC
10	Min. 83 dB @ 12 V DC	4.0	8mA @ 12VDC	3~20VDC	SMD	102-1196-5-ND	3.35	3.05	2.44	2.03	1.77	—	CMI-1240
12	Min. 80 dB @ 12 V DC	5.0	35mA @ 12VDC	9~16VDC	Leitungsdrähte	102-1281-ND*	6.25	5.42	4.17	3.46	3.13	—	CPE-243
13	Min. 85 dB @ 12 V DC	2.8	35mA @ 12VDC	6~14VDC	Leitungsdrähte	102-1282-ND*	7.59	6.59	5.07	4.21	3.80	—	CPE-267
Magnet-Summer mit Antriebsschaltkreisen													
8	Min. 85 dB @ 12 V DC	2.3	35mA @ 12VDC	8~16VDC	Leiterplattenstift	102-1123-ND+	1.96	1.78	1.43	1.19	1.04	—	CEM-1212C
	Min. 85 dB @ 5 V DC	2.3	35mA @ 5VDC	4~7VDC	Leiterplattenstift	102-1124-ND+	1.96	1.78	1.43	1.19	1.04	—	CEM-1205C
11	Min. 90 dB @ 5 V DC	2.4	30mA @ 5VDC	4~7VDC	SMD	102-1200-1-ND‡	2.30	2.10	1.68	—	—	388.89/320	CT-1205C
	Min. 88 dB @ 5 V DC	2.4	30mA @ 5VDC	4~7VDC	SMD	102-1267-1-ND‡	2.30	2.10	1.68	—	—	546.89/450	CT-1205CL
	Min. 85 dB @ 12 V DC	2.4	30mA @ 12VDC	8~15VDC	SMD	102-1268-1-ND‡	2.30	2.10	1.68	—	—	546.89/450	CT-1212CL
14	Min. 80 dB @ 5 V DC	2.73	35mA @ 5VDC	4~7VDC	Leiterplattenstift	102-1285-ND+	1.68	1.46	1.12	.93	.84	—	CX-0905C

+ Wellenlötbar und abwaschbar † Für Gegurtet auf Rolle die Teilenr. von 1-ND auf 2-ND ändern. ‡ Gurtabschnittpreise * Feedback-Steuerkreis erforderlich

Piezoelektrisch-keramische Summer-Elemente

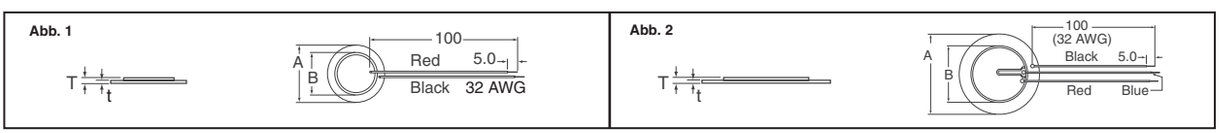

Abmessungen (mm) A	B	T	t	Resonanz-frequenz (kHz)	Resonanz-Impedanz (max. Ω)	Elektrostatische Kapazität (@ 1 kHz)	Eingangs-spannung (max.)	Digi-Key Teilenr.	Stückpreis 1	10	100	500	1.000	CUI Inc. Teilenr.
Standard-Typ - Abb. 1														
20.00	14.60	0.43	0.20	6.5	350	13,000pF	30V p-p	102-1126-ND	.86	.79	.63	.52	.46	CEB-20D64
27.00	19.80	0.53	0.25	4.6	250	16,000pF	20V p-p	102-1127-ND	.93	.85	.68	.57	.50	CEB-27D44
35.00	25.00	0.53	0.25	2.6	300	30,000pF	30V p-p	102-1128-ND	1.21	1.11	.89	.74	.64	CEB-35D26
44.00	25.00	0.23	0.10	0.6	1,000	70,000pF	20V p-p	102-1170-ND	1.37	1.25	1.00	.83	.73	CEB-44D06
Feedback-Typ - Abb. 2														
20.00	15.00	0.43	0.20	6.4	400	10,000pF	30V p-p	102-1129-ND	1.00	.91	.73	.61	.53	CEB-20FD64
27.00	20.00	0.51	0.25	4.5	500	16,000pF	30V p-p	102-1130-ND	1.02	.94	.75	.62	.55	CEB-27FD44
35.00	25.00	0.53	0.25	2.9	500	25,000pF	30V p-p	102-1131-ND	1.33	1.21	.97	.81	.70	CEB-35FD29

Piezo-Telefonklingel

Schalldruck-pegel	Elektrostatische Kapazitanz (@ 1 kHz)	Eingangs-spannung (max.)	Digi-Key Teilenr.	Stückpreis 1	10	100	500	1,000	CUI Inc. Teilenr.
81dB @ 1.1KHz	43,000pF	30V p-p	102-1132-ND	1.45	1.32	1.05	.88	.77	CEP-1141

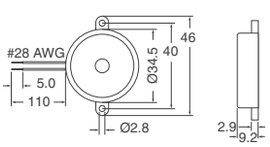

9-15 V DC Summer

Betrieb: von 9-15 V DC. Gehäusegröße: 23 mm (L) x 15 mm (B) x 13, 5 mm (H) mit Montage-lochmitten bei 27 mm

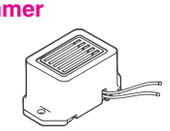

140CU-ND **2.44/1; 22.35/10**

Abb. 1

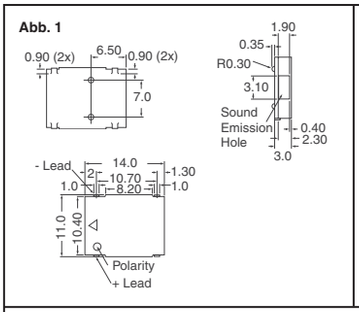

Abb. 2

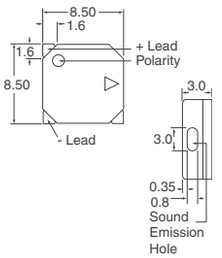

Abb. 3

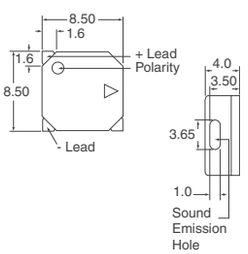

Abb. 4

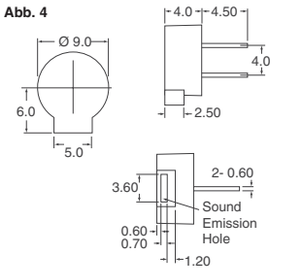

Abb. 5

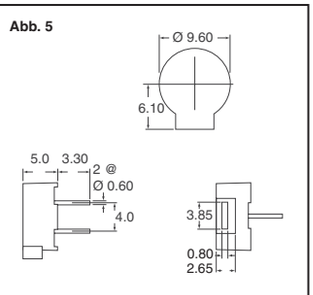

Abb. 6

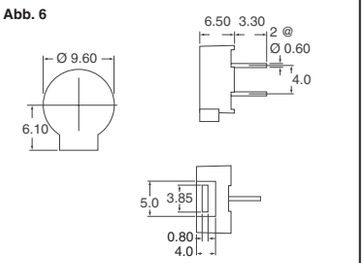

Abb. 7

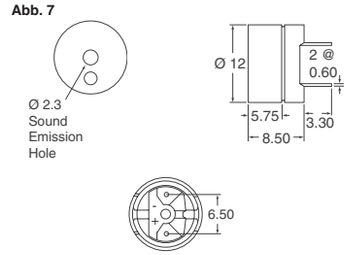

Abb. 8

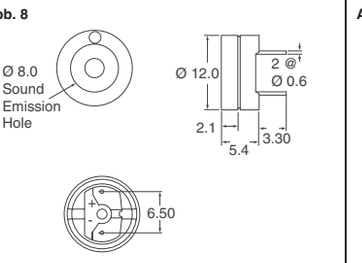

Abb. 9

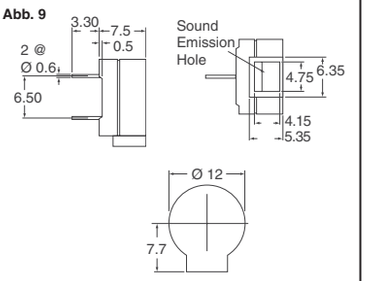

Abb. 10

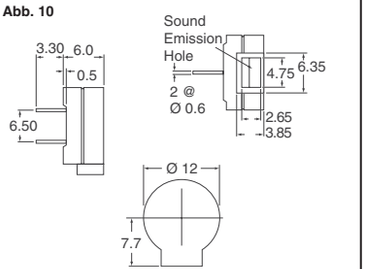

Abb. 11

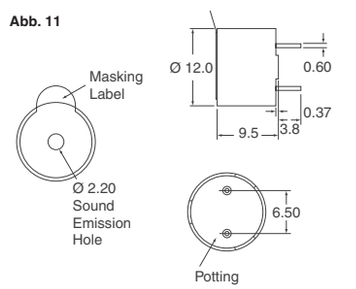

Abb. 12

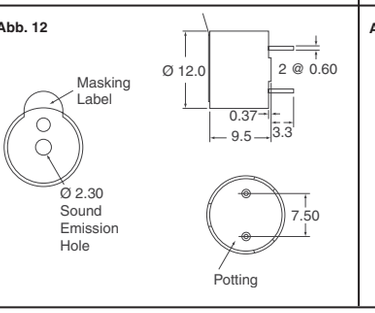

Abb. 13

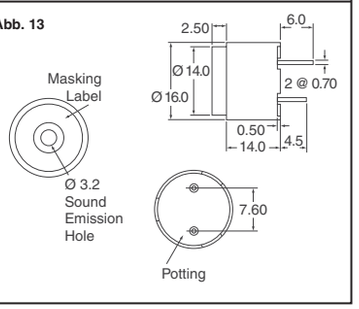

Aufschmelzbarer SMD-Typ - externer Antrieb

Abb.	Nennfrequenz (kHz)	Betriebs-spannung (V) o-p	Schalldruck-pegel	Stromver-brauch (mA) (max.)	Betriebstem-peratur (°C)	Anschluss-klemme	Digi-Key Teilenr.	Stückpreis 1	10	100	500	Digi-Key Teilenr.	Preis f. geg. auf Rolle 1,000	Soberton Teilenr.
1	2.73	1-2	Min. 85 dB @ 2,73 kHz	80	-30 ~ 85	SMD	433-1000-1-ND	2.64	2.21	1.77	1.47	433-1000-2-ND	1238.81	ST-01AH
	2.73	2-4	Min. 87 dB @ 2,73 kHz	70	-30 ~ 85	SMD	433-1001-1-ND	2.64	2.21	1.77	1.47	433-1001-2-ND	1238.81	ST-01BH
	2.30	4-6	Min. 87 dB @ 2,30 kHz	70	-30 ~ 85	SMD	433-1002-1-ND	2.64	2.21	1.77	1.47	433-1002-2-ND	1238.81	ST-01CL
	2.73	4-6	Min. 87 dB @ 2,73 kHz	70	-30 ~ 85	SMD	433-1003-1-ND	2.64	2.21	1.77	1.47	433-1003-2-ND	1238.81	ST-01CH
2	2.73	1-2	Min. 85 dB @ 2,73 kHz	80	-30 ~ 85	SMD	433-1004-1-ND	2.64	2.21	1.77	1.47	433-1004-2-ND	1238.81	ST-03AH
	2.30	2-4	Min. 87 dB @ 2,30 kHz	70	-30 ~ 85	SMD	433-1005-1-ND	2.64	2.21	1.77	1.47	433-1005-2-ND	1238.81	ST-03BL
	2.73	2-4	Min. 87 dB @ 2,73 kHz	70	-30 ~ 85	SMD	433-1006-1-ND	2.64	2.21	1.77	1.47	433-1006-2-ND	1238.81	ST-03BH
	2.73	4-6	Min. 87 dB @ 2,73 kHz	70	-30 ~ 85	SMD	433-1007-1-ND	2.64	2.21	1.77	1.47	433-1007-2-ND	1238.81	ST-03CH
3	2.30	2-4	Min. 87 dB @ 2,30 kHz	70	-30 ~ 85	SMD	433-1008-1-ND	2.64	2.21	1.77	1.47	433-1008-2-ND	1238.81	ST-04BL
	2.73	2-4	Min. 87 dB @ 2,73 kHz	70	-30 ~ 85	SMD	433-1009-1-ND	2.64	2.21	1.77	1.47	433-1009-2-ND	1238.81	ST-04BH
	3.20	2-4	Min. 87 dB @ 3,20 kHz	70	-30 ~ 85	SMD	433-1010-1-ND	2.64	2.21	1.77	1.47	433-1010-2-ND	1238.81	ST-04BT
	2.73	4-6	Min. 87 dB @ 2,73 kHz	70	-30 ~ 85	SMD	433-1011-1-ND	2.64	2.21	1.77	1.47	433-1011-2-ND	1238.81	ST-04CH

Nicht abwaschbar - externer Antrieb

Abb.	Nennfrequenz (kHz)	Betriebs-spannung (V) o-p	Schalldruck-pegel	Stromver-brauch (mA) (max.)	Betriebstem-peratur (°C)	Anschluss-klemme	Digi-Key Teilenr.	Stückpreis 1	10	100	500	Soberton Teilenr.
4	2.73	1-2	Min. 85 dB @ 2,73 kHz	80	-20 ~ 60	PCB	433-1012-ND	1.08	.67	.49	.43	GT-0915RP2
	2.73	2-4	Min. 85 dB @ 2,73 kHz	80	-20 ~ 60	PCB	433-1013-ND	1.08	.67	.49	.43	GT-0930RP2
	3.10	4-6	Min. 85 dB @ 3,10 kHz	80	-20 ~ 60	PCB	433-1014-ND	1.08	.67	.49	.43	GT-0950RP3
5	2.73	1-2	Min. 85 dB @ 2,73 kHz	80	-20 ~ 60	PCB	433-1015-ND	1.01	.62	.46	.41	GT-1515RP2
	3.10	1-2	Min. 87 dB @ 3,10 kHz	80	-20 ~ 60	PCB	433-1016-ND	1.01	.62	.46	.41	GT-1515RP3
6	2.73	1-2	Min. 85 dB @ 2,73 kHz	80	-20 ~ 60	PCB	433-1017-ND	1.01	.62	.46	.41	GT-1515RP2H
	3.10	1-2	Min. 87 dB @ 3,10 kHz	80	-20 ~ 60	PCB	433-1018-ND	1.01	.62	.46	.41	GT-1515RP3H
7	2.048	1-2	Min. 85 dB @ 2,048 kHz	35	-20 ~ 60	PCB	433-1019-ND	.91	.54	.37	.33	GT-11P
	2.048	1.5-2	Min. 80 dB @ 2,048 kHz	10	-20 ~ 60	PCB	433-1020-ND	.78	.46	.32	.27	GT-111P
	2.73	1-4	Min. 87 dB @ 2,73 kHz	70	-20 ~ 60	PCB	433-1021-ND	.91	.54	.37	.33	GT-11PB
8	2.048	1-2	Min. 70 dB @ 2,048 kHz	35	-20 ~ 60	PCB	433-1022-ND	.91	.54	.37	.33	GT-11PS
	2.048	1-4	Min. 70 dB @ 2,048 kHz	15	-20 ~ 60	PCB	433-1023-ND	.78	.46	.32	.27	GT-111PS
9	2.048	1-2	Min. 80 dB @ 2,048 kHz	35	-20 ~ 60	PCB	433-1024-ND	.78	.46	.32	.27	GT-12QP-1
	2.73	1-2	Min. 87 dB @ 2,73 kHz	70	-20 ~ 60	PCB	433-1025-ND	.78	.46	.32	.27	GT-12QP-3
10	2.73	1-2	Min. 85 dB @ 2,73 kHz	70	-20 ~ 60	PCB	433-1026-ND	.78	.46	.32	.27	GT-12QP-9

Abwaschbar - externer Antrieb

Abb.	Nennfrequenz (kHz)	Betriebs-spannung (V) o-p	Schalldruck-pegel	Stromver-brauch (mA) (max.)	Betriebstem-peratur (°C)	Anschluss-klemme	Digi-Key Teilenr.	Stückpreis 1	10	100	500	Soberton Teilenr.
11	2.3±.2	1-2	Min. 85 dB @ 2,3 kHz	35	-30 ~ 85	PCB	433-1027-ND	.74	.44	.30	.25	WT-1201
	2.3±.2	4-6	Min. 85 dB @ 2,3 kHz	40	-30 ~ 85	PCB	433-1028-ND	.74	.44	.30	.25	WT-1205

Abwaschbar - eigenständiger Antrieb

Abb.	Nennfrequenz (kHz)	Betriebs-spannung (V) o-p	Schalldruck-pegel	Stromver-brauch (mA) (max.)	Betriebstem-peratur (°C)	Anschluss-klemme	Digi-Key Teilenr.	Stückpreis 1	10	100	500	Soberton Teilenr.
12	2.3±.2	4-6	Min. 85 dB @ 2,3 kHz	40	-20 ~ 60	PCB	433-1029-ND	1.53	1.00	.77	.68	WST-1205S
13	2.2±.2	8-16	Min. 85 dB @ 2,2 kHz	30	-30 ~ 85	PCB	433-1030-ND	1.95	1.27	.97	.86	WST-1612S

Alle Preisangaben in Euro und inklusive Zollgebühren.

Panasonic Electret-Kondensatormikrofonkapsel

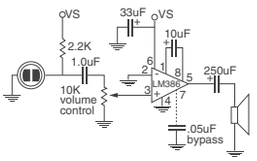

Besteht aus interner Hochspannungs-Electretmembran, Metallelektrode und einem Feldeffekttransistor (FET). Benötigt keine hohe externe Vorspannung wie gewöhnliche Kondensatormikrofone.

Merkmale: Besonders effiziente elektrische Spezifikation, Drucktyp-Betriebsprinzip, niedrige Impedanz (2,2 kΩ), omnidirektionale Richtfähigkeit und ein hoher Grad an Zuverlässigkeit bei Tests mit widrigen Umweltbedingungen, Erschütterungen und Vibrationen.

Anwendungen: Telefone und Anrufbeantworter, Kassettenrekorder, Wechselsprechanlagen, Computermodems, Mikrofonanlagen für Aufnahme, Test und Überwachung, Hörhilfen, schallgesteuerte(s) Spielzeug und Sensoren und mehr. Die Summer und Mikrofone sind nicht abwaschbar.

Abb. 1

Abb. 2
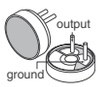

Abb. 3
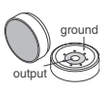

Abb. 4
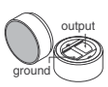

Abb. 5
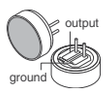

Abb. 6
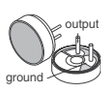

Abb. 7
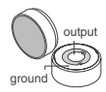

Abb. 8
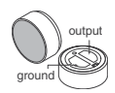

Abb. 9
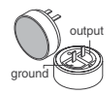

Abb.	Typ	Physische Größe (mm)	Empfindlichkeit (0 dB = 1 V/Pa)	Frequenz-bereich (Hz)	Betriebs-spannung max./Std.	Max. Stromver-brauch	Reduzierte Empfindlichkeit	S/N-Verhältnis	Digi-Key Teilenr.	Stückpreis 1	10	100	Panasonic Teilenr.
1	Omnidi-rektionall	ø6.0 X 1.3	-44dB ±3dB	20-16k	10V/2V	0.5mA	Innerhalb -3 dB @ 1,5 V	>58dB	P11957-ND†	2.40	2.13	1.72	WM-63GCT
1		ø6.0 X 1.3	-44dB ±3dB	20-16k	10V/2V	0.5mA	Innerhalb -3 dB @ 1,5 V	>58dB	P11958-ND†	2.48	2.20	1.78	WM-63GNT
2		ø6.0 X 1.3	-44dB ±3dB	20-16k	10V/2V	0.5mA	Innerhalb -3 dB @ 1,5 V	>58dB	P11961-ND	2.84	2.53	2.05	WM-63PRT
3		ø6.0 X 1.5	-44dB ±3dB	20-16k	10V/2V	0.5mA	Innerhalb -3 dB @ 1,5 V	>58dB	P11962-ND	2.35	2.08	1.68	WM-E15BT
4		ø6.0 X 2.2	-45dB ±4dB	20-16k	10V/2V	0.5mA	Innerhalb -3 dB @ 1,5 V	>58dB	P9955-ND†	1.74	1.55	1.25	WM-64C
4	Omnidi-rektional	ø6.0 X 2.2	-45dB ±4dB	20-16k	10V/2V	0.5mA	Innerhalb -3 dB @ 1,5 V	>58dB	P9958-ND†	1.72	1.53	1.24	WM-64K
5		ø6.0 X 2.2	-44dB ±3dB	20-16k	10V/2V	0.5mA	Innerhalb -3 dB @ 1,5 V	>58dB	P11964-ND†	1.68	1.50	1.21	WM-64MCT
5		ø6.0 X 2.2	-44dB ±3dB	20-16k	10V/2V	0.5mA	Innerhalb -3 dB @ 1,5 V	>58dB	P11965-ND†	1.70	1.51	1.22	WM-64MNT
6		ø6.0 X 2.2	-44dB ±3dB	20-16k	10V/2V	0.5mA	Innerhalb -3 dB @ 1,5 V	>58dB	P11969-ND†	2.32	2.06	1.66	WM-64PNT
7		ø6.0 X 2.7	-44dB ±3dB	20-16k	10V/2V	0.5mA	Innerhalb -3 dB @ 1,5 V	>58dB	P11970-ND†	1.73	1.54	1.24	WM-62HNT
8	Omnidi rektional	ø6.0 X 3.4	-35dB ±4dB	20-20k	10V/2V	0.5mA	Innerhalb -3 dB @ 1,5 V	>62dB	P9925-ND	1.55	1.38	1.11	WM-61A
9		ø6.0 X 3.4	-35dB ±4dB	20-20k	10V/2V	0.5mA	Innerhalb -3 dB @ 1,5 V	>62dB	P11974-ND	1.76	1.57	1.27	WM-61B
10		ø6.0 X 5.0	-42dB ±3dB	20-20k	10V/2V	0.5mA	Innerhalb -3 dB @ 1,5 V	>58dB	P9959-ND	2.24	1.99	1.61	WM-60AY
11		ø9.7 X 4.5	-44dB ±3dB	20-16k	10V/2.5V	0.6mA	Innerhalb -3 dB @ 2 V	>60dB	P9949-ND	.69	.62	.50	WM-54BT
12		ø9.7 X 6.7	-42dB ±3dB	20-16k	10V/4.5V	0.8mA	Innerhalb -3 dB @ 3 V	>60dB	P9962-ND*	2.35	2.09	1.69	WM-034CY195M
13	Omnidi rektional	ø7.7 X 3.0	-44dB ±3dB	20-16k	10V/2V	0.5mA	Innerhalb -3 dB @ 1,5 V	>58dB	P11959-ND	4.05	3.59	2.91	WM-63GNT330
14		ø7.5 X 2.4	-44dB ±3dB	20-16k	10V/2V	0.5mA	Innerhalb -3 dB @ 1,5 V	>58dB	P11960-ND	4.24	3.76	3.04	WM-63GNT335
15		ø7.7 X 4.0	-44dB ±3dB	20-16k	10V/2V	0.5mA	Innerhalb -3 dB @ 1,5 V	>58dB	P11966-ND	3.18	2.83	2.29	WM-64MNT330A
16	Unidi-rektional	ø9.7 X 5.0	-47dB ±4dB	100-16k	10V/1.5V	0.5mA	Innerhalb -3 dB @ 1 V	>60dB	P9961-ND	2.18	1.94	1.57	WM-55A103
16		ø9.7 X 5.0	-50dB ±3dB	100-16k	10V/1.5V	0.5mA	Innerhalb -3 dB @ 1 V	>60dB	P9963-ND	1.57	1.40	1.14	WM-56A103
17		ø6.0 X 5.0	-50dB ±4dB	100-12k	10V/2V	0.5mA	Innerhalb -3 dB @ 1,5 V	>55dB	P9964-ND	1.76	1.57	1.27	WM-65A103
18	Störschall-unterdrückend	ø9.7 X 5.0	-54dB ±4dB	100-10k	10V/1.5V	0.5mA	Innerhalb -3 dB @ 1 V	>58dB	P9897-ND	2.25	2.01	1.62	WM-55D103

Abb. 10
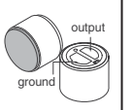

Abb. 11
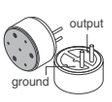

Abb. 12
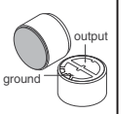

Abb. 13
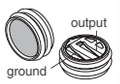

Abb. 14
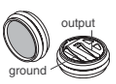

Abb. 15
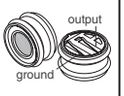

Abb. 16
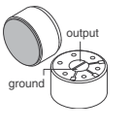

Abb. 17
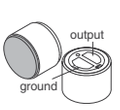

Abb. 18
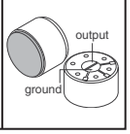

* Hat 18 mm lange Anschlussleitungen † Mit eingebauter Kappe

Mikrofon-Halter

Abb.	Digi-Key Teilenr.	Stückpreis 1	10	100	500	Panasonic Teilenr.	Verwendung mit Panasonic Teilenr.
1	P9950-ND	.50	.42	.33	.24	M3CA0208A4	WM-55A103, WM-55D103, WM-56A103
2	P9952-ND	.50	.42	.33	.24	M3CA0207A4	WM-55A103, WM-55D103, WM-56A103
3	P9974-ND	.50	.42	.33	.24	YPM-CH022AA4	Serie WM-034
4	P9953-ND	.50	.42	.33	.24	M3CA0082A4	Serie WM-034

Abb. 1
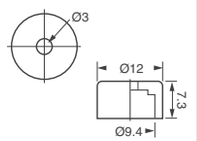

Abb. 2
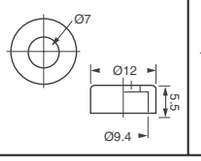

Abb. 3
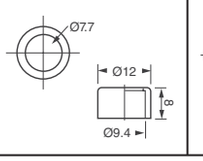

Abb. 4
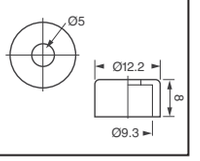

HORN Electret-Kondensatormikrofon und Halter

Electret-Kondensatormikrofone bestehen aus einer internen Hochspannungs-Electretmembran, einer Metallelektrode und einem Feldeffekttransistor (FET). Sie werden unter Einhaltung strengster Qualitätsbestimmungen in China hergestellt. Alle Mikrofone sind mit japanischen FETs ausgerüstet, um Qualität und Zuverlässigkeit zu gewährleisten. Dies und 100 %-iges Testen gewährleisten eine Fehlerrate von Null. Horns Verpflichtung zu Qualität erlangte ihnen die Annerkennung eines weltweit bekannten Herstellers von Mobiltelefonen. Horns Mikrofone arbeiten mit hoher Effizienz und niedriger Impedanz und sind in omnidirektionaler, unidirektionaler und Störschall unterdrückender Version erhältlich. Die Mikrofone sind nicht abwaschbar.

Abb. 1
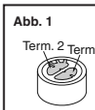

Abb. 2
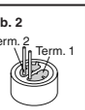

Abb. 3
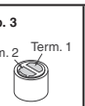

Abb. 4
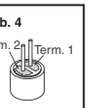

Abb. 5
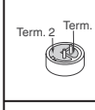

Abb. 6
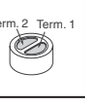

Abb. 7
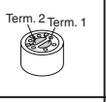

Abb. 8
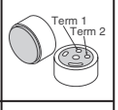

Abb. 9
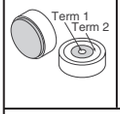

Abb. 10
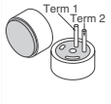

Abb. 11
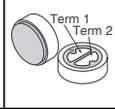

Abb. 12
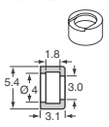

Abb. 13
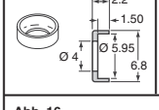

Abb. 14
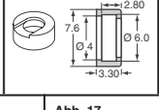

Abb. 15
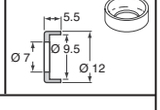

Abb. 16
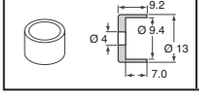

Abb. 17
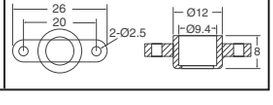

Abb.	Typ	Physische Größe (mm)	Empfindlichkeit (0 dB = 1 V/Pa)	Betriebs-spannung Std.	Max. Stromver-brauch	S/N-Verhältnis	Digi-Key Teilenr.	Stückpreis 1	10	100	Horn Teilenr.
1	Omnidi-rektional	ø9.7 x 6.5	-42dB ±2dB	4.5V	0.5mA	>60dB	359-1001-ND	.83	.63	.42	EM9765-422
1		ø9.7 x 4.5	-44dB ±2dB	4.5V	0.5mA	>60dB	359-1006-ND	.94	.71	.48	EM9745-442
1		ø9.4 x 6.5	-44dB ±2dB	4.5V	0.5mA	>60dB	359-1008-ND	.98	.74	.50	EM9465-442
2		ø9.7 x 6.5	-42dB ±2dB	4.5V	0.5mA	>60dB	359-1002-ND	.83	.63	.42	EM9765P-422
2		ø9.7 x 4.5	-44dB ±2dB	4.5V	0.5mA	>60dB	359-1007-ND	1.02	.76	.51	EM9745P-442
2	Omnidi-rektional	ø9.4 x 6.5	-44dB ±2dB	4.5V	0.5mA	>60dB	359-1009-ND	1.06	.80	.53	EM9465P-442
3		ø6.0 x 5.0	-42dB ±3dB	2.0V	0.5mA	>60dB	359-1011-ND	1.06	.80	.53	EM6050-423
3		ø6.0 x 5.0	-44dB ±3dB	2.0V	0.5mA	>60dB	359-1012-ND	1.06	.80	.53	EM6050-443
3		ø6.0 x 3.5	-38dB ±3dB	2.0V	0.5mA	>60dB	359-1017-ND	2.57	1.93	1.29	EM6035-383
3		ø6.0 x 3.5	-40dB ±3dB	2.0V	0.5mA	>60dB	359-1018-ND	2.57	1.93	1.29	EM6035-403
3	Omnidi-rektional	ø6.0 x 2.7	-42dB ±3dB	2.0V	0.5mA	>60dB	359-1019-ND	2.57	1.93	1.29	EM6027-423
3		ø6.0 x 2.2	-40dB ±2dB	2.0V	0.5mA	>60dB	359-1023-ND	1.11	.80	.59	EM6022-40BC10&33
3		ø6.0 x 1.5	-44dB ±2dB	2.0V	0.5mA	>60dB	359-1027-ND	1.63	1.17	.87	EM6015-44BC10&33
3		ø6.0 x 1.8	-44dB ±2dB	2.0V	0.5mA	>60dB	359-1029-ND	1.48	1.06	.79	EM6018-44BC10&33
3		ø6.0 x 1.3	-48dB ±2dB	2.0V	0.5mA	>60dB	359-1030-ND	1.74	1.25	.93	EM6013-48BC10&33
3	Omnidi-rektional	ø6.0 x 1.1	-46dB ±4dB	2.0V	0.5mA	>58dB	359-1035-ND	2.22	1.59	1.18	EM6011-46FC10&33
4		ø6.0 x 5.0	-42dB ±3dB	2.0V	0.5mA	>60dB	359-1013-ND	1.13	.85	.57	EM6050P-423
4		ø6.0 x 5.0	-44dB ±3dB	2.0V	0.5mA	>60dB	359-1014-ND	1.13	.85	.57	EM6050P-443
5		ø6.0 x 2.7	-42dB ±3dB	2.0V	0.5mA	>60dB	359-1020-ND	2.87	2.15	1.44	EM6027PA-423
5		ø6.0 x 1.8	-46dB ±2dB	2.0V	0.5mA	>60dB	359-1024-ND	1.53	1.10	.81	EM6018P-46BC10&33
5	Omnidi-rektional	ø6.0 x 2.2	-42dB ±2dB	2.0V	0.5mA	>60dB	359-1025-ND	1.11	.80	.59	EM6022P-42BC10&33
6		ø4.5 x 3.0	-44dB ±3dB	2.0V	0.5mA	>60dB	359-1021-ND	3.02	2.27	1.51	EM4530-443
6		ø4.0 x 2.0	-48dB ±4dB	2.0V	0.5mA	>58dB	359-1033-ND	1.85	1.32	.98	EM4020-48BC10&33
6		ø4.0 x 1.1	-52dB ±4dB	2.0V	0.5mA	>58dB	359-1034-ND	2.38	1.70	1.26	EM4011-52FC10&33
6		ø4.0 x 1.5	-46dB ±4dB	2.0V	0.5mA	>58dB	359-1036-ND	2.27	1.63	1.20	EM4015-46BC10&33
8	Omnidi-rektional	ø10.0 x 5.0	-38dB ±2dB	4.5V	0.5mA	>60dB	359-1026-ND	.42	.31	.23	EM1050-38
9		ø6.0 x 2.2	-42dB ±2dB	2.0V	0.5mA	>60dB	359-1028-ND	1.27	.91	.67	EM6022S-42BC10&33
10		ø10.0 x 5.0	-40dB ±2dB	4.5V	0.5mA	>60dB	359-1031-ND	.47	.34	.26	EM1050P-40
11		ø4.5 x 1.3	-50dB ±4dB	2.0V	0.5mA	>58dB	359-1032-ND	1.85	1.32	.98	EM4513-50BC10&33
3	Unidi-rektional	ø6.0 x 5.0	-51dB ±4dB	2.0V	0.5mA	>58dB	359-1016-ND	2.72	2.04	1.36	EM6050U-514
7		ø9.7 x 5.2	-47dB ±4dB	1.5V	0.5mA	>58dB	359-1003-ND	2.87	2.15	1.44	EM9752U-474
7		ø9.7 x 5.2	-51dB ±4dB	1.5V	0.5mA	>58dB	359-1004-ND	2.87	2.15	1.44	EM9752U-514
7		ø8.0 x 5.0	-51dB ±4dB	1.5V	0.5mA	>60dB	359-1010-ND	2.87	2.15	1.44	EM8050U-514
3	Störschall-unterdrückend	ø6.0 x 5.0	-51dB ±4dB	2.0V	0.5mA	>58dB	359-1015-ND	2.72	2.04	1.36	EM6050N-514
7		ø9.7 x 5.2	-51dB ±4dB	1.5V	0.5mA	>60dB	359-1005-ND	2.79	2.10	1.40	EM9752N-514
12	Mikrofonhalter für 4,0 x 1,5 mm Mikrofon						359-1037-ND	.35	.21	.14	01.AE.MT.401504
13	Mikrofonhalter für 6,0 x 1,5 mm Mikrofon						359-1038-ND	.35	.21	.14	01.AE.MT.601503
14	Mikrofonhalter für 6,0 x 1,8 mm Mikrofon						359-1039-ND	.35	.21	.14	01.AE.MT.601803
15	Mikrofonhalter für 9,7 x 4,5 mm Mikrofon						359-1040-ND	.36	.22	.14	01.AE.MT.974501
16	Mikrofonhalter für 9,7 x 6,5 mm Mikrofon						359-1041-ND	.36	.22	.14	01.AE.MT.976509
17	Mikrofonhalter für 9-mm-Mikrofon						359-1022-ND	.36	.22	.15	01.AE.MT.946502

I

Alle Preisangaben in Euro und inklusive Zollgebühren.

Hochleistungs-Audioprodukte

Omnidirektionale Electret-Mikrofone

CA-Serie: • Integrierter FET-Verstärker • Widersteht widrigen Umweltbedingungen • Hohe Resistenz gegenüber mechanischen Erschütterungen • Tonport aus wasserabweisendem Sinterstahl • 3-adrige Konfiguration **Serie EA:** • Integrierter FET-Verstärker • Electret-Kondensatormikrofon • Robuste Konstruktion widersteht widrigen Umweltbedingungen • Hohe Resistenz gegenüber mechanischen Erschütterungen • 3-adrige Konfiguration **Serie EK:** • Integrierter FET-Verstärker • Hohe elektroakustische Empfindlichkeit • Geringe Vibrationsempfindlichkeit • Rauscharm • 3-adrige Konfiguration **Serie FG:** • Integrierter FET-Verstärker • Breite, flache Resonanzfrequenz • Geringe Rauschleistung • Hohe elektroakustische Empfindlichkeit • 3-adrige Konfiguration **Serie WP:** • Integrierter FET-Verstärker • Hohe elektroakustische Empfindlichkeit • Rauscharm • Geringe Vibrationsempfindlichkeit • Flache Resonanz bis zu sehr niedriger Frequenz • Hält Eintauchen in Wasser stand • 3-adrige Konfiguration

Abm. in mm.

Abb. 1

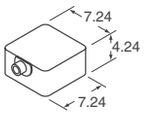

Abb. 2

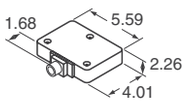

Abb. 3

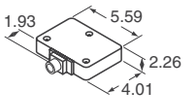

Abb. 4

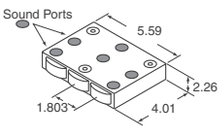

Abb. 5

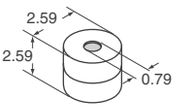

Abb. 6

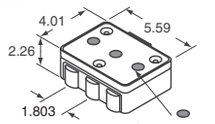

Abb.	Empfindlichkeit @ 1 kHz (dB re 1 V/Pa)	Empfindlichkeit @ 1 kHz (dB re 1 V/0,1 Pa)	DC-Versorgungs-spannung	Max. Verstärkerstromsenke (µA)	Max. Gewichteter Lärm „A“ (1 kHz gleichwertig SPL)	Ausgangs-impedanz (Ω)	Digi-Key Teilenr.	Stückpreis 1	Stückpreis 10	Stückpreis 100	Knowles Acoustics Teilenr.
1	-40 ±3	-60 ±3	1.0 - 20	100	31.0 dB	2500	423-1013-ND	—	—	13.89	CA-2856
2	-39 ±4	-59 ±4	1.0 - 10	50	28.5 dB	3500	423-1005-ND	16.46	14.83	10.60	EA-1842
2	-33 ±3	-53 ±3	1.0 - 10	50	26.0 dB	4400	423-1006-ND	13.22	11.92	8.95	EK-3024
2	-33 ±3	-53 ±3	1.0 - 10	50	26.0 dB	4400	423-1007-ND	14.30	12.89	9.71	EK-3027
3	-33 ±3	-53 ±3	1.0 - 10	50	26.0 dB	4400	423-1009-ND	13.21	11.90	10.60	EK-3133
4	-33 ±3	-53 ±3	1.0 - 10	50	26.0 dB	4400	423-1008-ND	15.25	13.74	9.82	EK-3132
5	-33 ±3	-53 ±3	1.0 - 1.6	50	30.0 dB	4400	423-1000-ND	21.38	19.26	13.76	FG-3329
Wasserfeste Mikrofone											
6	-34 ±3	-54 ±3	1.0 - 10	50	28.0 dB	4400	423-1012-ND	21.41	19.29	13.78	WP-3502
	-34 ±3	-54 ±3	1.0 - 10	50	28.0 dB	4400	423-1054-ND*	21.41	19.29	13.78	WP-3502-P16

* Hat 2,5 cm (1") lange Anschlussleitungen

Störschall unterdrückende Nahbesprechungsmikrofone

Serie NR: • Integrierter FET-Verstärker • Membran reagiert auf Druckunterschiede und sorgt für gute Filterung von Hintergrundgeräuschen • Sehr klein • Hohe elektroakustische Empfindlichkeit • Geringe Vibrationsempfindlichkeit

Serie CF: • Integrierter FET-Verstärker • Membran reagiert auf Druckunterschiede und sorgt für gute Filterung von Hintergrundgeräuschen • Widersteht widrigen Umweltbedingungen • Tonports sind durch wasserabweisende Gewebegitter geschützt • Hohe Resistenz gegenüber mechanischen Erschütterungen

Serie WP: • Integrierter FET-Verstärker • Hält Eintauchen in Wasser bis zu 1 m Tiefe stand • Korrosionsbeständig • Hält explosiver Dekompression stand • Hohe Resistenz gegenüber mechanischen Erschütterungen • Sehr klein

Abm. in mm.

Abb. 1

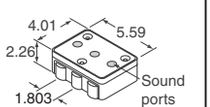

Abb. 2

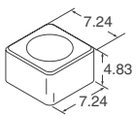

Abb.	Empfindlichkeit @ 1 kHz (dB re 1 V/Pa)	Empfindlichkeit @ 1 kHz (dB re 1 V/0,1 Pa)	Mikrofonkon-figuration	DC-Versor-gungsspp. (V)	Max. Verstärker-stromsenke (µA)	Nennim-pedanz Ω)	Digi-Key Teilenr.	Stückpreis 1	Stückpreis 10	Stückpreis 100	Knowles Acoustics Teilenr.
1	-32 ±3	-52 ±3	2-adrig	1.0 - 10	200	2500	423-1010-ND	14.27	12.86	9.33	NR-3160
2	-42 ±3	-62 ±3	3-adrig	1.0 - 10	50	3500	423-1014-ND	21.58	19.45	13.89	CF-2949
Wasserfeste Mikrofone											
1	-34 ±3	-54 ±3	2-adrig	1.0 - 10	300	2500	423-1011-ND	21.41	19.29	13.78	WP-3501

Wasserfeste akustische Wandler

Abm. In mm.

Serie MR: • Extrem wasserfest, kein Leistungsverlust nach Eintauchen in 15 m tiefes Wasser • Korrosionsbeständig • Hält explosiver Dekompression stand • Umweltfreundlich • Hohe Resistenz gegenüber mechanischen Erschütterungen • Mit Anschlussleitungen

Abb. 1

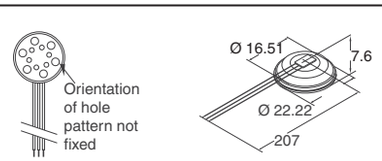

Abb. 2

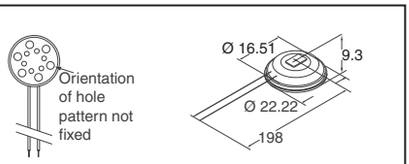

Abb.	Empfindlichkeit @ 1 kHz (dB re 1 V/Pa)	Empfindlichkeit @ 1 kHz (dB re 1 V/0,1 Pa)	DC-Versorgungs-spannung	Max. Verstärker-stromsenke (µA)	DCR @ 20 dC ±10 % (Ω)	Max. Gewichteter Lärm „A“ (1 kHz gleichwertig SPL)	Lastkondition (Ω)	Ausgangsimp. @ 1KHz (Ω)	Digi-Key Teilenr.	Stückpreis 1	Stückpreis 10	Stückpreis 100	Knowles Acoustics Teilenr.
Electretmikrofone													
1	-41 ±4	-61 ±4	1.0 - 20	50	—	30	10K	3.5K	423-1016-ND	35.54	32.03	25.90	MR-8406
Magnetmikrofone													
2	-67.5 ±3	-87.5 ±3	—	—	75.5	—	300	300	423-1015-ND	25.81	23.26	22.28	MR-3151

Piezokeramik, Beschleunigungsmess-geräte, magnetisch abgeglichene Anker

Abm. in mm.

Serie BL: • Hochempfindlich • Breiter Frequenzbereich und flache Resonanz • Integrierter FET-Verstärker • Hohe Resistenz gegenüber mechanischen Erschütterungen • BL-1785 wird normalerweise in Messgeräteausrüstungen eingesetzt • 3-adrige Konfiguration **Serie BU:** • Keramischer Vibrations-Umsetzer • Hohe Vibrationsempfindlichkeit und kleine Größe • Breiter Frequenzbereich • Interner FET-Vorverstärker • 2- oder 3-adrige Konfiguration **Serie BJ:** • Abgeglichene Anker-Technologie • Hoher Wirkungsgrad, stabil und zuverlässig • Eigenabschirmung gegen externe Magnetfelder • Sehr klein • Omnidirektional • 2-adrige Konfiguration

Abb. 1

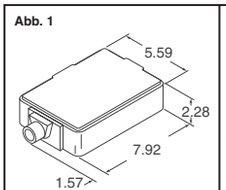

Abb. 2

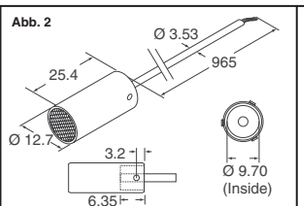

Abb. 3

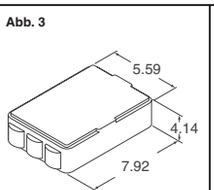

Abb. 4

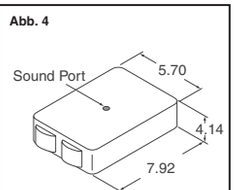

Abb.	Empfindlichkeit @ 1 kHz (dB re 1 V/Pa)	Empfindlichkeit @ 1 kHz (dB re 1 V/0,1 Pa)	Empfindlichkeit @ 1 kHz (dB re 1 V/g)	DC-Versorgungs-spannung	DC-Nennwiderst. (Ω)	Max. Verstärkerstromsenke (µA)	Max. Gewichteter Lärm „A“ (1 kHz gleichwertig SPL)	Ausgangsimp. @ 1 KHz (Ω)	Digi-Key Teilenr.	Stückpreis 1	Stückpreis 10	Stückpreis 100	Knowles Acoustics Teilenr.
Piezokeramische Mikrofone													
1	-49 ±3	-69 ±3	—	3.0	—	160	34.0dB	4000	423-1003-ND	61.35	55.28	39.48	BL-1785
2	-49 ±3	-69 ±3	—	3.0	—	160	34.0dB	4000	423-1002-ND	80.29	72.13	57.27	BL-1994
Beschleunigungsmessgerät (vibrationsempfindlicher Wandler)													
3	—	—	-45.0 ±4.5	1.5 - 10	—	50	—	5200	423-1004-ND	43.40	39.10	27.93	BU-1771
Magnetisch abgeglichener Anker													
4	-55.5 ±3	-75.5 ±3	—	—	900	—	—	3900	423-1001-ND	23.55	21.22	15.16	BJ-1590

(Forts.)

Alle Preisangaben in Euro und inklusive Zollgebühren.

Speziallautsprecher

Abm. in mm.

Serie CB: • Abgeglichener Anker, Magnettechnologie für hohen Wirkungsgrad, Stabilität und Zuverlässigkeit • Ausgezeichnete Klangqualität • Gute Sprachverständlichkeit • Für PCB-Montage geeignet • Funktioniert als Mikrofon oder Rufgerät • Edelstahlgehäuse • Mit 3-Positionen-Steckleiste
Serie CM: • Abgeglichener Anker, Magnettechnologie für hohen Wirkungsgrad, Stabilität und Zuverlässigkeit • Hoher akustischer Wirkungsgrad sorgt für gute Tonausgabe - auch bei begrenzter Leistung • Integrierter Statikschutz • Leichtes, matt-schwarzes Kunststoffgehäuse • Ergonomisches Design mit abgerundeten Kanten, passt gut auf die Muschel • Hochwertige Tonausgabe • Bandbreite speziell für gute Sprachverständlichkeit • Robuste Konstruktion • Mit 2-Position-Flex-Schaltung
Serie MR: • Extrem wasserfest, kein Leistungsverlust nach Eintauchen in 15 m tiefes Wasser • Korrosionsbeständig • Hält explosiver Dekompression stand • Umweltfreundlich • Hohe Resistenz gegenüber mechanischen Erschütterungen • Mit 3 Anschlussleitungen

Abb. 1

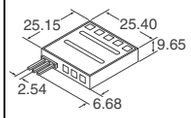

Abb. 2

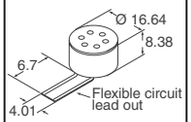

Abb. 3

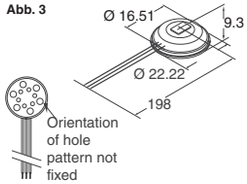

Abb.	DC-Nennwiderstand (Ω)	Impedanz @ 1 kHz (Ω)	Tonport-Position	Nennausgangsleistung @ 1 kHz, Abstand = 30 cm (dB SPL)	Nennleistung @ 1 kHz, versiegelt an IEC 318 Koppler (dB SPL)	Verzerrung Max. %	@ Hz	Digi-Key Teilenr.	Stückpreis 1	10	100	Knowles Acoustics Teilenr.
Handset-Tranceiver												
1	4.2	12	Rand oben	73	—	15	500	423-1030-ND	17.16	15.46	11.05	CB-2844
	4.2	12	Vorn	73	—	15	500	423-1033-ND	17.16	15.46	11.05	CB-2846
	11.5	24	Vorn	73	—	15	500	423-1034-ND	17.16	15.46	11.05	CB-2847
	21.5	48	Vorn	73	—	15	500	423-1035-ND	17.16	15.46	11.05	CB-2848
	11.5	24	Rand oben	73	—	15	500	423-1031-ND	17.16	15.46	11.05	CB-2849
	21.5	48	Rand oben	73	—	15	500	423-1032-ND	17.16	15.46	11.05	CB-2850
Kopfhörer - Flex-Schaltung												
2	65	150	—	—	103	2	300	423-1036-ND	17.43	15.71	11.22	CM-3152
	8.5	30	—	—	103	2	300	423-1037-ND	17.43	15.71	11.22	CM-8431
Kopfhörer - Drahtanschlussausgang												
3	10	21	—	—	100	5	300	423-1038-ND	47.59	42.88	30.63	MR-3243

SiSonic™ Silikon-Mikrofon

Abm. in mm.

Merkmale: • Mikrofon zur Oberflächenmontage • Für alle Standard-SMD-Lötprozesse • Greif- und Platzier-Funktion mit Standardautomaten • Kein Off-line Löten oder Einführen • Hohe Stoßfestigkeit • Geringe Vibrationsempfindlichkeit • Betrieb bei hoher und niedriger Temperatur • Möglichkeit der Integration zusätzlicher elektr. Bauelemente • Omnidirektional

Anwendungen: • Mobiltelefone • Schnur- und schnurlose Telefone • PCs, PC-Tabletts, Laptops • PDAs, MP3-Player • Kfzs und Kfz-Zubehör • Allgemeine elektronische Geräte

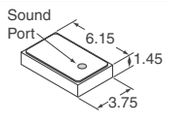

Land-Layout

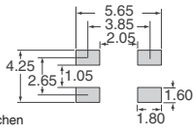

Pin-Ausgang

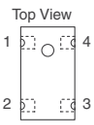

1. Output
2. No Connection (Gain Control on SP0103 Model)
3. Ground
4. Power

Hinweis: Karte nach Aufschmelzlöten nicht abwaschen

Empfindlichkeit @ 1 kHz (dB re 1 V/Pa)	Frequ. Bereich (Hz)	Spannung DC	Max. Stromverbrauch	S/N-Verhältnis: min. @ 1 kHz	Typ. Betriebstemp.	Eingebauter Kondensator	Digi-Key Teilenr.	Gurtabschnittspreis pro Stück 1	10	100	Digi-Key Teilenr.	Preis. f. geg. auf Rolle 1,200	Knowles Acoustics Teilenr.
-42 ±4	100 ~ 10K	1.5 ~ 5.5V	<0.250mA @ 5.5VDC	>55dB	-40° - 100°C	10pF, 33pF	423-1039-1-ND	5.08	4.47	3.73	423-1039-2-ND	3284.81/M	SP0102NC3-2
-22 ±4	100 ~ 10K	1.5 ~ 5.5V	<0.350mA @ 5.5VDC	>55dB	-40° - 100°C	10pF, 33pF	423-1040-1-ND	5.84	5.15	4.29	423-1040-2-ND	3777.54/M	SP0103NC3-2

Electret-Kondensatormikrofone

Anwendungen: • Kopfhörer • Schnur- und schnurlose Telefone • PCs, PC-Tabletts, Laptops • PDAs, MP3-Player • Kfzs und Kfz-Zubehör • Allgemeine elektronische Geräte
Merkmale: • Betriebstemperatur: -25 °C bis 55 °C • Besonders effiziente elektrische Spezifikationen • Gute akustische Leistung und Zuverlässigkeit unter typischen Umgebungsbedingungen • Industriestandardgrößen • Omni, Uni und Rauschunterdrückung • Integrierte RF-Filterung • Mehrere Anschlüsse erhältlich - lötfrei, Stifttyp und PCB

Abb. 1

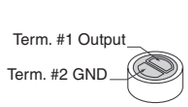

Abb. 2

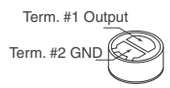

Abb. 3

Abb. 4

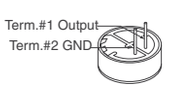

Abb. 5

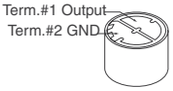

Abb.6

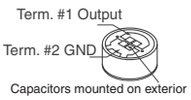

Abb. 7

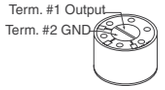

Abb. 8

Abb. 9

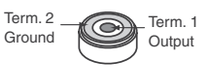

Abb. 10

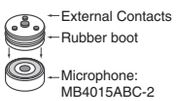

Abb. 11

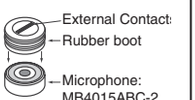

Abb. 12

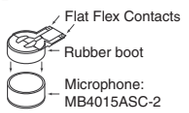

Abb. 13

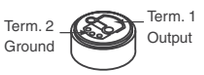

Abb.	Physische Größe (mm)	Empfindlichkeit @ 1 kHz (dB re 1 V/Pa)	Frequ. Bereich (Hz)	Normale Betriebsspannung	Max. Betriebsspannung	Max. Stromverbrauch (mA)	S/N-Verhältnis	Eingebauter Kondensator	Digi-Key Teilenr.	Stückpreis 1	10	100	Knowles Acoustics Teilenr.
Omnidirektional													
1	ø6.0 x 2.2	-42 ±3	100 - 10K	2.0	10	0.500	>52dB	10pF, 33pF	423-1017-ND	1.37	1.24	1.00	MD6022ASC-0
1	ø6.0 x 2.7	-42 ±3	100 - 10K	2.0	10	0.500	>60dB	10pF, 33pF	423-1045-ND	1.37	1.24	1.00	MB6027ASC-1
2	ø6.0 x 3.0	-38 ±4	100 - 10K	3.0	10	0.500	>55dB	Entfällt	423-1018-ND	1.37	1.24	1.00	MD6030ASZ-1
2	ø6.0 x 5.2	-44 ±3	100 - 10K	2.0	10	0.500	>55dB	Entfällt	423-1021-ND	1.28	1.16	.94	MD6052ASZ-2
3	ø9.7 x 4.5	-41 ±3	100 - 10K	2.0	10	0.500	>55dB	10pF	423-1024-ND	.62	.56	.45	MD9745APA-1
3	ø6.0 x 2.2	-40 ±3	100 - 10K	2.0	10	0.500	>60dB	10pF, 33pF	423-1043-ND	1.62	1.46	1.19	MB6022APC-0
4	ø9.7 x 4.5	-44 ±2	100 - 10K	2.0	10	0.500	>55dB	Entfällt	423-1023-ND	.61	.56	.46	MD9745APZ-F
5	ø9.7 x 6.5	-42 ±4	100 - 10K	3.0	10	0.500	>55dB	Entfällt	423-1026-ND	.82	.74	.60	MD9765ASZ-0
9	ø6.0 x 1.3	-44 ±2	100 - 10K	2.0	10	0.500	>60dB	10pF, 33pF	423-1041-ND	1.85	1.68	1.36	MB6013ABC-2
9	ø4.0 x 1.5	-42 ±2	100 - 10K	2.0	10	0.500	>55dB	10pF, 33pF	423-1048-ND	2.94	2.65	2.60	MB4015ABC-1
9	ø4.0 x 1.5	-44 ±2	100 - 10K	2.0	10	0.500	>55dB	10pF, 33pF	423-1049-ND	2.94	2.65	2.60	MB4015ABC-2
10	ø4.0 x 1.5	-44 ±2	100 - 10K	2.0	10	0.500	>55dB	10pF, 33pF	423-1050-ND	3.49	3.15	3.08	MB4015ARC-0 (Poly)
11	ø4.0 x 1.5	-44 ±2	100 - 10K	2.0	10	0.500	>55dB	10pF, 33pF	423-1051-ND	3.21	2.89	2.83	MB4015ARC-2 (Shin)
12	ø4.0 x 1.5	-44 ±3	100 - 10K	2.0	10	0.500	>60dB	10pF, 33pF	423-1052-ND	3.23	2.92	2.85	MB4015ARC-1 (FPC)
13	ø4.0 x 1.5	-42 ±3	100 - 10K	2.0	10	0.500	>55dB	10pF, 33pF	423-1047-ND	3.09	2.79	2.73	MB4015ASC-1
Störschall unterdrückend													
2	ø6.0 x 3.0	-39 ±4	300 - 6K	3.0	10	0.500	>55dB	Entfällt	423-1019-ND	1.24	1.12	.91	MD6030NSZ-0
6	ø6.0 x 3.0	-37 ±4	300 - 6K	3.0	10	0.500	>55dB	10pF, 33pF	423-1020-ND	3.62	3.27	2.62	MD6030NSC-0
7	ø9.7 x 5.2	-38 ±3	300 - 6K	3.0	10	0.500	>55dB	Entfällt	423-1027-ND	2.00	1.81	1.46	MD9752NSZ-0
8	ø6.0 x 2.2	-44 ±3	100 - 10K	2.0	10	0.500	>60dB	10pF, 33pF	423-1046-ND	1.46	1.33	1.07	MB6022NSC-2R
13	ø4.0 x 1.5	-46 ±3	100 - 10K	2.0	10	0.500	>55dB	10pF, 33pF	423-1053-ND	4.41	3.98	3.89	MB4015NSC-3
Unidirektional													
2	ø6.0 x 5.2	-42 ±3	100 - 10K	2.0	10	0.500	>55dB	Entfällt	423-1022-ND	1.55	1.40	1.13	MD6052USZ-1
7	ø9.7 x 5.5	-44 ±2	100 - 10K	1.5	10	0.500	>55dB	Entfällt	423-1025-ND	1.40	1.27	1.02	MD9755USZ-1

Texas Instruments Integrierte Schaltregler

Texas Instruments stellt die kleinsten, effizentesten und benutzerfreundlichsten Schaltregler (ISRs) der Industrie her. Dank eines einzigartigen geschützten Designs, einer Schaltfrequenz von 1 MHz, und einer Leistungsdichte, die dem neuesten Stand der Technik entspricht, ermöglichen diese ISRs, das Produkt genau auf den jeweiligen Verwendungszweck abzustimmen. **Merkmale :** • Einfach zu benutzen - nur einstecken. In den meisten Fällen ist, falls überhaupt, nur ein externes Bauteil notwendig, • Ausgangsspannungen sind der Genauigkeit wegen durch Laser abgeglichen • Hohe Wirkungsgrade und niedrige Komponentenkosten erlauben eine MTBF von über 1.000.000 Stunden

JUST PLUG IT IN

Zusätzliche Zeichnungen auf den folgenden Seiten.

Abb. 1 Pakettyp EA(x)

Vertikal (D)

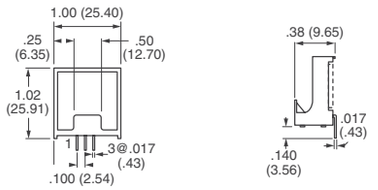

Horizontal (A)

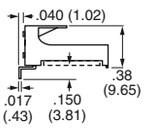

Oberflächenmontage, horizontal (C)

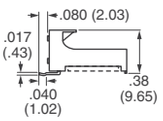

Abb. 2 Pakettypen EB(x) (12-Pin SIP)

Vertikal (D)

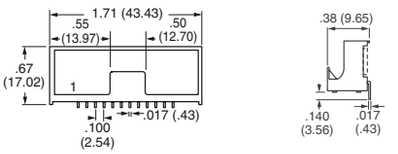

Horizontal (A)

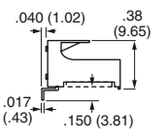

Oberflächenmontage, horizontal (C)

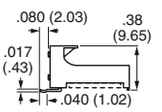

Abb. 3 Pakettypen EC(x) (12-Pin SIP) / ED(x) (14-Pin SIP)

Vertikal (D)

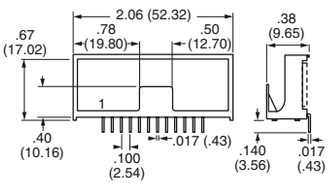

Horizontal (A)

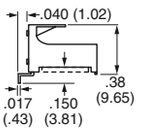

Oberflächenmontage, horizontal (C)

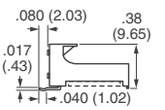

Abb.	Paket-Typ	DC-Ausgangsspannung (V aus)	Max. A (I aus)	Min. A (I aus)	DC-Eingangs-spannungs-bereich (V ein)	Leiterplatten-ausrichtung	Benötigte externe Komponenten*	Über temp.-Schutz	Kurz-schluss-schutz	V out einstb.	Ein/Aus-Steuerung†	Fernab-tastung	Mit schnellem dynamischen Verhalten	Empfohlener Betriebstem-peraturbereich (°C)	Digi-Key Teilenr.	Stückpreis 1	25	100
ISRs m. variablem Ausgang																		
8	ELA	1.3 ~ 3.5 (s)	13.00	.10 (a)	4.5 ~ 5.5	Horiz.	1.000 µF/EIN, 330 µF/AUS, 10 k/Power Good	—	X	X (t)	Stnby	X	—	-40(d) ~ 85 (e)	PT6701A-ND	26.92	25.13	23.34
8	ELC	1.3 ~ 3.5 (s)	13.00	.10 (a)	4.5 ~ 5.5	Horiz. SMD	1.000 µF/EIN, 330 µF/AUS, 10 k/Power Good	—	X	X (t)	Stnby	X	—	-40(d) ~ 85 (e)	PT6701C-ND	26.92	25.13	23.34
8	ELD	1.3 ~ 3.5 (s)	13.00	.10 (a)	4.5 ~ 5.5	Vert.	1.000 µF/EIN, 330 µF/AUS, 10 k/Power Good	—	X	X (t)	Stnby	X	—	-40(d) ~ 85 (e)	PT6701N-ND	26.92	25.13	23.34
8	ELA	1.3 ~ 3.5 (s)	14.00	.10 (a)	10.8 ~ 13.2	Horiz.	1.000 µF/EIN, 330 µF/AUS, 10 k/Power Good	—	X	X (t)	Stnby	X	—	-40(d) ~ 85 (e)	PT6721A-ND	26.92	25.13	23.34
8	ELC	1.3 ~ 3.5 (s)	14.00	.10 (a)	10.8 ~ 13.2	Horiz. SMD	1.000 µF/EIN, 330 µF/AUS, 10 k/Power Good	—	X	X (t)	Stnby	X	—	-40(d) ~ 85 (e)	PT6721C-ND	26.92	25.13	23.34
10	ENF	1.3 ~ 3.5	20.00 (l)	.10 (a)	4.5 ~ 5.5	Horiz.	1.500 µF/EIN, 330 µF/AUS	—	X	X (t)	Stnby	X (r)	—	-40 ~ 85 (d,e)	PT7711A-ND	42.80	39.95	37.09
10	ENG	1.3 ~ 3.5	20.00 (l)	.10 (a)	4.5 ~ 5.5	Horiz. SMD	1.500 µF/EIN, 330 µF/AUS	—	X	X (t)	Stnby	X (r)	—	-40 ~ 85 (d,e)	PT7711C-ND	42.80	39.95	37.09
11	EKF	1.3 ~ 3.5 (t)	30.00	.10 (a)	10.8 ~ 13.2	Horiz.	1.500 µF/EIN, 660 oder 1.200 µF/AUS (p)	X	X	X (t)	Stnby	X	X	-40 ~ 85 (d,e)	PT8121A-ND	60.64	56.60	52.56
ISRs m. Einzelausgang																		
	EFL	1.2	3.00	0.10 (a)	3.1 ~ 5.5	Horiz.	100 µF/AUS (n)	—	X	X	Unterdr.	—	—	-40 ~ 85 (d,e)	PT5506A-ND	14.42	13.46	12.50
	EFL	1.2	5.50-6.00 (m)	0.0	3.1 ~ 5.5	Horiz.	100 µF (n)	X	X	X	Unterdr.	—	—	-40 ~ 85 (d)	PT5406A-ND	15.05	14.05	13.05
6	EFL	1.5	3.00	0.10 (a)	3.1 ~ 5.5	Horiz.	100 µF/AUS (n)	—	X	X	Unterdr.	—	—	-40 ~ 85 (d,e)	PT5505A-ND	14.42	13.46	12.50
	EFL	1.5	5.50-6.00 (m)	0.0	3.1 ~ 5.5	Horiz.	100 µF (n)	X	X	X	Unterdr.	—	—	-40 ~ 85 (d)	PT5405A-ND	15.05	14.05	13.05
	EFL	1.8	3.00	0.10 (a)	3.1 ~ 5.5	Horiz.	100 µF/AUS (n)	—	X	X	Unterdr.	—	—	-40 ~ 85 (d,e)	PT5504A-ND	14.42	13.46	12.50
6	EFL	1.8	5.50-6.00 (m)	0.0	3.1 ~ 5.5	Horiz.	100 µF (n)	X	X	X	Unterdr.	—	—	-40 ~ 85 (d)	PT5404A-ND	15.05	14.05	13.05
6	EFL	2.5	3.00	0.10 (a)	3.1 ~ 5.5	Horiz.	100 µF/AUS (n)	—	X	X	Unterdr.	—	—	-40 ~ 85 (d,e)	PT5502A-ND	14.42	13.46	12.50
6	EFL	2.5	5.50-6.00 (m)	0.0	4.5 ~ 5.5	Horiz.	100 µF (n)	X	X	X	Unterdr.	—	—	-40 ~ 85 (d)	PT5402A-ND	15.05	14.05	13.05
1	EAA	3.3	1.00	.10 (a)	9 ~ 26	Horiz.	100µF (n)	X	X	—	—	—	—	-20 ~ 80 (b)	PT5103A-ND	10.37	9.34	8.28
1	EAC	3.3	1.00	.10 (a)	9 ~ 26	Horiz. SMD	100µF (n)	X	X	—	—	—	—	-20 ~ 80 (b)	PT5103C-ND	10.37	9.34	8.28
1	EAD	3.3	1.00	.10 (a)	9 ~ 26	Vert.	100µF (n)	X	X	—	—	—	—	-20 ~ 80 (b)	PT5103N-ND	10.37	9.34	8.28
2	EBA	3.3 (f)	1.00	.10 (a)	9 ~ 26	Horiz.	100µF (n)	X	X	X	Unterdr.	—	—	-40 ~ 85 (b)	PT6102A-ND	10.65	9.59	8.51
2	EBC	3.3 (f)	1.00	.10 (a)	9 ~ 26	Horiz. SMD	100µF (n)	X	X	X	Unterdr.	—	—	-40 ~ 85 (b)	PT6102C-ND	10.65	9.59	8.51
2	EBD	3.3 (f)	1.00	.10 (a)	9 ~ 26	Vert.	100µF (n)	X	X	X	Unterdr.	—	—	-40 ~ 85 (b)	PT6102N-ND	10.65	9.59	8.51
	EFD	6.0	1.50	.10 (a)	10 ~ 38	Vert.	100µF (n)	X	X	—	—	—	X	-40 ~ 80 (b)	PT78ST106V-ND	12.20	10.99	9.74
	EFA	3.3	1.50	.10 (a)	7 ~ 26	Horiz.	100µF (n)	X	X	—	—	—	X	-40 ~ 80 (b)	78ST133HC-ND	14.42	13.46	12.50
5	EFC	3.3	1.50	.10 (a)	7 ~ 26	Horiz. SMD	100µF (n)	X	X	—	—	—	X	-40 ~ 80 (b)	78ST133SC-ND	14.42	13.46	12.50
	EFD	3.3	1.50	.10 (a)	7 ~ 26	Vert.	100µF (n)	X	X	—	—	—	X	-40 ~ 80 (b)	78ST133VC-ND	14.42	13.46	12.50
	EFA	3.3	1.50	.10 (a)	9 ~ 26	Horiz.	100µF (n)	X	X	—	—	—	X	-40 ~ 80 (b)	PT78ST133H-ND	12.20	10.99	9.74
	EFC	3.3	1.50	.10 (a)	9 ~ 26	Horiz. SMD	100µF (n)	X	X	—	—	—	X	-40 ~ 80 (b)	PT78ST133S-ND	12.20	10.99	9.74
5	EFD	3.3	1.50	.10 (a)	9 ~ 26	Vert.	100µF (n)	X	X	—	—	—	X	-40 ~ 80 (b)	PT78ST133V-ND	12.20	10.99	9.74
	EFA	3.3	2.00	.10 (a)	7 ~ 15	Horiz.	100µF (n)	X	X	—	—	—	X	-40 ~ 85 (b)	78HT233HC-ND	17.27	16.12	14.97
	EFD	3.3	2.00	.10 (a)	7 ~ 15	Vert.	100µF (n)	X	X	—	—	—	X	-40 ~ 85 (b)	78HT233VC-ND	17.27	16.12	14.97
2	EBA	3.3	2.00	.10 (a)	7 ~ 26	Horiz.	100µF (n)	X	X	X	Unterdr.	—	—	-40 ~ 85 (b)	PT6203A-ND	14.15	13.21	12.27
2	EBD	3.3	2.00	.10 (a)	7 ~ 26	Vert.	100µF (n)	X	X	X	Unterdr.	—	—	-40 ~ 85 (b)	PT6203N-ND	14.15	13.21	12.27
5	EFA	3.3	2.00	.10 (a)	9 ~ 15	Horiz.	100µF (n)	X	X	—	—	—	X	-40 ~ 85 (b)	PT78HT233H-ND	13.71	12.81	11.89
5	EFC	3.3	2.00	.10 (a)	9 ~ 15	Horiz. SMD	100µF (n)	X	X	—	—	—	X	-40 ~ 85 (b)	PT78HT233S-ND	13.71	12.81	11.89
2	EBA	3.3	2.00	.10 (a)	9 ~ 26	Horiz.	100µF (n)	X	X	X	Unterdr.	—	—	-40 ~ 85 (b)	PT6213D-ND	13.46	12.57	11.67
2	EBC	3.3	2.00	.10 (a)	9 ~ 26	Horiz. SMD	100µF (n)	X	X	X	Unterdr.	—	—	-40 ~ 85 (b)	PT6213E-ND	13.46	12.57	11.67
2	EBD	3.3	2.00	.10 (a)	9 ~ 26	Vert.	100µF (n)	X	X	X	Unterdr.	—	—	-40 ~ 85 (b)	PT6213P-ND	13.46	12.57	11.67
3	ECA	3.3	3.00	.10 (a)	4.5 ~ 5.5	Horiz.	2/100µF (n)	X	—	X	—	—	—	0 ~ 70 (b)	PT6405D-ND	18.68	17.44	16.19
3	ECC	3.3	3.00	.10 (a)	4.5 ~ 5.5	Horiz. SMD	2/100µF (n)	X	—	X	—	—	—	0 ~ 70 (b)	PT6405E-ND	18.68	17.44	16.19
3	ECD	3.3	3.00	.10 (a)	4.5 ~ 5.5	Vert.	2/100µF (n)	X	—	X	—	—	—	0 ~ 70 (b)	PT6405P-ND	18.68	17.44	16.19
6	EFL	3.3	3.00	.10 (a)	4.5 ~ 5.5	Horiz.	100µF (n)	—	X	X	Unterdr.	—	—	-40 ~ 85 (b,d)	PT5501A-ND	14.42	13.46	12.50
6	EFM	3.3	3.00	.10 (a)	4.5 ~ 5.5	Horiz. SMD	100µF (n)	—	X	X	Unterdr.	—	—	-40 ~ 85 (b,d)	PT5501C-ND	14.42	13.46	12.50
6	EFK	3.3	3.00	.10 (a)	4.5 ~ 5.5	Vert.	100µF (n)	—	X	X	Unterdr.	—	—	-40 ~ 85 (b,d)	PT5501N-ND	14.42	13.46	12.50
2	EBA	3.3	3.00	.10 (a)	9 ~ 26	Horiz.	100µF (n)	X	X	X	Unterdr.	—	—	-40 ~ 85 (b)	PT6303A-ND	15.11	14.11	13.10
2	EBC	3.3	3.00	.10 (a)	9 ~ 26	Horiz. SMD	100µF (n)	X	X	X	Unterdr.	—	—	-40 ~ 85 (b)	PT6303C-ND	15.11	14.11	13.10
2	EBD	3.3	3.00	.10 (a)	9 ~ 26	Vert.	100µF (n)	X	X	X	Unterdr.	—	—	-40 ~ 85 (b)	PT6303N-ND	15.11	14.11	13.10

* Power Good: Die „Power Good"-Ausgabe ist hoch, wenn die Ausgangsspannung innerhalb der Spezifikationen liegt

† Unterdrücken: Stromversorgung zum ganzen Bauteil ist unterbrochen, Ruhestrom ist weniger als 100 µA. Stnby: Standby-Modus: Bauteil erhält Strom, aber Ausgang ist abgeschaltet oder im Ruhezustand.

(Forts.)

Alle Preisangaben in Euro und inklusive Zollgebühren.

Zusätzliche Zeichnungen auf den vorherigen u. folgenden Seiten.

Abb. 4 Pakettypen EE(x) (14-Pin SIP)

Vertikal (D) (E = Ösen)

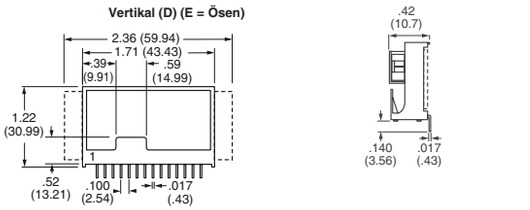

Horizontal (A)

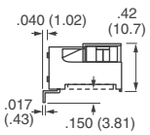

Oberflächenmontage, horizontal (C)

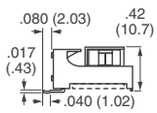

Abb. 5 Pakettypen EF(x)

Vertikal (D)

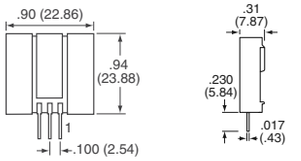

Oberflächenmontage, horizontal (C)

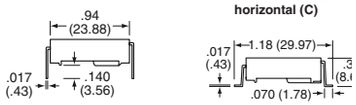

Abb. 6 Pakettypen EF(x) (5-Pin SIP)

Vertikal (K)

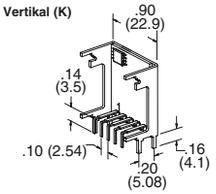

Horizontal (L)

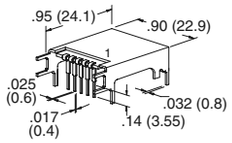

Oberflächenmontage, horizontal (M)

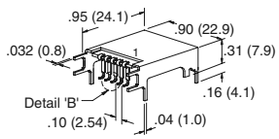

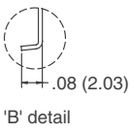

Abb.	Paket-typ	DC-Ausgangs-spannung (V out)	Max. A (I aus)	Min. A (I aus)	DC-Eingangs spannungs-bereich (V ein)	Leiterplatten-ausrichtung	Benötigte externe Komponenten*	Über-temp.-Schutz	Kurz-schluss-schutz	V out einstb.	Ein/Aus-Steuerung†	Fernab-tastung	Mit schnellem dynamischen Verhalten	Empfohlener Betriebstem-peraturbereich (°C)	Digi-Key Teilenr.	Stückpreis 1	25	100
ISRs m. Einzelausgang (Forts.)																		
2	EBC	3.3	3.00 (h)	.30	4.5 ~ 9	Horiz. SMD	100 µF (o)	X	X	X	—	—	—	0 ~ 70 (b)	PT6305C-ND	18.68	17.44	16.19
6	EED	3.3	5.00(e)	.10(a)	9 ~ 28	Vert.	560 µF/EIN(p), 330 µF/AUS (o)	—	—	X	Stnby	X	—	-40 ~ 85(e)	PT6651P-ND	24.13	22.52	20.92
6	EFL	3.3	5.50-6.00 (m)	0.0	4.5 ~ 5.5	Horiz.	100 µF (n)	X	X	X	Unterdr.	—	—	-40 ~ 85 (d)	PT5401A-ND	15.05	14.05	13.05
4	EEA	3.3	8.00	.10 (a)	4.5 ~ 5.5	Horiz.	2/330µF (p)	—	X	X	Stnby	X	—	-40 ~ 85 (b,d)	PT6521D-ND	25.42	23.73	22.04
4	EED	3.3	8.00	.10 (a)	4.5 ~ 5.5	Vert.	2/330µF (p)	—	X	X	Stnby	X	—	-40 ~ 85 (b,d)	PT6521P-ND	25.42	23.73	22.04
4	EEA	3.3	7.00 – 9.00 (e)	.10 (a)	4.5 ~ 6	Horiz.	2/330µF (p)	X	—	X	Stnby	X	—	-40 ~ 85 (d,e)	PT6601D-ND	23.32	21.77	20.21
4	EEC	3.3	7.00 – 9.00 (e)	.10 (a)	4.5 ~ 6	Horiz. SMD	2/330µF (p)	X	—	X	Stnby	X	—	-40 ~ 85 (d,e)	PT6601E-ND	23.32	21.77	20.21
4	EED	3.3	7.00 – 9.00 (e)	.10 (a)	4.5 ~ 6	Vert.	2/330µF (p)	X	—	X	Stnby	X	—	-40 ~ 85 (d,e)	PT6601P-ND	23.32	21.77	20.21
2	EBA	5.0 (f)	1.00	.10 (a)	9 ~ 30/38 (c)	Horiz.	100µF (n)	X	X	X	Unterdr.	—	—	-40 ~ 85 (b,f)	PT6101A-ND	10.65	9.59	8.51
2	EBC	5.0 (f)	1.00	.10 (a)	9 ~ 30/38 (c)	Horiz. SMD	100µF (n)	X	X	X	Unterdr.	—	—	-40 ~ 85 (b)	PT6101C-ND	10.65	9.59	8.51
2	EBD	5.0 (f)	1.00	.10 (a)	9 ~ 30/38 (c)	Vert.	100µF (n)	X	X	X	Unterdr.	—	—	-40 ~ 85 (b)	PT6101N-ND	10.65	9.59	8.51
1	EAA	5.0	1.00	.10 (a)	9 ~ 38	Horiz.	100µF (n)	X	X	—	—	—	—	-20 ~ 80 (b)	PT5101A-ND	10.37	9.34	8.28
1	EAC	5.0	1.00	.10 (a)	9 ~ 38	Horiz. SMD	100µF (n)	X	X	—	—	—	—	-20 ~ 80 (b)	PT5101C-ND	10.37	9.34	8.28
1	EAD	5.0	1.00	.10 (a)	9 ~ 38	Vert.	100µF (n)	X	X	—	—	—	—	-20 ~ 80 (b)	PT5101N-ND	10.37	9.34	8.28
5	EFA	5.0	1.50	.10 (a)	7 ~ 30	Horiz.	Entfällt	X	X	—	—	—	—	-40 ~ 80 (b)	78SR105HC-ND	14.42	13.46	12.50
5	EFC	5.0	1.50	.10 (a)	7 ~ 30	Horiz. SMD	Entfällt	X	X	—	—	—	—	-40 ~ 80 (b)	78SR105SC-ND	14.42	13.46	12.50
5	EFD	5.0	1.50	.10 (a)	7 ~ 30	Vert.	Entfällt	X	X	—	—	—	—	-40 ~ 80 (b)	78SR105VC-ND	14.42	13.46	12.50
5	EFA	5.0	1.50	.10 (a)	7 ~ 30	Horiz.	100µF (n)	X	X	—	—	—	X	-40 ~ 80 (b)	78ST105HC-ND	14.42	13.46	12.50
5	EFD	5.0	1.50	.10 (a)	7 ~ 30	Vert.	100µF (n)	X	X	—	—	—	X	-40 ~ 80 (b)	78ST105VC-ND	14.42	13.46	12.50
5	EFA	5.0	1.50	.10 (a)	9 ~ 38	Horiz.	100µF (n)	X	X	—	—	—	X	-40 ~ 80 (b)	PT78ST105H-ND	12.20	10.99	9.74
5	EFC	5.0	1.50	.10 (a)	9 ~ 38	Horiz. SMD	100µF (n)	X	X	—	—	—	X	-40 ~ 80 (b)	PT78ST105S-ND	12.20	10.99	9.74
5	EFD	5.0	1.50	.10 (a)	9 ~ 38	Vert.	100µF (n)	X	X	—	—	—	X	-40 ~ 80 (b)	PT78ST105V-ND	12.20	10.99	9.74
5	EFA	5.0	2.00	.10 (a)	V_O 2 ~ 28	Horiz.	100µF (n)	X	X	—	—	—	X	-40 ~ 85 (b)	78HT205HC-ND	17.27	16.12	14.97
5	EFD	5.0	2.00	.10 (a)	V_O 2 ~ 28	Vert.	100µF (n)	X	X	—	—	—	X	-40 ~ 85 (b)	78HT205VC-ND	17.27	16.12	14.97
2	EBA	5.0	2.00	.10 (a)	7.25 ~ 30	Horiz.	100µF (n)	X	X	X	Unterdr.	—	—	-40 ~ 60 (b)	PT6202A-ND	14.15	13.21	12.27
2	EBD	5.0	2.00	.10 (a)	7.25 ~ 30	Vert.	100µF (n)	X	X	X	Unterdr.	—	—	-40 ~ 60 (b)	PT6202N-ND	14.15	13.21	12.27
5	EFA	5.0	2.00	.10 (a)	8 ~ 20	Horiz.	100µF (n)	X	X	—	—	—	X	-40 ~ 85 (b)	78ST205HC-ND	17.27	16.12	14.97
5	EFD	5.0	2.00	.10 (a)	8 ~ 20	Vert.	100µF (n)	X	X	—	—	—	X	-40 ~ 85 (b)	78ST205VC-ND	17.27	16.12	14.97
5	EFA	5.0	2.00	.10 (a)	9 ~ 28	Horiz.	100µF (n)	X	X	—	—	—	X	-40 ~ 85 (b)	PT78HT205H-ND	13.71	12.81	11.89
5	EFC	5.0	2.00	.10 (a)	9 ~ 28	Horiz. SMD	100µF (n)	X	X	—	—	—	X	-40 ~ 85 (b)	PT78HT205S-ND	13.71	12.81	11.89
5	EFD	5.0	2.00	.10 (a)	9 ~ 28	Vert.	100µF (n)	X	X	—	—	—	X	-40 ~ 85 (b)	PT78HT205V-ND	13.71	12.81	11.89
2	EBA	5.0	2.00	.10 (a)	9 ~ 30/38 (c)	Horiz.	100µF (n)	X	X	X	Unterdr.	—	—	-40 ~ 85 (b)	PT6212D-ND	13.46	12.57	11.67
2	EBC	5.0	2.00	.10 (a)	9 ~ 30/38 (c)	Horiz. SMD	100µF (n)	X	X	X	Unterdr.	—	—	-40 ~ 85 (b)	PT6212E-ND	13.46	12.57	11.67
2	EBD	5.0	2.00	.10 (a)	9 ~ 30/38 (c)	Vert.	100µF (n)	X	X	X	Unterdr.	—	—	-40 ~ 85 (b)	PT6212P-ND	13.46	12.57	11.67
7	EFH (q)	5.0	3.00	.10 (a)	8 ~ 20	Horiz.	100µF (n)	X	X	—	—	—	X	-40 ~ 70 (b)	78ST305HC-ND	21.11	19.70	18.30
7	EFF (q)	5.0	3.00	.10 (a)	8 ~ 20	Vert.	100µF (n)	X	X	—	—	—	X	-40 ~ 70 (b)	78ST305VC-ND	21.11	19.70	18.30
7	EFH (q)	5.0	3.00	.10 (a)	V_O 3 ~ 28	Horiz.	100µF (n)	X	X	—	—	—	X	-40 ~ 70 (b)	78HT305HC-ND	21.08	19.68	18.27
7	EFF (q)	5.0	3.00	.10 (a)	V_O 3 ~ 28	Vert.	100µF (n)	X	X	—	—	—	X	-40 ~ 70 (b)	78HT305VC-ND	21.11	19.70	18.30
2	EBA	5.0	3.00	.10 (a)	9 ~ 30/38 (c)	Horiz.	100µF (n)	X	X	X	Unterdr.	—	—	-40 ~ 85 (b)	PT6302A-ND	15.11	14.11	13.10
2	EBC	5.0	3.00	.10 (a)	9 ~ 30/38 (c)	Horiz. SMD	100µF (n)	X	X	X	Unterdr.	—	—	-40 ~ 85 (b)	PT6302C-ND	15.11	14.11	13.10
2	EBD	5.0	3.00	.10 (a)	9 ~ 30/38 (c)	Vert.	100µF (n)	X	X	X	Unterdr.	—	—	-40 ~ 85 (b)	PT6302N-ND	15.11	14.11	13.10
4	EEA	5.0	5.00 (e)	.10 (a)	9 ~ 28	Horiz.	560 µF/EIN, 330 µF/AUS (p)	—	—	X	Stnby	X	—	-40 ~ 85	PT6653D-ND	24.13	22.52	20.92
4	EEC	5.0	5.00 (e)	.10 (a)	9 ~ 28	Horiz. SMD	560 µF/EIN, 330 µF/AUS (p)	—	—	X	Stnby	X	—	-40 ~ 85	PT6653E-ND	24.13	22.52	20.92
4	EED	5.0	5.00 (e)	.10 (a)	9 ~ 28	Vert.	560 µF/EIN, 330 µF/AUS (p)	—	—	X	Stnby	X	—	-40 ~ 85	PT6653P-ND	24.13	22.52	20.92
14	EPA	5.0	5.00	0.10 (a)	18 ~ 36	Horiz.	560 µF/EIN, 330 µF/AUS (o)	—	—	X	Stnby	X	—	-40 ~ 85 (d)	PT6883A-ND	24.13	22.52	20.92
4	EEA	5.0	6.00	.10 (a)	9 ~ 16	Horiz.	2/330µF (o)	X	—	X	Stnby	X	—	-40 ~ 85 (e)	PT6625D-ND	25.42	23.73	22.04
4	EEC	5.0	6.00	.10 (a)	9 ~ 16	Horiz. SMD	2/330µF (o)	X	—	X	Stnby	X	—	-40 ~ 85 (e)	PT6625E-ND	25.42	23.73	22.04
4	EED	5.0	6.00	.10 (a)	9 ~ 16	Vert.	2/330µF (o)	X	—	X	Stnby	X	—	-40 ~ 85 (e)	PT6625P-ND	25.42	23.73	22.04
13	EPJ	5.0	6.00	0.10 (a)	10.8 ~ 13.2	Horiz.	100 µF/EIN, 330 µF/AUS (n)	—	X	X	Unterdr.	—	—	-40 ~ 85 (d,e)	PT6341A-ND	22.99	21.46	19.93
5	EFA	6.0	1.50	.10 (a)	8 ~ 30	Horiz.	Entfällt	X	X	—	—	—	—	-40 ~ 80 (b)	78SR106HC-ND	14.42	13.46	12.50
5	EFA	8.0	1.50	.10 (a)	10 ~ 30	Horiz.	Entfällt	X	X	—	—	—	—	-40 ~ 80 (b)	78SR108HC-ND	14.42	13.46	12.50
5	EFA	9.0	1.50	.10 (a)	13 ~ 38	Horiz.	100 µF (n)	X	X	—	—	—	X	-40 ~ 80 (b)	PT78ST109H-ND	12.20	10.99	9.74
1	EAA	12.0	1.00	.10 (a)	4.75 ~ V_O-1	Horiz.	100µF (n)	X	—	—	—	—	—	-20 ~ 70 (e)	PT5041A-ND	13.40	12.07	10.70
1	EAC	12.0	1.00	.10 (a)	4.75 ~ V_O -1	Horiz. SMD	100µF (n)	X	—	—	—	—	—	-20 ~ 70 (e)	PT5041C-ND	13.40	12.07	10.70
1	EAD	12.0	1.00	.10 (a)	4.75 ~ V_O -1	Vert.	100µF (n)	X	—	—	—	—	—	-20 ~ 70 (e)	PT5041N-ND	13.40	12.07	10.70
2	EBA	12.0 (f)	1.00	.10 (a)	16 ~ 30/38 (c)	Horiz.	100µF (n)	X	X	X	Unterdr.	—	—	-40 ~ 80 (b)	PT6103A-ND	10.65	9.59	8.51
2	EBC	12.0 (f)	1.00	.10 (a)	16 ~ 30/38 (c)	Horiz. SMD	100µF (n)	X	X	X	Unterdr.	—	—	-40 ~ 80 (b)	PT6103C-ND	10.65	9.59	8.51
2	EBD	12.0 (f)	1.00	.10 (a)	16 ~ 30/38 (c)	Vert.	100µF (n)	X	X	X	Unterdr.	—	—	-40 ~ 80 (b)	PT6103N-ND	10.65	9.59	8.51
1	EAA	12.0	1.00	.10 (a)	16 ~ 38	Horiz.	100µF (n)	X	X	—	—	—	—	-20 ~ 80 (b)	PT5102A-ND	10.37	9.34	8.28
1	EAC	12.0	1.00	.10 (a)	16 ~ 38	Horiz. SMD	100µF (n)	X	X	—	—	—	—	-20 ~ 80 (b)	PT5102C-ND	10.37	9.34	8.28
1	EAD	12.0	1.00	.10 (a)	16 ~ 38	Vert.	100µF (n)	X	X	—	—	—	—	-20 ~ 80 (b)	PT5102N-ND	10.37	9.34	8.28
12	EMF	12.0	1.50	.10(a)	7 ~ 16	Horiz.	100 µF/EIN, 100 µF/AUS (n)	—	—	X/(UVLO)	Stnby	—	—	-40 ~ 85 (d,e)	PT5071A-ND	26.92	25.13	23.34
5	EFA	12.0	1.50	.10 (a)	16 ~ 38	Horiz.	100µF (n)	X	X	—	—	—	X	-40 ~ 80 (b)	PT78ST112H-ND	12.20	10.99	9.74
5	EFC	12.0	1.50	.10 (a)	16 ~ 38	Horiz. SMD	100µF (n)	X	X	—	—	—	X	-40 ~ 80 (b)	PT78ST112S-ND	12.20	10.99	9.74
5	EFD	12.0	1.50	.10 (a)	16 ~ 38	Vert.	100µF (n)	X	X	—	—	—	X	-40 ~ 80 (b)	PT78ST112V-ND	12.20	10.99	9.74
5	EFA	12.0	1.50	.10 (a)	14.5 ~ 30	Horiz.	Entfällt	X	X	—	—	—	—	-40 ~ 80 (b)	78SR112HC-ND	14.42	13.46	12.50

* Power Good: Die „Power Good"-Ausgabe ist hoch, wenn die Ausgangsspannung innerhalb der Spezifikationen liegt

† Unterdrücken: Stromversorgung zum ganzen Bauteil ist unterbrochen, Ruhestrom ist weniger als 100 µA. Standby: Standby-Modus: Bauteil erhält Strom; der Ausgang Ausgang ist aber abgeschaltet oder im Ruhezustand.

(Forts.)

Zusätzliche Zeichnungen auf den vorherigen u. folgenden Seiten.

Abb. 7 Pakettypen EF(x)

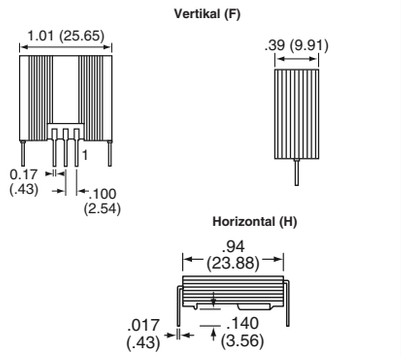

Abb. 8 Pakettypen EL(x) (23-Pin SIP)

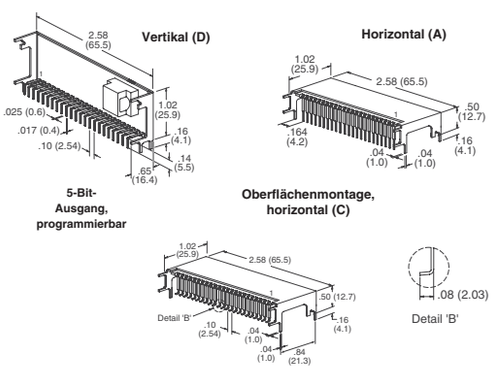

Abb. 9 Pakettypen EL(x) (23-Pin SIP)

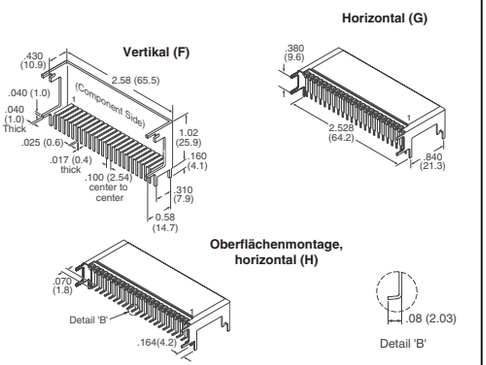

Abb. 10 Pakettypen EN(x) (27 Pins)

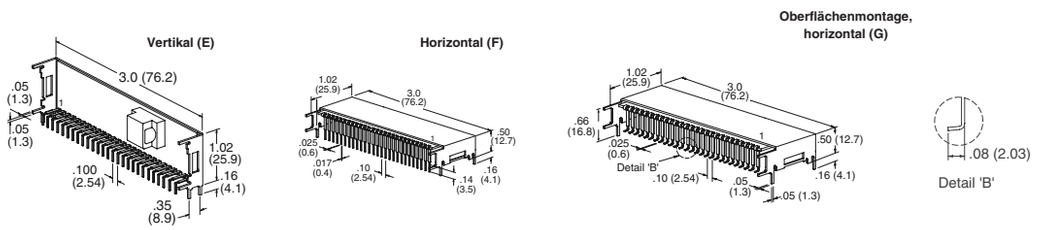

Abb. 11 Pakettypen EK(x) (31-Pin SIP)

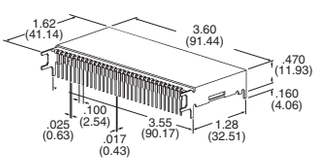

Abb.	Paket-typ	DC-Ausgangs-spannung (V out)	Max. A (I aus)	Min. A (I aus)	DC-Eingangsspannungs-bereich (V ein)	Leiterplatten-ausrichtung	Externe Komponenten benötigt*	Übertemp.-Schutz	Kurz-schluss-schutz	V out einstb.	Ein/Aus-Steuerung†	Fernab-tastung	Mit schnellem dynamischen Verhalten	Empfohlener Betriebstem-peraturbereich (°C)	Digi-Key Teilenr.	Stückpreis 1	25	100
ISRs m. Einzelausgang (Forts.)																		
5	EFC	12.0	1.50	.10 (a)	14.5 ~ 30	Horiz. SMD	Entfällt	X	X	—	—	—	—	-40 ~ 80 (b)	78SR112SC-ND	14.42	13.46	12.50
5	EFD	12.0	1.50	.10 (a)	14.5 ~ 30	Vert.	Entfällt	X	X	—	—	—	—	-40 ~ 80 (b)	78SR112VC-ND	14.42	13.46	12.50
5	EFA	12.0	1.50	.10 (a)	14.5 ~ 30	Horiz.	100µF (n)	X	X	—	—	—	X	-40 ~ 80 (b)	78ST112HC-ND	14.42	13.46	12.50
5	EFC	12.0	1.50	.10 (a)	14.5 ~ 30	Horiz. SMD	100µF (n)	X	X	—	—	—	X	-40 ~ 80 (b)	78ST112SC-ND	14.42	13.46	12.50
5	EFD	12.0	1.50	.10 (a)	14.5 ~ 30	Vert.	100µF (n)	X	X	—	—	—	X	-40 ~ 80 (b)	78ST112VC-ND	14.42	13.46	12.50
4	EEA	12.0	2.00	.10 (a)	4.5 ~ 5.5	Horiz.	2/560µF (o)	—	—	X	—	X	—	-40 ~ 65 (m)	PT6674D-ND	24.13	22.52	20.92
4	EEC	12.0	2.00	.10 (a)	4.5 ~ 5.5	Horiz. SMD	2/560µF (o)	—	—	X	—	X	—	-40 ~ 65 (m)	PT6674E-ND	24.13	22.52	20.92
7	EFH	12.0	2.00	.10 (a)	14.5 ~ 28	Horiz.	100µF (n)	X	X	—	—	—	X	-40 ~ 55 (b)	78ST212HC-ND	22.24	20.76	19.28
7	EFF	12.0	2.00	.10 (a)	14.5 ~ 28	Vert.	100µF (n)	X	X	—	—	—	X	-40 ~ 55 (b)	78ST212VC-ND	22.24	20.76	19.28
2	EBA	12.0	2.00	.10 (a)	14.5 ~ 30	Horiz.	100µF (n)	X	X	X	Unterdr.	—	—	-40 ~ 60 (b)	PT6204A-ND	14.15	13.21	12.27
2	EBD	12.0	2.00	.10 (a)	14.5 ~ 30	Vert.	100µF (n)	X	X	X	Unterdr.	—	—	-40 ~ 60 (b)	PT6204N-ND	14.15	13.21	12.27
7	EFF (q)	12.0	2.00	.10 (a)	16 ~ 28	Vert.	100µF (n)	X	X	—	—	—	—	-40 ~ 55 (b)	PT78ST212V-ND	20.70	19.32	17.94
2	EBA	12.0	2.00	.10 (a)	16 ~ 30/38 (c)	Horiz.	100µF (n)	X	X	X	Unterdr.	—	—	-40 ~ 85 (b)	PT6214D-ND	13.46	12.57	11.67
2	EBC	12.0	2.00	.10 (a)	16 ~ 30/38 (c)	Horiz. SMD	100µF (n)	X	X	X	Unterdr.	—	—	-40 ~ 85 (b)	PT6214E-ND	13.46	12.57	11.67
2	EBD	12.0	2.00	.10 (a)	16 ~ 30/38 (c)	Vert.	100µF (n)	X	X	X	Unterdr.	—	—	-40 ~ 85 (b)	PT6214P-ND	13.46	12.57	11.67
2	EBA	12.0	3.00	.10 (a)	16 ~ 30/38 (c)	Horiz.	100µF (n)	X	X	X	Unterdr.	—	—	-40 ~ 85 (b)	PT6304A-ND	15.11	14.11	13.10
2	EBC	12.0	3.00	.10 (a)	16 ~ 30/38 (c)	Horiz. SMD	100µF (n)	X	X	X	Unterdr.	—	—	-40 ~ 85 (b)	PT6304C-ND	15.11	14.11	13.10
2	EBD	12.0	3.00	.10 (a)	16 ~ 30/38 (c)	Vert.	100µF (n)	X	X	X	Unterdr.	—	—	-40 ~ 85 (b)	PT6304N-ND	15.11	14.11	13.10
4	EEA	12.0	5.00 (e)	.10 (a)	V_O3 ~ 28	Horiz.	560 µF/EIN, 330 µF/AUS (p)	—	—	X	Stnby	X	—	-40 ~ 85 (e)	PT6656D-ND	24.13	22.52	20.92
4	EED	12.0	5.00 (e)	.10 (a)	V_O3 ~ 28	Vert.	560 µF/EIN, 330 µF/AUS (p)	—	—	X	Stnby	X	—	-40 ~ 85 (e)	PT6656P-ND	24.13	22.52	20.92
14	EPA	12.0	4.00	0.10 (a)	18 ~ 36	Horiz.	560 µF/EIN, 330 µF/AUS (o)	—	—	X	Stnby	X	—	-40 ~ 85 (d)	PT6886A-ND	24.13	22.52	20.92
14	EPC	12.0	4.00	0.10 (a)	18 ~ 36	Horiz. SMD	560 µF/EIN, 330 µF/AUS (o)	—	—	X	Stnby	X	—	-40 ~ 85 (d)	PT6886C-ND	24.13	22.52	20.92
1	EAA	15.0	0.75	.10 (a)	4.75 ~ V_O-1	Vert.	100 µF (n)	X	—	—	—	—	—	-20 ~ 85 (e)	PT5042A-ND	13.40	12.07	10.70
5	EFA	15.0	1.50	.10 (a)	11 ~ 38	Horiz.	100 µF/AUS (n)	X	X	—	—	—	X	-40 ~ 80	PT78ST115H-ND	12.20	10.99	9.74
5	EFA	15.0	1.50	.10 (a)	18.5 ~ 30	Horiz.	Entfällt	X	X	—	—	—	—	-40 ~ 80 (b)	78SR115HC-ND	14.42	13.46	12.50
5	EFD	15.0	1.50	.10 (a)	18.5 ~ 30	Vert.	Entfällt	X	X	—	—	—	—	-40 ~ 80 (b)	78SR115VC-ND	14.42	13.46	12.50
14	EPA	15.0	4.00	0.10 (a)	18 ~ 36	Horiz.	560 µF/EIN, 330 µF/AUS (o)	—	—	X	Stnby	X	—	-40 ~ 85 (d)	PT6885A-ND	24.13	22.52	20.92
1	EAA	20.0	0.50	.10 (a)	4.75 ~ 14	Vert.	100 µF (n)	X	—	—	—	—	—	-20 ~ 85 (e)	PT5049A-ND	13.40	12.07	10.70
ISRs mit negativem Ausgang																		
5	EFA	-5.0	-1.00	-.05 (a)	7 ~ 25	Horiz.	2/100µF (p)	X	X	—	—	—	X	-40 ~ 85 (b)	PT78NR105H-ND	12.20	10.99	9.74
5	EFC	-5.0	-1.00	-.05 (a)	7 ~ 25	Horiz. SMD	2/100µF (p)	X	X	—	—	—	X	-40 ~ 85 (b)	PT78NR105S-ND	12.20	10.99	9.74
5	EFD	-5.0	-1.00	-.05 (a)	7 ~ 25	Vert.	2/100µF (p)	X	X	—	—	—	X	-40 ~ 85 (b)	PT78NR105V-ND	12.20	10.99	9.74
1	EAA	-5.0	-1.00	-.25 (a)	4.75 ~ 7 (j)	Horiz.	100µF (n)	—	—	—	—	—	—	-20 ~ 65 (e)	PT5022A-ND	13.40	12.07	10.70
1	EAC	-5.0	-1.00	-.25 (a)	4.75 ~ 7 (j)	Horiz. SMD	100µF (n)	—	—	—	—	—	—	-20 ~ 65 (e)	PT5022C-ND	13.40	12.07	10.70
1	EAD	-5.0	-1.00	-.25 (a)	4.75 ~ 7 (j)	Vert.	100µF (n)	—	—	—	—	—	—	-20 ~ 65 (e)	PT5022N-ND	13.40	12.07	10.70
5	EFA	-5.0	-1.50	-.10 (a)	-9 ~ -30	Horiz.	1N5339B	X	X	—	—	—	—	-40 ~ 60 (b)	PT79SR105H-ND	13.63	12.72	11.81
5	EFC	-5.0	-1.50	-.10 (a)	-9 ~ -30	Horiz. SMD	1N5339B	X	X	—	—	—	—	-40 ~ 60 (b)	PT79SR105S-ND	14.35	13.40	12.44
5	EFD	-5.0	-1.50	-.10 (a)	-9 ~ -30	Vert.	1N5339B	X	X	—	—	—	—	-40 ~ 60 (b)	PT79SR105V-ND	13.71	12.81	11.89
4	EEA	-5.0	-4.00	-.10	8 ~ 25	Horiz.	560 µF/EIN, 330 µF/AUS (o)	—	—	X	—	X	—	-40 ~ 85 (e)	PT6642D-ND	24.13	22.52	20.92
4	EED	-5.0	-4.00	-.10	8 ~ 25	Vert.	560 µF/EIN, 330 µF/AUS (o)	—	—	X	—	X	—	-40 ~ 85 (e)	PT6642P-ND	24.13	22.52	20.92
5	EFA	-12.0	-0.40	-.05 (a)	7 ~ 18	Horiz.	2/100µF (p)	X	X	—	—	—	X	-40 ~ 85 (b)	PT78NR112H-ND	12.20	10.99	9.74
5	EFC	-12.0	-0.40	-.05 (a)	7 ~ 18	Horiz. SMD	2/100µF (p)	X	X	—	—	—	X	-40 ~ 85 (b)	PT78NR112S-ND	12.20	10.99	9.74
5	EFD	-12.0	-0.40	-.05 (a)	7 ~ 18	Vert.	2/100µF (p)	X	X	—	—	—	X	-40 ~ 85 (b)	PT78NR112V-ND	12.20	10.99	9.74
1	EAA	-12.0	-0.50	-.10 (a)	4.75 ~ 7 (j)	Horiz.	100µF (n)	—	—	—	—	—	—	-20 ~ 65 (e)	PT5024A-ND	13.40	12.07	10.70
1	EAC	-12.0	-0.50	-.10 (a)	4.75 ~ 7 (j)	Horiz. SMD	100µF (n)	—	—	—	—	—	—	-20 ~ 65 (e)	PT5024C-ND	13.40	12.07	10.70
1	EAD	-12.0	-0.50	-.10 (a)	4.75 ~ 7 (j)	Vert.	100µF (n)	—	—	—	—	—	—	-20 ~ 65 (e)	PT5024N-ND	13.40	12.07	10.70
5	EFA	-12.0	-1.50	-.10 (a)	-16 ~ -30	Horiz.	1N5351B	X	X	—	—	—	—	-40 ~ 60 (b)	PT79SR112H-ND	14.35	13.40	12.44
5	EFD	-12.0	-1.50	-.10 (a)	-16 ~ -30	Vert.	1N5351B	X	X	—	—	—	—	-40 ~ 60 (b)	PT79SR112V-ND	13.71	12.81	11.89
4	EED	-12.0	-2.00	-.10	8 ~ 18	Vert.	560 µF/EIN, 330 µF/AUS (o)	—	—	X	—	X	—	-40 ~ 85 (e)	PT6643P-ND	24.13	22.52	20.92

* Power Good: Die „Power Good"-Ausgabe ist hoch, wenn die Ausgangsspannung innerhalb der Spezifikationen liegt

† Unterdrücken: Stromversorgung zum ganzen Bauteil ist unterbrochen, Ruhestrom ist weniger als 100 µA. Standby: Standby-Modus: Bauteil erhält Strom; der Ausgang Ausgang ist aber abgeschaltet oder im Ruhezustand.

(Forts.)

Zusätzliche Zeichnungen auf den vorherigen Seiten.

Abb. 12 Pakettypen EM(x) (14-Pin SIP)

Horizontal (F)

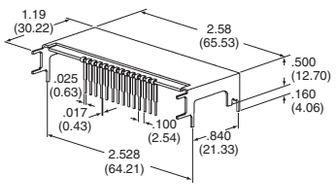

Abb. 13 Pakettypen EP(x) (12-Pin SIP)

Horizontal (J)

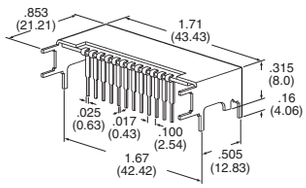

Abb. 14 Pakettypen EP(x) (18-Pin SIP)

Horizontal (A)

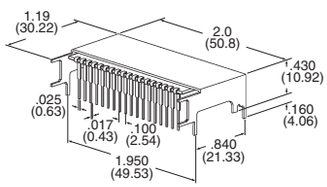

Horizontal SMD (C)

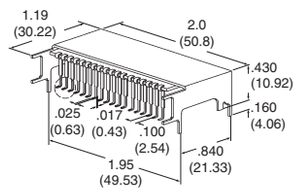

Abb.	Pakettyp	DC-Ausgangsspannung (V out) Vo 1	Vo 2	Max. A (I aus) Vo 1	Vo 2	Min. A (I aus)	DC-Eingangsspannungsbereich (V ein)	Leiterplattenausrichtung	Externe Komponenten erforderlich	Übertemp.-Schutz	Kurzschlussschutz	V aus einst.	Ein/Aus-Steuerung	Fernabtastung	Empfohlene Betriebstemperatur Bereich (°C)	Digi-Key Teilenr.	Stückpreis 1	25	100
ISRs m. Doppelausgang																			
9	ELH	3.3	1.5/1.2 (i)	6.00	1.45/1.20 (m)	0.10 (a,k)	4.5 ~ 5.5	Horiz. SMD	2/330uF (p)	X	—	2 (m)	STNBY	2	-40 ~ 85 (d,e)	PT6932C-ND	33.34	31.12	28.90
	ELG	3.3	1.8/1.2 (i)	6.00	1.75/1.20 (m)	0.10 (a,k)	4.5 ~ 5.5	Horiz.	2/330uF (o)	X	—	X (v)	STNBY	2	-40 ~ 85 (d,e)	PT6931A-ND	33.34	31.12	28.90
	ELF	3.3	2.5/1.8 (i)	6.00	2.20/1.75 (m)	0.10 (a,k)	4.5 ~ 5.5	Vert.	2/330uF (p)	X	—	2 (m)	STNBY	2	-40 ~ 85 (d,e)	PT6931C-ND	33.34	31.12	28.90
3	ECA	+12.0	-12.0	+0.50	-0.25	.05(g)	4.75 ~ +Vo -1	Horiz.	100 µF (n)	X	—	X	—	—	0 ~ 65 (e)	PT5061A-ND	13.71	12.81	11.89
	ECC	+12.0	-12.0	+0.50	-0.25	.05(g)	4.75 ~ +Vo -1	Horiz. SMD	100 µF (n)	X	—	X	—	—	0 ~ 65 (e)	PT5061C-ND	13.71	12.81	11.89
	ECD	+12.0	-12.0	+0.50	-0.25	.05(g)	4.75 ~ +Vo -1	Vert.	100 µF (n)	X	—	X	—	—	0 ~ 65 (e)	PT5061N-ND	13.71	12.81	11.89
	ECA	+15.0	-15.0	+0.40	-0.20	0.05(u)	4.75 ~ +Vo -1	Horiz.	100 µF (n)	—	—	X	—	—	0 ~ 85	PT5062A-ND	13.71	12.81	11.89

***** Power Good: Die „Power Good"-Ausgabe ist hoch, wenn die Ausgangsspannung innerhalb der Spezifikationen liegt

† Unterdrücken: Stromversorgung zum ganzen Bauteil ist unterbrochen, Ruhestrom ist weniger als 100 µA. Standby: Standby-Modus: Bauteil erhält Strom; der Ausgang Ausgang ist aber abgeschaltet oder im Ruhezustand.

(a) Der ISR funktioniert bis zu einer Nulllast mit begrenzten Eigenschaften.
(b) Siehe thermische Lastminderungstabelle.
(c) Wenn die Unterdrückungsfunktion benutzt wird, ist die Eingangsspannung auf 30 V begrenzt.
(d) Bei Betriebstemperaturen unter 0 (0°C) Tantalkondensatoren verwenden.
(e) Siehe die Diagramme des Herstellers für sichere Betriebszonen und entsprechende Lastminderung.
(f) Entspricht den Normen und Zulassungsbestimmungen — siehe Datenblatt des Herstellers.
(g) Nicht unter Minimallast betreiben.
(h) Die PT6305-Serie kann leicht parallel geschaltet werden, um Ausgangsströme in Vielfachen von 3 A zu erzeugen. Für Anwendungshinweise bitte Kontakt mit Texas Instrument/Plug In Power Solutions aufnehmen.
(i) Wenn Pin 23 offen ist, ist V2aus die erste in der Tabelle angegebene Spannung. Wenn Pin 23 u. 22 kurzgeschlossen sind, ist V2aus die zweite in der Tabelle angegebene Spannung.
(j) Für Anwendungen mit einer Eingangsspannung > 7 V DC PT78NR100-Serie benutzen.
(k) Io min. Strom von 0,1 A kann zwischen den Ausgängen V1 u. V2 aufgeteilt werden.
(l) Diese Serie kann mit einem Slave-Stromverstärker parallel geschaltet werden, um den Ausgangsstrom in spezifischen Inkrementen zu erhöhen — siehe das Datenblatt des Herstellers.
(m) Für weitere Erklärungen zu den Nenngrößen bitte das Datenblatt des Herstellers einsehen.
(n) Für korrekten Betrieb ist ein elektrolytischer oder Tantalkondensator am Ausgang erforderlich.
(o) Für korrekten Betrieb nur elektrolytische Kondensatoren verwenden.
(p) Für korrekten Betrieb bitte Kondensatoren der Serie FC von Panasonic mit niedrigem ESR verwenden — siehe Datenblatt des Herstellers.
(q) Kühlkörper oder Ösenausrichtung — siehe Datenblatt des Herstellers.
(r) Fernabtastungserdkontakt nicht verwendet, für optimale Ausgangsspannungsgenauigkeit muss Pin 12 mit Pin 13 verbunden sein.
(s) Mit (OVP) Überspannungsschutz am Treiberausgang.
(t) Ausgangsspannungseinstellung mit Prozessor kompatibel — siehe Datenblatt des Herstellers.
(u) Die negative Ausgangsschiene dieses ISR NICHT mit weniger als der Mindestlast betreiben.
(v) Die Vo1- und Vo2-Ausgänge können für eine alternative, niedrigere Bus-Spannung zwischen den Pins überbrückt werden. Die Information im Spannungeinstellung-Gebrauchshinweis beachten.

TEXAS INSTRUMENTS Isolierte DC/DC-Wandler

Abb. 1 Pakettypen EG(x)

Horizontal (D)

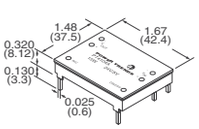

Oberflächenmontage, horizontal (E)

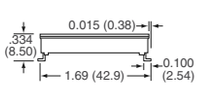

Abb. 2 Pakettypen EN(x) (19-Pin SIP)

Horizontal (A)

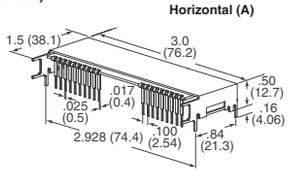

Abb. 3 Pakettypen EP(x) (10-Pin SIP)

Horizontal (F)

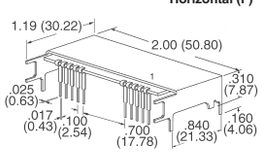

Abb. 4 Pakettypen EG(x) (9-Pin)

Horizontal (K)

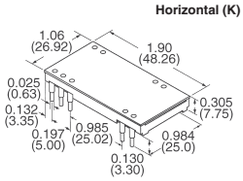

Diese isolierten DC/DC-Wandler sind ultramoderne, platinenmontierte Wandler, die HF-Technologie mit Oberflächenmontagenkonstruktion verbinden, um hohe Effizienz mit unvergleichbarer Flexibilität zu erzielen. Sie sind für den Telecom-Bereich, die Industrie, Computer, den Medizinbereich und andere Stromverteilungsanwendungen vorgesehen, die Isolierung von Eingang zu Ausgang erfordern. Zur Nutzung dieser Komponenten sind sehr wenige, in manchen Fällen sogar gar keine externen Komponenten erforderlich. Dadurch wird die Einbeziehung in das Design vereinfacht, während gleichzeitig mithilfe des platzsparenden TI/Plug-In-Power Solutions-Designs (Patent angemeldet) wertvoller Kartenplatz gespart wird.

Behördliche Zulassungen:

• Serie PT4120/4140: UL1950 anerkannt, zerifiziert gemäß CSA 22.2 950, EN60950-Zulassung **• Serie PT4240:** UL 60950, CSA 22.2 60950 **• Serie PT4310:** Sicherheitszulassungen angemeldet **• Serie PT4580:** UL 60950 anerkannt; gemäß CSA 22.2 950 zertifiziert; gemäß EN60950 zugelassen; gemäß VDE lizenziert; erfüllt die FCC-Anforderungen für Strahlungsbegrenzungen der Klasse A **• Serie PT4840:** UL 60950, CSA 22.2 950, VDE EN60950

Teilenr. Serie	Spannungseinst.	Fernsteuerung Ein/Aus	Überstromschutz	Übertemp.-Schutz	Unterspannungssperre	Kurzschlusssicherung	Überspannungsschutz
Serie PT4120	X	X	—	X	X	X	—
Serie PT4120	X	X	—	X	X	X	—
Serie PT4120	X	X	X	—	X	X	—

Teilenr. Serie	Spannungseinst.	Fernsteuerung Ein/Aus	Überstromschutz	Übertemp.-Schutz	Unterspannungssperre	Kurzschlusssicherung	Überspannungsschutz
Serie PT4310	X	X	—	—	—	—	—
Serie PT4580	X	X	X	X	X	X	—
Serie PT4840	X	X	X	X	X	X	—

Abb.	Pakettyp	DC V aus Vo 1	Vo 2	Vo 3	Max. A (I aus)	Min. A (I aus)	DC-Eingangs-Busspannung (V ein)	DC-Eingangsspannungsbereich (V ein)	Leiterplattenausrichtung	Betriebstemperaturbereich (b)	Digi-Key Teilenr.	Stückpreis 1	25	100
Einf. Ausgamgs-DC/DC-Wandler														
1	EGD	3.3	—	—	5.00	0.00	24	18 ~ 40	Horizontal	-40°C ~ 85°C	PT4141A-ND	41.21	38.47	35.72
3	EPF	5.0	—	—	2.00	.10(d)	24	18 ~ 36	Horizontal	-40°C ~ 85°C (a)	PT4243A-ND	34.16	31.89	29.61
1	EGD	5.0	—	—	4.00	0.00	24	18 ~ 40	Horizontal	-40°C ~ 85°C	PT4142A-ND	41.21	38.47	35.72
1	EGD	5.0	—	—	4.00	0.00	24	18 ~ 40	Horizontal SMD	-40°C ~ 85°C	PT4142C-ND	41.21	38.47	35.72
1	EGE	5.0	—	—	4.00	0.00	48	36 ~ 75	Horizontal	-40°C ~ 85°C	PT4122A-ND	41.21	38.47	35.72
2	ENA	5.0(c)	—	—	6.00	.25(d)	24	18 ~ 60	Horizontal	-40°C ~ 85°C (a)	PT4582A-ND	48.96	45.70	42.43
1	EGD	12.0	—	—	1.60	0.00	24	18 ~ 40	Horizontal	-40°C ~ 85°C	PT4143A-ND	41.21	38.47	35.72
1	EGE	12.0	—	—	1.60	0.00	48	36 ~ 75	Horizontal	-40°C ~ 85°C	PT4123A-ND	41.21	38.47	35.72
Zweif. Ausgamgs-DC/DC-Wandler														
4	EGK	+5.0	-5.0	—	1.00	.20(e)	48	38 ~ 75	Horizontal	-40°C ~ 85°C (a)	PT4311A-ND	23.81	22.23	20.64

(a) Bei Betriebstemperaturen unter 0 (0°C) Tantalkondensatoren verwenden **(b)** Siehe die Diagramme des Herstellers für sichere Betriebszonen und entsprechende Lastminderung **(c)** Für korrekten Betrieb ist ein elektrolytischer oder Tantalkondensator erforderlich **(d)** DC/DC-Wandler funktioniert bis zu einer Nulllast mit begrenzten Eigenschaften **(e)** DC/DC-Wandler funktioniert bis zu einer Nulllast mit begrenzten Eigenschaften

Digi-Key® Kondensatorkits

Praktisch verpackt in Kunststoffschachtel mit Anleitung zur einfachen Bin-Lagerung und zum schnellen Zugriff.

Beschreibung	Digi-Key Teilenr.	Stückpreis
Panasonic Miniatur-Aluminium-Elektrolyt		
Serie KG - je 10 von 18 gängigen Werten (insgesamt 180 Stück)	P900-KIT-ND	29.59
Panasonic Miniatur-Radialanschluss-Elektrolyt		
Serie M - je 10 von 17 gängigen Werten (insgesamt 170 Stück)	M-KIT-ND	59.22
Serie NHG - je 10 von 18 gängigen Werten (insgesamt 180 Stück)	NHG-KIT-ND	59.22
Panasonic Miniatur-Radialanschluss-Elektrolyt		
Serie KA - je 10 von 16 gängigen Werten (insgesamt 160 Stück)	P835-KIT-ND	25.36
Panasonic Stacked-Metallschicht		
Serie V, 50 Volt - je 10 von 18 gängigen Werten (insgesamt 180 Stück)	P4542-KIT-ND	42.29
Serie V, 100 Volt - je 10 von 18 gängigen Werten (insgesamt 180 Stück)	P4700-KIT-ND	42.29
Panasonic Metallschicht (Störsperren)		
Serie X-Y - je 10 von 10 gängigen Werten (insgesamt 100 Stück)	P4650-KIT-ND	50.75
Panasonic Metallisiertes Polyester		
Serie E - je 10 von 14 gängigen Werten und 30 Stück von Nr. E2104 (insgesamt 170 Stück)	E-KIT-ND	50.75
Panasonic Polyester		
Serie B - Verschiedene Mengen von 12 gängigen Werten (insgesamt 300 Stück)	P4550-KIT-ND	25.36
Panasonic Polyesterfolie		
Serie M, 200 Volt - je 10 von 15 gängigen Werten (insgesamt 150 Stück)	M200-KIT-ND	25.36
Serie M, 400 Volt - je 10 von 15 gängigen Werten (insgesamt 150 Stück)	M400-KIT-ND	25.36
Panasonic Polypropylen		
Serie P - je 10 von 15 gängigen Werten (insgesamt 150 Stück)	P3100-KIT-ND	59.22
Panasonic SMT-Film		
Serie ECH-U - je 10 von 18 gängigen Werten (insgesamt 180 Stück)	PCF1-KIT-ND	50.75
Panasonic SMT Spezial-Polymer-Aluminium-Elektrolytchip		
Serie CD/UD/UE/S - je 15 von 12 gängigen Werten (insgesamt 180 Stück)	SP2-KIT-ND	29.62
Panasonic 0402 Chipkeramik		
Serie NPO - je 10 von 28 gängigen Werten (insgesamt 280 Stück)	PCC13-KIT-ND	42.29
Serie X7R - je 10 von 30 gängigen Werten (insgesamt 300 Stück)	PCC14-KIT-ND	38.90
Panasonic 0603 Chipkeramik		
Serie NPO- je 10 von 30 gängigen Werten (insgesamt 300 Stück)	PCC9-KIT-ND	25.36
Serie X7R und X5R - je 10 von 30 gängigen Werten (insgesamt 300 Stück)	PCC15-KIT-ND	25.36
Panasonic 0805 Chipkeramik		
Serie NPO - je 10 von 30 gängigen Werten (insgesamt 300 Stück)	PCC7-KIT-ND	25.36
Serie X7R - je 10 von 30 gängigen Werten (insgesamt 300 Stück)	PCC16-KIT-ND	25.36
Panasonic 1206 Chipkeramik		
Serie NPO - je 10 von 14 gängigen Werten (insgesamt 140 Stück)	PCC17-KIT-ND	76.15
Panasonic Vielschicht-Keramikchipkondensator (MLCC)		
Serie X5R - je 20 von 20 gängigen Werten (insgesamt 400 Stück)	PCC18A-KIT-ND	42.29
Panasonic 0201/0402 High-Q (MLCC) Chipkeramik		
Serie 0201/High-Q - je 20 von 21 gängigen Werten (insgesamt 420 Stück)	PCC19-KIT-ND	49.95
Serie 0402/High-Q - je 20 von 30 gängigen Werten (insgesamt 600 Stück)	PCC20-KIT-ND	49.95

Digi-Key® Serielle EEPROM-Kits

Praktisch verpackt in Kunststoffschachtel mit Anleitung zur einfachen Bin-Lagerung und zum schnellen Zugriff.

Beschreibung	Digi-Key Teilenr.	Stückpreis
Microchip Serielle EEPROM-Kits		
Niedrige Dichte — je 3 Stück der Teile 24AA01-I/PDK, 25AA040-I/P und 93AA46B-I/P (insgesamt 9 Stück)	SEEPROM1-KIT-ND	15.20
Mittlere Dichte — je 3 Stück der Teile 24AA16-I/P, 25AA080B-I/P und 93AA66C-I/P (insgesamt 9 Stück)	SEEPROM2-KIT-ND	15.20
Hohe Dichte — je 3 Stück der Teile 24AA512-I/P, 25AA640-I/P und 93AA86C-I/P (insgesamt 9 Stück)	SEEPROM3-KIT-ND	16.89
Combo-Kit — enthält alles in den Kits für niedrige Dichte, mittlere Dichte und hohe Dichte (insgesamt 27 Stück)	SEEPROM4-KIT-ND	25.36

Digi-Key® Sicherungskits

Praktisch verpackt in Kunststoffschachtel mit Anleitung zur einfachen Bin-Lagerung und zum schnellen Zugriff.

Beschreibung	Digi-Key Teilenr.	Stückpreis
LittelFuse Pico SMD- und Nano² SMF-Sicherungen		
Je 5 von 30 Sicherungen (insgesamt 150 Stück)	SMF-KIT-ND	84.62
Littelfuse 434 Serie 0603 flinke Sicherungen		
Je 10 von 13 Sicherungen (insgesamt 130 Stück)	434-KIT-ND	76.15
Littelfuse 467 Serie 0603 bleifreie flinke Sicherungen		
Je 10 von 14 Sicherungen (insgesamt 140 Stück)	467-KIT-ND	84.62
Littelfuse 433 Serie 1206 flinke Sicherungen		
Je 10 von 15 Sicherungen (insgesamt 150 Stück)	433-KIT-ND	67.69
Littelfuse 466 Serie 1206 bleifreie flinke Sicherungen		
Je 10 von 15 Sicherungen (insgesamt 150 Stück)	466-KIT-ND	76.15
Littelfuse 154 Serie Nano² SMT flinke/Slo-Blo® Sicherungen		
Je 5 von 18 Sicherungen (insgesamt 90 Stück)	154-KIT-ND	126.95
Littelfuse 251/473 Series PICO II Fast/Slo-Blo® Axial Fuses		
Je 5 von 18 Sicherungen (insgesamt 90 Stück)	251-473-KIT-ND	84.63
Littelfuse 216 Serie flinke Hochstromsicherungen, 5 x 20 mm		
Je 5 von 18 Sicherungen (insgesamt 90 Stück)	216-KIT-ND	135.43
Littelfuse 217 Serie flinke Sicherungen, 5 x 20 mm		
Je 5 von 18 Sicherungen (insgesamt 90 Stück)	217-KIT-ND	33.82
Littelfuse 218 Serie Slo-Blo® Sicherung, 5 x 20 mm		
Je 5 von 18 Sicherungen (insgesamt 90 Stück)	218-KIT-ND	50.75
Littelfuse 257/297 Serie Mini- und ATO-Flachsicherungen		
Je 5 von 18 Sicherungen (insgesamt 90 Stück)	257-297-KIT-ND	28.74
Littelfuse 225/229 Serie flinke/Slo-Blo® 2AG-Sicherungen		
Je 5 von 18 Sicherungen (insgesamt 90 Stück)	225-229-KIT-ND	33.82
Littelfuse 312 Serie flinke 3AG Sicherungen		
Je 5 von 34 Sicherungen und je 10 von 2 Sicherungsklemmen (insgesamt 190 Stück)	312-KIT-ND	76.15
Littelfuse 313 Serie Slo-Blo® 3AG-Sicherungen		
Je 5 von 34 Sicherungen und je 10 von 2 Sicherungsklemmen (insgesamt 190 Stück)	313-KIT-ND	93.09
Wickman Sicherungen		
Je 10 von 17 gängigen Sicherungen und 15 der TR5-Sicherungshalter(insgesamt 185 Stück)	WK0113-KIT-ND	63.45
Je 10 von 17 gängigen Sicherungen und 15 der TR5-Sicherungshalter (insgesamt 185 Stück)	WK0116-KIT-ND	67.69
Je 10 von 17 gängigen Sicherungen und 20 der TE5-Sicherungshalter (insgesamt 190 Stück)	WK0117-KIT-ND	67.69
Je 10 von 17 gängigen Werten und 5 stoßfeste Sicherungshalter (insgesamt 175 Stück)	WK0119-KIT-ND	50.75
Je 10 von 17 gängigen Werten und 5 stoßfeste Sicherungshalter (insgesamt 175 Stück)	WK0120-KIT-ND	50.75

Digi-Key® Induktorkits

Praktisch verpackt in Kunststoffschachtel mit Anleitung zur einfachen Bin-Lagerung und zum schnellen Zugriff.

Beschreibung	Digi-Key Teilenr.	Stückpreis
Panasonic SMT-Induktoren		
RE Typ (2 % Toleranz) - je 10 von 23 Induktoren (insgesamt 230 Stück)	PCD4-KIT-ND	67.69
RE Typ (5 % Toleranz) - je 10 von 23 Induktoren (insgesamt 230 Stück)	PCD1-KIT-ND	59.22
Typ ND - je 10 von 25 Induktoren (***PCD1185CT-ND nicht inbegriffen***) (insgesamt 250 Stück)	PCD2-KIT-ND	84.62
RF Typ - je 10 von 20 Induktoren (insgesamt 200 Stück)	PCD3-KIT-ND	59.22

Digi-Key® Potentiometerkits

Praktisch verpackt in Kunststoffschachtel mit Anleitung zur einfachen Bin-Lagerung und zum schnellen Zugriff.

Beschreibung	Digi-Key Teilenr.	Stückpreis
Bourns 3/4" (195 mm), rechteckig, 15 Windungen		
Je 10 von 15 gängigen Werten (insgesamt 150 Stück)	3006P-KIT-ND	134.61
Bourns 3/8" (9,52 mm), quadratisch, 25 Windungen		
Serie 3296P - je 5 von 15 Werten (insgesamt 75 Stück)	3296P-KIT-ND	117.68
Serie 3296W - je 5 von 15 Werten (insgesamt 75 Stück)	3296W-KIT-ND	117.68
Serie 3296X - je 5 von 15 Werten (insgesamt 75 Stück)	3296X-KIT-ND	117.68
Serie 3296Y - je 5 von 15 Werten (insgesamt 75 Stück)	3296Y-KIT-ND	117.68
Serie 3296Z - je 5 von 15 Werten (insgesamt 75 Stück)	3296Z-KIT-ND	117.68
Bourns 3/8" (9,52 mm), quadratisch, eingängig		
Serie 3386C - je 5 von 15 Werten (insgesamt 75 Stück)	3386C-KIT-ND	55.83
Serie 3386F - je 5 von 15 Werten (insgesamt 75 Stück)	3386F-KIT-ND	55.83
Serie 3386P - je 5 von 15 Werten (insgesamt 75 Stück)	3386P-KIT-ND	55.83
Serie 3386R - je 5 von 15 Werten (insgesamt 75 Stück)	3386R-KIT-ND	55.83
Serie 3386X - je 5 von 15 Werten (insgesamt 75 Stück)	3386X-KIT-ND	55.83
Bourns 1/2" (12,70 mm) quadratisch, 25 Windungen		
Je 5 von 18 gängigen Werten (insgesamt 90 Stück)	3252-KIT-ND	507.11
Bourns 1/4" (6,35 mm), quadratisch, Cermet, 12 Windungen		
Serie 3266W - je 5 von 17 Werten (insgesamt 85 Stück)	3266W-KIT-ND	168.47
Serie 3266X - je 5 von 17 Werten (insgesamt 85 Stück)	3266X-KIT-ND	168.47

(Forts.)

Digi-Key® Potentiometerkits (Forts.)

Praktisch verpackt in Kunststoffschachtel mit Anleitung zur einfachen Bin-Lagerung und zum schnellen Zugriff.

Beschreibung	Digi-Key Teilenr.	Stückpreis
Serie Bourns 1/4" (6,35 mm), quadratisch, Cermet, eingängig		
Serie 3362H - je 10 von 14 gängigen Werten (insgesamt 140 Stück)	3362H-KIT-ND	76.15
Serie 3362M - je 10 von 14 gängigen Werten (insgesamt 140 Stück)	3362M-KIT-ND	76.15
Serie 3362R - je 10 von 14 gängigen Werten (insgesamt 140 Stück)	3362R-KIT-ND	76.15
Serie 3362U - je 10 von 14 gängigen Werten (insgesamt 140 Stück)	3362U-KIT-ND	76.15
Serie 3362X - je 10 von 14 gängigen Werten (insgesamt 140 Stück)	3362X-KIT-ND	76.15
Bourns 9 mm, rund, Cermet, eingängig		
Je 10 der verschiedenen Werte (insgesamt 180 Stück)	3309-KIT-ND	59.22
Bourns 1/4" (6,35 mm), rund, Cermet, eingängig		
Serie 3329H - je 5 von 14 gängigen Werten (insgesamt 70 Stück)	3329H-KIT-ND	110.02
Serie 3329P - je 5 von 14 gängigen Werten (insgesamt 70 Stück)	3329P-KIT-ND	110.02
Serie 3329S - je 5 von 14 gängigen Werten (insgesamt 70 Stück)	3329S-KIT-ND	110.02
Serie 3329W - je 5 von 14 gängigen Werten (insgesamt 70 Stück)	3329W-KIT-ND	110.02
Serie 3329X - je 5 von 14 gängigen Werten (insgesamt 70 Stück)	3329X-KIT-ND	110.02
Bourns 5/16" (7,95 mm), rund, Cermet, 4 Windungen		
Serie 3339P - je 5 von 14 gängigen Werten (insgesamt 70 Stück)	3339P-KIT-ND	227.74
Serie 3339W - je 5 von 14 gängigen Werten (insgesamt 70 Stück)	3339W-KIT-ND	227.74
Bourns 3/8" (9,52 mm), rund, Cermet, eingängig		
Serie 3352E - je 5 von 15 gängigen Werten (insgesamt 75 Stück)	3352E-KIT-ND	42.29
3352H Serie - je 5 von 15 gängigen Werten (insgesamt 75 Stück)	3352H-KIT-ND	42.29
Serie 3352P - je 5 von 15 gängigen Werten (insgesamt 75 Stück)	3352P-KIT-ND	42.29
Serie 3352T - je 5 von 15 gängigen Werten (insgesamt 75 Stück)	3352T-KIT-ND	42.29
Serie 3352W - je 5 von 15 gängigen Werten (insgesamt 75 Stück)	3352W-KIT-ND	42.29
Bourns 1/2" (12,7 mm), rund, drahtgewickelt, eingängig		
Je 5 von 9 gängigen Werten (insgesamt 45 Stück)	3345P-KIT-ND	169.28
Bourns SMD, 4 mm, quadratisch, Cermet, eingängig, offene Bauform		
Je 5 von 11 gängigen Werten (insgesamt 55 Stück)	3364W-KIT-ND	30.44
CTS 1/4 Watt Kohleschicht, logarithmische Abschwächung		
Serie 270, mit Schalter - je 5 von 8 Werten (insgesamt 40 Stück)	270-A-KIT-ND	93.08
Serie 270, ohne Schalterr - je 5 von 8 Werten (insgesamt 40 Stück)	270-B-KIT-ND	76.15
CTS 1/4 Watt Kohleschicht, logarithmische Abschwächung		
Serie 270, mit Schalter - je 5 von 8 Werten (insgesamt 40 Stück)	270-C-KIT-ND	93.08
Serie 270, ohne Schalter - 5 each of 8 values (40 total pieces)	270-D-KIT-ND	76.15
CTS 1/8 Watt Kohleschicht		
Serie 296, Höheneinstellung - je 5 von 11 Werten (insgesamt 55 Stück)	296U-KIT-ND	50.75
Serie 296, Seiteneinstellung - je 5 von 11 Werten (insgesamt 55 Stück)	296X-KIT-ND	50.75
CTS 5 Watt drahtgewickelt		
Serie 026 - je 5 von 7 Werten (insgesamt 35 Stück)	26-KIT-ND	84.62
CTS 1/4 Watt Trimmer		
201 Serie, Höheneinstellung - je 5 von 13 Werten (insgesamt 65 Stück)	201U-KIT-ND	25.36
Serie 201, Seiteneinstellung - je 5 von 13 Werten (insgesamt 65 Stück)	201X-KIT-ND	25.36
CTS 0,15 Watt Trimmer		
Serie 262, Einstellung oben - e 5 von 11 Werten (insgesamt 55 Stück)	U262-KIT-ND	23.66
Serie 262, Seiteneinstellung - je 5 von 11 Werten (insgesamt 55 Stück)	X262-KIT-ND	23.66
Panasonic 6 mm Kohlenstoff-Trimmer, Liege- und Stehversion		
Je 10 von 14 gängigen Werten (insgesamt 140 Stück)	DXA-KIT-ND	25.36
Panasonic 6 mm Cermet staubdicht		
Einstellung auf beiden Seiten - je 10 von 13 gängigen Werten (insgesamt 130 Stück)	31G-KIT-ND	44.83
Einstellung vertikal auf beiden Seiten - je 10 von 13 gängigen Werten (insgesamt 130 Stück)	36G-KIT-ND	44.83
Panasonic SMT-Trimmer		
Serie P1S - je 10 von 12 Werten (insgesamt 120 Stück)	P1S-KIT-ND	37.21
Serie P1D - je 10 von 13 Werten (insgesamt 130 Stück))	P1D-KIT-ND	37.21
Serie P1E - je 10 von 13 Werten (insgesamt 130 Stück)	P1E-KIT-ND	37.21

Digi-Key® Widerstandkits

In preiswerter und praktischer Beutelverpackung.

Beschreibung	Digi-Key Teilenr.	Stückpreis
Panasonic 0402 1 % Chip-Widerstandssortiment, 1/16 Watt		
Je 50 der Werte 10 Ω ~ 97,6 Ω (4.800 Stück)	RSM1L-ND	160.01
Je 50 der Werte 100 Ω ~ 976 Ω (4.800 Stück)	RSM2L-ND	160.01
Je 50 der Werte 1 K ~ 9,76 K (4.800 Stück)	RSM3L-ND	160.01
Je 50 der Werte 10 K ~ 97,6 K (4.800 Stück)	RSM4L-ND	160.01
Je 50 der Werte 100 K ~ 1 M (4.800 Stück)	RSM5L-ND	160.01
Panasonic 0402 5 % Chip-Widerstandssortiment, 1/16 Watt		
Je 50 jedes zweiten Wertes von 10, 12, 15, usw. bis 1 M (3.050 Stück)	CR7A-KIT-ND	76.15
Je 200 jedes zweiten Wertes von 10, 12, 15, usw. bis 1 M (12.200 Stück)	CR7-KIT-ND	143.08
Je 50 jedes zweiten Wertes von 11, 13, 16, usw. bis 910 K (3.000 Stück)	CR8A-KIT-ND	76.15
Je 200 jedes zweiten Wertes von 11, 13, 16, usw. bis 910 K (12.000 Stück)	CR8-KIT-ND	143.08
Panasonic 0603 1 % Chip-Widerstandssortiment, 1/16 Watt		
Je 50 der Werte 10 Ω ~ 97,6 Ω (4.800 Stück)	RSM1H-ND	109.21
Je 50 der Werte 100 Ω ~ 976 Ω (4.800 Stück)	RSM2H-ND	109.21
Je 50 der Werte 1 K ~ 9,76 K (4.800 Stück)	RSM3H-ND	109.21
Je 50 der Werte 10 K ~ 97,6 K (4.800 Stück)	RSM4H-ND	109.21
Je 50 der Werte 100 K ~ 1 M (4.800 Stück)	RSM5H-ND	109.21

Beschreibung	Digi-Key Teilenr.	Stückpreis
Panasonic 0603 5 % Chip-Widerstandssortiment, 1/16 Watt		
Je 50 jedes zweiten Wertes von 10, 12, 15, usw. bis 1 M (3.050 Stück)	CR5A-KIT-ND	72.77
Je 200 jedes zweiten Wertes von 10, 12, 15, usw. bis 1 M (12.200 Stück)	CR5-KIT-ND	109.21
Je 50 jedes zweiten Wertes von 11, 13, 16, usw. bis 910 K (3.000 Stück)	CR6A-KIT-ND	72.77
Je 200 jedes zweiten Wertes von 11, 13, 16, usw. bis 910 K (12.000 Stück)	CR6-KIT-ND	109.21
Panasonic 0805 1 % Chip-Widerstandssortiment, 1/10 Watt		
Je 50 der Werte 10 Ω ~ 97,6 Ω (4.800 Stück)	RSM1CA-ND	101.55
Je 200 der Werte 10 Ω ~ 97,6 Ω (19.200 Stück)	RSM1C-ND	253.13
Je 50 der Werte 100 Ω ~ 976 Ω (4.800 Stück)	RSM2CA-ND	101.55
Je 200 der Werte 100 Ω ~ 976 Ω (19.200 Stück)	RSM2C-ND	253.13
Je 50 der Werte 1 K ~ 9,76 K (4.800 Stück)	RSM3CA-ND	101.55
Je 200 der Werte 1 K ~ 9,76 K (19.200 Stück)	RSM3C-ND	253.13
Je 50 der Werte 10 K ~ 97,6 K (4.800 Stück)	RSM4CA-ND	101.55
Je 200 der Werte 10 K ~ 97,6 K (19.200 Stück)	RSM4C-ND	253.13
Je 50 der Werte 100 K ~ 1 M (4.800 Stück)	RSM5CA-ND	101.55
Je 200 der Werte 100 K ~ 1 M (19.400 Stück)	RSM5C-ND	253.13
Panasonic 0805 5 % Chip-Widerstandssortiment, 1/10 W		
Je 50 jedes zweiten Wertes von 10, 12, 15, usw. bis 1 M (3.050 Stück)	CR3A-KIT-ND	67.69
Je 200 jedes zweiten Wertes von 10, 12, 15, usw. bis 1 M (12.200 Stück)	CR3-KIT-ND	109.21
Je 50 jedes zweiten Wertes von 11, 13, 16, usw. bis 910 K (3.000 Stück)	CR4A-KIT-ND	67.69
Je 200 jedes zweiten Wertes von 11, 13, 16, usw. bis 910 K (12.000 Stück)	CR4-KIT-ND	109.21
Panasonic 1206 1 % Chip-Widerstandssortiment, 1/8 Watt		
Je 50 der Werte 10 Ω ~ 97,6 Ω (4.800 Stück)	RSM1FA-ND	110.02
Je 200 der Werte 10 Ω ~ 97,6 Ω (19.200 Stück)	RSM1F-ND	253.13
Je 50 der Werte 100 Ω ~ 976 Ω (4.800 Stück)	RSM2FA-ND	110.02
Je 200 der Werte 100 Ω ~ 976 Ω (19.200 Stück)	RSM2F-ND	253.13
Je 50 der Werte 1 K ~ 9,76 K (4.800 Stück)	RSM3FA-ND	101.55
Je 200 der Werte 1 K ~ 9,76 K (19.200 Stück)	RSM3F-ND	253.13
Je 50 der Werte 10 K ~ 97,6 K (4.800 Stück)	RSM4FA-ND	110.02
Je 200 der Werte 10 K ~ 97,6 K (19.200 Stück)	RSM4F-ND	253.13
Je 50 der Werte 100 K ~ 1 M (4.800 Stück)	RSM5FA-ND	110.02
Je 200 der Werte 100 K ~ 1 M (19.400 Stück)	RSM5F-ND	253.13
Panasonic 1206 5 % Chip-Widerstandssortiment, 1/8 Watt		
Je 50 jedes zweiten Wertes von 10, 12, 15, usw. bis 1 M (3.050 Stück)	CR1A-KIT-ND	67.69
Je 200 jedes zweiten Wertes von 10, 12, 15, usw. bis 1 M (12.200 Stück)	CR1-KIT-ND	109.21
Je 50 jedes zweiten Wertes von 11, 13, 16, usw. bis 910 K (3.000 Stück)	CR2A-KIT-ND	67.69
Je 200 jedes zweiten Wertes von 11, 13, 16, usw. bis 910 K (12.000 Stück)	CR2-KIT-ND	109.21
Susumu 0201 0,5 % SMD Widerstand, 1/20 W		
Je 10 der Werte 47 Ω ~ 8,2 KΩ (150 Stück)	RR0306PD-1-KIT-ND	8.42
Susumu 0402 0,5 % SMD Widerstand, 1/16 W		
Je 10 der Werte 10 Ω ~ 82 Ω (190 Stück)	RR0510RD-1-KIT-ND	4.19
Je 10 der Werte 100 Ω ~ 4,3 KΩ (400 Stück)	RR0510PD-1-KIT-ND	8.42
Je 10 der Werte 4,7 KΩ ~ 100 KΩ (330 Stück)	RR0510PD-2-KIT-ND	6.73
Susumu 0402 1 % SMD Widerstand, 1/6 W		
Je 10 der Werte 0,10 Ω ~ 47 Ω (330 Stück)	RP1005SF-1-KIT-ND	50.75
Susumu 0603 05 % SMD Widerstand, 1/16 W		
Je 10 der Werte 47 Ω ~ 750 Ω (300 Stück)	RG1608NW-1-KIT-ND	148.96
Je 10 der Werte 820 Ω ~ 13 KΩ (300 Stück)	RG1608NW-2-KIT-ND	148.96
Je 10 der Werte 15 KΩ ~ 270 KΩ (310 Stück)	RG1608NW-3-KIT-ND	148.96
Susumu 0603 0,1 % SMD Widerstand, 1/16 W		
Je 10 der Werte 100 Ω ~ 1 KΩ (500 Stück)	RR0816PB-1-KIT-ND	50.75
Je 10 der Werte 15 KΩ ~ 3,9 KΩ (500 Stück)	RR0816PB-2-KIT-ND	50.75
Je 10 der Werte 3,92 KΩ ~ 15 KΩ (500 Stück)	RR0816PB-3-KIT-ND	50.75
Je 10 der Werte 15,4 KΩ ~ 75 KΩ (500 Stück)	RR0816PB-4-KIT-ND	50.75
Je 10 der Werte 76,8 KΩ ~ 332 KΩ (370 Stück)	RR0816PB-5-KIT-ND	42.29
Susumu 0603 0,5 % SMD Widerstand, 1/16 W		
Je 10 der Werte 11 Ω ~ 91 Ω (420 Stück)	RR0816QD-1-KIT-ND	11.81
Je 10 der Werte 100 Ω ~ 806 Ω (500 Stück)	RR0816PD-1-KIT-ND	13.50
Je 10 der Werte 820 Ω ~ 4,75 KΩ (500 Stück)	RR0816PD-2-KIT-ND	13.50
Je 10 der Werte 4,87 KΩ ~ 18 KΩ (500 Stück)	RR0816PD-3-KIT-ND	13.50
Je 10 der Werte 18,2 KΩ ~ 68,1 KΩ (500 Stück)	RR0816PD-4-KIT-ND	13.50
Je 10 der Werte 69,8 KΩ ~ 360 KΩ (390 Stück)	RR0816PD-5-KIT-ND	10.96
Susumu 0603 1 % SMD Widerstand, 1/5 W		
Je 10 der Werte 0,10 Ω ~ 68 Ω (350 Stück)	RP1608SF-1-KIT-ND	42.29
Susumu 0805 05 % SMD Widerstand, 1/10 W		
Je 10 der Werte 47 Ω ~ 910 Ω (320 Stück)	RG2012NW-1-KIT-ND	169.28
Je 10 der Werte 1 KΩ ~ 20 KΩ (320 Stück)	RG2012NW-2-KIT-ND	169.28
Je 10 der Werte 22 KΩ ~ 470 KΩ (330 Stück)	RG2012NW-3-KIT-ND	169.28
Susumu 0805 0,1 % SMD Widerstand, 1/10 W		
Je 10 der Werte 100 Ω ~ 12 KΩ (500 Stück)	RR1220PB-1-KIT-ND	50.75
Je 10 der Werte 15 KΩ ~ 4,75 KΩ (500 Stück)	RR1220PB-2-KIT-ND	50.75
Je 10 der Werte 4,87 KΩ ~ 21 KΩ (500 Stück)	RR1220PB-3-KIT-ND	50.75
Je 10 der Werte 21,5 KΩ ~ 88,7 KΩ (500 Stück)	RR1220PB-4-KIT-ND	50.75
Je 10 der Werte 90,9 KΩ ~ 1 M (370 Stück)	RR1220PB-5-KIT-ND	42.29
Susumu 0805 0,5 % SMD Widerstand, 1/10 W		
Je 10 der Werte 10 Ω ~ 91 Ω (390 Stück)	RR1220QD-1-KIT-ND	10.96
Je 10 der Werte 100 Ω ~ 1,6 KΩ (500 Stück)	RR1220PD-1-KIT-ND	13.50
Je 10 der Werte 1,65 KΩ ~ 5,9 KΩ (500 Stück)	RR1220PD-2-KIT-ND	13.50
Je 10 der Werte 64 KΩ ~ 24,3 KΩ (500 Stück)	RR1220PD-3-KIT-ND	13.50
Je 10 der Werte 24,9 KΩ ~ 110 KΩ (500 Stück)	RR1220PD-4-KIT-ND	13.50
Je 10 der Werte 115 KΩ ~ 1 MΩ (310 Stück)	RR1220PD-5-KIT-ND	8.42
Susumu 0805 1 % SMD Widerstand, 1/4 W		
Je 10 der Werte 0,10 Ω ~ 6,8 Ω (300 Stück)	RL1220SF-1-KIT-ND	16.89
Susumu 0805 1 % SMD Widerstand, 1/3 W		
Je 10 der Werte 12 Ω ~ 100 Ω (120 Stück)	RP2012SF-1-KIT-ND	11.81
Je 10 der Werte 0,10 Ω ~ 10 Ω (250 Stück)	RP2012TF-1-KIT-ND	25.36
Susumu 0805 2 % SMD Widerstand, 1/4 W		
Je 10 der Werte 0,10 Ω ~ 10 Ω (220 Stück)	RL1220SG-1-KIT-ND	13.50
Yageo, 5 % Kohleschicht, 1/6 W		
Je 5 der Werte 1, 1,2, 1,5, 1,8, 2,2 Ω, usw. bis 1 MΩ (insgesamt 365 Stück)	RS112-ND	14.36
Je 5 der Werte 1,1, 1,3, 1,6, 2, 2,4 Ω, usw. bis 910 KΩ (insgesamt 360 Stück)	RS212-ND	14.38
Je 200 aller 161 Standardwerte 1 Ω - 4,7 MΩ (insgesamt 32.200 Stück)	RSE200-ND	346.26

(Forts.)

Digi-Key® Widerstandkits (Forts.)

In preiswerter und praktischer Beutelverpackung.

Beschreibung	Digi-Key Teilenr.	Stückpreis
Yageo, 5 % Kohleschicht, 1/4 Watt		
Je 5 der Werte 1, 1,2, 1,5, 1,8, 2,2 Ω, usw. bis 1 MΩ (insgesamt 365 Stück)	RS125-ND	12.66
Je 5 der Werte 1,1, 1,3, 1,6, 2, 2,4 Ω, usw. bis 910 KΩ (insgesamt 360 Stück)	RS225-ND	12.66
Je 200 aller 169 Standardwerte 1 Ω - 10 MΩ ((insgesamt 33.800 Stück)	RSQ200-ND	202.34
Yageo, 5 % Kohleschicht, 1/2 Watt		
Je 5 der Werte 1, 1,2, 1,5, 1,8, 2,2 Ω, usw. bis 1 MΩ (insgesamt 365 Stück)	RS150-ND	14.35
Je 5 der Werte 1,1, 1,3, 1,6, 2, 2,4 Ω, usw. bis 910 KΩ (insgesamt 360 Stück)	RS250-ND	14.35
Je 200 aller 161 Standardwerte 1 Ω - 4,7 MΩ (insgesamt 32.200 Stück)	RSH200-ND	283.61
Yageo, 1% Metallschicht, 1/4 Watt		
Je 5 der Werte 10 Ω ~ 97,6 Ω (insgesamt 480 Stück)	RS1X-ND	25.36
Je 5 der Werte 100 Ω ~ 976 Ω (insgesamt 480 Stück)	RS2X-ND	25.36
Je 5 der Werte 1 K ~ 9,76 K (insgesamt 480 Stück)	RS3X-ND	25.36
Je 5 der Werte 10 K ~ 97,6 K (insgesamt 480 Stück)	RS4X-ND	25.36
Je 5 der Werte 100 K ~ 1 M (insgesamt 480 Stück)	RS5X-ND	25.36
Yageo, 5 % Metalloxidwiderstand, 1 Watt		
Je 5 der Werte 0,47 Ω ~ 56 Ω (insgesamt 255 Stück)	RS101-ND	22.82
Je 5 der Werte 62 Ω ~ 7,5 K (insgesamt 255 Stück)	RS201-ND	22.82
Je 5 der Werte 8,2 K ~ 1 M (insgesamt 255 Stück)	RS301-ND	22.82
Yageo, 5 % Metalloxidwiderstand, 2 Watt		
Je 5 der Werte 0,47 Ω ~ 56 Ω (insgesamt 255 Stück)	RS102-ND	25.36
Je 5 der Werte 62 Ω ~ 7,5 K (insgesamt 255 Stück)	RS202-ND	25.36
Je 5 der Werte 8,2 K ~ 1 M (insgesamt 255 Stück)	RS302-ND	25.36
Yageo, 5 % drahtgewickelt, rechteckig, 5 Watt		
Je 5 der Werte 0,30 Ω ~ 0,91 Ω (60 Stück)	RS105-ND	20.28
Je 4 der Werte 1 Ω ~ 9,1 Ω (96 Stück)	RS205-ND	27.90
Je 4 der Werte 10 Ω ~ 91 Ω (96 Stück)	RS305-ND	27.90
Je 3 der Werte 100 Ω ~ 2 K (96 Stück)	RS405-ND	27.90
Yageo, 5 % drahtgewickelt, rechteckig, 10 Watt		
Je 2 aller 10 Watt-Widerstandswerte (insgesamt 168 Stück)	RS110-ND	61.76
Yageo America 0402, 1 % Dickschicht Chip-Widerstandssortimente, 1/16 Watt		
Je 50 der Werte 1 Ω ~ 75 Ω (insgesamt 850 Stück)	PHL1-KIT-ND	17.74
Je 50 der Werte 100 Ω ~ 910 Ω (1.100 Stück)	PHL2-KIT-ND	21.97
Je 50 der Werte 1 KΩ ~ 9,53 KΩ (1.650 Stück)	PHL3-KIT-ND	30.44
Je 50 der Werte 10 KΩ ~ 97,6 KΩ (2.800 Stück)	PHL4-KIT-ND	50.75
Je 50 der Werte 100 KΩ ~ 1 MΩ (1.600 Stück)	PHL5-KIT-ND	33.82
Yageo America 0603, 1 % Dickschicht Chip-Widerstandssortimente, 1/10 Watt		
Je 50 der Werte 1 Ω ~ 7,50 Ω (insgesamt 1.100 Stück)	PHH1-KIT-ND	16.89
Je 50 der Werte 10 Ω ~ 97,6 Ω (insgesamt 5.650 Stück)	PHH2-KIT-ND	67.69
Je 50 der Werte 100 Ω ~ 976 Ω (insgesamt 5.700 Stück)	PHH3-KIT-ND	67.69
Je 50 der Werte 1 KΩ ~ 9,76 KΩ (insgesamt 5.700 Stück)	PHH4-KIT-ND	67.69
Je 50 der Werte 10 KΩ ~ 97,6 KΩ (insgesamt 5.700 Stück)	PHH5-KIT-ND	67.69
Je 50 der Werte 100 KΩ ~ 1 MΩ (insgesamt 5.800 Stück)	PHH6-KIT-ND	67.69
Yageo America 0805, 1 % Dickschicht Chip-Widerstandssortimente, 1/8 Watt		
Je 50 der Werte 1 Ω ~ 9,76 Ω (insgesamt 5.200 Stück)	PHC1A-KIT-ND	67.69
Je 200 der Werte 1 Ω ~ 9,76 Ω (insgesamt 20.800 Stück)	PHC1-KIT-ND	143.88
Je 50 der Werte 10 Ω ~ 97,6 Ω (insgesamt 5.700 Stück)	PHC2A-KIT-ND	67.69
Je 200 der Werte 10 Ω ~ 97,6 Ω (insgesamt 22.800 Stück)	PHC2-KIT-ND	143.88
Je 50 der Werte 100 Ω ~ 976 Ω (insgesamt 5.700 Stück)	PHC3A-KIT-ND	67.69
Je 200 der Werte 100 Ω ~ 976 Ω (insgesamt 22.800 Stück)	PHC3-KIT-ND	143.88
Je 50 der Werte 1 KΩ ~ 9,76 KΩ (insgesamt 5.700 Stück)	PHC4A-KIT-ND	67.69
Je 200 der Werte 1 KΩ ~ 9,76 KΩ (insgesamt 22.800 Stück)	PHC4-KIT-ND	143.88
Je 50 der Werte 10 KΩ ~ 97,6 KΩ (insgesamt 5.650 Stück)	PHC5A-KIT-ND	67.69
Je 200 der Werte 10 KΩ ~ 97,6 KΩ (insgesamt 22.600 Stück)	PHC5-KIT-ND	143.88
Je 50 der Werte 100 KΩ ~ 1 MΩ (insgesamt 5.750 Stück)	PHC6A-KIT-ND	67.69
Je 200 der Werte 100 KΩ ~ 1 MΩ (insgesamt 23.000 Stück)	PHC6-KIT-ND	143.88
Yageo America 1206, 1 % Dickschicht Chip-Widerstandssortimente, 1/4 Watt		
Je 50 der Werte 1 Ω ~ 9,76 Ω (insgesamt 5.700 Stück)	PHF1A-KIT-ND	106.63
Je 200 der Werte 1 Ω ~ 9,76 Ω (insgesamt 22.800 Stück)	PHF1-KIT-ND	203.14
Je 50 der Werte 10 Ω ~ 97,6 Ω (insgesamt 5.700 Stück)	PHF2A-KIT-ND	106.63
Je 200 der Werte 10 Ω ~ 97,6 Ω (insgesamt 22.800 Stück)	PHF2-KIT-ND	203.14
Je 50 der Werte 100 Ω ~ 976 Ω (insgesamt 5.700 Stück)	PHF3A-KIT-ND	106.63
Je 200 der Werte 100 Ω ~ 976 Ω (insgesamt 22.800 Stück)	PHF3-KIT-ND	203.14
Je 50 der Werte 1 KΩ ~ 9,76 KΩ (insgesamt 5.700 Stück)	PHF4A-KIT-ND	106.63
Je 200 der Werte 1 KΩ ~ 9,76 KΩ (insgesamt 22.800 Stück)	PHF4-KIT-ND	203.14
Je 50 der Werte 10 KΩ ~ 97,6 KΩ (insgesamt 5.650 Stück)	PHF5A-KIT-ND	106.63
Je 200 der Werte 10 KΩ ~ 97,6 KΩ (insgesamt 22.600 Stück)	PHF5-KIT-ND	203.14
Je 50 der Werte 100 KΩ ~ 1 MΩ (insgesamt 5.750 Stück)	PHF6A-KIT-ND	106.63
Je 200 der Werte 100 KΩ ~ 1 MΩ (insgesamt 23.000 Stück)	PHF6-KIT-ND	203.14
Yageo America 0402, 5 % Dickschicht Chip-Widerstandssortimente, 1/16 Watt		
Je 50 der Werte 1, 2, 3, 3,9 Ω usw. ~ 1 MΩ (insgesamt 2.600 Stück)	PHJ1A-KIT-ND	38.90
Je 200 der Werte 1, 2, 3, 3,9 Ω usw. ~ 1 MΩ (insgesamt 10.400 Stück)	PHJ1-KIT-ND	72.77
Je 50 der Werte 1,1, 2,2, 3,3, 4,3 Ω usw. ~ 680 KΩ (insgesamt 2.550 Stück)	PHJ2A-KIT-ND	38.90
Je 200 der Werte 1,1, 2,2, 3,3, 4,3 Ω usw. ~ 680 KΩ (10.200 Stück)	PHJ2-KIT-ND	72.77
Yageo America 0603, 5 % Dickschicht Chip-Widerstandssortimente, 1/10 Watt		
Je 50 der Werte 1, 1,2, 1,5, 1,8 Ω usw. ~ 910 KΩ (insgesamt 3.600 Stück)	PHG1A-KIT-ND	42.29
Je 200 der Werte 1, 1,2, 1,5, 1,8 Ω usw. ~ 910 KΩ (insgesamt 14.400 Stück)	PHG1-KIT-ND	76.15
Je 50 der Werte 1,1, 1,3, 1,6, 2,2 Ω usw. bis 1 MΩ (insgesamt 3.600 Stück)	PHG2A-KIT-ND	42.29
Je 200 der Werte 1,1, 1,3, 1,6, 2,2 Ω usw. ~ 1 MΩ (14.400 Stück)	PHG2-KIT-ND	76.15
Yageo America 0805, 5 % Dickschicht Chip-Widerstandssortimente, 1/8 Watt		
Je 50 der Werte 1, 1,2, 1,5, 1,8 Ω usw. ~ 1 MΩ (insgesamt 3.650 Stück)	PHA1A-KIT-ND	50.75
Je 200 der Werte 1, 1,2, 1,5, 1,8 Ω usw. ~ 1 MΩ (insgesamt 14.600 Stück)	PHA1-KIT-ND	93.08
Je 50 der Werte 1,1, 1,3, 1,6, 2 Ω usw. ~ 910 KΩ (insgesamt 3.600 Stück)	PHA2A-KIT-ND	50.75
Je 200 der Werte 1,1, 1,3, 1,6, 2 Ω usw. ~ 910 KΩ (14.400 Stück)	PHA2-KIT-ND	93.08
Yageo America 1206, 5 % Dickschicht Chip-Widerstandssortimente, 1/4 Watt		
Je 50 der Werte 1, 1,2, 1,5, 1,8 Ω usw. ~ 910 KΩ (insgesamt 3.600 Stück)	PHE1A-KIT-ND	50.75
Je 200 der Werte 1, 1,2, 1,5, 1,8 Ω usw. ~ 910 KΩ (insgesamt 14.400 Stück)	PHE1-KIT-ND	93.08
Je 50 der Werte 1,1, 1,3, 1,6, 2 Ω usw. ~ 1 MΩ (insgesamt 3.600 Stück)	PHE2A-KIT-ND	50.75
Je 200 der Werte 1,1, 1,3, 1,6, 2 Ω usw. ~ 1 MΩ (14.400 Stück)	PHE2-KIT-ND	93.08

Digi-Key® Thermistorkits

Praktisch verpackt in Kunststoffschachtel mit Anleitung zur einfachen Bin-Lagerung und zum schnellen Zugriff.

Beschreibung	Digi-Key Teilenr.	Stückpreis
Keystone-Thermistoren		
PTC - je 2 von 10 gängigen Thermistoren (insgesamt 20 Stück)	KCPTC1-KIT-ND	32.13
NTC - je 2 von 15 gängigen Thermistoren (insgesamt 30 Stück)	KCNTC-KIT-ND	33.83

Digi-Key® Verschiedene Kits

Praktisch verpackt in Kunststoffschachtel mit Anleitung zur einfachen Bin-Lagerung und zum schnellen Zugriff.

Beschreibung	Digi-Key Teilenr.	Stückpreis
3M Schrumpffolie, vorgeschnittene Längen		
Serie FP-301 - je 50 von 5 Größen und 100 einer Größe (insgesamt 350 Stück)	FP-KIT-ND	13.50
Serie VFP-876 - je 50 von 5 Größen und 100 einer Größe (insgesamt 350 Stück)	VFP-KIT-ND	14.35
3M farbiger Schrumpfschlauch		
Serie FP-301- 1-5 Fuß lang Schlauch jeder Farbe in 8 Serien (insgesamt 55 Stück)	FPC-KIT-ND	53.29
CW Industries Schalter		
Verschiedene Mengen von 14 Schaltern (insgesamt 130 Stück)	SW-KIT-ND	59.22
Daburn Schrumpfschlauch, Polyolefin: schwarz		
5 Fuß von 6 gängigen Größen (insgesamt 30 Fuß Schlauch)	STA-KIT-ND	9.27
Diodes SOT-23 SMD Zener-Dioden-Kit		
Je 10 von 18 gängigen Dioden (insgesamt 180 Stück)	BZX2-KIT-ND	20.14
ECS, Inc. Kristalle		
Je 3 von 27 gängigen Kristallen (insgesamt 81 Stück)	XC-KIT-ND	143.08
Hamlin Magnetschalter		
Verschiedene Mengen von 18 Schaltern (insgesamt 22 Stück)	HE1-KIT-ND	59.22
Je 1 von 18 Schaltern (insgesamt 18 Stück)	HE2-KIT-ND	42.29
Kleinteile - je 100 Maschinenschrauben, Sechskantmuttern und Sicherungsscheiben in jedem der folgenden Kits:		
Geschlitzt - (insgesamt 1.600 Stück)	1600-KIT-ND	15.20
Geschlitzt - (insgesamt 1.600 Stück)	1601-KIT-ND	23.66
Phillips - (insgesamt 1.600 Stück)	1602-KIT-ND	15.20
Phillips - (insgesamt 1.600 Stück)	1603-KIT-ND	23.52
Nylon - (insgesamt 1.500 Stück)	1604-KIT-ND	45.67
Phillips, Edelstahl - (insgesamt 1.400 Stück)	1607-KIT-ND	33.82
Phillips, Edelstahl - (insgesamt 1.500 Stück)	1608-KIT-ND	67.69
Kleinteile (metrisch) - je 100 Maschinenschrauben, Sechskantmuttern, Sicherungsscheiben und Unterlegscheiben in jedem der folgenden Kits:		
Phillips, metrisch, verzinkt - (insgesamt 1.500 Stück)	1605-KIT-ND	50.75
Phillips, metrisch, verzinkt - (insgesamt 1.500 Stück)	1606-KIT-ND	84.62
Johnson Components, Stecker und Buchsen		
Je 10 von 15 gängigen Steckern und Buchsen (insgesamt 150 Stück)	J100-KIT-ND	65.15
On-Semiconductor, Zener-Reglerdioden-Designkit		
180 Stück von 18 gängigen Werten	ZENREGA-KIT-ND	16.04
On-Semiconductor, Analogschalter-Logikdesignkit		
180 Stück von 18 gängigen Werten	ANLGSWITCHA-KIT-ND	64.30
On-Semiconductor, Bipolar-Leistungstransistor-Designkit		
44 Stück von 18 gängigen Werten	BIPAUDIOA-KIT-ND	444.47
On-Semiconductor, ESE-Schutzbaustein-Designkit		
180 Stück von 18 gängigen Werten	ZENESDA-KIT-ND	21.97
On-Semiconductor, MiniGate™ Logikdesignkit		
180 Stück von 18 gängigen Werten	MINIGATEA-KIT-ND	33.01
On-Semiconductor, Schottky Gleichrichter SMD Probekit		
227 Stück von 30 gängigen Werten	SCHOTTRECA-KIT-ND	126.95
On-Semiconductor, kleines Signal-BRT-Designkit		
180 Stück von 18 gängigen Werten	SMSIGBRTA-KIT-ND	33.82
On-Semiconductor, kleines Signal-Dioden-Designkit		
180 Stück von 18 gängigen Werten	SMSIGDIODEA-KIT-ND	27.05
On-Semiconductor, Thyristor SCR-Designkit		
84 Stück von 18 gängigen Werten	SCRA-KIT-ND	101.55
On-Semiconductor, Thyristor TRIAC-Designkit		
72 Stück von 18 gängigen Werten	TRIACA-KIT-ND	106.63
On-Semiconductor, TO-220 Gleichrichter-Designkit		
68 Stück von 17 gängigen Werten	RECTO220A-KIT-ND	157.43
On-Semiconductor, TVS Designkit		
180 Stück von 18 gängigen Werten	TVSA-KIT-ND	42.29
On-Semiconductor, Designkit für ultraschnelle, oberflächenmontierte Gleichrichter		
131 Stück von 18 gängigen Werten	ULTRAFSTRECA-KIT-ND	84.62
Panasonic LEDs		
Je 10 von 18 gängigen LEDs (insgesamt 180 Stück)	LED-KIT-ND	28.77

Abb.	Isolations-spannung	Stromtrans-ferrate- typ.	VCEO (max.)	Typ. t_{on}/t_{off} (µs)	Paket	Digi-Key Teilenr.	Stückpreis 1	10	100	Digi-Key Teilenr.	Gegurtet auf Rolle Größe	Preisangaben
1	5000	80-600%	80	3/5	DIP	PS2501-1-ND	—	—	.22	—	—	—
2	5000	80-600%	80	3/5	DIP	PS2501-2-ND	.74	.62	.53	—	—	—
3	5000	80-600%	80	3/5	DIP	PS2501-4-ND	1.24	1.04	.88	—	—	—
1	5000	50-400%	70	5/7	DIP	PS2501A-1-A-ND†	.30	.26	.22	—	—	—
1	5000	50-400%	70	5/7	SMT	PS2501AL-1-ND§†	.36	.30	.26	PS2501AL-1TR-ND†	1,000	177.79
1	5000	80-600%	80	3/5	SMT	PS2501L-1-ND	—	—	.29	—	—	—
2	5000	80-600%	80	3/5	SMT	PS2501L-2-ND	.83	.70	.59	—	—	—
3	5000	80-600%	80	3/5	SMT	PS2501L-4-ND	1.63	1.36	1.16	—	—	—
4	5000	200-2000%	40	100/100	DIP	PS2502-1-ND	.63	.52	.44	—	—	—
5	5000	200-2000%	40	100/100	DIP	PS2502-2-ND	1.46	1.22	1.03	—	—	—
6	5000	200-2000%	40	100/100	DIP	PS2502-4-ND	1.83	1.65	1.41	—	—	—
16	5000	100-400%	40	20/30	DIP	PS2503-1-A-ND†	.79	.66	.56	—	—	—
17	5000	100-400%	40	20/30	DIP	PS2503-2-A-ND†	1.58	1.33	1.12	—	—	—
18	5000	100-400%	40	20/30	DIP	PS2503-4-A-ND†	2.41	2.18	1.85	—	—	—
16	5000	100-400%	40	20/30	SMT	PS2503L-1A-ND§†	.84	.70	.59	PS2503L-1ATR-ND†	2,000	419.07/M
17	5000	100-400%	40	20/30	SMT	PS2503L-2-A-ND†	1.63	1.36	1.15	—	—	—
18	5000	100-400%	40	20/30	SMT	PS2503L-4-A-ND†	2.46	2.21	1.89	—	—	—
7	5000	80-600%	80	3/5	DIP	PS2505-1-ND	—	—	.35	—	—	—
8	5000	80-600%	80	3/5	DIP	PS2505-2-ND	.99	.83	.71	—	—	—
9	5000	80-600%	80	3/5	DIP	PS2505-4-ND	1.99	1.66	1.40	—	—	—
7	5000	80-600%	80	3/5	SMT	PS2505L-1-ND	.50	.42	.35	—	—	—
8	5000	80-600%	80	3/5	SMT	PS2505L-2-ND	1.05	.88	.74	—	—	—
9	5000	80-600%	80	3/5	SMT	PS2505L-4-ND	1.69	1.53	1.30	—	—	—
10	5000	200-2000%	40	100/100	DIP	PS2506-1-ND	—	—	.58	—	—	—
11	5000	200-2000%	40	100/100	DIP	PS2506-2-ND	1.63	1.36	1.15	—	—	—
12	5000	200-2000%	40	100/100	DIP	PS2506-4-ND	2.21	1.99	1.70	—	—	—
1	5000	50-200%	120	5/25	DIP	PS2513-1-A-ND†	.51	.43	.36	—	—	—
1	5000	50-200%	120	5/25	SMT	PS2513L-1-ND§†	.54	.46	.39	PS2513L-1TR-ND†	2,000	316.21/M
1	5000	20-80%	80	3/5	DIP	PS2521-1-A-ND†	.92	.77	.66	—	—	—
1	5000	20-80%	80	3/5	SMT	—	—	—	—	PS2521L-1TR-ND†	1,000	507.96
2	5000	20-80%	80	3/5	SMT	PS2521L-2-ND†	1.95	1.62	1.37	—	—	—
7	5000	20-80%	80	3/5	DIP	PS2525-1-A-ND†	1.11	.93	.79	—	—	—
13	5000	1500-6500%	300	100/100	DIP	PS2532-1-ND	—	—	.57	—	—	—
14	5000	1500-6500%	300	100/100	DIP	PS2532-2-ND	1.50	1.25	1.06	—	—	—
15	5000	1500-6500%	300	100/100	DIP	PS2532-4-ND	2.33	2.10	1.79	—	—	—
13	5000	1500-6500%	300	100/100	SMT	PS2532L-1-ND	—	—	.61	—	—	—
14	5000	1500-6500%	300	100/100	SMT	PS2532L-2-ND	1.78	1.49	1.26	—	—	—
15	5000	1500-6500%	300	100/100	SMT	PS2532L-4-ND	3.01	2.71	2.31	—	—	—
13	5000	1500-6500%	350	100/100	DIP	PS2533-1-ND	—	—	.59	—	—	—
14	5000	1500-6500%	350	100/100	DIP	PS2533-2-ND	2.52	2.27	1.94	—	—	—
1	5000	80-400%	80	3/5	DIP	PS2561-1-V-ND‡	.38	.32	.27	—	—	—
2	5000	80-400%	80	3/5	DIP	PS2561-2-V-ND‡	.97	.81	.68	—	—	—
3	5000	80-400%	80	3/5	DIP	PS2561-4-V-ND‡	2.24	2.02	1.72	—	—	—
1	5000	50-300%	70	5/7	DIP	PS2561A-1-A-ND†	.38	.32	.27	—	—	—
1	5000	50-300%	70	5/7	SMT	PS2561AL-1CT-ND§†	.41	.35	.29	PS2561AL-1TR-ND†	2,000	196.84/M
1	5000	80-400%	80	3/5	SMT	PS2561L-1-V-ND‡	.46	.39	.33	—	—	—
2	5000	80-400%	80	3/5	SMT	PS2561L-2-V-ND‡	1.04	.87	.74	—	—	—
1	5000	80-400%	80	3/5	DIP	PS2561L1-1-V-ND*‡	—	—	.33	—	—	—
1	5000	80-400%	80	3/5	SMT	PS2561L2-1-V-ND*‡	.47	.39	.33	—	—	—
4	5000	200-2000%	40	100/100	DIP	PS2562-1-A-ND†	.86	.72	.61	—	—	—
4	5000	200-2000%	40	100/100	SMT	PS2562L-1-ND§†	.75	.63	.53	PS2562L-1TR-ND†	2,000	374.62/M
7	5000	80-400%	80	3/5	DIP	PS2565-1-V-ND‡	.53	.45	.38	—	—	—
8	5000	80-400%	80	3/5	DIP	PS2565-2-V-ND‡	1.19	1.00	.84	—	—	—
7	5000	80-400%	80	3/5	SMT	PS2565L-1-V-ND‡	—	—	.40	—	—	—
8	5000	80-400%	80	3/5	SMT	PS2565L-2-V-ND‡	1.22	1.02	.86	—	—	—
10	5000	200-2000%	40	100/100	DIP	PS2566-1-A-ND†	.86	.72	.61	—	—	—
10	5000	200-2000%	40	100/100	SMT	PS2566L-1-ND§†	.91	.76	.64	PS2566L-1TR-ND†	2,000	422.88/M
1	3750	50-300%	40	3/5	SOP	PS2701-1-ND	—	—	.29	PS2701-1TR-ND	3,500	281.92/M
1	3750	50-300%	70	5/7	SOP	PS2701A-1-ND§†	.41	.34	.29	PS2701A-1TR-ND†	3,500	203.19/M
4	3750	200-2000+%	40	200/200	SOP	PS2702-1-ND	—	—	.46	PS2702-1TR-ND	3,500	423.30/M
1	3750	50-400%	120	10/10	SOP	PS2703-1-ND	—	—	.36	PS2703-1TR-ND	3,500	310.71/M
2	3750	50-400%	120	10/10	SOP	PS2703-2-ND	1.22	1.02	.86	—	—	—
7	3750	50-300%	40	3/5	SOP	PS2705-1-ND	.58	.50	.42	PS2705-1TR-ND	3,500	324.25/M
7	3750	50-300%	70	5/7	SOP	PS2705A-1-ND§†	.43	.36	.31	PS2705A-1TR-ND†	3,500	215.89/M
10	3750	200-2000%	40	200/200	SOP	PS2706-1-ND§†	.73	.61	.52	PS2706-1TR-ND†	3,500	387.32/M
13	2500	1500-4000%	300	100/100	SOP	PS2732-1-ND§†	.91	.76	.64	PS2732-1TR-ND†	3,500	457.17/M
13	2500	1500-4000%	350	100/100	SOP	PS2733-1A-ND§†	.84	.70	.59	PS2733-1ATR-ND†	3,500	444.47/M
1	3750	50-400+%	40	4/5	SOP	PS2761-1-ND	.56	.47	.40	—	—	—
7	3750	50-400%	40	4/5	SOP	PS2765-1A-ND§†	.61	.51	.43	PS2765-1ATR-ND†	3,500	285.73/M
1	2500	80-600%	80	3/5	SSOP	PS2801-1CT-ND§	.52	.44	.37	PS2801-1TR-ND	3,500	353.04/M
3	2500	80-600%	80	3/5	SSOP	PS2801-4-ND	2.44	2.20	1.87	PS2801-4TR-ND	2,500	1501.02/M
1	2500	50-400%	70	5/7	SSOP	PS2801A-1-ND§†	.53	.45	.38	PS2801A-1TR-ND†	3,500	266.68/M
4	2500	200-2000+%	40	200/200	SSOP	PS2802-1CT-ND§	.86	.72	.61	PS2802-1TR-ND	3,500	428.85/M

§ Gurtabschnittspreise * 10,16 mm (0,4") breiter Reihenabstand; Standardabstand ist 7,62 mm (0,3") ‡ VDE anerkannt † Bleifrei/RoHS-konform

(Forts.)

Abb. 1

Fototransistor-Ausgang, DIP oder SMT

Abb. 2

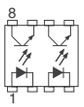

Zweif. Fototransistor-Ausgang, DIP oder SMT

Abb. 3

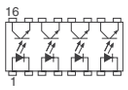

Vierf. Fototransistor-Ausgang, DIP oder SMT

Abb. 4

Foto-Darlington-Ausgang, DIP oder SMT

Abb. 5

Zweif. Foto-Darlington-Ausgang, DIP oder SMT

Abb. 6

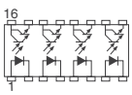

Vierf. Foto-Darlington-Ausgang, DIP oder SMT

Abb. 7

Fototransistor-Ausgang, DIP oder SMT

Abb. 8

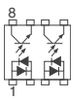

Zweif. Fototransistor-Ausgang, DIP oder SMT

Abb. 9

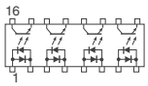

Vierf. Fototransistor-Ausgang, DIP oder SMT

Abb. 10

Foto-Darlington-Ausgang, DIP

Abb. 11

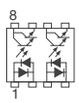

Zweif. Foto-Darlington-Ausgang, DIP

Abb. 12

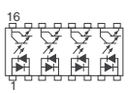

Vierf. Foto-Darlington-Ausgang, DIP

Abb. 13

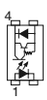

Foto-Darlington-Ausgang, DIP oder SMT

Abb. 14

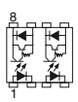

Zweif. Foto-Darlington-Ausgang, DIP oder SMT

Abb. 15

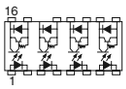

Vierf. Foto-Darlington-Ausgang, DIP oder SMT

Abb. 16

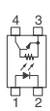

Fototransistor-Ausgang, DIP oder SMT

Abb. 17

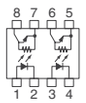

Fototransistor-Ausgang, DIP oder SMT

J

Abb.	Isolations-spannung	Stromtrans-ferrate - typ.	VCEO (max.)	Typ. t_{on}/t_{off} (µs)	Paket	Digi-Key Teilenr.	Stückpreis 1	10	100	Digi-Key Teilenr.	Gegurtet auf Rolle Größe	Preisangaben
6	2500	200-2000%	40	200/200	SSOP	PS2802-4-ND	2.31	2.08	1.78	PS2802-4TR-ND	2,500	1221.65/M
7	2500	80-600%	80	3/5	SSOP	PS2805-1CT-ND§	.64	.54	.46	PS2805-1TR-ND	3,500	437.70/M
9	2500	80-600%	80	3/5	SSOP	PS2805-4-ND	2.97	2.67	2.28	—	—	—
7	2500	50-400%	70	5/7	SSOP	PS2805A-1-ND§†	.63	.53	.45	PS2805A-1TR-ND†	3,500	317.48/M
9	2500	50-400%	70	5/7	SSOP	PS2805A-4-A-ND†	2.86	2.58	2.20	—	—	—
10	2500	200-2000%	40	200/200	SSOP	PS2806-1CT-ND§	1.27	1.06	.90	PS2806-1TR-ND	3,500	634.96/M
12	2500	200-2000%	40	200/200	SSOP	PS2806-4-ND	3.81	3.43	2.92	PS2806-4TR-ND	2,500	1992.05/M
1	2500	100-400%	40	4/5	SSOP	PS2811-1CT-ND§	.49	.41	.35	PS2811-1TR-ND	3,500	317.48/M
3	2500	100-400%	40	4/5	SSOP	PS2811-4-ND	2.33	2.10	1.79	PS2811-4TR-ND	2,500	1221.65/M
9	2500	100-400%	40	4/5	SSOP	PS2815-4-ND	2.33	2.10	1.79	PS2815-4TR-ND	2,500	1221.65/M
13	2500	400-2000%	300	100/100	SSOP	PS2832-1CT-ND§	1.24	1.04	.88	PS2832-1TR-ND	3,500	622.26/M
15	3750	400-2000%	300	100/100	SSOP	PS2832-4-ND	4.15	3.73	3.18	PS2832-4TR-ND	2,500	2190.16/M
13	2500	400-4500%	350	20/5	SSOP	PS2833-1A-ND§†	1.70	1.42	1.20	PS2833-1ATR-ND†	3,500	822.90/M
15	2500	400-4500%	350	20/5	SSOP	PS2833-4-ND§†	2.88	2.60	2.21	PS2833-4TR-ND†	2,500	1474.78/M
19	2000	100-600%	70	20/110	SSOP	PS2841-4A-ND§†	3.24	2.92	2.49	PS2841-4ATR-ND†	2,500	1661.88/M
20	2000	100-600%	70	20/110	SSOP	PS2841-4B-ND§†	3.17	2.86	2.44	PS2841-4BTR-ND†	2,500	1617.86/M
21	2000	100-600%	70	20/110	SSOP	PS2845-4AA-ND§†	4.05	3.64	3.10	PS2845-4AATR-ND†	2,500	2080.10/M
7	2500	50-400%	40	4/5	SSOP	PS2865-1A-ND§†	.65	.54	.46	PS2865-1ATR-ND†	3,500	323.83/M
1	2500	100-400%	40	4/5	Mini-Flat	PS2911-1CT-ND§	.76	.64	.54	PS2911-1TR-ND	3,500	406.37/M
1	2500	50-100%	120	5/50	Mini-Flat	PS2913-1-ND§†	1.18	.98	.83	PS2913-1TR-ND†	3,500	560.03/M
7	2500	100-400%	40	4/5	Mini-Flat	PS2915-1CT-ND§	1.01	.84	.71	PS2915-1TR-ND	3,500	571.46/M
13	2500	400-4500%	300	20/5	Mini-Flat	PS2932-1A-ND§†	1.46	1.22	1.03	PS2932-1ATR-ND†	3,500	698.45/M
13	2500	400-4500%	350	20/5	Mini-Flat	PS2933-1-ND§†	1.76	1.47	1.24	PS2933-1TR-ND†	3,500	852.11/M

§ Gurtabschnittspreise * 10,16 mm (0,4") breiter Reihenabstand; Standardabstand ist 7,62 mm (0,3") ‡ VDE anerkannt † Bleifrei/RoHS-konform

Koppler für IGBT-Treiber

Abb.	Isolations-spannung	Ausbr.-Verzögerung	Paket	Digi-Key Teilenr.	Stückpreis 1	10	100
22	5000	3µs	DIP	PS9634-ND	1.57	1.32	1.11
22	5000	3µs	SMT	PS9634L-ND	1.57	1.32	1.11

Optoisolator mit Hochlinearitätsdiodenausgang (Oberflächenmontage)

Abb.	Isolations-spannung	Übertragungsverstärkung (K2/K1)	Lineare Übertragungsverstärkung Δ (K2/K1) (für Vcc=15 V, If=2-10 mA)	Digi-Key Teilenr.	Stückpreis 1	10	100
23	1500	.733-1.072	<1%	PS8741-ND	3.60	3.25	2.76

Hochgeschwindigkeits-Optoisolatoren mit analogem Ausgang

Abb.	Isolations-spannung	CTR	Vcc (max.)	Typische Ausbreitungs-verzögerung (µs)	Paket	Digi-Key Teilenr.	Stückpreis 1	10	100	Digi-Key Teilenr.	Gegurtet auf Rolle Größe	Preisangaben
26	2500	15%~35%	35	0.5 / 0.6	SOP	PS8101-ND†	1.96	1.63	1.38	PS8101TR-ND†	2,500	990.53/M
26	2500	20%~35%	35	0.5 / 0.6	SOP	PS8101-K-A-ND†	1.96	1.63	1.38	—	—	—
26	2500	10%~30%	15	1 / 2	SOP	PS8103-ND†	1.65	1.38	1.17	PS8103TR-ND†	2,500	812.74/M
24	5000	>15%	35	0.5 / 0.3	DIP	PS8601-ND	1.68	1.40	1.19	—	—	—
24	5000	>15%	35	0.5 / 0.3	SMT	PS8601L-ND	1.76	1.47	1.24	—	—	—
25	5000	>15%	35	0.5 / 0.3	DIP	PS8602-ND	1.65	1.38	1.17	—	—	—
25	5000	>15%	35	0.5 / 0.3	SMT	PS8602L-ND	1.78	1.49	1.26	—	—	—
25	2500	15%~35%	35	0.3 / 0.6	SSOP	PS8802-1CT-ND§†	1.21	1.09	.93	PS8802-1TR-ND	1,500	874.96/M
27	2500	15%~35%	35	0.3 / 0.6	SSOP	PS8802-2CT-ND§†	3.66	3.29	2.81	PS8802-2TR-ND	1,500	1992.05/M

§ Gurtabschnittspreise † Bleifrei/RoHS-konform

Hochgeschwindigkeits-Digitalfotokoppler

Abb.	Ausga-betyp	Isolations-spannung	Ausbr.-Verzögerung tPHL	tPLH	Paket	Digi-Key Teilenr.	Stückpreis 1	10	100	Digi-Key Teilenr.	Gegurtet auf Rolle Größe	Preisangaben
31	OC	2500	250ns	520ns	SOP	PS9113-ND†	3.03	2.73	2.33	PS9113TR-ND†	2,500	1551.82/M
31	OC	2500	54ns	51ns	SOP	PS9114-ND†	3.05	2.75	2.34	PS9114TR-ND†	2,500	1485.79/M
29	TP	2500	33ns	40ns	SOP	PS9115-ND†	3.05	2.75	2.34	PS9115TR-ND†	2,500	1562.83/M
31	OC	2500	40ns	45ns	SMT	PS9121-ND†	2.48	2.23	1.90	PS9121TR-ND†	2,500	1254.66/M
28	OC	5000	250ns	520ns	DIP	PS9613-ND	1.79	1.62	1.38	—	—	—
32	OC	3750	75ns	75ns	DIP	PS9614-A-ND†	1.90	1.72	1.47	—	—	—
32	OC	3750	61ns	51ns	SMT	PS9614L-ND†	1.93	1.74	1.48	PS9614LTR-ND†	1,000	1001.53
34	CMOS	3750	20ns	23ns	DIP	PS9661-A-ND†	6.71	6.04	5.15	—	—	—
29	TP	2500	30ns	35ns	SOP	PS9711-ND	2.01	1.81	1.55	—	—	—
29	TP	2500	33ns	40ns	SOP	PS9715CT-ND§	2.24	2.02	1.72	PS9715TR-ND	3,500	1166.62/M
32	OC	2500	54ns	51ns	SSOP	PS9814-1CT-ND§†	1.18	1.06	.91	PS9814-1TR-ND	1,500	885.97/M
33	OC	2500	54ns	51ns	SSOP	PS9814-2CT-ND§†	2.57	2.32	1.98	PS9814-2TR-ND	1,500	1419.75/M
32	OC	2500	40ns	45ns	SSOP	PS9817-1-ND†	2.03	1.83	1.56	PS9817-1TR-ND†	1,500	1079.67/M
33	OC	2500	40ns	45ns	SSOP	PS9817-2-ND†	3.34	3.01	2.57	PS9817-2TR-ND†	1,500	1760.93/M
33	OC	2500	45ns	50ns	SSOP	PS9821-1-ND†	2.35	2.12	1.81	PS9821-1TR-ND†	1,500	1199.64/M
32	OC	2500	45ns	50ns	SSOP	PS9821-2-ND†	3.98	3.59	3.06	PS9821-2TR-ND†	1,500	1926.02/M

§ Gurtabschnittspreise † Bleifrei/RoHS-konform

Abb. 18

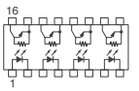

Fototransistor-Ausgang, DIP oder SMT

Abb. 19

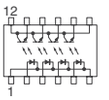

Fototransistor-Ausgang, SMT

Abb. 20

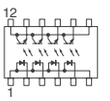

Fototransistor-Ausgang, SMT

Abb. 21

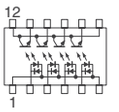

Fototransistor-Ausgang, SMT

Abb. 22

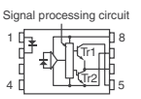

DIP und gebogener Anschluss

Abb. 23

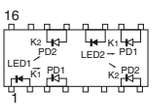

Abb. 24

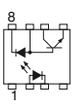

DIP und gebogener Anschluss

Abb. 25

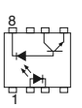

DIP und gebogener Anschluss

Abb. 26

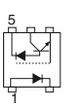

SMT

Abb. 27

SOP

Abb. 28

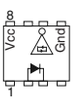

DIP

Abb. 29

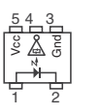

SMT

Abb. 30

SOP

Abb. 31

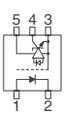

Offener Kollektorausgang

Abb. 32

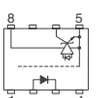

Offener Kollektorausgang

Abb. 33

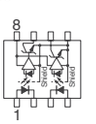

Offener Kollektorausgang

Abb. 34

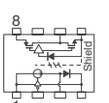

CMOS-Ausgang

J

Alle Preisangaben in Euro und inklusive Zollgebühren.

TOSHIBA Optoisolatoren mit Transistorausgang

Abb.	Paket	Stromtransferrate Min. (%)	Stromtransferrate Max. (%)	Stromtransferrate @ IF (ma)	Stromtransferrate VCE (V)	Kollektor-Durchschlag V (BR)	Isolationsspannung (Vrms)	Digi-Key Teilenr.	Stückpreis 1	Stückpreis 10	Stückpreis 100	Digi-Key Teilenr.	Gegurtet auf Rolle Größe	Gegurtet auf Rolle Preisangaben
1	DIP	100	1200	1	0.5	55	5000	TLP331-ND	.91	.77	.61	—	—	—
	DIP	50	600	5	5	55	5000	TLP631-ND	.63	.53	.43	—	—	—
	DIP	100	600	5	5	55	5000	TLP631GB-ND	.63	.53	.43	—	—	—
	DIP	20	—	10	10	30	2500	4N25ASHORT-ND	.51	.39	.29	—	—	—
	DIP	20	—	10	10	30	2500	4N25SHORT-ND	.41	.31	.23	—	—	—
	DIP	100	—	10	10	30	2500	4N35SHORT-ND	.41	.31	.23	—	—	—
	DIP	100	—	10	10	30	2500	4N36SHORT-ND	.51	.38	.29	—	—	—
	DIP	10	—	10	10	80	2500	4N38SHORT-ND	.54	.41	.31	—	—	—
2	DIP	100	1200	1	0.5	55	5000	TLP332-ND	.91	.77	.61	—	—	—
	DIP	50	600	5	5	55	5000	TLP632-ND	.91	.76	.61	—	—	—
	DIP(.4)	50	600	5	5	80	4000	TLP732D4-GR-LF2-ND	.97	.81	.65	—	—	—
3	DIP	100	600	5	0.5	55	5000	TLP630GB-TAIE-ND	.63	.53	.43	—	—	—
	DIP	50	600	±5	5	55	5000	TLP630TAIE-ND	1.02	.85	.68	—	—	—
4	SMD	100	1200	1	0.5	80	3750	TLP124-ND	.75	.56	.42	TLP124TR-ND	3,000	242.13/M
	SMD	200	1200	1	0.5	80	3750	TLP124BV-ND	.78	.59	.44	TLP124BVTR-ND	3,000	253.14/M
	SMD	50	600	5	5	80	3750	TLP181-ND	.41	.31	.23	—	—	—
	SMD	100	600	5	5	80	3750	TLP181GB-ND	.41	.31	.23	—	—	—
	SMD	100	600	5	5	80	3750	TLP181GBCT-ND†	.41	.31	.23	TLP181GBTR-ND	3,000	132.07/M
	SMD	100	300	5	5	80	3750	TLP181GRCT-ND†	.41	.31	.23	TLP181GRTR-ND	3,000	132.07/M
	SMD	50	150	5	5	80	3750	TLP181YCT-ND†	.44	.33	.25	TLP181YTR-ND	3,000	143.08/M
5	SMD	50	600	5	5	80	3750	TLP131-ND	.76	.64	.51	—	—	—
	SMD	100	600	5	5	80	3750	TLP131GB-ND	.76	.64	.51	—	—	—
	SMD	100	1200	1	0.5	80	3750	TLP137-ND	.71	.60	.48	—	—	—
6	DIP	50	600	5	—	55	5000	TLP621-ND	.58	.44	.33	—	—	—
	DIP	200	600	5	—	55	5000	TLP621BLT-ND	.47	.36	.27	—	—	—
	SMD	50	600	5	5	55	5000	TLP621D4-TP1CT-ND*†	.63	.53	.43	—	—	—
	DIP(.4)	50	150	5	5	55	5000	TLP621D4-Y-LF2-ND*	.51	.39	.29	—	—	—
	DIP(.4)	50	150	5	5	55	5000	TLP621D4-Y-LF2T-ND*	.47	.36	.27	—	—	—
	DIP	100	600	5	—	55	5000	TLP621GBT-ND	.44	.33	.25	—	—	—
	DIP	100	300	5	—	55	5000	TLP621GRT-ND	.44	.33	.25	—	—	—
	DIP	50	600	5	—	55	5000	TLP621-2-ND	1.17	.98	.79	—	—	—
	DIP	100	600	5	—	55	5000	TLP621-2GB-ND	.89	.75	.60	—	—	—
	DIP	100	300	5	5	55	5000	TLP621-2GRT-ND	.89	.75	.60	—	—	—
	SMD	50	600	5	0.5	55	5000	TLP621LF1T-ND	.78	.59	.44	—	—	—
	DIP	50	600	5	—	55	5000	TLP621-4-ND	1.80	1.44	1.08	—	—	—
	DIP	100	600	5	—	55	5000	TLP621-4GB-ND	1.80	1.44	1.08	—	—	—
	SMD	100	1200	1	0.5	55	5000	TLP624LF1-ND	.63	.53	.43	—	—	—
	DIP	100	1200	1	—	55	5000	TLP624-ND	.81	.61	.46	—	—	—
	DIP	100	1200	1	—	55	5000	TLP624-2-ND	1.06	.85	.64	—	—	—
	DIP	100	1200	1	—	55	5000	TLP624-4-ND	1.90	1.53	1.19	—	—	—
	DIP	100	1200	±1	—	55	5000	TLP626-ND	.89	.75	.60	—	—	—
	DIP	200	1200	1	0.5	55	5000	TLP626BV-ND	.80	.65	.49	—	—	—
7	DIP	50	600	±5	—	55	5000	TLP620-ND	.61	.46	.35	—	—	—
	DIP	100	600	±5	—	55	5000	TLP620GB-ND	.71	.54	.40	—	—	—
	DIP	100	300	±5	—	55	5000	TLP620GR-ND	.66	.50	.45	—	—	—
	DIP	50	600	±5	—	55	5000	TLP620-2-ND	1.07	.89	.72	—	—	—
	DIP	100	600	±5	—	55	5000	TLP620-2GB-ND	1.24	1.04	.83	—	—	—
	DIP	50	600	±5	—	55	5000	TLP620-4-ND	1.96	1.57	1.18	—	—	—
	DIP	100	600	±5	—	55	5000	TLP620-4GB-ND	1.42	1.14	.86	—	—	—
	DIP	100	1200	±1	—	55	5000	TLP626-2-ND	1.48	1.19	.89	—	—	—
	DIP	100	1200	±1	—	55	5000	TLP626-4-ND	2.86	2.29	1.78	—	—	—
8	SMD	100	600	5	5	80	2500	TLP280-4GB-ND	1.80	1.44	1.08	TLP280-4GBTR-ND	2,500	931.94/M
9	SMD	100	600	5	5	80	2500	TLP280GB-ND	.75	.56	.42	TLP280GBTR-ND	2,500	242.13/M
10	SMD	100	600	5	5	80	2500	TLP281-4GB-ND	1.48	1.19	.89	TLP281-4GBTR-ND	2,500	758.56/M
11	SMD	100	600	5	5	80	2500	TLP281GB-ND	.61	.46	.35	TLP281GBTR-ND	2,500	198.11/M
	SMD	50	600	5	5	80	2500	TLP281GR-ND	.61	.46	.35	—	—	—
	SMD	100	400	1	5	100	2500	TLP283-ND	.68	.51	.39	—	—	—
	DIP	100	300	5	5	55	4000	TLP721D4-GRLT-ND*	.54	.41	.31	—	—	—
	DIP	100	300	5	5	80	5000	TLP421GR-ND	.42	.34	.26	—	—	—
	SMD	100	300	5	5	80	5000	TLP421GRTP1CT-ND†	.47	.38	.28	TLP421GRTP1TR-ND	1,500	130.38/M
	DIP	50	600	60	—	80	5000	TLP421-ND	.41	.33	.25	—	—	—
	DIP	200	600	60	—	80	5000	TLP421BL-ND	.41	.34	.25	—	—	—
12	DIP	50	600	5	5	55	2500	TLP504A-ND	1.07	.89	.72	—	—	—
	DIP	50	600	5	5	55	2500	TLP504AGB-ND	1.07	.89	.72	—	—	—
13	SMD	100	400	1	5	100	2500	TLP283-4-ND	1.59	1.27	.96	—	—	—
	DIP	50	600	5	5	55	2500	TLP504A-2-ND	1.78	1.43	1.07	—	—	—
	DIP	100	600	5	5	55	2500	TLP504A-2GB-ND	1.78	1.43	1.07	—	—	—
14	SMD	50	600	5	5	80	3750	TLP180CT-ND†	.68	.51	.39	TLP180TR-ND	3,000	220.12/M
	SMD	100	600	5	5	80	3750	TLP180GB-ND	.68	.51	.39	TLP180GBTPLTR-ND	3,000	220.12/M
	SMD	100	1200	±1	0.5	80	3750	TLP126-ND	.76	.64	.51	—	—	—
15	SMD	100	600	±5	5	80	3750	TLP130GB-ND	.96	.80	.64	—	—	—

Abb. 1

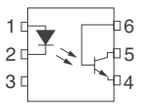

Abb. 2

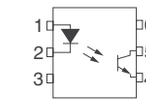

Keine Basisverbindung

Abb. 3

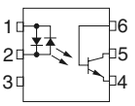

Abb. 4

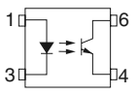

Abb. 5

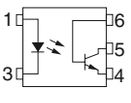

Abb. 6

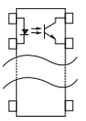

Abb. 7

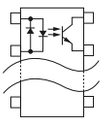

Abb. 8

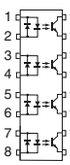

Abb. 9

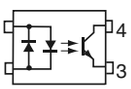

Abb. 10

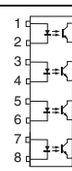

Abb. 11

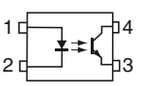

Abb. 12

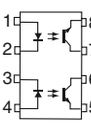

Abb. 13

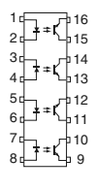

Abb. 14

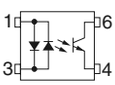

Abb. 15

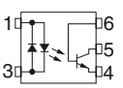

* VDE anerkannt † Gurtabschnitt

Darlington Transistor-Ausgang

Abb. 1

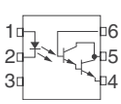

Abb. 2

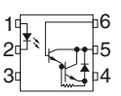

Abb. 3

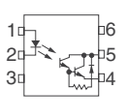

Keine Basisverbindung

Abb. 4

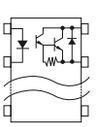

Abb. 5

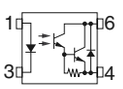

Abb.	Paket	Stromtransferrate Min. (%)	Stromtransferrate @ IF (ma)	Stromtransferrate VCE (V)	Sättigungsspannung Max. (V)	Sättigungsspannung @ IC (ma)	Sättigungsspannung @ IF (ma)	Kollektor-Durchschlag V(BR)	Isolationsspannung	Digi-Key Teilenr.	Stückpreis 1	Stückpreis 10	Stückpreis 100	Digi-Key Teilenr.	Gegurtet auf Rolle Größe	Gegurtet auf Rolle Preisangaben
1	DIP	100	10	10	1	2	8	30	2500	4N29ASHORT-ND	.61	.46	.35	—	—	—
	DIP	100	10	10	1	2	8	30	2500	4N29SHORT-ND	.54	.41	.31	—	—	—
	DIP	500	10	10	1	2	8	30	2500	4N32SHORT-ND	.61	.46	.35	—	—	—
	DIP	500	10	10	1	2	8	30	2500	4N33SHORT-ND	.61	.46	.35	—	—	—
	DIP	1000	1	1	1.2	100	10	300	5000	TLP371-ND	.69	.58	.46	—	—	—
2	SMD	1000	1	1	1.2	100	10	300	5000	TLP371TP1CT-ND†	.74	.62	.50	TLP371TP1TR-ND	1,500	326.54/M
3	DIP	1000	1	1	1.2	100	10	300	5000	TLP372-ND	.76	.64	.51	—	—	—
4	DIP	1000	1	1	1.2	100	10	300	5000	TLP627-ND	.71	.60	.48	—	—	—
	DIP	1000	1	1	1.2	100	10	300	5000	TLP627-2-ND	1.10	.88	.67	—	—	—
	DIP	1000	1	1	1.2	100	10	300	5000	TLP627-4-ND	1.90	1.53	1.15	—	—	—
5	SMD	1000	1	1	1.2	100	10	300	2500	TLP127-ND	.71	.60	.48	—	—	—
	SMD	1000	1	1	1.2	100	10	300	2500	TLP127CT-ND†	.71	.60	.48	TLP127TR-ND	3,000	308.17/M

† Gurtabschnitt

J

TOSHIBA

Optoisolatoren mit Thyristor-Ausgang

Abb.	Paket	LED-Trigger, max. Stromstärke (mA)	dv/dt typisch (V/uS)	Sperr-spannung	Isolations-spannung	Digi-Key Teilenr.	Stückpreis 1	10	100	Digi-Key Teilenr.	Gegurtet auf Rolle Größe	Preisangaben
1	DIP	10	10	600	4000	TLP741JTAIE-ND‡	.96	.80	.64	—	—	—
	DIP	10	10	400	4000	TLP741GD4-TAIE-ND*‡	.96	.80	.64	—	—	—
	DIP	10	10	400	4000	TLP741GN-ND	1.27	1.02	.77	—	—	—
	DIP	10	10	400	4000	TLP741GTAIEN-ND	.87	.73	.59	—	—	—
2	SMD	10	500	400	2500	TLP160G-ND	.86	.72	.58	—	—	—
	SMD	10	500	600	2500	TLP160J-ND	.89	.75	.60	TLP160JTR-ND	3,000	396.21/M
	DIP	10	500	400	5000	TLP3022S-ND	.75	.56	.42	—	—	—
	DIP	5	500	400	5000	TLP3023S-ND	.78	.59	.44	—	—	—
	DIP	10	—	600	5000	TLP3052-ND	.81	.68	.55	—	—	—
	SMD	10	500	400	2500	TLP160GCT-ND†	.86	.72	.58	TLP160GTR-ND	3,000	374.20/M
	DIP	10	500	400	5000	TLP3022-ND	.82	.69	.55	—	—	—
	DIP	5	500	400	5000	TLP3023-ND	.91	.76	.61	—	—	—
	DIP	10	500	600	5000	TLP3052D4N-ND*	.89	.75	.60	—	—	—
	SOP	10	500	600	3000	TLP260J-ND	.76	.64	.51	TLP260JTPRTR-ND	3,000	330.18/M
	SMD	5	500	400	5000	TLP3023TP1SCT-ND†	.81	.61	.46	TLP3023TP1STR-ND	1,500	270.24/M
	DIP	10	500	600	5000	TLP3052S-ND	.63	.53	.43	—	—	—
	SMD	10	500	400	2500	TLP161G-ND	.76	.64	.51	—	—	—
	SMD	10	500	600	2500	TLP161J-ND	.76	.64	.51	TLP161JTR-ND	3,000	330.18/M
	DIP	10	500	400	5000	TLP3042S-ND#	.78	.59	.44	—	—	—
	DIP	5	500	400	5000	TLP3043S-ND#	.81	.61	.46	—	—	—
	DIP	10	500	600	5000	TLP3062S-ND#	.66	.50	.45	—	—	—
3	DIP	5	500	600	5000	TLP3063S-ND#	.69	.58	.46	—	—	—
	SMD	3	500	600	2500	TLP168JCT-ND†	1.09	.91	.73	TLP168JTR-ND	3,000	473.25/M
	DIP	10	500	400	5000	TLP3042-ND	.82	.69	.55	—	—	—
	DIP	5	500	400	5000	TLP3043-ND	.87	.73	.59	—	—	—
	SMD	5	500	600	5000	TLP3063TP1SCT-ND†	.71	.60	.48	TLP3063TP1STR-ND	1,500	315.28/M
	DIP	10	500	600	4000	TLP763JD4-ND*	.81	.68	.55	—	—	—
4	SMD	10	10	400	2500	TLP141G-ND	1.14	.96	.77	—	—	—
5	DIP	10	500	400	2500	TLP525G-ND	.76	.64	.51	—	—	—
	DIP	10	500	400	2500	TLP525G-2-ND	1.27	1.02	.77	—	—	—
	DIP	10	500	600	5000	TLP360J-ND	.69	.58	.46	—	—	—
	DIP	10	500	600	5000	TLP361J-ND#	.74	.62	.50	—	—	—

Abb. 1

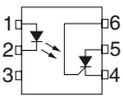

Abb. 2

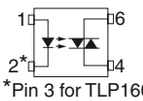

Abb. 3

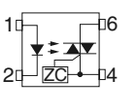

Abb. 4

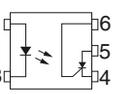

Abb. 5

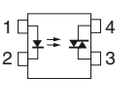

* VDE anerkannt # Nulldurchgang
† Gurtabschnitt ‡ SCR-Ausgang

Optoisolatoren mit HS-Ausgang

Abb.	Paket	Ausgangsstrom Min. (mA)	@ IF (ma)	@ VO (V)	Typische Datenrate (Bit/s)	Max. Versorgungs-spannung (V)	Isolations-spannung (Vrms)	Digi-Key Teilenr.	Stückpreis 1	10	100	Digi-Key Teilenr.	Gegurtet auf Rolle Größe	Preisangaben
1	DIP	1.12	16	0.4	1M	15	2500	TLP2530-ND	2.29	1.83	1.43	—	—	—
		3.04	16	0.4	1M	15	2500	TLP2531-ND	2.29	1.83	1.43	—	—	—
2	DIP	13	5	0.6	10M	5	2500	TLP2630-ND	1.90	1.53	1.19	—	—	—
	DIP	13	5	0.6	10M	5	2500	TLP2631-ND	1.90	1.53	1.19	—	—	—
	SMD	13	5	0.6	10M	5	2500	TLP2631TP1CT-ND†	2.00	1.60	1.25	TLP2631TP1TR-ND	1,500	1133.39/M
3	SMD	1.6	16	0.4	1M	15	2500	TLP112-ND	1.36	1.10	.82	TLP112TR-ND	3,000	698.96/M
		3.2	16	0.4	1M	15	2500	TLP112A-ND	1.36	1.10	.82	TLP112ATR-ND	3,000	780.23/M
4	SMD	13	10	0.4	10M	5	2500	TLP113CT-ND†	1.48	1.19	.89	TLP113TR-ND	3,000	758.56/M
		13	10	0.4	10M	5	2500	—	—	—	—	TLP115TR-ND	3,000	1307.80/M
		13	5	0.4	10M	5	2500	TLP115A-ND	2.67	2.13	1.66	TLP115ATR-ND	3,000	1537.14/M
5	DIP	1.6	16	0.4	1M	15	2500	TLP550-ND	1.17	.94	.70	—	—	—
6	DIP	3.2	16	0.4	1M	15	2500	TLP559-ND	1.48	1.19	.89	—	—	—
7	DIP	1.12	16	0.4	1M	15	2500	6N135T-ND	1.02	.85	.68	—	—	—
		3.04	16	0.4	1M	15	2500	6N136T-ND	.81	.68	.55	—	—	—
8	DIP	13	5	0.6	10M	5	2500	6N137T-ND	.81	.68	.55	—	—	—
	DIP	13	5	0.6	10M	5	2500	TLP2601-ND	1.69	1.36	1.02	—	—	—
	SMD	13	5	0.6	10M	5	2500	TLP2601TP1CT-ND†	1.90	1.53	1.19	TLP2601TP1TR-ND	1,500	1079.42/M
9	DIP	4.8	1.6	0.4	100K	7	2500	6N138T-ND	.91	.77	.61	—	—	—
		2	0.5	0.4	100K	18	2500	6N139T-ND	.81	.68	.55	—	—	—
10	DIP	6.4	1.6	0.4	5M	20	2500	TLP558-ND	3.05	2.44	1.90	—	—	—
		-2.6	0	2.4										
11	DIP	6.4	0	0.5	5M	20	2500	TLP2200-ND	2.10	1.68	1.31	—	—	—
		-2.6	1.6	2.4										
	SMD	6.4	0	0.5	5M	20	2500	TLP2200CT-ND†	2.24	1.79	1.39	TLP2200TR-ND	1,500	1265.08/M
		-2.6	1.6	2.4										

† Gurtabschnitt

Abb. 1

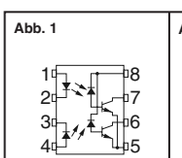

Abb. 2

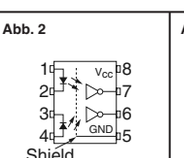

Abb. 3

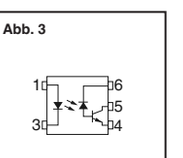

Abb. 4

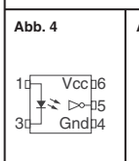

Abb. 5

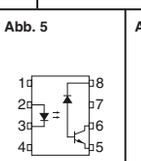

Abb. 6

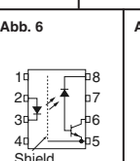

Abb. 7

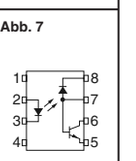

Abb. 8

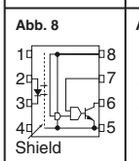

Abb. 9

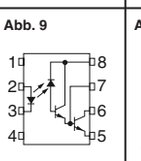

Abb. 10

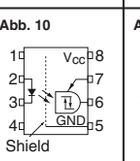

Abb. 11

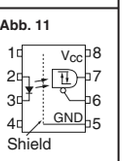

Fotovoltaische Koppler

Abb. 1

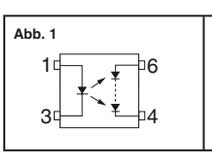

Abb. 2

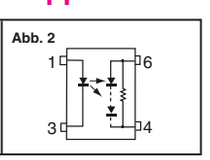

Abb.	Paket	Kurzschlussstrom Min. (uA)	@IF (ma)	Offener Spannungstyp (V)	Schaltzeit (@ UF=20 mA, CL=1.000 pF) T ein (ms)	T aus (ms)	Isolations-spannung (VRMS)	Digi-Key Teilenr.	Stückpreis 1	10	100	Digi-Key Teilenr.	Gegurtet auf Rolle Größe	Preisangaben
1	SMD	12	10	8	0.2	2	2500	TLP190B-ND	2.29	1.83	1.43	—	—	—
	SMD	12	10	8	0.2	2	2500	TLP190BCT-ND†	2.29	1.83	1.43	TLP190BTR-ND	3,000	1280.06/M
2	SMD	24	20	8	0.2	2	2500	TLP191B-ND	2.48	1.99	1.55	TLP191BTR-ND	3,000	1386.73/M

† Gurtabschnitt

Industrielle Optoisolatoren

Merkmale:

- Versorgungsspannung: 10 V ~ 30 V
- Isolationsspannung: 3.750 Vrms

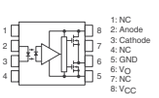

Paket	Eingangsstrom Min. (uA)	Max. (mA)	Durchlass-spannung	Betriebsfrequenz	Betriebstemperatur	Digi-Key Teilenr.	Stückpreis 1	10	100	Toshiba Teilenr.
DIP	7.5	10	1.55	25Khz	-40°C ~ 100°C	TLP351-ND	1.27	1.02	.77	TLP351

Leistungstransistor-Ausgänge

Abb. 1

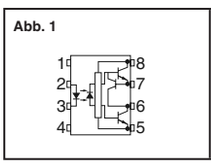

Abb. 2

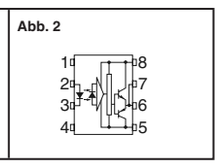

Abb.	Paket	Ausgangsstrom E/A (A)	@ IF (ma)	Typische Verzögerungszeit (us)	Max. Versor-gungsspannung (V)	Isolations-spannung (VRMS)	Digi-Key Teilenr.	Stückpreis 1	10	100	Digi-Key Teilenr.	Gegurtet auf Rolle 1.500
1	DIP	0.25	5	1	16	2500	TLP557-ND	1.52	1.22	.92	—	—
2	DIP	±0.5	5	0.2	35	2500	TLP250-ND	1.59	1.27	.96	—	—
	SMD	±1.5	5	0.15 @ 8mA	35	2500	TLP250CT-ND†	1.90	1.53	1.15	TLP250TR-ND	990.52/M
	SMD	±0.4	5	0.25 @ 8mA	35	2500	TLP251CT-ND†	1.59	1.27	.96	TLP251TR-ND	825.44/M

† Gurtabschnitt

J

Alle Preisangaben in Euro und inklusive Zollgebühren.

FAIRCHILD
SEMICONDUCTOR

Optoisolatoren

Abb. 1 Fototransistor-Ausgang

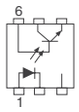

Abb. 2 Foto-Darlington-Ausgang

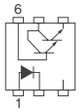

Abb. 3 Hochgeschwindigkeit stransistor-Ausgang

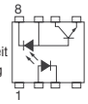

Abb. 4 Split-Darlington mit hoher Verstärkung

Abb. 5 AC-Eingang Fototransistor-Ausgang

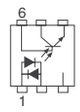

Abb. 6 Hochspannungs-Foto-Darlington-Aausgang

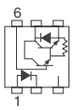

Abb. 7 Zweikanal-Hochgeschwindigkeit stransistor-Ausgang

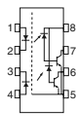

Abb. 8 Zweif. Split-Darlington-Ausgang

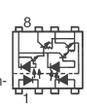

Abb. 9 Zweif. Fototransistor-Ausgang

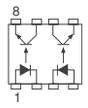

Abb. 10 Zweif. SMT-Fototransistor-Ausgang, MCT9001QT-ND kein SMT

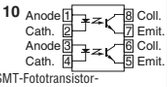

Abb. 11 Triac-Ausgang ohne Nulldurchgang

Abb. 12 SCR-Ausgang

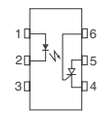

Abb. 13 Darlington-Ausgang

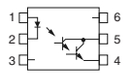

Abb. 14 SMT-Transistor-Ausgang

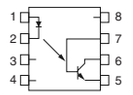

Abb. 15 SMT-Darlington-Ausgang

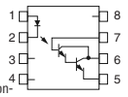

Abb. 16 SMT-AC-Eingang Transistor-Ausgang

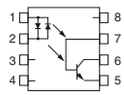

Abb. 17 Nulldurchgang-Triac-Ausgang

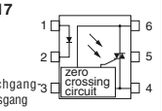

Abb. 18 SMT Zweikanal-Darlington-Ausgang

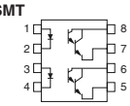

Abb. 19

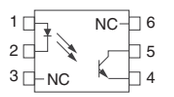

Optoisolatoren mit Fototransistor-Ausgang

Abb.	Iso. Spann.	Stromtransferrate - typ. (%) (min.)	Typ.	max.)	V_{CEO} (max.)	Typ. t_{on}/t_{off} (µs)	Paket-typ	Digi-Key Teilenr.	Stückpreis 1	10	100
	5300	20	50	—	30	2.0/2.0	DIP	4N25FS-ND	.47	.38	.29
	5300	20	70	—	30	2.0/2.0	SMT	4N25SM-ND	.47	.38	.29
	5300	20	70	—	30	2.0/2.0	DIP	4N25MFS-ND	.47	.38	.29
	5300	20	50	—	30	2.0/2.0	DIP	4N26FS-ND	.47	.38	.29
1	5300	20	70	—	30	2.0/2.0	DIP	4N26MFS-ND	.47	.38	.29
	5300	20	50	—	30	2.0/2.0	DIP	4N27-ND	.47	.38	.29
	5300	10	50	—	30	2.0/2.0	DIP	4N27MFS-ND	.47	.38	.29
	5300	20	50	—	30	2.0/2.0	DIP	4N28-ND	.47	.38	.29
	5300	10	50	—	30	2.0/2.0	DIP	4N28MFS-ND	.47	.38	.29
	5300	100	—	—	30	5.0/40	DIP	4N29-ND	.47	.35	.27
	5300	100	—	—	30	5.0/40	DIP	4N30-ND	.47	.35	.27
2	5300	50	—	—	30	5.0/40	DIP	4N31-ND	.47	.35	.27
	5300	500	—	—	30	5.0/100	DIP	4N32-ND	.47	.35	.27
	5300	500	—	—	30	5.0/100	SMT	4N32S-ND	.47	.35	.27
	5300	500	—	—	30	5.0/100	DIP	4N33-ND	.47	.35	.27
	5300	100	300	—	30	2.0/2.0	DIP	4N35FS-ND	.47	.38	.29
	5300	100	—	—	30	2.0/2.0	SMT	4N35SFS-ND	.47	.38	.29
	5300	100	300	—	30	2.0/2.0	SMT	4N35SM-ND	.47	.38	.29
	5300	100	300	—	30	2.0/2.0	DIP	4N35MFS-ND	.47	.38	.29
1	5300	100	—	—	30	2.0/2.0	DIP	4N35300-ND†	.47	.38	.29
	5300	100	300	—	30	2.0/2.0	DIP	4N36-ND	.47	.38	.29
	5300	100	300	—	30	2.0/2.0	DIP	4N36M-ND	.47	.38	.29
	5300	100	300	—	30	2.0/2.0	DIP	4N37FS-ND	.47	.38	.29
	5300	100	300	—	30	2.0/2.0	DIP	4N37MFS-ND	.47	.38	.29
	5300	20	—	—	80	—	DIP	4N38-ND	.77	.58	.44
3	2500	7	18	50	15V	1.5/1.5	DIP	6N135QT-ND	.78	.65	.53
	2500	19	27	50	15V	.8/.8	DIP	6N136QT-ND	.78	.65	.53
4	2500	300	1300	—	7V	10/35	DIP	6N138QT-ND	.76	.64	.51
	2500	400	1100	—	18V	1/7	DIP	6N139QT-ND	.78	.65	.53
	5300	40	—	80	70	6.0/5.5	DIP	CNY17F1FS-ND	.46	.35	.26
19	5300	63	—	125	70	6.0/5.5	DIP	CNY17F2FS-ND	.46	.35	.26
	5300	100	—	200	70	6.0/5.5	DIP	CNY17F3FS-ND	.46	.35	.26
	5300	40	—	80	70	5.0/34	DIP	CNY171FS-ND	.46	.35	.26
	5300	40	60	80	70	5.0/34	DIP	CNY171MFS-ND	.41	.31	.23
	5300	63	100	125	70	8.0/39	DIP	CNY172M-ND	.45	.34	.26
	5300	100	150	200	70	8.0/39	DIP	CNY173M-ND	.41	.31	.23
	5300	40	60	80	70	5.0/34	DIP	CNY171300-ND †	.46	.35	.26
1	5300	63	100	125	70	8.0/39	DIP	CNY172FS-ND	.46	.35	.26
	5300	63	100	125	70	8.0/39	DIP	CNY172300-ND †	.46	.35	.26
	5300	100	150	200	70	8.0/39	DIP	CNY173FS-ND	.46	.35	.26
	5300	100	150	200	70	8.0/39	DIP	CNY173300-ND †	.46	.35	.26
	5300	160	—	320	70	8.0/39	DIP	CNY174FS-ND	.46	.35	.26
	5300	160	—	320	70	8.0/39	DIP	CNY174300-ND †	.46	.35	.26
	5300	50	120	—	70	—	DIP	H11A1FS-ND	.47	.38	.29
	5300	50	120	—	30	2.0/2.0	SMT	H11A1SM-ND	.47	.38	.29
	5300	50	120	—	30	2.0/2.0	DIP	H11A1MFS-ND	.47	.38	.29
1	5300	50	120	—	30	2.0/2.0	DIP	H11A1300-ND †	.47	.38	.29
	5300	20	—	—	70	—	DIP	H11A2FS-ND	.47	.38	.29
	5300	20	—	—	30	2.0/2.0	DIP	H11A3FS-ND	.47	.38	.29
	2500	30	—	—	30	2.0/2.0	DIP	H11A5FS-ND	.47	.38	.29
	5300	20	—	—	30	—	DIP	H11AA1300-ND †	.63	.47	.36
	2500	20	—	—	30	2.0/2.0	DIP	H11AA1-ND	.66	.50	.37
5	2500	10	—	—	30	2.0/2.0	DIP	H11AA2-ND	.66	.50	.37
	2500	50	—	—	30	2.0/2.0	DIP	H11AA3-ND	.66	.50	.37
	2500	100	—	—	30	2.0/2.0	DIP	H11AA4-ND	.67	.51	.38
	4000	300	—	—	30	5.0/5.0	DIP	H11AG1-ND	.64	.54	.44
1	5300	100	—	300	70	15.0/15.0	DIP	H11AV1AM-ND *	.67	.51	.38
	5300	100	—	300	70	15.0/15.0	DIP	H11AV1M-ND	.67	.50	.38
	5300	500	—	—	25	—	DIP	H11B1-ND	.50	.38	.28
2	5300	500	—	—	25	—	DIP	H11B1300-ND †	.51	.38	.29
	5300	200	—	—	25	—	DIP	H11B2-ND	.50	.38	.28
	5300	100	—	—	55	25.0/18.0	DIP	H11B255-ND	.50	.38	.28
	5300	20	—	—	300	—	DIP	H11D1FS-ND	.64	.54	.44
	5300	20	—	—	300	5.0/5.0	DIP	H11D1300-ND †	.64	.54	.44
1	5300	20	—	—	300	—	DIP	H11D2-ND	.64	.54	.44
	5300	20	—	—	300	5.0/5.0	DIP	H11D2300-ND †	.64	.54	.44
	5300	20	—	—	200	—	DIP	H11D3-ND	.81	.61	.46
	4000	1000	—	—	100	5/100	DIP	H11G1-ND	.76	.57	.43
	5300	500	—	—	100	5.0/100	SMT	H11G1S-ND	.76	.57	.43
6	4000	1000	—	—	80	5/100	DIP	H11G2-ND	.76	.57	.43
	5300	200	—	—	25	—	DIP	H11G3-ND	.71	.54	.40
	4000	—	250	—	55	50/500	DIP	H11G45QT-ND	1.19	.95	.72
3	2500	12	27	—	15V	.45/.3	DIP	HCPL2503QT-ND	.91	.76	.61
7	2500	16	18	—	—	4.5/.5	DIP	HCPL2530-ND	1.64	1.32	.99
	2500	19	27	—	—	.45/.3	DIP	HCPL2531-ND	1.52	1.23	.92
8	2500	300	—	—	7V	20/35	DIP	HCPL2730QT-ND	1.58	1.27	.95
	2500	400	—	—	18V	2/10	DIP	HCPL2731QT-ND	1.58	1.27	.95
	2500	150	225	—	30	5/5	DIP	MCT210-ND	.71	.53	.40
1	5300	20	60	—	30	6/5	DIP	MCT2200300-ND †	.44	.34	.25
	2500	20	50	—	30	5/5	DIP	MCT26QT-ND	.28	.26	.24
	2500	45	67	—	30	7/7	DIP	MCT271-ND	.44	.34	.25

Abb.	Iso. Spann.	Stromtransferrate - typ. (%) (min.)	Typ.	max.)	V_{CEO} (max.)	Typ. t_{on}/t_{off} (µs)	Paket-typ	Digi-Key Teilenr.	Stückpreis 1	10	100
	2500	20	60	—	30	5/5	DIP	MCT2E-ND	.43	.33	.25
	5300	20	70	—	30	2.8/4.5	DIP	MCT2EM-ND	.43	.33	.25
	2500	20	70	—	30	5/5	DIP	MCT2-ND	.43	.33	.25
1	5300	20	70	—	30	2.8/4.5	DIP	MCT2M-ND	.43	.33	.25
	2500	120	225	—	30	6/19	DIP	MCT5201-ND	.64	.54	.44
	2500	70	400	—	30	10/12	DIP	MCT5210-ND	.64	.54	.44
	2500	150	350	—	30	20/20	DIP	MCT5211-ND	.69	.57	.46
	2500	50	—	—	30	2.4/15	DIP	MCT61-ND	.71	.54	.40
9	2500	100	—	—	30	2.4/15	DIP	MCT62-ND	.76	.57	.43
	2500	10	—	—	30	5.0/25.0	SMT	MCT62S-ND	.76	.57	.43
	2500	20	—	—	30	2.4/15	DIP	MCT6-ND	.71	.54	.40
10	2500	50	—	600	55	2.4/2.4	DIP	MCT9001-ND	.81	.61	.46
1	5300	100	300	—	70	10/10	DIP	TIL111-ND	.47	.36	.27
13	5300	300	450	—	30	3.5/95	DIP	MOC119-ND	.56	.42	.32
	3000	40	60	80	70	3.0/2.8	SMT	MOC205M-ND	.60	.46	.34
14	3000	63	94	125	70	3.0/2.8	SMT	MOC206M-ND	.68	.51	.38
	3000	100	150	200	70	3.0/2.8	SMT	MOC207M-ND	.68	.51	.38
	3000	40	80	125	70	3.0/2.8	SMT	MOC208M-ND	.68	.51	.38
	3000	20	65	—	30	7.5/5.7	SMT	MOC211M-ND	.68	.51	.38
	3000	50	90	—	30	7.5/5.7	SMT	MOC212M-ND	.68	.51	.38
14	3000	100	140	—	30	7.5/5.7	SMT	MOC213M-ND	.60	.46	.34
	3000	20	—	—	30	4.0/4.0	SMT	MOC215M-ND	.68	.51	.38
	3000	50	—	—	30	4.0/4.0	SMT	MOC216M-ND	.68	.51	.38
	3000	100	—	—	30	4.0/4.0	SMT	MOC217M-ND	.60	.46	.34
15	3000	500	1000	—	30	3.5/95	SMT	MOC223M-ND	.77	.58	.44
16	3000	20	150	—	30	—	SMT	MOC256M-ND	.70	.59	.47
	5300	500	—	—	50	3.5/95	DIP	MOC8020-MQT-ND	.89	.84	.77
	5300	500	—	—	50	3.5/95	DIP	MOC8020-ND	.56	.42	.32
13	5300	1000	—	—	50	3.5/95	DIP	MOC8021-ND	.56	.42	.32
	5300	300	—	—	50	3.5/95	DIP	MOC8030-ND	.63	.48	.36
	5300	500	—	—	50	3.5/95	DIP	MOC8050-ND	.73	.55	.41
1	5300	50	100	—	30	20.0/20.0	DIP	MOC8100M-ND	.46	.35	.26
	5300	50	65	80	30	7.5/5.7	DIP	MOC8101-ND	.56	.42	.32
	5300	50	—	150	70	7.5/5.7	DIP	MOC8106-ND	.46	.35	.26
19	5300	20	—	—	70	6.0/5.5	DIP	MOC8111-ND	.41	.31	.23
	5300	50	—	—	70	6.0/5.5	DIP	MOC8112-ND	.41	.31	.23
	5300	100	—	—	70	6.0/5.5	DIP	MOC8113-ND	.41	.31	.23
	2500	100	150	200	70	3.0/2.8	SMT	MOCD207M-ND	.80	.68	.54
	2500	40	—	125	70	3.0/2.8	SMT	MOCD208M-ND	.87	.73	.59
10	2500	20	65	—	30	7.5/5.7	SMT	MOCD211M-ND	.76	.64	.51
	2500	100	—	—	70	3.0/2.8	SMT	MOCD213M-ND	.84	.70	.56
	2500	100	130	—	30	7.5/5.7	SMT	MOCD217M-ND	.81	.69	.55
18	2500	500	1000	—	30	3.5/95	SMT	MOCD223M-ND	.87	.73	.59

† VDE anerkannt * 0,4" (10,16 mm) Rastermaß

Optoisolatoren, SCR- und Triac-Ausgang

Abb.	Iso. Spann.	Max I_F-Trigger (mA)	Min. Sperr-spannung	Max. I_{DRM}	Paket-typ	Digi-Key Teilenr.	Stückpreis 1	10	100
	5300	15	250V	.100	DIP	MOC3010M-ND	.67	.51	.38
	5300	10	250V	.100	DIP	MOC3011M-ND	.67	.51	.38
	5300	5	250V	.100	DIP	MOC3012M-ND	.67	.51	.38
	5300	5	250V	.100	SMT	MOC3012SM-ND	.72	.55	.41
	5300	30	400V	.100	DIP	MOC3020MFS-ND	.67	.51	.38
11	5300	15	400V	.100	DIP	MOC3021MFS-ND	.65	.49	.37
	5300	10	400V	.100	DIP	MOC3022MFS-ND	.65	.50	.37
	5300	10	400V	.100	DIP	MOC3022VM-ND †	.65	.50	.37
	5300	5	400V	.100	SMT	MOC3023SM-ND	.71	.53	.40
	5300	5	400V	.100	DIP	MOC3023TM-ND *	.75	.56	.42
	5300	5	400V	.100	DIP	MOC3023MFS-ND	.71	.53	.40
	5300	30	200V	50	DIP	4N39-ND	.95	.79	.63
	5300	14	400V	150	DIP	4N40QT-ND	1.02	.86	.69
12	5300	20	200V	50	DIP	H11C1-ND	1.02	.86	.69
	5300	20	200V	50	DIP	H11C2-ND	.91	.76	.61
	5300	30	200V	50	DIP	H11C3-ND	.91	.76	.61
	5300	20	400V	150	DIP	H11C4-ND	1.07	.89	.71
	5300	20	400V	150	DIP	H11C5-ND	1.02	.86	.69
	5300	30	400V	150	DIP	H11C6-ND	.95	.80	.64
	5300	15	250V	.100	DIP	MOC3031M-ND	.75	.63	.51
17	5300	10	250V	.100	DIP	MOC3032M-ND	.75	.63	.51
	5300	5	250V	.100	DIP	MOC3033M-ND	.82	.69	.55
	5300	15	400V	.100	DIP	MOC3041M-ND	.75	.63	.51
	5300	10	400V	.100	DIP	MOC3042M-ND	.75	.63	.51
	5300	5	400V	.100	DIP	MOC3043M-ND	.75	.63	.51
11	5300	15	600V	.100	DIP	MOC3051M-ND	.75	.63	.51
	5300	10	600V	.100	DIP	MOC3052M-ND	.75	.63	.51
	5300	15	600V	.500	DIP	MOC3061M-ND	.79	.66	.53
	5300	10	600V	.500	DIP	MOC3062M-ND	.73	.61	.49
	5300	5	600V	.500	DIP	MOC3063M-ND	.79	.66	.53
	5300	5	600V	.500	DIP	MOC3063TM-ND *	.80	.68	.54
17	5300	15	800V	.500	DIP	MOC3081M-ND	1.11	.89	.67
	5300	10	800V	.500	DIP	MOC3082M-ND	1.14	.92	.69
	5300	5	800V	.500	DIP	MOC3083M-ND	1.20	.96	.72
	5300	10	600V	.100	DIP	MOC3162M-ND	1.46	1.18	.89
	5300	5	600V	.100	DIP	MOC3163M-ND	1.46	1.18	.89

† VDE anerkannt *0,4" (10,16 mm) Rastermaß

J

FAIRCHILD SEMICONDUCTOR

Optoisolatoren

Abb. 1

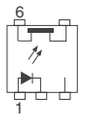

Bilateraler Analog-FET-Ausgang

Abb. 2

4-Pin. Transistor-Ausgang

Abb. 3

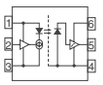

Hochgeschwindigkeits-TTL, gepufferter Ausgang

Abb. 4

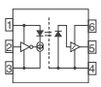

Hochgeschwindigkeits-TTL, invertierter Ausgang

Abb. 5

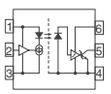

Hochgeschwindigkeits-CMOS, gepufferter Ausgang

Abb. 6

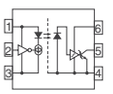

Hochgeschwindigkeits-CMOS, invertierter Ausgang

Abb. 7

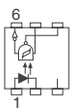

Schmitt-Trigger, invertierter OC-Ausgang

Abb. 8

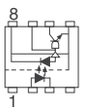

Very-High-Speed-TTL, 5V CMOS-Ausgang

Abb. 9

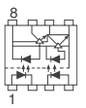

Zweif. Very-High-Speed-TTL, 5V CMOS-Ausgang

Abb. 10

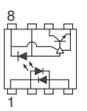

Stromleitungs überwachung, TTL-Ausgang

4-Pin Koppler

Abb.	Isolations-spannung	Stromtransferrate	VCEO (max.)	Typ. t_{on}/t_{off} (µs)	Paket-typ	Digi-Key Teilenr.	Stückpreis 1	10	100
2A	5300	20-300%	35	2.4/2.4	DIP	H11AA814-ND	.41	.32	.24
	5300	50-150%	35	2.4/2.4	DIP	H11AA814A-ND	.41	.32	.24
2B	5300	50-600%	35	2.4/2.4	DIP	H11A817-ND	.38	.31	.23
	5300	80-160%	35	2.4/2.4	DIP	H11A817A-ND	.41	.33	.25
	5300	130-260%	35	2.4/2.4	DIP	H11A817B-ND	.41	.33	.25
	5300	200-400%	35	2.4/2.4	DIP	H11A817C-ND	.41	.33	.25
	5300	300-600%	35	2.4/2.4	DIP	H11A817D-ND	.41	.32	.24

Optoisolatoren, Logik-Ausgang

Abb.	Funktion	Eingang: LSTTL-Ausgang	15 M Baud-Rt. Ausgangsk-onfiguration	Paket-typ	Digi-Key Teilenr.	Stückpreis 1	10	100
3	Puff.	TTL	Totem-Pole	DIP	74OL6000-ND	2.65	2.13	1.65
	Puff.	TTL	Totem-Pole	SMT	74OL6000S-ND	2.72	2.18	1.70
4	Inv.	TTL	Totem-Pole	DIP	74OL6001-ND	2.65	2.13	1.65
5	Puff.	CMOS	Offener Kollekt.	DIP	74OL6010-ND	2.65	2.13	1.65
6	Inv.	CMOS	Offener Kollekt.	DIP	74OL6011-ND	2.65	2.13	1.65

Abb.	Iso. Spann.	I_{on} Ifein Stromstärke (max.) mA	I_{CCL} max.)	Betr. Spannung (max.)	Paket-typ	Digi-Key Teilenr.	Stückpreis 1	10	100	Gegurtet auf Rolle 1.000‡
7	5300	1.6	5	16V	SMT	H11L1SM-ND	.81	.68	.55	—
	5300	1.6	5	16V	DIP	H11L1-MQT-ND	.65	.55	.44	—
	5300	1.6	5	16V	DIP	H11L1V-MQT-ND†	.80	.67	.54	—
	5300	10	5	16V	DIP	H11L2-MQT-ND	.73	.61	.49	—
	7500	60	5	16V	DIP	H11L3M-ND	.75	.63	.51	—
	5300	3.2	10	16V	DIP	H11N1-MQT-ND	2.08	1.67	1.30	—
	5300	10	10	16V	DIP	H11N3-MQT-ND	1.84	1.47	1.15	—
	7500	1.6	5	15V	DIP	H11L1M-ND	.75	.63	.51	—
	7500	60	5	15V	DIP	H11L1SR2MCT-ND	.75	.63	.51	333.74
	7500	1.6	5	15V	SMD	H11L1SR2VMCT-ND	.81	.68	.55	360.76
	7500	1.6	5	15V	SMD	H11L1SVM-ND†	.81	.68	.55	—
	7500	1.6	5	15V	DIP	H11L1TM-ND	.81	.68	.55	—
	7500	1.6	5	15V	DIP	H11L1TVM-ND†	.75	.63	.51	—
	7500	1.6	5	15V	DIP	H11L1VM-ND	.81	.68	.55	—
	7500	10.0	5	15V	DIP	H11L2M-ND	.75	.63	.51	—
	7500	10.0	5	15V	SMD	H11L2SM-ND	.75	.63	.51	—
	7500	10.0	5	15V	SMD	H11L2SR2MCT-ND	.78	.65	.52	344.55
	7500	10.0	5	15V	SMD	H11L2SVM-ND†	.76	.64	.51	—
	7500	10.0	5	15V	DIP	H11L2TVM-ND†	.76	.64	.51	—
	7500	10.0	5	15V	DIP	H11L2VM-ND†	.76	.64	.51	—

‡ Für Gegurtet auf Rolle CT-ND in TR-ND ändern. † VDE anerkannt

Abb.	Isol. Spann.	Max. Ausbr. Verzögerung (nS)	Typ. CMR V/µsec.	I_F (mA)	Paket-typ	Digi-Key Teilenr.	Stückpreis 1	10	100
8	2500	75	10,000	5	DIP	HCPL2601QT-ND	1.16	.97	.78
	2500	75	10,000	5	DIP	HCPL2611-ND	1.27	1.02	.76
9	2500	75	10,000	5	DIP	HCPL2630QT-ND	1.78	1.43	1.07
	2500	75	10,000	5	DIP	HCPL2631QT-ND	2.09	1.68	1.26
8	2500	75	10,000	5	DIP	6N137QT-ND	.81	.68	.55

Abb.	Isolations-spannung	BV_{CEO} (min.)	Typ. t_{on}/t_{off} (µs)	Paket-typ	Digi-Key Teilenr.	Stückpreis 1	10	100
10	2500	5V	1/1	DIP	MID400-ND	2.44	1.95	1.52

FET-Ausgänge

Abb.	Isolations-spannung	Rds EIN (Ω)	Vbr (min.)	Typ. t_{on}/t_{off} (µs)	Paket-typ	Digi-Key Teilenr.	Stückpreis 1	10	100
1	5300	200	30	25/25	DIP	H11F1-ND	1.87	1.50	1.13
	5300	330	30	25/25	DIP	H11F2-ND	2.00	1.60	1.20
	5300	470	15	25/25	DIP	H11F3-ND	1.69	1.36	1.02

Panasonic® Optoisolatoren

Abb.	Stromtransferrate Min. (%)	Max. (%)	@ IF (mA)	VCE (V)	V_{CEO}	Isolations-spannung (Vrms)	Digi-Key Teilenr.	Gurtabschnittspreis pro Stück 1	10	100	Digi-Key Teilenr.	Gegurtet auf Rolle 2.500
DC-Eingang, SMD, 16-Pin												
1	100	600	50	0.2	80	2500	CNC1H001CT-ND	1.60	1.28	.96	CNC1H001TR-ND	817.82/M
AC-Eingang, SMD, 16-Pin												
2	100	600	±50	0.2	80	2500	CNC7H001CT-ND	1.78	1.43	1.07	—	—
DC-Eingang, HD4-1-Paket												
3	50	600	50	0.2	80	5000	CNC1S171-ND	.60	.46	.34	—	—

Abb. 1

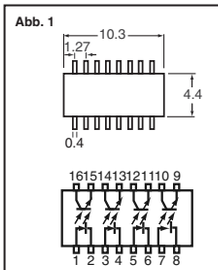

Abb. 2

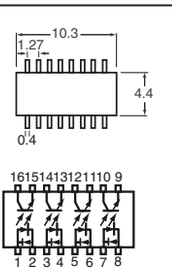

Abb. 3

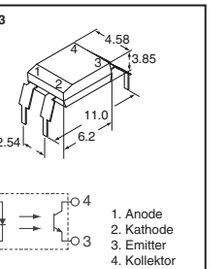

Opto-Links

SPEZIFIKATIONEN: • Isolationsspannung: 5.000 • VCEO (max.): 60 V • Typ. tr/tf: 5 µs/4 µs

Abb. 1

Fototransistor-Ausgang, DIP oder SMT

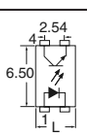

Abb. 2

Zweif. Fototransistor-Ausgang, DIP oder SMT

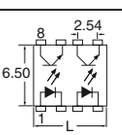

Abb. 3

Vierf. Fototransistor-Ausgang, DIP oder SMT

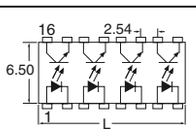

Abb. 4

Fototransistor-Ausgang, DIP oder SMT

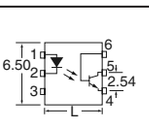

Abb. 5

Fototransistor-Ausgang, DIP oder SMT

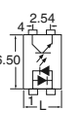

Abb. 6

Vierf. Fototransistor-Ausgang, DIP oder SMT

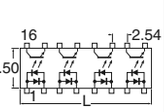

Abb. 7

Foto-IC-Ausgang, DIP oder SMT

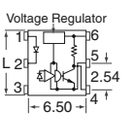

Optoisolatoren mit Fototransistor-Ausgang

Abb.	Stromtrans-ferrate Min.-Max.	Länge L (mm)	Paket	Digi-Key Teilenr.	Stückpreis 1	10	Preisangaben für Gegurtet auf Rolle‡	Lumex Teilenr.
1	60-600%	4.60	DIP	67-1560-5-ND	.43	.36	—	OCP-PCT114/E
	60-600%	4.60	SMT	67-1613-1-ND	.43	.36	477.82/2000	OCP-PCT114/E-TR
2	60-600%	9.68	DIP	67-1561-5-ND	.89	.75	—	OCP-PCT218/E
	60-600%	9.68	SMT	67-1614-1-ND	.89	.75	491.87/1000	OCP-PCT218/E-TR
3	60-600%	19.84	DIP	67-1562-5-ND	1.55	1.30	—	OCP-PCT4116/E
	60-600%	19.84	SMT	67-1618-5-ND	1.55	1.30	—	OCP-PCT4116/E-TR
4	60-600%	7.30	DIP	67-1563-5-ND	.33	.28	—	OCP-PCTB116/E
	60-600%	7.30	SMT	67-1615-1-ND	.33	.28	182.70/1000	OCP-PCTB116/E-TR
5	60-600%	4.60	DIP	67-1564-5-ND	.53	.45	—	OCP-PCT124/A
	60-600%	4.60	SMT	67-1616-1-ND	.53	.45	590.25/2000	OCP-PCT124/A-TR
6	60-600%	19.84	DIP	67-1565-5-ND	2.45	2.04	—	OCP-PCT4216/A
	60-600%	19.84	SMT	67-1619-5-ND	2.45	2.04	—	OCP-PCT4216/A-TR

Optoisolatoren mit Foto-IC-Ausgang

Abb.	Isolations-spannung	Ausbr.verz. t_{PHL}/t_{PLH} (µs)	Länge L (mm)	Paket	Digi-Key Teilenr.	Stückpreis 1	10	Preisangabe für Gegurtet auf Rolle 1.000‡	Lumex Teilenr.
7	5000	5/3	7.3	DIP	67-1566-5-ND	1.39	1.16	—	OCP-PCP116
	5000	5/3	7.3	SMT	67-1617-1-ND	1.39	1.16	765.92	OCP-PCP116-TR

‡ Für Gegurtet auf Rolle Teilenr. von -1-ND in 2-ND ändern

J

Alle Preisangaben in Euro und inklusive Zollgebühren.

Optoisolatoren

Serie OPI1264: Serie OPI1264: Optisch gekoppelte Isolatoren, jeder bestehend aus einer IR-emittierenden Diode, die mit einem NPN-Silizium-Fototransistor gekoppelt und in einem vorgeformten undurchsichtigen Paket verkapselt ist.

Serie OPI155: Enthält einen monolithischen Hochgeschwindigkeits-Foto-IC, bestehend aus einer Fotodiode und einem DC-Verstärker, der einen offenen Kollektorausgang-Schottky-Transistor antreibt.

Abb. 1

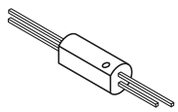

Abb. 2

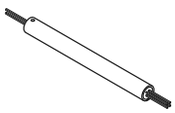

Abb.	Isolations-spannung	DC-Durchlassstrom (mA)	DC-Rückfluss-spannung	Stromtransferrate DC	Digi-Key Teilenr.	Stückpreis 1	100	250	TT Electronics Teilenr.
1	±10k	40	2.0	25%	365-1031-ND	2.40	1.75	1.62	OPI1264A
	±10k	40	2.0	50%	365-1032-ND	2.45	1.78	1.65	OPI1264B
	±10k	40	2.0	100%	365-1033-ND	2.49	1.82	1.68	OPI1264C
2	±50k	50	3.0	25mA	365-1034-ND	58.86	42.81	39.60	OPI155

LITEON Optoisolatoren

Abb. 1

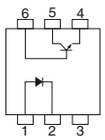

Abb. 2

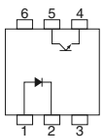

Abb. 3

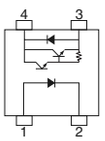

Abb. 4

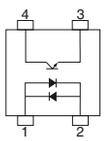

Abb. 5

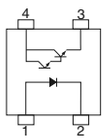

Abb. 6

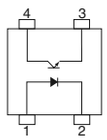

Abb. 7

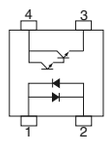

Abb. 8

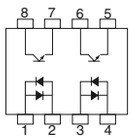

Abb. 9

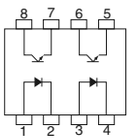

Abb. 10

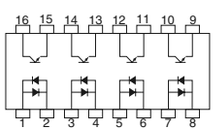

Abb. 11

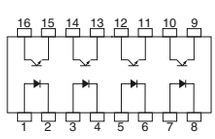

Abb. 12

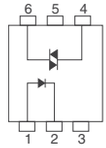

Abb. 13

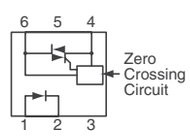

Abb.	Isolations-spannung	Stromtrans-ferrate Min.	Max.	VCEO (max.)	Typ. t_{on}/t_{off} (µs)	Paket-typ	Digi-Key Teilenr.	Stückpreis 1	10	100	Lite-On Teilenr.
1	2500	20%	–	30	3.0/3.0	DIP	160-1300-5-ND	.27	.21	.16	4N25
	2500	20%	–	30	3.0/3.0	SMT	160-1301-5-ND	.29	.22	.17	4N25S
	1500	20%	–	30	3.0/3.0	DIP	160-1302-5-ND	.27	.21	.16	4N26
	1500	20%	–	30	3.0/3.0	SMT	160-1303-5-ND	.29	.22	.17	4N26S
	3550	100%	–	30	3.0/3.0	DIP	160-1304-5-ND	.27	.21	.16	4N35
	3550	100%	–	30	3.0/3.0	SMT	160-1305-5-ND	.27	.21	.16	4N35S
	1500	100%	–	30	3.0/3.0	DIP	160-1306-5-ND	.27	.21	.16	4N37
	1500	100%	–	30	3.0/3.0	SMT	160-1307-5-ND	.29	.22	.17	4N37S
	5000	40%	80%	70	5.0/5.0	DIP	160-1308-5-ND	.27	.21	.16	CNY17-1
	5000	40%	80%	70	5.0/5.0	SMT	160-1309-5-ND	.29	.22	.17	CNY17-1S
	5000	63%	125%	70	5.0/5.0	DIP	160-1310-5-ND	.37	.28	.21	CNY17-2
	5000	63%	125%	70	5.0/5.0	SMT	160-1311-5-ND	.42	.32	.24	CNY17-2S
	5000	100%	200%	70	5.0/5.0	DIP	160-1312-5-ND	.27	.21	.16	CNY17-3
	5000	100%	200%	70	5.0/5.0	SMT	160-1313-5-ND	.29	.22	.17	CNY17-3S
	5000	160%	320%	70	5.0/5.0	DIP	160-1314-5-ND	.27	.21	.16	CNY17-4
	5000	160%	320%	70	5.0/5.0	SMT	160-1315-5-ND	.29	.22	.17	CNY17-4S
2	5000	40%	80%	70	5.0/5.0	DIP	160-1316-5-ND	.27	.21	.16	CNY17F-1
	5000	40%	80%	70	5.0/5.0	SMT	160-1317-5-ND	.29	.22	.17	CNY17F-1S
	5000	63%	125%	70	5.0/5.0	DIP	160-1318-5-ND	.27	.21	.16	CNY17F-2
	5000	63%	125%	70	5.0/5.0	SMT	160-1319-5-ND	.29	.22	.17	CNY17F-2S
	5000	100%	200%	70	5.0/5.0	DIP	160-1320-5-ND	.28	.21	.16	CNY17F-3
	5000	100%	200%	70	5.0/5.0	SMT	160-1321-5-ND	.29	.22	.17	CNY17F-3S
	5000	160%	320%	70	5.0/5.0	DIP	160-1322-5-ND	.27	.21	.16	CNY17F-4
	5000	160%	320%	70	5.0/5.0	SMT	160-1323-5-ND	.29	.22	.17	CNY17F-4S
1	5000	50%	–	30	2.8/4.5	DIP	160-1324-5-ND	.27	.21	.16	H11A1
	5000	50%	–	30	2.8/4.5	SMT	160-1325-5-ND	.29	.22	.17	H11A1S
	5000	20%	–	30	2.8/4.5	DIP	160-1326-5-ND	.27	.21	.16	H11A2
	5000	20%	–	30	2.8/4.5	SMT	160-1327-5-ND	.29	.22	.17	H11A2S
	5000	20%	–	300	5.0/5.0	DIP	160-1328-5-ND	.64	.49	.37	H11D1
	5000	20%	–	300	5.0/5.0	SMT	160-1329-5-ND	.66	.50	.37	H11D1S
3	3750	1000%	–	300	100/20	SMT	160-1331-1-ND	.43	.37	.29	LTV-352T
	3750	1000%	–	300	100/20	SMT	160-1331-2-ND*		162.87/750		LTV-352T
4	3750	20%	400%	35	4.0/3.0	SMT	160-1333-1-ND	.25	.22	.17	LTV-354T
	3750	20%	400%	35	4.0/3.0	SMT	160-1333-2-ND*		95.24/750		LTV-354T
5	3750	600%	7500%	35	60/53	SMT	160-1335-1-ND	.19	.16	.13	LTV-355T
	3750	600%	7500%	35	60/53	SMT	160-1335-2-ND*		81.91/750		LTV-335T
6	3750	50%	600%	80	4.0/3.0	SMT	160-1337-1-ND	.19	.16	.13	LTV-356T
	3750	50%	600%	80	4.0/3.0	SMT	160-1337-2-ND*		71.44/750		LTV-356T
	3750	50%	600%	35	4.0/3.0	SMT	160-1339-1-ND	.19	.16	.13	LTV-357T
	3750	50%	600%	35	4.0/3.0	SMT	160-1339-2-ND*		71.44/750		LTV-357T
2	5000	40%	320%	70	2.0/2.0	DIP	160-1340-5-ND	.27	.21	.16	LTV-702F
	5000	40%	320%	70	2.0/2.0	SMT	160-1341-5-ND	.29	.22	.17	LTV-702FS
1	5000	40%	320%	70	2.0/2.0	DIP	160-1342-5-ND	.27	.21	.16	LTV-702V
4	5000	20%	300%	35	4.0/3.0	DIP	160-1344-5-ND	.30	.23	.17	LTV-814
	5000	20%	300%	35	4.0/3.0	SMT	160-1345-5-ND	.30	.24	.18	LTV-814S

Abb.	Isolations-spannung	Stromtrans-ferrate Min.	Max.	VCEO (max.)	Typ. t_{on}/t_{off} (µs)	Paket-typ	Digi-Key Teilenr.	Stückpreis 1	10	100	Lite-On Teilenr.
8	5000	20%	300%	35	4.0/3.0	DIP	160-1346-5-ND	.59	.45	.34	LTV-824
	5000	20%	300%	35	4.0/3.0	SMT	160-1347-5-ND	.61	.46	.35	LTV-824S
10	5000	20%	300%	35	4.0/3.0	DIP	160-1348-5-ND	1.19	.89	.67	LTV-844
	5000	20%	300%	35	4.0/3.0	SMT	160-1349-5-ND	1.20	.90	.68	LTV-844S
4	5000	20%	80%	35	4.0/3.0	DIP	160-1350-5-ND	.34	.26	.20	LTV-814H
	5000	20%	80%	35	4.0/3.0	SMT	160-1351-5-ND	.36	.27	.20	LTV-814HS
8	5000	20%	80%	35	4.0/3.0	DIP	160-1352-5-ND	.68	.51	.39	LTV-824H
7	5000	600%	7500%	35	60/53	DIP	160-1356-5-ND	.53	.41	.31	LTV-8141
	5000	600%	7500%	35	60/53	SMT	160-1357-5-ND	.54	.41	.31	LTV-8141S
5	5000	600%	7500%	35	60/53	DIP	160-1358-5-ND	.27	.21	.16	LTV-815
	5000	600%	7500%	35	60/53	SMT	160-1359-5-ND	.28	.22	.16	LTV-815S
6	5000	50%	600%	80	4.0/3.0	DIP	160-1360-5-ND	.21	.16	.12	LTV-816
	5000	50%	600%	80	4.0/3.0	SMT	160-1361-5-ND	.22	.17	.13	LTV-816S
9	5000	50%	600%	80	4.0/3.0	DIP	160-1362-5-ND	.42	.32	.24	LTV-826
	5000	50%	600%	80	4.0/3.0	SMT	160-1363-5-ND	.44	.33	.25	LTV-826S
11	5000	50%	600%	80	4.0/3.0	DIP	160-1364-5-ND	.85	.64	.48	LTV-846
	5000	50%	600%	80	4.0/3.0	SMT	160-1365-5-ND	.86	.65	.49	LTV-846S
6	5000	50%	600%	35	4.0/3.0	DIP	160-1366-5-ND	.21	.16	.12	LTV-817
	5000	50%	600%	35	4.0/3.0	SMT	160-1367-5-ND	.22	.17	.13	LTV-817S
9	5000	50%	600%	35	4.0/3.0	DIP	160-1368-5-ND	.42	.32	.24	LTV-827
	5000	50%	600%	35	4.0/3.0	SMT	160-1369-5-ND	.54	.41	.31	LTV-827S
11	5000	50%	600%	35	4.0/3.0	DIP	160-1370-5-ND	.85	.64	.48	LTV-847
	5000	50%	600%	35	4.0/3.0	SMT	160-1371-5-ND	.86	.65	.49	LTV-847S

* Gegurtet auf Rolle, Teilenr.

Optoisolatoren mit Triac-Ausgang

Abb.	Max. IF Isolations-spannung	Min. Trigger (mA)	Max. Sperr-spannung	IR (µA)	Ausführung	Digi-Key Teilenr.	Stückpreis 1	10	100	Lite-On Teilenr.
12	5000	30	400V	10	DIP	160-1372-5-ND	.53	.41	.31	MOC3020
	5000	30	400V	10	SMT	160-1373-5-ND	.54	.41	.31	MOC3020S
	5000	15	400V	10	DIP	160-1374-5-ND	.53	.41	.31	MOC3021
	5000	15	400V	10	SMT	160-1375-5-ND	.54	.41	.31	MOC3021S
	5000	10	400V	10	DIP	160-1376-5-ND	.53	.41	.31	MOC3022
	5000	10	400V	10	SMT	160-1377-5-ND	.54	.41	.31	MOC3022S
	5000	5	400V	10	DIP	160-1378-5-ND	.53	.41	.31	MOC3023
	5000	5	400V	10	SMT	160-1379-5-ND	.54	.41	.31	MOC3023S
13	5000	5	600V	10	DIP	160-1722-5-ND	.49	.42	.33	MOC3063
	5000	5	600V	10	SMT	160-1723-1-ND	.51	.43	.35	MOC3063S-TA1
	5000	5	600V	10	SMT	160-1723-2-ND*		255.25/1,000		MOC3063S-TA1

* Gegurtet auf Rolle, Teilenr.

J

Fotokoppler

Abb. 1

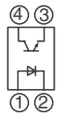

Abb. 2

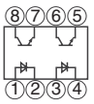

Abb. 3

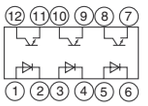

Abb. 4

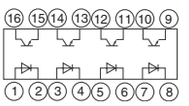

Abb. 5

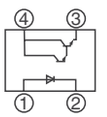

Abb. 6

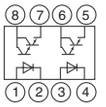

Abb. 7

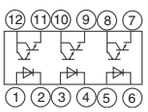

Abb. 8

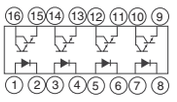

Abb. 9

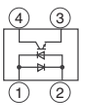

Abb. 10

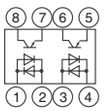

Abb. 11

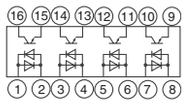

Abb. 12

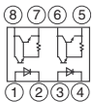

Abb. 13

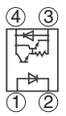

Abb. 14

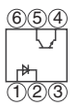

Abb. 15

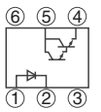

Abb. 16

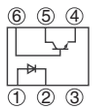

Abb. 17

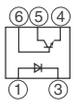

Abb. 18

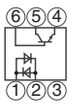

Abb. 19

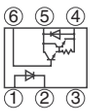

Abb. 20

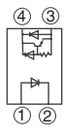

Abb. 21

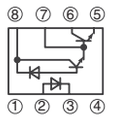

Abb.	Ausgang VCEO (V) max.	Ausgang IC (mA) max.	Stromtransferrate Min. (%)	Stromtransferrate Max. (%)	Stromtransferrate @ IF (mA)	Stromtransferrate @ Vce (V)	Isolationsspannung (Vrms)	Abmessungen - mm Länge	Abmessungen - mm Breite	Abmessungen - mm Neigung	Pakettyp	Digi-Key Teilenr.	Preis pro Röhre 1	Preis pro Röhre 10	Preis pro Röhre 100	Sharp Teilenr.
Schlauch																
	35	20	10	100	20	5	5000	6.0	16.2	2.54	4-DIP	425-1406-5-ND*	1.85	1.48	1.22	PC512
	35	50	10	100	1	0.4	5000	4.58	6.5	2.54	4-DIP	425-1472-5-ND	1.08	.87	.72	PC818
	35	50	10	100	1	0.4	5000	4.58	6.5	2.54	4-SMD	425-1473-5-ND	.86	.72	.58	PC818I
	35	50	10	100	1	0.4	5000	4.58	6.5	2.54	4-DIP	425-1475-5-ND*	1.35	1.09	.90	PC818Y
	35	50	20	200	1	5	5000	9.66	6.5	2.54	8-DIP	425-1476-5-ND†	2.46	2.03	1.64	PC823
	35	50	50	600	5	5	5000	4.58	6.5	2.54	4-DIP	425-1464-5-ND	.37	.26	.19	PC817X
	35	50	50	600	5	5	5000	4.58	6.5	2.54	4-SMD	425-1455-5-ND	.41	.28	.21	PC817XI
	35	50	60	120	1	0.4	5000	4.58	6.5	2.54	4-SMD	425-1435-5-ND	1.27	1.06	.85	PC810AI
	35	50	60	200	1	0.4	5000	4.58	6.5	2.54	6-DIP	425-1434-5-ND	1.14	.96	.77	PC810
	35	50	60	200	1	0.4	5000	4.58	6.5	2.54	4-SMD	425-1436-5-ND	1.21	.97	.80	PC810I
	35	50	80	160	5	5	5000	4.58	6.5	2.54	4-DIP	425-1465-5-ND	.41	.28	.21	PC817X1
	35	50	80	160	5	5	5000	4.58	6.5	2.54	4-DIP	425-2185-5-ND▲	.41	.28	.21	PC817X1J000F
	35	50	80	160	5	5	5000	4.58	6.5	2.54	4-SMD	425-1470-5-ND	.44	.31	.23	PC817XI1
	35	50	80	160	5	5	5000	4.58	6.5	2.54	4-SMD	425-2191-5-ND▲	.44	.31	.23	PC817XI1J00F
	35	50	130	260	5	5	5000	4.58	6.5	2.54	4-DIP	425-1466-5-ND	.41	.28	.21	PC817X2
	35	50	130	260	5	5	5000	4.58	6.5	2.54	4-SMD	425-1471-5-ND	.44	.31	.23	PC817XI2
	35	50	130	260	5	5	5000	4.58	6.5	2.54	4-SMD	425-2192-5-ND▲	.44	.31	.23	PC817XI2J00F
1	35	50	200	400	5	5	5000	4.58	6.5	2.54	4-DIP	425-1467-5-ND	.41	.28	.21	PC817X3
	35	50	200	600	5	5	5000	4.58	6.5	2.54	4-DIP	425-1469-5-ND	.44	.31	.23	PC817X7
	35	50	300	600	5	5	5000	4.58	6.5	2.54	4-DIP	425-1468-5-ND	.41	.28	.21	PC817X4
	70	50	50	150	0.5	5	5000	4.58	6.5	2.54	4-DIP	425-1311-5-ND	.58	.40	.29	PC123A
	70	50	50	150	5	5	5000	4.58	6.5	2.54	4-DIP	425-1318-5-ND*	.68	.47	.34	PC123Y1
	70	50	50	400	0.5	5	5000	4.58	6.5	2.54	4-DIP	425-1310-5-ND	.61	.42	.31	PC12311NSZ
	70	50	50	400	0.5	5	5000	4.58	6.5	2.54	4-DIP	425-1309-5-ND	.58	.40	.29	PC12310NSZ
	70	50	50	400	5	5	5000	4.58	6.5	2.54	4-DIP	425-1308-5-ND	.51	.35	.26	PC123
	70	50	50	400	5	5	5000	4.58	6.5	2.54	4-DIP	425-1317-5-ND*	.64	.45	.33	PC123Y
	70	50	100	200	0.5	5	5000	4.58	6.5	2.54	4-DIP	425-1316-5-ND	.64	.45	.33	PC123S
	70	50	100	200	5	5	5000	4.58	6.5	2.54	4-DIP	425-1320-5-ND*	.71	.49	.36	PC123YS
	70	50	100	250	0.5	5	5000	4.58	6.5	2.54	4-DIP	425-1312-5-ND	.58	.40	.29	PC123B
	70	50	100	250	5	5	5000	4.58	6.5	2.54	4-DIP	425-1319-5-ND*	.68	.47	.34	PC123Y2
	70	50	100	600	.5	5	5000	4.58	6.5	2.54	4-DIP	425-1456-5-ND	.54	.38	.28	PC81710NSZ
	70	50	120	300	.5	5	5000	4.58	6.5	2.54	4-DIP	425-1458-5-ND	.54	.38	.28	PC81711NSZ
	70	50	160	400	.5	5	5000	4.58	6.5	2.54	4-DIP	425-1460-5-ND	.54	.38	.28	PC81712NSZ
	70	50	200	500	.5	5	5000	4.58	6.5	2.54	4-DIP	425-1462-5-ND	.54	.38	.28	PC81713NSZ
	350	50	40	80 Typ.	5	5	5000	4.58	6.5	2.54	4-DIP	425-1503-5-ND	.68	.47	.34	PC851X
	350	50	40	80 Typ.	5	5	5000	4.58	6.5	2.54	4-SMD	425-1504-5-ND	.75	.52	.38	PC851XI
	35	50	50	400	5	5	5000	9.66	6.5	2.54	8-DIP	425-1487-5-ND*	1.14	.92	.76	PC829Y
	35	50	50	600	5	5	5000	9.66	6.5	2.54	8-DIP	425-1481-5-ND	.71	.60	.48	PC827
	35	50	80	260	5	5	5000	9.66	6.5	2.54	8-DIP	425-1482-5-ND	.79	.66	.53	PC827AB
2	35	50	80	600	5	5	5000	9.66	6.5	2.54	8-DIP	425-1483-5-ND	.74	.62	.50	PC827AD
	35	50	130	600	5	5	5000	9.66	6.5	2.54	8-DIP	425-1484-5-ND	.74	.62	.50	PC827BD
	35	50	200	600	5	5	5000	9.66	6.5	2.54	8-DIP	425-1485-5-ND	.76	.64	.51	PC827CD
	80	50	1000	—	1	.5	5000	4.58	6.5	2.54	4-DIP	425-1509-5-ND	.64	.45	.33	PC866
	35	50	50	600	5	5	5000	14.74	6.5	2.54	12-DIP	425-1490-5-ND	1.22	1.02	.82	PC837
3	35	50	50	600	5	5	5000	14.74	6.5	2.54	12-DIP	425-1492-5-ND*	1.31	1.05	.87	PC837Y
	70	50	50	600	5	5	5000	19.82	6.5	2.54	16-DIP	425-1499-5-ND	1.14	.96	.77	PC847X
4	70	50	200	600	5	5	5000	19.82	6.5	2.54	16-DIP	425-1500-5-ND	1.14	.96	.77	PC847X7
	300	50	40	80 Typ.	5	5	5000	19.82	6.5	2.54	16-DIP	425-1516-5-ND	5.18	4.26	3.46	PC8Q51

† AC-Eingang # Darlington-Ausgang * Din/VDE 0884 ◊ Verlustleistung: PC852XI: 200 und PC853XI: 320 ▲ bleifrei/RoHS-konform

(Forts.)

J

Alle Preisangaben in Euro und inklusive Zollgebühren.

Abb.	Ausgang VCEO (V) max.	Ausgang IC (mA) max.	Stromtransferrate Min. (%)	Stromtransferrate Max. (%)	Stromtransferrate @ IF (mA)	Stromtransferrate @ Vce (V)	Isolationsspannung (Vrms)	Abmessungen - mm Länge	Abmessungen - mm Breite	Abmessungen - mm Neigung	Pakettyp	Digi-Key Teilenr.	Preis pro Röhre 1	Preis pro Röhre 10	Preis pro Röhre 100	Sharp Teilenr.
	35	80	600	7500	1	2	5000	4.58	6.5	2.54	4-DIP	425-1450-5-ND#	.79	.66	.53	PC815
	35	80	600	7500	1	2	5000	4.58	6.5	2.54	4-SMD	425-1452-5-ND#	.81	.68	.55	PC815I
5	35	80	600	7500	1	2	5000	4.58	6.5	2.54	4-SMD	425-1453-5-ND*#	1.08	.87	.72	PC815IY
	35	80	600	7500	1	2	5000	4.58	6.5	2.54	4-SMD	425-1454-5-ND*#	1.09	.91	.73	PC815Y
	35	80	600	12000	.5	2	5000	4.58	6.5	2.54	4-DIP	425-1451-5-ND#	.81	.56	.41	PC81510NSZ
6	35	80	600	7500	1	2	5000	9.66	6.5	2.54	8-DIP	425-1479-5-ND#	1.21	.97	.80	PC825
	35	80	600	7500	1	2	5000	9.66	6.5	2.54	8-DIP	425-1480-5-ND*#	1.55	1.24	1.02	PC825Y
7	35	80	600	7500	1	2	5000	14.74	6.5	2.54	12-DIP	425-1488-5-ND#	1.86	1.49	1.23	PC835
	35	80	600	7500	1	2	5000	14.74	6.5	2.54	12-DIP	425-1489-5-ND*#	2.15	1.77	1.44	PC835Y
	35	50	20	300	1	5	5000	4.58	6.5	2.54	4-DIP	425-1446-5-ND†	.47	.33	.24	PC814X
9	35	50	50	150	1	5	5000	4.58	6.5	2.54	4-DIP	425-1447-5-ND†	.51	.35	.26	PC814X1
	70	50	50	400	.5	5	5000	4.58	6.5	2.54	4-DIP	425-1444-5-ND†	.68	.47	.34	PC81410NSZ
	70	50	100	300	.5	5	5000	4.58	6.5	2.54	4-DIP	425-1445-5-ND†	.75	.52	.38	PC81411NSZ
10	35	50	20	300	1	5	5000	9.66	6.5	2.54	8-DIP	425-1477-5-ND†	1.12	.94	.75	PC824
	35	50	50	150	1	5	5000	9.66	6.5	2.54	8-DIP	425-1478-5-ND†	.91	.77	.61	PC824A
	35	50	20	300	1	5	5000	19.82	6.5	2.54	16-SMD	425-1493-5-ND	1.19	.95	.79	PC844IJ1
11	35	50	20	300	1	5	5000	19.82	6.5	2.54	16-DIP	425-1494-5-ND	1.17	.94	.77	PC844X
	35	50	150	300	1	5	5000	19.82	6.5	2.54	16-DIP	425-1495-5-ND	1.25	1.00	.83	PC844X1
12	70	80	1000	8000	1	2	5000	9.66	6.5	2.54	8-DIP	425-1511-5-ND	1.40	1.12	.93	PC875
	350	150	1000	15000	1	2	5000	4.58	6.5	2.54	4-DIP	425-1773-5-ND#	.75	.52	.38	PC852X
13	350	150	1000	15000	1	2	5000	4.58	6.5	2.54	4-SMD	425-1505-5-ND#◊	.81	.56	.41	PC852XI
	350	150	1000	15000	1	2	5000	4.58	6.5	2.54	4-DIP	425-1506-5-ND#	.78	.54	.39	PC853X
	350	150	1000	15000	1	2	5000	4.58	6.5	2.54	4-SMD	425-1507-5-ND#◊	.85	.59	.43	PC853XI
	35	50	50	600	5	5	5000	7.12	6.5	2.54	6-DIP	425-1418-5-ND	.64	.45	.33	PC714V0NSZX
14	35	50	50	600	5	5	5000	7.12	6.5	2.54	6-DIP	425-1419-5-ND*	.71	.49	.36	PC714V0YSZX
	35	80	20	80	100	2	5000	7.12	6.5	2.54	6-DIP	425-1426-5-ND*	.75	.52	.38	PC724V0NSZX
	35	80	600	7500	1	2	5000	7.12	6.5	2.54	6-DIP	425-1420-5-ND#	.75	.52	.38	PC715V0NSZX
15	35	200	1000	15000	1	2	5000	7.12	6.5	2.54	6-DIP	425-1422-5-ND#	.69	.58	.46	PC716V0NSZX
	35	200	1000	15000	1	2	5000	7.12	6.5	2.54	6-DIP	425-1423-5-ND*#	.71	.60	.48	PC716V0YSZX
	35	50	50	600	5	5	5000	7.12	6.5	2.54	6-DIP	425-1416-5-ND	.68	.47	.34	PC713V0NSZX
	35	50	50	600	5	5	5000	7.12	6.5	2.54	6-DIP	425-1417-5-ND*	.71	.49	.36	PC713V0YSZX
	70	50	40	320	10	5	5000	7.12	6.5	2.54	6-DIP	425-1411-5-ND	.75	.52	.38	PC702V0NSZX
	70	50	40	320	10	5	5000	7.12	6.5	2.54	6-DIP	425-1412-5-ND*	.81	.56	.41	PC702V0YSZX
16	70	50	40	320	10	5	5000	7.12	6.5	2.54	6-SMD	425-1413-5-ND	.78	.54	.39	PC703V0NIZX
	70	50	40	320	10	5	5000	7.12	6.5	2.54	6-DIP	425-1414-5-ND	.75	.52	.38	PC703V0NSZX
	70	50	40	320	10	5	5000	7.12	6.5	2.54	6-DIP	425-1415-5-ND*	.78	.54	.39	PC703V0YSZX
	80	50	50	400	5	5	5000	7.12	6.5	2.54	6-DIP	425-1424-5-ND	.81	.56	.41	PC723V0NSZX
	35	50	15	300	1	5	5000	9.22	6.5	2.54	6-DIP	425-1431-5-ND†	1.14	.92	.76	PC733
18	35	80	20	80	100	2	5000	9.22	6.5	2.54	6-DIP	425-1432-5-ND†	1.30	1.04	.86	PC733H
19	300	150	1000	15000	1	2	5000	7.12	6.5	2.54	6-DIP	425-1429-5-ND*	1.02	.85	.68	PC725V0YSZX
	70	30	50	400	5	5	5000	4.58	6.5	2.54	4-DIP	425-1437-5-ND	.71	.49	.36	PC81100NSZ
	70	30	60	120	5	5	5000	4.58	6.5	2.54	4-DIP	425-1438-5-ND	.75	.52	.38	PC81101NSZ
	70	30	60	200	5	5	5000	4.58	6.5	2.54	4-DIP	425-1441-5-ND	.71	.49	.36	PC81105NSZ
20	70	30	60	300	5	5	5000	4.58	6.5	2.54	4-DIP	425-1443-5-ND	.71	.49	.36	PC81108NSZ
	70	30	100	200	5	5	5000	4.58	6.5	2.54	4-DIP	425-1439-5-ND	.75	.52	.38	PC81102NSZ
	70	30	100	300	5	5	5000	4.58	6.5	2.54	4-DIP	425-1442-5-ND	.71	.49	.36	PC81106NSZ
	70	30	150	300	5	5	5000	4.58	6.5	2.54	4-DIP	425-1440-5-ND	.75	.52	.38	PC81103NSZ
21	7VCC	20	300	—	1.6	4.5	2500	9.22	6.5	2.54	8-DIP	425-1800-5-ND	1.68	1.34	1.11	PC6N138X

† AC-Eingang # Darlington-Ausgang * Din/VDE 0884 ◊ Verlustleistung: PC852XI: 200 und PC853XI: 320 ▲ bleifrei/RoHS-konform

Abb.	Ausgang VCEO (V) max.	Ausgang IC (mA) max.	Stromtransferrate Min. (%)	Stromtransferrate Max. (%)	Stromtransferrate @ IF (mA)	Stromtransferrate @ Vce (V)	Isolationsspannung (Vrms)	Abmessungen - mm Länge	Abmessungen - mm Breite	Abmessungen - mm Neigung	Pakettyp	Digi-Key Teilenr.	Gurtabschnittspreis pro Stück 1	Gurtabschnittspreis pro Stück 10	Gurtabschnittspreis pro Stück 100	Digi-Key Teilenr.	Gegurtet auf Rolle Größe	Gegurtet auf Rolle Preisangaben	Sharp Teilenr.
Gurtabschnitt/Gegurtet auf Rolle																			
	35	50	50	600	5	5	3750	3.6	4.4	2.54	4-SMD	425-1328-1-ND	.41	.34	.28	425-1328-2-ND	3,000	189.64/M	PC357N
	35	50	50	600	5	5	3750	3.6	4.4	2.54	4-SMD	425-1334-1-ND	.43	.36	.29	425-1334-2-ND	750	151.12	PC357NT
	35	50	80	160	5	5	3750	3.6	4.4	2.54	4-SMD	425-1330-1-ND	.43	.36	.29	425-1330-2-ND	3,000	201.49/M	PC357N1
	35	50	80	600	5	5	3750	3.6	4.4	2.54	4-SMD	425-1329-1-ND	.43	.36	.29	425-1329-2-ND	3,000	201.49/M	PC357N0
	35	50	130	260	5	5	3750	3.6	4.4	2.54	4-SMD	425-1331-1-ND	.43	.36	.29	425-1331-2-ND	3,000	201.49/M	PC357N2
	35	50	130	260	5	5	3750	3.6	4.4	2.54	4-SMD	425-2091-1-ND▲	.43	.36	.29	425-2091-2-ND▲	3,000	201.49/M	PC357N2J000F
	35	50	200	400	5	5	3750	3.6	4.4	2.54	4-SMD	425-1332-1-ND	.43	.36	.29	425-1332-2-ND	3,000	201.49/M	PC357N3
	35	50	200	400	5	5	3750	3.6	4.4	2.54	4-SMD	425-2092-1-ND▲	.43	.36	.29	425-2092-2-ND▲	3,000	201.49/M	PC357N3J000F
	35	50	300	600	5	5	3750	3.6	4.4	2.54	4-SMD	425-1333-1-ND	.43	.36	.29	425-1333-2-ND	3,000	201.49/M	PC357N4
	70	50	20	400	1	5	2500	2.6	4.4	1.27	4-SMD	425-1341-1-ND†	.43	.36	.29	425-1341-2-ND†	3,000	201.49/M	PC3H4
	70	50	20	400	1	5	2500	2.6	4.4	1.27	4-SMD	425-2105-1-ND▲	.43	.36	.29	425-2105-2-ND▲	3,000	201.49/M	PC3H4J00000F
	70	50	20	400	1	5	2500	2.6	4.4	1.27	4-SMD	425-1347-1-ND	.38	.32	.26	425-1347-2-ND	3,000	177.79/M	PC3H7
	70	50	20	400	1	5	2500	2.6	4.4	1.27	4-SMD	425-2116-1-ND▲	.38	.32	.26	425-2116-2-ND▲	3,000	177.79/M	PC3H7J00000F
1	70	50	35	70	1	5	2500	2.6	4.4	1.27	4-SMD	425-1352-1-ND	.41	.34	.28	425-1352-2-ND	3,000	189.64/M	PC3H7A
	70	50	50	100	1	5	2500	2.6	4.4	1.27	4-SMD	425-1353-1-ND	.43	.36	.29	425-1353-2-ND	3,000	201.49/M	PC3H7B
	70	50	50	400	0.5	5	5000	4.58	6.5	2.54	4-SMD	425-1313-1-ND	.41	.34	.28	425-1313-2-ND	2,000	189.64/M	PC123P
	70	50	50	400	5	5	5000	4.58	6.5	2.54	4-SMD	425-1321-1-ND*	.41	.34	.28	425-1321-2-ND*	2,000	189.64/M	PC123ZY2
	70	50	80	160	1	5	2500	2.6	4.4	1.27	4-SMD	425-1354-1-ND	.43	.36	.29	425-1354-2-ND	3,000	201.49/M	PC3H7C
	70	50	100	250	0.5	5	5000	4.58	6.5	2.54	4-SMD	425-1315-1-ND*	.61	.51	.41	425-1315-2-ND*	2,000	284.46/M	PC123PY2
	70	50	100	250	0.5	5	5000	4.58	6.5	2.54	4-SMD	425-1314-1-ND	.43	.36	.29	425-1314-2-ND	2,000	201.49/M	PC123P2
	70	50	100	500	0.5	5	3750	3.6	4.4	2.54	4-SMD	425-1338-1-ND	.43	.36	.29	425-1338-2-ND	3,000	201.49/M	PC367N
	70	50	100	500	0.5	5	3750	3.6	4.4	2.54	4-SMD	425-2101-1-ND▲	.43	.36	.29	425-2101-2-ND▲	3,000	201.49/M	PC367NJ0000F
	70	50	150	300	0.5	5	3750	3.6	4.4	2.54	4-SMD	425-2099-1-ND▲	.48	.48	.33	425-2099-2-ND▲	3,000	225.20/M	PC367N1J000F
	70	50	100	600	0.5	5	5000	4.58	6.5	2.54	4-SMD	425-1383-1-ND	.48	.41	.33	425-1383-2-ND	2,000	225.20/M	PC81710NIP
	70	50	100	600	0.5	5	5000	4.58	6.5	2.54	4-SMD	425-2176-1-ND▲	.48	.41	.33	425-2176-2-ND▲	2,000	225.20/M	PC81710NIP0F
	70	50	100	600	0.5	5	2500	10.3	4.4	1.27	16-SMD	425-1361-1-ND	1.73	1.52	1.21	425-1361-2-ND	—	—	PC3Q710NIP

† AC-Eingang # Darlington-Ausgang * Din/VDE 0884 ▲ Tbleifrei/RoHS-konform *(Forts.)*

J

Fotokoppler *(Forts.)*

Abb.	Ausgang VCEO (V) max.	Ausgang IC (mA) max.	Stromtransferrate Min. (%)	Stromtransferrate Max. (%)	Stromtransferrate @ IF (mA)	Stromtransferrate @ Vce (V)	Isolationsspannung (Vrms)	Abmessungen - mm Länge	Abmessungen - mm Breite	Abmessungen - mm Neigung	Pakettyp	Digi-Key Teilenr.	Gurtabschnittspreis pro Stück 1	10	100	Digi-Key Teilenr.	Gegurtet auf Rolle Größe	Gegurtet auf Rolle Preisangaben	Sharp Teilenr.
Gurtabschnitt/Gegurtet auf Rolle *(Forts.)*																			
1	70	50	100	700	0.5	5	2500	2.6	4.4	1.27	4-SMD	425-1348-1-ND	.46	.39	.31	—	—	—	PC3H710NIP
	70	50	100	700	0.5	5	2500	2.6	4.4	1.27	4-SMD	425-2108-1-ND▲	.46	.39	.31	425-2108-2-ND▲	3,000	213.35/M	PC3H710NIP0F
	70	50	120	300	0.5	5	5000	4.58	6.5	2.54	4-SMD	425-1457-1-ND	.51	.43	.34	425-1457-2-ND	2,000	237.05/M	PC81711NIP
	70	50	140	350	0.5	5	2500	2.6	4.4	1.27	4-SMD	425-1349-1-ND	.51	.43	.34	—	—	—	PC3H711NIP
	70	50	140	500	0.5	5	2500	2.6	4.4	1.27	4-SMD	425-1351-1-ND	.51	.43	.34	425-1351-2-ND	3,000	237.05/M	PC3H715NIP
	70	50	160	400	0.5	5	5000	4.58	6.5	2.54	4-SMD	425-1459-1-ND	.51	.43	.34	425-1459-2-ND	2,000	237.05/M	PC81712NIP
	70	50	200	400	0.5	5	3750	3.6	4.4	2.54	4-SMD	425-1340-1-ND	.46	.39	.31	425-1340-2-ND	3,000	213.35/M	PC367N2
	70	50	200	500	0.5	5	2500	2.6	4.4	1.27	4-SMD	425-1350-1-ND	.51	.43	.34	425-1350-2-ND	3,000	237.05/M	PC3H712NIP
	70	50	200	500	0.5	5	5000	4.58	6.5	2.54	4-SMD	425-1461-1-ND	.48	.41	.33	425-1461-2-ND	2,000	225.20/M	PC81713NIP
	350	50	40	80 Typ.	5	5	3750	3.6	4.4	2.54	4-SMD	425-1525-1-ND	.84	.70	.56	425-1525-2-ND	3,000	363.19/M	PC451
	350	50	40	240	5	5	2500	2.6	4.4	1.27	4-SMD	425-1378-1-ND	.58	.49	.39	425-1378-2-ND	3,000	272.61/M	PC4H510NIP
4	35	50	50	600	5	5	2500	10.3	4.4	1.27	16-SMD	425-1360-1-ND	1.78	1.56	1.25	425-1360-2-ND	1,000	1125.39	PC3Q67
5	35	80	600	7500	1.0	2	3750	3.6	4.4	2.54	4-SMD	425-1326-1-ND#	.61	.51	.41	425-1326-2-ND#	3,000	284.46/M	PC355N
	35	80	600	7500	1	2	2500	2.6	4.4	1.27	4-SMD	425-1345-1-ND#	.53	.45	.36	425-1345-2-ND#	—	—	PC3H5
	35	80	600	12000	0.5	2	3750	3.6	4.4	2.54	4-SMD	425-1337-1-ND#	.51	.43	.34	425-1337-2-ND#	3,000	237.05/M	PC365N
	35	80	600	12000	0.5	2	2500	2.6	4.4	1.27	4-SMD	425-2106-1-ND#▲	.58	.49	.39	425-2106-2-ND#▲	3,000	272.61/M	PC3H510NIP0F
8	35	80	600	7500	1	2	2500	10.3	4.4	1.27	16-SMD	425-1359-1-ND#	1.79	1.57	1.26	425-1359-2-ND#	1,000	1136.10	PC3Q65
	35	80	600	12000	0.5	2	2500	10.3	4.4	1.27	16-SMD	425-1357-1-ND#	1.91	1.68	1.34	425-1357-2-ND#	1,000	1211.13	PC3Q510NIP
9	35	50	20	300	1	5	5000	4.58	6.5	2.54	4-SMD	425-1448-1-ND†	.53	.45	.36	425-1448-2-ND†	2,000	248.90/M	PC814XP
	35	50	20	400	1.0	5	3750	3.6	4.4	2.54	4-SMD	425-1324-1-ND†	.43	.36	.29	425-1324-2-ND†	3,000	201.49/M	PC354N
	35	50	50	150	1.0	5	3750	3.6	4.4	2.54	4-SMD	425-1325-1-ND†	.61	.51	.41	425-1325-2-ND†	3,000	284.46/M	PC354N1
	35	50	50	150	1	5	5000	4.58	6.5	2.54	4-SMD	425-1449-1-ND	.53	.45	.36	—	—	—	PC814XP1
	70	50	50	400	0.5	5	3750	3.6	4.4	2.54	4-SMD	425-1335-1-ND†	.58	.49	.39	425-1335-2-ND†	3,000	272.61/M	PC364N
	70	50	50	400	0.5	5	2500	2.6	4.4	1.27	4-SMD	425-1342-1-ND†	.58	.49	.39	425-1342-2-ND†	3,000	272.61/M	PC3H410NIP
	70	50	100	300	0.5	5	3750	3.6	4.4	2.54	4-SMD	425-1336-1-ND†	.61	.51	.41	425-1336-2-ND†	3,000	284.46/M	PC364N1
	70	50	100	300	0.5	5	2500	2.6	4.4	1.27	4-SMD	425-1343-1-ND†	.58	.49	.39	425-1343-2-ND†	3,000	272.61/M	PC3H411NIP
11	35	50	20	400	1	5	2500	10.3	4.4	1.27	16-SMD	425-1358-1-ND†	2.15	1.89	1.51	425-1358-2-ND†	1,000	1361.18	PC3Q64
	70	50	50	150	1	5	2500	2.6	4.4	1.27	4-SMD	425-1344-1-ND†	.46	.39	.31	425-1344-2-ND†	3,000	213.35/M	PC3H4A
	70	50	50	400	0.5	5	2500	10.3	4.4	1.27	16-SMD	425-1356-1-ND†	2.15	1.89	1.51	—	—	—	PC3Q410NIP
13	300	150	1000	—	1	2	3750	3.6	4.4	2.54	4-SMD	425-1526-1-ND	.99	.83	.67	425-1526-2-ND	3,000	429.23/M	PC452
	350	120	1000	12000	1	2	2500	2.6	4.4	1.27	4-SMD	425-1379-1-ND	.66	.55	.45	425-1379-2-ND	3,000	286.15/M	PC4H520NIP
14	35	80	20	80	100	2	5000	7.12	6.5	2.54	6-SMD	425-1382-1-ND	.66	.55	.45	—	—	—	PC724V0NIPX
17	80	50	50	600	5	5	3750	3.6	4.4	1.27	5-SMD	425-1323-1-ND	.79	.66	.53	425-1323-2-ND	750	255.88	PC353T

† AC-Eingang # Darlington-Ausgang * Din/VDE 0884 ▲ bleifrei/RoHS-konform

OPIC™ Fotokoppler

Abb. 1

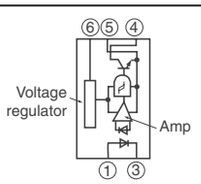

Abb. 2

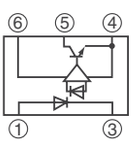

Abb. 3

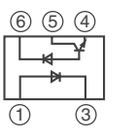

Abb. 4

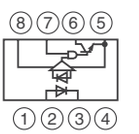

Abb. 5

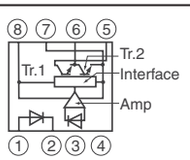

Abb. 6

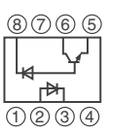

Abb. 7

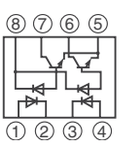

Abb. 8

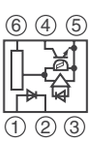

Abb.	Vcc max. (V)	Ausbr.-Verzögerung H-L (us) typ.	Ausbr.-Verzögerung L-H (us) typ.	Isolationsspannung (Vrms)	Abmessungen - mm Länge	Abmessungen - mm Breite	Abmessungen - mm Neigung	Pakettyp	Digi-Key Teilenr.	Preis pro Röhre 1	10	100	Sharp Teilenr.
Röhre													
4	7	.048	.05	5000	9.66	6.5	2.54	8-DIP	425-1533-5-ND	1.63	1.30	1.08	PC910L0NSZ
	7	.048	.05	5000	9.66	6.5	2.54	8-DIP	425-1534-5-ND*	1.78	1.43	1.18	PC910L0YSZ
5	30	1	1	5000	9.66	6.5	2.54	8-SMD	425-1542-5-ND	1.42	1.14	.94	PC924XI
	13	2	2	5000	9.66	6.5	2.54	8-DIP	425-1545-5-ND	1.02	.85	.68	PC942
6	30	.2	.6	5000	9.66	6.5	2.54	8-DIP	425-1546-5-ND	1.13	.90	.75	PC957L0NSZ
	30	.2	.6	5000	9.66	6.5	2.54	8-DIP	425-1547-5-ND*	1.56	1.25	1.03	PC957L0YSZ
7	15	.3	.3	2500	9.22	6.5	2.54	8-DIP	425-1549-5-ND	2.74	2.26	1.83	PC9D17
8	15	1	2	5000	7.12	6.5	2.54	6-SMD	425-1529-5-ND	.99	.83	.67	PC900V0NIZX
	15	1	2	5000	7.12	6.5	2.54	6-DIP	425-1530-5-ND#	.74	.62	.50	PC900V0NSZX
	15	1	2	5000	7.12	6.5	2.54	6-DIP	425-1531-5-ND*	.99	.83	.67	PC900V0YSZX
	15	1	2	5000	7.12	6.5	2.54	6-DIP	425-1532-5-ND†	1.02	.85	.68	PC901V0NSZX
9	30	1	1	4000	9.22	6.5	1.27	14-SMD	425-1543-5-ND	2.12	1.74	1.41	PC928
10	30	.3	.3	4000	9.22	6.5	1.27	14-SMD	425-1544-5-ND	2.48	2.04	1.66	PC929

Abb. 9

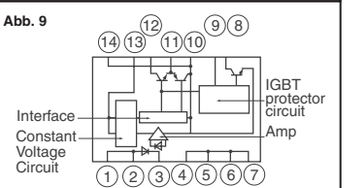

Abb. 10

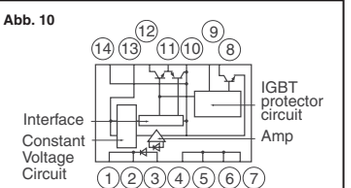

Abb.	Vcc max. (V)	Ausbr.-Verzögerung H-L (us) typ.	Ausbr.-Verzögerung L-H (us) typ.	Isolationsspannung (Vrms)	Abmessungen - mm Länge	Abmessungen - mm Breite	Abmessungen - mm Neigung	Pakettyp	Digi-Key Teilenr.	Gurtabschnittspreis pro Stück 1	10	100	Digi-Key Teilenr.	Gegurtet auf Rolle Größe	Gegurtet auf Rolle Preisangaben	Sharp Teilenr.
Gurtabschnitt/Gegurtet auf Rolle																
1	15	1	2	3750	3.6	4.4	1.27	6-SMD	425-1520-1-ND	1.44	1.16	.87	425-1520-2-ND	3,000	734.01/M	PC400
		2	1						425-1521-1-ND	1.44	1.16	.87	425-1521-2-ND	3,000	734.01/M	PC401
		2	1						425-2143-1-ND▲	1.44	1.16	.87	425-2143-2-ND▲	3,000	734.01/M	PC401J00000F
2	7	.048	.05	3750	3.6	4.4	1.27	6-SMD	425-1522-1-ND	1.27	1.02	.77	425-1522-2-ND	3,000	647.65/M	PC410L0NIP
									425-2141-1-ND▲	1.48	1.19	.89	425-2141-2-ND▲	3,000	755.59/M	PC410L0NIP0F
									425-1523-1-ND*	1.92	1.54	1.16	425-1523-2-ND*	3,000	980.87/M	PC410L0YIP
3	30	.2	.6	3750	3.6	4.4	1.27	6-SMD	425-1527-1-ND	1.38	1.11	.83	425-1527-2-ND*	3,000	701.62/M	PC457L0NIP
									425-1528-1-ND*	1.40	1.12	.84	425-1528-2-ND*	3,000	712.42/M	PC457L0YIP

* Din/VDE 0884 # Ausgang, IccH (Typ.): 1,0 † Ausgang, IccH (Typ.): 2,7 ▲ bleifrei/RoHS-konform

Alle Preisangaben in Euro und inklusive Zollgebühren.

Fotokoppler - Thyristor-Ausgang

Abb.	Eingang: Spannungstyp	Eingang: Strom Min. (mA)	Eingang: Strom Max. (mA)	Ausgang: Spannung VDRM max.	Ausgang: Strom IT (RMS) max. (mA)	Ausgang: Haltestrom max. (mA)	Isolationsspannung max. (Vrms)	Abmessungen - mm: Länge	Breite	Neigung	Pakettyp	Digi-Key Teilenr.	Stückpreis 1	10	100	Sharp Teilenr.
Röhre																
1	1.2	10	50	400	100	3.5	5000	7.12	6.5	2.54	6-DIP	425-1322-5-ND#	.69	.58	.46	PC2SD11NTZA
		5	50	600	100	3.5	5000	7.12	6.5	2.54	6-DIP	425-1363-5-ND	.79	.66	.53	PC3SD11NTZC
		5	50	600	100	3.5	5000	7.12	6.5	2.54	6-SMD	425-1364-5-ND	.84	.70	.56	PC3SD11NXZC
		7	50	600	100	3.5	5000	7.12	6.5	2.54	6-DIP	425-1362-5-ND	.79	.66	.53	PC3SD11NTZB
		7	50	600	100	3.5	5000	7.12	6.5	2.54	6-SMD	425-1365-5-ND	.81	.68	.55	PC3SD11NXZB
		10	50	600	100	3.5	5000	7.12	6.5	2.54	6-DIP	425-1366-5-ND	.74	.62	.50	PC3SD12NTZA
		10	50	600	100	3.5	5000	7.12	6.5	2.54	6-SMD	425-1367-5-ND	.76	.64	.51	PC3SD12NXZA
		10	50	600	100	3.5	5000	7.12	6.5	2.54	6-DIP	425-1772-5-ND†	1.19	.95	.79	S21MD3YY
2	1.2	3	50	600	100	3.5	5000	7.12	6.5	2.54	6-DIP	425-1370-5-ND*	.91	.77	.61	PC3SD21NTZD
		3	50	600	100	3.5	5000	7.12	6.5	2.54	6-DIP	425-1373-5-ND*†	.94	.79	.63	PC3SD21YTZD
		3	50	600	100	3.5	5000	7.12	6.5	2.54	6-SMD	425-1375-5-ND*†	.97	.81	.65	PC3SD21YXZD
		5	50	600	100	3.5	5000	7.12	6.5	2.54	6-DIP	425-1369-5-ND*	.81	.68	.55	PC3SD21NTZC
		5	50	600	100	3.5	5000	7.12	6.5	2.54	6-SMD	425-1371-5-ND*	.84	.70	.56	PC3SD21NXZC
		5	50	600	100	3.5	5000	7.12	6.5	2.54	6-DIP	425-1372-5-ND*†	.84	.70	.56	PC3SD21YTZC
		5	50	600	100	3.5	5000	7.12	6.5	2.54	6-SMD	425-1374-5-ND*†	.86	.72	.58	PC3SD21YXZC
		5	50	600	50	3.5	3750	4.4	3.6	2.54	4-SMD	425-1300-5-ND†	.81	.68	.55	S2S3LY
		5	50	600	50	3.5	3750	4.4	3.6	2.54	4-SMD	425-1306-5-ND*†	.89	.75	.60	S2S4LY
		7	50	600	100	3.5	5000	7.12	6.5	2.54	6-DIP	425-1368-5-ND*	.79	.66	.53	PC3SD21NTZB
		7	50	600	100	3.5	5000	9.22	6.5	2.54	6-DIP	425-1271-5-ND◊	1.34	1.07	.88	S21ME3
		7	50	600	100	3.5	5000	9.22	6.5	2.54	6-DIP	425-1275-5-ND*	1.72	1.38	1.14	S21ME4
		7	50	600	100	3.5	5000	9.22	6.5	2.54	6-DIP	425-1276-5-ND*#	1.57	1.26	1.04	S21ME4F
		7	50	600	50	3.5	3750	4.4	3.6	2.54	4-SMD	425-1301-5-ND†	.79	.66	.53	S2S3RY
		10	50	600	100	3.5	5000	6.5	4.58	2.54	4-DIP	425-1282-5-ND*	1.22	1.02	.82	S21ME6
		10	50	600	100	3.5	5000	6.5	4.58	2.54	4-DIP	425-1283-5-ND*#	1.24	1.04	.83	S21ME6F
		10	50	600	100	3.5	5000	6.5	4.58	2.54	4-SMD	425-1285-5-ND*†	1.21	.97	.80	S21ME6IY
		10	50	600	100	3.5	5000	6.5	4.58	2.54	4-DIP	425-1286-5-ND*†	1.08	.87	.72	S21ME6Y
		10	50	600	100	3.5	5000	6.5	4.58	2.54	4-DIP	425-1292-5-ND*	.94	.79	.63	S21MT2
		10	50	600	50	3.5	3750	4.4	3.6	2.54	4-SMD	425-1297-5-ND	.71	.60	.48	S2S3
		10	50	600	50	3.5	3750	4.4	3.6	2.54	4-SMD	425-1302-5-ND†	.66	.55	.45	S2S3Y
		10	50	600	50	3.5	3750	4.4	3.6	2.54	4-SMD	425-1303-5-ND*	.89	.75	.60	S2S4
		3	50	800	100	3.5	5000	7.12	6.5	2.54	6-DIP	425-1405-5-ND*	1.19	1.00	.80	PC4SD21NTZD
		3.0	15	800	100	3.5	5000	9.22	6.5	2.54	6-DIP	425-1288-5-ND*#†	2.01	1.61	1.33	S21ME8FY
		3.0	15	800	100	3.5	5000	9.22	6.5	2.54	6-DIP	425-1289-5-ND*†	2.10	1.68	1.39	S21ME8Y
		5	50	800	100	3.5	5000	7.12	6.5	2.54	6-DIP	425-1403-5-ND	1.07	.89	.72	PC4SD11NTZC
		5	50	800	100	3.5	5000	7.12	6.5	2.54	6-DIP	425-1404-5-ND*	1.12	.94	.75	PC4SD21NTZC
		7	50	800	100	3.5	5000	7.12	6.5	2.54	6-DIP	425-1402-5-ND	.99	.83	.67	PC4SD11NTZB
3	1.2	10	50	600	50	3.5	3750	4.4	3.6	2.54	4-SMD	425-1376-5-ND	1.19	.95	.79	PC3SG11YIZ
		10	50	600	50	3.5	3750	4.4	3.6	2.54	4-SMD	425-1377-5-ND*	1.30	1.04	.86	PC3SG21YIZ
4	1.2	10	50	400	100	3.5	5000	6.5	4.58	2.54	4-DIP	425-1230-5-ND	1.22	1.02	.82	S11ME5
		10	50	600	100	3.5	5000	6.5	4.58	2.54	4-DIP	425-1291-5-ND	.79	.66	.53	S21MT1
5	1.2	15	50	400	200	1.0	5000	7.12	6.5	2.54	6-DIP	425-1774-5-ND	1.19	1.00	.80	S12MD1V
		10	50	600	200	1.0	5000	7.12	6.5	2.54	6-SMD	425-1293-5-ND	1.23	.99	.82	S22MD1VI
6	1.2	10	50	400	200	1.0	4000	9.22	6.5	2.54	6-DIP	425-1239-5-ND†#	1.44	1.16	.95	S12ME1FY
		15	50	400	200	1.0	5000	9.22	6.5	2.54	8-DIP	425-1238-5-ND	2.04	1.68	1.36	S12MD3
		10	50	600	200	1.0	2500	9.22	6.5	2.54	8-DIP	425-1296-5-ND	2.06	1.70	1.38	S22MD3
7	1.2	8	50	600	200	1.0	5000	9.22	6.5	2.54	8-DIP	425-1295-5-ND	3.87	3.18	2.58	S22MD2
Gurtabschnitt																
1	1.2	10	50	400	100	3.5	5000	7.12	6.5	2.54	6-SMD	425-1229-1-ND	1.22	—	.82	S11MD5P
2	1.2	7	50	600	100	3.5	5000	9.22	6.5	2.54	6-SMD	425-1273-1-ND	1.57	1.26	.94	S21ME3P
		10	50	600	50	3.5	3750	4.4	3.6	2.54	4-SMD	425-2417-1-ND▲	.71	.60	.48	S2S3B00F
		5	50	600	50	3.5	3750	4.4	3.6	2.54	4-SMD	425-1299-1-ND	.74	—	.50	S2S3LB
		10	50	600	50	3.5	3750	4.4	3.6	2.54	4-SMD	425-2422-1-ND▲	.89	.75	.60	S2S4B00F
		10	50	600	50	3.5	3750	4.4	3.6	2.54	4-SMD	425-1305-1-ND*†	.89	—	.60	S2S4BY
4	1.2	10	50	600	100	3.5	5000	6.5	4.58	2.54	4-SMD	425-1381-1-ND†	1.22	1.02	.82	S21ME5PY

Abb.	Eingang: Spannungstyp	Eingang: Strom Min. (mA)	Eingang: Strom Max. (mA)	Ausgang: Spannung VDRM max.	Ausgang: Strom IT (RMS) max. (mA)	Ausgang: Haltestrom max. (mA)	Isolationsspannung max. (Vrms)	Abmessungen - mm: Länge	Breite	Neigung	Pakettyp	Digi-Key Teilenr.	Gegurtet auf Rolle: Größe	Preisangaben	Sharp Teilenr.
Gegurtet auf Rolle															
1	1.2	10	50	400	100	3.5	5000	7.12	6.5	2.54	6-SMD	425-1229-2-ND	1,000	528.28	S11MD5P
2	1.2	7	50	600	100	3.5	5000	9.22	6.5	2.54	6-SMD	425-1273-2-ND	1,000	798.77	S21ME3P
		10	50	600	50	3.5	3750	4.4	3.6	2.54	4-SMD	425-1297-2-ND	750	231.12	S2S3B
		10	50	600	50	3.5	3750	4.4	3.6	2.54	4-SMD	425-2417-2-ND▲	750	231.12	S2S3B00F
		5	50	600	50	3.5	3750	4.4	3.6	2.54	4-SMD	425-1299-2-ND	3,000	319.17/M	S2S3LB
		10	50	600	50	3.5	3750	4.4	3.6	2.54	4-SMD	425-1303-2-ND*	750	288.90	S2S4B
		10	50	600	50	3.5	3750	4.4	3.6	2.54	4-SMD	425-2422-2-ND▲	750	288.90	S2S4B00F
		10	50	600	50	3.5	3750	4.4	3.6	2.54	4-SMD	425-1305-2-ND*†	3,000	385.21/M	S2S4BY
4	1.2	10	50	600	100	3.5	5000	6.5	4.58	2.54	4-SMD	425-1381-2-ND†	2,000	528.28/M	S21ME5PY

* Integrierter Nulldurchgangsschaltkreis # Breites Format † Din/VDE 0884 ◊ VDE 68328 ▲ bleifrei/RoHS-konform

Abb. 1

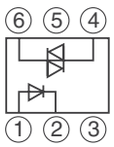

Abb. 2

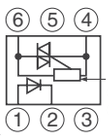

*Zero-cross circuit

*PC3SD21 series
PC4SD21 series
S21ME8 series
S21ME4 series
S21ME6 series
S21MT2 series
S2S4 series

Abb. 3

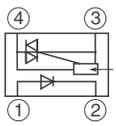

*Built-in Zero-cross circuit

*The Zero-cross circuit is PC3SG21YIZ

Abb. 4

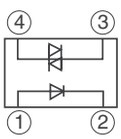

Abb. 5

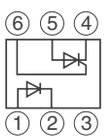

Abb. 6

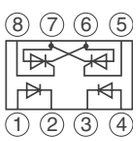

Abb. 7

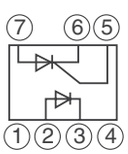

J

Alle Preisangaben in Euro und inklusive Zollgebühren.

IsoLoop® Digitale Hochleistungsisolatoren

IsoLoop® Digitale Isolatoren von NVE sind eine hervorragende Alternative zu traditionellen Optokopplern oder Optoisolatoren. Diese hoch-integrierten Geräte liefern bis zu 100 MBd Daten pro Kanal mit nur 2 ns Impulsbreitenverzerrung. Erhältlich in einf., zweif. und vierf. Kanal-Formfaktoren. IsoLoop® Bus-Trennschalter bieten dem Designer äußerst kompakte, isolierte RS 485- und RS 422-konforme Geräte. Diese Hochgeschwindigkeitsprodukte eignen sich für viele industrielle Kommunikationsanwendungen, einschließlich PROFIBUS.

Merkmale:

IL260 and IL261:

• 3,3 V/5 V CMOS/TTL-kompatibel • 110 Mbps Datenrate • 2.500 Vrms Isolation (1 Min.) • 2 nS Impulsbreitenverzerrung, typ. • 10ns typische Ausbreitungsverzögerung • 30 k/Vµs typische transiente Immunität

IL422:

• 2.500 Vrms Isolation (1 Min.) • 25 nS Ausbreitungsverzögerung • 25 MBd Datenrate • 1 ns Puls Skew • ±60 mA Treiber-Ausgangsleistung • Schutz durch Ausschaltung bei Übertemperatur • Erfüllt oder übertrifft Standards EIA 422-B, EIA 485-A und ITU-Empfehlung VII • UL 1577-Zulassung (anhängig)

IL485 und IL485W:

• 35 MBd Datenrate • 25 nS Ausbreitungsverzögerung • 2.500 Vrms Isolation (1 Min.)

IL610, IL610A, IL611, IL611A, IL612, IL612A, IL613 und IL614:

• 40 Mbps Datenrate • Open Drain oder CMOS-Ausgänge • Low-Power-Ableitung • Ausfallsicherer Ausgang (Ausgang for hohe Logik für null Spulenstrom)

IL710, IL710T, IL7710, IL711, IL711T, IL712, IL712T:

• 100-110 MBd-Datenrate • 2 nS Impulsbreitenverzerrung, typ. • 10ns typische Ausbreitungsverzögerung • 20-30 kV/µs transiente Immunität • 2.500 Vrms Isolation (1 Min.)

IL715, IL715T, IL716, IL716T, IL717 und IL717T:

• 100 MBd Datenrate; T-Serie: 110 MBd Datenrate • 2 nS Impulsbreitenverzerrung, typ. • 10ns typische Ausbreitungsverzögerung • 20 kV/µs transiente Immunität; T-Serie: 30 kV/µs transiente Immunität • 2.500 Vrms Isolation (1 Min.)

IL3285:

• Kompatibel mit 3,3 V Versorgungseingang • 40 nS Ausbreitungsverzögerung • 5 nS Puls Skew • 20 kV/µs transiente Immunität • 2.500 Vrms Isolation (1 Min.)

IL3585:

• 40 Mbps Datenrate • 5 nS Puls Skew • 20 nS Ausbreitungsverzögerung • 20 kV/µs transiente Immunität • 2.500 Vrms Isolation (1 Min.)

IL260

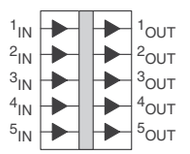

IL261

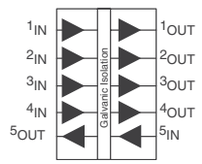

IL422, IL422-3V

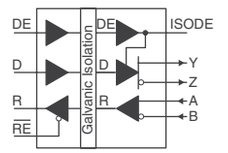

IL485, IL485-3V

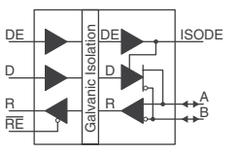

IL485W

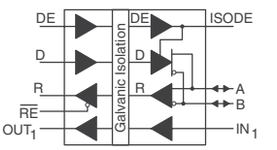

IL610

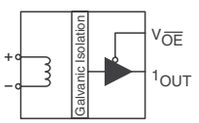

IL610A

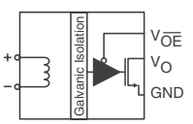

IL611

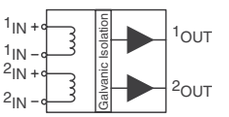

IL611A

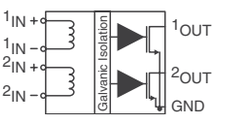

IL612

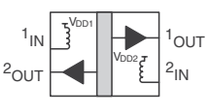

IL612A

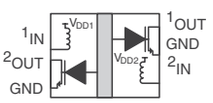

IL613

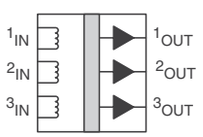

IL614

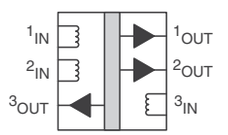

IL710, IL710T, IL7710

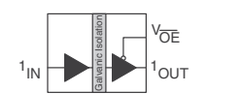

IL711, IL711T

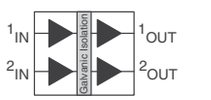

IL712, IL712T

IL715, IL715T

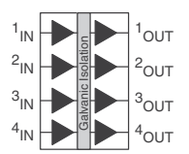

IL716, IL716T

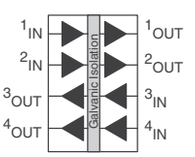

IL717, IL717T

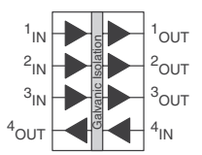

IL3285

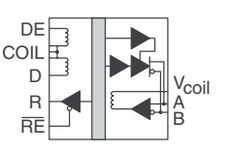

IL3585

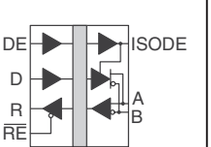

Versorgungs-spannung	Pakettyp	Temperaturbereich	Digi-Key Teilenr.	Stückpreis 1	10	25	100	NVE Teilenr.
3.3/5.0V	16-SOICW	-40°C ~ 85°C	390-1050-5-ND	8.69	6.95	6.18	5.36	IL260
5.0V	16-SOICW		390-1051-5-ND	8.25	6.60	5.88	5.09	IL260B
3.3/5.0V	16-SOIC		390-1052-5-ND	8.69	6.95	6.18	5.36	IL260-3
5.0V	16-SOIC		390-1053-5-ND	8.25	6.60	5.88	5.09	IL260-3B
3.3/5.0V	16-SOICW	-40°C ~ 85°C	390-1055-5-ND	8.69	6.95	6.18	5.36	IL261
5.0V	16-SOIC		390-1032-5-ND	8.25	6.60	5.87	5.09	IL261B
3.3/5.0V	16-SOIC		390-1054-5-ND	8.69	6.95	6.18	5.36	IL261-3
5.0V	16-SOIC		390-1031-5-ND	8.25	6.60	5.87	5.09	IL261-3B
4.5/5.5V	16-SOICW	-40°C ~ 85°C	390-1000-ND	7.49	7.01	6.13	5.31	IL422
3.3/5.0V	16-SOIC		390-1017-5-ND	7.49	7.01	6.13	5.31	IL422-3V
4.5/5.5V	16-SOICW	-40°C ~ 85°C	390-1001-ND	7.13	6.60	5.75	4.96	IL485
3.3/5.0V	16-SOIC		390-1018-5-ND	7.30	6.82	5.97	5.18	IL485-3V
4.5/5.5V	16-SOICW	-40°C ~ 85°C	390-1002-ND	7.53	6.97	6.08	5.24	IL485W
3.3/5.0V	8-MSOP	-40°C ~ 85°C	390-1019-5-ND	2.34	1.87	1.59	1.41	IL610-1
	8-PDIP		390-1020-5-ND	2.34	1.87	1.59	1.41	IL610-2
	8-SOIC		390-1021-5-ND	2.34	1.87	1.59	1.41	IL610-3
3.3/5.0V	8-MSOP	-40°C ~ 85°C	390-1022-5-ND	2.34	1.87	1.59	1.41	IL610A-1
	8-PDIP		390-1023-5-ND	2.34	1.87	1.59	1.41	IL610A-2
	8-SOIC		390-1024-5-ND	2.34	1.87	1.59	1.41	IL610A-3
3.3/5.0V	8-MSOP	-40°C ~ 85°C	390-1025-5-ND	3.08	2.86	2.37	1.99	IL611-1
	8-PDIP		390-1026-5-ND	3.08	2.86	2.37	1.99	IL611-2
	8-SOIC		390-1027-5-ND	3.08	2.86	2.37	1.99	IL611-3
3.3/5.0V	8-MSOP	-40°C ~ 85°C	390-1028-5-ND	3.08	2.86	2.37	1.99	IL611A-1
	8-PDIP		390-1029-5-ND	3.08	2.86	2.37	1.99	IL611A-2
	8-SOIC		390-1030-5-ND	3.08	2.86	2.37	1.99	IL611A-3
3.3/5.0V	8-PDIP	-40°C ~ 85°C	390-1042-5-ND	3.08	2.86	2.37	1.99	IL612-2
	8-SOIC		390-1043-5-ND	3.08	2.86	2.37	1.99	IL612-3
	8-PDIP		390-1044-5-ND	3.08	2.86	2.37	1.99	IL612A-2
	8-SOIC		390-1045-5-ND	3.08	2.86	2.37	1.99	IL612A-3

Versorgungs-spannung	Pakettyp	Temperaturbereich	Digi-Key Teilenr.	Stückpreis 1	10	25	100	NVE Teilenr.
3.3/5.0V	16-SOICW	-40°C ~ 85°C	390-1046-5-ND	4.17	3.86	3.20	2.69	IL613
	16-SOIC		390-1047-5-ND	4.17	3.86	3.20	2.69	IL613-3
3.3/5.0V	16-SOICW	-40°C ~ 85°C	390-1048-5-ND	4.17	3.86	3.20	2.69	IL614
	16-SOIC		390-1049-5-ND	4.17	3.86	3.20	2.69	IL614-3
3.3/5.0V	8-DIP	-40°C ~ 100°C	390-1003-ND	2.88	2.67	2.32	2.00	IL710-2
	8-SOIC	-40°C ~ 100°C	390-1004-ND	2.88	2.67	2.32	2.00	IL710-3
	8-SOIC	-40°C ~ 125°C	390-1035-5-ND	5.06	4.05	3.62	3.14	IL710T-3
	8-DIP	-40°C ~ 85°C	390-1015-5-ND	2.40	2.23	1.88	1.64	IL7710-2
	8-SOIC	-40°C ~ 85°C	390-1016-5-ND	2.40	2.23	1.88	1.64	IL7710-3
3.3/5.0V	8-DIP	-40°C ~ 100°C	390-1005-ND	4.89	4.53	3.95	3.40	IL711-2
	8-SOIC	-40°C ~ 100°C	390-1006-ND	4.89	4.53	3.95	3.40	IL711-3
	8-SOIC	-40°C ~ 125°C	390-1036-5-ND	8.60	6.89	6.52	5.66	IL711T-3
3.3/5.0V	8-DIP	-40°C ~ 100°C	390-1007-ND	4.89	4.53	3.95	3.40	IL712-2
	8-SOIC	-40°C ~ 100°C	390-1008-ND	4.89	4.53	3.95	3.40	IL712-3
	8-SOIC	-40°C ~ 125°C	390-1037-5-ND	8.60	6.89	6.14	5.32	IL712T-3
3.3/5.0V	16-SOICW	-40°C ~ 100°C	390-1009-ND	6.32	5.85	5.10	4.39	IL715
	16-SOIC		390-1012-ND	6.32	5.85	5.10	4.39	IL715-3
	16-SOICW	-40°C ~ 125°C	390-1038-5-ND	11.12	8.90	7.92	6.86	IL715T
	16-SOIC		390-1039-5-ND	11.12	8.90	7.92	6.86	IL715T-3
3.3/5.0V	16-SOICW	-40°C ~ 100°C	390-1010-ND	6.32	5.85	5.10	4.39	IL716
	16-SOIC	-40°C ~ 100°C	390-1013-ND	6.32	5.85	5.10	4.39	IL716-3
	16-SOICW	-40°C ~ 125°C	390-1040-5-ND	11.12	8.90	7.92	6.86	IL716T
3.3/5.0V	16-SOICW	-40°C ~ 100°C	390-1011-ND	6.32	5.85	5.10	4.39	IL717
	16-SOIC	-40°C ~ 100°C	390-1014-ND	6.32	5.85	5.10	4.39	IL717-3
	16-SOICW	-40°C ~ 125°C	390-1041-5-ND	11.12	8.90	7.92	6.86	IL717T
3.3V	16-SOICW	-40°C ~ 85°C	390-1034-5-ND	5.94	4.76	4.43	3.77	IL3285
3.3/5.0V	16-SOICW	-40°C ~ 85°C	390-1033-5-ND	7.15	5.72	5.17	4.47	IL3585

J

Alle Preisangaben in Euro und inklusive Zollgebühren.

SHARP MICROELECTRONICS

Fotounterbrecher

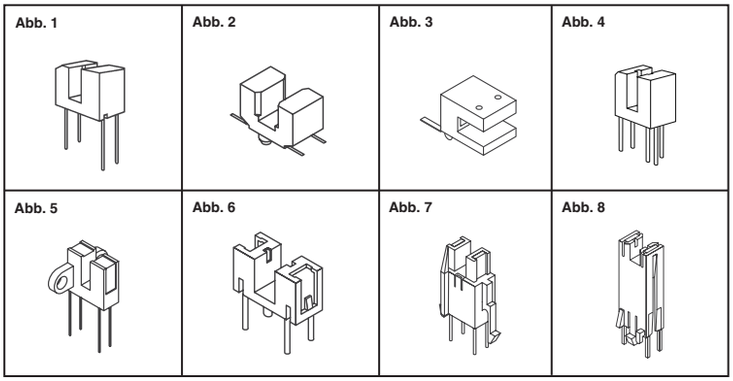

Abb.	Detektor Vceo (V) max.	Detektor IC (mA) max.	Anstieg/Abfall (µs) typ.	Abtast-abstand (mm)	An-schluss-typ	Digi-Key Teilenr.	Preis pro Röhre 1	10	100	Sharp Teilenr.
1	35	20	3/4	3.0	PCB	425-1050-5-ND	.76	.64	.51	GP1S52V
			3/4	4.2	PCB	425-1058-5-ND	.97	.81	.65	GP1S59
			35/35	1.6	PCB	425-1062-5-ND	1.04	.87	.70	GP1S95
			38/48	2.0	PCB	425-1052-5-ND	1.24	1.04	.83	GP1S560
			38/48	2.0	PCB	425-1056-5-ND	.84	.70	.56	GP1S56T
	35	20	50/50	1.0	PCB	425-1041-5-ND	.47	.33	.24	GP1S096HCZ
			50/50	2.0	PCB	425-1039-5-ND*	.47	.33	.24	GP1S093HCZ
			50/50	2.0	PCB	425-1042-5-ND	.47	.33	.24	GP1S097HCZ
			50/50	3.0	PCB	425-1040-5-ND	.47	.33	.24	GP1S094HCZ
	35	20	50/50	3.0	PCB	425-1964-5-ND▲	.47	.33	.24	GP1S094HCZ0F
		40	80/70	5.0	PCB	425-1035-5-ND	.86	.72	.58	GP1L53V
		40	130/100	10	PCB	425-1036-5-ND	1.48	1.19	.98	GP1L57
2	35	20	50/50	2.0	SMD	425-1038-1-ND‡	.46	.39	.31	GP1S092HCPI
						425-1038-2-ND#	426.69/2,000			
3	35	20	35/35	1.6	PCB	425-1043-5-ND	1.09	.91	.73	GP1S25
		40	80/70	3.0	PCB	425-1034-5-ND	.97	.81	.65	GP1L52V
4	35	20	50/50	1.5	PCB	425-1046-5-ND	1.13	.90	.75	GP1S39
5	35	20	3/4	3.0	PCB	425-1048-5-ND	.86	.72	.58	GP1S51V
						425-1970-5-ND▲	.89	.75	.60	GP1S51VJ000F
6	35	20	3/4	3.0	PCB	425-1053-5-ND	.84	.70	.56	GP1S561
7	35	20	3/4	3.0	PCB	425-1054-5-ND	1.02	.85	.68	GP1S562
8	35	20	3/4	3.0	PCB	425-1055-5-ND	.69	.58	.46	GP1S563

* Flaches Profil ‡ Gurtabschnitt # Gegurtet auf Rolle ▲ bleifrei/RoHS-konform

Reflektierende Fotointerrupter

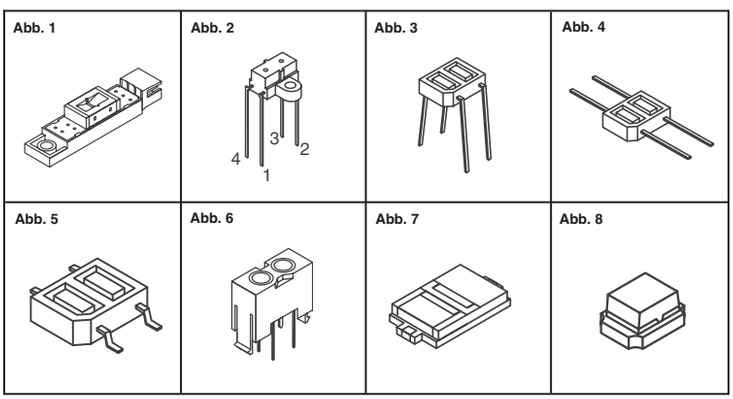

Abb.	Detektor Vceo max.	Detektor IC (mA) max.	Anstieg/Abfall (µs) typ.	Abtast-abstand (mm)	An-schluss-typ	Digi-Key Teilenr.	Preis pro Röhre 1	10	100	Sharp Teilenr.
1	7 VCC	30	1000	5 ~ 15	PCB	425-1086-5-ND	3.95	3.25	2.63	GP2A200LCS
2	35	20	80/70	13	PCB	425-1089-5-ND*	1.61	1.29	1.07	GP2L20R
3	35	20	20/20	.6 ~ .8	PCB	425-1093-5-ND	.71	.60	.48	GP2S24
		20	50/50	1.5 ~ 6.5	PCB	425-1096-5-ND	1.35	1.09	.90	GP2S40
4	35	50	80/70	.6 ~ .8	SMD	425-1092-5-ND*	.94	.79	.63	GP2L26
5	35	20	20/20	.6 ~ .8	SMD	425-1094-1-ND ‡	.94	.79	.63	GP2S27T
						425-1094-2-ND#	407.21/1,000			
6	35	20	20/30	6	PCB	425-1095-5-ND	1.08	.87	.72	GP2S28
7	35	20	20/20	1	SMD	425-1097-1-ND ‡	.43	.36	.29	GP2S60
						425-1097-2-ND#	402.98/2,000			
8	35	20	20/20	1.2 ~ 5.5	SMD	425-1913-1-ND‡	.99	.83	.67	GP2S700HCP
						425-1913-2-ND#	429.23/1,000			

* Darlington ‡ Gurtabschnitt # Gegurtet auf Rolle

OPIC™ Foto-Interrupter

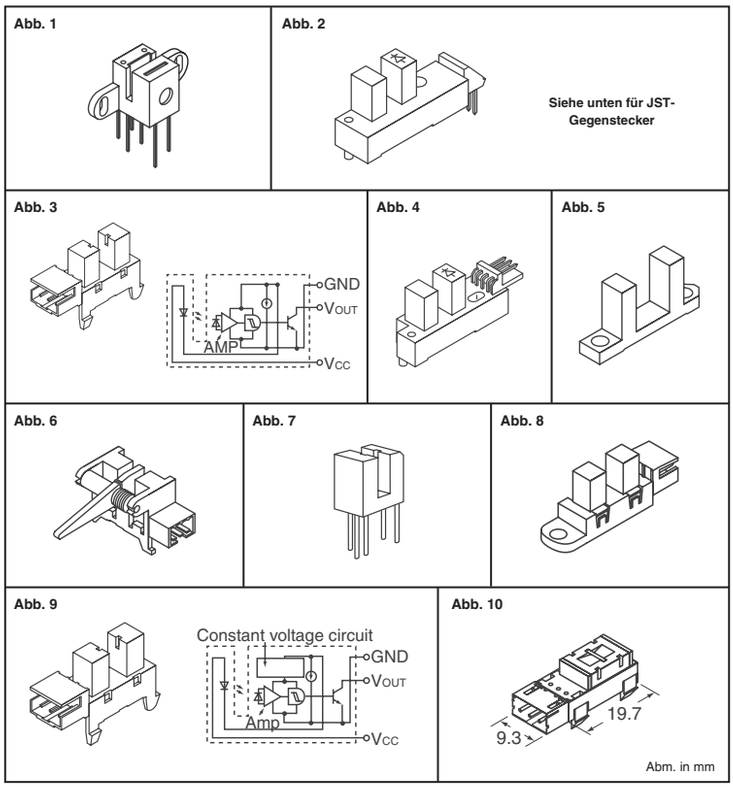

Abb.	Detektor VCC (V) typ.	Detektor Icc (mA) max.	Abtast-abstand (mm)	Anschlusstyp	Digi-Key Teilenr.	Preis pro Röhre 1	10	100	Sharp Teilenr.
1	5	20	3.4	PCB	425-1064-ND†	5.39	4.44	3.60	GP1A35RV
2	5	30	5.0	Steckverbinder	425-1071-5-ND	3.14	2.59	2.10	GP1A23LC
3	5	16.5	5.0	Steckverbinder	425-1771-5-ND§	.99	.83	.67	GP1A073LCS
4	24	30	5.0	Steckverbinder	425-1069-5-ND	2.76	2.28	1.85	GP1A10
5	5	50	3.0	PCB	425-1073-5-ND	1.08	.87	.72	GP1A50HR
6	5	20	—	Steckverbinder	425-1072-5-ND*	2.10	1.73	1.40	GP1A44E1
7	5	2.0	1.2	PCB	425-1085-5-ND◊	.86	.72	.58	GP1A91LR
		20	5.0	PCB	425-1079-5-ND	1.31	1.05	.87	GP1A58HR
		50	3.0	PCB	425-1075-5-ND	1.27	1.06	.85	GP1A52HR
		50	3.0	PCB	425-1076-5-ND#	1.27	1.06	.85	GP1A52LR
8	5	20	5.0	Steckverbinder	425-1083-5-ND	1.19	1.00	.80	GP1A75E
9	5	16.5	5.0	Steckverbinder	425-1081-5-ND	1.14	.92	.76	GP1A73A
10	5	20	3 ~ 7	Steckverbinder	425-1912-ND†	3.12	2.57	2.09	GP2A231LRSA

† Tablett (keine Röhre) § Invertiert * mit Betätiger ◊ Interner 15 KW-Widerstand # Invertierter Typ der HR

JST Gegenstecker, Kontakt und Crimpwerkzeug

Beschreibung	Digi-Key Teilenr.	Preisangaben 10	100	500	Preisangabe für Gegurtet auf Rolle	JST Teilenr.
3-Pos., 2,5 mm, trennbarer NH-Stecker, Crimptyp	455-1120-ND	.53	4.44	17.75	—	H3P-SHF-AA
22-28 AWG, verzinnter Phosphor-Bronze-Crimpkontakt	455-1121-1-ND*	—	4.64	20.48	110.06/5,000	SHF-001T-0.8BS
Crimpwerkzeug mit Einsatz für 22-28 AWG-Kontakte	455-1122-ND		310.71/1		—	WC-122

* Für Gegurtet auf Rolle Teilenr. von 1-ND in 2-ND ändern

SHARP MICROELECTRONICS

Neigungssensor

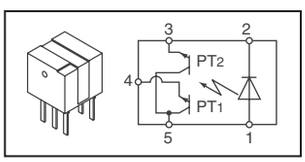

Merkmale:• Subminiatur • 2-Phasen-Ausgangstyp • Erkennt die Neigungsrichtung beider Seiten (±90°) durch Position der Kugel • Hohe Zuverlässigkeit durch kontaktfreie Struktur
Anwendungen: • Digitalkameras • Camcorder

Detektor Vceo (V) max.	Detektor Ic (mA) max.	Anstieg/Abfall (µs) typ.	Anschlusstyp	Digi-Key Teilenr.	Preis pro Röhre 1	10	100	Sharp Teilenr.
35	20	50/50	PCB	425-1037-5-ND*	2.07	1.66	1.37	GP1S036HEZ
				425-1045-5-ND	1.65	1.33	1.09	GP1S36

* Neigung in 4 Richtungen

J

SHARP MICROELECTRONICS — IR-Emitter, Fototransistoren und -dioden

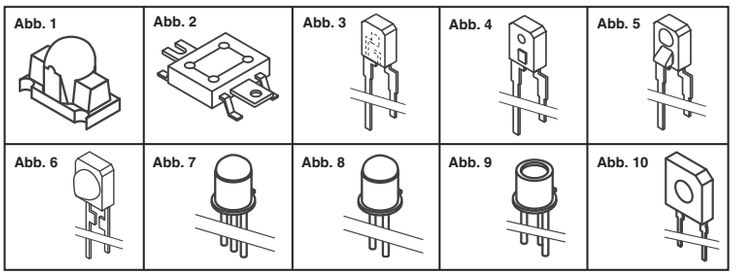

IR-Emitter

Abb.	Vorwärts-spannung (V) typ.	Vorwärts-strom (mA) max.	Optische-Ausgangs-leistung (mW) max.	Strahl-winkel (2 x Theta)	Spitzen-Wellen-länge (nm) typ.	Digi-Key Teilenr.	Preis pro Röhre 1	10	100	Sharp Teilenr.
1	1.2	50	3.0	20	940	425-1022-1-ND‡ 425-1022-2-ND#	.30	.26 284.46/2,000	.21	GL100MN0MP
	1.2	50	6.0	20	940	425-1023-1-ND‡ 425-1023-2-ND#	.46	.39 426.69/2,000	.31	GL100MN1MP
3	1.2	50	2.0	180	950	425-1024-5-ND†	.47	.33	.24	GL4100
4	1.2	50	3.0	60	950	425-1026-5-ND*	.41	.28	.21	GL4800

‡ Gurtabschnitt # Gegurtet auf Rolle † Transparentes Harz, blass rot * Transparentes Harz, pink

Fototransistoren

Abb.	Vceo (Max.) (V)	Ic max. (mA)	Wellenlänge der höchsten Empfindlichkeit (nm) typ.	Anstieg/ Abfall typ. (µs)	Strahl-winkel (2 x Theta)	Digi-Key Teilenr.	Preis pro Röhre 1	10	100	Sharp Teilenr.
1	35	20	900	5.0/6.0	30	425-1005-1-ND‡ 425-1005-2-ND#	.30	.26 284.46/2,000	.21	PT100MC0MP
	35	20	910	5.0/6.0	30	425-1006-1-ND‡◊ 425-1006-2-ND#	.30	.26 284.46/2,000	.21	PT100MF0MP
	35	20	910	5.0/6.0	30	425-1007-1-ND‡◊ 425-1007-2-ND#	.30	.26 213.34/1,500	.21	PT100MF0MP1
4	35	20	800	3.0/3.5	70	425-1009-5-ND	.41	.28	.21	PT4800
		20	860	3.0/3.5	70	425-1010-5-ND◊	.47	.33	.24	PT4800F
		20	860	3.0/3.5	70	425-2378-5-ND◊▲	.47	.33	.24	PT4800FE000F
		50	800	80/70	70	425-1014-5-ND*§	.51	.35	.26	PT4810
		50	860	80/70	70	425-1015-5-ND*◊	.51	.35	.26	PT4810F
5	35	20	800	3.0/3.5	26	425-1008-5-ND	.41	.28	.21	PT480
		20	860	3.0/3.5	26	425-1012-5-ND◊	.44	.31	.23	PT480F
		20	860	3.0/3.5	26	425-2380-5-ND◊▲	.44	.31	.23	PT480FE0000F
		50	800	80/70	26	425-1013-5-ND§	.44	.31	.23	PT481
		50	860	80/70	26	425-1016-5-ND◊	.51	.35	.26	PT481F
7	35	20	800	2/3	12	425-1019-5-ND	2.06	1.70	1.38	PT510
		100	800	350/300	12	425-1020-5-ND	7.26	5.97	4.84	PT550
8	45	10	800	10/10	12	425-1017-5-ND	2.01	1.61	1.33	PT501
		80	800	10/10	12	425-1018-5-ND	1.80	1.44	1.19	PT501A
9	35	100	800	350/300	100	425-1021-5-ND◊	6.29	5.17	4.20	PT550F

‡ Gurtabschnitt # Gegurtet auf Rolle § Transparent blaues Harz ◊ Sichtbares, Licht blockierendes Harz (schwarz) * Darlington
▲ bleifrei/RoHS-konform

Fotodioden

Abb.	Vr max. (V)	Kurzschluss-strom Is (µA) typ.	Dunkel-strom Id max. (nA)	Wellenlänge der höchsten Empfindlichkeit (nm) typ.	Anstieg/ Abfall typ. (ns)	Strahl-winkel (2 x Theta)	Digi-Key Teilenr.	Preis pro Röhre 1	10	100	Sharp Teilenr.
1	20	.9	10	820	10	40	425-1027-1-ND‡ 425-1027-2-ND#	.30	.26 284.46/2,000	.21	PD100MC0MP
	20	.6	10	850	10	40	425-1028-1-ND‡◊ 425-1028-2-ND#◊	.30	.26 284.46/2,000	.21	PD100MF0MP
2	30	9.2	2.0	940	5	—	425-1030-5-ND	.94	.79	.63	PD3122F
3	—	.45	1.0	820	—	—	425-1029-5-ND	.97	.81	.65	PD101SC0SS
5	20	1.7	10	950	100	40	425-1032-5-ND	.81	.68	.55	PD480PI
6	32	5.4	10	960	200	90	425-1031-5-ND	.78	.54	.39	PD413PI
10	32	5	30	960	—	115	425-1033-5-ND◊	.89	.75	.60	PD481PI

‡ Gurtabschnitt # Gegurtet auf Rolle ◊ Sichtbares, Licht blockierendes Harz (schwarz)

OPIC™ Lichtdetektoren

Abm. in mm

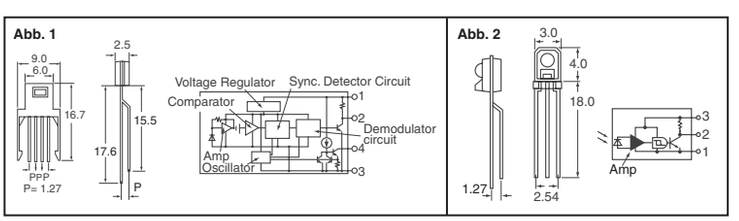

Abb.	Vcc (V)	Ausgangs-strom max. (mA)	Anstieg/ Abfall typ. (µs)	Strahl-winkel (2 x Theta)	Spitzen-Wellen-länge (nm) typ.	Digi-Key Teilenr.	Preis pro Röhre 1	10	100	Sharp Teilenr.
1	4.5 ~ 16	50	400/400	110	940	425-1178-5-ND* 425-2069-5-ND*▲	2.30 2.30	1.90 1.90	1.54 1.54	IS471F IS471FE
2	1.4 ~ 7.0	2	0.1/.06	30	900	425-1181-5-ND	.78	.54	.39	IS489

* Sichtbares, Licht blockierendes Harz (schwarz) ▲ bleifrei/RoHS-konform

Blaue empfindliche Fotodioden

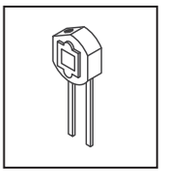

Merkmale:
• Bleifrei/RoHS-konform • Spektralempfindlichkeit ist ähnlich der des menschlichen Auges • Kompaktes Flatpack • Niedriger Dunkelstrom • Licht blockierender Infrarot-Typ

Anwendungen:
• AE- (automatische Belichtungs-) und ES- (elektronische Verschluss-) Systeme für Kameras • Stroboskope • Optische Präzisionsinstrumente

Kurzschl. Strom Is typ. (µA)	Dunkel-strom Id typ. (A)	Wellenlänge der höchsten Empfindlichkeit typ. (nm)	Rückfluss-spannung Vr (V)max.	Aktiver Bereich (mm²)	Digi-Key Teilenr.	Preis pro Röhre 1	10	100	Sharp Teilenr.
0.16	$3x10^{-12}$	560	10	1.55	425-2429-5-ND	1.65	1.33	1.09	BS120E0F

Kompakter Staubsensor

Merkmale: • Kompakte, dünne Ausführung • Niedriger Verluststrom (Icc: max. 20 mA) • 1-Schritt-Detektion von Hausstaub

Anwendungen: • Klimaanlagen • Luftreiniger

† 58 x 38 x 20,7 mm ‡ 46 x 30 x 17,6 mm

Vcc (V)	Digi-Key Teilenr.	Stückpreis 1	25	50	Sharp Teilenr.
12	425-1169-ND†	13.33	10.67	9.34	GP2Y1001AU
5	425-1917-ND‡	9.63	7.71	6.75	GP2Y1010AU

JST Gegenstecker, Kontakt und Crimpwerkzeug

Beschreibung	Digi-Key Teilenr.	Preisangaben 10	100	500	Gegurtet auf Rolle	JST Teilenr.
6-Pos., 1,5 mm trennbarer ZH-Stecker, Crimptyp	455-1129-ND	.64	5.36	21.43	—	ZHR-6
26-28 AWG, verzinnter Phosphor-Bronze-Crimpkontakt	455-1130-1-ND*	—	1.85	8.18	110.06/13,000	SZH-002T-P0.5
Crimpwerkzeug mit Einsatz für 26-28 AWG-Kontakte	455-1131-ND	310.71/1			—	WC-491

* Für Gegurtet auf Rolle Teilenr. von 1-ND in 2-ND ändern

TOSHIBA Lichtsensoren

SMD Foto-ICs für Sensoren der Beleuchtungsstärke, bestehend aus einer im Chip integrierten Fotodiode und einem Verstärkerschaltkreis.

Merkmale:
• Kleines SMD-Paket • Sowohl für bleifreies Löten als auch für Aufschmelzlöten geeignet • Niedrige Versorgungsspannung: VCC = 2,7 V ~ 5,5 V

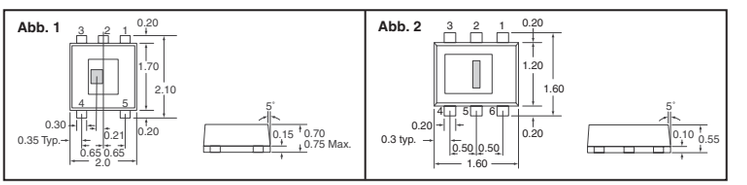

Abb.	Empfindlichkeit	Digi-Key Teilenr.	Gurtabschnittspreise 1	10	100	Gegurtet auf Rolle 3.000	Toshiba Teilenr.
1	52µA	TPS851CT-ND*	.91	7.62	60.96	396.21/M	TPS851
2	40µA	TPS852CT-ND*	.91	7.62	60.96	396.21/M	TPS852

* Für Gegurtet auf Rolle die Teilenummer CT-ND in TR-ND ändern

SHARP MICROELECTRONICS

Distanzmesssensor

Siehe unten für JST-Gegenstecker

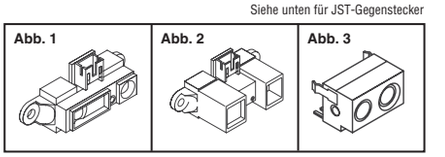

Abb.	Vcc (V)	Distanz-messbereich (cm) typ.	Diff. der Ausgangs-spannung (V) typ.	Ausgangs-strom ICC (mA) typ.	Ausgabe-typ	Digi-Key Teilenr.	Preis pro Tablett 1	25	50	Sharp Teilenr.
1	5	4 ~ 30	2.25	33		425-1162-ND	10.31	8.25	7.22	GP2D120
		10 ~ 80	2.0	33	Analog	425-1161-ND	10.31	8.25	7.22	GP2D12
		10 ~ 80	1.9	30		425-1166-ND	8.47	6.78	5.93	GP2Y0A21YK
		15	—	33		425-1164-5-ND†	10.31	8.25	7.22	GP2D150A
		24	—	33	Digital	425-1163-ND	10.31	8.25	7.22	GP2D15
		24	—	30		425-1168-ND	8.47	6.78	5.93	GP2Y0D21YK
2	5	20 ~ 150	2.05	33	Analog	425-1165-ND	13.23	10.59	9.26	GP2Y0A02YK
		80	—	33	Digital	425-1167-ND	13.23	10.59	9.26	GP2Y0D02YK
3	5	40	—	28	Digital	425-1810-ND	6.80	5.44	4.52	GP2Y0D340K

† Röhre (kein Tablett)

JST Gegenstecker, Kontakt und Crimpwerkzeug

Beschreibung	Digi-Key Teilenr.	Preisangaben 10	100	500	Preisangabe für Gegurtet auf Rolle	JST Teilenr.
3-Pos., 2,0 mm trennbarer PH-Stecker, Crimptyp	455-1126-ND	.36	2.99	11.95	—	PHR-3
24-30 AWG verzinnter Phosphor-Bronze-Crimpkontakt	455-1127-1-ND*	—	2.90	12.79	108.36/8,000	SPH-002T-P0.5S
Crimpwerkzeug mit Einsatz für 24-30 AWG-Kontakte	455-1128-ND	310.71/1			—	WC-240

* Für Gegurtet auf Rolle Teilenr. von 1-ND in 2-ND ändern

J

Alle Preisangaben in Euro und inklusive Zollgebühren.

FAIRCHILD SEMICONDUCTOR

Halbleiter-Unterbrechermodule

Abb.	Schaltkreis	Ausgabetyp	Ic (ein) (mA) min.	Testbedingungen If/Vce	Schlitzbreite (mm)	Rastermaß (mm)	Digi-Key Teilenr.	Stückpreis 1	10	100	500
1	B	Transistor	1.0	20mA @ 5V	3.18	5.59	QVA11134-ND	.99	.83	.66	.47
	B	Transistor	1.0	20mA @ 5V	3.15	7.24	H22A1-ND	.81	.68	.55	.38
	B	Transistor	2.0	20mA @ 5V	3.15	7.24	H22A2-ND	.84	.71	.57	.40
	B	Transistor	4.0	20mA @ 5V	3.15	7.24	H22A3-ND	.86	.72	.57	.40
	A	Darlington	2.5	5mA @ 1.5V	3.15	7.24	H22B1-ND	.83	.69	.56	.39
2	B	Transistor	1.0	20mA @ 5V	3.18	5.59	QVB11134-ND	1.02	.85	.68	.48
3	C	Transistor	0.5	20mA @ 5V	3.81	7.62	QVE11233-ND	.99	.83	.67	.47
4	B	Transistor	1.0	20mA @ 5V	3.15	7.24	H21A1-ND	.84	.70	.56	.39
	B	Transistor	2.0	20mA @ 5V	3.15	7.24	H21A2-ND	.87	.73	.59	.41
	B	Transistor	4.0	20mA @ 5V	3.15	7.24	H21A3-ND	.91	.76	.61	.43
	A	Darlington	2.5	5mA @ 1.5V	3.15	7.24	H21B1-ND	.91	.76	.61	.43

Optologische Unterbrechermodule

Abb.	Schaltkreis	Ausgabetyp	VCC	Max Ausgangsstrom (mA)	Anstieg/ Abfall (ns)	Digi-Key Teilenr.	Stückpreis 1	10	100	500
5	K	T.P. PUFF.	4.5-16.0	50	70	H21LTB-ND	1.07	.89	.72	.50
	L	T.P. INV.	4.5-16.0	50	70	H21LTI-ND	1.07	.89	.72	.50
	M	O.C. PUFF.	4.5-16.0	50	70	H21LOB-ND	1.07	.89	.72	.50
	N	O.C. INV.	4.5-16.0	50	70	H21LOI-ND	1.07	.89	.72	.50
6	K	T.P. PUFF.	4.5-16.0	50	70	H22LTB-ND	1.04	.87	.70	.49
	L	T.P. INV.	4.5-16.0	50	70	H22LTI-ND	.99	.83	.66	.47
	M	O.C. PUFF.	4.5-16.0	50	70	H22LOB-ND	.99	.83	.66	.47
	N	O.C. INV.	4.5-16.0	50	70	H22LOI-ND	.99	.83	.66	.47

Halbleiter-Infrarot-Fotodetektoren

Abb.	Schaltkreis	BV_{CEO} (V)	Min. Ic @ 5Vce (mA)	Anstieg/ Abfall (µ sec)	Empfangswinkel +/-	Wellenlänge der höchsten Empfindlichkeit	Digi-Key Teilenr.	Stückpreis 1	10	100	500
7	F	45	6	8/7	—	880	BPW36-ND	1.46	1.17	.88	.79
	F	45	3	8/7	—	880	BPW37-ND	1.40	1.12	.84	.76
	F	45	6	8/7	—	880	L14G1-ND	1.46	1.17	.88	.79
	F	45	3	8/7	—	880	L14G2-ND	1.42	1.14	.86	.77
	F	45	12	8/7	—	880	L14G3-ND	1.49	1.19	.90	.81
	F	30	4	10/12	12	880	L14P1-ND	1.52	1.22	.92	.83
	F	30	8	14/16	12	880	L14P2-ND	1.58	1.27	.95	.86
	E	25	3	300/250	8	880	BPW38-ND	1.55	1.25	.94	.84
	E	25	3	300/250	8	880	L14F1-ND	1.50	1.20	.90	.81
	E	25	1	300/250	8	880	L14F2-ND	1.42	1.14	.86	.77
8	F	50	1	5/5	60	880	L14C1-ND	1.52	1.22	.92	.83
	F	50	0.5	5/5	60	880	L14C2-ND	1.46	1.17	.88	.79
	F	30	3	10/12	30	880	L14N1-ND	1.49	1.19	.90	.81
	F	30	6	14/16	30	880	L14N2-ND	1.58	1.27	.95	.86
9	D	30	1	5/5	8	880	QSC112-ND	.42	.35	.24	.14
	D	30	2	5/5	8	880	QSC113-ND	.42	.35	.24	.14
	D	30	4	5/5	8	880	QSC114-ND	.38	.31	.23	.13
10	D	30	1.6	7/7	12	880	QSD122-ND	.44	.35	.27	.15
	D	30	3.2	7/7	12	880	QSD123-ND	.49	.39	.30	.17
	D	30	7.5	7/7	12	880	QSD124-ND	.43	.33	.25	.16
11	D	30	1.2	8/8	12	880	QSD722-ND	.44	.35	.27	.15
	D	30	3	8/8	12	880	QSD723-ND	.49	.39	.30	.17
12	D	30	0.64	8/8	8	880	QSE113-ND	.41	.33	.25	.14
	D	30	1.28	8/8	8	880	QSE114-ND	.45	.36	.27	.15

Logikdetektoren

Abb.	Schaltkreis	Ausgabetyp	VCC	Isink (mA)	IQuelle (mA)	Anstieg/ Abfall (ns)	Empfangswinkel +/-	Wellenlänge der höchsten Empfindlichkeit	Digi-Key Teilenr.	Stückpreis 1	10	100	500
13	G	T.P. PUFF.	4.5 - 16	50	10	70	25	935	QSE156-ND	.76	.57	.43	.27
	I	T.P. INV.	4.5 - 16	50	10	70	25	935	QSE157-ND	.76	.57	.43	.27
	H	O.C. PUFF.	4.5 - 16	50	—	100	25	935	QSE158-ND	.76	.57	.43	.27
	J	O.C. INV.	4.5 - 16	50	—	100	25	935	QSE159-ND	.76	.57	.43	.27

Abb. 1

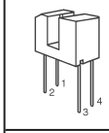

Abb. 2

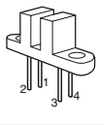

Abb. 3

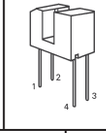

Abb. 4

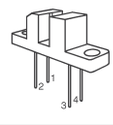

Abb. 5

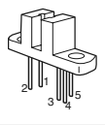

Abb. 6

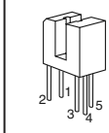

Abb. 7

Abb. 8

Abb. 9

Abb. 10

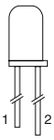

Abb. 11

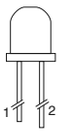

Abb. 12

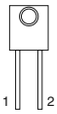

Abb. 13

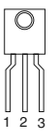

Schaltkreise

A

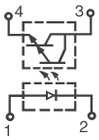

B

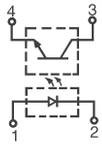

C

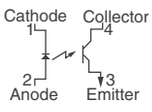

D

E

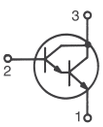

TO-18 3 Leitungen

F

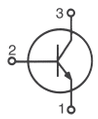

TO-18, flaches Fenster, 3 Leitungen

G

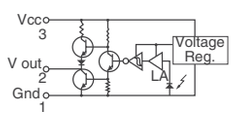

H

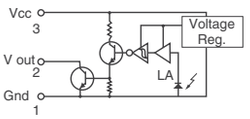

I

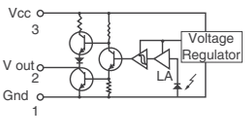

J

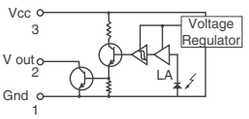

K

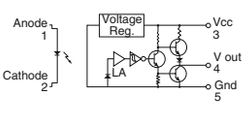

L

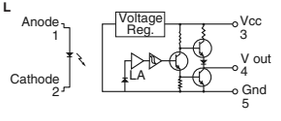

M

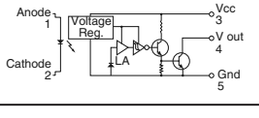

N

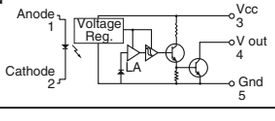

LITEON

Infrarot-Emitterdioden, Fotodetektoren und Fotodioden

Merkmale der Infrarot-Emitterdioden: • Ausgewählt für spezifische Online-Intensität und Strahlungsintensitätsbereiche • Preiswerte Endansicht-Kunststoffausführung • Hergestellt mit Galliumaluminiumarsenid-Fensterlayer auf Galliumarsenid Infrarot-Emitterdioden

Merkmale der Fotodetektoren und Fotodioden: • Linsen mit hoher Sensibilität • Preiswerte Kunststoffausführung

Abb. 1

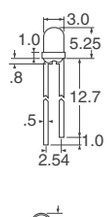

Abb. 2

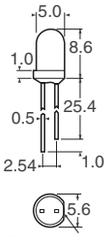

Abb. 3

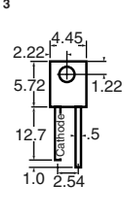

Abb. 4

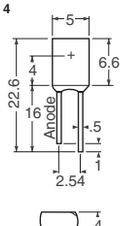

Infrarot-Emitterdioden

Abb.	Vf	Vr	I (ma)	Ipk A	Sichtwinkel	Digi-Key Teilenr.	Preisangaben 1	10	100
1	1.2	5	50	3	20°	160-1028-ND	.20	1.69	13.55
2	1.2	5	50	3	20°	160-1029-ND	.20	1.69	13.55
	1.2	5	50	3	40°	160-1061-ND	.20	1.69	13.55
	1.3	7.2	150	3	35°	160-1062-ND	.25	2.12	16.93
3	1.2	5	50	3	40°	160-1063-ND	.20	1.69	13.55

Paarige Fotodetektoren

Abb.	Vce	Vec	Ein-Status I (ma)	Anstieg/ Abfall (us)	Digi-Key Teilenr.	Preisangaben 1	10	100
1	30	5	2	5	160-1030-ND	.13	1.06	8.47
2	30	5	2	5	160-1031-ND	.19	1.59	12.70
3	30	5	1	5	160-1065-ND	.19	1.59	12.70

Fotodioden

Abb.	Beschreibung	Digi-Key Teilenr.	Preisangaben 1	10	100
4	Schwarze Kunststoffdiode	160-1032-ND	.40	3.28	26.24

Abs. max. Nenngrößen bei T_A = 25 °C, λ = 940 nm

J

API
Advanced Photonix, Inc.
Previously Photonic Detectors

Silizium-Detektoren und -Emitter

Abb. 1 – Kunststoff-Paket

Abb. 2 – Flaches Oberteil

Abb. 3 – Kunststoff-Sidelooker

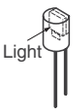

Abb. 4 – Kunststoff-Sidelooker

Abb. 5 - Keramik, Epoxidkugel

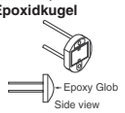

Abb. 6 - Keramik, Epoxidfüllung

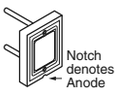

Abb. 7 - 1206 SMT-Paket.

Abb. 8 - Mini-SMT-Paket

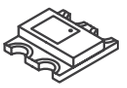

Abb. 9 - 32-Element-Array

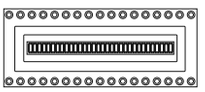

Abb. 10 - 16 Element-Array

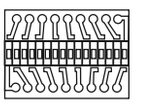

Abb. 11 - Lötbare Fotozelle

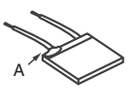

Abb. 12 - Lötbare Fotozelle

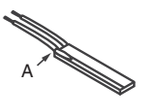

Abb. 13 – Linsenfenster

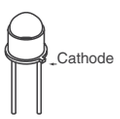

Abb. 14 – Flaches Fenster

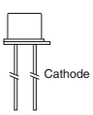

Abb. 15

Abb. 16

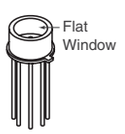

Abb. 17

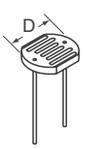

Kurvendiagramm

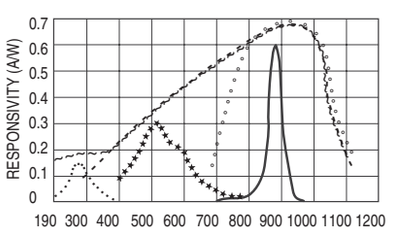

A(~) U.V. Enhanced Silicon Detectors
B(-) Blue Enhanced Silicon Detectors
C(. .) Silicon Carbide U.V. Detectors
D(˚) Daylight Filter Detectors
E(⎓) GaAlAs Photodiodes
F(★) CdS Photoconductive Cells
(relative responsivity)

Fotodetektoren

Abb.	Aktiver Bereich (mm²)	Kurzschluss-strom (Isc) (uA) Typ.	Dunkelstrom (Id) (nA) max.	Sensitivitäts-wellenlänge (nm) Min.	Spitze	Max.	Sperrschicht-kapazität (pF) typ.	Reaktion RL=1 KΩ (ns) typ.	Sichtwinkel (2 x Theta)	Digi-Key Teilenr.	1	Stückpreis 25	100	250
Blaue verbesserte lichtleitende Detektoren, Kurvenlinie B														
1	1.55	60	30				6	10	30	PDB-C134-ND	1.85	1.10	.93	.88
1	4.10	150	30				18	50	59	PDB-C142-ND	2.79	1.72	1.53	1.43
2	4.10	67	30	400	950	1100	18	50	61	PDB-C139-ND	2.79	1.72	1.53	1.43
3	9.00	145	30				10	50	120	PDB-C158-ND	2.85	1.69	1.42	1.35
4	8.02	90	15				10	15	120	PDB-C156-ND	2.85	1.69	1.42	1.35
5	17.74	235	50				100	20		PDB-C107-ND	10.54	6.82	6.39	6.12
5	7.95	110	30	350	950	1100	60	16	120	PDB-C113-ND	6.91	4.47	4.19	4.01
5	29.02	400	25				200	18		PDB-C140-ND	9.56	6.82	6.56	6.24
6	100	1300	30				300	25		PDB-C110-ND	51.21	39.02	37.16	35.85
7	0.74	10					15	50	140	PDB-C152SMCT-ND	2.01	1.19	1.00	.94
7	0.74	10	10	400	950	1100	15	50	140	PDB-C152SMTR-ND			2429.98/3,000	
8	2.10	25					4	10	—	PDB-C154SMCT-ND	2.12	1.26	1.06	1.00
8	2.10	25					4	10	—	PDB-C154SMTR-ND			1715.28/2,000	
Lichtleitende Detektoren mit Tageslicht-Filter, Kurvenlinie D														
1	1.55	60	30				6	10	30	PDB-C134F-ND	1.85	1.10	.93	.88
1	4.10	150	30				18	50	40	PDB-C142F-ND	2.79	1.72	1.53	1.43
2	4.10	67	30	700	950	1100	18	50	61	PDB-C139F-ND	2.79	1.72	1.53	1.43
3	9.00	145	30				10	50	120	PDB-C158F-ND	2.85	1.69	1.42	1.35
4	8.02	90	15				10	15	120	PDB-C156F-ND	2.85	1.69	1.42	1.35
8	2.10	25	10	700	950	1100	4	10	—	PDB-C154SMFCT-ND	2.12	1.26	1.06	1.00
8	2.10	25		700	950	1100	4	10	—	PDB-C154SMFTR-ND			2572.92/3,000	
Blaue verbesserte fotovoltaische Detektoren, Kurvenlinie B														
5	17.74	200	0.8				2000	1000		PDB-V107-ND	8.44	5.47	5.12	4.90
5	7.95	80	0.5	350	950	1100	800	750	120	PDB-V113-ND	9.79	6.34	5.94	5.68
6	100.00	1200	0.333				10000	2000		PDB-V110-ND	49.26	37.53	35.74	34.49
U.V. Verbesserte fotovoltaische Detektoren, Kurvenlinie A														
14	2.98	40	0.01	190	—	1100	340	450	65	PDU-V104-ND	9.39	6.70	6.44	6.13
	17.63	230	0.05				2000	900	63	PDU-V114-ND	30.44	21.71	20.86	19.87
Blaue verbesserte lötbare Fotozellen, Kurvenlinie B														
11	42.4	545	75				240	30		PDB-C609-2-ND	9.24	5.98	5.60	5.36
11	86.4	1000	180				350	50		PDB-C613-2-ND	12.14	8.23	7.88	7.57
12	14.5	185	35	350	940	1100	125	25	—	PDB-C607-2-ND	9.34	6.05	5.67	5.42
12	68.7	900	150				300	45		PDB-C612-2-ND	14.71	9.97	9.54	9.16
12	232.7	2800	700				775	150		PDB-C615-2-ND	23.65	16.87	16.22	15.44
Blaue verbesserte Bi-Zellen, Quadranten und Multi-Element-Detektor-Arrays, Kurvenlinie B														
9	1.47*	11	.15				30	200	—	PDB-C232-ND	165.90	136.14	131.36	126.99
10	2.31*	28	5.0				40	800	—	PDB-C216-ND	54.73	41.70	39.71	38.32
15	3.23*	75	2.0	350	950	1100	15	8	72	PDB-C201-ND §	17.73	12.65	12.15	11.58
16	1.61*	50	1.0				8	7	71	PDB-C203-ND ◊	25.47	18.16	17.46	16.62
Siliziumkarbid (SiC) U.V. Fotodiode, Kurvenlinie C														
15	0.08	0.04	1.0	200	280	400	21	5	87	PDU-S101-ND	17.08	11.57	11.07	10.64
Detektor-Verstärker-Hybrid, Kurvenlinie B														
16	5.07	65	5.0	350	950	1100	15	15	82	PDB-716-100-ND‡	42.85	30.56	29.37	27.97
GaAlAs I.R. Fotodiode, Kurvenlinie E														
1		22							30	PDI-G104-ND	3.95	2.56	2.40	2.30
15	0.77	6.0	2.0	840	880	940	90	1000	65	PDI-G103-ND	18.19	12.98	12.48	11.88
13		22							40	PDI-G103L-ND	20.02	13.57	12.98	12.48

* Pro Element § Bi-Zelle ◊ vierf. ‡ 5-Pin

Hochleistungs-Infrarot-Emitter

Abb.	Vorwärts-spannung (V) typ.	Vorwärtsstrom (mA) Con.	Ausgangs-leistung (mW) typ.	Strahlwinkel (2 x Theta)	Spitzen-Wellenlänge (nm) typ.	Digi-Key Teilenr.	1	Stückpreis 25	100	250
13	1.5	100	24	40	880	PDI-E802-ND	12.93	8.76	8.38	8.06
			24	8		PDI-E803-ND	12.93	8.76	8.38	8.06
			32	80		PDI-E804-ND	8.14	5.27	4.94	4.73
			24	5		PDI-E805-ND	12.43	8.42	8.06	7.75
14	1.5	100	22	80	880	PDI-E801-ND	12.93	8.76	8.38	8.06

Fotozellen

Abm. D (mm)	Zellwiderstand* 10 Lux @ 2.856 K Min. (KΩ)	Max. (KΩ)	Dunkel Min. (MΩ)	SEC	Spitzen-Wellenlänge (nm) typ.	Anstiegs-/ Abfallzeit (ms) typ.	Digi-Key Teilenr.	1	Stückpreis 25	100	250
Abb. 17, Kurvenlinie F											
11.00	8	16	0.3				PDV-P5001-ND	2.51	1.48	1.25	1.18
	12	30	0.5	10	520	55/25	PDV-P5002-ND	2.51	1.48	1.25	1.18
	12	58	1				PDV-P5003-ND	2.51	1.48	1.25	1.18
5.10	3	11	0.2			50/20	PDV-P8001-ND	1.85	1.10	.93	.88
	16	33	0.5	10	520	55/20	PDV-P8003-ND	1.85	1.10	.93	.88
	40	120	1			60/25	PDV-P8005-ND	1.85	1.10	.93	.88
	80	240	5			60/25	PDV-P8006-ND	1.85	1.10	.93	.88
	4	11	0.15			55/20	PDV-P8101-ND	1.85	1.10	.93	.88
	9	20	0.3	10	520	60/25	PDV-P8102-ND	1.85	1.10	.93	.88
	16	33	0.5			60/25	PDV-P8103-ND	1.54	.94	.81	.77
	27	60	2			60/25	PDV-P8104-ND	1.54	.94	.81	.77
	50	94	2.5				PDV-P8105-ND	1.54	.94	.81	.77
	50	140	20	10	520	60/25	PDV-P8106-ND	1.85	1.10	.93	.88
	80	240	20				PDV-P8107-ND	1.85	1.10	.93	.88
4.20	4	11	0.3				PDV-P9001-ND	1.50	.89	.75	.71
	9	20	0.5				PDV-P9002-ND	1.50	.89	.75	.71
	11	20	0.5	10	520	60/25	PDV-P9002-1-ND	1.50	.89	.75	.71
	16	33	1				PDV-P9003-ND	1.50	.89	.75	.71
	23	33	1				PDV-P9003-1-ND	1.50	.89	.75	.71
	27	60	2				PDV-P9004-ND	1.50	.89	.75	.71
	50	94	2.5				PDV-P9005-ND	1.50	.89	.75	.71
	48	140	20	10	520	60/25	PDV-P9005-1-ND	1.50	.89	.75	.71
	80	200	5				PDV-P9006-ND	1.50	.89	.75	.71
	10	100	1				PDV-P9007-ND	1.50	.89	.75	.71
	10	200	20			60/25	PDV-P9008-ND	1.50	.89	.75	.71
	20	45	1	10	520	60/25	PDV-P9103-ND	1.50	.89	.75	.71
	10	50	5			70/15	PDV-P9200-ND	1.50	.89	.75	.71
	5	20	20			70/15	PDV-P9203-ND	1.50	.89	.75	.71

* Fotozellen sind lichtangepasst auf 100 bis 500 Lux.

J

Alle Preisangaben in Euro und inklusive Zollgebühren.

Abmessungen in (mm)

Abb. 1

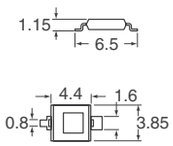

Abb. 2

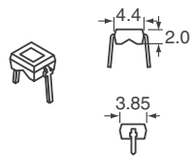

Abb. 3

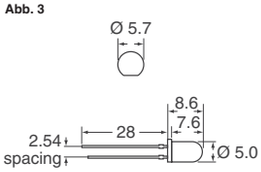

Abb. 4

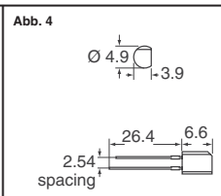

Abb. 5

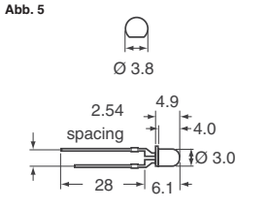

Abb. 6

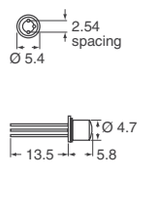

Abb. 7

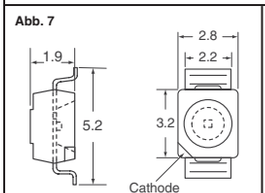

Abb. 8

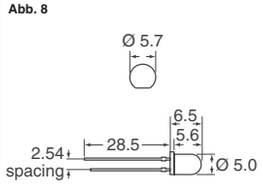

Abb. 9

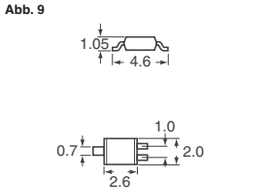

Abb. 10

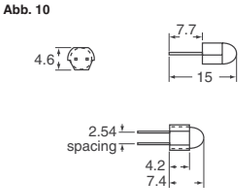

Abb. 11

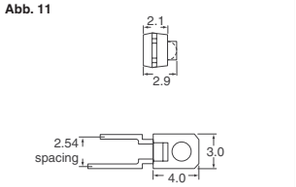

Abb. 12

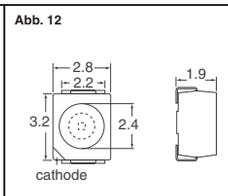

Abb. 13

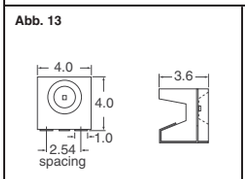

Abb. 14

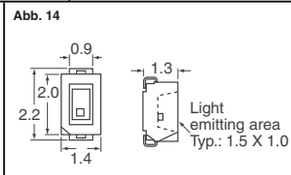

Abb. 15

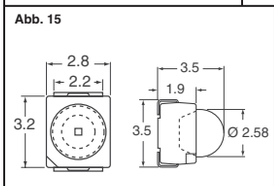

Abb. 16

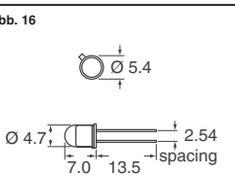

Abb. 17

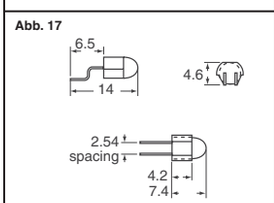

Abb. 18

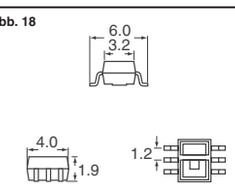

Pin-Fotodioden

Abb.	Durchlass-spannung (V)	Fotostrom (µA)	Dunkel-strom (nA)	Wellenlänge der höchsten Empfindlichkeit (nm)	Anstieg/ Abfallzeit (ns)	Sicht-winkel (in Grad)	Digi-Key Teilenr.	Gurtabschnittspreis pro Stück 1	10	100	Digi-Key Teilenr.	Gegurtet auf Rolle Größe	Preisangaben	Osram Teilenr.
1	1.3	34	2	950	20	120	475-1069-1-ND	.97	.81	.65	475-1069-2-ND	1,500	482.56/M	BP104FS
	1.3	50	2	880	20	120	475-1116-1-ND	1.02	.85	.68	475-1116-2-ND	1,500	507.96/M	BPW34FAS
	1.3	50	2	950	20	120	475-1117-1-ND	1.02	.85	.68	475-1117-2-ND	1,500	507.96/M	BPW34FS
	1.3	80	2	850	20	120	475-1073-1-ND	1.02	.85	.68	475-1073-2-ND	1,500	507.96/M	BPW34S
2	1.3	80	2	850	20	120	475-1070-ND‡	.91	.77	.61	—	—	—	BPW34
	1.3	50	2	950	20	120	475-1071-ND‡	.91	.77	.61	—	—	—	BPW34F
	1.3	50	2	880	20	120	475-1072-ND‡	.91	.77	.61	—	—	—	BPW34FA
3	1.3	50	1	900	5	40	475-1075-ND‡	.89	.75	.60	—	—	—	SFH203FA
	1.3	135	1	850	5	20	475-1077-ND‡	.76	.64	.51	—	—	—	SFH213
4	1.3	80	2	850	20	120	475-1076-ND‡	.99	.83	.67	—	—	—	SFH206K
5	1.3	28	.05	860	10	34	475-1078-ND‡	.61	.51	.41	—	—	—	SFH229
	1.3	20	.05	900	10	34	475-1079-ND‡	.61	.51	.41	—	—	—	SFH229FA

‡ Großmenge

Fototransistoren

Abb.	Kollektor-Emitter (V) max.	Fotostrom-Emitter an Koll. (mA) typ.	Dunkel-strom (nA)	Spitzenempf. Wellenlänge (nm)	Anstiegs-/ Abfallzeit (µs) typ.	Sicht-winkel (in Grad)	Digi-Key Teilenr.	Gurtabschnittspreis pro Stück 1	10	100	Digi-Key Teilenr.	Gegurtet auf Rolle Größe	Preisangaben	Osram Teilenr.
3	70	7.5	3	870	11	20	475-1080-ND‡	.38	.32	.26	—	—	—	SFH313FA
6	50	3	20	880	15/18	30	475-1074-ND‡	1.45	1.21	.97	—	—	—	BPX43-4/5
8	70	1.9	3	850	11	80	475-1081-ND‡	.38	.32	.26	—	—	—	SFH314
9	20	.19	3	850	25	120	475-1082-1-ND	.66	.55	.45	475-1082-2-ND	2,000	330.18/M	SFH3400
	5.5	.014	3	570	—	120	475-1083-1-ND	.76	.64	.51	475-1083-2-ND	2,000	380.97/M	SFH3410
10	35	11	3	830	21	26	475-1084-1-ND	.48	.41	.33	475-1084-2-ND	1,000	241.28	SFH3505
	35	11	3	860	21	26	475-1085-1-ND	.48	.41	.33	475-1085-2-ND	4,000	241.28/M	SFH3505FA

‡ Großmenge

Infrarot-Emitter

Abb.	Durchlass-spannung (V)	Vorwärts-strom (mA) max.	Optische Ausgangsleistung (mW/sr)*	Spitzen-Wellenlänge (nm)	Sichtwinkel (in Grad)	Digi-Key Teilenr.	Gurtabschnittspreis pro Stück 1	10	100	Digi-Key Teilenr.	Gegurtet auf Rolle Größe	Preisangaben	Osram Teilenr.
3	1.3	100	25 min.	950	34	475-1088-ND‡	.28	.24	.19	—	—	—	SFH415
	1.5	100	110 typ.	950	14	475-1102-ND‡	.71	.60	.48	—	—	—	SFH4501
	1.5	100	60 typ.	950	36	475-1103-ND‡	.51	.43	.34	—	—	—	SFH4502
	1.5	100	250 typ.	950	8	475-1104-ND‡	.56	.47	.38	—	—	—	SFH4503
	1.5	100	100 typ.	880	16	475-1111-ND‡	.43	.36	.29	—	—	—	SFH484
	1.5	100	60 typ.	880	40	475-1112-ND‡	.43	.36	.29	—	—	—	SFH485
5	1.3	100	min. 6,3	950	40	475-1086-ND‡	.48	.41	.33	—	—	—	SFH409
	1.5	100	75 typ.	950	20	475-1100-ND‡	.46	.38	.31	—	—	—	SFH4301
7	1.5	100	min. 4	880	120	475-1098-1-ND	.53	.45	.36	475-1098-2-ND	2,000	266.68/M	SFH4281
10	1.5	100	85 typ.	950	20	475-1105-1-ND	.56	.47	.38	475-1105-2-ND	1,000	279.38	SFH4505
	1.3	100	50 typ.	950	28	475-1107-1-ND	.38	.32	.26	475-1107-2-ND	1,000	190.49	SFH4515
	1.5	100	25 min.	880	30	475-1109-1-ND	.51	.43	.34	475-1109-2-ND	1,000	253.98	SFH4585
11	1.2	60	min. 2,5	950	18	475-1087-ND‡	.38	.32	.26	—	—	—	SFH4110
12	1.3	100	min. 2,5	950	120	475-1089-1-ND	.41	.34	.28	475-1089-2-ND	2,000	203.19/M	SFH420
	1.5	100	10.5 typ.	950	120	475-1090-1-ND	.84	.70	.56	475-1090-2-ND	2,000	419.07/M	SFH4200
	1.3	100	min. 2,5	950	120	475-1095-1-ND	.48	.41	.33	475-1095-2-ND	2,000	241.28/M	SFH4211
	1.5	100	min. 4	880	120	475-1094-1-ND	.48	.41	.33	475-1094-2-ND	2,000	241.28/M	SFH421
13	1.3	100	min. 2,5	950	120	475-1096-1-ND	.48	.41	.33	475-1096-2-ND	2,000	241.28/M	SFH425
	1.5	100	10.5 typ.	950	120	475-1092-1-ND	.45	.38	.30	475-1092-2-ND	2,000	222.66/M	SFH4205
	1.5	100	min. 4	880	120	475-1097-1-ND	.56	.47	.38	475-1097-2-ND	2,000	279.38/M	SFH426
14	1.5	100	8 typ.	950	130	475-1091-1-ND	.81	.68	.55	475-1091-2-ND	3,000	406.37/M	SFH4203
15	1.5	100	24 typ.	950	50	475-1093-1-ND	.84	.70	.56	475-1093-2-ND	2,000	419.07/M	SFH4209
	1.5	100	17 typ.	880	50	475-1099-1-ND	.53	.45	.36	475-1099-2-ND	2,000	266.68/M	SFH4289
16	1.5	200	min. 40	880	12	475-1110-ND‡	1.37	1.15	.92	—	—	—	SFH480
17	1.5	100	typ. 85	950	20	475-1101-1-ND	.56	.47	.38	475-1101-2-ND	1,000	279.38	SFH4500
	1.3	100	50 typ.	950	28	475-1106-1-ND	.38	.32	.26	475-1106-2-ND	1,000	190.49	SFH4510
	1.5	100	25 min.	880	30	475-1108-1-ND	.51	.43	.34	475-1108-2-ND	1,000	253.98	SFH4580

* At IF = 100 mA, t_p = 20 ms ‡ Großmenge

Schmitt-Trigger Fotodetektor

Abb.	Versorgungs-spannung (V)	Ausgangsstrom (mA)	Anstieg/ Abfallzeit (ns)	Sichtwinkel (in Grad)	Digi-Key Teilenr.	Gurtabschnittspreis pro Stück 1	10	100	Digi-Key Teilenr.	Gegurtet auf Rolle Größe	Preisangaben	Osram Teilenr.
9	4-18	16	100	120	475-1113-1-ND	.89	.75	.60	475-1113-2-ND	2,000	444.47/M	SFH5440

Reflektierende Interrupter

Abb.	Durchlass-spannung (V)	Vorwärts-strom (mA) max.	Kont. Koll. Emit. Spann. (V)	Kollektor-strom (mA)	Fotostrom (mA)	Leckstrom (nA)	Digi-Key Teilenr.	Gurtabschnittspreis pro Stück 1	10	100	Digi-Key Teilenr.	Gegurtet auf Rolle Größe	Preisangaben	Osram Teilenr.
18	1.25	50	16	10	3.5	3	475-1114-1-ND	.89	.75	.60	475-1114-2-ND	1,000	444.47	SFH9201

Reflektierende Interrupter, Schmitt-Trigger

Abb.	Durchlass-spannung (V)	Vorwärtsstrom (mA) max.	Versorgungs-spannung (V)	Ausgangs-strom (mA) max.	Digi-Key Teilenr.	Gurtabschnittspreis pro Stück 1	10	100	Digi-Key Teilenr.	Gegurtet auf Rolle Größe	Preisangaben	Osram Teilenr.
18	1.25	50	4-18	16	475-1115-1-ND	1.22	1.02	.82	475-1115-2-ND	1,000	609.55	SFH9240

J

OMRON

Verstärkte optische Sensoren

Abb. 1

Abb. 2

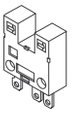

Abb. 3

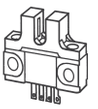

Abb. 4

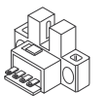

L-Form

Abb. 5

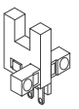

T-Form

Abb. 6

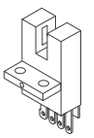

Abb. 7

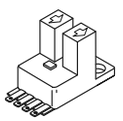

Abb. 8

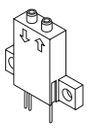

Abb. 9

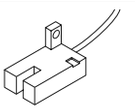

Rechtwinklige Montage gezeigt

Abb. 10

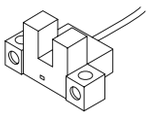

Abb. 11

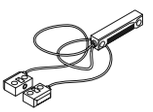

Abb. 12

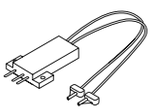

Abb. 13

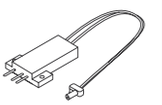

Abb. 14

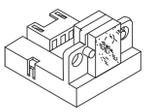

Abb. 15

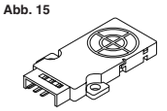

Induktiver Typ

Abb. 16

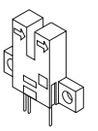

Abb. 17

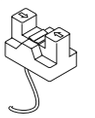

Abb. 18

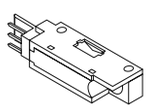

Abb. 19

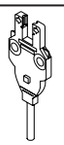

Abb. 20

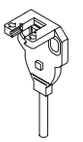

Abb. 21

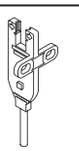

Abb.	Sensortyp/Merkmale	Abtast-abstand	Konfiguration	Digi-Key Teilenr.	Stückpreis 1	25	Omron Teilenr.
1	Reflektiv (Allzweck)	5mm	Hell schaltend	OR506-ND	13.83	12.45	EE-SB5V
1	Reflektiv (Allzweck)	5mm	Dunkel schaltend	OR507-ND	13.83	12.45	EE-SB5VC
1	Reflektiv (Allzweck)	19mm	Hell schaltend	OR519-ND	19.32	17.39	EE-SB5V-E
1	Reflektiv (Seitenerkennung)	5mm	Hell schaltend	OR535-ND*	37.43	33.69	EE-SPY311
1	Reflektiv (Seitenerkennung)	5mm	Hell schaltend	OR536-ND*	37.43	33.69	EE-SPY411
1	Reflektiv (Erkennung von oben)	5mm	Dunkel schaltend	OR572-ND*	37.43	33.69	EE-SPY312
1	Reflektiv (Erkennung von oben)	5mm	Hell schaltend	OR573-ND*	37.43	33.69	EE-SPY412
1	Reflektiv (Seitenerkennung)	5mm	Hell/dunkel schaltend	OR531-ND†	22.40	20.17	EE-SY671
1	Reflektiv (Erkennung von oben)	5mm	Hell/dunkel schaltend	OR532-ND†	22.40	20.17	EE-SY672
2	Breiter Steckplatz (13 mm)	13mm	Dunkel schaltend	OR533-ND*	40.00	36.01	EE-SPX303
2	Breiter Steckplatz (13 mm)	13mm	Hell schaltend	OR534-ND*	40.00	36.01	EE-SPX403
3	Steckplatz (mit staubfreiem Schlitz)	5mm	Hell/dunkel schaltend	OR528-ND	18.63	16.77	EE-SX670
3	Steckplatz (mit staubfreiem Schlitz)	5mm	Hell/dunkel schaltend	OR611-ND	18.63	16.77	EE-SX670A
4	Steckplatz (L-Form, mit staubfreiem Schlitz)	5mm	Hell/dunkel schaltend	OR529-ND	18.97	17.08	EE-SX671
4	Steckplatz (L-Form, mit staubfreiem Schlitz)	5mm	Hell/dunkel schaltend	OR612-ND	18.97	17.08	EE-SX671A
5	Steckplatz (L-Form, mit staubfreiem Schlitz)	5mm	Hell/dunkel schaltend	OR530-ND	19.20	17.29	EE-SX672
5	Steckplatz (L-Form, mit staubfreiem Schlitz)	5mm	Hell/dunkel schaltend	OR613-ND	19.20	17.29	EE-SX672A
6	Schlitz (dichte Montage)	5mm	Hell/dunkel schaltend	OR549-ND	19.89	17.90	EE-SX673
6	Schlitz (dichte Montage)	5mm	Hell/dunkel schaltend	OR614-ND	19.89	17.90	EE-SX673A
7	Schlitz (dichte Montage)	5mm	Hell/dunkel schaltend	OR597-ND	20.46	18.42	EE-SX674
8	Reflektiv (große Entfernung)	200mm	Dunkel schaltend	OR538-ND*	50.29	45.26	EE-SPZ301A
8	Reflektiv (große Entfernung)	200mm	Hell schaltend	OR539-ND*	50.29	45.26	EE-SPZ401A
9	Steckplatz (Linksmontage mit 1 m Kabel)	3.6mm	Dunkel schaltend	OR541-ND*	57.15	51.44	EE-SPX302-W2A
9	Steckplatz (Rechtsmontage mit 1 m Kabel)	3.6mm	Dunkel schaltend	OR542-ND*	61.72	55.55	EE-SPX304-W2A
10	Steckplatz (Montage von oben, mit 1 m Kabel)	3.6mm	Dunkel schaltend	OR543-ND*	64.00	57.61	EE-SPX305-W2A
11	Steckplatz (breiter Abtastabstand)	300mm	Dunkel schaltend	OR546-ND*	148.58	133.73	EE-SPW321
11	Steckplatz (breiter Abtastabstand)	300mm	Hell schaltend	OR547-ND*	148.58	133.73	EE-SPW421
12	Faser (19° Optikfaser)	30mm	Dunkel schaltend	OR552-ND*	68.86	61.98	EE-SPZ301W-01
12	Faser (19° Optikfaser)	30mm	Hell schaltend	OR553-ND*	68.86	61.98	EE-SPZ401W-01
13	Reflektiv (11° Glasfaserleiter)	1-3mm	Dunkel schaltend	OR554-ND*	72.00	64.81	EE-SPZ301Y-01
13	Reflektiv (11° Glasfaserleiter)	1-3mm	Hell schaltend	OR555-ND*	72.00	64.81	EE-SPZ401Y-01
14	Reflektiv (externer A-D erforderlich)	7.5mm	10-Bit A/D	OR548-ND	46.48	41.84	Z4D-A01
15	Induktiv (erkennt Eisen-Metall)	5mm	Arbeitskontakt-Ausgang	OR560-ND	24.86	22.38	E2R-A01
16	Schlitz (Allzweck)	3.6mm	Dunkel schaltend	OR574-ND*	38.57	34.72	EE-SPX301
16	Schlitz (Allzweck)	3.6mm	Hell schaltend	OR575-ND*	38.57	34.72	EE-SPX401
17	Geschlitzter Flüssigkeitspegeldetektor	6-13mm	Dunkel/hell schaltend	OR579-ND*	110.01	99.01	EE-SPX613
18	Reflektiv (Allzweck)	11mm	Dunkel schaltend	OR580-ND*	13.40	12.06	EE-SPY415
19	Steckplatz mit 2 m Kabel	5mm	Dunkel schaltend	OR605-ND*	24.86	22.38	EE-SX770
19	Steckplatz mit 2 m Kabel	5mm	Hell schaltend	OR606-ND*	24.86	22.38	EE-SX870
20	L-förmig mit 2 m Kabel	5mm	Dunkel schaltend	OR607-ND*	26.29	23.66	EE-SX771
20	L-förmig mit 2 m Kabel	5mm	Hell schaltend	OR608-ND*	26.29	23.66	EE-SX871
21	T-förmig mit 2-m-Kabel	5mm	Dunkel schaltend	OR609-ND*	27.43	24.69	EE-SX772
21	T-förmig mit 2-m-Kabel	5mm	Hell schaltend	OR610-ND*	27.43	24.69	EE-SX872
—	IR-Reflektor für Abb. 8 oben, 60 x 40 mm			OR540-ND	13.63	12.27	E39-R1
—	3-Pin Steckverbinder mit 1 m Kabel für Abb. 15 oben			OR561-ND	6.64	5.98	E22-01
—	Konverter von NPN- in PNP-Ausgang für verstärkte Sensoren			OR550-ND	24.58	22.12	EE-2001
—	Konverter von NPN- in PNP-Ausgang für verstärkte Sensoren			OR551-ND	24.58	22.12	EE-2002
—	4-Pin Anschluss für Abb. 1-6 oben			OR527-ND	2.51	2.27	EE-1001
—	4-Pin Steckverbinder mit 2 m Kabel für Abb. 1-6 oben			OR559-ND	11.78	10.60	EE-1006
—	Plattenmontierte Halteklemme für OR559-ND			OR576-ND	3.55	3.19	EE-1006A
—	3-Pin Steckverbinder für 8, 12, 13 und 16 oben			OR537-ND	2.51	2.27	EE-1002
—	3-Pin Steckverbinder mit 2 m Kabel für 4, 12 und 13 oben			OR558-ND	4.46	4.02	EE-1003
—	Plattenmontierte Halteklemme für OR558-N			OR583-ND	1.37	1.24	EE-1003A

* Sensoren werden nicht durch externes Licht beeinflusst. † Integrierter Empfindlichkeitsregler.

Unverstärkte optische Sensoren

Die optischen Sensoren von Omron wurden zur Erfüllung der Positionierungs- und Komponenten- oder Objekterkennungsanforderungen sowie für Cam-Timer-Schaltsteuerung und Robotersteuerung entwickelt. In zwei Ausführungen erhältlich: Nichtverstärkte optische Sensoren sind preiswerte, schnell ansprechende optische Sensoren, die hauptsächlich in Design-in-Prozessen verwendet werden. Verstärkte optische Sensoren sind ideal für „Plug-and-Play" -Anwendungen, wo externes Licht die Leistung nicht beeinflusst und eine breite Auswahl an Eingangsspannungen angewandt werden kann.

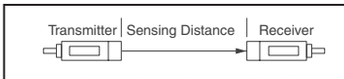

Through-Beam - Version mit Schlitz

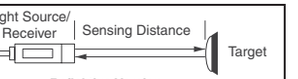

Reflektive Version

Abb. 1

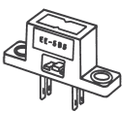

Abb. 2

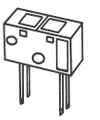

Abb. 3

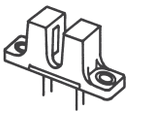

Abb. 4

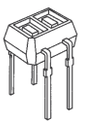

Abb. 5

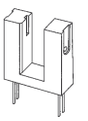

Abb. 6

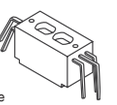

Niedrige Bauform

Abb. 7

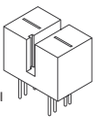

Zweikanal

Abb. 8

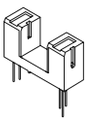

Abb. 9

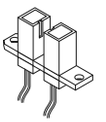

Abb. 10

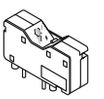

Abb. 11

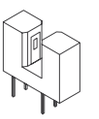

Abb. 12

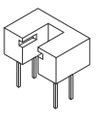

Abb. 13

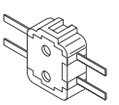

Abb. 14

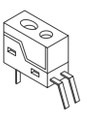

Abb. 15

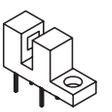

Abb. 16

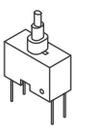

Abb.	Abtastmethode	Abtast-abstand	Anschlusstyp	t_{ein}/t_{aus} (µs), typ.	Digi-Key Teilenr.	Stückpreis 1	25	100	Omron Teilenr.
1	Reflektierend	5mm	Lötzinn	30/30	OR500-ND	4.05	3.64	2.92	EE-SB5
	Reflektierend	5mm	Leiterplatte	30/30	OR501-ND	4.05	3.64	2.92	EE-SB5-B
2	Reflektierend	5mm	Lötzinn	30/30	OR502-ND	3.98	3.59	2.87	EE-SF5
	Reflektierend	5mm	Leiterplatte	30/30	OR503-ND	3.98	3.59	2.87	EE-SF5-B
3	Schlitz	3.6mm	Lötzinn	4/4	OR504-ND	3.03	2.73	2.18	EE-SG3
	Schlitz	3.4mm	Lötzinn	4/4	OR713-ND	3.36	3.03	2.42	EE-SH3
	Schlitz	3.4mm	Lötzinn	4/4	OR714-ND	4.17	3.76	3.01	EE-SV3
	Schlitz	3.4mm	Leiterplatte	4/4	OR715-ND	4.30	3.88	3.10	EE-SX305
	Schlitz	3.6mm	Leiterplatte	4/4	OR505-ND	3.03	2.73	2.18	EE-SG3-B
4	Reflektierend	1mm	Leiterplatte	35/25	OR520-ND	1.61	1.45	1.16	EE-SY124
	Reflektierend	1mm	SMT	35/25	OR557-ND	1.61	1.45	1.16	EE-SY125
5	Schlitz	5mm	Leiterplatte	4/4	OR518-ND	1.42	1.28	1.03	EE-SX1042
	Schlitz	4.6mm	Leiterplatte	500Hz	OR556-ND	1.65	1.49	1.19	EE-SX1061
	Schlitz	3mm	Leiterplatte	70/70	OR601-ND	1.65	1.49	1.19	EE-SX298
6	Reflektierend	5mm	Leiterplatte	50Hz	OR525-ND	2.92	2.63	2.11	EE-SY310
	Reflektierend	5mm	Leiterplatte	50Hz	OR526-ND	2.92	2.63	2.11	EE-SY410
	Reflektierend	4.4mm	Leiterplatte	3/20	OR603-ND	3.12	2.81	2.25	EE-SY313
	Reflektierend	4.4mm	Leiterplatte	3/20	OR604-ND	3.12	2.81	2.25	EE-SY413
7	Schlitz	3.4mm	Leiterplatte	4/4	OR523-ND	3.45	3.11	2.49	EE-SX1031
8	Schlitz	8mm	Leiterplatte	3KHz	OR716-ND	2.07	1.87	1.50	EE-SX3070
	Schlitz	8mm	Leiterplatte	3KHz	OR524-ND	1.63	1.47	1.18	EE-SX4070
	Schlitz	8mm	Leiterplatte	3KHz	OR571-ND	1.42	1.28	1.03	EE-SX1070
9	Vertikaler Steckplatz	3.4mm	61 cm Drähte	4/4	OR562-ND	5.99	5.40	4.32	EE-SX1088-W1
	Horizontaler Steckplatz	3.4mm	61 cm Drähte	4/4	OR563-ND	5.66	5.09	4.07	EE-SX1096-W1
10	Reflekt./Vert.	4.5mm	Leiterplatte	30/30	OR564-ND	8.89	8.01	6.41	EE-SY190
	Reflekt./Horiz.	4.5mm	Leiterplatte	30/30	OR565-ND	8.89	8.01	6.41	EE-SY191
11	Schlitz	3.4mm	Leiterplatte	4/4	OR569-ND	2.69	2.42	1.94	EE-SJ3-D
	Schlitz	2.8mm	Leiterplatte	4/4	OR598-ND	1.72	1.55	1.24	EE-SX1025
	Schlitz	5.2mm	Leiterplatte	4/4	OR599-ND	1.80	1.62	1.30	EE-SX1035
12	Schlitz	3mm	Leiterplatte	4/4	OR570-ND	2.46	2.21	1.77	EE-SX1046
	Schlitz	2mm	Leiterplatte	3/20	OR600-ND	2.48	2.23	1.79	EE-SX493
13	Reflektierend	4 mm	Leiterplatte	180/60	OR578-ND	2.99	2.69	2.15	EE-SY201
14	Rote LED,reflektierend	4 mm	Leiterplatte	30/30	OR581-ND	8.91	8.02	6.42	EE-SY169
	IR-Reflektierend	4 mm	Leiterplatte	30/30	OR582-ND	7.96	7.17	5.73	EE-SY169A
15	Schlitz	3mm	Leiterplatte	70/70	OR602-ND	2.58	2.33	1.86	EE-SK3W-B
16	Betätiger	Kontakt	Leiterplatte	—	OR712-ND	2.62	2.36	1.89	EE-SA105

D6A-Luftmengensensor

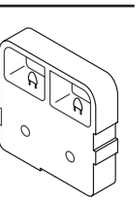

Der erste D6A-Filtersensor der Industrie enthält einen Mikroprozessor mit einem komplexen Algorithmus, der einen Temperaturbezugspunkt liefert, um zu sehen, ob ein Filterventilator die richtige Luftmenge bewegt. Wenn der Sensor anzeigt, dass dies nicht der Fall ist, weiß der Benutzer, dass der Filter verstopft ist. Mit seinen Tastfunktionen kann der D6A zuverlässigen Schutz bieten und Zuverlässigkeit beim Dauerbetrieb teurer Geräte gewährleisten. Dieser Sensor für verstopfte Filter ist hervorragend geeignet für Server, Hochleistungsrouter und Netzwerkgeräte. Andere Anwendungen sind unterbrechungsfreie Stromversorgungen, Registrierkassen und andere Geräte, die einen Lüfter mit Filter haben.

Spezifikationen: • Versorgungsspannung: 12 V DC • Stromverbrauch: 60 mA (max.)

Beschreibung	Digi-Key Teilenr.	Stückpreis 1	25	50	Omron Teilenr.
Luftstromsensor - 0,5 ~ 1,5 M/1 s	Z2002-ND	49.02	38.86	37.35	D6A-N

J

Alle Preisangaben in Euro und inklusive Zollgebühren.

OMRON® D6F-Gasflusssensor

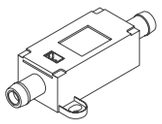

Der D6F ist ein neuer ultraempfindlicher Gasflusssensor. Er kann sowohl die Gasgeschwindigkeit als auch die Gasrichtung bei extrem niedrigen Flussraten messen und eignet sich besonders zur Untersuchung von medizinischen Niedrigdruckgasen, Boileremissionen und von Luftstrom in HVAC-Systemen. Er eignet sich zur Messung von Sauerstoff und Stickstoffdioxyd, die von einem Beatmungsgerät während einer Operation verbraucht werden. Er kann ferner zur Überwachung des Luftumlaufs in einem Gebäude dienen und somit die Leistung und Effizienz von Klima- und Klimatisierungsanlagen verbessern. Die extreme Empfindlichkeit wird durch ein winziges Heizelement erzielt, das auf beiden Seiten mit Temperatursensoren verbunden ist. Die Temperaturabweichung, die von den beiden Sensoren gemessen wird, dient zur Berechnung von Gasfluss und -richtung und erzeugt einen nicht-linearen Analogausgang zwischen 1 V und 5 V.

Gehäuse-material	Geeignetes Gas	Durchflussbereich	Digi-Key Teilenr.	Stückpreis 1	25	50	Omron Teilenr.
PPS	Luft	0-1 Liter/Minute	Z1671-ND	143.45	116.74	111.18	D6F-01A1-110
PPS	Luft	0-2 Liter/Minute	Z1672-ND	207.42	186.68	165.94	D6F-02A1-110
Aluminium	LNG*	0-5 Liter/Minute	Z1673-ND†	170.74	140.11	135.19	D6F-05N2-000

* Flüssiges Erdgas † D6F-05 ist ein 1/4' Rohrgewinde nach dem British Taper (Rc)-Standard.

D6F-Luftmengensensor

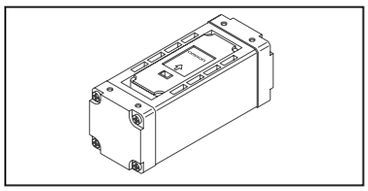

Der Mengenflusssensor von Omron erkennt Flüsse von 1 ~ 10 Liter bis zu 1 ~ 50 Liter pro Minute. Er verwendet einen breiten Versorgungsspannungsbereich von 10,8 ~ 26,4 V DC und liefert eine analoge Ausgangsspannung von 1 ~ 5 V DC. Perfekt für medizinische Geräte,Kraftstoffzellenüberwachung und Messgeräte.

Beschreibung	Digi-Key Teilenr.	Stückpreis 1	25	50	Omron Teilenr.
Flusssensor 0-10 Liter pro Minute	Z2206-ND	285.73	257.16	228.59	D6F-10A5-000
Flusssensor 0-20 Liter pro Minute	Z2207-ND	285.73	257.16	228.59	D6F-20A5-000
Flusssensor 0-50 Liter pro Minute	Z2208-ND	285.73	257.16	228.59	D6F-50A5-000
Kabel für Luftstromsensoren	Z2209-ND	9.95	8.96	7.96	D6F-CABLE1

D8M-Drucksensoren

Abb. 1

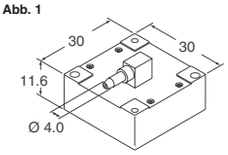

Abb. 2

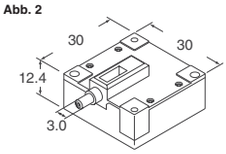

D8M-Drucksensoren dienen zur präzisen Erkennung von Luftdruckveränderungen und verfügen über Ausgänge für Analog- oder Digitalsignale. Perfekt für Wasserstandsüberwachung, Flüssigkeitspegelüberwachung und HVAC-Veränderungen im Luftstrom. **Merkmale:** • Hohe Geräuschimmunität • Druckbereich: D8M-D1 = 0 - 5,88 kPa, D8M-A1 = 0 bis 4,9 Pa • Stromverbrauch: D8M-D1 = 150 mA bei Ausgang 3 V DC, D8M-A1 = 2,5 mA • Temperaturbereich: -30 °C ~ 70 °C • Schutzstruktur: IP 40 **Eigenschaften:** • Ausgangsauflösung: 0,01 kPa/1 Impuls • Ausgangsfrequenz: 150 ~ 450 kHz

Abb.	Art d. Druckes	Bereich	Ausgang	Digi-Key Teilenr.	Stückpreis 1	25	50	Omron Teilenr.
1	Anzeigeinstrument	0 ~ 4.9kPa	Analog	Z2013-ND	46.96	37.22	35.78	D8M-A1
2	Anzeigeinstrument	0 ~ 5.88kPa	Digital	Z2014-ND	70.39	53.63	51.08	D8M-D1
—	Anzeigeinstrument	0 ~ 196.13Pa	Frequenz	Z2017-ND	109.81	89.37	85.11	D8M-R1

D7A/D7E Vibrationssensoren

Abb. 1 — D7A

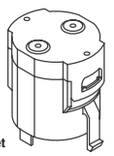

Vertikal abgebildet

Abb. 2 — D7E

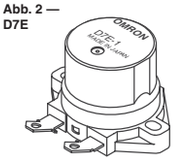

Diese Vibrationssensoren sind perfekt für die schnelle Erkennung von Bewegungen, die Geräte beschädigen könnten; sie können auch zum sicheren Herunterfahren kritischer Funktionen verwendet werden. Die Sensoren sind automatisch rückstellbar und verlangen kein manuelles Rückstellen. D7A ist ein die Horizontale wahrender Vibrationssensor; PC-montiert D7E-Vibrationssensoren sind preiswerte versiegelte Sensoren mit unterschiedlicher Empfindlichkeit. Diese Sensoren eignen sich zur Verwendung für industrielle Ausrüstungen, Kräne, Gabelstapler, Herstellungsanlagen und Boiler. Zur Verwendung in Erdgassperrventilen, Kaufautomaten, Förderanlagen, Erdbebensensoren oder anderen Schaltungen, die bei Vibration oder Neigung abgeschaltet werden müssen.

Spezifikationen:• Unterschiedliche Empfindlichkeit • Kontaktkapazität: (D7A) 5 µA - 1 mA @ 3 V DC; (D7E) 100 mA @ 5-30 V DC • Kontaktform: (D7A) SPST-NO; (D7E) SPST-Ruhekontakt • Betriebstemperatur: (D7A) -30 °C ~ 70 °C, (D7E) -25 °C ~ 60 °C • Durchschlagsfestigkeit: 250 V AC 50/60 Hz

Abb.	Beschreibung	Digi-Key Teilenr.	Stückpreis 1	25	50	Omron Teilenr.
1	90-170 gal (340,7 L - 643,5 L) Vertikalschalter, 1 mA	Z2004-ND	21.41	17.74	16.97	D7A-1
	90-170 gal (340,7 L - 643,5 L) Horizontalschalter, 1 mA	Z2005-ND	21.41	17.74	16.97	D7A-2
	90-170 gal (340,7 L - 643,5 L) Schalter, Chassismontage, 1 mA	Z2006-ND	22.74	18.84	18.03	D7A-3
2	130-200 gal (492,1 l - 757,1 l) Vibrationsschalter, 0,1 A	Z2007-ND	7.63	5.85	5.52	D7E-1
	100-170 gal (378,5 l - 643,5 l) Vibrationsschalter, 0,1 A	Z2008-ND	5.69	3.28	3.10	D7E-2
	50-80 ° Neigungsschalter, 0,1 A	Z2009-ND	8.36	5.73	5.41	D7E-3

D7H Geräte-Vibrationssensoren

Abb. 1

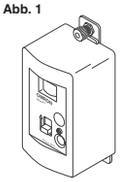

Abb. 2

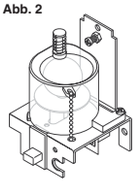

Die Vibrationsschalter verfügen über eine äußerst haltbare Edelstahlmembran, die die Erkennung von geringfügigen Bewegungen ermöglicht. Zur Verhinderung sekundärer Schäden nach Erdbeben und als Ersatz von Quecksilber durch ein einfaches mechanisches System geeignet. Manuell rückstellbarer, senkrecht montierter Sensor, entweder in einem geschlossenen Gehäuse oder offen.

Spezifikationen: • 100-170 gal. (378,5 l - 643,5 l), 10 A 125 V AC, 0,1 A 30 V DC • Betriebstemperatur: -10 °C ~ 70 °C

Abb.	Beschreibung	Digi-Key Teilenr.	Stückpreis 1	25	50	Omron Teilenr.
1	Umschlossener Vibrationserkennungsschalter, 10 A	Z2010-ND	140.71	114.51	109.06	D7H-A1
2	Vibrationserkennungsschalter, 10 A, offenes Gehäuse	Z2011-ND	46.11	36.56	35.13	D7H-B1
—	Vibrationserkennungsschalter, 10 A, offenes Gehäuse	Z2012-ND	46.11	36.56	35.13	D7H-B2

D6B-Neigungsschalter

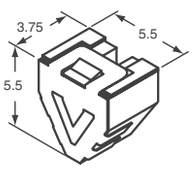

Ideal zur Neigungserkennung von Ausrüstungen. Liefert separaten Ausgang bei Links- oder Rechtsneigung. Perfekt zur Signalisierung einer Bildschirmdrehung von Senkrechtformat auf Querformat unter Beibehaltung der Produktausrichtung. Kann in Raumheizungen eingesetzt werden

Spezifikationen: • Ausgangsstrom: 1 mA • Betriebstemperatur: -10 °C ~ 60 °C

Eigenschaften: • Versorgungsspannung: 2,7 V ~ 3,3 V • Hohe Ausgangsspannung: Vdd - min. 0,5 V • Niedrige Ausgangsspannung: Max. 0,5 V • Stromverbrauch: Max. 20 µA • Betriebswinkel: 45° ~ 75°

Beschreibung	Digi-Key Teilenr.	Stückpreis 1	25	50	Omron Teilenr.
Mikro-SMD-Neigungsschalter - Links/rechts	Z2003-ND	12.06	10.86	9.66	D6B-1
Mikro-SMD-Neigungsschalter - RoHS-konform	Z2205-ND	12.06	10.86	9.66	D6B-2

Induktive Proximitätssensoren

Abb. 1

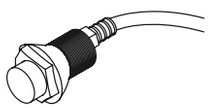

Abb. 2

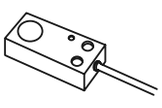

Die induktiven Sensoren von Omron dienen zur Erkennung der Präsenz oder des Fehlens von eisenhaltigem Metall in Sensornähe und zur Lieferung eines Ausgangs, wenn solches erkannt wird. Da induktive Sensoren elektromagnetische Felder verwenden, übertreffen sie fotoartige Sensoren in Umgebungen mit Wasser, Öl, Staub und Schmutz. Geschirmte Sensoren werden mit einer Schirmplatte um den Ferritkern hergestellt, um die Eisenmetallabtastung auf den Sensorkopf zu konzentrieren. Deshalb kann der Sensor auch in der Nähe von Metallen montiert oder betrieben werden.

Abb.	Max. Abtastabstand	Beschreibung	Anschlusstyp	Ausgabetyp	Digi-Key Teilenr.	Stückpreis 1	25	50	Omron Teilenr.
1	0.8mm	4 mm Durchm., kurze Hülse DC-Prox, Edelstahl, abgeschirmt	3-adrig	NPN	Z1651-ND	66.05	61.16	57.09	E2E-CR8C1
	1mm	M5, kurze Hülse DC-Prox, vernickeltes Messing, abgeschirmt	3-adrig	NPN	Z1652-ND	66.05	61.16	57.09	E2E-X1C1
	1mm	5,4 mm Durchm., kurze Hülse DC-Prox, vernickeltes Messing, abgeschirmt	3-adrig	NPN	Z1653-ND	66.05	61.16	57.09	E2E-C1C1
	1.5mm	M8, kurze Hülse DC-Proxy, vernickeltes Messing, abgeschirmt	3-adrig	NPN	Z1062-ND	48.38	44.81	41.82	E2E-X1R5E1-N
	1.5mm	M8, kurze Hülse AC-Proxy, vernickeltes Messing, abgeschirmt	2-adrig	NPN	Z1063-ND	57.60	53.34	49.78	E2E-X1R5Y1-N
	2mm	M8, kurze Hülse DC-Proxy, vernickeltes Messing, abgeschirmt	2-adrig	NPN	Z1064-ND	49.92	46.23	43.15	E2E-X2D1-N-N
	2mm	M12, kurze Hülse DC-Proxy, vernickeltes Messing, abgeschirmt	3-adrig	NPN	Z1065-ND	48.38	44.81	41.82	E2E-X2E1-N
	2mm	M12, kurze Hülse AC-Proxy, vernickeltes Messing, abgeschirmt	2-adrig	NPN	Z1066-ND	57.60	53.34	49.78	E2E-X2Y1-US-N
	3mm	M12, kurze Hülse DC-Proxy, vernickeltes Messing, abgeschirmt	2-adrig	NPN	Z1067-ND	50.69	46.94	43.81	E2E-X3D1-N-N
	5mm	M18, kurze Hülse DC-Proxy, vernickeltes Messing, abgeschirmt	3-adrig	NPN	Z1068-ND	49.92	46.23	43.15	E2E-X5E1-N
	5mm	M18, kurze Hülse AC-Proxy, vernickeltes Messing, abgeschirmt	2-adrig	NPN	Z1069-ND	61.45	56.90	53.10	E2E-X5Y1-US-N
	7mm	M18, kurze Hülse DC-Proxy, vernickeltes Messing, abgeschirmt	2-adrig	NPN	Z1070-ND	52.23	48.36	45.14	E2E-X7D1-N-N
	10mm	M30, kurze Hülse DC-Prox, vernickeltes Messing, abgeschirmt	3-adrig	NPN	Z1654-ND	53.00	49.07	45.80	E2E-X10E1-N
	10mm	M30, kurze Hülse AC-Prox, vernickeltes Messing, abgeschirmt	2-adrig	NPN	Z1655-ND	65.28	60.45	56.42	E2E-X10Y1-US-N
	1.5mm	M8, kurze Hülse, DC-Proxy, Kunststoffgehäuse, abgeschirmt	3-adrig	NPN	Z1075-ND	46.85	43.38	40.49	E2F-X1R5E1
	1.5mm	M8, kurze Hülse, AC-Proxy, Kunststoffgehäuse, abgeschirmt	2-adrig	NPN	Z1076-ND	59.14	54.76	51.11	E2F-X1R5Y1
	2mm	M12, kurze Hülse, DC-Proxy, Kunststoffgehäuse, abgeschirmt	3-adrig	NPN	Z1078-ND	45.31	41.96	39.17	E2F-X2E1
	2mm	M12, kurze Hülse, AC-Proxy, Kunststoffgehäuse, abgeschirmt	2-adrig	NPN	Z1079-ND	59.14	54.76	51.11	E2F-X2Y1
	5mm	M18, kurze Hülse, DC-Proxy, Kunststoffgehäuse, abgeschirmt	3-adrig	NPN	Z1080-ND	46.08	42.67	39.83	E2F-X5E1
	5mm	M18, kurze Hülse, AC-Proxy, Kunststoffgehäuse, abgeschirmt	2-adrig	NPN	Z1081-ND	60.68	56.19	52.44	E2F-X5Y1-US
	10mm	M30, kurze Hülse, DC-Proxy, Kunststoffgehäuse, abgeschirmt	3-adrig	NPN	Z1077-ND	50.30	46.58	43.48	E2F-X10E1
2	1.5mm	Flaches Niedrigprofil, DC-Proxy, Aluminiumgehäuse, nicht abgeschirmt	3-adrig	PNP	Z1082-ND	41.09	38.05	35.51	TL-W1R5MB1
	1.5mm	Flaches Niedrigprofil, DC-Proxy, Aluminiumgehäuse, nicht abgeschirmt	3-adrig	NPN	Z1083-ND	41.09	38.05	35.51	TL-W1R5MC1
	3mm	Flaches Niedrigprofil, DC-Proxy, Kunststoffgehäuse, nicht abgeschirmt	3-adrig	NPN	Z1084-ND	43.58	40.36	37.67	TL-W3MC1
	3mm	Flaches Niedrigprofil, DC-Proxy, Kunststoffgehäuse, nicht abgeschirmt	3-adrig	PNP	Z1189-ND	43.58	40.36	37.67	TL-W3MB1
	5mm	Flaches Niedrigprofil, DC-Proxy, Kunststoffgehäuse, nicht abgeschirmt	3-adrig	PNP	Z1085-ND	37.25	34.50	32.20	TL-W5MB1
	5mm	Flaches Niedrigprofil, DC-Proxy, Kunststoffgehäuse, nicht abgeschirmt	3-adrig	NPN	Z1086-ND	37.25	34.50	32.20	TL-W5MC1
	20mm	Flaches Niedrigprofil, DC-Proxy, Aluminiumgehäuse, nicht abgeschirmt	3-adrig	NPN	Z1660-ND	61.06	56.54	52.77	TL-W20ME1
Montagehalterung, passt auf M8-Sensoren					Z1656-ND	2.32	2.15	2.01	Y92E-B8
Montagehalterung, passt auf M12-Sensoren					Z1657-ND	2.32	2.15	2.01	Y92E-B12
Montagehalterung, passt auf M18-Sensoren					Z1658-ND	2.32	2.15	2.01	Y92E-B18

J

Optische Sensoren

Abb. 1
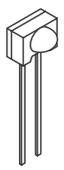

Abb. 2
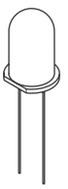

Abb. 3
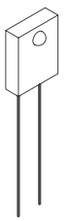

Abb. 4
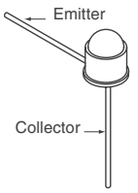

Abb. 5
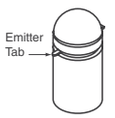

Abb. 6

Abb. 7

Abb. 8

Abb. 9

Abb. 10
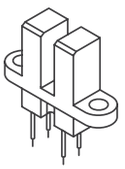

Abb. 11
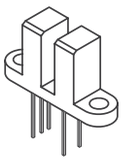

Abb. 12
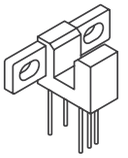

Abb. 13
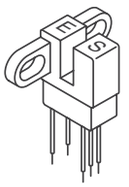

Abb. 14
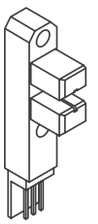

Abb. 15
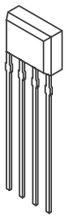

Abb. 16
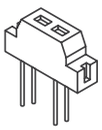

Abb. 17
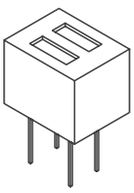

Abb. 18
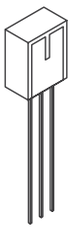

Abb. 19

Abb. 20
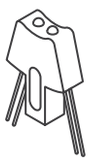

Abb. 21
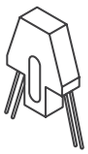

Abb. 22
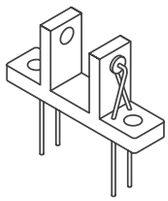

Abb. 23
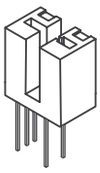

Abb. 24
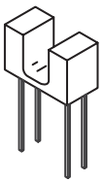

Abb. 25
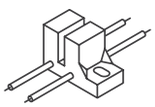

Infrarot-Leuchtemitterdioden

Abb.	Typ/Paket	VCEO (V)	IC (mA)	Wellenlänge der höchsten Empfindlichkeit	Digi-Key Teilenr.	1	Stückpreis 100	250	Honeywell Teilenr.
				AlGaAs					
1	Seitenansicht	1.7	50	880nm	480-1968-ND	.89	.65	.60	SEP8736-002
		1.7	50	880nm	480-1969-ND	.93	.68	.63	SEP8736-003
2	T-1	1.7	50	880nm	480-1965-ND	.93	.68	.63	SEP8705-003
3	Seitenansicht	1.7	50	880nm	480-1966-ND	.77	.56	.52	SEP8706-002
		1.7	50	880nm	480-1967-ND	.81	.60	.55	SEP8706-003
4	Koaxial	1.8	50	880nm	480-1977-ND	2.89	2.10	1.95	SE1470-003L
		1.8	50	880nm	480-1978-ND	2.95	2.16	1.99	SE1470-004L
5	Mini-pill	1.8	75	880nm	480-1980-ND	1.52	1.11	1.02	SE2470-002
6	TO-46	1.9	100	880nm	480-1981-ND	2.30	1.68	1.56	SE3470-003
		1.9	100	880nm	480-1983-ND	2.21	1.61	1.49	SE5470-003
		1.9	100	880nm	480-1984-ND	2.26	1.65	1.52	SE5470-004
				GaAs					
2	T-1	1.5	50	935nm	480-1961-ND	.86	.63	.58	SEP8505-002
3	Seitenansicht	1.5	50	935nm	480-1962-ND	.63	.46	.43	SEP8506-001
		1.5	50	935nm	480-1963-ND	.72	.53	.49	SEP8506-002
		1.5	50	935nm	480-1964-ND	.77	.56	.52	SEP8506-003
4	Koaxial	1.6	50	935nm	480-1976-ND	2.49	1.82	1.68	SE1450-003L
5	Mini-pill	1.6	75	935nm	480-1979-ND	1.33	.97	.90	SE2460-003
6	TO-46	1.7	100	935nm	480-1982-ND	2.07	1.51	1.40	SE5455-003

NPN Silizium-Fototransistoren

Abb.	Ausgabetyp	Vcc (V)	Max. Ausgangsstrom (mA)	Anstieg/ Abfall (µs)	Digi-Key Teilenr.	1	Stückpreis 100	250	Honeywell Teilenr.
					Silikon				
1	Transistor	30	10.0	15	480-1957-ND	.81	.60	.55	SDP8436-002
		30	17.5	15	480-1958-ND	.81	.60	.55	SDP8436-003
2	Transistor	30	14	15	480-1951-ND	.80	.58	.54	SDP8405-002
		30	24	15	480-1952-ND	.86	.63	.58	SDP8405-003
		30	0.92	15	480-1953-ND	.89	.65	.60	SDP8405-013
		30	1.85	15	480-1954-ND	.80	.58	.54	SDP8405-014
3	Transistor	30	3.60	15	480-1955-ND	.63	.46	.43	SDP8406-002
		30	6.50	15	480-1956-ND	.63	.46	.43	SDP8406-003
4	Transistor	30	3.0	15	480-1970-ND	2.26	1.65	1.52	SD1440-003L
5	Transistor	30	4.0	15	480-1971-ND	1.26	.92	.85	SD2440-003
		30	7.0	15	480-1972-ND	1.30	.95	.88	SD2440-004
7	Transistor	30	8.0	2	480-1973-ND	2.26	1.65	1.52	SD5491-004
					Geringe Lichtfilterung				
3	Transistor	30	6.0	15	480-1959-ND	.72	.53	.49	SDP8476-201

Optoschmitt-Detektoren

Abb.	Ausgabetyp	Vcc (V)	Max. Ausgangsstrom (mA)	Anstieg/ Abfall (ns)	Digi-Key Teilenr.	1	Stückpreis 100	250	Honeywell Teilenr.
7	TTL	16	18	60/15	480-1974-ND	2.61	1.90	1.76	SD5600-001
		16	18	60/15	480-1975-ND	2.57	1.87	1.73	SD5620-001
8	TTL	12	18	60/15	480-1960-ND	1.40	1.02	.94	SDP8600-001
					Open-Collector-Ausgang				
9	TTL	12	15	7	480-1950-ND	1.93	1.41	1.30	SDP8314-301

Geschlitzte Optoschmitt-Sensoren

Abb.	Ausgabetyp	Vcc (V)	Max. Ausgangsstrom (mA)	Anstieg/ Abfall (ns)	Digi-Key Teilenr.	1	Stückpreis 100	250	Honeywell Teilenr.
					Transmissiv				
10	Diode	7	15	70	480-1945-ND	5.31	3.87	3.58	HOA6990-T51
11	Transistor	10	10	60/15	480-1933-ND	3.17	2.31	2.13	HOA0961-N51
	Transistor	10	10	60/15	480-1934-ND	3.17	2.31	2.13	HOA0971-N51
	Offener Kollektor	12	15	70	480-1943-ND	3.98	2.90	2.68	HOA6961-T51
12	Schmitt-Trigger	12	12	60/15	480-1941-ND	3.84	2.80	2.59	HOA2004-001
13	Transistor	12	12	60/6	480-1942-ND	6.61	4.81	4.45	HOA2005-001
14	Totem-Pole	7	15	70	480-1944-ND	3.31	2.41	2.23	HOA6972-N55
		12	15	70	480-1946-ND	5.24	3.81	3.53	HOA6991-T55
					Transmissiver Anschluss				
14	Totem-Pole	5.5	40	70	480-1947-ND	6.82	4.97	4.59	HOA7720-M22
					Encoder-Detektor				
15	Invertierende Logik	5.5	7	100	480-1949-ND	2.19	1.60	1.48	HLC2701-001

Reflektierende Objektsensoren

Abb.	Ausgabetyp	VCC (V)	Max. Ausgangsstrom (mA)	Anstieg/ Abfall (µs)	Digi-Key Teilenr.	1	Stückpreis 100	250	Honeywell Teilenr.
16	Transistor	30	30	15	480-1928-ND	2.84	2.07	1.92	HOA0149-001
17	Transistor	30	30	15	480-1935-ND	2.84	2.07	1.92	HOA1397-002
	Darlington	15	30	75	480-1936-ND	2.89	2.10	1.95	HOA1397-032
18	Transistor	30	30	15	480-1948-ND	1.70	1.24	1.15	HLC1395-001
19	Transistor	30	30	15	480-1985-ND	10.46	7.61	7.04	HOA1180-002
20	Transistor	30	30	15	480-1986-ND	8.73	6.35	5.88	HOA1404-002
21	Transistor	30	0.2	15	480-1987-ND	3.22	2.34	2.17	HOA1405-001
		30	0.8	15	480-1988-ND	3.26	2.38	2.20	HOA1405-002
					Transmissiv				
22	Transistor	30	30	15	480-1989-ND	6.76	4.92	4.55	HOA1877-001

Geschlitzte optische Sensoren

Abb.	Ausgabetyp	VCC (V)	Max. Ausgangsstrom (mA)	Anstieg/ Abfall (µs)	Digi-Key Teilenr.	1	Stückpreis 100	250	Honeywell Teilenr.
10	Transistor	30	15	15	480-1939-ND	4.47	3.26	3.01	HOA1881-012
		30	30	15	480-1931-ND	4.03	2.93	2.71	HOA0890-L51
11	Transistor	30	30	15	480-1938-ND	3.59	2.61	2.42	HOA1879-015
11	Transistor	30	30	15	480-1929-ND	2.40	1.75	1.62	HOA0866-T55
		30	30	15	480-1930-ND	2.82	2.05	1.90	HOA0875-N51
24	Transistor	30	82	15	480-1940-ND	2.12	1.55	1.43	HOA1882-012
25	Transistor	30	30	15	480-1937-ND	5.52	4.02	3.72	HOA1870-031
					Transmissiver Encoder				
23	TTL	5.5	12	20µs	480-1932-ND	6.43	4.68	4.33	HOA0902-011

J

Alle Preisangaben in Euro und inklusive Zollgebühren.

Schalter

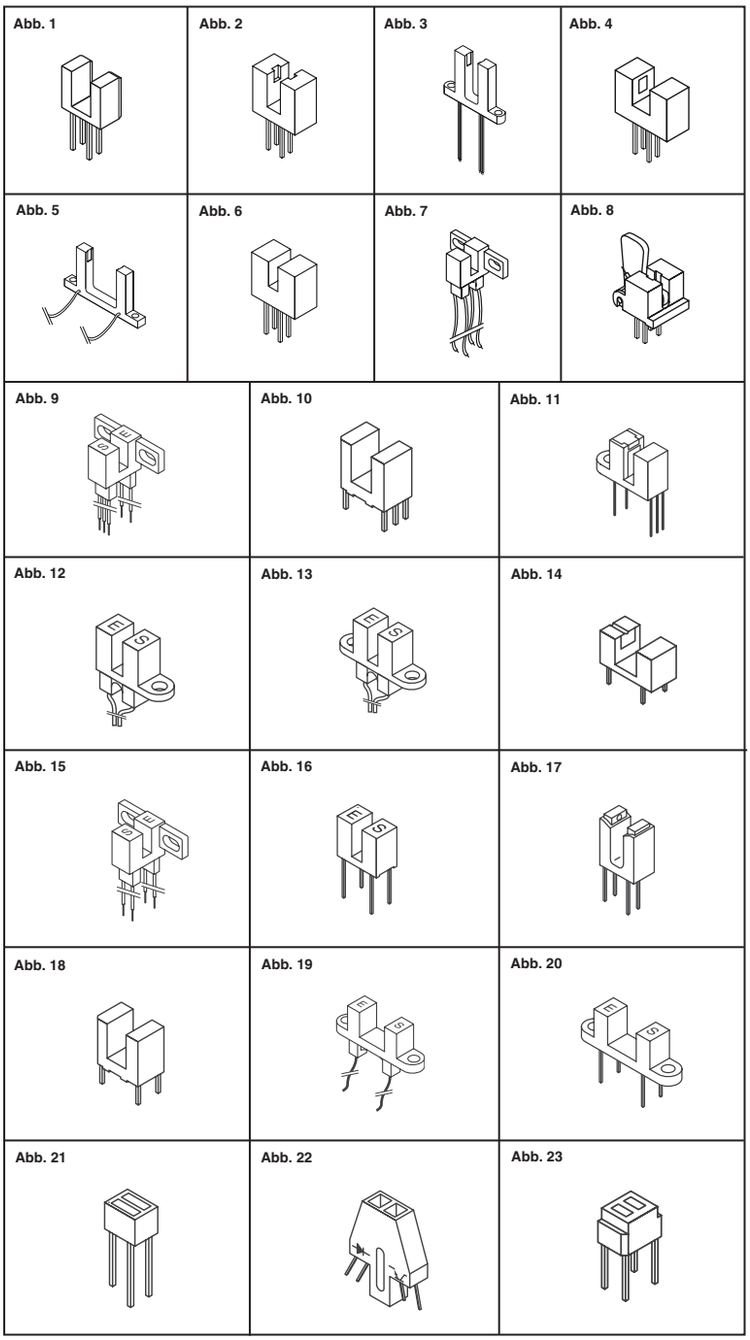

Abb.	Ausgabetyp	Schlitzbreite Zoll (mm)	Rastermaß (mm)	Digi-Key Teilenr.	Stückpreis 1	100	250	TT Electronics Teilenr.
	Optisch, geschlitzt							
1	Transistor	.200 (5.08)	.325 (8.26)	365-1008-ND	1.37	1.00	.93	OPB620
2	Transistor	.160 (4.06)	.310 (7.87)	365-1017-ND	1.73	1.26	1.16	OPB804
3	Transistor	.20 (5.08)	—	365-1018-ND	5.93	4.32	4.00	OPB817
	Photologic®	.20 (5.08)	—	365-1022-ND	8.10	5.90	5.46	OPB917B
4	Transistor	.210 (5.33)	.410 (10.41)	365-1019-ND	2.07	1.51	1.40	OPB818
5	Transistor	1.26 (32)	—	365-1020-ND	8.29	6.03	5.58	OPB819
6	Transistor	.210 (5.33)	.310 (7.87)	365-1021-ND	1.84	1.34	1.24	OPB848
7	Photologic®	.130 (3.30)	—	365-1023-ND	7.54	5.49	5.08	OPB930W55
9	Photologic®	.125 (3.18)	.320 (8.13)	365-1109-ND	7.57	5.51	5.10	OPB941W51
10	Photologic®	.200 (5.08)	.320 (8.13)	365-1090-ND	1.65	1.21	1.12	OPB625
	Photologic®	.125 (3.18)	.320 (8.13)	365-1111-ND	3.84	2.80	2.59	OPB970N11
	Photologic®	.125 (3.18)	.320 (8.13)	365-1113-ND	3.22	2.34	2.17	OPB973N51
11	Photologic®	.125 (3.18)	.320 (8.13)	365-1087-ND	3.12	2.27	2.10	OPB460L11
12	Fototransistor	.125 (3.18)	—	365-1107-ND	5.68	4.14	3.83	OPB880P51
13	Photologic®	.125 (3.18)	—	365-1114-ND	6.61	4.81	4.45	OPB990T55
	Fototransistor	.125 (3.18)	—	365-1108-ND	5.66	4.12	3.81	OPB891T51
14	Fototransistor	.205 (5.21)	.380 (9.65)	365-1105-ND	2.12	1.55	1.43	OPB855
15	Fototransistor	.125 (3.18)	—	365-1100-ND	6.12	4.46	4.12	OPB830W55
	Fototransistor	.125 (3.18)	—	365-1102-ND	7.82	5.69	5.27	OPB840W11
	Fototransistor	.125 (3.18)	.320 (8.13)	365-1101-ND	3.22	2.34	2.17	OPB840L11
	Fototransistor	.125 (3.18)	—	365-1103-ND	6.15	4.47	4.14	OPB841W55
16	Fototransistor	.130 (3.300	.225 (5.72)	365-1106-ND	3.40	2.48	2.29	OPB865N11
17	Fototransistor	.160 (4.06)	.300 (7.62)	365-1099-ND	1.73	1.26	1.16	OPB825
18	Fototransistor	.160 (4.06)	.280 (7.12)	365-1089-ND	1.37	1.00	.93	OPB610
20	Photologic®	.125 (3.18)	.320 (8.13)	365-1110-ND	3.94	2.87	2.65	OPB960T11
	Photologic®	.125 (3.18)	.320 (8.13)	365-1112-ND	3.12	2.27	2.10	OPB970T55
	Geschlitzte optische Fahne							
8	Transistor	.090 (2.16)	.280 (7.11)	365-1009-ND	2.49	1.82	1.68	OPB680
	Breitgeschlitzte Optik							
19	Fototransistor	.375 (9.53)	—	365-1096-ND	6.03	4.39	4.06	OPB810W51
	Fototransistor	.375 (9.53)	—	365-1098-ND	5.75	4.19	3.87	OPB811W55
20	Fototransistor	.375 (9.53)	.570 (14.48)	365-1094-ND	2.58	1.88	1.74	OPB800L55
	Fototransistor	.375 (9.53)	.570 (14.48)	365-1095-ND	2.66	1.94	1.79	OPB810L51
	Fototransistor	.375 (9.53)	.570 (14.48)	365-1097-ND	2.54	1.85	1.71	OPB811L55
	Reflektierende Objektsensoren							
21	Photodarlington	—	—	365-1093-ND	2.94	2.14	1.98	OPB707A
	Fototransistor	—	—	365-1092-ND	2.29	1.66	1.54	OPB706A
22	Fototransistor	—	—	365-1091-ND	2.89	2.10	1.95	OPB704
23	Fototransistor	—	—	365-1088-ND	1.37	1.00	.93	OPB606A

Sensoren

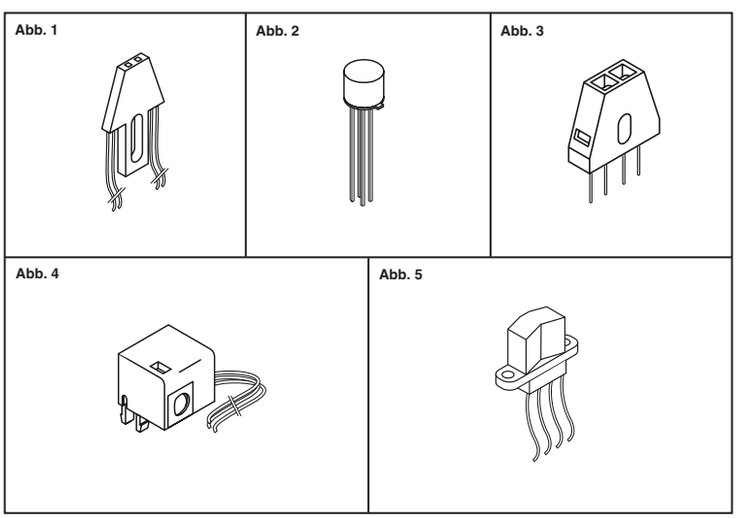

Reflektierende Objektsensoren

Abb.	Dauerdurchlassstrom (mA)	DC-Rückflussspannung	V (BR) ECO-Spannung (min.)	Min. Anschlusslei-tungslänge (mm)	Digi-Key Teilenr.	Stückpreis 1	100	250	TT Electronics Teilenr.
1	100	2.0	5.0	4.0" (101.6)	365-1010-ND	11.48	8.35	7.73	OPB700
	100	2.0	5.0	18.0" (457.2)	365-1011-ND	15.25	11.10	10.26	OPB701AL
2	50	3.0	5.0	—	365-1012-ND	6.68	4.86	4.50	OPB710
3	40	2.0	5.0	—	365-1014-ND*	2.51	1.83	1.70	OPB742
	40	2.0	5.0	—	365-1015-ND*	3.14	2.29	2.12	OPB745

* Kollektor-Emitter-Spannung 30 V - OPB742 und 15 V - OPB745

Reflektive Photologic® Objektsensoren

Abb.	DC-Betriebsversorgungsspannung	Min. Anschlusslei-tungslänge (mm)	Digi-Key Teilenr.	Stückpreis 1	100	250	TT Electronics Teilenr.
4	4.75 - 5.25	18.0" (457.2)	365-1013-ND	9.96	7.25	6.71	OPB716
5	4.75 - 5.25	12.0" (304.8)	365-1016-ND	10.40	7.57	7.01	OPB770T

J

Infrarot-Emitter und -Empfänger

OPTEK Technology

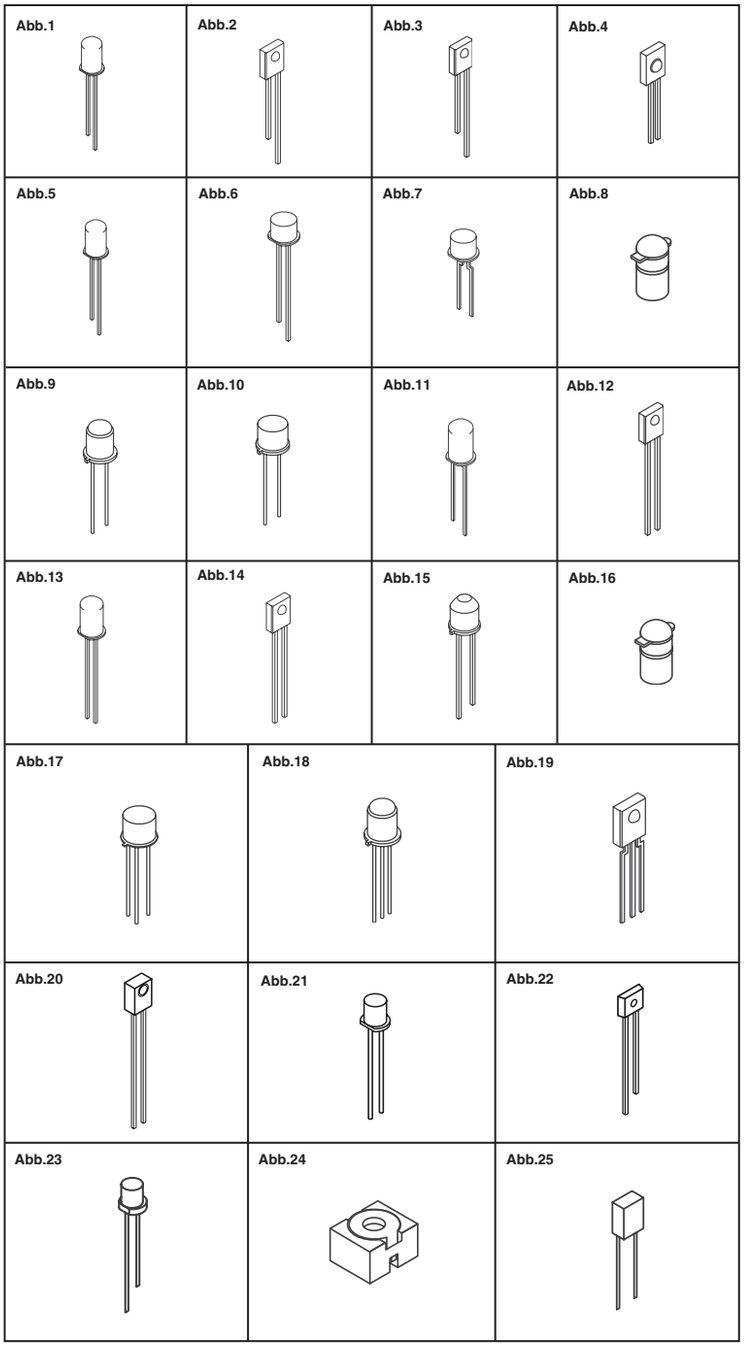

Infrarot-Leuchtemitterdioden

Abb.	Typ/Paket	Impulsvor-wärtsstrom	Optische Ausgangs-leistung	Spitzen-Emissions-wellenlänge	Strahl-winkel	Digi-Key Teilenr.	Stückpreis 1	100	250	TT Electronics Teilenr.
				Plastic						
	T-1 3/4	750mA	0.50mW/cm^2	890nm	50°	365-1060-ND	.84	.50	.47	OP294
	T-1 3/4	5.0A	44mW/cm^2	890nm	20°	365-1061-ND	.91	.54	.51	OP295A
	T-1 3/4	5.0A	77mW/cm^2	890nm	20°	365-1062-ND	.91	.54	.51	OP295B
	T-1 3/4	1.0A	0.70mW/cm^2	890nm	20°	365-1063-ND	.91	.54	.51	OP297A
	T-1 3/4	5.0A	210mW/cm^2	890nm	50°	365-1056-ND	.91	.54	.51	OP290A
1	T-1 3/4	5.0A	16mW/cm^2	890nm	50°	365-1057-ND	.91	.54	.51	OP291A
	TO-46	2.0A	16mW/cm^2	890nm	60°	365-1058-ND	.81	.48	.45	OP293A
	TO-46	2.0A	13mW/cm^2	890nm	60°	365-1059-ND	.81	.48	.45	OP293B
	TO-46	2.0A	3.0mW/cm^2	890nm	25°	365-1064-ND	.81	.48	.45	OP298A
	TO-46	2.0A	2.4mW/cm^2	890nm	25°	365-1065-ND	.81	.48	.45	OP298B
	T-1	3.0A	2.70mW/cm^2	890nm	18°	365-1054-ND	1.09	.64	.61	OP265A
	Seitenansicht	3.0A	0.60mW/cm^2	890nm	40°	365-1052-ND	.86	.51	.48	OP240A
2	Seitenansicht	3.0A	0.60mW/cm^2	890nm	40°	365-1053-ND	.91	.54	.51	OP245A
	Seitenansicht	3.0A	0.40mW/cm^2	935nm	40°	365-1043-ND	.86	.51	.48	OP140A
3	Seitenansicht	3.0A	0.30mW/cm^2	935nm	40°	365-1044-ND	.86	.51	.48	OP140B
4	Seitenansicht	3.0A	0.40mW/cm^2	935nm	40°	365-1045-ND	.89	.52	.50	OP145A
5	T-1	3.0A	1.95mW/cm^2	935nm	18°	365-1046-ND	.97	.57	.54	OP165A
	T-1	3.0A	0.85mW/cm^2	935nm	18°	365-1047-ND	.97	.57	.54	OP165C
	T-1	3.0A	1.95mW/cm^2	935nm	18°	365-1049-ND	1.09	.64	.61	OP166A
6	T-1	3.0A	0.50mW	935nm	90°	365-1048-ND	1.07	.63	.60	OP165W
7	T-1	3.0A	1.00mW	890nm	90°	365-1055-ND	1.09	.64	.61	OP266W
				Hermetisch abgedichtet						
8	Leiterplattenmontage	1.0A	1.00mW/cm^2	935nm	24°	365-1040-ND	1.60	.94	.89	OP124
	Leiterplattenmontage	1.0A	3.50mW/cm^2	890nm	24°	365-1050-ND	1.88	1.10	1.04	OP224
9	TO-46	10.0A	4.0mW	935nm	18°	365-1041-ND	2.21	1.29	1.23	OP132
	TO-46	10.0A	5.0mW	935nm	18°	365-1042-ND	2.21	1.29	1.23	OP133
10	TO-46	10.0A	5.0mW/cm^2	890nm	50°	365-1051-ND	2.49	1.46	1.38	OP233W

Silizium-Pin Fotodiode

Abb.	Typ/Paket	V_R	Wellenlänge der höchsten Empfindlichkeit	tr/tf	Digi-Key Teilenr.	Stückpreis 1	100	250	TT Electronics Teilenr.
11	T-1	60V	935nm	5ns	365-1084-ND	.58	.48	.44	OP906
	T-1 3/4	60V	890nm	5ns	365-1086-ND	.71	.58	.54	OP999
12	Seitenansicht	60V	935nm	5ns	365-1085-ND	.59	.49	.45	OP950

Infrarot-NPN-Fototransistoren

Abb.	Typ/Paket	V_{CEO}	I_C	Wellenlänge der höchsten Empfindlichkeit	Digi-Key Teilenr.	Stückpreis 1	100	250	TT Electronics Teilenr.
				Fototransistor					
1	T-1 3/4	30V	2.35mA	890nm	365-1077-ND	.58	.48	.44	OP599A
	T-1	30V	4.30mA	935nm	365-1066-ND	.52	.43	.40	OP505A
13	T-1	30V	2.15mA	935nm	365-1067-ND	.52	.43	.40	OP505B
	T-1	30V	4.30mA	935nm	365-1068-ND	.65	.54	.49	OP506A
	T-1	30V	2.15mA	935nm	365-1069-ND	.65	.54	.49	OP506B
	Seitenansicht	30V	2.55mA	935nm	365-1070-ND	.59	.49	.45	OP550A
14	Seitenansicht	30V	1.30mA	935nm	365-1071-ND	.59	.49	.45	OP550B
	Seitenansicht	30V	0.25mA	935nm	365-1072-ND	.59	.49	.45	OP550C
	TO-18	30V	3.0mA	890nm	365-1074-ND	.59	.49	.45	OP593A
15	TO-18	30V	7.5mA	890nm	365-1075-ND	.59	.49	.45	OP598A
	TO-18	30V	5.0mA	890nm	365-1076-ND	.59	.49	.45	OP598B
16	Leiterplattenmontage	25V	7.0mA	890nm	365-1078-ND	1.36	1.12	1.02	OP644SL
17	TO-18	30V	0.5mA	890nm	365-1079-ND	1.66	1.36	1.25	OP801WSL
	TO-18	30V	2.5mA	890nm	365-1080-ND	1.66	1.36	1.25	OP802WSL
18	TO-18	30V	7.0mA	890nm	365-1081-ND	1.88	1.54	1.42	OP804SL
	TO-18	30V	15.0mA	890nm	365-1082-ND	1.88	1.54	1.42	OP805SL
				Photodarlington					
12	Seitenansicht	15V	1.1mA	935nm	365-1073-ND	1.06	.87	.80	OP560C
17	TO-18	15V	4mA	890nm	365-1083-ND	2.01	1.65	1.51	OP830WSL

Abb.	Typ/Paket	Ausgang	Sensitivitäts-wellenlänge	Digi-Key Teilenr.	Stückpreis 1	100	250	TT Electronics Teilenr.
			Fotologik					
19	Seitenansicht	TTL/LSTTL	935nm	365-1115-ND	1.68	1.22	1.13	OPL550
	Seitenansicht	TTL/LSTTL	935nm	365-1116-ND	1.77	1.29	1.20	OPL550-OCA

Infrarot-Lichtemitterdioden

• Sperrspannung: 2,0 V • Anstiegs-/Abfallzeit: 10 nS

Abb.	Typ/Paket	DC-Dauerdurch-lassstrom (mA)	Spitzen-Emission (nm)	Offene Irrad. Min. / Max. (mW / cm2)	Digi-Key Teilenr.	Stückpreis 1	100	250	TT Electronics Teilenr.
20	Seitenansicht	50	850	.10 / .90	365-1005-ND	1.68	.98	.93	OP245PS
21	T-1	50	850	.055 / .55	365-1006-ND	1.73	1.01	.96	OP245PS
22	Zum Ende hin ausgerichtet	50	850	.10 / .90	365-1007-ND	1.65	.97	.92	OP268FPS

VCSEL-Infrarot-Laseremitterdioden

Abb.	Typ/Paket	Max. Durchlass-strom	Optische Ausgangs-leistung	Spitzen-Emissions-wellenlänge	Strahlab-weichung	Digi-Key Teilenr.	Stückpreis 1	100	250	TT Electronics Teilenr.
8	Pill-Pack flach	30mA	1.1mW	850nm	12°	365-1118-ND	7.50	5.16	4.69	OPV220
23	Kunststoff T-1 flach	30mA	1.4–4.5mW	850nm	12°	365-1120-ND	8.65	5.95	5.41	OPV230
24	SOT-23 flach	30mA	1.1mW	850nm	12°	365-1122-ND	13.33	11.78	11.53	OPV240
25	Kunststoff, flachband	30mA	1.4–4.5mW	850nm	12°	365-1123-ND	6.42	4.42	4.02	OPV280
	Kunststoff, Konvexband	30mA	1.4–4.5mW	850nm	6°	365-1124-ND	6.42	4.42	4.02	OPV282

J

Alle Preisangaben in Euro und inklusive Zollgebühren.

Infrarot-LEDs

Abb. 1

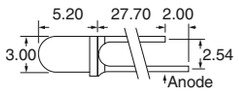

Abb. 2

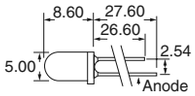

Abb.	LED-Dia. (mm)	Spitzen-Wellenlänge	Linsenfarbe	Betr. Strom (mA)	Typ. Durchlassspannung	Digi-Key Teilenr.	Stückpreis 1	10	100	Lumex Teilenr.
1	3	940 nm	Transparent	60	1.2	67-1000-ND	.21	.19	.17	OED-EL-8L
2	5	940 nm	Transparent	100	1.5	67-1001-ND	.23	.21	.19	OED-EL-1L2

Panasonic® Fotounterbrecher

Foto-Unterbrecher sind eine Serie transmissiver Fotosensoren, bei denen ein hocheffizienter GaAs-Infrarotlicht-Emitter als lichtabgebendes Element dient und ein hochempfindlicher Fototransistor als lichterkennendes Element verwendet wird. Die beiden Elemente werden gegenüberliegend arrangiert, sodass sie Objekte erkennen, die zwischen ihnen durchlaufen.

Abb. 1

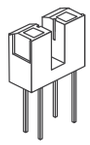

Abb. 2

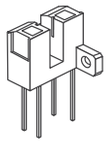

Abb. 3

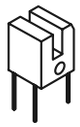

Abb. 4

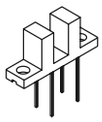

Abb. 5

Abb. 6

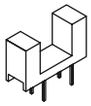

Abb. 7

Abb.	Abtastmethode	Abtastabstand	Anschlusstyp	Typ. t_{ein}/t_{aus} (µs)	Digi-Key Teilenr.	Stückpreis 1	10	100	Panasonic Teilenr.
1	Schlitz	3mm	Leiterplatte	5/5	CNZ1021-ND	1.18	.98	.79	CNZ1021
2	Schlitz	3mm	Leiterplatte	5/5	CNZ1023-ND	1.13	.90	.68	CNZ1023
3	Schlitz	0.9mm	Leiterplatte	35/35	CNZ1002-ND	.74	.62	.50	CNZ1002
	Schlitz	1.2mm	Leiterplatte	35/35	CNA1303K-ND	.74	.62	.50	CNA1303K
	Schlitz	2mm	Leiterplatte	35/35	CNA1302K-ND	.74	.62	.50	CNA1302K
4	Schlitz	5mm	Leiterplatte	6/6	CNZ1111-ND	2.24	1.80	1.40	CNZ1111
5	Schlitz	5mm	Leiterplatte	6/6	CNZ1112-ND	1.71	1.37	1.03	CNZ1112
6	Schlitz	10mm	Leiterplatte	6/6	CNZ1120-ND	1.57	1.27	.95	CNZ1120
7	Schlitz	1.0mm	Leiterplatte	50/50	CNA1311K0TLC-ND	.88	.74	.59	CNA1311K0TLC
	Schlitz	2.0mm	Leiterplatte	50/50	CNA1312K0TLC-ND	.83	.69	.56	CNA1312K0TLC

ROHM Optische Sensoren

Abb. 1

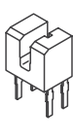

Abb. 2

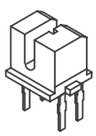

Abb. 3

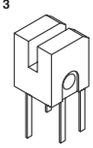

Abb. 4

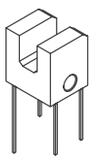

Abb. 5

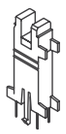

Abb. 6

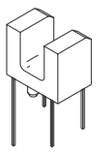

Abb. 7

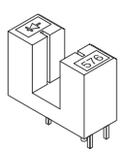

Abb. 8

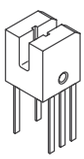

Abb. 9

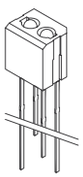

Abb. 10

Abb. 11

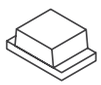

Abb. 12

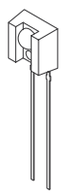

Abb. 13

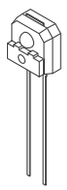

Abb. 14

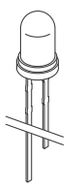

Optische Unterbrecher

Abb.	Ausgabetyp	Schlitzbreite (mm)	Reaktionszeit (tr/tf) (µs)	Max. Ausgangsstrom (mA)	Digi-Key Teilenr.	Preisangaben 1	10	100	Rohm Teilenr.
1	NPN	1.0	10/10	30	511-1336-ND	1.19	7.37	53.95	RPI-121
	NPN	1.0	10/10	30	511-1338-ND*	1.05	6.14	41.97	RPI-124F
	NPN	2.0	10/10	30	511-1347-ND*	1.00	5.84	39.98	RPI-221A
	NPN	2.0	10/10	30	511-1348-ND	1.00	5.84	39.98	RPI-222
	NPN	4.0	10/10	30	511-1341-ND	1.00	5.84	39.98	RPI-411C1
2	NPN	.8	10/10	30	511-1337-ND*	1.19	7.37	53.95	RPI-122F
3	NPN	1.2	10/10	30	511-1339-ND	1.19	7.37	53.95	RPI-131
	NPN	2.0	10/10	30	511-1349-ND	.96	5.90	43.16	RPI-243
4	NPN	2.0	10/10	30	511-1350-ND	1.05	6.14	41.97	RPI-246
5	NPN	3.0	10/10	30	511-1340-ND	.82	4.82	32.98	RPI-303
6	NPN	3.0	10/10	30	511-1351-ND	1.05	6.14	41.97	RPI-352
7	NPN	5.0	10/10	30	511-1352-ND*	1.43	8.85	64.74	RPI-576A
8	Fhoto-IC	1.1	5/.05	10	511-1342-ND	1.69	11.00	84.17	RPI-1133

Fotoreflektoren

Abb.	Typ/Paket	Maximale Ausgangsstromstärke (mA)	V_f (V)	Emitter-Wellenlänge	Digi-Key Teilenr.	Preisangaben 1	10	100	Rohm Teilenr.
9	Oberseite	30	1.34	800	511-1366-ND	1.96	12.76	97.63	RPR-220

Fototransistoren

Abb.	Ausgabetyp	Typ/Paket	Max. Ausgangsstrom (mA)	Wellenlänge der höchsten Empfindlichkeit (nm)	Digi-Key Teilenr.	Preisangaben 1	10	100	Rohm Teilenr.
10	NPN	SMT	20	800	511-1355-1-ND*	.90	5.26	35.98	RPM-012PBT87F
	NPN	SMT	20	800	511-1355-2-ND*	268.37/1,000			RPM-012PBT87F
11	NPN	SMT	10	600	511-1356-1-ND	.90	5.26	35.98	RPM-075PTT86
	NPN	SMT	10	600	511-1356-2-ND	769.56/3,000			RPM-075PTT86
12	NPN	Seitenansicht	30	800	511-1353-ND*	.55	3.22	21.99	RPM-20PBF
13	NPN	Seitenansicht	30	800	511-1354-ND*	.60	3.50	23.98	RPM-22PBF
14	NPN	Oberseite	30	800	511-1357-ND*	.55	3.22	21.99	RPT-34PB3FF
	NPN	T1	30	800	511-1358-ND*	.70	4.09	27.98	RPT-37PB3FF
	NPN	T1	30	800	511-1359-ND*	.70	4.09	27.98	RPT-38PB3FF

Infrarot-Emitter

Abb.	Typ/Paket	I_f Max. (mA)	V_f (V)	Emitter-Wellenlänge (nm)	Digi-Key Teilenr.	Preisangaben 1	10	100	Rohm Teilenr.
10	Diode	SMT	40	950	511-1360-1-ND*	.91	5.34	36.58	SIM-012STT87
	Diode	SMT	40	950	511-1360-2-ND*		291.23/3500		SIM-012STT87
12	Seitenansicht	50	1.3	950	511-1361-ND*	.75	4.39	29.98	SIM-20STF
	Seitenansicht	50	1.3	950	511-1362-ND*	.75	4.39	29.98	SIM-22STF
14	T1	100	1.3	950	511-1363-ND*	.48	2.71	17.59	SIR-34ST3FF
	T1 3/4	100	1.3	950	511-1364-ND*	.48	2.71	17.59	SIR-56ST3FF
	T1	75	1.2	940	511-1343-ND*	.90	5.26	35.98	SIR-320ST3FF
	T1	75	1.3	940	511-1344-ND*	.75	4.39	29.98	SIR-341ST3FF
	T1 3/4	100	1.38	950	511-1345-ND*	.65	3.80	25.98	SIR-505STA47F
	T1 3/4	100	1.34	940	511-1365-ND*	.42	2.37	15.39	SIR-563ST3FF
	T1 3/4	100	1.6	850	511-1346-ND*	1.66	10.78	82.48	SIR-568ST3FF

* Bleifrei

J

GCD-SE-Serie, Messköpfe - präzisionsfederbelastet

Merkmale: • CE-Einhaltung • Strapazierfähige Vollschweißkonstruktion • Unipolare Bereiche: 0,1° ~ 2,0° • Betrieb: 8,5 V DC ~ 28 V DC • Geringer Stromverbrauch • Batteriebetrieb möglich • Ausgänge: 0 V DC ~ 5 V DC und 1 V DC ~ 6 V DC • Neues strapazierfähiges Vorderteil • Hermetisch abgedichtetes Design

Serie GCD-SE, Modell-Nr.	Linearbereich Zoll (mm))	Digi-Key Teilenr.	Stückpreis 1	5	10	Schaevitz MSI Teilenr.
GCD-SE-100	0.10 (2.54)	356-1005-ND	274.05	244.94	230.21	02351006-000
GCD-SE-250	0.25 (6.35)	356-1006-ND	307.15	274.41	258.15	02351007-000
GCD-SE-500	0.50 (12.7)	356-1007-ND	351.14	314.15	295.03	02351008-000
GCD-SE-1000	1.0 (25.4)	356-1008-ND	400.28	358.21	336.38	02351009-000
GCD-SE-2000	2.0 (50.8)	356-1009-ND	454.99	407.22	382.19	02351010-000

AccuStar® II Clinometer

AccuStar® II vereint die Funktion von zwei Clinometern in einem Paket. Einzigartiges Kuppel-Design für kapazitätsbasierten Sensor, der Ausgangssignale produziert, die sich direkt proportional zur relativen Neigung in zwei Achsen verhalten.

Merkmale: • Zwei Clinometer in einem Paket • Anpassbares Design, DC-getrieben • Ratiometrischer und PW-Digitalausgang in einem Modell • Trimmbarer DC-Ausgang

Beschreibung	Linearbereich	Betriebstemp. Bereich	Digi-Key Teilenr.	Stückpreis 1	10	25	Schaevitz MSI Teilenr.
Doppelachsen-Clinometer	±20°	-20°C ~ 75°C	356-1034-ND	84.66	80.43	76.20	02119011-000

Rotary Variable InductaRuhekontakte Transducer (RVIT) (Dreh-Transducer f. variable Induktiviät)

Der R120LC ist ein DC-getriebener berührungsloser Drehtransducer.

Beschreibung	Voller Bereich	Eingangsspannung	Ausgangs-spannung	Digi-Key Teilenr.	Stückpreis 1	5	20	Schaevitz MSI Teilenr.
R120LC Transducer	±60°	4.75-5.25VDC	0.5-4.5VDC	356-1076-ND	129.53	118.74	107.95	02183000-000

AccuStar® Elektronische Clinometer

Das elektronische Clinometer von AccuStar® ist ein ultragenaues Winkelmessgerät. Dieser kompakte und stabile Sensor ist ideal, wenn wenig Platz und problematische Umweltkonditionen das Design erschweren.

Merkmale: • CE-zertifiziert • Nur 2" (5 cm) großer Durchmesser • Robustes Kunststoffgehäuse • Extrem akkurat • Wiegt nur 57 g

Beschreibung	Linear-bereich	Betriebstempe-raturbereich	Digi-Key Teilenr.	Stückpreis 1	10	25	Schaevitz MSI Teilenr.
Einzelachse, ratiometrischer Vertikalflansch	±45°	-30°C ~ 65°C	356-1032-ND	98.55	90.76	82.96	02110002-000
Einzelachse, ratiometrischer Horizontalflansch	±45°	-30°C ~ 65°C	356-1033-ND	98.55	90.76	82.96	02110102-000

Drucktransducer, Ares-Serie

Die preiswerten Drucktransducer der Ares-Serie können Drücke von 0 ~ 5, 0 ~ 10, 0 ~ 15 Zoll Wasser und 0 ~ 1 psig messen.

Merkmale: • Sehr niedrige Druckbereiche • Sehr klein • Leiterplattenmontierbar • Aufschmelzlöten möglich • Druck-Ports mit Widerhaken

Drucksensoren der Serie LM

Die Serie LM beinhaltet Edelstahl- und Kunststoffisolierung für Wasser, andere Flüssigkeiten und Gas.

Merkmale: • Sehr niedrige Druckbereiche • Hochleistungsausgang • Sehr klein • Kunststoffanschluss

Beschreibung	Ausgangsspannung	Standarddruckbereich	Genauigkeit % FSO	Digi-Key Teilenr.	Stückpreis 1	10	25	Schaevitz MSI Teilenr.
Serie Ares								
Leiterplattenmontage	0.5-4.5V	5" H_2O	0.25	356-1036-ND	33.86	27.31	23.12	GA100-005WD
Leiterplattenmontage	0.5-4.5V	10" H2O	0.50	356-1037-ND	33.86	27.31	23.12	GA100-010WD
Leiterplattenmontage	0.5-4.5V	15" H_2O	0.50	356-1038-ND	33.86	27.31	23.12	GA100-015WD
Leiterplattenmontage	0.5-4.5V	1PSI	0.75	356-1039-ND	33.86	27.31	23.12	GA100-001PD
Leiterplattenmontage	0.25-4.5V	5" H_2O	0.25	356-1040-ND	33.86	27.31	23.12	GA200-005WD
Leiterplattenmontage	0.25-4.5V	10" H_2O	0.50	356-1041-ND	33.86	27.31	23.12	GA200-010WD
Leiterplattenmontage	0.25-4.5V	15" H_2O	0.50	356-1042-ND	33.86	27.31	23.12	GA200-015WD
Leiterplattenmontage	0.25-4.5V	1PSI	1.2	356-1043-ND	33.86	27.31	23.12	GA200-001PD
Serie LM								
1/2" NPT, Kunststoffanschluss	0.5-4.5V	1PSI	0.25	356-1072-ND	71.96	58.42	47.58	LM31-00000F-001PG
1/2" NPT, Kunststoffanschluss	0.5-4.5V	5PSI	0.25	356-1073-ND	71.96	58.42	47.58	LM31-00000F-005PG
1/2" NPT, Kunststoffanschluss	0.5-4.5V	30PSI	0.25	356-1074-ND	71.96	58.42	47.58	LM31-00000F-030PG

Edelstahl-Drucktransducer, hohe Stabilität

Die UltraStable 300/600 Sensoren von Schaevitz, einem Geschäftsbereich von Measurement Specialties, bieten ein ultrarobustes Gehäuse mit IP 67-Zulassung. Alle benetzten Teile bestehen aus 316 (Serie 300)/316L (Serie 600) Edelstahl und bieten Medienisolierung und weisen keine internen O-Ringe auf.

Serie	Betriebs-druckbereich	Spannungs-versorgung	Digi-Key Teilenr.	Stückpreis 1	10	100	Schaevitz Teilenr.
0,5-4,5 V Ausgang — 1/4" NPT, 60-cm-Kabel							
U331	15PSIG	4.75-5.25 VDC	356-1044-ND	84.66	69.43	58.42	US331-000005-015PG
	30PSIG		356-1045-ND	84.66	69.43	58.42	US331-000005-030PG
	100PSIG		356-1046-ND	84.66	69.43	58.42	US331-000005-100PG
	500PSIG		356-1047-ND	84.66	69.43	58.42	US331-000005-500PG
	15PSIA	4.75-5.25 VDC	356-1048-ND	84.66	69.43	58.42	US331-000005-015PA
	30PSIA		356-1049-ND	84.66	69.43	58.42	US331-000005-030PA
	100PSIA		356-1050-ND	84.66	69.43	58.42	US331-000005-100PA
4-20 mA Ausgang— 1/4" NPT, 60-cm-Kabel							
U381	15PSIG	10-30 VDC	356-1051-ND	88.89	76.20	66.04	US381-000005-015PG
	30PSIG		356-1052-ND	88.89	76.20	66.04	US381-000005-030PG
	100PSIG		356-1053-ND	88.89	76.20	66.04	US381-000005-100PG
	500PSIG		356-1054-ND	88.89	76.20	66.04	US381-000005-500PG
	15PSIA	10-30 VDC	356-1055-ND	88.89	76.20	66.04	US381-000005-015PA
	30PSIA		356-1056-ND	88.89	76.20	66.04	US381-000005-030PA
	100PSIA		356-1057-ND	88.89	76.20	66.04	US381-000005-100PA
0,5-4,5 V Ausgang — 1/4" NPT, 60-cm-Kabel							
U631	15PSIG	4.75-5.25 VDC	356-1058-ND	135.46	111.76	101.60	US631-C00005-015PG
	30PSIG		356-1059-ND	135.46	111.76	101.60	US631-C00005-030PG
	100PSIG		356-1060-ND	135.46	111.76	101.60	US631-C00005-100PG
	500PSIG		356-1061-ND	135.46	111.76	101.60	US631-C00005-500PG

AngleStar® Digital-Winkelmesser

Der AngleStar® Digital-Winkelmesser DP-45 bietet sofortige Digitalanzeige von Level, Winkel und Neigung.

Merkmale: • In Grad ablesbar • Zweitreferenz (gleitende Null) • Anzeigen-Haltefunktion • Hochstoßfester Kunststofftragekoffer

Beschreibung	Linear-bereich	Betriebstempe-raturbereich	Digi-Key Teilenr.	Stückpreis 1	5	20	Schaevitz MSI Teilenr.
Digital-Winkelmesser Modell DP-45	±45°	0°C ~ 65°C	356-1035-ND	255.49	240.61	217.46	02475-01

DC-getriebenes-Spannungsmodul

Das LVM-110-Modul ist eine DC-getriebene LVDT-Signalkonditionierplatine aus Trägeroszillator, AC-Verstärker, Demodulator, Filter und DC-Verstärker.

Merkmale: • DC-getrieben • Null- und Spannensteuerungen • Sechs Verstärkungen, mit Jumper wählbar • Plug-in-, Kartenrand- oder „Stand-off" -Installation • Erregung: 2,5 kHz, 5 kHz oder 10 kHz

Beschreibung	Betriebs-bereich	Leistungsbereich	Digi-Key Teilenr.	Stückpreis 1	5	10	Schaevitz MSI Teilenr.
LVDT-Signalaufbereiterkarte	3.5 ± 10% Vrms	2.5kHz, 5kHz, 10kHz	356-1001-ND	149.85	139.69	131.23	04171776-000

LVDT-Anzeige/Controller, zwei Kanäle

Der Schaevitz LVDT-Anzeige/Einstellpunkt-Controller auf Mikroprozessorbasis wurde für industrielle und Prozesssteuerungsanwendungen entwickelt, die ein beliebiges Messgerät auf LVDT/RVDT-Basis verwenden.

Merkmale: • 1/4 DIN- Aluminiumgehäuse • EL mit Hintergrundbeleuchtung • LCD-Anzeige • Standard.-RS-232-Steckverbinder, 9-Pin

Beschreibung	Linearbereich	Betriebstempe-raturbereich	Digi-Key Teilenr.	Stückpreis	Schaevitz MSI Teilenr.
Serie MP2000	<±0.02%	0°C ~ 55°C	356-1075-ND	722.81	02291335-000

	U300	U600
Druckbereich (PSIG)	0-15 ~ 500	0-15 ~ 500
Genauigkeit (kombinierte Linearität, Hysterese & Wiederholbarkeit)	±0.10% of FS	±0.10% of FS
Drucküberlast	3X	3X
Stoßdruck	4x or 20,000 PSI	
Ausgänge V DC oder mA	0.5-4.5V 4-20mA	0.5-4.5V 4-20mA
Null-Offset (verstärkter Ausgang) Spannentoleranz	±0.50% of FS ±0.50% of FS	±0.50% of FS ±0.50% of FS
Langzeitstabilität, typ.	±0,10 % des FS/Jahr	±0,10 % des FS/Jahr
Betriebstemperatur (°F) (°C)	(-40 ~ 221) (-40 ~ 105)	(-58 ~ 257) (-50 ~ 125)
Thermo-Nullverschiebung	±0.75% of FS	–
Thermo Spannenverschiebung	±0.75% of FS	–

Serie	Betriebs-druckbereich	Spannungs-versorgung	Digi-Key Teilenr.	Stückpreis 1	10	100	Schaevitz Teilenr.
U631	15PSIA	4.75-5.25 VDC	356-1062-ND	135.46	111.76	101.60	US631-C00005-015PA
	30PSIA		356-1063-ND	135.46	111.76	101.60	US631-C00005-030PA
	100PSIA		356-1064-ND	135.46	111.76	101.60	US631-C00005-100PA
4-20 mA Ausgang— 1/4" NPT, 60-cm-Kabel							
U681	15PSIG	10-30 VDC	356-1065-ND	173.55	146.47	130.17	US681-C00005-015PG
	30PSIG		356-1066-ND	173.55	146.47	130.17	US681-C00005-030PG
	100PSIG		356-1067-ND	173.55	146.47	130.17	US681-C00005-100PG
	500PSIG		356-1068-ND	173.55	146.47	130.17	US681-C00005-500PG
	15PSIA	10-30 VDC	356-1069-ND	173.55	146.47	130.17	US681-C00005-015PA
	30PSIA		356-1070-ND	173.55	146.47	130.17	US681-C00005-030PA
	100PSIA		356-1071-ND	173.55	146.47	130.17	US681-C00005-100PA

J

Alle Preisangaben in Euro und inklusive Zollgebühren.

Melexis — Halleffektsensor ICs — US-Serie

Microelectronic Integrated Systems

Merkmale: • Maximale Ausgangsstromstärke: 50 mA • Chopper-stabilisierte Verstärkerstufe • Neues Miniaturpaket/schmal, hohe Zuverlässigkeit
Temperatursuffix: E: -40 °C ~ 85 °C (kommerziell), L: -40 °C ~ 150 °C (Fahrzeuge)

Paket	Versorgungs-spannung	Betriebspunkt (mT) Min.	Typ.	Max.	Freigabepunkt (mT) Min.	Typ.	Max.	Ausgabetyp	Betr. † Typ	Temperaturbereich	Digi-Key Teilenr.	Stückpreis 1	10	25	50	100	* Preisangabe für Gegurtet auf Rolle 3.000
SOT-23	3.5 ~ 24	1.0	5.0	9.0	-9.0	-5.0	-1.0	Offener Kollektor	Bidirektional	-40°C ~ 85°C	US1881ESOCT-ND	1.28	1.00	.77	.60	.46	343.13/M
UA-92 (flach)											US1881EUA-ND	1.10	.86	.66	.51	.40	—
SOT-23										-40°C ~ 150°C	US1881LSOCT-ND	1.41	1.09	.85	.65	.51	375.81/M
UA-92 (flach)											US1881LUA-ND	1.22	.95	.74	.57	.44	—
SOT-23	3.5 ~ 24	0.5	2.0	4.5	-4.5	-2	-0.5	Offener Kollektor	Bidirektional	-40°C ~ 85°C	US2881ESOCT-ND	1.64	1.28	.99	.76	.59	441.17/M
UA-92 (flach)											US2881EUA-ND	1.46	1.14	.88	.68	.53	—
SOT-23										-40°C ~ 150°C	US2881LSOCT-ND	1.77	1.38	1.07	.82	.64	473.85/M
UA-92 (flach)											US2881LUA-ND	1.58	1.24	.96	.74	.57	—
SOT-23	3.5 ~ 24	-2.0	2.0	6.0	-6.0	-2.0	2.0	Offener Kollektor	Bidirektional	-40°C ~ 85°C	US2882ESOCT-ND	1.46	1.14	.88	.68	.53	392.15/M
UA-92 (flach)											US2882EUA-ND	1.28	1.00	.77	.60	.46	—
SOT-23										-40°C ~ 150°C	US2882LSOCT-ND	1.46	1.14	.88	.68	.53	392.15/M
UA-92 (flach)											US2882LUA-ND	1.41	1.09	.85	.65	.51	—
UA-92 (flach)	2.2 ~ 18	0.5	2.0	4.5	-4.5	-2	-0.5	Offener Kollektor	Bidirektional	-40°C ~ 85°C	US4881EUA-ND	1.46	1.14	.88	.68	.53	—
										-40°C ~ 150°C	US4881LUA-ND	1.58	1.24	.96	.74	.57	—
SOT-23	3.5 ~ 24	15	25	30	9.5	20	28	Offener Kollektor	Unidirektional	-40°C ~ 85°C	US5881ESOCT-ND	1.46	1.14	.88	.68	.53	392.15/M
UA-92 (flach)											US5881EUA-ND	1.28	1.00	.77	.60	.46	—
SOT-23										-40°C ~ 150°C	US5881LSOCT-ND	1.58	1.24	.96	.74	.57	424.83/M
UA-92 (flach)											US5881LUA-ND	1.41	1.09	.85	.65	.51	—

* Für Gegurtet auf Rolle die Teilenummer von CT-ND in TR-ND ändern
† Unidirektional ist nur dem Nord- oder Südpol eines Magneten gegenüber empfindlich. Bidirektional ist magnetischen Wechselfeldern des Nord- als auch Südpols gegenüber empfindlich.

UA-92 (flach)
Vorderansicht

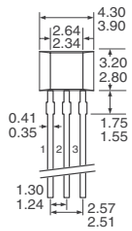

1: VDD
2: ERDE
3: Ausgang

SOT-23
Draufsicht

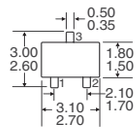

1: VDD
2: Ausgang
3: ERDE

Programmierbare lineare Hall-Effekt-ICs

MLX90215
Merkmale: • Programmierbarer linearer Hall-Effekt-IC • Vierf. geschaltet/Chopper-stabilisiert • Ratiometrischer Ausgang für A/D-Schnittstelle • Einstellbare Ruhespannung (V_{OQ}) • Sehr niedriger Ruhespannungstemperaturdrift • Verstellbare Empfindlichkeit • Verstellbarer Temperaturausgleich der Empfindlichkeit **Temperatursuffix:** E: -40 °C ~ 85 °C (kommerziell), L: -40 °C ~ 150 °C (Fahrzeuge)

PTC-01
Merkmale: • RS-232, serielle Schnittstelle • 16-Bit Spannungsmessung • 12-Bit Spannungseinstellung • Kompaktes Design • Interne oder externe Versorgungsspannung • SIP mit 4 Leitungen (50 mil) • RJ45 Externe Verbinder • Hochgradige Funktionen in Firmware

PC-Voraussetzungen:
Setzt einen PC voraus, der serielle RS-232-Kommunikation von 19.200 Baud verarbeiten kann. Zu den Mindestvoraussetzungen für den PC gehören ein 486 Prozessor oder höher mit 8 MB oder RAM und 4 MB freiem Speicher.
Hinweis: *Die von Melexis gelieferte Software stellt u.U. weitere PC-Anforderungen.*

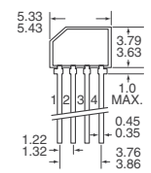

1: VDD
3: ERDE
2: Test/Widergabe
4: Ausgang

Beschreibung	Temperaturbereich	Paket	Digi-Key Teilenr.	Stückpreis 1	10	25	50
Programmierbarer linearer Präzisions-Hall-IC	-40°C ~ 85°C	4-SIP(VA)	MLX90215EVA-ND	7.28	5.60	4.32	3.32
Programmierbarer linearer Präzisions-Hall-IC	-40°C ~ 150°C	4-SIP(VA)	MLX90215LVA-ND	8.61	6.61	5.10	3.93
Programmierter linearer Präzisions-Hall-IC, 10 mV/mT, 2,5 V			MLX90215LVA-BC03-ND	9.35	7.30	5.81	5.67
Programmierter linearer Präzisions-Hall-IC, 20 mV/mT, 2,5 V			MLX90215LVA-CC03-ND	9.35	7.30	5.81	5.67
Programmierter linearer Präzisions-Hall-IC, 50 mV/mT, 2,5 V			MLX90215LVA-GC03-ND	9.35	7.30	5.81	5.67
Programmierter linearer Präzisions-Hall-IC, 100 mV/mT, 1 V			MLX90215LVA-LA03-ND	9.35	7.30	5.81	5.67
Programmierter linearer Präzisions-Hall-IC, 100 mV/mT, 2,5 V			MLX90215LVA-LC03-ND	9.35	7.30	5.81	5.67
Progammierer für PTC-Bausteine von Melexis. Programmierbare Infrarot- und Hall-Sensoren. (Enthält Programmierkonsole, Stromversorgung, serielles Schnittstellenkabel, Software, Referenz-Magnet)	—	—	PTC-01-ND	1159.76	—	—	—

TT electronics
OPTEK Technology

Hallogic® Hall-Effekt-Sensoren

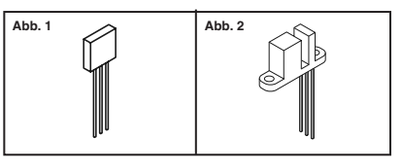

Abb.	Betriebspunkt* min. /typ. / max. (Gauss - B)	Freigabepunkt min. /typ. / max. (Gauss - B)	Hysterese- typ. / max. (Gauss - B)	Versorgungsstrom typ. / max. (mA)	Digi-Key Teilenr.	Stückpreis 1	100	250	TT Electronics Teilenr.
1	0/90/180	-100/65/100	25/100	6/9	365-1001-ND	1.78	1.04	.99	OH090U
	70/—/200	50/—/180	—/—	4/7	365-1003-ND	2.01	1.18	1.12	OHS3140U
	235/300/465	120/235/325	65/200	6/9	365-1036-ND	1.52	.89	.85	OH360U
	70/—/350	50/—/330	—/—	4/7	365-1037-ND	1.27	.75	.71	OHN3120U

Abb.	Ausgangs-strom (mA)	DC-Ausgangs-spannung	Ausgangsanstieg Typ./max.	Ausgangsabfallzeit Typ./max.	Versorgungsstrom Typ./max. (mA)	Digi-Key Teilenr.	Stückpreis 1	100	250	TT Electronics Teilenr.
2	25	25	0.21/1.00 µs	0.25/1.00 µs	4-7	365-1002-ND	5.87	3.43	3.25	OHB900

Mit Verriegelung

Abb.	Betriebspunkt* min./ max. (Gauss - B)	Freigabepunkt min./ max. (Gauss - B)	Hysterese min./ max. (Gauss - B)	Versorgungsstrom Typ./ max. (mA)	Digi-Key Teilenr.	Stückpreis 1	100	250	TT Electronics Teilenr.
1	25/170	-170/-25	100/—	4/7	365-1039-ND	2.03	1.19	1.13	OHS3175U

* Zum Südpol zeigende Symbolfläche.

HAMLIN

Halleffektsensoren

Hamlins Halleffekt-Sensortechnologie bietet einzigartige Designvorteile. In Anwendungen, die hohe Schaltgeschwindigkeiten verlangen, können Geschwindigkeiten von bis zu 10 KHz erzielt werden. Das Komponentenpaket ist klein im Vergleich zu anderen Sensortechnologien und die Sensoren können mit einem digitalen oder analogen Ausgang spezifiziert werden.

(Abb.1 zeigt eine robuste Edelstahlhülse und wird mit zwei selbstsichernden Muttern geliefert.)

Betriebstemperatur: -40 °C ~ 100 °C

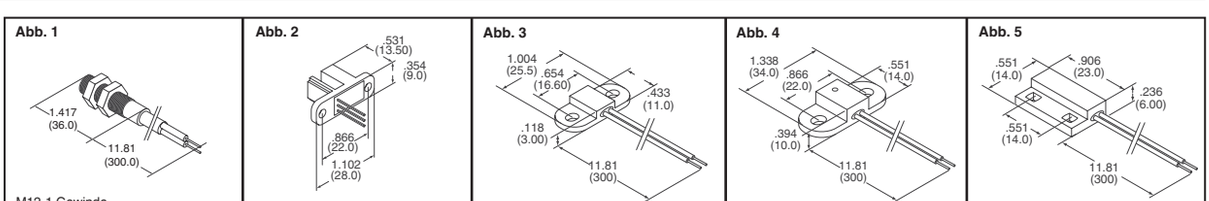

Abb.	Versorgungsspannung	Ausgangsstrom	Anschlusstyp	Merkmale	Digi-Key Teilenr.	Stückpreis 1	10	50	100	Hamlin Teilenr.
1	4.75-25.2 VDC	20mA	24-AWG-Drähte	Verzahnung	55075-00-02-A-ND	17.95	15.02	12.24	10.12	55075-00-02-A
2	3.8-24 VDC	20mA	Leiterplattenmontage	Ferromagnetischer Unterbrecher	55085-3M-00-0-ND	5.70	4.82	4.04	3.29	55085-3M-00-0
3	3.8-24 VDC	10mA	24-AWG-Drähte	Mini PNL-Mont.	55100-3H-02-A-ND	4.62	3.92	3.28	2.67	55100-3H-02-A
4	3.8-24 VDC	10mA	24-AWG-Drähte	LED PNL-Mont.	55110-3H-02-A-ND	6.11	5.17	4.33	3.53	55110-3H-02-A
5	3.8-24 VDC	20mA	24-AWG-Drähte	Flansch-Mont.	55140-3H-02-A-ND	4.51	3.82	3.20	2.61	55140-3H-02-A

J

Honeywell

Sensing and Control

Sensoren

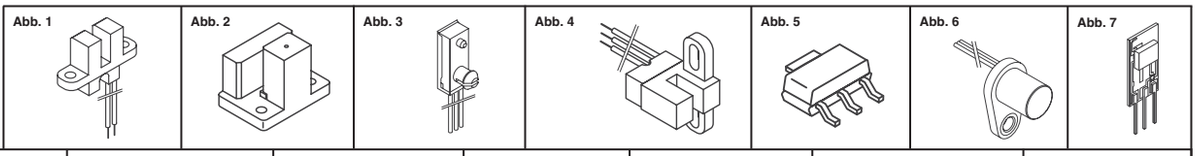

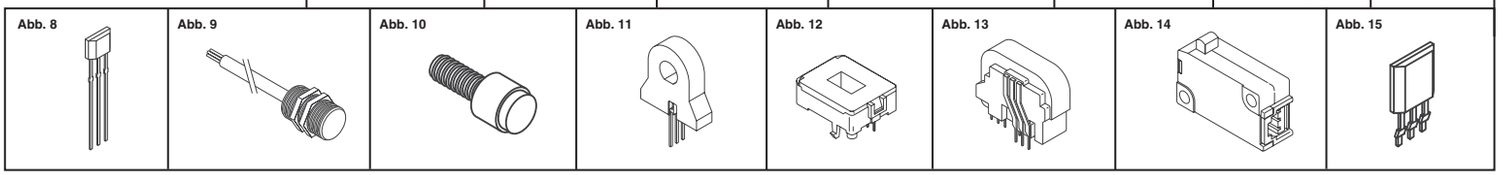

Halleffektsensoren

Abb.	Versorgungsspannung	Ausgangsstrom	Ausgabetyp	Anschlusstyp	Polarität	Digi-Key Teilenr.	Stückpreis 1	50	100	Preis. f. G. a. R.* 1.000	Honeywell Teilenr.
1	3.8 VDC ~ 30 VDC	10 mA	Senke	Leitungsdrähte	—	480-1992-ND	4.87	4.14	3.66	—	SR16C-J6
2	4.5 VDC ~ 24 VDC	40 mA	Senke	Leitungsdrähte	—	480-1990-ND	19.34	16.11	14.21	—	4AV16F
3	3.8 VDC ~ 30 VDC	20 mA	Senke	Leitungsdrähte	Unipolar	480-1991-ND	3.64	3.10	2.74	—	SR13C-A1
4	3.8 VDC ~ 30 VDC	40 mA	Senke	Leitungsdrähte	—	480-1993-ND	4.91	4.18	3.69	—	SR17C-J6
5	4.5 VDC ~ 24 VDC	20 mA	Senke	SOT89	Bipolar	480-2010-1-ND	2.20	1.89	1.58	944.81	SS51T
6	4.5 VDC ~ 24 VDC	40 mA	Senke	Leitungsdrähte	—	480-2021-ND	19.92	16.94	14.95	—	1GT101DC
7	8 VDC ~ 16 VDC	10 mA	Quelle	Leiterplatte	Ratiometrisch linear	480-2007-ND	9.14	7.78	6.86	—	91SS12-2
	6.6 VDC ~ 12.6 VDC	1 mA	Senke/Quelle		Ratiometrik	480-2008-ND	11.60	9.86	8.70	—	SS94A1
	6.6 VDC ~ 12.6 VDC	1 mA	Senke/Quelle		Ratiometrik	480-2009-ND	13.55	11.52	10.16	—	SS94A1F
5	3.8 VDC ~ 30 VDC	20 mA	Senke	SOT89	Bipolar	480-2011-1-ND	2.68	2.31	1.92	1152.22	SS511AT
	3.8 VDC ~ 30 VDC		Senke		Unipolar	480-2012-1-ND	2.68	2.31	1.92	1152.22	SS541AT
	3.8 VDC ~ 30 VDC		Senke		Bipolare Verriegelung	480-2013-1-ND	2.68	2.31	1.92	1152.22	SS561AT
8	4.5 VDC ~ 24 VDC	20 mA	Senke	Leiterplatte	Bipolar	480-1998-ND	1.10	.89	.72	—	SS40A
	4.5 VDC ~ 24 VDC	20 mA	Senke		Bipolar	480-1999-ND	1.43	1.15	.93	—	SS41
	3.8 VDC ~ 30 VDC	20 mA	Senke		Bipolar	480-2000-ND	1.82	1.46	1.18	—	SS411A
	3.8 VDC ~ 30 VDC	20 mA	Senke		Unipolar	480-2001-ND	1.82	1.46	1.18	—	SS441A
	3.8 VDC ~ 30 VDC	20 mA	Senke		Unipolar	480-2002-ND	1.52	1.23	.99	—	SS443A
	3.8 VDC ~ 30 VDC	20 mA	Senke		Bipolare Verriegelung	480-2003-ND	1.82	1.46	1.18	—	SS461A
	3.8 VDC ~ 30 VDC	20 mA	Senke		Bipolare Verriegelung	480-2004-ND	1.57	1.26	1.02	—	SS466A
	4.5 VDC ~ 10.5 VDC	1.5 mA	Senke/Quelle		Ratiometrik	480-2005-ND	2.56	2.05	1.66	—	SS495A
	3 VDC ~ 6.5 VDC	1.5 mA	Quelle		Analog	480-2006-ND	1.52	1.23	.99	—	SS49E
9	4.5 VDC ~ 24 VDC	20 mA	Senke	Leitungsdrähte	Unipolar	480-2014-ND	18.07	15.36	13.56	—	103SR13A-1

* Für Gegurtet auf Rolle die Teilenr. von 1-ND in 2-ND ändern

Magnet

Abb.	Außendurchmesser mm (Zoll)	Gewindedurchmesser	Länge, mm (Zoll)	Digi-Key Teilenr.	Stückpreis 1	50	100	Honeywell Teilenr.
10	7.9 (0.31)	8-32	17.0 (0.67)	480-2015-ND	6.14	5.22	4.61	102MG11

Stromsensor

Abb.	Versorgungsspannung	Ausgangs-strom	Ausgabetyp	Anschlusstyp	Polarität	Sensortyp	Stromtyp	Reaktionszeit	Digi-Key Teilenr.	Stückpreis 1	50	100	Honeywell Teilenr.
11	5.4 VDC ~ 13.2 VDC	—	Spannung	PCB	—	Offener Regelkreis, linear	AC oder DC	3µs	480-1994-ND	11.89	10.12	8.93	CSLA2CD
12	4.5 VDC ~ 10.5 VDC	1.5 mA	Spannung	PCB	Positiv	Offener Regelkreis	DC	50µs	480-1995-ND	5.38	4.57	4.04	CSLH3A45
13	4.75 VDC ~ 5.25 VDC	12.5 mA	Strom	PCB	—	Geschlossener Regelkreis, linear	AC oder DC	≤0.2µs	480-1996-ND	17.86	15.19	13.40	CSNX25

Schalter

Abb.	Versorgungsspannung	Ausgangsstrom	Ausgabetyp	Transistorstatus	Digi-Key Teilenr.	Stückpreis 1	50	100	Honeywell Teilenr.
14	4.5 VDC ~ 24.0 VDC	10 mA	Senke	Normal aus	480-2018-ND	6.18	5.26	4.61	VX10
					480-2019-ND	6.18	5.26	4.64	VX80
					480-2020-ND	8.89	7.56	6.67	VX80-C1

MR

Abb.	Versorgungsspannung	Ausgangsstrom	Ausgabetyp	Polarität	Betriebspunkt	Freigabepunkt @25 °C	Digi-Key Teilenr.	Stückpreis 1	50	100	Honeywell Teilenr.
15	3.8 VDC ~ 30.0 VDC	20 mA	Senke	Omnipolar	1.5 mT	1.1 mT	480-1997-ND	2.27	1.82	1.47	2SS52M

Temperatur

Abb.	Versorgungs-spannung	Versorgungsstrom	Temp. Abtastbereich	Länge, Zoll	Anschluss	Gehäusetyp	Digi-Key Teilenr.	Stückpreis 1	50	100	Honeywell Teilenr.
9	10.0 VDC	1 mA	—	1.5	Leitungsdrähte	3/8-24 UNF-2A	480-2016-ND	23.32	19.82	17.49	TD4A
8	10.0 VDC	1 mA	-40°C ~ 150°C	—	SIP	Kunststoffgehäuse	480-2017-ND	2.96	2.52	2.23	TD5A

Panasonic® Sensor-ICs, Hall-Effekt

Der Hall-IC von Panasonic ist eine Kombination aus Hall-Element, Verstärker, Schmidt-Schaltung und stabilisiertem Stromversorgungs-/Temperaturkompensator, auf einem identischen Chip mittels IC-Technologie integriert. Er verstärkt den Hall-Element-Ausgang am Verstärker, wandelt ihn durch den Schmidt-Schaltkreis in ein Digitalsignal um und treibt den TTL- oder MOS-IC direkt.

Merkmale: • Stabile Temperaturmerkmale aufgrund des zusätzlichen Temperaturkompensators • TTL- und MOS-Schaltkreise können direkt vom Ausgang getrieben werden • Halbpermanente Haltbarkeit, da keine Berührungsteile vorliegen • Kleine Veränderung der Betriebs-Flux-Dichte gegen mechanischen Stress • Wird mit Ausgangs-Pull-up-Widerständen geliefert (typ. 27 kΩ) bzw. mit offenem Kollektorausgang (siehe Tabelle) • Betriebstemperatur: -40 °C ~ 100 °C (-40 °C ~ 85 °C für DN6851 - DN6853) • Versorgungsstrom max 6 mA • Ausgangsschaltkreis max 20 mA

Anwendungen:• Geschwindigkeitssensoren • Positionssensoren • Rotationssensoren • Tastaturschalter • Mikroschalter

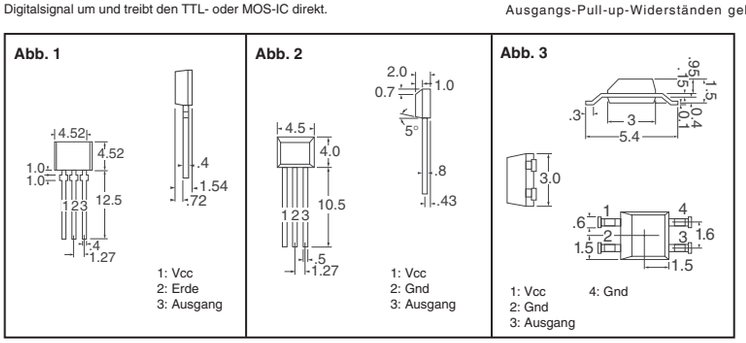

Abb.	Versorgungs-spannungsbereich (V)	Betr.** Fluxdichte (Gauss) (L-H)	(H-L)	Ausgang* Typ	Betr.† Typ	Paket	Digi-Key Teilenr.	Stückpreis 1	10	100
1	4.5 – 16	-175	175	Pull-up	Bidirektional	3-Sip	DN6847SE-ND	1.42	1.14	.86
2	4.5 – 16	5	220	0C	Unidirektional	3-Sip	DN6848-ND	.88	.74	.59
3	4.5 – 16	5	220	0C	Unidirektional	SOH-4D	DN6848S-ND	.76	.64	.51
2	4.5 – 16	-175	175	0C	Bidirektional	3-Sip	DN6849-ND	1.43	1.15	.86
3	4.5 – 16	-175	175	0C	Bidirektional	SOH-4D	DN6849S-ND	1.43	1.15	.86
1	4.5 – 16	-175	175	0C	Bidirektional	3-Sip	DN6849SE-ND	1.43	1.15	.86
2	3.6 – 16	-200	200	Pull-up	Bidirektional	3-Sip	DN6851-A-ND	.76	.64	.51
2	3.6 – 16	100	450	0C	Unidirektional	3-Sip	DN6852-A-ND	.88	.74	.59
2	4.5 – 16	-120	120	Pull-up	Bidirektional	3-Sip	DN8897-ND	1.43	1.15	.86
	4.5 – 16	-120	120	0C	Bidirektional	3-Sip	DN8899-ND	1.43	1.15	.86

* Ausgangstyp: Pull-up-Widerstände = 27 K intern; OC = Offener Kollektor. ** Zum Umrechnen von Gauss in Millitesla durch 10 teilen

† Unidirektional ist nur der Nord- oder Südseite eines Magneten gegenüber empfindlich; bidirektional ist gegenüber magnetischen Wechselfeldern von der Nord- als auch der Südseite empfindlich.

Alle Preisangaben in Euro und inklusive Zollgebühren.

Infrarot-Fotosensoren

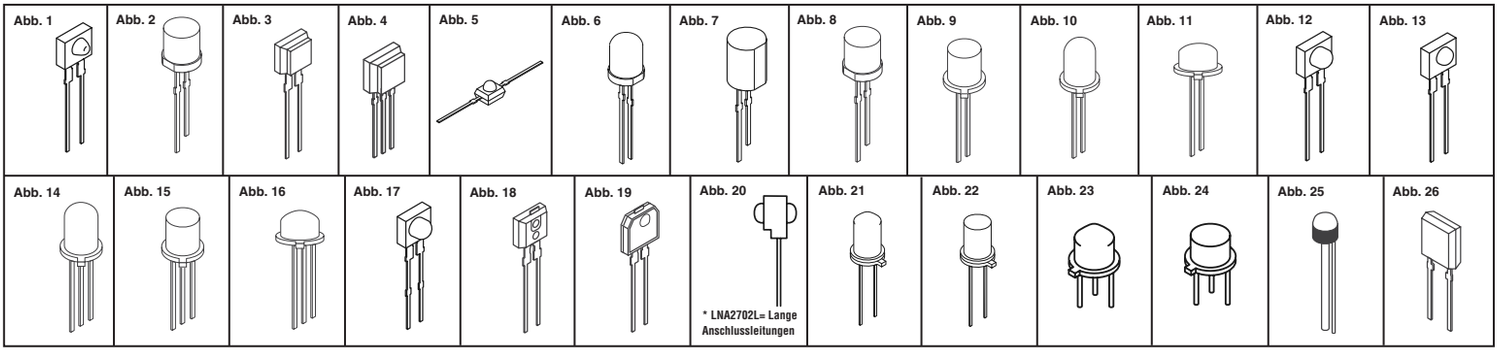

Infrarot-Leuchtdiode

Abb.	Typ/Paket	Impulsvor-wärtsstrom	Optische Ausgangs-leistung	Spitzen-Emissions-wellenlänge	Strahl-winkel	Digi-Key Teilenr.	Preisangaben 1	10	100	Panasonic Teilenr.
1	Seitenansicht	1A	4.6mW	950nm	17°	LN54PA-ND	.85	7.09	56.69	LN54
2	Draufsicht	1.5A	7mW	950nm	45°	LN64PA-ND	.77	6.40	51.20	LN64
3	Seitenansicht	2A	12mW	900nm	115°	LN175PA-ND	1.53	12.25	91.89	LN175
6	T-1 3/4	1.5A	10mW/sr	950nm	20°	LNA2904L-ND	.75	6.28	50.23	LNA2904L
10	TO-18	2A	3-6mW	950nm	8°	LN51L-ND	3.07	24.57	191.08	LN51L
11	TO-18 Klein	2A	3.5-6mW	950nm	100°	LN52-ND	2.58	20.64	160.51	LN52
12	Seitenansicht	1A	1.8-3.5mW	950nm	35°	LN55-ND	.66	5.53	44.24	LN55
5	Axial	1A	3-4.5mW	950nm	18°	LNA2W01L-ND	1.14	9.56	76.43	LNA2W01L
13	Seitenansicht	1A	1.8-3.5mW	950nm	35°	LN58-ND	.82	6.82	54.60	LN58
20	Seitenansicht x2	1A	1.8mW	950nm	23°	LN59-ND	.93	7.73	61.81	LN59
20	Seitenansicht x2	1A	1.8mW	950nm	23°	LNA2702L-ND*	.52	3.91	29.31	LNA2702L
20	Seitenansicht x2	1A	1.2mW/sr	940nm	23°	LNA2701L-ND	1.12	9.28	74.25	LNA2701L
6	T-1 3/4	1.5A	9mW/sr	950nm	25°	LNA2903L-ND	.38	3.06	22.93	LNA2903L
6	T-1	1A	2.5-5mW	950nm	20°	LNA2802L-ND	.38	3.06	22.93	LNA2802L
13	Seitenansicht	1A	6-10mW	880nm	40°	LN78-ND	2.09	16.73	130.14	LN78
6	T-1	1A	6mW/sr	940nm	15°	LNA2801L-ND	.57	4.26	31.94	LNA2801L
3	Seitenansicht	1.5A	3-6mW	940nm	80°	LNA2603F-ND	1.08	8.57	64.26	LNA2603F
12	Seitenansicht	1.5A	4.3-5.5mW	950nm	35°	LN65-ND	1.09	8.75	65.63	LN65
11	TO-18 Klein	1.5A	5-10mW	950nm	90°	LN152-ND	1.80	15.02	120.14	LN152

PIN-Fotodiode

Abb.	Typ/Paket	V_R	Wellenlänge der höchsten Empfindlichkeit	tr/tf	Strahl-winkel	Digi-Key Teilenr.	Preisangaben 1	10	100	Panasonic Teilenr.
7	Seitenansicht	30V	960nm	50ns	70°	PNZ323B-ND	.77	6.40	51.20	PNZ323B
8	Draufsicht	50V	900nm	2ns	70°	PNZ334-ND	1.24	10.29	82.29	PNZ334
11	TO-18 Klein	30V	850nm	2ns	70°	PNZ330CL-ND	2.53	20.23	157.39	PNZ330CL
3	Seitenansicht	30V	850nm	2ns	70°	PNZ335-ND	1.07	8.57	64.24	PNZ335
21	TO-18	50V	800nm	1ns	10°	PNZ300-ND	5.20	41.57	350.72	PNZ300
22	TO-18	50V	800nm	1ns	40°	PNZ300F-ND	5.20	41.57	350.72	PNZ300F
23	TO-18	30V	900nm	2ns	70°	PNZ331CL-ND	3.10	24.81	192.98	PNZ331CL
24	TO-18	30V	900nm	—	40°	PNZ331F-ND	6.02	48.13	406.10	PNZ331F
26	Seitenansicht	30V	960nm	50ns	65°	PNZ313B-ND	1.40	11.16	83.66	PNZ313B

NPN-Fototransistor

Abb.	Typ/Paket	V_{CEO}	I_C	Wellenlänge der höchsten Empfindlichkeit	tr/tf	Digi-Key Teilenr.	Preisangaben 1	10	100	Panasonic Teilenr.
4	Seitenansicht	20V	10mA	900nm	8µs	PNA1605F-ND	1.28	10.24	76.80	PNA1605F
5	Axial	20V	20mA	800nm	2.5/3.5µs	PNZ12700S-ND	1.02	8.46	67.66	PNZ12700S
1	Seitenansicht	20V	20mA	800nm	4µs	PNZ154-ND	1.18	9.83	78.63	PNZ154
6	T-1	30V	20mA	800nm	4µs	PNA1801L-ND	.55	4.11	30.86	PNA1801L
10	TO-18	30V	50mA	800nm	3µs	PNA1401L-ND	3.01	24.09	187.37	PNA1401L
9	TO-18 flach	30V	50mA	800nm	3µs	PNA1401LF-ND	3.01	24.09	187.37	PNA1401LF
14	TO-18	40V†	50mA	800nm	3µs	PNZ102-ND	3.01	24.09	187.37	PNZ102
15	TO-18 flach	30V†	50mA	800nm	3µs	PNZ102F-ND	3.01	24.09	187.37	PNZ102F
14	TO-18	30V†	30mA	900nm	5/6µs	PNZ108-ND	3.01	24.09	187.37	PNZ108
16	TO-18 klein	30V†	20mA	900nm	5/6µs	PN108CL-ND	2.53	20.23	157.39	PN108CL
15	TO-18 flach	30V†	30mA	900nm	8/9µs	PNZ109F-ND	3.01	24.09	187.37	PNZ109F
16	TO-18 klein	30V†	20mA	900nm	5/6µs	PNZ109CL-ND	2.53	20.23	157.39	PNZ109CL
14	TO-18	30V†	30mA	900nm	5/6µs	PNZ109L-ND	3.01	24.09	187.37	PNZ109L
5	Axial	20V	20mA	800nm	3-10µs	PNZ147-ND	1.34	10.71	80.30	PNZ147
12	Seitenansicht	20V	20mA	800nm	4-10µs	PNZ150-ND	.90	7.49	59.96	PNZ150
17	Seitenansicht	20V	20mA	800nm	4µs	PNA1608L-ND	.90	7.49	59.96	PNA1608L
3	Seitenansicht	20V	10mA	800nm	4µs	PNZ155-ND	1.06	8.83	70.67	PNZ155
13	Seitenansicht	20V	20mA	800nm	4-10µs	PNZ158-ND	.90	7.49	59.96	PNZ158
18	Seitenansicht	20V	20mA	850nm	4µs	PNZ163NC-ND	.90	7.49	59.96	PNZ163NC
19	Seitenansicht	20V	20mA	850nm	4µs	PNA1601M-ND	.90	7.49	59.96	PNA1601M
12	Seitenansicht	20V	30mA	800nm	100µs	PNA2602M-ND‡	.97	8.03	64.24	PNA2602M
17	Seitenansicht	20V	30mA	850nm	150µs	PNA2602M00NC-ND‡	.97	8.03	64.24	PNA2602M00NC
5	Axial	20V	30mA	800nm	200µs	PNA2W01M-ND‡	.84	6.95	55.60	PNA2W01M
13	Seitenansicht	20V	30mA	800nm	100µs	PNA2603L-ND‡	.97	8.03	64.24	PNA2603L
18	Seitenansicht	20V	30mA	850nm	150µs	PNZ263L000NC-ND‡	.97	8.03	64.24	PNZ263L000NC
25	T-1	20V	10mA	800nm	1/1.3µs	PNZ121S0R-ND	1.02	8.49	67.96	PNZ121S0R

† VCBO (dieses Gerät kann über den Base-Pin Signale vermischen.) ‡ Darlington

Reflektierende Fotosensoren

Reflektierende Fotosensoren bestehen aus einer hochleistungsfähigen GaAs-Infrarot-Leuchtdiode, die in einem gemeinsamen Harz-Paket mit einem hochempfindlichen Fototransistor integriert ist.

MERKMALE:
• Verfließfähiger reflektierender Fotosensor • Dünnes Ultraminiatur-Design: 2,7 x 3,4 mm (Höhe: 1,5 mm) • Sichtbares, Licht blockierendes Harz wird verwendet • CNB10010RL, CNB10010SL und CNB13020R haben Si-Fototransistor • CNB20010RL hat Darlington-Fototransistor/ hohe Stromtransferrate • Reflektierende Abtastmethode; Abtastabstand: 1 mm

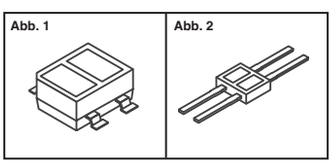

Abb.	Rang	IC (µA)	Typ. t_{ein}/t_{aus} (µs)	Eingabe V_R	Eingabe I_F	Ausgang I_C	Ausgang V_{CEO}	Digi-Key Teilenr.	Gurtabschnittspreis pro Stück 1	10	100	500	Digi-Key Teilenr.	Gegurtet auf Rolle 1.000
1	R	41~90	30/40	6V	50mA	20mA	35V	CNB10010RLCT-ND	.84	.70	.56	.39	CNB10010RLTR-ND	369.96
	R	1.45~5.4	120/115	6V	50mA	30mA	35V	CNB20010RLCT-ND	.86	.72	.58	.41	CNB20010RLTR-ND	381.82
2	R	180~440	20/20	3V	50mA	20mA	30V	CNB13020R-ND	.80	.61	.46	.29	—	—

Bipolarer integrierter Schaltkreis mit Fotodetektionsfunktion

MERKMALE:

Serie PNA4602M/PNA4701M: *(Für ferngesteuerte Infrarotsysteme.)*
• Distanzverlängerung: 8 m oder mehr • Keine externen Teile erforderlich • Verwendung von sichtbarem, Licht blockierendem Harz

Serie PNA4611M: *(Für ferngesteuerte Infrarotsysteme.)*
• Hochempfindlich (Distanzverlängerung: 11 m oder mehr) • Keine externen Teile erforderlich • Einsatz von Harz zur Blockierung von sichtbarem Licht

Serie PNA4603H: *(Für Helligkeitssteuerungen.)*
• Wellenlängeneigenschaften ähneln der menschlichen Sehempfindlichkeit • Keine externen Teile erforderlich • Gute Ausgangsspannungslinearität bei auffallender Beleuchtungsstärke

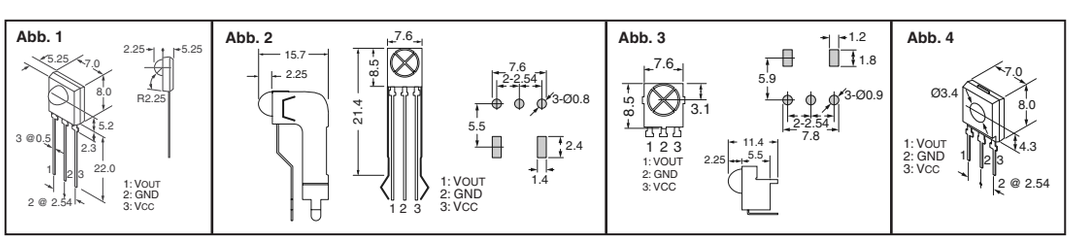

Serie PNA4603H Hauptmerkmale

Parameter	Symbol	Bedingungen	Min.	Typ.	Max.	Einheit
Betriebsspannung	VCC	—	4.5	5.0	5.5	V
Stromverbrauch	ICC	VCC = 5.25V	0.5	1.0	1.5	mA
Ausgangsspannung	VOFF	L = 0 lx, VCC = 5.0V	0.1	0.5	0.8	V
	V01	L = 10 lx, VCC = 5.0V*	2.0	2.7	3.4	V
	V02	L = 800 lx, VCC = 5.0V*	3.9	4.1	4.9	V
	η	V01-VOFF, VCC = 5.0V	1.65	1.9	4.9	V
Ausgangsimpedanz	Z	—	—	10	—	kΩ
Wellenlänge der höchsten Empfindlichkeit	λp	—	—	540	—	nm

* Lichtquelle: Halogenlampe

Abb.	Betriebsversor-gungsspannung typ. (V)	Stromverbrauch typ. (mA)	Max.Empf.-Distanz (m) min	Max.Empf.-Distanz (m) Typ.	Trägerfre-quenz typ. (kHz)	Digi-Key Teilenr.	Preisangaben 1	10	100	Panasonic Teilenr.
1	5.0	2.4	8	10	38.0	PNA4602M-ND	1.08	8.64	64.83	PNA4602M
	3.3	0.8	7.0	—	36.7	PNA4701M-ND	1.24	9.95	74.61	PNA4701M
2	5.0	2.4	11	16	36.7	PNA4611M00YB-ND	1.21	9.70	72.79	PNA4611M00YB
	5.0	2.4	11	16	38.0	PNA4612M00YB-ND	1.21	9.70	72.79	PNA4612M00YB
	5.0	2.4	11	16	40.0	PNA4613M00YB-ND	1.21	9.70	72.79	PNA4613M00YB
	5.0	2.4	11	16	56.9	PNA4614M00YB-ND	1.21	9.70	72.79	PNA4614M00YB
3	5.0	2.4	11	16	36.7	PNA4611M00XD-ND	1.21	9.70	72.79	PNA4611M00XD
	5.0	2.4	11	16	38.0	PNA4612M00XD-ND	1.21	9.70	72.79	PNA4612M00XD
	5.0	2.4	11	16	40.0	PNA4613M00XD-ND	1.21	9.70	72.79	PNA4613M00XD
4	Siehe Tabelle PNA4603A-Haupteigenschaften					PNA4603H-ND	2.68	21.43	166.66	PNA4603H

J

Alle Preisangaben in Euro und inklusive Zollgebühren.

Festkörper-Drucksensoren

Zur Verwendung in medizinischen Geräten, pneumatischen Steuerungen, Computer-Peripheriegeräten, Druckinstrumenten, Prozess- und Durchflusssteuerungen.

Abb. 1 — Sensorverst.

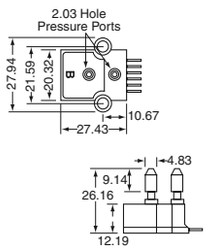

Abb. 2 — SDX A4, D4, IND4

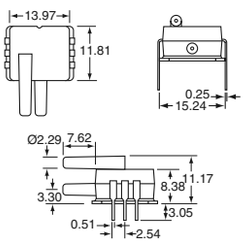

Abb. 3 — SDX A2/G2/D2

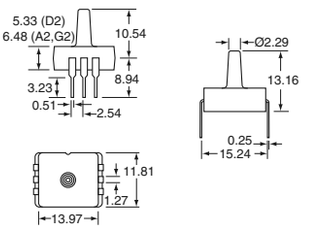

Abb. 4 — Pigtail

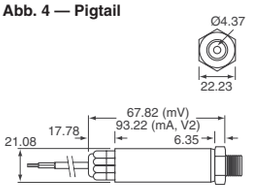

Hinweis: 4-Leiter-Kabel. 24-AWG-Leiter mit 24" (61 cm) langem Ableitdraht geschirmt

Abb. 5 — Tastensensor

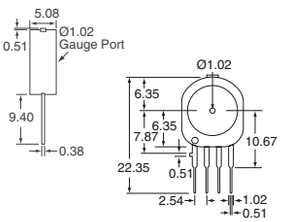

Abb.	Druck	Art d. Druckes	Ausgang	Paket	Versorgung (V DC)	Reaktionsszeit*	Betriebstemperatur	Digi-Key Teilenr.	Stückpreis 1	25	100	Honeywell Teilenr.
Drucksensoren, signalkonditioniert												
1	0-1 PSID	Differenzial/Anzeigeinstrument	0.25 ~ 4.5V	SIP	4.5 ~ 16	100µSec	-25°C ~ 105°C	287-1002-ND	46.96	41.22	35.22	ASCX01DN
	0-5 PSID	Differenzial/Anzeigeinstrument						287-1003-ND	46.96	41.22	35.22	ASCX05DN
	0-15 PSIA	Absolut						287-1008-ND	46.96	41.22	35.22	ASCX15AN
	0-15 PSID	Differenzial/Anzeigeinstrument						287-1009-ND	46.96	41.22	35.22	ASCX15DN
	0-30 PSIA	Absolut						287-1010-ND	46.96	41.22	35.22	ASCX30AN
	0-30 PSID	Differenzial/Anzeigeinstrument						287-1011-ND	46.96	41.22	35.22	ASCX30DN
	0-100 PSIA	Absolut						287-1004-ND	46.96	41.22	35.22	ASCX100AN
	0-100 PSID	Differenzial/Anzeigeinstrument						287-1005-ND	46.96	41.22	35.22	ASCX100DN
	0-150 PSIA	Absolut						287-1006-ND	46.96	41.22	35.22	ASCX150AN
	0-150 PSID	Differenzial/Anzeigeinstrument						287-1007-ND	46.96	41.22	35.22	ASCX150DN
Drucksensoren mit Präzisionsausgleich												
1	0-1 PSID	Differenzial/Anzeigeinstrument	0-18mV	SIP	20	100µSec	-40°C ~ 85°C	287-1017-ND	39.86	37.51	29.90	SCX01DN
	0-5 PSID	Differenzial/Anzeigeinstrument	0-60mV		20	100µSec	-40°C ~ 85°C	287-1018-ND	48.57	34.45	27.28	SCX05DN
	0-15 PSIA	Absolut	0-90mV		20	100µSec	-40°C ~ 85°C	287-1023-ND	48.57	34.45	27.28	SCX15AN
	0-15 PSID	Differenzial/Anzeigeinstrument	0-90mV		20	100µSec	-40°C ~ 85°C	287-1024-ND	48.57	34.45	27.28	SCX15DN
	0-30 PSIA	Absolut	0-90mV		20	100µSec	-40°C ~ 85°C	287-1025-ND	48.57	34.45	27.28	SCX30AN
	0-30 PSID	Differenzial/Anzeigeinstrument	0-90mV		20	100µSec	-40°C ~ 85°C	287-1026-ND	48.57	34.45	27.28	SCX30DN
	0-100 PSIA	Absolut	0-100mV		20	100µSec	-40°C ~ 85°C	287-1019-ND	59.21	39.16	33.12	SCX100AN
	0-100 PSID	Differenzial/Anzeigeinstrument	0-100mV		20	100µSec	-40°C ~ 85°C	287-1020-ND	59.21	39.16	33.12	SCX100DN
	0-150 PSIA	Absolut	0-90mV		20	100µSec	-40°C ~ 85°C	287-1021-ND	59.21	39.16	33.12	SCX150AN
	0-150 PSID	Differenzial/Anzeigeinstrument	0-90mV		20	100µSec	-40°C ~ 85°C	287-1022-ND	59.21	39.16	33.12	SCX150DN
	0-4" H2O	WC	Verhältnis		18	500µSec	0°C ~ 70°C	287-1027-ND	65.68	49.06	34.86	SCXL004DN
2	0-1 PSID	Differenzial/Anzeigeinstrument	0-18mV	DIP	20	100µSec	-40°C ~ 85°C	287-1028-ND	27.84	25.62	20.88	SDX01D4
	0-5 PSID	Differenzial/Anzeigeinstrument	0-60mV				-40°C ~ 85°C	287-1030-ND	27.84	25.62	20.88	SDX05D4
	0-15 PSIA	Absolut	0-90mV				-40°C ~ 85°C	287-1037-ND	27.84	25.62	20.88	SDX15A4
	0-15 PSID	Differenzial/Anzeigeinstrument	0-90mV				-40°C ~ 85°C	287-1038-ND	27.84	25.62	20.88	SDX15D4
	0-30 PSIA	Absolut	0-90mV				-40°C ~ 85°C	287-1041-ND	27.84	25.62	20.88	SDX30A4
	0-30 PSID	Differenzial/Anzeigeinstrument	0-90mV				-40°C ~ 85°C	287-1042-ND	27.84	25.62	20.88	SDX30D4
	0-100 PSIA	Absolut	0-100mV				-40°C ~ 85°C	287-1033-ND	27.84	25.62	20.88	SDX100A4
	0-100 PSID	Differenzial/Anzeigeinstrument	0-100mV				-40°C ~ 85°C	287-1034-ND	27.84	25.62	20.88	SDX100D4
	0-5" H2O	WC	0-20mV				-20°C ~ 85°C	287-1125-ND	44.52	41.00	33.40	SDX005IND4
	0-10" H2O	WC	0-20mV				-20°C ~ 85°C	287-1126-ND	37.94	34.93	28.46	SDX010IND4
3	0-1 PSIG	Anzeigeinstrument	0-18mV	DIP	20	100µSec	-40°C ~ 85°C	287-1029-ND	27.84	25.62	20.88	SDX01G2
	0-5 PSIG	Anzeigeinstrument	0-60mV					287-1031-ND	27.84	25.62	20.88	SDX05G2
	0-15 PSIA	Absolut	0-90mV					287-1036-ND	27.84	25.62	20.88	SDX15A2
	0-15 PSIG	Anzeigeinstrument	0-90mV					287-1039-ND	27.84	25.62	20.88	SDX15G2
	0-30 PSIA	Absolut	0-90mV					287-1040-ND	27.84	25.62	20.88	SDX30A2
	0-30 PSIG	Anzeigeinstrument	0-90mV					287-1043-ND	27.84	25.62	20.88	SDX30G2
	0-100 PSIA	Absolut	0-100mV					287-1032-ND	27.84	25.62	20.88	SDX100A2
	0-100 PSIG	Anzeigeinstrument	0-100mV					287-1035-ND	27.84	25.62	20.88	SDX100G2
Stahlsensoren, kalibriert und temperaturausgeglichen												
4	0-5 PSIG	Anzeigeinstrument	1-5VDC	Stahl 1/4" (6,35 mm) 18NPT (Stecker)	12 ~ 30	5 ms	-40°C ~ 125°C	287-1090-ND	112.71	91.89	78.41	SPT4V0005PG5W02
	0-15 PSIG		1-5VDC		12 ~ 30			287-1091-ND	112.71	91.89	78.41	SPT4V0015PG5W02
	0-30 PSIG		1-5VDC		12 ~ 30			287-1092-ND	112.71	91.89	78.41	SPT4V0030PG5W02
	0-100 PSIG		1-5VDC		12 ~ 30			287-1093-ND	112.71	91.90	78.41	SPT4V0100PG5W02
	0-300 PSIG		1-5VDC		12 ~ 30			287-1094-ND	112.69	91.89	78.40	SPT4V0300PG5W02
	0-500 PSIG		1-5VDC		12 ~ 30			287-1095-ND	112.71	91.90	78.41	SPT4V0500PG5W02
	0-5 PSIG		4-20mA		12.5 ~ 30			287-1096-ND	112.71	91.90	78.41	SPTMA0005PG5W02
	0-15 PSIG		4-20mA		12.5 ~ 30			287-1097-ND	112.71	91.90	78.41	SPTMA0015PG5W02
	0-30 PSIG		4-20mA		12.5 ~ 30			287-1098-ND	112.71	91.90	78.41	SPTMA0030PG5W02
	0-100 PSIG		4-20mA		12.5 ~ 30			287-1099-ND	112.71	91.90	78.41	SPTMA0100PG5W02
	0-300 PSIG		4-20mA		12.5 ~ 30			287-1100-ND	112.71	91.90	78.41	SPTMA0300PG5W02
	0-500 PSIG		4-20mA		12.5 ~ 30			287-1101-ND	112.71	91.90	78.41	SPTMA0500PG5W02
4	0-5 PSIG	Anzeigeinstrument	0-100mV	2" (61cm) Elektrische Pigtail-Verbindung	15	100µSec	-40°C ~ 125°C	287-1102-ND	96.05	91.89	63.71	SPTMV0005PG5W02
	0-15 PSIG							287-1103-ND	96.05	91.89	63.71	SPTMV0015PG5W02
	0-30 PSIG							287-1104-ND	96.05	91.89	63.71	SPTMV0030PG5W02
	0-100 PSIG							287-1105-ND	96.05	91.89	63.71	SPTMV0100PG5W02
	0-300 PSIG							287-1106-ND	96.05	91.89	63.71	SPTMV0300PG5W02
	0-500 PSIG							287-1107-ND	96.05	91.89	63.71	SPTMV0500PG5W02
Hochimpedante Brückensensoren												
2	0-1 PSID	Differenzial	0-20mV	DIP	12	100µSec	-40°C ~ 85°C	287-1065-ND	20.74	19.10	15.56	SX01DD4
	0-5 PSID	Differenzial	0-75mV					287-1068-ND	20.74	19.38	15.56	SX05DD4
	0-15 PSIA	Absolut	0-110mV					287-1080-ND	16.83	15.50	12.62	SX15AD4
	0-15 PSID	Differenzial	0-110mV					287-1082-ND	16.83	15.50	12.62	SX15DD4
	0-30 PSIA	Absolut	0-110mV					287-1086-ND	20.89	19.38	15.67	SX30AD4
	0-30 PSID	Differenzial	0-110mV					287-1088-ND	20.74	19.38	15.56	SX30DD4
	0-100 PSIA	Absolut	0-150mV					287-1072-ND	20.73	19.10	15.55	SX100AD4
	0-100 PSID	Differenzial	0-150mV					287-1074-ND	20.73	19.10	15.55	SX100DD4
3	0-1 PSIG	Anzeigeinstrument	0-20mV	DIP	12	100µSec	-40°C ~ 85°C	287-1066-ND	22.71	20.91	17.04	SX01GD2
	0-5 PSIG	Anzeigeinstrument	0-75mV					287-1069-ND	23.49	22.63	17.62	SX05GD2
	0-15 PSIA	Absolut	0-110mV					287-1079-ND	16.83	15.50	12.62	SX15AD2
	0-15 PSIG	Anzeigeinstrument	0-110mV					287-1083-ND	16.83	15.50	12.62	SX15GD2
	0-30 PSIA	Absolut	0-110mV					287-1085-ND	20.74	19.38	15.56	SX30AD2
	0-30 PSIG	Anzeigeinstrument	0-110mV					287-1089-ND	22.70	21.53	17.03	SX30GD2
	0-100 PSIA	Absolut	0-150mV					287-1071-ND	20.89	19.25	15.68	SX100AD2
	0-100 PSIG	Anzeigeinstrument	0-150mV					287-1075-ND	23.51	21.64	17.63	SX100GD2
5	0-1 PSID	Differenzial	0-20mV	Knopf	12	100µSec	-40°C ~ 85°C	287-1064-ND	20.74	19.10	15.56	SX01D
	0-5 PSID	Differenzial	0-75mV					287-1067-ND	20.74	19.38	15.56	SX05D
	0-15 PSID	Differenzial	0-110mV					287-1081-ND	16.83	15.50	12.62	SX15D
	0-15 PSIA	Absolut	0-110mV					287-1078-ND	16.83	15.50	12.62	SX15A
	0-30 PSID	Differenzial	0-110mV					287-1087-ND	19.67	19.38	14.75	SX30D
	0-30 PSIA	Absolut	0-110mV					287-1084-ND	16.83	15.50	12.62	SX30A
	0-100 PSIA	Absolut	0-150mV					287-1070-ND	20.73	19.10	15.55	SX100A
	0-100 PSID	Differenzial	0-150mV					287-1073-ND	20.73	19.10	15.55	SX100D
	0-150 PSIA	Absolut	0-110mV					287-1076-ND	20.73	19.10	15.55	SX150A
	0-150 PSID	Differenzial	0-110mV					287-1077-ND	20.73	19.10	15.55	SX150D

* Reaktionszeit für eine schrittweise 0 psi bis Vollskala-Druckänderung, 10 % bis 90 % Anstiegszeit.

J

Alle Preisangaben in Euro und inklusive Zollgebühren.

Isolierte Drucksensoren und ausgeglichene Sensoren

Merkmale:

• Reaktionszeit: 100 µs, BE Serie - Reaktionszeit: 10 mS *(schrittweise 0 psi bis Vollskala-Druckänderung, 10 % bis 90 % Anstiegszeit).*

• Betriebstemperatur: -40 °C ~ 125 °C

13 mm Steckschnittstelle

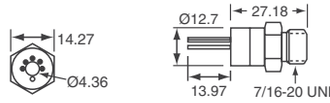

Hinweis: Ø 0,22" ±0,001" (0,56 mm ±0,03 mm) Pins auf Ø 0,230" (5,84 mm) Pin-Kreis.

19 mm Steckschnittstelle

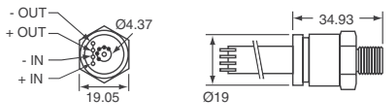

Hinweis: 2" (50,8 mm) NOMEX-Flachkabel mit 0,100" (2,54 mm) Pin-Abstand (24-AWG-Drahtgröße).

Bündige Montage

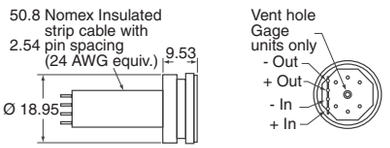

Bondiertes Element

Abm. A (mm)	Honeywell Teilenr.
15.24	BE-4R125PG5DS
15.24	BE-4R125PG5DC
10.67	BE-4R500PG5DS
10.92	BE-4R5000PG6DS
10.92	BE-4R5000PG6DC

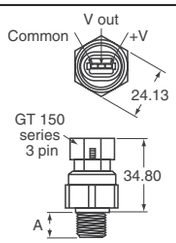

Druck	Art d. Druckes	Ausgang mV	Port-Beschreibung	Max. Versorgung	Digi-Key Teilenr.	Stückpreis 1	25	100	Honeywell Teilenr.
13 mm									
0-1000 PSIA	Absolut	0-200	1/8"	12VDC	287-1123-ND	73.49	58.79	49.01	13C1000PA4K
0-5000 PSIA			27 NPT-SS		287-1124-ND	73.49	56.98	49.01	13C5000PA4K
19 mm -- kalibriert, ausgeglichen									
0-15 PSIA	Absolut	0-100	1/8"	15VDC	287-1108-ND	77.41	62.37	48.52	19C015PA4K
0-15 PSIG	Anzeigeinstrument		27 NPT-SS		287-1109-ND	77.41	69.25	48.52	19C015PG4K
0-15 PSIV	Vakuum				287-1938-ND	77.41	62.37	48.52	19C015PV4K
0-15 PSIV	Vakuum	0-100	1/4"	15VDC	287-1940-ND	77.41	62.37	48.52	19C015PV5K
0-15 PSIV	Vakuum		18 NPT-SS	2.0mA	287-1941-ND	77.41	62.37	48.52	19C015PV5L
0-30 PSIA	Absolut	0-100	1/8"	15VDC	287-1110-ND	77.41	62.37	48.52	19C030PA4K
0-30 PSIG	Anzeigeinstrument		27 NPT-SS		287-1111-ND	77.41	62.37	48.52	19C030PG4K
0-30 PSIV	Vakuum				287-1944-ND	77.41	62.37	48.52	19C030PV4K
0-50 PSIA	Absolut	0-100	1/8"	15VDC	287-1112-ND	77.41	62.37	48.52	19C050PA4K
0-50 PSIG	Anzeigeinstrument		27 NPT-SS		287-1113-ND	77.41	62.37	48.52	19C050PG4K
0-100 PSIA	Absolut	0-100	1/8"	15VDC	287-1114-ND	77.41	62.37	48.52	19C100PA4K
0-100 PSIG	Anzeigeinstrument		27NPT-SS		287-1115-ND	77.41	62.37	48.52	19C100PG4K
0-100 PSIV	Vakuum	0-100	1/4" 18 NPT-SS	15VDC	287-1952-ND	77.41	62.37	48.52	19C100PV5K
0-200 PSIA	Absolut	0-100	1/8"	15VDC	287-1116-ND	77.41	62.37	48.52	19C200PA4K
0-200 PSIG	Anzeigeinstrument		27 NPT-SS		287-1117-ND	77.41	62.37	48.52	19C200PG4K
0-300 PSIA	Absolut	0-100	1/8"	15VDC	287-1118-ND	77.41	62.37	48.52	19C300PA4K
0-300 PSIG	Anzeigeinstrument		27 NPT-SS		287-1119-ND	77.41	62.37	48.52	19C300PG4K
0-500 PSIA	Absolut	0-100	1/8"	15VDC	287-1120-ND	77.41	62.37	48.52	19C500PA4K
0-500 PSIG	Anzeigeinstrument		27 NPT-SS		287-1121-ND	77.41	62.37	48.52	19C500PG4K
Bündige Montage									
0-15 PSIV	Vakuum	0-100	N/A	15VDC	287-1936-ND	69.57	51.46	42.88	19C015PV2K
0-30 PSIV	Vakuum	0-100	N/A	15VDC	287-1942-ND	69.57	51.46	42.88	19C030PV2K
0-100 PSIV	Vakuum	0-100	N/A	15VDC	287-1948-ND	69.57	51.46	42.88	19C100PV2K
Bondiertes Element									
0-125 PSIG			1/4"-18 NPT-SS		287-1127-ND	50.80	47.41	44.71	BE-4R125PG5DS
0-125 PSIG			1/4"-18 NPT-CRS		287-1128-ND	49.10	45.72	42.67	BE-4R125PG5DC
0-500 PSIG	Anzeigeinstrument	0.5-4.5	1/8"-27 NPT-SS	5.25VDC	287-1129-ND	50.80	47.41	44.71	BE-4R500PG4DS
0-5000 PSIG			7/16"-20 UNF-SS		287-1130-ND†	50.80	47.41	44.71	BE-4R5000PG6DS
0-5000 PSIG			7/16"-20 UNF-CRS		287-1131-ND†	49.10	45.72	42.67	BE-4R5000PG6DC

† Schlauchanschluss gem. MS33656 (3-904 O-Ring-Dichtung nicht inbegriffen)

Digitale Druckmesser

Serie SDPGB

Merkmale: • Testgenauigkeit ±0,25 % • 316 Edelstahlsensor • Lange Batteriehaltbarkeit (zwei AA-Alkalibatterien bieten ca. 2.500 Betriebsstunden) • Robustes Design • Anzeige: 3 1/2"-Zeichen-LCD, 1/2" Zeichenhöhe • Automatische Abschaltzeit • Anzeige für schwache Batterie • Medienkompatibilität: Alle benetzten Teile sind mit den meisten Flüssigkeiten und Gasen 316 SS-kompatibel

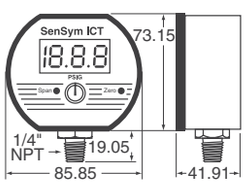

Druckbereich	Auflösung PSIG	Betriebstemp.	Druck-schnittstelle	Digi-Key Teilenr.	Stück-preis	Honeywell Teilenr.
-30.0 inHg/100.0 PSIG	0.1	-20°C ~ 85°C	316 Edelstahl	287-1928-ND	232.48	SDPGB-30+100PG5
15.00 PSIG	0.01			287-1929-ND	232.48	SDPGB0015PG5
100.0 PSIG	0.1			287-1931-ND	232.48	SDPGB0100PG5
199.9 PSIG	0.1			287-1932-ND	232.48	SDPGB0200PG5
300 PSIG	1.0			287-1933-ND	232.48	SDPGB0300PG5
1,000 PSIG	1.0			287-1935-ND	232.48	SDPGB1000PG5

Festkörper-Drucksensoren

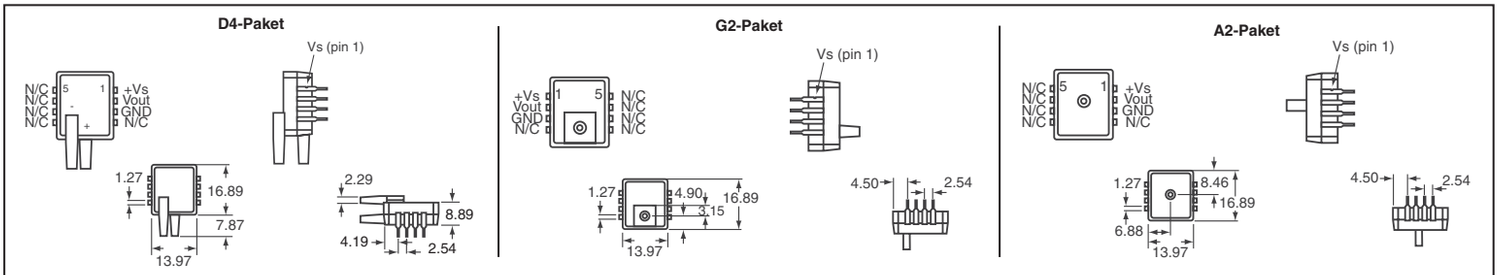

Druck	Art d. Druckes	Ausgang	Gehäuse	Versorgung (V DC)	Reaktionsszeit*	Betriebstemperatur	Digi-Key Teilenr.	Stückpreis 1	25	100	Honeywell Teilenr.
Drucksensoren, kalibriert und temperaturausgeglichen											
0-1 PSIG	Anzeigeinstrument	0.5 ~ 4.5V	DIP	4.75 ~ 5.25†	8ms	-20°C ~ 105°C	480-1923-ND	22.29	16.72	15.37	ASDX001G24R
0-1 PSID	Differential/Anzeigeinstrument						480-1918-ND	27.05	25.16	20.29	ASDX001D44R
0-5 PSIG	Anzeigeinstrument						480-1924-ND	22.29	16.72	15.37	ASDX005G24R
0-5 PSID	Differential/Anzeigeinstrument						480-1919-ND	27.05	25.16	20.29	ASDX005D44R
0-15 PSIA	Absolut						480-1915-ND	27.05	25.16	20.29	ASDX015A24R
0-15 PSIG	Anzeigeinstrument						480-1925-ND	25.49	19.13	17.58	ASDX015G24R
0-15 PSID	Differential/Anzeigeinstrument						480-1920-ND	27.05	25.16	20.29	ASDX015D44R
0-30 PSIA	Absolut						480-1916-ND	22.29	16.72	15.37	ASDX030A24R
0-30 PSIG	Anzeigeinstrument						480-1926-ND	27.05	23.00	20.29	ASDX030G24R
0-30 PSID	Differential/Anzeigeinstrument						480-1921-ND	25.49	19.13	17.58	ASDX030D44R
0-100 PSIA	Absolut						480-1917-ND	22.29	16.72	15.37	ASDX100A24R
0-100 PSIG	Anzeigeinstrument						480-1927-ND	22.29	16.72	15.37	ASDX100G24R
0-100 PSID	Differential/Anzeigeinstrument						480-1922-ND	22.29	16.72	15.37	ASDX100D44R

† Sensor hat keinen Umkehrspannungsschutz. * Reaktionszeit für eine schrittweise Druckänderung von 0 psi bis volle Skala, 10 % ~ 90 % Anstiegszeit.

J

Launched by Motorola

freescale™ semiconductor

Sensoren

Abb. 1

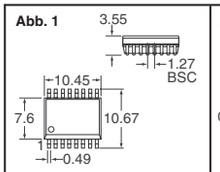

Abb. 2

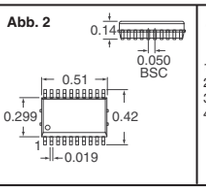

Abb. 3

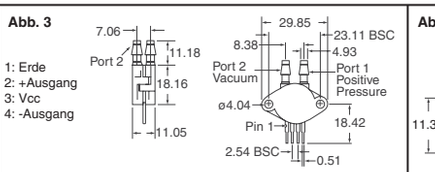

Abb. 4

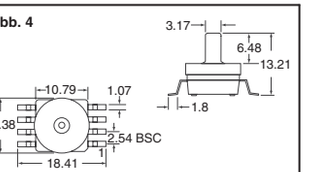

Abb. 5

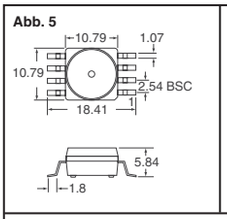

Abb. 6

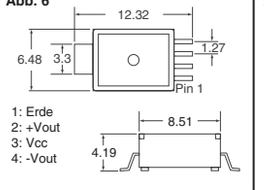

Abb. 7

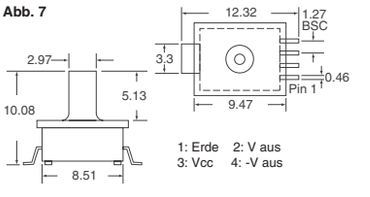

Abb. 8

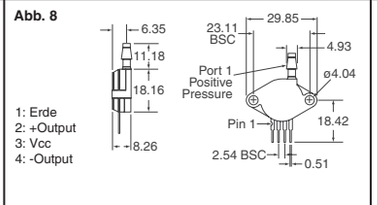

Abb. 9

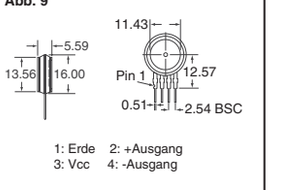

Abb. 10

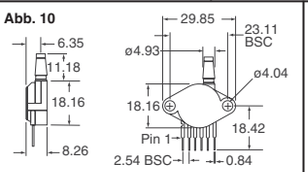

Abb. 11

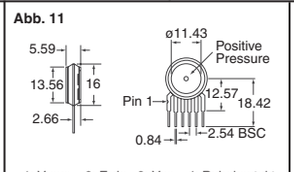

Abb. 12

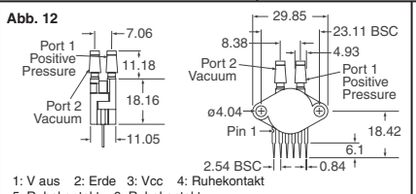

Abb. 13

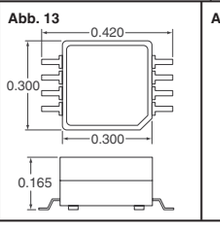

Abb. 14

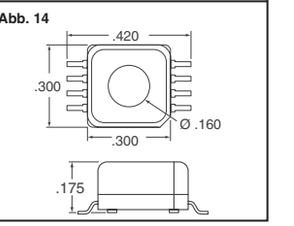

Beschleunigungsmesser

- **Betriebstemperaturbereich:** -40 °C ~ 85 °C
- **Versorgung (typ.):** 5 V DC

* Das Bauelement kann +/- Beschleunigung messen. Ohne Eingangsbeschleunigung liegt der Ausgang bei Versorgungsmitte. Bei positiver Beschleunigung steigt der Ausgang über Vdd/2 und für negative Beschleunigung sinkt er unter Vdd/2.

Abb.	Versorgung (V DC)	Beschleunigungsbereich	Empfindlichkeit (mV/g/V)	Null g Ausgang (Vdd 5 V)*	Digi-Key Teilenr.	Stückpreis 1	25	100
1	4.75 ~ 5.25	8g	50	2.5V	MMA1220D-ND	12.97	9.81	9.05
1	4.75 ~ 5.25	38g	10	2.5V	MMA2201D-ND	12.97	9.81	9.05
2	4.75 ~ 5.25	45g	10	2.5V	MMA3201D-ND	12.97	9.81	9.05
1	4.75 ~ 5.25	47g	1.6	2.5V	MMA1200D-ND	12.97	9.81	9.05
1	4.75 ~ 5.25	47g	8	2.5V	MMA2202D-ND	12.97	9.81	9.05
1	4.75 ~ 5.25	1.5g	240	2.5V	MMA2260D-ND	12.97	9.81	9.05

Präzisionsdrucksensoren mit Temperaturausgleich

- **Betriebstemperaturbereich:** -40 °C ~ +125 °C

Abb.	Druck	Art d. Druckes	Ausgang	Paket	Versorgung (V DC)	Reaktionsszeit*	Ausgeglichene Temp. Bereich (°C)	Digi-Key Teilenr.	Stückpreis 1	25	100
Drucksensoren, nicht verstärkt, ohne Temperaturausgleich											
3	0 ~ 1.45 PSI	Differenzial	35mV	344C-01	3.0	1.0ms	—	MPX10DP-ND	10.18	7.76	7.27
Drucksensoren, nicht verstärkt, mit Temperaturausgleich											
9	0 ~ 1.45 PSI	Differenzial	25mV	344-15	10.0	1.0ms	0 ~ 85	MPX2010D-ND	11.54	8.88	8.34
3	0 ~ 1.45 PSI	Differenzial	25mV	344C-01	10.0	1.0ms	0 ~ 85	MPX2010DP-ND	11.45	8.85	8.32
8	0 ~ 1.45 PSI	Anzeigeinstrument	25mV	344B-01	10.0	1.0ms	0 ~ 85	MPX2010GP-ND	11.46	8.86	8.32
6	0 ~ 1.45 PSI	Differenzial	25mV	MPAK	10.0	1.0ms	0 ~ 85	MPXM2010D-ND	6.69	4.91	4.57
7	0 ~ 1.45 PSI	Anzeigeinstrument	25mV	Mit port MPAK	10.0	1.0ms	0 ~ 85	MPXM2010GS-ND	6.67	4.90	4.56
8	0 ~ 7.25 PSI	Anzeigeinstrument	40mV	344B-01	10.0	1.0ms	0 ~ 85	MPX2050GP-ND	13.42	10.45	9.83
6	0 ~ 7.25 PSI	Differenzial	40mV	MPAK	10.0	1.0ms	0 ~ 85	MPXM2053D-ND	6.69	4.91	4.57
7	0 ~ 7.25 PSI	Anzeigeinstrument	40mV	Mit port MPAK	10.0	1.0ms	0 ~ 85	MPXM2053GS-ND	6.67	4.90	4.56
6	0 ~ 14.5 PSI	Absolut	40mV	MPAK	10.0	1.0ms	0 ~ 85	MPXM2102A-ND	6.69	4.91	4.57
7	0 ~ 14.5 PSI	Absolut	40mV	Mit port MPAK	10.0	1.0ms	0 ~ 85	MPXM2102AS-ND	6.67	4.90	4.56
6	0 ~ 14.5 PSI	Differenzial	40mV	MPAK	10.0	1.0ms	0 ~ 85	MPXM2102D-ND	6.69	4.91	4.57
7	0 ~ 14.5 PSI	Anzeigeinstrument	40mV	Mit port MPAK	10.0	1.0ms	0 ~ 85	MPXM2102GS-ND	6.67	4.90	4.56
6	0 ~ 29 PSI	Absolut	40mV	MPAK	10.0	1.0ms	0 ~ 85	MPXM2202A-ND	6.69	4.91	4.57
7	0 ~ 29 PSI	Absolut	40mV	Mit port MPAK	10.0	1.0ms	0 ~ 85	MPXM2202AS-ND	6.67	4.90	4.56
6	0 ~ 29 PSI	Differenzial	40mV	MPAK	10.0	1.0ms	0 ~ 85	MPXM2202D-ND	6.69	4.91	4.57
7	0 ~ 29 PSI	Anzeigeinstrument	40mV	Mit port MPAK	10.0	1.0ms	0 ~ 85	MPXM2202GS-ND	6.67	4.90	4.56
8	0 ~ 29 PSI	Anzeigeinstrument	40mV	344B-01	10.0	1.0ms	0 ~ 85	MPX2200GP-ND	13.42	10.45	9.83
3	0 ~10 KPA	Differenzial	55mV	344C-01	3.0	1.0ms	-40 ~ 125	MPX12DP-ND	10.54	7.97	7.35
3	0 ~ 50 KPA	Differenzial	40mV	344C-01	10.0	1.0ms	-40 ~ 125	MPX2053DP-ND	12.16	9.20	8.48
3	0 ~ 100 KPA	Differenzial	40mV	344C-01	10.0	1.0ms	-40 ~ 125	MPX2100DP-ND	14.60	11.04	10.18
8	0 ~ 100 KPA	Anzeigeinstrument	40mV	344B-01	10.0	1.0ms	-40 ~ 125	MPX2100GP-ND	14.43	10.92	10.06
9	1 ~ 200 KPA	Differenzial	40mV	344-15	10.0	1.0ms	-40 ~ 125	MPX2200D-ND	13.78	10.42	9.61
8	0 ~ 50 KPA	Anzeigeinstrument	60mV	344B-01	3.0	1.0ms	-40 ~ 125	MPX53GP-ND	9.57	7.24	6.67
Drucksensoren, verstärkter Temperaturausgleich											
4	0 ~ 3.92 KPA	Anzeigeinstrument	4.9V	Mit port 8-SOP	5.0	—	0 ~ 85	MPXV5004GC6U-ND	15.40	12.11	11.42
12	0 ~ 1.45 PSI	Differenzial	4.7V	867C-05	5.0	1.0ms	-40 ~ 125	MPX5010DP-ND	15.53	12.22	11.52
10	0 ~ 1.45 PSI	Anzeigeinstrument	4.7V	867B-04	5.0	1.0ms	-40 ~ 125	MPX5010GP-ND	15.40	12.11	11.42
11	0 ~ 7.25 PSI	Differenzial	4.7V	867-08	5.0	1.0ms	-40 ~ 125	MPX5050D-ND	14.87	11.67	10.99
12	0 ~ 7.25 PSI	Differenzial	4.7V	867C-05	5.0	1.0ms	-40 ~ 125	MPX5050DP-ND	15.53	12.22	11.52
10	0 ~ 7.25 PSI	Anzeigeinstrument	4.7V	867B-04	5.0	1.0ms	-40 ~ 125	MPX5050GP-ND	15.40	12.11	11.42
10	0 ~ 14.5 PSI	Absolut	4.7V	867B-04	5.0	1.0ms	0 ~ 85	MPX5100AP-ND	14.81	11.65	10.98
12	0 ~ 14.5 PSI	Differenzial	4.7V	867C-05	5.0	1.0ms	0 ~ 85	MPX5100DP-ND	14.79	11.64	10.97
10	0 ~ 14.5 PSI	Anzeigeinstrument	4.7V	867B-04	5.0	1.0ms	0 ~ 85	MPX5100GP-ND	14.81	11.65	10.98
4	2.18 ~ 14.8 PSI	Absolut	4.95V	Mit port 8-SOP	5.1	15.0ms	-40 ~ 125	MPXA4101AC6U-ND	14.81	11.65	10.98
5	2.9 ~ 15.2 PSI	Absolut	4.9V	8-SOP	5.1	1.0ms	-40 ~ 125	MPXAZ4100A6U-ND	15.07	11.84	11.15
4	2.9 ~ 15.2 PSI	Absolut	4.9V	Mit port 8-SOP	5.1	1.0ms	-40 ~ 125	MPXAZ4100AC6U-ND	15.59	12.28	11.57
10	2.9 ~ 15.2 PSI	Absolut	4.8V	867B-04	5.1	1.0ms	0 ~ 85	MPX4100AP-ND	15.40	12.11	11.42
11	2.2 ~ 16.7 PSI	Absolut	4.8V	867-08	5.1	1.0ms	-40 ~ 125	MPX4115A-ND	14.87	11.67	10.99
10	2.2 ~ 16.7 PSI	Absolut	4.8V	867B-04	5.1	1.0ms	-40 ~ 125	MPX4115AP-ND	15.40	12.11	11.42
5	2.9 ~ 15.2 PSI	Absolut	4.8V	8-SOP	5.1	1.0ms	-40 ~ 125	MPXA4100A6U-ND	14.87	11.67	10.99
4	2.9 ~ 15.2 PSI	Absolut	4.8V	Mit port 8-SOP	5.1	1.0ms	-40 ~ 125	MPXA4100AC6U-ND	14.81	11.65	10.98
5	2.2 ~ 16.7 PSI	Absolut	4.8V	8-SOP	5.1	1.0ms	-40 ~ 125	MPXA4115A6U-ND	14.87	11.67	10.99
4	2.2 ~ 16.7 PSI	Absolut	4.8V	Mit port 8-SOP	5.1	1.0ms	-40 ~ 125	MPXA4115AC6U-ND	14.81	11.65	10.98
5	2.2 ~ 16.7 PSI	Absolut	4.8V	8-SOP	5.0	1.0ms	-40 ~ 125	MPXA6115A6U-ND	14.87	11.67	10.99
4	2.2 ~ 16.7 PSI	Absolut	4.8V	Mit port 8-SOP	5.0	1.0ms	-40 ~ 125	MPXA6115AC6U-ND	14.81	11.65	10.98
5	2.2 ~ 16.7 PSI	Absolut	4.8V	8-SOP	5.1	1.0ms	-40 ~ 125	MPXAZ4115A6U-ND	15.07	11.84	11.15
4	2.2 ~ 16.7 PSI	Absolut	4.8V	Mit port 8-SOP	5.1	1.0ms	-40 ~ 125	MPXAZ4115AC6U-ND	15.59	12.28	11.57
10	2.9 ~ 36.3 PSI	Absolut	4.9V	867B-04	5.1	1.0ms	-40 ~ 125	MPX4250AP-ND	15.40	12.11	11.42
5	2.9 ~ 36.3 PSI	Absolut	4.9V	8-SOP	5.1	1.0ms	-40 ~ 125	MPXA4250A6U-ND	14.87	11.67	10.99
4	2.9 ~ 36.3 PSI	Absolut	4.9V	Mit port 8-SOP	5.1	1.0ms	-40 ~ 125	MPXA4250AC6U-ND	14.81	11.65	10.98
14	0 ~ 637.5 KPA	Absolut	Vdd-0.8	8-TPMP	3.0	0.1ms	-40 ~ 125	MPXY8020A6T1CT-ND	15.47	12.14	11.43
14	0 ~ 637.5 KPA	Absolut	Vdd-0.8	8-TPMP	3.0	0.1ms	-40 ~ 125	MPXY8020A6T1TR-ND	10803.29/1,000		
12	0 ~ 101.5 PSI	Differenzial	4.7V	867C-05	5.0	1.0ms	0 ~ 85	MPX5700DP-ND	14.79	11.64	10.97
10	0 ~ 101.5 PSI	Anzeigeinstrument	4.7V	867B-04	5.0	1.0ms	0 ~ 85	MPX5700GP-ND	14.81	11.65	10.98
11	0 ~ 101.5 PSI	Differenzial	4.7V	867-08	5.0	1.0ms	0 ~ 85	MPX5999D-ND	14.87	11.67	10.99
13	0 ~ 16.7 PSI	Absolut	4.7V	SSOP	5.0	1.0ms	-40 ~ 125	MPXH6115A6T1CT-ND	12.97	9.81	9.05
13	0 ~ 16.7 PSI	Absolut	4.7V	SSOP	5.0	1.0ms	-40 ~ 125	MPXH6115A6T1TR-ND	8310.23/1,000		
11	30 ~ 105 KPA	Absolut	4.9V	867-08	5.0	1.0ms	-40 ~ 125	MPX4100A-ND	14.87	11.67	10.99
12	0 ~ 250 KPA	Differenzial	4.9V	867C-05	5.0	1.0ms	-40 ~ 125	MPX4250DP-ND	15.62	12.25	11.54
Sensor-Entwicklungskit											
Reifendruck-Evaluierungskit mit MPXY8020A								KIT1951MPXY8020A-ND	349.98	311.64	304.78

* Reaktionszeit ist definiert als die Zeit, die nötig ist, um eine stufenweise Änderung am Ausgang von 10 % bis 90 % des Endwerts zu erzielen, wenn einer bestimmten schrittweisen Druckänderung ausgesetzt.

J

Alle Preisangaben in Euro und inklusive Zollgebühren.

Abb.	Druck	Art d. Druckes	Ausgang	Versorgung (V DC)	Ausgeglichene Temperatur	Betriebs-temperatur	Digi-Key Teilenr.	Stückpreis 1	25	100	All Sensors Teilenr.
Verstärkt mit Spannungsreferenz-Niederdruck											
1	±1	mbar	4V	5.5 ~ 16	5°C ~ 50°C	-25°C ~ 85°C	442-1000-ND	88.05	70.91	68.07	1 MBAR-D-4V-REF
	0-10	In H2O					442-1006-ND	83.81	65.62	62.99	10 INCH-G-4V-REF
	±20	In H2O					442-1007-ND	83.81	65.62	62.99	20 INCH-D-4V-REF
	0-20	In H2O					442-1008-ND	83.81	63.50	60.96	20 INCH-G-4V-REF
	0-30	In H2O					442-1010-ND	83.81	63.50	60.96	30 INCH-G-4V-REF
Verstärkter Niederdruck											
1	±1	mbar	4V	3 ~ 6	5°C ~ 50°C	-25°C ~ 85°C	442-1011-ND	82.97	61.81	49.95	1 MBAR-D-4V
	±1	In H2O					442-1012-ND	74.50	61.81	49.95	1 INCH-D-4V
	0-1	In H2O					442-1013-ND	82.97	61.81	49.95	1 INCH-G-4V
	±5	In H2O					442-1014-ND	74.50	57.57	45.72	5 INCH-D-4V
	0-5	In H2O					442-1015-ND	74.50	57.57	45.72	5 INCH-G-4V
	±10	In H2O					442-1016-ND	71.11	57.57	45.72	10 INCH-D-4V
	0-10	In H2O					442-1017-ND	71.11	57.57	45.72	10 INCH-G-4V
	±20	In H2O					442-1018-ND	71.11	57.57	45.72	20 INCH-D-4V
	0-20	In H2O					442-1019-ND	71.11	57.57	45.72	20 INCH-G-4V
	±30	In H2O					442-1020-ND	71.11	57.57	45.72	30 INCH-D-4V
	0-30	In H2O					442-1021-ND	71.11	57.57	45.72	30 INCH-G-4V
Verstärkter mittlerer Druck											
1	±0.3	PSID	4V	3 ~ 7	5°C ~ 50°C	-25°C ~ 85°C	442-1022-ND	66.03	54.19	41.49	0.3 PSI-D-4V
	0-0.3	PSIG					442-1023-ND	66.03	54.19	41.49	0.3 PSI-G-4V
	±1	PSID					442-1024-ND	66.03	54.19	41.49	1 PSI-D-4V
	0-1	PSIG					442-1025-ND	66.03	49.95	39.63	1 PSI-G-4V
	0-15	PSIA					442-1026-ND	64.34	49.95	38.61	15 PSI-A-4V
	0-15	PSIG					442-1027-ND	64.34	49.95	38.61	15 PSI-G-4V
Barometrischer Druck											
1	600-1100	mbar	4V	4.5 ~ 5.5	5°C ~ 50°C	-40°C ~ 125°C	442-1089-ND	66.88	54.19	48.16	BARO-A-4V
					-25°C ~ 85°C		442-1090-ND	79.58	64.35	57.30	BARO-A-4V-PRIME
					-40°C ~ 125°C		442-1091-ND	129.53	104.98	93.27	BARO-A-4V-MIL
3	600-1100	mbar	Digital/ Seriell	7	-20°C ~ 85°C	-20°C ~ 105°C	442-1097-ND	118.52	—	—	BARO-DO
					-40°C ~ 125°C	-40°C ~ 125°C	442-1098-ND	237.05	—	—	BARO-DO-MIL
4B	600-1100	mbar	4.5 ~ 5.5V	4.5 ~ 75.5	5°C ~ 50°C	-40°C ~ 125°C	442-1092-ND	58.42	47.41	42.06	BARO-A-4V-MINI
					-25°C ~ 85°C	-25°C ~ 85°C	442-1093-ND	72.81	57.57	52.43	BARO-A-4V-MINI-PRIME
					-40°C ~ 125°C		442-1094-ND	122.76	97.36	88.39	BARO-A-4V-MINI-MIL
5	600-1100	mbar	16V	16	0°C ~ 70°C	-25°C ~ 85°C	442-1095-ND	49.95	41.49	37.26	BARO-A-PRIME-MINI
6	600-1100	mbar	16V	16	0°C ~ 70°C	-25°C ~ 85°C	442-1096-ND	49.95	41.49	37.26	BARO-AF-PRIME-MINI
Druck, Millivolt-Ausgang, C-Klasse											
2	0-4	In H2O	40mV	16	0°C ~ 70°C	-25°C ~ 85°C	442-1028-ND	32.17	27.10	22.86	4 INCH-D-CGRADE-MV
	0-0.3	PSID	20mV				442-1029-ND	28.78	27.10	22.86	0.3 PSI-D-CGRADE-MV
	0-1	PSID	18mV				442-1030-ND	27.09	22.86	20.32	1 PSI-D-CGRADE-MV
	0-15	PSIA	60mV				442-1031-ND	24.55	22.86	20.32	15 PSI-A-CGRADE-MV
Druck, Millivolt-Ausgang, H-Klasse											
2	0-0.3	PSID	20mV	16	0°C ~ 70°C	-25°C ~ 85°C	442-1032-ND	30.48	28.79	24.56	0.3 PSI-D-HGRADE-MV
	0-1	PSID	18mV				442-1033-ND	30.48	28.79	24.56	1 PSI-D-HGRADE-MV
	0-5	PSID	60mV				442-1034-ND	27.09	24.56	22.02	5 PSI-D-HGRADE-MV
	0-15	PSID	90mV				442-1035-ND	27.09	24.56	22.02	15 PSI-D-HGRADE-MV
	0-15	PSIA	60mV				442-1036-ND	25.40	24.56	22.02	15 PSI-A-HGRADE-MV
Niederdruck, Millivolt-Ausgang											
2	0-1	In H2O	10mV	16	0°C ~ 50 (70)°C	-25°C ~ 85°C	442-1037-ND	55.03	47.30	36.12	1 INCH-D-MV
	0-5		20mV				442-1038-ND	52.49	44.03	33.02	5 INCH-D-MV
	0-10		20mV				442-1039-ND	52.49	44.03	33.02	10 INCH-D-MV
	0-20		20mV				442-1040-ND	52.49	44.03	33.02	20 INCH-D-MV
	0-30		20mV				442-1041-ND	52.49	44.03	33.02	30 INCH-D-MV
Druck, Millivolt-Ausgang, erste Klasse											
2	0-0.3	PSID	20mV	16	0°C ~ 70°C	-25°C ~ 85°C	442-1042-ND	49.95	42.20	31.87	0.3 PSI-D-PRIME-MV
	0-1	PSID	18mV				442-1043-ND	49.95	41.49	31.33	1 PSI-D-PRIME-MV
	0-15	PSIA	60mV				442-1044-ND	45.72	37.26	33.02	15 PSI-A-PRIME-MV
Druck, Mini-Ausführung, Basis-Offset, ausgeglichen											
4A	0-1	In H2O	4.0 ~ 10.0mV	6	0°C ~ 70°C	-25°C ~ 85°C	442-1045-ND	30.48	28.79	25.40	1 INCH-G-BASIC
	0-5		15 ~ 30mV				442-1048-ND	27.09	24.56	22.02	5 INCH-G-BASIC
	0-10		15 ~ 45mV				442-1051-ND	27.09	24.56	22.02	10 INCH-G-BASIC
	0-20		15 ~ 45mV				442-1054-ND	27.09	24.56	22.02	20 INCH-G-BASIC
	0-30		15 ~ 45mV				442-1057-ND	27.09	24.56	22.02	30 INCH-G-BASIC
	0-1		4.0 ~ 10.0mV				442-1046-ND	32.17	29.64	26.25	1 INCH-D1-BASIC
	0-5		15 ~ 30mV				442-1049-ND	28.78	25.40	19.48	5 INCH-D1-BASIC
	0-10		15 ~ 45mV				442-1052-ND	28.78	25.40	19.48	10 INCH-D1-BASIC
	0-20		15 ~ 45mV				442-1055-ND	28.78	25.40	19.48	20 INCH-D1-BASIC
	0-30		15 ~ 45mV				442-1058-ND	28.78	25.40	19.48	30 INCH-D1-BASIC
	0-1		4.0 ~ 10.0mV				442-1047-ND	33.86	31.33	27.10	1 INCH-D2-BASIC
	0-5		15 ~ 30mV				442-1050-ND	29.63	26.25	23.71	5 INCH-D2-BASIC
	0-10		15 ~ 45mV				442-1053-ND	29.63	26.25	23.71	10 INCH-D2-BASIC
	0-20		15 ~ 45mV				442-1056-ND	29.63	26.25	23.71	20 INCH-D2-BASIC
	0-30		15 ~ 45mV				442-1059-ND	29.63	26.25	23.71	30 INCH-D2-BASIC
Niederdruck, Mini-Version											
4A	0-5	In H2O	19 ~ 21mV	16	0°C ~ 50 (70)°C	-25°C ~ 85°C	442-1077-ND	45.72	37.26	33.02	5 INCH-G-MV-MINI
	0-10						442-1080-ND	45.72	37.26	33.02	10 INCH-G-MV-MINI
	0-20						442-1083-ND	45.72	37.26	33.02	20 INCH-G-MV-MINI
	0-30						442-1086-ND	45.72	37.26	33.02	30 INCH-G-MV-MINI
	0-5	In H2O	19 ~ 21mV	16	0°C ~ 50 (70)°C	-25°C ~ 85°C	442-1078-ND	46.56	38.10	27.94	5 INCH-D1-MV-MINI
	0-10						442-1081-ND	46.56	38.10	27.94	10 INCH-D1-MV-MINI
	0-20						442-1084-ND	46.56	38.10	27.94	20 INCH-D1-MV-MINI
	0-30						442-1087-ND	46.56	38.10	27.94	30 INCH-D1-MV-MINI
	0-5	In H2O	19 ~ 21mV	16	0°C ~ 50 (70)°C	-25°C ~ 85°C	442-1079-ND	46.56	38.10	27.94	5 INCH-D2-MV-MINI
	0-10						442-1082-ND	46.56	38.10	27.94	10 INCH-D2-MV-MINI
	0-20						442-1085-ND	46.56	38.10	27.94	20 INCH-D2-MV-MINI
	0-30						442-1088-ND	46.56	38.10	27.94	30 INCH-D2-MV-MINI
Druck, Mini-Version, H-Klasse											
5	0-4	In H2O	24 ~ 26mV	16	0°C ~ (50) 70°C	-25°C ~ 85°C	442-1060-ND	32.17	28.79	24.56	4 INCH-G-HGRADE-MINI
	0-0.3	PSIG	19 ~ 21mV				442-1063-ND	30.48	28.79	24.56	0.3 PSI-G-HGRADE-MINI
	0-10	In H2O	19 ~ 21mV				442-1066-ND	30.48	28.79	24.56	10 INCH-G-HGRADE-MINI
	0-1	PSIG	17.82 ~ 18.18mV				442-1069-ND	30.48	28.79	24.56	1 PSI-G-HGRADE-MINI
	0-5	PSIG	59.4 ~ 60.6mV				442-1072-ND	27.09	24.56	22.02	5 PSI-G-HGRADE-MINI
	0-15	PSIA	89.1 ~ 90.9mV				442-1075-ND	27.09	24.56	22.02	15 PSI-A-HGRADE-MINI
6	0-4	In H2O	24 ~ 26mV	16	0°C ~ (50) 70°C	-25°C ~ 85°C	442-1061-ND	32.17	28.79	24.56	4 INCH-GF-HGRADE-MINI
	0-0.3	PSIG	19 ~ 21mV				442-1064-ND	30.48	28.79	24.56	0.3 PSI-GF-HGRADE-MINI
	0-10	In H2O	19 ~ 21mV				442-1067-ND	30.48	28.79	24.56	10 INCH-GF-HGRADE-MINI
	0-1	PSIG	17.82 ~ 18.18mV				442-1070-ND	30.48	28.79	24.56	1 PSI-GF-HGRADE-MINI
	0-5	PSIG	59.4 ~ 60.6mV				442-1073-ND	27.09	24.56	22.02	5 PSI-GF-HGRADE-MINI
	0-15	PSIA	89.1 ~ 90.9mV				442-1076-ND	27.09	24.56	22.02	15 PSI-AF-HGRADE-MINI
7	0-4	In H2O	24 ~ 26mV	16	0°C ~ (50) 70°C	-25°C ~ 85°C	442-1062-ND	33.86	29.64	26.25	4 INCH-D-HGRADE-MINI
	0-0.3	PSID	19 ~ 21mV				442-1065-ND	32.17	29.64	26.25	0.3 PSI-D-HGRADE-MINI
	0-10	In H2O	19 ~ 21mV				442-1068-ND	32.17	29.64	26.25	10 INCH-D-HGRADE-MINI
	0-1	PSID	17.82 ~ 18.18mV				442-1071-ND	31.32	29.64	26.25	1 PSI-D-HGRADE-MINI
	0-5	PSID	59.4 ~ 60.6mV				442-1074-ND	28.78	26.25	23.71	5 PSI-D-HGRADE-MINI

Abb. 1

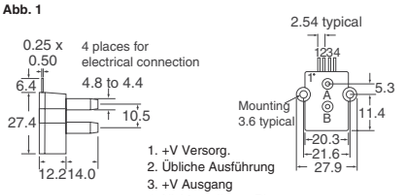

1. +V Versorg.
2. Übliche Ausführung
3. +V Ausgang
4. Nicht an diesen Pin anschließen

Abb. 2

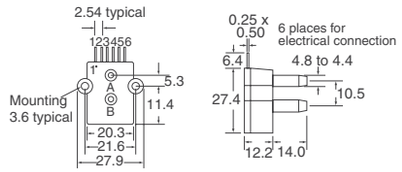

1. Ruhekontakt
2. +V Versorg.
3. +V Ausgang
4. -V Versorg.
5. -V Ausgang
6. Ruhekontakt

Abb. 3

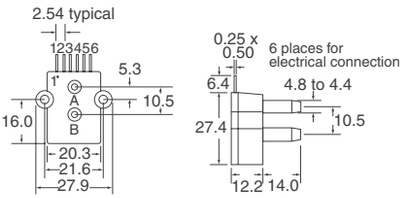

1. Vcc
2. Daten/SI
3. Uhr/SO
4. Bereit/Modus
5. Konvertieren/BR
6. Erde

Abb. 4

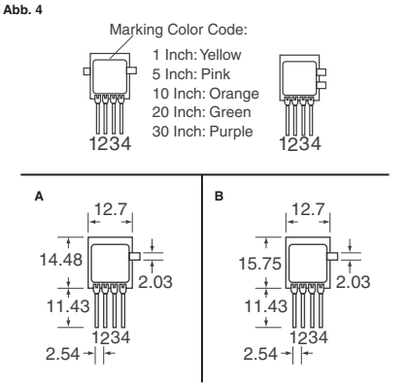

Abb. 5

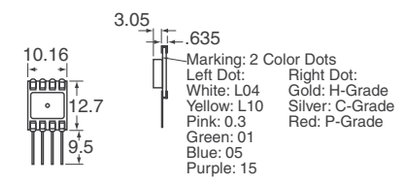

Abb. 6 — Einf. Druckschnittstelle

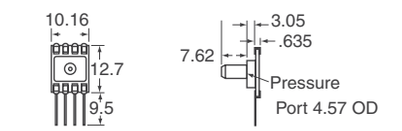

Abb. 7 — Zweif. Druckschnittstelle

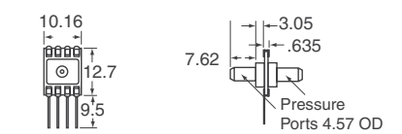

J

Strommessumformer, geschlossener Regelkreis

LTS 6-NP, LTS 15-NP und LTS 25-NP: (Kompensierter) Mehrbereichsstrom-Transducer mit geschlossener Schleife verwendet Halleffekt, unipolare Versorgungsspannung, kompaktes Design für Leiterplattenmontage, isoliertes Kunststoffgehäuse, das gemäß UL 94VO anerkannt wird, integrierten Messwiderstand und erweiterten Messbereich.

LA 03-PB, LA 05-PB, LA 10-PB und LA 20-PB: (Kompensierter) Strom-Transducer mit geschlossener Schleife verwendet Halleffekt, Spannungsausgang und Leiterplattenmontage

LAH 25-NP, LAH 50-P, LAH 100-P, LA 55-P und LA 100-P: (Kompensierter) Mehrbereichsstrom-Transducer mit geschlossener Schleife verwendet Halleffekt, Leiterplattenmontage, isoliertes Kunststoffgehäuse, das gemäß UL 94-VO anerkannt wird.
LA 150-P: (Kompensierter) Strom-Transducer mit geschlossener Schleife verwendet Halleffekt und Leiterplattenmontage.

Abb.	Versorgungs-spannung	Primär-Nenn. r.m.s. Strom	Sek. Nom. r.m.s Strom/Ausgangs-spannung	Frequenz-bereich (kHz)	Digi-Key Teilenr.	Stückpreis 1	10	25	LEM USA Inc. Teilenr.
1	5V	6A	2.5±V	200	398-1000-ND	17.10	13.69	10.95	LTS 6-NP
	5V	15A	2.5±V	200	398-1001-ND	17.10	13.69	10.95	LTS 15-NP
	5V	25A	2.5±V	200	398-1002-ND	18.63	14.90	11.92	LTS 25-NP
2	±15V	20A	±4V	150	398-1006-ND	31.83	25.47	20.38	LA 20-PB
3	±12 ~ 15V	25A	25mA	200	398-1007-ND	24.04	19.24	15.39	LAH 25-NP
	±12 ~ 15V	50A	25mA	200	398-1008-ND	25.74	20.59	16.48	LAH 50-P
	±12 ~ 15V	100A	50mA	200	398-1009-ND	27.94	22.35	17.88	LAH 100-P
4	±12 ~ 15V	50A	50mA	200	398-1010-ND	22.01	17.61	14.09	LA 55-P
	±12 ~ 15V	100A	50mA	200	398-1011-ND	27.43	21.95	17.56	LA 100-P
5	±15V	150A	75mA	150	398-1012-ND	32.34	25.88	20.70	LEM USA Inc.

Abb. 1

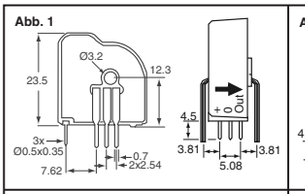

Abb. 2

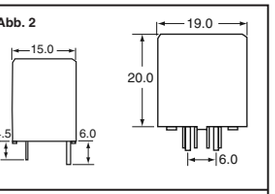

Abb. 3

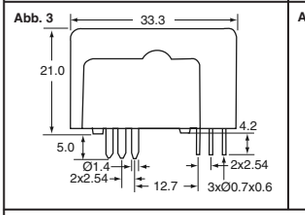

Abb. 4

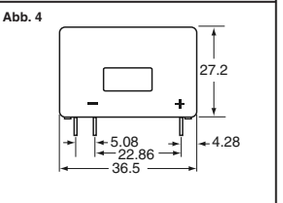

Abb. 5

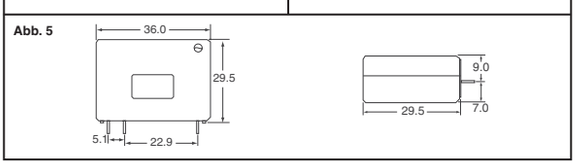

Spannungsmessumformer, geschlossener Regelkreis

LV 25-P und LV 20-P:
(Kompensierter) Spannungs-Transducer verwendet Halleffekt und isoliertes Kunststoffgehäuse, das gemäß UL 94-VO anerkannt wird.

Versorgungs-spannung	Primär-Nenn. r.m.s. Strom	Sek. Nom. r.m.s Strom/ Ausgangsspannung	Gesamtge-nauigkeit	Digi-Key Teilenr.	Stückpreis 1	10	25	LEM USA Inc. Teilenr.
±12 ~ 15V	10mA	25mA	±0.9%	398-1019-ND	53.51	42.81	34.25	LV 25-P
±12 ~ 15V	10mA	25mA	±1.1%	398-1020-ND	30.99	24.79	19.84	LV 20-P

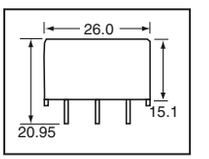

Stromsensoren

Die Stromsensoren der Serie SCD werden auf Leiterplatten montiert und bieten Halleffekt. Sie sind Open-Loop-Elemente, die eine Spannung abgeben, die der Größe des abgetasteten Stroms entspricht. Es werden zwei grundlegende Abtasttypen angeboten. Beide können AC-Strom messen: **1.** -XXN zur Erkennung von DC-Strom und AC-Strom, wobei ± Eingangsströme nur als eine + Spannung dargestellt werden. **2.** -XXR zur Erkennung von DC-Strom und AC-Strom. ± Eingangsströme werden als ± Spannung dargestellt.

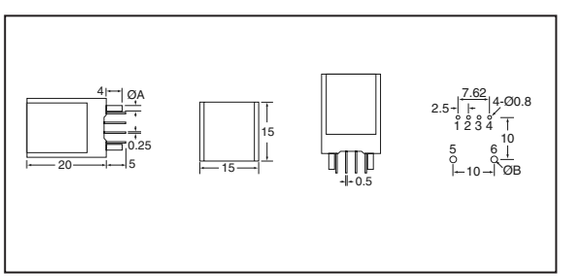

Pin-Belegung	
Pin-Nr.	Pin-Name
1	+5V
2	NC
3	Ausgang
4	0V
5	Eingabe (+)
6	Eingabe (-)

Abmessungen der Montagelöcher		
Teilenr.	øA	øB
SCD05	1.0	1.5
SCD10	1.2	1.7
SCD15	1.5	2.0
SCD20	1.8	2.3

Nenn-strom	Ausgangs-spannung	Versorgungs-spannung	Polarität des Eingangsstroms	Reaktion	Betriebs-temperatur	Digi-Key Teilenr.	Stückpreis 1	10	25	CUI Teilenr.
+10A	2.3V	5V	Nur +DC	7 µS typ.	-10° ~ 75°C	102-1052-ND	17.57	14.06	11.25	SCD10PUN
±10A	2.3V	5V	Bipolar	7 µS typ.	-10° ~ 75°C	102-1057-ND	17.57	14.06	11.25	SCD10PUR
±15A	2.3V	5V	Bipolar	7 µS typ.	-10° ~ 75°C	102-1058-ND	17.57	14.06	11.25	SCD15PUR
+5A	5V	12V	Nur +DC	3 µS typ.	-10° ~ 75°C	102-1061-ND	17.57	14.06	11.25	SCD05PSN
+10A	5V	12V	Nur +DC	3 µS typ.	-10° ~ 75°C	102-1062-ND	17.57	14.06	11.25	SCD10PSN
+20A	5V	12V	Nur +DC	3 µS typ.	-10° ~ 75°C	102-1064-ND	17.57	14.06	11.26	SCD20PSN
±5A	5V	12V	Bipolar	3 µS typ.	-10° ~ 75°C	102-1066-ND	17.57	14.06	11.26	SCD05PSR
±10A	5V	12V	Bipolar	3 µS typ.	-10° ~ 75°C	102-1067-ND	17.57	14.06	11.26	SCD10PSR
±15A	5V	12V	Bipolar	3 µS typ.	-10° ~ 75°C	102-1068-ND	17.57	14.06	11.25	SCD15PSR
±20A	5V	12V	Bipolar	3 µS typ.	-10° ~ 75°C	102-1069-ND	17.57	14.06	11.25	SCD20PSR

Stromtransformator

Standardgenauigkeit, preiswert, 50/60 Hz

Anwendungen:
- Überstromsensor
- Erdschluss-Erkennung
- Messung

Anmerkungen:
- RCF: Übersetzungskorrekturfaktor. Stromwerte mit diesem Faktor multiplizieren, um Transformatorverluste zu kompensieren.
- Die Daten gelten zum Zeitpunkt der Veröffentlichung als zuverlässig; Änderungen sind jedoch vorbehalten.

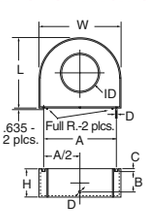

Größencode	Abmessungen – mm W	L	H	A	B	C	D (Ø)	ID
A	23.83	23.83	11.13	15.24	7.62	1.75	0.81	9.53
B	30.18	30.18	14.30	20.32	10.16	2.08	1.02	11.43
C	34.93	34.93	14.30	25.40	10.16	2.08	1.02	14.61
D	38.10	38.10	15.88	30.48	10.16	2.84	1.02	14.61
E	44.45	44.45	14.30	35.56	10.16	2.08	1.02	19.05
F	55.58	55.58	20.65	45.72	12.70	3.96	1.02	23.88

Größencode	Ip-Nennwert A	Drehungsverhältnis	Nenn-DCR	RCF @ 0 % (1)	Volt/Amp @ Ip-Nennwert, für verschiedene Lasten (Ω) 100	500	2K	5K	Digi-Key Teilenr.	Stückpreis 1	10	25	Amveco Teilenr.
A	5.0	1000:1	39	1.040	0.10	0.45	1.35	1.8	TE1005-ND	6.60	5.51	4.41	AC-1005
A	10.0	1000:1	39	1.035	0.10	0.45	1.00	1.3	TE1010-ND	6.60	5.51	4.41	AC-1010
A	15.0	1000:1	39	1.030	0.10	0.43	0.80	1.0	TE1015-ND	6.60	5.51	4.41	AC-1015
A	20.0	1000:1	39	1.030	0.10	0.42	0.70	0.8	TE1020-ND	6.60	5.51	4.41	AC-1020
B	25.0	1000:1	46	1.020	0.10	0.40	1.00	1.2	TE1025-ND	7.80	6.50	5.20	AC-1025
B	30.0	1000:1	46	1.020	0.10	0.40	0.85	1.1	TE1030-ND	7.80	6.50	5.20	AC-1030
C	40.0	1000:1	46	1.020	0.10	0.45	0.75	1.0	TE1040-ND	9.09	7.58	6.07	AC-1040
C	50.0	1000:1	46	1.020	0.10	0.44	0.70	0.8	TE1050-ND	9.09	7.58	6.07	AC-1050
D	60.0	1000:1	23	1.020	0.10	0.36	0.60	0.7	TE1060-ND	9.96	8.30	6.64	AC-1060
D	75.0	1000:1	23	1.015	0.10	0.35	0.50	0.6	TE1075-ND	9.96	8.30	6.64	AC-1075
E	100	1000:1	20	1.015	0.10	0.35	0.50	0.6	TE1100-ND	9.96	8.30	6.64	AC-1100
F	150	1000:1	10	1.010	0.10	0.32	0.55	0.6	TE1150-ND	13.54	11.29	9.03	AC-1150
F	200	1000:1	10	1.010	0.10	0.30	0.45	0.6	TE1200-ND	13.54	11.29	9.03	AC-1200

J

Alle Preisangaben in Euro und inklusive Zollgebühren.

Stromsensoren, offener Regelkreis

Halleffekt-Technologie

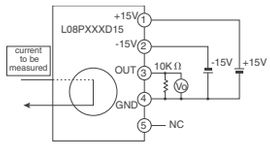

Der Hallstrom-Detektor misst durch die Kombination von Magnetschaltung und Hall-Element den proportional zum Strom erzeugten magnetischen Fluss ohne Kontakt zum Primärschaltkreis. Dies hat keinen Spannungsabfall im gemessenen Schaltkreis zur Folge und ist eine ideale Lösung zur Messung von AC/DC mit einer ausgezeichneten galvanischen Isolierung. **Merkmale:** • Galvanische Isolierung zwischen Primär- und Messschaltkreis, Messung von DC oder AC (kHz) oder beidem • Keine Primärverluste • Schnelle Reaktion • Hohe Zuverlässigkeit bei einfachem Schaltkreisdesign **Spezifikationen:** • Frequenzbandbreite (-3 dB): L01Z: DC-50 kHZ; L03S: DC-50 kHz; L08P: DC-50 kHz; L10P: DC-50 kHz; L16P: DC-35 kHz (Bei höheren Frequenzen ist eine Lastminderung erforderlich, um den Kern vor Überhitzung zu schützen.) • Ausgangslinearität: +-1 % • Betriebstemperatur: -10 ~ 80 °C • Isolationswiderstand: Über 500 MΩ - di/dt • Reaktionszeit: 5 us Typ. (10 us Typ. für Serie L08P) • Die Spezifikationen werden bei +25 °C, Lastwiderstand 10 kΩ, min. 3 mW Nennversorgungsspannung (Vcc) gemessen

Abb.	Primäres Nenn-R.M.S. Strom (A)	Versorgungs-spannung (V)	Sekundäre Nenn.-Ausgangsspannung (V) +-1%	Sättigungsstrom (A)	Offset-Temp. Koeffizient (mV/°C) max.	Digi-Key Teilenr.	Stückpreis 1	10	25	50	Tamura Teilenr.
	Serie L01Z										
1	50	5	4†	62.5	+-2	MT7173-ND	14.59	11.67	9.34	8.75	L01Z050S05
	100	5	4†	125	+-1	MT7174-ND	14.59	11.67	9.34	8.75	L01Z100S05
	150	5	4†	187.5	+-1	MT7175-ND	14.59	11.67	9.34	8.75	L01Z150S05
	200	5	4†	250	+-1	MT7176-ND	14.59	11.67	9.34	8.75	L01Z200S05
	300	5	4†	375	+-1	MT7177-ND	14.59	11.67	9.34	8.75	L01Z300S05
	400	5	4†	500	+-1	MT7178-ND	14.59	11.67	9.34	8.75	L01Z400S05
	500	5	4†	625	+-1	MT7179-ND	14.59	11.67	9.34	8.75	L01Z500S05
	600	5	4†	750	+-1	MT7180-ND	14.59	11.67	9.34	8.75	L01Z600S05
	Serie L03S*										
2	50	+-15	+-4	+-150	+-2	MT7181-ND	14.38	11.50	9.20	8.63	L03S050D15
	100	+-15	+-4	+-300	+-1	MT7182-ND	14.38	11.50	9.20	8.63	L03S100D15
	200	+-15	+-4	+-600	+-1	MT7183-ND	14.38	11.50	9.20	8.63	L03S200D15
	300	+-15	+-4	+-700	+-1	MT7184-ND	14.38	11.50	9.20	8.63	L03S300D15
	400	+-15	+-4	+-700	+-1	MT7185-ND	14.38	11.50	9.20	8.63	L03S400D15
	500	+-15	+-4	+-700	+-1	MT7186-ND	14.38	11.50	9.20	8.63	L03S500D15
	600	+-15	+-4	+-700	+-1	MT7187-ND	14.38	11.50	9.20	8.63	L03S600D15
	Serie L08P										
3	50	+-15	+-4	+-150	+-2	MT7188-ND	13.32	10.65	8.52	7.99	L08P050D15
	100	+-15	+-4	+-300	+-1	MT7189-ND	13.32	10.65	8.52	7.99	L08P100D15
	150	+-15	+-4	+-350	+-1	MT7190-ND	13.32	10.65	8.52	7.99	L08P150D15
	200	+-15	+-4	+-350	+-1	MT7191-ND	13.32	10.65	8.52	7.99	L08P200D15
	Serie L10P										
4	3	+-15	+-4	+-9	+-2	MT7192-ND	12.00	9.60	7.69	7.21	L10P003D15
	5	+-15	+-4	+-15	+-2	MT7193-ND	12.00	9.60	7.69	7.21	L10P005D15
	10	+-15	+-4	+-30	+-2	MT7194-ND	12.00	9.60	7.69	7.21	L10P010D15
	15	+-15	+-4	+-45	+-2	MT7195-ND	12.00	9.60	7.69	7.21	L10P015D15
	20	+-15	+-4	+-60	+-2	MT7196-ND	12.00	9.60	7.69	7.21	L10P020D15
	25	+-15	+-4	+-75	+-2	MT7197-ND	12.00	9.60	7.69	7.21	L10P025D15
	30	+-15	+-4	+-90	+-2	MT7198-ND	12.00	9.60	7.69	7.21	L10P030D15
	Serie L16P										
4	3	+-15	+-4	+-9	+-2	MT7199-ND	12.00	9.60	7.69	7.21	L16P003D15
	5	+-15	+-4	+-15	+-2	MT7200-ND	12.00	9.60	7.69	7.21	L16P005D15
	10	+-15	+-4	+-30	+-2	MT7201-ND	12.00	9.60	7.69	7.21	L16P010D15
	15	+-15	+-4	+-45	+-2	MT7202-ND	12.00	9.60	7.69	7.21	L16P015D15
	20	+-15	+-4	+-60	+-2	MT7203-ND	12.00	9.60	7.69	7.21	L16P020D15
	25	+-15	+-4	+-75	+-2	MT7204-ND	12.00	9.60	7.69	7.21	L16P025D15

* Molex-Gegenstecker erforderlich. † + Vref = 2,5 V bei 0 A

Abb. 1 — Serie L01Z

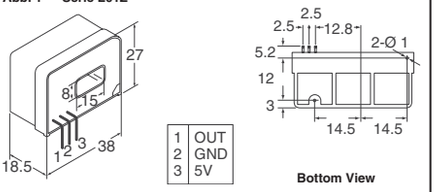

1	OUT
2	GND
3	5V

Bottom View

Abb. 2 — Serie L03S

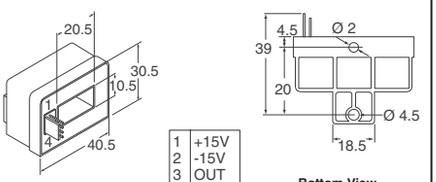

1	+15V
2	-15V
3	OUT
4	GND

Bottom View

Abb. 3 — Serie L08P

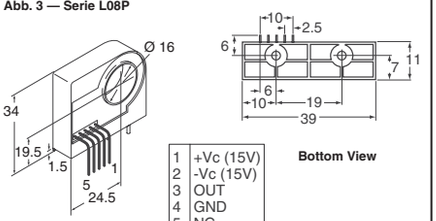

1	+Vc (15V)
2	-Vc (15V)
3	OUT
4	GND
5	NC

Bottom View

Abb. 4

Serie L10P

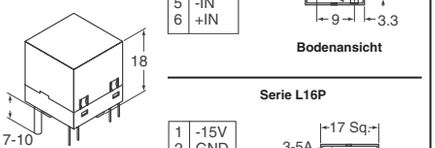

1	OUT
2	+Vc
3	-Vc
4	GND
5	-IN
6	+IN

Bodenansicht

Serie L16P

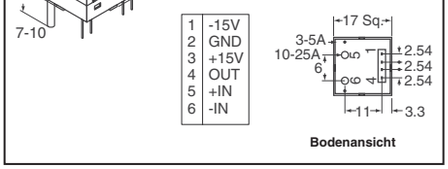

1	-15V
2	GND
3	+15V
4	OUT
5	+IN
6	-IN

Bodenansicht

WM2022-ND	Waldom Moldex, 4-Positionen-Gehäuse (2,50 mm), Serie KK.	**.60/1**
WM2312-ND	Waldom Molex, Crimpanschluss - Drahtgröße: 22-30 AWG; Isolierungsdurchm.: Max. 0,062" (1,57 mm); Oberfläche: Teilgold 15 u"	**2.37/10**
WM1129-ND	Waldom Molex, Crimpanschluss - Drahtgröße: 22-30 AWG; Isolierungsdurchm.: Max. 0,062" (1,57 mm); Oberfläche: Gold 15 u"	**4.85/10**
WM1114-ND	Waldom Molex, Crimpanschluss - Drahtgröße: 22-30 AWG; Isolierungsdurchm.: Max. 0,062" (1,57 mm); Oberfläche: Zinn	**.63/10**
WM9999-ND	Waldom Molex, Universal-Crimpwerkzeug.	**42.96/1**
WM9927-ND	Waldom Molex, Extraktionswerkzeug	**8.59/1**

Stromsensor (abtastend)

Hohe Leistung, Oberflächenmontage

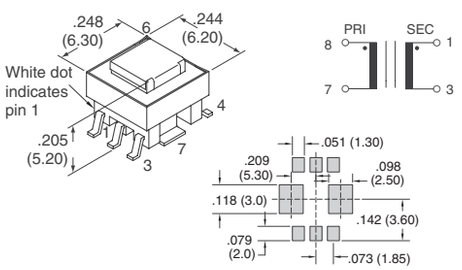

Elektrische Spezifikationen: • Betriebsfrequenz: Min. 250 kHz • Zulässiger Primärstrom: 6 A RMS • Durchschlagsfestigkeit: 500 V RMS (1 Sek., primär an sekundär) • Betriebstemperatur: -40 °C ~ 85 °C *(Hinweis: Die elektrischen Spezifikationen wurden bei 25 °C getestet.)*

Drehungs-verhältnis (7-8):(1-3)	Induktivität @ 10 kHz, 0,1 Vrms (1-3) µH min.	DC-Widerstand Max. (7-8) (mΩ)	DC-Widerstand Max. (1-3) Ω	Ladewider-stand: Max. Ω	Teilemar-kierung	Digi-Key Teilenr.	Gurtabschnittspreis pro Stück 1	10	25	100	Digi-Key Teilenr.	Gegurtet auf Rolle 750	Tamura Teilenr.
1:20	80	6	0.55	20	C01	MT7289CT-ND	1.46	1.35	1.13	1.01	MT7289TR-ND	538.44	TCS-01
1:30	180	6	0.87	30	C02	MT7290CT-ND	1.46	1.35	1.13	1.01	MT7290TR-ND	538.44	TCS-02
1:40	320	6	1.14	40	C03	MT7291CT-ND	1.46	1.35	1.13	1.01	MT7291TR-ND	538.44	TCS-03
1:50	500	6	1.50	50	C04	MT7292CT-ND	1.46	1.35	1.13	1.01	MT7292TR-ND	538.44	TCS-04
1:60	720	6	1.75	60	C05	MT7293CT-ND	1.46	1.35	1.13	1.01	MT7293TR-ND	538.44	TCS-05
1:70	980	6	4.75	70	C06	MT7294CT-ND	1.46	1.35	1.13	1.01	MT7294TR-ND	538.44	TCS-06
1:100	2000	6	5.90	100	C07	MT7295CT-ND	1.46	1.35	1.13	1.01	MT7295TR-ND	538.44	TCS-07
1:125	3000	6	7.70	125	C08	MT7296CT-ND	1.46	1.35	1.13	1.01	MT7296TR-ND	538.44	TCS-08

Niederfrequenz-Transformator mit Stromsensor

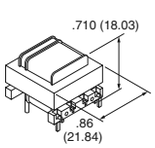

Beschreibung:

Zur Überwachung von Strom in Niedrigfrequenz-anwendungen geeignet. Frequenzen von 50 Hz ~ 400 Hz, Stromstärke von 0,1 ~ 30 A.

Technische Hinweise:

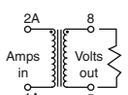

- Drehungsverhältnis: Primär zu Abtastung 1:500
- Empfohlener Lastwiderstand: 60 Ohm.
- Hi-Pot: 2.500 V.

Primär-DCR, max. µΩ	Sensor-DCR, max. Ω	Typ. Ausgang (mV/A)	Digi-Key Teilenr.	Stückpreis 1	50	100	Triad Teilenr.
250	21	110	237-1103-ND	2.45	1.60	1.36	CSE187L

Hochfrequenz-Transformator mit Stromsensor

TRIAD-Stromabtasttransformatoren dienen zur Erkennung von Strom, der durch einen Leiter strömt. Diese Transformatoren werden aus UL-zugelassenen 130 °C-Materialien hergestellt.

Frequ.-Bereich: 20 kHz - 200 kHz

Abb. 1

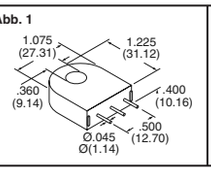

Abb. 2

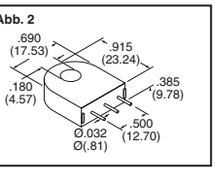

Abb.	Min. Ind. mH	ET VµSEC Ref 20 kHz	Pri. A	Digi-Key Teilenr.	Stückpreis 1	50	100	Triad Teilenr.
1	14.0	2000	110.0 RMS	237-1096-ND	5.17	3.38	2.87	CST206-1A
	14.0	2000	110.0 RMS	237-1097-ND	5.65	3.69	3.13	CST206-1T*
	56.0	4000	80.0 RMS	237-1098-ND	5.17	3.38	2.87	CST206-2A
	56.0	4000	80.0 RMS	237-1099-ND	5.65	3.69	3.13	CST206-2T*
	130.0	6000	70.0 RMS	237-1100-ND	5.17	3.38	2.87	CST206-3A
	130.0	6000	70.0 RMS	237-1101-ND	5.65	3.69	3.13	CST206-3T*
2	3.5	500	35.0 RMS	237-1104-ND	3.48	2.28	1.93	CST306-1A
	3.5	500	35.0 RMS	237-1105-ND	3.95	2.58	2.19	CST306-1T*
	14.0	1000	25.0 RMS	237-1106-ND	3.48	2.28	1.93	CST306-2A
	14.0	1000	25.0 RMS	237-1107-ND	3.95	2.58	2.19	CST306-2T*
	55.0	2000	25.0 RMS	237-1108-ND	3.48	2.28	1.93	CST306-3A
	55.0	2000	25.0 RMS	237-1109-ND	3.95	2.58	2.19	CST306-3T*

*T Suffix = Mittengewinde 3-Pin Version

6-teiliges Kit (jeweils ein Stück der Serie CST206).	**28.19**
6-teiliges Kit (jeweils ein Stück der Serie CST306).	**18.81**

J

CUI INC Kraftsensoren

Merkmale: • Typische Versorgungsspannung: Max. 3-6 V DC Spannung: 30 V DC • Typische Stromstärke: Max. 5 mA Stromstärke: 20 mA • Betriebstemperatur: -10 °C ~ 40 °C • Lagertemperatur: -40° C - 70 °C • Luftfeuchtigkeit: 85 % rel. Feuchte, nicht kondensierend
Gegenstecker: 455-1014-ND und 455-1028-ND

Abb.	Last (kgf) Nom.	Last (kgf) Max.	Widerstand @ (Ω) Nulllast	Widerstand @ (Ω) Volllast	Digi-Key Teilenr.	Stückpreis 1	Stückpreis 10	Stückpreis 25	CUI Teilenr.
1	1.5	3.0	100M	15	102-1218-ND	5.15	4.63	4.11	SF-3
	1.5	3.0	100M	15	102-1221-ND	5.29	4.77	4.20	SF-4
	1.5	3.0	100M	15	102-1224-ND	5.40	4.86	4.28	SF-5
	1.5	3.0	100M	15	102-1219-ND	7.41	6.68	5.46	SF-3L
	1.5	3.0	100M	15	102-1222-ND	6.86	6.10	5.55	SF-4L
	1.5	3.0	100M	15	102-1220-ND	7.43	6.61	5.97	SF-3LT
	1.5	3.0	100M	15	102-1223-ND	7.05	6.27	5.89	SF-4LT
2	1.5	4.0	≥500k	500	102-1212-ND	5.71	5.15	4.45	IESF-R-5
	1.5	4.0	≥500k	500	102-1214-ND	8.00	7.12	6.31	IESF-R-5LT
3	1.5	4.0	≥500k	500	102-1211-ND	4.03	3.63	3.09	IESP-12
4	2.0	4.0	≥500k	500	102-1227-ND	15.15	13.47	13.30	SS-13

Abb. 1

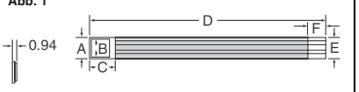

Model / Item	SF-3	SF-4	SF-5
A	3.9	4.9	5.9
B	3.1	4.1	5.1
C	5.0	5.8	7.0
D	50.0	50.0	65.0
E	3.9	4.9	5.9
F	5.0	5.5	5.0

Hinweise zur Bestellung

□□□
Größe: 3 = 3mm, 4 = 4mm, 5 = 5mm
Leer: Flexkabel
L: Flexkabel mit Bleidrähten
LT: Flexkabel mit Bleidrähten und Verbinder

Abb. 2

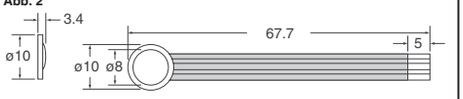

Abb. 3

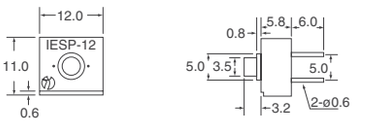

Abb. 4

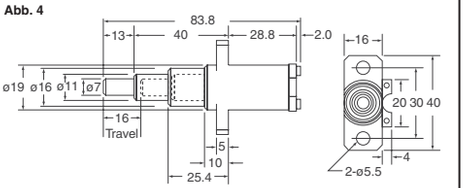

Honeywell Sensoren

Magnetoresistiver Sensor, 3 Achsen

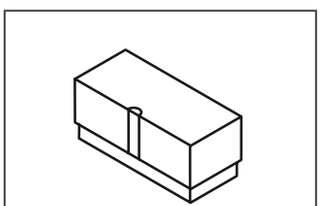

Die Konfiguration umfasst drei magnetoresistive Sensoren in x-, y- und z-Ausrichtung; diese hochempfindlichen Sensoren wandeln alle drei Magnetfeldachsen in eine Differenzialausgangsspannung um.

Merkmale:

• Feldbereich von ±6 Gauss, (Erdfeld = 0,5 Gauss) unter Beibehaltung hoher Empfindlichkeit bei minimalem erkennbaren Feld bis hinab zu 85 µGauss. • Kleines Paket, das als einzelnes, unabhängiges magnetoresistives 3-Achsen-Tastsystem (x, y, z) dient • Benutzerspezifisches Ball Grid Array (BGA), 1 mm Pitch, 16-Pin Minipaket bietet kleine Auflagefläche und genaue Sensorplatzierung für orthogonale Drei-Achsen-Tastanwendungen • Festkörperelemente senken Kartenbaukosten, erhöhen Zuverlässigkeit und Stabilität im Vergleich zu mechanischen Fluxgates • Patentierte On-Chip-Einstellung/Rückstellung und Offset-Gurte wurden verbessert und verbrauchen nun 50 % weniger Strom für den Betrieb der Einstell-Rückstell- und Offset-Funktionen • Funktioniert mit einer 3-V- bis 25-V-Stromversorgung, senkt den Stromverbrauch und reduziert die Support-Schaltkreise

Anwendungen:

• Kompassgeräte • Navigationssysteme • Verhaltensreferenz • Virtuelle Realität • Verkehrserkennung • Näherungserkennung • Medizinische Geräte

Spezifikationen:

• Betriebstemperatur: -40 °C ~ 125 °C, Umgebung
• Feldbereich: ±6 Gauss; Vollskala (FS) - gesamtes angewandtes Feld
• Typ. Linearitätsfehler: 1,6 % FS; optimale Linie (bei 25 °C) ±6 Gauss
• Typ. Hysteresefehler: 0,08 % FS; 3 Sweeps über ±3 Gauss @ 25 °C
• Typ. Empfindlichkeit: 1,0 mV/V/Gauss; bei Vbridge +5 V
• Typ. Auflösung: 85 µGauss; Bandbreite = 10 Hz, Vbridge=5 V
• Bandbreite: 5 MHz, Magnetsignal (untere Grenze=DC)

Einheiten: 1 Gauss (G) = 1 Oersted (in Luft), 1 G=79,58 A/m, 1 G=10 E-4 Tesla, 1 G=10 E 5 Gamma

Beschreibung	Digi-Key Teilenr.	Preis Each	Honeywell Teilenr.
Magnetoresistiver Sensor, 3 Achsen	342-1006-ND	63.50	HMC1023
HMC-Montage auf 16-Pin Demo-Kit mit DIP-Sockel	342-1007-ND	84.66	HMC PCB

1, 2 und 3 Achsen, magnetoresistiv

Dieser hoch empfindliche Sensor, der als Wheatstone-Brücke mit 4 Elementen konfiguriert ist, wandelt Magnetfelder in Differenzialausgangsspannungen um; kann Magnetfelder bis auf 30 µGauss hinab erkennen.

Merkmale: • Feldbereich bis ±6 Gauss, (Erdfeld = 0,5 Gauss) • Kleines Paket für 1- und 2-Achsen, damit diese zusammenarbeiten und 3-Achsen-Tastung liefern (x, y, z) • Festkörperelemente senken Kartenbaukosten, erhöhen Zuverlässigkeit und Stabilität im Vergleich zu mechanischen Fluxgates • Patentierte On-Chip-Einstellung/Rückstellungs-Gurte zur Verringerung der Effekte von Temperaturdrift, Nicht-Linearitätsfehlern und Verlust von Signalausgang aufgrund der Präsenz von starken Magnetfeldern • Patentierte On-Chip Offset-Gurte beseitigen die Effekte von Harteisenverzerrung. **Anwendungen:** • Kompassgeräte • Navigationssysteme • Verhaltensreferenz • Verkehrserkennung • Medizinische Geräte • Berührungsloser Schalter

SPEZIFIKATIONEN: (Siehe Anmerkungen unten)	Digi-Key Teilenr. 342-1001-5-ND 342-1002-5-ND	342-1003-5-ND 342-1004-5-ND 342-1005-5-ND	342-1029-5-ND 342-1034-5-ND 342-1035-5-ND 342-1042-5-ND 342-1043-5-ND	342-1041-5-ND	Bedingungen
Betriebstemp.	-40°C ~ 85°C *	-40°C ~ 85°C	-40°C ~ 125°C	-20°C ~ 70°C	Umgebung
Feldbereich	±2 gauss †Δ*	±6 gauss	±6 gauss	0.10 ~ 0.75 gauss ‡	Vollskala (FS) - gesamtes angewandtes Feld
Typ. Sensitivität († Δ)	3,2 mV/V/Gauss	1,0mV/V/Gauss	1,0mV/V/Gauss	20 Gauss	Bei IOFFSET = ±50 mA, Vbridge = 8 V (Vbridge = 5 V für 342-1003/1004/1005-5-ND) (Einstell-/Ruhestrom = 0,5 A für 342-1029/1034/1035/1042/1043-5-ND) (Einstellung/Rückstellung aktivieren,um die Sensitivität für 342-1041-5-ND zurückzustellen)
Typ. Auflösung	27 µGauss	85 µGauss	—	—	Bandbreite = 10 Hz, Vbridge = 5 V
	—	—	120 µGauss	—	Bandbreite = 50 Hz, Vbridge = 5 V
	—	—	—	0.3°	—
Bandbreite	5MHz	5MHz	5MHz	—	Magnetsignal (untere Grenze = DC)
Einheiten: 1 Gauss (G) = 1 Oersted (in Luft), 1 G=79,58 A/m, 1 G=10 E-4 Tesla, 1 G=10 E 5 Gamma					

Anmerkungen:
† VBridge = 4,3 V, IS/R = 3,2 A, T = 25 °C. V aus = VSET - VRESET
Δ Wenn VBridge = 8,0 V, IS/R = 2,0 A, T = 25 °C, führt niedrigere S/R-Stromstärke zu höherer Ausgangsvariation.
* Nicht getestet, garantiert durch Charakterisierung.
‡ Obere Feldgrenze kann durch Einsatz von externen Widerständen über CA1/CA2 und CB1/CB2 erweitert werden

Beschreibung	Digi-Key Teilenr.	Stückpreis 1	Stückpreis 5	Stückpreis 25	Honeywell Teilenr.
8-Pin SIP, Einzelachse	342-1001-5-ND	21.59	16.20	14.40	HMC1001
20-Pin SOIC, Doppelachse	342-1002-5-ND	34.29	25.72	22.86	HMC1002
8-Pin SOIC, Einzelachse	342-1003-5-ND	8.89	6.67	5.93	HMC1021S
8-Pin SIP, Einzelachse	342-1004-5-ND	8.89	6.67	5.93	HMC1021Z
16-Pin SOIC, Doppelachse	342-1005-5-ND	11.43	8.58	7.62	HMC1022
10-Pin MSOP, Doppelachse	342-1029-5-ND	6.98	5.83	5.24	HMC1052
8-Pin SIP, Einzelachse	342-1034-5-ND	10.79	8.10	7.20	HMC1051Z
8-Pin In-Line LCC, Einzelachse	342-1043-5-ND	25.40	19.05	16.94	HMC1051ZL
16-Pin LCC, Doppelachse	342-1042-5-ND	22.86	17.15	15.24	HMC1052L
16-Pin LCC, Dreifachachse	342-1035-5-ND	88.89	66.67	59.27	HMC1053
24-Pin LCC, Doppelachse	342-1041-5-ND	42.33	—	—	HMC6352
Kompasssensor-Kit, 3 Achsen mit (je 1) HMC1051Z, HMC1052, MEMSIC MXS3334UL	342-1036-ND	50.80	38.10	33.87	HMC1055

Hybrid-Magnetsensor, 3 Achsen

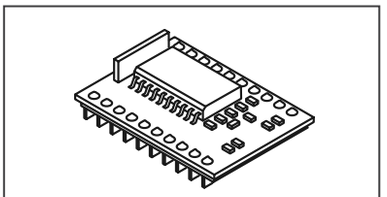

Einheiten: 1 Gauss (G) = 1 Oersted (in Luft), 1 G=79,58 A/m, 1 G=10 E-4 Tesla, 1 G=10 E 5 Gamma

Ein kompletter 3-Achsen-Magnetometer mit Analogausgang in einem 20-Pin Hybrid-DIP-Paket.

Merkmale: • DIP-20 Auflagefläche (1" x 0,75") ermöglicht einfaches Einsetzen in Karten auf Systemebene; senkt Entwicklungskosten • Festkörperelemente erhöhen die Zuverlässigkeit und die Stabilität im Vergleich zu mechanischen Fluxgates • Genaue Messung von Feldern von 40 µGauss bis ±2 Gauss bei 1 V/Gauss • Instrumentierungsverstärker für niedriges Geräusch mit 1 kHz Tiefpassfiltern weisen unerwünschte Geräusche ab • Dieses Design verwendet keine Fluxkonzentratoren, die zu Hysterese und Nicht-Wiederholbarkeit führen könnten • Eine extern zugängliche +2,5 V Referenz erhöht die Messgenauigkeit und Stabilität • Die Erregerstromquelle auf der Karte verringert Temperaturfehler und reguliert den Stromzuführungseingang • Magnetfeldausgleich oder geschlossene Schleifenschaltkreise können unter Verwendung der eingebauten Riemen angewandt werden • Die Genauigkeit des Ausgangssignals kann durch Verwendung der Integraleinstellungs-/Rückstellgurte verbessert werden • Alle gewählten Komponenten werden in nicht-magnetischem Material verpackt, um magnetische Verzerrung und Offsets zu reduzieren.

Anwendungen: • Kompassgeräte • Navigationssysteme • Verhaltensreferenz • Verkehrserkennung • Näherungserkennung • Medizinische Geräte

Spezifikationen (Stromversorgung: +15 V DC; Einstell-/Rückstellschaltung ist aktiv): • Betriebstemperatur: -40 °C ~ 85 °C, Umgebung @ 25 °C *• Versorgungsspannung: 6 V DC ~ 15 V DC; Stoßspannungsschutzschaltung sollte über V+ und Erde zugeschaltet werden, wenn ungeregelte Stromversorgung verwendet wird • Versorgungsstrom: 20 mA • Ausgangsspannung: 0,5 ~ 4,5 V • Feldbereich: ±2 Gauss • Typ. Linearitätsfehler: 1 % FS; ±2 Gauss angelegtes Feld-Sweep • Typ. Hysteresefehler: 0,05 % FS; 3 Sweeps über ±2 Gauss • Typ. Empfindlichkeit: 1,0 mV/V/Gauss; bei Vbridge +5 V • Typ. Auflösung: 40 µGauss • Bandbreite: 1 kHz

Beschreibung	Digi-Key Teilenr.	Stückpreis	Honeywell Teilenr.
Magnetsensor-Hybrid, 3 Achsen	342-1011-ND	168.47	HMC2003

Alle Preisangaben in Euro und inklusive Zollgebühren.

Honeywell Sensoren

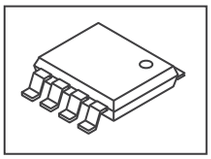

Linear- / Winkel- / Dreh-Wegfühler – HMC1501 / HMC1512

Der MR-Sensor mit hoher Auflösung und niedriger Stromaufnahme kann die Winkelrichtung eines Magnetfeldes von einem Magneten mit <0,07° Auflösung messen. Der Ausgang ist eine typische Wheatstone-Brücke

Merkmale: • Keine „Rare Earth"-Magneten; funktioniert mit Alnico- oder Keramikmagneten • Linearbereich von 8 mm bei zwei an beiden Enden montierten Sensoren; der Bereich kann durch mehrfache, zusammenwirkende Sensorarrays erweitert werden • Absolute Tastfähigkeit zur Bestimmung der exakten Position; kein Indexing für richtigen Positionsausgang erforderlich • Keine beweglichen Teile, die verschleißen können. • 8-Pin SMT-Paket • Gehäuseabmessungen (ohne Pins) 5 mm x 4 mm x 1,2 mm Gesamtmontagehülle, mit Pins unter 6 mm² • Vollskala-Ausgangsbereich von 120 mV mit 5 V Stromversorgung. **Anwendungen:** • Linearverschiebung • Winkelverschiebung • Motorsteuerung • Ventilposition • Proximitätserkennung • Stromstoßerkennung. **Spezifikationen** (bei 25 °C, wenn nicht anders angegeben): • **Typ. Brückenversorgung:** 5 V, Vbridge mit ERD-Referenz • Empfindlichkeit Vbridge =5 V, Feld 80 Oe: 2,1 mV/° @ Nulldurchgang; 1,8 mV/° @ Nulldurchgang, im Bereich von 45° gemittelt • **Typ. Peak-to-Peak-Spannung:** 120 mV, Vbridge=5 V, Feld=80 Oe • **Bandbreite:** 0 MHz ~ 5 MHz, Magnetsignal • **Typ. Hysteresefehler:** 30 µV°, 1,7x10-2 mV°, Magnetfeld ≥Sättigungsfeld, Vbridge = 5 V

Typ. Brückenwiderstand @ 1 mA	Winkelbereich ≥ Sättigungsfeld	Typ. Auflösung 10 Hz Bandbreite Vbridge=5 V <0,07°	Digi-Key Teilenr.	Stückpreis	Honeywell Teilenr.
5KΩ	±45°	<0.07°	342-1008-5-ND	5.21	HMC1501
2.1KΩ	±90°	<0.05°	342-1010-5-ND	5.46	HMC1512

Digitales Kompassmodul – HMR3000/3100

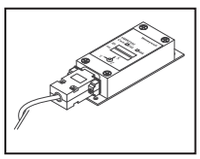

HMR3000: Elektronisches Kompassmodul, das Steuerung, Neigung und Rollausgang für Navigations- und Leitsysteme liefert. Diese magnetoresistiven Festkörpersensoren verleihen diesem Strapdown-Kompass Stabilität und Zuverlässigkeit. Dieser Kompass bietet schnelle Reaktion bis zu 20 Hz und liefert eine hohe Steuergenauigkeit von 0,5° bei 0,1° Auflösung. HMR3100: Digitale Kompasslösungsplatine, die grundlegende Magnetsensoren und Elektronik beinhaltet, um eine digitale Kursanzeige zu bieten.

Merkmale: HMR3000: • Die Konstruktion mit Festkörper-Magnetsensoren ohne bewegliche Teile verbessert die Reaktionszeit und beschleunigt die Aktualisierung im Vergleich zu Kardan-Fluxgates • Als Leiterplatte im Format 1,2" x 2,95" erhältlich, mit einem Gewicht von unter 30 g oder in einem Aluminiumgehäuse • Kann mit weniger als 35 mA betrieben werden; lässt langen Betrieb mit einer Batterie zu • Genauigkeit: Besser als 0,5° bei 0,1° Auflösung für kritische Positionsanwendungen • Ein Neigungsbereich von ±40° für „Roll and Pitch" gestattet Einsatz in den meisten Anwendungen • Kalibrierroutinen gleichen Verzerrung durch nahe gelegene eisenhaltige Objekte und Streufelder, wie z.B. Fahrzeuge, aus • Benutzereinstellungen von Baudrate, Aktualisierungsrate, Ausgangsformat, Einheiten, Filtereinstellungen, Abweichungswinkeln, Alarmen und Warnungen werden intern im nicht-flüchtigen Speicher gespeichert. HMR3100: • 5° Kursgenauigkeit, 0,5° Auflösung • 2 Achsen möglich • Kleines Format (19 mm x 19 mm x 4,5 mm), leicht • Weiterentwickelte Eisenkalibrierroutine für Streufelder und eisenhaltige Objekte • 0 °C ~ 70 °C Betriebsspannungsbereich • 2,6 ~ 5 V DC Einzelversorgungsbetrieb

Spezifikationen: HMR3000: • **Typische Versorgungsspannung:** 5 V DC reguliert, 6-15 V DC nicht reguliert • **Typ. Strom:** 35 mA @ 6 V DC (Normalbetrieb), 13 mA (STOPP-Modus), 2 mA (SCHLAF-Modus) • **Seriell:** RS-232 / RS-485 (Halb-Duplex) • **Baudrate:** 1.200 ~ 38.400 bps HMR3100: • **Typische Versorgungsspannung:** 3,0 V DC nicht reguliert • **Typ. Strom:** 0,2 mA Normalmodus (Durchschn. 1 Hz Abtastung) • **Seriell:** USART • **Baudrate:** 2.400 ~ 19.200 bps

Serieller Ausgang	Beschreibung	Digi-Key Teilenr.	Stückpreis	Honeywell Teilenr.
RS-232	Ohne Gehäuse	342-1024-ND	571.46	HMR3000-D00-232
RS-232	Gehäuse, erweiterte Basis	342-1025-ND	591.77	HMR3000-D21-232
RS-485	Ohne Gehäuse	342-1026-ND	571.46	HMR3000-D00-485
RS-485	Gehäuse, erweiterte Basis	342-1027-ND	591.77	HMR3000-D21-485
HMR 3000 Entwicklungskit mit RS-232-Ausgang, Kabeln, Handbuch		342-1022-ND	634.95	HMR3000-Demo-232
USART Digitales Kompassmodul		342-1037-ND	84.66	HMR3100
HMR 3100 Entwicklungskit mit RS-232-Ausgang, Kabeln, Handbuch		342-1038-ND	157.47	HMR3100-Demo-232

Smart Digital Magnetometer – HMR2300

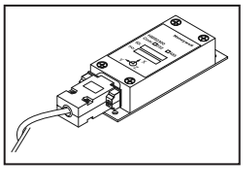

Auf Mikrocontroller basierter Smart Sensor mit einem Bereich von ±2 Gauss; <70 µGauss Auflösung. Hohe Genauigkeit über ±1 Gauss; <0,5 % FS; Ausgangsrate wählbar unter 10 bis 154 Abtastungen/s Dieser Sensor verfügt über einen Drei-Achsen-Digitalausgang, BCD ASCII oder binär, einen seriellen RS-232-Ausgang (9.600 oder 19.200) und einen 9-Pin D-Sub-Verbinder.

Anwendungen: • Kompassgeräte – Luftfahr und Marine • Fahrzeug-Fernüberwachung (Rollen/Neigung/Gieren) • Prozesssteuerung • Laborinstrumente • Anomalieerkennung • Verkehrs- und Fahrzeugerkennung • Sicherheitssysteme.

Spezifikationen: • **Versorgungsspannung:** 6,5 V ~15 V (Pin 9 als Referenz für Pin 5) • **Typ. Versorgungsstrom:** 27 mA; V Versorg.=15 V, mit S/R=EIN • **Betriebstemperatur:** -40 °C ~ 85 °C, Umgebung • **Feldbereich:** ±2 Gauss; Vollskala (FS); optimale gerade Linie • **Typ. Linearitätsfehler:** 1 % FS; optimale gerade Linie bei 25 °C ±2 Gauss • **Typ. Hysteresefehler:** 0,01 % FS;3 Sweeps über ±2 Gauss @ 25 °C • **Min. Auflösung:** 67 µGauss; angewandtes Feld zur Ausgangsänderung. (Einheiten: 1 Gauss (G) = 1 Oersted (in Luft), 1 G=79,58 A/m, 1 G=10 E-4 Tesla, 1 G=10 E 5 Gamma)

Serieller Ausgang	Beschreibung	Digi-Key Teilenr.	Stückpreis	Honeywell Teilenr.
RS-232	Ohne Gehäuse	342-1014-ND	571.46	HMR2300-D00-232
RS-232	Bündig montiertes Gehäuse, Aluminium, 3,25" x 1,50" x 1,13" (82,55 x 38,1 x 28,70 mm)	342-1015-ND	586.40	HMR2300-D20-232
RS-232	Erweitertes Gehäuse, Aluminium, 4,00" x 1,50" x 1,13" (101,60 x 38,1 x 28,70 mm)	342-1016-ND	591.77	HMR2300-D21-232
RS-485	Ohne Gehäuse	342-1017-ND	571.46	HMR2300-D00-485
RS-485	Bündig montiertes Gehäuse, Aluminium, 3,25" x 1,50" x 1,13" (82,55 x 38,1 x 28,70 mm)	342-1018-ND	591.77	HMR2300-D20-485
RS-485	Erweitertes Gehäuse, Aluminium, 4,00" x 1,50" x 1,13" (101,60 x 38,1 x 28,70 mm)	342-1019-ND	591.77	HMR2300-D21-485
RS-232	HMR2300 Entwicklungskit mit RS-232-Ausgang, Kabeln, Handbuch	342-1012-ND	634.95	HMR2300-Demo-232

Digitales Kompassmodul – HMR3200/3300

Elektronische Kompasslösungen, die Steuerinformationen für Navigations- und Leitsysteme zur Verfügung stellen. Magnetoresistive Sensoren sorgen für Zuverlässigkeit und Genauigkeit dieser kleinen Festkörper-Kompassdesigns. Diese Kompasslösungen lassen sich unter Verwendung einer UART-Schnittstelle im ASCII-Format leicht in Systeme integrieren.

Merkmale: Genauigkeit: 1° Steuergenauigkeit, 0,1° Auflösung und 0,5° Wiederholbarkeit. **Neigungsbereich:** Der HMR3300 kann bis zu einem ±60° Neigungsbereich für „Pitch" und „Roll" betrieben werden. Genauigkeit und Leistung werden aufgrund dieser Funktion über einen breiteren Bereich von Betriebskonditionen und Anwendungen ausgedehnt. Der HMR3200 hat keinen Neigungsausgleich. Leistungsoptimierung in horizontaler oder vertikaler Ausrichtung. **Niedrigleistung:** Typische Betriebsstromstärke ist 18 mA für den HMR3200. **Reaktionszeit:** Der HMR3200 hat eine 15-Hz-Reaktionszeit für schnellere Aktualisierungen im Vergleich zu mechanischen Kardan-Fluxgate-Kompassen.

Spezifikationen: • **Magnetfeld:** Bereich: ±2 Gauss typisch, Auflösung: 0,1 mGauss • **Elektrisch:** Eingangsspannung: Nicht reguliert: 6 V DC ~ 15 V DC; reguliert: 5 V DC • **Schnittstelle:** UART - Vom Benutzer wählbare Baudrate, 2.400 ~ 19.200 Baud • **Physisch:** Abmessungen - Bedingungen: Leiterplatte, 1,0" x 1,45" x 0,4" (25,4 x 36,8 x 11 mm)

Pin-Belegung auf Steckleiste	
Pin-Nr.	Pin-Name
1	SCK
2	RX/SDI
3	TX/SDO
4	CS
5	CAL
6	5V
7	GND
8	+V

Serieller Ausgang	Beschreibung	Digi-Key Teilenr.	Stückpreis	Honeywell Teilenr.
UART	Digitales Kompassmodul, 2 Achsen	342-1030-ND	253.98	HMR3200
UART	Digitales Kompassmodul, 3 Achsen	342-1032-ND	325.94	HMR3300
HMR 3200 Entwicklungskit, mit RS-232-Ausgang, Kabeln, Handbuch		342-1031-ND	309.01	HMR3200-Demo-232
HRMR 3300 Digitales Kompassmodul mit RS-232-Mutterplatine		342-1039-ND	368.27	HMR3300-D00-232
HMR 3300 Entwicklungskit, mit RS-232-Ausgang, Kabeln, Handbuch		342-1033-ND	422.45	HMR3300-Demo-232

CHERRY Festkörpermagnet-Halleffektsensoren

Abb. 1

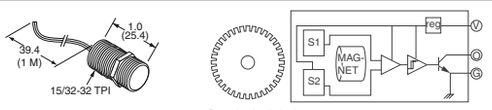

Geschwindigkeitssensor

Abb. 2

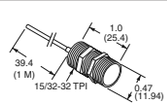

Abb. 3

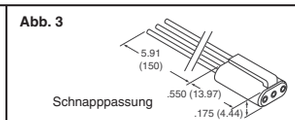

Schnapppassung

Abb. 4

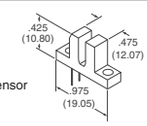

Flügelsensor

Abb. 5

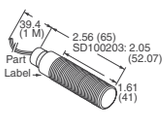

5A = M12-1- Gewinde
5B = M18-1-Gewinde

Abb. 6

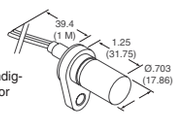

Geschwindig-
keitssensor

Abb. 7

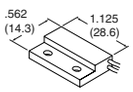

Abb. 8

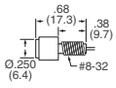

Cherry Magnetsensoren dienen zur Erkennung von Veränderungen der Magnetfeldpolaritäten und von Bewegungen eisenhaltiger Metalle, z. B. Zahnradbewegungen. Für Anwendungen wie z. B. Geschwindigkeits- und Proximitätsabtastung, magnetische Polaritätserkennung und Stromflussüberwachung. Festkörper-Design für unbegrenzte Haltbarkeit.

Merkmale:

Serie MP100:

• Aluminium-Tonnensensor mit Gewinde zur Geschwindigkeits- und Positionserfassung • Die Schraubtonne erlaubt präzise Positionierung und Anpassung

Serie GS100:

• Tonnensensoren zum Erfassen der Geschwindigkeit von Getriebeverzahnungen • Hochgeschwindigkeitsfunktion, ideal zum Abtasten von Zahnantrieben und anderen Verzahnungen • Eingebauter Magnet liefert eigenes Bias-Feld • GS101202 ist Kunststoffgehäuse mit Stahlbuchsen

Abb.	Versorgungs-spannung	Ausgangs-strom	Anschlusstyp	Polarität	Digi-Key Teilenr.	Stückpreis 1	10	50	100	Cherry Teilenr.
1	4.5-24VDC	25mA	20-AWG-Drähte	Getriebeverzahnung	CH398-ND†	25.60	22.76	18.97	17.55	GS100701
2	4.75-24VDC	25mA	20-AWG-Drähte	Südpol	CH396-ND†	20.69	18.39	15.33	14.18	MP100701
3	4.75-24VDC	25mA	24-AWG-Drähte	Südpol	CH399-ND	5.15	4.58	3.81	3.53	MP101301
4	4.5-24VDC	25mA	Leiterplattenmontage 24-AWG-Drähte	Ferromagnetischer Unterbrecher	CH401-ND CH712-ND	4.30 6.17	3.82 5.49	3.19 4.58	2.95 4.23	VN101501 VN101503
5A	4.5-24VDC	25mA	20-AWG-Drähte 22-AWG-Drähte	Getriebeverzahnung	CH416-ND† CH414-ND*	25.60 45.72	22.76 40.64	18.97 33.87	17.55 31.33	GS100502 GS100102
5A	4.75-24VDC 5-24VDC	25mA	20-AWG-Drähte 22-AWG-Drähte	Südpol	CH708-ND† CH707-ND*	20.69 30.63	18.39 27.23	15.33 22.69	14.18 20.99	MP100502 MP100102
5B	4.5-24VDC 4.5-24VDC 4.75-24VDC 5-24VDC	25mA 25mA 25mA —	12-mm-Steckverb. 22-AWG-Drähte 12-Zoll-Drähte 20-AWG-Drähte	Getriebeverzahnung	CH705-ND* CH415-ND* CH855-ND CH706-ND*	49.83 48.46 49.93 44.80	44.30 43.08 44.38 39.83	36.92 35.90 36.98 33.19	34.15 33.21 34.22 30.70	GS100201 GS100202 SD100203 GS100203
6	5-24VDC	25mA	22-AWG-Drähte	Getriebeverzahnung	CH417-ND	27.34	24.31	20.26	18.74	GS101202
7	4.5-24VDC	25mA	24-AWG-Drähte	Nordpol	CH400-ND	5.83	5.19	4.32	4.00	MP102103
—	12-mm-Gewindekabelsatz - Buchse, 914 mm Länge				CH698-ND	24.58	21.85	18.21	16.84	AS000203
8	Auslöser mit Gewinde, Südpolmagnet mit Aluminiumgehäuse				CH700-ND	4.34	3.86	3.22	2.98	AS101001

* Edelstahl, industrielle Qualität † Aluminium, kommerzielle Qualität

J

MEASUREMENT SPECIALTIES

Robuste Drucktransducer aus Edelstahl mit Mikrosicherungstechnologie

Der MSP-Drucktransducer wurde für hochvolumige, preiswerte, kommerzielle und Off-Road-Anwendungen entwickelt, die genaue Messung von Gas und Flüssigkeiten verlangen. Betriebsbereiche bis zu 10.000 psi stehen mit wahlweisen Ausgangssignalen in Volt, Millivolt oder Miliiampere zur Verfügung. Der MSP verwendet ein mikrobearbeitetes Silikon-Dehnmessgerät, das inorganisch an eine maschinell gefertigte Edelstahlmembran gebondet ist; keine Schweißstellen, keine O-Ringe, kein Silikonöl. Alle benetzten Flächen sind aus Edelstahl und die gesamte Signalkonditionierelektronik ist unter einer Edelstahlabdeckung untergebracht, die Schutz vor schädlichen Umwelteinflüssen bietet. Das Gehäuse ist versiegelt und muss nicht gewartet werden. Jeder Transducer wird gründlich getestet und vor Auslieferung kalibriert.

Anwendungen: • Pumpen und Kompressoren • Hydraulik-/Pneumatiksysteme • Energie- und Wasser-Management • Druckinstrumentation • Prozesssteuerung, Off-Road-Kühltechnik, HVAC.

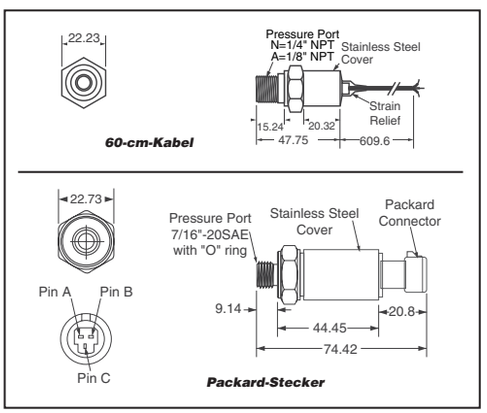

	MSP-100	MSP-300	MSP-340	MSP-400	MSP-600	MSP-610
Druckbereich (PSIG)	0-100 ~ 500	0-100 ~ 10,000	0-100 ~ 1,000	0-100 ~ 5,000	0-25 ~ 5,000	0-100 ~ 500
Temperaturausgang	Entfällt	Entfällt	Entfällt	Entfällt	Entfällt	Entfällt
Genauigkeit (kombinierte Linearität, Hysterese & Wiederholbarkeit)	±0.20% of FS	±1% of FS	±1% of FS	±0.50% of FS	±0.25% BSL	±0.25% of FS
Drucküberlast	1.5X	2X	2X	2X	2X	2X
Stoßdruck	3X	5 x oder 20.000 PSI, maßgebend ist der niedrigere Wert				4X
Ausgänge V DC oder mA	0-100mV	0-100mV, 1-5V 0.5-4.5V, 4-20mA	0-100mV, 0.5-4.5V	0.5-4.5V, 1-5V, 4-20mA	0.5-4.5V 1-5V, 4-20mA	0.5-4.5V, 1-5V, 4-20mA
Null-Offset (mV-Ausgang)	±2 % der Vollskala	±3 % der Vollskala	±3 % der Vollskala	—	—	—
(verstärkter Ausgang)	±2 % der Vollskala	±2 % der Vollskala	±2 % der Vollskala	±2 % der Vollskala	—	—
Spannentoleranz	±2 % der Vollskala	±2 % der Vollskala	±2 % der Vollskala	±2 % der Vollskala	—	—
Langzeitstabilität, typisch (1 Jahr)	±0.25%	±0.25%	±0.25%	±0.25%	±0.25%	±0.25%
Betriebstemperatur (°F)	30 ~ 130	(-4 ~ 185)	(-4 ~ 185)	(-40 ~ 185)	(-40 ~ 257)	(-40 ~ 257)
(°C)	(0 ~ 55)	(-20 ~ 85)	(-20 ~ 85)	(-40 ~ 85)	(-40 ~ 125)	(-40 ~ 125)
Ausgeglichener Bereich (°F)	30 ~ 130	30 ~ 130	30 ~ 130	30 ~ 158	-4 ~ 185	—
(°C)	0 ~ 55	0 ~ 55	0 ~ 55	0 ~ 70	-20 ~ 85	—
Thermo-Nullverschiebung	<±2 % der Vollskala	<±2 % der Vollskala	<±2 % der Vollskala	<±1.5% of FS	—	—
Thermo Spannenverschiebung	<±2 % der Vollskala	<±2 % der Vollskala	<±2 % der Vollskala	<±1.5% of FS	—	—
Gesamtfehlerband	Entfällt	Entfällt	Entfällt	Entfällt	1.5% of FS	1.0% of FS
EMI/RFI-Schutz, CE-Marke	Nein	Nein	Nein	Ja	Ja	—
UL-Auflistung	Nein	Ja	Nein	Ja	Ja	—

Betriebs-Druck-bereich (PSIG)	Spannungs-versor-gung	Digi-Key Teilenr.	Stückpreis 1	Stückpreis 10	MSI Teilenr.
Serie MSP-100					
Kalbrierter 100 mV Ausgang— O-Ring-Dichtung, 60-cm-Kabel					
100	5 VDC	MSP6900-ND	40.72	34.12	MS121-000000U-100PG
250		MSP6901-ND	40.72	34.12	MS121-000000U-250PG
500		MSP6902-ND	40.72	34.12	MS121-000000U-500PG
Serie MSP-300					
0-100 mV Ausgang — 4 Drähte, unverstärkt, 1/4" NPT, 60-cm-Kabel					
100	5 VDC	MSP3101P1-ND	54.82	45.93	2000130
250		MSP3251P1-ND	54.82	45.93	2000199
500		MSP3501P1-ND	54.82	45.93	2000255
1000		MSP3102P1-ND	54.82	45.93	2000045
2500		MSP3252P1-ND	54.82	45.93	2000222
5000		MSP3502P1-ND	54.82	45.93	2000096
10000		MSP3103P1-ND	54.82	45.93	2000157
0,5-4,5 V Ausgang — Ratiometrische Ausgangsspannung zu Eingangsspannung, 3-adriger Versorgungsstrom, max. 10 mA 1/4" NPT, 60-cm-Kabel					
100	5 VDC	MSP3101P2-ND	64.21	53.81	2000131
250		MSP3251P2-ND	64.21	53.81	2000202
500		MSP3501P2-ND	64.21	53.81	2000260
1000		MSP3102P2-ND	64.21	53.81	2000046
2500		MSP3252P2-ND	64.21	53.81	2000223
5000		MSP3502P2-ND	64.21	53.81	2000099
10000		MSP3103P2-ND	64.21	53.81	2000158
1-5 V Ausgang — Fest - 3-adriger Versorgungsstrom, max. 10 mA max., 60-cm-Kabel					
100	10-32 VDC	MSP3101P3-ND	72.05	60.37	2000133
250		MSP3251P3-ND	72.05	60.37	2000204
500		MSP3501P3-ND	72.05	60.37	2000262
1000		MSP3102P3-ND	72.05	60.37	2000048
2500		MSP3252P3-ND	72.05	60.37	2000226
5000		MSP3502P3-ND	72.05	60.37	2000100
10000		MSP3103P3-ND	72.05	60.37	2000159
1-5 V Ausgang 1/8" NPT, 60-cm-Kabel					
100	10-32 VDC	MSP3101P4A1-ND	72.05	60.37	2000132
250		MSP3251P4A1-ND	72.05	60.37	2000203
500		MSP3501P4A1-ND	72.05	60.37	2000261
1000		MSP3102P4A1-ND	72.05	60.37	2000047
4-20 mA Ausgang — 2-adrige regulierte Versorgung, 1/4" NPT, 60-cm-Kabel					
100	10-32 VDC	MSP3101P4-ND	81.49	69.85	2000137
250		MSP3251P4-ND	81.49	69.85	2000207
500		MSP3501P4-ND	81.49	69.85	2000263
1000		MSP3102P4-ND	81.49	69.85	2000139
2500		MSP3252P4-ND	81.49	69.85	2000227
5000		MSP3502P4-ND	81.49	69.85	2000101
10000		MSP3103P4-ND	81.49	69.85	2000160
4-20 mA Ausgang, 1/8" NPT, 60-cm-Kabel					
100	10-32 VDC	MSP3101P5A1-ND	81.49	69.85	2000136
250		MSP3251P5A1-ND	81.49	69.85	2000206
500		MSP3501P5A1-ND	81.49	69.85	2000263
1000		MSP3102P5A1-ND	81.49	69.85	2000049
Serie MSP-340					
100 mV Ausgang— 1/8" NPT, 60-cm-Kabel					
100	5 VDC	MSP6892-ND	50.12	42.00	M3421-000006-100PG
300		MSP6893-ND	50.12	42.00	M3421-000006-300PG
500		MSP6894-ND	50.12	42.00	M3421-000006-500PG
1000		MSP6895-ND	50.12	42.00	M3421-000006-01KPG
0,5-4,5 V Ausgang — 1/8" NPT, 60-cm-Kabel					
100	10-30 VDC	MSP6896-ND	62.65	52.49	M3431-000006-100PG
300		MSP6897-ND	62.65	52.49	M3431-000006-300PG
500		MSP6898-ND	62.65	52.49	M3431-000006-500PG
1000		MSP6899-ND	62.65	52.49	M3431-000006-01KPG
Serie MSP-400					
0,5-4,5 V Ausgang — Ratiometrische Ausgangsspannung zu Eingangsspannung, 10mA 3-adriger Versorgungsstrom, max. 10 mA, 1/4" NPT, 60-cm-Kabel					
100	5 VDC	MSP4101P2-ND	76.74	64.30	2000473
250		MSP4251P2-ND	76.74	64.30	2000519
500		MSP4501P2-ND	76.74	64.30	2000550
1000		MSP4102P2-ND	76.74	64.30	2000415
2500		MSP4252P2-ND	76.74	64.30	2000527
5000		MSP4502P2-ND	76.74	64.30	2000454
1-5 V Ausgang — Fest - 3-adriger Versorgungsstrom, max. 10 mA, 1/4" NPT, 60-cm-Kabel					
100	10-32 VDC	MSP4101P3-ND	80.00	68.58	2000484
250		MSP4251P3-ND	80.00	68.58	2000521
500		MSP4501P3-ND	80.00	68.58	2000553
1000		MSP4102P3-ND	80.00	68.58	2000416
2500		MSP4252P3-ND	80.00	68.58	2000528
5000		MSP4502P3-ND	80.00	68.58	2000455
4-20 mA Ausgang — 2-adrige regulierte Versorgung, 1/4" NPT, 60-cm-Kabel					
100	10-32 VDC	MSP4101P4-ND	91.86	78.74	2000486
250		MSP4251P4-ND	91.86	78.74	2000522
500		MSP4501P4-ND	91.86	78.74	2000554
1000		MSP4102P4-ND	91.86	78.74	2000417
2500		MSP4252P4-ND	91.86	78.74	2000531
5000		MSP4502P4-ND	91.86	78.74	2000457

Betriebs-Druck-bereich (PSIG)	Spannungs-versor-gung	Digi-Key Teilenr.	Stückpreis 1	Stückpreis 10	MSI Teilenr.
Serie MSP-600					
0,5-4,5 V DC Ausgang — 1/4" NPT, 60-cm-Kabel					
25	5 VDC	MSP6025P3-1-ND	81.49	69.85	2000871
50		MSP6050P3-1-ND	81.49	69.85	2000877
75		MSP6075P3-1-ND	81.49	69.85	2000883
100		MSP6101P3-1-ND	81.49	69.85	2000889
250		MSP6251P3-1-ND	81.49	69.85	2000895
500		MSP6501P3-1-ND	81.49	69.85	2000901
1000		MSP6102P3-1-ND	81.49	69.85	2000907
2500		MSP6252P3-1-ND	81.49	69.85	2000913
5000		MSP6502P3-1-ND	81.49	69.85	2000919
0,5-4,5 V DC Ausgang — 7/16" SAE, Packard-Stecker					
25	5 VDC	MSP6025P3-4-ND	81.49	69.85	2000964
50		MSP6050P3-4-ND	81.49	69.85	2000965
75		MSP6075P3-4-ND	81.49	69.85	2000966
100		MSP6101P3-4-ND	81.49	69.85	2000967
250		MSP6251P3-4-ND	81.49	69.85	2000968
500		MSP6501P3-4-ND	81.49	69.85	2000969
1000		MSP6102P3-4-ND	81.49	69.85	2000970
2500		MSP6252P3-4-ND	81.49	69.85	2000971
5000		MSP6502P3-4-ND	81.49	69.85	2000972
1-5 V DC Ausgang — 1/4" NPT, 60-cm-Kabel					
25	10-30 VDC	MSP6025P4-1-ND	85.93	73.66	2000872
50		MSP6050P4-1-ND	85.93	73.66	2000878
75		MSP6075P4-1-ND	85.93	73.66	2000884
100		MSP6101P4-1-ND	85.93	73.66	2000890
250		MSP6251P4-1-ND	85.93	73.66	2000896
500		MSP6501P4-1-ND	85.93	73.66	2000902
1000		MSP6102P4-1-ND	85.93	73.66	2000908
2500		MSP6252P4-1-ND	85.93	73.66	2000914
5000		MSP6502P4-1-ND	85.93	73.66	2000920
4-20 mA Ausgang— 1/4" NPT, 60-cm-Kabel					
25	10-30 VDC	MSP6025P5-1-ND	100.75	86.36	2000873
50		MSP6050P5-1-ND	100.75	86.36	2000879
75		MSP6075P5-1-ND	100.75	86.36	2000885
100		MSP6101P5-1-ND	100.75	86.36	2000891
250		MSP6251P5-1-ND	100.75	86.36	2000897
500		MSP6501P5-1-ND	100.75	86.36	2000903
1000		MSP6102P5-1-ND	100.75	86.36	2000909
2500		MSP6252P5-1-ND	100.75	86.36	2000915
5000		MSP6502P5-1-ND	100.75	86.36	2000921
Serie MSP-610					
0,5-4,5 V Ausgang — 1/8" NPT, 60-cm-Kabel					
300	5 VDC	MSP6906-ND	96.67	82.87	M6131-C00006-300PG
500		MSP6907-ND	96.67	82.87	M6131-C00006-500PG
0,5-4,5 V DC Ausgang — 1/4" NPT, 60-cm-Kabel					
100	5 VDC	MSP6903-ND	96.67	82.87	M6131-C00005-100PG
300		MSP6904-ND	96.67	82.87	M6131-C00005-300PG
500		MSP6905-ND	96.67	82.87	M6131-C00005-500PG
1-5 V Ausgang — 1/4" NPT, 60-cm-Kabel					
100	8-30 VDC	MSP6908-ND	100.75	86.36	M6141-C00005-100PG
300		MSP6909-ND	100.75	86.36	M6141-C00005-300PG
500		MSP6910-ND	100.75	86.36	M6141-C00005-500PG
4-20 mA Ausgang— 1/4" NPT, 60-cm-Kabel					
100	10-30 VDC	MSP6911-ND	114.82	98.42	M6181-C00005-100PG
300		MSP6912-ND	114.82	98.42	M6181-C00005-300PG
500		MSP6913-ND	114.82	98.42	M6181-C00005-500PG

J

Alle Preisangaben in Euro und inklusive Zollgebühren.

MEASUREMENT SPECIALTIES

Drucksensoren, Leiterplattenmontage Umgebungstemperaturunabhängig

Diese Drucksensoren sind für kostenempfindliche Anwendungen bestimmt, bei denen hervorragende Leistung und langfristige Stabilität verlangt werden. Integrierter Temperaturausgleich durch Laser-getrimmte Breitrstände. Ein weiterer Laser-getrimmter Breitrstand zur Normalisierung von Druckempfindlichkeitsschwankungen wird mitgeliefert. Dies geschieht durch Programmieren der Verstärkung eines externen Differenzialverstärkers. Damit wird für austauschbare Empfindlichkeit von ±1 % gesorgt.

Merkmale:

• ±0,1 %, nicht linear • ±1,0 % austauschbare Spanne (vom Verstärkungseinstellungsbreitrstand geliefert) • Festkörperzuverlässigkeit • Niedrigleistung

Spezifikationen: • **Ausgang:** 0-100 mV typ. (Vollskala) • **Versorgungsstrom:** 1,5 mA typ. • **Reaktionszeit:** 1 ms typ. (für eine schrittweise Nullskala-Druckänderung) • **Betriebstemperatur:** -40 °C ~ 125 °C

Modell 1210/1220 – Niederdruck: • 0 °C ~ 50 °C Temperaturausgleichsbereich • 1,0 % Temperaturleistung

Modell 1230/1240 – UltraStable™ • -20 °C ~ 85 °C Temperaturausgleichsbereich • ±0,5 % Temperaturleistung

Modell 1210/1220 – Mittlerer Druck: • 0 °C ~ 50 °C Temperaturausgleichsbereich • 0,5 ~ 1 % Temperaturleistung

Modelle 17 – UltraStable™ • -20 °C ~ 85 °C Temperaturausgleichsbereich • ±0,5 % Temperaturleistung

8-Pin Dip-Paket

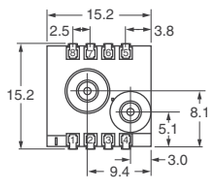

TO-8 Paket

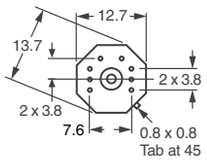

Abb. 1

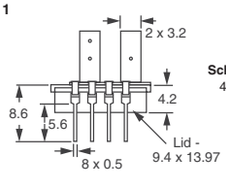

Schlauchlänge: 470 (±5 mil.)

Abb. 2

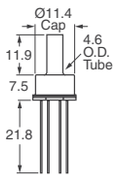

Abb.	Druck	Drucktyp	Paket	Digi-Key Teilenr.	Stückpreis 1	10	100	MSI Teilenr.
Modell 1210 / 1220 - Niedriger und mittlerer Druck								
1	0-1PSID	Differenzial	8-Pin Dip	MSP6940-ND	31.75	25.40	17.78	1210A-001D-3L
	0-2PSID	Differenzial	8-Pin Dip	MSP6814-ND	29.63	23.71	16.60	1210A-002D-3L
	0-5PSID	Differenzial	8-Pin Dip	MSP6816-ND	29.63	23.71	16.60	1220A-005D-3L
	0-15PSID	Differenzial	8-Pin Dip	MSP6941-ND	29.63	23.71	16.60	1210A-015D-3L
	0-15PSID	Differenzial	8-Pin Dip	MSP6943-ND	29.63	23.71	16.60	1220A-015D-3L
	0-100PSID	Differenzial	8-Pin Dip	MSP6942-ND	29.63	23.71	16.60	1210A-100D-3L
	0-100PSID	Differenzial	8-Pin Dip	MSP6944-ND	29.63	23.71	16.60	1220A-100D-3L
Modell 1230 / 1240 – Ultrastabil								
1	0-15PSID	Differenzial	8-Pin Dip	MSP6819-ND	31.75	25.40	17.78	1240-015D-3L
	0-15PSID	Differenzial	8-Pin Dip	MSP6945-ND	31.75	25.40	17.78	1230-015D-3L
	0-30PSID	Differenzial	8-Pin Dip	MSP6822-ND	31.75	25.40	17.78	1230-030D-3L
	0-100PSID	Differenzial	8-Pin Dip	MSP6828-ND	31.75	25.40	17.78	1230-100D-3L
	0-100PSID	Differenzial	8-Pin Dip	MSP6829-ND	31.75	25.40	17.78	1240-100D-3L
Modell 17 - Ultrastabil								
2	0-100PSIG	Anzeigeinstrument	TO-8	MSP6837-ND	—	33.02	—	17-100G

Drucksensoren, Leiterplattenmontage

Modell 1451

Ein Drucksensor für hochvolumige Anwendungen, die ein kleines Format, leichtes Gewicht, niedrige Kosten und Kompatibilität mit automatischen Bestückungsmaschinen verlangen. **Merkmale:** • SMT-Paket • ±0,25 % Druck, nicht linear • 3 Druck-Port-Optionen • Festkörperzuverlässigkeit • Niedrigleistung **Spezifikationen:** • Ausgang: 0-60 mV • **Versorgungsspannung:** 3 V DC • **Reaktionszeit:** 1,0 ms typ. • **Betriebstemperatur:** -40 °C ~ 125 °C

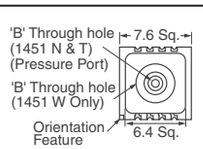

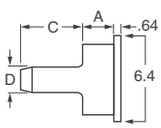

Paket	Abmessungen (mm) A	B	C	D
Enges Loch	2.79	0.78	—	—
Breites Loch	2.79	4.06	—	—
Schlauch	2.79	0.78	5.59	2.29

Druck	Drucktyp	Paket	Digi-Key Teilenr.	Stückpreis 1	10	100	MSI Teilenr.
0-5PSIG	Anzeigeinstrument	Röhre	MSP6800-ND	13.97	11.43	7.62	1451-005G-T
0-5PSIA	Absolut	Breit	MSP6801-ND	13.97	11.43	7.62	1451-005A-W
0-15PSIA	Absolut	Schmal	MSP6802-ND	13.97	11.43	7.62	1451-015A-N
0-15PSIG	Anzeigeinstrument	Röhre	MSP6803-ND	13.97	11.43	7.62	1451-015G-T
0-15PSIA	Absolut	Breit	MSP6804-ND	13.97	11.43	7.62	1451-015A-W
0-30PSIA	Absolut	Schmal	MSP6805-ND	13.97	11.43	7.62	1451-030A-N
0-30PSIG	Anzeigeinstrument	Röhre	MSP6806-ND	13.97	11.43	7.62	1451-030G-T
0-30PSIA	Absolut	Breit	MSP6807-ND	13.97	11.43	7.62	1451-030A-W
0-50PSIA	Absolut	Schmal	MSP6808-ND	13.97	11.43	7.62	1451-050A-N
0-50PSIG	Anzeigeinstrument	Röhre	MSP6809-ND	13.97	11.43	7.62	1451-050G-T
0-50PSIA	Absolut	Breit	MSP6810-ND	13.97	11.43	7.62	1451-050A-W
0-100PSIA	Absolut	Schmal	MSP6811-ND	13.97	11.43	7.62	1451-100A-N
0-100PSIG	Anzeigeinstrument	Röhre	MSP6812-ND	13.97	11.43	7.62	1451-100G-T
0-100PSIA	Absolut	Breit	MSP6813-ND	13.97	11.43	7.62	1451-100A-W

UltraStable™ Edelstahl-Drucksensoren Flachkabel mit Steckverbinder

Merkmale: • Druckanzeigertyp • Ausgeglichener Temperaturbereich: -20 °C ~ 85 °C • ±1,0 % austauschbare Spanne (vom Verstärkungseinstellungswiderstand geliefert) • Hohe Leistung • Kleines Profil • Festkörperzuverlässigkeit • Niedrigleistung • ±0,1 % Druck, nicht linear **Spezifikationen:** • **Ausgang:** 0 mV ~ 100 mV •**Versorgungsstrom:** 1,5 mA typ. (damit ist Ausgangs-/Eingangs-Radiometrizität garantiert) • **Betriebstemperatur:** -40 °C ~ 125 °C

Abb. 1

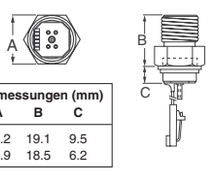

Modell	Abmessungen (mm) A	B	C
1/8 - 27 NPT	22.2	19.1	9.5
1/4 - 18 NPT	15.9	18.5	6.2

Abb. 2

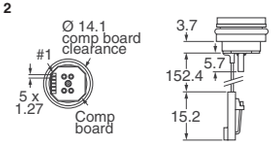

Abb.	Druck	Ausgangs-lastwiderst.	Digi-Key Teilenr.	Stückpreis 1	10	100	MSI Teilenr.
Modell 82 — O-Ring, bündige Montage							
2	0-1PSIG	Min. 5 MΩ	MSP6927-ND	70.87	59.38	51.72	82-001G-C
	0-15PSIG		MSP6928-ND	53.25	44.62	38.86	82-015G-C
	0-30PSIG		MSP6929-ND	53.25	44.62	38.86	82-030G-C
	0-100PSIG		MSP6930-ND	53.25	44.62	38.86	82-100G-C
	0-300PSIG		MSP6931-ND	53.25	44.62	38.86	82-300G-C
	0-15PSIA	Min. 5 MΩ	MSP6932-ND	53.25	44.62	38.86	82-015A-C
	0-30PSIA		MSP6933-ND	53.25	44.62	38.86	82-030A-C
	0-100PSIA		MSP6934-ND	53.25	44.62	38.86	82-100A-C
	0-300PSIA		MSP6935-ND	53.25	44.62	38.86	82-300A-C
	0-500PSIA		MSP6936-ND	53.25	44.62	38.86	82-500A-C
Modell 85 — 1/4" - 18 NPT							
1	0-15PSIG	Min. 5 MΩ	MSP6853-ND	53.25	44.62	38.86	85-015G-4C
	0-30PSIG		MSP6854-ND	53.25	44.62	38.86	85-030G-4C
	0-50PSIG		MSP6855-ND	53.25	44.62	38.86	85-050G-4C
	0-100PSIG		MSP6856-ND	53.25	44.62	38.86	85-100G-4C
	0-300PSIG		MSP6857-ND	53.25	44.62	38.86	85-300G-4C
	0-500PSIG		MSP6858-ND	53.25	44.62	38.86	85-500G-4C
	0-15PSIA	Min. 5 MΩ	MSP6916-ND	53.25	44.62	38.86	85-015A-4C
	0-30PSIA		MSP6917-ND	53.25	44.62	38.86	85-030A-4C
	0-100PSIA		MSP6918-ND	53.25	44.62	38.86	85-100A-4C

Abb.	Druck	Ausgangs-lastwiderst.	Digi-Key Teilenr.	Stückpreis 1	10	100	MSI Teilenr.
1	0-300PSIA	Min. 5 MΩ	MSP6919-ND	53.25	44.62	38.86	85-300A-4C
	0-500PSIA		MSP6920-ND	53.25	44.62	38.86	85-500A-4C
Modell 86 — O-Ring, bündige Montage							
2	0-5PSIG	Min. 1MΩ	MSP6859-ND	50.12	42.00	36.58	86-005G-C
	0-15PSIG		MSP6860-ND	50.12	42.00	36.58	86-015G-C
	0-30PSIG		MSP6861-ND	50.12	42.00	36.58	86-030G-C
	0-50PSIG		MSP6862-ND	50.12	42.00	36.58	86-050G-C
	0-100PSIG		MSP6863-ND	50.12	42.00	36.58	86-100G-C
	0-300PSIG		MSP6864-ND	50.12	42.00	36.58	86-300G-C
	0-500PSIG		MSP6865-ND	50.12	42.00	36.58	86-500G-C
	0-5PSIA	Min. 5 MΩ	MSP6921-ND	50.12	42.00	36.58	86-005A-C
	0-15PSIA		MSP6922-ND	50.12	42.00	36.58	86-015A-C
	0-30PSIA		MSP6923-ND	50.12	42.00	36.58	86-030A-C
	0-100PSIA		MSP6924-ND	50.12	42.00	36.58	86-100A-C
	0-300PSIA		MSP6925-ND	50.12	42.00	36.58	86-300A-C
	0-500PSIA		MSP6926-ND	50.12	42.00	36.58	86-500A-C
Modell 87N — 1/8" - 27 NPT							
1	0-1000PSIA	Min. 1MΩ	MSP6937-ND	57.95	48.56	42.29	87N-1000A-8C
	0-3000PSIA		MSP6938-ND	57.95	48.56	42.29	87N-3000A-8C
	0-5000PSIA		MSP6939-ND	57.95	48.56	42.29	87N-5000A-8C

J

Senstronics Sensoren mit Temperaturausgang

Spezifikationen: • 1,4 NPTF • Betriebstemperaturbereich: -40 °C ~ 125 °C • Versorgungsspannungsbereich: 8 V ~ 30 V
Hinweis: Mit jedem Sensor wird ein Gegenkabelbaum geliefert.

Betriebsdruckbereich (PSIG)	Ausgangs-spannung	Digi-Key Teilenr.	Stückpreis 1	10	100	Senstronics Teilenr.
100	0 ~ 5	ST00635-ND	68.91	57.74	50.29	ST00635
100	.5 ~ 4.5	ST00636-ND	68.91	57.74	50.29	ST00636
150	.5 ~ 4.5	ST00126-ND	68.91	57.74	50.29	ST00126
250	0 ~ 5	ST00637-ND	68.91	57.74	50.29	ST00637
250	.5 ~ 4.5	ST00638-ND	68.91	57.74	50.29	ST00638

Betriebsdruckbereich (PSIG)	Ausgangs-spannung	Digi-Key Teilenr.	Stückpreis 1	10	100	Senstronics Teilenr.
500	0 ~ 5	ST00639-ND	68.91	57.74	50.29	ST00639
500	.5 ~ 4.5	ST00223-ND	68.91	57.74	50.29	ST00223
1000	0 ~ 5	ST00640-ND	68.91	57.74	50.29	ST00640
Gegenkabelbaum - 1 m langes Kabel		PSA-CBLA41-ND	9.52	7.03	—	PSA-CBLA41

Sensoren

Die Sensoren für relative Luftfeuchtigkeit von Humirel bauen auf der kapazitiven Zelltechnologie auf und verwenden eine patentierte Festpolymerstruktur. Sie sind völlig austauschbar, ohne dass unter Standardumständen eine Kalibrierung erforderlich ist. Für lineare Spannung oder Frequenzausgangsschaltungen geeignet. Ein NTC-Thermistor dient zur Temperaturmessung.
Die RF-Temperaturmodule bauen auf dem HS1101 kapazativen Feuchtigkeitssensor auf und sind Spannungsausgangsgeräte. Die RF-Temperaturmodule schließen einen NTC-Thermistor zur Temperaturmessung ein und bieten Spannungs- oder Frequenzausgang.

Merkmale:

- Hohe Zuverlässigkeit und lange Stabilität
- Sofortige Entsättigung nach lang anhaltenden Sättigungskonditionen
- Schnelle Reaktionszeiten
- Patentierte Festpolymerkonstruktion

Abb. 1

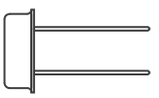

Abb. 2

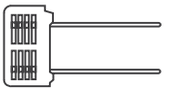

Abb. 3

Abb. 4

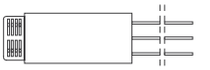

Abb. 5

Abb. 6

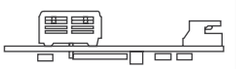

Abb. 7

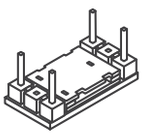

Abb. 8

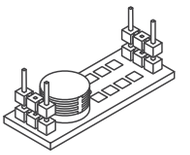

Abb.	Beschreibung	Versorgungs-spannung (typ.)	Nom. Kap. @ 5 % RF	Reaktionszeit	Nenn-Ausgang	RF-Messbereich	Betriebstemperatur	Digi-Key Teilenr.	Stückpreis 1	10	100
	Sensoren										
1	RF-Sensor, Öffnung oben	—		5 Sek.			-40° ~ 100°C	HS1100-ND	16.45	12.93	6.34
2	RF-Sensor, Öffnung seitlich	—		5 Sek.			-40° ~ 100°C	HS1101-ND	8.25	7.32	6.06
2	RF-Sensor, Öffnung seitlich	5V	180pF	—	—	1 ~ 99% RH	-60° ~ 140°C	HS1101LF-ND	8.25	7.32	6.20
3	Temp.-/RF-Sensor SMD	—		10 Sek.			-40° ~ 100°C	HTS2010SMD-ND	15.41	12.11	10.46
3	Temp.-/RF-Sensor SMD, Öffnung seitlich	5V		10 Sek.			-60° ~ 140°C	HTS2030SMD-ND	12.55	11.13	9.41
	Module										
4	Ausgangsspann., RF-Modul	5V	—	—	1.24V @ 10% RH	1 ~ 99% RH	-30° ~ 60°C	HM1520-ND	44.97	32.12	24.09
5	Ausgangsspann., Temp.-/RF-Modul			—	2.48V @ 55% RH	1 ~ 99% RH	-30° ~ 70°C	HTM2500-ND	44.97	40.15	32.12
6	Temp.-/RF-Modulfrequenz Ausgangs-JST-Steckverb.			10 Sek.	8750 Hz @ 55% RH	0 ~ 99% RH	-30° ~ 80°C	HTF3226LF-ND	15.02	14.12	11.30
7	Temp.-/RF-Modulfrequenz Ausgang, Mini			10 Sek.	6600 Hz @ 55% RH	0 ~ 99% RH	-40° ~ 85°C	HTF3130-ND	15.76	14.82	11.86
8	Temp.-/RF-Modul Ausgangsspann. analog			10 Sek.	2.48V @ 55% RH	0 ~ 100% RH	-40° ~ 100°C	HTM1735-ND	19.07	17.93	14.35
—	Demokit-Inhalt:1 x HM1500, 1 x HM1510* und 5 x HS1101							HDEMOKIT-ND	114.71	—	—

* HM1510 - HM1500 mit Sockel an Spitze zur Aufnahme von HS1101 zum Testen der Austauschbarkeit

Kapazitiver Feuchtigkeitssensor

Der kapazitive atmosphärische Feuchtigkeitssensor besteht aus einer nicht leitenden Folie, die auf beiden Seiten mit einer Schicht Gold bedeckt ist. Die dielektrische Konstante der Folie ändert sich als eine Funktion der relativen Feuchtigkeit der Umgebungstemperatur. Infolgedessen ist der Kapazitätswert des Sensors ein Maß für die relative Luftfeuchtigkeit.

Feuchtig-keitsbereich (RF)	Kap.* (pF)	Empfindlich-keit zwischen 12-75 % RF (pF/ %RF)	Frequenz (kHz)	Max. Spannung (AC/DC) (V)	Lagerfeuchtig-keitsbereich (RF)	Umgebungstemp. Bereich (°C) (Betrieb)	(Speicher)	Digi-Key Teilenr.	Stückpreis 1	10	100	BC Components Teilenr.
10-90%	122 ±15%	0.4 ±0.05	1-1000	15	0-100%	0 ~ 85°	-25° ~ 85°	BC1333-ND	10.11	8.67	7.22	2322 691 90001

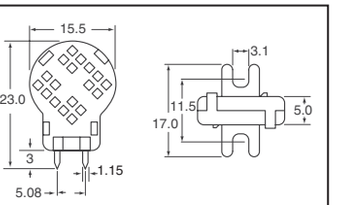

* Kapazität bei 25 °C; 43 % RF; 100 kHz

Ultrasensitive Druckschalter

Serie PSF102:

Im Feld einstellbarer Druckeinstellungswert. Schaltertyp: SPST-Arbeitskontakt. Elektrische Anschlüsse vom Typ 0,187" x 0,020" mit Ösen, vertieft sitzend, zur Verwendung mit Quick Disconnects .

Serie PSF103:

Im Feld einstellbarer Druckeinstellungswert. Schaltertyp: Arbeitskontakt oder Ruhekontakt.

Serie PSFA100A:

Schaltertyp: SPST-Arbeitskontakt, Zwillingsöffner/ Zwillingsschließer Nennstrom: 40 mA resistiv auf Lebensdauer, über 20 Millionen Zyklen Betriebsspannung: 30 V AC/DC oder weniger mit resistiver Last; 120 V AC Neonlampenlast

Serie PSF109:

Vakuumschalter mit Hysterese (Überempfindlichkeitsbereich) zur Motorsteuerung. Im Feld einstellbarer Vakuumeinstellungswert. Schaltertyp: SPST-Arbeitskontakt, -Ruhekontakt. Zur Verwendung mit AMP 2-520182-2 oder Entsprechung.

PSF102

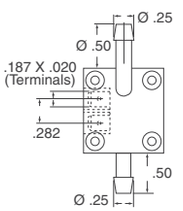

PSF103

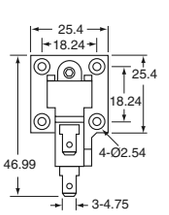

PSF100A

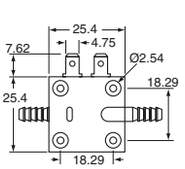

PSF109S

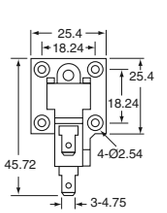

Zoll H2O	Toleranz	Beständig-keitsdruck	Betriebs-spannung/strom	Digi-Key Teilenr.	Stückpreis 1	10	100	World Magnetics Teilenr.
			Serie PSF102					
0.1–0.5	±0.1 In. H_2O	2 PSI		384-1015-ND	12.53	11.91	8.90	7651-710
0.5–2	±0.2 In. H_2O	4 PSI		384-1016-ND	12.53	11.91	8.90	7651-711
2–15	±0.5 In. H_2O	8 PSI	40mA 30V AC/DC	384-1017-ND	12.53	11.91	8.90	7651-712
15–100	±10%	15 PSI		384-1018-ND	12.53	11.91	8.90	7651-713
100-969	±10%	50 PSI		384-1023-ND	12.53	11.91	8.90	7651-714
			Serie PSF103					
2–10		30 PSI	3A 125/250VAC	384-1010-ND	12.16	11.55	7.95	9011-902
10–28		30 PSI	10A 125/250VAC	384-1011-ND	12.16	11.55	7.95	9011-903
28–111	±20%	30 PSI	15A 125/250VAC	384-1012-ND	12.16	11.55	7.95	9011-904
111–416		100 PSI	15A 125/250VAC	384-1013-ND	12.16	11.55	7.95	9061-905
416–1664		100 PSI	15A 125/250VAC	384-1014-ND	12.16	11.55	7.95	9061-906
			Serie PSF100A					
.1-.5		8PSI		384-1000-ND	16.03	15.23	11.38	PSF100A-0.5
1.0		8PSI		384-1019-ND	16.03	15.23	11.38	PSF100A-1.0
1.5		8PSI		384-1001-ND	16.03	15.23	11.38	PSF100A-1.5
3.0	±20%	8PSI	40mA 30V AC/DC	384-1002-ND	16.03	15.23	11.38	PSF100A-3.0
6.0		15PSI		384-1003-ND	16.03	15.23	11.38	PSF100A-6.0
10.0		15PSI		384-1004-ND	16.03	15.23	11.38	PSF100A-10.0
15.0		15PSI		384-1005-ND	16.03	15.23	11.38	PSF100A-15.0
50.0		15PSI		384-1006-ND	16.03	15.23	11.38	PSF100A-50.0
			Serie PSF109S					
3-8		—		384-1007-ND	13.75	13.07	9.77	PSF109S-3-8
3-8		—		384-1020-ND	13.75	13.07	9.77	PSF109S-NPT-3-8
9-80	±20%	—	25A 125/250VAC	384-1008-ND	13.75	13.07	9.77	PSF109S-9-80
81-330		—		384-1009-ND	13.75	13.07	9.77	PSF109S-81-330
81-330		—		384-1022-ND	13.75	13.07	9.77	PSF109S-NPT-81-330

J

Alle Preisangaben in Euro und inklusive Zollgebühren.

Fotoelektrische Sensoren

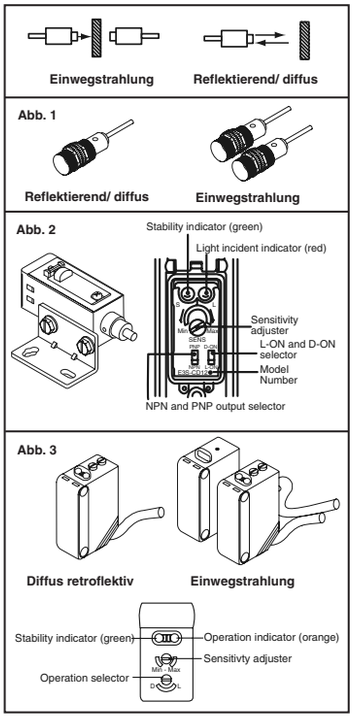

Fotoelektrische Sensoren bestehen aus einer Lichtquelle und einem Detektor zur Objekterkennung.

Einwegstrahlungssensoren verwenden einen separaten Transmitter und Empfänger, zwischen denen ein Objekt durchlaufen muss, um das Licht zu blockieren.

Retroflektive Sensoren sind ein in einer Einheit kombinierter Transmitter/Empfänger mit Reflexionsfunktion. Ein Reflektor wird typischerweise dazu verwendet, einen Strahl vom Transmitter zurück zum Empfänger zu reflektieren. Wird ein Objekt zwischen Reflektor und Emitter/Detektor bewegt, schaltet sich der Empfängerausgang ein.

Diffus-reflektiv bedeutet ein in einer Einheit kombinierter Transmitter/Empfänger. Die Objekte werden durch eine frontale, nicht etwa durch eine seitliche Bewegung eines Objekts zum Sensor hin erkannt. Sobald ein Objekt in Abtastentfernung gerät, reicht die Menge des reflektierten Lichtes aus, um den Empfängerausgang auszulösen.

Abb.	Beschreibung	Abtastabstand	Typ	Digi-Key Teilenr.	Stückpreis 1	25	50	Omron Teilenr.
1	M18, diffundierter fotoelektrischer Sensor, 10-30 V DC, vernickeltes Messing	3.94" (10cm)	NPN	Z1087-ND	53.00	49.07	45.80	E3F2-DS10C4-N
	M18, diffundierter fotoelektrischer Sensor, 24-240 V AC, Kunststoffgehäuse	3.94" (10cm)	NPN	Z1088-ND	61.25	56.72	52.94	E3F2-DS10Z1-N
	M18, retroflektiver fotoelektrischer Sensor, 10-30 V DC, Kunststoffgehäuse	6.56' (2m)	NPN	Z1089-ND	54.53	50.50	47.13	E3F2-R2C4
	M18, retroflektiver fotoelektrischer Sensor, 10-30 V DC, Kunststoffgehäuse	6.56' (2m)	Licht - Ein	Z1090-ND	62.98	58.32	54.43	E3F2-R2Z1
	M18, fotoelektrischer Sensor, Einwegstrahlung, 10-30 V DC, Kunststoffgehäuse	9.84' (3m)	Licht - Ein	Z1091-ND	92.16	85.34	79.65	E3F2-3Z1
	M18, diffundierter fotoelektrischer Sensor, 10-30 V DC, vernickeltes Messing	3.94" (10cm)	PNP	Z1094-ND	61.06	56.54	52.77	E3F2-DS10C4-C
	M18, retroflexiver fotoelektrischer Sensor, 10-30 V DC, vernickeltes Messing	6.56' (2m)	Licht - Ein	Z1095-ND	63.36	58.67	54.76	E3F2-R2RC4-C
2	Diffundierter fotoelektrischer Sensor, 10-30 V DC, Metallkörper/ horiz.	27.6" (70cm)	NPN/PNP	Z1096-ND	129.80	120.19	112.18	E3S-CD11
	Diffundierter fotoelektrischer Sensor, 10-30 V DC, Metallkörper/ horiz.	6.56' (2m)	NPN/PNP	Z1097-ND	139.78	129.43	120.80	E3S-CD12
	Diffundierter fotoelektrischer Sensor, 10-30 V DC, Metallkörper/ vert.	27.6" (70cm)	NPN/PNP	Z1098-ND	129.80	120.19	112.18	E3S-CD61
	Diffundierter fotoelektrischer Sensor, 10-30 V DC, Metallkörper/ vert.	6.56' (2m)	NPN/PNP	Z1099-ND	139.78	129.43	120.80	E3S-CD62
	Retroflexiver fotoelektrischer Sensor, 10-30 V DC, Metallkörper/ horiz.	9.84' (3m)	NPN/PNP	Z1100-ND	129.80	120.19	112.18	E3S-CR11
	Retroflexiver fotoelektrischer Sensor, 10-30 V DC, Metallkörper/ vert.	9.84' (3m)	NPN/PNP	Z1101-ND	129.80	120.19	112.18	E3S-CR61
	Fotoelektrischer Sensor, Einwegstrahlung, 10-30 V DC, Metallkörper/ horiz.	98.43' (30m)	NPN/PNP	Z1102-ND	158.21	146.50	136.73	E3S-CT11
	Fotoelektrischer Sensor, Einwegstrahlung, 10-30 V DC, Metallkörper/ vert.	98.43' (30m)	NPN/PNP	Z1103-ND	158.21	146.50	136.73	E3S-CT61
3	Kompakte weite Entfernung, fotoelektrischer Sensor, IR-Einwegstrahlung	49.21' (15m)	NPN	Z1106-ND	82.95	76.81	71.69	E3Z-T61
	Kompakte weite Entfernung, fotoelektrischer Sensor, IR retroflexiv	13.12' (4m)		Z1107-ND	66.05	61.16	57.09	E3Z-R61
	Kompakte weite Entfernung, fotoelektrischer Sensor, IR diffus	3.94" (10cm)	NPN	Z1108-ND	57.98	53.70	50.12	E3Z-D61
	Kompakte weite Entfernung, fotoelektrischer Sensor, IR diffus	3.28' (1m)	NPN	Z1109-ND	61.83	57.25	53.44	E3Z-D62

Kapazitive Proximitätssensoren

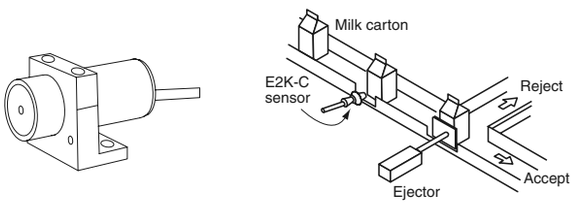

Kapazitive Sensoren funktionieren ähnlich wie induktive Sensoren, nur dass eine Platte anstatt einer Spule im Kopf des Sensors verwendet wird. Diese Platte entwickelt ein kapazitives Feld zwischen Sensor und Erde. Wenn ein Objekt in den Tastabstand des Sensors eintritt, ändert sich das kapazitive Feld. Der Sensor erkennt dies und schaltet den Ausgang ein. Perfekt zur Erkennung von metallischen und nicht-metallischen Objekten, z. B. Glas, Holz, Wasser, Öl und Kunststoffen. Eignet sich auch zur Erkennung von Flüssigkeiten und Feststoffen in Behältern.

Abtastabstand	Beschreibung	typ	Digi-Key Teilenr.	Stückpreis	Omron Teilenr.
3-25mm	Verstärkter Sensor, einstellbar, NO, 10-40 V DC	NPN	Z1071-ND	96.77	E2K-C25ME1
3-25mm	Verstärkter Sensor, einstellbar, NC, 10-40 V DC	NPN	Z1072-ND	96.77	E2K-C25ME2
3-25mm	Verstärkter Sensor, einstellbar, NC, 90-250 V AC	SCR	Z1073-ND	96.77	E2K-C25MY1
3-25mm	Verstärkter Sensor, einstellbar, NC, 90-250 V AC	SCR	Z1074-ND	96.77	E2K-C25MY2
Montagehalterung für E2K-C-Sensoren			Z1659-ND	3.84	Y92E-A34

Optische Glasfaserverstärker

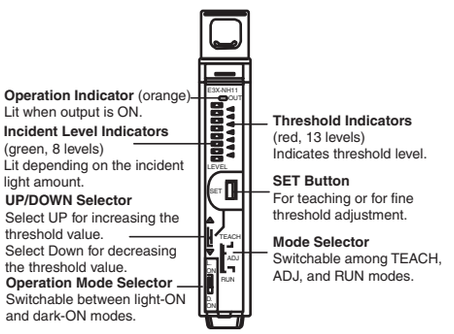

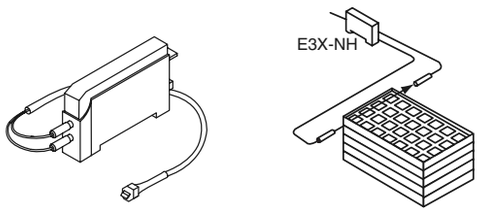

Die Serie E3X-NH von Omron mit ihren leistungsfähigen Faseroptik-Verstärkern enthält einen echten 16-Bit-Prozessor mit sehr feiner Tuning-Empfindlichkeit. Drei separate Lehrmodi für problemlose Einrichtung verschiedener Anwendungen. Ideal zur Erkennung von sehr kleinen Objekten oder dünnen Drähten.

Die Serie E3X zeichnet sich durch hohe Leistungsfähigkeit und schnelle Schaltzeiten aus. Einstellmodus-Blinkausgang hilft bei der Ausrichtung. Abtastabstände variieren je nach Art der verwendeten Faser.

Beschreibung	Ausgabe-typ	Merkmale	Digi-Key Teilenr.	Stückpreis 1	25	50	Omron Teilenr.
Hochpräziser Mehrzweck-Faseroptikverstärker, 12-24 V DC	NPN	Entfällt	Z1110-ND	143.63	132.99	124.12	E3X-NH11
Hochpräziser Mehrzweck-Faseroptikverstärker, 12-24 V DC	PNP	Entfällt	Z1111-ND	143.63	132.99	124.12	E3X-NH41
Hochpräziser MZ-Faseroptikverstärker mit Timer 12-24 V DC	NPN	m/Aus-Verzögerung	Z1112-ND	143.63	132.99	124.12	E3X-NH21
Hochpräziser MZ-Faseroptikverstärker mit Timer 12-24 V DC	PNP	m/Aus-Verzögerung	Z1113-ND	143.63	132.99	124.12	E3X-NH51
Hochleistungsfähiger MZ-Faseroptikverstärker 10-30 V DC	NPN	Entfällt	Z1114-ND	114.43	105.97	98.90	E3X-A11
Hochleistungsfähiger MZ-Faseroptikverstärker 10-30 V DC	PNP	Entfällt	Z1115-ND	114.43	105.97	98.90	E3X-A41
Hochleistungsfähiger MZ-Faseroptikverstärker mit Timer 10-30 V DC	NPN	m/Aus-Verzögerung	Z1116-ND	126.73	117.34	109.52	E3X-A21
Hochleistungsfähiger MZ-Faseroptikverstärker mit Timer 10-30 V DC	PNP	m/Aus-Verzögerung	Z1117-ND	126.73	117.34	109.52	E3X-A51

Faserkabel für E3X-Verstärker

Vorgefertigte Faseroptikkabel eignen sich für stark beengte Montageräume und sorgen für sehr schnelle Zielerkennung.
Verwenden **Durchkontaktkabel** für Fernerkennung, wo Sende- und Empfangskabel getrennt sind.
Verwenden **konzentrische Strahlerkennungstiefe** oder die eigentlichen Ziele, wo die Beseitigung von Hintergrundobjekten erforderlich ist. Periskop-Abtastköpfe (Seitenstrahl) sparen Platz bei rechtwinkligem Abtasten. Die meisten Faserkabel bieten IP67-Schutz und Nenntemperaturen von -40 °C ~ 70 °C.

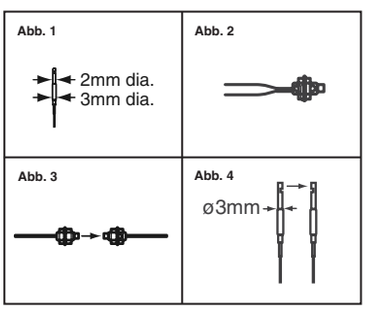

Abb.	Beschreibung	Max. Abstand	Anschlusstyp	Digi-Key Teilenr.	Stückpreis 1	25	50	Omron Teilenr.
1	Faseroptikkabel, diffuser Seitenstrahl, 2 mm Durchm.	.6" (1.5cm)	2-m-Kabel	Z1118-ND	86.02	79.65	74.34	E32-D24
	Faseroptikkabel, diffuser Strahl von oben, konzentrischer Strahl, 2 mm Durchm.	.79" (2cm)	2-m-Kabel	Z1119-ND	58.56	54.23	50.61	E32-D32
2	Faseroptikkabel, diffuser Strahl von oben, preiswert, M6 TH	.79" (2cm)	2-m-Kabel	Z1120-ND	40.32	37.34	34.85	E32-DC200
	Faseroptikkabel, diffuser Strahl von oben, Mini, M3 THD	.71" (1.8cm)	2-m-Kabel	Z1121-ND	48.96	45.34	42.32	E32-DC200E
	Faseroptikkabel, diffuser Strahl von oben, konzentrischer Strahl, M6 THD	3" (7.5cm)	2-m-Kabel	Z1122-ND	44.73	41.43	38.67	E32-CC200
	Faseroptikkabel, Strahl von oben, hohe Temp, M6 THD	1.8" (4.5cm)	2-m-Kabel	Z1187-ND	178.18	164.99	153.99	E32-D61
3	Faseroptikkabel, diffuser Strahl von oben, Einwegstrahl, M3 THD	4.72" (12cm)	2-m-Kabel	Z1123-ND	40.32	37.34	34.85	E32-TC200A
	Faseroptikkabel, Einwegstrahl, geringe Kosten, M4 THD	7.88" (20cm)	2-m-Kabel	Z1188-ND	40.32	37.34	34.85	E32-TC200
4	Faseroptikkabel, Einwegstrahl, Seitenstrahl, 3 mm Durchm.	4.72" (12cm)	2-m-Kabel	Z1124-ND	67.20	62.23	58.08	E32-T14L

J

QUANTUM RESEARCH GROUP Sensoren

QProx™ / QTouch™ Charge-Transfer („QT") - Allgemeine Beschreibung: In sich geschlossene digitale Kapazitanz-Schaltkreise, die Proximität, Berührung und Flüssigkeitspegel erkennen können. Mit entsprechenden Elektroden können sie durch versiegelte Oberflächen aus Glas, Kunststoff, Stein, Keramik und Holz mit Stärken bis zu mehreren Zentimetern tasten. Diese Fähigkeit, plus die Möglichkeit der kontinuierlichen Kalibrierung der Anschlüsse, führt zu neuen Produktkonzepten. Sie sind speziell für Schaltplatten in Haushaltsgeräten, PC-Peripheriegeräten, Maschinen, Sicherheitssystemen, Beleuchtungsreglern oder anderen Geräten mit mechanischen Schaltern oder Tasten konzipiert. Versionen zur Flüssigkeitserkennung sind ebenfalls erhältlich.

Beschreibung	Versorgungsspannung Minimum	Maximum	Versorgungsstrom (typ.)	Operating Betriebstemperatur	Paket	Digi-Key Teilenr.	Stückpreis 1	50	100	Quantum Teilenr.
QT110 QProx 8-Pin-IC	2.45	5.25	20µA	0°C ~ 70°C	8-Dip	427-1000-ND	1.67	1.50	1.36	QT110-D
QT110 QProx 8-Pin-IC				-40°C ~ 85°C	8-SOIC	427-1002-ND	1.67	1.50	1.36	QT110-IS
QT111 QProx 8-Pin-IC	2.45	5.25	60µA	0°C ~ 70°C	8-Dip	427-1003-ND	1.67	1.50	1.36	QT111-D
QT111 QProx 8-Pin-IC				-40°C ~ 85°C	8-SOIC	427-1005-ND	1.67	1.50	1.36	QT111-IS
QT112 QProx 8-Pin-IC	2.45	5.25	60µA	-40°C ~ 85°C	8-SOIC	427-1008-ND	1.67	1.50	1.36	QT112-IS
QT113 QProx 8-Pin-IC	2.45	5.25	700µA	0°C ~ 70°C	8-Dip	427-1009-ND	1.67	1.50	1.36	QT113-D
QT113 QProx 8-Pin-IC				-40°C ~ 85°C	8-SOIC	427-1011-ND	1.67	1.50	1.36	QT113-IS
QT113H QProx 8-Pin-IC				0°C ~ 70°C	8-Dip	427-1012-ND	4.30	3.87	3.50	QT113H-D
QT113H QProx 8-Pin-IC				-40°C ~ 85°C	8-SOIC	427-1014-ND	1.90	1.71	1.54	QT113H-IS
QT114 QLevel™ 8-Pin-IC	2.50	5.25	20µA	0°C ~ 70°C	8-Dip	427-1015-ND	1.67	1.50	1.36	QT114-D
QT114 QLevel 8-Pin-IC				-40°C ~ 85°C	8-SOIC	427-1017-ND	1.67	1.50	1.36	QT114-IS
QT115 QProx 8-Pin-IC	2.45	5.25	700µA	0°C ~ 70°C	8-Dip	427-1018-ND	4.30	3.87	3.50	QT115-D
QT115 QProx 8-Pin-IC				-40°C ~ 85°C	8-SOIC	427-1020-ND	1.90	1.71	1.55	QT115-IS
QT118H QProx 8-Pin-IC	2.45	5.25	20µA	0°C ~ 70°C	8-Dip	427-1021-ND	1.67	1.50	1.36	QT118H-D
QT118H QProx 8-Pin-IC				-40°C ~ 85°C	8-SOIC	427-1022-ND	1.90	1.71	1.54	QT118H-IS
QT140 QProx 4-Tasten-Sensor-IC	3.0	5.5	2.5-8.0mA	0°C ~ 70°C	28-Dip	427-1059-ND	2.45	2.21	1.99	QT140-D
QT140 QProx 4-Tasten-Sensor-IC				-40°C ~ 105°C	28-SSOP	427-1060-ND	2.45	2.21	1.99	QT140-AS
QT150 QProx 5-Tasten-Sensor-IC	3.0	5.5	2.5-8.0mA	0°C ~ 70°C	28-Dip	427-1061-ND	2.77	2.49	2.25	QT150-D
QT150 QProx 5-Tasten-Sensor-IC				-40°C ~ 105°C	28-SSOP	427-1062-ND	2.77	2.49	2.25	QT150-AS
QT160 QProx 6-Tasten-Sensor-IC	3.0	5.5	2.5-8.0mA	0°C ~ 70°C	28-Dip	427-1063-ND	3.26	2.94	2.65	QT160-D
QT160 QProx 6-Tasten-Sensor-IC				-40°C ~ 105°C	28-SSOP	427-1064-ND	4.28	3.87	3.48	QT160-AS
QT161 QProx 6-Tasten-Sensor-IC	3.0	5.5	2.5-8.0mA	0°C ~ 70°	28-Dip	427-1081-ND	3.26	2.97	2.65	QT161-D
QT161 QProx 6-Tasten-Sensor-IC				-40°C ~ 105°C	28-SSOP	427-1080-ND	3.26	2.97	2.65	QT161-AS
QT240 QTouch 4-Tasten-Sensor-IC	3.9	5.0	1.5mA	-40°C ~ 85°C	20-SSOP	427-1074-ND	2.10	1.92	1.71	QT240-ISS
QT300 QProx Sensor-IC	1.8	5.0	1500µA	-40°C ~ 85°C	8-SOIC	427-1058-ND	3.25	2.93	2.64	QT300-IS
QT301 Sensor-IC CAC Analoger Ausgang	3.0	5.0	5000µA	0°C ~ 70°C	8-Dip	427-1072-ND	3.25	2.93	2.64	QT301-D
QT301 Sensor-IC CAC Analoger Ausgang				-40°C ~ 85°C	8-SOIC	427-1073-ND	2.71	2.46	2.18	QT301-IS
QT401 QSlide™ Touch Slider-IC	2.5	5.0	1.5mA max.	-40°C ~ 85°C	14-SOIC	427-1076-ND	3.60	3.28	2.93	QT401-IS
QT510 QWheel™ Touch Slider-IC	2.5	5.0	1.5mA max.	-40°C ~ 85°C	14-SOIC	427-1077-ND	4.50	4.11	3.65	QT510-IS
QT1100 QTouch 10-Tasten-Sensor-IC	3.3	5.0	10mA max.	-40°C ~ 85°C	48-SSOP	427-1075-ND	3.91	3.56	3.17	QT1100A-IS
QT60040 4-Tasten QMatrix™-IC	2.75	5.25	650µA	0°C ~ 70°C	14-Dip	427-1032-ND	2.45	2.21	1.99	QT60040-D
QT60040 4-Tasten QMatrix-IC				-40°C ~ 85°C	14-SOIC	427-1034-ND	2.45	2.21	1.99	QT60040-IS
QT60161B 16-Tasten QMatrix-IC	4.75	5.25	25mA max.	-40°C ~ 105°C	44-TQFP	427-1071-ND	6.11	5.51	4.96	QT60161B-AS
QT60168 QProx 16-Tasten QMatrix-IC	4.75	5.25	25mA max.	-40°C ~ 105°C	32-TQFP	427-1078-ND	5.23	4.71	4.25	QT60168-AS
QT60248 QProx 24-Tasten QMatrix™-IC	4.75	5.25	25mA max.	-40°C ~ 105°C	32-TQFP	427-1079-ND	6.59	5.94	5.35	QT60248-AS

QProx™ Evaluierungskarten und Module

Beschreibung	Digi-Key Teilenr.	Stückpreis	Quantum Teilenr.
QTM300CA Cloning-Adapter für QT300-, QT310- und QT320-ICs, mit Software	427-1038-ND	41.49	QTM300CA
E3B Evaluierungskarte für QT310- und QT320-QProx-ICs	427-1056-ND	16.93	E3B
E11X Demo-Karte für QT110-, QT111-, QT112- und QT113-QTouch™-ICs	427-1067-ND	16.93	E11X
E160 Evaluierungskarte, 6 Tasten	427-1068-ND	63.50	E160
E240 Evaluierungskarte für QT240 4-Tasten QTouch-IC	427-1082-ND	50.80	E240
E401 Evaluierungkit für QT401 mit QSlide™-IC	427-1084-ND	80.43	E401 KIT
E510 Evaluierungkit für QT510 mit QWheel™-IC	427-1085-ND	80.43	E510 KIT
E616 Evaluierungskarte für QT60161 16-Tasten-QMatrix™-IC, mit Software	427-1044-ND	152.39	E616
E1100 Evaluierungskarte für QT1100 10-Tasten QTouch-IC	427-1083-ND	80.43	E1100
E6248 Evaluierungskarte für QT60248 24-Tasten QMatrix-IC	427-1087-ND	156.62	E6248
E6486 Evaluierungskarte für QT60486 48-Tasten QMatrix-IC	427-1088-ND	160.85	E6486

ANALOG DEVICES iMEMS® Beschleunigungsmesser und Gyroskope

Beschreibung	G-Bereich	Achsen	Auflösung	Bandbreite	Spannung	Versorgungs-strom	Paket	Digi-Key Teilenr.	Stückpreis 1	25	100
Beschleunigungsmesser											
Einzelachse, hohe Präzision, NL	±1.5g	X	1mg	10Hz	3V-6V	0.7mA	8-CLCC	ADXL103CE-ND	11.50	9.50	9.00
Einzelachse, rauscharm, NL	±50g	X	10mg	1kHz	4V-5V	1.8mA	14-CERPAK	ADXL150AQC-ND	13.92	13.00	12.07
Einzelachse, hohe Genauigkeit	±5.0g	X	2mg	10KHz	2.7V-5.25V	1.9mA/1.3mA	14-CERPAK	ADXL105AQC-ND	30.40	28.38	26.35
Einzelachse, hohe Genauigkeit	±5.0g	X	2mg	10KHz	2.7V-5.25V	1.9mA/1.3mA	14-CERPAK	ADXL105JQC-ND	24.32	22.70	21.08
Einzelachse, rauscharm, NL	±50g	X	10mg	1KHz	4V-5V	1.8mA	14-CERPAK	ADXL150JQC-ND	13.43	12.09	10.72
Doppelachse, Digitalausgang	±10g	X, Y	2mg	60Hz	3V-5V	1mA	8-LCC	ADXL210JE-ND	11.27	10.52	10.00
Doppelachse, NL, Digitalausgang	±1.2g	X, Y	1mg	60Hz	3V-6V	0.7mA	8-LCC	ADXL213AE-ND	12.87	12.01	11.00
Doppelachse, Digitalausgang	±10g	X, Y	2mg	5KHz	3V-5V	1mA	14-CERPAK	ADXL210JQC-1-ND	15.03	14.02	13.00
Doppelachse, rauscharm, NL	±50g	X, Y	10mg	1KHz	4V-5V	3.5mA	14-CERPAK	ADXL250JQC-ND	17.27	16.12	14.97
Doppelachse, NL mit Digitalausgang	±2g	X, Y	5mg	6kHz	2.7V-5V	0.5mA	8-LCC	ADXL202AE-ND*	12.87	12.01	11.00
							8-LCC	ADXL202JE-ND*	11.27	10.52	10.00
Doppelachse, hohe Präzision, NL	±1.5g	X, Y	1mg	10Hz	3V-6V	0.7mA	8-CLCC	ADXL203CE-ND	17.69	15.03	14.00
Doppelachse, NL, Digitalausgang	±10g	X, Y	10mg	6kHz	2.7V-5V	0.5mA	8-LCC	ADXL210AE-ND*	12.87	12.01	11.00
Doppelachse, hohe Auflösung	±50g	X, Y	10mg	1kHz	4V-5V	3.5mA	14-CERPAK	ADXL250AQC-ND	16.70	15.59	14.00
Doppelachse, preiswert mit Analogausgängen	±2g	X, Y	5mg	6kHz	2.4V-5V	0.4mA	8-CLCC	ADXL311JE-ND	5.64	5.26	4.51
Doppelachse, NL, klein, dünn	±5g	X,Y	2mg	2.5kHz	2.4V-5.25V	0.45mA	LFCSP, 16 Anschlüsse	ADXL320JCP-ND	5.30	4.95	4.50
Gyroskope											
Einzel-Chip Yaw-Raten-Gyro	±150°/s	Z	0.05°/s/=Hz	40Hz	4.75V-5.25V	6.0mA	32-BGA	ADXRS150ABG-ND	34.93	30.95	29.00
Einzel-Chip Yaw-Raten-Gyro	±300°/s	Z	0.1°/s/=Hz	40Hz	4.75V-5.25V	6.0mA	32-BGA	ADXRS300ABG-ND	34.93	30.95	29.00
Einzel-Chip Yaw-Raten-Gyro	±75°/s	Z	0.05°/s/=Hz	40Hz	4.75V-5.25V	6.0mA	32-BGA	ADXRS401ABG-ND	30.95	30.00	29.00

* Nicht für Neukonstruktionen empfohlen.

ADXL190EM-1-ND	Evaluierungskarte für ADXL190, Einzelachse, 400 kHz Bandbreite	**241.28**
ADXL202EB-ND	Evaluierungskarte für ADXL202 Doppelachsen- Beschleunigungsmessgerät, ±2 g	**26.49**
ADXRS150EB-ND	Evaluierungskarte für ADXRS150, Einzel-Chip-Raten-Gyro, ±150°/s	**44.21**
ADXRS300EB-ND	Evaluierungskarte für ADXRS300 Einzel-Chip Yaw-Raten-Gyro, ±300°/s	**44.21**
ADXL210EB-ND	Evaluierungskarte für ADXL210, Doppelachsen- Beschleunigungsmessgerät, ±10 g	**26.49**
ADXL311EB-ND	Evaluierungskarte für ADXL311, Doppelachsen-Beschleunigungsmessgerät, ±2 g	**38.04**
ADXL320EB-ND	Evaluierungskarte für ADXL320, Doppelachsen-Beschleunigungsmessgerät, ±5 g	**26.49**

Alle Preisangaben in Euro und inklusive Zollgebühren.

MEASUREMENT SPECIALTIES

Beschleunigungsmessgerät

ACH-01-03 mit geschirmtem Kabel — Abmessungen in mm

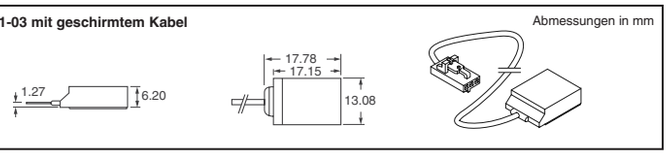

Der ACH-01 Beschleunigungsmesser ist ein robuster, linearer Allzweck-Einzelachsen-Beschleunigungsmesser mit gepuffertem elektronischen Ausgang.

Spezifikationen: • Sensitivität: 10 mV/g **• Untere Frequenzgrenze (-3 dB):** 2 Hz **• Obere Frequenzgrenze (+3 dB):** 20 kHz **• Dynamikbereich:** ±150 g **• Linearität:** 0,1 % **• Resonanzfrequenz:** 35 kHz **• Betriebstemperatur:** -40 °C ~ 85 °C **• Maximales Shock-Level:** 1.000 g

Beschreibung	Digi-Key Teilenr.	Stückpreis 1	10	100	MSI Teilenr.
ACH-01-03 Sensorbeschleunigungsmesser mit 40" langem Einfach-Koaxialkabel und Steckverbinderbuchse	MSP1001-ND	25.40	20.32	14.23	1-1001220-0
ACH-01-04 Sensorbeschleunigungsmesser mit Drähten	MSP1002-ND	25.40	20.32	14.23	1-1001497-0

Beschleunigungsmesser/Schocksensor mit 3 Achsen

ACH-04-08-05 — Abmessungen in mm

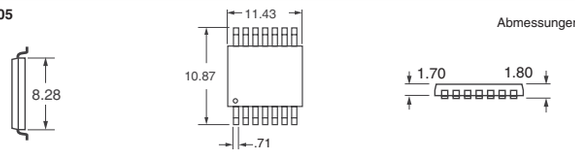

Der ACH-04-08-05 Beschleunigungsmesser/Schocksensor enthält drei piezoelektrische Tastelemente, die zur Messung der Beschleunigung in drei orthogonalen linearen Achsen ausgerichtet sind. "Interne JFETs sorgen für niedrige Impedanz, gepufferten Ausgang mit einer Vielzahl möglicher anwendungsspezifischer Signalkonditionierschaltkreise. Vielfältig verwendbar, z.B für Bewegungsmessung und Steuersysteme, Lautsprecher-Feedback-Systeme, Vibrationsschalter, Lieferungsüberwachung und Material-Handlingsysteme, Sicherheitssysteme, Computer-Eingabe/Ausgabegeräte und Datenprotokolliergeräte."

Spezifikationen:

• Sensitivität: 1,8 mV/g typ. **• Frequenzbeschränkung (± 3 dB):** 0,35-5 kHz **• Dynamikbereich:** ±250 g **• Linearität:** 0,1 % **• Resonanzfrequenz:** 9,2 kHz **• Betriebstemperatur:** -40 °C ~ 85 °C **• Maximales Schockniveau:** 1.000g

Beschreibung	Digi-Key Teilenr.	Stückpreis 1	10	100	MSI Teilenr.
ACH-04-08-05 — Sensor-Beschleunigungsmesser, 3 Achsen, zur Oberflächenmontage	MSP1004-ND	26.46	21.17	14.82	0-1003800-5
ACH-04-08-05 PCB — Sensor-Beschleunigungsmesser, 3 Achsen, mit Leiterplatte	MSP1005-ND	42.33	37.04	29.64	0-1005685-1

LDT-Vibrationsensor

Typischerweies ist eine 0,005" (125 µm) Polyesterschicht auf 28 µm Piezofilmelement laminiert. Bei Verwendung eines „Biege" -Modus entwickeln laminierte Filmelemente einen wesentlich höheren Spannungsausgang beim Biegen als nicht-laminierte Elemente. Der Piezofilm verläuft im Laminat von der neutralen Achse weg und wird beim Biegen stärker gedehnt.

LDTM

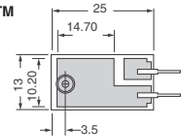

Für Anwendungen mit höherer Empfindlichkeit auch mit einer Masse (M) erhältlich, um einen höheren Ausgang (mV/g) zu bieten.

MiniSense

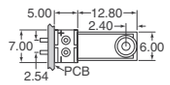

LDT0-028K Hohe Sensitivität

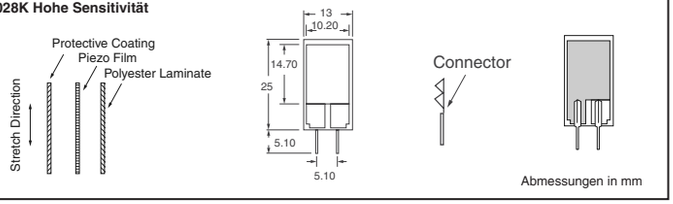

Abmessungen in mm

Beschreibung	Kap (nF)	Digi-Key Teilenr.	Stückpreis 1	10	100	MSI Teilenr.
LDT0-028K mit Lötfahnen	.500	MSP1006-ND	1.02	.77	.43	1002794-0
LDTM-028K mit Masse und Lötfahnen	.420	MSP1007-ND	1.69	1.27	.71	0-1005447-1
MiniSense 100 (horizontal)	—	MSP6914-ND	2.54	1.91	1.06	1005939-1
MiniSense 100 (vertikal)	—	MSP6915-ND	2.54	1.91	1.06	1005940-1

Verstärkerkasten

Zur Verwendung mit ACH-01-03 und ACH-01-04

Eigenschaften: • Verstärkung: 10X **• Stromversorgung:** 9-V-Batterie **• Versorgungsstrom:** 4,0 mA **• Eingangsschnittstelle:** FET für ACH-01 **• Ausgangsimpedanz:** 100 Ω **• Ausgangssteckverbinder:** BNC

Beschreibung	Digi-Key Teilenr.	Stückpreis 1	10	100	MSI Teilenr.
IB-ACH-01 — Verstärkerkasten	MSP1003-ND	78.31	65.62	57.15	0-1003058-0

Einfaches Designkit

Dieses Kit zeigt die Verwendung von MSI-Piezo-Filmsensoren als Mikrophone, Lautsprecher, Schalter und akustische Auffangelemente. Alle Komponenten und Filmproben im Kit können zum Experimentieren verwendet werden. **Das Kit enthält:** Sieben Sensorelemente, ein Piezo-Kabel, eine Leiterplatte für ACH-04-08, Anwendungs-/Anleitungsspezifikationen und technisches Handbuch.

Beschreibung	Digi-Key Teilenr.	Stückpreis	MSI Teilenr.
Einfaches Designkit	MSP1010-ND	96.30	0-1004308-0

VTI TECHNOLOGIES

Beschleunigungsmesser und Neigungsmesser

VTI Technologies ist führend im Bereich der Bewegungs- und Drucksensoren und spielt weltweit eine wichtige Rolle im Design und in der Herstellung von Beschleunigungsmessern. VTI entwickelt und produziert kapazitive Sensoren auf Siliziumbasis, die eine einzigartige 3D-MEMS-Technologie (MicroElectroMechanical System) verwenden und für die Messanwendungen in den Bereichen Beschleunigung, Neigung, Schock, Vibration und Druck geeignet sind.

Abb. 1

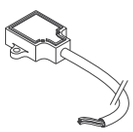

Abb. 2

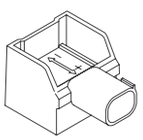

Abb.	Beschreibung	Versorgungs-spannung	Stromver-brauch	Messbe-reich	Empfind-lichkeit	Resonanz-frequenz	Temperatur-bereich	Paket	Digi-Key Teilenr.	Stückpreis 1	10	25	Gegurtet auf Rolle Größe	Preisangaben*	VTI Teilenr.
Neigungsmesser															
—	Einzelausgang, 1 g	4.75-5.25V	2.5mA	±90°	2V/g	8-28Hz	-55°C ~ 125°C	8-DIL SMD	551-1005-1-ND	42.97	40.83	38.79	100	3337.30	SCA61T-FA1H1G
—	Einzelausgang 0,5 g	4.75-5.25V	2.5mA	±30°	4V/g	8-28Hz	-55°C ~ 125°C	8-DIL SMD	551-1004-1-ND	42.97	40.83	38.79	100	3337.30	SCA61T-FAHH1G
—	Zweif. Ausgang, 0,5 g	4.75-5.25V	4mA	±30°	4V/g	8-28Hz	-55°C ~ 125°C	12-DIL SMD	551-1002-1-ND	55.77	52.99	50.34	100	4388.77	SCA100T-D01
—	Zweif. Ausgang, 1 g	4.75-5.25V	4mA	±90°	2V/g	8-28Hz	-55°C ~ 125°C	12-DIL SMD	551-1003-1-ND	55.77	52.99	50.34	100	4388.77	SCA100T-D02
—	Einzelausgang, 0,26 g	4.75-5.25V	3.8mA	±15°	16V/g	8-28Hz	-55°C ~ 125°C	12-DIL SMD	551-1000-1-ND	55.77	52.99	50.34	100	4388.77	SCA103T-D04
—	Einzelausgang 0,5 g	4.75-5.25V	3.8mA	±30°	8V/g	8-28Hz	-55°C ~ 125°C	12-DIL SMD	551-1001-1-ND	55.77	52.99	50.34	100	4388.77	SCA103T-D05
Beschleunigungsmessgerät															
—	Zweif. Ausgang	4.75-5.25V	5mA	±1.7g	1.2V/g	50±30Hz	-55°C ~ 125°C	12-DIL SMD	551-1007-1-ND	40.23	38.22	36.31	100	3017.28	SCA1000-D01
—	Zweif. Ausgang	4.75-5.25V	5mA	±1.7g	1.2V/g	50±30Hz	-55°C ~ 125°C	12-DIL SMD	551-1008-1-ND	48.46	46.04	43.74	100	3748.74	SCA1020-D02
—	Einzelausgang	4.75-5.25V	2mA	±0.5g	4V/g	18±10Hz	-55°C ~ 125°C	8-DIL SMD	551-1009-1-ND	38.40	36.49	34.66	600	12617.73	SCA610-CAHH1G
—	Einzelausgang	4.75-5.25V	2mA	±1g	2V/g	18±10Hz	-55°C ~ 125°C	8-DIL SMD	551-1010-1-ND	38.40	36.49	34.66	600	12617.73	SCA610-CA1H1G
—	Einzelausgang	4.75-5.25V	2mA	±1.5g	1.333V/g	50±30Hz	-55°C ~ 125°C	8-DIL SMD	551-1011-1-ND	32.00	28.81	27.37	600	9874.74	SCA610-C23H1A
—	Einzelausgang	4.75-5.25V	2mA	±1.7g	1.2V/g	50±30Hz	-55°C ~ 125°C	8-DIL SMD	551-1012-1-ND	32.00	28.81	27.37	600	9874.74	SCA610-C28H1A
—	Einzelausgang	4.75-5.25V	2mA	±1.7g	1.2V/g	50±30Hz	-55°C ~ 125°C	8-DIL SMD	551-1013-1-ND	36.57	34.75	33.01	600	12343.43	SCA620-CF8H1A
Unabhängiger Neigungs- und Beschleunigungsmesser															
1	Einzelachse	7-20V	5mA	±30°	70mV/°	18Hz	—	Modul	551-1019-ND	91.43	77.72	66.75	—	—	SCA111T-D02
	Doppelachse	7-20V	5mA	±90°	35mV/°	18Hz	—	Modul	551-1017-ND	112.01	91.44	77.72	—	—	SCA121T-D03
	Doppelachse	7-20V	5mA	±30°	70mV/°	18Hz	—	Modul	551-1018-ND	112.01	91.44	77.72	—	—	SCA121T-D07
	Einzelachse	7-35V	20mA	±30°	0.035°/LSB	10-28HZ	—	Modul	551-1016-ND	154.29	131.44	114.30	—	—	SCA115T-D03
	Doppelachse	7-35V	20mA	±90°	0.07°/LSB	10-28Hz	—	Modul	551-1014-ND	182.87	155.44	137.15	—	—	SCA125T-D06
	Doppelachse	7-35V	20mA	±30°	0.035°/LSB	10-28Hz	—	Modul	551-1015-ND	182.87	155.44	137.15	—	—	SCA125T-D08
2	Unabhängiger Betrieb, eine Achse	4.5-5.5V	2mA	±2g	1V/g	45Hz	—	Modul	551-1024-ND	54.86	44.81	37.49	—	—	SCA220-C24H1G
—	Doppelachsen-Unterbaugruppe	7-28V	4.5mA	±10°	200mV/°	1-3Hz	—	Leiterplatte	551-1020-ND	80.00	66.29	57.15	—	—	SCL1700-D01
—	4-Kanal-Sensor, Demokit	—	—	±1g	2 V/g auf Leiterplatte	Bis zu 300 Hz	—	Demokit	551-1006-ND	411.45	—	—	—	—	DEMO KIT

* Für Gegurtet auf Rolle die Teilenr. von 1-ND in 2-ND ändern.

J

Digitale GMR-Magnetsensoren

Standardachse

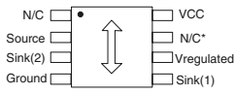

Querachse

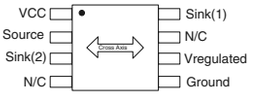

Der GMR-Schalter erkennt Magnetfelder genau und zuverlässig, mit einer niedrigeren Fehlerrate als alle anderen magnetischen Sensoren auf dem heutigen Markt.

Außerdem kommt es selbst unter extremen Spannungs- und Temperaturbedingungen nur zu minimaler Verschiebung des Magnetfeld-Betriebspunkts des GMR-Schalters. Dadurch ist es den Herstellern möglich, eine hochpräzise, hochtolerante magnetische Abtastbaugruppe zu bauen.

Merkmale:

Absolute max. Nennwerte:

Parameter: • Versorgungsspannung: 33 V • Rückflussbatteriespannung: -33 V • Dauerausgangsstrom: 24 mA • Betriebstemperaturbereich: -40 °C ~ 125 °C • Magnetfeld: Unbegrenzte Oersteds

Elektrische Spezifikationen:

Parameter: • Versorgungsspannung: 4,5 - 30 V • Versorgungsstrom, GMR-Schalter mit Einzelausgang: 2,5-4,5 mA • Niedrige Ausgangsstromstärke: 0-20 mA • Quellenausgangsstromstärke: 0-20 mA • Ausgangsleckstrom: 10 mA • Niedrige Ausgangssättigungsspannung: 0,4 V • Sättigungsspannung, Quellenausgang: -2,5 V • Gesteuerte Ausgangsspannung: 3,5-6,0 V

Empfindlichkeit	Empfindlichkeitsrichtung	Ausgabetyp	Paket	Digi-Key Teilenr.	Stückpreis 1	10	25	100	NVE Teilenr.
20 Gauss	Standard	Senke	8-TSSOP	391-1005-ND	2.31	1.74	1.55	1.01	AD004-00
40 Gauss	Standard	Senke	8-TSSOP	391-1006-ND	2.31	1.74	1.55	1.01	AD005-00
80 Gauss	Standard	Senke	8-TSSOP	391-1007-ND	2.31	1.74	1.55	1.01	AD006-00
28 Gauss	Standard	Senke	8-TSSOP	391-1008-ND	2.31	1.74	1.55	1.01	AD020-00
20 Gauss	Querachse	Senke	8-TSSOP	391-1009-ND	2.31	1.74	1.55	1.01	AD021-00
40 Gauss	Querachse	Senke	8-TSSOP	391-1010-ND	2.31	1.74	1.55	1.01	AD022-00
80 Gauss	Querachse	Senke	8-TSSOP	391-1011-ND	2.31	1.74	1.55	1.01	AD023-00
28 Gauss	Querachse	Senke	8-TSSOP	391-1012-ND	2.31	1.74	1.55	1.01	AD024-00
20 Gauss	Querachse	Stromquelle u. Senke	8-TSSOP	391-1013-ND	2.57	1.93	1.71	1.12	AD221-00
28 Gauss	Querachse	2 Senken	8-TSSOP	391-1014-ND	2.57	1.93	1.71	1.12	AD324-00
20 Gauss	Querachse	Stromquelle u. Senke + Ext. Spannungs- Reg.	8-TSSOP	391-1015-ND	2.79	2.10	1.87	1.22	AD621-00
28 Gauss	Querachse	2 Senken + Ext. Spannungs- Reg.	8-TSSOP	391-1016-ND	2.79	2.10	1.87	1.22	AD724-00
10 Gauss	Querachse	Senke	8-TSSOP	391-1018-ND	2.31	1.74	1.55	1.01	ADH025-00

Spannungsregler

Die DB-Serie der Signalverarbeitungsschaltkreise verwendet einen digitalen Eingang von einem Sensorelement und liefert einen geschalteten Hochstromausgang, der dem Sensoreingang entspricht. **Temp. Bereich:** -40 °C ~ 175 °C

Die Spannungsreglerschaltkreise der DC-Serie sind zur Verwendung in rauen und lauten Umgebungen vorgesehen, wo Immunität gegenüber hohen Übergangsspannungen und die Akzeptanz hoher Eingangsspannungen erforderlich sind. **Temp. Bereich:** -40 °C ~ 175 °C

Paket	Eingangssp. Min.	Max.	Ausgangs-spannung	Ausgangs-strom (V)	Digi-Key Teilenr.	Stückpreis 1	10	25	Preis. f. G. a. R.*	NVE Teilenr.
Serie DB - Netzschalter-ICs										
8-SOIC	6.2	30	5.0	300mA	391-1023-5-ND	2.16	1.62	1.44	—	DB002-02
Serie DC - Spannungsregler										
6-TDFN	4.5	48	3.3	20mA	391-1024-1-ND	1.34	1.15	.96	1904.85/2,500	DC001-10
	6.2	48	5.0		391-1025-1-ND	1.34	1.15	.96	1904.85/2,500	DC002-10

* Für Gegurtet auf Rolle die Teilenummer von -1 in -2 ändern

GMR-Stromsensor-Evaluierungsbaugruppe

Diese Baugruppe wurde zur Vereinfachung von Laborexperimenten und zur Entwicklung mit GMR-Stromsensoren entwickelt. Das Kit besteht aus (4) vier NVE-Stromsensoren (TN AC004-01), die auf einer Leiterplatte gruppiert sind (TN AG002-01). Die Leiterplatte hat (4) vier Spurengeometrien, um verschiedene Leiterplatten-Strombereiche zu simulieren.

Beschreibung	Digi-Key Teilenr.	Stückpreis	NVE Teilenr.
Stromsensor-Evaluierungsbaugruppe	391-1004-ND	41.60	AG003-01

GMR-Analogmagnetfeldsensoren

Die „Giant Magnetoresistive Field Sensors" von NVE bieten einzigartige und unvergleichliche magnetische Tastfunktionen. Die hohe Empfindlichkeit und die Fähigkeit, statische Magnetfelder zu ertasten, führen zu erstklassiger Leistung, die diese Sensoren von vielen anderen heutzutage auf dem Markt erhältlichen Produkten unterscheidet. Die Sensoren von NVE bieten hohe Empfindlichkeit, Temperaturstabilität, niedrigen Stromverbrauch und ein kleines Format.

Merkmale: • Eingangsspannungsbereich: Max: ±25 V • Betriebsfrequenz: Min.: DC, max.: ±1 MHz • Temperaturbereich: Min.: -50 °C, max.: 125 °C • Max. Max. Ausgang: Nennwert: 45 mV/V • Magnetische Merkmale: 5 kΩ ±20 % Brücke; Niedrigleistung: 30 kΩ ±20 % Brücke • Paket: 8-SOIC

Sättigungsfeld (Oe)	Spezifizierter Linearbereich Oe Min.	Max.	Empfindlichkeit (mV/V/Oe) Min.	Max.	Digi-Key Teilenr.	Stückpreis 1	10	25	100	NVE Teilenr.
15	0	10.5	3	4.2	391-1000-ND	12.34	9.26	8.23	5.35	AA002-02
20	0	14	2	3.2	391-1019-5-ND	7.06	5.30	4.71	3.06	AA003-02
50	0	35	0.9	1.3	391-1001-ND	6.86	5.15	4.58	2.98	AA004-02
100	0	70	0.45	0.65	391-1002-ND	6.86	5.15	4.58	2.98	AA005-02
50	0	35	0.9	1.3	391-1020-5-ND	11.61	8.71	7.74	5.03	AA006-02

GMR-Evaluierungskits

AG001-01: Erleichtert technischen Benutzern von GMR-Sensoren das Experimentieren und die Entwicklung im Labor. Das Kit besteht aus einem Sortiment von NVE-Sensoren, Leiterplatten und Dauermagneten, die ausreichen, um die Sensorfunktionalität im Labor zu demonstrieren.

AG911-07: Das Kit schließt mehrere GMR-Schalterteile mit verschiedenen magnetischen Betriebspunkten und Ausgangsoptionen, wie z. B. Stromsenke und Stromquelle, ein. Magnete, Leiterplatten, der NVE-Katalog und Anwendungshinweise auf DC-ROM.

AG920-07: Das Kit umfasst die analoge und digitale Version des GT-Sensorsortiments, DD001-12 IC, Magnete, den NVE-Katalog und Anwendungshinweise auf CD-ROM ein.

Beschreibung	Digi-Key Teilenr.	Stückpreis	NVE Teilenr.
Engineering-Evaluierungskit	391-1003-ND	58.05	AG001-01
GMR-Schalterevaluierungskit	391-1021-ND	55.03	AG911-07
GT-Sensor-Evaluierungskit	391-1022-ND	55.03	AG920-07

GMR-Brückensensoren

Die Arrays AAV001-11 und AAV002-11 beinhalten vier um 90 Grad rotierte GMR-Widerstände im Paket.
Spezifikationen: • Versorgungsspannung: Max. 12 V • Temperaturbereich: -40 °C ~ 150 °C • Paket: 6-PLLP

Digi-Key Teilenr.	Stückpreis 1	10	25	Digi-Key Teilenr.	Gegurtet auf Rolle Größe	Preisangaben	NVE Teilenr.
2 Halbbrücken							
391-1026-1-ND	3.02	2.60	2.16	391-1026-2-ND	2,500	1295.30/M	AAV001-11
Vollbrücke							
391-1027-1-ND	3.02	2.60	2.16	391-1027-2-ND	2,500	1130.22/M	AAV002-11

Elektromechanische Steuerungen

Serie 1 - Elektromechanische Steuerungen: 2-polige Ausgangskontakte mit 16 A Nennleistung. Die vielseitig verwendbaren Steuerungen können für Einzel-Level-Service, Differenzialsteuerung, Abschaltung bei niedrigem Wasserstand (mit manueller Rückstellung oder Sperrfunktion) und viele andere Funktionen konfiguriert werden. **Spezifikationen:** • Kontaktleistung (110 V AC) - 16 A, resistiv, 1 PS • Temperatur: -30 °F ~ 130 °F **Serie 3E - Leitfähige Schalter:** Die Befestigung an den Gefäßen erfolgt mithilfe von externen Rohrgewinden. Die Armaturen setzen die Verwendung von 3R-Elektroden, die an steifem Draht suspendiert sind, voraus. **Spezifikationen:** • Druck/Temp.: 125 psig @ 353 °F (Gußeisen); 250 psig @ 406 °F (Messing) **Serie 3B - Zweiteilige Schraubkopplung:** Diese Armaturen umfassen eine 1/4-20-Schraubbuchse, die zur Vervollständigung der Baugruppe mit einer Elektrode der Serie 3R, suspendiert an einem steifen Draht, kombiniert werden muss. **Spezifikationen:** • Zweiteilige Schraubkopplung • Teflon® Isolierhülse • Druck/Temperatur: 400 psig @ 406 °F • Körpermaterial: 316 Edelstahl **Serie 3R - Mehrzweck 1/4" (0,64 cm) Gewindestange:** Metallstangen mit Schraubenden, die in eine senkrecht in die Flüssigkeit reichende Armatur geschraubt werden können

Serie 1 - Elektromechanische Steuerungen

Abb.	Primärspannung	Sekundärspannung/ Empfindlichkeit	Kontaktkonfiguration	Digi-Key Teilenr.	Stückpreis 1	10	100	Gems Teilenr.
1	115VAC	300VAC / 7K Ω	2 (N.O.), 0 (N.C.)	376-1060-ND	94.78	69.37	65.94	1C1DO
	115VAC	300VAC / 7K Ω	1 (N.O.), 1 (N.C.)	376-1061-ND	94.78	69.37	65.94	1D1DO
	115VAC	500VAC / 20K Ω	1 (N.O.), 1 (N.C.)	376-1062-ND	94.78	69.37	65.94	1D1EO

Serie 3E - Leitfähige Schalter

Abb.	Behälter/Nabengewinde	Anschlussgehäuse, Größe BxTxH - Zoll (mm)	Anz. der Sonden	Körpermaterial	Digi-Key Teilenr.	Stückpreis 1	10	100	Gems Teilenr.
2	2" NPT/ 1/2" NPT	3-1/4 x 3-1/4 x 2-3/8" (82.55 x 82.55 x 60.33)	2	Rotes Messing	376-1070-ND	93.08	70.65	66.50	3E2B
	2-1/2" NPT/ 1/2" NPT		4	Rotes Messing	376-1072-ND	132.03	112.21	105.61	3E4B
	2" NPT/ 1/2" NPT		2	Gußeisen	376-1074-ND	76.15	60.77	53.44	3E2A
	2" NPT/ 1/2" NPT		3	Gußeisen	376-1075-ND	95.62	77.18	72.64	3E3A

Serie 3B - Zweiteilige Schraubkopplung

Abb.	Gewinde/ Sonden erforderlich	Digi-Key Teilenr.	Stückpreis 1	10	100	Gems Teilenr.
3	3/8"-18NPT / Serie 3R	376-1067-ND	21.97	17.56	15.44	3B1B

Serie 3R - Mehrzweck-Gewindestange

Abb.	Länge (Fuß)	Sondenmaterial	Digi-Key Teilenr.	Stückpreis 1	10	100	Gems Teilenr.
4	1	316 Edelstahl	376-1077-ND	6.73	6.19	4.75	3R1CO

Abb. 1

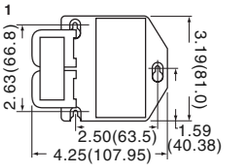

Abb. 2

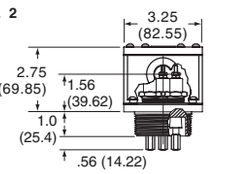

Abb. 3

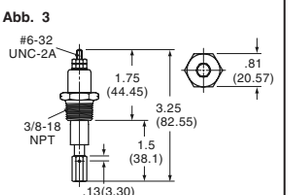

Abb. 4

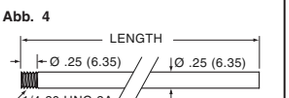

Bare Electrode

Alle Preisangaben in Euro und inklusive Zollgebühren.

Sensoren – Flussschalter

"Spezifikationen: SPST, Arbeitskontakt 20 VA 120-240 V AC oder V DC SPDT; Arbeitskontakt/Ruhekontakt 20 VA 120-240 V AC oder V DC

Abb. 1

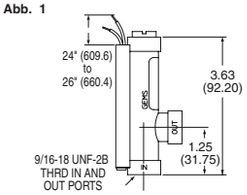

Abb. 2

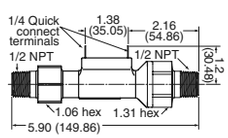

Abb. 3

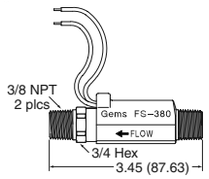

Abb. 4

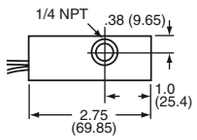

Abb. 5

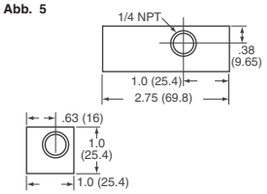

Abb. 6

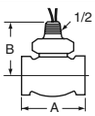

Port-Größe	Abmessungen - Zoll (mm)	
NPT	A	B
1"	3-1/4 (82.6)	3 (76.2)
1-1/2"	4-1/4 (114.3)	3-1/2 (88.9)
2"	5-3/8 (136.5)	4 (101.6)

Abb. 7

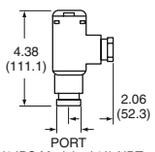

3/4 IPS Model w/ 1/2 NPT port adapter installed

Abb. 8

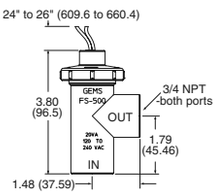

Abb. 9

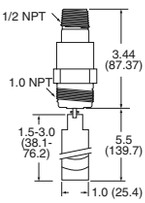

Abb. 10

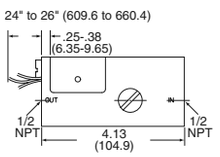

Abb.	Serie	Gehäuse	Kolben	Feder	Schalteinstellpunkt - GPM	Schalter	Betriebstemperatur	Port	Digi-Key Teilenr.	Stückpreis 1	10	100	Gems Teilenr.
1	FS-4 Kolbentyp, Form-Kunststoffkonstruktion	Ryton® R4	316 Edelstahl	316 Edelstahl	0.1 0.5	SPST	0°F ~ 225° F (17°C ~ 107°C)	9/16"-18 UNF	376-1107-ND 376-1109-ND	50.75 50.75	44.53 44.53	41.91 41.91	122340 122342
2	FS-150 Kolbentyp, gerader Durchflussweg mit Niedrigdruckabfall	Polypropylen	Ryton® R4 316 SS	316 Edelstahl	1.00 2.00	SPST	0°F ~ 212° F (-17.8°~ 100°C)	1/2" NPT	376-1113-ND	54.99	44.53	41.91	129662
3	FS-380 Kolbentyp, Kompaktflussschalter für hohe Inline-Drücke	Messing	PPS-Verbundmaterial	316 Edelstahl	0.50 1.00	SPST	-20°F ~ 275° F (-28.8°C ~ 135°C)	3/8" NPT	376-1115-ND 376-1116-ND	67.69 67.69	54.02 54.02	47.50 47.50	168433 168434
4	FS-925 Kolbentyp, Mehrzweck	Messing	Polysulfone for Water Messing für Öl oder Luft	316 Edelstahl	0.10 ±10% 0.25 ±10% 0.50 ±10% 1.00 ±10%	SPDT	-20°F ~ 300° F (-29°C ~ 148.9°C)	1/4 " NPT	376-1118-ND 376-1119-ND 376-1120-ND 376-1121-ND	118.48 118.48 118.48 118.48	89.06 89.06 89.06 89.06	83.82 83.82 83.82 83.82	26914 26915 26916 26918
		316 (SS)	316 SS		0.10 ±10%				376-1122-ND	245.47	187.01	176.01	26926
5	FS-927 Kolbentyp, kompakte Messingschalter	Messing	Messing	Edelstahl	0.50 1.00	SPST	-20°F ~ 200° F (-29°C ~ 93.3°C)	1/4 " NPT	376-1126-ND 376-1127-ND	63.45 63.45	50.65 50.65	44.71 44.71	70822 70824
6	FS-200 Shuttletyp, Mehrzweck, gerader Durchflussweg	Bronze	Keramik	316 Stainless	1 5,0 ~15,0 einstellbar	SPDT	-20°F ~ 200° F (-29°C ~ 93.3°C)	1" NPT	376-1135-ND 376-1143-ND	118.48 131.18	89.06 97.96	83.82 92.20	27052 26616
7	FS-400P Shuttletyp für Kunststoffrohre	PVC	Epoxid	—	0.5 ±20% 0.5 ±20% 2.0 ±20%	SPST	Max. 120 °F (48.9°C)	1/2" NPT 3/4" IPS 1" IPS	376-1148-ND† 376-1149-ND 376-1150-ND	50.75 42.29 42.29	40.51 38.59 38.59	36.32 36.32 36.32	135805 135810 135815
8	FS-500 Paddeltyp für Gewindekunststoffrohre	Polypropylen	Polypropylen (Oberteil - keine Feder)	316 SS	1.00	SPST	Max. 0 °F ~ 212 °F (100°C)	—	376-1151-ND	42.29	33.77	30.74	170233
9	FS-550 Paddeltyp, Hochdruck	Messing	Keramik u. Teflon®	316 Edelstahl	Lang Kurz	SPDT	-30°F ~ 300° F (-34.4°C ~ 148.9°C)	1/2" NPT/1" NPT	376-1152-ND 376-1154-ND	126.95 126.95	94.99 94.99	89.41 89.41	29609 30641

† 3/4" IPS-Modell mit 1/2" NPT Port-Adapter installiert.

Abb.	Serie	Gehäuse	Kolben	Feder	Schalterein-stellpunkt GPM	Schalter	Port	Schnittstelle	Digi-Key Betriebstemperatur	Teilenr.	Stückpreis 1	10	100	Gems Teilenr.
10	FS-10798 Kolbenversion, extern einstellbar auf Wasser, Öle und Gase	Messing	Polysulfon (Wasser) Messing für Öle Messing	316 Edelstahl	0.5 ~ 20.0 Adj.	SPDT	1/2" NPT	Anschlussleitungen 1/2" Leitungsanschluss Anschlussleitungen	-20°F ~ 225°F (-29°C ~ 107.2°C) -20°F ~ 300°F (-29°C ~ 148.9°C) -20°F ~ 300°F (-29°C ~ 148.9°C)	376-1130-ND 376-1132-ND 376-1133-ND	241.24 262.40 241.24	178.11 189.98 178.11	167.63 178.81 167.63	25357 49073 25359

Durchflusssensoren

Merkmale: Betriebstemp.: Messing: -20 °F bis 212 °F (-29 °C bis 100 °C), Polypropylenkörper: -20 °F bis 180 °F (-29 °C bis 82 °C)

Serie RFS - Flusseinstellpunkt-Umschaltung Kombiniert visuelle Bestätigung des Flusses mit dynamischem elektronischen Schaltbetrieb. Einfache, einstellbare Schaltpunktkalibrierung: Eine lokale LED signalisiert das Erreichen des Sollwertes.

RFO-Version - Flussratenüberwachung: Das Ausgangssignal für RFO-Typen ist ein Ein-/Aus-Impuls der DC-Spannung, der dem Element zugeführt wird. Es ist mit allen Digitallogik-Gruppen kompatibel. Die Frequenz des Ausgangsimpulses verhält sich proportional zur Flussrate und liegt bei ungefähr 25 Hz bei niedrigem Fluss und 225 Hz bei hohem Fluss.

RFI-Typ - Sichtanzeigen: Ein hellorangener Rotor, der sich mit der Flüssigkeitsströmung dreht. Einfach, direkt und zuverlässig. Die Flussrate wird durch Betrachten der Drehgeschwindigkeit des Rotors geschätzt oder einfach bestätigt. Jeder Port kann für den Eingangsfluss verwendet werden. Die bajonettmontierte Linse lässt sich zur schnellen Reinigung leicht entfernen.

Serie	Eingangs-spannung	Flussbereich GPM	Körpermaterial	NPT-Port	Digi-Key Teilenr.	Stückpreis 1	10	100	Gems Teilenr.
RFS-Typ: SPDT	24VDC	0.5 ~ 5.0	Messing	1/4"	376-1083-ND	160.81	118.74	111.76	156265
	24VDC	4.0 ~ 20.0		1/2"	376-1085-ND	160.81	118.74	111.76	156268
	110VAC	4.0 ~ 20.0		1/2"	376-1086-ND	177.74	130.61	122.93	156269
	110VAC	5.0 ~ 30.0		3/4"	376-1088-ND	181.98	130.61	122.93	180396
RFO-Typ	4.5-24VDC	4.0 ~ 20.0	Messing	1/2"	376-1094-ND	110.02	86.09	81.02	156262
		5.0 ~ 30.0		3/4"	376-1095-ND	118.48	86.70	81.02	194761
		8.0 ~ 60.0		1"	376-1096-ND	118.48	86.70	81.02	194762
RFI-Typ	Visuelle Anzeige	0.5 ~ 5.0	Polypropylen	1/4"	376-1097-ND	32.13	25.66	22.57	155420
		4.0 ~ 20.0	Polypropylen	1/2"	376-1098-ND	32.13	25.66	22.57	155480
		5.0 ~ 30.0	Messing	3/4"	376-1101-ND	76.15	62.34	58.67	180392

FABRI-LEVEL™ Kits

Die FABRI-LEVEL-Schalterkits enthalten alle Komponenten für den kompletten Zusammenbau eines 1- oder 2-Stationen-Schwimmerschalters zur Rohrsteckermontage im Tank. Arbeitskonktakt- oder Ruhekontakt- Betrieb des SPST-Schalters kann durch Umkehren des/der Schwimmer(s) am Schaft der Einheit gewählt werden.

Jedes Kit enthält: • 1 Rohrverbinder • 1 Montagestopfen • 2 Verlängerungsrohre • 1 Rohrende-Armatur • 3 Rohr-Verbindungsstücke • 2 Pegelstationen (Schalter, Rohr, Schwimmer)

Armaturen	Schwimmer	Montageanschluss	Digi-Key Teilenr.	Stückpreis 1	10	100	Gems Teilenr.
Messing	Buna N	2"	376-1044-ND	242.09	169.80	159.81	24576

Elektro-optische Sensoren

Kompakte elektro-optische Flüssigkeitsstand-Schalter und Steuerungen **Merkmale:** • Sehr klein • Eingebaute Festkörperelektronik • Keine beweglichen Teile • Einfache Installation der Einzeleinheit Spezifikationen: Max. Betriebsdruck: 0 bis 150 PSI **(Nicht empfohlen zur Verwendung in Flüssigkeiten, die kristallisieren oder feste Rückstände hinterlassen.)**
ELS-1100: Ausgang: TTL/CMOS-kompatibel, offener Kollektor **ELS-1100HT:** Ausgang: TTL/CMOS-kompatibel, Transistorausgang mit 10-K Pull-up-Widerstand

Serie	Eingangssp. (V DC)	Sondenkond. @ Strom- Senke	Material-Gehäuse/Prisma	Betriebstemperatur	Digi-Key Teilenr.	Stückpreis 1	10	100	Gems Teilenr.
ELS-1100	10-28	Trocken	Polysulfon	0°F ~ 176°F	376-1000-ND	62.61	49.97	44.71	143570
	5	Nass		17.8°C ~ 80°C	376-1001-ND	54.99	47.50	44.71	138167
ELS-1100HT	12	Trocken	Isoplast®	40°C ~ 100°C	376-1005-ND	61.76	49.29	43.35	153064

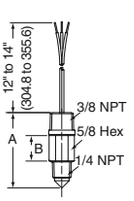

Serie	Abmessungen - Zoll (mm) A	B (Hex.)
ELS-1100	2-5/32 (54.7)	5/8 (15.9)
ELS-1100HT	2 (50.8)	3/4 (19.0)

J

Alle Preisangaben in Euro und inklusive Zollgebühren.

Eigensicheres Steuerrelais

Serie 27:
• Kann entflammbare Materialien nicht entzünden • Festkörperzuverlässigkeit • Interner Überspannungsschutz • Kann für Einzelpegel- oder Diff- erenialbetrieb verwendet werden

Serie 67:
• Umgekehrte oder direkte Handlung, im Feld auswählbar • Festkörperzuverlässigkeit • Kompakte Größe • 4 unabhängige Kanäle - 2 einzeln, 2 differenzial • Im Feld anpassbar • LED-Kanalanzeigen • Integrierter Ruhe-/Bestätigungsschaltkreis • U.L. „eigensicher"

Abb. 1

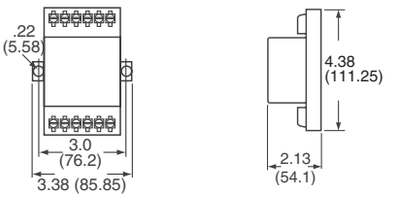

Abb. 2

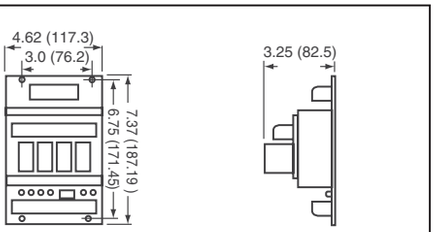

Abb.	Serie (SPDT)	Primärspannung	Sekundärspannung	Empfindlichkeit	Betriebs-modus	Kontaktleistung	Digi-Key Teilenr.	Stückpreis 1	10	100	Gems Teilenr.
1	27	120VAC 60Hz	11VAC 2.3mA	3K Ohm	Direkt	8 A resistiv	376-1053-ND	170.12	121.71	114.55	27A1D0
2	67	120VAC 60Hz	12VAC 6mA RMS	10K Ohm	—	10Amp DC, 5Amp AC	376-1056-ND	414.79	290.91	273.80	67B1C0A

SAFE-PAK® Relais

Verstärkte Lastbewältigungsfähigkeiten des Sensors

Keine teuren explosionssicheren Gehäuse und entsprechenden Montageanforderungen erforderlich. Kein Entlüften notwendig.

SAFE-PAK Weniger als 100 mA bei 9 V DC aktiviert die Einheit zur Steuerung von Lasten bis zu 5 A bei 120 V AC. Beständige (bis zu 100.000 W) oder kurzschließende Sensoren betreiben die Einheit.

SAFE-PAK mit Verriegelung: Momentanbetätigung, Start-Stopp- oder Differenzialsteuerungsschaltung für Lasten bis 0,3 A Findet auf allen Differenzialsteuerungsschaltern für Pegel, Fluss, Druck oder Temperatur Verwendung

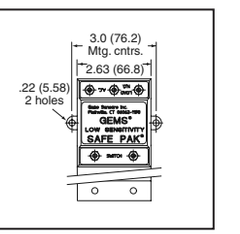

Relaistyp	Lastpannung	Laststrom	Betriebsspannung	Schalter	Betriebstemperatur	Digi-Key Teilenr.	Stückpreis 1	10	100	Gems Teilenr.
SAFE-PAK	100 ~ 135VAC 200 ~ 250VAC	5A	100 ~ 135VAC 200 ~ 250VAC	SPST	0°F ~ 120°F (-17.8°C ~ 48.9°C)	376-1158-ND 376-1159-ND	143.88 143.88	105.28 105.28	96.58 96.58	25872 25873
LATCHING SAFE-PAK	105 ~ 125VAC	0.3A	105 ~ 125VAC	SPST	32°F ~ 120°F (0°C ~ 48.9°C)	376-1163-ND	184.52	129.43	121.81	41705

Industrielle Mehrzweck-Drucktransducer - Serie 2200

Merkmale:
• Eintauchbare Allzweck- und Abspritzgehäuse • Hohe Stabilität durch CVD-Sensorelement

Spezifikationen:
• 4-20 mA Ausgang • 1/4" NPT Druckanschluss
• Betriebstemperatur: -22 °F ~ 260 °F (-40 °C ~ 125 °C)

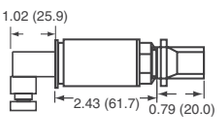

Druck	Digi-Key Teilenr.	Stückpreis 1	10	100	Gems Teilenr.
0~100PSIG	376-1156-ND	207.37	145.46	136.90	2200BGG1002A3UA

Einkanal-Zener-Sperrschichtschalter - Serie 65800

Machen Schalter oder Signalkonditionierer eigensicher
Merkmale: • Eigensicherheit mit Festkörperzuverlässigkeit • Kompaktes Format vereinfacht die Installation • Bei Verwendung mehrerer Schalter wird Platz gespart • Kapselkonstruktion verhindert Eindringen von Staub und Feuchtigkeit
Spezifikationen: • Max. Spannung: 30 V DC • Max. Stromstärke: 250 mA • Widerstand: 303 Ω • Kanäle - 1

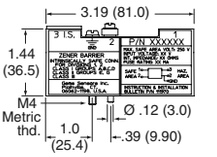

Betriebstemperatur	Digi-Key Teilenr.	Stückpreis 1	10	100	Gems Teilenr.
-40°F ~ 140°F (-40°C ~ 60°C)	376-1166-ND	82.08	60.08	55.11	113000

Sensoren – Level-Schalter, Schwimmertyp

Serie LS-3: Serie LS-3: • Kleine technische Kunststoffe • Hohe Zuverlässigkeit • Kompakte Größe • Ideal für flache Tanks oder beengte Räumlichkeiten. **Teilenr. 376-1010-ND (46999):** Zur externen Montage an Tanks, deren kleine Größe keine intern montierten Schalter zulässt.
Serie LS-7: • Kleine technische Kunststoffe • Kompakte Seitenmontage • Ideal zur Großmengenverwendung in kleinen Tanks und Gefäßen • Technische Kunststoffe bieten große Kompatibilität in Wasser, Ölen und Chemikalien
Serie LS-1700: • Kleine Legierungen • Robuste Haltbarkeit mit umfangreichen Wärme- und Druckfunktionen sind die Merkmale dieser kompakten Schalter • Ideal für flache Tanks oder beengte Räumlichkeiten
Serie LS-1800: • Große Legierungen • Eine Klasse besser als unsere Kunststoffeinheiten für Druckfunktionen • Ausgezeichnete Stabilität zur allgemeinen Verwendung in Ölen und Wasser
Serie LS-800-5: • Große Legierungen • Flaschenartige Schwimmerschalter eignen sich gut für große oder kleine Tanks, oder wenn ein Zugang zur Innenseite unpraktisch oder unmöglich ist • Diese Geräte werden außen am Tank am Schwimmer-Auslösepunkt befestigt

Serie LS-270: • Spezialschalter • Ideal zur Verwendung in Ölen und Wasser • Die Serie TH-800 ist ein Temperatur-/Schwimmerschalter in einem einzigen Gerät. Mittlere Größe; der Sensor mit Temperatureinstellung befindet sich unten im Schaft • Serie LS-270 mit Schwappschutz und Halterung. Klein, leicht und extrem stabil in nicht-statischen, hoch kontaminierten Flüssigkeiten. Schwappschutz minimiert die Auswirkung von Turbulenz und trägt zur Verhinderung einer Störung durch Fremdmaterial bei.

Serie LS-10: • Schlankes Profil für Flüssigkeitserkennung in Zwischenräumen • Erkennt genau die Präsenz von Flüssigkeiten in Glasfasertanks mit Doppelwänden, Schlammbehältern und doppelwandigen Rohren • Trockenkontaktschaltung garantiert Zuverlässigkeit über eine lange Betriebszeit hinweg • Wiederverwendbarer Sensor passt leicht in kleine Räume oder Zwischenräume; erkennt flüssige Kohlenwasserstoffe oder Wasser • Keine Beeinträchtigung durch Kohlenwasserstoffdampf; dies verringert das Risiko von falschen Alarmen • Rundes Design; leicht zu entfernen, zu reinigen und wieder zu installieren, falls ein Alarm ausgelöst wurde bzw. Wartung auszuführen ist

Abb. 1

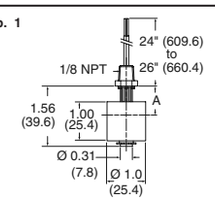

Abb. 2

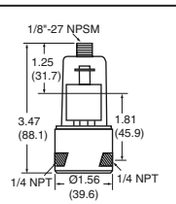

Abb. 3 Externe Montage

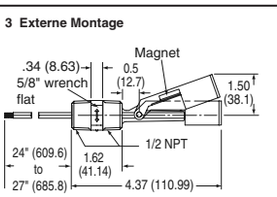

Abb. 4

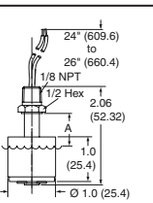

Abb. 5

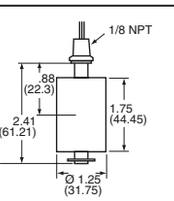

Abb. 6

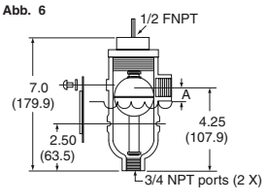

Abb. 7

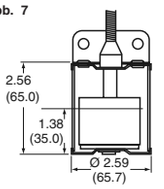

Abb. 8

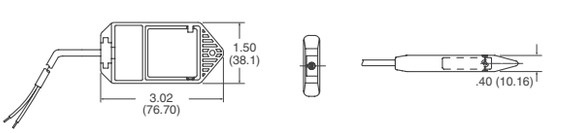

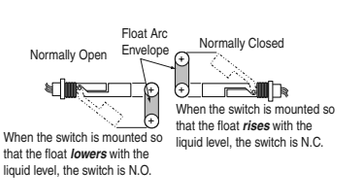

Abb.	Serie	Schalter-Nennleistung	Schaltertyp	Materialschaft und Montage/Schwimmer	Min. Flüssiges Sp. Gr.	Abm. A - Schalter-Auslös. Arbeitskontakt/Ruhekontakt - Zoll (mm)	Betriebstemperatur	Digi-Key Teilenr.	Stückpreis 1	10	100	Gems Teilenr.
1	LS-3	20VA, 120-240VAC	SPST	Polysulfon	.75	.750 (19.05) / —	-40°F ~ 225°F (-40°C ~ 107°C)	376-1007-ND	20.28	16.21	14.25	42295
2				Polysulfon	.75	—	-40°F ~ 120°F (-40°C ~ 48.9°C)	376-1010-ND	82.92	60.69	55.68	46999
3	LS-7	130VAC 20VA	SPST	Polypropylen	.55	—	-40°F ~ 225°F (-40°C ~ 107.2°C)	376-1016-ND	20.28	16.21	14.25	160450
4	LS-1700	20VA, 120-240VAC	SPST	Messing/Buna N	.45	.563 / .813	Wasser: bis 180 °F (82,2 °C) Öl: -40 °F	376-1020-ND	25.36	20.26	17.82	01701
5	LS-1800	20VA, 120-240VAC 100VA, 120-240VAC	SPST	Messing/Buna N Messing/Buna N	.75	—	Wasser: bis 180 °F (82,2 °C) Öl: -40 °F ~ 230 °F (-40 °C ~ 110 °C)	376-1026-ND 376-1027-ND	29.59 36.36	23.64 29.04	20.79 25.54	01801 35651
6	LS-800-5	20VA, 120-240VAC	SPST	Messing/316 Edelstahl	.75	.750 (19.05) / —	-40°F ~ 300°F (-40°C ~ 148.9°C)	376-1169-ND	143.03	104.72	97.79	172625
7	LS-270	20VA, 120-240VAC	SPST	304 Edelstahl/Buna N	.55	—	-40°F ~ 140°F (-40°C ~ 60°C)	376-1046-ND†	77.00	56.36	53.09	43765
8	LS-10	10W, 50-120VDC	SPST	Valox®-Gehäuse/Polyethylen	—	—	-40°F ~ 176°F (-40°C ~ 80°C)	376-1052-ND	58.37	46.59	40.97	156000

† Ruhekontakt, offen bei 150 °F ±10 °F (83,3 °C ±5,6 °C) inkr.

J

Alle Preisangaben in Euro und inklusive Zollgebühren.

TDK DC-AC Inverter für CCFL

Eingangssp.	Ausgabe (Typ) Spannung (V)	Ausgabe (Typ) I (mA)	Inverter-Eigenschaften	Karte, Abm. max. H (mm) x B x L	Gegenstecker CN1	Kontakte CN1	Gegenstecker CN2	Kontakte CN2	Gegenstecker CN3	Kontakte CN3	Digi-Key Teilenr.	Stückpreis 1	Stückpreis 10	Stückpreis 50	TDK Teilenr.
Dimmerfunktion															
4.5 ~ 6	1,500	6	4 W, Einzelausgang	8 x 20 x 95.5	*Keiner erforderlich*	*Keiner erforderlich*	455-1123	455-1124-1	—	—	445-1617-ND	23.22	21.01	17.70	CXA-L0605-VJL
5 ~ 12	900	5	2 W, Einzelausgang	6 x 16.5 x 87	WM1723	WM1142CT	455-1123	455-1124-1	—	—	445-1612-ND	21.18	19.17	16.14	CXA-K0505-VJL
10.8 ~ 13.2	1,250	5	8 W, Doppelausgang	8.5 x 25 x 105	WM1726	WM1142CT	455-1123	455-1124-1	—	—	445-1609-ND	27.84	25.19	21.22	CXA-0308
10.8 ~ 13.2	1,250	5	8 W, Doppelausgang	8.5 x 25 x 105	WM1726	WM1142CT	455-1123	455-1124-1	—	—	445-1611-ND	27.84	25.19	21.22	CXA-0338
9 ~ 19	1,300	5	5 W, Doppelausgang	8 x 30 x 103	WM1726	WM1142CT	455-1123	455-1124-1	—	—	445-1610-ND	30.35	27.46	23.13	CXA-0326
8 ~ 20	1,500	5.5	7 W, Doppelausgang	8 x 25.3 x 180.3	455-1163	455-1127-1	455-1123	455-1124-1	455-1123	455-1124-1	445-1626-ND	66.48	60.15	50.65	CXA-M1112-VJ
10 ~ 15	1,500	6	4 W, Einzelausgang	8 x 20 x 95.5	WM1723	WM1142CT	455-1123	455-1124-1	—	—	445-1618-ND	20.17	18.25	15.37	CXA-L0612-VJL
10.8 ~ 13.2	1,500	6	5 W, Doppelausgang	8 x 30 x 140	455-1163	455-1127-1	455-1123	455-1124-1	455-1123	455-1124-1	445-1608-ND	32.28	29.21	24.60	CXA-0271
9.6 ~ 14.4	1,500	6	5 W, Doppelausgang	8 x 18 x 140.5	WM1723	WM1142CT	455-1123	455-1124-1	455-1123	455-1124-1	445-1627-ND	31.98	28.94	24.37	CXA-M1212-RJL
9.6 ~ 14.4	1,500	6	7 W, Doppelausgang	8 x 25.3 x 180.3	455-1163	455-1127-1	455-1123	455-1124-1	455-1123	455-1124-1	445-1633-ND	37.26	33.72	28.39	CXA-P1212-VJL
9.6 ~ 15	1,600	6	3 W, Einzelausgang	6 x 12 x 105.5	WM1727	WM1142CT	—	—	—	—	445-1613-ND	23.22	21.01	17.70	CXA-K0612-VSL
9.6 ~ 15	1,600	7	5 W, Einzelausgang	8 x 20 x 95.5	WM1727	WM1142CT	455-1123	455-1124-1	—	—	445-1620-ND	24.42	22.11	18.62	CXA-L0712-VJL
9.6 ~ 14.4	1,800	6	5 W, Einzelausgang	8 x 20 x 95.5	WM1723	WM1142CT	455-1123	455-1124-1	—	—	445-1619-ND	27.10	24.52	20.65	CXA-L0612A-VJL
10.8 ~ 13.2	1,700	6	8 W, Doppelausgang	10 x 24 x 147	WM1725	WM1142CT	BHR-04VS-1	455-1124-1	BHR-04VS-1	455-1124-1	445-1634-ND	30.58	27.67	23.30	CXA-P1212A-WJL
10.8 ~ 13.2	1,700	6	8 W, Doppelausgang	8.5 x 21.5 x 153	WM1725	WM1142CT	455-1123	455-1124-1	455-1123	455-1124-1	445-1635-ND	38.94	35.23	29.67	CXA-P1212B-WJL
10.8 ~ 13.2	1.6K	8	9 W, Doppelausgang	8 x 25 x 180	455-1163	455-1127-1	455-1123	455-1124-1	—	—	445-1636-ND	43.79	39.62	33.37	CXA-P1612-VJL
Keine Dimmerfunktion															
5	1,500	5	3,5 W, Einzelausgang	8 x 20.5 x 80.5	WM1727	WM1142CT	455-1123	455-1124-1	—	—	445-1614-ND	13.92	12.60	10.61	CXA-L0505-NJL
12	1,500	5	3,5 W, Einzelausgang	8 x 20.5 x 80.5	WM1727	WM1142CT	455-1123	455-1124-1	—	—	445-1615-ND	12.45	11.26	9.49	CXA-L0512-NJL
12	1,500	5	7 W, Doppelausgang	8 x 20.5 x 130.5	455-1163	455-1127-1	455-1123	455-1124-1	455-1123	455-1124-1	445-1629-ND	21.21	19.19	16.16	CXA-P1012-NJL
24	1,500	5	3,5 W, Einzelausgang	8 x 20.5 x 80.5	WM1727	WM1142CT	455-1123	455-1124-1	—	—	445-1616-ND	13.92	12.60	10.61	CXA-L0524-NJL
Keine Dimmerfunktion, auf Platine montierbar															
5	900	5 / 10	4,5 W, Doppelausgang	16.5 x 21x 44	—	—	—	—	—	—	445-1621-ND	8.69	7.87	6.63	CXA-L10A
	1,200	5 / 10	6W, Single/Dual *	16.5 x 29 x 56	—	—	—	—	—	—	445-1623-ND	10.39	9.40	7.92	CXA-M10A-L
	1,500	5 / 10	8 W, Doppelausgang	17 x 29 x 56	—	—	—	—	—	—	445-1630-ND	15.59	14.11	11.89	CXA-P10A-P
12	900	5 / 10	4,5 W, Doppelausgang	16.5 x 21 x 44	—	—	—	—	—	—	445-1622-ND	8.89	8.05	6.78	CXA-L10L
	900	7 / 14	9 W, Doppelausgang	16.5 x 29 x 56	—	—	—	—	—	—	445-1637-ND	11.36	10.28	8.66	CXA-P20L-L
	1,200	5 / 10	6 W, Doppelausgang	16.5 x 29 x 56	—	—	—	—	—	—	445-1624-ND	10.39	9.40	7.92	CXA-M10L-L
	1,500	5 / 10	8 W, Doppelausgang	17 x 29 x 56	—	—	—	—	—	—	445-1631-ND	16.20	14.67	12.35	CXA-P10L-P
	1,500	7 / 14	8 W, Doppelausgang	17 x 29 x 56	—	—	—	—	—	—	445-1628-ND	15.47	14.00	11.79	CXA-M14L-P
24	1,200	5 / 10	6 W, Doppelausgang	16.5 x 29 x 56	—	—	—	—	—	—	445-1625-ND	10.39	9.40	7.92	CXA-M10M-L
	1,500	5 / 10	8 W, Doppelausgang	17 x 29 x 56	—	—	—	—	—	—	445-1632-ND	16.20	14.67	12.35	CXA-P10M-P

* 6 W, Einzel/Doppelausgang

Panasonic Piezoelektrische Transformatoren

Für Hintergrundbeleuchtungs-Inverter von LCD-Anzeigen tragbarer Elektronikgeräte vorgesehen, z.B. Notebooks, bei denen es um Platzsparen, leichtes Gewicht und geringen Stromverbrauch geht.

Merkmale: • Schmales Design und hohe Übertragungseffizienz (Effizienz: 93 %) • Geringere EMI-Strahlung, aufgrund des einzigartigen piezoelektrischen Invertersystems • Verwendet Keramikmaterial für erhöhte Sicherheit

Empfohlene Anwendungen: • Hintergrundbeleuchtungs-Inverter für LCD • Hochspannungsversorgung

EFT-U14R0M02A:

Elektrische Spezifikationen:
Testkonditionen: 4,0 W; Last 95 kΩ:
- Resonanzfrequenz (fr): 53,6 kHz ±1 kHz bei max. Ausgangsspannung
- Spannungs-Step-up-Verhältnis (A): 57 ±10 % Resonanzfrequenz
- Effizienz: Min. 88 % bei Resonanzfrequenz

Testkonditionen: 1 kHz; 1 Vrms:
- Statische Eingangskapazität: 124 nF ±15 %

EFT-U14R0M03A:

Elektrische Spezifikationen:
Testkonditionen: 4,0 W; Last 95 kΩ:
- Resonanzfrequenz (fr): 53,6 kHz ±1 kHz bei max. Ausgangsspannung
- Spannungs-Step-up-Verhältnis (A): 61 ±10 % Resonanzfrequenz
- Effizienz: Min. 88 % bei Resonanzfrequenz

Testkonditionen: 1 kHz; 1 Vrms:
- Statische Eingangskapazität: 124 nF ±15 %

EFT-U16R5M01A:

Elektrische Spezifikationen:
Testkonditionen: 6,5 W; Last 95 kΩ:
- Resonanzfrequenz (fr): 53,6 kHz ±1 kHz bei max. Ausgangsspannung
- Spannungs-Step-up-Verhältnis (A): 61 ±10 % Resonanzfrequenz
- Effizienz: Min. 88 % bei Resonanzfrequenz

Testkonditionen: 1 kHz; 1 Vrms:
- Statische Eingangskapazität: 188 nF ±15 %

Abb.1 Abm. in mm

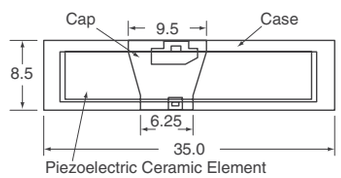

Abb.2

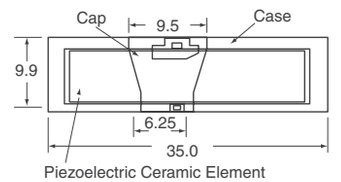

Abb.	Eingabe Max. Leistung. (W)	Eingabe Max. Spannung (Vpp)	Eingabe Max. Stromstärke (mA)	Ausgang Max. Spannung (V0-p)	Ausgang Max. Stromstärke (mA)	Max. Tempera-turanstieg	Betriebstemperatur (keine Kondensierung)	Digi-Key Teilenr.	Stückpreis 1	Stückpreis 10	Stückpreis 50	Panasonic Teilenr.
1	4	60	500	2300	7.0	25°	-10°C ~ 60°C	P6000-ND	6.43	5.15	4.51	EFT-U14R0M02A
1	4	55	600	2300	7.0	25°	-10°C ~ 60°C	P6001-ND	6.43	5.15	4.51	EFT-U14R0M03A
2	6.5	55	800	2500	8.0	30°	-10°C ~ 60°C	P6002-ND	6.94	5.56	4.86	EFT-U16R5M01A

SHARP MICROELECTRONICS TFT LCD-Anzeigen

Normalanzeige, weiß

Größe (Zoll)	Pixel Format *	Umrissmaße B x H x T (mm)	Helligkeit (nits)	Kontrast-verhältnis	Vertikaler Sichtwinkel †	Horizontaler Sichtwinkel	Gesamtleistung (typ.) (W)	Betriebstemperatur (°C)	Typ	Digi-Key Teilenr.	Stückpreis 1	Stückpreis 10	Stückpreis 100	Sharp Teilenr.
2.2	176 x 220	42.1 x 56.6 x 4.2	50	60	60/60	60	—	-10° ~ 60°	QVGA	425-2478-ND	96.97	81.79	73.02	LQ022B8UD04
3.0	320 x 320	66.6 x 68.5 x 3.6	100	—	40/50	100	0.35	10° ~ 60°	QVGA	425-2479-ND	129.29	109.05	97.36	LQ030B7DD01
3.5	240 x 320	65.0 x 85.0 x 4.0	100	4/70	90/90	80	0.35	-10° ~ 70°	QVGA	425-2480-ND	202.02	170.38	152.13	LQ035Q7DH01
3.5	240 x 320	65.0 x 85.0 x 3.4	55	15/85	100/100	100	0.35	-10° ~ 60°	QVGA	425-2481-ND	153.54	129.49	115.62	LQ035Q7DB03
3.6	320 x 240	82.8 x 69.7 x 3.3	300	300	130/130	160	0.43	-10° ~ 60°	QVGA	425-2482-ND	137.38	115.86	103.45	LQ036Q1DA01
3.8	240 x 320	69.0 x 88.6 x 3.4	90	8/75	100/100	100	0.52	0° ~ 50°	QVGA	425-2483-ND	177.78	149.94	133.87	LQ038Q7DB03
3.8	320 x 240	117.6 x 69.45 x 13.45	450	100	—	130	3.36	-30° ~ 85°	QVGA	425-2484-ND	266.67	224.90	200.81	LQ038Q5DR01
5.0	320 x 240	119.4 x 89.1 x 12.7	380	—	—	130	4.15	-30° ~ 85°	QVGA	425-2485-ND	298.99	252.16	225.15	LQ050Q5DR01
5.0	320 x 234	126.8 x 89.6 x 16.5	320	60	40/65	130	5.37	-30° ~ 85°	QVGA	425-2486-ND	365.10	322.51	298.17	LQ5AW136
5.7	320 x 240	144.0 x 104.6 x 13.0	350	300:1	—	130	3.88	-10° ~ 70°	QVGA	425-2487-ND	262.87	232.21	214.68	LQ057Q3DC02
6.4	640 x 480	161.3 x 117.0 x 12.0	350	—	40/70	140	4.7	-10° ~ 70°	VGA	425-2488-ND	298.99	252.16	225.15	LQ064V3DG01
8.0	640 x 480	183.0 x 141.0 x 14.0	380	250	65/55	130	6.2	0° ~ 55°	VGA	425-2489-ND	416.21	367.66	339.91	LQ080V3DG01
8.4	640 x 480	216.0 x 152.4 x 12.0	300	250	55/40	110	5.45	0° ~ 55°	VGA	425-2490-ND	445.42	393.46	363.76	LQ084V1DG21
8.4	800 x 600	199.5 x 149.5 x 11.6	350	250	30/65	110	6.02	-10° ~ 65°	SVGA	425-2491-ND	474.63	419.26	387.62	LQ084S3DG01
10.4	640 x 480	246.5 x 179.4 x 14.2	350	300	40/70	140	6.76	-10° ~ 65°	VGA	425-2470-ND	474.63	419.26	387.62	LQ104V1DG51
10.4	640 x 480	246.5 x 179.4 x 10.5	200	300	40/70	140	4.4	0° ~ 50°	VGA	425-2471-ND	438.12	387.01	357.80	LQ10D368
10.4	800 x 600	246.5 x 179.4 x 15.0	350	300	40/70	140	7.8	-10° ~ 65°	SVGA	425-2472-ND	547.65	483.76	447.25	LQ104S1DG21
12.1	800 x 600	276.4 x 209.0 x 11.0	350	300	50/60	140	8.02	-10° ~ 65°	SVGA	425-2473-ND	430.82	380.56	351.84	LQ121S1DG41
12.1	800 x 600	276.0 x 209.0 x 11.0	350	300	50/60	140	8.02	-10° ~ 65°	SVGA	425-2474-ND	430.82	380.56	351.84	LQ121S1LG41
15.0	1024 x 768	331.6 x 254.76 x 12.5	600	350	55/45	120	15.49	0° ~ 60°	XGA	425-2475-ND	438.12	387.01	357.80	LQ150X1LGB1
15.0	1024 x 768	346.0 x 255.0 x 11.0	250	350	55/45	120	10.2	0° ~ 50°	XGA	425-2476-ND	331.32	279.42	249.49	LQ150X1LGN2A
17.0	1280 x 1024	358.5 x 296.5 x 17.0	300	450	65/85	160	19.35	0° ~ 50°	SXGA	425-2477-ND	321.28	283.81	262.39	LQ170E1LG11

* 1 Pixel = R+G+B Punkte † Vertikale Sichtwinkel 12 Uhr und 6 Uhr

K

Industrielle TFT LCDs

Optrex stellt das größte Angebot an digitalen TFT LCDs für eine Vielzahl von industriellen Nicht-PC-Anwendungen her. Diese haltbaren Hochleistungsmodule liefern die beste „Front-of-screen"-Leistung ihrer Klasse für hochauflösende Farbanzeigen von Bildern von statischem bis Vollbewegungsvideo.

Zu den Merkmalen gehören:

- Breite Betriebstem-peraturbereiche
- Weite Sichtwinkel
- Leistungsstarke Hintergrundbeleuchtung
- Hoher Kontrast
- Superhell
- Hervorragende Farbsättigung
- VGA-, SVGA- und XGA-Formate

Beschreibung	Digi-Key Teilenr.
6.5" VGA TTL	73-1243-ND
8.4" VGA TTL	73-1226-ND
8.4" XGA LVDS	73-1227-ND
10.4" VGA TTL	73-1228-ND
12.1" SVGA TTL	73-1229-ND
12.1" XGA LVDS	73-1244-ND
12.1" SVGA LVDS	73-1245-ND
15.0" XGA TTL	73-1230-ND

Für erhöhte Leistung können die Optrex TFT LCDs auch mit den neuesten technischen Fortschritten geliefert werden, z.B.:

- Anti-Reflection-Oberflächenbehandlung
- LVDS-Schnittstellen
- Ultra-weite Sichtwinkel (UWV)
- Naturfarbenmatrix (NCM) Technologie

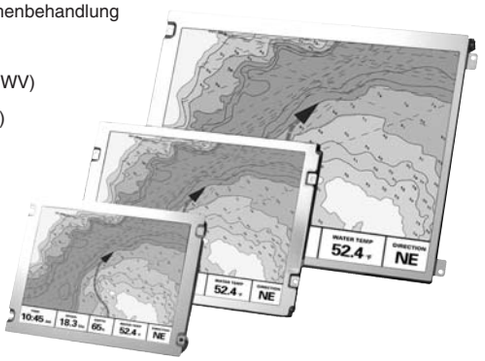

TFT LCD-ToolKITS™

Die LCD ToolKITs™ von Optrex sparen Zeit bei der Entwicklung und Beschaffung, da sie alles enthalten, was Sie für die Inbetriebnahme der LCD benötigen – direkt aus dem Karton.

Die Kits enthalten:

- TFT-Platte
- Controller-Karte mit On-Screen-Display-Karte (OSD)
- Inverter-Karte und Netzkabel
- 12 V DC Stromversorgung mit AC-Leitungskabel
- VGA (analoges RGB) Kabel
- Video-Eingangskabel
- CD-ROM mit Quick-Setup und Dokumentation

Beschreibung	Digi-Key Teilenr.
8.4" VGA ToolKIT	73-1246-ND
8.4" XGA ToolKIT	73-1247-ND
10.4" VGA ToolKIT	73-1224-ND
15.0" XGA ToolKIT	73-1243-ND

Grafik-LCDs, Farbe und Monochrom

Der Bereich der CSTN-LCDs mit Passivmatrix von Optrex liefert klare, scharfe Anzeigen von Farbgrafiken unter allen möglichen Lichtbedingungen. Sie sind ideal für Anwendungen, die eine kleine bis mittelgroße Anzeige verlangen, bei guter Farbqualität und günstigen Preisen.

Zu den Merkmalen gehören:

- Schlankes, kompaktes und leichtes Design
- Gute Lesbarkeit unter allen Lichtbedingungen
- Schnelle Reaktionszeiten
- Mehrere Hintergrundbeleuchtungsoptionen erhältlich

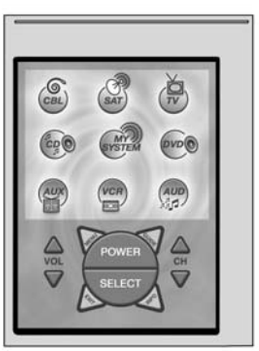

Optrex-STN-LCDs mit Passivmatrix-Monochromgrafik sind in einer Reihe von Größen und Anzeigeformaten erhältlich.

Zu den Merkmalen gehören:

- Große Vielfalt an Farb/Hintergrundkombinationen
- Hohe Helligkeit, hoher Kontrast
- Geringer Stromverbrauch
- LED oder CCFL Hintergrundbeleuchtungs-optionen
- Transmissive, reflektive oder transreflektive Ausführungen erhältlich

Auf der nächsten Seite finden Sie Teilenummern und Spezifikationen.

Zeichen-LCDs

Optrex stellt einen großen Bereich verschiedener monochromer Zeichen-LCDs mit vielen verschiedenen Punkt-Pixel-Formaten und Farb-/Hintergrund-Kombinationen her.

Diese bieten:

- Industriestandard-Konfigurationen
- Hohen Kontrast
- Breite Betriebstemperaturbereiche
- Niedrigeren Betriebsstrom mit höherer Lichtstärke pro Watt
- Positive (transflektive) und negative (transmissive) Optionen
- Erstklassige Lesbarkeit aufgrund der Hochleistungs-Farbtechnologie (HPC) von Optrex

Auf der nächsten Seite finden Sie Teilenummern und Spezifikationen.

OPTREX TFT LCD-Module

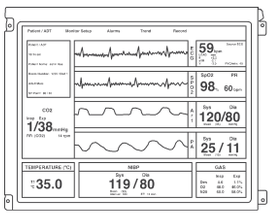

Größe (Zoll)	Dot-Format	Abmessungen B x H x T (mm)	Schnittstelle	Leuchtkraft	Kontrastverhältnis	Vertikaler Sichtwinkel	Horizontaler Sichtwinkel	Stromverbrauch	Betriebstemp. (°C)	Digi-Key Teilenr.	Stückpreis 1	Stückpreis 100	Optrex Teilenr.
6.5	640 x RGB x 480	158 x 120.36 x 11.55	TTL	400	300:1	-60/30	±55	4.8W	0 ~ 60	73-1243-ND§	228.58	181.42	T-51750GD065J-FW-AA
8.4	640 x RGB x 480	199.5 x 149 x 11.5	TTL	450	450:1	-60/50	±65	6.6W	0 ~ 50	73-1226-ND§	338.98	269.04	T-51638D084-FW-A-AA
8.4	1024 x RGB x 768	205 x 152.4 x 11.3	LVDS	300	350:1	-40/50	±60	6.5W	0 ~ 50	73-1227-ND§	416.02	330.18	T-51639D084U-FW-A-AA
10.4	640 x RGB x 480	243 x 181.6 x 12.2	TTL	430	500:1	-45/55	±60	6.8W	-20 ~ 70	73-1228-ND§	338.98	269.04	T-51513D104JU-FW-A-AC
12.1	800 x RGB x 600	280 x 210 x 12	TTL	400	500:1	-50/40	±60	7.6W	-20 ~ 70	73-1229-ND§	354.39	281.26	T-51512D121J-FW-A-AB
12.1	1024 x RGB x 768	280 x 210 x 12	LVDS	320	550:1	-50/40	±60	8.0W	-20 ~ 70	73-1244-ND§	400.61	317.95	T-51756D121J-FW-A-AA
12.1	800 x RGB x 600	280 x 210 x 12	LVDS	350	500:1	-75/45	±65	7.5W	-20 ~ 70	73-1245-ND§	354.39	281.26	T-51866D121J-FW-A-AA
15.0	1024 x RGB x 768	326 x 255 x 15.5	TTL	300	450:1	-60/50	±75	16.3W	0 ~ 50	73-1230-ND§	369.79	293.50	T-51511D150-FW-A-AC

§ RoHS-konform

TFT LCD -ToolKITS™

ToolKITS enthalten: • TFT-Platte • Controller-Karte • Inverter für Hintergrundbeleuchtung • Inverterkabel • Netzteil • VGA-Kabel • Video-Eingangskabel • CD-ROM

Hinweis: *ToolKITS unterstützen VGA-, Composite-Video- und S-Video-Schnittstellen*

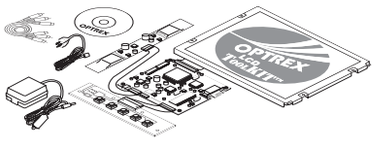

Beschreibung	Digi-Key Teilenr.	Stückpreis	Optrex Teilenr.
8,4" VGA LCD-ToolKIT	73-1246-ND§	535.52	TK084V00
8,4" XGA LCD-ToolKIT	73-1247-ND§	663.37	TK084X00
10,4" VGA LCD-ToolKIT	73-1224-ND§	564.22	TK104V00
15,0" XGA LCD-ToolKIT	73-1223-ND§	632.32	TK150X00

§ RoHS-konform

Grafik-LCD-Module

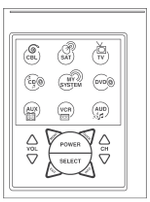

Größe	LCD-Modus	Dot-Format	Punktpitch (mm)	Umrissmaße B x H x T (mm)	Sichtbereich	Hintergrundlicht	Leuchtkraft	Kontrastverhältnis	Betriebstemp. (°C)	Digi-Key Teilenr.	Stückpreis 1	Stückpreis 100	Optrex Teilenr.
Grafikanzeigen, farbtransmissiv													
3.8	Farbe	240 x RGB x 320	.24 x .24	73 x 94.4 x 7.3	59 x 80.3	CCFL	70	40:1	0 ~ 50	73-1238-ND§	90.06	66.72	F-51373GNC-FW-AH
3.8	Farbe	240 x RGB x 320	.24 x .24	73 x 94.4 x 7.3	59 x 80.3	LED	40	40:1	0 ~ 50	73-1239-ND§	96.28	71.32	F-51373GNC-LW-AJ
5.2	Farbe	240 x RGB x 64	.176 x .53	180 x 59.6 x 14	132 x 39	CCFL	150	40:1	0 ~ 50	73-1236-ND§	167.40	124.00	F-51168NCU-FW-AB
5.7	Farbe	320 x 240	.12 x .36	167.1 x 109 x 8	122 x 92	CCFL	120	40:1	0 ~ 50	73-1215-ND	152.46	112.93	F-51167NCU-FW-AA
Grafikanzeigen, monochrom-transmissiv													
2.8	Blau/Weiß	128 x 64	.48 x .48	89.7 x 49.8 x 6	66.8 x 35.5	LED (Blau/Weiß)	100	6:1	0 ~ 50	73-1219-ND	27.18	20.13	F-51320GNB-LW-AB
2.8	Blau/Weiß	128 x 64	.50 x .50	89.7 x 49.8 x 6	66.8 x 35.5	Weiße LED	100	8:1	-20 ~ 70	73-1232-ND§	26.23	19.43	F-51553GNBJ-LW-AB
2.8	Gelb/Dk. Blau	128 x 64	.50 x .50	89.7 x 49.8 x 11.8	66.8 x 35.5	LED (Gelb)	60	4.5:1	0 ~ 50	73-1220-ND	24.09	17.84	F-51320GNY-LY-AA
4.7	Neutral/Blau	320 x 240	.30 x .30	129.4 x 94 x 10	99.9 x 77	CCFL	400	4.5:1	0 ~ 50	73-1234-ND§	69.45	51.44	F-51477GNB-FW-AD
5.2	Gelb/Dk. Blau	240 x 64	.53 x .53	180 x 65 x 17.6	132 x 39	LED	45	7:1	0 ~ 50	73-1157-ND	64.62	47.87	DMF-5005NY-LY-AKE
5.2	Blau/Weiß	240 x 64	.53 x .53	149.5 x 51.7 x 9.8	130.2 x 36.7	LED	400*	5:1	0 ~ 50	73-1231-ND§	77.77	57.61	F-51405GNB-LW-AJ
5.2	Blau/Weiß	240 x 64	.53 x .53	200 x 66 x 23	132 x 39	CCFL	400	7:1	0 ~ 50	73-1132-ND	128.44	95.14	DMF-5010NBU-FW-BD
5.4	Blau/Weiß	240 x 128	.50 x .50	170 x 95 x 16.7	126 x 70	LED (Gelb/Grün)	40	6:1	0 ~ 50	73-1199-ND	157.74	116.84	DMF-50773NF-SLY
5.7	Blau/Weiß	320 x 240	.36 x .36	167.1 x 109 x 11	120 x 90	CCFL	60	5:1	0 ~ 60	73-1235-ND§	90.78	67.25	DMF-50840NB-FW-AKE-AS
5.7	Schwarz/Weiß	320 x 240	.36 x .36	167.1 x 109 x 11	120 x 90	CCFL	50	15:1	0 ~ 60	73-1194-ND	90.78	67.25	DMF-50840NF-FW-ABE-AU
9.4	Schwarz/Weiß	640 x 480	.30 x .30	260 x 174 x 8.5	196 x 148	CCFL	110	14:1	0 ~ 50	73-1237-ND§	269.37	199.54	F-51430NFU-FW-AA
Grafikanzeigen, monochrom-transflektiv													
4.7	Schwarz/Weiß	320 x 240	.30 x .30	129.4 x 94 x 10	99.9 x 77	CCFL	200	3.5:1	-10 ~ 60	73-1233-ND§	73.21	54.24	F-51477GNFJ-SFW-AB
Inverter für CCFL-Hintergrundbeleuchtung (konvertiert 12 V DC ~ 900 V AC 30 kHz)													
Inverter zur Benutzung mit Grafikmodulen mit CCFL-Hintergrundbeleuchtung										289-1036-ND	21.81	—	BXA-12565-6M
Inverter zur Benutzung mit Grafikmodulen mit CCFL-Hintergrundbeleuchtung										289-1027-ND	12.80	—	BXA-24529

* An Hindergrundbeleuchtungsfläche § RoHS-konform

LCD-Module, Zeichen

MERKMALE: • Erhältlich mit 8-Bit- oder 4-Bit-MPU-Schnittstelle • 192 versch. Zeichen, Ziffern, Symbole und Sonderzeichen lassen sich mittels integriertem Zeichengenerator (ROM) anzeigen • Weitere Zeichen lassen sich mittels Zeichengenerator (RAM) anzeigen • Verschiedene Anleitungsfunktionen sind programmierbar: Anzeige löschen, Cursor in Anfangsposition, Cursor ein/aus, Blinkzeichen, Anzeige verschieben, Cursor verschieben, Lese/Schreibe-Anzeigedaten usw. • Kompaktes und leichtes Design • Geringer Stromverbrauch

Dot-Format	LCD-Modus	Zeichenformat	Außenabmessungen B x H x T (mm)	Sichtbereich	Hintergrundlicht	Leuchtkraft ‡	Kontrastverhältnis	Betriebstemp. (°C)	Digi-Key Teilenr.	Stückpreis 1	Stückpreis 100	Optrex Teilenr.
LCD-Module, superverdrillt nematisch (STN)												
8 x 2	Transparent/Refektiv	5 x 8	40 x 35.4 x 8.2	30.4 x 13.9	Nein	—	7:1	0 ~ 50	73-1106-ND	7.33	5.47	DMC-50448N-E-AE
16 x 4	Neutral/Blau	5 x 8	87 x 60 x 11	61.8 x 25.2	Nein	—	4.5:1	0 ~ 50	73-1083-ND	26.94	19.96	DMC-16433N
LCD-Module, Film superverdrillt nematisch (FSTN)												
16 x 2	Schwarz/Weiß	5 x 7	64.2 x 27.6 x 2.2	60.2 x 16.6	Nein	—	7:1	0 ~ 50	73-1177-ND†	8.47	6.28	DMC-50747NF-AK
LCD-Module mit LED-Hintergrundbeleuchtung, superverdrillt nematisch (STN)												
16 x 1	Gelb/Dunkelblau	5 x 8	80 x 36 x 15	64.5 x 13	Gelbe LED	80	8:1	0 ~ 50	73-1018-ND	21.65	16.03	DMC-16105NY-LY
16 x 2	Gelb/Dunkelblau	5 x 8	80 x 40 x 16.1	59.5 x 16	Gelbe LED	35	8:1	0 ~ 50	73-1034-ND*	19.17	14.20	DMC-16204NY-LY
16 x 2	Gelb/Dunkelblau	5 x 8	88 x 34 x 16.1	59.5 x 16	Gelbe LED	35	8:1	0 ~ 50	73-1035-ND	19.17	14.20	DMC-16205NY-LY
16 x 2	Gelb/Dunkelblau	5 x 7 +cursor	122 x 44 x 14.6	99 x 24	Gelbe LED	70	8:1	0 ~ 50	73-1051-ND	26.24	19.44	DMC-16230NY-LY-AVE
20 x 4	Gelb/Dunkelblau	5 x 8	98.5 x 61 x 15.6	76 x 25.2	Gelbe LED	60	8:1	0 ~ 50	73-1094-ND	25.65	19.00	DMC-20481NY-LY-ABE
Transmissive Zeichenanzeigen												
16 x 2	Gelb/Dunkelblau	5 x 8	84 x 45 x 15.1	61 x 16	Gelbe LED	55	10:1	0 ~ 50	73-1043-ND	13.82	10.24	DMC-16202NY-LY-AGE
16 x 2	Gelb/Dunkelblau	5 x 7	122 x 44 x 14.6	99 x 24	Gelbe LED	60	12:1	0 ~ 50	73-1052-ND	24.03	17.81	DMC-16230NY-LY-BQE-DZ
20 x 2	Gelb/Dunkelblau	5 x 8	116 x 37 x 15.7	83 x 18.6	Gelbe LED	40	12:1	0 ~ 50	73-1057-ND	19.68	14.58	DMC-20261NY-LY-AXE
20 x 2	Gelb/Dunkelblau	5 x 8	116 x 37 x 15.7	83 x 18.6	Gelbe LED	40	5:1	-20 ~ 70	73-1063-ND	19.68	14.58	DMC-20261NYJ-LY-BCE
20 x 2	Schwarz/Weiß	5 x 8	116 x 37 x 15.6	83 x 18.6	Weiße LED	125	80:1	-20 ~ 70	73-1240-ND§	20.13	14.91	C-51505NFQJ-LW-AD
20 x 2	Neutral/Blau	5 x 8	116 x 37 x 15.6	83 x 18.6	Blaue LED	38	80:1	-20 ~ 70	73-1241-ND§	19.79	14.66	C-51505NFQJ-LB-AE
20 x 2	Schwarz/Weiß	5 x 8	116 x 37 x 15.6	83 x 18.6	Grüne LED	160	80:1	-20 ~ 70	73-1242-ND§	19.79	14.66	C-51505NFQJ-LG-AF
20 x 4	Gelb/Dunkelblau	5 x 8	98.5 x 61 x 15.6	76 x 25.2	Gelbe LED	60	12:1	0 ~ 50	73-1095-ND	25.65	19.00	DMC-20481NY-LY-AGE
40 x 2	Gelb/Dunkelblau	5 x 8	182 x 34.5 x 15.1	147.5 x 11.5	Gelbe LED	55	12:1	0 ~ 50	73-1179-ND	36.53	27.06	DMC-40202NY-LY-AFE
40 x 4	Gelb/Dunkelblau	5 x 8	190 x 54 x 13.6	147 x 29.5	Gelbe LED	50	5:1	0 ~ 50	73-1101-ND	73.12	54.17	DMC-40457NY-LY-B
Transflektive Zeichenanzeige												
20 x 2	Schwarz/Weiß	5 x 8	116 x 37 x 15.6	83 x 18.6	Weiße LED	125	5:1	-20 ~ 70	73-1248-ND§	17.55	13.00	C-51505NFJ-SLW-AC

‡ Leuchtkraft, gemessen an Hintergrundbeleuchtungsfläche † Chip auf Glasanzeige benötigt SED1233DGB-Controller * Abstand zw. Pins = 2,0 mm § RoHS-konform

OSRAM
Opto Semiconductors

OLED Display

OLED-ANZEIGE: • Grafikanzeige-Matrix • Eine Farbe mit 4 Bits pro Pixel Grauskala • Echte emissive Technologie • 160° Sichtwinkel • Passive Matrix, von einem mit dem Industriestandard kompatiblen Schaltkreis getrieben • Schnell reagierend, Video-Frame-Rate-Funktion • Hoher Kontrast • Breiter Betriebstemperaturbereich • Dünnes Profil • Farbe: Gelb (X = 0,455; Y = 0,540) • Haltbarkeit: 10.000 Stunden @ 25 °C • Kontrastverhältnis: 100:1 • Temperaturbereich: -30 °C ~ 70 °C

PICTIVA-EVALUIERUNGSKIT: ***Inhalt:*** **• OLED:** OSRAM Pictiva™ Anzeigeformat OLED Anzeigemodul *http://www.pictiva.com/pdf/datasheet-128x64.pdf* **• CD-ROM:** Mit Windows kompatible OSRAM CD ROM Disk **• Leiterplatte:** OSRAM OLED Anzeige-Evaluierungskarte **• Kabel:** USB-Gerät (A an B) Kommunikationskabel **• Stromversorgung:** Stromadapter (9 V DC @ 1 A / 85-260 V AC, 50-60 Hz)

Abb. 1

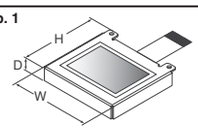

Abb. 2

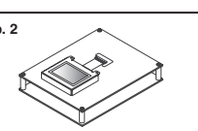

Abb.	Anzeigeformat	Aktiver Bereich W x H (mm)	Modulgröße W x H x D (mm)	Leuchtkraft cd/m² (typ.)	Anzeigenschnittstelle	Digi-Key Teilenr.	Stückpreis 1	Stückpreis 10	Stückpreis 100	Osram Teilenr.
1	96 x 64	25.4 x 16.9	34.75 x 32.89 x 3.82	100	Parallel	475-1122-ND	31.32	25.06	22.71	OS096064PK12MY0A00
	96 x 64	25.4 x 16.9	34.75 x 32.89 x 3.82	100	Seriell	475-1123-ND	31.32	25.06	22.71	OS096064PK12MY0A01
	128 x 64	36.46 x 18.22	47.75 x 30.48 x 3.98	100	Parallel	475-1124-ND	35.56	28.45	25.78	OS128064PK16MY0A00
	128 x 64	36.46 x 18.22	47.75 x 30.48 x 3.98	100	Seriell	475-1125-ND	35.56	28.45	25.78	OS128064PK16MY0A01
2	Pictiva-Evaluierungskit					475-1121-ND		529.13/1		OE128064PK16MY0A00

K

Alle Preisangaben in Euro und inklusive Zollgebühren.

Kaltkathoden-Leuchtstoffröhren und -Inverter

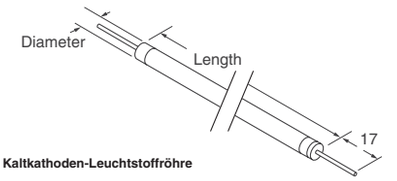

Kaltkathoden-Leuchtstoffröhre

Tri-Phosphor RGB-Lampen, weiß

Durchm. (mm)	Länge (mm)	Anfangs-spannung (V)	Lampen-spannung (V)	Lamp Curr.** (mA)	Intensität (Cd./m2)	Digi-Key Teilenr.	Stückpreis 1	10	50	JKL Teilenr.
2.0	218	1700	740	5	38,000	289-1107-ND	9.60	8.69	7.32	BF20218-24B
	226	1730	745	5	38,000	289-1144-ND	10.31	9.33	7.86	BF20226-24B
	292	1820	810	5	38,000	289-1108-ND	10.81	9.78	8.24	BF20292-24B
	325	1970	885	5	38,000	289-1135-ND	10.99	9.95	8.38	BF20325-24B
2.2	140	730	340	5	38,000	289-1053-ND	8.71	7.89	6.64	BF22140-24B
	160	800	370	5	38,000	289-1136-ND	8.71	7.89	6.64	BF22160-24B
	258	1700	720	5	38,000	289-1059-ND	8.71	7.89	6.64	BF22258-25B
2.4	437	1400	835	5	38,000	289-1137-ND	12.25	11.09	9.34	BF24438-33B
2.6	61	490	195	5	30,000	289-1140-ND	8.71	7.89	6.64	BF2661-24B
	180	1000	400	5	38,000	289-1054-ND	8.71	7.89	6.64	BF26180-24B
	188	1300	525	5	38,000	289-1039-ND	8.71	7.89	6.64	BF26188-20B
	214	1450	620	5	30,000	289-1060-ND	8.71	7.89	6.64	BF26214-20B
	230	1175	495	5	30,000	289-1138-ND	10.81	9.78	8.24	BF26230-24B
	240	1250	505	5	30,000	289-1055-ND	10.80	9.78	8.23	BF26240-24B
	250	1300	525	5	30,000	289-1056-ND	10.80	9.78	8.23	BF26250-24B
	285	1500	725	5	30,000	289-1057-ND	10.80	9.78	8.23	BF26285-20B
	318	1636	676	5	34,000	289-1109-ND	10.81	9.78	8.24	BF26318-20B
	360	1650	700	5	38,000	289-1139-ND	10.99	9.95	8.38	BF26360-20B
2.9	25	400	165	5	19,000	289-1002-ND	8.71	7.89	6.64	BF325-22B
3.0	275	1475	590	5	28,000	289-1142-ND	10.81	9.78	8.24	BF3275-20B
	380	1975	790	5	28,000	289-1143-ND	10.99	9.95	8.38	BF3380-24B
	50	500	195	5	28,000	289-1003-ND	8.71	7.89	6.64	BF350-20B
	75	525	210	5	28,000	289-1058-ND	8.71	7.89	6.64	BF375-20B
	86	540	220	5	28,000	289-1004-ND	8.71	7.89	6.64	BF386-20B
	100	665	270	5	28,000	289-1005-ND	8.71	7.89	6.64	BF3100-20B
	160	850	345	5	28,000	289-1006-ND	8.71	7.89	6.64	BF3160-20B
	216	1100	440	5	28,000	289-1040-ND	8.71	7.89	6.64	BF3216-20B
	228	1150	460	5	28,000	289-1007-ND	8.71	7.89	6.64	BF3228-21B
	240	1150	480	5	28,000	289-1141-ND	10.81	9.78	8.24	BF3240-24B
	250	1200	520	5	28,000	289-1008-ND	8.71	7.89	6.64	BF3250-20B
	300	1350	665	5	28,000	289-1041-ND	10.80	9.78	8.23	BF3300-20B
	360	1500	785	5	28,000	289-1042-ND	10.80	9.78	8.23	BF3360-20B
4.1	183	900	365	5	16,000	289-1043-ND	8.71	7.89	6.64	BF4183-20B
	418	1400	765	5	15,000	289-1061-ND	11.59	10.49	8.84	BF4418-20B
5.6	118	600	305	5	7,000	289-1009-ND	8.71	7.89	6.64	BF5118-20B
	165	800	400	5	7,000	289-1044-ND	8.71	7.89	6.64	BF5165-20B
	200	850	445	5	7,000	289-1010-ND	8.71	7.89	6.64	BF5200-20B
6.5	50	390	170	5	6,500	289-1011-ND	8.71	7.89	6.64	BF650-20B
	100	550	230	5	6,500	289-1012-ND	8.71	7.89	6.64	BF6100-20B
	144	600	245	5	6,500	289-1045-ND	8.71	7.89	6.64	BF6144-20B
	150	600	250	5	6,500	289-1013-ND	8.71	7.89	6.64	BF6150-20B
	165	600	255	5	6,500	289-1046-ND	8.71	7.89	6.64	BF6165-20B
	178	650	270	5	6,500	289-1014-ND	8.71	7.89	6.64	BF6178-20B
	200	680	290	5	6,500	289-1015-ND	8.71	7.89	6.64	BF6200-20B
	225	750	340	5	6,500	289-1016-ND	8.71	7.89	6.64	BF6225-20B
	262	850	350	5	6,500	289-1017-ND	8.71	7.89	6.64	BF6262-20A

** Lampenstromstärke

Ultraviolett (UV) -Lampen, enges Spektrum

Durchm. (mm)	Länge (mm)	Anfangs-spannung (V)	Betriebs-spannung (V)	Watt bei 5 mA	Ausgang uW/cm 2 @ 1"	Digi-Key Teilenr.	Stückpreis 1	10	50	JKL Teilenr.
3.0	25	350	140	0.70	0.30	289-1018-ND	8.71	7.89	6.64	BF325-UV1
3.0	50	500	195	0.98	0.30	289-1019-ND	8.71	7.89	6.64	BF350-UV1
3.0	100	675	270	1.35	0.25	289-1020-ND	8.71	7.89	6.64	BF3100-UV1
3.0	120	865	280	1.35	0.25	289-1021-ND	8.71	7.89	6.64	BF3120-UV1
3.0	240	950	500	2.50	0.25	289-1022-ND	8.71	7.89	6.64	BF3240-UV1
9.0	59	375	150	0.75	0.15	289-1023-ND	8.71	7.89	6.64	BF959-UV1/3

Leuchtstoffröhren-Bausatz

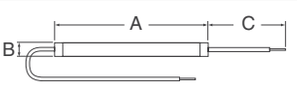

Röhren-länge A (mm)	Röhren-durchmesser B (mm)	Anschluss-länge C (mm)	Digi-Key Teilenr.	Stückpreis 1	10	50	JKL Teilenr.
258	2.2	150	289-1111-ND	16.21	14.67	12.36	BF22258-25B/DK01
100	3.2	150	289-1112-ND	13.07	11.83	9.96	BF3100-20B/DK01
160	3.2	150	289-1113-ND	13.07	11.83	9.96	BF3160-20B/DK01
250	3.2	150	289-1114-ND	14.58	13.19	11.11	BF3250-20B/DK01
418	4.1	150	289-1115-ND	17.39	15.74	13.25	BF4418-20B/DK01

JST Gegenstecker, Kontakt und Crimpwerkzeug

Beschreibung	Digi-Key Teilenr.	Preisangaben 10	100	500	Preisangabe für Gegurtet auf Rolle*	JST Teilenr.
2-Pos., 8 mm, Crimp-Steckverbinder, BH-Gehäuse	455-1123-ND	.97	8.11	32.42	—	BHR-03VS-1
4-Pos., 4 mm, Crimp-Steckverbinder, BH-Gehäuse	455-1369-ND	1.39	11.57	46.28	—	BHR-04VS-1
22-28 AWG, verzinnter Phosphor-Bronze-Crimpkontakt	455-1124-1-ND*	—	2.75	12.14	50.80/4,000	SBH-001T-P0.5
Crimpwerkzeug mit Einsatz für 22-28 AWG-Kontakte	455-1125-ND		348.36/1		—	YC-670R

* Für Gegurtet auf Rolle Teilenr. von 1-ND in 2-ND ändern

Inverter für CCFL- und UV-Lampen

Eingangssp.	Ausgang Spannung (V)	Ausgang I (mA)	Inverter-Eigenschaften	Digi-Key Teilenr.	Stückpreis 1	10	50	JKL Teilenr.
3.0	650	4.5	Fester Einzelausgang	289-1062-ND	11.20	10.14	8.54	BXA-302
5.0	650	4.5		289-1047-ND	12.80	11.74	10.14	BXA-502
5.0	700	5.0		289-1134-ND	10.26	9.41	8.13	BXA-501
6.0	1200	5.0		289-1064-ND	12.66	11.46	9.65	BXA-503
12.0	700	5.5		289-1049-ND	12.80	11.74	10.14	BXA-12553
12.0	800	4.0		289-1050-ND	12.80	11.74	10.14	BXA-12576
12.0	800	4.0		289-1051-ND	12.80	11.74	10.14	BXA-12577
12.0	1200	6.2		289-1065-ND§	12.66	11.46	9.65	BXA-12617C-6M
12.0	850	5.5	Fester Doppelausgang	289-1048-ND†	18.05	16.33	13.75	BXA-12529-PS1
12.0	1000	5.5		289-1025-ND	12.80	11.74	10.14	BXA-12529
12.0	1500	5.0		289-1026-ND	12.80	11.74	10.14	BXA-12579
24.0	1000	5.5		289-1027-ND	12.80	11.74	10.14	BXA-24529
12.0	1000	3.0	Dimmer-Einzelausgang	289-1116-ND	16.03	14.51	12.22	BXA-12592-3M
12.0	1000	5.0		289-1117-ND	11.20	10.14	8.54	BXA-12594-5M
12.0	1000	6.0		289-1035-ND	20.93	18.84	16.75	BXA-12564-6M
12.0	1000	6.0		289-1034-ND	23.47	21.13	18.78	BXA-12562-6M
12.0	1000	6.0		289-1036-ND	21.81	19.63	17.45	BXA-12565-6M
12.0	1200	5.0		289-1118-ND	22.90	20.72	17.45	BXA-12598-5M
12.0	1000	7.0	Dimmer-Doppelausgang	289-1120-ND	31.71	28.70	24.17	BXA-12613-7M
12.0	1200	6.0		289-1063-ND	24.82	22.46	18.91	BXA-12549-6M
12.0	1800	7.0		289-1119-ND	51.95	47.01	39.59	BXA-12610-7M
			Zubehör					
Eingangsanschluss-Einheit für BXA-12579				289-1037-ND	1.69	—	—	BXC-10605
Ausgangsanschluss-Einheit für BXA-12579				289-1038-ND	2.12	—	—	BXC-10569
Ausgangsanschluss-Einheit für BXA-12553 und BXA-501				289-1052-ND	1.69	—	—	BXC-10566
Eingangsanschluss für BXA-12549-6M				289-1066-ND	2.23	2.02	1.70	BXC-10550
Ausgangsanschluss für BXA-12549-6M				289-1067-ND	2.23	2.02	1.70	BXC-10655
Eingangsanschluss für BXA-12617C-6M				289-1068-ND	2.23	2.02	1.70	BXC-10580
Ausgangsanschluss für BXA-12617C-6M BXA-12592-3M, BXA-12598-5M, BXA12592-3M, BXA-12598-5M, BXA-12610-7M und BXA-12613-7M				289-1069-ND	2.23	2.02	1.70	BXC-10643
Eingangsanschluss für BXA-503				289-1070-ND	2.23	2.02	1.70	BXC-10574
Ausgangssteckverbinder für BXA-503				289-1071-ND	2.23	2.02	1.70	BXC-10585
Eingangsanschluss für BXA-12592-3M, BXA-12598-5M und BXA-12594-5M				289-1121-ND	2.46	2.22	1.87	BXC-10549
Ausgangsanschluss für BXA-12594-5M				289-1123-ND	2.23	2.02	1.70	BXC-10689
Eingangsanschluss für BXA-12610-7M und BXA-12613-7M				289-1124-ND	2.46	2.22	1.87	BXC-10630
Endkappe für 3 mm Leuchtstoffröhren				289-1072-ND	.45	.41	.34	BF3/RC
Endkappe für Leuchtstoffröhren, 2,2 mm u. 2,4 mm				289-1133-ND	.45	.41	.34	BF2.4/RC

† vergossener Inverter § Siehe JST unten für Gegenstecker

Inverter für Elektrolumineszenz (EL) -Hintergrundbeleuchtung

Eingangsspannungs-bereich (dc)	EL-Elementfläche (cm^2)	Digi-Key Teilenr.	Stückpreis 1	10	50	JKL Teilenr.
3.0 ~ 5.5	10 - 19	289-1028-ND	10.33	9.30	8.27	NDL-201
	19 - 38	289-1029-ND	10.33	9.30	8.27	NDL-202
	20 - 60	289-1132-ND*	11.17	10.11	8.51	NDL-104LP
3.0 ~ 5.5	25 - 43	289-1030-ND	10.33	9.30	8.27	NDL-203
	41 - 70	289-1031-ND	10.07	9.07	8.06	NDL-204
	50 - 83	289-1032-ND	10.07	9.07	8.06	NDL-205
3.0 ~ 5.5	100 - 170	289-1033-ND	9.48	8.54	7.59	NDL-217

* Flaches Profil

J.W.Miller MAGNETICS SMT, CCFL Inverter-Transformatoren

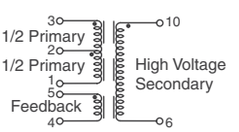

Platten-Layout

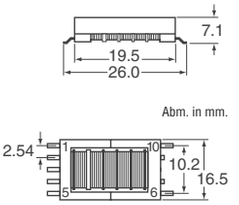

Merkmale: • Nennleistung: 6 W • Betriebsfrequenz: 60 kHz -/+25 % • Betriebsumgebungstemperatur: 0 °C ~ 75 °C • Lagertemperatur: -40 °C ~ 105 °C • Dielektrische Haltespannung: 1.500 Vrms **Anwendungen:** • LCD Flat Panel-Displays • Notebook / Palmtop Computer • Tragbare Geräte • Einzelhandels-Terminals

Primär Max. DCR (Ω)	Primär Spannung (V)	Sekundär Max. DCR (Ω)	Sekundär Spannung (V)	I, rms (mA)	Digi-Key Teilenr.	Stückpreis 1	10	25	J.W. Miller Teilenr.
0.61	25	132	1300	70	M1272-ND	3.99	3.00	2.66	PM61300-1
0.82	20	175	1300	70	M1273-ND	3.99	3.00	2.66	PM61300-2
1.10	15	175	1300	70	M1274-ND	3.99	3.00	2.66	PM61300-3
1.88	13	175	1300	70	M1275-ND	3.99	3.00	2.66	PM61300-4
2.34	10.5	290	1300	70	M1276-ND	3.99	3.00	2.66	PM61300-5

K

Alle Preisangaben in Euro und inklusive Zollgebühren.

Varitronix Limited LCDs

Reflektiv und transflektiv

(Transflektiv ist durch „FC“ in Varitronix-Teilenr. gekennzeichnet)

Merkmale: • Lange Standzeit/hohe Zuverlässigkeit • Ausgezeichnete optische Qualität • Hohes Kontrastverhältnis • Weiter Sichtwinkel • Großer nutzbarer Sichtbereich • Schnelle Reaktionszeit • Geringer Stromverbrauch • Datenblatt inbegriffen

Electrical/Optical Char.	Static	HV†	Units
Oper. Temperature Range	-10°~+60°	-10°~+60°	°C
Operational Voltage, RMS	3.0	3.9 - 4.7	V-RMS
Drive Frequency	30-300	60-300	Hz
Current Consumption	15	15	nA/mm²
Turn-On Time	120	80	ms
Turn-Off Time	100	80	ms

Format	Ziffern-größe (mm)	Anz. der Ziffern	Typ (mm)	Steckverb. Anz. der Pins	Doppelter Reihenabstand (mm)	Treiber ICs (nicht inbegriffen) (trifft für beide Teilenr. zu)	LED-Hintergrund-beleuchtung	Passende Blende ‡	Digi-Key Teilenr.	Stückpreis 1	5	10	Varitronix Teilenr.
.8.8	12.70	2	2.54 Dip	18	33.02	4543B(2)	—	PRD180LPW-ND	153-1003-ND	2.44	2.26	2.03	VI-201-DP-RC-S
							—	PRD180LPW-ND	153-1002-ND*	2.44	2.26	2.03	VI-201-DP-FC-S
BAT 1.8:8.8	12.70	3 1/2	2.54 Dip	40	33.02	4543B(4)	—	PRD180LP-ND	153-1005-ND	4.17	3.86	3.46	VI-322-DP-RC-S
							1	PRD180LP-ND	153-1004-ND*	4.17	3.86	3.46	VI-322-DP-FC-S
8.8.8.8	12.70	4	2.54 Dip	40	33.02	4543B(4)	—	PRD180LP-ND	153-1007-ND	4.17	3.86	3.46	VI-422-DP-RC-S
							1	PRD180LP-ND	153-1006-ND*	4.17	3.86	3.46	VI-422-DP-FC-S
1.8:8.8.8	10.16	4 1/2	2.54 Dip	40	33.02	4543B(5)	—	PRD180LP-ND	153-1009-ND	4.17	3.86	3.46	VI-502-DP-RC-S
							1	PRD180LP-ND	153-1008-ND*	4.17	3.86	3.46	VI-502-DP-FC-S
8.8:8.8:8.8	12.70	6	2.54 Dip	50	33.02	4543B(6)	—	PRD250LP-ND	153-1011-ND	6.32	5.85	5.25	VI-602-DP-RC-S
							2	PRD250LP-ND	153-1010-ND*	6.32	5.85	5.25	VI-602-DP-FC-S
8.8:8.8:8.8:8.8	12.70	8	2.54 Dip	68	33.02	4543B(8)	—	PRD360LP-ND	153-1013-ND	10.46	9.68	8.69	VI-804-DP-RC-S
							3	PRD360LP-ND	153-1012-ND*	10.46	9.68	8.69	VI-804-DP-FC-S
BAT 1.8:8.8	17.78	3 1/2	2.54 Dip	40	40.64	4543B(4)	—	Entfällt	153-1015-ND	9.21	8.52	7.65	VI-319-DP-RC-S
							2	Entfällt	153-1014-ND*	9.21	8.52	7.65	VI-319-DP-FC-S
8.8:8.8	17.78	4	2.54 Dip	40	40.64	4543B(4)	—	Entfällt	153-1017-ND	8.67	8.02	7.20	VI-415-DP-RC-S
							2	Entfällt	153-1016-ND*	8.67	8.02	7.20	VI-415-DP-FC-S
8:8:8.8.8	10.16	5	2.54 Dip	40	33.02	4543B(5)	—	PRD180LP-ND	153-1019-ND	4.17	3.86	3.46	VI-508-DP-RC-S
							2	PRD180LP-ND	153-1018-ND*	4.17	3.86	3.46	VI-508-DP-FC-S
8.8:8.8:8.8	17.78	6	2.54 Dip	50	40.64	4543B(6)	—	Entfällt	153-1021-ND	12.65	11.70	10.50	VI-607-DP-RC-S
							3	Entfällt	153-1020-ND*	12.65	11.70	10.50	VI-607-DP-FC-S
LO BAT 1.8:8.8	12.70	3 1/2	2.54 Dip	40	33.02	4543B(4)	—	PRD180LP-ND	153-1023-ND	4.17	3.86	3.46	VI-302-DP-RC-S
							1	PRD180LP-ND	153-1022-ND*	4.17	3.86	3.46	VI-302-DP-FC-S
LO BAT 1.8:8.8.8	10.16	4 1/2	2.54 Dip	40	33.02	4543B(5)	—	PRD180LP-ND	153-1025-ND	4.17	3.86	3.46	VI-509-DP-RC-S
							1	PRD180LP-ND	153-1024-ND*	4.17	3.86	3.46	VI-509-DP-FC-S
8.8.8.8	12.70	4	2.54 Dip	20	33.02	—	—	PRD180LP-ND	153-1046-ND†	3.84	3.56	3.19	VIM-404-DP-RC-S-H
							2	PRD180LP-ND	153-1047-ND†*	3.84	3.56	3.19	VIM-404-DP-FC-S-HV
LOW BATTERY CONTINUITY -1.8.8.8	10.16	4 1/2	2.54 Dip	15	33.02	ICL7129A	—	PRD180LP-ND	153-1054-ND†	3.71	3.43	3.08	VIM-503-DP-RC-S-HV
							2	PRD180LP-ND	153-1055-ND†*	3.71	3.43	3.08	VIM-503-DP-FC-S-HV
8.8:8.8:8.8:8.8	12.70	8	2.54 Dip	42	33.02	—	—	PRD360LP-ND	153-1056-ND†	9.57	8.85	7.94	VIM-808-DP-RC-S-HV
							3	PRD360LP-ND	153-1057-ND†*	9.57	8.85	7.94	VIM-808-DP-FC-S-HV

‡ Blende siehe unter PRD-Kunststoff im Herstellerindex. † Gemultiplexte Anzeige * Transflektiv

Hintergrundbeleuchtung für transflektive LCDs

LED-Hintergrund-beleuchtung	Gesamtgröße (mm) L x B x H	Aktive Größe (mm) LE x BE	Durchlassstrom mA bei 4,1 V Typ.	Max.	Digi-Key Teilenr.	Stückpreis 1	5	10	Varitronix Teilenr.
1	565 x 19.5 x 3.5	49 x 12	70	140	153-1026-ND	6.18	5.72	5.13	LED4-16264
2	75 x 26.6 x 3.8	60 x 22	135	270	153-1027-ND	9.48	8.77	7.87	LED4-20464B
3	94 x 24 x 4	84 x 19	180	360	153-1028-ND	8.04	7.44	6.68	LED4-20265

LCD-Module

Merkmale: Zeichenformat: 5 x 8 Punkte

Alle aufgeführten LCDs benötigen einen SAMSUNG-Controller, Teilenr. KS0066

Anzeige-format	Passende Blende ‡	Platten-Layout	Außenabmessungen (mm) B x H x T	Anzeigebereich, Abm. (mm) B x H	Zeichengröße B x H (mm)	Punktgröße (mm) B x H	Betriebste-mperatur (°C)	Lagertemperatur (°C)	Versorgungs-spannung (V)	Digi-Key Teilenr.	Stückpreis 1	5	10	Varitronix Teilenr.
Standard-LCD														
16 x 1	PRD250LPW1-ND	Oberseite	80 x 36 x 11	64.5 x 13.8	3.15 x 6.30	.55 x .70	-5° ~ +50°	-20° ~ +60°	5	153-1077-ND	9.30	8.60	7.72	MDL-16166-SS-LV
16 x 2	PRD250LPW-ND	Boden	84 x 44 x 10	61.0 x 15.8	2.95 x 5.55	.55 x .65	-5° ~ +50°	-20° ~ +60°	5	153-1078-ND	11.26	10.42	9.35	MDL-16265-SS-LV
Supertwist LCD-Modul														
8 x 1	PRD250LPW-ND	Boden	84 x 44 x 11	61.0 x 15.8	6.45 x 10.75	1.25 x 1.30	-5° ~ +50°	-20° ~ +60°	5	153-1080-ND	14.56	13.47	12.09	MDLS-81809-SS-LV-G
16 x 1	PRD250LPW1-ND	Oberseite	80 x 36 x 11	64.5 x 13.8	3.15 x 6.30	.55 x .70	-5° ~ +50°	-20° ~ +60°	5	153-1081-ND	10.29	9.53	8.55	MDLS-16166-SS-LV-G
16 x 2	PRD250LPW-ND	Boden	84 x 44 x 10	61.0 x 15.8	2.95 x 5.55	.55 x .65	-5° ~ +50°	-20° ~ +60°	5	153-1082-ND	12.04	11.14	10.00	MDLS-16265-SS-LV-G
16 x 4	Entfällt	Oberseite	87 x 60 x 10	61.8 x 25.2	2.95 x 4.75	.55 x .55	-5° ~ +50°	-20° ~ +60°	5	153-1083-ND	24.64	22.79	20.45	MDLS-16465-SS-LV-G
20 x 1	Entfällt	L. Seite	182 x 33.5 x 11	154 x 15.3	6.7 x 11.50	1.30 x 1.30	-5° ~ +50°	-20° ~ +60°	5	153-1084-ND	28.29	26.18	23.49	MDLS-20189-SS-LV-G
20 x 2	PRD360LPW-ND	L. Seite	116 x 37 x 11	83.0 x 18.6	3.2 x 5.55	.60 x .65	-5° ~ +50°	-20° ~ +60°	5	153-1085-ND	17.68	16.36	14.68	MDLS-20265-SS-LV-G
20 x 4	Entfällt	Oberseite	98 x 60 x 12	76.0 x 25.2	2.9 x 4.7	.50 x .50	-5° ~ +50°	-20° ~ +60°	5	153-1086-ND	24.72	22.87	20.52	MDLS-20464-SS-LV-G
24 x 2	PRD360LPW1-ND	L. Seite	118 x 36 x 10	93.5 x 15.8	3.2 x 5.15	.60 x .60	-5° ~ +50°	-20° ~ +60°	5	153-1087-ND	19.44	17.98	16.14	MDLS-24265-SS-LV-G
40 x 2	Entfällt	L. Seite	182 x 33.5 x 11	154.0 x 15.8	3.15 x 5.50	.55 x .60	-5° ~ +50°	-20° ~ +60°	5	153-1088-ND	32.04	29.64	26.59	MDLS-40266-SS-LV-G
40 x 4	Entfällt	L. Seite	196 x 56 x 11	154.4 x 27.6	3.15 x 5.50	.55 x .60	-10° ~ +60°	-20° ~ +70°	+5/-5	153-1089-ND	56.08	51.88	46.55	MDLS-40466-SS-G-HV
Supertwist LCD-Modul mit LED-Hintergrundbeleuchtung														
8 x 1	PRD250LPW-ND	Boden	84 x 44 x 15	61.0 x 15.8	6.45 x 10.75	1.25 x 1.30	-5° ~ +50°	-20° ~ +60°	5	153-1090-ND*	20.52	18.99	17.04	MDLS-81809-SS-LV-G-LED-04-G
16 x 1	PRD250LPW1-ND	Oberseite	80 x 36 x 14	64.5 x 13.8	3.15 x 6.30	.55 x .70	-5° ~ +50°	-20° ~ +60°	5	153-1091-ND*	14.10	13.05	11.71	MDLS-16166-SS-LV-G-LED-04-G
16 x 2	PRD250LPW-ND	Boden	84 x 44 x 14	61.0 x 15.8	2.95 x 5.55	.55 x .65	-5° ~ +50°	-20° ~ +60°	5	153-1092-ND	15.98	14.79	13.27	MDLS-16265-SS-LV-G-LED-04-G-14
16 x 2	PRD250LPW-ND	Boden	84 x 44 x 14	61.0 x 15.8	2.95 x 5.55	.55 x .65	-5° ~ +50°	-20° ~ +60°	5	153-1093-ND†	15.98	14.79	13.27	MDLS-16265-SS-LV-G-LED-04-G-16
16 x 4	Entfällt	Oberseite	87 x 60 x 13	61.8 x 25.2	2.95 x 4.75	.55 x .55	-5° ~ +50°	-20° ~ +60°	5	153-1094-ND*	29.39	27.19	24.40	MDLS-16465-SS-LV-G-LED-04-G
20 x 1	Entfällt	L. Seite	182 x 33.5 x 14.5	154 x 15.3	6.7 x 11.50	1.30 x 1.30	-5° ~ +50°	-20° ~ +60°	5	153-1095-ND*	39.30	36.36	32.62	MDLS-20189-SS-LV-G-LED-04-G
20 x 2	PRD360LPW-ND	L. Seite	116 x 37 x 14	83.0 x 18.6	3.2 x 5.55	.60 x .65	-5° ~ +50°	-20° ~ +60°	5	153-1096-ND*	23.21	21.48	19.27	MDLS-20265-SS-LV-G-LED-04-G
20 x 4	Entfällt	Oberseite	98 x 60 x 14	76.0 x 25.2	2.9 x 4.7	.50 x .50	-5° ~ +50°	-20° ~ +60°	5	153-1097-ND*	31.73	29.36	26.34	MDLS-20464-SS-LV-G-LED-04-G
24 x 2	PRD360LPW1-ND	L. Seite	118 x 36 x 13.4	93.5 x 15.8	3.2 x 5.15	.60 x .60	-5° ~ +50°	-20° ~ +60°	5	153-1098-ND*	25.64	23.72	21.28	MDLS-24265-SS-LV-G-LED-04-G
40 x 2	Entfällt	L. Seite	182 x 33.5 x 14	154.0 x 15.8	3.15 x 5.50	.55 x .60	-5° ~ +50°	-20° ~ +60°	5	153-1099-ND	43.41	40.16	36.04	MDLS-40266-SS-LV-G-LED-04-G
40 x 4	Entfällt	L. Seite	196 x 56 x 14	154.4 x 27.6	3.15 x 6.30	.55 x .60	-10° ~ +60°	-20° ~ +70°	+5/-5	153-1100-ND	69.12	63.94	57.37	MDLS-40466-SS-G-HV-LED-04-G

* Die LED-Chips sind über die gesamte beleuchtete Fläche verteilt und in einem Muster gebunden, das eine einzigartige Beleuchtung ergibt. Stromversorgung erfolgt über zwei Lötanschlüsse - „A“ für +5 V und „K“ für Erde. ‡ Blende siehe unter PRD-Kunststoff im Herstellerindex. † 16 Pin-Version

Monochrom Grafikmodule

Controller erforderlich	Punktpixel B x H	Außenabmessungen (mm) B x H x T	Sichtbereich (mm) B x H	Punktgröße (mm) B x H	Punktpitch (mm) B x H	Hintergrund-beleuchtungstyp	Digi-Key Teilenr.	Stückpreis 1	5	10	Varitronix Teilenr.
Integriert	240 x 64	180 x 65 x 14	132 x 39	.48 x .48	.53 x .53	LED 03	153-1079-ND	54.18	50.12	44.98	MGLS-24064-C-HV-G-LED3G

K

PRD Plastics Blenden

- Blendenmaterial: Polystyren-Kunststoff
- Die empfohlene Plattenstärke für die Montage von Schnappblenden beträgt 8,13 mm – 3,18 mm

Digi-Key Teilenr.	Abmessungen (mm) A	B	Plattenausschnitt für Schnappblende Höhe	Breite
PRD180B-ND	58.74	45.72	26.99	52.39
PRD250B-ND	76.20	63.50	26.99	69.85
PRD360B-ND†	104.78	91.44	26.99	98.43

† PRD360B-ND hat 4 Schnappklemmstangen aus Kunststoff

Schnapp-Blende (Linsen müssen separat bestellt werden.)

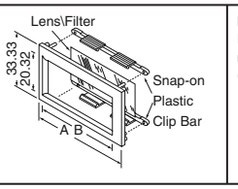

Niedrigprofil-Polykarbonat/ABS mit nicht-abnehmbarer Linse (setzt Klebestreifen voraus)

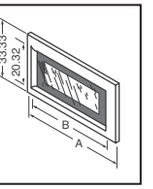

Beschreibung	Digi-Key Teilenr.	Stückpreis 1	10	100	PRD Plastics Teilenr.
Schnappblenden (Linsen müssen separat bestellt werden)					
45,72 mm breite Blende, schwarzer Kunststoff	PRD180B-ND	1.45	1.21	.97	6101010
63,50 mm breite Blende, schwarzer Kunststoff	PRD250B-ND	1.78	1.49	1.19	6102010
91,44 mm breite Blende, schwarzer Kunststoff	PRD360B-ND	2.08	1.74	1.39	6103010
Zum Gebrauch mit LCDs					
Transparente Linse für 45,72 mm Blende	PRD180C-ND	1.30	1.08	.87	6201010
Transparente Linse für 63,50 mm Blende	PRD250C-ND	1.45	1.21	.97	6202010
Transparente Linse für 91,44 mm Blende	PRD360C-ND	1.63	1.36	1.09	6203010
Zum Gebrauch mit LEDs					
Graue Linse für 45,72 mm Blende	PRD180S-ND	1.30	1.08	.87	6201020
Graue Linse für 63,50 mm Blende	PRD250S-ND	1.45	1.21	.97	6202020
Graue Linse für 91,44 mm Blende	PRD360S-ND	1.63	1.36	1.09	6203020
Rote Linse für 45,72 mm Blende	PRD180R-ND	1.30	1.08	.87	6201030
Rote Linse für 63,50 mm Blende	PRD250R-ND	1.45	1.21	.97	6202030
Rote Linse für 91,44 mm Blende	PRD360R-ND	1.63	1.36	1.09	6203030
Grüne Linse für 45,72 mm Blende	PRD180G-ND	1.30	1.08	.87	6201040
Grüne Linse für 63,50 mm Blende	PRD250G-ND	1.45	1.21	.97	6202040
Grüne Linse für 91,44 mm Blende	PRD360G-ND	1.63	1.36	1.09	6203040
Maskierte Linsen					
25,40 mm x 22,23 mm Fenster für 45,72 mm	PRD180W-ND	1.30	1.08	.87	6201050
60,96 mm x 16,00 mm Fenster für 63,50 mm	PRD250W-ND	1.45	1.21	.97	6202050
65,41 mm x 13,79 mm Fenster für 63,50 mm	PRD250W1-ND	1.45	1.21	.97	6202060
83,01 mm x 18,59 mm Fenster für 91,44 mm	PRD360W-ND	1.63	1.36	1.09	6203050
93,35 mm x 15,80 mm Fenster für 91,44 mm	PRD360W1-ND	1.63	1.36	1.09	6203060

* Setzt Klebestreifen voraus (für die 91,44 mm Blende am besten 2 Pads verwenden)

Beschreibung	Digi-Key Teilenr.	Stückpreis 1	10	100	PRD Plastics Teilenr.
Niedrigprofil-Polykarbonat/ABS					
Niedrigprofil für LCDs *					
45,72mm Blende mit durchsichtiger Linse	PRD180LP-ND	2.87	2.40	1.92	6301010
45,72 mm Blende und durchsichtige Linse mit 25,40 mm x 22,23 mm Fenster	PRD180LPW-ND	2.87	2.40	1.92	6301020
63,50 mm Blende mit durchsichtiger Linse	PRD250LP-ND	3.23	2.69	2.16	6302010
63,50 mm Blende und durchsichtige Linse mit 60,96 mm x 16,00 mm Fenster	PRD250LPW-ND	3.23	2.69	2.16	6302020
63,50 mm Blende und durchsichtige Linse mit 65,41 mm x 13,79 mm Fenster	PRD250LPW1-ND	3.23	2.69	2.16	6302030
91,44 mm Blende mit durchsichtiger Linse	PRD360LP-ND	3.68	3.07	2.46	6303010
91,44 mm Blende und durchsichtige Linse mit 83,01 mm x 18,59 mm Fenster	PRD360LPW-ND	3.68	3.07	2.46	6303020
91,44 mm Blende und durchsichtige Linse mit 93,35 mm x 15,80 mm Fenster	PRD360LPW1-ND	3.68	3.07	2.46	6303030
Niedrigprofil für LEDs *					
45,72 mm Blende mit grauer Linse	PRD180LPS-ND	2.87	2.40	1.92	6301040
45,72 mm Blende mit roter Linse	PRD180LPR-ND	2.87	2.40	1.92	6301050
45,72 mm Blende mit grüner Linse	PRD180LPG-ND	2.87	2.40	1.92	6301060
63,50 mm Blende mit grauer Linse	PRD250LPS-ND	3.23	2.69	2.16	6302040
63,50 mm Blende mit roter Linse	PRD250LPR-ND	3.23	2.69	2.16	6302050
63,50 mm Blende mit grüner Linse	PRD250LPG-ND	3.23	2.69	2.16	6302060
91,44 mm Blende mit grauer Linse	PRD360LPS-ND	3.68	3.07	2.46	6303040
91,44 mm Blende mit roter Linse	PRD360LPR-ND	3.68	3.07	2.46	6303050
91,44 mm Blende mit grüner Linse	PRD360LPG-ND	3.68	3.07	2.46	6303060
Zubehör					
Klebestreifen, 2 pro Pad	PRDAS-ND	.27	.26	.24	6000010

Jewell Instruments MODUTEC

Große - kleine digitale Messgeräte

Abb. 1

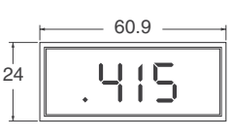

Abb. 2

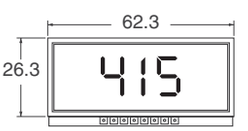

Spezifikationen der Serie BL:

Anzeige:

- Zahlen: 3 1/2 Zahlen, 7 Segment-Hintergrundbeleuchtungs- LCD (1999)
- Zahlenhöhe: 0,5" (12,7 mm)
- Polarität: Automatisch (-) angezeigt
- Dezimalstelle: Drei Positionen, externe Auswahl
- Überlast: Drei Leerstellen unten für Wert über 1999
- Schwache Batterie: „Low Bat"-Anzeige für <7,2 V (9 V nur Netz)

Leistung:

- Genauigkeit: ±(0,1% Rundung + 2 Zählungen) bei + 5 und ±5 V Leistung ± (0,1% Rundung + 1 Zählung) bei 9 V Leistung 2,5 pro Sekunde
- Konversionsrate: 2,5 Messungen/Sek.
- Gleichtaktmodus-Spannungsbereich: Max. ± 1 V
- Gleichtaktmodus-Ablehnung: >86 dB
- Nullanpassung: Automatisch
- Tempco: 100 PPM/°C typisch

Standard-Analogeingänge:

- Vollskalabereich: Wahlweise ±200 mV, ±2 V oder ±20 V (Sonderbereiche und technische Einheiten auf Anfrage erhältlich)
- Konfiguration: Echter Differenzialeingang und Referenzen
- Ratiometrischer Betrieb: Verfügbar für Modelle BL-100, -130, -300, -330, -400, -430, -500, -530, -600 und -630
- Schutz: 250 V DC oder 150 Vrms kontinuierlich, max. 300 V intermittierend
- Bias-Strom: 1 pA typ., max. 10 pA
- Alle Hintergrundbeleuchtungsleistung beträgt + 5 V DC

Anzeige	Montage	DPM-Leistung	Eingabe	Digi-Key Teilenr.	Stückpreis 1	5	10	Modutec Teilenr.
Abb. 1 — 13-Pin-Anschlüsse, Hintergrundbeleuchtungsleistung 5 V DC								
Negative rote Hintergrundbeleuchtung	Blende	+5VDC	0 - 2VDC	180-1002-ND	73.60	71.77	69.93	BL-530302-01-U
	Blende	+5VDC	0 - 200mVDC	180-1003-ND	73.60	71.77	69.93	BL-530301-01-U
	Fenster	+5VDC	0 - 2VDC	180-1004-ND	70.57	68.81	67.05	BL-500302-01-U
	Fenster	+5VDC	0 - 200mVDC	180-1005-ND	70.57	68.81	67.05	BL-500301-01-U
	Fenster	9VDC	0 - 2VDC	180-1006-ND	70.57	68.81	67.05	BL-500102-01-U
	Fenster	9VDC	0 - 200mVDC	180-1007-ND	70.57	68.81	67.05	BL-500101-01-U
Negative grüne Hintergrundbeleuchtung	Fenster	+5VDC	0 - 2VDC	180-1008-ND	68.54	66.83	65.12	BL-400302-01-U
	Fenster	+5VDC	0 - 200mVDC	180-1009-ND	68.54	66.83	65.12	BL-400301-01-U
	Fenster	9VDC	0 - 2VDC	180-1010-ND	68.54	66.83	65.12	BL-400102-01-U
	Fenster	9VDC	0 - 200mVDC	180-1011-ND	68.54	66.83	65.12	BL-400101-01-U
Positive grüne Hintergrundbeleuchtung	Blende	+5VDC	0 - 2VDC	180-1012-ND	68.54	66.83	65.12	BL-330302-01-U
	Blende	+5VDC	0 - 200mVDC	180-1013-ND	68.54	66.83	65.12	BL-330301-01-U
	Fenster	+5VDC	0 - 2VDC	180-1014-ND	65.53	63.89	62.25	BL-300302-01-U
	Fenster	+5VDC	0 - 200mVDC	180-1015-ND	65.53	63.89	62.25	BL-300301-01-U
	Fenster	9VDC	0 - 2VDC	180-1016-ND	65.53	63.89	62.25	BL-300102-01-U
	Fenster	9VDC	0 - 200mVDC	180-1017-ND	65.53	63.89	62.25	BL-300101-01-U
LCD Standard, reflektierend	Blende	+5VDC	0 - 20VDC	180-1021-ND	55.54	54.15	52.76	BL-130303-U
	Blende	+5VDC	0 - 2VDC	180-1022-ND	49.44	48.21	46.97	BL-130302-U
	Blende	+5VDC	0 - 200mVDC	180-1023-ND	55.54	54.15	52.76	BL-130301-U
	Fenster	+5VDC	0 - 20VDC	180-1024-ND	52.51	51.20	49.89	BL-100303-U
	Fenster	+5VDC	0 - 2VDC	180-1025-ND	52.51	51.20	49.89	BL-100302-U
	Fenster	+5VDC	0 - 200mVDC	180-1026-ND	52.51	51.20	49.89	BL-100301-U
	Fenster	9VDC	0 - 2VDC	180-1027-ND	52.51	51.20	49.89	BL-100102-U
	Fenster	9VDC	0 - 200mVDC	180-1028-ND	52.51	51.20	49.89	BL-100101-U
Abb. 2 — Flachpackung								
LCD Standard, reflektierend	Fenster	+5VDC	20VDC	180-1018-ND	46.33	45.17	44.01	BL-176303-U
	Fenster	+5VDC	2VDC	180-1019-ND	46.33	45.17	44.01	BL-176302-U
	Fenster	+5VDC	200mVDC	180-1020-ND	46.33	45.17	44.01	BL-176301-U
Blendenkit	—	—	—	180-1001-ND	5.40	5.27	5.14	176-BK-U

K

Alle Preisangaben in Euro und inklusive Zollgebühren.

LCDs

Lumex Numbering System

L C D – S 4 0 1 C 4 0 T F – 1

1 2 3 4 5 6 7

1. **Anzeigentyp:** Flüssigkristallanzeige
2. **Betriebstemperatur** S = Standard (0 ° ~ 50 °C)
   H = Hohe Temp (-30 ° ~ 75 °C)
3. **Modellnr.** alphanumerisch und numerisch
   401C40 = 4 Zeichen x 1 Linie, 0,40" (10,16 mm)
   4x1C45 = 4,5 Zeichen x 1 Linie, 0,45" (11,43 mm)
   x - repräs. 1/2 Spalte
   Matrix and Graphic Model
   01602D =16 Characters x Lines, Dot Matrix
4. **Flüssigkeitstyp** T = verdrillt nematisch (TN)
   S = superverdrillt nematisch (STN)
5. **Polarisierungsmodus** R = Reflektiv
   F = Transflektiv
6. **Anzeigeart** Standard = Positives Abbild (kein Buchst.) oder für weitere Beschreibung folgt Verwendung „-"; N = Negatives Abbild
7. **Sichtrichtung** Standard = 18.00 Uhr (keine Zahl)
   1 = 12.00 Uhr

Format	Anz. der Zahlen	Ziffern-größe (mm)	Typ (mm)	Anz. d. Pins	Doppelter Reihenabstand (mm)	Digi-Key Teilenr.	Stückpreis 1	5	10	Lumex Teilenr.
188	2 1/2	12.17	2.54 DIP	16	28.67	67-1787-ND	1.51	1.40	1.25	LCD-S2X1C50TR
						67-1798-ND	1.51	1.40	1.25	LCD-S2X1C50TF
8.8.8	3	7.87	2.54 DIP	24	18.10	67-1788-ND	1.41	1.30	1.17	LCD-S301C31TR
						67-1799-ND	1.41	1.30	1.17	LCD-S301C31TF
1.8:8.8	3 1/2	12.70	2.54 DIP	40	33.00	67-1789-ND	3.20	2.96	2.66	LCD-S3X1C50TR/A
-1.8.8.8	3 1/2	12.70	2.54 DIP	40	33.18	67-1790-ND	3.20	2.96	2.66	LCD-S3X1C50TR/B
8.8:8.8	4	9.92	1.27 DIP	40	24.64	67-1792-ND	2.51	2.32	2.08	LCD-S401C39TR
	4	13.20	2.54 DIP	40	32.39	67-1793-ND	3.56	3.29	2.96	LCD-S401C52TR
	4	18.00	2.54 DIP	40	40.01	67-1794-ND	3.84	3.56	3.19	LCD-S401C71TR
1.8:8:8.8	4 1/2	8.89	2.54 DIP	40	24.45	67-1795-ND	2.57	2.38	2.14	LCD-S4X1C35TR
8.8:8.8:8.8	6	17.99	2.54 DIP	50	40.14	67-1796-ND	6.15	5.69	5.11	LCD-S601C71TR
						67-1807-ND	6.15	5.69	5.11	LCD-S601C71TF

Gesamtgröße (mm)	Aktiver Bereich (mm)	Farbe	Typische Spannung	Stromstärke (mA)	Funktioniert mit LCD-Teilenr.	Digi-Key Teilenr.	Stückpreis 1	5	10	Lumex Teilenr.
Hintergrundbeleuchtung — Bleifrei/RoHS-konform										
30.0 x 20.0	24.0 x 18.4	Green	2.2	25	67-1798-ND	67-1952-ND	2.12	1.96	1.76	SSB-CEL2417SUGC
114.0 x 28.8	100.4 x 25.2	Green	4.2	576	67-1807-ND	67-1953-ND	7.31	6.77	6.08	SSB-COB10025GW

Lumex Numbering System

L C M – S 0 1 6 0 2 D T F – 1

1 2 3 4 5 6 7 8

1. **Anzeigentyp:** Flüssigkristallanmodul
2. **Betriebstemperatur** S = Standard (0 ° ~ 50 °C)
   H = Hohe Temp (-20 ° ~ 70 °C)
3. **Modellnummer** Punktmatrix- und Grafikmodell
   01602 = 16 Zeichen x 2 Linien
   12864 = 128 Spalten x 64 Zeilen
4. **Anzeigentyp** D = Punktmatrix G = Grafik
5. **Flüssigkeitstyp** T = verdrillt nematisch (TN)
   S = superverdrillt nematisch (STN)
6. **Polarisierermodus** R = Reflektiv F = Transflektiv
7. **Anzeigeart** Standard = Positives Abbild (kein Buchst.) oder für weitere Beschreibung „- " verwenden; N = Negatives Abbild
8. **Sichtrichtung** Standard = 18.00 Uhr (keine Zahl)
   1 = 12.00 Uhr

LCD-Grafikmodule

Merkmale: • Version für Standardtemperatur

Integrierter Controller	Punktpixel B x H	Umrissmaße (mm) B x H x T	Sichtbereich (mm) B x H	Pixelgröße (mm) B x H	Pixelpitch (mm) B x H	Back-light Type*	Digi-Key Teilenr.	Stückpreis 1	5	10	Lumex Teilenr.
EPSON SED1520	122 x 32	84 x 44 x 12.70	60.50 x 18.50	.40 x .45	.44 x .49	LED	67-1782-ND	21.15	19.57	17.56	LCM-S12232GSF
SAMSUNG S6B0108	128 x 64	93 x 70 x 12.7	72 x 40	.48 x .48	.52 x .52	LED	67-1783-ND	40.47	37.44	33.59	LCM-S12864GSF
	128 x 64	75 x 52.7 x 10	60 x 32.5	.40 x .40	.43 x .43	LED	67-1784-ND	43.01	39.79	35.70	LCM-H12864GSF/H-Y
TOSHIBA T6963C	240 x 64	180 x 65 x 14	133 x 40	.49 x .49	.53 x .53	LED	67-1785-ND	77.72	71.89	64.51	LCM-S24064GSF
	240 x 128	144 x 104 x 15.1	114 x 64	.40 x .40	.45 x .45	LED	67-1786-ND	99.63	92.16	82.70	LCM-S240128GSF

* Hintergrundbeleuchtungstyp

LCD-Punktmatrixmodule

Merkmale: • Version für Standardtemperatur
• Standard Pin-Anschlüsse
• Alle aufgeführten LCDs benötigen einen SAMSUNG-Controller, Teilenr. S6A0069

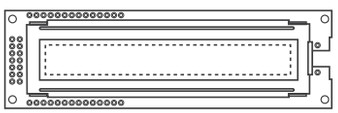

Anzeige-format	Zeichen-format	Platten-Layout	Außenabmessungen B x H x T (mm)	Sichtbereich B x H (mm)	Zeichengröße B x H (mm)	Punktgröße B x H (mm)	Betriebstemperatur (°C)	Lagertemperatur (°C)	Versorgungs-spannung (V)	Digi-Key Teilenr.	Stückpreis 1	5	10	Lumex Teilenr.
Verdrillt nematisch, reflektiv, ohne LED-Hintergrundbeleuchtung														
16 x 1	5 x 8 Punkte	Oberseite	80 x 36 x 8.8	66 x 16	3.07 x 6.56	.55 x .75	0°C ~ 50°C	-20°C ~ 70°C	5.0	67-1778-ND	6.35	5.88	5.27	LCM-S01601DTR
16 x 2	5 x 8 Punkte	Oberseite	80 x 36 x 8.8	66 x 16	2.96 x 5.56	.56 x .66	0°C ~ 50°C	-20°C ~ 70°C	5.0	67-1779-ND	7.86	7.27	6.53	LCM-S01602DTR/A
16 x 2	5 x 8 Punkte	L Seite	85 x 30 x 8.9	66 x 16	2.96 x 5.56	.56 x .66	0°C ~ 50°C	-20°C ~ 70°C	5.0	67-1780-ND	7.86	7.27	6.53	LCM-S01602DTR/C
16 x 2	5 x 8 Punkte	Boden	66 x 26 x 6.5	52 x 19	2.46 x 5.56	.46 x .66	0°C ~ 50°C	-20°C ~ 70°C	5.0	67-1781-ND	4.98	4.61	4.14	LCM-S01602DTR/M
Superverdrillt nematisch, reflektiv, ohne LED-Hintergrundbeleuchtung														
16 x 1	5 x 8 Punkte	Oberseite	80 x 36 x 8.8	66 x 16	3.07 x 6.56	.55 x .75	0°C ~ 50°C	-20°C ~ 70°C	5.0	67-1767-ND	8.09	7.49	6.72	LCM-S01601DSR
16 x 2	5 x 8 Punkte	Oberseite	80 x 36 x 8.8	66 x 16	2.96 x 5.56	.56 x .66	0°C ~ 50°C	-20°C ~ 70°C	5.0	67-1768-ND	8.75	8.10	7.27	LCM-S01602DSR/A
16 x 2	5 x 8 Punkte	Boden	84 x 44 x 8.8	66 x 16	2.96 x 5.56	.56 x .66	0°C ~ 50°C	-20°C ~ 70°C	5.0	67-1769-ND	9.63	8.92	8.00	LCM-S01602DSR/B
16 x 2	5 x 8 Punkte	L Seite	85 x 30 x 8.9	66 x 16	2.96 x 5.56	.56 x .66	0°C ~ 50°C	-20°C ~ 70°C	5.0	67-1770-ND	8.75	8.10	7.27	LCM-S01602DSR/C
16 x 2	5 x 8 Punkte	Boden	122 x 44 x 8.8	99 x 24	4.84 x 9.63	.92 x 1.16	0°C ~ 50°C	-20°C ~ 70°C	5.0	67-1771-ND	13.12	12.14	10.90	LCM-S01602DSR/D
16 x 4	5 x 8 Punkte	Oberseite	87 x 60 x 8.9	65 x 25.6	2.95 x 4.75	.55 x .55	0°C ~ 50°C	-20°C ~ 70°C	5.0	67-1772-ND	18.64	17.25	15.48	LCM-S01604DSR
20 x 2	5 x 8 Punkte	L Seite	116 x 37 x 8.9	85 x 18.6	3.2 x 5.55	.60 x .65	0°C ~ 50°C	-20°C ~ 70°C	5.0	67-1773-ND	13.39	12.39	11.12	LCM-S02002DSR
20 x 4	5 x 8 Punkte	Oberseite	98 x 60 x 8.8	77 x 26.3	2.95 x 4.75	.55 x .55	0°C ~ 50°C	-20°C ~ 70°C	5.0	67-1774-ND	20.30	18.78	16.85	LCM-S02004DSR
24 x 2	5 x 8 Punkte	L Seite	118 x 36 x 8.8	93.5 x 16	3.2 x 5.55	.60 x .65	0°C ~ 50°C	-20°C ~ 70°C	5.0	67-1775-ND	13.94	12.89	11.57	LCM-S02402DSR
40 x 4	5 x 8 Punkte	L Seite	190 x 54 x 10	149 x 29.5	2.78 x 4.89	.50 x .55	0°C ~ 50°C	-20°C ~ 70°C	5.0	67-1777-ND	48.49	44.86	40.25	LCM-S04004DSR
Superverdrillt nematisch, transflektiv, ohne LED-Hintergrundbeleuchtung														
16 x 1	5 x 8 Punkte	Oberseite	80 x 36 x 12.7	66 x 16	3.07 x 6.56	.55 x .75	0°C ~ 50°C	-20°C ~ 70°C	5.0	67-1757-ND	10.68	9.89	8.87	LCM-S01601DSF
16 x 2	5 x 8 Punkte	Oberseite	80 x 36 x 12.7	66 x 16	2.96 x 5.56	.56 x .66	0°C ~ 50°C	-20°C ~ 70°C	5.0	67-1758-ND	11.31	10.47	9.39	LCM-S01602DSF/A
16 x 2	5 x 8 Punkte	Boden	84 x 44 x 12.7	66 x 16	2.96 x 5.56	.56 x .66	0°C ~ 50°C	-20°C ~ 70°C	5.0	67-1759-ND	11.84	10.95	9.83	LCM-S01602DSF/B
16 x 2	5 x 8 Punkte	L Seite	85 x 30 x 12.7	66 x 16	2.96 x 5.56	.56 x .66	0°C ~ 50°C	-20°C ~ 70°C	5.0	67-1760-ND	11.31	10.47	9.39	LCM-S01602DSF/C
16 x 4	5 x 8 Punkte	Oberseite	87 x 60 x 12.7	62 x 25.6	2.95 x 4.75	.55 x .55	0°C ~ 50°C	-20°C ~ 70°C	5.0	67-1761-ND	23.42	21.67	19.44	LCM-S01604DSF
20 x 2	5 x 8 Punkte	L Seite	116 x 37 x 12.7	85 x 18.6	3.2 x 5.55	.60 x .65	0°C ~ 50°C	-20°C ~ 70°C	5.0	67-1762-ND	17.42	16.12	14.47	LCM-S02002DSF
20 x 4	5 x 8 Punkte	Oberseite	98 x 60 x 12.7	77 x 26.3	2.95 x 4.75	.55 x .55	0°C ~ 50°C	-20°C ~ 70°C	5.0	67-1763-ND	26.67	24.67	22.14	LCM-S02004DSF
24 x 2	5 x 8 Punkte	L Seite	118 x 36 x 12.7	93.5 x 16	3.2 x 5.55	.60 x .65	0°C ~ 50°C	-20°C ~ 70°C	5.0	67-1764-ND	18.02	16.67	14.96	LCM-S02402DSF
40 x 2	5 x 8 Punkte	L Seite	182 x 33.5 x 12.7	154 x 15.3	3.2 x 5.55	.60 x .65	0°C ~ 50°C	-20°C ~ 70°C	5.0	67-1765-ND	31.44	29.09	26.10	LCM-S04002DSF
40 x 4	5 x 8 Punkte	L Seite	190 x 54 x 14.5	149 x 29.5	2.78 x 4.89	.50 x .55	0°C ~ 50°C	-20°C ~ 70°C	5.0	67-1766-ND	57.13	52.85	47.42	LCM-S04004DSF

LCD-TFT-Farbmodule 4,0" (101,6 mm) und 6,4" (162,56 mm) verwenden Standard-NTSC Composite Videosignale

Diese qualitativ hochwertigen, flachen 4,0" und 6,4" LCD-TFT-Farbmodule können mit jeder NTSC-Composite-Videoquelle verwendet werden (z.B. Videorekorderausgang oder unsere kleinen Panasonic CCD-Kameras).

Betriebsbedingungen:

- **Betriebsspannung (Vop):** 10-30 V DC, 12 V DC typ.
- **Betriebstemperatur (Top):** 0 °C ~ 60 °C
- **Lagertemperatur (Tst): 4,0" Modul:** -20 °C ~ 80 °C; **6,4" Modul:** -25 °C ~ 80 °C
- **Betriebsfeuchtigkeit (Ho):** 85 % RH
- **Lagerfeuchtigkeit (Hs):** 85 % RH
- **Eingangssignal/NTSC Sync negativ** (Compositevideosignal: 1 Vp-p/75 Ω) : **Vi:** 1 Vp-p **fH:** 15,75 KHz **fV:** 60 Hz **fc:** 3,58 MHz
- **Stromverbrauch (Pc): 4,0" Modul:** 5 W, **6,4" Modul:** 7 W

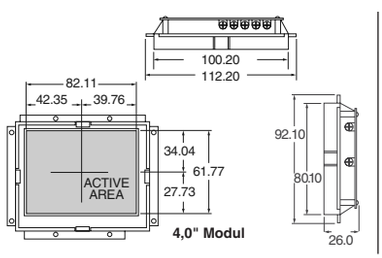

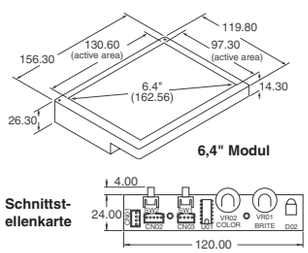

Schnittstellenkarte

Anzeigegröße (Zoll)	Auflösung (Anz. d. Zeilen) Breite	Höhe	Aktiver Bereich (mm) Breite	Höhe	Punktpitch (mm) Breite	Höhe	Gewicht (g)	Hintergrund-beleuchtung*	Sichtwinkel Rechts	Links	Aufwärts	Abwärts	Digi-Key Teilenr.	Stückpreis	Lumex Teilenr.
4.0	480	234	82.10	61.70	0.106	0.161	166 ±5	CCFT	45°	45°	10°	30°	67-1547-ND	253.13	LCM-480234GF-40CG
6.4	960	234	130.6	97.3	0.136	0.416	340 ±5	CCFT	50°	50°	10°	30°	67-1511-ND	421.21	LCM-960234GR-64FC

* 10.000 Stunden min. bei Tamb = 25 °C

K

Alle Preisangaben in Euro und inklusive Zollgebühren.

Industrielle digitale Platteninstrumente, Serie 2000

Spezifikationen: Leistung: • Konversionsrate: 2,5 Messungen/Sek. • Gleichtaktmodus-Ablehnung: ≥100 db 50 Hz-60 Hz • Tempco: ±200 PPM/ °C typ., außer Thermoelementeingänge, die 0,1°/Grad Null betragen; Null-tempco für wählbare Prozessbereiche ist nur ±0,2-Zählung/°C • Normalmodus-Ablehnung: ≥40 dB 50 Hz-60 Hz • Nullanpassung: Automatisch • Aufwärmen: 10 Minuten **Umgebung:** • Betriebstemperaturbereich: -4 °F ~ 140 °F (-20 °C ~ 60 °C) • Lagertemperaturbereich: -22 °F ~ 150 °F (-30 °C ~ 70 °C) **Leistungsoptionen:** • 115 V + 10 %, -15 % 50 Hz ~ 400 Hz bei 2 VA • 230 V + 10 %, -15 % 50 Hz ~ 400 Hz bei 2 VA **Hintergrundbeleuchtungsoptionen:** • Positiv grün (grüner Hintergrund, schwarze Zeichen) • Negativ rot (schwarzer Hintergrund, rote Zeichen) **FCC-Erfüllung:** • Erfüllt die Klasse B Limits der FCC-Vorschriften und Regeln, Teil 15, Unterabs. J für Leit- und Strahlenemissionen. • Mit Ausnahme der DC-getriebenen Version, die ≥80 dB 50 Hz-60 Hz aufweist

Anzeige	DPM-Leistung	Eingang†	Hintergrundbeleuchtung-sleistung††	Digi-Key Teilenr.	Stückpreis 1	5	10	Modutec Teilenr.
TRMS (Strom) - Universal Selectable True RMS - Strombereiche								
Neg. rote Hintergrundbeleuchtung	115 oder 230VAC	250VAC	115 or 230VAC	180-1036-ND	183.68	179.09	174.50	2353-1026-10-U
Neg. rote Hintergrundbeleuchtung		200.0VAC	115 or 230VAC	180-1037-ND	183.68	179.09	174.50	2353-1024-10-U
UPM - Universal Selectable Process, IDC-Spannung oder DC-Strom								
Neg. rote Hintergrundbeleuchtung	115VAC	4/20 mADC skaliert 0/100,0 Prozent	115VAC	180-1038-ND	158.70	154.74	150.77	2153-3419-04-U
Neg. rote Hintergrundbeleuchtung		10 V DC skaliert 0/10,00 V DC		180-1039-ND	158.70	154.74	150.77	2153-3406-04-U
1/8 DIN								
Neg. rote Hintergrundbeleuchtung	115VAC	Thermoelement, Typ J	115VAC	180-1040-ND	103.73	101.14	98.54	2053-3480-04-U
Neg. rote Hintergrundbeleuchtung		100 Ohm Pt 1 Grad Auflösung		180-1041-ND	103.73	101.14	98.54	2053-3470-04-U
Neg. rote Hintergrundbeleuchtung		0 - 50 A AC/Durchschn.		180-1042-ND	103.73	101.14	98.54	2053-3439-04-U
Neg. rote Hintergrundbeleuchtung		80 -260 V AC Durchschn.		180-1043-ND	103.73	101.14	98.54	2053-3429-04-U
Pos. grüne Hintergrundbeleuchtung		0 - 200VDC		180-1044-ND	103.73	101.14	98.54	2033-3404-04-U
Pos. grüne Hintergrundbeleuchtung		0 - 20VDC		180-1045-ND	103.73	101.14	98.54	2033-3403-04-U
Pos. grüne Hintergrundbeleuchtung		0 - 2 V DC skaliert 0 ~ 1,999		180-1046-ND	103.73	101.14	98.54	2033-3402-04-U
Pos. grüne Hintergrundbeleuchtung		0 - 200 mV DC, skaliert für 0 ~ 199,9		180-1047-ND	103.73	101.14	98.54	2033-3401-04-U
Ohne Hintergrundbeleuchtung	Schleifen-Leistungsmodul	4 - 20 mA DC skaliert 0 ~ 100,0	Keine Hintergrundbeleuchtung	180-1048-ND	132.26	128.95	125.65	2013-3019-00-U

† Mit dem 5 A oder 50 A externen Stromtransformator, der im Lieferumfang des DPMs enthalten ist, zur Verwendung zugelassen. †† Hintergrundbeleuchtungsleistung muss der gewählten DPM-Leistung entsprechen.

Analoge Mess-/Anzeigegeräte

Die Serie PB wurde speziell zur Deckung des Bedarfs an Messgeräten mit einem robusten „industriellen" Aussehen und großer Wählscheibe entwickelt.

Serie LB - Quadratisch

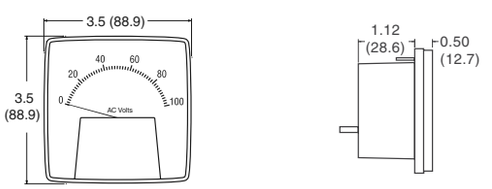

Serie S - Rechteckig

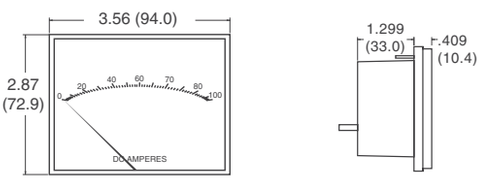

Beschreibung	Typ	Bereich	Widerstand (Ω)	Digi-Key Teilenr.	Stückpreis 1	5	10	Modutec Teilenr.
DC-Strommesser	Quadratisch	0 - 50ADC	10	180-1072-ND	—	—	42.67	R3PBS-DAA-050-U
Shunt zugelassen		0 - 100ADC	10	180-1073-ND	—	—	42.67	R3PBS-DAA-100-U
DC-Spannungsmesser	Quadratisch	0 - 100VDC	1000 per V	180-1076-ND	58.84	57.38	55.91	R3PB-DVV-100-U
AC-Strommesser	Rechteckig	0 - 15AAC	0.003	180-1060-ND	—	—	45.59	R3S-AAC-015-U
AC-Strommesser	Rechteckig	0 - 100AAC	0.022	180-1063-ND	60.79	59.27	57.75	R3S-AACX-100-U
Trans.-Zulassung	Quadratisch	0 - 100AAC	0.022	180-1080-ND	60.79	59.27	57.75	R3PB-AACX-100-U
AC-Spannungsmesser	Rechteckig	0 - 150VAC	30K	180-1065-ND	—	—	48.51	R3S-AVC-150-U
	Quadratisch	0 - 150VAC	30K	180-1082-ND	—	—	48.51	R3PB-AVC-150-U
		0 - 300VAC	30.25K	180-1083-ND	—	—	48.51	R3PB-AVC-300-U
		0 - 600VAC	114.7K	180-1084-ND	—	—	48.51	R3PB-AVC-600-U

DC-Strommesser - Straffes Band, 50 mV, bewegliche Spule: Null links, Shunt zugelassen

DC-Spannungsmesser - Straffes Band, bewegliche Spule: Null links.

AC-Strommesser - Dreheisen: In sich geschlossen, 60 Hz nominaler Eingang (50-400 Hz Bereich)

AC-Strommesser - Dreheisen; Transformator-Zulassung, 0-5 A.

AC-Spannungsmesser - Dreheisen, in sich geschlossen, 60 Hz nominaler Eingang (50 Hz mit leicht reduzierter Genauigkeit).

Typ	Frequenzbereich	Eingang V	Genauigkeit	Digi-Key Teilenr.	Stückpreis 1	5	10	Modutec Teilenr.
Frequenzmesser, elektronischer Zeiger								
Rechteckig	45-65Hz	120VAC	±.6Hz	180-1068-ND	163.87	159.78	155.69	R3S-FRQ-55/120-20-U
	45-55Hz		±.3Hz	180-1069-ND	163.87	159.78	155.68	R3S-FRQ-50/120-10-U
Quadratisch	45-65Hz	120VAC	±.6Hz	180-1085-ND	—	—	122.91	R3PB-FRQ-55/120-20-U
	45-55Hz		±.3Hz	180-1086-ND	163.87	159.78	155.68	R3PB-FRQ-50/120-10-U
	55-65Hz		±.3Hz	180-1087-ND	163.87	159.78	155.68	R3PB-FRQ-60/120-10-U

Mini-Serie 1000 - Hintergrund-beleuchtung

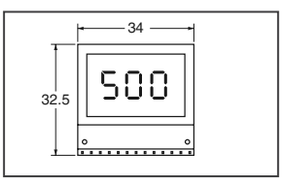

Spezifikationen: Anzeige: • Zahlen: 3-1/2 Zahlen (1999) • Zahlenhöhe: 0,3" (7,6 mm) • Dezimalstelle: 3 Positionen, externe Auswahl • Typ: LCD, 7 Segmente, Hintergrundbeleuchtung • Polarität: Automatisch (-) angezeigt • Überlast: Drei Leerstellen unten für Wert über 1999 **Eingang:** • Vollskalabereich: ± 2 V oder ± 200 m V DC • Eingangswiderstand: ± 100 MΩ • Überspannschutz: 100 V DC oder AC-Spitzenkonditionen

Leistung: • Genauigkeit: = max. (0,25 % + 1 Zählung) • Gleichtaktmodus-Ablehnung: ≥86 db 50 Hz-60 Hz • Nullanpassung: Automatisch • Konversionsrate: 2,5 pro Sek. • Tempco: 100 PPM/°C

Umgebung: • Betriebstemperaturbereich: -0 °C bis 60 °C • Lagerbereich: -20 °C bis 70 °C **Erweiterte Temperatur (Option):** • Betriebstemperaturbereich: -30 °C bis 80 °C • Lagerbereich: -40 °C bis 85 °C **Leistungsoptionen:** • + 5 V DC und -5 V DC ± 10 % @ 150 µA DC oder 9 V DC (7,2 bis 12 V DC isoliert @ 150 µA DC) **"Hinweis 1:** Für das batteriebetriebene DPM muss der Eingang entweder voll isoliert von der Stromquelle sein oder bei Referenz zur Stromquelle muss der „EIN NIEDRIG-Anschluss" für den 200 mV-Bereich nicht näher als 2,3 V (3,5 V für den 2-V-Bereich) zu einem der Batterieanschlüsse liegen."

Anzeige	Montage	Klemmen	DPM-Leistung	Eingabe	Digi-Key Teilenr.	Stückpreis 1	5	10	Modutec Teilenr.
Pos. rote Hintergrundbeleuchtung	Fenster	Nicht umhüllt mit 13 Pins	+5 & -5VDC	0 - 200mVDC	180-1049-ND	47.63	46.44	45.25	1060-0201-U
Pos. rote Hintergrundbeleuchtung	Fenster		Schleifenbetrieb	4 - 20mADC	180-1051-ND	131.22	127.95	124.67	1060-0019-U
Pos. grüne Hintergrundbeleuchtung	Fenster		Schleifenbetrieb	4 - 20mADC	180-1053-ND	—	—	92.85	1030-0019-U

K

Alle Preisangaben in Euro und inklusive Zollgebühren.

Digitale Mess-/Anzeigegeräte

Bei der Wahl eines Martel Mess-/Anzeigegeräts für Ihre Anwendung sollten Sie auf den Unterschied zwischen Standardausführungen und „Einzelend"-Ausführungen mit dem Suffix .S. achten. Die Standardausführungen eignen sich für gleitende (isolierte) Eingangssignale, während die Einzelend-Ausführungen (S-Typ) sich zum Messen von Signalen eignen, die die Erdung mit der Stromversorgung des Messgeräts teilen.

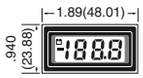

Plattenausschnitt:
0,87" x 1,77"
22,10 mm x 44,96 mm

Serie DPM125 LCD Legacy

Die Serie DPM125 bietet autom. Nullstellung, autom. Polarität, 200 mV fsr, 12,5 mm Zahlenhöhe, Anzeige einer schwachen Batterie und auswählbare Dezimalstellen. Steckanschluss direkt in eine 12-Pin SIL-Buchse oder Plattenmontage mit Schnappblende (mitgeliefert).

Plattenausschnitt:
1,06" x 2,24"
26,92 mm x 56,90 mm

Serie DPM500 LCD Legacy

Die Serie DPM500 bietet autom. Nullstellung, autom. Polarität, 200 mV~2 V~20 V fsr, 12,5 mm Zahlenhöhe, Anzeige einer schwachen Batterie, wählbare Dezimalstellen und 10 benutzerdefinierbare Melder. Steckanschluss direkt in eine 40-Pin DIL-Buchse oder Plattenmontage mit Schnappblende (mitgeliefert). Auch mit LED-Hinter-grundbeleuchtung erhältlich.

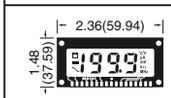

Plattenausschnitt:
1,26" x 2,44"
32 mm x 61,98 mm
Externe Blende

Serie PM600 LCD Legacy

Die Serie DPM600 bietet autom. Nullstellung, autom. Polarität, 200 mV~2 V~20 V fsr, 12,5 mm Zahlenhöhe, einstellbare Anzeige einer schwachen Batterie, wählbare Dezimalstellen und 12 benutzerdefinierbare Melder. Hat 36 Pins für Leiterplattenmontage oder kann mit optionaler Blende in Platte montiert werden (Teilenr. MB10).

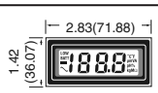

Plattenausschnitt:
1,3" x 2,68"
33,02 mm x 68,07 mm

Serie DPM2000 LCD Legacy

Die Serie DPM2000 bietet autom. Nullstellung, autom. Polarität, 200 mV~2 V~20 V fsr, 15 mm Zahlenhöhe, einstellbare Anzeige einer schwachen Batterie, wählbare Dezimalstellen und 12 benutzerdefinierbare Melder. Steckanschluss direkt in eine 40-Pin DIL-Buchse oder Plattenmontage mit Schnappblende (mitgeliefert).

Plattenausschnitt:
1,3" x 2,68"
33,02 mm x 68,07 mm

Serie DPM40 LED

Die Serie DPM40 bietet autom. Nullstellung, autom. Polarität, 200 mV~2V~20V fsr, 11 mm LED-Zahlenhöhe, auswählbare Dezimalstellen. Wird mit Blende und Filter geliefert, um eine kontraststarke Anzeige zu bieten.

Versorgung	Eingabe	Digi-Key Teilenr.	Stückpreis 1	5	10	Martel Teilenr.
7.5~15	200mV	227-1007-ND	54.94	52.20	49.45	DPM125
7.5~15	200mV	227-1008-ND	69.62	66.15	62.67	DPM125L
7.5~15	20V	227-1011-ND	60.40	57.38	54.36	DPM500-20
3.6~6.5	2V	227-1016-ND	67.54	64.17	60.79	DPM500S-2
3.6~6.5	20V	227-1017-ND	67.54	64.17	60.79	DPM500S-20
5~15	200mV	227-1021-ND	65.44	62.17	58.90	DPM600
5~15	20V	227-1023-ND	65.44	62.17	58.90	DPM600-20
5~15	200mV	227-1027-ND	60.85	57.81	54.77	DPM2000
5~15	2V	227-1028-ND	60.85	57.81	54.77	DPM2000-2
5~15	20V	227-1029-ND	60.85	57.81	54.77	DPM2000-20
5	200mV	227-1030-ND	77.85	73.96	70.07	DPM40
5	2V	227-1031-ND	77.85	73.96	70.07	DPM40-2
5	20V	227-1032-ND	77.85	73.96	70.07	DPM40-20
Blende für DPM 600		227-1033-ND	2.96	2.82	2.67	MB10

Serie 10 Universal-Spannungs-/Strommesser

Die Serie DPM1, 2 und 3AS-BL bieten 200 mV DC-Messung mit autom. Nullstellung und autom. Polarität. Die Dezimalstellen sind vom Benutzer wählbar. Die Serie DPM1, 2 und 3AS-BL umfasst einen negativen Schienengenerator, mit dem ein Signal mit Referenz auf seine eigene Stromversorgungserdung gemessen werden kann. LED-Hintergrundbeleuchtung garantiert hervorragende Lesbarkeit, auch bei schwacher Beleuchtung. Das Gehäusedesign ermöglicht ein leichtes Einschnappen in der Platte. Eignet sich aufgrund des niedrigen Preises für Anwendungen mit großem und kleinem Volumen. DPM1, 2 und 3AS-BL sollen DPM1, 2 und 3 und DPM1, 2 und 3S ersetzen; es sind nur geringfügige Schaltkreismodifizierungen notwendig.

Merkmale:

• 5,5 mm (0,22") Zahlenhöhe • 200 mV DC Vollskalamessung • 3,0 ~ 7,5 V oder 6,0 ~ 15,0 V Betrieb • Autom. Nullstellung und autom. Polarität • Programmierbare Dezimalstellen • LED-Hintergrundbeleuchtung

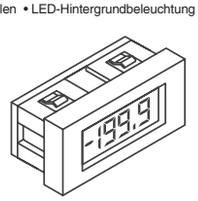

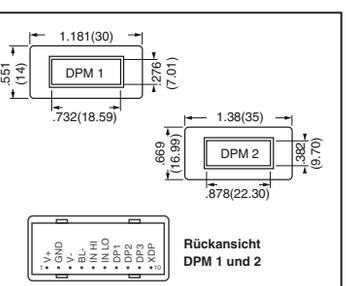

Rückansicht DPM 1 und 2

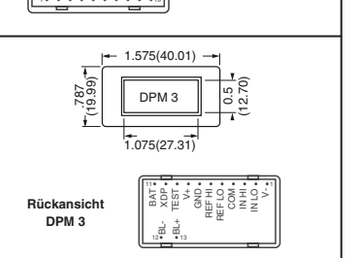

Rückansicht DPM 3

Beschreibung	Digi-Key Teilenr.	Stückpreis 1	5	10	Martel Teilenr.
Mini 5,5 mm LCD-Universal-Messgerät mit Hintergrundbeleuchtung	227-1047-ND	46.44	44.13	41.80	DPM1AS-BL
Mini 8,2 mm LCD-Universal-Messgerät mit Hintergrundbeleuchtung	227-1048-ND	50.42	47.91	45.39	DPM2AS-BL
Mini 11 mm LCD-Universal-Messgerät mit Hintergrundbeleuchtung	227-1049-ND	53.08	50.43	47.78	DPM3AS-BL

3,5-stellige Spannungsmesser

Dieser Bereich von Spannungsmessern verfügt über LCD- und LED-Optionen. Die 12 Pin-Ausführungen mit Dual-in-line-Verbindung sind mit Messgeräten der Konkurrenz kompatibel. Zwei preiswertere Versionen (LCD, 9-Pin und LED, 8-Pin) eignen sich eher für neue Designs. Der ganze Bereich umfasst Vollskalamessungen von ±200 mV DC mit einer typischen Genauigkeit von 0,1 % (±1 Zählung). Jedes Modul ist 1,38" (35,05 mm) breit und 0,88" (22,35 mm) hoch. Kostengünstig bedeutet, es eignet sich für Anwendungen mit großem und kleinem Volumen.

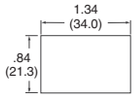

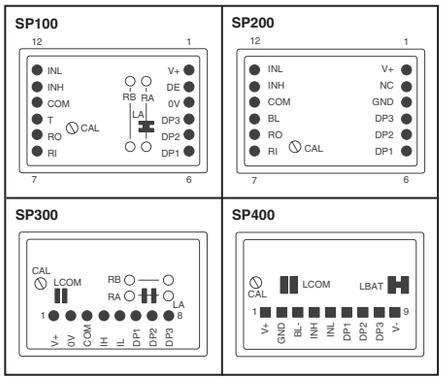

Beschreibung	Digi-Key Teilenr.	Stückpreis	Martel Teilenr.
Mini-LED-Spannungsmesser, leuchtend rot, 200 mV Eingang	227-1050-ND	53.01	SP100
Mini LCD Voltmeter, Grn/Yel Backlight, 200mV Input§	227-1051-ND	41.13	SP200
Großer LED-Spannungsmesser, leuchtend rot, 200 mV Eingang	227-1052-ND	45.12	SP300
Large LCD Voltmeter, Grn/Yel Backlight, 200mV Input§§	227-1053-ND	34.24	SP400

§ Mini-LCD-Spannungsmesser, grün/gelbe Hintergrundbeleuchtung, 200 mV Eingang
§§ Großer LCD-Spannungsmesser, grün/gelbe Hintergrundbeleuchtung, 200 mV Eingang

Serie QM, 2-Draht-Plattenmessgeräte

Die Messgeräte der Serie QM mit einzelnem Montageloch haben die NEMA-4-Zulassung für Messgeräte für einfache kommerzielle und industrielle Anwendungen. Zur Installation muss der Benutzer nur ein einziges Loch (7/32" oder 5,5 mm) in die Platte bohren. Zum Spritzschutz wird eine Gummidichtung mitgeliefert. Sie schützt den Baustein, wenn sie bei der Installation am Messgerät angebracht wird. Umfasst Messgerät, Montageschraube, Unterlegscheibe und Plattendichtung. Alle Messgeräte weisen Schutz vor umgekehrter Polarität auf.

QM-Voltmeter: 2-Draht-Voltmeter, der von der zu messenden Spannung betrieben wird. Es werden nur gültige Messwerte angezeigt. Das Modul zeigt „LO" bei Spannungen unter 4 V und„HI" bei Spannungen über 25 V (40 V für QM100V-40) an. • Gemessene Eingangsspannung: 4 ~ 25 V DC (QM 100 V), 4 ~ 40 V DC (QM 100 V-40) • Versorgungsspannung: 3 ~ 50 V DC • Messrate: 3 Messungen/Sek. • Betriebstemperaturbereich: 0 °C ~ 50 °C

QM-Thermometer: Doppel-Innen- (Sensor inbegriffen) und Außen- (Sensor erforderlich) Digitalthermometer, das Temperaturen in Fahrenheit oder Celsius anzeigen kann. • Interner Sensor: 14 °F ~ 122 °F (-10 °C ~ 50 °C) • Externer Sensor: -4 °F ~ 428 °F (-20 °C ~ 220 °C) • Betriebstemperaturbereich: -10 °C ~ 50 °C • Versorgungsspannung: 4 ~ 28 V DC

QM-Zeitmesser: Stellt Nullen automatisch als Leerstelle dar, um das Ablesen zu erleichtern; zeigt Stunden und Zehntelstunden an. Der vorhandene Ausgang pulst nach jeder Stunde. Bietet Trip- und Gesamtzeitbereich • Auflösungsbereich: 9.999,9 Stunde oder 99.999 Stunde. • Versorgungsspannung: 5 ~ 27 V DC • Betriebstemperaturbereich: 0 °C ~ 50 °C

QM130M digitalisiertes Analogmessgerät: Ein LCD-Analogmessgerät, das wie ein Analogspannungsmesser aussieht. Eine bewegliche Nadel liefert eine schnelle Bestätigung des Messniveaus und veränderliche Farben gestatten schnelle visuelle Erkennung des Messgerätestatus. Dieses Messgerät kann zum Ablesen von Spannungen oder Strömen skaliert werden. • Versorgungsspannung: 5 ~ 12 V DC • Auflösung: 125 mV DC • Vollskalamessung: 1 V DC

QM140V Skalierbares Messgerät: Ein Universal-Eingangsmessgerät für 0 ~ 200 mV, das mithilfe von Skalierwiderständen in der Lage ist, 200 mV/µA, 2 V/mV und 20 V/mA Bereiche zu messen. Trimmpot-Kalibrierung auf Rückseite des Messgeräts vorhanden. • Versorgungsspannung: 7,5 V ~ 15 V DC • Messrate: 3 Messungen/Sek. • Betriebstemperaturbereich: 0 °C ~ 50 °C

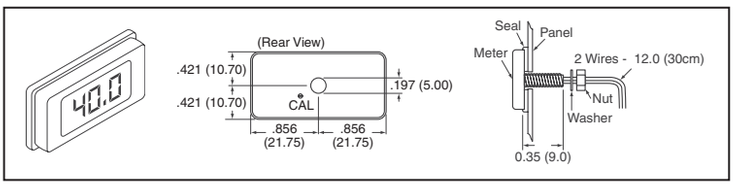

Beschreibung	Digi-Key Teilenr.	Stückpreis	Martel Teilenr.
Spannungsmesser 4 ~ 25 V DC, 100 mV res	227-1042-ND	28.82	QM100V
Spannungsmesser 4 ~ 40 V DC, 200 mV res	227-1054-ND	32.97	QM100V-40
Thermometer, Innen/Außen -10 °C ~ 50 °C	227-1043-ND	28.82	QM110T
Stundenzähler; 9.999,9 Std. Trip/Gesamtzeit	227-1044-ND	28.82	QM120C
LCD-Analogmessgerät, bewegliche LCD-Nadel	227-1045-ND	23.04	QM130M
Skalierbares Universal-Messgerät, Spannung/Strom	227-1046-ND	40.33	QM140V

3,5-stelliges Plattenmessgerät

Diese Gruppe von Messgeräten stellt eine preiswerte Lösung für eine Vielzahl von OEMs und Plattenherstellern dar. Das DPM35 ist mit roter oder grüner LED erhältlich und bietet eine optionale Montageblende (BEZ35). Das DPM65 verfügt über eine reflektive LCD-Anzeige und ist mit einer Schnappblende versehen.

Eingänge: • Bereiche: ±200,0 mV, ±2,000 V, ±20,00 V • Konfiguration: Serie 035: Bipolares Differenzial; Serie 065xS: Bipolar, Einzelende; (INLO intern zur ERDE-Versorgung angegeben) • Schutz: ±350 V DC (±100 V DC für 200 mV Bereich) • Impedanz: >1 MΩ (>10 MΩ für 200 mV Bereich)

Stromversorgung: • Spannung: 5 V DC (±5%)

Leistung: • Genauigkeit: ±(0,1 % + 1 Zählung) typ.; max. ±(0,2 % +2 Zählungen) • Temperaturkoeffizient: ± 100 ppm/°C pro °C typ. • Betriebstemperaturbereich: 0 °C ~ 50 °C • Lagertemperaturbereich: -10 °C ~ 60 °C

Montage: • Serie 035: Fenster- oder Blendenmontage mit optionaler Blende • Serie 065: Schnappblenden-Montage • Anschluss: 10 Pins, 0,025" (0,635 mm) Quadrat auf 0,1" (2,54 mm) Mitten

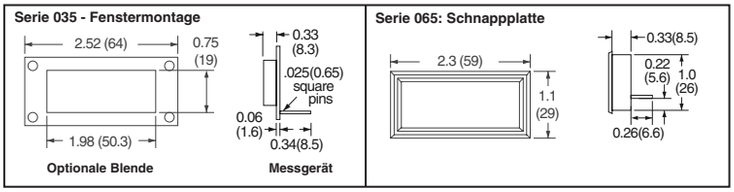

Beschreibung	Digi-Key Teilenr.	Stückpreis 1	5	10	Martel Teilenr.
DPM rote LED, 200 mV, Serie 035	227-1034-ND	38.94	37.00	35.05	DPM35R
DPM grüne LED, 200 mV, Serie 035	227-1035-ND	38.94	37.00	35.05	DPM35G
DPM reflektive LCD, Differenzial, Serie 065	227-1036-ND	38.94	37.00	35.05	DPM65
DPM reflektive LCD, Einzelschiene, Serie 065	227-1037-ND	38.94	37.00	35.05	DPM65S
Optionale Schnappblende für Serie DPM035	227-1038-ND	2.68	2.60	2.52	BEZ35

K

Digitale Mess-/Anzeigegeräte

Abb. 1 — 1/8 Din, Plattenmontage, große Zahl

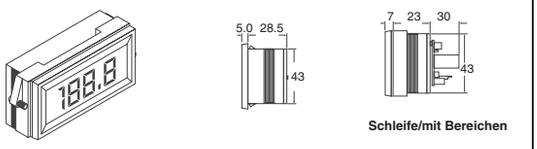

Abb.2 — Fenster/Oberflächenmontierte LCD

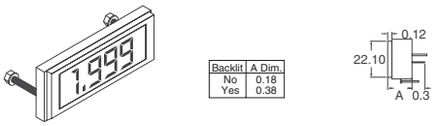

Abb.3 — Schnapp-LCD

Abb.4 — Schnapp-LCD

1" (25,4 mm) AUSSCHNITT!

Abb. 5 — Mini-LCD

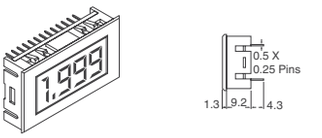

Abb. 6 — Flachpackung-LCD

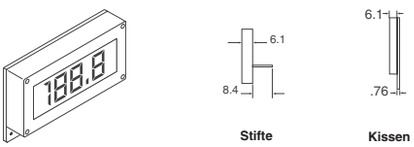

Abb.7 — LCD-Fenster/oberflächenmontiert

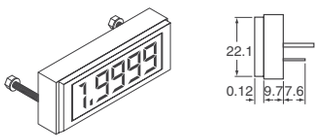

Abb. 8 — LED, Plattenmontage

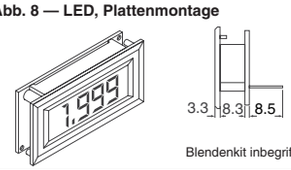

Abb.9 — DIP Plattenmeter-LED

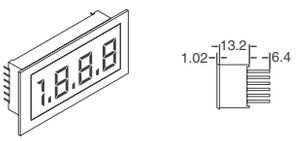

Abb. 10 — Prozessmessgerät

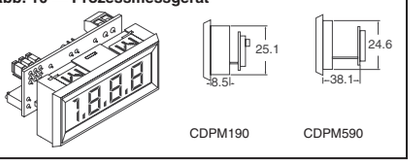

Bei den CTON Digital-Plattenmessgeräten handelt es sich um preiswerte, professionell aussehende Geräte für industrielle und OEM-Anwendungen. Spannungsmesserversionen bieten autom. Nullstellung beim Einschalten und könnenn positive und negative DC-Spannungen anzeigen. Auswählbare Dezimalstellen erleichtern das Ablesen der Spannungswerte. Die LCD-Versionen stehen ohne (Standard-LCD) oder mit Hintergrundbeleuchtung (rot, grün oder blau) zum Ablesen bei schlechter Beleuchtung zur Verfügung. Die 4-20 mA Schleifen-Messgeräte von CTON sind zur Verbindung mit den Sensoreingängen vorgesehen, die Strom vom Messgerät zum Betrieb benötigen. Es können Sensoren für Temperatur, Druck, Gas, Luftstromschwingung usw. zur Schleifen-Messgerätüberwachung verwendet werden. LCD-Messgeräte eignen sich für Anwendungen mit geringer Leistung und langer Haltbarkeit oder zur Verwendung mit LED-Versionen zum leichteren Ablesen unter schwankenden Beleuchtungen und bei verschiedenen Blickwinkeln.

3,5-stellige LCD ***Spezifikationen:*** **• Dezimalstelle:** 3 vom Benutzer wählbare Positionen **• Vollskalabereiche:** ±200 mV DC, ±2 V DC, ±20 V DC **• Strom:** 9 V DC isoliert @ 180 µA, 5 V DC @ 3 mA **• Konversionsrate:** 2,5 Messungen/Sek. **• Lagertemperatur:** -10 °C - 50 °C **• Typ:** Oberflächenmontage **• Pins:** 13 oder 10 Pins, 0,64 Quadratmillimeter auf 2,54 mm Mitten **• Leistungsoptionen für Hintergrundbeleuchtung:** +5 V DC, ±5 %, rot 165 mA typisch (max. 200 mA); grün 115 mA typisch (max. 160 mA) **• Anschlüsse für Hintergrundbeleuchtung:** Standard 2 Lötösen **• Ausführungen:** Oberflächen-/Fenster- oder Schnappblenden-Montage

Miniatur-LCD ***Spezifikationen:*** **• Melder:** 11 verschiedene, vom Benutzer wählbare Melder: BAT, °C, °F, ~, m, µ, MΩ, KΩ, V, A, HALTEN **• Dezimalstelle:** 3 vom Benutzer wählbare Positionen **• Vollskalabereich:** Standard ±200 mV DC, ±2 V DC **• Strom:** 9 V DC isoliert (7,2 -15 V) bei 150 µA, 5 V DC @ 5 mA **• Konversionsrate:** 2,5 Messungen/Sek. **• Lagertemperatur:** -20° C ~ 70 °C **• Typ:** Schnappblenden-Montage **• Pins:** Standard 26 Pins, 0,46 mm(2), DIP-Typ

4,5-stellige LCD ***Spezifikationen:*** **• Melder:** Mit 9 V DC betriebene Messgeräte haben „BT", wenn der Strom <7,2 V DC ist **• Dezimalstelle:** 4 vom Benutzer wählbare Positionen **• Halt:** Standardfunktion **•Vollskalabereich:** ±200 mV DC, ±2 V DC **• Strom:** 9 V DC isoliert @ 1 mA, 5 V @ 3,5 mA **• Konversionsrate:** 2 Messungen/Sek. **• Lagertemperatur:** -10 °C~ 60 °C **• Ausführungen:** Oberflächen-/Fenstermontage **• Pins:** 13 Pins, 0,64 Quadratmillimeter auf 2,54 mm Mitten

3,5-stellige LED ***Spezifikationen:*** **• Typ:** 7-Segment-LED **• Zahlen:** 0,56" (12,7 mm) hoch **• Farbe:** Grün oder rot **• Polarität:** Anzeigen (–) automatisch **• Dezimalstelle:** 3 vom Benutzer wählbare Positionen **• Über-/Unter Bereich:** Über-Bereich-Anzeigen „1" und Unter-Bereich-Anzeigen „-1" **• Halt:** Standardfunktion **• Vollskalabereiche:** ±200 mV DC, ±2 V DC, ±20 V DC **• Konfiguration:** Bipolar, echtes Differenzial **• Leistung:** +5 V DC, ±5 % bei 200 mA **• Konversionsrate:** 3 pro Sek. **• Nullstellung:** Automatisch **• Betriebstemperatur:** 0 °C ~ 50 °C **• Lagertemperatur:** -20° C ~ 70 °C **• Relative Luftfeuchtigkeit:** 0-95 %, nicht kondensierend **• Typ:** Blendenmontage **• Pins:** Standard 10 Pins, 0,64 Quadratmillimeter auf 2,54 mm Mitten **• 5 Jahre uneingeschränkte Garantie**

Prozessmesser ***Spezifikationen:*** • Meter- und schleifengetriebene/-gesteuerte Platine in einer Einheit • 3,5- oder 4,5-stellig • LCD und rote oder grüne LED • Voll skalierbar • 300 Ω Nennimpedanz

Abb.	Ver-sorgung	Eingabe	Zahlen-farbe	Digi-Key Teilenr.	Stückpreis 1	10	50	C-Ton Teilenr.	Kabel verwenden
3,5-stellige LCD, 1/8 Din, große Zahlen									
1	+5	200mV	—	CDPM801A-ND•	48.17	45.77	42.16	DK801A	Inkl.
	+5	2V	—	CDPM802A-ND•	48.17	45.77	42.16	DK802A	Inkl.
	+5	20V	—	CDPM803A-ND•	48.17	45.77	42.16	DK803A	Inkl.
	Loop	4-20mA	—	CDPM807A-ND•	56.21	53.41	49.19	DK807A	—
	Loop	4-20mA	-Blau	CDPM757B-ND	66.46	63.14	58.16	DK757B	—
	Loop	4-20mA	-Rot	CDPM857B-ND	56.21	53.41	49.19	DK857B	—
	Loop	4-20mA	-Grün	CDPM957B-ND	56.21	53.41	49.19	DK957B	—
Wählbarer Bereich									
1	12/24V	5/10V/200mV	—	CDPM809-ND•	56.21	53.41	49.19	DK809	—
	12/24V	5/10V/200mV	-Blau	CDPM759-ND	66.46	63.14	58.16	DK759	—
	12/24V	5/10V/200mV	-Rot	CDPM859-ND	56.21	53.41	49.19	DK859	—
	12/24V	5/10V/200mV	-Grün	CDPM959-ND	56.21	53.41	49.19	DK959	—
3,5-stellige LCD, 1/8 Din, große Zahlen									
1	+5	200mV	Rot	CDPM851A-ND	48.17	45.77	42.16	DK851A	Inkl.
	+5	2V	Rot	CDPM852A-ND	48.17	45.77	42.16	DK852A	Inkl.
	+5	20V	Rot	CDPM853A-ND	48.17	45.77	42.16	DK853A	Inkl.
	+24V	4-20mA	Rot	CDPM857A-ND	56.21	53.41	49.19	DK857A	Inkl.
	+5	200mV	Grün	CDPM951A-ND	48.17	45.77	42.16	DK951A	Inkl.
	+5	2V	Grün	CDPM952A-ND	48.17	45.77	42.16	DK952A	Inkl.
	+5	20V	Grün	CDPM953A-ND	48.17	45.77	42.16	DK953A	Inkl.
	+24V	4-20mA	Grün	CDPM957A-ND	56.21	53.41	49.19	DK957A	Inkl.
Fenster/oberflächenmontierte 3,5-stellige LCD									
2	+9	200mV	—	CDPM101-ND•	32.09	30.49	28.08	DK101	J4C13
	+9	2V	—	CDPM102-ND•	32.09	30.49	28.08	DK102	J4C13
	+9	20V	—	CDPM103-ND•	32.09	30.49	28.08	DK103	J4C13
	+5	200mV	—	CDPM301-ND•	32.09	30.49	28.08	DK301	J1C13
	+5	2V	—	CDPM302-ND•	32.09	30.49	28.08	DK302	J1C13
	+5	20V	—	CDPM303-ND•	32.09	30.49	28.08	DK303	J1C13
	+5	200mV	Grün	CDPM331-ND	40.13	38.13	35.12	DK331	J1C13
	+5	2V	Grün	CDPM332-ND	40.13	38.13	35.12	DK332	J1C13
	+5	200mV	-Grün	CDPM431-ND	40.13	38.13	35.12	DK431	J1C13
	+5	2V	-Grün	CDPM432-ND	40.13	38.13	35.12	DK432	J1C13
	+5	200mV	-Rot	CDPM531-ND	40.13	38.13	35.12	DK531	J1C13
	+5	2V	-Rot	CDPM532-ND	40.13	38.13	35.12	DK532	J1C13
3,5-stellige LCD zum Einschnappen									
3	+5	200mV	—	CDPM500-ND•	32.09	30.49	28.08	DK500	J1C13
	+5	2V	—	CDPM501-ND•	32.09	30.49	28.08	DK501	J1C13
	+5	20V	—	CDPM502-ND•	32.09	30.49	28.08	DK502	J1C13
	+9	200mV	—	CDPM503-ND	32.09	30.49	28.08	DK503	J4C13
	+9	2V	—	CDPM504-ND	32.09	30.49	28.08	DK504	J4C13
	+9	20V	—	CDPM505-ND	32.09	30.49	28.08	DK505	J4C13
3,5-stellige LCD zum Einschnappen, 25,40 mm Ausschnitt									
4	+5	200mV	—	CDPM110-ND•	32.09	30.49	28.08	DK110	J1C10
	+5	2V	—	CDPM111-ND•	32.09	30.49	28.08	DK111	J1C10
	+5	20V	—	CDPM112-ND•	32.09	30.49	28.08	DK112	J1C10
3,5-stellige Mini-LCD									
5	+5	200mV	—	CDPM201-ND•	32.09	30.49	28.08	DK201	—
	+5	2V	—	CDPM202-ND•	32.09	30.49	28.08	DK202	—
	+9	2V	—	CDPM204-ND•	32.09	30.49	28.08	DK204	—
	+9	200mV	—	CDPM203-ND•	32.09	30.49	28.08	DK203	—

Abb.	Ver-sorgung	Eingabe	Zahlen-farbe	Digi-Key Teilenr.	Stückpreis 1	10	50	C-Ton Teilenr.	Kabel verwenden
Flachpack, 3,5-stellige LCD									
6	+9	200mV	—	CDPM171-NDŞ•	32.09	30.49	28.08	DK171	—
	+9	2V	—	CDPM172-NDŞ•	32.09	30.49	28.08	DK172	—
	+9	20V	—	CDPM173-NDŞ•	32.09	30.49	28.08	DK173	—
	+9	200mV	—	CDPM174-ND‡•	32.09	30.49	28.08	DK174	—
	+9	2V	—	CDPM175-ND‡•	32.09	30.49	28.08	DK175	—
	+9	20V	—	CDPM176-ND‡•	32.09	30.49	28.08	DK176	—
	+5	200mV	—	CDPM177-ND‡•	32.09	30.49	28.08	DK177	—
	+5	2V	—	CDPM178-ND‡•	32.09	30.49	28.08	DK178	—
	+5	20V	—	CDPM179-ND‡•	32.09	30.49	28.08	DK179	—
Blendenkit für Serie DK170				CDPM170-ND	4.99	4.75	4.38	DK170	—
Fenster/oberflächenmontierte, 4,5-stellige LCD									
7	+5	200mV	—	CDPM702-ND•	40.13	38.13	35.12	DK702	J4C13
	+5	2V	—	CDPM703-ND•	40.13	38.13	35.12	DK703	J4C13
	+9	200mV	—	CDPM704-ND•	40.13	38.13	35.12	DK704	J4C13
	+9	2V	—	CDPM705-ND•	40.13	38.13	35.12	DK705	J4C13
4,5-stellige LCD zum Einschnappen									
3	+5	200mV	—	CDPM710-ND•	40.13	38.13	35.12	DK710	J4C13
	+5	2V	—	CDPM711-ND•	40.13	38.13	35.12	DK711	J4C13
	+5	20V	—	CDPM712-ND•	40.13	38.13	35.12	DK712	J4C13
3,5-stellige LED									
8	+5	200mV	Grün	CDPM601-ND	32.09	30.49	28.08	DK601	J1C10
	+5	2V	Grün	CDPM602-ND	32.09	30.49	28.08	DK602	J1C10
	+5	20V	Grün	CDPM603-ND	32.09	30.49	28.08	DK603	J1C10
	+5	200mV	Rot	CDPM604-ND	32.09	30.49	28.08	DK604	J1C10
	+5	2V	Rot	CDPM605-ND	32.09	30.49	28.08	DK605	J1C10
	+5	20V	Rot	CDPM606-ND	32.09	30.49	28.08	DK606	J1C10
DIP-Plattenmesser, 3,5-stellige LED									
9	+5	200mV	Rot	CDPM630-ND	36.91	35.07	32.30	DK630	—
	+5	2V	Rot	CDPM631-ND	36.91	35.07	32.30	DK631	—
	+5	20V	Rot	CDPM632-ND	36.91	35.07	32.30	DK632	—
	+5	200mV	Grün	CDPM633-ND	36.91	35.07	32.30	DK633	—
	+5	2V	Grün	CDPM634-ND	36.91	35.07	32.30	DK634	—
	+5	20V	Grün	CDPM635-ND	36.91	35.07	32.30	DK635	—
	+5	200mV	Blau	CDPM636-ND	44.95	42.71	39.34	DK636	—
	+5	2V	Blau	CDPM637-ND	44.95	42.71	39.34	DK637	—
	+5	20V	Blau	CDPM638-ND	44.95	42.71	39.34	DK638	—
DIP-Plattenmesser, 3,5-stellige LED mit Haltefunktion									
9	+5	200mV	Rot	CDPM640-ND	40.13	38.13	35.12	DK640	—
	+5	2V	Rot	CDPM641-ND	40.13	38.13	35.12	DK641	—
	+5	20V	Rot	CDPM642-ND	40.13	38.13	35.12	DK642	—
Blende für Serie 630/640				CDPM650-ND	1.69	1.61	1.49	DLA-BEZ	—
Prozessmesser									
10	Schleife	4-20mA	—	CDPM590-ND•	52.29	49.68	45.76	DK590	—
	Schleife	4-20mA	—	CDPM190-ND•	52.29	49.68	45.76	DK190	—

Hinweis: Andere Bereiche und Farben sind von digikey.com erhältlich § Kissen ‡ Pin • Ohne Hintergrundbeleuchtung

Alle Preisangaben in Euro und inklusive Zollgebühren.

FAIRCHILD SEMICONDUCTOR

Infrarot-Fotosensoren und -Emitter

Abb. 1

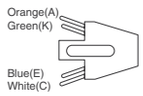

Abb. 2

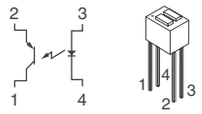

Abb. 3 – TO-46 2 Leitungen

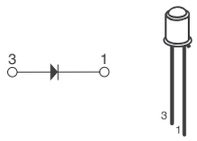

Abb. 4 – TO-46 flaches Fenster 2 Leitungen

Abb. 5

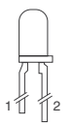

Abb. 6

Abb. 7

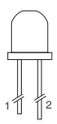

Abb. 8

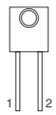

Reflektierende Fotosensoren

Abb.	Ausgabetyp	Min./Max.-Ausgang Ic @ If	Optimaler Abtastabstand	Anschluss	Digi-Key Teilenr.	Stückpreis 1	10	100	500
1	Transistor	.6/3 @ 40mA	3.81mm	Leitungen	QRB1114-ND	1.14	.96	.77	.54
1	Transistor	.6/3 @ 40mA	3.81mm	Drähte	QRB1134-ND	1.64	1.32	.99	.89
2	Transistor	1/5 @ 20mA	1.27mm	Leitungen	QRD1114-ND	.80	.67	.54	.38

Halbleiter-Infrarot-Emitter (IRED LEDs)

Abb.	Vorwärts-spannung (V)	Max. Durchlass-strom (mA)	Min. Ausgangs-leistung	Strahl-winkel +/-	Spitzen-Wellen-länge (nm)	Paket Typ	Digi-Key Teilenr.	Stückpreis 1	10	100	500
3	1.7	100	6.0mW/sr	8	940	TO-46	1N6264-ND	2.01	1.61	1.21	1.09
4	1.7	100	6.0mW	40	940	TO-46	1N6265-ND	2.01	1.61	1.21	1.09
3	1.7	100	25.0mW/sr	10	940	TO-46	1N6266-ND	2.03	1.63	1.22	1.10
3	1.7	100	5.4mW	10	940	TO-46	CQX14-ND	1.64	1.32	.99	.89
4	1.7	100	5.4mW	40	940	TO-46	CQX15-ND	1.61	1.29	.97	.87
3	1.7	100	12.0mW	10	880	TO-46	F5D1-ND	1.80	1.45	1.09	.98
3	1.7	100	9.0mW	10	880	TO-46	F5D2-ND	1.74	1.40	1.05	.94
3	1.7	100	10.5mW	10	880	TO-46	F5D3-ND	1.76	1.41	1.06	.96
4	1.7	100	12.0mW	40	880	TO-46	F5E1-ND	1.80	1.45	1.09	.98
4	1.7	100	10.5mW	40	880	TO-46	F5E3-ND	1.76	1.41	1.06	.96
3	1.7	100	1.5mW/sr	10	940	TO-46	LED56-ND	1.58	1.27	.95	.86
4	1.7	100	3.5mW/sr	40	940	TO-46	LED55BF-ND	1.58	1.27	.95	.86
3	1.7	100	3.5mW/sr	10	940	TO-46	LED55B-ND	1.62	1.29	.97	.88
3	1.7	100	5.4mW/sr	8	940	TO-46	LED55C-ND	1.64	1.32	.99	.89
5	1.7	50	14mW/sr	8	940	T-1	QEC113-ND	.38	.31	.23	.13
5	1.7	50	27mW/sr	8	880	T-1	QEC122-ND	.46	.35	.26	.16
6	1.5	100	80mW/sr	9	880	T-1 3/4	QED123-ND	.51	.39	.29	.18
6	1.7	100	16mW/sr	20	880	T-1 3/4	QED222-ND	.46	.35	.26	.16
6	1.7	100	25mW/sr	20	880	T-1 3/4	QED223-ND	.51	.39	.29	.18
6	1.5	100	10mW/sr	20	940	T-1 3/4	QED233-ND	.42	.35	.24	.14
6	1.5	100	27mW/sr	20	940	T-1 3/4	QED234-ND	.38	.31	.23	.13
7	1.7	100	18mW/sr	30	880	Plastic TO-46	QED423-ND	.83	.63	.47	.30
7	1.7	100	20mW/sr	15	880	Plastic TO-46	QED522-ND	.46	.35	.26	.16
7	1.7	100	40mW/sr	15	880	Plastic TO-46	QED523-ND	.51	.39	.29	.18
8	1.5	50	3mW/sr	25	940	SIDELOOK	QEE113-ND	.41	.33	.25	.14
8	1.7	50	8mW/sr	25	880	SIDELOOK	QEE123-ND	.46	.35	.26	.16

SHARP MICROELECTRONICS

Fernsteuerungsempfänger-Versorgungsspannung: 2,4 bis 5,5 V

Abb. 1

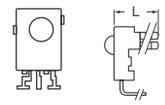

Abb. 2

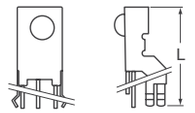

Abb. 3

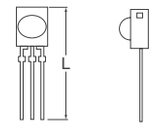

Abb.	Detektor-fenster	B.P.F. fo (kHz) typ.	Stromverlust Icc (mA) max.	Länge (mm)	Digi-Key Teilenr.	Stückpreis 1	10	100	Sharp Teilenr.
1	Oberseite	36.7	.2	8.8	425-1117-ND	.97	.78	.65	GP1UD262XK
		36.7	1.5	8.8	425-1134-ND	.96	.77	.63	GP1UM262XK
		36.7	1.5	13.8	425-1141-ND#	.96	.77	.63	GP1UM272RK
		36.7	1.5	13.8	425-1142-ND	.96	.77	.63	GP1UM272XK
		36.7	.2	14	425-1121-ND	.97	.78	.65	GP1UD272XK
		36.7	1.5	17.8	425-1150-ND#	.96	.77	.63	GP1UM282RK
		36.7	1.5	17.8	425-1151-ND	.96	.77	.63	GP1UM282XK
		36.7	.2	18	425-1126-ND	.97	.78	.65	GP1UD282XK
		38	.2	8.8	425-1931-5-ND‡	.97	.78	.65	GP1UD261XK0F
		38	0.6	8.8	425-1899-ND	.91	.77	.61	GP1UE261XK
		38	1.5	8.8	425-1132-ND#	.96	.77	.63	GP1UM261RK
		38	1.5	8.8	425-1133-ND	.96	.77	.63	GP1UM261XK
		38	1.5	8.8	425-2007-ND▲	.96	.77	.63	GP1UM261XK0F
		38	1.5	13.8	425-1139-ND#	.96	.77	.63	GP1UM271RK
		38	1.5	13.8	425-1140-ND	.96	.77	.63	GP1UM271XK
		38	.2	14	425-1120-ND	.97	.78	.65	GP1UD271XK
		38	0.6	14.0	425-1902-ND	.91	.77	.61	GP1UE271XK
		38	.2	18	425-1124-ND	.97	.78	.65	GP1UD281XK
		38	0.6	18.0	425-1905-ND	.91	.77	.61	GP1UE281XK
		40	.2	8.8	425-1119-ND	.97	.78	.65	GP1UD26XK
		40	0.6	8.8	425-1901-ND	.91	.77	.61	GP1UE26XK
		40	1.5	13.8	425-1145-ND#	.96	.77	.63	GP1UM27RK
		40	1.5	13.8	425-1146-ND	.96	.77	.63	GP1UM27XK
		40	.2	14	425-1123-ND	.97	.78	.65	GP1UD27XK
		40	0.6	14.0	425-1904-ND	.91	.77	.61	GP1UE27XK
		40	1.5	17.8	425-1158-ND#	.96	.77	.63	GP1UM28RK
		40	1.5	17.8	425-1159-ND	.96	.77	.63	GP1UM28XK
		40	.2	18	425-1130-ND	.97	.78	.65	GP1UD28XK
		40	0.6	18.0	425-1909-ND	.91	.77	.61	GP1UE28XK
		56.8	.2	8.8	425-1118-ND	.97	.78	.65	GP1UD267XK
		56.8	0.6	8.8	425-1900-ND	.91	.77	.61	GP1UE267XK
		56.8	1.5	8.8	425-1136-ND	.96	.77	.63	GP1UM267XK
		56.8	1.5	13.8	425-1143-ND#	.96	.77	.63	GP1UM277RK
		56.8	1.5	13.8	425-1144-ND	.96	.77	.63	GP1UM277XK
		56.8	.2	14	425-1122-ND	.97	.78	.65	GP1UD277XK
		56.8	0.6	14.0	425-1903-ND	.91	.77	.61	GP1UE277XK
		56.8	1.5	17.8	425-1154-ND#	.96	.77	.63	GP1UM287RK
		56.8	1.5	17.8	425-1155-ND	.96	.77	.63	GP1UM287XK
		56.8	.2	18	425-1128-ND	.97	.78	.65	GP1UD287XK
		56.8	0.6	18.0	425-1907-ND	.91	.77	.61	GP1UE287XK
2	Seite	36.7	1.5	16.1	425-1149-ND#	.96	.77	.63	GP1UM282QK
		36.7	1.5	16.1	425-1152-ND	.96	.77	.63	GP1UM282YK
		36.7	.2	16.6	425-1127-ND	.97	.78	.65	GP1UD282YK
		38	1.5	16.1	425-1147-ND#	1.14	.96	.77	GP1UM281QK
		38	1.5	16.1	425-1148-ND	.96	.77	.63	GP1UM281YK
		38	.2	16.6	425-1125-ND	.97	.78	.65	GP1UD281YK
		38	0.6	16.6	425-1906-ND	.91	.77	.61	GP1UE281YK
		40	1.5	16.1	425-1157-ND#	.96	.77	.63	GP1UM28QK
		40	1.5	16.1	425-1160-ND	.96	.77	.63	GP1UM28YK
		40	.2	16.6	425-1131-ND	.97	.78	.65	GP1UD28YK
		40	0.6	16.6	425-1910-ND	.91	.77	.61	GP1UE28YK
		56.8	1.5	16.1	425-1153-ND#	.96	.77	.63	GP1UM287QK
		56.8	1.5	16.1	425-1156-ND	.96	.77	.63	GP1UM287YK
		56.8	.2	16.6	425-1129-ND	.97	.78	.65	GP1UD287YK
		56.8	0.6	16.6	425-1908-ND	.91	.77	.61	GP1UE287YK
3	Seite	36	1.5	28	425-1852-ND#	1.30	1.08	.87	GP1UV700QS
		36	0.6	28	425-1856-ND#	1.30	1.08	.87	GP1UW700QS
		36.7	1.5	28	425-1851-ND#	1.30	1.08	.87	GP1UV702QS
		36.7	0.6	28	425-1855-ND#	1.30	1.08	.87	GP1UW702QS
		38	1.5	28	425-1850-ND#	.97	.81	.65	GP1UV701QS
		38	1.5	28.0	425-1911-ND	.71	.60	.48	GP1UX501QS
		38	0.6	28	425-1854-ND#	1.12	.94	.75	GP1UW701QS
		40	1.5	28	425-1849-ND#	.97	.81	.65	GP1UV70QS
		40	0.6	28	425-1853-ND#	1.02	.85	.68	GP1UW70QS

‡ Schlauch # mit Gitter ▲ bleifrei/RoHS-konform

ZILOG

IrDA Transceiver-Modul

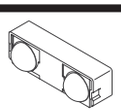

Zilogs Opto-Wireless Transceiver-Modul entspricht dem IrDA-Standard.
Anwendungen: • Tragbare Drucker • Handformat-Computer • Personal Digital Assistant (PDAs)

Daten-Vcc (V)	Transferrate SIR (kbps)	Digi-Key Teilenr.	Gurtabschnittspreis pro Stück 1	25	100	Gegurtet auf Rolle† Größe	Preisangaben	Zilog Teilenr.
2.4 ~ 5.5	115.2	269-3242-1-ND	3.30	2.48	2.21	2,000	1826.97/M	ZHX1010MV115THTR
2.4 ~ 3.6	115.2	269-3243-1-ND	3.56	2.67	2.38	2,500	1967.50/M	ZHX1201MB115THTR
2.4 ~ 3.6	115.2	269-3245-1-ND	3.76	2.82	2.51	3,500	2079.93/M	ZHX1203MB115THTR
2.4 ~ 3.6	115.2	269-3204-1-ND	4.11	3.09	2.75	3,500	2276.68/M	ZHX1403MA115THTR
2.4 ~ 5.5	115.2	269-3246-1-ND	3.43	2.58	2.29	2,000	1897.23/M	ZHX1810MV115THTR
2.4 ~ 5.5	115.2	269-3126-1-ND	3.43	2.58	2.29	2,000	1897.23/M	ZHX1820TV115THTR
2.4 ~ 5.5	115.2	269-3244-1-ND	3.56	2.67	2.38	2,000	1967.50/M	ZHX1820TV115XHTR
2.7 ~ 5.5	4,000	269-3636-1-ND	3.94	2.96	2.63	1,000	2178.30	ZHX2022MV040THTR
2.7 ~ 5.5	4,000	269-3637-1-ND	3.94	2.96	2.63	1,000	2178.30	ZHX2022TV040THTR

† Für Gegurtet auf Rolle Teilenr. von 1-ND in 2-ND ändern.

IrDA Transceiver-Modul

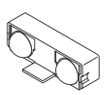

Sharps Opto-Wireless Transceiver-Modul entspricht dem IrDA-Standard.
Anwendungen: • Mobiltelefone • PDA • PCs

Daten-Vcc (V)	Transferrate SIR (kbps)	Digi-Key Teilenr.	Gurtabschnittspreis pro Stück 1	10	100	Preis. f. G. a. R* 2.000	Sharp Teilenr.
IrDA 115 Kbit/s, 1 m							
2.4 ~ 5.5	9.6 ~ 115.2	425-1914-1-ND	2.42	2.12	1.70	1532.67/M	GP2W0004XP
IrDA 115 Kbit/s, 1m und 4 Mbit/s, 1 m							
2.7 ~ 5.5	9.6 ~ 115.2	425-1171-1-ND	3.83	3.35	2.68	2422.26/M	GP2W1001YP
IrDA 115 Kbit/s, 20 cm							
2.0 ~ 3.6	2.4 ~ 115.2	425-1172-1-ND	1.81	1.59	1.27	1146.82/M	GP2W0110YPS
1.7 ~ 2.5	2.4 ~ 115.2	425-1173-1-ND	2.17	1.90	1.52	1371.90/M	GP2W0112YP
2.0 ~ 3.6	2.4 ~ 115.2	425-1384-1-ND	1.85	1.62	1.30	1168.26/M	GP2W0114YPS
2.0 ~ 3.6	2.4 ~ 115.2	425-2058-1-ND▲	1.85	1.62	1.30	1168.26/M	GP2W0114YP0F
2.0 ~ 3.6	2.4 ~ 115.2	425-1915-1-ND	1.69	1.49	1.19	1071.80/M	GP2W0116YPS
2.0 ~ 3.6	2.4 ~ 115.2	425-1916-1-ND	1.69	1.49	1.19	1071.80/M	GP2W0118YPS

* Für Gegurtet auf Rolle die Teilenr. von 1-ND in 2-ND ändern. ▲ bleifrei/RoHS-konform

K

U.S. - LASERS, Inc.

Laserdiodenmodule mit einstellbarer Fokussierung

Abb. 1 — Lasermodul mit einstellbarer Fokussierung, 28 AWG

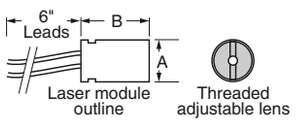

	10.4mm	6.4mm
Po:	5mW	
Klasse:	IIIa	
Versorgungsspannung, bis zu 12 V:	Nennstrom: 2,7 - 3 % Dauerstrom	
Abmessung A:	10.44mm	6.4mm
Abmessung B:	17.02mm	17.25mm

Abb. 2 — Lasermodul mit einstellbarem Ausgang

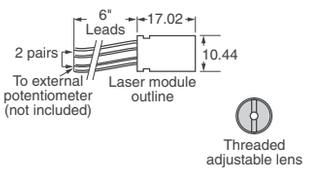

Po = 1 ~ 4,8 mW
Empfohlene Pot. = ca. 150 K ~ 500 K

Abb. 3 — Laserdiode, sichtbar

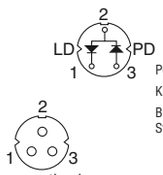

Po: 5 mW
Klasse IIIa
Breiter pektralbereich, Standard-Pinbelegung

1. Laser cathode
2. Common case(laser anode)
3. PD anode (standard pinout)

Abb. 4 — 6,4 mm Laserdioden-Gehäusekit

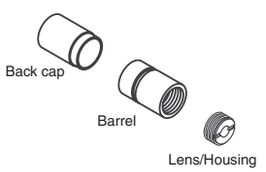

Inhalt: Hintere Kappe, Rohr, Linsengehäuse u. Linse

Abb. 5 — 10,4 mm Laserdioden-Gehäusekit

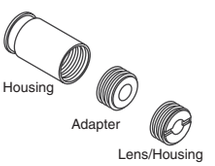

Inhalt: Gehäuse/Kühlkörper, Adapter, 5,6 mm bis 9 mm, Haltering, verstellbare Fokussierlinse

Abb. 6 — APC Laser-Stromversorgung

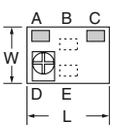

Einstellbare Ausgangsleistung mittels integriertem Potentiometer

Soldering pads
A: Laser diode cathode
B: Laser/pd common (+)
C: Photodiode anode
D: Potentiometer
E: Negative lead (-)

	Abmessungen W	L
10.4mm	5.4	7.8
6.4mm	9.0	5.0

Abb.	Beschreibung	Wellenlänge (nm)	Iop (mA)	Größe (mm)	Digi-Key Teilenr.	Stückpreis	U.S. Laser Teilenr.
	Lasermodul, sichtbar*	660	10-30	17.02 x 10.44	38-1002-ND	27.65	M6605I
1	Lasermodul, sichtbar*	650	25-40	17.02 x 10.44	38-1003-ND	31.32	M6505I
	Lasermodul, sichtbar*	635	45-70	17.02 x 10.44	38-1017-ND	64.34	M6355I
	Lasermodul, infrarot*	780	45-70	17.02 x 10.44	38-1018-ND	47.41	M7805I
1	Lasermodul, infrarot*	808	60-70	17.02 x 10.44	38-1005-ND	54.18	M8085I
	Lasermodul, infrarot*	850	45-65	17.02 x 10.44	38-1019-ND	57.57	M8505I
	Laser-Mikromodul, sichtbar*	660	12-30	17.25 x 6.4	38-1020-ND	44.02	MM6605I
1	Laser-Mikromodul, sichtbar*	650	25-40	17.25 x 6.4	38-1021-ND	48.26	MM6505I
	Laser-Mikromodul, sichtbar*	640	55-70	17.25 x 6.4	38-1022-ND	77.89	MM6405I
	Laser-Mikromodul, sichtbar*	635	45-70	17.25 x 6.4	38-1023-ND	81.27	MM6355I
	Laser-Mikromodul, infrarot*	780	45-70	17.25 x 6.4	38-1024-ND	64.34	MM7805I
1	Laser-Mikromodul, infrarot*	808	60-70	17.25 x 6.4	38-1025-ND	67.73	MM8085I
	Laser-Mikromodul, infrarot*	850	45-65	17.25 x 6.4	38-1026-ND	74.50	MM8505I
	Einstellb. Lasermodul-Ausgang, sichtbar*	660	12-30	17.02 x 10.44	38-1010-ND	44.02	EPM6605I
2	Einstellb. Lasermodul-Ausgang, sichtbar*	640	55-70	17.02 x 10.44	38-1012-ND	94.82	EPM6405I
	Einstellb. Lasermodul-Ausgang, sichtbar*	635	45-70	17.02 x 10.44	38-1013-ND	98.21	EPM6355I
	Einstellb. Lasermodul-Ausgang, infrarot*	780	45-70	17.02 x 10.44	38-1014-ND	81.27	EPM7805I
2	Einstellb. Lasermodul-Ausgang, infrarot*	808	60-70	17.02 x 10.44	38-1015-ND	84.66	EPM8085I
	Einstellb. Lasermodul-Ausgang, infrarot*	850	45-65	17.02 x 10.44	38-1016-ND	91.43	EPM8505I
	Laserdiode, sichtbar	660	12-20	5.6	38-1006-ND	7.62	D6605I
3	Laserdiode, sichtbar	650	25-40	5.6	38-1007-ND	11.01	D6505I
	Laserdiode, sichtbar	635	45-70	5.6	38-1027-ND	25.40	D6355I
	Laserdiode, infrarot	780	45-70	5.6	38-1028-ND	20.32	D7805I
3	Laserdiode, infrarot	808	60-70	5.6	38-1029-ND	23.70	D8085I
	Laserdiode, infrarot	850	45-65	5.6	38-1030-ND	27.09	D8505I
4	Gehäusekit, 6,4 mm			17.25 x 6.4	38-1032-ND	16.93	HK-6.4
5	Gehäusekit, 10,4 mm			17.02 x 10.44	38-1000-ND	15.24	HK-10.4
6	Laser-Treiberschaltung (APC) für 10,4 mm Gehäuse			5.4 x 7.8	38-1009-ND†	11.85	NS102-200K
	Laser-Treiberschaltung (APC) für 6,4 mm Gehäuse			5.0 x 9.0	38-1031-ND†	11.85	NS102A-200K
—	5,6 mm bis 9 mm Adapter, ohne Gewinde				38-1033-ND	3.39	AD 5.6-9MM
—	5,6 mm bis 9 mm Adapter, mit Gewinde				38-1001-ND	4.23	THAD 5.6-9mm

* Modul symbolisiert komplette Baugruppe. † Nur zur Verwendung mit 660, 650, 640 und 635 nm Dioden.

SHARP MICROELECTRONICS

Laserdioden

Abb. 1

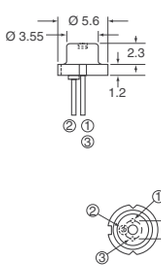

A

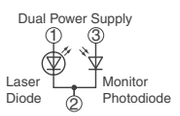

B

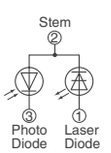

C

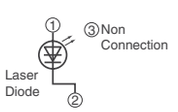

Abb.	Optical Power Output*	Betr. Strom (typ.)	Betr. Spann. (typ.)	Wellenlänge (typ.)	Halb-Intensität typ.† Parallel	Halb-Intensität typ.† Senkrecht	Betr. Temp. °C	Digi-Key Teilenr.	Stückpreis 1	Stückpreis 10
1A	7mW	33mA	2.2	654nm	8.5°	29°	-10° ~ 80°	425-1805-ND	11.48	9.85
	10mW	40mA	2.2	654nm	8.5°	29°	-10° ~ 70°	425-1806-ND	12.52	10.74
1B	50mW	80mA	2.8	654nm	8.5°	21°	-5° ~ 70°	425-1807-ND	62.67	53.72
1C	120mW	141mA	2.1	784nm	8.7°	16°	-10° ~ 65°	425-1809-ND	20.96	17.97

* Optische Ausgangsleistung
† Winkel bei 50 % Spitzenintensität (volle Weite bei halbem Maximum). Parallel zur Übergangsebene (X-Z-Ebene) Senkrecht zur Übergangsebene (Y-Z-Ebene)

LUMEX

Dioden, sichtbar und infrarot

67-1542-ND
Lumex-Hauptkatalog
CD-ROM **1.65**

Abb. 1

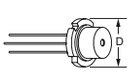

Abb. 2

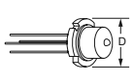

Abb. 3

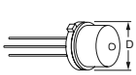

Wellenlänge, typ. λ (nm)	Ausgangsleistung (mW) max.	Stromstärke (mA) Ith	Stromstärke (mA) Iop	Betr. Spannung (V)	Betriebstemp. (°C)	Durchm. D (mm)	Digi-Key Teilenr.	Stückpreis	Lumex Teilenr.
Laserdioden, sichtbar ***Abb. 1***									
650	5	20	35	2.2	-10° ~ 40°	5.60	67-1500-ND	4.55	OED-LDP65001E
650	5	30	40	2.1	-10° ~ 70°	5.60	67-1501-ND	12.70	OED-LD65001E
658	50	40	125	2.5	-10° ~ 40°	5.60	67-1646-ND	115.90	OED-LDH66003E
Laserdioden, infrarot — Abb. 2									
1550	5 (CW)	8	—	1.2	-40° ~ 85°	5.60	67-1504-ND	105.69	OED-LDC15001E

Erkennungsbereich λ (nm)	Anstiegs-/Abfallzeit (ns)	Durchlassstrom (mA)	Sperrspannung (V)	Betriebstemp. (°C)	Durchmesser D (mm)	Digi-Key Teilenr.	Stückpreis	Lumex Teilenr.
PIN-Fotodiode — Abb. 3								
1100/1600	0.3	2	25	-40° ~ 85°	5.35	67-1505-ND	29.85	OED-PPD11075G-B

K

Alle Preisangaben in Euro und inklusive Zollgebühren.

Abb. 1

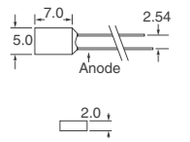

Abb. 2

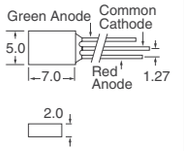

Abb. 3

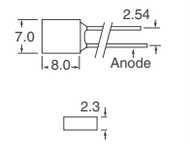

Abb. 4

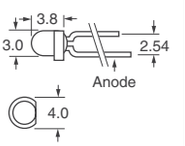

Abb. 5

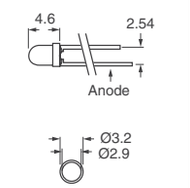

Abb. 6

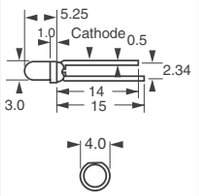

Abb. 7

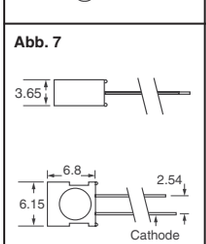

Abb. 8

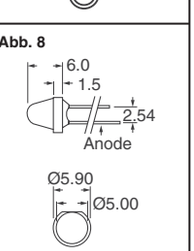

Abb. 9

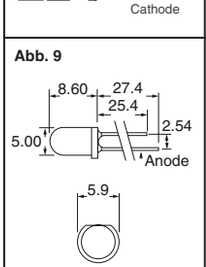

Abb. 10

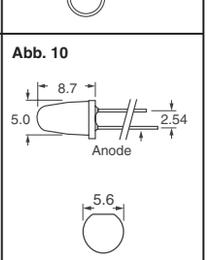

Abb. 11

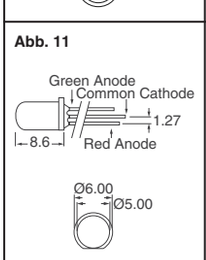

Abb. 12

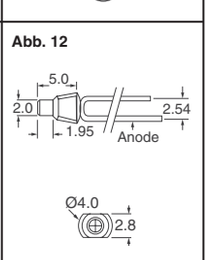

Abb. 13

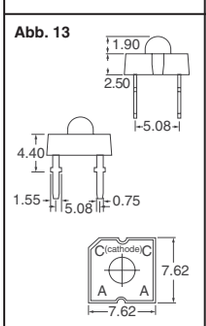

Abb. 14

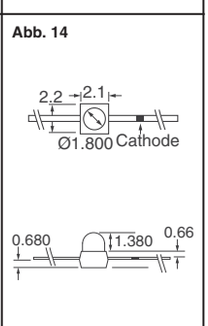

Abb. 15

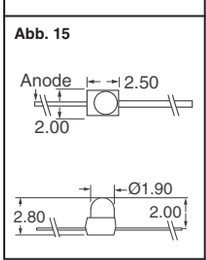

Abb. 16 (RGB)

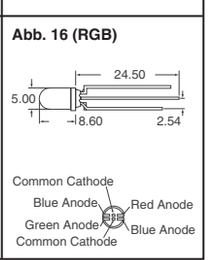

Abb.	Beschreibung	Emittierte Farbe	Linse	Wellenlänge (nm)	Spitze Vf (V) Typ.	If (mA) max.	Io (mcd)	Sicht-winkel (2x Theta)	Digi-Key Teilenr.	Preisangaben 10	100	500	Lumex Teilenr.
1	Rechteckig (2 x 5 mm)	Sup. Rot	Rot diff.	660	1.7	30	80	110	67-1049-ND	1.51	13.53	60.11	SSL-LX2573SRD
		Rot	Rot diff.	635	2.0	30	10	110	67-1047-ND	.93	8.38	37.25	SSL-LX2573ID
		Bernstein	Bernsteinf. diff.	605	2.0	30	5	110	67-1045-ND	1.27	11.43	50.80	SSL-LX2573AD
		Gelb	Gelb diff.	585	2.1	30	10	110	67-1050-ND	1.00	8.96	39.79	SSL-LX2573YD
		Grün	Grün diff.	565	2.2	25	10	110	67-1046-ND	.87	7.81	34.71	SSL-LX2573GD
		Reines Grün	Grün diff.	555	2.1	25	6	110	67-1048-ND	1.27	11.43	50.80	SSL-LX2573PGD
2	Rechteckig (2 x 5 mm)	Rot/grün	Weiß diff.	635/565	2.0/2.2	30/25	10	90	67-1051-ND	3.43	30.86	137.15	SSL-LX2577IGW
3	Rechteckig (2,3 x 7 mm)	Sup. Rot	Rot diff.	660	1.8	30	50	110	67-1054-ND	1.86	16.76	74.50	SSL-LX25783SRD
		Rot	Rot diff.	635	2.0	30	9	80	67-1053-ND	1.00	8.96	39.79	SSL-LX25783ID
		Gelb	Gelb diff.	585	2.1	30	4	110	67-1055-ND	1.00	8.96	39.79	SSL-LX25783YD
		Grün	Grün diff.	565	2.2	25	9	110	67-1052-ND	1.00	8.96	39.79	SSL-LX25783GD
4	T-1 (3mm)	Gelb	Gelb diff.	585	2.1	30	10	60	67-1057-ND	1.38	12.39	55.03	SSL-LX3034YD
		Grün	Grün diff.	565	2.2	25	10	60	67-1056-ND	1.27	11.43	50.80	SSL-LX3034GD
5	T-1 (3mm)	Rot	Rot diff.	635	12.0	12	6	60	67-1067-ND	2.23	20.01	88.89	SSL-LX3044ID-12V
		Gelb	Gelb diff.	585	12.0	12	6	60	67-1079-ND	2.23	20.01	88.89	SSL-LX3044YD-12V
		Grün	Grün diff.	565	12.0	12	6	60	67-1061-ND	2.23	20.01	88.89	SSL-LX3044GD-12V
		Rot	Rot diff.	635	5.0	12	6	60	67-1068-ND	2.79	25.14	111.75	SSL-LX3044ID-5V
		Gelb	Gelb diff.	585	5.0	12	6	60	67-1080-ND	2.79	25.14	111.75	SSL-LX3044YD-5V
		Grün	Grün diff.	565	5.0	12	6	60	67-1062-ND	2.79	25.14	111.75	SSL-LX3044GD-5V
		Dunkelrot	Rot diff.	700	2.0	25	6	60	67-1064-ND	.83	7.43	33.02	SSL-LX3044HD
		Sup. Rot	Wasserklar	660	1.8	30	600	30	67-1647-ND	2.35	21.15	93.97	SSL-LX3044SRC/D
		Rot	Wasserklar	635	2.1	30	125	30	67-1065-ND	1.04	9.34	41.48	SSL-LX3044IC
		Rot	Rot diff.	635	2.0	30	30	60	67-1066-ND	1.17	10.48	46.56	SSL-LX3044ID
		Rot	Rot trans.	635	2.0	30	30	30	67-1069-ND	1.04	9.34	41.48	SSL-LX3044IT
		Bernstein	Bernsteinf. diff.	605	2.1	30	15	60	67-1058-ND	1.04	9.34	41.48	SSL-LX3044AD
		Gelb	Wasserklar	585	2.1	30	90	30	67-1077-ND	1.08	9.72	43.18	SSL-LX3044YC
		Gelb	Gelb diff.	585	2.1	30	30	60	67-1078-ND	1.00	8.96	39.79	SSL-LX3044YD
		Gelb	Gelb trans.	585	2.1	30	90	30	67-1081-ND	1.46	13.15	58.42	SSL-LX3044YT
		Grün	Wasserklar	565	2.2	25	100	30	67-1059-ND	1.02	9.14	40.64	SSL-LX3044GC
		Grün	Grün diff.	565	2.2	25	40	60	67-1060-ND	.93	8.38	37.25	SSL-LX3044GD
		Grün	Grün trans.	565	2.2	25	40	30	67-1063-ND	1.02	9.14	40.64	SSL-LX3044GT
		Reines Grün	Grün diff.	555	2.2	25	20	60	67-1073-ND	1.14	10.29	45.72	SSL-LX3044PGD
		Rot	Rot diff.	635	2.0	30	30	60	67-1071-ND*	.97	8.76	38.94	SSL-LX3044LID
		Gelb	Gelb diff.	585	2.1	30	30	60	67-1072-ND*	.96	8.58	38.10	SSL-LX3044LYD
		Grün	Grün diff.	565	2.2	25	30	60	67-1070-ND*	.89	8.00	35.56	SSL-LX3044LGD
6	T-1 (3mm)	Rot	Rot diff.	635	2.1	30	30	60	67-1402-ND	1.25	11.24	49.95	SSL-LX3052ID
		Gelb	Gelb diff.	585	2.1	30	15	80	67-1397-ND	1.27	11.43	50.80	SSL-LX3052YD
		Grün	Grün diff.	565	2.2	25	15	80	67-1396-ND	1.27	11.43	50.80	SSL-LX3052GD
7	Rechteckig (4 x 7 mm)	Rot	Rot diff.	635	2.0	30	12	100	67-1083-ND	2.18	19.62	87.20	SSL-LX4673ID-LA20
		Gelb	Gelb diff.	585	2.1	30	6	100	67-1084-ND	2.18	19.62	87.20	SSL-LX4673YD-LA20
		Grün	Grün diff.	565	2.2	25	6	100	67-1082-ND	2.18	19.62	87.20	SSL-LX4673GD-LA20
8	T-1 3/4 (5mm)	Rot	Rot diff.	700	2.0	25	5	60	67-1088-ND	.96	8.58	38.10	SSL-LX5063HD
		Rot	Wasserklar	635	2.0	30	160	30	67-1089-ND	1.27	11.43	50.80	SSL-LX5063IC
		Rot	Rot diff.	635	2.0	30	40	60	67-1090-ND	1.08	9.72	43.18	SSL-LX5063ID
		Rot	Rot trans.	635	2.0	30	160	30	67-1091-ND	1.21	10.86	48.26	SSL-LX5063IT
		Gelb	Wasserklar	585	2.1	30	100	30	67-1093-ND	1.52	13.71	60.96	SSL-LX5063YC
		Gelb	Gelb diff.	585	2.1	30	20	60	67-1094-ND	1.21	10.86	48.26	SSL-LX5063YD
		Gelb	Gelb trans.	585	2.1	30	100	30	67-1095-ND	1.23	11.05	49.10	SSL-LX5063YT
		Grün	Wasserklar	565	2.2	25	100	30	67-1085-ND	1.65	14.86	66.03	SSL-LX5063GC
		Grün	Grün diff.	565	2.2	25	30	60	67-1086-ND	1.02	9.14	40.64	SSL-LX5063GD
		Grün	Grün trans.	565	2.0	25	100	30	67-1087-ND	1.08	9.72	43.18	SSL-LX5063GT
		Grün	Grün trans.	565	2.2	25	100	30	67-1092-ND*	1.65	14.86	66.03	SSL-LX5063LGT
9	T-1 3/4 (5mm)	Grün	Grün diff.	565	12.0	12	20	60	67-1099-ND	2.79	25.14	111.75	SSL-LX5093GD-12V
		Rot	Rot diff.	700	5.0	12	3	60	67-1103-ND	2.23	20.01	88.89	SSL-LX5093HD-5V
		Rot	Rot diff.	635	5.0	12	20	60	67-1106-ND	2.23	20.01	88.89	SSL-LX5093ID-5V
		Grün	Grün diff.	565	5.0	12	20	60	67-1100-ND	2.23	20.01	88.89	SSL-LX5093GD-5V
		Rot	Rot diff.	700	2.0	25	5	60	67-1102-ND	.83	7.43	33.02	SSL-LX5093HD
		Rot	Rot trans.	700	2.0	25	25	30	67-1104-ND	1.10	9.91	44.02	SSL-LX5093HT
		Sup. Rot	Rot diff.	660	1.7	30	250	60	67-1648-ND	1.34	12.00	53.34	SSL-LX5093SRD/D
		Rot	Rot diff.	635	2.0	30	40	60	67-1105-ND	.89	8.00	35.56	SSL-LX5093ID
		Rot	Rot trans.	635	2.0	30	80	30	67-1107-ND	1.04	9.34	41.48	SSL-LX5093IT
		Bernstein	Bernsteinf. diff.	605	2.0	30	30	60	67-1097-ND	1.04	9.34	41.48	SSL-LX5093AD
		Gelb	Gelb diff.	585	2.1	30	30	60	67-1116-ND	.96	8.58	38.10	SSL-LX5093YD
		Gelb	Gelb trans.	585	2.1	30	40	30	67-1117-ND	1.06	9.52	42.33	SSL-LX5093YT
		Grün	Grün diff.	565	2.2	25	30	60	67-1098-ND	.87	7.81	34.71	SSL-LX5093GD
		Grün	Grün trans.	565	2.2	25	50	30	67-1101-ND	1.02	9.14	40.64	SSL-LX5093GT
		Reines Grün	Grün diff.	555	2.2	25	15	60	67-1112-ND	1.02	9.14	40.64	SSL-LX5093PGD
		Rot	Rot diff.	635	2.0	30	40	60	67-1110-ND*	.97	8.76	38.94	SSL-LX5093LID
		Gelb	Gelb diff.	585	2.1	30	30	60	67-1111-ND*	.97	8.76	38.94	SSL-LX5093LYD
		Grün	Grün diff.	565	2.2	25	30	60	67-1108-ND*	.91	8.20	36.40	SSL-LX5093LGD
		Grün	Grün trans.	565	2.2	25	80	30	67-1109-ND*	1.04	9.34	41.48	SSL-LX5093LGT
		Violet	Wasserklar	400	3.5	30	350	20	67-1830-ND	9.44	84.96	377.58	SSL-LX5093UVC
		Violet	Wasserklar	380	3.4	25	70	30	67-1831-ND	28.78	259.06	1151.38	SSL-LX5093SUVC
10	T-1 3/4 (5mm)	Rot	Wasserklar	635	2.0	30	600	20	67-1120-ND	1.27	11.43	50.80	SSL-LX5093XIC
		Bernstein	Wasserklar	610	2.0	30	600	20	67-1118-ND	2.07	18.67	82.97	SSL-LX5093XAC
		Grün	Wasserklar	565	2.2	25	250	20	67-1119-ND	1.40	12.57	55.88	SSL-LX5093XGC
		Grün	Wasserklar	555	2.2	25	45	20	67-1121-ND	2.10	18.86	83.81	SSL-LX5093XPGC
11	T-1 3/4 (5mm)	Rot/Grün	Weiß diff.	635/565	2.1	30/25	20	60	67-1124-ND	3.13	28.19	125.30	SSL-LX5097IGW
12	T-3/4 (2mm)	Rot	Rot diff.	635	2.0	30	25	70	67-1125-ND	1.25	11.24	49.95	SSL-LX20465ID
		Gelb	Gelb diff.	585	2.1	30	10	70	67-1126-ND	1.27	11.43	50.80	SSL-LX20465YD
		Grün	Grün diff.	565	2.2	25	10	70	67-1127-ND	1.14	10.29	45.72	SSL-LX20465GD
13	Quadr. T-1 (3 mm)	Sup. Gelb	Wasserklar	590	2.25	70	800	50	67-1128-ND	5.74	51.63	229.43	SSL-LX30448SYC
14	Axial (1,8 mm)	Rot	Rot diff.	635	5.0	30	8	60	67-1131-ND	4.40	39.62	176.09	SSL-LXA227ID-5V
		Gelb	Gelb diff.	585	5.0	20	8	60	67-1132-ND	4.40	39.62	176.09	SSL-LXA227YD-5V
		Grün	Grün diff.	565	5.0	30	8	60	67-1130-ND	4.40	39.62	176.09	SSL-LXA227GD-5V
15	Axial (1,9 mm)	Rot	Wasserklar	660	1.7	25	600	25	67-1137-ND*	2.90	26.10	115.98	SSL-LXA228SRC
		Rot	Rot diff.	660	1.7	25	150	50	67-1138-ND*	3.26	29.33	130.38	SSL-LXA228SRD
		Rot	Wasserklar	635	2.0	30	30	25	67-1134-ND	2.07	18.67	82.97	SSL-LXA228IC
		Rot	Rot diff.	635	2.0	30	25	50	67-1135-ND	1.90	17.14	76.19	SSL-LXA228ID
		Sup. Gelb	Wasserklar	585	2.0	30	300	25	67-1139-ND	8.93	80.38	357.27	SSL-LXA228SYC
		Gelb	Wasserklar	585	2.1	30	30	25	67-1140-ND	2.16	19.43	86.35	SSL-LXA228YC
		Grün	Wasserklar	565	2.2	25	50	25	67-1136-ND	2.48	22.29	99.05	SSL-LXA228SGC
		Grün	Grün diff.	565	2.2	25	12	25	67-1133-ND	1.90	17.14	76.19	SSL-LXA228GD
16	T-1 3/4 (5 mm)	Rot/Grün Blau	Wasserklar	636/574 470	1.9/2.1 3.65	30	600/450 150	30	67-1829-ND	51.22	460.97	2048.77	SSL-LX5099SIUBSUGB

* Version f. niedrige Stromstärke, Leuchten mit (2 mA)

K

LEDs zur Leiterplattenmontage

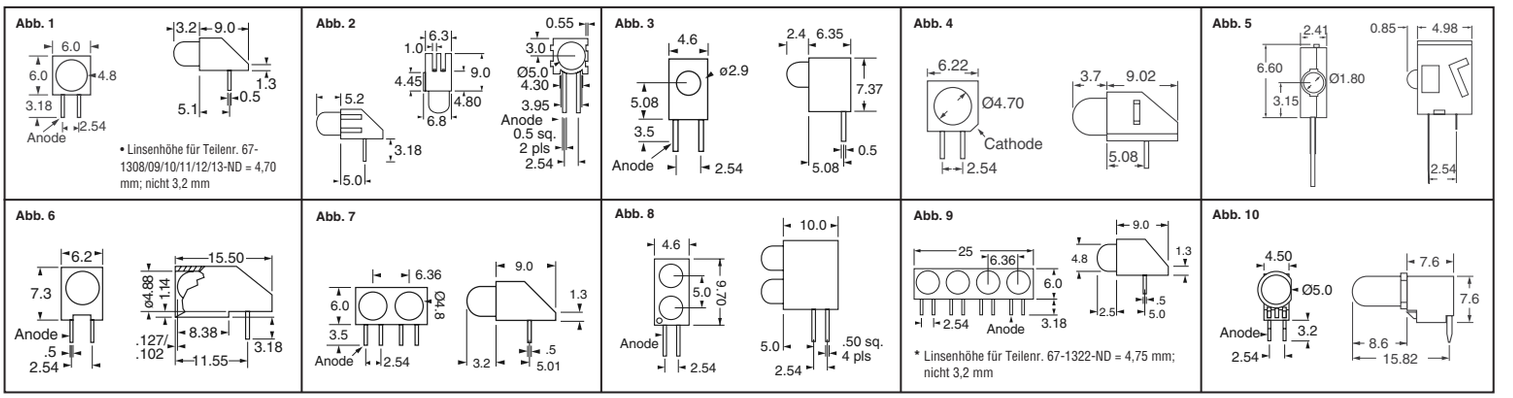

Abb.	Beschreibung	Emittierte Farbe	Linse	Spitzen-Wellenlänge (n.m)	Vf (V) typ.	If (mA) max.	Io (mcd)	Sichtwinkel (2x Theta)	Digi-Key Teilenr.	Stückpreis 1	25	100	Lumex Teilenr.
		Rot/Grün	Weiß diff.	700/565	2.0/2.2	25	6/20	60	67-1221-ND	.61	.51	.41	SSF-LXH100HGW
		Rot	Rot diff.	635	5.0	12	30	60	67-1222-ND	.61	.51	.41	SSF-LXH100ID-5V
		Grün	Grün diff.	565	5.0	12	10	60	67-1223-ND	.61	.51	.41	SSF-LXH100GD-5V
		Rot	Rot diff.	700	2.0	25	6	60	67-1308-ND	.41	.34	.28	SSF-LXH100HD-01
		Rot	Rot diff.	660	1.7	30	60	60	67-1225-ND	.61	.51	.41	SSF-LXH100SRD
		Rot	Rot diff.	635	2.0	30	40	60	67-1309-ND	.71	.60	.48	SSF-LXH100ID-01
		Rot	Rot diff.	635	2.0	30	40	60	67-1217-ND	.38	.32	.26	SSF-LXH100ID
1	5mm	Gelb	Gelb diff.	585	2.1	30	30	60	67-1311-ND	.71	.60	.48	SSF-LXH100YD-01
		Gelb	Gelb diff.	585	2.1	30	30	60	67-1224-ND	.38	.32	.26	SSF-LXH100YD
		Grün	Grün diff.	565	2.2	25	30	60	67-1310-ND	.71	.60	.48	SSF-LXH100GD-01
		Grün	Grün diff.	565	2.2	25	30	60	67-1218-ND	.38	.32	.26	SSF-LXH100GD
		Rot	Rot diff.	635	2.0	30	40	60	67-1312-ND†	.71	.60	.48	SSF-LXH100LID-01
		Rot	Rot diff.	635	2.0	30	40	60	67-1219-ND†	.48	.41	.33	SSF-LXH100LID
		Grün	Grün diff.	565	2.2	25	30	60	67-1313-ND†	.71	.60	.48	SSF-LXH100LGD-01
		Grün	Grün diff.	565	2.2	25	30	60	67-1220-ND†	.48	.41	.33	SSF-LXH100LGD
		Rot/Grün	Weiß diff.	700/565	2.0/2.2	30	6/20	60	67-1226-ND	.61	.51	.41	SSF-LXH100MHGW
		Rot	Rot diff.	635	5.0	12	20	60	67-1233-ND	.61	.51	.41	SSF-LXH100MID-5V
		Grün	Grün diff.	565	5.0	30	20	60	67-1234-ND	.61	.51	.41	SSF-LXH100MGD-5V
		Rot	Rot diff.	660	1.8	30	100	60	67-1230-ND	.61	.51	.41	SSF-LXH100MSRD
2	5mm	Rot	Rot diff.	635	2.0	30	30	60	67-1227-ND	.38	.32	.26	SSF-LXH100MID
		Gelb	Gelb diff.	585	2.1	30	30	60	67-1229-ND	.38	.32	.26	SSF-LXH100MYD
		Grün	Grün diff.	565	2.2	25	30	60	67-1228-ND	.38	.32	.26	SSF-LXH100MGD
		Rot	Rot diff.	635	2.0	30	30	60	67-1231-ND†	.48	.41	.33	SSF-LXH100MLID
		Grün	Grün diff.	565	2.2	25	30	60	67-1232-ND†	.48	.41	.33	SSF-LXH100MLGD
		Rot	Rot diff.	635	5.0	12	9	60	67-1241-ND	.56	.47	.38	SSF-LXH103ID-5V
		Grün	Grün diff.	565	5.0	12	8	60	67-1242-ND	.56	.47	.38	SSF-LXH103GD-5V
		Rot	Rot diff.	660	1.8	30	80	60	67-1238-ND	.46	.39	.31	SSF-LXH103SRD
3	3mm	Rot	Rot diff.	635	2.0	30	30	60	67-1235-ND	.33	.28	.23	SSF-LXH103ID
		Gelb	Gelb diff.	585	2.1	30	30	60	67-1237-ND	.33	.28	.23	SSF-LXH103YD
		Grün	Grün diff.	565	2.1	30	30	60	67-1236-ND	.33	.28	.23	SSF-LXH103GD
		Rot	Rot diff.	635	2.0	30	40	60	67-1239-ND†	.46	.39	.31	SSF-LXH103LID
		Grün	Grün diff.	565	2.1	25	30	60	67-1240-ND†	.46	.39	.31	SSF-LXH103LGD
		Rot	Rot diff.	700	5.0	12	3	60	67-1038-ND	.80	.67	.54	SSF-LXH104HD-5V
4	4.7mm	Rot	Rot diff.	635	2.0	30	40	60	67-1039-ND	.27	.23	.19	SSF-LXH104ID
		Gelb	Gelb diff.	585	2.1	30	30	60	67-1040-ND	.27	.23	.19	SSF-LXH104YD
		Grün	Grün diff.	565	2.2	25	30	60	67-1037-ND	.27	.23	.19	SSF-LXH104GD
		Rot	Rot diff.	635	2.0	30	8	60	67-1042-ND	.61	.51	.41	SSF-LXH555ID
5	1.8mm	Gelb	Gelb diff.	585	2.1	30	8	60	67-1043-ND	.61	.51	.41	SSF-LXH555YD
		Grün	Grün diff.	565	2.1	25	8	60	67-1041-ND	.61	.51	.41	SSF-LXH555GD
		Rot/Grün	Weiß diff.	700/565	2.1	30	5/8	60	67-1243-ND	.69	.58	.46	SSF-LXH1071HGW
		Rot	Rot diff.	660	1.7	30	40	60	67-1247-ND	.61	.51	.41	SSF-LXH1071SRD
		Rot	Rot diff.	635	2.1	30	40	60	67-1244-ND	.46	.39	.31	SSF-LXH1071ID
6	5mm	Gelb	Gelb diff.	585	2.1	30	20	60	67-1246-ND	.46	.39	.31	SSF-LXH1071YD
		Grün	Grün diff.	565	2.1	30	20	60	67-1245-ND	.46	.39	.31	SSF-LXH1071GD
		Grün	Grün diff.	565	2.1	30	20	60	67-1249-ND†	.56	.47	.38	SSF-LXH1071LGD
		Rot	Rot diff.	635	2.1	30	40	60	67-1248-ND†	.56	.47	.38	SSF-LXH1071LID
		Rot	Rot diff.	660	1.8	30	100	60	67-1253-ND	.91	.77	.61	SSF-LXH2100SRD
7	5mm	Rot	Rot diff.	635	2.0	30	40	60	67-1250-ND	.76	.64	.51	SSF-LXH2100ID
		Gelb	Gelb diff.	585	2.1	30	30	60	67-1252-ND	.76	.64	.51	SSF-LXH2100YD
		Grün	Grün diff.	565	2.2	25	30	60	67-1251-ND	.76	.64	.51	SSF-LXH2100GD
		Rot	Rot diff.	635	5.0	12	20	60	67-1260-ND	1.14	.96	.77	SSF-LXH2103IID-5V/4
		Grün	Grün diff.	565	5.0	12	20	60	67-1261-ND	1.14	.96	.77	SSF-LXH2103GGD-5V/4
		Sup. Rot	Rot diff.	660	1.7	30	130	60	67-1257-ND	1.32	1.11	.89	SSF-LXH2103SRSRD/4
8	3mm	Rot	Rot diff.	635	2.0	30	40	60	67-1254-ND	.84	.70	.56	SSF-LXH2103IID/4
		Gelb	Gelb diff.	585	2.1	30	30	60	67-1256-ND	.84	.70	.56	SSF-LXH2103YYD/4
		Grün	Grün diff.	565	2.2	25	30	60	67-1255-ND	.84	.70	.56	SSF-LXH2103GGD/4
		Rot	Rot diff.	635	2.0	30	40	60	67-1258-ND†	1.02	.85	.68	SSF-LXH2103LIID/4
		Grün	Grün diff.	565	2.2	25	30	60	67-1259-ND†	1.02	.85	.68	SSF-LXH2103LGGD/4
		Rot/Grün	Weiß diff.	700/565	2.1	25	4	60	67-1289-ND	1.98	1.66	1.33	SSF-LXH400HGW
		Rot	Rot diff.	635	5.0	12	8	60	67-1290-ND	1.98	1.66	1.33	SSF-LXH400ID-5V
		Grün	Grün diff.	565	5.0	12	20	60	67-1291-ND	1.98	1.66	1.33	SSF-LXH400GD-5V
9	5mm	Rot	Rot diff.	660	1.7	30	100	60	67-1288-ND	1.98	1.66	1.33	SSF-LXH400SRD
		Rot	Rot diff.	635	2.0	30	20	60	67-1285-ND	1.07	.89	.72	SSF-LXH400ID
		Gelb	Gelb diff.	585	2.1	30	20	60	67-1287-ND	1.07	.89	.72	SSF-LXH400YD
		Grün	Grün diff.	565	2.1	25	20	60	67-1322-ND	1.88	1.57	1.26	SSF-LXH400GD-01
		Grün	Grün diff.	565	2.1	25	20	60	67-1286-ND	1.07	.89	.72	SSF-LXH400GD
		Rot/Grün	Weiß diff.	700/565	2.1	25	6	60	67-1292-ND	1.17	.98	.78	SSF-LXH4RA5HGW
		Rot (blinkend)	Rot diff.	635	3.5	70	20	60	67-1301-ND	2.24	1.87	1.49	SSF-LXH4RA5BID
		Rot	Rot diff.	635	5.0	12	30	60	67-1299-ND	1.17	.98	.78	SSF-LXH4RA5ID-5V
		Grün	Grün diff.	565	5.0	12	15	60	67-1300-ND	1.17	.98	.78	SSF-LXH4RA5GD-5V
10	5mm	Rot	Rot diff.	660	1.7	30	80	60	67-1296-ND	1.17	.98	.78	SSF-LXH4RA5SRD
		Rot	Rot diff.	635	2.1	30	40	60	67-1293-ND	.81	.68	.55	SSF-LXH4RA5ID
		Gelb	Gelb diff.	585	2.1	30	30	60	67-1295-ND	.81	.68	.55	SSF-LXH4RA5YD
		Grün	Grün diff.	565	2.1	25	30	60	67-1294-ND	.81	.68	.55	SSF-LXH4RA5GD
		Rot	Rot diff.	635	2.1	30	40	60	67-1297-ND†	.81	.68	.55	SSF-LXH4RA5LID
		Grün	Grün diff.	565	2.1	25	30	60	67-1298-ND†	.81	.68	.55	SSF-LXH4RA5LGD
		Rot/Grün	Weiß diff.	700/565	2.1	25	3/4	60	67-1302-ND	1.17	.98	.78	SSF-LXH4RAHGW
		Rot (blinkend)	Rot diff.	635	3.5	20	6	60	67-1307-ND	2.24	1.87	1.49	SSF-LXH4RABID
		Rot	Rot diff.	660	1.7	30	80	60	67-1306-ND	1.17	.98	.78	SSF-LXH4RASRD
11	3mm	Rot	Rot diff.	635	2.1	30	40	60	67-1303-ND	.81	.68	.55	SSF-LXH4RAID
		Gelb	Gelb diff.	585	2.1	30	30	60	67-1305-ND	.81	.68	.55	SSF-LXH4RAYD
		Grün	Grün diff.	565	2.1	25	30	60	67-1304-ND	.81	.68	.55	SSF-LXH4RAGD

† Version f. niedrige Stromstärke, Leuchten mit (2 mA)

(Forts.)

Alle Preisangaben in Euro und inklusive Zollgebühren.

Abb. 11

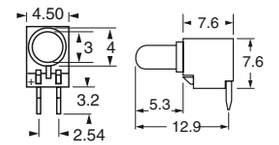

Abb. 12

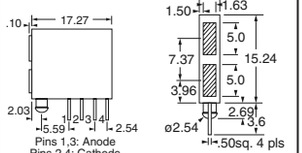

Abb. 13

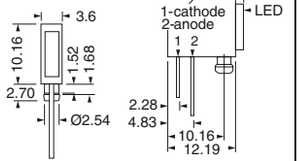

Abb. 14

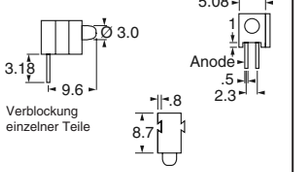

Abb. 15

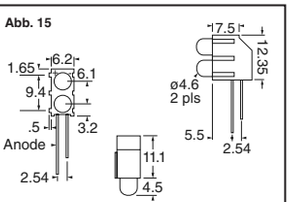

Abb. 16

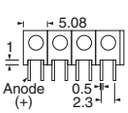

Abb. 17

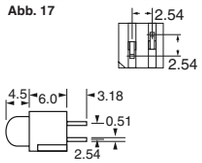

Abb. 18

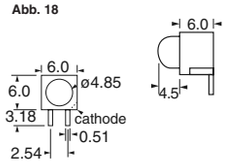

Abb. 19

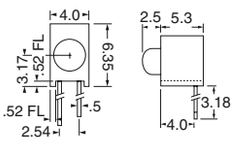

Abb. 20

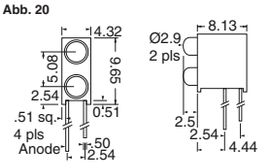

Abb. 21

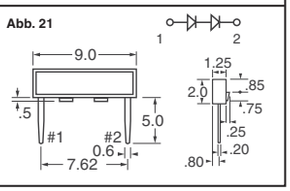

Abb.	Beschreibung	Emittierte Farbe	Linse	Spitzen-Wellenlänge (n.m)	Vf (V) typ.	If (mA) max.	Io (mcd)	Sichtwinkel (2x Theta)	Digi-Key Teilenr.	Stückpreis 1	25	100	Lumex Teilenr.
12	5.0x1.63mm	Rot	Rot diff.	660	1.7	30	80	110	67-1265-ND	1.32	1.11	.89	SSF-LXH22573SRSRD
		Rot	Rot diff.	635	2.0	30	10	110	67-1262-ND	.97	.81	.65	SSF-LXH22573IID
		Gelb	Gelb diff.	585	2.1	30	10	110	67-1264-ND	.97	.81	.65	SSF-LXH22573YYD
		Grün	Grün diff.	565	2.2	25	10	110	67-1263-ND	.97	.81	.65	SSF-LXH22573GGD
		Rot	Rot diff.	635	2.0	30	10	110	67-1266-ND†	1.22	1.02	.82	SSF-LXH22573LIID
		Grün	Grün diff.	565	2.2	25	10	110	67-1267-ND†	1.22	1.02	.82	SSF-LXH22573LGGD
13	2.5x7mm	Rot/Grün	Weiß diff.	695/565	2.0/2.2	25	2/9	110	67-1268-ND	.79	.66	.53	SSF-LXH25780HGW
		Rot	Rot diff.	660	1.7	30	50	110	67-1272-ND	.79	.66	.53	SSF-LXH25780SRD
		Rot	Rot diff.	635	2.0	30	15	110	67-1269-ND	.53	.45	.36	SSF-LXH25780ID
		Gelb	Gelb diff.	585	2.1	30	9	110	67-1271-ND	.53	.45	.36	SSF-LXH25780YD
		Grün	Grün diff.	565	2.2	25	9	110	67-1270-ND	.53	.45	.36	SSF-LXH25780GD
14	3mm	Sup. Rot	Rot diff.	660	1.8	30	100	60	67-1276-ND	.66	.56	.45	SSF-LXH2300SRD-LM
		Rot	Rot diff.	635	5.0	12	30	60	67-1279-ND	.66	.56	.45	SSF-LXH2300ID-5V-LM
		Grün	Grün diff.	565	5.0	12	30	60	67-1280-ND	.66	.56	.45	SSF-LXH2300GD-5V-LM
		Rot	Rot diff.	635	2.0	30	50	60	67-1273-ND	.46	.39	.31	SSF-LXH2300ID-LM
		Gelb	Gelb diff.	585	2.1	30	50	60	67-1275-ND	.46	.39	.31	SSF-LXH2300YD-LM
		Grün	Grün diff.	565	2.2	25	50	60	67-1274-ND	.46	.39	.31	SSF-LXH2300GD-LM
		Rot	Rot diff.	635	2.0	25	50	60	67-1277-ND†	.61	.51	.41	SSF-LXH2300LID-LM
		Grün	Grün diff.	565	2.2	25	50	60	67-1278-ND†	.61	.51	.41	SSF-LXH2300LGD-LM
15	5mm	Rot/Grün	Weiß diff.	635/565	2.0/2.2	30/25	30/25	60	67-1281-ND	1.37	1.15	.92	SSF-LXHM250IGIGW
		Rot	Rot diff.	635	2.0	30	40	60	67-1282-ND	.81	.68	.55	SSF-LXHM250IID
		Gelb	Gelb diff.	585	2.1	30	30	60	67-1284-ND	.81	.68	.55	SSF-LXH250MYYD
		Grün	Grün diff.	565	2.2	25	30	60	67-1283-ND	.81	.68	.55	SSF-LXHM250GGD
16	3mm	Rot	Rot diff.	635	2.0	30	40	60	67-1315-ND	1.73	1.44	1.16	SSF-LXH2300/4ID
17	5mm	Grün	Grün diff.	565	2.2	25	30	60	67-1316-ND	.71	.60	.48	SSF-LXH101GD-1SL
18	5mm	Rot	Rot diff.	635	2.0	30	40	60	67-1317-ND	.71	.60	.48	SSF-LXH101ID-01
		Grün	Grün diff.	565	2.2	25	30	60	67-1318-ND	.71	.60	.48	SSF-LXH101GD-01
19	3mm	Rot	Rot diff.	635	2.1	30	40	60	67-1320-ND	.71	.60	.48	SSF-LXH303ID
20	3mm	Rot	Rot diff.	635	2.0	30	40	60	67-1319-ND	1.02	.85	.68	SSF-LXH240IID
		Grün	Grün diff.	565	2.2	25	40	60	67-1321-ND	1.02	.85	.68	SSF-LXH240GGD
21	9.0x2.0mm	Rot	Rot trans.	660	3.6	30	50	160	67-1326-ND	.91	.77	.61	SSB-LX02SRC
		Rot	Rot trans.	635	4.5	30	16	160	67-1323-ND	.74	.62	.50	SSB-LX02IC
		Gelb	Gelb trans.	590	4.5	30	10	160	67-1325-ND	.74	.62	.50	SSB-LX02YC
		Grün	Grün trans.	565	4.4	25	10	160	67-1324-ND	.74	.62	.50	SSB-LX02GC

† Version f. niedrige Stromstärke, Leuchten mit (2 mA)

Lichtleitungen

Abb.	Empfohlene LED-Serie	Anz. der Positionen	Abm. - Zoll (mm) H	Abm. - Zoll (mm) L	Digi-Key Teilenr.	Stückpreis 1	10	25	100	Lumex Teilenr.
1	SML-LX2832	—	—	—	67-1844-ND	1.63	1.41	1.32	.96	LPB-R0112051S
2					67-1845-ND	1.70	1.47	1.38	1.00	LPB-S01110101S
3	SML-LX1206 SML-LX1210	—	—	—	67-1847-ND	.70	.61	.57	.42	LPF-C011304S
4	SML-LX23	—	—	—	67-1850-ND	.66	.58	.54	.39	LPF-C012303S
5					67-1851-ND	1.11	.96	.90	.65	LPF-C013301S
6					67-1852-ND	1.18	1.02	.96	.70	LPF-C014301S
7	SML-LX1206 or SML-LX1210	2	—	.540 (13.72)	67-1853-ND	1.41	1.21	1.14	.83	LPF-C021303S
		3	—	.740 (18.80)	67-1854-ND	2.11	1.82	1.71	1.24	LPF-C031303S
		4	—	.939 (23.84)	67-1855-ND	2.80	2.42	2.28	1.65	LPF-C041303S
		5	—	1.139 (28.92)	67-1856-ND	3.51	3.03	2.85	2.06	LPF-C051303S
8		—	—	—	67-1857-ND	3.61	3.12	2.93	2.12	LPF-C071303S
9	SML-LX0805xx	—	.394 (10)	—	67-1833-ND	.96	.83	.78	.57	LPA-C011301S-10
		—	.787 (20)	—	67-1834-ND	.96	.83	.78	.57	LPA-C011301S-20
		—	1.97 (50)	—	67-1835-ND	.96	.83	.78	.57	LPA-C011301S-50
10	SML-LX0805xx	4	.394 (10) .787 (20) 1.97 (50)	1.000 (25.40)	67-1836-ND	2.68	2.31	2.17	1.57	LPA-C041301S-10
					67-1837-ND	2.44	2.10	1.98	1.43	LPA-C041301S-20
					67-1838-ND	4.12	3.56	3.35	2.42	LPA-C041301S-50
		8	.394 (10) .787 (20) 1.97 (50)	1.800 (45.72)	67-1839-ND	5.04	4.34	4.08	2.96	LPA-C081301S-10
					67-1840-ND	3.98	3.43	3.23	2.34	LPA-C081301S-20
					67-1841-ND	3.98	3.43	3.23	2.34	LPA-C081301S-50
11	SML-LX1206xx	—	—	—	67-1846-ND	.59	.52	.48	.35	LPF-C011302S
12	SML-LX23	—	—	—	67-1849-ND	1.00	.87	.82	.59	LPF-C012301S
13	SML-LX1206xx	—	—	—	67-1858-ND	.59	.52	.48	.35	LPF-R011362S
14	SML-LX0603xx	25	—	—	67-1859-ND	6.21	5.36	5.04	3.65	LPF-R251321S
15	SML-LX1210xx	—	—	—	67-1860-ND	.23	.20	.19	.14	LPF-S014331S

Abb. 1

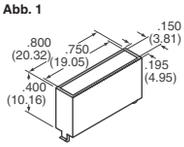

Abb. 2

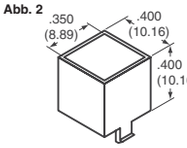

Abb. 3

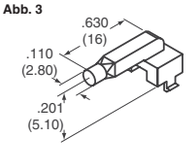

Abb. 4

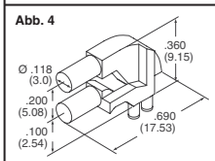

Abb. 5

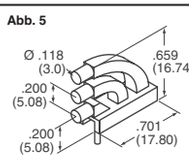

Abb. 6

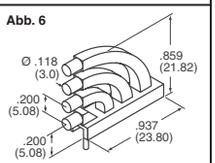

Abb. 7

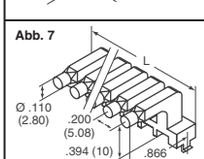

Abb. 8

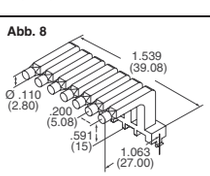

Abb. 9

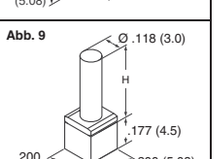

Abb. 10

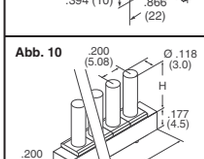

Abb. 11

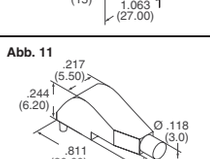

Abb. 12

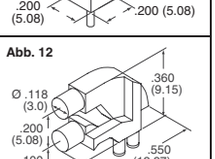

Abb. 13

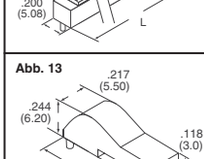

Abb. 14

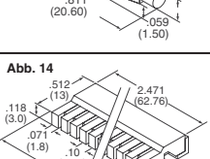

Abb. 15

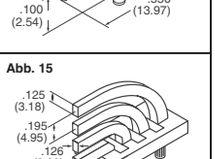

Flexible Lichtleitungen

Empfohlene LED: SSL-LX3054XX

Linsenfarbe	Digi-Key Teilenr.	Stückpreis 1	10	25	100	Lumex Teilenr.
Blau	67-1861-ND	2.35	2.04	1.91	1.39	LPI-C0117001S-150B
Transparent	67-1862-ND	2.35	2.04	1.91	1.39	LPI-C0117001S-150C
Grün	67-1863-ND	2.35	2.04	1.91	1.39	LPI-C0117001S-150G
Rot	67-1864-ND	2.35	2.04	1.91	1.39	LPI-C0117001S-150R
Gelb	67-1865-ND	2.35	2.04	1.91	1.39	LPI-C0117001S-150Y

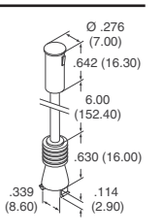

Abb. 1 — SOT-23

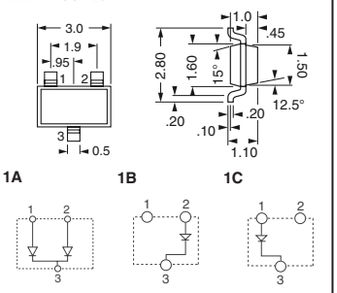

Abb. 2 — SOT-23 Footprint

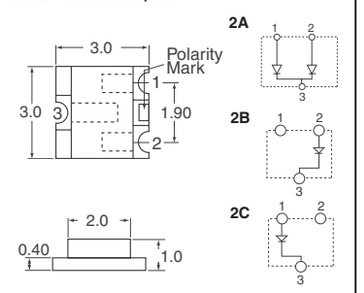

Abb. 3 — 0402

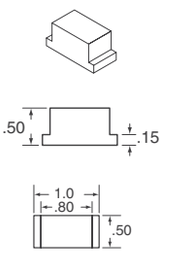

Abb. 4 — 0603

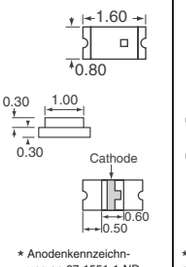

* Anodenkennzeichnung an 67-1551-1-ND

Abb. 5 — 0805

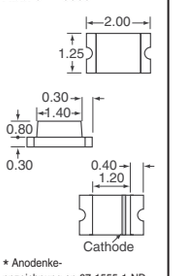

* Anodenkennzeichnung an 67-1555-1-ND

Abb. 6 — 1206

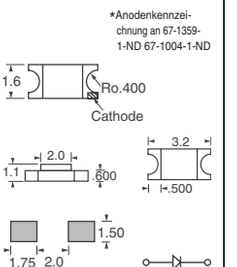

Abb. 7 — 1210

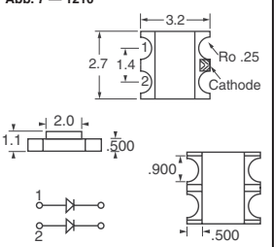

Abb. 8

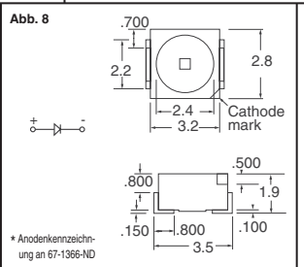

* Anodenkennzeichnung an 67-1366-ND

Abb. 9

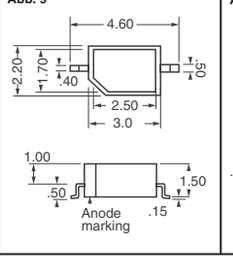

Abb. 10

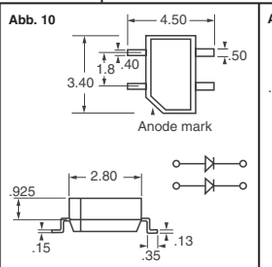

Abb. 11

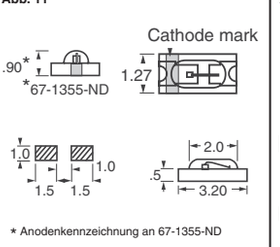

* Anodenkennzeichnung an 67-1355-ND

Abb. 12

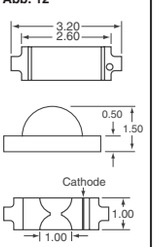

Abb. 13

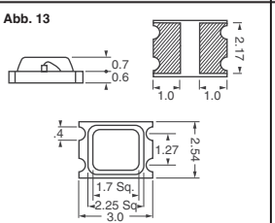

Abb. 14

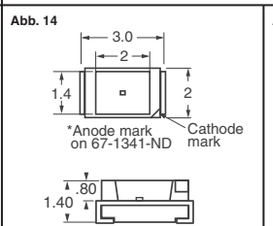

Abb. 15

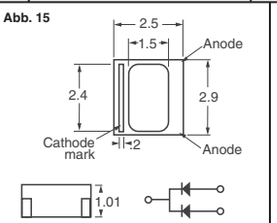

Abb. 16 — Gull Wing

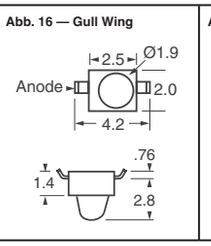

Abb. 17 — Gabelform

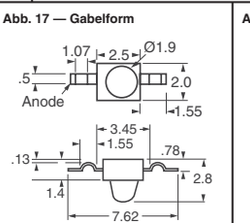

Abb. 18 — Z-Biegung

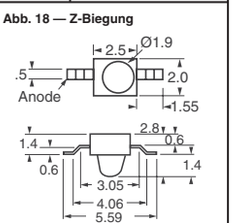

Abb. 19

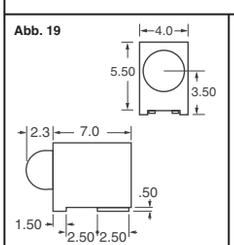

Abb. 20

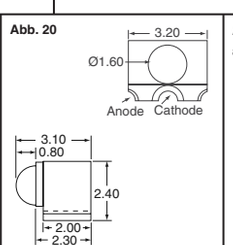

Abb. 21 — Verblockung, leicht auswechselbar

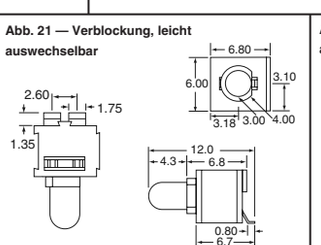

Abb. 22 — Verblockung, leicht auswechselbar

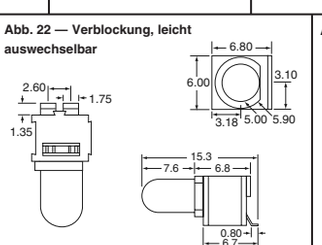

Abb. 23

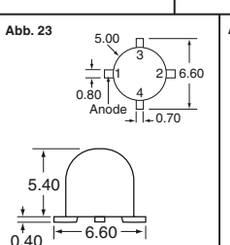

Abb. 24

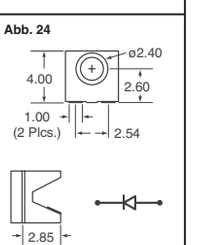

Abb.	Beschreibung	Emittierte Farbe	Linse	Spitzen-Wellenlänge (nm)	Vf (V) typ.	If (mA) max.	Io (mcd)	Sicht-winkel (2x Theta)	Digi-Key Teilenr.	Gurtabschnittspreis pro Stück 1	10	100	Digi-Key Teilenr.	Gegurtet auf Rolle Größe	Preisangaben	Lumex Teilenr.
1A	SOT-23	Rot/Grün	Wasserklar	635/565	2.0/2.2	30/25	10	140	67-1335-1-ND	.75	.66	.56	67-1335-2-ND	3,000	309.01/M	SSL-LX15IGC-RP-TR
		Rot/Rot		635	2.0	30	10	140	67-1334-1-ND	.81	.72	.61	67-1334-2-ND	3,000	336.95/M	SSL-LX15IIC-RP-TR
		Gelb/Gelb		585	2.1	30	10	140	67-1337-1-ND	.81	.72	.61	67-1337-2-ND	3,000	336.95/M	SSL-LX15YYC-RP-TR
		Grün/Grün		565	2.2	25	10	140	67-1336-1-ND	.81	.72	.61	67-1336-2-ND	3,000	336.95/M	SSL-LX15GGC-RP-TR
1B	SOT-23	Rot	Wasserklar	635	2.0	30	10	140	67-1381-1-ND	.54	.48	.41	67-1381-2-ND	3,000	224.86/M	SSL-LX15IC-TR
		Gelb		585	2.1	30	10	140	67-1383-1-ND	.54	.48	.41	67-1383-2-ND	3,000	224.86/M	SSL-LX15YC-TR
		Grün		565	2.1	25	10	140	67-1382-1-ND	.54	.48	.41	67-1382-2-ND	3,000	224.86/M	SSL-LX15GC-TR
1C	SOT-23	Rot	Wasserklar	635	2.0	30	10	140	67-1378-1-ND	.54	.48	.41	67-1378-2-ND	3,000	224.86/M	SSL-LX15IC-RP-TR
		Gelb		585	2.1	30	10	140	67-1380-1-ND	.54	.48	.41	67-1380-2-ND	3,000	224.86/M	SSL-LX15YC-RP-TR
		Grün		565	2.2	25	10	140	67-1379-1-ND	.54	.48	.41	67-1379-2-ND	3,000	224.86/M	SSL-LX15GC-RP-TR
2A	SOT-23	Rot/Grün	Wasserklar	635/565	2.0/2.1	30/25	10	140	67-1655-1-ND	.70	.62	.53	67-1655-2-ND	3,000	290.91/M	SML-LX15IGC-RP-TR
		Gelb/Grün		585/565	2.1/2.2	30/25	10	140	67-1674-1-ND	.70	.62	.53	67-1674-2-ND	3,000	290.91/M	SML-LX15YGC-RP-TR
2B	SOT-23	Superrot	Wasserklar	660	1.7	30	20	140	67-1660-1-ND	.47	.42	.36	67-1660-2-ND	3,000	198.16/M	SML-LX15SRC-TR
		Rot		635	2.0	30	10	140	67-1684-1-ND	.44	.39	.34	67-1684-2-ND	3,000	184.25/M	SML-LX15IC-TR
		Supergelb		590	2.1	30	60	140	67-1664-1-ND	.49	.43	.37	67-1664-2-ND	3,000	203.78/M	SML-LX15SYC-TR
		Gelb		585	2.1	30	10	140	67-1670-1-ND	.44	.39	.34	67-1670-2-ND	3,000	179.48/M	SML-LX15YC-TR
		Super-Ultragrün		574	2.2	25	45	140	67-1662-1-ND	.49	.43	.37	67-1662-2-ND	3,000	203.78/M	SML-LX15SUGC-TR
		Grün		565	2.2	25	10	140	67-1685-1-ND	.44	.39	.34	67-1685-2-ND	3,000	184.10/M	SML-LX15GC-TR
		Ultrareines Grün		525	3.5	30	45	140	67-1666-1-ND	2.65	2.33	1.99	—	—	—	SML-LX15UPGC-TR
		Ultra-superblau		470	3.5	30	120	140	67-1668-1-ND	2.65	2.33	1.99	67-1668-2-ND	3,000	1100.40/M	SML-LX15USBC-TR
2C	SOT-23	Superrot	Wasserklar	660	1.7	30	20	140	67-1661-1-ND	.47	.42	.36	67-1661-2-ND	3,000	198.11/M	SML-LX15SRC-RP-TR
		Rot		635	2.0	30	10	140	67-1653-1-ND	.44	.39	.34	—	—	—	SML-LX15IC-RP-TR
		Supergelb		590	2.1	30	60	140	67-1665-1-ND	.49	.43	.37	—	—	—	SML-LX15SYC-RP-TR
		Gelb		585	2.1	30	10	140	67-1671-1-ND	.44	.39	.34	67-1671-2-ND	3,000	179.48/M	SML-LX15YC-RP-TR
		Super-Ultragrün		574	2.2	25	45	140	67-1663-1-ND	.49	.43	.37	—	—	—	SML-LX15SUGC-RP-TR
		Grün		565	2.2	25	10	140	67-1656-1-ND	.44	.39	.34	67-1656-2-ND	3,000	184.10/M	SML-LX15GC-RP-TR
		Ultrareines Grün		525	3.5	30	45	140	67-1667-1-ND	2.65	2.33	1.99	—	—	—	SML-LX15UPGC-RP-TR
		Ultra-Superblau		470	3.5	30	120	140	67-1669-1-ND	2.65	2.33	1.99	67-1669-2-ND	3,000	1100.40/M	SML-LX15USBC-RP-TR
		Superrot		660	1.8	30	45	140	67-1551-1-ND	.13	.11	.09	67-1551-2-ND	4,000	70.27/M	SML-LX0603SRW-TR
4	0603	Rot	Weiß diff.	635	2.0	30	14	160	67-1548-1-ND	.13	.11	.09	67-1548-2-ND	4,000	70.27/M	SML-LX0603IW-TR
		Gelb		585	2.1	30	14	160	67-1550-1-ND	.13	.11	.09	67-1550-2-ND	4,000	70.27/M	SML-LX0603YW-TR
		Grün		565	2.2	25	18	160	67-1549-1-ND	.12	.10	.08	67-1549-2-ND	4,000	63.24/M	SML-LX0603GW-TR
5	0805	Superrot	Weiß diff.	660	1.8	30	21	140	67-1555-1-ND	.13	.11	.09	67-1555-2-ND	4,000	70.27/M	SML-LXT0805SRW-TR
		Rot		635	2.0	30	11	140	67-1552-1-ND	.12	.10	.08	67-1552-2-ND	4,000	66.06/M	SML-LXT0805IW-TR

* Version f. niedrige Stromstärke, Leuchten mit (2 mA) † Mengenpreis ‡ Umgekehrte Polarität *(Forts.)*

Abb.	Beschreibung	Emittierte Farbe	Linse	Spitzen-Wellenlänge (nm)	Vf (V) typ.	If (mA) max.	Iv (mcd)	Sicht-winkel (2x Theta)	Digi-Key Teilenr.	Gurtabschnitts-preis pro Stück 1	10	100	Digi-Key Teilenr.	Gegurtet auf Rolle Größe	Preisangaben	Lumex Teilenr.
5	0805	Gelb	Weiß diff.	585	2.1	30	10	140	67-1554-1-ND	.12	.10	.08	67-1554-2-ND	4,000	66.06/M	SML-LXT0805YW-TR
		Super-Ultragrün	Wasserklar	574	2.2	30	40	140	67-1687-1-ND	2.11	1.76	1.41	67-1687-2-ND	3,000	316.21/M	SML-LX0805SUGC-TR
		Grün	Weiß diff.	565	2.0	30	11	140	67-1553-1-ND	.12	.10	.08	67-1553-2-ND	4,000	63.24/M	SML-LXT0805GW-TR
6	1206	Superrot	Wasserklar	660	1.7	30	25	160	67-1359-1-ND	.15	.14	.12	67-1359-2-ND	3,000	64.65/M	SML-LX1206SRC-TR
		Superrot	Weiß diff.	660	1.8	30	15	160	67-1004-1-ND	.25	.22	.19	67-1004-2-ND	3,000	101.19/M	SML-LX1206SRW-TR
		Rot	Wasserklar	635	2.0	25	6	160	67-1356-1-ND	.15	.14	.12	67-1356-2-ND	3,000	63.24/M	SML-LX1206IC-TR
		Rot	Weiß diff.	635	2.0	25	6	160	67-1003-1-ND	.24	.22	.19	67-1003-2-ND	3,000	99.78/M	SML-LX1206IW-TR
		Gelb	Wasserklar	585	2.1	25	6	160	67-1358-1-ND	.15	.14	.12	67-1358-2-ND	3,000	63.24/M	SML-LX1206YC-TR
		Grün	Wasserklar	565	2.2	25	10	160	67-1357-1-ND	.14	.12	.11	67-1357-2-ND	3,000	56.22/M	SML-LX1206GC-TR
		Grün	Weiß diff.	565	2.2	25	10	160	67-1002-1-ND	.23	.21	.18	67-1002-2-ND	3,000	95.57/M	SML-LX1206GW-TR
7	1210	Sup. Rot/Sup. Rot	Wasserklar	660	1.7	30	15	160	67-1360-1-ND	.54	.48	.41	67-1360-2-ND	3,000	224.86/M	SML-LX1210SRSRC-TR
		Rot/Grün		635/565	2.0/2.2	25	10	160	67-1361-1-ND	.29	.26	.22	67-1361-2-ND	3,000	119.46/M	SML-LX1210IGC-TR
		Gelb/Grün		585/565	2.1/2.2	25	10	160	67-1363-1-ND	.29	.26	.22	67-1363-2-ND	3,000	119.46/M	SML-LX1210YGC-TR
		Grün/Grün		565/565	2.2	25	10	160	67-1362-1-ND	.29	.26	.22	67-1362-2-ND	3,000	119.46/M	SML-LX1210GGC-TR
8	3.2 x 2.8mm	Superrot	Wasserklar	660	1.7	30	100	120	67-1366-1-ND	.68	.60	.51	67-1366-2-ND	2,000	281.07/M	SML-LX2832SRC-TR
		Rot		635	2.0	30	25	120	67-1364-1-ND	.54	.48	.41	67-1364-2-ND	2,000	224.86/M	SML-LX2832IC-TR
		Gelb		585	2.1	30	15	120	67-1367-1-ND	.54	.48	.41	67-1367-2-ND	2,000	224.86/M	SML-LX2832YC-TR
		Grün		565	2.1	25	25	120	67-1365-1-ND	.54	.48	.41	67-1365-2-ND	2,000	224.86/M	SML-LX2832GC-TR
9	3.0 x 2.2mm	Superrot	Wasserklar	650	1.7	25	30	130	67-1371-1-ND‡	.68	.60	.51	67-1371-2-ND‡	2,000	281.07/M	SSL-LXA1725SRC-TR
		Rot		635	2.0	30	12	130	67-1368-1-ND	.51	.45	.39	67-1368-2-ND	2,000	210.81/M	SSL-LXA1725IC-TR
		Gelb		585	2.1	30	12	130	67-1370-1-ND	.51	.45	.39	67-1370-2-ND	2,000	210.81/M	SSL-LXA1725YC-TR
		Grün		565	2.2	25	25	130	67-1369-1-ND	.51	.45	.39	67-1369-2-ND	2,000	210.81/M	SSL-LXA1725GC-TR
10	3.4 x 2.8mm	Rot/Grün	Wasserklar	635/565	2.0/2.2	30/25	12/20	130	67-1372-1-ND	.91	.80	.69	67-1372-2-ND	1,000	379.45	SSL-LXA3025IGC-TR
		Gelb/Grün		585/565	2.1/2.2	30/25	12	130	67-1373-1-ND	.91	.80	.69	67-1373-2-ND	1,000	379.45	SSL-LXA3025YGC-TR
11	1.27 x 3.2mm	Superrot	Rot trans.	660	1.8	30	8	180	67-1355-1-ND	1.29	1.13	.97	67-1355-2-ND	3,000	514.74/M	CCL-LX45SRT
		Rot	Rot trans.	635	2.1	30	7.2	180	67-1352-1-ND	1.19	1.05	.90	67-1352-2-ND	3,000	478.16/M	CCL-LX45IT
		Gelb	Gelb, trans.	585	2.3	30	7	180	67-1354-1-ND	1.24	1.09	.93	67-1354-2-ND	3,000	494.42/M	CCL-LX45YT
		Grün	Grün, trans.	565	2.2	30	7	180	67-1353-1-ND	1.24	1.09	.93	67-1353-2-ND	3,000	494.42/M	CCL-LX45GT
12	3.2 x 1.0mm	Superrot	Wasserklar	660	1.7	30	30	130	67-1559-1-ND‡	.22	.18	.15	67-1559-2-ND‡	3,000	119.46/M	SML-LXR85SRC-TR
		Rot		635	2.0	25	12	130	67-1556-1-ND	.22	.18	.15	67-1556-2-ND	3,000	119.46/M	SML-LXR85IC-TR
		Gelb		585	2.1	25	10	130	67-1558-1-ND	.20	.17	.14	67-1558-2-ND	3,000	111.03/M	SML-LXR85YC-TR
		Grün		565	2.2	25	12	130	67-1557-1-ND	.19	.17	.13	67-1557-2-ND	3,000	106.81/M	SML-LXR85GC-TR
13	3.0 x 2.54mm	Superrot	Wasserklar	660	1.7	15	40	180	67-1345-1-ND	.88	.77	.67	67-1345-2-ND	3,000	365.40/M	CCL-CRS10SR
		Rot		635	2.0	25	12	180	67-1342-1-ND	.59	.52	.45	67-1342-2-ND	3,000	245.94/M	CCL-CRS10R
		Gelb		585	2.1	30	8	180	67-1344-1-ND	.59	.52	.45	67-1344-2-ND	3,000	245.94/M	CCL-CRS10Y
		Grün		565	2.2	25	12	180	67-1343-1-ND	.59	.52	.45	67-1343-2-ND	3,000	245.94/M	CCL-CRS10G
14	3.0 x 2.0mm	Superrot	Wasserklar	660	1.7	30	100	90	67-1341-1-ND	.41	.36	.31	67-1341-2-ND	2,000	168.65/M	SML-LX23SRC-TR
		Rot		635	2.0	30	20	90	67-1338-1-ND	.30	.27	.23	67-1338-2-ND	2,000	126.48/M	SML-LX23IC-TR
		Gelb		585	2.1	30	20	90	67-1340-1-ND	.30	.27	.23	67-1340-2-ND	2,000	126.48/M	SML-LX23YC-TR
		Grün		565	2.1	25	20	90	67-1339-1-ND	.30	.27	.23	67-1339-2-ND	2,000	126.48/M	SML-LX23GC-TR
15	2.5 x 2.9mm	Sup. Rot/Sup. Rot	Wasserklar	660	1.7	30	40	90	67-1349-1-ND	1.25	1.10	.94	67-1349-2-ND	2,000	519.98/M	CCL-LX253SRSRC
		Gelb/Grün		585/565	2.1	30/25	20	90	67-1351-1-ND	.81	.72	.61	67-1351-2-ND	2,000	337.29/M	CCL-LX253YGC
		Grün/Grün		565	2.0	25	20	90	67-1350-1-ND	.81	.72	.61	67-1350-2-ND	2,000	337.29/M	CCL-LX253GGC
16	2.0 x 2.5mm	Superrot	Wasserklar	660	1.7	25	600	25	67-1393-1-ND‡	.66	.58	.50	67-1393-2-ND‡	1,000	274.04	SSL-LXA228SRC-TR11
		Rot	Wasserklar	635	2.0	30	80	25	67-1384-1-ND	.40	.35	.30	67-1384-2-ND	1,000	165.83	SSL-LXA228IC-TR11
		Gelb	Gelb diff.	585	2.1	30	15	50	67-1145-1-ND	.41	.36	.31	67-1145-2-ND	1,000	167.24	SSL-LXA228YD-TR11
		Gelb	Wasserklar	585	2.1	30	30	25	67-1386-1-ND	.40	.35	.30	67-1386-2-ND	1,000	165.83	SSL-LXA228YC-TR11
		Grün	Gelb diff.	565	2.1	25	4	50	67-1141-1-ND	.41	.36	.31	67-1141-2-ND	1,000	167.24	SSL-LXA228GD-TR11
		Grün	Wasserklar	565	2.2	25	30	25	67-1385-1-ND	.40	.35	.30	67-1385-2-ND	1,000	165.83	SSL-LXA228GC-TR11
17	2.0 x 2.5mm	Superrot	Wasserklar	660	1.7	25	600	25	67-1394-1-ND‡	.66	.58	.50	67-1394-2-ND‡	1,000	274.04	SSL-LXA228SRC-TR21
		Rot	Rot diff.	635	2.0	30	12	50	67-1143-1-ND	.42	.38	.32	67-1143-2-ND	1,000	175.67	SSL-LXA228ID-TR21
		Rot	Rot diff.	635	2.0	30	12	50	67-1144-1-ND*	.44	.39	.34	67-1144-2-ND*	1,000	182.70	SSL-LXA228LID-TR21
		Rot	Wasserklar	635	2.0	30	60	25	67-1387-1-ND	.40	.35	.30	67-1387-2-ND	1,000	165.83	SSL-LXA228IC-TR21
		Gelb	Gelb diff.	585	2.0	20	12	50	67-1146-1-ND	.41	.36	.31	67-1146-2-ND	1,000	167.24	SSL-LXA228YD-TR21
		Gelb	Wasserklar	585	2.0	20	30	25	67-1389-1-ND	.40	.35	.30	67-1389-2-ND	1,000	165.83	SSL-LXA228YC-TR21
		Grün	Gelb diff.	565	2.1	30	4	50	67-1142-1-ND	.42	.38	.32	67-1142-2-ND	1,000	175.67	SSL-LXA228GD-TR21
		Grün	Wasserklar	565	2.1	30	30	25	67-1388-1-ND	.40	.35	.30	67-1388-2-ND	1,000	165.83	SSL-LXA228GC-TR21
18	2.0 x 2.5mm	Superrot	Wasserklar	690	1.7	25	600	25	67-1395-1-ND‡	.66	.58	.50	67-1395-2-ND‡	1,000	274.04	SSL-LXA228SRC-TR31
		Rot		635	2.0	30	60	25	67-1390-1-ND	.40	.35	.30	67-1390-2-ND	1,000	165.83	SSL-LXA228IC-TR31
		Gelb		585	2.0	20	30	25	67-1392-1-ND	.40	.35	.30	67-1392-2-ND	1,000	165.83	SSL-LXA228YC-TR31
		Grün		565	2.1	30	30	25	67-1391-1-ND	.40	.35	.30	67-1391-2-ND	1,000	165.83	SSL-LXA228GC-TR31
19	T-1 (3mm) SMT RA	Superrot	Rot diff.	660	1.7	30	80	60	67-1377-1-ND	.85	.75	.64	67-1377-2-ND	1,000	351.34	SSF-LXH305SRD-TR
		Rot	Rot diff.	635	2.0	30	40	60	67-1374-1-ND	.64	.57	.49	67-1374-2-ND	1,000	267.02	SSF-LXH305ID-TR
		Gelb	Gelb diff.	585	2.1	30	30	60	67-1376-1-ND	.64	.57	.49	67-1376-2-ND	1,000	267.02	SSF-LXH305YD-TR
		Grün	Gelb diff.	565	2.2	25	30	60	67-1375-1-ND	.64	.57	.49	67-1375-2-ND	1,000	267.02	SSF-LXH305GD-TR
20	SMT RA	Superrot	Wasserklar	636	2.0	30	60	110	67-1634-1-ND	.43	.38	.33	67-1634-2-ND	500	89.24	SMF-2432SIC-TR
		Supergelb		590	2.1	30	170	110	67-1630-1-ND	.43	.38	.33	67-1630-2-ND	500	89.94	SMF-2432SYC-TR
		Gelb		585	2.0	30	14	110	67-1632-1-ND	.30	.26	.23	67-1632-2-ND	500	61.13	SMF-2432YC-TR
		Grün		565	2.2	25	14	110	67-1631-1-ND	.29	.26	.22	67-1631-2-ND	500	60.43	SMF-2432GC-TR
		Ultragrün		525	3.5	30	160	110	67-1635-1-ND	5.42	4.75	4.07	67-1635-2-ND	500	1124.28	SMF-2432UPGC-TR
		Superblau		470	3.5	30	140	110	67-1832-1-ND	2.81	2.46	2.11	67-1832-2-ND	500	583.22	SMF-2432USBC-TR
21	T-1 (3mm) SMT RA	Superrot	Rot diff.	660	1.7	30	80	60	67-1644-ND†	.68	.60	.52	—	—	—	SMF-HM1530SRD-305
		Rot	Rot diff.	635	2.0	30	30	60	67-1641-ND†	.59	.52	.45	—	—	—	SMF-HM1530ID-305
		Gelb	Gelb diff.	585	2.1	30	30	60	67-1642-ND†	.59	.52	.45	—	—	—	SMF-HM1530YD-305
		Grün	Gelb diff.	565	2.2	25	30	60	67-1643-ND†	.59	.52	.45	—	—	—	SMF-HM1530GD-305
22	T-1 3/4 (5mm) SMT RA	Superrot	Rot diff.	660	1.7	30	100	60	67-1622-ND†	.68	.60	.52	—	—	—	SMF-HM1530SRD-509
		Rot	Rot diff.	635	2.0	25	30	60	67-1645-ND†	.59	.52	.45	—	—	—	SMF-HM1530ID-509
		Gelb	Gelb diff.	585	2.1	25	30	60	67-1620-ND†	.59	.52	.45	—	—	—	SMF-HM1530YD-509
		Grün	Gelb diff.	565	2.2	25	30	60	67-1621-ND†	.59	.52	.45	—	—	—	SMF-HM1530GD-509
23	5mm	Superrot	Wasserklar	660	1.7	30	400	30	67-1623-1-ND‡	.61	.54	.46	67-1623-2-ND‡	500	125.78	SML-LXL505SRC-TR
		Super Int. Rot		636	2.0	30	1200	30	67-1625-1-ND	.61	.54	.46	67-1625-2-ND	500	125.78	SML-LXL505SIC-TR
		Superorange		610	2.0	30	1500	30	67-1626-1-ND	.61	.54	.46	67-1626-2-ND	500	125.78	SML-LXL505SOC-TR
		Supergelb		590	2.1	30	1200	30	67-1624-1-ND	.61	.54	.46	67-1624-2-ND	500	125.78	SML-LXL505SYC-TR
		Super-Ultragrün		574	2.2	25	100	30	67-1686-1-ND	.41	.36	.31	67-1686-2-ND	500	84.32	SML-LXL505SUGC-TR
		Ultragrün		525	3.5	25	500	30	67-1628-1-ND	3.26	2.86	2.45	67-1628-2-ND	500	676.68	SML-LXL505UPGC-TR
		Ultra-Superblau		470	3.5	30	800	30	67-1629-1-ND	2.98	2.62	2.24	67-1629-2-ND	500	619.06	SML-LXL505USBC-TR
24	3.6 x 4.0mm SMT RA	Superrot	Wasserklar	660	1.7	30	80	90	67-1827-1-ND‡	.58	.51	.44	67-1827-2-ND‡	500	120.16	SML-LXR44SRC-TR
		Rot		635	2.0	30	25	90	67-1826-1-ND	.45	.40	.34	67-1826-2-ND	500	93.46	SML-LXR44IC-TR
		Gelb		585	2.1	30	9	90	67-1828-1-ND	.45	.40	.34	67-1828-2-ND	500	93.46	SML-LXR44YC-TR
		Grün		565	2.2	25	25	90	67-1825-1-ND	.45	.40	.34	67-1825-2-ND	500	93.46	SML-LXR44GC-TR

* Version f. niedrige Stromstärke, Leuchten mit (2 mA) † Mengenpreis ‡ Umgekehrte Polarität

(Forts.)

InGan-LEDs zur Oberflächenmontage

Abb.	Beschreibung	Emittierte Farbe	Linse	Spitzen-Wellenlänge (nm)	Vf (V) typ.	If (mA) max.	Io (mcd)	Sicht-winkel (2x Theta)	Digi-Key Teilenr.	Gurtabschnittspreis pro Stück 1	10	100	Digi-Key Teilenr.	Gegurtet auf Rolle Größe	Preisangaben	Lumex Teilenr.
6	1206	Ultraweiß	Gelb diff.	550	3.5	30	90	140	67-1866-1-ND	2.66	2.33	2.00	67-1866-2-ND	3,000	1103.21/M	SML-LX1206UWW-TR
		Ultrareines Grün	Wasserklar	525	3.5	25	45	140	67-1700-1-ND	2.08	1.82	1.56	—	—	—	SML-LX1206UPGC-TR
		Ultra-superblau	Wasserklar	470	3.5	25	25	140	67-1701-1-ND	2.08	1.82	1.56	67-1701-2-ND	3,000	862.89/M	SML-LX1206USBC-TR
8	2832	Ultra-superblau	Wasserklar	470	3.5	30	60	120	67-1709-1-ND	2.08	1.82	1.56	67-1709-2-ND	2,000	862.89/M	SML-LX2832USBC-TR
12	0.5 x 3.2mm	Grün	Wasserklar	525	3.5	25	45	160	67-1715-1-ND	1.56	1.30	1.04	—	—	—	SML-LXR85UPGC-TR
		Blau		470	3.5	25	30	160	67-1716-1-ND	1.56	1.30	1.04	67-1716-2-ND	3,000	862.89/M	SML-LXR85USBC-TR
14	2.0 x 3.0mm	Ultra-superblau	Wasserklar	470	3.5	30	60	90	67-1726-1-ND	2.08	1.82	1.56	67-1726-2-ND	1,000	862.89	SML-LX23USBC-TR
16	2.0 x 2.5mm Gull Wing	Ultra-superblau	Wasserklar	470	3.5	30	250	25	67-1731-1-ND	2.08	1.82	1.56	67-1731-2-ND	1,000	862.89	SSL-LXA228USBC-TR11
19	T-1 RA	Ultra-superblau	Blau Diff.	470	3.5	30	80	60	67-1746-1-ND	3.69	3.23	2.77	67-1746-2-ND	1,000	1531.84	SSF-LXH305USBD-TR

AlInGaP-LEDs zur Oberflächenmontage

Abb.	Beschreibung	Emittierte Farbe	Linse	Spitzen-Wellenlänge (nm)	Vf (V) typ.	If (mA) max.	Io (mcd)	Sicht-winkel (2x Theta)	Digi-Key Teilenr.	Gurtabschnittspreis pro Stück 1	10	100	Digi-Key Teilenr.	Gegurtet auf Rolle Größe	Preisangaben	Lumex Teilenr.
3	0402	Rot	Wasserklar	636	2.0	30	140	120	67-1878-1-ND	.34	.30	.26	67-1878-2-ND	2,000	141.94/M	SML-LX0402SIC-TR
		Orange		610	2.0	30	120	120	67-1879-1-ND	.32	.28	.24	67-1879-2-ND	2,000	132.11/M	SML-LX0402SOC-TR
		Supergelb		590	2.0	30	60	120	67-1880-1-ND	.34	.30	.26	67-1880-2-ND	2,000	141.94/M	SML-LX0402SYC-TR
		Grün		574	2.2	25	45	120	67-1881-1-ND	.69	.61	.52	67-1881-2-ND	2,000	286.70/M	SML-LX0402SUGC-TR
4	0603	Superintensiv-rot	Weiß diff.	636	2.0	30	60	140	67-1690-1-ND	.35	.29	.24	67-1690-2-ND	4,000	191.13/M	SML-LX0603SIW-TR
		Superorange		610	2.0	30	60	140	67-1691-1-ND	.35	.29	.24	67-1691-2-ND	4,000	191.13/M	SML-LX0603SOW-TR
		Supergelb		590	2.0	30	60	140	67-1694-1-ND	.41	.35	.28	67-1694-2-ND	4,000	230.48/M	SML-LX0603SYW-TR
		Super-ultragrün		574	2.2	25	45	140	67-1693-1-ND	.51	.43	.34	67-1693-2-ND	4,000	281.07/M	SML-LX0603SUGW-TR
5	0805	Superrot	Wasserklar	636	2.0	30	60	140	67-1636-1-ND	.30	.26	.21	67-1636-2-ND	3,000	168.65/M	SML-LX0805SIC-TR
		Superorange		610	2.0	30	60	140	67-1637-1-ND	.30	.26	.21	67-1637-2-ND	3,000	168.65/M	SML-LX0805SOC-TR
		Ultragrün		525	3.5	30	45	140	67-1640-1-ND	4.47	3.73	2.98	67-1640-2-ND	3,000	2473.43/M	SML-LX0805UPGC-TR
		Superblau		470	3.5	30	25	140	67-1638-1-ND	2.69	2.25	1.80	67-1638-2-ND	3,000	1489.68/M	SML-LX0805USBC-TR
6	1206	Superintensiv-rot	Wasserklar	636	2.0	30	70	140	67-1695-1-ND	.20	.19	.16	67-1695-2-ND	3,000	85.73/M	SML-LX1206SIC-TR
		Superorange		610	2.0	30	70	140	67-1696-1-ND	.41	.37	.31	67-1696-2-ND	3,000	171.46/M	SML-LX1206SOC-TR
		Supergelb		590	2.0	30	70	140	67-1699-1-ND	.56	.49	.42	67-1699-2-ND	3,000	230.48/M	SML-LX1206SYC-TR
		Super-ultragrün		574	2.2	25	45	140	67-1698-1-ND	.91	.80	.69	67-1698-2-ND	3,000	379.45/M	SML-LX1206SUGC-TR
7	1210	Rot/grün	Wasserklar	660/565	1.7/2.2	30/25	15/10	160	67-1703-1-ND	.70	.62	.53	67-1703-2-ND	2,000	290.91/M	SML-LX1210SRSGC-TR
		Rot/rot		635	2.0	25	10	160	67-1704-1-ND	.36	.32	.28	67-1704-2-ND	2,000	151.78/M	SML-LX1210IIC-TR
8	2832	Superintensiv-rot	Wasserklar	636	2.0	30	250	120	67-1705-1-ND	.61	.54	.46	67-1705-2-ND	2,000	252.97/M	SML-LX2832SIC-TR
		Superorange		610	2.0	30	300	120	67-1706-1-ND	.61	.54	.46	67-1706-2-ND	2,000	254.37/M	SML-LX2832SOC-TR
		Supergelb		590	2.0	30	140	120	67-1708-1-ND	.61	.54	.46	67-1708-2-ND	2,000	254.37/M	SML-LX2832SYC-TR
		Super-ultragrün		574	2.2	25	150	120	67-1707-1-ND	.61	.54	.46	67-1707-2-ND	2,000	254.37/M	SML-LX2832SUGC-TR
12	0.5 x 3.2mm	Rot	Wasserklar	636	2.0	25	70	160	67-1710-1-ND	.34	.28	.23	67-1710-2-ND	3,000	185.51/M	SML-LXR85SIC-TR
		Orange		610	2.0	30	75	160	67-1712-1-ND	.34	.28	.23	—	—	—	SML-LXR85SOC-TR
		Gelb		590	2.0	25	50	160	67-1714-1-ND	.47	.39	.32	67-1714-2-ND	3,000	258.59/M	SML-LXR85SYC-TR
		Grün		574	2.2	25	45	160	67-1713-1-ND	.50	.42	.34	67-1713-2-ND	3,000	274.05/M	SML-LXR85SUGC-TR
14	2.0 x 3.0mm	Superintensiv-rot	Wasserklar	636	2.0	30	300	90	67-1722-1-ND	.81	.72	.61	67-1722-2-ND	2,000	337.29/M	SML-LX23SIC-TR
		Superorange		610	2.0	30	300	90	67-1723-1-ND	.81	.72	.61	—	—	—	SML-LX23SOC-TR
		Supergelb		590	2.0	30	200	90	67-1725-1-ND	.81	.72	.61	67-1725-2-ND	2,000	337.29/M	SML-LX23SYC-TR
		Super-ultragrün		574	2.2	25	80	90	67-1724-1-ND	1.05	.92	.79	67-1724-2-ND	2,000	434.26/M	SML-LX23SUGC-TR
16	2.0 x 2.5mm Gull Wing	Superintensiv-rot	Wasserklar	636	2.0	30	475	25	67-1727-1-ND	.69	.61	.52	67-1727-2-ND	1,000	286.69	SSL-LXA228SIC-TR11
		Superorange		610	2.0	30	700	25	67-1728-1-ND	.69	.61	.52	67-1728-2-ND	1,000	286.69	SSL-LXA228SOC-TR11
		Supergelb		590	2.0	30	300	25	67-1730-1-ND	.56	.49	.42	67-1730-2-ND	1,000	230.48	SSL-LXA228SYC-TR11
		Supergrün		575	2.2	25	200	25	67-1729-1-ND	.52	.46	.39	67-1729-2-ND	1,000	215.02	SSL-LXA228SUGC-TR11
19	T-1 (3mm)	Superorange	Orange Diff.	610	2.1	30	100	60	67-1744-1-ND	1.83	1.60	1.38	—	—	—	SSF-LXH305SOD-TR
	SMT RA	Supergrün	Gelb diff.	565	2.2	30	150	60	67-1742-1-ND	1.02	.90	.77	67-1742-2-ND	1,000	423.01	SSF-LXH305SGD-TR

SMT RGB (rot/grün/blau) für gesamten Farbbereich

Abb. 1

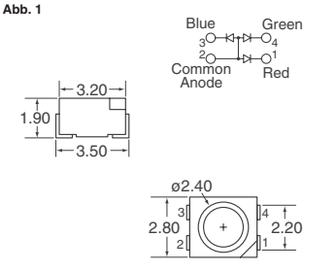

Abb. 2

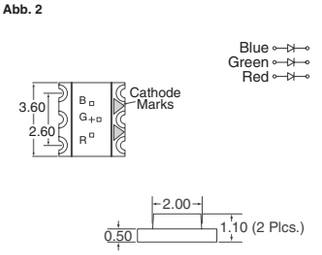

Abb. 3

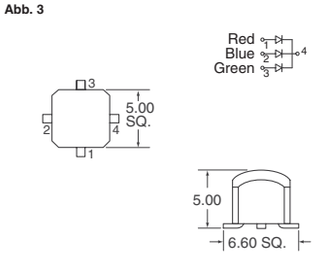

Abb. 4

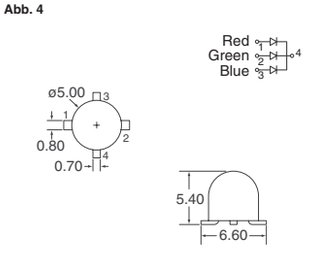

Abb.	Beschreibung	Emittierte Farbe	Linse	Spitzen-Wellenlänge (nm)	Vf (V) typ.	If (mA) max.	Io (mcd)	Sicht-winkel (2x Theta)	Digi-Key Teilenr.	Gurtabschnittspreis pro Stück 1	10	100	Digi-Key Teilenr.	Gegurtet auf Rolle Größe	Preisangaben	Lumex Teilenr.
1	2.8 x 3.2mm	Rot	Wasserklar	660	1.7	30	80	120	67-1820-1-ND	2.18	1.92	1.64	67-1820-2-ND	2,000	906.46/M	SML-LX2832SISUGSBC
		Grün		574	2.2	25	60									
		Blau		430	3.5	30	60									
2	3.2 x 3.6mm	Rot	Wasserklar	636	2.0	25	75	120	67-1821-1-ND	2.18	1.92	1.64	67-1821-2-ND	1,000	906.45	SML-LX3632SISUGSBC
		Grün		574	2.2	25	60									
		Blau		430	3.5	30	50									
3	5.0 x 5.0mm	Rot	Weiß diff.	660	1.7	30	9	120	67-1822-1-ND	4.52	4.19	4.07	67-1822-2-ND	500	1876.15	SML-LXL5550SRSGSBW
		Grün		565	2.1	25	9									
		Blau		430	3.8	30	8									
4	T-1 3/4 (5mm)	Rot	Wasserklar	640	1.7	30	800	30	67-1823-1-ND	4.52	4.19	4.07	67-1823-2-ND	500	1876.15	SML-LXL505SIUPGUSC
		Grün		525	3.5	25	700									
		Blau		470	3.5	30	800									

K

Alle Preisangaben in Euro und inklusive Zollgebühren.

LEDs

67-1542-ND
Lumex-Hauptkatalog auf CD-ROM.....**1.65**

Abb. 1

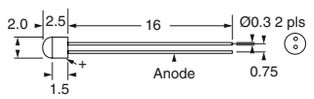

Abb. 3

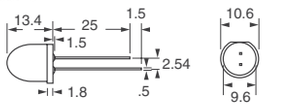

Abb. 2

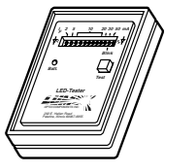

Merkmale:
- Erlaubt schnelles Testen von LEDs durch Knopfdruck, bei Steuerstrompegeln von 2, 5, 10, 20, 30 oder 50 mA.
- Erfordert: 9 Volt Batterie (nicht inbegriffen).

Abb. 4

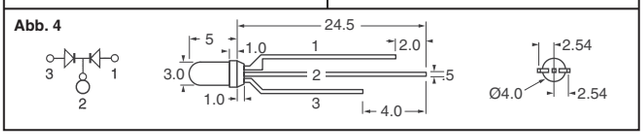

Abb.	LED Dia. (mm)	Emittierte Farbe	Betr. Stromstärke (mA)	Betr. Typ Volt(v)	Digi-Key Teilenr.	Stückpreis 1	25	100	Lumex Teilenr.
Keramikschaft-LEDs									
1	2	Orange/rot	20	2.0	67-1197-ND	.86	.72	.58	SSL-LX203CIT
	2	Grün	20	2.2	67-1198-ND	.86	.72	.58	SSL-LX203CGT
	2	Gelb	20	2.1	67-1199-ND	.86	.72	.58	SSL-LX203CYT
	2	Rot	20	1.7	67-1200-ND	1.07	.89	.72	SSL-LX203CSRT
2	LED-Testgerät.....				67-1398-ND	32.17	—	—	LED Testerkasten

Abb.	Emittierte Farbe	Epoxid-Linsen-farbe	Typische mCD -Intensität @ 20mA If	Emissions-winkel	Spitzen-Wellen-länge	Vf @ 20mA If typ.	Max.	Stationärer If Max.	Digi-Key Teilenr.	Stückpreis 1	10	25	Lumex Teilenr.
10 MM Superhelle Lampen													
3	Or./Rot	Transparent	4500	8°	620nm	2.1	2.5	30mA	67-1399-ND	2.01	1.68	1.51	SSL-LX100133XOC
	Grün	Transparent	1600	8°	568nm	2.2	2.7	25mA	67-1400-ND	.61	.51	.46	SSL-LX100133XGC
	Gelb	Transparent	2500	8°	590nm	2.1	2.5	30mA	67-1401-ND	2.21	1.85	1.66	SSL-LX100133XYC/B

Abb.	Farbe Pin 1	Pin 3	Vf	Io (mcd)	Sicht-winkel	If (mA)	Digi-Key Teilenr.	Stückpreis 1	25	100	250	Lumex Teilenr.
Zweifarbige LEDs												
4	Grün	Gelb	2.0	30/30	60°	20	67-1329-ND	.63	.54	.43	.38	SSL-LX3059GYW
	Rot	Grün	2.0	30	60°	20	67-1327-ND	.63	.54	.43	.38	SSL-LX3059IGW
	Rot	Gelb	2.0	30	60°	20	67-1328-ND	.63	.54	.43	.38	SSL-LX3059IYW

Warnanzeigen f. schwache Batterie

Emittierte Farbe: Rot **Wellenlänge (NM):** 660 **Intensität:** 3mcd **Standby-Stromstärke:** 5µA

Abb. 1

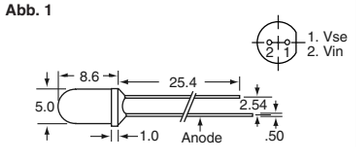

Abb. 2

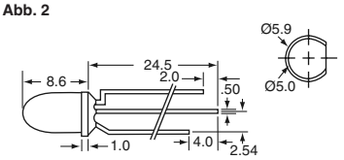

Abb. 3

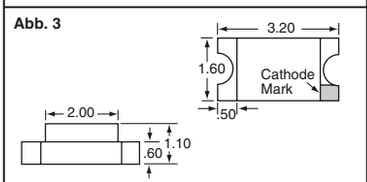

Abb. 4

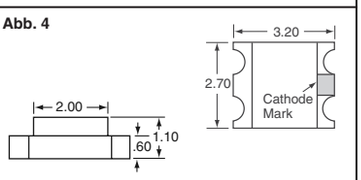

Abb.	Erkennungs-spannung (V)	Sicht-winkel	Digi-Key Teilenr.	Gurtabschnittspreis pro Stück 1	10	25	100	Lumex Teilenr.
1	2.5	60°	67-1195-ND	.94	—	.79	.63	SSL-LX5093LBI-SRD
2	3.75 - 7.5	60°	67-1196-ND	1.22	—	1.02	.82	SSL-LX5099LBI-SRD
3	2.5	140°	67-1193-1-ND	1.52	1.34	—	1.15	SML-LX1206LBI-SRD
4	3.75 - 7.5	140°	67-1194-1-ND	1.93	1.69	—	1.45	SML-LX1210LBI-SRD

T-1 3/4 blinkende LED-Lampen

Merkmale:
- Betriebsspannung: 3,0 ~ 14,0
- Blinkfrequenz: 1,5 ~ 2,5 Hz
- Betriebstemperaturbereich: -55 °C ~ 100 °C

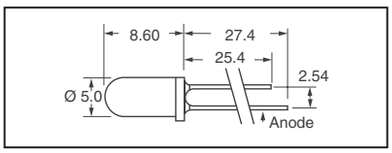

Farbe	Farb-quelle	Io @ VF=9V (mcd)	Sicht-winkel	Digi-Key Teilenr.	Stückpreis 1	25	100	Lumex Teilenr.
Rot/diff.	Leucht. Rot	200	60°	67-1499-ND	.79	.66	.53	SSL-LX5093BSRD
Dunkelrot/diff.	Rot	4.0	60°	67-1497-ND	.71	.60	.48	SSL-LX5093BHD
Rot/diff.	Rot	40	60°	67-1498-ND	.71	.60	.48	SSL-LX5093BID
Grün/diff.	Grün	20	60°	67-1496-ND	.71	.60	.48	SSL-LX5093BGD
Gelb/diff.	Gelb	20	60°	67-1495-ND	.71	.60	.48	SSL-LX5093BYD

20 mm 6-Element-LED, gewölbt

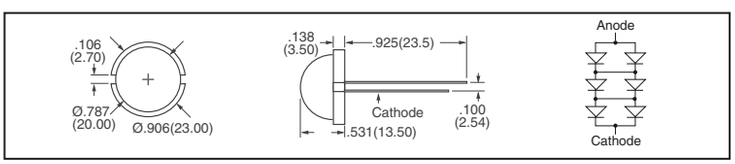

Farbe	Wellen-länge λ (nm)	Vf typ. (V)	If max. (mA)	Io @ If = 20mA (mcd)	Digi-Key Teilenr.	Stückpreis 1	25	100	Lumex Teilenr.
Grün	565	6.6	25	25	67-1526-ND	1.47	1.23	.99	SSL-LX20R6GD
Rot	635	6.0	30	35	67-1527-ND	1.47	1.23	.99	SSL-LX20R6ID
Rot	660	5.1	30	60	67-1528-ND	1.88	1.57	1.26	SSL-LX20R6SRD
Gelb	585	6.3	30	23	67-1529-ND	1.47	1.23	.99	SSL-LX20R6YD

PC-Montage LED-Arrays / Lichtbalken

Abb. 1

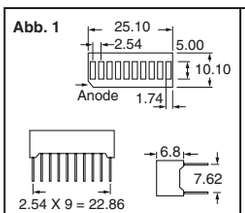

Abb. 2

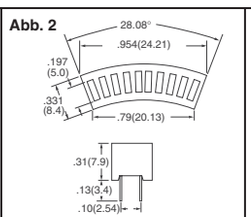

Abb. 3

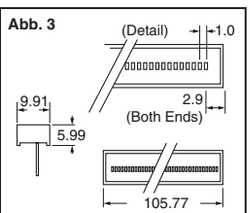

Abb. 4

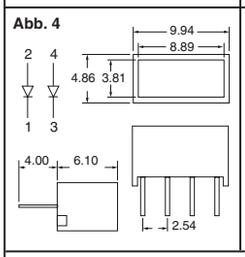

Abb. 5

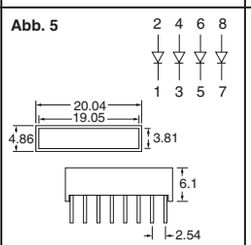

Abb. 6

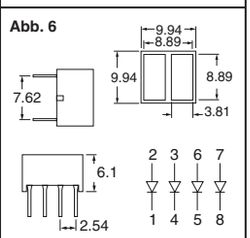

Abb. 7

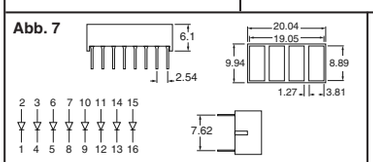

Abb. 8

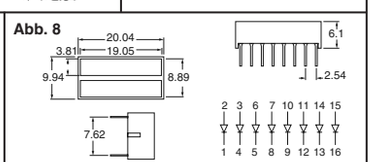

Abb. 9

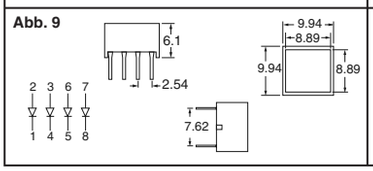

Abb. 10

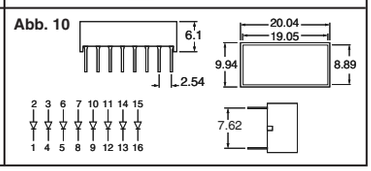

Abb.	Emittierte Farbe	Vf	Io (mcd)	If (mA)	Digi-Key Teilenr.	Stückpreis 1	25	100	Lumex Teilenr.
1	Grün	2.2	10	25	67-1008-ND	2.41	2.02	1.61	SSA-LXB10GW-GF/LP
1	Rot	2.0	4	30	67-1009-ND	1.80	1.51	1.21	SSA-LXB10HW-GF/LP
1	Rot	2.0	10	30	67-1010-ND	2.41	2.02	1.61	SSA-LXB10IW-GF/LP
2	Grün	2.2	10	30	67-1524-ND	3.30	2.76	2.21	SSA-LXB10GW-10652
2	Rot	1.7	40	30	67-1525-ND	5.69	4.75	3.80	SSA-LXB10SRW-10652
3	Rot	2.1	5	30	67-1011-ND	49.15	43.37	40.48	SSA-LXB8825
3	Grün	2.2	5	30	67-1012-ND	49.15	43.37	40.48	SSA-LXB8835
4	Rot	2.0	25	30	67-1013-ND	.77	.64	.52	SSB-LX2300IW
5	Rot	2.1	50	30	67-1014-ND	1.15	.97	.77	SSB-LX2350IW
4	Gelb	2.1	18	30	67-1015-ND	.77	.64	.52	SSB-LX2400YW
5	Gelb	2.1	40	30	67-1016-ND	1.15	.97	.77	SSB-LX2450YW
4	Grün	2.2	25	25	67-1017-ND	.77	.64	.52	SSB-LX2500SGW
6	Rot	2.1	25	30	67-1018-ND	1.26	1.06	.85	SSB-LX2600IW
7	Rot	2.1	25	30	67-1019-ND	2.00	1.67	1.33	SSB-LX2620IW
8	Rot	2.0	50	30	67-1020-ND	2.00	1.67	1.33	SSB-LX2635IW
9	Rot	2.1	45	30	67-1021-ND	1.26	1.06	.85	SSB-LX2655IW
10	Rot	2.1	80	30	67-1022-ND	2.00	1.67	1.33	SSB-LX2685IW
6	Gelb	2.1	18	30	67-1023-ND	1.26	1.06	.85	SSB-LX2700YW
7	Gelb	2.1	18	30	67-1024-ND	2.00	1.67	1.33	SSB-LX2720YW
8	Gelb	2.1	40	30	67-1025-ND	2.00	1.67	1.33	SSB-LX2735YW
9	Gelb	2.1	35	30	67-1026-ND	1.26	1.06	.85	SSB-LX2755YW
10	Gelb	2.1	70	30	67-1027-ND	2.00	1.67	1.33	SSB-LX2785YW
9	Rot/gelb	2.1	25	30	67-1028-ND	2.11	1.76	1.41	SSB-LX2950IYW
9	Rot/grn	2.1	25	30/25	67-1029-ND	2.11	1.76	1.41	SSB-LX2965IGW
4	Rot	1.7	40	30	67-1030-ND	.88	.74	.59	SSB-LXA100SRW
5	Rot	1.7	80	30	67-1031-ND	1.30	1.09	.87	SSB-LXB100SRW
9	Rot	1.7	80	30	67-1032-ND	1.99	1.66	1.33	SSB-LXC100SRW
6	Rot	1.7	40	30	67-1033-ND	1.99	1.66	1.33	SSB-LXD100SRW
7	Rot	1.7	40	30	67-1034-ND	2.30	1.92	1.54	SSB-LXE100SRW
8	Rot	1.7	80	30	67-1035-ND	2.30	1.92	1.54	SSB-LXF100SRW
10	Rot	1.7	150	30	67-1036-ND	2.30	1.92	1.54	SSB-LXH100SRW

K

Abmessungen in mm

Abb. 1

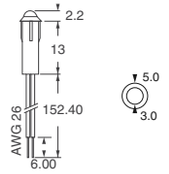

Abb. 2

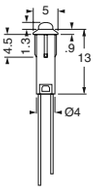

Abb. 3

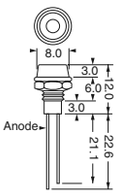

Abb. 4

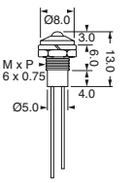

Abb. 5

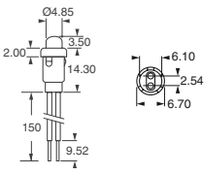

Abb. 6

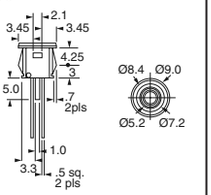

Abb. 7

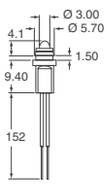

(Rückplattenmontage)

Abb. 8

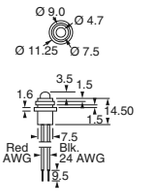

(Rückplattenmontage)

Abb. 9

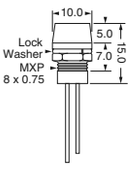

(Reflektorblende)

Abb. 10

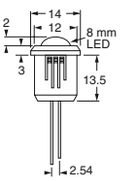

Abb. 11

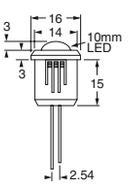

Abb. 12

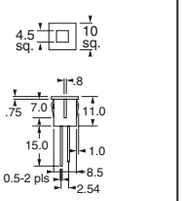

Abb. 13

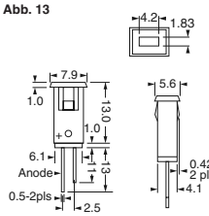

Abb. 14

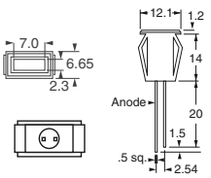

Abb. 15

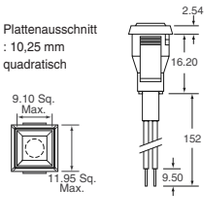

Abb. 16

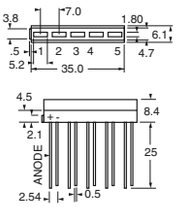

Abb. 17

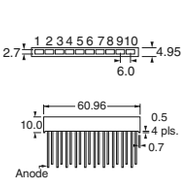

Abb. 18

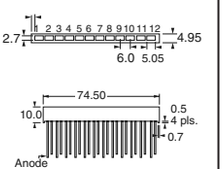

Abb. 19

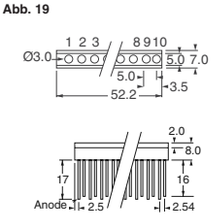

Abb. 20

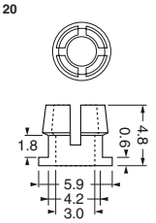

Abb. 21

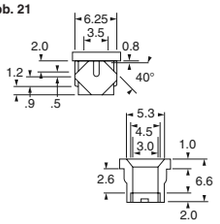

Abb. 22

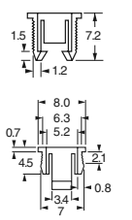

Abb. 23

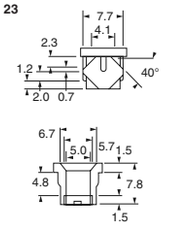

Abb. 24

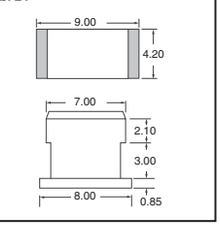

Abb.	Beschreibung	Emittierte Farbe	Linse	Spitzen-Wellenlänge (nm)	Vf (V), typ.	If (mA) max.	Io (mcd)	Sichtwinkel (2x Theta)	Digi-Key Teilenr.	Stückpreis 1	10	50	Lumex Teilenr.
1	T-1 (3mm)	Rot	Rot diffundiert	635	2.0	30	30	60	67-1190-ND	1.02	.82	.72	SSI-LXH312ID-150
		Grün	Grün diffundiert	565	2.1	25	30	60	67-1191-ND	1.02	.82	.72	SSI-LXH312GD-150
2	T-1 (3mm)	Rot	Rot diffundiert	635	2.0	30	30	60	67-1192-ND	.53	.43	.38	SSI-LXH312ID
3	T-1 (3mm)	Superrot	Rot diffundiert	660	1.8	30	70	60	67-1150-ND	1.06	.85	.75	SSI-LXR1612SRD
		Rot	Rot diffundiert	635	2.0	30	30	60	67-1147-ND	.96	.77	.67	SSI-LXR1612ID
		Gelb	Gelb diffundiert	585	2.1	30	30	60	67-1149-ND	.96	.77	.67	SSI-LXR1612YD
		Grün	Grün diffundiert	565	2.2	25	30	60	67-1148-ND	.96	.77	.67	SSI-LXR1612GD
4	T-1 (3mm)	Superrot	Rot diffundiert	660	1.8	30	65	60	67-1154-ND	1.10	.88	.78	SSI-LXR3612SRD
		Rot	Rot diffundiert	635	2.0	30	30	60	67-1151-ND	1.00	.80	.70	SSI-LXR3612ID
		Gelb	Gelb diffundiert	585	2.1	30	30	60	67-1153-ND	1.00	.80	.70	SSI-LXR3612YD
		Grün	Grün diffundiert	565	2.2	25	30	60	67-1152-ND	1.00	.80	.70	SSI-LXR3612GD
5	T-1 3/4 (5mm)	Rot/Grün	Weiß diffundier	700/565	2.0/2.2	25	6/25	60	67-1187-ND	1.59	1.27	1.12	SSI-LXH600HGW-150
		Rot	Rot diffundiert	635	2.0	30	40	60	67-1188-ND	.97	.78	.69	SSI-LXH600ID-150
		Grün	Grün diffundiert	565	2.2	25	30	60	67-1189-ND	.97	.78	.69	SSI-LXH600GD-150
6	T-1 3/4 (5mm)	Superrot	Rot diffundiert	660	1.7	30	60	120	67-1158-ND	1.10	.88	.78	SSI-LXH387SRD
		Rot	Rot diffundiert	635	2.0	30	10	120	67-1155-ND	.96	.77	.67	SSI-LXH387ID
		Gelb	Gelb diffundiert	585	2.1	30	10	120	67-1157-ND	.96	.77	.67	SSI-LXH387YD
		Grün	Grün diffundiert	565	2.2	30	10	120	67-1156-ND	.96	.77	.67	SSI-LXH387GD
7	T-1 (3mm)	Superrot	Rot diffundiert	660	1.7	30	100	60	67-1677-ND	2.07	1.66	1.45	SSI-RM3091SRD-150
		AlInGap Rot	Rot diffundiert	636	2.0	30	100	60	67-1679-ND	2.20	1.77	1.55	SSI-RM3091SID-150
		Rot	Rot diffundiert	635	2.0	30	30	60	67-1676-ND	1.83	1.47	1.28	SSI-RM3091ID-150
		Superorange	Orange diffundiert	610	2.0	30	100	60	67-1680-ND	2.11	1.69	1.48	SSI-RM3091SOD-150
		Supergelb	Gelb diffundiert	590	2.1	30	100	60	67-1682-ND	2.11	1.69	1.48	SSI-RM3091SYD-150
		Super-ultragrün	Grün diffundiert	574	2.2	25	50	60	67-1688-ND	2.33	1.87	1.63	SSI-RM3091SUGD-150
		Gelb	Gelb diffundiert	585	2.1	30	20	60	67-1678-ND	1.83	1.47	1.28	SSI-RM3091YD-150
		Grün	Grün diffundiert	565	2.2	25	20	60	67-1675-ND	1.83	1.47	1.28	SSI-RM3091GD-150
		Ultra-superblau	Blau diffundiert	470	3.5	30	60	60	67-1683-ND	3.85	3.09	2.70	SSI-RM3091USBD-150
8	T-1 3/4 (5mm)	Superrot	Rot diffundiert	660	1.7	30	80	60	67-1162-ND	1.17	.94	.82	SSI-LXH9SRD-150
		Rot	Rot diffundiert	635	2.0	30	40	60	67-1159-ND	1.04	.83	.73	SSI-LXH9ID/-150
		Gelb	Gelb diffundiert	585	2.1	30	30	60	67-1161-ND	1.04	.83	.73	SSI-LXH9YD-150
		Grün	Grün diffundiert	565	2.2	25	30	60	67-1160-ND	1.04	.83	.73	SSI-LXH9GD-150
9	T-1 3/4 (5mm)	Superrot	Rot diffundiert	660	1.8	30	300	60	67-1166-ND	1.06	.85	.75	SSI-LXR4815SRD
		Rot	Rot diffundiert	635	2	30	40	60	67-1163-ND	.96	.77	.67	SSI-LXR4815ID
		Gelb	Gelb diffundiert	585	2.1	30	20	60	67-1165-ND	.96	.77	.67	SSI-LXR4815YD
		Grün	Grün diffundiert	565	2.2	25	30	60	67-1164-ND	.96	.77	.67	SSI-LXR4815GD
10	8mm	Superrot	Rot diffundiert	660	1.7	30	80	60	67-1170-ND	.72	.58	.51	SSI-LXH8080SRD
		Rot	Rot diffundiert	635	2.0	30	40	60	67-1167-ND	.59	.48	.42	SSI-LXH8080ID
		Gelb	Gelb diffundiert	585	2.1	30	30	60	67-1169-ND	.59	.48	.42	SSI-LXH8080YD
		Grün	Grün diffundiert	565	2.2	25	30	60	67-1168-ND	.59	.48	.42	SSI-LXH8080GD
11	10mm	Superrot	Rot diffundiert	660	1.7	30	80	60	67-1174-ND	.83	.66	.58	SSI-LXH1090SRD
		Rot	Rot diffundiert	635	2.0	30	40	60	67-1171-ND	.72	.58	.51	SSI-LXH1090ID
		Gelb	Gelb diffundiert	585	2.1	30	30	60	67-1173-ND	.72	.58	.51	SSI-LXH1090YD
		Grün	Grün diffundiert	565	2.2	25	30	60	67-1172-ND	.72	.58	.51	SSI-LXH1090GD
12	5mm	Superrot	Rot diffundiert	660	1.8	30	20	80	67-1178-ND	.68	.55	.48	SSI-LXH55SRD
		Rot	Rot diffundiert	635	2.0	30	10	80	67-1175-ND	.55	.44	.39	SSI-LXH55ID
		Gelb	Gelb diffundiert	585	2.1	30	10	80	67-1177-ND	.55	.44	.39	SSI-LXH55YD
		Grün	Grün diffundiert	565	2.2	25	10	80	67-1176-ND	.55	.44	.39	SSI-LXH55GD
13	2 x 5mm	Superrot	Rot diffundiert	660	1.7	30	25	110	67-1182-ND	.97	.78	.69	SSI-LXMP059SRD
		Rot	Rot diffundiert	635	2.0	30	10	110	67-1179-ND	.80	.65	.57	SSI-LXMP059ID
		Gelb	Gelb diffundiert	585	2.1	30	10	110	67-1181-ND	.80	.65	.57	SSI-LXMP059YD
		Grün	Grün diffundiert	565	2.2	25	10	110	67-1180-ND	.80	.65	.57	SSI-LXMP059GD

(Forts.)

K

Alle Preisangaben in Euro und inklusive Zollgebühren.

LEDs zur Plattenmontage *(Forts.)*

Abb.	Beschreibung	Emittierte Farber	Linse	Spitzen-Wellenlänge (nm)	Vf (V) typ.	If (mA) max.	Io (mcd)	Sichtwinkel (2x Theta)	Digi-Key Teilenr.	Stückpreis 1	10	50	Lumex Teilenr.
14	2.3 x 7mm	Superrot	Rot diffundiert	660	1.7	30	50	110	67-1186-ND	.85	.68	.60	SSI-LXH072SRD
		Rot	Rot diffundiert	635	2.0	30	15	110	67-1183-ND	.72	.58	.51	SSI-LXH072ID
		Gelb	Gelb diffundiert	585	2.1	30	9	110	67-1185-ND	.72	.58	.51	SSI-LXH072YD
		Grün	Grün diffundiert	565	2.2	25	9	110	67-1184-ND	.72	.58	.51	SSI-LXH072GD
15	9 x 9mm	Superrot	Wasserklar	660	1.8	30	60	60	67-1545-ND	1.40	1.12	.98	SSI-LXMP5011SRC-150
		Rot	Wasserklar	635	2.0	30	20	60	67-1544-ND	1.27	1.02	.89	SSI-LXMP5011IC-150
		Gelb	Wasserklar	585	2.1	30	15	60	67-1546-ND	1.27	1.02	.89	SSI-LXMP5011YC-150
		Grün	Wasserklar	565	2.2	25	15	60	67-1543-ND	1.27	1.02	.89	SSI-LXMP5011GC-150
16	2 x 5mm	Superrot	Rot diffundiert	660	1.7	30	40	110	67-1204-ND	2.10	1.68	1.47	SSA-LXB525SRD
		Rot	Rot diffundiert	635	2.0	30	12	110	67-1201-ND	1.30	1.04	.91	SSA-LXB525ID
		Gelb	Gelb diffundiert	585	2.1	30	10	110	67-1203-ND	1.35	1.09	.95	SSA-LXB525YD
		Grün	Grün diffundiert	565	2.0	25	10	110	67-1202-ND	1.30	1.04	.91	SSA-LXB525GD
17	2.5 x 5mm	Superrot	Rot diffundiert	660	1.8	30	25	60	67-1208-ND	3.77	3.02	2.64	SSA-LXH1025SRD
		Rot	Rot diffundiert	635	2.0	30	10	60	67-1205-ND	2.62	2.10	1.84	SSA-LXH1025ID
		Gelb	Gelb diffundiert	585	2.1	30	10	60	67-1207-ND	2.95	2.36	2.06	SSA-LXH1025YD
		Grün	Grün diffundiert	565	2.2	25	10	60	67-1206-ND	2.62	2.10	1.84	SSA-LXH1025GD
18	2.5 x 5mm	Superrot	Rot diffundiert	660	2.0	30	30	80	67-1212-ND	5.61	4.49	3.93	SSA-LXH1225SRD
		Rot	Rot diffundiert	635	2.0	30	10	80	67-1209-ND	3.85	3.09	2.70	SSA-LXH1225ID
		Gelb	Gelb diffundiert	585	2.1	30	10	80	67-1211-ND	4.05	3.24	2.83	SSA-LXH1225YD
		Grün	Grün diffundiert	565	2.0	30	10	80	67-1210-ND	3.85	3.09	2.70	SSA-LXH1225GD
19	3mm	Superrot	Rot diffundiert	660	1.7	30	25	80	67-1216-ND	4.64	3.71	3.25	SSA-LXB102SRD
		Rot	Rot diffundiert	635	2.0	30	8	80	67-1213-ND	3.16	2.53	2.21	SSA-LXB102ID
		Gelb	Gelb diffundiert	585	2.1	30	8	80	67-1215-ND	2.95	2.36	2.06	SSA-LXB102YD
		Grün	Grün diffundiert	565	2.1	25	8	80	67-1214-ND	3.16	2.53	2.21	SSA-LXB102GD

LED-Halter zur Plattenmontage

Abb.	Beschreibung	Loch in Platte	Digi-Key Teilenr.	Preisangaben 5	25	100	Lumex Teilenr.
20	T1 schwarzes Nylon	.160" (4.06)	67-1330-ND	.51	1.90	6.35	SSH-LX3050
21	T1 schwarzes Nylon	.225" (5.71)	67-1331-ND	.51	1.90	6.35	SSH-LXH301
22	T1-3/4 schwarzes Nylon	.250" (6.35)	67-1332-ND	.34	1.27	4.23	SSH-LX5091
23	TT1-3/4 schwarzes Nylon	.330" (8.38)	67-1333-ND	.51	1.90	6.35	SSH-LXH501
24	Befestigungsclip und -ring für T1-3/4	.250" (6.35)	67-1044-ND	.30	1.14	3.81	SSH-LX5090

lamina
Bright Lights. Bright Ideas.

Lichtmaschinen

Lichtmaschinen der Serie BL werden mit einem Hitzeverteiler im Keramikpaket hergestellt. Dieser Hitzeverteiler bietet den effizientesten Hitzeweg von der Einsatzsperrschicht zum Kühlkörper.

Abmessungen – Zoll (mm)

Abb. 1

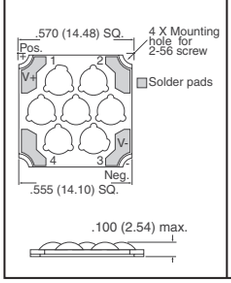

Abb. 2

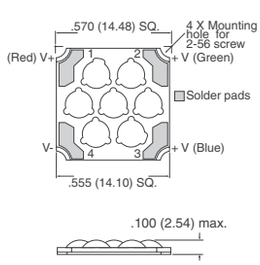

Abb. 3

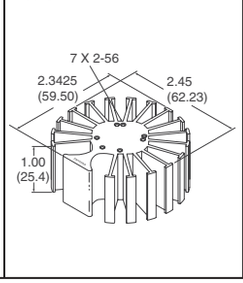

Abb. 4

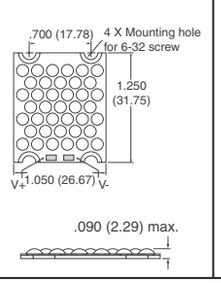

Abb. 5

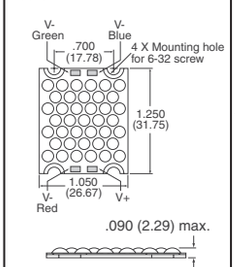

Abb. 6

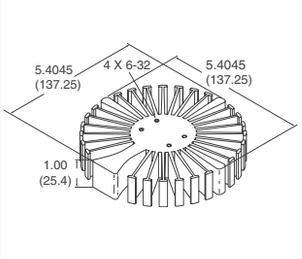

Abb.	Farbe	Vf,typ. (V)*	If, typ. (A)	Leistung (W)*	Lumen (lm)*	Digi-Key Teilenr.	Stückpreis 1	10	50	Lamina Teilenr.
					BL-2000					
1	Rot	6.69	2.8	18.73	348	521-1000-ND	17.29	15.60	14.18	BL-21A0-0121
	Bernstein	6.69	2.8	18.73	348	521-1001-ND	17.29	15.60	14.18	BL-21E0-0131
	Grün	10	.42	4.2	73	521-1004-ND	11.31	10.21	9.28	BL-22C1-0141
	Blau	10.5	.42	4.41	22	521-1003-ND	10.13	9.14	8.31	BL-22B1-0140
	Weiß**	10.5	.42	4.41	108	521-1005-ND‡	15.37	13.86	12.59	BL-22D0-0130
	Weiß**	24	.21	5.0	100	521-1012-ND†	17.97	16.20	14.74	BL-22D1-0244
2	R/G/B	3/4/4	.63/.63/.21	1.89/2.52/.84	59/31/4.2	521-1002-ND	17.58	15.87	14.42	BL-22F0-0132
3	Kühlkörper, 1 Zoll (25,4 mm) für BL-2000/4000					521-1015-ND	5.86	5.25	4.88	800-0345-1

Abb.	Farbe	Vf, typ. (V)*	If, typ. (A)	Leistung (W)*	Lumen (lm)*	Digi-Key Teilenr.	Stückpreis 1	10	50	Lamina Teilenr.
					BL-3000					
4	Rot	6.69	15.6	104.33	1938	521-1006-ND	76.85	73.99	71.25	BL-31A0-0122
	Bernstein	6.69	15.6	104.33	1938	521-1007-ND	76.85	73.99	71.25	BL-31E0-0134
	Grün	10	2.34	23.4	348	521-1009-ND	59.60	57.40	55.27	BL-32C1-0144
	Blau	10.5	2.34	24.57	115	521-1008-ND	47.14	45.39	43.71	BL-32B1-0143
	Weiß**	10.5	2.34	24.57	567	521-1010-ND‡	68.98	66.42	63.96	BL-32D0-0133
	Weiß**	24	1.17	28.0	525	521-1014-ND†	77.36	74.49	71.74	BL-22D1-0245
5	R/G/B	4.8/7.2/7.2	1.17	5.6/8.4/8.4	114/145/47	521-1013-ND	56.89	54.78	52.75	BL-33F0-0142
6	Kühlkörper, 1 Zoll (25,4 mm) für BL-3000					521-1016-ND	21.69	20.13	19.39	800-0346-1

Abb.	Farbe	Vf, typ. (V)*	If, typ. (A)	Leistung (W)*	Lumen (lm)*	Digi-Key Teilenr.	Stückpreis 1	10	50	Lamina Teilenr.
					BL-4000					
7	R/G/B	4.5/6.7/7.6	.35	1.6/2.4/2.7	42/63/15	521-1017-1-ND	24.33	21.94	19.95	BL-43F0-0305
						521-1017-2-ND		4154.68/250		BL-43F0-0305
8	Weiß**	7.6	.70	5.3	120	521-1018-1-ND‡	17.27	15.59	14.16	BL-42D0-0304
						521-1018-2-ND‡		2950.40/250		BL-42D0-0304

Abb. 7

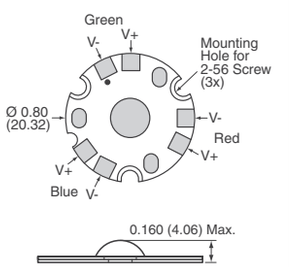

Abb. 8

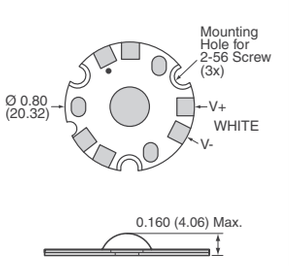

* Die optischen und elektrischen Daten gelten für den spezifischen Treibstrom bei einer Sperrschichttemperatur von 25°. ** Die weiße LED-Farbe wird als Farbtemperatur in Kelvin ausgedrückt. ‡ 5,500K † 4,300K

LED-Discoverykit

Das Kit gestattet die schnelle Prototyperstellung von LED-Lampenlösungen in Leuchtvorrichtungen oder Anwendungen. Dieses Kit enthält alle Elemente, von der Lichtmaschine bis hin zu den Drähten und Kühlkörpern, die notwendig sind, um die Leistung von superhellen Lamina-Arrays zu erzielen. Mithilfe eines Standardlöteisens (nicht inbegriffen) kann der Benutzer einen Prototypen für eine Festkörperlichtquelle in nur wenigen Minuten zusammenbauen und zum Leuchten bringen.

Merkmale: • Hoher Licht-Flux, kleine Auflagefläche • Erstklassige Wärmeleistung für verbesserte Zuverlässigkeit • Lange Haltbarkeit und hohe Leuchtkrafterhaltung • Kein Quecksilber oder Blei • Benutzerspezifische Größen und Formen erhältlich

Das Kit enthält: • Lichtmaschinen - je 1 in rot, gelb, blau, grün und weiß • 2 benutzerspezifisch entwickelte Kühlkörper • 24 W AC/DC-Stromversorgung • Mehrzweck-DC-Reglerkartenbrücke, die für alle superhellen BL-2000 Lichtmaschinen konfiguriert werden kann. • 10 schwarze und 10 weiße Jumper-Drähte • 10 Stück Thermo-Interface-Klebeband • 8 Montageschrauben • 1 Lötzinn • 1 umkehrbarer Schraubendreher

521-1011-ND Plug-and-Play-Evaluations-Kit für BL-2000 ..... **5291.24/25**

Superhelle LEDs

Abb. 1

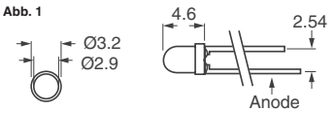

Abb. 2

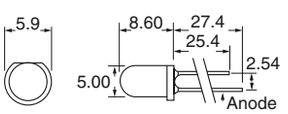

Abb. 3

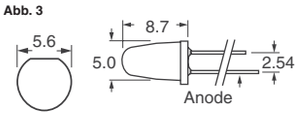

Abb. 4

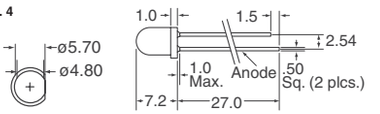

Abb.	Beschreibung	Emittierte Farbe	Linse	Spitzen-Wellenlänge (nm)	Vf (V) typ.	If (mA) max.	Io (mcd)	Sichtwinkel (2x Theta)	Digi-Key Teilenr.	Preisangaben 1	10	100	500	Lumex Teilenr.
1	T-1 (3mm)	Sup. Orange	Wasserklar	620	2.0	30	1000	30	67-1074-ND	.84	6.98	62.86	279.38	SSL-LX3044SOC
		Sup. Gelb		590	2.1	30	1000	30	67-1076-ND	.73	6.10	54.86	243.82	SSL-LX3044SYC
		Grün		502	3.5	25	1100	30	67-1754-ND	2.31	19.26	173.34	770.41	SSL-LX3044UEGC
2	T-1 3/4 (5mm)	Superrot	Wasserklar	660	1.7	30	2800	30	67-1612-ND	.46	3.79	34.10	151.54	SSL-LX5093SRC/E
		Superrot		660	1.7	30	1800	30	67-1611-ND	.47	3.89	35.05	155.77	SSL-LX5093SRC/DW
		Superrot		660	1.7	30	1500	30	67-1610-ND	.24	1.97	17.72	78.73	SSL-LX5093SRC/DV
		Sup. Orange		610	2.0	30	2500	30	67-1113-ND	.84	6.98	62.86	279.38	SSL-LX5093SOC
		Sup. Gelb		590	2.1	30	1000	30	67-1115-ND	.60	5.04	45.34	201.49	SSL-LX5093SYC
		Grün		502	3.5	25	1500	30	67-1755-ND	2.31	19.26	173.34	770.41	SSL-LX5093UEGC
3	T-1 3/4 (5mm)	Rot	Wasserklar	660	1.7	30	2500	20	67-1122-ND	.48	4.05	36.39	161.70	SSL-LX5093XRC/4
		Gelb		590	2.1	30	1300	20	67-1123-ND	.85	7.03	63.24	281.07	SSL-LX5093XYC
4	T-1 3/4 (4.7mm)	Grün	Wasserklar	502	3.5	25	1000	30	67-1756-ND	2.31	19.26	173.34	770.41	SSL-LX4073UEGC

DSP LEDs

Niederspann., LEDs, 1,5 V

Betriebstemperatur:
-40°C ~ 85°C

Abb. 1

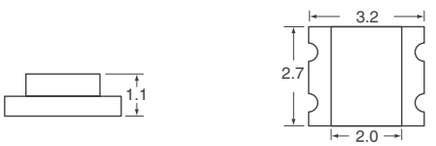

Abb. 2

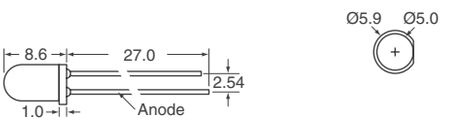

Abb.	Paket-typ	Emittierte Farbe	Linsenfarbe	Wellen-spitze (nm)	Durchlass-spannung (min.)	LED-Strom (@ 1,5V)	Typ. mcd @ 2V	Sichtwinkel 2 x Theta	Digi-Key Teilenr.	Gurtabschnittspreis pro Stück 1	10	100	Digi-Key Teilenr.	Gegurtet auf Rolle Größe	Preisangaben	Lumex Teilenr.
1	1210	Superrot	Wasserklar	636	1.5V	10	40	140°	67-1867-1-ND	1.81	1.55	1.30	67-1867-2-ND	3,000	857.27/M	SML-DSP1210SIC-TR
		Orange	Wasserklar	620	1.5V	10	40	140°	67-1868-1-ND	1.84	1.58	1.32	67-1868-2-ND	3,000	871.32/M	SML-DSP1210SOC-TR
		Gelb	Wasserklar	590	1.5V	10	30	140°	67-1869-1-ND	1.84	1.58	1.32	67-1869-2-ND	3,000	871.32/M	SML-DSP1210SYC-TR
		Grün	Wasserklar	525	1.5V	2.5	40	140°	67-1870-1-ND	2.76	2.37	1.97	67-1870-2-ND	3,000	1306.98/M	SML-DSP1210UPGC-TR
		Blau	Wasserklar	470	1.5V	2.5	35	140°	67-1871-1-ND	2.19	1.88	1.57	67-1871-2-ND	3,000	1039.97/M	SML-DSP1210USBC-TR
2	5mm	Rot	Wasserklar	636	1.5V	10	2500	30°	67-1872-ND	1.73	1.44	1.30	—	—	—	SSL-DSP5093SIC
		Orange	Wasserklar	610	1.5V	10	2500	30°	67-1873-ND	1.73	1.44	1.30	—	—	—	SSL-DSP5093SOC
		Gelb	Wasserklar	590	1.5V	10	2500	30°	67-1874-ND	1.73	1.44	1.30	—	—	—	SSL-DSP5093SYC
		Grün	Wasserklar	525	1.5V	2.5	3500	30°	67-1875-ND	2.54	2.12	1.91	—	—	—	SSL-DSP5093UPGC
		Blau	Wasserklar	470	1.5V	2.5	2500	30°	67-1876-ND	2.16	1.80	1.62	—	—	—	SSL-DSP5093USBC
		Ultraweiß	Wasserklar	—	1.5V	2.5	3000	30°	67-1877-ND	2.87	2.40	2.16	—	—	—	SSL-DSP5093UWC

Weiße LEDs

Abb. 1

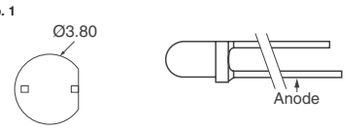

Abb. 2

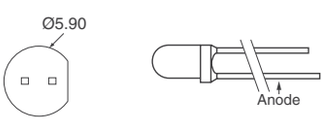

Abb. 3

Konische Linse

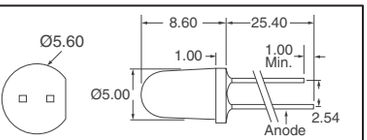

Abb. 4

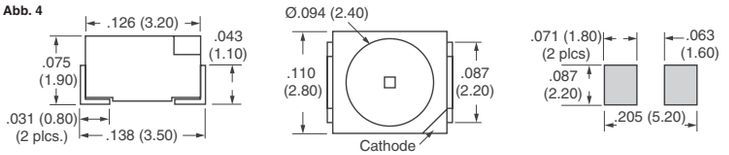

Abb. 5

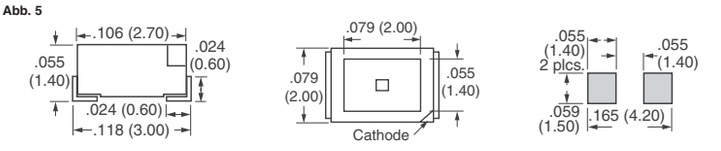

Abb.	Beschreibung (mm)	Emittierte Farbe	Linse	Vf (V) typ.	If (mA) max.	Io (mcd)	Sichtwinkel (2x Theta)	Digi-Key Teilenr.	Gurtabschnittspreise 1	10	100	500	Digi-Key Teilenr.	Gegurtet auf Rolle Größe	Preisangaben	Lumex Teilenr.
1	T-1 (3mm)			3.6	30	750	40	67-1606-ND*	3.17	28.57	228.58	1015.92	—	—	—	SSL-LX3054UWC/A
2	T-1 3/4 (5mm)			3.6	30	740	45	67-1605-ND*	3.17	28.57	228.58	1015.92	—	—	—	SSL-LX5093UWC/A
3	T-1 3/4 (5mm)	Weiß	Wasserklar	3.6	30	2300	15	67-1604-ND*	3.17	28.57	228.58	1015.92	—	—	—	SSL-LX5093XUWC
4	3.2 x 2.8			3.5	30	150	120	67-1608-1-ND	2.54	23.49	210.80	—	67-1608-2-ND	1,500	1777.86/M	SML-LX2832UWC-TR
5	2.7 x 2.0			3.5	30	150	120	67-1607-1-ND	2.42	22.40	200.97	—	67-1607-2-ND	1,000	1694.89	SML-LX23UWC-TR

* Lose

Blaue LEDs

Abb. 1

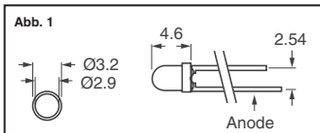

Abb. 2

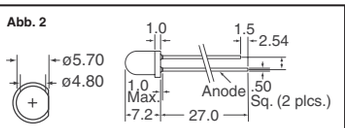

Abb. 3

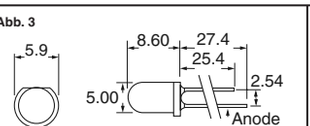

Abb. 4

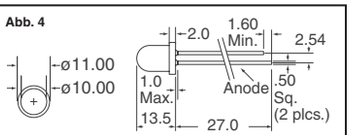

Abb.	Beschreibung	Emittierte Farbe	Linse	Spitzen-Wellenlänge (nm)	Vf (V) typ.	If (mA) max.	Io (mcd)	Sichtwinkel (2x Theta)	Digi-Key Teilenr.	Preisangaben 1	10	100	500	Lumex Teilenr.
1	T-1 (3mm)	Blau	Wasserklar	470	3.5	30	1000	30	67-1747-ND	1.89	16.96	135.63	602.78	SSL-LX3044USBC
			Blau diff.	470	3.5	30	80	60	67-1748-ND	1.89	16.96	135.63	602.78	SSL-LX3044USBD
2	T-1 3/4 (4.7mm)	Blau	Wasserklar	470	3.5	30	750	30	67-1749-ND	1.89	16.96	135.63	602.78	SSL-LX4073USBC
3	T-1 3/4 (5mm)	Blau	Wasserklar	470	3.5	30	1000	30	67-1750-ND	1.89	16.96	135.63	602.78	SSL-LX5093USBC
			Blau diff.	470	3.5	30	300	60	67-1751-ND	1.89	16.96	135.63	602.78	SSL-LX5093USBD
4	10mm	Blau	Wasserklar	470	3.6	30	800	15	67-1752-ND	2.58	23.24	185.91	826.28	SSL-LX100133USBC
			Blau diff.	470	3.6	30	300	60	67-1753-ND	2.58	23.24	185.91	826.28	SSL-LX100133USBD

K

Alle Preisangaben in Euro und inklusive Zollgebühren.

7-Segment-LED-Anzeigen

67-1542-ND
Lumex-Hauptkatalog auf CD-ROM **1.65**

Abb. 1 — Oberflächen-montage

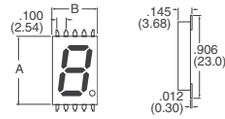

Abb. 2

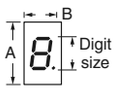

Abb. 3

Nur 0,56" (14,20 mm) und 0,80" (20,32 mm) haben aktive Dezimalstellen.

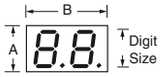

Abb. 4

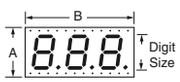

Abb. 5

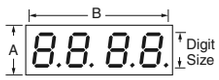

Abb. 6 — Rechtwinklig

Gemultiplext

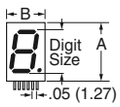

Abb. 7 — Rechtwinklig

Gemultiplext. Nur 0,56" (14,20 mm) hat Dezimalstelle.

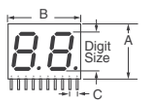

Größe	Anz. der Pins	Abm. C In. (mm)
.56"	10	.10 (2.49)
.30"	9	.05 (1.27)

Oberflächenmontage, 7-Segment-Anzeigen

Abb.	Emittierte Farbe	Zifferngröße Zoll (mm)	Abmessungen - Zoll (mm) A x B	VF (V)	If (mA)	Io (µcd)	Digi-Key Teilenr. Gemeinsame Kathode	Gurtabschnittspreis pro Stück 1	10	100	Preis. f. G. a. R.* 1.000	Lumex Teilenr. Gemeinsame Kathode
1	Grün	.56 (14.22)	.748 x .50 (19.0 x 12.70)	2.2	10	1800	67-1650-1-ND	3.29	2.88	2.47	1366.01	LDS-SMC5602RD-TR

* Für „Gegurtet auf Rolle", Teilenr. von -1 auf -2 ändern

Durchgangsbohrung, 7-Segment-Anzeigen

Abb.	Emittierte Farbe	Zifferngröße Zoll (mm)	Abmessungen - Zoll (mm) A x B	VF (V)	If (mA)	Io (µcd)	Digi-Key Teilenr. Gemeinsame Anode	Digi-Key Teilenr. Gemeinsame Kathode	Stückpreis 1	10	100	Lumex Teilenr. Gemeinsame Anode	Lumex Teilenr. Gemeinsame Kathode
2	Rot/orange	.30 (7.62)	.75 x .40 (19.05 x 10.16)	2.0	10	2500	67-1403-ND	67-1406-ND	1.33	1.21	1.04	LDS-A304RI	LDS-C304RI
	Grün	.30 (7.62)	.75 x .40 (19.05 x 10.16)	2.2	10	2500	67-1404-ND	67-1407-ND	1.33	1.21	1.04	LDS-A302RI	LDS-C302RI
	Gelb	.30 (7.62)	.75 x .40 (19.05 x 10.16)	2.1	10	2000	67-1405-ND	67-1408-ND	1.33	1.21	1.04	LDS-A303RI	LDS-C303RI
	Superrot	.30 (7.62)	.75 x .40 (19.05 x 10.16)	1.7	10	8000	67-1413-ND	67-1414-ND	1.96	1.78	1.53	LDS-A306RI	LDS-C306RI
	Rot/orange	.36 (9.14)	.55 x .30 (13.97 x 7.49)	2.0	10	2500	67-1415-ND	67-1417-ND	1.56	1.42	1.22	LDS-A324RI	LDS-C324RI
	Grün	.36 (9.14)	.55 x .30 (13.97 x 7.49)	2.2	10	2500	67-1416-ND	67-1418-ND	1.56	1.42	1.22	LDS-A322RI	LDS-C322RI
	Rot/orange	.43 (10.92)	.74 x .50 (18.90 x 12.60)	2.0	10	2500	67-1431-ND	67-1434-ND	1.33	1.21	1.04	LDS-A414RI	LDS-C414RI
	Grün	.43 (10.92)	.74 x .50 (18.90 x 12.60)	2.2	10	2500	67-1432-ND	67-1435-ND	1.33	1.21	1.04	LDS-A412RI	LDS-C412RI
	Gelb	.43 (10.92)	.74 x .50 (18.90 x 12.60)	2.1	10	2000	67-1433-ND	67-1436-ND	1.33	1.21	1.04	LDS-A413RI	LDS-C413RI
	Superrot	.43 (10.92)	.74 x .50 (18.90 x 12.60)	1.8	10	8000	67-1445-ND	67-1446-ND	1.96	1.78	1.53	LDS-A416RI	LDS-C416RI
	Rot/orange	.50 (12.70)	.75 x .50 (19.00 x 12.70)	2.0	10	2500	67-1451-ND	67-1453-ND	1.56	1.42	1.22	LDS-A504RI	LDS-C504RI
	Grün	.50 (12.70)	.75 x .50 (19.00 x 12.70)	2.2	10	2500	67-1452-ND	67-1454-ND	1.56	1.42	1.22	LDS-A502RI	LDS-C502RI
	Rot/orange	.56 (14.22)	.75 x .48 (19.05 x 12.19)	2.0	10	2500	67-1463-ND	67-1466-ND	1.33	1.21	1.04	LDS-A514RI	LDS-C514RI
	Grün	.56 (14.22)	.75 x .48 (19.05 x 12.19)	2.2	10	2500	67-1464-ND	67-1467-ND	1.33	1.21	1.04	LDS-A512RI	LDS-C512RI
	Gelb	.56 (14.22)	.75 x .48 (19.05 x 12.19)	2.1	10	2000	67-1465-ND	67-1468-ND	1.33	1.21	1.04	LDS-A513RI	LDS-C513RI
	Superrot	.56 (14.22)	.75 x .48 (19.05 x 12.19)	1.7	10	8000	67-1475-ND	67-1476-ND	1.96	1.78	1.53	LDS-A516RI	LDS-C516RI
	Rot/orange	.80 (20.32)	1.09 x .788 (27.71 x 20.02)	2.0	10	2500	67-1477-ND	67-1480-ND	1.93	1.76	1.52	LDS-A814RI	LDS-C814RI
	Grün	.80 (20.32)	1.09 x .788 (27.71 x 20.02)	2.2	10	2500	67-1478-ND	67-1481-ND	1.93	1.76	1.52	LDS-A812RI	LDS-C812RI
	Gelb	.80 (20.32)	1.09 x .788 (27.71 x 20.02)	2.1	10	2000	67-1479-ND	67-1482-ND	1.93	1.76	1.52	LDS-A813RI	LDS-C813RI
	Superrot	.80 (20.32)	1.09 x .788 (27.71 x 20.02)	1.7	10	8000	67-1483-ND	67-1484-ND	2.66	2.42	2.08	LDS-A816RI	LDS-C816RI
	Rot/orange	1.0 (25.40)	1.34 x .95 (34.04 x 24.00)	4.0	10	2500	67-1485-ND	67-1487-ND	2.61	2.37	2.04	LDS-AA14RI	LDS-CA14RI
	Grün	1.0 (25.40)	1.34 x .95 (34.04 x 24.00)	4.4	10	2500	67-1486-ND	67-1488-ND	2.61	2.37	2.04	LDS-AA12RI	LDS-CA12RI
	Rot/orange	2.25 (57.15)	2.76 x 1.89 (70.10 x 48.01)	8.0	10	2500	67-1489-ND	67-1491-ND	8.01	7.29	6.27	LDS-AD14RI	LDS-CD14RI
	Grün	2.25 (57.15)	2.76 x 1.89 (70.10 x 48.01)	8.8	10	2500	67-1490-ND	67-1492-ND	8.01	7.29	6.27	LDS-AD12RI	LDS-CD12RI
	Superrot	2.25 (57.15)	2.76 x 1.89 (70.10 x 48.01)	6.8	10	8000	67-1493-ND	67-1494-ND	9.18	8.34	7.18	LDS-AD16RI	LDS-CD16RI
3	Rot/orange	.30 (7.62)	.60 x .61 (15.24 x 15.49)	2.0	10	2500	67-1409-ND†	67-1411-ND†	2.12	1.93	1.66	LDD-E304NI	LDD-F304NI
	Grün	.30 (7.62)	.60 x .61 (15.24 x 15.49)	2.2	10	2500	67-1410-ND†	67-1412-ND†	2.12	1.93	1.66	LDD-E302NI	LDD-F302NI
	Rot	.40 (10.16)	.63 x .80 (16.00 x 20.22)	2.0	10	2500	67-1437-ND	67-1438-ND	2.02	1.85	1.59	LDD-A404NI	LDD-C404NI
	Grün	.40 (10.16)	.63 x .80 (16.00 x 20.22)	2.2	10	2500	67-1419-ND	67-1421-ND	2.02	1.85	1.59	LDD-A402NI	LDD-C402NI
	Gelb	.40 (10.16)	.63 x .80 (16.00 x 20.22)	2.1	10	2000	67-1420-ND	67-1422-ND	2.02	1.85	1.59	LDD-A403NI	LDD-C403NI
	Superrot	.40 (10.16)	.63 x .80 (16.00 x 20.22)	1.7	10	8000	67-1447-ND	67-1448-ND	3.12	2.84	2.44	LDD-A406NI	LDD-C406NI
	Rot/orange	.56 (14.22)	.75 x .98 (19.05 x 24.89)	2.0	10	2500	67-1455-ND	67-1458-ND	2.02	1.85	1.59	LDD-A514RI	LDD-C514RI
	Grün	.56 (14.22)	.75 x .98 (19.05 x 24.89)	2.2	10	2500	67-1456-ND	67-1459-ND	2.02	1.85	1.59	LDD-A512RI	LDD-C512RI
	Gelb	.56 (14.22)	.75 x .98 (19.05 x 24.89)	2.1	10	2000	67-1457-ND	67-1460-ND	2.02	1.85	1.59	LDD-A513RI	LDD-C513RI
	Superrot	.56 (14.22)	.75 x .98 (19.05 x 24.89)	1.7	10	8000	67-1461-ND	67-1462-ND	3.12	2.84	2.44	LDD-A516RI	LDD-C516RI
	Rot/orange	.80 (20.32)	1.01 x 1.41 (25.65 x 35.81)	2.0	10	2500	67-1469-ND	67-1472-ND	3.38	3.07	2.64	LDD-A814RI	LDD-C814RI
	Grün	.80 (20.32)	1.01 x 1.41 (25.65 x 35.81)	2.2	10	2500	67-1470-ND	67-1473-ND	3.38	3.07	2.64	LDD-A812RI	LDD-C812RI
	Gelb	.80 (20.32)	1.01 x 1.41 (25.65 x 35.81)	2.1	10	2000	67-1471-ND	67-1474-ND	3.38	3.07	2.64	LDD-A813RI	LDD-C813RI
4	Rot/orange	.56 (14.22)	.75 x 1.48 (19.05 x 37.59)	2.0	10	2500	67-1423-ND	67-1425-ND	4.31	3.92	3.37	LDT-A514RI	LDT-C514RI
	Grün	.56 (14.22)	.75 x 1.48 (19.05 x 37.59)	2.2	10	2500	67-1424-ND	67-1426-ND	4.31	3.92	3.37	LDT-A512RI	LDT-C512RI
5	Rot/orange	.28 (7.11)	.40 x 1.264 (10.11 x 32.11)	2.0	10	2500	67-1427-ND†•	—	6.26	5.70	4.90	LDQ-M284RI	—
	Grün	.28 (7.11)	.40 x 1.264 (10.11 x 32.11)	2.2	10	2500	67-1428-ND†•	—	6.26	5.70	4.90	LDQ-M282RI	—
	Gelb	.28 (7.11)	.40 x 1.264 (10.11 x 32.11)	2.1	10	2000	67-1429-ND†•	—	6.26	5.70	4.90	LDQ-M283RI	—
	Superrot	.28 (7.11)	.40 x 1.264 (10.11 x 32.11)	1.7	10	8000	67-1430-ND†•	—	11.99	10.90	9.38	LDQ-M286RI	—
	Rot/orange	.56 (14.22)	.75 x 1.98 (19.00 x 50.29)	2.0	10	2500	67-1439-ND†	67-1442-ND†	6.26	5.70	4.90	LDQ-M514RI	LDQ-N514RI
	Grün	.56 (14.22)	.75 x 1.98 (19.00 x 50.29)	2.2	10	2500	67-1440-ND†	67-1443-ND†	6.26	5.70	4.90	LDQ-M512RI	LDQ-N512RI
	Gelb	.56 (14.22)	.75 x 1.98 (19.00 x 50.29)	2.1	10	2000	67-1441-ND†	67-1444-ND†	6.26	5.70	4.90	LDQ-M513RI	LDQ-N513RI
	Superrot	.56 (14.22)	.75 x 1.98 (19.00 x 50.29)	1.7	10	8000	67-1449-ND†	67-1450-ND†	6.26	5.70	4.90	LDQ-M516RI	LDQ-N516RI
6	Rot	.56 (14.22)	.75 x .49 (19.05 x 12.50)	2.0	10	2500	67-1512-ND†	67-1513-ND†	1.68	1.53	1.32	LDS-M514RI-RA	LDS-N514RI-RA
	Grün	.56 (14.22)	.75 x .49 (19.05 x 12.50)	2.2	10	2500	67-1514-ND†	67-1515-ND†	1.68	1.53	1.32	LDS-M512RI-RA	LDS-N512RI-RA
7	Rot	.30 (7.62)	.59 x .61 (15.00 x 15.50)	2.0	10	2500	67-1516-ND†‡	67-1517-ND†‡	2.86	2.61	2.24	LDD-E304NI-RA	LDD-F304NI-RA
	Grün	.30 (7.62)	.59 x .61 (15.00 x 15.50)	2.2	10	2500	67-1518-ND†‡	67-1519-ND†‡	2.86	2.61	2.24	LDD-E302NI-RA	LDD-F302NI-RA
	Rot	.56 (14.20)	.75 x .98 (19.00 x 25.00)	2.0	10	2500	67-1520-ND†	67-1521-ND†	2.82	2.57	2.21	LDD-M514RI-RA	LDD-N514RI-RA
	Grün	.56 (14.20)	.75 x .98 (19.00 x 25.00)	2.2	10	2500	67-1522-ND†	67-1523-ND†	2.82	2.57	2.21	LDD-M512RI-RA	LDD-N512RI-RA

† Gemultiplexte Anzeige • Inaktive Doppelpkt.-Anzeige ‡ Ungenormte Segment-Anschlüsse

Große 7-Segment-Flüssigkristallanzeigen

Zifferngröße Zoll (mm)	Abm. - Zoll (mm) A x B	Steuer-methode	Digi-Key Teilenr.	Stückpreis 1	25	100	Lumex Teilenr.
1.36 (34.54)	1.97 x 1.30 (50.00 x 33.00)	Statisch, 1/2 Vorsp.	67-1506-ND	3.94	3.29	2.63	LCD-S101D14TR
2.21 (56.13)	3.00 x 2.20 (76.20 x 55.88)	Statisch	67-1507-ND	8.94	7.45	5.97	LCD-S101D22TR
2.99 (76.00)	4.03 x 3.00 (102.40 x 76.20)	Statisch	67-1508-ND	14.95	11.97	10.47	LCD-S101D30TR
4.00 (101.60)	4.83 x 3.20 (122.56 x 81.28)	Statisch, 1/2 Vorsp.	67-1509-ND	19.35	15.49	13.55	LCD-S101D40TR

SPEZIFIKATIONEN:

- **Flüssigkeitstyp:** TN
- **Hintergrundfarbe:** Grau
- **Betrachtungsrichtung:** 6:00
- **Anzeigemodus:** Reflektierend
- **Betriebsspannung:** 3,0 ~ 5,0 V AC
- **Betriebstemperatur:** 0 °C ~ +50 °C
- **Lagertemperatur:** -20 °C ~ +70 °C
- Kann mit CD4543BE gesteuert werden

Hinweis: 4"-Anzeige ohne Dezimalstelle. Pin-Anzahl variiert je nach Anzeigehöhe.

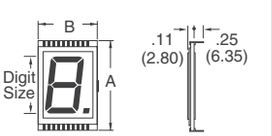

K

Abm. in Zoll (mm)

Abb. 1

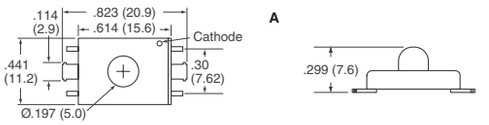

Abb. 2

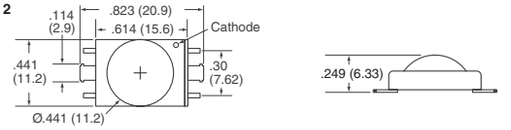

Abb.	Beschreibung	Emittierte Farbe	Linse	Spitzen-Wellenlänge (nm)	Vf (V) typ.	If (mA) max.	Iv (mcd)	Sichtwinkel (2x Theta)	Digi-Key Teilenr.	Stückpreis 1	10	100	Sunbrite Teilenr.
1A	SMT, schmale Ansicht	Rot	Wasserklar	626	2.4	120	24,000	10°	441-1091-ND	5.29	3.71	3.18	SSP-LX6144A6UC
		Gelb		590	2.4	120	24,000	10°	441-1090-ND	5.29	3.71	3.18	SSP-LX6144A3SC
		Grün		525	3.4	120	16,000	10°	441-1089-ND	7.41	5.19	4.45	SSP-LX6144A2UPC
		Blau		470	3.4	120	12,000	10°	441-1092-ND	7.41	5.19	4.45	SSP-LX6144A7UC
		Weiß		—	3.4	120	12,000	10°	441-1093-ND	7.41	5.19	4.45	SSP-LX6144A9UC
1B	SMT, LuxLED	Rot	Wasserklar	626	2.4	120	12,000	30°	441-1096-ND	5.29	3.71	3.18	SSP-LX6144C6UC
		Gelb		590	2.4	120	12,000	30°	441-1095-ND	5.29	3.71	3.18	SSP-LX6144C3SC
		Grün		525	3.4	120	5,600	30°	441-1094-ND	7.41	5.19	4.45	SSP-LX6144C2UPC
		Blau		470	3.4	120	4,000	30°	441-1097-ND	7.41	5.19	4.45	SSP-LX6144C7UC
		Weiß		—	3.4	120	4,000	30°	441-1098-ND	7.41	5.19	4.45	SSP-LX6144C9UC
2	SMT, breite Ansicht LuxLED, Niedrigprofil	Rot	Wasserklar	626	2.4	120	3,200	100°	441-1101-ND	5.29	3.71	3.18	SSP-LX6144D6UC
		Gelb		590	2.4	120	3,200	100°	441-1100-ND	5.29	3.71	3.18	SSP-LX6144D3SC
		Grün		525	3.4	120	1,600	100°	441-1099-ND	7.41	5.19	4.45	SSP-LX6144D2UPC
		Blau		470	3.4	120	1,600	100°	441-1102-ND	7.41	5.19	4.45	SSP-LX6144D7UC
		Weiß		—	3.4	120	1,600	100°	441-1103-ND	7.41	5.19	4.45	SSP-LX6144D9UC

Poly-LEDs Komplett gekapselte LED-Cluster mit wasserklaren Linsen

Abm. in Zoll (mm)

Abb. 1

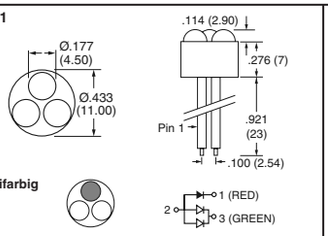

Abb. 2

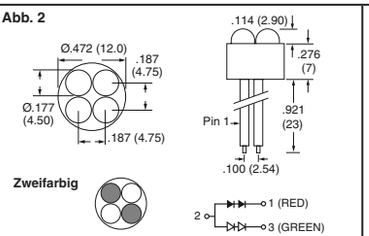

Abb. 3

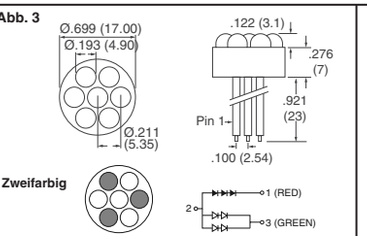

Abb. 4

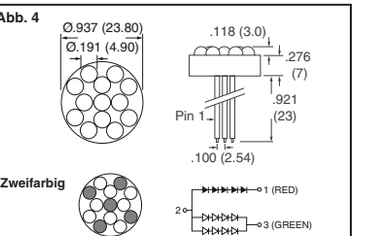

Abb. 5

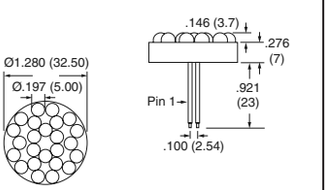

Abb. 6

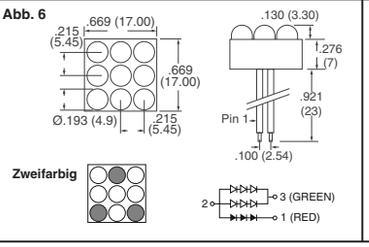

Abb. 7

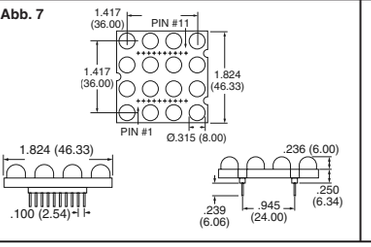

Abb. 8

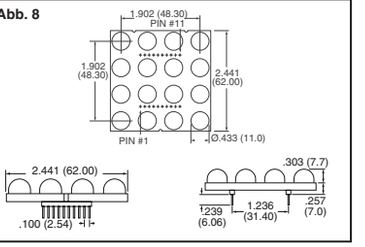

Abb.	Beschreibung	Emittierte Farbe	Linse	Spitzen-Wellenlänge (nm)	Vf (V) typ.	If (mA) max.	Iv (mcd)	Sichtwinkel (2x Theta)	Digi-Key Teilenr.	Stückpreis 1	10	100	Sunbrite Teilenr.
1	11mm 3 (5mm) LEDs	Sup. Rot/Sup. Grün	Wasserklar	660/565	1.8/2.2	30/25	2,000/300	30°	441-1047-ND	—	—	.85	SSP-LXC04362S3A
		Superrot		660	5.4	30	2,000	30°	441-1048-ND	—	—	.89	SSP-LXC04363
		Ultrarot		626	5.4	30	2,000	30°	441-1049-ND	2.16	1.80	1.44	SSP-LXC0436U3
		Supergelb		590	6.3	30	1,200	30°	441-1046-ND	2.16	1.80	1.44	SSP-LXC0433S3
		Supergrün		565	6.6	25	300	30°	441-1045-ND	—	—	.85	SSP-LXC0432S3
2	12mm 4 (5mm) LEDs	Sup. Rot/Supergrün	Wasserklar	660/565	3.6/4.4	30/25	2,000/300	30°	441-1052-ND	—	—	1.04	SSP-LXC04762S4A
		Superrot		660	3.6	30	2,000	30°	441-1053-ND	—	—	1.07	SSP-LXC04764
		Ultrarot		626	3.6	30	2,000	30°	441-1054-ND	2.74	2.29	1.83	SSP-LXC0476U4
		Supergrün		565	4.4	25	300	30°	441-1050-ND	1.52	1.27	1.02	SSP-LXC0472S4
3	17mm 7 (5mm) LEDs	Sup. Rot/Sup. Grün	Wasserklar	660/565	5.4/4.4	30/25	2,000/300	30°	441-1057-ND	2.16	1.80	1.44	SSP-LXC06762S7A
		Superrot		660	5.4/3.6	30	2,000	30°	441-1058-ND	2.21	1.85	1.48	SSP-LXC06767A
		Ultrarot		626	5.4/3.6	30	2,000	30°	441-1059-ND	4.27	3.56	2.85	SSP-LXC0676U7A
		Supergelb		590	6.3/4.2	30	1,200	30°	441-1056-ND	4.27	3.56	2.85	SSP-LXC0673S7A
		Supergrün		565	6.6/4.4	25	300	30°	441-1055-ND	2.13	1.78	1.43	SSP-LXC0672S7A
4	23.80mm 13 (5mm) LEDs	Superrot	Wasserklar	660	9.0/7.2	30	2,000	30°	441-1062-ND	—	—	2.63	SSP-LXC094613A
		Ultrarot		626	9.0/7.2	30	2,000	30°	441-1064-ND	—	—	4.52	SSP-LXC0946U13A
		Supergelb		590	10.5/8.4	30	1,200	30°	441-1061-ND	6.46	5.17	4.52	SSP-LXC0943S13A
5	32.50mm 24 (5mm) LEDs	Superrot	Wasserklar	660	10.8	30	2,000	30°	441-1067-ND	7.01	5.85	4.68	SSP-LXC128624
		Ultrarot		626	10.8	30	2,000	30°	441-1068-ND	11.71	9.37	8.20	SSP-LXC1286U24
		Supergelb		590	12.6	30	1,200	30°	441-1066-ND	11.71	9.37	8.20	SSP-LXC1283S24
		Supergrün		565	13.2	25	300	30°	441-1065-ND	6.63	5.53	4.42	SSP-LXC1282S24
6	17 mm^2 9 (5mm) LEDs	Sup. Rot/Sup. Grün	Wasserklar	660/565	5.4/6.6	30/25	2,000/300	45°	441-1071-ND	2.16	1.80	1.44	SSP-LXS06762S9A
		Superrot		660	5.4	30	2,000	45°	441-1072-ND	2.74	2.29	1.83	SSP-LXS06769
		Ultrarot		626	5.4	30	2,000	45°	441-1073-ND	5.41	4.51	3.61	SSP-LXS0676U9
		Supergelb		590	6.3	30	900	45°	441-1070-ND	5.41	4.51	3.61	SSP-LXS0673S9
		Supergrün		565	6.6	25	200	45°	441-1069-ND	—	—	1.75	SSP-LXS0672S9
7	46.33mm^2 16 (8mm) LEDs	Ultrarot	Wasserklar	626	1.8	30	2,000	30°	441-1077-ND	—	—	6.12	SSP-LXS1826U16A
		Supergelb		590	2.1	30	1,200	30°	441-1075-ND	7.92	6.34	5.55	SSP-LXS1823S16A
8	62mm^2 16 (11mm) LEDs	Ultrarot	Wasserklar	626	1.8	30	1,800	30°	441-1081-ND	—	—	6.82	SSP-LXS2446U16A
		Supergelb		590	2.1	30	700	30°	441-1079-ND	9.74	7.79	6.82	SSP-LXS2443S16A
		Supergrün		565	2.2	25	300	30°	441-1078-ND	6.77	5.42	4.75	SSP-LXS2442S16A

K

Alle Preisangaben in Euro und inklusive Zollgebühren.

Abb. 1

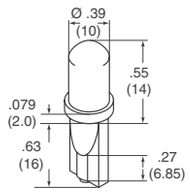

Abb. 2

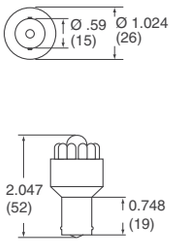

Abb. 3

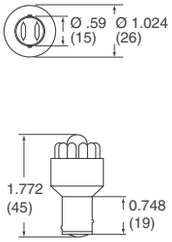

Abb. 4

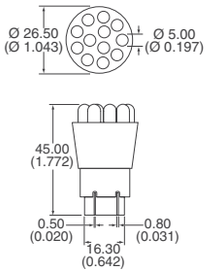

Abb. 5

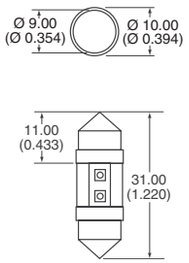

Abb. 6

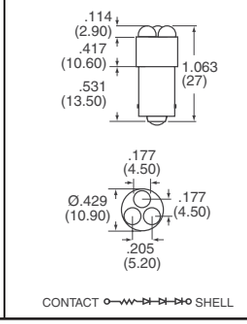

Abb. 7

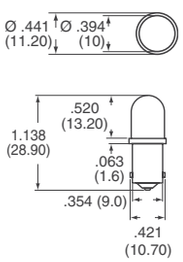

Abb. 8

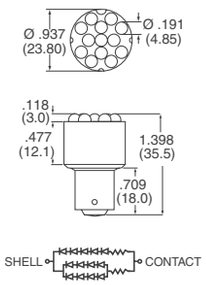

Abb. 9

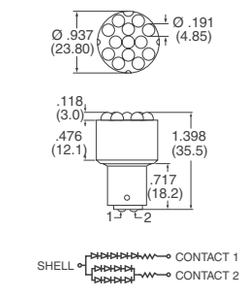

Abb. 10

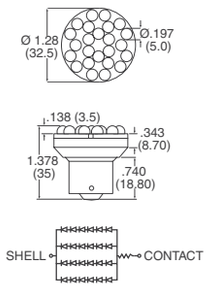

Abb. 11

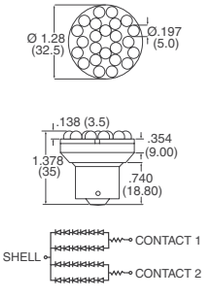

Abb.	Emittierte Farbe	Linse	Spitzen-Wellenlänge (nm)	Vf (V) typ.	If (mA) max.	Io (mcd)	Sichtwinkel (2x Theta)	Digi-Key Teilenr.	Stückpreis 1	10	100	Sunbrite Teilenr.
Miniatur-Lampensockel für LEDs												
1	Rot	Milchweißer diff.	626	12	30	2800	60	441-1004-ND	.84	.70	.56	SSP-01TWB6UW12
	Rot	Wasserklar	626	12	30	8000	30	441-1005-ND	.84	.70	.56	SSP-01TWB6UWB12
	Supergelb	Milchweißer diff.	590	12	30	2200	60	441-1002-ND	—	—	.56	SSP-01TWB3SW12
	Supergelb	Wasserklar	590	12	30	7000	30	441-1003-ND	—	—	.56	SSP-01TWB3SWB12
	Ultragrün	Milchweißer diff.	525	12	30	2800	60	441-1000-ND	1.35	1.13	.91	SSP-01TWB2UPW12
	Reines Grün	Wasserklar	525	12	30	9000	30	441-1001-ND	1.35	1.13	.91	SSP-01TWB2UPWB12
	Superblau	Milchweißer diff.	470	12	30	1600	60	441-1006-ND	1.27	1.06	.85	SSP-01TWB7UW12
	Superblau	Wasserklar	470	12	30	7000	30	441-1007-ND	1.35	1.13	.91	SSP-01TWB7UWB12
	Ultraweiß	Milchweißer diff.	—	12	30	3300	60	441-1008-ND	1.35	1.13	.91	SSP-01TWB9W12
	Ultraweiß	Wasserklar	—	12	30	11000	30	441-1009-ND	1.35	1.13	.91	SSP-01TWB9WB12
1156 LED-Lampe für Sockel												
2	Rot	Wasserklar	626	12	110	70400	30	441-1012-ND	3.54	2.83	2.48	SSP-1156B156U12
	Gelb		590	12	110	48500	30	441-1011-ND	3.54	2.83	2.48	SSP-1156B153S12
	Grün		525	12	110	47000	30	441-1010-ND	9.74	8.52	7.31	SSP-1156B152UP12
	Superblau		470	12	110	13500	30	441-1013-ND	8.91	7.80	6.68	SSP-1156B157U12
	Ultraweiß		—	12	110	48000	30	441-1014-ND	9.74	8.52	7.31	SSP-1156B15912
1157 LED-Lampe für Sockel												
3	Rot	Wasserklar	626	12	80	47000	30	441-1016-ND	3.54	2.83	2.48	SSP-1157B156U12
	Gelb		590	12	80	48500	30	441-1015-ND	3.54	2.83	2.48	SSP-1157B153S12
	Ultraweiß		—	12	80	48000	30	441-1017-ND	9.70	8.49	7.28	SSP-1157B15912
3157 LED-Lampe für Sockel												
4	Rot	Wasserklar	626	12	75	8000/2700	35	441-1084-ND	4.40	3.86	3.31	SSP-3157WB6U12
	Supergelb		590	12	75	8300/2800	35	441-1083-ND	4.40	3.86	3.31	SSP-3157WB3S12
	Ultra-superblau		470	12	75	8300/2800	35	441-1085-ND	8.30	7.26	6.23	SSP-3157WB7U12
	Ultraweiß		—	12	75	8200/2750	35	441-1086-ND	8.80	7.71	6.61	SSP-3157WB912
LED-Soffittenlampe												
5	Superblau	Wasserklar	470	12	30	4500	60	441-1087-ND	2.71	2.37	2.04	SSP-02TFS7U12
Sockel f. Miniaturbajonett (BA9S)												
6	Rot	Wasserklar	626	12	30	12800	30	441-1032-ND	—	—	1.10	SSP-3MB96U12G
	Gelb		590	12	30	13200	30	441-1031-ND	—	—	1.10	SSP-3MB93S12G
	Grün		525	12	30	23000	30	441-1030-ND	—	—	2.56	SSP-3MB92UP12G
7	Gelb	Wasserklar	590	12	30	1500	40	441-1041-ND	1.96	1.63	1.31	SSP-D29B9SYC-12V
	Grün		574	12	25	1000	40	441-1040-ND	—	—	1.68	SSP-D29B9SUGC-12V
Sockel f. Bajonett (BA15)												
8	Rot	Wasserklar	626	12	90	55500	30	441-1020-ND	4.41	3.53	3.09	SSP-13MB156U12G
	Gelb		590	12	90	57500	30	441-1019-ND	4.41	3.53	3.09	SSP-13MB153S12G
	Grün		525	12	90	99100	30	441-1018-ND	11.43	10.00	8.58	SSP-13MB152UP12G
9	Rot	Wasserklar	626	12	90	55500	30	441-1023-ND	4.42	3.54	3.10	SSP-13MDB156U12G1
	Gelb		590	12	90	57500	30	441-1021-ND	4.42	3.54	3.10	SSP-13MDB153S12G
10	Rot	Wasserklar	626	12	140	102400	60	441-1026-ND	7.83	6.27	5.49	SSP-24MB156U12G
	Gelb		590	12	140	106200	60	441-1025-ND	7.83	6.27	5.49	SSP-24MB153S12G
11	Rot	Wasserklar	626	12	140	102400	60	441-1029-ND	7.83	6.27	5.49	SSP-24MDB156U12G
	Gelb		590	12	140	106200	60	441-1028-ND	7.83	6.27	5.49	SSP-24MDB153S12G

LED-Ersatzglühlampen

Chicago Miniature Ersatzglühlampen verfügen über eine extrem hohe Helligkeit bei geringem Strombedarf. Lange Lebensdauer: typ. 100 k/h im Vergl. zu 10 k/h. Lagertemp: -25 °C ~ +80 °C Umgebungstemp: -20 °C ~ +60 °C

Abb. 1

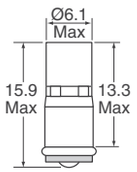

Ersetzt Glühlampen:
- 12 V DC 394, 330, 382;
- 24 V DC und 28 V DC 327, 376, 385, 387

Abb. 2

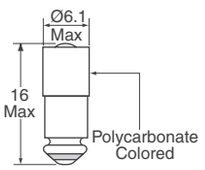

Ersetzt Glühlampen:
- 12 V DC 336, 386, 393;
- 24 V DC und 28 V DC 276, 334, 388

Abb. 3

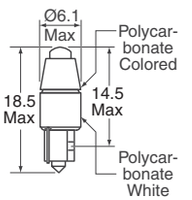

Ersetzt Glühlampen:
- 12 V AC/DC 18, 37, 70, 73, 74;
- 24 V AC/DC und 28 V AC/DC 17, 85

Abb. 4

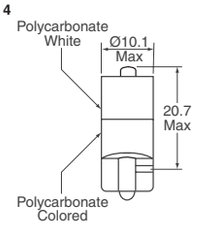

Ersetzt Glühlampen:
- 12 V AC/DC 192, 124, 158, 161, 168, 193, 194, 658, 184;
- 24 V AC/DC und 28 V AC/DC 152, 400, 464, 585, 655, 656, 657

Abb. 5

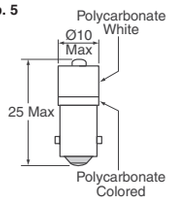

Ersetzt Glühlampen:
- 12 V AC/DC 12 MB, 181, 756, 1488, 1815, 1894, 1889, 1891, 1893, 1898;
- 24 V AC/DC 24 MB, 1437, 1818;
- 28 V AC/DC 313, 757, 1819, 1820, 1829, 1843, 1864,1873

Abb. 6

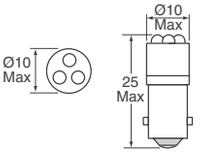

Ersetzt Glühlampen:
- 24 V AC/DC 24 MB, 1437, 1818;
- 28 V AC/DC 313, 757, 1819, 1820, 1829, 1843, 1864, 1873

Abb.	Farbe	Spannung	Strom-stärke (mA)	Lichtst. Intensität mcd	Wellen-länge (nm)	Digi-Key Teilenr.	Stückpreis 1	10	100	CML Teilenr.
	15101 Serie T 1 3/4 LED f. Miniatur-Flanschsockel									
	Rot	12DC	14	330	630	L1105-ND	3.89	2.73	2.34	1510125UR3
	Gelb	12DC	14	280	587	L1106-ND	3.89	2.73	2.34	1510125UY3
	Blau	12DC	14	350	470	L1103-ND	6.93	4.85	4.16	1510125B3
	Weiß transparent	12DC	14	700	—	L1107-ND	6.93	4.85	4.16	1510125W3
	Weiß diff.	12DC	14	350	—	L1108-ND	6.93	4.85	4.16	1510125W3D
	Rot	24DC	14	330	630	L1111-ND	4.06	2.85	2.44	1510135UR3
	Grün	24DC	14	910	525	L1110-ND	7.09	4.97	4.26	1510135UG3
1	Gelb	24DC	14	280	587	L1112-ND	4.06	2.85	2.44	1510135UY3
	Weiß diff.	24DC	14	350	—	L1114-ND	7.09	4.97	4.26	1510135W3D
	Rot	28DC	14	330	630	L1117-ND	4.06	2.85	2.44	1510145UR3
	Grün	28DC	14	910	525	L1116-ND	7.09	4.97	4.26	1510145UG3
	Gelb	28DC	14	280	587	L1118-ND	4.06	2.85	2.44	1510145UY3
	Blau	28DC	14	350	470	L1115-ND	7.09	4.97	4.26	1510145B3
	Weiß transparent	28DC	14	700	—	L1119-ND	7.09	4.97	4.26	1510145W3
	Weiß diff.	28DC	14	350	—	L1120-ND	7.09	4.97	4.26	1510145W3D
	15121Serie T 1 3/4 LED f. Miniatur-Nutsockel									
	Rot	12DC	7/14	330	630	L1123-ND	4.40	3.09	2.65	1512125UR3
	Grün	12DC	7/14	910	525	L1122-ND	7.43	5.21	4.46	1512125UG3
	Gelb	12DC	7/14	280	587	L1124-ND	4.40	3.09	2.65	1512125UY3
	Blau	12DC	7/14	350	470	L1121-ND	7.43	5.21	4.46	1512125B3
	Weiß transparent	12DC	7/14	700	—	L1023-ND	7.43	5.21	4.46	1512125W3
	Weiß diff.	12DC	7/14	350	—	L1024-ND	7.43	5.21	4.46	1512125W3D
	Rot	24DC	7/14	330	630	L1027-ND	4.53	3.18	2.72	1512135UR3
	Grün	24DC	7/14	910	525	L1026-ND	7.56	5.29	4.54	1512135UG3
	Gelb	24DC	7/14	280	587	L1028-ND	4.53	3.18	2.72	1512135UY3
2	Blau	24DC	7/14	350	470	L1025-ND	7.56	5.29	4.54	1512135B3
	Weiß transparent	24DC	7/14	700	—	L1029-ND	7.56	5.29	4.54	1512135W3
	Weiß diff.	24DC	7/14	350	—	L1030-ND	7.56	5.29	4.54	1512135W3D
	Rot	28DC	7/14	330	630	L1033-ND	4.53	3.18	2.72	1512145UR3
	Grün	28DC	7/14	910	525	L1032-ND	7.56	5.29	4.54	1512145UG3
	Gelb	28DC	7/14	280	587	L1034-ND	4.53	3.18	2.72	1512145UY3
	Blau	28DC	7/14	350	470	L1031-ND	7.56	5.29	4.54	1512145B3
	Weiß transparent	28DC	7/14	700	—	L1035-ND	7.56	5.29	4.54	1512145W3
	Weiß diff.	28DC	7/14	350	—	L1036-ND	7.56	5.29	4.54	1512145W3D
	1511A Serie T 1 3/4 LED f. Lampensockel									
	Rot	12AC/DC	6/12	280	630	L1039-ND	4.53	3.18	2.72	1511A25UR3
	Grün	12AC/DC	6/12	780	525	L1038-ND	7.56	5.29	4.54	1511A25UG3
	Gelb	12AC/DC	6/12	240	587	L1040-ND	4.53	3.18	2.72	1511A25UY3
	Blau	12AC/DC	6/12	300	470	L1037-ND	7.56	5.29	4.54	1511A25B3
	Weiß transparent	12AC/DC	6/12	600	—	L1041-ND	7.56	5.29	4.54	1511A25W3
	Weiß diff.	12AC/DC	6/12	300	—	L1042-ND	7.56	5.29	4.54	1511A25W3D
	Rot	24AC/DC	5/10	230	630	L1045-ND	4.53	3.18	2.72	1511A35UR3
3	Grün	24AC/DC	5/10	650	525	L1044-ND	7.56	5.29	4.54	1511A35UG3
	Gelb	24AC/DC	5/10	200	587	L1046-ND	4.53	3.18	2.72	1511A35UY3
	Blau	24AC/DC	5/10	250	470	L1043-ND	7.56	5.29	4.54	1511A35B3
	Weiß transparent	24AC/DC	5/10	500	—	L1047-ND	7.56	5.29	4.54	1511A35W3
	Weiß diff.	24AC/DC	5/10	250	—	L1048-ND	7.56	5.29	4.54	1511A35W3D
	Rot	28AC/DC	5/10	230	630	L1051-ND	4.53	3.18	2.72	1511A45UR3
	Grün	28AC/DC	5/10	650	525	L1050-ND	7.56	5.29	4.54	1511A45UG3
	Gelb	28AC/DC	5/10	200	587	L1052-ND	4.53	3.18	2.72	1511A45UY3
	Blau	28AC/DC	5/10	250	470	L1049-ND	7.56	5.29	4.54	1511A45B3
3	Weiß transparent	28AC/DC	5/10	500	—	L1053-ND	7.56	5.29	4.54	1511A45W3
	Weiß diff.	28AC/DC	5/10	250	—	L1054-ND	7.56	5.29	4.54	1511A45W3D
	1511B Serie T 3 1/4 LED f. Lampensockel									
	Rot	12AC/DC	7/14	330	630	L1057-ND	4.53	3.18	2.72	1511B25UR3
	Grün	12AC/DC	7/14	910	525	L1056-ND	7.56	5.29	4.54	1511B25UG3
	Gelb	12AC/DC	7/14	280	587	L1058-ND	4.53	3.18	2.72	1511B25UY3
	Blau	12AC/DC	7/14	350	470	L1055-ND	7.56	5.29	4.54	1511B25B3
	Weiß transparent	12AC/DC	7/14	700	—	L1059-ND	7.56	5.29	4.54	1511B25W3
	Weiß diff.	12AC/DC	7/14	350	—	L1060-ND	7.56	5.29	4.54	1511B25W3D
	Rot	24AC/DC	7/14	330	630	L1063-ND	4.53	3.18	2.72	1511B35UR3
	Grün	24AC/DC	7/14	910	525	L1062-ND	7.56	5.29	4.54	1511B35UG3
4	Gelb	24AC/DC	7/14	280	587	L1064-ND	4.53	3.18	2.72	1511B35UY3
	Blau	24AC/DC	7/14	350	470	L1061-ND	7.56	5.29	4.54	1511B35B3
	Weiß transparent	24AC/DC	7/14	700	—	L1065-ND	7.56	5.29	4.54	1511B35W3
	Weiß diff.	24AC/DC	7/14	350	—	L1066-ND	7.56	5.29	4.54	1511B35W3D
	Rot	28AC/DC	7/14	330	630	L1069-ND	4.53	3.18	2.72	1511B45UR3
	Grün	28AC/DC	7/14	910	525	L1068-ND	7.56	5.29	4.54	1511B45UG3
	Gelb	28AC/DC	7/14	280	587	L1070-ND	4.53	3.18	2.72	1511B45UY3
	Blau	28AC/DC	7/14	350	470	L1067-ND	7.56	5.29	4.54	1511B45B3
	Weiß transparent	28AC/DC	7/14	700	—	L1071-ND	7.56	5.29	4.54	1511B45W3
	Weiß diff.	28AC/DC	7/14	350	—	L1072-ND	7.56	5.29	4.54	1511B45W3D
	18602 Serie T 3 1/4 LED f. Bajonettsockel									
	Rot	12AC/DC	15	350	630	L1073-ND	4.98	3.49	2.99	18602250
	Grün	12AC/DC	15	1000	525	L1074-ND	8.07	5.65	4.84	18602251
	Gelb	12AC/DC	15	300	587	L1075-ND	4.98	3.49	2.99	18602252
	Blau	12AC/DC	15	400	470	L1076-ND	8.07	5.65	4.84	18602257
	Weiß transparent	12AC/DC	15	750	—	L1077-ND	8.07	5.65	4.84	1860225W3
	Weiß diff.	12AC/DC	15	375	—	L1078-ND	8.07	5.65	4.84	1860225W3D
	Grün	24AC/DC	15	1000	525	L1080-ND	8.07	5.65	4.84	18602351
	Gelb	24AC/DC	15	300	587	L1081-ND	4.98	3.49	2.99	18602352
5	Blau	24AC/DC	15	400	470	L1082-ND	8.07	5.65	4.84	18602357
	Weiß transparent	24AC/DC	15	750	—	L1083-ND	8.07	5.65	4.84	1860235W3
	Weiß diff.	24AC/DC	15	375	—	L1084-ND	8.07	5.65	4.84	1860235W3D
	Rot	28AC/DC	15	350	630	L1085-ND	4.98	3.49	2.99	18602450
	Grün	28AC/DC	15	1000	525	L1086-ND	8.07	5.65	4.84	18602451
	Gelb	28AC/DC	15	300	587	L1087-ND	4.98	3.49	2.99	18602452
	Blau	28AC/DC	15	400	470	L1088-ND	8.07	5.65	4.84	18602457
	Weiß transparent	28AC/DC	15	750	—	L1089-ND	8.07	5.65	4.84	1860245W3
	Weiß diff.	28AC/DC	15	375	—	L1090-ND	8.07	5.65	4.84	1860245W3D
	18620 Serie T 3 1/4 LED f. Bajonettsockel									
	Rot	24AC/DC	9/17	3 x 400	630	L1091-ND	10.24	7.18	6.15	18620350
	Grün	24AC/DC	5/10	3 x 680	525	L1092-ND	19.22	13.46	11.54	18620351
	Gelb	24AC/DC	9/17	3 x 350	587	L1093-ND	10.24	7.18	6.15	18620352
	Blau	24AC/DC	9/17	3 x 450	470	L1094-ND	19.22	13.46	11.54	18620357
	Weiß transparent	24AC/DC	9/17	3 x 850	—	L1095-ND	19.22	13.46	11.54	1862035W3
6	Weiß diff.	24AC/DC	9/17	3 x 425	—	L1096-ND	19.22	13.46	11.54	1862035W3D
	Rot	28AC/DC	9/17	3 x 400	630	L1097-ND	10.24	7.18	6.15	18620450
	Grün	28AC/DC	5/10	3 x 680	525	L1098-ND	19.22	13.46	11.54	18620451
	Gelb	28AC/DC	9/17	3 x 350	587	L1099-ND	10.24	7.18	6.15	18620452
	Blau	28AC/DC	9/17	3 x 450	470	L1100-ND	19.22	13.46	11.54	18620457
	Weiß transparent	28AC/DC	9/17	3 x 850	—	L1101-ND	19.22	13.46	11.54	1862045W3
	Weiß diff.	28AC/DC	9/17	3 x 425	—	L1102-ND	19.22	13.46	11.54	1862045W3D

K

Alle Preisangaben in Euro und inklusive Zollgebühren.

Abb.	Farbe	Wellenlänge pk(nm)	Typ. Io (mcd)	Typ. Vf (V)	Typ. If (mA)	Digi-Key Teilenr.	Stückpreis 1	25	100	Gegurtet auf Rolle* Größe	Preisangaben	Dialight Teilenr.
1	AlGaAs rot	660	17.0	1.7	20.0	350-1344-1-ND	.40	.34	.27	2,500	177.91/M	597-3111-407
	Grün	560	7.5	2.1	20.0	350-1345-1-ND	.40	.34	.27	2,500	177.91/M	597-3311-407
	Gelb	580	6.0	2.2	20.0	350-1346-1-ND	.30	.26	.21	2,500	135.12/M	597-3401-407
2	Rot	630	4.0	2.0	20.0	350-1347-1-ND	.48	.40	.32	3,000	212.81/M	597-3001-107
	Grün	565	12.0	2.0	20.0	350-1348-1-ND	.48	.40	.32	3,000	212.81/M	597-3301-107
	Gelb	585	8.0	2.1	20.0	350-1349-1-ND	.53	.45	.36	3,000	236.46/M	597-3401-107
3	Rot/Grün	630/565	4.0/12.0	2.0/2.0	20.0	350-1350-1-ND	.69	.58	.47	3,000	307.40/M	597-7701-107
	Gelb/Grün	585/565	8.0/12.0	2.1/2.0	20.0	350-1351-1-ND	.78	.65	.52	3,000	343.43/M	597-7721-107
	Rot/Gelb	630/585	4.0/8.0	2.0/2.1	20.0	350-1352-1-ND	.56	.47	.38	3,000	247.72/M	597-7731-107
4	Grün	565	8.0	2.1	20.0	350-1353-1-ND	.48	.40	.32	2,000	212.81/M	597-3301-207
	AlGaAs rot	660	20.0	1.75	10.0	350-1354-1-ND	.58	.49	.40	2,000	260.10/M	597-3121-207
	Gelb	586	6.0	2.1	20.0	350-1355-1-ND	.48	.40	.32	2,000	212.81/M	597-3401-207
	Rot	635	8.0	2.0	20.0	350-1356-1-ND	.48	.40	.32	2,000	212.81/M	597-3001-207
	Blau	428	11	3.5	20.0	350-1539-1-ND	1.63	1.36	1.09	2,000	721.75/M	597-3601-207
	Weiß	—	135	3.5	20.0	350-1540-1-ND	2.62	2.18	1.75	2,000	1158.63/M	597-3901-207
5	Rot/Grün	635/565	6.0/9.4	2.0/2.0	10.0	350-1357-1-ND	.72	.61	.49	2,000	358.25/M	597-7701-207
	Gelb/Grün	585/565	4.0/9.4	2.0/2.0	10.0	350-1358-1-ND	.63	.53	.43	2,000	281.50/M	597-7721-207
	Rot/Gelb	635/586	7.3/6.8	2.0/2.0	10.0	350-1359-1-ND	.72	.61	.49	2,000	319.78/M	597-7731-207
6	AlGaAs rot	640	25.0	1.7	20.0	350-1341-1-ND	1.19	1.00	.80	600	332.82	595-2101-007
	Grün	567	11.0	2.1	20.0	350-1342-1-ND	1.19	1.00	.80	600	332.82	595-2301-007
	Gelb	588	9.0	2.2	20.0	350-1343-1-ND	1.19	1.00	.80	600	332.82	595-2401-007
7A	Rot	638	23.9	1.8	10.0	350-1541-1-ND	2.29	1.91	1.53	360	411.45	592-2121-013
	Grün	569	9.1	2.1	10.0	350-1542-1-ND	2.29	1.91	1.53	360	411.45	592-2222-013
	Gelb	595	33.6	2.0	10.0	350-1543-1-ND	2.54	2.12	1.70	360	533.36	592-2727-013
7B	Rot/Grn - Rot/Grn.	628/570	6.5/8	2.0/2.0	30.0	350-1544-1-ND	3.17	2.65	2.12	360	571.46	592-3030-013
	Gelb/Grn. - Gelb/Grn.	586/570	6.5/8	2.0/2.0	30.0	350-1545-1-ND	3.17	2.65	2.12	360	666.70	592-3131-013
	Rot/Gelb-Rot/Gelb	528/586	6.5/6.5	2.0/2.0	30.0	350-1546-1-ND	3.17	2.65	2.12	360	571.46	592-3232-013
	Rot/Grün/Blau	645/466/570	10/5/16	2/3.8/2	20.0	350-1547-1-ND	5.08	4.24	3.39	360	914.33	592-3535-013
8	Rot	628	5.0	2.0	10.0	350-1334-1-ND	1.13	.95	.76	1,600	529.80/M	591-2001-013
	AlGaAs rot	645	14.0	1.75	10.0	350-1335-1-ND	1.19	1.00	.80	1,600	554.70/M	591-2101-013
	Grün	570	4.0	2.0	10.0	350-1336-1-ND	1.13	.95	.76	1,600	529.80/M	591-2301-013
	Gelb	590	5.0	2.0	10.0	350-1337-1-ND	1.13	.95	.76	1,600	529.80/M	591-2401-013
	Blau	428	6.0	3.5	20.0	350-1535-1-ND	2.38	1.98	1.59	1,600	1053.17/M	591-2601-013
	Weiß	—	19.23	3.5	20.0	350-1537-1-ND	2.77	2.31	1.85	1,600	1228.42/M	591-2801-013
9	Grün	570	8.0	2.0	10.0	350-1360-1-ND	1.13	.95	.76	1,600	503.32/M	591-2301-113
	AlGaAs rot	645	24.0	1.75	10.0	350-1361-1-ND	1.19	1.00	.80	1,600	526.96/M	591-2101-113
	Gelb	590	8.0	2.0	10.0	350-1362-1-ND	1.13	.95	.76	1,600	503.32/M	591-2401-113
	Blau	428	6.0	3.5	20.0	350-1536-1-ND	2.38	1.98	1.59	1,600	1053.17/M	591-2601-113
	Weiß	—	37.6	3.5	20.0	350-1538-1-ND	2.77	2.31	1.85	1,600	1228.42/M	591-2801-113
10	Rot/Grün	628/570	6.5/8.0	2.0/2.0	20.0	350-1338-1-ND	2.11	1.76	1.41	1,600	984.94/M	591-3001-013
	Gelb/Grün	586/570	6.5/8.0	2.0/2.0	20.0	350-1339-1-ND	2.11	1.76	1.41	1,600	984.94/M	591-3101-013
	Rot/Gelb	628/586	6.5/6.5	2.0/2.0	20.0	350-1340-1-ND	1.73	1.44	1.16	1,600	805.97/M	591-3201-013

* Für Gegurtet auf Rolle die Teilenr. von 1-ND in 2-ND ändern.

Abb.	Farbe	Wellenlänge pk(nm)	Typ. Io (mcd)	Typ. Vf (V)	Typ. If (mA)	Digi-Key Teilenr.	Preisangaben 1	25	100	Dialight Teilenr.
11	Rot	635	10.0	2.0	20.0	350-1363-ND	.53	.45	.36	521-9216
	Orange	600	7	2.2	20.0	350-1364-ND	.35	.30	.24	521-9498
	Grün	565	12.6	2.1	20.0	350-1365-ND	.53	.45	.36	521-9210
	Gelb	583	10.0	2.2	20.0	350-1366-ND	.53	.45	.36	521-9211
	Weiß	—	1010	3.6	30.0	350-1511-ND	2.27	1.89	1.52	521-9901
	Blau	464	460	3.5	30.0	350-1512-ND	1.27	1.06	.85	521-9918
12	Blau	428	12.0	3.5	20.0	350-1510-ND	2.46	2.05	1.64	521-9831
13	Blau	470	1010	3.8	30.0	350-1513-ND	1.27	1.06	.85	521-9946
	Weiß	—	1690	3.8	30.0	350-1514-ND	2.67	2.23	1.78	521-9948
14	Rot/Grün	635/565	5.0/8.0	2.1/2.3	10.0	350-1367-ND	1.34	1.12	.89	521-9450
15	Rot	650	1.2	1.6	20.0	350-1137-ND	.89	.74	.60	555-2001
	Grün	565	1.0	2.4	20.0	350-1147-ND	.91	.76	.61	555-2301
	Gelb	583	2.0	2.2	20.0	350-1149-ND	.91	.76	.61	555-2401
	Rot	650	1.9	5.0	6.0	350-1139-ND	.99	.83	.67	555-2003
	Rot	650	0.9	5.0	3.0	350-1143-ND	.99	.83	.67	555-2007
	Rot	650	0.6	5.0	1.0	350-1145-ND	1.04	.87	.70	555-2009
	Grün	565	2.5	5.0	4.7	350-1148-ND	1.04	.87	.70	555-2303
	Gelb	583	2.1	5.0	4.7	350-1150-ND	.86	.72	.58	555-2403
	Rot	650	0.9	24.0	3.0	350-1144-ND	.99	.83	.67	555-2008
16	Rot	650	1.2	1.6	20.0	350-1151-ND	1.15	.96	.77	555-3001
	Grün	565	1.0	2.4	20.0	350-1160-ND	1.57	1.31	1.05	555-3301
	Gelb	583	2.0	2.2	20.0	350-1162-ND	1.57	1.31	1.05	555-3401
	Rot	650	1.9	5.0	6.0	350-1153-ND	1.43	1.20	.96	555-3003
	Rot	650	0.9	5.0	3.0	350-1156-ND	1.43	1.20	.96	555-3007
	Rot	650	0.6	5.0	1.0	350-1158-ND	1.52	1.26	1.01	555-3009
	Grün	565	2.5	5.0	4.7	350-1161-ND	1.69	1.41	1.13	555-3303
	Gelb	583	2.1	5.0	4.7	350-1163-ND	1.69	1.41	1.13	555-3403
	Rot	650	0.9	24.0	3.0	350-1157-ND	1.43	1.20	.96	555-3008
17	Rot	650	1.2	1.6	20.0	350-1373-ND	—	—	2.34	555-4001
	Grün	565	1.0	2.4	20.0	350-1374-ND	—	—	2.71	555-4301
	Gelb	583	2.0	2.2	20.0	350-1375-ND	—	—	2.08	555-4401
	Rot	650	1.9	5.0	6.0	350-1368-ND	3.96	3.31	2.65	555-4003
	Rot	650	0.9	5.0	3.0	350-1369-ND	3.96	3.31	2.65	555-4007
	Grün	565	2.5	5.0	4.7	350-1370-ND	4.06	3.39	2.71	555-4303
	Gelb	583	2.1	5.0	4.7	350-1371-ND	4.06	3.39	2.71	555-4403
18	Rot	650	1.9	5.0	6.0	350-1376-ND	6.01	5.02	4.01	555-5003
	Rot	650	1.2	1.6	20.0	350-1377-ND	—	—	3.53	555-5001
	Grün	565	1.0	2.4	20.0	350-1378-ND	6.25	5.21	4.17	555-5301
	Gelb	583	2.0	2.2	20.0	350-1379-ND	6.25	5.21	4.17	555-5401
19	Grün	565	8.7	2.1	20.0	350-1380-ND	2.21	1.85	1.48	570-0100-222
	Rot	635	12.6	2.0	20.0	350-1381-ND	2.21	1.85	1.48	570-0100-111
	Gelb	585	12.6	2.1	20.0	350-1382-ND	2.21	1.85	1.48	570-0100-333
	Rot/Gelb/Grün	635/585/565	12.6/12.6/8.7	2.0/2.1/2.1	20.0	350-1383-ND	2.21	1.85	1.48	570-0100-132
20	Grün	563	16.0	2.1	10.0	350-1384-ND	.60	.50	.40	551-0207
	Gelb	585	6.3	2.1	10.0	350-1385-ND	.60	.50	.40	551-0307
	Rot	650	10.0	2.0	10.0	350-1386-ND	.60	.50	.40	551-0407
	Grün	565	8.0	5.0	12.0	350-1387-ND	.91	.76	.61	551-0607
	Rot	635	4.0	5.0	10.0	350-1388-ND	.91	.76	.61	551-0507
	Gelb	583	8.0	5.0	10.0	350-1389-ND	.91	.76	.61	551-0707
	Ho. Eff. Blau	428	12.0	3.5	20.0	350-1518-ND	2.50	2.09	1.67	551-0807
	Rot	635	1.8	1.8	2.0	350-1390-ND	.78	.66	.53	551-1107
	Grün	565	1.6	1.8	2.0	350-1391-ND	.78	.66	.53	551-1307
	Gelb	583	1.6	1.9	2.0	350-1392-ND	.78	.66	.53	551-1207
	Rot/Grün	635/565	5.0	2.0	10.0	350-1393-ND	1.43	1.20	.96	551-3007
	Gelb/Grün	585/565	4.3/6.3	2.1/2.1	10.0	350-1394-ND	1.43	1.20	.96	551-3107
21	Blau	470	1000	3.6	30.0	350-1520-ND	3.71	2.89	2.48	551-4007
	Weiß	—	1270	3.6	30.0	350-1521-ND	9.65	8.05	6.44	551-4107
	Grün	525	3400	3.5	30.0	350-1522-ND	3.43	2.67	2.29	551-4207
22	Grün	563	16.0	2.1	10.0	350-1084-ND	.71	.60	.48	551-0209
	Gelb	585	6.3	2.1	10.0	350-1086-ND	.71	.60	.48	551-0309
	Rot	650	10.0	2.0	10.0	350-1088-ND	.71	.60	.48	551-0409
	Orange	600	6.5	2.2	10.0	350-1102-ND	.78	.66	.53	551-2509
	Rot	635	4.0	5.0	10.0	350-1090-ND	1.02	.85	.68	551-0509

Abb. 1 1206

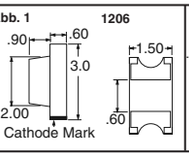

Abb. 2

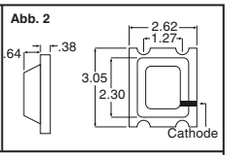

Abb. 3 Zweifarbig

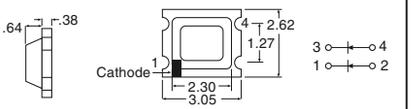

Abb. 4

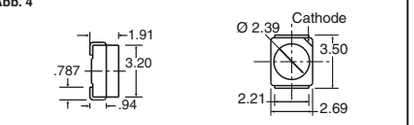

Abb. 5 Zweifarbig

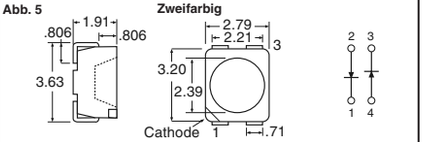

Abb. 6

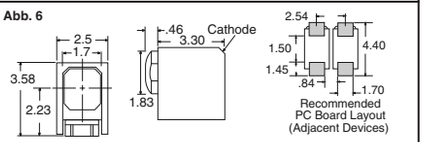

Abb. 7

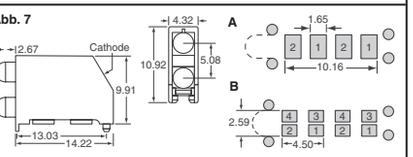

Abb. 8

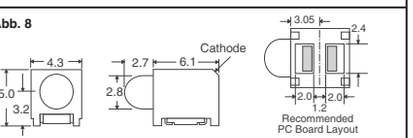

Abb. 9

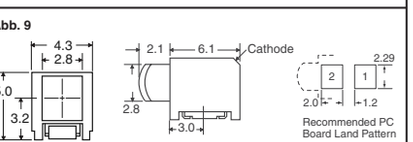

Abb. 10 Zweifarbig

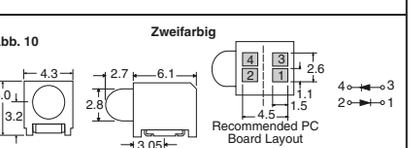

Abb. 11

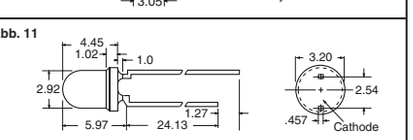

Abb. 12

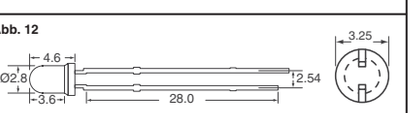

Abb. 13

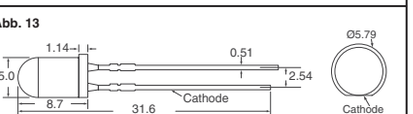

Abb. 14

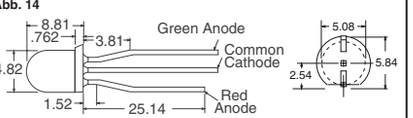

Abb. 15

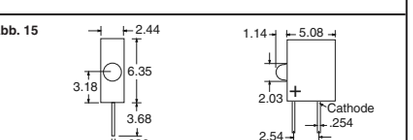

(Forts.)

K

Abb.	Farbe	Wellenlänge pk (nm)	Typ. Io (mcd)	Typ. Vf (V)	Typ. If (mA)	Digi-Key Teilenr.	Preisangaben 1	25	100	Dialight Teilenr.
	Grün	565	8.0	5.0	12.0	350-1092-ND	1.02	.85	.68	551-0609
	Gelb	583	8.0	5.0	10.0	350-1094-ND	1.02	.85	.68	551-0709
	Ho. Eff. Blau	428	12.0	3.5	20.0	350-1519-ND	2.50	2.09	1.67	551-0809
22	Rot	635	1.8	1.8	2.0	350-1096-ND	.78	.66	.53	551-1109
	Gelb	583	1.6	1.9	2.0	350-1098-ND	.78	.66	.53	551-1209
	Grün	565	1.6	1.8	2.0	350-1100-ND	.78	.66	.53	551-1309
	Rot/Grün	635/565	5.0	2.0	10.0	350-1104-ND	1.33	1.11	.89	551-3009
	Gelb/Grün	585/565	4.3/6.3	2.1	20.0	350-1106-ND	1.54	1.29	1.03	551-3109
	Grün	563	16.0	2.1	10.0	350-1083-ND	2.71	2.26	1.81	551-0207-004
	Gelb	585	6.3	2.1	10.0	350-1085-ND	2.71	2.26	1.81	551-0307-004
	Rot	650	10.0	2.0	10.0	350-1087-ND	2.38	1.99	1.59	551-0407-004
	Orange	600	6.5	2.2	10.0	350-1101-ND	5.28	4.41	3.53	551-2507-004
	Rot	635	4.0	5.0	10.0	350-1089-ND	3.88	3.24	2.59	551-0507-004
23	Grün	565	8.0	5.0	12.0	350-1091-ND	3.40	2.84	2.28	551-0607-004
	Gelb	583	8.0	5.0	10.0	350-1093-ND	3.88	3.24	2.59	551-0707-004
	Rot	635	1.8	1.8	2.0	350-1095-ND	3.09	2.58	2.06	551-1107-004
	Gelb	583	1.6	1.9	2.0	350-1097-ND	3.51	2.93	2.35	551-1207-004
	Grün	565	1.6	1.8	2.0	350-1099-ND	3.51	2.93	2.35	551-1307-004
	Rot/Grün	635/565	5.0	2.0	10.0	350-1103-ND	6.43	5.36	4.30	551-3007-004
	Gelb/Grün	585/565	4.3/6.3	2.1	20.0	350-1105-ND	6.43	5.36	4.30	551-3107-004
	Rot	650	10.0	2.0	10.0	350-1395-ND	1.33	1.11	.89	553-0111
	Grün	563	16.0	2.1	10.0	350-1399-ND	1.33	1.11	.89	553-0122
	Gelb	585	6.3	2.1	10.0	350-1400-ND	1.33	1.11	.89	553-0133
	Grün (oben)/Rot (unt.)	563/650	16.0/10.0	2.1/2.0	10.0	350-1396-ND	1.12	.94	.75	553-0121
	Grün (oben)/Gelb (unt.)	563/585	16.0/6.3	2.1/2.1	10.0	350-1397-ND	1.33	1.11	.89	553-0123
	Gelb (oben)/Grün (unt.)	585/563	6.3/16.0	2.1/2.1	10.0	350-1398-ND	1.33	1.11	.89	553-0132
	Ho. Eff. Blau	428	12.0	3.5	20.0	350-1524-ND	4.61	3.84	3.08	553-0188
24	Rot	635	1.8	1.8	2.0	350-1401-ND	1.46	1.22	.98	553-0211
	Grün	565	1.6	1.8	2.0	350-1402-ND	1.46	1.22	.98	553-0222
	Gelb	583	1.6	1.9	2.0	350-1404-ND	1.46	1.22	.98	553-0233
	Grün (oben)/Gelb (unt.)	565/583	1.6/1.6	1.8/1.9	2.0	350-1403-ND	1.46	1.22	.98	553-0223
	Grün	565	8.0	5.0	12.0	350-1405-ND	1.30	1.08	.87	553-0322
	Rot	635	4.0	5.0	10.0	350-1406-ND	1.57	1.31	1.05	553-0311
	Gelb	583	8.0	5.0	10.0	350-1407-ND	1.57	1.31	1.05	553-0333
	2x Rot/Grün	635/565	5.0	2.0	10.0	350-1408-ND	1.96	1.63	1.31	553-0711
	2 x Gelb/Grün	585/565	4.3/6.3	2.1/2.1	10.0	350-1409-ND	1.96	1.63	1.31	553-0744
	Rot	650	10.0	2.0	10.0	350-1122-ND	1.33	1.11	.89	553-0111-300
	Grün	563	16.0	2.1	10.0	350-1123-ND	1.33	1.11	.89	553-0122-300
	Gelb	585	6.3	2.1	10.0	350-1124-ND	1.33	1.11	.89	553-0133-300
	Orange	600	6.5	2.2	10.0	350-1125-ND	—	—	1.73	553-0177-300
	Rot	635	1.8	1.8	2.0	350-1126-ND	1.46	1.22	.98	553-0211-300
	Grün	565	1.6	1.8	2.0	350-1127-ND	1.46	1.22	.98	553-0222-300
25	Gelb	583	1.6	1.9	2.0	350-1128-ND	1.46	1.22	.98	553-0233-300
	Rot	635	4.0	5.0	10.0	350-1129-ND	1.57	1.31	1.05	553-0311-300
	Grün	565	8.0	5.0	12.0	350-1130-ND	1.57	1.31	1.05	553-0322-300
	Gelb	583	8.0	5.0	10.0	350-1131-ND	1.57	1.31	1.05	553-0333-300
	2 x Rot/Grün	635/565	5.0	2.0	10.0	350-1132-ND	1.96	1.63	1.31	553-0711-300
	2 x Gelb/Grün	585/565	4.3/6.3	2.1	10.0	350-1133-ND	1.75	1.47	1.17	553-0744-300
	Grün transparent	565	12.0	2.3	10.0	350-1135-ND	1.46	1.22	.98	553-2222-300
	Rot	635	10.0	2.2	10.0	350-1330-ND	1.14	.89	.76	569-0111-100
26	Grün	565	8.5	2.3	10.0	350-1331-ND	1.43	1.20	.96	569-0112-200
	Gelb	583	10.0	2.2	10.0	350-1332-ND	1.14	.89	.76	569-0113-300
	Blau	428	12.5	3.5	20.0	350-1534-ND	3.63	2.83	2.43	569-0119-900
	Rot	635	10.0	2.2	10.0	350-1326-ND	1.76	1.37	1.18	569-0101-111
	Grün	565	8.5	2.3	10.0	350-1327-ND	2.21	1.85	1.48	569-0102-222
27	Gelb	583	10.0	2.2	10.0	350-1328-ND	1.76	1.38	1.18	569-0103-333
	Orange	600	6.5	2.2	10.0	350-1329-ND	1.76	1.37	1.18	569-0107-777
	Blau	428	12.5	3.5	20.0	350-1533-ND	14.30	11.12	9.54	569-0109-999
	Rot	635	10.0	2.2	10.0	350-1274-ND	2.21	1.85	1.48	564-0100-111
	Rot/Gelb/Grün	635/583/565	10.0/10.0/8.5	2.2/2.2/2.3	10.0	350-1275-ND	2.21	1.85	1.48	564-0100-132
	Grün	565	8.5	2.3	10.0	350-1276-ND	2.21	1.85	1.48	564-0100-222
	Orange	600	6.5	2.2	10.0	350-1277-ND	1.66	1.30	1.11	564-0100-777
	Ho. Eff. Blau	428	12.0	3.5	20.0	350-1532-ND	13.57	11.31	9.05	564-0100-999
	Rot	635	1.8	1.8	2.0	350-1278-ND	2.45	2.05	1.64	564-0200-111
28	Rot/Gelb/Grün	635/583/565	1.8/1.6/1.6	1.8/1.9/1.8	2.0	350-1279-ND	2.45	2.05	1.64	564-0200-132
	Grün	565	1.6	1.8	2.0	350-1280-ND	2.06	1.72	1.38	564-0200-222
	Rot	635	4.0	5.0	10.0	350-1281-ND	2.50	2.09	1.67	564-0300-111
	Rot/Gelb/Grün	635/583/565	4.0/8.0/8.0	5.0	10.0/10.0/12.0	350-1282-ND	2.08	1.74	1.39	564-0300-132
	Grün	565	8.0	5.0	12.0	350-1283-ND	2.50	2.09	1.67	564-0300-222
	3 x Rot/Grün	635/565	5.0	2.0	10.0	350-1284-ND	3.25	2.72	2.17	564-0700-111
	3 x Gelb/Grün	585/565	4.3/6.3	2.1	20.0	350-1285-ND	3.25	2.72	2.17	564-0700-444
29	Rot/Grün	630/560	4.0	2.0/2.1	20.0	350-1410-ND	1.63	1.37	1.10	551-3508
	Grün	565	12.3	2.1	20.0	350-1003-ND	.60	.50	.40	550-0207
	Gelb	585	12.3	2.1	20.0	350-1007-ND	.49	.41	.33	550-0307
	Rot	635	12.3	2.0	20.0	350-1011-ND	.60	.50	.40	550-0407
	Rot	655	2.0	5.0	13.0	350-1015-ND	.76	.64	.51	550-0507
	Grün	565	8.0	5.0	12.0	350-1019-ND	.76	.64	.51	550-0707
	Gelb	583	8.0	5.0	10.0	350-1023-ND	.83	.70	.56	550-0807
	Blau	470	1010	3.8	30.0	350-1517-ND	2.26	1.88	1.51	550-1007
	Rot	635	2.0	1.8	2.0	350-1027-ND	.72	.60	.48	550-1107
	Gelb	583	1.8	1.9	2.0	350-1031-ND	.78	.66	.53	550-1207
	Grün	565	1.8	1.8	2.0	350-1035-ND	.78	.66	.53	550-1307
30	Grün	563	10.0	2.1	10.0	350-1039-ND	.65	.55	.44	550-2207
	Gelb	590	8.0	2.0	10.0	350-1043-ND	.65	.55	.44	550-2307
	Rot	650	7.0	2.2	10.0	350-1047-ND	.65	.55	.44	550-2407
	Orange	600	7.0	1.9	10.0	350-1051-ND	.65	.55	.44	550-2507
	Rot/Grün	660/565	90/40	1.8/2.1	20.0	350-1055-ND	1.27	1.06	.85	550-3007
	Rot	650	34.0	2.1	20.0	350-1061-ND	.51	.43	.34	550-5107
	Grün	563	34.0	2.2	20.0	350-1065-ND	.51	.43	.34	550-5207
	Gelb	585	34.0	2.2	20.0	350-1069-ND	.51	.43	.34	550-5307
	Rot transparent	635	125.0	2.2	20.0	350-1073-ND	.83	.70	.56	550-5507
	Grün transparent	565	120.0	2.3	20.0	350-1077-ND	.83	.70	.56	550-5607
	Gelb transparent	583	140.0	2.2	20.0	350-1081-ND	.83	.70	.56	550-5707
	Grün	565	12.3	2.1	20.0	350-1002-ND	.60	.50	.40	550-0205
	Gelb	585	12.3	2.1	20.0	350-1006-ND	.60	.50	.40	550-0305
	Rot	635	12.3	2.0	20.0	350-1010-ND	.60	.50	.40	550-0405
	Rot	655	2.0	5.0	13.0	350-1014-ND	.83	.70	.56	550-0505
	Grün	565	8.0	5.0	12.0	350-1018-ND	.83	.70	.56	550-0705
	Gelb	583	8.0	5.0	10.0	350-1022-ND	.83	.70	.56	550-0805
	Blau	470	520	4.0	20.0	350-1516-ND	2.26	1.88	1.51	550-1005
	Rot	635	2.0	1.8	2.0	350-1026-ND	.78	.66	.53	550-1105
31	Gelb	583	1.8	1.9	2.0	350-1030-ND	.78	.66	.53	550-1205
	Grün	565	1.8	1.8	2.0	350-1034-ND	.78	.66	.53	550-1305
	Grün	563	10.0	2.1	10.0	350-1038-ND	.65	.55	.44	550-2205
	Gelb	585	6.3	2.1	10.0	350-1042-ND	.65	.55	.44	550-2305
	Rot	650	7.0	2.2	10.0	350-1046-ND	.65	.55	.44	550-2405
	Orange	600	7.0	1.9	10.0	350-1050-ND	.65	.55	.44	550-2505
	Rot/Grün	660/565	90/40	1.8/2.1	20.0	350-1054-ND	1.27	1.06	.85	550-3005
	Rot	650	34.0	2.1	20.0	350-1060-ND	.78	.66	.53	550-5105
	Grün	563	34.0	2.2	20.0	350-1064-ND	.78	.66	.53	550-5205
	Gelb	585	34.0	2.2	20.0	350-1068-ND	.78	.66	.53	550-5305
	Rot transparent	635	125.0	2.2	20.0	350-1072-ND	.83	.70	.56	550-5505

Abb. 16

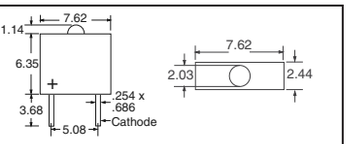

Abb. 17

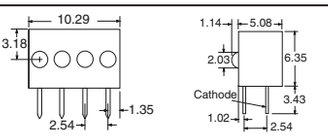

Abb. 18

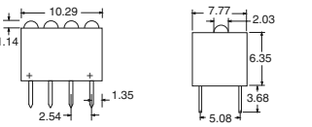

Abb. 19

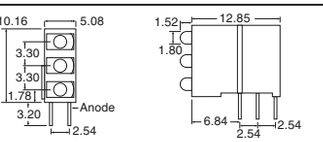

Abb. 20

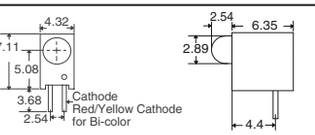

Abb. 21

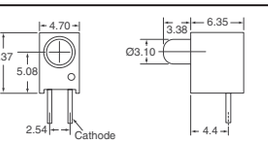

Abb. 22

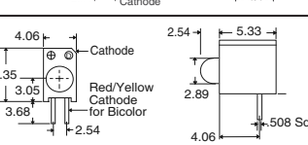

Abb. 23

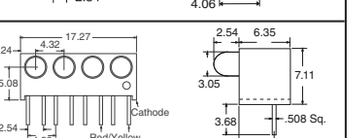

Abb. 24

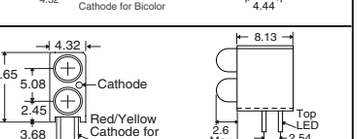

Abb. 25

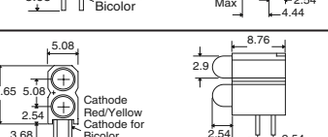

Abb. 26

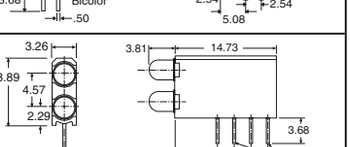

Abb. 27

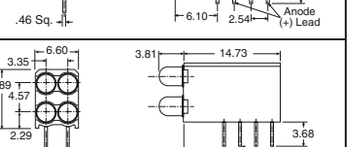

Abb. 28

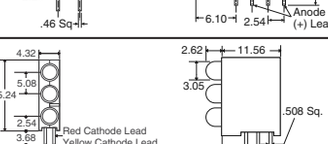

Abb. 29

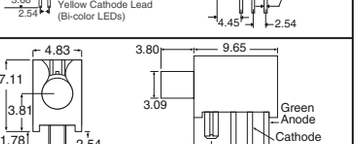

(Forts.)

Abb.	Farbe	Wellenlänge pk (nm)	Typ. Io (mcd)	Typ. Vf (V)	Typ. If (mA)	Digi-Key Teilenr.	Preisangaben 1	25	100	Dialight Teilenr.
31	Grün transparent	565	120.0	2.3	20.0	350-1076-ND	.83	.70	.56	550-5605
	Gelb transparent	583	140.0	2.2	20.0	350-1080-ND	.83	.70	.56	550-5705
32	Rot/Grün	635/565	5.0/8.0	2.1/2.3	10.0	350-1057-ND	1.74	1.46	1.17	550-3509
	Gelb/Grün	583/565	5.0/8.0	2.1/2.1	10.0	350-1058-ND	1.74	1.46	1.17	550-3609
33	Rot/Grün	635/565	5.0/8.0	2.1/2.3	10.0	350-1411-ND	1.74	1.46	1.17	550-3505
	Gelb/Grün	583/565	5.0/8.0	2.1/2.1	10.0	350-1412-ND	1.74	1.46	1.17	550-3605
34	Grün	565	12.3	2.1	20.0	350-1004-ND	2.76	2.31	1.85	550-0207-004
	Gelb	585	12.3	2.1	20.0	350-1008-ND	2.76	2.31	1.85	550-0307-004
	Rot	635	12.3	2.0	20.0	350-1012-ND	2.76	2.31	1.85	550-0407-004
	Rot	655	2.0	5.0	13.0	350-1016-ND	6.81	5.68	4.54	550-0507-004
	Grün	565	8.0	5.0	12.0	350-1020-ND	3.49	2.91	2.33	550-0707-004
	Gelb	583	8.0	5.0	10.0	350-1024-ND	6.81	5.68	4.54	550-0807-004
	Rot	635	2.0	1.8	2.0	350-1028-ND	3.25	2.72	2.17	550-1107-004
	Gelb	583	1.8	1.9	2.0	350-1032-ND	6.35	5.30	4.24	550-1207-004
	Grün	565	1.8	1.8	2.0	350-1036-ND	3.25	2.72	2.18	550-1307-004
	Gelb	585	6.3	2.1	10.0	350-1044-ND	2.86	2.39	1.92	550-2307-004
	Rot	650	7.0	2.2	10.0	350-1048-ND	2.86	2.39	1.92	550-2407-004
	Orange	600	7.0	1.9	10.0	350-1052-ND	5.59	4.66	3.73	550-2507-004
35	Rot	650	7.0	2.2	10.0	350-1107-ND	1.04	.87	.70	552-0211
	Grün	563	10.0	2.1	10.0	350-1108-ND	1.04	.88	.70	552-0222
	Gelb	590	8.0	2.0	10.0	350-1109-ND	1.33	1.11	.89	552-0233
	Grün	565	8.0	5.0	12.0	350-1112-ND	1.57	1.31	1.05	552-0322
	Gelb	583	8.0	5.0	10.0	350-1113-ND	1.57	1.31	1.05	552-0333
	Rot/Grün	660/565	90/40	1.8/2.1	20.0	350-1114-ND	1.65	1.38	1.11	552-0711
	Gelb/Grün	585/565	8.7/8.7	2.1/2.1	20.0	350-1115-ND	1.96	1.64	1.31	552-0744
	Rot	650	34.0	2.1	20.0	350-1116-ND	1.46	1.22	.98	552-0811
	Grün	563	34.0	2.2	20.0	350-1117-ND	1.46	1.22	.98	552-0822
	Gelb	585	34.0	2.2	20.0	350-1118-ND	1.46	1.22	.98	552-0833
	Rot	635	2.0	1.8	2.0	350-1119-ND	1.17	.98	.78	552-0911
	Grün	565	1.8	1.8	2.0	350-1120-ND	1.17	.98	.78	552-0922
	Gelb	583	1.8	1.9	2.0	350-1121-ND	1.46	1.22	.98	552-0933
	Blau	470	1010	3.8	30.0	350-1523-ND	4.72	3.93	3.15	552-2388
36	2 x Rot/Grün	635/565	5.0/8.0	2.1/2.3	10.0	350-1413-ND	—	—	2.17	552-3511
	2 x Gelb/Grün	583/565	5.0/8.0	2.1/2.1	10.0	350-1414-ND	—	—	2.17	552-3544
37	Grün	565	12.3	2.1	20.0	350-1001-ND	.73	.61	.49	550-0204
	Gelb	585	12.3	2.1	20.0	350-1005-ND	.73	.61	.49	550-0304
	Rot	635	12.3	2.0	20.0	350-1009-ND	.73	.61	.49	550-0404
	Rot	655	2.0	5.0	13.0	350-1013-ND	1.02	.85	.68	550-0504
	Grün	565	8.0	5.0	12.0	350-1017-ND	1.02	.85	.68	550-0704
	Gelb	583	8.0	5.0	10.0	350-1021-ND	1.02	.85	.68	550-0804
	Blau	470	520	4.0	20.0	350-1515-ND	2.35	1.97	1.58	550-1004
	Rot	635	2.0	1.8	2.0	350-1025-ND	.84	.70	.56	550-1104
	Gelb	583	1.8	1.9	2.0	350-1029-ND	.84	.70	.56	550-1204
	Grün	565	1.8	1.8	2.0	350-1033-ND	.84	.70	.56	550-1304
	Grün	563	10.0	2.1	10.0	350-1037-ND	.86	.72	.58	550-2204
	Gelb	590	8.0	2.0	10.0	350-1041-ND	.86	.72	.58	550-2304
	Rot	650	7.0	2.2	10.0	350-1045-ND	.86	.72	.58	550-2404
	Orange	600	7.0	1.9	10.0	350-1049-ND	.65	.55	.44	550-2504
	Rot/Grün	660/565	90/40	1.8/2.1	20.0	350-1053-ND	1.67	1.39	1.12	550-3004
	Rot	650	34.0	2.1	20.0	350-1059-ND	.94	.79	.63	550-5104
	Grün	563	34.0	2.2	20.0	350-1063-ND	.94	.79	.63	550-5204
	Gelb	585	34.0	2.2	20.0	350-1067-ND	.94	.79	.63	550-5304
	Rot transparent	635	125.0	2.2	20.0	350-1071-ND	.99	.83	.67	550-5504
	Grün transparent	565	120.0	2.3	20.0	350-1075-ND	.99	.83	.67	550-5604
	Gelb transparent	583	140.0	2.2	20.0	350-1079-ND	.99	.83	.67	550-5704
38	Rot	635	8.0	5.0	10.0	350-1171-ND	.58	.46	.39	561-0104-100
	Blau	470	650	3.6	20.0	350-1531-ND	6.06	4.72	4.04	561-1002-100
	Rot	635	2.0	1.8	2.0	350-1183-ND	.68	.57	.46	561-1101-100
	Grün	565	1.8	1.8	2.0	350-1195-ND	.68	.57	.46	561-1301-100
	Gelb	583	1.8	1.9	2.0	350-1189-ND	.54	.42	.36	561-1201-100
	Rot	635	7.0	2.2	10.0	350-1201-ND	.63	.53	.42	561-2101-100
	Grün	565	32.0	2.0	20.0	350-1207-ND	1.05	.82	.70	561-2201-100
	Gelb	590	10.0	2.4	20.0	350-1213-ND	.50	.39	.34	561-2301-100
	Rot Getönt	635	60.0	2.2	10.0	350-1219-ND	.50	.39	.34	561-2401-100
	Grün Getönt	565	70.0	2.3	10.0	350-1225-ND	.50	.39	.34	561-2501-100
	Gelb Getönt	583	50.0	2.2	10.0	350-1231-ND	.50	.39	.34	561-2601-100
	Rot	650	34.0	2.1	20.0	350-1243-ND	.54	.42	.36	561-5101-100
	Grün	563	34.0	2.2	20.0	350-1249-ND	.54	.42	.36	561-5201-100
	Gelb	585	34.0	2.2	20.0	350-1255-ND	.54	.42	.36	561-5301-100
	Rot transparent	635	125.0	2.2	20.0	350-1261-ND	.58	.46	.39	561-5501-100
	Grün transparent	565	120.0	2.3	20.0	350-1267-ND	.73	.61	.49	561-5601-100
	Gelb transparent	583	140.0	2.2	20.0	350-1273-ND	.58	.46	.39	561-5701-100
	Grün	525	2200	3.5	20.0	350-1549-ND	3.11	2.42	2.07	561-5902-100
	Weiß	—	1100	3.5	20.0	350-1548-ND	3.11	2.42	2.07	561-6002-100
39	Grün	565	4.0	2.2	20.0	350-1286-ND	1.07	.89	.72	566-0206
	Gelb	583	3.5	2.1	20.0	350-1288-ND	1.07	.89	.72	566-0306
	Rot	635	6.0	2.0	20.0	350-1164-ND	.85	.66	.57	566-0406
40	Grün	565	4.0	2.2	20.0	350-1287-ND	1.02	.85	.68	566-0207
	Gelb	583	3.5	2.1	20.0	350-1289-ND	1.02	.85	.68	566-0307
	Rot	635	7.4	2.0	20.0	350-1165-ND	.80	.63	.54	566-0407
41	Rot/Grün	635/565	3.5/4.0	1.9/2.1	20.0	350-1290-ND	2.03	1.70	1.36	566-3507
42	Rot	635	5.0	1.9	20.0	350-1232-ND	1.12	.87	.75	561-4101-055
	Grün	565	2.5	2.3	20.0	350-1234-ND	1.12	.87	.75	561-4201-055
	Gelb	583	5.0	2.1	20.0	350-1236-ND	1.12	.87	.75	561-4301-055
43	Rot	635	10.0	2.2	10.0	350-1291-ND	2.73	2.28	1.83	568-0101-111
	Grün	565	8.5	2.3	10.0	350-1292-ND	2.73	2.28	1.83	568-0102-222
	Grün/Gelb/Grün/Gelb	565/583	8.5/10.0	2.1/2.2	10.0	350-1293-ND	2.73	2.28	1.83	568-0102-323
	Orange	600	6.5	2.2	10.0	350-1295-ND	2.73	2.28	1.83	568-0107-777
	Rot	635	1.8	1.8	2.0	350-1299-ND	3.05	2.54	2.04	568-0201-111
	Grün	565	1.6	1.8	2.0	350-1300-ND	3.05	2.54	2.04	568-0202-222
	Grün/Gelb/Grün/Gelb	565/583	1.6	1.8/1.9	2.0	350-1301-ND	3.05	2.54	2.04	568-0202-323
	Gelb/Grün/Gelb/Grün	583/565	1.6	1.9/1.8	2.0	350-1302-ND	5.94	4.96	3.97	568-0203-232
	Rot	635	4.0	5.0	10.0	350-1306-ND	3.25	2.72	2.17	568-0301-111
	Grün	565	8.0	5.0	12.0	350-1307-ND	3.25	2.72	2.17	568-0302-222
	Grün/Gelb/Grün/Gelb	565/583	8.0	5.0	12.0/10.0	350-1308-ND	6.35	5.30	4.24	568-0302-323
	Gelb/Grün/Gelb/Grün	583/565	8.0	5.0	10.0/12.0	350-1309-ND	6.35	5.30	4.24	568-0303-232
	Zweifarbig rot/Grün	635/565	5.0	2.0	10.0	350-1313-ND	4.06	3.39	2.71	568-0701-111
	Zweifarbig gelb/Grün	585/565	4.3/6.3	2.1	10.0	350-1314-ND	4.06	3.39	2.71	568-0704-444
44	Rot	635	12.6	2.0	30.0	350-1550-ND	1.43	1.20	.96	571-0111
	Grün	565	8.7	2.1	30.0	350-1551-ND	1.43	1.20	.96	571-0122
	Gelb	585	12.6	2.1	20.0	350-1552-ND	1.43	1.20	.96	571-0133
	Gelb/Grün	585/565	12.6/8.7	2.1/2.1	20.0/30.0	350-1553-ND	1.43	1.20	.96	571-0132
	Rot/Grün	635/565	12.6/8.7	2.0/2.1	30.0/30.0	350-1554-ND	1.43	1.20	.96	571-0112

Abb. 30

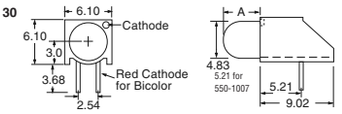

Abm. A: 3,43 (550-0207 ~ 0407), 4,90 (550-1007), 5,0 für alle anderen

Abb. 31

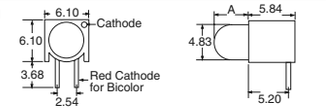

Abm. A: 3,43 (550-0205 ~ 0405), 4,90 (550-1005), 5,0 für alle anderen

Abb. 32

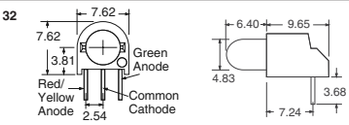

Abb. 33

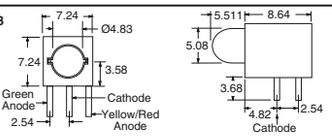

Abb. 34

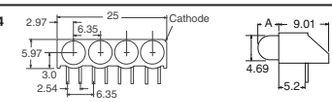

Abm. A: 3,4 für 550-0207 ~ 0407, 4,95 für alle anderen

Abb. 35

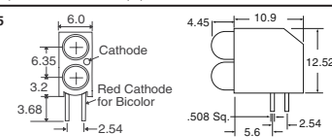

Abb. 36

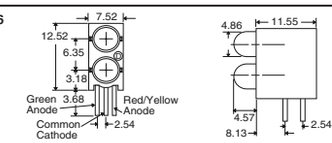

Abb. 37

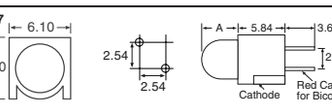

Abm. A: 3,43 für 550-0204 ~ 0404, 5,0 für alle anderen

Abb. 38

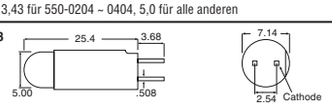

Abb. 39

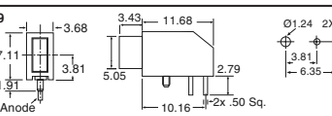

Abb. 40

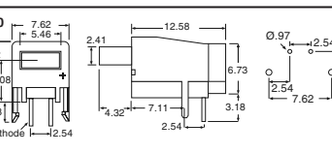

Abb. 41

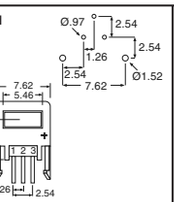

Abb. 42

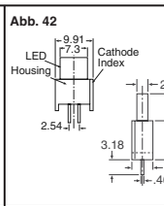

Abb. 43

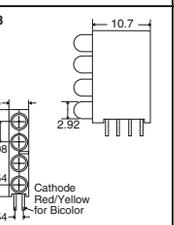

Abb. 44

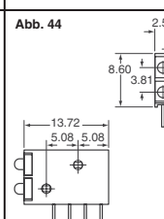

Dialight Optische Lichtleitungen

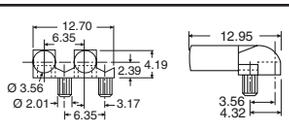

Anz. an Ports	Digi-Key Teilenr.	Stückpreis 1	25	100	Dialight Teilenr.
2	350-1000-ND	1.04	.87	.70	515-1071

Abb.	Linse	Farbe	Wellenlänge pk (nm)	Typ. Io (fL)	Typ. Vf (V)	Typ. If (mA)	Digi-Key Teilenr.	Stückpreis 1	25	100	Dialight Teilenr.
1	Flach	Weiß	—	4,000	12.0 DC	60.0	350-1415-ND	41.91	32.60	27.94	556-1003-304
		Weiß	—	4,000	24.0 DC	32.0	350-1416-ND	41.91	32.60	27.94	556-1004-304
		Weiß	—	1,800	125.0 AC	9.5	350-1417-ND	41.91	32.60	27.94	556-1005-304
		Rot	639	3,000	12.0 DC	95.0	350-1418-ND	30.48	23.71	20.32	556-1503-304
		Rot	639	3,000	24.0 DC	46.0	350-1419-ND	30.48	23.71	20.32	556-1504-304
		Rot	639	1,200	125.0 AC	10.5	350-1420-ND	30.48	23.71	20.32	556-1505-304
		Grün	525	4,000	12.0 DC	60.0	350-1421-ND	35.24	27.41	23.50	556-1603-304
		Grün	525	4,000	24.0 DC	32.0	350-1422-ND	35.24	27.41	23.50	556-1604-304
		Grün	525	1,800	125.0 AC	9.5	350-1423-ND	35.24	27.41	23.50	556-1605-304
		Gelb	594	3,000	12.0 DC	95.0	350-1424-ND	30.48	23.71	20.32	556-1703-304
		Gelb	594	3,000	24.0 DC	46.0	350-1425-ND	30.48	23.71	20.32	556-1704-304
		Gelb	594	1,200	125.0 AC	10.5	350-1426-ND	30.48	23.71	20.32	556-1705-304
		Blau	470	1,200	12.0 DC	60.0	350-1427-ND	41.91	32.60	27.94	556-1803-304
		Blau	470	1,200	24.0 DC	32.0	350-1428-ND	41.91	32.60	27.94	556-1804-304
		Blau	470	500	125.0 AC	9.5	350-1429-ND	41.91	32.60	27.94	556-1805-304
2	Kuppel	Weiß	—	1,200	12.0 DC	60.0	350-1430-ND	41.91	32.60	27.94	556-3003-304
		Weiß	—	1,200	24.0 DC	31.0	350-1431-ND	41.91	32.60	27.94	556-3004-304
		Weiß	—	700	125.0 AC	9.5	350-1432-ND	41.91	32.60	27.94	556-3005-304
		Rot	639	1,300	12.0 DC	95.0	350-1433-ND	30.48	23.71	20.32	556-3503-304
		Rot	639	1,300	24.0 DC	46.0	350-1434-ND	30.48	23.71	20.32	556-3504-304
		Rot	639	500	125.0 AC	10.5	350-1435-ND	30.48	23.71	20.32	556-3505-304
		Grün	525	1,800	12.0 DC	60.0	350-1436-ND	35.24	27.41	23.50	556-3603-304
		Grün	525	1,800	24.0 DC	32.0	350-1437-ND	35.24	27.41	23.50	556-3604-304
		Grün	525	700	125.0 AC	9.5	350-1438-ND	35.24	27.41	23.50	556-3605-304
		Gelb	594	1,300	12.0 DC	95.0	350-1439-ND	30.48	23.71	20.32	556-3703-304
		Gelb	594	1,300	24.0 DC	46.0	350-1440-ND	30.48	23.71	20.32	556-3704-304
		Gelb	594	500	125.0 AC	10.5	350-1441-ND	30.48	23.71	20.32	556-3705-304
		Blau	470	480	12.0 DC	60.0	350-1442-ND	41.91	32.60	27.94	556-3803-304
		Blau	470	480	24.0 DC	32.0	350-1443-ND	41.91	32.60	27.94	556-3804-304
		Blau	470	180	125.0 AC	9.5	350-1444-ND	41.91	32.60	27.94	556-3805-304
3	Superhell	Weiß	—	700	5.0 DC	16.0	350-1445-ND	15.87	13.23	10.59	557-1002-203
		Weiß	—	700	12.0 DC	16.0	350-1446-ND	15.87	13.23	10.59	557-1003-203
		Weiß	—	700	24.0 DC	16.0	350-1447-ND	15.87	13.23	10.59	557-1005-203
		Rot/Grün	635/525	400/1,000	5.0 DC	70.0/16.0	350-1448-ND	17.14	14.29	11.43	557-1412-203
		Gelb/Grün	592/525	400/1,000	5.0 DC	70.0/16.0	350-1449-ND	17.14	14.29	11.43	557-1432-203
		Rot	660	1,000	5.0 DC	80.0	350-1450-ND	14.35	11.96	9.57	557-1502-203
		Rot	660	1,000	12.0 DC	20.0	350-1451-ND	14.35	11.96	9.57	557-1503-203
		Rot	660	1,000	24.0 DC	20.0	350-1452-ND	14.35	11.96	9.57	557-1505-203
		Grün	525	1,000	5.0 DC	16.0	350-1453-ND	15.87	13.23	10.59	557-1602-203
		Grün	525	1,000	12.0 DC	16.0	350-1454-ND	15.87	13.23	10.59	557-1603-203
		Grün	525	1,000	24.0 DC	16.0	350-1455-ND	15.87	13.23	10.59	557-1605-203
		Gelb	592	1,000	5.0 DC	80.0	350-1456-ND	14.35	11.96	9.57	557-1702-203
		Gelb	592	1,000	12.0 DC	20.0	350-1457-ND	14.35	11.96	9.57	557-1703-203
		Gelb	592	1,000	24.0 DC	20.0	350-1458-ND	14.35	11.96	9.57	557-1705-203
		Blau	470	250	5.0 DC	16.0	350-1459-ND	15.87	13.23	10.59	557-1802-203
		Blau	470	250	12.0 DC	16.0	350-1460-ND	15.87	13.23	10.59	557-1803-203
		Blau	470	250	24.0 DC	16.0	350-1461-ND	15.87	13.23	10.59	557-1805-203

Abb.	Gehäuse	Farbe	Wellenlänge pk (nm)	Typ. Io (mcd)	Typ. Vf (V)	Typ. If (mA)	Digi-Key Teilenr.	Stückpreis 1	25	100	Dialight Teilenr.
4	Valox	Blau	428	13.0	3.5 DC	10.0	350-1525-ND	3.05	2.54	2.04	558-0803-007
		Blau	464	460.0	3.5 DC	20.0	350-1526-ND	3.05	2.54	2.04	558-6003-007
		Weiß	—	850.0	3.6 DC	20.0	350-1527-ND	3.05	2.54	2.04	558-6403-007
5	Valox	Blau	468	650.0	3.6 DC	20.0	350-1528-ND	8.25	6.88	5.51	559-6001-007
		Grün	520	2200.0	3.5 DC	20.0	350-1529-ND	8.25	6.88	5.51	559-6201-007
		Weiß	—	600.0	3.5 DC	20.0	350-1530-ND	8.25	6.88	5.51	559-6401-007
6	Verchromt	Rot	630	8.0	6.0 DC	15.0	350-1462-ND	3.35	2.80	2.24	607-1112-120
		Rot	630	8.0	12.0 DC	15.0	350-1463-ND	3.35	2.80	2.24	607-1112-130
		Grün	560	8.0	6.0 DC	15.0	350-1464-ND	3.56	2.97	2.38	607-1212-120
		Grün	560	8.0	12.0 DC	15.0	350-1465-ND	3.56	2.97	2.38	607-1212-130
		Gelb	587	2.4	6.0 DC	15.0	350-1466-ND	3.56	2.97	2.38	607-1312-120
		Gelb	587	2.4	12.0 DC	15.0	350-1467-ND	3.56	2.97	2.38	607-1312-130
7	Verchromt	Rot	630	8.0	6.0 DC	15.0	350-1468-ND	3.35	2.80	2.24	607-2112-120
		Rot	630	8.0	12.0 DC	15.0	350-1469-ND	3.35	2.80	2.24	607-2112-130
		Grün	560	8.0	6.0 DC	15.0	350-1470-ND	3.56	2.97	2.38	607-2212-120
		Grün	560	8.0	12.0 DC	15.0	350-1471-ND	3.56	2.97	2.38	607-2212-130
		Gelb	587	2.4	6.0 DC	15.0	350-1472-ND	3.56	2.97	2.38	607-2312-120
		Gelb	587	2.4	12.0 DC	15.0	350-1473-ND	3.56	2.97	2.38	607-2312-130
8	Verchromt	Rot	635	60.0	6.0 DC	15.0	350-1474-ND	3.17	2.65	2.12	609-1112-120
		Rot	635	60.0	12.0 DC	15.0	350-1475-ND	3.17	2.65	2.12	609-1112-130
		Rot	635	60.0	24.0 DC	15.0	350-1476-ND	3.17	2.65	2.12	609-1112-140
		Grün	565	112.0	6.0 DC	15.0	350-1480-ND	3.17	2.65	2.12	609-1212-120
		Grün	565	112.0	12.0 DC	15.0	350-1481-ND	3.17	2.65	2.12	609-1212-130
		Grün	565	112.0	24.0 DC	15.0	350-1482-ND	3.17	2.65	2.12	609-1212-140
		Gelb	585	90.0	6.0 DC	15.0	350-1486-ND	3.17	2.65	2.12	609-1312-120
		Gelb	585	90.0	12.0 DC	15.0	350-1487-ND	3.17	2.65	2.12	609-1312-130
		Gelb	585	90.0	24.0 DC	15.0	350-1488-ND	3.17	2.65	2.12	609-1312-140
	Schwarz	Rot	635	60.0	6.0 DC	15.0	350-1477-ND	3.43	2.86	2.29	609-1122-120
		Rot	635	60.0	12.0 DC	15.0	350-1478-ND	3.43	2.86	2.29	609-1122-130
		Rot	635	60.0	24.0 DC	15.0	350-1479-ND	3.43	2.86	2.29	609-1122-140
		Grün	565	112.0	6.0 DC	15.0	350-1483-ND	3.43	2.86	2.29	609-1222-120
		Grün	565	112.0	12.0 DC	15.0	350-1484-ND	3.43	2.86	2.29	609-1222-130
		Grün	565	112.0	24.0 DC	15.0	350-1485-ND	3.43	2.86	2.29	609-1222-140
		Gelb	585	90.0	6.0 DC	15.0	350-1489-ND	3.43	2.86	2.29	609-1322-120
		Gelb	585	90.0	12.0 DC	15.0	350-1490-ND	3.43	2.86	2.29	609-1322-130
		Gelb	585	90.0	24.0 DC	15.0	350-1491-ND	3.43	2.86	2.29	609-1322-140
9	Verchromt	Rot	635	60.0	6.0 DC	15.0	350-1492-ND	3.17	2.65	2.12	609-2112-120
		Rot	635	60.0	12.0 DC	15.0	350-1493-ND	3.17	2.65	2.12	609-2112-130
		Rot	635	60.0	24.0 DC	15.0	350-1494-ND	3.17	2.65	2.12	609-2112-140
		Grün	565	112.0	6.0 DC	15.0	350-1498-ND	3.17	2.65	2.12	609-2212-120
		Grün	565	112.0	12.0 DC	15.0	350-1499-ND	3.17	2.65	2.12	609-2212-130
		Grün	565	112.0	24.0 DC	15.0	350-1500-ND	3.17	2.65	2.12	609-2212-140
		Gelb	585	90.0	6.0 DC	15.0	350-1504-ND	3.17	2.65	2.12	609-2312-120
		Gelb	585	90.0	12.0 DC	15.0	350-1505-ND	3.17	2.65	2.12	609-2312-130
		Gelb	585	90.0	24.0 DC	15.0	350-1506-ND	3.17	2.65	2.12	609-2312-140
	Schwarz	Rot	635	60.0	6.0 DC	15.0	350-1495-ND	3.43	2.86	2.29	609-2122-120
		Rot	635	60.0	12.0 DC	15.0	350-1496-ND	3.43	2.86	2.29	609-2122-130
		Rot	635	60.0	24.0 DC	15.0	350-1497-ND	3.43	2.86	2.29	609-2122-140
		Grün	565	112.0	6.0 DC	15.0	350-1501-ND	3.43	2.86	2.29	609-2222-120
		Grün	565	112.0	12.0 DC	15.0	350-1502-ND	3.43	2.86	2.29	609-2222-130
		Grün	565	112.0	24.0 DC	15.0	350-1503-ND	3.43	2.86	2.29	609-2222-140
		Gelb	585	90.0	6.0 DC	15.0	350-1507-ND	3.43	2.86	2.29	609-2322-120
		Gelb	585	90.0	12.0 DC	15.0	350-1508-ND	3.43	2.86	2.29	609-2322-130
		Gelb	585	90.0	24.0 DC	15.0	350-1509-ND	3.43	2.86	2.29	609-2322-140

Abb. 1

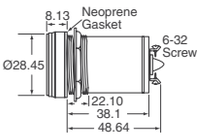

NEMA 4X IP66

Abb. 2

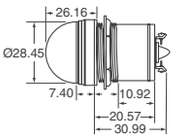

NEMA 4X IP66

Abb. 3

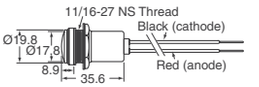

Zweifarbig hat 3 Anschlüsse

Abb. 4

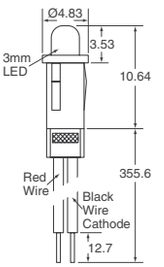

Abb. 5

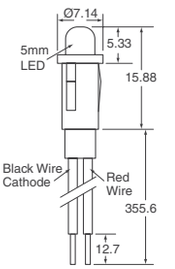

Abb. 6

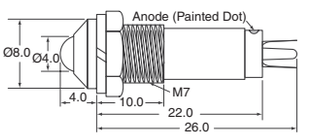

Abb. 7

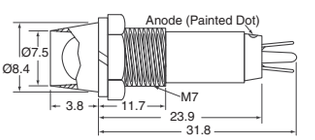

Abb. 8

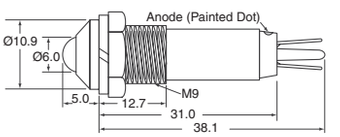

Abb. 9

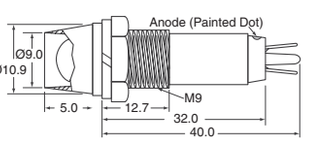

K

Alle Preisangaben in Euro und inklusive Zollgebühren.

LED 7-Segment Displays

Abb. 1

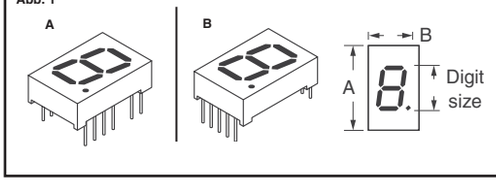

Abb. 2

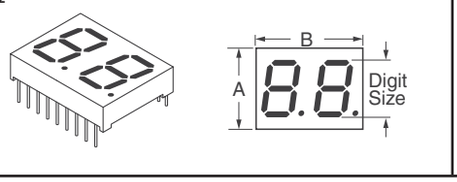

Abb. 3

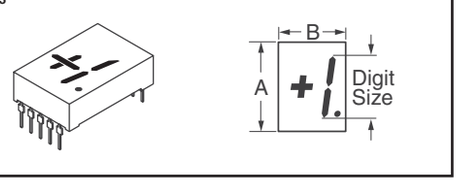

Abb.	Emittierte Farbe	Zifferngröße Zoll (mm)	Abmessungen (mm) A x B	Durchlassspannung typ. @ If	Iv (µcd)	Digi-Key Teilenr. Gemeinsame Anode	Digi-Key Teilenr. Gemeinsame Kathode	Stückpreis 1	25	100	Stanley Teilenr. Gemeinsame Anode	Stanley Teilenr. Gemeinsame Kathode
1A	Rot	.30 (7.5)	11.0 x 7.0	1.7 10	2800	404-1118-ND	404-1119-ND	1.63	.82	.74	NAR131SB	NKR131SB
	Rot	.40 (10)	13.0 x 9.6	1.7 10	6400	—	404-1120-ND	1.59	.80	.72	—	NKR141SC
	Rot	.40 (10)	19.0 x 12.5	1.7 20	8000	404-1121-ND	404-1122-ND	2.07	1.22	1.03	NAR141B	NKR141B
	Grün	.40 (10)	19.0 x 12.5	2.2 20	2000	—	404-1123-ND	2.07	1.22	1.04	—	NKG141PB
1B	Rot	.60 (15)	19.0 x 12.5	1.7 20	12000	404-1124-ND	404-1125-ND	1.66	.84	.76	NAR161B	NKR161B
	Rot	1.0 (25)	33.0 x 22.8	3.4 20	20000	404-1126-ND	404-1127-ND	4.67	2.88	2.55	NAR105B	NKR105B
	Grün	1.0 (25)	33.0 x 22.8	4.4 20	8000	404-1128-ND	404-1129-ND	4.65	2.87	2.53	NAG105PB	NKG105PB
2	Rot	.60 (15)	19.0 x 25.2	1.7 20	12000	404-1130-ND	404-1131-ND	2.90	1.79	1.67	NAR261B	NKR261B
1A	Rot/Grün	.40 (10)	19.0 x 10.0	1.7/2.0 10/10	2400	404-1132-ND	—	4.12	2.54	2.25	NARG141	—
1B	Rot/Grün	.60 (15)	19.0 x 12.5	1.7/2.0 10/10	2400	404-1133-ND	—	4.17	2.57	2.27	NARG161	—
		1.00 (25)	33.0 x 22.8	3.4/4.0 10/10	4000	404-1134-ND	—	6.22	4.56	3.77	NARG105	—

Abb.	Emittierte Farbe	Zifferngröße Zoll (mm)	Abmessungen (mm) A x B	Durchlass-spannung typ. @ If	Iv (µcd)	Digi-Key Teilenr.	Stückpreis 1	25	100	Stanley Teilenr.
3	Rot	.40 (10)	19.0 x 12.5	1.7 20	6400	404-1135-ND	1.65	.98	.83	NSR145B
		.60 (15)	19.0 x 12.5	1.7 20	12000	404-1136-ND	1.89	1.12	.94	NSR161B

Superhelles LED-Lichtbalkenmodul

Abb. 1

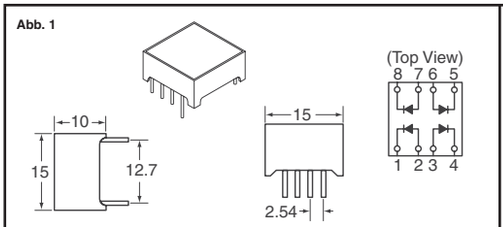

Abb. 2

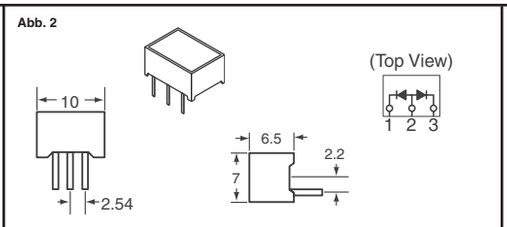

Abb. 3

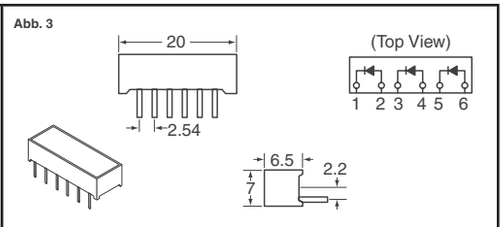

Abb. 4

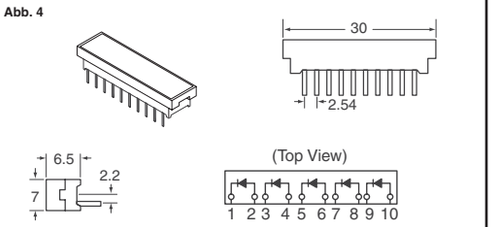

Abb. 5

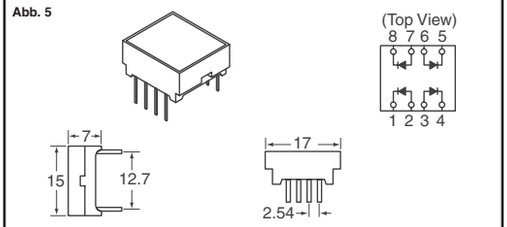

Abb. 6

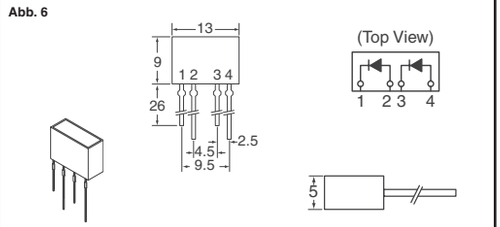

Abb.	Emittierte Farbe	Wellenlänge λpk typ. (nm)	Durchlass-spannung Typ. @ If	Iv (mcd)	Digi-Key Teilenr.	Stückpreis 1	25	100	Stanley Teilenr.
1	Orange	605	2.2 20	20	404-1138-ND	1.39	.71	.63	MU02-3201
	Gelb	570	2.1 20	42	404-1139-ND	1.22	.68	.56	MU02-4201
2	Rot	660	1.7 20	20	404-1141-ND	.97	.43	.39	MU03-2201
	Orange	605	2.2 20	10	404-1142-ND	.63	.35	.29	MU03-3201
	Gelb	570	2.1 20	20	404-1143-ND	.76	.34	.31	MU03-4201
	Reines Grün	555	2.2 20	7	404-1144-ND	.68	.38	.32	MU03-5201
3	Rot	660	1.7 20	32	404-1145-ND	.98	.55	.45	MU04-2101
	Gelb	570	2.1 20	32	404-1146-ND	.96	.53	.44	MU04-4101
	Grün	560	2.1 20	20	404-1147-ND	.96	.53	.44	MU04-5102
4	Rot	660	1.7 20	40	404-1148-ND	1.43	.72	.65	MU07-2101
	Orange	605	2.2 20	20	404-1149-ND	—	—	.58	MU07-3101
	Gelb	570	2.1 20	40	404-1150-ND	1.36	.69	.62	MU07-4101
5	Rot	660	1.7 20	40	404-1152-ND	1.29	.72	.59	MU08-2201
	Gelb	570	2.2 20	40	404-1153-ND	1.38	.77	.63	MU08-4201
	Reines Grün	560	2.2 20	20	404-1154-ND	1.40	.71	.64	MU08-5201
6	Gelb	570	2.1 20	16	404-1157-ND	.78	.44	.36	MU16-4101

K

LEDs zur Oberflächenmontage

Abb.1 — 0603 ultrakompakt

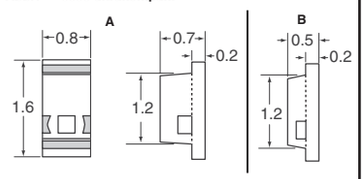

Abb.2 — 0805 dünner Typ

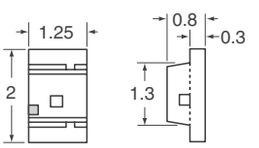

Abb.3 — 1206 gewölbte Linse f. Standard- und umgekehrte Montage

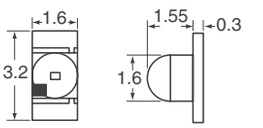

Abb.4 — 1206 Standard-Flachlinse

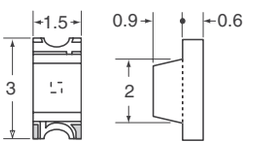

Abb.5 — 1206 Standard-Innenlinse

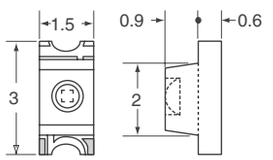

Abb.6 — 1206 umgekehrte Montage

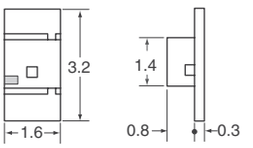

Abb.7 — Rechtwinklige SMT-LED

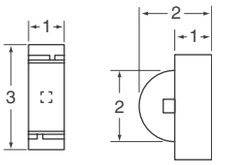

Abb.8 — Rechtwinklige SMT-LED

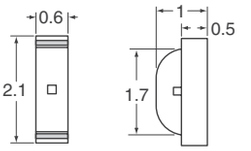

Abb.9 — 1210 zweifarbige Standard-Flachlinse, Typ SMT-LED

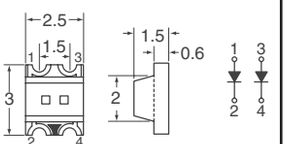

Abb.10 — 1210 zwei zweifarbige Innenlinsen, Typ SMT-LED

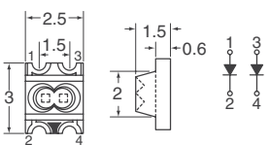

Abb.11 — Zweifarbige ultrakompakte SMT-LED

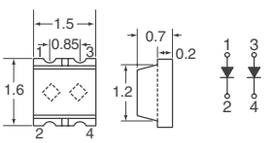

Abb.12 — Zweifarbige rechtwinklige SMT-LED

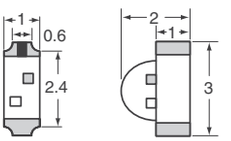

Abb.13 — Niedrige Bauform

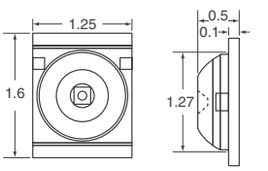

Abb.14 — 3,2 x 2,8 Flachlinse

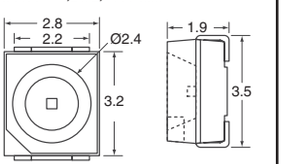

Abb.	Quellenfarbe	Linse	Wellenlänge λpk (nm)	Durchlassspannung TYP @ mA		Iv (mcd)	Sichtwinkel	Digi-Key Teilenr.	Gurtabschnittspreise 1	25	100	Digi-Key Teilenr.	Gegurtet auf Rolle Größe	Preisangaben	Stanley Teilenr.
0603 ultrakompakt															
1A	Rot	Milchweiß	660	1.7	20	11.7	140°	404-1000-1-ND	.22	2.52	7.33	404-1000-2-ND	4,000	47.42/M	BR1111C-TR
	Orange		605	2.2	20	3.4	150°	404-1001-1-ND	.31	3.81	11.47	404-1001-2-ND	4,000	82.95/M	AA1111C-TR
	Gelb		580	2.2	20	3.4	150°	404-1002-1-ND	.21	2.47	7.18	404-1002-2-ND	4,000	46.46/M	AY1111C-TR
	Gelbgrün		570	2.1	20	11.7	150°	404-1003-1-ND	.17	1.96	5.69	404-1003-2-ND	4,000	36.78/M	PY1111C-TR
	Grün		560	2.1	20	6.4	150°	404-1004-1-ND	.17	1.94	5.62	404-1004-2-ND	4,000	36.36/M	PG1111C-TR
	Reines Grün		555	2.1	20	2.4	150°	404-1005-1-ND	.34	4.13	12.43	404-1005-2-ND	4,000	84.20/M	BG1111C-TR
	Rot	Milchweiß	635	1.9	20	50	140°	404-1006-1-ND	.88	10.79	35.11	404-1006-2-ND	4,000	250.37/M	FR1111C-TR
	Orange		609	1.9	20	65	140°	404-1007-1-ND	.78	9.62	31.28	404-1007-2-ND	4,000	223.10/M	FA1111C-TR
	Gelb		590	1.9	20	65	140°	404-1008-1-ND	.79	9.68	31.46	404-1008-2-ND	4,000	224.34/M	FY1111C-TR
	Grün		522	3.3	10	40	130°	404-1009-1-ND	2.84	41.88	141.08	404-1009-2-ND	4,000	1093.38/M	DG1111C-TR
	Blaugrün		502	3.3	10	34	130°	404-1010-1-ND	1.68	24.86	83.77	404-1010-2-ND	4,000	649.25/M	DC1111C-TR
	Blau		467	3.3	10	14	130°	404-1011-1-ND	1.57	23.14	77.95	404-1011-2-ND	4,000	604.10/M	DB1111C-TR
1B	Rot	Milchweiß	635	1.9	20	45	130°	404-1012-1-ND	1.09	13.33	40.16	404-1012-2-ND	4,000	272.02/M	FR1112C-TR
	Orange		609	1.9	20	50	130°	404-1013-1-ND	.94	11.43	34.42	404-1013-2-ND	4,000	233.16/M	FA1112C-TR
	Gelb		590	1.9	20	50	130°	404-1014-1-ND	.99	12.06	36.34	404-1014-2-ND	4,000	246.11/M	FY1112C-TR
	Grün		560	2.2	20	7.6	150°	404-1015-1-ND	.31	3.81	11.47	404-1015-2-ND	4,000	82.95/M	PG1112C-TR
	Gelbgrün		570	2.1	20	11.7	150°	404-1016-1-ND	.30	3.62	10.90	404-1016-2-ND	4,000	78.81/M	PY1112C-TR
0805 dünner Typ															
2	Rot	Milchweiß	660	1.7	20	11.7	150°	404-1017-1-ND	.33	4.00	12.05	404-1017-2-ND	4,000	81.61/M	BR1112H-TR
	Orange		605	2.2	20	3.7	160°	404-1018-1-ND	.30	3.75	11.29	404-1018-2-ND	4,000	81.57/M	AA1112H-TR
	Gelb		580	2.2	20	3.7	160°	404-1019-1-ND	.30	3.62	10.90	404-1019-2-ND	4,000	78.81/M	AY1112H-TR
	Gelbgrün		570	2.1	20	11.7	160°	404-1020-1-ND	.28	3.37	10.13	404-1020-2-ND	4,000	73.28/M	PY1112H-TR
	Grün		560	2.1	20	6.4	160°	404-1021-1-ND	.19	2.12	6.18	404-1021-2-ND	4,000	39.96/M	PG1112H-TR
	Reines Grün		555	2.1	20	2.7	160°	404-1022-1-ND	.25	2.90	8.40	404-1022-2-ND	4,000	54.34/M	BG1112H-TR
	Rot	Milchweiß	635	1.9	20	50	150°	404-1023-1-ND	.94	11.55	37.54	404-1023-2-ND	4,000	267.72/M	FR1112H-TR
	Orange		609	1.9	20	65	150°	404-1024-1-ND	.80	9.89	32.15	404-1024-2-ND	4,000	229.30/M	FA1112H-TR
	Gelb		592	1.9	20	65	150°	404-1025-1-ND	.85	10.37	33.72	404-1025-2-ND	4,000	240.45/M	FY1112H-TR
	Grün		522	3.3	10	40	150°	404-1026-1-ND	1.75	25.87	87.17	404-1026-2-ND	4,000	675.57/M	DG1112H-TR
	Blaugrün		502	3.3	10	34	150°	404-1027-1-ND	2.46	36.18	121.90	404-1027-2-ND	4,000	944.77/M	DC1112H-TR
	Blau		467	3.3	10	14	150°	404-1028-1-ND	1.91	24.00	86.38	404-1028-2-ND	4,000	503.15/M	DB1112H-TR
1206 gewölbte Linse f. Standard- und umgekehrte Montage															
3	Rot	Wasserklar	660	1.8	20	150	30°	404-1032-1-ND	.37	4.54	13.67	404-1032-2-ND	2,000	98.85/M	HKR1105W-TR
	Rot		660	1.7	20	50	50°	404-1033-1-ND	.36	4.44	13.38	404-1033-2-ND	2,000	96.78/M	HBR1105W-TR
	Orange		605	2.2	20	20	40°	404-1034-1-ND	.47	5.71	17.21	404-1034-2-ND	2,000	124.43/M	HAA1105W-TR
	Gelb		580	2.2	20	20	40°	404-1035-1-ND	.26	3.22	9.69	404-1035-2-ND	2,000	70.10/M	HAY1105W-TR
	Gelbgrün		570	2.1	20	50	40°	404-1036-1-ND	.32	3.94	11.86	404-1036-2-ND	2,000	85.72/M	HPY1105W-TR
	Grün		560	2.1	20	30	40°	404-1037-1-ND	.27	3.17	9.21	404-1037-2-ND	2,000	63.09/M	HPG1105W-TR
	Reines Grün		555	2.1	20	12	40°	404-1038-1-ND	.40	4.89	14.72	404-1038-2-ND	2,000	106.45/M	HBG1105W-TR
	Rot	Wasserklar	635	1.9	20	180	50°	404-1029-1-ND	.39	4.75	14.31	404-1029-2-ND	2,000	103.41/M	FR1105W-TR
	Orange		609	1.9	20	200	50°	404-1030-1-ND	.72	8.82	28.67	404-1030-2-ND	2,000	213.73/M	FA1105W-TR
	Gelb		592	1.9	20	180	50°	404-1031-1-ND	.37	4.59	13.82	404-1031-2-ND	2,000	99.96/M	FY1105W-TR
	Grün		522	3.3	10	140	40°	404-1039-1-ND	1.70	22.57	79.81	404-1039-2-ND	2,000	715.52/M	HDG1105W-TR
	Blaugrün		502	3.3	10	140	40°	404-1040-1-ND	1.70	22.57	79.81	404-1040-2-ND	2,000	715.52/M	HDC1105W-TR
	Blau		467	3.3	10	70	40°	404-1041-1-ND	1.59	21.07	74.53	404-1041-2-ND	2,000	668.17/M	HDB1105W-TR
1206 Standard-Flachlinse															
4	Rot	Wasserklar	660	1.7	20	12.8	150°	404-1042-1-ND	.25	2.86	8.31	404-1042-2-ND	2,500	56.95/M	BR1101W-TR
	Orange		605	2.2	20	5.6		404-1043-1-ND	.37	4.51	13.58	404-1043-2-ND	2,500	98.16/M	AA1101W-TR
	Gelb		580	2.2	20	4.0		404-1044-1-ND	.34	4.13	12.43	404-1044-2-ND	2,500	89.86/M	AY1101W-TR
	Gelbgrün		570	2.1	20	8.0		404-1045-1-ND	.32	3.94	11.86	404-1045-2-ND	2,500	85.72/M	PY1101W-TR
	Grün		560	2.1	20	4.8		404-1046-1-ND	.23	2.71	7.86	404-1046-2-ND	2,500	53.87/M	PG1101W-TR
	Reines Grün		555	2.1	20	2.0		404-1047-1-ND	.25	2.99	8.68	404-1047-2-ND	2,500	56.13/M	BG1101W-TR
1206 Standard-Innenlinse															
5	Rot	Wasserklar	660	1.7	20	33.6	70°	404-1048-1-ND	.36	4.44	13.38	404-1048-2-ND	2,500	96.78/M	BR1102W-TR
	Orange		605	2.2	20	10.0		404-1049-1-ND	.37	4.51	13.58	404-1049-2-ND	2,500	98.16/M	AA1102W-TR
	Gelb		580	2.2	20	8.4		404-1050-1-ND	.34	4.13	12.43	404-1050-2-ND	2,500	89.86/M	AY1102W-TR
	Gelbgrün		570	2.1	20	24.0		404-1051-1-ND	.32	3.94	11.86	404-1051-2-ND	2,500	85.72/M	PY1102W-TR
	Grün		560	2.1	20	12.0		404-1052-1-ND	.23	2.71	7.86	404-1052-2-ND	2,500	53.87/M	PG1102W-TR
	Reines Grün		555	2.1	20	4.8		404-1053-1-ND	.40	4.83	14.54	404-1053-2-ND	2,500	105.07/M	BG1102W-TR

(Forts.)

Alle Preisangaben in Euro und inklusive Zollgebühren.

Abb.	Quellenfarbe	Linse	Wellenlänge λpk (nm)	Durchlassspannung TYP @ mA		Iv (mcd)	Sichtwinkel	Digi-Key Teilenr.	Gurtabschnittspreise 1	25	100	Digi-Key Teilenr.	Gegurtet auf Rolle Größe	Preisangaben	Stanley Teilenr.
1206 umgekehrte Montage															
6	Rot	Milch-weiß	660	1.7	20	12.7	140°	404-1054-1-ND*	.36	4.32	13.00	404-1054-2-ND	3,000	94.01/M	BR1111R-TR
	Orange		605	2.2	20	3.7	150°	404-1055-1-ND	.20	2.51	7.55	404-1055-2-ND	3,000	54.61/M	AA1111R-TR
	Gelb		580	2.2	20	3.7	150°	404-1056-1-ND	.34	4.13	12.43	404-1056-2-ND	3,000	89.87/M	AY1111R-TR
	Grün		560	2.1	20	6.9	150°	404-1058-1-ND	.23	2.68	7.78	404-1058-2-ND	3,000	50.33/M	PG1111R-TR
	Reines Grün		555	2.1	20	2.7	150°	404-1059-1-ND	.35	4.26	12.82	404-1059-2-ND	3,000	92.63/M	BG1111R-TR
Rechtwinklige SMT-LED															
7	Rot	Wasser-klar	635	1.9	20	50	140°	404-1060-1-ND	.91	11.43	41.13	404-1060-2-ND	3,000	325.97/M	FR1101F-TR
	Orange		609	1.9	20	65	140°	404-1061-1-ND	.41	4.94	14.86	404-1061-2-ND	3,000	107.42/M	FA1101F-TR
	Gelb		592	1.9	20	65	140°	404-1062-1-ND	1.00	12.29	39.98	404-1062-2-ND	3,000	285.07/M	FY1101F-TR
	Rot	Wasser-klar	660	1.7	20	12.4	170°	404-1063-1-ND	.30	3.60	10.46	404-1063-2-ND	3,000	67.61/M	BR1101F-TR
	Orange		605	2.2	20	3.0	150°	404-1064-1-ND	.22	2.66	8.02	404-1064-2-ND	3,000	57.93/M	AA1101F-TR
	Gelb		580	2.2	20	3.0	150°	404-1065-1-ND	.28	3.23	9.38	404-1065-2-ND	3,000	60.70/M	AY1101F-TR
	Gelbgrün		570	2.1	20	8.8	150°	404-1066-1-ND	.35	4.26	12.82	404-1066-2-ND	3,000	92.63/M	PY1101F-TR
	Grün		560	2.1	20	5.2	150°	404-1067-1-ND	.25	2.99	8.68	404-1067-2-ND	3,000	56.13/M	PG1101F-TR
	Reines Grün		555	2.1	20	2.4	150°	404-1068-1-ND	.37	4.51	13.58	404-1068-2-ND	3,000	98.16/M	BG1101F-TR
Rechtwinklige SMT-LED															
8	Rot	Milch-weiß	660	1.7	20	11.7	130°	404-1069-1-ND	.29	3.50	10.51	404-1069-2-ND	4,000	76.04/M	BR1113F-TR
	Gelbgrün		570	2.1	20	11.7	150°	404-1070-1-ND	.30	3.62	10.90	404-1070-2-ND	4,000	78.81/M	PY1113F-TR
	Grün		560	2.1	20	6.4	150°	404-1071-1-ND	.31	3.81	11.47	404-1071-2-ND	4,000	82.95/M	PG1113F-TR
	Rot	Milch-weiß	635	1.9	20	50	130°	404-1072-1-ND	.56	6.84	22.25	404-1072-2-ND	4,000	158.65/M	FR1113F-TR
	Orange		609	1.9	20	65	130°	404-1073-1-ND	.66	8.07	26.24	404-1073-2-ND	4,000	187.16/M	FA1113F-TR
	Gelb		592	1.9	20	65	130°	404-1074-1-ND	.59	7.27	23.64	404-1074-2-ND	4,000	168.57/M	FY1113F-TR
	Grün		522	3.3	10	40	130°	404-1075-1-ND	1.52	23.28	82.33	404-1075-2-ND	4,000	675.57/M	DG1113F-TR
	Blaugrün		502	3.3	10	34	130°	404-1076-1-ND	1.74	23.15	81.87	404-1076-2-ND	4,000	671.82/M	DC1113F-TR
	Blau		467	3.3	10	14	130°	404-1077-1-ND	1.63	24.00	80.86	404-1077-2-ND	4,000	626.67/M	DB1113F-TR
1210 zweifarbige Standard-Flachlinse, Typ SMT-LED															
9	Rot/gelbgrün	Wasser-klar	660/570	1.7/2.1	20/20	12.8/8	160°/160°	404-1078-1-ND	.52	6.42	20.86	404-1078-2-ND	2,500	155.44/M	BRPY1201W-TR
	Rot/grün		660/560	1.7/2.1	20/20	12.8/4.8		404-1079-1-ND	.39	4.76	14.32	404-1079-2-ND	2,500	103.55/M	BRPG1201W-TR
	Rot/reines Grün		660/555	1.7/2.1	20/20	12.8/2		404-1080-1-ND	.32	4.32	15.70	404-1080-2-ND	2,500	96.12/M	BRBG1201W-TR
1210 zwei zweifarbige Innenlinsen, SMT-LED															
10	Rot/gelbgrün	Wasser-klar	660/570	1.7/2.1	20/20	33.6/24	100°/80°	404-1081-1-ND	.27	3.62	13.16	—	—	—	BRPY1204W-TR
	Rot/grün		660/560	1.7/2.1	20/20	33.6/12	100°/80°	404-1082-1-ND	.52	6.42	20.86	404-1082-2-ND	2,500	155.44/M	BRPG1204W-TR
	Rot/reines Grün		660/555	2.2/2.1	20/20	33.6/4.8	100°/80°	404-1083-1-ND	.31	4.25	15.45	404-1083-2-ND	2,500	94.56/M	BRBG1204W-TR
	Orange/gelbgrün		605/570	2.2/2.1	20/20	9/12	80°/80°	404-1084-1-ND	.52	6.98	25.40	404-1084-2-ND	2,500	155.44/M	AAPY1204W-TR
Zweifarbige ultrakompakte SMT-LED															
11	Rot/gelbgrün	Milch-weiß	660/570	1.7/2.1	20/20	11.7/11.7	170°/150°	404-1085-1-ND	.47	5.71	17.21	404-1085-2-ND	4,000	116.58/M	BRPY1211C-TR
	Rot/grün		660/560	1.7/2.1	20/20	11.7/6.4		404-1086-1-ND	.35	4.27	12.85	404-1086-2-ND	4,000	87.05/M	BRPG1211C-TR
	Rot/reines Grün		660/555	1.7/2.1	20/20	11.7/2.4		404-1087-1-ND	.48	5.84	17.59	404-1087-2-ND	4,000	87.05/M	BRBG1211C-TR
Zweifarbige rechtwinklige SMT-LED															
12	Gelbgrün	Milch-weiß	580/560	2.2/2.1	20/20	3.0/5.2	150°	404-1088-1-ND	.35	4.22	12.70	404-1088-2-ND	3,000	91.80/M	AYPG1211F-TR
	Rot/gelbgrün		660/570	1.7/2.1	20/20	17.6/8.8		404-1089-1-ND	.36	4.44	13.35	404-1089-2-ND	3,000	96.50/M	BRPY1211F-TR
1,6 x 1,25 Niedrigprofil															
13	Gelb	Wasser-klar	570	2.1	10	8.0	180°	404-1163-1-ND	.30	3.75	11.29	404-1163-2-ND	4,000	81.57/M	PY1105CK-TR
3,2 x 2,8 Flachlinse															
14	Rot	Wasser-klar	645	2.0	20	70	120°	404-1161-1-ND	.80	9.60	30.73	404-1161-2-ND	2,000	227.70/M	FR1104B-TR
	Gelb		588	2.0	20	70	120°	404-1160-1-ND	1.12	13.38	42.84	404-1160-2-ND	2,000	317.39/M	FY1104B-TR

***** Umgekehrte Polarität

LEDs m. Durchgangsbohrung

Abb.1

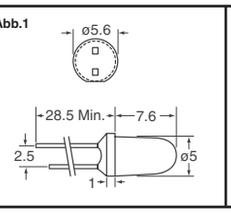

Abb.2

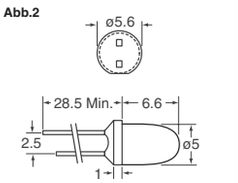

Abb.3

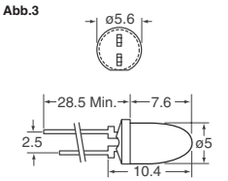

Abb.4

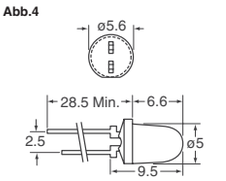

Abb.5

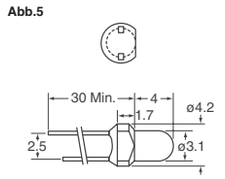

Abb.6

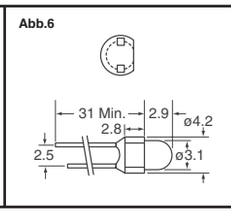

Abb.	Beschreibung	Quellen-farbe	Linse	Wellenlänge λpk (nm)	Durchlassspannung TYP @ mA		Iv (mcd)	Sichtwinkel	Digi-Key Teilenr.	Stückpreis 1	25	100	Stanley Teilenr.
1	5mm	Rot	Pastellrot, durchsichtig	635	1.9	20	3600	10°	404-1090-ND	.65	.33	.27	EFR5366X
		Orange	Pastellorange, durchsichtig	609	1.9	20	5000	10°	404-1091-ND	.65	.33	.27	EFA5366X
		Gelb	Pastellgelb, durchsichtig	592	1.9	20	4000	10°	404-1092-ND	.69	.35	.28	EFY5366X
		Grün	Wasserklar	522	3.5	20	2400	10°	404-1093-ND	1.75	1.04	.87	DG5306X
		Blaugrün	Wasserklar	502	3.5	20	2400	10°	404-1094-ND	1.75	1.04	.87	DC5306X
		Blau	Wasserklar	467	3.5	20	1000	10°	404-1095-ND	1.63	.97	.82	DB5306X
2	5mm	Rot	Pastellrot, durchsichtig	635	1.9	20	880	45°	404-1096-ND	.69	.35	.28	EFR5365S
		Orange	Pastellorange, durchsichtig	609	1.9	20	1160	45°	404-1097-ND	.69	.35	.28	EFA5365S
		Gelb	Pastellgelb, durchsichtig	592	1.9	20	1000	45°	404-1098-ND	.69	.35	.28	EFY5365S
		Grün	Wasserklar	522	3.5	20	800	30°	404-1099-ND	1.74	1.03	.87	DG5305S
		Blaugrün	Wasserklar	502	3.5	20	800	30°	404-1100-ND	1.74	1.03	.87	DC5305S
		Blau	Wasserklar	467	3.5	20	240	30°	404-1101-ND	1.63	.97	.82	DB5305S
		Weiß	Wasserklar	—	3.7	20	2000	35°	404-1162-ND	1.85	1.06	.94	UW5805S
3	5mm	Rot	Wasserklar	660	1.8	20	1000	10°	404-1102-ND	1.08	.61	.50	H-1000L
							2000	10°	404-1103-ND	1.60	.81	.73	H-2000L
							3000	10°	404-1104-ND	2.05	1.21	1.02	H-3000L
4	5mm	Rot	Wasserklar	660	1.8	20	300	25°	404-1105-ND	.75	.38	.31	KR5005S
5	Bündige Montage, 3 mm	Rot	Pastellrot, durchsichtig	635	1.9	20	1280	20°	404-1106-ND	.70	.35	.28	EFR3863X
		Orange	Pastellorange, durchsichtig	609	1.9	20	1600	20°	404-1107-ND	.79	.39	.32	EFA3863X
		Gelb	Pastellgelb, durchsichtig	592	1.9	20	1440	20°	404-1108-ND	.69	.35	.28	EFY3863X
		Grün	Wasserklar	522	3.5	20	1200	20°	404-1109-ND	1.73	1.03	.86	DG3803X
		Blaugrün	Wasserklar	502	3.5	20	1200	20°	404-1110-ND	1.73	1.03	.86	DC3803X
		Blau	Wasserklar	467	3.5	20	500	20°	404-1111-ND	1.61	.96	.81	DB3803X
6	Bündige Montage, 3 mm	Rot	Pastellrot, durchsichtig	635	1.9	20	440	70°	404-1112-ND	.70	.35	.28	EFR3864X
		Orange	Pastellorange, durchsichtig	609	1.9	20	560	70°	404-1113-ND	.79	.39	.32	EFA3864X
		Gelb	Pastellgelb, durchsichtig	592	1.9	20	500	70°	404-1114-ND	.65	.33	.27	EFY3864X
		Grün	Wasserklar	522	3.5	20	480	50°	404-1115-ND	1.73	1.02	.86	DG3804X
		Blaugrün	Wasserklar	502	3.5	20	480	50°	404-1116-ND	1.73	1.03	.86	DC3804X
		Blau	Wasserklar	467	3.5	20	120	50°	404-1117-ND	1.61	.96	.81	DB3804X
		Weiß	Wasserklar	—	3.7	20	2000	40°	404-1164-ND	1.85	1.06	.94	UW3804X

Abb. 1

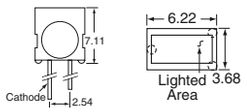

Abb. 2

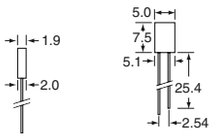

Abb. 3

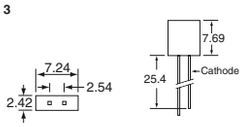

Abb. 4

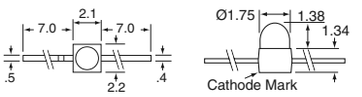

Abb. 5

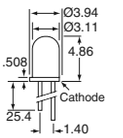

Abb. 6

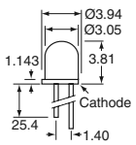

Abb. 7

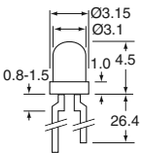

Abb. 8

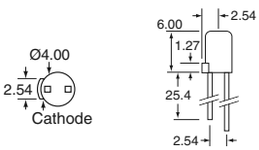

Abb. 9

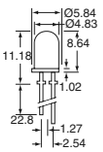

Abb. 10

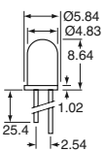

Abb. 11

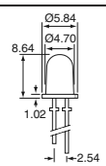

Abb. 12

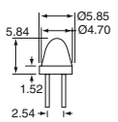

Abb. 13

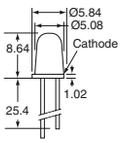

Abb. 14

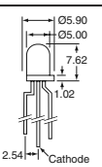

Abb. 15

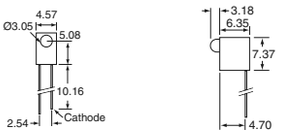

Abb. 16

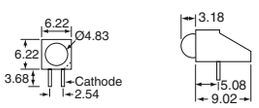

Abb. 17

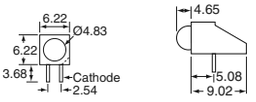

Abb. 18

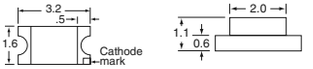

Abb. 19

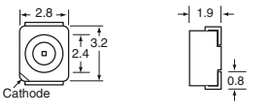

Abb.	Größe	Farbe	Wellenlänge pk (nm)	Linse	Vf (V) typ.	If (mA) typ.	Sichtwinkel	Intensität (mcd) typ.	Digi-Key Teilenr.	Stückpreis 1	10	100
Standard-LEDs												
1	5.59x3.18mm	Ho. Eff. Rot	635	Diffundiert	2.0	20	100°	6.0	MV57124A-ND	.39	.32	.22
	5.59x3.18mm	Grün	562	Diffundiert	2.2	20	100°	6.0	MV54124A-ND	.39	.32	.22
	5.59x3.18mm	Gelb	585	Diffundiert	2.0	20	100°	6.0	MV53124A-ND	.42	.35	.24
	5.59x3.18mm	Grün/AlGaAs Rot	562/660	Diffundiert	2.2	20	100°	6.0	MV49124A-ND	.42	.35	.24
2	2x5 mm	Ho. Eff. Rot	635	Diffundiert	2.0	20	100°	4.0	MV57123-ND	.30	.24	.17
	2x5 mm	Grün	562	Diffundiert	2.2	20	100°	4.0	MV54123-ND	.30	.24	.17
	2x5 mm	Gelb	585	Diffundiert	2.1	20	100°	4.0	MV53123-ND	.30	.24	.17
3	2.5x7.4 mm	Ho. Eff. Rot	635	Diffundiert	2.1	20	100°	2.5	HLMP0300-ND	.34	.28	.19
	2.5x7.4 mm	Ho. Eff. Rot	635	Diffundiert	2.1	20	100°	5.0	HLMP0301-ND	.31	.26	.18
	2.5x7.4 mm	Grün	565	Diffundiert	2.3	20	100°	5.0	HLMP0504-ND	.31	.26	.18
	2.5x7.4 mm	Gelb	585	Diffundiert	2.2	20	100°	5.0	HLMP0401-ND	.31	.26	.18
4	1.9mm	Grün	565	Diffundiert	2.0	10	50°	3.0	MV6400A-ND	.45	.36	.27
5	3mm	Rot	660	Diffundiert	1.6	20	70°	2.5	MV5074C-ND	.29	.23	.17
	3mm	Rot	660	Diffundiert	1.6	20	90°	1.5	MV5075C-ND	.29	.23	.17
	3mm	Ho. Eff. Rot	635	Diffundiert	2.0	20	90°	9.0	MV5774C-ND	.29	.23	.17
	3mm	Grün	565	Diffundiert	2.2	20	90°	9.0	MV5474C-ND	.29	.23	.17
	3mm	Gelb	585	Diffundiert	2.1	20	90°	9.0	MV5374C-ND	.29	.23	.17
6	3mm	Ho. Eff. Rot	635	Diffundiert	2.0	20	180°	7.0	MV5777C-ND	.29	.23	.17
	3mm	Grün	565	Diffundiert	2.2	20	180°	7.0	MV5477C-ND	.29	.23	.17
7	3mm	Hi. Int. Rot	660	Transparent	1.8	20	45°	65.0	HLMPK105-ND	.29	.23	.17
	3mm	Ho. Eff. Rot	635	Blass getönt	2.2	20	45°	60.0	HLMP1340-ND	.29	.23	.17
	3mm	Gelb	585	Blass getönt	2.2	20	45°	60.0	HLMP1440-ND	.29	.23	.17
	3mm	Hi. Eff. Grün	565	Blass getönt	2.2	20	45°	60.0	HLMP1540-ND	.29	.23	.17
	3mm	Rot	660	Diffundiert	1.6	10	90°	1.5	MV50640-ND	.29	.23	.17
	3mm	Ho. Eff. Rot	635	Diffundiert	2.0	10	90°	2.0	HLMP1300-ND	.29	.23	.17
	3mm	Ho. Eff. Rot	635	Diffundiert	2.0	10	90°	4.0	HLMP1302-ND	.29	.23	.17
	3mm	Hi. Eff. Grün	562	Diffundiert	2.2	20	90°	5.0	HLMP1503-ND	.29	.23	.17
	3mm	Hi. Eff. Grün	562	Diffundiert	2.2	20	90°	10.0	HLMP1523-ND	.29	.23	.17
	3mm	Gelb	585	Diffundiert	2.1	10	90°	4.5	MV53642-ND	.29	.23	.17
	3mm	AlGaAs Rot	660	Diffundiert	1.6	1.0	60°	2.0	HLMPK150-ND	.29	.23	.17
	3mm	Gelb	585	Diffundiert	1.9	2.0	50°	2.0	HLMP1719-ND	.29	.23	.17
	3mm	Grün	565	Diffundiert	1.9	2.0	50°	2.0	HLMP1790-ND	.29	.23	.17
	3mm	Ho. Eff. Rot	635	Diffundiert	1.8	2.0	50°	2.0	HLMP1700-ND	.29	.23	.17
	3mm	Grün/Rot	567/650	Diffundiert	2.1	20	100°	10.0	MV6461A-ND	.42	.34	.26
8	4mm	Ho. Eff. Rot	635	Diffundiert	2.2	20	135°	7.0	HLMPM201-ND	.29	.23	.17
	4mm	Grün	565	Diffundiert	2.3	20	135°	10.0	HLMPM501-ND	.29	.23	.17
	4mm	Gelb	585	Diffundiert	2.2	20	135°	7.0	HLMPM301-ND	.29	.23	.17
9	5mm	Ho. Eff. Rot	635	Getönt	2.2	20	24°	150.0	HLMP3750AFS-ND	.29	.23	.17
	5mm	Grün	565	Getönt	2.2	20	24°	150.0	HLMP3950AFS-ND	.29	.23	.17
	5mm	Gelb	585	Getönt	2.2	20	24°	150.0	HLMP3850AFS-ND	.29	.23	.17
10	5mm	Ho. Eff. Rot	635	Transparent	2.2	20	24°	150.0	MV3750-ND	.29	.23	.17
	5mm	Ho. Eff. Rot	635	Transparent	2.0	20	28°	100.0	MV5752-ND	.29	.23	.17
	5mm	Grün	565	Transparent	2.2	20	24°	150.0	MV3450-ND	.29	.23	.17
	5mm	Hi. Eff. Grün	562	Transparent	2.2	20	35°	25.0	MV5452-ND	.29	.23	.17
	5mm	Hi. Eff. Grün	562	Transparent	2.2	20	35°	100.0	MV64521-ND	.29	.23	.17
	5mm	Gelb	585	Transparent	2.1	20	28°	90.0	MV5352-ND	.29	.23	.17
	5mm	Rot	660	Diffundiert	2.2	10	24°	1.0	MV5054A1-ND	.29	.23	.17
	5mm	Rot	660	Diffundiert	2.2	10	24°	2.0	MV5054A2-ND	.29	.23	.17
	5mm	Rot	660	Diffundiert	2.2	10	24°	3.0	MV5054A3-ND	.29	.23	.17
	5mm	Ho. Eff. Rot	635	Diffundiert	2.0	20	24°	25.0	MV5754A-ND	.29	.23	.17
	5mm	Grün	562	Diffundiert	2.2	20	24°	30.0	MV5454A-ND	.29	.23	.17
	5mm	Gelb	585	Diffundiert	2.1	20	24°	25.0	MV5354A-ND	.29	.23	.17
	5mm	Rot	660	Diffundiert	2.2	20	80°	0.5	MV5053-ND**	.29	.23	.17
	5mm	Rot	660	Diffundiert	2.2	20	80°	0.5	MV6053-ND	.29	.23	.17
	5mm	Ho. Eff. Rot	635	Bernstein diffundiert	2.0	20	65°	15.0	MV5153-ND**	.29	.23	.17
	5mm	Ho. Eff. Rot	635	Diffundiert	2.0	20	65°	15.0	MV5753-ND**	.29	.23	.17
	5mm	Ho. Eff. Rot	635	Diffundiert	2.0	20	65°	15.0	MV6753-ND	.29	.23	.17

** Langer Leiter ist Kathode

(Forts.)

Alle Preisangaben in Euro und inklusive Zollgebühren.

LEDs *(Forts.)*

Abb.	Größe	Farbe	Wellenlänge pk (nm)	Linse	Vf (V) typ.	If (mA) typ.	Sichtwinkel	Intensität (mcd) typ.	Digi-Key Teilenr.	Stückpreis 1	10	100
	5mm	Grün	562	Diffundiert	2.2	20	75°	20.0	MV5453-ND**	.29	.23	.17
	5mm	Grün	562	Diffundiert	2.2	20	75°	20.0	MV64531-ND	.29	.23	.17
	5mm	Gelb	585	Diffundiert	2.1	20	65°	15.0	MV5353-ND**	.29	.23	.17
	5mm	Rot	660	Diffundiert	1.6	10	70°	3.0	FLV110-ND	.32	.26	.18
	5mm	AlGaAs Rot	650	Diffundiert	2.4	20	70°	12.0	MV6951-ND	.29	.23	.17
10	5mm	Gelb	585	Diffundiert	1.9	2.0	35°	2.0	HLMP4719-ND	.29	.23	.17
	5mm	Hi. Eff. Grün	565	Diffundiert	1.9	2.0	35°	3.0	MV2454-ND	.29	.23	.17
	5mm	Rot	660	Diffundiert	1.6	1.0	65°	3.0	HLMPD150A-ND	.29	.23	.17
	5mm	Ho. Eff. Rot	635	Diffundiert	1.8	2.0	35°	2.0	HLMP4700-ND	.29	.23	.17
	5mm	Ho. Eff. Rot	635	Diffundiert	2.2	10	65°	3.0	HLMP3300-ND	.29	.23	.17
	5mm	Ho. Eff. Rot	635	Diffundiert	2.2	10	65°	7.0	HLMP3301-ND	.29	.23	.17
	5mm	Rot	660	Weiß diffundiert	1.65	20	90°	1.6	MV5021A-ND	.29	.23	.17
11	5mm	Rot	660	Diffundiert	1.65	20	90°	1.6	MV5023A-ND	.29	.23	.17
	5mm	Rot	660	Diffundiert	1.65	20	60°	3.0	MV5024A-ND	.29	.23	.17
	5mm	Rot	660	Diffundiert	1.65	20	180°	0.4	MV5025A-ND	.29	.23	.17
12	5mm	Rot	660	Diffundiert	1.6	10	50°	1.5	MV50154-ND	.29	.23	.17
9	5mm	AlGaAs Rot/Ho. Eff. Rot	660/635	Diffundiert	2.0/2.0	20	75°	5.0/5.0	MV5094A-ND	.42	.35	.24
9	5mm	AlGaAs Rot/Grün	660/562	Diffundiert	2.0/2.0	20	75°	5.0/.5.0	MV5491A-ND	.39	.32	.22
14	5mm	Grün/Ho. Eff. Rot	565/635	Diffundiert	2.1/2.1	20	100°	6.0/6.0	MV5437-ND	.39	.32	.22
				Superhelle LEDs								
	5mm	Superrot	660	Diffundiert	1.7	20	40°	200.0	MV8191-ND	.39	.32	.22
	5mm	Superrot	660	Transparent	1.7	20	40°	370.0	MV8141-ND	.41	.33	.25
10	5mm	Superrot	660	Transparent	1.7	20	20°	370.0	MV8102-ND	.40	.32	.22
	5mm	Superrot	660	Transparent	1.7	20	20°	940.0	MV8103-ND	.31	.26	.18
	5mm	Superrot	660	Transparent	1.7	20	20°	1500.0	MV8104-ND	.31	.26	.18
	5mm	Supergelb	590	Transparent	2.1	20	20°	2400.0	MV8305-ND	.52	.40	.30
	5mm	Superrot	660	Transparent	1.7	20	12°	940.0	MV8112-ND	.31	.26	.18
13	5mm	Superrot	660	Transparent	1.7	20	12°	2400.0	MV8114-ND	.31	.26	.18
	5mm	Supergelb	590	Transparent	2.1	20	12°	3500.0	MV8316-ND	.56	.42	.32
	5mm	Supergrün	565	Transparent	2.1	20	12°	600.0	MV8412-ND	.47	.37	.28
				LEDs zur Kartenmontage								
	3mm	Rot	660	Diffundiert	1.6	20	60°	1.5	MV5064MP4B-ND	.41	.31	.23
15	3mm	Gelb	585	Diffundiert	2.1	10	60°	2.0	MV5364MP4B-ND	.41	.31	.23
	3mm	Grün	565	Diffundiert	2.2	20	60°	5.0	MV5464MP4B-ND	.41	.31	.23
	5mm	Rot	660	Diffundiert	1.7	20	65°	2.0	MV60538MP7-ND	.46	.35	.26
16	5mm	Gelb	585	Diffundiert	2.1	20	65°	18.0	MV63538MP7-ND	.47	.36	.27
	5mm	Grün	565	Diffundiert	2.2	20	65°	26.0	MV64538MP7-ND	.47	.36	.27
	5mm	Rot	660	Diffundiert	1.7	20	65°	3.2	MV60539MP7-ND	.46	.35	.26
	5mm	Gelb	585	Diffundiert	2.1	20	65°	20.0	MV63539MP7-ND	.47	.36	.27
17	5mm	Grün	565	Diffundiert	2.2	20	65°	28.0	MV64539MP7-ND	.47	.36	.27
	5mm	Ho. Eff. Rot	635	Diffundiert	2.1	20	65°	15.0	MV67539MP7-ND	.47	.36	.27
	5mm	Rot/Grün	660/565	Diffundiert	2.3	20	100°	6.0	MV54919MP7-ND	.76	.57	.43

** Langer Leiter ist Kathode

LEDs zur Oberflächenmontage

Abb.	Größe	Farbe	Wellenlänge pk (nm)	Linse	Vf (V) typ.	If (mA) t yp.	Sicht-winkel	Intensität (mcd) typ.	Digi-Key Teilenr.	Gurtabschnittspreis pro Stück 1	10	100	Digi-Key Teilenr.	Rollen-glröße	Preis. f. G. a. R. *
	1206	Ho. Eff. Rot	635	Transparent	2.0	20	140°	6.0	QTLP650C2CT-ND	.32	.27	.18	QTLP650C2TR-ND	2,000	89.61/M
	1206	Gelb	585	Transparent	2.0	20	140°	6.0	QTLP650C3CT-ND	.32	.27	.18	QTLP650C3TR-ND	2,000	89.61/M
18	1206	Grün	565	Transparent	2.1	20	140°	10.0	QTLP650C4CT-ND	.32	.27	.18	QTLP650C4TR-ND	2,000	89.61/M
	1206	Ho. Eff. Rot	635	Diffundiert	2.0	20	160°	4.0	QTLP650D2CT-ND	.38	.31	.22	QTLP650D2TR-ND	2,000	105.15/M
	1206	Gelb	585	Diffundiert	2.0	20	160°	4.0	QTLP650D3CT-ND	.38	.31	.22	QTLP650D3TR-ND	2,000	105.15/M
	1206	Grün	565	Diffundiert	2.1	20	160°	6.5	QTLP650D4CT-ND	.38	.31	.22	QTLP650D4TR-ND	2,000	105.15/M
	PLCC	Ho. Eff. Rot	635	Transparent	2.0	20	120°	10.0	QTLP670C2CT-ND	.37	.31	.21	QTLP670C2TR-ND	2,000	104.24/M
19	PLCC	Gelb	585	Transparent	2.0	20	120°	10.0	QTLP670C3CT-ND	.37	.31	.21	QTLP670C3TR-ND	2,000	104.24/M
	PLCC	Grün	565	Transparent	2.1	20	120°	25.0	QTLP670C4CT-ND	.37	.31	.21	QTLP670C4TR-ND	2,000	104.24/M

FAIRCHILD SEMICONDUCTOR

LED 7-Segment-Anzeigen

Abb.	Farben-Wellenlänge (nm)	Ziffern-größe Zoll (mm)	Abmessungen Zoll (mm) AxB	VF (V)	If (mA)	Io (µcd)	Digi-Key Teilenr. Gemeinsame Anode	Digi-Key Teilenr. Gemeinsame Kathode	Stückpreis 1	10	100
	Rot (660)	.30 (7.62)	.74 x .39 (18.75 x 9.80)	1.6	20	350	MAN71A-ND	MAN74A-ND	1.37	1.10	.83
	Ho. Eff. Rot (635)	.30 (7.62)	.74 x .39 (18.75 x 9.80)	2.2	20	1900	MAN3910A-ND	MAN3940A-ND	1.24	.99	.75
	Ho. Eff. Rot (635)	.30 (7.62)	.74 x .39 (18.75 x 9.80)	2.2	20	1900	—	MAN3980A-ND	1.59	1.27	.96
	Rot/Orange (630)	.40 (10.16)	.74 x .39 (18.75 x 9.80)	2.2	20	1800	MAN4610A-ND	MAN4640A-ND	1.74	1.40	1.05
	Rot (660)	.40 (10.16)	.74 x .39 (18.75 x 9.80)	1.6	20	350	MAN4710A-ND	MAN4740A-ND	1.40	1.12	.84
1	Ho. Eff. Rot (635)	.40 (10.16)	.74 x .39 (18.75 x 9.80)	2.2	20	1900	—	MAN4940A-ND	1.73	1.38	1.04
	Grün (562)	.40 (10.16)	.74 x .39 (18.75 x 9.80)	2.2	20	3200	MAN4410A-ND	MAN4440A-ND	1.59	1.27	.96
	Hi.Eff. Grün(562)	.56 (14.22)	.75 x .48 (19.05 x 12.20)	2.2	20	3300	MAN6460-ND	MAN6480-ND	1.18	.98	.79
	Rot/Orange (630)	.56 (14.22)	.75 x .48 (19.05 x 12.20)	2.2	20	2200	MAN6660-ND	MAN6680-ND	1.12	.94	.75
	Rot (650)	.56 (14.22)	.75 x .48 (19.05 x 12.20)	1.6	20	420	MAN6760-ND	MAN6780-ND	1.17	.94	.71
	Ho. Eff. Rot (635)	.56 (14.22)	.75 x .48 (19.05 x 12.20)	2.2	20	2200	MAN6960-ND	MAN6980-ND	1.12	.94	.75
	Rot/Orange (630)	.80 (20.32)	.99 x .74 (25.02 x 18.67)	2.2	20	2200	MAN8610-ND	MAN8640-ND	1.45	1.16	.87
	Hi.Eff. Grün (562)	.56 (14.22)	.75 x .99 (19.05 x 25.02)	2.2	20	3300	MAN6410-ND	MAN6440-ND	1.68	1.35	1.01
2	Rot/Orange (630)	.56 (14.22)	.75 x .99 (19.05 x 25.02)	2.2	20	2200	MAN6610-ND	MAN6640-ND	1.35	1.09	.82
	Rot (650)	.56 (14.22)	.75 x .99 (19.05 x 25.02)	1.6	20	420	MAN6710-ND	MAN6740-ND	1.97	1.58	1.23
	Ho. Eff. Rot (635)	.56 (14.22)	.75 x .99 (19.05 x 25.02)	2.2	20	2200	MAN6910-ND	MAN6940-ND	1.33	1.07	.80

Abb. 1

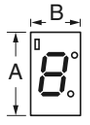

Abb. 2

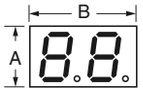

K

FAIRCHILD
SEMICONDUCTOR

LED-Arrays/Lichtbalken

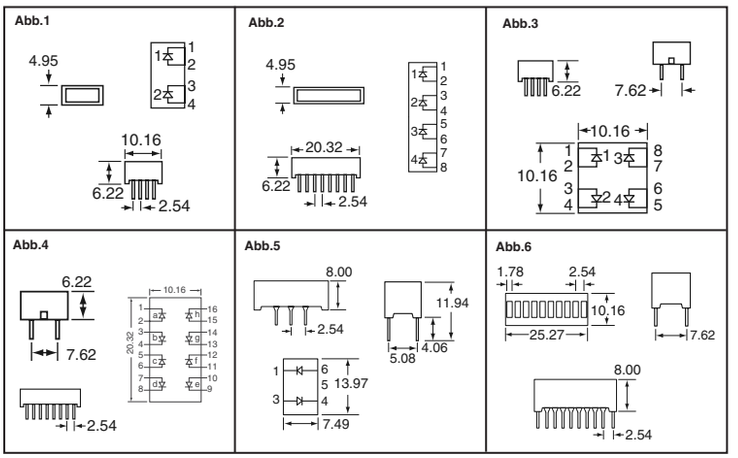

Abb.	Emittierte Farbe	Vf	Io typ. (mcd)	If (mA)	Digi-Key Teilenr.	Stückpreis 1	10	100
1	Rot	2.0	23	20	HLMP2300-ND	.70	.53	.40
1	Gelb	2.1	20	20	HLMP2400-ND	.73	.61	.49
1	Grün	2.2	25	20	HLMP2500-ND	.73	.61	.49
2	Rot	2.0	45	20	HLMP2350-ND	.78	.66	.53
2	Gelb	2.1	38	20	HLMP2450-ND	.86	.72	.57
2	Grün	2.2	50	20	HLMP2550-ND	.78	.66	.53
3	Rot	2.0	43	20	HLMP2655-ND	1.24	.99	.75
3	Gelb	2.1	35	20	HLMP2755-ND	1.24	.99	.75
3	Grün	2.2	50	20	HLMP2855-ND	1.26	1.01	.76
4	Rot	2.0	80	20	HLMP2685FS-ND	1.35	1.08	.82
4	Gelb	2.1	70	20	HLMP2785-ND	1.35	1.08	.82
4	Grün	2.2	100	20	HLMP2885-ND	1.40	1.12	.84
5	Rot	2.0	4.5	20	MV57173-ND	1.14	.96	.77
5	Gelb	2.0	4.5	20	MV53173-ND	1.14	.96	.77
5	Grün	2.2	4.5	20	MV54173-ND	1.14	.96	.77

LED-Balkendiagramm-Arrays

Abb.	Emittierte Farbe	Vf	Io typ. (mcd)	If (mA)	Digi-Key Teilenr.	Stückpreis 1	10	100
6	Gelb	2.0	1.8	10	MV53164-ND	1.24	.99	.75
6	Grün	2.2	1.8	10	MV54164-ND	1.30	1.05	.79
6	Rot	2.0	1.8	10	MV57164-ND	1.26	1.01	.76

LITEON

LED, Punktmatrix-Anzeigen

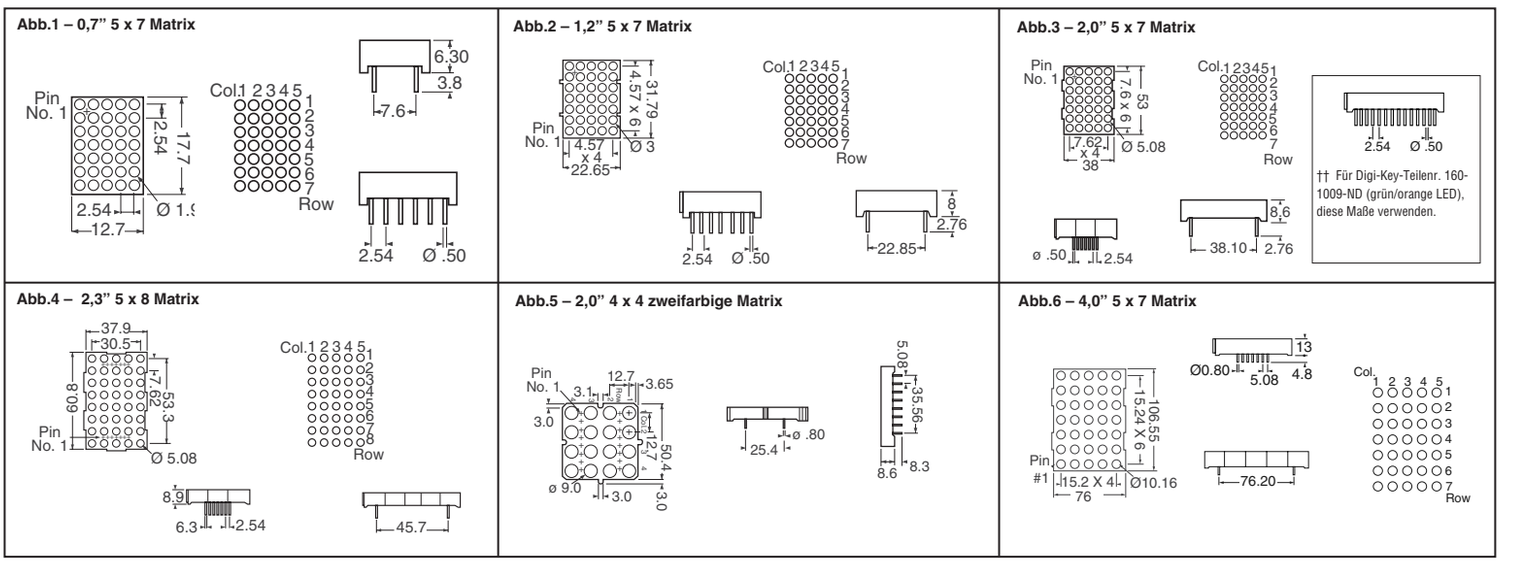

Abb.	Farbe	Spitzen-Wellenlänge l	Typ. Vf (V) (If = 20mA)	Max IF-Trigger (mA)	Typ. Iv (mcd)	Digi-Key Teilenr. Anode Reihe/ Kathode Spalte	Digi-Key Teilenr. Kathode Reihe/ Anode Spalte	Stückpreis 1	25	50	Lite-On Teilenr. Anode Reihe/ Kathode Spalte	Lite-On Teilenr. Kathode Reihe/ Anode Spalte
Standard-LED, Punktmatrix-Anzeigen												
1	Grün	565	2.1	11	2.0*	160-1002-ND	—	2.65	2.39	2.12	LTP-757G	—
1	Ho. Eff. Rot	635	2.0	10	2.0*	160-1003-ND	—	3.17	2.86	2.54	LTP-757HR	—
3	Grün/Rot-orange	565/630	2.1/2.0	13/13	4.8*	160-1009-ND††	—	5.57	5.01	4.46	LTP-2757AA	—
4	Ho. Eff. Rot	635	2.1	10	4.8*	160-1014-ND	—	4.60	4.14	3.68	LTP-2158AHR	—
5	Grün/Rot-orange	565/630	6.3/6.3	18/18	11†	160-1015-ND	—	11.39	10.25	9.11	LTP-2044A3-NB	—
6	Gelb	585	4.2	16	8†	160-1118-ND	—	18.40	16.56	14.72	LTP-4157AY	—
AlInGaP-LED, Punktmatrix-Anzeigen												
1	Superrot	639	2.0	13	3.4‡	160-1555-5-ND	160-1554-5-ND	3.24	2.92	2.60	LTP-757KR	LTP-747KR
1	Rot-orange	621	2.05	13	3.4‡	160-1553-5-ND	160-1552-5-ND	3.24	2.92	2.60	LTP-757KA	LTP-747KA
1	Gelb	595	2.05	13	3.4‡	160-1557-5-ND	160-1556-5-ND	3.24	2.92	2.60	LTP-757KY	LTP-747KY
2	Superrot	639	2.1	13	3.8‡	160-1567-5-ND	160-1566-5-ND	3.58	3.22	2.87	LTP-1557AKR	LTP-1457AKR
2	Rot-orange	621	2.05	13	3.8‡	160-1565-5-ND	160-1564-5-ND	3.81	3.43	3.05	LTP-1557AKA	LTP-1457AKA
2	Gelb	595	2.05	13	3.8‡	160-1569-5-ND	160-1568-5-ND	3.58	3.22	2.87	LTP-1557AKY	LTP-1457AKY
3	Superrot	639	2.0	13	4.6‡	160-1561-5-ND	160-1560-5-ND	3.94	3.55	3.15	LTP-2157AKR	LTP-2057AKR
3	Rot-orange	621	2.05	13	4.6‡	160-1559-5-ND	160-1558-5-ND	3.94	3.55	3.15	LTP-2157AKA	LTP-2057AKA
3	Gelb	595	2.05	13	4.6‡	160-1563-5-ND	160-1562-5-ND	3.94	3.55	3.15	LTP-2157AKY	LTP-2057AKY

* 80 mA, 1/16 Betriebszyklus † 48 mA, 1/8 Betriebszyklus ‡ 32 mA 1/16 Betriebszyklus †† Siehe physikalische Abmessungen unter Abb. 3

0,8" (20 mm) große Lampen mit universeller Kugellinse

MERKMALE: • Hohe Lichtintensität • Für Lichtintensität kategorisiert • Hervorragender Ein-Aus-Kontrast • Betriebstemperaturbereich: -25 °C ~ +85 °C.

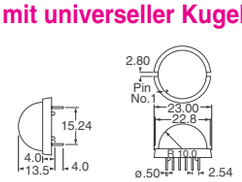

Farbe	If-Spitze pro Chip (mA)	If-Dauer pro Chip (mA)	Digi-Key Teilenr.	Preisangaben 1	10	100
Grün	100	25	160-1025-ND	1.78	14.82	118.52
Ho. Eff. Rot	100	25	160-1026-ND	1.78	14.82	118.52
Gelb	80	20	160-1027-ND	1.78	14.82	118.52

Abs. max. Nenngrößen bei T_A = 25 °C, VF = 2,1, VR = 5 V

Balkendiagramm-Array

Farbe	Dauerdurchlassstrom	Durchlassspannung (Vf)	Digi-Key Teilenr.	Preisangaben 1	10	100
Ho. Eff. Rot	25	2.1	160-1066-ND	.89	7.41	59.26
Grün	25	2.1	160-1067-ND	.89	7.41	59.26
Gelb	20	2.1	160-1068-ND	.89	7.41	59.26

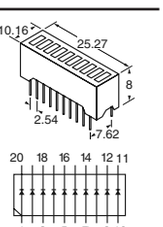

K

Alle Preisangaben in Euro und inklusive Zollgebühren.

Abb. 1

Alphanumerische Anzeigen

MERKMALE:

- Niedrige Leistungsanforderungen
- Hervorragende Anzeigequalität
- Guter Kontrast u. Helligkeit
- Weiter Sichtwinkel
- Für Lichtintensität kategorisiert

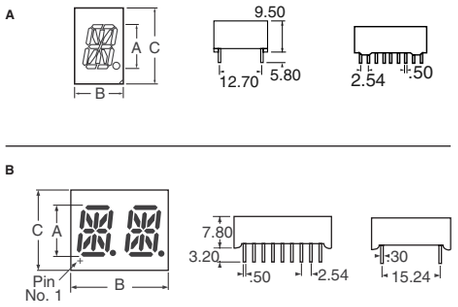

Abb. 2

Ultragroße 7-Segment-Anzeigen

MERKMALE:

- Kontinuierliche gleichmäßige Segmente
- Hervorragende Anzeigequalität
- Guter Kontrast u. Helligkeit
- Weiter Sichtwinkel
- Für Lichtintensität kategorisiert

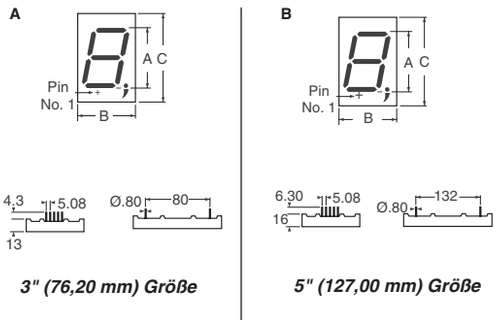

3" (76,20 mm) Größe

5" (127,00 mm) Größe

Abb.	Beschreibung	Zifferngröße Zoll (mm) (A)	Abmessungen (mm) (B) x (C)	Emittierte Farbe	Front-Farbe	Spitzen-Wellenlänge (nm)	Vf pro Segment (V) typ. (D.P.)	If (mA) max.	Typ. Iv (ucd) @ If (mA)		Digi-Key Teilenr. Gemeinsame Anode	Digi-Key Teilenr. Gemeinsame Kathode	Preisangaben 1	25	100
Einstellige alphanumerische LED-Anzeigen															
1A	Direkt gespeist	.50 (12.7)	16.00 x 25.00	Ho. Eff. Rot	Rot	635	2.0	25	2200	10	160-1108-ND	—	1.80	40.48	125.93
	Direkt gespeist	.50 (12.7)	16.00 x 25.00	Gelb	Schwarz	585	2.1	20	2200	10	160-1107-ND	—	1.80	40.48	125.93
	Direkt gespeist	.50 (12.7)	16.00 x 25.00	Grün	Schwarz	565	2.1	25	2200	10	160-1106-ND	—	1.80	40.48	125.93
Zweistellige alphanumerische LED-Anzeigen															
1B	Duplex	.54 (13.8)	25.2 x 21.15	Rot-orange	Grau	630	2.0	25	2300	10	160-1011-ND	160-1010-ND	2.67	60.01	186.68
	Duplex	.54 (13.8)	25.2 x 21.15	Grün	Grau	565	2.1	25	2300	10	160-1013-ND	160-1012-ND	2.67	60.01	186.68
Ultragroße numerische 7-Segment-LED-Anzeigen															
2A	Direkt gespeist	3.0 (76.20)	70.00 x 110.0	Ho. Eff. Rot	Schwarz	635	12.0 (4.0)	40	30000	20	160-1018-ND	160-1017-ND	13.34	241.83	833.90
	Direkt gespeist	3.0 (76.20)	70.00 x 110.0	Grün	Schwarz	565	12.6 (4.2)	40	30000	20	160-1020-ND	160-1019-ND	14.22	257.79	888.93
2B	Direkt gespeist	5.0 (127.0)	108.0 x 180.0	Ho. Eff. Rot	Schwarz	635	20.0 (4.0)	60	60000	30	160-1022-ND	160-1021-ND	30.70	556.39	1918.61
	Direkt gespeist	5.0 (127.0)	108.0 x 180.0	Grün	Schwarz	565	21.0 (4.2)	60	60000	30	160-1024-ND	160-1023-ND	30.70	556.39	1918.61

Abs. max. Nenngrößen bei T_A = 25 °C

Sieben-Segment-Anzeigen

Abb. 1

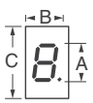

Abb. 2

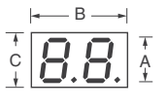

Abb. 3

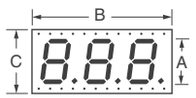

Abb. 4

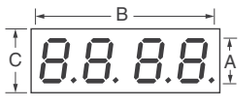

Abb.	Beschreibung	Zifferngröße Zoll (mm) (A)	Abmessungen (mm) (B) x (C)	Emittierte Farber	Front-Farbe	Spitzen-Wellenlänge (nm)	Vf pro Segment (V) typ.	If (mA) max.	Typ. Iv (ucd) @ If (mA)		Digi-Key Teilenr. Gemeinsame Anode	Digi-Key Teilenr. Gemeinsame Kathode	Stückpreis 1	25	100
AlInGap einstellige Sieben-Segment-Anzeigen															
1	Direkt gespeist	.39 (10.0)	9.70 x 12.90	Superrot	Hellgrau	639	2.00	25	650	1	160-1527-5-ND	—	.58	.42	.36
	Direkt gespeist	.39 (10.0)	9.70 x 12.90	Gelb-orange	Hellgrau	611	2.05	25	650	1	160-1526-5-ND	—	.58	.42	.36
	Direkt gespeist	.39 (10.0)	9.70 x 12.90	Gelb	Hellgrau	588	2.05	25	650	1	160-1525-5-ND	—	.70	.51	.44
	Direkt gespeist	.39 (10.0)	9.70 x 12.90	Superrot	Grau	639	2.00	25	520	1	160-1532-5-ND	160-1533-5-ND	.61	.45	.39
	Direkt gespeist	.39 (10.0)	9.70 x 12.90	Gelb-orange	Grau	611	2.05	25	650	1	160-1530-5-ND	160-1531-5-ND	.61	.45	.39
	Direkt gespeist	.39 (10.0)	9.70 x 12.90	Gelb	Grau	588	2.05	25	867	1	160-1528-5-ND	160-1529-5-ND	.61	.45	.39
Einstellige blaue Sieben-Segment-Anzeigen															
1	Direkt gespeist	.28 (7.00)	7.4 x 10.0	Blau	Grau	428	3.8	25	3000	10	160-1513-5-ND	160-1514-5-ND	3.06	2.23	1.92
	Direkt gespeist	.39 (10.00)	9.70 x 12.9	Blau	Grau	428	3.8	25	3600	10	160-1515-5-ND	160-1516-5-ND	3.13	2.28	1.96
	Direkt gespeist	.56 (14.22)	12.4 x 17.1	Blau	Grau	428	3.8	25	4300	10	160-1517-5-ND	160-1518-5-ND	3.10	2.25	1.94
AlInGap zweistellige Sieben-Segment-Anzeigen															
2	Duplex	.39 (10.0)	19.86 x 12.8	Superrot	Grau	639	2.00	25	850	1	160-1538-5-ND	160-1539-5-ND	1.02	.74	.64
	Duplex	.39 (10.0)	19.86 x 12.8	Gelb-orange	Grau	611	2.05	25	650	1	160-1536-5-ND	160-1537-5-ND	1.02	.74	.64
	Duplex	.39 (10.0)	19.86 x 12.8	Gelb	Grau	588	2.05	25	650	1	160-1534-5-ND	160-1535-5-ND	1.02	.74	.64
Zweistellige blaue Sieben-Segment-Anzeigen															
2	Duplex	.28 (7.00)	15.02 x 10.00	Blau	Grau	428	3.8	25	3000	10	160-1519-5-ND	160-1520-5-ND	6.13	4.45	3.84
	Duplex	.39 (10.0)	19.86 x 12.8	Blau	Grau	428	3.8	25	3600	10	160-1521-5-ND	160-1522-5-ND	6.20	4.50	3.88
	Duplex	.56 (14.22)	25.0 x 17.1	Blau	Grau	428	3.8	25	4300	10	160-1523-5-ND	160-1524-5-ND	6.20	4.50	3.88
AlInGap dreistellige Sieben-Segment-Anzeigen															
3	Multiplex	.39 (10.0)	30.02 x 12.8	Superrot	Grau	639	2.00	25	650	1	160-1544-5-ND	160-1545-5-ND	1.83	1.33	1.15
	Multiplex	.39 (10.0)	30.02 x 12.8	Gelb-orange	Grau	611	2.05	25	650	1	160-1542-5-ND	160-1543-5-ND	1.83	1.33	1.15
	Multiplex	.39 (10.0)	30.02 x 12.8	Gelb	Grau	588	2.05	25	650	1	160-1540-5-ND	160-1541-5-ND	1.83	1.33	1.15
AlInGap vierstellige Sieben-Segment-Anzeigen															
4	Multiplex	.39 (10.0)	40.18 x12.8	Superrot	Grau	639	2.00	25	650	1	160-1550-5-ND	160-1551-5-ND	2.03	1.48	1.27
	Multiplex	.39 (10.0)	40.18 x12.8	Gelb-orange	Grau	611	2.05	25	650	1	160-1548-5-ND	160-1549-5-ND	2.03	1.48	1.27
	Multiplex	.39 (10.0)	40.18 x12.8	Gelb	Grau	588	2.05	25	650	1	160-1546-5-ND	160-1547-5-ND	2.03	1.48	1.27

Abb.	Beschreibung	Zifferngröße Zoll (mm) (A)	Abmessungen (mm) (B) x (C)	Emittierte Farbe	Front-Farbe	Spitzen-Wellenlänge (nm)	Vf pro Segment (V) typ.	If (mA) max.	Typ. Iv (ucd) @ If (mA)		Digi-Key Teilenr.	Stückpreis 1	25	100
Gemeinsame Anode														
1	Direkt gespeist	.30 (7.62)	7.62 x 12.7	Rot	Hell Grau	632	2.1	25	12,000	10	160-1571-5-ND	.58	.42	.36
	Direkt gespeist	.30 (7.62)	7.62 x 12.7	Rot	Hell Grau	650	2.1	25	9,000	10	160-1572-5-ND	.56	.41	.35
	Direkt gespeist	.30 (7.62)	7.62 x 12.7	Grün	Grau	565	2.1	25	1,600	10	160-1577-5-ND	.68	.50	.43
	Direkt gespeist	.39 (10.0)	9.7 x 12.9	Rot	Hell Grau	650	2.1	25	9,750	10	160-1578-5-ND	.63	.46	.40
	Direkt gespeist	.56 (14.22)	12.4 x 17.1	Grün	Grau	565	2.1	25	2,400	10	160-1575-5-ND	.56	.41	.35
Gemeinsame Kathode														
1	Direkt gespeist	.30 (7.62)	7.62 x 12.7	Rot	Hell Grau	632	2.1	25	12,000	10	160-1570-5-ND	.73	.53	.46
	Direkt gespeist	.30 (7.62)	7.62 x 12.7	Rot	Hell Grau	650	2.1	25	9,000	10	160-1573-5-ND	.73	.53	.46
	Direkt gespeist	.30 (7.62)	7.62 x 12.7	Grün	Grau	565	2.1	25	1,600	10	160-1574-5-ND	.68	.50	.43
	Direkt gespeist	.56 (14.22)	12.4 x 17.1	Rot	Hell Grau	632	2.1	25	17,000	10	160-1576-5-ND	.75	.54	.47

K

Abm. in mm

Abb. 1

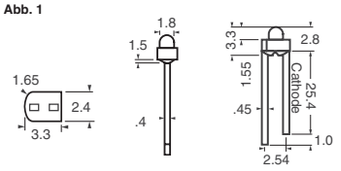

Abb. 2

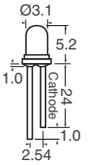

Abb. 3

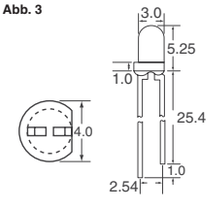

Abb. 4

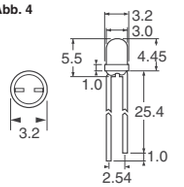

Abb. 5

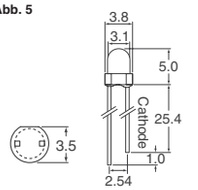

Abb. 6

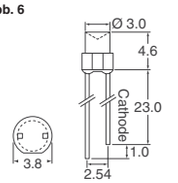

Abb. 7

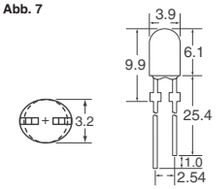

Abb. 8

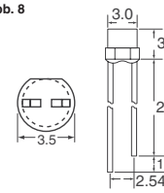

Abb. 9

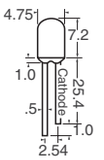

Abb. 10

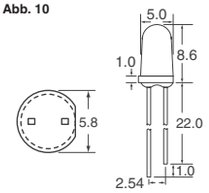

Abb. 11

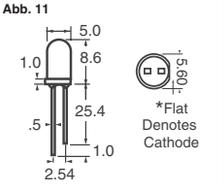

Abb. 12

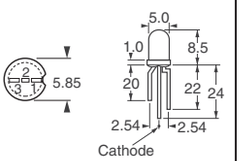

Abb. 13

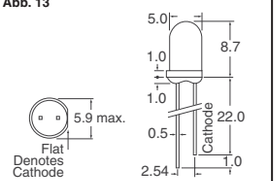

Abb. 14

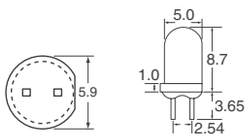

Abb. 15

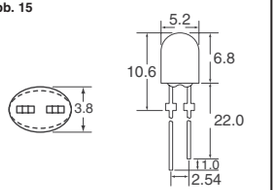

Abb. 16

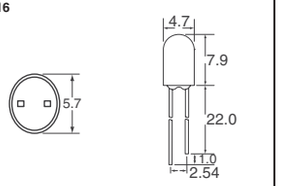

Abb. 17

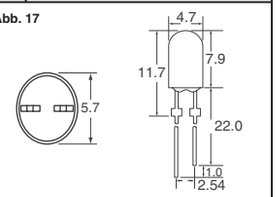

Abb. 18

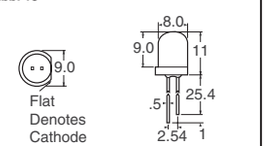

Abb. 19

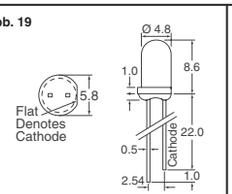

Abb. 20

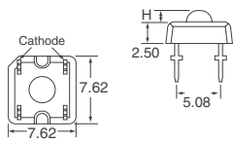

Teilenr.	H
LTL911xxx	1.50
LTL912xxx	1.90
LTL914xxx	1.90

Abb. 21

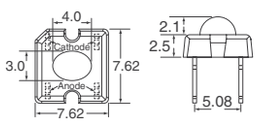

Abb. 22

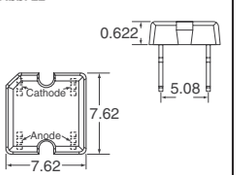

Abb.	Beschreibung	Emittierte Farbe	Linse	Spitzen-Wellenlänge (nm)	Vf typ. (V)	If max. (mA)	Iv typ. (mcd) @ (mA)		Sichtwinkel (2x Theta)	Digi-Key Teilenr.	Preisangaben 1	10	100	Lite-On Teilenr.
1	1,8 mm Dotpunkt	Ho. Eff. Rot	Rot diff.	635	2.0	30	12.6	10	38	160-1084-ND	.14	1.17	9.31	LTL-709E
		Gelb	Gelb diff.	585	2.1	20	12.6	10	38	160-1085-ND	.14	1.17	9.31	LTL-709Y
		STD. Grün	Rot diff.	560	2.1	30	8.7	10	38	160-1086-ND	.20	1.69	13.55	LTL-709L
2	T-1 Doppelflansch	Superrot	Rot diff.	639	2.0	30	90	20	60	160-1660-ND	.09	.79	6.26	LTL1CHKR
		Superrot	Wasserklar	639	2.0	30	250	20	45	160-1661-ND	.11	.91	7.28	LTL1CHKRKNN
		Ho. Eff. Rot	Rot diff.	635	2.0	30	12.6	10	60	160-1708-ND	.08	.62	4.91	LTL-1CHE
		Ho. Eff. Rot	Rot trans.	635	2.0	30	19	10	45	160-1704-ND	.08	.62	4.91	LTL-1CHEE
		Bernsteingelb	Wasserklar	595	2.05	30	320	20	45	160-1664-ND	.11	.91	7.28	LTL1CHKYKNN
		Bernsteingelb	Wasserklar	595	2.05	30	339	20	45	160-1663-ND	.11	.91	7.28	LTL1CHKYK
		Gelb	Wasserklar	588	2.05	30	320	20	45	160-1662-ND	.11	.91	7.28	LTL1CHKSKNN
		Gelb	Gelb trans.	585	2.1	20	40	10	45	160-1709-ND	.08	.62	4.91	LTL-1CHYE
		Grün	Wasserklar	575	2.05	30	320	20	45	160-1659-ND	.12	.97	7.79	LTL1CHKGKNN
		Grün	Rot diff.	565	2.1	30	12.6	10	60	160-1710-ND	.08	.62	4.91	LTL-1CHG
		Blau	Wasserklar	468	3.5	30	180	20	35	160-1604-ND	1.19	9.89	79.07	LTL1CHCBK3
		Blau	Wasserklar	468	4.0	30	310	20	30	160-1600-ND	.51	4.23	33.86	LTL1CHTBK2
		Blau	Wasserklar	468	3.7	30	400	20	30	160-1605-ND	1.33	11.07	88.55	LTL1CHCBK4
		Blau	Wasserklar	468	3.5	30	520	20	30	160-1601-ND	.55	4.61	36.91	LTL1CHTBK3
		Blau	Wasserklar	468	3.5	30	680	20	30	160-1602-ND	.62	5.16	41.31	LTL1CHTBK4
		Blau	Wasserklar	468	3.7	30	680	20	30	160-1606-ND	1.66	13.82	110.57	LTL1CHCBK5
		Blau	Wasserklar	468	3.5	30	880	20	30	160-1603-ND	.78	6.46	51.64	LTL1CHTBK5
3	T-1	Rot	Wasserklar	632	2.05	30	880	20	22	160-1665-ND	.10	.85	6.77	LTL42EKEKNN
		Rot-orange	Weiß diff.	624	2.0	50	680	20	40	160-1666-ND	.11	.91	7.28	LTL42EVHJNT
		Grün	Rot diff.	565	2.1	30	12.6	10	40	160-1712-ND	.08	.62	4.91	LTL-4231
		Weiß	Wasserklar	—	3.7	30	2600	20	25	160-1718-ND	1.18	9.78	78.23	LTL42CW65AT
		Weiß	Wasserklar	—	3.6	100	2600	30	25	160-1727-5-ND	.97	8.04	64.34	LTW-420C5
4	T-1 ultrahell	Rot	Rot diff.	660	1.8	40	60	20	60	160-1035-ND	.17	1.42	11.34	LTL-4261N
		Rot	Wasserklar	660	1.8	40	170	20	45	160-1034-ND	.16	1.31	10.50	LTL-4266N
	T-1	Superrot	Wasserklar	639	2.0	30	180	20	56	160-1668-ND	.11	.91	7.28	LTL42NKRKNN
		Ho. Eff. Rot	Rot trans.	635	2.0	30	29	10	45	160-1140-ND	.16	1.23	8.59	LTL-4222N
		Ho. Eff. Rot	Rot diff.	635	2.0	30	8.7	10	60	160-1139-ND	.16	1.23	8.59	LTL-4221N
		Rot	Wasserklar	632	2.05	30	250	20	56	160-1667-ND	.11	.91	7.28	LTL42KE6N
		Rot-orange	Wasserklar	630	2.0	30	60	10	45	160-1141-ND	.16	1.23	8.59	LTL-4296N
	T-1 zweifarbig	Rot-orange/Grün	Weiß diff.	630/565	2.0/2.1	30/30	4.8/4.8	20	200	160-1058-ND	.30	2.48	19.81	LTL-14CHJ
	T-1	Gelb	Gelb trans.	585	2.1	20	19	10	45	160-1146-ND	.16	1.23	8.59	LTL-4252N
		Gelb	Wasserklar	585	2.1	20	40	10	45	160-1147-ND	.16	1.23	8.59	LTL-4256N
		Gelb	Gelb diff.	585	2.1	20	5.6	10	60	160-1145-ND	.16	1.23	8.59	LTL-4251N
		Grün	Grün trans.	565	2.1	30	40	10	45	160-1143-ND	.16	1.23	8.59	LTL-4232N
		Grün	Wasserklar	565	2.1	30	40	10	45	160-1144-ND	.16	1.23	8.59	LTL-4236N
		Grün	Rot diff.	565	2.1	30	12.6	10	60	160-1142-ND	.16	1.23	8.59	LTL-4231N
		Weiß	Wasserklar	—	3.5	100	1100	30	45	160-1734-5-ND	.98	8.15	65.19	LTW-42NC5
5	3.8mm	Weiß	Wasserklar	—	3.5	100	520	30	90	160-1730-5-ND	.98	8.15	65.19	LTW-1KHC5
6	T-1 - Flachkontakt	Weiß	Wasserklar	—	3.5	100	85	30	130	160-1736-5-ND	.98	8.15	65.19	LTW-815C4
7	Oval - ohne Flansch	Gelb	Gelb diff.	594	2.35	50	680	20	110 Hort./50 Vert.	160-1616-ND	.36	3.01	24.04	LTL3HMSSS
8	T-1 - Flachkontakt	Bernsteingelb	Bernstein trans.	598	2.05	30	60	20	120	160-1699-ND	.17	1.42	11.34	LTL77HKYE1
		Bernsteingelb	Bernstein trans.	595	2.05	30	50	20	150	160-1700-ND	.17	1.42	11.34	LTL77HKYTNN
		Weiß	Wasserklar	—	3.5	100	140	30	140	160-1735-5-ND	.98	8.15	65.19	LTW-77HC4
9	T-1 3/4 kein Flansch	Ho. Eff. Rot	Rot diff.	635	2.0	30	60	10	60	160-1087-ND	—	.62	4.91	LTL-10223W
		Gelb	Gelb diff.	585	2.1	20	12.6	10	60	160-1088-ND	—	.62	4.91	LTL-10253W
		Grün	Rot diff.	565	2.1	30	40	10	60	160-1089-ND	—	.62	4.91	LTL-10233W
	T-1 3/4	Weiß	Wasserklar	—	3.5	100	6000	30	20	160-1729-5-ND	.98	8.15	65.19	LTW-102C4
10	T-1 3/4 - verjüngt	Superrot	Wasserklar	639	1.9	50	4200	20	12	160-1698-ND	.20	1.72	13.71	LTL353QRKNN
		Grün	Wasserklar	525	3.5	30	6000	20	8	160-1717-ND	.78	6.52	52.15	LTL-353TGK

(Forts.)

Alle Preisangaben in Euro und inklusive Zollgebühren.

Abb.	Beschreibung	Emittierte Farbe	Linse	Spitzen-Wellenlänge (nm)	Vf typ. (V)	If max. (mA)	Iv typ. (mcd) @ (mA)		Sichtwinkel (2x Theta)	Digi-Key Teilenr.	Preisangaben 1	10	100	Lite-On Teilenr.
10	T-1 3/4 - verjüngt	Blau	Wasserklar	468	3.5	30	1900	20	8	160-1716-ND	.78	6.52	52.15	LTL-353TBK
	T-1 3/4	Weiß	Wasserklar	—	3.5	100	2600	30	30	160-1733-5-ND	.98	8.15	65.19	LTW-2V3C5
11	T-1 3/4 zweifarbig	Rot-orange/Grün	Weiß diff.	565/630	2.1/2.0	30/30	19/19	20	50	160-1037-ND	.30	2.48	19.81	LTL-298WJ
	T-1 3/4 ultrahell zweifarbig	Rot/Grün	Weiß diff.	660/565	1.8/2.1	40/30	90/40	20	60	160-1038-ND	.31	2.58	20.66	LTL-293SJW
	T-1 3/4	Rot	Rot diff.	697	2.1	15	3.7	10	36	160-1713-ND	.08	.62	4.91	LTL-4213
		Ho. Eff. Rot	Rot trans.	635	2.0	30	90	10	16	160-1128-ND	.16	1.23	8.59	LTL-4224
		Ho. Eff. Rot	Rot diff.	635	2.0	30	19	10	36	160-1127-ND	.16	1.23	8.59	LTL-4223
		Gelb	Gelb trans.	585	2.1	20	90	10	16	160-1134-ND	.16	1.23	8.59	LTL-4254
		Gelb	Gelb diff.	585	2.1	20	19	10	36	160-1133-ND	.16	1.23	8.59	LTL-4253
		Grün	Grün trans.	565	2.1	30	60	10	16	160-1131-ND	.12	.93	6.52	LTL-4234
		Grün	Wasserklar	565	2.1	30	90	10	16	160-1132-ND	.16	1.23	8.59	LTL-4238
		Grün	Grün Diff.	565	2.1	30	19	10	36	160-1130-ND	.16	1.23	8.59	LTL-4233
		Weiß	Wasserklar	—	3.7	30	4800	20	20	160-1719-ND	1.18	9.78	78.23	LTL33BCWK5AT
12	T-1 3/4 ultrahell zweifarbig	Rot/Grün	Weiß diff.	697/565	2.1	15/30	5.6/19	10	30	160-1715-ND	.30	2.48	19.81	LTL-30EFJ
		Rot-orange/Grün	Weiß diff.	630/565	2.0/2.1	30/30	40/29	20	30	160-1057-ND	.30	2.48	19.81	LTL-30EHJ
		Gelb/Grün	Weiß diff.	585/565	2.1	20/30	29/29	20	30	160-1714-ND	.30	2.48	19.81	LTL-30EDJ
13	T-1 3/4	Superrot	Wasserklar	639	1.9	50	2400	20	15	160-1674-ND	.30	2.44	19.47	LTL2H3VRKNT
		Superrot	Wasserklar	639	2.0	30	800	20	22	160-1678-ND	.11	.91	7.28	LTL2P3KRK
		Superrot	Wasserklar	639	2.0	30	500	20	30	160-1685-ND	.11	.91	7.28	LTL2R3KRK
		Superrot	Wasserklar	639	1.9	50	500	20	30	160-1689-ND	.27	2.29	18.29	LTL2R3QRK
		Superrot	Wasserklar	639	1.9	50	990	20	30	160-1498-ND	.36	3.05	24.38	LTL-2R3VRKNT
		Superrot	Wasserklar	639	2.2	50	3200	20	30	160-1658-ND	.35	2.92	23.37	LTL2R3SRKNE
		Hoch eff. Rot	Rot diff.	635	2.0	30	19	10	50	160-1705-ND	.08	.62	4.91	LTL-307E
		Hoch eff. Rot	Rot trans.	635	2.0	30	90	10	40	160-1701-ND	.08	.62	4.91	LTL-307EE
		Rot	Rot diff.	697	2.1	15	5.6	10	50	160-1707-ND	.08	.62	4.91	LTL-307P
		Rot	Wasserklar	639	2.0	50	6350	20	15	160-1652-ND	.35	2.92	23.37	LTL2H3SEK
		Rot	Wasserklar	639	2.0	50	4800	20	22	160-1654-ND	.35	2.92	23.37	LTL2P3SEK
		Rot	Wasserklar	639	2.0	50	3700	20	30	160-1656-ND	.35	2.92	23.37	LTL2R3SEK
		Rot	Wasserklar	632	2.05	30	1700	20	15	160-1669-ND	.11	.91	7.28	LTL2H3KEK
		Rot	Wasserklar	632	2.0	50	3100	20	15	160-1672-ND	.27	2.23	17.78	LTL2H3VEKNT
		Rot	Wasserklar	632	2.05	30	700	20	30	160-1682-ND	.11	.91	7.28	LTL2R3KEK
		Rot	Wasserklar	632	2.0	50	1200	20	30	160-1499-ND	.36	3.05	24.38	LTL-2R3VEKNT
		Rot-orange	Wasserklar	624	2.0	50	1300	20	30	160-1500-ND	.36	3.05	24.38	LTL-2R3VHKNT
		Rot-orange	Wasserklar	621	2.0	50	3400	20	15	160-1671-ND	.30	2.44	19.47	LTL2H3VAKNT
		Rot-orange	Wasserklar	621	2.05	30	700	20	30	160-1681-ND	.11	.91	7.28	LTL2R3KAK
		Super Orange	Wasserklar	621	2.0	50	1300	20	30	160-1501-ND	.36	3.05	24.38	LTL-2R3VAKNT
		Gelb-Orange	Wasserklar	611	2.0	50	3400	20	15	160-1673-ND	.30	2.44	19.47	LTL2H3VFKNT
		Gelb-Orange	Wasserklar	611	2.0	50	700	20	30	160-1688-ND	.27	2.29	18.29	LTL2R3QFK
		Gelb-Orange	Wasserklar	611	2.05	30	700	20	30	160-1683-ND	.11	.91	7.28	LTL2R3KFK
		Gelb-Orange	Wasserklar	611	2.0	50	1300	20	30	160-1502-ND	.36	3.05	24.38	LTL-2R3VFKNT
		Bernsteingelb	Wasserklar	595	2.0	50	7800	20	8	160-1496-ND	.36	3.05	24.38	LTL-2F3VYKNT
		Bernsteingelb	Wasserklar	595	2.0	50	3400	20	15	160-1676-ND	.30	2.44	19.47	LTL2H3VYKNT
		Bernsteingelb	Wasserklar	598	2.0	50	1300	20	30	160-1503-ND	.36	3.05	24.38	LTL-2R3VYKNT
		Bernsteingelb	Wasserklar	595	2.0	50	700	20	30	160-1690-ND	.27	2.29	18.29	LTL2R3QYK
		Bernsteingelb	Wasserklar	595	2.05	30	700	20	30	160-1687-ND	.11	.91	7.28	LTL2R3KYK
		Bernstein	Wasserklar	594	2.15	50	5500	20	15	160-1653-ND	.35	2.92	23.37	LTL2H3SYK
		Bernstein	Wasserklar	594	2.15	50	3700	20	22	160-1655-ND	.35	2.92	23.37	LTL2P3SYK
		Bernstein	Wasserklar	594	2.15	50	2800	20	30	160-1657-ND	.35	2.86	22.86	LTL2R3SYK
		Gelb	Wasserklar	588	2.0	50	3100	20	15	160-1675-ND	.27	2.23	17.78	LTL2H3VSKNT
		Gelb	Wasserklar	588	2.05	30	1700	20	15	160-1670-ND	.11	.91	7.28	LTL2H3KSK
		Gelb	Wasserklar	588	2.0	50	1000	20	22	160-1680-ND	.27	2.29	18.29	LTL2P3QSK
		Gelb	Wasserklar	588	2.05	30	700	20	30	160-1686-ND	.11	.91	7.28	LTL2R3KSK
		Gelb	Wasserklar	588	2.0	50	1200	20	30	160-1504-ND	.36	3.05	24.38	LTL-2R3VSKNT
		Gelb	Gelber Diff.	585	2.1	20	29	10	50	160-1703-ND	.08	.62	4.91	LTL-307Y
		Grün	Wasserklar	574	2.1	30	980	20	22	160-1677-ND	.13	1.06	8.47	LTL2P3KGKNN
		Grün	Grün Diff.	574	2.1	30	150	20	40	160-1684-ND	.13	1.06	8.47	LTL2R3KG
		Grün	Grün Diff.	565	2.1	30	19	10	50	160-1706-ND	.08	.62	4.91	LTL-307G
		Grün	Grün trans.	565	2.1	30	60	10	40	160-1702-ND	.08	.62	4.30	LTL-307GE
		Grün	Wasserklar	525	3.5	30	1900	20	30	160-1615-ND	.70	5.87	46.90	LTL2T3TGK6
		Blau	Wasserklar	468	3.5	30	1900	20	15	160-1611-ND	.71	5.93	47.41	LTL2P3TBK5
		Blau	Wasserklar	468	4.0	30	240	20	30	160-1607-ND	.44	3.64	29.12	LTL2T3TBK2
		Blau	Wasserklar	468	3.5	30	400	20	30	160-1608-ND	.47	3.92	31.32	LTL2T3TBK3
		Blau	Wasserklar	468	3.5	30	680	20	30	160-1609-ND	.52	4.36	34.88	LTL2T3TBK4
		Blau	Wasserklar	468	3.5	30	880	20	30	160-1610-ND	.84	6.98	55.88	LTL2T3TBK5
		Weiß	Wasserklar	—	3.3	100	13,000	30	15	160-1728-5-ND	.98	8.15	65.19	LTW-2S3D7
		Weiß	Wasserklar	—	3.5	100	4200	30	15	160-1731-5-ND	.98	8.15	65.19	LTW-2E3C4
		Weiß	Wasserklar	—	3.6	100	1800	30	56	160-1732-5-ND	.98	8.15	65.19	LTW-2H7C5S
14	T-1 3/4	Bernsteingelb	Wasserklar	595	2.05	30	1000	20	22	160-1679-ND	.11	.91	7.28	LTL2P3KYKP
15	Oval - ohne Flansch	Rot	Wasserklar	639	2.2	50	880	20	100 Horiz./40 Vert.	160-1619-ND	.29	2.40	19.13	LTL5H3SRKS
16	Oval - ohne Flansch	Superrot	Wasserklar	639	2.2	50	1500	20	70 Horiz./35 Vert.	160-1620-ND	.26	2.20	17.61	LTL5V3SRK
17	Oval - ohne Flansch	Bernstein	Gelber Diff.	591	2.35	50	1150	20	70 Horiz./35 Vert.	160-1621-ND	.29	2.40	19.13	LTL5V3SSS
18	8mm	Gelb	Gelber Diff.	565	2.1	30	12.6	10	46	160-1041-ND	.23	1.93	15.41	LTL-327Y
19	T-1 3/4	Weiß	Wasserklar	—	3.6	100	4800	30	20	160-1726-5-ND	.97	8.04	64.34	LTW-337C5
20	7.62mm^2	Superrot	Wasserklar	639	2.15	70	1884	70	50	160-1509-ND	.45	3.71	29.63	LTL-912VRKSA
		Superrot	Wasserklar	639	2.15	70	942	70	70	160-1505-ND	.45	3.71	29.63	LTL-911VRKSA
		Rot	Wasserklar	638	2.50	70	7500	70	30	160-1631-ND	.43	3.58	28.62	LTL914SEKS
		Rot	Wasserklar	638	2.50	70	3375	70	60	160-1625-ND	.39	3.26	26.08	LTL912SEKSA
		Rot	Wasserklar	638	2.50	70	2250	70	90	160-1622-ND	.39	3.26	26.08	LTL911SEKSA
		Rot	Wasserklar	632	2.15	70	2508	70	50	160-1510-ND	.45	3.71	29.63	LTL-912VEKSA
		Rot	Wasserklar	632	2.15	70	1254	70	70	160-1506-ND	.45	3.71	29.63	LTL-911VEKSA
		Rot-orange	Wasserklar	624	2.15	70	2508	70	50	160-1511-ND	.45	3.71	29.63	LTL-912VHKSA
		Rot-orange	Wasserklar	624	2.15	70	1254	70	70	160-1507-ND	.45	3.71	29.63	LTL-911VHKSA
		Bernstein	Wasserklar	598	2.15	70	2508	70	50	160-1512-ND	.45	3.71	29.63	LTL-912VYKSA
		Bernstein	Wasserklar	598	2.15	70	1254	70	70	160-1508-ND	.45	3.71	29.63	LTL-911VYKSA
		Bernstein	Wasserklar	596	2.50	70	4180	70	30	160-1632-ND	.43	3.58	28.62	LTL914SYKS
		Bernstein	Wasserklar	596	2.50	70	1881	70	60	160-1627-ND	.51	4.23	33.86	LTL912SYKSA
		Bernstein	Wasserklar	596	2.50	70	1254	70	90	160-1624-ND	.39	3.26	26.08	LTL911SYKSA
		Grün	Wasserklar	518	4.0	50	2240	50	60	160-1640-ND	1.60	13.36	106.84	LTL912TGKS
		Grün	Wasserklar	518	4.0	50	1600	50	75	160-1638-ND	1.30	10.86	86.86	LTL911TGKS
		Blau	Wasserklar	465	4.3	50	630	50	56	160-1636-ND	1.60	13.36	106.84	LTL911CBKS5
		Blau	Wasserklar	465	4.0	50	770	50	60	160-1639-ND	1.49	12.39	99.05	LTL912TBKS
		Blau	Wasserklar	465	4.0	50	550	50	75	160-1637-ND	1.27	10.58	84.66	LTL911TBKS
21	7.62mm^2 - Oval	Rot	Wasserklar	638	2.50	70	3000	70	100 Horiz./40 Vert.	160-1628-ND	.47	3.92	31.32	LTL913SEKS
		Bernstein	Wasserklar	596	2.50	70	1672	70	100 Horiz./40 Vert.	160-1630-ND	.47	3.92	31.32	LTL913SYKS
22	7.62mm^2	Rot	Wasserklar	638	2.50	70	1125	70	120	160-1633-ND	.47	3.92	31.32	LTL915SEKS
		Bernstein	Wasserklar	596	2.50	70	627	70	120	160-1635-ND	.47	3.92	31.32	LTL915SYKS
		Grün	Wasserklar	518	4.0	50	480	50	120	160-1642-ND	1.60	13.36	106.84	LTL915TGKS
		Blau	Wasserklar	465	4.0	50	165	50	120	160-1641-ND	1.60	13.36	106.84	LTL915TBKS

LEDs zur Oberflächenmontage

Abb. 1 — 1206

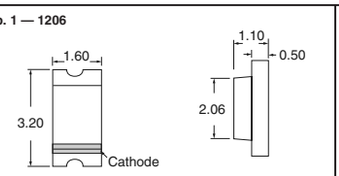

Abb. 2 — 1210

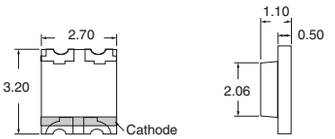

Abb. 3 — 0805

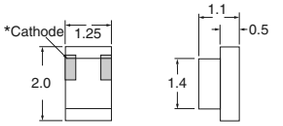

* Anode on part 160-1176-1

Abb. 4 — 0805

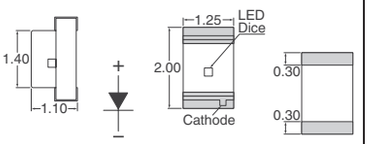

Abb. 5 —0805 superdünn

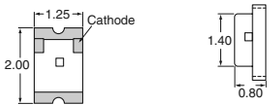

Abb. 6 — 0603

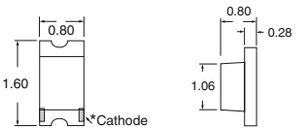

* Anode on part 160-1176-1

Abb. 7 — 0603

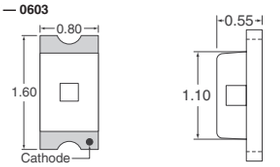

Abb. 8 — 0603 superdünn

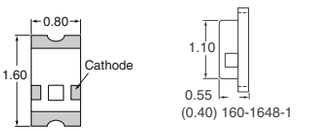

(0.40) 160-1648-1

Abb. 9 — 0603 superdünn

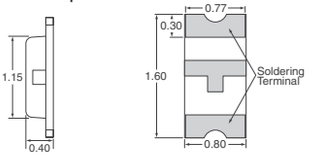

Abb. 10 — 0605 Doppel-LED

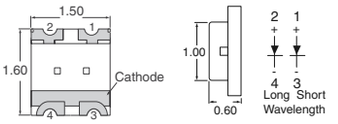

Abb. 11 — 1206 (hintere Befestigung)

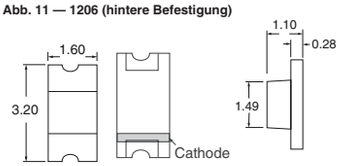

Abb. 12

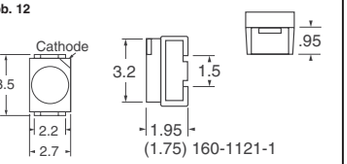

(1.75) 160-1121-1

Abb. 13 — 0805 rechtwinklig

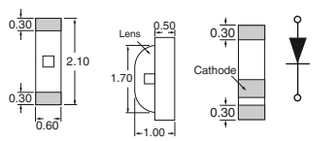

Abb. 14 — 0603 rechtwinklig

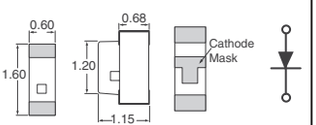

Abb. 15 — 1208 rechtwinkligl

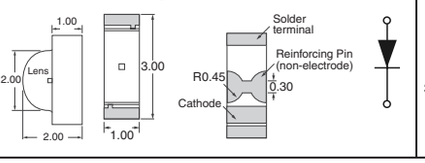

Abb. 16 — Gewölbt

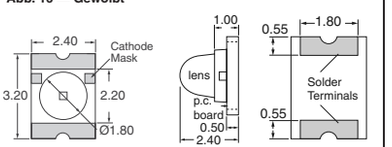

Abb.	Emittierte Farbe	Linse	Spitzen-Wellenlänge (nm)	Vf typ. (V)	If (mA) max.	Iv typ. (mcd)	@ mA	Sichtwinkel (2x Theta)	Digi-Key Teilenr.	Gurtabschnittspreise 1	10	100	Digi-Key Teilenr.	Gegurtet auf Rolle Größe	Preisangaben	Lite-On Teilenr.
1	Rot	Wasserklar	660	1.8	40	25	20	130	160-1167-1-ND	.09	.80	6.43	160-1167-2-ND	3,000	48.26/M	LTST-C150CKT
	Rot-orange		630	2.0	30	6	10	130	160-1168-1-ND	.09	.75	5.93	160-1168-2-ND	3,000	44.45/M	LTST-C150EKT
	Bernstein		610	2.1	30	6	10	130	160-1166-1-ND	.09	.75	5.93	160-1166-2-ND	3,000	44.45/M	LTST-C150AKT
	Gelb		585	2.1	20	6	10	130	160-1170-1-ND	.09	.75	5.93	160-1170-2-ND	3,000	44.45/M	LTST-C150YKT
	Grün		565	2.1	30	6	10	130	160-1169-1-ND	.09	.75	5.93	160-1169-2-ND	3,000	44.45/M	LTST-C150GKT
	Weiß	Gelb	—	3.2	100	260	20	130	160-1737-1-ND	.47	3.88	30.99	160-1737-2-ND	3,000	232.40/M	LTW-150TK
2	Grün/Gelb	Wasserklar	565/585	2.1/2.1	30/20	7/6	10	130/130	160-1171-1-ND	.14	1.23	9.82	160-1171-2-ND	3,000	73.66/M	LTST-C155GYKT
	Grün/Rot-orange		565/630	2.1/2.0	30/30	7/6	10	130/130	160-1172-1-ND	.14	1.23	9.82	160-1172-2-ND	3,000	73.66/M	LTST-C155GEKT
3	Rot	Wasserklar	660	1.8	40	10	10	130	160-1176-1-ND	.10	.85	6.77	160-1176-2-ND	3,000	50.80/M	LTST-C170CKT
	Rot-orange		630	2.0	30	2	10	130	160-1178-1-ND	.09	.79	6.26	160-1178-2-ND	3,000	46.99/M	LTST-C170EKT
	Bernstein		610	2.1	30	2	10	130	160-1177-1-ND	.09	.79	6.26	160-1177-2-ND	3,000	46.99/M	LTST-C170AKT
	Gelb		585	2.1	20	6	10	130	160-1175-1-ND	.09	.79	6.26	160-1175-2-ND	3,000	46.99/M	LTST-C170YKT
	Grün		565	2.1	30	6	10	130	160-1179-1-ND	.09	.79	6.26	160-1179-2-ND	3,000	46.99/M	LTST-C170GKT
4	Weiß	Gelb	—	3.3	100	281	20	130	160-1738-1-ND	.47	3.88	30.99	160-1738-2-ND	3,000	232.40/M	LTW-170TK
5	Rot	Wasserklar	660	1.8	40	25	20	130	160-1421-1-ND	.13	.97	8.04	160-1421-2-ND	3,000	48.26/M	LTST-C171CKT
	Rot-orange		630	2.0	30	6	20	130	160-1422-1-ND	.12	.89	7.41	160-1422-2-ND	3,000	44.45/M	LTST-C171EKT
	Bernstein		610	2.1	30	4.5	20	130	160-1419-1-ND	.12	.89	7.41	160-1419-2-ND	3,000	44.45/M	LTST-C171AKT
	Gelb		585	2.1	20	4.5	20	130	160-1431-1-ND	.12	.89	7.41	160-1431-2-ND	3,000	44.45/M	LTST-C171YKT
	Grün		565	2.1	30	12	20	130	160-1423-1-ND	.12	.89	7.41	160-1423-2-ND	3,000	44.45/M	LTST-C171GKT
6	Rot	Wasserklar	660	1.8	40	10	10	130	160-1181-1-ND	.08	.70	5.59	160-1181-2-ND	3,000	41.91/M	LTST-C190CKT
	Rot-orange		630	2.0	30	2	10	130	160-1182-1-ND	.08	.63	5.08	160-1182-2-ND	3,000	38.10/M	LTST-C190EKT
	Bernstein		610	2.1	30	2	10	130	160-1180-1-ND	.08	.63	5.08	160-1180-2-ND	3,000	38.10/M	LTST-C190AKT
	Gelb		585	2.1	20	6	10	130	160-1184-1-ND	.08	.63	5.08	160-1184-2-ND	3,000	38.10/M	LTST-C190YKT
	Grün		565	2.1	30	6	10	130	160-1183-1-ND	.08	.63	5.08	160-1183-2-ND	3,000	38.10/M	LTST-C190GKT
7	Weiß	Gelb	—	2.93	100	70	20	130	160-1724-1-ND	.46	3.81	30.48	160-1724-2-ND	3,000	228.59/M	LTW-C191TS5
8	Rot-orange	Wasserklar	630	2.0	30	4.5	20	130	160-1442-1-ND	.12	.89	7.41	160-1442-2-ND	5,000	44.45/M	LTST-C191EKT
	Bernstein		610	2.1	30	4.5	20	130	160-1440-1-ND	.12	.89	7.41	160-1440-2-ND	5,000	44.45/M	LTST-C191AKT
	Gelb		585	2.1	20	4.5	20	130	160-1449-1-ND	.12	.89	7.41	160-1449-2-ND	5,000	44.45/M	LTST-C191YKT
	Grün		565	2.1	30	12	20	130	160-1443-1-ND	.12	.89	7.41	160-1443-2-ND	5,000	44.45/M	LTST-C191GKT
	Weiß	Gelb	—	2.95	20	78	5	130	160-1720-1-ND	1.06	8.83	70.61	160-1720-2-ND	3,000	529.55/M	LTW-191TS5
9	Weiß	Gelb	—	2.95	20	78	5	130	160-1721-1-ND	1.06	8.83	70.61	160-1721-2-ND	3,000	274.30/M	LTW-C193TS5
	Weiß		—	2.70	100	38	20	130	160-1741-1-ND	.47	3.88	30.99	160-1741-2-ND	3,000	232.40/M	LTW-C192TL2
	Weiß		—	2.93	100	70	20	130	160-1742-1-ND	.47	3.88	30.99	160-1742-2-ND	3,000	232.40/M	LTW-C192TL5
	Weiß		—	2.93	100	70	20	130	160-1743-1-ND	.47	3.88	30.99	160-1743-2-ND	3,000	232.40/M	LTW-C192TS5
10	Grün/Rot	Wasserklar	565/630	2.1/2.0	30/30	10/4.5	20	130	160-1450-1-ND	.19	1.47	12.28	160-1450-2-ND	4,000	73.66/M	LTST-C195GEKT
	Grün/Gelb		565/585	2.1/2.1	30/20	10/4.5	20	130	160-1451-1-ND	.19	1.47	12.28	160-1451-2-ND	4,000	73.66/M	LTST-C195GYKT
11	Rot	Wasserklar	660	1.8	40	25	20	130	160-1186-1-ND	.10	.85	6.77	160-1186-2-ND	3,000	50.80/M	LTST-C230CKT
	Rot-orange		630	2.0	30	6	20	130	160-1187-1-ND	.09	.79	6.26	160-1187-2-ND	3,000	46.99/M	LTST-C230EKT
	Bernstein		610	2.1	30	4.5	20	130	160-1185-1-ND	.09	.79	6.26	160-1185-2-ND	3,000	46.99/M	LTST-C230AKT
	Gelb		585	2.1	20	4.5	20	130	160-1189-1-ND	.09	.79	6.26	160-1189-2-ND	3,000	46.99/M	LTST-C230YKT
	Grün		565	2.1	30	14	20	130	160-1188-1-ND	.09	.79	6.26	160-1188-2-ND	3,000	46.99/M	LTST-C230GKT
12	Rot	Wasserklar	635	2.0	30	12.4	10	120	160-1222-1-ND	.14	1.09	9.10	160-1222-2-ND	2,000	54.61/M	LTST-T670EKT
	Bernstein		610	2.1	30	8	10	120	160-1121-1-ND	.23	1.93	15.41	160-1121-2-ND	1500	115.99/M	LTL-94PAKTA
	Bernstein		610	2.1	30	12.4	10	120	160-1221-1-ND	.14	1.09	9.10	160-1221-2-ND	2,000	54.61/M	LTST-T670AKT
	Gelb		585	2.1	20	12.4	10	120	160-1224-1-ND	.14	1.09	9.10	160-1224-2-ND	2,000	54.61/M	LTST-T670YKT
	Grün		565	2.1	30	20	10	120	160-1223-1-ND	.14	1.09	9.10	160-1223-2-ND	2,000	54.61/M	LTST-T670GKT
	Weiß	Gelb	—	3.5	100	700	30	120	160-1725-1-ND	.71	5.93	47.41	160-1725-2-ND	2,000	355.57/M	LTW-670DS
13	Rot-orange	Wasserklar	630	2.0	30	4	20	130	160-1220-1-ND	.13	.94	7.83	160-1220-2-ND	4,000	46.99/M	LTST-S220EKT
	Grün		565	2.1	30	10	20	130	160-1218-1-ND	.13	.94	7.83	160-1218-2-ND	4,000	46.99/M	LTST-S220GKT
14	Rot-orange	Wasserklar	630	2.0	30	4	20	130	160-1474-1-ND	.12	.89	7.41	160-1474-2-ND	4,000	44.45/M	LTST-S270EKT
	Bernstein		610	2.1	30	4	20	130	160-1472-1-ND	.19	1.40	11.64	—	—	—	LTST-S270AKT
	Gelb		585	2.1	20	4	20	130	160-1482-1-ND	.12	.89	7.41	160-1482-2-ND	4,000	44.45/M	LTST-S270YKT
	Grün		565	2.1	30	10	20	130	160-1475-1-ND	.12	.89	7.41	160-1475-2-ND	4,000	44.45/M	LTST-S270GKT
	Weiß	Gelb	—	3.0	100	95	20	130	160-1739-1-ND	.98	8.15	65.19	160-1739-2-ND	4,000	488.92/M	LTW-270TLA
15	Rot-orange	Wasserklar	630	2.0	30	4	20	130	160-1208-1-ND	.14	1.02	8.47	160-1208-2-ND	3,000	50.80/M	LTST-S320EKT
	Gelb		585	2.1	20	4	20	130	160-1207-1-ND	.14	1.02	8.47	160-1207-2-ND	3,000	50.80/M	LTST-S320YKT
	Grün		565	2.1	30	10	20	130	160-1206-1-ND	.14	1.02	8.47	160-1206-2-ND	3,000	50.80/M	LTST-S320GKT
16	Orange	Wasserklar	630	2.0	30	25	10	25	160-1214-1-ND	.15	1.14	9.52	160-1214-2-ND	1,500	57.15/M	LTST-C930EKT
	Gelb		585	2.1	20	16	10	25	160-1213-1-ND	.15	1.14	9.52	160-1213-2-ND	1,500	57.15/M	LTST-C930YKT
	Grün		565	2.1	30	40	10	25	160-1212-1-ND	.15	1.14	9.52	160-1212-2-ND	1,500	57.15/M	LTST-C930GKT

(Forts.)

Blaue LEDs zur Oberflächenmontage

Abb.	Emittierte Farbe	Linse	Spitzen-Wellenlänge (nm)	Vf typ. (V)	If (mA) max.	Iv typ. (mcd) @ mA	Sichtwinkel (2x Theta)	Digi-Key Teilenr.	Gurtabschnittspreise 1	10	100	Digi-Key Teilenr.	Gegurtet auf Rolle Größe	Preisangaben	Lite-On Teilenr.
1	Blau	Wasserklar	468	3.4	20	70 @ 20	130	160-1643-1-ND	.70	5.28	44.02	160-1643-2-ND	3,000	264.14/M	LTST-C150TBKT
3	Blau	Wasserklar	468	3.3	20	70 @ 20	130	160-1579-1-ND	.34	2.54	21.17	160-1579-2-ND	3,000	126.99/M	LTST-C170TBKT
5	Blau	Wasserklar	468	3.7	20	20 @ 20	130	160-1420-1-ND	1.64	12.34	102.86	—	—	—	LTST-C171CBKT
			468	3.4	20	30 @ 20	130	160-1645-1-ND	1.35	10.16	84.66	160-1645-2-ND	3,000	264.14/M	LTST-C171TBKT
6	Blau	Wasserklar	468	3.4	20	30 @ 20	130	160-1646-1-ND	.70	5.28	44.02	160-1646-2-ND	3,000	264.14/M	LTST-C190TBKT
8	Blau	Wasserklar	468	3.4	20	30 @ 20	130	160-1647-1-ND	.70	5.28	44.02	160-1647-2-ND	5,000	264.14/M	LTST-C191TBKT
			468	3.4	20	45 @ 20	130	160-1648-1-ND	.34	2.54	21.17	160-1648-2-ND	5,000	126.99/M	LTST-C192TBKT
12	Blau	Wasserklar	468	3.5	30	90 @ 20	120	160-1229-1-ND	.63	5.29	42.33	160-1229-2-ND	2,000	317.48/M	LTST-T670TBKT
14	Blau	Wasserklar	468	3.4	20	70 @ 20	130	160-1650-1-ND	.70	5.28	44.02	160-1650-2-ND	4,000	264.14/M	LTST-S270TBKT
15	Blau	Wasserklar	468	3.4	20	30 @ 20	130	160-1651-1-ND	.70	5.28	44.02	160-1651-2-ND	3,000	264.14/M	LTST-S320TBKT
16	Blau	Wasserklar	468	3.7	30	180 @ 20	25	160-1460-1-ND	1.93	14.48	120.64	160-1460-2-ND	1,500	723.84/M	LTST-C930CBKT
			468	3.4	20	450 @ 20	25	160-1649-1-ND	.70	5.28	44.02	160-1649-2-ND	1,500	264.14/M	LTST-C930TBKT

Ultrahelle AlInGaP-LEDs zur Oberflächenmontage

Abb.	Emittierte Farbe	Linse	Spitzen-Wellenlänge (nm)	VF typ. (V)	If (mA) max.	Iv typ. (mcd) @ mA	Sichtwinkel (2x Theta)	Digi-Key Teilenr.	Gurtabschnittspreise 1	10	100	Digi-Key Teilenr.	Gegurtet auf Rolle Größe	Preisangaben	Lite-On Teilenr.
1	Superrot	Wasserklar	639	2.0	30	54 @ 20	130	160-1405-1-ND	.14	1.07	8.89	160-1405-2-ND	3,000	53.34/M	LTST-C150KRKT
	Rot-orange		621	2.0	30	55 @ 20	130	160-1402-1-ND	.14	1.07	8.89	160-1402-2-ND	3,000	53.34/M	LTST-C150KAKT
	Bernsteingelb		595	2.0	30	50 @ 20	130	160-1407-1-ND	.14	1.07	8.89	160-1407-2-ND	3,000	53.34/M	LTST-C150KYKT
	Gelb		588	2.0	30	60 @ 20	130	160-1406-1-ND	.14	1.07	8.89	160-1406-2-ND	3,000	53.34/M	LTST-C150KSKT
	Grün		574	2.0	30	35 @ 20	130	160-1404-1-ND	.14	1.07	8.89	160-1404-2-ND	3,000	53.34/M	LTST-C150KGKT
2	Grün/Superrot	Wasserklar	574/639	2/2	30/30	35/45 @ 20	130	160-1409-1-ND	.23	1.70	14.18	160-1409-2-ND	3,000	85.09/M	LTST-C155KGJRKT
	Grün/Gelb		574/591	2/2	30/30	35/75 @ 20	130	160-1410-1-ND	.23	1.70	14.18	160-1410-2-ND	3,000	85.09/M	LTST-C155KGJSKT
3	Superrot	Wasserklar	639	2.0	30	54 @ 20	130	160-1415-1-ND	.14	1.09	9.10	160-1415-2-ND	3,000	54.61/M	LTST-C170KRKT
	Rot-orange		621	2.0	30	55 @ 20	130	160-1412-1-ND	.14	1.09	9.10	160-1412-2-ND	3,000	54.61/M	LTST-C170KAKT
	Bernstein		611	2.0	30	60 @ 20	130	160-1413-1-ND	.14	1.09	9.10	160-1413-2-ND	3,000	54.61/M	LTST-C170KFKT
	Bernsteingelb		595	2.0	30	60 @ 20	130	160-1417-1-ND	.14	1.09	9.10	160-1417-2-ND	3,000	54.61/M	LTST-C170KYKT
	Gelb		588	2.0	30	60 @ 20	130	160-1416-1-ND	.14	1.09	9.10	160-1416-2-ND	3,000	54.61/M	LTST-C170KSKT
	Grün		574	2.0	30	35 @ 20	130	160-1414-1-ND	.14	1.09	9.10	160-1414-2-ND	3,000	54.61/M	LTST-C170KGKT
5	Superrot	Wasserklar	639	2.0	30	54 @ 20	130	160-1427-1-ND	.14	1.07	8.89	160-1427-2-ND	3,000	53.34/M	LTST-C171KRKT
	Rot-orange		621	2.0	30	55 @ 20	130	160-1424-1-ND	.19	1.40	11.64	—	—	—	LTST-C171KAKT
	Bernsteingelb		595	2.0	30	50 @ 20	130	160-1429-1-ND	.14	1.07	8.89	160-1429-2-ND	3,000	53.34/M	LTST-C171KYKT
	Gelb		588	2.0	30	60 @ 20	130	160-1428-1-ND	.14	1.07	8.89	160-1428-2-ND	3,000	53.34/M	LTST-C171KSKT
	Grün		574	2.0	30	35 @ 20	130	160-1426-1-ND	.14	1.07	8.89	160-1426-2-ND	3,000	53.34/M	LTST-C171KGKT
6	Superrot	Wasserklar	639	2.0	30	54 @ 20	130	160-1436-1-ND	.13	.94	7.83	160-1436-2-ND	3,000	46.99/M	LTST-C190KRKT
	Rot-orange		621	2.0	30	55 @ 20	130	160-1433-1-ND	.13	.94	7.83	160-1433-2-ND	3,000	46.99/M	LTST-C190KAKT
	Bernstein		611	2.0	30	60 @ 20	130	160-1434-1-ND	.13	.94	7.83	160-1434-2-ND	3,000	46.99/M	LTST-C190KFKT
	Bernsteingelb		595	2.0	30	50 @ 20	130	160-1438-1-ND	.13	.94	7.83	160-1438-2-ND	3,000	46.99/M	LTST-C190KYKT
	Gelb		588	2.0	30	60 @ 20	130	160-1437-1-ND	.13	.94	7.83	160-1437-2-ND	3,000	46.99/M	LTST-C190KSKT
	Grün		574	2.0	30	35 @ 20	130	160-1435-1-ND	.13	.94	7.83	160-1435-2-ND	3,000	46.99/M	LTST-C190KGKT
8	Superrot	Wasserklar	639	2.0	30	54 @ 20	130	160-1447-1-ND	.14	1.07	8.89	160-1447-2-ND	5,000	53.34/M	LTST-C191KRKT
	Rot-orange		621	2.0	30	55 @ 20	130	160-1444-1-ND	.14	1.07	8.89	160-1444-2-ND	5,000	53.34/M	LTST-C191KAKT
	Gelb		591	2.0	30	60 @ 20	130	160-1448-1-ND	.14	1.07	8.89	160-1448-2-ND	5,000	53.34/M	LTST-C191KSKT
	Grün		574	2.0	30	35 @ 20	130	160-1446-1-ND	.14	1.07	8.89	160-1446-2-ND	5,000	53.34/M	LTST-C191KGKT
10	Grün/Rot	Wasserklar	574/639	2/2	30/30	35/45 @ 20	130	160-1452-1-ND	.23	1.70	14.18	160-1452-2-ND	4,000	85.09/M	LTST-C195KGJRKT
	Grün/Gelb		574/591	2/2	30/30	35/75 @ 20	130	160-1453-1-ND	.23	1.70	14.18	160-1453-2-ND	4,000	85.09/M	LTST-C195KGJSKT
11	Superrot	Wasserklar	639	2.0	30	54 @ 20	130	160-1457-1-ND	.14	1.09	9.10	160-1457-2-ND	3,000	54.61/M	LTST-C230KRKT
	Rot-orange		621	2.0	30	55 @ 20	130	160-1455-1-ND	.19	1.40	11.64	—	—	—	LTST-C230KAKT
	Gelb		588	2.0	30	60 @ 20	130	160-1458-1-ND	.14	1.09	9.10	160-1458-2-ND	3,000	54.61/M	LTST-C230KSKT
	Grün		574	2.0	30	35 @ 20	130	160-1456-1-ND	.14	1.09	9.10	160-1456-2-ND	3,000	54.61/M	LTST-C230KGKT
12	Rot	Wasserklar	639	2.0	30	100 @ 20	120	160-1226-1-ND	.17	1.27	10.58	160-1226-2-ND	2,000	63.50/M	LTST-T670KRKT
	Gelb		591	2.0	30	100 @ 20	120	160-1227-1-ND	.17	1.27	10.58	160-1227-2-ND	2,000	63.50/M	LTST-T670KSKT
	Grün		574	2.0	30	60 @ 20	120	160-1228-1-ND	.17	1.27	10.58	160-1228-2-ND	2,000	63.50/M	LTST-T670KGKT
	Bernstein		611	2.0	30	100 @ 20	120	160-1225-1-ND	.17	1.27	10.58	160-1225-2-ND	2,000	63.50/M	LTST-T670KFKT
13	Superrot	Wasserklar	639	2.0	30	54 @ 20	130	160-1469-1-ND	.14	1.02	8.47	160-1469-2-ND	4,000	50.80/M	LTST-S220KRKT
	Gelb		591	2.0	30	60 @ 20	130	160-1470-1-ND	.14	1.02	8.47	160-1470-2-ND	4,000	50.80/M	LTST-S220KSKT
	Grün		574	2.0	30	35 @ 20	130	160-1468-1-ND	.14	1.02	8.47	160-1468-2-ND	4,000	50.80/M	LTST-S220KGKT
14	Superrot	Wasserklar	639	2.0	30	54 @ 20	130	160-1479-1-ND	.14	1.07	8.89	160-1479-2-ND	4,000	53.34/M	LTST-S270KRKT
	Rot-orange		621	2.0	30	55 @ 20	130	160-1476-1-ND	.19	1.40	11.64	—	—	—	LTST-S270KAKT
	Bernstein		611	2.0	20	60 @ 20	130	160-1477-1-ND	.14	1.07	8.89	160-1477-2-ND	4,000	53.34/M	LTST-S270KFKT
	Bernsteingelb		595	2.0	30	50 @ 20	130	160-1481-1-ND	.17	1.27	10.58	—	—	—	LTST-S270KYKT
	Gelb		591	2.0	30	60 @ 20	130	160-1480-1-ND	.14	1.07	8.89	160-1480-2-ND	4,000	53.34/M	LTST-S270KSKT
	Grün		574	2.0	30	35 @ 20	130	160-1478-1-ND	.14	1.07	8.89	160-1478-2-ND	4,000	53.34/M	LTST-S270KGKT
15	Superrot	Wasserklar	639	2.0	30	54 @ 20	130	160-1487-1-ND	.16	1.19	9.95	160-1487-2-ND	3,000	59.69/M	LTST-S320KRKT
	Rot-orange		621	2.0	30	55 @ 20	130	160-1484-1-ND	.19	1.40	11.64	—	—	—	LTST-S320KAKT
	Bernsteingelb		595	2.0	30	50 @ 20	130	160-1489-1-ND	.14	1.09	9.10	160-1489-2-ND	3,000	54.61/M	LTST-S320KYKT
	Gelb		591	2.0	30	60 @ 20	130	160-1488-1-ND	.16	1.19	9.95	160-1488-2-ND	3,000	59.69/M	LTST-S320KSKT
	Grün		574	2.0	30	35 @ 20	130	160-1486-1-ND	.14	1.09	9.10	160-1486-2-ND	3,000	54.61/M	LTST-S320KGKT
16	Superrot	Wasserklar	639	2.0	30	850 @ 20	25	160-1463-1-ND	.18	1.32	11.01	160-1463-2-ND	1,500	66.04/M	LTST-C930KRKT
	Rot-orange		621	2.0	30	1050 @ 20	25	160-1461-1-ND	.18	1.32	11.01	160-1461-2-ND	1,500	66.04/M	LTST-C930KAKT
	Gelb		591	2.0	30	800 @ 20	25	160-1464-1-ND	.18	1.32	11.01	160-1464-2-ND	1,500	66.04/M	LTST-C930KSKT
	Grün		574	2.0	30	365 @ 20	25	160-1462-1-ND	.18	1.32	11.01	160-1462-2-ND	1,500	66.04/M	LTST-C930KGKT

CML INNOVATIVE TECHNOLOGIES
WHERE INNOVATION COMES TO LIGHT

LEDs zur Leiterplattenmontage

Abb.	Farbe	Nenn-strom (mA)	Durchlass-spannung typ. (V)	Digi-Key Teilenr.	Preisangaben 1	25	100	250	CML Teilenr.
				T1					
1	Rot	10	2.0	L20261-ND	.93	18.90	54.69	120.64	5310F1
	Grün	20	2.2	L20265-ND	.93	18.90	54.69	120.64	5310F5
	Gelb	20	2.1	L20267-ND	.93	18.90	54.69	120.64	5310F7
	Grün	20	2.2	L20275-ND	.93	18.90	54.69	120.64	5312F5
	Gelb	20	2.1	L20277-ND	.93	18.90	54.69	120.64	5312F7
	Rot	10	2.0	L20281-ND	.93	18.90	54.69	120.64	5315F1
	Grün	20	2.2	L20285-ND	.93	18.90	54.69	120.64	5315F5
2	Rot	10	2.0	L20151-ND	1.89	38.30	110.82	244.46	5360F1
	Grün	20	2.2	L20155-ND	1.89	38.30	110.82	244.46	5360F5
	Gelb	20	2.1	L20157-ND	1.89	38.30	110.82	244.46	5360F7
3	Rot	10	2.0	L20321-ND	.49	9.95	28.78	63.50	5600F1
	Grün	20	2.2	L20325-ND	.49	9.95	28.78	63.50	5600F5
	Gelb	20	2.1	L20327-ND	.49	9.95	28.78	63.50	5600F7
	Rot	10	5.0	L20331-ND	.71	14.43	41.74	92.07	5602F1-5V
	Bernstein	10	5.0	L20333-ND	.71	14.43	41.74	92.07	5602F3-5V
	Grün	12	5.0	L20335-ND	.71	14.43	41.74	92.07	5602F5-5V
4	Rot	20	1.8	L20191-ND	.86	17.41	50.37	111.12	5608F1
	Grün	20	2.3	L20195-ND	.86	17.41	50.37	111.12	5608F5
	Gelb	20	2.2	L20197-ND	.86	17.41	50.37	111.12	5608F7
5	Rot	10	2.0	L20361-ND	.47	9.45	27.35	60.32	5650F1
	Grün	20	2.2	L20365-ND	.47	9.45	27.35	60.32	5650F5
	Gelb	20	2.1	L20367-ND	.47	9.45	27.35	60.32	5650F7
	Rot	2.0	1.8	L20371-ND	.59	11.94	34.54	76.19	5650F1LC
	Rot	13	5.0	L20381-ND	.71	14.43	41.74	92.07	5652F1-5V
6	Rot	10	2.0	L20401-ND	.76	15.42	44.62	98.42	5680F1;1
	Grün	20	2.2	L20405-ND	.76	15.42	44.62	98.42	5680F5;5
	Gelb	20	2.1	L20407-ND	.76	15.42	44.62	98.42	5680F7;7
7	Rot	10	2.2	L20411-ND	.76	15.42	44.62	98.42	6321F1
	Grün	10	2.3	L20415-ND	.76	15.42	44.62	98.42	6321F5
	Gelb	10	2.2	L20417-ND	.76	15.42	44.62	98.42	6321F7
8	Rot	10	2.0	L20421-ND	.93	18.90	54.69	120.64	5322F1
	Grün	20	2.2	L20425-ND	.93	18.90	54.69	120.64	5322F5
	Gelb	20	2.1	L20427-ND	.93	18.90	54.69	120.64	5322F7
	Rot	10	2.0	L20431-ND	.93	18.90	54.69	120.64	5320F1
	Gelb	20	2.1	L20437-ND	.93	18.90	54.69	120.64	5320F7
	Rot	10	2.0	L20441-ND	.93	18.90	54.69	120.64	5321F1
	Grün	20	2.2	L20445-ND	.93	18.90	54.69	120.64	5321F5
9	Rot	10	2.2	L2045111-ND	2.18	44.27	128.09	282.55	5693F1;1;1-A
	Grün	10	2.3	L2045555-ND	2.18	44.27	128.09	282.55	5693F5;5;5-A
	Gelb	10	2.2	L2045777-ND	2.18	44.27	128.09	282.55	5693F7;7;7-A
10	Rot	10	2.2	L20461111-ND	3.05	61.67	178.46	393.67	5694F1;1;1;1-A
	Grün	10	2.3	L20465555-ND	3.05	61.67	178.46	393.67	5694F5;5;5;5-A
	Gelb	10	2.2	L20467777-ND	3.05	61.67	178.46	393.67	5694F7;7;7;-A
11	Rot	10	2.0	L20448-ND	.76	15.42	44.62	98.42	553-0111
	Grün	10	2.2	L20449-ND	.76	15.42	44.62	98.42	553-0122
	Gelb	10	2.1	L20450-ND	.76	15.42	44.62	98.42	553-0133
	Rot/Grün	20	1.8/2.1	L20451-ND	.76	15.42	44.62	98.42	553-0711
	Grün/Gelb	30/20	2.1/2.8	L20452-ND	.76	15.42	44.62	98.42	553-0744
				T 13/4					
12	Rot	20	1.7	L20001-ND	.52	10.45	30.22	66.67	5300E1
	Rot	20	2.0	L20011-ND	.37	7.46	21.59	47.62	5300H1
	Grün	20	2.2	L20015-ND	.37	7.46	21.59	47.62	5300H5
	Gelb	20	2.1	L20017-ND	.37	7.46	21.59	47.62	5300H7
	Rot	10	5.0	L20021-ND	.71	14.43	41.74	92.07	5302H1-5V
	Bernstein	10	5.0	L20023-ND	.71	14.43	41.74	92.07	5302H3-5V
	Grün	20	5.0	L20025-ND	.71	14.43	41.74	92.07	5302H5-5V
	Rot	2	1.8	L20031-ND	.49	9.95	28.78	63.50	5300H1LC
	Grün	2	1.8	L20035-ND	.49	9.95	28.78	63.50	5300H5LC
	Gelb	2	1.9	L20037-ND	.49	9.95	28.78	63.50	5300H7LC
	Rot	35	3.0	L20041-ND	.63	12.94	37.42	82.54	5308H1
	Grün	20	2.5	L20045-ND	.63	12.94	37.42	82.54	5308H5
	Gelb	20	2.1	L20047-ND	.63	12.94	37.42	82.54	5308H7
13	Rot/Grün	10	2.2	L20048-ND	.91	18.41	53.25	117.47	5300H1/5
	Rot	20	2.0	L20171-ND	.66	13.43	38.86	85.72	5306H1
	Bernstein	20	2.0	L20173-ND	.66	13.43	38.86	85.72	5306H3
	Grün	20	2.2	L20175-ND	.66	13.43	38.86	85.72	5306H5
	Gelb	20	2.1	L20177-ND	.66	13.43	38.86	85.72	5306H7
14	Rot	20	2.0	L20051-ND	.66	13.43	38.86	85.72	5307H1
	Grün	20	2.2	L20055-ND	.66	13.43	38.86	85.72	5307H5
15	Rot	20	2.0	L20061-ND	.66	13.43	38.86	85.72	5330H1
	Grün	20	2.2	L20065-ND	.66	13.43	38.86	85.72	5330H5
	Gelb	20	2.2	L20067-ND	.66	13.43	38.86	85.72	5330H7
15	Rot	20	2.0	L20731-ND	.66	13.43	38.86	85.72	5331H1
	Grün	20	2.1	L20735-ND	.66	13.43	38.86	85.72	5331H5
	Gelb	20	2.1	L20737-ND	.66	13.43	38.86	85.72	5331H7
16	Rot	20	2.0	L20251-ND	1.01	20.39	59.01	130.16	5341H1
	Grün	20	2.1	L20255-ND	1.01	20.39	59.01	130.16	5341H5
	Gelb	20	2.1	L20257-ND	1.01	20.39	59.01	130.16	5341H7
17	Rot	20	1.7	L20301-ND	.52	10.45	30.22	66.67	5380E1
	Rot	20	2.0	L20311-ND	.52	10.45	30.22	66.67	5380H1
	Grün	20	2.2	L20315-ND	.52	10.45	30.22	66.67	5380H5
	Gelb	20	2.1	L20317-ND	.52	10.45	30.22	66.67	5380H7
18	Rot	20	2.0	L20161-ND	.57	11.44	33.10	73.02	5381H1
	Grün	20	2.2	L20165-ND	.57	11.44	33.10	73.02	5381H5
	Gelb	20	2.1	L20167-ND	.57	11.44	33.10	73.02	5381H7
19	Rot	20	1.7	L20341-ND	2.13	43.27	125.21	276.20	5640E1
	Rot	20	2.0	L20351-ND	2.13	43.27	125.21	276.20	5640H1
	Grün	20	2.2	L20355-ND	2.13	43.27	125.21	276.20	5640H5
	Gelb	20	2.1	L20357-ND	2.13	43.27	125.21	276.20	5640H7
20	Rot	20	2.0	L20391-ND	1.18	23.87	69.08	152.39	5670H1;1
	Grün	20	2.2	L20395-ND	1.18	23.87	69.08	152.39	5670H5;5
	Gelb	20	2.1	L20397-ND	1.18	23.87	69.08	152.39	5670H7;7
21	Rot	20	2.0	L20491-ND	.66	13.43	38.86	85.72	5332H1
	Grün	20	2.1	L20495-ND	.66	13.43	38.86	85.72	5332H5
	Gelb	20	2.1	L20497-ND	.66	13.43	38.86	85.72	5332H7
22	Rot/Grün	15	2.1	L20488-ND	1.64	33.32	96.43	212.71	5305H1/5
	Bernstein/Grün	15	2.1	L205935-ND	1.64	33.32	96.43	212.71	5305H3/5
				2mm					
23	Rot	10	2.2	L20081-ND	.79	15.92	46.06	101.59	5350T1
	Grün	10	2.3	L20085-ND	.79	15.92	46.06	101.59	5350T5
	Gelb	10	2.2	L20087-ND	.79	15.92	46.06	101.59	5350T7
	Rot	9.6	5.0	L20091-ND	.88	17.91	51.81	114.29	5352T1-5V
	Bernstein	10	5.0	L20093-ND	.88	17.91	51.81	114.29	5352T3-5V
	Grün	10	5.0	L20095-ND	.88	17.91	51.81	114.29	5352T5-5V
	Rot	2	1.8	L20101-ND	.93	18.90	54.69	120.64	5350T1LC
	Grün	2	1.8	L20105-ND	.93	18.90	54.69	120.64	5350T5LC
	Gelb	2	1.9	L20107-ND	.93	18.90	54.69	120.64	5350T7LC

Abb. 1

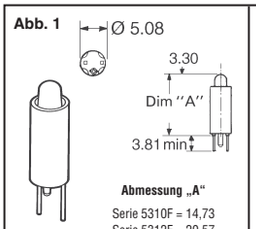

Abmessung „A"
Serie 5310F = 14,73
Serie 5312F = 20,57
Serie 5315F = 13,97

Abb. 2

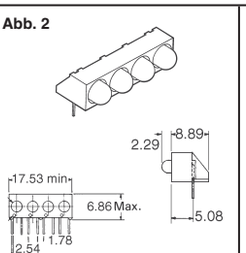

Abb. 3

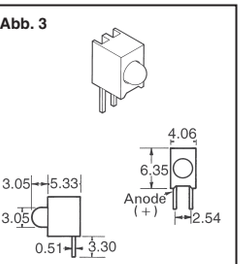

Abb. 4

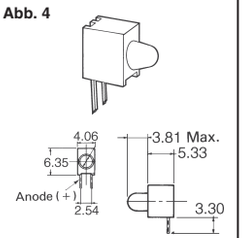

Durchs. Linse

Abb. 5

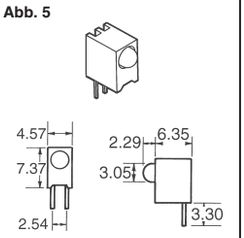

Abb. 6

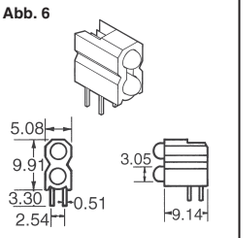

Abb. 7

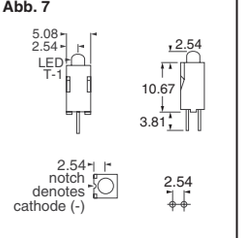

„Stapelbar"

Abb. 8

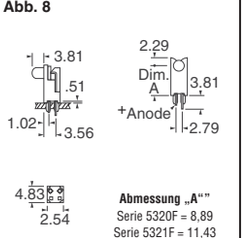

Abmessung „A""
Serie 5320F = 8,89
Serie 5321F = 11,43
Serie 5322F = 6,35

Abb. 9

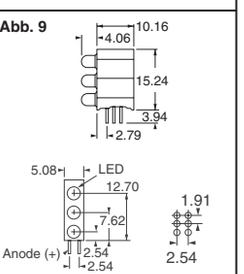

Abb. 10

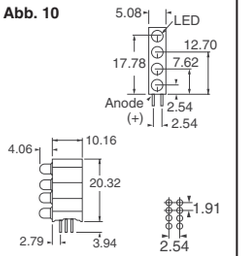

Abb. 11

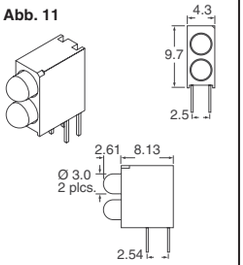

Abb. 12

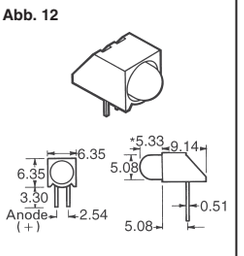

* 3,3 für Teilenr. L20001-ND

Abb. 13

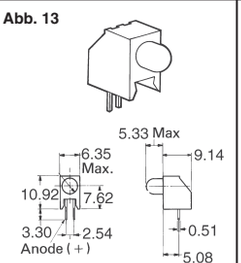

Abb. 14

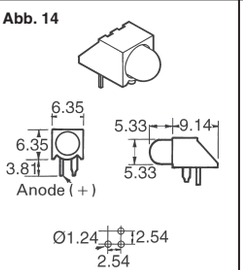

Abb. 15

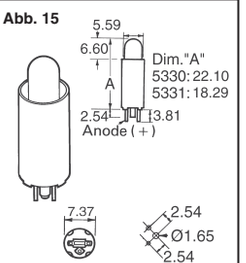

Abb. 16

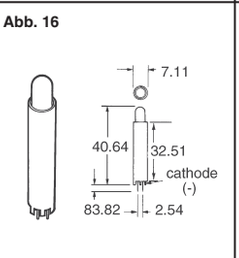

Abb. 17

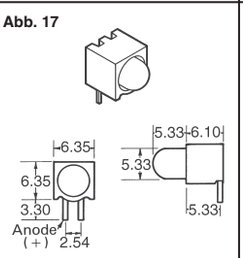

Abb. 18

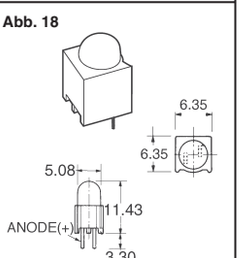

Abb. 19

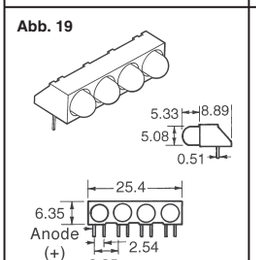

Abb. 20

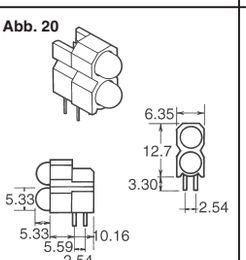

Abb. 21

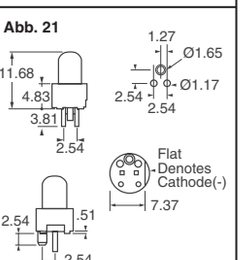

(Forts.)

Alle Preisangaben in Euro und inklusive Zollgebühren.

Abb.	Farbe	Nenn-strom (mA)	Durchlass-spannung typ. (V)	Digi-Key Teilenr.	Preisangaben 1	25	100	250	CML Teilenr.
				2mm					
	Rot	3.5	5.0	L20111-ND	.93	18.90	54.69	120.64	5352T1-5VLC
	Bernstein	3.5	5.0	L20113-ND	.93	18.90	54.69	120.64	5352T3-5VLC
	Grün	3.5	5.0	L20115-ND	.93	18.90	54.69	120.64	5352T5-5VLC
	Rot	10	2.2	L20121-ND	1.33	26.86	77.72	171.44	5370T1
	Grün	10	2.3	L20125-ND	1.33	26.86	77.72	171.44	5370T5
	Gelb	10	2.2	L20127-ND	1.33	26.86	77.72	171.44	5370T7
	Rot	9.5	5.0	L20131-ND	1.45	29.34	84.91	187.31	5372T1-5V
	Bernstein	10	5.0	L20133-ND	1.45	29.34	84.91	187.31	5372T3-5V
24	Grün	10	5.0	L20135-ND	1.45	29.34	84.91	187.31	5372T5-5V
	Rot	2	1.8	L20141-ND	1.47	29.84	86.35	190.49	5370T1LC
	Grün	2	1.8	L20145-ND	1.47	29.84	86.35	190.49	5370T5LC
	Gelb	2	1.9	L20147-ND	1.47	29.84	86.35	190.49	5370T7LC
	Rot	3.5	5.0	L20291-ND	1.47	29.84	86.35	190.49	5372T1-5VLC
	Bernstein	3.5	5.0	L20293-ND	1.47	29.84	86.35	190.49	5372T3-5VLC
	Grün	3.5	5.0	L20295-ND	1.47	29.84	86.35	190.49	5372T5-5VLC
				Rechteckig					
	Rot	20	2.1	L20541-ND	1.11	22.38	64.76	142.86	5636D1
25	Grün	20	2.1	L20545-ND	1.11	22.38	64.76	142.86	5636D5
	Gelb	20	2.2	L20547-ND	1.11	22.38	64.76	142.86	5636D7
26	Rot	10	2.1	L20571-ND	5.30	107.43	310.87	685.75	5638D1

Abb.	Farbe	Nenn-strom (mA)	Durchlass-spannung typ. (V)	Digi-Key Teilenr.	Gurtabschnittspreise 1	10	100	Digi-Key Teilenr.	Preis. f. G. a. R. 750	CML Teilenr.
				Leiterplattenmontage, gegurtet auf Rolle						
27	Rot	10	2.0	L60011CT-ND	.92	7.87	65.61	L60011TR-ND	295.25	5655F1
	Grün	20	2.2	L60015CT-ND	.92	7.87	65.61	L60015TR-ND	295.25	5655F5

Abb. 22

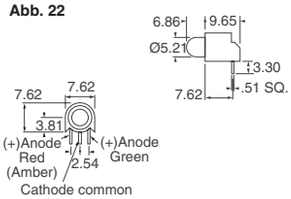

Abb. 23

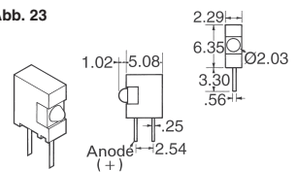

Abb. 24

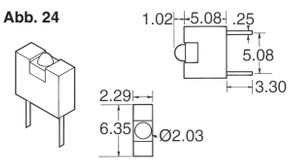

Abb. 25

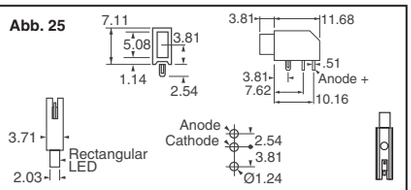

Abb. 26

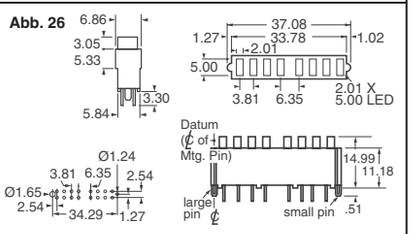

Abb. 27

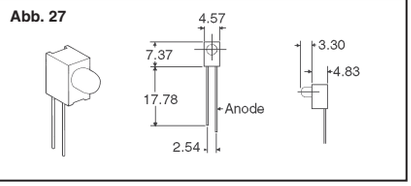

LED-Bausätze zur Plattenmontage

Abb.	Farbe	Nennstrom (mA)	Durchlass-spannung typ. (V)	Digi-Key Teilenr.	Preisangaben 1	25	100	250	CML Teilenr.
	Rot	20	2.0	L10001-ND	1.13	22.88	66.20	146.04	5100H1
	Grün	20	2.2	L10005-ND	1.13	22.88	66.20	146.04	5100H5
	Gelb	20	2.1	L10007-ND	1.13	22.88	66.20	146.04	5100H7
	Rot	2	1.8	L10011-ND	1.45	29.34	84.91	187.31	5100H1LC
1	Gelb	2	1.9	L10017-ND	1.45	29.34	84.91	187.31	5100H7LC
	Rot	10	5.0	L10021-ND	1.57	31.83	92.11	203.18	5102H1-5V
	Bernstein	10	5.0	L10023-ND	1.57	31.83	92.11	203.18	5102H3-5V
	Grün	12	5.0	L10025-ND	1.57	31.83	92.11	203.18	5102H5-5V
	Rot/Grün	20	2.2	L10008-ND	1.85	37.30	107.94	238.11	5100H1/5
	Rot	20	2.0	L10031-ND	1.03	20.89	60.45	133.34	5101H1
2	Grün	20	2.2	L10035-ND	1.03	20.89	60.45	133.34	5101H5
	Gelb	20	2.1	L10037-ND	1.03	20.89	60.45	133.34	5101H7
	Rot	10	2.0	L10041-ND	1.28	25.86	74.84	165.09	5110F1
	Grün	20	2.2	L10045-ND	1.28	25.86	74.84	165.09	5110F5
3	Gelb	20	2.1	L10047-ND	1.28	25.86	74.84	165.09	5110F7
	Rot	2	1.8	L10051-ND	1.69	34.32	99.31	219.06	5110F1LC
	Gelb	2	1.9	L10057-ND	1.69	34.32	99.31	219.06	5110F7LC
	Rot	10	2.0	L10061-ND	.71	14.43	41.74	92.07	5111F1
4	Grün	20	2.2	L10065-ND	.71	14.43	41.74	92.07	5111F5
	Gelb	20	2.1	L10067-ND	.71	14.43	41.74	92.07	5111F7
	Rot	10	2.0	L10091-ND	1.74	35.31	102.18	225.41	5210F1
5	Grün	20	2.2	L10095-ND	1.74	35.31	102.18	225.41	5210F5
	Gelb	20	2.1	L10097-ND	1.74	35.31	102.18	225.41	5210F7
	Rot	20	2.0	L10071-ND	2.34	47.25	136.73	301.60	5400A1
6	Grün	20	2.1	L10075-ND	2.34	47.25	136.73	301.60	5400A5
	Gelb	20	2.1	L10077-ND	2.34	47.25	136.73	301.60	5400A7
	Rot	10	2.0	L50381-ND	2.84	57.70	166.95	368.27	3990A1
7	Bernstein	10	2.0	L50383-ND	2.84	57.70	166.95	368.27	3990A3
	Grün	20	2.2	L50385-ND	2.84	57.70	166.95	368.27	3990A5
	Gelb	20	2.1	L50387-ND	2.84	57.70	166.95	368.27	3990A7

Abb. 1

Montage: Schnappt in 6,32/6,45 mm großes Loch in 0,79/1,57 mm dicken Platten. **Drahtleitungen:** 24 AWG, 152,40 mm lang. **Gehäuse:** Schwarzes Nylon. **Anode:** (+): Roter Leiter. **Anode für L10008-ND:** (+): Gelber Leiter für rote Lampe, blauer Leiter für grüne Lampe

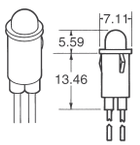

Abb. 2

Montage: Wird eingeschnappt in 6,32/6,45 mm großes Loch in 0,79/1,57 mm dicken Platten. **Anschlussklemmen:** 0,51 mm² **Gehäuse:** Schwarzes Nylon.

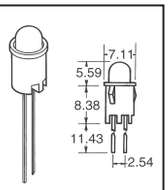

Abb. 3

Montage: Wird eingeschnappt in 3,94/4,01 mm großes Loch in 0,79/1,57 mm dicken Platten. **Drahtleitungen:** 24 AWG, 152,40 mm lang, abisoliert 4,57/8,13 mm. **Anode** (+): Roter Leiter. **Gehäuse:** Schwarzes Nylon.

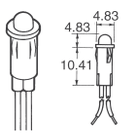

Abb. 4

Montage: Wird eingeschnappt in 3,94/4,01 mm großes Loch in 0,79/1,57 mm dicken Platten. **Anschlussklemmen:** 0,51 mm² **Gehäuse:** Schwarzes Nylon.

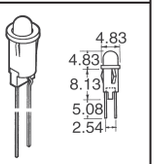

Abb. 5

Montage: Wird eingeschnappt in 4,75/4,88 mm großes Loch in 0,51/2,46 mm dicken Platten. **Drahtleitungen:** 26 AWG, 111, 76/121,92 mm lang abisoliert. **Anode** (+): Roter Leiter. **Linse:** Polycarbonat **Gehäuse:** Polycarbonat

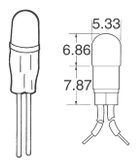

Abb. 6

Montage: Wird eingeschnappt in 7,92/8,05 mm großes Loch in 0,51/2,49 mm dicken Platten. **Drahtleitungen:** 24 AWG, 111,76/121,92 mm lang, abisoliert: 10,92/14,48 mm. **Anode** (+): Roter Leiter. **Linse:** Polycarbonat. **Gehäuse:** Naturnylon.

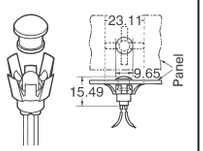

Abb.	Durchm. (mm)	Volt	Anschluss	Digi-Key Teilenr.	Preisangaben 1	25	100	CML Teilenr.
	12.70	6	Draht	L5014□-ND	3.76	76.10	220.20	1091M□-6V
	12.70	12	Draht	L5015□-ND	3.76	76.10	220.20	1091M□-12V
8	12.70	24	Draht	L5016□-ND	3.76	76.10	220.20	1091M□-24V
	12.70	12	4,75 mm Anschlussklemme	L5017□-ND	3.98	80.58	233.15	1091QM□-12V
	12.70	24	4,75 mm Anschlussklemme	L5018□-ND	3.98	80.58	233.15	1091QM□-24V
	7.87	6	Draht	L5025□-ND	3.81	77.09	223.08	2191L□-6V
	7.87	12	Draht	L5026□-ND	3.81	77.09	223.08	2191L□-12V
9	7.87	24	Draht	L5027□-ND	3.81	77.09	223.08	2191L□-24V
	7.87	12	4,75 mm Anschlussklemme	L5028□-ND	3.98	80.58	233.15	2191QL□-12V
	7.87	24	4,75 mm Anschlussklemme	L5029□-ND	3.98	80.58	233.15	2191QL□-24V
	7.87	6	Draht	L5030□-ND	3.81	77.09	223.08	2191U□-6V
	7.87	12	Draht	L5031□-ND	3.81	77.09	223.08	2191U□-12V
10	7.87	24	Draht	L5032□-ND	3.81	77.09	223.08	2191U□-24V
	7.87	12	4,75 mm Anschlussklemme	L5033□-ND	3.98	80.58	233.15	2191QU□-12V
	7.87	24	4,75 mm Anschlussklemme	L5034□-ND	3.98	80.58	233.15	2191QU□-24V

Abb. 7

Montage: Wird eingeschnappt in 5,51/5,61 mm großes Loch in 0,79/1,57 mm dicken Platten. **Drahtleitungen:** 26 AWG,111, 76/121,92 mm lang abisoliert. **Anode** (+): Roter Leiter. **Linse:** Polycarbonat. **Gehäuse:** Weißes Nylon.

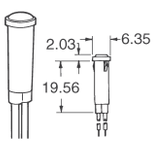

Abb. 8

Drahtleitungen: 22 AWG, 111,76/121,92 mm lang, abisoliert: 10,92/14,48 mm. **Anode** (+) roter Leiter oder Schnellanschluss 4,75mm Anschluss-Anode (+) markiert über Anschluss

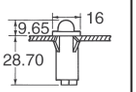

Abb. 9

Drahtleitungen: 22 AWG, 111,76/121,92 mm lang, abisoliert: 10,92/14,48 mm. **Anode** (+) roter Leiter oder Schnellanschluss 4,75 mm Anschluss-Anode (+) markiert über Anschluss mit Schnellschlussmutter

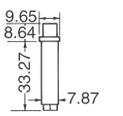

Abb. 10

Drahtleitungen: 22 AWG, 111,76/121,92 mm lang, abisoliert: 10,92/14,48 mm. **Anode** (+) roter Leiter oder Schnellanschluss 4,75 mm Anschluss-Anode (+) markiert über Anschluss mit Schnellschlussmutter

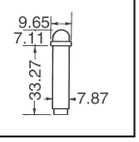

Für □ in Digi-Key Teilenr. eine der folgenden Zahlen wählen: 1 = Rot; 5 = Grün; 7 = Gelb

Blinker

Blinker der Serie 5100H

Merkmale: • Integrierter Blinkkreis • Blinkrate: 1,5 - 2,5 Hz • Kein externer Widerstand erforderlich **Montage:** Schnappt in 6,32/6,45 mm großes Loch in 0,79/1,57 mm dicken Platten. **Drahtleitungen:** Keine. 24 AWG, 152,40 mm isoliert, gebundene Adern, abisoliert 12,70 mm. **Anode (+):** Roter Leiter. **Gehäuse:** Schwarzes Nylon.

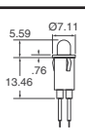

Farbe	Iv mcd	Stromstärke mA	VF (V)	Digi-Key Teilenr.	Preisangaben 1	25	100	CML Teilenr.
Rot	12.5	20	13	L20691-ND	2.29	46.26	133.85	5100H1FL
Grün	8.0	20	13	L20695-ND	2.29	46.26	133.85	5100H5FL
Gelb	12.5	20	13	L20697-ND	2.29	46.26	133.85	5100H7FL

T1 Modul-LEDs

Merkmale: • Montage von bis zu 12 LEDs in einer Operation • Vereinheitlichtevibrationsresistente Ausführung • Schwarzes Gehäuse für guten Kontrasthintergrund • Weiter Sichtwinkel • Vertikale oder horizontale Montage • Interlock-Konstruktion • Superhelle diffundierte LEDs • Schnelle Montage erhöht Produktivität und senkt Kosten

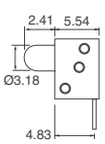

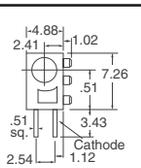

Montage von 1 bis 12 Leiterplatten-Indikatoren, als eine Einheit. Einzigartige Einrastfunktion.

LED/Linse	Durchlass-spannung Typ.	If=(mA)	Min. VR	Max. IF (mA)	Typ. Io (mcd)	Sicht-winkel	Digi-Key Teilenr.	Preisangaben 1	25	100	CML Teilenr.
Rot/transparent	2.2	20	5.0	30	60.0	40°	CMC01R-ND	.57	11.44	33.10	CMC01R
Gelb/transparent	2.2	20	5.0	20	60.0	40°	CMC01Y-ND	.57	11.44	33.10	CMC01Y
Gelb/transparent	2.2	20	5.0	30	60.0	40°	CMC01G-ND	.57	11.44	33.10	CMC01G
Rot/diff.	2.0	20	5.0	30	20.0	90°	CMW01R-ND	.66	13.43	38.86	CMW01R
Gelb/diff.	2.1	20	5.0	30	12.5	90°	CMW01Y-ND	.66	13.43	38.86	CMW01Y
Grün/diff.	2.2	20	5.0	30	12.5	90°	CMW01G-ND	.66	13.43	38.86	CMW01G

K

CML
INNOVATIVE TECHNOLOGIES
WHERE INNOVATION COMES TO LIGHT

Optische Lichtleitungen für SMD-LED

Abb. 1

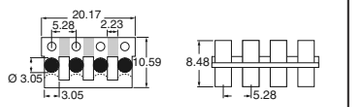

Abb. 2

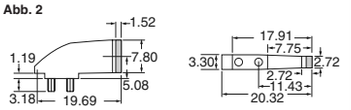

Abb. 3

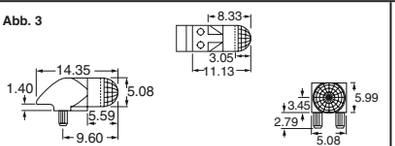

Abb. 4

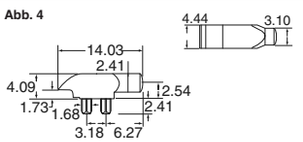

Abb. 5

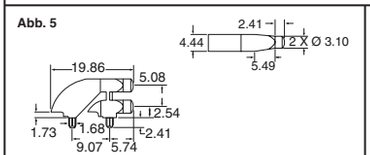

Abb. 6

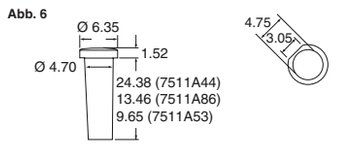

Abb. 7

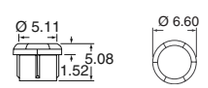

Abb. 8

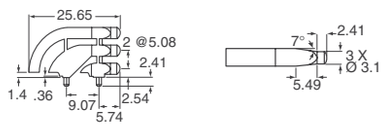

Abb. 9 – Flexible Lichtleitungen

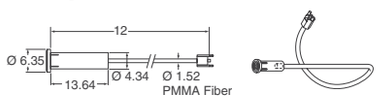

Abb. 10 SMD

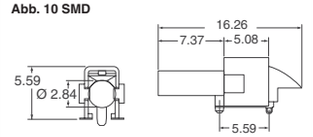

Abb.	Farbe	Digi-Key Teilenr.	Stückpreis 1	25	100	250	500	Preis. f. G. a. R.* 700	CML Teilenr.
1		L71200-ND	1.96	1.60	1.16	1.02	.98	—	7640D2
2		L71300-ND	.47	.38	.28	.25	.24	—	7610D2
3	Transp-	L71400-ND	1.13	.92	.67	.59	.57	—	7511G2
4	arent	L70510-ND	.71	.58	.42	.37	.36	—	7511A85
5		L70520-ND	.79	.64	.47	.41	.40	—	7511A62
6		L70540-ND	.71	.58	.42	.37	.36	—	7511A44
6		L70550-ND	.62	.50	.36	.32	.31	—	7511A86
6	Transp-	L70560-ND	.69	.56	.41	.36	.35	—	7511A53
7	arent	L70570-ND	.62	.50	.36	.32	.31	—	7511A18
8		L70580-ND	.71	.58	.42	.37	.36	—	7511B11
9	Transp-	L70590-ND	2.23	1.81	1.31	1.16	1.11	—	7512FPR-305
10	arent	L70591CT-ND†	1.34	1.15	.96	—	—	400.02	7520A10-TR

* Für Gegurtet auf Rolle die Teilenummer CT-ND in TR-ND ändern † Gurtabschnittspreis

T-1 LEDs zur Leiterplattenmontage

Abb. 1

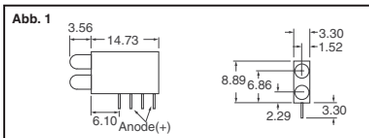

Abb. 2

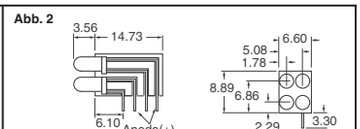

Abb.	Farbe	Typ. mcd	Durchlass-spannung mA	Typ. (V)	Digi-Key Teilenr.	Stückpreis 1	25	100	CML Teilenr.
	Rot	10.0	10	2.2	L206011-ND	1.64	1.34	.97	5682F1;1
1	Grün	8.5	10	2.3	L206055-ND	1.64	1.34	.97	5682F5;5
	Gelb	10.0	10	2.2	L206077-ND	1.64	1.34	.97	5682F7;7
	Rot	10.0	10	2.2	L206111-ND	3.05	2.47	1.79	5684F1;1;1;1
2	Grün	8.5	10	2.3	L206555-ND	3.05	2.47	1.79	5684F5;5;5;5
	Gelb	10.0	10	2.2	L206777-ND	3.05	2.47	1.79	5684F7;7;7;7

LED-Linsen

Diese LED-Linsen erlauben schnelle, ökonomische Plattenmontage und ESD-Schutz. Formgepresst in Fresnel-Ringe für einen weiten Sichtwinkel.

Abb. 1

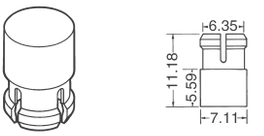

6,35 mm Durchm. für T1-3/4 LEDs

Abb. 2

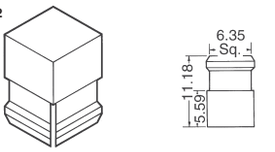

6,35 mm Durchm. für T1-3/4 LEDs

Abb. 3

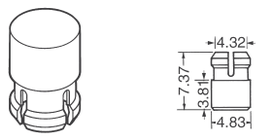

4,37 mm Durchm. für T-1 LEDs

Abb. 4

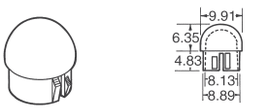

9,13 mm Durchm. für T1-3/4 LEDs

Abb.	Digi-Key Teilenr.	Stückpreis 1	25	100	250	CML Teilenr.
1	L3000□-ND	.32	.26	.19	.17	431 □
2	L3001□-ND	.41	.34	.25	.22	432 □
3	L3002□-ND	.35	.28	.21	.18	433 □
4	L3003□-ND	.41	.34	.25	.22	434 □

Für □ in Digi-Key Teilenr. eine der folgenden Zahlen wählen: **1**=Rot; **2**=Transparent; **3**=Bernstein; **5**=Grün; **6**=Blau; **7**=Gelb

Kartenindikator

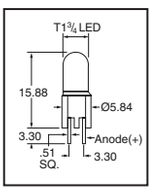

Farbe	Typ. mcd	Nenn-strom mA	Durchlass-spannung, typ. (V)	Digi-Key Teilenr.	Stückpreis 1	25	100	CML Teilenr.
Rot	6.3	10	2.0	L20651-ND	.76	.62	.45	5340H1
Grün	10	10	2.2	L20655-ND	.76	.62	.45	5340H5
Gelb	6.3	10	2.2	L20657-ND	.76	.62	.45	5340H7
Rot	2.3	2	1.8	L20661-ND	.84	.68	.49	5340H1LC
Grün	2.3	2	1.8	L20665-ND	.84	.68	.49	5340H5LC
Gelb	2.1	2	1.9	L20667-ND	.84	.68	.49	5340H7LC

Bright•White™ LEDs

• Spitzen-Durchlassstrom: Oberflächenmontage: 100 mA Durchgangsbohrung: 80 mA • Dauerdurchlassstrom: Oberflächenmontage: 30 mA Durchgangsbohrung: 25 mA • Emittierte Farbe: Weiß • Linsenfarbe: Wasserklar

SMD-Ausführung

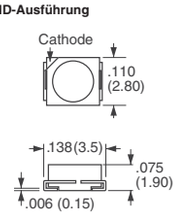

T-1 Ausführung

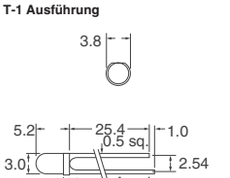

T1-3/4 Ausführung

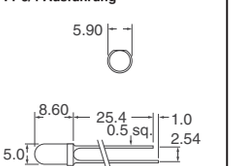

Paket-typ	V_f typ.	mcd typ.	I_f (mA) typ.	Sicht-winkel	Digi-Key Teilenr.	Stückpreis 1	10	100	Preis. f. G. a. R.* 2,000	CML Teilenr.
SMD	3.6	170	20	100°	CMD67-21UWCCT-ND†	2.54	2.35	2.11	1587.38/M	CMD67-21UWC/TR8
T-1	3.70	1000	20	20°	CMD204UWC-ND	2.54	2.35	2.11	—	CMD204UWC
T1-3/4	3.75	2300	20	20°	CMD333UWC-ND	2.54	2.35	2.11	—	CMD333UWC

* Für Gegurtet auf Rolle die Teilenummer CT-ND in TR-ND ändern † Gurtabschnittspreis

Superhelle LEDs

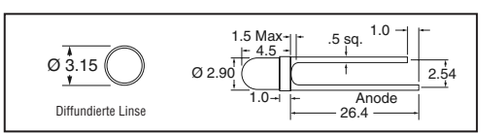

Durchm. (mm)	Farbe	Wellen-länge (nm)	V_f Typ (V)	I_f Typ (mA)	I_V Typ (mcd)	Digi-Key Teilenr.	Stückpreis 1	25	100	CML Teilenr.
3	Blau	430	5	20	100	L14006-ND	1.60	1.30	.94	CMD264-UBD

LEDs

T1-3/4 ultrahell

HLMP mit Abstandshalter

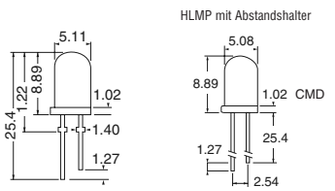

MERKMALE: • Min. 80 mcd. • Blasse Tönung verhindert Mischprobleme. • Mit oder ohne Abstandshalter.

Linsen-farbe	Quellen-farbe	P_D (mW)	Min. I_V mcd	Max. V_F (V)	Typ. I_p (nm)	Sichtwinkel	Digi-Key Teilenr.	Preisangaben 1	25	100	CML Teilenr.
Transparent †	Ho. Eff. Rot	135	80	2.2	635	24°	HLMP3750ACM-ND	.25	4.98	14.39	HLMP-3750A
Transparent	Ho. Eff. Rot	135	80	2.2	635	24°	CMD3750-ND	.19	3.98	11.51	CMD3750
Transparent †	Ho. Eff. Grün	135	80	2.2	565	24°	HLMP3950ACM-ND	.30	5.97	17.27	HLMP-3950A
Transparent	Ho. Eff. Grün	135	80	2.2	565	24°	CMD3450-ND	.22	4.48	12.95	CMD3450
Transparent †	Gelb	85	80	2.2	585	24°	HLMP3850ACM-ND	.30	5.97	17.27	HLMP-3850A
Transparent	Gelb	85	80	2.2	585	24°	CMD3350-ND	.19	3.98	11.51	CMD3350

† Mit Abstandhalter

K

Alle Preisangaben in Euro und inklusive Zollgebühren.

LEDs zur Oberflächenmontage

Abb.	Wellen-länge	Farbe	Linsen-farbe	TYP mcd	Durchlass-spannung TYP @ mA		Digi-Key Teilenr.	Gurtabschnittspreis pro Stück 1	10	100	Preis. f. G. a. R.*	CML Teilenr.
							Serie CMD11-21					
1	640	Rot	Transparent	6	2.0	20	L62001CT-ND	.33	.28	.24	279.38/2,000	CMD11-21VRC/TR8
	570	Grün	Transparent	7.5	2.1	20	L62005CT-ND	.33	.28	.24	279.38/2,000	CMD11-21VGC/TR8
	585	Gelb	Transparent	6	2.0	20	L62007CT-ND	.33	.28	.24	279.38/2,000	CMD11-21VYC/TR8
	660	Superrot	Transparent	17	1.7	20	L62011CT-ND	.33	.28	.24	279.38/2,000	CMD11-21SRC/TR8
							Serie CMDA1					
1	660	Rot	Transparent	33.6	1.7	20	L71501CT-ND	.27	.23	.20	285.73/2,500	CMDA1DR7A1Z
	580	Gelb	Transparent	6.0	2.2	20	L71502CT-ND	.27	.23	.20	285.73/2,500	CMDA1CY7A1Z
	570	Gelb	Transparent	24.0	2.1	20	L71503CT-ND	.27	.23	.20	285.73/2,500	CMDA1AY7A1Z
	560	Grün	Transparent	12.0	2.1	20	L71504CT-ND	.27	.23	.20	285.73/2,500	CMDA1CG7A1Z
							Serie CMD12-21					
2	640	Rot	Transparent	5	2.0	20	L62101CT-ND	.33	.28	.24	279.38/2,000	CMD12-21VRC/TR8
	570	Grün	Transparent	8.8	2.1	20	L62105CT-ND	.33	.28	.24	279.38/2,000	CMD12-21VGC/TR8
	585	Gelb	Transparent	3	2.0	20	L62107CT-ND	.33	.28	.24	279.38/2,000	CMD12-21VYC/TR8
	660	Superrot	Transparent	12.4	1.7	20	L62111CT-ND	.41	.36	.30	355.57/2,000	CMD12-21SRC/TR8
	570	Ultrablau	Transparent	14.9	2.1	20	L62115CT-ND	.41	.36	.30	355.57/2,000	CMD12-21UGC/TR8
							Serie CMDA7					
2	580	Gelb	Transparent	3.0	2.1	20	L71510CT-ND	.27	.23	.20	—	CMDA7CY7A1Z
	570	Gelb	Transparent	8.8	2.1	20	L71511CT-ND	.27	.23	.20	—	CMDA7AY7A1Z
							Serie CMD15-21					
3	640	Rot	Transparent	6	2.0	20	L62201CT-ND	.30	.26	.22	253.98/2,000	CMD15-21VRC/TR8
	570	Grün	Transparent	10	2.1	20	L62205CT-ND	.27	.23	.20	228.58/2,000	CMD15-21VGC/TR8
	430	Ultrablau	Transparent	45	4.9	20	L62206CT-ND	2.90	2.49	2.08	2489.00/2,000	CMD15-21UBC/TR8
	581	Gelb	Transparent	6	2.0	20	L62207CT-ND	.33	.28	.24	279.38/2,000	CMD15-21VYC/TR8
	660	Superrot	Transparent	15	1.7	20	L62211CT-ND	.39	.33	.28	330.17/2,000	CMD15-21SRC/TR8
	565	Ultrablau	Transparent	12	2.1	20	L62215CT-ND	.36	.31	.26	304.78/2,000	CMD15-21UGC/TR8
	640	Rot	Diff	4	2.0	20	L62301CT-ND	.24	.21	.17	203.18/2,000	CMD15-21VRD/TR8
	570	Grün	Diff	6.5	2.1	20	L62305CT-ND	.24	.21	.17	203.18/2,000	CMD15-21VGD/TR8
	585	Gelb	Diff	4	2.0	20	L62307CT-ND	.24	.21	.17	203.18/2,000	CMD15-21VYD/TR8
							Serie CMD15-22					
4	640/570	Rot/grn.	Transparent	6.0/10.0	2.0/2.1	20	L622015CT-ND	.57	.49	.41	482.56/2,000	CMD15-22VRVGC/TR8
	660/565	Rot/grn.	Transparent	15.0/12.0	1.7/2.1	20	L6221115CT-ND	.69	.59	.49	584.15/2,000	CMD15-22RUGC/TR8
							Serie CMD17-21					
5	640	Rot	Transparent	13	2.0	20	L62401CT-ND	.24	.21	.17	304.78/3,000	CMD17-21VRC/TR8
	570	Grün	Transparent	35	2.1	20	L62405CT-ND	.24	.21	.17	304.78/3,000	CMD17-21VGC/TR8
	585	Gelb	Transparent	12	2.0	20	L62407CT-ND	.24	.21	.17	304.78/3,000	CMD17-21VYC/TR8
	660	Superrot	Transparent	45	1.7	20	L62411CT-ND	.41	.36	.30	533.36/3,000	CMD17-21SRC/TR8
	570	Ultrablau	Transparent	15.0	2.1	20	L62415CT-ND	.27	.23	.20	342.87/3,000	CMD17-21UGC/TR8
	640	Rot	Diff	6.0	2.0	20	L62501CT-ND	.27	.23	.20	342.87/3,000	CMD17-21VRD/TR8
	570	Grün	Diff	7.0	2.1	20	L62505CT-ND	.27	.23	.20	342.87/3,000	CMD17-21VGD/TR8
	585	Gelb	Diff	4	2.0	20	L62507CT-ND	.33	.28	.24	419.07/3,000	CMD17-21VYD/TR8
							Serie CMDA5					
6	660	Rot	Transparent	11.7	1.7	20	L71505CT-ND	.27	.23	.20	457.16/4,000	CMDA5DR7D1Z
	580	Gelb	Transparent	3.7	2.2	20	L71506CT-ND	.27	.23	.20	457.16/4,000	CMDA5CY7D1Z
	570	Gelb	Transparent	11.7	2.1	20	L71507CT-ND	.27	.23	.20	457.16/4,000	CMDA5AY7D1Z
	560	Grün	Transparent	6.4	2.1	20	L71508CT-ND	.27	.23	.20	457.16/4,000	CMDA5CG7D1Z
7	637	Rot	Diff	90	1.9	20	L71514CT-ND	.30	.26	.22	507.96/4,000	CMDA5AR7D1S
	630	Ho. Eff. Rot	Diff	10	2.1	20	L71516CT-ND	.27	.23	.20	—	CMDA5BR7D1S
	609	Orange	Diff	90	1.9	20	L71515CT-ND	.30	.26	.22	—	CMDA5BA7D1S
	605	Orange	Diff	8.0	2.2	20	L71513CT-ND	.27	.23	.20	—	CMDA5AA7D1S
	595	Bernstein	Diff	90	1.9	20	L71517CT-ND	.30	.26	.22	507.96/4,000	CMDA5DY7D1S
							Serie CMD28-21					
8	640	Rot	Transparent	3	2.0	20	L62601CT-ND	.33	.28	.24	279.38/2,000	CMD28-21VRC/TR8
	570	Grün	Transparent	5.5	2.1	20	L62605CT-ND	.33	.28	.24	279.38/2,000	CMD28-21VGC/TR8
	660	Superrot	Transparent	17	1.7	20	L62611CT-ND	.39	.33	.28	330.17/2,000	CMD28-21SRC/TR8
	640	Rot	Transparent	0.16	2.0	1	L62701CT-ND	.33	.28	.24	279.38/2,000	CMD28-21VRC/TR8/T1
	570	Grün	Transparent	0.16	2.1	1	L62705CT-ND	.33	.28	.24	279.38/2,000	CMD28-21VGC/TR8/T1
	660	Superrot	Transparent	1.6	1.7	1	L62711CT-ND	.45	.39	.32	380.97/2,000	CMD28-21SRC/TR8/T1
							Serie CMD67-21					
9	640	Rot	Transparent	10	2.0	20	L62801CT-ND	.47	.41	.34	406.37/2,000	CMD67-21VRC/TR8
	570	Grün	Transparent	25	2.1	20	L62805CT-ND	.36	.31	.26	304.78/2,000	CMD67-21VGC/TR8
	585	Gelb	Transparent	10	2.0	20	L62807CT-ND	.41	.36	.30	355.57/2,000	CMD67-21VYC/TR8
	660	Superrot	Transparent	40	1.7	20	L62811CT-ND	.53	.46	.39	457.16/2,000	CMD67-21SRC/TR8
	660	Ultrarot	Transparent	62	1.7	20	L628111CT-ND†	.75	.64	.53	634.95/2,000	CMD67-21URC/TR8
							Serie CMD67-22					
10	640/570	Rot/grn.	Transparent	10.0/25.0	2.0/2.1	20	L628015CT-ND	.98	.84	.70	838.13/2,000	CMD67-22VRVGC/TR8
	660/565	Rot/grn.	Transparent	40.0/25.0	1.7/2.1	20	L6281115CT-ND	.98	.84	.70	838.13/2,000	CMD67-22SRUGC/TR8
							Serie CMD91-21/TR7					
11	640	Rot	Transparent	80	2.0	20	L62901CT-ND	.36	.31	.26	152.39/1,000	CMD91-21VRC/TR7
	565	Grün	Transparent	50	2.1	20	L62905CT-ND	.36	.31	.26	152.39/1,000	CMD91-21VGC/TR7
	585	Gelb	Transparent	30	2.0	20	L62907CT-ND	.36	.31	.26	152.39/1,000	CMD91-21VYC/TR7
	660	Superrot	Transparent	170	1.7	20	L62911CT-ND	.41	.36	.30	177.79/1,000	CMD91-21SRC/TR7
							Serie CMD91-21/TR9					
12	640	Rot	Transparent	80	2.0	20	L63001CT-ND	.36	.31	.26	152.39/1,000	CMD91-21VRC/TR9
	565	Grün	Transparent	50	2.1	20	L63005CT-ND	.36	.31	.26	152.39/1,000	CMD91-21VGC/TR9
	585	Gelb	Transparent	30	2.0	20	L63007CT-ND	.41	.36	.30	177.79/1,000	CMD91-21VYC/TR9
	660	Superrot	Transparent	170	1.7	20	L63011CT-ND	.41	.36	.30	177.79/1,000	CMD91-21SRC/TR9
							Serie CMD91-21/TR10					
13	640	Rot	Transparent	80	2.0	20	L63101CT-ND	.36	.31	.26	152.39/1,000	CMD91-21VRC/TR10
	565	Grün	Transparent	50	2.1	20	L63105CT-ND	.36	.31	.26	152.39/1,000	CMD91-21VGC/TR10
	585	Gelb	Transparent	30	2.0	20	L63107CT-ND	.36	.31	.26	152.39/1,000	CMD91-21VYC/TR10
	660	Superrot	Transparent	170	1.7	20	L63111CT-ND	.41	.36	.30	177.79/1,000	CMD91-21SRC/TR10
							Serie CMD93-21/F8					
14	640	Rot	Transparent	12	2.0	20	L63201CT-ND	.47	.41	.34	406.37/2,000	CMD93-21VRC/TR8
	570	Grün	Transparent	25	2.1	20	L63205CT-ND	.41	.36	.30	355.57/2,000	CMD93-21VGC/TR8
							Serie CMD93-22/F8					
15	660/570	Rot/grn.	Transparent	40.0/20.0	1.7/2.1	20	L632115CT-ND	.86	.74	.62	368.27/1,000	CMD93-22SRVGC/TR8
							Serie CMD95-21/TR7					
16	640	Rot	Transparent	25	2.0	20	L63301CT-ND	.36	.31	.26	152.39/1,000	CMD95-21VRC/TR7
	570	Grün	Transparent	19.5	2.1	20	L63305CT-ND	.39	.33	.28	165.09/1,000	CMD95-21VGC/TR7
	585	Gelb	Transparent	25	2.0	20	L63307CT-ND	.39	.33	.28	165.09/1,000	CMD95-21VYC/TR7
	660	Superrot	Transparent	100	1.7	20	L63311CT-ND	.41	.36	.30	177.79/1,000	CMD95-21SRC/TR7
							Serie CMD95-21/TR9					
17	640	Rot	Transparent	25	2.0	20	L63401CT-ND	.36	.31	.26	152.39/1,000	CMD95-21VRC/TR9
	570	Grün	Transparent	19.5	2.1	20	L63405CT-ND	.39	.33	.28	165.09/1,000	CMD95-21VGC/TR9
							Serie CMD95-21/TR10					
18	640	Rot	Transparent	25	2.0	20	L63501CT-ND	.39	.33	.28	165.09/1,000	CMD95-21VRC/TR10
	570	Grün	Transparent	19.5	2.1	20	L63505CT-ND	.39	.33	.28	165.09/1,000	CMD95-21VGC/TR10
	585	Gelb	Transparent	25	2.0	20	L63507CT-ND	.41	.36	.30	177.79/1,000	CMD95-21VYC/TR10
	660	Superrot	Transparent	100	1.7	20	L63511CT-ND	.41	.36	.30	177.79/1,000	CMD95-21SRC/TR10

* Für Gegurtet auf Rolle Teilenummer, CT in TR ändern.

Abb. 1

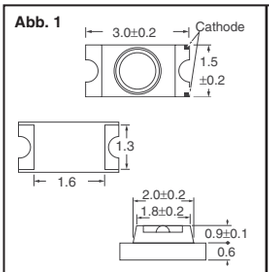

Abb. 2

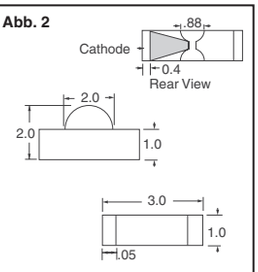

Abb. 3 — 1206

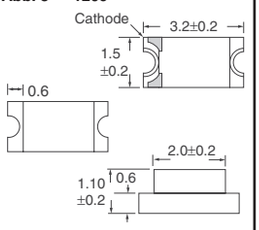

Abb. 4

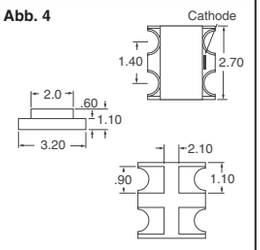

Abb. 5 — 0805

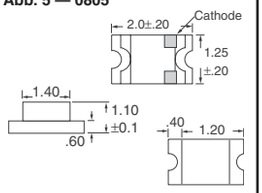

Abb. 6 — 0805

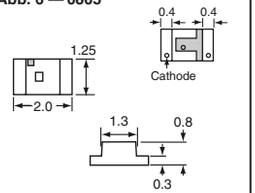

Abb. 7 — 0805

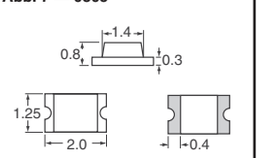

Abb. 8

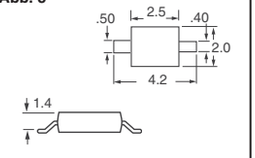

Abb. 9

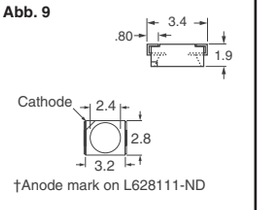

†Anode mark on L628111-ND

Abb. 10

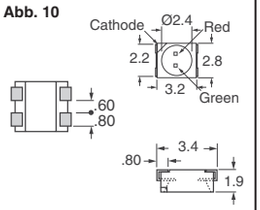

Abb. 11

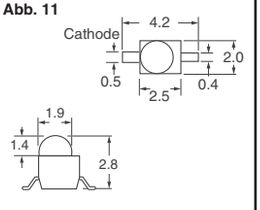

Abb. 12

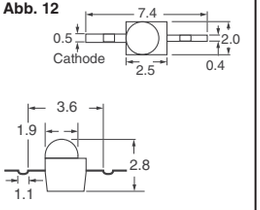

Abb. 13

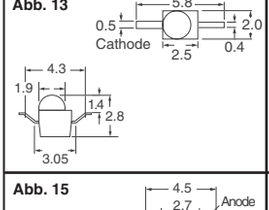

Abb. 14

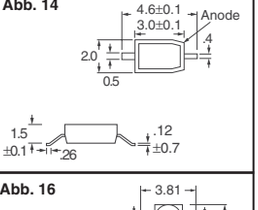

Abb. 15

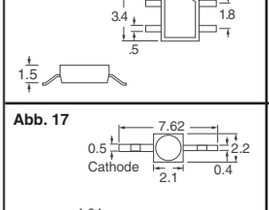

Abb. 16

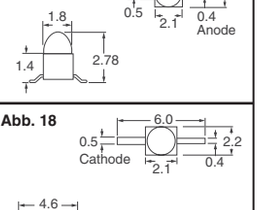

Abb. 17

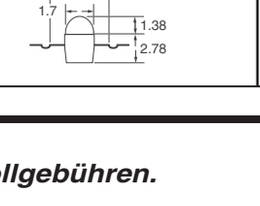

Abb. 18

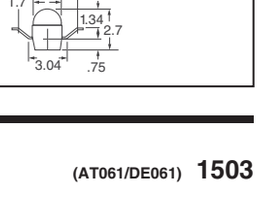

K

CML INNOVATIVE TECHNOLOGIES
WHERE INNOVATION COMES TO LIGHT

Sub-Miniatur LED-Bausätze zur Oberflächenmontage

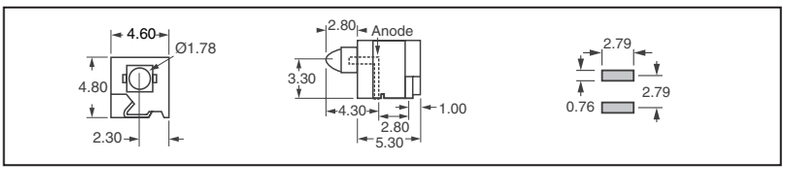

Farbe	Typ. mcd	Durchlass-spannung typ. (V)	mA	Digi-Key Teilenr.	Gurtabschnittspreis pro Stück 1	10	100	Digi-Key Teilenr.	Preisangabe für Gegurtet auf Rolle 750	CML Teilenr.
Rot	5.0	2.2	10	L60041CT-ND	1.40	1.20	1.00	L60041TR-ND	447.64	6255T1
Grün	4.0	2.3	10	L60045CT-ND	1.40	1.20	1.00	L60045TR-ND	447.64	6255T5
Gelb	3.8	2.2	10	L60047CT-ND	1.40	1.20	1.00	L60047TR-ND	447.64	6255T7
Rot	5.0	5.0	10	L60061CT-ND	1.66	1.43	1.19	L60061TR-ND	533.36	6255T1-5V
Bernstein	5.0	5.0	10	L60063CT-ND	1.66	1.43	1.19	L60063TR-ND	533.36	6255T3-5V
Grün	5.0	5.0	10	L60065CT-ND	1.66	1.43	1.19	L60065TR-ND	533.36	6255T5-5V
Rot	0.8	1.8	2.0	L60051CT-ND	1.40	1.20	1.00	L60051TR-ND	447.64	6255T1LC
Grün	1.2	1.8	2.0	L60055CT-ND	1.40	1.20	1.00	L60055TR-ND	447.64	6255T5LC
Gelb	0.6	1.9	2.0	L60057CT-ND	1.40	1.20	1.00	L60057TR-ND	447.64	6255T7LC
Rot	2.0	5.0	4	L60071CT-ND	1.66	1.43	1.19	L60071TR-ND	533.36	6255T1-5VLC
Bernstein	4.0	5.0	4	L60073CT-ND	1.66	1.43	1.19	L60073TR-ND	533.36	6255T3-5VLC
Grün	2.0	5.0	4	L60075CT-ND	1.66	1.43	1.19	L60075TR-ND	533.36	6255T5-5VLC

LEDs zur rechtwinkligen Oberflächenmontage

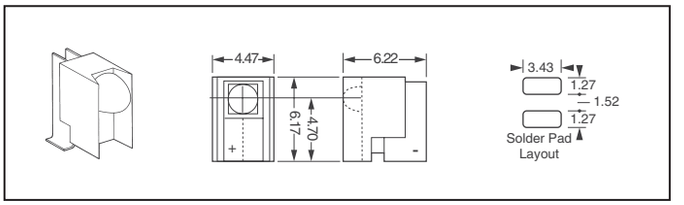

Farbe	Wellenlänge	Nennstrom (mA)	Durchlass-spannung Typ. (V)	Digi-Key Teilenr.	Gurtabschnittspreis pro Stück 1	10	100	Preis. f. G. a. R.* 1.000	CML Teilenr.
Rot	—	10	2.2	L60001CT-ND	1.57	1.35	1.13	673.05	6200T1
Bernstein	—	10	2.0	L60003CT-ND	1.57	1.35	1.13	673.05	6200T3
Grün	—	10	2.3	L60005CT-ND	1.57	1.35	1.13	673.05	6200T5
Gelb	—	10	2.2	L60007CT-ND	1.57	1.35	1.13	673.05	6200T7
Rot	635	2	1.8	L60101CT-ND	1.57	1.35	1.13	673.05	6200T1LC
Grün	565	2	1.8	L60105CT-ND	1.57	1.35	1.13	673.05	6200T5LC
Gelb	583	2	1.9	L60107CT-ND	1.57	1.35	1.13	673.05	6200T7LC
Rot	635	9.6	5.0	L60201CT-ND	1.84	1.58	1.32	787.34	6202T1-5V
Bernstein	583	10	5.0	L60203CT-ND	1.84	1.58	1.32	787.34	6202T3-5V
Grün	565	10	5.0	L60205CT-ND	1.84	1.58	1.32	787.34	6202T5-5V
Rot	635	3.5	5.0	L60301CT-ND	1.84	1.58	1.32	787.34	6202T1-5VLC

* Für Gegurtet auf Rolle Teilenummer, CT in TR ändern.

LEDs zur Oberflächenmontage

7011X-Serie

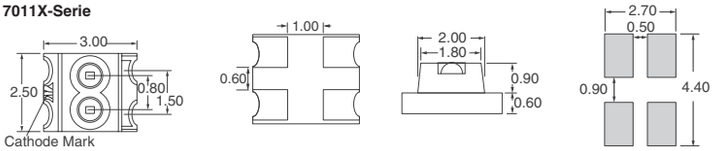

7012X-Serie

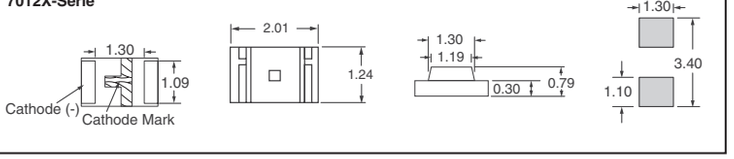

Quelle (Dice)	Lichtintensität typ. (mcd)	Durchlassspannung Typ. (V)	mA	Digi-Key Teilenr.	Gurtabschnittspreis pro Stück 1	10	100	Digi-Key Teilenr.	Gegurtet auf Rolle Größe	Preisangaben	CML Teilenr.
Rot/Grün	17.0	1.7	20	L61015CT-ND	.86	.74	.62	L61015TR-ND	2,500	920.68	7011X1/5
Grün/Gelb	7.5	2.1	20	L61057CT-ND	.86	.74	.62	L61057TR-ND	2,500	920.68	7011X5/7
Rot	11.7	1.7	20	L61101CT-ND	.41	.36	.30	L61101TR-ND	4,000	711.14	7012X1
Grün	6.4	2.1	20	L61105CT-ND	.41	.36	.30	L61105TR-ND	4,000	711.14	7012X5
Gelb/Grün	11.7	2.1	20	L61107CT-ND	.41	.36	.30	L61107TR-ND	4,000	711.14	7012X7
Gelb	3.7	2.2	20	L61113CT-ND	.41	.36	.30	L61113TR-ND	4,000	711.14	7012X13

SHARP MICROELECTRONICS

LEDs

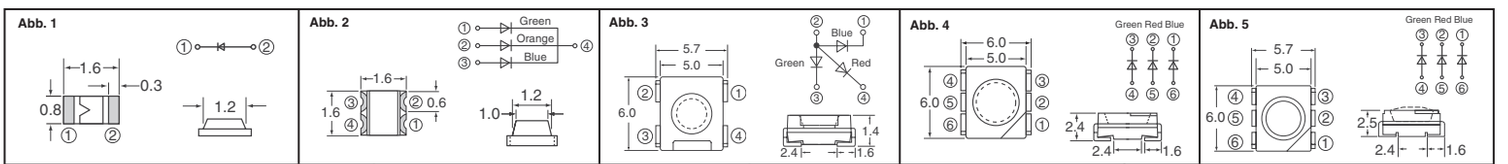

Abb.	Beschreibung	Emittierte Farbe	Linse	Spitzen-Wellenlänge (nm)	Vf typ. (V)	If max. (mA)	Lichtintensität Iv (mcd) typ.	Sichtwinkel (2x Theta)	Digi-Key Teilenr.	Stückpreis 1	10	100	Gegurtet auf Rolle* Größe	Preisangaben	Sharp Teilenr.
1	Größe 1608	Bernstein	Transparent	591	2.0	20	19	150°	425-1813-1-ND	.28	.16	.13	6,000	73.66/M	GM1JV35200AE
		Sonnenuntergangs-orange	Transparent	609	2.0	20	19	150°	425-1812-1-ND	.28	.16	.13	6,000	73.66/M	GM1JS35200AE
		Rot	Transparent	639	2.0	20	15	150°	425-1810-1-ND	.28	.16	.13	6,000	73.66/M	GM1JR35200AE
		Orange	Transparent	627	2.0	20	19	150°	425-1811-1-ND	.28	.16	.13	6,000	73.66/M	GM1JJ35200AE
		Gelbgrün	Transparent	575	2.0	20	13	150°	425-1814-1-ND	.28	.16	.13	6,000	73.66/M	GM1JE35200AE
		Gelbgrün	Transparent	565	2.1	50	19.0	160°	425-1928-1-ND	.19	.11	.09	5,000	49.11/M	GM1EG55200A
		Rot	Transparent	635	2.0	50	12.5	160°	425-1929-1-ND	.19	.11	.09	5,000	49.11/M	GM1HD55200A
		Blau	Transparent	470	3.2	40	35	160°	425-1930-1-ND	1.05	.79	.66	5,000	380.55/M	GM1BC55250AC
2	1.6 x 1.6	Blau/Grün/Orange	Transparent	470/528/627	3.2/3.2/2.1	20	30/92/100	—	425-1815-1-ND	6.29	3.43	2.86	4,000	1657.22/M	GM1WA80350A
3	5.7 x 6	Rot/Grün/Blau	Transparent	647/518/468	2.0/4.5/4.5	50	300/500/150	—	425-1816-1-ND	4.68	3.47	2.90	800	2020.66	GM5WA02200A
4	6 x 6	Blau/Grün/Rot	Transparent	469/520/628	4.2/4.2/2.3	50	1450	120°	425-1817-1-ND	4.43	3.28	2.75	800	1910.95	GM5WA06250A
5	5.7 x 6	Rot/Grün/Blau	Transparent	617/520/469	2.3/4.4/4.6	50	1725	—	425-1818-1-ND	4.68	3.47	2.90	800	2020.66	GM5WA06260A
6	6 x 5	Blau/Grün/Rot	Transparent	466/519/639	4.5/4.5/2.0	50	150/500/300	120°	425-1819-5-ND†§	4.17	3.09	2.59	—	—	GM5WA06200Z
6	6 x 5	Blau/Grün/Rot	Transparent	469/520/628	4.2/4.2/2.3	50	1450	110°	425-1918-5-ND‡§	6.37	4.72	3.95	—	—	GM5WA06250Z
7	7 x 6	Rot/Grün/Blau	Transparent	—	2.2/4.2/4.2	50	3000	—	425-1919-1-ND	5.06	3.75	3.14	800	2185.24	GM5WA06270A
8	Größe 2125	Gelbgrün		570	2.1	50	19.0	160°	425-1920-1-ND	.24	.18	.15	4,000	85.93/M	LT1E40A
		Grün		555	2.1	50	5.0	160°	425-1921-1-ND	.24	.18	.15	4,000	85.93/M	LT1K40A
		Gelb	Milchig	585	2.0	50	10.8	160°	425-1922-1-ND	.27	.21	.17	4,000	98.21/M	LT1H40A
		Rot	diffundiert	635	2.0	50	11.9	160°	425-1923-1-ND	.27	.21	.17	4,000	98.21/M	LT1D40A
		Rot		647	2.1	50	78.7	170°	425-1926-1-ND	.68	.51	.43	4,000	245.52/M	LT1ZR40A
		Bernstein		591	2.1	50	92.7	170°	425-1927-1-ND	.68	.51	.43	4,000	245.52/M	LT1ZV40A
9	Größe 1616	Gelbgrün/Gelb	Milchig	565/585	2.1/2.0	50	19.0/8.3	130°	425-1924-1-ND	.37	.28	.24	4,000	135.04/M	LT1EH67A
		Gelbgrün/Rot	diffundiert	565/635	2.1/2.0	50	19.0/8.8	130°	425-1925-1-ND	.41	.31	.26	4,000	147.31/M	LT1ED67A

* Für Gegurtet auf Rolle Teilenr. von -1-ND auf -2-ND ändern. § Schlauch

K

Alle Preisangaben in Euro und inklusive Zollgebühren.

Abmessungen in mm

Abb. 1

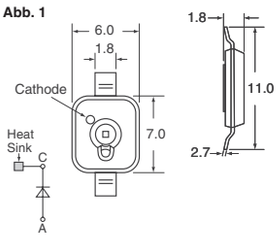

Golden Dragon LED®

Abb. 2

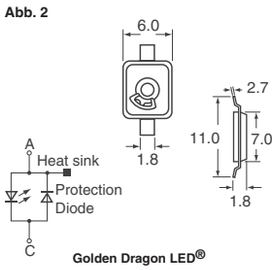

Golden Dragon LED®

Abb. 3

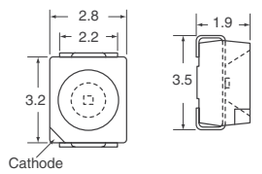

TOPLED®

Abb. 4

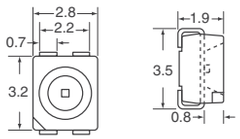

Power TOPLED®

Abb. 5

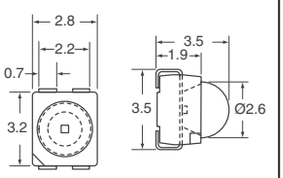

Power TOPLED® mit Linse

Abb. 6

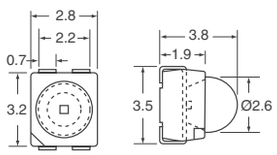

Power TOPLED ® mit Linse

Abb. 7

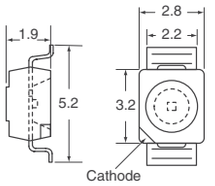

TOPLED® , umgekehrter Flügel

Abb. 8

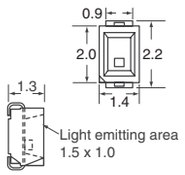

Mini TOPLED®

Abb. 9

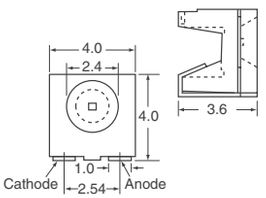

SIDELED®

Abb. 10

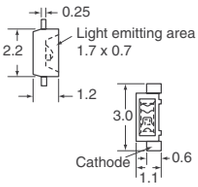

Micro SIDELED®

Abb. 11

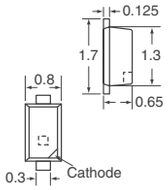

SmartLED®

Abb.	Aus-führung	Emittierte Farbe	Linsen-farbe	Wellen-spitze (nm)	Durchlass-spannung (V)	Durchlass-strom (mA)	typ. mcd (mcd) @ Stromstärke (mA)	Sicht-winkel	Digi-Key Teilenr.	Stückpreis 1	10	100	Digi-Key Teilenr.	Gegurtet auf Rolle Größe	Preisangaben	Osram Teilenr.
1	SMD	Bernstein	Transparent	624	2.2	400	6000 @ 400	120°	475-1000-1-ND	2.95	2.46	1.97	475-1000-2-ND	800	1178.47	LA W57B-FYGY-24
		Gelb	Transparent	594	2.2	400	6000 @ 400	120°	475-1001-1-ND	3.04	2.54	2.03	475-1001-2-ND	800	1216.39	LY W57B-FYGY-26
2	SMD	Blau	Transparent	465	3.8	500	2700 @ 350	120°	475-1118-1-ND	8.89	7.41	5.93	475-1118-2-ND	800	3555.72	LB W5SG-DYEZ-35
		Verde-grün	Transparent	501	3.8	500	9,000 @ 350	120°	475-1119-1-ND	8.89	7.41	5.93	475-1119-2-ND	800	3555.72	LV W5SG-GXHX-35
		Weiß	Diffundiert	—	3.8	500	10,000 @ 350	120°	475-1120-1-ND	8.89	7.41	5.93	475-1120-2-ND	800	3555.72	LW W5SG-GYHY-5K8L
3	P-LCC-2	Bernstein	Transparent	622	2.0	30	196 @ 20	120°	475-1002-1-ND	.19	.17	.14	475-1002-2-ND	2,000	99.05/M	LA T676-R1S2-1
		Orange	Transparent	610	2.0	30	210 @ 20	120°	475-1003-1-ND	.19	.17	.14	475-1003-2-ND	2,000	99.05/M	LO T676-R2S2-24
		Reines Grün	Transparent	562	2.0	30	19 @ 20	120°	475-1004-1-ND	.25	.21	.17	475-1004-2-ND	2,000	121.07/M	LP T676-L1M2-25
		Superrot	Transparent	645	2.0	30	125 @ 20	120°	475-1005-1-ND	.19	.17	.14	475-1005-2-ND	2,000	99.05/M	LS T676-Q1R2-1
		Gelb	Transparent	591	2.0	30	196 @ 20	120°	475-1006-1-ND	.21	.18	.15	475-1006-2-ND	2,000	106.67/M	LY T676-R1S2-26
		Blau	Transparent	465	3.6	20	98 @ 20	120°	475-1007-1-ND	1.09	.91	.73	475-1007-2-ND	2,000	545.21/M	LB T67C-P2R1-35
		Grasgrün	Transparent	523	3.5	20	392 @ 20	120°	475-1008-1-ND	1.04	.87	.70	475-1008-2-ND	2,000	520.66/M	LT T67C-S2U1-35
		Verde-grün	Transparent	503	3.5	20	392 @ 20	120°	475-1009-1-ND	1.08	.90	.72	475-1009-2-ND	2,000	539.29/M	LV T67C-S2U1-35
		Weiß	Diffundiert	—	3.6	20	532 @ 20	120°	475-1010-1-ND	1.04	.87	.70	475-1010-2-ND	2,000	519.81/M	LW T67C-T2U2-3C5D
		Grün	Transparent	572	1.8	20	47 @ 10	120°	475-1064-1-ND	.15	.13	.11	475-1064-2-ND	2,000	77.04/M	LG T67K-J1K2-24
		Reines Grün	Transparent	562	1.8	20	13 @ 10	120°	475-1066-1-ND	.15	.13	.11	475-1066-2-ND	2,000	77.04/M	LP T67K-F1G2-25
		Orange	Transparent	610	1.8	20	100 @ 10	120°	475-1065-1-ND	.14	.13	.10	475-1065-2-ND	2,000	73.66/M	LO T67K-L1M2-24
		Superrot	Transparent	643	1.8	20	40 @ 10	120°	475-1067-1-ND	.14	.13	.10	475-1067-2-ND	2,000	73.66/M	LS T67K-J1K2-1
		Gelb	Transparent	591	1.8	20	80 @ 10	120°	475-1068-1-ND	.14	.13	.10	475-1068-2-ND	2,000	73.66/M	LY T67K-K2M1-26
		Bernstein	Transparent	624	2.1	50	627 @ 30	120°	475-1063-1-ND	.26	.22	.18	475-1063-2-ND	2,000	131.23/M	LA T68B-T2V1-24
4	P-LCC-4	Bernstein	Transparent	624	2.2	70	980 @ 50	120°	475-1011-1-ND	.36	.31	.25	475-1011-2-ND	2,000	180.33/M	LA E67B-U2AA-24-1
		Orange	Transparent	610	2.2	70	980 @ 50	120°	475-1012-1-ND	.36	.30	.24	475-1012-2-ND	2,000	177.79/M	LO E67B-U2AA-24-1
		Superrot	Transparent	645	2.2	70	627 @ 50	120°	475-1013-1-ND	.36	.31	.25	475-1013-2-ND	2,000	183.71/M	LS E67B-T2V1-1-1
		Gelb	Transparent	594	2.2	70	980 @ 50	120°	475-1014-1-ND	.40	.33	.27	475-1014-2-ND	2,000	197.26/M	LY E67B-U2AA-26-1
		Blau	Transparent	464	3.9	30	157 @ 30	120°	475-1015-1-ND	1.19	1.00	.80	475-1015-2-ND	2,000	598.55/M	LB E67C-Q2S1-35
		Grasgrün	Transparent	520	3.8	30	627 @ 30	120°	475-1016-1-ND	1.31	1.09	.88	475-1016-2-ND	2,000	654.42/M	LT E67C-T2V1-35
		Verde-grün	Transparent	501	3.8	30	627 @ 30	120°	475-1017-1-ND	1.24	1.03	.83	475-1017-2-ND	2,000	617.17/M	LV E67C-T2V1-35
		Weiß	Diffundiert	—	3.9	30	840 @ 30	120°	475-1018-1-ND	1.45	1.21	.97	475-1018-2-ND	2,000	723.85/M	LW E67C-U2V2-3C5D-1
		Bernstein	Transparent	624	2.3	70	1680 @ 50	120°	475-1061-1-ND	.45	.38	.30	475-1061-2-ND	2,000	223.50/M	LA E67F-AABA-24-1
5	P-LCC-4	Bernstein	Transparent	624	2.2	70	2475 @ 50	60°	475-1019-1-ND	.41	.35	.28	475-1019-2-ND	2,000	205.73/M	LA E65B-ABCA-24-1
		Gelb	Transparent	594	2.2	70	2475 @ 50	60°	475-1020-1-ND	.47	.40	.32	475-1020-2-ND	2,000	237.05/M	LY E65B-ABCA-26-1
		Bernstein	Transparent	624	2.3	70	4200 @ 50	60°	475-1060-1-ND	.52	.44	.36	475-1060-2-ND	2,000	263.30/M	LA E65F-CADA-24-1
		Blau	Transparent	464	3.9	30	230 @ 30	20°	475-1024-1-ND	1.31	1.10	.88	475-1024-2-ND	2,000	655.27/M	LB E63C-S2U1-35
		Grasgrün	Transparent	520	3.8	30	1425 @ 30	20°	475-1025-1-ND	1.34	1.12	.90	475-1025-2-ND	2,000	669.66/M	LT E63C-ABCA-35
		Verde-grün	Transparent	501	3.8	30	1425 @ 30	20°	475-1026-1-ND	1.31	1.09	.88	475-1026-2-ND	2,000	654.42/M	LV E63C-ABCA-35
6	P-LCC-4	Bernstein	Transparent	624	2.2	70	5700 @ 50	30°	475-1021-1-ND	.41	.35	.28	475-1021-2-ND	2,000	204.88/M	LA E63B-CBEA-24-1
		Superrot	Transparent	645	2.2	70	3000 @ 50	30°	475-1022-1-ND	.42	.35	.29	475-1022-2-ND	2,000	209.96/M	LS E63B-BBCB-1-1
		Gelb	Transparent	594	2.2	70	5700 @ 50	30°	475-1023-1-ND	.48	.40	.32	475-1023-2-ND	2,000	240.44/M	LY E63B-CBEA-26-1
7	SMD	Bernstein	Transparent	622	2.0	30	196 @ 20	120°	475-1027-1-ND	.21	.18	.15	475-1027-2-ND	2,000	106.67/M	LA T776-R1S2-1
		Orange	Transparent	610	2.0	30	247 @ 20	120°	475-1028-1-ND	.21	.18	.15	475-1028-2-ND	2,000	106.67/M	LO T776-R2T1-24
		Reines Grün	Transparent	562	2.0	30	19.6 @ 20	120°	475-1029-1-ND	.25	.21	.17	475-1029-2-ND	2,000	125.30/M	LP T776-L1M2-25
		Superrot	Transparent	645	2.0	30	125 @ 20	120°	475-1030-1-ND	.21	.18	.15	475-1030-2-ND	2,000	106.67/M	LS T776-Q1R2-1
		Gelb	Transparent	591	2.0	30	196 @ 20	120°	475-1031-1-ND	.23	.19	.16	475-1031-2-ND	8,000	99.90/M	LY T776-R1S2-26
8	SMD	Bernstein	Transparent	622	2.0	30	157 @ 20	120°	475-1032-1-ND	.21	.18	.14	475-1032-2-ND	3,000	104.14/M	LA M676-Q2S1-1
		Grün	Transparent	572	2.0	30	67 @ 20	120°	475-1033-1-ND	.26	.22	.18	475-1033-2-ND	3,000	131.23/M	LG M676-P1Q1-24
		Orange	Transparent	610	2.0	30	196 @ 20	120°	475-1034-1-ND	.21	.18	.14	475-1034-2-ND	3,000	104.14/M	LO M676-R1S2-24
		Superrot	Transparent	645	2.0	30	98 @ 20	120°	475-1035-1-ND	.21	.18	.14	475-1035-2-ND	3,000	104.14/M	LS M676-P2R1-1
		Gelb	Transparent	591	2.0	30	157 @ 20	120°	475-1036-1-ND	.22	.19	.15	475-1036-2-ND	3,000	110.91/M	LY M676-Q2S1-26
		Blau	Transparent	465	3.5	20	63 @ 20	120°	475-1037-1-ND	.93	.78	.62	475-1037-2-ND	3,000	464.79/M	LB M673-N2Q1-35
		Grasgrün	Transparent	523	3.3	20	196 @ 20	120°	475-1038-1-ND	1.00	.84	.67	475-1038-2-ND	3,000	500.34/M	LT M673-R1S2-35
		Weiß	Diffundiert	—	3.6	20	420 @ 20	120°	475-1039-1-ND	1.28	1.07	.86	475-1039-2-ND	3,000	637.49/M	LW M67C-T1U1-3C5D
9	SMD	Reines Grün	Transparent	562	2.0	40	50 @ 30	120°	475-1062-1-ND	.29	.25	.20	475-1062-2-ND	2,000	144.77/M	LP A675-N1P2-25
		Bernstein	Transparent	622	2.0	30	196 @ 20	120°	475-1040-1-ND	.24	.20	.16	475-1040-2-ND	2,000	116.83/M	LA A676-R1S2-1
		Orange	Transparent	610	2.0	30	196 @ 20	120°	475-1041-1-ND	.24	.20	.16	475-1041-2-ND	2,000	119.37/M	LO A676-R1S2-24
		Reines Grün	Transparent	562	2.0	30	20 @ 20	120°	475-1042-1-ND	.24	.20	.16	475-1042-2-ND	2,000	118.53/M	LP A676-L1M2-25
		Superrot	Transparent	645	2.0	30	98 @ 20	120°	475-1043-1-ND	.23	.19	.16	475-1043-2-ND	2,000	113.45/M	LS A676-P2R1-1
		Gelb	Transparent	591	2.0	30	157 @ 20	120°	475-1044-1-ND	.25	.21	.17	475-1044-2-ND	2,000	121.07/M	LY A676-Q2S1-26
		Blau	Transparent	465	3.6	20	98 @ 20	120°	475-1045-1-ND	1.09	.91	.73	475-1045-2-ND	2,000	545.21/M	LB A67C-P2R1-35
		Grasgrün	Transparent	523	3.5	20	392 @ 20	120°	475-1046-1-ND	1.09	.91	.73	475-1046-2-ND	2,000	545.21/M	LT A67C-S2U1-35
		Weiß	Diffundiert	—	3.6	20	530 @ 20	120°	475-1047-1-ND	1.30	1.09	.87	475-1047-2-ND	2,000	650.19/M	LW A67C-T2U2-3C5D
10	SMD	Bernstein	Transparent	622	2.0	30	196 @ 20	120°	475-1048-1-ND	.23	.19	.16	475-1048-2-ND	3,000	113.45/M	LA Y876-R1S2-1
		Orange	Transparent	610	2.0	30	250 @ 20	120°	475-1049-1-ND	.23	.19	.16	475-1049-2-ND	3,000	113.45/M	LO Y876-R2T1-24
		Superrot	Transparent	645	2.0	30	125 @ 20	120°	475-1050-1-ND	.23	.19	.16	475-1050-2-ND	3,000	113.45/M	LS Y876-Q1R2-1
		Gelb	Transparent	591	2.0	30	196 @ 20	120°	475-1051-1-ND	.24	.20	.16	475-1051-2-ND	3,000	118.53/M	LY Y876-R1S2-26
		Grün	Transparent	572	2.0	30	16 @ 10	120°	475-1052-1-ND	.19	.16	.13	475-1052-2-ND	3,000	95.67/M	LG Y870-K2M1-1
		Blau	Transparent	465	3.4	15	31 @ 10	120°	475-1053-1-ND	.89	.74	.60	475-1053-2-ND	3,000	443.62/M	LB Y87S-M1N2-35
		Grasgrün	Transparent	523	3.4	15	78 @ 10	120°	475-1054-1-ND	.87	.73	.58	475-1054-2-ND	3,000	434.31/M	LT Y87S-P1Q2-35
		Weiß	Diffundiert	—	3.6	20	420 @ 20	120°	475-1055-1-ND	1.46	1.22	.98	475-1055-2-ND	3,000	730.62/M	LW Y87C-T1U1-3C5D
11	SCD 80	Grün	Diffundiert	572	2.2	20	20 @ 20	160°	475-1056-1-ND	.17	.14	.12	475-1056-2-ND	5,000	82.97/M	LG L890-L1M2-1
		Orange	Diffundiert	610	1.8	15	50 @ 10	160°	475-1057-1-ND	.18	.15	.12	475-1057-2-ND	5,000	88.05/M	LO L89K-J2L1-24
		Superrot	Diffundiert	643	1.8	15	25 @ 10	160°	475-1058-1-ND	.18	.15	.12	475-1058-2-ND	5,000	88.05/M	LS L89K-H1J2-1
		Gelb	Diffundiert	591	1.8	15	30 @ 10	160°	475-1059-1-ND	.18	.15	.12	475-1059-2-ND	5,000	88.05/M	LY L89K-H2K1-26

K

Abmessungen in mm.

Abb. 1

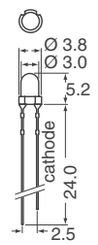

Abb. 2

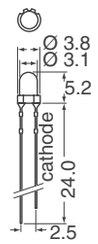

Abb. 3

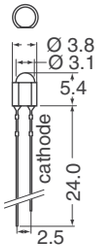

Abb. 4

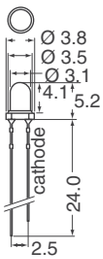

Abb. 5

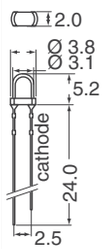

Abb. 6

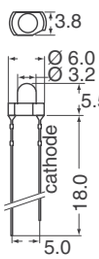

Abb. 7

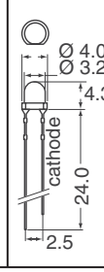

Abb. 8

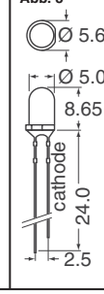

Abb. 9

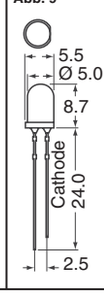

Abb. 10

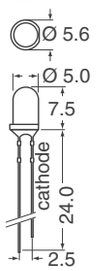

Abb. 11

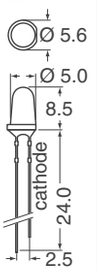

Abb. 12

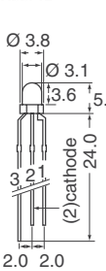

Abb. 13

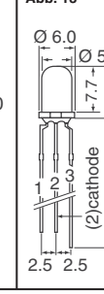

Abb.	Ausführung	Emittierte Farbe	Linse	Spitzen-Wellenlänge (nm)	Vorwärtsspannung (Typ.) (V)	Durchlassstrom (mA)	Lichtintensität (typ.) mcd @ IF(mA)		Sichtwinkel	Digi-Key Teilenr.	Gurtabschnittspreise 1	25	100	Digi-Key Teilenr.	Gegurtet auf Rolle Größe	Preisangaben	Rohm Teilenr.
1	3.0mm	Grün	Wasserklar	563	2.2	25	100	20	25°	511-1191-ND‡	.45	5.53	17.99	—	—	—	SLA-370MT3F
		Rot	Wasserklar	660	1.75	50	100	20	25°	511-1190-ND‡	.45	5.53	17.99	—	—	—	SLA-370LT3F
2	3.1mm	Grün	Wasserklar	563	2.2	25	100	20	40°	511-1189-ND‡	.52	6.33	20.59	—	—	—	SLA-360MT3F
		Rot	Wasserklar	660	1.75	50	68	20	40°	511-1188-ND‡	.52	6.33	20.59	—	—	—	SLA-360LT3F
3	3.1mm	Rot	Diffundiert	630	1.9	50	350	20	40°	511-1210-ND‡	.68	8.30	26.98	—	—	—	SLI-343UR3F
		Rot	Transparent	630	1.9	50	450	20	40°	511-1211-ND‡	.68	8.30	26.98	—	—	—	SLI-343URC3F
		Orange	Diffundiert	611	1.9	50	350	20	40°	511-1209-ND‡	.68	8.30	26.98	—	—	—	SLI-343DU3F
		Orange	Transparent	611	1.9	50	500	20	40°	511-1208-ND‡	.68	8.30	26.98	—	—	—	SLI-343DC3F
		Gelb	Diffundiert	591	1.9	50	300	20	40°	511-1213-ND‡	.68	8.30	26.98	—	—	—	SLI-343YY3F
		Gelb	Transparent	591	1.9	50	350	20	40°	511-1212-ND‡	.68	8.30	26.98	—	—	—	SLI-343YC3F
		Rot	Diffundiert	650	2	20	16	10	40°	511-1256-1-ND	.28	2.84	9.58	511-1256-3-ND§	2,000	66.04/M	SLR-343VRT32
		Rot	Transparent	650	2	20	25	10	40°	511-1255-1-ND	.28	2.84	9.58	511-1255-3-ND§	2,000	66.04/M	SLR-343VCT32
		Gelb	Diffundiert	585	2.1	20	10	10	40°	511-1258-1-ND	.28	2.84	9.58	511-1258-3-ND§	2,000	66.04/M	SLR-343YYT32
		Gelb	Transparent	585	2.1	20	16	10	40°	511-1257-1-ND	.28	2.84	9.58	511-1257-3-ND§	2,000	66.04/M	SLR-343YCT32
		Grün	Diffundiert	563	2.1	25	16	10	40°	511-1254-1-ND	.28	2.84	9.58	511-1254-3-ND§	2,000	66.04/M	SLR-343MGT32
		Grün	Transparent	563	2.1	25	25	10	40°	511-1253-1-ND	.28	2.84	9.58	511-1253-3-ND§	2,000	66.04/M	SLR-343MCT32
		Grün	Wasserklar	518	3.8	20	2000	20	40°	511-1367-ND	1.63	23.98	81.78	—	—	—	SLR343ECT3F
		Grün	Wasserklar	523	3.5	30	1500	20	40°	511-1268-ND‡	1.74	25.64	86.35	—	—	—	SLR343EBT3F
		Blau	Wasserklar	468	3.5	20	600	20	40°	511-1368-ND	1.83	26.98	92.01	—	—	—	SLR343BCT3F
		Blau	Wasserklar	468	3.5	30	200	20	40°	511-1267-ND‡	1.74	25.64	86.35	—	—	—	SLR343BBT3F
4	3.1mm	Rot	Diffundiert	650	2	20	16	10	40°	511-1250-ND‡	.23	2.62	7.62	—	—	—	SLR-342VR3F
		Rot	Transparent	650	2	20	25	10	40°	511-1249-ND‡	.30	3.06	10.33	—	—	—	SLR-342VC3F
		Orange	Diffundiert	610	2	20	16	10	40°	511-1246-ND‡	.30	3.06	10.33	—	—	—	SLR-342DU3F
		Orange	Transparent	610	2	20	25	10	40°	511-1245-ND‡	.30	3.06	10.33	—	—	—	SLR-342DC3F
		Gelb	Diffundiert	585	2.1	20	10	10	40°	511-1252-ND‡	.26	2.63	8.85	—	—	—	SLR-342YY3F
		Gelb	Transparent	585	2.1	20	16	10	40°	511-1251-ND‡	.30	3.06	10.33	—	—	—	SLR-342YC3F
		Grün	Diffundiert	563	2.1	25	16	10	40°	511-1248-ND‡	.26	2.63	8.85	—	—	—	SLR-342MG3F
		Grün	Transparent	563	2.1	25	25	10	40°	511-1247-ND‡	.30	3.06	10.33	—	—	—	SLR-342MC3F
5	3.1 x 2.0mm	Rot	Diffundiert	650	2	20	10	10	55°	511-1228-ND‡	.26	3.22	9.68	—	—	—	SLR-322VR3F
		Rot	Transparent	650	2	20	16	10	35°	511-1227-ND‡	.26	3.22	9.68	—	—	—	SLR-322VC3F
		Orange	Diffundiert	610	2	20	6.3	10	55°	511-1224-ND‡	.26	3.22	9.68	—	—	—	SLR-322DU3F
		Orange	Transparent	610	2	20	16	10	35°	511-1223-ND‡	.26	3.22	9.68	—	—	—	SLR-322DC3F
		Gelb	Diffundiert	585	2.1	20	10	10	55°	511-1230-ND‡	.26	3.22	9.68	—	—	—	SLR-322YY3F
		Gelb	Transparent	585	2.1	20	10	10	35°	511-1229-ND‡	.26	3.22	9.68	—	—	—	SLR-322YC3F
		Grün	Diffundiert	563	2.1	25	10	10	55°	511-1226-ND‡	.26	3.22	9.68	—	—	—	SLR-322MG3F
		Grün	Transparent	563	2.1	25	25	10	35°	511-1225-ND‡	.26	3.22	9.68	—	—	—	SLR-322MC3F
6	3.2mm	Rot	Diffundiert	630	1.85	20	100	20	40°	511-1205-1-ND	.64	7.92	25.79	511-1205-3-ND§	2,000	192.18/M	SLI-325URT31W
		Rot	Transparent	630	1.85	20	100	20	40°	511-1204-1-ND	.64	7.92	25.79	511-1204-3-ND§	2,000	192.18/M	SLI-325URCT31W
		Orange	Diffundiert	611	1.9	20	100	20	40°	511-1203-1-ND	.64	7.92	25.79	511-1203-3-ND§	2,000	192.18/M	SLI-325DUT31W
		Orange	Transparent	611	1.9	20	100	20	40°	511-1202-1-ND	.64	7.92	25.79	511-1202-3-ND§	2,000	192.18/M	SLI-325DCT31W
		Gelb	Diffundiert	590	1.9	20	100	20	40°	511-1207-1-ND	.64	7.92	25.79	511-1207-3-ND§	2,000	192.18/M	SLI-325YYT31W
		Gelb	Transparent	590	1.9	20	100	20	40°	511-1206-1-ND	.64	7.92	25.79	511-1206-3-ND§	2,000	192.18/M	SLI-325YCT31W
		Rot	Diffundiert	650	2	20	10	10	40°	511-1234-1-ND	.35	4.23	12.76	511-1234-3-ND§	2,000	92.28/M	SLR-325VRT31
		Rot	Transparent	650	2	20	16	10	40°	511-1233-1-ND	.35	4.23	12.76	511-1233-3-ND§	2,000	92.28/M	SLR-325VCT31
		Gelb	Diffundiert	585	2.1	20	6.3	10	40°	511-1236-1-ND	.35	4.23	12.76	511-1236-3-ND§	2,000	92.28/M	SLR-325YYT31
		Gelb	Transparent	585	2.1	20	16	10	40°	511-1235-1-ND	.35	4.23	12.76	511-1235-3-ND§	2,000	92.28/M	SLR-325YCT31
		Grün	Diffundiert	563	2.1	25	16	10	40°	511-1232-1-ND	.35	4.23	12.76	511-1232-3-ND§	2,000	92.28/M	SLR-325MGT31
		Grün	Transparent	563	2.1	25	25	10	40°	511-1231-1-ND	.35	4.23	12.76	511-1231-3-ND§	2,000	92.28/M	SLR-325MCT31
7	3.2mm	Rot	Diffundiert	650	2	20	10	10	85°	511-1242-ND‡	.30	3.06	10.33	—	—	—	SLR-332VR3F
		Rot	Transparent	650	2	20	10	10	75°	511-1241-ND‡	.30	3.06	10.33	—	—	—	SLR-332VC3F
		Orange	Diffundiert	610	2	20	10	10	85°	511-1238-ND‡	.30	3.06	10.33	—	—	—	SLR-332DU3F
		Orange	Transparent	610	2	20	16	10	75°	511-1237-ND‡	.30	3.06	10.33	—	—	—	SLR-332DC3F
		Gelb	Diffundiert	585	2.1	20	6.3	10	85°	511-1244-ND‡	.30	3.06	10.33	—	—	—	SLR-332YY3F
		Gelb	Transparent	585	2.1	20	10	10	75°	511-1243-ND‡	.30	3.06	10.33	—	—	—	SLR-332YC3F
		Grün	Diffundiert	563	2.1	25	16	10	85°	511-1240-ND‡	.30	3.06	10.33	—	—	—	SLR-332MG3F
		Grün	Transparent	563	2.1	25	16	10	75°	511-1239-ND‡	.30	3.06	10.33	—	—	—	SLR-332MC3F
8	5mm	Rot	Wasserklar	660	1.75	50	220	20	25°	511-1194-ND‡	.52	6.33	20.59	—	—	—	SLA-570LT3F
		Grün	Wasserklar	563	2.2	25	185	20	25°	511-1195-ND‡	.31	3.80	11.44	—	—	—	SLA-570MT3F
		Rot	Wasserklar	630	1.9	50	3,000	20	25°	511-1218-ND‡	.46	5.62	16.93	—	—	—	SLI-570UT3F
		Orange	Wasserklar	611	1.9	50	3,000	20	25°	511-1217-ND‡	.46	5.62	16.93	—	—	—	SLI-570DT3F
		Gelb	Wasserklar	591	1.9	50	2,500	20	25°	511-1219-ND‡	.46	5.62	16.93	—	—	—	SLI-570YT3F
9	5mm	Rot	Diffundiert	650	2	20	10	10	40°	511-1264-ND‡	.28	2.84	9.58	—	—	—	SLR-56VR3F
		Rot	Transparent	650	2	20	25	10	35°	511-1263-ND‡	.29	3.50	10.56	—	—	—	SLR-56VC3F
		Orange	Diffundiert	610	2	20	10	10	40°	511-1260-ND‡	.29	3.50	10.56	—	—	—	SLR-56DU3F
		Orange	Transparent	610	2	20	25	10	35°	511-1259-ND‡	.29	3.50	10.56	—	—	—	SLR-56DC3F
		Gelb	Diffundiert	585	2.1	20	10	10	40°	511-1266-ND‡	.28	2.84	9.58	—	—	—	SLR-56YY3F
		Gelb	Transparent	585	2.1	20	25	10	35°	511-1265-ND‡	.29	3.50	10.56	—	—	—	SLR-56YC3F
		Grün	Diffundiert	563	2.1	25	16	10	40°	511-1262-ND‡	.28	2.84	9.58	—	—	—	SLR-56MG3F
		Grün	Transparent	563	2.1	25	40	10	35°	511-1261-ND‡	.29	3.50	10.56	—	—	—	SLR-56MC3F
10	5mm	Blau	Wasserklar	468	3.5	30	150	20	40°	511-1198-ND‡	1.74	25.64	86.35	—	—	—	SLA560BBT3F
		Grün	Wasserklar	523	3.5	30	680	20	40°	511-1199-ND‡	1.74	25.64	86.35	—	—	—	SLA560EBT3F
		Rot	Wasserklar	660	1.75	50	100	20	40°	511-1192-ND‡	.42	6.14	18.47	—	—	—	SLA-560LT3F
		Grün	Wasserklar	563	2.2	25	100	20	40°	511-1193-ND‡	.39	4.75	14.30	—	—	—	SLA-560MT3F
		Rot	Wasserklar	630	1.9	50	1,000	20	40°	511-1215-ND‡	.42	5.18	15.61	—	—	—	SLI-560UT3F
		Orange	Wasserklar	611	1.9	50	1,000	20	40°	511-1214-ND‡	.46	5.62	16.93	—	—	—	SLI-560DT3F
		Gelb	Wasserklar	591	1.9	50	1,000	20	40°	511-1216-ND‡	.46	5.62	16.93	—	—	—	SLI-560YT3F
11	5mm	Blau	Wasserklar	468	3.5	30	1,000	20	16°	511-1200-ND‡	1.74	25.64	86.35	—	—	—	SLA580BBT3F
		Blau	Wasserklar	468	3.5	20	2500	20	12°	511-1370-ND	1.80	26.63	90.81	—	—	—	SLA580BCT3F
		Grün	Wasserklar	523	3.5	30	4,500	20	16°	511-1201-ND‡	1.74	25.64	86.35	—	—	—	SLA580EBT3F
		Grün	Wasserklar	518	3.8	20	8000	20	12°	511-1369-ND	2.03	29.98	102.23	—	—	—	SLA580ECT3F
		Rot	Wasserklar	660	1.75	50	470	20	10°	511-1196-ND‡	.42	6.14	18.47	—	—	—	SLA-580LT3F
		Grün	Wasserklar	563	2.2	25	470	20	10°	511-1197-ND‡	.35	4.23	12.76	—	—	—	SLA-580MT3F
		Rot	Wasserklar	630	1.9	50	5,000	20	10°	511-1221-ND‡	.46	5.62	16.93	—	—	—	SLI-580UT3F
		Orange	Wasserklar	611	1.9	50	5,000	20	10°	511-1220-ND‡	.46	5.62	16.93	—	—	—	SLI-580DT3F
		Gelb	Wasserklar	591	1.9	50	5,000	20	10°	511-1222-ND‡	.46	5.62	16.93	—	—	—	SLI-580YT3F

‡ Großmenge § Band und Box

(Forts.)

K

Alle Preisangaben in Euro und inklusive Zollgebühren.

Abmessungen in mm.

Abb. 14

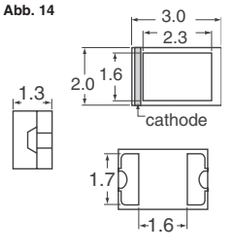

Abb. 15

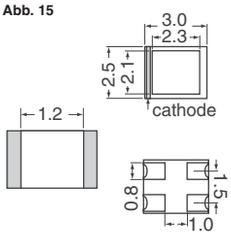

Abb. 16

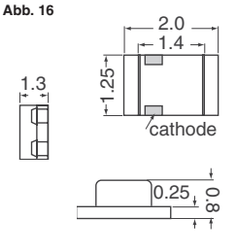

Abb. 17

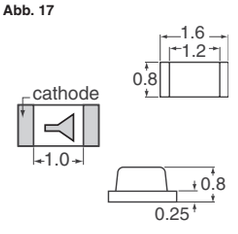

Abb. 18

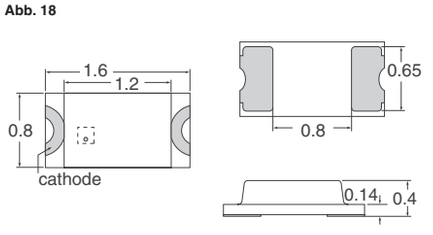

Abb. 19

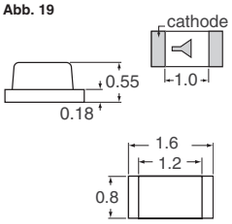

Abb. 20

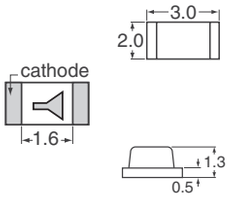

Abb. 21

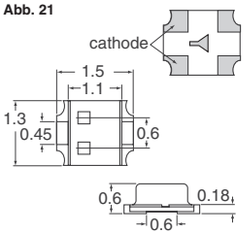

Abb. 22

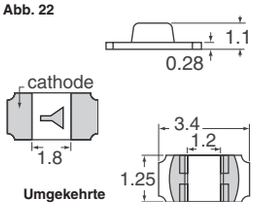

Umgekehrte Montage

Abb. 23

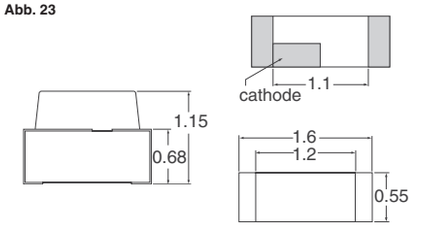

Abb.	Ausführung	Emittierte Farbe	Linse	Spitzen-Wellenlänge (nm)	Vorwärts spannung (typ.) (V)	Durchlass-strom (mA)	Licht-intensität (typ.) mcd @ I_F(mA)		Sicht-winkel	Digi-Key Teilenr.	Gurtabschnittspreise 1	25	100	Digi-Key Teilenr.	Gegurtet auf Rolle Größe	Preisangaben	Rohm Teilenr.
12	3.1mm	Rot/grün	Milchweiß	650/563	2/2.1	20/25	6.3/10	10	60°	511-1334-ND‡	.52	6.33	20.59	—	—	—	SPR-39MVWF
13	5mm	Rot/grün	Milchweiß	650/563	2/2.1	20/25	6.3/10	10	40°	511-1335-ND‡	.69	8.54	27.79	—	—	—	SPR-54MVWF
14	3 x 2mm	Blau	Wasserklar	428	3.8	20	9	20	110°	511-1328-1-ND	.92	12.70	41.54	511-1328-2-ND	2,500	329.33/M	SML010BATT86
		Rot	Wasserklar	660	1.75	30	16	20	110°	511-1271-1-ND	.32	3.95	11.88	511-1271-2-ND	2,500	85.51/M	SML-010LTT86
		Rot	Wasserklar	650	2	30	6.3	20	110°	511-1274-1-ND	.31	3.80	11.44	511-1274-2-ND	2,500	82.97/M	SML-010VTT86
		Orange	Wasserklar	610	2	25	10	20	110°	511-1269-1-ND	.32	3.95	11.88	511-1269-2-ND	2,500	85.51/M	SML-010DTT86
		Gelb	Wasserklar	585	2.1	25	6.3	20	110°	511-1275-1-ND	.31	3.80	11.44	511-1275-2-ND	2,500	82.97/M	SML-010YTT86
		Grün	Wasserklar	570	2.2	25	25	20	110°	511-1272-1-ND	.26	3.22	9.68	511-1272-2-ND	2,500	70.27/M	SML-010MTT86
		Grün	Wasserklar	560	2.2	25	10	20	110°	511-1270-1-ND	.32	3.95	11.88	511-1270-2-ND	2,500	85.51/M	SML-010FTT86
		Grün	Wasserklar	555	2.2	25	6.3	20	110°	511-1273-1-ND	.32	3.95	11.88	511-1273-2-ND	2,500	85.51/M	SML-010PTT86
		Blau	Wasserklar	468	3.5	20	25	20	110°	511-1329-1-ND	1.53	19.23	69.23	511-1329-2-ND	2,500	527.44/M	SML011BTT86
		Grün	Wasserklar	523	3.5	20	90	20	110°	511-1330-1-ND	1.74	25.64	86.35	511-1330-2-ND	2,500	702.68/M	SML011EBTT86
		Rot	Wasserklar	630	2	30	63	20	110°	511-1276-1-ND	.45	5.53	17.99	511-1276-2-ND	2,500	133.77/M	SML-011UTT86
		Rot	Wasserklar	630	2	30	100	20	110°	511-1278-1-ND	.48	5.96	19.39	511-1278-2-ND	2,500	144.77/M	SML-012UTT86
		Orange	Wasserklar	611	2	30	100	20	110°	511-1277-1-ND	.48	5.96	19.39	511-1277-2-ND	2,500	144.77/M	SML-012DTT86
		Gelb	Wasserklar	590	2	30	100	20	110°	511-1279-1-ND	.48	5.96	19.39	511-1279-2-ND	2,500	144.77/M	SML-012YTT86
15	3 x 2.5mm	Rot/grn	Wasserklar	650/570	2/2.2	30/25	6.3/20	20	110°	511-1281-1-ND	.45	5.53	17.99	511-1281-2-ND	2,500	133.77/M	SML-020MVTT86
		Rot/grn	Wasserklar	660/570	1.75/2.2	30/25	16/20	20	110°	511-1280-1-ND	.45	5.53	17.99	511-1280-2-ND	2,500	133.77/M	SML-020MLTT86
		Gelb/grn	Wasserklar	585/570	2.1/2.2	30/25	6.3/20	20	110°	511-1282-1-ND	.45	5.53	17.99	511-1282-2-ND	2,500	133.77/M	SML-020MYTT87
		Orange/grn	Wasserklar	610/555	2/2.2	30/25	10/4	20	110°	511-1283-1-ND	.48	5.96	19.39	511-1283-2-ND	2,500	144.77/M	SML-020PDTT87
16	0805	Leuchtend rot	Wasserklar	660	1.75	30	10	20	140°	511-1286-1-ND	.25	3.14	10.57	511-1286-2-ND	3,000	68.58/M	SML-210LTT86
		Rot	Wasserklar	650	2	25	4	20	140°	511-1289-1-ND	.26	2.63	8.85	511-1289-2-ND	3,000	57.57/M	SML-210VTT86
		Orange	Wasserklar	610	2	25	6.3	20	140°	511-1284-1-ND	.25	3.14	10.57	511-1284-2-ND	3,000	68.58/M	SML-210DTT86
		Gelb	Wasserklar	585	2.1	25	6.3	20	140°	511-1290-1-ND	.25	3.14	10.57	511-1290-2-ND	3,000	68.58/M	SML-210YTT86
		Grün	Wasserklar	570	2.2	25	16	20	140°	511-1287-1-ND	.26	2.63	8.85	511-1287-2-ND	3,000	57.57/M	SML-210MTT86
		Grün	Wasserklar	560	2.2	25	4	20	140°	511-1285-1-ND	.25	3.14	10.57	511-1285-2-ND	3,000	68.58/M	SML-210FTT86
		Grün	Wasserklar	555	2.2	25	4	20	140°	511-1288-1-ND	.25	3.14	10.57	511-1288-2-ND	3,000	68.58/M	SML-210PTT86
		Rot	Wasserklar	630	1.8	10	2.5	2	140°	511-1292-1-ND	.39	4.75	14.30	511-1292-2-ND	3,000	103.29/M	SML-211UTT86
		Orange	Wasserklar	611	1.8	10	2.5	2	140°	511-1291-1-ND	.39	4.75	14.30	511-1291-2-ND	3,000	103.29/M	SML-211DTT86
		Gelb	Wasserklar	590	1.8	10	1.6	2	140°	511-1293-1-ND	.39	4.75	14.30	511-1293-2-ND	3,000	103.29/M	SML-211YTT86
		Rot	Wasserklar	639	2.05	30	63	20	140°	511-1295-1-ND	.42	6.14	18.47	511-1295-2-ND	3,000	125.30/M	SML-212VTT86
		Orange	Wasserklar	611	2.05	30	63	20	140°	511-1294-1-ND	.42	6.14	18.47	511-1294-2-ND	3,000	125.30/M	SML-212DTT86
		Gelb	Wasserklar	591	2.05	30	63	20	140°	511-1296-1-ND	.42	6.14	18.47	511-1296-2-ND	3,000	125.30/M	SML-212YTT86
17	0603	Leuchtend rot	Wasserklar	660	1.75	25	10	20	140°	511-1298-1-ND	.25	2.56	8.60	511-1298-2-ND	3,000	55.88/M	SML-310LTT86
		Rot	Wasserklar	650	2	20	4	20	140°	511-1301-1-ND	.25	2.56	8.60	511-1301-2-ND	3,000	55.88/M	SML-310VTT86
		Orange	Wasserklar	610	2	20	6.3	20	140°	511-1297-1-ND	.25	2.56	8.60	511-1297-2-ND	3,000	55.88/M	SML-310DTT86
		Gelb	Wasserklar	585	2.1	20	6.3	20	140°	511-1302-1-ND	.25	2.56	8.60	511-1302-2-ND	3,000	55.88/M	SML-310YTT86
		Grün	Wasserklar	570	2.2	20	16	20	140°	511-1299-1-ND	.19	2.29	6.64	511-1299-2-ND	3,000	45.72/M	SML-310MTT86
		Grün	Wasserklar	555	2.2	20	4	20	140°	511-1300-1-ND	.25	2.56	8.60	511-1300-2-ND	3,000	55.88/M	SML-310PTT86
		Blau	Wasserklar	428	3.8	20	3.6	20	140°	511-1331-1-ND	1.02	14.13	46.22	511-1331-2-ND	3,000	366.58/M	SML-310BATT86
		Blau	Wasserklar	468	3.5	20	14	20	140°	511-1332-1-ND	1.74	25.64	86.35	511-1332-2-ND	3,000	702.68/M	SML-311BBTT86
		Grün	Wasserklar	523	3.5	20	90	20	140°	511-1333-1-ND	1.74	25.64	86.35	511-1333-2-ND	3,000	702.68/M	SML-311EBTT86
		Gelb	Wasserklar	590	1.8	10	1.6	2	140°	511-1305-1-ND	.31	3.80	11.44	511-1305-2-ND	3,000	82.97/M	SML-311YTT86
		Rot	Wasserklar	630	1.8	10	2.5	2	140°	511-1304-1-ND	.31	3.80	11.44	511-1304-2-ND	3,000	82.97/M	SML-311UTT86
		Orange	Wasserklar	611	1.8	10	2.5	2	140°	511-1303-1-ND	.31	3.80	11.44	511-1303-2-ND	3,000	82.97/M	SML-311DTT86
		Grün	Wasserklar	525	3.8	20	200	20	140°	511-1371-1-ND	1.93	28.48	97.11	511-1371-2-ND	3,000	780.81/M	SML312ECTT86
		Blau	Wasserklar	468	3.5	20	63	20	140°	511-1372-1-ND	1.93	28.48	97.11	511-1372-2-ND	3,000	780.81/M	SML312BCTT86
18	0603	Grün	Weiß diffundiert	570	2.2	25	16	20	150°	511-1306-1-ND	.25	2.56	8.60	511-1306-2-ND	5,000	55.88/M	SML-410MWT86
		Grün	Diffundiert	570	2.1	25	40	20	150°	511-1307-1-ND	.35	4.23	12.76	511-1307-2-ND	5,000	86.36/M	SML-412MWT86
19	0603	Grün	Milchweiß	570	2.2	20	16	20	140°	511-1308-1-ND	.19	2.20	6.39	511-1308-2-ND	3,000	44.03/M	SML-510MWT86
		Rot	Wasserklar	630	1.9	25	40	20	140°	511-1310-1-ND	.35	4.23	12.76	511-1310-2-ND	3,000	92.28/M	SML-511UWT86
		Orange	Wasserklar	611	1.9	25	40	20	140°	511-1309-1-ND	.35	4.23	12.76	511-1309-2-ND	3,000	92.28/M	SML-511DWT86
		Gelb	Wasserklar	590	1.9	25	40	20	140°	511-1311-1-ND	.35	4.23	12.76	511-1311-2-ND	3,000	92.28/M	SML-511WWT86
		Grün	Weiß diffundiert	570	2.1	25	40	20	140°	511-1313-1-ND	.42	6.14	18.47	511-1313-2-ND	3,000	125.30/M	SML-512MWT86
		Rot	Wasserklar	630	2	30	63	20	140°	511-1314-1-ND	.42	6.14	18.47	511-1314-2-ND	3,000	125.30/M	SML-512UWT86
		Orange	Wasserklar	611	2	30	63	20	140°	511-1312-1-ND	.42	6.14	18.47	511-1312-2-ND	3,000	125.30/M	SML-512DWT86
		Gelb	Wasserklar	590	2	30	63	20	140°	511-1315-1-ND	.42	5.18	15.61	511-1315-2-ND	3,000	112.60/M	SML-512WWT86
20	1206	Grün	Wasserklar	525	3.8	20	360	20	110°	511-1373-1-ND	2.03	29.98	102.23	511-1373-2-ND	2,500	821.91/M	SML012ECTT86
21	1.3 x 1.5mm	Rot/grn	Milchweiß	630/570	1.9/2.2	20/25	40/16	20	150°	511-1317-1-ND	.80	9.90	32.18	511-1317-2-ND	4,000	229.43/M	SML-521MUWT86
		Orange/grn	Milchweiß	611/570	1.9/2.2	20/25	40/16	20	150°	511-1316-1-ND	.80	9.90	32.18	511-1316-2-ND	4,000	229.43/M	SML-521MDWT86
		Gelb/grn	Milchweiß	590/570	1.9/2.2	20/25	40/16	20	150°	511-1318-1-ND	.80	9.90	32.18	511-1318-2-ND	4,000	229.43/M	SML-521MYWT86
22	3.4 x 1.25mm umgekehrte Montage	Grün	Wasserklar	570	2.2	25	16	20	140°	511-1319-1-ND	.42	5.18	15.61	511-1319-2-ND	3,000	112.60/M	SML-810MTT86
		Rot	Wasserklar	630	1.95	25	22.4	10	140°	511-1321-1-ND	.42	6.14	18.47	511-1321-2-ND	3,000	125.30/M	SML-811UTT86
		Orange	Wasserklar	611	1.95	25	22.4	10	140°	511-1320-1-ND	.42	6.14	18.47	511-1320-2-ND	3,000	125.30/M	SML-811DTT86
		Gelb	Wasserklar	590	1.95	25	18	10	140°	511-1322-1-ND	.42	6.14	18.47	511-1322-2-ND	3,000	125.30/M	SML-811WTT86
		Grün	Transparent	570	2.1	25	40	20	140°	511-1323-1-ND	.58	7.13	23.19	511-1323-2-ND	3,000	172.71/M	SML-812MTT86
23	1.6 x 1.15	Orange	Wasserklar	611	1.9	25	63	20	130°	511-1324-1-ND	.46	5.62	16.93	511-1324-2-ND	3,000	114.29/M	SML-A12DTT86
		Rot	Wasserklar	630	1.9	25	63	20	130°	511-1326-1-ND	.46	5.62	16.93	511-1326-2-ND	3,000	114.29/M	SML-A12UTT86
		Gelb	Wasserklar	590	1.9	25	63	20	130°	511-1327-1-ND	.46	5.62	16.93	511-1327-2-ND	3,000	114.29/M	SML-A12WTT86
		Grün	Wasserklar	570	2.1	25	40	20	130°	511-1325-1-ND	.46	5.62	16.93	511-1325-2-ND	3,000	114.29/M	SML-A12MTT86

‡ Großmenge § Band und Box

K

Panasonic®

LEDs zur Oberflächenmontage

Die Chip-LEDs sind dünn und kompakt und in Oberflächenmontage-Technologie erhältlich. Sie sind superhell mit weitem Sichtwinkel und für Kompakt- und Multifunktionsgeräte geeignet.

Merkmale: • Kompakte und dünne Ausführung • Superhell, hohe Zuverlässigkeit • Erhältlich in Oberflächenmontage-Technologie • Breite Produktpalette

Reinigung: • Keine organischen Lösungsmittel verwenden. Die Oberfläche der LED kann sich verändern, wenn sie mit organischen Lösungsmitteln wie Trichlorethylen und Aceton in Verbindung kommt.

Abb. 1 — 0402 (1005) ohne Anschluss

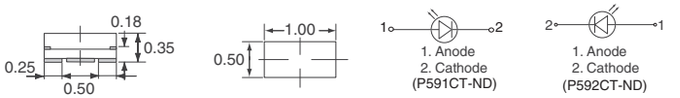

Abb. 2 — 0603 (1608) SS-Typ ohne Anschluss

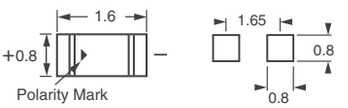

Abb. 2A

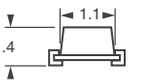

Abb. 2B

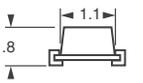

Abb. 3 — 0603 (1608) TSS-Typ ohne Anschluss

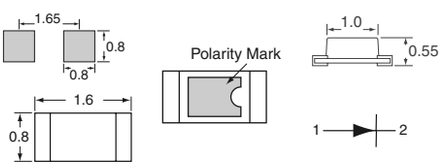

Abb. 4 — J-Leitung S-Typ

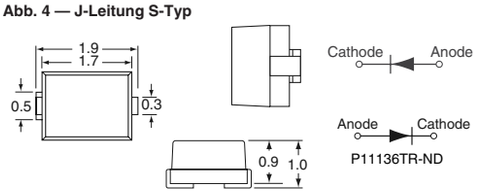

Abb. 5 — Gull Wing S-Typ

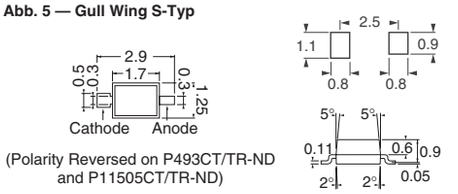

Abb.	Lichtfarbe	Linse	Prozess tech.	Abs. max. Nenngrößen (mW) PD	(mA) IF	(V) VR	(°C) Topr	Io (mcd) typ.	(mcd) min.	Zulässige (mA) IF	VF(V) typ.	VF(V) max.	λP typ.	Digi-Key Teilenr.	Gurtabschnittspreis pro Stück 1	10	100	Digi-Key Teilenr.	Gegurtet auf Rolle Größe	Preisangaben	Panasonic Teilenr.
0402 (1005) ohne Anschluss																					
1	Leuchtend hellrot	Rot diffundiert	GaAlAs	40	15	3	-30–85	4.2	2.2	10	1.72	2.5	655	P592CT-ND	.63	.59	.53	—	—	—	LNJ219R9ARA
0603 (1608) Höhe ohne Anschluss = 0,4 mm																					
2A	Leuchtend hellrot	Rot diffundiert	GaAlAs	40	15	3	-30–85	6.7	2.2	10	1.72	2.5	655	P11461CT-ND	.32	.29	.26	P11461TR-ND	5,000	95.67/M	LNJ214R8ARA
	Orange	Rot diffundiert	GaAsP	40	15	3	-30–85	1	0.5	10	1.93	2.6	630	P11462CT-ND	.30	.27	.24	P11462TR-ND	5,000	88.05/M	LNJ814R8DRA
	Soft orange	Gelb diffundiert	GaAsP	40	15	3	-30–85	1	0.5	10	1.93	2.6	610	P11463CT-ND	.30	.27	.24	P11463TR-ND	5,000	88.05/M	LNJ814K8SRA
	Bernstein	Gelb diffundiert	GaAsp	40	15	3	-30–85	1.5	0.6	10	2	2.6	590	P11464CT-ND	.30	.27	.24	P11464TR-ND	5,000	88.05/M	LNJ414K8YRA
	Gelbgrün	Grün diffundiert	GaP	40	15	4	-30–85	5	1.8	10	2.03	2.6	565	P11465CT-ND	.27	.25	.22	P11465TR-ND	5,000	80.43/M	LNJ314G8TRA
Ultrahelle InGaAlP-LED																					
2A	Ultrahelles Rot	Rot diffundiert	InGaAlP	40	15	4	-30–85	15	8	10	1.92	2.5	645	P11466CT-ND	.47	.45	.41	P11466TR-ND	5,000	176.10/M	LNJ214R82RA
	Orange	Rot diffundiert	InGaAlP	40	15	4	-30–85	32	17	10	2.03	2.5	630	P11467CT-ND	.47	.45	.41	P11467TR-ND	5,000	176.10/M	LNJ814R83RA
	Orange	Rot diffundiert	InGaAlP	40	15	4	-30–85	30	16	10	1.95	2.5	620	P11468CT-ND	.47	.45	.41	P11468TR-ND	5,000	176.10/M	LNJ814R88RA
	Soft orange	Gelb diffundiert	InGaAlP	40	15	4	-30–85	21	8.7	10	1.95	2.5	615	P11469CT-ND	.47	.45	.41	P11469TR-ND	5,000	176.10/M	LNJ814K87RA
	Bernstein	Gelb diffundiert	InGaAlP	40	15	4	-30–85	26	14	10	2.1	2.5	595	P11470CT-ND	.47	.45	.41	P11470TR-ND	5,000	176.10/M	LNJ414K84RA
	Gelbgrün	Grün diffundiert	InGaAlP	40	15	4	-30–85	12	6.4	10	2.03	2.5	575	P11471CT-ND	.47	.45	.41	P11471TR-ND	5,000	176.10/M	LNJ314G83RA
0603 (1608) Höhe ohne Anschluss = 0,55 mm																					
3	Leuchtend hellrot	Rot diffundiert	GaAlAs	50	20	3	-30–85	6.7	2.2	10	1.72	2.5	655	P11133CT-ND	.28	.26	.24	P11133TR-ND	5,000	88.05/M	LNJ212R8ARA
	Orange	Orange diffundiert	GaAsP	50	20	3	-30–85	1	0.4	10	1.93	2.6	630	P11594CT-ND	.27	.25	.22	P11594TR-ND	5,000	80.43/M	LNJ812R8DRA
	Soft orange	Gelb diffundiert	GaAsP	50	20	3	-30–85	1	0.5	10	1.93	2.6	610	P11472CT-ND	.27	.25	.22	P11472TR-ND	5,000	80.43/M	LNJ812K8SRA
	Bernstein	Gelb diffundiert	GaAsP	50	20	4	-30–85	1.5	0.6	5	2	2.6	590	P11135CT-ND	.28	.26	.24	P11135TR-ND	5,000	80.43/M	LNJ412K8YRA
	Gelbgrün	Grün diffundiert	Gap	50	20	4	-30–85	5	1.8	5	2.03	2.6	565	P11134CT-ND	.28	.26	.24	P11134TR-ND	5,000	72.81/M	LNJ312G8TRA
	Gelbgrün	Grün diffundiert	Gap	30	10	4	-30–85	3	1.8	10	1.9	2.4	565	P11473CT-ND	.25	.22	.20	P11473TR-ND	5,000	72.81/M	LNJ312G8LRA
Ultrahelle InGaAlP-LED																					
3	Rot	Rot diffundiert	InGaAlP	55	20	4	-30–85	15	8	10	1.92	2.5	645	P11475CT-ND	.44	.41	.37	P11475TR-ND	5,000	160.86/M	LNJ212R82RA
	Orange	Rot diffundiert	InGaAlP	55	20	4	-30–85	32	17	10	2.03	2.5	630	P11476CT-ND	.44	.41	.37	P11476TR-ND	5,000	160.86/M	LNJ812R83RA
	Orange	Rot diffundiert	InGaAlP	55	20	4	-30–85	30	16	10	1.95	2.5	620	P11477CT-ND	.44	.41	.37	P11477TR-ND	5,000	160.86/M	LNJ812R88RA
	Soft Orange	Gelb diffundiert	InGaAlP	55	20	4	-30–85	21	7	10	1.95	2.5	615	P11478CT-ND	.44	.41	.37	P11478TR-ND	5,000	160.86/M	LNJ812K87RA
	Bernstein	Gelb diffundiert	InGaAlP	55	20	4	-30–85	26	14	10	2.1	2.5	595	P11479CT-ND	.44	.41	.37	P11479TR-ND	5,000	160.86/M	LNJ412K84RA
	Gelbgrün	Grün diffundiert	InGaAlP	55	20	4	-30–85	12	6.4	20	2.03	2.5	575	P11480CT-ND	.44	.41	.37	P11480TR-ND	5,000	160.86/M	LNJ312G83RA
	Reines Grün	Weiß diffundiert	GaN	40	10	5	-25–85	34	10.3	5	3	3.7	525	P11481CT-ND	3.51	3.30	3.08	P11481TR-ND	5,000	1459.54/M	LNJ612W8WRA
	Blau	Weiß diffundiert	GaN	40	10	5	-25–85	8.5	3.2	5	3.2	3.7	470	P11482CT-ND	3.51	3.30	3.08	P11482TR-ND	2,000	1459.54/M	LNJ912W8BRA
	Weiß	Weiß diffundiert	GaN	40	10	5	-30–85	76	47	10	3.2	3.7	—	P12023CT-ND	4.16	3.88	3.51	P12023TR-ND	5,000	1531.50/M	LNJ012X8BRA
0603 (1608) Höhe ohne Anschluss =0.8mm																					
2B	Leuchtend hellrot	Rot diffundiert	GaAlAs	50	20	3	-30–85	6.7	2.2	10	1.72	2.5	660	P524CT-ND	.28	.26	.24	P524TR-ND	4,000	96.52/M	LNJ208R8ARA
	Orange	Orange diffundiert	GaAsP	30	10	3	-30–85	1.1	0.4	5	1.8	2.4	630	P523CT-ND*	.28	.26	.24	P523TR-ND*	4,000	88.05/M	LNJ808R8ERA
	Soft orange	Gelb diffundiert	GaAsP	50	20	3	-30–85	1	0.4	10	1.93	2.6	610	P11132CT-ND	.28	.26	.24	P11132TR-ND	4,000	88.05/M	LNJ808K8SRA
	Bernstein	Gelb diffundiert	GaAsP	50	20	4	-30–85	1.5	0.6	10	2	2.6	590	P11129CT-ND	.28	.26	.24	P11129TR-ND	4,000	88.05/M	LNJ408K8YRA
	Bernstein	Gelb diffundiert	GaAsP	30	10	4	-30–85	0.9	0.4	5	1.9	2.4	590	P522CT-ND*	.28	.26	.24	P522TR-ND*	4,000	88.05/M	LNJ408K8ZRA
	Gelbgrün	Grün diffundiert	GaP	50	20	4	-30–85	5	1.8	10	2.03	2.6	565	P525CT-ND	.28	.26	.24	P525TR-ND	4,000	80.43/M	LNJ308G8TRA
	Gelbgrün	Grün diffundiert	GaP	30	10	4	-30–85	2.1	0.7	5	1.9	2.4	565	P521CT-ND*	.28	.26	.24	P521TR-ND*	4,000	80.43/M	LNJ308G8LRA
	Reines Grün	Grün diffundiert	GaP	50	20	4	-25–85	0.7	0.25	10	2.03	2.6	555	P11485CT-ND	.30	.27	.24	P11485TR-ND	4,000	96.52/M	LNJ308G8PRA
Ultrahelle InGaAlP-LED																					
2B	Ultrahelles Rot	Rot diffundiert	InGaAlP	55	20	4	-25–85	15	8	10	1.92	2.5	645	P11486CT-ND	.44	.41	.37	P11486TR-ND	4,000	176.94/M	LNJ208R82RA
	Orange	Rot diffundiert	InGaAlP	55	20	4	-25–85	32	17	10	2.03	2.5	630	P11487CT-ND	.44	.41	.37	P11487TR-ND	4,000	176.94/M	LNJ808R83RA
	Orange	Rot diffundiert	InGaAlP	50	20	4	-25–85	6.5	2.5	10	1.9	2.3	620	P11131CT-ND	.45	.42	.38	P11131TR-ND	4,000	176.94/M	LNJ808R88RA
	Soft orange	Gelb diffundiert	InGaAlP	55	20	4	-25–85	21	7	10	1.95	2.5	615	P11488CT-ND	.44	.41	.37	P11488TR-ND	4,000	176.94/M	LNJ808K87RA
	Bernstein	Gelb diffundiert	InGaAlP	50	20	4	-25–85	10.5	4	10	2	2.3	595	P11130CT-ND	.45	.42	.38	P11130TR-ND	4,000	176.94/M	LNJ408K84RA
	Gelbgrün	Grün diffundiert	InGaAlP	55	20	4	-25–85	12	6.4	10	2.03	2.5	575	P11489CT-ND	.44	.41	.37	P11489TR-ND	4,000	176.94/M	LNJ308G83RA
0805 (2012) J-Leitung S-J-Typ, Raster 2 mm gegurtet																					
4	Rot	Rot diffundiert	GaP	60	20	4	-25–85	0.4	0.15	10	2.03	2.6	700	P11490CT-ND	.28	.26	.23	P11490TR-ND	6,000	83.82/M	LNJ206R5RRX
	Leuchtend hellrot	Rot diffundiert	GaAlAs	60	20	3	-25–85	5	1.7	10	1.72	2.5	660	P11136CT-ND	.28	.26	.24	P11136TR-ND	6,000	95.67/M	LNJ206R5ARA
	Soft orange	Gelb diffundiert	GaAsP	60	20	3	-25–85	0.8	0.3	10	1.93	2.6	610	P11491CT-ND	.30	.27	.24	P11491TR-ND	6,000	88.05/M	LNJ806K5SRX
	Bernstein	Gelb diffundiert	GaAsP	60	20	4	-25–85	1	0.4	10	2	2.6	590	P11492CT-ND	.30	.27	.24	P11492TR-ND	6,000	88.05/M	LNJ406K5YRX
	Gelbgrün	Grün diffundiert	GaP	60	20	4	-25–85	2.6	0.9	10	2.03	2.6	565	P11137CT-ND	.28	.26	.24	P11137TR-ND	6,000	83.82/M	LNJ306G5URA
	Reines Grün	Grün diffundiert	GaP	60	20	4	-25–85	0.65	0.25	10	2.03	2.6	555	P11493CT-ND	.32	.29	.26	P11493TR-ND	6,000	95.67/M	LNJ306G5PRX
Ultrahelle InGaAlP-LED																					
4	Orange	Rot diffundiert	InGaAlP	50	20	4	-25–85	5	2	10	1.9	2.3	620	P11494CT-ND	.47	.45	.41	P11494TR-ND	6,000	176.10/M	LNJ806R58RX
	Bernstein	Gelb diffundiert	InGaAlP	50	20	4	-25–85	8.5	3.5	10	2	2.3	595	P11495CT-ND	.47	.45	.41	P11495TR-ND	6,000	176.10/M	LNJ406K54RX
0805 (2012) J-Leitung S-J-Typ, Raster 4 mm gegurtet																					
4	Rot	Rot diffundiert	GaP	60	20	4	-25–85	0.4	0.15	10	2.03	2.6	700	P11496CT-ND	.28	.26	.23	P11496TR-ND	3,000	91.44/M	LNJ206R5RUX
	Leuchtend hellrot	Rot diffundiert	GaAlAs	60	20	3	-25–85	5	1.7	5	1.72	2.5	660	P11497CT-ND	.32	.29	.26	P11497TR-ND	3,000	104.98/M	LNJ206R5AUX
	Soft orange	Gelb diffundiert	GaAsP	60	20	3	-25–85	0.8	0.3	10	1.93	2.6	610	P11498CT-ND	.30	.27	.24	P11498TR-ND	3,000	96.52/M	LNJ806K5SUX
	Bernstein	Gelb diffundiert	GaAsP	60	20	4	-25–85	1	0.4	10	2	2.6	590	P11499CT-ND	.30	.27	.24	P11499TR-ND	3,000	96.52/M	LNJ406K5YUX
	Gelbgrün	Grün diffundiert	GaP	60	20	4	-25–85	3.5	1.35	10	2.03	2.6	565	P11500CT-ND	.28	.26	.23	P11500TR-ND	3,000	91.44/M	LNJ306G5UUX
	Reines Grün	Grün diffundiert	GaP	60	20	4	-25–85	0.65	0.25	10	2.03	2.6	555	P11501CT-ND	.32	.29	.26	P11501TR-ND	3,000	104.98/M	LNJ306G5PUX
Ultrahelle InGaAlP / GaN-LED																					
4	Orange	Rot diffundiert	InGaAlP	50	20	4	-25–85	5	2	10	1.9	2.3	620	P11502CT-ND	.47	.45	.41	P11502TR-ND	3,000	193.87/M	LNJ806R58UX
	Bernstein	Gelb diffundiert	InGaAlP	50	20	4	-25–85	8.5	3.5	10	2	2.3	595	P11503CT-ND	.47	.45	.41	P11503TR-ND	3,000	193.87/M	LNJ406K54UX
	Blau	Weiß diffundiert	GaN	40	10	5	-25–85	5.5	2	5	3.2	3.7	470	P11504CT-ND	3.51	3.30	3.08	P11504TR-ND	3,000	1604.31/M	LNJ906W5BUX
0805 (2012) Gull Wing S-GW-Typ, Raster 2 mm gegurtet																					
5	Rot	Rot diffundiert	GaP	60	20	4	-25–85	0.4	0.15	10	2.03	2.6	700	P490CT-ND	—	.26	.24	P490TR-ND	6,000	83.82/M	LN1271RTR
	Ultrahelles Rot	Rot diffundiert	GaAlAs	60	20	3	-25–85	5	1.7	10	1.72	2.5	660	P493CT-ND	—	.35	.32	P493TR-ND	6,000	95.67/M	LN1271RALTR
	Orange	Rot diffundiert	GaAsP	30	10	3	-30–85	1	0.4	5	1.8	2.4	630	P518CT-ND	.28	.26	.24	P518TR-ND	6,000	100.75/M	LN1871SRTR

* Schwachstrom-LED, gleiche Helligkeit wie Vorgängerin bei halbem Stromverbrauch, ideal für batteriebetriebene Geräte. † Durchgangsplatine

(Forts.)

Alle Preisangaben in Euro und inklusive Zollgebühren.

Abb. 6 — 1206 (3216) ohne Anschluss

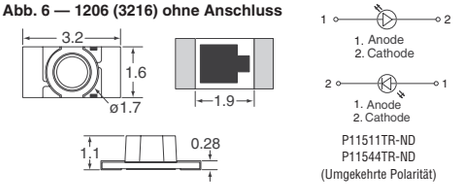

P11511TR-ND
P11544TR-ND
(Umgekehrte Polarität)

Abb. 7 — 1206 (3216) ohne Anschluss, 30° Dome Lens

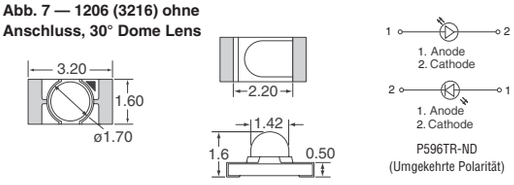

P596TR-ND
(Umgekehrte Polarität)

Abb. 8 — Ohne Anschluss-Seitenansicht

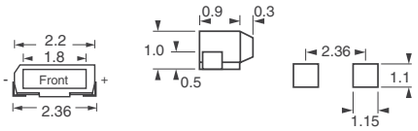

Abb. 9 — Gull Wing GW-Typ

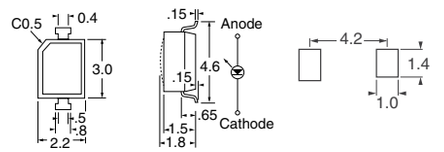

Abb. 10 — J-Leitung S-Typ

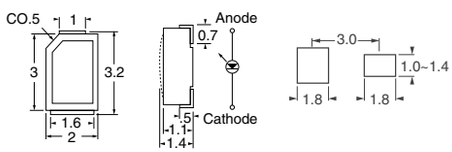

Abb. 11 — Zweifarbiger TSS-Typ

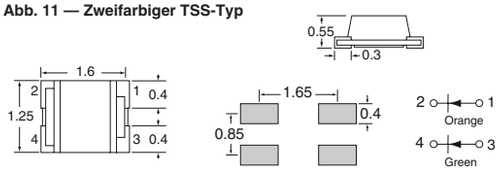

Abb.	Licht-farbe	Linse	Prozess-tech.	Abs. max. Nenngrößen PD (mW)	IF (mA)	VR (V)	Topr (°C)	Io typ. (mcd)	Io min. (mcd)	Zulässige IF (mA)	VF(V) typ.	VF(V) Max.	λP typ.	Digi-Key Teilenr.	Gurtabschnittspreis pro Stück 1	10	100	Digi-Key Teilenr.	Gegurtet auf Rolle Größe	Preisangaben	Panasonic Teilenr.
0805 (2012) Gull Wing S-GW-Typ, Raster 2 mm gegurtet																					
	Soft Orange	Gelb diffundiert	GaAsP	60	20	3	-25~85	0.8	0.3	10	1.93	2.6	610	P492CT-ND	—	.27	.24	P492TR-ND	6,000	88.05/M	LN1871Y5TR
	Bernstein	Gelb diffundiert	GaAsP	60	20	4	-25~85	1	0.4	10	2	2.6	590	P11125CT-ND	.30	.28	.26	P11125TR-ND	6,000	88.05/M	LN1471YTR
	Bernsteinr	Gelb diffundiert	GaAsP	30	10	4	-30~85	1	0.4	5	1.9	2.4	590	P517CT-ND*	.28	.26	.24	P517TR-ND*	6,000	100.75/M	LN1471SYTR
5	Gelbgrün	Grün diffundiert	GaP	60	20	4	-25~85	2.6	0.9	10	2.03	2.6	565	P491CT-ND	—	.26	.24	P491TR-ND	6,000	83.82/M	LN1371GTR
	Gelbgrün	Grün diffundiert	GaP	30	10	4	-30~85	2	0.7	5	1.9	2.4	565	P516CT-ND*	.28	.26	.24	P516TR-ND*	6,000	95.67/M	LN1371SGTR
	Leuchtend hell Gelbgrün	Grün diffundiert	GaP	60	20	4	-25~85	5	3	10	2.03	2.6	565	P494CT-ND	—	.28	.25	P494TR-ND	6,000	87.20/M	LNJ306G5TR02
0805 (2012) Gull Wing S-GW-Typ, Raster 4 mm gegurtet																					
	Ultrahelles Rot	Rot diffundiert	GaAlAs	60	20	3	-25~85	5	1.7	10	1.72	2.5	660	P11505CT-ND	.32	.29	.26	P11505TR-ND	3,000	104.98/M	LN1271RALTRP
	Orange	Rot diffundiert	GaAsP	30	10	3	-30~85	1	0.4	5	1.8	2.4	630	P11506CT-ND	.31	.28	.25	P11506TR-ND	3,000	100.75/M	LN1871SRTRP
	Soft Orange	Gelb diffundiert	GaAsP	60	20	3	-25~85	0.8	0.3	10	1.93	2.6	610	P11507CT-ND	.30	.27	.24	P11507TR-ND	3,000	96.52/M	LN1871Y5TRP
5	Amber	Gelb diffundiert	GaAsP	30	10	4	-30~85	1	0.4	5	1.9	2.4	590	P11508CT-ND	.30	.27	.24	P11508TR-ND	3,000	96.52/M	LN1471SYTRP
	Gelbgrün	Grün diffundiert	GaP	60	20	4	-25~85	2.6	0.9	10	2.03	2.6	565	P11509CT-ND	.28	.26	.23	P11509TR-ND	3,000	91.44/M	LN1371GTRP
	Gelbgrün	Grün diffundiert	GaP	30	10	4	-25~85	2	0.7	5	1.9	2.4	565	P11510CT-ND	.30	.27	.24	P11510TR-ND	3,000	95.67/M	LN1371SGTRP
	Leuchtend hell Gelbgrün	Grün diffundiert	GaP	60	20	4	-25~85	5	3	10	2.03	2.6	565	P11595CT-ND	.30	.27	.24	P11595TR-ND	3,000	95.67/M	LNJ306G5TUWQ
1206 (3216) ohne Anschluss mit Flachlinse																					
	Leuchtend hellrot	Rot diffundiert	GaAlAs	60	20	3	-30~85	7	2.3	10	1.72	2.5	660	P11141CT-ND	.28	.26	.24	P11141TR-ND	3,000	116.83/M	LNJ211R8ARA
	Orange	Rot diffundiert	GaAsP	60	20	3	-30~85	1.8	0.7	10	1.93	2.6	630	P11526CT-ND	.33	.30	.27	P11526TR-ND	3,000	108.37/M	LNJ811R8DRA
	Soft Orange	Gelb diffundiert	GaAsP	60	20	3	-30~85	1	0.5	10	1.93	2.6	610	P11527CT-ND	.33	.30	.27	P11527TR-ND	3,000	108.37/M	LNJ811K8SRA
	Bernstein	Gelb diffundiert	GaAsP	60	20	4	-30~85	2.2	0.75	10	2	2.6	590	P11528CT-ND	.33	.30	.27	P11528TR-ND	3,000	108.37/M	LNJ411K8YRA
6	Gelbgrün	Grün diffundiert	GaP	60	20	4	-30~85	5.5	1.8	10	2.03	2.6	565	P11529CT-ND	.30	.28	.25	P11529TR-ND	3,000	99.90/M	LNJ311G8TRA
	Reines Grün	Grün diffundiert	GaP	60	20	4	-30~85	0.7	0.25	10	2.03	2.6	555	P11531CT-ND	.36	.32	.29	P11531TR-ND	3,000	116.83/M	LNJ311G8PRA
	Leuchtend hellrot	Rot diffundiert	GaAlAs	60	20	3	-30~85	7	2.3	10	1.72	2.5	660	P541CT-ND†	.28	.26	.24	P541TR-ND†	3,000	116.83/M	LNJ211R8ARU
	Orange	Rot diffundiert	GaAsP	60	20	3	-30~85	1.8	0.7	10	1.93	2.6	630	P11540CT-ND†	.33	.30	.27	P11540TR-ND†	3,000	108.37/M	LNJ811R8DRU
	Bernstein	Gelb diffundiert	GaAsP	60	20	4	-30~85	2.2	0.75	10	2	2.6	590	P11596CT-ND†	.33	.30	.27	P11596TR-ND†	3,000	108.37/M	LNJ411K8YRU
	Gelbgrün	Grün diffundiert	GaP	60	20	4	-30~85	5.5	1.8	10	2.03	2.6	565	P540CT-ND†	.28	.26	.24	P540TR-ND†	3,000	99.90/M	LNJ311G8TRU
Ultrahelle InGaAlP / GaN-LED																					
	Ultrahelles Rot	Rot diffundiert	InGaAlP	55	20	4	-30~85	15	8	10	1.92	2.5	645	P11532CT-ND	.53	.50	.46	P11532TR-ND	3,000	216.73/M	LNJ211R82RA
	Orange	Rot diffundiert	InGaAlP	55	20	4	-30~85	32	17	10	2.03	2.5	630	P11533CT-ND	.53	.50	.46	P11533TR-ND	3,000	216.73/M	LNJ811R83RA
	Orange	Rot diffundiert	InGaAlP	50	20	4	-30~85	6.5	3.5	10	1.9	2.5	620	P11534CT-ND	.53	.50	.46	P11534TR-ND	3,000	216.73/M	LNJ811R88RA
	Soft orange	Rot diffundiert	InGaAlP	55	20	4	-30~85	21	10	10	1.95	2.5	615	P11535CT-ND	.53	.50	.46	P11535TR-ND	3,000	216.73/M	LNJ811K87RA
	Bernstein	Gelb diffundiert	InGaAlP	55	20	4	-30~85	17	9	10	2	2.5	595	P11536CT-ND	.53	.50	.46	P11536TR-ND	3,000	216.73/M	LNJ411K84RA
6	Gelbgrün	Grün diffundiert	InGaAlP	55	20	4	-30~85	12	6.4	10	2.03	2.5	575	P11537CT-ND	.53	.50	.46	P11537TR-ND	3,000	216.73/M	LNJ311G83RA
	Blau	Weiß diffundiert	GaN	40	10	5	-25~85	8.5	4.5	5	3.2	3.7	470	P11539CT-ND	3.51	3.30	3.08	P11539TR-ND	3,000	1604.31/M	LNJ911W8BRA
	Reines Grün	Weiß diffundiert	GaN	40	10	5	-25~85	34	14.4	5	3	3.7	525	P11538CT-ND	3.51	3.30	3.08	P11538TR-ND	3,000	1604.31/M	LNJ611W8WRA
	Bernstein	Gelb diffundiert	InGaAlP	55	20	4	-30~85	17	9	10	2	2.5	595	P11541CT-ND†	.53	.50	.46	P11541TR-ND†	3,000	216.73/M	LNJ411K84RU
	Blau	Weiß diffundiert	GaN	40	10	5	-25~85	8.5	4.5	5	3.2	3.7	470	P11543CT-ND†	3.51	3.30	3.08	P11543TR-ND†	3,000	1604.31/M	LNJ911W8BRU
	Reines Grün	Weiß diffundiert	GaN	40	10	5	-25~85	34	14.4	5	3	3.7	525	P11542CT-ND†	3.51	3.30	3.08	P11542TR-ND†	3,000	1604.31/M	LNJ611W8WRU
1206 (3216) ohne Anschluss mit Mikrolinse																					
	Leuchtend hellrot	Rot diffundiert	GaAlAs	60	20	3	-30~85	10.5	4	10	1.72	2.5	660	P11511CT-ND	.36	.32	.29	P11511TR-ND	3,000	116.83/M	LNJ216C8ARA
	Orange	Transparent nicht diffundiert	GaAsP	60	20	3	-30~85	2.1	1.1	10	1.93	2.6	630	P11512CT-ND	.33	.30	.27	P11512TR-ND	3,000	108.37/M	LNJ816C8DRA
	Soft orange	Transparent nicht diffundiert	GaAsP	60	20	3	-30~85	1.5	0.8	10	1.93	2.6	610	P11513CT-ND	.33	.30	.27	P11513TR-ND	3,000	108.37/M	LNJ816C8SRA
	Bernstein	Gelb diffundiert	GaAsP	60	20	4	-30~85	3.3	1.2	10	2	2.6	590	P11514CT-ND	.33	.30	.27	P11514TR-ND	3,000	108.37/M	LNJ416Q8YRA
6	Grün	Grün diffundiert	GaP	60	20	4	-30~85	8.8	3.3	10	2.03	2.6	565	P11515CT-ND	.30	.28	.25	P11515TR-ND	3,000	99.90/M	LNJ316C8TRA
	Reines Grün	Transparent nicht diffundiert	GaP	60	20	4	-30~85	1	0.4	10	2.03	2.6	555	P11517CT-ND	.36	.32	.29	P11517TR-ND	3,000	116.83/M	LNJ316C8PRA
	Rot	Transparent nicht diffundiert	GaAlAs	60	20	3	-30~85	10.5	4	10	1.72	2.5	660	P11544CT-ND†	.36	.32	.29	P11544TR-ND†	3,000	116.83/M	LNJ216C8ARU
	Orange	Transparent nicht diffundiert	GaAsP	60	20	3	-30~85	2.1	1.1	10	1.93	2.6	630	P11545CT-ND†	.33	.30	.27	P11545TR-ND†	3,000	108.37/M	LNJ816C8DRU
	Bernstein	Gelb transparent nicht diff.	GaAsP	60	20	4	-30~85	3.3	1.2	10	2	2.6	590	P11546CT-ND†	.33	.30	.27	P11546TR-ND†	3,000	108.37/M	LNJ416Q8YRU
	Grün	Transparent nicht diffundiert	GaP	60	20	4	-30~85	8.8	3.3	10	2.03	2.6	565	P11547CT-ND†	.30	.28	.25	P11547TR-ND†	3,000	99.90/M	LNJ316C8TRU
Ultrahelle InGaAlP / GaN-LED																					
	Rot	Transparent nicht diffundiert	InGaAlP	55	20	4	-30~85	24	12.8	10	1.92	2.5	645	P11518CT-ND	.53	.50	.46	P11518TR-ND	3,000	216.73/M	LNJ216C82RA
	Orange	Transparent nicht diffundiert	InGaAlP	55	20	4	-30~85	48	25	10	2.03	2.5	630	P11519CT-ND	.53	.50	.46	P11519TR-ND	3,000	216.73/M	LNJ816C83RA
	Orange	Transparent nicht diffundiert	InGaAlP	55	20	4	-30~85	9.8	5.2	10	1.9	2.5	620	P11520CT-ND	.53	.50	.46	P11520TR-ND	3,000	216.73/M	LNJ816C88RA
	Soft orange	Transparent nicht diffundiert	InGaAlP	55	20	4	-30~85	30	16	10	1.95	2.5	615	P11521CT-ND	.53	.50	.46	P11521TR-ND	3,000	216.73/M	LNJ816C87RA
6	Bernstein	Transparent nicht diffundiert	InGaAlP	55	20	4	-30~85	26	13.8	10	2	2.5	595	P11522CT-ND	.53	.50	.46	P11522TR-ND	3,000	216.73/M	LNJ416C84RA
	Gelbgrün	Transparent nicht diffundiert	InGaAlP	55	20	4	-30~85	22	11	10	2.03	2.5	575	P11523CT-ND	.53	.50	.46	P11523TR-ND	3,000	216.73/M	LNJ316C83RA
	Blau	Transparent nicht diffundiert	GaN	40	10	5	-25~85	12.8	6.8	15	3.2	3.7	470	P11525CT-ND	3.51	3.30	3.08	P11525TR-ND	3,000	1604.31/M	LNJ916C8BRA
	Reines Grün	Transparent nicht diffundiert	GaN	40	10	5	-25~85	51	27.2	5	3	3.7	525	P11524CT-ND	3.51	3.30	3.08	P11524TR-ND	3,000	1604.31/M	LNJ616C8WRA
	Gelbgrün	Transparent nicht diffundiert	InGaAlP	55	20	4	-30~85	22	11	10	2.03	2.5	575	P11548CT-ND†	.53	.50	.46	P11548TR-ND†	3,000	216.73/M	LNJ316C83RU
1206 (3216) ohne Anschluss mit Dome Lens (30 Grad)																					
	Leuchtend hellrot	Transparent	GaAlAs	60	20	3	-30~85	32	17	10	1.72	2.5	660	P596CT-ND	.62	.57	.52	P596TR-ND	2,000	195.57/M	LNJ218C8ARA
	Orange	Transparent nicht diffundiert	GaAsP	60	20	3	-30~85	9	4.5	20	1.93	2.6	630	P11563CT-ND	.42	.40	.36	P11563TR-ND	2,000	171.02/M	LNJ818C8DRA
	Soft orange	Transparent nicht diffundiert	GaAsP	60	20	3	-30~85	5	2.7	20	1.93	2.6	610	P11564CT-ND	.42	.40	.36	P11564TR-ND	2,000	171.02/M	LNJ818C8SRA
	Gelbgrün	Transparent	GaP	60	20	4	-30~85	25	10	10	2.03	2.6	565	P595CT-ND	.62	.57	.52	P595TR-ND	2,000	195.57/M	LNJ318C8TRA
7	Bernstein	Gelb transparent nicht diff.	GaAsP	60	20	4	-30~85	7	3.7	20	2	2.6	590	P11565CT-ND	.42	.40	.36	P11565TR-ND	2,000	171.02/M	LNJ418Q8YRA
	Reines Grün	Transparent nicht diffundiert	GaP	60	20	4	-30~85	3.5	2	20	2.03	2.6	555	P11567CT-ND	.44	.42	.38	P11567TR-ND	2,000	179.48/M	LNJ318C8PRA
	Leuchtend hellrot	Transparent nicht diffundiert	GaAlAs	60	20	3	-30~85	32	17	20	1.72	2.5	660	P11576CT-ND	.44	.42	.38	P11576TR-ND	2,000	179.48/M	LNJ218C8ARU
	Soft orange	Transparent nicht diffundiert	GaAsP	60	20	3	-30~85	5	2.7	10	1.03	2.6	610	P11577CT-ND	.42	.40	.36	P11577TR-ND	2,000	171.02/M	LNJ818C8SRU
	Bernstein	Gelb transparent nicht diff.	GaAsP	60	20	4	-30~85	7	3.7	20	2	2.6	590	P11578CT-ND	.42	.40	.36	P11578TR-ND	2,000	171.02/M	LNJ418Q8YRU
Ultrahelle InGaAlP-LED																					
	Ultrahelles Rot	Transparent nicht diffundiert	InGaAlP	55	20	4	-30~85	75	40	20	1.92	2.5	645	P11568CT-ND	.85	.79	.72	P11568TR-ND	2,000	342.03/M	LNJ218C82RA
	Orange	Nicht diffundiert	InGaAlP	55	20	4	-30~85	160	85	20	2.03	2.5	630	P11569CT-ND	.85	.79	.72	P11569TR-ND	2,000	342.03/M	LNJ818C83RA
	Orange	Transparent nicht diffundiert	InGaAlP	55	20	4	-30~85	33	17.6	20	1.9	2.5	620	P11570CT-ND	.85	.79	.72	P11570TR-ND	2,000	342.03/M	LNJ818C88RA
7	Soft orange	Transparent nicht diffundiert	InGaAlP	55	20	4	-30~85	100	56	20	1.95	2.5	615	P11571CT-ND	.85	.79	.72	P11571TR-ND	2,000	342.03/M	LNJ818C87RA
	Bernstein	Transparent nicht diffundiert	InGaAlP	55	20	4	-30~85	85	45	20	2	2.5	595	P11572CT-ND	.85	.79	.72	P11572TR-ND	2,000	342.03/M	LNJ418C84RA
	Gelbgrün	Transparent nicht diffundiert	InGaAlP	55	20	4	-30~85	110	58	20	2.03	2.5	575	P11573CT-ND	.85	.79	.72	P11573TR-ND	2,000	342.03/M	LNJ318C83RA
	Gelbgrün	Transparent nicht diffundiert	InGaAlP	55	20	4	-30~85	110	58	10	2.03	2.5	575	P11579CT-ND†	.85	.79	.72	P11579TR-ND†	2,000	342.03/M	LNJ318C83RU

* Schwachstrom-LED, gleiche Helligkeit wie Vorgängerin bei halbem Stromverbrauch, ideal für batteriebetriebene Geräte. † Durchgangsplatine

(Forts.)

Abb. 12 — Gull Wing S-Typ (zweifarbig)

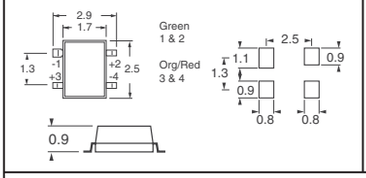

Abb. 13 — Gull Wing GW-Typ (zweifarbig)

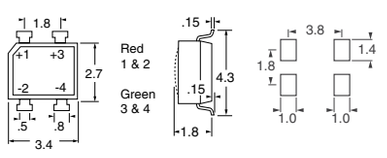

Abb. 14 — Dome Lens (zweifarbig)

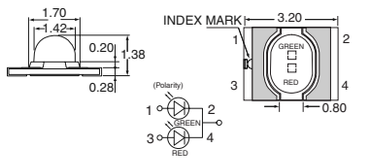

Abb. 15 — Seitenansicht (zweifarbig)

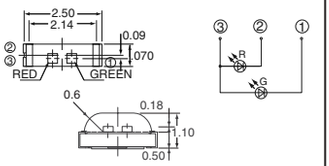

Abb. 16 — Dreifarbiger TSS-Typ

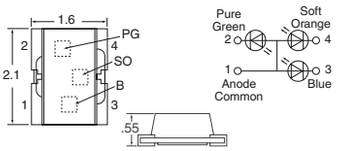

Abb. 17 — Dreifarbig, ohne Anschluss

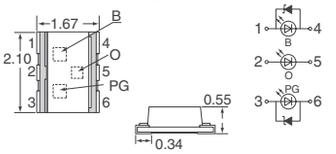

Abb. 18 — Dreifarbig, ohne Anschluss

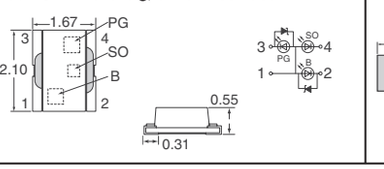

Abb. 19 — 0603 (Leadless-Lo-Profile)

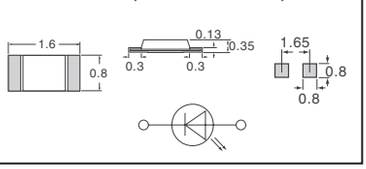

Abb.	Lichtfarbe	Linse	Prozesstech.	Abs. max. Nenngrößen (mW) PD	(mA) IF	(V) VR	(°C) Topr	Io (mcd) typ.	Io (mcd) min.	Zulässige (mA) IF	VF(V) typ.	VF(V) max.	λP typ.	Digi-Key Teilenr.	Gurtabschnittspreis pro Stück 1	10	100	Digi-Key Teilenr.	Gegurtet auf Rolle Größe	Preisangaben	Panasonic Teilenr.
Seitlich emittierende LED mit lichtbrechendem Gehäuse																					
8	Rot	Transparent	GaP	60	20	4	-25–80	0.7	0.25	10	2.03	2.6	700	P11138CT-ND	.34	.32	.29	P11138TR-ND	3,000	138.00/M	LNJ210C6RRA
	Leuchtend hellrot	Transparent	GaAlAs	60	20	3	-25–80	8	2.6	10	1.72	2.5	660	P11139CT-ND	.34	.32	.29	P11139TR-ND	3,000	154.08/M	LNJ210C6ARA
	Orange	Rot transparent	GaAsP	60	20	3	-25–80	2.5	0.8	10	1.93	2.6	630	P519CT-ND	.33	.31	.28	P519TR-ND	3,000	145.62/M	LNJ810L6DRA
	Soft orange	Rot transparent nicht diff.	GaAsP	60	20	3	-25–85	1.8	0.75	10	1.93	2.6	610	P11580CT-ND	.45	.40	.37	P11580TR-ND	3,000	145.62/M	LNJ810L6SRA
	Bernstein	Gelb transparent	GaAsP	60	20	4	-25–80	2.5	0.8	10	2	2.6	590	P11140CT-ND	.34	.32	.29	P11140TR-ND	3,000	145.62/M	LNJ410Q6YRA
	Gelbgrün	Transparent	GaP	60	20	4	-25–80	8	3	10	2.03	2.6	565	P520CT-ND	.33	.31	.28	P520TR-ND	3,000	138.00/M	LNJ310M6URA
	Grün	Transparent nicht diffundiert	GaP	60	20	4	-25–85	3.2	1.7	10	2.1	2.6	560	P11581CT-ND	.42	.38	.34	—	—	—	LNJ310C64RA
	Reines Grün	Transparent nicht diffundiert	GaP	60	20	4	-25–85	1.1	0.6	10	2.03	2.6	555	P11582CT-ND	.47	.43	.39	P11582TR-ND	3,000	154.08/M	LNJ310C6PRA
	Weiß	Weiß diffundiert	GaN	120	30	5	-25–80	260	180	10	3.4	3.9	—	P12024CT-ND	4.88	4.56	4.13	P12024TR-ND	3,000	1981.05/M	LNJ010X6FRA
Ultrahelle InGaAlP-LED																					
8	Ultrahelles Rot	Transparent nicht diffundiert	InGaAlP	55	20	4	-25–85	23	12	10	1.92	2.5	645	P11583CT-ND	.61	.58	.52	P11583TR-ND	3,000	248.06/M	LNJ210C62RA
	Orange	Transparent nicht diffundiert	InGaAlP	55	20	4	-25–85	48	25	10	2.03	2.5	630	P11584CT-ND	.61	.58	.52	P11584TR-ND	3,000	248.06/M	LNJ810C63RA
	Orange	Transparent nicht diffundiert	InGaAlP	55	20	4	-25–85	45	24	10	1.95	2.5	620	P11585CT-ND	.61	.58	.52	P11585TR-ND	3,000	248.06/M	LNJ810C68RA
	Soft orange	Transparent nicht diffundiert	InGaAlP	50	20	4	-25–80	30	12	10	1.95	2.5	615	P11586CT-ND	.61	.58	.52	P11586TR-ND	3,000	248.06/M	LNJ810C67RA
	Bernstein	Transparent nicht diffundiert	InGaAlP	50	20	4	-25–80	22.5	8.5	10	2	2.5	595	P11587CT-ND	.61	.58	.52	P11587TR-ND	3,000	248.06/M	LNJ410C64RA
	Gelbgrün	Transparent nicht diffundiert	InGaAlP	50	20	4	-25–80	15	7.7	10	2	2.5	575	P11588CT-ND	.61	.58	.52	P11588TR-ND	3,000	248.06/M	LNJ310C63RA
Gull Wing GW-Typ mit lichtbrechendem Gehäuse																					
9	Rot	Transparent	GaP	60	20	4	-25–80	1.4	0.5	15	2.2	2.8	700	P503CT-ND	.28	.26	.24	P503TR-ND	2,000	108.37/M	LN1261CTR
	Leuchtend hellrot	Transparent	GaAlAs	50	20	3	-25–80	12	5	20	1.8	2.6	660	P513CT-ND	.37	.35	.32	P513TR-ND	2,000	125.30/M	LN1261CALTR
	Orange	Transparent	GaAsP	60	20	3	-25–80	5	1.9	20	2.1	2.8	630	P505CT-ND	.28	.26	.24	P505TR-ND	2,000	116.83/M	LN1861CTR
	Bernstein	Transparent	GaAsP	60	20	4	-25–80	4.5	1.6	20	2.2	2.8	590	P512CT-ND	.29	.27	.24	P512TR-ND	2,000	116.83/M	LN1461CTR
	Gelbgrün	Transparent	GaP	60	20	4	-25–80	7.5	2.8	20	2.2	2.8	565	P504CT-ND	.28	.26	.24	P504TR-ND	2,000	108.37/M	LN1361CTR
	Leuchtend hell Gelbgrün	Transparent	GaP	60	20	4	-25–80	15	8	20	2.2	2.8	565	P514CT-ND	.32	.30	.27	P514TR-ND	2,000	108.37/M	LNJ361C3UR01
Ultrahelle InGaAlP-LED																					
9	Bernstein	Transparent	InGaAlP	50	20	4	-25–80	18	6.5	10	2	2.3	595	P11128CT-ND	.49	.45	.41	P11128TR-ND	2,000	233.66/M	LNJ461C34RA
1206 (3216) J-Leitung, J-Typ mit lichtbrechendem Gehäuse																					
10	Rot	Transparent	GaAsP	45	15	4	-25–80	1.2	0.45	10	2.1	2.8	700	P500CT-ND	.28	.26	.24	P500TR-ND	3,000	108.37/M	LN1251CTR
	Leuchtend hellrot	Transparent	GaAlAs	45	15	3	-25–80	9	3.3	10	1.75	2.6	660	P11126CT-ND	.37	.35	.32	P11126TR-ND	3,000	125.30/M	LN1251CALTR
	Orange	Transparent	GaAsP	45	15	3	-25–80	3.5	1.3	10	0.05	2.8	630	P502CT-ND	.28	.26	.24	P502TR-ND	3,000	116.83/M	LN1851CTR
	Bernstein	Transparent	GaAsP	45	15	4	-25–80	2.2	0.8	10	2.1	2.8	590	P511CT-ND	.28	.26	.24	P511TR-ND	3,000	116.83/M	LN1451CTR
	Gelbgrün	Transparent	GaP	45	15	4	-25–80	5	1.9	10	2.1	2.8	565	P501CT-ND	.28	.26	.24	P501TR-ND	3,000	108.37/M	LN1351CTR
Ultrahelle GaN-LED																					
10	Blau	Transparent	GaN	40	10	5	-25–80	9	3	5	3.2	3.7	470	P11127CT-ND	3.24	2.97	2.70	P11127TR-ND	3,000	1604.31/M	LNJ951C4BRA
	Reines Grün	Transparent	GaN	40	10	5	-25–80	60	32	5	3.0	3.7	525	P628CT-ND	3.24	2.97	2.70	P628TR-ND	3,000	1604.31/M	LNJ651C4WRA
Ohne Anschluss, TSS-Typ, zweifarbig																					
11	Gelbgrün	Weiß diffundiert	GaP	60	20	4	-30–85	5	1.8	10	2.03	2.6	565	P11142CT-ND	.68	.63	.57	P11142TR-ND	5,000	143.93/M	LNJ115W8ARA
	Orange	Weiß diffundiert	GaAsP	60	20	3	-30–85	1	0.4	10	1.93	2.6	630								
	Gelbgrün	Weiß diffundiert	GaP	60	20	4	-30–85	5	1.8	10	2.03	2.6	565	P11143CT-ND	.68	.63	.57	P11143TR-ND	5,000	159.16/M	LNJ115W8PRA
	Leuchtend hellrot	Weiß diffundiert	GaAlAs	50	20	3	-30–85	6.7	2.2	10	1.72	2.5	655								
Ultrahelle InGaAlP-/GaN-LED-Kombination																					
11	Gelbgrün	Weiß diffundiert	GaP	60	20	4	-30–85	5	1.8	10	2.03	2.6	565	P11144CT-ND	.94	.87	.79	P11144TR-ND	5,000	379.28/M	LNJ115W88RA
	Bernstein	Weiß diffundiert	InGaAlP	55	20	4	-30–85	21	7	10	2.1	2.6	595								
	Gelbgrün	Weiß diffundiert	GaP	60	20	4	-30–85	5	1.8	10	2.03	2.6	565	P11591CT-ND	1.03	.96	.87	P11591TR-ND	5,000	379.28/M	LNJ115W89RA
	Soft orange	Weiß diffundiert	InGaAlP	55	20	3	-30–85	21	7	10	1.95	2.5	615								
	Reines Grün	Weiß diffundiert	GaN	40	10	5	-30–85	34	12.9	5	3	3.7	525	P11590CT-ND	4.76	4.46	4.17	P11590TR-ND	5,000	1973.43/M	LNJ115W86RA
	Leuchtend hellrot	Weiß diffundiert	GaAlAs	55	20	3	-30–85	6.7	2.8	10	1.72	2.5	655								
	Blau	Weiß diffundiert	GaN	40	10	5	-30–85	8.5	4	5	3.2	3.7	470	P11589CT-ND	4.76	4.46	4.17	P11589TR-ND	5,000	1973.43/M	LNJ115W8HRA
	Leuchtend hellrot	Weiß diffundiert	GaAlAs	55	20	3	-30–85	6.7	2.8	10	1.72	2.5	655								
	Reines Grün	Weiß diffundiert	GaN	40	10	5	-30–85	34	10.3	5	3	3.7	525	P11145CT-ND	4.89	4.49	4.09	P11145TR-ND	5,000	1973.43/M	LNJ115W8VRA
	Soft orange	Weiß diffundiert	InGaAlP	55	20	4	-30–85	21	7	10	1.95	2.5	615								
Gull Wing, S-GW-Typ, zweifarbig																					
12	Leuchtend hell Gelbgrün	Weiß diffundiert	GaP	60	20	4	-25–85	5	3	10	2.03	2.6	565	P526CT-ND	.63	.59	.53	P526TR-ND	3,000	200.65/M	LNJ107W5PRW
	Leuchtend hellrot	Weiß diffundiert	GaAlAs	60	20	3	-25–85	5	1.7	10	1.72	2.5	660								
	Gelbgrün	Weiß diffundiert	GaP	60	20	4	-25–85	2.6	0.9	10	2.03	2.6	565	P515CT-ND	.63	.59	.53	P515TR-ND	3,000	183.72/M	LNJ107W5ARA1
	Orange	Weiß diffundiert	GaAsP	60	20	3	-25–85	1	0.4	10	1.93	2.6	630								
Gull Wing Typ, zweifarbig, mit lichtbrechendem Gehäuse																					
13	Grün	Transparent	GaP	45	15	4	-25–80	4	1.5	10	2.05	2.8	565	P507CT-ND	.63	.59	.53	P507TR-ND	1,000	216.73	LN2162C13TR
	Rot	Transparent	GaAsP	45	15	3	-25–80	1.8	0.65	10	2	2.8	650								
	Reines Grün	Transparent	GaAsP	45	15	3	-25–65	2.5	1.2	10	2.05	2.8	555	P11147CT-ND	.68	.63	.57	P11147TR-ND	1,000	216.73	LN2162C68TR
	Orange	Transparent	GaAsP	45	15	3	-25–65	2.1	0.8	10	1.95	2.8	630								
LED mit Dome Lens, ohne Anschluss, zweifarbig																					
14	Gelb/grün	Weiß diffundiert	GaP	60	20	4	-30–85	10	5	10	2.03	2.6	565	P594CT-ND	.72	.67	.61	P594TR-ND	2,500	320.02/M	LNJ121W84RA
	Leuchtend hellrot	Weiß diffundiert	InGaAlP	55	20	4	-30–85	13.4	7	10	1.92	2.5	645								
Zweifarbige LED, Seitenansicht, kleinere Größe																					
15	Gelb/grün	Weiß diffundiert	GaP	60	20	4	-30–85	5	1.8	10	2.03	2.6	565	P593CT-ND	.72	.67	.61	P593TR-ND	4,000	320.02/M	LNJ123W8PRZ
	Leuchtend hellrot	Weiß diffundiert	GaAlAs	50	20	3	-30–85	4	1.5	10	1.72	2.5	655								
Dreifarbige LED ohne Anschluss, ultrahelle LED-Kombination																					
16	Blau	Weiß diffundiert	InGaN	40	10	5	-30–85	8.5	3.2	5	3.2	3.7	470	P11146CT-ND	9.41	8.64	7.85	P11146TR-ND	2,000	3837.64/M	LNJ717W80RA
	Reines Grün	Weiß diffundiert	InGaN	40	10	5	-30–85	34	10.3	5	3	3.7	525								
	Soft orange	Weiß diffundiert	InGaAlP	55	20	4	-30–85	23	7	10	1.95	2.5	615								
17	Blau	Weiß diffundiert	GaN	65	15	4	-30–85	35	10	5	3.1	3.7	470	P11592CT-ND	8.86	8.31	7.76	P11592TR-ND	2,000	4043.36/M	LNJ717W83RAS
	Reines Grün	Weiß diffundiert	GaN	65	15	4	-30–85	85	50	5	3.1	3.7	525								
	Orange	Weiß diffundiert	InGaAlP	70	20	4	-30–85	45	15	10	2	2.5	630								
18	Blau	Weiß diffundiert	GaN	65	15	4	-30–85	30	18	5	3.1	3.7	470	P11593CT-ND	8.86	8.31	7.76	P11593TR-ND	2,000	4043.36/M	LNJ717W80RA1
	Reines Grün	Weiß diffundiert	GaN	65	15	4	-30–85	85	50	5	3.1	3.7	525								
	Soft orange	Weiß diffundiert	InGaAlP	70	20	4	-30–85	45	20	10	1.95	2.5	615								
0603 Flachprofil, ohne Anschluss																					
19	Weißes Licht	Weiß diffundiert	GaN	27	7	5	-30–85	25	13	5	3.1	3.7	—	P12022CT-ND	4.16	3.88	3.51	P12022TR-ND	5,000	1531.50/M	LNJ026X8BRA

* Schwachstrom-LED, gleiche Helligkeit wie Vorgängerin bei halbem Stromverbrauch, ideal für batteriebetriebene Geräte. † Durchgangsplatine

Alle Preisangaben in Euro und inklusive Zollgebühren.

Abb. 1 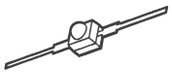
Abb. 2 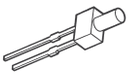
Abb. 3 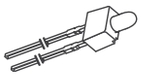
Abb. 4 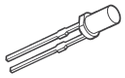
Abb. 5 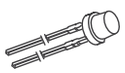
Abb. 6 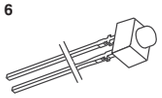
Abb. 7 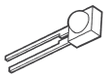
Abb. 8 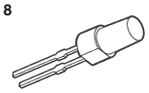
Abb. 9 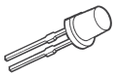
Abb. 10 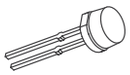
Abb. 11 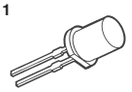
Abb. 12 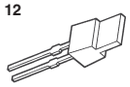
Abb. 13 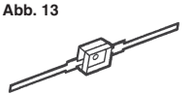
Abb. 14 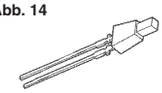
Abb. 15 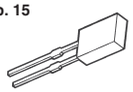
Abb. 16 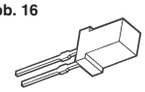
Abb. 17 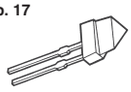
Abb. 18 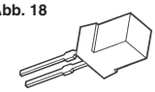
Abb. 19 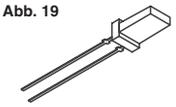

Abb.	Linsen-größe (mm)	Farbe	Prozess-technologie	Elektro-optische Merkmale (Ta=25°C) P_D (mW)	I_F (mA)	V_R (V)	I_O (mcd)	λ_p (nm)	Abmessungen (mm) Linsen-höhe	Anschluss-länge	Raster-maß	Digi-Key Teilenr.	Preisangaben 10	200	1.000	Panasonic Teilenr.
1	Ø1.8	Rot diffundiert	GaP	70	25	4	0.7	700	2.8	8.6, 8.6	—	P421-ND	3.08	49.53	192.76	LN247RP
	Ø1.8	Grün diffundiert	GaP	90	30	4	4.5	565	2.8	8.6, 8.6	—	P422-ND	3.56	57.15	219.13	LN347GP
	Ø1.8	Bernstein diffundiert	GaAsP	90	30	4	4.0	590	2.8	8.6, 8.6	—	P423-ND	4.03	64.76	247.54	LN447YP
2	Ø2.0	Rot diffundiert	GaP	70	20	4	1.0	700	8.0	14, 15.5	2.54	P424-ND	1.82	29.22	101.45	LN222RP
	Ø2.0	Grün diffundiert	GaP	90	20	4	1.0	565	8.0	14, 15.5	2.54	P425-ND	1.90	30.48	121.73	LN322GP
	Ø2.0	Bernstein diffundiert	GaAsP	90	20	4	2.5	590	8.0	14, 15.5	2.54	P426-ND	2.33	37.45	123.77	LN422YP
	Ø2.0	Rot diffundiert	GaP	70	25	4	1.0	700	8.0	27.0, 28.5	2.54	P544-ND	2.96	50.97	158.59	LN222RPH
	Ø2.0	Grün diffundiert	GaP	90	30	4	1.0	565	8.0	27.0, 28.5	2.54	P545-ND	2.96	50.97	158.59	LN322GPH
	Ø2.0	Bernstein diffundiert	GaAsP	90	30	4	2.5	590	8.0	27.0, 28.5	2.54	P546-ND	3.05	52.42	163.11	LN422YPH
	Ø2.0	Rot diffundiert	GaP	70	25	4	0.6	700	8.0	27.0, 28.5	2.54	P612-ND	1.82	29.22	101.45	LN222RPX
	Ø2.0	Grün diffundiert	GaP	90	30	4	1.0	565	8.0	27.0, 28.5	2.54	P613-ND	1.90	30.48	121.73	LN322GPX
	Ø2.0	Bernstein diffundiert	GaAsP	90	30	4	4.0	590	8.0	27.0, 28.5	2.54	P614-ND	2.33	37.45	123.77	LNG422YKY
3	Ø2.0	Rot diffundiert	GaP	70	25	4	1.0	700	7.7	32.0, 33.5	2.54	P547-ND	2.96	50.97	158.59	LN282RPX
	Ø2.0	Grün diffundiert	GaP	90	30	4	1.2	565	7.7	32.0, 33.5	2.54	P548-ND	2.96	50.97	158.59	LN382GPX
	Ø2.0	Bernstein diffundiert	GaAsP	90	30	4	2.0	590	7.7	32.0, 33.5	2.54	P549-ND	2.96	50.97	181.23	LN482YPX
	Ø2.0	Orange/rot diff.	GaAsP	90	30	3	6.0	630	7.7	32.0, 33.5	2.54	P550-ND	2.96	50.97	181.23	LN882RPX
4	Ø2.8	Rot transparent †	GaP	70	25	4	0.6	700	5.5	15.5, 17.0	2.54	P376-ND	1.82	29.22	101.45	LN263CPP
	Ø2.8	Grün diffundiert	GaP	90	30	4	0.8	565	5.5	15.5, 17.0	2.54	P377-ND	1.90	30.48	103.48	LN363GCPP
	Ø2.8	Bernstein diffundiert	GaAsP	90	30	4	0.8	590	5.5	15.5, 17.0	2.54	P378-ND	2.33	37.44	113.62	LN463YCPP
	Ø2.8	Orange transparent	GaAsP	90	30	3	1.0	630	5.5	15.5, 17.0	2.54	P379-ND	2.33	37.44	113.62	LN863RCPP
5	Ø3.0	Rot diffundiert	GaP	70	25	4	0.7	700	3.8	24.5, 26.0	2.54	P551-ND	2.37	38.11	115.66	LN277RPX
	Ø3.0	Grün diffundiert	GaP	90	30	4	5.0	565	3.8	24.5, 26.0	2.54	P552-ND	2.40	38.58	117.69	LN377GPX
	Ø3.0	Orange/rot diff.	GaAsP	90	30	3	5.0	630	3.8	24.5, 26.0	2.54	P553-ND	2.69	43.24	131.89	LN877RPX
6	Ø3.0	Rot diffundiert	GaP	70	25	4	2.0	700	6.0	27.0, 28.5	2.54	P554-ND	2.29	36.78	111.59	LN238RPH
	Ø3.0	Grün diffundiert	GaP	90	30	4	4.0	565	6.0	27.0, 28.5	2.54	P555-ND	2.40	38.58	117.69	LN338GPH
	Ø3.0	Bernstein diffundiert	GaAsP	90	30	4	3.0	590	6.0	27.0, 28.5	2.54	P556-ND	2.96	50.97	158.59	LN438YPH
7	Ø3.5	Rot diffundiert	GaP	70	25	4	0.7	700	2.3	12.5, 12.5	2.54	P441-ND	2.61	41.91	158.26	LN25RP
	Ø3.5	Grün diffundiert	GaP	90	30	4	1.2	565	2.3	12.5, 12.5	2.54	P442-ND	3.32	53.34	162.32	LN35GP
	Ø3.5	Bernstein diffundiert	GaAsP	90	30	4	0.8	590	2.3	12.5, 12.5	2.54	P443-ND	3.32	53.34	162.32	LN45YP
	Ø3.5	Orange diffundiert	GaAsP	90	30	3	1.5	630	2.3	12.5, 12.5	2.54	P444-ND	3.32	53.34	162.32	LN85RP
8	Ø3.7	Rot diffundiert	GaP	70	25	4	1.0	700	8.65	13.0, 14.5	2.54	P428-ND	1.82	29.22	101.45	LN253RP
	Ø3.7	Grün diffundiert	GaP	90	30	4	3.0	565	8.65	13.0, 14.5	2.54	P429-ND	1.90	30.48	103.48	LN353GP
	Ø3.7	Bernstein diffundiert	GaAsP	90	30	4	3.0	590	8.65	13.0, 14.5	2.54	P430-ND	2.33	37.44	113.62	LN453YP
9	Ø4.4	Rot diffundiert †	GaP	70	25	4	2.0	700	5.0	14.5, 16.0	2.54	P431-ND	1.82	29.22	101.45	LN240CP
	Ø4.4	Grün diffundiert †	GaP	90	30	4	10.0	565	5.0	14.5, 16.0	2.54	P432-ND	1.90	30.48	105.50	LN340CP
	Ø4.4	Orange/Pinktönung	GaAsP	90	30	3	6.0	630	5.0	14.5, 16.0	2.54	P434-ND	2.33	37.45	142.03	LN840RCP
10	Ø4.4	Grün diffundiert	GaP	90	30	4	10.0	565	5.0	14.5, 16.0	2.54	P557-ND	2.40	38.58	117.69	LN340GCP
	Ø4.4	Bernstein diffundiert	GaAsP	90	30	4	5.0	590	5.0	14.5, 16.0	2.54	P558-ND	2.96	50.97	158.59	LN440YCP
	Ø4.4	Rot diffundiert	GaP	70	25	4	0.8	700	5.0	27.3, 28.8	2.54	P559-ND	2.37	38.11	115.66	LN240RPX
	Ø4.4	Grün diffundiert	GaP	90	30	4	2.5	565	5.0	27.3, 28.8	2.54	P560-ND	2.40	38.58	117.69	LN340GPX
	Ø4.4	Orange/rot diff.	GaAsP	90	30	3	4.5	630	5.0	27.3, 28.8	2.54	P561-ND	2.69	43.24	131.89	LN840RPX
11	Ø5.0	Rot transparent †	GaP	70	25	4	0.6	700	6.7	13.3, 14.8	2.54	P380-ND	1.82	29.22	101.45	LN264CP
	Ø5.0	Grün diffundiert	GaP	90	30	4	2.0	565	6.7	13.3, 14.8	2.54	P381-ND	1.90	30.48	103.48	LN364GCP
	Ø5.0	Bernstein diffundiert	GaAsP	90	30	4	1.0	590	6.7	13.3, 14.8	2.54	P382-ND	2.33	37.44	113.62	LN464YCP
	Ø5.0	Orange transparent	GaAsP	90	30	3	1.0	630	6.7	13.3, 14.8	2.54	P383-ND	2.44	39.24	145.36	LN864RCP
12	□ 1.0x5.0	Rot diffundiert	GaP	70	25	4	0.6	700	8.5	13.0, 14.5	2.54	P315-ND*	1.82	29.22	97.40	LN224RP
	□ 1.0x5.0	Grün diffundiert	GaP	90	30	4	2.5	565	8.5	13.0, 14.5	2.54	P316-ND*	1.90	30.48	99.42	LN324GP
	□ 1.0x5.0	Bernstein diffundiert	GaAsP	90	30	4	2.0	590	8.5	13.0, 14.5	2.54	P317-ND	2.33	37.45	109.57	LN424YP
	□ 1.0x5.0	Rot diffundiert	GaP	70	25	4	0.6	700	8.5	26.5, 28.0	2.54	P615-ND	1.82	29.22	97.40	LN224RPXB
	□ 1.0x5.0	Grün diffundiert	GaP	90	30	4	2.0	565	8.5	26.5, 28.0	2.54	P616-ND	1.90	30.48	99.42	LN324GPXB
13	□ 1.7x2.5	Rot transparent †	GaP	60	20	4	1.5	700	—	8.5 typ.	—	P417-ND	2.37	38.10	127.83	LN01201C
	□ 1.7x2.5	Grün diffundiert †	GaP	60	20	4	10.0	565	—	8.5 typ.	—	P418-ND	2.61	41.91	127.83	LN01301C
	□ 1.7x2.5	Bernstein diffundiert †	GaAsP	60	20	4	5.0	590	—	8.5 typ.	—	P419-ND	2.84	45.72	137.97	LN01401C
	□ 1.7x2.5	Orange transparent †	GaAsP	60	20	4	8.0	630	—	8.5 typ.	—	P420-ND	2.84	45.72	137.97	LN01801C
14	□ 1.8x1.8	Rot diffundiert	GaP	80	25	4	0.5	700	10.0	25.5, 27.0	2.54	P385-ND	1.82	29.22	97.40	LN265RPH
	□ 1.8x1.8	Grün diffundiert	GaP	90	30	4	1.0	565	10.0	25.5, 27.0	2.54	P386-ND	1.90	30.48	103.48	LN365GPH
15	□ 2.0x5.0	Rot diffundiert	GaP	70	20	4	0.4	700	7.5	14.5, 16.0	2.54	P437-ND	1.82	29.22	97.40	LN242RP
	□ 2.0x5.0	Grün diffundiert	GaP	70	20	4	1.0	565	7.5	14.5, 16.0	2.54	P438-ND	1.90	30.48	99.42	LN342GP
	□ 2.0x5.0	Bernstein diffundiert	GaAsP	90	20	4	2.0	590	7.5	14.5, 16.0	2.54	P439-ND	2.33	37.45	109.57	LN442YP
	□ 2.0x5.0	Orange diffundiert	GaAsP	90	30	3	2.5	630	7.5	14.5, 16.0	2.54	P440-ND	2.66	42.79	109.57	LN842RP
	□ 2.0x5.0	Rot diffundiert	GaP	70	25	4	0.4	700	7.5	26.5, 28.0	2.54	P617-ND	1.82	29.22	97.40	LN242RPX
	□ 2.0x5.0	Grün diffundiert	GaP	90	30	4	1.5	565	7.5	26.5, 28.0	2.54	P618-ND	1.90	30.48	99.42	LN342GPX
	□ 2.0x5.0	Bernstein diffundiert	GaAsP	90	30	4	2.0	590	7.5	26.5, 28.0	2.54	P619-ND	2.33	37.45	109.57	LNG442YKX
	□ 2.0x5.0	Orange/rot diffundiert	GaAsP	90	30	3	2.5	630	7.5	26.5, 28.0	2.54	P620-ND	2.33	37.45	109.57	LN842RPX
16	□ 4.0x4.0	Rot diffundiert	GaP	70	20	4	0.6	700	8.5	13.3, 14.8	2.54	P445-ND	1.82	29.22	97.40	LN252RP
	□ 4.0x4.0	Grün diffundiert	GaP	90	30	4	1.0	565	8.5	13.3, 14.8	2.54	P446-ND	1.90	30.48	99.42	LN352GP
	□ 4.0x4.0	Bernstein diffundiert	GaAsP	90	40	4	1.0	590	8.5	13.3, 14.8	2.54	P447-ND	2.33	37.45	109.57	LN452YP
	□ 4.0x4.0	Rot diffundiert	GaP	70	25	4	0.6	700	8.5	26.5, 28.0	2.54	P624-ND	1.82	29.22	97.40	LN252RPX
	□ 4.0x4.0	Grün diffundiert	GaP	90	30	4	2.0	565	8.5	26.5, 28.0	2.54	P625-ND	1.90	30.48	99.42	LN352GPX
	□ 4.0x4.0	Bernstein diffundiert	GaAsP	90	30	4	1.5	590	8.5	26.5, 28.0	2.54	P626-ND	2.33	37.45	109.57	LN452YPX
17	Δ 4.0x4.5	Rot diffundiert	GaP	70	25	4	0.4	700	5.5	15.0, 16.5	2.54	P318-ND*	1.82	29.22	97.40	LN212RP
	Δ 4.0x4.5	Grün diffundiert	GaP	90	30	4	1.0	565	5.5	15.0, 16.5	2.54	P319-ND*	1.90	30.48	99.42	LN312GP
	Δ 4.0x4.5	Grün diffundiert	GaP	90	30	4	5.0	565	5.5	26.5, 28.0	2.54	P627-ND	1.90	30.48	99.42	LNG312GKG
18	□ 5.0x5.0	Rot diffundiert	GaP	70	30	4	2.0	700	9.0	13.6, 15.1	2.54	P448-ND	1.82	29.22	97.40	LN250RP
	□ 5.0x5.0	Grün diffundiert	GaP	90	30	4	2.0	545	9.0	13.6, 15.1	2.54	P449-ND	1.90	30.48	99.42	LN350GP
	□ 5.0x5.0	Bernstein diffundiert	GaAsP	90	30	4	1.5	590	9.0	13.6, 15.1	2.54	P450-ND	2.33	37.45	109.57	LN450YP
	□ 5.0x5.0	Rot diffundiert	GaP	70	25	4	0.4	700	9.0	26.5, 28.0	2.54	P621-ND	1.82	29.22	97.40	LN250RPH
	□ 5.0x5.0	Grün diffundiert	GaP	90	30	4	2.0	565	9.0	26.5, 28.0	2.54	P622-ND	1.90	30.48	99.42	LN350GPH
	□ 5.0x5.0	Bernstein diffundiert	GaAsP	90	30	4	1.5	590	9.0	26.5, 28.0	2.54	P623-ND	2.33	37.45	109.57	LN450YPH
19	□ 1.8x5.3	Rot diffundiert	GaP	70	25	4	0.6	700	8.0	28.0, 29.5	2.54	P609-ND	1.82	29.22	97.40	LN217RPH
	□ 1.8x5.3	Grün diffundiert	GaP	90	30	4	1.5	565	8.0	28.0, 29.5	2.54	P610-ND	1.90	30.48	99.42	LN317GPH
	□ 1.8x5.3	Bernstein diffundiert	GaAsP	90	30	4	1.5	590	8.0	28.0, 29.5	2.54	P611-ND	1.82	29.22	97.40	LN417YPH

*** LED-KIT-ND** ***Digi-Key® LED Kit*** je 10 von 18 gängigen LEDs (insgesamt 180 Stück), verbleibende 14 Teilenr. hinten auf Packung angezeigt. **28.77**

† Wasserklare Linse wenn aus

Panasonic

LEDs — Pegelmesser

Abb.	Packungs-teile	Farbe (diffundiert)	Elektro-optische Merkmale (Ta=25°C) PD (mW)	VR (V)	IF (mA)	IO (mcd)	λp (nm)	Linsen-größe	Abmessungen (mm) Linsen-höhe	Anschluss-länge	Digi-Key Teilenr.	Stückpreis 1	10	200	Panasonic Teilenr.
1	2	Rot	70	4	25	0.6	700	□1.8x5.3	6.0	14.5, 16.0	P516-ND	.42	.39	.33	LN02202P
	2	Grün	90	4	30	1.5	565	□1.8x5.3	6.0	14.5, 16.0	P517-ND	.56	.51	.44	LN02302P
	3	Rot	70	4	25	0.6	700	□1.8x5.3	6.0	14.5, 16.0	P519-ND	.63	.58	.50	LN03202P
	3	Grün	90	4	30	1.5	565	□1.8x5.3	6.0	14.5, 16.0	P520-ND	.83	.76	.66	LN03302P
	3	Bernstein	90	4	30	1.5	590	□1.8x5.3	6.0	14.5, 16.0	P521-ND	.83	.76	.66	LN03402P
	4	Rot	70	4	25	0.6	700	□1.8x5.3	6.0	14.5, 16.0	P522-ND	.77	.70	.61	LN04202P
	4	Grün	90	4	30	1.5	565	□1.8x5.3	6.0	14.5, 16.0	P523-ND	1.11	1.01	.87	LN04302P
	5	Rot	70	4	25	0.6	700	□1.8x5.3	6.0	14.5, 16.0	P525-ND	1.06	.97	.83	LN05202P
	5	Grün	90	4	30	1.5	565	□1.8x5.3	6.0	14.5, 16.0	P526-ND	1.39	1.26	1.09	LN05302P
	5	Bernstein	90	4	30	1.5	590	□1.8x5.3	6.0	14.5, 16.0	P527-ND	1.39	1.26	1.09	LN05402P
	6	Rot	70	4	25	0.6	700	□1.8x5.3	6.0	14.5, 16.0	P528-ND	1.27	1.16	1.00	LN06202P
	6	Grün	90	4	30	1.5	565	□1.8x5.3	6.0	14.5, 16.0	P529-ND	1.65	1.51	1.30	LN06302P
	6	Bernstein	90	4	30	1.5	590	□1.8x5.3	6.0	14.5, 16.0	P530-ND	1.65	1.51	1.30	LN06402P
	7	Rot	70	4	25	0.6	700	□1.8x5.3	6.0	14.5, 16.0	P531-ND	1.48	1.35	1.16	LN07202P
	7	Grün	90	4	30	1.5	565	□1.8x5.3	6.0	14.5, 16.0	P532-ND	1.93	1.76	1.52	LN07302P
	7	Bernstein	90	4	30	1.5	590	□1.8x5.3	6.0	14.5, 16.0	P533-ND	2.07	1.89	1.62	LN07402P
2	—	Rot	70	4	25	0.4	700	□1.75x7.0	7.65	24.1, 25.6, 27.1	P397-ND	1.23	1.12	.96	LN05201P
3	—	Grün	90	4	30	1.0	565	Ø2.0	2.5	2.0	P401-ND	3.26	2.97	2.55	LN10304P
4	10	Grün	60	5	20	1900	565	□1.52x5.08	—	4.6	P10722-ND	5.32	4.84	4.16	LNV310105A
	10	Rot	60	3	20	1000	630	□1.52x5.08	—	4.6	P10723-ND	5.32	4.84	4.16	LNV810105A

Abb. 1

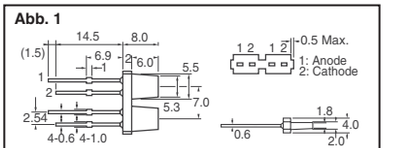

Abb. 2 – 1,75 x 7,0 rechtwinklig

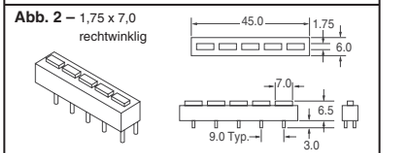

Abb. 3 – 2,8 mm rund

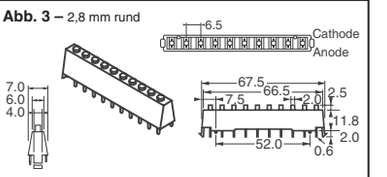

Abb. 4 – 10-Segment, aneinander stapelbar

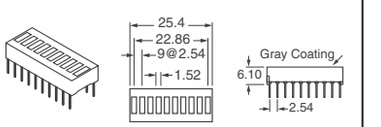

Superhelle LEDs

Abb. 1
1: Anode
2: Kathode

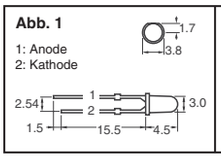

Abb. 2
1: Anode
2: Kathode

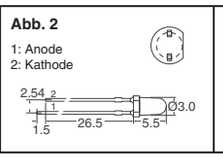

Abb. 3

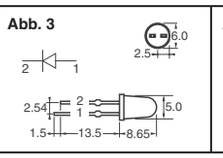

Abb. 4

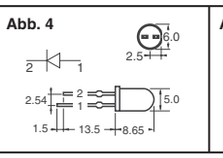

Abb. 5

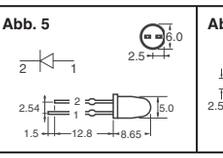

Abb. 6

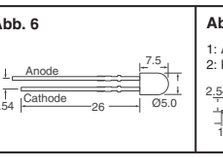

Abb. 7
1: Anode
2: Kathode

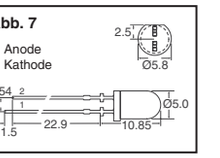

Abb.	Paket	Farbe (diffundiert)	IO (mcd @5mA typ.	Elektro-optische Merkmale (Ta=25°C) PD (mW)	VR (V)	IF (mA)	IO (mcd)	λp (nm)	Linsen-größe	Abmessungen (mm) Linsen-höhe	Anschluss-länge	Digi-Key Teilenr.	Stückpreis 1	10	200	Panasonic Teilenr.
1	T-1	Rot	6	70	3	30	50	665	Ø3.0	5.0	15.0, 16.5	P403-ND	.32	.30	.26	LN28RALUS
	T-1	Rot (weiß)	14	70	3	30	50	665	Ø3.0	5.0	15.0, 16.5	P404-ND	.32	.30	.26	LN28WALUS
	T-1	Rot†	20	70	3	30	85	665	Ø3.0	5.0	15.0, 16.5	P405-ND	.32	.30	.26	LN28CALUS
2	T-1	Rot†	5.5	70	3	30	25	660	Ø3.0	5.5	26.5, 28.0	P604-ND	.32	.30	.26	LN28CALXU
	T-1	Rot	3.8	70	3	30	25	660	Ø3.0	5.5	26.5, 28.0	P605-ND	.32	.30	.26	LN28RALXU
3	T-1¾	Rot†	110	70	3	30	300	665	Ø5.0	8.65	12.0, 13.5	P406-ND	.33	.30	.26	LN21CALUS
	T-1¾	Rot†	190	70	3	30	1000	665	Ø5.0	8.65	12.0, 13.5	P407-ND	.58	.53	.46	LN21CALURS
4	T-1¾	Rot†	470	70	3	30	2000	665	Ø5.0	8.65	12.0, 13.5	P408-ND	.81	.75	.64	LN261CALUR
5	T-1¾	Rot	20	70	3	30	200	660	Ø5.0	8.65	12.0, 13.5	P458-ND	.58	.53	.46	LN21RUQ
	T-1¾	Rot†	20	70	3	30	85	665	Ø5.0	8.65	12.0, 13.5	P410-ND	.32	.30	.26	LN21CALU
6	T-1¾	Grün†	—	90	4	30	120	565	Ø5.0	7.5	26, 27.5	P461-ND	.25	.24	.21	LNG305CFT
7	T-1¾	Rot†	160	120	3	50	630	660	Ø5.0	8.25	22.9, 24.4	P597-ND	.58	.53	.46	LN289CUQ

† Nicht diffundierende Linse. Wasserklare Linse wenn aus.

Optoelektronische LEDs — Zwei Farben

Abb. 1

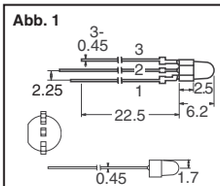

Abb. 2

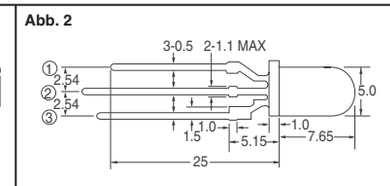

Abb. 3

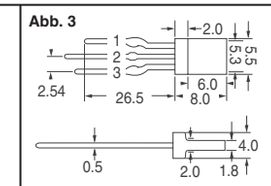

Abb. 4

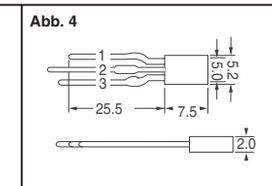

Abb. 5

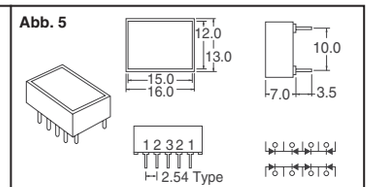

Abb.	Strahlungsfarbe/ Linsenfarbe	Elektro-optische Merkmale (Ta=25°C) PD (mW)	IF (mA)	VR (V)	IO (mcd)	λp (nm)	Abmessungen (mm) Linsen-größe	Anschluss-länge	Digi-Key Teilenr.	Preisangaben 1	10	200	1,000	Panasonic Teilenr.
1	*1. Grün/3. Orange/weiß diffundiert	90/90	30/30	4/3	8.0/8.0	565/630	Ø3.0	22.5, 24.5, 26.5	P509-ND	.56	5.08	87.37	203.90	LN086WP38
2	*1. Grün/3. Rot/weiß diffundiert	70	25	4	3.0	700	Ø5.0	24.1, 25.6, 27.1	P391-ND	.50	4.57	78.63	203.90	LN11WP23
	*1. Grün/3. Rot/transparent	70	25	4	3.0	700	Ø5.0	24.1, 25.6, 27.1	P392-ND	.50	4.57	78.63	203.90	LN11CP23
	*1. Bernstein/3. Rot/weiß diffundiert	70	25	4	3.0	700	Ø5.0	24.1, 25.6, 27.1	P393-ND	.56	5.08	87.37	203.90	LN11WP24
	*1. Bernstein/3. Grün/weiß diffundiert	90	30	4	15.0	565	Ø5.0	24.1, 25.6, 27.1	P395-ND	.56	5.08	87.37	203.90	LN11WP34
	*1. Orange/3. Grün/weiß diffundiert	90	30	4	15.0	565	Ø5.0	24.1, 25.6, 27.1	P399-ND	.56	5.08	87.37	203.90	LN11WP38
3	*1. Grün/3. Rot/weiß diffundiert	70/90	25/30	4/4	.6/4.5	700/565	□1.8x5.3	26.5, 28.0, 29.5	P435-ND	.50	4.57	78.63	203.90	LN117WP23
4	*1. Orange/3. Grün/weiß diffundiert	90/90	30/30	4/3	3/2.5	565/630	□2.0x5.0	25.5, 27.0, 28.5	P436-ND	.56	5.08	87.37	203.90	LN142WP38
5	*1. Orange/3. Grün/weiß diffundiert	60	20	3	8.0	565	□12.0x15.0	3.5 typ.	P396-ND	2.73	24.75	425.80	1832.52	LN0801WP38

* Gemeinsame Kathode

Weitwinkel-LEDs

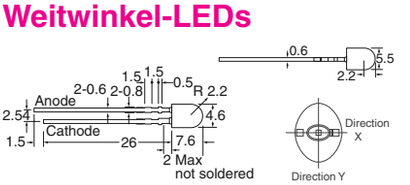

Farbe	Io mcd Typ	Io mcd Min	(mA) IF	VF (V) Max	VF (V) Typ	λp Typ	Δλ Typ	(mA) IF	IR (µA) Max	IR (V) VR	Sichtwinkel (Grad) x	Sichtwinkel (Grad) y	IFDC max	IFP‡ max	Digi-Key Teilenr.	Preisangaben 1	10	200	Panasonic Teilenr.
Rot	300	120	20	2.6	1.8	660	20	20	100	3	15	35	30	150	P462-ND	.50	4.57	78.63	LNG295LFCP2U
Grün	120	75	20	2.8	2.2	565	30	20	10	4	17	35	30	150	P463-ND	.25	2.33	40.04	LNG395MFTP5U
Blue	370	145	20	4.0	3.5	470	30	20	10	5	15	35	30	100	P468-ND	2.26	21.12	392.25	LNG995PFBW

‡ Die Kondition von IFP ist Betrieb 10 %, Impulsbreite 1 ms.

K

Alle Preisangaben in Euro und inklusive Zollgebühren.

Panasonic®

Numerische LED-Anzeigen

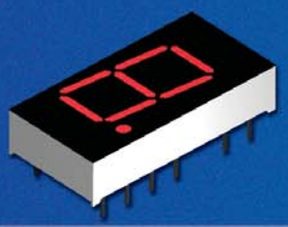

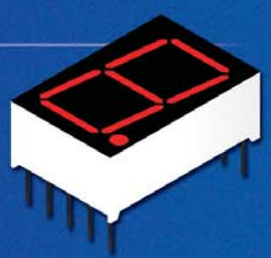

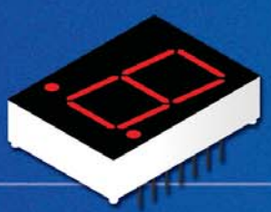

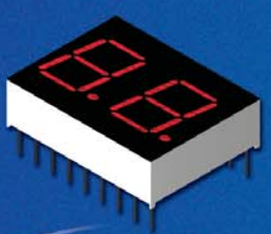

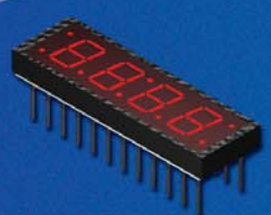

P322-P329, P343-P350

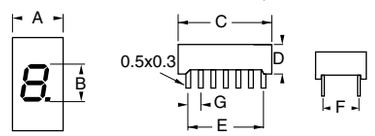

Größe	A	B	C	D	E	F	G
0.3A	7.0	8.0	11.0	5.0	8.0	5.3	2.0
0.3B	10.0	7.6	19.0	5.5	15.24	7.6	2.54
.43	11.0	11.0	19.0	5.5	15.24	7.6	2.54

P510-P515

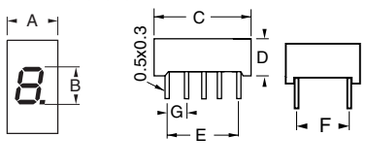

P330-P333, P351-P354

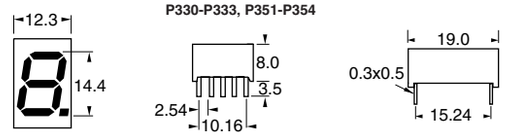

P411-P416

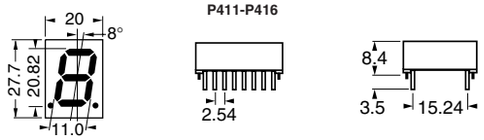

P334-P339, P355-P360

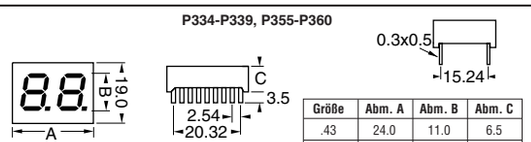

Größe	Abm. A	Abm. B	Abm. C
.43	24.0	11.0	6.5
.57	25.1	14.4	8.0

P453-P456

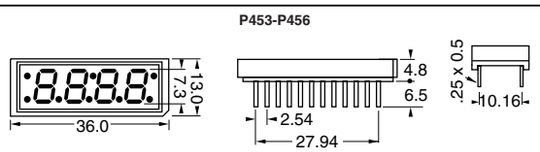

Farbe	Größe	Absolute max. Nenngrößen (Ta = 25 °C) VR (V)	IF (mA)	IFP† (mA)	PD (mW)	Eigenschaften (Ta = 25 °C) bei IF (mA)	E/A Typ. (seg.) (µcd)	Typ. (D.P.) (µcd)	VF bei IF (mA)	VF Typ. (V)	Digi-Key Teilenr. Gemeinsame Anode	Gemeinsame Kathode	Preisangaben 1	10	200	1000	Panasonic Teilenr. Gemeinsame Anode	Gemeinsame Kathode
Rot	0.3A	5	15	80	40	5	200	70	10	2.1	P510-ND	P511-ND	1.77	16.06	276.19	1188.69	LN513RAM	LN513RKM
Grün	0.3A	5	15	80	40	10	1,000	300	10	2.1	P512-ND	P513-ND	2.02	18.35	315.76	1358.96	LN513GAM	LN513GKM
Bernstein	0.3A	5	15	80	40	10	300	100	10	2.0	P514-ND	P515-ND	2.29	20.74	356.76	1535.41	LN513YAM	LN513YKM
Rot	0.3B	5	20	100	60	5	400	150	20	2.2	P322-ND	P343-ND	1.32	12.00	206.41	888.35	LN513RA	LN513RK
Grün	0.3B	5	20	100	60	10	1,200	400	20	2.2	P323-ND	P344-ND	1.65	15.03	258.47	1112.39	LN513GA	LN513GK
Bernstein	0.3B	5	20	100	60	10	600	200	20	2.2	P324-ND	P345-ND	1.61	14.60	251.19	1081.05	LN513YA	LN513YK
Orange	0.3B	3	20	100	60	10	1,000	400	20	2.1	P325-ND	P346-ND	1.65	15.00	258.01	1110.43	LN5130A	LN513OK
Rot	.43	5	20	100	60	5	450	150	20	2.2	P326-ND	P347-ND	1.33	12.06	207.50	893.04	LN514RA	LN514RK
Grün	.43	5	20	100	60	10	1,500	500	20	2.2	P327-ND	P348-ND	1.48	13.46	231.48	996.21	LN514GA	LN514GK
Bernstein	.43	5	20	100	60	10	600	200	20	2.2	P328-ND	P349-ND	1.79	16.23	279.14	1201.38	LN514YA	LN514YK
Orange	.43	3	20	100	60	10	1,200	500	20	2.1	P329-ND	P350-ND	1.79	16.23	279.14	1201.38	LN5140A	LN5140K
Rot	.57	5	20	100	60	5	600	250	20	2.2	P330-ND	P351-ND	1.37	12.46	214.27	922.18	LN516RA	LN516RK
Grün	.57	5	20	100	60	10	1,500	500	20	2.2	P331-ND	P352-ND	1.58	14.39	247.55	1065.39	LN516GA	LN516GK
Bernstein	.57	5	20	100	60	10	800	300	20	2.2	P332-ND	P353-ND	1.92	17.49	300.77	1294.44	LN516YA	LN516YK
Orange	.57	3	20	100	60	10	1,200	500	20	2.1	P333-ND	P354-ND	1.92	17.49	300.77	1294.44	LN5160A	LN5160K
Rot	.82	5	20	100	60	5	450	150	20	2.2	P411-ND	P415-ND	2.68	24.34	418.64	1801.75	LN518RA	LN518RK
Grün	.82	5	20	100	60	10	1,500	500	20	2.2	P412-ND	P416-ND	3.23	29.38	505.21	2174.32	LN518GA	LN518GK
Bernstein	.82	5	20	100	60	10	800	300	20	2.2	P413-ND	—	3.45	31.32	538.78	2318.78	LN518YA	—
Orange	.82	3	20	100	60	10	1,200	500	20	2.1	P414-ND	—	3.45	31.32	538.78	2318.78	LN5180A	—
Rot	.43	5	20	100	60	5	450	150	20	2.2	P334-ND	P355-ND	1.79	16.23	279.14	1201.38	LN524RA	LN524RK
Grün	.43	5	20	100	60	10	1,500	500	20	2.2	P335-ND	P356-ND	2.07	18.74	322.39	1387.51	LN524GA	LN524GK
Bernstein	.43	5	20	100	60	10	600	200	20	2.2	P336-ND	P357-ND	2.45	22.22	382.24	1645.08	LN524YA	LN524YK
Rot	.57	5	20	100	60	5	600	250	20	2.2	P337-ND	P358-ND	1.74	15.87	273.03	1175.06	LN526RA	LN526RK
Grün	.57	5	20	100	60	10	1,500	500	20	2.2	P338-ND	P359-ND	2.07	18.74	322.39	1387.51	LN526GA	LN526GK
Bernstein	.57	5	20	100	60	10	800	300	20	2.2	P339-ND	P360-ND	2.51	22.86	393.16	1692.08	LN526YA	LN526YK
Rot	.28	5	10	60	30	5	200	100	10	2.03	P453-ND*	P454-ND*	8.26	75.14	1292.33	5561.94	LN543RAN8	LN543RKN8
Grün	.28	5	10	60	30	10	200	80	10	2.03	P455-ND*	P456-ND*	8.87	80.64	1386.98	5969.29	LN543GAN8	LN543GKN8

* Gemultiplexte Anzeige † Der I_{FP}-Zustand ist 10 % Schaltzyklus, 1 ms Impulsbreite

Blaue LEDs

Superhell

Max. Nenngrößen:

Stromverbrauch: 120 mW
Durchlassstrom: 30 mA
Rückflussspannung: 5 V
Betriebsumgebungstemperatur: -25 °C ~ +80 °C
Lagertemperatur: -30 °C ~ +100 °C
Wasserklare Linse wenn aus.

Handhabungshinweise für die blaue LED:

Eine blaue LED reagiert empfindlich auf statische Elektrizität, weswegen beim Umgang mit der LED Vorsicht anzuwenden ist. Insbesondere wenn eine Überspannung angelegt wird, welche den absoluten maximalen Nennwert der blauen LED überschreitet, beschädigt ihre Energie die LED.

Abb. 1 **T-1¾**

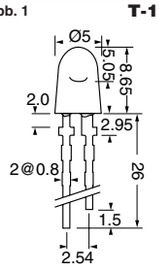

Abb. 2 **T-1¾**

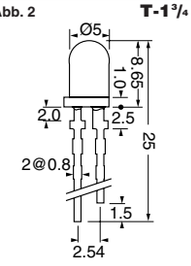

Abb. 3 **T-1¾**

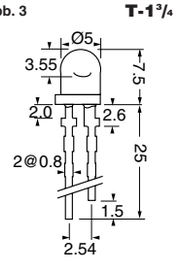

Abb.	Io mcd Typ.	Io mcd Min.	(mA) IF	VF (V) Max.	VF (V) Typ.	λp Typ.	Δλ Typ.	IR (mA) IF	(µA) Max.	(V) VR	Sichtwinkel (Grad)	Digi-Key Teilenr.	Preisangaben 1	10	200	1,000	Panasonic Teilenr.
1	1500	640	20	4.0	3.5	470	30	20	10	5	15	P465-ND	2.26	21.12	392.25	1521.76	LNG992CFBW
2	650	260	20	4.0	3.5	470	30	20	10	5	30	P466-ND	2.26	21.12	392.25	1521.76	LNG901CFBW
3	350	140	20	4.0	3.5	470	30	20	10	5	45	P467-ND	2.26	21.12	392.25	1521.76	LNG91LCFBW

CWX815
100.00M